การประชุมวิชาการ
ทางวิศวกรรมไฟฟ้า ครั้งที่ 48
The 48th Electrical Engineering Conference

PROCEEDINGS
EECON 48

19 - 21 พฤศจิกายน 2568

ณ โรงแรมฟูราม่า เชียงใหม่

จัดโดย สมาคมวิชาการทางวิศวกรรมไฟฟ้า (ประเทศไทย)
ร่วมกับ มหาวิทยาลัยพะเยา มหาวิทยาลัยเชียงใหม่ มหาวิทยาลัยนเรศวร

PEA
PROVINCIAL ELECTRICITY AUTHORITY

การไฟฟ้าส่วนภูมิภาค

วิสัยทัศน์
ไฟฟ้าอัจฉริยะเพื่อคุณภาพชีวิตที่ดีอย่างยั่งยืน
Smart Energy for Better Life and Sustainability

ภารกิจ
ผลิต จัดหา ให้บริการพลังงานไฟฟ้า และดำเนินธุรกิจอื่นที่เกี่ยวเนื่อง
เพื่อตอบสนองความต้องการของลูกค้าให้เกิดความพึงพอใจ
ทั้งด้านคุณภาพและบริการ โดยการพัฒนาองค์กรอย่างต่อเนื่อง
มีความรับผิดชอบต่อสังคมและสิ่งแวดล้อม

ค่านิยม
ทันโลก บริการดี มีคุณธรรม

ประวัติความเป็นมา
การไฟฟ้าส่วนภูมิภาค ได้รับการสถาปนาตามพระราชบัญญัติการไฟฟ้าส่วนภูมิภาค ณ วันที่ 28 กันยายน 2503 โดยรับช่วงภารกิจต่อจากองค์การไฟฟ้าส่วนภูมิภาค มาดำเนินการอย่างต่อเนื่อง

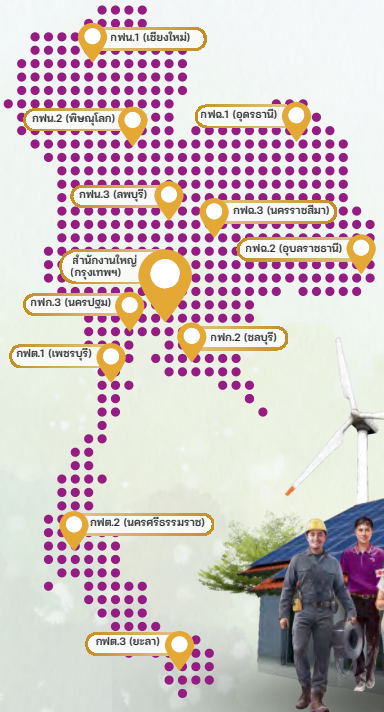

พื้นที่ความรับผิดชอบ
99%
ของพื้นที่ประเทศไทย

948
จำนวนสำนักงาน (แห่ง)
ไม่รวมสำนักงานใหญ่ และการไฟฟ้า 12 เขต

22,062,761
จำนวนผู้ใช้ไฟฟ้า (ราย)

ยุทธศาสตร์สาขาพลังงาน
สร้างความมั่นคงด้านพลังงานของประเทศ พัฒนาโครงสร้างพื้นฐานเพื่อความเป็นอยู่ที่ดีขึ้นของประชาชน การพัฒนาด้านพลังงานเพื่อรองรับการขยายตัวทางเศรษฐกิจ การสนับสนุนภาคเอกชนให้เกิดการแข่งขัน และมีโครงสร้างราคาที่เหมาะสม ตลอดจนสนับสนุนการใช้พลังงานทดแทนที่เป็นมิตรกับสิ่งแวดล้อม

ธุรกิจหลัก
จัดหา และให้บริการจำหน่ายไฟฟ้าแก่ผู้ใช้ไฟฟ้าในเขตพื้นที่ส่วนภูมิภาค ได้แก่ พื้นที่ 74 จังหวัดของประเทศไทย ยกเว้น กรุงเทพมหานคร นนทบุรี และสมุทรปราการ (อยู่ในพื้นที่รับผิดชอบของการไฟฟ้านครหลวง)

ธุรกิจเกี่ยวเนื่อง
ธุรกิจที่เกี่ยวข้องกับการจำหน่ายไฟฟ้า เป็นธุรกิจปลายน้ำที่ให้บริการเสริมหรือเพิ่มเติมจากการจำหน่ายไฟฟ้า โดยนำศักยภาพความเชี่ยวชาญ และทรัพยากรต่าง ๆ ของการไฟฟ้าส่วนภูมิภาค มาใช้ต่อยอดเป็นธุรกิจเสริม หรือการนำนวัตกรรมมาใช้เพื่อสร้างธุรกิจใหม่ (New S-Curve) ที่เกิดจากแนวโน้มและทิศทางของประเทศหรือโลกในอนาคต โดยมีเป้าหมายเพื่อเพิ่มมูลค่าและสร้างการเติบโตให้กับองค์กร โดยสามารถแบ่งออกเป็นธุรกิจที่อยู่ภายใต้การกำกับดูแลอัตราค่าบริการ (Regulated Business) และธุรกิจที่ไม่ได้อยู่ภายใต้กำกับดูแลอัตราค่าบริการ (Non-Regulated Business) จากคณะกรรมการกำกับกิจการพลังงาน (กกพ.)

การไฟฟ้าส่วนภูมิภาค สำนักงานใหญ่
200 ถนนงามวงศ์วาน ลาดยาว จตุจักร กรุงเทพฯ 10900
www.pea.co.th
1129 PEA Contact Center

GENERAL INSTRUMENT CO.,LTD.

บริษัท เยนเนอรัลอินสทรูเม้นท์ จำกัด ก่อตั้งขึ้นใน
กลุ่มบริษัทแสงชัยมิเตอร์
โดย **ดร.ประสิทธิ์ เสริมสุขสกุลชัย** (ประธานกรรมการบริหาร) และ **คุณเอกวุฒิ เสริมสุขสกุลชัย** (กรรมการบริหาร) ดำเนินธุรกิจนำเข้าและจำหน่าย ผลิตภัณฑ์เครื่องมือวัดและระบบควบคุมอัตโนมัติสำหรับโรงงานอุตสาหกรรม และผลิต/นำเข้า/จัดจำหน่ายครุภัณฑ์ชุดทดลองด้านวิศวกรรมในทุกสาขาวิชาให้แก่สถาบันการศึกษาระดับอาชีวศึกษาและมหาวิทยาลัยทั่วประเทศ ด้วยประสบการณ์กว่า 50 ปี บริษัทฯ ยังคงมุ่งมั่นในการนำเสนอผลิตภัณฑ์และบริการที่มีคุณภาพ เพื่อสนับสนุนการพัฒนาอุตสาหกรรมและการศึกษาของประเทศไทย

Showroom 1
ห้องปฏิบัติการและศูนย์ฝึกอบรมด้านยานยนต์ไฟฟ้า, ระบบความปลอดภัยและขับเคลื่อนอัตโนมัติ (ADAS), และพลังงานไฮโดรเจน

Showroom 2
ห้องปฏิบัติการและศูนย์ฝึกอบรมด้านซ่อมบำรุงแขนกลอุตสาหกรรมขั้นสูง

Showroom 2
ชุดปฏิบัติการผลิตอัตโนมัติและการควบคุมอัจฉริยะด้วยเครือข่ายอุตสาหกรรม 4.0

Warehouse
อาคารคลังสินค้า เพื่อเก็บสินค้าที่ผลิตเสร็จแล้ว ตรวบสอบก่อนส่งมอบ เป็นที่พักสินค้าจากต่างประเทศ

Visit
นักศึกษา เข้าร่วมรับฟังการบรรยายชุดปฏิบัติการ จากผู้เชี่ยวชาญ

Visit
คณะผู้บริหารสถานศึกษาเข้าเยี่ยมชมการดำเนินงาน GIC

MOU
ร่วมบันทึกความเข้าใจ ความร่วมมือ (MOU) ระหว่างสถานศึกษากับ GIC

Training
อบรมชุดปฏิบัติการปัญญาประดิษฐ์ ควบคุมการทำงานของ biped robot

Training
อบรมชุดปฏิบัติการยานยนต์ไฟฟ้าแบบแยกส่วน 7 สถานี พร้อมชุดจำลองอาการเสีย

www.gic.co.th
sales@gic.co.th
02 090 2447

ABEX
FIBER OPTICS
PHOTONICS
& TEST MEASUREMENT

Experts in Fiber Optics, Photonics, Laser Technology and Solutions

1. Photonics Solution

mks | Newport™ mks | Spectra-Physics®

Motion control

Opto-mechanics

Optics

Vibration Control

Light Analysis

Light Sources

Ultrafast Lasers (fs/ps)

Pulsed Lasers (ns)

Continuous-wave Lasers (CW)

2. Fiber Optics Solution

SUMITOMO ELECTRIC VIAVI Optiwave MicroCare QUANTIFI PHOTONICS PH DEVISER®

OTDR

Splicer

OSA

Optical components

FIBER OPTIC CLEANING

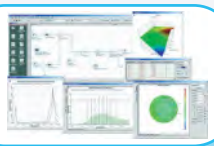
Software

3. Electronics Measurement

GW INSTEK pico Technology KIKUSUI DIGILENT 普益慧创 IECUBE Nurturing Industry-Ready Talent

Digital Storage Oscilloscopes

Data Acquisition System

Electrical Safety Analyzer

High Power DC Source

PicoScope

PicoVNA

Data Logger

DC Power Supplies

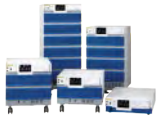
AC Power Supplies

Safety Testers

Electronic Load

Mixed Signal Oscilloscopes

FPGA Board

Integrated Circuit Test Training Platform

Intelligent Semiconductor Parameter Measurement and Analysis Platform

ABEX Technologies Co., Ltd.

+662-5593261 +662-5590650 Sales_abex@abextech.co.th

WWW.ABEXTECH.CO.TH

HITACHI
What's next
in asset
management?
Harnessing AI and expert-built models from **Hitachi Energy** to future-proof investment decisions and extend asset life cycle
Inspire the next

EECON XLVIII EEAAT EECON-48

genetron
Better Solutions, Excellent Services

- เราเป็นหนึ่งในผู้นำด้านการดูแล เครื่องมือวัดและทดสอบ **(Test & Measurement Equipment)** ที่ครบวงจร ครอบคลุมตั้งแต่ **Oscilloscopes, Protocol Analyzers, Digitizers, Arbitrary Waveform Generators (AWG),** แหล่งจ่ายไฟ **DC/AC** แบบโปรแกรมได้ และอิเล็กทรอนิกส์โหลด **(Programmable Power Supplies & Electronic Loads),** ระบบ **Hardware-in-the-Loop (HIL),** โซลูชันการวัดสนามแม่เหล็กไฟฟ้า **(Electromagnetic Near-Field Measurement Solutions)** ตลอดจนซอฟต์แวร์จำลองทางชีวการแพทย์ด้านแม่เหล็กไฟฟ้า **(Life Science Electromagnetic Simulation Software)** และด้าน **Radio Frequncy (RF)**

- เราให้บริการครอบคลุมใน **สิงคโปร์ มาเลเซีย ไทย ฟิลิปปินส์ เวียดนาม และอินโดนีเซีย** ด้วยความเชี่ยวชาญกว่า 15 ปี เรามุ่งมั่นนำเสนอโซลูชันที่ตอบโจทย์งานวิจัย การศึกษา และอุตสาหกรรมพลังงานไฟฟ้าและอิเล็กทรอนิกส์ในภูมิภาคอาเซียน

- เราดูแลลูกค้า 2 กลุ่มหลัก ได้แก่ ภาคอุตสาหกรรม **(Manufacturing Industries) และ** มหาวิทยาลัย/สถาบันวิจัย **(Universities & Research Institutes)** โดยนำเสนอทั้งการจำหน่าย การสอบเทียบและซ่อมบำรุง การฝึกอบรมการใช้งาน ตลอดจนการพัฒนาซอฟต์แวร์สำหรับระบบทดสอบอัตโนมัติ พร้อมโซลูชันที่ครอบคลุมการทดสอบ **Serial Data PHY** และ **Protocol Layers** เพื่อสนับสนุนการเรียนรู้วิจัย และพัฒนาอุตสาหกรรมไทยสู่อนาคตอย่างยั่งยืน

- เรามีความเชี่ยวชาญในการนำเสนอโซลูชันเครื่องมือวัดและทดสอบที่ครอบคลุมหลากหลายสาขา ทั้งในเชิงการวิจัยและอุตสาหกรรม โซลูชันของเรารองรับการประยุกต์ใช้งานในหลายด้าน ได้แก่
  - วิศวกรรมเครื่องกล **(Mechanical Engineering): Motor Drive Analyzer (MDA),** ระบบทดสอบและจำลอง **AC/DC** สำหรับ **EV และ ISO 15118-2, ISO 15118-20 (V2G)**
  - วิศวกรรมพลังงาน **(Energy Engineering)**: ระบบทดสอบการชาร์จ/คายประจุแบตเตอรี่, การจำลอง **PV, BESS, Battery Simulator, Fuel Cell Simulator**
  - ไฟฟ้าและอิเล็กทรอนิกส์ **(Electrical & Electronics):** การทำงานด้าน **Grid Modernization, Distribution Automation, Digital Substations** มาตรฐาน **IEC 61850**
  - เซมิคอนดักเตอร์และไมโครอิเล็กทรอนิกส์ **(Semiconductor & Microelectronics):** ห้องแล็บ **IC**, การทดสอบ **Double Pulse,** การทดสอบ **IGBT/MOSFET/SiC/GaN (I-V curve)**
  - ระบบพลังงานสำหรับขนส่งทางราง **(Rail Transportation Power System)**
  - เครื่องมือวัดทางด้าน **EMC (Pre-Compliance EMC Test), RF Signal Generator, Spectrum Analyzer, Vecctor Network Analyzser)**

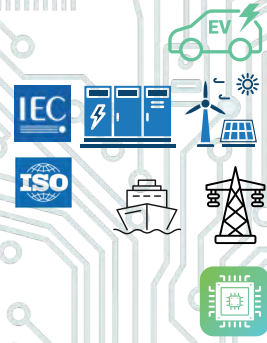

- *Motor Drive Analyzer*
- *Double Pulse Testing*

- *MCU, Power battery, OBC, Themal management system & DC-DC converter, High Voltgae junction box*
- *Battery/battery pack test system & solutions*
- *Vehicle bus network test such as compliance testing for 10Base-T1S, 100Base-T1, 1000Base-T1 and more....*

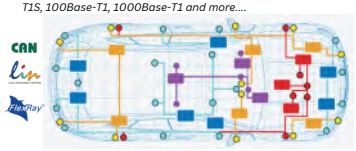

- *HIL teaching kits*

TELEDYNE LECROY Everywhereyoulook™ | ITECH YOUR POWER TESTING SOLUTION | Typhoon HIL | SIGLENT® | AT Active Technologies

Advanced Energy | SPECTRUM | speag | Wayne Kerr Electronics | Pearson ELECTRONICS

Genetron Technology (Thailand) Co., Ltd.
51/3 Vibhavadi Tower Room 4 Floor 14 Ngamwongwan Road Ladyao Chatuchak Bangkok 10900, Thailand
Tel. +66 (0) 2941 0068 | Fax +66 (0) 2941 0069
Email: sales@genetroncorp.com | https://genetroncorp.com

สารจากนายกสมาคมวิชาการทางวิศวกรรมไฟฟ้า (ประเทศไทย)

สมาคมวิชาการทางวิศวกรรมไฟฟ้า (ประเทศไทย) หรือ Electrical Engineering Academic Association (Thailand) - EEAAT รู้สึกยินดีเป็นอย่างยิ่งที่ได้ต้อนรับทุกท่านเข้าสู่ การประชุมวิชาการทางวิศวกรรมไฟฟ้า ครั้งที่ 48 หรือ EECON-48 (The 48th Electrical Engineering Conference) ระหว่างวันที่ 19-21 พฤศจิกายน 2568

การประชุมวิชาการทางวิศวกรรมไฟฟ้า ครั้งที่ 48 (EECON-48) ภายใต้หัวข้อ “Intelligent Technology and Innovation for Human Sustainability” ซึ่งจัดขึ้นโดยความร่วมมือของมหาวิทยาลัยพะเยา มหาวิทยาลัยเชียงใหม่ และมหาวิทยาลัยนเรศวร ถือเป็นเวทีสำคัญในการแลกเปลี่ยนองค์ความรู้ ผลงานวิจัย และนวัตกรรมด้านวิศวกรรมไฟฟ้าและสาขาที่เกี่ยวข้อง เพื่อสร้างแรงบันดาลใจและแนวทางใหม่ ๆ ในการพัฒนาเทคโนโลยีที่ตอบโจทย์ความยั่งยืนของมนุษยชาติ ทั้งในด้านพลังงาน สิ่งแวดล้อม การสื่อสาร และสุขภาพ

ขอแสดงความขอบคุณอย่างจริงใจต่อภาควิชาวิศวกรรมไฟฟ้าของ มหาวิทยาลัยพะเยา มหาวิทยาลัยเชียงใหม่ และมหาวิทยาลัยนเรศวร ในฐานะเจ้าภาพร่วมที่ได้ทุ่มเทแรงกายแรงใจในการจัดงานครั้งนี้ รวมถึงคณะกรรมการจัดงาน ทีมงานวิชาการ ผู้ทรงคุณวุฒิ และนักวิจัยที่ให้เกียรติมาร่วมบรรยาย ผู้สนับสนุนจากภาคอุตสาหกรรม และทุกท่านที่มีส่วนร่วมในการทำให้งานประชุมครั้งนี้เกิดขึ้นอย่างสมบูรณ์และมีคุณค่า

นอกจากนี้ ขอเชิญชวนผู้เข้าร่วมทุกท่านให้ใช้โอกาสนี้ในการ สร้างเครือข่ายทางวิชาการ พบปะแลกเปลี่ยนความคิดเห็นกับนักวิจัยและผู้เชี่ยวชาญจากหลากหลายสาขา รวมทั้งเปิดรับแนวคิดใหม่ ๆ ที่จะช่วยต่อยอดงานวิจัยและการทำงานของท่านให้ก้าวหน้าและเกิดประโยชน์อย่างแท้จริง การมีส่วนร่วมอย่างกระตือรือร้นจะทำให้ท่านได้รับทั้งความรู้ ประสบการณ์ และแรงบันดาลใจกลับไปสู่การพัฒนางานในอนาคต

ท้ายที่สุดนี้ ขออวยพรให้การประชุม EECON-48 เป็นเวทีแห่งการเรียนรู้ที่สร้างสรรค์ เกิดประโยชน์สูงสุดต่อวงการวิศวกรรมไฟฟ้า และนำไปสู่การพัฒนานวัตกรรมเพื่อความยั่งยืนของสังคมไทยและโลกต่อไป

รองศาสตราจารย์ ดร. อธิคม ฤกษบุตร
นายกสมาคมวิชาการทางวิศวกรรมไฟฟ้า(ประเทศไทย) - EEAAT

สารจากอธิการบดี
มหาวิทยาลัยพะเยา

การประชุมวิชาการทางวิศวกรรมไฟฟ้า นับเป็นเวทีวิชาการที่มีความสำคัญอย่างยิ่ง เนื่องจากเป็นการประชุมวิชาการระดับชาติ ที่มีมาตรฐานทางวิชาการและได้รับการยอมรับในระดับสากล โดยได้รับความร่วมมือจากสถาบันอุดมศึกษา หน่วยงานรัฐวิสาหกิจ และภาคอุตสาหกรรมกว่า 80 แห่ง เข้าร่วมในการนำเสนอผลงานวิชาการและงานวิจัย และเป็นการส่งเสริมให้เกิดการแลกเปลี่ยนองค์ความรู้และวิทยาการใหม่ ๆ ทางด้านวิศวกรรมไฟฟ้า ซึ่งจะนำไปสู่การต่อยอดแนวคิด การสร้างองค์ความรู้ใหม่ และการพัฒนานวัตกรรมที่จะเป็นประโยชน์ต่อการพัฒนาเศรษฐกิจ สังคม และประเทศชาติ อย่างยั่งยืนต่อไป ความสำเร็จของการดำเนินงานในครั้งนี้เกิดจากความมุ่งมั่นตั้งใจและความร่วมมืออันดีของสถาบันเครือข่ายและทุกภาคส่วนที่เกี่ยวข้อง จึงขอขอบคุณทุกท่านที่ให้การสนับสนุนด้วยดีเสมอมา

ในนามของมหาวิทยาลัยพะเยา ดิฉันรู้สึกเป็นเกียรติอย่างยิ่งที่ได้รับความไว้วางใจ เป็นเจ้าภาพจัดการประชุมวิชาการทางวิศวกรรมไฟฟ้า ครั้งที่ 48 ร่วมกับสมาคมวิชาการทางวิศวกรรมไฟฟ้า (ประเทศไทย) มหาวิทยาลัยเชียงใหม่ และมหาวิทยาลัยนเรศวร และขอให้การประชุมวิชาการทางวิศวกรรมไฟฟ้าครั้งนี้ ประสบความสำเร็จ บรรลุตามวัตถุประสงค์และเจตนารมณ์ที่ตั้งไว้ทุกประการ

รองศาสตราจารย์ ดร.สุภกร พงศบางโพธิ์
อธิการบดีมหาวิทยาลัยพะเยา

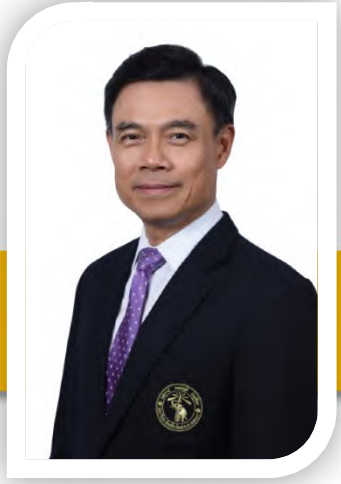

สารจากอธิการบดี
มหาวิทยาลัยเชียงใหม่

ในนามของมหาวิทยาลัยเชียงใหม่ ผมรู้สึกเป็นเกียรติและยินดีเป็นอย่างยิ่งที่มหาวิทยาลัยเชียงใหม่ได้รับความไว้วางใจให้เป็นเจ้าภาพร่วมในการจัดการประชุมวิชาการทางวิศวกรรมไฟฟ้า ครั้งที่ 48 หรือ EECON-48 ร่วมกับมหาวิทยาลัยพะเยา และมหาวิทยาลัยนเรศวร ซึ่งจะจัดขึ้นระหว่างวันที่ 19–21 พฤศจิกายน พ.ศ. 2568 ณ จังหวัดเชียงใหม่ การจัดการประชุมวิชาการในครั้งนี้ถือเป็นการสานต่อบทบาทของมหาวิทยาลัยเชียงใหม่ ในฐานะสถาบันอุดมศึกษาชั้นนำของภูมิภาคภาคเหนือและของประเทศที่มุ่งมั่นในการส่งเสริมและพัฒนาวงการวิชาการด้านวิศวกรรมไฟฟ้ามาอย่างต่อเนื่อง การประชุมวิชาการทางวิศวกรรมไฟฟ้า หรือ EECON เป็นเวทีวิชาการที่สำคัญยิ่งของประเทศ ซึ่งได้รวบรวมนักวิชาการ นักวิจัย คณาจารย์ นักศึกษา และผู้ปฏิบัติงานด้านวิศวกรรมไฟฟ้าจากทั่วประเทศมาร่วมแลกเปลี่ยนความรู้ ประสบการณ์ และนำเสนอผลงานวิจัยที่มีคุณภาพ ในยุคที่โลกกำลังเผชิญกับความท้าทายด้านพลังงาน การเปลี่ยนแปลงสภาพภูมิอากาศ และการปรับตัวสู่ยุคดิจิทัล บทบาทของวิศวกรรมไฟฟ้าจึงมีความสำคัญอย่างยิ่งต่อการพัฒนาประเทศอย่างยั่งยืน

มหาวิทยาลัยเชียงใหม่ในฐานะมหาวิทยาลัยวิจัยชั้นนำของประเทศ มีความมุ่งมั่นในการสนับสนุนการวิจัยและพัฒนานวัตกรรมที่สามารถนำไปใช้ประโยชน์ได้จริง ตลอดจนการสร้างบัณฑิตที่มีคุณภาพและทักษะที่สอดคล้องกับความต้องการของโลกยุคใหม่ ผมหวังเป็นอย่างยิ่งว่าการจัดการประชุมวิชาการในครั้งนี้จะเป็นจุดเริ่มต้นของความร่วมมือระหว่างสถาบัน การสร้างเครือข่ายนักวิจัย และการพัฒนานวัตกรรมที่จะส่งผลดีต่อสังคมและประเทศชาติ อีกทั้งยังเป็นโอกาสอันดีที่จะกระตุ้นให้เกิดการบูรณาการศาสตร์ต่าง ๆ เพื่อตอบโจทย์ความท้าทายในโลกปัจจุบันที่ต้องอาศัยความร่วมมือจากหลากหลายสาขาวิชา ในโอกาสนี้ ผมขอขอบคุณคณะกรรมการสมาคมวิชาการทางวิศวกรรมไฟฟ้า (ประเทศไทย) คณะกรรมการดำเนินงาน คณาจารย์และบุคลากรจากทั้ง 3 สถาบัน ผู้ทรงคุณวุฒิ ผู้สนับสนุนจากทุกภาคส่วน และผู้มีส่วนเกี่ยวข้องทุกท่านที่ร่วมแรงร่วมใจในการจัดงานครั้งนี้ ขอแสดงความชื่นชมและแสดงความยินดีกับผู้นำเสนอผลงานทุกท่านที่ได้มีส่วนร่วมในการขับเคลื่อนงานวิจัยและนวัตกรรมทางด้านวิศวกรรมไฟฟ้า และขออวยพรให้การประชุมวิชาการในครั้งนี้ประสบความสำเร็จ เกิดประโยชน์สูงสุดแก่วงการวิชาการและประเทศชาติสืบไป

ศาสตราจารย์ ดร.นายแพทย์พงษ์รักษ์ ศรีบัณฑิตมงคล
อธิการบดีมหาวิทยาลัยเชียงใหม่

สารจากอธิการบดี
มหาวิทยาลัยนเรศวร

ในนามของผู้บริหารและบุคลากรมหาวิทยาลัยนเรศวร ดิฉันรู้สึกยินดีและภาคภูมิใจ อย่างยิ่งที่ได้รับเกียรติให้เป็นเจ้าภาพร่วมจัดการประชุมวิชาการทางวิศวกรรมไฟฟ้า ครั้งที่ 48 (The 48th Electrical Engineering Conference (EECON-48)) หัวข้อ : “Intelligent technology and innovation for human sustainability” ระหว่างวันที่ 19 - 21 พฤศจิกายน 2568 ณ โรงแรมฟูราม่า เชียงใหม่ จังหวัดเชียงใหม่

ในการพัฒนาประเทศชาติในด้านวิศวกรรมไฟฟ้า บทบาทสำคัญจำเป็นต้องมีการส่งเสริม และพัฒนางานวิจัยและนวัตกรรมมาใช้ประโยชน์ในการบริการวิชาการและการเรียนการสอน สร้างและถ่ายทอดองค์ความรู้สู่สังคมภายในและภายนอกมหาวิทยาลัยอย่างต่อเนื่องและเป็นระบบที่ก้าวหน้าแข่งขันได้กับนานาประเทศ และยกระดับรายได้จากการงานอาชีพของประชาชนเพิ่มสูงขึ้นด้วยการใช้พลังปัญญาที่เชื่อมโยงกับสภาพเศรษฐกิจ สังคม ศิลปะวัฒนธรรม หรือสิ่งแวดล้อมสู่ประชาชนให้มีคุณภาพ ชีวิตที่ดีขึ้นในทุกด้านเพื่อลดความเหลื่อมล้ำ และเสริมสร้างคุณภาพชีวิตที่ดีอย่างมั่นคง มั่งคั่ง และยั่งยืน

ดิฉันหวังเป็นอย่างยิ่งว่าผลจากการแลกเปลี่ยนความรู้ ความคิดเห็น ประสบการณ์และ การนำเสนอผลงานวิจัยทางด้านวิศวกรรมไฟฟ้าและสาขาที่เกี่ยวข้องในการประชุมวิชาการครั้งนี้จะก่อให้เกิดเครือข่ายความร่วมมือกันระหว่างอาจารย์ของมหาวิทยาลัยทุกแห่ง นักวิจัย นิสิต นักศึกษา ตลอดจนวิศวกร และผู้ประกอบการอุตสาหกรรมในการพัฒนาและเสริมสร้างศักยภาพในการแข่งขัน ของประเทศในด้านต่าง ๆ สืบไป

ในโอกาสนี้ ดิฉันขออวยพรให้การจัดการประชุมวิชาการทางวิศวกรรมไฟฟ้า ครั้งที่ 48 บรรลุวัตถุประสงค์ทุกประการ และขออวยพรให้คณะกรรมการจัดงานและผู้ที่มีส่วนร่วมทุกคน จงประสบแต่ความสุข ความเจริญ และความสำเร็จก้าวหน้าในสิ่งอันพึงปรารถนาทุกประการ

รองศาสตราจารย์ ดร.ศรินทร์ทิพย์ แทนธานี
รักษาราชการแทนอธิการบดีมหาวิทยาลัยนเรศวร

สารจากคณบดี

คณะวิศวกรรมศาสตร์ มหาวิทยาลัยพะเยา

ในนามของผู้บริหารและบุคลากรคณะวิศวกรรมศาสตร์ มหาวิทยาลัยพะเยา กระผมรู้สึกยินดีและเป็นเกียรติอย่างยิ่งที่สาขาวิชาวิศวกรรมไฟฟ้า คณะวิศวกรรมศาสตร์ มหาวิทยาลัยพะเยา ได้รับเกียรติให้เป็นประธานหลักในการดำเนินการจัดการประชุมวิชาการทางวิศวกรรมไฟฟ้า ครั้งที่ 48 โดยจัดร่วมกับภาคีเครือข่ายสำคัญ ได้แก่ สมาคมวิชาการทางวิศวกรรมไฟฟ้า (ประเทศไทย) มหาวิทยาลัยเชียงใหม่ และมหาวิทยาลัยนเรศวร

การจัดการประชุมวิชาการในครั้งนี้ ได้รับความร่วมมือเป็นอย่างดียิ่งจากผู้ทรงคุณวุฒิในแต่ละสาขาวิชาในการพิจารณาผลงานวิจัยที่นำเสนอ ซึ่งนับเป็นหัวใจสำคัญในการธำรงไว้ซึ่งมาตรฐานทางวิชาการ ตลอดจนได้รับเกียรติจากผู้เชี่ยวชาญที่มาบรรยายพิเศษเพื่อถ่ายทอดองค์ความรู้เกี่ยวกับความก้าวหน้าทางเทคโนโลยี ทิศทางการพัฒนางานวิจัย และการประยุกต์ใช้ประโยชน์จากผลงานด้านวิศวกรรมไฟฟ้า อันเป็นการจุดประกายแนวคิดและเสริมสร้างนวัตกรรมที่ทันสมัยให้เกิดขึ้นอย่างต่อเนื่อง กระผมขอขอบพระคุณทุกท่านที่มีส่วนร่วมในความอุตสาหะ และร่วมแรงร่วมใจกันจัดการประชุมวิชาการในครั้งนี้ จนสามารถดำเนินงานได้สำเร็จลุล่วงตามเป้าหมายที่วางไว้

ท้ายที่สุดนี้ กระผมขออวยพรให้การประชุมวิชาการทางวิศวกรรมไฟฟ้า ครั้งที่ 48 ประสบความสำเร็จบรรลุตามวัตถุประสงค์และเจตนารมณ์ที่ตั้งไว้ทุกประการ และขอให้ผู้เข้าร่วมประชุมทุกท่านได้รับประโยชน์สูงสุดจากเวทีแห่งการแลกเปลี่ยนเรียนรู้ในครั้งนี้

รองศาสตราจารย์ ดร.ณัฐพงศ์ ดำรงวิริยะนุภาพ
คณบดีคณะวิศวกรรมศาสตร์ มหาวิทยาลัยพะเยา

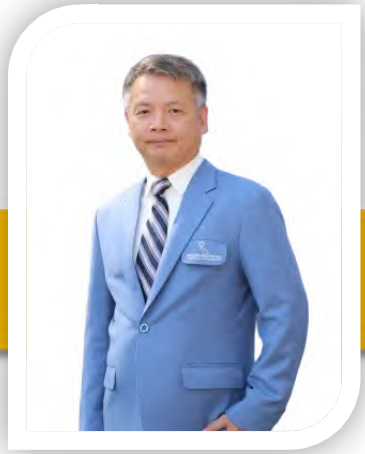

สารจากคณบดี

คณะวิศวกรรมศาสตร์ มหาวิทยาลัยเชียงใหม่

การประชุมวิชาการทางวิศวกรรมไฟฟ้า (Electrical Engineering Conference หรือ EECON) เป็นการประชุมวิชาการระดับชาติที่ได้รับการยอมรับในวงการวิชาการด้านวิศวกรรมไฟฟ้าเป็นอย่างดี จัดขึ้นอย่างต่อเนื่องมาตั้งแต่ปี พ.ศ. 2521 ภายใต้การดำเนินงานของสมาคมวิชาการทางวิศวกรรมไฟฟ้า (ประเทศไทย) (EEAAT) ร่วมกับสถาบันสมาชิกต่าง ๆ โดยมีวัตถุประสงค์เพื่อส่งเสริมและพัฒนาศักยภาพการวิจัยของคณาจารย์ นักศึกษา และนักวิจัย ตลอดจนสร้างเครือข่ายความร่วมมือทางวิชาการระหว่างสถาบัน เพื่อยกระดับคุณภาพการศึกษาและงานวิจัยด้านวิศวกรรมไฟฟ้าของประเทศ คณะวิศวกรรมศาสตร์ มหาวิทยาลัยเชียงใหม่ มีความภาคภูมิใจที่ได้มีส่วนร่วมในการจัดงาน EECON มาโดยตลอด โดยเคยเป็นเจ้าภาพหลักมาแล้ว 4 ครั้ง คือ EECON-5, EECON-13, EECON-23 และ EECON-33 และในครั้งนี้นับเป็นเกียรติอย่างยิ่งที่ได้รับความไว้วางใจให้ร่วมเป็นเจ้าภาพกับมหาวิทยาลัยพะเยาและมหาวิทยาลัยนเรศวร ในการจัดการประชุมวิชาการทางวิศวกรรมไฟฟ้า ครั้งที่ 48

การประชุมวิชาการทางวิศวกรรมไฟฟ้า ครั้งที่ 48 หรือ EECON-48 จะจัดขึ้นระหว่างวันที่ 19-21 พฤศจิกายน พ.ศ. 2568 ณ จังหวัดเชียงใหม่ โดยจะเป็นเวทีสำหรับการนำเสนอผลงานวิจัยและแลกเปลี่ยนองค์ความรู้ที่ทันสมัยจากผู้ทรงคุณวุฒิ คณาจารย์ นักศึกษา และนักวิจัยจากหลากหลายสถาบัน ครอบคลุมสาขาต่าง ๆ อาทิ วิศวกรรมไฟฟ้ากำลัง อิเล็กทรอนิกส์กำลัง ระบบสื่อสาร พลังงานทดแทน การประมวลผลสัญญาณดิจิตอล ระบบควบคุมและการวัดคุม คอมพิวเตอร์และเทคโนโลยีสารสนเทศ วิศวกรรมชีวการแพทย์ นวัตกรรมอัจฉริยะ และงานวิจัยที่เกี่ยวข้องอื่น ๆ ในโอกาสนี้ ในนามของคณะวิศวกรรมศาสตร์ มหาวิทยาลัยเชียงใหม่ ขอแสดงความยินดีกับผู้นำเสนอผลงานทุกท่านที่มีส่วนร่วมในการประชุมวิชาการครั้งนี้ และขอขอบคุณผู้สนับสนุนจากทุกภาคส่วน ทั้งภาครัฐและเอกชน คณะกรรมการดำเนินงาน คณาจารย์ เจ้าหน้าที่ และผู้มีส่วนเกี่ยวข้องทุกฝ่ายที่ร่วมแรงร่วมใจในการจัดงานครั้งนี้ให้สำเร็จลุล่วงด้วยดี อย่างไรก็ตาม หากมีข้อผิดพลาดประการใด คณะกรรมการดำเนินงานต้องขออภัยมา ณ โอกาสนี้

รองศาสตราจารย์ ดร.ธงชัย ฟองสมุทร
คณบดีคณะวิศวกรรมศาสตร์ มหาวิทยาลัยเชียงใหม่

สารจากคณบดี

คณะวิศวกรรมศาสตร์ มหาวิทยาลัยนเรศวร

ผมขอแสดงความยินดีที่ภาควิชาวิศวกรรมไฟฟ้าและคอมพิวเตอร์ คณะวิศวกรรมศาสตร์ มหาวิทยาลัยนเรศวร ได้รับเกียรติให้เป็นเจ้าภาพร่วมจัดการประชุมวิชาการทางวิศวกรรมไฟฟ้า ครั้งที่ 48 จัดโดยสมาคมวิชาการทางวิศวกรรมไฟฟ้า (ประเทศไทย) ร่วมกับมหาวิทยาลัยพะเยา มหาวิทยาลัยเชียงใหม่ และมหาวิทยาลัยนเรศวร รวมทั้งยินดีต้อนรับมหาวิทยาลัยและสถาบันต่าง ๆ ทั่วประเทศ เข้าร่วมประชุมวิชาการทางวิศวกรรมไฟฟ้าครั้งที่ 48 (The 48th Electrical Engineering Conference (EECON-48)) หัวข้อ: “Intelligent technology and innovation for human sustainability” ระหว่างวันที่ 19 - 21 พฤศจิกายน 2568 ณ โรงแรมฟูราม่า เชียงใหม่ จังหวัดเชียงใหม่ ซึ่งเป็นการประชุมวิชาการระดับชาติที่จัดเป็นประจำทุกปีอย่างต่อเนื่องตั้งแต่ พ.ศ. 2521 เป็นต้นมา นับเป็นการประชุมที่มีความสำคัญในการแลกเปลี่ยนเรียนรู้และเผยแพร่ผลงานวิจัยทางวิศวกรรมไฟฟ้าและสาขาที่เกี่ยวข้อง โดยมีอาจารย์ นักวิจัย และนิสิตนักศึกษา ผู้ประกอบการตลอดจนวิศวกรจากองค์กรทั่วประเทศเข้าร่วมการประชุมวิชาการนี้มาตลอด ทำให้เกิดการเผยแพร่ผลงานวิจัย องค์ความรู้ และนวัตกรรมทางวิศวกรรมไฟฟ้าทันสมัยไปประยุกต์ใช้ความรู้ในการพัฒนาประเทศและตอบโจทย์ปัญหาของสังคม ประชาชน รวมทั้งองค์กรทั้งภาครัฐและเอกชนให้มีประสิทธิภาพและประสิทธิผลอย่างแท้จริงด้วยการสร้างเครือข่ายความร่วมมือระหว่างอาจารย์มหาวิทยาลัย นักวิชาการ นักวิจัย ผู้ประกอบการ และวิศวกร ได้อย่างชัดเจน

ในโอกาสนี้ ผมขอขอบคุณคณะกรรมการจัดงาน ผู้เข้าร่วมประชุม ผู้สนับสนุนและผู้มีส่วนร่วมทุกคน เป็นกำลังสำคัญที่ได้ทุ่มเททั้งพลังงานกายและพลังงานความคิดด้วยความอุตสาหะในการดำเนินการจัดการประชุมวิชาการทางวิศวกรรมไฟฟ้า ครั้งที่ 48 สามารถบรรลุวัตถุประสงค์สร้างความเข้มแข็งของเครือข่ายในการพัฒนาประเทศชาติในด้านวิศวกรรมไฟฟ้าให้มีความเจริญรุ่งเรืองก้าวหน้าและยั่งยืนยิ่ง ๆ ขึ้นไป

ผู้ช่วยศาสตราจารย์ ดร.กำพล ทรัพย์สมบูรณ์
คณบดีคณะวิศวกรรมศาสตร์ มหาวิทยาลัยนเรศวร

สารจากประธานจัดงาน

การประชุมวิชาการทางวิศวกรรมไฟฟ้า ได้เริ่มจัดขึ้นเป็นครั้งแรกเมื่อปี พ.ศ. 2521 นับเป็นการประชุมวิชาการระดับชาติทางด้านวิศวกรรมที่มีประวัติความเป็นมายาวนาน และในปี พ.ศ. 2568 นี้ การประชุมวิชาการทางวิศวกรรมไฟฟ้าได้จัดขึ้นเป็นครั้งที่ 48 ซึ่งยังคงสืบสานมรดกของการเป็นเวทีวิชาการระดับชาติที่มีมาตรฐานในระดับสากล วัตถุประสงค์สำคัญของการจัดการประชุมครั้งนี้คือเพื่อเป็นเวทีให้บุคคลในแวดวงวิชาการและอุตสาหกรรม อันประกอบด้วยคณาจารย์ นิสิต นักศึกษา นักวิจัย วิศวกร และผู้สนใจในสาขาวิศวกรรมไฟฟ้าและสาขาอื่น ๆ ที่เกี่ยวข้อง จากสถาบันการศึกษา หน่วยงานรัฐ และภาคอุตสาหกรรม ได้มีโอกาสนำเสนอผลงานวิจัย แลกเปลี่ยนความคิดเห็นและสร้างความร่วมมือทางวิชาการระหว่างกัน ซึ่งจะนำไปสู่การเสริมสร้างความเข้มแข็งทางวิชาการและพัฒนาเทคโนโลยีด้านวิศวกรรมไฟฟ้าของประเทศให้ก้าวหน้าอย่างยั่งยืน

การประชุมวิชาการทางวิศวกรรมไฟฟ้าได้ดำเนินงานภายใต้การกำกับดูแลของคณะกรรมการการประชุมวิชาการทางวิศวกรรมไฟฟ้า ซึ่งประกอบด้วยคณะกรรมการสภาวิชาการ ผู้แทนสมาคมวิชาการทางวิศวกรรมไฟฟ้า (ประเทศไทย) ผู้แทนจากสถาบันกรรมการสามัญ ผู้แทนจากสถาบันกรรมการสมทบ และคณะกรรมการจัดงานจากสถาบันเจ้าภาพในแต่ละปี

ในนามของประธานจัดงาน ขอแสดงความขอบพระคุณอย่างสูงต่อคณะกรรมการการประชุมวิชาการทางวิศวกรรมไฟฟ้า ผู้ทรงคุณวุฒิ ผู้ให้การสนับสนุน ตลอดจนผู้เข้าร่วมการประชุมทุกท่านที่ได้มีส่วนร่วมในการขับเคลื่อนและสนับสนุนให้การประชุมวิชาการในครั้งนี้ดำเนินไปด้วยความสำเร็จลุล่วง ท้ายที่สุดนี้ คณะผู้จัดงานหวังเป็นอย่างยิ่งว่า ผู้เข้าร่วมการประชุมทุกท่านจะได้รับองค์ความรู้และประสบการณ์ที่มีคุณค่าทางวิชาการซึ่งสามารถนำไปประยุกต์ใช้เพื่อสร้างประโยชน์ และต่อยอดการพัฒนาด้านวิศวกรรมไฟฟ้าและอุตสาหกรรมของประเทศให้เติบโตอย่างมั่นคงและยั่งยืนต่อไป

ศาสตราจารย์ ดร.เชวศักดิ์ รักเป็นไทย	มหาวิทยาลัยพะเยา
ผู้ช่วยศาสตราจารย์ ดร.วัชริน ศรีรัตนาวิชัยกุล	มหาวิทยาลัยเชียงใหม่
ผู้ช่วยศาสตราจารย์ ดร.อัครพันธ์ วงศ์กังแห	มหาวิทยาลัยนเรศวร

การพิจารณาบทความและเผยแพร่

การประชุมวิชาการทางวิศวกรรมไฟฟ้าเป็นการประชุมวิชาการระดับชาติที่จัดเป็นประจำทุกปีอย่างต่อเนื่องตั้งแต่ พ.ศ. 2521 เป็นต้นมา ในการประชุมวิชาการทางวิศวกรรมไฟฟ้า ครั้งที่ 48 ที่จัดขึ้นในปีนี้ บทความวิจัยที่ส่งมาให้พิจารณาถูกตรวจสอบคุณภาพของบทความโดยผู้ทรงคุณวุฒิแบบปกปิดข้อมูล (double-blind peer review) ที่อยู่ต่างสถาบันกับผู้เขียนบทความ ไม่น้อยกว่า 3 ท่าน และถูกตรวจสอบความคล้ายคลึงกันของบทความ (Plagiarism) ด้วยโปรแกรม Turnitin ซึ่งบทความที่ผ่านการพิจารณาจะมีผู้เขียนอย่างน้อย 1 คน ลงทะเบียนและนำเสนอบทความในที่ประชุมวิชาการตามตารางเวลาที่กำหนด บทความที่ผ่านการนำเสนอจะได้รับการเผยแพร่ในรายงานสืบเนื่องจากการประชุมวิชาการ (Proceedings) ของการประชุมวิชาการทางวิศวกรรมไฟฟ้า ครั้งที่ 48

รองศาสตราจารย์ ดร.จงลักษณ์ พาหะซา
ประธานฝ่ายพิจารณาบทความ

คณะกรรมการ
การประชุมวิชาการทางวิศวกรรมไฟฟ้า ครั้งที่ 48

ประธาน

ศาสตราจารย์ ดร.เชวศักดิ์ รักเป็นไทย
ผู้ช่วยศาสตราจารย์ ดร.วัชริน ศรีรัตนาวิชัยกุล
ผู้ช่วยศาสตราจารย์ ดร.อัครพันธ์ วงศ์กังแห

เลขานุการ

ผู้ช่วยศาสตราจารย์ ดร.เกรียงศักดิ์ ไกรกิจราษฎร์

กรรมการสภาวิชาการ

ศาสตราจารย์ ดร.ประยุทธ อัครเอกฒาลิน
ศาสตราจารย์ ดร.โกสินทร์ จำนงไทย
ศาสตราจารย์ ดร.อภิรัฐ ศิริธราธิวัตร
รองศาสตราจารย์ ดร.ชัยวุฒิ ฉัตรอุทัย
รองศาสตราจารย์ ดร.อธิคม ฤกษบุตร
ผู้ช่วยศาสตราจารย์ ดร.สมชัย หิรัญวโรดม
ผู้ช่วยศาสตราจารย์พินิจ เทพสาธร
ผู้ช่วยศาสตราจารย์เดชา วิไลรัตน์
อาจารย์ธนวิชญ์ ชุลิกาวิทย์

กรรมการสมาคมวิชาการทางวิศวกรรมไฟฟ้า (ประเทศไทย)

ผู้ช่วยศาสตราจารย์ ดร.สมมาตร แสงเงิน
รองศาสตราจารย์ ดร.เตือนใจ อาชีวะพนิช

กรรมการสามัญ

สถาบันเทคโนโลยีพระจอมเกล้าเจ้าคุณทหารลาดกระบัง
จุฬาลงกรณ์มหาวิทยาลัย
มหาวิทยาลัยเกษตรศาสตร์
มหาวิทยาลัยเชียงใหม่
มหาวิทยาลัยสงขลานครินทร์
มหาวิทยาลัยเทคโนโลยีพระจอมเกล้าธนบุรี
มหาวิทยาลัยเทคโนโลยีพระจอมเกล้าพระนครเหนือ
มหาวิทยาลัยขอนแก่น
มหาวิทยาลัยเทคโนโลยีราชมงคลธัญบุรี
มหาวิทยาลัยธรรมศาสตร์
มหาวิทยาลัยศรีนครินทรวิโรฒ
มหาวิทยาลัยศรีปทุม

ผู้ช่วยศาสตราจารย์ ดร.ธีรพล โพธิ์พงศ์วิวัฒน์
ผู้ช่วยศาสตราจารย์ ดร.สุรีย์ พุ่มรินทร์
รองศาสตราจารย์ ดร.ศิริโรจน์ ศิริสุขประเสริฐ
รองศาสตราจารย์ ดร.ปารเมศ วิระสันติ
ดร.มงคล แซ่เจีย
ผู้ช่วยศาสตราจารย์ ดร.เอกชัย มุจจลินท์วิมุติ
ผู้ช่วยศาสตราจารย์ ดร.จิรวุฒิ เบญจนราสุทธิ์
รองศาสตราจารย์ ดร.กฤษ เฉยไสย
รองศาสตราจารย์ ดร.บุญยัง ปลั่งกลาง
ศาสตราจารย์ ดร.พิชัย อารีย์
ผู้ช่วยศาสตราจารย์ ดร.สุนิศา คุณารักษ์
ผู้ช่วยศาสตราจารย์ ดร.สำเริง ฮินท่าไม้

คณะกรรมการ
การประชุมวิชาการทางวิศวกรรมไฟฟ้า ครั้งที่ 48

กรรมการสามัญ (ต่อ)

มหาวิทยาลัยมหิดล	ดร.สุพรรณ ทิพย์ทิพากร
มหาวิทยาลัยสยาม	ผู้ช่วยศาสตราจารย์วิภาวัลย์ นาคทรัพย์
มหาวิทยาลัยกรุงเทพ	รองศาสตราจารย์ ดร.นันทิยา ชัยบุตร
มหาวิทยาลัยอุบลราชธานี	ผู้ช่วยศาสตราจารย์ ดร.นักรบ จินาพร
มหาวิทยาลัยหอการค้าไทย	ผู้ช่วยศาสตราจารย์ณัฐพร ฤทธิ์นุ่ม
มหาวิทยาลัยเอเชียอาคเนย์	รองศาสตราจารย์ ดร.บุญเลิศ สื่อเฉย
มหาวิทยาลัยเกษมบัณฑิต	ดร.ชาติ ฤทธิ์หิรัญ
มหาวิทยาลัยรังสิต	ผู้ช่วยศาสตราจารย์ ดร.สุพัฒนา นิรัคฆนาภรณ์
มหาวิทยาลัยนเรศวร	รองศาสตราจารย์ ดร.สุรเชษฐ์ กานต์ประชา
มหาวิทยาลัยธุรกิจบัณฑิตย์	ผู้ช่วยศาสตราจารย์อรดี พฤติศรัณยนนท์
มหาวิทยาลัยอีสเทิร์นเอเชีย	ผู้ช่วยศาสตราจารย์ ดร.ปฏิภาณ เกิดลาภ
มหาวิทยาลัยเทคโนโลยีราชมงคลพระนคร	รองศาสตราจารย์ ดร.ศุภวุฒิ เนตรโพธิ์แก้ว
มหาวิทยาลัยเทคโนโลยีราชมงคลกรุงเทพ	ผู้ช่วยศาสตราจารย์ ดร.วุฒิวัฒน์ คงรัตนประเสริฐ
มหาวิทยาลัยพะเยา	รองศาสตราจารย์ ดร.จงลักษณ์ พาหะซา
มหาวิทยาลัยเทคโนโลยีราชมงคลอีสาน	รองศาสตราจารย์ ดร.กาณฑ์ เกิดชื่น
มหาวิทยาลัยเทคโนโลยีสุรนารี	รองศาสตราจารย์ ดร.กีรติ ชยะกุลศิรี
มหาวิทยาลัยเทคโนโลยีราชมงคลสุวรรณภูมิ	รองศาสตราจารย์ ดร.ภัควัฒน์ จันทร์ตรี
มหาวิทยาลัยเทคโนโลยีราชมงคลรัตนโกสินทร์	รองศาสตราจารย์ ดร.ประสพโชค โห้ทองคำ
มหาวิทยาลัยอัสสัมชัญ	ดร.ทัศนัย ภาธรรัตน์
มหาวิทยาลัยศิลปากร	ผู้ช่วยศาสตราจารย์ ดร.ณัฐพงศ์ วงศ์พร้อมมูล
มหาวิทยาลัยเทคโนโลยีมหานคร	ผู้ช่วยศาสตราจารย์ณัฐพงศ์ ประพฤติ
มหาวิทยาลัยเทคโนโลยีราชมงคลล้านนา	ผู้ช่วยศาสตราจารย์ ดร.กฤษดา ยิ่งขยัน
สถาบันเทคโนโลยีจิตรลดา	ผู้ช่วยศาสตราจารย์ ดร.กนกวรรณ เรืองศิริ
มหาวิทยาลัยราชภัฏนครปฐม	รองศาสตราจารย์ ดร.อานนท์ อิศรมงคลรักษ์
มหาวิทยาลัยเทคโนโลยีราชมงคลศรีวิชัย	ผู้ช่วยศาสตราจารย์สายัณ ละอองโชค

กรรมการสมทบ

มหาวิทยาลัยราชภัฏพระนครศรีอยุธยา	อาจารย์สุทัศน์ อู่ทอง
มหาวิทยาลัยราชภัฏบ้านสมเด็จเจ้าพระยา	ผู้ช่วยศาสตราจารย์พีรวัจน์ มีสุข
สถาบันการอาชีวศึกษาภาคกลาง 1	ดร.ชูเกียรติ คีรี
มหาวิทยาลัยราชภัฏเพชรบุรี	ผู้ช่วยศาสตราจารย์สุวัฒน์ เตชะเพชรไพบูลย์
สถาบันเทคโนโลยีปทุมวัน	ดร.สุชีรา พระมาลา

ผู้ทรงคุณวุฒิประจำสาขาของบทความการประชุมวิชาการทางวิศวกรรมไฟฟ้า ครั้งที่ 48

สาขาของบทความ :

PW	ไฟฟ้ากำลัง
CM	ไฟฟ้าสื่อสาร
PE	อิเล็กทรอนิกส์กำลัง
CT	ระบบควบคุมและการวัดคุม
EL	อิเล็กทรอนิกส์
CP	คอมพิวเตอร์และเทคโนโลยีสารสนเทศ
DS	การประมวลผลสัญญาณดิจิทัล
PH	โฟโตนิกส์
RE	พลังงานทดแทน
BE	วิศวกรรมชีวการแพทย์
SI	นวัตกรรมอัจฉริยะ
GN	งานวิจัยที่เกี่ยวข้องกับวิศวกรรมไฟฟ้า

สถาบันเทคโนโลยีพระจอมเกล้าเจ้าคุณทหารลาดกระบัง

PW	ศาสตราจารย์ ดร.อิสระชัย งามหรู
PE	รองศาสตราจารย์ ดร.วีระเชษฐ์ ขันเงิน
CM	ศาสตราจารย์ ดร.พรชัย ทรัพย์นิธิ
CT	ศาสตราจารย์ ดร.วันชัย ริ้วรุจา
EL	รองศาสตราจารย์ ดร.วิสุทธิ์ ฐิติรุ่งเรือง
DS	รองศาสตราจารย์ ดร.สุรพันธ์ เอื้อไพบูลย์
PH	รองศาสตราจารย์ ดร.สุริภณ สมควรพาณิชย์
BE	ศาสตราจารย์ ดร.ชูชาติ ปิณฑวิรุจน์
CP	ผู้ช่วยศาสตราจารย์ ดร.สุรินทร์ กิตติธรกุล
SI	รองศาสตราจารย์ ดร.บุณย์ชนะ ภู่ระหงษ์
GN	ผู้ช่วยศาสตราจารย์ ดร.เชาว์ ชมภูอินไหว

จุฬาลงกรณ์มหาวิทยาลัย

PW	รองศาสตราจารย์ ดร.กุลยศ อุดมวงศ์เสรี
PE	รองศาสตราจารย์ ดร.สุรพงศ์ สุวรรณกวิน
CM	รองศาสตราจารย์ ดร.สุภาวดี อร่ามวิทย์
CT	ศาสตราจารย์ ดร.เดวิด บรรเจิดพงศ์ชัย
EL	รองศาสตราจารย์ ดร.สุวิทย์ กิระวิทยา
DS	รองศาสตราจารย์ ดร.ชาญชัย ปลื้มปิติวิริยะเวช
PH	รองศาสตราจารย์ ดร.ดวงฤดี วรสุชีพ
BE	ดร.ศวิษฐ์ ณ สงขลา
CP	รองศาสตราจารย์ ดร.เชาวน์ดิศ อัศวกุล
RE	รองศาสตราจารย์ ดร.แนบบุญ หุนเจริญ
SI	ผู้ช่วยศาสตราจารย์ ดร.สุรีย์ พุ่มรินทร์
GN	ผู้ช่วยศาสตราจารย์ ดร.อาภรณ์ ธีรมงคลรัศมี

มหาวิทยาลัยเกษตรศาสตร์

PW	รองศาสตราจารย์ ดร.ดุลย์พิเชษฐ์ ฤกษ์ปรีดาพงศ์
PE	รองศาสตราจารย์ ดร.ศิริโรจน์ ศิริสุขประเสริฐ
CM	ศาสตราจารย์ ดร.วิรุณศักดิ์ สันติเพ็ชร์
CT	รองศาสตราจารย์ ดร.กาญจนพันธ์ สุขวิชชัย
EL	รองศาสตราจารย์ ดร.ศิวพล ศรีสนพันธุ์
DS	ศาสตราจารย์ ดร.วุฒิพงศ์ อารีกุล
PH	ดร.พิสุทธิ์ รพีศักดิ์
BE	ผู้ช่วยศาสตราจารย์ ดร.ดุสิต ธนเพทาย
CP	รองศาสตราจารย์ ดร.มงคล รักษาพัชรวงศ์
RE	ผู้ช่วยศาสตราจารย์ ดร.ดุสิต ธนเพทาย
SI	รองศาสตราจารย์ ดร.เชาวลิต มิตรสันติสุข
GN	รองศาสตราจารย์ ดร.วชิระ จงบุรี

มหาวิทยาลัยเชียงใหม่

PW	รองศาสตราจารย์ ดร.สมบูรณ์ นุชประยูร
PE	ศาสตราจารย์ ดร.ยุทธนา ขำสุวรรณ์
CM	ผู้ช่วยศาสตราจารย์ธราดล โกมลมิศร์
CT	ผู้ช่วยศาสตราจารย์ ดร.บุญศรี แก้วคำอ้าย
EL	รองศาสตราจารย์ ดร.เสริมศักดิ์ เอื้อตรงจิตต์
DS	ศาสตราจารย์ ดร.นิพนธ์ ธีรอำพน
PH	รองศาสตราจารย์ ดร.อุกฤษฏ์ มั่นคง
BE	ศาสตราจารย์ ดร.นิพนธ์ ธีรอำพน
CP	รองศาสตราจารย์ ดร.ศันสนีย์ เอื้อพันธ์วิริยะกุล
GN	ผู้ช่วยศาสตราจารย์ ดร.เกษมศักดิ์ อุทัยชนะ

ผู้ทรงคุณวุฒิประจำสาขาของบทความการประชุมวิชาการทางวิศวกรรมไฟฟ้า ครั้งที่ 48 (ต่อ)

มหาวิทยาลัยสงขลานครินทร์

PW	ดร.มงคล แซ่เจีย
PE	ผู้ช่วยศาสตราจารย์ ดร.พลสิทธิ์ ศานติประพันธ์
CM	รองศาสตราจารย์ ดร.วิกลม ธีรภาพขจรเดช
CT	รองศาสตราจารย์คณดิถ เจษฎ์พัฒนานนท์
EL	รองศาสตราจารย์ ดร.ภาณุมาส คำสัตย์
DS	รองศาสตราจารย์ ดร.รักกฤตว์ ดวงสร้อยทอง
BE	รองศาสตราจารย์ ดร.พรชัย พฤกษ์ภัทรานนต์
CP	ดร.กิตติคุณ ทองพูล
RE	ดร.พิเชฐ เกศมี
SI	รองศาสตราจารย์ ดร.ณัฏฐา จินดาเพ็ชร์
GN	ดร.เกียรติศักดิ์ วงษ์โสพนากุล

มหาวิทยาลัยเทคโนโลยีพระจอมเกล้าธนบุรี

PW	ผู้ช่วยศาสตราจารย์ ดร.ศุภกิตติ์ โชติโก
PE	ผู้ช่วยศาสตราจารย์ ดร.ปิยสวัสดิ์ นวรัตน์ ณ อยุธยา
CM	ผู้ช่วยศาสตราจารย์ ดร.พินิจ กำหอม
CT	รองศาสตราจารย์ ดร.วันจักรี เล่นวารี
EL	ผู้ช่วยศาสตราจารย์ ดร.กมล จิรเสรีอมรกุล
DS	ผู้ช่วยศาสตราจารย์ ดร.สันติ นุราช
PH	ผู้ช่วยศาสตราจารย์ ดร.อภิชัย ภัทรนันท์
BE	รองศาสตราจารย์ ดร.บุญเสริม แก้วกำเหนิดพงษ์
CP	ผู้ช่วยศาสตราจารย์ ดร.วีรพล จิรจริต
GN	ศาสตราจารย์ ดร.โกสินทร์ จำนงไทย

มหาวิทยาลัยเทคโนโลยีพระจอมเกล้าพระนครเหนือ

PW	รองศาสตราจารย์ ดร.สมพร สิริสำราญนุกูล
PE	รองศาสตราจารย์ ดร.ไชยนรินทร์ อัครวโรดม
CM	ศาสตราจารย์ ดร.ประยุทธ อัครเอกฒาลิน
CT	ผู้ช่วยศาสตราจารย์ ดร.วิทยา กุดแถลง
EL	ผู้ช่วยศาสตราจารย์ ดร.ปรีชา ทองดิษฐ์
PH	ผู้ช่วยศาสตราจารย์ ดร.อมรินทร์ รัตนะวิศ
BE	รองศาสตราจารย์ ดร.สุรพันธ์ ยิ้มมั่น
CP	ดร.ยืนยง นิลสยาม
GN	ผู้ช่วยศาสตราจารย์ ดร.นภดลวิวัชรโกเศศ

มหาวิทยาลัยขอนแก่น

PW	รองศาสตราจารย์ ดร.รองฤทธิ์ ฉัตรถาวร
PE	รองศาสตราจารย์ ดร.กฤษ เฉยไสย
CM	รองศาสตราจารย์ ดร.วิระสิทธิ์ อิ่มถวิล
CT	รองศาสตราจารย์ ดร.ประมินทร์ อาจฤทธิ์
EL	รองศาสตราจารย์ ดร.ศราวุธ ชัยมูล
DS	รองศาสตราจารย์ ดร.อานุภาพ มีสมบูรณ์
PH	รองศาสตราจารย์ ดร.อาคม แก้วระวัง
BE	รองศาสตราจารย์ ดร.ศราวุธ ชัยมูล
CP	รองศาสตราจารย์ ดร.นรารัตน์ เรืองชัยจตุพร
SI	ดร.ไอศูรย์ กาญจนสุรัตน์
GN	รองศาสตราจารย์ ดร.ศราวุธ ชัยมูล

มหาวิทยาลัยเทคโนโลยีราชมงคลธัญบุรี

PW	ศาสตราจารย์ ดร.กฤษณ์ชนม์ ภูมิกิตติพิชญ์
PE	รองศาสตราจารย์ ดร.ณฐภัทร พันธ์คง
CM	ผู้ช่วยศาสตราจารย์ ดร.ไพฑูรย์ รักเหลือ
CT	ผู้ช่วยศาสตราจารย์ ดร.ฉัตรชัย ศุภพิทักษ์สกุล
EL	รองศาสตราจารย์ ดร.อำนวย เรืองวารี
DS	รองศาสตราจารย์ ดร.จักรี ศรีนนท์ฉัตร
PH	ผู้ช่วยศาสตราจารย์ ดร.นรเสฏฐ์ วิชัยพาณิชย์
BE	รองศาสตราจารย์ ดร.ศิริชัย แดงเอม
CP	ผู้ช่วยศาสตราจารย์ ดร.ธนสิน บุญนาม
RE	รองศาสตราจารย์ ดร.บุญยัง ปลั่งกลาง
SI	รองศาสตราจารย์ ดร.สมชาย เบียนสูงเนิน
GN	ผู้ช่วยศาสตราจารย์ ดร.สุรินทร์ แหงมงาม

มหาวิทยาลัยธรรมศาสตร์

PW	ศาสตราจารย์ ดร.พิชัย อารีย์
PE	รองศาสตราจารย์ ดร.ไพบูลย์ นาคมหาชลาสินธุ์
CM	ผู้ช่วยศาสตราจารย์ ดร.ดามพ์เมษ บุณยะเวศ
CT	ผู้ช่วยศาสตราจารย์ ดร.ศุภชัย วรพจน์พิศุทธิ์
DS	รองศาสตราจารย์ ดร.สมชาติ โชคชัยธรรม
PH	รองศาสตราจารย์ ดร.วันชัย ไพจิตรโรจนา
BE	รองศาสตราจารย์ ดร.นภดล อุชายภิชาติ
CP	ผู้ช่วยศาสตราจารย์ ดร.ศุภกิจ พฤกษอรุณ
GN	ผู้ช่วยศาสตราจารย์ ดร.ปรีติ โอวาทชัยพงศ์

ผู้ทรงคุณวุฒิประจำสาขาของบทความการประชุมวิชาการทางวิศวกรรมไฟฟ้า ครั้งที่ 48 (ต่อ)

มหาวิทยาลัยศรีนครินทรวิโรฒ

PW	รองศาสตราจารย์ ดร.เวคิน ปิยรัตน์
PE	รองศาสตราจารย์ ดร.วุฒิพล ธาราธีรเศรษฐ์
CM	รองศาสตราจารย์ ดร.พิชญา ชัยปัญญา
CT	ดร.วัณโน ยีตำ
EL	อาจารย์ธานินทร์ ดวงจันทร์
DS	ผู้ช่วยศาสตราจารย์ ดร.สุนิศา คุณารักษ์
BE	รองศาสตราจารย์ ดร.ทีฆพันธุ์ เจริญพงษ์
CP	ผู้ช่วยศาสตราจารย์ ดร.สมภพ รอดอัมพร
RE	ผู้ช่วยศาสตราจารย์นาวี รุจิดามพ์
SI	ผู้ช่วยศาสตราจารย์ศิริพงษ์ ฉายสินธ์
GN	รองศาสตราจารย์ ดร.คณิศร์ มาตรา

มหาวิทยาลัยศรีปทุม

PW	ผู้ช่วยศาสตราจารย์ ดร.ภรชัย จูอนุวัฒนกุล
PE	ผู้ช่วยศาสตราจารย์ ดร.นิมิต บุญภิรมย์
CM	อาจารย์เสมา พัฒน์ฉิม
CT	ผู้ช่วยศาสตราจารย์ ดร.สำเริง ฮินท่าไม้
EL	ผู้ช่วยศาสตราจารย์ ดร.วิชชากร เฮงศรีธวัช
DS	ผู้ช่วยศาสตราจารย์เอกชัย ดีศิริ
PH	ผู้ช่วยศาสตราจารย์เติมพงษ์ ศรีเทศ
CP	ผู้ช่วยศาสตราจารย์ ดร.วนายุทธ์ แสนเงิน
SI	ผู้ช่วยศาสตราจารย์กษิเดช ทิพย์อมรวิวัฒน์
GN	ผู้ช่วยศาสตราจารย์พศวีร์ ศรีโหมด

มหาวิทยาลัยมหิดล

PW	ผู้ช่วยศาสตราจารย์ ดร.ธรรมวฤทธิ์ สิงหวิลัย
PE	ผู้ช่วยศาสตราจารย์ ดร.ชัชวาลย์ เยรบุตร
CM	รองศาสตราจารย์ ดร.พงศธร เศรษฐีธร
CT	ดร.พัฒนาช พัฒนะศรี
EL	รองศาสตราจารย์ ดร.สุรโชค ธนพิทักษ์
CP	ผู้ช่วยศาสตราจารย์ ดร.พรชัย ชันยากร
DS	ผู้ช่วยศาสตราจารย์ ดร.พรชัย ชันยากร
PH	รองศาสตราจารย์ ดร.ภูมินท์ กิระวานิช
RE	ดร.สุพรรณ ทิพย์ทิพากร
BE	ผู้ช่วยศาสตราจารย์ ดร.เซง เลิศมโนรัตน์
SI	ดร.สุพรรณ ทิพย์ทิพากร

มหาวิทยาลัยมหิดล (ต่อ)

GN	ผู้ช่วยศาสตราจารย์ ดร.กฤษฎา อัศวสกุลเกียรติ

มหาวิทยาลัยสยาม

PW	ผู้ช่วยศาสตราจารย์ ดร.อาทิตย์ โสตรโยม
PE	ผู้ช่วยศาสตราจารย์ ดร.ยงยุทธ นาราษฎร์
CM	พลโท ดร.สมพงษ์ ตุ้มสวัสดิ์
EL	ผู้ช่วยศาสตราจารย์วิภาวัลย์ นาคทรัพย์
CP	ผู้ช่วยศาสตราจารย์พกิจ สุวัตถิ์
RE	อาจารย์จักรกฤษณ์ จันทร์เขียว
SI	อาจารย์ตะวัน ภูรัต
GN	ผู้ช่วยศาสตราจารย์ ไวยพจน์ ศุภบวรเสถียร

มหาวิทยาลัยกรุงเทพ

PW	ผู้ช่วยศาสตราจารย์ ดร.นันทิยา ชัยบุตร
CM	ผู้ช่วยศาสตราจารย์ ดร.ปกรณ์ ยุบลโกศล
CT	ดร.ปัญจวี รักประยูร
EL	รองศาสตราจารย์สงกรานต์ กันทวงศ์
DS	ผู้ช่วยศาสตราจารย์ ดร.วิศาล พัฒน์ชู
PH	รองศาสตราจารย์ ดร.ภูมิพัฒ แสงอุดมเลิศ
BE	ผู้ช่วยศาสตราจารย์ ดร.สุพจน์ สุขโพธารมณ์
CP	ผู้ช่วยศาสตราจารย์ ดร.จักรพงษ์ สุธาภชกุล
SI	ดร.เกรียงไกร ลิ่มทอง
GN	ดร.ศิริชัย เติมโชคเกษม

มหาวิทยาลัยอุบลราชธานี

PW	ผู้ช่วยศาสตราจารย์ ดร.คมสันติ์ ดาโรจน์
DS	ผู้ช่วยศาสตราจารย์ ดร.วรการ วงศ์สายเชื้อ
PE	ดร.ประชา คำภักดี
PH	ผู้ช่วยศาสตราจารย์ ดร.ประสิทธิ์ นครราช
CM	ผู้ช่วยศาสตราจารย์ ดร.อธิพงศ์ สุริยา
BE	ผู้ช่วยศาสตราจารย์ ดร.ศุภฤกษ์ จันทร์จรัสจิตต์
CT	ผู้ช่วยศาสตราจารย์ ดร.ธรรมรส รักธรรม
CP	ผู้ช่วยศาสตราจารย์อารยา ฟลอเรนซ์
EL	รองศาสตราจารย์ ดร.ขนิษฐา แก้วแดง
RE	ผู้ช่วยศาสตราจารย์ ดร.บงกช สุขอนันต์
GN	รองศาสตราจารย์ ดร.สุชิน ไตรรงค์จิตเหมาะ

ผู้ทรงคุณวุฒิประจำสาขาของบทความการประชุมวิชาการทางวิศวกรรมไฟฟ้า ครั้งที่ 48 (ต่อ)

มหาวิทยาลัยหอการค้าไทย

PW	ดร.วรภัทร กอแก้ว
PE	ผู้ช่วยศาสตราจารย์ ดร.เกษม อุทัยไขฟ้า
CM	ผู้ช่วยศาสตราจารย์ ดร.สันต์ชัย รัตนนนท์
CT	ผู้ช่วยศาสตราจารย์ ดร.ศุภเชษฐ์ อินทร์เนตร
EL	ผู้ช่วยศาสตราจารย์ สุภนันท์ ตันวรรณรักษ์
DS	ดร.อภิวัฒน์ แสงโนรี
PH	ผู้ช่วยศาสตราจารย์ ณัฐพร ฤทธิ์นุ่ม
BE	รองศาสตราจารย์ ดร.สุวรรณี อัศวกุลชัย
CP	อาจารย์เบญญาทิพย์ ศรีเจริญ
RE	ดร.สิทธิชัย หวังวิวัฒนา
SI	ดร.ภคพงศ์ อมรกุล
GN	รองศาสตราจารย์ ดร.วันชัย ฉิมฉวี

มหาวิทยาลัยเอเชียอาคเนย์

PW	รองศาสตราจารย์ ดร.บุญเลิศ สื่อเฉย
PE	ผู้ช่วยศาสตราจารย์ณัฐ จันท์ครบ
CM	รองศาสตราจารย์ ดร.อดิศักดิ์ มนต์ประภัสสร
CT	รองศาสตราจารย์ ดร.เดชา พวงดาวเรือง
EL	รองศาสตราจารย์ ดร.อิทธิพงศ์ ชัยสายัณห์
CP	ผู้ช่วยศาสตราจารย์ ดร.ณัฐฏ์ โอธนาทรัพย์
DS	ผู้ช่วยศาสตราจารย์ ดร.สมศักดิ์ สิริโปราณานนท์
PH	ผู้ช่วยศาสตราจารย์ปัญญา มาลีวัตร
RE	ผู้ช่วยศาสตราจารย์วิชัย แซ่ลี่
BE	ผู้ช่วยศาสตราจารย์ ดร.สมเกียรติ เพียงพรานทอง
SI	ผู้ช่วยศาสตราจารย์ ดร.นาวาเอกไชโย ธรรมรัตน์ ร.น.
GN	ผู้ช่วยศาสตราจารย์จิระศักดิ์ สินสุขอุดมชัย

มหาวิทยาลัยเกษมบัณฑิต

PW	ดร.ชาติ ฤทธิ์หิรัญ
PE	ผู้ช่วยศาสตราจารย์อนุชิต เจริญ
CM	อาจารย์บัญชา บูรพัฒนศิริ
CT	ผู้ช่วยศาสตราจารย์ณธรรม เกิดสำอางค์
EL	อาจารย์ธีรยุทธ จันทร์แจ่ม
DS	รองศาสตราจารย์ ดร.พิศิษฏ์ โภคารัตน์กุล
BE	อาจารย์ทรงพล รอดทอง
CP	อาจารย์สุวิทย์ วงศ์คุ้มสิน

มหาวิทยาลัยเกษมบัณฑิต (ต่อ)

GN	รองศาสตราจารย์วิญญู แสวงสินกสิกิจ

มหาวิทยาลัยรังสิต

PW	ผู้ช่วยศาสตราจารย์ ดร.สุพัฒนา นิรัคพนาภรณ์
PE	ผู้ช่วยศาสตราจารย์ ดร.สมบูรณ์ ศุขสาตร
CM	รองศาสตราจารย์ ดร.ดวงอาทิตย์ ศรีมูล
CT	รองศาสตราจารย์ ดร.อดิรักษ์ กาญจนหฤทัย
PH	ศาสตราจารย์ ดร.สื่อจิตต์ เพ็ชร์ประสาน
BE	รองศาสตราจารย์นันทชัย ทองแป้น
CP	รองศาสตราจารย์ ดร.รง ภู่พวงไพโรจน์
RE	ผู้ช่วยศาสตราจารย์ ดร.สุพัฒนา นิรัคพนาภรณ์
SI	อาจารย์อนุชิต นิรภัย
GN	ดร.ไพบูลณ์ ย้อยหยด

มหาวิทยาลัยนเรศวร

PW	ผู้ช่วยศาสตราจารย์ ดร.ปิยดนัย ภาชนะพรรณ์
PE	รองศาสตราจารย์ ดร.นิพัทธ์ จันทรมินทร์
CM	รองศาสตราจารย์ ดร.สุรเชษฐ์ กานต์ประชา
CT	ผู้ช่วยศาสตราจารย์ ดร.มุทิตา สงฆ์จันทร์
EL	ดร.ต้าย บัณฑิศักดิ์
DS	รองศาสตราจารย์ ดร.สุชาติ แย้มเม่น
PH	ผู้ช่วยศาสตราจารย์ ดร.สมมาตร แสงเงิน
BE	ดร.สุรพล นาแตเนียล เจริญสุข
CP	รองศาสตราจารย์ ดร.พนมขวัญ ริยะมงคล
GN	รองศาสตราจารย์ ดร.พนัส นัถฤทธิ์

มหาวิทยาลัยธุรกิจบัณฑิตย์

PW	รองศาสตราจารย์ ดร.นิตย์ เพ็ชรรักษ์
CM	ผู้ช่วยศาสตราจารย์ ดร.ปราโมทย์ จางอิสระกุล
CT	ผู้ช่วยศาสตราจารย์ ดร.ณรงค์เดช กีรติพรานนท์
GN	ดร.ชัยพร เขมะภาตะพันธ์

มหาวิทยาลัยอีสเทิร์นเอเชีย

GN	ผู้ช่วยศาสตราจารย์ ดร.ปฏิภาณ เกิดลาภ

ผู้ทรงคุณวุฒิประจำสาขาของบทความการประชุมวิชาการทางวิศวกรรมไฟฟ้า ครั้งที่ 48 (ต่อ)

มหาวิทยาลัยเทคโนโลยีราชมงคลพระนคร

PW	รองศาสตราจารย์ ดร.นัฐโชติ รักไทยเจริญชีพ
PE	รองศาสตราจารย์ ดร.สาคร วุฒิพัฒนพันธุ์
CM	เรืออากาศตรี ดร.พลกฤษณ์ จริยตันติเวทย์
CT	ผู้ช่วยศาสตราจารย์ ดร.ณัฐพงศ์ พันธุนะ
EL	รองศาสตราจารย์ ดร.วรินทร์ สุดคนึง
DS	ดร.ฉัตรแก้ว จริยตันติเวทย์
PH	ดร.พสิษฐ์ สุวรรณภิงคาร
CP	ผู้ช่วยศาสตราจารย์ ดร.บุรัสกร อยู่สุข
SI	ผู้ช่วยศาสตราจารย์ ดร.ธนารัตน์ ตันมณีประเสริฐ
GN	ผู้ช่วยศาสตราจารย์ ดร.มนัส บุญเทียรทอง

มหาวิทยาลัยเทคโนโลยีราชมงคลกรุงเทพ

PW	รองศาสตราจารย์ชัยณรงค์ วิเศษศักดิ์วิชัย
PE	ผู้ช่วยศาสตราจารย์ชาญฤทธิ์ ธาราสันติสุข
CM	รองศาสตราจารย์ ดร.ธนัยรัตน์ มาตัะ
DS	อาจารย์ณรงค์ฤทธิ์ เมฆลอย
CP	ผู้ช่วยศาสตราจารย์ปราโมทย์ อนันต์วราพงษ์
RE	ผู้ช่วยศาสตราจารย์ชูศักยฐ์ กมลขันติธร
SI	ผู้ช่วยศาสตราจารย์ ดร.อดิศร ศิริคำ
GN	ผู้ช่วยศาสตราจารย์ ดร.วุฒิวัฒน์ คงรัตนประเสริฐ

มหาวิทยาลัยพะเยา

PW	รองศาสตราจารย์ ดร.จงลักษณ์ พาหะซา
PE	ผู้ช่วยศาสตราจารย์ ดร.ณัฐพงษ์ โปธิ
CM	ผู้ช่วยศาสตราจารย์ ดร.ธนกานต์ สวนกัน
CT	รองศาสตราจารย์ ดร.สิทธิเดช วิราศรีศิริกุล
DS	ดร.บรรเทิง ยานะ
PH	ผู้ช่วยศาสตราจารย์ ดร.วาสนา นากุ
CP	รองศาสตราจารย์ ดร.สาคร เมฆรักษาวนิช
RE	ผู้ช่วยศาสตราจารย์ ดร.ดำรงค์ อมรเดชาพล
SI	ผู้ช่วยศาสตราจารย์ ดร.เกรียงศักดิ์ ไกรกิจราษฎร์
GN	ศาสตราจารย์ ดร.เชวศักดิ์ รักเป็นไทย

มหาวิทยาลัยเทคโนโลยีราชมงคลอีสาน

PW	ผู้ช่วยศาสตราจารย์ ดร.ยุทธณา คงจีน
PE	ผู้ช่วยศาสตราจารย์ ดร.พินิจ ศรีธร

มหาวิทยาลัยเทคโนโลยีราชมงคลอีสาน (ต่อ)

CM	ผู้ช่วยศาสตราจารย์ ดร.วรรณรีย์ วงศ์ไตรรัตน์
CT	รองศาสตราจารย์ ดร.ศักดิ์ระวี ระวีกุล
EL	ผู้ช่วยศาสตราจารย์ ดร.นิธิโรจน์ พรสุวรรณเจริญ
DS	ดร.ประจวบ อินระวงค์
PH	รองศาสตราจารย์ ดร.กฤษณะพงศ์ พันธ์ศรี
CP	ผู้ช่วยศาสตราจารย์ ดร.ถนอมศักดิ์ โสภณ
GN	รองศาสตราจารย์ ดร.กฤติเดช บัวใหญ่

มหาวิทยาลัยเทคโนโลยีสุรนารี

PW	รองศาสตราจารย์ ดร.กีรติ ชยะกุลคีรี
PE	รองศาสตราจารย์ ดร.กองพล อารีรักษ์
CM	รองศาสตราจารย์ ดร.พีระพงษ์ อุฑารสกุล
CT	ศาสตราจารย์ ดร.กองพัน อารีรักษ์
EL	รองศาสตราจารย์ ดร.อาทิตย์ ศรีแก้ว
CP	ผู้ช่วยศาสตราจารย์ ดร.นันทวุฒิ คะอังกุ
DS	รองศาสตราจารย์ ดร.กิตติ อัตถกิจมงคล
PH	ผู้ช่วยศาสตราจารย์ ดร.ทิพย์วรรณ ฟังสุวรรณรักษ์
RE	ผู้ช่วยศาสตราจารย์ ดร.อุเทน ลีตน
BE	รองศาสตราจารย์ ดร.ปรเมศวร์ ห่อแก้ว
SI	ผู้ช่วยศาสตราจารย์ ดร.ทศพล รัตน์นิยมชัย
GN	ศาสตราจารย์ ดร.ธนัดชัย กุลวรวานิชพงษ์

มหาวิทยาลัยเทคโนโลยีราชมงคลสุวรรณภูมิ

PW	ผู้ช่วยศาสตราจารย์ ดร.เฉลียว เกตุแก้ว
PE	รองศาสตราจารย์ ดร.ยุทธนา กันทะพะเยา
CM	รองศาสตราจารย์ ดร.ภัควัฒน์ จันทร์ตรี
CT	รองศาสตราจารย์ ดร.ดนุพล คำปัญญา
EL	รองศาสตราจารย์ ดร.ไพบูลย์ เกียรติสุขคณาธร
DS	รองศาสตราจารย์ ดร.สมเกียรติ อุดมหรรษากุล
CP	ผู้ช่วยศาสตราจารย์ ดร.สัตถาภูมิ ไทยพานิช
SI	รองศาสตราจารย์ ดร.เตือนใจ อาชีวะพนิช
GN	รองศาสตราจารย์ ดร.ปรีชา สาคะรังค์

มหาวิทยาลัยเทคโนโลยีราชมงคลรัตนโกสินทร์

PW	ดร.วินัย พรพจน์รัตนะกุล
PE	รองศาสตราจารย์ ดร.ประสพโชค โห้ทองคำ

ผู้ทรงคุณวุฒิประจำสาขาของบทความการประชุมวิชาการทางวิศวกรรมไฟฟ้า ครั้งที่ 48 (ต่อ)

มหาวิทยาลัยเทคโนโลยีราชมงคลรัตนโกสินทร์ (ต่อ)

CM	ผู้ช่วยศาสตราจารย์ ดร.ประพัทธ์ อานมณี
CT	ผู้ช่วยศาสตราจารย์อดิศักดิ์ แข็งสาริกิจ
EL	ผู้ช่วยศาสตราจารย์ ดร.ปรัชญา มงคลไวย์
DS	ดร.ชัยพิชิต คำพิมพ์
PH	ผู้ช่วยศาสตราจารย์ ดร.เอกสิทธิ์ นุกูลเจริญลาภ
BE	รองศาสตราจารย์ ดร.ชัยพร ปานยินดี
CP	ดร.พีรัมพร จิรนันทนากร
RE	ผู้ช่วยศาสตราจารย์ ดร.เจนศักดิ์ เอกบูรณะวัฒน์
SI	ผู้ช่วยศาสตราจารย์ ดร.ไกรฤกษ์ เชยชื่น
GN	ผู้ช่วยศาสตราจารย์ ดร.เชิงชาย สมประชา

มหาวิทยาลัยศิลปากร

CM	ผู้ช่วยศาสตราจารย์ ดร.ระพีพันธ์ แก้วอ่อน
CT	ผู้ช่วยศาสตราจารย์ ดร.ภมร ศิลาพันธ์
EL	ผู้ช่วยศาสตราจารย์ ดร.ณัฐพงศ์ วงศ์พร้อมมูล
CP	ดร.โสภณ ผู้มีจรรยา
GN	ดร.กัณธิดา พันธุ์เจริญ

มหาวิทยาลัยเทคโนโลยีมหานคร

PW	ผู้ช่วยศาสตราจารย์ ดร.ไชยพร หล่อทองคำ
PE	ผู้ช่วยศาสตราจารย์ ดร.สลิลทิพย์ สินธุสนธิชาติ
CM	ผู้ช่วยศาสตราจารย์ ดร.วินัย ศิลารวม
CT	ผู้ช่วยศาสตราจารย์ ดร.วีระชัย มาลยเวช
EL	ผู้ช่วยศาสตราจารย์ ดร.รังสิมันต์ สิทธิกร
DS	รองศาสตราจารย์ ดร.สุชาดา สิทธิ์จงสถาพร
PH	รองศาสตราจารย์ ดร.อธิคม ฤกษบุตร
CP	ผู้ช่วยศาสตราจารย์ ดร.สุรชัย องกิตติกุล
SI	รองศาสตราจารย์ ดร.อธิคม ฤกษบุตร
GN	รองศาสตราจารย์ ดร.อธิคม ฤกษบุตร

มหาวิทยาลัยเทคโนโลยีราชมงคลล้านนา

PW	ผู้ช่วยศาสตราจารย์ ดร.ชาญชัย เดชธรรมรงค์
PE	รองศาสตราจารย์ ดร.อุเทน คำน่าน
CM	รองศาสตราจารย์ ดร.ศุภกิต แก้วดวงตา
CT	ผู้ช่วยศาสตราจารย์ ดร.ปุณยสิริ บุญเป็ง
EL	ผู้ช่วยศาสตราจารย์ ดร.กฤษดา ยิ่งขยัน

มหาวิทยาลัยเทคโนโลยีราชมงคลล้านนา (ต่อ)

DS	ดร.นพดล มณีเทียร
CP	ผู้ช่วยศาสตราจารย์ ดร.ขวัญชัย เอื้อวิริยานุกูล
SI	ผู้ช่วยศาสตราจารย์ ดร.อาทิตย์ ยาวุฑฒิ
GN	ดร.โชคมงคล นาดี

สถาบันเทคโนโลยีจิตรลดา

CM	รองศาสตราจารย์ ดร.ปรีชา กอเจริญ
DS	ผู้ช่วยศาสตราจารย์เพชร นันทิวิชิตชัย
RE	อาจารย์ปฏิญญา ศักดิ์หวาน
SI	ผู้ช่วยศาสตราจารย์ ดร.กนกวรรณ เรืองศิริ
GN	ผู้ช่วยศาสตราจารย์ศุภร แท่นแก้ว

มหาวิทยาลัยราชภัฏนครปฐม

PW	รองศาสตราจารย์ ดร.อานนท์ อิศรมงคลรักษ์
PE	ผู้ช่วยศาสตราจารย์ ดร.ชิติพัทธ์ มีศรีสุข
CM	ผู้ช่วยศาสตราจารย์ ดร.เจษฎา สาททอง
EL	ผู้ช่วยศาสตราจารย์ ดร.ธวัชชัย ทองเหลี่ยม
DS	ศาสตราจารย์ ดร.ปิยะ โควินท์ทวีวัฒน์
SI	รองศาสตราจารย์ ดร.สัญญา ควรคิด

มหาวิทยาลัยเทคโนโลยีราชมงคลศรีวิชัย

PW	ผู้ช่วยศาสตราจารย์ ดร.พิทักษ์ บุญนุ่น
CM	ผู้ช่วยศาสตราจารย์ ดร.ชัยวัฒน์ สากุล
EL	ผู้ช่วยศาสตราจารย์เสนอ สะอาด
CP	ผู้ช่วยศาสตราจารย์ ดร.สหพงศ์ สมวงค์
PH	ผู้ช่วยศาสตราจารย์ ดร.อธิโรจน์ มะโน
BE	ผู้ช่วยศาสตราจารย์ ดร.ปภัศร์ชกรณ์ อารีย์กุล

สถาบันการอาชีวศึกษาภาคกลาง 1

CT	ดร.ชูเกียรติ คีรี

รายชื่อผู้ทรงคุณวุฒิพิจารณาบทความการประชุมวิชาการทางวิศวกรรมไฟฟ้า ครั้งที่ 48

Adisorn Sirikham	Rajamangala University of Technology Krungthep
Akekachai Deesiri	Sripatum University
Akharakit Chaithanakulwat	Dhonburi Rajabhat University
Anuruk Nosan	Pathumwan Institute of Technology
Apirak Tooltham	Nakhon Phanom University
Apiwat Lek-uthai	Chulalongkorn University
Arporn Teeramongkonrasmee	Chulalongkorn University
Boonchai Techaumnat	Chulalongkorn University
Boonlert Suechoey	Southeast Asia University
Boonruang Marungsri	Suranaree University of Technology
Boonsri Kaewkham-ai	Chiang Mai University
Buntueng Yana	University of Phayao
Chainarong Kittiyanpunya	Rajamangala University of Technology Rattanakosin
Chaipichit Cumpim	Rajamangala University of Technology Rattanakosin
Chaiyaporn Panyindee	Rajamangala University of Technology Rattanakosin
Chakkraphop Maisen	Rajamangala University of Technology Lanna
Chalakorn Karupongsiri	Prince of Songkla Univerisy
Chanchana Tangwongsan	Chulalongkorn University
Chawasak Rakpenthai	University of Phayao
Cherngchai Sompracha	Rajamangala University of Technology Rattanakosin
Chokemongkol Nadee	Rajamangala University of Technology Lanna
Chonrat Tatiyaworanun	Mahanakorn University of Technology
Choosak Kamonkhantithorn	Rajamangala University of Technology Krungthep
Danupon Kumpanya	Rajamangala University of Technology Suvarnabhumi
David Banjerdpongchai	Chulalongkorn University
Ditsapon Chumchewkul	Rajamangala University of Technology Ratanakosin
Ekkachai Mujjalinvimut	King Mongkut's University of Technology Thonburi
Guntinan Sakulphaisan	Rajamangala University of Technology Thanyaburi
Issarachai Ngamroo	King Mongkut's Institute of Technology Ladkrabang
Ittipong Chaisayun	Southeast Asia University

รายชื่อผู้ทรงคุณวุฒิพิจารณาบทความการประชุมวิชาการทางวิศวกรรมไฟฟ้า ครั้งที่ 48 (ต่อ)

Jensak Ekburanawat	Rajamangala University of Technology Rattanakosin
Jindaporn Yaothak	Prince of songkla university
Jiraporn Kiatwuthiamorn	Rajamangala University of Technology Rattanakosin
Jirawadee Polprasert	Naresuan University
Jonglak Pahasa	University of Phayao
Kampol Woradit	Chiang Mai University
Kanokwan Ruangsiri	Chitralada Technology Institute
Khanittha Kaewdang	Ubon Ratchathani University
Kiattisak Sakulphan	Sripatum University
Kiattisak Wongsopanakul	Prince of Songkla University
Kidsanapong Puntsri	Rajamangala University of Technology Isan
Kitsuchart Pasupa	King Mongkut's Institute of Technology Ladkrabang
Kittisak Thungsook	Rajamangala University of Technology Rattanakosin
Kornika Moolpho	Mahanakorn University of Technology
Kreangsuk Kraikitrat	University of Phayao
Krischonme Bhumkittipich	Rajamangala University of Technology Thanyaburi
Krit Kitwattana	Rajamangala University of Technology Thanyaburi
Kritchanan Charoensuk	Pathumwan Institute of Technology
Kunnthphong Srisathit	Rajamangala University of Technology Rattanakosin
Lerchai Kirasamutranon	Pathumwan Institute of Technology
Mongkol Saejia	Prince of Songkla University
Monthon Nawong	Rajamangala University of Technology Thanyaburi
Nakarin Prempri	King Mongkut’s University of Technology Thonburi
Nakrop Jinaporn	Ubon Ratchathani University
Napong Panitantum	Chulalongkorn University
Narate Charlangsut	Rajamangala University of Technology Phra Nakhon
Narongrit Mekloi	Rajamangala University of Technology Krungthep
Nattachote Rugthaicharoencheep	Rajamangala University of Technology Phra Nakhon
Nattapong Pothi	University of Phayao
Nattavut Chayavanich	King Mongkut’s University of Technology Thonburi

รายชื่อผู้ทรงคุณวุฒิพิจารณาบทความการประชุมวิชาการทางวิศวกรรมไฟฟ้า ครั้งที่ 48 (ต่อ)

Nattavut Chayavanich	King Mongkut's University of Technology Thonburi
Natthawuth Somakettarin	Rajamangala University of Technology Thanyaburi
Nisachon Tangsangiumvisai	Chulalongkorn University
Nitipong Panklang	Rajamangala University of Technology Thanyaburi
Norranut Saguansakdiyotin	Siam University
Nottakorn Sukmanont	Kasetsart University
Nutthaphong Tanthanuch	Thammasat University
Pakit Suwat	Siam University
Pakon Thuphairo	Rajamangala University of Technology Rattanakosin
Pakpoom Hoyingcharoen	Prince of Songkla University
Panida Thararak	Chiang Mai University
Paramet Wirasanti	Chiang Mai University
Pasika Temeeprasertkij	Rajamangala University of Technology Rattanakosin
Pattarapon Pooyodying	Rajamangala University of Technology Rattanakosin
Pauline Kongsuwan	Rajamangala University of Technology Thanyaburi
Peerapol Jirapong	Chiang Mai University
Peerawat Meesuk	Bansomdejchaopraya Rajabhat University
Peerumporn Jiranantanagorn	Rajamangala University of Technology Rattanakosin
Phakkawat Jantree	Rajamangala University of Technology Suvarnabhumi
Phonnipha Boriboonsuksri	Southeast Asia University
Pichai Aree	Thammasat University
Pitchanun Wongsiritorn	Rajamangala University of Technology Rattanakosin
Piyadanai Pachanapan	Naresuan University
Piyapat Poungsri	Pathumwan Institute of Technology
Pokkrong Vongkoon	Ubon Ratchathani University
Pollakrit Toonkum	Rajamangala University of Technology Lanna
Pongphan Leelatien	Thammasat University
Poonyasiri Boonpeng	Rajamangala University of Technology Lanna
Pracha Khamphakdi	Ubon Ratchathani University
Prajuab Pawarangkoon	Mahanakorn University of Technology

รายชื่อผู้ทรงคุณวุฒิพิจารณาบทความการประชุมวิชาการทางวิศวกรรมไฟฟ้า ครั้งที่ 48 (ต่อ)

Praphat Arnmanee	Rajamangala University of Technology Rattanakosin
Prasopchok Hothongkham	Rajamangala University of Technology Rattanakosin
Pratya Mongkolwai	Rajamangala University of Technology Rattanakosin
Prayad Boonkham	Rajamangala University of Technology Thanyaburi
Promsak Apiratikul	Rajamangala University of Technology Thanyaburi
Ruangyos Keteruksa	Rajamangala University of Technology Rattanakosin
Rungsimant Sitdhikorn	Mahanakorn University of Technology
Sakhon Woothipatanapan	Rajamangala University of Technology Phra Nakhon
Sakorn Mekruksavanich	University of Phayao
Samphan Phrompichai	Pathumwan Institute of Technology
Samroeng Hintamai	Sripatum University
Sataporn Suathed	Rajamangala University of Technology Rattanakosin
Sawit Na Songkhla	Chulalongkorn University
Sermsak Uatrongjit	Chiang Mai University
Sirichai Wattanasophon	Kasetsart University
Sirote Khunkitti	Chiang Mai University
Sitchai Boonpiyathud	Rajamangala University of Technology Rattanakosin
Sitthidet Vachirasricirikul	University of Phayao
Somchai Biansoongnern	Rajamangala University of Technology Thanyaburi
Somnuek Surathong	Rajamangala University of Technology Lanna
Somsak Siriporananon	Southeast Asia University
Songphol Kanjanachuchai	Chulalongkorn University
Sopa Sae-Heng	Rajamangala University of Technology Rattanakosin
Soraphon Kigsirisin	Chiang Mai University
Suchin Arunsawatwong	Chulalongkorn University
Sumate Naetiladdanon	King Mongkut's University of Technology Thonburi
Supattana Nirukkanaporn	Rangsit University
Supawud Nedphokaew	Rajamangala University of Technology Phra Nakhon
Surapad Larbwisuthisaroj	Rajamangala University of Technology Krungthep
Suree Pumrin	Chulalongkorn University

รายชื่อผู้ทรงคุณวุฒิพิจารณาบทความการประชุมวิชาการทางวิศวกรรมไฟฟ้า ครั้งที่ 48 (ต่อ)

Suwannee Phitakwinai	Rajamangala University of Technology Lanna
Tanairat Mata	Rajamangala University of Technology Krungthep
Terapong Boonraksa	Rajamangala University of Technology Rattanakosin
Thanakarn Suangun	University of Phayao
Thanapat Promwattanapakdee	Sripatum University
Thapana Nampradit	Rajamangala University of Technology Tawan-ok
Theeraphong Srichiangsa	Kasetsart University
Tosaphol Ratniyomchai	Suranaree University of Technology
Vinai Pornpojratanakul	Rajamangala University of Technology Rattanakosin
Vinai Silaruam	Mahanakorn University of Technology
Wanayuth Sanngoen	Sripatum University
Warit Wichakool	Prince of Songkla University
Watcharin Srirattanawichaikul	Chiang Mai University
Wichian Ooppakaew	Rajamangala University of Technology Thanyaburi
Wikanda Nantanawut	Chulalongkorn University
Winai Methavithit	Rajamangala University of Technology Krungthep
Worakarn Wongsaichua	Ubon Ratchathani University
Worapong Tangsrirat	King Mongkut's Institute of Technology Ladkrabang
Wuttiwat Kongrattanaprasert	Rajamangala University of Technology Krungthep
Yuttana Kumsuwan	Chiang Mai University

คณะกรรมการ
จัดการประชุมวิชาการทางวิศวกรรมไฟฟ้า ครั้งที่ 48

ประธาน
ศาสตราจารย์ ดร.เชวศักดิ์ รักเป็นไทย

เลขานุการ
ผู้ช่วยศาสตราจารย์ ดร.เกรียงศักดิ์ ไกรกิจราษฎร์

คณะกรรมฝ่ายวิชาการ
รองศาสตราจารย์ ดร.จงลักษณ์ พาหะซา
รองศาสตราจารย์ ดร.สิทธิเดช วชิราศรีศิริกุล
รองศาสตราจารย์ ดร.สุรเชษฐ์ กานต์ประชา
ผู้ช่วยศาสตราจารย์ ดร.ณัฐพงษ์ โปธิ
ผู้ช่วยศาสตราจารย์ ดร.วัชริน ศรีรัตนาวิชัยกุล
ผู้ช่วยศาสตราจารย์ ดร.อัครพันธ์ วงศ์กังแห
ดร.สุรพล ดำรงกิตติกุล

คณะกรรมการฝ่ายพิธีการ
ผู้ช่วยศาสตราจารย์ ดร.เกรียงศักดิ์ ไกรกิจราษฎร์
ผู้ช่วยศาสตราจารย์ ดร.วาสนา นากุ
อาจารย์ศราวุธ แต้โอสถ
นางสาวเปรมดา ทิพย์เดโช
นางสาวพัชรินทร์ ใจข้อ
นางสาวพิมพ์ผกา แก้วษา

คณะกรรมการฝ่ายจัดหารายได้และการเงิน
ผู้ช่วยศาสตราจารย์ดวงดี แสนรักษ์
นางกตัญชลี วันแก้ว
นางสาวกายรวี ฟูแสง
นางสาวศิริเพ็ญ บุญสม
นางสาวสุทธิดา ใจมูลมั่ง

คณะกรรมการฝ่ายลงทะเบียน
รองศาสตราจารย์ ดร.สิทธิเดช วชิราศรีศิริกุล
นางสาวกันติชา ราชคม
นางสาวรสนันท์ เอื้อพิทักษ์สกุล
นางสาวรัชนีวรรณ หมั่นแสวง

คณะกรรมการ
จัดการประชุมวิชาการทางวิศวกรรมไฟฟ้า ครั้งที่ 48

คณะกรรมการฝ่ายสถานที่และประชาสัมพันธ์

ผู้ช่วยศาสตราจารย์ ดร.ดำรงค์ อมรเดชาพล
นางสาวสิรีธร รอดสลับ
นายจักรภพ ทองกิ่ง
นายนิติพัฒน์ ธำรงทอง
นายอนุพงษ์ วงศ์ขัติย์
ว่าที่ร้อยตรีหญิงสุพัตรา ใจมูลมั่ง

คณะกรรมการฝ่ายยานพาหนะ

ผู้ช่วยศาสตราจารย์ ดร.ธนกานต์ สวนกัน
ดร.บรรเทิง ยานะ
อาจารย์กรวิน สุวรรณภักดิ์
นายพายุ ชากุลนา

คณะกรรมการฝ่ายประเมินผล

นางกมลทิพย์ รักเป็นไทย
นางนุชรารัตน์ ถาวะดี
นางสาวกิ่งกาญจน์ สิงห์ประดัง

สรุปสาขาบทความที่ผ่านการพิจารณา

ลำดับ	สาขา	จำนวนบทความ
1	ไฟฟ้ากำลัง (PW)	50
2	ไฟฟ้าสื่อสาร (CM)	19
3	อิเล็กทรอนิกส์กำลัง (PE)	21
4	ระบบควบคุมและการวัดคุม (CT)	19
5	อิเล็กทรอนิกส์ (EL)	12
6	คอมพิวเตอร์และเทคโนโลยีสารสนเทศ (CP)	32
7	การประมวลผลสัญญาณดิจิทัล (DS)	9
8	โฟโตนิกส์ (PH)	1
9	พลังงานทดแทน (RE)	23
10	วิศวกรรมชีวการแพทย์ (BE)	7
11	นวัตกรรมอัจฉริยะ (SI)	22
12	งานวิจัยที่เกี่ยวข้องกับวิศวกรรมไฟฟ้า (GN)	70
	รวมทั้งสิ้น	**285**

บทความดีเด่น

ด้านไฟฟ้ากำลัง

PW22 การวิเคราะห์ผลกระทบของการโจมตีทางไซเบอร์ในอินเวอร์เตอร์ควบคุมระบบไฟฟ้ากำลัง
พงศกร อนันตรทิวากร, ณฏฐกร สุขมานนท์, พีระยศ แสนโภชน์, จารุกฤษณ์ เรืองสุวรรณ, ธงชาติ เกิดผล

PW36 การควบคุมความถี่ไฟฟ้าในระบบไมโครกริดด้วยตัวควบคุมพีไอดีและดรูพคอนโทรล
เอกชัย ภูมลี, คมสันติ์ ดาโรจน์

PW48 A Time-Scheduling Control Framework for Microgrid Energy Management System Based on MILP
Saridpong Rangsaritaphiban, Paramet Wirasanti

ด้านไฟฟ้าสื่อสาร

CM13 SDR Based Anti-Drone System on 2.4-GHz ISM band
Raktanwan Poolsuwan, Arsit Boonyaprapasorn, Pasu Kaewplung

ด้านอิเล็กทรอนิกส์กำลัง

PE06 Mitigation of Bifurcation Effect in Wireless Power Transfer Systems Using a Tunable Fractional-Order Capacitor
Thakun Chinsakunrattanachai, Nattapong Hatchavanich, Ekkachai Mujjalinvimut, Supapong Nutwong

ด้านระบบควบคุมและการวัดคุม

CT12 ระบบควบคุมดิจิตอลสำหรับเรือไร้คนขับระยะไกล
ชาติ ฤทธิ์หิรัญ, อนุชิต เจริญ, วิญญู แสวงสินกสิกิจ, ณธรรม เกิดสำอางค์, ประภาส ผ่องสนาม

ด้านอิเล็กทรอนิกส์

EL08 วงจรกรองความถี่ต่ำผ่านอันดับที่ 2 สำหรับการวัดคลื่นไฟฟ้าหัวใจที่กินกำลังงาน 1.35 nW ความกว้างพลวัต 66.02 dB
พัลลภ พันธุปรีชารัตน์, ประจวบ ปวรางกูร

ด้านคอมพิวเตอร์และเทคโนโลยีสารสนเทศ

CP10 เว็บแอปพลิเคชันสำหรับการสร้างโมเดลการเรียนรู้ของเครื่องเพื่อทำนายระดับกลูโคสในเลือดรูปแบบวิธีการไม่เจาะเลือดโดยใช้อุปกรณ์ต้นแบบอินเทอร์เน็ตของสรรพสิ่ง
จิรภัทร เรืองพานิช, ภวัต พลับศิริ, ศิวะวงศ์ นนธิบุตร, สิระ จำปาเงิน, พิชยพัชยา ศรีคร้าม

CP15 A Low-Cost Edge Computing System for Barcode-Driven Industrial Traceability: A Software Engineering Approach
Orasa Sirasakamol, Rujipan Kosarat

ด้านการประมวลผลสัญญาณดิจิทัล

DS06 การตรวจหาแบบสามแทร็กด้วยเพอร์เซปตรอนหลายชั้นสำหรับระบบการบันทึกเชิงแม่เหล็ก
สันติ กูลการขาย, ปิยะ โควินท์ทวีวัฒน์

บทความดีเด่น (ต่อ)

ด้านพลังงานทดแทน

RE02 การจำลองปัจจัยของชนิดหลังคาและระยะห่างการติดตั้งต่อประสิทธิภาพของแผงโซลาร์เซลล์ด้วย MATLAB
รักษ์ศักดิ์ สาทะโพน, กฤษฎา พรหมพินิจ, สราวุฒิ บุญเกิดรัมย์, รณยุทธ นนท์พละ

ด้านวิศวกรรมชีวการแพทย์

BE02 ระบบของไหลจุลภาคสำหรับการอิเล็กโทรพอเรชันเซลล์โอโอไซต์
นิติพงศ์ ปานกลาง, นิศรุต พันธ์ศิริ, บุญชัย เตชะอำนาจ

ด้านนวัตกรรมอัจฉริยะ

SI07 การประเมินประสิทธิภาพโปรโตคอลไร้สาย ESP NOW สำหรับระบบไอโอทีเกษตรอัจฉริยะ
จอมกัณฑ์ศักดิ์ เหมทานนท์, ลัญฉกร นิลทรัตน์

ด้านงานวิจัยที่เกี่ยวข้องกับวิศวกรรมไฟฟ้า

GN19 การพัฒนาเครื่องผสมสารป้องกันโรคและแมลงสำหรับสวนทุเรียนด้วยพีแอลซี
เสมา พัฒน์ฉิม, วนายุทธ์ แสนเงิน

GN50 การวิเคราะห์ร่องรอยคาร์บอนเพื่อประเมินการปลดปล่อยคาร์บอนในกลุ่มยานยนต์ไฟฟ้า
ไชยพร หล่อทองคำ, ชัยนพัทธ์ ชละธาร

GN51 การจำลองระบบปรับแรงดันไฟฟ้าอัตโนมัติด้วยตัวควบคุมพีไอดี กรณีศึกษา: โรงไฟฟ้า ท็อป เอสพีพี
คชาพงษ์ สละสนธิ, วิชชากร เฮงศรีธวัช, รุจิพรรณ สัมปันณา

GN57 การจำแนกความแน่นเนื้อของแตงโมแบบไม่ทำลายด้วยการวิเคราะห์การสลายตัวของเสียง
ธนกร ลิ้มสุวรรณ, ปิยะมาศ ดวงบุตร, วิลาสินี บัวแย้ม, กันตภณ แก้วทิพย์, สุชิน ไตรรงค์จิตเหมาะ

KEYNOTE SPEAKER 1

Mr.Pongsakorn Yuthagovit

Deputy Governor, Planning and Engineering, Provincial Electricity Authority

Biography

Pongsakorn Yuthagovit received the B.Eng. and M.Eng. degrees in Electrical Engineering from Chulalongkorn University, Thailand, in 1996 and 1998, respectively. He received a Master of Business Administration from Chulalongkorn University, Thailand, in 2016. He has worked as a power system planner for 16 years. His responsibilities include developing sub-transmission and distribution system projects to meet demand growth and improve power system reliability; performing conceptual designs in accordance with Provincial Electricity Authority (PEA) planning criteria; conducting feasibility studies involving technical analysis, power flow studies, short-circuit analysis, alternative analysis, and economic and financial evaluations; and coordinating procedures for the selection of consultants for technical assistance. As a member of the Planning Committee for PEA Smart Grid Development, he is responsible for reviewing and proposing suitable smart grid projects to the committee before submission to the PEA Board of Directors for approval. In 2018-2022, he was assigned as Manager of the Pattaya Smart Grid Project.

KEYNOTE SPEAKER 2

Professor Dr.Issarachai Ngamroo
King Mongkut's Institute of Technology Ladkrabang

Biography

Issarachai Ngamroo received the B.Eng. degree in Electrical Engineering from King Mongkut's University of Technology Ladkrabang (KMITL), Bangkok, Thailand, in 1992. He received M.Eng and Ph.D. degrees in Electrical Engineering from Osaka University, Japan in 1997 and 2000, respectively, supported by the Japanese Government Scholarship. At present, he is a Professor of Electrical Engineering, KMITL. His research interests include power system stability, dynamics, and control. He was the Senior Research Scholar Fellowship in 2020 from the National Research Council of Thailand. He is a Senior Member of the IEEE.

KEYNOTE SPEAKER 3

Dr.Worawut Waruttamapornsu

Country Managing Director, Hitachi Energy (Thailand) Limited

Biography

Dr.Worawut Waruttamapornsu is the Country Managing Director of Hitachi Energy (Thailand) Limited. He joined Hitachi Energy's predecessor in 2006 and had worked in sales and marketing management for power products and power systems at the country, regional and global level. Directly prior to becoming Country Managing Director, he was Head of the Company's Grid Integration Business Unit. Dr. Worawut Waruttamapornsu holds B. Eng. in Electrical Engineering from Chulalongkorn University, Thailand, M. Eng. and Ph.D. in the same field from the University of Tokyo, Japan.

กำหนดการจัดงานและนำเสนอบทความ
การประชุมวิชาการทางวิศวกรรมไฟฟ้า ครั้งที่ 48

วันพุธที่ 19 พฤศจิกายน 2568					
9.00 - 16.00 น.	ลงทะเบียน (Registration)				
9.45 - 10.00 น.	พักรับประทานอาหารว่าง				
10.00 - 12.00 น.	ห้อง PAILIN	ห้อง BUSSARAKUM	ห้อง TUBTIM	ห้อง MORAKOT	
Session	PW1	CP1	SI1	GN1	
Paper	PW 01 - PW 08	CP 01 – CP 06, CP 08	SI 01 – SI 08	GN 01 – GN 08	
Session Chair	รศ.ดร.ธนพงศ์ สุวรรณศรี KMUTNB	รศ.ดร.สาคร เมฆรักษาวนิช UP	ดร.สุรพล ดำรงกิตติกุล UP	ผศ.ดร.สุพัฒนา นิรัคฆนาภรณ์ RSU	
12.00 – 13.00 น.	พักรับประทานอาหารกลางวัน				
13.00 - 14.45 น.	ห้อง PAILIN	ห้อง BUSSARAKUM	ห้อง TUBTIM	ห้อง MORAKOT	
Session	PW2	CP2	CT1	GN2	
Paper	PW 09 - PW 15	CP 09 – CP 15	CT 01 – CT 07	GN 09 – GN 15	
Session Chair	รศ.ดร.บุญเรือง มะรังศรี SUT	ผศ.ดร.กฤษดา ยิ่งขยัน RMUTL	ผศ.พินิจ เทพสาธร SWU	ผศ.ดร.เกษมศักดิ์ อุทัยชนะ CMU	
14.45 - 15.00 น.	พักรับประทานอาหารว่าง				
15.00 - 17.00 น.	ห้อง PAILIN	ห้อง BUSSARAKUM	ห้อง TUBTIM	ห้อง MORAKOT	
Session	PW3	CM1	RE1	GN3	
Paper	PW 16 - PW 22	CM 01 – CM 07	RE 01 – RE 08, RE 22	GN 16 – GN 23	
Session Chair	ผศ.ดร.คมสันติ์ ดาโรจน์ UBU	ผศ.วิโรจน์ พิราจเนนชัย RMUTT	รศ.ดร.จงลักษณ์ พาหะชา UP	ศ.ดร.อภิรัฐ ศิริธราธิวัตร KKU	
17.00 - 18.00 น.	งานเสวนาหัวข้อพิเศษ เรื่อง “การเตรียมการขอตำแหน่งทางวิชาการอย่างมีคุณภาพ” โดย ศาสตราจารย์ ดร.ประยุทธ อัครเอกฒาลิน และ ศาสตราจารย์ ดร.โกสินทร์ จำนงไทย				

กำหนดการจัดงานและนำเสนอบทความ
การประชุมวิชาการทางวิศวกรรมไฟฟ้า ครั้งที่ 48

วันพฤหัสบดีที่ 20 พฤศจิกายน 2568					
8.00 - 16.00 น.	ลงทะเบียน (Registration)				
8.00 - 9.45 น.	ห้อง PAILIN	ห้อง BUSSARAKUM	ห้อง TUBTIM	ห้อง MORAKOT	
Session	PW4	CM2	CT2	EL1	
Paper	PW 23 - PW 29	CM 09 – CM 15	CT 08 – CT 14	EL 01 – EL 07	
Session Chair	ศ.ดร.พิชัย อารีย์ TU	รศ.ดร.สุรเชษฐ์ กานต์ประชา NU	ผศ.ดร.พรชัย ชันยากร MU	รศ.ดร.พิพัฒน์ พรหมมี KMITL	
9.45 - 10.00 น.	พักรับประทานอาหารว่าง				
10.00 - 10.30 น.	**พิธีเปิด** การประชุมวิชาการทางวิศวกรรมไฟฟ้า ครั้งที่ 48 (EECON-48) ณ ห้อง LEELAWADEE				
10.30 - 11.00 น.	Keynote Speaker 1: คุณพงศกร ยุทธโกวิท รองผู้ว่าการ ฝ่ายวางแผนและวิศวกรรม ของการไฟฟ้าส่วนภูมิภาค				
11.00 - 11.30 น.	Keynote Speaker 2: ศาสตราจารย์ ดร.อิสระชัย งามหรู สถาบันเทคโนโลยีพระจอมเกล้าเจ้าคุณทหารลาดกระบัง				
11.30 - 12.00 น.	Keynote Speaker 3: ดร.วรวุฒิ วรุตมพรสุ Country Managing Director, Hitachi Energy (Thailand) Limited				
12.00 – 13.00 น.	พักรับประทานอาหารกลางวัน				
13.00 – 15.00 น.	ห้อง PAILIN	ห้อง BUSSARAKUM	ห้อง TUBTIM	ห้อง MORAKOT	
Session	PW5	DS1	BE1	EL2	
Paper	PW 30 - PW 38	DS 01 – DS 08	BE 01 – BE 07 DS 09	EL 08 – EL 12 GN 24 – GN 26	
Session Chair	ผศ.ดร.ธงชาติ เกิดผล KU	ดร.บรรเทิง ยานะ UP	ผศ.ดร.สุรีย์ พุ่มรินทร์ CU	ศ.ดร.วรพงศ์ ตั้งศรีรัตน์ KMITL	
15.00 - 15.15 น.	พักรับประทานอาหารว่าง				
15.15 – 17.00 น.	ห้อง PAILIN	ห้อง BUSSARAKUM	ห้อง TUBTIM	ห้อง MORAKOT	
Session	RE2	CP3	PE1	GN4	
Paper	RE 09 – RE 15	CP 07, CP 16 – CP 19, CP 21, CP 22	PE 01 – PE 07	GN 27 – GN 33	
Session Chair	รศ.ดร.ศุภวุฒิ เนตรโพธิ์แก้ว RMUTP	ผศ.ดร.ธนกานต์ สวนกัน UP	ศ.ดร.ยุทธนา ขำสุวรรณ์ CMU	ดร.อาทิตย์ ฤทธิแผลง UBU	
17.00 - 17.30 น.	พักผ่อนตามอัธยาศัย				
17.30 - 22.00 น.	งานเลี้ยงพร้อมพิธีมอบธงแก่เจ้าภาพ ครั้งที่ 49 และมอบรางวัลบทความดีเด่น (Banquet and Paper Award)				

กำหนดการจัดงานและนำเสนอบทความ
การประชุมวิชาการทางวิศวกรรมไฟฟ้า ครั้งที่ 48

วันศุกร์ที่ 21 พฤศจิกายน 2568					
8.00 - 11.00 น.	ลงทะเบียน (Registration)				
8.00 - 9.45 น.	ห้อง PAILIN	ห้อง BUSSARAKUM	ห้อง TUBTIM	ห้อง MORAKOT	
Session	PE2	CM3	CT3	GN5	
Paper	PE 08 – PE 14	CM 08, CM 16 – CM –19 CP 31, CP 32, PH 01	CT 15 – CT 19 GN 34, GN 35	GN 36 – GN 42	
Session Chair	ผศ.ดร.วัชริน ศรีรัตนาวิชัยกุล CMU	รศ.ดร.สุชาดา สิทธิ์จงสถาพร MUT	ผศ.ดร.ณัฐพงษ์ โปธิ UP	ผศ.ดร.วนายุทธ์ แสนเงิน SPU	
9.45 - 10.00 น.	พักรับประทานอาหารว่าง				
10.00 - 12.00 น.	ห้อง PAILIN	ห้อง BUSSARAKUM	ห้อง TUBTIM	ห้อง MORAKOT	ห้อง LEELAWADEE
Session	PW6	CP4	RE3	SI2	GN6
Paper	PW 39 - PW 45	CP 20, CP 23 – CP 30	RE 16 – RE 21, RE 23	SI 09 – SI 16	GN 43 – GN 50
Session Chair	ผศ.ดร.สำเริง ฮินท่าไม้ SPU	รศ.ดร.กฤษฎา อัศวสกุลเกียรติ MU	ผศ.ดร.ภรชัย จูอนุวัฒนกุล SPU	ผศ.ดร.บุญฤทธิ์ คุ้มเขต RMUTT	ผศ.สถาพร เสือเทศ RMUTR
12.00 - 13.00 น.	พักรับประทานอาหารกลางวัน				
13.00 - 15.00 น.	ห้อง PAILIN	ห้อง BUSSARAKUM	ห้อง TUBTIM	ห้อง MORAKOT	ห้อง LEELAWADEE
Session	PW7	PE3	GN7	SI3	GN8
Paper	PW 46 - PW 50 GN 51 – GN 53	PE 15 – PE 21	GN 54 – GN 61	SI 17 – SI 22 GN 62, GN 63	GN 64 – GN 70
Session Chair	รศ.ดร.สิโรตม์ คุณกิตติ CMU	รศ.ดร.ประสพโชค โห้ทองคำ RMUTR	ผศ.ดร.วุฒิวัฒน์ คงรัตนประเสริฐ RMUTK	ผศ.ดร.สมมาตร แสงเงิน NU	รศ.ดร.เสริมศักดิ์ เอื้อตรงจิตต์ CMU
15.00 – 15.15 น.	พักรับประทานอาหารว่าง				
15.15 – 16.45 น.	คณะกรรมการดำเนินงาน และคณะกรรมการสมาคมวิชาการทางวิศวกรรมไฟฟ้า ประชุมสรุป				
16.45 - 17.00 น.	ปิดการประชุม				

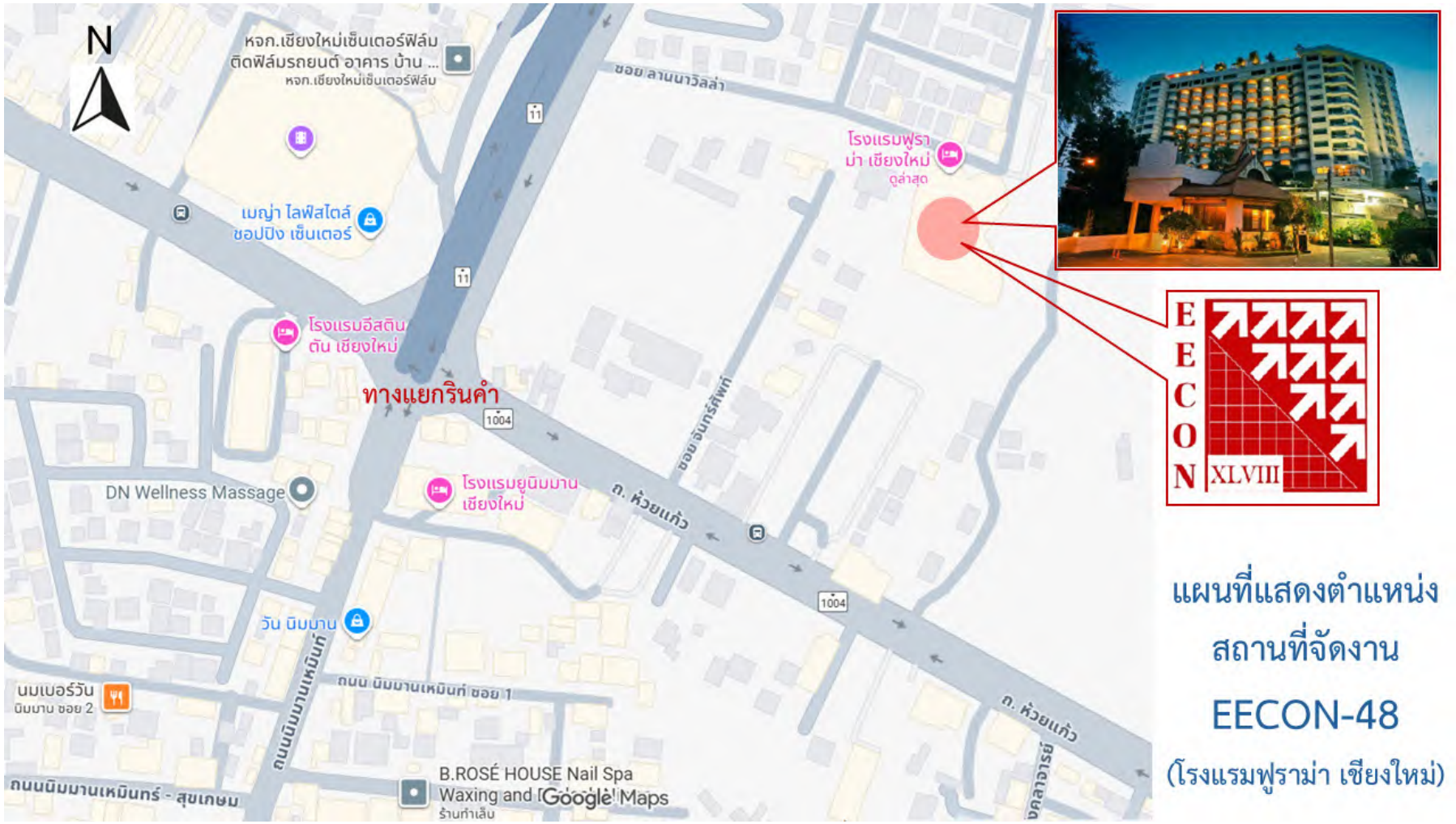
N
หจก.เชียงใหม่เซ็นเตอร์ฟิล์ม
ติดฟิล์มรถยนต์ อาคาร บ้าน ...
หจก.เชียงใหม่เซ็นเตอร์ฟิล์ม
ซอย ลานนาวิลล่า
โรงแรมฟูรา
ม่า เชียงใหม่
ดูล่าสุด
เมญ่า ไลฟ์สไตล์
ชอปปิง เซ็นเตอร์
โรงแรมอีสติน
ตัน เชียงใหม่
ทางแยกรินคำ
1004
ซอย จันทร์ศิพท์
DN Wellness Massage
โรงแรมยูนิมาน
เชียงใหม่
ถ. ห้วยแก้ว
วัน นิมมาน
นมเบอร์วัน
นิมมาน ซอย 2
ถนน นิมมานเหมินท์ ซอย 1
ถนนนิมมานเหมินทร์
ถนนนิมมานเหมินทร์ - สุขเกษม
B.ROSÉ HOUSE Nail Spa
Waxing and
ร้านทำเล็บ
Google Maps
EECON XLVIII
แผนที่แสดงตำแหน่ง
สถานที่จัดงาน
EECON-48
(โรงแรมฟูรา่ม่า เชียงใหม่)

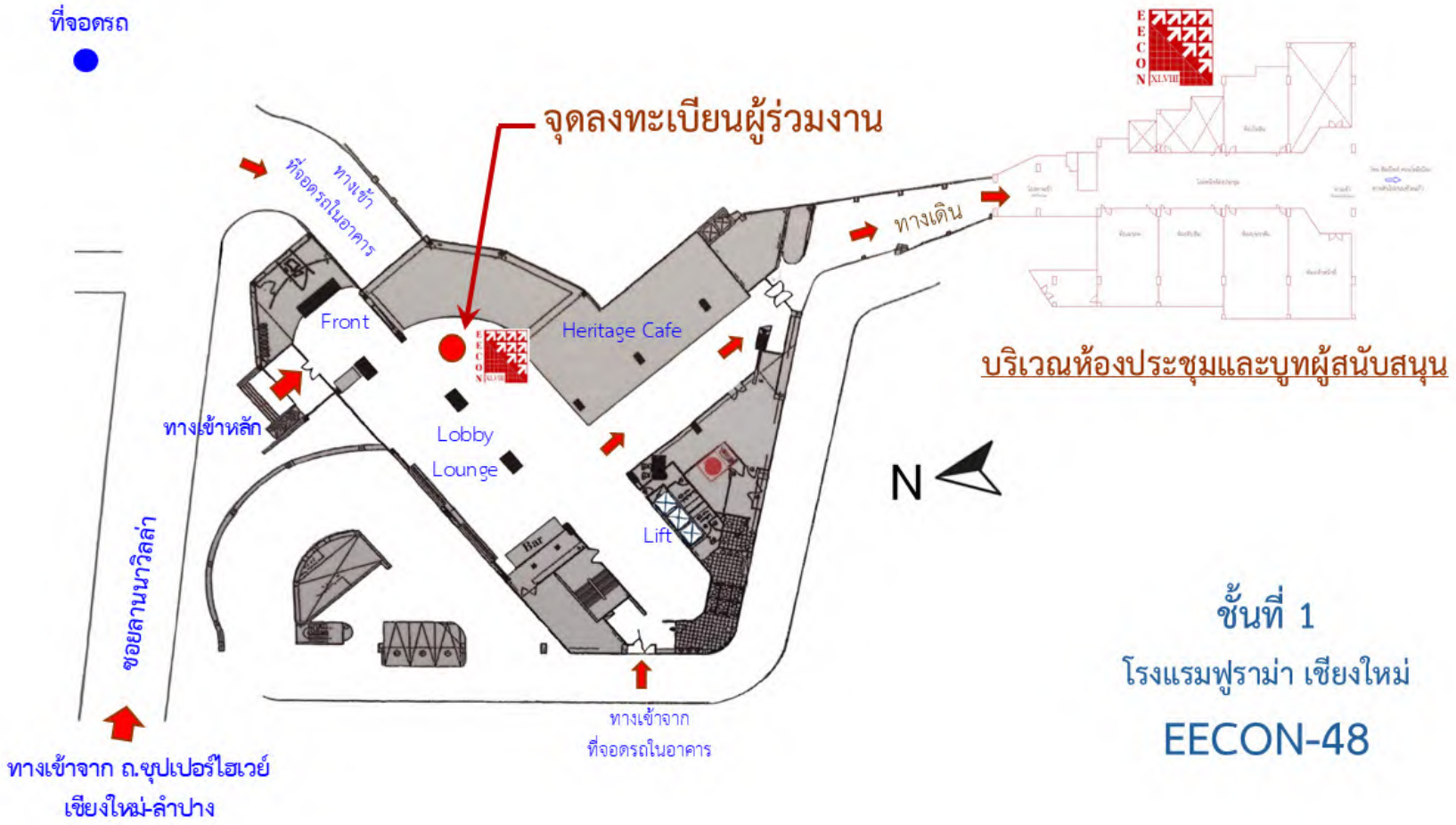
ที่จอดรถ
จุดลงทะเบียนผู้ร่วมงาน
ทางเข้าที่จอดรถในอาคาร
ทางเดิน
Front
Heritage Cafe
ทางเข้าหลัก
Lobby
Lounge
Lift
Bar
N
ซอยลานนาวิลล่า
ทางเข้าจาก ถ.ซุปเปอร์ไฮเวย์ เชียงใหม่-ลำปาง
ทางเข้าจากที่จอดรถในอาคาร
บริเวณห้องประชุมและบูทผู้สนับสนุน
ชั้นที่ 1
โรงแรมฟูราม่า เชียงใหม่
EECON-48

รูปบริเวณโถงทางเข้า (ฝั่งโรงแรม)

รูปบริเวณโถงหน้าห้องประชุม

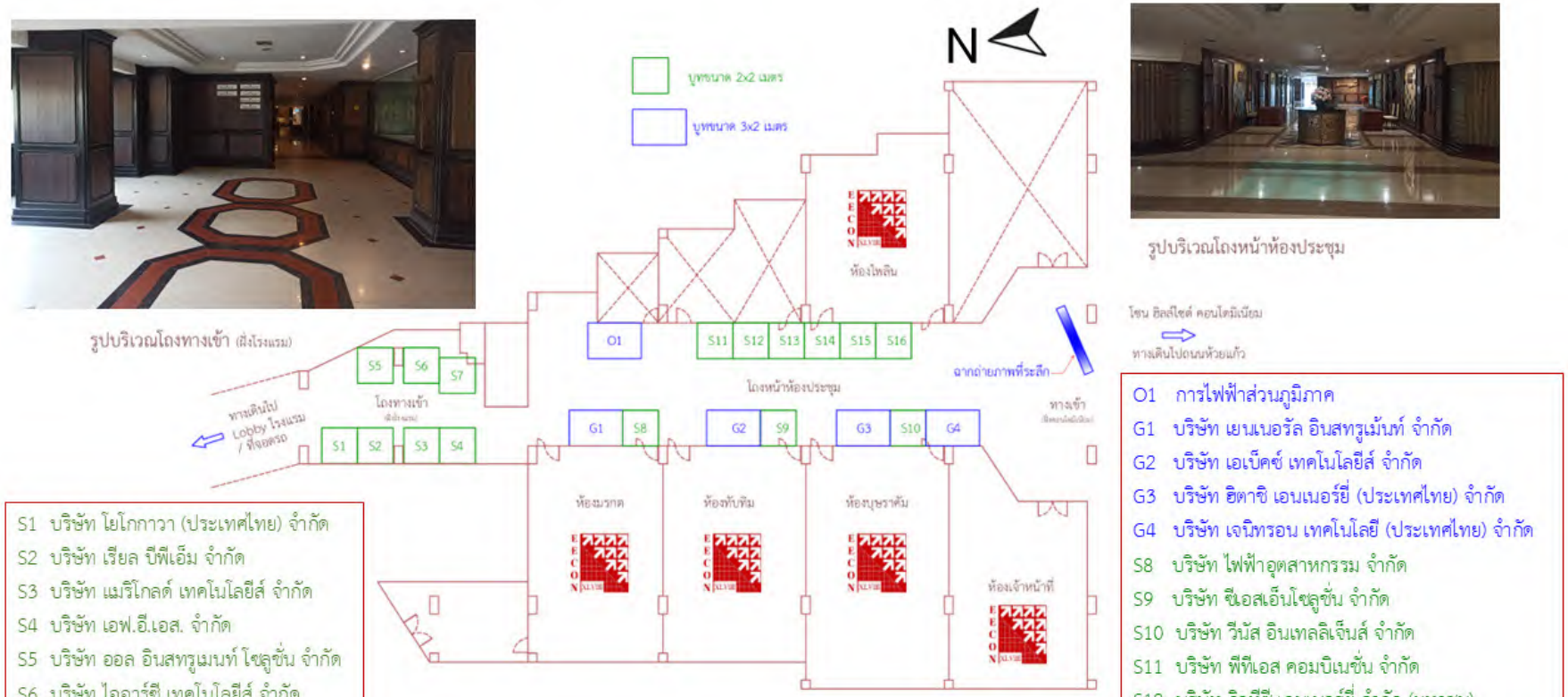

S1 บริษัท โยโกกาวา (ประเทศไทย) จำกัด
S2 บริษัท เรียล บีพีเอ็ม จำกัด
S3 บริษัท แมริโกลด์ เทคโนโลยีส์ จำกัด
S4 บริษัท เอฟ.อี.เอส. จำกัด
S5 บริษัท ออล อินสทรูเมนท์ โซลูชั่น จำกัด
S6 บริษัท ไออาร์ซี เทคโนโลยีส์ จำกัด
S7 บริษัท ดิจิตอล อินสทรูเมนท์ จำกัด

แปลนบริเวณห้องประชุม (นำเสนอบทความ) และตำแหน่งบูทผู้สนับสนุน

O1 การไฟฟ้าส่วนภูมิภาค
G1 บริษัท เยนเนอรัล อินสทรูเม้นท์ จำกัด
G2 บริษัท เอเบ็คซ์ เทคโนโลยีส์ จำกัด
G3 บริษัท ฮิตาชิ เอนเนอร์ยี่ (ประเทศไทย) จำกัด
G4 บริษัท เจนิทรอน เทคโนโลยี (ประเทศไทย) จำกัด
S8 บริษัท ไฟฟ้าอุตสาหกรรม จำกัด
S9 บริษัท ซีเอสเอ็นโซลูชั่น จำกัด
S10 บริษัท วีนัส อินเทลลิเจ็นส์ จำกัด
S11 บริษัท พีทีเอส คอมบิเนชั่น จำกัด
S12 บริษัท คิวทีซี เอนเนอร์ยี่ จำกัด (มหาชน)
S13 บริษัท เอ็ม.ที.เค อินสทรูเมนท์ อินโนเวทีฟ จำกัด
S14 บริษัท พี จี อินเตอร์กรุ๊ป จำกัด
S15 บริษัท เฮนิส ฮาร์ดแวร์ จำกัด
S16 บริษัท แควนเทล โกลบอล จำกัด

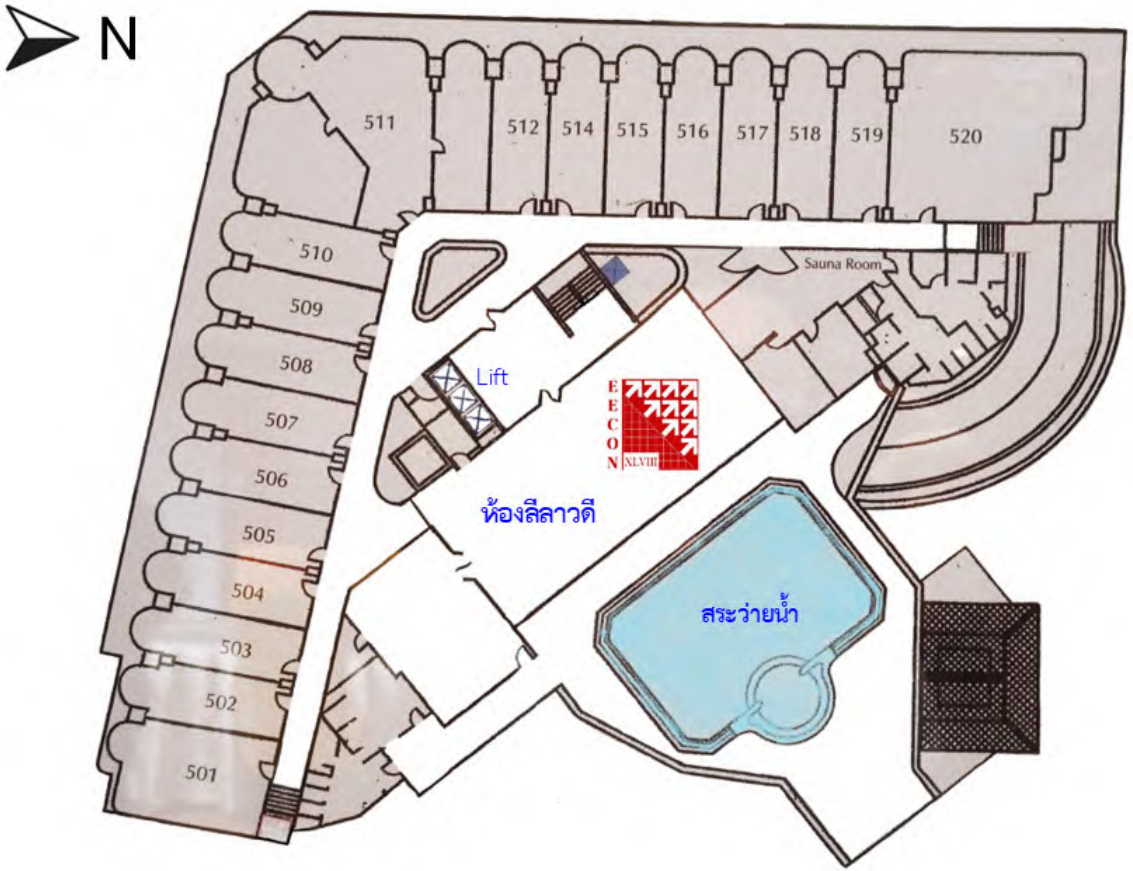

ห้องลีลาวดี

20 พ.ย. 2568

- พิธีเปิด
- งานเลี้ยง พิธีมอบธงแก่เจ้าภาพ ครั้งที่ 49 และมอบรางวัลบทความดีเด่น

21 พ.ย. 2568

- นำเสนอบทความ

ชั้นที่ 5

โรงแรมฟูราม่า เชียงใหม่

EECON-48

รายชื่อบทความสาขาไฟฟ้ากำลัง

ลำดับบทความ	ชื่อบทความ	หน้าที่
PW 02	แบบจำลองห้องความดันลบควบคุมความสมดุลด้วยโปรแกรมเมเบิลลอจิกคอนโทรลเลอร์	1
PW 03	การควบคุมความถี่ของโครงข่ายระบบจำหน่ายไฟฟ้าโดยใช้อินเวอร์เตอร์แบบสร้างกริดที่ควบคุมด้วยวิธีการควบคุมเครื่องกำเนิดไฟฟ้าซิงโครนัสเสมือน	6
PW 04	เครื่องมือโอเพ่นซอร์สใหม่สำหรับการวิเคราะห์ระบบไฟฟ้ากำลังและไมโครกริดในอนาคต	7
PW 05	การประมาณค่าความถี่ของระบบไฟฟ้าสามเฟสไม่สมดุลในระบบสมาร์ทกริด	11
PW 06	ความสัมพันธ์ระหว่างปริมาณสิ่งเปรอะเปื้อนบนผิวลูกถ้วยพอร์ซเลนกับปัจจัยทางอุตุนิยมวิทยา	17
PW 07	การคำนวณการไหลกำลังไฟฟ้าของโหลดปั๊มน้ำด้วยวิธีนิวตันราฟสัน	22
PW 08	การวิเคราะห์การไหลของกำลังไฟฟ้าฮาร์มอนิกในระบบจ่ายรถไฟฟ้ากระแสสลับด้วยแบบจำลองตัวนำเดี่ยว	28
PW 09	การขับเคลื่อนตัวเองและการแบ่งปันพลังงานในกรณีฉุกเฉินของระบบรถไฟฟ้าขนส่งมวลชน	35
PW 10	ผลกระทบของแหล่งพลังงานหมุนเวียนที่มีความผันผวนต่อความต้องการโรงไฟฟ้าที่มีความยืดหยุ่นของไทย	41
PW 11	Magnetic Field Simulation of Induction Motor with Different Stator Winding Using 3D FEM	45
PW 12	การเบรกดาวน์ฟิล์มน้ำมันในกระบวนการเชื่อมรวมด้วยไฟฟ้าสำหรับการแยกน้ำออกจากน้ำมัน	50
PW 13	การออกแบบและสร้างชุดตรวจวัดกระแสไฟฟ้าแบบจ่ายพลังงานด้วยตัวเอง	54
PW 14	การควบคุมความถี่ไมโครกริดด้วยยานยนต์ไฟฟ้าภายใต้การโจมตีไซเบอร์ชนิดป้อนข้อมูลเท็จโดยใช้ตัวกรองคาลมานและตัวควบคุมพีไอดี	58
PW 15	การตรวจหากำลังผลิตของระบบผลิตไฟฟ้าพลังงานแสงอาทิตย์บนหลังคาด้วยภาพถ่ายดาวเทียมเพื่อประเมินความสามารถของหม้อแปลงระบบจำหน่ายแรงต่ำ	64
PW 16	Variable Step Size Complex Direct Frequency Estimation Algorithm	70
PW 17	การวิเคราะห์เปรียบเทียบความสูญเสียพลังงานและการลดก๊าซเรือนกระจกของระบบผลิตไฟฟ้าพลังงานแสงอาทิตย์บนหลังคาระหว่างค่าจริงและค่าประเมิน	73
PW 18	การวางแผนเพิ่มสมรรถนะโดยลดค่ากำลังสูญเสียในระบบส่งกำลังไฟฟ้า	77
PW 19	การจำลองเพื่อออกแบบตัวกรองฮาร์มอนิกส์ที่เกิดจากโหลดไม่เป็นเชิงเส้นของเครื่องสำรองไฟฟ้ากรณีโหลดไม่สมดุล	82
PW 20	การเพิ่มสัดส่วนพลังงานทดแทนในประเทศไทยโดยใช้เทคโนโลยีกริดฟอร์มมิ่งอินเวอร์เตอร์	86
PW 21	การจัดตารางการใช้เครื่องใช้ไฟฟ้าอย่างเหมาะสมภายในบ้านอยู่อาศัย	92
PW 22	การวิเคราะห์ผลกระทบของการโจมตีทางไซเบอร์ในอินเวอร์เตอร์ควบคุมระบบไฟฟ้ากำลัง	96
PW 23	การประเมินอุณหภูมิน้ำมันหม้อแปลงและจุดร้อนขดลวดเพื่อหาประสิทธิภาพของหม้อแปลงจำหน่าย 50 kVA	101
PW 24	การจำลองการทำงานของฟลักซ์แม่เหล็กร่วมภายในหม้อแปลงไฟฟ้าด้วยโปรแกรมคิวสไปซ์	107
PW 25	การออกแบบระบบสายดินตามข้อกำหนดของดาตาเซนเตอร์ในประเทศไทยโดยการใช้โปรแกรมอัจฉริยะ	112
PW 26	การประเมินสมรรถนะของการบล็อกกระแสฮาร์มอนิกลำดับที่ 3 ในสายนิวทรัลสำหรับระบบ TN-CS	117
PW 27	Guidelines for Enhancing Reliability in Private Industrial Distribution Networks based on N-1 contingency analysis	123

รายชื่อบทความสาขาไฟฟ้ากำลัง (ต่อ)

ลำดับบทความ	ชื่อบทความ	หน้าที่
PW 28	การประเมินและพัฒนาระบบตรวจจับอาร์คในเบรกเกอร์โดยใช้การวิเคราะห์ข้อมูลและแมชชีนเลิร์นนิง	129
PW 29	รูปแบบการป้องกันฟิวส์ด้วยรีโครสเซอร์แบบควบคุมด้วยแรงดันไฟฟ้า	135
PW 30	เปรียบเทียบสมรรถนะมอเตอร์แม่เหล็กถาวรไร้แปรงถ่านชนิดโรเตอร์กรงเล็บกับโรเตอร์แบบดั้งเดิม	140
PW 31	การแก้ปัญหาการจ่ายโหลดอย่างประหยัดแบบหลายวัตถุประสงค์ที่มีฟังก์ชันราคาเชื้อเพลิงแบบไม่ราบเรียบด้วยวิธีการหาคำตอบที่เหมาะสมที่สุดแบบฝูงผึ้ง	146
PW 32	การพัฒนาคุณสมบัติทางไดอิเล็กทริกของน้ำมันปาล์มที่เติมอนุภาคนาโน Fe_3O_4, TiO_2 และ Al_2O_3 โดยศึกษาค่าความต้านทานไฟฟ้า ค่าการสูญเสียทางไดอิเล็กทริก และค่าสภาพยอมทางไฟฟ้าสัมพัทธ์	150
PW 33	ผลของการเติมอนุภาคนาโน Fe_3O_4, TiO_2, and Al_2O_3 ในน้ำมันปาล์มต่อคุณสมบัติทางไฟฟ้าและความชื้นสำหรับฉนวนเหลวหม้อแปลงไฟฟ้า	155
PW 34	การเปรียบเทียบการใช้หม้อแปลงแยกกับหม้อแปลงร่วมในระบบโซลาร์เซลล์สำหรับอาคารเดียวกัน	161
PW 35	การควบคุมการเริ่มหมุนแบบนิ่มนวลให้กับมอเตอร์เหนี่ยวนำหนึ่งเฟสด้วยการควบคุมกระแสเริ่มต้นเพื่อการประหยัดพลังงานโดยใช้เทคนิคอะซิงโครนัส พีดับเบิ้ลยูเอ็ม เอซี ช็อปเปอร์	167
PW 36	การควบคุมความถี่ไฟฟ้าในระบบไมโครกริดด้วยตัวควบคุมพีไอดีและดรูพคอนโทรล	173
PW 37	การประยุกต์ใช้โครงข่ายประสาทเทียมเพื่อทำนายแรงดันเบรกดาวน์ของฉนวนในสภาวะเปียก	179
PW 38	การประเมินความสัมพันธ์ระหว่างการเปลี่ยนแปลงของปริมาณน้ำฝนและค่าความนำไฟฟ้าของน้ำฝนที่มีผลต่อแรงดันเบรคดาวน์ของฉนวนอากาศ	184
PW 39	การจัดการการตอบสนองด้านผู้ใช้ไฟฟ้าในระบบจำหน่ายไฟฟ้าอัจฉริยะด้วยดิจิทัลแพลตฟอร์ม	189
PW 40	ข้อพิจารณามาตรการปรับปรุงตัวประกอบกำลังไฟฟ้าในโรงงานอุตสาหกรรมที่มีการใช้ไฟฟ้าผันผวนสูง : กรณีศึกษาโรงสีข้าว	194
PW 41	การปรับปรุงเสถียรภาพความถี่ในระบบไมโครกริดแบบโดดโดยใช้ตัวควบคุมแบบความเฉื่อยเสมือนที่เหมาะที่สุดด้วยวิธีหมาป่าสีเทาแบบหลายวัตถุประสงค์สำหรับระบบสะสมพลังงานชนิดแบตเตอรี่	200
PW 42	การหาตำแหน่งที่เหมาะสมด้วยฟังก์ชันหลายวัตถุประสงค์โดยประสานงานกันระหว่างอุปกรณ์ตัวเก็บประจุอนุกรมที่ควบคุมด้วยไทริสเตอร์และอุปกรณ์ชดเชยซิงโครนัสแบบสถิตในระบบไฟฟ้ากำลังด้วยอัลกอริทึมผสมผสานวิธีเชิงพันธุกรรมและฝูงอนุภาค	206
PW 43	การศึกษาพฤติกรรมการกัดกร่อนของจุดเชื่อมต่อระหว่างสายทองแดงและสายอะลูมิเนียมในระบบจำหน่ายไฟฟ้า 22 กิโลโวลต์	210
PW 44	การควบคุมพีไอที่ใช้การเรียนรู้เสริมแรงของอิเล็กโทรไลเซอร์ชนิดเยื่อแลกเปลี่ยนโปรตอนเพื่อปรับปรุงเสถียรภาพความถี่ไมโครกริด	215
PW 45	การวิเคราะห์ภาระโหลดเกินของหม้อแปลงไฟฟ้าและแรงดันไฟฟ้าตกในระบบจำหน่ายด้วยซอฟแวร์ GIS (ArcMap) ร่วมกับเครื่องมือ OPSA	221
PW 46	พีไอดีแบบยืดหยุ่นสำหรับควบคุมอิเล็กโทรไลเซอร์เพื่อปรับปรุงความเฉื่อยเสมือนในไมโครกริดแยกโดดภายใต้การโจมตีไซเบอร์แบบปฏิเสธการให้บริการ	256
PW 47	การหาค่าเหมาะที่สุดภาพลวงตาของตัวควบคุมทีไอดีเพื่อปรับความถี่ไมโครกริดด้วยอิเล็กโทรไลเซอร์ชนิดเยื่อแลกเปลี่ยนโปรตอน	232
PW 48	A Time-Scheduling Control Framework for Microgrid Energy Management System Based on MILP	238
PW 49	การจำแนกรูปแบบของดิสชาร์จบางส่วนโดยใช้ปัญญาประดิษฐ์	244

รายชื่อบทความสาขาไฟฟ้ากำลัง (ต่อ)

ลำดับบทความ	ชื่อบทความ	หน้าที่
PW 50	การควบคุมระบบกักเก็บพลังงานไฮโดรเจนด้วยพีไอดีเหมาะที่สุดเพื่อรักษาเสถียรภาพความถี่ในไมโครกริดบนเรือ	242

รายชื่อบทความสาขาไฟฟ้าสื่อสาร

ลำดับบทความ	ชื่อบทความ	หน้าที่
CM 01	การวิเคราะห์เงื่อนไขทางเทคนิคเพื่อคุ้มครองการรบกวนจากระบบโทรคมนาคมที่มีต่อหอสังเกตการณ์ดาราศาสตร์วิทยุแห่งชาติ	255
CM 02	ระบบเคออสเจ็ดวงม้วนรูปแบบใหม่ด้วยสองฟังก์ชันสามเหลี่ยมและการประยุกต์ใช้สเปกตรัมลำดับการแพร่กระจายโดยตรง	261
CM 03	ระบบสื่อสารด้วยเสียงผ่านแสงเลเซอร์ที่สามารถเก็บเกี่ยวพลังงานได้พร้อมกันโดยใช้แผงโซล่าเซลล์	267
CM 04	การศึกษาการแพร่กระจายคลื่นแม่เหล็กไฟฟ้าผ่านดินที่ความถี่ 1.2 MHz	273
CM 05	สายอากาศโปร่งใสแถบความถี่กว้างสำหรับเทคโนโลยีการสื่อสารหลายอินพุตหลายเอาต์พุต	277
CM 06	สายอากาศแถวลำดับไดโพลแบบรายคาบล็อกชนิดระนาบโดยใช้แฟร็กทรัลเส้นโค้งมังกรสำหรับการตรวจจับโพรงใต้ดินด้วยเรดาร์ทะลุพื้นดิน	283
CM 07	การวิเคราะห์การส่งสัญญาณระยะไกลจากตัวตรวจจับอุณหภูมิและความชื้นแบบไร้สายโดยที่ความถี่ 433 เมกะเฮิรตซ์ เมื่อคลื่นเดินทางแบบตรง	288
CM 08	การหาประสิทธิภาพตัวตรวจจับแบบความผิดพลาดกำลังสองเฉลี่ยต่ำสุดที่มีความซับซ้อนต่ำโดยวิธีการปรับปรุงสมการของเกาส์-ไซเดลสำหรับระบบสื่อสารแบบระบบไมโมแบบหลายสายอากาศจำนวนมาก	292
CM 09	ระบบระบุตำแหน่งภายในอาคารโดยอาศัยการเรียนรู้ของเครื่องและการผสานข้อมูลตัวบ่งชี้ความแรงสัญญาณที่ได้รับและเซนเซอร์วัดความเร่ง	296
CM 10	T-Slot Design for an Enhanced Electromagnetic Band Gap to Reduce Mutual Coupling in MIMO Antennas	302
CM 11	A High-Gain Dipole Antenna with a Modified Cross-Shaped AMC Reflector for sub-6 GHz 5G Applications	308
CM 12	ศึกษาความหนาแน่นของเลนส์ครึ่งซีกวงกลมเพื่อเพิ่มประสิทธิภาพของสายอากาศ	315
CM 13	SDR Based Anti-Drone System on 2.4-GHz ISM band	320
CM 14	Finite Precision Investigation of OFDM Implementation	327
CM 15	สายอากาศพื้นผิวอภิวัสดุจัดเรียงกระแสเพื่อเก็บเกี่ยวพลังงานไร้สาย	332
CM 16	สายอากาศเครือข่ายไร้สายร่องว่างวงแหวนสี่เหลี่ยมด้วยไดเวอร์ซิตี้เชิงโพลาไรซ์และปรุงปรับค่าแยกโดดเดี่ยว	337
CM 17	Comparative Analysis of MQTT and MQTT-SN Protocols in Wireless Sensor Network	341
CM 18	วงจรกรองความถี่ชาโดว์แบบหลายหน้าที่ ที่ใช้พลังงานต่ำ ด้วย MI-OTAs สามารถปรับค่า Q ได้อย่างอิสระ	346
CM 19	การศึกษาความทนทานต่อสัญญาณรบกวนเฟสในระบบสื่อสารหลายกิกะบิตโดยใช้ STBC MIMO-OFDM สำหรับ WiFi-8	351

รายชื่อบทความสาขาอิเล็กทรอนิกส์กำลัง

ลำดับบทความ	ชื่อบทความ	หน้าที่
PE 01	การตรวจวัดเพื่อประเมินความผิดเพี้ยนของกระแสฮาร์มอนิกในระบบไฟฟ้า ตามมาตรฐาน IEEE519-2022 กรณีศึกษาห้องเย็นจัดเก็บสินค้า	355
PE 02	การขนานแหล่งจ่ายไฟฟ้ากระแสตรงโดยใช้วงจรโอริง	360
PE 03	การออกแบบวงจรอินเวอร์เตอร์โดยใช้ IGBT แบบแยกส่วนเพื่อทดแทน IPM ในการขับมอเตอร์	364
PE 04	การควบคุมแบบสไลดิ้งโหมดทวิตติ้งแบบซุปเปอร์ควาซีสำหรับกริดซับพอร์ตติ่งโหมดของอินเวอร์เตอร์กำลังในไมโครกริด	365
PE 05	การพัฒนาวงจรแปลงผันกำลังไฟฟ้ากระแสตรงเป็นไฟฟ้ากระแสตรงเต็มบริดจ์สามกิ่งที่มีการสวิตช์แบบแรงดันศูนย์กระแสศูนย์โดยใช้วงจรช่วยแบบแอคทีฟ	371
PE 06	Mitigation of Bifurcation Effect in Wireless Power Transfer Systems Using a Tunable Fractional-Order Capacitor	377
PE 07	เครื่องจ่ายไฟกระแสตรงแบบโปรแกรมได้	383
PE 08	การจำลองการทำงานของคอนเวอร์เตอร์แบบหลายพอร์ตสำหรับงานด้าน PVB2V และ V2V ด้วยฮาร์ดแวร์ในลูป (HiL simulations)	387
PE 09	การตรวจจับฮาร์มอนิกด้วยวิธีกรอบอ้างอิงซิงโครนัสสำหรับวงจรกรองกำลังแอกทีฟในสภาวะแหล่งจ่ายไม่อุดมคติ	393
PE 10	การปรับแต่งพารามิเตอร์ตัวควบคุมด้วยเทคนิคเจเนติกอัลกอริทึมสำหรับวงจรแปลงผันไฟฟ้ากระแสสลับเป็นกระแสตรงหนึ่งเฟสแบบทบระดับแรงดันที่มีการแก้ไขค่าตัวประกอบกำลัง	399
PE 11	การออกแบบตัวควบคุมฟัซซีลอจิกที่เหมาะสมสำหรับการควบคุมความเร็วรอบมอเตอร์ไฟฟ้ากระแสตรงแบบไร้แปรงถ่านโดยอัลกอริทึมเชิงพันธุกรรม	403
PE 12	วงจรทบแรงดันแบบอินเตอร์ลีฟที่มีการดึงกำลังไฟฟ้าสูงสุดด้วยวิธีการควบคุมกำลังไฟฟ้าโดยตรงสำหรับระบบผลิตไฟฟ้าด้วยเซลล์แสงอาทิตย์	407
PE 13	Output Voltage Control using Primary-Side Parameter Estimation Method for WPT System	411
PE 14	Output Current Control via Primary Side Controller using Wireless Communication for WPT System	416
PE 15	การควบคุมแรงดันไฟฟ้าขาออกด้วยฟัซซีลอจิกสำหรับระบบถ่ายโอนพลังงานแบบไร้สาย	421
PE 16	การวิเคราะห์วงจรดีซี-ดีซีฟูลบริดจ์คอนเวอร์เตอร์แบบแยกกันสำหรับอุปกรณ์จ่ายไฟยานยนต์ไฟฟ้า	425
PE 17	การออกแบบและควบคุมวงจรปรับปรุงค่าตัวประกอบกำลังแบบบริดจ์อินเตอร์ลีฟบูสคอนเวอเตอร์สำหรับอัดประจุไฟฟ้าในยานยนต์ไฟฟ้า	431
PE 18	อินเวอร์เตอร์ 5 ระดับ ผลิตไฟฟ้าหนึ่งเฟสแบบอิสระจากเซลล์แสงอาทิตย์	436
PE 19	การจำลองการถ่ายโอนกำลังไฟฟ้าแบบไร้สายด้วยวงจรเมตริกซ์คอนเวอร์เตอร์หนึ่งเฟส	442
PE 20	อิทธิพลของความเข้มและระยะเวลาการอาบสนามไฟฟ้าและแม่เหล็กคงที่ต่ออัตราการงอกและการเจริญเติบโตของเมล็ดพันธุ์ข้าวมะลิ กข105	447
PE 21	การควบคุมแบบเวกเตอร์ไร้เซ็นเซอร์วัดความเร็วรอบของมอเตอร์ไฟฟ้าเหนี่ยวนำสามเฟสด้วยวิธีการประมาณค่าความเร็วรอบจากระบบอ้างอิงแบบปรับตัวด้วยโครงข่ายประสาทเทียม	452

รายชื่อบทความสาขาระบบควบคุมและการวัดคุม

ลำดับบทความ	ชื่อบทความ	หน้าที่
CT 01	การเปรียบเทียบสมรรถนะของตัวควบคุม PID, PI$^{\lambda}$D$^{\mu}$ และ TID ที่ออกแบบด้วยการค้นหาแบบนกกาเหว่าสำหรับการควบคุมความถี่โหลด	458
CT 02	การออกแบบตัวควบคุม I-PD และ I-TD อย่างเหมาะสมสำหรับระบบควบคุมความเร็วมอเตอร์ไฟฟ้ากระแสตรงแบบไร้แปรงถ่านโดยใช้ขั้นตอนวิธีการผสมเกสรดอกไม้เชิงดัดแปร	464
CT 04	The Data-Driven Safeguard: Redefined Intelligent Control as Smart and Safe	470
CT 05	วิธีหาค่าเหมาะสมที่สุดด้วยไฮเปอร์คิวบ์ที่ใช้กลยุทธ์การเรียนรู้แบบพลวัตของวิธีค้นหาเชิงฝูงอนุภาค	476
CT 06	การพัฒนาหุ่นยนต์หลบหลีกสิ่งกีดขวางโดยใช้ Arduino และ PID Controller	782
CT 07	Design of Higher-Order Derivative PID Controller for a Water Tank System	488
CT 08	การออกแบบตัวควบคุมโหมดการเลื่อนของระบบขับเคลื่อนจักรยานไฟฟ้าพลังงานไฮโดรเจน	494
CT 09	ระบบตรวจวัดและแสดงผลการสั่นสะเทือนของเครื่องขัดมันข้าวแบบเรียลไทม์ด้วยเซนเซอร์ 3 แกนผ่าน IoT Gateway	499
CT 10	วิธีการวัดความต้านทานของเซ็นเซอร์แบบหลายช่องสัญญาณด้วยวงจรป้อนกลับกลับขั้วร่วมกับเทคนิคการสอบเทียบ	505
CT 11	การทดสอบการบินของระบบควบคุมการบินดิจิทัลระยะไกลสำหรับอากาศยานไร้คนขับ	511
CT 12	ระบบควบคุมดิจิตอลสำหรับเรือไร้คนขับระยะไกล	515
CT 13	การออกแบบตัวควบคุม PI-PD ที่เหมาะสมสำหรับหุ่นยนต์ดุลยภาพสองล้อด้วยขั้นตอนวิธีการผสมเกสรดอกไม้	521
CT 14	การประยุกต์การค้นหาแบบค้างคาวเพื่อออกแบบตัวควบคุมพีไอดีอันดับเชิงเศษส่วนสำหรับระบบประวิงเวลา	526
CT 15	การควบคุมความเร็วมอเตอร์ BLDC โดยใช้เซนเซอร์ฮอลล์ร่วมกับคอนโทรลเลอร์ PI$^{\lambda}$D$^{\mu}$ เชิงเศษส่วน ที่ออกแบบด้วยอัลกอริทึมค้างคาวแบบปรับปรุง (MBA)	530
CT 16	ศึกษาการเคลื่อนที่ Mobile Robot ตาม GPS	537
CT 17	A Sliding Mode Control Approach to Hybrid Manual-Automatic Velocity Regulation for a Raspberry Pi-Based Remote Vehicle	543
CT 18	การปรับแต่งตัวควบคุมทีไอดีเออย่างเหมาะสมด้วยการหาค่าเหมาะที่สุดแบบแบบค้างคาว	549
CT 19	ตัวควบคุมความเร็วรอบสปินเดิลของเครื่องกัดซีเอ็นซี สำหรับรักษาแรงกัดคงที่	553

รายชื่อบทความสาขาอิเล็กทรอนิกส์

ลำดับบทความ	ชื่อบทความ	หน้าที่
EL 01	Automatic Water Pumping System with Adjustable Water Level Thresholds	557
EL 02	วงจรอ่านค่าความจุไฟฟ้าแบบลอยตัวต้นทุนต่ำด้วยวงจรกรองผ่านทุกความถี่สำหรับเซ็นเซอร์ระยะไกล	563
EL 03	การออกแบบวงจรออสซิลเลเตอร์ควอดราเจอร์โดยใช้ไอซีสำเร็จรูปเชิงพาณิชย์เท่านั้น	568
EL 04	การสังเคราะห์วงจรเลียนแบบค่าอิมพีแดนซ์โดยใช้วงจร VDBA และอุปกรณ์พาสซีฟต่อเทียบกราวด์	572
EL 05	เครื่องวิเคราะห์อุปกรณ์สารกึ่งตัวนำควบคุมการทำงานด้วยไมโครคอนโทรลเลอร์และโปรแกรมแลบวิว	577
EL 06	วงจรรวมอัดประจุแบบซีมอสแรงดันต่ำสำหรับการเก็บเกี่ยวพลังงาน	583
EL 07	การออกแบบระบบโซล่าเซลล์อัตโนมัติผ่านเครือข่ายอินเทอร์เน็ตของสรรพสิ่ง	589
EL 08	วงจรกรองความถี่ต่ำผ่านอันดับที่ 2 สำหรับการวัดคลื่นไฟฟ้าหัวใจที่กินกำลังงาน 1.35 nW ความกว้างพลวัต 66.02 dB	595
EL 09	วงจรขยายสัญญาณกระแสกำลังสองด้วยซีมอสที่ใช้แหล่งจ่ายแรงดันต่ำ	600
EL 10	เปรียบเทียบคุณสมบัติของวงจรกำลังสองชนิดนอร์เกตกับวงจรกำลังสองเชิงแรงดัน	604
EL 11	การออกแบบวงจรทดสอบเพื่อประเมินความเสื่อมสภาพฉนวนของเครื่องอัดประจุรถยนต์ไฟฟ้ากระแสสลับ	608
EL 12	ออกแบบเครื่องตรวจวัดจุดบกพร่องของสัญญาณ CP ของ EVSE สำหรับการพัฒนาเครื่องชาร์จยานยนต์ไฟฟ้า	612

รายชื่อบทความสาขาคอมพิวเตอร์และเทคโนโลยีสารสนเทศ

ลำดับบทความ	ชื่อบทความ	หน้าที่
CP 01	การควบคุมแบบจำลองแขนหุ่นยนต์โดยใช้การประมวลผลภาพดิจิทัล	616
CP 02	การเปรียบเทียบโครงสร้าง CNN สำหรับการจำแนกสำเนียงไทย: VFNet กับโครงสร้าง CNN เชิงอนุกรม	620
CP 03	การพัฒนาระบบสารสนเทศเพื่อการจัดการข้อมูลกองทุนหมู่บ้าน: กรณีศึกษาโพธิ์ตะควน	621
CP 04	ระบบคิดเงินแบบเรียลไทม์ด้วยการตรวจจับวัตถุจากโยโล	626
CP 05	ระบบจำลองหลักการทำงานอุปกรณ์อิเล็กทรอนิกส์เบื้องต้น ด้วยเทคโนโลยีเออาร์บนระบบปฏิบัติการแอนดรอยด์	632
CP 06	การพัฒนาระบบติดตามยานพาหนะและตรวจสอบระดับน้ำมันเชื้อเพลิงแบบเรียลไทม์ โดยใช้การสื่อสารระยะใกล้ผ่านเทคโนโลยี LoRa	638
CP 07	การประยุกต์ใช้และปรับแต่งโมเดลภาษาขนาดใหญ่ สำหรับการสร้างกรณีทดสอบอัตโนมัติในงานทดสอบซอฟต์แวร์	644
CP 08	ระบบแจ้งเตือนระดับน้ำท่วมบริเวณทางน้ำรอระบาย	650
CP 09	ระบบจำแนกเหรียญพระไทยบนแอปพลิเคชันระบบปฏิบัติการแอนดรอยด์	655
CP 10	เว็บแอปพลิเคชันสำหรับการสร้างโมเดลการเรียนรู้ของเครื่องเพื่อทำนายระดับกลูโคสในเลือดรูปแบบวิธีการไม่เจาะเลือดโดยใช้อุปกรณ์ต้นแบบอินเทอร์เน็ตของสรรพสิ่ง	661
CP 11	Variable Step-Size Indirect Frequency Estimation Algorithm Based On Accumulative Gradient	667
CP 12	Attention-Based Fusion of Deep Learning Model for Grape Leaf Disease Classification	670
CP 13	Enhanced Breast Cancer Classification Using an Ensemble Learning Model	677
CP 14	การวิเคราะห์ค่า Round Trip Time เพื่อการตรวจจับจุดเชื่อมต่อปลอมในเครือข่ายไร้สาย	683
CP 15	A Low-Cost Edge Computing System for Barcode-Driven Industrial Traceability: A Software Engineering Approach	687
CP 16	การพัฒนาแบบจำลองการจำแนกคุณภาพเกรดวุ้นมะพร้าวโดยใช้การเรียนรู้เชิงลึก ด้วยอัลกอริทึม CNN	692
CP 17	ระบบตรวจวัดคุณภาพน้ำเสียโรงพยาบาลอัจฉริยะ: การออกแบบและทดสอบประสิทธิภาพของเทคโนโลยี IoT แบบต้นทุนต่ำ	698
CP 18	Implementation of Parking System Using ESP32 Integrated with Rapid SCADA via MQTT	704
CP 19	ระบบเข้าถึงข้อมูลของอุปกรณ์สำหรับบริษัทให้บริการด้านคอมพิวเตอร์ด้วยคิวอาร์โค้ด	711
CP 20	Image Recognition System using Generic YOLOv5 Weight Model and Roboflow for Pre-processed Dataset	716
CP 21	การวิเคราะห์ข้อมูลผู้รับบริการด้วยเทคโนโลยีปัญญาประดิษฐ์สำหรับจัดทำระบบประชาสัมพันธ์ออนไลน์ของกลุ่มงานการแพทย์แผนไทย สาธารณสุขจังหวัดเพชรบุรี	721
CP 22	A Lightweight Object-Oriented MicroPython Firmware for LINE Beacon Broadcasting on ESP32	726
CP 23	เทคนิคการซ่อมแซมรูปภาพโดยใช้การประมาณค่าแบบสามเหลี่ยม	732
CP 24	การพัฒนาหุ่นยนต์คล้ายมนุษย์ที่มีการเคลื่อนไหวเลียนแบบตา ปาก และใบหน้า	737

รายชื่อบทความสาขาคอมพิวเตอร์และเทคโนโลยีสารสนเทศ (ต่อ)

ลำดับบทความ	ชื่อบทความ	หน้าที่
CP 25	การปรับปรุงประสิทธิภาพการวัดค่าความแรงของสัญญาณจากบีคอนบลูทูธพลังงานต่ำสำหรับระบบระบุตำแหน่งในอาคาร: การศึกษาเปรียบเทียบวิธีการกรองสัญญาณรบกวนบน ESP32	743
CP 26	Applications of Long-Short-Term-Memory Architecture and Gated-Recurrent-Unit Model Based on Neural Network for Predictive Analytics	749
CP 27	A IoT demonstration kit waste separation education for middle school	755
CP 28	การระบุตำแหน่งภายในอาคารโดยใช้ไมโครคอนโทรลเลอร์ ESP32 ในย่านความถี่ 2.4 GHz	760
CP 29	ระบบลูกโซ่ความเย็นแบบไอโอทีพร้อมแอปพลิเคชันสำหรับวัคซีน ยา และเวชภัณฑ์	765
CP 30	MAPLE-J: เฟรมเวิร์กจัดการสภาพแวดล้อมไพทอนอัตโนมัติแบบหลายแพลตฟอร์มสำหรับการใช้งานด้านการศึกษาโดยใช้ JupyterLab	771
CP 31	โมเดลทำนายระดับความพึงพอใจของผู้ใช้บริการรถไฟฟ้าจากแอปพลิเคชันแสดงความพึงพอใจต่อความสะดวกสบายของแรงสั่นสะเทือนขณะรถไฟเคลื่อนกรณีศึกษาของรถไฟรางเดี่ยว	777
CP 32	Machine Learning Baselines for Predicting Student Stress: Behavioral and Linguistic Insights from Social Media Data	783

รายชื่อบทความสาขาการประมวลผลสัญญาณดิจิทัล

ลำดับบทความ	ชื่อบทความ	หน้าที่
DS 01	Volume Deep Face: A 3D Face Descriptor for Face Authentication System	789
DS 02	การจำแนกโครงสร้างภาพตามแบบเฮสเซียนภายใต้สัญญาณรบกวนแบบคูณด้วยตัวกรองกำลังสองน้อยสุดเชิงสังวัตนาการ	790
DS 03	การพัฒนาอุปกรณ์วัดมุมพื้นลาดเอียงด้วยการใช้แสงย่านใกล้อินฟราเรด	794
DS 04	การประยุกต์ใช้โมเดลการเรียนรู้เชิงลึกขนาดเล็กในการจำแนกโรคพืชจากภาพถ่ายผ่าน LINE Chatbot	801
DS 05	การประยุกต์ใช้เทคนิคค่าเฉลี่ยเคกับค่าสหสัมพันธ์ไขว้ในการจำแนกอารมณ์บนใบหน้า	802
DS 06	การตรวจหาแบบสามแท็กด้วยเพอร์เซปตรอนหลายชั้นสำหรับระบบการบันทึกเชิงแม่เหล็ก	810
DS 07	การพัฒนาระบบปรับปรุงภาพเมฆเชิงอัตโนมัติตามสภาพกลางวันและกลางคืนสำหรับการอุตุนิยมวิทยาการบิน	815
DS 08	การนับกระดาษลูกฟูกด้วยเทคนิคการคำนวณผลต่างระหว่างสมาชิกที่อยู่ติดกันจากข้อมูลไบนารี	819

รายชื่อบทความสาขาโฟโตนิกส์

ลำดับบทความ	ชื่อบทความ	หน้าที่
PH 01	การศึกษาสมบัติทางแสงและเสียงในระบบควอนตัมดอทเจอร์เมเนียมด้วยวิธีเชิงตัวเลขผลต่างสืบเนื่องเชิงเวลาและวิธีจำกัดสมาชิก	823

รายชื่อบทความสาขาพลังงานทดแทน

ลำดับบทความ	ชื่อบทความ	หน้าที่
RE 01	หุ่นยนต์ทำความสะอาดแผงเซลล์แสงอาทิตย์ขนาดเล็กควบคุมด้วยรีโมทคอนโทรล	828
RE 02	การจำลองปัจจัยของชนิดหลังคาและระยะห่างการติดตั้งต่อประสิทธิภาพของแผงโซลาร์เซลล์ด้วย MATLAB	833
RE 03	การกำหนดการทำงานของระบบกักเก็บพลังงานด้วยแบตเตอรี่แบบหนึ่งวันล่วงหน้าสำหรับระบบผลิตไฟฟ้าพลังงานแสงอาทิตย์ตามสัญญาซื้อขายไฟฟ้าแบบกึ่งคงที่	839
RE 04	การศึกษาและวิเคราะห์การติดตั้งระบบเซลล์แสงอาทิตย์ที่เหมาะสมกับพื้นที่เป้าหมายเพื่อการใช้พลังงานให้ได้ประสิทธิภาพสูงสุดสำหรับโหลดที่อยู่อาศัย	845
RE 05	การพัฒนาระบบเพิ่มประสิทธิภาพการผลิตไฟฟ้าจากโซลาร์เซลล์ด้วยวิธีระบายความร้อนด้วยน้ำควบคุมด้วยโปรแกรม LabVIEW	851
RE 06	เครื่องรดน้ำร่องสวนผลไม้อัตโนมัติพลังงานแสงอาทิตย์ผ่าน IoT	856
RE 07	การสร้างแบบจำลองของเซลล์เชื้อเพลิงไฮโดรเจนที่อาศัยข้อมูลจากผู้ผลิต	861
RE 08	ชุดติดตามดวงอาทิตย์สำหรับเซลล์แสงอาทิตย์แบบเคลื่อนที่สองแกน	867
RE 09	การพัฒนาแบบจำลองระบบพลังงานแสงอาทิตย์เชื่อมโยงระบบกริดโดยใช้โปรแกรมแมทแลปซิมมูลิงค์	871
RE 10	การออกแบบระบบสูบและกักเก็บน้ำจากพลังงานสะอาดสำหรับการเกษตรบนพื้นที่ราบสูง	876
RE 11	ระบบไฟฟ้าพลังงานแสงอาทิตย์แบบผสมผสานร่วมกับระบบกักเก็บพลังงานอัจฉริยะสำหรับโหลดเครื่องชาร์จรถไฟฟ้า	877
RE 12	การวิเคราะห์งบลงทุนระบบสูบน้ำพลังงานแสงอาทิตย์กับระบบสูบน้ำเครื่องยนต์เบนซินสำหรับแปลงเกษตรที่ไม่มีไฟฟ้า กรณีศึกษาพื้นที่อำเภอรัตภูมิ จังหวัดสงขลา	883
RE 13	การศึกษาด้านเทคนิคและเศรษฐศาสตร์ของการลดค่าความต้องการใช้พลังงานไฟฟ้าสูงสุดด้วยเทคนิคการควบคุมการจ่ายพลังงานด้วยโซล่าเซลล์ร่วมกับระบบกักเก็บพลังงานแบตเตอรี่	888
RE 14	ชุดควบคุมสำหรับลดการผลิตของระบบเซลล์แสงอาทิตย์บนหลังคาเพื่อการมีส่วนร่วมในโปรแกรมตอบสนองด้านโหลด: แนวทางการบรรเทาปรากฏการณ์เส้นโค้งรูปเป็ด	889
RE 15	การศึกษาประสิทธิภาพของระบบโซล่าเซลล์ภายหลังการติดตั้ง: กรณีศึกษาอาคารเฉลิมพระเกียรติวิทยาลัยเชียงราย	895
RE 16	Design and Performance Analysis of a Residential PV System Integrated with Vanadium Redox Flow Battery (VRFB)	901
RE 17	การพัฒนาโปรแกรมผู้เชี่ยวชาญสำหรับการออกแบบระบบผลิตไฟฟ้าพลังงานแสงอาทิตย์ชนิดติดตั้งบนหลังคาโดยพิจารณาข้อจำกัดร่วมในสภาวะงานจริงอย่างเหมาะสม	910
RE 18	การประเมินศักยภาพในการผลิตไฟฟ้าและโอกาสในการขยายระบบโซลาร์รูฟในมหาวิทยาลัย กรณีศึกษาคณะแพทยศาสตร์ มหาวิทยาลัยสงขลานครินทร์	916
RE 19	เครื่องไล่นกพลังงานแสงอาทิตย์	922
RE 20	การเปรียบเทียบสมรรถนะการจ่ายพลังงานของเซลล์เชื้อเพลิง PEM แบบย้อนกลับได้และแบบทั่วไป	927
RE 21	การเปรียบเทียบสมรรถนะของโมดูลเซลล์แสงอาทิตย์โมโนคริสตัลไลน์โดยใช้ข้อมูล I-V Curve ภาคสนามด้วยแบบจำลองอุณหภูมิเซลล์สมมูล : กรณีศึกษาประเทศไทย	933
RE 22	การเปรียบเทียบการใช้วงจรบูสต์คอนเวอร์เตอร์, บัค-บูสต์ คอนเวอร์เตอร์ และ วงจรเซปิคคอนเวอร์เตอร์ ในการหาจุดให้กำลังไฟฟ้าสูงสุดจากเทอร์โมอิเล็กตริก	939

รายชื่อบทความสาขาพลังงานทดแทน (ต่อ)

ลำดับบทความ	ชื่อบทความ	หน้าที่
RE 23	การหามุมเอียงที่เหมาะสมสำหรับการผลิตพลังงานไฟฟ้าในระบบเซลล์แสงอาทิตย์แบบลอยน้ำจากการวิเคราะห์เชิงทฤษฎีและโปรแกรมจำลอง	944

รายชื่อบทความสาขาวิศวกรรมชีวการแพทย์

ลำดับบทความ	ชื่อบทความ	หน้าที่
BE 01	Feature Fusion ResNet18 and VGG16 for ALL classification	950
BE 02	ระบบของไหลจุลภาคสำหรับการอิเล็กโทรพอเรชันเซลล์โอโอไซต์	955
BE 03	ระบบตรวจจับภาวะหัวใจเต้นผิดจังหวะโดยใช้การเรียนรู้ของเครื่องแบบฝังตัว	960
BE 04	การพัฒนาการเรียนรู้ของเครื่องแบบฝังตัวร่วมกับการเพิ่มข้อมูลด้วยโครงข่ายปฏิปักษ์แบบรู้สร้างเพื่อตรวจจับอาการชักเหม่อจากสัญญาณคลื่นไฟฟ้าสมอง	966
BE 05	การศึกษาความสัมพันธ์ระหว่างสัณฐานวิทยาของสัญญาณโฟโตเพลทิสโมแกรมและการผันแปรของความดันโลหิตในผู้ที่มีสุขภาพดี	972
BE 06	การวัดอัตราการเต้นของชีพจรด้วยภาพวีดิทัศน์ส่วนใบหน้าจากกล้องดิจิทัล	978
BE 07	การศึกษาความถี่ครอสโอเวอร์ทางไฟฟ้าของเซลล์เดี่ยว	984

รายชื่อบทความสาขานวัตกรรมอัจฉริยะ

ลำดับบทความ	ชื่อบทความ	หน้าที่
SI 01	การพัฒนาต้นแบบเครื่องหยอดปุ๋ยอัตโนมัติ	990
SI 02	ไม้เท้าตรวจจับสิ่งกีดขวางและแชร์ตำแหน่งผ่าน LINE Messaging API สำหรับผู้พิการทางสายตา	994
SI 03	การพัฒนาระบบตรวจวัดคุณภาพอากาศด้วยเทคโนโลยีอินเทอร์เน็ตของสรรพสิ่ง	998
SI 04	ตู้สำหรับการตรวจสอบเชื้อในไข่ไก่และฟักไข่ไก่แบบอัตโนมัติควบคุมผ่านเว็บแอปพลิเคชัน	999
SI 05	การประเมินความเสี่ยงต่อการล้มในผู้สูงอายุจากท่าทางการเดินโดยการสกัดคุณลักษณะเฉพาะของข้อต่อ	1005
SI 07	การประเมินประสิทธิภาพโปรโตคอลไร้สาย ESP NOW สำหรับระบบไอโอทีเกษตรอัจฉริยะ	1011
SI 08	ระบบ IoT เพื่อการติดตามและแจ้งเตือนคุณภาพน้ำเสีย	1017
SI 09	การพัฒนาอุปกรณ์แจ้งเตือนรับประทานยาสำหรับผู้สูงอายุที่มีระบบแจ้งเตือนผ่านแอปพลิเคชันสำหรับผู้ดูแล	1023
SI 10	Energy-Aware Navigation for Unmanned Ground Vehicles: A Dijkstra-Based Approach on Raspberry Pi 5	1027
SI 11	การศึกษาพฤติกรรมการกินของสุกรโดยใช้การประมวลผลภาพเพื่อการพัฒนาสูตรอาหารสุกร	1033
SI 12	ประตูแมวอัจฉริยะด้วยการจดจำใบหน้าผ่าน OpenCV และ IoT	1039
SI 13	ระบบแสดงสถานะถังขยะอัจฉริยะ	1044
SI 14	ระบบควบคุมฟาร์มอัจฉริยะสำหรับปลูกผักไฮโดรโปนิกส์โดยใช้ไอโอที	1050
SI 15	ระบบตรวจจับและแจ้งเตือนการสูบบุหรี่ในพื้นที่ห้ามสูบด้วยคอมพิวเตอร์วิทัศน์	1056
SI 16	การปรับปรุงเครื่องสำหรับตรวจสอบข้อบกพร่องของจานอัดจากใบตองตึงด้วยปัญญาประดิษฐ์	1060
SI 17	หุ่นยนต์นำทางอัตโนมัติภายในอาคาร	1066
SI 18	เทคนิคการเรียนรู้เชิงลึกสำหรับการตรวจจับและอธิบายข้อบกพร่องในอุตสาหกรรมการผลิตแผ่นวงจรพิมพ์	1070
SI 19	ศึกษาอัลกอริทึมการสร้างเส้นทางเดินอัตโนมัติสำหรับแฮนด์พาเลทอัตโนมัติ	1078
SI 20	อุปกรณ์ต้นแบบติดตามและบันทึกข้อมูลวัวด้วย GPS และ IoT	1084
SI 21	การวิเคราะห์อาการเสียเบื้องต้นของแบตเตอรี่ 12 โวลต์ ในยานยนต์ไฟฟ้าด้วยการจำลองและการวิเคราะห์ข้อมูล	1085
SI 22	Smart AI Homework Notification System	1090

รายชื่อบทความสาขางานวิจัยที่เกี่ยวข้องกับวิศวกรรมไฟฟ้า

ลำดับบทความ	ชื่อบทความ	หน้าที่
GN 01	การเพิ่มประสิทธิภาพระบบไฟฟ้าอัจฉริยะในอาคารสถานศึกษาด้วยแบบจำลองดิจิทัลปัญญาประดิษฐ์และการจัดการโหลดหลายเฟสร่วมกับพลังงานหมุนเวียน: กรณีศึกษาอาคารเรียนช่างอุตสาหกรรม มทร.ศรีวิชัย	1094
GN 02	ระบบจัดการโหลดเชิงรุกและเครือข่ายไฟฟ้าเฟสฟื้นฟูตัวเองเพื่อเพิ่มความยืดหยุ่นด้านพลังงานในอาคารอัจฉริยะโดยใช้ปัญญาประดิษฐ์ที่ขอบเครือข่าย	1100
GN 03	การวิเคราะห์ผลกระทบของอุณหภูมิต่อการเสื่อมของสายเมนด้วยแบบจำลองถดถอยและแบบจำลองการเสื่อมสภาพรายวันเชิงประจักษ์: กรณีศึกษาอาคารเรียนช่างอุตสาหกรรม มหาวิทยาลัยเทคโนโลยีราชมงคลศรีวิชัย	1106
GN 04	การตรวจจับการรั่วไหลของถุงพลาสติกพอลิโพรพีลีนโดยใช้เซ็นเซอร์วัดความจุไฟฟ้า	1112
GN 05	การพัฒนาออกแบบเครื่องมือวัดไฟฟ้าสมาร์ทมัลติมิเตอร์	1113
GN 06	การศึกษาและออกแบบเครื่องเตือนภัยน้ำท่วมในพื้นที่ชุมชน	1117
GN 07	การพัฒนาโปรแกรมจำลองการฝึกปฏิบัติจัดลำดับบัสสถานีไฟฟ้าย่อย	1121
GN 08	ระบบป้องกันการกัดกร่อนท่อโลหะใต้ดินแบบแคโทดิกชนิดอิมเพรสเคอร์เรนท์ ด้วยเทคโนโลยีอินเทอร์เน็ตของสรรพสิ่ง	1125
GN 09	การออกแบบและพัฒนาเครื่องทดสอบอุปกรณ์ตัดไฟรั่วด้วยไมโครคอนโทรลเลอร์	1130
GN 10	ระบบคัดแยกขนาดผลไม้บนสายพานลำเลียงร่วมกับจานหมุน	1134
GN 11	การเพิ่มเสถียรภาพการพิมพ์คอนกรีต 3 มิติด้วยการควบคุมตำแหน่งหัวฉีดแบบเรียลไทม์	1138
GN 12	การออกแบบและจำลองวงจรอิเล็กทรอนิกส์กำลัง โดยใช้ Proteus ร่วมกับ PSpice	1144
GN 13	ผลของชนิดก๊าซต่อประสิทธิภาพการผลิตโอโซนด้วยอิเล็กโทรดตาข่ายแบบซ้อนแกนภายใต้สนามไฟฟ้าแรงดันสูง	1149
GN 14	การพัฒนาเครื่องตรวจวัดฝุ่นละอองสำหรับโรงงานผสมคอนกรีต	1154
GN 15	การพัฒนาระบบกำหนดเป้าหมายของหุ่นยนต์โบว์ลิ่งอัตโนมัติด้วยการนำทางเชิงสายตาและกลยุทธ์ตามภารกิจ	1159
GN 16	การพัฒนาระบบตรวจจับสิ่งมีชีวิตในพื้นที่จำกัดโดยใช้เซ็นเซอร์คลื่นมิลลิเมตร	1166
GN 17	การวิเคราะห์เชิงเปรียบเทียบการกระจายแสงของดวงโคมเมื่อลักษณะของผิวภายในดวงโคมเปลี่ยนแปลงที่มีผลต่อค่าความสว่าง	1172
GN 18	สถาปัตยกรรมปัญญาประดิษฐ์แบบผสมผสานสำหรับการประมวลผลเอกสารราชการทหารไทยอัตโนมัติแบบครบวงจร	1177
GN 19	การพัฒนาเครื่องผสมสารป้องกันโรคและแมลงสำหรับสวนทุเรียนด้วยพีแอลซี	1182
GN 20	การพัฒนาเครื่องกำเนิดพลาสมาในบรรยากาศเย็นสำหรับการคายประจุที่ผิวเครื่องขวางกั้นไดอิเล็กทริก	1186
GN 21	การออกแบบระบบ IoT สำหรับตรวจวัดและวิเคราะห์อัตราการไหลของอากาศชุด AHU เพื่อการบำรุงรักษาเชิงป้องกัน	1190
GN 22	การตรวจจับการบุกรุกบนเครือข่ายแคนบัสในยานยนต์ด้วยเอ็กซ์ตรีมเลิร์นนิงแมชีน	1195
GN 23	Real-Time Analysis S-Parameters via Remote Control of a Vector Network Analyzer Using API Integration	1199
GN 24	การออกแบบและสร้างชุดควบคุมมอเตอร์กระแสตรงไร้แปรงถ่าน 350W สำหรับรถจักรยานไฟฟ้า	1203

รายชื่อบทความสาขางานวิจัยที่เกี่ยวข้องกับวิศวกรรมไฟฟ้า (ต่อ)

ลำดับบทความ	ชื่อบทความ	หน้าที่
GN 25	การออกแบบระบบสมองกลฝังตัวที่ประยุกต์ AI แบบต้นทุนต่ำบน ESP32-CAM สำหรับการวิเคราะห์โรคเชื้อราบนใบพืช: กรณีศึกษาพริกหยวก	1207
GN 26	ระบบจำแนกตำหนิบนรอยเชื่อมด้วยโมเดลการเรียนรู้เชิงลึกแบบผสม	1211
GN 27	การบริหารจัดการพลังงานไฟฟ้าในห้องเรียนแบบยั่งยืนด้วยวิธีการสังเกตพฤติกรรมการใช้งานและค่าทางไฟฟ้าผ่านระบบอินเตอร์เนททุกสรรพสิ่ง	1217
GN 28	วงจรแปลงผันไฟฟ้ากระแสสลับเป็นกระแสสลับหนึ่งเฟสปรับค่าได้ด้วยบอร์ดไมโครคอนโทรลเลอร์	1222
GN 29	การประเมินประสิทธิภาพของโมเดลการเรียนรู้ของเครื่องแบบจำแนกประเภทการทำงานของระบบปรับอากาศในโรงเรือนระบบปิด	1226
GN 30	กระบวนการควบคุมอากาศยานไร้คนขับอัตโนมัติด้วยโปรแกรมจำลองการบิน Parrot Sphinx	1232
GN 31	การพัฒนาระบบควบคุมแขนกลหุ่นยนต์แบบห้าแกนด้วยสมองกลฝังตัวแบบแยกส่วน	1237
GN 32	ระบบติดตามและแจ้งเตือนระดับน้ำระบบผลิตน้ำประปาผ่านเทคโนโลยี LoRa สำหรับเขื่อนรัชชประภา	1241
GN 33	ระบบแสดงผลการใช้พลังงานไฟฟ้าสองแหล่งโดยใช้ Node-Red และ ThingsBoard	1247
GN 34	การออกแบบระบบควบคุมคุณภาพน้ำเพื่อการเลี้ยงปลาทะเลสวยงามในที่พักอาศัยแบบอัตโนมัติ	1253
GN 35	ระบบตรวจสอบและแจ้งเตือนความผิดปรกติของมอเตอร์ปั๊มน้ำไฟฟ้าขนาด 280 kW	1259
GN 36	การปรับค่าเหมาะสมของตัวเก็บประจุเพื่อให้สอดคล้องกับมุมเฟสในมอเตอร์ PSC โดยอ้างอิงจากการวัดด้วยออสซิลโลสโคป	1264
GN 37	การพัฒนาเครื่องสลัดน้ำออกจากดอกดาวเรือง	1270
GN 38	การศึกษาและการออกแบบระบบขับเคลื่อนไอออนิกพลาสมาในรูปแบบไอออนทรัสเตอร์	1275
GN 39	การรวบรวมข้อมูลกระบวนการผลิตด้วยเทคโนโลยี IoT เพื่อส่งเสริมการพัฒนา SMEs ในอุตสาหกรรม 4.0	1280
GN 40	ระบบแจ้งเตือนอุทกภัยและภาวะไฟฟ้ารั่วผ่าน TELEGRAM	1284
GN 41	Experimental Study on a Simple-Structured Microwave Sensor for ABV Determination in Alcoholic Beverages	1289
GN 42	การออกแบบระบบดิจิทัลทวินบนพื้นฐานอินเทอร์เน็ตของสรรพสิ่งสำหรับต้นแบบอุปกรณ์จ่ายไฟฟ้าจักรยานยนต์ไฟฟ้า	1294
GN 43	การศึกษาการยกระดับสุรากลั่นชุมชนโดยใช้เทคโนโลยีอัลตราโซนิค	1301
GN 44	การศึกษาผลกระทบเชิงเทคนิคของการสื่อสารข้อมูลเพื่อการบูรณาการโดรนใต้น้ำและความจริงคู่เสมือนดิจิทัลบนเครือข่าย 5G สำหรับการยกระดับการท่องเที่ยวทางทะเลสมัยใหม่ของประเทศไทย	1307
GN 45	การวัดลักษณะสมบัติเฉพาะและสร้างแบบจำลองของซีมอสเฟตแบบเพิ่มพาหะในสภาวะเย็นยวดยิ่ง	1308
GN 46	การพัฒนาเครื่องเหนี่ยวนำความร้อนเพื่อการถอดแบริ่งจากชุดโรเตอร์ของเครื่องจักรหมุน	1314
GN 47	การศึกษาหาตำแหน่งวัตถุแนวลึกผ่านสิ่งกีดขวางด้วยการใช้คลื่นไมโครเวฟ	1318
GN 48	การวิเคราะห์ร่องรอยคาร์บอนและประเมินคาร์บอนเครดิต โครงการติดตั้งระบบผลิตพลังงานไฟฟ้าด้วยเซลล์แสงอาทิตย์ชนิดติดตั้งบนหลังคา	1323
GN 49	การพัฒนาสื่อการเรียนรู้ด้วยตนเองด้านวงจรอิเล็กทรอนิกส์และอุปกรณ์สมองกลฝังตัวสำหรับการเรียนการสอนทางด้านเทคโนโลยีอุตสาหกรรม	1329

รายชื่อบทความสาขางานวิจัยที่เกี่ยวข้องกับวิศวกรรมไฟฟ้า (ต่อ)

ลำดับบทความ	ชื่อบทความ	หน้าที่
GN 50	การวิเคราะห์ร่องรอยคาร์บอนเพื่อประเมินการปลดปล่อยคาร์บอนในกลุ่มยานยนต์ไฟฟ้า	1334
GN 51	การจำลองระบบปรับแรงดันไฟฟ้าอัตโนมัติด้วยตัวควบคุมพีไอดี กรณีศึกษา: โรงไฟฟ้า ท็อป เอสพีพี	1340
GN 52	การออกแบบและพัฒนากล่องจำลองสวิตช์ตัดโหลดก๊าซ SF6	1344
GN 53	การพัฒนาแบบจำลองพฤติกรรมการจ่ายโหลดของเครื่องกำเนิดไฟฟ้าแม่เหล็กถาวรแบบฟลักซ์แนวแกน	1349
GN 54	การออกแบบและพัฒนาตู้อบไอน้ำสมุนไพรอัตโนมัติ เพื่อส่งเสริมการดูแลสุขภาพผู้สูงอายุในชุมชน	1353
GN 55	เครื่องคั่วและตรวจสอบคุณภาพเมล็ดกาแฟคั่ว	1358
GN 56	การพัฒนาแบบจำลองด้วยการเรียนรู้ของเครื่องเพื่อประมาณค่าความต้านทานภายในแบตเตอรี่ในยานยนต์ไฟฟ้า	1364
GN 57	การจำแนกความแน่นเนื้อของแตงโมแบบไม่ทำลายด้วยการวิเคราะห์การสลายตัวของเสียง	1369
GN 58	การพัฒนาการคิดวิเคราะห์ด้วยการ์ดเกมความจริงเสริมเรื่องอุปกรณ์อิเล็กทรอนิกส์ สำหรับนักศึกษาระดับประกาศนียบัตรวิชาชีพชั้นสูง สาขาวิชาอิเล็กทรอนิกส์	1374
GN 59	ระบบเฝ้าระวังและแจ้งเตือนคุณภาพน้ำทิ้งโดยใช้เครือข่ายเซนเซอร์หลายชนิด	1378
GN 60	การออกแบบเซนเซอร์วัดความเร็วลมติดตามอัตราการหมุนเวียนอากาศในห้องแยกโรคผู้ป่วยติดเชื้อ	1383
GN 61	Verification Method of Ratio Error of Direct Current Comparator Bridge in Standard Resistor Measurement	1387
GN 62	การพัฒนาระบบสอบเทียบแหล่งจ่ายกระแสไฟฟ้ากระแสตรงอัตโนมัติด้วยภาษาไพธอนสำหรับอุตสาหกรรม	1392
GN 63	การประยุกต์ใช้อิมพัลส์แรงดันสูงสำหรับกระตุ้นผลผลิตเห็ด	1398
GN 64	การพัฒนาเตาเผาเซรามิกแบบอัตโนมัติโดยใช้ PLC ที่ควบคุมอุณหภูมิแบบหลายขั้นตอนบนพื้นฐานอัลกอริทึม PID	1402
GN 65	การศึกษาอิทธิผลของพลาสมาที่สภาวะบรรยากาศต่อการปรับสภาพพื้นผิวด้วยเทคนิคพลาสมาแอคทูเอเตอร์	1408
GN 66	การพัฒนาระบบควบคุมสภาพแวดล้อมอัจฉริยะสำหรับการเพาะเห็ดมิลค์กี้ด้วยเทคโนโลยี IoT	1409
GN 67	การจัดตารางโหลดที่เหมาะที่สุดด้วยการเรียนรู้การเสริมแรงเชิงลึกเพื่อประสิทธิภาพการใช้พลังงานในฟาร์มหมูอัจฉริยะในจังหวัดพัทลุง	1414
GN 68	การประเมินอายุการใช้งานแบตเตอรี่ชีวิตที่สองด้วยวิธี Equivalent Full Cycle	1420
GN 69	การพยากรณ์ระดับน้ำคงเหลือในหม้อเพื่อสนับสนุนระบบควบคุมวาล์วแก๊สอัตโนมัติด้วยการวิเคราะห์การถดถอยเชิงเส้น	1425
GN 70	การควบคุมระบบน้ำด้วยวาล์วไฟฟ้าผ่านแอปพลิเคชันบลิ้ง	1430

EECON
XLVIII

แบบจำลองห้องความดันลบควบคุมความสมดุลด้วยโปรแกรมเมเบิลลอจิกคอนโทรลเลอร์

A Simulation Model of a Negative Pressure Room with Balance Control Using a Programmable Logic Controller

มินเรศน์ เตชะวงศ์

สาขาวิชาวิศวกรรมไฟฟ้า คณะวิศวกรรมศาสตร์ สถาบันเทคโนโลยีปทุมวัน

บทคัดย่อ

บทความวิชาการนี้นำเสนอการควบคุมห้องความดันลบควบคุมความสมดุลด้วยโปรแกรมเมเบิลลอจิกคอนโทรลเลอร์จากการสร้างชุดควบคุมห้องความดันลบ โดยใช้โปรแกรมเมเบิลลอจิกคอนโทรลเลอร์เป็นตัวควบคุมแบบป้อนกลับใช้เซ็นเซอร์ส่งสัญญาณมาที่ตัวควบคุมทำการประมวลผลและสั่งการควบคุมอุณหภูมิ และความชื้นในห้องให้พอเหมาะแก่ร่างกายของมนุษย์เพื่อให้มนุษย์สามารถอาศัยอยู่ภายในห้องได้อย่างไม่อึดอัด ห้องความดันลบสามารถป้องกันการแพร่กระจายเชื้อทางอากาศเป็นห้องที่มีความดันอากาศภายในห้องต่ำกว่าความดันอากาศภายนอก ใช้วิธีการดูดอากาศปนเปื้อนเชื้อโรคภายในห้องไปผ่านกรองอากาศแบบคุณภาพสูง เพื่อกำจัดเชื้อโรคก่อนปล่อยสู่บริเวณภายนอกห้อง อากาศที่ถูกดูดออกมาจะต้องมีปริมาณมากกว่าอากาศที่เข้าภายในห้องทำให้ความดันภายในห้องเป็นลบ

คำสำคัญ: อุณหภูมิ, ความชื้น, ความดันอากาศ

Abstract

This paper article presents the control of a negative pressure room, focusing on balancing it with a Programmable Logic Controller The negative pressure room control system utilizes the PLC as a feedback controller. Sensors send signals to the controller, which processes the data and commands the control of the room's temperature and humidity to ensure they are at suitable levels for human comfort, allowing people to live in the room without discomfort. A negative pressure room can prevent the spread of airborne infections by maintaining an internal air pressure lower than the external air pressure. This is achieved by drawing contaminated air through high-quality air filters to eliminate pathogens before releasing the air to the outside environment. The air sucked out of the room must be greater in volume than the air entering the room, ensuring that the pressure inside remains negative.

Keywords: Temperature, Humidity, Air Pressure

1. บทนำ

ตู้ควบคุมความดันลบ (Negative Control Pressure Cabinet) เป็นตู้ที่ออกแบบมาเพื่อใช้เป็นตัวอย่างห้องที่ใช้สำหรับควบคุมการระบาดของเชื้อโรคและลดการแพร่กระจายของเชื้อที่อาจมีในอากาศ โดยมีหลักการทำงานที่ใช้การควบคุมความดันอากาศภายในห้องให้อยู่ในระดับต่ำกว่าความดันอากาศภายนอกห้องตามมาตรฐานกำหนดให้ความดันต่ำไม่น้อยกว่า 2.5 Pa ซึ่งจะทำให้เมื่อประตูห้องเปิดหรือมีการเคลื่อนที่ของอากาศเชื้อโรคและฝุ่นละอองภายในห้องจะไม่ไหลออกไปยังพื้นที่อื่นๆ ภายนอกห้องและทำให้ห้องนี้มีความปลอดภัยมากขึ้นในแง่ของการควบคุมการแพร่กระจายของเชื้อโรค

ตู้ความดันลบ (Negative Control Pressure Cabinet) จำลองมาจากห้องความดันลบที่ใช้ในสถานพยาบาล โดยใช้กับผู้ป่วยที่ต้องการการดูแลเฉพาะเจาะจง เช่น ผู้ป่วยที่ติดเชื้อที่สามารถแพร่กระจายผ่านอากาศได้ เช่น วัณโรค (Tuberculosis) หรือโรคที่เกิดจากเชื้อไวรัสบางชนิด เช่น COVID-19 ห้องความดันลบจึงมีบทบาทสำคัญในการป้องกันการแพร่ระบาดของโรคเหล่านี้ไปยังบุคลากรทางการแพทย์หรือผู้ป่วยคนอื่นๆ

2. ขอบเขตงานวิจัย

2.1 เป็นต้นแบบสำหรับใช้พัฒนาห้องความดันลบในสถานพยาบาล
2.2 เป็นงานวิจัยสำหรับศึกษาการทำงานห้องความดันลบ
2.3 เป็นงานตัวอย่างเพื่อใช้ออกแบบห้องควบคุมระบบอื่นๆ
2.4 สร้างตู้ควบคุมความดันลบที่มีขนาด (60 cm x 100 cm x 50 cm)
2.5 ค่าความดันภายในตู้มีค่า 2.5 Pa ตามมาตรฐานห้องความดันลบ
2.6 มีการแจ้งเตือนกรณีความชื้นสัมพัทธ์มีค่า < 40 % หรือ > 60 %
2.7 อุณหภูมิภายในห้อง 20-25 ºC ± 5%

2. หลักการและทฤษฎีที่เกี่ยวข้อง

2.1 ความดันอากาศภายในห้อง

มีการกำหนดความดันของอากาศภายในห้องเมื่อเทียบกับบริเวณภายนอกโดยรอบ เพื่อควบคุมการแพร่กระจายเชื้อโรคไม่ให้เข้ามาหรือออกจากห้อง ตามประเภทของห้องนั้นๆ เช่น ห้องแยกโรคสำหรับผู้ป่วยที่แพร่กระจายเชื้อทางอากาศจะต้องมีความดันเป็นลบเมื่อ

เปรียบเทียบกับบริเวณโดยรอบไม่น้อยกว่า 2.5 Pa เพื่อไม่ให้เชื้อโรคแพร่กระจายออกมาสู่บริเวณอื่น ส่วนห้องแยกสำหรับผู้ป่วยภูมิคุ้มกันต่ำและห้องผ่าตัด ต้องมีความดันอากาศเป็นบวกเมื่อเทียบกับบริเวณโดยรอบ เพื่อไม่ให้เชื้อโรคที่แพร่กระจายทางอากาศเข้าไปภายในห้อง รายละเอียดความดันของอากาศสัมพันธ์กับพื้นที่ข้างเคียง ในการจัดทำงานวิจัยนี้จำเป็นต้องศึกษาหลักการและมาตรฐานของการระบายอากาศ โดยมุ่งเน้นศึกษาการระบายอากาศในสถานพยาบาล

การระบายอากาศ คือ การกระทำที่ทำให้เกิดการแลกเปลี่ยนของอากาศระหว่างอากาศภายในพื้นที่พักอาศัยหรืออาคารและอากาศภายนอก โดยจะมีการออกแบบช่องลมสำหรับให้อากาศถ่ายเทเข้า - ออก โดยอาจจะออกแบบให้อากาศไหลผ่านระบบท่อลม (Air Duct Distributions System) หรือไหลผ่านพัดลมระบายอากาศ (Wall Fan) โดยนอกจากการระบายอากาศแล้ว ยังต้องคำนึงถึงการเติมอากาศที่สะอาดเข้าสู่ภายในอาคารในปริมาณที่เหมาะสมต่อพื้นที่นั้นๆ โดยในปัจจุบันมีกฎหมายควบคุมด้านสิ่งแวดล้อม ดังนั้นในการระบายอากาศออกต้องคำนึงถึงการกรองฝุ่นและมลภาวะก่อนปล่อยสู่บรรยากาศ โดยสามารถจำแนกการระบายอากาศออกเป็น 2 ประเภท คือ

1. การระบายอากาศแบบธรรมชาติ โดยการระบายอากาศแบบนี้จะปล่อยให้อากาศไหลเองตามธรรมชาติ ผ่านช่องลมต่างๆ ที่ได้ออกแบบไว้ภายในอาคาร

2. การระบายอากาศโดยวิธีทางกล การระบายอากาศแบบนี้จะใช้อุปกรณ์มาบังคับอัตราการไหลของอากาศ เพื่อให้อากาศถ่ายเท เช่น พัดลมระบายอากาศ

โดยทั่วไปตามอาคารสำนักงานหรือโรงงานต่างๆ มักจะเลือกใช้การระบายอากาศโดยวิธีทางกลเนื่องจากง่ายต่อการควบคุมปริมาณลมและอัตราการถ่ายเทของอากาศ

3. การออกแบบ

การออกแบบตู้ ใช้แผ่นอะคริลิคใสหลังจากติดตั้งอุปกรณ์ภายในเรียบร้อยแล้วสามารถมองเห็นได้จากภายนอกรวมถึงแผ่นอะคริลิคมีความแข็งแรง และทนทานต่อการแตกหัก นอกจากนี้ยังสามารถตัดหรือขึ้นรูปได้ง่าย โดยกำหนดการออกแบบให้

ปริมาตรตู้ 0.60 m × 1.00 m × 0.50 m = 0.3 m^3

อัตราการระบายอากาศ 12 ครั้งต่อชั่วโมง (Time/h)

$= 12 \times 0.3 = 3.60 \frac{m^2}{h}$

เลือกใช้พัดลมระบายอากาศ 90-220 Vdc อัตราการส่งลม

$= 5 \frac{m^2}{h}$

ซึ่งพัดลมระบายอากาศ A ใช้ติดตั้งสำหรับห้องพักด้านหน้า พัดลม B สำหรับดูดอากาศเข้า และพัดลม C สำหรับดูดอากาศออก

รูปที่ 3.1 พัดลมระบายอากาศ ขนาด 90-220 Vdc

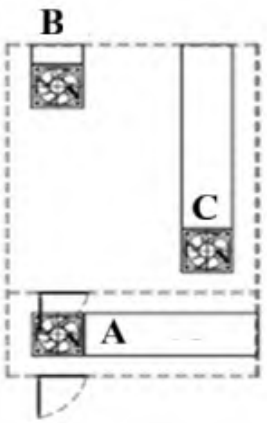

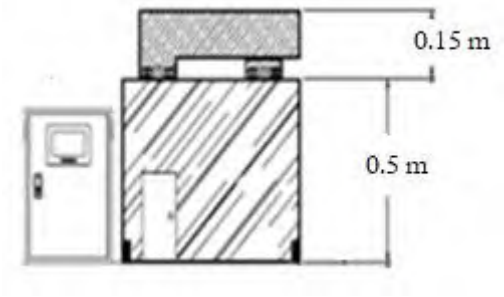

รูปที่ 3.2 ด้านหน้าตู้ความดันลบ

4. อุปกรณ์การทดลอง

การทดสอบความดันภายในตู้ควบคุมความดันลบโดยใช้ตัวควบคุมส่งสัญญาณมาที่ Analog Input PLC โดยมีขอบเขตของการทำโครงงานวิจัยคือออกแบบควบคุมความดันภายในห้องในกระบวนการควบคุมความดันค่าที่ต้องการคือ 2.5 Pa ตามข้อกำหนดห้องความดันลบที่ใช้ทั่วไปในสถานพยาบาล ที่กำหนดไว้ไม่ต่ำกว่า 2.5 Pa ซึ่งต้องเกี่ยวเนื่องกับอุณหภูมิและความชื้นสัมพัทธ์จึงจะเป็นไปตามมาตรฐานของสถานพยาบาล ห้องแยกเดี่ยวที่มีความดันเป็นลบจะต้องเกิดการไหลของ

อากาศภายในสู่ภายนอกห้องคนไข้ ดังนั้นการออกแบบห้องคนไข้แบบแยกเดี่ยวสำหรับผู้ป่วยจะต้องทำให้ถูกต้องและระมัดระวังเป็นพิเศษ

4.1 โปรแกรมเมเบิลลอจิกคอนโทรลเลอร์ (Programmable Logic Controller)

ระบบคอมพิวเตอร์ที่ถูกออกแบบมาเพื่อใช้ในการควบคุมกระบวนการอุตสาหกรรมและการทำงานอัตโนมัติ เช่น ในโรงงานอุตสาหกรรม เครื่องจักร หรือระบบที่ต้องการการควบคุมทางไฟฟ้าและเครื่องกล PLC จะทำหน้าที่รับสัญญาณจากเซ็นเซอร์ หรืออุปกรณ์ต่างๆ แล้วประมวลผลข้อมูลและส่งคำสั่งไปยังอุปกรณ์ควบคุม เช่น มอเตอร์ วาล์ว หรือไฟฟ้า เพื่อทำงานตามลำดับที่ถูกโปรแกรม

รูปที่ 4.1 PLC Analog 4 In/ 2 Out

4.2 เครื่องส่งสัญญาณความดันแตกต่าง (Differential pressure transmitter)

อุปกรณ์ที่ใช้ในการวัดความดันระหว่างสองจุดในระบบ โดยการเปรียบเทียบความดันที่เกิดขึ้นจากสองด้าน (จุดที่มีความดันสูงและจุดที่มีความดันต่ำ) แล้วแปลงค่าความดันที่แตกต่างนี้ให้เป็นสัญญาณไฟฟ้า ซึ่งสามารถส่งไปยังระบบควบคุมหรืออุปกรณ์ตรวจวัดเพื่อประมวลผลต่อไป มีช่วงการวัด 50 Pa, 100 Pa, 500 Pa, 1250 Pa และช่วงทิศทางสองทิศทางทั้งหมด แรงดันที่ความดันเป็นลบ รับสัญญาณ Analog 4-20 mA มาจากอุปกรณ์วัดความดัน สัญญาณเอ้าท์พุท 4-20 mA, 0-10 V

รูปที่ 4.2 เครื่องส่งสัญญาณความดันแตกต่าง

4.3 จอแบบสัมผัส (Touch Screen)

จอแสดงผลที่สามารถรับข้อมูลจากการสัมผัสโดยตรงจากผู้ใช้ ซึ่งสามารถใช้นิ้วมือหรือปากกาเฉพาะทางในการสัมผัสบนหน้าจอเพื่อควบคุมอุปกรณ์ได้ โดยไม่ต้องใช้เมาส์หรือคีย์บอร์ด หน้าจอแบบสัมผัสจึงเป็นส่วนสำคัญของเทคโนโลยีในปัจจุบัน พื้นที่แสดงผลที่ใช้งาน กว้าง 154.00 mm. สูง 86 mm.

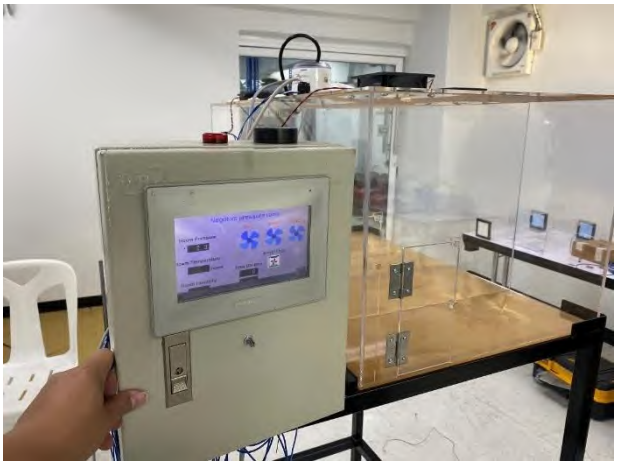

รูปที่ 4.3 จอแบบสัมผัส (Touch Screen)

4.4 เซนเซอร์วัดอุณหภูมิ และความชื้น

เซ็นเซอร์อุณหภูมิและความชื้น SHT20 ใช้อินเทอร์เฟสฮาร์ดแวร์ RS485 ชั้นโปรโตคอลเข้ากันได้กับโปรโตคอล Modbus RTU

1. แรงดันไฟฟ้าที่ใช้งาน DC 5V~ 30V
2. สัญญาณเอาต์พุต สัญญาณ RS485
3. การทำงาน ความชื้น 0% ~ 95%
4. ช่วงอุณหภูมิ: -40 ~60 องศา

รูปที่ 4.4 เซ็นเซอร์อุณหภูมิ และความชื้น

5. การทดลอง

จากรูปที่ 5.1 วงจรการทำงานของระบบ มีขั้นตอนทดลองดังนี้

5.1 จ่ายไฟฟ้ากระแสสลับ 220 โวลต์ ให้พีแอลซี และแหล่งจ่ายไฟฟ้ากระแสตรง 24 โวลต์

5.2 ต่อเซ็นเซอร์วัดอุณหภูมิ และเซ็นเซอร์วัดความชื้นสัมพัทธ์เข้ากับจอแบบสัมผัส และ PLC

5.3 ต่อเอาท์พุท พีแอลซี Do เข้าคอยล์แมคเนติกคอนแทคเตอร์ KA1 ใช้กับพัดลมตัวที่ 1 สำหรับห้องพักด้านหน้า ต่อ D1 เข้ากับคอยล์แมค

เนติกคอนแทคเตอร์ KA2 ใช้กับพัดลมตัวที่ 2 ดูดอากาศเข้า และต่อ D2 เข้ากับพัดลมตัวที่ 3 พัดลมดูดอากาศออก สำหรับแมคเนติกคอนแทคเตอร์ KA3 ใช้สำหรับการแจ้งเตือนอุณภูมิที่คลาดเคลื่อน

5.4 การทำงานของแลดเดอร์ (Ladder Diagram) เมื่อกดปุ่มที่จอ Start / Stop Proface ซึ่ง ที่จอ Proface เขียนฟังก์ชั่น ให้เป็น Selector Switch Address Start ไว้

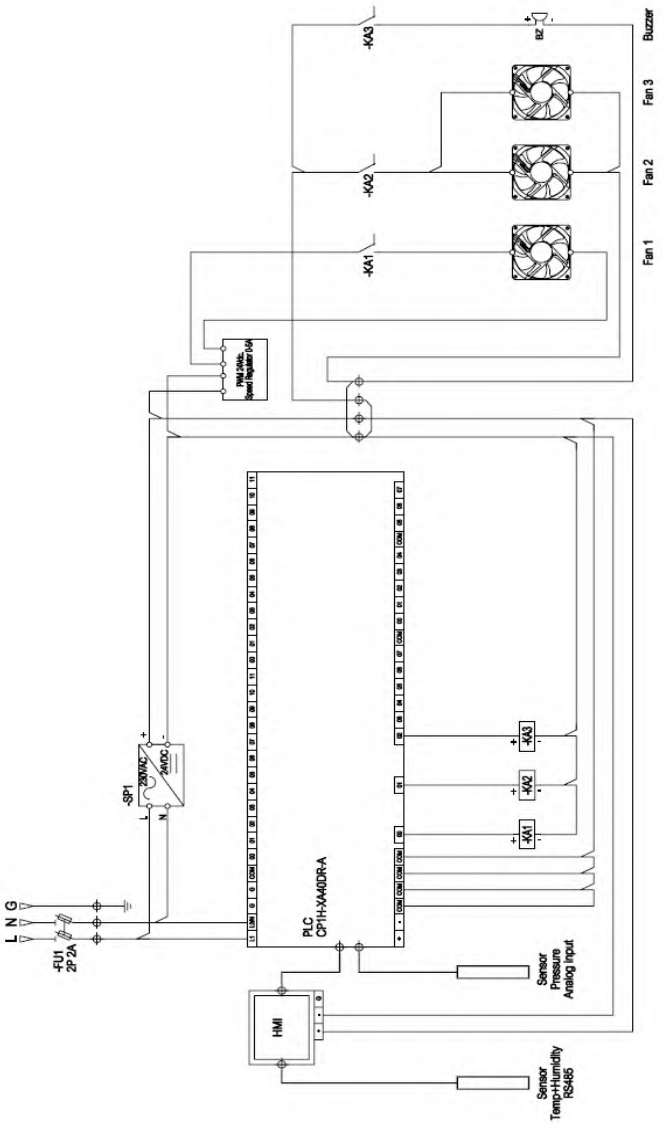

รูปที่ 5.1 วงจรการทำงานของระบบไฟฟ้า

จะทำให้ Fan1-2 และ Fan3 ทำงาน

เมื่อ Fan1-2 ทำงาน ฟังก์ชันเอ้าท์พุท จะทำหน้าที่เพิ่มค่า Data word ลงใน Data block เพื่อทำให้รูปภาพที่พัดลมทั้ง 3 ตัว เกิดการหมุนเคลื่อนไหว โดยรูปพัดลมถูกทำเป็น Animation ประเภท Rotation ไว้ โดยรูปพัดลมจะถูกผูกเข้ากับ Data Block ของ PLC

รูปที่ 5.2 แลดเดอร์การทำงานของชุดทดลอง

เมื่อ Fan1-2 ทำงานฟังก์ชั่นสัญญาณนาฬิกาทำงาน 10 นาที ค่าฟังก์ชั่น CNTR หรือ Counter จะทำการนับขึ้น ทุกๆ 1 นาที เป็น 10 นาที และมีส่วน Reset Counter สาเหตุที่ต้องใช้ Data Block เพราะ ถ้าไฟดับหรือปิดเครื่อง PLC ค่า Data ต่างๆที่เก็บไว้ จะยังอยู่ไม่หายไปไหน ส่วนเซ็นเซอร์อุณหภูมิ และความชื้นเป็น รับสัญญาณ RS485 Modbus RTU เข้ากับจอ Proface แล้วเขียน ฺcrip ให้จอ Proface นำขึ้น ไปที่ Data Block PLC อีกครั้ง

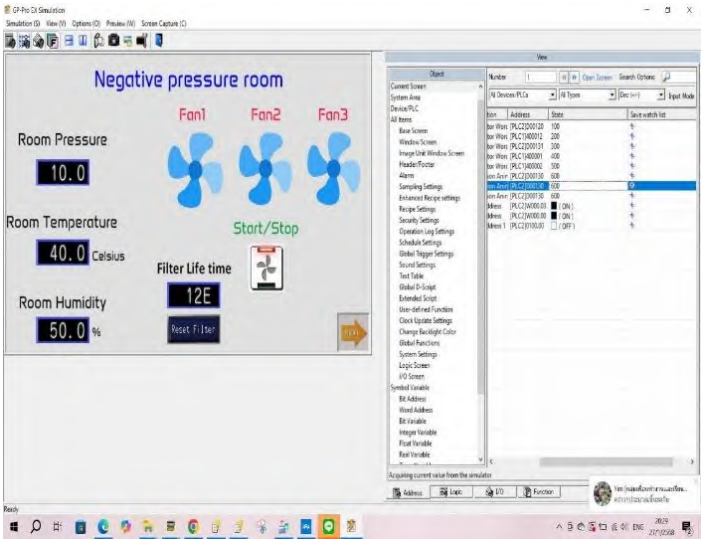

รูปที่ 5.3 หน้าจอการทำงานของชุดทดลอง

6. ผลการทดลอง

จากการตั้งค่าโปรแกรมในแลดเดอร์แล้ว ทำการทดลองที่สถานะต่างๆ และได้ผลการทดลองกราฟเปรียบเทียบอุณหภูมิภายในกับภายนอกในช่วงเวลา 30 นาที ดังรูปที่ 6.1 อุณหภูมิภายในและภายนอก พบว่าอุณหภูมิของภายในกับภายนอกมี ความแตกต่างกันประมาณ 1-2 ℃ เป็นไปตามขอบเขตที่กำหนดที่อุณหภูมิของภายในและภายนอกต่างกันไม่เกิน 5 ℃

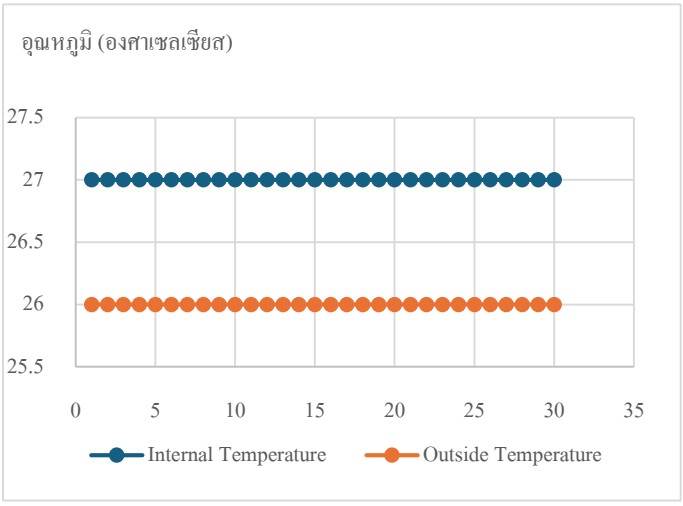

รูปที่ 6.1 กราฟเปรียบเทียบอุณหภูมิภายในกับ ภายนอก

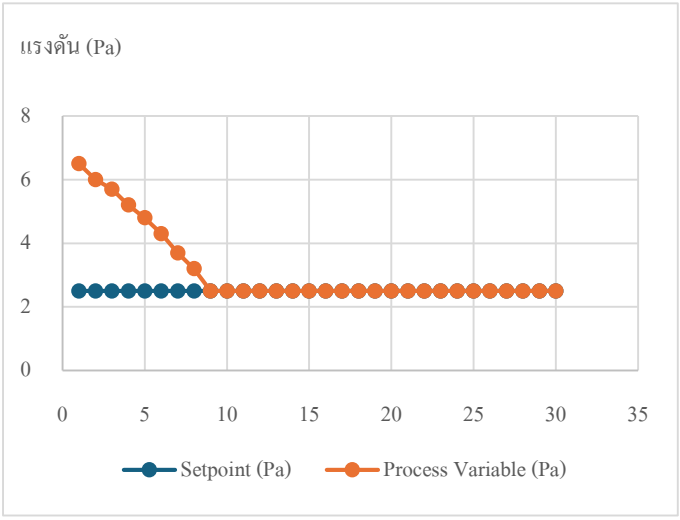

รูปที่ 6.2 กราฟเปรียบเทียบแรงดันอากาศช่วงเริ่มต้นถึงช่วงที่เท่ากัน

ทั้งนี้จากการทดลองระบบความดันที่สามารถทำได้โดยใช้ระบบควบคุมความเร็วมอเตอร์ PWM ต่อร่วมกับ PLC และจดบันทึกค่าที่แสดงบนจอแบบสัมผัส ความดันจากบรรยากาศภายในตู้ควบคุมความดันลบที่ต้องการให้มีค่าความดันอยู่ที่ 2.5 Pa การทดสอบได้ค่าที่ 2.5 Pa เป็นไปตามขอบเขตและมาตรฐาน โดยค่าความดันที่ได้จะมีค่าอุณหภูมิและความชื้นเข้ามาเกี่ยวข้อง เพื่อให้มนุษย์สามารถอาศัยอยู่ได้โดยความชื้นจะเปลี่ยนแปลงตามอุณหภูมิ โดยค่าแรงดันจะเริ่มเท่ากันที่เวลา 7 นาทีเป็นต้นไป ซึ่งขึ้นอยู่กับสภาพอากาศในเวลานั้นๆ

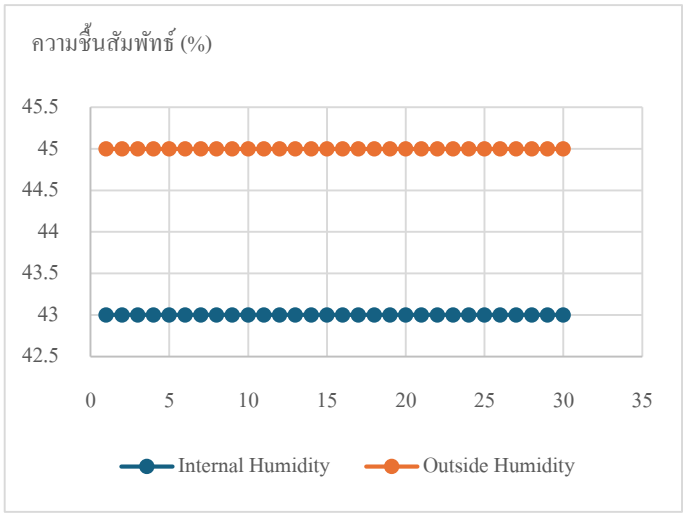

รูปที่ 6.3 กราฟเปรียบเทียบความชื้นสัมพัทธ์

ส่วนความแตกต่างของความชื้นสัมพัทธ์ภายในและภายนอกทดลองได้ความชื้นสัมพัทธ์มีค่า 43 % เป็นไปตามขอบเขตที่กำหนด คือ ระดับความชื้นในอากาศที่เหมาะสมต่อร่างกายมนุษย์มีค่าเฉลี่ยอยู่ที่ 40 % – 60 % ถือได้ว่าการทดลองครั้งนี้อยู่ในข้อกำหนดตามมาตรฐานความสะอาดของสถานพยาบาล

กิตติกรรมประกาศ

ขอขอบคุณผู้ทำงานวิจัย นายกิตติทัต อำไพ นายฐิติกร ธิมานาย สมรรถวีร์ วิเชียรศิลป์ นายอยุธยา พาคาพรต นายโอภาส ตัวกะลัน และนายทมการ หน้าผ่อง ที่ให้ความร่วมมือออกแบบ และสร้างงานวิจัยออกมาทดลองได้เป็นอย่างดี

เอกสารอ้างอิง

[1] ศูนย์วิศวกรรมสนับสนุนต้านภัย COVID-19 วิศวกรรมสถานแห่งประเทศไทย: คู่มือผู้ใช้ตู้ความดันลบ (Negative Pressure Cabinet)
[2] มหาวิทยาลัยนเรศวร: การศึกษาห้องแยกผู้ป่วยแพร่เชื้อทางอากาศแบบดัดแปลง ของอาคารสิรินธรในโรงพยาบาลมหาวิทยาลัยนเรศวร
[3] คู่มือการใช้งาน Programmable Logic Controller
[4] คู่มือการใช้งาน Differential Pressure Transmitter
[5] คู่มือการใช้งาน Temperature and humidity transmitter

การควบคุมความถี่ของโครงข่ายระบบจำหน่ายไฟฟ้าโดยใช้อินเวอร์เตอร์แบบสร้างกริดที่ควบคุมด้วยวิธีการควบคุมเครื่องกำเนิดไฟฟ้าซิงโครนัสเสมือน

Frequency Regulation of Distribution Networks Using Grid-Forming Inverter with Virtual Synchronous Generator Control

มาริศิวิไลซ์ ฮาร่า และ วัชริน ศรีรัตนาวิชัยกุล*

ภาควิชาวิศวกรรมไฟฟ้า คณะวิศวกรรมศาสตร์ มหาวิทยาลัยเชียงใหม่
watcharin.s@cmu.ac.th*

บทคัดย่อ

ปัญหาจากการเพิ่มขึ้นของแหล่งพลังงานหมุนเวียนในระบบโครงข่ายไฟฟ้าคือทำให้ความเฉื่อยในระบบโครงข่ายไฟฟ้าลดลง ซึ่งได้มาจากเครื่องกำเนิดไฟฟ้าซิงโครนัสเท่านั้น และเป็นกลไกสำคัญในการรักษาสมดุลกำลังโดยชดเชยส่วนต่างที่เกิดขึ้นเพื่อรักษาเสถียรภาพของระบบไฟฟ้า บทความนี้นำเสนอวิธีการควบคุมอินเวอร์เตอร์ของแหล่งพลังงานหมุนเวียนให้สร้างความเฉื่อยเสมือนที่เรียกว่าเครื่องกำเนิดไฟฟ้าซิงโครนัสเสมือน จากผลการจำลองพบว่าเมื่อระบบไฟฟ้าเสียสมดุลกำลังจากโหลดที่เพิ่มขึ้นอย่างฉับพลัน เครื่องกำเนิดไฟฟ้าซิงโครนัสเสมือนสามารถตอบสนองได้อย่างรวดเร็วและเพิ่มกำลังเอาต์พุตได้ทันที ความถี่ของระบบจึงอยู่ในช่วงค่าที่ยอมรับได้ ผลตอบสนองที่ได้แสดงให้เห็นว่าเครื่องกำเนิดไฟฟ้าซิงโครนัสเสมือนสามารถรักษาเสถียรภาพของระบบไฟฟ้าที่มีแหล่งพลังงานหมุนเวียนเป็นจำนวนมากได้อย่างมีประสิทธิภาพ

คำสำคัญ: เครื่องกำเนิดไฟฟ้าซิงโครนัสเสมือน อินเวอร์เตอร์แบบสร้างกริด ความเฉื่อยเสมือน ระบบไฟฟ้าความเฉื่อยต่ำ อัตราการเปลี่ยนแปลงความถี่

Abstract

Hospitals are among the places that are affected by lightning phenomena. Lightning bolts tend to reach the top of The problem caused by the increasing share of renewable energy sources (RES) in the grid is the reduction of inertia. Inertia in a grid comes only from synchronous generators and is essential for maintaining power balance by responding to sudden changes. This article presents a control method for RES inverters to create virtual inertia, known as a virtual synchronous generator (VSG). Simulation results show that when the grid becomes unbalanced due to a sudden load increase, the VSG responds quickly and adjusts its output power to meet the load. As a result, the grid frequency stays within the acceptable range. These results show that the VSG can maintain frequency stability in grids with a high share of RES.

Keywords: Virtual Synchronous Generator, Grid-Forming Inverter, Virtual Inertia, Low Inertia Power System, Rate of Change of Frequency

เครื่องมือโอเพ่นซอร์สใหม่สำหรับการวิเคราะห์ระบบไฟฟ้ากำลังและไมโครกริดในอนาคต

A New Open-Source Tool for Future Power Grid Analysis

สรศักดิ์ ใจเงี้ยวคำ[1] ทศพร สุรินทร์แก้ว[2]* ภาณุพงศ์ จำรัสพงษ์[1] และ อิสระชัย งามหรู[1]

[1]สาขาวิชาวิศวกรรมไฟฟ้า คณะวิศวกรรมศาสตร์ สถาบันเทคโนโลยีพระจอมเกล้าเจ้าคุณทหารลาดกระบัง
68016128@kmitl.ac.th, 67016071@kmitl.ac.th, issarachai.ng@kmitl.ac.th
[2]สำนักงานบริหารหลักสูตรวิศวกรรมสหวิทยาการนานาชาติ คณะวิศวกรรมศาสตร์ สถาบันเทคโนโลยีพระจอมเกล้าเจ้าคุณทหารลาดกระบัง
tossaporn.su@kmitl.ac.th*

บทคัดย่อ

งานวิจัยฉบับนี้นำเสนอเครื่องมือโอเพ่นซอร์สใหม่สำหรับการวิเคราะห์ระบบไฟฟ้ากำลังและไมโครกริดในอนาคต (Power Grid Analyzer: PGAz) ซึ่งออกแบบมาเพื่อรองรับการวิเคราะห์ระบบไฟฟ้าสมัยใหม่ที่มีความซับซ้อนเมื่อเทียบกับระบบไฟฟ้าแบบดั้งเดิม โดยตอนนี้ PGAz มีฟังก์ชันหลัก ได้แก่ การวิเคราะห์การไหลของกำลังไฟฟ้า การไหลของกำลังไฟฟ้าแบบเหมาะสม การวิเคราะห์เสถียรภาพเชิงสัญญาณขนาดเล็ก และ การจำลองเชิงเวลา โดย PGAz มีจุดเด่นที่แตกต่างจากเครื่องมือโอเพ่นซอร์สอื่น ๆ คือสามารถอัปเดตและขยายขีดความสามารถได้อย่างต่อเนื่อง รองรับการเพิ่มแบบจำลองของอุปกรณ์และแหล่งผลิตไฟฟ้าสมัยใหม่ เช่น อินเวอร์เตอร์และเทคโนโลยีควบคุมอัจฉริยะ เพื่อเพิ่มความยืดหยุ่นในการศึกษาพฤติกรรมของระบบที่มีความกระจายและซับซ้อนมากขึ้น อันเป็นประโยชน์ต่อการวิจัยและพัฒนาเทคโนโลยีโครงข่ายไฟฟ้าอัจฉริยะ นอกจากนี้ยังเสนอแนวทางการประยุกต์ใช้ PGAz ในบริบทของการเรียนการสอน การวิจัย และการพัฒนาเครื่องมือวิเคราะห์ระบบไฟฟ้า โดยมุ่งหวังให้สามารถนำไปต่อยอดในการศึกษาระบบไฟฟ้าเชิงพลวัต เสถียรภาพ และการควบคุม ซึ่งเป็นองค์ประกอบสำคัญในการพัฒนาระบบพลังงานในอนาคตที่มีการบูรณาการแหล่งพลังงานแบบกระจายและเทคโนโลยีควบคุมอัจฉริยะ

คำสำคัญ: ระบบไฟฟ้ากำลังในอนาคต, การไหลของกำลังไฟฟ้า, การไหลของกำลังไฟฟ้าแบบเหมาะสม, การวิเคราะห์เสถียรภาพเชิงสัญญาณขนาดเล็ก, การจำลองเชิงเวลา, เครื่องมือวิเคราะห์ระบบไฟฟ้ากำลังและไมโครกริดแบบโอเพนซอร์ส

Abstract

This paper presents a new open-source tool namely Power Grid Analyzer (PGAz). Here, PGAz is made to analyze future power systems and microgrids. Moreover, PGAz can perform basic analysis functions like power flow analysis, optimal power flow, and small-signal stability analysis. Modern power systems are complex and change quickly. Our developed open-source tool distinguishes itself from existing tools through its ease of updates, extensibility. It allows users to incorporate models of emerging devices, such as inverter-based resources, renewable energy sources, and intelligent controllers, thereby enhancing its adaptability to evolving power system technologies. Accordingly, this makes PGAz useful for studying power systems that have many distributed energy resources. The study also promotes using PGAz in universities and research laboratories. It helps users learn and develop tools for studying power system dynamics, stability, and control. These are important for future energy systems with smart and distributed resources.

Keywords: Future power grids, power flow, optimal power flow, small signal stability analysis, time-domain simulation, open-source tool/software.

1. บทนำ

ในยุคที่ระบบไฟฟ้ากำลังพัฒนาเข้าสู่โครงข่ายอัจฉริยะ (Smart Grid) ความซับซ้อนในการวิเคราะห์ระบบไฟฟ้าเพิ่มสูงขึ้นอย่างมีนัยสำคัญ [1], [2] ไม่เพียงแต่ต้องพิจารณาการไหลของกำลังไฟฟ้าและแรงดันไฟฟ้าเท่านั้น แต่ยังต้องเผชิญกับปัจจัยใหม่ ๆ ที่ท้าทาย เช่น การบูรณาการพลังงานหมุนเวียนเข้าสู่ระบบเดิม การใช้ อินเวอร์เตอร์เบสทรัพยากร (Inverter-based resources: IBRs) และแหล่งพลังงานหมุนเวียน (Renewable energy source: RESs) เป็นตัวกลางจ่ายพลังงาน การควบคุมแบบกระจาย (Distributed energy resources: DERs) และการจัดการโหลดที่ซับซ้อนในหลายพื้นที่ [3], [4] นอกจากนี้ ความต้องการในการจำลองและวิเคราะห์ผลกระทบในมิติของเวลา เช่น การสั่นของความถี่ การเปลี่ยนแปลงมุมโรเตอร์ และความผันผวนของแรงดันในช่วงเวลาสั้น ๆ ก็กลายเป็นประเด็นสำคัญอย่างหลีกเลี่ยงไม่ได้ [5] ดังนั้น เครื่องมือวิเคราะห์ระบบไฟฟ้าในยุคใหม่จึงไม่สามารถจำกัดอยู่แค่การวิเคราะห์สภาวะคงที่ แต่ต้องรองรับการวิเคราะห์เชิงพลวัต (dynamic) และการออกแบบควบคุมอย่างเหมาะสมโดยพิจารณ์ถึงตัวแปรเหล่านี้ด้วย แม้จะมีเครื่องมือวิเคราะห์ที่พัฒนาขึ้นมากมาย เช่น DIgSILENT PowerFactory, PSCAD, PowerWorld และ MATLAB Toolboxes แต่เครื่องมือเหล่านี้มักมีข้อจำกัด เช่น มีต้นทุนสูงและจำเป็นต้องต่ออายุสัญญาการใช้งานลิขสิทธิ์อย่างสม่ำเสมอ ทำให้แหล่งการศึกษาหรือสถาบันที่มีงบประมาณจำกัดเข้าถึงได้ยาก [1], [2] ไม่สามารถเข้าถึงหรือแก้ไขโมเดลภายในได้อย่างอิสระ และขาดความยืดหยุ่นหรืออาจจะยุ่งยากในการสร้างแบบจำลองใหม่ เช่น โมเดลของ IBRs รวมถึงอาจไม่มีการสนับสนุนการวิเคราะห์พลวัตขั้นสูงร่วมกับโมเดลที่ซับซ้อนยิ่งขึ้น ซึ่งเป็นคุณสมบัติที่จำเป็นสำหรับระบบไฟฟ้าในอนาคต [5] ในขณะที่ซอฟต์แวร์โอเพนซอร์สที่พัฒนาบน MATLAB เช่น PSAT และ MATPOWER ก็มีข้อจำกัดด้านความสามารถในการปรับปรุง เช่น การไม่สนับสนุนการวิเคราะห์เสถียรภาพแบบพลวัต หรือการพัฒนาอย่างล่าช้าและไม่ต่อเนื่อง [5] ทำให้ยังไม่สามารถตอบโจทย์การวิจัยในระดับสูงได้อย่างเต็มที่ เพื่อแก้ไขข้อจำกัดข้างต้นและยกระดับการวิเคราะห์ระบบไฟฟ้าอย่างครบวงจร จึงได้มีการพัฒนา **PGAz** ซึ่งเป็นเครื่องมือโอเพนซอร์สที่ทำงานบน MATLAB โดยมีวัตถุประสงค์หลักดังนี้

- พัฒนาเครื่องมือวิเคราะห์ที่รองรับทั้งการวิเคราะห์เชิงสถิติ (Power Flow: PF และ Optimal Power Flow: OPF) และการวิเคราะห์เชิงพลวัตอย่างครบถ้วน (Small-Signal Stability Analysis: SSSA และ Time-Domain Simulation: TS) โดย PGAz มีอัลกอริทึมสำหรับการแก้ปัญหาในด้าน PF, OPF, SSSA และ TS ที่ครอบคลุมและมีประสิทธิภาพสูงกว่าเครื่องมือโอเพนซอร์สอื่น ๆ อย่างชัดเจน ช่วยให้สามารถจัดการกับปัญหาที่ซับซ้อนในแต่ละโดเมนได้อย่างมีประสิทธิภาพยิ่งขึ้น
- PGAz เปิดโอกาสให้ผู้ใช้งานสามารถปรับแต่ง ขยาย หรือพัฒนาโมเดลใหม่ได้โดยตรงผ่านการเขียนโปรแกรมใน MATLAB พร้อมทั้งมีอินเทอร์เฟซที่ใช้งานง่าย และระบบสร้างรายงานผลการวิเคราะห์แบบอัตโนมัติ รองรับการใช้งานทั้งด้านการเรียนการสอนและการวิจัยในอนาคต โดยเปิดให้ผู้ใช้สามารถปรับเปลี่ยนโมเดลได้อย่างอิสระและยืดหยุ่น

1.1 ระบบและโครงสร้างโดยรวมของ PGAz

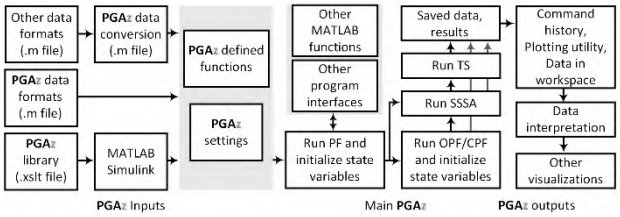

รูปที่ 1 โครงสร้างและหลักการทำงานของ PGAz

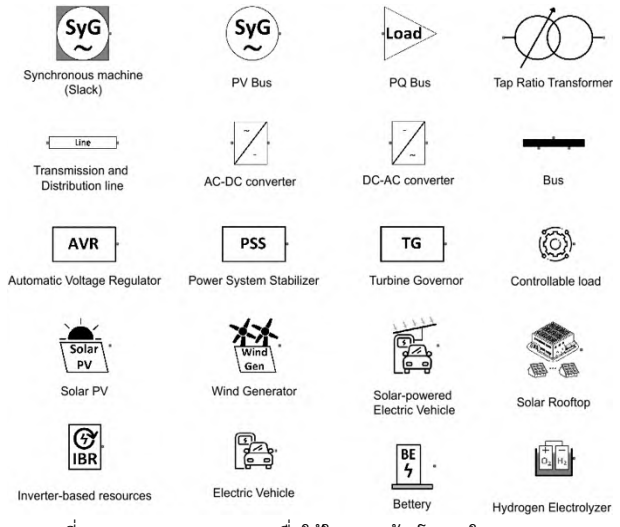

รูปที่ 2 Library ของ PGAz เพื่อใช้ในการสร้างโมเดลใน Simulink

โครงสร้างของ PGAz ได้รับการออกแบบให้รองรับการวิเคราะห์ระบบไฟฟ้าอย่างครบวงจรผ่าน 4 โมดูลหลัก PF, OPF, SSA และ TS ทั้งหมดทำงานร่วมกันบนพื้นฐานของ MATLAB และสามารถทำงานร่วมกับ functions อื่นๆของ MATLAB อย่างมีประสิทธิภาพ

รูปที่ 1 แสดงขั้นตอนการทำงาน โดยเริ่มจากการนำเข้าข้อมูลในรูปแบบไฟล์ .m ภายใต้โปรแกรม MATLAB ซึ่งอาจอยู่ในรูปแบบของโมเดล PGAz หรือแบบจำลองที่สร้างผ่านคลังโมเดล PGAz (ดังแสดงในรูปที่ 2) โดยส่วนนี้สนับสนุนการสร้างโมเดลผ่านอินเทอร์เฟซที่ใช้งานง่าย (user-friendly interface) เพื่อให้ผู้ใช้สามารถมองเห็นโครงสร้างของโมเดลและการจำลองระบบได้อย่างชัดเจน จากนั้นโมเดลจะถูกเชื่อมต่อใน Simulink ผ่านกระบวนการแปลงและการตั้งค่าต่าง ๆ ที่ผู้ใช้สามารถกำหนดได้เอง

หลังจากที่ระบบเข้าสู่สภาวะสมดุลแล้วโดย PF โปรแกรมสามารถต่อยอดไปยังการวิเคราะห์ในขั้นต่อไปได้ เช่น การวิเคราะห์เชิงสถิติเพิ่มเติม เช่น การหาการไหลของกำลังไฟฟ้าแบบต่อเนื่อง (Continuation PF: CPF) และ OPF เพื่อหาจุดทำงานที่เหมาะสมภายใต้ข้อจำกัดต่าง ๆ (constraints) และ การวิเคราะห์เชิงพลวัต เช่น SSSA และ TS เพื่อประเมินพฤติกรรมของระบบ โดยอาศัยโมเดลของเครื่องกำเนิดไฟฟ้าร่วมกับ IBRs และตัวควบคุมต่างๆ จากนั้นข้อมูลที่ได้ระหว่างกระบวนการจะถูกจัดเก็บไว้ใน workspace โดยตรง ซึ่งสามารถเรียกใช้งานต่อเนื่องได้อย่างยืดหยุ่น ทั้งจากฟังก์ชันของ MATLAB ภายนอก หรือเชื่อมต่อกับซอฟต์แวร์อื่น ๆ ได้โดยตรง นอกจากนี้ผลลัพธ์สุดท้ายสามารถส่งออกได้ทั้งในรูปแบบข้อความ กราฟ หรือไฟล์ที่บันทึกไว้ รองรับการใช้งานได้ทั้งในงานวิจัยเชิงลึกต่อไป

1.2การใช้งาน PGAz เบื้องต้น

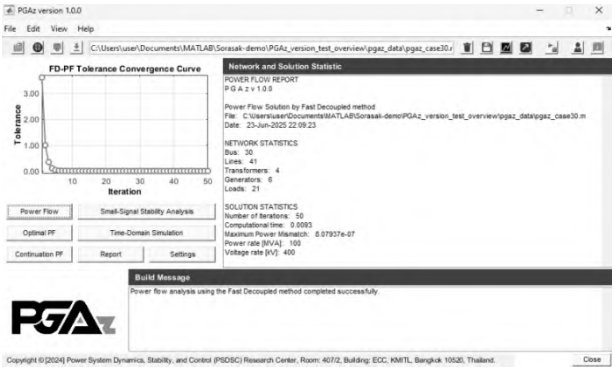

รูปที่ 3 หน้าต่าง GUI ของ PGAz

รูปที่ 2 แสดง Library ของ PGAz ซึ่งจัดเตรียมชุดบล็อกสำเร็จรูปที่ผู้ใช้สามารถลากและนำไปเชื่อมต่อกับระบบจำลองใน Simulink ได้โดยตรง ชุดบล็อกนี้ออกแบบมาเพื่อรองรับการทดลองและการสอนด้านระบบไฟฟ้ากำลัง ทำให้สามารถจำลองพฤติกรรมของระบบต่าง ๆ ได้สะดวกยิ่งขึ้น โดยไม่ต้องสร้างบล็อกใหม่จากศูนย์ ช่วยประหยัดเวลาในการออกแบบและเหมาะสำหรับผู้เรียนหรือผู้วิจัยที่ต้องการทดสอบแนวคิดต่าง ๆ อย่างรวดเร็วในสภาพแวดล้อมของ Simulink

ระบบ GUI ของ PGAz ดังแสดงในรูปที่ 3 แบ่งออกเป็นส่วนต่างๆ เพื่อให้ผู้ใช้สามารถใช้งานได้สะดวก โดยด้านซ้ายมีปุ่มคำสั่งหลัก เช่น “Optimize PF” สำหรับวิเคราะห์โหลดโฟลว์แบบเหมาะสม OPF, “Time-Domain Simulation” สำหรับจำลองระบบในโดเมนเวลา TS, “Small-Signal Stability Analysis” สำหรับวิเคราะห์เสถียรภาพ SSSA และ “Settings” สำหรับปรับค่าการคำนวณ ปุ่ม “Report” ในรูปที่ 3 เพื่อแสดงผลลัพธ์ของ PF โดยละเอียดซึ่งแสดงในรูปที่ 4 ในขณะที่ปุ่ม “Report” ในรูปที่ 4 ใช้เพื่อส่งออกข้อมูลการวิเคราะห์ PF, CPF, และ OPF อย่างละเอียดในรูปแบบ .pdf ส่วนด้านขวาจะแสดงผลลัพธ์การคำนวณ เช่น กราฟการลู่เข้าของค่าคลาดเคลื่อน และสรุปข้อมูลทางสถิติของการจำลอง ขณะที่ด้านล่างสุดจะแสดงข้อความสถานะหรือผลลัพธ์ของการประมวลผล ช่วยให้ผู้ใช้ติดตามผลการทำงานได้อย่างชัดเจน

ส่วนการใช้งานเบื้องต้นของ PGAz หลังติดตั้ง ผู้ใช้สามารถเริ่มต้นใช้งานได้โดยพิมพ์คำสั่ง initpgaz_gui ใน MATLAB เพื่อเข้าสู่หน้าต่างหลักของโปรแกรม จากนั้นสามารถตั้งค่าการคำนวณต่าง ๆ ได้ผ่าน GUI ที่ใช้งานง่าย หรือจะเลือกเรียกใช้ฟังก์ชันแบบสคริปต์ผ่าน MATLAB command window โดยตรง ยกตัวอย่างเช่น pgaz_pf สำหรับการ

วิเคราะห์ PF, pgaz_opf สำหรับการคำนวณ OPF, pgaz_sssa สำหรับวิเคราะห์ SSSA และ pgaz_ts สำหรับ TS โดยผลลัพธ์จะปรากฏพร้อมกราฟหรือข้อความ เช่นในรูปที่ 4 และสามารถส่งออกข้อมูลได้ทั้งในรูปแบบไฟล์ .m และ PDF เพื่อใช้ในการวิเคราะห์หรือจัดทำรายงานต่อไป

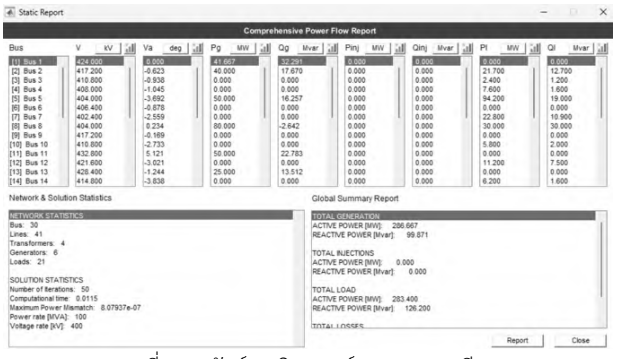

รูปที่ 4 ผลลัพธ์การวิเคราะห์ PF แบบละเอียด

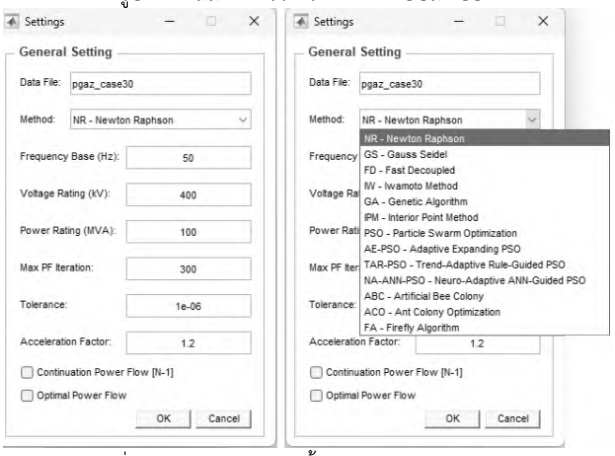

รูปที่ 5 หน้าต่าง GUI การตั้งค่า (setting) ของ PGAz

รูปที่ 5 แสดงหน้าต่างการตั้งค่าหลัก (Settings Interface) ของซอฟต์แวร์ PGAz ซึ่งออกแบบมาเพื่อให้ผู้ใช้สามารถปรับแต่งพารามิเตอร์ต่างๆ ได้อย่างยืดหยุ่นและครอบคลุม โดยผู้ใช้สามารถกำหนดค่าพื้นฐานของระบบ เช่น ความถี่ฐาน (frequency base), ค่าแรงดันและกำลังฐาน (voltage and power ratings), จำนวนรอบการวนซ้ำสูงสุด (maximum iterations) สำหรับการคำนวณ PF, Continuation Power Flow (CPF), และ OPF, รวมถึงค่าความคลาดเคลื่อน (tolerance) ที่ใช้เป็นเกณฑ์หยุดการคำนวณ

นอกจากนี้ ผู้ใช้ยังสามารถเลือกตัวแก้สมการ (solvers) ได้หลากหลาย เพื่อให้เหมาะสมกับลักษณะปัญหาและความต้องการของแต่ละกรณี โดยมีตัวเลือกตั้งแต่เทคนิคแบบดั้งเดิม เช่น Newton-Raphson, Gauss-Seidel, Fast Decoupled และ Iwamoto Method ไปจนถึงวิธีเชิงวิวัฒนาการและอัลกอริธึมอัจฉริยะ เช่น Genetic Algorithm, Interior Point Method, Particle Swarm Optimization (PSO), Adaptive Expanding PSO, Neuro-Adaptive Artificial-Guided PSO, Artificial Bee Colony, Ant Colony Optimization และ Firefly Algorithm ซึ่งรองรับการประยุกต์ใช้ในระบบไฟฟ้าที่มีความซับซ้อนและมีการเปลี่ยนแปลงอยู่ตลอดเวลา

2. ผลลัพธ์ที่ได้จาก PGAz

ในเปเปอร์นี้มุ่งเน้นไปที่การนำเสนอผลลัพธ์ที่ได้จากการใช้งาน PGAz ในด้าน SSSA และ TS เป็นหลัก ส่วนผลการคำนวณและการแสดงผลในส่วนของ PF, CPF และ OPF ซึ่งเป็นฟังก์ชันพื้นฐานของระบบ สามารถศึกษาเพิ่มเติมได้จาก [5]

ระบบไฟฟ้าตัวอย่างใน รูปที่ 6 ถูกสร้างขึ้นโดยใช้ PGAz Library ตามที่แสดงใน รูปที่ 2 โดยประกอบด้วย synchronous machine ต่อกับตัวควบคุม automatic voltage regulator (AVR), turbine governor (TG) และ power system stabilizer (PSS), IBR และอีกหนึ่ง synchronous machine ที่ทำหน้าที่เป็น slack bus สำหรับผลการวิเคราะห์พฤติกรรมพลวัตของระบบนั้น ได้ดำเนินการผ่านโมดูล SSSA (แสดงในรูปที่ 7) และ TS (แสดงในรูปที่ 8)

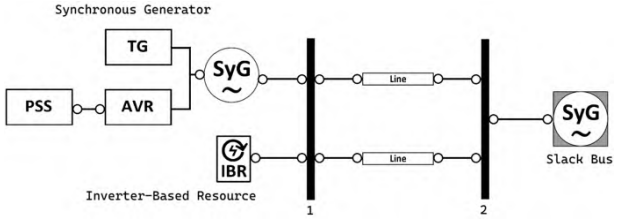

รูปที่ 6 ระบบทดสอบตัวอย่างของระบบไฟฟ้ากำลังที่มี IBR

ในรูปที่ 7 การวิเคราะห์ SSSA พบว่า eigenvalues ทั้งหมดอยู่ในครึ่งซ้ายของระนาบเชิงซ้อน โดยไม่มี eigenvalue ใดที่มีพจน์จริงเป็นบวก อีกทั้งยังมีคู่ eigenvalue เชิงซ้อนหลักที่มี damping ratio ประมาณ 14.73% ซึ่งอยู่ในเกณฑ์ที่ยอมรับได้สำหรับระบบไฟฟ้ากำลังขนาดใหญ่ จึงสามารถสรุปได้อย่างชัดเจนว่าระบบมีเสถียรภาพ (Stable system) จุดเด่นสำคัญของระบบวิเคราะห์นี้คือความสามารถในการโต้ตอบกับผู้ใช้ผ่าน GUI ที่ออกแบบมาอย่างเหมาะสม โดยมีฟังก์ชันปุ่มต่าง ๆ ที่ช่วยให้การจำลองและการแสดงผลมีความยืดหยุ่นและชัดเจนยิ่งขึ้น เช่น ปุ่ม Plot สำหรับแสดงกราฟผลตอบสนองเชิงเวลา ปุ่ม Graph สำหรับการพล็อตแบบ 2D Phase Plot (เช่น delta เทียบกับ omega) หรือ Eigenvalue Plot เพื่อการวิเคราะห์เสถียรภาพ และปุ่ม Report สำหรับแสดงค่า eigenvalue พร้อม damping ratio ความถี่ และตัวแปรที่เกี่ยวข้องในรูปแบบที่สามารถนำไปใช้ในรายงานหรือบทความวิจัยได้ทันที นอกจากนี้ GUI ยังมีระบบการเลือกตัวแปรแกน x และ y สำหรับการสร้าง phase plot ซึ่งออกแบบให้แยกกันอย่างชัดเจนเพื่อความสะดวกในการใช้งาน

ในรูปที่ 8 ผลลัพธ์ที่ได้จาก TS แสดงให้เห็นว่าระบบมีพฤติกรรมพลวัตอยู่ภายใต้ขอบเขตของเสถียรภาพสำหรับตัวแปรมุมเฟส (delta_G) แสดงลักษณะการตอบสนองแบบ underdamped โดยมีการสั่นที่ลดทอนลงอย่างต่อเนื่อง ก่อนเข้าสู่สภาวะคงตัวภายในเวลาประมาณ 8 วินาที ซึ่งแสดงถึงความสามารถของระบบในการรักษาเสถียรภาพภายใต้การรบกวนขนาดเล็กได้อย่างมีประสิทธิภาพ

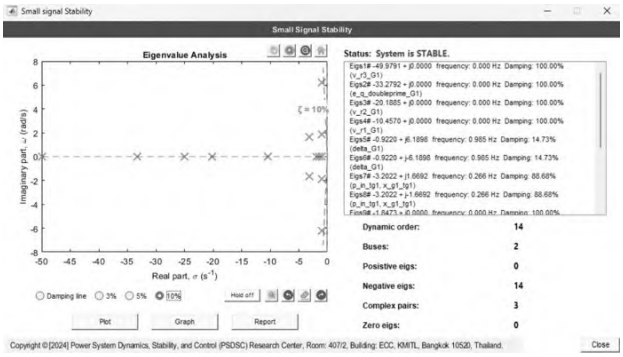

รูปที่ 7 หน้าต่าง GUI ของ SSSA

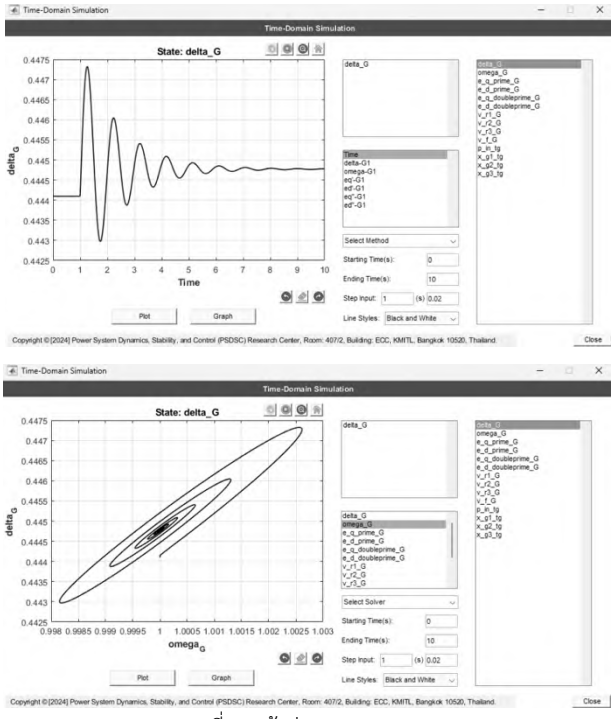

รูปที่ 8 หน้าต่าง GUI ของ TS

นอกจากนี้ PGAz ยังรองรับการใช้งานผ่าน command-line interface ซึ่งเปิดโอกาสให้ผู้ใช้สามารถเขียนสคริปต์ในไฟล์ .m เพื่อสร้างฟังก์ชันอัตโนมัติที่ประสานการทำงานระหว่างฟังก์ชันต่าง ๆ ที่พัฒนาขึ้นภายใน PGAz กับฟังก์ชันมาตรฐานของ MATLAB รวมถึงสามารถเชื่อมต่อและทำงานร่วมกับซอฟต์แวร์ภายนอกอื่น ๆ (รูปที่ 1) ที่เกี่ยวข้องได้อย่างยืดหยุ่น ด้วยความสามารถนี้ ผู้ใช้จึงสามารถออกแบบกระบวนการคำนวณที่ซับซ้อนและเป็นระบบได้อย่างคล่องตัว โดยเฉพาะอย่างยิ่งในการประมวลผลแบบ batch simulation ที่ต้องการความรวดเร็วและประสิทธิภาพสูง โดยเฉพาะอย่างยิ่งเมื่อพิจารณาการทำงานร่วมกันของโมดูลหลักทั้งหมด ได้แก่ PF, OPF, SSSA และ TS ซึ่งสามารถประสานงานร่วมกับอินเทอร์เฟซแบบโต้ตอบได้อย่างราบรื่นและมีประสิทธิภาพสูง ส่งผลให้ผู้ใช้สามารถเลือกใช้วิธีการที่เหมาะสมกับลักษณะงานและวัตถุประสงค์ได้อย่างยืดหยุ่นและครอบคลุม

สุดท้ายนี้ ตารางที่ 1 แสดงการเปรียบเทียบฟังก์ชันของซอฟต์แวร์โอเพนซอร์สสำหรับระบบไฟฟ้า ปัจจุบันพบว่า PGAz ที่พัฒนาโดยเรา มีความครบถ้วนด้านฟังก์ชันมากที่สุดและยังคงพัฒนาอย่างต่อเนื่องในทุกด้าน ขณะที่ซอฟต์แวร์อย่าง PSAT และ PST รองรับฟังก์ชันหลักหลายอย่าง ส่วน MATPOWER จะเน้นเฉพาะฟังก์ชันพื้นฐานเป็นหลัก

ตารางที่ 1 ฟังก์ชันของซอฟต์แวร์โอเพนซอร์สด้านระบบไฟฟ้ากำลัง

ซอฟต์แวร์โอเพนซอร์ส/ ฟังชันก์ที่มี	MATPOWER	PST	PSAT	PGAz
PF	✓	✓	✓	✓
CPF	-	-	✓	✓
OPF	✓	✓	✓	✓
SSSA	-	✓	✓	✓
TS	-	✓	✓	✓
GUI	✓	-	✓	✓
Command line usage	-	✓	✓	✓
User-defined models	-	-	✓	✓
New power system models/devices	-	-	*Update ceases since 2016*	✓
New microgrid models/devices	-	-	-	✓

3. สรุปผลและแนวทางพัฒนา

ในงานวิจัยนี้ เราได้พัฒนาและนำเสนอซอฟต์แวร์โอเพนซอร์สใหม่บน MATLAB ชื่อ PGAz ซึ่งถูกออกแบบมาเพื่อรองรับการวิเคราะห์ระบบไฟฟ้าสมัยใหม่ที่มีความซับซ้อนมากขึ้น โดย PGAz มีฟังก์ชันหลักที่ครอบคลุมตั้งแต่การวิเคราะห์ PF, OPF, SSSA และ TS ร่วมด้วยอัลกอริธึมใหม่ๆที่ถูกพัฒนาขึ้นอย่างต่อเนื่องเพื่อแก้ไขปัญหาเหล่านี้ นอกจากนี้ PGAz ยังมีความยืดหยุ่นสูงแก่ผู้ใช้งานในการปรับแต่งโมเดลระบบ อัลกอริทึม และอุปกรณ์ไฟฟ้าต่างๆ เพื่อให้สอดคล้องกับความต้องการเฉพาะทางด้าน power systems, dynamics, stability และ control systems ของแต่ละงานวิจัย ซึ่งเป็นข้อได้เปรียบสำคัญที่ช่วยให้นักวิจัยและผู้พัฒนาสามารถทดลองและพัฒนาวิธีการใหม่ ๆ ได้อย่างอิสระ ด้วยความสามารถที่ครบถ้วน การอัปเดตอย่างต่อเนื่อง และอินเทอร์เฟซที่ใช้งานง่าย PGAz จึงถือเป็นเครื่องมือที่เหมาะสมและสำคัญสำหรับการศึกษา วิเราะห์ และวิจัยระบบไฟฟ้ากำลังสมัยใหม่ รวมถึงการประยุกต์ใช้ในสาขาที่เกี่ยวข้อง เช่น การบูรณาการพลังงานหมุนเวียน การจัดการโหลดที่ซับซ้อน และการวิเคราะห์เสถียรภาพในสภาวะต่างๆ ยิ่งไปกว่านั้น PGAz ยังมีศักยภาพที่จะพัฒนาต่อยอดอย่างต่อเนื่อง ทั้งในแง่ของฟีเจอร์ใหม่ๆ การรองรับเทคโนโลยีที่เปลี่ยนแปลงทางด้าน power systems และ control systems รวมถึงการเชื่อมต่อกับซอฟต์แวร์และฟังชันก์ MATLAB อื่นๆ เพื่อสร้างระบบวิเคราะห์ที่ครบวงจรและทันสมัย ด้วยเหตุนี้ PGAz จึงไม่เพียงแต่เป็นเครื่องมือที่ตอบโจทย์การวิจัยในปัจจุบันเท่านั้น แต่ยังเป็นรากฐานที่สำคัญสำหรับการพัฒนาอนาคตในสาขาระบบไฟฟ้า โดยจะสนับสนุนการวิจัยที่ต้องการความยืดหยุ่นและประสิทธิภาพสูง พร้อมช่วยผลักดันนวัตกรรมและการค้นพบใหม่ๆ ในวงการไฟฟ้ากำลังได้อย่างต่อเนื่อง การอัปเดตในอนาคต ทีมงานจะมุ่งเน้นการพัฒนา PGAz โดยต่อยอดเทคโนโลยีด้านพลังงานและระบบควบคุมอัจฉริยะ เพิ่มความยืดหยุ่นในการสร้างและกำหนดโมเดลโดยผู้ใช้ รองรับระบบที่มีหลายจุดอ้างอิง ปรับปรุงการแก้ปัญหาที่ซับซ้อนให้มีประสิทธิภาพยิ่งขึ้น และขยายขีดความสามารถของระบบให้ครอบคลุมการใช้งานในหลากหลายสถานการณ์.

เอกสารอ้างอิง

[1] F. Milano, “An open-source power system analysis toolbox,” *IEEE Transactions on Power Systems*, vol. 20, no. 3, pp. 1199–1206, 2005.

[2] J. H. Chow and K. W. Cheung, “A toolbox for power system dynamics and control engineering education and research,” *IEEE Transactions on Power Systems*, vol. 7, no. 4, pp. 1559–1564, 1992.

[3] J. H. Chow and K. W. Cheung, “A toolbox for power system dynamics and control engineering education and research,” *IEEE Transactions on Power Systems*, vol. 7, no. 4, pp. 1559–1564, 1992.

[4] A. H. Chen *et al.*, “Voltage stability toolbox: an introduction and implementation,” *in Proc. 28th North American Power Symposium*, pp. 1-6, 1996.

[5] S. Jaingeawkum *et al.*, “Power Grid Analyzer, Part I—Power Flow and Optimal Power Flow,” *in 2025 13th International Electrical Engineering Congress (iEECON)*, pp. 1-6, 2024.

การประมาณค่าความถี่ของระบบไฟฟ้าสามเฟสไม่สมดุลในระบบสมาร์ทกริด

Frequency Estimation of Unbalanced Three-Phase Power Systems in Smart Grids

ประยุทธ อินแบน[1] ราชู พันธ์ฉลาด[1*] โชคชัย แสงดาว[1] วุฒิพร เลิศวาสนา[1] และ บุญชัย บุญชู[2]

[1]สาขาวิชาวิศวกรรมไฟฟ้า คณะเทคโนโลยีอุตสาหกรรม มหาวิทยาลัยราชภัฏราชนครินทร์
[2]สาขาวิชาเทคโนโลยีไฟฟ้า คณะวิศวกรรมศาสตร์และเทคโนโลยีอุตสาหกรรม มหาวิทยาลัยราชภัฏสวนสุนันทา

บทคัดย่อ

บทความนี้นำเสนอวิธีการประมาณค่าความถี่ของระบบไฟฟ้าสามเฟสไม่สมดุลในระบบสมาร์ทกริด โดยใช้ตัวประมาณแบบ Phase Error Criterion (PEC) ซึ่งมีความสามารถต้านทานสัญญาณรบกวนแบบอิมพัลซ์ได้ดี หลักการที่ที่นำเสนออาศัยการแปลงของคลาร์คเพื่อแยกสัญญาณความถี่บวกออกจากความถี่ลบก่อนประมวลผล ซึ่งช่วยเพิ่มความแม่นยำของการประมาณในกรณีที่ระบบอยู่ในสภาวะไม่สมดุล การทดลองด้วยสัญญาณจำลองแสดงให้เห็นว่า PEC ให้ผลลัพธ์ที่เสถียรและแม่นยำกว่าวิธีมาตรฐาน เช่น CLMS และ ACLMS โดยเฉพาะในกรณีที่มีสัญญาณอิมพัลซ์แทรกซ้อนมีขนาดใหญ่ ผลการศึกษาแสดงให้เห็นว่า PEC สามารถใช้เป็นเครื่องมือเฝ้าระวังความผิดปกติในระบบจ่ายไฟฟ้าสามเฟสภายใต้สภาวะแวดล้อมที่มีการเปลี่ยนแปลงได้อย่างมีประสิทธิภาพ

คำสำคัญ: ระบบไฟฟ้าสามเฟสไม่สมดุล การประมาณค่าความถี่แบบปรับตัว

Abstract

In this paper, the Phase Error Criterion (PEC) estimator, which is robust against impulse noise, is used to estimate the frequency of unbalanced three-phase power systems in smart grids. The suggested method improves estimation accuracy in unbalanced situations by using Clarke's transform to isolate the positive frequency component from the negative one before processing. According to simulation data, PEC performs more accurately and steadily than conventional techniques like CLMS and ACLMS, especially when high impulsive noise is present. According to the results, PEC can be used as a monitoring tool to identify anomalies in three-phase power distribution systems that are subjected to dynamic conditions.

Keywords: Unbalanced three-phase power system, Adaptive Frequency Estimation

1. บทนำ

ระบบสมาร์ทกริด (Smart Grid) [1] เป็นโครงข่ายไฟฟ้าอัจฉริยะที่ใช้เทคโนโลยีดิจิทัลและการสื่อสารขั้นสูงเข้ามาเสริมการทำงานของระบบไฟฟ้าแบบดั้งเดิม เพื่อเพิ่มความน่าเชื่อถือ ประสิทธิภาพ ความยืดหยุ่น และความยั่งยืนของระบบพลังงาน โดยสามารถตอบสนองต่อการเปลี่ยนแปลงของความต้องการพลังงานและการผลิตพลังงานจากแหล่งที่หลากหลาย เช่น พลังงานหมุนเวียน

ระบบสมาร์ทกริดประกอบด้วยระบบผลิตไฟฟ้า (Power Generation) ระบบส่งไฟฟ้า (Transmission System) ระบบจำหน่ายไฟฟ้า (Distribution System) อุปกรณ์ผู้ใช้ปลายทาง (End-user devices) ระบบการสื่อสาร (Communication System) และระบบบริหารจัดการข้อมูล (Data Management and Control System) ระบบผลิตไฟฟ้าสามารถรองรับทั้งแบบแหล่งพลังงานดั้งเดิม (โรงไฟฟ้าถ่านหิน แก๊ส เป็นต้น) และพลังงานหมุนเวียน (โซลาร์เซลล์ ลม น้ำ เป็นต้น) และรองรับการผลิตไฟฟ้าแบบกระจาย (Distributed generation) คือ การผลิตไฟฟ้าในหรือใกล้กับจุดที่ใช้งานไฟฟ้า โดยอาศัยหน่วยผลิตไฟฟ้าขนาดเล็กหลากหลายชนิดที่เชื่อมต่อกับระบบจำหน่ายไฟฟ้าหรือแม้กระทั่งติดตั้งโดยตรง ณ สถานที่ของผู้ใช้ไฟฟ้า ระบบส่งไฟฟ้าใช้เทคโนโลยีเซ็นเซอร์และระบบควบคุมที่สามารถตรวจจับปัญหา เช่น ไฟฟ้าตก ไฟฟ้ากระชาก ได้รวดเร็ว ระบบจำหน่ายไฟฟ้ามีการใช้ระบบอัตโนมัติ (Automation) เพื่อตรวจสอบคุณภาพไฟฟ้า และควบคุมการจ่ายไฟแบบทันที อุปกรณ์ผู้ใช้ปลายทางใช้มิเตอร์อัจฉริยะ (Smart Meter) บันทึกการใช้พลังงานแบบเรียลไทม์ ส่งข้อมูลกลับไปยังศูนย์ควบคุม และให้ผู้บริโภคสามารถตรวจสอบการใช้ไฟได้เองและมีระบบบริหารพลังงานภายในบ้าน (Home Energy Management System (HEMS)) เช่น ควบคุมเครื่องปรับอากาศให้เปิด/ปิดตามเวลาหรือโหลด ระบบสื่อสารใช้เครือข่ายสื่อสาร เช่น ZigBee, Wi-Fi, LTE, 5G เชื่อมต่ออุปกรณ์ต่าง ๆ เพื่อส่งข้อมูลและควบคุมระบบ และสุดท้ายระบบจัดการข้อมูลใช้ Big Data และ AI วิเคราะห์พฤติกรรมการใช้ไฟฟ้า คาดการณ์โหลดไฟฟ้า และบริหารจัดการระบบได้อย่างมีประสิทธิภาพ

ระบบสมาร์ทกริดมีคุณสมบัติที่สำคัญหลายประการ เช่น มีการสื่อสารสองทางระหว่างผู้ใช้และผู้ให้บริการ สามารถควบคุมการใช้พลังงานในช่วงที่โหลดสูงโดยอัตโนมัติ เช่น ลดการใช้ไฟฟ้าในอาคารสำนักงานตอนกลางวัน หากเกิดไฟฟ้าขัดข้อง ระบบสามารถหาตำแหน่งที่เสีย และตัดเฉพาะส่วนนั้นโดยไม่กระทบทั้งระบบ รองรับการเชื่อมต่อแหล่งพลังงานหมุนเวียนที่มีการจ่ายพลังงานไม่คงที่ และ มีระบบความปลอดภัยไซเบอร์ป้องกันการโจมตีหรือแทรกแซงจากภายนอก เป็นต้น

ประโยชน์ของระบบสมาร์ทกริดมีหลายประการเช่น ลดต้นทุนพลังงานสะอาด เพิ่มความมั่นคงทางพลังงาน ส่งเสริมการผลิตไฟฟ้าจากผู้ใช้ และบริหารพลังงานได้ดี เป็นต้น สำหรับประเทศไทยมีการนำระบบสมาร์ทกริดนำร่องมาทดลองใช้ที่จังหวัดแม่ฮ่องสอน และโครงการมิเตอร์อัจฉริยะของการไฟฟ้านครหลวง (MEA Smart Metro Grid)

อย่างไรก็ตาม แม้ว่าระบบสมาร์ทกริดจะมีระบบจัดการพลังงานไฟฟ้าที่มีประสิทธิภาพแต่ก็อาจจะประสบกับปัญหาที่ไม่อาจหลีกเลี่ยงได้หลายประการ อาทิ ค่าความถี่ของสัญญาณเบี่ยงเบนไปจากค่าความที่กำหนด (Nominal Frequency) (50 Hz) ซึ่งมีสาเหตุมาจากมีโหลดแบบไม่เชิงเส้นในระบบจำนวนเพิ่มขึ้นจึงเกิดสัญญาณฮาร์มอนิกและแรงดันตกเนื่องจาก

*ผู้ประพันธ์บรรณกิจ

การดึงกระแสไฟฟ้าของโหลดในแต่ละเฟสไม่เท่ากัน [2] ซึ่งในระบบไฟฟ้าสามเฟสหากแรงดันในแต่ละเฟสตกไม่เท่ากันจะทำให้แรงดันไฟฟ้าเกิดความไม่สมดุล (Unbalanced) ระหว่างเฟสและส่งผลเสียหายต่ออุปกรณ์ผู้ใช้ปลายทาง เช่น ทำให้เกิดกระแสหมุนวน (Eddy current) ในมอเตอร์สามเฟสส่งผลให้กระแสไม่สมดุลสูงกว่าแรงดันไม่สมดุล 6 ถึง 15 เท่า กระแสไฟฟ้าส่วนเกินมีส่วนทำให้มอเตอร์ร้อนขึ้นกว่าปกติทำให้อายุการใช้งานสั้นลง ตามมาตรฐาน NEMA (National Electrical Manufacturers Association) ได้กำหนดให้ค่าแรงดันไม่สมดุลที่ขั้วของมอเตอร์ต้องมีค่าไม่เกิน 1% และไม่แนะนำให้ใช้มอเตอร์เมื่อค่าแรงดันไม่สมดุลมีค่า 5% หรือมากกว่า [3] ปัญหาที่สำคัญอีกประการคือระบบไฟฟ้าต้องเผชิญหน้ากับสัญญาณแทรกสอดทั้งที่เกิดขึ้นตามธรรมชาติและที่เกิดจากมนุษย์สร้างขึ้น ได้แก่ คลื่นแม่เหล็กไฟฟ้าจากฟ้าผ่า การเปิด-ปิดของสวิตช์ไฟฟ้า และไฟฟ้าแรงสูง ในรูปของสัญญาณรบกวนแบบอิมพัลซ์ (Impulse noise) สัญญาณรบกวนแบบอิมพัลซ์นั้นจะเกิดขึ้นแบบฉับพลันทันด่วนในช่วงสั้น ๆ มีแอมปลิจูดขนาดใหญ่ ส่งผลกระทบต่อระบบไฟฟ้าได้รุนแรงมากกว่าสัญญาณรบกวนแบบเกาส์เซียน (Gaussian noise) [4] ดังนั้นจะเห็นว่าการประมาณค่าและการเฝ้าติดตามค่าความถี่ (Frequency Estimation and Monitoring) ของระบบไฟฟ้าสามเฟสในระบบสมาร์ทกริดเป็นเรื่องที่จำเป็นและท้าทายอย่างยิ่ง ทั้งนี้เพราะหากระบบเฝ้าระวังตรวจพบการเบี่ยงเบนของความถี่ออกไปจากค่าปกติ 50 Hz ก็จะหมายถึงมีปัญหาบางประการเกิดขึ้นในระบบสมาร์ทกริดนั่นเอง

ตลอดหลายสิบปีที่ผ่านมา มีงานวิจัยเกี่ยวกับการประมาณค่าความถี่ในระบบสมาร์ทกริดมากมายถูกนำเสนอ อาทิ Discrete Fourier Transform (DFT) [5] Least Mean Square (LMS) [6] Complex LMS (CLMS) [7] และ Augmented CLMS (ACLMS) [8] เป็นต้น ตัวประมาณค่าที่พัฒนาจาก LMS มีโครงสร้างเป็นตัวกรองความถี่แบบปรับตัวได้ (Adaptive Filter) ซึ่งเหมาะกับการนำมาใช้ในระบบสมาร์ทกริดอย่างมาก เนื่องจากสามารถปรับการทำงานได้ด้วยตัวเองตามสิ่งแวดล้อมที่เปลี่ยนแปลงไป อย่างไรก็ตาม เมื่อเกิดเหตุการณ์ไม่สมมาตรขึ้นระบบไฟฟ้าและภายใต้การทำงานในสภาวะที่มีสัญญาณรบกวนอิมพัลซ์ จะทำให้ประสิทธิภาพของตัวกรองความถี่แย่ลงอย่างมีนัย ในปี 2025 Prayuth Inban และคณะ [9] ได้นำเสนอตัวกรองความถี่แบบปรับตัวได้แบบ Phase Error Criterion (PEC) ซึ่งมีความคงทนต่อสัญญาณอิมพัลซ์ แต่หากต้องทำงานภายใต้ความไม่สมมาตรของของระบบไฟฟ้า PEC ก็มีประสิทธิภาพไม่ต่างจาก LMS

บทความนี้นำเสนอการนำตัวกรอง PEC มาใช้ในระบบสมาร์ทกริดเพื่อประมาณค่าความถี่ของระบบไฟฟ้าสามเฟสแบบไม่สมดุล เนื่องจากสัญญาณรูปคลื่นไซน์เชิงซ้อน (Complex Sinusoidal Signal) ที่ได้จากการการแปลงของคลาร์ค (Clarke's Transform) ในระบบไม่สมดุลจะประกอบด้วยผลรวมของสัญญาณความถี่บวก (Positive Frequency Sequence) กับ สัญญาณความถี่ลบ (Negative Frequency Sequence) ดังนั้นเพื่อให้ PEC สามารถทำได้ได้ดีทั้งในสภาวะไม่สมดุลและภายใต้สัญญาณรบกวนอิมพัลซ์ สัญญาณความถี่ลบจะถูกตัดทิ้งไปภายหลังจากการการแปลงของคลาร์คสิ้นสุดลง ผลการจำลองการทำงานด้วยคอมพิวเตอร์ยืนยันได้ว่าตัวกรองความถี่ที่นำเสนอสามารถทำได้ได้จริงตามที่กล่าวมา

2. ระบบไฟฟ้าสามเฟสไม่สมดุล

แบบจำลองทางคณิตศาสตร์ของระบบไฟฟ้าสามเฟสไม่สมดุลในรูปแบบไม่ต่อเนื่องทางเวลา คือ [4]

$$v_1(n) = V_1(n)\cos(\Omega_0 n + \phi) + q_1(n) \tag{1}$$

$$v_2(n) = V_2(n)\cos(\Omega_0 n - \frac{2\pi}{3} + \phi) + q_2(n) \tag{2}$$

$$v_3(n) = V_3(n)\cos(\Omega_0 n + \frac{2\pi}{3} + \phi) + q_3(n) \tag{3}$$

เมื่อ $v_i(n), i = 1,2,3$ คือสัญญาณไฟฟ้าเฟสที่ i $V_i(n)$ คือค่าสูงสุดในเฟสที่ i Ω_0 คือค่าความถี่ที่กำหนดดิจิทัล ϕ คือเฟสเริ่มต้น และ $q_i(n)$ คือสัญญาณรบกวนในเฟสที่ i โดยทั่วไปขนาดแรงดันของระบบไฟฟ้าสามเฟสจะมีค่าในช่วง 380 – 400 โวลต์ และมีค่าความถี่เชิงมุมที่กำหนดแอนะลอกเป็น $\omega_0 = 2\pi f_0$ เรเดียน/วินาที โดยที่ $f_0 = 50$ Hz คือค่าความถี่ที่กำหนดแอนะลอก การประมาณค่าความถี่โดยใช้สัญญาณจากระบบไฟฟ้าสามเฟสโดยตรงไม่สามารถทำได้เนื่องจากขนาดแรงดันมีค่าสูงมาก ดังนั้นในทางปฏิบัติจึงต้องอาศัยเซนเซอร์ (Sensor) และตัวแปลง (Transducer) ในการตรวจจับและแปลงค่าสัญญาณแรงดันสูงให้เป็นสัญญาณแรงดันต่ำที่เฟสและความถี่เหมือนกันทุกประการ สัญญาณขนาดเล็กที่ได้จะถูกนำไปชักตัวอย่าง (Sampling) ด้วยอัตราชัก f_s Hz เพื่อประมวลผลในแบบดิจิทัล ดังนั้นจึงสามารถเขียนความสัมพันธ์ระหว่างความถี่เชิงมุมดิจิทัลและแอนะลอกได้ว่า

$$\Omega_0 = 2\pi \frac{f_0}{f_s} \tag{4}$$

สัญญาณที่ได้จากการชักตัวอย่างทั้งสามจะถูกแปลงเป็นสัญญาณเชิงซ้อน (Complex Sinusoidal Signal) โดยอาศัยการการแปลงของคลาร์ค ดังนี้

$$\begin{bmatrix} v_\alpha(n) \\ v_\beta(n) \end{bmatrix} = \sqrt{\frac{2}{3}} \begin{bmatrix} 1 & -\frac{1}{2} & -\frac{1}{2} \\ 0 & \sqrt{\frac{3}{2}} & -\sqrt{\frac{3}{2}} \end{bmatrix} \begin{bmatrix} v_1(n) \\ v_2(n) \\ v_3(n) \end{bmatrix} \tag{5}$$

ดังนั้นจะได้

$$v(n) = v_\alpha(n) + jv_\beta(n) \tag{6}$$

สมการที่ (6) สามารถเขียนในรูปของสัญญาณความถี่บวกและลบได้ว่า

$$v(n) = v_+(n)e^{j(\Omega_0 n+\phi)} + v_-(n)e^{-j(\Omega_0 n+\phi)} + q(n) \tag{7}$$

โดยที่

$$v_+(n) = \frac{\sqrt{6}}{6}(v_1(n) + v_2(n) + v_3(n)) \tag{8}$$

$$v_{-}(n) = \frac{\sqrt{6}}{12}(2v_1(n) - v_2(n) - v_3(n)) - j\frac{\sqrt{2}}{4}(v_2(n) - v_3(n)) \quad (9)$$

และ

$$q(n) = \sqrt{\frac{2}{3}}\left(q_1(n) - \frac{1}{2}(q_2(n) + q_3(n))\right) + j\frac{\sqrt{2}}{2}(q_2(n) - q_3(n)) \quad (10)$$

จากสมการที่ (7) จะสามารถคำนวณหาค่าสัญญาณความถี่บวกและลบได้ตามลำดับ ดังนี้ [2]

$$V^{+}(n) = \frac{1}{2}(v(n) + jv(n-L)) \quad (11)$$

$$V^{-}(n) = \frac{1}{2}(v(n) - jv(n-L)) \quad (12)$$

โดยที่

$$L = k\frac{f_s}{4f_0} \quad (13)$$

เมื่อ k คือเลขจำนวนเต็มที่น้อยที่สุดที่ยังคงทำให้ L เป็นจำนวนเต็มที่น้อยที่สุด เนื่องจากสัญญาณความถี่ลบจะเกิดขึ้นเฉพาะกรณีที่ระบบไฟฟ้าเกิดความไม่สมดุลเท่านั้น ดังตัวอย่างในรูปที่ 1 ซึ่งแสดงเฉพาะส่วนจริง (Real part) ของของ $V^{+}(n)$ และ $V^{-}(n)$ โดยกำหนดให้ $f_0 =$ 50 Hz $f_s =$ 5000 Hz ซึ่งจะได้ $L = 25$ ตัวอย่าง และกำหนดให้ $N = 1000$ คือความยาวของสัญญาณ ในช่วง 500 ตัวอย่างแรกกำหนดให้ $V_i(n)$ =1 ทุกเฟส ส่วนใน 500 ตัวอย่างถัดมากำหนดให้ $V_1(n) = V_2(n) = 1$ และ $V_3(n) = 0.5$ โดยสมมติให้ $q_i(n)$ = 0 จากรูปจะเห็นว่าเกิดความไม่สมดุลในระบบไฟฟ้าที่ตำแหน่ง n = 500 ส่งผลให้เกิดสัญญาณค่าลบขึ้นตั้งแต่ตัวอย่างที่ 500 เป็นต้นไป แต่หากระบบไฟฟ้าอยู่ในสภาวะสมดุล สัญญาณความถี่ลบจะมีค่าเป็นศูนย์ซึ่งแสดงใน 500 ตัวอย่างแรก (สำหรับค่าจินตภาพก็จะเป็นไปในทิศทางเดียวจึงไม่ได้นำมาแสดงในบทความนี้) ด้วยเหตุนี้ ในบทความนี้จึงสนใจเฉพาะสัญญาณความถี่บวกเท่านั้น ดังนั้นแทนที่จะประมาณค่าความถี่จากสัญญาณที่ได้จากการแปลงของคลาร์คโดยตรง แต่จะนำสัญญาณที่ได้ไปคำนวณหาค่าสัญญาณความถี่บวกตามสมการที่ (11) ก่อน จากนั้นจึงป้อนให้กับตัวประมาณค่าความถี่ในลำดับถัดไป ดังแสดงหลักการทำงานของระบบที่นำเสนอในรูปที่ 2

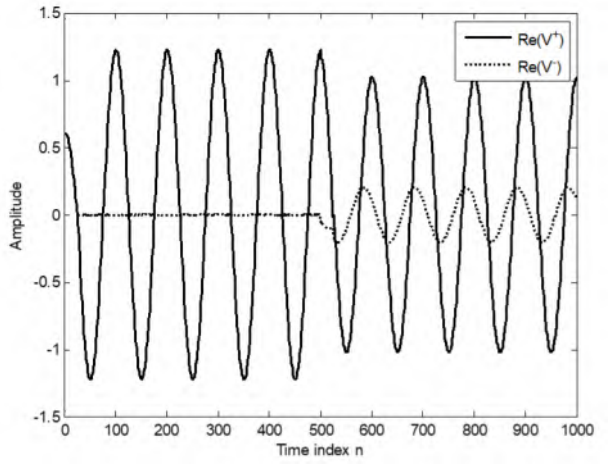

รูปที่ 1 ค่าจริงของสัญญาณความถี่บวก $V^{+}(n)$ (เส้นทึบ) และลบ $V^{-}(n)$ (เส้นประ) เมื่อเกิดความไม่สมดุลในระบบไฟฟ้าสามเฟส

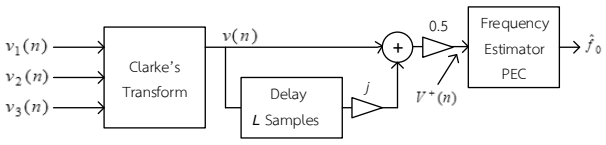

รูปที่ 2 หลักการทำงานของตัวประมาณค่าความถี่ที่นำเสนอ

3. ตัวประมาณความถี่แบบ PEC

ตัวประมาณค่าความถี่แบบ PEC [9] มีจุดเด่นที่สำคัญคือสามารถทนต่อสัญญาณรบกวนอิมพัลซ์ได้ดีทั้งนี้เนื่องจาก PEC ใช้ค่าเฟสชั่วขณะของระบบเป็นเกณฑ์ในการปรับตัวเพื่อค้นหาค่าความถี่ของสัญญาณอินพุต PEC มีส่วนประกอบตามรูปที่ 3 โดยที่ $V^{+}(n)$ คือสัญญาณอินพุต CLP คือ Complex Linear Predictor $e(n)$ คือเอาต์พุตของ CLP $D(n)$ คือค่าเฟสชั่วขณะ และ $\hat{\Omega}_0(n)$ คือค่าความถี่เชิงมุมดิจิทัลชั่วขณะที่ประมาณได้ ซึ่งสามารถคำนวณย้อนกลับไปหาค่าความถี่แอนะลอกได้โดยอาศัยความสัมพันธ์

$$\hat{f}_0(n) = \frac{\hat{\Omega}_0(n) f_s}{2\pi} \text{ Hz} \quad (14)$$

ระเบียบวิธี PEC ได้ถูกอธิบายด้วยสมการ

$$\hat{\Omega}_0(n+1) = \hat{\Omega}_0(n) + \mu\angle(D(n)) \quad (15)$$

โดยที่

$$D(n) = V^{+}(n)e^{*}(n) \quad (16)$$

สัญลักษณ์ $\angle z$ หมายถึง ค่ามุมของ z และ z^{*} หมายถึง ค่าสังยุคของ z

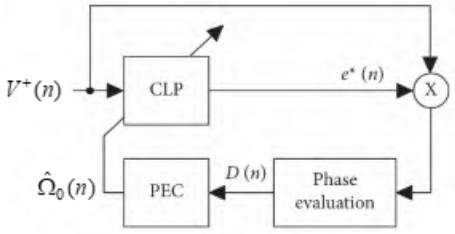

รูปที่ 3 หลักการทำงานของตัวประมาณค่าความถี่แบบ PEC

$$e(n) = V^+(n) + e^{j\hat{\Omega}_0(n)}V^+(n-1) \tag{17}$$

และ μ คือ สเตปไซส์ (Step size) เป็นตัวแปรควบคุมความเร็วในการปรับตัวของตัวประมาณค่าความถี่เป็นค่าคงที่

4. แบบจำลองสัญญาณอิมพัลซ์

สัญญาณอิมพัลซ์ [9] มีคุณสมบัติที่สำคัญสองประการคือ ขนาดเป็นค่าสุ่มและไม่สามารถคาดเดาเวลาที่เกิดได้ เมื่อสัญญาณอิมพัลซ์เกิดขึ้นกำลังงานของสัญญาณรบกวนจะเท่ากับความแรงของอัมพัลซ์ในห้วงเวลาสั้นๆที่มันเกิดขึ้น ทำให้สัญญาณอิมพัลซ์มีคุณสมบัติทางสถิติแบบ nonstationary และมีลักษณะสองประการคือ binary-state (เกิด กับ ไม่เกิด) และ time varying process (กระบวนการที่แปรผันตามเวลา) ด้วยเหตุนี้จึงทำให้ค่าสเปคตรัมกำลังงาน (Power spectral density) และค่าอัตสหสัมพันธ์ (Autocorrelation) มีลักษณะเป็น binary-state process ดังนั้นจึงสามารถสร้างแบบจำลองของสัญญาณอิมพัลซ์ได้ว่า

$$I(n) = u(n)b(n) \tag{18}$$

เมื่อ $u(n)$ คือค่าแอมปลิจูดแบบสุ่มและ $b(n)$ คือ binary-state sequence มีค่าเป็น 1 และ 0 ด้วยกับความน่าจะเป็น p และ 1-p ตามลำดับและมีค่าฟังก์ชันความหนาแน่นน่าจะเป็นดังนี้

$$f(b) = \begin{cases} p & ,b(n)=1 \\ 1-p & ,b(n)=0 \end{cases} \tag{19}$$

มีค่า mean เป็น p และค่าความแปรปรวนเป็น $p(1-p)$ สำหรับ $u(n)$ สามารถจำลองให้เป็นการแจกแจงแบบเกาส์เซียนที่มี mean เป็นศูนย์และความแปรปรวนเป็น σ_u^2 และมีค่าฟังก์ชันความหนาแน่นน่าจะเป็นดังนี้

$$f(u) = \frac{1}{\sigma_u\sqrt{2\pi}}e^{-u^2(n)/2\sigma_u^2} \tag{20}$$

เนื่องจากตัวแปรสุ่ม $u(n)$ และ $b(n)$ เป็นอิสระกันทางสถิติ ค่าความแปรปรวนของ $I(n)$ จึงมีค่าเป็น

$$\sigma_I^2 = p\sigma_u^2 \tag{21}$$

ดังนั้นถ้ากำหนดให้ P^+ เป็นกำลังงานของสัญญาณความถี่บวกที่อินพุตของ PEC ทำให้สามารถคำนวณหาค่าอัตรากำลังงานของสัญญาณต่อสัญญาณรบกวนอิมพัลซ์ (Signal to Impulse Noise power Ratio: *SINR*) ได้ว่า

$$SINR = \frac{P^+}{p\sigma_u^2} \tag{22}$$

จากสมการที่ (22) พบว่า มีคู่ของ p และ σ_u^2 จำนวนมากมายที่ทำให้ค่า *SINR* มีค่าเท่ากัน ในกรณีที่กำหนดให้ σ_u^2 เป็นค่าคงที่ ถ้าค่า p น้อยจะทำให้ได้ค่า *SINR* ที่สูง ในทางกลับกันจะได้รับค่า *SINR* ที่ต่ำ

5. ผลจำลองการทำงาน

ในหัวข้อนี้จะแสดงผลการจำลองการทำงานของตัวประมาณค่าความถี่ที่นำเสนอ โดยจะสมมติให้ระบบทำงานภายใต้สภาวะที่ระบบไฟฟ้าสามเฟสเกิดความไม่สมดุลและมีสัญญาณรบกวนแบบอิมพัลซ์ โดยจะเปรียบเทียบกับวิธี CLMS และ ACLMS ในช่วงเวลา 0 ถึง 0.1 วินาที กำหนดให้ระบบไฟฟ้ามีสภาวะสมดุล โดยกำหนดให้ $V_i(n)$ ทุกตัวมีค่าเท่ากับ 1 ในช่วง 0.1 ถึง 0.4 วินาที กำหนดให้ระบบไฟฟ้ามีสภาวะไม่สมดุลโดยในช่วง 0.1 ถึง 0.2 วินาทีได้กำหนดให้ $V_1(n) = V_2(n) = 1$ และ $V_3(n) = 0.5$ ในช่วง 0.2 ถึง 0.3 วินาที กำหนดให้ $V_1(n) = 0.5$ $V_2(n) = 0.8$ และ $V_3(n) = 1$ และในช่วง 0.3 ถึง 0.4 วินาที กำหนดให้ $V_1(n) = 1$ $V_2(n) = 0$ และ $V_3(n) = 1$ เนื่องจากระบบไฟฟ้าอยู่ในสภาวะไม่สมดุล ทำให้สัญญาณมีคุณสมบัติทางสถิติแบบ nonstationary จึงไม่สามารถตั้งค่า SINR ในการทดลองในแต่ละช่วงเวลาให้มีค่าที่แน่นอนได้ ดังนั้นเพื่อความสะดวก จะใช้วิธีลองผิดลองถูกโดยการปรับค่า σ_u^2 และ p จนได้ผลการทดลองที่เหมาะสม สำหรับในบทความนี้ได้กำหนดให้ σ_u^2 = 1x10^2 และ p = 1x10^{-3} รูปที่ 4 แสดงส่วนจริง (real part) ของสัญญาณ $v(n)$ ในบทความนี้จะนำสัญญาณ $v(n)$ ไปประมวลผลเพื่อให้ได้สัญญาณความถี่บวก $V^+(n)$ ตามสมการที่ (11) จากนั้นจึงป้อนให้กับตัวประมาณค่าความถี่ PEC และ CLMS สำหรับตัวประมาณค่าความถี่แบบ ACLMS นั้นถูกออกแบบมาเพื่อรับมือกับสัญญาณไฟฟ้าไม่สมดุล $v(n)$ โดยตรง จึงไม่ต้องใช้สัญญาณความถี่บวก กำหนดให้ค่าสเตปไซส์ของของตัวประมาณค่าความถี่ทั้งสามมีค่าเป็น $\mu = 0.05$ ตัวอย่างผลการประมาณค่าถี่ที่ได้จากตัวประมาณค่าความถี่ทั้งสามแบบแสดงดังรูปที่ 5 จากรูปที่ 4 สัญญาณอิมพัลซ์เกิดขึ้นแบบสุ่มที่วินาทีที่ 0.26 ซึ่งจากผลการทดลองในรูปที่ 5 พบว่าที่เวลา 0.26 วินาที ตัวประมาณค่าความถี่ PEC CLMS และ ACLMS ต่างก็ได้รับผลกระทบจากสัญญาณอิมพัลซ์ แต่จะสังเกตพบว่า PEC จะสามารถทนต่อสัญญาณอิมพัลซ์ได้ดีที่สุด โดย ACLMS จะได้รับผลกระทบที่รุนแรงที่สุด นอกจากนี้ยังสังเกตเห็นได้อย่างชัดเจนจากผลการทดลองในรูปที่ 5(a) ว่าที่เวลา 0.1 0.2 และ 0.3 วินาที นั้นค่าความถี่ที่ประมาณได้มีค่าเบี่ยงเบนไปจากค่าที่กำหนด 50 Hz เป็นช่วงสั้นๆ ซึ่งทำให้ทราบว่า ในเวลาดังกล่าวทั้งสามนั้น ระบบไฟฟ้าเกิดความไม่สมดุลขึ้นนั่นเอง รูปที่ 6 แสดงการทำงานของตัวประมาณค่าความถี่ในสภาวะระบบไฟฟ้าไม่สมดุลและสัญญาณอิมพัลซ์มีค่าสูงมากโดยกำหนดให้ σ_u^2 =1x10^5

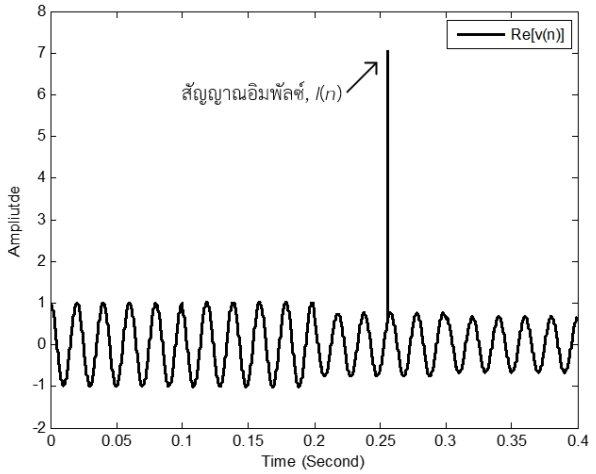

รูปที่ 4 ส่วนจริงของสัญญาณ $v(n)$ เมื่อระบบไฟฟ้าสามเฟสอยู่ในสภาวะไม่สมดุลและมีสัญญาณรบกวนอิมพัลซ์เกิดขึ้นในระบบ

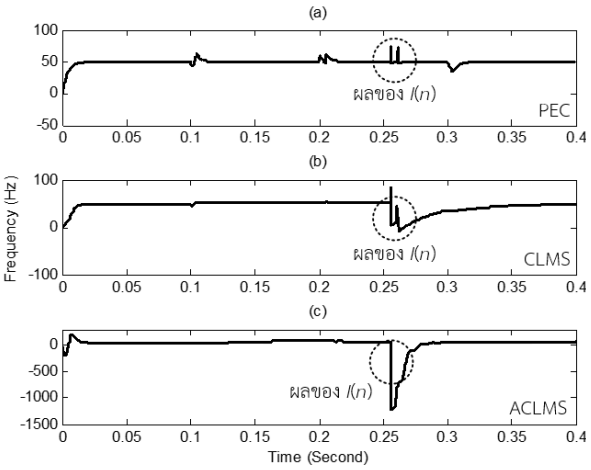

รูปที่ 5 ผลการประมาณค่าความถี่เมื่ออิมพัลซ์มีขนาดเล็ก
(a) PEC (b) CLMS (c) ACLMS

และ p = 1x10^{-3} จะพบว่า PEC ยังสามารถทำงานได้ ในขณะที่ CLMS และ ACLMS ให้สมรรถนะที่แย่ลงอย่างเห็นได้ชัดเจนดังนั้นจะเห็นได้ว่าสามารถนำค่าความถี่ที่ได้จากตัวประมาณค่าความถี่ที่นำเสนอไปใช้ในระบบสมาร์ทกริดได้โดยการนำไปแสดงเป็นตัวเลขหรือในรูปของกราฟ ให้ผู้ดูแลระบบใช้เป็นข้อมูลเพื่อเฝ้าระวังและติดตามความผิดปกติที่อาจเกิดขึ้นในระบบจ่ายไฟฟ้าสามเฟส

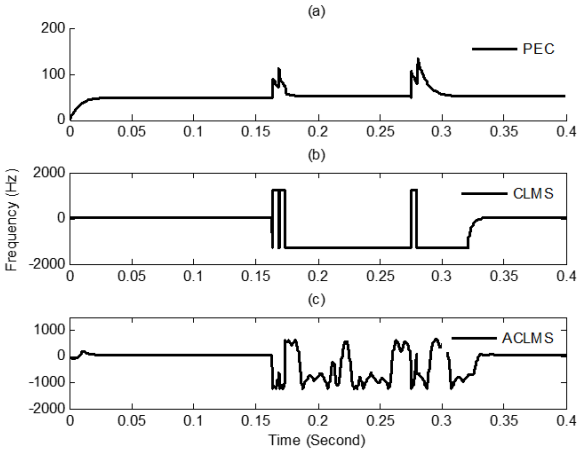

รูปที่ 6 ผลการประมาณค่าความถี่เมื่ออิมพัลซ์มีขนาดใหญ่มาก
(a) PEC (b) CLMS (c) ACLMS

6. สรุป

บทความนี้เสนอวิธีประมาณค่าความถี่ของระบบไฟฟ้าสามเฟสไม่สมดุลในสมาร์ทกริด โดยใช้ตัวประมาณแบบ Phase Error Criterion (PEC) ซึ่งมีความสามารถในการต้านทานสัญญาณรบกวนแบบอิมพัลซ์ได้ดี วิธีที่นำเสนอใช้การแปลงของคลาร์คเพื่อแยกสัญญาณความถี่บวกก่อนประมวลผล ช่วยเพิ่มความแม่นยำเมื่อต้องรับมือกับสัญญาณที่ไม่สมดุล การทดลองด้วยสัญญาณจำลองแสดงให้เห็นว่า PEC มีความเสถียรและแม่นยำสูงกว่าวิธีมาตรฐานอย่าง CLMS และ ACLMS โดยเฉพาะในสถานการณ์ที่มีสัญญาณอิมพัลซ์แทรกซ้อน ผลลัพธ์ชี้ให้เห็นว่า PEC เหมาะสมสำหรับการใช้งานจริงในการเฝ้าระวังความผิดปกติของระบบจ่ายไฟฟ้าสามเฟสภายใต้สภาพแวดล้อมที่เปลี่ยนแปลงตลอดเวลา

เอกสารอ้างอิง

[1] A. Zaboli, S. L. Choi, T.-J. Song, and J. Hong, “ChatGPT and other large language models for cybersecurity of smart grid applications,” *2021 IEEE Power &Amp; Energy Society General Meeting (PESGM)*, pp. 1–5, Jul. 2024, doi: 10.1109/pesgm51994.2024.10688863.

[2] D. P. Marčetić, J. J. Tomić, and M. D. Kušljević, “Unbalanced three-phase distribution system frequency estimation using least mean squares method and positive voltage sequence,” *IET Science Measurement & Technology*, vol. 8, no. 1, pp. 30–38, Dec. 2013, doi: 10.1049/iet-smt.2012.0003.

[3] https://alltestpro.com/th

[4] Y. Yu, Y. Yang, X. Wang, L. Lv, and Y. Chen, “Robust algorithm development of frequency estimation in smart grid,” *Research Square (Research Square)*, Apr. 2025, doi: 10.21203/rs.3.rs-5081483/v1.

[5] Salcic, Z., Nguang, S. K. & Wu, Y. “ An improved taylor method for frequency measurement in power systems.”

IEEE Transactions on Instrumentation & Meas. Vol. 58, pp. 3288–3294, 2009.

[6] Ramos, C. J., Martins, A. P. & da Silva Carvalho, A. "Power system frequency estimation using a least mean squares differentiator." *Int. J. Electr. Power & Energy Syst*. Vol. 87, pp. 166–175, 2017.

[7] Pradhan, A. K., Routray, A. & Basak, A. "Power system frequency estimation using least mean square technique." *IEEE Transactions on Power Deliv*. Vol. 20, pp. 1812–1816, 2005.

[8] Xia, Y. & Mandic, D. P. "Widely linear adaptive frequency estimation of unbalanced three-phase power systems." *IEEE Transactions on Instrumentation Meas*. Vol. 61, pp. 74–83, 2012.

[9] P. Inban, R. Punchalard, and C. Benjangkaprasert, "Phase Error Criterion based Adaptive Algorithm for frequency estimation," *International Journal of Antennas and Propagation*, vol. 2024, pp. 1–13, Mar. 2024, doi: 10.1155/2024/9055869.

ความสัมพันธ์ระหว่างปริมาณสิ่งเปรอะเปื้อนบนผิวลูกถ้วยพอร์ซเลนกับปัจจัยทางอุตุนิยมวิทยา

The Relationship between the Amount of Contamination on the Surface of Porcelain Insulators and Meteorological Factors.

ก้องภพ ท้วมเสงี่ยม[1] ชัยฤกษ์ จักรพัฒนจิต[1] ณัฐพล บุญยภักดี[1] และ นาตยา คล้ายเรือง[1*]

[1]ภาควิชาวิศวกรรมไฟฟ้า คณะวิศวกรรมศาสตร์ ศรีราชา มหาวิทยาลัยเกษตรศาสตร์ วิทยาเขตศรีราชา

kongpop.thu@ku.th chairerg@eng.src.ku.ac.th nattapon.b@eng.src.ku.ac.th nattaya@eng.src.ku.ac.th*

บทคัดย่อ

บทความนี้แสดงผลการศึกษาความสัมพันธ์ระหว่างปริมาณสิ่งเปรอะเปื้อนที่สะสมบนผิวลูกถ้วยพอร์ซเลนกับปัจจัยทางอุตุนิยมวิทยา ประกอบด้วยปริมาณฝนสะสม ปริมาณฝุ่น ความเร็วลม ความชื้นสัมพัทธ์ และอุณหภูมิ โดยวิธีการตรวจวัดปริมาณสิ่งเปรอะเปื้อนบนผิวลูกถ้วยอ้างอิงตามมาตรฐาน IEC60815-1(Annex C) ที่ได้กำหนดรูปแบบการตรวจวัดปริมาณสิ่งเปรอะเปื้อนที่สะสมบนผิวลูกถ้วย ตามลักษณะของมลภาวะที่สะสม โดยกำหนดให้ มลภาวะ Type A ต้องมีการตรวจวัด 2 รูปแบบ ได้แก่การวัดปริมาณสิ่งเปรอะเปื้อนที่ละลายน้ำได้ ด้วยค่า ESDD และวัดปริมาณสิ่งเปรอะเปื้อนที่ไม่ละลายน้ำ ด้วยค่า NSDD ซึ่งทั้ง 2 ค่านี้สามารถนำไปหาระดับมลภาวะในพื้นที่ต่างๆ ที่ทำการศึกษา เพื่อนำไปใช้ในการออกแบบระดับการฉนวนของลูกถ้วยให้เหมาะสมกับมลภาวะในแต่ละพื้นที่ได้ แต่การที่จะนำลูกถ้วยที่ติดตั้งใช้งานอยู่ในระบบแรงดันสูงมาตรวจวัดหาระดับมลภาวะในแต่ละพื้นที่อาจดำเนินการได้ยาก ดังนั้นหากทราบความสัมพันธ์ของปริมาณสิ่งเปรอะเปื้อนบนผิวลูกถ้วยกับปัจจัยทางอุตุนิยมวิทยาก็สามารถใช้เป็นแนวทางหนึ่งในการประเมินระดับมลภาวะบนผิวลูกถ้วยที่ติดตั้งใช้ในพื้นที่นั้นๆได้ จากการศึกษาพบว่า ปัจจัยทางอุตุนิยมวิทยาที่มีความสัมพันธ์กับค่า ESDD ได้แก่ ปริมาณฝนสะสม ปริมาณฝนสูงสุด และ ความชื้นสัมพัทธ์สูงสุด และปัจจัยที่มีความสัมพันธ์กับค่า NSDD ได้แก่ ปริมาณฝนสะสม ปริมาณฝนสูงสุด ระดับ PM2.5 เฉลี่ย และ PM2.5 สูงสุด

คำสำคัญ: ระดับมลภาวะ สิ่งเปรอะเปื้อน อุตุนิยมวิทยา ลูกถ้วยพอร์ซเลน

Abstract

This article presents the results of a study on the relationship between the contamination accumulated on the surface of porcelain insulators and meteorological factors, which include accumulated rainfall, dust levels, wind speed, relative humidity, and temperature. The method for measuring surface contamination is based on the IEC 60815-1 standard (Annex C), which outlines procedures for assessing contamination levels according to the type of pollutants present. For Type A pollution, two types of measurements are required that the amount of water-soluble contamination, expressed as ESDD and the amount of non-soluble contamination, expressed as NSDD. These two indicators can be used to assess the pollution level in various areas under study and help in designing appropriate insulation levels for insulators based on site pollution severity. However, directly measuring the pollution level on energized insulators in high-voltage systems can be challenging. Therefore, understanding the relationship between contamination on the insulator surface and meteorological factors can serve as a useful approach for estimating pollution levels on insulators installed in the field. The study found that meteorological factors corelated to ESDD include accumulated rainfall, maximum rainfall, and maximum relative humidity and factors correlated with NSDD include accumulated rainfall, maximum rainfall, average PM2.5 levels, and maximum PM2.5 levels.

Keywords: Pollution Level, Contamination, Meteorological, Porcelain Insulator

1. บทนำ

ลูกถ้วยฉนวนเป็นองค์ประกอบสำคัญของระบบส่งและจำหน่ายพลังงานไฟฟ้า มีหน้าที่ป้องกันการรั่วไหลของกระแสไฟฟ้าและป้องกันการลัดวงจรลงดิน ฉนวนมีความคงทนมากน้อยเพียงไรขึ้นกับระดับการฉนวนของลูกถ้วยที่เลือกใช้ แต่การติดตั้งใช้ในสภาพแวดล้อมจริง ผิวของลูกถ้วยอาจได้รับมลภาวะ เกิดการสะสมสิ่งเปรอะเปื้อน เช่น ฝุ่นละออง ไอเกลือและเขม่าควัน ที่แตกต่างกันตามสภาพพื้นที่ ซึ่งส่งผลให้ค่าความเป็นฉนวนของลูกถ้วยลดลงและเพิ่มความเสี่ยงต่อการเกิดวาบไฟตามผิวฉนวน [1-2] ดังนั้นระดับของสิ่งเปรอะเปื้อนหรือระดับมลภาวะสามารถประเมินได้โดยใช้ค่า ESDD (Equivalent Salt Deposit Density) หรือปริมาณเกลือโซเดียมคลอไรด์เทียบเท่ากับสิ่งเปรอะเปื้อนประเภทละลายน้ำได้ และค่า NSDD (Non-Soluble Deposit Density) หรือปริมาณสิ่งเปรอะเปื้อนประเภทไม่ละลายน้ำที่สะสมบนผิวลูกถ้วย โดยค่าทั้งสองนี้อาจมีความสัมพันธ์กับปัจจัยทางอุตุนิยมวิทยา เช่น ปริมาณน้ำฝน ปริมาณฝุ่น ความชื้นสัมพัทธ์ อุณหภูมิ และความเร็วลม [3-6] ซึ่งส่งผลต่อการสะสมหรือชะล้างมลภาวะบนผิวลูกถ้วย ดังนั้น การศึกษาความสัมพันธ์ระหว่างค่า ESDD และ NSDD กับปัจจัยทางอุตุนิยมวิทยาจึงมีความสำคัญต่อการประเมินระดับมลภาวะ สามารถนำไปใช้ในการกำหนดระดับการฉนวนและวางแผนการบำรุงรักษาระบบไฟฟ้าให้เหมาะสมกับสภาพแวดล้อมได้อย่างมีประสิทธิภาพ

2. การตรวจวัดระดับมลภาวะตามมาตรฐาน IEC 60815-1

*ผู้ประพันธ์บรรณกิจ

IEC/TS 60815-1 [7] ได้มีการแบ่งชนิดมลภาวะที่สะสมบนผิวลูกถ้วยที่ส่งผลให้เกิดการวาบไฟตามผิวฉนวนเป็น 2 ชนิด ได้แก่ Type A เป็นมลภาวะของแข็งซึ่งมีส่วนประกอบที่ไม่ละลายน้ำสะสมอยู่ที่ผิวลูกถ้วย สิ่งเปรอะเปื้อนเหล่านี้จะกลายเป็นตัวนำไฟฟ้าเมื่อผิวลูกถ้วยมีสภาวะเปียก ซึ่งมลภาวะในรูปแบบนี้แสดงคุณลักษณะได้ดีที่สุดด้วยการวัดค่า ESDD และ NSDD มลภาวะชนิดนี้ส่วนใหญ่จะพบในพื้นที่เมืองทั่วไป ทะเลทราย หรือพื้นที่ซึ่งมีการสะสมมลภาวะจากภาคอุตสาหกรรม และมลภาวะนี้สามารถเกิดขึ้นได้ในพื้นที่ชายฝั่งทะเล ในกรณีที่มีชั้นของเกลือแห้งเกิดขึ้นบนผิวฉนวนแล้วกลายเป็นสภาพเปียกอย่างทันทีทันใดเนื่องจากน้ำค้าง หมอก ไอน้ำ หรือหยดน้ำ และมลภาวะ Type B เป็นมลภาวะประเภทอิเล็กโตรไลท์ที่เป็นของเหลวสะสมอยู่บนผิวลูกถ้วย เช่น น้ำเกลือจากทะเล โดยไม่มีส่วนประกอบที่ไม่ละลายน้ำ หรือมีอยู่น้อยมาก มลภาวะรูปแบบนี้แสดงคุณลักษณะได้ดีด้วยการวัดค่าความนำไฟฟ้าหรือการวัดค่ากระแสรั่ว การกำหนดระดับมลภาวะ Type A ตามมาตรฐาน IEC 60815-1 ด้วยค่า ESDD (ค่าในแกน x) และ NSDD (ค่าในแกน y) จะได้ระดับมลภาวะของพื้นที่ติดตั้งลูกถ้วย ซึ่งแบ่งได้เป็น 5 ระดับ ได้แก่ เบาบางมาก(Very light) เบาบาง(Light) ปานกลาง(Medium) หนัก(Heavy) และหนักมาก(Very heavy) ดังแสดงในรูปที่ 1

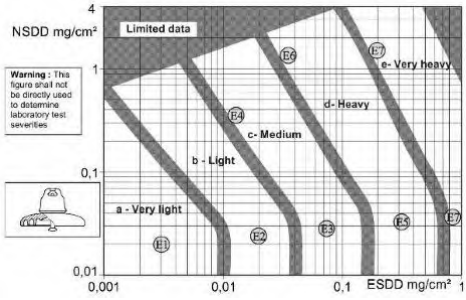

รูปที่ 1 ระดับมลภาวะสัมพันธ์กับค่า ESDD และ NSDD

2.1 การตรวจวัดค่า ESDD

การวัดค่า ESDD ดำเนินการตามมาตรฐาน IEC60815-1 โดยนำพลาสติกห่ออาหารห่อส่วนแคป(cap) และพิน(pin) ของลูกถ้วยไฟฟ้าไว้ ใช้น้ำกลั่นปริมาณ 300 ลบ.ซม. (ค่าความนำไฟฟ้าของน้ำกลั่นต้องน้อยกว่า 0.001 S/m) ฉีดล้างผิวลูกถ้วยและใช้แปรงปัดสิ่งเปรอะเปื้อนออกจากผิวฉนวนให้หมด จากนั้นวัดค่าความนำไฟฟ้าและอุณหภูมิน้ำที่ล้างผิวลูกถ้วยเก็บตัวอย่างน้ำที่ได้จากการล้างผิวลูกถ้วยใส่ขวด ควรระมัดระวังให้ปริมาณน้ำก่อนและหลังเก็บตัวอย่างมีปริมาณเท่าเดิม โดยขั้นตอนที่กล่าวมาต้องล้างผิวลูกถ้วยด้านบนและด้านล่างแยกกัน

นำค่าความนำไฟฟ้าและอุณหภูมิของน้ำตัวอย่างมาคำนวณเพื่อปรับค่าความนำไฟฟ้าที่อุณหภูมิใดๆ เป็นค่าความนำที่อุณหภูมิ 20 °C ทำได้โดยใช้สมการที่ (1)

$$\sigma_{20} = \sigma_{\theta}[\ 1 - b(\theta-20)\ ] \quad (1)$$

เมื่อ

θ คือ อุณหภูมิของน้ำล้างลูกถ้วย (°C)

σ_{θ} คือ ค่าความนำจำเพาะที่อุณหภูมิ θ °C (S/m)

σ_{20} คือ ค่าความนำจำเพาะที่อุณหภูมิ 20 °C (S/m)

b คือ ค่าคงที่แปรตามอุณหภูมิ θ หาได้จากสมการที่ (2)

$$b=-3.200\times10^{-8}\theta^{3}+1.032\times10^{-5}\theta^{2}-8.272\times10^{-4}\theta+3.544\times10^{-2} \quad (2)$$

นำค่าความนำไฟฟ้าที่ 20 °C ไปหาค่าความเข้มข้นของสารละลายเกลือ ได้ตามสมการที่ (3) และหาค่า ESDD ได้ตามสมการที่ (4)

$$S_a = (5.7 \times \sigma_{20})^{1.03} \quad (3)$$

$$ESDD = (S_a \times V)/A \quad (4)$$

เมื่อ S_a คือ ค่าความเข้มข้นของสารละลายเกลือ(kg/m^3)

V คือ ปริมาณน้ำกลั่น (cm^3)

A คือ พื้นที่ผิวฉนวนลูกถ้วยที่เก็บสารมลภาวะ (cm^2)

นำค่า ESDD ที่สะสมบนผิวฉนวนด้านบนและด้านล่างที่ทำการวัดแยกกัน มาคำนวณค่า ESDD เฉลี่ยได้ตามสมการที่ (5)

$$\text{Average ESDD} = (ESDD_t \times A_t) + (ESDD_b \times A_b)/A \quad (5)$$

เมื่อ

$ESDD_t$ คือ ค่า ESDD ของผิวด้านบน (mg/cm^2)

$ESDD_b$ คือ ค่า ESDD ของผิวด้านล่าง (mg/cm^2)

A_t คือ พื้นที่ผิวด้านบนของลูกถ้วย (cm^2)

A_b คือ พื้นที่ผิวด้านล่างของลูกถ้วย (cm^2)

A คือ พื้นที่ผิวรวมของลูกถ้วย (cm^2)

2.2 การตรวจวัดค่า NSDD

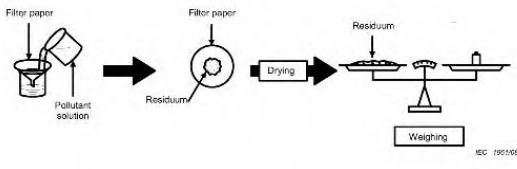

รูปที่ 2 ขั้นตอนการวัดค่า NSDD

การวัดค่า NSDD ดำเนินการตามมาตรฐาน IEC60815-1 เพื่อหาน้ำหนักของสิ่งเปรอะเปื้อนส่วนที่ไม่ละลายน้ำ โดยนำกระดาษกรองใส่ถ้วยอลูมิเนียมแล้วทำการอบในตู้อบที่อุณหภูมิ 103-105 °C เป็นเวลา 1 ชั่วโมง จากนั้นนำกระดาษกรองใส่โถดูดความชื้น และทำการชั่งน้ำหนักกระดาษกรอง จะได้น้ำหนักของกระดาษกรองก่อนกรอง ต่อมานำน้ำล้างลูกถ้วยตัวอย่างเทใส่กระดาษกรอง จากนั้นนำกระดาษกรองไปอบและใส่โถดูดความชื้น เพื่อไล่น้ำออกให้เหลือเฉพาะน้ำหนักกระดาษกรองและสิ่งเปรอะเปื้อน แล้วนำกระดาษกรองไปชั่งน้ำหนัก จะได้น้ำหนักกระดาษหลังกรอง ความต่างของน้ำหนักกระดาษก่อนและหลังกรองคือน้ำหนักของสิ่งเปรอะเปื้อนส่วนที่ไม่ละลายน้ำ ซึ่งสามารถนำมาคำนวณค่า NSDD ได้ตามสมการที่ (6)

$$NSDD = 1000(\ W_f - W_i\ ) / A \quad (6)$$

เมื่อ

A คือพื้นที่ผิวฉนวนลูกถ้วยที่เก็บมลภาวะ (cm^2)

W_f คือน้ำหนักของกระดาษกรองที่มีสิ่งเปรอะเปื้อนในสภาวะแห้ง (g)

W_i คือน้ำหนักของกระดาษกรองเริ่มต้นในสภาวะแห้ง (g)

3. วิธีการศึกษาวิจัย

งานวิจัยนี้เป็นการศึกษาเบื้องต้นเกี่ยวกับการหาความสัมพันธ์ระหว่างปริมาณสิ่งเปรอะเปื้อนที่สะสมบนผิวลูกถ้วยพอร์ซเลนชนิดลูกถ้วยแขวน Type 52-3 กับปัจจัยทางอุตุนิยมวิทยา เพื่อใช้เป็นแนวทางในการหาระดับ

มลภาวะในพื้นที่ต่างๆ ที่มีการติดตั้งลูกถ้วยเพื่อใช้งาน ให้มีการกำหนดระดับการฉนวนของลูกถ้วยให้เหมาะสมกับระดับมลภาวะในพื้นที่นั้นๆ เพื่อใช้งานลูกถ้วยได้อย่างมีประสิทธิภาพลดอัตราการเกิดวาบไฟตามผิวลูกถ้วยลงได้ โดยในการศึกษาจะทำการแขวนตัวอย่างลูกถ้วยไฟฟ้าทั้งสิ้นจำนวน 3 พวง โดย 1 พวงประกอบด้วยลูกถ้วยพอร์ซเลนชนิดแขวน Type 52-3 จำนวน 7 ลูก ซึ่งแต่ละพวงมีการเก็บตัวอย่างในระยะเวลาที่แตกต่างกัน คือ พวงที่ 1 เก็บทุก 1 เดือน พวงที่ 2 เก็บทุก 3 เดือน และพวงที่ 3 เก็บทุก 6 เดือน เพื่อพิจารณาในเรื่องระยะเวลาการสะสมปริมาณสิ่งเปรอะเปื้อน การศึกษานี้ดำเนินการเก็บข้อมูลทั้งสิ้น 1 ปี ตั้งแต่เดือนมีนาคม 2567 ถึงเดือนกุมภาพันธ์ 2568

รูปที่ 3 การติดตั้งลูกถ้วยตัวอย่าง

3.1 การเก็บน้ำล้างลูกถ้วยตัวอย่าง

การเก็บตัวอย่างลูกถ้วยเพื่อนำมาตรวจวัดหาค่า ESDD และ NSDD จะทำการถอดพวงลูกถ้วยลงจากราวแขวนตามเวลาที่กล่าวไว้ข้างต้น แล้วทำการถอดลูกถ้วยออกจากพวง แล้วหุ้มส่วนที่เป็น cap และ pin ไว้เพื่อล้างสิ่งเปรอะเปื้อนเฉพาะส่วนที่เป็นผิวฉนวนเท่านั้น และทำการล้างแยกระหว่างพื้นผิวด้านบน และด้านล่างของลูกถ้วย เพื่อเก็บน้ำตัวอย่างที่มีสิ่งเปรอะเปื้อนของผิวลูกถ้วยด้านบนและด้านล่างแยกจากกัน เนื่องจากปริมาณสิ่งเปรอะเปื้นที่สะสมที่พื้นผิวทั้งสองส่วนมีปริมาณต่างกันค่อนข้างมาก

รูปที่ 4 การเตรียมลูกถ้วยเพื่อล้างสิ่งเปรอะเปื้อนบนผิวลูกถ้วยและการเก็บน้ำตัวอย่าง

เมื่อได้สารละลายสิ่งเปรอะเปื้อนจากการล้างผิวลูกถ้วยมาแล้ว นำมาวัดค่าความนำไฟฟ้าและอุณหภูมิสารละลาย ทั้งของพื้นที่ผิวด้านบนและด้านล่าง เพื่อนำมาใช้ในการคำนวณหาค่า ESDD ต่อไป ตัวอย่างการบันทึกผลของเดือนมีนาคม 2567 แสดงดังตารางที่ 1

หลังจากวัดค่าความนำไฟฟ้าและอุณหภูมิแล้ว นำสารละลายสิ่งเปรอะเปื้อนมากรองเพื่อหาน้ำหนักของสิ่งเปรอะเปื้อนส่วนที่ไม่ละลายน้ำ เพื่อนำไปใช้ในการคำนวณหาค่า NSDD ต่อไป ค่าน้ำหนักกระดาษกรองก่อนและหลังกรองแสดงในตารางที่ 2

ตารางที่ 1 อุณหภูมิและค่าความนำไฟฟ้าของน้ำล้างสิ่งเปรอะเปื้อนบนผิวลูกถ้วยสะสมในเดือนมีนาคม 2567

ลูกถ้วย ลำดับที่	t (°C)		σ_θ (µS/cm)	
	บน	ล่าง	บน	ล่าง
7 (บน)	25.9	26.3	30	45
6	26	26.3	20	28
5	26	26.5	19	22
4	26	26.5	22	18
3	26.2	26.6	20	21
2	26	26.6	52	38
1 (ล่าง)	26.1	26.6	30	28

ตารางที่ 2 น้ำหนักกระดาษกรองก่อนและหลังกรองสิ่งเปรอะเปื้อนของลูกถ้วยตัวอย่างสะสมในเดือนมีนาคม 2567

ลูกถ้วย ลำดับที่	น้ำหนักก่อนกรอง [mg] (1)		น้ำหนักหลังกรอง [mg] (2)		นำหนักสิ่งเปรอะเปื้อน (2) - (1)	
	บน	ล่าง	บน	ล่าง	บน	ล่าง
7 (บน)	90.7	90.7	94.6	120.1	3.9	29.4
6	91.4	90.6	93.6	93	2.2	2.4
5	91.3	91.2	92.5	92.7	1.2	1.5
4	91.1	90.4	93.5	90.5	2.4	0.1
3	91.4	91.5	95.5	94.3	4.1	2.8
2	90.5	91.1	94.6	92.8	4.1	1.7
1 (ล่าง)	90.6	91.6	94.4	97.5	3.8	5.9

3.2 ค่า ESDD และ NSDD

นำค่าความนำไฟฟ้าและอุณหภูมิที่วัดได้ตามตารางที่ 1 มาคำนวณหาค่า ESDD ตามสูตรที่แสดงในหัวข้อ 2.1 เมื่อได้ค่า ESDD ของลูกถ้วยแต่ละลูกนำมาหาค่า ESDD เฉลี่ยในแต่ละเดือน ส่วนค่าน้ำหนักของสิ่งเปรอะเปื้อนส่วนที่ไม่ละลายน้ำที่แสดงตัวอย่างไว้ในตารางที่ 2 นำมาคำนวณค่า NSDD ตามที่แสดงในหัวข้อ 2.2 เมื่อได้ค่า NSDD ของลูกถ้วยแต่ละลูกแล้วนำมาหาค่า NSDD เฉลี่ยในแต่ละเดือน ค่า ESDD และ NSDD ที่คำนวณได้ แสดงในตารางที่ 3

ตารางที่ 3 ค่า ESDD และ NSDD ที่ได้จากการติดตั้งลูกถ้วยตัวอย่าง

เดือน	ESDD [mg/cm²]			NSDD [mg/cm²]		
	1 เดือน	3 เดือน	6 เดือน	1 เดือน	3 เดือน	6 เดือน
มี.ค. 67	0.0041			0.0051		
เม.ย. 67	0.0039			0.0087		
พ.ค. 67	0.0015	0.0015		0.0012	0.0007	
มิ.ย. 67	0.0025			0.0007		
ก.ค. 67	0.0018			0.0010		
ส.ค. 67	0.0016	0.0008	0.0011	0.0032	0.0007	0.0011
ก.ย. 67	0.0009			0.0010		
ต.ค. 67	0.0013			0.0016		
พ.ย. 67	0.0032	0.0034		0.0034	0.0038	
ธ.ค. 67	0.0391			0.0049		
ม.ค. 68	0.0072			0.0127		
ก.พ. 68	0.0018	0.002	0.0018	0.0048	0.0060	0.0069

จากการเก็บตัวอย่างเป็นระยะเวลา 1 ปี ตั้งแต่เดือนมีนาคม 2567 ถึง เดือนกุมภาพันธ์ 2568 ผลการวิเคราะห์พบว่าเมื่อเก็บตัวอย่างลูกถ้วยทุก 1 เดือน ค่า ESDD สูงสุดเกิดขึ้นในเดือนธันวาคม 2567 มีค่าเท่ากับ 0.0391 mg/cm² ขณะที่ค่าต่ำสุดเกิดขึ้นในเดือนกันยายน 2567 มีค่าเท่ากับ 0.0009 mg/cm² สำหรับค่า NSDD พบว่าค่าสูงสุดเกิดขึ้นในเดือนมกราคม 2568 มีค่าเท่ากับ 0.0127 mg/cm² และค่าต่ำสุดตรวจวัดได้ในเดือนมิถุนายน 2567 มีค่าเท่ากับ 0.0007 mg/cm² เมื่อพิจารณาร่วมกับข้อมูลทางอุตุนิยมวิทยา พบว่าในช่วงที่มีการเก็บข้อมูลตลอด 1 ปีนั้น เดือนธันวาคม 2567 และ มกราคม 2568 เป็นเพียง 2 เดือนที่ไม่มีฝนตกเลย และปริมาณฝุ่นค่อนข้างสูง ส่งผลสัมพันธ์กับค่า ESDD และ NSDD ที่ตรวจพบว่ามีค่าสูงที่สุด ในขณะที่เดือนกันยายน 2567 เป็นเดือนที่มีปริมาณฝนสะสมสูงที่สุด ซึ่งก็ส่งผลให้ค่า ESDD มีค่าต่ำที่สุดเช่นกัน ในขณะที่เดือนมิถุนายน 2567 เป็นเดือนที่มีปริมาณฝุ่นต่ำที่สุด ส่งผลให้ค่า NSDD มีค่าต่ำที่สุด

เมื่อนำค่า ESDD ที่เก็บในช่วงระยะเวลาที่ต่างกันมาพิจารณาเปรียบเทียบกันพบว่า ค่า ESDD จากการเก็บข้อมูลจากลูกถ้วยที่ติดตั้งไว้ 3 เดือน และ 6 เดือน มีค่าไม่แตกต่างจากค่าของลูกถ้วยที่มีการเก็บตัวอย่างทุก 1 เดือนมากนัก และเมื่อนำค่า NSDD ที่เก็บในช่วงระยะเวลาที่ต่างกันมาเปรียบเทียบกันไม่พบความเหมือนหรือต่างอย่างมีนัยสำคัญ อาจต้องมีการเก็บข้อมูลให้มากขึ้น เนื่องจากในการศึกษานี้มีข้อมูลการเก็บทุก 3 เดือนเพียง 4 ข้อมูล และเก็บทุก 6 เดือน เพียง 2 ข้อมูล

3.3 การเก็บข้อมูลปัจจัยทางอุตุนิยมวิทยา

การศึกษาวิจัยครั้งนี้ได้ทำการเก็บข้อมูลปัจจัยทางอุตุนิยมวิทยาที่คาดว่าจะมีความสัมพันธ์กับค่า ESDD และ NSDD ได้แก่ ปริมาณฝน แบบค่าสะสมในแต่ละเดือนและค่าสูงสุดในแต่ละวัน ปริมาณฝุ่น PM2.5 ความชื้นสัมพัทธ์ ความเร็วลม และอุณหภูมิ แบบค่าเฉลี่ยและค่าสูงสุดในแต่ละเดือน ดังแสดงในตารางที่ 4

ตารางที่ 4 ปัจจัยทางอุตุนิยมวิทยา

เดือน/ปี	ปริมาณฝนสะสม (มม.)		ปริมาณฝุ่น PM2.5 ($\mu g/m^3$)		ความชื้นสัมพัทธ์ (%)		อุณหภูมิ (องศาเซลเซียส)		ความเร็วลม (m/s)	
	ค่าสะสม	ค่าสูงสุด 1 วัน	ค่าเฉลี่ย	ค่าสูงสุด	ค่าเฉลี่ย	ค่าสูงสุด	ค่าเฉลี่ย	ค่าสูงสุด	ค่าเฉลี่ย	ค่าสูงสุด
มี.ค.67	9.9	5	36	56	54	63	31.5	37.5	5	8.8
เม.ย. 67	5.5	5	31	49	48	64	32.1	37.9	6.94	12.5
พ.ค. 67	139.9	42.5	18	38	56	69	31.4	38.4	5.27	8.8
มิ.ย.67	64.5	38.8	10	20	50	70	32.3	38.9	5.5	7.7
ก.ค.67	164.5	43.9	11	20	60	73	29.5	35.4	5.27	7.2
ส.ค.67	243	86.9	13	27	55	75	29.6	36.6	5	12.7
ก.ย.67	294.6	86.9	12	24.7	79	88	29.8	36	2.42	7.2
ต.ค.67	166.1	44.8	16	30.5	80	88	29.2	34.2	1.64	6.17
พ.ย.67	22.9	18.2	17	32.1	71	82	28.7	35	1.8	6.17
ธ.ค.67	0	0	22	35.8	62	72	28	35.2	2.52	7.71
ม.ค.68	0	0	38	67.2	61	72	26.6	35.2	1.95	7.2
ก.พ.68	6.5	3.4	61	82	71	84	28.8	35.2	1.85	6.17

จากตารางที่ 4 พบว่าในช่วงที่ทำการเก็บข้อมูล เดือนที่มีปริมาณฝนตกสะสมสูงที่สุดได้แก่เดือนกันยายน 2567 และเดือนที่ไม่มีฝนตกเลยได้แก่เดือน ธันวาคม 2567 และ มกราคม 2568 ปริมาณฝุ่น PM2.5 เฉลี่ยสูงสุดเกิดขึ้นในเดือนกุมภาพันธ์ 2568 ลองลงมาคือเดือนมกราคม 2568 และเดือนที่มีปริมาณฝุ่นเฉลี่ยต่ำที่สุดคือเดือนมิถุนายน 2567 ความชื้นสัมพัทธ์เฉลี่ยสูงสุดเกิดขึ้นในเดือนตุลาคม 2567 ต่ำสุดในเดือนเมษายน 2567 อุณหภูมิเฉลี่ยสูงสุดในเดือนมิถุนายน 2567 และต่ำสุดในเดือนมกราคม 2568 ในขณะที่ความเร็วลมเฉลี่ยสูงสุดเกิดขึ้นในเดือนเมษายน 2567 และเฉลี่ยต่ำสุดเกิดขึ้นในเดือนตุลาคม 2567

3.4 ปัจจัยที่มีความสัมพันธ์กับค่า ESDD และ NSDD

จากการเก็บข้อมูลค่า ESDD และ NSDD ทุกๆ 1 เดือนเป็นระยะเวลา 1 ปี เมื่อนำค่ามาหาความสัมพันธ์กับช่วงฤดูกาลของประเทศไทยพบว่าค่าเฉลี่ย ESDD กับ NSDD ในช่วงฤดูหนาวจะมีค่าสูงที่สุด โดยมีค่าเฉลี่ยเท่ากับ 0.0127 และ 0.0057 mg/cm^2 ตามลำดับ และค่าเฉลี่ย ESDD กับ NSDD ในช่วงฤดูฝนจะมีค่าต่ำที่สุดเท่ากับ 0.0017 และ 0.0015 mg/cm^2 ตามลำดับ

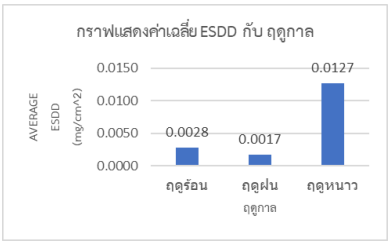

รูปที่ 5 ค่าเฉลี่ย ESDD ในฤดูกาลต่างๆ

รูปที่ 6 ค่าเฉลี่ย NSDD ในฤดูกาลต่างๆ

จากการวิเคราะห์หาความสัมพันธ์ระหว่างค่าเฉลี่ย ESDD กับปัจจัยทางอุตุนิยมวิทยาต่างๆ โดยใช้วิธีทางสถิติ ด้วยการหาความสัมพันธ์อันดับสเปียร์แมน ซึ่งมีรูปแบบความสัมพันธ์แบบไม่เป็นเชิงเส้น พบว่าค่าเฉลี่ย ESDD บนผิวลูกถ้วย มีความสัมพันธ์กันอย่างมีนัยสำคัญทางสถิติที่ระดับความเชื่อมั่น 95% กับค่าปัจจัยทางอุตุนิยมวิทยา ได้แก่ ปริมาณฝนสูงสุด ปริมาณฝนสะสมแต่ละเดือน และปริมาณความชื้นสัมพัทธ์สูงสุดในแต่ละเดือน โดยมีค่าสัมประสิทธิ์สหสัมพันธ์ ของค่า ESDD กับปัจจัยต่างๆ ดังแสดงในตารางที่ 5

ตารางที่ 5 ค่าสัมประสิทธิ์สหสัมพันธ์ของ ESDD กับปัจจัยต่างๆ

ปัจจัยทางอุตุนิยมวิทยา	สัมประสิทธิ์สหสัมพันธ์สเปียร์แมน	significant
ปริมาณฝนสูงสุด	**-0.891**	**0.000**
ปริมาณฝนสะสม	**-0.863**	**0.000**
ปริมาณฝุ่น PM2.5 สูงสุด	0.454	0.138
ปริมาณฝุ่น PM2.5 เฉลี่ย	0.511	0.089
ปริมาณความชื้นสัมพัทธ์สูงสุด	**-0.587**	**0.045**
ปริมาณความชื้นสัมพัทธ์เฉลี่ย	-0.377	0.227
อุณหภูมิสูงสุด	-0.042	0.896
อุณหภูมิเฉลี่ย	-0.259	0.416
ความเร็วลมสูงสุด	0.192	0.550
ความเร็วลมเฉลี่ย	0.135	0.675

จากผลการวิเคราะห์ในตารางที่ 5 จะเห็นได้ว่าค่า ESDD มีความสัมพันธ์กับปริมาณฝนสะสมค่อนข้างมาก โดยมีความสัมพันธ์ในลักษณะตรงกันข้ามสังเกตจากค่าสัมประสิทธิ์สหสัมพันธ์มีค่าเป็นลบ นั้นคือเมื่อปริมาณฝนสะสม และความชื้นสัมพัทธ์มากขึ้น ปริมาณสิ่งเปรอะเปื้อนสะสมในรูปแบบของค่า ESDD จะลดลง

จากการวิเคราะห์หาความสัมพันธ์ระหว่างค่าเฉลี่ย NSDD กับปัจจัยทางอุตุนิยมวิทยาต่างๆ โดยใช้วิธีทางสถิติด้วยการหาค่าสัมประสิทธิ์สหสัมพันธ์แบบเพียร์สัน ซึ่งมีรูปแบบความสัมพันธ์แบบเชิงเส้น พบว่าค่าเฉลี่ย NSDD บนผิวลูกถ้วย มีความสัมพันธ์กันอย่างมีนัยสำคัญทางสถิติที่ระดับความเชื่อมั่น 95% กับปัจจัยทางอุตุนิยมวิทยา ได้แก่ ปริมาณฝนสูงสุด ปริมาณฝนสะสมแต่ละเดือน ปริมาณฝุ่น PM2.5 สูงสุด และ ปริมาณฝุ่น PM2.5 เฉลี่ยในแต่ละเดือน โดยมีค่าสัมประสิทธิ์สหสัมพันธ์ ของค่า NSDD กับปัจจัยต่างๆ ดังแสดงในตารางที่ 6

ตารางที่ 6 ค่าสัมประสิทธิ์สหสัมพันธ์ของ NSDD กับ ปัจจัยต่างๆ

ปัจจัยทางอุตุนิยมวิทยา	สัมประสิทธิ์สหสัมพันธ์แบบเพียร์สัน	significant
ปริมาณฝนสูงสุด	**-0.640**	**0.025**
ปริมาณฝนสะสม	**-0.617**	**0.032**
ปริมาณฝุ่น PM2.5 สูงสุด	**0.695**	**0.012**
ปริมาณฝุ่น PM2.5 เฉลี่ย	**0.605**	**0.037**
ปริมาณความชื้นสัมพัทธ์สูงสุด	-0.355	0.258
ปริมาณความชื้นสัมพัทธ์เฉลี่ย	-0.252	0.429
อุณหภูมิสูงสุด	-0.129	0.689
อุณหภูมิเฉลี่ย	-0.393	0.206
ความเร็วลมสูงสุด	0.208	0.516
ความเร็วลมเฉลี่ย	-0.097	0.765

จากผลการวิเคราะห์ในตารางที่ 6 จะเห็นได้ว่าค่า NSDD มีความสัมพันธ์กับปริมาณฝนสะสมและปริมาณฝุ่น PM2.5 ใกล้เคียงกัน โดยสัมพันธ์กับปริมาณฝนสะสมในลักษณะตรงกันข้ามสังเกตจากค่าสัมประสิทธิ์สหสัมพันธ์มีค่าเป็นลบ นั้นคือเมื่อปริมาณฝนสะสมเพิ่มมากขึ้น ปริมาณสิ่งเปรอะเปื้อนสะสมในรูปแบบ NSDD จะลดลง ในขณะที่สัมประสิทธิ์สหสัมพันธ์ของปริมาณฝุ่น PM2.5 มีค่าเป็นบวก แสดงให้เห็นว่าหากปริมาณฝุ่น PM2.5 เพิ่มมากขึ้นปริมาณสิ่งเปรอะเปื้อนสะสมในรูปแบบ NSDD ก็จะเพิ่มขึ้นเช่นกัน

4. สรุป

จากการศึกษาหาปริมาณสิ่งเปรอะเปื้อนที่สะสมบนผิวลูกถ้วยพอร์ซเลนชนิดลูกถ้วยแขวน Type 52-3 โดยการวิเคราะห์หาค่า ESDD และ NSDD บนผิวฉนวนลูกถ้วยที่ทำการติดตั้งไว้ตลอด 1 ปี ตั้งแต่เดือนมีนาคม 2567 ถึงเดือน กุมภาพันธ์ 2568 พบว่า

1. ปริมาณสิ่งเปรอะเปื้อนสะสมบนผิวลูกถ้วย ที่ตรวจวัดด้วยค่า ESDD และ NSDD พบว่าในช่วงฤดูหนาวมีค่าสูงที่สุด ตามด้วยฤดูร้อน และฤดูฝน ตามลำดับ

2. ค่า ESDD มีความสัมพันธ์อย่างมีนัยสำคัญกับปริมาณฝนสะสม และความชื้นสัมพัทธ์ โดยหากปริมาณฝนสะสม และความชื้นสัมพัทธ์มีค่าเพิ่มขึ้น ปริมาณสิ่งเปรอะเปื้อนแบบละลายน้ำที่ตรวจวัดได้ด้วยค่า ESDD จะมีค่าน้อยลง

3.ค่า NSDD มีความสัมพันธ์อย่างมีนัยสำคัญกับปริมาณฝนสะสม และปริมาณฝุ่น PM2.5 โดยหากปริมาณฝนสะสมมีค่าเพิ่มขึ้น ปริมาณสิ่งเปรอะเปื้อนแบบไม่ละลายน้ำที่ตรวจวัดได้ด้วยค่า NSDD จะมีค่าน้อยลง หากปริมาณฝุ่น PM2.5 มีปริมาณเพิ่มขึ้น ค่า NSDD ก็มีค่าเพิ่มขึ้นเช่นกัน

4. ความสัมพันธ์ระหว่างค่า ESDD, NSDD และปัจจัยทางอุตุนิยมวิทยา สามารถใช้เป็นแนวทางในการหาค่า ESDD และ NSDD ในพื้นที่อื่นๆ ที่มีปัจจัยทางอุตุนิยมวิทยาที่แตกต่างออกไปได้

5. สามารถนำค่า ESDD และ NSDD ที่ประเมินได้ไปกำหนดระดับมลภาวะและกำหนดระดับการฉนวนที่เหมาะสมกับแต่ละพื้นที่ได้

6.ปัจจัยในเรื่องของช่วงเวลาในการสะสมมลภาวะ สำหรับในงานวิจัยนี้ยังเห็นผลไม่ชัดเจน ต้องมีการเก็บข้อมูลให้มีจำนวนข้อมูลมากยิ่งขึ้น

5. กิตติกรรมประกาศ

งานวิจัยนี้สำเร็จลุล่วงได้ ขอขอบคุณการไฟฟ้าส่วนภูมิภาคที่ส่งเสริมด้านอุปกรณ์และข้อมูล และขอขอบคุณคณะวิศวกรรมศาสตร์ ศรีราชา สำหรับการสนับสนุนด้านสถานที่ในการทำงานวิจัย

เอกสารอ้างอิง

[1] G. Aponte, J. C. Castro, V. H. Sánchez, M. Castro, A. Espinosa, N. Rosales, “Contamination Level Evaluation on Colombian North Cost,” IEEE LATIN AMERICA TRANSACTIONS, VOL. 7, NO. 2, JUNE 2009, pp. 190-195

[2] M. Dimitropoulou, D. Pylarinos, K. Siderakis, E. Thalassinakis, M.Danikas, “Insulation Coordination and Pollution Measurements in the island of Crete,” University of Thrace, 2015, pp.1-4

[3] M. Majid Hussain, S. Farokhi, and S.G. McMeekin. “Impact of wind on Pollution Accumulation Rate on outdoor Insulators Near Shoreline,” Glasgow Caledonian University, 2016, pp. 453-456.

[4] J.R.S.S. Kumara, M.A.R.M. Fernando, “Performance of Outdoor Insulators in Tropical Conditions of Sri Lanka,” IEEE Electrical Insulation Magazine, 2020, pp. 26-35

[5] Jiaxiang Sun, Hongru Zhang, Qingquan Li, Hongshun Liu, Xinbo Lu, Kaining Hou, “Contamination degree prediction of insulator surface based on exploratory factor analysis-least square support vector machine combined model,” Shandong University, Jinan, China, 2019, pp. 264-276

[6] J.C. Castro, Student Member, IEEE, G. Aponte, V. H. Sanchez, M. Castro, A. Espinosa, and N.Rosales “Colombian Experience on Insulation Pollution Level Measurement Applying the ESDD Methodology” Universidad del Valle, colombia, 2006, pp. 1-5

[7] IEC/TS 60815-1. (2008), Selection and dimensioning of high-voltage insulators intended for use in polluted conditions – Part 1; Definition, information and general principles.

การคำนวณการไหลกำลังไฟฟ้าของโหลดปั๊มน้ำด้วยวิธีนิวตันราฟสัน

Newton-Raphson Power-Flow Calculation for Water Pump Loads

ภัททิยา ทองเครือ[1]*

[1]สาขาวิชาวิศวกรรมไฟฟ้าและคอมพิวเตอร์ คณะวิศวกรรมศาสตร์ มหาวิทยาลัยธรรมศาสตร์ tpattiya@engr.tu.ac.th*

บทคัดย่อ

ปั๊มน้ำเป็นหนึ่งในโหลดที่มีความสำคัญในระบบไฟฟ้ากำลัง โดยเฉพาะในระบบไฟฟ้าอุตสาหกรรม โรงไฟฟ้า และอาคารเชิงพาณิชย์ ดังนั้น การวิเคราะห์จุดทำงานเริ่มต้นที่ถูกต้องแม่นยำของระบบไฟฟ้าร่วมกับปั๊มน้ำจึงเป็นสิ่งจำเป็นเพื่อให้การวางแผนและควบคุมระบบมีความแม่นยำ อย่างไรก็ตาม ซอฟต์แวร์การวิเคราะห์การไหลกำลังไฟฟ้าที่มีอยู่นั้นยังคงมีข้อจำกัดในการคำนวณหาจุดทำงานเริ่มต้นของปั๊มน้ำได้อย่างถูกต้องแม่นยำ ดังนั้น บทความนี้จึงนำเสนอเทคนิคการคำนวณการไหลด้วยวิธีนิวตันราฟสันโดยผนวกเส้นคุณลักษณะของปั๊มน้ำเข้าในการคำนวณ เพื่อสามารถหาคำตอบของระบบไฟฟ้าและปั๊มได้ในเวลาเดียวกันและสอดคล้องกัน ผลลัพธ์จากระบบทดสอบ 4 บัสถูกนำมาเปรียบเทียบกับผลจากบทความที่ได้รับการตีพิมพ์เพื่อยืนยันความถูกต้อง นอกจากนี้ การทดสอบสมรรถนะของเทคนิคที่นำเสนอถูกทดสอบโดยใช้ระบบ IEEE 118 และ 300 บัส ผลการคำนวณแสดงให้เห็นว่าวิธีการนี้ไม่เพียงแต่สามารถคำนวณหาจุดทำงานเริ่มต้นของปั๊มได้อย่างถูกต้องและแม่นยำเท่านั้น แต่ยังคงรักษาคุณลักษณะการลู่เข้าสู่คำตอบแบบควอดราติกไว้ได้อีกด้วย

คำสำคัญ: ปั๊มน้ำ ระบบไฟฟ้าอุตสาหกรรม โรงไฟฟ้า นิวตันราฟสัน

Abstract

Pumps represent one of the most significant loads in power systems, particularly in industrial facilities, power plants, and commercial buildings. Consequently, accurate steady-state point of electrical system integrated with pump is essential for effective planning and control. However, existing power-flow tools are unable to determine the operating point of pump because their characteristic curves are not taken into account. Therefore, this paper proposes an initialization of water pump using the Newton–Raphson approach, in which the pump's characteristic curves are integrated into the power-flow calculation. To assess the validity of the proposed algorithm, results obtained from a 4-bus test system are compared with those reported in the literature, showing strong agreement. Furthermore, the convergence behavior of the extended algorithm is tested using IEEE-118 and 300 bus systems that include a large number of pumps. The results show that the proposed method not only achieves accurate steady-state initialization but also preserves the desirable quadratic convergence property.

Keywords: pump, industrial facilities, power plants, Newton-Raphson

1. ข้อมูลทั่วไป

ในปัจจุบัน ปั๊มน้ำได้รับการใช้งานอย่างแพร่หลายในภาคอุตสาหกรรม โรงไฟฟ้าและอาคารที่พักอาศัย เนื่องจากปั๊มทำหน้าที่เป็นกลไกหลักในการขับเคลื่อนของเหลวในกระบวนการผลิตและระบบสาธารณูปโภคต่าง ๆ โดยปกติ ปั๊มน้ำเหล่านี้ถูกขับเคลื่อนด้วยมอเตอร์เหนี่ยวนำชนิดกรงกระรอก เนื่องจากมีต้นทุนต่ำ ทนทาน และดูแลรักษาง่าย [1] เนื่องจากระบบไฟฟ้าประกอบด้วยโหลดปั๊มน้ำเป็นจำนวนมาก ส่งผลให้โหลดประเภทนี้มีอิทธิพลต่อพฤติกรรมเชิงพลศาสตร์ของระบบไฟฟ้าโดยรวมอย่างมีนัยสำคัญ โดยเฉพาะในประเด็นด้านเสถียรภาพแรงดันไฟฟ้า เช่น ปัญหาในการฟื้นตัวของแรงดันภายหลังเหตุการณ์แรงดันตก

การวิเคราะห์ระบบกำลังไฟฟ้ากำลังซึ่งประกอบด้วยมอเตอร์เหนี่ยวนำเป็นส่วนหนึ่งของโหลด จำเป็นต้องคำนวณหาจุดทำงานของทั้งระบบไฟฟ้าและมอเตอร์ให้ถูกต้องแม่นยำ เพื่อให้ผลการวิเคราะห์สะท้อนพฤติกรรมที่แท้จริงของระบบ โดยทั่วไปสามารถทำได้โดยการใช้โปรแกรมการวิเคราะห์ระบบไฟฟ้ากำลังที่มีอยู่ในท้องตลาด [2] ในขั้นตอนการคำนวณ แบบจำลองมอเตอร์เหนี่ยวนำจะถูกแทนด้วยโหลดประเภทโหลดสถิตย์ ส่งผลให้ผลลัพธ์ที่ได้จากการคำนวณไม่ได้สะท้อนจุดทำงานของระบบไฟฟ้าอย่างแท้จริง เพื่อแก้ไขปัญหาดังกล่าวจึงได้มีบทความ [3-5] นำเสนอเทคนิคการคำนวณการไหลด้วยวิธีนิวตันราฟสันเพื่อหาจุดทำงานของระบบไฟฟ้าร่วมกับมอเตอร์เหนี่ยวนำ แบบจำลองไม่เชิงเส้นของมอเตอร์ถูกผนวกเข้ากับวิธีการคำนวณการไหลกำลังไฟฟ้า วิธีดังกล่าวสามารถหาจุดทำงานเริ่มต้นของระบบโครงข่ายไฟฟ้าและมอเตอร์ได้อย่างถูกต้องแม่นยำ เนื่องจากตัวแปรของทั้งสองถูกผนวกเข้าในการคำนวณเพื่อหาผลเฉลยไปพร้อมกัน นอกจากนี้ บทความ [6] เสนอวิธีการหาจุดทำงานเริ่มต้นของปั๊มน้ำร่วมกับมอเตอร์โดยอาศัยหลักสมดุลแรงบิดระหว่างฝั่งมอเตอร์และปั๊ม การคำนวณเริ่มจากการกำหนดค่าพารามิเตอร์เริ่มต้นของทั้งสองฝั่ง จากนั้นคำนวณแรงบิดเพื่อนำมาเปรียบเทียบกัน การคำนวณจะสิ้นสุดเมื่อความแตกต่างของแรงบิดทั้งสองฝั่งเข้าใกล้ศูนย์ อย่างไรก็ตาม วิธีดังกล่าวมีความยุ่งยากและไม่ตรงไปตรงมา เนื่องจากการกำหนดค่าพารามิเตอร์ตั้งต้นของฝั่งปั๊มน้ำต้องอาศัยการลองผิด

*ผู้ประพันธ์บรรณกิจ

ลองถูก ด้วยเหตุนี้การกำหนดค่าเริ่มต้นของปั๊มน้ำจึงยังไม่ได้รับการแก้ไขอย่างเพียงพอจนถึงปัจจุบัน

เพื่อแก้ไขปัญหาดังกล่าว บทความนี้นำเสนอเทคนิคการคำนวณการไหลด้วยวิธีนิวตันราฟสันเพื่อหาจุดทำงานของระบบไฟฟ้าร่วมกับปั๊มน้ำ เส้นคุณลักษณะของปั๊มถูกผนวกเข้าในการคำนวณเพื่อหาคำตอบตัวแปรปั๊มให้สอดคล้องกับตัวแปรโครงข่ายไฟฟ้า ผลลัพธ์ที่ได้จากเทคนิคที่นำเสนอถูกนำมาตรวจสอบความถูกต้องด้วยการเปรียบเทียบกับผลลัพธ์จากวิธีในบทความที่ได้รับการตีพิมพ์ [5] นอกจากนี้ คุณสมบัติการลู่เข้าสู่คำตอบของเทคนิคการคำนวณการไหลถูกทดสอบโดยใช้ระบบทดสอบ IEEE 118 และ 300 บัส

คุณูปการหลักของบทความนี้คือการปรับปรุงวิธีการคำนวณการไหลกำลังไฟฟ้าแบบนิวตันราฟสัน โดยผนวกสมการเส้นคุณลักษณะของปั๊มน้ำเข้ากับกระบวนการคำนวณการไหล ทำให้สามารถคำนวณหาตัวแปรของปั๊มน้ำและระบบโครงข่ายไฟฟ้าได้อย่างถูกต้องและสอดคล้องกัน ซึ่งแตกต่างจากวิธีดั้งเดิมและซอฟต์แวร์เชิงพาณิชย์ที่มุ่งเน้นเพียงการคำนวณตัวแปรของระบบโครงข่ายไฟฟ้าเท่านั้น

2. แบบจำลองทางคณิตศาสตร์ของมอเตอร์เหนี่ยวนำและปั๊มน้ำ

2.1 แบบจำลองของมอเตอร์ไฟฟ้าเหนี่ยวนำแบบกรงกระรอก

หัวข้อนี้นำเสนอแบบจำลองทางคณิตศาสตร์ของมอเตอร์เหนี่ยวนำแบบกรงกระรอก โดยวงจรสมมูลแสดงดังรูปที่ 1 กำลังไฟฟ้าจริง (P) และกำลังไฟฟ้าเสมือน (Q) สามารถหาได้จากขนาดแรงดัน (V) และ สลิป (s) ดังนี้ [7]

$$P = V^2 \frac{K + Hs + Ls^2}{(C - Ds)^2 + (E + Fs)^2} \tag{1}$$

$$Q = V^2 \frac{A + Bs^2}{(C - Ds)^2 + (E + Fs)^2} \tag{2}$$

นอกจากนี้ กำลังไฟฟ้าในช่องว่างอากาศในหน่วยเปอร์ยูนิต (P_{ag}) สามารถคำนวณได้จากขนาดแรงดัน (V) และ สลิป (s) ดังนี้

$$P_{ag} = V^2 \frac{\left(Ms + Ns^2\right)^2 + \left(Ts - Ws^2\right)^2}{\left((C - Ds)^2 + (E + Fs)^2\right)^2} \frac{R_r}{s} \tag{3}$$

สัมประสิทธิ์ A-W ในสมการที่ (1)-(3) สามารถหาได้จากบทความ [7]

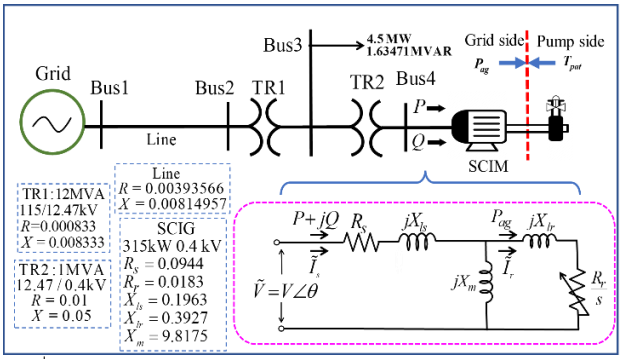

รูปที่ 1 ระบบทดสอบ (พารามิเตอร์ทุกตัวอยู่ในหน่วยเปอร์ยูนิตฐาน 1 MVA)

2.2 แบบจำลองของปั๊มน้ำ

หัวข้อนี้นำเสนอแบบจำลองของปั๊มน้ำ แรงบิดของปั๊มในหน่วยเปอร์ยูนิต (T_p) สามารถคำนวณได้จาก

$$T_p = P_{ag} = P_p / (1 - s) \tag{4}$$

จากบทความ [8, 9] ความสูงหัวน้ำ (h_p) และกำลังกล (P_p) ของปั๊มน้ำสามารถคำนวณหาได้จากอัตราการไหล (q) และความเร็วโรเตอร์ (N_r) ดังนี้

$$h_p = a_2 q^2 + a_1 q N_r + a_0 N_r^2 \tag{5}$$

$$P_p = \frac{b_3 q^3 + b_2 q^2 N_r + b_1 q N_r^2 + b_0 N_r^3}{S_{base}} \tag{6}$$

a_0-a_2 และ b_0-b_3 คือ สัมประสิทธิ์ที่ได้จากการประมาณเส้นคุณลักษณะของปั๊มน้ำจากข้อมูลผู้ผลิต ซึ่งสอดคล้องกับกฎความคล้าย (Affinity Laws) ของปั๊มที่อธิบายความสัมพันธ์ระหว่างอัตราการไหล หัวน้ำ กำลัง และความเร็วรอบของปั๊ม เมื่อแทนค่า (6) ลงใน (4) แรงบิดของปั๊ม T_p สามารถเขียนอยู่ในรูปใหม่ได้ดังนี้

$$T_p = \frac{b_3 q^3 + b_2 q^2 N_r + b_1 q N_r^2 + b_0 N_r^3}{S_{base}(1 - s)} \tag{7}$$

ความสูงหัวน้ำของแหล่งน้ำ (h_s) ซึ่งสามารถหาได้จาก [10]

$$h_s = h_g + kq^2 + \zeta q^2 / (2gA^2) \tag{8}$$

เมื่อ h_g คือความสูงของแหล่งน้ำสุทธิ k และ ζ คือ สัมประสิทธิ์ความสูญเสียเนื่องจากความเสียดทานของท่อน้ำและวาล์วน้ำ A คือ พื้นที่หน้าตัดของวาล์วน้ำ

เส้นคุณลักษณะความสูงหัวน้ำของปั๊ม กำลังกลของปั๊มน้ำ และเส้นความสูงของแหล่งน้ำ จากสมการที่ (5), (6) และ (8) แสดงดังรูปที่ 2 โดยปกติ ณ จุดทำงานของปั๊ม ความสูงหัวน้ำของปั๊มจะมีค่าเท่ากันกับความสูงหัวน้ำของแหล่งน้ำ จากรูปที่ 2 เครื่องหมายดอกจันทร์ (*) แสดงถึงจุดทำงาน (operating point) ซึ่งเป็นจุดตัดระหว่างความสูงหัวน้ำของปั๊มและแหล่งน้ำ

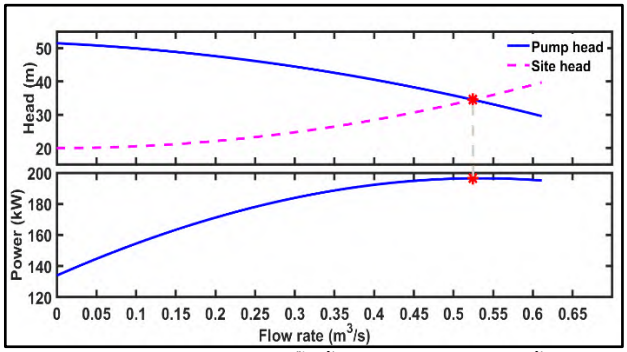

รูปที่ 2 เส้นคุณลักษณะของปั๊มน้ำและความสูงของแหล่งน้ำ

3. ขั้นตอนวิธีการคำนวณการไหล

การคำนวณการไหลด้วยวิธีนิวตันราฟสันสามารถทำได้โดยใช้สมการดังนี้ [11]

$$\mathbf{x}^{r+1} = \mathbf{x}^{r} + \Delta\mathbf{x} \tag{9}$$

โดยที่

$$\mathbf{x} = \begin{bmatrix} \boldsymbol{\theta} & \mathbf{V} & \mathbf{s} & \boldsymbol{\zeta} & \mathbf{q} \end{bmatrix}^{\mathrm{T}} \tag{10}$$

$$\Delta\mathbf{x} = -\left(\mathbf{J}(\mathbf{x})\right)^{-1}\mathbf{f}(\mathbf{x}) \tag{11}$$

สมการพีชคณิตตั้งต้น $\mathbf{f(x)}$ สามารถเขียนได้ดังนี้

$$\mathbf{f}(\mathbf{x}) = \begin{bmatrix} \mathbf{f}_1(\mathbf{x}) = \mathbf{P}^{\mathrm{cal}} - \mathbf{P}^{\mathrm{sche}} \\ \mathbf{f}_2(\mathbf{x}) = \mathbf{Q}^{\mathrm{cal}} - \mathbf{Q}^{\mathrm{sche}} \\ \mathbf{f}_3(\mathbf{x}) = \mathbf{T}_{\mathrm{p}} - \mathbf{P}_{\mathrm{ag}} \\ \mathbf{f}_4(\mathbf{x}) = \mathbf{h}_{\mathrm{s}} - \mathbf{h} \\ \mathbf{f}_5(\mathbf{x}) = \mathbf{h}_{\mathrm{p}} - \mathbf{h} \end{bmatrix} \tag{12}$$

$\mathbf{P}^{\mathrm{sche}}$ และ $\mathbf{Q}^{\mathrm{sche}}$ คือ คอลัมน์เวกเตอร์ซึ่งแสดงค่ากำลังไฟฟ้าแอคทีฟและรีแอคทีฟ หากระบบไฟฟ้าซึ่งประกอบไปด้วยโหลดสถิตย์ n ตัวและมอเตอร์เหนี่ยวนำ m ตัว โดยโหลดสองประเภทนี้ต่อขนาดที่บัสเดียวกัน กำลังไฟฟ้าทั้งสองชิ้นฉีดเข้าบัสใด ๆ ที่ บัส i สามารถแสดงได้ดังนี้ [12]

$$P_i^{sche} = \sum_{i=1}^{n} P_{Li} + \sum_{i=1}^{m} P_{mi} \tag{13}$$

$$Q_i^{sche} = \sum_{i=1}^{n} Q_{Li} + \sum_{i=1}^{m} Q_{mi} \tag{14}$$

$\mathbf{f_3(x)}$ ใน (12) คือความแตกต่างระหว่างแรงบิดของปั๊มน้ำและกำลังไฟฟ้าช่องว่างอากาศ ฟังก์ชันนี้ถูกนำมาใช้เพื่อควบคุมตัวแปรสลิป (s) นอกจากนี้ $\mathbf{f_4(x)}$ และ $\mathbf{f_5(x)}$ คือความแตกต่างของความสูงหัวน้ำ โดย h ในทั้งสองฟังก์ชันคือค่าคงที่ขาเข้าที่กำหนดไว้ก่อนเริ่มการคำนวณ (input data) h_s และ h_p สามารถคำนวณได้จาก (8) และ (5) ตามลำดับ เมทริกซ์จาโคเบียน $\mathbf{J(x)}$ ใน (11) สามารถหาได้จากการทำอนุพันธ์ย่อยสมการ $\mathbf{f(x)}$ เทียบกับตัวแปร ต่าง ๆ ในสมการ (10) จาโคเบียนสามารถคำนวนได้ดังนี้

$$\mathbf{J}(\mathbf{x}) = \left[\mathbf{J}_{\mathrm{con}}(\mathbf{x}) + \mathbf{J}_{\mathrm{p}}(\mathbf{x})\right] \tag{15}$$

โดย

$$\mathbf{J}_{\mathrm{con}}(\mathbf{x}) = \begin{bmatrix} \frac{\partial \mathbf{P}^{\mathrm{cal}}}{\partial \boldsymbol{\theta}} & \frac{\partial \mathbf{P}^{\mathrm{cal}}}{\partial \mathbf{V}} & 0 & 0 & 0 \\ \frac{\partial \mathbf{Q}^{\mathrm{cal}}}{\partial \boldsymbol{\theta}} & \frac{\partial \mathbf{Q}^{\mathrm{cal}}}{\partial \mathbf{V}} & 0 & 0 & 0 \\ 0 & 0 & 0 & 0 & 0 \\ 0 & 0 & 0 & 0 & 0 \\ 0 & 0 & 0 & 0 & 0 \end{bmatrix} \tag{16}$$

$$\mathbf{J}_{\mathrm{p}}(\mathbf{x}) = \begin{bmatrix} 0 & -\frac{\partial \mathbf{P}^{\mathrm{sche}}}{\partial \mathbf{V}} & -\frac{\partial \mathbf{P}^{\mathrm{sche}}}{\partial \mathbf{s}} & 0 & 0 \\ 0 & -\frac{\partial \mathbf{Q}^{\mathrm{sche}}}{\partial \mathbf{V}} & -\frac{\partial \mathbf{Q}^{\mathrm{sche}}}{\partial \mathbf{s}} & 0 & 0 \\ 0 & \frac{\partial \mathbf{f}_3(\mathbf{x})}{\partial \mathbf{V}} & \frac{\partial \mathbf{f}_3(\mathbf{x})}{\partial \mathbf{s}} & 0 & \frac{\partial \mathbf{f}_3(\mathbf{x})}{\partial \mathbf{q}} \\ 0 & 0 & \frac{\partial \mathbf{f}_4(\mathbf{x})}{\partial \mathbf{s}} & \frac{\partial \mathbf{f}_4(\mathbf{x})}{\partial \boldsymbol{\zeta}} & \frac{\partial \mathbf{f}_4(\mathbf{x})}{\partial \mathbf{q}} \\ 0 & \frac{\partial \mathbf{f}_5(\mathbf{x})}{\partial \mathbf{V}} & \frac{\partial \mathbf{f}_5(\mathbf{x})}{\partial \mathbf{s}} & 0 & \frac{\partial \mathbf{f}_5(\mathbf{x})}{\partial \mathbf{q}} \end{bmatrix} \tag{17}$$

4. การคำนวณการไหลร่วมกับปั๊มน้ำ

4.1 การตรวจสอบความถูกต้องของการคำนวณการไหล

หัวข้อนี้นำเสนอการเปรียบเทียบผลลัพธ์ที่ได้จากการคำนวณด้วยวิธีที่นำเสนอและวิธีใน [5] เพื่อตรวจสอบความถูกต้อง ระบบ 4 บัสถูกนำมาใช้ในการทดสอบ ค่าพารามิเตอร์ของระบบแสดงดังรูปที่ 1 แรงดันที่กริดถูกปรับไว้ที่ 1.02 pu และมีมอเตอร์เหนี่ยวนำแบบกรงกระรอกขนาด 315 kW ที่เชื่อมต่อกับปั๊มน้ำ โดยข้อมูลของปั๊มสามารถหาได้จากแคตาล็อกของผู้ผลิต [13] ซึ่งประกอบด้วยกราฟเส้นคุณลักษณะของปั๊มและกราฟความสูงของแหล่งน้ำ ในการทดสอบนี้ได้กำหนดความสูงของปั๊ม (h_p) และความสูงสุทธิของแหล่งน้ำ (h_g) เท่ากับ 35 และ 30 เมตร ตามลำดับ เพื่อใช้เป็นข้อมูลเริ่มต้น ภายหลังจากการคำนวณเสร็จสิ้น ผลลัพธ์ที่ได้จากการคำนวณที่ค่าความผิดพลาด $1\text{x}10^{-10}$ แสดงดังตารางที่ 1 ซึ่งประกอบด้วย ขนาดและมุมของแรงดันทุกบัส สลิป กำลังไฟฟ้าช่องว่างอากาศ อัตราการไหลของน้ำ มุมการปิดของวาล์วน้ำ (คอลัมน์ 2) จากนั้นจะใช้ระบบทดสอบเดียวกันมาคำนวณหาคำตอบโดยใช้วิธีจากบทความที่ตีพิมพ์ เพื่อประเมินความถูกต้องของผลลัพธ์ โดยนำค่ากำลังไฟฟ้าแอคทีฟของมอเตอร์ ที่คำนวณได้ (คอลัมน์ 2 แถว 16) มาเป็นข้อมูลขาเข้าตั้งต้นสำหรับวิธีการคำนวณจาก [5] เมื่อการคำนวณเสร็จสิ้นผล คำตอบถูกแสดงในตารางที่ 1 คอลัมน์ที่ 3 จากการเปรียบเทียบผลลัพธ์พบว่า คำตอบที่ได้จากการคำนวณทั้งสองวิธีมีความสอดคล้องกันเป็นอย่างดี

ตารางที่ 1 การเปรียบเทียบผลการคำนวณการไหล

ผลลัพธ์จากการคำนวณ	วิธีที่นำเสนอ	วิธีจาก [5]
V_{bus1} pu	1.0200	1.0200
V_{bus2} pu	0.9988	0.9988
V_{bus3} pu	0.9642	0.9642
V_{bus4} pu	0.9560	0.9560
θ_{bus1} degree	0.0000	0.0000
θ_{bus2} degree	-2.1630	-2.1630
θ_{bus3} degree	-4.0340	-4.0340
θ_{bus4} degree	-4.5973	-4.5973
Speed rpm	1493	1493
Flow rate m^3/s	0.5194	-
Valve closing angle degree	7.46	-
Valve coefficient	0.36	-
Torque Nm	1264.6865	1264.6865
P_{ag} kW	198.6565	198.6565
P kW (active power)	204.3445	204.3445
Q kVAR	115.4469	115.4469

จากผลการเปรียบเทียบแสดงให้เห็นว่า อัลกอริทึมที่พัฒนาในงานวิจัยนี้สามารถคำนวณหาจุดทำงานเริ่มต้นของมอเตอร์เหนี่ยวนำได้อย่างถูกต้องแม่นยำ นอกจากนี้ วิธีที่นำเสนอยังสามารถหาค่าพารามิเตอร์ของปั๊มน้ำได้โดยตรง เช่น อัตราการไหล และมุมการปิดของวาล์วน้ำ เนื่องจากได้ผนวกเส้นคุณลักษณะของปั๊มน้ำเข้าไปในการคำนวณการไหลโดยตรง ทำให้ค่าพารามิเตอร์ของทั้งระบบไฟฟ้าและปั๊มน้ำถูกคำนวณไปพร้อมกัน ซึ่งแตกต่าง

จากวิธี [5] ที่มุ่งเน้นการคำนวณการไหลเพื่อหาจุดทำงานของมอเตอร์เหนี่ยวนำเพียงอย่างเดียว

4.2 การสาธิตวิธีการคำนวณการไหล

หัวข้อนี้สาธิตวิธีการคำนวณการไหลของโครงข่ายไฟฟ้าร่วมกับกลุ่มปั๊มน้ำดังแสดงดังรูปที่ 3 ซึ่งประกอบไปด้วยปั๊มขนาด 315 และ 110 kW จำนวน 6 และ 2 ตัว ตามลำดับ แรงดันที่บัสที่ 1 คือ 1 pu ข้อมูลหม้อแปลงและสายส่งสามารถหาได้จาก [5] พารามิเตอร์ของมอเตอร์ขนาด 110 kW หาได้จาก [14] นอกจากนี้ เพื่อแสดงถึงศักยภาพของเทคนิคการคำนวณการไหลที่ได้นำเสนอ ปั๊มน้ำแต่ละตัวจะถูกกำหนดให้ทำงานที่ความสูงของหัวน้ำที่แตกต่างกันออกไป (รูปที่ 3) ภายหลังการคำนวณการไหลเสร็จสิ้น ผลลัพธ์การคำนวณแสดงดังรูปที่ 4 จากผลลัพธ์แสดงให้เห็นว่าจุดทำงานของปั๊มน้ำแต่ละตัวสอดคล้องกับปริมาณขาเข้าที่กำหนด เช่น เมื่อพิจารณาผลลัพธ์ของปั๊มน้ำตัวที่ M1 และ M2 โดยกำหนดให้ M2 (40 เมตร) ทำงานที่หัวน้ำสูงกว่าตัวที่ M1 (35 เมตร) จากผลลัพธ์จะสังเกตได้ว่า มุมปิดวาล์วน้ำของปั๊มตัวที่ M2 จะมากกว่าตัวแรก ซึ่งสอดคล้องกับปริมาณอัตราการไหลและกำลังแอคทีฟที่มีค่าน้อยกว่า ณ จุดทำงานนี้ กำลังรีแอคทีฟและค่าสลิปของปั๊ม M2 จะน้อยกว่า M1 นอกจากนี้ เมื่อพิจารณากลุ่มของปั๊มน้ำ M3-M5 และ M6-M8 ซึ่งมีอิมพีแดนซ์ของสายป้อนเท่ากัน จะเห็นได้ว่า ปั๊มน้ำทั้งสองกลุ่มมีจุดทำงานแตกต่างกันไปตามปริมาณขาเข้า (h) ที่กำหนด จากผลลัพธ์ที่สาธิตแสดงให้เห็นว่าเทคนิคที่ปรับปรุงนี้สามารถหาจุดทำงานของระบบไฟฟ้าร่วมกับปั๊มน้ำได้อย่างถูกต้องและสอดคล้องสัมพันธ์กัน เนื่องจากตัวแปรของปั๊มถูกผนวกเข้าในการคำนวณการไหลร่วมกับตัวแปรของโครงข่ายไฟฟ้าเพื่อคำนวณหาคำตอบไปพร้อมกัน

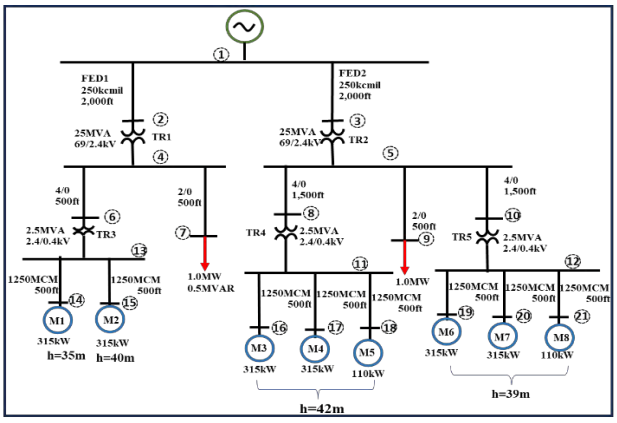

รูปที่ 3 ระบบไฟฟ้า 21 บัส

No	kW	Vmot	Angle	P	Q	Pag	Slip	H	q	eff	Valve Angle
M		p.u.	Degree	kW	kVAR	kW		m	l/s		degree
1	315	1.0035	-0.8101	204.1343	122.0107	198.8342	0.0040	35.0000	520.2413	0.9003	7.28
2	315	1.0039	-0.8009	200.8195	121.2956	195.6650	0.0039	40.0000	418.1203	0.8403	36.30
3	315	0.9937	-1.1593	197.6982	119.0593	192.6077	0.0039	42.0000	371.5102	0.7964	41.59
4	315	0.9937	-1.1593	197.6982	119.0593	192.6077	0.0039	42.0000	371.5102	0.7964	41.59
5	110	1.0067	-1.0802	98.1981	56.1319	96.5066	0.0079	42.0000	202.9197	0.8717	34.43
6	315	0.9929	-1.1993	201.9859	119.9447	196.7031	0.0040	39.0000	439.7618	0.8572	33.27
7	315	0.9929	-1.1993	201.9859	119.9447	196.7031	0.0040	39.0000	439.7618	0.8572	33.27
8	110	1.0059	-1.1247	103.7522	57.0198	101.8959	0.0084	39.0000	232.3332	0.8781	4.84

รูปที่ 4 ผลการคำนวณการไหล

5. การทดสอบการลู่เข้าสู่คำตอบ

หัวข้อนี้แสดงสมรรถนะของวิธีที่ได้นำเสนอโดยใช้ระบบทดสอบ IEEE 118 และ 300 บัส ในการทดสอบนี้ระบบไฟฟ้า 21 บัสในรูปที่ 3 จะถูกเชื่อมต่อเข้ากับบัสประเภทพีคิวทุกบัสสำหรับระบบทดสอบ IEEE 118 บัส และถูกต่อกับบัสพีวีและพีคิว จำนวน 108 บัส [15] สำหรับระบบ IEEE 300 บัส หลังจากการคำนวณการไหลเสร็จสิ้นด้วยค่าความผิดพลาดที่ยอมรับได้ 10^{-10} ค่าสมบูรณ์ของฟังก์ชัน $\mathbf{f(x)}$ ในแต่ละรอบการคำนวณของระบบทดสอบแสดงดังรูปที่ 5 และ 6 ค่าความคลาดเคลื่อนของระบบทั้งสองแบบดั้งเดิมถูกนำมาแสดงเพื่อให้ผู้อ่านสามารถใช้ในการเปรียบเทียบได้อย่างชัดเจน จากรูปจะเห็นได้ว่า การเพิ่มกลุ่มของปั๊มน้ำที่ต่อเข้ากับบัสโหลดทั้งหมดของระบบ IEEE 118 บัส ส่งผลให้ค่าความคลาดเคลื่อนเพิ่มขึ้นเพียงเล็กน้อยเท่านั้น อย่างไรก็ตาม ค่าความคลาดเคลื่อนยังคงลดลงในลักษณะลู่เข้าสู่คำตอบแบบกำลังสอง (quadratic convergence) ในขณะที่ เมื่อทดสอบด้วยระบบ IEEE 300 บัส ที่มีการเพิ่มโหลดปั๊มน้ำจำนวน 864 ตัว พบว่าค่าความคลาดเคลื่อนที่เกิดขึ้นมีการเพิ่มขึ้นเมื่อเทียบกับระบบเดิม แต่อย่างไรก็ตาม จากรูปจะสังเกตได้ว่า ระบบนี้ยังคงสามารถลู่เข้าสู่คำตอบได้ที่ค่าความคลาดเคลื่อน 10^{-10} โดยจำนวนรอบที่ใช้ในการคำนวณเพิ่มขึ้นมาเพียงรอบเดียวเท่านั้น จากผลการศึกษาแสดงให้เห็นว่า สมรรถนะการคำนวณของเทคนิคที่นำเสนอนี้ยังสามารถรักษาลักษณะการลู่เข้าสู่คำตอบแบบควอดราติกได้ ถึงแม้ว่าปั๊มน้ำถูกผนวกเข้ากับระบบไฟฟ้าเป็นจำนวนมาก

6. สรุป

บทความนี้นำเสนอเทคนิคการคำนวณการไหลกำลังไฟฟ้าด้วยวิธีนิวตันราฟสันเพื่อหาจุดทำงานของโครงข่ายไฟฟ้าที่ประกอบด้วยโหลดปั๊มน้ำโดยผนวกเส้นคุณลักษณะของปั๊มเข้ากับวิธีการคำนวณการไหลโดยตรง ทำให้สามารถหาคำตอบที่สะท้อนพฤติกรรมจริงของปั๊มได้อย่างแม่นยำ แม้ว่าวิธีการนี้ยังมีข้อจำกัดบางประการ เช่น ความจำเป็นในการใช้ข้อมูลเส้นคุณลักษณะจากผู้ผลิตเพื่อสร้างสมการเฉพาะของปั๊มน้ำแต่ละตัว และข้อจำกัดอีกประการคือ วิธีนิวตันราฟสันจำเป็นต้องอาศัยการกำหนดค่าเริ่มต้นที่เหมาะสมเพื่อให้การคำนวณสามารถลู่เข้าสู่คำตอบที่ถูกต้อง แต่อย่างไรก็ตาม ผลการคำนวณแสดงให้เห็นว่าวิธีการที่นำเสนอสามารถหาจุดทำงานของปั๊มน้ำได้อย่างถูกต้องและสัมพันธ์กับการทำงานของระบบโครงข่ายไฟฟ้า อีกทั้งยังสามารถ รักษาการลู่เข้าสู่คำตอบแบบควอดราติกได้แม้ในกรณีที่มีกลุ่มปั๊มน้ำจำนวนมากเชื่อมต่อกับโครงข่ายไฟฟ้า ดังนั้นอัลกอริทึมที่นำเสนอจึงเป็นแนวทางที่สามารถนำมาใช้แก้ไขปัญหาการหาจุดทำงานเริ่มต้นของโหลดปั๊มน้ำ ซึ่งโปรแกรมวิเคราะห์ระบบไฟฟ้ากำลังในปัจจุบันยังไม่สามารถคำนวณได้อย่างถูกต้อง อีกทั้งยังมีศักยภาพที่จะต่อยอดไปสู่การทำแบบจำลองพลวัตของระบบไฟฟ้ากำลังที่มีโหลดปั๊มน้ำจำนวนมาก เพื่อใช้ในการประเมินเสถียรภาพของระบบไฟฟ้า โดยเฉพาะในกรณีที่เกิดความผิดพร่องในระบบไฟฟ้า ผลลัพธ์ที่ได้สามารถนำไปใช้เป็นค่าเริ่มต้นของการจำลองพลวัต และเปรียบเทียบกับผลการจำลองที่ใช้ค่าเริ่มต้นจากวิธีการคำนวณการไหลแบบดั้งเดิมที่นิยมในโปรแกรมเชิงพาณิชย์ เพื่อแสดงให้เห็นว่าวิธีที่นำเสนอนี้ช่วยให้การจำลองสะท้อน

พฤติกรรมของโครงข่ายไฟฟ้าที่มีปั๊มน้ำเชื่อมต่อได้อย่างถูกต้องและแม่นยำยิ่งกว่า

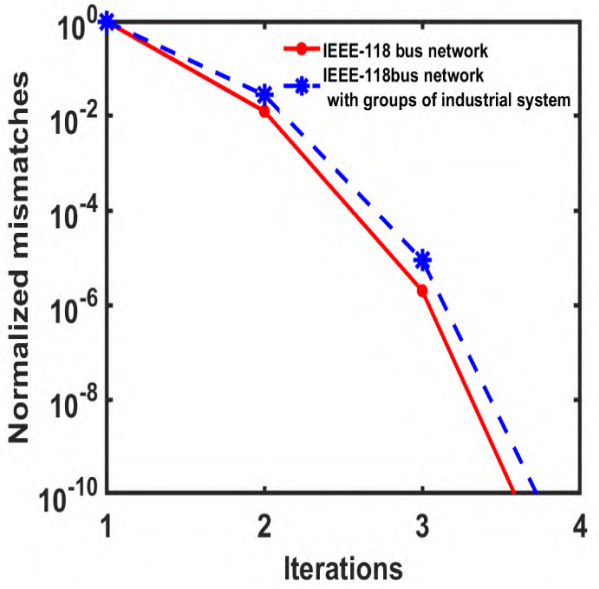

รูปที่ 5 ค่าสมบูรณ์ของฟังก์ชันของระบบทดสอบ IEEE 118 บัส

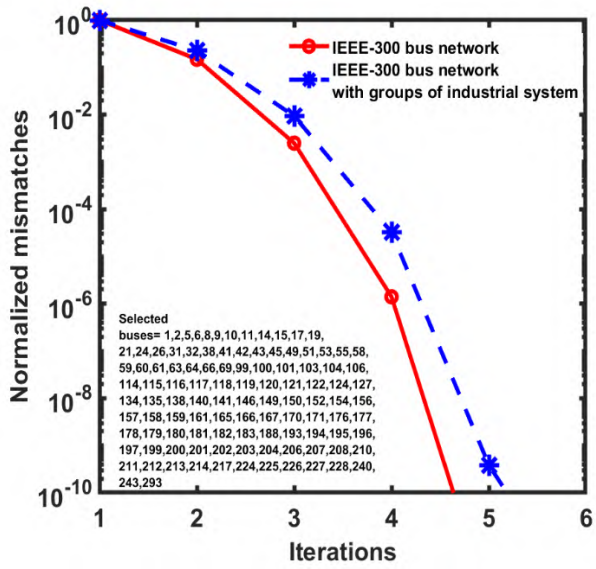

รูปที่ 6 ค่าสมบูรณ์ของฟังก์ชันของระบบทดสอบ IEEE 300 บัส

เอกสารอ้างอิง

[1] V. K. Arun Shankar, S. Umashankar, S. Paramasivam, and N. Hanigovszki, "A comprehensive review on energy efficiency enhancement initiatives in centrifugal pumping system," *Applied Energy*, vol. 181, pp. 495–513, 2016.

[2] PSS/E 32.0, "Program Application Guide Volume II", Power Technologies Inc, Schenectady, New York, USA, 2009, pp. 19-24-19-28.

[3] J. Powell and G. Radman, "Initialization for dynamic simulation of stressed power systems considering induction motor components of loads," in *Proc. IEEE SoutheastCon 2008*, Huntsville, AL, USA, Apr. 2008, pp. 442–447.

[4] P. Aree and E. Acha, "Power flow initialisation of dynamic studies with induction motor loads," *IET Generation, Transmission & Distribution*, vol. 5, no. 2, pp. 196–206, Feb. 2011.

[5] P. Aree, "Efficient and precise dynamic initialization of induction motors using unified Newton–Raphson power-flow approach," *IEEE Transactions on Power Systems*, vol. 37, no. 5, pp. 1234–1242, 2022.

[6] D. J. O'Grady, C. Keckler, and T. H. Fanning, *Status of EM Pump Modeling Capability for VTR*, Argonne National Laboratory, Lemont, IL, USA, Tech. Rep., Aug. 2021. [Online]. Available: https://publications.anl.gov/anlpubs/ 2021/09/170659.pdf

[7] L.M. Castro, C.R. Fuerte-Esquivel, J.H. Tovar-Hernández, "A unified approach for the solution of power flows in electric power systems including wind farms", *Electr. Power Syst. Res*. Vol 81, pp. 1859-1865, 2011.

[8] Z. Yang and H. Børsting, "Energy efficient control of a boosting system with multiple variable-speed pumps in parallel," in *Proc. 49th IEEE Conference on Decision and Control (CDC)*, Atlanta, GA, USA, Dec. 2010, pp. 2198–2203.

[9] Z. Yang and H. Børsting, "Optimal scheduling and control of a multi-pump boosting system," in *Proc. 2010 IEEE International Conference on Control Applications (CCA)*, Yokohama, Japan, Sep. 2010, pp. 2071–2076.

[10] J. Chapallaz, P. Eichenberger and G. Fischer, "Manual on Pumps Used as Turbines vol. 11", Skat Publications, Braunschweig, 1992.

[11] W.F. Tinney, C.E. Hart. "Power-flow Solution by Newton's Method", *IEEE Trans Power Appar Syst*. Vol 86, pp.1449-56, 1967.

[12] P. Aree. "Extended Newton–Raphson Algorithm for Accurate Power-Flow Calculation of Industrial Facilities Based on Induction Motor Catalog Information", *Russ. Electr. Engin.* Vol 95 ,pp. 335–346, 2024.

[13] Grundfos, "NK 350-350/416-382 AG1F1SBESBQQEYW3 – NK/NKE Series 2000 NK Bare Shaft," *Grundfos Product-Selection Tool*, 2025. [Online]. Available: https://product-selection.grundfos.com/products/nk-nke-nke-series-2000-nk-bare-shaft/nk/nk-350-350416-382-93120672?frequency=50&pump_systemid=2694816510&tab=variant-curves. [Accessed: Jun. 23, 2025].

[14] MathWorks, "Asynchronous Machine," *MATLAB & Simulink Documentation*, 2024. [Online]. Available: https://www.mathworks.com/help/sps/powersys/ref/asynchronousmachine.html [Accessed: Jun. 29, 2025].

[15] P. Aree, "Accurate power-flow initialization of double-cage induction motors using unified Newton-Raphson method," *Int. Trans. Electr. Energ. Syst.*, vol. 27, no. 8, e2380, 2017.

การวิเคราะห์การไหลของกำลังไฟฟ้าฮาร์มอนิกในระบบจ่ายรถไฟฟ้ากระแสสลับด้วยแบบจำลองตัวนำเดี่ยว

AC Railway Power Flow Analysis using Single Conductor Model

กองทุน กฤษณสุวรรณ[1] และ ธนัดชัย กุลวรวานิชพงษ์[1]*

[1]สาขาวิชาวิศวกรรมไฟฟ้า สำนักวิศวกรรมศาสตร์ มหาวิทยาลัยเทคโนโลยีสุรนารี Kongtun.Krit@gmail.com thanatch@sut.ac.th*

บทคัดย่อ

ปัญหาฮาร์มอนิกในระบบจ่ายไฟฟ้าสำหรับรถไฟฟ้ากระแสสลับอาจส่งผลต่อคุณภาพไฟฟ้าและเสถียรภาพของระบบในระยะยาว บทความนี้จึงนำเสนอการวิเคราะห์การไหลของฮาร์มอนิก โดยใช้แบบจำลองระบบจ่ายไฟฟ้ากระแสสลับแบบตัวนำเดี่ยว (Single Conductor Model) เพื่อวิเคราะห์ผลกระทบของฮาร์มอนิกต่อแรงดันไฟฟ้าที่สถานีจ่ายกำลังไฟฟ้าขับเคลื่อน การวิเคราะห์นี้ใช้วิธีการสแกนความถี่ (Frequency Scanning Method) เพื่อการคำนวณตามลำดับความถี่ ใช้แบบจำลองแบบเซลล์จำกัด (Finite Cell Model) แบ่งระบบจ่ายไฟฟ้าออกเป็นส่วนย่อย และใช้วิธีลำดับเชิงเส้น (Sequential Linear Method) ในการคำนวณค่าแรงดันและกระแสไฟฟ้าในแต่ละตำแหน่งในระบบ ในกรณีศึกษาจะใช้ระบบรถไฟฟ้า ARL สาย City Line ที่ใช้ระบบจ่ายไฟฟ้ากระแสสลับแรงดัน 25kV 50Hz ผลการวิเคราะห์สามารถสะท้อนพฤติกรรมและผลกระทบของฮาร์มอนิกได้ชัดเจนโดยมีการประเมินค่าระดับความเพี้ยนฮาร์มอนิกรวม (Total harmonic Distortion: THD) ตามมาตรฐาน IEEE Std 519-2022 จากการใช้ข้อมูลค่าฮาร์มอนิกตัวอย่าง พบว่าค่า THDv สูงสุดอยู่บนขบวนรถไฟมีค่า 7.92% ซึ่งมาตรฐานกำหนดไว้ไม่เกิน 5% และ TDDi สูงสุดที่สถานีจ่ายไฟฟ้ามีค่า 1.79% ซึ่งมาตรฐานกำหนดไว้ไม่เกิน 1% ที่ฮาร์มอนิกลำดับที่ 35 ถึง 50 ผลลัพธ์แสดงให้เห็นว่าการวิเคราะห์ฮาร์มอนิกด้วยแนวทางนี้ สามารถประเมินคุณภาพไฟฟ้าและความเสถียรของระบบไฟฟ้าได้ รวมถึงเป็นข้อมูลอ้างอิงสำหรับการพัฒนาวิธีลดฮาร์มอนิกในอนาคต

คำสำคัญ: ระบบจ่ายไฟฟ้ารถไฟกระแสสลับ, ฮาร์มอนิก, แบบจำลองเซลล์จำกัด, วิธีลำดับเชิงเส้น

Abstract

Harmonic problems in AC railway power feeding systems may adversely affect power quality and long-term system stability. This paper presents a harmonic power flow analysis using a single-conductor model of the AC railway traction power feeding system to investigate the impacts of harmonics on the supply voltage at traction substations. The analysis employs the Frequency Scanning Method for frequency-domain calculations, the Finite Cell Model to divide the system into discrete segments, and the Sequential Linear Method to compute the voltage and current at each point in the system. The case study focuses on the Airport Rail Link (ARL) City Line, which operates under a 25 kV 50 Hz AC power supply system. The results clearly illustrate the harmonic behavior and its impacts, with an evaluation of Total Harmonic Distortion (THD) based on IEEE Std 519-2022. From the sampled harmonic data, the maximum voltage distortion (THDv) on the train was found to be 7.92%, exceeding the standard limit of 5%, while the maximum current distortion (TDDi) at the traction substation reached 1.79% for harmonic orders 35 to 50, surpassing the standard limit of 1%. These findings demonstrate that the proposed harmonic analysis approach can effectively assess the power quality and stability of AC railway power supply systems, and also provide reference data for developing future harmonic mitigation methods.

Keywords: AC railway power feeding systems, Harmonics, Finite Cell Model, Sequential Linear Iterative Method

1. ข้อมูลทั่วไป

ระบบจ่ายไฟฟ้ากระแสสลับสำหรับระบบราง เช่น รถไฟความเร็วสูง รถไฟชานเมือง และรถไฟฟ้าในเขตเมือง การควบคุมคุณภาพกำลังไฟฟ้า (Power Quality) มีความสำคัญสูง โดยเฉพาะปัญหาฮาร์มอนิกที่เกิดจากโหลดไม่เป็นเชิงเส้น เช่น อินเวอร์เตอร์ ระบบขับเคลื่อนแบบ PWM และวงจรควบคุมอิเล็กทรอนิกส์ ซึ่งฮาร์มอนิกเหล่านี้สามารถแพร่กลับเข้าสู่ระบบจ่ายไฟฟ้า ส่งผลต่อเสถียรภาพของระบบไฟฟ้าทำให้รูปคลื่นแรงดันผิดเพี้ยนอาจก่อให้เกิดเรโซแนนซ์หรือแรงดันไฟฟ้าเกินและก่อให้เกิดกระแสไหลเกินในหม้อแปลงและสายตัวนำ ซึ่งลดอายุการใช้งานอุปกรณ์อีกทั้งยังรบกวนระบบควบคุมและสื่อสาร [1] งานวิจัยนี้ใช้ระบบรถไฟ Airport Rail Link (ARL) สาย City Line ที่ใช้ระบบจ่ายไฟฟ้ากระแสสลับที่ขนาดแรงดัน 25kV 50Hz เป็นกรณีศึกษา เนื่องจากมีการเดินรถหลายขบวนพร้อมกันและมีข้อมูลโครงสร้างชัดเจน [2]

การวิเคราะห์การไหลของฮาร์มอนิกใช้แบบจำลองระบบจ่ายไฟฟ้าหนึ่งเฟสแบบตัวนำเดี่ยว ครอบคลุมสถานีจ่ายไฟขับเคลื่อน ระบบสายตัวนำสัมผัสพาดอากาศ และโหลดรถไฟ โดยใช้วิธีสแกนความถี่ (Frequency Scanning Method) วิเคราะห์ลำดับฮาร์มอนิกตั้งแต่ลำดับที่ 1–50 ที่มีความถี่มูลฐาน 50 Hz และใช้ข้อมูลตัวอย่างกระแสฮาร์มอนิกจากรถไฟ CHR380A [3,4] ที่สามารถหาได้และใกล้เคียงกับระบบในกรณีศึกษา การคำนวณใช้แบบจำลองเซลล์จำกัด (Finite Cell Model) ร่วมกับวิธีลำดับเชิงเส้น (Sequential Linear Solution Method) โดย

*ผู้ประพันธ์บรรณกิจ

จำลองรถไฟแต่ละขบวนเป็นแหล่งจ่ายกระแสฮาร์มอนิก เพื่อคำนวณแรงดันและกระแสฮาร์มอนิกที่สถานีจ่ายไฟฟ้าและประเมินค่าความเพี้ยนฮาร์มอนิกรวมของแรงดันไฟฟ้า (THDv) และกระแสไฟฟ้า (TDDi) ตามมาตรฐาน IEEE 519-2022 [5]

งานวิจัยเป็นการประยุกต์ใช้การวิเคราะห์ระบบจ่ายกำลังไฟฟ้าด้วยวิธีลำดับเชิงเส้นร่วมกับการวิเคราะห์การไหลของฮาร์มอนิกด้วยวิธีการสแกนความถี่ ในระบบรถไฟที่มีการเคลื่อนที่แบบหลายขบวน ซึ่งมีความใกล้เคียงกับระบบการเดินรถไฟในชีวิตจริง ทำให้สามารถประเมินผลกระทบต่อคุณภาพไฟฟ้าและความเสถียรของระบบ สามารถเป็นข้อมูลอ้างอิงสำหรับการออกแบบมาตรการลดฮาร์มอนิกในอนาคตได้

2. การวิเคราะห์แบบจำลองหนึ่งเฟสของระบบจ่ายไฟฟ้ารถไฟฟ้ากระแสสลับ

ระบบจ่ายกำลังไฟฟ้ากระแสสลับสำหรับรถไฟฟ้าในปัจจุบันมักใช้แรงดันไฟฟ้า 25 kV, 50 Hz โดยออกแบบเพื่อรองรับโหลดเคลื่อนที่ เช่น รถไฟหลายขบวนพร้อมกัน เพื่อให้ง่ายในการวิเคราะห์และเป็นพื้นฐานในการต่อยอดสู่การวิเคราะห์ระบบจ่ายไฟฟ้าแบบอื่นๆ งานวิจัยนี้จึงเลือกใช้แบบจำลองระบบจ่ายกำลังไฟฟ้าสำหรับรถไฟฟ้ากระแสสลับหนึ่งเฟสแบบตัวนำเดี่ยว ดังรูปที่ 1 ที่ตัดปัจจัยไม่สำคัญของเฟสอื่นออก โดยเน้นพฤติกรรมหลักของสถานีจ่ายไฟฟ้า ตัวนำสัมผัสพาดอากาศและรางวิ่ง และรถไฟได้อย่างชัดเจน

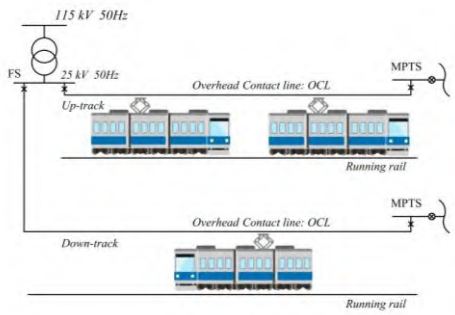

รูปที่ 1 แบบจำลองระบบจ่ายกำลังไฟฟ้าสำหรับรถไฟฟ้ากระแสสลับหนึ่งเฟสแบบตัวนำเดี่ยว

ในการวิเคราะห์แบบจำลองเชิงโครงข่ายสามารถทำให้ง่ายขึ้นได้ดังแสดงในรูปที่ 2 โดยระบบจ่ายไฟฟ้าจะถูกแทนด้วยวงจรสมมูลแบบนอร์ตัน (Norton Equivalent Circuit) ซึ่งประกอบด้วยแหล่งจ่ายกระแส I_{ss} อิมพีแดนซ์สมมูลที่สถานีจ่ายไฟฟ้า Z_{ss} อิมพีแดนซ์ของตัวนำสัมผัส Z_L ที่ถูกคูณด้วยระยะทาง d โดยผลรวมระยะทางในส่วน Up-track หรือ Down-track มีค่าเท่ากับ D พร้อมทั้งโหลดจากขบวนรถไฟ I_t ทั้งนี้ โนดของสถานีจ่ายไฟฟ้าจะมีค่าแรงดันไฟฟ้า V_L ส่วนโหนดของรถไฟจะมีค่าแรงดันไฟฟ้า V_t การวิเคราะห์ในลักษณะนี้สามารถประยุกต์ใช้ได้ทั้งกับระบบจ่ายไฟฟ้าที่ใช้หม้อแปลงบูสเตอร์และระบบที่ใช้หม้อแปลงออโต้ได้

สำหรับการคำนวณการไหลของกำลังไฟฟ้าในระบบจ่ายไฟฟ้า ใช้วิธีการลำดับเชิงเส้น (Sequential Linear Method) ควบคู่กับแบบจำลองเซลล์จำกัด (Finite Cell Model) โดยมีการแบ่งองค์ประกอบแต่ละส่วนของระบบจ่ายไฟฟ้าออกเป็นเซลล์ย่อย จากนั้นนำแต่ละส่วนย่อยมาสร้างเมทริกซ์แอดมิตแตนซ์ (Admittance Matrix) เพื่อใช้ในการวิเคราะห์หาแรงดันและกระแสไฟฟ้าที่แต่ละบัสในระบบ ทั้งนี้แบบจำลองถูกแบ่งการวิเคราะห์ออกเป็น 3 ส่วนหลัก ได้แก่ (1) แบบจำลองสถานีจ่ายไฟฟ้าขับเคลื่อน (2) แบบจำลองระบบสายตัวนำสัมผัสพาดอากาศและรางวิ่ง และ (3) แบบจำลองรถไฟ

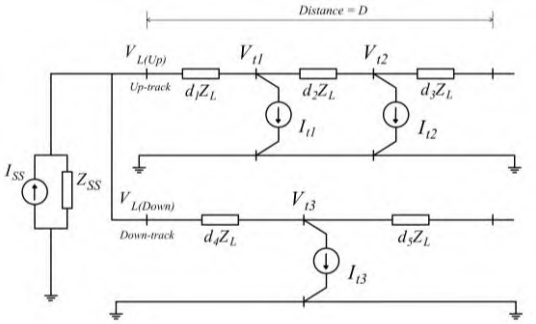

รูปที่ 2 แบบจำลองวงจรไฟฟ้าระบบจ่ายกำลังไฟฟ้าสำหรับรถไฟฟ้ากระแสสลับหนึ่งเฟสแบบตัวนำเดี่ยว

2.1 แบบจำลองของสถานีจ่ายไฟฟ้าขับเคลื่อน

สถานีจ่ายกำลังไฟฟ้าสำหรับรถไฟฟ้ากระแสสลับสำหรับระบบรางทำหน้าที่แปลงแรงดันจากระบบส่งไฟฟ้าแรงสูง (เช่น 115 kV) ลงสู่ระดับ 25 kV ก่อนจะจ่ายระบบจ่ายกำลังไฟฟ้าให้กับรถไฟ โดยในงานวิจัยนี้จะใช้การวิเคราะห์วงจรสมมูลนอร์ตันดังรูปที่ 3 โดยพิจารณาจุดเชื่อมต่อที่บัสบาร์ 25 kV โดยมี I_S^L คือกระแสไฟฟ้าที่ไหลออกจากสถานีไฟฟ้า

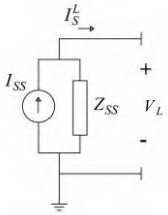

รูปที่ 3 วงจรสมมูลนอร์ตันของสถานีจ่ายไฟฟ้าขับเคลื่อน

จากวงจรสมมูลนอร์ตันสามารถวิเคราะห์แรงดันที่บัสบาร์ของสถานีไฟฟ้าแบบสมการโนดได้ดังสมการที่ 1

$$I_{SS} - \frac{V_L}{Z_{SS}} - I_S^L = 0 \tag{1}$$

เนื่องจากต้องนำพารามิเตอร์ในแบบจำลองของสถานีจ่ายไฟฟ้าไปใช้สร้างเมทริกซ์แอดมิตแตนซ์จึงจัดสมการที่ 1 ให้อยู่ในรูปของเมตริกซ์ในสมการที่ 2 ซึ่งจะแสดงให้เห็นถึงเมตริกแอดมิตแตนซ์ของแบบจำลองสถานีไฟฟ้าขับเคลื่อน

$$\left[I_S^L\right] = I_{SS}\left[1\right] + \left[-\frac{1}{Z_{SS}}\right]\left[V_L\right] \tag{2}$$

2.2 แบบจำลองระบบสายตัวนำสัมผัสพาดอากาศและรางวิ่ง

สายตัวนำสัมผัสพาดอากาศ (Overhead Contact Line: OCL) และรางวิ่ง (Running Rails) เป็นองค์ประกอบสำคัญในการถ่ายเทพลังงานระหว่างสถานีกับขบวนรถไฟ ซึ่งสามารถแทนด้วยอิมพีแดนซ์ต่อหน่วยความยาว ประกอบด้วยค่าความต้านทาน (R) และรีแอกแตนซ์ (X) ต่อกิโลเมตร ในแบบจำลองหนึ่งเฟสตัวนำเดี่ยว จะรวมอิมพีแดนซ์ของสายตัวนำ (Z_{CC}) และรางวิ่ง (Z_{RR}) เข้าด้วยกันเป็นค่าอิมพีแดนซ์ Z_L โดยคำนวณจากสมการที่ 3 และ 4 จากนั้นนำมาสร้างเมทริกซ์แอดมิตแตนซ์ Y_{OCS} ที่เชื่อมระหว่างบัส i และ j ดังรูปที่ 4 และสมการที่ 6 โดยไม่พิจารณาการเหนี่ยวนำคู่ควบระหว่างสายตัวนำและปรากฏการณ์ Skin effect.

$$z_{CC} = R_C^{'} + j2\pi f \mu_0 \left(\frac{\mu_0}{8\pi} + \frac{1}{2\pi} In \frac{D_{CE}}{GMR_C} \right) \quad (3)$$

$$z_{RR} = R_R^{'} + j2\pi f \mu_0 \left(\frac{\mu_R}{8\pi} + \frac{1}{\pi} In \frac{D_{RE}^2}{RG\, x\, GMR_R} \right) \quad (4)$$

โดยที่ R'_C, R'_R แทนค่าความต้านทานต่อหน่วยความยาวของตัวนำแคทีแนรีและของรางวิ่ง f แทนความถี่ของระบบจ่ายไฟฟ้า μ_0 แทนค่าสภาพซึมได้ทางแม่เหล็กของอากาศ μ_R แทนค่าสภาพซึมได้ทางแม่เหล็กของรางวิ่ง GMR_C และ GMR_R แทน ค่ารัศมีเฉลี่ยเรขาคณิตของตัวนำสมมูลแคทีแนรีและรางวิ่ง D_{CE} แทนด้วยระยะห่างของชุดตัวนำแคทีแนรีกับชุดตัวนำรางวิ่ง และ ค่า D_{RE} แทนด้วยระยะกระแสรั่วไหลไปยังระดับใต้พื้นดินหาได้จากสมการที่ 5 โดยมีค่า ρ_E แทนสภาพต้านทานไฟฟ้าของดิน

$$D_{RE} = 655\sqrt{\frac{\rho_E}{f}} \ , \ \rho_E = 547 f^{-0.434} \quad (5)$$

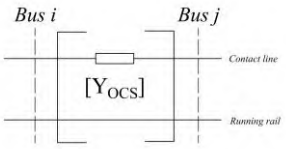

รูปที่ 3 แบบจำลองเมตริกซ์อิมพีแดนของระบบสายตัวนำพาดอากาศระหว่างบัส บัส i และบัส j

$$[Y_{OCS}] = \begin{bmatrix} \frac{1}{z_{CC}} & 0 \\ 0 & \frac{1}{z_{RR}} \end{bmatrix} \quad (6)$$

2.3 แบบจำลองของรถไฟฟ้า

แบบจำลองรถไฟกระแสสลับตามรูปที่ 5 ที่ใช้แรงดันไฟฟ้า 25kV 50Hz จากตัวนำสัมผัสผ่านแพนโทกราฟเข้าสู่ระบบขับเคลื่อนภายในขบวนรถไฟ ในแบบจำลองของงานวิจัยนี้ รถไฟแต่ละขบวนถูกแทนด้วยโหลดกำลังไฟฟ้าเชิงซ้อน (S_T) ตามสมการที่ 7 ซึ่งมีค่ากำลังไฟฟ้าที่แปรตามตำแหน่งและระยะเวลาเพื่อนำไปใช้ในการคำนวณลำดับเชิงเส้นที่บัส k ใดๆ

$$S_{T,k} = P_{T,k} + jQ_{T,k} \quad (7)$$

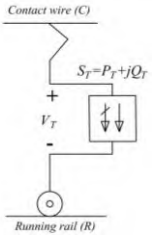

รูปที่ 4 แบบจำลองรถไฟฟ้ากระแสสลับ

3. การคำนวณการไหลของกำลังไฟฟ้าในระบบจ่ายไฟฟ้ารถไฟฟ้ากระแสสลับ

การวิเคราะห์การไหลของกำลังไฟฟ้าในระบบจ่ายไฟฟ้ารถไฟกระแสสลับ สามารถใช้หลักการวิเคราะห์ระบบไฟฟ้ากำลังมาประยุกต์ใช้ได้ โดยสามารถเขียนระบบจ่ายไฟฟ้า เป็นวงจรสมมูลในรูปของวงจรสมมูลแอดมิตแตนซ์ โดยไม่พิจารณาแหล่งจ่ายกระแสของสถานีไฟฟ้าขับเคลื่อน และไม่คิดผลของโหลด ดังรูปที่ 5 สามารถนำแบบจำลองมาเขียนในรูปของเมตริกซ์โครงข่าย เรียกว่า เมตริกบัสแอดมิตแตนซ์ (Bus Admittance matrix) หรือ Y_{BUS} ดังสมการที่ 8 โดยที่ N คือจำนวนบัสทั้งหมดในแบบจำลองระบบจ่ายไฟฟ้า

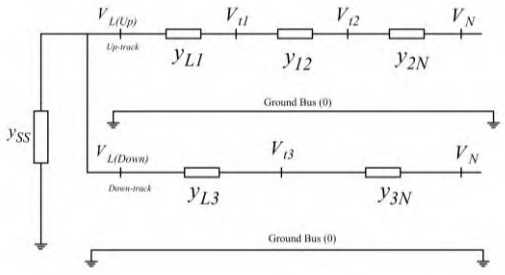

รูปที่ 5 แบบจำลองแอดมิตแตนซ์ของระบบจ่ายไฟฟ้าสำหรับรถไฟฟ้ากระแสสลับหนึ่งเฟสแบบตัวนำเดี่ยว

$$Y_{BUS} = \begin{bmatrix} Y_{1,1} & Y_{1,2} & \cdots & Y_{1,N} \\ Y_{2,1} & Y_{2,2} & \cdots & Y_{2,N} \\ \vdots & \vdots & \ddots & \vdots \\ Y_{N,1} & Y_{N,2} & \cdots & Y_{N,N} \end{bmatrix} \quad (8)$$

จากสมการที่ 8 เมื่อพิจารณาที่บัส k ใดๆ การคำนวณสมาชิกของเมตริกซ์บัสแอดมิตแตนซ์ Y_{BUS} จะประกอบไปด้วยสมาชิกในตำแหน่งแนวทแยงมุม และตำแหน่งนอกแนวทแยงมุม ซึ่งสามารถคำนวณได้จาก สมการที่ 9 และ 10

$$Y_{k,i} = -y_{k,i} \quad (9)$$

$$Y_{k,k} = \sum_{j=1}^{N_L} y_{k,j} \quad (10)$$

โดยที่ N_L แทนจำนวนสายจ่ายรวมอุปกรณ์ทั้งหมดที่ต่อกับบัส k

สำหรับการคำนวณการไหลของกำลังไฟฟ้า สามารถคำนวณหาผลเฉลยได้ โดยอ้างอิงสมการโนดของระบบจ่ายไฟฟ้าจะมีความสัมพันธ์ตามสมการที่ 11 และสามารถกระจายออกเป็นรูปแบบเมตริกซ์ที่มีความสัมพันธ์กันระหว่างบัสทั้งหมด จำนวน N บัส ได้ตามสมการที่ 12

$$[Y_{BUS}][V_{BUS}] = [I_{BUS}] \quad (11)$$

$$\begin{bmatrix} Y_{1,1} & Y_{1,2} & \cdots & Y_{1,N} \\ Y_{2,1} & Y_{2,2} & \cdots & Y_{2,N} \\ \vdots & \vdots & \ddots & \vdots \\ Y_{N,1} & Y_{N,2} & \cdots & Y_{N,N} \end{bmatrix} \begin{bmatrix} V_1 \\ V_2 \\ \vdots \\ V_N \end{bmatrix} = \begin{bmatrix} I_1 \\ I_2 \\ \vdots \\ I_N \end{bmatrix} \quad (12)$$

ระบบไฟฟ้ากระแสสลับที่จ่ายกำลังไฟฟ้าแรงดัน 25kV มักจะมีสถานีไฟฟ้าที่จ่ายกระแสไฟฟ้าเชื่อมอยู่ที่บัสเดียวเท่านั้น ที่จ่ายกระแสไฟฟ้าให้กับโหลดรถไฟฟ้าในรูปของแบบจำลองกำลังไฟฟ้าที่บัส k ใดๆ ดังนั้น คำนวณกระแสที่บัส k ได้ดังสมการที่ 13

$$I_k = I_{SS,k} - I_{T,k} \quad (13)$$

โดยที่ $I_{SS,k}$ แทนกระแสไฟฟ้าสจากสถานีจ่ายกำลังไฟฟ้า $I_{T,k}$ แทนกระแสไฟฟ้าที่รถไฟรับจากสายจ่ายกำลังไฟฟ้า

แม้ว่ารถไฟฟ้าจะนำเสนอโหลดในรูปกำลังไฟฟ้า แต่ในการคำนวณด้วยวิธีลำดับเชิงเส้น จำเป็นต้องแปลงเป็นรูปเชิงเส้นตามเมตริกซ์ของสมการที่ 12 จึงต้องใช้วิธีคำนวณแบบวนรอบ (z) โดยกำหนดค่าเริ่มต้นของแรงดันที่บัสทุกจุด (V_k) และใช้แรงดันจากรอบก่อนหน้าในการปรับปรุงค่าแรงดันในรอบถัดไป เพื่อแปลงกำลังไฟฟ้า (S_T) เป็นกระแสค่ากระแสไฟฟ้า (I_T) จะเปลี่ยนแปลงในแต่ละรอบจนลู่เข้าสู่ค่าคงที่ ซึ่งคำตอบจะเป็นค่ากระแสจริงของรถไฟ การวนรอบนี้จึงเป็นหลักการสำคัญในการแปลงสมการให้เป็นเชิงเส้นเพื่อการคำนวณเชิงตัวเลข โดยสามารถปรับปรุงค่ากระแสไฟฟ้าในแต่ละรอบได้ตามสมการที่ 14

$$I_{T,k}^{(z)} = \left(\frac{S_{T,k}}{V_k^{(z)}} \right)^* \quad (14)$$

โดยผลเฉลยแรงดันของระบบไฟฟ้า V_{BUS} ที่ได้จากการแก้สมการที่ 14 จะได้ดังสมการที่ 15 กระบวนการปรับปรุงผลเฉลยจำดำเนินไปจนกระทั่งความคลาดเคลื่อนของผลเฉลยที่ปรับปรุงจะไม่เกินค่าที่ยอมรับ

$$[V_{BUS}] = [Y_{BUS}]^{-1}[I_{BUS}] \quad (15)$$

4. การวิเคราะห์ฮาร์มอนิกในระบบจ่ายไฟฟ้ากระแสสลับ

ในการวิเคราะห์ระบบรถไฟฟ้ากระแสสลับที่มีหลายลำดับความถี่ โดยทั่วไปพารามิเตอร์ของตัวนำทั้งหมดมักถูกอธิบายที่ ความถี่มูลฐาน (50 Hz) เนื่องจากค่าอิมพีแดนซ์และแอดมิตแตนซ์ของสายตัวนำสัมผัสพาดอากาศและรางวิ่งจะแปรผันตามความถี่ ดังนั้นเพื่อวิเคราะห์ฮาร์มอนิกจึงใช้วิธีสแกนความถี่ (Frequency Scanning Method) โดยเปลี่ยนความถี่จากความถี่มูลฐาน f_1 = 50Hz ไปจนถึงความถี่สูงใดๆ ในรูปแบบ $h \times f_1$ โดยที่ h เป็นจำนวนเต็มบวกที่แทนลำดับฮาร์มอนิก การคำนวณในแต่ละลำดับฮาร์มอนิกต้องใช้วิธีลำดับเชิงเส้น (Sequential Linear Method) เพื่อหาผลเฉลยของแรงดันและกระแสในระบบสำหรับความถี่นั้น ๆ และวนซ้ำจนครบทุกลำดับฮาร์มอนิกที่กำหนด อย่างไรก็ตาม งานวิจัยนี้ยังไม่รวมผลของ Skin Effect ซึ่งทำให้กระแสกระจุกที่ผิวตัวนำเมื่อความถี่สูงขึ้น ส่งผลให้ค่าความต้านทานเพิ่มขึ้นแบบไม่เป็นเชิงเส้น และเกิดแรงดันตกคร่อมสูงขึ้นในลำดับฮาร์มอนิกสูง

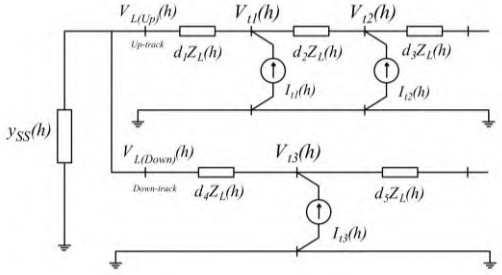

รูปที่ 6 แบบจำลองวงจรไฟฟ้าระบบจ่ายกำลังไฟฟ้าสำหรับรถไฟฟ้ากระแสสลับแบบตัวนำเดี่ยวที่มีการพิจารณาฮาร์มอนิก

แบบจำลองวงจรไฟฟ้าระบบจ่ายกำลังไฟฟ้าสำหรับรถไฟฟ้ากระแสสลับแบบตัวนำเดี่ยวที่มีการพิจารณาฮาร์มอนิกแสดงในรูปที่ 7 จะมีการเปลี่ยนแปลงไปจากแบบจำลองที่วิเคราะห์ระบบจ่ายในสภาวะปกติ โดยเปลี่ยนให้รถไฟเป็นแหล่งกระแสฮาร์มอนิกที่ส่งกลับเข้าสถานีไฟฟ้า ซึ่งทำหน้าที่เป็นโหลดเสมือนที่ไม่จ่ายกระแสไฟฟ้า การคำนวณแบบหลายความถี่จะใช้ข้อมูลจากวิธีลำดับเชิงเส้นในสภาวะปกติเป็นความถี่มูลฐาน โดยเริ่มจากกระแสของรถไฟที่ความถี่มูลฐาน (h=1) มาเปรียบเทียบกับค่ากระแสฮาร์มอนิกลำดับที่ 1 ที่ได้จากข้อมูลของรถไฟฟ้าตัวอย่าง เพื่อหาอัตราส่วนประมาณค่ากระแสในลำดับสูงขึ้น (h=2,3,5,...) จากนั้นจึงนำค่ากระแสเหล่านี้เข้าสมการโนดที่บัส k ในรูปของ $I_k(h)$ คูณกับอินเวอร์ของเมตริกซ์แอดมิตแตนซ์ $Y_k(h)$ ของระบบแสดงดังสมการที่ 16 โดยอิมพีแดนซ์สมมูลของสถานีจ่ายไฟฟ้าจะเปลี่ยนไปตามความถี่ด้วยโดย h คือลำดับฮามอนิกที่ 2, 3, ...,50

$$[V_k(h)] = [Y_k^{-1}(h)][I_k(h)] \quad (16)$$

การคำนวณจะได้ค่าแรงดันฮาร์มอนิกที่บัสใด ๆ $V_k(h)$ สำหรับทุกลำดับฮาร์มอนิกที่กำหนด และเมื่อนำผลลัพธ์มารวมกันจะได้รูปคลื่นแรงดันและกระแสที่เพี้ยนจากไซน์มาตรฐานในแต่ละ Time Step จากนั้นประเมินค่าความเพี้ยนรวมตามมาตรฐาน IEEE 519-2022 สำหรับการควบคุมฮาร์มอนิกในระบบไฟฟ้ากำลัง ที่กำหนดขีดจำกัดความเพี้ยนของฮาร์มอนิกรวมทั้งแรงดันไฟฟ้า THDv (Total Harmonic Distortion of Voltage) และกระแสไฟฟ้า TDDi (Total Demand Distortion of Current) ที่จุดเชื่อมต่อร่วมที่สถานีจ่ายไฟฟ้า โดยพิจารณาในฮาร์มอนิกไม่เกินลำดับที่ 50 ตามสมการที่ 17 และ 18 กระบวนการนี้ต้องทำการวนซ้ำในทุก Time Step ของการจำลองเดินรถจนครบเวลาการจำลองผล (Time Step) เพื่อวิเคราะห์การเปลี่ยนแปลงพลวัตของฮาร์มอนิกตามสภาวะการใช้งาน

$$THDv = \frac{\sqrt{\sum_{n=2}^{50} V_n^2}}{V_1} \quad (17)$$

$$TDDi = \frac{\sqrt{\sum_{n=2}^{50} I_n^2}}{I_{\max}} \quad (18)$$

โดยที่ V_1 คือค่าฮาร์มอนิกมูลฐานของแรงดันไฟฟ้า V_h คือค่าฮาร์มอนิกที่ไม่ใช่ค่าฮาร์มอนิกมูลฐานของแรงดันไฟฟ้า I_{max}คือความต้องการกระแสสูงสุดในสภาวะมูลฐาน และ I_h คือค่าฮาร์มอนิกที่ไม่ใช่ค่าฮาร์มอนิกมูลฐานของกระแสไฟฟ้า

5. ผลการจำลอง

5.1 ข้อมูลและพารามิเตอร์ที่ใช้ในการจำลอง

งานวิจัยศึกษาการจำลองการเคลื่องที่ของรถไฟฟ้าขนส่งมวลชน โดยใช้ข้อมูลรถไฟและเส้นทางการเดินรถไฟของรถไฟฟ้า ARL (Airport Rail Link) สาย City link ซึ่งมีสถานีรับส่งผู้โดยสาร 8 สถานี ตั้งแต่สถานีสุวรรณภูมิถึงสถานีพญาไท เวลาออกให้บริการแต่ละขบวนห่างกัน 12 นาที ให้บริการโดยใช้ความเร็ว 70 km/hr. และข้อมูลพารามิเตอร์ของขบวนรถไฟตามตารางที่ 1 โดยมีสถานีจ่ายไฟฟ้าขับเคลื่อน 1 สถานีที่ตำแหน่งต้นทาง มีค่ากำลังไฟฟ้าลัดวงจรของระบบขนาด 2.7 GVA หม้อแปลงไฟฟ้า 69kV/27.5kV ขนาด 20MVA แรงดันไฟฟ้าในสภาวะปกติ 25kV ในการจำลองการเดินรถไฟใช้รถไฟทั้งหมด 10 ขบวน ขาไปและขากลับรวมระยะทาง 28.3 กิโลเมตร

ตารางที่ 1 ข้อมูลและพารามิเตอร์ของรถไฟฟ้า ARL สาย City

พารามิเตอร์	ขนาด	หน่วย
Maximum acceleration	1.00	m/s^2
Maximum deceleration	0.88	m/s^2
Maximum velocity	160	Km/h
Train mass	131	Ton
Passenger mass	44.9	Ton
Maximum tractive effort	200.0	kN
Maximum braking effort	144.0	kN
Power auxiliary	200	kVA
Efficiency motor and inverter	0.82	-

ข้อมูลของระบบจ่ายกำลังไฟฟ้าพาดอากาศของรถไฟฟ้า ARL สาย City line ในการจำลองการเคลื่อนที่ของรถไฟฟ้าและระยะต่างๆในระบบชุดตัวนำจ่ายกำลังไฟฟ้าพาดอากาศ ดังรูปที่ 8 และ ตารางที่ 2

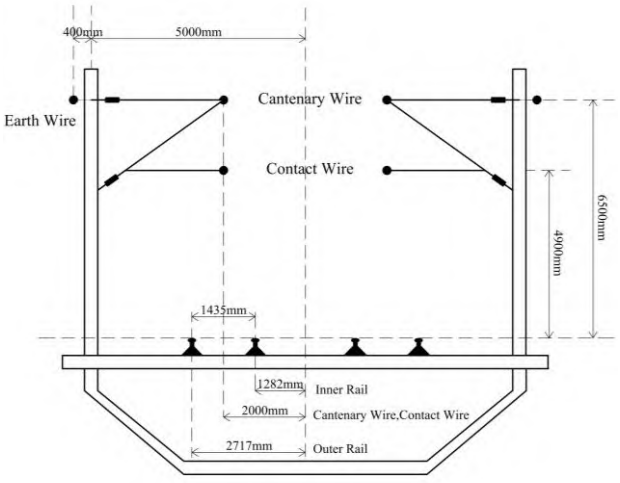

รูปที่ 8 ระยะต่างๆในระบบชุดตัวนำจ่ายกำลังไฟฟ้าพาดอากาศ

ตารางที่ 2 ข้อมูลระบบจ่ายไฟฟ้าพาดอากาศของ ARL สาย City line

พารามิเตอร์	ขนาด
Contact wire	Cu 107mm^2(20% abrasion)
Messenger wire	Bz 70 mm^2
Return Conductor	E-Al 120 mm^2
Rails	UIC 60, 15%
Impedance of catenary	0.0949 + j0.5877 Ω/km
Impedance of rail	0.0289 + j1.8539 Ω/km

5.2 ข้อมูลของฮาร์มอนิกจากรถไฟตัวอย่าง

ปริมาณกระแสฮาร์มอนิกที่เกิดจากรถไฟฟ้า จะนำมาจากค่าตัวอย่างของกระแสฮาร์มอนิกของรถไฟฟ้าความเร็วสูงจากประเทศจีน รุ่น CHR380A ตามที่แสดงในรูปที่ 9 เพื่อนำมาเปรียบเทียบหาสัดส่วนของกระแสฮาร์มอนิกในลำดับต่าง ๆ โดยการเปรียบเทียบกับค่ากระแสของรถไฟในสภาวะปกติหรือความถี่มูลฐานให้เหมาะสมกับระบบจำลองของรถไฟฟ้า ARL

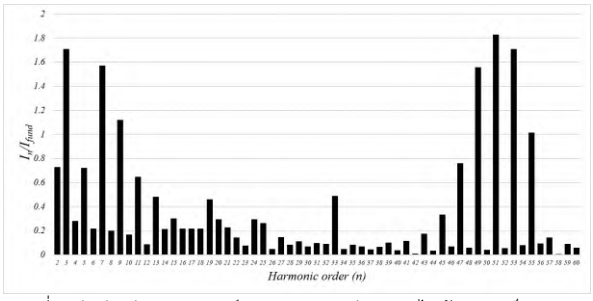

รูปที่ 9 ค่าตัวอย่างกระแสฮาร์มอนิกจากการวัดของรถไฟฟ้าความเร็วสูงจากประเทศจีน รุ่น CHR380A

5.3 ลำดับการคำนวณของโปรแกรม

จากรูปที่ 10 แสดงแผนภาพลำดับการทำงานของโปรแกรม เริ่มจากการตั้งค่าพารามิเตอร์ของการจำลองการเคลื่อนที่ของรถไฟและรูปแบบระบบจ่ายไฟ ขั้นตอนที่ 1 คือการคำนวณการเคลื่อนที่ของรถไฟ ตามด้วยขั้นตอนที่ 2 คำนวณกระแสฮาร์มอนิกจากตำแหน่งของรถไฟในแต่ละช่วงเวลา ขั้นตอนที่ 3 ดำเนินการวิเคราะห์การไหลของพลังงานไฟฟ้า และคำนวณแรงดันที่บัสต่าง ๆ ในระบบ จากนั้นขั้นตอนที่ 4 คำนวณค่าความเพี้ยนของฮาร์มอนิกรวม (THD) แล้วจึงวนซ้ำการคำนวณสำหรับทุกลำดับฮาร์มอนิกและอัปเดตเวลาในแบบจำลอง จนกว่าจะครบช่วงเวลาที่กำหนด

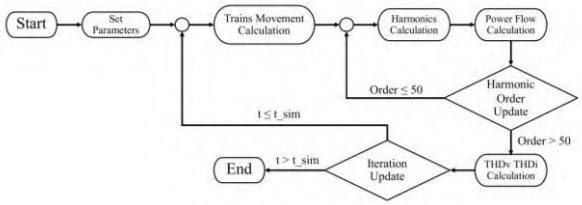

รูปที่ 10 แผนภาพลำดับการทำงานของโปรแกรมการคำนวณ

5.4 ผลการจำลองการวิเคราะห์ฮาร์มอนิกในระบบจ่ายกำลังไฟฟ้ากระแสสลับ

จากการจำลองโดยการเขียนโปรแกรมคำนวณโดยในโปรแกรม MATLAB โดยใช้เวลาในการจำลองการให้บริการของขบวนรถไฟ 1 ชั่วโมงและพิจารณาฮาร์มอนิกทั้งหมด 50 ลำดับ มีรถไฟให้บริการทั้งหมด 10 ขบวน และมีการคิดค่า THDv และ TDDi ทั้งที่สถานีจ่ายกำลังไฟฟ้าและที่ขบวนรถไฟ เพื่อให้เห็นการเปลี่ยนแปลงของปริมาณฮาร์มอนิกรวมที่เกิดขึ้นตลอดการให้บริการของรถไฟ ผลจากการจำลองการวิเคราะห์ฮาร์มอนิกในระบบจ่ายกำลังไฟฟ้ากระแสสลับแสดงไว้ในรูปที่ 11 และ 12 นอกจากนี้เพื่อให้เห็นถึงผลกระทบต่อรูปคลื่นแรงดันไฟฟ้า ผู้วิจัยได้สร้างกราฟรูปคลื่นแรงดันและกระแสในช่วงเวลาที่มีปริมาณฮาร์มอนิกสูงที่สุด เพื่อให้เห็นถึงรูปคลื่นที่ผิดเพี้ยนไปเนื่องจากผลของฮาร์มอนิกแสดงไว้ในรูปที่ 13 และ 14

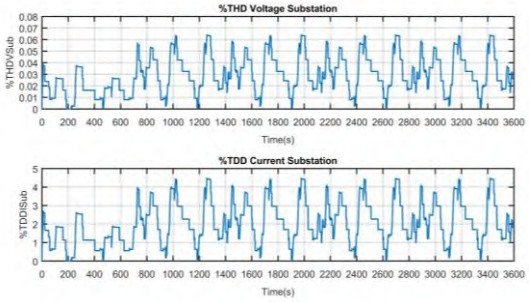

รูปที่ 11 ค่าความเพี้ยนฮาร์มอนิกนิกของแรงดันไฟฟ้ารวมที่สถานีจ่ายกำลังไฟฟ้าและค่าความเพี้ยนฮาร์มอนิกของกระแสไฟฟ้ารวมที่สถานีจ่ายกำลังไฟฟ้า

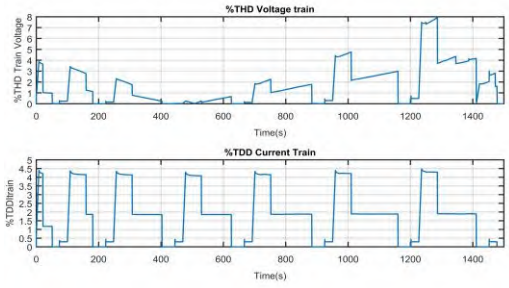

รูปที่ 12 ค่าความเพี้ยนฮาร์มอนิกของแรงดันไฟฟ้ารวมที่รถไฟและค่าความเพี้ยนฮาร์มอนิกของกระแสไฟฟ้ารวมที่ขบวนรถไฟ

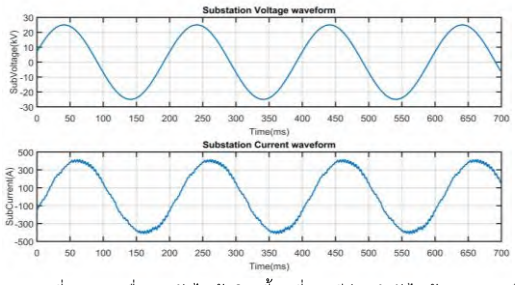

รูปที่ 13 รูปคลื่นแรงดันไฟฟ้าผิดเพี้ยนที่สถานีจ่ายกำลังไฟฟ้าและรูปคลื่นกระแสไฟฟ้าผิดเพี้ยนที่สถานีจ่ายกำลังไฟฟ้า

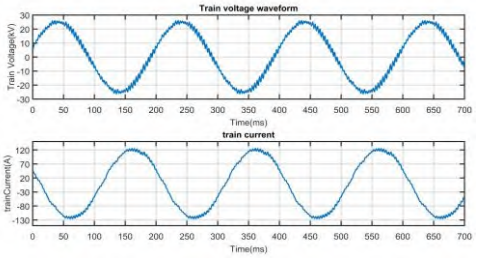

รูปที่ 14 รูปคลื่นแรงดันไฟฟ้าผิดเพี้ยนที่รถไฟและรูปคลื่นกระแสไฟฟ้าผิดเพี้ยนที่ขบวนรถไฟ

ตารางที่ 3 แสดงค่าความเพี้ยนฮาร์มอนิกของแรงดันไฟฟ้ารวม (THDv) ค่าต่ำสุด ค่าเฉลี่ย และค่าสูงสุด ที่ได้จากการจำลองทั้งที่สถานีจ่ายไฟฟ้าและบนขบวนรถไฟ

ค่าที่บัสบาร์แรงดันไฟฟ้า 25 kV	ค่า THDv ที่สถานีจ่ายไฟฟ้า (%) (จากการจำลอง)	ค่าTHDv บนขบวนรถไฟ (%) (จากการจำลอง)	ค่า THDv ตามมาตรฐาน IEEE519-2022 (%)
ค่าต่ำสุด	0.00	0.00	5.00
ค่าเฉลี่ย	0.03	0.70	5.00
ค่าสูงสุด	0.07	7.92	5.00

นอกจากนี้ในการชี้วัดว่าระบบจ่ายไฟฟ้าของรถไฟฟ้ามีปริมาณของฮาร์มอนิกในระบบจ่ายไฟฟ้าไม่มากจนเกินไปหรืออยู่ในค่าที่ยอมรับได้ จึงจำเป็นต้องใช้มาตรฐาน IEEE519-2022 ว่าด้วยการควบคุมฮาร์มอนิกในระบบไฟฟ้ากำลังมาเป็นตัวชี้วัด จากตารางที่ 3 แสดงค่าความเพี้ยนฮาร์มอนิกของแรงดันไฟฟ้ารวม (THDv) ทั้งค่าต่ำสุด ค่าเฉลี่ย และค่าสูงสุดที่ได้จากการจำลองในโปรแกรมทั้งที่สถานีจ่ายไฟฟ้าและที่ขบวนรถไฟ พร้อมเปรียบเทียบกับค่ามาตรฐาน IEEE519-2022 ค่าขีดจำกัดแรงดันเพี้ยนสำหรับระบบแรงดัน 1 kV < V ≤ 69 kV แสดงให้เห็นว่าเมื่อเปรียบเทียบค่า THDv กับมาตรฐานแล้วค่า THDv ที่ขบวนรถไฟ จากการจำลองมีค่าสูงสุดที่ 7.92% เกินค่ามาตรฐานที่กำหนดไว้ที่ 5.00%

ตารางที่ 4 แสดงค่าความเพี้ยนของกระแสฮาร์มอนิกที่สถานีจ่ายไฟฟ้า ทั้งค่าต่ำสุด ค่าเฉลี่ย และค่าสูงสุด จากการจำลองโดยมีการแบ่งลำดับของฮาร์มอนิกเป็นกลุ่มๆ เพื่อเปรียบเทียบกับมาตรฐาน IEEE519-2022 ขีดจำกัดกระแสเพี้ยนสำหรับระบบแรงดัน 120V ถึง 69 kV ที่มีค่ากระแสลัดวงจร I_{SC} เทียบกับกระแสโหลดสูงสุด I_L อยู่ระหว่าง 100 <1000 แสดงให้เห็นว่าค่าความเพี้ยนของกระแสฮาร์มอนิกที่สถานีจ่ายกำลังไฟฟ้า ในฮาร์มอนิกลำดับที่ 35 ถึง 50 มีค่าสูงสุดที่ 1.79 ซึ่งเกินค่ามาตรฐานที่กำหนดไว้ที่ 1.0

ตารางที่ 4 แสดงค่าความเพี้ยนของกระแสฮาร์มอนิกที่สถานีจ่ายไฟฟ้า ค่าต่ำสุด ค่าเฉลี่ย และค่าสูงสุด จากการจำลอง โดยมีการแบ่งเป็นกลุ่มๆ เพื่อเปรียบเทียบกับมาตรฐานกระแสฮาร์มอนิกของ IEEE519-2022

ค่าความเพี้ยนของกระแสฮาร์โมนิกสูงสุด คิดเป็นเปอร์เซ็นต์ของกระแสโหลด I_L						
ลำดับฮาร์โมนิกรายตัว (เฉพาะฮาร์โมนิกคี่) ที่สถานีไฟฟ้า						
$I_{SC}{}^{b}/I_L{}^{b}$ *(100 < 1000)*	$3 \le h < 11$	$11 \le h < 17$	$17 \le h < 23$	$23 \le h < 35$	$35 \le h \le 50$	TDDi
ค่าต่ำสุด	0.00	0.00	0.00	0.00	0.00	0.00
ค่าเฉลี่ย	1.29	0.45	0.32	0.25	0.83	2.07
ค่าสูงสุด	2.80	0.97	0.70	0.53	1.79	4.48
IEEE519-2022	12.0	5.5	5.0	2.0	1.0	15.0

จากผลการจำลองด้วยข้อมูลฮาร์มอนิกตัวอย่างนั้น ที่พบว่าค่าความเพี้ยนของแรงดันและกระแสฮาร์มอนิกบางช่วงเกินกว่าขีดจำกัดของมาตรฐาน IEEE 519-2022 ชี้ให้เห็นถึงสภาวะที่ระบบจ่ายไฟฟ้าของรถไฟฟ้า มีศักยภาพทำให้เกิดปัญหาฮาร์มอนิกสูงในบางสถานการณ์ ผลลัพธ์ดังกล่าวจึงสามารถใช้เป็นข้อมูลอ้างอิงเพื่อกำหนดความจำเป็นในการออกแบบหรือติดตั้งอุปกรณ์ลดทอนฮาร์มอนิก เช่น ตัวกรองฮาร์มอนิก เพื่อยกระดับคุณภาพไฟฟ้าให้อยู่ในเกณฑ์ที่ยอมรับได้ตามมาตรฐาน

สำหรับแนวทางการวิจัยในอนาคต สามารถขยายขอบเขตการศึกษาเพื่อเพิ่มความสมบูรณ์และความแม่นยำของแบบจำลองได้หลายด้าน โดยเฉพาะการพิจารณาผลของ Skin Effect และการเหนี่ยวนำคู่ควบ (mutual coupling) ซึ่งส่งผลโดยตรงต่อค่าอิมพีแดนซ์ของสายตัวนำสัมผัส พาดอากาศและรางวิ่ง ตลอดจนการวิเคราะห์ในระบบจ่ายกำลังไฟฟ้ารูปแบบอื่น ๆ หรือเปรียบเทียบกับข้อมูลฮาร์มอนิก จากรถไฟรุ่นอื่นๆ เพื่อความน่าเชื่อถือของผลลัพธ์ นอกจากนี้ยังสามารถพัฒนางานวิจัยด้านการออกแบบและเปรียบเทียบตัวกรองฮาร์มอนิกทั้ง Passive, Active และ Hybrid เพื่อหาวิธีการลดฮาร์มอนิกที่มีประสิทธิภาพสูงสุดและสอดคล้องกับมาตรฐาน IEEE Std 519-2022 ซึ่งจะช่วยยกระดับคุณภาพไฟฟ้าและเสถียรภาพของระบบจ่ายกำลังไฟฟ้าในระบบรถไฟฟ้าได้ดียิ่งขึ้น

กิตติกรรมประกาศ

งานวิจัยฉบับนี้ได้รับทุนอุดหนุนการวิจัยและนวัตกรรมจากสำนักงานการวิจัยแห่งชาติ (วช.) เลขที่สัญญา N41A661171 และจากมหาวิทยาลัยเทคโนโลยีสุรนารี

6. สรุป

งานวิจัยนี้นำเสนอการวิเคราะห์การไหลของฮาร์มอนิกในระบบจ่ายไฟฟ้ารถไฟฟ้ากระแสสลับแรงดัน 25 kV โดยใช้แบบจำลองระบบตัวนำเดี่ยวร่วมกับวิธีลำดับเชิงเส้น (Sequential Linear Method) และแบบจำลองเซลล์จำกัด (Finite Cell Model) เพื่อจำลองการหาผลเฉลยของแรงดันและกระแสในแต่ละตำแหน่งของระบบอย่างเป็นลำดับขั้น การวิเคราะห์การไหลของฮาร์มอนิกจะใช้วิธีการสแกนความถี่ (Frequency Scanning Method) เพื่อพิจารณาพฤติกรรมของระบบที่ความถี่มูลฐานและลำดับฮาร์มอนิกสูงขึ้น กรณีศึกษาของระบบรถไฟฟ้า ARL สาย City Line แสดงให้เห็นว่าค่าความเพี้ยนฮาร์มอนิกของแรงดัน (THDv) และกระแส (TDDi) บางช่วงมีค่าเกินกว่าขีดจำกัดที่ IEEE Std 519-2022 กำหนด โดยค่า THDv สูงสุดบนขบวนรถไฟอยู่ที่ 7.92% เกินขีดจำกัดที่ 5% และค่า TDDi สูงสุดที่สถานีจ่ายไฟฟ้าอยู่ที่ 1.79% เกินขีดจำกัดที่ 1% ในลำดับฮาร์มอนิกที่ 35–50 ผลลัพธ์ดังกล่าวสะท้อนถึงความเสี่ยงที่ระบบจ่ายไฟฟ้ารถไฟฟ้าอาจประสบปัญหาคุณภาพไฟฟ้าและเสถียรภาพในสภาวะจริง จากผลการศึกษาและแนวทางการวิเคราะห์ที่นำเสนอสามารถนำไปใช้เป็นพื้นฐานในการวางแผนมาตรการควบคุมและบรรเทาฮาร์มอนิก เช่น การเลือกจุดติดตั้งและการออกแบบตัวกรองฮาร์มอนิก ดังนั้น งานวิจัยนี้จึงเป็นการปูทางสู่การพัฒนากลยุทธ์ด้านคุณภาพไฟฟ้าและการเสริมสร้างความน่าเชื่อถือของระบบจ่ายไฟฟ้าสำหรับรถไฟฟ้ากระแสสลับในประเทศไทยและในระดับสากลได้

เอกสารอ้างอิง

[1] Kaleybar, H. J., Kojabadi, H. M., Brenna, M., Foiadelli, F., Fazel, S. S., & Rasi, A. (2019, June). "An inclusive study and classification of harmonic phenomena in electric railway systems". In 2019IEEE International Conference on Environment and Electrical Engineering and 2019 IEEE Industrial and Commercial Power Systems Europe (EEEIC/I&CPS Europe) (pp. 1-6). IEEE.

[2] Siemens Limited (2007), "Railway Electrification (REL) Traction Power Supply Attachment A: Traction Power Study and Simulation", Submission No.: TPS/0001, Suvarnabhumi Airport Rail Link and City Air Terminal.

[3] Tao, H., Hu, H., Zhu, X., Lei, K., & He, Z. (2019). A multifrequency model of electric locomotive for high-frequency instability assessment. IEEE Transactions on Transportation Electrification, 6(1), 241-256.

[4] Hu, H., He, Z., & Gao, S. (2014). Passive filter design for China high-speed railway with considering harmonic resonance and characteristic harmonics. IEEE Transactions on Power Delivery, 30(1), 505-514.

[5] Kulworawanichpong, T. (2004). Optimising AC electric railway power flows with power electronic control (Doctoral dissertation, University of Birmingham). Khan, Thailand, 2022, pp. 1-4.

กองทุน กฤษณสุวรรณ สำเร็จการศึกษาระดับปริญญาวิศวกรรมศาสตรบัณฑิต (วศ.บ.) และวิศวกรรมศาสตรมหาบัณฑิต (วศ.ม.) จากสำนักวิชาวิศวกรรมศาสตร์ สาขาวิศวกรรมไฟฟ้า มหาวิทยาลัยเทคโนโลยีสุรนารี ประเทศไทย ในปี พ.ศ. 2562 และ พ.ศ. 2565 ตามลำดับ ปัจจุบันกำลังศึกษาต่อในระดับปริญญาเอก ณ สำนักวิชาวิศวกรรมศาสตร์ มหาวิทยาลัยเทคโนโลยีสุรนารี ความสนใจในการวิจัยของเขาครอบคลุมด้านการวิเคราะห์ระบบไฟฟ้าสำหรับรถไฟฟ้ากระแสสลับ การวิเคราะห์การไหลของกำลังไฟฟ้า และการวิเคราะห์ฮาร์มอนิกในระบบจ่ายกำลังไฟฟ้าสำหรับรถไฟฟ้ากระแสสลับ

ธนัดชัย กุลวรวานิชพงษ์ ปัจจุบันดำรงตำแหน่งศาสตราจารย์ประจำสาขาวิชาวิศวกรรมไฟฟ้า สำนักวิชาวิศวกรรมศาสตร์ มหาวิทยาลัยเทคโนโลยีสุรนารี นครราชสีมา มีความเชี่ยวชาญด้านระบบไฟฟ้ากำลัง ระบบจ่ายไฟฟ้าสำหรับรถไฟ การขับเคลื่อนด้วยไฟฟ้า ระบบการอาณัติสัญญาณรถไฟ และการวิเคราะห์คุณภาพพลังงานในระบบขนส่งทางราง มีผลงานตีพิมพ์ในวารสารวิชาการระดับนานาชาติในสาขาวิศวกรรมไฟฟ้าและระบบรางอย่างต่อเนื่อง

การขับเคลื่อนตัวเองและการแบ่งปันพลังงานในกรณีฉุกเฉินของระบบรถไฟฟ้าขนส่งมวลชน

Emergency Self-Traction and Energy Sharing of Mass Rapid Transit System

บัณริ เข็มกลัดมุกต์[1,2] และ ธนัดชัย กุลวรวานิชพงษ์[1]*

[1]สาขาวิชาวิศวกรรมไฟฟ้า สำนักวิศวกรรมศาสตร์ มหาวิทยาลัยเทคโนโลยีสุรนารี banrikhem1937@gmail.com thanath@usut.ac.th*

[2]สาขาวิชาวิศวกรรมไฟฟ้า คณะวิศวกรรมศาสตร์ มหาวิทยาลัยมหาสารคาม banri.k@msu.ac.th

บทคัดย่อ

บทความนี้นำเสนอแนวคิดการแบ่งปันพลังงานสำหรับระบบขับเคลื่อนตัวเองฉุกเฉินในระบบรถไฟฟ้าขนส่งมวลชน วัตถุประสงค์หลักคือการลดจำนวนหน่วยระบบขับเคลื่อนตัวเองฉุกเฉินที่จำเป็น โดยเปิดใช้งานการแบ่งปันพลังงานระหว่างขบวนรถที่ติดตั้งระบบขับเคลื่อนตัวเองฉุกเฉินกับขบวนรถที่ไม่มีการติดตั้ง ขณะเดียวกันยังต้องมั่นใจได้ว่าขบวนรถไฟฟ้าทุกขบวนสามารถนำส่งผู้โดยสารไปยังสถานีหรือจุดจอดรถไฟที่ใกล้ที่สุดได้อย่างปลอดภัยและมีประสิทธิภาพระหว่างเกิดไฟฟ้าดับ การศึกษานี้ใช้รถไฟฟ้าบีทีเอส สายสีลมในประเทศไทยเป็นกรณีศึกษา เพื่อประเมินความเป็นไปได้ของแนวคิดนี้ โดยพิจารณาปัจจัยต่างๆ ได้แก่ ระยะทางระหว่างขบวนรถและสถานี รายละเอียดจำเพาะของขบวนรถ และปัจจัยอื่นๆ ที่เกี่ยวข้อง ผลการศึกษาแสดงให้เห็นว่าระบบขับเคลื่อนตัวเองฉุกเฉินสามารถให้พลังงานสำรองแก่ขบวนรถที่ติดตั้งได้อย่างมีประสิทธิภาพและแบ่งปันพลังงานส่วนเกินให้กับรถไฟฟ้าขบวนอื่นๆ ที่ไม่มีการติดตั้งในรัศมีการแบ่งปันด้วยอัตราความสำเร็จที่มากถึง 72.41% ซึ่งเน้นย้ำถึงความเป็นไปได้ในการประยุกต์ใช้ระบบนี้และสนับสนุนการพัฒนาระบบขนส่งที่ยั่งยืนและมีประสิทธิภาพมากขึ้น แม้ว่าจะมีข้อจำกัดบางประการก็ตาม

คำสำคัญ: ระบบรถไฟฟ้าขนส่งมวลชน, ระบบขับเคลื่อนตัวเองฉุกเฉิน, ไฟฟ้าดับ, การแบ่งปันพลังงาน

Abstract

This paper introduces the concept of energy sharing for Emergency Self-Traction Systems (ESTS) in mass rapid transit systems. The main objective is to reduce the number of ESTS units required by enabling energy sharing between trains equipped with ESTS and trains without equipped, while ensuring that all electric trains can safely and efficiently evacuate passengers to the nearest station or train stop during power outages. This study examines the BTS Silom Line in Thailand to evaluate the feasibility of this concept, considering various factors including the number of trains equipped with ESTS, distances between trains and stations, specific train characteristics, and other relevant parameters. The results demonstrate that ESTS can effectively provide backup power to equipped trains and share surplus energy with other non-equipped trains within the sharing radius, achieving a success rate of 72.41%. This emphasizes the feasibility of implementing this system and contributes to the development of more sustainable and efficient mass rapid transit systems.

Keywords: Mass Rapid Transit Systems, Emergency Self-Traction Systems, Power Outage, Energy-Sharing

1. บทนำ

ในช่วงหลายทศวรรษที่ผ่านมา ระบบรถไฟฟ้าขนส่งมวลชน (Mass Rapid Transit Systems – MRTS) ได้แสดงให้เห็นถึงความสำคัญในการยกระดับคุณภาพชีวิตของประชาชนในเมืองใหญ่ ด้วยประสิทธิภาพในการขนส่งผู้โดยสารจำนวนมากได้อย่างตรงเวลา ปลอดภัย และเป็นมิตรต่อสิ่งแวดล้อม [1] อย่างไรก็ตาม ปัญหาสำคัญที่ยังคงเป็นความท้าทายคือการรับมือกับสถานการณ์ฉุกเฉิน โดยเฉพาะเหตุการณ์ไฟฟ้าดับที่เกิดจากอุปกรณ์ชำรุดหรือการบำรุงรักษาที่ไม่เพียงพอ ซึ่งส่งผลให้เกิดการหยุดรถไฟกลางทาง อันนำไปสู่การเกิดความมืด ความแออัด และการระบายอากาศที่ไม่เพียงพอภายในขบวนรถ โดยสภาวะการณ์เหล่านี้ล้วนสร้างความไม่พอใจและความไม่มั่นใจให้กับผู้โดยสาร [2]

บทความนี้ได้นำเสนอแนวคิดการนำระบบขับเคลื่อนตัวเองฉุกเฉิน (Emergency Self-Traction System – ESTS) มาติดตั้งบนขบวนรถ เพื่ออาศัยพลังงานจากระบบนี้ในการจ่ายไฟให้กับระบบสำคัญบนขบวนรถ เช่น ไฟส่องสว่าง เครื่องปรับอากาศ ระบบสื่อสาร เป็นต้น รวมถึงสามารถขับเคลื่อนขบวนรถไปยังสถานีที่ใกล้ที่สุดได้ในระดับความเร็วที่จำกัด [3] อย่างไรก็ตาม ข้อจำกัดด้านต้นทุน การบำรุงรักษา และน้ำหนักของอุปกรณ์ยังเป็นอุปสรรคต่อการติดตั้งระบบนี้ในรถไฟทุกขบวน ด้วยเหตุนี้ จึงได้มีข้อเสนอให้ใช้แนวคิดการแบ่งปันพลังงานจากขบวนที่มีการติดตั้ง ESTS ไปยังขบวนที่ไม่มี เพื่อให้ทั้งระบบสามารถรับมือกับสถานการณ์ฉุกเฉินได้โดยไม่ต้องติดตั้งระบบในทุกขบวน ทั้งนี้ บทความได้จำลองสถานการณ์หลายรอบเพื่อประเมินความเป็นไปได้ของแนวทางนี้และเสนอข้อคิดเห็นสำหรับการวิจัยและพัฒนาต่อไป

2. การแบ่งปันพลังงานระหว่างขบวนรถไฟด้วย ESTS

ความปลอดภัยและความต่อเนื่องของการให้บริการเป็นสิ่งสำคัญอย่างยิ่งในระบบรถไฟฟ้าขนส่งมวลชน โดยเฉพาะในสถานการณ์ที่แหล่งจ่ายไฟขัดข้องขณะที่ขบวนรถไฟกำลังวิ่งอยู่บนเส้นทาง ซึ่งอาจทำให้

*ผู้ประพันธ์บรรณกิจ

เกิดความไม่สะดวกและความเสี่ยงต่อความปลอดภัยของผู้โดยสารจากการหยุดนิ่งกลางทางของขบวนรถ ประเด็นการพัฒนาระบบสำรองพลังงานสำหรับป้องกันปัญหาดังกล่าวจึงเป็นสิ่งที่มีความจำเป็นอย่างยิ่ง อย่างไรก็ตาม เนื่องจากพื้นที่ข้างทางในระบบรถไฟฟ้าขนส่งมวลชน ไม่ว่าจะเป็นบนทางยกระดับหรือในอุโมงค์ใต้ดิน มีพื้นที่จำกัดและคับแคบ การติดตั้งระบบสำรองพลังงานจากอุปกรณ์กักเก็บพลังงานบนขบวนรถไฟ (On-board Energy Storage Devices – ESD) จึงเป็นทางเลือกที่ได้รับความสนใจ ระบบขับเคลื่อนตัวเองฉุกเฉิน (Emergency Self-Traction System – ESTS) ถือเป็นระบบที่ตอบโจทย์ในแง่ของพื้นที่ติดตั้งและความสามารถในการขับเคลื่อนตัวเองด้วยพลังงานสำรองแม้ในกรณีไฟฟ้าดับ

อย่างไรก็ตาม เนื่องจากต้นทุนอุปกรณ์ใน ESTS ที่สูง ทำให้การติดตั้งระบบนี้ให้กับรถไฟทุกขบวนจึงเป็นไปได้ยากในทางปฏิบัติ บทความนี้จึงนำเสนอแนวคิดการแบ่งปันพลังงาน (Energy Sharing) จากขบวนรถไฟที่ติดตั้ง ESTS ไปยังขบวนที่ไม่มีการติดตั้งผ่านรางตัวนำหรือสายส่งเหนือศีรษะที่ถูกตัดไฟฟ้าจากระบบจ่ายไฟหลักขณะเกิดไฟดับ เพื่อลดจำนวนอุปกรณ์ ESTS ที่จำเป็นในระบบในขณะที่รถไฟทุกขบวนยังสามารถรับพลังงานจากขบวนอื่นที่ติดตั้ง ESTS เพื่อเคลื่อนที่นำส่งผู้โดยสารไปยังสถานีที่ใกล้ที่สุดได้อย่างปลอดภัย แม้จะไม่มี ESTS ติดตั้งในขบวนรถของตนเองก็ตาม แนวคิดดังกล่าวได้รับการประเมินผ่านการจำลองสถานการณ์โดยใช้แบบจำลองทางไฟฟ้าและเงื่อนไขจริงของระบบรถไฟฟ้า

ESTS ที่ถูกนำมาใช้ในระบบรถไฟฟ้าขนส่งมวลชนจะมีองค์ประกอบหลักสามส่วน ได้แก่ อุปกรณ์กักเก็บพลังงาน (ESD) ตัวแปลงพลังงานสองทิศทาง และหน่วยควบคุม [4] ระบบจะเริ่มการทำงานเมื่อถูกสั่งการด้วยมือจากเจ้าหน้าที่ขับรถไฟบนขบวนหรือทำงานแบบอัตโนมัติหลังจากที่หน่วยควบคุมตรวจจับได้ว่าขาดการรับพลังงานจากแหล่งจ่ายไฟหลัก จากนั้นหน่วยนี้จะประมวลผลและส่งคำสั่งไปยังตัวแปลงพลังงานสองทิศทาง เพื่อดึงพลังงานที่กักเก็บไว้ใน ESD โดยอิงตามสภาพการทำงานของขบวนรถในขณะนั้น [3 – 4] โดยปกติ ESD มักออกแบบให้มีความจุที่เพียงพอสำหรับสำรองไฟเฉพาะระบบไฟฟ้าบางประเภทให้ยังคงทำงานต่อไปได้ในช่วงระยะเวลาสั้นๆ ในขณะที่รอการช่วยเหลือเท่านั้น เช่น แสงสว่าง เครื่องปรับอากาศ ประตู เป็นต้น อย่างไรก็ตาม ด้วยเทคโนโลยี ESD ที่พัฒนาขึ้นอย่างมากในปัจจุบัน บางระบบอาจถูกออกแบบให้มีความสามารถในการเก็บพลังงานได้มากพอที่จะขับเคลื่อนรถไฟให้สามารถอพยพผู้โดยสารไปยังสถานีที่ใกล้ที่สุดก่อนที่ระบบจะหยุดทำงานโดยสมบูรณ์ได้

ภาพประกอบต่อไปนี้นำเสนอภาพรวมการทำงานของ ESTS และแนวทางการแบ่งปันพลังงานระหว่างขบวนรถไฟในกรณีไฟฟ้าขัดข้อง [5] โดยเริ่มจาก รูปที่ 1 แสดงการอัดประจุ ESTS ในกรณีที่แหล่งจ่ายไฟหลักทำงานภายใต้สภาวะปกติ ซึ่งสามารถอัดประจุได้จากสองแหล่ง ได้แก่ แหล่งจ่ายไฟหลักและพลังงานย้อนกลับจากการเบรกแบบรีเจนเนอเรทีฟ (Regenerative Braking) รูปที่ 2 แสดงการคายประจุ ESTS ในกรณีที่แหล่งจ่ายไฟหลักทำงานใต้สภาวะปกติ เพื่อการช่วยประหยัดพลังงานที่จำเป็นต้องจ่ายจากแหล่งจ่ายไฟหลัก รูปที่ 3 แสดงการคายประจุ ESTS ในกรณีที่แหล่งจ่ายไฟหลักเกิดขัดข้อง โดย ESTS จะจ่ายพลังงานสำรองให้กับอุปกรณ์ไฟฟ้าต่าง ๆ บนขบวนรถ รวมถึงขับเคลื่อนรถไฟให้เคลื่อนที่ไปยังสถานที่ปลอดภัย รูปที่ 4 แสดงการคายประจุที่เหลือใน ESTS ไปยังรถไฟขบวนอื่น ๆ ขณะที่แหล่งจ่ายไฟหลักยังทำงานทำงานขัดข้องตามแนวคิดที่เสนอในบทความนี้ และ รูปที่ 5 อธิบายแนวคิดการทำงานของ ESTS สำหรับจ่ายพลังงานสำรองให้กับตนเองและการแบ่งปันพลังงานที่เหลือไปยังรถไฟขบวนอื่นผ่านรางตัวนำหรือสายส่งเหนือศีรษะ เพื่อให้สามารถขับเคลื่อนรถไฟขบวนอื่นให้เคลื่อนที่ไปยังสถานที่ปลอดภัย

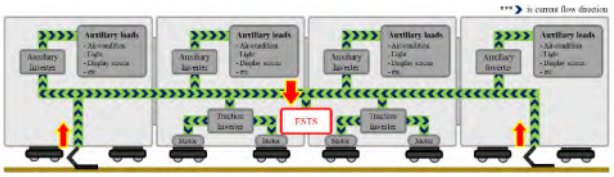

(ก) การอัดประจุจากแหล่งจ่ายไฟหลัก

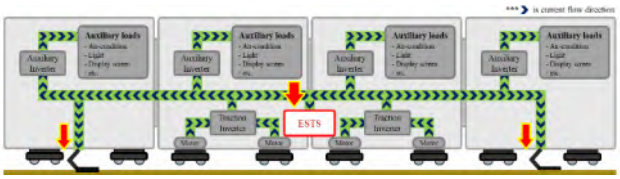

(ข) การอัดประจุจากพลังงานย้อนกลับจากการเบรกแบบรีเจนเนอเรทีฟ

รูปที่ 1 การอัดประจุ ESTS กรณีแหล่งจ่ายไฟหลักทำงานปกติ

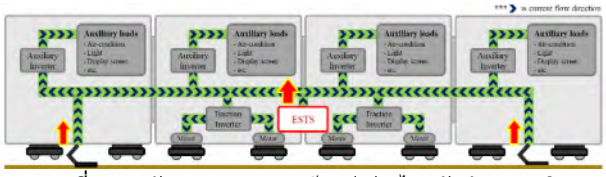

รูปที่ 2 การอัดประจุ ESTS กรณีแหล่งจ่ายไฟหลักทำงานปกติ

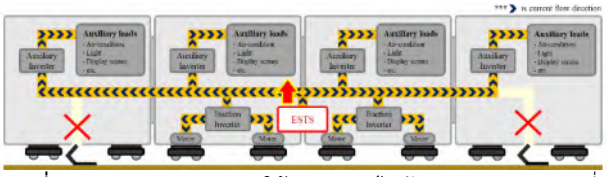

รูปที่ 3 การจ่ายพลังงานสำรองให้กับอุปกรณ์ไฟฟ้าต่าง ๆ บนขบวนรถที่ติดตั้ง ESTS กรณีแหล่งจ่ายไฟหลักเกิดขัดข้อง

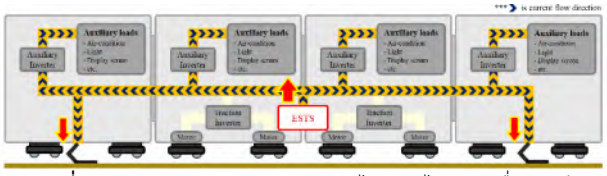

รูปที่ 4 การแบ่งปันพลังงานจาก ESTS ไปยังรถไฟขบวนอื่น กรณีแหล่งจ่ายไฟหลักเกิดขัดข้อง

การแบ่งปันพลังงานระหว่างขบวนรถไฟในระบบรถไฟฟาขนส่งมวลชนเป็นแนวคิดที่ช่วยเพิ่มประสิทธิภาพการจัดการพลังงาน โดยเฉพาะ

อย่างยิ่งในกรณีฉุกเฉินที่เกิดไฟฟ้าขัดข้อง รถไฟที่ติดตั้ง ESTS จะจ่ายพลังงานสำรองให้กับตนเองเพื่อเคลื่อนย้ายผู้โดยสารไปยังสถานีใกล้ที่สุด จากนั้นจึงเข้าสู่การแบ่งพลังงานเพื่อจ่ายไฟให้รถไฟขบวนอื่นที่ไม่มี ESTS ผ่านรางตัวนำหรือสายส่งเหนือศีรษะ จนกระทั่งรถไฟทุกขบวนสามารถเคลื่อนถึงสถานีและอพยพผู้โดยสารทุกคนอย่างปลอดภัย ระบบจะหยุดทำงานเพื่อรอคำสั่งใหม่หรือการกู้คืนระบบจ่ายไฟหลักให้กลับมาเป็นปกติ ทั้งนี้การแบ่งปันพลังงานต้องอาศัยระยะห่างระหว่างรถไฟที่เหมาะสมและพลังงานสำรองที่เพียงพอ เพื่อให้การแบ่งพลังงานมีประสิทธิภาพและเกิดผลสำริดสูงสุด

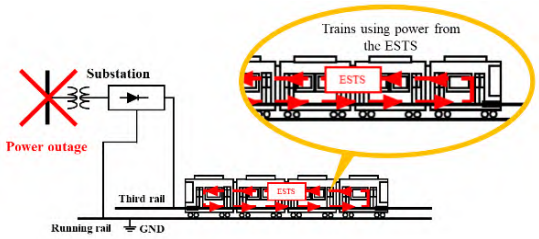

(ก) ESTS จ่ายพลังงานสำรองให้กับขบวนรถ

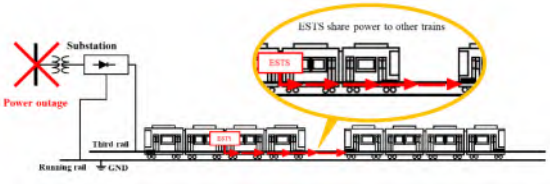

(ข) ETST แบ่งปันพลังงานให้กับรถขบวนอื่น

รูปที่ 5 หลักการแบ่งปันพลังงานโดยใช้ ESTS

3. แบบจำลองการแบ่งปันพลังงานของ ESTS

การวิเคราะห์ความเป็นไปได้ของการใช้แนวคิดการแบ่งปันพลังงานโดยใช้ ESTS ในระบบรถไฟฟ้าขนส่งมวลชน จะใช้แบบจำลองที่พัฒนาขึ้นโดยใช้สมการทางคณิตศาสตร์ที่ใช้ในการเขียนโปรแกรมคอมพิวเตอร์ แบบจำลองนี้ประกอบด้วยการเคลื่อนที่ของระบบรถไฟฟ้าขนส่งมวลชน การทำงานของระบบจ่ายไฟ และการคำนวณ ESTS อย่างง่าย โดยมีรายละเอียดดังต่อไปนี้

3.1 แบบจำลองการเคลื่อนที่ของขบวนรถไฟ

การคำนวณการเคลื่อนที่ของขบวนรถไฟต้องพิจารณาแรงต่าง ๆ ตามกฎการเคลื่อนที่ข้อที่สองของนิวตัน ดังสมการที่ (1) โดยใช้แผนภาพอิสระของแรงลัพธ์ (Free-Body Diagram) ในการอธิบาย ดังรูปที่ 6 ขบวนรถไฟที่มีค่าประสิทธิผลของน้ำหนัก (M_{eff}) จะเริ่มเคลื่อนที่ด้วยความเร่ง (α) เมื่อแรงฉุด (F_T) มีค่ามากกว่าแรงต้าน (F_R) ประกอบด้วยแรงเกรเดียนต์ (F_{grad}) แรงต้านอากาศ (F_{drag}) และแรงเสียดทานจากการหมุนกลิ้งบนรางเหล็ก (F_{RR}) โดยทั่วไปแรงเหล่านี้จะคำนวณจากค่าทดสอบของผู้ผลิตขบวนรถไฟ และใช้สมการความเร็วของรถไฟ (v) ร่วมกับสัมประสิทธิ์เดวิส คือ A B และ C ซึ่งมีหน่วยเป็น kN kNh/km และ kNh²/km² ตามลำดับ จะเรียกสมการนี้ว่าสมการเดวิส์ (Davis Equation) ดังสมการที่ (2) [6 – 7]

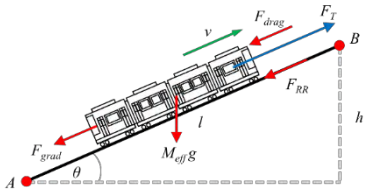

รูปที่ 6 แผนภาพอิสระของการคำนวณการเคลื่อนที่ของรถไฟ

$$F_T - T_R = M_{eff}\alpha \quad (1)$$

$$T_R = A + Bv + Cv^2 \quad (2)$$

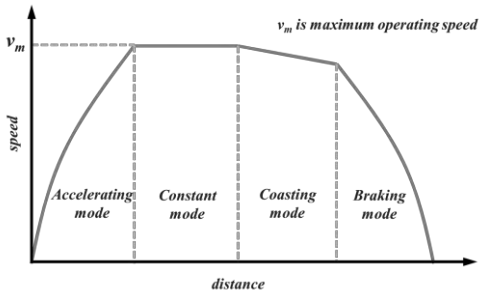

รูปที่ 7 โหมดการทำงานของขบวนรถไฟ

แรงที่กระทำต่อขบวนรถไฟมีผลโดยตรงต่อการควบคุมลักษณะการเคลื่อนที่และความเร็วของรถไฟ ดังนั้นการจำลองการเคลื่อนที่ของขบวนรถไฟจึงต้องรวมแรงเหล่านี้ไว้เพื่อให้ได้ผลลัพธ์ที่ใกล้เคียงความเป็นจริงมากที่สุด โดยทั่วไป การเคลื่อนที่ของรถไฟสามารถแบ่งออกเป็น 4 โหมดหลัก ได้แก่ โหมดเร่งความเร็ว (Accelerating Mode) โหมดความเร็วคงที่ (Cruising Mode) โหมดไหลเฉื่อยหรือการแล่น (Coasting Mode) และโหมดเบรก (Braking Mode) ดังรูปที่ 7 ตลอดช่วงการเคลื่อนที่ ความเร็วและตำแหน่งของรถไฟจะถูกอัปเดต ดังสมการที่ (3 – 4) โดยที่ v_i และ v_t แทนค่าความเร็วของรถไฟก่อนและหลังการอัปเดต ขณะที่ s_i และ s_t แทนตำแหน่งของรถไฟก่อนและหลังการอัปเดต โดยมี Δt เป็นช่วงเวลาแต่ละรอบการคำนวณ ในงานการศึกษานี้กำหนดให้ใช้ค่า Δt เท่ากับ 0.01 วินาที

$$v_t = v_i + \alpha\Delta t \quad (3)$$

$$s_t = s_i + v_i\Delta t + \frac{1}{2}\alpha\Delta t^2 \quad (4)$$

ประเด็นหลักของการจำลองการเคลื่อนที่ของรถไฟเพื่อวิเคราะห์การแบ่งปันพลังงานโดยใช้ ESTS คือการคำนวณพลังงานที่ใช้ไปของรถไฟ (E_T) โดยที่ $E_{T,i}$ และ $E_{T,t}$ แสดงถึงการใช้พลังงานก่อนและหลังการอัปเดตตามลำดับ การอัปเดตนี้ต้องอาศัยค่ากำลังของรถไฟ (P_T) ที่ประกอบด้วยกำลังขับเคลื่อน (P_{ta}) กำลังงานเสริม (P_{aux}) และกำลังย้อนกลับจากการเบรกแบบรีเจนเนอเรทีฟ (P_{reg}) โดยที่ P_{ta} ขึ้นอยู่ F_T v และประสิทธิภาพ (η) ของรถไฟในการแปลงพลังงานไฟฟ้าเป็นพลังงานกลของมอเตอร์ขับเคลื่อน ส่วน P_{aux} ขึ้นอยู่กับโหลดต่างๆ บนขบวนรถ เช่น ไฟส่องสว่าง เครื่องปรับอากาศ เป็นต้น สามารถคำนวณได้ดังสมการที่ (5 – 7)

$$E_T = E_T + P_T \Delta t \tag{5}$$

$$P_T = P_{ta} + P_{aux} + P_{reg} \tag{6}$$

$$P_T = \begin{cases} P_{ta} = \frac{F_T}{\eta} \times v, \quad P_{reg} = 0 & ;\text{if } F_T \geq 0 \\ P_{ta} = 0, \quad P_{reg} = F_T \eta \times v & ;\text{if } F_T < 0 \end{cases} \tag{7}$$

3.2 แบบจำลองการทำงานของระบบจ่ายไฟ

สถานีจ่ายไฟย่อยจะถูกจำลองในรูปของแบบจำลองวงจรสมมูลนอร์ตัน (Norton's Equivalent Circuit) ที่มีแหล่งจ่ายกระแสลัดวงจร I_S และความต้านทานลัดวงจร R_S โดยสถานีจ่ายไฟย่อยนี้จะเชื่อมต่อกับรางตัวนำผ่านไดโอดอุดมคติและเชื่อมต่อกับรางวิ่งที่ที่มีความต้านทานลงดิน R_{SE} แบบจำลองดังกล่าวช่วยให้สามารถวิเคราะห์พฤติกรรมการจ่ายไฟของสถานีจ่ายไฟย่อยได้อย่างแม่นยำ [7] ดังรูปที่ 8

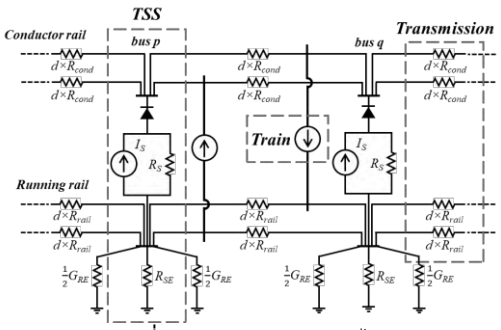

รูปที่ 8 แบบจำลองระบบจ่ายไฟ

เนื่องจากระบบจ่ายไฟกระแสตรงในระบบรถไฟฟ้าขนส่งมวลชนมีความซับซ้อนสูง การวิเคราะห์การไหลพลังงานจึงต้องใช้เทคนิคการคำนวณที่เหมาะสม บทความนี้เลือกใช้วิธีการฉีดกระแส (Current Injection Method - CIM) ในการวิเคราะห์พารามิเตอร์ของบัสต่างๆ ภายในระบบ กระบวนการวิเคราะห์เริ่มจากการกำหนดแรงดันเริ่มต้นที่แต่ละบัสเป็นค่าพิกัดและจัดทำสมการการวิเคราะห์โนดด้วยเมตริกซ์การนำไฟฟ้า $[G]$ และเมตริกซ์กระแส $[I]$ ดังสมการ (8) ในขั้นตอนนี้จะมีการรวมกระแสจากสถานีจ่ายไฟย่อยกับกระแสรถไฟ (I_T) ที่คำนวณมาจากผลหารของ P_T ต่อแรงดัน (V_T) ที่ตกคร่อมตัวนำกับรางวิ่ง ณ ตำแหน่งบัสที่รถไฟกำลังวิ่งอยู่ จากพารามิเตอร์ข้างต้น แบบจำลองจะดำเนินการแก้สมการเพื่อหาค่าผลเฉลยของเมตริกซ์แรงดัน $[V]$ ในแต่ละบัสของระบบ การคำนวณจะทำซ้ำจนกว่าค่าคลาดเคลื่อนของแรงดันในแต่ละบัสจะมีค่าน้อยกว่าค่าความคลาดเคลื่อนที่กำหนดไว้

$$[I] = [G][V] \tag{8}$$

3.3 แบบจำลองการคำนวณ ESTS อย่างง่าย

การจำลอง ESTS ที่ติดตั้งบนขบวนรถไฟสามารถดำเนินการได้โดยใช้แบบจำลองแบตเตอรี่แบบง่ายที่มีการอ้างอิงหลักการของวงจรสมมูลนอร์ตัน (Norton Equivalent Circuit) โดยพารามิเตอร์หลักของแบบจำลองประกอบด้วย I_{ESTS} คือ กระแสของ ESTS R_{ESTS} คือ ความต้านทานภายใน ESTS V_{ESTS} คือ แรงดันของ ESTS P_{ESTS} คือ กำลังของ ESTS E_{ESTS} คือ พลังงานที่สามารถใช้ได้จาก ESTS I_d คือ กระแสโหลด η คือ ประสิทธิภาพของโหลด และ SOC คือ ค่าสถานะการชาร์จแทนสัดส่วนพลังงานคงเหลือของ ESTS ซึ่งแต่ละพารามิเตอร์จะสมารถแสดงความสัมพันธ์ตามสมการ (9 – 15) แบบจำลองนี้ช่วยให้สามารถวิเคราะห์การทำงานของระบบ ESTS เพื่อประเมินความสามารถในการจ่ายพลังงานเบื้องต้นได้อย่างแม่นยำและเป็นระบบ [8]

$$I_{ESTS} = \frac{E_{ESTS}}{V_{ESTS} \times 3600} \tag{9}$$

$$R_{ESTS} = \frac{V_{ESTS}}{I_{ESTS}} \tag{10}$$

$$I_d = \frac{P_T}{V_{ESTS}} \tag{11}$$

$$V_{ESTS} = R_{ESTS} \times (I_{ESTS} - I_d) \tag{12}$$

$$P_{ESTS} = V_{ESTS} \times I_d \tag{13}$$

$$E_{ESTS} = \frac{P_{ESTS} \times I_{ESTS}}{\eta} \tag{14}$$

$$SOC = \frac{E_{ESTS}}{E_{Rate}} \times 100 \tag{15}$$

4. แบบจำลองการแบ่งปันพลังงานของ ESTS

แนวคิดการแบ่งปันพลังงานระหว่างขบวนรถไฟด้วย ESTS ได้รับการวิเคราะห์ผ่านกรณีศึกษาของรถไฟฟ้าบีทีเอส สายสีลม ประเทศไทย โดยระบบรถไฟฟ้าขนส่งมวลชนสายนี้มีระยะทางการให้บริการรวมทั้งหมด 13.65 กิโลเมตร ประกอบด้วยสถานีผู้โดยสารจำนวน 14 แห่งและสถานีจ่ายไฟย่อยจำนวน 7 แห่งที่กระจายตัวตลอดเส้นทาง ดังรูปที่ 9 การจำลองระบบได้ถูกดำเนินการด้วยใช้ซอฟต์แวร์ MATLAB/m-file เพื่อคำนวณลักษณะการเคลื่อนที่และการใช้พลังงานของรถไฟแต่ละ ดังรูปที่ 10 ข้อมูลพลังงานที่ได้จากการจำลองมีความสำคัญต่อการประเมินความจุของ ESTS ที่เหมาะสมกับระบบ เพื่อให้การเลือกใช้ ESTS มีขนาดที่เพียงพอสำหรับการสำรองไฟให้กับขบวนรถไฟที่ติดตั้ง ESTS และรถไฟขบวนอื่นที่ไม่ติดตั้งอย่างน้อยหนึ่งขบวนเมื่อเกิดสถานการณ์ไฟดับ ดังนั้น การทดสอบนี้จะนำไปสู่การพิสูจน์ความเป็นไปได้ของแนวคิดการแบ่งปันพลังงานระหว่างขบวนรถไฟด้วย ESTS ตามที่ได้นำเสนอข้างต้น

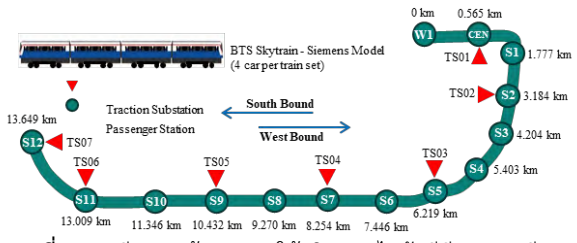

รูปที่ 9 สถานีตลอดเส้นทางการให้บริการรถไฟฟ้าบีทีเอส สายสีลม

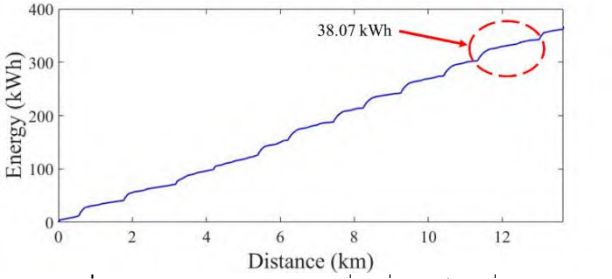

รูปที่ 10 การใช้พลังงานของการเคลื่อนที่ของรถไฟหนึ่งขบวน

จากผลการจำลองในรูปที่ 10 พบว่าการใช้พลังงานของรถไฟในแต่ละช่วงเส้นทางมีผลต่อการออกแบบความจุของ ESTS โดยช่วงที่ใช้พลังงานสูงสุดคือระหว่างสถานี S10 กับ S11 ซึ่งแสดงให้เห็นว่าหากเกิดเหตุไฟฟ้าขัดข้องและรถไฟหยุดกลางเส้นทางระหว่างสถานีดังกล่าว ESTS จะต้องสำรองไฟให้กับรถไฟมากที่สุดเท่ากับ 19 kWh ต่อขบวน ดังนั้น การออกแบบ ESTS หนึ่งระบบต้องมีความสามารถในการสำรองพลังงานทั้งหมด 38 kWh เพื่อรองรับการขับเคลื่อนรถไฟ 2 ขบวน ทั้งที่ติดตั้งและไม่ติดตั้งระบบ เมื่อกำหนดให้จำลองระบบรถไฟฟ้าขนส่งมวลชนมีรถไฟ 8 ขบวน วิ่งบริการด้วยช่วงเวลาห่างกันทุก 6 นาที และจอดพักที่สถานีละ 20 วินาที สำหรับ ESTS จะเริ่มจ่ายพลังงานหลังเกิดไฟดับ 5 นาที และสามารถแบ่งปันพลังงานให้รถไฟขบวนอื่นได้ในรัศมีไม่เกิน 3.5 กม. หากระยะเกินกำหนดหรือพลังงานไม่เพียงพอ จะมีการสลับให้ ESTS จากขบวนอื่นมารับหน้าที่แทนเพื่อให้การบริการมีความต่อเนื่อง

จากผลการสุ่มจำลองสถานการณ์ไฟดับโดยทุก ๆ 1 นาทีหลักจากรถไฟทั้งหมดเข้าสู่เส้นทางบริการทั้งหมด 29 ครั้ง พบว่า รถไฟทุกขบวนสามารถอพยพไปยังสถานีที่ใกล้ที่สุดได้สำเร็จ 21 ครั้ง และยังมีรถไฟบางขบวนตกค้าง 8 ครั้ง ซึ่งคิดเป็นอัตราความสำเร็จทั้งหมด 72.41% ผลลัพธ์นี้สนับสนุนว่าแนวคิดการแบ่งปันพลังงานสามารถลดความเสี่ยงการหยุดชะงักในระบบรถไฟฟ้าขนส่งมวลชนได้อย่างมีนัยสำคัญ แม้จะไม่ได้มีการติดตั้ง ESTS ให้กับรถไฟทุกขบวนก็ตาม ตัวอย่างผลการทดสอบแสดงได้ดังต่อไปนี้

รูปที่ 11 แสดงผลการจำลองสถานการณ์ไฟดับ โดยในกรณี (a) ไฟดับนาทีที่ 25 ESTS ช่วยให้ขบวน 4 และ 8 เคลื่อนที่ จากนั้นแบ่งพลังงานให้ขบวน 3, 5 และ 7 ส่วนในกรณี (b) ไฟดับนาทีที่ 30 ESTS ขบวน 8 เคลื่อนที่และแบ่งพลังงานให้ขบวน 5 แต่ขบวน 7 ต้องหยุดเนื่องจากไม่มี ESTS ในระยะใกล้ ต่อมารูปที่ 12 แสดงการวิเคราะห์การใช้พลังงานสำรองจาก ESTS ที่ติดตั้งในรถไฟฟ้าแต่ละขบวนภายใต้สถานการณ์ที่แตกต่างกัน ในส่วน (a) เป็นกรณีที่รถไฟทุกขบวนสามารถเคลื่อนที่ไปจอดที่สถานีใกล้เคียงได้สำเร็จ ระบบแสดงการทำงานของการแบ่งปันพลังงานอย่างมีประสิทธิภาพ โดย ESTS บนรถไฟฟ้าขบวน 4 ทำหน้าที่แบ่งปันพลังงานให้กับขบวน 7 ESTS บนขบวน 6 แบ่งปันพลังงานแก่ขบวน 5 และ ESTS บนขบวน 8 แบ่งปันพลังงานแก่ขบวน 3 ซึ่งยืนยันว่าระบบสามารถดำเนินการตามวัตถุประสงค์ที่ออกแบบไว้ได้ ในทางตรงกันข้าม ส่วน (b) เป็นกรณีที่ยังมีรถไฟบางขบวนต้องหยุดนิ่งบนเส้นทางการให้บริการ ซึ่งแสดงให้เห็นข้อจำกัดการแบ่งปันพลังงานของ ESTS โดยมีเพียง ESTS บนรถไฟฟ้าขบวน 8 เท่านั้นที่ทำหน้าที่แบ่งปันพลังงานให้กับขบวน 5 ขณะที่ ESTS บนขบวนอื่นไม่ได้มีการใช้พลังงานสำรองแต่อย่างใด การวิเคราะห์ทั้งสองกรณีเผยให้เห็นข้อมูลสำคัญว่า ESTS ของรถไฟแต่ละขบวนมีการใช้พลังงานภายในระบบไม่ถึงครึ่งหนึ่งของความจุทั้งหมด

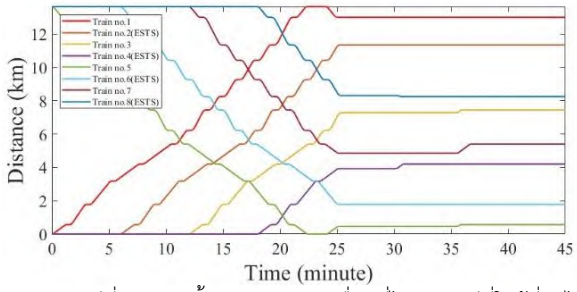

(ก) กรณีที่ขบวนรถทั้งหมดสามารถเคลื่อนที่ไปยังสถานีที่ใกล้ที่สุดได้

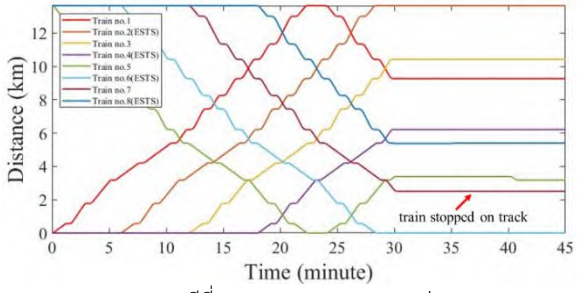

(ข) กรณีที่ขบวนรถบางขบวนหยุดอยู่บนราง

รูปที่ 11 ความสัมพันธ์ระหว่างระยะทางและเวลาของการเคลื่อนที่ของขบวนรถในระหว่างที่ไฟฟ้าดับ

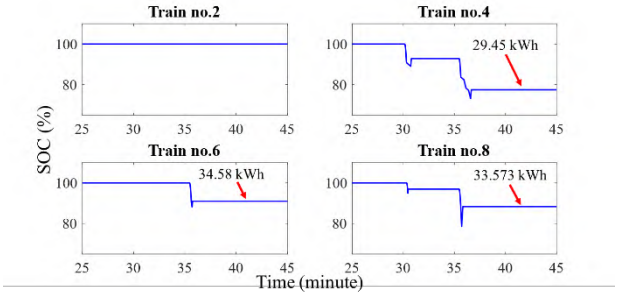

(ก) กรณีที่ขบวนรถทั้งหมดสามารถเคลื่อนที่ไปยังสถานีที่ใกล้ที่สุดได้

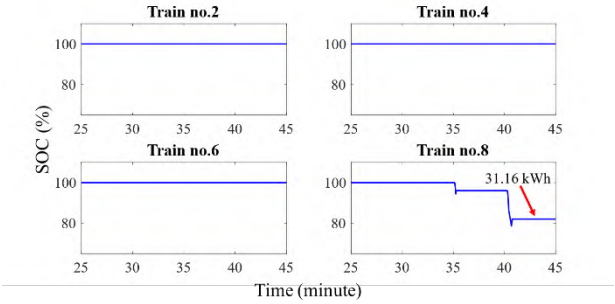

(ข) กรณีที่ขบวนรถบางขบวนหยุดอยู่บนราง

รูปที่ 12 การใช้พลังงานของแต่ละ ESTS

5. สรุป

การศึกษานี้นำเสนอแนวคิดการแบ่งปันพลังงานด้วย ESTS ในระบบรถไฟฟ้าขนส่งมวลชน เพื่อลดจำนวนจำนวนหน่วยติดตั้ง ESTS ที่จำเป็นผ่านกลไกการแบ่งปันพลังงานระหว่างขบวนรถที่ติดตั้ง ESTS กับขบวนรถที่ไม่มีการติดตั้งระหว่างเกิดสถานการณ์ไฟฟ้าดับ แทนการติดตั้ง ESTS ให้กับรถไฟทุกขบวน ผลการทดสอบจากกรณีศึกษารถไฟฟ้าบีทีเอส สายสีลมแสดงให้เห็นว่าระบบสามารถบรรลุอัตราความสำเร็จในการแบ่งปันพลังงาน 72.41% ซึ่งทำให้รถไฟฟ้าทุกขบวนสามารถเดินทางไปถึงสถานีได้หลังเกิดเหตุการณ์ไฟดับ ผลการศึกษาดังกล่าวสะท้อนให้เห็นถึงศักยภาพเชิงปฏิบัติของแนวคิดการแบ่งปันพลังงานในการเสริมสร้างความมั่นคงและลดความเสี่ยงด้านการหยุดชะงักของระบบขนส่งมวลชนอย่างมีนัยสำคัญ อันนำไปสู่การสร้างแนวทางใหม่สำหรับการพัฒนาระบบขนส่งที่มีประสิทธิภาพและความยั่งยืนในระยะยาว นอกจากนี้ การศึกษาในบทความนี้ยังสามารถต่อยอดได้หลากหลายมิติ เช่น ศึกษาการเสื่อมสภาพของอุปกรณ์กักเก็บพลังงานต่อสมรรถนะของระบบ การประยุกต์ใช้อุปกรณ์กักเก็บพลังงานแบบไฮบริดในระบบ เป็นต้น ทั้งหมดนี้มุ่งสนับสนุนการนำ ESTS ไปประยุกต์ใช้จริงในระบบรถไฟฟ้าขนส่งมวลชน

เอกสารอ้างอิง

[1] E. Ratnawati, “MRT as an alternative transportation solution which is environmentally friendly and traffic jam free in Jakarta,” *IOP Conference Series: Earth and Environmental Science*, vol. 819, no. 1, July 2021, Article no. 012040, doi:10.1088/1755-1315/819/1/012040.

[2] M. Eltved, N. Breyer, J. B. Ingvardson, and O. A. Nielsen, “Impacts of long-term service disruptions on passenger travel behaviour: A smart card analysis from the Greater Copenhagen area,” in Proceedings of the Annual Transport Conference at Aalborg University 2021, Aalborg, Denmark, 2021, pp. 1–6.

[3] X. Xu, X. Sun, Q. Zhou, X. Jiang, D. Hu, and R. He, “Design and research on the function of lithium-ion batteries emergency traction system for rail vehicles,” *Advances in Mechanical Engineering*, vol. 10, no. 12, December 2018, Article no. 1687814018812296, doi:10.1177/16878140188-12296.

[4] D. Yuan, S. Gu, J. Liu, Y. Zhang, and C. Lv, “Design and analysis of emergency self-traction system for urban rail transit vehicles,” *Energy Procedia*, vol. 16, pp. 585–591, 2012, doi:10.1016/j.egypro.2012.01.094.

[5] Y. Nagaura, R. Oishi, M. Shimada, and T. Kaneko, “Battery-powered drive systems: Latest technologies and outlook,” *Hitachi Review*, vol. 66, no. 2, pp. 138–144, 2017.

[6] T. Kulworawanichpong, “Multi-train modeling and simulation integrated with traction power supply solver using simplified Newton–Raphson method,” *Journal of Modern Transportation*, vol. 23, pp. 241–251, 2015, doi:10.1007/s40534-015-0086-y.

[7] K. Mongkoldee, U. Leeton, and T. Kulworawanichpong, “Single train movement modelling and simulation with rail potential consideration,” in Proceedings of the 2016 IEEE/SICE International Symposium on System Integration, Sapporo, Japan, October 11–13, 2016, pp. 7–12, doi:10.1109/SII.2016.7843967.

[8] M. F. Robbins, *Ultimate Electronics: Practical Circuit Design and Analysis*, CircuitLab, Inc., 2019. [Online]. Available: https://ultimateelectronicsbook.com/. Accessed: June 29, 2024.

บัณริ เข็มกลัดมุกต์ ปัจจุบันทำงานในตำแหน่งอาจารย์ประจำสาขาวิศวกรรมไฟฟ้า คณะวิศวกรรมศาสตร์ มหาวิทยาลัยมหาสารคาม เกิดเมื่อวันที่ 19 กรกฎาคม พ.ศ. 2537 ณ จังหวัดคานางาวะ ประเทศญี่ปุ่น สำเร็จการศึกษาระดับปริญญาวิศวกรรมศาสตรบัณฑิต (วศ.บ.) และวิศวกรรมศาสตรมหาบัณฑิต (วศ.ม.) จากสำนักวิชาวิศวกรรมศาสตร์ สาขาวิศวกรรมไฟฟ้า มหาวิทยาลัยเทคโนโลยีสุรนารี ประเทศไทย ในปี พ.ศ. 2560 และ พ.ศ. 2563 ตามลำดับ ปัจจุบันกำลังศึกษาต่อในระดับปริญญาเอก ณ สำนักวิชาวิศวกรรมศาสตร์ มหาวิทยาลัยเทคโนโลยีสุรนารี ความสนใจในการวิจัยของเขาครอบคลุมด้านการวิเคราะห์ระบบไฟฟ้า ระบบขนส่งทางราง ยานยนต์ไฟฟ้า ระบบกักเก็บพลังงาน และพลังงานหมุนเวียน

ธนัดชัย กุลวรวานิชพงษ์ ปัจจุบันดำรงตำแหน่งศาสตราจารย์ประจำสาขาวิชาวิศวกรรมไฟฟ้า สำนักวิชาวิศวกรรมศาสตร์ มหาวิทยาลัยเทคโนโลยีสุรนารี นครราชสีมา มีความเชี่ยวชาญด้านระบบไฟฟ้ากำลัง ระบบจ่ายไฟฟ้าสำหรับรถไฟ การขับเคลื่อนด้วยไฟฟ้า ระบบการอาณัติสัญญาณรถไฟ และการวิเคราะห์คุณภาพพลังงานในระบบขนส่งทางราง เคยมีประสบการณ์ในการวิจัยร่วมกับหน่วยงานภาครัฐและเอกชนทั้งในประเทศไทยและต่างประเทศ มีผลงานตีพิมพ์ในวารสารวิชาการระดับนานาชาติในสาขาวิศวกรรมไฟฟ้าและระบบรางอย่างต่อเนื่อง นอกจากนี้ยังมีบทบาทสำคัญในการพัฒนาหลักสูตรระดับบัณฑิตศึกษา และให้คำปรึกษาโครงการวิจัยที่เกี่ยวข้องกับการประยุกต์ใช้พลังงานไฟฟ้าในระบบขนส่งมวลชนอีกด้วย

ผลกระทบของแหล่งพลังงานหมุนเวียนที่มีความผันผวนต่อความต้องการโรงไฟฟ้าที่มีความยืดหยุ่นของไทย

Impact of Variable Renewable Energy Sources on Thailand's Flexible Generation Requirement

กุลยศ อุดมวงศ์เสรี*

ภาควิชาวิศวกรรมไฟฟ้า คณะวิศวกรรมศาสตร์ จุฬาลงกรณ์มหาวิทยาลัย kulyos.a@chula.ac.th*

บทคัดย่อ

ปัจจุบัน เทคโนโลยีการผลิตไฟฟ้าได้เปลี่ยนแปลงไปอย่างรวดเร็ว โดยสัดส่วนของการผลิตไฟฟ้าจากพลังงานหมุนเวียน โดยเฉพาะจากพลังงานแสงอาทิตย์และพลังงานลมมีการเพิ่มขึ้นอย่างต่อเนื่อง ส่งผลให้รูปแบบการผลิตและความต้องการใช้ไฟฟ้าของประเทศไทยเปลี่ยนแปลงไปและกระทบต่อแนวทางการจัดหากำลังผลิตไฟฟ้าของประเทศ ภาครัฐในฐานะที่มีบทบาทสำคัญในการจัดหาพลังงานให้เพียงพอและเป็นผู้รักษาความมั่นคงของระบบไฟฟ้า จึงจำเป็นต้องจัดทำแผนพัฒนากำลังผลิตไฟฟ้าที่คำนึงถึงการรักษาสัดส่วนที่เหมาะสมระหว่างโรงไฟฟ้าฐาน หน่วยผลิตไฟฟ้าที่มีความยืดหยุ่น และแหล่งผลิตไฟฟ้าจากพลังงานหมุนเวียน เพื่อให้ระบบผลิตไฟฟ้าสามารถรับมือกับความผันผวนได้อย่างมีประสิทธิภาพ ส่งเสริมการลงทุนด้านโครงสร้างพื้นฐานของระบบผลิตไฟฟ้าให้เกิดประสิทธิภาพสูงสุด และลดภาระต่อผู้ใช้ไฟฟ้า บทความนี้นำเสนอการวิเคราะห์ผลกระทบของแหล่งพลังงานหมุนเวียนที่มีความผันผวนต่อความต้องการโรงไฟฟ้าที่มีความยืดหยุ่นของไทย โดยได้นำวิธีการดังกล่าวไปประยุกต์ใช้กับระบบผลิตไฟฟ้าของไทย ณ ปี 2573 ที่สอดคล้องกับแผนพัฒนากำลังผลิตไฟฟ้าของประเทศไทย พ.ศ. 2561 ฉบับปรับปรุงครั้งที่ 1

คำสำคัญ: โรงไฟฟ้าฐาน แผนพัฒนากำลังผลิตไฟฟ้าของประเทศ

Abstract

Electricity generation technologies are undergoing rapid transformation. The share of renewable energy sources, particularly solar PV and wind power, has been steadily increasing. This trend has reshaped Thailand's electricity generation and consumption patterns, resulting in substantial implications for national power development planning. As the government continues to play a vital role in ensuring a sufficient energy supply and maintaining power system security, it is essential to formulate power development plans that sustain a suitable balance among base-load power plants, flexible generation units, and renewable energy sources. Such a balance is critical for enhancing the resilience of the power system to variability, promoting efficient infrastructure investment, and minimizing the financial burden on electricity consumers. This study presents the impact of variable renewable energy sources on Thailand's flexible generation requirement. The proposed method was applied to Thailand's power system for the year 2030, in alignment with the PDP2018 revision 1.

Keywords: Baseload Power Plant, Power Development Plan

1. บทนำ

แผนพัฒนากำลังผลิตไฟฟ้าของประเทศ (Power Development Plan : PDP) เป็นแผนแม่บทในการผลิตไฟฟ้าของประเทศ ว่าด้วยการจัดหาพลังงานไฟฟ้าในระยะยาว 20 ปี เพื่อกำหนดทิศทางในการลงทุนโครงสร้างพื้นฐานทางพลังงานและการจัดหาโรงไฟฟ้าตามเวลา ซึ่งในปัจจุบันได้มีการจัดทำแผนฯ ภายใต้แนวคิดของโครงสร้างกิจการไฟฟ้าแบบ Enhanced Single-Buyer Model (ESB) โดยที่การไฟฟ้าฝ่ายผลิตแห่งประเทศไทย (กฟผ.) เป็นผู้รับซื้อไฟฟ้ารายเดียว (Single buyer) แต่เปิดโอกาสให้ภาคเอกชนเข้าร่วมในการผลิตไฟฟ้าทั้งจากโรงไฟฟ้าขนาดใหญ่ที่ใช้เชื้อเพลิงฟอสซิลและโรงไฟฟ้าขนาดเล็กที่ผลิตไฟฟ้าจากพลังงานหมุนเวียน โดย กฟผ. ทำหน้าที่เป็นผู้รักษาความมั่นคงของระบบไฟฟ้าทั้งหมด อย่างไรก็ดี นโยบายส่งเสริมความเป็นกลางทางคาร์บอนและการปลดปล่อยก๊าซเรือนกระจกสุทธิเป็นศูนย์ของประเทศไทยในปัจจุบันส่งผลให้สัดส่วนการผลิตไฟฟ้าจากแหล่งพลังงานหมุนเวียนที่มีความผันผวน (Variable Renewable Energy Sources; VRES) โดยเฉพาะพลังงานแสงอาทิตย์และพลังงานลมมีแนวโน้มสูงขึ้นเรื่อย ๆ โดยคาดว่าในปี 2580 ประเทศไทยจะมีสัดส่วนของการผลิตไฟฟ้าจากพลังงานหมุนเวียนถึง 51% แม้ว่าพลังงานแสงอาทิตย์และพลังงานลมจะเป็นเทคโนโลยีพลังงานสะอาด แต่ความผันผวนและความไม่ต่อเนื่องของแหล่งพลังงานเหล่านี้ก็ก่อให้เกิดความท้าทายอย่างมีนัยสำคัญต่อการปฏิบัติการและควบคุมระบบผลิตไฟฟ้าในระยะสั้น โดยเฉพาะยิ่งในการรักษาสมดุลระหว่างความต้องการใช้ไฟฟ้าและกำลังผลิตไฟฟ้าตลอดเวลา การเปลี่ยนแปลงอย่างรวดเร็วของปริมาณการผลิตและความต้องการใช้ไฟฟ้านี้อาจส่งผลกระทบต่อความมั่นคงของระบบผลิตไฟฟ้าได้

โดยทั่วไป การวางแผนพัฒนากำลังผลิตไฟฟ้ามักจะมุ่งเน้นไปที่การจัดทำแผนให้มีต้นทุนรวมต่ำที่สุด แต่หากมุ่งเป้าที่วัตถุประสงค์นี้เพียงอย่างเดียวโดยไม่พิจารณาข้อจำกัดอื่นเพิ่มเติม หน่วยผลิตไฟฟ้าที่มีต้นทุนการดำเนินงานต่ำที่สุดหรือมีต้นทุนเฉลี่ยต่อหน่วยพลังงาน (Levelized Cost of Electricity: LCOE) ต่ำที่สุด จะได้รับการเลือกให้เป็นหน่วยผลิตไฟฟ้าใหม่เพิ่มเติมเข้ามาในระบบอยู่เสมอ ซึ่งสำหรับประเทศไทย โรงไฟฟ้าประเภทนี้มักได้แก่ โรงไฟฟ้าพลังความร่วมร่วม (Combined Cycle Gas Turbine: CCGT) ที่ใช้ก๊าซธรรมชาติเป็นเชื้อเพลิง อย่างไรก็ตาม แม้ว่าโรงไฟฟ้าเหล่านี้จะมีต้นทุนการผลิตไม่สูงมากนัก แต่จำเป็นต้องเดินเครื่องอย่างต่อเนื่องในระดับใกล้เคียงกับขนาดกำลังการผลิตที่ออกแบบไว้ เพื่อให้สามารถผลิตไฟฟ้าได้ในต้นทุนที่กำหนด การเดินเครื่องในลักษณะคงที่เช่นนี้จะกลายเป็นเรื่องที่ยากขึ้นเมื่อระบบผลิตไฟฟ้ามีสัดส่วน VRES สูงขึ้นในอนาคต ซึ่งความแปรปรวนและไม่ต่อเนื่องของแหล่งพลังงานเหล่านี้จะส่งผลต่อรูปแบบการทำงานของโรงไฟฟ้าหลักให้เปลี่ยนแปลงไปและอาจทำให้ต้นทุนการผลิตไฟฟ้าจริงของโรงไฟฟ้าเหล่านี้สูงกว่าที่ได้วางแผนไว้ในตอนแรกได้ อีกทั้งโรงไฟฟ้าเหล่านี้ยังมีข้อจำกัดด้านอัตราการปรับเปลี่ยนกำลังการผลิต (ramp rate) ที่ต่ำ และใช้เวลานานในการเริ่มต้นเดินเครื่องนาน จึงอาจไม่สามารถใช้รักษาสมดุลระหว่างความต้องการใช้ไฟฟ้าและกำลังผลิตไฟฟ้าของระบบได้อย่างเพียงพอ ความไม่สมดุลดังกล่าวอาจนำไปสู่เหตุการณ์ไฟดับบางส่วนซึ่งกระทบต่อความเชื่อถือได้และความมั่นคงของระบบไฟฟ้าในที่สุด ดังนั้น เพื่อให้ระบบผลิตไฟฟ้าสามารถรับมือกับความผันผวนได้อย่างมีประสิทธิภาพ การเพิ่มความยืดหยุ่นให้กับระบบ

*ผู้ประพันธ์บรรณกิจ

ผลิตไฟฟ้า เช่น การจัดหาหน่วยผลิตไฟฟ้าที่สามารถเดินเครื่องได้เร็ว หรือการติดตั้งระบบกักเก็บพลังงานประเภทแบตเตอรี่ จึงเป็นสิ่งที่จำเป็นในการวางแผนพัฒนากำลังผลิตไฟฟ้าในอนาคต บทความนี้นำเสนอการวิเคราะห์ผลกระทบของแหล่งพลังงานหมุนเวียนที่มีความผันผวนต่อความต้องการโรงไฟฟ้าที่มีความยืดหยุ่นของไทย ผ่านทางแนวคิดของการแบ่งเส้นโค้งช่วงเวลาโหลด (Load Duration Curve) ออกเป็นหลายระดับซึ่งความต้องการใช้ไฟฟ้าในแต่ละระดับจะต้องถูกรองรับด้วยโรงไฟฟ้าประเภทที่สอดคล้องกันอย่างเหมาะสม วิธีการที่นำเสนอได้ถูกนำไปทดสอบกับระบบผลิตไฟฟ้าของไทย ณ ปี 2573 ที่สอดคล้องกับแผนพัฒนากำลังผลิตไฟฟ้าของประเทศไทย พ.ศ. 2561 ฉบับปรับปรุงครั้งที่ 1 เพื่อใช้ประเมินสัดส่วนที่เหมาะสมของโรงไฟฟ้าแต่ละประเภทเมื่อในระบบผลิตไฟฟ้ามีปริมาณโรงไฟฟ้าพลังงานหมุนเวียนที่มีความผันผวนเพิ่มสูงขึ้น

2. การแบ่งระดับความต้องการใช้ไฟฟ้า

North American Electric Reliability Council (NERC) ได้ให้นิยามของความต้องการใช้ไฟฟ้าฐาน (Base Load) [1] ว่าเป็นกำลังไฟฟ้าต่ำสุดที่จัดส่งหรือได้รับการร้องขอในช่วงเวลาหนึ่งโดยมีค่าคงที่และเกิดขึ้นตลอดเวลาในช่วงเวลาที่พิจารณา และระดับความต้องการใช้ไฟฟ้าที่สูงกว่าค่านี้จะถูกจัดให้เป็นความต้องการใช้ไฟฟ้าในช่วงระดับสูง (Peak Load) ซึ่งสามารถแสดงได้ดังรูปที่ 1

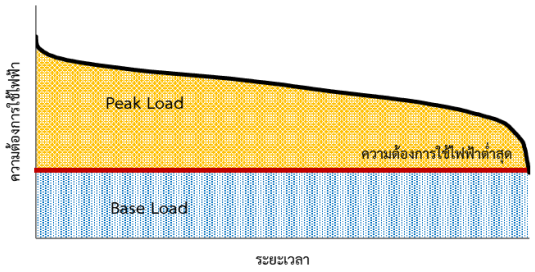

รูปที่ 1 การกำหนดนิยามความต้องการใช้ไฟฟ้าตาม [1]

A. Salimi-beni และคณะ [2] ได้นำเสนอวิธีการแบ่งช่วงลักษณะความต้องการใช้ไฟฟ้าออกเป็น 3 กลุ่ม ได้แก่ ความต้องการใช้ไฟฟ้าฐาน ความต้องการใช้ไฟฟ้ากลาง (Intermediate Load) และความต้องการใช้ไฟฟ้าสูง (Peak Load) โดยใช้วิธี K-Means Clustering ซึ่งพยายามหาค่ากลางที่เหมาะสมจากข้อมูลเส้นโค้งช่วงเวลาโหลด ดังแสดงในรูปที่ 2

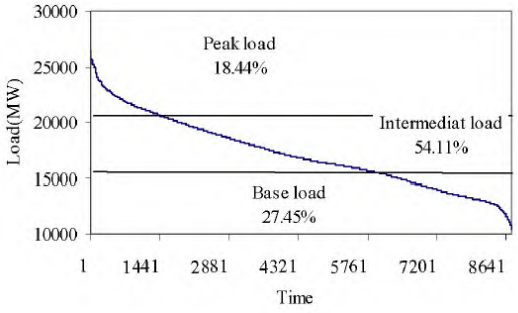

รูปที่ 2 การกำหนดนิยามความต้องการใช้ไฟฟ้าตาม [2]

อย่างไรก็ดี ประสิทธิ์ สิริทิพย์รัศมี และคณะ [3] ได้นำเสนอวิธีการแบ่งช่วงลักษณะความต้องการใช้ไฟฟ้าออกเป็น 3 กลุ่ม ได้แก่ ความต้องการใช้ไฟฟ้าฐาน ความต้องการใช้ไฟฟ้ากลาง และความต้องการใช้ไฟฟ้าสูง โดยใช้ระยะเวลา (Duration) ในเส้นโค้งช่วงเวลาโหลดที่สอดคล้องกับตัวประกอบโรงไฟฟ้า (Plant Factor) เฉลี่ยของแต่ละโรงไฟฟ้าเป็นตัวกำหนดเส้นแบ่งความต้องการใช้ไฟฟ้าแต่ละระดับ ทั้งนี้ความต้องการใช้ไฟฟ้าสูงจะถูกกำหนดจากระดับโหลดที่มีระยะเวลาเกิดขึ้นต่ำกว่าร้อยละ 5 และความต้องการใช้ไฟฟ้าฐานจะถูกกำหนดจากระดับโหลดที่มีระยะเวลาเกิดขึ้นมากกว่าร้อยละ 95 ของระยะเวลาทั้งหมด ดังแสดงในรูปที่ 3

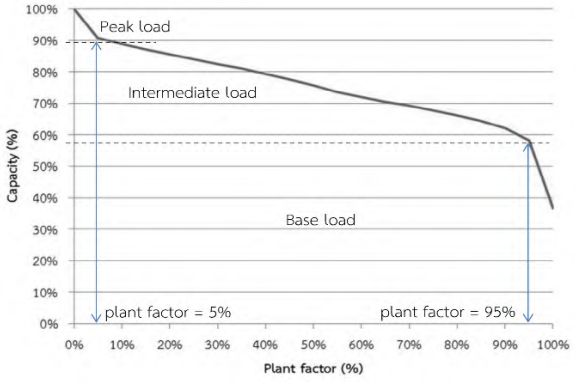

รูปที่ 3 การกำหนดนิยามความต้องการใช้ไฟฟ้าตาม [3]

Somboon Nuchprayoon [4] ได้นำเสนอวิธีการแบ่งช่วงลักษณะความต้องการใช้ไฟฟ้าออกเป็น 5 กลุ่ม ได้แก่ ความต้องการใช้ไฟฟ้าฐาน ความต้องการใช้ไฟฟ้ากลาง ความต้องการใช้ไฟฟ้าระดับกลางบน (Cycling Load) ความต้องการใช้ไฟฟ้าสูง และความต้องการใช้ไฟฟ้าระดับสูงสุด (Super Peak Load) โดยใช้วิธี K-Means Clustering ดังแสดงในรูปที่ 4

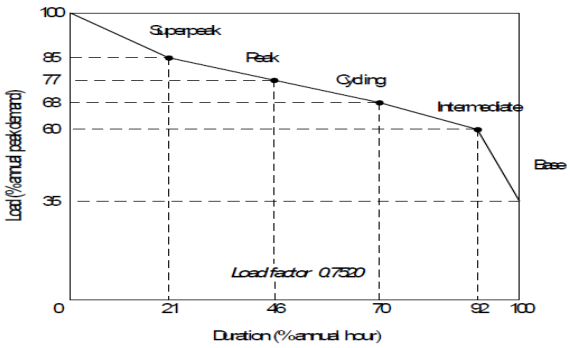

รูปที่ 4 การกำหนดนิยามความต้องการใช้ไฟฟ้าตาม [4]

สำหรับประเทศไทย กฟผ. กำหนดนิยามโรงไฟฟ้าให้สอดคล้องกับความต้องการใช้ไฟฟ้า [5] ซึ่งสามารถแสดงดังรูปที่ 5 โดยกำหนดให้โรงไฟฟ้าฐาน (Base Load Power Plant) เป็นโรงไฟฟ้ากลุ่มที่ถูกสั่งให้เดินเครื่องตลอด 24 ชั่วโมง (ไม่นับระยะเวลาบำรุงรักษา) อันประกอบด้วยโรงไฟฟ้าถ่านหิน โรงไฟฟ้าก๊าซธรรมชาติ โรงไฟฟ้าชีวมวลประเภทมีสัญญาจ่ายไฟฟ้าแบบแน่นอน (Firm) ในขณะที่โรงไฟฟ้าช่วงความต้องการไฟฟ้าสูง (Peak Load Power Plant) จะประกอบด้วย โรงไฟฟ้าก๊าซธรรมชาติบางโรงและโรงไฟฟ้าพลังน้ำ ซึ่งจะถูกสั่งให้เดินเครื่องตามความต้องการใช้ไฟฟ้าในช่วงที่มีการใช้ไฟฟ้ามากและจะหยุดเดินเครื่องเมื่อความต้องการไฟฟ้าลดลง ส่วนโรงไฟฟ้าพลังงานหมุนเวียนเป็นโรงไฟฟ้าที่ไม่สามารถสั่งจ่ายไฟฟ้าได้ตามความต้องการของระบบโดยสามารถผลิตไฟฟ้าได้บางเวลาตามข้อจำกัดของแต่ละเชื้อเพลิง

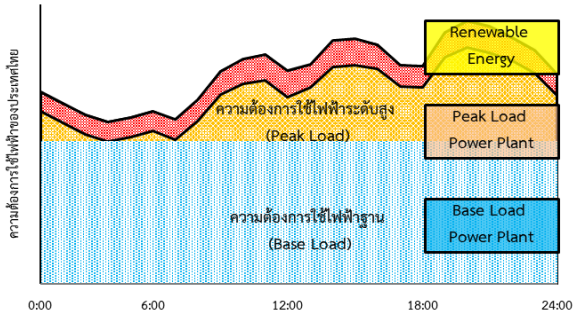

รูปที่ 5 การกำหนดนิยามโรงไฟฟ้าของ กฟผ. [5]

3. การแบ่งระดับความต้องการใช้ไฟฟ้าที่ใช้ในบทความนี้

การแบ่งระดับความต้องการใช้ไฟฟ้าในบทความนี้ จะอาศัยหลักการที่นำเสนอใน [6] โดยจะแบ่งช่วงความต้องการใช้ไฟฟ้าออกเป็น 5 กลุ่มเช่นกัน แต่จะกำหนดความต้องการใช้ไฟฟ้าระดับสูงสุดโดยพิจารณาจากเส้นโค้งช่วงเวลาโหลดที่หักด้วยปริมาณการผลิตไฟฟ้าจากพลังงานหมุนเวียนที่มีความผันผวน และกำหนดความต้องการใช้ไฟฟ้าสูงโดยพิจารณาจากเส้นโค้งช่วงเวลาโหลดที่เหลือแล้วหักออกด้วยปริมาณการผลิตไฟฟ้าจากโรงไฟฟ้าพลังน้ำ จากนั้น จะนำเส้นโค้งช่วงเวลาโหลดสุทธิมาแบ่งออกเป็นอีก 3 ระดับ คือ ความต้องการใช้ไฟฟ้าฐาน ความต้องการใช้ไฟฟ้ากลาง และความต้องการใช้ไฟฟ้าสูงที่ถูกจ่ายด้วยโรงไฟฟ้าที่สามารถควบคุมการสั่งเดินเครื่องโดยศูนย์สั่งการได้ (Dispatchable Peaking Load) ดังแสดงในรูปที่ 5 โดยใช้ระยะเวลาในเส้นโค้งช่วงเวลาโหลดที่สอดคล้องกับตัวประกอบโรงไฟฟ้าเช่นเดียวกับ [3] ทั้งนี้ ความต้องการใช้ไฟฟ้าสูงจะถูกกำหนดจากระดับโหลดที่มีระยะเวลาเกิดขึ้นต่ำกว่าร้อยละ 15 และความต้องการใช้ไฟฟ้าฐานจะถูกกำหนดจากระดับโหลดที่มีระยะเวลาเกิดขึ้นมากกว่าร้อยละ 80 ของระยะเวลาทั้งหมด

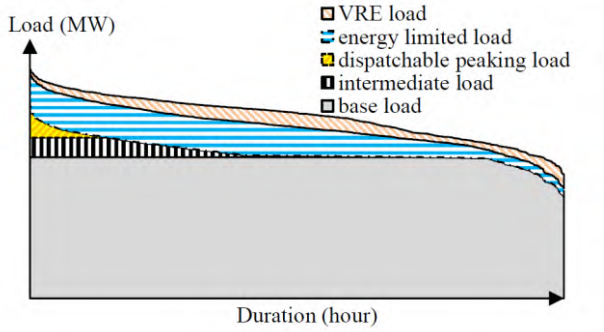

รูปที่ 6 การกำหนดนิยามความต้องการใช้ไฟฟ้าที่ใช้ในบทความนี้ [6]

นอกจากนี้ จะแบ่งประเภทโรงไฟฟ้าออกเป็น 5 ประเภทที่สอดคล้องกับระดับความต้องการใช้ไฟฟ้า ซึ่งประกอบด้วย (1) โรงไฟฟ้าฐาน (Base Load Power Plant) ซึ่งเป็นโรงไฟฟ้าที่ต้องเดินเครื่องอย่างต่อเนื่อง เช่น โรงไฟฟ้าพลังความร้อนที่ใช้เชื้อเพลิงถ่านหิน หรือนิวเคลียร์ ทั้งนี้ ในประเทศไทยอาจรวมโรงไฟฟ้าพลังความร้อนร่วมเข้าไปด้วยได้ (2) โรงไฟฟ้าสำหรับช่วงความต้องการใช้ไฟฟ้ากลาง (Intermediate Load Power Plant) เช่น โรงไฟฟ้ากังหันก๊าซ โรงไฟฟ้าเครื่องยนต์ก๊าซ หรือโรงไฟฟ้าพลังน้ำแบบสูบกลับ (3) โรงไฟฟ้าสำหรับช่วงความต้องการใช้ไฟฟ้าสูงที่สั่งเดินเครื่องโดยศูนย์สั่งการได้ (Dispatchable Peak Load Power Plant) เช่น ระบบกักเก็บพลังงานประเภทแบตเตอรี่ (4) โรงไฟฟ้าที่มีพลังงานจำกัดที่จ่ายเพื่อลดพีคในช่วงความต้องการใช้ไฟฟ้าสูง (Peak Shaving Power Plant) เช่น โรงไฟฟ้าพลังน้ำ และ (5) โรงไฟฟ้าพลังงานหมุนเวียนประเภทที่มีความผันผวนสูงและได้จ่ายพลังงานก่อนในช่วงความต้องการใช้ไฟฟ้าสูงสุด (Super Peak Power Plant) เช่น โรงไฟฟ้าพลังแสงอาทิตย์และโรงไฟฟ้าพลังงานลม เป็นต้น ทั้งนี้ โรงไฟฟ้าที่สอดคล้องกับความต้องการใช้ไฟฟ้าในระดับสูงกว่าสามารถใช้เดินเครื่องรองรับความต้องการใช้ไฟฟ้าในระดับต่ำกว่าได้หากจำเป็น

จากหลักการดังกล่าว จะสรุปได้ว่า เมื่อทำการแบ่งความต้องการใช้ไฟฟ้าออกเป็น 5 ระดับแล้ว

- ความต้องการใช้ไฟฟ้าระดับสูงสุด จะสอดคล้องกับความต้องการใช้ไฟฟ้าส่วนที่ถูกจ่ายโดย VRES
- ความต้องการใช้ไฟฟ้าสูง จะถูกจ่ายโดยโรงไฟฟ้าพลังน้ำเพื่อลดพีค
- ความต้องการใช้ไฟฟ้าฐาน จะถูกจ่ายด้วยโรงไฟฟ้าพลังความร้อนหรือโรงไฟฟ้าพลังความร้อนร่วม

ดังนั้น จะเหลือความต้องการใช้ไฟฟ้าอีก 2 ระดับ คือ

- ความต้องการใช้ไฟฟ้ากลาง ซึ่งจะต้องใช้โรงไฟฟ้าที่มีความยืดหยุ่นและต้องสามารถปรับการทำงานได้อย่างรวดเร็ว แต่อาจถูกสั่งเดินเครื่องไม่ต่อเนื่องทำให้มีตัวประกอบโรงไฟฟ้าไม่สูงมาก เช่น โรงไฟฟ้ากังหันก๊าซ โรงไฟฟ้าเครื่องยนต์ก๊าซ หรือโรงไฟฟ้าพลังน้ำแบบสูบกลับ เป็นต้น
- ความต้องการใช้ไฟฟ้าสูงที่มีการเปลี่ยนแปลงอย่างรวดเร็วและมีขนาดการเปลี่ยนแปลงสูง ซึ่งจะต้องใช้หน่วยผลิตไฟฟ้าที่มีความยืดหยุ่นสูง เช่น แบตเตอรี่ หรือการตอบสนองด้านโหลด เป็นต้น

แผนพัฒนากำลังผลิตไฟฟ้าของประเทศไทยในหลายฉบับที่ผ่านมามักมุ่งเน้นที่การลดต้นทุนรวมของระบบเป็นหลัก ส่งผลให้หน่วยผลิตไฟฟ้าที่มีต้นทุนเฉลี่ยต่ำที่สุด ซึ่งมักจะเป็นโรงไฟฟ้าพลังความร้อนหรือโรงไฟฟ้าพลังความร้อนร่วม ได้รับการเลือกให้เพิ่มเติมเข้าสู่ระบบอยู่เสมอ แนวทางดังกล่าวทำให้ปัจจุบัน ระบบผลิตไฟฟ้าของประเทศมีจำนวนโรงไฟฟ้าสำหรับรองรับความต้องการใช้ไฟฟ้ากลางและโรงไฟฟ้าสำหรับรองรับความต้องการใช้ไฟฟ้าสูงที่สามารถสั่งการเดินเครื่องได้จากศูนย์ควบคุม น้อยมาก ซึ่งส่งผลให้การปฏิบัติการและการควบคุมระบบในทางปฏิบัติเป็นไปได้ยาก วิธีการแก้ไขในปัจจุบันมักใช้การสั่งเดินเครื่องหน่วยผลิตให้มีกำลังผลิตรวมสูงกว่าความต้องการใช้ไฟฟ้าระหว่าง 700 – 1,400 MW ในช่วงที่โหลดมีการเปลี่ยนแปลงอย่างรวดเร็ว เพื่อให้มีกำลังผลิตไฟฟ้าสำรองพร้อมจ่าย (Spinning Reserve) เพียงพอ แต่ในบางช่วงเวลาการสำรองอาจเกินความจำเป็นส่งผลให้ต้นทุนการผลิตไฟฟ้าเพิ่มขึ้น นอกจากนี้ ในบางกรณี หากสัญญาเปิดให้กระทำได้ ก็อาจมีการแยกส่วนของกังหันก๊าซจากโรงไฟฟ้าพลังความร้อนร่วมในรูปแบบวัฏจักรเปิด (Open Cycle Gas Turbine: OCGT) มาเดินเครื่องเพื่อรองรับความผันผวนของความต้องการใช้ไฟฟ้าในบางช่วงเวลา แม้วิธีการนี้จะตอบสนองได้อย่างรวดเร็ว แต่ต้นทุนการผลิตไฟฟ้าจะสูงกว่าแบบวัฏจักรรวม (CCGT) อย่างมีนัยสำคัญ ดังนั้น เมื่อระบบผลิตไฟฟ้าของประเทศไทยมีแนวโน้มที่จะมีสัดส่วนพลังงานหมุนเวียนที่มีความผันผวนเพิ่มมากขึ้นในอนาคต จึงมีความจำเป็นอย่างยิ่งที่จะต้องพิจารณาการเพิ่มสัดส่วนของหน่วยผลิตไฟฟ้าที่มีความยืดหยุ่นเข้าสู่ระบบ

4. กรณีศึกษา

หัวข้อนี้จะนำเสนอกรณีศึกษา 2 กรณี คือ การวิเคราะห์ผลกระทบของการเติบโตของความต้องการใช้ไฟฟ้าต่อความต้องการโรงไฟฟ้า

ประเภทต่าง ๆ และการวิเคราะห์ผลกระทบของสัดส่วนการผลิตไฟฟ้าจากพลังงานหมุนเวียนที่มีความผันผวนต่อความต้องการโรงไฟฟ้าที่มีความยืดหยุ่นของประเทศไทยโดยใช้ระบบผลิตไฟฟ้า ณ ปี 2573 ที่สอดคล้องกับแผนพัฒนากำลังผลิตไฟฟ้าของประเทศไทย พ.ศ. 2561 ปรับปรุงครั้งที่ 1

4.1 ผลกระทบของการเติบโตของความต้องการใช้ไฟฟ้า

จุดประสงค์ของการวิเคราะห์ในกรณีนี้ จะเป็นการพิจารณาของการเติบโตของความต้องการใช้ไฟฟ้าต่อความต้องการโรงไฟฟ้าประเภทต่าง ๆ โดยจะเริ่มวิเคราะห์จากการทดลองปรับเพิ่มปริมาณความต้องการพลังไฟฟ้าสูงสุด (Peak Demand) และความต้องการพลังงานไฟฟ้ารวม (Energy Demand) ณ ปี 2573 ตั้งแต่ 2% จนถึง 30% ในขณะที่กำหนดให้ปริมาณโรงไฟฟ้าพลังงานหมุนเวียนและโรงไฟฟ้าพลังน้ำมีค่าคงที่ตลอดการวิเคราะห์ จากนั้น ทำการแบ่งความต้องการใช้ไฟฟ้าออกเป็นหลายระดับด้วยวิธีการที่กล่าวถึงในหัวข้อที่ 3 โดยแบ่งเป็นช่วงความต้องการใช้ไฟฟ้าสูง ช่วงความต้องการใช้ไฟฟ้ากลาง และความต้องการใช้ไฟฟ้าฐาน ซึ่งจะได้ผลลัพธ์แสดงดังรูปที่ 7

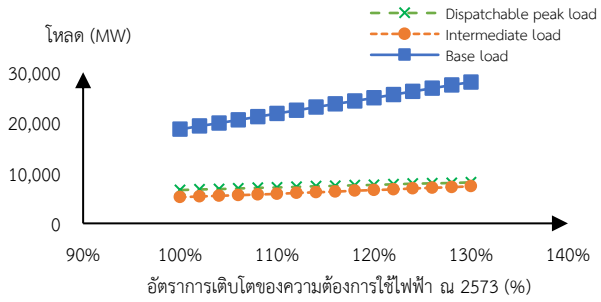

รูปที่ 7 ผลกระทบของการเติบโตของความต้องการใช้ไฟฟ้า

จากผลการวิเคราะห์จะพบว่า เมื่อปริมาณพลังงานหมุนเวียนที่มีความผันผวนยังคงเดิมแต่ความต้องการใช้ไฟฟ้ามีการเติบโตขึ้น ระบบจะต้องการโรงไฟฟ้าทุกประเภทเพิ่มขึ้น อย่างไรก็ตาม ความต้องการโรงไฟฟ้าฐานจะเพิ่มขึ้นในอัตราที่สูงกว่าโรงไฟฟ้าประเภทอื่นอย่างมีนัยสำคัญ

4.2 ผลกระทบของพลังงานหมุนเวียนที่มีความผันผวน

จุดประสงค์ของการวิเคราะห์ในกรณีนี้ จะเป็นการพิจารณาของสัดส่วนพลังงานหมุนเวียนที่มีความผันผวนต่อความต้องการโรงไฟฟ้าประเภทต่าง ๆ โดยจะเริ่มวิเคราะห์จากการทดลองปรับปริมาณโรงไฟฟ้าพลังงานแสงอาทิตย์เพิ่มขึ้นอีก ตั้งแต่ 5% จนถึง 13% ในขณะที่กำหนดให้ความต้องการใช้ไฟฟ้า ณ ปี 2573 มีค่าคงที่ตลอดการวิเคราะห์ จากนั้น ทำการแบ่งความต้องการใช้ไฟฟ้าออกเป็นหลายระดับด้วยวิธีการที่กล่าวถึงในหัวข้อที่ 3 โดยแบ่งเป็นช่วงความต้องการใช้ไฟฟ้าสูง ช่วงความต้องการใช้ไฟฟ้ากลาง และความต้องการใช้ไฟฟ้าฐาน ซึ่งจะได้ผลลัพธ์แสดงดังรูปที่ 8

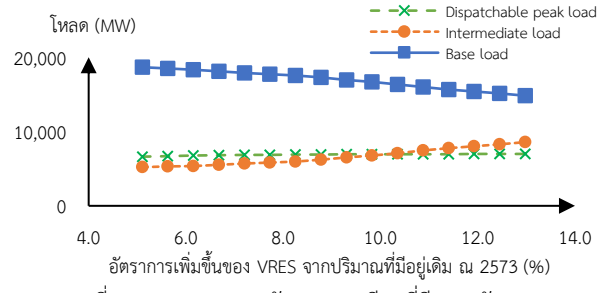

รูปที่ 8 ผลกระทบของพลังงานหมุนเวียนที่มีความผันผวน

จากผลการวิเคราะห์จะพบว่า แม้ความต้องการใช้ไฟฟ้าของระบบจะมีค่าคงเดิมแต่เมื่อระบบผลิตไฟฟ้ามีปริมาณแหล่งผลิตไฟฟ้าจากพลังงานหมุนเวียนที่มีความผันผวนเพิ่มมากขึ้น ระบบจะต้องการโรงไฟฟ้าฐานลดลงอย่างมีนัยสำคัญ แต่จะต้องการโรงไฟฟ้าสำหรับความต้องการใช้ไฟฟ้ากลางและความต้องการใช้ไฟฟ้าสูงเพิ่มขึ้นอย่างชัดเจน ซึ่งสะท้อนให้เห็นว่าหน่วยผลิตที่มีความยืดหยุ่นและสามารถตอบสนองได้รวดเร็ว เช่น โรงไฟฟ้ากังหันก๊าซ โรงไฟฟ้าเครื่องยนต์ก๊าซ โรงไฟฟ้าพลังน้ำแบบสูบกลับ แบตเตอรี่ หรือการตอบสนองด้านโหลด จะมีบทบาทสำคัญต่อระบบผลิตไฟฟ้ามากกว่าการโรงไฟฟ้าฐานเมื่อระบบผลิตไฟฟ้ามีปริมาณ VRES สูงขึ้น

5. สรุป

ผลลัพธ์ที่ได้จากทั้งสองกรณีศึกษาช่วยยืนยันได้ว่าวิธีการแบ่งระดับความต้องการใช้ไฟฟ้าที่นำมาใช้งานในบทความนี้ สามารถแยกแยะระหว่างผลกระทบของการเพิ่มขึ้นของความต้องการไฟฟ้าและการเพิ่มขึ้นของพลังงานหมุนเวียนที่มีความผันผวนที่มีต่อระบบผลิตไฟฟ้าได้อย่างชัดเจน โดยเมื่อระบบผลิตไฟฟ้ามีสัดส่วนของแหล่งผลิตไฟฟ้าจากพลังงานหมุนเวียนที่มีความผันผวนสูงขึ้น หน่วยผลิตที่มีความยืดหยุ่นและสามารถตอบสนองได้รวดเร็วจะเป็นที่ต้องการมากกว่าโรงไฟฟ้าฐาน วิธีการแก้ปัญหาในปัจจุบันที่เผื่อกำลังผลิตไฟฟ้าสำรองพร้อมจ่ายรองรับเอาไว้หรือการเดินเครื่องส่วนของกังหันก๊าซแบบ OCGT อาจจะไม่สามารถใช้บรรเทาปัญหาได้ในอนาคต นอกจากนี้ ยังส่งผลให้ต้นทุนการผลิตไฟฟ้าเพิ่มขึ้นโดยไม่จำเป็นอีกด้วย ข้อสรุปที่ได้สามารถใช้เป็นข้อเสนอแนะให้ผู้กำหนดนโยบายพิจารณาเพิ่มความยืดหยุ่นให้กับระบบผลิตไฟฟ้าเพื่อประกอบการวางแผนพัฒนากำลังผลิตไฟฟ้าของประเทศในอนาคตต่อไป

เอกสารอ้างอิง

[1] North America Electric Reliability Council, “ Glossary of Terms Used in NERC Reliability Standards,” updated February 26, 2025, pp. 6.

[2] A. Salimi-beni, D. Farrokhzad, M. Fotuhi-Firuzabad and S. J. Alemohammad, “A New Approach to Determine Base, Intermediate and Peak Demand in an Electric Power System,” *International Conference on Power System Technology*, Oct. 2006, pp. 1-5.

[3] ประสิทธิ์ สิริทิพย์รัศมี, วรรณภา สุวรรณรัตน์, และรวิน ดุลยฤทธิรงค์, “การวิเคราะห์ลักษณะความต้องการไฟฟ้าของประเทศไทย Analysis of Thailand Electricity Demand Pattern”, JESM, ปี 10, ฉบับที่ ธ.ค. 2014, หน้า 1-18.

[4] S. Nuchprayoon, “Electricity load classification using K-means clustering algorithm,” *5th Brunei International Conference on Engineering and Technology (BICET 2014)*, Nov. 2014, pp. 1-5.

[5] การไฟฟ้าฝ่ายผลิตแห่งประเทศไทย, “สถานการณ์ระบบไฟฟ้าไทยน่าเป็นห่วงจริงหรือ?”, บทความออนไลน์ จัดทำโดย กฟผ., เผยแพร่วันที่ 20 เมษายน 2559.

[6] R. Diewvilai and K. Audomvongseree, “Enhancing Generation Expansion Planning With Integration of Variable Renewable Energy and Full-Year Hourly Multiple Load Levels Balance Constraints,” *IEEE Access*, vol. 12, pp. 41143-41167, 2024.

Magnetic Field Simulation of Induction Motor with Different Stator Winding Using 3D FEM

Pongpisit Saikham[1], Thananya Simma[1], and Arak Bunmat[1*]

[1]Department of Electrical Engineering, Faculty of Engineering, Rajamangala University of Technology Isan Khonkaen Campus, Thailand, arak.bu@rmuti.ac.th[*]

Abstract

This study investigates the magnetic field behavior of a three-phase squirrel cage induction motor under two stator winding configurations: fractional pitch (7/9) and full pitch (9/9). A detailed simulation using the three-dimensional finite element method (3D FEM) is conducted to analyze the distribution of magnetic vector potential, magnetic flux density, and resulting electromagnetic forces in each configuration. The motor model is constructed using tetrahedral meshing to accurately represent the core geometry and boundary conditions. The simulation results indicate that, although both winding types produce a similar rotating magnetic field pattern, the fractional pitch (7/9) winding yields lower radial magnetic forces but higher tangential forces than the full pitch (9/9) winding. These characteristics suggest that the 7/9 configuration may enhance torque performance, providing valuable insights for optimizing stator winding designs in induction motor applications.

Keywords: Induction Motor, Stator Winding, 3D FEM, Magnetic Field, Electromagnetic Force

1. Introduction

Induction motors are widely used in industrial and commercial applications due to their durability, high efficiency, and low maintenance requirements. A key factor influencing their performance is the electromagnetic behavior within the motor, which is directly affected by the stator winding configuration. Specifically, the arrangement of the stator windings governs the magnetic field distribution, thereby impacting torque generation, efficiency, and electromagnetic forces. Two common winding techniques-fractional pitch and full pitch-exhibit distinct electromagnetic characteristics. Fractional pitch winding can help reduce harmonics and copper losses, while full pitch winding typically yields a stronger induced electromotive force (EMF). Understanding the influence of each winding type on magnetic field distribution is essential for optimizing motor performance [1].

This study aims to analyze and compare the electromagnetic performance of a three-phase squirrel cage induction motor with fractional pitch (7/9) and full pitch (9/9) stator windings. A three-dimensional finite element method (3D FEM) is employed to simulate and evaluate magnetic vector potential, magnetic flux distribution, and electromagnetic forces under ideal operating conditions. By closely examining these factors, the research offers valuable insights into the effects of winding configuration on motor behavior, contributing to more informed design decisions for high-performance induction motors [2].

2. Mathematical Model

The mathematical model of the magnetic field in induction motor, when considered in 3D Cartesian coordinate (x,y,z) and varying with time, can be written as the magnetic vector potential equation in the form of a second-order differential equation [3], as shown in equation (1)

$$\frac{\partial}{\partial x}\left(\frac{1}{\mu}\frac{\partial A}{\partial x}\right)+\frac{\partial}{\partial y}\left(\frac{1}{\mu}\frac{\partial A}{\partial y}\right)+\frac{\partial}{\partial z}\left(\frac{1}{\mu}\frac{\partial A}{\partial z}\right)-s\sigma\frac{\partial A}{\partial t}+J_0=0 \quad (1)$$

A is magnetic vector potential, s is motor slip, μ is magnetic permeability of material, J_0 is external current density, and σ is conductivity [4].

3. 3D FEM For Induction Motor

3.1 Motor Model

The initial step involves developing a three-dimensional model of a squirrel cage induction motor, comprising three primary components: the stator, the rotor, and the air gap separating them. A tetrahedral mesh is then generated using SolidWorks to discretize the geometry. Tetrahedral elements are selected due to their minimal number of nodes among 3D element types and their ability to conform efficiently to complex geometrical shapes [3–4]. The resulting finite element mesh consists of 30,076 nodes and 142,696 elements, as illustrated in Fig. 1.

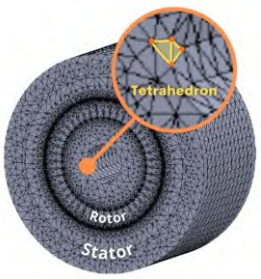

Fig. 1 3D Meshed model of induction motor

This induction motor model was designed with a diameter of 160.1 mm and a total length of 230 mm (Fig. 2). It is a three-phase, four-pole motor featuring 44 un-skewed rotor slots, 36 stator slots, and a double-layer winding. Two different stator winding configurations were used: fractional pitch winding (7/9) and full pitch winding (9/9), as illustrated in Fig. 3.

*Arak Bunmat

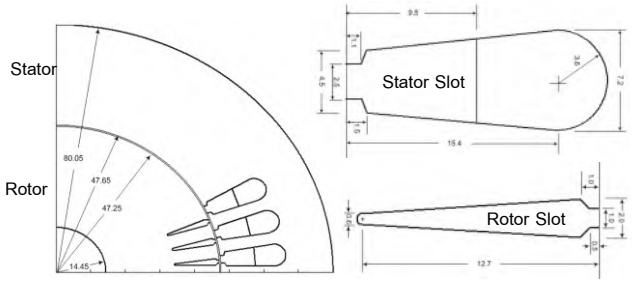

Fig. 2 Dimension of induction motor model

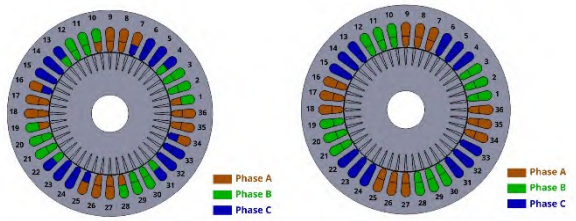

(a) (b)

Fig. 3 Cross section of induction motor
(a) Fractional pitch winding (7/9)
(b) Full pitch winding (9/9)

3.2 3D Finite Element Method

The Galerkin method, a technique that uses specific weighting functions, is applied to the Maxwell equations to derive an equation for each element [4-5], and magnetic vector potential can be expressed as equation (2).

$$A(x,y,z)=A_rN_r+A_sN_s+A_tN_t+A_uN_u \tag{2}$$

Equation (2), A_n (n = r, s, t, u) is the approximation of the magnetic vector potential at each node of elements (r, s, t, u), N_n (n = r, s, t, u) is the shape function [5], which is

$$N_n=\frac{1}{6V}\left(a_n+b_nx+c_ny+d_nz\right) \tag{3}$$

Equation (3), V is the volume of tetrahedron element, can be expressed as equation (4).

$$V=\frac{1}{6}\begin{bmatrix}1 & x_r & y_r & z_r\\ 1 & x_s & y_s & z_s\\ 1 & x_t & y_t & z_t\\ 1 & x_u & y_u & z_u\end{bmatrix} \tag{4}$$

Applied the Galerkin method for weighting residues into equation (1) and then integrated around the volume of tetrahedron element [5-6], as shown in equation (5).

$$\begin{aligned}&\int_v N_n\frac{1}{\mu}\left(\frac{\partial}{\partial x}\left(\frac{\partial A}{\partial x}\right)+\frac{\partial}{\partial y}\left(\frac{\partial A}{\partial y}\right)+\frac{\partial}{\partial z}\left(\frac{\partial A}{\partial z}\right)\right)dV\\ &-\int_v\left(N_n s\sigma\frac{\partial A}{\partial t}\right)dV+\int_v\left(N_nJ_0\right)dV=0\end{aligned} \tag{5}$$

The 3D finite element equation for each tetrahedron element can be written as:

$$[M]_{4\times4}\{A\}_{4\times1}+[K]_{4\times4}\{A\}_{4\times1}=\{F\}_{4\times1} \tag{6}$$

$$[M]_{4\times4}=\frac{\sigma V}{20}\begin{bmatrix}2&1&1&1\\1&2&1&1\\1&1&2&1\\1&1&1&2\end{bmatrix} \tag{7}$$

$$[K]_{4\times4}=\frac{1}{36\mu V}\left(b_nb_m+c_nc_m+d_nd_m\right) \tag{8}$$

$$\{F\}_{4\times1}=\frac{J_0V}{4}\begin{bmatrix}1\\1\\1\\1\end{bmatrix} \tag{9}$$

Where $[M]_{4\times4}$ is conductivity matrix, $[K]_{4\times4}$ is magnetic permeability matrix, and $\{F\}_{4\times1}$ is load vector of current.

In this paper, the recurrence relations method is used to solve linear transient problems, the results depend on the value of β, as shown in equation (10). The technique of backward difference is applied; β=1, because the outcomes of this procedure are guaranteed to converge and vary with time and Δt is the time step [6], as shown in equation (11).

$$\beta\{\dot{A}\}+(1-\beta)\{\dot{A}\}=\frac{\{A\}^{t+\Delta t}-\{A\}^{t}}{\Delta t} \tag{10}$$

$$\{\dot{A}\}=\frac{\{A\}^{t+\Delta t}-\{A\}^{t}}{\Delta t} \tag{11}$$

The equation (12) is established from equation (6), in transient state. The equation (11) is plugged into the equation (12) to obtain the 3D finite element equation considering the transient state [6-7], as shown in equation (13).

$$[M]\{\dot{A}\}+[K]\{\dot{A}\}=\{F\}^{t+\Delta t} \tag{12}$$

$$\left(\frac{1}{\Delta t}[M]+[K]\right)\{A\}^{t+\Delta t}=\frac{1}{\Delta t}[M]\{A\}^{t+\Delta t}+\{F\}^{t+\Delta t} \tag{13}$$

3.3 System Simulation Program Structure

Calculating the magnetic field of an induction motor with a rotating rotor is challenging, particularly when accounting for time-varying changes. However, with the availability of high-performance computers and large memory capacity, finite element method (FEM)–based magnetic field calculations have become more efficient and practical. Commercial software packages commonly

used for this purpose are often expensive, slow, and inflexible. To address this limitation, the present paper develops a custom FEM-based program in MATLAB for solving the magnetic field equations of induction motors. The computational flowchart is illustrated in Fig. 4.

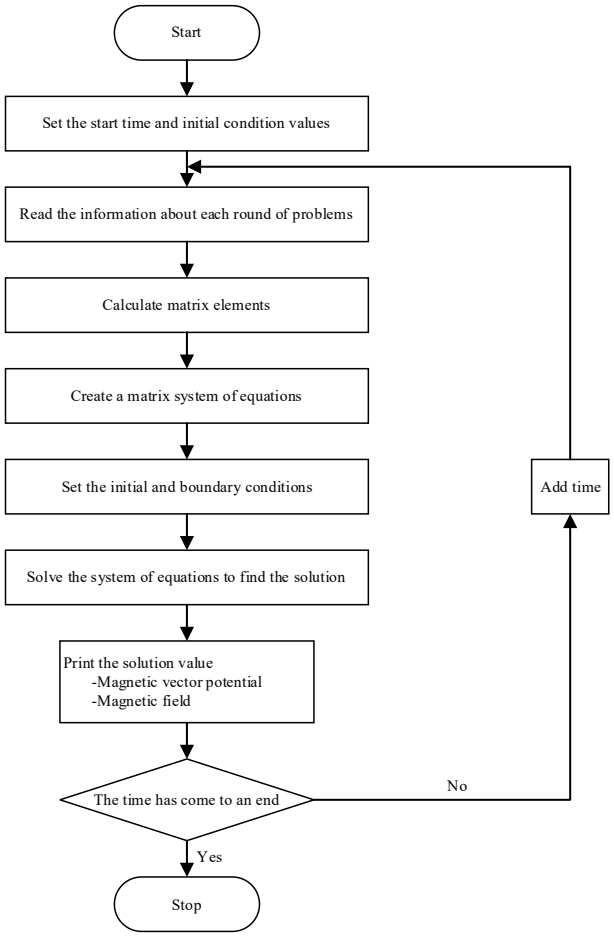

Fig. 4 The diagram shows the operation of the magnetic field calculation program

4. Result of 3D FEM For Induction Motor

We employ the 3D Finite Element Method (FEM) in combination with MATLAB software to simulate the magnetic field and analyze the performance of 7/9 pitch and full-pitch windings. The motor is supplied with a 380 V, 50 Hz sinusoidal power source and operates with a slip factor of 0.03 under steady-state conditions. The initial condition for the first motor rotation is set as A(t=0). For subsequent rotations, the parameters obtained from the previous rotation are used as the initial conditions to minimize computational effort. The boundary conditions are defined as A=0 at both the inner and outer surfaces of the motor model, which ensures magnetic insulation and prevents external field interference in the simulation domain.

Table 1 Electrical and mechanical parameters of a 3HP three-phase induction motor.

Parameters	Parameter values
Output Power	3HP
Supply Voltage	380 V (Star connection)
Number of Poles	4 Pole
Supply Frequency	50 Hz
Rated Speed	1455 rpm
Stator Winding Resistance	1.11 Ω/Φ
Rotor Winding Resistance	0.47 Ω/Φ
Stator Winding Reactance	1.05 Ω/Φ
Rotor Winding Reactance	1.05 Ω/Φ
Magnetic Reactance	22.09 Ω/Φ
Moment of Inertia of Motor	0.089
Stator Core Modulus	1.2×10^{11} N/m^2
Frame Modulus (Aluminum)	7.1×10^{10} N/m^2
Stator Core Mass Density	7.8×10^{3} N/m^3
Frame Mass Density	0.9×10^{13} N/m^3
Poisson's Ratio	0.25
Stator Winding Type	Two-story type
Number of Stator Slots	36 grooves
Number of Rotor Slots	44 grooves
Air Gap Width	0.43 mm
Pitch	6/9,7/9,8/9 and 9/9
Number of Turns/Coil	15 rounds
Stator Winding Diameter	1.8 mm
Rotor Bar Conductivity	4.9×10^{7} Ω^{-1}/m

4.1 Magnetic Vector Potential

Fig. 5-6 illustrates the distribution of magnetic vector potential in the induction motor operating at constant rotational speed and full load, over a rotor angle range from 0° to 60°. The results show that both the 7/9 pitch winding and the full pitch winding produce similar distributions of magnetic vector potential. The field is characterized by two main colors: red representing the north (N) pole and blue representing the south (S) pole, alternating in four distinct groups. These groups correspond to the number of magnetic poles in the motor. The magnetic vector potential demonstrates a rotating magnetic field behavior, rotating counterclockwise in the same direction as the rotor.

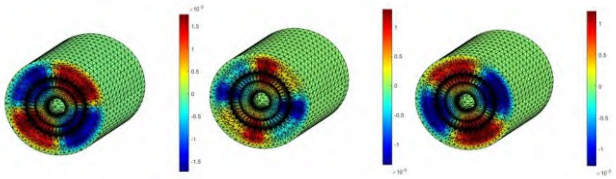

(a) (b) (c)

Fig. 5 Magnetic vector potential distribution (Wb/m) of 7/9 pitch winding induction motor
(a) rotor position 0°
(b) rotor position 30°
(c) rotor position 60°

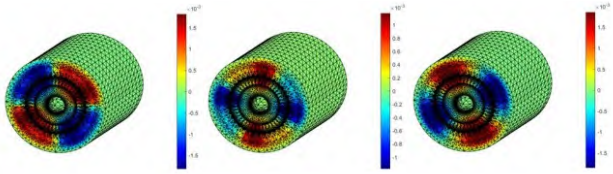

(a) (b) (c)

Fig. 6 Magnetic vector potential distribution (Wb/m) of full pitch winding induction motor
(a) rotor position 0°
(b) rotor position 30°
(c) rotor position 60°

4.2 Magnetic Field

After calculating the magnetic vector potential (A) at each node of the motor, the magnetic field (B) distribution in the Cartesian coordinate system (x,y,z) can be calculated using the equation $B = \nabla \times A$. Therefore, when considering Cartesian coordinate system, the magnetic field in the x-direction and y-direction can be determined as shown in equation (14) and (15), respectively [7].

$$B_r = B_x \cos\phi + B_y \sin\phi \tag{14}$$

$$B_t = -B_x \sin\phi + B_y \cos\phi \tag{15}$$

Fig. 7-8 shows the magnetic field distribution of two different stator winding when the rotor rotates from 0° to 60°. It was found that 7/9 pitch winding and full pitch winding have slightly different magnetic field values.

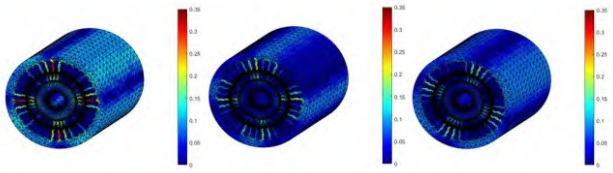

(a) (b) (c)

Fig. 7 Magnetic field distribution (T) of 7/9 pitch winding
(a) rotor position 0°
(b) rotor position 30°
(c) rotor position 60°

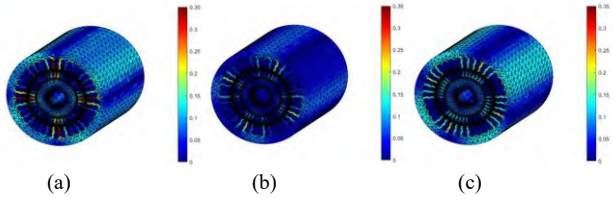

(a) (b) (c)

Fig. 8 Magnetic field distribution (T) of full pitch winding
(a) rotor position 0°
(b) rotor position 30°
(c) rotor position 60°

4.3 Magnetic Force

After calculating B_r and B_t, Maxwell's equation is employed to determine the radial magnetic force (F_r) and tangential magnetic force (F_t) on the air gap of the stator teeth, and the equation presented.

$$F_r = \frac{1}{2\mu_0}\left(B_r^2 - B_t^2\right) \tag{16}$$

$$F_t = \frac{1}{\mu_0}\left(B_r B_t\right) \tag{17}$$

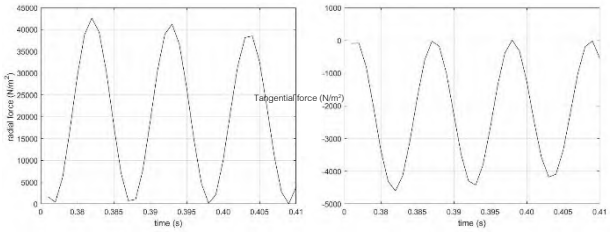

Fig. 9 Radial and Tangential Magnetic Force (N/m^2) of 7/9 pitch winding

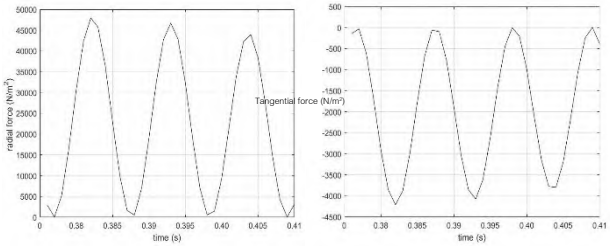

Fig. 10 Radial and Tangential Magnetic Force (N/m^2) of full pitch winding

4.4 Torque of Induction Motor

The torque of a three-phase induction motor with 7/9 pitch windings and full-pitch (9/9) windings under steady-state conditions is shown. The torque is calculated using the tangential electromagnetic force (F_t) as the primary parameter, based on the equation $\tau = F_t \times r^2$, where r is the radius of the motor. The analysis focuses on teeth 1 through 9, as the tangential electromagnetic force (F_t) begins to exhibit periodic variation every 9 teeth due to the winding configuration.

Table 2 Shows the magnitude of the torque generated in a three-phase induction motor with 7/9 pitch windings.

Teeth number	F_t (N/m^2)	Radius (mm)	Torque (N.m)
1	4600.1300	80	29.4483
2	2445.3000		15.6502
3	438.7866		2.8082
4	3.1839		0.0204
5	328.1646		2.1031
6	97.2995		0.6227
7	172.5400		11.0423
8	691.3480		4.4246
9	540.5939		3.4598

From Table 2, it is observed that the torque generated by the motor reaches its maximum value at the first rotor tooth, with a torque of -29.4483 $N{\cdot}m$, and its minimum value at the fourth rotor tooth, with a torque of -0.0204 $N{\cdot}m$. The average torque generated across all 9 rotor teeth is -7.7311 $N{\cdot}m$.

Table 3 Shows the magnitude of the torque generated in a three-phase induction motor with full pitch windings.

Teeth number	F_t (N/m^2)	Radius (mm)	Torque (N.m)
1	4212.6000	80	26.9608
2	1870.6000		11.9719
3	438.7866		0.6311
4	85.6640		0.5482
5	538.4575		3.4461
6	1342.1000		8.5892
7	887.8213		5.6821
8	714.4078		4.5722
9	1371.7000		8.7787

From Table 3, it is found that the torque generated by the motor reaches its highest value at the first rotor tooth, with a torque of -26.9608 *N·m*, and its lowest value at the fourth rotor tooth, with a torque of -0.5482 *N·m*. The average torque generated across all 9 rotor teeth is -6.6462 *N·m*.

The magnetic field simulation of a three-phase squirrel cage induction motor using 3D FEM compared fractional pitch (7/9) and full pitch (9/9) stator windings in a three-phase squirrel cage induction motor under a 380 V, 50 Hz supply. Both configurations generate similar rotating magnetic fields, but the 7/9 winding yields higher tangential and lower radial forces, resulting in greater torque output (-7.7311 *N·m* vs. -6.6462 *N·m*). The 7/9 winding is thus better suited for high-torque or heavy-load applications, while the 9/9 winding offers improved stability for precision systems.

5. Conclusion

This study employs 3D finite element method to compare the magnetic field performance of a three-phase squirrel cage induction motor with two stator winding types: fractional pitch (7/9) and full pitch (9/9). Under a 380 V, 50 Hz supply, both winding configurations produce similar rotating magnetic fields. However, the 7/9 winding generates higher tangential and lower radial electromagnetic forces, resulting in greater average torque. Therefore, the 7/9 configuration is better suited for high-torque applications such as electric vehicles, while the 9/9 winding offers smoother operation, making it ideal for precision machinery and HVAC systems.

Acknowledgment

This research project is supported by Research and Innovation Fund, Faculty of Engineering, Rajamangala University of Technology Isan, Khon Kaen Campus.

References

[1] C. Seunghyeon, J. Kyunghun and C.W Kim, "Vibration analysis of electric motors considering rotating rotor structure using flexible multibody dynamics-electromagnetic-structural vibration coupled analysis," *Journal of Computational Design and Engineering*, vol 10, Issue 2, 2023, pp. 578-588.

[2] G. Zhang, and Z. Tong. "Finite Element Model Calibration with Surrogate Model-Based Bayesian Updating: A Case Study of Motor FEM Model." *Innovations in Applied Engineering and Technology*, 2024, pp. 1-13.

[3] M. Marković, Z. Petranović and M. Vujanović, "Numerical Simulation of Asynchronous E-motor with Field-Circuit Coupling," *Engineering Power: Bulletin of the Croatian Academy of Engineering*, 2024, vol. 19, no. 1, pp. 12-18.

[4] P.M. Kurowski, "Finite element analysis for design engineers," Sae international, 2022.

[5] A. Bunmat, P. Saikham and P. Pao-La-Or, "Distributions of Flux and Electromagnetic Force in Brushless Motor Using 3-D FEM," *2023 International Electrical Engineering Congress (iEECON)*, Krabi, Thailand, 2023, pp. 342-345.

[6] T. D. Lopes, A. Raizer and W. V. Júnior, "Assessment of Induction Motor with Rotor Fault Using a FEM-3D Model," *2022 IEEE Power and Energy Conference at Illinois (PECI),* Champaign, IL, USA, 2022, pp. 1-5.

[7] A. Bunmat, T. Kongtham, P. Krikodsong, W. Bunyawut and T. Simma, "Magnetic Field Simulation of Multiphase Wind Generator Using 3D Finite Element Method," *2024 12th International Electrical Engineering Congress (iEECON)*, Pattaya, Thailand, 2024, pp. 1-4.

การเบรกดาวน์ฟิล์มน้ำมันในกระบวนการเชื่อมรวมด้วยไฟฟ้าสำหรับการแยกน้ำออกจากน้ำมัน

Oil Film Breakdown in Electrocoalescence Process for the Separation of Water from Oil

วิกานดา นันทนาวุฒิ[1]* บุญชัย เตชะอำนาจ[1] และ ณัฐพงศ์ ตัณฑนุช[2]

[1]ภาควิชาวิศวกรรมไฟฟ้า คณะวิศวกรรมศาสตร์ จุฬาลงกรณ์มหาวิทยาลัย wikanda.n@chula.ac.th*, boonchai.t@chula.ac.th

[2]ภาควิชาวิศวกรรมไฟฟ้าและคอมพิวเตอร์ คณะวิศวกรรมศาสตร์ มหาวิทยาลัยธรรมศาสตร์ tanthanuch1@engr.tu.ac.th

บทคัดย่อ

ในอุตสาหกรรมน้ำมัน การเชื่อมรวมด้วยไฟฟ้าเป็นวิธีการหนึ่งที่ใช้ในการแยกน้ำออกจากน้ำมัน โดยอาศัยจลนศาสตร์ไฟฟ้าของหยดน้ำ ในวิธีการดังกล่าว สนามไฟฟ้าช่วยให้เกิดการรวมตัวระหว่างหยดน้ำในน้ำมันกับระนาบน้ำ ในงานนี้ คณะผู้วิจัยทำการทดลองเพื่อศึกษาการเบรกดาวน์ของฟิล์มน้ำมันที่เกิดขึ้นในการเชื่อมรวมของหยดน้ำในน้ำมันฉนวนกับระนาบน้ำภายใต้สนามไฟฟ้าแบบพัลส์ ผลการทดลองแสดงให้เห็นว่า การเพิ่มสนามไฟฟ้าทำให้เวลาขั้นต่ำของสนามที่ใช้ในการเบรกดาวน์ฟิล์มน้ำมันสั้นลง รัศมีหยดน้ำที่เพิ่มขึ้น หรือ สัมประสิทธิ์ความตึงผิวระหว่างน้ำและน้ำมันที่ลดลง ส่งผลให้เวลาขั้นต่ำของสนามที่ใช้ในการเบรกดาวน์ฟิล์มน้ำมันนานขึ้น

คำสำคัญ: การเชื่อมรวมด้วยไฟฟ้า, หยดน้ำ, น้ำมันฉนวน, สนามไฟฟ้า

Abstract

In the petroleum industry, electrocoalescence is one of the methods used to separate water from oil based on drop electrokinetics. In this method, an electric field promotes the aggregation between drops in oil and the water plane. In this work, we perform an experiment to investigate the oil film breakdown in the electrocoalescence of an aqueous drop in insulating oil with a water plane under pulsed electric field. The results show that an increase in the electric field shortens the minimum field duration required for the oil film breakdown. An increase in drop radius or a decrease in interfacial tension between water and oil result in a longer minimal field duration for oil film breakdown.

Keywords: Electrocoalescence, Aqueous drop, Insulating oil, Electric field

1. ข้อมูลทั่วไป

การปนเปื้อนของหยดน้ำในน้ำมันเป็นปัญหาสำคัญในหลายอุตสาหกรรม โดยเฉพาะปิโตรเลียมและเคมี หยดน้ำไม่เพียงส่งผลให้คุณภาพของน้ำมันลดลง แต่ยังก่อให้เกิดการกัดกร่อนและสนิมในอุปกรณ์การผลิต สำหรับหม้อแปลงไฟฟ้า หยดน้ำในน้ำมันฉนวนทำให้ความคงทนของฉนวนลดลง ดังนั้น กระบวนการแยกน้ำออกจากน้ำมันจึงมีความสำคัญอย่างยิ่ง จลนศาสตร์ไฟฟ้าของของไหลสามารถนำมาใช้ประโยชน์ในการแยกหยดน้ำออกจากน้ำมัน โดยกระบวนการดังกล่าวเรียกว่า การเชื่อมรวมด้วยไฟฟ้า (Electrocoalescence) หยดน้ำที่อยู่ในน้ำมันเคลื่อนที่เข้าหาผิวน้ำภายใต้สนามไฟฟ้า เมื่อหยดน้ำเคลื่อนที่เข้าใกล้กันมากพอ ฟิล์มน้ำมันที่กั้นหยดน้ำเอาไว้มีความหนาลดลงและแตกออก เนื่องจากความเข้มสนามไฟฟ้าบริเวณฟิล์มน้ำมันมีค่าสูง จากนั้น หยดน้ำจึงรวมตัวเข้าหาผิวน้ำ [1]

การศึกษาในอดีตที่ผ่านมามุ่งเน้นไปที่รูปแบบการรวมตัวที่เกิดขึ้น ยกตัวอย่างเช่น สนามไฟฟ้าสูงทำให้รูปแบบการรวมตัวของหยดน้ำเปลี่ยนจากแบบสมบูรณ์เป็นเพียงบางส่วน ไม่เกิดการรวมตัว หรือแตกตัว [2, 3] พฤติกรรมเหล่านี้มีแนวโน้มเกิดขึ้นได้ง่ายหากหยดน้ำมีขนาดใหญ่ มีประจุ หรือน้ำมันมีคุณสมบัติความตึงผิวต่ำ [4, 5] อย่างไรก็ตาม ปัจจัยเหล่านี้อาจส่งผลต่อการเบรกดาวน์ของฟิล์มน้ำมันที่เกิดขึ้นในกระบวนการเชื่อมรวม โดยเฉพาะคุณลักษณะทางแรงดันไฟฟ้า-เวลาที่ยังไม่ได้รับการตรวจสอบ บทความนี้นำเสนอผลการทดลองสังเกตการเบรกดาวน์ของฟิล์มน้ำมันที่เกิดขึ้นในการรวมตัวของหยดน้ำในน้ำมันฉนวนภายใต้สนามไฟฟ้าแบบพัลส์ การศึกษาทำให้ทราบถึงผลของสนามไฟฟ้า ขนาดหยดน้ำ และคุณสมบัติของของเหลวที่มีต่อคุณลักษณะการเบรกดาวน์ของฟิล์มน้ำมัน

2. การทดลอง

2.1 วัสดุ

ในการทดลองเพื่อสังเกตการเบรกดาวน์ฟิล์มน้ำมันในกระบวนการเชื่อมรวมด้วยไฟฟ้า น้ำปราศจากไอออนถูกใช้สร้างหยดน้ำและระนาบน้ำ น้ำมันที่ใช้ คือ น้ำมันซิลิโคน (Shinetsu, KF-96-100cs) และ น้ำมันแร่ (Hyrax Oil) โดยที่น้ำมันทั้งสองชนิดมีคุณสมบัติสภาพยอมสัมพัทธ์และสัมประสิทธิ์ความตึงผิวต่างกันประมาณ 26–27% ตารางที่ 1 แสดงคุณสมบัติของของเหลว นอกจากนี้ การทดลองมีการเติมสารลดแรงตึงผิว Tween 20 ลงในน้ำปราศจากไอออนที่ใช้สร้างหยดน้ำที่ความเข้มข้น 0 – 0.1% (w/v) เพื่อแปรค่าสัมประสิทธิ์ความตึงผิวระหว่างหยดน้ำและน้ำมัน

2.2 การติดตั้งการทดลอง

รูปที่ 1 แสดงการติดตั้งอุปกรณ์การทดลอง กล่องอะคริลิกบรรจุน้ำและน้ำมัน มีอิเล็กโทรดสแตนเลสแบบขนานสำหรับการสร้างสนามไฟฟ้าแบบสม่ำเสมอ อิเล็กโทรดไฟฟ้าแรงสูงด้านล่างขนาดรัศมี 1.3 cm หนา 1.5 cm เชื่อมต่อกับแหล่งจ่ายแรงดันสูง (Trek, 610E) และเครื่องกำเนิด

*ผู้ประพันธ์บรรณกิจ

ตารางที่ 1 คุณสมบัติของของเหลว

คุณสมบัติ	น้ำปราศจากไอออน	น้ำมันแร่	น้ำมันซิลิโคน
ความหนืด (mPa·s)	1	8.161	96.5
ความหนาแน่น (kg/m^3)	997	867.3	965
สภาพยอมสัมพัทธ์	80.1	2.17	2.74
สัมประสิทธิ์ความตึงผิว (N/m)	-	0.03	0.038

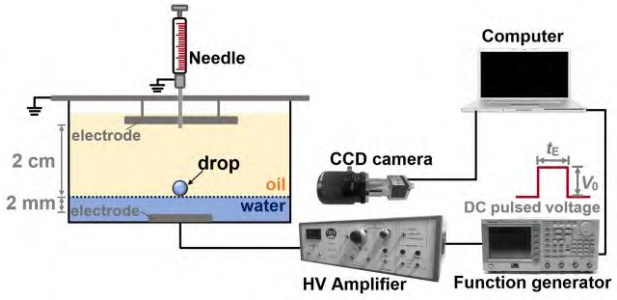

(ก) แผนภาพการติดตั้งและต่ออุปกรณ์

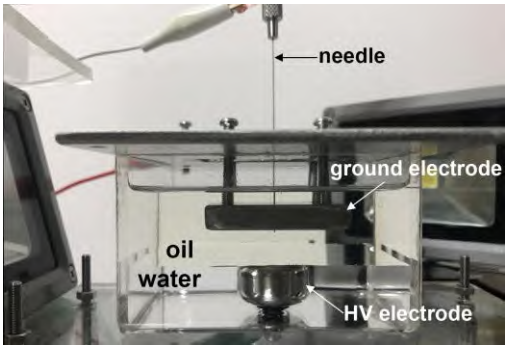

(ข) ภาพถ่ายการจัดวางอิเล็กโทรด

รูปที่ 1 การติดตั้งอุปกรณ์การทดลอง

สัญญาณ (Tektronix, AFG3021B) อิเล็กโทรดด้านบนกว้างด้านละ 4.6 cm หนา 0.8 cm ต่อกราวด์ โดยที่อิเล็กโทรดถูกเจาะรูเพื่อสอดเข็มสำหรับการสร้างหยดน้ำ ระดับผิวน้ำอยู่เหนือจากขอบของอิเล็กโทรดแรงสูง 2 mm และอิเล็กโทรดกราวด์จุ่มอยู่ในน้ำมันเหนือจากผิวน้ำเป็นระยะ d = 2 cm

กระบอกฉีดยาที่ต่อกับเข็มสร้างหยดน้ำขนาดรัศมี 0.33 – 1.04 mm หลังจากที่หยดน้ำตกลงบนผิวน้ำ หยดน้ำยังไม่เกิดการรวมตัวเข้าหาผิวน้ำ ผู้วิจัยป้อนแรงดันกระแสตรงรูปคลื่นพัลส์ขนาด V_0 จำนวน 1 ลูกคลื่น เพื่อเบรกดาวน์ฟิล์มน้ำมันที่กั้นระหว่างหยดน้ำและผิวน้ำ และทำให้เกิดการรวมตัวของหยดน้ำขึ้น เนื่องจากความนำไฟฟ้าในเฟสน้ำมีค่าสูง สนามไฟฟ้าที่ป้อนจึงประมาณได้ดังสมการ

$$E_0 = V_0/d \quad (1)$$

การทดลองใช้ E_0 ในช่วง 0.25 – 0.75 kV/cm และปรับลดระยะเวลาของสนาม t_E จาก 1 s จนได้เวลาต่ำสุด $t_{E,min}$ ที่ทำให้ฟิล์มน้ำมันเบรกดาวน์ ทั้งนี้ เครื่องมือที่ใช้ทดลองสร้างเวลาต่ำสุดของ t_E ได้ที่ 0.1 ms ผลการทดลองที่ได้บันทึกด้วยกล้อง CCD โดยการทำงานของกล้องและเครื่องกำเนิดสัญญาณถูกควบคุมผ่านคอมพิวเตอร์ด้วยโปรแกรม MATLAB

3. ผลการทดลองและอภิปรายผล

รูปที่ 2 แสดงการเบรกดาวน์ของฟิล์มน้ำมันที่เกิดขึ้นและการรวมตัวของหยดน้ำขนาดรัศมี 0.575 mm ในน้ำมันซิลิโคนที่เงื่อนไข E_0 = 0.5 kV/cm และ t_E = 1 s ฟิล์มน้ำมันกั้นระหว่างหยดน้ำและผิวน้ำ ทำให้ไม่เกิดการรวมตัวของหยดน้ำ หลังจากป้อนสนามไฟฟ้า บริเวณจุดสัมผัสระหว่างหยดน้ำและผิวน้ำมีความเข้มสนามไฟฟ้าสูง เนื่องจากมุมสัมผัสของหยดน้ำเข้าใกล้ศูนย์ ความเค้นทางไฟฟ้าทำให้ฟิล์มน้ำมันบางลงและเบรกดาวน์ ดังแสดงในรูปที่ 2 ที่เวลา 2 ms จากนั้น หยดน้ำรวมตัวเข้าหาผิวน้ำจนหมดที่เวลา 12 ms ผลการทดลองที่ได้พบว่าการเบรกดาวน์ของฟิล์มน้ำมันและการรวมตัวของหยดน้ำไม่เกิดขึ้นหากระยะเวลาของสนามไฟฟ้า t_E ไม่เพียงพอ

3.1 ผลของขนาดหยดน้ำ

รูปที่ 3 แสดงเวลาขั้นต่ำ $t_{E,min}$ ของสนามไฟฟ้าที่ทำให้เกิดการเบรกดาวน์ของฟิล์มน้ำมัน เมื่อหยดน้ำมีขนาดแตกต่างกันในน้ำมันซิลิโคนได้รับสนามไฟฟ้าในช่วง 0.25 – 0.75 kV/cm $t_{E,min}$ เป็นเวลาของสนามไฟฟ้าที่น้อยที่สุดที่ทำให้หยดน้ำจำนวน 5 หยด เกิดการเบรกดาวน์ของฟิล์มน้ำมันทุกครั้งที่ทำการทดลอง จากรูปที่ 3 เวลาขั้นต่ำของสนามไฟฟ้าที่ทำให้ฟิล์มน้ำมันเบรกดาวน์สำหรับหยดน้ำทุกขนาดสั้นลงเมื่อ

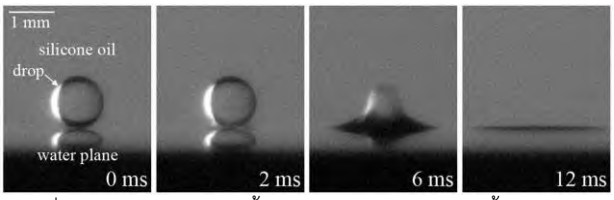

รูปที่ 2 การรวมตัวของหยดน้ำขนาดรัศมี 0.575 mm ในน้ำมันซิลิโคน ที่ E_0 = 0.5 kV/cm และ t_E = 1 s

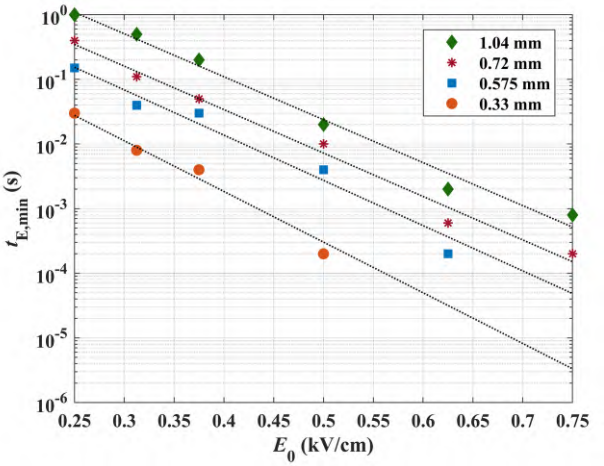

รูปที่ 3 เวลาขั้นต่ำของสนามไฟฟ้าในการเบรกดาวน์ฟิล์มน้ำมันซิลิโคนของหยดน้ำขนาดรัศมีต่างกัน

เพิ่มขนาดสนามไฟฟ้า E_0 ที่ป้อน ความสัมพันธ์ระหว่าง E_0 และ $t_{E,min}$ ลดลงในลักษณะเอกซ์โพเนนเชียล (กราฟในรูปที่ 3 แสดงเป็นแบบกึ่งลอการิทึม) ซึ่งคล้ายกับคุณลักษณะทางแรงดันไฟฟ้า-เวลาในการเบรกดาวน์ทางไฟฟ้าของวัสดุฉนวน

เมื่อพิจารณาที่ขนาด E_0 เท่ากันในรูปที่ 3 เราพบว่าหยดน้ำขนาดใหญ่ใช้ระยะเวลาของสนามนานกว่าเพื่อทำให้ฟิล์มน้ำมันเบรกดาวน์ จากที่กล่าวไปข้างต้น การเบรกดาวน์ของฟิล์มน้ำมันขึ้นอยู่กับความเข้มสนามไฟฟ้าบริเวณจุดสัมผัสระหว่างหยดน้ำกับฟิล์มน้ำมัน เนื่องจากรัศมีความโค้งของหยดน้ำบนฟิล์มน้ำมันแปรผกผันกับรัศมีหยดน้ำ หยดขนาดเล็ก (r_0 = 0.33 mm) มีรัศมีความโค้งสูง ส่งผลให้ความเข้มสนามไฟฟ้าบริเวณจุดสัมผัสสูง การเบรกดาวน์ของฟิล์มน้ำมันในกรณีดังกล่าวเกิดได้ง่าย และเวลาของสนามไฟฟ้าที่จำเป็นต้องใช้เพื่อเบรกดาวน์ฟิล์มน้ำมันจึงสั้นกว่าเมื่อเปรียบเทียบกับหยดน้ำขนาดใหญ่ แม้ว่าหยดน้ำขนาดใหญ่อาจทำให้ฟิล์มน้ำมันบางกว่าเนื่องจากมวลของหยดน้ำ ผลการทดลองที่ได้แสดงให้เห็นว่าการเปลี่ยนแปลงโปรไฟล์ของหยดน้ำที่บริเวณจุดสัมผัสฟิล์มน้ำมันส่งผลต่อการเบรกดาวน์ของฟิล์มมากกว่า เมื่อเทียบกับการเปลี่ยนแปลงความหนาของฟิล์มเนื่องจากขนาดหยดน้ำ

3.2 ผลของชนิดตัวกลางน้ำมัน

เนื่องจากกระบวนการเชื่อมรวมด้วยไฟฟ้าขึ้นอยู่กับคุณสมบัติของของเหลว การเบรกดาวน์ของฟิล์มน้ำมันที่เกิดในกระบวนการเชื่อมรวมจึงถูกตรวจสอบในแง่ของคุณลักษณะทางแรงดันไฟฟ้า-เวลาด้วยการใช้น้ำมันต่างชนิด ได้แก่ น้ำมันแร่และน้ำมันซิลิโคน รูปที่ 4 เปรียบเทียบความสัมพันธ์ระหว่าง E_0 และ $t_{E,min}$ ที่ใช้ในการเบรกดาวน์ฟิล์มน้ำมันเมื่อหยดน้ำขนาดรัศมี 0.575 mm อยู่ในตัวกลางน้ำมันต่างชนิด ผลการทดลองที่ได้พบว่า ที่สนามไฟฟ้าขนาดเท่ากัน หยดน้ำในน้ำมันแร่มี $t_{E,min}$ สูงกว่าเมื่อเทียบกับน้ำมันซิลิโคน รูปที่ 5 แสดงผลการตรวจสอบลักษณะหยดน้ำขนาดรัศมี 0.575 mm บนฟิล์มน้ำมันทั้งสองชนิด คณะผู้วิจัยพบว่าหยดน้ำในน้ำมันแร่มีรัศมีความโค้งที่บริเวณจุดสัมผัสน้อยกว่าเมื่อเทียบกับน้ำมัน

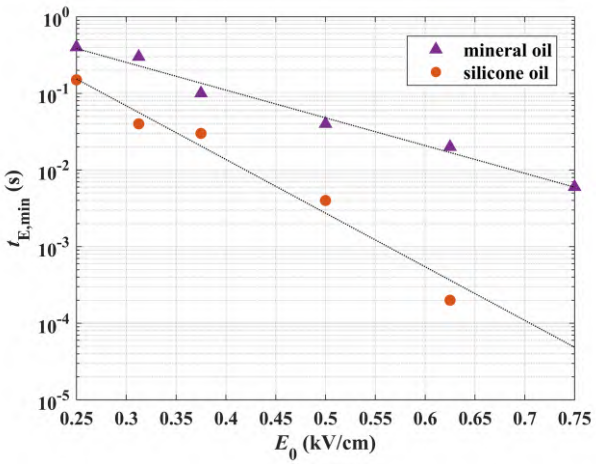

รูปที่ 4 ความสัมพันธ์ระหว่างสนามไฟฟ้าและเวลาของสนามที่ใช้ในการเบรกดาวน์ฟิล์มน้ำมันต่างชนิดเมื่อหยดน้ำมีขนาดรัศมี 0.575 mm

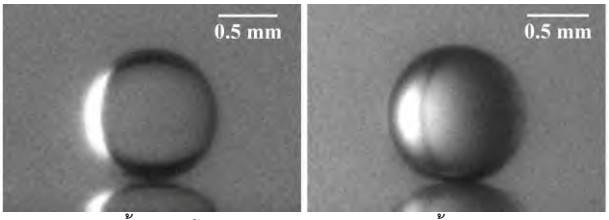

(ก) น้ำมันซิลิโคน (ข) น้ำมันแร่

รูปที่ 5 ลักษณะของหยดน้ำขนาดรัศมี 0.575 mm บนฟิล์มน้ำมันต่างชนิด

ซิลิโคน ซึ่งคาดว่าเป็นผลมาจากความตึงผิวที่ต่ำของน้ำมันแร่ นอกจากนี้น้ำมันแร่ยังมีคุณสมบัติสภาพยอมสัมพัทธ์ที่ต่ำ จากคุณสมบัติทั้งสองของน้ำมันแร่ ความเข้มสนามไฟฟ้าบริเวณจุดสัมผัสและแรงทางไฟฟ้าที่กระทำกับฟิล์มน้ำมันจึงมีค่าต่ำ ดังนั้น การเบรกดาวน์ของฟิล์มน้ำมันจำเป็นต้องใช้ระยะเวลาของสนามไฟฟ้าที่นานกว่าเมื่อเทียบกับน้ำมันซิลิโคน

3.3 ผลของความตึงผิวระหว่างน้ำและน้ำมัน

เพื่อตรวจสอบเฉพาะผลของความตึงผิวระหว่างน้ำและน้ำมันที่มีต่อรูปทรงหยดน้ำและการเบรกดาวน์ของฟิล์มน้ำมัน สารลดแรงตึงผิว Tween 20 ถูกเติมลงในน้ำปราศจากไอออนที่ใช้สำหรับสร้างหยดน้ำ น้ำมันที่ใช้ในการศึกษากรณีนี้คือน้ำมันซิลิโคน คณะผู้วิจัยวัดรัศมีความโค้งของหยดน้ำจากภาพผลการทดลองที่บันทึกไว้ และแสดงการเปลี่ยนแปลงรัศมีความโค้งที่บริเวณจุดสัมผัสของหยดน้ำขนาดรัศมี 0.575 mm ในตัวกลางน้ำมันซิลิโคนเมื่อเติมสารลดแรงตึงผิวในรูปที่ 6 สัมประสิทธิ์ความตึงผิวระหว่างน้ำและน้ำมันที่ลดลงทำให้รัศมีความโค้งของหยดน้ำบริเวณจุดสัมผัสลดลง รัศมีความโค้งลดลงแบบไม่เป็นเชิงเส้นตามความเข้มข้นของสารลดแรงตึงผิวที่เพิ่มขึ้น โดยลดลงอย่างมากในช่วงความเข้มข้นต่ำ และเปลี่ยนแปลงเพียงเล็กน้อยเมื่อความเข้มข้นของ Tween 20 สูงเกิน 8% (w/v)

รูปที่ 7 แสดงเวลาขั้นต่ำของสนามไฟฟ้าที่ใช้เบรกดาวน์ฟิล์มน้ำมันซิลิโคนของหยดน้ำขนาดรัศมี 0.575 mm เมื่อเติม Tween 20 ที่ความเข้มข้น 0 – 0.1% (w/v) จากรูปที่ 7 เราเห็นได้ว่าที่ขนาด E_0 เท่ากัน หยด

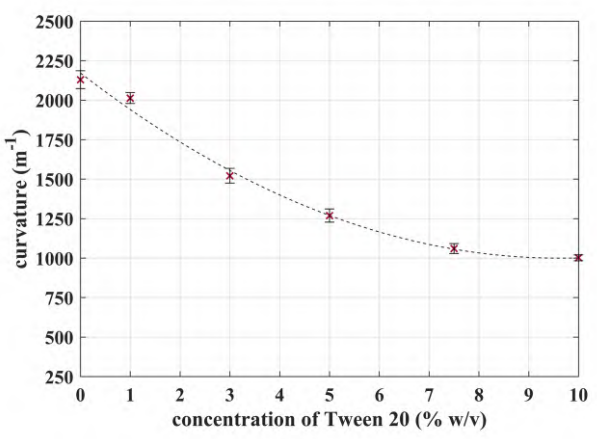

รูปที่ 6 รัศมีความโค้งของหยดน้ำขนาด 0.575 mm บนฟิล์มน้ำมันซิลิโคนเมื่อเติม Tween 20 ที่ความเข้มข้นต่างกัน

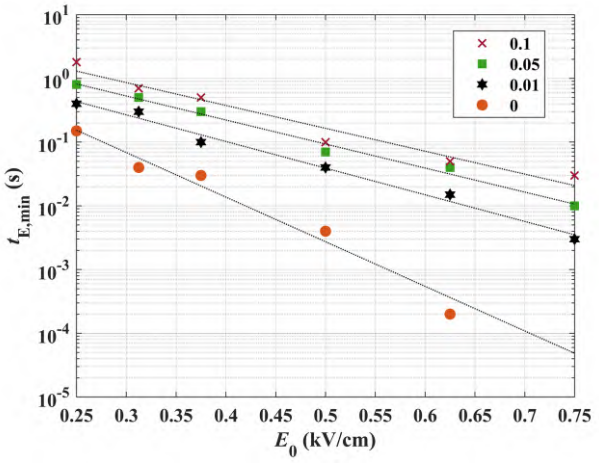

รูปที่ 7 เวลาขั้นต่ำของสนามไฟฟ้าในการเบรกดาวน์ฟิล์มน้ำมันซิลิโคน สำหรับหยดรัศมี 0.575 mm เมื่อเติมสารลดแรงตึงผิว Tween 20

น้ำที่เติม Tween 20 ต้องการ $t_{E,min}$ นานกว่าเพื่อเบรกดาวน์ฟิล์มน้ำมัน เมื่อเปรียบเทียบกับกรณีที่ไม่เติมสารลดแรงตึงผิว $t_{E,min}$ เพิ่มขึ้นตามความเข้มข้นของสารลดแรงตึงผิว โดยเห็นได้ชัดเมื่อความเข้มข้นของ Tween 20 เป็น 0.01% (w/v) ผลการทดลองที่ได้ในงานวิจัยนี้สามารถยืนยันได้ว่ารูปร่างของหยดน้ำเปลี่ยนตามความตึงผิวของน้ำและน้ำมัน เมื่อสัมประสิทธิ์ความตึงผิวระหว่างน้ำและน้ำมันมีค่าต่ำ รัศมีความโค้งที่ลดลงทำให้ความเข้มสนามไฟฟ้าที่จุดสัมผัสต่ำลง และทำให้การเบรกดาวน์ของฟิล์มน้ำมันเกิดได้ยากขึ้น

4. สรุป

การทดลองการรวมตัวของหยดน้ำในน้ำมันฉนวนกับผิวน้ำภายใต้สนามไฟฟ้าถูกจัดทำเพื่อตรวจสอบคุณลักษณะทางแรงดันไฟฟ้า-เวลาที่ใช้ในการเบรกดาวน์ฟิล์มน้ำมันที่กั้นระหว่างหยดน้ำและผิวน้ำ ผลการทดลองแสดงให้เห็นว่าเวลาขั้นต่ำที่ใช้ในการเบรกดาวน์ฟิล์มน้ำมันลดลงอย่างไม่เป็นเชิงเส้นเมื่อป้อนขนาดของสนามไฟฟ้าสูงขึ้น รูปทรงของหยดน้ำเป็นปัจจัยสำคัญที่ส่งผลต่อคุณลักษณะทางแรงดัน-ไฟฟ้าของการเบรกดาวน์ฟิล์มน้ำมัน หยดน้ำขนาดใหญ่ใช้เวลาขั้นต่ำของสนามไฟฟ้าเพื่อเบรกดาวน์ฟิล์มน้ำมันนานกว่าหยดน้ำขนาดเล็ก เมื่อสัมประสิทธิ์ความตึงผิวระหว่างน้ำและน้ำมันมีค่าต่ำ รัศมีความโค้งของหยดน้ำบริเวณจุดสัมผัสลดต่ำลง ส่งผลให้ต้องใช้เวลาของสนามไฟฟ้าที่นานมากขึ้นเพื่อเบรกดาวน์ฟิล์มน้ำมัน คุณลักษณะแรงดัน-ไฟฟ้าที่ได้จากการทดลองภายใต้เงื่อนไขต่างๆ ถือเป็นข้อมูลสำคัญในการควบคุมสนามไฟฟ้าที่ใช้ในกระบวนการ เพื่อให้สามารถแยกน้ำออกจากน้ำมันได้อย่างมีประสิทธิภาพ

5. กิตติกรรมประกาศ

งานวิจัยนี้ได้รับทุนอุดหนุนการวิจัยบางส่วนจากทุนพัฒนาอาจารย์ใหม่/นักวิจัยใหม่ กองทุนรัชดาภิเษกสมโภช จุฬาลงกรณ์มหาวิทยาลัย และจากสำนักงานการวิจัยแห่งชาติ (วช.) และจุฬาลงกรณ์มหาวิทยาลัย เลขที่สัญญา N42A660501 คณะผู้วิจัยขอขอบคุณ ดร. อรรณพ ลิ้มสีมารัตน์ และ ศ.ดร.อรวรรณ ชัยลภากุล สำหรับน้ำมันแร่และน้ำปราศจากไอออน

เอกสารอ้างอิง

[1] J. S. Eow and M. Ghadiri, “Electrostatic enhancement of coalescence of water droplets in oil: A review of the technology,” *Chem. Eng. J.*, vol. 85, nos. 2–3, pp. 357–368, 2002.

[2] D. yang, M. Ghadiri, Y. Sun, L. He, X. Luo and Y. Lu, “Critical electric field strength for partial coalescence of droplets on oil–water interface under DC electric field”, *Chem. Eng. Res. Des.*, vol. 136, pp. 83–93, 2018.

[3] B. Li et al., “Drop-interface electrocoalescence mode transition under a direct current electric field,” *Chem. Eng. Sci.*, vol. 213, art no. 115360, 2020.

[4] M. Mousavichoubeh, M. Ghadiri, and M. Shariaty-Niassar, “Electro-coalescence of an aqueous droplet at an oil–water interface,” *Chem. Eng. Process.: Process Intensif.*, vol. 50, no. 3, pp. 338–344, 2011.

[5] W. Nantanawut, B. Techaumnat and N. Tanthanuch, “The Coalescence of Charged and Uncharged Drops Under Electric Field,” *IEEE Trans. Dielectr. Electr. Insul.*, vol. 31, no. 5, pp. 2477-2484, 2024.

วิกานดา นันทนาวุฒิ สำเร็จการศึกษาระดับปริญญาเอก สาขาวิศวกรรมไฟฟ้า จุฬาลงกรณ์มหาวิทยาลัย ปัจจุบันเป็นอาจารย์ประจำภาควิชาวิศวกรรมไฟฟ้า จุฬาลงกรณ์มหาวิทยาลัย งานวิจัยที่สนใจ ได้แก่ high-voltage engineering, drop electrokinetics, numerical field analysis, partial discharge measurement

บุญชัย เตชะอำนาจ สำเร็จการศึกษาระดับปริญญาเอก สาขาวิศวกรรมไฟฟ้า มหาวิทยาลัยเกียวโต ปัจจุบันเป็นอาจารย์ประจำภาควิชาวิศวกรรมไฟฟ้า จุฬาลงกรณ์มหาวิทยาลัย งานวิจัยที่สนใจ ได้แก่ high-voltage engineering, numerical field analysis, microfluidics, bioelectromagnetics, particle electromechanics

ณัฐพงศ์ ตัณฑนุช สำเร็จการศึกษาระดับปริญญาเอก สาขาวิศวกรรมไฟฟ้า จุฬาลงกรณ์มหาวิทยาลัย ปัจจุบันเป็นอาจารย์ประจำภาควิชาวิศวกรรมไฟฟ้าและคอมพิวเตอร์ มหาวิทยาลัยธรรมศาสตร์ งานวิจัยที่สนใจ ได้แก่ gas discharge, electric field calculation, condition monitoring of high voltage equipment

การออกแบบและสร้างชุดตรวจวัดกระแสไฟฟ้าแบบจ่ายพลังงานด้วยตัวเอง
Design and Development of a Self-Powered Electric Current Measurement Device

กำธร เลยหยุด[1] ขวัญใจ นาชัยภูมิ[1] อภิวัฒน์ อัศวเมฆิน[1] ยรรยง ปลื้มใจ[1] และสุชานนท์ โคจำนง[2]

[1]สาขาวิชาวิศวกรรมไฟฟ้า คณะวิศวกรรมศาสตร์ มหาวิทยาลัยเทคโนโลยีราชมงคลอีสาน วิทยาเขตขอนแก่น
[2]แผนกปฏิบัติการระบบไฟฟ้า การไฟฟ้าส่วนภูมิภาค สาขาเมืองขอนแก่น

บทคัดย่อ

บทความนี้นำเสนอการออกแบบและสร้างชุดตรวจวัดกระแสไฟฟ้าแบบจ่ายพลังงานด้วยตัวเอง เครื่องตรวจวัดที่สร้างขึ้นมีลักษณะคล้ายหม้อแปลงกระแสไฟฟ้า (CT Split Core) ติดตั้งที่สายตัวนำด้านแรงต่ำในระบบจำหน่าย 400/230 โวลต์ในระบบ 3 เฟส 4 สาย เครื่องตรวจวัดใช้หลักการเหนี่ยวนำพลังงานจากสนามแม่เหล็กรอบสายตัวนำและแปลงเป็นพลังงานไฟฟ้า จ่ายพลังงานให้กับวงจรภายใน ซึ่งสามารถทำงานได้โดยไม่ต้องใช้พลังงานจากแบตเตอรี่ เครื่องตรวจวัดสามารถวัดกระแสได้ในช่วง 60 แอมป์แปร์ ถึง 250 แอมแปร์ ภายในเครื่องตรวจวัดจะมีหม้อแปลงกระแสไฟฟ้าอยู่สองชุด คือ ชุดแรกทำหน้าที่แปลงพลังงานจากสนามแม่เหล็กเป็นแหล่งจ่ายให้กับวงจรไฟฟ้า ชุดที่สองทำหน้าที่ตรวจวัดค่ากระแสไฟฟ้า และส่งค่ากระแสไฟฟ้าที่วัดได้ไปประมวลผลยังไมโครคอนโทรลเลอร์และจะส่งค่าที่วัดได้ไปยังเว็บเซิฟเวอร์ ผ่านเครือข่ายไร้สาย (WI-FI) การดูค่าที่ตรวจวัดได้สามารถดูได้ผ่านทางเว็บแอพพลิเคชันของ กูเกิลชีต สามารถดูได้แบบเรียลไทม์และสามารถดูค่าย้อนหลังได้ 7 วัน ผู้วิจัย ได้ติดตั้งทดสอบเครื่องตรวจวัดสามชุด ในระบบจำหน่ายด้านแรงต่ำของการไฟฟ้าส่วนภูมิภาค ผลการทดสอบพบว่า เครื่องตรวจวัดสามารถตรวจวัดและส่งค่าที่วัดได้มาแสดงในเว็บแอพพลิเคชั่นได้อย่างถูกต้อง ค่ากระแสที่วัดได้สามารถนำไปประยุกต์ใช้ต่อได้ เช่น การแจ้งเตือนกรณีกระแสไหลเกินพิกัดของสายตัว การสมดุลของกระแสทั้งสามเฟส เป็นต้น

คำสำคัญ: การตรวจวัดกระแสไฟฟ้า ระบบจำหน่ายไฟฟ้า

Abstract

This paper presents the development of a self-powered current monitoring device designed for low-voltage 3-phase, 4-wire 400/230V. The device employs magnetic induction to harvest energy from current-carrying conductors, removing the need for external power sources or batteries. It incorporates two split-core current transformers: one for energy harvesting and the other for measuring line currents within a range of 60–250 A. A built-in microcontroller processes the measurement data and transmits it wirelessly via Wi-Fi to a cloud-based platform using Google Sheets. The system enables real-time monitoring and stores historical data for up to seven days. Field trials conducted on the Provincial Electricity Authority's low-voltage network demonstrated reliable operation, accurate current measurement, and effective data transmission. The device can be used for overload detection, phase current balancing, and integration with advanced distribution monitoring systems in smart grid environments.

Keywords: Self-powered Current Sensor, Distribution System, Smart Grid

1. บทนำ

ระบบจำหน่ายไฟฟ้า รับพลังงานไฟฟ้าจากระบบผลิตผ่านระบบส่งและสายป้อนแรงดันปานกลาง เพื่อลดระดับแรงดันลงเป็นระดับแรงดันต่ำผ่านหม้อแปลงจำหน่าย และส่งกำลังไฟฟ้าไปยังผู้ใช้ในระบบ 3 เฟส 4 สาย ที่ระดับแรงดัน 400/230 โวลต์ ระบบจำหน่ายต้องสามารถจ่ายไฟฟ้าได้อย่างเพียงพอและต่อเนื่องตลอดเวลา หากเกิดเหตุขัดข้อง เช่น ไฟฟ้าดับ เจ้าหน้าที่ต้องสามารถตรวจสอบและแก้ไขได้อย่างทันท่วงที เพื่อให้การจ่ายไฟกลับมาเป็นปกติ

ปัญหาไฟฟ้าดับในระบบจำหน่ายด้านแรงต่ำอาจเกิดจากหลายสาเหตุ เช่น ความเสียหายของอุปกรณ์ การเสื่อมสภาพของฉนวนหรือสายตัวนำ ไฟฟ้าลัดวงจรจากสัตว์ การเพิ่มขึ้นของโหลดอย่างรวดเร็ว โดยเฉพาะจากเครื่องปรับอากาศและการอัดประจุรถยนต์ไฟฟ้า ซึ่งเป็นโหลดที่ใช้กำลังไฟฟ้าสูงและกระแสไฟฟ้าสูง อาจทำให้มีกระแสไฟฟ้าไหลในสายตัวนำเกินพิกัด จนทำให้สายตัวนำร้อนจัด จนขาดหรือเกิดการลัดวงจร ดังแสดงตัวอย่างในรูปที่ 1 หรืออีกประการ ด้านผู้ใช้ไฟ ที่มีการใช้กระแสไฟฟ้าสูงมาก จนเกินพิกัดของกิโลวัตต์-ชั่วโมงมิเตอร์ ก็เป็นเหตุให้มิเตอร์ไหม้หรือเกิดความเสียได้ (รูปที่1 ด้านขวา) ซึ่งกระแสไฟฟ้าปริมาณสูงเหล่านี้บางครั้งค่ากระแส ยังไม่เกินค่าพิกัดของฟิวส์ด้านแรงต่ำของหม้อแปลง (LT Switch) จึงทำให้ฟิวส์ไม่ขาดหรือไม่ตัดวงจร จึงทำให้เกิดเหตุการณ์กระแสไหลสูงเกินพิกัดของอุปกรณ์ไฟฟ้าต่าง ๆ หรือเกิดการลัดวงจรได้

ด้วยเหตุนี้ ผู้วิจัยจึงได้ออกแบบและสร้างเครื่องตรวจวัดกระแสไฟฟ้าที่สามารถจ่ายพลังงานด้วยตัวเอง โดยติดตั้งหม้อแปลงกระแส (CT) คล้องตัวนำสายเฟส A, B และ C เพื่อวัดกระแสไฟฟ้าในระบบจำหน่ายด้านแรงดันต่ำ โดยอาศัยหลักการเหนี่ยวนำแม่เหล็กไฟฟ้าในการสร้างพลังงานและเป็นแหล่งจ่ายให้กับวงจรอิเล็กทรอนิกส์ภายใน เพื่อที่จะไม่ต้องการไฟเลี้ยงจากภายนอก เช่น แผงเซลล์แสงอาทิตย์หรือแบตเตอรี่ เครื่องตรวจวัดใช้ไมโครคอนโทรลเลอร์ประมวลผลข้อมูล พร้อมส่งข้อมูลผ่านระบบไร้สายเข้าสู่ระบบแสดงผลแบบเรียลไทม์ เพื่อให้ผู้ดูแลสามารถติดตามข้อมูลการใช้กระแสไฟฟ้าในแต่ละเฟส ตรวจสอบพฤติกรรมการใช้ไฟฟ้า สามารถนำข้อมูลไปใช้ในการวิเคราะห์ความสมดุลของโหลดในแต่ละเฟส เพื่อการบริหารจัดการพลังงานไฟฟ้าให้มีประสิทธิภาพ

รูปที่ 1 ตัวอย่างการเกิดกระแสไฟฟ้าไหลในสายตัวนำจนเกินพิกัด จึงทำให้ฉนวนเสื่อมสภาพหรือเกิดความร้อนและไหม้ได้

งานวิจัยที่เกี่ยวกับการออกแบบชุดตรวจวัดกระแสไฟฟ้าแบบจ่ายพลังงานด้วยตัวเอง ได้นำเสนอแนวทางที่หลากหลายในการเก็บเกี่ยวพลังงานและการสื่อสารข้อมูลในระบบจำหน่ายไฟฟ้า งานวิจัย [1] “Rule the Joule : An Energy Management Design Guide for Self-Powered Sensors” นำเสนอการออกแบบเซ็นเซอร์ CT split-core พร้อมระบบควบคุมพลังงาน ที่ช่วยเพิ่มประสิทธิภาพการเก็บพลังงาน ระบบนี้มีจุดเด่นคือการทำงานอัตโนมัติและการป้องกันแรงดันเกิน แต่วงจรมีความซับซ้อนและส่วนประกอบเยอะมาก จึงอาจจำกัดการใช้งานจริงในระบบแรงดันต่ำ

งานวิจัย [2] “Design and Application of a CT-Based High-Reliability Energy Harvesting Circuit” นำเสนอวงจรเก็บพลังงานแบบอนาล็อกสำหรับระบบแรงดันสูง โดยมีข้อดีคือเรียบง่ายและทนทาน พร้อมการป้องกันกระแสเกิน แต่ไม่รองรับการสื่อสารข้อมูลแบบเรียลไทม์และเหมาะกับแรงดันสูงเป็นหลัก

งานวิจัย [3] “Resonant Circuits for Split-Core Magnetic Energy Harvesters” เสนอการใช้วงจรเรโซแนนท์ร่วมกับ CT split-core เพื่อเพิ่มประสิทธิภาพการเก็บพลังงานได้มากขึ้นประมาณ 60% แม้จะช่วยลดข้อจำกัดของการออกแบบ CT split-core แต่วงจรไฟฟ้ามีความซับซ้อนและหม้อแปลงกระแสมีขนาดที่ใหญ่มาก

โดยสรุป งานวิจัยทั้งสามชี้ให้เห็นถึงความสมดุลระหว่างความซับซ้อนของวงจร ประสิทธิภาพการเก็บพลังงาน และการใช้งานจริง โดยแนวทางที่เหมาะสมสำหรับระบบแรงดันต่ำควรผสานการเก็บพลังงานที่มีประสิทธิภาพกับการส่งข้อมูลแบบเรียลไทม์ พร้อมออกแบบวงจรและตัวหม้อแปลงกระแสให้อยู่ในรูปแบบที่เหมาะสม

2. การประยุกต์ใช้งานหม้อแปลงกระแสไฟฟ้า

จากการทดลองต่อวงจรตามรูปที่ 2 (ขวา) พบว่าเมื่อนำหม้อแปลงกระแสไปคล้องกับสายตัวนำที่มีกระแสไหลผ่าน (I_1) จะมีสนามแม่เหล็กไฟฟ้าเหนี่ยวนำแกนเหล็กและเกิดกระแสไหล (I_2) ในขดลวดของหม้อแปลง จากนั้นนำขดลวดด้านทุติยภูมิมามาต่อเข้ากับตัวต้านทาน แล้ววัดค่าแรงดันตกคร่อมตัวต้านทาน (U_2) จะพบว่าเมื่อมีกระแส I_1 สูง กระแส I_2 และแรงดัน U_2 จะมีค่ามากตามไปด้วย

การนำหม้อแปลงกระแสไฟฟ้ามาประยุกต์ใช้เป็นแหล่งจ่ายพลังงานไฟฟ้าสำหรับอุปกรณ์อิเล็กทรอนิกส์กำลังต่ำ ดังรูปที่ 2 (ซ้าย) สามารถทำได้โดยการต่อหม้อแปลงกระแสไฟฟ้าเข้ากับวงจรเรียงกระแส ซึ่งทำหน้าที่เปลี่ยนแรงดันไฟฟ้าสลับเป็นแรงดันไฟฟ้ากระแสตรง แรงดันไฟฟ้ากระแสตรงนี้จะถูกกรองด้วยตัวเก็บประจุเพื่อลดการกระเพื่อมของสัญญาณ จากนั้นจึงนำไปจ่ายให้กับตัวต้านทานซึ่งทำหน้าที่แทนโหลดในระบบ เช่น วงจรคอนเวอร์เตอร์ ไมโครคอนโทรลเลอร์ เป็นต้น

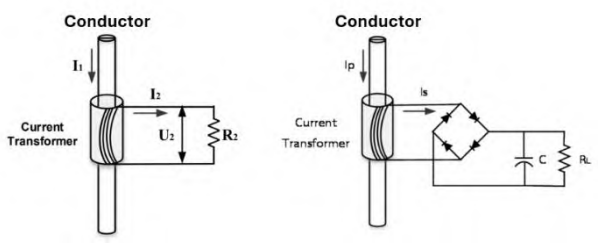

รูปที่ 2 หลักการกระแสไฟฟ้าเหนี่ยวนำในสายตัวนำ

3. การออกแบบระบบตรวจวัด

การออกแบบและสร้างระบบตรวจวัดกระแสไฟฟ้าแบบจ่ายพลังงานด้วยตัวเอง จะออกแบบให้มีการติดตั้งหม้อแปลงกระแสไฟฟ้าที่ได้สร้างขึ้นติดตั้งบนสายตัวนำของระบบแรงดันต่ำ 400/230 โวลต์ ได้แก่ เฟส A เฟส B และเฟส C เพื่อใช้ตรวจวัดกระแสไฟฟ้าขณะระบบทำงานตามปกติ ภาพรวมของระบบมีส่วนประกอบหลักอยู่ 3 ส่วน ดังแสดงในรูปที่ 3 คือ

1) ชุดตรวจวัดกระแสไฟฟ้าแบบจ่ายพลังงานด้วยตัวเอง (CT Monitoring) ชุดตรวจวัดสำหรับวัดค่ากระแสไฟฟ้าหนึ่งเฟส ใน 1 ชุดจะมีหม้อแปลงกระแส 2 ตัว ตัวแรก ทำหน้าที่แปลงกระแสไฟฟ้าที่ไหลในตัวนำเป็นไฟเลี้ยงจ่ายให้วงจรอิเล็กทรอนิกส์และไมโครคอนโทรลเลอร์ ตัวที่สองทำหน้าที่วัดค่ากระแสไฟฟ้า และส่งค่าที่วัดได้ผ่านเครื่องข่ายไร้สายยังเว็บเซิฟเวอร์ ชุดตรวจวัดหนึ่งชุดจะมีน้ำหนักประมาณ 1.4 กิโลกรัม ในการติดตั้งจะนำชุดตรวจวัด 3 ชุด ไปคล้องบนสายตัวนำไฟฟ้าด้านแรงต่ำ 400/230 โวลต์ทั้ง 3 เฟส ขอบเขตค่ากระแสที่วัดได้คือ 60 A ถึง 250 A และต้องมีกระแสไฟฟ้าต่อเฟสขั้นต่ำ 60 A เพื่อให้จ่ายพลังงานไฟเลี้ยงชุดวัดได้เพียงพอ

2) ชุดกระจายสัญญาณอินเทอร์เน็ต (WIFI Router) ทำหน้าที่กระจายสัญญาณอินเตอร์เน็ตให้กับชุดตรวจวัด สำหรับการส่งข้อมูลไร้สาย โดยติดตั้งบริเวณที่ใกล้กับจุดติดตั้งชุดตรวจวัด เพื่อกระจายสัญญาณอินเทอร์เน็ต ภายในกล่องจะมี WIFI Air Card ที่ใส่ซิมการ์ด แบตเตอรี่ และแผงโซลาร์เซลล์ โดยระยะห่างของชุดกระจายสัญญาณอินเตอร์เน็ตและชุดตรวจวัดไม่ควรเกิน 10 เมตร

3) โปรแกรมจัดเก็บข้อมูลและการแสดงผล (HMI Display) การติดตามค่ากระแสไฟฟ้าที่ตรวจวัดได้ ทำโดยการใช้งานแพลตฟอร์ม Google Sheets โดยสามารถดูค่ากระแสที่วัดได้แบบเรียลไทม์และแบบกราฟเพื่อแสดงการเปรียบเทียบกระแสทั้ง 3 เฟส ระบบมีการสำรองข้อมูลย้อนหลังเป็นระยะเวลา 7 วัน ผู้ใช้งานสามารถเข้าถึงระบบแสดงผลได้อย่างสะดวกผ่านการ สแกน QR Code จากทุกอุปกรณ์การสื่อสารที่เชื่อมต่ออินเตอร์เน็ต

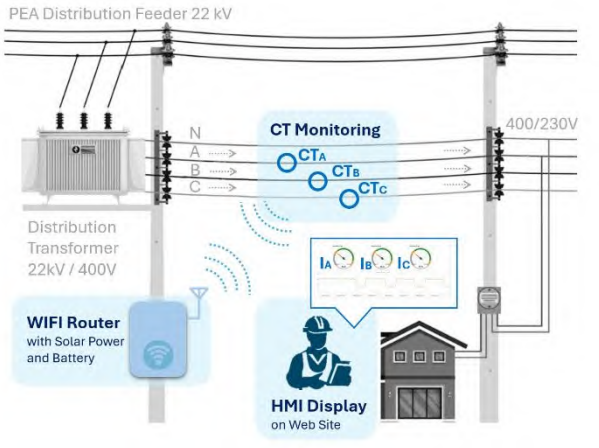

รูปที่ 3 โครงสร้างของระบบตรวจวัด

4. การออกแบบและทดสอบหม้อแปลงกระแส

ชุดตรวจวัดสำหรับวัดค่ากระแสไฟฟ้าหนึ่งเฟส ใน 1 ชุดจะมีหม้อแปลงกระแสไฟฟ้า 2 ตัว ดังแสดงในรูปที่ 4 หม้อแปลงตัวแรก (Power CT) ทำหน้าที่แปลงกระแสไฟฟ้าที่ไหลในตัวนำเป็นไฟเลี้ยงจ่ายให้วงจรทั้งหมด หม้อแปลงกระแสจะจ่ายพลังงานให้กับวงจรเรียงกระแส (บล็อกที่ 1) ทำหน้าที่แปลงสัญญาณไฟฟ้ากระแสสลับให้กลายเป็นกระแสตรง จากนั้นแรงดันไฟฟ้ากระแสตรงจะผ่านการปรับลดด้วยโมดูลลดระดับแรงดัน (บล็อกที่ 2) ซึ่งสามารถปรับลดแรงดันจาก 9 โวลต์ ถึง 120 โวลต์ เป็น 5 โวลต์คงที่ เพื่อให้ขนาดแรงดันเหมาะสมกับการจ่ายให้กับวงจรไมโครคอนโทรลเลอร์ของวงจรตรวจวัดต่อไป

หม้อแปลงกระแสตัวที่สอง ทำหน้าที่วัดค่ากระแสไฟฟ้า ประมวลผลโดยไมโครคอนโทรลเลอร์ และส่งค่าที่วัดได้ผ่านเครื่องข่ายไร้สายไปยังเว็บเซิฟเวอร์ การออกแบบวงจรวัดค่ากระแสไฟฟ้า เริ่มต้นจากการต่อขดลวดทุติยภูมิของหม้อแปลงกระแสไฟฟ้าสำหรับการวัด เข้ากับตัวต้านทานโหลด (บล็อกที่ 3) ซึ่งทำหน้าที่เป็นโหลดและแปลงกระแสไฟฟ้าเป็นแรงดันไฟฟ้าหรือแรงดันตกคร่อมตามกฎของโอห์ม โดยแรงดันตกคร่อมที่เกิดขึ้นจะอยู่ในรูปของสัญญาณอนาล็อกแปรผันตามกระแสไฟฟ้าปฐมภูมิ สัญญาณอนาล็อกจะต่อเข้ากับพอร์ตอนาล็อกอินพุตของไมโครคอนโทรลเลอร์ ESP32 (บล็อกที่ 4) เพื่อใช้ในการประมวลผลเป็นค่ากระแสไฟฟ้าและส่งค่าที่วัดได้ไปยังเว็บแอพพลิเคชั่นของ Google Sheets เพื่อบันทึกข้อมูลและแสดงผลการตรวจวัดต่อไป

การต่อวงจรหม้อแปลงกระแสไฟฟ้าทั้งสองตัวร่วมกับโมดูลลดระดับแรงดันและวงจรไมโครคอนโทรลเลอร์ แสดงในรูปที่ 5

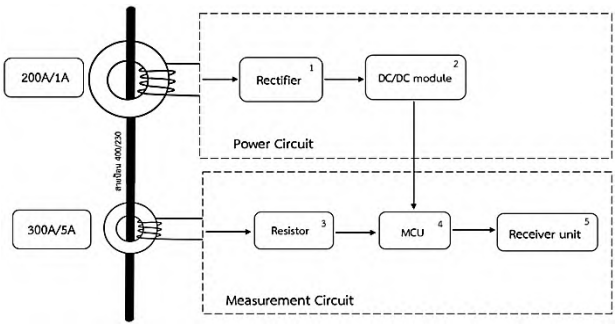

รูปที่ 4 บล็อกไดอะแกรมการทำงานของชุดตรวจวัด

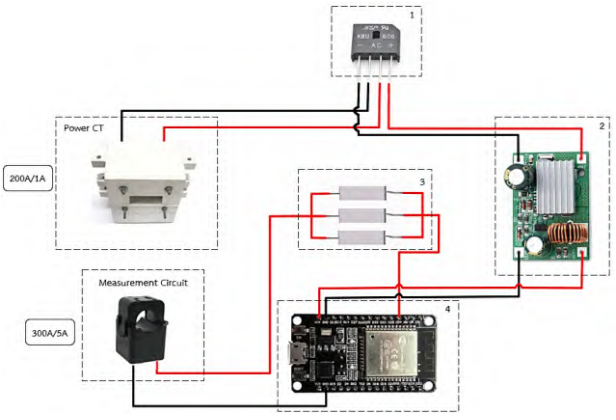

รูปที่ 5 การต่อวงจรหม้อแปลงกระแสและโมดูลต่าง ๆ

การสร้างหม้อแปลงกระแสสำหรับจ่ายพลังงานไฟฟ้าให้กับชุดตรวจวัด จะใช้แผ่นเหล็กซิลิคอน ขนาด 7.62 เซนติเมตร มีความกว้าง 12.5 มิลลิเมตร และหนา 0.5 มิลลิเมตร นำมาวางซ้อนกัน 68 แผ่น จะได้ความหนารวม 24 มิลลิเมตร และจะได้พื้นที่หน้าตัด เท่ากับ 300 ตารางมิลลิเมตร เมื่อได้แกนซิลิคอนแล้ว จะนำกระดาษฉนวนมาพันรอบแกนก่อนเพื่อป้องกันแกนบาดลวดตัวนำ แล้วจึงนำลวดตัวนำทองแดงชุบฉนวนวานิชขนาดเส้นผ่านศูนย์กลาง 1 มิลลิเมตร มาพันรอบแกนซิลิคอนรูปตัวซี จำนวน 200 รอบ และทำการสร้างกล่องที่จะบรรจุแกนเหล็กลักษณะเป็นกล่องสี่เหลี่ยม ดังแสดงในรูปที่ 6 ซึ่งในงานวิจัยนี้ ผู้วิจัยได้สร้างชุดตรวจวัดทั้งหมด 3 ชุด สำหรับการตรวจวัดกระแสไฟฟ้าในระบบ 3 เฟส

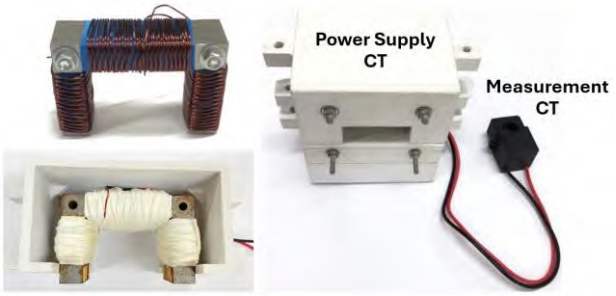

รูปที่ 6 การสร้างหม้อแปลงกระแสสำหรับจ่ายพลังงาน

เนื่องจากภายในห้องปฏิบัติการไม่มีชุดทดลองและโหลดที่สามารถจ่ายและรับค่ากระแสได้ถึง 250 แอมแปร์ ดังนั้น การทดสอบการตรวจวัดค่ากระแสของหม้อแปลงที่ได้สร้างขึ้น ทำโดยการจ่ายกระแสไฟฟ้าผ่านสายตัวนำไปยังโหลดมีกระแสจริง 10 แอมแปร์ จากนั้นจะเพิ่มจำนวนรอบของสายตัวนำในการวัดทีละรอบ เพื่อเพิ่มกระแสไฟฟ้าที่ต้องการวัด โดยกระแสจะเพิ่มขึ้นอย่างเป็นสัดส่วนตามจำนวนรอบ จนถึงสูงสุดที่ 25 รอบ จะได้กระแสไฟฟ้าประมาณ 250 แอมแปร์ เพื่อจำลองกระแสไฟฟ้าที่ไหลในสายจำหน่ายด้านแรงต่ำ ซึ่งจากผลการทดลอง ชุดตรวจวัดที่สร้างขึ้นสามารถตรวจวัดค่ากระแสได้อย่างถูกต้อง เมื่อเทียบกับเครื่องมือวัดมาตรฐาน (FLUKE 376 FC) โดยมีเปอร์เซ็นต์ความผิดพลาดไม่เกิน 2%

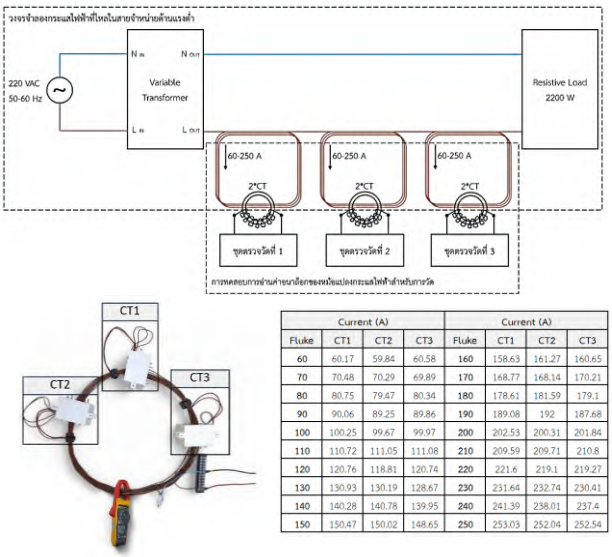

Current (A)				Current (A)			
Fluke	CT1	CT2	CT3	Fluke	CT1	CT2	CT3
60	60.17	59.84	60.58	160	158.63	161.27	160.65
70	70.48	70.29	69.89	170	168.77	168.14	170.21
80	80.75	79.47	80.34	180	178.61	181.59	179.1
90	90.06	89.25	89.86	190	189.08	192	187.68
100	100.25	99.67	99.97	200	202.53	200.31	201.84
110	110.72	111.05	111.08	210	209.59	209.71	210.8
120	120.76	118.81	120.74	220	221.6	219.1	219.27
130	130.93	130.19	128.67	230	231.64	232.74	230.41
140	140.28	140.78	139.95	240	241.39	238.01	237.4
150	150.47	150.02	148.65	250	253.03	252.04	252.54

รูปที่ 7 การต่อวงจรเพื่อทดสอบการวัดกระแสของชุดตรวจวัดที่ได้สร้างขึ้น

5. การติดตั้งทดสอบในระบบจำหน่ายไฟฟ้า

ผู้วิจัยได้ขอความอนุเคราะห์จากการไฟฟ้าส่วนภูมิภาคจังหวัดขอนแก่น นำเครื่องตรวจวัดไปติดตั้งทดสอบในระบบจำหน่ายด้านแรงต่ำ 400/230V โดยติดตั้งเครื่องตรวจวัดกระแสในสายตัวนำขนาด 95 sq.mm. ด้านทุติยภูมิของหม้อแปลงจำหน่ายขนาด 315 kVA โดยได้ติดตั้งในช่วงเดือนมิถุนายน 2568 เป็นระยะเวลา 15 วัน ดังแสดงในรูปที่ 8

รูปที่ 8 การต่อวงจรเพื่อทดสอบการวัดกระแสของชุดตรวจวัดที่ได้สร้างขึ้น

ผลการตรวจวัดสามารถดูได้แบบเรียลไทม์ผ่านหน้าแดชบอร์ดของ Google Sheets ดังแสดงในรูปที่ 9 หากเรียงลำดับการแสดงผลหน้าจอแบบเข็ม จากซ้ายไปขวาคือ กระแสเฟส A กระแสเฟส B กระแสเฟส C กระแสในสายนิวทรัล N (หาได้จากการคำนวณผลรวมทางเวกเตอร์ของกระแสเฟส A B C) และการประมาณค่าการรับภาระของหม้อแปลง (% Transformer Loading) ส่วนกราฟด้านล่างจะแสดงค่ากระแสไฟฟ้าทั้งสามเฟสแบบเรียลไทม์

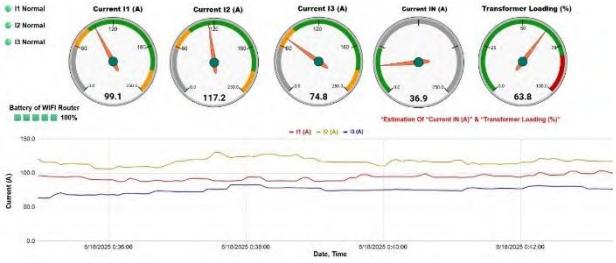

รูปที่ 9 การแสดงผลค่าที่ตรวจวัดผ่านทางเว็บ Google Sheets

การวิเคราะห์ข้อมูลและการดูข้อมูลผลการตรวจวัดย้อนหลัง ผู้วิจัยขอยกตัวอย่างข้อมูลการตรวจวัดในช่วง 3 วัน (จันทร์ อังคาร พุธ) ดังแสดงในรูปที่ 10 มาวิเคราะห์ได้ ดังนี้

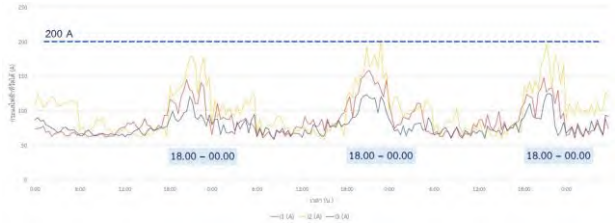

รูปที่ 10 ค่ากระแสที่ตรวจวัดได้ในช่วงเวลา 3 วัน

1) ช่วงเวลาที่ผู้ใช้ไฟมีการใช้กระแสไฟฟ้ามากที่สุดคือช่วงเวลาประมาณ 18.00 ถึงเวลา 00.00 คือ ช่วงเวลาที่ผู้ใช้ไฟ กลับมาจากการทำงานและเข้าบ้านพักอาศัย ซึ่งโหลดภายใต้หม้อแปลงจำหน่ายที่ได้ทำการติดตั้งทดสอบ ส่วนใหญ่เป็นอพาทเมนต์ หอพัก และบ้านพักอาศัย

2) หม้อแปลงลูกนี้ มีกระแสใช้งานสูงในเฟส B (เส้นสีเหลือง) ซึ่งช่วงที่ใช้กระแสสูงที่สุดมีกระแสถึง 200 A เฟสที่มีการใช้กระแสรองลงมา คือ เฟส A (เส้นสีแดง) และเฟส C (เส้นสีน้ำเงิน) ตามลำดับ

3) จากการวัดค่ากระแสทั้งสามเฟส จะเห็นได้ว่ากระแสแต่ละเฟสมีความแตกต่างกันในช่วงประมาณ 50A ถึง 100A ซึ่งวิเคราะห์ได้ว่ามีกระแสไหลในสายที่ไม่สมดุล (Unbalance Phase) หากจะทำแก้ไข ก็ทำได้โดยการย้ายโหลดหนึ่งเฟสจากเฟส B ไปที่เฟส C เป็นต้น

6. สรุปผลการวิจัย

ชุดตรวจวัดกระแสไฟฟ้าแบบจ่ายพลังงานด้วยตัวเอง สร้างขึ้นเพื่อเฝ้าตรวจวัดกระแสไฟฟ้าแรงต่ำของผู้ใช้ไฟฟ้า ข้อมูลกระแสสามเฟสที่วัดได้นำไปใช้ วิเคราะห์ การใช้พลังงาน, ความสมดุลของเฟส, และกระแสเกินพิกัด รวมถึงใช้ คำนวณ กระแสนิวทรัลและประมาณภาระของหม้อแปลงแบบเรียลไทม์ การพัฒนาต่อยอด คือการเพิ่มระบบแจ้งเตือนความผิดปกติผ่าน LINE Notify และการพัฒนาให้สามารถวัดกระแสในค่าต่ำกว่า 60 แอมแปร์ได้

7. กิตติกรรมประกาศ

ผลงานวิจัยนี้ได้รับทุนสนับสนุนการนำเสนอผลงานวิจัยสิ่งประดิษฐ์และนวัตกรรม คณะวิศวกรรมศาสตร์ มหาวิทยาลัยเทคโนโลยีราชมงคลอีสาน วิทยาเขตขอนแก่น

เอกสารอ้างอิง

[1] D. Monagle, E. A. Ponce and S. B. Leeb, "Rule the Joule: An Energy Management Design Guide for Self-Powered Sensors," in *IEEE Sensors Journal*, vol. 24, no. 1, pp. 6-15, 1 Jan.1, 2024,

[2] J. Hou, S. Wang, S. Zhang, Q. She, Y. Zhu and C. Li, "Design and Application of a CT-Based High-Reliability Energy Harvesting Circuit for Monitoring Sensors in Power System," in *IEEE Access*, vol. 7, pp. 149039-149051, 2019

[3] D. Monagle, E. Ponce and S. B. Leeb, "Resonant Circuits for Split-Core Magnetic Energy Harvesters," in *IEEE Transactions on Industrial Electronics*, vol. 71, no. 8, pp. 9932-9941, Aug. 2024

การควบคุมความถี่ไมโครกริดด้วยยานยนต์ไฟฟ้าภายใต้การโจมตีไซเบอร์ชนิดป้อนข้อมูลเท็จ โดยใช้ตัวกรองคาลมานและตัวควบคุมพีไอดี

Microgrids Frequency Control by Electric Vehicle Under Cyber-attacks Using Kalman Filter and PID Controller

ขวัญชัย สกุลตา[1] เกรียงศักดิ์ ไกรกิจราษฎ์[1] เชวศักดิ์ รักเป็นไทย[1] และ จงลักษณ์ พาหะชา[1]*
[1]สาขาวิชาวิศวกรรมไฟฟ้า คณะวิศวกรรมศาสตร์ มหาวิทยาลัยพะเยา jonglak.pa@up.ac.th*

บทคัดย่อ

บทความนี้นำเสนอการควบคุมความถี่ไมโครกริดที่ประกอบด้วยแหล่งจ่ายพลังงานหมุนเวียน โรงไฟฟ้าพลังความร้อน โหลด และยานยนต์ไฟฟ้า (EVs) ภายใต้การโจมตีไซเบอร์ชนิดการป้อนข้อมูลเท็จ (FDIA) ซึ่งเป็นหนึ่งในภัยคุกคามทางไซเบอร์ที่ส่งผลกระทบต่อความถูกต้องของข้อมูลที่ใช้สำหรับการควบคุมความถี่ไมโครกริด ในการศึกษานี้ได้พัฒนาโครงสร้างตัวควบคุมที่สามารถรับมือกับผลกระทบของ FDIA โดยใช้ตัวกรองคาลมาน เพื่อประเมินสัญญาณความถี่ที่เกิดขึ้นจริงจากข้อมูลที่อาจถูกโจมตีทางไซเบอร์ และการควบคุมเชิงป้อนกลับด้วยตัวควบคุมอนุพันธ์อินทิกรัลตามสัดส่วน (PID) ผลการจำลองแสดงให้เห็นว่า วิธีการควบคุมที่นำเสนอสามารถลดการเบี่ยงเบนของความถี่ภายใต้ FDIA ได้มากกว่า 40% และช่วยเพิ่มเสถียรภาพของไมโครกริดได้อย่างมีนัยสำคัญ ทั้งในสภาวะปกติและเมื่อเกิดการโจมตีทางไซเบอร์

คำสำคัญ: ไมโครกริด, การโจมตีไซเบอร์ชนิดป้อนข้อมูลเท็จ, ตัวกรองคาลมาน, การควบคุมความถี่โหลด, ยานยนต์ไฟฟ้า

Abstract

This paper presents frequency control of a microgrid consisting of renewable energy sources, thermal power plant, load and electric vehicles (EVs) under a false data injection cyber-attack (FDIA), which is a type of cyber threat that compromises the accuracy of the data used for microgrid frequency control. A control framework is developed to mitigate the impact of FDIA by using a Kalman filter to estimate the actual frequency signal from potentially compromised data, combined with feedback control using a proportional integral derivative (PID) controller. Simulation results show that the proposed control method reduces frequency deviation under FDIA by more than 40% and significantly enhances microgrid stability under both normal and cyber-attack conditions.

Keywords: Microgrid, false data injection cyber-attack, Kalman filter, load frequency control, electric vehicles

1. บทนำ

ในปัจจุบันระบบผลิตและจ่ายไฟฟ้ามีแนวโน้มเปลี่ยนผ่านจากโครงข่ายไฟฟ้าแบบรวมศูนย์ไปสู่ระบบพลังงานแบบกระจายศูนย์ (Distributed energy system) โดยนำเสนอในรูปแบบของไมโครกริด (Microgrid) ซึ่งไมโครกริด เป็นระบบไฟฟ้ากำลังขนาดเล็ก ทำงานที่ระดับแรงดันปานกลาง ประกอบด้วยแหล่งพลังงานหมุนเวียนกระจายตัวขนาดเล็ก เช่น แหล่งจ่ายพลังงานแสงอาทิตย์ แหล่งจ่ายพลังงานลม และการผสานการใช้ยานยนต์ไฟฟ้า (Electric vehicles: EVs) เป็นแหล่งจ่ายพลังงานหรือโหลดแบบพลวัต ระบบไมโครกริดเหล่านี้ต้องอาศัยกลไกการควบคุมความถี่อย่างมีประสิทธิภาพเพื่อรักษาเสถียรภาพภายใต้สภาวะแวดล้อมที่มีความผันผวนสูง เช่น การเปลี่ยนแปลงของโหลดหรือความไม่แน่นอนของการผลิตไฟฟ้าจากแหล่งพลังงานหมุนเวียน [1-3]

อย่างไรก็ตาม ความก้าวหน้าด้านการสื่อสารและการควบคุมแบบดิจิทัลกลับทำให้ไมโครกริดกลายเป็นเป้าหมายของภัยคุกคามทางไซเบอร์ โดยเฉพาะการโจมตีแบบปลอมแปลงข้อมูล (False data injection attack: FDIA) ซึ่งแอบแฝงอยู่ในช่องทางการสื่อสารของค่าความถี่ หรือข้อมูลจากเซ็นเซอร์ แล้วส่งค่าที่ผิดพลาดไปยังตัวควบคุม ส่งผลให้เกิดการตัดสินใจผิดพลาดและบั่นทอนเสถียรภาพของระบบอย่างรุนแรง [4-5]

การตรวจจับและบรรเทาผลกระทบของ FDIA มีหลายแนวทาง หนึ่งในวิธีที่ได้รับความนิยมคือการใช้ตัวกรองคาลมาน (Kalman filter) ซึ่งสามารถคาดการณ์และประเมินค่าสัญญาณที่แท้จริงจากข้อมูลที่อาจถูกบิดเบือนได้อย่างมีประสิทธิภาพ ตัวกรองนี้ช่วยลดสัญญาณรบกวนที่แฝงมากับข้อมูลโจมตี ทำให้ระบบควบคุมสามารถใช้ข้อมูลที่มีความแม่นยำมากยิ่งขึ้นในการตัดสินใจ โดยงานวิจัยหลายฉบับได้ทดลองนำตัวกรอง Kalman มาประยุกต์ใช้ร่วมกับตัวควบคุมอนุพันธ์อินทิกรัลตามสัดส่วน (Proportional-integral-derivative: PID) ที่ได้ทำการปรับจูนพารามิเตอร์ด้วยอัลกอริทึมการหาค่าเหมาะสมฝูงอนุภาค (Particle swarm optimization: PSO) เพื่อเพิ่มประสิทธิภาพในการตอบสนองต่อความผิดปกติในสัญญาณควบคุม [4-6]

งานวิจัยที่ผ่านมาบางส่วนได้เสนอการใช้ตัวควบคุมเชิงขั้นสูง เช่น Fuzzy-PID หรือ Adaptive Control เพื่อลดผลกระทบจากการโจมตีทางไซเบอร์แบบ FDIA อย่างไรก็ตาม แนวทางดังกล่าวยังคงมีความซับซ้อนในการออกแบบและก่อให้เกิดภาระทางคำนวณสูง ทำให้การนำไปใช้งานจริงในระบบไมโครกริดมีข้อจำกัด [4-5]

*ผู้ประพันธ์บรรณกิจ

เพื่อตอบโจทย์ข้อจำกัดดังกล่าว งานวิจัยนี้จึงได้ออกแบบระบบควบคุมความถี่สำหรับไมโครกริดระบบเดียวที่ประกอบด้วยพลังงานแสงอาทิตย์ พลังงานลม โรงไฟฟ้าพลังความร้อน ยานยนต์ไฟฟ้า และโหลด โดยใช้ตัวกรองคาลมาน เพื่อกรองข้อมูลความถี่ที่ได้รับผลกระทบจากการโจมตี FDIA และใช้ตัวควบคุม PID ที่จูนพารามิเตอร์ด้วยอัลกอริธึมการหาค่าเหมาะสมฝูงอนุภาค เพื่อให้ระบบตอบสนองได้รวดเร็วและเสถียร แม้ในสภาวะที่มีการโจมตีไซเบอร์ ผลที่ได้จากงานวิจัยนี้แสดงให้เห็นว่าระบบที่ใช้ตัวกรองคาลมาน ร่วมกับ PID เพื่อควบคุมการประจุไฟฟ้าของยานยนต์ไฟฟ้า สามารถลดการเบี่ยงเบนของความถี่ได้ดีกว่าระบบควบคุมทั่วไป และให้ความเสถียรของระบบสูงที่สุดในทุกสภาวะที่ทดสอบ

2. แบบจำลองไมโครกริดที่ใช้ในการศึกษา

แบบจำลองระบบที่ใช้ในการศึกษานี้เป็นไมโครกริด ซึ่งประกอบด้วยแหล่งผลิตไฟฟ้าหลายประเภท ได้แก่ กังหันลม (Wind turbine generator: WTG), โรงไฟฟ้าพลังความร้อน (Thermal power plant: THP), และเครื่องกำเนิดไฟฟ้าพลังแสงอาทิตย์ (Photovoltaic: PV) พร้อมทั้งมีระบบควบคุมโหลดความถี่ (Load frequency control: LFC) และการสนับสนุนการควบคุมเสริมจากการควบคุมการประจุแบตเตอรี่ยานยนต์ไฟฟ้า (Electric vehicle: EV) เพื่อรักษาเสถียรภาพของความถี่ภายใต้สภาวะปกติและกรณีที่ถูกโจมตีทางไซเบอร์แบบ FDIA ดังแสดงในรูปที่ 1 [1-3]

รูปที่ 2 แสดงแบบจำลองเชิงเส้นของโรงไฟฟ้าความร้อนแบบมาตรฐานใน LFC ประกอบด้วย Governor, Turbine และ Generator ซึ่งสามารถแสดงพฤติกรรมแบบ Linear Time-Invariant (LTI) ด้วยฟังก์ชันถ่ายโอน:

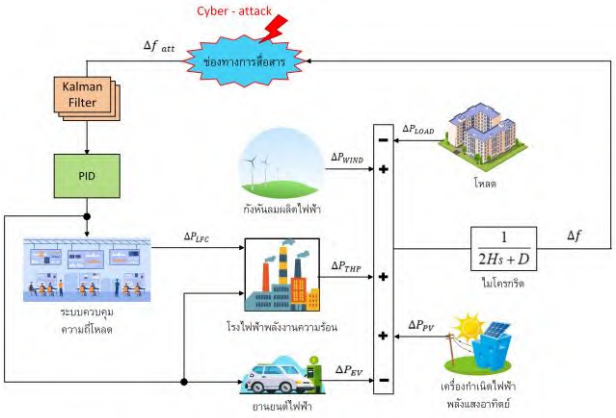

รูปที่ 1 ไมโครกริดภายใต้การโจมตีทางไซเบอร์ที่ใช้ในการศึกษา

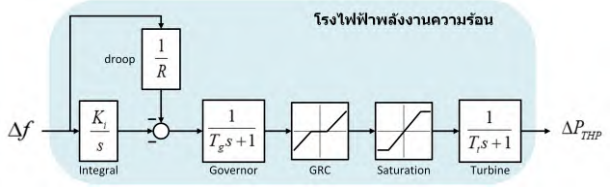

รูปที่ 2 แบบจำลองเชิงเส้นของโรงไฟฟ้าพลังความร้อนที่ใช้ในการศึกษา

$$G_{thermal}(s) = \frac{K_t}{(1+T_G s)(1+T_t s)} \quad (1)$$

โดยที่ K_t คือค่าขยาย, T_g, T_t เป็นค่าคงตัวเวลาของ Governor และ Turbine ตามลำดับ การผลิตไฟฟ้าจาก PV และ WTG ถูกจำลองเป็นแหล่งจ่ายพลังงานที่มีความไม่แน่นอน โดยใช้โปรไฟล์กำลังไฟฟ้าแบบ Time Series ที่จำลองตามข้อมูลแสงอาทิตย์และลม เพื่อให้เกิดความผันผวนตามธรรมชาติของแหล่งพลังงานหมุนเวียน ยานยนต์ไฟฟ้าถูกพิจารณาเป็นโหลดแบบไดนามิก (Dynamic) ที่สามารถตอบสนองต่อการควบคุมความถี่ (Frequency-responsive load) โดยใช้หลักการ Vehicle-to-Grid (V2G) และมีแบบจำลองควบคุมการชาร์จ/จ่ายพลังงาน เพื่อช่วยลดความเบี่ยงเบนของความถี่ [2]

$$\Delta f = \frac{1}{2Hs+D}\Delta P \quad (2)$$

$$\Delta P = \Delta P_{WIND} + \Delta P_{PV} + \Delta P_{THP} - \Delta P_{LOAD} - \Delta P_{EV} \quad (3)$$

จากรูปที่ 1 การเบี่ยงเบนความถี่ไมโครกริดสามารถแสดงได้ดังสมการที่ (2) - (3) เมื่อ H คือแรงเฉื่อยไมโครกริด, D คือการหน่วง, P_{WIND} คือกำลังไฟฟ้าของเครื่องกำเนิดไฟฟ้าพลังงานลม, P_{PV} คือกำลังไฟฟ้าของเครื่องกำเนิดไฟฟ้าพลังแสงอาทิตย์, P_{THP} คือกำลังไฟฟ้าของโรงไฟฟ้าพลังงานความร้อน, P_{LOAD} คือกำลังไฟฟ้าของความต้องการโหลด, P_{EV} คือกำลังไฟฟ้าของยานยนต์ไฟฟ้า และ Δ คือการเบี่ยงเบนสัญญาณ

ในช่องทางการสื่อสารระหว่าง “ไมโครกริด” และ “PID” จะมีการโจมตีทางไซเบอร์แบบการป้อนข้อมูลเท็จ (FDIA) ซึ่งจะแทรกข้อมูลเท็จเข้าสู่ระบบ ทำให้สัญญาณที่ส่งถึงตัวควบคุมผิดพลาดได้ ผลที่ตามมาคือการเบี่ยงเบนของความถี่อาจมีค่าสูงกว่าปกติที่รีเลย์ป้องกันตั้งค่าไว้ อาจทำให้เกิดไฟฟ้าดับทั้งไมโครกริดได้ เพื่อรับมือกับความผิดปกตินี้ สัญญาณที่ได้รับจะถูกประมวลผลผ่านตัวกรองคาลมาน เพื่อลดความผิดพลาดในการประเมินค่าที่แท้จริง จากนั้นส่งเข้าสู่ตัวควบคุมชนิด PID ที่ถูกออกแบบเพื่อควบคุม LFC ให้สามารถรับมือกับความไม่แน่นอนของระบบและทำเสถียรภาพของความถี่ไมโครกริดระหว่างการโจมตีทางไซเบอร์แบบ FDIA ได้อย่างมีประสิทธิภาพ [4-5]

3. การโจมตีไซเบอร์ชนิดป้อนข้อมูลเท็จ

การโจมตีไซเบอร์ชนิดป้อนข้อมูลเท็จ (FDIA) เป็นรูปแบบหนึ่งของภัยคุกคามทางไซเบอร์ที่มุ่งเน้นการเจาะเข้าสู่ระบบควบคุม โดยการแทรกข้อมูลผิดพลาดเข้าสู่ช่องทางสื่อสารระหว่างอุปกรณ์วัดค่าและศูนย์ควบคุม ซึ่งข้อมูลที่ถูกโจมตีจะยังคงมีรูปแบบคล้ายกับข้อมูลจริง ทำให้ยากต่อการตรวจจับและสามารถหลบเลี่ยงระบบตรวจสอบความผิดปกติ (Bad data detection: BDD) ได้ [4-5]

พฤติกรรมของสัญญาณที่ถูกโจมตีแบบ FDIA สามารถนิยามได้ด้วยสมการที่ (4) ดังนี้

$$\Delta f_{FDIA}(t) = \Delta f_{real}(t) + \Delta f_a(t) \quad (4)$$

เมื่อ $\Delta f_{FDIA}(t)$ คือสัญญาณความถี่ที่ถูกแทรกแซง, $\Delta f_{real}(t)$ คือค่าสัญญาณความถี่จริงของระบบ, $\Delta f_a(t)$ คือสัญญาณปลอมที่ผู้โจมตีสร้างขึ้นมาเพื่อทำให้ระบบควบคุมเข้าใจผิด,สัญญาณ $f_a(t)$ สามารถออกแบบ

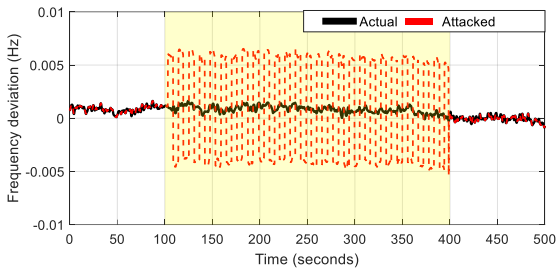

รูปที่ 3 การโจมตีแบบ Pulse FDIA

ให้เป็นหลายรูปแบบเช่น Pulse attack, Bias injection, และ Scaling attack เป็นต้น [4-5] โดยงานวิจัยนี้จะจำลองการโจมตีแบบ Pulse attack คือการแทรกสัญญาณผิดปกติแบบพัลส์ (Pulse) เข้าไปยังช่องสัญญาณความถี่ เช่น ความเบี่ยงเบนความถี่ Δf หรือกำลังโหลด

เพื่อประเมินผลกระทบของการโจมตีแบบ FDIA ที่มีความรุนแรงต่างกันงานวิจัยนี้กำหนดระดับของสัญญาณโจมตี $\Delta f_a(t)$ โดยแบ่งออกเป็น 2 กรณีดังนี้

กรณี 1: กำหนดให้ขนาดของสัญญาณโจมตี $\Delta f_a(t)$ เท่ากับ 0.05 pu หมายถึงสถานการณ์ที่ระบบถูกโจมตีในระดับเล็กน้อย ซึ่งยังสามารถควบคุมความถี่ให้กลับมาอยู่ในช่วงปกติได้

กรณี 2: กำหนดให้ขนาดของสัญญาณโจมตี $\Delta f_a(t)$ เท่ากับ 0.1 pu แสดงถึงสถานการณ์ที่รุนแรงมากขึ้น ซึ่งระบบจะมีความเบี่ยงเบนของความถี่สูงกว่าแบบปกติอย่างมีนัยสำคัญ

ดังรูปที่ 3 ซึ่งแสดงพฤติกรรมของการโจมตีแบบปลอมแปลงข้อมูล โดยผู้โจมตีได้แทรกสัญญาณความถี่ปลอมเข้าสู่ระบบควบคุมในช่วงเวลาตั้งแต่ 100 ถึง 400 วินาที ทำให้การเบี่ยงเบนความถี่ของระบบผิดปกติ โดยสัญญาณเส้นประสีแดง *Attacked* คือสัญญาณความถี่ที่ได้รับการโจมตี, สัญญาณเส้นสีดำ *Actual* คือสัญญาณความถี่จริงของระบบที่ไม่มีการโจมตี นอกจากนี้ การโจมตี FDIA ในงานวิจัยนี้ถูกกำหนดให้แทรกเข้าสู่ ช่องทางการสื่อสารของสัญญาณความถี่ Δf ระหว่างไมโครกริดกับตัวควบคุม ดังแสดงในรูปที่ 1 ซึ่งเป็นจุดสำคัญต่อการตัดสินใจควบคุมการจ่ายกำลังไฟฟ้าของแหล่งผลิต หากผู้โจมตีส่งข้อมูลเท็จเข้าสู่ช่องสัญญาณนี้ ค่าที่ตัวควบคุมได้รับจะไม่ตรงกับค่าจริง ส่งผลให้ระบบเกิดความเบี่ยงเบนของความถี่และอาจสูญเสียเสถียรภาพได้

โดยทั่วไป FDIA จะถูกกำหนดให้เกิดในช่วงเวลาที่เจาะจง ตามสมการที่ (5) เพื่อให้ผลลัพธ์ของการควบคุมความถี่เกิดการเบี่ยงเบนจากค่าที่ต้องการมากที่สุดในช่วงเวลานั้น

$$t \in [t_s, t_e] \tag{5}$$

เมื่อ t คือตัวแปรเวลา, t_s คือเวลาเริ่มต้นของเหตุการณ์, t_e คือเวลาสิ้นสุดของเหตุการณ์ และเมื่อระบบได้รับข้อมูลที่ถูกโจมตี จะส่งผลให้ตัวควบคุม เช่น PID ตอบสนองผิดพลาด จึงต้องมีแนวทางในการประมาณค่ารัฐที่ถูกต้อง เช่น ตัวกรองคาลมาน ซึ่งจะกล่าวถึงในบทถัดไป

4. ตัวกรองคาลมาน (Kalman Filter)

ตัวกรองคาลมานเป็นเทคนิคทางคณิตศาสตร์ที่ใช้สำหรับประมาณค่าของตัวแปรสถานะจากข้อมูลที่มีสัญญาณรบกวน โดยเฉพาะอย่างยิ่งในระบบที่ไม่สามารถวัดค่าทุกสถานะได้โดยตรง หรือในกรณีที่ข้อมูลที่ได้รับมีความไม่สมบูรณ์ เช่น ถูกโจมตีทางไซเบอร์หรือมี noise สูง [4-5], ในระบบควบคุมความถี่ของโครงข่ายไฟฟ้า ตัวกรองคาลมานถูกนำมาใช้เพื่อประมาณค่าความเบี่ยงเบนความถี่ที่แท้จริง จากสัญญาณที่ได้รับ ซึ่งอาจถูกแทรกแซงด้วยการโจมตีไซเบอร์ชนิดป้อนข้อมูลเท็จ (FDIA) ดังนั้น การใช้ตัวกรองคาลมานจะช่วยลดผลกระทบจากข้อมูลเท็จ และเพิ่มความแม่นยำของการควบคุมความถี่ [4-5]

ตัวกรองคาลมานประกอบด้วยสองขั้นตอนหลัก ได้แก่ (1) ขั้นตอนการทำนาย (Prediction step) คือการคำนวณสถานะถัดไปของระบบตามแบบจำลองพลวัตดังสมการที่ (6)-(7) และ (2) ขั้นตอนปรับปรุงจากการวัด (Update step) คือการปรับค่าที่คาดการณ์จากข้อมูลวัดจริง เพื่อให้ใกล้เคียงกับค่าที่แท้จริงมากที่สุดดังสมการที่ (8)-(10)

(1) ขั้นตอนการคาดการณ์

$$\hat{x}_k^- = A\hat{x}_{k-1} + Bu_k \tag{6}$$

$$P_k^- = AP_{k-1}A^T + Q \tag{7}$$

(2) ขั้นตอนปรับปรุงจากการวัด

$$K_k = P_k^- H^T (HP_k^- H^T + R)^{-1} \tag{8}$$

$$\hat{x}_{k-1} = \hat{x}_k^- + K_k(Z_k - H\hat{x}_k^-) \tag{9}$$

$$P_k = (I - K_k H)P_k^- \tag{10}$$

เมื่อ $\hat{x}_k^-$ คือค่าประมาณสถานะที่ทำนายไว้ ณ เวลา k

$\hat{x}_k$ คือค่าประมาณสถานะที่ปรับปรุงแล้ว ณ เวลา k

u_k คือสัญญาณควบคุม ณ เวลา k

Z_k คือค่าที่ได้จากการวัด ณ เวลา k

A คือเมทริกซ์การเปลี่ยนแปลงสถานะ

B คือเมทริกซ์ของสัญญาณควบคุม

P_k^- คือเมทริกซ์ความแปรปรวนของการทำนาย

P_k คือเมทริกซ์ความแปรปรวนของการประมาณค่าที่ปรับปรุงแล้ว

K_k คือค่าเกนของตัวกรองคาลมาน

Q คือเมทริกซ์ของความแปรปรวนของสัญญาณรบกวนของกระบวนการ

R คือเมทริกซ์ของความแปรปรวนของสัญญาณรบกวนจากการวัด

H คือเมทริกซ์ของการวัด

I คือเมทริกซ์เอกลักษณ์ (Identity matrix)

ในงานวิจัยนี้ ตัวกรองคาลมานถูกใช้ในการประมาณค่าความเบี่ยงเบนของความถี่ Δf จากสัญญาณที่อาจถูกโจมตีหรือมีการรบกวน (Noise) โดยใช้ร่วมกับตัวควบคุมเพื่อให้สามารถตอบสนองได้แม่นยำยิ่งขึ้น แม้อยู่ภายใต้สถานการณ์ที่ไม่แน่นอน

5. ตัวควบคุมแบบ PID ที่ปรับจูนด้วย PSO

ในระบบควบคุมความถี่ของระบบไมโครกริด การใช้ตัวควบคุมแบบ PID ถือเป็นแนวทางที่ได้รับความนิยมอย่างแพร่หลาย เนื่องจากมีโครงสร้างเรียบง่าย และสามารถปรับพฤติกรรมการตอบสนองของระบบได้อย่างมีประสิทธิภาพ อย่างไรก็ตาม ประสิทธิภาพของ PID ขึ้นอยู่กับค่าพารามิเตอร์ควบคุมที่เลือกใช้ ซึ่งหากไม่เหมาะสมอาจส่งผลกระทบให้ระบบตอบสนองล่าช้าหรือเกิดการแกว่งของความถี่เพิ่มมากขึ้น ดังนั้น เพื่อเพิ่มความสามารถของตัวควบคุมแบบ PID ในสภาวะปกติและในกรณีที่ถูกโจมตีทางไซเบอร์ จึงได้มีการใช้เทคนิคในการค้นหาค่าที่เหมาะสมที่สุดของค่าพารามิเตอร์ [1]

โครงสร้างพื้นฐานของ PID โดยมีฟังก์ชันควบคุมดังนี้ :

$$u(t) = K_p e(t) + K_i \int_0^t e(\tau)d\tau + K_d \frac{de(t)}{dt} \qquad (11)$$

เมื่อ $u(t)$ คือสัญญาณควบคุมที่ใช้ในการปรับการทำงานของแหล่งผลิตไฟฟ้า, $e(t)$ คือ $f_{ref}(t) - f_{measured}(t)$ ค่าความคลาดเคลื่อนของความถี่, K_p, K_i, K_d คือพารามิเตอร์ของ PID ซึ่งถูกปรับจูนให้เหมาะสม สิ่งที่ทำให้ PID แตกต่างจาก PID ทั่วไปคือการใช้สัญญาณที่ผ่านการประมาณค่าแล้วจากตัวกรองคาลมาน $(f_{measured}(t))$ แทนการวัดตรงจากเซนเซอร์ เพื่อให้มีความทนทานต่อ *FDIA* รวมถึงการออกแบบการปรับจูนพารามิเตอร์ที่เน้นความยืดหยุ่นและความสามารถในการปรับตัวในสภาวะที่ผิดปกติ

ในงานวิจัยนี้การปรับจูนค่าพารามิเตอร์ K_p, K_i, K_d ของ PID ใช้อัลกอริทึมการหาค่าเหมาะสมฝูงอนุภาค (Particle swarm optimization: PSO) [6] ซึ่งเป็นอัลกอริทึมเชิงวิวัฒนาการที่เลียนแบบพฤติกรรมการเคลื่อนที่ของฝูงนกหรือฝูงปลา ในการค้นหาค่าที่ดีที่สุด และฟังก์ชันวัตถุประสงค์ที่ใช้ในการประเมินผลคือค่าปริพันธ์ของข้อผิดพลาดสัมบูรณ์ตามน้ำหนักเวลา (Integral of time-weighted absolute error: ITAE) ดังนี้

$$J = \int_0^t t \cdot |\Delta f(t)| dt \qquad (12)$$

การลดค่า ITAE แสดงถึงความสามารถของตัวควบคุมในการลดความเบี่ยงเบนของความถี่ และทำให้ระบบกลับสู่สมดุลได้รวดเร็วและราบเรียบยิ่งขึ้น โดย PSO จะทำการปรับจูนค่าพารามิเตอร์ให้เหมาะสมกับระบบเพื่อให้ตอบสนองต่อระบบได้อย่างรวดเร็วและลดการเบี่ยงเบนความถี่ลง

6. ผลการจำลอง

ในการจำลองเพื่อทดสอบประสิทธิภาพของวิธีการที่นำเสนอจะใช้โปรแกรม MATLAB/Simulink เพื่อทดสอบระบบควบคุมที่มีการเชื่อมต่อกับยานยนต์ไฟฟ้าและตัวกรองคาลมานภายใต้การโจมตีแบบป้อนข้อมูลเท็จ (FDIA) รวมถึงกรณีปกติ เพื่อเปรียบเทียบผลลัพธ์ที่เกิดขึ้นจากวิธีควบคุมต่างๆ

ระบบที่ใช้ในการศึกษานี้เป็น ไมโครกริดแยกโดด ดังรูปที่ 1 โดยกำหนดค่าพารามิเตอร์ของไมโครกริดดังนี้ $f_{ref} = 50Hz$, $H = 1\,\text{s}$, $D = 0.42\,\text{pu}$, $T_g = 0.2\,\text{s}, T_t = 0.25\,\text{s}$ ในการทดสอบประสิทธิภาพของวิธีที่นำเสนอ ได้แบ่งการทดลองออกเป็น 2 กรณี ตามขนาดของ สัญญาณการโจมตีทางไซเบอร์ โดยจะทำการเปรียบเทียบวิธีการควบคุม 3 วิธี ได้แก่ w/o-EVs, w-EVs และ w-EVs+Kalman โดยที่ w/o-EVs คือ ไมโครกริดที่ไม่มียานยนต์ไฟฟ้าและไม่ใช้ตัวกรองคาลมาน, w-EVs คือ ไมโครกริดที่มียานยนต์ไฟฟ้าแต่ไม่ใช้ตัวกรองคาลมาน, w-EVs+Kalman คือ ไมโครกริดที่มียานยนต์ไฟฟ้าและใช้ตัวกรองคาลมาน ทั้งนี้ การศึกษาในครั้งนี้แบ่งการทดลองออกเป็น 2 กรณี ตามขนาดความรุนแรงของสัญญาณโจมตีทางไซเบอร์

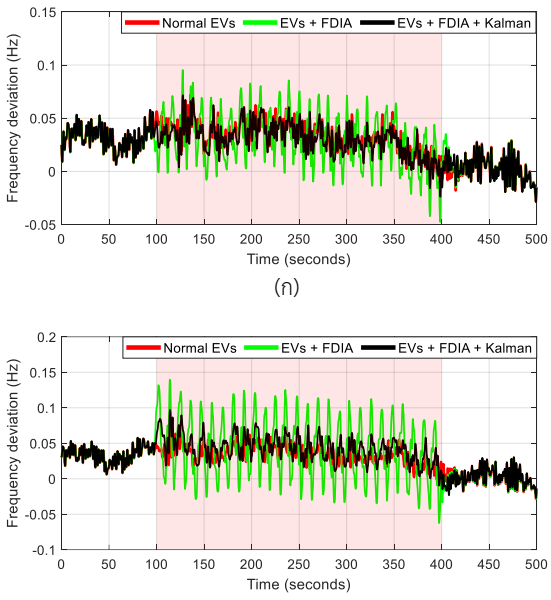

รูปที่ 4 ผลการจำลองภายใต้การโจมตีในระบบที่มี EVs (ก) การเบี่ยงเบนความถี่ในกรณี 1 (ข) การเบี่ยงเบนความถี่ในกรณี 2

รูปที่ 4 แสดงผลการเบี่ยงเบนความถี่ของระบบที่เชื่อมต่อกับยานยนต์ไฟฟ้า (EVs) ภายใต้การโจมตีแบบปลอมแปลงข้อมูล (FDIA) โดยแบ่งการทดลองออกเป็น 2 กรณี ในกรณีที่ 1 รูปที่ 4 (ก) ใช้ขนาดของสัญญาณโจมตีที่ 0.05 pu การเบี่ยงเบนของความถี่มีลักษณะรุนแรงขึ้นเมื่อมีการโจมตี (เส้นสีเขียว) เมื่อเปรียบเทียบกับกรณีปกติที่ไม่มีการโจมตี (เส้นสีแดง) อย่างไรก็ตาม ระบบที่ใช้ตัวกรองคาลมาน (เส้นสีดำ) สามารถช่วยลดความเพี้ยนของสัญญาณและปรับความถี่ให้กลับเข้าสู่ค่าที่เหมาะสมได้ดีขึ้น ในกรณีที่ 2 รูปที่ 4 (ข) ซึ่งมีขนาดการโจมตีเพิ่มขึ้นเป็น 0.1 pu ส่งผลให้ความเบี่ยงเบนของความถี่เพิ่มขึ้นชัดเจนกว่ากรณีที่ 1 อย่างเห็นได้ชัด โดยเฉพาะในช่วงเวลาที่เกิดการโจมตี อย่างไรก็ตามระบบที่ใช้ตัวกรองคาลมานยังคงสามารถลดผลกระทบจากการโจมตีได้ดีกว่าระบบที่ไม่มีการป้องกัน

รูปที่ 5 แสดงผลการจำลองในกรณี 1 ซึ่งกำหนดขนาดของสัญญาณการโจมตีเท่ากับ 0.05 pu เพื่อแสดงให้เห็นถึงพฤติกรรมของระบบภายใต้สถานการณ์การโจมตี FDIA ขนาดเล็ก พบว่าวิธี w/o-EVs มีการเบี่ยงเบนของความถี่ ดังรูปที่ 5 (ก) สูงที่สุดเมื่อเทียบกับกรณีอื่น แสดงให้เห็นถึงความอ่อนไหวของระบบต่อการโจมตีทางไซเบอร์ แม้จะอยู่ในระดับต่ำ

ในขณะที่วิธี w-EVs สามารถลดความผันผวนของความถี่ลงได้บ้าง แต่ยังคงมีความเบี่ยงเบนสูงในบางช่วง อย่างไรก็ตาม วิธีนำเสนอ w-EVs+Kalman สามารถควบคุมความถี่ให้อยู่ในช่วงที่มีเสถียรภาพมากที่สุด นั่นคือมีการเบี่ยงเบนน้อยที่สุด

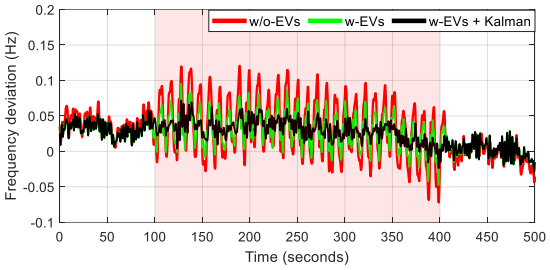

(ก)

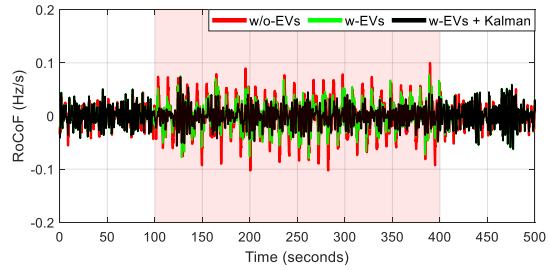

(ข)

รูปที่ 5 ผลการจำลองกรณี 1 เมื่อขนาดของสัญญาณโจมตีเท่ากับ 0.05 pu (ก) การเบี่ยงเบนความถี่ (ข) อัตราการเบี่ยงเบนความถี่

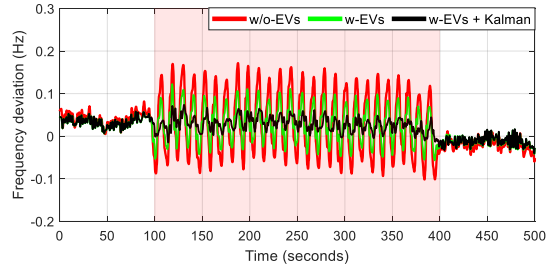

(ก)

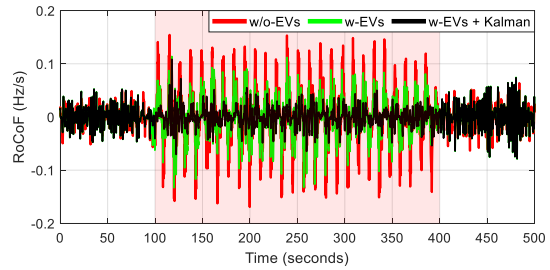

(ข)

รูปที่ 6 ผลการจำลองกรณี 2 เมื่อขนาดของสัญญาณโจมตีเท่ากับ 0.1 pu (ก) การเบี่ยงเบนความถี่ (ข) อัตราการเบี่ยงเบนความถี่

รูปที่ 5 (ข) ซึ่งแสดงอัตราการเปลี่ยนแปลงของความถี่ (Rate of change of frequency: RoCoF) จะเห็นว่าวิธี w/o-EVs มีความแกว่งตัวของ RoCoF ค่อนข้างมากซึ่งอาจส่งผลกระทบต่อความมั่นคงของระบบไฟฟ้า เนื่องจากค่า RoCoF ดังกล่าวเป็นตัวบ่งชี้ถึงการเปลี่ยนแปลงของโหลดหรือกำลังไฟฟ้าที่รวดเร็วและไม่เป็นธรรมชาติ ในทางกลับกันวิธี w-EVs สามารถลดระดับการแกว่งดังกล่าวได้ และวิธีนำเสนอ w-EVs+Kalman สามารถรักษา RoCoF ให้อยู่ในระดับต่ำและสม่ำเสมอที่สุด

รูปที่ 6 แสดงผลการจำลองกรณีที่ 2 โดยกำหนดขนาดของสัญญาณการโจมตีเท่ากับ 0.1 pu เพื่อประเมินผลกระทบของการโจมตี FDIA ที่รุนแรงขึ้นต่อระบบควบคุมความถี่ พบว่าในรูปที่ 6 (ก) การเบี่ยงเบนของความถี่วิธี w/o-EVs มีขนาดสูงสุดและมีความแกว่งตัวเด่นชัดแสดงถึงความอ่อนไหวของระบบต่อการโจมตีทางไซเบอร์ ขณะที่วิธี w-EVs สามารถลดขนาดการเบี่ยงเบนความถี่ได้บ้าง ส่วนวิธี w-EVs+Kalman ให้ผลลัพธ์ดีที่สุด โดยสามารถลดทั้งการเบี่ยงเบนความถี่และลดการแกว่งของความถี่ได้อย่างมีประสิทธิภาพ จากรูปที่ 6 (ข) ซึ่งแสดงค่า RoCoF ภายใต้การโจมตี พบว่าวิธี w/o-EVs มีค่า RoCoF สูงและแกว่งรุนแรง แสดงถึงความไม่เสถียรของการตอบสนองต่อระบบ ในขณะที่วิธี w-EVs และโดยเฉพาะวิธี w-EVs+Kalman มีค่า RoCoF ที่ราบเรียบเด่นชัดกว่า ซึ่งบ่งชี้ถึงการลดความผันผวนของความถี่ได้อย่างมีประสิทธิภาพแม้เผชิญการโจมตีทางไซเบอร์ที่รุนแรง

เพื่อยืนยันประสิทธิภาพของตัวควบคุมที่นำเสนอในเชิงปริมาณ ตารางที่ 1 แสดงผลการวิเคราะห์ค่าการเบี่ยงเบนความถี่สำหรับทั้งสองกรณีศึกษา จากผลลัพธ์พบว่าตัวควบคุม w-EVs+Kalman ให้ค่าการเบี่ยงเบนสูงสุด (Max) และค่าเบี่ยงเบนมาตรฐาน (Std) ต่ำที่สุดในทั้งสองกรณี แม้ว่าค่าเบี่ยงเบนเฉลี่ย (Mean) จะสูงกว่ากรณี w-EVs เล็กน้อย ซึ่งอาจเป็นผลมาจากกระบวนการกรองสัญญาณของ Kalman filter ทำให้การตอบสนองกลับสู่ค่าปกติช้าลง แต่ระบบสามารถลดความผันผวนและความแปรปรวนได้อย่างมีนัยสำคัญ โดยเฉพาะในกรณีศึกษาที่ 2 ซึ่งมีความท้าทายมากกว่า ผลลัพธ์ยังคงยืนยันถึงความเหนือกว่าของ w-EVs+Kalman ได้อย่างชัดเจน ซึ่งสะท้อนถึงความเสถียรภาพโดยรวมที่ดีกว่าทั้งภายใต้การโจมตีที่มีขนาดเล็กและรุนแรง

ตารางที่ 1 ผลสถิติค่าเบี่ยงเบนความถี่

ตัวชี้วัดทางสถิติ/ กรณีศึกษา	ค่าเบี่ยงเบนความถี่ (Hz)		
	w/o-EVs	w-EVs	w-EVs + Kalman
กรณีศึกษาที่ 1			
ค่าสูงสุด	0.1207	0.0953	0.0719
ค่าเฉลี่ย	0.0291	0.0252	0.0253
ค่าเบี่ยงเบนมาตรฐาน	0.0366	0.0230	0.0177
กรณีศึกษาที่ 2			
ค่าสูงสุด	0.1712	0.1233	0.0753
ค่าเฉลี่ย	0.0274	0.0237	0.0234
ค่าเบี่ยงเบนมาตรฐาน	0.0640	0.0363	0.0191

7. สรุปผล

บทความนี้ได้นำเสนอการควบคุมไมโครกริดที่ประกอบด้วยแหล่งพลังงานผสมผสานและยานยนต์ไฟฟ้า (Electric vehicles: EVs) ภายใต้การโจมตีทางไซเบอร์แบบ FDIA (False data injection attack) โดยใช้ตัวกรองคาลมาน (Kalman filter) เพื่อเพิ่มความแม่นยำของสัญญาณควบคุมความถี่ จากการทดลองพบว่าระบบที่ใช้ตัวกรองคาลมานร่วมกับ PID เพื่อควบคุมการประจุแบตเตอรี่ของยานยนต์ไฟฟ้า สามารถลดความผันผวนและอัตราการเปลี่ยนแปลงความถี่ (Rate of change of frequency: RoCoF) ในไมโครกริด ได้ดีกว่าไมโครกริดที่ไม่มีการกรองข้อมูลด้วยตัวกรองคาลมานโดยเฉพาะในกรณีที่สัญญาณการโจมตีมีความรุนแรง ซึ่งวิธีที่นำเสนอสามารถรักษาเสถียรภาพได้ดีกว่าอย่างมีนัยสำคัญ ทั้งนี้ในอนาคตสามารถขยายผลไปสู่การทดสอบในระบบไมโครกริดหลายพื้นที่ (Multi-area microgrid) เพื่อประเมินความสามารถในการปรับขยายและการทำงานร่วมกันระหว่างพื้นที่ นอกจากนี้การประยุกต์ใช้เทคนิค Machine Learning และ Reinforcement Learning จะช่วยเพิ่มความยืดหยุ่นในการรับมือกับการโจมตีที่ซับซ้อนมากขึ้น ขณะเดียวกันการทดสอบแบบ Hardware-in-the-Loop (HIL) จะช่วยยืนยันประสิทธิภาพของกลยุทธ์การควบคุมในสภาพแวดล้อมจริงแบบเรียลไทม์

เอกสารอ้างอิง

[1] วิภารัตน์ ข่มอาวุธ, สรศักดิ์ สร้อยสนธิ์, ธีรติ คิอินธิ, นิรมิต ปงกำวงศ์, เชวศักดิ์ รักเป็นไทย และจงลักษณ์ พาหะซา, พีไอดีแบบยืดหยุ่นสำหรับควบคุมอิเล็กโทรไลเซอร์เพื่อลดการแกว่งของความถี่ไมโครกริด ภายใต้การโจมตีแบบปฏิเสธการให้บริการ, การประชุมวิชาการทางวิศวกรรมไฟฟ้า ครั้งที่ 47, ณ โรงแรมเซ็นทาราและคอนเวนชันเซ็นเตอร์ จังหวัดอุดรธานี, 13-15 พฤศจิกายน พ.ศ. 2567

[2] J. Pahasa and I. Ngamroo, “Coordinated PHEV, PV and ESS for microgrid frequency regulation using centralized model predictive control considering variation of PHEV number,” *IEEE Access,* Vol. 6, pp. 69331-69341, 2018.

[3] J. Pahasa and I. Ngamroo, “Simultaneous control of frequency fluctuation and battery SOC in a smart grid using LFC and EV controllers based on optimal MIMO-MPC,” *J. Electr. Eng. Technol., Vol. 12, no.2, pp. 601-611, 2017.*

[4] Z. Chen et. all, “Detection of false data injection attacks on load frequency control system with renewable energy based on fuzzy logic and neural networks,” *J. Mod. Power Syst. Clean Energy,* Vol. 10, no. 6, 2022.

[5] Z. Qu et. all, “Detection of False Data Injection Attack in AGC System Based on Random Forest,” *Machines,* Vol. 11, no. 1, p. 83, 2023.

[6] X. S. Yang, Engineering optimisation: an introduction with metaheuristic applications, Wiley, New Jersey, 2010.

ขวัญชัย สกุลตา สำเร็จการศึกษาระดับปริญญาตรี สาขาวิศวกรรมไฟฟ้า ปี พ.ศ. 2564 ปัจจุบันกำลังศึกษาระดับปริญญาโท สาขาวิชาวิศกรรมไฟฟ้า คณะวิศวกรรมศาสตร์ มหาวิทยาลัยพะเยา สนใจงานวิจัยด้านการควบคุมระบบไฟฟ้ากำลัง การควบคุมความถี่ ไมโครกริด และสมาร์ทกริด

เกรียงศักดิ์ ไกรกิจราษฎร์ สำเร็จการศึกษาระดับปริญญาตรี ปริญญาโท ปริญญาเอก สาขาวิศวกรรมไฟฟ้า จากมหาวิทยาลัยนเรศวร ปัจจุบันดำรงตำแหน่ง ผู้ช่วยศาสตราจารย์ ประจำสาขาวิชาวิศวกรรมไฟฟ้า คณะวิศวกรรมศาสตร์ มหาวิทยาลัยพะเยา ผลงานวิจัยมุ่งเน้นด้าน การออกแบบและติดตั้งระบบผลิตไฟฟ้าจากพลังงานแสงอาทิตย์, ระบบพลังงานทดแทน, การวิเคราะห์สมรรถนะระบบไฟฟ้า และระบบอัตโนมัติทางวิศวกรรมไฟฟ้า อีกทั้งยังมีประสบการณ์ด้านการสอนและการวิจัยเพื่อสนับสนุนการพัฒนาระบบพลังงานที่ยั่งยืน

เชวศักดิ์ รักเป็นไทย สำเร็จการศึกษาปริญญาตรี โท และเอก ในสาขาวิศวกรรมไฟฟ้า จากมหาวิทยาลัยเชียงใหม่ ขณะนี้เป็นศาสตราจารย์ประจำที่สาขาวิชาวิศวกรรมไฟฟ้า คณะวิศวกรรมศาสตร์ มหาวิทยาลัยพะเยา สนใจงานวิจัยด้านการประมาณสถานะของระบบไฟฟ้ากำลัง การควบคุมระบบ และอิเล็กทรอนิกส์กำลัง

จงลักษณ์ พาหะซา สำเร็จการศึกษาปริญญาเอกในสาขาวิศวกรรมไฟฟ้า จาก สถาบันเทคโนโลยีพระจอมเกล้าเจ้าคุณทหารลาดกระบัง ขณะนี้เป็นรองศาสตราจารย์ ประจำที่สาขาวิชาวิศวกรรมไฟฟ้า คณะวิศวกรรมศาสตร์ มหาวิทยาลัยพะเยา สนใจงานวิจัยด้านการควบคุมความถี่ การควบคุมอัจฉริยะ ไมโครกริด และสมาร์ทกริด

การตรวจหากำลังผลิตของระบบผลิตไฟฟ้าพลังงานแสงอาทิตย์บนหลังคาด้วยภาพถ่ายดาวเทียม เพื่อประเมินความสามารถของหม้อแปลงระบบจำหน่ายแรงต่ำ

Detection of the Solar Power Generation Capacity of Rooftop Using Satellite Imagery for Assessing the Capability of Low-voltage Distribution Transformer

ศตวรรษ บูรณา[1] สาคร ปันตา[1] สามารถ ยะเชียงคำ[1] กิตตินัน สระสวย[1] ก้องภพ ปัญญาวงศ์[2] คัทลียา ศรีวัฒนพงศ์[2] และ พัณณิตา แต้เจริญ[1]*

[1]สาขาวิชาวิศวกรรมไฟฟ้า คณะวิศวกรรมศาสตร์ มหาวิทยาลัยเทคโนโลยีราชมงคลล้านนา
[2]การไฟฟ้าส่วนภูมิภาค
sattawatburana@gmail.com, aum.punnita@gmail.com*

บทคัดย่อ

ปัจจุบันการติดตั้งระบบผลิตไฟฟ้าพลังงานแสงอาทิตย์ได้รับความนิยมเพิ่มขึ้นอย่างต่อเนื่อง โดยเฉพาะการติดตั้งบนหลังคาที่พักอาศัย ซึ่งสามารถใช้งานได้ทั้งในรูปแบบไม่เชื่อมต่อระบบโครงข่ายไฟฟ้า (Off-grid) และแบบเชื่อมต่อกับระบบโครงข่ายไฟฟ้า (Grid-connected) สำหรับระบบที่เชื่อมต่อกับโครงข่ายไฟฟ้าจำเป็นต้องปฏิบัติตามมาตรฐานและข้อกำหนดของการไฟฟ้า ซึ่งโดยทั่วไปจะจำกัดขนาดกำลังการผลิตที่เชื่อมต่อไม่เกินร้อยละ 15 ของพิกัดหม้อแปลงจำหน่าย เพื่อให้สามารถควบคุมแรงดันไฟฟ้าให้อยู่ในเกณฑ์มาตรฐาน งานวิจัยนี้นำเสนอวิธีการประมาณค่ากำลังการผลิตของระบบผลิตไฟฟ้าพลังงานแสงอาทิตย์บนหลังคา โดยใช้ภาพถ่ายดาวเทียม จากนั้นนำค่ากำลังการผลิตที่ได้มาวิเคราะห์เพื่อระบุจุดเชื่อมต่อภายใต้หม้อแปลงจำหน่ายแรงต่ำ และประเมินว่ามีกำลังการผลิตเกินกว่าที่ข้อกำหนดอนุญาตหรือไม่ งานวิจัยนี้ได้ดำเนินการศึกษากรณีในพื้นที่กำแพงเมืองจังหวัดเชียงใหม่ เพื่อตรวจสอบกำลังการผลิตรวมของระบบผลิตไฟฟ้าพลังงานแสงอาทิตย์ และความสามารถในการรองรับของหม้อแปลงจำหน่ายแรงต่ำซึ่งเป็นทรัพย์สินของการไฟฟ้า ผลลัพธ์จากวิธีการที่นำเสนอสามารถประมาณขนาดกำลังการผลิตของระบบบนหลังคาได้อย่างแม่นยำ สามารถวางแผนประเมินความสามารถของหม้อแปลงระบบจำหน่ายแรงต่ำได้ และสามารถตรวจพบระบบผลิตไฟฟ้าพลังงานแสงอาทิตย์ที่ยังไม่ได้รับการอนุญาตทำการเชื่อมต่อกับระบบจำหน่ายได้

คำสำคัญ: ระบบผลิตไฟฟ้าพลังงานแสงอาทิตย์บนหลังคา, ภาพถ่ายดาวเทียม, ความสามารถของหม้อแปลงจำหน่าย, มาตรฐานการเชื่อมต่อระบบโครงข่าย

Abstract

At present, the installation of solar photovoltaic (PV) systems has gained significant popularity, particularly on residential rooftops. These systems can operate either in stand-alone (off-grid) or grid-connected configurations. For grid-connected systems, interconnection must comply with the technical standards and regulations of the electric utility, which generally limit the capacity of generators to no more than 15% of the distribution transformer's rated capacity in order to maintain voltage within acceptable limits. This research proposes a methodology for estimating the generation capacity of rooftop PV systems through the use of satellite imagery. The estimated capacities are subsequently analyzed to identify their connection points under low-voltage distribution transformers, enabling an assessment of whether the connected capacity exceeds regulatory constraints. A case study within the walled city area of Chiang Mai Province is presented to evaluate the total installed PV generation capacity and the hosting capability of low-voltage distribution transformers owned by the utility. The proposed approach demonstrates the potential to estimate rooftop PV capacities accurately. This approach enhances the strategic planning and operational assessment of distribution transformer loading limits and to identify unregistered grid-connected PV systems that may not have received formal approval for interconnection.

Keywords: Rooftop Photovoltaic Systems, Satellite Imagery, Distribution Transformer Capacity, Grid Connection Standards.

1. บทนำ

พลังงานนับเป็นทรัพยากรพื้นฐานที่มีความสำคัญยิ่งต่อการดำรงชีวิตของมนุษย์และการพัฒนาสังคมในทุกมิติ โดยในปัจจุบันมนุษย์ใช้พลังงานในรูปแบบต่าง ๆ ได้แก่ น้ำมัน ก๊าซธรรมชาติ และไฟฟ้า เพื่อตอบสนองความต้องการในกิจกรรมประจำวันและการขับเคลื่อนเศรษฐกิจ อย่างไรก็ตาม แหล่งพลังงานเหล่านี้ส่วนใหญ่ยังคงพึ่งพาทรัพยากรที่ไม่หมุนเวียน ซึ่งมีขีดจำกัดและเสี่ยงต่อการหมดไปในอนาคต อีกทั้งยังส่งผลให้เกิดการปล่อยก๊าซเรือนกระจก ซึ่งเป็นสาเหตุสำคัญของภาวะโลกร้อนและการเปลี่ยนแปลงสภาพภูมิอากาศ [1]

*ผู้ประพันธ์บรรณกิจ

จากประเด็นดังกล่าวจึงเกิดความพยายามอย่างต่อเนื่องในการแสวงหาแหล่งพลังงานทางเลือกที่ยั่งยืนและเป็นมิตรต่อสิ่งแวดล้อม โดยพลังงานหมุนเวียน เช่น พลังงานแสงอาทิตย์ พลังงานลม และชีวมวล ได้รับความสนใจเพิ่มขึ้นอย่างมาก เนื่องจากสามารถผลิตได้ต่อเนื่องและช่วยสร้างความมั่นคงด้านพลังงานในระยะยาว [2] ในประเทศไทย การติดตั้งระบบผลิตไฟฟ้าพลังงานแสงอาทิตย์บนหลังคามีแนวโน้มเติบโตต่อเนื่อง อันเป็นผลมาจากต้นทุนที่ลดลงและความสะดวกในการเข้าถึงเทคโนโลยีมากขึ้น ภายใต้โครงการที่ได้รับความเห็นชอบจากคณะกรรมการนโยบายพลังงานแห่งชาติ ตั้งแต่ปี พ.ศ. 2562 โดยกำหนดให้ระบบติดตั้งมีขนาดไม่เกิน 10 กิโลวัตต์ และใช้สัญญาซื้อขายไฟฟ้า 10 ปี เพื่อให้หน่วยงานจำหน่ายไฟฟ้ารับซื้อไฟฟ้าส่วนเกินจากภาคครัวเรือน ทั้งนี้ยังมีข้อกำหนดกำลังเชื่อมต่อของหม้อแปลงจำหน่ายไม่เกินร้อยละ 15 ของกำลังหม้อแปลง เพื่อป้องกันปัญหาคุณภาพไฟฟ้าในระบบจำหน่าย [3]

อย่างไรก็ตาม พบว่ามีบางส่วนของผู้ใช้ไฟฟ้าที่ติดตั้งระบบโดยไม่ได้แจ้งขออนุญาตตามระเบียบ ซึ่งอาจก่อให้เกิดกระแสไฟฟ้าไหลย้อนเข้าสู่ระบบจำหน่าย และนำไปสู่ความเสียหายต่ออุปกรณ์ไฟฟ้า ความสูญเสียในระบบ หรือแรงดันเกินในสายจำหน่าย [4] ปัญหาเหล่านี้สะท้อนถึงความจำเป็นในการบริหารจัดการและตรวจสอบระบบผลิตไฟฟ้าพลังงานแสงอาทิตย์บนหลังคาให้สอดคล้องกับข้อกำหนดทางเทคนิคและมาตรฐานความปลอดภัย

ในปัจจุบัน การประยุกต์ใช้ข้อมูลจากดาวเทียมสำรวจทรัพยากรและภาพถ่ายความละเอียดสูงผสานกับระบบสารสนเทศภูมิศาสตร์ (GIS) [5] ได้รับความนิยมอย่างกว้างขวาง เนื่องจากสามารถให้ข้อมูลที่ทันสมัย ครอบคลุม และแม่นยำ ช่วยสนับสนุนการวางแผนและบริหารจัดการทรัพยากรได้อย่างมีประสิทธิภาพ [6] งานวิจัยนี้จึงมีแนวคิดในการนำเทคโนโลยีภาพถ่ายดาวเทียมมาวิเคราะห์และตรวจสอบศักยภาพการผลิตไฟฟ้าของระบบโซลาร์เซลล์บนหลังคาที่พักอาศัย โดยเชื่อมโยงกับข้อมูลเชิงพื้นที่และข้อมูลหม้อแปลง เพื่อประเมินความเหมาะสมในการเชื่อมต่อระบบผลิตไฟฟ้าพลังงานแสงอาทิตย์ภายใต้ข้อกำหนดของการไฟฟ้าส่วนภูมิภาค ซึ่งจะช่วยลดผลกระทบต่อคุณภาพของระบบจำหน่ายไฟฟ้าในอนาคต

2. ทฤษฎีและข้อมูลที่เกี่ยวข้อง

2.1 ผลกระทบจากการเชื่อมต่อระบบผลิตไฟฟ้าพลังงานแสงอาทิตย์

การติดตั้งระบบผลิตไฟฟ้าพลังงานแสงอาทิตย์บนหลังคา ถือเป็นรูปแบบการผลิตไฟฟ้าแบบกระจายตัว (Distributed Generation: DG) โดยเชื่อมต่อกับระบบโครงข่ายไฟฟ้าผ่านจุดต่อร่วม (Point of Common Coupling: PCC) ซึ่งจะมีโหลดไฟฟ้าที่เชื่อมต่อใช้งานอยู่ ระบบโครงข่ายจึงจำเป็นต้องรองรับการไหลของกำลังไฟฟ้าจากหลายทิศทาง โดยเฉพาะในช่วงกลางวันซึ่งเป็นช่วงที่ระบบผลิตไฟฟ้าพลังงานแสงอาทิตย์สามารถผลิตพลังงานได้มากกว่าความต้องการใช้ภายในพื้นที่ ทำให้เกิดการจ่ายพลังงานไฟฟ้ากลับเข้าสู่ระบบโครงข่าย ซึ่งอาจส่งผลกระทบต่อการทำงานของโครงข่าย [7] เช่น เกิดกระแสไฟฟ้าไหลย้อนกลับไปยังขดลวดปฐมภูมิของหม้อแปลงจำหน่าย จนอาจทำให้หม้อแปลงไฟฟ้าเกิดภาระเกินพิกัดได้ กรณีที่มีการติดตั้งระบบผลิตไฟฟ้าพลังงานแสงอาทิตย์จำนวนมากในพื้นที่เดียวกัน ยิ่งเพิ่มโอกาสให้เกิดความผันผวนของแรงดันไฟฟ้า หากมีการไหลย้อนของกระแสไฟฟ้าเข้าสู่ระบบโครงข่ายมากเกินไป อาจทำให้แรงดันไฟฟ้าสูงเกินกว่าค่ามาตรฐาน หรือในบางช่วงที่การผลิตลดลง เช่น ช่วงเย็นหรือกลางคืน ก็อาจทำให้เกิดปัญหาแรงดันไฟฟ้าตกได้เช่นกัน [8]

ในส่วนของผลกระทบด้านกำลังไฟฟ้าสูญเสีย สามารถแบ่งได้เป็นสองกรณี คือ

2.1.1 กรณีกำลังผลิตพอเหมาะหรือไม่เกินความต้องการโหลด ซึ่งระบบผลิตไฟฟ้าแบบกระจายตัวสามารถช่วยแบ่งเบาภาระจากโครงข่ายหลักได้ ทำให้กระแสไฟฟ้าที่ต้องส่งจากต้นทางมายังจุดต่อร่วมมีค่าลดลง ส่งผลให้ค่ากำลังไฟฟ้าสูญเสียรวมในโครงข่ายลดลงตามไปด้วย

2.1.2 กรณีกำลังผลิตเกินกว่าความต้องการ ซึ่งระบบผลิตไฟฟ้าแบบกระจายตัวจะจ่ายไฟฟ้าส่วนเกินเข้าสู่โครงข่ายในปริมาณมาก ส่งผลให้เกิดการไหลย้อนกลับของกระแสไฟฟ้าในระดับสูงขึ้น และจะทำให้ค่ากำลังไฟฟ้าสูญเสียรวมในโครงข่ายเพิ่มขึ้นตามไปด้วย

2.2 ระเบียบการไฟฟ้าส่วนภูมิภาคว่าด้วยข้อกำหนดการเชื่อมต่อระบบโครงข่ายไฟฟ้า พ.ศ. 2559

โดยระเบียบนี้ [3] จะมีเกณฑ์ทางด้านเทคนิคอยู่หลากหลายที่เกี่ยวข้องกับการเชื่อมต่อระบบ โดยในงานวิจัยนี้จะยกตัวอย่างเกณฑ์ทางด้านเทคนิคที่สำคัญ คือ

2.2.1 ปริมาณกำลังไฟฟ้ารับซื้อจากผู้ผลิตไฟฟ้า

ผู้ผลิตไฟฟ้าสามารถเชื่อมต่อกับระบบโครงข่ายไฟฟ้าแบบเฟสเดียวได้ หากมีกำลังผลิตติดตั้งไม่เกิน 5 กิโลวัตต์ ในกรณีที่ผู้ผลิตไฟฟ้าต้องการเชื่อมต่อเครื่องกำเนิดไฟฟ้า จะต้องกระจายกำลังไฟฟ้าที่จ่ายเข้าระบบโครงข่ายไฟฟ้าในแต่ละเฟสให้สม่ำเสมอ โดยยอมให้มีความแตกต่างของกำลังผลิตติดตั้งในแต่ละเฟสสูงสุดไม่เกิน 5 กิโลวัตต์

2.2.2 ปริมาณกำลังผลิตติดตั้งรวมของเครื่องกำเนิดไฟฟ้า (หน่วยเป็นกิโลวัตต์) ของผู้เชื่อมต่อทุกราย ที่เชื่อมต่อในหม้อแปลงจำหน่ายลูกเดียวกัน ต้องไม่เกินขีดจำกัดร้อยละ 15 ของพิกัดหม้อแปลงจำหน่าย (หน่วยเป็นกิโลโวลต์ - แอมแปร์)

2.3 การคำนวณความจุคงเหลือที่อนุญาตให้เชื่อมต่อระบบผลิตไฟฟ้าพลังงานแสงอาทิตย์

ตามระเบียบของการไฟฟ้าส่วนภูมิภาค ในหัวข้อ 2.2.2 ว่าด้วยข้อกำหนดการเชื่อมต่อระบบโครงข่ายไฟฟ้า โดยจะมีการคำนวณ ดังนี้

$$P_{TR\max} = S_{TR} \times 0.15 \quad (1)$$

$$P_{TRremain} = P_{TR\max} - P_{TotSolar} \quad (2)$$

$P_{TR\max}$ กำลังผลิตสูงสุดที่หม้อแปลงรับได้ (kW)

S_{TR} พิกัดกำลังหม้อแปลง (kVA)

$P_{TRremain}$ กำลังผลิตคงเหลือที่หม้อแปลงรับได้ (kW)

$P_{TotSolar}$ กำลังผลิตรวมของระบบผลิตไฟฟ้าพลังงานไฟฟ้าแสงอาทิตย์ภายใต้หม้อแปลง (kW)

3. วิธีการตรวจหากำลังผลิตของระบบผลิตไฟฟ้าพลังงานแสงอาทิตย์บนหลังคาด้วยภาพถ่ายดาวเทียม

ในบทความนี้จะออกแบบวิธีการตรวจหาระบบผลิตไฟฟ้าพลังงานแสงอาทิตย์ โดยจะมีการออกแบบขั้นตอนต่าง ดังแสดงดังรูปที่ 1

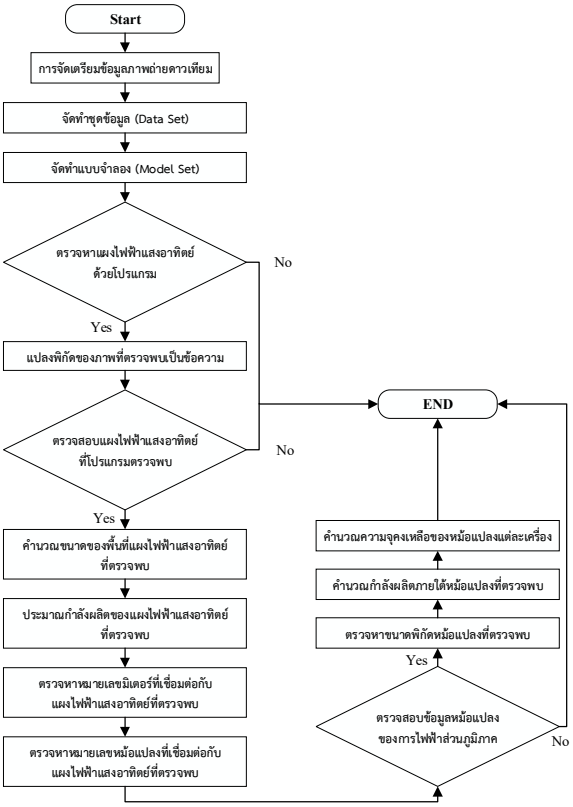

รูปที่ 1 ขั้นตอนการตรวจหากำลังผลิตของระบบผลิตไฟฟ้าพลังงานแสงอาทิตย์บนหลังคาด้วยภาพถ่ายดาวเทียม

3.1 การจัดเตรียมข้อมูลภาพถ่ายดาวเทียม

ในขั้นตอนแรกของการจัดทำงานวิจัยนี้ เริ่มต้นจากการจัดเตรียมข้อมูลภาพถ่ายดาวเทียมตาม ขอบเขตของงานวิจัย โดยใช้ภาพถ่ายดาวเทียมจาก Google API (Map Static) แบ่ง 2 ขั้นตอน ดังนี้

3.1.1 การกำหนดพื้นที่ ตามขอบเขตของงานวิจัย

การกำหนดขอบเขตของพื้นที่ เริ่มต้นจากการสร้างโพลีกอน (Polygon) ให้ครอบคลุมพื้นที่ บริเวณภายในกำแพงเมืองจังหวัดเชียงใหม่ทั้งหมด เพื่อให้ได้มาซึ่งจุดพิกัด (Point) ทั้ง 4 มุม

โดยจะใช้โปรแกรมประยุกต์ Google Earth ดังรูปที่ 2 ได้จุดพิกัดของแต่ละมุม ดังนี้

• บริเวณแจ่งหัวลิน (ซ้ายบน) จุดพิกัดละติจูดและลองจิจูด คือ 18.79490029, 98.97950134

• บริเวณแจ่งศรีภูมิ (ขวาบน) จุดพิกัดละติจูดและลองจิจูด คือ 18.79481694, 98.99347317

• บริเวณแจ่งกู่เฮือง (ซ้ายล่าง) จุดพิกัดละติจูดและลองจิจูด คือ 18.78136244, 98.97774671

• บริเวณแจ่งก๊ะต๋ำ (ขวาล่าง) จุดพิกัดละติจูดและลองจิจูด คือ 18.78089627, 98.9918603

รูปที่ 2 ขอบเขตพื้นที่ในการตรวจหาระบบไฟฟ้าผลิตพลังงานแสงอาทิตย์

3.1.2 การดึงข้อมูลภาพถ่ายดาวเทียม

ดึงข้อมูลภาพถ่ายดาวเทียมในพื้นที่กำหนด โดยใช้โปรแกรมภาษา Python เพื่อเรียกดูข้อมูล ภาพถ่ายดาวเทียมของ Google Maps API (Static Maps) แล้วทำการบันทึกลง Google Drive

จากพื้นที่ภายในกำแพงเมืองเชียงใหม่ มีขนาดประมาณ 2.4 ตารางกิโลเมตร และโปรแกรมได้ กำหนดระดับการซูมของภาพถ่ายดาวเทียมที่เรียกจาก Google Maps API ที่ระดับ 20 โดยออกแบบ ให้ดึงข้อมูลภาพเป็นรูปสี่เหลี่ยมขนาดเล็กประกอบกัน ดังรูปที่ 3

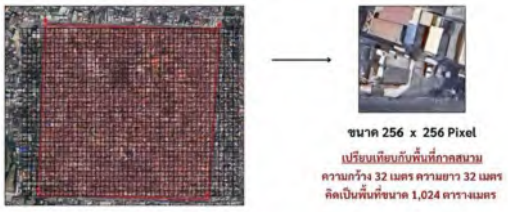

รูปที่ 3 การออกแบบการดึงข้อมูลภาพถ่ายดาวเทียม

แต่ละภาพที่ได้มีความละเอียดอยู่ที่ ความกว้าง 256 พิกเซล และความสูง 256 พิกเซล หรือประมาณ 1,024 ตารางเมตรต่อภาพ ซึ่งเป็นระดับการซูมสูงสุดที่สามารถใช้บริการในประเทศไทยได้ในขณะนี้ เมื่อทำการรันโปรแกรมเรียบร้อยแล้ว จะได้ข้อมูลภาพถ่ายดาวเทียมทั้งสิ้น 2,401 รูป ซึ่งจะใช้เป็นข้อมูลชุดทดสอบในขั้นตอนถัดไป โดยกำหนดให้มีชื่อของไฟล์เป็นตำแหน่งละติจูดและลองจิจูดของภาพ ดังรูปที่ 4

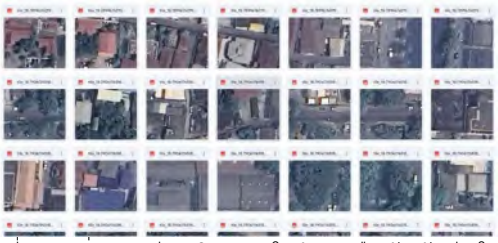

รูปที่ 4 ภาพถ่ายดาวเทียมบริเวณภายในกำแพงเมืองจังหวัดเชียงใหม่

3.2 การจัดทำชุดข้อมูล (Dataset) การจัดทำแบบจำลอง (Learning Model)

การสร้างแบบจำลองและการฝึกให้เรียนรู้และจดจำ ให้มีประสิทธิภาพ จะต้องใช้ข้อมูลตัวอย่างจำนวนมาก ในการหาผลลัพธ์สร้างเป็น Dataset โดยในงานวิจัยนี้จะใช้โปรแกรมประยุกต์ Roboflow สร้างขอบเขต และ ระบุประเภทของวัตถุ (Annotation) จากนั้นจะใช้งานโปรแกรม YOLOv5 [9] เป็นโปรแกรมที่ใช้ในการตรวจจับวัตถุ โดยใช้โครงข่ายประสาทเทียมเชิงลึก (Deep Learning) ที่มีโครงสร้างหลักคือ Convolutional Neural Networks (CNNs) เพื่อสกัดคุณลักษณะของภาพและพยากรณ์ตำแหน่งของวัตถุในภาพ และฝึกให้แบบจำลอง (Model) เรียนรู้และจดจำรูปภาพ โดยขั้นตอนการทำงานของทั้ง 2 โปรแกรม จะแสดงดังรูป 5

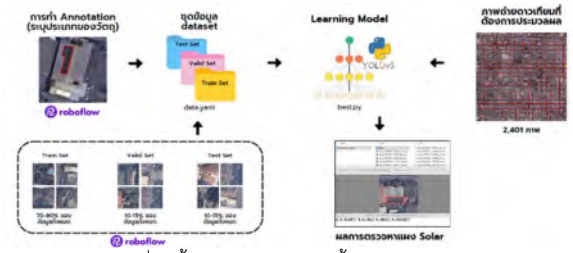

รูปที่ 5 ขั้นตอนการจัดทำชุดข้อมูล (Dataset) และการสร้างแบบจำลอง (Learning Model)

การสร้างแบบจำลองและการฝึกให้เรียนรู้และจดจำในโปรแกรมประยุกต์ Roboflow จะแสดงดังรูปที่ 6

รูปที่ 6 ตัวอย่างการสร้างแบบจำลองและการฝึกให้เรียนรู้และจดจำ

งานวิจัยนี้จึงได้ใช้แบบจำลองที่จัดทำขึ้นโดย กองแผนที่ระบบไฟฟ้า การไฟฟ้าส่วนภูมิภาค โดยใช้ข้อมูลภาพถ่ายดาวเทียม ในขอบเขตพื้นที่ภาคกลางของประเทศไทย จำนวน 2,793 ภาพ โดยชุดข้อมูลดังกล่าวแบ่งเป็น 3 ส่วน ดังนี้

1. ชุดข้อมูล Train จำนวน 2,235 ภาพ (ร้อยละ 80 ของ Dataset) เพื่อสร้างค่าน้ำหนัก และปรับพารามิเตอร์ภายในของ Model

2. ชุดข้อมูล Validation จำนวน 279 ภาพ (ร้อยละ 10 ของ Dataset) สำหรับการประเมินความแม่นยำของ Model ระหว่างการ Training Model และช่วยในการป้องกันการเกิด Overfitting ของ Model

3. ชุดข้อมูล Test จำนวน 279 ภาพ (ร้อยละ 10 ของ Dataset) โดยชุดข้อมูลนี้จะไม่นำไปใช้ในการ Train เพื่อให้ผลลัพธ์ของการทดสอบสามารถแสดงประสิทธิภาพของ Model อย่างแม่นยำ

หลังจากจัดทำ dataset ในโปรแกรม Roboflow เสร็จ ก็จะส่งต่อไปยังโปรแกรม YOLOv5 โดยผลการ Train จะได้ดังรูปที่ 7

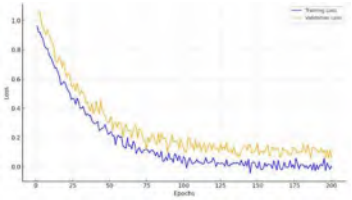

รูปที่ 7 กราฟแสดงประสิทธิภาพการเรียนรู้ของแบบจำลอง

จากกราฟที่ได้เป็นผลที่มาจากการกำหนดขนาดภาพ 256x256 พิกเซล จำนวนรอบในการ Train (Epochs) ทั้งหมด 200 รอบ กำหนดขนาด Batch ชุดละ 16 ภาพ เพื่อใช้กำหนดจำนวนภาพที่ Model ประมวลผลในแต่ละรอบเพื่อให้ Model ทำการเรียนรู้จากชุดข้อมูล เพื่อดูผลการปรับค่าน้ำหนักที่ของ Model ให้มีความเหมาะสมที่สุด โดยผลลัพธ์ที่ได้จากการ Train จะลู่เข้า 0 (ไม่มีความผิดพลาด)

3.3 การวิเคราะห์กำลังผลิตของระบบผลิตไฟฟ้าพลังงานแสงอาทิตย์บนหลังคา

เมื่อได้ผลลัพธ์การตรวจจับวัตถุในภาพถ่ายดาวเทียมด้วย YOLOv5 จะได้เพียงตำแหน่งของแผงระบบผลิตไฟฟ้าพลังงานแสงอาทิตย์และรูปภาพที่มี Bounding Box ซึ่งมีขนาดไม่พอดีตามกรอบแผงระบบผลิตไฟฟ้าพลังงานแสงอาทิตย์บนรูปภาพ ประกอบกับยังต้องทำการทวนสอบซ้ำกรณีโปรแกรมวิเคราะห์ข้อมูลผิดพลาด ทั้งนี้เมื่อได้ตำแหน่งของแผงระบบผลิตไฟฟ้าพลังงานแสงอาทิตย์ที่ตรวจสอบแล้ว จึงต้องทำการประมาณขนาดพื้นที่ของแผงระบบผลิตไฟฟ้าพลังงานแสงอาทิตย์ ด้วยวิธีการหากำลังผลิตของแผงระบบผลิตไฟฟ้าพลังงานแสงอาทิตย์ที่การไฟฟ้าใช้งานดังแสดงดังตารางที่ 2 ร่วมกับการวัดขนาดพื้นที่ของแผงผลิตไฟฟ้าพลังงานแสงอาทิตย์ด้วยโปรแกรมประยุกต์ Google Earth เพื่อคำนวณกำลังผลิตของระบบผลิตไฟฟ้าพลังงานแสงอาทิตย์ที่ตรวจพบ

ตารางที่ 2 ตารางของแผงระบบผลิตผลิตไฟฟ้าพลังงานแสงอาทิตย์ที่การไฟฟ้าใช้งานในการขายให้ผู้ใช้ไฟฟ้า

ยี่ห้อผลิตภัณฑ์	พื้นที่ (mm.)	กำลังการผลิต (Watt)	กำลังการผลิต/ตารางเมตร (Watt)
Runergy	2,278 x 1,134	550	212.91 หรือประมาณ 213
Znshi	2,285 x 1,134	550	212.26 หรือประมาณ 212
AKCOME	2,172 x 1,303	620	219.07 หรือประมาณ 219
REC	1,730 x 1,118	420	217.15 หรือประมาณ 217
Longi	2,278 x 1,134	550	212.91 หรือประมาณ 213
Risen	2,172 x 1,303	600	212.01 หรือประมาณ 212
กำลังผลิตเฉลี่ยของแผงโซลาร์แต่ละยี่ห้อผลิตภัณฑ์			214.33 หรือประมาณ 214

ดังนั้น กำลังผลิตเฉลี่ยของแผงระบบผลิตไฟฟ้าแสงอาทิตย์ จะมีค่าอยู่ที่ 214 วัตต์ต่อตารางเมตร (Watt/Sq.m.) โดยจะใช้เป็นค่ากำลังผลิตในงานวิจัยนี้

3.4 การประมาณการกำลังผลิตของระบบผลิตไฟฟ้าพลังงานแสงอาทิตย์ที่ตรวจพบ

มีการคำนวณโดยนำค่าเฉลี่ยกำลังผลิตของแผงระบบผลิตไฟฟ้าพลังงานแสงอาทิตย์ที่การไฟฟ้าส่วนภูมิภาคมีการใช้งานเฉลี่ย 214 วัตต์ต่อตารางเมตร มาคูณกับขนาดพื้นที่แผงระบบผลิตไฟฟ้าพลังงานแสงอาทิตย์ที่โปรแกรมตรวจพบในหน่วยตารางเมตร จะได้ค่าดังตารางที่ 3

ตารางที่ 3 กำลังผลิตของแผงผลิตไฟฟ้าพลังงานแสงอาทิตย์ที่ตรวจพบ

แผงที่	พิกัดของแผง	ขนาดพื้นที่ (m^2)	ค่าคำนวณได้จากโปรแกรม (kW)	ค่ากำลังผลิตนำไปพิจารณา (kW)	กำลังไฟฟ้าหม้อแปลง (kVA)
1	18.79500,98.98746	67.07	14.35	15 kW	100
2	18.79276,98.97996	22.58	4.83	5 kW	250
3	18.79047,98.98482	465.88	99.70	100 kW	315
4	18.78558,98.98814	93.23	19.95	20 kW	160
5	18.78159,98.99133	46.70	9.99	10 kW	160
6	18.78443,98.98035	34.13	7.30	10 kW	100
7	18.79114,98.97896	17.69	3.79	5 kW	160
8	18.79015,98.98931	54.24	11.61	15 kW	160
9	18.78211,98.98112	79.75	17.07	20 kW	250
10	18.78368,98.99212	23.03	4.93	5 kW	315
11	18.78318,98.99045	44.15	9.45	10 kW	400
12	18.78322,98.97874	31.83	6.81	10 kW	250
13	18.785053,98.97823	26.83	5.74	10 kW	160
14	18.785172,98.98053	28.43	6.08	10 kW	160
15	18.79344,98.98239	205.57	43.99	50 kW	ไม่ใช่ทรัพย์สิน
16	18.79164,98.97864	92.06	19.70	20 kW	ไม่ใช่ทรัพย์สิน
17	18.78991,98.98335	55.00	11.77	15 kW	ไม่ใช่ทรัพย์สิน
18	18.78779,98.98487	67.93	14.54	15 kW	ไม่ใช่ทรัพย์สิน
19	18.78769,98.97874	11.04	2.36	3 kW	ไม่ใช่ทรัพย์สิน
20	18.78587,98.97832	69.40	14.85	15 kW	ไม่ใช่ทรัพย์สิน
21	18.78505,98.99206	31.16	6.67	10 kW	ไม่ใช่ทรัพย์สิน
22	18.78476,98.99096	25.44	5.44	10 kW	ไม่ใช่ทรัพย์สิน

3.5 การตรวจหาหม้อแปลงไฟฟ้าที่เชื่อมต่อกับระบบผลิตไฟฟ้าพลังงานแสงอาทิตย์

การวิเคราะห์ความสามารถของหม้อแปลงระบบจำหน่ายแรงต่ำ ในการรองรับการขอเชื่อมต่อ ระบบผลิตไฟฟ้าพลังงานแสงอาทิตย์จะต้องทราบกำลังผลิตรวมของระบบผลิตไฟฟ้าพลังงานแสงอาทิตย์ทั้งหมดที่มีการเชื่อมต่อภายใต้หม้อแปลงเครื่องนั้นๆ จึงต้องมีการหาความสัมพันธ์ของแผง ผลิตไฟฟ้าพลังงานแสงอาทิตย์ทั้งหมดที่ตรวจพบจากโปรแกรมว่าเชื่อมต่อกับหม้อแปลงเครื่องใด โดยจะใช้โปรแกรมประยุกต์ GIS Online Power System Analysis หรือ GIS OPSA ของการไฟฟ้าส่วนภูมิภาค จากขั้นตอนนี้พบว่ามีหม้อแปลงที่เป็นทรัพย์สินของการไฟฟ้าที่เชื่อมต่อกับแผงระบบผลิตไฟฟ้าพลังงานแสงอาทิตย์ จำนวน 13 เครื่อง (แผงที่ 13, 14 ในตารางที่ 3 จะเชื่อมกับหม้อแปลงลูกเดียวกัน) และหม้อแปลงที่ไม่ใช่ทรัพย์สินของการไฟฟ้าจำนวน 8 เครื่อง โดยจะแสดงพิกัดจริงดังรูปที่ 6

รูปที่ 6 ระบบไฟฟ้าพลังงานแสงอาทิตย์บนหลังคา ที่เชื่อมต่อกับหม้อแปลงระบบจำหน่ายไฟฟ้าที่เป็นทรัพย์สินของการไฟฟ้า

4. การวิเคราะห์และอภิปรายผล

จากการวิเคราะห์หม้อแปลงระบบจำหน่ายไฟฟ้าที่มีกาเชื่อมต่อกับระบบผลิตไฟฟ้าพลังงานแสงอาทิตย์ในบริเวณภายในกำแพงเมืองจังหวัดเชียงใหม่ จำนวน 13 เครื่อง และระบบผลิตไฟฟ้าพลังงานแสงอาทิตย์บนหลังคา ทั้งหมด 14 จุด ผลจะวิธีการนี้จะแสดงดังตารางที่ 4

ตารางที่ 4 ผลการวิเคราะห์การเชื่อมต่อกับหม้อแปลง

แผงที่	ค่ากำลังผลิตที่ตรวจพบ (kW)	กำลังไฟฟ้าหม้อแปลง (kVA)	กำลังผลิต15% ของหม้อแปลงที่เชื่อมต่อได้ (kW)	กำลังผลิตคงเหลือของหม้อแปลง (kW)	ผลการวิเคราะห์ข้อมูลหม้อแปลงระบบจำหน่าย
1	15 kW	100	15	0	ไม่เกิน 15%
2	5 kW	250	37.5	32.5	ไม่เกิน 15%
3	**100 kW**	**315**	**47.25**	**-52.75**	**เกิน 15%**
4	20 kW	160	24	4	ไม่เกิน 15%
5	10 kW	160	24	14	ไม่เกิน 15%
6	10 kW	100	15	5	ไม่เกิน 15%
7	5 kW	160	24	19	ไม่เกิน 15%
8	15 kW	160	24	9	ไม่เกิน 15%
9	20 kW	250	37.5	17.5	ไม่เกิน 15%
10	5 kW	315	47.25	42.25	ไม่เกิน 15%
11	10 kW	400	60	50	ไม่เกิน 15%
12	10 kW	250	37.5	27.5	ไม่เกิน 15%
13, 14	15 kW	160	24	9	ไม่เกิน 15%

สามารถแบ่งการวิเคราะห์ผลออกได้เป็น 3 กรณี ดังนี้

กรณีที่ 1 พบว่าหม้อแปลงระบบจำหน่ายไฟฟ้าที่สามารถทำการเชื่อมต่อระบบโครงข่ายไฟฟ้าได้ ยังคงเหลือหม้อแปลงระบบจำหน่ายไฟฟ้า ทั้งหมด 11 เครื่อง ที่สามารถเชื่อมต่อกับระบบผลิตไฟฟ้าพลังงานแสงอาทิตย์บนหลังคาในอนาคตได้ โดยมีการเชื่อมต่อระบบโครงข่ายไฟฟ้าไม่เกิน 15 เปอร์เซ็นต์ของพิกัดของหม้อแปลงระบบจำหน่ายไฟฟ้า

กรณีที่ 2 พบว่าหม้อแปลงระบบจำหน่ายไฟฟ้าไม่สามารถทำการเชื่อมต่อระบบโครงข่ายไฟฟ้าเพิ่มได้อีก คือหม้อแปลงที่เชื่อมต่อกับแผง

ที่ 1 ขนาด 100 kVA เนื่องจากได้มีการเชื่อมต่อระบบโครงข่ายไฟฟ้าครบ 15 เปอร์เซ็นต์ของพิกัดของหม้อแปลงระบบจำหน่ายไฟฟ้าแล้ว หากต้องการเชื่อมต่อระบบโครงข่ายไฟฟ้าเพิ่มเติม อาจจะต้องพิจารณาในการเพิ่มขนาดหม้อแปลงระบบจำหน่ายไฟฟ้าเครื่องดังกล่าวให้มีขนาดที่ใหญ่ขึ้น เพื่อรองรับการเชื่อมต่อระบบโครงข่ายไฟฟ้าในอนาคต

กรณีที่ 3 พบว่าหม้อแปลงระบบจำหน่ายไฟฟ้าที่มีการเชื่อมต่อระบบโครงข่ายไฟฟ้าเกิน 15 เปอร์เซ็นต์ของพิกัดของหม้อแปลงระบบจำหน่ายไฟฟ้านั้น คือหม้อแปลงที่เชื่อมต่อกับแผงที่ 3 ขนาด 315 kVA โดยได้มีผู้ใช้ไฟทำการติดตั้งระบบผลิตไฟฟ้าพลังงานแสงอาทิตย์ขนาด 100 kW ซึ่งเมื่อมีการเชื่อมต่อกับระบบโครงข่ายไฟฟ้า ทำให้มีกำลังผลิต จากระบบผลิตไฟฟ้าพลังงานแสงอาทิตย์เกินมา 52.75 kW โดยเมื่อได้ลงสำรวจหน้างานและทำการตรวจสอบพบว่ามิเตอร์ไฟฟ้ายังเป็นระบบจานหมุน คาดว่ายังไม่ได้ทำการขออนุญาตเชื่อมต่อระบบจำหน่ายไฟฟ้าอย่างถูกต้อง โดยหากมีการเชื่อมต่อที่ถูกต้องแล้ว ควรมีการปรับปรุงเพิ่มขนาดหม้อแปลงเพื่อไม่ให้เกินข้อกำหนดการเชื่อมต่อระบบโครงข่ายไฟฟ้า

จากกรณีทั้ง 3 กรณีที่ได้กล่าวไว้ข้างต้นนั้น หม้อแปลงระบบจำหน่ายไฟฟ้าที่มีการเชื่อมต่อกับระบบผลิตไฟฟ้าพลังงานแสงอาทิตย์มีทั้งข้อดีและข้อเสียต่อระบบจำหน่ายไฟฟ้า โดยในส่วนของข้อดีนั้นจะส่งผลทำให้ภาระโหลดของหม้อแปลงในช่วงกลางวันลดลง ช่วยลดกำลังสูญเสียของหม้อแปลง และยังช่วยรักษาแรงดันในระบบจำหน่ายให้มีเสถียรภาพ เช่น พื้นที่ที่มีแรงดันไฟฟ้าตก เป็นต้น และในส่วนของข้อเสียอาจทำให้เกิดปัญหาทางด้านคุณภาพไฟฟ้าในบางพื้นที่ เช่น เกิดแรงดันไฟฟ้าสูงเกินมาตรฐานของระบบจำหน่ายไฟฟ้า เป็นต้น จะต้องมีการปรับปรุงขนาดของหม้อแปลงระบบจำหน่ายไฟฟ้า เพื่อรักษาเสถียรภาพของแรงดันไฟฟ้าให้ได้ตามมาตรฐาน และติดตั้งอุปกรณ์ป้องกันแรงดันไฟฟ้าไหลย้อนกลับ และจะต้องมีการตรวจสอบระบบจำหน่ายไฟฟ้า เพื่อไม่ให้มีการเชื่อมต่อระบบโครงข่ายไฟฟ้า เกินขีดจำกัด ร้อยละ 15 ของพิกัดของหม้อแปลงระบบจำหน่าย หรือมีการลักลอบเชื่อมต่อกับระบบโครงข่ายไฟฟ้าโดยไม่ได้รับอนุญาต

5. สรุป

วิธีการตรวจหากำลังผลิตของระบบผลิตไฟฟ้าพลังงานแสงอาทิตย์บนหลังคาด้วยภาพถ่ายดาวเทียม เพื่อประเมินความสามารถของหม้อแปลงระบบจำหน่ายแรงต่ำ สามารถทำงานได้อย่างดี โดยสามารถระบุสถานที่ตั้งของแผง ขนาดของหม้อแปลง และปริมาณกำลังไฟฟ้าคงเหลือของหม้อแปลง จากผลที่ได้สามารถนำไปวางแผนเพิ่มประสิทธิภาพของระบบไฟฟ้า สามารถวางแผนควบคุมแรงดันและการเชื่อมต่อระบบผลิตไฟฟ้าพลังงานแสงอาทิตย์บนหลังคาได้อย่างมีประสิทธิภาพ และยังสามารถตรวจสอบแผงที่ยังไม่ได้ขออนุญาตเชื่อมต่อกับระบบไฟฟ้าได้

6. กิตติกรรมประกาศ

คณะวิจัยขอแสดงความขอบคุณอย่างยิ่งต่อภาควิชาวิศวกรรมไฟฟ้า คณะวิศวกรรมศาสตร์ มหาวิทยาลัยเทคโนโลยีราชมงคลล้านนา สำหรับการจัดสรรทรัพยากรและการสนับสนุนที่จำเป็น ซึ่งมีส่วนสำคัญต่อความสำเร็จของบทความ อีกทั้งขอขอบคุณสถาบันวิจัยและพัฒนา มหาวิทยาลัยเทคโนโลยีราชมงคลล้านนา สำหรับการสนับสนุนด้านงบประมาณในการนำเสนอ และขอขอบคุณการไฟฟ้าส่วนภูมิภาคที่สนับสนุนทรัพยากรและข้อมูลทางด้านเทคนิคต่าง ๆ ที่เกี่ยวข้อง

เอกสารอ้างอิง

[1] F. Angizeh, J. Bae, J. Chen, A. Klebnikov, and M. A. Jafari, "Impact Assessment Framework for Grid Integration of Energy Storage Systems and Renewable Energy Sources Toward Clean Energy Transition," IEEE Access, vol. 11, pp. 134995-135005, 2023

[2] H. Jain, B. Mather, A. K. Jain, and S. F. Baldwin, "Grid-Supportive Loads—A New Approach to Increasing Renewable Energy in Power Systems," IEEE Trans. Smart Grid, vol. 13, no. 4, pp. 2959-2972, Jul. 2022.

[3] Provincial Electricity Authority (PEA), "ข้อกำหนดการเชื่อมต่อระบบโครงข่าย พ.ศ.2559," PEA, 2559. [ออนไลน์]. เข้าถึงได้จาก: https://www.pea.co.th/business-partner/regulation (เข้าถึงเมื่อ: ก.ค. 9, 2568).

[4] B. Suechoey, S. Siriporananon, and O. Wannaraj, "Impact Analysis of a Solar Rooftop With Batteries Installed on the Roof of an Organic Fertilizer Plant," Kasem Bundit Eng. J., vol. 12, no. 2, pp. 51-66, May–Aug. 2022.

[5] C. Ezekwem and S. Muthusamy, "Feasibility study of integrating the renewable energy system for increased electricity access: A case study of Choba community in Nigeria," Sci. Afr., vol. 21, Art. No. e01781, 2023.

[6] Geo-Informatics and Space Technology Development Agency (Public Organization) (GISTDA), "การประยุกต์ใช้ข้อมูลจากดาวเทียม," GISTDA. [ออนไลน์]. เข้าถึงได้จาก: https://www.gistda.or.th/news_view.php?n_id=2396&lang=TH (เข้าถึงเมื่อ: ก.ค. 9, 2568).

[7] S. Ahmed et al., "A Comprehensive Review of Solar Photovoltaic Systems: Scope, Technologies, Applications, Progress, Challenges, and Recommendations," IEEE Access, vol. 13, pp. 69750-69769, Apr. 2025.

[8] Z. Sandi, "Examining Power Quality Challenges in Photovoltaic-Grid Integration: A Critical Review," J. Power Energy Control, vol. 1, no. 1, Art. No. 4, Apr. 2024.

[9] J. Solawetz, "What is YOLOv5? A Guide for Beginners," Roboflow Blog, 2020. [ออนไลน์]. เข้าถึงได้จาก: https://blog.roboflow.com/yolov5-improvements-and-evaluation/ (เข้าถึงเมื่อ: ก.ค. 9, 2568).

Variable Step Size Complex Direct Frequency Estimation Algorithm

Prayuth Inban[1], Rachu Punchalard[1*], Chokchai Sangdao[1], Wutthiporn Loetwasana[1], and Boonchai Boonchu[2]

[1]School of Electrical Engineering, Faculty of Industrial Technology, Rajabhat Rajanakarindra University Chachoengsao, Thailand, rachu@techno.rru.ac.th*

[2]School of Electrical Technology, Faculty of Engineering and Industrial Technology, Suan Sunandha Rajabhat University, Bangkok, Thailand

Abstract

A variable step size complex direct frequency estimation (VSCDFE) algorithm for linear prediction for a complex sinusoidal frequency estimation is proposed in this paper. The step size of a conventional CDFE algorithm is adjusted so as to improve the convergence properties by using an accumulative gradient technique. Simulation results have been drawn to demonstrate the validation of the proposed VSCDFE.

Keywords: Adaptive algorithm, Gradient Algorithm, Variable Step size, Direct Frequency estimation

1. Introduction

A complex sinusoidal frequency estimation based on a linear predictor using the CDFE adaptive algorithm [1] is very attractive due to low complexity and simplicity of implementation. Frequency estimation is an interesting problem and is found in applications in many fields, such as communications [2], [3], smart grids [4], radar [5], and so on. There are many studies concerning frequency estimation, but we will only be focusing on the CDFE [1] in this article. As has been shown in Fig. 8 in [1], the CDFE is worse than the modified complex plain gradient (MCPG) [6] in terms of convergence speed; the convergence properties of the CDFE must be further improved. The CDFE sets step size as a constant value, making it impossible to control the convergence properties. This problem is therefore the motivation for this work.

To improve the convergence properties of the CDFE, we present a technique to adapt the value of the step size. In the early state of adaptation, it is set to have a high value, and after convergence, it is set to have a low value. By doing this, the proposed VSCDFE will converge faster and provide more accurate solutions.

2. Proposed Technique

It is assumed that a single-tone sinusoidal signal is of the form

$$x_n = Ae^{j(\Omega_0 n+\phi)} + v_n,\ n = 0,1,... \tag{1}$$

where A, Ω_0, and ϕ are, respectively, the signal amplitude, frequency and phase. For the sake of simplicity, A and Ω_0 are treaded as the unknown constants and θ is uniformly distributed over $[-\pi, \pi]$. $v_n = v_{r,n} + jv_{i,n}$ is a complex zero mean Gaussian noise whose variance of σ^2. $v_{r,n}$ and $v_{i,n}$ are, respectively, real and imaginary parts of the noise whose identical variance of $\sigma^2/2$. An input signal to noise ratio is calculated by $SNR = A^2/\sigma^2$. To estimate Ω_0 of the observation x_n, a linear predictor [1] is utilized. The linear prediction error signal is given by

$$e_n = x_n - e^{j\hat{\Omega}_0} x_{n-1} \tag{2}$$

where $\hat{\Omega}_0$ is an estimate of Ω_0 and to be adjusted by the CDFE algorithm (see [1], Eqs. (3) - (11)), which can be described as follows:

$$\hat{\Omega}_{0,n+1} = \hat{\Omega}_{0,n} + \mu g_n \tag{3}$$

$$g_n = \mathrm{Re}\{e_n s_n^*\} \tag{4}$$

$$s_n = jx_{n-1}e^{j\hat{\Omega}_0} \tag{5}$$

where $\mathrm{Re}\{x\}$ is the real value of x, the asterisk '*' means the complex conjugation, and μ is a step size whose value is fixed at some constant.

In this work, the step size μ is adjusted based on accumulative gradient signal, which can be described by

$$\mu_{n+1} = \alpha\mu_n + (1-\alpha)p_n^2 \tag{6}$$

$$p_n = \alpha p_{n-1} + (1-\alpha)g_n, \tag{7}$$

where $0 << \alpha < 1$ is the tuning parameter and g_n is known as a gradient signal. Eq. (7) is an accumulative value of the gradient signal g_n which is used to adjust the step size in Eq. (6). Ultimately, the proposed VSCDFE is derived as

$$\hat{\Omega}_{0,n+1} = \hat{\Omega}_{0,n} + \mu_n g_n \tag{8}$$

In the next section, the performance of the proposed VSCDFE will be demonstrated.

*Corresponding Author

3. Numerical Results

In this section, the performances of the proposed VSCDFE are demonstrated and compared with those of CDFE and MCPG. Fig. 1 shows the averaged values of the proposed time-varying step size parameter for 0 and 10 dB of SNR. The parameters setting herein include $\Omega_0 = 0.3\pi$, $\phi \in [-\pi, \pi]$, $\mu(0) = 0$, $\hat{\Omega}_0(0) = 0$, $\alpha = 0.93$, data length L=500 and 1000 computer runs. It is seen from Fig. 1 that at the early stage of adaptation, the step size is high. After converging, its value is low as desired. Therefore, it ensures that the convergence of the CDFE is improved. In Figs. 2 and 3, the proposed and comparative algorithms are assigned to estimate the input signal frequency under the following conditions: SNR ={0, 10} dB, $\phi \in [-\pi, \pi]$, $\Omega_0 = 0.3\pi$, $\hat{\Omega}_0(0) = 0$, $\mu(0) = 0$, @0dB $\mu_{cdfe} = 0.02$, $\mu_{mcpg} = 0.025$ @10dB, $\mu_{cdfe} = 0.025$, $\mu_{mcpg} = 0.0125$ data length L=500 and 1000 computer runs. The step size μ of the CDFE and MCPG are individually adjusted to reach the same simulated mean square error (MSE) as those of the proposed VSCDFE. Note that, a general form of the MSE is defined by

$$\text{MSE} = \text{var}(\hat{\Omega}_0) + \text{bias}^2 \qquad (9)$$

where $\text{var}(\hat{\Omega}_0)$ is the variance of $\hat{\Omega}_0(n)$, bias = Ω_0 - $E[\hat{\Omega}_0(n)]$. To obtain the estimated MSE, the 1000 independent runs of each algorithm are ensemble averaged. The results are shown in Figs. 2 and 3 for 0 and 10 of SNR, respectively. It is seen that at a low SNR scenario (0 dB), the performance of the VSCDFE and CDFE is almost the same, whereas the speed of the MCPG is better than the counterparts. This is not surprise because the filter structure of MCPG is IIR but they are FIR for VSCDFE and CDFE. However, for a high value of SNR (10 dB) as shown in Fig. 3, the convergence speed of the proposed VSCDFE is better than those of the CDFE and MCPG. This is due to the effect of the proposed time-varying step size proposed in Eqs. (6) and (7). Note for the proposed VSCDFE, to obtain the desired performance, the user can tune the parameter α independently. The recommended range is $\alpha \in [0.9, 0.95]$.

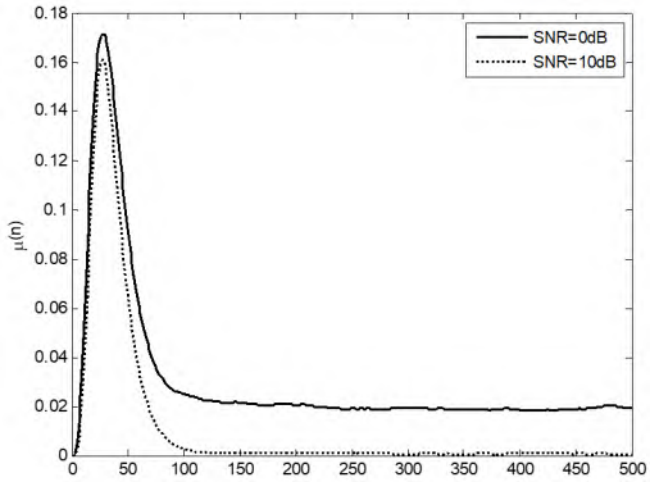

Fig. 1. Proposed time-varying step size parameter for 0 and 10 dB of SNR.

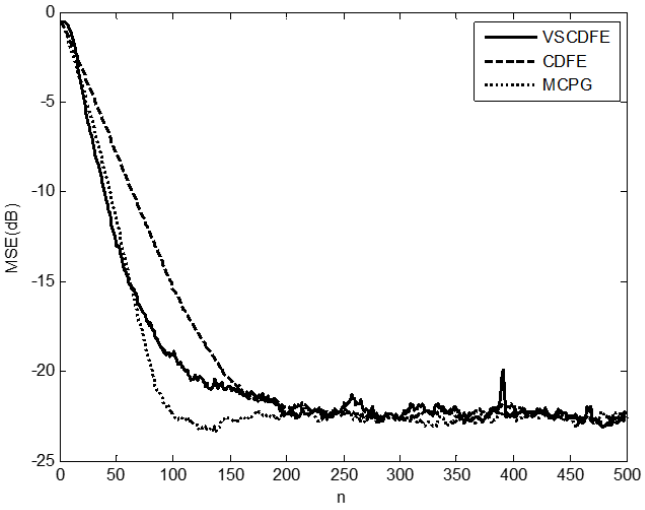

Fig. 2. Convergence speed comparison at the same value of MSE for 0 dB of SNR.

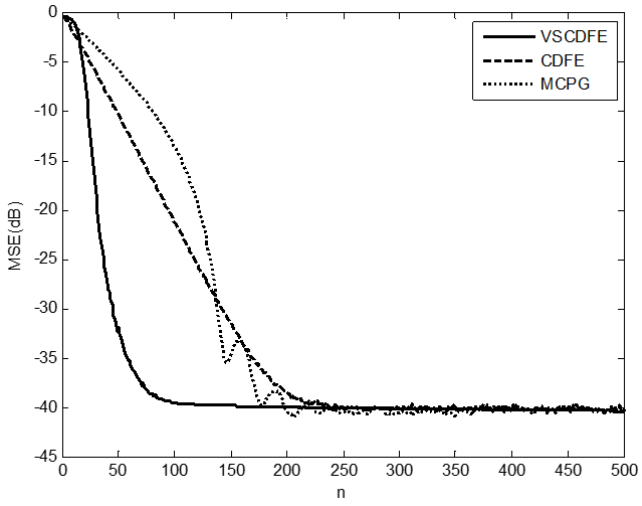

Fig. 3. Convergence speed comparison at the same value of MSE for 10 dB of SNR.

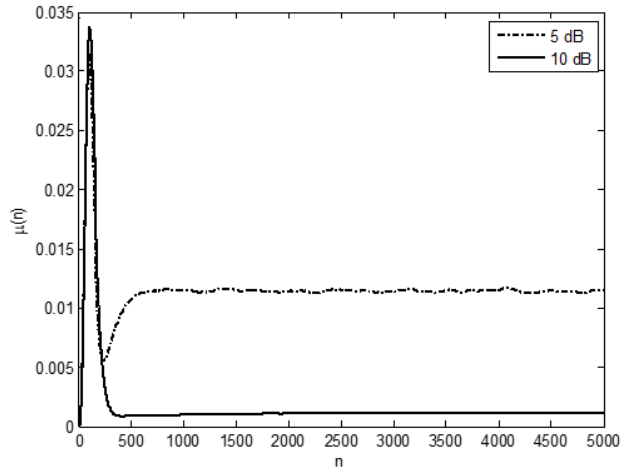

Fig. 4. Proposed time varying step-size parameter for 5 and 10 dB of SNR

4. Conclusions

A VSCDFE adaptive algorithm for a complex linear predictor for a complex single-tone frequency estimation is proposed. As compared to the conventional CDFE and MCPG, VSCDFE shows better convergence speed in a high SNR value scenario. Steady state analysis of the proposed VSCDFE in an interesting topic and will be done in the further work.

References

[1] R. Punchalard, P. Wardkein, "Linear prediction based adaptive algorithm for a complex sinusoidal frequency estimation," AEU - International Journal of Electronics and Communications, Vol. 67, Issue 6, pp. 521-527, 2013.

[2] Razzaq, H.S.; Hussain, Z.M., "Instantaneous Frequency Estimation of FM Signals under Gaussian and Symmetric-Stable Noise: Deep Learning versus Time–Frequency Analysis." Information, vol. 14, no. 18, 2023.

[3] Shuman Kong, Zhijiang Dai, Tianfu Cai, Yi Jin, Weimin Shi, Jingzhou Pang, Mingyu Li, "Carrier frequency offset recovery with I/Q imbalance using four-point interpolated DFT algorithm," AEU - International Journal of Electronics and Communications, Vol. 178, 2024.

[4] Mengüç, E.C., Acır, N., "Frequency Estimation Methods for Smart Grid Systems," In: Kabalci, E., Kabalci, Y. (eds) Smart Grids and Their Communication Systems. Energy Systems in Electrical Engineering. Springer, Singapore, 2019.

[5] P. Chinakaew, S. Sinchai, P. Wardkein and J. Koseeyaporn, "Frequency Estimation of Short Range Radar Using Adaptive FIR Notch Filter and SAGC for Velocity Detection," *3rd International Conference on Computer and Communication Systems (ICCCS)*, Nagoya, Japan, pp. 421-425, 2018.

[6] A. Nosan, R. Punchalard, "A complex adaptive notch filter using modified gradient algorithm," Signal Processing, vol. 92, issue 6, pp. 1508-1514, 2012.

Photo
2 cm x 2 cm

Author's biography : Please brief the author's biography and research interests.

การวิเคราะห์เปรียบเทียบความสูญเสียพลังงานและการลดก๊าซเรือนกระจกของระบบผลิตไฟฟ้าพลังงานแสงอาทิตย์บนหลังคาระหว่างค่าจริงและค่าประเมิน

A Comparative Analysis of Energy Losses and Greenhouse Gas Reduction in Photovoltaic Rooftop Systems Between Actual and Estimated Values

นเรศ ชลังสุทธิ์[1] ณัชพล เรืองทรัพย์[1] และ นัฐโชติ รักไทยเจริญชีพ[1]*

[1]สาขาวิชาวิศวกรรมไฟฟ้า คณะวิศวกรรมศาสตร์ มหาวิทยาลัยเทคโนโลยีราชมงคลพระนคร narate.c @rmutp.ac.th natchapol@ieee.org nattachote.r@rmutp.ac.th*

บทคัดย่อ

บทความนี้เสนอการวิเคราะห์เปรียบเทียบความสูญเสียพลังงานและการลดก๊าซเรือนกระจกของระบบผลิตไฟฟ้าพลังงานแสงอาทิตย์บนหลังคาระหว่างค่าจริงและค่าประเมิน วัตถุประสงค์เพื่อเปรียบเทียบความสูญเสียของพลังงานและการลดก๊าซเรือนกระจก ระบบผลิตไฟฟ้าพลังงานแสงอาทิตย์บนหลังคาขนาด 149.80 กิโลวัตต์ ประเมินด้วยโปรแกรม PVsyst เปรียบเทียบกับค่าที่วัดจริง 12 เดือนของปี พ.ศ. 2567 การประเมินการลดก๊าซเรือนกระจกคำนวณตามการผลิตไฟฟ้าจากพลังงานหมุนเวียนขององค์การบริหารจัดการก๊าซเรือนกระจก (องค์การมหาชน) ผลลัพธ์พบว่าผลต่างของพลังงาน คือ ร้อยละ 22 และผลต่างของการลดก๊าซเรือนกระจก คือ 20.88 ตันคาร์บอนไดออกไซด์เทียบเท่า

คำสำคัญ: ความสูญเสียพลังงาน การลดก๊าซเรือนกระจก ระบบผลิตไฟฟ้าพลังงานแสงอาทิตย์บนหลังคา

Abstract

This paper presents a comparative analysis of energy losses and greenhouse gas reduction in photovoltaic rooftop system between actual and estimated values. The objective is to compare the energy losses and greenhouse gas reduction of a 149.80-kilowatt photovoltaic rooftop system, with estimations performed using the PVsyst software and actual measured data collected over 12 months in the year 2024. The greenhouse gas reduction is calculated based on the renewable electricity generation emission factor provided by the Thailand Greenhouse Gas Management Organization (Public Organization). The results show that the energy difference is 22%, and the difference in greenhouse gas reduction is 20.88 tons of carbon dioxide equivalent.

Keywords: Energy Losses, Greenhouse Gas Reduction, Photovoltaic Rooftop Systems

1. บทนำ

ในปัจจุบันการผลิตไฟฟ้าจากพลังงานแสงอาทิตย์ได้รับความนิยมอย่างแพร่หลาย โดยเฉพาะในรูปแบบการติดตั้งบนหลังคา เนื่องจากเป็นพลังงานสะอาดที่ช่วยลดการพึ่งพาพลังงานจากฟอสซิลและช่วยลดการปล่อยก๊าซเรือนกระจกได้อย่างมีประสิทธิภาพ [1]-[2] อย่างไรก็ตามในการออกแบบและวิเคราะห์ระบบมักใช้ค่าประเมินหรือผลจากโปรแกรมจำลอง เช่น PVsyst เพื่อคาดการณ์การผลิตไฟฟ้าและปริมาณการลดการปล่อยก๊าซเรือนกระจก แต่ในความเป็นจริง ระบบผลิตไฟฟ้าพลังงานแสงอาทิตย์อาจประสบความสูญเสียด้านพลังงานจากปัจจัยต่าง ๆ เช่น การเสื่อมสภาพของอุปกรณ์ การสะสมฝุ่น เงาที่เกิดขึ้นจริง หรืออุณหภูมิแวดล้อมที่สูงเกินกว่าที่คาดการณ์ไว้ ซึ่งส่งผลให้ผลผลิตจริงแตกต่างจากค่าประเมิน

ในอดีตมีงานวิจัยที่เกี่ยวข้องกับการประเมินกำลังการผลิตของระบบผลิตไฟฟ้าพลังงานแสงอาทิตย์บนหลังคา ได้แก่ ในปี พ.ศ. 2555 [3] มีการเปรียบเทียบการผลิตพลังงานจริงและที่วัดได้ของโรงไฟฟ้าพลังงานแสงอาทิตย์แรงดันต่ำขนาดกลาง โปรแกรมที่ใช้ ได้แก่ PVsyst 5.2 รุ่นเบื้องต้น เครื่องมือโครงการ PVsyst 5.2 และ PVgis ผลลัพธ์พบว่าพลังงานที่ผลิตได้จากโรงไฟฟ้าพลังงานแสงอาทิตย์แรงดันต่ำขนาดกลางแตกต่างกันระหว่าง 1,380 kWh และ 1,810 kWh สำหรับระบบติดตั้งแบบคงที่ ในขณะที่ผลการจำลองจะแตกต่างกันระหว่าง 1,118 kWh และ 1,446 kWh เพื่อให้ได้การคาดการณ์ผลผลิตพลังงานไฟฟ้าประจำปีของไซต์ที่ตรวจสอบที่ปลอดภัยและเชื่อถือได้มากขึ้น อย่างไรก็ตามยังคงน้อยกว่าการผลิตพลังงานจริง 15.66% ในปี พ.ศ. 2560 [4] วิเคราะห์ระบบผลิตไฟฟ้าพลังงานแสงอาทิตย์แบบติดตั้งบนหลังคาขนาด 8 กิโลวัตต์ ของคณะสิ่งแวดล้อมและทรัพยากรศาสตร์ มหาวิทยาลัยมหิดลระบบผลิตพลังงานได้เฉลี่ย 978.64 กิโลวัตต์ชั่วโมงต่อเดือน วัตถุประสงค์เพื่อประเมินเพิ่มกำลังการผลิตอีก 0.5 เมกกะวัตต์ ซึ่งจะผลิตไฟฟ้าได้ 16,837,549 กิโลวัตต์ชั่วโมง และจะสามารถลดปริมาณการปลดปล่อยคาร์บอนได้ 9,531.73 ตัน ในปี พ.ศ. 2564 [5] มีการออกแบบระบบผลิตไฟฟ้าพลังงานแสงอาทิตย์ขนาด 250 kW ของมหาวิทยาลัยภาคตะวันออกเฉียงเหนือ วัตถุประสงค์เพื่อเพื่อลดค่าใช้จ่ายในการซื้อไฟฟ้าจากแหล่งจ่ายไฟฟ้าภายนอก ผลลัพธ์พบว่าระบบผลิตพลังงานไฟฟ้า 350,400 กิโลวัตต์ชั่วโมงต่อปี มูลค่าพลังงานที่ประหยัดได้ 1,506,720 บาทต่อปี ระยะเวลาคืนทุน 6.64 ปี

*นัฐโชติ รักไทยเจริญชีพ; nattachote.r@rmutp.ac.th

ดังนั้นบทความนี้วิเคราะห์เปรียบเทียบความสูญเสียพลังงานและการลดก๊าซเรือนกระจกของระบบผลิตไฟฟ้าพลังงานแสงอาทิตย์บนหลังคา ระหว่างค่าจริงและค่าประเมิน โดยการประเมินใช้โปรแกรม PVsyst เพื่อหาส่วนต่างความสูญเสียพลังงานของระบบผลิตไฟฟ้าพลังงานแสงอาทิตย์บนหลังคากำลังการผลิต 149.80 kW

2. ทฤษฎีที่เกี่ยวข้อง

2.1 ระบบผลิตไฟฟ้าพลังงานแสงอาทิตย์

ระบบผลิตไฟฟ้าขนาดเล็กที่เชื่อมต่อกับระบบจำหน่าย เช่น พลังงานแสงอาทิตย์ ลม และน้ำหรือเรียกว่า “เครื่องกำเนิดไฟฟ้าแบบกระจายตัว (Distributed Generation: DG)” พลังงานแสงอาทิตย์เป็นวิธีหนึ่งในการผลิตไฟฟ้าจากแหล่งธรรมชาติ ซึ่งมีความสะอาด ปลอดภัย และยั่งยืนกว่าแหล่งพลังงานประเภทถ่านหิน [6]-[7]

การผลิตพลังงานไฟฟ้าจากระบบผลิตไฟฟ้าพลังงานแสงอาทิตย์จะมีค่าลดลงทุกปี เนื่องจากการเสื่อมสภาพของวัสดุ ความชื้น ความร้อน และการเสื่อมสภาพของจุดเชื่อมต่อ หรือการเกิดจุดร้อนแดง ส่งผลให้การคืนทุนยาวนานขึ้น ดังนั้นจำเป็นต้องบำรุงรักษาและตรวจสอบเพื่อยืดอายุการใช้งานของระบบ การลดลงของประสิทธิภาพแผงโซลาร์เซลล์ ดังแสดงในรูปที่ 1

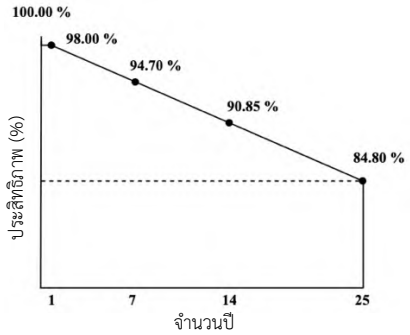

รูปที่ 1 การลดลงของประสิทธิภาพแผงโซลาร์เซลล์

จากรูปที่ 1 ประสิทธิภาพแผงลดลง 2% ในปีแรกและ 0.55% ในปีถัดไป ส่งผลให้ความจุของระบบลดลง การยกระดับแรงดันไฟฟ้าในระบบจำหน่ายด้วยเครื่องกำเนิดไฟฟ้าแบบกระจายตัว ดังแสดงในรูปที่ 2

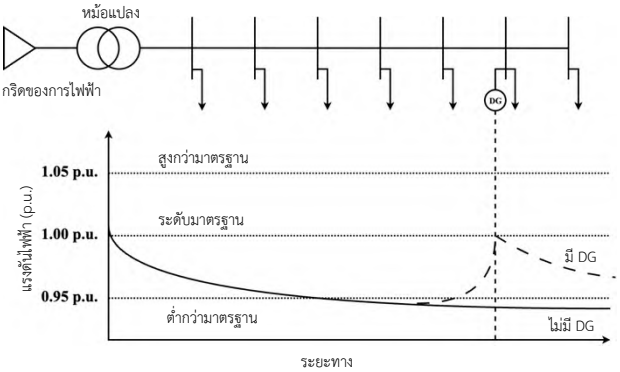

รูปที่ 2 การยกระดับแรงดันไฟฟ้าในระบบจำหน่าย
ด้วยเครื่องกำเนิดไฟฟ้าแบบกระจายตัว

จากรูปที่ 2 แสดงเมื่อติดตั้งเครื่องกำเนิดไฟฟ้าแบบกระจายตัวในระบบจำหน่ายจะช่วยลดกระแสในสายป้อนส่งผลให้แรงดันเพิ่มสูงขึ้น

2.2 ข้อมูลทางเทคนิคของระบบ

หลังคาของการติดตั้งแผงเซลล์แสงอาทิตย์แบ่งออกเป็น 2 ด้าน ดังนั้นจึงได้ออกแบบมุมของแผง ได้แก่ ด้านที่ 1 มุมเอียง (Tilt angle) 5° มุมอาซิมุท (Azimuth angle) -60° ด้านที่ 2 มุมเอียง 5° มุมอาซิมุท 120° ระบบผลิตไฟฟ้าพลังงานแสงอาทิตย์บนหลังคากำลังการผลิต 149.80 kW ดังแสดงในรูปที่ 3

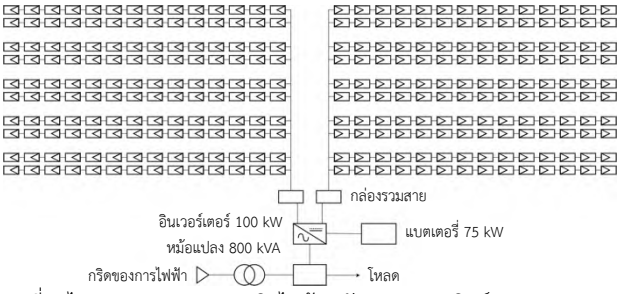

รูปที่ 3 ไดอะแกรมของระบบผลิตไฟฟ้าพลังงานแสงอาทิตย์แบบผสมผสานบนหลังคาความจุ 149.80 kW

จากรูปที่ 3 ระบบผลิตไฟฟ้าพลังงานแสงอาทิตย์บนหลังคากำลังการผลิต 149.80 kW ประกอบไปด้วย แผงจำนวน 280 แผง ขนาดแผงละ 535 kW ขนาดอินเวอร์เตอร์ 100 kW แบตเตอรี่ขนาด 75 kW

2.3 การคำนวณการลดก๊าซเรือนกระจก

การคำนวณการลดก๊าซเรือนกระจกในบทความนี้ใช้ขอบเขตการคำนวณตามวิธีการผลิตไฟฟ้าจากพลังงานหมุนเวียนเพื่อทดแทนการใช้ไฟฟ้าจากระบบส่งหรือระบบจำหน่ายเข้าสู่ระบบสายส่งตามโครงการ T-VER ซึ่งพัฒนามาจากกลไกการพัฒนาที่สะอาด [8]-[9]

การคำนวณปริมาณการปล่อยก๊าซเรือนกระจกที่ลดลง (Emission Reduction: ER)

$$ER_y = BE_y - PE_y - LE_y \quad (1)$$

โดยที่ ER_y คือ ปริมาณก๊าซเรือนกระจกที่ถูกปล่อยลดลงในปี y (tCO_2eq/ปี) BE_y คือ ปริมาณก๊าซเรือนกระจกที่ถูกปล่อยลดลงในปี y ของกรณีฐาน (tCO_2eq/ปี) PE_y คือ ปริมาณก๊าซเรือนกระจกที่ถูกปล่อยลดลงในปี y ของโครงการในปี y (tCO_2eq/ปี) LE_y คือ การปล่อยก๊าซเรือนกระจกที่เกิดขึ้นนอกขอบเขตโครงการในปี y (tCO_2eq/ปี) PE ถือเป็นศูนย์ เนื่องจากโครงการลดก๊าซเรือนกระจกไม่เกี่ยวข้องกับการใช้เชื้อเพลิงฟอสซิลหรือไฟฟ้า

$$BE_y = BE_{EG,y} = (EG_{consumer,PJ,y} \times 10^{-3}) \times EF_{EC,PJ,y} \quad (2)$$

โดยที่ BE_{pj} คือ ปริมาณก๊าซเรือนกระจกที่ถูกปล่อยของการผลิตพลังงานจากกริดในปี y (tCO_2eq/year) $EG_{consumer,PJ,y}$ คือ พลังงานไฟฟ้าของโซลาร์เซลล์ที่ผลิตได้ในปี y (kWh/year) $EF_{EC,PJ,y}$ คือ ก๊าซเรือนกระจกจาก

กระบวนการผลิตพลังงานไฟฟ้าที่ถูกปล่อยของกริด (tCO_2eq/MWh) ใช้ค่า 0.4682 tCO_2/MWh

2.4 การดำเนินการ

แผนภาพการวิเคราะห์ ดังแสดงในรูปที่ 4

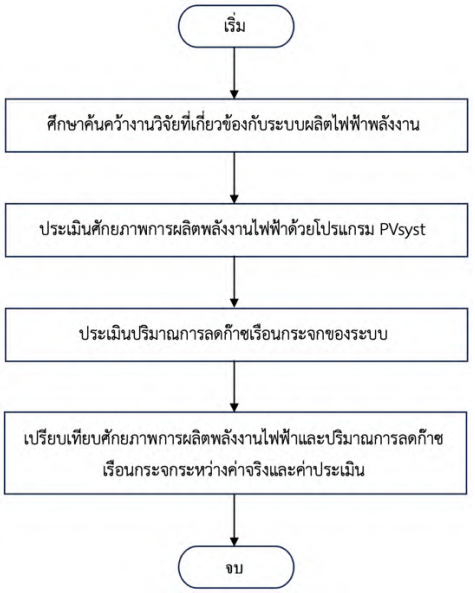

รูปที่ 4 แผนภาพการวิเคราะห์

3. ผลลัพธ์

ผลลัพธ์ของการวิเคราะห์แบ่งออกเป็น 2 ส่วน ได้แก่ การวิเคราะห์พลังงานที่สูญเสีย และปริมาณก๊าซเรือนกระจกที่สามารถลดได้จากระบบผลิตไฟฟ้าพลังงานแสงอาทิตย์บนหลังคา

การเปรียบเทียบพลังงานไฟฟ้าสูญเสียระหว่างค่าจริงและค่าประเมินของระบบผลิตไฟฟ้าพลังงานแสงอาทิตย์แบบผสมผสานบนหลังคา ดังสดงในตารางที่ 1

ตารางที่ 1 การวิเคราะห์พลังงานสูญเสียระหว่างค่าจริงและค่าประเมินของระบบผลิตไฟฟ้าพลังงานแสงอาทิตย์แบบผสมผสานบนหลังคา

เดือน	ค่าจริง (kWh)	ค่าประเมิน (kWh)	ร้อยละผลต่าง
มกราคม	12,172.80	16,766.00	27.00
กุมภาพันธ์	11,187.60	15,636.00	28.00
มีนาคม	13,216.30	19,033.00	31.00
เมษายน	13,762.00	18,852.00	27.00
พฤษภาคม	13,224.20	18,682.00	29.00
มิถุนายน	13,428.70	17,064.00	21.00
กรกฎาคม	12,092.90	16,770.00	28.00
สิงหาคม	15,008.30	16,166.00	7.00
กันยายน	12,712.70	14,863.00	14.00
ตุลาคม	12,979.00	15,144.00	14.00
พฤศจิกายน	13,685.00	14,960.00	9.00
ธันวาคม	12,313.60	16,443.00	25.00
รวม	155,783.10	200,378.00	22.00

จากตารางที่ 1 ส่วนต่างระหว่างค่าจริงและค่าประเมินของระบบผลิตไฟฟ้าพลังงานแสงอาทิตย์บนหลังคา คือ 44,595.90 kWh การเปรียบเทียบพลังงานสูญเสียระหว่างค่าจริงและค่าประเมินของระบบผลิตไฟฟ้าพลังงานแสงอาทิตย์แบบผสมผสานบนหลังคา ดังแสดงในรูปที่ 5

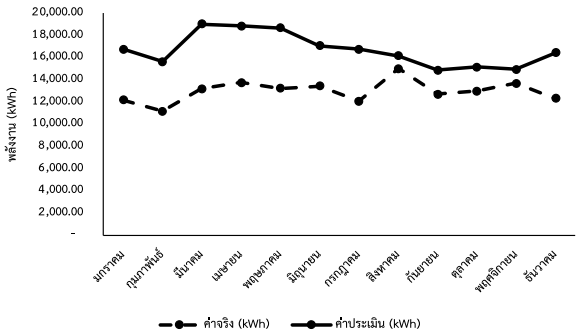

รูปที่ 5 การเปรียบเทียบพลังงานสูญเสียระหว่างค่าจริงและค่าประเมินของระบบผลิตไฟฟ้าพลังงานแสงอาทิตย์แบบผสมผสานบนหลังคา

จากรูปที่ 5 เดือนที่มีผลต่างต่ำที่สุด คือ เดือนสิงหาคม (ร้อยละ 7) และเดือนที่มีผลต่างสูงที่สุด คือ เดือนมีนาคม (ร้อยละ 31) การวิเคราะห์การลดก๊าซเรือนกระจกระหว่างค่าจริงและค่าประเมินของระบบผลิตไฟฟ้าพลังงานแสงอาทิตย์แบบผสมผสานบนหลังคา ดังแสดงในตารางที่ 2

ตารางที่ 2 การวิเคราะห์การลดก๊าซเรือนกระจกระหว่างค่าจริงและค่าประเมินของระบบผลิตไฟฟ้าพลังงานแสงอาทิตย์แบบผสมผสานบนหลังคา

เดือน	ค่าจริง (tCO_2eq)	ค่าประเมิน (tCO_2eq)	ผลต่าง (tCO_2eq)
มกราคม	5.70	7.85	2.15
กุมภาพันธ์	5.24	7.32	2.08
มีนาคม	6.19	8.91	2.72
เมษายน	6.44	8.83	2.38
พฤษภาคม	6.19	8.75	2.56
มิถุนายน	6.29	7.99	1.70
กรกฎาคม	5.66	7.85	2.19
สิงหาคม	7.03	7.57	0.54
กันยายน	5.95	6.96	1.01
ตุลาคม	6.08	7.09	1.01
พฤศจิกายน	6.41	7.00	0.60
ธันวาคม	5.77	7.70	1.93
รวม	72.94	93.82	20.88

จากตารางที่ 2 ส่วนต่างการลดก๊าซเรือนกระจกระหว่างค่าจริงและค่าประเมินของระบบผลิตไฟฟ้าพลังงานแสงอาทิตย์บนหลังคา คือ 20.88 tCO_2eq การเปรียบเทียบการลดก๊าซเรือนกระจกระหว่างค่าจริงและค่าประเมินของระบบผลิตไฟฟ้าพลังงานแสงอาทิตย์แบบผสมผสานบนหลังคา ดังแสดงในรูปที่ 6

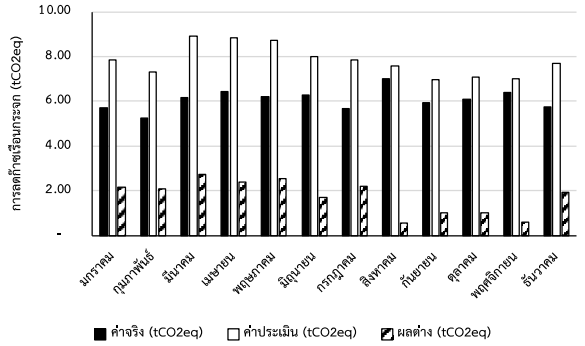

รูปที่ 6 การเปรียบเทียบการลดก๊าซเรือนกระจกระหว่างค่าจริงและค่าประเมินของระบบผลิตไฟฟ้าพลังงานแสงอาทิตย์แบบผสมผสานบนหลังคา

จากรูปที่ 6 เดือนที่มีผลต่างต่ำที่สุด คือ เดือนสิงหาคม (0.54 tCO_2eq) และเดือนที่มีผลต่างสูงที่สุด คือ เดือนมีนาคม (2.72 tCO_2eq)

4. สรุป

บทความนี้เสนอการวิเคราะห์เปรียบเทียบความสูญเสียพลังงานและการลดก๊าซเรือนกระจกของระบบผลิตไฟฟ้าพลังงานแสงอาทิตย์บนหลังคาระหว่างค่าจริงและค่าประเมิน ระบบผลิตไฟฟ้าพลังงานแสงอาทิตย์บนหลังคาขนาด 149.80 กิโลวัตต์ ผลลัพธ์พบว่าประเมินด้วยโปรแกรม PVsyst เปรียบเทียบกับค่าที่วัดจริง 12 เดือนของปี พ.ศ. 2567 คือ 200,379.00 kWh และค่าที่วัดจริง คือ 155,783.10 kWh ต่างกันร้อยละ 22 ในส่วนของผลการประเมินการลดก๊าซเรือนกระจกคำนวณตามการผลิตไฟฟ้าจากพลังงานหมุนเวียนพบว่าค่าจากการประเมิน คือ 93.82 tCO_2eq และค่าที่ประเมินจากค่าที่วัดจริง คือ 72.94 tCO_2eq ต่างกัน 20.88 tCO_2eq

5. กิตติกรรมประกาศ

ผู้เขียนขอขอบคุณ สาขาวิชาวิศวกรรมไฟฟ้า คณะวิศวกรรมศาสตร์ มหาวิทยาลัยเทคโนโลยีราชมงคลพระนคร ที่สนับสนุน

เอกสารอ้างอิง

[1] T. E Drennen, J. D Erickson, and D. Chapman, “Solar power and climate change policy in developing countries” *Energy Policy*, vol. 24, pp. 9-16, 1996.

[2] N. Rugthaicharoencheep, N. Ruangsap, and S. Nedphokaew, “Shortening the Payback Period of Greenhouse Gas Reduction Benefits from Photovoltaic Rooftop Systems” Energies, vol. 17, pp. 6159, 2024.

[3] G. A. Vokas, and K. V. Lagogiannis, “PV Energy Production Over Greece: Comparison of Predicted and Measured Data of Medium-Scale Photovoltaic Parks” *International Journal of Engineering Research & Technology (IJERT)*, vol. 2, pp. 3005-3011, 2013.

[4] กันต์ ปานประยูร, “ระบบผลิตไฟฟ้าพลังงานแสงอาทิตย์แบบติดตั้งบนหลังคา ขนาด 8 กิโลวัตต์และความเป็นไปได้ของการขยายระบบ” วารสารการพัฒนางานประจาสู่งานวิจัย, vol. 4, pp. 76-86, 2017.

[5] ประกรณ์ชัย พลรัตนศักดิ์ และ ชัยพร อัดโดดดร, “ระบบผลิตไฟฟ้าพลังงานแสงอาทิตย์แบบติดตั้งบนหลังคาของมหาวิทยาลัยภาคตะวันออกเฉียงเหนือ จังหวัดขอนแก่น ขนาด 250 กิโลวัตต์ในบริบทของมหาวิทยาลัยสีเขียว” *วารสารวิศวกรรมศาสตร์ มหาวิทยาลัยสยาม*, vol. 22, no. 43, pp. 14-22, 2021.

[6] N. Ruangsap, S. Nedphokaew, and N. Rugthaicharoencheep, “ Planning and Operation Enhanced Voltage Profile by Using Distributed Generators Installation in Distribution System with Feeder Reconfiguration,” *2022 International Conference on Power, Energy and Innovations (ICPEI)*, Pattaya Chonburi, Thailand, 2022.

[7] N. Rugthaicharoencheep, P. Ngamprasert, N. Ruangsap, and N. Rodrueang, “ Minimize the Customer Outage for Improved Reliability in Distribution System with Photovoltaic Distributed Generation” *2022 57th International Universities Power Engineering Conference (UPEC)*, Istanbul, Turkey, 2022.

[8] Thailand Greenhouse Gas Management Organization (Public Organization) (TGO). (2023, Aug). [Online]. Available: https://ghgreduction.tgo.or.th/th/tver-method/t-ver-classify-methodology/t-ver-methodology1/item/3554-electricity-generation-from-renewable-energy.html

[9] ธนาพล ตันติสัตยกุล, พีรพล รัศมีธรรมโชติ และ เมฆาพร อุ่ยสกุล, “การประเมินผลประโยชน์ทางพลังงาน สิ่งแวดล้อม และเศรษฐศาสตร์สำหรับระบบผลิตไฟฟ้าพลังงานแสงอาทิตย์บนหลังคาอาคารภายในมหาวิทยาลัยธรรมศาสตร์ ศูนย์รังสิต” *วารสารวิทยาศาสตร์และเทคโนโลยี*, vol. 25, no. 6, pp. 1083-1099, 2017.

การวางแผนเพิ่มสมรรถนะโดยลดค่ากำลังสูญเสียในระบบส่งกำลังไฟฟ้า

Planning to Enhance Performance by Reducing Power Losses in the Electric Power Transmission System

มนัส บุญเทียรทอง[1], กุสุมา เนาว์ประเสริฐ[1], วีรดา เอ่งฉ้วน[1], สุรเชษฐ เดชฟุ้ง[1], สุรสิทธิ์ ประกอบกิจ[1] และนัฐโชติ รักไทยเจริญชีพ*

[1]สาขาวิชาวิศวกรรมไฟฟ้า คณะวิศวกรรมศาสตร์ มหาวิทยาลัยเทคโนโลยีราชมงคลพระนคร E-mail: nattachote.r@rmutp.ac.th*

บทคัดย่อ

บทความวิจัยนี้นำเสนอการวางแผนเพิ่มสมรรถนะโดยลดค่ากำลังสูญเสียในระบบส่งกำลังไฟฟ้า โดยมีวัตถุประสงค์เพื่อศึกษาการเพิ่มสมรรถนะของระบบส่งกำลังไฟฟ้า และลดพลังงานที่สูญเสียในสายส่ง จากแนวโน้มการใช้พลังงานไฟฟ้าที่เพิ่มสูงขึ้นในภาคอุตสาหกรรมและครัวเรือน ระบบส่งกำลังจึงต้องเผชิญกับภาระโหลดที่หลากหลายและค่ากำลังสูญเสียที่เพิ่มขึ้น งานวิจัยนี้จึงใช้การจำลองด้วยโปรแกรม MATLAB/Simulink โดยแบ่งออกเป็น 4 กรณีศึกษา และใช้วงจรจำลอง 2 ประเภท ได้แก่ วงจรหม้อแปลงสามเฟส และวงจรหม้อแปลงออโตทรานฟอร์เมอร์ ผลการทดสอบวงจรที่ใช้หม้อแปลงสามเฟส พบว่ามีการเลื่อนเฟสมาก และค่าพาวเวอร์แฟกเตอร์ลดลง ดังนั้นทำให้ทราบว่าวงจรที่ใช้หม้อแปลงออโตทรานฟอร์เมอร์ ในกรณีที่ 4 ทำให้คุณภาพแรงดันและประสิทธิภาพการลดค่ากำลังสูญเสียได้ดี และมีเสถียรภาพที่ดีขึ้น

คำสำคัญ: เพิ่มสมรรถนะ, ลดค่ากำลังสูญเสีย, ระบบส่งกำลังไฟฟ้า

Abstract

This research article presents a planning approach to enhance the performance of power transmission systems by reducing power losses. The objective is to study how to improve the performance of transmission systems and reduce energy losses in transmission lines. Due to the increasing trend in electricity consumption in both industrial sectors and households, power transmission systems are facing more diverse load conditions and higher power losses. This study employs simulation using MATLAB/Simulink, divided into four case studies and based on two types of circuits: a three-phase transformer circuit and an autotransformer circuit. The test results show that the three-phase transformer circuit experienced significant phase shifting and a decrease in power factor. In contrast, the autotransformer circuit in Case 3 demonstrated better voltage quality, more effective reduction of power losses, and improved system stability.

Keywords: Performance, Loss Reduction, Power Transmission

1. บทนำ

ในปัจจุบันการใช้พลังงานไฟฟ้ามีแนวโน้มเพิ่มสูงขึ้นอย่างต่อเนื่องจากการขยายตัวของภาคอุตสาหกรรม ภาคครัวเรือน และระบบสาธารณูปโภคต่าง ๆ ส่งผลให้ระบบไฟฟ้าต้องรับภาระที่มากขึ้น โดยเฉพาะในระบบส่งกำลังไฟฟ้า ซึ่งมีบทบาทในการลำเลียงพลังงานจากแหล่งผลิตไปยังจุดโหลดปลายทาง

ในปี 2016 เทคนิคการมอดูเลตสัญญาณดิจิตอลทางเฟส (Phase Shift Keying, PSK) เป็นการมอดูเลตชนิดหนึ่งที่ได้รับความนิยมในระบบสื่อสารข้อมูลทางดิจิตอล เช่น การสื่อสารระบบดาวเทียม การสื่อสารไร้สาย การสื่อสารแบบเคลื่อนที่ รวมถึงระบบการส่งสัญญาณโทรทัศน์แบบดิจิตอลในปัจจุบัน [1] ในปี 2019 มีการศึกษาการประยุกต์ใช้การปรับปรุงโปรไฟล์แรงดันไฟฟ้าโดยฟาร์มเซลล์แสงอาทิตย์ในระบบจำหน่ายไฟฟ้า ทดสอบในแบบจำลองระบบการจำหน่ายไฟฟ้า 69 บัส ด้วยเทคนิคการติดตั้งเครื่องกำเนิดไฟฟ้าแบบกระจายตัว ผลลัพธ์พบว่าโรงไฟฟ้าพลังงานแสงอาทิตย์สามารถปรับปรุงแรงไฟฟ้าดันตกในระบบจำหน่ายได้ [2] ในปี 2023 ได้ศึกษา และยืนยันว่า หม้อแปลงเฟสชิฟต์ (PST) มีบทบาทสำคัญในการเพิ่มประสิทธิภาพของระบบส่งกำลังไฟฟ้าแรงดันสูง โดยเฉพาะในด้านการลดความแออัดของสายส่ง และการเพิ่มความมั่นคงของแรงดันและกำลังไฟฟ้า ผลการศึกษาพบว่า PST สามารถลดค่าการสูญเสียและช่วยกระจายโหลดได้อย่างมีประสิทธิภาพ โดยมีการเปลี่ยนแปลงมุมเฟสที่ควบคุมได้ ช่วยให้ระบบสามารถบริหารจัดการพลังงานได้ยืดหยุ่นและปลอดภัยยิ่งขึ้น [3] นอกจากนี้ การปรับปรุงค่าพาวเวอร์แฟกเตอร์ในระบบไฟฟ้า และการปรับโหลดในจุดต่าง ๆ ของระบบ ยังเป็นมาตรการสำคัญที่ช่วยลดการสูญเสียพลังงานในสายส่งได้อย่างมีประสิทธิภาพ โดยการปรับปรุงพาวเวอร์แฟกเตอร์ให้เข้าใกล้ค่าที่เหมาะสม จะช่วยลดปริมาณพลังงานรีแอกทีฟในระบบ ทำให้กระแสที่ไหลในสายส่งลดลง ซึ่งส่งผลให้ค่าการสูญเสียพลังงานที่แปรผันตามกำลังสองของกระแสลดลง

ดังนั้นบทความนี้ได้ทำการศึกษาวิธีการวางแผนเพิ่มสมรรถนะโดยลดค่ากำลังสูญเสียในระบบส่งกำลังไฟฟ้า โดยใช้เทคนิคต่าง ๆ เช่น การควบคุมมุมเฟส, การปรับปรุงค่าพาวเวอร์แฟกเตอร์ และ การปรับโหลด จึงมีความจำเป็นอย่างยิ่งในการเพิ่มสมรรถนะของระบบ ลดค่าการสูญเสียพลังงาน และเพิ่มความเสถียรของระบบไฟฟ้าโดยรวม โดยใช้โปรแกรมจำลองทางคณิตศาสตร์แบ่งออกมา 4 กรณีศึกษา

*ผู้ประพันธ์บรรณกิจ

2. ทฤษฎีที่เกี่ยวข้อง

2.1 Flexible AC Transmission Systems (FACTS)

กลุ่มอุปกรณ์ควบคุมกลุ่มแรก ได้แก่ ตัวชดเชยรีแอกทีฟแบบสถิต (SVC), ตัวเก็บประจุแบบอนุกรมควบคุมด้วยไทริสเตอร์ (TCSC) และ ตัวเปลี่ยนเฟส โดยอุปกรณ์เหล่านี้ใช้ไทริสเตอร์แบบดั้งเดิม ซึ่งเป็นอุปกรณ์กึ่งตัวนำที่ไม่มีความสามารถในการปิดวงจรด้วยตนเอง ถูกนำไปใช้ในวงจรที่มีลักษณะคล้ายกับการต่อใช้งานตัวเก็บประจุ หรือ รีแอกเตอร์ผ่านเบรกเกอร์ และคล้ายกับหม้อแปลงปรับแตะแบบกลไก แต่มีความสามารถในการตอบสนองที่รวดเร็วกว่าอย่างมีนัยสำคัญ เนื่องจากถูกควบคุมด้วยระบบควบคุมที่มีความซับซ้อนและแม่นยำ อุปกรณ์ควบคุมแต่ละชนิดดังกล่าวสามารถทำหน้าที่ในการควบคุมพารามิเตอร์สำคัญ 3 ประการของระบบส่งกำลังไฟฟ้าคือ แรงดันไฟฟ้า โดยใช้ SVC, อิมพีแดนซ์ของสายส่ง โดยใช้ TCSC, มุมเฟสของการส่งกำลังไฟฟ้า โดยใช้ Phase-Shifter ซึ่งอุปกรณ์แต่ละชนิดจะถูกเลือกใช้ให้เหมาะสมกับลักษณะของระบบและเป้าหมายในการปรับปรุงประสิทธิภาพการส่งกำลังไฟฟ้า [4] ดังที่แสดงในรูปที่ 1

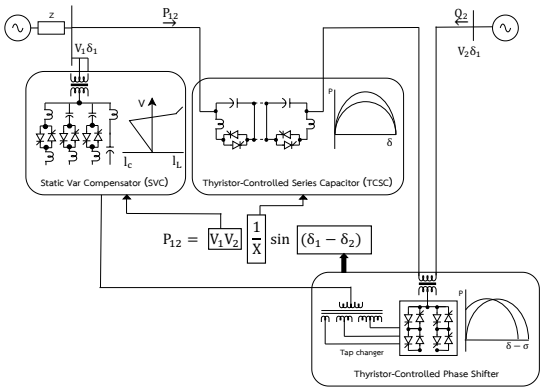

รูปที่ 1 ตัวควบคุม FACTS ที่ใช้ไทริสเตอร์แบบปกติ

2.2 ตัวควบคุมมุมเฟส

อุปกรณ์ชนิดหนึ่งในระบบส่งกำลังไฟฟ้าที่มีหน้าที่ในการควบคุม มุมเฟสของแรงดัน ที่ปลายสายส่ง เพื่อควบคุมทิศทางและปริมาณของกำลังไฟฟ้า ที่ไหลผ่านสายส่งนั้น โดยไม่จำเป็นต้องเปลี่ยนอิมพีแดนซ์ของสายไฟ ในระบบส่งที่มีสายส่งหลายเส้นทาง การกระจายโหลดอาจไม่สม่ำเสมอ ส่งผลให้บางสายมีภาระเกินและบางสายใช้งานต่ำ การใช้ PST จะช่วยควบคุมมุมเฟสของแรงดันระหว่างสายส่งเพื่อ เปลี่ยนทิศทางและขนาดของกระแส ให้สมดุลมากขึ้น [5] ดังที่แสดงในรูปที่ 2 [11]

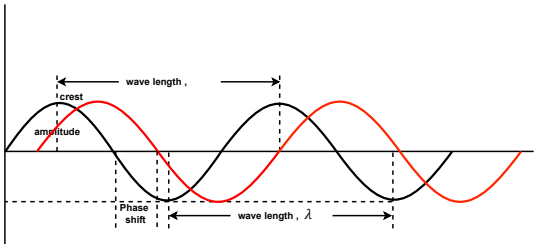

รูปที่ 2 มุมมองการทำงานของตัวควบคุมมุมเฟส

2.3 หม้อแปลงออโตทรานฟอร์เมอร์

เป็นอุปกรณ์ไฟฟ้าที่มีคุณสมบัติในการเปลี่ยนแปลงระดับแรงดันไฟฟ้า โดยอาศัยขดลวดเพียงชุดเดียวซึ่งแบ่งออกเป็นส่วนต่าง ๆ เพื่อทำหน้าที่เป็นทั้งขดลวดปฐมภูมิ และขดลวดทุติยภูมิพร้อมกัน โดยแรงดันไฟฟ้าทุติยภูมิจะเกิดขึ้นจากการแตะ (tap) บางส่วนของขดลวดรวมกับแรงดันที่จ่ายจากแหล่งกำเนิดไฟฟ้า หม้อแปลงออโตทรานฟอร์เมอร์แบบสามเฟส ซึ่งประกอบด้วยชุดหม้อแปลงหลัก (TPRA) และชุดหม้อแปลงเสริม (TPTL1 และ TPTL2) [10] ซึ่งมีการต่อสายไฟในลักษณะที่ขดลวดของแต่ละเฟสมีการแตะจากจุดที่แตกต่างกัน (tap points) เพื่อนำแรงดันออกไปใช้งานกับโหลดสามเฟส [6]

2.4 หลักการลดค่ากำลังสูญเสียในระบบส่งกำลังไฟฟ้า

หลักการลดค่ากำลังสูญเสียในระบบส่งกำลังไฟฟ้าเน้นที่การปรับปรุงประสิทธิภาพของการส่งพลังงานจากแหล่งผลิตไปยังผู้ใช้ปลายทาง โดยวิธีที่นิยมประกอบด้วยการเพิ่มแรงดันไฟฟ้าเพื่อลดกระแสไฟฟ้าในสายส่ง การติดตั้งตัวควบคุมแรงดันและตัวควบคุมมุมเฟส เช่น Phase-Shifting Transformer เพื่อปรับการกระจายโหลดให้สมดุลและลดความแออัดในสายส่ง การใช้ตัวเก็บประจุ หรืออุปกรณ์ FACTS เช่น SVC และ TCSC เพื่อลดกำลังรีแอคทีฟและปรับปรุงค่า Power Factor ซึ่งจะช่วยให้ระบบส่งมีประสิทธิภาพสูงขึ้นและลดการสูญเสียลงได้อย่างมีนัยสำคัญ [7]

2.5 การปรับปรุงค่าตัวประกอบกำลังไฟฟ้า

อุปกรณ์ในระบบ FACTS ที่ใช้ควบคุมกำลังรีแอคทีฟ ในระบบส่งไฟฟ้าแรงสูงอย่างรวดเร็วและแม่นยำ เพื่อรักษาระดับแรงดันไฟฟ้าให้คงที่ ปรับปรุง power factor และลดปัญหาแรงดันสวิง โดยหลักการทำงานคือการจ่ายหรือดูดกำลังรีแอคทีฟผ่านองค์ประกอบสำคัญ เช่น Thyristor-Controlled Reactor (TCR) สำหรับดูดกำลังรีแอคทีฟ และ Thyristor-Switched Capacitor (TSC) สำหรับจ่ายกำลังรีแอคทีฟ ทั้งนี้ระบบจะควบคุมอัตโนมัติตามสภาพโหลดที่เปลี่ยนแปลง [5] ดังที่แสดงในรูปที่ 3

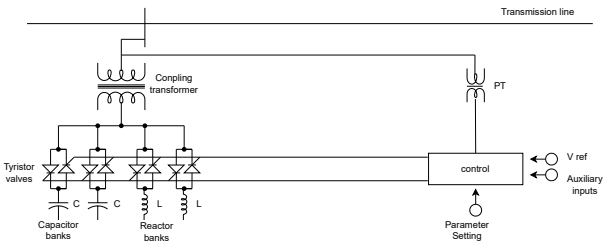

รูปที่ 3 ตัวชดเชยพลังงานแบบ Static var

2.6 หลักการปรับโหลดให้สมดุล

การกระจายโหลดไฟฟ้าให้เท่ากันในแต่ละเฟสของระบบสามเฟส เพื่อลดความไม่สมดุลของแรงดันและกระแส ซึ่งจะช่วยลดกระแสไหลในสายกลางการปรับโหลดสามารถทำได้โดยการย้ายโหลดระหว่างเฟสให้เหมาะสม การใช้ระบบควบคุมอัตโนมัติ หรือการออกแบบระบบตั้งแต่ต้นให้สมดุล โดยโหลดที่ไม่สมดุลอาจทำให้เกิดแรงดันตกต่างกันในแต่ละเฟสและส่งผลต่อประสิทธิภาพของอุปกรณ์ไฟฟ้า [8]

3. ผังการดำเนินงาน

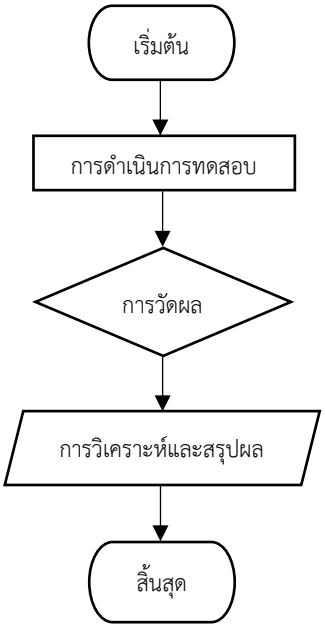

4. กรณีศึกษา

บทความนี้เป็นการทดสอบคำนวณสายส่งไฟฟ้าในโปรแกรม MATLAB/Simulink เป็นการเปรียบเทียบกรณีศึกษา 4 กรณี ดังแสดงในตารางที่ 1 โดยจำลองวงจรที่ใช้หม้อแปลงออโตทรานฟอร์เมอร์ และหม้อแปลงสามเฟส ดังแสดงในรูปที่ 4 ซึ่งนำเอาวงจรที่ใช้หม้อแปลงออโตทรานฟอร์เมอร์ ไปคำนวณวงจรในโปรแกรม MATLAB/Simulink โดยแบ่งออกเป็น 2 ส่วน คือส่วนที่เป็นหม้อแปลงสามเฟส และส่วนที่เป็นหม้อแปลงออโตทรานฟอร์เมอร์

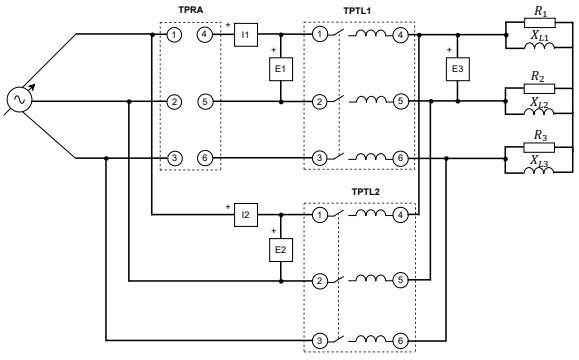

รูปที่ 4 วงจรที่ใช้หม้อแปลงออโตทรานฟอร์เมอร์

โดยทำการจำลองวงจรหม้อแปลงสามเฟส แบบไม่ปรับเฟส ดังที่แสดงในรูปที่ 5 และจำลองวงจรหม้อแปลงออโตทรานฟอร์เมอร์ แบบปรับเฟส ดังที่แสดงในรูปที่ 6 ซึ่งจำลองวงจรในโปรแกรม Matlab/Simulink

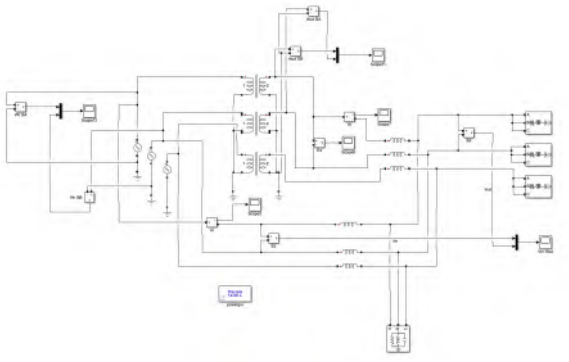

รูปที่ 5 วงจรหม้อแปลงสามเฟส

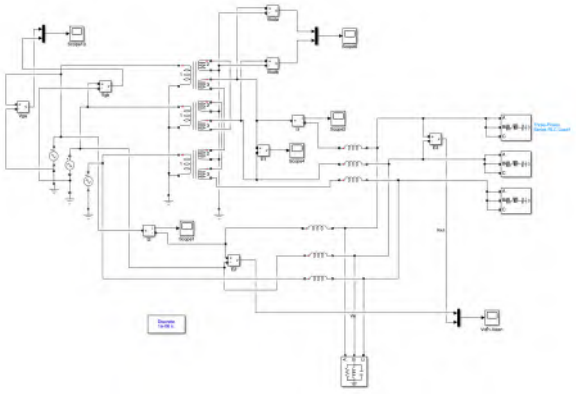

รูปที่ 6 วงจรหม้อแปลงออโตทรานฟอร์เมอร์

ตารางที่ 1 : กรณีศึกษาการทดสอบแบบจำลองวงจรใช้หม้อแปลงออโตทรานฟอร์เมอร์ และหม้อแปลงสามเฟส

กรณีศึกษา	ไม่ปรับเฟส	ปรับเฟส	ปรับ Power Factor	ปรับโหลด	เพิ่มค่าตัวเหนี่ยวนำ
1 (Base Case)	✓	-	-	-	✓
2	-	✓	-	-	✓
3	✓	-	✓	✓	✓
4	-	✓	✓	✓	✓

4.1 สาเหตุหลักของการลดกำลังสูญเสียในระบบส่งกำลัง

การสูญเสียกำลังไฟฟ้าแบ่งออกเป็นสี่ประเภทหลัก ได้แก่ การสูญเสียแบบแอคทีฟ (I^2R Loss) จากความต้านทานสายส่ง การสูญเสียแบบรีแอคทีฟจากคุณสมบัติของความเหนี่ยวนำและความจุ การสูญเสียแบบโคโรนาในสายส่งแรงสูงจากการแตกตัวของอากาศ และการสูญเสียในหม้อแปลงที่เกิดจากแกนเหล็กและขดลวด [9]

5. ผลการทดสอบ

กรณีที่ 1 (Base Case) ทดสอบด้วยหม้อแปลงสามเฟส ไม่ปรับเฟส โดยทำการวัด V_{in} และ V_{out} เพิ่มค่าตัวเหนี่ยวนำ $5e^{-3}$ ได้ผลกราฟ ดังแสดงในรูปที่ 7

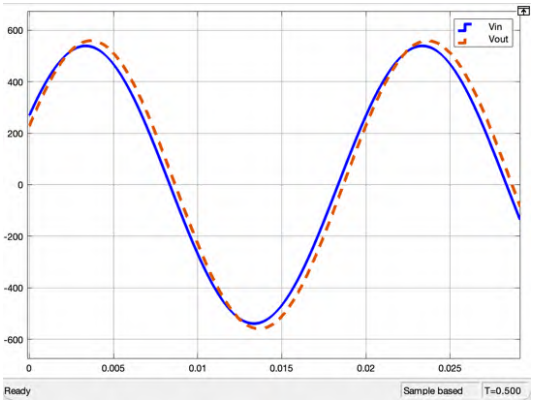

รูปที่ 7 วัด V_{in} และ V_{out}

จากกราฟพบว่า เมื่อใส่ตัวเหนี่ยวนำ $5e^{-3}$ จะเห็นว่า V_{out} ช้ากว่า และมีขนาดต่ำกว่า V_{in} (เฟสล้าหลัง) เพราะตัวเหนี่ยวนำต้านการเปลี่ยนแปลงเร็ว และตัวเหนี่ยวนำลดทอนสัญญาณบางช่วงความถี่

กรณีที่ 2 ทดสอบด้วยหม้อแปลงออโตทรานฟอร์เมอร์ ปรับเฟส วัด $V_{in}GA - V_{in}GB$ เพิ่มค่าตัวเหนี่ยวนำ $5e^{-3}$ ได้กราฟดังแสดงในรูปที่ 8

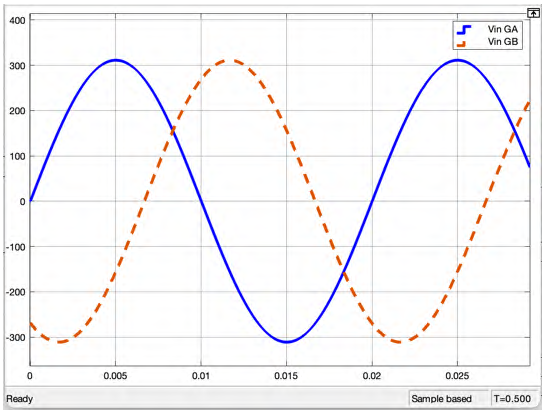

รูปที่ 8 วัด $V_{in}GA - V_{in}GB$

จากกราฟพบว่า $V_{in}GA$ และ $V_{in}GB$ แต่ละเฟสจะมีเฟสเหลื่อมกัน 120° เพื่อให้ระบบจ่ายพลังงานแบบ 3 เฟส หมุนมอเตอร์ได้อย่างราบรื่น

กรณีที่ 3 ทดสอบด้วยหม้อแปลงสามเฟส ไม่ปรับเฟส วัด V_{in} - V_{out} ซึ่งได้ทำการปรับค่าพาวเวอร์แฟกเตอร์ และปรับโหลด เพิ่มค่าตัวเหนี่ยวนำ $5e^{-3}$ ได้ผลกราฟดังที่แสดงในรูปที่ 9

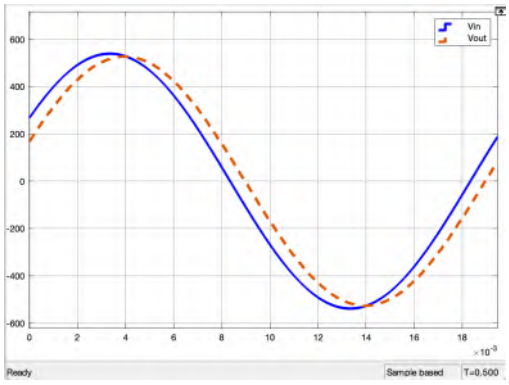

รูปที่ 9 วัด V_{in} และ V_{out}

จากกราฟพบว่า การปรับค่าพาวเวอร์แฟกเตอร์ และปรับโหลดในระบบหม้อแปลงสามเฟส ร่วมกับการเพิ่มตัวเหนี่ยวนำ $5e^{-3}$ ส่งผลให้รูปคลื่นแรงดันขาเข้าและขาออกมีความเสถียรเกิดเฟสเลื่อนระหว่าง V_{in} และ V_{out}เล็กน้อยจากผลของตัวเหนี่ยวนำ

กรณีที่ 4 ทดสอบด้วยหม้อแปลงออโตทรานฟอร์เมอร์ ปรับเฟส วัด $V_{ga} - V_{gb}$ ซึ่งได้ทำการปรับค่าพาวเวอร์แฟกเตอร์ และปรับโหลด เพิ่มค่าตัวเหนี่ยวนำ $5e^{-3}$ ได้ผลกราฟดังที่แสดงในรูปที่ 10

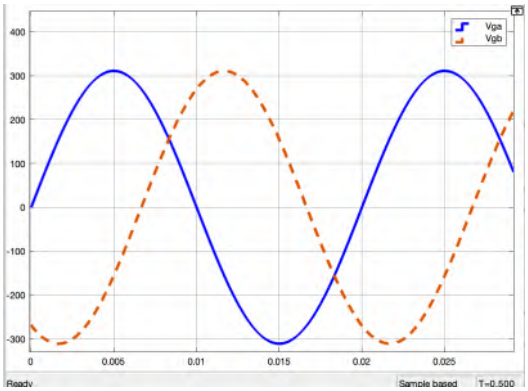

รูปที่ 10 วัด $V_{ga} - V_{gb}$

จากกราฟพบว่า แรงดันทั้งสองเฟสยังคงมีรูปคลื่นที่เสถียร มีเฟสต่างกันประมาณ 120 องศา การชดเชยค่าพาวเวอร์แฟกเตอร์ ช่วยลดภาระกระแสในระบบ และการปรับโหลดร่วมกับการเพิ่มพารามิเตอร์ตัวเหนี่ยวนำไม่ส่งผลกระทบต่อคุณภาพแรงดัน

6. สรุปผลการทดลอง

จากผลการทดลองทั้งหมด พบว่ากราฟในรูปที่ 10 $V_{ga} - V_{gb}$ ที่ทดสอบด้วยหม้อแปลงออโตทรานฟอร์เมอร์แสดงถึงคุณภาพแรงดันไฟฟ้าที่ดีที่สุด โดยแรงดันเฟสมีลักษณะสมดุลเป็นคลื่นไซน์ที่สมบูรณ์ ขณะที่กราฟดังที่แสดงในรูปที่ 8 $V_{in}GA - V_{in}GB$ ซึ่งปรับตัวเปลี่ยนเฟส แสดงให้เห็นถึงความสามารถในการควบคุมการไหลของกำลังไฟฟ้าได้อย่างมีประสิทธิภาพ

พร้อมทั้งลดค่าการสูญเสียในระบบได้อย่างชัดเจน ส่วนกราฟ V_{in} และ V_{out} ดังที่แสดงในรูปที่ 7 และดังที่แสดงในรูปที่ 9 ในการทดลองมีเพียงการเพิ่มตัวเหนี่ยวนำ พบว่ามีการเลื่อนเฟสมากขึ้น และค่าพาวเวอร์แฟกเตอร์ลดลง แสดงให้เห็นว่าเมื่อไม่มีการควบคุมโหลดหรือมุมเฟส ระบบมีการสูญเสียพลังงานมากกว่า ดังนั้นในกรณีที่ 4 ทำให้คุณภาพแรงดันและประสิทธิภาพการลดค่ากำลังสูญเสียได้ดี และมีเสถียรภาพที่ดีขึ้น

ตารางที่ 2 : สรุปผลการทดลองเชิงตัวเลข

กรณี	วงจร	เงื่อนไข	V_{in} (V)	V_{out} (V)	Loss (kW)	Power Factor
1 (Base Case)	หม้อแปลงสามเฟส	1. ไม่ปรับเฟส 2. เพิ่มตัวเหนี่ยวนำ	400	380	2.5	0.85
2	หม้อแปลงออโตทรานฟอร์เมอร์	1. ปรับเฟส 2. เพิ่มตัวเหนี่ยวนำ	400	395	1.8	0.92
3	หม้อแปลงสามเฟส	1. ไม่ปรับเฟส 2.ปรับPF 3. ปรับโหลด	400	390	1.5	0.95
4	หม้อแปลงออโตทรานฟอร์เมอร์	1. ปรับเฟส 2.ปรับPF 3. ปรับโหลด	400	398	0.9	0.99

จากตารางข้างต้นพบว่า กรณีที่ 1 (Base Case): วงจรหม้อแปลงสามเฟสที่ไม่มีการปรับปรุงค่าใด ๆ มีกำลังสูญเสียสูงสุดและค่าพาวเวอร์แฟกเตอร์ ต่ำที่สุด ส่งผลให้แรงดันขาออกลดลงมาก และ กรณีที่ 4: วงจรหม้อแปลงออโตทรานฟอร์เมอร์ที่ใช้เทคนิคการปรับเฟส ร่วมกับการปรับปรุงค่าพาวเวอร์แฟกเตอร์ และโหลด ให้ผลลัพธ์ดีที่สุด โดยมีกำลังสูญเสียต่ำที่สุดและค่าพาวเวอร์แฟกเตอร์ ใกล้เคียง 1 มากที่สุด ส่งผลให้แรงดันขาออกมีคุณภาพดีและเสถียรภาพ

7. ข้อเสนอแนะ

1. ควรศึกษาผลกระทบจากการเปลี่ยนค่าพารามิเตอร์ของโหลด เช่น ตัวเหนี่ยวนำและตัวต้านทาน เพื่อให้เห็นพฤติกรรมของระบบในสภาวะโหลดที่หลากหลายมากขึ้น

2. ควรขยายผลการทดลองไปสู่กรณีที่โหลดเปลี่ยนแปลงตามเวลา หรือเป็นโหลดที่มีลักษณะไม่เป็นเชิงเส้น เพื่อให้การวิเคราะห์สอดคล้องกับสภาวะการใช้งานจริงของระบบส่งกำลังไฟฟ้า

8. กิตติกรรมประกาศ

ขอขอบคุณ สาขาวิชาวิศวกรรมไฟฟ้า คณะวิศวกรรมศาสตร์ มหาวิทยาลัยเทคโนโลยีราชมงคลพระนคร ที่ให้การสนับสนุนและความช่วยเหลือให้บทความนี้สำเร็จลุล่วงอย่างสมบูรณ์

เอกสารอ้างอิง

[1] UmerJaved, Di He and Peilin Liu, “Performance Characterization of a Hybrid Satellite-Terrestrial System with Co-Channel Interference over Generalized Fading Channels”, Sensors, Vol. 16, 2016.

[2] X. Zhang, Z. Chen, and L. Xie, "Phase-shift control of transients in electrical power systems," *Electric Power Systems Research*, vol. 4, no. 3, pp. 151-157, 1981.

[3] J Alkasassbeh, J. S., Al-Darray, E., & Al-Ali, M. (2023). The impact of using phase-shift transformers on transmission lines. Indonesian Journal of Electrical Engineering and Computer Science, 30(2), 820 - 829.

[4] Song, Y. H., & Johns, A. T. (Eds.). (1999). Flexible AC transmission systems (FACTS). London: The Institution of Electrical Engineers.

[5] Hingorani, N. G., & Gyugyi, L. (2000). Understanding FACTS: Concepts and Technology of Flexible AC Transmission Systems. New York: IEEE Press.

[6] A. E. Fitzgerald, C. Kingsley, and S. D. Umans, Electric Machinery, 6th ed. New York: McGraw-Hill, 2003.

[7] Gonen, T. (2015). Electric Power Transmission System Engineering: Analysis and Design (3rd ed.). CRC Press.

[8] El-Hawary, M. E. (2008). Electric Power Applications of Fuzzy Systems. IEEE Press / Wiley-Interscience.

[9] Changfi.com. (n.d.). ช่างไฟดอทคอม. Retrieved September 10, 2025, from Changfi website: https://www.changfi.com/

[10] WILDI, Theodore, *Electrical machines, drives, and power systems*, 6th Edition Pearson Education Inc., 2006.

[11] Cadence PCB Solutions. (2020, September 17). The use of the phase shift formula in AC circuit analysis. Retrieved September 10, 2025

การจำลองเพื่อออกแบบตัวกรองฮาร์มอนิกส์ที่เกิดจากโหลดไม่เป็นเชิงเส้นของเครื่องสำรองไฟฟ้า กรณีโหลดไม่สมดุล

Simulation to Design Filter for Harmonics Caused by Non-Linear load of UPS in Unbalanced Load Case

สาคร วุฒิพัฒนพันธุ์[1] อาทิตย์ ขาวรุ่งเรือง[1] และ นัฐโชติ รักไทยเจริญชีพ[1*]

[1]สาขาวิชาวิศวกรรมไฟฟ้า คณะวิศวกรรมศาสตร์ มหาวิทยาลัยเทคโนโลยีราชมงคลพระนคร E-mail: nattachote.r@rmutp.ac.th*

บทคัดย่อ

บทความนี้เสนอการจำลองเพื่อออกแบบตัวกรองฮาร์มอนิกส์ที่เกิดจากโหลดไม่เป็นเชิงเส้นของเครื่องสำรองไฟฟ้ากรณีโหลดไม่สมดุลด้วยโปรแกรม MATLAB/Simulink แบบจำลองประกอบด้วยเครื่องสำรองไฟฟ้า โหลดไม่เป็นเชิงเส้น และ ตัวกรอง R-L-C ภายนอก โดยใช้การแปลงฟูเรียร์แบบเร็วเพื่อหาฮาร์มอนิกส์ที่เอาต์พุตของเครื่องสำรองไฟฟ้าซึ่งเชื่อมต่อกับระบบไฟฟ้าเพื่อลดผลกระทบของฮาร์มอนิกส์อันดับ 3 และ 5 โดยทำการจำลองแต่ละกรณีดังนี้ กรณีไม่ใส่ตัวกรอง R-L-C ภายนอก กรณีใส่ตัวกรอง R-L-C ภายนอก เมื่อพารามิเตอร์ของตัวกรองแต่ละเฟสไม่เท่ากัน นั่นคือคำนวณจากโหลดของแต่ละเฟส กรณีใส่ตัวกรอง R-L-C ภายนอก เมื่อพารามิเตอร์ของตัวกรองแต่ละเฟสเท่ากัน นั่นคือคำนวณจากโหลดของเฟสที่กำลังรีแอคทีฟมากที่สุดแล้วนำมาใช้กับทุกเฟส เมื่อได้ผลการจำลองแล้วนำมาเปรียบเทียบเพื่อหากรณีที่เหมาะสมที่สุดสำหรับการนำไปใช้งานจริง

คำสำคัญ: ฮาร์มอนิกส์, โหลดไม่เป็นเชิงเส้น, เครื่องสำรองไฟฟ้า, ตัวกรอง R-L-C

Abstract

This paper presents a simulation to design a harmonic filter caused by non-linear load of a UPS in the case of unbalanced load using program MATLAB/Simulink. The model consists of Uninterruptible Power Supply (UPS), non-linear load and external R-L-C filter. This research uses Fast Fourier transform to find the harmonics at the output of a UPS connected to the power system to reduce the effects of 3rd and 5th order harmonics. Perform simulations of each case. In case of not installing external R-L-C filter. In case of external R-L-C filter, when the parameters of each phase filter are not equal, that is calculated from the load of each phase. In case of external R-L-C filter, when the filter parameters of each phase are equal, that is calculated from the load of the phase with the highest reactive power and applied to all phases. Once the simulation results are obtained, they are compared to find the most suitable case for actual use.

Keywords: Harmonics, Non-Linear Load, Uninterruptible Power Supply, R-L-C Filter

1. บทนำ

คุณภาพกำลังไฟฟ้าถือว่ามีความสำคัญมาก หากมีปัญหาด้านคุณภาพกำลังไฟฟ้าอาจนำไปสู่ความเสียหายของอุปกรณ์และระบบไฟฟ้า ในปัจจุบันเนื่องจากการใช้งานเทคโนโลยีดิจิทัลและเครือข่ายการส่งข้อมูลประสิทธิภาพสูงมีมากขึ้น จึงสร้างปัญหาด้านฮาร์มอนิกส์มากขึ้น ซึ่งส่งผลเสียต่อคุณภาพกำลังไฟฟ้า ดังนั้น เครื่องสำรองไฟฟ้า (UPS) จึงถูกออกแบบมาเพื่อรักษาเสถียรภาพของเครื่องใช้ไฟฟ้า อย่างไรก็ตาม โหลดไม่เป็นเชิงเส้นที่ใช้พลังงานจาก UPS เช่น แหล่งจ่ายไฟคอมพิวเตอร์ เซิฟเวอร์ และอุปกรณ์ไอที จะเป็นสาเหตุการเกิดฮาร์มอนิกส์ที่ส่งผลกระทบต่อ UPS ทำให้ความสามารถในการจ่ายโหลดลดลง เกิดความร้อนสะสม เกิดการแจ้งเตือนความผิดปกติ โดยทั่วไปการใช้งานโหลดไม่เป็นเชิงเส้นนั้น อินเวอร์เตอร์ที่ใช้มักจะมีตัวกรองชนิด R-L-C ภายในที่ด้านเอาต์พุตอยู่แล้ว ซึ่งมันถูกออกแบบมาเพื่อลดความเพี้ยนฮาร์มอนิกส์รวมของแรงดัน (THD,v) แต่ถ้ามีการใช้งานโหลดไม่เป็นเชิงเส้นจำนวนมากขึ้น จะส่งผลต่อการเพิ่มขึ้นของทั้ง ความเพี้ยนฮาร์มอนิกส์รวมของแรงดัน และ ความเพี้ยนฮาร์มอนิกส์รวมด้านกระแส (THD,i) [1-8] กรณีโหลดแบบสมดุล ได้มีการนำเสนอวิธีแก้ปัญหาดังกล่าวข้างต้นโดยการใส่ตัวกรอง R-L-C ภายนอกที่ด้านเอาต์พุตของ UPS ซึ่งสามารถลด THD,i ได้อย่างเหมาะสม [9]

งานวิจัยนี้จึงทำการออกแบบตัวกรองฮาร์มอนิกส์ที่เกิดจากโหลดไม่เป็นเชิงเส้นของเครื่องสำรองไฟฟ้ากรณีโหลดไม่สมดุลของเครื่องสำรองไฟฟ้าในระบบ 3 เฟส 400 โวลต์ 50 เฮิรตซ์ ด้วยการจำลองการทำงานผ่านโปรแกรม MATLAB/Simulink โดยใช้เทคนิคการแปลงฟูเรียร์แบบเร็ว (FFT) แล้วนำผลการจำลองมาวิเคราะห์ถึงความเหมาะสมต่อการใช้งาน

2. ตัวกรองแบบปรับจูนคู่

ตัวกรอง R-L-C ภายนอกซึ่งต่อที่เอาต์พุตของ UPS เป็นตัวกรองแบบปรับจูนคู่ (Double-Tuned Passive Filter) สามารถสร้างขึ้นจากการนำตัวกรองปรับจูนแบบเดี่ยว (Single-Tuned Passive Filter) สองตัวมาขนานกันดังแสดงในรูปที่ 1 ข้อดีของการใช้ตัวกรองปรับจูนแบบเดี่ยวสองตัวคือการสูญเสียพลังงานที่ความถี่พื้นฐานน้อยลง รวมทั้งตัวเหนี่ยวนำหนึ่งตัวจะได้รับแรงดันพัลส์เต็มที่แทนที่จะเป็นสองตัว

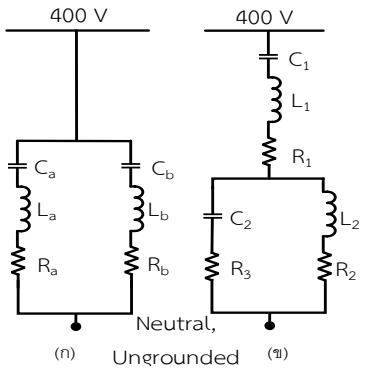

รูปที่ 1 (ก) ตัวกรองปรับจูนแบบเดี่ยว, (ข) ตัวกรองแบบปรับจูนคู่

*ผู้ประพันธ์บรรณกิจ

สามารถแปลงตัวกรองปรับจูนแบบเดี่ยวสองตัวที่มีความต่างกันให้เป็นตัวกรองแบบปรับจูนคู่เพียงตัวเดียวโดยอาศัยสมการดังนี้

$$C_1 = C_a + C_b \tag{1}$$

$$L_2 = \frac{(L_a C_a - L_b C_b)^2}{(C_a + C_b)^2 (L_a + L_b)} \tag{2}$$

$$R_2 = R_a\left[\frac{a^2(1-x^2)}{(1+a)^2(1+x^2)}\right] - R_b\left[\frac{1-x^2}{(1+a)^2(1+x^2)}\right] + R_1\left[\frac{a(1-a)(1-x^2)}{(1+a)^2(1+x)^2}\right] \tag{3}$$

$$C_2 = \frac{C_a C_b (C_a + C_b)(L_a + L_b)^2}{(L_a C_a + L_b C_b)^2} \tag{4}$$

$$R_3 = -R_a\left[\frac{a^2 x^4 (1-x^2)}{(1+ax^2)^2(1+x^2)}\right] + R_b\left[\frac{(1-x^2)}{(1+ax^2)^2(1+x^2)}\right] + R_1\left[\frac{(1-x^2)(1-ax^2)}{(1+x^2)^2(1+ax)^2}\right] \tag{5}$$

$$L_1 = \frac{L_a L_b}{L_a + L_b} \tag{6}$$

เมื่อ

$$a = \frac{C_a}{C_b} \quad x = \sqrt{\frac{L_b C_b}{L_a C_a}} \tag{7}$$

จากรูปที่ 1 (ข) R_1 เป็นค่าความต้านทานภายในของตัวเหนี่ยวนำ L_1 ซึ่งมีค่าน้อยมากเมื่อเทียบกับค่าความเหนี่ยวนำ จึงอาจไม่ต้องนำมาพิจารณา ส่วน R_2 และ R_3 จากสมการที่ (3) และ (5) ตามลำดับนั้นเพื่อให้มีค่าอิมพีแดนซ์เข้าใกล้จุดเรโซแนนซ์ จึงปรับให้มีค่าใกล้เคียงกัน

3. แบบจำลองของโหลดไม่เป็นเชิงเส้น

อุปกรณ์ไฟฟ้าที่นำไปต่อทางด้านเอาต์พุต UPS มีการทำงานในรูปแบบสวิตชิ่ง ซึ่งก็คือโหลดไม่เป็นเชิงเส้นนั่นเอง เช่น แหล่งจ่ายไฟสำหรับพีซี และแหล่งจ่ายไฟสำหรับแล็ปท็อป

โหลดไม่เป็นเชิงเส้นที่ทำการจำลองนี้ได้แก่ แหล่งจ่ายไฟสำหรับพีซี [7] และแหล่งจ่ายไฟสำหรับแล็ปท็อป [8] โดยจะใช้พารามิเตอร์ของตารางที่ 1 และ ตารางที่ 2 ตามลำดับ ซึ่งวงจรสมมูลของแหล่งจ่ายไฟสำหรับพีซี และ แล็ปท็อป ได้แสดงไว้ดังรูปที่ 2 และ รูปที่ 3 ตามลำดับ ส่วนตารางที่ 3 แสดงจำนวนโหลดไม่เป็นเชิงเส้นที่ต่อใช้งานด้านเอาต์พุตของ UPS ในแต่ละเฟส

ตารางที่ 1 พารามิเตอร์ของแหล่งจ่ายไฟสำหรับพีซี

ชนิดของพารามิเตอร์	*Rs* [Ω]	*RL* [kΩ]	*Rf* [Ω]	*Cp1* [μF]	*Cf* [μF]	*Cp2* [μF]	*Lf* [mH]
ค่าของพารามิเตอร์	10	1.7	7	0.82	0.57	600	35

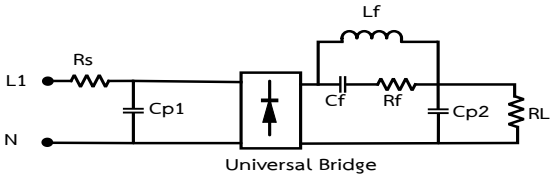

รูปที่ 2 วงจรสมมูลของแหล่งจ่ายไฟสำหรับพีซี

ตารางที่ 2 พารามิเตอร์สำหรับแหล่งจ่ายไฟสำหรับแล็ปท็อป

ชนิดของพารามิเตอร์	*R* [Ω]	*C* [μF]	*L* [mH]
ค่าของพารามิเตอร์	493	231	0.78

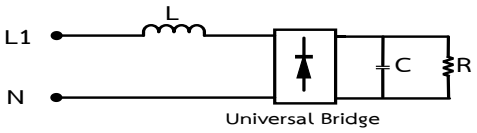

รูปที่ 3 วงจรสมมูลของแหล่งจ่ายไฟสำหรับแล็ปท็อป

ตารางที่ 3 จำนวนโหลดไม่เป็นเชิงเส้นที่ต่อในแต่ละเฟสของ UPS

เฟสด้านเอาต์พุตของ UPS	จำนวนแหล่งจ่ายไฟสำหรับพีซี	จำนวนแหล่งจ่ายไฟสำหรับแล็ปท็อป
L1	50 วัตต์ x 2 ตัว	200 วัตต์ x 2
L2	50 วัตต์ x 3 ตัว	200 วัตต์ x 3
L3	50 วัตต์ x 1 ตัว	200 วัตต์ x 1

4. การจำลองและผลการจำลอง

จากตัวกรองแบบปรับจูนคู่ในหัวข้อที่ 2 โหลดไม่เป็นเชิงเส้นในหัวข้อที่ 3 รวมทั้ง THD,i สามารถหาได้จากการจำลองการทำงานด้วยโปรแกรม MATLAB/Simulink ดังแสดงในรูปที่ 4 ส่วนพารามิเตอร์ของระบบอินเวอร์เตอร์ได้แสดงไว้ในตารางที่ 4 ซึ่งใช้สำหรับตัวกรอง R-L-C ภายนอกที่ต่อด้านเอาต์พุตของ UPS เหตุที่ไม่ใส่ตัวกรอง R-L-C ภายนอกที่ด้านอินพุตของ UPS เพราะเมื่อจำลองการทำงานแล้วไม่สามารถลด THD,i ได้เลย หรือได้ผลเช่นเดียวกับที่ไม่ใส่ตัวกรองนั่นเอง

การจำลองจะแบ่งเป็น 2 กรณี คือ การจำลองค่ากำลังรีแอคทีฟแต่ละเฟสไม่เท่ากันและการจำลองค่ากำลังรีแอคทีฟแต่ละเฟสเท่ากัน
กรณีที่ 1 กำหนดให้กำลังรีแอคทีฟแต่ละเฟสไม่เท่ากัน ดังในตารางที่ 5
กรณีที่ 2 กำหนดให้ค่ากำลังรีแอคทีฟมีค่าเท่ากันทุกเฟส คือ 30 kvar

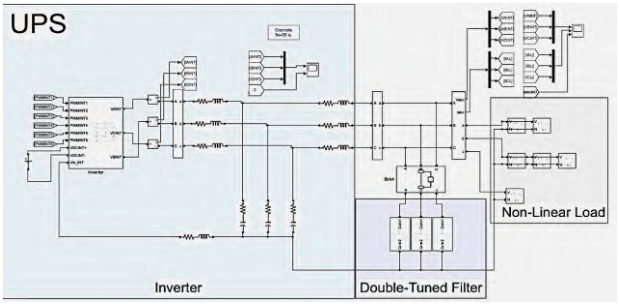

รูปที่ 4 แบบจำลองซึ่งใส่ตัวกรอง R-L-C ภายนอกที่เอาต์พุตของ UPS

ตารางที่ 4 พารามิเตอร์ของระบบอินเวอร์เตอร์

ชนิดของพารามิเตอร์	ค่าของพารามิเตอร์
แรงดันไฟฟ้ากระแสตรง VDC [V]	720
ค่าตัวเก็บประจุ C [F]	100e-6
ค่าตัวเหนี่ยวนำ L [H]	500e-6
เวลาการสุ่ม Ts [Sec]	5e-6

ตารางที่ 5 กำลังรีแอคทีพสำหรับตัวกรอง R-L-C ภายนอก

เฟสทางด้านเอาต์พุตของ UPS	กำลังรีแอคทีพ (kvar)
L1	20
L2	30
L3	10

4.1 กรณีไม่ใช้ตัวกรองและใช้ตัวกรองที่พารามิเตอร์ไม่เท่ากัน

จากการจำลองการทำงาน รูปคลื่นของแรงดันโหลด กระแสโหลดเมื่อไม่ใช้ตัวกรอง R-L-C ภายนอก และ กระแสโหลดเมื่อใช้ตัวกรอง R-L-C ภายนอก กรณีกำลังรีแอคทีพแต่ละเฟสไม่เท่ากัน ได้ดังแสดงในรูปที่ 5

รูปคลื่นกระแสโหลดเมื่อไม่ใช้ตัวกรอง R-L-C ภายนอก ได้แสดงไว้ดังรูปที่ 6 ส่วนรูปที่ 7 แสดงให้เห็นว่าฮาร์มอนิกส์อันดับที่ 3 คือร้อยละ 49.11 อันดับที่ 5 คือร้อยละ 27.02 และ THD,i คือร้อยละ 87.38

รูปคลื่นกระแสโหลดเมื่อใช้ตัวกรอง R-L-C ภายนอก ได้แสดงไว้ดังรูปที่ 8 ส่วนรูปที่ 9 แสดงให้เห็นว่าฮาร์มอนิกส์อันดับที่ 3 คือร้อยละ 18.80 อันดับที่ 5 คือร้อยละ 5.97 และ THD,i คือร้อยละ 24.93

หมายเหตุ กรณีนี้ตัวกรองแต่ละเฟสมีพารามิเตอร์ไม่เท่ากัน โดยพารามิเตอร์ของตัวกรองในแต่ละเฟสคำนวณจากกำลังรีแอคทีฟของโหลดในเฟสนั้น ๆ เฟสที่มีกำลังรีแอคทีฟมากที่สุดคือเฟสที่ 2 (L2)

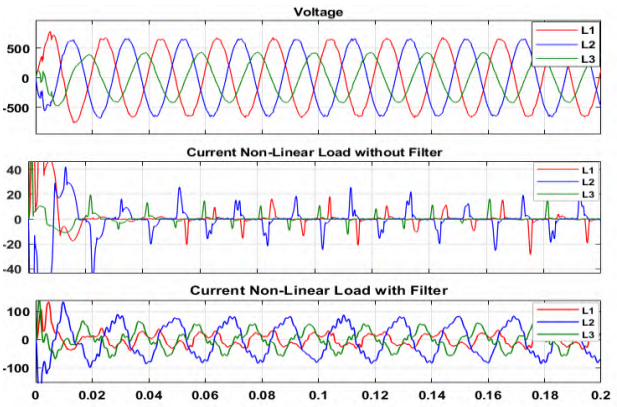

รูปที่ 5 รูปคลื่นของแรงดัน กระแสโหลดเมื่อไม่ใช้ตัวกรอง R-L-C และกระแสโหลดเมื่อใช้ตัวกรอง R-L-C ที่แต่ละเฟสไม่เท่ากัน

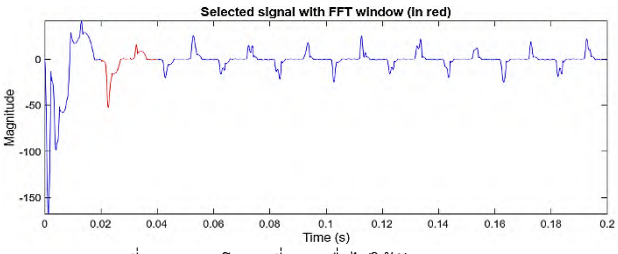

รูปที่ 6 กระแสโหลดที่ L2 เมื่อไม่ใช้ตัวกรอง R-L-C

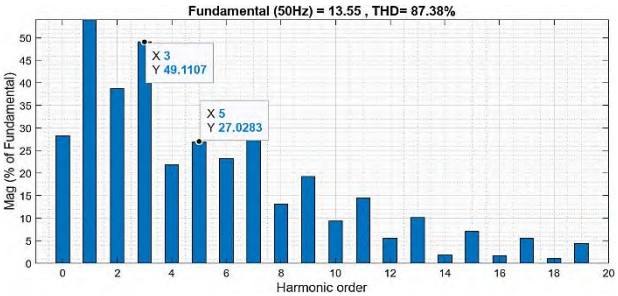

รูปที่ 7 THD,i ที่ L2 เมื่อไม่ใช้ตัวกรอง R-L-C ที่แต่ละเฟสไม่เท่ากัน

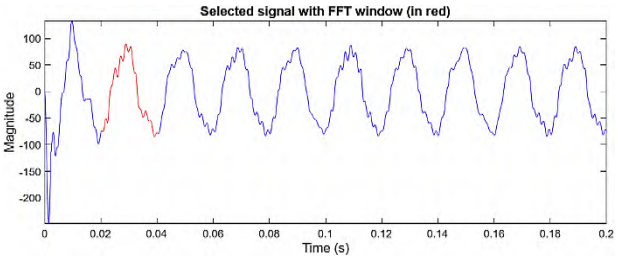

รูปที่ 8 กระแสโหลดที่ L2 เมื่อใช้ตัวกรอง R-L-C ที่แต่ละเฟสไม่เท่ากัน

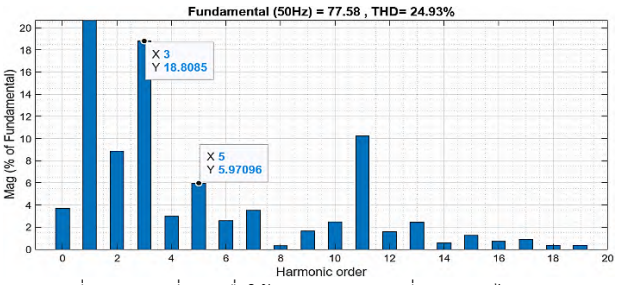

รูปที่ 9 THD,i ที่ L2 เมื่อใช้ตัวกรอง R-L-C ที่แต่ละเฟสไม่เท่ากัน

4.2 กรณีไม่ใช้ตัวกรองและใช้ตัวกรองที่พารามิเตอร์เท่ากัน

จากการจำลองการทำงาน รูปคลื่นของแรงดันโหลด กระแสโหลดเมื่อไม่ใช้ตัวกรอง R-L-C ภายนอก และ กระแสโหลดเมื่อใช้ตัวกรอง R-L-C ภายนอก กรณีกำลังรีแอคทีพแต่ละเฟสเท่ากัน ได้ดังแสดงในรูปที่ 10

รูปคลื่นกระแสโหลดเมื่อใช้ตัวกรอง R-L-C ภายนอก ได้แสดงไว้ดังรูปที่ 11 ส่วนรูปที่ 12 แสดงให้เห็นว่าฮาร์มอนิกส์อันดับที่ 3 คือร้อยละ 4.55 อันดับที่ 5 คือร้อยละ 2.55 และ THD,i คือร้อยละ 12.39

หมายเหตุ กรณีนี้ตัวกรองแต่ละเฟสมีพารามิเตอร์เท่ากัน โดยพารามิเตอร์ของตัวกรองคำนวณจากเฟสที่ 2 (L2) ซึ่งมีกำลังรีแอคทีฟมากที่สุด จากนั้นจึงใช้พารามิเตอร์ดังกล่าวกับตัวกรองในเฟสอื่น ๆ ด้วย

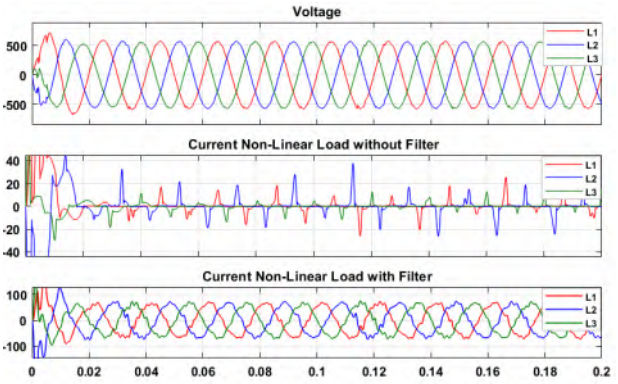

รูปที่ 10 รูปคลื่นของแรงดัน กระแสโหลดเมื่อไม่ใช้ตัวกรอง R-L-C และกระแสโหลดเมื่อใช้ตัวกรอง R-L-C ที่แต่ละเฟสเท่ากัน

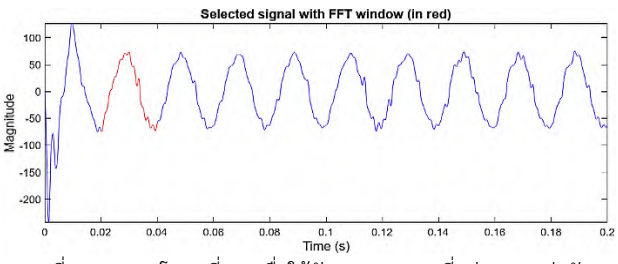

รูปที่ 11 กระแสโหลดที่ L2 เมื่อใช้ตัวกรอง R-L-C ที่แต่ละเฟสเท่ากัน

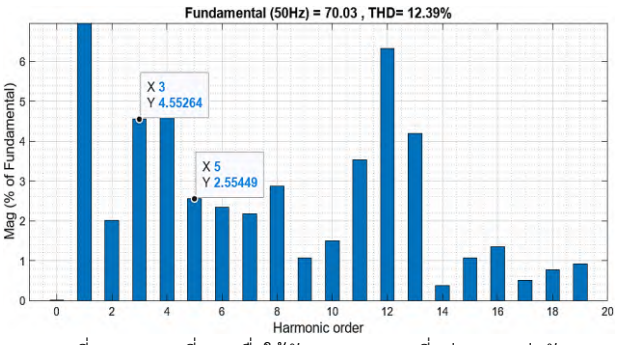

รูปที่ 12 THD,i ที่ L2 เมื่อใช้ตัวกรอง R-L-C ที่แต่ละเฟสเท่ากัน

จากผลการจำลอง กรณีใช้ตัวกรอง R-L-C ภายนอกที่มีพารามิเตอร์ไม่เท่ากันทุกเฟส จะทำให้รูปร่างของกระแสโหลด การลดฮาร์มอนิกส์ และ THD,i ดีขึ้นกว่ากรณีไม่ใช้ตัวกรองดังแสดงในรูปที่ 8 และรูปที่ 9 ตามลำดับ แต่กลับทำให้แรงดันโหลดเฟสที่ 3 (L3) ซึ่งมีกำลังรีแอคทีฟน้อยที่สุดนั้นมีขนาดแรงดันต่ำว่าเฟสอื่นดังแสดงในรูปที่ 5 ส่วนกรณีใช้ตัวกรองที่มีพารามิเตอร์เท่ากันทุกเฟสนั้น ขนาดแรงดันโหลดของทุกเฟสเท่ากัน ทำให้รูปร่างของกระแสโหลดดีที่สุดดังแสดงในรูปที่ 11 สามารถลดฮาร์มอนิกส์อันดับที่ 3 อันดับที่ 5 และ THD,i ได้มากที่สุดดังแสดงในรูปที่ 12

5. สรุปผลการจำลอง

งานวิจัยนี้ออกแบบตัวกรองฮาร์มอนิกส์ที่เกิดจากโหลดไม่เป็นเชิงเส้นของเครื่องสำรองไฟฟ้ากรณีโหลดไม่สมดุลด้วยการจำลองผ่านโปรแกรม MATLAB/Simulink โดยแบบจำลองของโหลดไม่เป็นเชิงเส้นจะเลือกใช้แหล่งจ่ายไฟสำหรับพีซีและแล็ปท็อปมาต่อกับเอาต์พุตของแบบจำลอง UPS ชนิด 3 เฟส และกำหนดให้แต่ละเฟสจ่ายโหลด (กำลังรีแอคทีฟ) ไม่เท่ากัน ทำการคำนวณหาฮาร์มอนิกส์ที่เกิดขึ้นด้วยเทคนิค FFT จากนั้นทำการจำลองในกรณีไม่ใช้ตัวกรอง R-L-C ภายนอก ซึ่งจะมีผลลัพธ์แย่ที่สุด กรณีใช้ตัวกรอง R-L-C ภายนอกที่มีพารามิเตอร์ไม่เท่ากันทุกเฟส จะได้ผลลัพธ์ในด้านรูปร่างของกระแสโหลด การลดฮาร์มอนิกส์ และ THD,i ที่ดีขึ้นกว่ากรณีไม่ใช้ตัวกรอง แต่จะทำให้แรงดันของเฟสซึ่งกำลังรีแอคทีฟน้อยที่สุดมีขนาดต่ำว่าเฟสอื่น ส่วนกรณีใช้ตัวกรองที่มีพารามิเตอร์เท่ากันทุกเฟส (คำนวณจากเฟสที่กำลังรีแอคทีฟสูงสุดแล้วนำมาใช้กับทุกเฟส) มีผลทำให้แรงดันทุกเฟสทีขนาดเท่ากัน ทำให้รูปร่างของกระแสโหลดดีที่สุด สามารถลดฮาร์มอนิกส์อันดับที่ 3 อันดับที่ 5 และ THD,i ได้มากที่สุดและผ่านมาตรฐาน IEEE 519-2022 เป็นผลให้คุณภาพกำลังไฟฟ้าบริเวณที่ UPS ใช้งานจ่ายโหลดแบบไม่เป็นเชิงเส้นดีขึ้น จากผลการจำลองแสดงให้เห็นถึงแนวทางที่จะนำไปใช่งานจริงได้ในงานวิจัยถัดไปด้วยการใช้เครื่องวัดฮาร์มอนิกส์และเครื่องวัดคุณภาพกำลังไฟฟ้าเพื่อยืนยันผลการจำลอง และอาจนำหลักการที่เสนอนี้ไปประยุกต์ใช้ร่วมกับตัวกรองแบบแอ็กทีฟหรือใช้เป็นตัวกรองแบบผสมได้ต่อไป

6. กิตติกรรมประกาศ

ขอขอบคุณ สาขาวิชาวิศวกรรมไฟฟ้า คณะวิศวกรรมศาสตร์ มหาวิทยาลัยเทคโนโลยีราชมงคลพระนคร ที่สนับสนุนจนงานวิจัยนี้จนประสบความสำเร็จ

เอกสารอ้างอิง

[1] P. S. Sanjan, N. Gowtham, Mahajan Sagar Bhaskar, Umashankar Subramaniam, Dhafer J. Almakhles and Sanjeevikumar Padmanaban, "Enhancement of Power Quality in Domestic Loads Using Harmonic Filters," IEEE Access, Vol. 8, pp. 197730 – 197744, 2020, doi: 10.1109/ACCESS.2020.3034734.

[2] K. Raič Raguž, M. Miletić, V. Zeleničić, D. Sumina, I. Erceg and Ž. Nastasić, "Analysis of current harmonics in data center power system, " 2022 45th Jubilee International Convention on Information, Communication and Electronic Technology (MIPRO), Jun.27, 2022.

[3] Marcos Poletto Godoy, Vinicius André Uberti, Alzenira da Rosa Abaide, Gabriel Drehmer Guidali, Lúcio Renê Prade and Armando Leopoldo Keller, "Identifying and reducing harmonic distortion in an industrial uninterruptible power supply system, " 2020 6th International Conference on Electric Power and Energy Conversion Systems (EPECS), Jan.06, 2021.

[4] C. Boonseng, R. Boosseng and K. Kularbphettong, "Simple Techniques for Designing Passive Power Filter System to Reduced Harmonic Resonance and Improve Power Quality of Electrical Systems with Servo Drive," 2020 23rd International Conference on Electrical Machines and Systems (ICEMS), Dec.22, 2022.

[5] C. Boonseng, R. Boosseng and K. Kularbphettong, "The 3rd Harmonic current and Power Quality Improvements of Data Centers Using Hybrid Power Filters," 2019 22nd International Conference on Electrical Machines and Systems (ICEMS), Dec.05, 2019, doi: 10.1109/ICEMS.2019.8922558.

[6] Iftissen Nabil, Mokrane Hamza, Abdelmalek Samir and Dali Ali, "Model Predictive Voltage Control of Uninterruptible Power Supply with an Output RLC Filter," 2023 2nd International Conference on Electronics, Energy and Measurement (IC2EM), Feb.13, 2024, doi: 10.1109/IC2EM59347.2023.10419462.

[7] Surendra Bajagain and Anamika Dubey, "Harmonic Distortion Analysis in North American Residential Power Distribution Systems," 2021 IEEE Power & Energy Society General Meeting (PESGM), Dec.20, 2021.

[8] Ayekpam Jagadananda, Lourembam Lastrong Mangang, Mayanglambam Sam Meitei, Bunusagar Nongmaithem, Sorokhaibam Nilakanta Meitei and Nameirakpam Basanta Singh," Analysis of Harmonic Generated by Household Electronic Equipments with SMPS Using Matlab® Simulink®," 2024 6th International Conference on Energy, Power and Environment (ICEPE), Sep.11, 2024.

[9] อาทิตย์ ขาวรุ่งเรือง สาคร วุฒิพัฒนพันธุ์ และ นัฐโชติ รักไทยเจริญชีพ, “การจำลองเพื่อออกแบบตัวกรองฮาร์มอนิกส์ที่เกิดจากโหลดไม่เป็นเชิงเส้นของเครื่อง สำรองไฟฟ้า,” การประชุมวิชาการเครือข่ายวิศวกรรมไฟฟ้า ครั้งที่ 17 (EENET2025), หน้า 17-20, 2568.

การเพิ่มสัดส่วนพลังงานทดแทนในประเทศไทยโดยใช้เทคโนโลยีกริดฟอร์มมิ่งอินเวอร์เตอร์

Enhancing Renewable Energy Penetration in Thailand's Power System Using Grid-Forming Inverter Technology

ณฏฐกร สุขมานนท์ สิรภัทร อุ่นถา และธงชาติ เกิดผล*

ภาควิชาวิศวกรรมไฟฟ้า คณะวิศวกรรมศาสตร์ มหาวิทยาลัยเกษตรศาสตร์

เลขที่ 50 ถนนงามวงศ์วาน แขวงลาดยาว เขตจตุจักร กรุงเทพฯ 10900 อีเมล: nottakorn.su@ku.th sirapatara.a@ku.th thongchart.k@ku.ac.th*

บทคัดย่อ

ในปัจจุบัน พลังงานหมุนเวียนมีบทบาทสำคัญในการผลิตไฟฟ้าทั่วโลก แม้ประเทศไทยมีศักยภาพสูง แต่ยังไม่สามารถใช้ประโยชน์ได้อย่างเต็มที่ อินเวอร์เตอร์เป็นเทคโนโลยีหลักในการดึงพลังงานสะอาดเข้าสู่ระบบไฟฟ้าได้ โดยอินเวอร์เตอร์ที่ใช้งานทั่วไปเป็นแบบตามกริด ปัญหาหลักคือการต้องพึ่งพากริดหลักและไม่สามารถสร้างแรงดันหรือความถี่ได้เองทำให้ไม่สามารถสร้างกริดที่มีแต่พลังงานทดแทนในระบบได้ ขณะที่กริดฟอร์มมิ่งอินเวอร์เตอร์สามารถทำงานในสภาวะกริดอ่อนหรือแบบเกาะได้เองทำให้สามารถแก้ปัญหาความไม่เสถียรภาพของการใช้สัดส่วนพลังงานสะอาดสูงๆโดยตรง บทความนี้เสนอการประยุกต์ใช้ทั้งสองเทคโนโลยีในระบบกริดขนาดเล็กของอำเภอแม่สะเรียง ซึ่งมีศักยภาพพลังงานแสงอาทิตย์สูง โดยวิเคราะห์การเปลี่ยนแปลงสัดส่วนพลังงานแสงอาทิตย์ตั้งแต่ 0 ไปจนถึงระดับสูงสุดที่ 100% เปรียบเทียบผลการใช้งานอินเวอร์เตอร์ทั้งสองชนิดในโหมดเกาะ เพื่อแสดงศักยภาพและแนวทางการพัฒนาไปสู่ระบบไฟฟ้าที่ใช้พลังงานสะอาดทั้งหมดในประเทศไทย

คำสำคัญ: กริดฟอร์มมิ่งอินเวอร์เตอร์, กริดขนาดเล็ก, โหมดเกาะ, สัดส่วนพลังงานสะอาดในระดับสูง

Abstract

Renewable energy plays an increasingly vital role in global electricity generation. Although Thailand has abundant renewable energy resources, they are not yet fully utilized. Inverters are key technologies for integrating clean energy into power systems. Conventional inverters are typically grid-following, relying on the main grid and incapable of generating their own voltage or frequency, thus limiting the potential for fully renewable-based systems. In contrast, grid-forming inverters can operate independently in weak grid or islanded conditions, addressing the instability issues associated with high renewable penetration. This study proposes the integration of both inverter technologies in a microgrid located in Mae Sariang District, which has high solar energy potential. It analyzes the variation in solar energy contribution from 0% to 100% of total system load and compares the performance of both inverter types in islanded mode. The findings demonstrate the potential and direction for developing fully renewable power systems in Thailand.

Keywords: Grid-Forming Inverter, Microgrid, Islanding Mode, High Proportion of Renewable Energy

1. บทนำ

ในปัจจุบันมีความก้าวหน้าทางเทคโนโลยีมากมายที่ทำให้โลกก้าวข้ามขีดจำกัดหลายๆอย่างขึ้นเป้าหมายหนึ่งที่ทำให้ผู้พัฒนาต้องการเห็นจากการสร้างเทคโนโลยีใหม่ๆขึ้นคือโลกที่ไร้ซึ่งมลพิษ [1] มลภาวะต่างๆด้วยเหตุนี้เองหากมองเข้าไปที่ปัญหาที่ทำให้เกิดมลพิษเยอะมากที่สุดสาเหตุหนึ่งคือการผลิตไฟฟ้าด้วย ถ่านหิน ฟอสซิลหรือก๊าซธรรมชาติ [2] ในไทยเองจากการรายงานของกรมพลังงานการผลิตไฟฟ้าเป็นส่วนที่ให้ก๊าซคาร์บอนไดออกไซด์มากที่สุดในประเทศด้วยเหตุนี้เทคโนโลยีที่กำลังมาแรงในงานวิจัยของนักวิศวกรไฟฟ้าคืออินเวอร์เตอร์

อินเวอร์เตอร์เป็นเทคโนโลยีที่ใช้กันมานานแล้วแต่ไม่แพร่หลายในอดีตเนื่องจากเครื่องใช้ไฟฟ้าหรือการผลิตไฟฟ้าใช้เครื่องกำเนิดไฟฟ้าเป็นหลักหรือมอเตอร์ซึ่งไม่ได้มีส่วนจากการใช้งานของอินเวอร์เตอร์ แต่ในปัจจุบันจะเห็นว่าการใช้โซล่าเซลล์ กังหันลมหรือแม้กระทั่งการใช้งานยายนต์ไฟฟ้าแพร่หลายมากในปัจจุบันและแนวโน้มข้างหน้าในอนาคตซึ่งอินเวอร์เตอร์เป็นอุปกรณ์แปลงแรงดันไฟฟ้ากระแสตรงให้เป็นแรงดันไฟฟ้ากระแสสลับซึ่งจะเห็นได้ว่าอินเวอร์เตอร์เป็นส่วนสำคัญในอุปกรณ์สมัยใหม่ที่สำคัญที่สุดหนึ่งอย่างในปัจจุบัน [2]

ถึงอย่างไรก็ตามอินเวอร์เตอร์ได้ถูกแบ่งออกเป็นสองประเภทหลักๆ ประเภทแรกที่ปัจจุบันนิยมใช้กันแพร่หลายในประเทศไทยคืออินเวอร์เตอร์ตามกริดคืออินเวอร์เตอร์ที่ต้องพึ่งพาการจ่ายพลังงานจากกริดไฟฟ้าหลักอย่างเช่นการไฟฟ้าเสมือนมีการต่อแหล่งกำเนิดกระแสเข้ากับระบบไม่สามารถสร้างแรงดันหรือความถี่ได้ด้วยตัวเองแต่ด้วยเหตุนี้เองทำให้ปัญหาในการทำงานเมื่อไร้กริดจากการไฟฟ้าหรือเครื่องกำเนิดไฟฟ้าไม่สามารถทำงานได้จะต้องพึ่งพาแหล่งกำเนิดที่ส่งผลต่อมลพิษแก่สภาแวดล้อมทำให้บางประเทศอย่างเช่น ประเทศออสเตรเลียและสหรัฐอเมริกาเริ่มเปลี่ยนแปลงมาให้อินเวอร์เตอร์อีกประเภทหนึ่งคือกริดฟอร์มมิ่ง

*ผู้ประพันธ์บรรณกิจ

อินเวอร์เตอร์ที่สามารถสร้างแรงดันและความถี่เองเสมือนนำแหล่งกำเนิดแรงดันเข้ามาเชื่อมต่อกับโครงข่ายทำให้สามารถทำงานได้ทั้งเชื่อมต่อกับกริดหลักหรือไร้การเชื่อมต่อกับกริดหลักหรือโหมดเกาะได้เป็นอย่างดี [3]

จากที่กล่าวมาข้างต้นแม้ว่ากริดฟอร์มมิ่งอินเวอร์เตอร์จะมีคุณสมบัติที่ดีและเหมาะสมแก่การสร้างระบบไฟฟ้าที่ใช้เพียงแต่พลังงานสะอาดเท่านั้นแต่โครงสร้างการออกแบบตัวควบคุมนั้นเข้าใจยากและงานวิจัยที่มีการนำมาประยุกต์ใช้ในกริดขนาดเล็กของไทยนั้นไม่มีงานที่นำมาแพร่หลายให้คนทั่วไปได้เข้าใจดังนั้นงานวิจัยนี้จะชี้แจงรายระเอียดวิธีการทำงานของกริดฟอร์มมิ่งอินเวอร์เตอร์ตั้งแต่หน้าที่การทำงาน สมการเบื้องต้นในการวิเคราะห์ และตัวควบคุมที่ใช้ในการทดสอบซึ่งเป็นการใช้ตัวควบคุมแบบอินทริกัลตามสัดส่วน (PI control) ที่ไม่ใช้ตัวล็อกเฟสหรือ Phase lock-loop [4] เลยซึ่งมีงานวิจัยเบื้องต้นมีการใช้แล้วพบว่าข้อเสียของการใช้อุปกรณ์ล็อกเฟสคือการทำมาประยุกต์เข้ากับกริดแล้วใช้งานไม่ดี การแบ่งจ่ายพลังงานไม่มีประสิทธิภาพงานนี้จึงหันมาใช้การควบคุมแบบหย่อนหรือ droop control [5] โดยการทดสอบประสิทธิภาพจะใช้กริดขนาดเล็กของแม่สะเรียง จังหวัดแม่ฮ่องสอน [6] ดังแสดงในรูปที่ 1 โดยการปรับกริดให้มีสัดส่วนพลังงานสะอาดของระบบเปลี่ยนไปเรื่อย ๆ เพื่อดูพฤติกรรมของแรงดันและความถี่ของระบบที่ใช้กริดฟอร์มมิ่งอินเวอร์เตอร์และกริดฟอลโลวิงอินเวอร์เตอร์

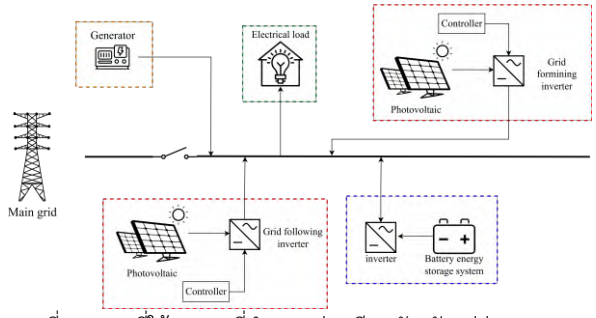

รูปที่ 1 ระบบที่ใช้ทดสอบที่อำเภอแม่สะเรียง จังหวัดแม่ฮ่องสอน

จากที่กล่าวมาข้างต้นทั้งหมดในหัวข้อถัดไปจะเป็นการอธิบายเกี่ยวกับแนวคิดและหลักการทำงานพื้นฐานของกริดฟอร์มมิ่งอินเวอร์เตอร์และแบบตามกริดเพื่อให้เข้าใจแนวคิดเบื้องต้นก่อนนำไปประยุกต์ใช้งานจริงในกริดขนาดเล็ก

2. แนวคิดและหลักการทำงานพื้นฐานของ กริดฟอลโลวิงอินเวอร์เตอร์และแบบสร้างกริด

จากหัวข้อก่อนหน้าได้นำเสนอแนวโน้มในปัจจุบันที่ใช้พลังงานสะอาด ปัญหาต่างๆฉะนั้นงานนี้จึงมุ่งเน้นไปที่ความสามารถเฉพาะตัวของอินเวอร์เตอร์ โดยที่อินเวอร์เตอร์มีด้วยกันหลักๆแล้วแบ่งเป็นสองประเภทโดยการทำงานทั้งสองแตกต่างกันอย่างสิ้นเชิงในหัวข้อนี้จะบรรยายความสามารถพื้นฐานต่างๆของอินเวอร์เตอร์ทั้งสองประเภท

2.1 หลักการการทำงานของกริดฟอลโลวิงอินเวอร์เตอร์หรืออินเวอร์เตอร์แบบตามกริด

กริดฟอลโลวิงอินเวอร์เตอร์หรืออินเวอร์เตอร์แบบตามกริด ใช้ในโหมดเชื่อมต่อกับโครงข่ายไฟฟ้า โดยทำหน้าที่แปลงพลังงานไฟฟ้ากระแสตรงจากแหล่งพลังงาน เช่น พลังงานแสงอาทิตย์และพลังงานลม ให้เป็นพลังงานไฟฟ้ากระแสสลับพร้อมปรับความถี่และแรงดันไฟฟ้าให้ตรงกับโครงข่ายไฟฟ้าภายนอก ในรูปที่ 2 แสดงการควบคุมกริดฟอลโลวิงอินเวอร์เตอร์ ประกอบด้วยระบบควบคุมแบบลูปสำหรับกำลังไฟฟ้าและกระแสไฟฟ้า โดยกริดฟอลโลวิงอินเวอร์เตอร์ ทำงานในลักษณะของอินเวอร์เตอร์ที่จ่ายกำลังไฟฟ้าแบบคงที่ และผลิตกำลังไฟฟ้าขาออกตามค่ากำลังไฟฟ้าอ้างอิง ในการควบคุม กริดฟอลโลวิงอินเวอร์เตอร์ กำลังไฟฟ้าจริง ถูกควบคุมโดยการปรับค่ากระแส (I_d) ขณะที่กำลังไฟฟ้ารีแอคทีฟถูกควบคุมโดยการปรับค่ากระแส (I_q) [4]

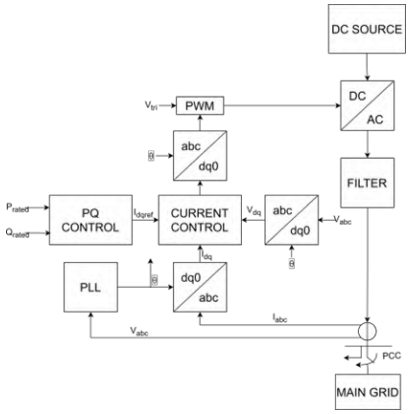

รูปที่ 2 แผนภาพการควบคุมของกริดฟอลโลวิงอินเวอร์เตอร์

2.2 หลักการการทำงานของกริดฟอร์มมิ่งอินเวอร์เตอร์หรืออินเวอร์เตอร์แบบสร้างกริด

ในกรณีที่โครงข่ายไฟฟ้าล้มเหลว เช่น โหมดแยกตัวออกจากโครงข่าย (Islanding Mode) หรือกรณีที่มีพลังงานสะอาดในสัดส่วนที่สูงๆ กริดฟอร์มมิ่งอินเวอร์เตอร์จะเสมือนเป็นแหล่งจ่ายแรงดันมีบทบาทสำคัญในการรักษาเสถียรภาพของความถี่และแรงดันไฟฟ้า โดยต้องมีกลไกการซิงโครไนซ์เพื่อควบคุมพารามิเตอร์เหล่านี้อย่างเหมาะสม การวิเคราะห์พฤติกรรมของกริดฟอร์มมิ่งอินเวอร์เตอร์ในกรณีฉุกเฉินเมื่อทำงานร่วมกับอุปกรณ์อื่นๆในระบบ จำเป็นต้องใช้แบบจำลองขั้นสูงในการควบคุมที่มีประสิทธิภาพ แม้ว่ากริดฟอร์มมิ่งอินเวอร์เตอร์จะสามารถจ่ายพลังงานให้โหลดได้โดยแปลงพลังงานจากแหล่งกำเนิด ดังนั้น การสร้างแบบจำลองที่แม่นยำจึงเป็นสิ่งจำเป็นเพื่อให้มั่นใจถึงประสิทธิภาพและความน่าเชื่อถือของระบบ [7]

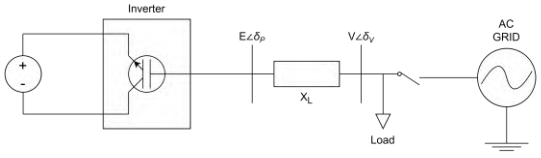

รูปที่ 3 แบบจำลองระบบที่ใช้การทำงานกริดฟอร์มมิ่งอินเวอร์เตอร์

รูปที่ 3 แสดงแบบจำลองพื้นฐานของกริดฟอร์มมิ่งอินเวอร์เตอร์โดยการเลือกค่ารีแอคแตนซ์ของการเชื่อมต่อ (X_L) ที่เหมาะสม ซึ่งมักอยู่ในช่วง 0.05 ถึง 0.15 p.u. จะช่วยให้สามารถแยกการควบคุมกำลังไฟฟ้าจริง (P) และกำลังไฟฟ้ารีแอคทีฟ (Q) ออกจากกันได้อย่างมีประสิทธิภาพตามขีดความสามารถของอินเวอร์เตอร์ การแยกการควบคุมกำลังไฟฟ้านี้ทำให้การออกแบบตัวควบคุมเป็นไปอย่างง่ายขึ้น ดังที่แสดงในสมการ (1) ถึง (3) ในแบบจำลองนี้ กำลังไฟฟ้ารีแอคทีฟ (Q) มีความสัมพันธ์เกือบเป็นเส้นตรงกับขนาดแรงดันไฟฟ้าภายใน ขณะที่กำลังไฟฟ้าจริง (P) มีความสัมพันธ์เกือบเป็นเส้นตรงกับมุมเฟสที่ต่างกัน (δ_P) [7]

$$\delta_P = \delta_E - \delta_V \quad (1)$$

$$P = \frac{EV}{X_L} sin\delta_P \approx \frac{EV}{X_L}\delta_P \quad (2)$$

$$Q = \frac{E^2 - EVcos\delta_P}{X_L} \approx \frac{E(E-V)}{X_L}\delta_P \quad (3)$$

โดยที่ E คือความต่างศักย์ไฟฟ้าที่บัสของกริดฟอร์มมิ่งอินเวอร์เตอร์ (โวลต์), δ_E แทนมุมเฟสที่บัสของกริดฟอร์มมิ่งอินเวอร์เตอร์ (เรเดียน) , V หมายถึงค่าความต่างศักย์ไฟฟ้าที่บัสของโครงข่ายไฟฟ้าหลัก (โวลต์) และ δ_v แทนมุมเฟสที่บัสของโครงข่ายไฟฟ้าหลัก (เรเดียน)

3. การออกแบบตัวควบคุมของกริดฟอร์มมิ่งอินเวอร์เตอร์

จากหัวข้อที่แล้วจะเห็นได้ว่าการทำงานอินเวอร์เตอร์ทั้งสองประเภทแตกต่างกันอย่างไร ในหัวข้อนี้จะเจาะลึกในการอธิบายการออกแบบระบบควบคุมของกริดฟอร์มมิ่งอินเวอร์เตอร์ตามที่แสดงใน รูปที่ 4 ซึ่งประกอบด้วย 5 องค์ประกอบหลัก ได้แก่ การแปลงผันพาร์ก (Park transform), วงจรควบคุมกระแสหรือ current loop control, วงจรควบคุมแรงดันหรือ voltage loop control, การควบคุมแบบหหย่อนหรือ droop control และ การมอดูเลตความกว้างพัลส์ (PWM)

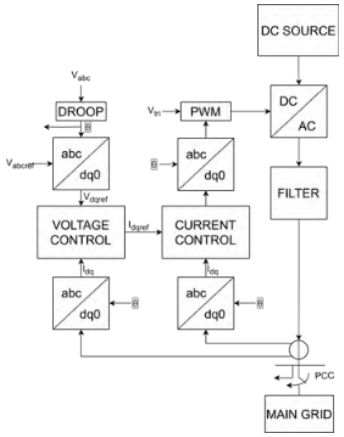

รูปที่ 4 แผนภาพการควบคุมของกริดฟอร์มมิ่งอินเวอร์เตอร์

3.1 การแปลงผันพาร์ก (Park transform)

การแปลง Park หรือเรียกอีกอย่างว่า Park Transformation เป็นกระบวนการแปลงสัญญาณจากโดเมนเวลาแบบสามเฟส (abc reference frame) ไปเป็นแกนอ้างอิงเชิงหมุน (dq reference frame) โดยแปลงค่าตัวแปรต่างๆในไฟฟ้าสามเฟส (X_a, X_b, X_c) ให้เป็นกระแสตรงสองค่า (X_d, X_q) ซึ่งช่วยให้การควบคุมและวิเคราะห์เสถียรภาพของระบบไฟฟ้าง่ายขึ้น ในระบบนี้ กำลังไฟฟ้าจริง (P) ถูกควบคุมโดยกระแสแกน d (I_d) ขณะที่กำลังไฟฟ้ารีแอคทีฟ (Q) ถูกควบคุมโดยกระแสแกน q (I_q) โดยค่าของ X_d และ X_q สามารถกำหนดได้ตามสมการ [4]:

$$\begin{bmatrix} X_d \\ X_q \end{bmatrix} = \begin{bmatrix} \cos(\omega t) & \cos(\omega t - \frac{2\pi}{3}) & \cos(\omega t + \frac{2\pi}{3}) \\ -\sin(\omega t) & -sin(\omega t - \frac{2\pi}{3}) & -\sin(\omega t + \frac{2\pi}{3}) \end{bmatrix} \begin{bmatrix} X_a \\ X_b \\ X_c \end{bmatrix} \quad (4)$$

โดยที่ ω คือความถี่เชิงมุมใดๆ ณ เวลานั้นๆสามารถคำนวณได้จาก $2\pi f$ (เรเดียน) โดยที่ f คือความถี่ในหน่วยเฮิรตซ์

3.2 วงจรควบคุมกระแสหรือ current loop control

วงจรควบคุมกระแส (current loop control) เป็นวงจรหรือวงรอบด้านในของระบบควบคุมในกริดฟอร์มมิ่งอินเวอร์เตอร์ โดยมีวัตถุประสงค์หลักในการควบคุมกระแส I_d และ I_q ให้ตรงกับค่าที่อ้างอิง ซึ่งช่วยปรับปรุงการตอบสนองทางพลวัตน์ของระบบ การควบคุมกระแสใช้ตัวควบคุมการควบคุมอินทิกรัลตามสัดส่วน (PI Control) สำหรับ I_d และ I_q โดยค่าที่อ้างอิงของแรงดันไฟฟ้าจะถูกสร้างจากเอาต์พุตของตัวควบคุม PI ซึ่งพิจารณาแรงดันที่ขั้วของอินเวอร์เตอร์และแรงดันที่ลดลงจากผลกระทบของการเชื่อมต่อระหว่างแกน แรงดันอ้างอิงนี้จะถูกใช้ในการควบคุม การมอดูเลตความกว้างพัลส์ (PWM)เพื่อสร้างสัญญาณควบคุมการสวิตชิ่งของอินเวอร์เตอร์ สมการของวงจรควบคุมถูกกำหนดในสมการ [7]:

$$v_{fd_{ref}} = V_{od} + (I_{fd_{ref}} - I_{fd})(K_p + \frac{K_d}{s}) - (I_{fd} * \omega L) \quad (5)$$

$$v_{fq_{ref}} = I_{od} + (I_{0q_{ref}} - I_{fq})(K_p + \frac{K_d}{s}) + (I_{fq} * \omega L) \quad (6)$$

โดยที่ V_{od}, I_{od} แทนแรงดันและกระแสในกรอบอ้างอิงเชิงการหมุนในแกน d ของระบบขาออกตามลำดับ และ I_{fd},I_{fq} แทนกระแสในกรอบอ้างอิงเชิงการหมุนในแกน d และ q ของขาออกจากอินเวอร์เตอร์และสัญญาณอ้างอิงตามลำดับ L คือค่าขดลวดของตัวกรองสัญญาณขาออกจากอินเวอร์เตอร์ในระบบและ ω คือความถี่เชิงมุมใดๆ ณ เวลานั้นๆที่ได้จากการควบคุมแบบหย่อนซึ่งสามารถคำนวณได้จาก $2\pi f$ (เรเดียน) โดยที่ f คือความถี่ในหน่วยเฮิรตซ์ ณ เวลานั้นๆ

3.3 วงจรควบคุมแรงดันหรือ voltage loop control

ในกริดฟอร์มมิ่งอินเวอร์เตอร์ วงจรควบคุมแรงดันไฟฟ้า (voltage loop control) ทำหน้าที่ควบคุมแรงดันไฟฟ้าในระบบให้เสถียรโดยใช้ตัวควบคุมการควบคุมอินทิกรัลตามสัดส่วน (PI Control) ปรับแรงดันใน แกนอ้างอิงเชิงหมุน โดยเปรียบเทียบค่าแรงดันอ้างอิงกับแรงดันไฟฟ้าจริงที่อินเวอร์เตอร์จ่ายออกมา ตัวควบคุม PI จะสร้างค่ากระแสอ้างอิงสำหรับควบคุมกระแสในลูปด้านใน แรงดันอ้างอิงในกริดฟอร์มมิ่งอินเวอร์เตอร์ จะมาจากแรงดันที่วัดได้ที่ขั้วของแหล่งพลังงานหรือจุดเชื่อมต่อกับโครงข่าย โดยแปลงจากพิกัดกรอบอ้างอิงเชิงเวลาไปเป็นกรอบอ้างอิงเชิงการหมุนเพื่อใช้ในการควบคุม วิธีนี้ช่วยรักษาแรงดันขาออกให้คงที่ วงจรควบคุมแรงดันจะปรับค่าแรงดันอ้างอิงเพื่อรักษาเสถียรภาพของระบบ และควบคุม

แรงดันของอินเวอร์เตอร์ทั้งในโหมดทำงานแบบอิสระและร่วมกับโครงข่ายไฟฟ้า สมการของวงจรถูกกำหนดในสมการ [7]:

$$i_{fd_{ref}} = I_{od} + (V_{0d_{ref}} - V_{0d})(K_p + \frac{K_d}{s}) - (V_{0q} * \omega C) \quad (7)$$

$$i_{fq_{ref}} = I_{oq} + (V_{0q_{ref}} - V_{0q})(K_p + \frac{K_d}{s}) + (V_{0d} * \omega C) \quad (8)$$

โดยที่ $V_{oq}, I_{od}, I_{oq}, V_{oq}$ แทนแรงดันและกระแสในกรอบอ้างอิงเชิงการหมุนในแกน d และแกน q ของระบบขาออกตามลำดับ และ C คือค่าขดลวดของตัวกรองสัญญาณขาออกจากอินเวอร์เตอร์ในระบบและ ω คือความถี่เชิงมุมใดๆ ณ เวลานั้นๆที่ได้จากการควบคุมแบบหย่อนซึ่งสามารถคำนวณได้จาก $2\pi f$ (เรเดียน) โดยที่ f คือความถี่ในหน่วยเฮิรตซ์ ณ เวลานั้นๆ

3.4 การควบคุมแบบหหย่อนหรือ droop control

การควบคุมแบบหหย่อนหรือ droop control ใช้เพื่อควบคุมความถี่ของอินเวอร์เตอร์ในการสร้างค่าความถี่และแรงดันไฟฟ้าอ้างอิงตามภาระของระบบ โดยหลักการทำงานของการควบคุมแบบหหย่อนคือ เมื่อโหลดของระบบเพิ่มขึ้น ความถี่จะลดลงตามอัตราส่วนที่กำหนดไว้ในลักษณะของเส้นโค้งกระบวนการนี้ช่วยให้การแบ่งพลังงานระหว่างแหล่งจ่ายไฟเกิดขึ้นโดยอัตโนมัติ ซึ่งสามารถกำหนดได้โดยสมการ [7]:

$$\omega = \omega_0 - m_p P \quad (8)$$

$$U = U_0 - m_q Q \quad (9)$$

โดยที่ ω และ U คือค่าความเร็วเชิงมุมและแรงดันไฟฟ้าอ้างอิงของอินเวอร์เตอร์ตามลำดับ, ω_0 และ U_0 เป็นค่าความเร็วเชิงมุมและแรงดันไฟฟ้าที่กำหนดเป็นค่ามาตรฐานของอินเวอร์เตอร์ โดยที่ ω_0 คำนวณจาก 2π × ความถี่ของระบบไฟฟ้านั้นๆ ส่วน m_p และ m_q เป็นสัมประสิทธิ์ดรูปของกำลังไฟฟ้าจริง และกำลังไฟฟ้ารีแอคทีฟ ตามลำดับ

3.5 การมอดูเลตความกว้างพัลส์ (PWM)

ในการควบคุมกระแสของกริดฟอร์มมิ่งอินเวอร์เตอร์ ทั้งในกรณีที่เชื่อมต่อกับโครงข่ายไฟฟ้าและในสภาวะที่ไม่เชื่อมต่อ แรงดันอ้างอิงจะถูกกำหนดในกรอบอ้างอิงเชิงการหมุน (rotating reference frame) ที่สัมพันธ์กับจุดเริ่มต้น อย่างไรก็ตาม ในการใช้งานเทคนิคการมอดูเลตแบบไซน์พัลส์ความกว้างพัลส์ (Sine Pulse Width Modulation: PWM) จำเป็นต้องใช้สัญญาณมอดูเลตสามเฟสซึ่งมีเฟสต่างกัน 120 องศา ดังนั้นแรงดันอ้างอิงจึงต้องถูกแปลงกลับไปยังกรอบอ้างอิงแบบสามเฟส (abc reference frame) โดยผ่านกระบวนการแปลงผกผันพาร์ก (Inverse Park Transformation) ทั้งนี้ มุมเฟสที่ได้จากวงจรล็อกเฟส (Phase-Locked Loop: PLL) จะถูกนำมาใช้ในการควบคุม เพื่อรักษาระดับแรงดันขาออกของอินเวอร์เตอร์ให้สอดคล้องกับค่าที่ต้องการอย่างมีเสถียรภาพ [7]

4. ผลลัพธ์จากการจำลองและการอภิปราย

หลังจากที่ได้อภิปรายโครงสร้างทั้งหมดของตัวควบคุมกริดฟอร์มมิ่งอินเวอร์เตอร์ลำดับต่อไปจะเป็นการนำโครงสร้างที่ได้นำเสนอมาทดสอบด้วยการจำลองจากโปรแกรมที่มีมาตรฐานทั่วโลกให้การยอมรับอย่าง Digsilent powerfactory® โดยที่การศึกษานี้แบ่งออกเป็น 4.1 กรณีที่ให้แหล่งพลังงานสะอาดเพียง 0–50% ของพลังงานที่จ่ายออกทั้งหมดในระบบ และ 4.2 กรณีที่ให้แหล่งพลังงานสะอาดในระดับสูง 60–100% ของพลังงานที่จ่ายออกทั้งหมดในระบบ โดยแต่ละสถานการณ์จะมีการจำลองโดยใช้ทั้งกริดฟอลโลวิงอินเวอร์เตอร์และแบบสร้างกริดในช่วง 0–3 วินาทีแรก ระบบจะทำงานในโหมดเชื่อมต่อกับโครงข่าย (Grid-Connected Mode) ก่อนจะเปลี่ยนเป็นโหมดแยกตัว (Islanding Mode) เพื่อตรวจสอบการตอบสนองของอินเวอร์เตอร์ในสภาวะต่างๆ

4.1 กรณีใช้แหล่งจ่ายพลังงานสะอาดในระดับต่ำ 0–50% ของพลังงานที่จ่ายออกทั้งหมดในระบบ

ในกรณีนี้จะเป็นการใช้งานแบบปัจจุบันที่มีสัดส่วนพลังงานไม่ได้สูงมากตัวแปรสำคัญหลักคือการใช้พลังงานจะเครื่องกำเนิดไฟฟ้า ดังนั้นการศึกษานี้ระบบยังคงใช้งานเครื่องกำเนิดไฟฟ้าแบบเก่า เนื่องจากอินเวอร์เตอร์ไม่สามารถจ่ายพลังงานทั้งหมดในระบบได้ ระบบจึงต้องใช้พลังงานจากเครื่องกำเนิดไฟฟ้าในการสร้างแรงดันและความถี่อ้างอิง ซึ่งส่งผลให้พฤติกรรมของระบบแตกต่างออกไป

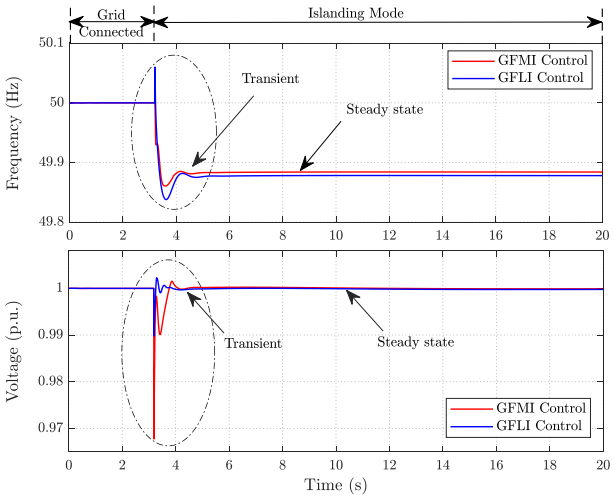

รูปที่ 5 กราฟการตอบสนองของความถี่และแรงดันในระบบเมื่อมีอัตราส่วนพลังงานสะอาดที่ 0-50%

ผลลัพธ์ในการทดลองจะถูกแสดงในรูปที่ 5 โดยภาพแรกแสดงความถี่และภาพถัดไปแสดงแรงดันตามลำดับจากบนลงล่างของรูป โดยเส้นสีแดงแทนการทำการของกริดฟอลโลวิงอินเวอร์เตอร์และเส้นสีน้ำเงินแทนกริดฟอร์มมิ่งอินเวอร์เตอร์จากผลการทดลอง พบว่าในช่วงแรกที่ได้รับไฟฟ้าจากโครงข่ายหลัก พฤติกรรมของทั้งสองระบบใกล้เคียงกันในส่วนของแรงดันกริดฟอร์มมิ่งอินเวอร์เตอร์มีแรงดันตกที่เยอะกว่าประมาณ 0.02 เปอร์ยูนิต แต่เมื่อเกิดเหตุการณ์ที่ต้องดำรงระบบด้วยตัวเองกริดฟอร์มมิ่งอินเวอร์เตอร์สามารถกู้สถานการณ์ได้เร็วและและค่าแรงดันและความถี่ของระบบใกล้เคียงกับค่าที่ตั้งค่าไว้ที่ความถี่ 50 เฮิรตซ์ และ แรงดันที่ 1 เปอร์ยูนิตในทางกลับกันแรงดันและความถี่ที่ได้ของอินเวอร์เตอร์แบบ

ดั้งเดิมหรือแบบตามกริดให้ค่าที่ตกลงมาจากค่าที่ตั้งไว้นิดหน่อยแต่แทบไม่ต่างกันมากแต่ถือว่าโดยภาพรวมแล้วในกรณีศึกษานี้กริดฟอร์มมิ่งอินเวอร์เตอร์มีศักยภาพที่เหนือกว่า

4.2 กรณีใช้แหล่งจ่ายพลังงานสะอาดในระดับสูง 60–100% ของพลังงานที่จ่ายออกทั้งหมดในระบบ

ในกรณีนี้จะเป็นการรองรับในอนาคตซึ่งเป็นแน้วโน้มที่มีการใช้พลังงานสะอาดมากยิ่งขึ้น การศึกษานี้มุ่งเน้นไปที่การใช้งานอินเวอร์เตอร์ต้องทำหน้าที่จ่ายพลังงานเป็นหลักในระบบ ทำงานในโหมดที่ไม่ได้เชื่อมต่อกับเครื่อข่ายซึ่งทำให้อินเวอร์เตอร์ต้องสร้างแรงดันและความถี่อ้างอิงขึ้นเอง เนื่องจากไม่สามารถพึ่งพาเครื่องกำเนิดไฟฟ้าแบบเก่าได้ ส่งผลให้พฤติกรรมของระบบเปลี่ยนไป เนื่องจากภาระแหละหน้าที่ของอินเวอร์เตอร์จะมากยิ่งขึ้น ดังที่แสดงในรูปที่ 6 โดยภาพแรกแสดงความถี่และภาพถัดไปแสดงแรงดันตามลำดับจากบนลงล่างของรูป โดยเส้นสีแดงแทนการทำการของกริดฟอลโลวิงอินเวอร์เตอร์และเส้นสีน้ำเงินแทน กริดฟอร์มมิ่งอินเวอร์เตอร์ ผลการทดลองพบว่าในช่วงแรกที่ยังได้รับไฟฟ้าจากโครงข่ายหลัก ในระบบที่ใช้อินเอวร์เตอร์แบบตามกริดในช่วงแสงมีความแกว่งของสัญญาณที่สูงกว่าแต่สามารถทำงานต่อไปได้ในขณะที่ การใช้งาน กริดฟอร์มมิ่งอินเวอร์เตอร์นั้นไร้ปัญหาในการทำงาน ถัดมาเมื่อระบบหลักล้มเหลวลงทำให้อินเวอร์เตอร์มีบทบาทมากยิ่งขึ้นจะเห็นได้ชัดเจนว่าการทำงาน กริดฟอร์มมิ่งอินเวอร์เตอร์นั้นทำงานได้ดีกว่าชัดเจนการกู้คืนระบบใช้เวลาไม่ถึงวินาทีในขณะที่กริดฟอลโลวิงอินเวอร์เตอร์ต้องใช้เวลา 10-12 วินาทีจนกว่าสัญญาณจะนิ่งและค่าความถี่ แรงดันของระบบตกเยอะกว่าการใช้กริดฟอร์มมิ่งอินเวอร์เตอร์อย่างมาก

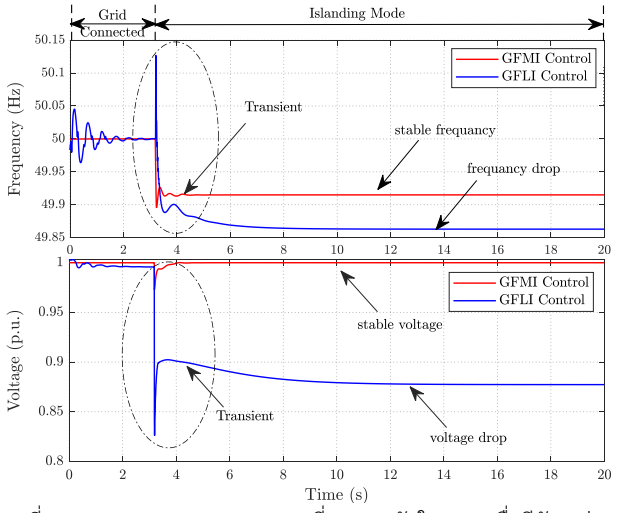

รูปที่ 6 กราฟการตอบสนองของความถี่และแรงดันในระบบเมื่อมีอัตราส่วนพลังงานสะอาดที่ 60-100%

4.3 ความคุ้มค่าในการผลิตไฟฟ้า

จากการทดลองทั้งหมดจะเห็นได้ว่าการใช้กริดฟอลโลวิงอินเวอร์เตอร์มีปัญหาอย่างมากในการทำงานเมื่อมีพลังงานสะอาดในสัดส่วนที่เยอะ ขณะที่มีประสิทธิภาพอย่างมากในการเปลี่ยนถ่ายระบบไฟฟ้าดังแสดงได้ในตารางที่ 1 จะแสดงแรงดันและความถี่ ณ สถานะคงที่ในทุกๆช่วงที่ใช้พลังงานสะอาดในแต่ละสัดส่วน

ตารางที่ 1 แรงดัน, ความถี่ และต้นทุนการผลิตไฟฟ้าตามสัดส่วนต่างๆ

พลังงานสะอาด (%)	เครื่องกำเนิดไฟฟ้า (%)	กริดฟอลโลวิงอินเวอร์เตอร์		กริดฟอร์มมิ่งอินเวอร์เตอร์		ราคาในการผลิตไฟฟ้า (Baht/hour)
		แรงดัน	ความถี่	แรงดัน	ความถี่	
0	100	0.9998	49.843	0.9998	49.843	11,736
10	90	0.9999	49.876	0.9998	49.870	11,927.2
20	80	0.9999	49.884	0.9998	49.878	12,118.4
30	70	0.9999	49.891	0.9998	49.886	12,309.6
40	60	0.9999	49.897	0.9997	49.895	12,500.8
50	50	0.9999	49.902	0.9997	49.904	12,692
60	40	0.9999	49.907	0.9997	49.913	12,883.2
70	30	0.9999	49.912	0.9848	49.916	13,074.4
80	20	1.0000	49.915	0.8773	49.863	13,265.6
90	10	1.0000	49.919	0.7280	-	13,456.8
100	0	0.9999	49.923	-	-	13,648

นอกจากนี้เนื่องจากพลังงานสะอาดนั้นมีราคาที่สูงกว่าเมื่อเพิ่มสัดส่วนพลังงานที่จ่ายออกให้มากขึ้นดังนั้นตารางที่ 1 จะแสดงเงินที่ใช้เพิ่มขึ้นต่อชั่วโมงในการผลิตพลังงานด้วยเพื่อให้สามารถเลือกและประเมินความคุ้มค่าในการปรับเปลี่ยนมากยิ่งขึ้นหากพิจารณาเพียงแค่ราคาในแต่ละวันที่ใช้ในการผลิตและเรื่องความเสถียรภาพการใช้ 70% ในระบบทั้งหมดถือเป็นจุดที่คุ้มค่ามากที่สุดเนื่องจากใช้เงินต่อคนตกปีละ 167 บาท (คิดจากประชากรประมาณ 5 หมื่นคนในพื้นที่แม่สะเรียง) แสดงว่าการผลิตด้วยพลังงานสะอาดถือเป็นแนวคิดที่เป็นไปได้อย่างมากในอนาคต

5. สรุปผลการทดลอง

ในปัจจุบันที่โลกกำลังต้องการบรรลุเป้าหมายให้การปลดปล่อยก๊าซคาร์บอนไดออกไซด์น้อยที่สุดที่เป็นไปได้หรือไม่ปลดปล่อยเลยอินเวอร์เตอร์จึงมีบทบาทและหน้าที่สำคัญในการผลิตพลังงานไฟฟ้าให้บรรลุเป้าหมายนั้นทำให้จึงจำเป็นต้องมีการศึกษาการใช้งานอินเวอร์เตอร์ให้มากขึ้นซึ่งพบว่าอินเวอร์เตอร์นั้นมีสองประเภทหลักๆโดยงานนี้จะแสดงให้เห็นว่ากริดฟอร์มมิ่งอินเวอร์เตอร์สามารถรับมือกับการสร้างกริดที่ใช้พลังงานสะอาดในสัดส่วนที่มากหากกริดที่สร้างขึ้นมาสามารถรองรับพลังงานสะอาดได้มากกริดฟอร์มมิ่งอินเวอร์เตอร์ย่อมสำคัญมากๆในระบบจากผลลัพธ์ที่ได้จะเห็นได้ว่าประสิทธิภาพการกู้คืนระบบไฟฟ้าด้วยกริดฟอร์มมิ่งอินเวอร์เตอร์เหนือกว่ากริดฟอลโลวิงอินเวอร์เตอร์อย่างเห็นได้ชัดเจนรวมถึงเมื่อสัดส่วนพลังงานสะอาดสูงขึ้นค่าในสถาณปกตินั้นให้ค่าที่ไม่ตกมากเกินไปจากค่าที่ตั้งไว้ดังนั้นการพัฒนากริดฟอร์มมิ่งอินเวอร์เตอร์จำเป็นมากและสำคัญมากในอนาคตเพื่อรองรับการใช้พลังงานสะอาดที่มากขึ้น

งานในอนาคตจะทำการสร้างศูนย์ควบคุมที่คอยควบคุมที่ จัดการพลังงาน คอยเพิ่มความสามารถในการป้องกันไฟตก จากกริดฟอร์มมิ่งอินเวอร์เตอร์รวมถึงนำเทคโนโลยีปัญญาประดิษฐ์มาทำงานร่วมกับอุปกรณ์ต่างๆในกริดขนาดเล็กของไทยแข็งแรงยิ่งขึ้นและนำแบบจำลองที่นำเสนอไปพัฒนาได้เกิดขึ้นจริงในอนาคต

เอกสารอ้างอิง

[1] G. Song, B. Cao, and L. Chang, “Review of Grid-forming Inverters in Support of Power System Operation,” *Chinese Journal of Electrical Engineering*, vol. 8, no. 1, pp. 1–15, Mar. 2022.

[2] N. Mohammed, H. Udawatte, W. Zhou, D. J. Hill, and B. Bahrani, “Grid-Forming Inverters: A Comparative Study of Different Control Strategies in Frequency and Time Domains,” *IEEE Open Journal of the Industrial Electronics Society*, vol. 5, no. 1, pp. 185–214, 2024.

[3] S. Anttila, J. S. Döhler, J. G. Oliveira, and C. Boström, “Grid Forming Inverters: A Review of the State of the Art of Key Elements for Microgrid Operation,” *Energies (Basel)*, vol. 15, no. 15, pp. 1–30, 2022.

[4] P. Rani, Shikhar, S. Murugesan, and A. K. Singh, “Modeling and Implementation of Grid Following and Grid Forming Inverters,” in *9th IEEE Uttar Pradesh Section International Conference on Electrical, Electronics and Computer Engineering, UPCON 2022*, 2022, pp. 1–6.

[5] A. Firdaus and S. Mishra, “Mitigation of Power and Frequency Instability to Improve Load Sharing among Distributed Inverters in Microgrid Systems,” *IEEE Syst J*, vol. 14, no. 1, pp. 1024–1033, Mar. 2020.

[6] N. Sukmanont, N. Teera-achariyakul, D. Rerkpreedapong, K. Katchasuwanmanee and T. Kerdphol, "Mitigating Electrical Instability in Northern Thailand: Microgrid Approach with Optimized Battery Energy Storage System," *2024 IEEE International Smart Cities Conference (ISC2)*, Pattaya, Thailand, 2024, pp. 1-6

[7] N. Sukmanont, W. Rojthavol and T. Kerdphol, "Grid-Forming Inverters using Phase-Locked Loop for Enhancing Frequency Stabilization," 2024 IEEE International Smart Cities Conference (ISC2), Pattaya, Thailand, 2024, pp. 1-7,

นาย ณฏฐกร สุขมานนท์ สำเร็จการศึกษาในระดับปริญญาตรี คณะวิศวกรรม สาขาวิศวกรรมไฟฟ้า มหาวิทยาลัยเกษตรศาสตร์ในปีพ.ศ. 2567 ปัจจุบันเป็นนิสิตปริญญาโท งานวิจัยที่สนใจครอบคลุม เสถียรภาพในระบบไฟฟ้ากำลัง กริดขนาดเล็ก กริดฟอร์มมิ่งอินเวอร์เตอร์ และความน่าเชื่อถือในระบบไฟฟ้ากำลัง

นาย สิรภัทร อุ่นถา ปัจจุบันกำลังศึกษาปริญญาตรีในชั้นปีที่ 3 เข้ารับการศึกษาในการศึกษา 2565 คณะวิศวกรรม สาขาวิศวกรรมไฟฟ้า มหาวิทยาลัยเกษตรศาสตร์ งานวิจัยที่สนใจครอบคลุม กริดขนาดเล็ก กริดฟอร์มมิ่งอินเวอร์เตอร์ และความน่าเชื่อถือในระบบไฟฟ้ากำลัง

ผู้ช่วยศาตราจารย์ ดร. ธงชาติ เกิดผล สำเร็จการศึกษาในระดับปริญญาตรีและปริญญาโท คณะวิศวกรรม สาขาวิศวกรรมไฟฟ้า มหาวิทยาลัยเกษตรศาสตร์ในปีพ.ศ. 2553 และปีพ.ศ.2555 และสำเร็จการศึกษาระดับปริญญาเอกสาขาวิศวกรรมไฟฟ้าและอิเล็กทรอนิกส์ จาก Kyushu Institute of Technology (Kyutech) ประเทศญี่ปุ่น ในปี พ.ศ. 2559 ปัจจุบัน ดำรงตำแหน่งอาจารย์ประจำภาควิชาวิศวกรรมไฟฟ้า คณะวิศวกรรมศาสตร์ มหาวิทยาลัยเกษตรศาสตร์ งานวิจัยที่สนใจครอบคลุมด้านความมั่นคงของระบบไฟฟ้า การโจมตีทางไซเบอร์ กริดฟอร์มมิ่งอินเวอร์เตอร์ การตอบสนองโหลดด้วยยานยนต์ไฟฟ้า (EVs) การประยุกต์ PMU การเพิ่มประสิทธิภาพแบบแข็งแรง/อัจฉริยะ และการควบคุมระบบกริดอัจฉริยะ/ไมโครกริด

การจัดตารางการใช้เครื่องใช้ไฟฟ้าอย่างเหมาะสมภายในบ้านอยู่อาศัย

Optimal Scheduling of Electrical Appliance Usage in Residential Home

พานิช พฤกษ์พาณิช

สาขาวิชาวิศวกรรมไฟฟ้ากำลัง สถาบันวิศวกรรมไฟฟ้าและอิเล็กทรอนิกส์ มหาวิทยาลัยเทคโนโลยีมหานคร panit@mut.ac.th

บทคัดย่อ

บทความนี้นำเสนอความเป็นไปได้และประสิทธิภาพในการจัดตารางการใช้เครื่องใช้ไฟฟ้าอย่างเหมาะสมภายในบ้านอยู่อาศัย โดยมีเป้าหมายให้ค่าไฟฟ้ามีค่าต่ำสุดภายใต้เงื่อนไขเวลาการใช้เครื่องใช้ไฟฟ้าที่ผู้ใช้ไฟฟ้ากำหนด การทดสอบเพื่อหาผลลัพธ์มุ่งเน้นไปที่กลุ่มผู้ใช้ไฟฟ้าภาคครัวเรือนที่ใช้มิเตอร์แบบ TOU และคำนวณตารางการใช้งานโดยประยุกต์ใช้ฟังก์ชั่นการหาค่าที่เหมาะสมในโปรแกรม MATLAB จากผลการทดสอบโดยผู้ใช้ไฟฟ้าจริงในบ้านอยู่อาศัย 2 หลัง พบว่าสัดส่วนการใช้พลังงานไฟฟ้าและค่าไฟฟ้าในช่วง On Peak มีค่าลดลง ในขณะที่ค่าดังกล่าวในช่วง Off Peak มีค่าสูงขึ้น นอกจากนั้น ค่าไฟฟ้าเฉลี่ยต่อหน่วยพลังงานมีค่าต่ำลง อันทำให้กลุ่มเป้าหมายเห็นถึงความสำคัญในการปรับเวลาการใช้เครื่องใช้ไฟฟ้าและมีความเหมาะสมที่จะพัฒนาแอพพลิเคชั่นในด้านนี้ต่อไป

คำสำคัญ: TOU ค่าไฟฟ้า การประหยัดพลังงานไฟฟ้า

Abstract

This paper presents a feasibility study on optimally scheduling the usage of electrical appliances in residential homes. The objective is to minimize electricity bills while considering the preferred usage times specified by the electricity users. The optimal schedule is obtained by applying an optimization function in MATLAB, with data collected from two residential homes equipped with Time-of-Use (TOU) meters.

The results show a decrease in electricity consumption during On-Peak periods and an increase during Off-Peak times. Additionally, the average electricity cost per unit of energy is reduced. These findings help the target group recognize the importance of adjusting appliance usage times and support the potential development of a mathematical model into a practical application in the future.

Keywords: Time of Use, Electricity Bill, Energy Saving

1. บทนำ

ปัจจุบันมีแอปพลิเคชั่นต่างๆ ที่ช่วยอำนวยความสะดวกในการมีส่วนร่วมด้านข้อมูลการใช้อุปกรณ์ไฟฟ้าจากผู้ใช้ไฟฟ้ามากยิ่งขึ้น เช่น แอปพลิเคชั่น Evo Energy ที่สามารถคำนวณค่าไฟฟ้าล่วงหน้าและบันทึกข้อมูลย้อนหลัง ให้ผู้ใช้ไฟฟ้าสามารถประมาณการค่าไฟฟ้าในเดือนถัดไปได้ [1] อย่างไรก็ตาม แอปพลิเคชั่นดังกล่าวยังไม่ได้มีการนำเสนอตารางการใช้เครื่องใช้ไฟฟ้าที่เหมาะสมที่ทำให้เกิดค่าไฟฟ้าต่ำสุด แต่ยังอยู่ภายใต้เงื่อนไขเวลาที่ผู้ใช้ไฟฟ้ามีความสะดวกในการใช้เครื่องใช้ไฟฟ้า

ดังนั้น เพื่อกระตุ้นให้เกิดการใช้เครื่องใช้ไฟฟ้าที่ประหยัดพลังงานและลดค่าไฟฟ้าในภาคครัวเรือน บทความนี้นำเสนอการจัดตารางการใช้เครื่องใช้ไฟฟ้าอย่างเหมาะสมภายในบ้านอยู่อาศัย โดยมีวัตถุประสงค์ให้กลุ่มเป้าหมายในบ้านพักอาศัยมีความตระหนักรู้ถึงประโยชน์ในการประหยัดพลังงาน และสามารถปรับเปลี่ยนเวลาการใช้เครื่องใช้ไฟฟ้าได้อย่างมีประสิทธิภาพ โดยสอดคล้องกับการคิดค่าไฟฟ้าแบบ Time of Use (TOU) [2] ที่มีการกำหนดอัตราตามช่วงเวลา On Peak และ Off Peak

เพื่อให้เกิดความน่าเชื่อถือของผลลัพธ์และความเป็นไปได้ในการใช้งานจริง ผู้วิจัยประยุกต์ใช้ชุดคำสั่ง Optimization function ใน MATLAB [3] เพื่อแก้ปัญหาแบบ Optimization problem [4] เก็บข้อมูลเครื่องใช้ไฟฟ้าจากพื้นที่ทดลอง และสอบถามเงื่อนไขเวลาที่ผู้ใช้ไฟฟ้าสามารถปรับเปลี่ยนได้จริง จากนั้นให้กลุ่มเป้าหมายทำการทดลองและเก็บผลลัพธ์จากบิลค่าไฟฟ้าต่อไป

2. สมการและแบบจำลอง

การคำนวณค่าไฟฟ้าด้วยหลักการ TOU [2] เป็นการกำหนดอัตราค่าไฟฟ้าต่อหน่วยที่คำนึงถึงช่วงเวลาการใช้งานเครื่องใช้ไฟฟ้า เช่น ช่วง On Peak, Off Peak หรือวันหยุด ดังแสดงในสมการที่ (1)-(3) โดยในบทความนี้ ผู้วิจัยพิจารณาเฉพาะอัตราค่าไฟฟ้าเท่านั้น

$$EC_{tn} = \sum_{i=1}^{I} P_i \times D_{i,t} \times rate_{tn} \quad (1)$$

$$EC_{ts} = \sum_{i=1}^{I} P_i \times D_{i,t} \times rate_{ts} \quad (2)$$

เมื่อ

I	คือ	จำนวนเครื่องใช้ไฟฟ้าที่พิจารณา
T	คือ	จำนวนชั่วโมงใน 1 วัน
EC_{tn}	คือ	ค่าไฟฟ้าที่เกิดขึ้นในช่วงเวลา t ของวันปกติ (บาท)
EC_{ts}	คือ	ค่าไฟฟ้าที่เกิดขึ้นในช่วงเวลา t ของวันหยุด (บาท)
P_i	คือ	กำลังไฟฟ้าของเครื่องใช้ไฟฟ้า i (kW)

*ผู้ประพันธ์บรรณกิจ

$D_{i,t}$ คือ สถานะการทำงานของเครื่องใช้ไฟฟ้า i ที่ชั่วโมง t (มีค่าเป็น 1 หากเครื่องใช้ไฟฟ้าทำงาน และมีค่าเป็น 0 ในกรณีอื่นๆ)

$rate_{tn}$ คือ อัตราค่าไฟฟ้าในช่วงเวลา t ของวันปกติตามประกาศค่าไฟฟ้าแบบ TOU (บาท/kWh)

$rate_{ts}$ คือ อัตราค่าไฟฟ้าในช่วงเวลา t ของวันหยุดตามประกาศค่าไฟฟ้าแบบ TOU (บาท/kWh)

$$EC_{month} = [(\sum_{t=1}^{T} EC_{tn}) \times d_n] + [(\sum_{t=1}^{T} EC_{ts}) \times d_s] \quad (3)$$

เมื่อ

d_n คือ จำนวนวันปกติที่พิจารณาในหนึ่งเดือน

d_s คือ จำนวนวันหยุดที่พิจารณาในหนึ่งเดือน

EC_{month} คือ ค่าไฟฟ้าที่เกิดขึ้นในหนึ่งเดือน (บาท)

โดยมีแบบจำลองทางคณิตศาสตร์ในรูป Minimization function เพื่อให้เกิดค่าไฟฟ้าต่ำที่สุดดังสมการที่ (4) และมี Constrain ดังสมการที่ (5)-(8)

$$f_{minc} = \min\ EC_{month} \quad (4)$$

S.T.

$$\sum_{t}^{T} D_{i,t} = d_i \quad (5)$$

$$S_i \geq ST_i \quad (6)$$

$$S_i \leq ET_i \quad (7)$$

$$d_i < W_i \quad (8)$$

เมื่อ

d_i คือ จำนวนชั่วโมงโดยรวมที่ผู้ใช้ไฟฟ้าต้องการใช้เครื่องใช้ไฟฟ้า i (ชม.)

ET_i คือ ลำดับเวลาสุดท้ายที่ผู้ใช้ไฟฟ้าสามารถใช้เครื่องใช้ไฟฟ้า i ได้

S_i คือ ตารางการใช้เครื่องใช้ไฟฟ้า i

ST_i คือ ลำดับเวลาเริ่มต้นที่ผู้ใช้ไฟฟ้าสามารถใช้เครื่องใช้ไฟฟ้า i ได้

W_i คือ ผลต่างระหว่าง ET_i และ ST_i (ชม.)

โดยสมการ (5) แสดงเงื่อนไขจำนวนชั่วโมงที่ผู้ใช้ไฟฟ้าต้องการใช้เครื่องใช้ไฟฟ้าใดๆ ในขณะที่สมการ (6) และ (7) กำหนดเงื่อนไขระยะเวลาเริ่มต้นและสิ้นสุดที่ผู้ใช้ไฟฟ้าสามารถใช้เครื่องใช้ไฟฟ้านั้นได้ ไม่ว่าจะอยู่ช่วง On Peak หรือ Off Peak และเพื่อให้ผู้ใช้ไฟฟ้าสามารถปรับเปลี่ยนตารางการใช้เครื่องใช้ไฟฟ้าใดๆ ผู้วิจัยจึงเลือกเครื่องใช้ไฟฟ้าที่มีเงื่อนไขสอดคล้องกับสมการที่ (8) เท่านั้น

3. ขั้นตอนการทดลอง

ขั้นตอนการดำเนินงานในบทความนี้ แสดงได้รูปที่ 1 โดยเริ่มจากการเก็บข้อมูลเครื่องใช้ไฟฟ้าและเงื่อนไขลำดับเวลาที่ผู้ใช้ไฟฟ้าสามารถปรับเปลี่ยนได้

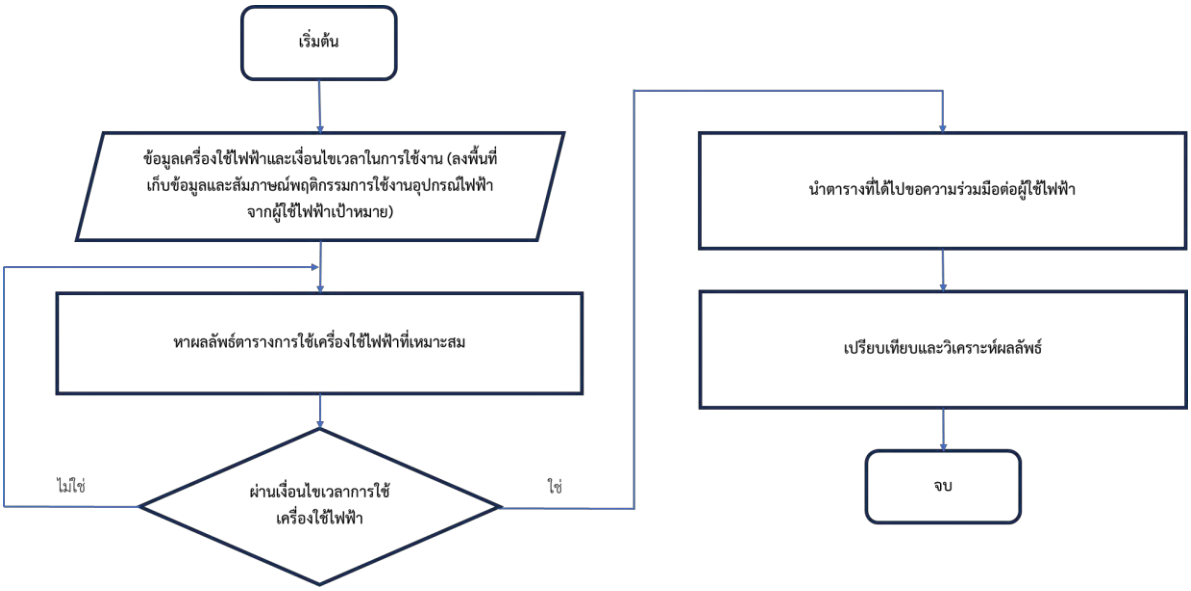

รูปที่ 1 กระบวนการหาผลลัพธ์ของงานวิจัย

โดยกำหนดพื้นที่ทดลองเป็นบ้านอยู่อาศัยจำนวน 2 หลัง จากนั้นนำข้อมูลที่ได้มาทำการหาตารางการใช้เครื่องใช้ไฟฟ้าที่เหมาะสมโดยประยุกต์ใช้ฟังก์ชั่น linprog ในโปรแกรม MATLAB และนำผลลัพธ์ที่ได้ไปให้กลุ่มเป้าหมายทดลองใช้ จากนั้นนำค่าไฟฟ้าที่ได้ก่อนและหลังการปรับตารางการใช้งานมาวิเคราะห์ผล รวมถึงประเมินความเป็นไปได้ในการใช้งานจริงจากผู้ใช้ไฟฟ้าเพื่อปรับปรุงกระบวนการทดสอบต่อไป

4. ผลลัพธ์เชิงตัวเลข

ผู้วิจัยได้ทำการทดลองโดยอธิบายและขอความร่วมมือจากผู้ใช้ไฟฟ้าภายในบ้านอยู่อาศัย 2 หลัง ที่ติดตั้งมิเตอร์การคิดค่าไฟฟ้าแบบ TOU และใช้อัตราค่าไฟฟ้าตามประกาศของการไฟฟ้านครหลวง [5] โดยตารางที่ 1 และ 2 แสดงข้อมูลเครื่องใช้ไฟฟ้าในบ้านหลังที่ 1 และ 2 ตามลำดับ ซึ่งบ้านหลังที่ 2 มีการเก็บค่ากำลังไฟฟ้าของเครื่องใช้ไฟฟ้าด้วย Smart Rail Watt-Hour Meter จำนวน 7 ตัว ที่มีข้อมูลแสดงดังรูปที่ 2 จึงทำให้ค่ากำลังไฟฟ้าที่ใช้ใน Objective function มีทั้งแบบค่าเต็มพิกัดและค่าที่เกิดขึ้นจริง

ตารางที่ 1 ข้อมูลและเงื่อนไขเวลาในการใช้เครื่องใช้ไฟฟ้า (บ้านหลังที่ 1)

เครื่องใช้ไฟฟ้า	P_i (W)	ST_i	ET_i	W_i (ชม.)	d_i (ชม.)
โทรทัศน์	165	19.00 น.	24.00 น.	5	3
คอมพิวเตอร์	700	20.00 น.	04.00 น.	8	6
เครื่องซักผ้า	2200	08.00 น.	12.00 น.	4	2
พัดลม	61	19.00 น.	24.00 น.	5	3
พัดลม	61	20.00 น.	04.00 น.	8	6
เครื่องฟอกอากาศ	60	20.00 น.	08.00 น.	12	10
เครื่องปรับอากาศ	800	20.00 น.	08.00 น.	12	10
เครื่องปรับอากาศ	1450	20.00 น.	08.00 น.	12	10
เตารีด	2300	07.00 น.	09.00 น.	2	1

ตารางที่ 2 ข้อมูลและเงื่อนไขเวลาในการใช้เครื่องใช้ไฟฟ้า (บ้านหลังที่ 2)

เครื่องใช้ไฟฟ้า	P_i (W)	ST_i	ET_i	W_i (ชม.)	d_i (ชม.)
โทรทัศน์	68	19.00 น.	22.00 น.	3	1
เครื่องทำน้ำอุ่น	3429	18.00 น.	23.00 น.	5	1
เครื่องปรับอากาศ	1268	20.00 น.	02.00 น.	6	5
คอมพิวเตอร์	70	19.00 น.	03.00 น.	8	6
เครื่องซักผ้า	89	19.00 น.	00.00 น.	5	2
พัดลมเพดาน	70	18.00 น.	01.00 น.	7	4
หม้อหุงข้าว	216	19.00 น.	01.00 น.	6	2
กาน้ำร้อน	200	06.00 น.	08.00 น.	2	1
ไมโครเวฟ	152	19.00 น.	23.00 น.	4	0.5
พัดลมตั้งพื้น	70	00.00 น.	07.00 น.	7	5
พัดลมตั้งพื้น	64	00.00 น.	07.00 น.	7	5
เครื่องปรับอากาศ	1013	19.00 น.	02.00 น.	7	6

รูปที่ 2 ตัวอย่างการเก็บข้อมูลนำเข้าของเครื่องใช้ไฟฟ้า

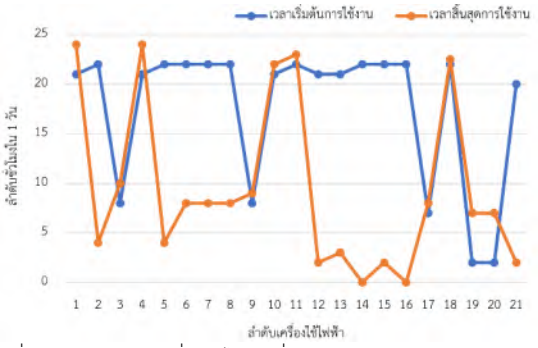

รูปที่ 3 ตารางการใช้เครื่องใช้ไฟฟ้าที่เหมาะสมในบ้านอยู่อาศัย 2 หลัง

ผลลัพธ์ตารางการใช้งานจากสมการที่ (1) ถึง (8) แสดงดังรูปที่ 3 ซึ่งพบว่าอยู่ภายใต้เงื่อนไขเวลาที่กลุ่มเป้าหมายสามารถใช้งานได้ทั้งหมด โดยมีตัวอย่างใบแจ้งค่าไฟฟ้าก่อนและหลังปรับตารางการใช้เครื่องใช้ไฟฟ้าของบ้านหลังที่ 1 ในเดือนมกราคมและกุมภาพันธ์ดังแสดงในรูปที่ 4 และ 5 ตามลำดับ

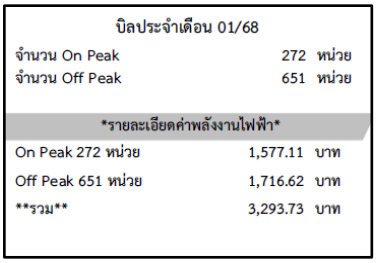

รูปที่ 4 ใบแจ้งค่าไฟฟ้าก่อนการปรับตารางการใช้งาน (ม.ค.) บ้านหลังที่ 1

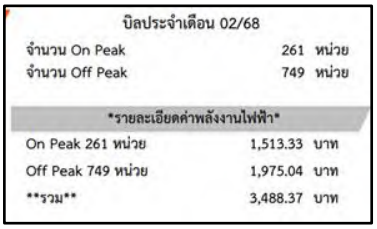

รูปที่ 5 ใบแจ้งค่าไฟฟ้าหลังการปรับตารางการใช้งาน (ก.พ.) บ้านหลังที่ 1

ซึ่งจากใบแจ้งค่าไฟฟ้าทั้งหมดนั้น สามารถสรุปได้ดังรูปที่ 6 ถึง 8 โดยรูปที่ 6 แสดงจำนวนพลังงานไฟฟ้าที่ใช้ในช่วง On Peak และ Off Peak ภายในบ้านทั้ง 2 หลัง (เดือนมกราคมเป็นช่วงเวลาก่อนปรับตารางของบ้านหลังที่ 1 และ 2) ซึ่งพบว่าพลังงานในช่วง On Peak ลดลงจาก 29.46% เป็น 25.84% และ 25.69% จากบ้านหลังที่ 1 และลดลงจาก

28.28% เป็น 22.11% จากบ้านหลังที่ 2 ในขณะที่พลังงานไฟฟ้าช่วง Off Peak ของบ้านหลังที่ 1 เพิ่มขึ้นจาก 70.53% เป็น 74.15% และ 74.30% ในส่วนบ้านหลังที่ 2 เพิ่มขึ้นจาก 71.71% เป็น 77.88%

รูปที่ 7 แสดงค่าไฟฟ้าภายในบ้าน 2 หลัง โดยมีค่าลดลงในช่วง On Peak จาก 47.88% เป็น 43.38% และ 43.19% ของบ้านหลังที่ 1 และลดลงจาก 47.88% เป็น 43.38% ในบ้านหลังที่ 2 ขณะที่ค่าไฟฟ้าช่วง Off Peak ของบ้านหลังที่ 1 มีค่าเพิ่มขึ้นจาก 52.11% เป็น 56.61% และ 56.80% และในบ้านหลังที่ 2 เพิ่มจาก 52.11% เป็น 56.61%

รูปที่ 8 แสดงให้ทราบว่าค่าไฟฟ้าเฉลี่ยต่อหน่วยที่เกิดขึ้นในบ้านหลังที่ 1 เมื่อเทียบระหว่างก่อนและหลังปรับตารางการใช้งานมีค่าลดลงจาก 3.568 เป็น 3.453 และ 3.449 บาท/หน่วย ขณะที่ค่าไฟฟ้าเฉลี่ยต่อหน่วยของบ้านหลังที่ 2 ลดลงจาก 3.531 เป็น 3.336 บาท/หน่วย เช่นกัน

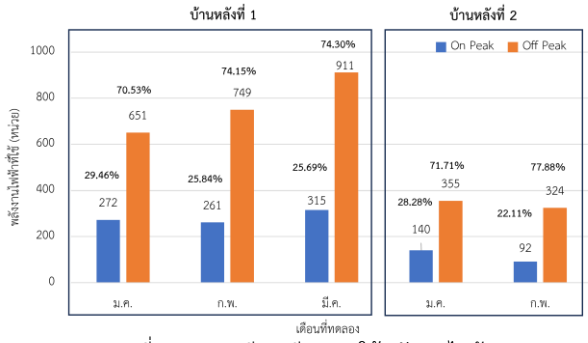

รูปที่ 6 กราฟเปรียบเทียบการใช้พลังงานไฟฟ้า

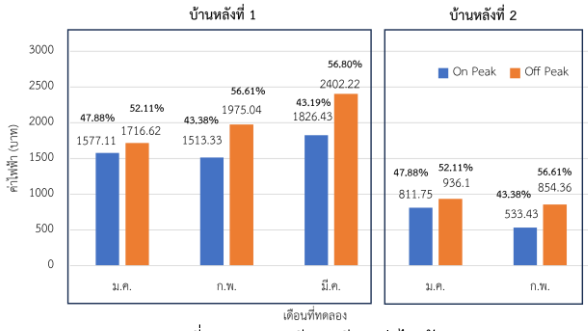

รูปที่ 7 กราฟเปรียบเทียบค่าไฟฟ้า

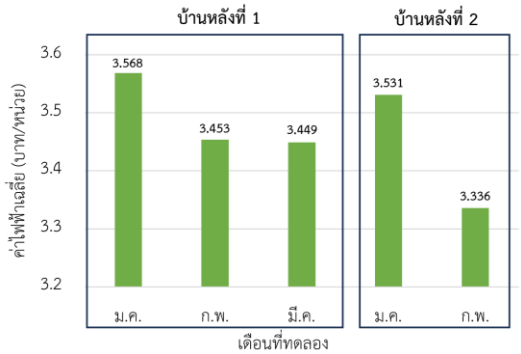

รูปที่ 8 กราฟเปรียบเทียบค่าไฟฟ้าเฉลี่ยต่อหน่วย

5. สรุป

บทความนี้นำเสนอการจัดตารางการใช้เครื่องใช้ไฟฟ้าอย่างเหมาะสมภายในบ้านอยู่อาศัยที่ใช้มิเตอร์แบบ TOU ที่ไม่ได้มีระบบตัดต่อวงจรแบบอัตโนมัติ โดยเก็บข้อมูลนำเข้าจากผู้ใช้ไฟฟ้าจริงในบ้านอยู่อาศัย 2 หลัง และประยุกต์ใช้ฟังก์ชั่น Optimization ในโปรแกรม MATLAB ผลลัพธ์ที่ได้แสดงให้เห็นว่าพลังงานไฟฟ้าและค่าไฟฟ้าหลังจากปรับตารางการใช้เครื่องใช้ไฟฟ้านั้นมีค่าลดลงในช่วง On Peak และมีค่าสูงขึ้นในช่วง Off Peak และค่าไฟฟ้าเฉลี่ยต่อหน่วยที่เกิดขึ้นมีค่าลดลง ซึ่งสอดคล้องกับวัตถุประสงค์หลักของแบบจำลองที่ต้องการให้ผู้ใช้ไฟฟ้าสามารถปรับเวลาการใช้เครื่องใช้ไฟฟ้าภายในบ้านตนเองได้อย่างมีประสิทธิภาพ และตระหนักถึงคุณประโยชน์ที่ตนจะได้รับ

เพื่อให้กลุ่มเป้าหมายใช้งานแบบจำลองได้อย่างมีประสิทธิภาพมากยิ่งขึ้น ในอนาคตอาจมีการเพิ่มตัวแปรสำหรับการคำนวณค่าไฟฟ้า เช่น ค่าไฟฟ้าผันแปรและภาษีต่างๆ บันทึก Load profile ก่อนการปรับตารางและเพิ่มอุปกรณ์ตัดต่อโหลดแบบอัตโนมัติต่อไป

เอกสารอ้างอิง

[1] อีโว-เอ็นเนอยี่แอปฯ ช่วยคำนวณค่าไฟฟ้าและประเมินการใช้ไฟฟ้า mycafecup [Online]. Available: https://evoenergy.mycafecup.com/index_th

[2] คำนวณค่าไฟฟ้า การไฟฟ้านครหลวง [Online]. Available: https: / / www. mea. or. th/ our- services/ mea- service/ e-service/electric-monthly-calculate

[3] Linprog, MATLAB Help Center [Online]. Available: https://www.mathworks.com/help/optim/ug/linprog.html

[4] P. Prukpanit, P. Kaewprapha, and N Leeprechanon, “Optimal generation maintenance scheduling considering financial return and unexpected failure of distributed generation,” IET Gener. Transm. Distrib, vol. 15, pp. 1787-1797, 2021.

[5] อัตราค่าไฟฟ้าประเภทต่าง ๆ การไฟฟ้านครหลวง [Online]. Available:https://www.mea.or.th/our-services/tariff-calculation/other

พานิช พฤกษ์พาณิช สำเร็จการศึกษา วศ.บ. วศ.ม. และ ปร.ด. จากมหาวิทยาลัยธรรมศาสตร์ ปัจจุบันเป็นอาจารย์ประจำภาควิชาวิศวกรรมไฟฟ้า คณะวิศวกรรมศาสตร์ มหาวิทยาลัยเทคโนโลยีมหานคร

การวิเคราะห์ผลกระทบของการโจมตีทางไซเบอร์ในอินเวอร์เตอร์ควบคุมระบบไฟฟ้ากำลัง

Cyber-attack evaluation in grid forming inverters

พงศกร อนันตรทิวากร[1] ณฏฐกร สุขมานนท์[1] พีระยศ แสนโภชน์[1] จารุกฤษณ์ เรืองสุวรรณ[2] และธงชาติ เกิดผล[1,*]

[1]ภาควิชาวิศวกรรมไฟฟ้า คณะวิศวกรรมศาสตร์ มหาวิทยาลัยเกษตรศาสตร์ กรุงเทพฯ 10900
[2]ศูนย์ไซเบอร์ กรมเทคโนโลยีสารสนเทศและอวกาศกลาโหม อาคารสำนักงานปลัดกระทรวงกลาโหม ต.บ้านใหม่ อ.ปากเกร็ด จ.นนทบุรี 11120
อีเมล: thongchart.k@ku.ac.th*

บทคัดย่อ

เมื่อโลกกำลังก้าวเข้าสู่ยุคที่พลังงานทดแทนมีบทบาทสำคัญในชีวิตประจำวัน รูปแบบการผลิตพลังงานจึงเปลี่ยนแปลงไปอย่างสิ้นเชิง โดยหนึ่งในเทคโนโลยีหลักที่เข้ามามีบทบาทคือเทคโนโลยีการใช้อินเวอร์เตอร์ควบคุมความถี่และแรงดันในระบบไฟฟ้ากำลัง (กริดฟอร์มมิ่งอินเวอร์เตอร์) ซึ่งมีความสามารถในการสร้างโครงข่ายไฟฟ้าที่ขับเคลื่อนด้วยพลังงานสะอาดเพียงอย่างเดียวได้อย่างมีประสิทธิภาพอย่างไรก็ตาม การเปลี่ยนแปลงดังกล่าวได้นำมาซึ่งปัญหาใหม่ โดยเฉพาะด้าน ความมั่นคงปลอดภัยทางไซเบอร์ เนื่องจากกริดฟอร์มมิ่งอินเวอร์เตอร์เป็นระบบที่ตอบสนองรวดเร็วและเชื่อมต่อกับระบบสื่อสารดิจิทัล จึงกลายเป็นเป้าหมายที่อ่อนไหวต่อการโจมตีจากผู้ไม่หวังดีงานวิจัยนี้นำเสนอการวิเคราะห์การโจมตีทางไซเบอร์ที่มุ่งเป้าไปยังตัวควบคุมของกริดฟอร์มมิ่งอินเวอร์เตอร์ในระบบไฟฟ้ากำลัง โดยจำลองสถานการณ์การโจมตีที่สามารถปรับเปลี่ยนค่าอ้างอิงแรงดันไฟฟ้าและความถี่ของตัวควบคุมในหลายรูปแบบ ผลลัพธ์ที่ได้จะแสดงให้เห็นถึง ผลกระทบต่อพฤติกรรมพลวัตของระบบทั้งในช่วงทรานเซียนต์และภาวะสมดุล ซึ่งอาจส่งผลต่อเสถียรภาพและความน่าเชื่อถือของระบบไฟฟ้าโดยรวมท้ายที่สุด งานวิจัยนี้จะเสนอแนวทางการป้องกันเชิงรุกเพื่อใช้ในการวางแผนและออกแบบระบบกริดไฟฟ้าที่ขับเคลื่อนด้วยพลังงานสะอาดให้มีความมั่นคงและปลอดภัย พร้อมรองรับการเปลี่ยนผ่านสู่ระบบไฟฟ้าแห่งอนาคตของประเทศไทยอย่างมีเสถียรภาพ

คำสำคัญ: กริดฟอร์มมิ่งอินเวอร์เตอร์, การโจมตีทางไซเบอร์, พลังงานทดแทน, พลวัตของระบบ

Abstract

As the future moves toward an era where renewable energy becomes essential in daily life, the way electricity is generated is changing fundamentally. One of the key technologies enabling this shift is the grid-forming inverter, which can efficiently create power networks operating solely on clean energy. A major issue that follows is the vulnerability of these technologies to cyberattacks, as they are fast-responding and easily targeted for data breaches. To address this, this research presents an analysis of cyberattacks on power systems that penetrate the control systems of grid-forming inverters. The results show all possible impacts when the system is compromised, including the alteration of voltage and frequency reference values in various ways. The study also analyzes the effects on system dynamics during both transient and steady-state conditions, leading to the proposal of preventive measures as a guideline for developing fully renewable-based power networks in the future. This aims to support proactive defense planning and enhance the stability and security of Thailand's power system.

Keywords: Grid-forming inverter, Cyberattack, Renewable energy, System dynamics

1. บทนำ

ทั่วโลกให้ความสำคัญกับการอนุรักษ์สิ่งแวดล้อมมากยิ่งขึ้น เนื่องจากภาวะโลกร้อนที่ทวีความรุนแรง ส่งผลให้สภาพแวดล้อมเสื่อมโทรมลง หลายประเทศจึงมุ่งมั่นลดการปล่อยก๊าซเรือนกระจกเพื่อลดผลกระทบดังกล่าว สำหรับประเทศไทย ภาคการผลิตไฟฟ้าเป็นแหล่งปล่อยก๊าซคาร์บอนไดออกไซด์หลักของประเทศ เนื่องจากยังคงพึ่งพาเชื้อเพลิงฟอสซิล เช่น ถ่านหินและก๊าซธรรมชาติเป็นแหล่งพลังงานหลัก ดังนั้น การเปลี่ยนผ่านไปสู่การใช้พลังงานทดแทนจึงเป็นทางเลือกที่เหมาะสมที่สุดในการลดผลกระทบต่อสิ่งแวดล้อมจากกระบวนการผลิตไฟฟ้า

เมื่อกระบวนการผลิตไฟฟ้ามีการปรับเปลี่ยนมาใช้พลังงานทดแทนมากขึ้น อินเวอร์เตอร์จึงกลายเป็นเทคโนโลยีหลักในการจ่ายพลังงานไฟฟ้าเข้าสู่ระบบโครงข่ายไฟฟ้า อย่างไรก็ตาม อินเวอร์เตอร์ทั่วไปไม่สามารถสร้างกริดที่พึ่งพาแต่พลังงานสะอาดได้อย่างสมบูรณ์ เนื่องจากต้องอาศัยแรงดันและความถี่อ้างอิงจากกริดหลัก ไม่สามารถสร้างขึ้นได้ด้วยตนเอง เพื่อแก้ไขข้อจำกัดนี้ วิศวกรจึงได้พัฒนาอินเวอร์เตอร์รูปแบบใหม่ที่มีตัวควบคุมซึ่งสามารถสร้างแรงดันและความถี่อ้างอิงได้ด้วยตนเอง เรียกว่า กริดฟอร์มมิ่งอินเวอร์เตอร์ โดยทำหน้าที่เสมือนเครื่องกำเนิดแรงดันที่ต่อเข้ากับระบบกริดโดยตรง เทคโนโลยีกริดฟอร์มมิ่งอินเวอร์เตอร์จึงมีบทบาท

*ผู้ประพันธ์บรรณกิจ

สำคัญในการบรรลุเป้าหมายการสร้างโครงข่ายไฟฟ้าที่ขับเคลื่อนด้วยพลังงานทดแทนทั้งหมดในอนาคต

อย่างไรก็ตาม ความก้าวหน้าทางเทคโนโลยีถือเป็นดาบสองคม ซึ่งแม้จะนำมาซึ่งประโยชน์มากมาย แต่ก็สร้างช่องโหว่ใหม่ให้แก่ระบบในโลกยุคดิจิทัลที่มีความสามารถเพิ่มขึ้นอย่างต่อเนื่อง กลุ่มผู้ไม่หวังดีสามารถใช้ความสามารถทางเทคโนโลยีที่พัฒนาขึ้นนี้ในการโจมตีและเจาะระบบที่พึ่งพาอิเล็กทรอนิกส์เป็นหลัก การเปลี่ยนผ่านไปสู่ระบบพลังงานสะอาดจึงกลายเป็นอีกหนึ่งปัจจัยที่เพิ่มความเสี่ยงจากภัยคุกคามทางไซเบอร์มากยิ่งขึ้น หากประเทศไทยมีเป้าหมายที่จะก้าวเข้าสู่ยุคพลังงานทดแทนอย่างเต็มรูปแบบ จำเป็นอย่างยิ่งที่จะต้องมีการวางแผนและเตรียมการด้านความมั่นคงไซเบอร์ล่วงหน้า เพื่อป้องกันไม่ให้เกิดเหตุการณ์ที่ส่งผลกระทบต่อความมั่นคงของระบบไฟฟ้าในอนาคต

บทความนี้จึงมุ่งนำเสนอผลกระทบที่อาจเกิดขึ้นจากการโจมตีทางไซเบอร์เมื่อตัวควบคุมของกริดฟอร์มมิ่งอินเวอร์เตอร์ถูกแทรกแซง เพื่อแสดงให้เห็นถึงความเสี่ยงและความน่ากังวลจากการกระทำของผู้ไม่หวังดีที่อาจเจาะเข้าสู่ระบบอินเวอร์เตอร์ การศึกษาในครั้งนี้มีเป้าหมายเพื่อลดผลกระทบที่อาจเกิดขึ้น และวางรากฐานในการพัฒนาตัวควบคุมที่มีความแข็งแกร่งมากยิ่งขึ้นในอนาคตผลลัพธ์จากการทดสอบจะนำเสนอพฤติกรรมของแรงดันและความถี่ของระบบภายใต้สถานการณ์ที่ถูกโจมตีด้วยสัญญาณหลากหลายรูปแบบ โดยครอบคลุมทั้งช่วงเวลาทรานเซียนต์และภาวะคงที่ของระบบ ซึ่งจะช่วยให้สามารถวิเคราะห์ความรุนแรงของการโจมตีได้อย่างครอบคลุม พร้อมทั้งการวิเคราะห์เชิงลึกที่นำไปสู่การเสนอแนะแนวทางป้องกันที่มีประสิทธิภาพ และสามารถนำไปใช้ในการวางแผนรับมือจากหลายมุมมองในอนาคต

ในส่วนถัดไปจะกล่าวถึงทฤษฎีเบื้องต้นของวงจรควบคุมในกริดฟอร์มมิ่งอินเวอร์เตอร์ รวมถึงสมการที่เกี่ยวข้องกับการโจมตีทางไซเบอร์ที่ใช้ในการศึกษา

2. ทฤษฎีที่เกี่ยวข้อง

จากที่กล่าวถึงการปรับเปลี่ยนบริบทการผลิตไฟฟ้าจากการใช้เชื้อเพลิงต่างๆที่มีผลกระทบต่อสิ่งแวดล้อมมาปรับเปลี่ยนเป็นการใช้พลังงานทดแทนในส่วนนี้จะเจาะลึกเนื้อหาของกริดฟอร์มมิ่งอินเวอร์เตอร์ที่ใช้สร้างเครือข่ายไฟฟ้าที่พึ่งพาเพียงพลังงานทดแทนรวมถึงสมการที่ใช้ในการวิเคราะห์สำหรับการโจมตีทางไซเบอร์เพื่อให้เข้าใจภาพรวมของงานนี้ก่อน

2.1 โครงสร้างพื้นฐานของตัวควบคุมกริดฟอร์มมิ่งอินเวอร์เตอร์

ในบทความนี้จะมุ่งเน้นไปที่การวิเคราะห์การเจาะระบบของตัวควบคุมกริดฟอร์มมิ่งอินเวอร์เตอร์ ดังนั้นหัวข้อนี้จะเริ่มต้นจากการอธิบายและวิเคราะห์โครงสร้างของวงจรควบคุมทั้งหมดของกริดฟอร์มมิ่งอินเวอร์เตอร์อย่างละเอียด

จากรูปที่ 1 แสดงภาพรวมของระบบควบคุมกริดฟอร์มมิ่งอินเวอร์เตอร์ที่ใช้ตัวกรองแบบแอลซีแอล (LCL) โดยสามารถแบ่งส่วนประกอบหลักออกเป็น 3 ส่วนหลักๆ ส่วนแรกคือตัวควบคุมแบบหย่อน ซึ่งจะรับค่ากระแสและแรงดันขาออกของระบบ แล้วแปลงให้อยู่ในกรอบอ้างอิงเชิงการหมุน (dq) เพื่อเปรียบเทียบกับค่าที่ต้องการ และปรับให้อยู่ในระดับที่เหมาะสม ก่อนส่งต่อไปยังส่วนที่สองและสามคือวงจรควบคุมแรงดันและวงจรควบคุมกระแส ซึ่งมีหน้าที่ปรับค่าแรงดันและกระแสให้สอดคล้องกับการเปลี่ยนแปลงของโหลด โดยการเพิ่มหรือลดค่าตามความจำเป็น เมื่อได้ค่าควบคุมที่เหมาะสมแล้ว ระบบจะทำการแปลงกลับมาอยู่ในกรอบอ้างอิงสามเฟส (abc) เพื่อส่งสัญญาณควบคุมไปยังสวิตช์ของอินเวอร์เตอร์ต่อไป

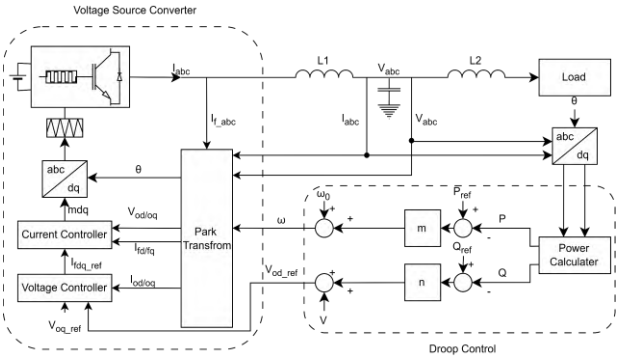

รูปที่ 1 แผนภาพการควบคุมของกริดฟอร์มมิ่งอินเวอณ์เตอร์

2.2 ตัวควบคุมแบบหย่อน

ส่วนแรกของชุดควบคุมกริดฟอร์มมิ่งอินเวอร์เตอร์คือตัวควบคุมแบบหย่อน ซึ่งมีหน้าที่ปรับค่าแรงดันและกระแสให้แปรผันตามลักษณะของโหลดในระบบ โดยจะรับค่าแรงดันและกระแสขาออกจากระบบที่ถูกแปลงให้อยู่ในกรอบอ้างอิงเชิงการหมุน จากนั้นนำมาคำนวณหาค่ากำลังจริง (กำลังแอคทีฟ) และกำลังรีแอคทีฟในระบบ โดยใช้สมการต่อไปนี้:

$$P = \frac{3}{2}((V_{od} \cdot I_{od}) + (V_{oq} \cdot I_{oq})) \quad (1)$$

$$Q = \frac{3}{2}((V_{oq} \cdot I_{od}) - (V_{od} \cdot I_{oq})) \quad (2)$$

โดยที่ P คือ กำลังงานจริงของโหลด (หน่วย: วัตต์) Q คือ กำลังงานส่วนจินตภาพ (หน่วย: วาร์) V_{od} และ I_{od} คือ แรงดันและกระแสขาออกในกรอบเชิงกานหมุนในแกนดี (d) ตามลำดับ V_{oq} และ I_{oq} คือ แรงดันและกระแสขาออกในกรอบเชิงกานหมุนในแกนดี (q) ตามลำดับ

เมื่อตัวควบคุมรับรู้ถึงการเปลี่ยนแปลงของพลังงานที่โหลดต้องการ ตัวควบคุมจะมีหน้าที่ปรับแรงดันและความถี่ให้มีความเสถียร แม้ในสภาวะที่กำลังไฟฟ้าที่ต้องจ่ายให้แก่โหลดเกิดความผันผวน โดยการควบคุมจะอิงตามหลักการของตัวควบคุมแบบหย่อน ซึ่งสามารถอธิบายได้ด้วยสมการต่อไปนี้:

$$\omega_0 = \omega_{ref} - kq \cdot P \quad (3)$$

$$V_{od0} = V_{ref} - kq \cdot Q \quad (4)$$

โดยที่ ω_0 และ V_{od0} คือ ความถี่และแรงดันของระบบตามลำดับ ω_{ref} และ V_{ref} คือ ความถี่และแรงดันอ้างอิงให้ระบบ kq และ kq คือค่าคงที่ของการควบคุมแบบหย่อน

2.3 วงจรควบคุมควบคุมกระแสและแรงดัน

โครงสร้างของการควบคุมจะใช้แบบวงจรแยกในการควบคุมเพื่อให้มีประสิทธิภาพสูงสุดหรือเรียกกันว่าการควบคุมแบบลำดับขั้น (Cascaded Control) แบ่งเป็น วงรอบควบคุมแรงดัน (Outer Voltage Control Loop) และ วงรอบควบคุมกระแส (Inner Current Control Loop)

- วงจรควบคุมกระแส

วงจรควบคุมกระแสมีหน้าที่รักษาค่ากระแสให้อยู่ในระดับที่เหมาะสมเมื่อเกิดการเปลี่ยนแปลงของโหลด โดยจะรับสัญญาณควบคุมจากวงจรควบคุมแรงดัน แล้วนำค่าที่ได้ไปใช้ในการกำหนดสัญญาณควบคุมสำหรับการเปิด-ปิดของสวิตช์ในอินเวอร์เตอร์ เพื่อให้กระแสขาออกมีความเสถียรและตอบสนองต่อโหลดได้อย่างถูกต้อง โดยสามารถอธิบายการทำงานของวงจรนี้ได้ด้วยสมการควบคุมต่อไปนี้:

$$v_{fd_{ref}} = V_{od} + (I_{fd_{ref}} - I_{fd})(K_p + \frac{K_d}{s}) - (I_{fd} * \omega L) \quad (5)$$

$$v_{fq_{ref}} = I_{od} + (I_{0q_{ref}} - I_{fq})(K_p + \frac{K_d}{s}) + (I_{fq} * \omega L) \quad (6)$$

โดยที่ $\boldsymbol{V_{od}}$, $\boldsymbol{I_{od}}$ แทนแรงดันและกระแสในกรอบอ้างอิงเชิงการหมุนในแกน d ของระบบขาออกตามลำดับ และ $\boldsymbol{I_{fd}}$,$\boldsymbol{I_{fq}}$ แทนกระแสในกรอบอ้างอิงเชิงการหมุนในแกน d และ q ของขาออกจากอินเวอร์เตอร์และสัญญาณอ้างอิงตามลำดับ $\boldsymbol{L}$ คือค่าขดลวดของตัวกรองสัญญาณขาออกจากอินเวอร์เตอร์ในระบบและ $\boldsymbol{\omega}$ คือความถี่เชิงมุมใดๆ ณ เวลานั้นๆที่ได้จากการควบคุมแบบหย่อนซึ่งสามารถคำนวณได้จาก $\boldsymbol{2\pi f}$ (เรเดียน) โดยที่ $\boldsymbol{f}$ คือความถี่ในหน่วยเฮิรตซ์ ณ เวลานั้นๆ

- ตัวควบคุมแรงดัน (*Voltage Controller*)

วงจรควบคุมแรงดันมีหน้าที่รักษาค่าแรงดันให้คงที่เมื่อเกิดการเปลี่ยนแปลงของโหลด โดยจะรับข้อมูลจากตัวควบคุมแบบหย่อน ซึ่งทำหน้าที่ปรับค่าแรงดันตามกำลังที่ต้องผลิต จากนั้นจะเปรียบเทียบแรงดันที่วัดได้กับค่าแรงดันอ้างอิง แล้วสร้างค่ากระแสอ้างอิงสำหรับส่งต่อไปยังวงจรควบคุมกระแส เพื่อให้ระบบสามารถปรับค่าตอบสนองต่อโหลดได้อย่างมีเสถียรภาพ โดยการควบคุมแรงดันสามารถอธิบายได้ด้วยสมการต่อไปนี้:

$$i_{fd_{ref}} = I_{od} + (V_{0d_{ref}} - V_{0d})(K_p + \frac{K_d}{s}) - (V_{0q} * \omega C) \quad (7)$$

$$i_{fq_{ref}} = I_{oq} + (V_{0q_{ref}} - V_{0q})(K_p + \frac{K_d}{s}) + (V_{0d} * \omega C) \quad (8)$$

โดยที่ $\boldsymbol{I_{oq}}$และ $\boldsymbol{V_{oq}}$ คือแรงดันและกระแสในกรอบอ้างอิงเชิงการหมุนในแกน q ของระบบขาออกตามลำดับ และ $\boldsymbol{C}$ คือค่าขดลวดของตัวกรองสัญญาณขาออกจากอินเวอร์เตอร์ในระบบและ

2.4 การโจมตีแบบแทรกข้อมูลเท็จ

การโจมตีแบบแทรกข้อมูลเท็จเป็นภัยคุกคามทางไซเบอร์ที่มุ่งบิดเบือนข้อมูลในระบบควบคุมของโครงสร้างพื้นฐานสำคัญ ผู้โจมตีอาจใช้ช่องโหว่ของระบบหรือเทคนิคขั้นสูง เช่น การเรียนรู้ของปัญญาประดิษฐ์ (Machine Learning) เพื่อสร้างข้อมูลเท็จที่แนบเนียน โดยในการทดลองนี้การโจมตีแบบแทรกข้อมูลเท็จจะทดลอง 2 แบบได้แก่ โจมตีค่าแรงดันไฟฟ้าอ้างอิงและความถี่อ้างอิงโดยทำให้ค่าเพิ่มขึ้นและลดลงโดยมีสมการดังนี้:

$$V = V_{nom} + \Delta V_{atk} - k_q \cdot Q \quad (9)$$

$$\omega = \omega_{nom} + \Delta\omega_{atk} - k_p \cdot P \quad (10)$$

โดยที่ V_{nom} และ ω_{nom} คือค่าแรงดันไฟฟ้าและค่าความถี่ปกติของระบบ ซึ่งโครงงานนี้กำหนดให้มีค่าเท่ากับ 220 V และ 50 Hz ตามลำดับ ΔV_{atk} และ $\Delta\omega_{atk}$ คือค่าแรงดันไฟฟ้าและความถี่ ที่ใช้สำหรับในการแทนสัญญาณที่ถูกโจมตีให้เพิ่มหรือลดต่อระบบ เพื่อส่งค่าไปรบกวนที่ V_{nom} หรือ ω_{nom} ถัดมา ค่า k_p, k_q จะเป็นค่าสัมประสิทธิ์การตกต่ำซึ่งเป็นค่าคงที่

การโจมตีที่ค่าแรงดันไฟฟ้าอ้างอิงและความถี่อ้างอิงในรูปแบบพัลส์เป็นการทำให้ค่าดังกล่าวเพิ่มขึ้นและลดลงสลับกันไปมาเป็นช่วงๆ อย่างต่อเนื่อง ส่งผลให้ระบบควบคุมเกิดความไม่เสถียรหรือทำงานผิดพลาด โดยสามารถนิยามรูปแบบของสัญญาณพัลส์ที่ใช้ในการโจมตีได้ด้วยสมการต่อไปนี้:

$$V(t) = \begin{cases} 220 & 0 < t < 0.5 \\ V_{nom} - V_{atk} - k_q \cdot Q & n + 0.5 < t < n + 1 \\ V_{nom} + V_{atk} - k_q \cdot Q & n + 1 < t < n + 1.5 \end{cases} \quad (11)$$

$$\omega(t) = \begin{cases} 50 & 0 < t < 0.5 \\ \omega_{nom} - \omega_{atk} - k_p \cdot P & n + 0.5 < t < n + 1 \\ \omega_{nom} + \omega_{atk} - k_p \cdot P & n + 1 < t < n + 1.5 \end{cases} \quad (12)$$

โดยที่ t คือ เวลาและ n คือ จำนวนเต็มที่เริ่มจากศูนย์และเพิ่มขึ้นเรื่อยๆ

3. ผลลัพธ์การจำลองและการอภิปราย

หลังจากที่ได้อภิปรายโครงสร้างพื้นทั้งหมดของตัวควบคุมกริดฟอร์มมิ่งอินเวอร์เตอร์ และหลักการการโจมตีทางไซเบอร์ที่สามารถเกิดขึ้นในระบบควบคุมของกริดฟอร์มมิ่งอินเวอร์เตอร์ได้ ลำดับต่อไปจะเป็นการนำเสนอผลกระทบของการโจมตีทางไซเบอร์แบบแทรกข้อมูลเท็จ โดยการจำลองในโครงการนี้ได้ใช้หนึ่งในโปรแกรมที่เป็นมาตรฐานทั่วโลกอย่าง MATLAB/Simulink® โดยในการศึกษาครั้งนี้จะแบ่งการจำลองเป็นสองกรณีคือ 3.1 การโจมตีแบบแทรกข้อมูลเท็จที่แรงดันไฟฟ้าอ้างอิงและความถี่อ้างอิงโดยจะทำการเพิ่มแรงดันอ้างอิงให้มีค่าเพิ่มขึ้น 10% เป็น 242 V และปรับให้ลดลง 10% เป็น 198 V และปรับให้ความถี่อ้างอิงให้มีค่าเพิ่มขึ้น 10% เป็น 55 Hz และปรับให้ลดลง 10% เป็น 45 Hz และในกรณี 3.2 การโจมตีแบบแทรกข้อมูลเท็จแบบพัลส์โดยจะใช้ค่าเดียวกันกับกรณี 3.1 โดยทั้งสองกรณีนั้นระบบกริดฟอร์มมิ่งจะทำงานที่โหลดระดับ 15 kW, 5 kVAR ในช่วง 0-1 วินาทีจะทำงานแบบปกติแต่ในวินาทีที่ 1 นั้นได้เกิดการโจมตีที่ระบบควบคุมของกริดฟอร์มมิ่งอินเวอร์ด้วยการแทรกข้อมูลเท็จ เพื่อตรวจผลกระทบของการโจมตีที่เกิดขึ้นนั้น ในโครงงานครั้งนี้ได้ดูเกี่ยวกับแรงดันไฟฟ้า (V), ความถี่ (f), กำลังไฟฟ้าจริง (P), และ กำลังไฟฟ้าแฝง (Q)

3.1 การโจมตีแบบแทรกข้อมูลเท็จ

ในกรณีแรกนั้นเป็นการโจมตีทางไซเบอร์แบบแทรกข้อมูลเท็จโดยจากรูปที่ 2 นั้นจะเห็นได้ว่าเมื่อมีการโจมตีแรงดันไฟฟ้าอ้างอิงให้มีค่าเพิ่มขึ้น 10% เป็น 242 V ระบบจะส่งออกแรงดันไฟฟ้าประมาณ 240V อุปกรณ์ ในกรณีนี้ระบบถูกเหมือนถูกสั่งให้เพิ่มแรงดันไฟฟ้าจากปกติทำให้ความถี่ต่ำลงกว่าจากที่ปกติอยู่ที่ 49.89 Hz ลดลงไปอยู่ที่ 49.87 Hz จึงส่งผลให้เมื่อทำการวัดค่ากำลังจริงที่ผลิตได้นั้นมีค่าที่สูงกว่าปกติประมาณ 2800 W และจากการที่แรงดันไฟฟ้ามากขึ้นนั้น ก็ส่งผลให้กำลังไฟฟ้าแฝงสูงขึ้นประมาณ 1000 VAR ส่งผลให้เกิดความร้อนสูงขึ้นในอุปกรณ์ และการเสื่อมสภาพของฉนวนทำให้เกิดความเสียหายในอุปกรณ์ไฟฟ้า ในทางกลับกัน เมื่อโจมตีที่ค่าแรงดันไฟฟ้าอ้างอิงให้ ลดลง 10% เหลือ 198 V ค่าแรงดันไฟฟ้าลดลงอย่างรวดเร็วเป็น 185 V ในกรณีนี้เมื่อถูกปรับแรงดันไฟฟ้าให้ลดลงแล้ว ทำให้ความถี่สูงขึ้นกว่าที่ปกติอยู่ที่ 49.91 Hz และยังส่งผลให้กำลังการไฟฟ้าจริงและกำลังไฟฟ้าแฝงในระบบลดลงในปริมาตรเดียวกันกับในกรณีที่ถูกปรับแรงดันไฟฟ้าให้สูงขึ้นซึ่งอาจส่งผลให้มอเตอร์ทำงานไม่ปกติหรือเกิดความเสียหายในตัวอุปกรณ์หรือทำงานไม่เต็มประสิทธิภาพจากการที่มีความร้อนสูงขึ้นในระบบ

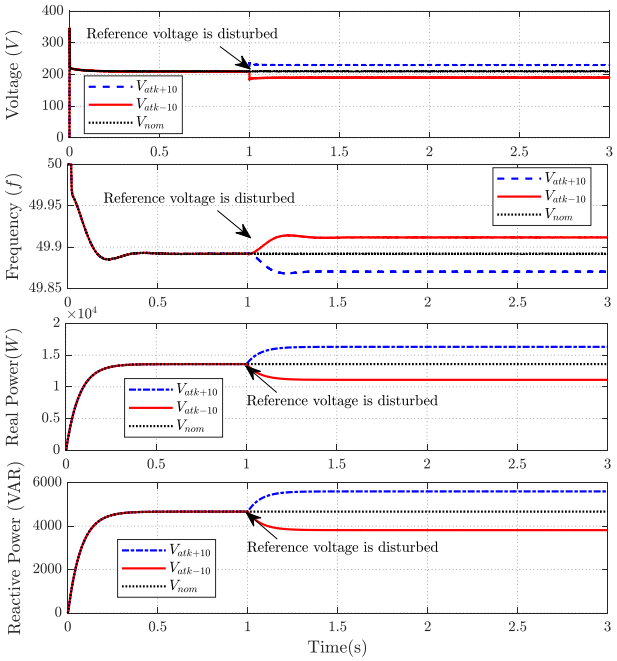

รูปที่ 2 กราฟแรงดันไฟฟ้า ความถี่ กำลังไฟฟ้าจริง กำลังไฟฟ้าแฝงที่แรงดันอ้างอิงถูกรบกวน

จากรูปที่ 3 เมื่อความถี่ในระบบไฟฟ้าเปลี่ยนแปลงไป ไม่ว่าจะเพิ่มขึ้นหรือลดลง แม้แรงดันจะเปลี่ยนเพียงเล็กน้อย ก็กระทบอุปกรณ์และระบบโดยรวมได้ หากความถี่สูงขึ้น กำลังจริงจะลดและกำลังแฝงจะเพิ่ม ทำให้มอเตอร์ทำงานเร็วขึ้นและประสิทธิภาพลดลง ซึ่งอาจนำไปสู่ความเสียหายของอุปกรณ์และระบบล่มได้ ในทางกลับกัน หากความถี่ลดลง กำลังจริงจะเพิ่มเล็กน้อยและกำลังแฝงจะลดลง ทำให้ระบบขาดความเสถียรอย่างมาก อาจเกิดการชะงักงันต่อเนื่องจนนำไปสู่ไฟฟ้าดับในวงกว้างได้

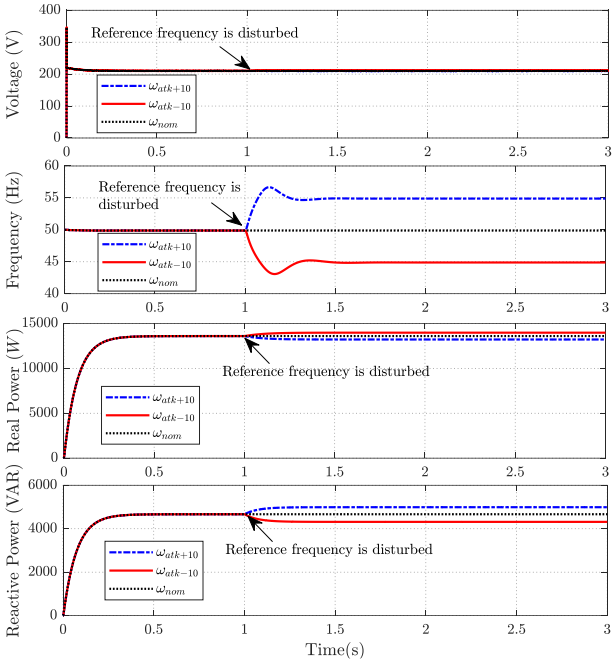

รูปที่ 3 กราฟแรงดันไฟฟ้า ความถี่ กำลังไฟฟ้าจริง กำลังไฟฟ้าแฝงที่ความถี่อ้างอิงถูกรบกวน

3.2 กรณีการโจมตีด้วยการรบกวนค่าแรงดันไฟฟ้าและความถี่อ้างอิงด้วยการโจมตีแบบพัลส์

ในกรณีที่สองนั้นเป็นการโจมตีทางไซเบอร์แบบพัลส์ตามสมการที่ 11 และ 12 โดยจะเพิ่มจากเดิม 10% เป็น 242 V และลดจากเดิม 10% เป็น 198 V โดยจากรูปที่ 4 โดยแทรกสัญญาณปลอมที่แรงดันอ้างอิง จะส่งผลให้แรงดันไฟฟ้าเกิดการเปลี่ยนแปลงขึ้น-ลงแบบฉับพลันเป็นช่วงๆ ตามรูปแบบพัลส์ ซึ่งเห็นได้ชัดในกราฟแรงดันว่าค่าของแรงดันเบี่ยงเบนไปจากค่าปกติทันทีหลังถูกโจมตี ส่งผลให้พลังงานไฟฟ้าทั้งจริง และกำลังไฟฟ้าแฝง เกิดการสั่นไหวอย่างรุนแรงตามแรงดัน โดยค่ากำลังแกว่งตัวสูง-ต่ำเป็นรอบ ส่งผลต่อความเสถียรของระบบจ่ายไฟ โดยเฉพาะกับโหลดที่ไวต่อแรงดัน เช่นเครื่องจักรที่ควบคุมด้วยแรงดัน เมื่อแรงดันเบี่ยงเบนซ้ำหลายรอบ อาจทำให้เกิดความเสียหายถาวรในอุปกรณ์เหล่านั้น ส่วนกรณีที่ระบบถูกโจมตีด้วยการแทรกสัญญาณปลอมที่ความถี่อ้างอิงระหว่าง 55 Hz และ 45 HZ พบว่าในช่วงแรกหลังถูกโจมตี ความถี่ลดต่ำกว่าค่าอ้างอิงอย่างฉับพลัน และต่อมามีการสั่นของความถี่อย่างต่อเนื่องอย่างรุนแรงซึ่งอาจทำให้การซิงโครไนซ์ของอินเวอร์เตอร์ในระบบขนาดใหญ่ล้มเหลว นอกจากนี้ยังส่งผลต่อพลังงานไฟฟ้าจริงและแฝงเกิดการสั่นที่ต่อเนื่องแม้ไม่มีการเปลี่ยนแปลงในแรงดัน ซึ่ง อาจทำให้เกิดความร้อนเกินหรือเสียหายอย่างถาวร

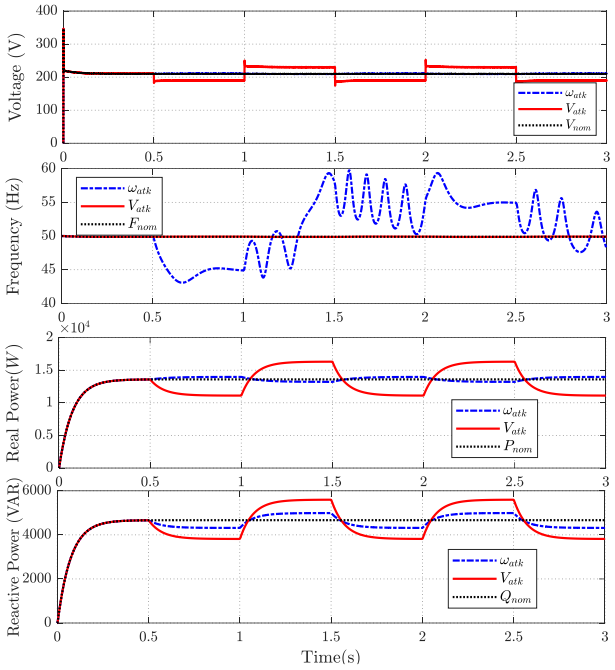

รูปที่ 4 กราฟแรงดันไฟฟ้า ความถี่ กำลังไฟฟ้าจริง กำลังไฟฟ้าแฝงที่แรงดันและความถี่อ้างอิงถูกรบกวน

จากการจำลองการโจมตีหลายๆรูปแบบจะเห็นว่าสถาการณ์ต่างๆทำให้สัญญาณหรือค่าที่ได้ผิดเพี้ยนไปในระบบไฟฟ้าถือเป็นการสูญเสียเสถียรภาพที่ไม่ควรจะเกิดขึ้นและต้องป้องกันให้ได้ การปรับปรุงตัวควบคุมให้สามารถรับมือกับสถาณการณ์นี้ได้จะต้องมีรูปแบบที่สามารถปรับตัวเข้ากับสถาณการณ์ปัจจุบัน งานนี้จึงทำให้เห็นว่าการโจมตีทางไซเบอร์เป็นสิ่งที่อันตรายต่อผู้ใช้ไฟฟ้าอย่างมากดังนั้นในอนาคตประเทศไทยควรศึกษาและทำการสร้างระบบที่สามารถปรับปรุงแก้ไขค่าต่างๆในระบบได้ทันท่วงที

4. สรุปผลการทดลอง

จากการทดลองการรบกวนค่าแรงดันไฟฟ้าและความถี่อย่างจงใจพบว่าการเปลี่ยนแปลงของแรงดันไฟฟ้าและความถี่ส่งผลให้เกิดการทำงานที่ผิดปกติของอุปกรณ์ รวมถึงการทำงานผิดพลาดของรีเลย์ป้องกัน และมีผลกระทบต่อเสถียรภาพของระบบไฟฟ้า การป้องกันการโจมตีทางไซเบอร์ในระบบไฟฟ้ากำลัง สามารถดำเนินการได้โดยการติดตั้งระบบป้องกันอัตโนมัติ เช่น รีเลย์ป้องกันแรงดันไฟฟ้าและความถี่ รวมถึงอุปกรณ์ตัวตรวจจับป้องกันการโจมตี และการเฝ้าระวังระบบไฟฟ้าอย่างใกล้ชิดเพื่อให้สามารถตัดแหล่งกำเนิดการโจมตีได้อย่างรวดเร็วการวิเคราะห์ค่าพารามิเตอร์ของระบบไฟฟ้าแบบเรียลไทม์ช่วยให้สามารถระบุแหล่งที่มาของการเปลี่ยนแปลงแรงดันไฟฟ้าและความถี่ได้อย่างแม่นยำซึ่งช่วยเพิ่มประสิทธิภาพในการตอบสนองต่อเหตุการณ์ผิดปกติและการกระจายไฟฟ้าในกรณีฉุกเฉินได้ทันท่วงที รวมถึงการแจ้งเตือนล่วงหน้าเมื่อแรงดันไฟฟ้าหรือความถี่มีค่าผิดความเป็นที่รู้จักจากค่าสถิติย้อนหลังของระบบ การวิเคราะห์ระบบไฟฟ้าโดยคำนึงถึงความสำคัญต่อตลาดจะช่วยบอกการเปลี่ยนแปลงทางเศรษฐกิจหรือพฤติกรรมการใช้ไฟฟ้าของผู้ใช้งานส่งเสริมและเตรียมความพร้อมบุคลากรเพื่อเตรียมพร้อมในการรับมือกับเหตุการณ์ที่อาจเกิดขึ้น

งานในอนาคตจะทำการใช้ปัญญาประดิษฐ์ในการตรวจจับและสร้างโมเดลในการเรียนรู้เพื่อเป็นฐานข้อมูลให้แก่วิศวกรไฟฟ้าทำให้สามารถรับมือกับการโจมตีทางไซเบอร์ได้ง่ายยิ่งขึ้น

เอกสารอ้างอิง

[1] A. Jäger Waldau, PV Status Report 2019, EUR 29938 EN, Publications Office of the European Union, Luxembourg, 2019, doi: 10.2760/326629.

[2] G. Song, B. Cao, and L. Chang, “Review of Grid-forming Inverters in Support of Power System Operation,” Chinese Journal of Electrical Engineering, vol. 8, no. 1, pp. 1–15, Mar. 2022, doi: 10.23919/CJEE.2022.000001.

[3] N. Mohammed, H. Udawatte, W. Zhou, D. J. Hill, and B. Bahrani, “Grid-Forming Inverters: A Comparative Study of Different Control Strategies in Frequency and Time Domains,” IEEE Open Journal of the Industrial Electronics Society, vol. 5, no. 1, pp. 185–214, 2024.

[4] N. Mohammed, H. Udawatte, W. Zhou, D. J. Hill, and B. Bahrani, “Grid-Forming Inverters: A Comparative Study of Different Control Strategies in Frequency and Time Domains,” IEEE Open Journal of the Industrial Electronics Society, vol. 5, no. 1, pp. 185–214, 2024.

[5] P. Anantarativakorn, C. Ruangsuwan and T. Kerdphol, "Dynamic Impact of Cyber-Attacks on Grid Forming Inverters," 2024 IEEE International Smart Cities Conference (ISC2), Pattaya, Thailand, 2024, pp. 1-6, doi: 10.1109/ISC260477.2024.11004222.

[6] N. Sukmanont, W. Rojthavol and T. Kerdphol, "Grid-Forming Inverters using Phase-Locked Loop for Enhancing Frequency Stabilization," 2024 IEEE International Smart Cities Conference (ISC2), Pattaya, Thailand, 2024, pp. 1-7, doi: 10.1109/ISC260477.2024.11004269.

[7] T. Kerdphol, N. Teera-Achariyakul, T. Surinkaew, and W. Pinthurat, “Cyber-Attacks on Power System Frequency Control,” in 2024 1st International Conference on Robotics, Engineering, Science, and Technology, RESTCON 2024, Institute of Electrical and Electronics Engineers Inc., 2024, pp. 149–153.

การประเมินอุณหภูมิน้ำมันหม้อแปลงและจุดร้อนขดลวดเพื่อหาประสิทธิภาพของหม้อแปลงจำหน่าย 50 kVA

Assessment of Top-Oil and Hottest-Spot Temperatures for Efficiency Analysis of a 50 kVA Distribution Transformer

ดำรงศักดิ์ วงศ์ตา[1]* และ ศตวรรษ เมืองชื่น[1]

[1]สาขาวิชาวิศวกรรมไฟฟ้า คณะวิศวกรรมศาสตร์ วิทยาลัยเชียงราย dumrongsak.wongta@crc.ac.th* satawat.muangchuen@crc.ac.th

บทคัดย่อ

บทความนี้นำเสนอวิธีการประเมินอุณหภูมิน้ำมันชั้นบน และอุณหภูมิจุดร้อนของขดลวด เพื่อวิเคราะห์ประสิทธิภาพการทำงานของหม้อแปลงไฟฟ้าจำหน่ายขนาด 50 kVA โดยใช้การจำลองทางคณิตศาสตร์ตามมาตรฐาน IEEE C57.91 เปรียบเทียบกับแบบจำลองหม้อแปลงอ้างอิง ประกอบกับการวัดค่าจริงผ่านอุปกรณ์ที่พัฒนาขึ้นเฉพาะ วัดเก็บข้อมูลทุก 1 นาที จำนวน 4 วัน (5,760 ข้อมูล) ผลการทดสอบแสดงให้เห็นว่าอุณหภูมิของจุดร้อนขดลวดมีค่ามากกว่าอุณหภูมิน้ำมันชั้นบน และทั้งสองมีแนวโน้มเพิ่มขึ้นตามภาระโหลดของหม้อแปลง โดยอุณหภูมิน้ำมันชั้นบนสูงสุดที่ 70°C ในระยะเวลาประมาณ 110 นาที และอุณหภูมิจุดร้อนขดลวดสูงสุดที่เกิน 90°C ในช่วงเวลาประมาณ 120 นาที แสดงว่าหม้อแปลงทำงานภายใต้สภาวะที่กระแสโหลดและอุณหภูมิที่เกิดจุดร้อนขดลวดไม่เกินกำหนด สามารถหาประสิทธิภาพหม้อแปลงโดยใช้อุณหภูมิจุดร้อนขดลวดร่วมคำนวณในสมการ ได้ค่าสัมบูรณ์ของเปอร์เซ็นต์ความผิดพลาดไม่เกิน 1.5 เปอร์เซ็นต์ และได้ค่าอายุการใช้งานที่คาดหวัง 20.54 ปี

คำสำคัญ: หม้อแปลงไฟฟ้า อุณหภูมิน้ำมันชั้นบน อุณหภูมิจุดร้อนขดลวด ประสิทธิภาพ การเสื่อมสภาพฉนวน

Abstract

This paper presents a method for evaluating the top-oil temperature and hot-spot temperature to analyze the operational efficiency of a 50 kVA distribution transformer. The evaluation is based on mathematical modeling according to IEEE Standard C57.91, compared with a reference transformer model, and supported by real-time measurements using a custom-developed monitoring device. Data were recorded every minute over a 4-day period, totaling 5,760 data points. The results show that the hot-spot temperature is consistently higher than the top-oil temperature, and both temperatures tend to increase with the transformer load. The top-oil temperature peaked at 70°C after approximately 110 minutes, while the hot-spot temperature exceeded 90°C for around 120 minutes. These findings indicate that the transformer operated within acceptable limits for both load current and hot-spot temperature. The efficiency was calculated using the hot-spot temperature in the losses equations, yielding an absolute percentage error of less than 1.5%. The expected remaining service life of the transformer was estimated to be 20.54 years.

Keywords: Distribution Transformer, Top-Oil Temperature, Hottest-Spot Temperature, Efficiency, Insulation Aging

1. บทนำ

หม้อแปลงไฟฟ้าเป็นอุปกรณ์สำคัญในระบบไฟฟ้า ซึ่งมีบทบาทในการแปลงแรงดันไฟฟ้าให้เหมาะสมในการส่งจ่ายและการใช้งาน หม้อแปลงไฟฟ้าชนิดแบบจุ่มน้ำมัน มีทั้งหม้อแปลงจำหน่าย (distribution transformer) และหม้อแปลงกำลัง (power transformer) มีระบบระบายความร้อน น้ำมันหม้อแปลงมีหน้าที่เป็นทั้งตัวกลางการระบายความร้อนและฉนวนไฟฟ้า โดยอุณหภูมิของน้ำมันชั้นบนเป็นตัวสะท้อนประสิทธิภาพการระบายความร้อน ในขณะที่อุณหภูมิจุดร้อนของขดลวดแสดงถึงตำแหน่งที่มีความร้อนสูงสุดและเสี่ยงต่อการเสื่อมสภาพของฉนวนมากที่สุด การวิเคราะห์ค่าทั้งสองร่วมกับข้อมูลโหลดที่ใช้งานจริง จึงมีความสำคัญในการประเมินประสิทธิภาพและวางแผนดูแลหม้อแปลงอย่างเหมาะสม [1] ในยุคปัจจุบันที่ระบบไฟฟ้ามีความซับซ้อนมากขึ้น และมีการนำพลังงานหมุนเวียนเข้ามาใช้งาน หม้อแปลงที่มีประสิทธิภาพสูงจะสามารถปรับตัวกับสภาพโหลดที่เปลี่ยนแปลงได้ดี ส่งผลให้ระบบสามารถรองรับภาระและความผันผวนของโหลดได้อย่างมีเสถียรภาพ [2] หม้อแปลงที่มีประสิทธิภาพต่ำเกิดการสูญเสียในรูปของความร้อนจากขดลวด (Copper Losses) และจากแกนเหล็ก (Core Losses) ซึ่งเป็นการสูญเสียที่สะสมตลอดอายุการใช้งานของหม้อแปลง การศึกษาหาประสิทธิภาพของหม้อแปลงจึงเป็นสิ่งสำคัญเพื่อช่วยลดการสูญเสียพลังงาน ช่วยลดอัตราการเสื่อมสภาพของฉนวนไฟฟ้าและยืดอายุการใช้งานของหม้อแปลงออกไป นอกจากนี้ยังช่วยลดโอกาสในการเกิดความเสียหายเฉียบพลันจากอุณหภูมิที่สูงเกินเกณฑ์ [3]

งานวิจัยนี้มีความแตกต่างจากงานที่ผ่านมา คือหม้อแปลงขนาดเล็กและไม่มีเครื่องวัดอุณหภูมิภายใน ใช้การเก็บข้อมูลจริงค่ากระแสโหลดและอุณหภูมิแวดล้อมร่วมกับแบบจำลองทางคณิตศาสตร์คำนวณตาม IEEE C57.91, Clause 7 ประเมินหาอุณหภูมิในหม้อแปลงเพื่อนำไปหาประสิทธิภาพและการเสื่อมอายุของฉนวนของหม้อแปลงจำหน่าย 3 เฟส ชนิดแบบจุ่มน้ำมัน ขนาดพิกัด 50 kVA, 22kV/400-230 V ที่เป็นหม้อแปลงขนาดเล็กภายใต้การใช้งานจริง

*ผู้ประพันธ์บรรณกิจ

2. หลักการและทฤษฎีที่เกี่ยวข้อง

2.1 ความสัมพันธ์ของอุณหภูมิน้ำมันหม้อแปลง

ปัจจัยหลักที่ควรพิจารณาเมื่อใช้งานหม้อแปลงไฟฟ้าจ่ายกำลังไฟฟ้าให้โหลด ไม่ใช่เพียงแค่คำนวณพิกัดกระแสใช้งานแต่ต้องพิจารณาอย่างรอบคอบโดยเฉพาะการใช้งานที่เกินพิกัดกำลัง เพราะแม้จะสามารถเพิ่มขีดความสามารถในการจ่ายพลังงานได้ในช่วงเวลาหนึ่ง แต่ก็อาจก่อให้เกิดผลกระทบต่ออายุการใช้งาน ความปลอดภัย และความมั่นคงของระบบไฟฟ้าในระยะยาว การอ้างอิงมาตรฐาน IEEE C57.91, Clause 7 [4] จึงเป็นแนวทางสำคัญที่ใช้ประกอบการวางแผนและออกแบบการใช้งานหม้อแปลงอย่างเหมาะสม เพื่อให้สามารถใช้งานได้เต็มประสิทธิภาพโดยไม่ส่งผลกระทบต่ออายุการใช้งานและความปลอดภัยของระบบไฟฟ้า การพิจารณาการกระจายความร้อนของค่าอุณหภูมิน้ำมันหม้อแปลงจะเพิ่มขึ้นตามแนวนอน (Temp Rise) ซึ่งอุณหภูมิน้ำมันด้านล่างของถังหม้อแปลงจะมีค่าต่ำกว่าอุณหภูมิน้ำมันชั้นบน และค่าอุณหภูมิจุดร้อนขดลวดจะมีค่ามากกว่าและเกินค่าอุณหภูมิน้ำมันชั้นบนเพิ่มขึ้นไปอีก แสดงดังรูปที่ 1

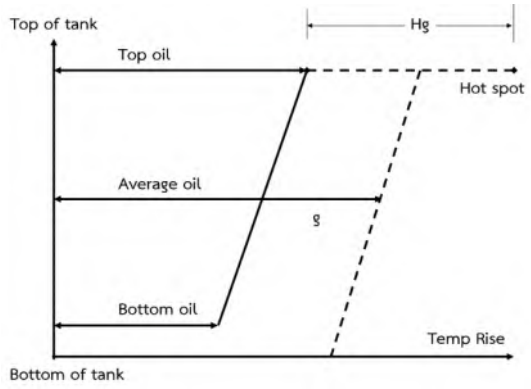

รูปที่ 1 การกระจายความร้อนของหม้อแปลงไฟฟ้าชนิดแบบจุ่มน้ำมัน

2.2 อุณหภูมิของขดลวดหม้อแปลงไฟฟ้า

อุณหภูมิของขดลวดหม้อแปลงไฟฟ้า (Winding Temperature) เป็นค่าที่แสดงถึงระดับความร้อนที่เกิดขึ้นภายในขดลวดของหม้อแปลงขณะทำงาน ซึ่งความร้อนนี้เกิดจากกระแสไฟฟ้าไหลผ่านขดลวด ทำให้เกิดการสูญเสียพลังงานในรูปของความร้อน อุณหภูมิของขดลวดเป็นตัวแปรสำคัญที่ใช้ในการประเมินประสิทธิภาพของระบบระบายความร้อน และเป็นหนึ่งในปัจจัยที่ส่งผลต่ออายุการใช้งานของฉนวนภายในหม้อแปลง สามารถใช้สมการคำนวณดังต่อไปนี้

$$\Theta_W = \Theta_{TO} + \Delta\Theta_W \quad (1)$$

กำหนด Θ_W คืออุณหภูมิเฉลี่ยของขดลวด หน่วยองศาเซลเซียส Θ_{TO} คืออุณหภูมิของน้ำมันชั้นบน หน่วยองศาเซลเซียส และ $\Delta\Theta_W$ คือการเพิ่มขึ้นของอุณหภูมิขดลวดจากน้ำมัน หน่วยองศาเซลเซียส ซึ่งสามารถคำนวณได้ดังนี้

$$\Delta\Theta_W = \Delta\Theta_{W,R} K^{2m} \quad (2)$$

กำหนด $\Delta\Theta_{W,R}$ คืออัตราการเพิ่มขึ้นของอุณหภูมิขดลวดที่พิกัดโหลด ส่วนค่า $K = (I_{load} / I_{rated})$ คืออัตราส่วนของกระแสโหลดต่อพิกัดกระแสหม้อแปลง และ m คือ Exponent สำหรับการเพิ่มขึ้นของอุณหภูมิขดลวดของแต่ละระบบระบายความร้อนของหม้อแปลง

2.3 อุณหภูมิของน้ำมันชั้นบน

อุณหภูมิของน้ำมันชั้นบน (Top-Oil Temperature) คืออุณหภูมิของน้ำมันบริเวณส่วนบนสุดของหม้อแปลง ซึ่งมักเป็นความร้อนมากที่สุดในน้ำมัน เนื่องจากน้ำมันร้อนจากขดลวดจะลอยขึ้นสู่ด้านบนในกระบวนการพาความร้อน (Natural Convection) อุณหภูมิของน้ำมันชั้นบนแทนสภาวะการระบายความร้อนโดยรวมของหม้อแปลง สามารถใช้สมการคำนวณดังต่อไปนี้

$$\Theta_{TO} = \Theta_A + \Delta\Theta_{TO} \quad (3)$$

กำหนด Θ_{TO} คืออุณหภูมิของน้ำมันชั้นบน หน่วยองศาเซลเซียส Θ_A คืออุณหภูมิสภาพแวดล้อมหม้อแปลง หน่วยองศาเซลเซียส และ $\Delta\Theta_{TO}$ คือการเพิ่มขึ้นของอุณหภูมิน้ำมันชั้นบนจากอุณหภูมิแวดล้อม หน่วยองศาเซลเซียส ซึ่งสามารถคำนวณได้ดังนี้

$$\Delta\Theta_{TO} = \Delta\Theta_{TO,R}\left(\frac{K^2R+1}{R+1}\right)^n \quad (4)$$

กำหนด $\Delta\Theta_{TO,R}$ คืออัตราการเพิ่มขึ้นของอุณหภูมิน้ำมันชั้นบนที่โหลดพิกัด R คืออัตราส่วนการสูญเสียที่โหลดพิกัดของหม้อแปลง และ n คือ Exponent สำหรับการระบายความร้อนของหม้อแปลงแต่ละระบบ

2.4 อุณหภูมิจุดร้อนขดลวด

อุณหภูมิจุดร้อนขดลวด หรืออุณหภูมิฮอตสปอต (Hottest-Spot Temperature) หมายถึงอุณหภูมิที่ร้อนที่สุดในตำแหน่งใดตำแหน่งหนึ่งของขดลวดภายในหม้อแปลง ซึ่งมักจะอยู่ในบริเวณที่การระบายความร้อนทำได้ไม่ดี หรือที่มีความหนาแน่นของกระแสสูง อุณหภูมิจุดร้อนขดลวดนี้มีความสำคัญเป็นอย่างยิ่ง เนื่องจากเป็นปัจจัยหลักที่กำหนดอัตราการเสื่อมสภาพของฉนวนไฟฟ้า การคำนวณหรือวัดค่าอุณหภูมิฮอตสปอตอย่างแม่นยำ จึงมีความจำเป็นต่อการประเมินอายุการใช้งานของหม้อแปลงและการจัดการโหลดอย่างปลอดภัย สามารถใช้สมการคำนวณดังต่อไปนี้

$$\Theta_H = \Theta_{TO} + \Delta\Theta_H \quad (5)$$

กำหนด Θ_H คืออุณหภูมิจุดร้อนขดลวด หน่วยองศาเซลเซียส $\Delta\Theta_H$ คือการเพิ่มขึ้นของอุณหภูมิจุดร้อนขดลวดจากน้ำมันชั้นบน หน่วยองศาเซลเซียส ซึ่งสามารถคำนวณได้ดังนี้

$$\Delta\Theta_H = \Delta\Theta_{H,R} K_{\max}^{2m} \quad (6)$$

กำหนด $\Delta\Theta_{H,R}$ คืออัตราการเพิ่มขึ้นของอุณหภูมิจุดร้อนขดลวดที่โหลดพิกัด $K_{\max}$ คืออัตราส่วนของกระแสโหลดที่กระแสสูงสุด

2.5 ประสิทธิภาพของหม้อแปลง

ประสิทธิภาพของหม้อแปลงไฟฟ้า คืออัตราส่วนระหว่างกำลังไฟฟ้าที่จ่ายออก (Output Power) ต่อกำลังไฟฟ้าที่รับเข้ามา (Input Power) ซึ่งแสดงถึงความสามารถในการจ่ายกำลังไฟฟ้าที่มีการสูญเสียกำลังไฟฟ้าภายในตัวหม้อแปลง การสูญเสียส่วนใหญ่จะมาจากความร้อนในขดลวดและการสูญเสียในแกนเหล็ก สามารถคำนวณประสิทธิภาพได้ดังนี้

$$P_{Out} = \sqrt{3} V_L I_L \cos\theta \tag{7}$$

$$\eta = \frac{P_{Out}}{P_{Out} + P_{loss}} \times 100 \tag{8}$$

$$P_{loss} = P_{core} + P_{copper} \tag{9}$$

$$P_{copper} = I_a^2 R_a + I_b^2 R_b + I_c^2 R_c \tag{10}$$

กำหนด P_{Out} คือกำลังไฟฟ้าเอาต์พุต P_{loss} เป็นกำลังสูญเสียของหม้อแปลง P_{core} คือกำลังการสูญเสียในแกนเหล็ก P_{copper} กำลังการสูญเสียในขดลวด V_L คือแรงดันไฟฟ้า I_L คือกระแสไฟฟ้า $\cos\theta$ คือตัวประกอบกำลัง I_{abc} คือค่ากระแสของเฟส A, B และ C และ R_{abc} คือค่าความต้านทานขดลวดเฟส A, B และ C หากพิจารณาอุณหภูมิหม้อแปลงจะสามารถคำนวณกำลังสูญเสียในขดลวดที่มีผลกระทบจากอุณหภูมิจุดร้อนขดลวดดังนี้

$$P_{copper,\Delta\Theta H} = I_a^2 R_T + I_b^2 R_T + I_c^2 R_T \tag{11}$$

$$R_T = R_{ref}[1 + \alpha(\Theta_H - \Theta_{ref})] \tag{12}$$

กำหนด R_T คือความต้านทานขดลวดที่เปลี่ยนแปลงตามอุณหภูมิจุดร้อนขดลวด มีค่า R_{ref} คือความต้านทานที่อุณหภูมิอ้างอิงที่ 75°C ค่าสัมประสิทธิ์อุณหภูมิของตัวนำ α สำหรับทองแดง คือ 0.00393 และ Θ_{ref} คืออุณหภูมิอ้างอิงอายุที่ 75°C

2.6 อายุการใช้งานของหม้อแปลง

อายุการใช้งานของหม้อแปลง คืออายุการใช้งานที่คาดหวังในระยะเวลาที่หม้อแปลงสามารถจ่ายกำลังไฟฟ้าได้อย่างปลอดภัยและมีประสิทธิภาพ ภายใต้เงื่อนไขการใช้งานที่ระยะเวลาฉนวนของหม้อแปลงสามารถทำงานได้ก่อนเสื่อมสภาพ โดยขึ้นอยู่กับอุณหภูมิอุณหภูมิจุดร้อนขดลวดหม้อแปลง และปัจจัยเร่งการเสื่อมสภาพ (Aging Acceleration Factor, FAA) ที่เป็นตัวแปรใช้ประเมินว่าอัตราการเสื่อมของฉนวนในหม้อแปลง โดยการเสื่อมของฉนวนเร็วขึ้นหรือช้าลงเทียบกับสภาพอุณหภูมิมาตรฐานซึ่งสัมพันธ์กับอุณหภูมิจุดร้อนขดลวด จึงเป็นวิธีที่มีประสิทธิภาพในการยืดอายุการใช้งานสามารถใช้สมการคำนวณดังต่อไปนี้

$$F_{AA} = \exp\left(\frac{15000}{273 + \Theta_{H,ref}} - \frac{15000}{273 + \Theta_H}\right) \tag{13}$$

$$LOL = \frac{F_{AA}.\Delta t}{L_N} \times 100 \tag{14}$$

$$LOL_{Total} = \sum_{i=1}^{N} \frac{F_{AA}.\Delta t}{L_N} \times 100 \tag{15}$$

กำหนด F_{AA} คือปัจจัยเร่งการเสื่อมสภาพ และ $\Theta_{H,ref}$ คืออุณหภูมิจุดร้อนขดลวดอ้างอิงอายุที่ 110°C สำหรับการหาค่า LOL คือเปอร์เซ็นต์การสูญเสียอายุการใช้งาน L_N คืออายุการเสื่อมสภาพฉนวนโดยกำหนดที่ 180,000 ชั่วโมง หรือ 20.55 ปี โดยประมาณ LOL_{Total} คือ เปอร์เซ็นต์การสูญเสียอายุการใช้งาน Δt คือระยะเวลาในแต่ละโหลด N คือจำนวนข้อมูลแต่ละโหลด

3. ขั้นตอนการดำเนินการหาอุณหภูมิและประสิทธิภาพ

3.1 การจำลองการคำนวณอุณหภูมิหม้อแปลง

หม้อแปลงจำหน่ายไฟฟ้าที่ใช้ในการทดสอบเก็บข้อมูล หม้อแปลงสามเฟสขนาดพิกัด 50 kVA, 22kV/400V ที่บ้านป่าตึง ต.สันทราย อ.เมือง จ.เชียงราย ผู้วิจัยได้นำข้อมูลหม้อแปลง แสดงดังตารางที่ 1 มาคำนวณเปรียบเทียบกับหม้อแปลงอ้างอิงขนาดพิกัด 25 MVA [5-6] โดยจำลองใช้ค่าอุณหภูมิแวดล้อมที่ 28°C คงที่ตลอด และใช้ค่าอัตราส่วนกระแสโหลดต่อพิกัดกระแสหม้อแปลง (K) แสดงดังรูปที่ 2 ซึ่งเป็นการจำลองในระดับพิกัดที่หลากหลายตั้งแต่ 0.3 -1.8 เปอร์ยูนิต โดยนำไปใช้เป็นข้อมูลในการจำลองการคำนวณอุณหภูมิหม้อแปลง

ตารางที่ 1 ข้อมูลหม้อแปลงที่ทดสอบขนาดพิกัด 50 kVA

Feature	Value	Feature	Value
Power Rated	50 kVA	$\Delta\Theta_{TO,R}$	60°C
Voltage HV/LV	22kV/400V	$\Delta\Theta_{H,R}$	49°C
Current Rated	72.17 A	Time Constant: τ_W	7 min
No-Load Losses at 75°C	110 W	Oil Volume	115 Litre
Load Losses at 75°C	875 W	Total Weight	560 kg
Cooling: Oil Natural Air Natural (ONAN)	m = 0.8 n = 0.8	Ratio of load loss to no load loss (R)	8

ตารางที่ 2 ข้อมูลหม้อแปลงที่อ้างอิงขนาดพิกัด 25 MVA

Feature	Value	Feature	Value
Power Rated	25 MVA	$\Delta\Theta_{TO,R}$	55°C
Voltage HV/LV	66 kV	$\Delta\Theta_{H,R}$	30°C
Current Rated	218.7 A	Time Constant: τ_W	12 min
No-Load Losses at 75°C	17,500 W	Oil Volume	10,000 L
Load Losses at 75°C	122,173 W	Total Weight	30,000 kg
Cooling: Oil Natural Air Force (ONAF)	m = 0.8 n = 0.9	Ratio of load loss to no load loss (R)	7

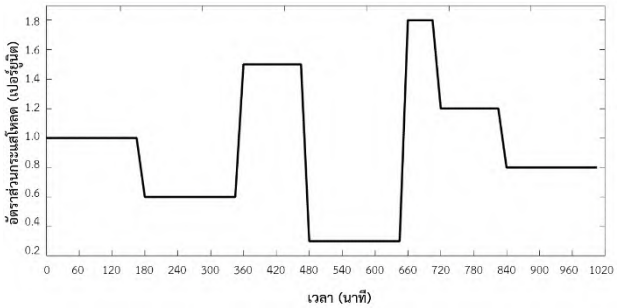

รูปที่ 2 อัตราส่วนกระแสโหลดจำลองเปรียบเทียบการคำนวณ

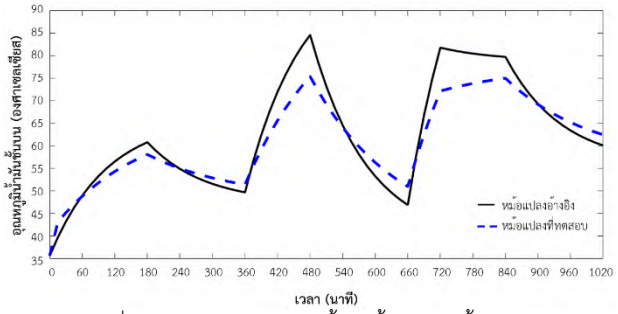

รูปที่ 3 เปรียบเทียบอุณหภูมิน้ำมันชั้นบนในหม้อแปลง

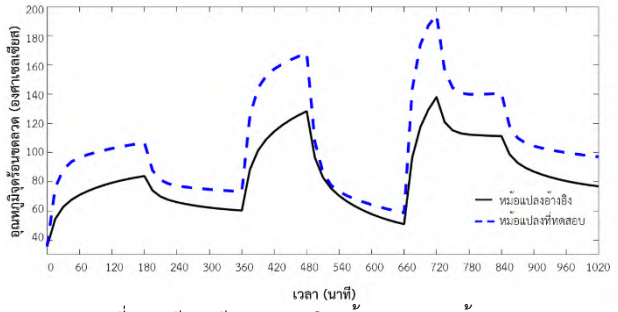

รูปที่ 4 เปรียบเทียบอุณหภูมิจุดร้อนขดลวดหม้อแปลง

จากรูปที่ 3 ผลการจำลองการเปรียบเทียบอุณหภูมิน้ำมันชั้นบน เริ่มต้นที่เวลาพร้อมกันได้อุณหภูมิที่ 35˚C ได้ลักษณะเส้นกราฟเป็นไปตามอัตราส่วนกระแสโหลดในทิศทางเดียวกัน หม้อแปลงทดสอบ 50 kVA ได้ค่าสูงสุดของอุณหภูมิน้ำมันชั้นบนที่ 75˚C เพราะมีขนาดเล็กที่มีพื้นผิวสัมผัสกับอากาศต่อปริมาตรสูงทำให้การระบายความร้อนได้ดีกว่าเมื่อเทียบกับขนาดหม้อแปลงอ้างอิง 25 MVA ซึ่งออกแบบสำหรับโหลดสูง แต่มีปริมาตรน้ำมันและความร้อนสะสมมากกว่า ทำให้น้ำมันชั้นบนร้อนขึ้นช้ากว่าเมื่อค่าอัตราส่วนกระแสโหลดต่ำ แต่สะสมความร้อนได้มากเมื่อค่าอัตราส่วนกระแสโหลดสูง

จากรูปที่ 4 ผลการจำลองการเปรียบเทียบอุณหภูมิจุดร้อนขดลวด เริ่มต้นที่เวลาพร้อมกันได้อุณหภูมิที่ 40˚C ได้ลักษณะเส้นกราฟเป็นไปอัตราส่วนกระแสโหลดในทิศทางเดียวกัน หม้อแปลงทดสอบ 50 kVA ได้ค่าสูงสุดของอุณหภูมิจุดร้อนขดลวดที่ 190˚C เนื่องจากขดลวดขนาดเล็กมีช่องว่างการระบายความร้อนจำกัดมีปริมาตรขดลวดต่อน้ำมันน้อยทำให้ความร้อนจากจุดร้อนสะสมมากและระบายออกช้า ทำให้อุณหภูมิจุดร้อนสูงกว่าหม้อแปลงอ้างอิง 25 MVA ที่มีการออกแบบช่องระบายความร้อนและออกแบบขดลวดให้กระจายความร้อนได้ดีกว่า

การเลือกเปรียบเทียบกับหม้อแปลงอ้างอิงขนาดใหญ่เพื่อยืนยันความถูกต้องของแบบจำลองตามมาตรฐาน IEEE C57.91 ซึ่งอ้างอิงกับหม้อแปลงกำลังขนาดใหญ่ที่มีข้อมูลจำลองชัดเจน จากการจำลองการคำนวณหาอุณหภูมิหม้อแปลงที่ทดสอบ 50 kVA เปรียบเทียบกับหม้อแปลงอ้างอิงขนาด 25 MVA พบว่าเกิดการเปลี่ยนแปลงอุณหภูมิตามอัตราส่วนกระแสโหลดในช่วงเวลาเดียวกัน สอดคล้องกับพฤติกรรมเชิงทฤษฎี และแสดงถึงความแตกต่างในด้านการสะสมและการระบายความร้อนระหว่างหม้อแปลงขนาดเล็กและขนาดใหญ่ ผลการศึกษานี้จึงชี้ให้เห็นว่าแบบจำลองที่ใช้สามารถประยุกต์ใช้ได้กับหม้อแปลงพิกัดต่าง ๆ แม้จะมีความแตกต่างด้านขนาดและระบบการระบายความร้อน บทความนี้จึงนำไปใช้กับข้อมูลการวัดจริงค่ากระแสโหลดและอุณหภูมิแวดล้อมที่บันทึกข้อมูลจากเครื่องวัดที่หม้อแปลงจำหน่ายไฟฟ้าที่ทดสอบ

3.2 การออกแบบเครื่องวัดและการเก็บข้อมูลหม้อแปลง

การออกแบบเครื่องมือวัดที่สามารถเก็บข้อมูลหม้อแปลงจำหน่ายไฟฟ้าเพื่อวัดและบันทึกเก็บข้อมูลใน Google Sheets [7-8] สำหรับบันทึกค่ากระแสและแรงดัน เฟส A, B และ C และบันทึกค่าอุณหภูมิแวดล้อมที่หม้อแปลงทดสอบโดยเก็บข้อมูลทุก ๆ 1 นาที ในระยะเวลา 4 วัน ได้ข้อมูลทั้งสิ้น 5760 ข้อมูล (นาที) แสดงดังรูปที่ 5 และ 6 ข้อมูลที่บันทึกผลดังรูปที่ 7 และ 8

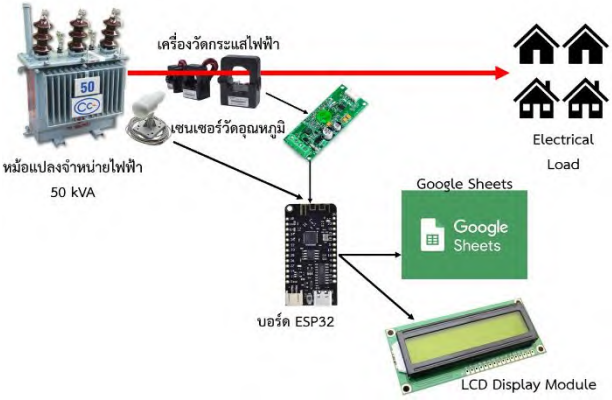

รูปที่ 5 การออกแบบเครื่องวัดเก็บข้อมูลหม้อแปลงจำหน่ายไฟฟ้าที่ทดสอบ

ก) เครื่องวัดบันทึกข้อมูล ข) การติดตั้งเซนเซอร์ที่หม้อแปลงทดสอบ

รูปที่ 6 ติดตั้งเครื่องวัดและบันทึกเก็บข้อมูลหม้อแปลงจำหน่ายไฟฟ้า

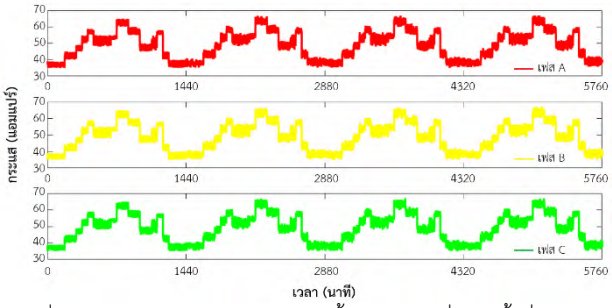

รูปที่ 7 กระแสเฟส A, B และ C ของหม้อแปลงจำหน่ายไฟฟ้าที่ทดสอบ

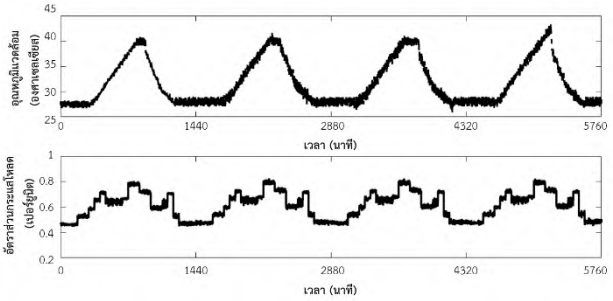

รูปที่ 8 อุณหภูมิแวดล้อมของหม้อแปลงจำหน่ายไฟฟ้าที่ทดสอบ

จากรูปที่ 7 และ 8 ค่ากระแสเฟส A, B และ C จากข้อมูลทั้งหมด 4 วันได้ค่าเฉลี่ยกระแสสามเฟสทั้ง 4 วัน คือ 48.24, 49.22, 49.18 และ 49.39 A ซึ่งมีค่าใกล้เคียงกัน ค่าอุณหภูมิแวดล้อมมีอุณหภูมิต่ำสุด 28°C และมีอุณหภูมิสูงสุด 41°C ซึ่งแต่ละนาทีมีการเปลี่ยนแปลงอุณหภูมิสูงขึ้นในช่วงเช้าและอุณหภูมิเริ่มลดลงในช่วงเย็นถึงกลางคืน และคำนวณหาอัตราส่วนกระแสโหลดต่อพิกัดกระแสหม้อแปลง (K) จากการเก็บข้อมูลกระแสโหลดจริงต่อพิกัดกระแสหม้อแปลง จะเห็นว่ามีค่าอยู่ในช่วง 0.5-0.8 เปอร์ยูนิต จึงนำข้อมูลไปใช้คำนวณหาอุณหภูมิและหาประสิทธิภาพหม้อแปลง

3.3 การวิเคราะห์อุณหภูมิและประสิทธิภาพหม้อแปลง

จากการออกแบบเครื่องวัดและเก็บข้อมูลหม้อแปลงแล้วนำข้อมูลมาวิเคราะห์อุณหภูมิหม้อแปลงไฟฟ้า ซึ่งข้อมูลแต่ละส่วนนำไปใช้คำนวณตามสมการ (1) – (15) ต่อเนื่องกันไป โดยมีขั้นตอนการคำนวณแสดงดังรูปที่ 9

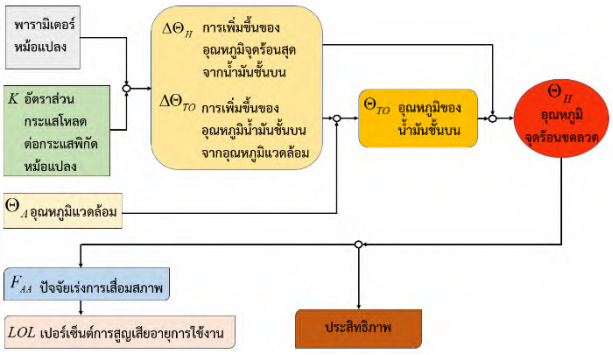

รูปที่ 9 ไดอะแกรมการคำนวณความร้อนหม้อแปลง

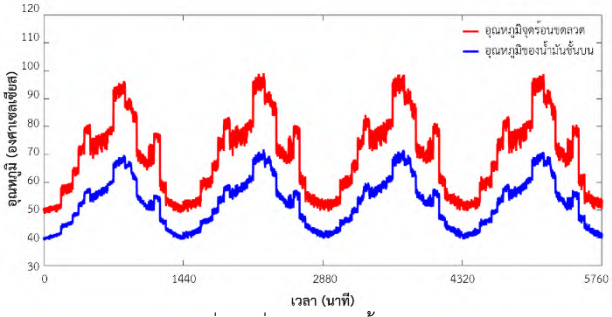

รูปที่ 10 ค่าอุณหภูมิหม้อแปลง

รูปที่ 10 ผลการคำนวณค่าอุณหภูมิของน้ำมันชั้นบนมีอุณหภูมิต่ำสุด 40°C มีลักษณะการสะสมความร้อนจากกระแสโหลดและอุณหภูมิแวดล้อม มีช่วงเวลาที่ทำให้เกิดอุณหภูมิของน้ำมันชั้นบนสูงสุดที่ 70°C ในช่วงเวลาประมาณ 110 นาที โดยมาตรฐาน IEEE C57.91 สามารถให้ค่าอุณหภูมิน้ำมันชั้นบนสูงสุด 95°C ในสภาวะโหลดปกติ และค่าอุณหภูมิน้ำมันชั้นบนสูงสุด 110°C ไม่เกิน 120 นาที ในสภาวะโหลดเกิน แสดงให้เห็นว่าหม้อแปลงที่ทดสอบทำงานภายใต้สภาวะที่โหลดปกติและอยู่ในช่วงอุณหภูมิที่ไม่เกินกำหนด สำหรับผลการคำนวณอุณหภูมิจุดร้อนขดลวดมีอุณหภูมิอยู่ระหว่าง 50 – 95°C มีช่วงอุณหภูมิจุดร้อนขดลวดสูงสุดเกิน 90°C ในช่วงเวลาประมาณ 120 นาที โดยมาตรฐาน IEEE C57.91 สามารถให้ค่าสูงสุดของอุณหภูมิจุดร้อนขดลวดไม่เกิน 140°C ในสภาวะโหลดปกติ และค่าอุณหภูมิจุดร้อนขดลวดไม่เกิน 180°C ไม่เกิน 90 นาที ในสภาวะโหลดเกิน ผลการทดสอบแสดงให้เห็นว่าหม้อแปลงทำงานภายใต้สภาวะที่โหลดปกติและมีอุณหภูมิที่เกิดจุดร้อนขดลวดไม่เกินกำหนด

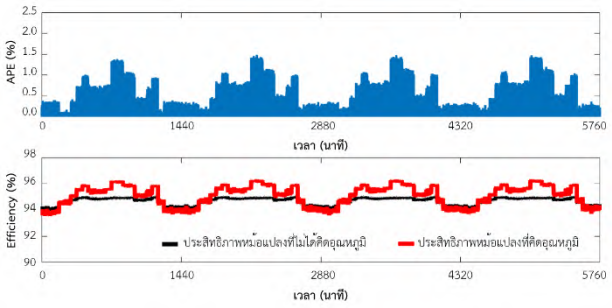

รูปที่ 11 การเปรียบเทียบประสิทธิภาพหม้อแปลงที่คิดอุณหภูมิ

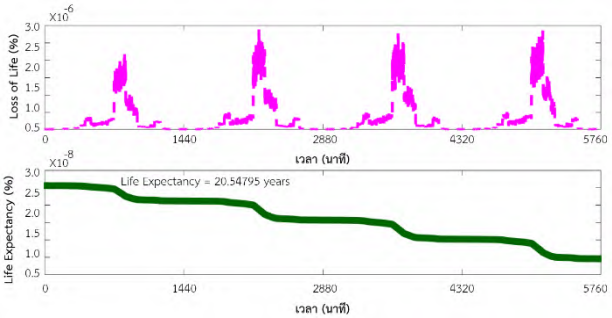

รูปที่ 12 เปอร์เซ็นต์การสูญเสียอายุหม้อแปลง

รูปที่ 11 เปรียบเทียบการหาประสิทธิภาพหม้อแปลงโดยวิธีการคำนวณโดยนำอุณหภูมิจุดร้อนขดลวดนำไปหากำลังสูญเสียในขดลวดผลการคำนวณเปรียบเทียบแสดงให้เห็นว่า ค่าสัมบูรณ์ของเปอร์เซ็นต์ความผิดพลาดที่ร่วมกับอุณหภูมิภายใต้สภาวะการจำลองไม่เกิน 1.5 เปอร์เซ็นต์ และผลประสิทธิภาพที่ได้ขึ้นอยู่กับอุณหภูมิช่วยให้วิเคราะห์หม้อแปลงได้แม่นยำขึ้น

รูปที่ 12 นำผลการคำนวณอุณหภูมิจุดร้อนขดลวดนำไปหาปัจจัยเร่งการเสื่อมสภาพเพื่อจะหาเปอร์เซ็นต์การสูญเสียอายุการใช้งาน [9] การคำนวณอายุการใช้งานดังสมการที่ (13) - (15) อ้างอิงตามมาตรฐาน IEEE C57.91 กำหนดอุณหภูมิจุดร้อนขดลวดอ้างอิงอายุที่ 110 °C เท่ากับ 180,000 ชั่วโมง หรือ 20.55 ปี ในงานวิจัยนี้ ได้นำค่าอุณหภูมิจุดร้อนขดลวดที่วัดจริงจากข้อมูลที่วัดได้จริงในช่วงเวลา 4 วัน (96 ชั่วโมง) มาคำนวณปัจจัยเร่งการเสื่อมสภาพฉนวน (FAA) เท่ากับ 0.20263 ซึ่งมีค่าน้อยกว่า 1 ทำให้ค่าอัตราการเสื่อมของฉนวนน้อยกว่าค่าอ้างอิง ส่งผลให้การคำนวณค่าเปอร์เซ็นต์การสูญเสียอายุการใช้งาน (LOL) ได้ค่าอายุการใช้งานที่คาดหวังจึงอยู่ที่ประมาณ 20.54795 ปี เนื่องจากการใช้งานหม้อแปลงไม่เกินขนาดพิกัดกระแสเป็นการใช้งานหม้อแปลงในสภาวะปกติที่ไม่ก่อให้เกิดการเสื่อมของฉนวนที่รวดเร็ว

4. สรุป

การวิเคราะห์คุณลักษณะการทำงานของหม้อแปลงจากการเก็บข้อมูลของหม้อแปลงไฟฟ้าขนาด 50 kVA ได้นำมาทดสอบหาอุณหภูมิน้ำมันชั้นบน อุณหภูมิจุดร้อนขดลวด พบว่าอุณหภูมิน้ำมันชั้นบนและอุณหภูมิจุดร้อนขดลวดมีความสัมพันธ์กับภาระโหลดอย่างมีนัยสำคัญ โดยอุณหภูมิจุดร้อนสูงกว่าน้ำมันชั้นบนอย่างชัดเจน ผลการทดลองแสดงว่าหม้อแปลงที่ทดสอบยังคงทำงานอยู่ในช่วงอุณหภูมิที่ปลอดภัยตามมาตรฐาน IEEE C57.91 ทั้งนี้อุณหภูมิของขดลวดและการสูญเสียในหม้อแปลงมีผลต่อประสิทธิภาพและอายุการใช้งานของหม้อแปลง การวัดและวิเคราะห์ค่าอุณหภูมิอย่างต่อเนื่องจึงเป็นแนวทางที่เหมาะสมในการบริหารจัดการและบำรุงรักษาหม้อแปลงเพื่อยืดอายุการใช้งานอย่างมีประสิทธิภาพ

5. กิตติกรรมประกาศ

ขอขอบคุณคณะวิศวกรรมศาสตร์ วิทยาลัยเชียงราย ที่ให้การสนับสนุนในการจัดทำบทความนี้ให้สำเร็จลุล่วงสมบูรณ์ด้วยดี และขอขอบคุณการไฟฟ้าส่วนภูมิภาคจังหวัดเชียงรายที่ให้ความช่วยเหลือในการดำเนินการในครั้งนี้ด้วย

เอกสารอ้างอิง

[1] L. Lin et al., “Review of studies on the hot spot temperature of oil-immersed transformers,” *Energies*, vol. 18, no. 1, pp. 1–23, 2025.

[2] S. Li, X. Li, Y. Kang, and Q. Gao, “Load capability assessment and enhancement for transformers with integration of large-scale renewable energy: A brief review,” *Frontiers in Energy Research*, vol. 10, 2022.

[3] ไชยพร หล่อทองคำ และ ปฐมพงศ์ ปรางทอง, “การประเมินค่าความไม่แน่นอนของการวัดในการทดสอบหัวข้อ No-load loss and Current สำหรับหม้อแปลงจำหน่ายแบบจุ่มน้ำมัน,” ใน *การประชุมวิชาการทางวิศวกรรมไฟฟ้า ครั้งที่ 47*, 13-15 พฤศจิกายน 2567, หน้า 158-162

[4] IEEE, *IEEE guide for loading mineral-oil-immersed transformers and step-voltage regulators*, IEEE Std C57.91-2011 (Revision of IEEE Std C57.91-1995), pp. 1–123.

[5] O. E. Gouda, G. M. Amer, and W. A. A. Salem, "Predicting transformer temperature rise and loss of life in the presence of harmonic load currents," *Ain Shams Engineering Journal*, vol. 3, no. 2, pp. 113–121, 2012.

[6] D. Susa, M. Lehtonen, and H. Nordman, “Dynamic thermal modelling of power transformers,” *IEEE Transactions on Power Delivery*, vol. 20, no. 1, pp. 197–204, 2005.

[7] M. R. Msane, B. A. Thango, and K. A. Ogudo, “Condition monitoring of electrical transformers using the Internet of Things: A systematic literature review,” *Applied Sciences*, vol. 14, no. 21, p. 9690, 2024.

[8] P. Roy, P. Misra, P. Saharia, R. Sarma, and S. Pathak, “A study of remote monitoring of a transformer using IoT,” *Int. J. Adv. Res. Electr., Electron. Instrum. Eng. (IJAREEIE)*, vol. 9, no. 7, pp. 1908–1913, 2020.

[9] A. Majzoobi, M. Mahoor, and A. Khodaei, “Machine Learning Applications in Estimating Transformer Loss of Life,” in *Proc. IEEE Power and Energy Society General Meeting*, Chicago, IL, USA, Jul. 2017, pp. 1–5

ดำรงศักดิ์ วงศ์ตา สำเร็จการศึกษาระดับปริญญาตรี วศ.บ.วิศวกรรมไฟฟ้า วิทยาลัยเชียงราย และสำเร็จการศึกษาในระดับปริญญาโท วศ.ม. และปริญญาเอก ปร.ด.วิศวกรรมไฟฟ้า มหาวิทยาลัยพะเยา ปัจจุบันดำรงตำแหน่งอาจารย์ประจำหลักสูตรสาขาวิศวกรรมไฟฟ้า วิทยาลัยเชียงราย สนใจงานวิจัยด้านการวิเคราะห์ระบบไฟฟ้ากำลัง

ศตวรรษ เมืองชื่น สำเร็จการศึกษาระดับปริญญาตรี วศ.บ. ปริญญาโท วศ.ม. และปริญญาเอก ปร.ด. วิศวกรรมไฟฟ้า มหาวิทยาลัยพะเยา ปัจจุบันดำรงตำแหน่งอาจารย์ประจำหลักสูตรสาขาวิศวกรรมไฟฟ้า วิทยาลัยเชียงราย สนใจงานวิจัยด้านระบบสมาร์ทกริด

การประชุมวิชาการทางวิศวกรรมไฟฟ้า ครั้งที่ 48
The 48th Electrical Engineering Conference (EECON-48)
วันที่ 19-21 พฤศจิกายน 2568 ณ โรงแรมฟูราม่า จังหวัดเชียงใหม่

การจำลองการทำงานของฟลักซ์แม่เหล็กร่วมภายในหม้อแปลงไฟฟ้าด้วยโปรแกรมคิวสไปซ์

Simulation of Flux Linkage in Transformer Using QSPICE Freeware Software

พิชัย อารีย์[1]*

[1]สาขาวิชาวิศวกรรมไฟฟ้า คณะวิศวกรรมศาสตร์ มหาวิทยาลัยธรรมศาสตร์ apichai@engr.tu.ac.th*

บทคัดย่อ

หม้อแปลงไฟฟ้าเป็นอุปกรณ์ทางไฟฟ้าที่มีความสำคัญอย่างยิ่งในระบบไฟฟ้ากำลัง สำหรับถ่ายโอนพลังงานไฟฟ้าผ่านทางพลังงานแม่เหล็ก การศึกษาทำความเข้าใจการทำงานภายในของหม้อแปลงเป็นสิ่งที่ยาก เช่น ปฏิสัมพันธ์ระหว่าง กระแส แรงดัน เส้นแรงแม่เหล็ก ดังนั้น บทความนี้นำเสนอการใช้โปรแกรมคิวสไปซ์เพื่อศึกษาปฏิสัมพันธ์การทำงานภายในของหม้อแปลงไฟฟ้า ผลการจำลองแสดงให้เห็นถึงปรากฏการณ์ทางแม่เหล็กไฟฟ้าภายในหม้อแปลงที่ชัดเจน เช่น ความสัมพันธ์ระหว่างฟลักซ์แม่เหล็กร่วม (flux linkage) แรงเคลื่อนแม่เหล็ก (MMF) กระแสไฟฟ้า และแรงเคลื่อนเหนี่ยวนำ ซึ่งเป็นประโยชน์ต่อการศึกษา เรียนรู้ วิเคราะห์หม้อแปลงไฟฟ้า

คำสำคัญ: หม้อแปลงไฟฟ้า ฟลักซ์แม่เหล็กร่วม

Abstract

Transformers are crucial electrical devices in power systems, responsible for transferring electrical energy through magnetic energy. Understanding the internal workings of transformers is challenging, such as the interaction of waveform signals between current, voltage, and magnetic flux. Therefore, this paper presents the use of QSPICE software to study the internal operational interactions of transformers. The simulation results clearly demonstrate internal magnetic phenomena in transformers, such as the relationship between mutual magnetic flux linkage, magnetomotive force (MMF), electric current, and induced electromotive force, which are beneficial for in-depth transformer analysis.

Keywords: Transformer, flux linkage

1. บทนำ

หม้อแปลงไฟฟ้าเป็นหนึ่งในอุปกรณ์ที่สำคัญในระบบไฟฟ้ากำลัง ทำหน้าที่ถ่ายโอนพลังงานไฟฟ้าจากวงจรหนึ่งไปยังอีกวงจรหนึ่งผ่านหลักการเหนี่ยวนำทางแม่เหล็กโดยไม่มีการเชื่อมต่อทางไฟฟ้าโดยตรง การทำงานของหม้อแปลงขึ้นอยู่กับปฏิสัมพันธ์ที่ซับซ้อนระหว่างกระแสไฟฟ้า แรงดันไฟฟ้า และเส้นแรงแม่เหล็ก ซึ่งส่งผลต่อประสิทธิภาพและความเสถียรของระบบไฟฟ้าโดยรวม ความเข้าใจกลไกการทำงานภายในของหม้อแปลงจึงเป็นสิ่งจำเป็นอย่างยิ่งสำหรับการออกแบบ การวิเคราะห์ และการบำรุงรักษาระบบไฟฟ้าให้มีประสิทธิภาพสูงสุด [1]

การศึกษาการทำงานของหม้อแปลงมีความท้าทายจากหลายปัจจัยหลักๆ ได้แก่ ความไม่เป็นเชิงเส้นของปริมาณเส้นแรงแม่เหล็กในแกนเหล็ก ความอิ่มตัวของแกนเหล็ก [2] ความสัมพันธ์ระหว่างฟลักซ์แม่เหล็กร่วมและแรงเคลื่อนแม่เหล็กของขดลวดปฐมภูมิและทุติยภูมิ การศึกษาปัจจัยที่ส่งผลต่อฟลักซ์แม่เหล็กร่วมที่เกิดขึ้นจริงภายในหม้อแปลงผ่านทฤษฎีหรือสมการทางคณิตศาสตร์เพียงอย่างเดียวอาจไม่เพียงพอ เนื่องจากการตรวจวัดเพื่อสังเกตฟลักซ์แม่เหล็กภายในหม้อแปลงโดยตรงอาจทำได้ยาก ดังนั้น การศึกษาปฏิสัมพันธ์อันซับซ้อนระหว่างฟลักซ์แม่เหล็กร่วมและกระแสไฟฟ้าผ่านทางซิมูเลชั่น [3] จึงมีความสำคัญในกระบวนการศึกษา

บทความนี้นำเสนอการใช้โปรแกรมคิวสไปซ์ ซึ่งเปิดให้ใช้ฟรีในการศึกษาจำลองการทำงานของฟลักซ์แม่เหล็กร่วมภายในหม้อแปลงไฟฟ้าในสภาวะไร้โหลดและมีโหลด โดยมีวัตถุประสงค์เพื่อชี้ให้เห็นปฏิสัมพันธ์ระหว่างฟลักซ์แม่เหล็กร่วมและแรงเคลื่อนแม่เหล็กอย่างชัดเจน ก่อให้เกิดความรู้ความเข้าใจที่ลึกซึ้งถึงกลไกการทำงานภายในของหม้อแปลงไฟฟ้าที่มากขึ้นกว่าเดิมจากการใช้สมการหรือวงจรสมมูลในปัจจุบัน ซึ่งช่วยให้วิศวกรและนักวิจัยสามารถพัฒนาหม้อแปลงไฟฟ้าได้อย่างมีประสิทธิภาพและตอบสนองต่อความต้องการใช้พลังงานที่เพิ่มขึ้นได้อย่างยั่งยืน

2. วงจรแม่เหล็กของหม้อแปลงไฟฟ้า

2.1 กฎของฟาราเดย์

หม้อแปลงไฟฟ้าใช้หลักการกฎของฟาราเดย์ในการถ่ายโอนแรงดันไฟฟ้าระหว่างขดลวดปฐมภูมิและขดลวดทุติยภูมิ จากรูปที่ 1 เมื่อทำการป้อนแรงดันไฟฟ้ากระแสสลับ $v_p(t)$ ให้แก่ขดลวดปฐมภูมิซึ่งมีจำนวนรอบ N_p จะทำให้เกิดการไหลของกระแสไฟฟ้าผ่านขดลวดปฐมภูมิสร้างฟลักซ์แม่เหล็กซึ่งเปลี่ยนแปลงตามเวลา $d\phi_m(t)/dt$ ภายในแกนเหล็กของหม้อแปลง การเปลี่ยนแปลงของฟลักซ์แม่เหล็กคล้องผ่านขดลวดปฐมภูมิและทุติยภูมิทำให้เกิดแรงเคลื่อนไฟฟ้าเหนี่ยวนำตามกฎของฟาราเดย์ ดังสมการ [4]

$$e_p(t) = N_p \frac{d\phi_m(t)}{dt} \quad (1)$$

$$e_s(t) = N_s \frac{d\phi_m(t)}{dt} \quad (2)$$

โดยที่ แรงเคลื่อน $e_p(t)$ และ $e_s(t)$ เกิดจากการเหนี่ยวนำของฟลักซ์แม่เหล็กภายในขดลวดปฐมภูมิและทุติยภูมิซึ่งมีจำนวนรอบ N_p และ N_s ดังรูปที่ 1 ตามลำดับ

*ผู้ประพันธ์บรรณกิจ

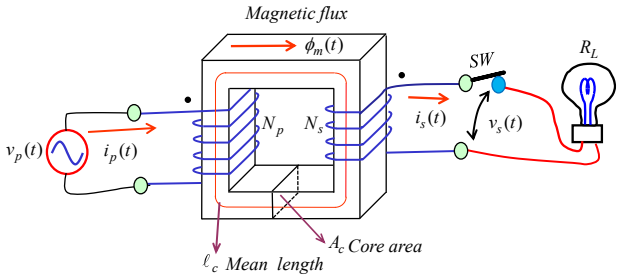

(ก) โครงสร้างหม้อแปลงไฟฟ้า (สามมิติ)

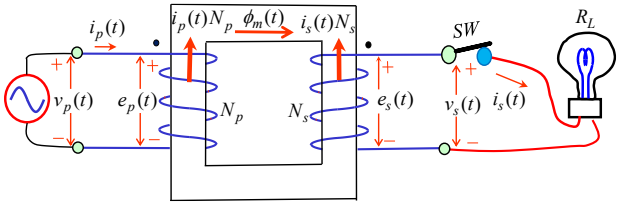

(ข) หม้อแปลงไฟฟ้า (สองมิติ)

รูปที่ 1 หม้อแปลงไฟฟ้า

เมื่อนำสมการที่ (1) หารด้วย (2) จะได้

$$\frac{e_p(t)}{e_s(t)} = \frac{N_p}{N_s} = a \tag{3}$$

โดยที่ a คืออัตราส่วนของหม้อแปลง

2.2 ความสัมพันธ์ระหว่างแรงดันและฟลักซ์แม่เหล็ก

โดยทั่วไปแล้ว หม้อแปลงจะรับแรงดันขาเข้า $v_p(t)$ ซึ่งเป็นรูปคลื่นไซน์ $v_p(t)=V_m\sin(\omega t)$ และเปลี่ยนแปลงตามเวลาและด้วยความถี่ $\omega=2\pi f$ ดังนั้น ฟลักซ์แม่เหล็ก $\phi_m(t)$ สามารถหาได้โดยอาศัยความสัมพันธ์ของสมการที่ (1) ได้ดังนี้

$$\phi_m(t) = \frac{1}{N_p}\int v_p(t)dt = \frac{V_m}{\omega N_p}\sin(\omega t - \frac{\pi}{2}) \tag{4}$$

2.3 กฎของแอมแปร์

จาก [5] กฎของแอมแปร์ กระแสรวม I_{enc} หาได้จากอินทิกรัลความเข้มของสนามแม่เหล็กในวงจรปิด ซึ่งสามารถเขียนได้ดังนี้

$$\oint \mathbf{H}\cdot d\mathbf{l} = I_{enc} \tag{5}$$

โดยที่ $\mathbf{H}$ และ $d\mathbf{l}$ คือเวกเตอร์ความเข้มสนามแม่เหล็ก (A/m) และองค์ประกอบความยาวตามเส้นปิด (m) จากรูปที่ 1 จะพบว่ากระแส $i_p(t)$ และ $i_s(t)$ ไหลผ่านขดลวดปฐมภูมิและขดลวดทุติยภูมิซึ่งมีจำนวน N_p และ N_s สร้างแรงเคลื่อนแม่เหล็กในทิศทางตรงกันข้าม ดังนั้น ประยุกต์ใช้สมการที่ (5) จะได้

$$H(t)\ell_c = N_p i_p(t) - N_s i_s(t) \tag{6}$$

จัดรูปให้สัมพันธ์กับความหนาแน่นฟลักซ์แรงแม่เหล็ก $B(t)$ (wb/m^2) จะได้

$$\frac{B(t)\ell_c}{\mu_o\mu_r} = N_p i_p(t) - N_s i_s(t) \tag{7}$$

โดยที่ μ_r คือค่าความซึมซาบสัมพัทธ์ของสารแม่เหล็ก และ $\mu_o = 4\pi\times10^{-7}$

จัดรูปสมการที่ (7) ใหม่จะได้

$$\phi_m(t)\Re_c = N_p i_p(t) - N_s i_s(t) \tag{8}$$

โดยที่ค่าความต้านแม่เหล็ก $\Re_c$ สามารถคำนวณหาได้จาก

$$\Re_c = \frac{\ell_c}{\mu_o\mu_r A_c} \tag{9}$$

A_c คือพื้นที่หน้าตัดของแกนเหล็ก (m^2)

จัดรูปสมการที่ (8) ใหม่จะได้

$$\phi_m(t) = \frac{N_p}{\Re_c}i_p(t) - \frac{N_s}{\Re_c}i_s(t) \tag{10}$$

ดังนั้น สมการที่ (1) สามารถเขียนใหม่โดยอาศัยสมการที่ (10) ได้ดังนี้

$$e_p(t) = N_p\frac{d\phi_m(t)}{dt} = \frac{(N_p)^2}{\Re_c}\frac{d}{dt}\left(i_p(t) - \frac{N_s}{N_p}i_s(t)\right) \tag{11}$$

$$e_p(t) = \frac{(N_p)^2}{\Re_c}\frac{di_m(t)}{dt} = L_m\frac{di_m(t)}{dt} \tag{12}$$

โดยที่ L_m และ $i_m(t)$ คืออินดักแทนซ์แม่เหล็กร่วมและกระแสฟลักซ์แม่เหล็ก ตามลำดับ

2.4 หม้อแปลงทางอุดมคติ

หากพิจารณาหม้อแปลงในทางอุดมคติ ซึ่งไม่มีการสูญเสียในแกนแม่เหล็ก (hysteresis loss และ eddy current loss) และในขดลวด (winding loss) และไม่มีการรั่วไหลของเส้นแรงแม่เหล็กร่วมเนื่องจากค่าความต้านทานแม่เหล็กมีค่าเท่ากับศูนย์ ($\Re_c$=0) จะสามารถจัดรูป สมการที่ (8) ใหม่ได้ดังนี้

$$i_p(t) = i'_s(t) = \frac{1}{a}i_s(t) = \frac{N_s}{N_p}i_s(t) \tag{13}$$

โดยที่ $i'_s(t)$ คือกระแสที่ไหลในฝั่งขดลวดปฐมภูมิเมื่อเกิดการไหลของกระแสโหลด $i_s(t)$ ในฝั่งขดลวดทุติภูมิ

2.5 ความสัมพันธ์ระหว่างวงจรไฟฟ้าและวงจรแม่เหล็ก

จากสมการที่ (1) (2) และ (10) สามารถนำมาเขียนเป็นวงจรแสดงความสัมพันธ์ระหว่างวงจรไฟฟ้าและวงจรแม่เหล็กเหล็กได้ดังรูปที่ 2

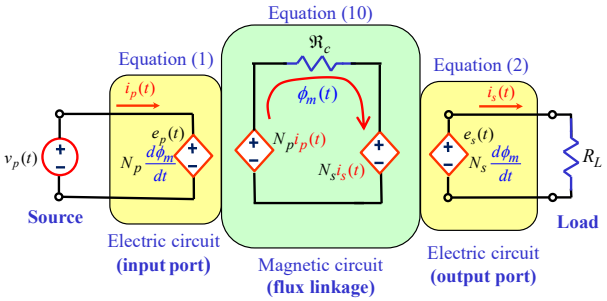

รูปที่ 2 วงจรไฟฟ้าและวงจรแม่เหล็กภายในหม้อแปลงไฟฟ้า

รูปที่ 2 แสดงปฏิสัมพันธ์ระหว่างวงจรไฟฟ้าและวงจรแม่เหล็กผ่านทางกระแสไฟฟ้าและฟลักซ์แม่เหล็กร่วม แรงเคลื่อนแม่เหล็ก $N_p i_p(t)$ ขับเคลื่อนให้ฟลักซ์แม่เหล็กร่วม $\phi_m(t)$ ไหลผ่านวัสดุตัวกลางที่นำแม่เหล็ก การเปลี่ยนแปลงของฟลักซ์แม่เหล็ก $d\phi_m(t)/dt$ เนื่องจากองค์ประกอบ

กระแสสลับของกระแสขาเข้าตัดผ่านตัวนำขดลวดปฐมภูมิและทุติยภูมิก่อกำเนิดแรงเคลื่อนเหนี่ยวนำ $e_p(t)$ และ $e_s(t)$ ตามลำดับ

3. วิเคราะห์ผลจำลองการทำงานภายในหม้อแปลงไฟฟ้า

หัวข้อนี้นำเสนอการวิเคราะห์ผลชิมูเลชั่นเพื่ออธิบายการส่งผ่านแรงดัน กระแส และกำลังไฟฟ้าซึ่งเป็นปรากฏการณ์ที่เกิดภายในหม้อแปลงไฟฟ้าผ่านทางฟลักซ์แม่เหล็กไฟฟ้าร่วม ในเบื้องต้นหากพิจารณาจากความสัมพันธ์ในรูปที่ 2 อาจเป็นการยากที่จะตอบคำถามที่น่าสนใจที่ว่า (1) ปริมาณฟลักซ์ร่วมแม่เหล็กนี้ขึ้นอยู่กับกระแสไฟฟ้าส่วนใดบ้าง และขึ้นอยู่กระแสโหลดหรือไม่ (2) ความสัมพันธ์ระหว่างแรงเคลื่อนแม่เหล็กและฟลักซ์ร่วมในสภาวะไร้โหลดและมีโหลดเป็นอย่างไร (3) แรงเคลื่อนแม่เหล็กฝั่งปฐมภูมิและทุติภูมิมีค่าเท่ากันหรือไม่

การศึกษาหาคำตอบสามารถทำได้ด้วยการนำวงจรแม่เหล็กและวงจรไฟฟ้า (รูปที่ 2) มาเขียนเป็นวงจรโดยใช้โปรแกรมคิวสไปซ์ [6] ดังแสดงในรูปที่ 3 โปรแกรมดังกล่าวเปิดใช้ฟรีไม่มีค่าใช้จ่าย ในการศึกษากำหนดให้หม้อแปลงมีค่าพารามิเตอร์ดังนี้ ℓ_c =20cm A_c=1.0cm^2 μ_r =5000 N_p =100 N_s=50

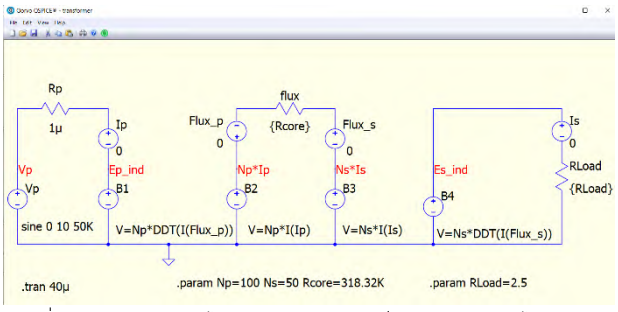

รูปที่ 3 การจำลองวงจรไฟฟ้าและวงจรแม่เหล็กของหม้อแปลงไฟฟ้าด้วยโปรแกรมคิวสไปซ์

จากรูปที่ 3 จุดที่จะทำการตรวจวัดสัญญาณ ได้แก่แรงดันไฟฟ้า (Vp) แรงเคลื่อนเหนี่ยวนำ (Ep_ind และ Es_ind) แรงเคลื่อนแม่เหล็ก (Np*Ip และ Ns*Is) ซึ่งเน้นด้วยตัวสีแดง แหล่งจ่ายแรงดันแบบไม่อิสระซึ่งกำหนดให้มีแรงดันเท่ากับศูนย์จะถูกนำมาใช้เป็นตัวกำหนดปริมาณกระแส เส้นแรงแม่เหล็ก เพื่อใช้ในการคำนวณหาแรงเคลื่อนแม่เหล็กและแรงเคลื่อนเหนี่ยวนำ ตามลำดับ

3.1 สภาวะไร้โหลด

ในการทดลองจะทำการป้อนแรงดัน 20Vpp (pp คือค่า peak-to-peak) 50kHz ให้แก่หม้อแปลงซึ่งมีอัตราส่วน $a = N_p/N_s$ = 0.5 การศึกษาในสภาวะไร้โหลดสามารถทำได้ด้วยการกำหนดค่าความต้านทานของโหลด R_L ให้มีค่าสูงมาก ๆ หลายร้อยเมกกะโอห์ม ผลชิมูเลชั่นแสดงได้ดังในรูปที่ 4 จากรูปจะเห็นว่ากระแสขาเข้า $i_p(t)$ แรงเคลื่อนแม่เหล็กฝั่งปฐมภูมิ $N_pi_p(t)$ และฟลักซ์แม่เหล็กร่วม $\phi_m(t)$ มีมุมเฟสตรงกัน แรงเคลื่อนแม่เหล็กดังกล่าวขับเคลื่อนให้ฟลักซ์แม่เหล็กไหลผ่านแกนเหล็กคล้องกับขดลวดปฐมภูมิและทุติยภูมิเพื่อกำเนิดแรงเคลื่อนเหนี่ยวนำ $e_p(t)$ = 20Vpp และ $e_s(t)$ = 10 Vpp เป็นไปตามอัตราส่วน a = 0.5

เนื่องจากสภาวะนี้ไม่มีกระแสโหลด กระแสซึ่งไหลในขดลวดทุติยภูมิจึงมีค่าเป็นศูนย์ ($i_s(t)$ = 0 หรือ $i's(t)$ = 0) ทำให้แรงเคลื่อนแม่เหล็กฝั่งทุติยภูมิ $N_si_s(t)$ มีค่าเป็นศูนย์ตามผลการทดลองดังแสดงในรูปที่ 4 นอกจากนี้ จะเห็นว่าแรงเคลื่อนเหนี่ยวนำฝั่งปฐมภูมิ $e_p(t)$ มีขนาดและมุมเฟสเท่ากันกับแรงดัน (20Vpp) ที่ป้อนให้แก่หม้อแปลง ซึ่งเป็นไปตามกฎของเลนซ์กล่าวคือแรงเคลื่อนเหนี่ยวนำนี้จะทำให้เกิดการต้านหรือจำกัดการไหลของกระแสขาเข้า ในสภาวะไร้โหลดนี้ หม้อแปลงกินกระแสอยู่เพียงเล็กน้อยเพียง 0.002App เท่านั้น (ดังรูปที่ 4) ซึ่งสามารถตรวจสอบได้จากการแทนค่าพามิเตอร์ของหม้อแปลงที่กำหนดให้ลงในสมการที่ (4) (9) และ (10) ตามลำดับ จะได้ $i_m = \phi_m\Re_c/N_p$ = 0.002App โดยที่ฟลักซ์แม่เหล็กร่วมสามารถคำนวณได้จาก $\phi_m = V_m/\omega N_p$ = 636nWb ซึ่งขนาดเท่ากันกับผลที่ได้จากชิมูเลชั่นดังแสดงในรูปที่ 4

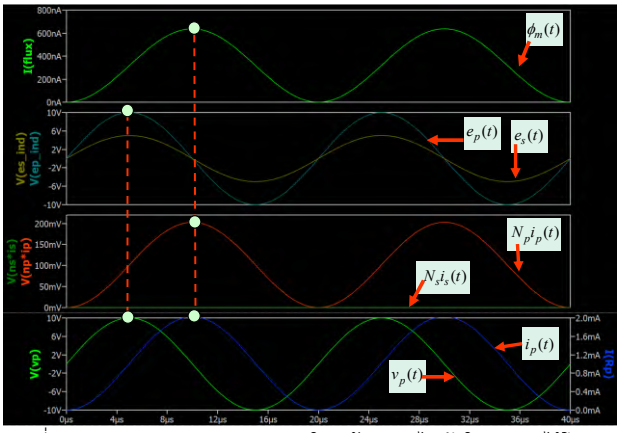

รูปที่ 4 ผลการจำลองการทำงานภายในหม้อแปลงไฟฟ้าในสภาวะไร้โหลด

ฟลักซ์แม่เหล็กร่วมซึ่งไหลวนอยู่ในแกนเหล็กจะใช้เพื่อการถ่ายโอนแรงดันจากฝั่งปฐมภูมิไปยังทุติยภูมิ ในภาวะไร้โหลดนี้หม้อแปลงจะไม่ถ่ายโอนกำลังไฟฟ้าจริงไปยังโหลดเนื่องจากไม่มีกระแสไหลในขดลวดทุติภูมิ แต่กินกำลังไฟฟ้ารีแอกทิฟเพื่อใช้ในสร้างเส้นแรงแม่เหล็ก ดังจะสังเกตได้จากการที่มุมเฟสของกระแสขาเข้า $i_p(t)$ มีมุมล้าหลังแรงเคลื่อนเหนี่ยวนำ $v_p(t)$ อยู่ 90 องศา ดังแสดงในรูปที่ 4

3.2 สภาวะจ่ายโหลด

การศึกษาความสัมพันธ์ระหว่างแรงเคลื่อนแม่เหล็กและกระแสไฟฟ้าในสภาวะที่จ่ายโหลดสามารถทำได้ด้วยการต่อโหลด R_L = 2.5 โอห์ม เข้ากับฝั่งทุติภูมิของหม้อแปลง ผลการจำลองแสดงดังรูปที่ 5 จากรูปจะเห็นว่าหม้อแปลงจ่ายกระแสขาออก $i_s(t)$ = 4.0App ไปยังโหลด 2.5 โอห์ม ที่แรงดัน $e_s(t)$ = 10Vpp ซึ่งทำให้หม้อแปลงกินกระแสขาเข้า $i_p(t)$ สูงกว่าในสภาวะไร้โหลดมากถึง 100 เท่า (2.0App) ในสภาวะนี้ กระแสจะมีมุมเฟสเดียวกันกับแรงดันขาเข้า ซึ่งบ่งชี้ว่าหม้อแปลงมีค่าตัวประกอบเป็นหนึ่งและถ่ายโอนกำลังไฟฟ้าจริงจากฝั่งปฐมภูมิไปสู่ฝั่งทุติยภูมิ จากรูปที่ 5 จะเห็นว่ามุมเฟสระหว่างฟลักซ์แม่เหล็กร่วมและกระแสจะแตกต่างกันจาก

สภาวะไร้โหลด กล่าวคือ ฟลักซ์แม่เหล็กร่วมจะมีมุมเฟสล้าหลังกระแสขาเข้า กระแสโหลด และแรงเคลื่อนแม่เหล็กลัพธ์อยู่ 90 องศา (รูปที่ 5) ปรากฏการณ์ดังกล่าวแสดงให้เห็นว่าในสภาวะที่จ่ายโหลด แรงเคลื่อนแม่เหล็กลัพธ์ซึ่งสัมพันธ์กับปริมาณกระแสจะอิสระจากฟลักซ์แม่เหล็กร่วม (เพราะมีมุมต่างเฟส 90 องศา) ดังนั้น จึงสรุปได้ว่าปริมาณฟลักซ์แม่เหล็กร่วมที่ไหลวนอยู่ในแกนเหล็กมิได้ขึ้นอยู่กับปริมาณกระแสโหลดแต่อย่างใด ซึ่งข้อสรุปนี้สอดคล้องกับผลซิมูเลชั่นดังจะสังเกตเห็นได้จากการเปรียบเทียบฟลักซ์แม่เหล็กร่วมในสภาวะไร้โหลด (รูปที่ 4) และมีโหลด (รูปที่ 5) ซึ่งมีค่าคงที่ไม่เปลี่ยนแปลง ด้วยเหตุนี้ การถ่ายโอนของกระแสและกำลังไฟฟ้าจากขดลวดปฐมภูมิไปยังขดลวดทุติยภูมิจะอาศัยกฎของเลนซ์ในการสร้างความสมดุลของแรงเคลื่อนแม่เหล็กระหว่างขดลวดปฐมภูมิและทุติยภูมิ

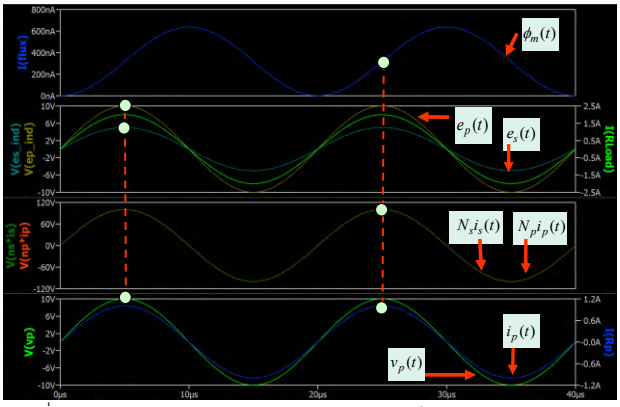

รูปที่ 5 ผลการจำลองการทำงานภายในหม้อแปลงไฟฟ้าในสภาวะมีโหลด

นอกจากนี้ เมื่อพิจารณาผลซิมูเลชั่นในรูปที่ 5 ดูเหมือนว่าแรงเคลื่อนแม่เหล็กฝั่งปฐมภูมิ $N_p i_p(t)$ และฝั่งทุติยภูมิ $N_s i_s(t)$ มีค่าเท่ากัน อย่างไรก็ตาม เพื่อชี้ให้เห็นถึงความแตกต่างระหว่างแรงเคลื่อนแม่เหล็กของขดลวดทั้งสองฝั่ง แรงเคลื่อนแม่เหล็กลัพธ์จะถูกคำนวณได้จาก $N_p i_p(t)$-$N_s i_s(t)$ ดังแสดงในรูปที่ 6

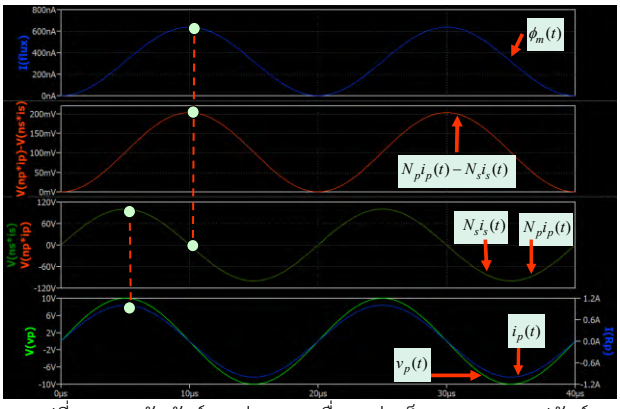

รูปที่ 6 ความสัมพันธ์ระหว่างแรงเคลื่อนแม่เหล็ก กระแส และฟลักซ์แม่เหล็กร่วม

จากรูปจะเห็นว่าแรงเคลื่อนแม่เหล็กลัพธ์ $N_p i_p(t)$-$N_s i_s(t)$ มีปริมาณเท่ากันกับแรงเคลื่อนแม่เหล็กตอนสภาวะไร้โหลด $N_p i_p(t)$ (รูปที่ 4) ด้วยเหตุนี้ปริมาณฟลักซ์แม่เหล็กร่วมในสภาวะไร้โหลด (รูปที่ 4) และมีโหลด (รูปที่ 6) จึงมีค่าเท่ากัน ดังนั้น จึงสรุปได้ว่า ในสภาวะสถานะอยู่ตัว ฟลักซ์แม่เหล็กร่วมที่ไหลวนอยู่ในแกนเหล็กมีค่าคงที่ไม่ขึ้นอยู่กับกระแสโหลด แต่ฟลักซ์แม่เหล็กร่วมนี้จะขึ้นอยู่ปริมาณแรงดันขาเข้าและความถี่ที่ใช้งาน เป็นไปตามสมการที่ (4) แรงเคลื่อนแม่เหล็กฝั่งปฐมภูมิย่อมมีค่าสูงกว่าฝั่งทุติยภูมิเสมอเนื่องจากค่าความต้านทานแม่เหล็กของแกนเหล็กหม้อแปลงไฟฟ้า

3.3 สร้างวงจรสมมูลจากผลซิมูเลชั่น

ในลำดับถัดไปจะนำเสนอการสร้างวงจรสมมูลของหม้อแปลง เพื่อให้เกิดความให้เข้าใจได้ง่าย ทฤษฎีเฟสเซอร์จะนำมาประยุกต์ใช้ในการแปลงสัญญานแรงดัน กระแสไฟฟ้า ซึ่งเป็นฟังก์ชั่นของเวลา (time domain) ให้เป็นเฟสเซอร์โดเมน (phasor domain) ดังนั้น

$$e_p(t) = L_m \, di_m(t)/dt \rightarrow \tilde{E}_p = j\omega L_m \tilde{I}_m = jX_m \tilde{I}_m \qquad (14)$$

จากสมการ (14) จะเห็นได้ว่ากระแสที่ไหลเข้าสู่หม้อแปลงในสภาวะไร้โหลดมีมุมเฟสล้าหลังแรงเคลื่อนเหนี่ยวนำ $e_p(t)$ อยู่ 90 องศา สอดคล้องกับผลการทดลองในรูปที่ 4 ในสภาวะนี้กระแสขาเข้า $i_p(t)$ จะถูกเรียกว่ากระแสกระตุ้นฟลักซ์แม่เหล็ก $i_m(t)$ ดังนั้น จึงสามารถเขียนวงจรสมมูลในรูปของเฟสเซอร์ได้ดังแสดงในรูปที่ 7

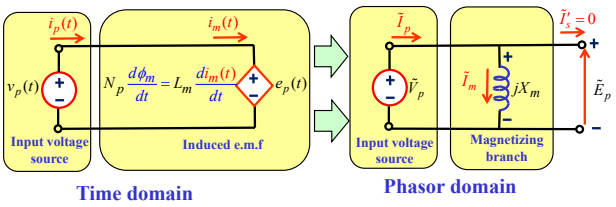

รูปที่ 7 วงจรสมมูลของหม้อแปลงพิจารณาค่าความต้านทานแม่เหล็ก ($\mathfrak{R}_c$) ในสภาวะไร้โหลด

จากสมการ (12) จะพบว่าค่ารีแอกแทนซ์ฟลักซ์แม่เหล็ก (X_m) ในรูปที่ 7 มีสัดส่วนผกผันกับค่าความต้านทานแม่เหล็ก $\mathfrak{R}_c$ ซึ่งเป็นการจำกัดปริมาณพลังงานที่เก็บสะสมไว้ในหม้อแปลง

ในลำดับถัดไป จะนำหม้อแปลงทางอุดมคติมาประยุกต์ใช้ในการถ่ายโอนแรงเคลื่อนเหนี่ยวนำ $e_p(t)$ ซึ่งตกคร่อมค่ารีแอกแทนซ์ฟลักซ์แม่เหล็ก X_m ไปสู่ฝั่งทุติภูมิ $e_s(t)$ เนื่องจากวงจรสมมูลของหม้อแปลงในอุดมคติซึ่งประกอบด้วยขดลวดสองขดซึ่งนิยมใช้ในตำราทั่วไปอาจไม่เหมาะสมในการประยุกต์กับโปรแกรมคิวสไปซ์และอาจเป็นการยากต่อการทำความเข้าใจสำหรับผู้เริ่มศึกษา ดังนั้น แหล่งจ่ายแรงดันแบบไม่อิสระ (voltage-controlled voltage source) จะนำมาใช้เป็นแหล่งกำเนิดแรงเคลื่อนเหนี่ยวนำ $\tilde{E}_s$ ซึ่งถ่ายโอนแรงดันมาจากฝั่งปฐมภูมิด้วยอัตราส่วน (N_s/N_p) ตามกฎของฟาราเดย์ (สมการที่ 3) ดังแสดงไว้ในรูปที่ 8 แรงเคลื่อนเหนี่ยวนำดังกล่าวนี้จะขับเคลื่อนให้กระแส $\tilde{I}_s$ ไหลออกจากหม้อแปลงไปสู่

โหลด ทำให้เกิดแรงเคลื่อนแม่เหล็กฝั่งทุติภูมิ เนื่องจากปริมาณเส้นแรงแม่เหล็กร่วมจะมีค่าคงที่ตามกฎอนุรักษ์พลังงาน กระแสฝั่งปฐมภูมิ $\tilde{I}_s'$ จึงไหลเข้าสู่หม้อแปลงมากขึ้นเพื่อสร้างแรงเคลื่อนแม่เหล็กซึ่งมีทิศทางตรงกันข้ามตามกฎของเลนซ์สอดคล้องกับความสัมพันธ์ในสมการที่ 13 เพื่อถ่ายโอนปริมาณกระแสจากฝั่งปฐมภูมิไปยังฝั่งทุติภูมิ

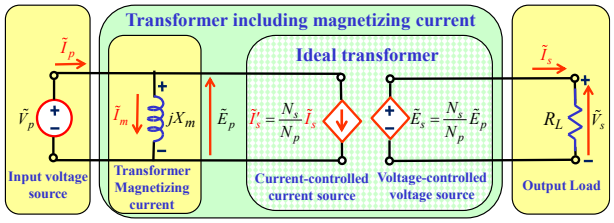

รูปที่ 8 วงจรสมมูลของหม้อแปลงพิจารณาค่าความต้านทานแม่เหล็กในสภาวะมีโหลด

แบบจำลองวงจรสมมูลดังแสดงในรูปที่ 8 ซึ่งประกอบด้วยแหล่งจ่ายแรงดันและแหล่งจ่ายกระแสที่ไม่อิสระนี้สามารถใช้อธิบายการทำงานภายในของหม้อแปลงได้ง่ายผ่านทางกฎของฟาราเดย์และกฎของเลนซ์ แรงดันไฟฟ้าของหม้อแปลงถ่ายโอนด้วยกฎของฟาราเดย์ขณะที่กระแสไฟฟ้าถ่ายโอนด้วยกฎของเลนซ์ โปรดสังเกตว่าการเก็บสะสมพลังงานในหม้อแปลงอุดมคตินั้นไม่มีเนื่องจากกำลังไฟฟ้าซึ่งไหลเข้าสู่ขดลวดปฐมภูมิจะเท่ากับกำลังไฟฟ้าซึ่งไหลออกจากขดลวดทุติยภูมิเป็นไปตามกฎการอนุรักษ์พลังงาน

4. สรุป

บทความนี้นำเสนอการใช้ซอฟต์แวร์ฟรี ได้แก่โปรแกรมคิวสไปซ์จำลองเพื่อศึกษาพฤติกรรมของฟลักซ์แม่เหล็กร่วมภายในหม้อแปลงไฟฟ้าได้โดยง่ายด้วยการต่อวงจรไฟฟ้าและวงจรแม่เหล็กลงในโปรแกรม ผลซิมูเลชั่นแสดงปฏิสัมพันธ์ระหว่างฟลักซ์แม่เหล็กร่วมและแรงเคลื่อนแม่เหล็กในขดลวดปฐมภูมิและทุติภูมิในสภาวะไร้โหลดและมีโหลด ซึ่งเจาะลึกให้เข้าใจถึงกลไกการทำงานพื้นฐานที่ซ่อนอยู่ภายในหม้อแปลงไฟฟ้าได้อย่างชัดเจนกว่าการพึ่งพาทฤษฎีในรูปแบบของสมการทางคณิตศาสตร์เพียงอย่างเดียว นอกจากนี้ บทความนี้ นำเสนอวงจรสมมูลของหม้อแปลงโดยไม่ได้พิจารณาความไม่เป็นเชิงเส้นจากผลของเส้นแรงแม่เหล็กรั่วไหล ความต้านทานภายใน และสภาพการอิ่มตัว แต่มุ่งเน้นการอธิบายกลไกลการกำเนิดฟลักซ์แม่เหล็กร่วมและอภิปรายตัวแปรที่อิทธิพลต่อฟลักซ์แม่เหล็กดังกล่าว ซึ่งเป็นก้าวสำคัญในการเสริมสร้างองค์ความรู้ความเข้าใจและวางรากฐานที่มั่นคงสำหรับการออกแบบ ตรวจสอบ และแก้ไขปัญหาหม้อแปลงไฟฟ้าในทางปฏิบัติได้อย่างมีประสิทธิภาพต่อไป

เอกสารอ้างอิง

[1] W. H. Wolfle, Transformers and inductors for power electronics: theory, design and applications. John Wiley & Sons; 2013.

[2] J. Pfeiffer, P. Küster, I. E. M. Schulz, J. Friebe and P. Zacharias, "Review of Flux Interaction of Differently Aligned Magnetic Fields in Inductors and Transformers," *IEEE Access*, vol. 9, pp. 2357-2381, 2021.

[3] E. Dallago, G. Sassone and G. Venchi, "High-frequency power transformer model for circuit simulation," *IEEE Transactions on Power Electronics*, vol. 12, no. 4, pp. 664-670, 1997.

[4] N. Mohan, T. M. Undeland and W. P. Robbins, Power Electronics: Converters, Applications, and Design. 3rd Edition, John Wiley and Sons, New York; 2002.

[5] A. F. Witulski, "Introduction to modeling of transformers and coupled inductors," *IEEE Transactions on Power Electronics*, vol. 10, no. 3, pp. 349-357, 1995.

[6] Available online: https://www.qorvo.com/design-hub/design-tools/interactive/qspice (accessed on 1 august 2025).

การออกแบบระบบสายดินตามข้อกำหนดของดาตาเซนเตอร์ในประเทศไทยโดยการใช้โปรแกรมอัจฉริยะ

Ground Grid Design Based on Data Center Criteria in Thailand Using an Intelligent Software

พร้อมศักดิ์ อภิรติกุล[1] ประหยัด บุญคำ[2] ชัยมงคล เพ็งเต็ม[2] นิกร แสงงาม[2*] อานนท์ นิยมผล[2]

[1]ภาควิชาวิศวกรรมไฟฟ้า คณะวิศวกรรมศาสตร์ มหาวิทยาลัยเทคโนโลยีราชมงคลธัญบุรี
[2]สาขาวิชาวิศวกรรมไฟฟ้า คณะครุศาสตร์อุตสาหกรรม มหาวิทยาลัยเทคโนโลยีราชมงคลธัญบุรี nikorn@rmutt.ac.th

บทคัดย่อ

บทความนี้เป็นการเสนอการออกแบบระบบรากสายดินหรือกราวด์กริดภายใต้ข้อกำหนดของดาตาเซนเตอร์ของประเทศไทย โดยการหาค่าการลงทุนให้มีความเหมาะสม มีประสิทธิภาพ และความปลอดภัย ใช้การทดสอบตามข้อกำหนดของศูนย์สารสนเทศสำนักงานพัฒนาเทคโนโลยีอวกาศและภูมิสารสนเทศเป็นกรณีศึกษา ภายใต้มาตรฐานตาม IEEE Std.80. หลังทำการทดลองภายใต้โปรแกรมอัจฉริยะพบว่าต้นทุนที่น้อยที่สุดในการลงทุนคือต้องมีกราวนด์กริดขนาดตัวนำ 120 ตารางมิลลิเมตร เชื่อมต่อกันตามแนวนอนและแนวตั้งจำนวน 10x14 เส้นในพื้นที่ 27 ตารางเมตร, 8 แท่งตัวนำโดย มีค่าความต้านทาน 2.43 โอห์ม และแรงดันสัมผัสมีค่า 473.3 โวลต์, แรงดันย่างก้าวมีค่า 546.9 โวลต์. โดยสรุปการออกแบบระบบกราวนด์กริดพบว่ามีความปลอดภัยในการปฏิบัติงานและได้ตามมาตรฐาน.

คำสำคัญ: ดาต้า เซนเตอร์, กราวด์กริด, แรงดันย่างก้าว, แรงดันสัมผัส

Abstract

This paper presents the design of a grounding system under the standards of Thailand's Data Center rooms by finding the best value for investment with the least value of ground grid and conductor rods. It was also tested in the Geo-Informatics and Space Technology Development Agency (GISTDA) Data Center room under IEEE Std 80 standard by the Electrical Transient and Analysis Program (ETAP). After the experiment, it was found that the lowest cost has the optimal number of conductors, which were 10x14 mesh by conductor size 120 square millimeter in 27 m2, 8 Rods with resistivity 2.43 ohms and has a touch voltage of 473.3 volts, step voltage of 546.9 volts. The designed ground grid system is safe and meets international standards.

Keywords: Data Center, Ground Grid, Step Voltage, Touch Voltage.

1. บทนำ

ประเทศไทยในปัจจุบันมีการพูดถึงเรื่องห้องดาตาเซนเตอร์กันอย่างกว้างขวางและทุกฝ่ายให้ความสนใจในเรื่องนี้เนื่องจากจะมีการลงทุนในธุรกิจดาตาเซนเตอร์ในประเทศไทยโดยเป็นการลงทุนที่ใช้งบประมาณที่สูงระดับหลายล้าน เกิดการจ้างงาน เกิดการไหลสะพัดของเงินในประเทศ โอกาสใหม่ๆในธุรกิจด้านสารสนเทศ หรือการประยุกต์กับธุรกิจเดิมในการบริหารจัดการโดยใช้ข้อมูลสารสนเทศ พร้อมกันนี้รัฐบาลไทยได้มีการอนุมัติส่งเสริมการลงทุนที่สำคัญขนาดใหญ่หลายโครงการ เช่น ศูนย์สารสนเทศ จำนวน 3 โครงการ จากนักลงทุนของประเทศไทย สาธารณรัฐประชาชนจีน และสาธารณรัฐสิงคโปร์ ได้แก่ (1) บริษัท จีเอสเอ ดาตา เซนเตอร์ 02 เงินลงทุน 13,480 ล้านบาท ตั้งอยู่ที่จังหวัดชลบุรี (2) บริษัท Beijing Haoyang Cloud Data Technology จากประเทศสาธารณรัฐประชาชนจีน เงินลงทุน 72,670 ล้านบาท ตั้งอยู่ที่จังหวัดระยอง (3) บริษัทในเครือ Empyrion Digital ประเทศสาธารณรัฐสิงคโปร์ เงินลงทุน 4,720 ล้านบาท ตั้งอยู่ที่กรุงเทพมหานคร สำหรับรองรับความต้องการในการใช้งานในยุคเศรษฐกิจดิจิทัลและเทคโนโลยีด้าน เอไอ(AI) การที่มีบริษัทระดับโลกเข้ามาลงทุนจัดตั้ง ศูนย์สารสนเทศในประเทศไทยทำให้เกิดประโยชน์หลายด้าน เพิ่มโอกาสให้ผู้ประกอบการและประชาชนได้เข้าถึงโอกาสใหม่ๆ ทางเทคโนโลยี มีเสถียรภาพและมีความปลอดภัย ช่วยสนับสนุนการใช้แอปพลิเคชันและเทคโนโลยีดิจิทัลในการยกระดับภาคส่วนต่าง ๆ เช่น โอกาสใหม่ๆ ทางธุรกิจเกษตรกรรม อุตสาหกรรมการผลิต และกลุ่ม SME ที่ต้องการยกระดับและพัฒนาด้วยเทคโนโลยีเพื่อเพิ่มผลผลิตและมูลค่าจากการใช้เทคโนโลยีในการบริหารจัดการ และเกิดการจ้างแรงงานภายในประเทศช่วยผลักดัน ผลิตภัณฑ์มวลรวมในประเทศ และในช่วง 3 ปีที่ผ่านมา พ.ศ. 2565-2567 มีโครงการที่ขอรับส่งเสริมการลงทุนในศูนย์สารสนเทศและบริการคลาวด์ จำนวน 27 โครงการ มูลค่าเงินลงทุนรวมกว่า 2.9 แสนล้านบาท [1]

โดยหลังจากมีการทบทวนวรรณกรรมพบว่ามีการศึกษาโดยการออกแบบระบบกราวด์กริดของสถานีไฟฟ้าย่อยตาม IEEE Std.80-2000 โดยมีการเริ่มพัฒนาโปรแกรมในการออกแบบกราวด์กริดของสถานีไฟฟ้าเมื่อพิจารณาดินเป็นแบบสองชั้นและชั้นเดียว[2], การออกแบบระบบกราวด์กริดของสถานีไฟฟ้าเมื่อพิจารณาโครงสร้างชั้นดินแบบ Nonuniform Soil โดยใช้โปรแกรม MATLAB [3], โดยใช้โปรแกรม Current Distribution, Electromagnetic Interference, Grounding and Soil Structure Analysis หรือ CDEGS [4], โดยใช้โปรแกรม MATLAB เปรียบเทียบกับการคำนวณด้วยมือตามมาตรฐาน IEEE Std.80-2013 พบว่ามีค่าตรงกัน [5], วิธีการหาค่าที่เหมาะสุดหลายฟังก์ชันวัตถุประสงค์ [6], ผู้วิจัยยังไม่พบการออกแบบระบบกราวด์กริดของดาตาเซนเตอร์ในประเทศไทยเลย พบแต่งานวิจัยที่มุ่งเน้นไปวิเคราะห์และออกแบบของสถานีไฟฟ้าย่อย ดังนั้นจึงเป็นโอกาสของผู้วิจัยที่จะเริ่มต้นการวิเคราะห์การออกแบบระบบกราวด์กริดสำหรับดาตาเซนเตอร์โดยใช้มาตรฐานของวิศวกรรมสถานแห่งประเทศไทยและมาตรฐานสากลดังที่จะกล่าวในรายละเอียดต่อไป

บทความนี้จึงเป็นการนำเสนอที่มาและความสำคัญของดาตาเซนเตอร์ในประเทศไทย ความจำเป็นในการศึกษาวิจัยนี้เพื่อหาคำตอบทางด้านมาตรฐานการติดตั้งทางไฟฟ้าสำหรับประเทศไทย มาตรฐานงานระบบต่าง ๆ ของการทำดาตาเซนเตอร์ เพื่อให้เกิดความมั่นใจกับนักลงทุนในการที่จะมาลงทุนในประเทศไทย ทำการทดสอบโดยใช้ข้อมูลตาม [7] ในหัวข้อที่ 2 อธิบายทฤษฎีที่เกี่ยวข้องกับการออกแบบระบบสายดิน

*ผู้ประพันธ์บรรณกิจ

พารามิเตอร์ที่เกี่ยวข้อง สูตรและการคำนวณทางคณิตศาสตร์ ในหัวข้อที่ 3 เป็นวิธีการทดสอบในโปรแกรมซอร์ฟแวร์อัจฉริยะ ในหัวข้อที่ 4 แสดงผลลัพธ์ของการจำลอง ผลสรุปจากการวิเคราะห์ในบทความนี้จะถูกนำเสนอผ่านหัวข้อที่ 5 รวมทั้งข้อเสนอแนะสำหรับงานวิจัยในอนาคตเกี่ยวกับเรื่องการออกแบบกราวด์กริดและศึกษาผลกระทบจากผลของฟ้าผ่า เสริจช์ สวิตช์ชิ่ง สนามแม่เหล็กที่จะกระทบหรือเกิดความสูญเสียกับดาตาเซนเตอร์เพื่อให้งานวิจัยมีความสมบูรณ์มากขึ้นต่อไปในอนาคต

2. ทฤษฎีที่เกี่ยวข้องกับการออกแบบระบบสายดิน

ปัจจุบันเป็นที่ทราบกันดีอยู่แล้วว่าระบบไฟฟ้ากำลังที่มีการต่อลงดินได้แพร่หลายไปทั่วโลก การต่อลงดินเป็นเรื่องที่ต้องให้ความสำคัญที่จะต้องทำความเข้าใจในมาตรฐานที่กำหนดไว้ทั้งมาตรฐานสากล มาตรฐานของประเทศไทย โดยการวิจัยครั้งนี้ได้ออกแบบตามมาตรฐานของวิศวกรรมสถานแห่งประเทศไทย เรื่องดาตาเซนเตอร์สำหรับประเทศไทย พ.ศ. 2565. และตามมาตรฐานติดตั้งทางไฟฟ้าสำหรับประเทศไทย วสท. 2001 เรื่องการประสานและการต่อลงดินจะการต่อลงดิน ทั้งนี้ความต้านทานลงดินวัดจากระบบ Common grounding electrode system ต้อง < 5 โอห์ม ด้วยวิธี fall of potential

ดังนั้น แม้บางครั้งการทำตามมาตรฐานทุกอย่างก็ไม่ได้ยืนยันว่าจะได้ผลเสมอไป อาจจะต้องมีการแก้ไขปัญหาหน้างานเพื่อให้ความต้านทานของสายดินมีค่าต่ำได้ตามมาตรฐานและปลอดภัยแก่ผู้ปฏิบัติงานในกรณีมีกระแสลัดวงจรเกิดขึ้นโดย ในหัวข้อนี้จะเป็นการอธิบายเรื่อง คำสำคัญตามมาตรฐานสากลที่เกี่ยวข้องกับเรื่องกราวด์กริด การคำนวณหาขีดจำกัดแรงดันช่วงก้าวและแรงดันสัมผัสที่ร่างกายทนได้ การประมาณความต้านทานของระบบสายดินและค่าศักย์ที่เพิ่มขึ้นบนสายดิน และมาตรฐานดาตาเซนเตอร์ของประเทศไทย

2.1 คำสำคัญ

มาตรฐาน IEEE Std80.[8] ได้ให้ความหมายที่เกี่ยวข้องกับคุณสมบัติของระบบสายดินโดยมีรายละเอียดดังนี้

1. ศักดิ์ที่เพิ่มขึ้นบนสายดิน (Ground Potential Rise, GPR) คือ ค่าศักย์ไฟฟ้าสูงสุดที่เกิดขึ้นบนกราวด์กริดเมื่อเทียบกับรีโมตเอิร์ท
2. แรงดันเมช (Mesh Voltage) คือ แรงดันสัมผัสสูงสุดที่เกิดขึ้นภายในเมชของกราวด์กริด
3. แรงดันสัมผัสระหว่างโลหะ (Metal to Metal touch voltage) คือ ความต่างศักย์ระหว่างวัสดุหรือโครงสร้างโลหะภายในสถานีกับจุดสัมผัส เช่น มือหรือเท้า
4. แรงดันช่วงก้าว (Step Voltage, E_{step}) คือ ความต่างศักย์บริเวณผิวดินที่เกิดขึ้นกับมนุษย์ ซึ่งไม่ได้สัมผัสกับวัตถุที่ต่อลงดิน โดยมีช่วงก้าว 1 เมตร
5. แรงดันสัมผัส (Touch Voltage, E_{touch}) คือ ความต่างศักย์ของข้อ 1 กับศักย์ตรงผิวที่คนยืนอยู่และในขณะเดียวกันมือก็ไปสัมผัสกับวัตถุที่ต่อลงดิน

2.2 การคำนวณหาขีดจำกัดแรงดันช่วงก้าวและแรงดันสัมผัสที่ร่างกายทนได้

ขีดจำกัดร่างกายมนุษย์ที่มีกระแสไฟฟ้าที่ความถี่ 50 Hz ที่ไหลผ่านควรมีค่าน้อยกว่าขีดจำกัดกระแสที่ร่างกายทนได้ ไม่เช่นนั้นจะเป็นอันตรายกับชีวิต จากการศึกษาของ Daiziel [9]

$$I_B = \frac{k}{\sqrt{t_s}} \quad (1)$$

เมื่อ

I_B คือ ค่ากระแสที่ทนได้อย่างปลอดภัย หน่วย มิลลิแอมป์
K = 0.116 สำหรับคนที่มีน้ำหนัก 50 กิโลกรัม
K = 0.157 สำหรับคนที่มีน้ำหนัก 70 กิโลกรัม

$$E_{step} = I_B(R_B + 2R_f) \quad (2)$$

$$E_{step} = (1,000 + 6C_s\rho_s)I_B \quad (3)$$

$$E_{touch} = I_B(R_B + \frac{R_f}{2}) \quad (4)$$

$$E_{touch} = (1,000 + 1.5C_s\rho_s)I_B \quad (5)$$

เมื่อ

E_{step} คือ แรงดันช่วงก้าว (V)
E_{touch} คือ แรงดันสัมผัส (V)
Cs คือ แฟกเตอร์ดีเรตติง
ρ_s คือ ความต้านทานจำเพาะของวัสดุคลุมผิว(Ohm.m)

2.3 การประมาณความต้านทานของระบบสายดินและค่าศักย์ที่เพิ่มขึ้นบนสายดิน

สำหรับการออกแบบในเบื้องต้น ความต้านทานของกราวด์กริด (R_g) สามารถประมาณการได้ตามสมการที่ (6) ค่าศักย์ที่เพิ่มขึ้นบนสายดินคำนวณได้ตามสมการ (7)

$$R_g = \rho[\frac{1}{l_t} + \frac{1}{\sqrt{20A}}(1 + \frac{1}{1 + h\sqrt{20/A}})] \quad (6)$$

$$GPR = I_G.R_g \quad (7)$$

$$I_G = D_f S_f 3I_0 \quad (8)$$

$$E_m = \frac{\rho K_m K_i I_G}{I_M} \quad (9)$$

เมื่อ

l_T คือ ความยาวตัวนำที่ฝังอยู่ใต้ดินทั้งหมด, เมตร
A คือ พื้นที่หน้าตัดของกราวด์กริด, ตารางเมตร
h คือ ความลึกของกราวด์กริด, เมตร
GPR คือ ค่าศักย์ที่เพิ่มขึ้นบนสายดิน โวทย์
I_G คือ กระแสกริดสูงสุด แอมป์
S_f คือ แฟกเตอร์แบ่งกระแสลัดวงจร
I_0 คือ กระแสลัดวงจรซีเควนซ์ศูนย์ (A)
D_f คือ แฟกเตอร์ดีครีเมนต์
E_m คือ แรงดันเมช
p คือ ความต้านทานจำเพาะของดิน
I_G/I_M คือ กระแสต่อหน่วยความยาวของตัวนำที่ฝังในดิน
K_M คือ แฟกเตอร์ระยะห่างสำหรับแรงดันเมช
K_i คือ แฟกเตอร์แก้ไขลักษณะกราวด์กริด

ตารางที่ 1 การแบ่งประเภทของดินตามค่าความต้านทานจำเพาะ[10]

ชนิดของดิน	ความต้านทานจำเพาะ (โอห์ม เมตร)
ดินร่วนเปียก	10 - 30
ดินเหนียว	50
ดินร่วนชื้น	100
ดินปนทราย	150
ทรายชื้น	200
ทรายแห้ง	1,000
ดินกรวดชื้น	500
ดินกรวดแห้ง	1,000
หิน	3,000 – 10,000

จากตารางที่ 1 เป็นการแบ่งประเภทของดินชนิดต่าง ๆว่ามีความต้านทานจำเพาะที่แตกต่างกันดังนั้นในการออกแบบการทำกราวด์กริดควรพิจารณาเรื่องของชั้นดินก่อนการดำเนินการเพื่อที่จะได้ไม่ต้องเสียเวลาและแก้ไขงานในการทำระบบกราวด์กริดของระบบไฟฟ้ากำลังหรือของห้องดาตาเซนเตอร์เองก็ตาม ให้พิจารณาเรื่องนี้เป็นลำดับแรก

2.4 มาตรฐานดาตาเซนเตอร์ของประเทศไทย

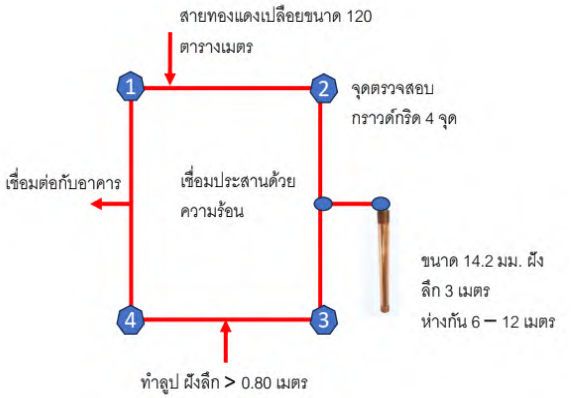

รูปที่ 1 การเชื่อมต่อสายดินของดาตาเซนเตอร์กับระบบกราวด์ของอาคาร

อาคารที่มีการติดตั้งระบบป้องกันฟ้าผ่าหรือมีการจ่ายไฟฟ้าเข้าหลายจุดจะต้องฝังวงแหวนการต่อลงดินสำหรับการเชื่อมต่อหลักดินไว้รอบอาคาร, อาคารสร้างใหม่สำหรับดาตาเตอร์โดยเฉพาะ ตัวนำของ วงแหวนการต่อลงดินต้องเป็นสายทองแดงเปลือยขนาดไม่ต่ำกว่า 120 ตารางมิลลิเมตร ฝังดินลึกไม่น้อยกว่า 0.8 เมตร และให้ต่อเชื่อมเข้ากับหลักดินขนาดไม่ต่ำกว่า 14.2 มิลลิเมตร ยาว 3 เมตร ที่ติดตั้งเพิ่มตามแนวของวงแหวนโดยรอบทุกระยะ 6-12 เมตร พร้อมทั้งติดตั้งบ่อทดสอบ 4 มุม บริภัณฑ์การประสานและการต่อลงดินสำหรับโครงสร้างพื้นฐานของระบบสื่อสารโทรคมนาคมต้องมีรูปการต่อลงดิน [11]

3. วิธีการทดสอบ

การจำลองสถานการณ์ในการ Simulation กำหนดค่ากระแสกริดสูงสุดที่ (Ig = gpr / rg ; 5065.3/1.243) 25 kA และกระแสลัดวงจร Zero sequence ที่ 4 kA กำหนดค่าความต้านทานชั้นบนมีค่า 75.775 โอห์ม-เมตร ค่าความต้านทานดินชั้นล่างมีค่า 296.769 โอห์ม-เมตร

การทดสอบมีเงื่อนไขในการออกแบบระบบกราวด์กริดสิ่งที่ต้องพึงระวังและต้องพิจารณาคือเรื่องความปลอดภัยของผู้ปฏิบัติงานจากแรงดันช่วงก้าวและแรงดันสัมผัสในขณะที่เกิดการลัดวงจร ดังนั้นภายหลังการการออกแบบจึงต้องมีการตรวจสอบระดับแรงดันอันตรายที่มีโอกาสเกิดขึ้นโดยการเปรียบเทียบกับขีดจำกัดแรงดันที่ร่างกายของมนุษย์ทนได้ ถ้าแรงดันไฟฟ้ายังเกินหรือทำอันตรายแก่ร่างกายก็ต้องมีการนำมาออกแบบแก้ไข ปรับปรุงใหม่เพื่อให้เกิดความปลอดภัยสูงสุด ในรูปที่ 2 แสดงขั้นตอนการออกแบบระบบกราวด์กริด

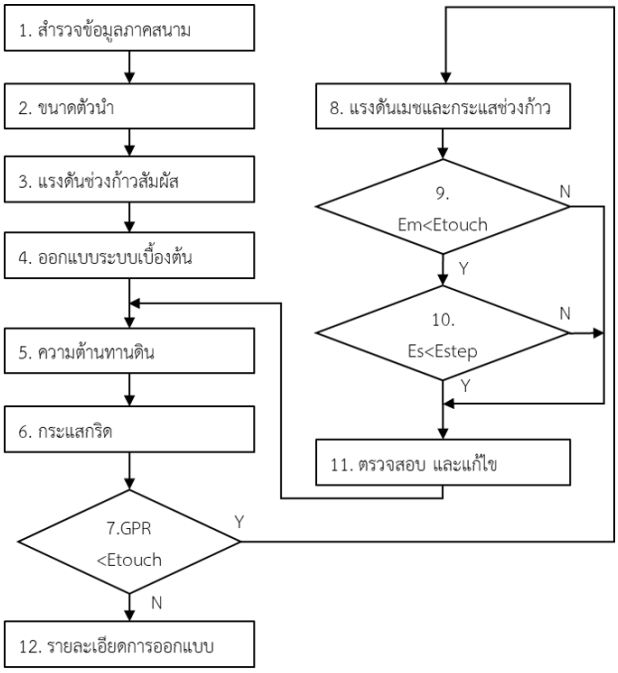

รูปที่ 2 ขั้นตอนการออกแบบกราวด์กริด [12]

ขั้นตอนที่ 1 เป็นการเก็บข้อมูลภาคสนาม โดยการใช้ข้อมูลของพื้นที่อำเภอศรีราชา จังหวัดชลบุรี ที่มีการแบ่งชั้นของดินออกเป็น 3 ส่วน ส่วนบนมีความหนา 1 เมตร เป็นดินแห้ง ส่วนที่ 2 มีความหนา 5 เมตร เป็นดินที่มีน้ำผสมบ้างเล็กน้อย และส่วนที่ 3 มีความหนาชั้นดิน 10 เมตร แต่ไม่มีผลกับการคำนวณเนื่องจากไม่ได้ตอกแท่งตัวนำเข้ามาถึงชั้นดินนี้

ขั้นตอนที่ 2 กำหนดขนาดของตัวนำ ในบทความนี้อ้างอิง การออกแบบดาตาเซนเตอร์ของประเทศไทยคือ 14.2 มิลลิเมตร ลึก 3 เมตร

ขั้นตอนที่ 3 การคำนวณหาขีดจำกัดแรงดันช่วงก้าวและแรงดันสัมผัสที่ร่างกายทนได้ โดยการใช้สมการ ที่ (1) - (5)

ขั้นตอนที่ 4 การออกแบบเบื้องต้นจะเกี่ยวข้องกับการจัดวางกราวด์กริด ซึ่งต้องมีความสอดคล้องกับแผนการจัดวางอุปกรณ์ภายในดาตาเซนเตอร์พิจารณาการเชื่อต่อกับอาคารเดิมด้วย กรณีปรับปรุงห้องดาตาเซนเตอร์ที่อาคารเก่า

ขั้นตอนที่ 5 การประมาณความต้านทานของระบบสายดิน ใช้สมการที่ (6)

ขั้นตอนที่ 6 การคำนวณกระแสกริดสูงสุด ใช้สมการที่ (8)

ขั้นตอนที่ 7 ตรวจสอบค่าศักย์ที่เพิ่มขึ้นบนสายดินกับขีดจำกัดแรงดันสัมผัส ใช้สมการที่ (7)

ขั้นตอนที่ 8 การคำนวณแรงดันเมชและแรงดันช่วงก้าวของกราวด์กริด ใช้สมการที่ (9)

ขั้นตอนที่ 9 การตรวจสอบแรงดันเมชของกราวด์กริดต้องไม่เกินค่าขีดจำกัดของมนุษย์ที่ทนได้

ขั้นตอนที่ 10 การตรวจสอบแรงดันช่วงก้าวของกราวด์กริดต้องมีค่าไม่เกินขีดจำกัดของมนุษย์ที่ทนได้

ขั้นตอนที่ 11 การแก้ไขในกรณีที่ค่าแรงดันสัมผัสและแรงดันย่างก้าวมีค่ามากกว่าขีดจำกัดของมนุษย์ที่จะทนได้ต้องทำการแก้ไขโดยการคำนวณใหม่ เพื่อให้ปลอดภัยกับผู้ปฏิบัติงาน

ขั้นตอนที่ 12 การจัดทำรายละเอียดของการออกแบบ เพื่อใช้ในการอ้างอิงและสรุปราคา ปริมาณ แบบแก้ไขแบบให้เป็นปัจจุบันในกรณีทำห้องดาตาเซนเตอร์ที่อาคารเดิม

4. ผลการจำลอง

หลักจากทำตามขั้นตอนการออกแบบกราวด์กริดในหัวข้อที่ได้กล่าวมาโดยการเริ่มตั้งแต่ขั้นตอนที่ 1 ถึง ขั้นตอนที่ 12 โดยหลังจากทำการใส่พารามิเตอร์ต่าง ๆ และเงื่อนไขที่ยอมรับได้เรื่องมาตรฐานของแรงดันช่วงก้าวและแรงดันสัมผัสของผู้ปฏิบัติ พบว่าเป็นไปตามรูปที่ 3 และ 4 ดังแสดงให้เห็นด้านล่างตามลำดับ

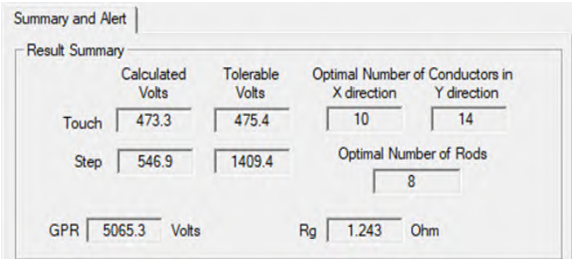

รูปที่ 3 ผลลัพธ์จากการจำลองด้วยโปรแกรมอัจฉริยะ

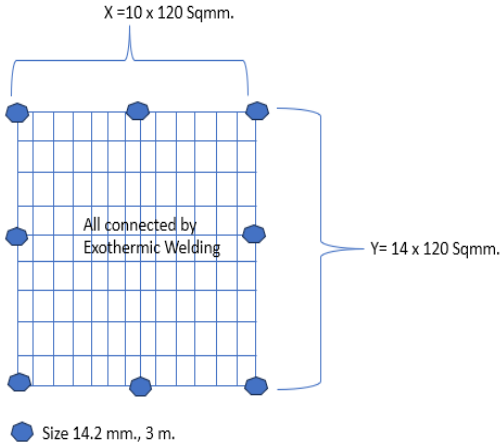

รูปที่ 4 ผลลัพธ์ที่ได้จากการออกแบบภายใต้ต้นทุนต่ำสุด

สรุปผลการทดลองพบว่าจำนวนตัวนำของกริดในแนวแกน X เท่ากับ 10 เส้น ในแนว แกน Y เท่ากับ 14 เส้น ขนาด 120 ตารางมิลลิเมตร และจำนวนแท่งหลักดิน 8 แท่งขนาด 14.2 มิลลิเมตร ยาว 3 เมตร ค่าศักดิ์ไฟฟ้าสูงสุดที่เกิดขึ้นบนกราวด์กริดเมื่อเทียบกับรีโมตเอิร์ท (GPR) เท่ากับ 5,065.3 โวลต์ และค่าความต้านทานดิน เท่ากับ 1.243 โอห์ม มาตรฐานการติดตั้งทางไฟฟ้าสำหรับประเทศไทย ไม่เกิน 5 โอห์ม และค่าแรงดันสัมผัสและแรงดันย่างก้าวมีค่าน้อยกว่าค่าที่ร่างกายยอมรับได้คือ 473.3 โวลต์ และ 546.9 โวลต์ ตามลำดับ โดยรวมแล้วเมื่อมีการติดตั้งระบบกราวด์กริดของศูนย์สารสนเทศที่ทำการทดลองขนาด 27 ตารางเมตร พบว่าถ้าทำตามการออกแบบที่ได้กล่าวมาแล้วมีความคุ้มค่าทางหลักเศรษฐศาสตร์และมีความปลอดภัยต่อผู้ปฏิบัติงาน

5. สรุป

บทความนี้นำเสนอการออกแบบระบบกราวด์กริดของศูนย์สารสนเทศหรือกราวด์กริดของสำนักงานพัฒนาเทคโนโลยีอวกาศและภูมิสารสนเทศเป็นกรณีศึกษา โดยอ้างอิงมาตรฐานในการออกแบบ มาตรฐานดาต้าเซ็นเตอร์สำหรับประเทศไทย วิศวกรรมสถานแห่งประเทศไทยหรือมาตรฐาน วสท. 022012 และมาตรฐานสากล IEEE Std.80 เป็นเงื่อนไขในการออกแบบโดยในการออกแบบได้ทำการทดสอบด้วยโปรแกรมซอฟแวร์อัจฉริยะด้วยการหาค่าต้นทุนของการติดตั้งต่ำสุดระบบกราวด์กริดมีค่าต่ำสุด โดยมีการติดตั้ง เชื่อมต่อสายไฟฟ้าขนาด 120 ตารางมิลลิเมตรเป็นโครงข่ายขนาด 10x14 เส้น เชื่อมเข้าหากันด้วยเทคนิคการเชื่อมด้วยความร้อนบนพื้นที่ 27 ตารางเมตรและติดตั้งแท่งกราวด์จำนวน 8 แท่ง ขนาด 14.2 มิลลิเมตร ตอกลึก 3 เมตร หลังจากนั้นทำการวัดค่าของแรงดันสัมผัส แรงดันย่างก้าวพบว่า แรงดันทั้งสองมีค่าแรงดันน้อยกว่าค่าความปลอดภัยที่ยอมรับได้และมีค่าความต้านทานของดินเท่ากับ 1.243 โอห์มซึ่งน้อยกว่าค่ามาตรฐานการติดตั้งไฟฟ้าสำหรับประเทศไทยที่ 5 โอห์ม

ข้อเสนอแนะเพิ่มเติม สำหรับงานวิจัยเรื่องระบบกราวด์กริดหรือการออกแบบระบบรากสายดินของศูนย์สารสนเทศหรือดาตาเซนเตอร์ในงานวิจัยชิ้นนี้ยังขาดการเชื่อมต่อกับระบบสายดินหลักของตัวอาคารเดิม และการพิจารณาผลกระทบจากเรื่อง ฟ้าผ่า เสริจช์ สนามแม่เหล็ก ต่อไปในอนาคตก็จะทำให้งานวิจัยมีความสมบูรณ์มากขึ้นในแต่ละบริบท

เอกสารอ้างอิง

[1] https://www.thaigov.go.th/news/contents/details/94443 รัฐบาลไทย ข่าวกระทรวง ด้านเศรษฐกิจ สำนักเลขาธิการนายกรัฐมนตรี ทำเนียบรัฐบาล เลขที่ 1 ถนนนครปฐม เขตดุสิต กรุงเทพฯ 10300.

[2] คมสัน เพ็ชรรักษ์, การพัฒนาโปรแกรมสำหรับออกแบบกราวด์กริดของสถานีไฟฟ้าตามมาตรฐาน IEEE 80-2000, วิทยานิพนธ์ระดับปริญญาโท สาขาวิศวกรรมไฟฟ้า คณะวิศวกรรมศาสตร์ จุฬาลงกรณ์มหาวิทยาลัย, 2549.

[3] วิศิษฏ์ และ สมชาติ, การออกแบบระบบกราวด์กริดของสถานีไฟฟ้าเมื่อพิจารณาโครงสร้างชั้นดินแบบ Nonuniform Soil โดยใช้โปรแกรม MATLAB, วารสารวิชาการพระจอมเกล้าพระนครเหนือ ปีที่ 20 ฉบับที่ 2 พ.ค.-ส.ค.2553.

[4] นัฐโชติและสาคร, การวิเคราะห์ผลทางเศรษฐศาสตร์สำหรับติดตั้งสถานีไฟฟ้าย่อย, รายงานการวิจัย, คณะวิศวกรรมศาสตร์ มหาวิทยาลัยราชมงคลพระนคร, 2562.

[5] คู่มือการใช้โปรแกรมที่ใช้ในการออกแบบกราวด์กริดสำหรับสถานีย่อย กระแสสลับโดยใช้ MATLAB และมีปฏิสัมพันธ์กับผู้ใช้, คณะวิทยาศาสตร์และเทคโนโลยี มหาวิทยาลัยกรุงเทพธนบุรี, 2562.

[6] ประสงค์, กฤติเดชและ กาณฑ์, การออกแบบระบบรากสายดินในสถานีไฟฟ้าโดยวิธีการหาค่าที่เหมาะสุดหลายฟังก์ชั่นวัตถุประสงค์, หน่วยวิจัยนวัตกรรมพลังงานไฟฟ้า สาขาวิชาวิศวกรรมไฟฟ้า คณะวิศวกรรมศาสตร์และสถาปัตยกรรมศาสตร์ มหาวิทยาลัยเทคโนโลยีราชมงคลล้านนา, วารสารวิศวกรรมศาสตร์ ปีที่ 4 ฉบับที่ 1 มกราคม - มิถุนายน 2562.

[7] โครงการจัดทำห้อง Data Center เพื่อรองรับระบบสารสนเทศ สำนักงานพัฒนาเทคโนโลยีอวกาศและภูมิสารสนเทศ(องค์การมหาชน), 2563
[8] IEEE Std.80. IEEE guide for safety in AC substation grounding. New York: IEEE Press, 2000.
[9] IEEE Std.80., Guide for Safety in AC Substation Grounding, 1986.
[10] IEEE Std.80., Guide for Safety in AC Substation Grounding 2013
[11] มาตรฐานดาตาเซนเตอร์สำหรับประเทศไทย พ.ศ. 2565.
[12] พงศ์พันธุ์ ปริยวงศ์, หลักการระบบสายดินและการประยุกต์ใช้งาน, สำนักพิมพ์แห่งจุฬาลงกรณ์มหาวิทยาลัย พิมพ์ครั้งที่ 2, 2556.

ประวัตินักวิจัย

พร้อมศักดิ์ อภิรติกุล ผู้ช่วยศาสตราจารย์ประจำภาควิชาวิศวกรรมไฟฟ้า คณะวิศวกรรมศาสตร์ มหาวิทยาลัยเทคโนโลยีราชมงคลธัญบุรี การศึกษาระดับปริญญาตรี วศ.บ.วิศวกรรมไฟฟ้า พ.ศ 2542 ระดับปริญญาโท วศ.ม.วิศวกรรมไฟฟ้า สถาบันเทคโนโลยีพระจอมเกล้าฯ ลาดกระบัง พ.ศ. 2545, วศ.ม วิศวกรรมความปลอดภัย มหาวิทยาลัยเกษตรศาสตร์ พ.ศ. 2546 และกำลังศึกษาระดับปริญญาเอก D.Eng. สาขาวิศวกรรม คณะวิศวกรรมศาสตร์ มหาวิทยาลัยเทคโนโลยีราชมงคลธัญบุรี งานวิจัยที่สนใจ วิศวกรรมไฟฟ้าแรงสูง การทดสอบตามมาตรฐานของอุปกรณ์ไฟฟ้าแรงสูง การทดสอบดิสชาร์จบางส่วน (PD) สำหรับฉนวนไฟฟ้าในระบบขนส่งทางราง ระบบเฝ้าติดตามสถานการณ์ทำงานของหม้อแปลงจำหน่ายกำลังไฟฟ้า เซลล์แสงอาทิตย์

ประหยัด บุญคำ อาจารย์ประจำสาขาวิศวกรรมไฟฟ้า คณะครุศาสตร์อุตสาหกรรม มหาวิทยาลัยเทคโนโลยีราชมงคลธัญบุรี สำเร็จการศึกษาระดับปริญญาตรี วศบ. สาขาไฟฟ้า 2542 มหาวิทยาลัยภาคตะวันออกเฉียงเหนือ, วศม. ไฟฟ้ากำลัง มหาวิทยาลัยเกษตรศาสตร์ 2551 และ ปรด. สาขาไฟฟ้าและคอมพิวเตอร์ มหาวิทยาลัยธรรมศาสตร์ 2559 และดำรงตำแหน่งวุฒิวิศวกร สาขาไฟฟ้ากำลัง งานวิจัยที่สนใจ ระบบไฟฟ้ากำลัง การออกแบบสายดิน การป้องกันฟ้าผ่า ดาตาเซนเตอร์ เซลล์แสงอาทิตย์ นโยบายพลังงาน พลังงานสีเขียว พลังงานทดแทน พลังงานทางเลือก เทคโนโลยีพลังงานสมัยใหม่ ระบบกักเก็บพลังงาน

ชัยมงคล เพ็งเต็ม อาจารย์ประจำสาขาวิศวกรรมไฟฟ้า คณะครุศาสตร์อุตสาหกรรม มหาวิทยาลัยเทคโนโลยีราชมงคลธัญบุรี สำเร็จการศึกษาระดับปริญญาตรี วศ.บ สาขาวิศวกรรมไฟฟ้า 2565 มหาวิทยาลัยเทคโนโลยีราชมงคลพระนคร และ วศ.ม. ไฟฟ้ากำลัง มหาวิทยาลัยเทคโนโลยีราชมงคลธัญบุรี 2567 งานวิจัยที่สนใจ ระบบไฟฟ้ากำลัง ดาตาเซนเตอร์ เซลล์แสงอาทิตย์ Optimization

นิกร แสงงาม ผู้ช่วยศาสตราจารย์ประจำสาขาวิชาวิศวกรรมไฟฟ้า คณะครุศาสตร์อุตสาหกรรม มหาวิทยาลัยเทคโนโลยีราชมงคลธัญบุรี การศึกษาระดับปริญญาตรี คอบ.วิศวกรรมไฟฟ้ากำลัง สถาบันเทคโนโลยีราชมงคล พ.ศ. 2541 และ วท.ม. สาขาโทรคมนาคมและเครือข่ายคอมพิวเตอร์ มหาวิทยาลัยรังสิต พ.ศ. 2549 งานวิจัยครอบคลุมการจัดการพลังงานไฟฟ้า การพยากรณ์ไฟฟ้า การวินิจฉัยข้อบกพร่องของระบบไฟฟ้าและการฟื้นฟูระบบไฟฟ้า พลังงานหมุนเวียน เซลล์แสงอาทิตย์ ประสิทธิภาพการใช้พลังงานและดาตาเซนเตอร์

อานนท์ นิยมผล ผู้ช่วยศาสตราจารย์ประจำสาขาวิชาวิศวกรรมไฟฟ้า คณะครุศาสตร์อุตสาหกรรม มหาวิทยาลัยเทคโนโลยีราชมงคลธัญบุรี การศึกษาระดับปริญญาตรี ค.อ.บ.วิศวกรรมไฟฟ้ากำลัง พ.ศ. 2540, วศ.บ.วิศวกรรมไฟฟ้า พ.ศ 2545 สถาบันเทคโนโลยีราชมงคล และ ค.อ.ม.ไฟฟ้า สถาบันเทคโนโลยีพระจอมเกล้าพระนคร งานวิจัยด้าน การศึกษาด้านวิศวกรรมไฟฟ้า, การจัดการเรียนการสอนวิศวกรรมไฟฟ้า, การออกแบบและวิเคราะห์ระบบไฟฟ้ากำลัง, เทคโนโลยีพลังงาน, เครื่องจักรกลไฟฟ้า, พลังงานเทคโนโลยียานยนต์ไฟฟ้า (รถยนต์ไฟฟ้า), นวัตกรรมการเรียนการสอนในภาคการศึกษา, การพัฒนากำลังคน: การเสริมทักษะใหม่ (Re-skill), ยกระดับทักษะ (Up-skill), เพิ่มทักษะสมัยใหม่ (New-skill) และการฝึกอบรมครูฝึก (Train the Trainer)

การประเมินสมรรถนะของการบล็อกกระแสฮาร์มอนิกลำดับที่ 3 ในสายนิวทรัลสำหรับระบบ TN-CS

Performance Evaluation of 3rd Harmonic Current Blocking in Neutral Line for TN-CS System

สารสิทธิ์ ฤทธานนท์[1*] จักรพงษ์ จารุมิศร์[1] และ ปัณณวิชญ์ ภัทร์สรณ์สิริ[1]

[1]สาขาวิชาวิศวกรรมไฟฟ้า คณะวิศวกรรมศาสตร์ สถาบันเทคโนโลยีปทุมวัน Sarasit.R@pit.ac.th*

บทคัดย่อ

งานวิจัยนี้นำเสนอการประเมินสมรรถนะของการออกแบบชุดฟิลเตอร์แบบพาสซีฟที่ใช้สำหรับบล็อกกระแสฮาร์มอนิกลำดับที่ 3 ในระบบไฟฟ้า TN-CS ที่มีผลกระทบต่อการเกิดกระแสเกินในสายนิวทรัล ที่เกิดจากโหลดไม่เชิงเส้น 1 เฟส ในงานวิจัยนี้จำลองการเกิดกระแสฮาร์มอนิกโดยใช้วงจรเรียงกระแส 1 เฟส ต่อเข้ากับระบบไฟฟ้า 3 เฟส และวิเคราะห์ผลกระทบที่เกิดขึ้นจากกระแสฮาร์มอนิกลำดับศูนย์ เป้าหมายงานวิจัยนี้ทำการออกแบบชุดบล็อกกระแสฮาร์มอนิกลำดับที่ 3 เพื่อทำการทดสอบเปรียบเทียบการลดลงของกระแสฮาร์มอนิกก่อนและหลังการต่อชุดบล็อกฮาร์มอนิก นอกจากนี้ยังตรวจสอบกำลังไฟฟ้า ค่าการผิดเพี้ยนของแรงดัน ค่าการผิดเพี้ยนกระแส และค่าตัวประกอบกำลังในระบบไฟฟ้า

คำสำคัญ: การบล็อคกระแสฮาร์มอนิกที่ 3, สายนิวทรัล, ระบบ TN-CS

Abstract

This paper presents a performance evaluation of a passive filter design for blocking the 3rd harmonic currents which is effected in a TN-CS system. These 3rd harmonics currents are generated by nonlinear single-phase loads connected in 3-phase system using single-phase rectifier loads. In order to analyze an effect of zero-sequence current, the objective of this paper is to design a 3rd order harmonic blocking to compare the performance of harmonic current reduction before and after connecting with the harmonic blocking set. In addition, power, voltage distortion, current distortion and power factor are also investigated.

Keywords: 3rd Harmonic current blocking, Neutral lines, TN-CS system.

1. บทนำ

ในระบบไฟฟ้ากำลัง 3 เฟส 4 สาย ที่ทำงานในสภาวะปกติ กระแสไฟฟ้าที่ไหลในสายนิวทรัลนั้นเกิดขึ้นจากปริมาณกระแสที่ไม่สมดุลของโหลดในแต่ละเฟส ซึ่งการออกแบบขนาดของสายนิวทรัลมีความจำเป็นต้องพิจารณากระแสที่ไม่สมดุลเหล่านี้ด้วย [1] แต่เนื่องจากในสภาวะปัจจุบันโหลดไฟฟ้าที่ใช้งานส่วนใหญ่ในงานอุตสาหกรรมเป็นโหลดไม่เชิงเส้น (Non-linear loads) และมีจำนวนเพิ่มสูงขึ้น อาทิเช่น คอมพิวเตอร์ วงจรแปลงแรงดันไฟฟ้าสลับเป็นไฟฟ้ากระแสตรง แหล่งจ่ายไฟฟ้าสำรองแบบสวิตช์โหมดหนึ่งเฟส (Switched-Mode Power Supplies) เตาไฟฟ้าเหนี่ยวนำ เตาไมโครเวฟ หลอดไฟ LED หรือเครื่องใช้ไฟฟ้าภายในบ้านที่เป็นอุปกรณ์อิเล็กทรอนิกส์ และอื่น ๆ อีกมากมาย ซึ่งในปัจจุบันมีจำนวนการใช้งานเพิ่มขึ้นอย่างมาก โหลดทางไฟฟ้าที่ไม่เชิงเส้นเหล่านี้ล้วนแต่สร้างกระแสไฟฟ้าที่มีฮาร์มอนิกลำดับเลขคี่ เช่นลำดับที่ 3, 5, 7 และ 9 ฮาร์มอนิกเหล่านี้คือองค์ประกอบความถี่ที่มีค่าเป็นจำนวนเท่าของความถี่มูลฐาน (Fundamental frequency) นอกจากนี้ฮาร์มอนิกลำดับที่ 3 มีลักษณะเฉพาะที่สำคัญในระบบ 3 เฟส 4 สาย คือมีเฟสตรงกันในแต่ละเฟสของระบบ หรือเป็นองค์ประกอบลำดับศูนย์ (zero-sequence component) ซึ่งแตกต่างจากฮาร์มอนิกอื่น ๆ ที่จะหักล้างกันเองในสภาวะสมดุล ผลลัพธ์คือกระแสฮาร์มอนิกลำดับที่ 3 จะรวมกันที่สายนิวทรัล ทำให้เกิดกระแสสูงเกินพิกัดในสายนิวทรัลได้ เนื่องจากสายนิวทรัลไม่ได้ถูกออกแบบมาให้รับกระแสสูงเท่ากับสายเฟส ในระบบที่ไม่มีฮาร์มอนิก สายนิวทรัลควรมีกระแสเป็นศูนย์หากเป็นระบบสมดุล แต่เมื่อระบบมีกระแสฮาร์มอนิกลำดับที่ 3 กระแสจะรวมกัน ทำให้สายนิวทรัลร้อนจัดและอาจเป็นอันตรายถึงขั้นไฟไหม้ได้ งานวิจัยนี้จึงได้นำเสนอการออกแบบชุดฟิลเตอร์สำหรับบล็อกกระแสฮาร์มอนิกส์เฉพาะลำดับที่ 3 (Third Harmonic Filter; THF) ในระบบไฟฟ้า TN-CS ดังแสดงตามรูปที่ 1 ซึ่งประกอบด้วยตัวเหนี่ยวนำ และตัวเก็บประจุต่อขนานกันดังแสดงตามรูปที่ 2 โดยกำหนดให้มีความถี่เรโซแนนซ์ที่ฮาร์มอนิกลำดับที่ 3 (150Hz) ซึ่งจะให้เกิดอิมพีแดนซ์สูงที่ความถี่นั้นเพื่อบล็อกการไหลของกระแสฮาร์มอนิกในสายนิวทรัล ส่งผลให้ประสิทธิภาพของหม้อแปลงมีประสิทธิภาพที่สูงขึ้น และค่าตัวประกอบกำลังมีการปรับปรุงสูงขึ้น

2. การบล็อกกระแสฮาร์มอนิกส์ลำดับที่ 3 ในระบบ TN-CS

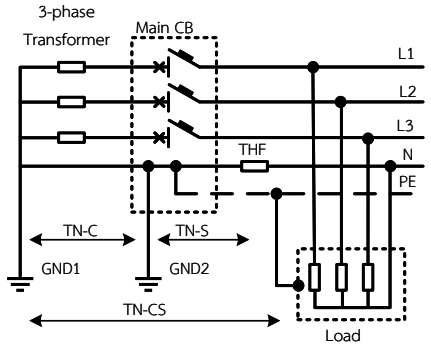

รูปที่ 1 ระบบไฟฟ้า TN-CS ตามมาตรฐานการติดตั้งทางไฟฟ้าประเทศไทย

ระบบไฟฟ้าในประเทศไทย อ้างอิงตามมาตรฐานการติดตั้งไฟฟ้าสำหรับประเทศไทย พ.ศ. 2564 [1] โดยระบบไฟฟ้าแรงดันต่ำ 3 เฟส 4 สาย กำหนดให้ตัวนำนิวทรัลเป็นสายที่ต่อลงดิน และมีการต่อระบบลงดินตาม IEC 60364-3 ซึ่งใช้ระบบ TN-CS ดังแสดงตามรูปที่ 1 โดยแสดงตัวอักษร T หมายถึงการต่อลงดินโดยตรง N หมายถึงส่วนที่เป็นโลหะของอุปกรณ์ไฟฟ้าต่อลงดินร่วมกับจุดที่ต่อลงดินของระบบไฟฟ้า และตัวอักษร CS หมายถึงสายนิวทรัลกับสายดินต่อร่วมกันเฉพาะที่ระบบไฟฟ้าเท่านั้น ในงานวิจัยนี้ได้ทำการติดตั้งชุดบล็อกฮาร์มอนิกลำดับที่ 3 (THF) ในตำแหน่ง TN-S ดังแสดงตามรูปที่ 1 ซึ่งเป็นตำแหน่งที่แยกสายนิวทรัลและสายดินอย่างชัดเจน

2.1 การออกแบบวงจร LC เรโซแนนซ์ขนาน (THF)

ตามที่ได้กล่าวมาแล้วว่าในระบบไฟฟ้า 3 เฟส 4 สาย ที่ประกอบไปด้วยโหลดไม่เชิงเส้น 1 เฟส เป็นส่วนประกอบหลักในระบบไฟฟ้านั้นทำให้เกิดฮาร์มอนิกลำดับที่ 3 โดยกระแสฮาร์มอนิกลำดับที่ 3 จะรวมกันในสายนิวทรัล จึงได้ต่อชุดวงจรบล็อกกระแสฮาร์มอนิกโดยใช้วงจรเรโซแนนซ์แบบขนานต่ออนุกรมเข้ากับสายนิวทรัลดังแสดงตามรูปที่ 2 เพื่อให้เกิดค่าความต้านทานสูงสุดที่ความถี่เรโซแนนซ์

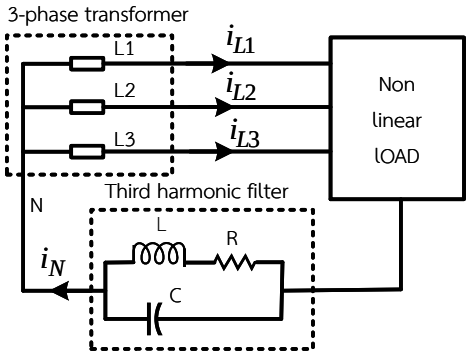

รูปที่ 2 การต่อชุดบล็อกกระแสฮาร์มอนิกลำดับที่ 3 ที่สายนิวทรัล

วงจรเรโซแนนซ์แบบขนานตามรูปที่ 2 โดยกำหนดค่าความเหนี่ยวนำ (Inductive reactance) ได้ตามสมการที่ 1 [2]-[5]

$$X_L = \frac{X_C}{n^2} \tag{1}$$

เมื่อ X_L คือ Inductive reactance

X_C คือ Capacitive reactance และ n คือ ลำดับฮาร์มอนิก

ดังนั้นความถี่เรโซแนนซ์มีค่าเท่ากับ

$$f_n = \frac{1}{2\pi\sqrt{LC}} \tag{2}$$

โดยเมื่อพิจารณาค่าความต้านทานของขดลวดภายในตัวเหนี่ยวนำ ดังนั้นความถี่ขณะเกิดเรโซแนนซ์มีค่าเท่ากับ

$$f_n = \frac{1}{2\pi}\sqrt{\frac{1}{LC} - \frac{R^2}{L^2}} \tag{3}$$

และอิมพีแดนซ์รวมของวงจรที่ความถี่เรโซแนนซ์มีค่าเท่ากับ

$$Z_n = \frac{L}{RC} \tag{4}$$

และ ค่า Q-Factor มีค่าเท่ากับ

$$Q = \frac{\omega_n L}{R} \tag{5}$$

2.2 การจำลองโดยใช้โปรแกรม MATLAB/Simulink

การออกแบบวงจรบล็อกกระแสฮาร์มอนิกลำดับที่ 3 โดยใช้วงจรรีโซแนนซ์แบบขนานที่ความถี่ 150Hz งานวิจัยนี้เลือกใช้ตัวเก็บประจุขนาด 3uf/400V เมื่อแทนค่า X_C ลงในสมการที่ 1 จะได้ค่าตัวเหนี่ยวนำเท่ากับ 400mH จากผลการทดสอบมีค่าความต้านทานขดลวดเท่ากับ 5 โอห์ม เมื่อนำไปแทนค่าในสมการที่ 3 ความถี่เรโซแนนซ์มีค่าเท่ากับ 145.35Hz และค่าอิมพีแดนซ์รวมเท่ากับ 26.67กิโลโอห์ม ที่ความถี่เรโซแนนซ์คำนวณตามสมการที่ 4 นำค่าพารามิเตอร์ของ R L และ C คำนวณหาสมการทรานเฟอร์ฟังก์ชั่นมีค่าเท่ากับ

$$T(s) = \frac{1e^{-6}s^2 + 3.33e^5 s + 4.167e^6}{s^2 + 12.5s + 8.333e^5} \tag{6}$$

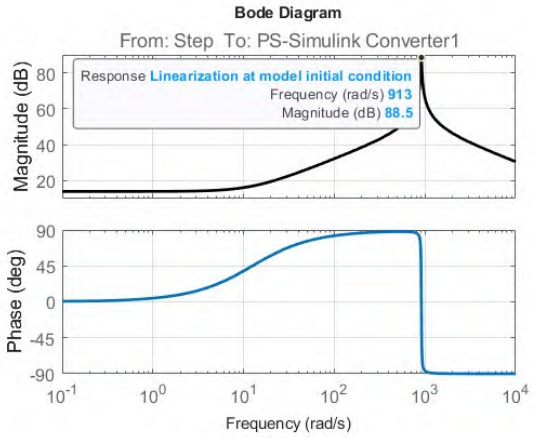

รูปที่ 3 กราฟโบดของวงจรเรโซแนนซ์แบบขนาน

นำสมการที่ 6 พล็อตกราฟ Bode โดยใช้โปรแกรม Matlab/Simulink ได้กราฟตามรูปที่ 3 ซึ่งมีความถี่เรโซแนนซ์เกิดขึ้นเท่ากับ 913 rad/sec และมีขนาดเท่ากับ 88.5dB ดังนั้นผลการจำลองความถี่เรโซแนนซ์มีค่าเท่ากับ 913/(2*pi) มีค่าเท่ากับ 145.38Hz และขนาด 88.5dB มีค่าอิมพีแดนซ์เท่ากับ 10^(dB/20) หรือเท่ากับ 26.61กิโลโอห์ม ซึ่งผลการจำลองที่ได้มีค่าสอดคล้องกับค่าจากการคำนวณ

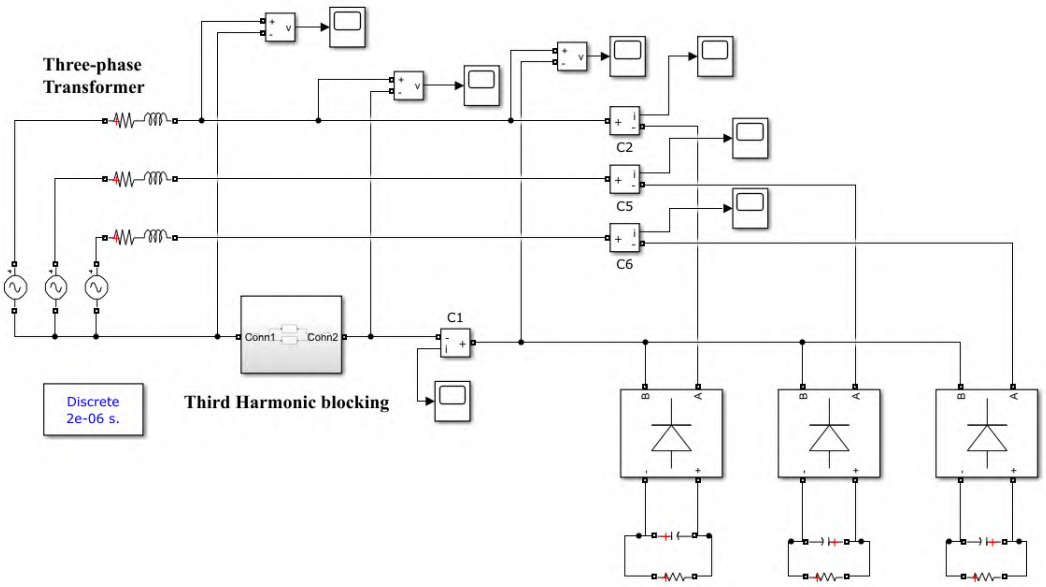

รูปที่ 4 วงจรกำลังสำหรับการจำลองระบบไฟฟ้าที่ติดตั้งชุดบล็อกกระแสฮาร์มอนิกลำดับที่ 3

3. การจำลองและทดสอบ

ในการจำลองและการทดสอบ โหลดไม่เชิงเส้นในงานวิจัยนี้กำหนดให้เป็นวงจรเรียงกระแส 1 เฟส ทั้งหมด 3 ชุด ต่อเข้ากับระบบไฟฟ้า 3 เฟส ดังแสดงรูปการจำลองในรูปที่ 4 โดยกำหนดให้ตัวเก็บประจุด้านแรงดันดีซีของวงจรเรียงกระแสมีค่าเท่ากับ 470uF เพื่อจำลองทำให้เกิดกระแสฮาร์มอนิกลำดับที่ 3 จากนั้นต่อชุดบล็อกฮาร์มอนิกส์อนุกรมเข้ากับสายนิวทรัล เพื่อดูผลก่อนและหลังการต่อฟิลเตอร์กระแสฮาร์มอนิกส์เข้าหม้อแปลงและผลกระทบต่าง ๆ ที่เกิดขึ้น และสำหรับการทดสอบ ใช้เครื่องมือวัดและวิเคราะห์กำลังไฟฟ้ายี่ห้อ Chroma เพื่อวิเคราะห์กำลังไฟฟ้าและกระแสฮาร์มอนิกในระบบ

3.1 การจำลองด้วยโปรแกรม MATLAB/Simulink

วงจรการจำลองด้วยโปรแกรม MATLAB/Simulink แสดงตามรูปที่ 4 ผลการวัดกระแสเฟส และกระแสไลน์จำลองแสดงตามรูป 5

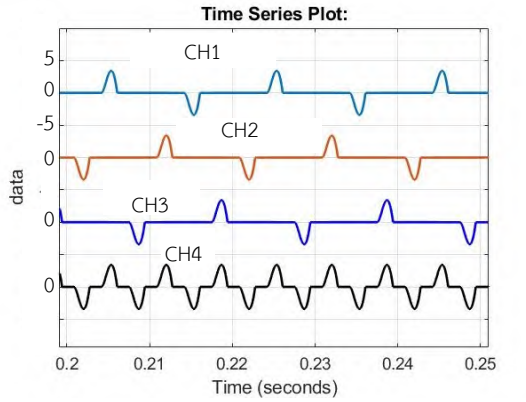

รูปที่ 5 CH 1-3 วัดกระแสเฟส และ CH 4 วัดกระแสนิวทรัล ก่อนต่อชุดบล็อกกระแสฮาร์มอนิก THF

รูปที่ 5 แสดงกระแสเฟสและกระแสนิวทรัล ซึ่งมีขนาดของกระแสเฟสและนิวทรัลเท่ากับ 3 A เท่ากัน โดยผลของกระแสนิวทรัล (CH4) เกิดจากผลรวมของกระแสในแต่ละเฟส รูปที่ 6 แสดงผลของสเปคตรัมฮาร์มอนิกของกระแสเฟส โดยมีกระแสที่ความถี่มูลฐานเท่ากับ 0.5657A และมีกระแสฮาร์มอนิกลำดับที่ 3, 5, 7 และอื่น ๆ ผลของ %THDi เท่ากับ 149%

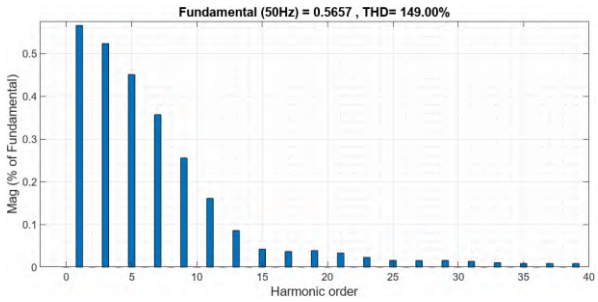

รูปที่ 6 สเปคตรัมฮาร์มอนิกกระแสเฟส ก่อนต่อชุด THF

ในขณะเดียวกันผลของสเปคตรัมฮาร์มอนิกของกระแสนิวทรัลก่อนต่อชุด THF แสดงตามรูปที่ 7 โดยมีสเปคตรัมฮาร์มอนิกที่เกิดขึ้นประกอบด้วยลำดับที่ 3, 9 และอื่น ๆ

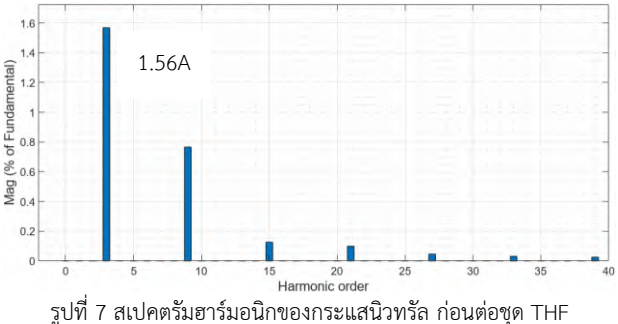

รูปที่ 7 สเปคตรัมฮาร์มอนิกของกระแสนิวทรัล ก่อนต่อชุด THF

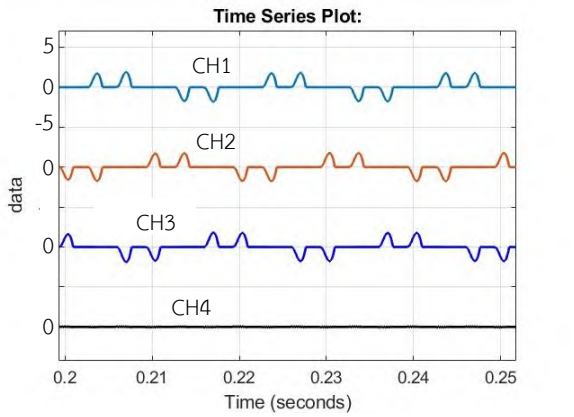

รูปที่ 8 CH 1-3 วัดกระแสเฟสและ CH 4 วัดกระแสนิวทรัลขณะต่อชุด THF

รูปที่ 8 แสดงกระแสเฟสและกระแสนิวทรัลขณะต่อชุด THF ซึ่งมีขนาดของกระแสเฟสและนิวทรัลประมาณ 1.60 A โดยผลของกระแสนิวทรัลเกิดจากผลรวมของกระแสในแต่ละเฟสเกือบเป็นศูนย์

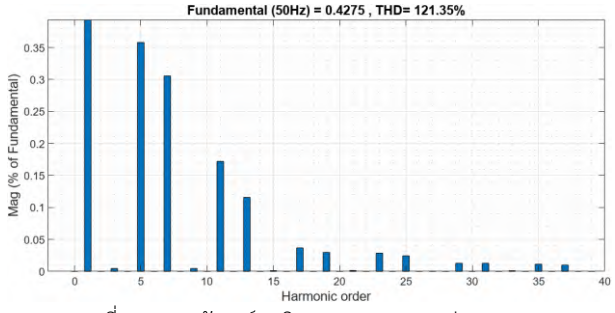

รูปที่ 9 สเปคตรัมฮาร์มอนิกกระแสเฟส ขณะต่อชุด THF

สำหรับรูปที่ 9 แสดงผลของสเปคตรัมฮาร์มอนิกของกระแสเฟส โดยมีกระแสที่ความถี่มูลฐานเท่ากับ 0.4275 A และมีกระแสฮาร์มอนิกลำดับที่ 5, 7 และอื่น ๆ ผลของ %THDi เท่ากับ 121.35% ซึ่งฮาร์มอนิกส์ลำดับที่ 3 ถูกบล็อกเนื่องจากค่าอิมพีแดนซ์ของ THF มีค่าสูงที่ความถี่เรโซแนนซ์

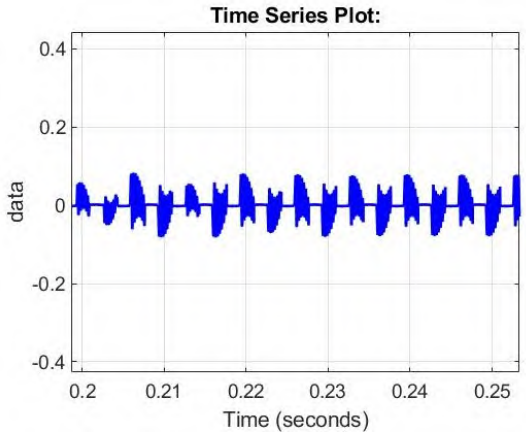

รูปที่ 10 รูปคลื่นกระแสที่ไหลในสายนิวทรัลขณะต่อชุด THF

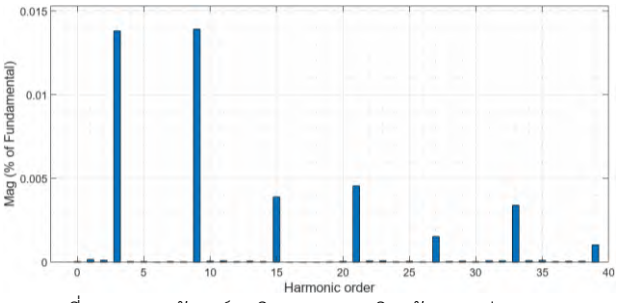

รูปที่ 11 สเปคตรัมฮาร์มอนิกของกระแสนิวทรัล ขณะต่อชุด THF

รูปที่ 10 แสดงรูปคลื่นกระแสที่ไหลในสายนิวทรัล ซึ่งมีค่ากระแสที่ต่ำมาก โดยมีค่ากระแสฮาร์มอนิกลำดับที่ 3 และลำดับที่ 9 ซึ่งเป็นกระแสองค์ประกอบลำดับศูนย์มีค่าเท่ากับ 0.014A รูปที่ 11 แสดงสเปคตรัมกระแสฮาร์มอนิก จะเห็นได้ว่ากระแสลำดับที่ 3 ลดลงเป็น 0.014A รูปที่ 12 แรงดันที่แหล่งจ่ายการไฟฟ้าแสดงโดยเส้นประ และแรงดันหลังชุด THF หรือที่โหลดแสดงโดยเส้นทึบ โดยกระแสเฟสถูกคูณขยาย 100 เท่า

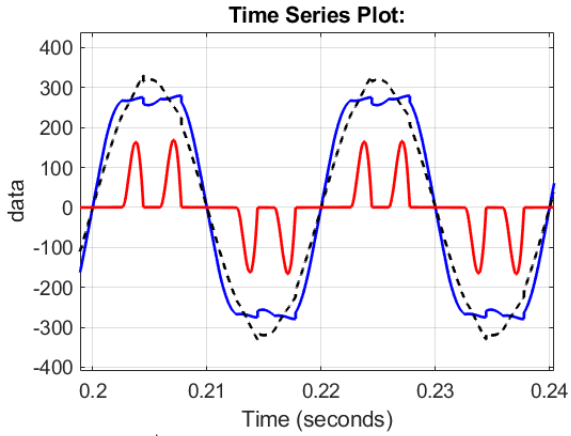

รูปที่ 12 แรงดันและกระแสเฟสขณะต่อชุด THF

3.2 การทดสอบระบบ

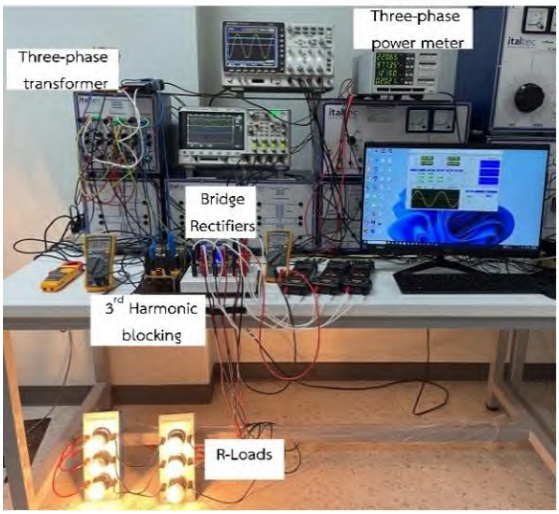

รูปที่ 13 ชุดต้นแบบสำหรับการทดสอบระบบ THF

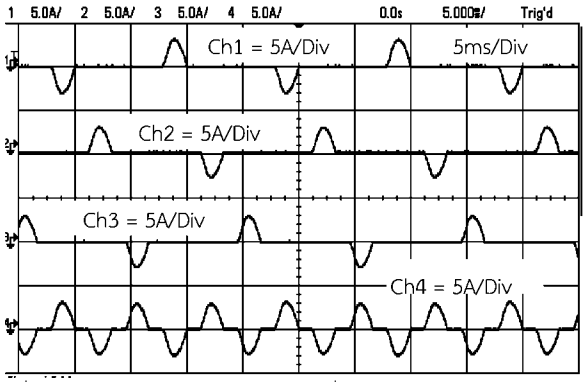

รูปที่ 14 กระแสเฟสและกระแสนิวทรัลที่ได้จากการทดสอบโดยไม่ต่อชุดบล็อกฮาร์มอนิกลำดับ 3

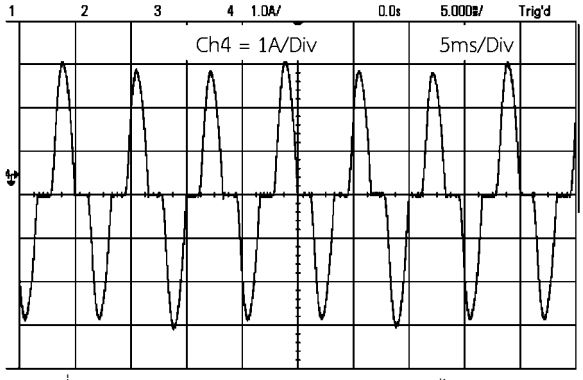

รูปที่ 15 ภาพขยายกระแสนิวทรัลจากการทดสอบไม่ต่อชุด THF

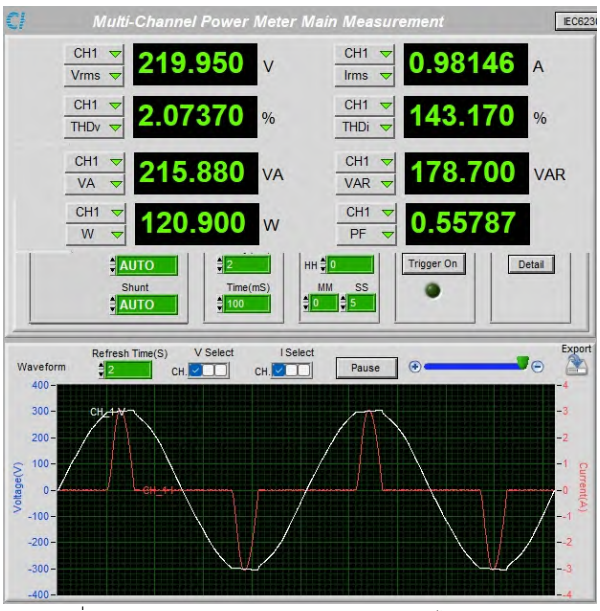

รูปที่ 16 แรงดันและกระแสเฟสจากการทดสอบไม่ต่อชุด THF

ชุดต้นแบบการทดสอบแสดงตามรูปที่ 13 จากผลการทดสอบ เมื่อต่อโหลดไม่เชิงเส้น 1 เฟส เข้ากับระบบ 3 เฟส 4 สาย ตามมาตรฐาน TN-CS พบว่ากระแสเฟสที่แสดงตามรูปที่ 14 มีกระแสที่ความถี่มูลฐานเท่ากับ 0.5639A และกระแสที่ฮาร์มอนิกลำดับที่ 3 เท่ากับ 0.53A โดยมีค่ากระแสรวมเท่ากับ 0.98A ค่าความผิดเพี้ยน THDi เท่ากับ 145.08% ดังแสดงตาม

รูปที่ 15-17 ผลของการทดสอบที่แรงดันเฟส 220V มีค่าแรงดันผิดเพี้ยน %THDv เท่ากับ 2.07% ได้ค่ากำลังไฟฟ้า P, Q, S และ PF เท่ากับ 120.9W, 178.7VAR, 215.88VA และ 0.557 ตามลำดับ

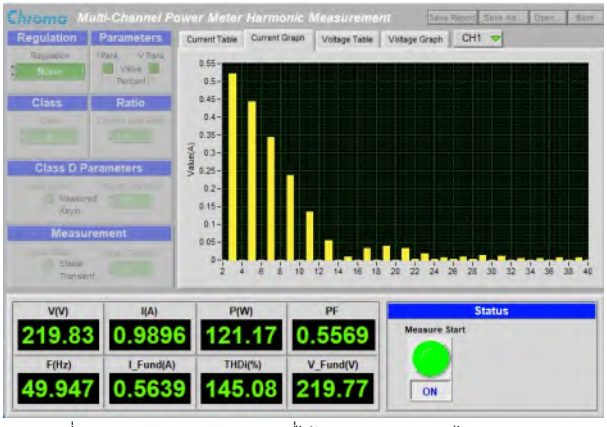

รูปที่ 17 สเปคตรัมกระแสเฟสที่ได้จากการทดสอบ ไม่ต่อชุด THF

และเมื่อทำการต่อชุด THF เข้ากับระบบไฟฟ้า TN-CS โดยต่ออนุกรมเข้ากับสายนิวทรัล ผลจากการทดสอบแสดงตามรูปที่ 18-21 เมื่อพิจารณากระแสเฟสในรูปที่ 18 พบว่ามีรูปคลื่นมีลักษณะที่เปลี่ยนไป ซึ่งเกิดจากสเปคตรัมฮาร์มอนิกลำดับที่ 3 ถูกบล็อกโดยชุด THF ดังนั้นกระแสฮาร์มอนิกที่ไหลเข้าโหลดจึงเริ่มต้นที่ฮาร์มอนิกลำดับที่ 5 ดังแสดงตามรูปที่ 20

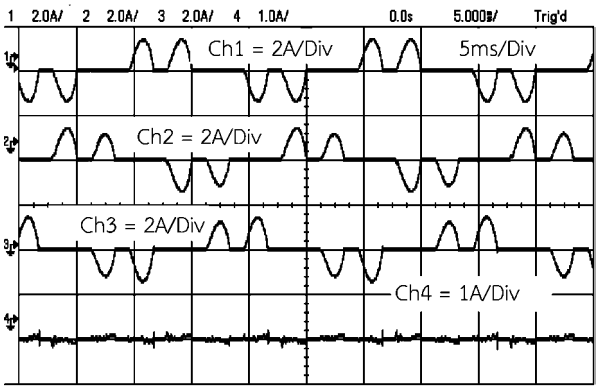

รูปที่ 18 กระแสเฟสและกระแสนิวทรัลที่ได้จากการทดสอบโดยการต่อชุดเรโซแนนซ์ขนานเพื่อบล็อกฮาร์มอนิกลำดับ 3 (THF)

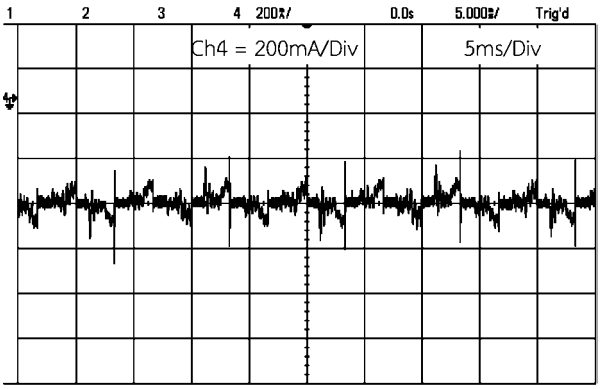

รูปที่ 19 รูปคลื่นกระแสนิวทรัลจากการทดสอบขณะต่อชุด THF

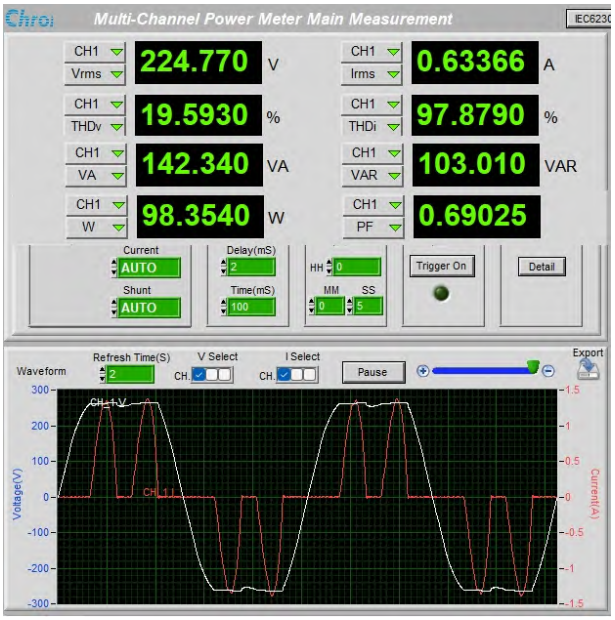

รูปที่ 20 แรงดันและกระแสเฟสจากการทดสอบขณะต่อชุด THF

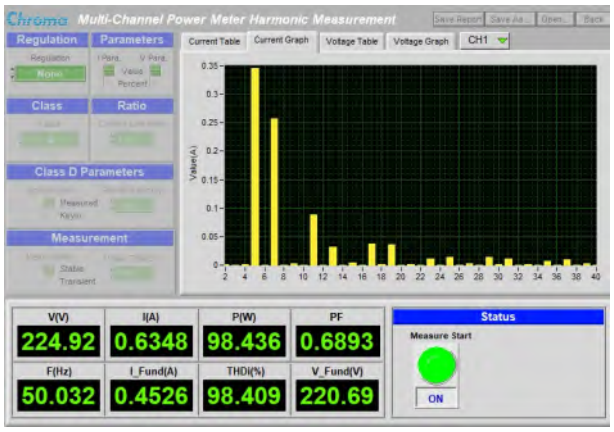

รูปที่ 21 สเปคตรัมฮาร์มอนิกกระแสเฟสที่ได้จากการทดสอบโดยมีการต่อชุด THF

จากการทดสอบมีกระแสที่ความถี่มูลฐานเท่ากับ 0.4526A และกระแสที่ฮาร์มอนิกลำดับที่ 5 เท่ากับ 0.35A โดยมีค่ากระแสรวมเท่ากับ 0.6348A ค่าความผิดเพี้ยน THDi เท่ากับ 98.409% และจากรูปที่ 20 พบว่าแรงดันเฟสมีขนาดสูงขึ้นเป็น 224.77V มีค่าแรงดันผิดเพี้ยน %THDv เท่ากับ 19.59% ได้ค่ากำลังไฟฟ้า P, Q, S และ PF เท่ากับ 98.35W, 103.01VAR, 142.34VA และ 0.69 ตามลำดับ โดยแสดงสรุปในตารางที่ 1

ตารางที่ 1 สรุปผลการทดสอบก่อนและหลังติดตั้งชุด THF

	ก่อนต่อชุด THF	หลังต่อชุด THF
V/phase	219.95V	224.77V
%THDv	2.07%	19.59%
I/phase	0.98A	0.633A
%THDi	143.17%	97.87%
Active power	120.9W	98.35W
Reactive power	178.7VAR	103.01VAR
Apparent power	215.88VA	142.3VA
PF	0.56	0.69

4. สรุปผล

โหลดไม่เชิงเส้นแบบ 1 เฟส ที่ต่อเข้ากับระบบไฟฟ้า 3 เฟส 4 สาย จะสร้างกระแสฮาร์มอนิกลำดับที่ 3 ซึ่งเป็นกระแสองค์ประกอบลำดับศูนย์ที่มีเฟสตรงกัน ทำให้ไหลรวมกันในสายนิวทรัล งานวิจัยนี้ได้ออกแบบและทดสอบชุดบล็อกฮาร์มอนิกลำดับที่ 3 (THF) เพื่อป้องกันการไหลของกระแสดังกล่าว โดยผลการทดลองและการจำลองให้ผลสอดคล้องกัน พบว่า THF สามารถลดกระแสในสายนิวทรัลได้อย่างมีประสิทธิภาพ ลดปัญหาการโอเวอร์โหลด และช่วยปรับปรุงค่า PF ให้ดีขึ้น ทั้งนี้ยังพบปัจจัยร่วมที่ควรพิจารณา ได้แก่ กระแสเฟสและกำลังไฟฟ้าที่โหลดรับลดลง และค่าความเพี้ยนแรงดัน (%THDv) ที่เพิ่มขึ้น ซึ่งเป็นผลจากพฤติกรรมการเรโซแนนซ์ของวงจร LC โดยอาจส่งผลกระทบต่อการทำงานของโหลดบางประเภท โดยเฉพาะกรณีที่โหลดทั้งสามเฟสไม่สมดุล อย่างไรก็ตาม ผลลัพธ์โดยรวมแสดงให้เห็นว่าชุด THF ที่ออกแบบสามารถแก้ไขปัญหากระแสฮาร์มอนิกลำดับที่ 3 ในสายนิวทรัลได้ และช่วยยกระดับคุณภาพกำลังไฟฟ้าในระบบจำหน่าย ตามที่สรุปไว้ในตารางที่ 1

เอกสารอ้างอิง

[1] วิศวกรรมสถานแห่งประเทศไทย ในพระบรมราชูปถัมภ์ “มาตรฐานการติดตั้งทางไฟฟ้าสำหรับประเทศไทย พ.ศ.2564”, พิมพ์ครั้งที่ 1, มีนาคม พ.ศ.2565.

[2] Eng. Osamah Saleh Al-duaij, “Harmonics Effects in Power System”, Journal of Engineering Research and Applications Vol. 5, Issue 2, February 2015, pp.01-19

[3] J. Schonek “The singularities of the third harmonic”, Cahier Technique Schneider Electric no. 202, first issued Feb 2001.

[4] W.M. Grady and Surya Santoso, “Understanding Power System Harmonics”, IEEE Power Engineering Review, December 2001.

[5] V. V. Bhat, Pinto Pius “Third harmonic current minimization using third harmonic blocking transformer” Indonesian Journal of Electrical Engineering and Computer Science, Vol. 25, No. 2, February 2022, pp. 697-709.

Guidelines for Enhancing Reliability in Private Industrial Distribution Networks based on N-1 contingency analysis

Sorawit Chaiwan*, and Naebboon Hoonchareon

Department of Electrical Engineering, Faculty of Engineering, Chulalongkorn University, Thailand,
6570252021@student.chula.ac.th*, naebboon.h@chula.ac.th

Abstract

Ensuring dependability in a private industrial distribution network is essential for minimizing operational disruptions and mitigating risks associated with unforeseen events. This paper presents a pragmatic methodology to enhance the reliability of the system through real-time N-1 contingency analysis. The solution includes heatmap representation of congestion areas, facilitating swift identification and prioritizing of high-risk zones. A 15-minute interval line ranking system is implemented to facilitate near real-time monitoring and dynamic risk assessment, considering load variations and contingencies. This method diminishes the probability of cascading failures and averts emergencies resulting from negligence of the critical lines. To enhance the system's reliability, the architecture incorporates Remedial Action Schemes (RAS) that utilize switching and redispatch mechanisms. The findings indicate that switching substantially reduces constraint violations, whereas redispatch, when applied concurrently, improves operational flexibility and economic efficiency. Collectively, these solutions promote reliability and flexibility improvement for private industrial distribution operation.

Keywords: System Reliability, Private Industrial Distribution Network, N-1 Contingency, Remedial Action Scheme, Switching, Redispatch.

1. Introduction

Private industrial distribution networks are essential for maintaining a continuous power supply to key facilities, including manufacturing plants and data centers. In contrast to public utilities, these networks frequently exhibit a deficiency in redundancy and adaptability, rendering them susceptible to breakdowns. A primary challenge is the absence of systematic N-1 contingency management, in which the failure of one component can cause significant disruption [1].

Numerous private industrial distribution networks are lack of real-time analytical tool and established corrective techniques, heightening the risk of voltage violations, and equipment overloads. Even N-1 secure power systems are vulnerable to coordinated cyber-physical assaults [2]. It is found that N-1 contingencies are a primary factor contributing to loss of loads in distribution networks [3].

This study presents a near real-time monitoring system for analyzing N-1 contingencies designed for private industrial networks. The method seeks to improve reliability and operational resilience by including spatial-temporal indices, dynamic line ranking, and RAS.

2. Literature Review

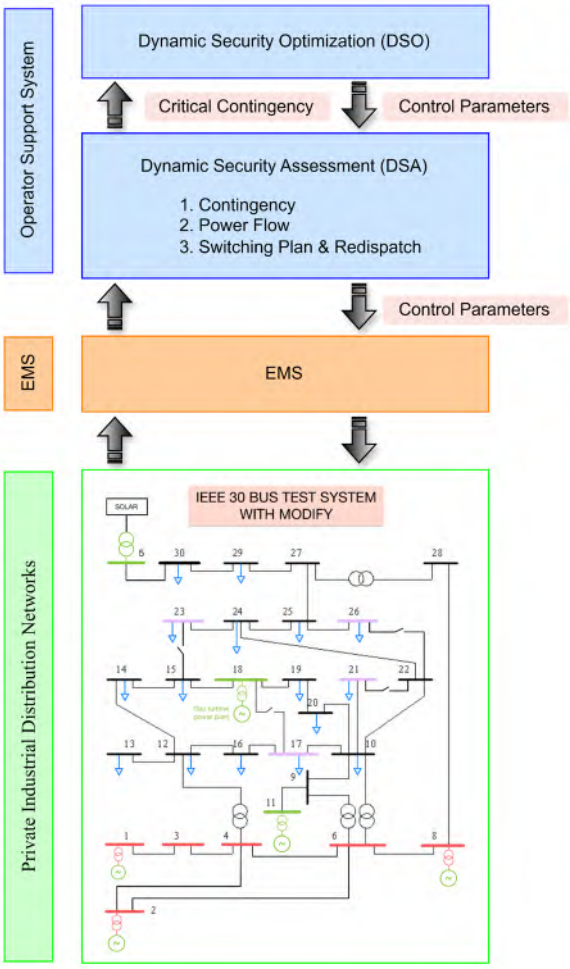

Fig. 1 System Architecture for Operator Support Implementation. [4]

2.1 Architecture for an operator support system

Modern power systems are becoming intricate, driven by Distributed Energy Resources (DERs) including photovoltaic distributed generation, which demand sophisticated Operator Support Systems (OSS) to ensure secure and reliable grid operations. Fig. 1 demonstrates the OSS that incorporates modules for power flow analysis, contingency evaluation, switching, and redispatch to facilitate real-time decision-making.

A Quasi-Static Time-Series analysis is essential for monitoring system behavior over time, providing insights into voltage and load fluctuations [4], [5]. The OSS architecture in [4] integrates Dynamic Security Assessment (DSA) and Dynamic Security Optimization (DSO), facilitating real-time contingency discovery and automated modifications of generator controls.

*Corresponding Author

Reference [5] indicates that integrating a topology module helps assess power flow limits in key transmission corridors, supporting operational decisions and redispatch planning. This coordination enhances voltage stability and system reliability, even under N-1 contingencies. Incorporating switching and redispatch into the OSS architecture further strengthens its adaptive operational capabilities.

2.2 Congestion Level

Efficient congestion control in distribution networks requires accurate detection and prioritization of crowded regions. Conventional techniques such as overload percentages frequently fail to adequately represent the intricacies of congestion, particularly in radial systems characterized by DERs and EV integration [6].

Reference [7] indicates three risk indices—Branch Overload, Node Voltage Violation, and Island Operation—that evaluate vulnerabilities by comparing actual use to established criteria. Reference [6] indicates an extensive array of spatial and temporal variables to measure congestion severity and facilitate equitable, efficient management solutions. Spatial indices evaluate violations in voltage and current levels across buses and branches, while temporal indices measure the duration, frequency, and continuity of events. To synthesize both dimensions, aggregate indices A_{ICI} and A_{ICV} provide a comprehensive perspective to prioritize congested locations based on severity and persistence.

2.3 Ranking Critical Contingencies

Identifying critical transmission lines is essential for contingency analysis and system resilience planning. A critical line is one whose failure can lead to overloads, voltage instability, or cascading outages. Reference [8] applies Continuation Power Flow (CPF) to evaluate Loadability Margin (LM) and Voltage Stability Indices (VSIs) under N-1 and N-2 contingencies, enabling effective prioritization based on voltage stability impact. In addition, [9] uses Heterogeneous Interdependent Node Theory and Risk Theory to assess how disruptions at one node affect others both directly and indirectly, highlighting nodes critical to maintaining system stability.

Reference [10] introduces a scalable framework that combines topological and physical grid attributes to enhance critical line identification. The method integrates group betweenness centrality (GBC) and line outage distribution factor (LODF), where GBC evaluates the role of line sets in network connectivity, and LODF measures the impact of outages on power flow redistribution. By combining both, the approach filters out lines with minimal flow impact and identifies those whose failure could cause major operational disruptions.

2.4 Remedial Action Schemes

Remedial Action Schemes (RAS) are control methods intended to address atypical circumstances in power systems, like transmission line overloads or voltage instability [11]. RAS can be executed by multiple mechanisms, such as network switching, redispatch, or a combination thereof, to improve system resilience and operational efficiency. RAS can typically be classified into two primary categories, which are

Preventive RAS: Proactive measures implemented to avert potential disruptions, like load modifications or network reconfigurations, prior to the occurrence of a contingency.

Corrective RAS: Actions implemented post-disturbance, such as load shedding, source switching, or network isolation, aimed to restore system functionality.

This paper examines Corrective RAS, which is essential for enhancing the system recovery from interruptions. It is designed to respond dynamically to real-time events, ensuring that the power system can maintain operational continuity under adverse conditions.

Corrective RAS is predominantly linked to the operational domain. This classification is underpinned by various operational measures, including switching, network segmentation, and implementation of DER [12].

RAS with switching and redispatch enables dynamic load adjustment and efficient power flow control, reducing costs and enhancing resilience [13]. In [14], an Energy Management System (EMS) integrates Corrective Transmission Switching (CTS) into real-time operations, embedding CTS into SCED using pseudo thermal limits to improve flexibility and computational efficiency. Furthermore, [15] suggests a two-level RAS for smart grids under cyberattacks: the upper level uses offline switching to mitigate outages, while the lower level applies market-based redispatch to resolve emerging congestion, demonstrating the benefits of combining both strategies.

3. Methodology

This section outlines a detailed methodology for assessing and alleviating congestion in electricity systems. The methodology incorporates quantitative metrics for congestion intensity, graph-theoretic and sensitivity-driven prioritization of essential transmission lines, and RAS that merge transmission switching with generation redispatch. The technique comprises three primary components shown below.

3.1 Quantitative Indices for Congestion Level

3.1.1 Spatial Indices

Standard spatial congestion indices include the maximum, average, and cumulative violations of bus voltages and branch currents over a defined period. For a network with N_{br} branches and N_{bus} buses, let I be an $N_{br}\times t_h$ matrix of RMS branch currents, and V an $N_{bus}\times t_h$ matrix of RMS bus voltages at each time interval Δt. The total time horizon is 24 hours, with Δt set to 15 minutes.

The relevant definitions at the t^{th} interval are:

$$CI(x,t) = \begin{cases} \dfrac{I(x,t) - I_r(x)}{I_r(x)} & ;\ I(x,t) > I_r(x) \\ 0 & ;\ I(x,t) \le I_r(x) \end{cases} \quad (1)$$

$$CV(y,t) = \begin{cases} \left|\frac{V(y,t) - V_{max}}{V_r}\right| & ; \ V(y,t) > V_{max} \\ \left|\frac{V(y,t) - V_{min}}{V_r}\right| & ; \ V(y,t) < V_{max} \\ 0 & ; \ V_{min} \le V(y,t) \le V_{max} \end{cases} \quad (2)$$

$$M_{CI}(x) = max\{ CI_{row(x)} \} \quad (3)$$

$$A_{CI}(x) = \frac{\sum_{t=1}^{t_h} CI(x,t)}{t_{cd}(x)} \quad (4)$$

$$A_{CCI}(x) = \sum_{t=1}^{t_h} CI(x,t) \times \Delta t \quad (5)$$

where x, y, and t denote the branch, bus, and time, respectively; CI represents the matrix of size $N_{br} \times t_h$ that captures thermal violations across branches over time; CV denotes the matrix of size $N_{bus} \times t_h$ that records voltage violations at buses over time; M_{CI}, A_{CI}, and A_{CCI} are vectors of size $N_{br}\times 1$ representing the maximum, average, and cumulative thermal violations for each branch, respectively; M_{CV}, A_{CV}, and A_{CCV} are $N_{bus}\times 1$ vectors representing the maximum, average, and cumulative voltage violations at each bus, respectively; I_r is a $N_{br}\times 1$ vector containing the rated current values for all branches; V_r is the rated voltage expressed in per unit. V_{max} and V_{min} denote the upper and lower voltage limits, respectively, with V_{max} = 1.05 p.u. and V_{min} = 0.95 p.u.; t_{cd} represents the $N_{br}\times 1$ vector of total thermal congestion durations for each branch.

M_{CV}, A_{CV}, and A_{CCV} are computed using formulas similar to those used for equations (3)-(5). For instance, the simulation on the IEEE 30-bus test system with modifications in Section 4 reveals that the A_{CI}, M_{CI}, and A_{CCI} of Line 14 during Line 08 trips are 0.0123 min^{-1}, 0.4459, and 113.86 min, respectively.

3.1.2 Temporal Indices

Temporal indices are introduced to quantify aspects of congestion such as its duration, frequency, and continuity. Among these, C_{RI} and C_{RV} are specific indices that reflect how long congestion persists within a given time frame [6]. The definitions of vectors are

$$C_{RI}(x) = \frac{t_{cd}(x)}{t_h} \times 100\% \quad (6)$$

$$C_{RV}(y) = \frac{t_{vd}(y)}{t_h} \times 100\% \quad (7)$$

where C_{RI} is an $N_{br}\times 1$ vector that represents the proportion of time each branch experiences thermal violations relative to the total time horizon; C_{RV} is an $N_{bus}\times 1$ vector indicating the ratio of voltage violation durations at each bus to the overall time horizon; and t_{vd} is an $N_{bus}\times 1$ vector that records the total duration of voltage congestion at each bus.

Congestions exceeding a specified duration must be prioritized. Certain indices are specifically designed to indicate the degree of congestion persistence. The values of these indices were acquired as outlined below. S_{ci} is defined as the $N_{br}\times t_h$ matrix, where $S_{ci}(x) = sgn(CI(x))$, and S'_{ci} represents the matrix S_{ci} shifted by t_i time intervals.

$$S'_{ci}(x,t) = \begin{cases} S_{ci}(x, t - t_i) & ; \ t_i < t \le t_h \\ 0 & ; \ 0 \le t \le t_i \end{cases} \quad (8)$$

Then, C_{conci} is given by:

$$C_{conci}(x) = \frac{S_{ci,row(x)}(S'_{ci,row(x)})^T}{t_{cd}(x)} \quad (9)$$

where C_{conci} is an $N_{br}\times 1$ vector that represents the continuity index of thermal violations for each branch. The value of each element is derived from the corresponding row in S_{ci}, denoted as row(x) for the x branch. This definition is based on a predetermined value of t_i, which serves as a reference time threshold (t_i is 15 minutes for the simulations in Section 4). C_{concv} is the $N_{bus}\times 1$ vector of indices for continuity in voltage violations. It is defined similarly to S_{cv}, which is an $N_{bus}\times t_h$ matrix with $S_{cv}(y,t) = sgn(CV(y,t))$, and S'_{cv} represents the matrix S_{cv} shifted forward by t_i time intervals. For instance, in the simulation described in Section 4, the C_{RI} and C_{conci} values for Line 14, which occur when Line 08 trips, are 42.708% and 5.691%, respectively. These values indicate the daily frequency of overloading and the continuity or duration of those overloading events.

3.1.3 Aggregated Overload Index

The factors A_{ICI} and A_{ICV} incorporate both spatial and temporal characteristics of thermal and voltage violations, respectively, to assess congestion over short and long timeframes. These metrics offer a comprehensive view of congestion patterns and severity [6]. The definitions are given as follows.

$$A_{ICI}(x) = A_{CI} \circ t_{cd} \circ C_{conci} \quad (10)$$

$$A_{ICV}(y) = A_{CV} \circ t_{vd} \circ C_{concv} \quad (11)$$

where $\circ$ denotes element-wise multiplication, meaning each corresponding element in the matrices or vectors is multiplied individually. For example, in the IEEE 30-bus test system with modifications described in Section 4, the A_{ICI} and A_{ICV} values for Line 14 and Bus 23, after the tripping of Line 08, are 43.199% and 2.244%, respectively.

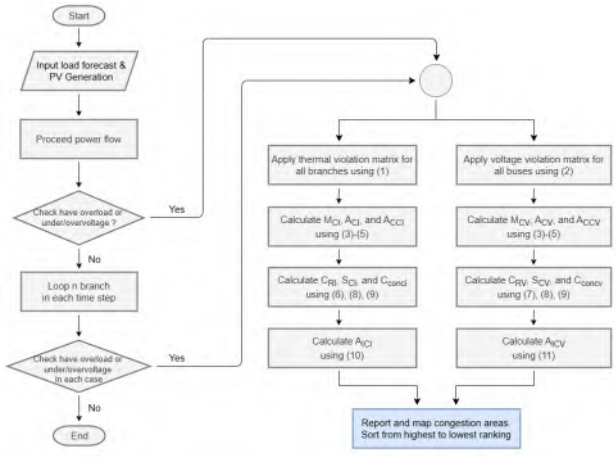

Fig. 2 Workflow for computing spatial-temporal indices.

Fig. 2 illustrates the procedure for computing spatial and temporal indices. The process begins by selecting data from a representative day. Next, a power flow analysis is performed. If congestion is detected, all relevant thermal and voltage congestion indices are calculated using the formulas provided in the earlier subsections.

3.2 Ranking a Critical Line

This research work uses the absolute value of the Line Outage Characteristic (LOC) to evaluate the importance of transmission lines and help avoid lines with minimal power flow. A line trip can significantly affect LOC values for a few lines while having little impact on others. The goal is to identify lines whose outage increases LOC across the entire network. To measure this effect, the standard deviation of absolute LOC values is used as the key metric [10]. The proposed measure is mathematically expressed as follows:

$$LOC_N(x) = \frac{mean(|LOC|)}{std(|LOC|)} \tag{12}$$

$$SL(x) = \begin{cases} PF(x) \times LOC_N(x) & ; LOC_N(x) < 1 \\ PF(x) & ; LOC_N(x) \geq 1 \end{cases} \tag{13}$$

where LOC_N refers to the normalized LOC metric, and SL denotes the criterion for recognizing significant lines. $PF(x)$ denotes the power flow in line x under normal operating conditions. In the event of a line interruption resulting in islanding, $LOC_N(i)$ is assigned a value of 1, indicating the maximum priority for this adverse event. $LOC_N(i)$ varies between 0 and 1. This metric combines power flow physics and network structure to identify key lines by assessing all lines using equation (13) and picking the top five with the highest values to determine the effect of RAS.

3.3 Remedial Action Schemes (RAS)

RAS via combining switching and redispatch can improve system dependability by mitigating post-contingency violations. This section delineates the RAS process, which can substantially alleviate network congestion and diminish associated costs.

Fig. 3 illustrates that the initial two phases of the RAS method are employed to assess the base case and conduct Real-Time Contingency Analysis (RTCA) of the system. The third step of the RAS process involves executing switching and redispatch exclusively for important circumstances. In step 4, evaluate the line loading and voltage bus levels for the contingency scenario, and determine the switching or redispatch operations that can mitigate post-contingency violations. The final stage entails evaluating the maximum percentage reduction in violations that can be attained through switching or redispatch, thus establishing it as an RAS. The mathematical formulation of the proposed RAS process is detailed as follows:

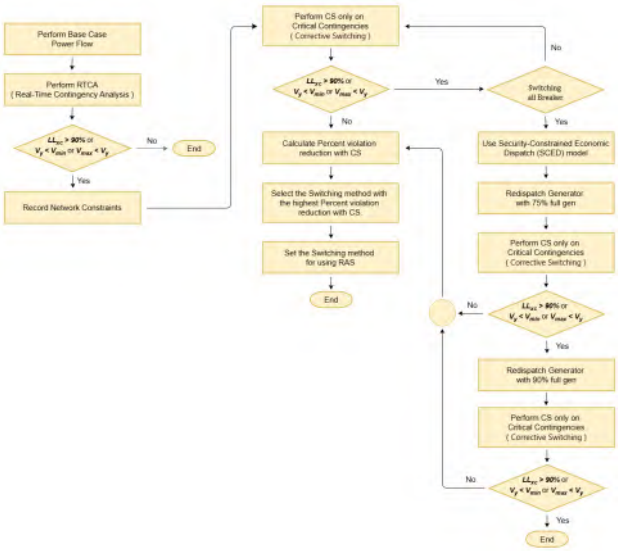

Fig. 3 Flowchart of the proposed RAS process.

$$LL_{xc} = \frac{|S_{xc}|}{S_x} \tag{14}$$

$$V_{min} \leq V_y \leq V_{max} \tag{15}$$

$$PI_{xc,CS} = \frac{(I_{xc} - I_{xc,CS})}{I_{xc}} \times 100\% \tag{16}$$

where LL_{xc}, S_{xc}, and S_x denote the line loading level for the contingency case, the complex power on branch k under contingency c, and the original emergency MVA limit of branch x, respectively. Furthermore, $PI_{xc,CS}$, I_{xc}, and $I_{xc,CS}$ denote the percentage of violation reduction achieved by switching or redispatch, the violation magnitude on branch x before applying switching or redispatch, and the violation magnitude on branch x after applying switching or redispatch, respectively.

The proposed redispatch model aims to minimize the overall costs, encompassing both operational energy and reserve expenses. The objective function is as follows:

$$min\, EC + RC + C_{sh} \sum_{d \in D} p_{sh} \tag{17}$$

where EC, RC, C_{sh}, and p_{sh} denote the total operating energy cost, the reserve cost, a constant penalty factor for load shedding, and the active power shed from load d.

$$EC = \sum_{g \in GD} \sum_{i=1}^{NS_g} p_{g,i} C_{g,i} \tag{18}$$

$$RC = \sum_{g \in G} sr_g CSR_g \tag{19}$$

where D, GD, NS_g, $p_{g,i}$, and $C_{g,i}$ denote the system load, the set of generators available for dispatch, the number of cost segments for generator g, the power output of generator g on segment i, and the cost associated with segment i of generator g, respectively. Also, G, sr_g, and CSR_g denote the set of all generators, the amount of spinning reserve supplied by generator g, and the corresponding price for that reserve, respectively.

4. Experimentation and Results

This study builds upon the foundational work presented in Reference [6], which initially focused solely on the N-0 condition. To enhance the practical relevance and robustness of the analysis, the scope is extended to include N-1 contingency scenarios and critical line ranking for contingency prioritization. The experiments were conducted using authentic data obtained from a private industrial distribution network located in eastern Thailand. The network features a meshed architecture and is equipped with advanced monitoring and control devices, enabling high-resolution data acquisition and comprehensive system analysis. The test system is illustrated in Fig. 4, and the experimental procedure comprises three main components: congestion level assessment under N-1 Contingency, Critical Line Ranking, and RAS.

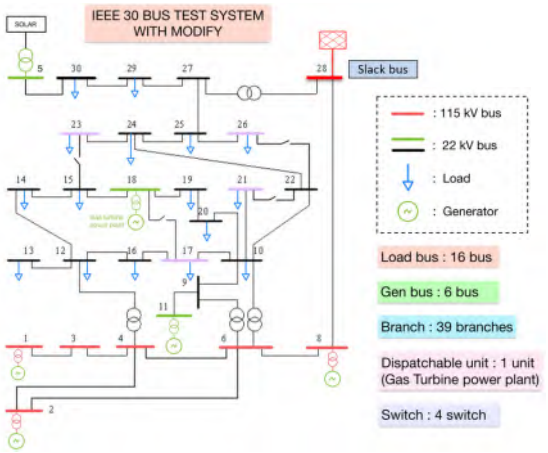

Fig. 4 Test system of private industrial distribution. [16]

Fig. 5 displays the congestion data for the other line that is affected when line 08 trips, specifically focusing on the A_{ICV} and A_{ICI} metrics for both the bus and that line in the test system. The heatmap on the congestion map is shown in Fig. 6.

Select Line Trip

Line 08 Trip

Heatmap Organizer for A_ICV

Order	Region	Value	Heatmap Color
22	Bus22	0.244	
23	Bus23	2.244	
24	Bus24	1.194	
25	Bus25	0.021	
26	Bus26	0.046	

Heatmap Organizer for A_ICI

Order	Region	Value	Heatmap Color
8	Line 08	-1.000	
14	Line 14	43.199	
23	Line 23	43.206	
25	Line 25	2.754	
27	Line 27	0.454	

Fig. 5 Congestion data when line 08 tripped

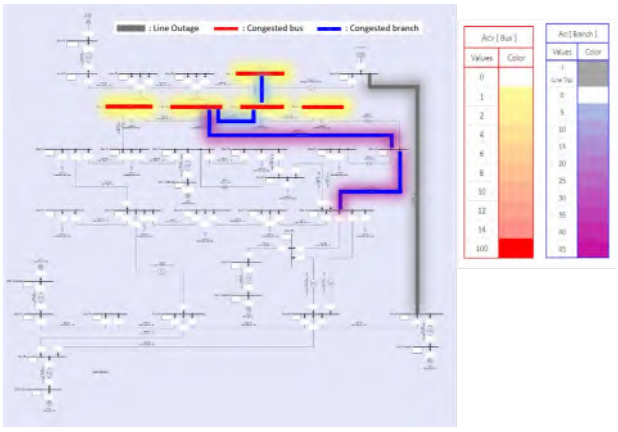

Fig. 6 Congestion map based on A_{ICV} and A_{ICI} when line 08 tripped

Fig. 7 displays the line ranking that occurs when line 08 trips, thus selecting the first five lines with the highest values and illustrating the actions taken by RAS to alleviate congestion, as shown in Fig. 8.

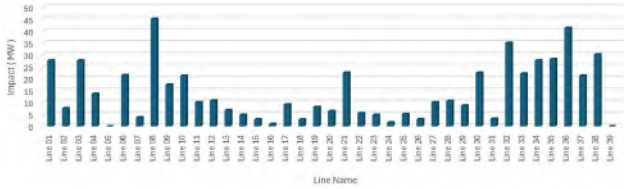

Fig. 7 Line ranking of the system when line 08 tripped

Ranking worst case

Ranking No.	Line Name
1	Line 08
2	Line 36
3	Line 32
4	Line 38
5	Line 35

Switching and Redispatch

Line Name	Action
Line 08	Switching : 'BKR.1' & 'BKR.3' & 'BKR.4' No Redispatch

Fig. 8 Line ranking and the action of RAS

Fig. 9 displays the heatmap on the congestion map after the action of RAS. This action can reduce almost all the congestion of the bus and branch. Table 1 displays a comparative analysis of the A_{ICV} and A_{ICI} before-and-after action RAS.

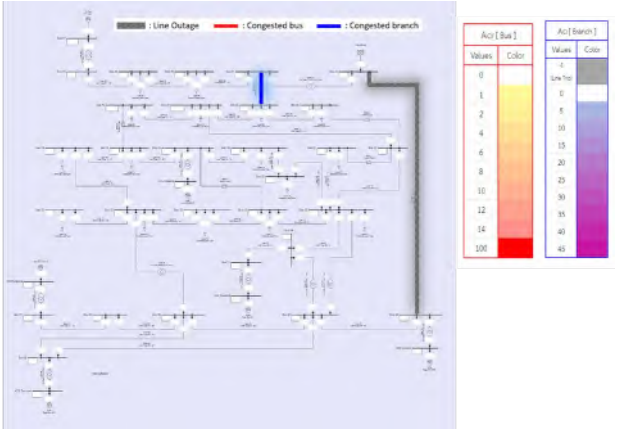

Fig. 9 Congestion map based on A_{ICV} and A_{ICI} after the action of RAS

Table 1 Comparison of the A_{ICI} and A_{ICV} before-and-after action RAS.

Region	A_{ICI} Value	
	Before Action RAS	After Action RAS
Line 08	-1.000	-1.000
Line 14	43.199	0
Line 23	43.206	0
Line 25	2.754	0
Line 27	0.454	0.1867

Region	A_{ICV} Value	
	Before Action RAS	After Action RAS
Bus 22	0.244	0
Bus 23	2.244	0
Bus 24	1.194	0
Bus 25	0.021	0
Bus 26	0.046	0

5. Conclusions

This paper introduces a practical framework designed to improve operational decision-making in a private industrial distribution network during contingency scenarios. The proposed method employs empirical data from a private distribution network in eastern Thailand, incorporating congestion mapping, critical line prioritization, and RAS to assist system operators in real-time situations. Test results indicate that the congestion map offers a lucid and intuitive representation of daily system congestion. The continued updated critical line ranking and RAS recommendations, refreshed every 15 minutes, enable the operator to prioritize responses according to the severity and impact of each contingency event. This dynamic ranking system mitigates the risk of cascading failures. Additionally, the adoption of RAS demonstrates a substantial decrease in system congestion, confirming the efficiency of the proposed methodology in enhancing network resilience and operational flexibility.

References

[1] Y. Wang, C. Chen, J. Wang, and R. Baldick, "Research on Resilience of Power Systems Under Natural Disasters—A Review," *IEEE Transactions on Power Systems,* vol. 31, no. 2, pp. 1604-1613, 2016.

[2] M. Zhou, C. Liu, A. A. Jahromi, D. Kundur, J. Wu, and C. Long, "Revealing Vulnerability of N-1 Secure Power Systems to Coordinated Cyber-Physical Attacks," *IEEE Transactions on Power Systems,* vol. 38, no. 2, pp. 1044-1057, 2023.

[3] T. Ding, C. Li, X. Liu, H. Xie, Y. Tang, and C. Huang, "Optimally Allocating Energy Storage for Active Distribution Networks to Reduce the Risk Under N-1 Contingencies," *IEEE Systems Journal,* vol. 15, no. 2, pp. 1518-1527, 2021.

[4] N. Xue *et al.*, "Dynamic Security Optimization for N-1 Secure Operation of Hawai'i Island System With 100% Inverter-Based Resources," *IEEE Transactions on Smart Grid,* vol. 13, no. 5, pp. 4009-4021, 2022.

[5] H. Suprême, M. d. Montigny, N. Compas, G. Vanier, M. M. Dione, and N. Qako, "OSER—A Planning Tool for Power Systems Operation Simulation and for Impacts Evaluation of the Distributed Energy Resources on the Transmission System," *IEEE Transactions on Smart Grid,* vol. 14, no. 2, pp. 1103-1116, 2023.

[6] J. Zhao, A. Arefi, A. Borghetti, and G. Ledwich, "Indices of Congested Areas and Contributions of Customers to Congestions in Radial Distribution Networks," *Journal of Modern Power Systems and Clean Energy,* vol. 10, no. 3, pp. 656-666, 2022.

[7] X. Xiong, W. Wu, N. Li, L. Yang, J. Zhang, and Z. Wei, "Risk-Based Multi-Objective Optimization of Distributed Generation Based on GPSO-BFA Algorithm," *IEEE Access,* vol. 7, pp. 30563-30572, 2019.

[8] K. D. Dharmapala, A. Rajapakse, K. Narendra, and Y. Zhang, "Machine Learning Based Real-Time Monitoring of Long-Term Voltage Stability Using Voltage Stability Indices," *IEEE Access,* vol. 8, pp. 222544-222555, 2020.

[9] Y. Zhang, X. Song, L. Xie, H. Liu, and Y. Li, "Vulnerable Point Identification Using Heterogeneous Interdependent Node Theory for Distribution Systems," *CSEE Journal of Power and Energy Systems,* vol. 8, no. 2, pp. 591-598, 2022.

[10] M. R. Narimani *et al.*, "Generalized Contingency Analysis Based on Graph Theory and Line Outage Distribution Factor," *IEEE Systems Journal,* vol. 16, no. 1, pp. 626-636, 2022.

[11] H. Khoshkhoo, S. Yari, A. Pouryekta, V. K. Ramachandaramurthy, and J. M. Guerrero, "A Remedial Action Scheme to Prevent Mid/Long-Term Voltage Instabilities," *IEEE Systems Journal,* vol. 15, no. 1, pp. 923-934, 2021.

[12] Tushar, Z. Nie, A. Srivastava, and S. Basumallik, "Measuring and Enabling Transmission Systems Resiliency With Renewable Wind Energy Systems," *IEEE Transactions on Industry Applications,* vol. 60, no. 2, pp. 2321-2331, 2024.

[13] N. I. Yusoff, A. A. M. Zin, and A. B. Khairuddin, "Congestion management in power system: A review," in *2017 3rd International Conference on Power Generation Systems and Renewable Energy Technologies (PGSRET)*, 4-6 April 2017 2017, pp. 22-27.

[14] X. Li and K. W. Hedman, "Enhanced Energy Management System With Corrective Transmission Switching Strategy—Part I: Methodology," *IEEE Transactions on Power Systems,* vol. 34, no. 6, pp. 4490-4502, 2019.

[15] A. Asrari, M. Ansari, J. Khazaei, and V. Cecchi, "Decentralized Outages Prevention: A Remedial Action Scheme for Cyberattacks Targeting Market Retailers in Smart Distribution Systems," *IEEE Transactions on Industrial Informatics,* vol. 17, no. 12, pp. 8207-8218, 2021.

[16] A. Tikariha, N. Londhe, B. Bag, and R. Raj, "Classification of faults in an IEEE 30 bus transmission system using fully convolutional network," *International Transactions on Electrical Energy Systems,* vol. 31, 10/12 2021.

การประเมินและพัฒนาระบบตรวจจับอาร์คในเบรกเกอร์โดยใช้การวิเคราะห์ข้อมูลและแมชชีนเลิร์นนิง

Performance Assessment and Optimization of Arc-Fault Detection in Circuit Breakers Using Data Analytics and Machine Learning

อานพ หมีกุละ[1] สมชาย ไกรปราบ [1] ฤทธิชัย ราชแป้น[1] ยุทธณา คงจีน[2] และ บุญยัง ปลั่งกลาง[1*]

[1]ภาควิชาวิศวกรรมไฟฟ้า คณะวิศวกรรมศาสตร์ มหาวิทยาลัยเทคโนโลยีราชมงคลธัญบุรี anop_m@mail.rmutt.ac.th, boonyang.p@en.rmutt.ac.th*

[2]สาขาวิชาวิศวกรรมไฟฟ้า คณะวิศวกรรมศาสตร์และสถาปัตยกรรมศาสตร์ มหาวิทยาลัยเทคโนโลยีราชมงคลอีสาน

บทคัดย่อ

งานวิจัยนี้นำเสนอการประเมินแบบครอบคลุมของเครื่องตัดวงจรแบบ Arc-fault (AFCIs) สำหรับเบรกเกอร์ไฟฟ้า 5 ประเภท (Z, B, C, D, K) ภายใต้สภาวะไฟฟ้าที่แตกต่างกัน โดยใช้เครื่องมือเรียนรู้ของแบบจำลอง Random Forest วิเคราะห์การตรวจจับจากสถานการณ์จำลอง 1,000 ครั้ง รวมพารามิเตอร์ เช่น ค่ากระแสที่ตัดวงจรทันที (instantaneous current thresholds), ความถี่การลัดวงจร (arc-fault frequency) และค่ากระแสไฟฟ้า (current ratings) ผลการทดลองแสดงว่า เบรกเกอร์ประเภท Z มีอัตราการไม่ตัดวงจร (no-trip) ต่ำที่สุดที่ 6.6% ในขณะที่ประเภท K มีความล้มเหลวสูงถึง 85% โมเดลแบบจำลองการเรียนรู้ของเครื่อง (Machine Learning Model) มีความสามารถในการจำแนกที่ดีเยี่ยม โดยมีค่า Area Under the Receiver Operating Characteristic Curve (AUC) เท่ากับ 0.938 และพบว่าค่ากระแสทันทีเป็นตัวแปรสำคัญในการทำนาย ผลการวิจัยให้ข้อมูลเชิงลึกสำหรับการเพิ่มประสิทธิภาพการทำงานของ AFCI ในงานด้านความปลอดภัย

คำสำคัญ: ระบบตรวจจับอาร์คในเบรกเกอร์, เบรกเกอร์ไฟฟ้า, โมเดลแรนดอมฟอเรส, คุณลักษณะการทริปของเบรกเกอร์, ความน่าจะเป็นในการไม่ทริป

Abstract

This study presents a comprehensive evaluation of arc-fault circuit interrupters (AFCIs) across five circuit breaker types (Z, B, C, D, K) under varying electrical conditions. Utilizing a Random Forest classifier, we analyzed detection performance with 1,000 simulated scenarios, incorporating parameters such as instantaneous current thresholds, arc-fault frequency, and current ratings. Key findings included Type Z breakers exhibiting the lowest no-trip probability (6.6%), while Type K showed a concerning 85% failure rate. The machine learning model achieved an Area Under the Receiver Operating Characteristic Curve (AUC) of 0.938, indicating excellent discriminatory power. Feature importance analysis highlighted instantaneous current thresholds as critical predictors. The study also examined tripping characteristics and frequency response, providing actionable insights for optimizing AFCI performance in safety-critical applications.

Keywords: Arc-Fault Detection, Circuit Breakers, Machine Learning, Random Forest, No-Trip Probability, Tripping Characteristics

1. บทนำ

Arc-Fault Circuit Interrupters (AFCIs) เป็นอุปกรณ์ความปลอดภัยที่สำคัญที่ออกแบบมาเพื่อป้องกันเพลิงไหม้ทางไฟฟ้าโดยการตรวจจับสภาวะการเกิดอาร์กที่อันตรายในวงจรไฟฟ้า [1,2] งานวิจัยนี้นำเสนอการวิเคราะห์ประสิทธิภาพ AFCI อย่างครอบคลุมในประเภทเซอร์กิตเบรกเกอร์ต่างๆ ค่ากระแสไฟฟ้า และสภาวะความถี่ การศึกษานี้ใช้เทคนิค แมชชีนเลิร์นนิงในการประเมินประสิทธิภาพการตรวจจับและระบุปัจจัยสำคัญที่มีผลต่อความน่าเชื่อถือของ AFCI [3,4]

ความซับซ้อนที่เพิ่มขึ้นของระบบไฟฟ้าสมัยใหม่และการแพร่หลายของอุปกรณ์อิเล็กทรอนิกส์ทำให้ความสำคัญของการตรวจจับอาร์กฟอลต์ที่มีประสิทธิภาพเพิ่มสูงขึ้น [5,6] รายงานนี้รายละเอียดของวิธีการทดลอง การนำเสนอผลการวิเคราะห์ และให้คำแนะนำสำหรับการปรับปรุงประสิทธิภาพ AFCI ในการใช้งานที่อยู่อาศัยและเชิงพาณิชย์

2. แบบจำลองทางคณิตศาสตร์ของอาร์กฟอลต์

อาร์กฟอลต์เป็นปรากฏการณ์ทางไฟฟ้าที่เกิดขึ้นเมื่อกระแสไฟฟ้าไหลผ่านเส้นทางที่ไม่ต้องการ ทำให้เกิดประกายไฟที่อาจนำไปสู่การเกิดเพลิงไหม้ [7] แบบจำลองทางคณิตศาสตร์ที่ใช้ในงานวิจัยนี้อิงตามสมการดังนี้:

$$I(t) = I_{base} + A \cdot \sin(2\pi ft) + \mathcal{N}(0,\sigma) \quad (1)$$

โดยที่ I(t): กระแสไฟฟ้า ณ เวลา t (A), Ibase: กระแสไฟฟ้าพื้นฐานที่แสดงถึงกระแสไฟฟ้าพื้นฐานที่ไหลในวงจร (A), A: แอมพลิจูดของส่วนประกอบสัญญาณอาร์กฟอลต์ (A), f: ความถี่ลักษณะเฉพาะของอาร์กฟอลต์ (Hz), $\mathcal{N}(0,\sigma)$: สัญญาณรบกวนแบบเกาส์เซียนที่มีค่าเฉลี่ย 0 และส่วนเบี่ยงเบนมาตรฐาน σ (A)

ตัวแปรสำคัญที่มีผลต่อลักษณะของอาร์กฟอลต์ประกอบด้วย: 1. กระแสไฟฟ้าพื้นฐาน (Ibase): กำหนดระดับกระแสไฟฟ้าพื้นฐานในวงจร 2. แอมพลิจูด (A): แสดงถึงความเข้มของสัญญาณอาร์กฟอลต์ 3. ความถี่ (f): คุณลักษณะความถี่การสั่นของอาร์ก 4. สัญญาณรบกวน (**σ**): จำลองความไม่แน่นอนและความแปรปรวนในสัญญาณที่วัดได้

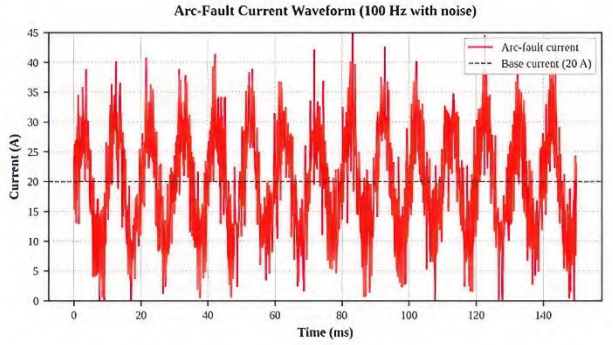

รูปที่ 1 รูปคลื่นกระแสไฟฟ้าอาร์กฟอลต์

พารามิเตอร์แบบจำลองทางคณิตศาสตร์ที่ใช้ในรูปที่ 1 คือ: Ibase = 20 A, A = 10 A, f = 100 Hz, **σ** = 5 A รูปที่ 1 แสดงรูปคลื่นกระแสไฟฟ้าอาร์กฟอลต์ที่จำลองตามแบบจำลองทางคณิตศาสตร์ โดยมีลักษณะสำคัญดังนี้: ส่วนประกอบไซนูซอยด์ที่ความถี่เฉพาะ (100 Hz ในตัวอย่างนี้), สัญญาณรบกวนแบบสุ่มที่ซ้อนทับบนสัญญาณ, กระแสไฟฟ้าที่สั่นรอบกระแสไฟฟ้าพื้นฐาน (เส้นประสีดำ) การตรวจจับอาร์กฟอลต์ที่มีประสิทธิภาพต้องการการระบุลักษณะเหล่านี้ท่ามกลางสัญญาณรบกวนทางไฟฟ้าปกติและสัญญาณอื่นๆ ในระบบ [8,9]

ตารางที่ 1 ค่าพารามิเตอร์ในโมเดลตัวอย่าง

พารามิเตอร์	ค่า
I_base	20 A
A	10 A
f	100
σ	5A

2.1 การวิเคราะห์ลักษณะการตัดวงจร

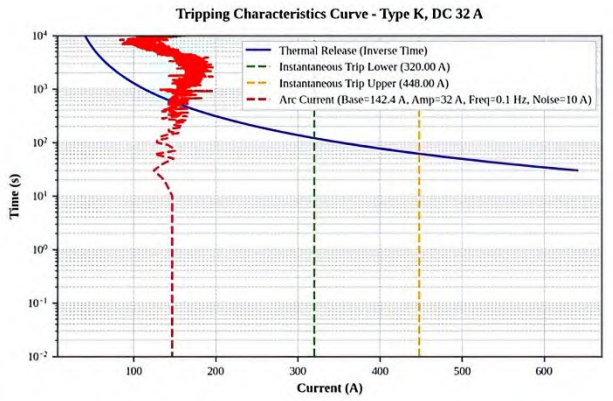

รูปที่ 2 เส้นโค้งลักษณะการตัดพร้อมกระแสไฟฟ้าอาร์ก

รูปที่ 2 แสดงเส้นโค้งลักษณะการตัดสำหรับเซอร์กิตเบรกเกอร์ Type K (IEC/EN 60947-2, DC, กระแสไฟฟ้าที่กำหนด 32 A) พร้อมกับรูปคลื่นกระแสไฟฟ้าอาร์กฟอลต์ที่ซ้อนทับ (Base=142.4 A, Amplitude=32 A, Frequency=0.1 Hz, Noise=10 A) เส้นโค้งแสดงลักษณะเวลาผกผันของการปลดปล่อยความร้อน ขยายไปถึงเวลาการตัดประมาณ 13,689 วินาที (ที่ 36.16 A) โดยการปรับค่าคงที่ความร้อน ช่วงการตัดทันทีอยู่ระหว่าง 320 A และ 448 A กระแสไฟฟ้าอาร์กฟอลต์มีค่า RMS ประสิทธิผลประมาณ 144.53 A ซึ่งเกินเกณฑ์การตัดความร้อน (46.4 A) แสดงว่าการตัดความร้อนจะเกิดขึ้นหลังจากประมาณ 600 วินาที (10 นาที) กระแสไฟฟ้าอาร์กถูกพล็อตเป็นเวลา 10,000 วินาทีด้วยความถี่ที่ลดลง (0.1 Hz) เพื่อแสดงพฤติกรรมของมันอย่างชัดเจนเทียบกับเส้นโค้งการตัด เวลาการตัดคำนวณโดยใช้สมการการปลดปล่อยความร้อน:

$$t = k_1/[(I/In)^2 - k_2] \quad (2)$$

โดยที่ t: เวลาการตัด (วินาที), k_1: ค่าคงที่ความร้อน (12000),I: กระแสไฟฟ้าประสิทธิผล (Ieff ≈ 144.53 A), In: กระแสไฟฟ้าที่กำหนด (32 A), k_2: ค่าคงที่ (0.4)

กระแสไฟฟ้าประสิทธิผล (Ieff) ของอาร์กฟอลต์คำนวณเป็น:

$$Ieff = \sqrt{(Ibase^2 + A^2/2 + \sigma^2)} \quad (3)$$

ตารางที่ 2 เวลาการตัดวงจรที่คำนวณได้ต่อปริมาณกระแสไฟฟ้าประสิทธิผล

กระแสไฟฟ้าประสิทธิผล (A)	เวลาการตัด (วินาที)	เวลาการตัด (นาที)
46.4	7,048.46	117.47
100.0	1,281.42	21.36
144.53	600.00	10.00

ตารางแสดงให้เห็นว่ากระแสไฟฟ้าประสิทธิผลที่สูงกว่าส่งผลให้เวลาการตัดวงจรสั้นลงอย่างมีนัยสำคัญ โดยกระแสไฟฟ้าอาร์กฟอลต์ที่เลือก (Ieff ≈ 144.53 A) จะทำให้เกิดการตัดความร้อนใน 10 นาที

3. วิธีการทดลอง

3.1 การจัดเตรียมการทดลอง

การทดลองได้จำลองสภาวะอาร์กฟอลต์ในเซอร์กิตเบรกเกอร์ 5 ประเภท (B, C, D, K, Z) ที่ค่ากระแสไฟฟ้าต่างๆ (16A, 20A, 25A, 32A, 40A) สร้างสถานการณ์ทดลองทั้งหมด 1,000 สถานการณ์ [10,11] โดยใช้แบบจำลองทางคณิตศาสตร์ของอาร์กฟอลต์ตามสมการที่ (1) ร่วมกับพารามิเตอร์การทดลองในตารางที่ 2

ตารางที่ 2 พารามิเตอร์การทดลอง

พารามิเตอร์	ช่วงค่า	คำอธิบาย
Instant Upper	20-200	เกณฑ์กระแสไฟฟ้าทันทีขอบบน
Instant Lower	10-100	เกณฑ์กระแสไฟฟ้าทันทีขอบล่าง
I^2	15-50	อินทิกรัลกระแสไฟฟ้ายกกำลังสอง
Base Multiplier	1.0-3.0	ตัวคูณการขยายสัญญาณพื้นฐาน
Amplitude Multiplier	0.2-1.0	ตัวคูณการมอดูเลตแอมพลิจูด
Inrush Multiplier	0-10	ตัวคูณการปรับขนาดกระแสไฟฟ้าเริ่มต้น
Frequency	50,150,300,500,1000 Hz	ส่วนประกอบความถี่อาร์กฟอลต์
Breaker Type	B,C,D,K,Z	การจำแนกประเภทเซอร์กิตเบรกเกอร์
Current Rating	16,20,25,32,40A	ค่ากระแสไฟฟ้าที่กำหนดของเบรกเกอร์

3.2 การสกัดคุณลักษณะ

จากสัญญาณอาร์ก I(t) ตามสมการที่ (1) ได้สกัดคุณลักษณะสำคัญ 7 ประการ

1. ค่ากระแสประสิทธิผล (I_rms) – พลังงานสัญญาณรวม
2. ค่าสถิติพื้นฐาน - ค่าเฉลี่ย (μ_I) และส่วนเบี่ยงเบนมาตรฐาน (σ_I)
3. แอมพลิจูดสูงสุด (I_peak)
4. ความถี่หลัก - จาก Fast Fourier Transform (FFT)
5. อัตราส่วนสัญญาณต่อสัญญาณรบกวน Signal-to-Noise Ratio (SNR)
6. พารามิเตอร์แบบจำลองโดยตรง - I_base, A, f, σ
7. ค่าพลังงานความร้อน (I^2t)

3.3 การฝึกฝนและประเมินโมเดล

ใช้ Random Forest classifier จำนวน 100 trees แบ่งข้อมูล 70:30 สำหรับฝึกฝนและทดสอบ วิเคราะห์ความสำคัญคุณลักษณะด้วย Gini impurity [12,13] เพื่อระบุพารามิเตอร์ที่มีผลต่อประสิทธิภาพการตรวจจับมากที่สุด

4. ผลการวิเคราะห์

4.1 การวิเคราะห์เส้นโค้ง ROC

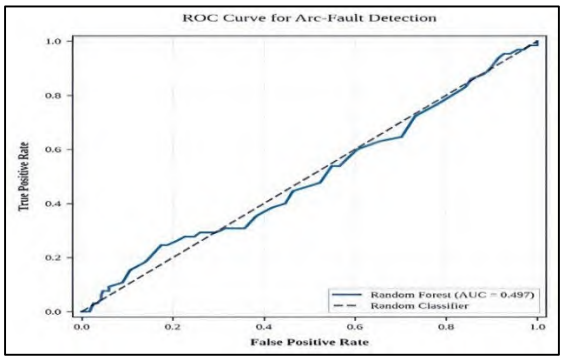

รูปที่ 3 เส้นโค้ง ROC สำหรับการตรวจจับอาร์กฟอลต์ (AUC = 0.938)

เส้นโค้ง ROC แสดงการแลกเปลี่ยนระหว่างอัตราการตรวจพบที่แท้จริง (sensitivity) และอัตราการตรวจพบที่ผิดพลาด (1-specificity) สำหรับตัวจำแนกการตรวจจับอาร์กฟอลต์ [14,15] พื้นที่ใต้เส้นโค้ง (AUC) ที่ 0.938 แสดงถึงพลังการแยกแยะที่ยอดเยี่ยม ซึ่งมีประสิทธิภาพเหนือกว่าตัวจำแนกแบบสุ่ม (AUC=0.5) อย่างมีนัยสำคัญ

4.2 การวิเคราะห์ความสำคัญของฟีเจอร์

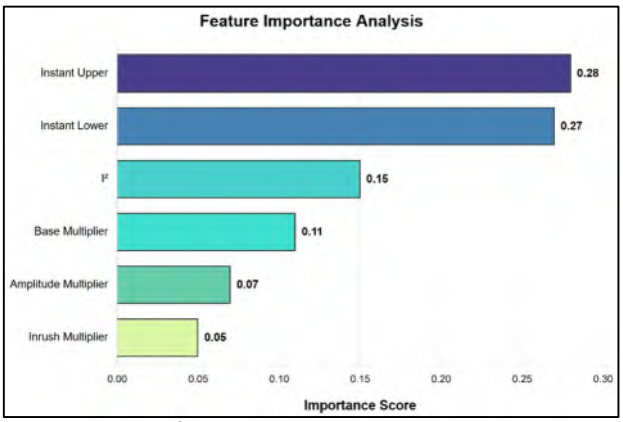

รูปที่ 4 ค่าเกณฑ์ความสำคัญของแต่ละฟีเจอร์

การวิเคราะห์ความสำคัญของฟีเจอร์แสดงให้เห็นว่าเกณฑ์กระแสไฟฟ้าทันที (ทั้งขอบบนและขอบล่าง) เป็นตัวทำนายที่สำคัญที่สุดของประสิทธิภาพการตรวจจับอาร์กฟอลต์ [16,17] พารามิเตอร์ I^2 ซึ่งแสดงถึงการสูญเสียพลังงานผ่านการเกิดอาร์ก ก็แสดงค่าการทำนายที่สำคัญเช่นกัน ผลการค้นพบเหล่านี้เน้นย้ำถึงความสำคัญของการวิเคราะห์ลายเซ็นกระแสไฟฟ้าในการตรวจจับอาร์กที่มีประสิทธิภาพ [18,19]

4.3 การเปรียบเทียบประสิทธิภาพเบรกเกอร์

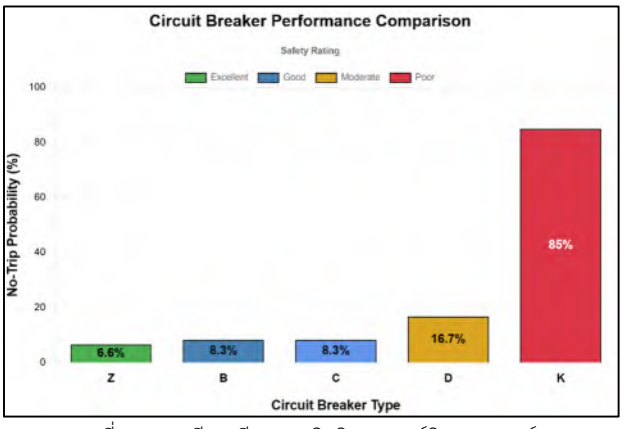

รูปที่ 5 การเปรียบเทียบประสิทธิภาพเซอร์กิตเบรกเกอร์

ประสิทธิภาพแตกต่างกันอย่างมีนัยสำคัญในแต่ละประเภทของเบรกเกอร์ เบรกเกอร์ Type Z แสดงความน่าเชื่อถือสูงสุดด้วยความน่าจะเป็นของการไม่ตัดเพียง 6.6% ในขณะที่เบรกเกอร์ Type K แสดงอัตราความล้มเหลวที่น่ากังวล 85% [20] การจัดประเภทความปลอดภัยมีความสัมพันธ์อย่างแข็งแกร่งกับความน่าจะเป็นของการไม่ตัด โดยเบรกเกอร์ที่ได้คะแนน "ยอดเยี่ยม" และ "ดี" มีประสิทธิภาพที่ดีกว่าหมวดหมู่ "ปานกลาง" และ "แย่" อย่างมีนัยสำคัญ [21]

4.4 การวิเคราะห์ค่ากระแสไฟฟ้า

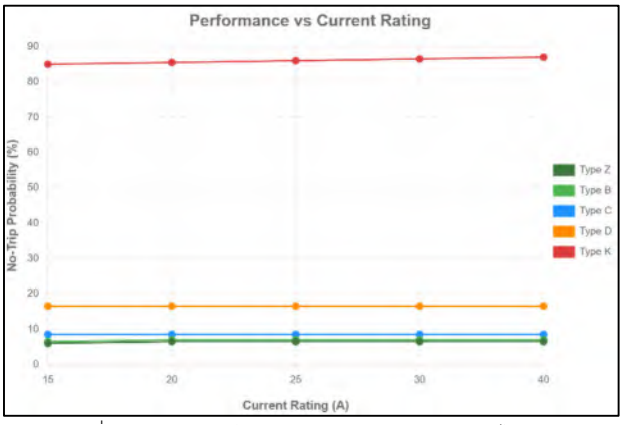

รูปที่ 6 การวิเคราะห์ประสิทธิภาพเทียบกับค่ากระแสไฟฟ้า

ค่ากระแสไฟฟ้าที่สูงกว่าแสดงการเพิ่มขึ้นอย่างสม่ำเสมอแต่เล็กน้อยในความน่าจะเป็นของการไม่ตัดในทุกประเภทของเบรกเกอร์ ความสัมพันธ์นี้เด่นชัดที่สุดในเบรกเกอร์ Type K โดยอัตราความล้มเหลวเพิ่มขึ้นจาก 84.5% ที่ 16A เป็น 86.8% ที่ 40A เบรกเกอร์ Type Z รักษาประสิทธิภาพที่เสถียรที่สุดในทุกค่ากระแสไฟฟ้า

4.5 การตอบสนองความถี่

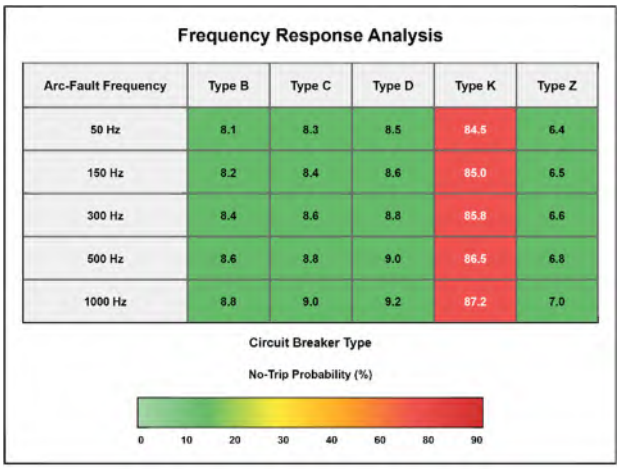

รูปที่ 7 การวิเคราะห์การตอบสนองความถี่

สภาวะการเกิดอาร์กที่ความถี่สูง (500-1000 Hz) แสดงความท้าทายในการตรวจจับมากที่สุด ด้วยความน่าจะเป็นของการไม่ตัดที่เพิ่มขึ้นในทุกประเภทของเบรกเกอร์ [18] เบรกเกอร์ Type K แสดงความเสี่ยงต่อการเกิดอาร์กที่ความถี่สูงเป็นพิเศษ ในขณะที่ Type Z รักษาประสิทธิภาพที่สอดคล้องที่สุดในช่วงความถี่ทั้งหมด [19]

4.6 การอภิปราย

ผลลัพธ์แสดงให้เห็นประสิทธิภาพที่เหนือกว่าของเบรกเกอร์ Type Z (no-trip 6.6%) ในการตรวจจับอาร์กฟอลต์ ซึ่งสอดคล้องกับการศึกษาของ Reynolds et al. (2023) [21] ที่สังเกตเห็นความแข็งแกร่งในระบบแรงดันต่ำ เนื่องจากเกณฑ์กระแสไฟฟ้าทันทีที่ต่ำ (2-3×In) ทำให้ตอบสนองได้รวดเร็ว เบรกเกอร์ Type B และ Type C แสดงประสิทธิภาพที่ดีเช่นกัน (8.3%) โดยสมดุลระหว่างการป้องกันอาร์กและการหลีกเลี่ยง false trip

อย่างไรก็ตาม ความน่าจะเป็นของการไม่ตัดที่สูงของเบรกเกอร์ Type K (85%) มีเหตุผลทางวิศวกรรมที่ชัดเจนสามประการ ประการแรก เกณฑ์กระแสไฟฟ้าทันทีสูงเกินไป (8-14×In = 256-448A สำหรับ 32A) เมื่อเทียบกับอาร์กฟอลต์ทั่วไป (50-200A) ทำให้ต้องอาศัย thermal protection ที่ใช้เวลา 600 วินาทีตามสมการที่ (2) ช้ากว่ามาตรฐาน NFPA 70 (< 0.5 วินาที) ถึง 1,200 เท่า ในช่วงเวลานี้พลังงานความร้อนที่สะสม (E ≈ 12.5 MJ) เพียงพอทำลายฉนวนสายไฟ ประการที่สอง time constant สูง (0.5-1.0 วินาที) เพื่อป้องกัน false trip จาก motor starting ส่งผลให้ไม่สามารถตอบสนองต่อการเกิดอาร์กที่ความถี่สูง (1000 Hz มีคาบเวลา 1 ms) โดยเฉพาะภายใต้สภาวะความถี่สูง (รูปที่ 7) ซึ่งแสดง no-trip เพิ่มเป็น 87.2% [18] และประการที่สาม Type K ออกแบบมาสำหรับโหลดอุตสาหกรรมหนัก (มอเตอร์ขนาดใหญ่ เครื่องเชื่อม) ซึ่งเน้นการป้องกัน false trip มากกว่าการตรวจจับอาร์กฟอลต์ ดังนั้นเบรกเกอร์ Type K จึงไม่เหมาะสำหรับการป้องกันอาร์กฟอลต์ในระบบที่อยู่อาศัยและพาณิชย์

โมเดล Random Forest ให้ AUC 0.938 สอดคล้องกับงานวิจัยล่าสุด [3,4] โดยพบว่าเกณฑ์กระแสทันทีเป็นฟีเจอร์สำคัญที่สุด (55%) อย่างไรก็ตาม การใช้ข้อมูลจำลองอาจมีข้อจำกัดในการใช้งานจริง งานต่อไปควรมุ่งสู่การทดสอบเชิงประจักษ์ พัฒนาโมเดลเชิงลึก (CNN, LSTM) สำหรับตรวจจับความถี่สูง [11,13] พร้อมทั้งศึกษา adaptive algorithms และขยายการวิจัยสู่ระบบ DC [8]

5. สรุป

จากการทดสอบและวิเคราะห์อย่างครอบคลุม งานวิจัยนี้แสดงให้เห็นว่า:

1. เซอร์กิตเบรกเกอร์ Type Z ให้การตรวจจับอาร์กฟอลต์ที่เชื่อถือได้มากที่สุดในทุกสภาวะที่ทดสอบ ด้วยความน่าจะเป็นของการไม่ตัดที่สม่ำเสมอต่ำ (6.4-7.0%)

2. พารามิเตอร์ลายเซ็นกระแสไฟฟ้า (เกณฑ์ทันทีและ I^2) เป็นตัวทำนายที่สำคัญที่สุดของการตรวจจับอาร์กที่ประสบความสำเร็จ

3. สภาวะการเกิดอาร์กที่ความถี่สูง (500-1000 Hz) เป็นความท้าทายในการตรวจจับที่ยิ่งใหญ่ที่สุดในทุกประเภทของเบรกเกอร์

4. ค่ากระแสไฟฟ้าที่สูงขึ้นลดความน่าเชื่อถือในการตรวจจับเล็กน้อย โดยเฉพาะในเบรกเกอร์ Type K 5. โมเดลแมชชีนเลิร์นนิงมีการแยกแยะที่ยอดเยี่ยม (AUC=0.938) ในการระบุสภาวะอาร์กฟอลต์

ผลการค้นพบเหล่านี้สนับสนุนการนำเบรกเกอร์ Type Z มาใช้สำหรับการใช้งานความปลอดภัยที่สำคัญ และเน้นย้ำถึงความจำเป็นในการปรับปรุงอัลกอริทึมการตรวจจับความถี่สูงในอุปกรณ์ AFCI ยุคใหม่ [3,13,20]

6. กิตติกรรมประกาศ

ขอขอบคุณ รศ.ดร.บุญยัง ปลั่งกลางและคณาจารย์ประจำภาควิชาวิศวกรรมไฟฟ้า คณะวิศวกรรมศาสตร์ มหาวิทยาลัยเทคโนโลยีราชมงคลธัญบุรี ที่ให้การสนับสนุนการทำวิจัยในครั้งนี้

เอกสารอ้างอิง

[1] International Electrotechnical Commission, IEC 62606:2013, General Requirements for Arc Fault Detection Devices, IEC, 2013.

[2] National Fire Protection Association, NFPA 70: National Electrical Code, 2023 ed., Art. 210.12, 2023.

[3] Y. Wang, X. Wang, and Y. Zhang, "Lightweight convolutional neural network for series fault arc detection based on ShuffleNet V2," Appl. Sci., vol. 13, no. 1, Art. no. 135, 2024.

[4] L. Qi, T. Kawaguchi, and S. Hashimoto, "Series arc fault detection based on improved artificial hummingbird algorithm optimizer optimized XGBoost," Appl. Sci., vol. 15, no. 12, Art. no. 6861, 2025.

[5] L. M. Thompson and P. Rodriguez, "Arc fault detection techniques in residential electrical systems," IEEE Trans. Ind. Appl., vol. 57, no. 4, pp. 3210–3221, 2021.

[6] B. Perea-Mena et al., "Circuit breakers in low- and medium-voltage DC microgrids for protection against short-circuit electrical faults: Evolution and future challenges," Appl. Sci., vol. 12, no. 1, Art. no. 15, 2022.

[7] R. A. Johnson, "Modeling and simulation of electrical arcing phenomena," J. Electr. Safety, vol. 15, no. 3, pp. 45–58, 2022.

[8] R.-J. Wai and X. Cai, "Newly-designed DC-arc fault detection strategy via EMD signal analysis and GRU neural network for solar PV power generation system," in Proc. 5th Int. Conf. Electr., Control Instrum. Eng. (ICECIE), 2023, pp. 1–6.

[9] Y. Li et al., "A novel series arc fault detection method based on multi-scale parallel convolution and BiLSTM with attention mechanism," Sci. Rep., vol. 14, Art. no. 12301451, 2024.

[10] Z. El Mrabet et al., "Random forest regressor-based approach for detecting fault location and duration in power systems," Sensors, vol. 22, no. 2, Art. no. 458, 2022.

[11] M. Irfan et al., "Design of a novel noise resilient algorithm for fault detection in wind turbines on supervisory control and data acquisition system," Sci. Rep., vol. 15, Art. no. 13308, 2025.

[12] S. Rana, "AI-driven fault detection and predictive maintenance in electrical power systems: A systematic review of data-driven approaches, digital twins, and self-healing grids," Amer. J. Adv. Technol. Eng. Sol., vol. 1, no. 1, pp. 258–289, 2025.

[13] M. A. M. Khan, "AI and machine learning in transformer fault diagnosis: A systematic review," Amer. J. Adv. Technol. Eng. Sol., vol. 1, no. 1, pp. 290–318, 2025.

[14] Z. Shuai et al., "Research on arc fault detection using ResNet and gamma transform regularization," Front. Energy Res., vol. 11, Art. no. 1069119, 2023.

[15] J. Xu et al., "Comparative study on the performance of arc fault detection devices under household load conditions," in Lecture Notes in Electrical Engineering, vol. 844, 2024, pp. 844–852.

[16] P. Hu et al., "Multi-risk factor and knowledge entropy framework for alternating current arc fault detection," Electronics, vol. 14, no. 4, Art. no. 708, 2025.

[17] DCAMamba, "A novel framework for arc fault detection," arXiv:2503.01264, 2025.

[18] S. Hosseini and I. Sadeghkhani, "Cross-entropy based AC series arc fault detection for more electric aircrafts," Sci. Rep., vol. 15, Art. no. 26108, 2025.

[19] K. Thakur, D. Dwivedi, and K. K. Singh, "Enhanced rapid detection of high-impedance arc faults in medium voltage electrical distribution networks," arXiv:2502.05846, 2025.

[20] Underwriters Laboratories, UL 1699: Standard for Arc-Fault Circuit-Interrupters, UL, 2014.

[21] A. Reynolds et al., "Advanced arc detection in low-voltage systems," IEEE Trans. Power Del., vol. 38, no. 2, pp. 1125–1134, 2023.

นายอานพ หมีกุละ ปัจจุบันกำลังศึกษาปริญญาเอก วศ.ด. วิศวกรรมไฟฟ้า มทร.ธัญบุรี (RMUTT) งานวิจัยที่สนใจ การวิเคราะห์ประสิทธิภาพของหม้อแปลงที่ไฟฟ้า เพื่อการวางแผนบำรุงรักษากาวิเคราะห์ข้อมูล การเรียนรู้เชิงลึก Machine Learning Deep Learning

นายสมชาย ไกรปราบ ปัจจุบันกำลังศึกษาปริญญาเอก วศ.ด. วิศวกรรมไฟฟ้า มทร.ธัญบุรี (RMUTT) งานวิจัยที่สนใจ ระบบเคเบิลใต้ดิน ระบบพลังงานทดแทน และระบบไฟฟ้ากำลัง

นายฤทธิชัย ราชแป้นน ปัจจุบันสำเร็จการศึกษาระดับปริญญาเอก วศ.ด. วิศวกรรมไฟฟ้า มทร.ธัญบุรี (RMUTT) งานวิจัยที่สนใจ ระบบเคเบิลใต้ดิน ระบบพลังงานทดแทน และระบบไฟฟ้ากำลัง

Yuttana Kongjeen was born in Petchaboon, Thailand. He received the B.Eng. degree and M.Eng. degree in Electrical Engineering from Rajamangala University of Technology Isan (RMUTI), Nakorn Ratchasima, Thailand. He is currently toward studying a D.Eng. degree at Rajamangala University of Technology Thanyaburi (RMUTT), Pathumthani, Thailand. His research interests power system optimization technique, power system stability and renewable energy integration system.

Boonyang Plangklang He received Dr.-Ing Eng, degree in Electrical Engineering from University of Kassel, Germany 2005, MSc. in Electronics System & Engineering Management from Uni-GH Paderborn, Soest Division, Germany, (DAAD), 2001 and B. Eng in Electrical Engineering from Rajamangala Institute of Technology, Pathum Thani, Thailand, 1996. He currently works at Rajamangala University of Technology Thanyaburi, Pathum Thani, Thailand. His main research interests are including applications Renewable Energy, Solar Energy.

รูปแบบการป้องกันฟิวส์ด้วยรีโครสเซอร์แบบควบคุมด้วยแรงดันไฟฟ้า
A fuse-saving protection scheme using a voltage-controlled recloser

ณัฐพล หาอุปละ[1*] ศีลวัต ร่มโพธิ์ชัย[1] และ กฤษณ์ชนม์ ภูมิกิตติพิชญ์ [1]

[1]ภาควิชาวิศวกรรมไฟฟ้า คณะวิศวกรรมศาสตร์ มหาวิทยาลัยเทคโนโลยีราชมงคลธัญบุรี
nattapol.h@en.rmutt.ac.th* sillawat.r@en.rmutt.ac.th krischonme.b@en.rmutt.ac.th

บทคัดย่อ

การทำงานของรีโครสเซอร์เพื่อการป้องฟิวส์ (Fuse saving) เป็นรูปแบบการทำงานที่แสดงถึงคุณสมบัติการเลือก (Selectivity) อย่างเหมาะสมของระบบการป้องกันไฟฟ้ากำลังเพื่อรักษาเสถียรภาพการจ่ายกำลังไฟฟ้าของระบบไฟฟ้า รีโครสเซอร์แบบดั้งเดิมมีการทำงานแบบเวลาผกผันกับกระแสตามมาตรฐาน IEC ซึ่งการทำงานแบบเร็ว (Fast operation) และการทำงานแบบช้า (Slow operation) รีโครสเซอร์แบบดั้งเดิมอาจไม่รวดเร็วเพียงพอต่อการทำงานเพื่อป้องกันฟิวส์ ดังนั้นบทความนี้จึงนำเสนอการป้องกันฟิวส์ด้วยรีโครสเซอร์แบบควบคุมด้วยแรงดันไฟฟ้าและการหาค่าปรับตั้งการทำงานที่เหมาะสมให้กับรีโครสเซอร์ด้วยวิธีอัลกอริทึมเชิงพันธุกรรม (Genetic algorithm) นอกจากนี้ผลการจำลองได้เปรียบเทียบการทำงานของรีโครสเซอร์แบบควบคุมด้วยแรงดันไฟฟ้ากับรีโครสเซอร์แบบดั้งเดิมเพื่อป้องกันฟิวส์ในกรณีเกิดลัดวงจรที่มีค่ากระแสลัดวงจรที่แตกต่างกัน

คำสำคัญ: การป้องกันฟิวส์ รีโครสเซอร์ อัลกอริทึมเชิงพันธุกรรม

Abstract

The operation of a recloser for fuse saving is a protection scheme that demonstrates the proper selectivity of power system protection, enabling the maintenance of power supply stability. Traditional reclosers operate with inverse time-current characteristics based on IEC standards, featuring both fast and slow operations. However, conventional reclosers may not operate quickly enough to effectively perform fuse-saving functions. Therefore, this paper proposes a fuse-saving strategy using a voltage-controlled recloser and the determination of appropriate operating settings using a genetic algorithm. Additionally, simulation results compare the performance of voltage-controlled reclosers with traditional reclosers for fuse-saving during short-circuit events with varying fault current levels.

Keywords: Fuse saving, Recloser, Genetic Algorithm

1. บทนำ

การเลือกอย่างเหมาะสม (Selectivity) คือคุณสมบัติอย่างหนึ่งของระบบป้องกันไฟฟ้าที่เลือกแยกเฉพาะส่วนผิดปกติออกจากระบบจำหน่ายไฟฟ้าเพื่อให้ระบบจำหน่ายไฟฟ้าสามารถจ่ายกำลังไฟฟ้าต่อไปได้อย่างมีเสถียรภาพ การลัดวงจรในระบบจำหน่ายไฟฟ้ามักเกิดแบบชั่วคราวจึงทำให้เกิดการเปลี่ยนแปลงชั่วขณะในระบบจำหน่ายไฟฟ้าเนื่องจากการปิดกลับของrecloserหรือเซอร์กิตเบรกเกอร์แบบชั่วขณะ การปิดกลับแบบชั่วขณะของrecloserหรือเซอร์กิตเบรกเกอร์มีวัตถุประสงค์เพื่อช่วยไม่ให้ฟิวส์ป้องกันในสาขาของโหลดตัดวงจร เหตุผลเพราะการตัดวงจรของฟิวส์ส่งผลให้เกิดการหยุดจ่ายไฟแก่ผู้ใช้ไฟและเสียค่าใช้จ่ายในการเปลี่ยนฟิวส์ รีโคลสเซอร์(recloser)แบบดั้งเดิมทำงานด้วยคุณลักษณะแบบหน่วงเวลาผกผันกับกระแสเกินตามมาตรฐานIEC ซึ่งการทำงานอาจไม่ยืดหยุ่นเพียงพอต่อการเปลี่ยนแปลงของกระแสลัดวงจร รีโคลสเซอร์แบบใหม่ในปัจจุบันมีการควบคุมด้วยรีเลย์แบบไมโครคอนโทรเลอร์และสามารถตรวจจับทิศทางการไหลของกระแสได้ ผู้ใช้งานสามารถกำหนดรูปแบบการทำงานได้ตามที่ผู้ใช้ต้องการ รูปแบบการทำงานของรีโคลสเซอร์ใน [1] เป็นตัวอย่างรีโคลสเซอร์สมัยใหม่ทำงานด้วยเวลาผกผันกับกระแสเกินและแรงดันไฟฟ้าเพื่อการรักษาฟิวส์ (Fuse Saving) ในระบบจำหน่ายไฟฟ้าแบบทางเดียว การทำงานของรีโคลสเซอร์แบบเวลาผกผันกระแสควบคุมด้วยแรงดันไฟฟ้าเป็นรูปแบบการทำงานที่ได้รับการพัฒนาจากรูปแบบทำงานด้วยกระแสเพียงอย่างเดียว การปรับปรุงรูปแบบการทำงานของรีโคลสเซอร์แบบนี้ทำได้ง่ายเพราะรีเลย์ควบคุมรีโคลสเซอร์เป็นรีเลย์กระแสเกินแบบมีทิศทางจึงสามารถใช้สัญญาณแรงดันควบคุมได้โดยไม่ต้องติดตั้งอุปกรณ์เพิ่มเติม

คุณลักษณะการทำงานของรีเลย์แบบเวลาผกผันกระแสควบคุมด้วยแรงดันที่นำเสนอใน[1]เป็นการปรับปรุงคุณลักษณะแบบเวลาผกผันกับกระแสเกินให้มีเหมาะสมตามที่ผู้ใช้กำหนด ซึ่งสมการคุณลักษณะการทำงานดังกล่าวได้มีการควบคุมเวลาตัดวงจรด้วยแรงดันเริ่มทำงาน (Vp), พารามิเตอร์ D และค่าตัวคูณเวลา (TMS) การประยุกต์ใช้คุณลักษณะดังกล่าวนี้กับรีโคลสเซอร์ในระบบจำหน่ายไฟฟ้าแบบทางเดียวจึงต้องกำหนดค่าพารามิเตอร์ Vp, D และ TMS อย่างเหมาะสมเพื่อการทำงานที่ยืดหยุ่นได้สำหรับการรักษาฟิวส์ ดังนั้นการกำหนดค่าปรับตั้งที่เหมาะสมจำเป็นต้องใช้วิธีการกำหนดค่าที่เหมาะสมตามหลักฮิวริสติกเพื่อแก้โจทย์ปัญหาการทำงานประสานกันระหว่างฟิวส์กับรีโคลสเซอร์ ดังนั้นบทความนี้จึงนำเสนอการประยุกต์ใช้คุณลักษณะการทำงานแบบเวลาผกผันกับกระแสควบคุมด้วยแรงดันของ [2] กับรีโคลสเซอร์เพื่อรักษาฟิวส์บนระบบไฟฟ้าแบบทางเดียว การกำหนดค่าปรับตั้งที่เหมาะสมของรีโคลสเซอร์ในระบบป้องกันได้ใช้การหาค่าที่เหมาะสมด้วยวิธี Genetic algorithm (GA) และผลจำลองเป็นการเปรียบเทียบการทำงานของรีโคลสเซอร์ที่ทำงานด้วยคุณลักษณะการทำงานแบบเวลาผกผันควบคุมด้วยแรงดันของ[2] กับการทำงานของรีโคลสเซอร์แบบเวลาผกผันกระแสตามมาตรฐานIEC60255 นอกจากนี้บทความได้จัดลำดับหัวข้อส่วนที่เหลือดังนี้:รูปแบบป้องกันแบบรักษาฟิวส์กับคุณลักษณะของรีเลย์กระแสเกินแบบควบคุมด้วยแรงดันและการประยุกต์ใช้การหาค่าที่เหมาะสมด้วยวิธี GA นำเสนอในส่วนที่ 2 การเตรียมโจทย์ปัญหาการหาค่าที่เหมาะสม นำเสนอใน 3 การจำลองและการกำหนดค่านำเสนอในส่วนที่ 4 ผลการจำลองและการวิจารณ์ผลนำเสนอในส่วนที่ 5 และการสรุปนำเสนอในส่วนที่ 6

*ผู้ประพันธ์บรรณกิจ

2. รีโครสเซอร์และการหาค่าที่เหมาะสมด้วยอัลกอริทึมเชิงพันธุกรรมแบบปรับโทษ

2.1 รูปแบบการทำงานของรีโครสเซอร์

รูปแบบการป้องกันของรีโคลสเซอร์สามารถอธิบายได้ด้วยระบบดังรูปที่ 1 และกราฟคุณลักษณะการป้องกันดังรูปที่ 2 รีโคลสเซอร์มีขอบเขตการทำงานอยู่ในช่วงค่ากระแสลัดวงจรสูงสุด (I_{Fmax}) และค่ากระแสลัดวงจรต่ำสุด (I_{Fmin}) ของการลัดวงจรตำแหน่ง F รีโคลสเซอร์ถูกกำหนดให้ทำงานแบบเร็ว (fast operation) เสมือนทำหน้าที่เป็นอุปกรณ์ป้องกันด่าหน้า (primary protection device) เพื่อตัดวงจรก่อนฟิวส์จะทำงานในกรณีเกิดการลัดวงจรแบบชั่วครู่ (Temporary fault) ที่จุด F ซึ่งเวลาทำงานของรีโคลสเซอร์ต้องน้อยกว่าเวลาหลอมละลายต่ำสุดของฟิวส์ (minimum melting time) รูปแบบการป้องกันนี้จึงถูกเรียกว่ารูปแบบการป้องกันแบบรักษาฟิวส์ (Fuse saving protection scheme) นอกจากนี้รีโคลสเซอร์ยังถูกกำหนดให้ทำงานแบบช้า (Slow operation) เพื่อยอมให้ฟิวส์ตัดวงจรก่อนเมื่อเกิดการลัดวงจรแบบถาวร (Permanent fault) ที่จุด F และรีโคลสเซอร์ยังทำหน้าที่เป็นอุปกรณ์ป้องกันสำรองในกรณีฟิวส์ไม่ทำงานในกรณีเกิดการลัดวงจรที่จุด F เวลาการทำงานแบบเร็วและแบบช้าของรีโคลสเซอร์เพื่อการทำงานประสานกันก็บฟิวส์แสดงดังสมการที่ 1 และสมการที่ 2 [3]

$$t_f = 0.75 \times t_{min} \quad (1)$$

$$t_s = t_{max} + 0.35s. \quad (2)$$

โดย t_f คือเวลาการตัดวงจรแบบเร็วของรีโคลสเซอร์ ซึ่งถูกกำหนดไว้ประมาณ 75%ของค่าเวลาหลอมละลายต่ำสุดของฟิวส์ (t_{min}) และ t_f คือเวลาการทำงานแบบช้าของรีโคลเซอร์กำหนดให้ต้องมากกว่า t_{max} ประมาณ 0.35 วินาที

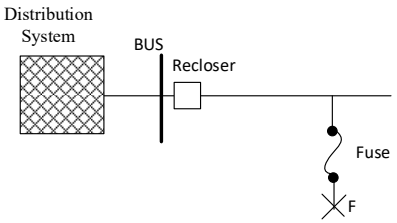

รูปที่ 1 ตัวอย่างระบบไฟฟ้าทางเดียวสำหรับจำลองการป้องกันฟิวส์

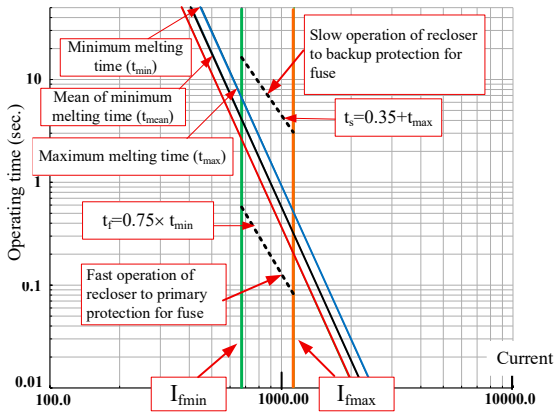

รูปที่ 2 กราฟคุณลักษณะการทำงานของรีโครสเซอร์เพื่อป้องกันฟิวส์

คุณลักษณะการทำงานของฟิวส์เป็นลักษณะความสัมพันธ์ระหว่างกระแสกับเวลาตัดวงจรซึ่งแสดงในรูปแบบสมการลอการิทึมดังสมการที่ 3 [4]

$$\log(t) = A\log(I_f) + B \quad (3)$$

เมื่อ t คือเวลาตัดวงจรของฟิวส์, I_f คือกระแสลัดวงจร, A และ B คือสัมประสิทธิ์ของกราฟคุณลักษณะฟิวส์ซึ่งหาได้จากการใช้วิธีการปรับเส้นโค้ง (curve fitting) รีโคลสเซอร์แบบดั้งเดิมมีการทำงานตามคุณลักษณะเวลาผกผันกับกระแสตามมาตรฐาน IEC60255 ดังสมการที่ 4

$$t = TMS \times \frac{A}{\left(I_f / I_p\right)^B - 1} \quad (4)$$

รีโคลสเซอร์เริ่มทำงานเมื่อกระแสลัดวงจรมากกว่าค่ากระแสเริ่มทำงาน (Ip) เวลาการทำงานแบบเร็วและแบบช้าของรีโคลสเซอร์แบบดั้งเดิมถูกควบคุมด้วยค่า *TMS* เพียงค่าเดียวการทำงานจึงไม่มีความยืดหยุ่นเพียงพอ การปรับปรุงเวลาตัดวงจรด้วย การควบคุมเวลาตัดวงจรด้วยแรงดันจึงเป็นวิธีปรับปรุงการทำงานของรีโคลสเซอร์แบบดั้งเดิมให้มีความยืดหยุ่นได้ สมการคุณลักษณะของเวลาตัดวงจรแบบควบคุมด้วยแรงดัน (Voltage control characteristic) แสดงดังสมการที่ (5)

$$t = \frac{TMS \times A}{\left(\frac{V_{nom} - V_f}{V_{nom} - V_p}\right)^D \left(\frac{I_f}{I_p}\right)^B - 1} \quad (5)$$

คุณลักษณะดังสมการที่ 5 พารามิเตอร์ Vf คือแรงดันที่จุดลัดวงจร, Vnom คือแรงดันก่อนเกิดลัดวงจร, Vp คือค่าแรงดันเริ่มทำงาน, พารามิเตอร์ D คือ ค่าดัชนีจำนวนเท่าของแรงดัน, If คือกระแสลัดวงจร, Ip คือกระแสเริ่มทำงาน พารามิเตอร์ TMS, A และ B คือพารามิเตอร์ตามมาตรฐาน IEC60255 คุณลักษณะการทำงานแบบที่นำเสนอใน [1] มีจุดเด่นคือการตัดวงจรได้อย่างรวดเร็วสำหรับการทำงานในรูปแบบ primary และสามารถรักษาช่วงเวลาการทำงานประสานกันระหว่าง primary relay กับ backup relayได้ ด้วยเหตุนี้จึงมีความเหมาะสมในการประยุกต์ใช้กับรีโคลสเซอร์เพื่อการรักษาฟิวส์

2.2 อัลกอริทึมเชิงพันธุกรรมแบบปรับโทษ

อัลกอริทึมเชิงพันธุกรรมคือกระบวนการหาคำตอบของวิธีการแก้ปัญหาการหาค่าที่เหมาะสมตามหลักฮิวริสติกซึ่งมีพื้นฐานมาจากแนวคิดที่ว่าบุคคลที่มีคุณภาพในกลุ่มประชากรที่เป็นไปได้จะเป็นผู้ที่อยู่รอดจนถึงรุ่นต่อไป อัลกอริทึมเชิงพันธุกรรมแบบปรับโทษเป็นที่นิยมใช้สำหรับแก้ปัญหาค่าเหมาะสมที่สุดแบบมีเงื่อนไขบังคับเพราะเป็นวิธีที่ได้คำตอบใกล้เคียงกับคำตอบที่ดีที่สุด [5] อัลกอริทึมเชิงพันธุกรรมแบบปรับโทษในโปรแกรม MATLAB มีลักษณะคล้ายกับอัลกอริทึมเชิงพันธุกรรมแบบจำนวนเต็ม ขั้นตอนการดำเนินสำหรับการหาค่าเหมาะสมด้วยอัลกอริทึมเชิงพันธุกรรมแบบปรับโทษในโปรแกรม MATLAB สามารถอธิบายเป็นขั้นตอนได้ดังนี้ [6]

- กำหนดสมการวัตถุประสงค์และอสมการเงื่อนไขบังคับ

- กำหนดจำนวนประชากรและโครโมโซมของประชากรเริ่มต้นสำหรับการคำนวณค่าเป้าหมายของสมการวัตถุประสงค์
- คำนวณค่าเป้าหมายด้วยโครโมโซมของประชากรเริ่มต้น
- คัดเลือกโครโมโซมของประชากรเริ่มต้นจำนวนสองชุดที่ให้ค่าที่เหมาะสมที่สุด เพื่อกำหนดเป็นโครโมโซมผู้ปกครองสำหรับถ่ายทอดไปสู่รุ่นถัดไป
- ดำเนินการ Crossover เพื่อให้เกิดโครโมโซมใหม่ ซึ่งกระบวนการ crossover ขึ้นกับค่าพารามิเตอร์ของการเกิด cross over (pc) ถ้า pc=1.0 ไม่เกิดการ crossover และถ้า pc<1.0 เกิด crossover ตามการกำหนดค่า pc ค่า crossover faction มักกำหนดอยู่ในช่วง 0.5-1.0
- ดำเนินการ Mutation ภายในโครโมโซมเพื่อรักษาความหลากหลายทางพันธุกรรม ซึ่งการ mutation ถูกกำหนดด้วยค่าพารามิเตอร์ pm ซึ่งค่าพารามิเตอร์นี้มักกำหนดอยู่ในช่วง 0.05-0.2
- กระบวนการของพันธุกรรมสิ้นสุดตามจำนวนรุ่นที่กำหนดไว้ล่วงหน้า

2.3 การกำหนดโจทย์ปัญหาค่าเหมาะสมที่สุดสำหรับการป้องกันฟิวส์

วัตถุประสงค์ของปัญหาการหาค่าเหมาะสมที่สุดสำหรับการทำงานรีโคลสเซอร์คือการลดเวลาการทำงานรีโคลสเซอร์ในรูปแบบเร็วและรูปแบบช้า ดังสมการที่ 6 [7]

$$\min T = \sum_{j=1}^{n} (t_{fj} + t_{sj}) \qquad (6)$$

โดย t_{fj} คือเวลาทำงานแบบเร็วของรีโคลสเซอร์ที่ค่ากระแสลัดวงจรลำดับที่ j และ t_{sj} คือเวลาทำงานแบบช้าของรีโคลสเซอร์ที่ค่ากระแสลัดวงจรลำดับที่ j ค่าเวลาทำงานน้อยที่สุดของรีโคลสเซอร์จะสอดคล้องกับอสมการเงื่อนไขดังนี้

- อสมการเงื่อนไขค่าเวลาทำงานแบบเร็วของรีโคลสเซอร์ดังสมการที่ 7 ซึ่งกำหนดไม่เกิน 75%ของค่าเวลาหลอมละลายต่ำสุดของฟิวส์ (t_{min})

$$t_f \leq 0.75 \times t_{min} \qquad (7)$$

- อสมการเงื่อนไขค่าเวลาทำงานแบบช้าของรีโคลสเซอร์ดังสมการที่ 8 ซึ่งกำหนดไม่น้อยกว่า 0.35 วินาที

$$t_s \geq t_{max} + 0.35s. \qquad (8)$$

- อสมการเงื่อนไขค่า TMS ดังสมการที่ 9 กำหนดให้TMS อยู่ในช่วง 0.05-3 [2]

$$0.05 \leq TMS \leq 3.0 \qquad (9)$$

- อสมการเงื่อนไขค่าเวลาทำงานของรีโคลสเซอร์ดังสมการที่ 10

$$t_{re} \geq 0.1s \qquad (10)$$

- อสมการเงื่อนไขค่าพารามิเตอร์ D และ Vp ของสมการที่ 5 กำหนดดังสมการที่ 11 และสมการที่ 12 [2]

$$0 \leq V_p \leq 1 \qquad (11)$$

$$0 \leq D \leq 1 \qquad (12)$$

3. การดำเนินการ

การทดสอบการทำงานของรีโคลสเซอร์ได้ดำเนินการจำลองบนระบบไฟฟ้าทางเดียวดังรูปที่ 3 ระบบจำลองประกอบด้วยระบบจำหน่าย พิกัดแรงดันระหว่างสาย 4.16kV มีอิมพิแดนซ์ของระบบและอิมพิแดนซ์ของสายป้อนแสดงดังรูป ฟิวส์ในระบบเลือกใช้ฟิวส์ยี่ห้อ Bussmann พิกัดกระแส 125A พิกัดแรงดัน 7.2kV กำหนดให้เกิดการลัดวงจรแบบสมดุล 3 เฟส ที่จุด F เพื่อให้เกิดระดับกระแสลัดวงจรที่แตกต่างกัน จึงกำหนดให้ค่าความต้านทานที่จุดลัดวงจร(Fault resistance: R_f) เป็น 1.5Ω, 2Ω, 2.5Ω, และ 3Ω ตามลำดับ ค่ากระแสเริ่มต้นทำงานของรีโคลสเซอร์กำหนดเป็น 2 เท่าของกระแสฟิวส์ ค่าพารามิเตอร์ของสมการคุณลักษณะของฟิวส์หาได้ด้วยวิธีการปรับเส้นโค้ง เพื่อให้คุณลักษณะการทำงานของรีโครสเซอร์ตามสมการที่ 4 และสมการที่ 5 มีความสอดคล้องกับคุณลักษณะของฟิวส์จึงกำหนดค่าพารามิเตอร์ A และ B ในรูปแบบคุณลักษณะ standard inverse time ดังนี้ A= 0.14 และ B=0.02 ตามลำดับ ข้อมูลของฟิวส์ในระบบจำลองแสดงดังตารางที่ 1

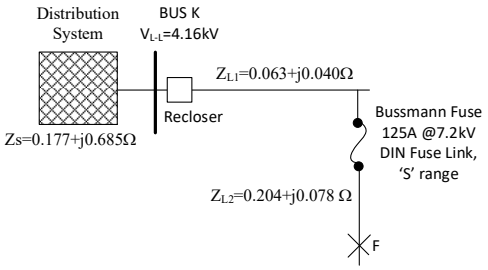

รูปที่ 3 ระบบทางเดียวสำหรับจำลองการทำงานของรีโครสเซอร์

ตารางที่1 ข้อมูลสำคัญของฟิวส์

Fuse Specification	
Brand	Bussmann
Type	SFL
Rated Voltage	7.2kV
Norm Current	125A
High Interrupting	40kA
Min. Interrupting	375A

การหาค่าปรับตั้งที่เหมาะสมของรีโคลสเซอร์ด้วย Genetic Algorithm ได้ใช้ฟังก์ชันสำเร็จรูปของ GA ในโปรแกรม MATHLAB ซึ่งกระบวนการจำลองและหาค่าเหมาะสมด้วยวิธี GA เป็นดังนี้

ขั้นตอนที่ 1 กำหนดสมการวัตถุประสงค์ตามสมการที่ (6)
ขั้นตอนที่ 2 กำหนดอสมการเงื่อนไขตามอสมการที่ (7)-(12)
ขั้นตอนที่ 3 กำหนดจำนวนประชากรเริ่มต้นเป็น 100
ขั้นตอนที่ 4 กำหนดค่า crossover parameter เป็น 0.5
ขั้นตอนที่ 5 กำหนดค่า Mutation parameter เป็น 0.1
ขั้นตอนที่ 6 กำหนด generation ของ GA เป็น 1000
ขั้นตอนที่ 7 ดำเนินการหาค่าที่เหมาะสม

4. ผลการดำเนินการ

การจำลองลัดวงจรแบบสามเฟสที่จุด F ของระบบจำลองแบบทางเดียวดังรูปที่ 3 ได้ผลของกระแสและแรงดันที่ บัส K ดังตารางที่ 2

ตารางที่ 2 ผลของแรงดันและกระแสที่บัส K

R_f (Ω)	V_f (kV)	I_f (kA)
1.5	4.033	1.143
2	4.046	0.934
2.5	4.059	0.787
3	4.070	0.679

ค่าพารามิเตอร์ของสมการคุณลักษณะของฟิวส์ Bussmann, ค่าพารามิเตอร์ของสมการรีโคลสเซอร์ทำงานแบบมาตรฐาน IEC60255 และแบบควบคุมด้วยแรงดันไฟฟ้าแสดงดังตารางที่ 3

ตารางที่ 3 ค่าพารามิเตอร์ของฟิวส์และรีโคลสเซอร์

Parameter	Fuse	Re-closer Characteristics			
		IEC60255		Voltage control	
		Fast	Slow	Fast	Slow
A	-5.00	0.14	0.14	0.14	0.14
B	14.00	0.02	0.02	0.02	0.02
D	-	-	-	0.074	0.190
TMS	-	0.038	1.645	0.08	1.276
Ip (A)	-	250	250	250	250
Vp (kV)	-	-	-	4.114	4.068

ผล convergence curve ของการใช้ GA เพื่อกำหนดค่าให้ปรับตั้งสำหรับรีโคลสเซอร์แบบ IEC60255 และแบบควบคุมด้วยแรงดันแสดงดังรูปที่ 4 และรูปที่ 5

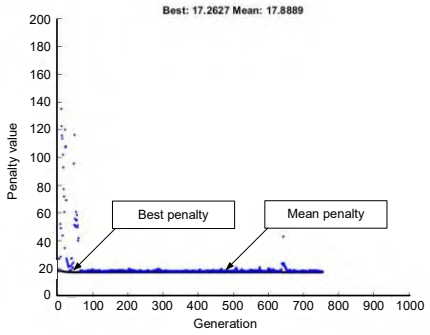

รูปที่ 4 Convergence curve ของการหาค่าปรับตั้งที่เหมาะสมของรีโครสเซอร์แบบความคุมด้วยแรงดัน

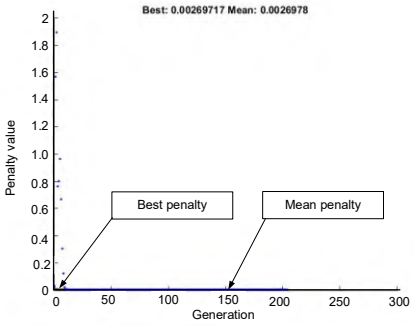

รูปที่ 5 Convergence curve ของการหาค่าปรับตั้งที่เหมาะสมของรีโครสเซอร์แบบความคุมด้วยแรงดัน

เนื่องจากในเอกสารคู่มือของฟิวส์ระบุค่าเวลาหลอมละลายเฉลี่ยเท่านั้น ซึ่งค่าเวลาเฉลี่ยนี้ได้พิจารณาจากค่ากระแสไหลผ่านฟิวส์ที่มีความคลาดเคลื่อนเป็น ±10%ของกระแสไหลผ่านฟิวส์ ด้วยเหตุนี้ผู้วิจัยจึงพิจารณาค่าเวลาหลอมละลายต่ำสุด (t_{min}) เมื่อค่ากระแสไหลผ่านฟิวส์เป็น-10%ของกระแสลัดวงจรและค่าเวลาหลอมละลายสูงสุด(t_{max}) เมื่อค่ากระแสไหลผ่านฟิวส์เป็น+10%ของกระแสลัดวงจรเพื่อให้การทำงานประสานกันของฟิวส์กับรีโครสเซอร์มีความสอดคล้องกับการทำงานของฟิวส์มากที่สุด ซึ่งเส้นกราฟของฟิวส์และเส้นกราฟการทำงานแบบเร็วและแบบช้าของรีโคลสเซอร์ทั้งสองชนิดได้แสดงดังรูปที่ 6 ผลเวลาทำงานประสานกันของรีโครสเซอร์แบบควบคุมด้วยแรงดันกับฟิวส์จึงแสดงดังตารางที่ 4 และผลเวลาทำงานประสานกันของฟิวส์กับรีโครสเซอร์แบบ IEC จึงแสดงดังตารางที่ 5

ตารางที่ 4 ผลการทำงานของรีโครสเซอร์แบบควบคุมด้วยแรงดันไฟฟ้า

Voltage Controlled Recloser						
If (kA)	t_{min} (sec.)	t_{fast} (sec.)	CTI_{fast} (sec.)	t_{max} (sec.)	t_{slow} (sec.)	CTI_{slow} (sec.)
1.143	0.185	0.099	0.086	0.506	1.683	1.178
0.934	0.509	0.112	0.396	1.388	2.274	0.886
0.788	1.197	0.130	1.067	3.266	3.543	0.277
0.679	2.505	0.151	2.353	6.837	7.280	0.443
Total t_{fast}		0.493	Total t_{fast}		14.78	

ตารางที่ 5 ผลเวลาการทำงานของรีโครสเซอร์แบบ IEC

IEC Recloser						
If (kA)	t_{min} (sec.)	t_{fast} (sec.)	CTI_{fast} (sec.)	t_{max} (sec.)	t_{slow} (sec.)	CTI_{slow} (sec.)
1.143	0.185	0.162	0.023	0.506	7.013	6.828
0.934	0.509	0.186	0.323	1.388	8.031	7.523
0.788	1.197	0.211	0.985	3.266	9.152	7.955
0.679	2.505	0.240	2.264	6.837	10.400	7.896
Total of t_{fast}		0.799	Total of t_{fast}		34.597	

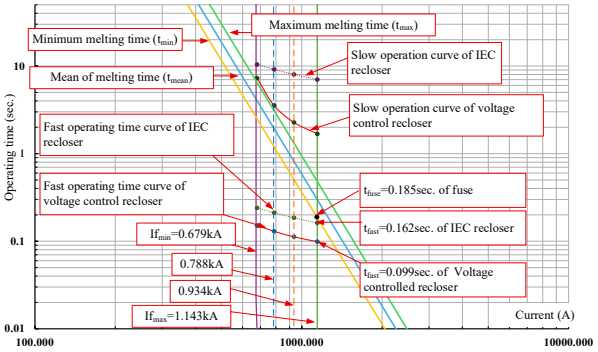

รูปที่ 6 คุณลักษณะการทำงานของรีโครสเซอร์ทั้งสองแบบและฟิวส์จากการจำลอง

ผลจากตารางที่ 4 และตารางที่ 5 แสดงให้เห็นว่าการทำงานแบบเร็วและการทำงานแบบช้าของรีโคลสเซอร์แบบควบคุมด้วยแรงดันสามารถตัดวงจรได้เร็วกว่ารีโครสเซอร์แบบ IEC ดังจะเห็นได้จากเส้นกราฟการทำงานแบบเร็วของรีโครสเซอร์ชนิดควบคุมด้วยแรงดันอยู่ในระดับต่ำกว่าเส้นกราฟการทำงานแบบเร็วของรีโครสเซอร์แบบ IEC ผลรวมของเวลาตัดวงจรแบบเร็ว (Total t_{fast}) ของรีโคลสเซอร์แบบควบคุมด้วยแรงดันมีค่า

น้อยกว่าผลรวมเวลาตัดวงจรแบบเร็ว (Total t_{fast}) ของรีโคลสเซอร์แบบ IEC สิ่งนี้แสดงให้เห็นว่าการทำงานของรีโคลสเซอร์แบบควบคุมด้วยแรงดันใช้เวลาทำงานน้อยกว่ารีโคลสเซอร์แบบ IEC ผลช่วงเวลาทำงานประสานกัน (coordination time interval) ของฟิวส์กับรีโครสเซอร์แสดงดังคอลัมน์ CTI ในตารางที่ 4 และตารางที่ 5 ผลของค่า CTI_{slow} ระหว่างฟิวส์กับรีโครสเซอร์แบบควบคุมด้วยแรงดันมีค่าน้อยกว่ากว่าค่า CTI_{slow} ของฟิวส์กับรีโครสเซอร์แบบ IEC ดังจะเห็นได้จากเส้นกราฟการทำงานแบบช้าของรีโครสเซอร์ชนิด IEC อยู่ในระดับสูงกว่าเส้นกราฟการทำงานแบบเร็วของรีโครสเซอร์ชนิดควบคุมด้วยแรงดัน สิ่งนี้แสดงให้เห็นว่ารีโคลสเซอร์แบบควบคุมด้วยแรงดันสามารถทำหน้าที่ป้องกันสนับสนุนให้กับฟิวส์ได้รวดเร็วกว่ารีโคลสเซอร์แบบ IEC ที่มีค่า CTI_{slow} สูง ซึ่งค่า CTI_{slow} ที่สูงมากเกินไปอาจจะทำให้รีโคลสเซอร์แบบ IEC ทำหน้าที่ป้องกันสนับสนุนการทำงานของฟิวส์ช้าอาจจะทำให้เกิดความเสียหายกับอุปกรณ์ในระบบป้องกันได้ ผลการทดลองที่ค่ากระแสลัดวงจรเป็น 1.143kA พบว่าค่าเวลาตัดวงจรของรีโคลสเซอร์ทั้งสองแบบมีค่าใกล้เคียงอย่างมากกับค่าเวลาตัดวงจรของฟิวส์ดังกราฟรูปที่ 6 จุดนี้อาจจะส่งผลให้เกิดการทำงานพร้อมกันของฟิวส์กับรีโคลสเซอร์ในกรณีเกิดลัดวงจรที่ค่ากระแสดังกล่าวได้ ซึ่งปัญหาดังกล่าวอาจจะแก้ไขได้ด้วยการปรับการทำงานของรีโคลสเซอร์ที่กระแสลัดวงจรสูงให้เป็นการทำงานแบบช้าเพื่อไม่ให้รีโคลสเซอร์ทำงานพร้อมกับฟิวส์เพราะในจุดกระแสลัดวงจรสูงนั้นแม้จะมีการทำงานของรีโครสเซอร์เพื่อป้องกันฟิวส์แต่ฟิวส์ก็อาจจะหลอมละลายจากกระแสลัดวงจรเช่นเดิม [8]

5. สรุปผลการดำเนินการ

ผลการทดลองในบทความนี้ได้แสดงให้เห็นความแตกต่างระหว่างรีโครสเซอร์แบบควบคุมด้วยแรงดันกับรีโครสเซอร์แบบ IEC ดังนี้

- การทำงานแบบรวดเร็ว (Fast operation) เพื่อการป้องกันฟิวส์ของรีโครสเซอร์แบบควบคุมด้วยแรงดันสามารถทำงานได้รวดเร็วกว่าการทำงานแบบเร็วของรีโครสเซอร์แบบ IEC
- การทำงานแบบช้า (Slow operation) เพื่อการป้องกันฟิวส์ของรีโครสเซอร์แบบควบคุมด้วยแรงดันใช้เวลาทำงานน้อยกว่ารีโครสเซอร์แบบ IEC
- ค่าช่วงเวลาทำงานประสานกัน (CTI) ระหว่างรีโครสเซอร์แบบควบคุมด้วยแรงดันกับฟิวส์มีค่าที่เหมาะสมกว่าค่า CTI ระหว่างรีโครสเซอร์แบบ IEC กับฟิวส์

ซึ่งผลลัพธ์เหล่านี้ได้แสดงให้เห็นว่าคุณลักษณะการทำงานแบบควบคุมด้วยแรงดันของ [2] สามารถประยุกต์ใช้กับรีโครสเซอร์เพื่อการป้องกันฟิวส์ได้อย่างมีประสิทธิภาพและสามารถหาค่าปรับตั้งที่เหมาะสมเพื่อการทำงานประสานกันระหว่างฟิวส์กับรีโครสเซอร์ได้ด้วยวิธีอัลกอริทึมเชิงพันธุกรรมซึ่งเป็นวิธีการค้นหาค่าเหมาะสมตามหลักฮิวริสติกได้

เอกสารอ้างอิง

[1] S. Jamali, and H. Borhani-Bahabadi. "Recloser time–current–voltage characteristic for fuse saving in distribution networks with DG." *IET generation, transmission & distribution* 11, no.1: 272-279, 2017.

[2] N. Haupala, S. Romphochai, and K. Bhumkittipich. "Optimal coordination of non-directional overcurrent relays for active distribution network using new voltage-current relay characteristic." *Energy Reports* 13, pp. 5931-5951, 2025.

[3] H. Bisheh, B. Fani, G. Shahgholian, and I. Sadeghkhani. "Fuse saving coordination scheme for active distribution systems: State-of-the-art and a novel quasi-voltage current based scheme." *IET Generation, Transmission & Distribution* 18, no. 4: 729-755, 2024.

[4] S. Chaitusaney and A. Yokoyama, "Impact of protection coordination on sizes of several distributed generation sources," *2005 International Power Engineering Conference*, Singapore, Vol. 2, pp. 669-674, 2005.

[5] K. Deb. "An efficient constraint handling method for genetic algorithms." *Computer methods in applied mechanics and engineering* 186. no. 2-4, pp. 311-338, 2000.

[6] K. Nieminen, R. Sampo, and M. István. “Genetic algorithm for finding a good first integer solution for MILP.” Imperial College of Science, Technology and Medicine, Department of Computing, 2003.

[7] A. M. Sarableh, A. Maleki, A. Khorsandi and S. H. Hosseinian, "Optimal Coordination of Directional Overcurrent Relays for Fuse Saving in Distribution Networks With Distributed Generation," *2024 11th Iranian Conference on Renewable Energy and Distribution Generation (ICREDG)*, Yazd, Iran, Islamic Republic of, pp. 1-5, 2024.

[8] C. A. McCarthy and M. J. Meisinger, "Intelligent fuse-saving," 11th IET International Conference on Developments in Power Systems Protection (DPSP 2012), Birmingham, UK, pp. 1-5, 2012.

เปรียบเทียบสมรรถนะมอเตอร์แม่เหล็กถาวรไร้แปรงถ่านชนิดโรเตอร์กรงเล็บกับโรเตอร์แบบดั้งเดิม

Performance Comparison of Claw-Rotor and Conventional Rotor Structures in Brushless Permanent Magnet Motors

ธีรพงษ์ ศรีเชียงสา[1] สาริณี อุ่ยตระกูล[1] และ ศิริชัย วัฒนาโสภณ[1]*

[1]ภาควิชาวิศวกรรมไฟฟ้า คณะวิศวกรรมศาสตร์ ศรีราชา มหาวิทยาเกษตรศาสตร์ theeraphong@eng.src.ku.ac.th sarinee@eng.src.ku.ac.th sirichai@eng.src.ku.ac.th*

บทคัดย่อ

บทความนี้นำเสนอการศึกษาเปรียบเทียบสมรรถนะของมอเตอร์ไฟฟ้ากระแสตรงไร้แปรงถ่านระหว่างโรเตอร์แม่เหล็กถาวรแบบดั้งเดิมและโรเตอร์แบบกรงเล็บ มอเตอร์แบบดั้งเดิมมีการออกแบบแบบ 8 โพล/12 สล็อต ในขณะที่มอเตอร์แบบกรงเล็บได้รับการออกแบบให้เป็นแบบ 3 โพล/12 สล็อต และ 4 โพล/12 สล็อต การวิจัยนี้ดำเนินการทดสอบเปรียบเทียบสมรรถนะในหลายประการ ได้แก่ มวลของมอเตอร์ ความเร็วรอบ ระดับเสียงรบกวน กำลังขาออก ความหนาแน่นกำลัง และประสิทธิภาพภายใต้สภาวะไร้โหลดและมีโหลดใบพัดลม ผลการทดสอบที่สำคัญแสดงให้เห็นว่า มอเตอร์แบบกรงเล็บ 4 โพล/12 สล็อต มีสมรรถนะเหนือกว่าในด้านความเร็วรอบ กำลังขาออก ความหนาแน่นกำลัง และประสิทธิภาพเมื่อเปรียบเทียบกับมอเตอร์แบบอื่น โดยเฉพาะอย่างยิ่งภายใต้สภาวะการทำงานที่มีโหลดใบพัดลม

คำสำคัญ: กำลังไฟฟ้า กรงเล็บโรเตอร์ ความหนาแน่นกำลังมอเตอร์ มอเตอร์ไร้แปรงถ่านแม่เหล็กถาวร ประสิทธิภาพ เสียงรบกวน

Abstract

This paper presents a comparative performance study of brushless DC motors between conventional permanent magnet rotors and claw-pole rotors. The conventional motor features an 8-pole/12-slot design, while the claw-pole motors are designed with 3-pole/12-slot and 4-pole/12-slot configurations. This research conducts comparative performance testing across multiple parameters including motor mass, rotational speed, noise level, output power, power density, and efficiency under both no-load and fan-load conditions. The significant test results demonstrate that the 4-pole/12-slot claw-pole motor exhibits superior performance in terms of rotational speed, output power, power density, and efficiency compared to other motor configurations, particularly under fan-load operating conditions.

Keywords: Acoustic noise, output power, claw-rotor motor, brushless PM motor, efficiency,

1. บทนำ

มอเตอร์ไฟฟ้ากระแสตรง (DC Motor) เป็นอุปกรณ์แปลงพลังงานไฟฟ้าเป็นพลังงานกลที่มีหลักการทำงานจากการปฏิสัมพันธ์ระหว่างสนามแม่เหล็กจากแม่เหล็กถาวรและกระแสไฟฟ้าที่ไหลผ่านขดลวดนำ เนื่องจากมีข้อเด่นในด้านการควบคุมความเร็วที่มีความแม่นยำสูงเมื่อเปรียบเทียบกับมอเตอร์ไฟฟ้ากระแสสลับ จึงได้รับการนำมาประยุกต์ใช้ในการใช้งานที่หลากหลาย ได้แก่ อุปกรณ์ออกกำลังกาย ระบบสายพานลำเลียงในอุตสาหกรรม ระบบขับเคลื่อนยานยนต์ไฟฟ้า และอุตสาหกรรมสิ่งทอ ซึ่งสามารถปรับความเร็วได้ในช่วงกว้างตั้งแต่ความเร็วต่ำจนถึงความเร็วสูง [1]

มอเตอร์ไฟฟ้ากระแสตรงสามารถจำแนกได้เป็น 2 ประเภทหลัก ได้แก่ มอเตอร์แบบมีแปรงถ่าน (Brushed DC Motor) และมอเตอร์แบบไร้แปรงถ่าน (Brushless DC Motor: BLDC) มอเตอร์แบบมีแปรงถ่านมีข้อจำกัดด้านการสึกหรอของแปรงถ่านตามระยะเวลาการใช้งาน ส่งผลให้ต้องมีการบำรุงรักษาเป็นระยะ [2] ในขณะที่มอเตอร์ไฟฟ้ากระแสตรงไร้แปรงถ่านมีข้อเด่นด้านความทนทาน ประสิทธิภาพสูง และไม่ต้องการการบำรุงรักษาแปรงถ่าน จึงเป็นที่นิยมในการใช้งานมากกว่ามอเตอร์ประเภทอื่น [3]

มอเตอร์ไฟฟ้ากระแสตรงไร้แปรงถ่านสามารถจำแนกตามโครงสร้างได้เป็น 2 ประเภท ได้แก่ Inrunner BLDC Motor ที่โรเตอร์ตั้งอยู่ภายในสเตเตอร์ และ Outrunner BLDC Motor ที่โรเตอร์ตั้งอยู่ภายนอกสเตเตอร์ [4] ส่วนประกอบโรเตอร์ของมอเตอร์ BLDC สามารถจำแนกได้หลายประเภทตามลักษณะการออกแบบ โครงสร้าง และการประยุกต์ใช้งาน ซึ่งโรเตอร์ที่ได้รับความนิยมในปัจจุบันประกอบด้วย โรเตอร์แบบ Spoke-Type โรเตอร์แม่เหล็กถาวร (Permanent Magnet Rotor) และโรเตอร์กรงกระรอก (Squirrel-cage Rotor) [5,6]

การศึกษานี้มุ่งเน้นที่โรเตอร์แบบกรงเล็บ (Claw-Pole Rotor) ซึ่งเป็นโครงสร้างที่พบได้ทั่วไปในเครื่องกำเนิดไฟฟ้าสำหรับรถยนต์ (Automotive Alternator) แต่มีการใช้งานค่อนข้างจำกัดในมอเตอร์ไฟฟ้ากระแสตรง [7] จากการทบทวนวรรณกรรมเกี่ยวกับการออกแบบมอเตอร์ BLDC ที่ใช้โรเตอร์แบบกรงเล็บ พบว่ามีความหลากหลายในการออกแบบมากกว่าโร

*ผู้ประพันธ์บรรณกิจ

เตอร์แม่เหล็กถาวรแบบดั้งเดิม [8,9] ตัวอย่างการออกแบบที่หลากหลาย เช่น การติดตั้งแม่เหล็กถาวรบนกรงเล็บ หรือการติดตั้งแม่เหล็กถาวรระหว่างกรงเล็บ

โรเตอร์แบบกรงเล็บมีข้อเด่นเมื่อเปรียบเทียบกับโรเตอร์แม่เหล็กถาวรในหลายประการ ได้แก่ ความสะดวกในกระบวนการผลิตเนื่องจากสามารถประกอบจากส่วนประกอบหลายชิ้นแทนการขึ้นรูปจากวัสดุชิ้นเดียว ความสามารถในการปรับแรงดันไฟฟ้าในช่วงกว้าง และสามารถออกแบบองศาการเอียงของเสากรงเล็บเพื่อลดแรงบิดของฟันเฟือง (Cogging Torque) [10,11,12,13]

ดังนั้น งานวิจัยนี้จึงนำเสนอการศึกษาเปรียบเทียบสมรรถนะของมอเตอร์ไฟฟ้ากระแสตรงไร้แปรงถ่านที่ใช้โรเตอร์แบบกรงเล็บและโรเตอร์แม่เหล็กถาวร โดยทำการทดสอบเปรียบเทียบในด้านความเร็วรอบ ระดับเสียงรบกวน อุณหภูมิการทำงาน และพารามิเตอร์ทางไฟฟ้าต่างๆ เพื่อประเมินประสิทธิภาพและความเหมาะสมในการประยุกต์ใช้งาน

2. การออกแบบและการดำเนินการ

รูปที่ 1 แสดงมอเตอร์ไร้แปรงถ่านแม่เหล็กถาวรที่มีโรเตอร์แบบดั้งเดิม ที่มีสเตเตอร์ 12 สล็อต และโรเตอร์ 8 โพล ซึ่งมีการพันขดลวดแบบรวมกลุ่ม (Concentrated Winding)

รูปที่ 2 (a) และ (b) แสดงผลการออกแบบโรเตอร์กรงเล็บฝั่งเดียวที่มี 3 ขา และ 4 ขาตามลำดับ ตรงบริเวณขากรงเล็บจะมีร่องลึกรูปสี่เหลี่ยมผืนผ้าไว้สำหรับติดตั้งแม่เหล็กถาวร

รูปที่ 3 (a) แสดงโรเตอร์กรงเล็บที่ปริ้นออกมาจากเครื่องปริ้นสามมิติ ซึ่งประกบกันทั้งสองฝั่ง โรเตอร์กรงเล็บนี้ทำด้วยวัสดุพลาสติก ABS (Acrylonitrile Butadiene Styrene) รูปที่ 3 (b) แสดงโรเตอร์กรงเล็บที่ติดตั้งขั้วแม่เหล็กและเพลาโรเตอร์ สำหรับส่วนสเตเตอร์ของมอเตอร์กรงเล็บจะใช้ตัวสเตอร์เดียวกันกับมอเตอร์แบบดั้งเดิม

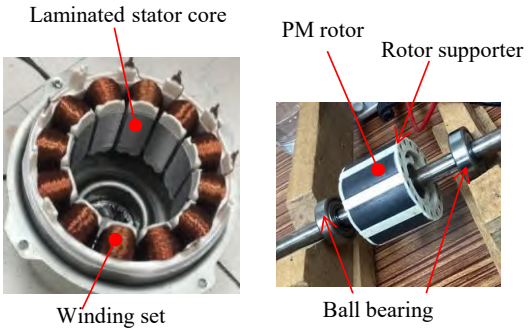

รูปที่ 1 มอเตอร์ไร้แปรงถ่านแม่เหล็กที่มีโรเตอร์แบบดั้งเดิม

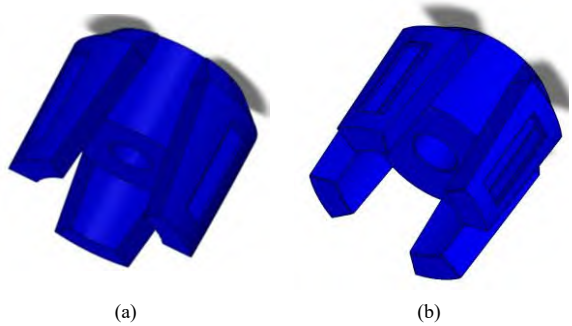

รูปที่ 2 การออกแบบโรเตอร์กรงเล็บในโปรแกรมสามมิติ (a) โรเตอร์กรงเล็บ 3 ขา (b) โรเตอร์กรงเล็บ 4 ขา

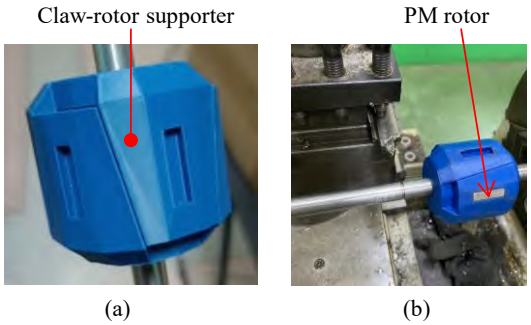

รูปที่ 3 โรเตอร์กรงเล็บที่ปริ้นออกมาจากเครื่องปริ้นสามมิติที่ประกบกันทั้งสองฝั่ง พร้อมติดตั้งขั้วแม่เหล็กและแกนเพลาโรเตอร์

3. การทดลองและผลการทดลอง

3.1 การทดลอง

การทดสอบสมรรถนะมอเตอร์ไร้แปรงถ่านทั้ง 3 แบบนั้น การทดสอบจะแบ่งเป็นทดสอบแบบใต้สภาวะไร้โหลดและสภาวะมีโหลดพัดลม ดังแสดงในรูปที่ 4 และ 5 ตามลำดับ โดยจะทดสอบเพื่อเปรียบเทียบน้ำหนักของมอเตอร์ ความเร็วรอบหมุน เสียงรบกวน อุณหภูมิ กำลังไฟฟ้า และประสิทธิภาพ

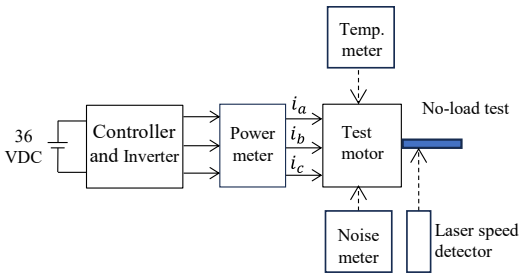

รูปที่ 4 บล็อกไดอะแกรมสำหรับขับเคลื่อนมอเตอร์ เมื่อมอเตอร์อยู่ในสภาะไร้โหลด

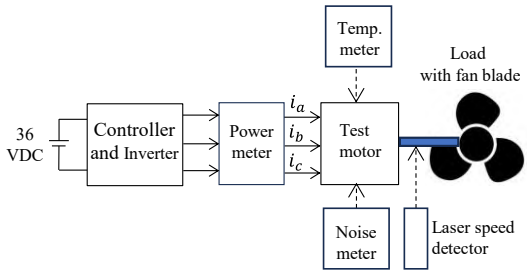

รูปที่ 5 บล็อกไดอะแกรมสำหรับขับเคลื่อนมอเตอร์ เมื่อมอเตอร์อยู่ในสภาะมีโหลดใบพัดลม

3.2 ผลการทดสอบมอเตอร์ภายใต้สภาวะไร้โหลด

ก) การทดสอบชั่งน้ำหนัก

รูปที่ 6 แสดงตัวอย่างการชั่งน้ำหนักของมอเตอร์ที่ใช้โรเตอร์แบบดังเดิม

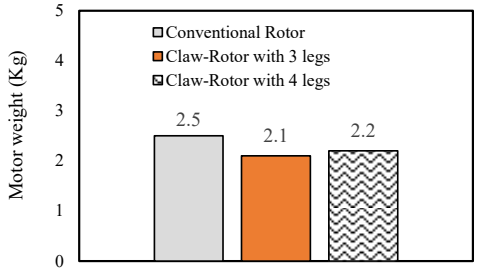

รูปที่ 7 น้ำหนักของมอเตอร์ไร้แปรงถ่านของโรเตอร์ทั้ง 3 แบบ

ผลการเปรียบเทียบน้ำหนักมอเตอร์ทั้ง 3 รูปแบบแสดงได้ดังรูปที่ 7 พบว่ามอเตอร์ไร้แปรงถ่าน แบบโรเตอร์กรงเล็บแม่เหล็ก 3 ขั้วแม่เหล็ก น้ำหนักน้อยที่สุด คือ 2.1 กิโลกรัม ขณะที่มอเตอร์ไร้แปลงถ่านแบบดั้งเดิม มีน้ำหนักมากที่สุดถึง 2.5 กิโลกรัม เป็นเพราะว่ามี 8 ขั้วแม่เหล็ก รวมถึงน้ำหนักตัวรองรับโรเตอร์หนักกว่า

ข) การทดสอบวัดความเร็วรอบ

รูปที่ 8 แสดงการวัดความเร็วรอบของมอเตอร์ที่ใช้โรเตอร์แบบดังเดิม

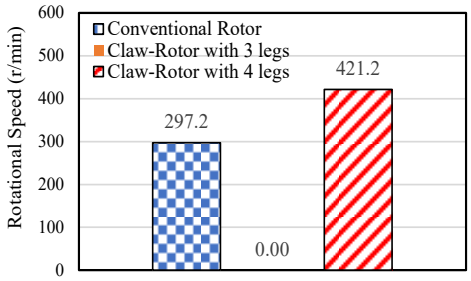

รูปที่ 9 แสดงผลความเร็วรอบหมุนของมอเตอร์ทั้ง 3 แบบ

จากผลการทดสอบดังแสดงในรูปที่ 9 พบว่ามอเตอร์แบบโรเตอร์กรงเล็บ 4 ขั้วแม่เหล็ก (Claw-rotor with 4-legs) ให้ความเร็วหมุนได้สูงสุดถึง 421.2 รอบต่อนาที ขณะที่มอเตอร์แบบดั้งเดิม มีความเร็วหมุนอยู่ที่ 297.2 รอบต่อนาที เนื่องจากโรเตอร์กรงเล็บที่ออกแบบ มีขนาดน้ำหนักเบากว่าแบบดั้งเดิม จึงทำให้ความเร็วที่หมุนสูงกว่าตามไปด้วย และโรเตอร์กรงเล็บ 3 ขั้วแม่เหล็ก (Claw-rotor with 3-legs) ไม่สามารถหมุนได้ เนื่องจากความไม่สมส่วนระหว่างจำนวนขั้วแม่เหล็กโรเตอร์กับสล๊อตของสเตเตอร์ทำให้สนามแม่เหล็กไม่สามารถผลักโรเตอร์ให้หมุนได้

ค) การทดสอบวัดเสียงรบกวนและอุณหภูมิ

รูปที่ 10 แสดงตัวอย่างการวัดเสียงและความเร็วรอบ

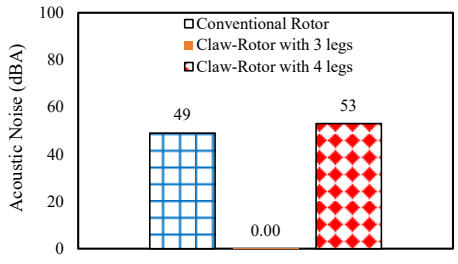

รูปที่ 11 เสียงรบกวนของมอเตอร์ไร้แปรงถ่านของโรเตอร์ทั้ง 3 แบบ

รูปที่ 11 แสดงผลการวัดเสียงรบกวน (Acoustic noise) ของมอเตอร์ทั้ง 3 แบบ พบว่ามอเตอร์ที่มีโรเตอร์กรงเล็บ 4 ขั้วแม่เหล็กสร้างเสียงรบกวนถึง 53 dBA ซึ่งมากกว่ามอเตอร์ที่มีโรเตอร์แบบดั้งเดิม ที่มีเสียงรบกวนอยู่ที่ 49 dBA ด้วยมอเตอร์แบบโรเตอร์กรงเล็บ 4 ขั้วแม่เหล็กมีความเร็วสูงกว่าแบบดังเดิมจึงทำให้เกิดเสียงรบกวนมากกว่า ส่วนมอเตอร์โรเตอร์กรงเล็บ 3 ขั้วแม่เหล็กไม่เกิดเสียงรบกวน เนื่องจากโรเตอร์ไม่หมุน

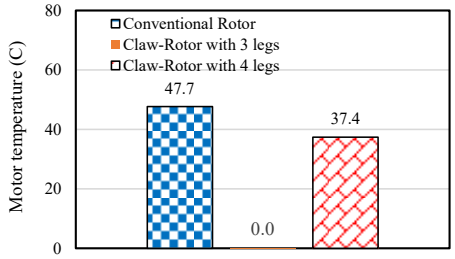

รูปที่ 12 อุณหภูมิของมอเตอร์ไร้แปรงถ่านของโรเตอร์ทั้ง 3 แบบ

รูปที่ 12 แสดงอุณหภูมิของมอเตอร์ทั้ง 3 แบบ ในขณะที่ไร้โหลดและมอเตอร์หมุนไปได้ 10 นาที ทำการวัดอุณหภูมิมอเตอร์แล้วทำการวัดอุณหภูมิ พบว่าอุณหภูมิของมอเตอร์แบบดั้งเดิมและแบบโรเตอร์กรงเล็บ 4 ขั้วแม่เหล็กเป็น 47.7 และ 37.4 องศา ตามลำดับ อุณหภูมิของแบบโรเตอร์กรงเล็บ 4 ขั้วแม่เหล็กน้อยกว่ามอเตอร์แบบดั้งเดิม เพราะว่าจำนวนขั้วแม่เหล็กโรเตอร์น้อยกว่าแบบโรเตอร์แบบดั้งเดิม อีกทั้งมอเตอร์แบบโรเตอร์กรงเล็บ 4 ขั้วแม่เหล็กมีความเร็วสูงกว่าแบบดังเดิมจึงทำให้เกิดการระบายความร้อนที่ดีกว่า ทำให้มีอุณหภูมิสะสมน้อยกว่า

3.3 ผลการทดสอบมอเตอร์ภายใต้สภาวะมีโหลด (พัดลม)

ก) การทดสอบชั่งน้ำหนัก

รูปที่ 13 แสดงน้ำหนักของโรเตอร์ทั้งแบบดั้งเดิมและโรเตอร์กรงเล็บ 4 ขั้วแม่เหล็ก ขณะมีโหลดพัดลม ซึ่งโหลดพัดลมจะใช้ทั้งหมด 3 ขนาด ได้แก่ ใบพัดขนาด 4 นิ้ว 6 นิ้ว และ 8 นิ้ว พบว่ามอเตอร์แบบโรเตอร์กรงเล็บมีน้ำหนักน้อยกว่ามอเตอร์แบบดั้งเดิมทุกๆ โหลดพัดลม มอเตอร์แบบโรเตอร์กรงเล็บมีน้ำหนักลดลงไปถึงร้อยละ 11.3 เมื่อเปรียบเทียบกับน้ำหนักมอเตอร์แบบดั้งเดิม

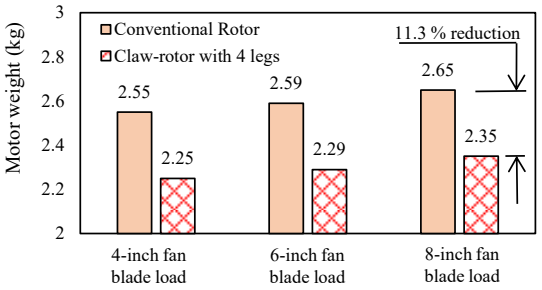

รูปที่ 13 น้ำหนักของมอเตอร์ไร้แปรงถ่านแบบโรเตอร์กรงเล็บ 4 ขาและแบบโรเตอร์ดั้งเดิม ขณะมีโหลดพัดลม 4 นิ้ว 6 นิ้ว และ 8 นิ้ว

ข) การทดสอบวัดความเร็วรอบ

รูปที่ 14 แสดงผลเปรียบเทียบความเร็วหมุนของมอเตอร์ไร้แปรงถ่านแบบโรเตอร์กรงเล็บ 4 ขา และแบบโรเตอร์ดั้งเดิม ขณะมีโหลดพัดลมขนาด 4 นิ้ว 6 นิ้ว และ 8 นิ้ว พบว่ามอเตอร์ พบว่ามอเตอร์โรเตอร์กรงเล็บ 4 ขา ให้ความเร็วสูงกว่ามอเตอร์โรเตอร์แบบดั้งเดิม ทุกโหลดใบพัดลม เพราะว่าโรเตอร์กรงเล็บที่ออกแบบ มีขนาดน้ำหนักเบากว่าแบบดั้งเดิม จึงทำให้ความเร็วที่หมุนสูงกว่าตามไปด้วย

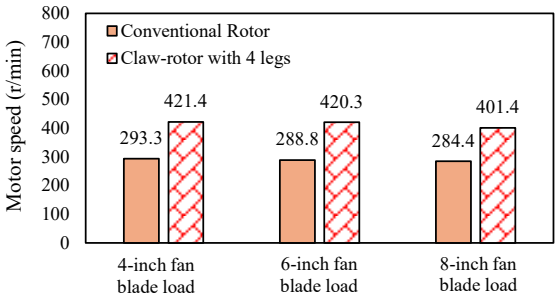

รูปที่ 14 ความเร็วรอบหมุนของมอเตอร์ไร้แปรงถ่านแบบโรเตอร์กรงเล็บ 4 ขาและแบบโรเตอร์ดั้งเดิม ขณะมีโหลดพัดลม 4 นิ้ว 6 นิ้ว และ 8 นิ้ว

ค) การทดสอบวัดเสียงรบกวนและอุณหภูมิ

รูปที่ 15 แสดงผลการวัดเสียงรบกวนของมอเตอร์แบบดั้งเดิมและแบบโรเตอร์กรงเล็บ 4 ขั้วแม่เหล็ก ขณะมีโหลดพัดลม พบว่ามอเตอร์แบบโรเตอร์กรงเล็บ 4 ขั้วแม่เหล็กสูงกว่าเสียงรบกวนของมอเตอร์แบบดั้งเดิมไม่เกิน 2 dBA ทุกโหลดพัดลม เป็นเพราะว่าความเร็วของโรเตอร์แบบกรงเล็บ 4 ขั้วแม่เหล็กมีความเร็วสูงกว่าจึงทำให้ความเกิดเสียงรบกวนมากกว่า

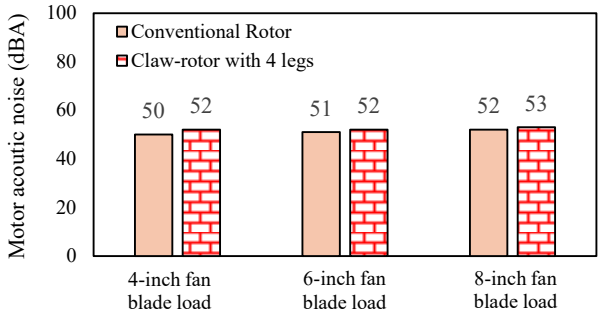

รูปที่ 15 เสียงรบกวนของมอเตอร์ไร้แปรงถ่านแบบโรเตอร์กรงเล็บ 4 ขา และแบบโรเตอร์ดั้งเดิม ขณะมีโหลดพัดลม 4 นิ้ว 6 นิ้ว และ 8 นิ้ว

ง) การทดสอบวัดกำลังขาออกของมอเตอร์

รูปที่ 16 แสดงกำลังด้านออกของโรเตอร์แบบกรงเล็บ 4 ขาและโรเตอร์แบบดั้งเดิม ขณะมีโหลดพัดลม 4 นิ้ว 6 นิ้ว และ 8 นิ้ว พบว่าที่โหลดพัดลม 8 นิ้ว มอเตอร์ไร้แปรงถ่านแบบโรเตอร์กรงเล็บ 4 ขา ให้กำลังไฟฟ้าสูงกว่ามอเตอร์แบบโรเตอร์ดั้งเดิม เนื่องจากที่โหลดเท่ากันแรงบิดที่ขับโหลดจึงมีขนาดเท่ากัน ดังนั้นขณะที่ความเร็วรอบของโรเตอร์กรงเล็บมีค่าสูงกว่า จึงสามารถกล่าวได้ว่ากำลังไฟฟ้าด้านออกของมอเตอร์โรเตอร์กรงเล็บมีค่าสูงกว่าด้วย นอกจากนี้ยังส่งผลให้ความหนาแน่นกำลังมอเตอร์และประสิทธิภาพของมอเตอร์โรเตอร์กรงเล็บ 4 ขา มีค่าสูงกว่ามอเตอร์โรเตอร์แบบดั้งเดิมด้วย ดังแสดงในรูปที่ 17 และ 18 ตามลำดับ

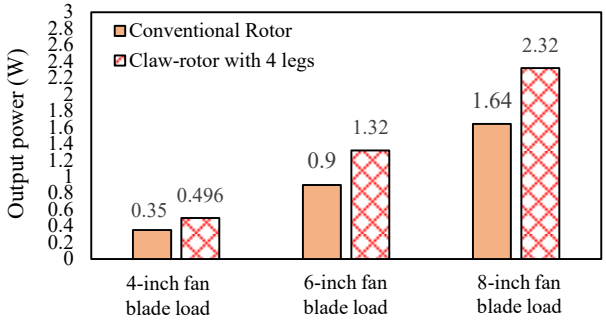

รูปที่ 16 กำลังด้านออกของมอเตอร์ไร้แปรงถ่านแบบโรเตอร์กรงเล็บ 4 ขา และแบบโรเตอร์ดั้งเดิม ขณะมีโหลดพัดลม 4 นิ้ว 6 นิ้ว และ 8 นิ้ว

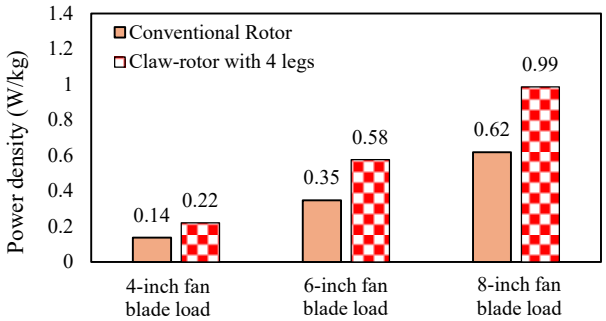

รูปที่ 17 ความหนาแน่นกำลังของมอเตอร์ไร้แปรงถ่านแบบโรเตอร์กรงเล็บ 4 ขาและแบบโรเตอร์ดั้งเดิม ขณะมีโหลดพัดลม 4 นิ้ว 6 นิ้ว และ 8 นิ้ว

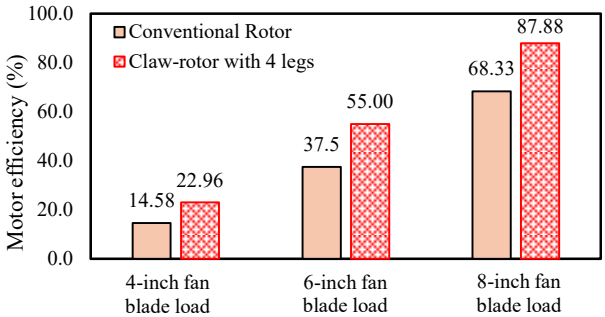

รูปที่ 18 ความหนาแน่นกำลังของมอเตอร์ไร้แปรงถ่านแบบโรเตอร์กรงเล็บ 4 ขาและแบบโรเตอร์ดั้งเดิม ขณะมีโหลดพัดลม 4 นิ้ว 6 นิ้ว และ 8 นิ้ว

4. บทสรุปผลการทดลอง

บทความนี้นำเสนอการออกแบบโรเตอร์กรงเล็บสำหรับมอเตอร์ไร้แปรงถ่านแม่เหล็ก เพื่อเปรียบเทียบสมรรถนะของมอเตอร์ไฟฟ้ากระแสตรงไร้แปรงถ่านระหว่างโรเตอร์แม่เหล็กถาวรแบบดั้งเดิมและโรเตอร์แบบกรงเล็บ 3 ขา และ 4 ขา จากผลการทดสอบที่สำคัญพบว่ามอเตอร์ที่ใช้โรเตอร์แบบกรงเล็บ 3 ขาไม่หมุน เนื่องจากความไม่สมส่วนระหว่างจำนวนขั้วแม่เหล็กโรเตอร์กับสล็อตของสเตเตอร์มอเตอร์ ในขณะที่พบว่ามอเตอร์แบบกรงเล็บ 4 ขา/12 สล็อต มีสมรรถนะที่ดีทั้งในด้านน้ำหนักเบา ความเร็วรอบ กำลังขาออก ความหนาแน่นกำลัง และประสิทธิภาพเมื่อเปรียบเทียบกับโรเตอร์แบบดั้งเดิม โดยเฉพาะอย่างยิ่งภายใต้สภาวะการทำงานที่มีโหลดใบพัดลม ที่โหลดใบพัดลมขนาด 8 นิ้ว มอเตอร์แบบกรงเล็บ 4 ขาให้กำลังด้านออกถึง 2.30 W ความหนาแน่นกำลังสูงสุดถึง 0.99 W/kg และมีประสิทธิภาพถึงร้อยละ 87.88

จากการทดสอบ เป็นไปได้ว่ามอเตอร์กรงเล็บยังมีศักยภาพในการประยุกต์ใช้งานได้อย่างกว้างขวาง ได้แก่

1. ระบบเสริมในยานยนต์ (Automotive auxiliaries) เช่น ปั๊มน้ำไฟฟ้า พัดลม และคอมเพรสเซอร์ ซึ่งต้องการมอเตอร์ที่มีขนาดกะทัดรัด ให้แรงบิดสูง และมีประสิทธิภาพดี

2. เครื่องใช้ไฟฟ้าภายในบ้าน เช่น เครื่องดูดฝุ่น หรือพัดลมในระบบปรับอากาศ ซึ่งต้องการมอเตอร์ที่มีประสิทธิภาพสูง

3. ยานยนต์ไฟฟ้าขนาดเล็ก เช่น รถจักรยานไฟฟ้า สกู๊ตเตอร์ไฟฟ้า หรือโดรน ที่เน้นความเบาและมีประสิทธิภาพพลังงานสูง

อย่างไรก็ตาม แม้ว่ามอเตอร์แบบกรงเล็บ 4 ขาจะแสดงประสิทธิภาพที่เหนือกว่าในหลายๆ ด้านเมื่อเทียบกับโครงสร้างดั้งเดิม แต่ก็ยังมีข้อจำกัดบางประการในการใช้งาน ได้แก่ ความทนทานต่อความร้อนของโรเตอร์กรงเล็บ: กรณีที่มอเตอร์กรงเล็บนี้ทำงานที่เกิดพิกัดกระแส ความร้อนจากกระแสไหลผ่านมอเตอร์และความร้อนที่เกิดขึ้นในมอเตอร์ อาจทำให้ ABS เกิดการบวมหรือเสียรูปได้ถ้าไม่มีการระบายความร้อนเพียงพอ เป็นต้น

5. กิตติกรรมประกาศ

ขอขอบคุณ ภาควิศวกรรมไฟฟ้า คณะวิศวกรรมศาสตร์ ศรีราชา มหาวิทยาลัยเกษตรศาสตร์ วิทยาเขตศรีราชา ที่ใช้อุปกรณ์ เครื่องมือ และสถานที่ในการวิจัยและทดลอง

เอกสารอ้างอิง

[1] “มอเตอร์ไฟฟ้ากระแสตรง” [ออนไลน์]. เข้าถึงจาก: https://shorturl.asia/7MhN8

[2] N. Madhav and R. Sadakale, "Analysis of demagnetized BLDC Motor using MATLAB Simulink model and AWT analysis," 2020 11th

[3] A. Mujianto, M. Nizam and Inayati, "Comparation of the slotless brushless DC motor (BLDC) and slotted BLDC using 2D modeling," 2014

[4] [“What is a brushless DC motor?” [ออนไลน์]. เข้าถึงจาก: https://shorturl.asia/XkZxb

[5] “What Is a Rotor?” [ออนไลน์]. เข้าถึงจาก: https://www.gamak.com/en/what-is-a-rotor

[6] Su Yong Kim, Byung Taek Kim, Ju Hee Cho and Ju Lee, "Novel Spoke-Type BLDC Motor design for cost effective and high power density," 2016

[7] “ระบบไฟชาร์จรถยนต์”[ออนไลน์]. เข้าถึงจาก: https://shorturl.asia/8T60E

[8] N. Saed, S. Asgari and A. Muetze, "On the Effect of Claw Geometry on the Vibration of Single-Phase Claw-Pole BLDC Machines," 2023 11th

[9] S. Leitner, H. Gruebler and A. Muetze, "Cogging Torque Minimization on a Mass-Produced Sub-Fractional Horsepower Brushless Direct Current Claw-Pole Motor," 2018

[10] SIMULATION AND EXPERIMENTAL RESEARCH OF CLAW POLE MACHINE WITH A HYBRID EXCITATION AND LAMINATED ROTOR CORE [ออนไลน์]. เข้าถึงจาก: https://shorturl.asia/4DO2e

[11] S. Leitner, H. Gruebler and A. Muetze, "Low-Cost BLDC Claw-Pole Motor Design for Fan Applications with Reduced Cogging Torque and Balanced Axial Forces," 2020

[12] S. Leitner, H. Gruebler and A. Muetze, "Cogging Torque Minimization on a Mass-Produced Sub-Fractional Horsepower Brushless Direct Current Claw-Pole Motor," 2018

[13] S. Leitner, H. Gruebler and A. Muetze, "Cogging Torque Minimization and Performance of the Sub-Fractional HP BLDC Claw-Pole Motor," Sept.-Oct. 2019

การแก้ปัญหาการจ่ายโหลดอย่างประหยัดแบบหลายวัตถุประสงค์ ที่มีฟังก์ชันราคาเชื้อเพลิงแบบไม่ราบเรียบด้วยวิธีการหาคำตอบที่เหมาะสมที่สุดแบบฝูงผึ้ง

Solving the Multi-objective Economic Dispatch Problem with a Non-smooth Fuel Cost Function Using Bee Colony Optimization

ทวินันท์ จันทะวัง[1] จิรพนธ์ ทาแกง[1] วันไชย คำเสน[1] กวีวัชร์ ทัติวงษ์[1] ณัฐพล อนุวงค์[1] อภินันท์ อุรโสภณ[2*] และกัญญารัตน์ ศรีชัยวงศ์[3]

[1]สาขาวิชาวิศวกรรมไฟฟ้า คณะวิศวกรรมศาสตร์ มหาวิทยาลัยเทคโนโลยีราชมงคลล้านนา ลำปาง
Thawinan_jan@rmutl.ac.th, chiraphon@rmutl.ac.th, wanchai_kh@rmutl.ac.th, kaweewat.ta@rmutl.ac.th, Nattapon_anu@rmutl.ac.th
[2]สาขาวิชาวิศวกรรมไฟฟ้าและคอมพิวเตอร์ คณะวิศวกรรมศาสตร์ มหาวิทยาลัยมหาสารคาม apinan.a@msu.ac.th*
[3]สาขาวิชาวิศวกรรมไฟฟ้า คณะวิศวกรรมศาสตร์ มหาวิทยาลัยเทคโนโลยีราชมงคลล้านนา Kanyarat_sr66@live.rmutl.ac.th

บทคัดย่อ

บทความนี้นำเสนอแนวทางการแก้ปัญหาการจ่ายโหลดอย่างประหยัดแบบหลายวัตถุประสงค์ โดยคำนึงถึงทั้งต้นทุนเชื้อเพลิงและการปล่อยก๊าซเรือนกระจก ที่มีลักษณะไม่ราบเรียบและมีความซับซ้อนสูง วัตถุประสงค์เพื่อทำให้ค่าใช้จ่ายราคาเชื้อเพลิงต่ำที่สุด และอัตราการปล่อยก๊าซเรือนกระจกต่ำที่สุด โดยใช้วิธีเมตาฮิวริสติกส์ ในบทความนี้ใช้วิธีการหาคำตอบที่เหมาะสมที่สุดแบบฝูงผึ้งแบบหลายวัตถุประสงค์ ที่จำลองพฤติกรรมการหาอาหารของผึ้ง กระบวนการประกอบด้วยการสร้างประชากรเริ่มต้น การประเมินค่าความเหมาะสม การคัดเลือก และการสำรวจซ้ำในบริเวณที่มีแนวโน้มให้คำตอบดี ใช้กับระบบจำลองที่มีเครื่องกำเนิดไฟฟ้า 40 หน่วย ที่ความต้องการพลังงาน 10,500 เมกะวัตต์ ผลลัพธ์พบว่าวิธีการนำเสนอต้นทุนการผลิตไฟฟ้าต่ำสุดที่ 121,508 ดอลลาร์ต่อชั่วโมง การปล่อยก๊าซเรือนกระจกต่ำสุดที่ 171,426.721 ตันต่อชั่วโมง และต่ำที่สุดเมื่อเทียบกับวิธีการอื่น จึงสรุปได้ว่าวิธีที่นำเสนอสามารถนำมาใช้กับระบบผลิตไฟฟ้าขนาดใหญ่แบบหลายวัตถุประสงค์ได้อย่างมีประสิทธิภาพ

คำสำคัญ: การจ่ายโหลดอย่างประหยัด ก๊าซเรือนกระจก การหาค่าที่เหมาะสมที่สุดแบบฝูงผึ้ง

Abstract

This paper presents a solution to the multi-objective economic load dispatch problem by simultaneously considering fuel cost and greenhouse gas emissions, which are inherently nonlinear and complex in nature. The primary objective is to minimize both the total generation cost and the emission level. A metaheuristic optimization technique, namely the multi-objective bee colony optimization (Multi-BCO) algorithm, is employed to simulate the foraging behavior of honeybees. The optimization process comprises four main stages: initialization of a population of candidate solutions, evaluation of their fitness values, selection of promising solutions, and local exploration around potential regions to accelerate convergence toward the global optimum. The proposed method is validated using a benchmark test system consisting of 40 generating units with a total load demand of 10,500 MW. Simulation results demonstrate that the Multi-BCO algorithm achieves a minimum generation cost of 121,508 USD per hour and the lowest greenhouse gas emission of 171,426.721 tons per hour, outperforming other conventional optimization methods in both objectives. Therefore, the proposed approach is highly effective, robust, and applicable to large-scale multi-objective power generation systems, providing an efficient trade-off between economic operation and environmental sustainability.

Keywords: Economic Dispatch, Emission Dispatch, Bee Colony Optimization

1. บทนำ

ปัญหาการจ่ายโหลดอย่างประหยัด (Economic Dispatch: ED) เป็นปัญหาพื้นฐานในการวางแผนการเดินเครื่องผลิตไฟฟ้า โดยมีวัตถุประสงค์เพื่อกำหนดกำลังการผลิตของแต่ละเครื่องให้มีต้นทุนเชื้อเพลิงต่ำที่สุด ภายใต้ข้อจำกัดทางเทคนิค ได้แก่ ขีดจำกัดกำลังผลิต ความสมดุลพลังงาน และประสิทธิภาพของเครื่องกำเนิดไฟฟ้า ในช่วงที่ผ่านมา ได้มีการนำวิธีการเชิงคณิตศาสตร์แบบดั้งเดิมมาใช้ในการแก้ปัญหา ED เช่น วิธีแลมบ์ด้า (Lambda Iteration) [1], วิธีลากรางจ์ (Lagrange Relaxation) [2] และการใช้โปรแกรมเชิงพลวัต (Dynamic Programming) [3] ซึ่งแม้จะสามารถใช้งานได้ในระดับหนึ่ง แต่ยังประสบข้อจำกัดในการประยุกต์ใช้กับระบบที่มีขนาดใหญ่มีความซับซ้อนสูง หรือมีลักษณะไม่เป็นเชิงเส้น (Non-linear) ส่งผลให้ไม่สามารถค้นหาคำตอบที่ดีที่สุดในระดับสากล (Global Optimum) ได้

จากข้อจำกัดของวิธีดั้งเดิม ทำให้แนวทางแบบเมตาฮิวริสติกส์ (Metaheuristic Techniques) ซึ่งเป็นวิธีการที่จำลองพฤติกรรมจากธรรมชาติ ได้รับความสนใจอย่างแพร่หลายในการแก้ปัญหา ED เนื่องจากสามารถให้คำตอบที่มีคุณภาพภายในระยะเวลาที่เหมาะสม เทคนิคในกลุ่มนี้ เช่น การจำลองการอบอ่อน (Simulated Annealing: SA) [4], การหาคำตอบแบบอนุภาคกลุ่ม (Particle Swarm Optimization: PSO) [5] และวิธีการหาคำตอบที่เหมาะสมที่สุดแบบฝูงผึ้ง (Bee Colony Optimization: BCO) [6]-[7] โดยแต่ละวิธีมีข้อได้เปรียบที่แตกต่างกัน เช่น ความสามารถในการลู่เข้าหาคำตอบเร็ว หรือการหลีกเลี่ยงการติดอยู่ในค่าคำตอบเฉพาะถิ่น (Local Optimum)

อย่างไรก็ตามแนวโน้มด้านพลังงานในปัจจุบันได้ให้ความสำคัญกับประเด็นด้านสิ่งแวดล้อม โดยเฉพาะการควบคุมการปล่อยก๊าซเรือนกระจก ส่งผลให้ปัญหา ED ถูกขยายขอบเขตการดำเนินการไปสู่ปัญหา Economic Emission Dispatch (EED) ซึ่งรวมเป้าหมายด้านต้นทุนการผลิต และลดการปล่อยมลพิษไว้ด้วยกัน ปัญหานี้จึงถือเป็นปัญหาการเพิ่มประสิทธิภาพ

*ผู้ประพันธ์บรรณกิจ

แบบหลายวัตถุประสงค์ (Multi-objective Optimization Problem) งานวิจัยนี้นำเสนอรูปแบบเมตาฮิวริสติกส์โดยใช้วิธี BCO แบบหลายวัตถุประสงค์ (Multi-objective Bee Colony Optimization: Multi-BCO) ซึ่งได้รับการปรับปรุงเพื่อให้สามารถจัดการกับทั้งปัญหา ED และ EED ได้อย่างมีประสิทธิภาพมากกว่า วิธี BCO ดั้งเดิม โดยมีพื้นฐานจากแนวคิดการปล่อยมลพิษส่วนใหญ่เกิดจากการเดินเครื่องผลิตไฟฟ้าเกินความจำเป็น ซึ่งไม่เพียงแต่เพิ่มต้นทุน แต่ยังก่อให้เกิดผลกระทบทางสิ่งแวดล้อมอย่างชัดเจน ด้วยเหตุนี้วิธีที่นำเสนอจึงมุ่งเน้นการหาคำตอบที่สามารถลดทั้งต้นทุนการผลิตและการปล่อยมลพิษให้น้อยที่สุด พร้อมทั้งได้ทำการเปรียบเทียบประสิทธิภาพของวิธีที่เสนอกับเทคนิคมาตรฐานและผลงานวิจัยที่เกี่ยวข้องในระดับนานาชาติ เพื่อยืนยันถึงความสามารถของวิธีการที่พัฒนาขึ้น

2. การกำหนดปัญหาและฟังก์ชันวัตถุประสงค์

การผลิตไฟฟ้าโดยพิจารณาต้นทุนและการปล่อยมลพิษ มีวัตถุประสงค์เพื่อควบคุมต้นทุนเชื้อเพลิงและการปล่อยมลพิษภายใต้ข้อจำกัดการดำเนินงาน ซึ่งสามารถใช้ได้สำหรับปัญหา EED และ ED โดยเขียนสมการได้ดังนี้

$$F_i(P_i) = a_i P_i^2 + b_i P_i + c_i + \left| e_i \times \sin(f_i \times (P_i^{\min} - P_i)) \right| \quad (1)$$

$$E_i(P_i) = \alpha_i + \beta_i P_i + \gamma_i P_i^2 + \eta_i \exp(\delta_i P_i) \quad (2)$$

จากสมการที่ (1) ฟังก์ชันต้นทุนเชื้อเพลิงของเครื่องกำเนิดในงานวิจัยนี้เป็นแบบไม่เรียบ (Non-Smooth Cost Function) โดยที่ a_i, b_i, c_i, e_i และ f_i คือสัมประสิทธิ์ราคาเชื้อเพลิงของเครื่องกำเนิดไฟฟ้า i และสมการที่ (2) โดย α_i, β_i, γ_i, η_i และ δ_i คือสัมประสิทธิ์การปล่อยมลพิษของเครื่องกำเนิดไฟฟ้า i

ในการแก้ปัญหาการจ่ายโหลดอย่างประหยัด ที่สำคัญที่สุดจะต้องคำนึงถึงข้อจำกัดกำลังไฟฟ้าสมดุล และข้อจำกัดพิกัดของเครื่องกำเนิดไฟฟ้า โดย มีรายละเอียดดังนี้

2.1. ข้อจำกัดกำลังไฟฟ้าสมดุลของระบบ (Power Balance Constraint) คือ อัตราการผลิตพลังงานไฟฟ้ารวมของเครื่องกำเนิดไฟฟ้าทุกตัวต้องมีค่าเท่ากับความต้องการปริมาณไฟฟ้า (Demand) ดังสมการที่ (3) รวมกับกำลังสูญเสียรวมในระบบส่งจ่าย (Power Losses) ดังสมการที่ (4)

$$\sum_{i=1}^{N} (P_i) = P_D + P_{loss} \quad (3)$$

$$P_{loss} = \sum_{i=1}^{N} \sum_{j=1}^{N} P_i B_{ij} P_j + \sum_{j=1}^{N} B_{0i} P_i + B_{00} \quad (4)$$

โดยที่ P_i คือ กำลังการผลิตของเครื่องกำเนิดไฟฟ้า, P_D คือ กำลังไฟฟ้าที่โหลดต้องการ, P_{loss} คือ กำลังไฟฟ้าสูญเสียในสายส่ง, B_{ij}, B_{0i} และ B_{00} คือ สัมประสิทธิ์การสูญเสียของสายส่ง

2.2 ข้อจำกัดพิกัดของเครื่องกำเนิดไฟฟ้า (Generator Rating Constraint) เครื่องกำเนิดแต่ละตัวจะมีข้อจำกัดพิกัดการผลิตแตกต่างกัน แม้ว่าจะมีพิกัดกำลังการผลิตเท่ากัน ดังนั้นในการผลิตกำลังไฟฟ้า จะต้องอยู่ในข้อจำกัดพิกัดของเครื่องกำเนิด ดังสมการที่ (5)

$$P_i^{\min} \le P_i \le P_i^{\max} \quad (5)$$

3. ออกแบบระบบทดสอบโดยใช้วิธีการ Multi-BCO

วิธีการ Multi-BCO เป็นกระบวนการหาคำตอบที่เลียนแบบพฤติกรรมการหาแหล่งน้ำหวานของผึ้ง โดยแบ่งออกเป็น 2 ประเภท ได้แก่ ผึ้งสอดแนม (Scout Bee) ทำหน้าที่สำรวจพื้นที่ (Search Space) เพื่อหาแหล่งน้ำหวาน และผึ้งงาน (Employee Bee) ซึ่งทำหน้าที่เก็บน้ำหวานโดยอาศัยข้อมูลที่ได้รับจากการสื่อสารภายในรังผ่านท่าทางการเต้นของผึ้ง ทั้งนี้วิธีดังกล่าวมีข้อดีคือมีโครงสร้างที่ไม่ซับซ้อนและสามารถให้ผลลัพธ์ที่มีประสิทธิภาพ ซึ่งดำเนินการจำเป็นต้องกำหนดค่าพารามิเตอร์ n คือ จำนวนของผึ้งสอดแนม (Number of Scout Bee) , m คือ จำนวนแหล่งน้ำหวานที่มีการเลือกแล้วจากทั้งหมด จากการหาของผึ้งสอดแนม n ตัว, e คือ จำนวนแหล่งน้ำหวานที่มีปริมาณน้ำหวานมากที่สุด จากที่เลือกแล้ว m แหล่ง, n_{ep} คือ จำนวนผึ้งงานที่กำหนดให้ไปหาที่แหล่งน้ำหวาน e แหล่ง และ n_{sp} คือ จำนวนผึ้งงานที่กำหนดให้ไปหาที่แหล่งน้ำหวาน m-e แหล่ง ดังตารางที่ 1

ตารางที่ 1 พารามิเตอร์สำหรับวิธี Multi-BCO

Parameters	Number
Population Size (n)	50
Selected Sites (m)	20
Best Sites (e)	10
Bees Around Best Sites (n_{ep})	100
Bees Around Other Sites (n_{sp})	100

ลำดับการดำเนินงาน มีดังนี้

ลำดับที่ 1 กำหนดค่าพารามิเตอร์ของอัลกอริทึมที่จำเป็นต่อการทำงานจำนวน ดังตารางที่ 1

ลำดับที่ 2 สร้างคำตอบเริ่มต้น ให้ผึ้งสอดแนมจำนวน n ตัว สร้างคำตอบเริ่มต้น ซึ่งต้องเป็นคำตอบที่เป็นไปได้ โดยอยู่ภายในขอบเขตที่กำหนดและเป็นไปตามเงื่อนไขข้อจำกัดของปัญหา

ลำดับที่ 3 ประเมินคุณภาพของคำตอบเริ่มต้น คำนวณค่าฟังก์ชันวัตถุประสงค์ของแต่ละคำตอบ และจัดเรียงลำดับคุณภาพของคำตอบจากค่าดีที่สุดไปหาค่าที่ต่ำกว่า

ลำดับที่ 4 คัดเลือกคำตอบที่มีคุณภาพสูง จำนวน m คำตอบที่มีค่าการประเมินดีที่สุดเพื่อใช้เป็นฐานในการค้นหาคำตอบใหม่ในขั้นตอนถัดไป

ลำดับที่ 5 จัดกลุ่มคำตอบ แบ่งคำตอบที่คัดเลือกแล้วออกเป็น 2 กลุ่ม คือ คำตอบที่ดีที่สุดจำนวน e คำตอบ และคำตอบที่ดีรองลงมาจำนวน m-e คำตอบ

ลำดับที่ 6 กำหนดขอบเขตการค้นหา สำหรับคำตอบในแต่ละกลุ่ม รอบตำแหน่งคำตอบจำนวน m คำตอบเพื่อให้สามารถสำรวจหาคำตอบที่ดีกว่าได้

ลำดับที่ 7 การค้นหาโดยผึ้งงาน ให้ผึ้งงานจำนวน n_{ep} ตัว ค้นหาคำตอบรอบๆ e คำ และให้ผึ้งงานจำนวน n_{sp} ตัว ค้นหาคำตอบรอบๆ m-e คำตอบ

ลำดับที่ 8 ประเมินและเลือกคำตอบใหม่ ประเมินคำตอบที่ผึ้งงานค้นพบ และเลือกคำตอบที่ดีที่สุดจากแต่ละแหล่งเพื่อนำไปเปรียบเทียบและแทนที่คำตอบเดิม

ลำดับที่ 9 ตรวจสอบเงื่อนไขการหยุด จำนวนรอบการทำซ้ำครบ หรือคุณภาพคำตอบไม่เปลี่ยนแปลง ให้สิ้นสุดกระบวนการ หากไม่ให้ย้อนกลับไปลำดับที่ 2

4. กรณีที่ใช้ในการศึกษา

ในการศึกษานี้ได้ใช้ระบบทดสอบตามมาตรฐาน IEEE ซึ่งประกอบด้วยเครื่องกำเนิดไฟฟ้าจำนวน 40 หน่วย ภายใต้ความต้องการพลังงานรวม 10,500 เมกะวัตต์ โดยเป็นระบบที่มีลักษณะฟังก์ชันต้นทุนเชื้อเพลิงแบบไม่ราบเรียบ และพิจารณาการปล่อยก๊าซเรือนกระจกเป็นหนึ่งในปัจจัยหลักโดยไม่รวมการสูญเสียพลังงานในสายส่ง และรายละเอียดของค่าสัมประสิทธิ์ต่าง ๆ ที่ใช้ในระบบแสดงไว้ใน [8], [9]

5. ผลการทดสอบ

จากการจำลองการทดสอบโดยใช้โปรแกรม MATLAB ผลลัพธ์ที่ได้จากวิธีการ Multi-BCO ได้ถูกนำมาเปรียบเทียบกับวิธีมาตรฐานอื่น ได้แก่ IMOSMA, GSA, CFLBO, SOS, NSOS, MOCSO, SSA-WSA และ MOSSA ซึ่งสรุปผลการเปรียบเทียบแสดงไว้ในตารางที่ 2 และ 3

ตารางที่ 2 ผลการเปรียบเทียบระหว่างวิธีการ Multi-BCO และ IMOS

Unit	**Multi - BCO**	IMOS MA [10]	Unit	**Multi - BCO**	IMOS MA [11]
P_1 (MW)	**113.607**	101.17	P_{23} (MW)	**431.198**	540.64
P_2 (MW)	**113.215**	101.17	P_{24} (MW)	**447.547**	540.64
P_3 (MW)	**92.140**	115.49	P_{25} (MW)	**440.172**	540.64
P_4 (MW)	**175.697**	186.24	P_{26} (MW)	**437.439**	28.35
P_5 (MW)	**96.777**	90.79	P_{27} (MW)	**10.290**	28.35
P_6 (MW)	**139.537**	129.95	P_{28} (MW)	**11.078**	28.35
P_7 (MW)	**297.330**	272.23	P_{29} (MW)	**10.212**	91.69
P_8 (MW)	**283.003**	288.62	P_{30} (MW)	**96.199**	184.30
P_9 (MW)	**299.203**	288.62	P_{31} (MW)	**189.844**	184.30
P_{10} (MW)	**130.864**	244.63	P_{32} (MW)	**189.543**	184.30
P_{11} (MW)	**320.531**	291.01	P_{33} (MW)	**189.720**	190.32
P_{12} (MW)	**243.387**	291.01	P_{34} (MW)	**199.543**	190.32
P_{13} (MW)	**393.920**	322.01	P_{35} (MW)	**198.781**	196.24
P_{14} (MW)	**393.555**	322.01	P_{36} (MW)	**199.096**	196.24
P_{15} (MW)	**391.440**	322.01	P_{37} (MW)	**109.741**	93.93
P_{16} (MW)	**396.217**	322.01	P_{38} (MW)	**109.889**	93.93
P_{17} (MW)	**490.909**	462.10	P_{39} (MW)	**109.948**	93.93
P_{18} (MW)	**483.231**	342.32	P_{40} (MW)	**460.475**	494.60
P_{19} (MW)	**424.130**	342.32	P_T (MW)	**10500**	10500
P_{20} (MW)	**508.518**	540.64	F_T **($/h)**	**121508**	121951.72
P_{21} (MW)	**436.932**	540.64	**Emission (ton/h)**	**171426.721**	173655.63
P_{22} (MW)	**435.143**	540.64			

จากข้อมูลในตารางที่ 2 และ 3 แสดงให้เห็นว่าวิธี Multi-BCO มีประสิทธิภาพในการค้นหาคำตอบที่เหมาะสมได้ดีกว่าวิธีการเหล่านี้ ได้แก่ IMOSMA, GSA, CFLBO, SOS, NSOS, MOCSO, SSA-WSA และ MOSSA โดยวิธีที่นำเสนอสามารถลดต้นทุนการผลิตไฟฟ้าได้ต่ำที่สุดที่ 121,508 ดอลลาร์ต่อชั่วโมง ซึ่งถือเป็นค่าที่ต่ำที่สุดเมื่อเปรียบเทียบกับผลลัพธ์จากวิธีอื่นในตารางเดียวกัน

ตารางที่ 3 ผลการเปรียบเทียบวิธีการอื่น ๆ

Algorithm	F_T ($/h)	Emission (ton/h)
Multi -BCO	**121508**	**171426.721**
GSA [9]	125782	210932.9
CFLBO [10]	125404.06	229799.4
SOS [12]	125359.42	208725.57
NSOS [12]	125444.49	203497.7
MOCSO [13]	124460.75	234003.7
SSA-WSA [14]	124173.37	235154.31
MOSSA [14]	124169.52	235265.21

นอกจากนี้ยังสามารถลดการปล่อยก๊าซเรือนกระจกได้ต่ำถึง 171,426.721 ตันต่อชั่วโมง อีกทั้งการลู่เข้าหาคำตอบของวิธีการที่นำเสนอยังถือว่าอยู่ในเกณฑ์ที่ดี สามารถทำการวนซ้ำเพียง 250 รอบ โดยแสดงดังรูปที่ 1 ซึ่งเป็นค่าที่ดีที่สุดในกลุ่มที่เปรียบเทียบ ส่งผลให้ต้นทุนรวมของการผลิตพลังงานไฟฟ้ามีค่าลดลงอย่างมีนัยสำคัญ

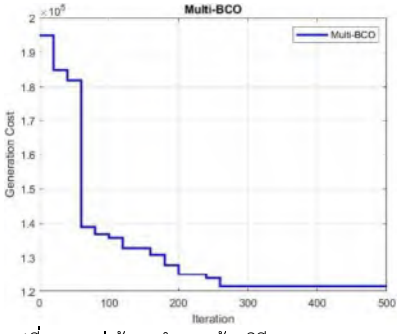

รูปที่ 1 การลู่เข้าหาคำตอบด้วยวิธีการ Multi-BCO

6. สรุปผลการทดลอง

การแก้ปัญหาการจ่ายโหลดอย่างประหยัด (ED) ควบคู่กับการลดการปล่อยมลพิษ (EED) โดยอาศัยแนวทางการเพิ่มประสิทธิภาพแบบหลายวัตถุประสงค์แสดงให้เห็นถึงความสามารถของวิธีการแบบฝูงผึ้ง ในการหาคำตอบที่มีความเหมาะสมที่สุด ทั้งในแง่ของการลดต้นทุนการผลิตไฟฟ้าและการลดการปล่อยมลพิษสู่อากาศ โดยผลลัพธ์ที่ได้จากการหาค่าต่ำสุดที่รวมปัจจัยทั้งสองเข้าด้วยกัน แสดงให้เห็นถึงประสิทธิภาพและความสามารถของวิธีการดังกล่าวอย่างชัดเจน แม้ว่าวิธีการนี้จะได้รับการพัฒนามานานแล้ว แต่ยังคงสามารถสร้างผลลัพธ์ที่มีคุณภาพและเหมาะสมต่อการประยุกต์ใช้งานในปัจจุบันได้อย่างดี

7. เอกสารอ้างอิง

[1] J. Uhaa Agber and A. Engla Anzaku, “Lambda Iteration and Genetic Algorithms Application to solve the Economic Load Dispatch Problem of Seven Nigerian Thermal Power Plants,” *Journal of Energy Technologies and Policy*, vol. 11, no. 4, pp. 45-54, 2021.

[2] Y. Guo, X. Chen, and T. Liu, “Multi-Objective Dynamic Economic Emission Dispatch with Electric Vehicle – Wind Power Interaction Based on a Self-Adaptive Multiple-Learning Harmony-Search Algorithm,” *Energies*, vol. 15, no. 14, p. 4942, 2022.

[3] K. Kim and K. K. Kim, "Dynamic programming for scalable just-in-time economic dispatch with non-convex constraints and anytime participation," *International Journal of Electrical Power & Energy Systems*, vol. 123, Art. 106217, 2020.

[4] A. Tripathi and M. Agarwal, "Multi-objective-based economic and emission dispatch with integration of wind energy sources using different optimization algorithms," *Frontiers in Energy Research*, vol. 12, p. 1421212, 2024.

[5] M. S. Khan, M. A. Khan, and I. Javaid, "Dynamic economic emission dispatch of thermal - wind-solar system with constriction factor-based particle swarm optimization algorithm," *World Journal of Engineering*, vol. 17, no. 3, pp. 510–522, 2020.

[6] M. H. Ahmadian, S. Ghasemi, and M. R. Haghifam, "New Chaotic Artificial Bee Colony for the Risk - Constrained Economic Emission Dispatch Problem Incorporating Wind Power," *Energies*, vol. 14, no. 13, p. 4014, 2021.

[7] L. Song and J. Wang, "Application of adaptive artificial bee colony algorithm in environmental and economic dispatching management," *Journal of Intelligent Systems and Systems Management*, vol. 2, no. 2, pp. 78–88, 2024.

[8] Al - Roomi Website "Economic Load IEEE 40-Units ELD Test System" https://al-roomi.org/economic-dispatch/40-units-system. 2016.

[9] Güvenç U., Sönmez Y., Duman S., Yörükeren N., 2012. Combined economic and emission dispatch solution using gravitational search algorithm.Scientia Iranica 19(6): 1754–62.

[10] Suman M. and V. P. Sakthivel, "Coulomb's and Franklin's Law Based Optimization for Nonconvex Economic and Emission Dispatch Problems," *International Energy Journal*, Vol. 20, no.2, pp.225-38. 2020.

[11] C. Lin, L. Yao, A. Pang and H. Liang, "Fuzzy Neural Network-Assisted Multi - Objective Optimization for Combined Economic Emission Dispatch with Random Wind Power," *2023 8th International Conference on Computational Intelligence and Applications (ICCIA)*, Haikou, China, 2023, pp. 1-7.

[12] D. C. Secui, "Large-scale multi-area economic/emission dispatch based on a new symbiotic organisms search algorithm," Energy Convers. Manag., vol. 154, pp. 203–223, Dec. 2017.

[13] A. J. Li, "Improve crisscross optimization algorithm for solving the multi-area economic/emission dispatch." in 2018 China Int. Conf. Electricity Distribution, Sep. 2018. pp. 453–461.

[14] V. P. Sakthivel, M. Suman, and P. D. Sathya, "Combined economic and emission power dispatch problems through multi-objective squirrel search algorithm," Applied Soft Computing, vol. 100, art. no. 106950, 2021.

ประวัติผู้จัดทำ

นางสาวทวินันท์ จันทะวัง อาจารย์ประจำสาขาวิศวกรรมไฟฟ้า คณะวิศวกรรมศาสตร์ มหาวิทยาลัยเทคโนโลยีราชมงคลล้านนา ลำปาง 200 หมู่ 17 ต.พิชัย อ.เมือง จ.ลำปาง 52000 โทรศัพท์ 054 342547 โทรสาร 054 342549 E-mail : Thawinan_jan@rmutl.ac.th งานวิจัยที่สนใจ: Meta-Heuristics ในระบบไฟฟ้ากำลัง การจ่ายโหลดอย่างประหยัด (Economic Dispatch)

ผศ.จิรพนธ์ ทาแกง อาจารย์ประจำสาขาวิชาวิศวกรรมไฟฟ้า คณะวิศวกรรมศาสตร์ มหาวิทยาลัยเทคโนโลยีราชมงคลล้านนา ลำปาง เลขที่ 200 หมู่ 17 ต.พิชัย อ.เมือง จ.ลำปาง 52000 โทรศัพท์ 054 342547 โทรสาร 054 342549 โทรศัพท์มือถือ 0863697901 E-mail : chiraphon@rmutl.ac.th งานวิจัยที่สนใจ: ระบบไฟฟ้ากำลัง (Power System) การจ่ายโหลดอย่างประหยัด (Economic Dispatch) พลังงานแสงอาทิตย์ (Solar energy)

รศ.วันไชย คำเสน อาจารย์ประจำสาขาวิชาวิศวกรรมไฟฟ้า คณะวิศวกรรมศาสตร์ มหาวิทยาลัยเทคโนโลยีราชมงคลล้านนา ลำปาง เลขที่ 200 หมู่ 17 ต.พิชัย อ.เมือง จ.ลำปาง 52000 โทรศัพท์ 054 342547 โทรสาร 054 342549 E-mail : wanchai_kh@rmutl.ac.th งานวิจัยที่สนใจ: อิเล็กทรอนิกส์กำลัง การจ่ายโหลดอย่างประหยัด

กวีวัชร์ ทัติวงษ์ อาจารย์ประจำสาขาวิชาวิศวกรรมไฟฟ้า คณะวิศวกรรมศาสตร์ มหาวิทยาลัยเทคโนโลยีราชมงคลล้านนา ลำปาง เลขที่ 200 หมู่ 17 ต.พิชัย อ.เมือง จ.ลำปาง 52000 โทรศัพท์ 054 342547 โทรสาร 054 342549 E-mail : kaweewat.ta@rmutl.ac.th, งานวิจัยที่สนใจ: อิเล็กทรอนิกส์กำลัง

ณัฐพล อนุวงค์ เจ้าหน้าที่ประจำสาขาวิศวกรรมไฟฟ้า คณะวิศวกรรมศาสตร์ มหาวิทยาลัยเทคโนโลยีราชมงคลล้านนา ลำปาง เลขที่ 200 หมู่ 17 ต.พิชัย อ.เมือง จ.ลำปาง 52000 โทรศัพท์ 054 342547 โทรสาร 054 342549 E-mail : Nattapon_anu@rmutl.ac.th งานวิจัยที่สนใจ: อิเล็กทรอนิกส์กำลัง

รศ.อภินันท์ อุรโสภณ อาจารย์อาจารย์ประจำสาขาวิศวกรรมไฟฟ้า คณะวิศวกรรมศาสตร์ มหาวิทยาลัยมหาสารคาม 41 หมู่ 20 ต.ขามเรียง อ.กันทรวิชัย จ.มหาสารคาม 44150 E-mail : apinan.a@msu.ac.th งานวิจัยที่สนใจ: อิเล็กทรอนิกส์กำลัง การจ่ายโหลดอย่างประหยัด

กัญญารัตน์ ศรีชัยวงศ์ นักศึกษามหาบัณฑิต สาขาวิศวกรรมไฟฟ้า คณะวิศวกรรมศาสตร์ มหาวิทยาลัยเทคโนโลยีราชมงคลล้านนา ที่อยู่ 128 ถนนห้วยแก้ว ต.ช้างเผือก อ.เมือง จ.เชียงใหม่ 50300 โทร. 053-921444 E-mail: Kanyarat_sr66@live.rmutl.ac.th งานวิจัยที่สนใจ : อิเล็กทรอนิกส์กำลัง

การพัฒนาคุณสมบัติทางไดอิเล็กทริกของน้ำมันปาล์มที่เติมอนุภาคนาโน Fe_3O_4, TiO_2 และ Al_2O_3 โดยศึกษาค่าความต้านทานไฟฟ้า ค่าการสูญเสียทางไดอิเล็กทริก และค่าสภาพยอมทางไฟฟ้าสัมพัทธ์

Development of Dielectric Properties of Palm Oil with Added Fe_3O_4, TiO_2, and Al_2O_3 Nanoparticles by Investigating Electrical Resistivity, Dielectric Loss, and Relative Permittivity

จิรพงศ์ จิตรีเชาว์ พุฒิพงษ์ บัวระภา ภคพล นาเสถียร กษิดิศ สว่างสุข ชินพัฒน์ สุริยะสกุลพงษ์ และพิชัย เมืองประทุม*

หน่วยวิจัยเทคโนโลยีและนวัตกรรมการฉนวนไฟฟ้าแรงสูง (HVRU-RMUTI) สาขาวิชาวิศวกรรมไฟฟ้า คณะวิศวกรรมศาสตร์
มหาวิทยาลัยเทคโนโลยีราชมงคลอีสาน วิทยาเขตขอนแก่น Pichai.mu@rmuti.ac.th*

บทคัดย่อ

งานวิจัยนี้มีวัตถุประสงค์เพื่อพัฒนาคุณสมบัติทางไดอิเล็กทริกของน้ำมันปาล์มสำหรับใช้เป็นฉนวนเหลวในระบบไฟฟ้าแรงสูง โดยทำการเติมอนุภาคนาโน Fe_3O_4, TiO_2 และ Al_2O_3 ลงในน้ำมันปาล์มที่ผ่านการปรับคุณภาพ ในสัดส่วนความเข้มข้น 0.01 wt%, 0.03 wt% และ 0.05 wt% โดยปริมาตร ทำการประเมินคุณสมบัติทางไฟฟ้า ได้แก่ ค่าความต้านทานไฟฟ้า (Resistivity), ค่าการสูญเสียทางไดอิเล็กทริก (Dielectric Loss; tan δ) และค่าสภาพยอมทางไฟฟ้าสัมพัทธ์ (Relative Permittivity) ผลการทดลองพบว่า น้ำมันปาล์มที่เติมอนุภาคนาโน Al_2O_3 ที่ความเข้มข้น 0.05 wt% แสดงค่าความต้านทานไฟฟ้าสูงสุดที่ 1.46×10^{10} Ω·m และมีค่าการสูญเสียทางไดอิเล็กทริกต่ำที่สุดที่ 1.151% ส่วนค่าสภาพยอมทางไฟฟ้าสัมพัทธ์ไม่มีการเปลี่ยนแปลงอย่างมีนัยสำคัญในทุกกลุ่มตัวอย่าง ผลการศึกษาแสดงให้เห็นว่าอนุภาคนาโน โดยเฉพาะ Al_2O_3 มีศักยภาพในการเสริมสมรรถนะของน้ำมันปาล์มให้สามารถลดการสูญเสียพลังงานไฟฟ้าและเพิ่มประสิทธิภาพในการทำหน้าที่เป็นฉนวนไฟฟ้าได้อย่างมีเสถียรภาพ จึงเป็นแนวทางที่น่าสนใจสำหรับการพัฒนาและประยุกต์ใช้น้ำมันฉนวนจากพืชในระบบไฟฟ้าอย่างยั่งยืน

คำสำคัญ: สารอนุภาคนาโน ความต้านทานไฟฟ้า การสูญเสียทางไดอิเล็ก-ทริก ค่าสภาพยอมทางไฟฟ้าสัมพัทธ์ น้ำมันปาล์ม

Abstract

This study aims to enhance the dielectric properties of refined palm oil for application as a liquid insulating material in high-voltage power systems. Fe_3O_4, TiO_2, and Al_2O_3 nanoparticles were incorporated into the palm oil at concentrations of 0.01 wt%, 0.03 wt%, and 0.05 wt% by volume. The electrical performance was evaluated based on resistivity, dielectric loss (tan δ), and relative permittivity. The results revealed that palm oil mixed with 0.05 wt% Al_2O_3 nanoparticles exhibited the highest electrical resistivity at 1.46×10^{10} Ω·m and the lowest dielectric loss at 1.151%. Meanwhile, the relative permittivity remained relatively unchanged across all samples. The findings demonstrate that the addition of nanoparticles, particularly Al_2O_3, can effectively reduce energy loss and improve charge retention capability, thereby enhancing the stability and performance of palm oil as a sustainable alternative insulating fluid for electrical systems.

Keywords: Nanoparticles, Resistivity, Dielectric Loss, Relative Permittivity, Palm oil

1. บทนำ

น้ำมันที่ใช้เป็นฉนวนไฟฟ้าในระบบไฟฟ้าแรงสูงจำเป็นต้องมีคุณสมบัติทางไฟฟ้าที่เหมาะสม เพื่อให้ระบบสามารถทำงานได้อย่างปลอดภัย มีเสถียรภาพ และลดโอกาสเกิดความเสียหายจากการลัดวงจรหรือการเสื่อมสภาพของวัสดุฉนวน [1] คุณสมบัติทางไฟฟ้าที่สำคัญที่ใช้ในการประเมินคุณภาพของน้ำมันฉนวน ได้แก่ ค่าความต้านทานไฟฟ้า ซึ่งบ่งบอกถึงความสามารถในการต้านทานการไหลของกระแสไฟฟ้า ยิ่งค่านี้ยิ่งสูงยิ่งแสดงถึงประสิทธิภาพในการทำหน้าที่เป็นฉนวนได้ดี, ค่าการสูญเสียทางไดอิเล็กทริกที่สะท้อนถึงพลังงานที่สูญเสียไปในรูปของความร้อนระหว่างการใช้งาน ซึ่งควรมีค่าต่ำเพื่อป้องกันความร้อนสะสมที่อาจนำไปสู่ความเสียหายภายในหม้อแปลงไฟฟ้า และค่าสภาพยอมทางไฟฟ้าสัมพัทธ์ ซึ่งเกี่ยวข้องกับความสามารถในการกักเก็บประจุไฟฟ้าในสนามไฟฟ้าของระบบฉนวนโดยรวม [2] ด้วยเหตุนี้ งานวิจัยนี้จึงมุ่งศึกษาการเปลี่ยนแปลงของคุณสมบัติทางไฟฟ้าทั้งสามประการ เมื่อเติมอนุภาคนาโนชนิดต่าง ๆ ลงในน้ำมันปาล์ม โดยมีเป้าหมายเพื่อประเมินความเหมาะสมของน้ำมันปาล์มเป็นฉนวนไฟฟ้าทางเลือกที่สามารถทดแทนน้ำมันแร่ได้ในอนาคต ทั้งในด้านประสิทธิภาพ ความปลอดภัย และความเป็นมิตรต่อสิ่งแวดล้อม [3]

อย่างไรก็ตาม คุณสมบัติทางไดอิเล็กทริกของน้ำมันปาล์มในรูปแบบธรรมชาติยังไม่สามารถเทียบเท่าน้ำมันแร่ได้ งานวิจัยในช่วงหลังจึงมุ่งเน้นการปรับปรุงสมบัติของน้ำมันปาล์มโดยการเติมสารเสริม เช่น อนุภาคนาโน ซึ่งมีขนาดเล็กระดับนาโนเมตร และมีคุณสมบัติเฉพาะที่สามารถเพิ่มความต้านทานไฟฟ้า ลดการสูญเสียทางไดอิเล็กทริก และปรับปรุงความสามารถในการเก็บประจุของของเหลว

*พิชัย เมืองประทุม

งานวิจัยนี้จึงมีวัตถุประสงค์เพื่อศึกษาผลของการเติมอนุภาคนาโน Fe_3O_4, TiO_2 และ Al_2O_3 ลงในน้ำมันปาล์มบริสุทธิ์ในปริมาณที่แตกต่างกัน (0.01wt%, 0.03wt% และ 0.05wt% โดยปริมาตร) [4] เพื่อประเมินการเปลี่ยนแปลงของคุณสมบัติทางไฟฟ้า ได้แก่ ค่าความต้านทานไฟฟ้า ค่าการสูญเสียทางไดอิเล็กทริก และค่าสภาพยอมทางไฟฟ้าสัมพัทธ์ ผลการทดลองจะช่วยระบุประเภทและความเข้มข้นของอนุภาคนาโนที่เหมาะสมสำหรับการประยุกต์ใช้ในระบบฉนวนไฟฟ้าแรงดันสูงอย่างมีประสิทธิภาพและเป็นมิตรต่อสิ่งแวดล้อม

2. วิธีการจัดเตรียมการทดสอบ

2.1 น้ำมันที่ใช้ในการทดสอบ

ในการวิจัยครั้งนี้ ได้คัดเลือกน้ำมันแร่ที่ผ่านการรับรองคุณภาพตามมาตรฐานสากล IEC 60296 [2] ซึ่งกำหนดคุณสมบัติและประสิทธิภาพของน้ำมันแร่ในหม้อแปลงไฟฟ้าอย่างชัดเจน เพื่อให้มั่นใจถึงความปลอดภัยและความเหมาะสมในการใช้งาน น้ำมันแร่ดังกล่าวผลิตโดยบริษัท Savita Oil Technologies Limited [5] ซึ่งเป็นหนึ่งในผู้ผลิตชั้นนำระดับโลกในอุตสาหกรรมนี้ สำหรับน้ำมันปาล์ม ได้เลือกใช้น้ำมันปาล์มที่ผลิตในประเทศไทย โดยผ่านกระบวนการรีไฟน์เพื่อลดปริมาณกรดไขมันอิสระและสิ่งเจือปน ผ่านขั้นตอนการฟอกสีเพื่อลดปริมาณแคโรทีนอยด์ และกระบวนการกำจัดกลิ่นเพื่อขจัดสารระเหยที่ไม่พึงประสงค์ ทำให้น้ำมันปาล์มมีสีอ่อน คุณภาพดี และเหมาะสมต่อการนำมาใช้ในการศึกษาคุณสมบัติทางไฟฟ้า

2.2 สารอนุภาคนาโน

ในการศึกษาครั้งนี้มีการใช้งานอนุภาคนาโน 3 ประเภท ได้แก่ Fe_3O_4 ซึ่งมีคุณสมบัติเป็นตัวนำไฟฟ้า, TiO_2 ที่มีคุณสมบัติกึ่งตัวนำ และ Al_2O_3 ซึ่งเป็นวัสดุฉนวนไฟฟ้า โดยมีขนาดอนุภาคเฉลี่ยเท่ากับ 50 นาโนเมตร 40 นาโนเมตร และ 40 นาโนเมตรตามลำดับ อนุภาคนาโนทั้งหมดจัดหามาจากบริษัท Inframat® Advanced Materials™ LLC [6] ซึ่งเป็นผู้ผลิตที่มีชื่อเสียงด้านวัสดุนาโนในระดับนานาชาติ สำหรับการเตรียมสารผสมในงานวิจัยนี้ ได้กำหนดสัดส่วนความเข้มข้นของอนุภาคนาโนไว้ที่ 0.01wt%, 0.03wt% และ 0.05wt% โดยวัดจากปริมาตรของน้ำมันปาล์มที่ใช้เป็นตัวกลาง ก่อนการทดสอบ ได้มีการตรวจสอบลักษณะทางกายภาพและมิติของอนุภาคนาโนทั้งสามชนิดโดยอาศัยเทคนิคกล้องจุลทรรศน์อิเล็กตรอนแบบส่องกราด (Scanning Electron Microscope: SEM) เพื่อยืนยันความถูกต้องของระดับขนาดในช่วงนาโนเมตร และประเมินรูปแบบการกระจายตัวของอนุภาคบนพื้นผิว โดยผลการตรวจสอบชี้ให้เห็นถึงการกระจายตัวที่ไม่จับกลุ่มเป็นก้อน (non-agglomerated) และมีความสม่ำเสมอในระดับที่เหมาะสม เพื่อให้มั่นใจก่อนการนำเข้าสู่ขั้นตอนการเตรียมความพร้อมก่อนการนำไปประยุกต์ใช้ในระบบจริงดังรูปที่ 1

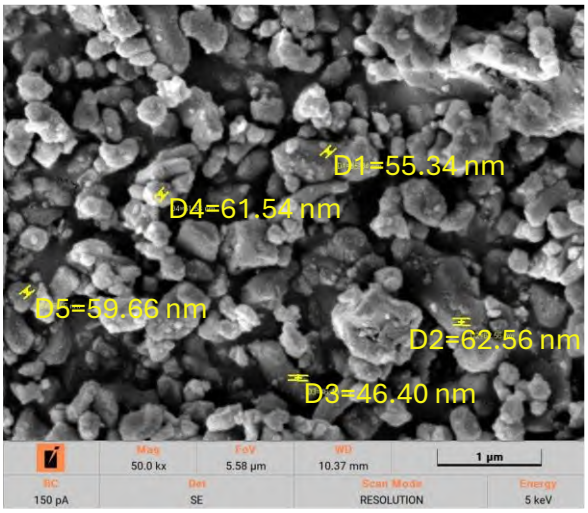

(ก)

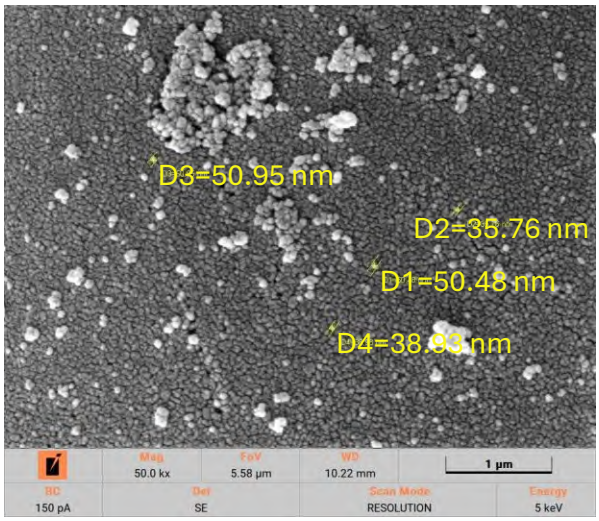

(ข)

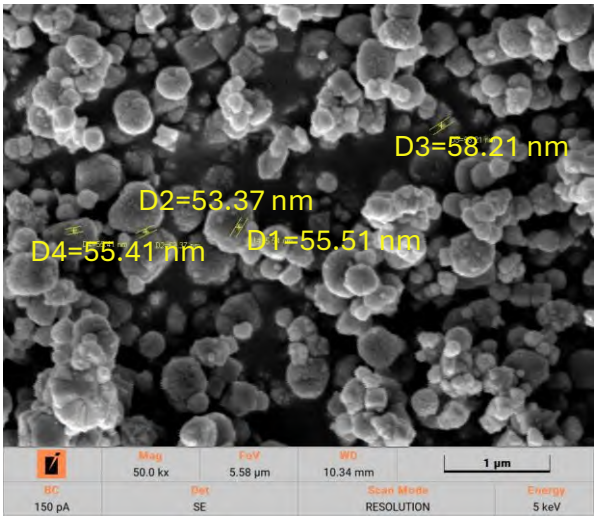

(ค)

รูปที่ 1 การใช้กล้องจุลทรรศน์อิเล็กตรอนแบบส่องกราด (SEM) เพื่อตรวจสอบขนาด (ก) สารอนุภาคนาโน Fe_3O_4 (ข) สารอนุภาคนาโน TiO_2 (ค) สารอนุภาคนาโน Al_2O_3

2.3 การเตรียมตัวอย่างในการทดสอบ

เริ่มต้นด้วยการอบน้ำมันปาล์มและน้ำมันแร่ภายใต้สภาวะสุญญากาศที่อุณหภูมิ 60°C และความดัน -0.08 MPa เป็นเวลา 24 ชั่วโมง เพื่อขจัดความชื้นที่อาจส่งผลกระทบต่อความถูกต้องของผลการทดลอง จากนั้นจึงทำการผสมสารอนุภาคนาโน Fe_3O_4, TiO_2 และ Al_2O_3 ในความเข้มข้น 0.01wt%, 0.03wt% และ 0.05wt% โดยปริมาตรของน้ำมันปาล์ม ลงในน้ำมันปาล์มที่เตรียมไว้ โดยใช้เครื่องชั่งความละเอียดสูงถึง 4 ตำแหน่งทศนิยม เพื่อให้ได้สัดส่วนที่แม่นยำ ขั้นตอนการผสมประกอบด้วยการกวนด้วยเครื่องกวนแม่เหล็กที่อุณหภูมิ 60°C เป็นเวลา 30 นาที เพื่อเริ่มการกระจายตัวของอนุภาคนาโน ตามด้วยการใช้คลื่นอัลตราโซนิกเขย่าที่อุณหภูมิเดียวกันเป็นเวลา 2 ชั่วโมง เพื่อให้อนุภาคกระจายตัวอย่างละเอียดและสม่ำเสมอ และสุดท้ายคือการอบสุญญากาศซ้ำอีกครั้งที่อุณหภูมิ 60°C อีกครั้งเป็นเวลา 24 ชั่วโมง เพื่อกำจัดความชื้นที่อาจหลงเหลืออยู่ ดังรูปที่ 2

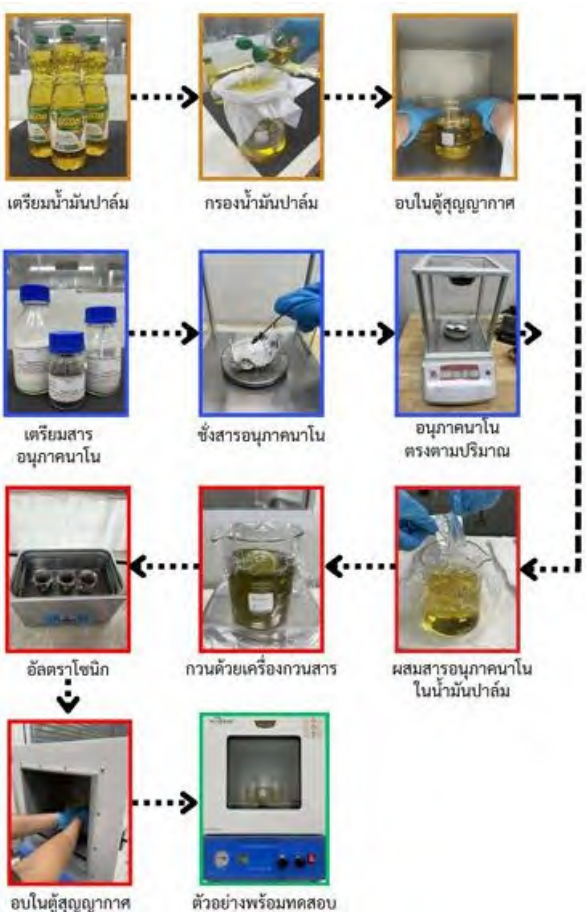

รูปที่ 2 ขั้นตอนการเตรียมตัวอย่างเพื่อทดสอบในงานวิจัยนี้

3. การทดสอบคุณสมบัติทางไฟฟ้า

การทดสอบคุณสมบัติทางไฟฟ้าของน้ำมันปาล์มที่เติมอนุภาคนาโน Fe_3O_4, TiO_2 และ Al_2O_3 ในครั้งนี้ดำเนินการด้วยเครื่อง HZJD-2Z: Transformer Oil Tan Delta Tester ที่อุณหภูมิ 90 องศาเซลเซียส ตามมาตรฐาน IEC 60247 [7] ดังรูปที่ 3 โดยมุ่งเน้นการวัดค่าความต้านทานไฟฟ้า ค่าแฟกเตอร์กำลังสูญเสีย และค่าสภาพยอมทางไฟฟ้าสัมพัทธ์ เพื่อประเมินประสิทธิภาพของน้ำมันฉนวนอย่างครอบคลุม ซึ่งค่าความต้านทานไฟฟ้าใช้สำหรับตรวจสอบความสามารถของน้ำมันปาล์มในการต้านทานกระแสไฟฟ้ารั่วไหล โดยค่าที่ต่ำอาจบ่งชี้ถึงความเสี่ยงต่อการนำไฟฟ้าและการเสื่อมคุณภาพฉนวน ขณะที่ค่าแฟกเตอร์กำลังสูญเสียช่วยประเมินการสูญเสียพลังงานในรูปความร้อน อาจบ่งบอกถึงสิ่งปนเปื้อนหรือความไม่บริสุทธิ์ของน้ำมัน ส่วนค่าสภาพยอมทางไฟฟ้าสัมพัทธ์แสดงถึงความสามารถในการกักเก็บสนามไฟฟ้า ซึ่งมีผลโดยตรงต่อการลดความเข้มของสนามในจุดวิกฤตและความเสี่ยงของการเกิดเบรคดาวน์ ภายในฉนวนเหลว โดยการเปลี่ยนแปลงของค่าดังกล่าวสามารถสะท้อนถึงผลกระทบจากอนุภาคนาโน

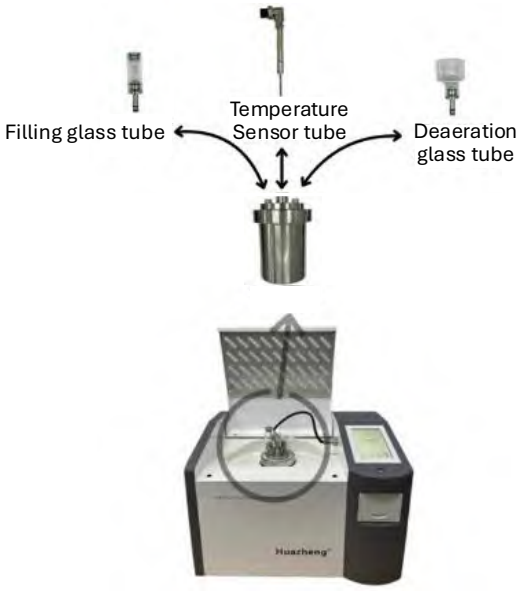

รูปที่ 3 เครื่อง HZJD-2Z: Transformer Oil Tan Delta ตามมาตรฐาน IEC 60247

4. ผลการทดสอบคุณสมบัติทางไฟฟ้า

4.1 การทดสอบค่าความต้านทานไฟฟ้า

ผลลัพธ์การทดสอบด้านค่าความต้านทานไฟฟ้าของน้ำมันฉนวนพบว่าน้ำมันหม้อแปลงมีค่าความต้านทานสูงกว่าน้ำมันปาล์มที่ผ่านกรรมวิธีแบบดั้งเดิมเพียงเล็กน้อย (-3.46%) อย่างไรก็ตาม น้ำมันปาล์มที่ผสมด้วยอนุภาคนาโนทั้งสามชนิด ได้แก่ Fe_3O_4, TiO_2 และ Al_2O_3 ในแต่ละระดับความเข้มข้น มีค่าความต้านทานที่สูงกว่าน้ำมันหม้อแปลงทั้งหมด โดยเฉพาะอนุภาคนาโน Al_2O_3 ที่ความเข้มข้น 0.05wt% ให้ค่าความต้านทานสูงสุดที่ 1.4648×10^{10} Ωm เพิ่มขึ้นจากน้ำมันหม้อแปลง 135.50% รองลงมาคือ TiO_2 ที่ 1.1089×10^{10} Ωm (เพิ่มขึ้น 78.28%) และ Fe_3O_4 ที่ 9.5802×10^{9} Ωm (เพิ่มขึ้น 54.02%) กลไกที่ส่งผลให้ค่า

ความต้านทานเพิ่มขึ้นนี้มาจากคุณสมบัติของอนุภาคนาโนที่สามารถดูดซับความชื้นภายในน้ำมัน [8-10] ซึ่งความชื้นเป็นปัจจัยสำคัญที่ลดคุณสมบัติฉนวน นอกจากนี้ อนุภาคนาโนยังสามารถกระจายตัวได้ดีภายในเนื้อน้ำมันด้วยแรงวานเดอร์วาลส์ที่ช่วยให้อนุภาคเกาะกับโมเลกุลของของเหลว และแรงผลักระหว่างผิวอนุภาคที่มีประจุคล้ายกัน ซึ่งช่วยป้องกันการรวมตัวกันของอนุภาคและเพิ่มพื้นที่ผิวที่ทำปฏิกิริยาได้ [11] ส่งผลให้ค่าความต้านทานไฟฟ้าโดยรวมของน้ำมันเพิ่มขึ้นอย่างมีนัยสำคัญดังรูปที่ 4

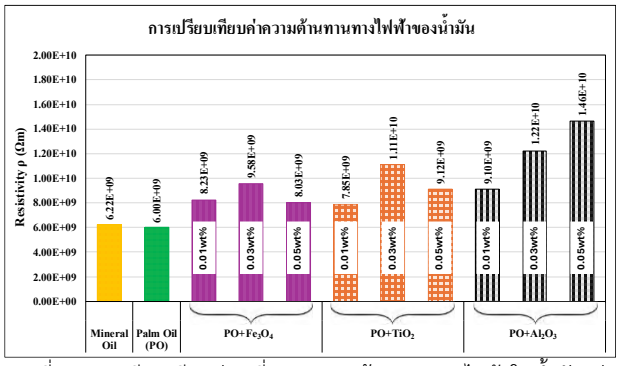

รูปที่ 4 การเปรียบเทียบค่าเฉลี่ยของความต้านทานทางไฟฟ้าในน้ำมันแร่ น้ำมันปาล์ม และน้ำมันปาล์มที่ผสมสารอนุภาคนาโน

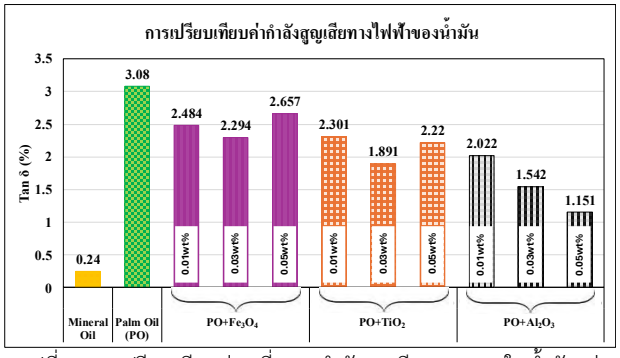

รูปที่ 5 การเปรียบเทียบค่าเฉลี่ยของกำลังสูญเสียของฉนวนในน้ำมันแร่ น้ำมันปาล์ม และน้ำมันปาล์มที่ผสมสารอนุภาคนาโน

4.2 การทดสอบค่าการสูญเสียทางไดอิเล็กทริก

จากผลการทดสอบพบว่าน้ำมันปาล์มผ่านกรรมวิธีแบบดั้งเดิมมีค่าแฟกเตอร์กำลังสูญเสียสูงกว่าน้ำมันหม้อแปลง เนื่องจากโครงสร้างทางเคมีที่ไม่สมมาตร รวมถึงมีปริมาณกรดและความชื้นสูงกว่า [12-13] อย่างไรก็ตาม เมื่อน้ำมันปาล์มถูกเติมด้วยอนุภาคนาโน Fe_3O_4, TiO_2 และ Al_2O_3 จะช่วยลดค่าแฟกเตอร์กำลังสูญเสียลงได้ เนื่องจากอนุภาคนาโนสามารถดูดซับความชื้น [8-10] และกระจายตัวได้ดี โดยอาศัยแรงวานเดอร์วาลส์ซึ่งเป็นแรงยึดเหนี่ยวระดับโมเลกุลที่ช่วยให้อนุภาคสามารถเกาะตัวกับโมเลกุลของน้ำมันได้ดี และแรงผลักระหว่างอนุภาค ซึ่งเกิดจากการสะสมประจุไฟฟ้าบนผิวของอนุภาค ทำให้ไม่เกิดการรวมตัวกันเป็นกลุ่มก้อน อันส่งผลให้อนุภาคกระจายตัวได้อย่างมีประสิทธิภาพในเนื้อน้ำมัน [11] โดยเฉพาะ Al_2O_3 ที่ให้ผลการลดค่าแฟกเตอร์กำลังสูญเสียได้ดีที่สุดเมื่อใช้ในปริมาณความเข้มข้นสูงดังรูปที่ 5

4.3 การทดสอบค่าสภาพยอมทางไฟฟ้าสัมพัทธ์

น้ำมันปาล์มมีค่าสภาพยอมทางไฟฟ้าสัมพัทธ์ ε_r สูงกว่าน้ำมันหม้อแปลง เนื่องจากคุณสมบัติของโมเลกุลที่มีขั้ว ส่งผลให้สามารถกักเก็บพลังงานไฟฟ้าในสนามไฟฟ้าได้มากกว่า สำหรับน้ำมันปาล์มที่ผสมด้วยสารอนุภาคนาโน พบว่าค่าสภาพยอมสัมพัทธ์อาจเพิ่มขึ้นหรือลดลงเล็กน้อยเมื่อเทียบกับน้ำมันปาล์มผ่านกรรมวิธีแบบดั้งเดิม อย่างไรก็ตาม จากการศึกษาวิจัยพบว่าการเติมอนุภาคนาโนไม่มีผลกระทบต่อค่าสภาพยอมสัมพัทธ์อย่างมีนัยสำคัญ [14] จึงไม่ส่งผลต่อคุณสมบัติทางไฟฟ้าโดยรวมอย่างชัดเจนดังรูปที่ 6

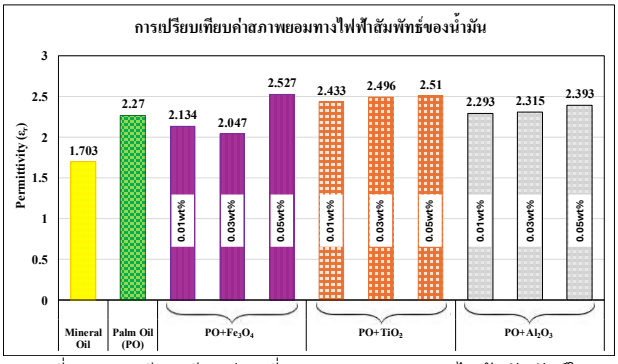

รูปที่ 6 การเปรียบเทียบค่าเฉลี่ยของสภาพยอมทางไฟฟ้าสัมพัทธ์ในน้ำมันแร่ น้ำมันปาล์ม และน้ำมันปาล์มที่ผสมสารอนุภาคนาโน

4.4 วิเคราะห์ผลจากความสัมพันธ์

จากกราฟแสดงผลการเปรียบเทียบค่า $tan\,\delta$ และค่าความต้านทานไฟฟ้า ρ ของน้ำมันฉนวน พบว่าน้ำมันปาล์มผ่านกรรมวิธีแบบดั้งเดิมมีค่า $tan\,\delta$ สูงและค่าความต้านทานต่ำกว่าน้ำมันหม้อแปลง แสดงถึงคุณสมบัติฉนวนที่ด้อยกว่า อย่างไรก็ตาม เมื่อเติมอนุภาคนาโน Fe_3O_4, TiO_2 และ Al_2O_3 ลงในน้ำมันปาล์ม จะส่งผลให้ค่า $tan\,\delta$ ลดลง และค่าความต้านทานเพิ่มขึ้น จะเห็นได้ว่าสารอนุภาคนาโน Al_2O_3 ที่ความเข้มข้น 0.05wt% ให้ผลดีที่สุดด้วยค่า $tan\,\delta$ ต่ำสุด (1.151%) และค่าความต้านทานสูงสุด (1.46×10^{10} Ωm) ขณะที่ TiO_2 ให้ผลการทดสอบรองลงมาที่ความเข้มข้น 0.03wt% และ Fe_3O_4 มีแนวโน้มลดประสิทธิภาพเมื่อความเข้มข้นสูงขึ้น แสดงให้เห็นว่าอนุภาคนาโน โดยเฉพาะ Al_2O_3 ช่วยเพิ่มคุณสมบัติทางไฟฟ้าของน้ำมันปาล์มได้อย่างมีประสิทธิภาพ.

ซึ่งสามารถอธิบายความสัมพันธ์แบบผกผันระหว่างค่าความต้านทานไฟฟ้า (ρ) กับแฟกเตอร์กำลังสูญเสียของฉนวน ($tan\,\delta$), ความถี่

เชิงมุมของสนามไฟฟ้า ($\omega = 2\pi f$) และค่าความเป็นฉนวนไฟฟ้าสัมพัทธ์ (ε) ของวัสดุฉนวน [15] ดังสมการที่ 7

$$\rho = \frac{1}{(\tan\delta \cdot \omega \cdot \varepsilon)} \quad (1)$$

รูปที่ 7 การเปรียบเทียบความสัมพันธ์ของค่าความต้านทานทางไฟฟ้ากับค่ากำลังสูญเสียของฉนวนของน้ำมันแร่ น้ำมันปาล์ม และน้ำมันปาล์มที่ผสมสารอนุภาคนาโน

5. สรุปผลการทดสอบ

จากผลการทดสอบพบว่า น้ำมันปาล์มที่ผสมอนุภาคนาโน โดยเฉพาะ Al_2O_3 ที่ความเข้มข้น 0.05wt% มีคุณสมบัติทางไฟฟ้าที่ดี โดยแสดงค่าความต้านทานไฟฟ้าสูงและค่าแฟกเตอร์กำลังสูญเสียต่ำ ขณะที่ค่าความเป็นฉนวนไฟฟ้าสัมพัทธ์ไม่มีผลกระทบอย่างมีนัยสำคัญต่อระบบฉนวนไฟฟ้า ผลดังกล่าวสะท้อนถึงศักยภาพของการประยุกต์ใช้อนุภาคนาโนในการเพิ่มประสิทธิภาพของน้ำมันปาล์มต่อการเป็นฉนวนไฟฟ้าได้อย่างมีเสถียรภาพ ซึ่งเป็นแนวทางที่สำคัญในการพัฒนาและปรับปรุงน้ำมันฉนวนจากธรรมชาติสำหรับระบบไฟฟ้าในอนาคตอย่างยั่งยืน

6. กิตติกรรมประกาศ

คณะผู้วิจัยขอขอบคุณ คณะวิศวกรรมศาสตร์ มหาวิทยาลัยเทคโนโลยีราชมงคลอีสาน วิทยาเขตขอนแก่น ที่ให้การสนับสนุนในการวิจัย และการนำเสนอเผยแพร่ผลงานวิจัยนี้

เอกสารอ้างอิง

[1] M. N. Lyutikova, A. V. Ridel, and A. A. Konovalov, “Dielectric Liquids: Past, Present, Future (REVIEW),” Power Technology and Engineering, vol. 57, no. 4, pp. 615–622, Nov. 2023.

[2] IEC 60296, International standard: Fluids for electrotechnical applications – Mineral insulating oils for electrical equipment, 2020.

[3] U. U. Abdullahi, S. M. Bashi, R. Yurius, and H. J. A. Nurdin, “The potentials of palm oil as a dielectric fluid,” in Proc. Nat. Power Energy Conf., 2004, pp. 224–228.

[4] P. Muangpratoom, N. Chaipanha, K. Sangduan, and I. Khonchaiyaphum, “Effect of Concentration of Al_2O_3 Nanoparticles on Electrical Properties of Mineral Oil,” Trends in Sciences, vol. 18, no. 20, pp. 1–9, Oct. 2021.

[5] Savita Oil Technologies Limited, Mumbai, India. Available online: https://www.savita.com (accessed on 18 May 2025).

[6] Inframat® Advanced Materials™ LLC, 151 Progress Dr, Manchester, CT 06042, USA. Available online: http://www.advancedmaterials.us/ (accessed on 18 May 2025).

[7] IEC 60247; Insulating liquids—Measurement of Relative Permittivity, Dielectric Dissipation Factor (tan δ) and d.c. Resistivity. IEC: Geneve, Switzerland, 2004.

[8] M. Meier, J. Hulva, Z. Jakub, J. Pavelec, M. Setvin, R. Bliem, M. Schmid, U. Diebold, C. Franchini, G.S. Parkinson, “Water agglomerates on Fe_3O_4(001),” PNAS, pp.1–9, Jan. 2018.

[9] S. Benkoula, O. Sublemontier, M. Patanen, C. Nicolas, F. Sirotti, A. Naitabdi, F. Gaie-Levrel, E. Antonsson, D. Aureau, F.-X. Ouf, et al., “Water adsorption on TiO_2 surfaces probed by soft x-ray spectroscopies: bulk materials vs. isolated nanoparticles,” Sci. Rep., Vol. 5, No. 1, Oct. 2015.

[10] H. R. Castro Ricardo and D. V. Quach, “Analysis of Anhydrous and Hydrated Surface Energies of Gamma Al_2O_3

[11] M. Rafiq, Y. Lv, and C. Li, “A review on properties, opportunities, and challenges of transformer oil-based nanofluids,” J. Nanomater., vol. 2016, 23 pages, Dec. 2016.

[12] I. S. Suwarno and I. S. Darma, “Dielectric properties of mixtures between mineral oil and natural ester,” in Proc. Int. Symp. Electr. Insul. Mater., pp. 37–46, Sep. 2008

[13] L. Li, Q. Ren, S. Xiao, W. Yang, W. Xiong, and B. Fu, “Study of frequency domain dielectric properties of vegetable oil and mineral oil transformer,” The Journal of Engineering, vol. 2019, no. 16, pp. 1599–1601, Jan. 2019.

[14] S. F. M. Nor, N. Azis, J. Jasni, M. Z. A. Ab Kadir, R. Yunus, and Z. Yaakub, “Investigation on the Electrical Properties of Palm Oil and Coconut Oil Based TiO_2 Nanofluids,” IEEE Trans. Dielectr. Electr. Insul., vol. 24, no. 6, pp. 3432–3442, Mar. 2018.

[15] E. Taslak, O. Arikan, C. F. Kumru, and O. Kalenderli, “Analyses of the insulating characteristics of mineral oil at operating conditions,” Electr. Eng., no. 100, pp. 321–331, Jan. 2017.

ผลของการเติมอนุภาคนาโน Fe_3O_4, TiO_2, and Al_2O_3 ในน้ำมันปาล์มต่อคุณสมบัติทางไฟฟ้าและความชื้นสำหรับฉนวนเหลวหม้อแปลงไฟฟ้า

Effects of Fe_3O_4, TiO_2, and Al_2O_3 Nanoparticles in Palm Oil on Electrical and Moisture Properties for Liquid Insulation in Power Transformers

ชินพัฒน์ สุริยะสกุลพงษ์ ภคพล นาเสถียร พุฒิพงษ์ บัวระภา กษิดิศ สว่างสุข จิรพงศ์ จิตรีเชาว์ และพิชัย เมืองประทุม*

หน่วยวิจัยเทคโนโลยีและนวัตกรรมการฉนวนไฟฟ้าแรงสูง (HVRU-RMUTI) สาขาวิชาวิศวกรรมไฟฟ้า คณะวิศวกรรมศาสตร์
มหาวิทยาลัยเทคโนโลยีราชมงคลอีสาน วิทยาเขตขอนแก่น Pichai.mu@rmuti.ac.th*

บทคัดย่อ

งานวิจัยนี้มีวัตถุประสงค์เพื่อประเมินความเป็นไปได้ในการนำน้ำมันปาล์มที่ผ่านการปรับคุณภาพมาใช้เป็นฉนวนเหลวสำหรับหม้อแปลงไฟฟ้า โดยการเติมอนุภาคนาโน Fe_3O_4, TiO_2 และ Al_2O_3 ที่ความเข้มข้น 0.01 wt%, 0.03 wt% และ 0.05 wt% ตามปริมาตรของน้ำมัน เพื่อปรับปรุงสมบัติทางไฟฟ้าและเคมีของน้ำมันปาล์ม ตัวอย่างที่เตรียมได้ถูกนำมาทดสอบคุณสมบัติการเป็นฉนวนด้วยการวัดค่าแรงดันไฟฟ้ากระแสสลับที่ทำให้เกิดการพังทลาย และวัดค่าความชื้นของน้ำมันเปรียบเทียบกับน้ำมันปาล์มปกติและน้ำมันแร่ ผลการทดลองพบว่า น้ำมันปาล์มที่เติมอนุภาคนาโนทั้งสามชนิดในทุกระดับความเข้มข้นแสดงค่าความทนทานต่อแรงดันไฟฟ้ากระแสสลับสูงกว่าน้ำมันปาล์มปกติและน้ำมันแร่ โดยเฉพาะอย่างยิ่งในกรณีของ Al_2O_3 ที่ความเข้มข้น 0.05 wt% ซึ่งให้ค่าความทนต่อแรงดันสูงที่สุด นอกจากนี้ การเติมอนุภาคนาโนยังช่วยลดค่าความชื้นของน้ำมันได้อย่างมีนัยสำคัญ โดยตัวอย่างที่ผสม Al_2O_3 ที่ความเข้มข้นเดียวกันมีค่าความชื้นต่ำที่สุด ซึ่งเป็นสมบัติสำคัญสำหรับฉนวนเหลวในระบบไฟฟ้าแรงสูง จากผลการศึกษาดังกล่าว แสดงให้เห็นถึงศักยภาพของน้ำมันปาล์มผสมอนุภาคนาโนในการเป็นฉนวนเหลวที่เป็นมิตรต่อสิ่งแวดล้อมและสามารถพัฒนาใช้ทดแทนน้ำมันแร่ในอนาคตได้ อย่างไรก็ตาม ควรมีการศึกษาผลกระทบในระยะยาวและการวิเคราะห์สมบัติทางกายภาพเพิ่มเติมเพื่อประเมินความเสถียรและความปลอดภัยในการใช้งานจริงในอุตสาหกรรมไฟฟ้า

คำสำคัญ: น้ำมันปาล์ม สารอนุภาคนาโน การทดสอบคุณสมบัติทางไฟฟ้า การทดสอบคุณสมบัติทางเคมี

Abstract

This study investigates the feasibility of using refined palm oil as an alternative liquid insulating material for power transformers. The enhancement was achieved by incorporating Fe_3O_4, TiO_2, and Al_2O_3 nanoparticles at concentrations of 0.01 wt%, 0.03 wt%, and 0.05 wt% by volume. Electrical insulation performance was evaluated through AC breakdown voltage testing, while chemical properties were assessed by measuring moisture content. The results were compared with those of untreated palm oil and conventional mineral oil. The experimental findings reveal that palm oil containing all types of nanoparticles exhibited improved AC breakdown voltage across all concentrations when compared to untreated palm oil and mineral oil. Palm oil with 0.05 wt% Al_2O_3 showed the highest breakdown strength. Furthermore, the presence of nanoparticles significantly reduced the moisture content, with the lowest value also observed in the 0.05 wt% Al_2O_3 sample—an essential attribute for high-voltage insulation applications. These results demonstrate the potential of nanoparticle-enhanced palm oil as an environmentally friendly insulating fluid. However, further studies on long-term performance and physical characteristics are recommended to ensure reliability and safety for industrial application.

Keywords: Palm Oil, Nanoparticles, Electrical Properties Testing, Chemical Properties Testing

1. บทนำ

ในปัจจุบันความต้องการใช้ฉนวนเหลวที่มีประสิทธิภาพสูง ความปลอดภัยในการใช้งาน และเป็นมิตรต่อสิ่งแวดล้อมในหม้อแปลงไฟฟ้ามีแนวโน้มเพิ่มขึ้นอย่างต่อเนื่อง เนื่องจากข้อจำกัดของน้ำมันแร่ที่นิยมใช้กันมาอย่างยาวนาน ทั้งในด้านความสามารถในการย่อยสลายทางชีวภาพที่ต่ำ รวมถึงผลกระทบต่อสิ่งแวดล้อม [1] ทำให้เกิดการศึกษาและพัฒนาแนวทางในการใช้น้ำมันจากพืชเป็นทางเลือกทดแทน น้ำมันปาล์มผ่านกรรมวิธี หรือที่เรียกว่าน้ำมันปาล์มโอเลอิน เป็นหนึ่งในน้ำมันพืชที่ได้รับความสนใจ เนื่องจากย่อยสลายได้ทางชีวภาพ และมีคุณสมบัติทางไฟฟ้าที่สามารถพัฒนาให้เหมาะสมกับการใช้งานเป็นฉนวนเหลว อย่างไรก็ตาม เพื่อเพิ่มประสิทธิภาพของน้ำมันชนิดนี้ให้สามารถใช้งานในระบบไฟฟ้าแรงสูงได้อย่างมีเสถียรภาพ จึงมีการศึกษามีงายวิจัยจำนวนมากที่พัฒนาคุณสมบัติของฉนวนเหลวด้วยการเติมสารอนุภาคนาโนเพื่อปรับปรุงคุณสมบัติ [2-4] เช่น ความสามารถในการทนต่อแรงดันไฟฟ้า และความสามารถในดูดซับความชื้น โดยในงานวิจัยนี้ได้เลือกใช้สารอนุภาคนา

*พิชัย เมืองประทุม

โนจำนวน 3 ชนิด ได้แก่ แมกนีไทต์ (Magnetite; Fe_3O_4) ชนิดตัวนำ ไททาเนียมไดออกไซด์ (Titanium Dioxide; TiO_2) กึ่งตัวนำ และอะลูมิเนียมออกไซด์ (Aluminum Oxide; Al_2O_3) ชนิดฉนวน โดยสารอนุภาคนาโนทั้งสามชนิดนี้ถูกผสมลงในน้ำมันปาล์มผ่านกรรมวิธีในสัดส่วนความเข้มข้นที่แตกต่างกัน ได้แก่ 0.01wt%, 0.03wt% และ 0.05wt% โดยปริมาตรของน้ำมันปาล์ม เพื่อศึกษาผลกระทบที่มีต่อคุณสมบัติทางไฟฟ้าของน้ำมัน โดยเน้นการวัดแรงดันไฟฟ้ากระแสสลับ (AC breakdown Voltage) ซึ่งเป็นค่าที่สะท้อนถึงความสามารถในการทนต่อไฟฟ้าของของเหลวฉนวน และยังทำการวัดค่าความชื้น (Moisture Content) ซึ่งมีผลกระทบโดยตรงต่อคุณสมบัติของฉนวนเหลว ผลการทดลองที่ได้จะช่วยประเมินถึงความเป็นไปได้และความเหมาะสมในการนำน้ำมันปาล์มผ่านกรรมวิธีผสมอนุภาคนาโนมาใช้เป็นฉนวนเหลวในหม้อแปลงไฟฟ้า และอาจเป็นแนวทางในการพัฒนาฉนวนเหลวจากแหล่งทรัพยากรที่ยั่งยืนในอนาคต

2. วัสดุและการเตรียมตัวอย่าง

2.1 น้ำมันปาล์ม

การวิจัยครั้งนี้ผู้วิจัยได้เลือกใช้น้ำมันปาล์ม ซึ่งผ่านกระบวนการปรับปรุงคุณภาพด้วยการรีไฟน์ (Refining) เพื่อลดกรดไขมันอิสระและสิ่งเจือปน, ฟอกสี (Bleaching) เพื่อกำจัดสีธรรมชาติอย่างแคโรทีนอยด์ และกำจัดกลิ่น (Deodorization) เพื่อขจัดสารระเหยที่มีกลิ่นไม่พึงประสงค์ ทำให้น้ำมันมีสีอ่อน

2.2 น้ำมันแร่

น้ำมันแร่ที่ใช้ในการวิจัยนี้ได้รับการตรวจสอบคุณภาพตามมาตรฐานสากล IEC 60296 [5] ซึ่งเป็นมาตรฐานที่ครอบคลุมข้อกำหนดด้านคุณสมบัติและประสิทธิภาพของน้ำมันแร่ไฟฟ้า เพื่อให้มั่นใจในความปลอดภัยและประสิทธิภาพในการใช้งาน น้ำมันนี้ผลิตโดย Savita Oil Technologies Limited ซึ่งเป็นผู้ผลิตที่มีชื่อเสียงระดับโลกและได้รับการยอมรับในอุตสาหกรรม การผ่านมาตรฐานนี้ถือเป็นการรับรองว่าผลิตภัณฑ์มีคุณภาพสูงและเหมาะสมสำหรับการใช้งานในระบบไฟฟ้า

2.3 สารอนุภาคนาโน

งานวิจัยนี้ใช้อนุภาคนาโน 3 ชนิด ได้แก่ Fe_3O_4 (อนุภาคนาโนชนิดตัวนำไฟฟ้า), TiO_2 (อนุภาคนาโนชนิดกึ่งตัวนำ) และ Al_2O_3 (อนุภาคนาโนชนิดฉนวนไฟฟ้า) ที่มีขนาด 50 nm, 40 nm และ 40 nm ตามลำดับ โดยสารอนุภาคนาโนทั้งหมดมาจาก Inframat® Advanced Materials™ LLC ซึ่งเป็นผู้ผลิตวัสดุนาโนที่ได้รับการยอมรับในระดับสากล สำหรับการทดลองครั้งนี้ กำหนดความเข้มข้นของอนุภาคนาโนไว้ที่ 0.01wt%, 0.03wt% และ 0.05wt% โดยปริมาตรของน้ำมันปาล์ม

2.4 วิธีการเตรียมตัวอย่างที่ใช้ในการทดสอบ

กระบวนการเตรียมน้ำมันปาล์มผสมอนุภาคนาโนเริ่มจากการกำจัดความชื้นในน้ำมันปาล์มและน้ำมันแร่ โดยการอบในสภาวะสุญญากาศที่อุณหภูมิ 60°C และความดัน -0.08 MPa เป็นเวลา 24 ชั่วโมง เพื่อควบคุมปริมาณความชื้นของน้ำมันที่อาจส่งผลกระทบต่อผลการทดสอบ หลังจากนั้น ทำการเตรียมสารอนุภาคนาโน Fe_3O_4, TiO_2 และ Al_2O_3 ในความเข้มข้น 0.01wt%, 0.03wt% และ 0.05wt% โดยปริมาตรของน้ำมันปาล์ม [6] ซึ่งใช้เครื่องชั่งที่มีความละเอียดสูง (4 ตำแหน่งทศนิยม) เพื่อให้ได้สัดส่วนที่แม่นยำ

ขั้นตอนการผสมประกอบด้วย 3 ขั้นตอนหลัก:

1) การกวนด้วยเครื่องกวนแม่เหล็ก - ทำการผสมที่อุณหภูมิ 60 °C เป็นเวลา 30 นาที เพื่อเริ่มต้นกระจายตัวของอนุภาคนาโน

2) การกระจายตัวด้วยอัลตราโซนิก – เพื่อให้สารอนุภาคนาโนกระจายตัวอย่างละเอียดและสม่ำเสมอมากขึ้น ใช้เครื่องอัลตราโซนิกเขย่าที่ความถี่สูง โดยใช้อุณหภูมิ 60 °C เป็นเวลา 2 ชั่วโมง

3) การอบสุญญากาศขั้นสุดท้าย – เพื่อกำจัดความชื้นที่อาจหลงเหลืออีกครั้ง โดยอบที่อุณหภูมิ 60 °C เป็นเวลา 24 ชั่วโมง

3. การทดสอบสมบัติน้ำมันปาล์ม

3.1 คุณสมบัติทางไฟฟ้า

เพื่อให้การประเมินคุณสมบัติทางไฟฟ้าของฉนวนเหลวเป็นไปอย่างแม่นยำ งานวิจัยนี้ใช้ชุดทดสอบแรงดันไฟฟ้ากระแสสลับที่ออกแบบตามมาตรฐาน IEC 60156 [7] โดยเลือกใช้อิเล็กโทรดทรงกลม-ทรงกลม ขนาดเส้นผ่านศูนย์กลาง 13 มม. สำหรับการจำลองสภาวะการเกิดเบรคดาวน์อย่างถูกต้อง ระยะห่างระหว่างหัวอิเล็กโทรดถูกควบคุมอย่างเคร่งครัดที่ 2.5 มม. เครื่องทดสอบที่ใช้คือ HZJQ-1 (Mineral Oil BDV Tester) ซึ่งรองรับการปรับความชันของแรงดันได้อย่างละเอียด โดยในงานนี้ตั้งค่าอัตราการเพิ่มขึ้นของแรงดันไฟฟ้าไว้ที่ 2 kV/s ตามข้อกำหนดมาตรฐานสากล เพื่อความเชื่อมั่นในข้อมูลเชิงสถิติ การทดสอบซ้ำทั้งหมด 6 ครั้งต่อตัวอย่าง เพื่อใช้ในการคำนวณค่าเฉลี่ยของแรงดันที่ทำให้เกิดเบรคดาวน์อย่างแม่นยำดังรูปที่ 1

รูปที่ 1 เครื่องทดสอบค่าความคงทนต่อแรงดันไฟฟ้ากระแสสลับ

3.2 คุณสมบัติทางเคมี

ในงานวิจัยนี้ได้ดำเนินการวัดค่าความชื้นของฉนวนเหลวตามมาตรฐาน ASTM D1533 [8] ซึ่งเป็นแนวทางมาตรฐานสำหรับการตรวจวัดความชื้นในของเหลวฉนวน โดยใช้เครื่อง Karl Fischer Titrator รุ่น CA-

310 จาก MITSUBISHI ดังรูปที่ 2 ที่มีความแม่นยำสูง การทดสอบมุ่งเน้นที่น้ำมันปาล์มซึ่งผ่านการปรับปรุงด้วยสารอนุภาคนาโน เพื่อศึกษาผลกระทบของสารอนุภาคนาโนต่อสมบัติการดูดซับความชื้นของฉนวนเหลว ซึ่งอนุภาคนาโนแต่ละชนิดมีสมบัติเชิงโครงสร้างและเคมีที่แตกต่างกัน อาจส่งผลต่อพฤติกรรมการจับตัวของความชื้นในน้ำมัน ผลการทดสอบค่าความชื้นในน้ำมันปาล์มที่ผสมอนุภาคนาโนจะถูกนำมาเปรียบเทียบกับทั้งน้ำมันปาล์มดั้งเดิม (ไม่มีการเติมนาโนอนุภาค) และน้ำมันแร่ เพื่อประเมินการเปลี่ยนแปลงคุณสมบัติอย่างเป็นระบบ

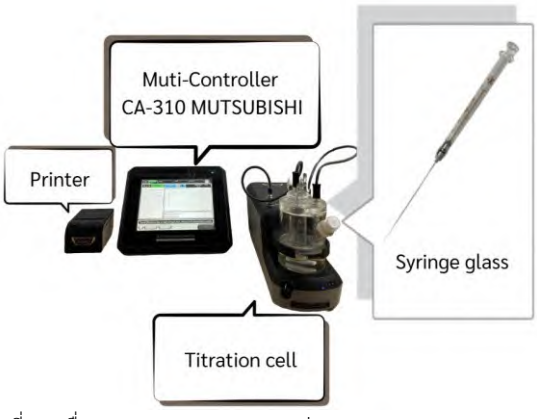

รูปที่ 2 เครื่อง Karl Fischer Titrator รุ่น CA-310 จาก MITSUBISHI

4. อภิปรายผลการทดสอบคุณสมบัติ

4.1 ผลการทดสอบทางไฟฟ้า

จากการทดสอบผลลัพธ์รูปที่ 3 แสดงให้เห็นว่าน้ำมันปาล์มปกติมีค่าความคงทนต่อแรงดันไฟฟ้ากระแสสลับ สูงกว่าน้ำมันแร่ ซึ่งสามารถอธิบายได้จากความแตกต่างของโครงสร้างทางเคมี โดยน้ำมันแร่ประกอบด้วยสายไฮโดรคาร์บอนไม่มีขั้ว เช่น พาราฟินิก แนฟทีน และอโรมาติก ไม่สามารถสร้างพันธะไฮโดรเจนกับโมเลกุลน้ำได้ ส่งผลให้โมเลกุลน้ำไม่สามารถกระจายตัวได้ดีและอาจรวมตัวกันเป็นกลุ่ม ซึ่งอาจกลายเป็นจุดนำไฟฟ้า ส่งผลให้เกิดการเบรกดาวน์ได้ง่ายขึ้น ในขณะที่น้ำมันปาล์มมีสายไฮโดรคาร์บอนที่มีขั้ว เช่น หมู่คาร์บอกซิล (-COOH) และหมู่เอสเทอร์ (-COOR) ซึ่งประกอบด้วยหมู่คาร์บอนิล (C=O) ที่สามารถสร้างพันธะไฮโดรเจนกับโมเลกุลน้ำได้ [9] ส่งผลให้โมเลกุลน้ำสามารถละลายและกระจายอยู่ในน้ำมันได้ดี โดยไม่เกิดการรวมตัวเป็นละอองน้ำที่เป็นตัวนำไฟฟ้า อีกทั้งโมเลกุลน้ำที่ละลายจะถูกกักเก็บโดยกรดไขมันไตรกลีเซอไรด์ ซึ่งจำกัดการเคลื่อนที่ของอิเล็กตรอนในกระบวนการนำไฟฟ้า [10] ดังรูป 4 (ก) ส่งผลให้ค่าความคงทนต่อแรงดันไฟฟ้าสูงขึ้น ดังนั้นความสามารถในการดูดซับและควบคุมพฤติกรรมของโมเลกุลน้ำในน้ำมันปาล์มจึงเป็นปัจจัยสำคัญที่ทำให้น้ำมันปาล์มมีค่าเบรคดาวน์สูงกว่าน้ำมันแร่ [11] นอกจากนี้ในกรณีของน้ำมันปาล์มที่ผสมสารอนุภาคนาโน พบว่าน้ำมันปาล์มที่เติมอนุภาคนาโนสามชนิด ได้แก่ Fe_3O_4, TiO_2 และ Al_2O_3 มีค่าความคงทนต่อแรงดันไฟฟ้ากระแสสลับสูงกว่าน้ำมันปาล์มที่ไม่มีการเติมอนุภาคนาโน ซึ่งเป็นผลจากคุณสมบัติของอนุภาคนาโนในการชะลอกระบวนการเกิดสตรีมเมอร์ ซึ่งเป็นกลไกสำคัญของการพังทลายทางไฟฟ้า [12] อนุภาคนาโนมีความสามารถในการดูดซับอิเล็กตรอน (Absorption) ได้ดี ดังรูป 4 (ข)

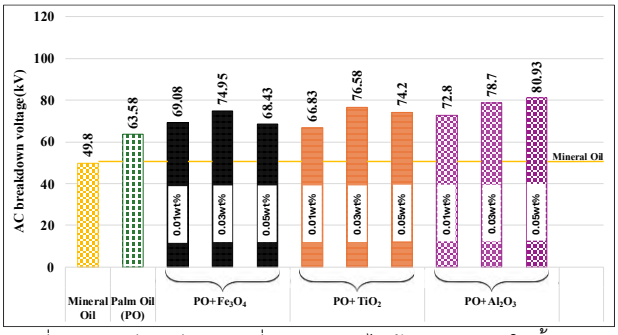

รูปที่ 3 การเปรียบเทียบค่าเฉลี่ยของแรงดันไฟฟ้ากระแสสลับในน้ำมันแร่ น้ำมันปาล์ม และน้ำมันปาล์มที่ผสมสารอนุภาคนาโน

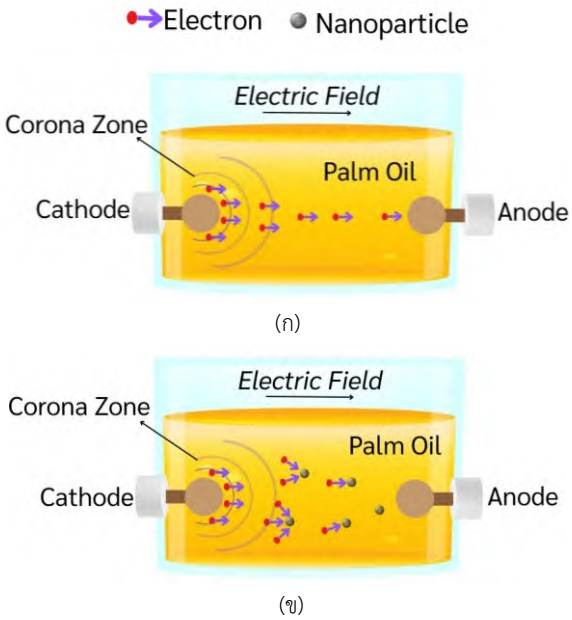

รูปที่ 4 การดูดซับอิเล็กตรอนของสารอนุภาคนาโนในน้ำมันปาล์ม (ก) อิเล็กตรอนเคลื่อนที่ไปยังขั้วแอโนด (ข) อิเล็กตรอนถูกดูดซับโดยสารอนุภาคนาโนในน้ำมันปาล์มผ่านกรรมวิธีแบบดั้งเดิม

โดยเฉพาะเมื่อกระจายตัวอย่างสม่ำเสมอในน้ำมันภายใต้กลไกการเคลื่อนที่แบบบราวเนียน (Brownian motion) และแรงยึดเหนี่ยวระหว่างอนุภาค (Van der Waals forces) ช่วยป้องกันการจับตัวกันเป็นกลุ่ม [13] ส่งผลให้ตัวของอนุภาคนาโนมีพื้นที่ผิวสัมผัสสูง เมื่อเกิดสนามไฟฟ้าภายในตัวกลางน้ำมันปาล์ม สนามไฟฟ้าจะกระตุ้นให้ประจุบวกและประจุลบเริ่มจัดเรียงตัวแยกฝั่งบนผิวของอนุภาคนาโน รูปที่ 5 (ก) เมื่อตัวนำได้รับสนามไฟฟ้าที่มีความเข้มเพิ่มขึ้น อิเล็กตรอนที่เกิดจากการแตกตัวเป็นไอออนจะเริ่มถูกดูดซับลงบนพื้นผิวของอนุภาคนาโน รูปที่ 5 (ข) จนกระทั่งเมื่อเวลาผ่านไปอนุภาคนาโนจะสะสมประจุลบบนผิวจนเต็ม ทำให้ไม่สามารถดูดซับ

อิเล็กตรอนเพิ่มเติมได้อีก รูปที่ 5 (ค) อิเล็กตรอนจะเคลื่อนที่ต่อไปยังอนุภาคนาโนถัดไปที่ยังสามารถรับประจุได้ กระบวนการนี้จะเกิดต่อเนื่องจนกว่าอนุภาคนาโนส่วนใหญ่จะอิ่มตัวด้วยประจุ รูปที่ 5 (ง) เมื่ออนุภาคใกล้เคียงกับขั้วไฟฟ้าไม่สามารถดูดซับอิเล็กตรอนได้อีก อิเล็กตรอนจะสามารถเคลื่อนที่ไปถึงขั้วแอโนดได้ ส่งผลให้เกิดการสะสมประจุในบริเวณนั้น และนำไปสู่การเกิดสตรีมเมอร์และการเบรกดาวน์ในที่สุด [14]

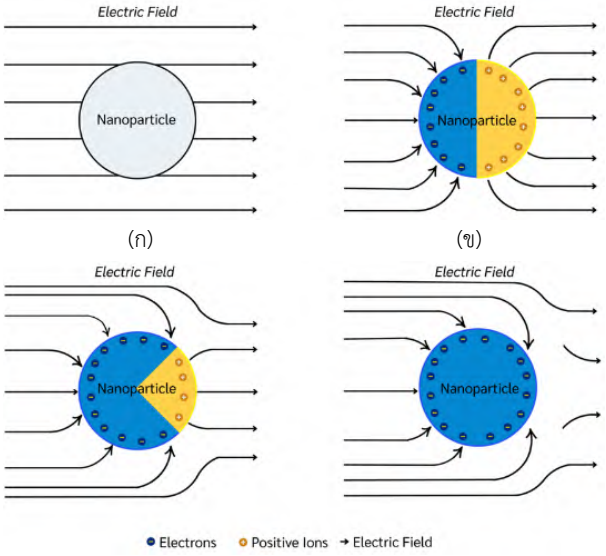

รูปที่ 5 กระบวนการชาร์จประจุอิเล็กตรอนลงบนสารอนุภาคนาโน (ก) การเหนี่ยวนำของสนามไฟฟ้ารอบอนุภาคนาโน (ข) อิเล็กตรอนและประจุบวกแยกฝั่งสองฝั่ง (ค) อิเล็กตรอนเกิดการชาร์จบนพื้นผิวของอนุภาค (ง) อนุภาคอิ่มไปด้วยประจุลบ [14]

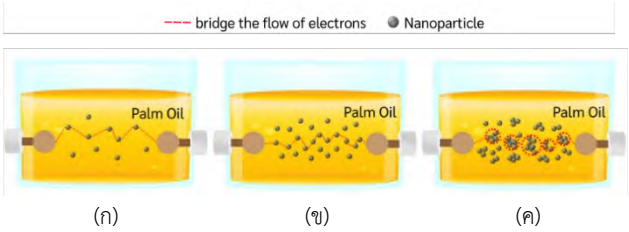

รูปที่ 6 ผลกระทบจากความเข้มข้นของสารอนุภาคนาโน (ก) ปริมาณความเข้มข้นของสารอนุภาคนาโนต่ำ (ข) ปริมาณความเข้มข้นของสารอนุภาคนาโนเหมาะสม (ค) ปริมาณความเข้มข้นของสารอนุภาคนาโนสูง [15]

นอกจากนี้สารอนุภาคนาโนแต่ละชนิดมีผลต่อค่าความคงทนต่อแรงดันไฟฟ้ากระแสสลับแตกต่างกัน ขึ้นอยู่กับชนิดและความเข้มข้นของอนุภาค ดังรูปที่ 6 โดยที่ความเข้มข้น 0.01wt% อนุภาคนาโนกระจายตัวน้อย ช่วยลดการเชื่อมต่อของอิเล็กตรอนบางส่วน ทำให้ค่าความทนเพิ่มขึ้นเล็กน้อยดังรูปที่ 6 (ก) และ 0.03wt% การกระจายตัวของอนุภาคนาโนเหมาะสมที่สุด อิเล็กตรอนถูกดูดซับได้ดี ลดการเกิดสะพานนำไฟฟ้า ทำให้ค่าความทนต่อแรงดันไฟฟ้าสูงที่สุด โดยเฉพาะ Fe_3O_4 และ TiO_2 ซึ่งกระจายตัวเหมาะสมดังรูปที่ 6 (ข) แต่ที่ 0.05wt% อนุภาคนาโนเริ่มรวมตัวเป็นกลุ่ม ทำให้พื้นที่ผิวดูดซับอิเล็กตรอนลดลง อิเล็กตรอนสามารถไหลผ่านได้ง่ายขึ้นดังรูปที่ 6 (ค) ส่งผลให้ค่าความคงทนต่อแรงดันไฟฟ้ากระแสสลับลดลง ยกเว้นกรณี Al_2O_3 ที่ยังมีประสิทธิภาพดีจากคุณสมบัติการเป็นฉนวนสูง

4.2 ผลการทดสอบทางเคมี

จากผลการทดสอบพบว่า น้ำมันปาล์มมีค่าความชื้นสูงกว่าน้ำมันแร่ เนื่องจากน้ำมันที่ได้จากพืชมักมีน้ำเป็นองค์ประกอบตกค้างจากกระบวนการสกัด อีกทั้งกรดไขมันในน้ำมันปาล์มยังสามารถจับกับโมเลกุลน้ำได้ดี ส่งผลให้มีความอิ่มตัวโมเลกุลของน้ำสูงกว่าน้ำมันแร่ [16] อย่างไรก็ตาม เมื่อน้ำมันปาล์มถูกเติมด้วยอนุภาคนาโน เช่น Fe_3O_4, TiO_2 และ Al_2O_3 พบว่าค่าความชื้นลดลงอย่างมีนัยสำคัญ เนื่องจากอนุภาคนาโนแต่ละชนิดมีคุณสมบัติในการดูดซับน้ำบนพื้นผิวที่แตกต่างกัน ดังรูปที่ 7

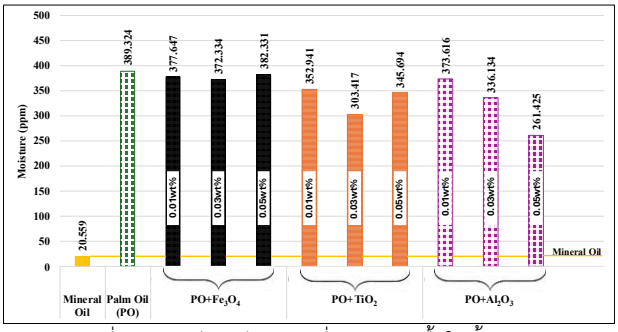

รูปที่ 7 การเปรียบเทียบค่าเฉลี่ยของความชื้นในน้ำมันแร่ น้ำมันปาล์ม และน้ำมันปาล์มที่ผสมสารอนุภาคนาโน

โดยในกรณีของ Fe_3O_4 สามารถดูดซับน้ำได้ 3 รูปแบบ ได้แก่ แบบไดเมอร์ไม่แตกตัว ซึ่งโมเลกุลของน้ำจับกันเป็นคู่โดยไม่เกิดการแยกตัวและถูกดูดซับบนพื้นผิว แบบไดเมอร์ที่แตกตัวบางส่วน โดยน้ำ 1 โมเลกุลแตกตัวเป็น OH^- และ H^+ แล้ว H^+ ไปจับกับ O บนพื้นผิว และแบบไตรเมอร์ที่แตกตัวบางส่วน โดยมีน้ำ 3 โมเลกุล หนึ่งในนั้นแตกตัวเป็น OH^- และ H^+ ซึ่ง H^+ จะไปจับกับ O เช่นกัน ดังรูปที่ 8 (ก) สำหรับ TiO_2 สามารถดูดซับน้ำได้ 4 แบบ ได้แก่ การดูดซับบนตำแหน่งว่างของ O ทำให้เกิดกลุ่ม OH, การดูดซับบนกลุ่ม OH เดิมซึ่งทำหน้าที่เป็นจุดยึดเกาะของน้ำ, การดูดซับในชั้นบนของพื้นผิวเมื่อมีน้ำมากขึ้น โดยได้รับอิทธิพลจาก OH ชั้นล่าง และการจับกับ Ti ที่มีพันธะไม่สมบูรณ์ ซึ่งทำให้เกิดกลุ่ม OH ใหม่ ดังรูปที่ 8 (ข) ส่วน Al_2O_3 การดูดซับน้ำแบ่งออกเป็น 2 ช่วง คือ ช่วงแรกที่น้ำถูกดูดซับบนพื้นผิวทำให้เกิดการเปลี่ยนแปลงพลังงาน และช่วงที่สองเมื่อน้ำสะสมในปริมาณมากจะเกิดเป็นชั้นของเหลวคล้ายฟิล์มบนผิวอนุภาค ดังรูปที่ 8 (ค) ด้วยเหตุนี้ น้ำมันปาล์มที่เติมอนุภาคนาโนทั้งสามชนิดในความเข้มข้น 0.01wt%, 0.03wt% และ 0.05wt% โดยปริมาตร จึงมีค่าความชื้นลดลงเมื่อเทียบกับน้ำมันปาล์มที่ไม่เติมอนุภาคนาโน

ถึงแม้ว่าสารอนุภาคนาโนจะมีการดูดซับโมเลกุลของน้ำ แต่ยังคงรักษาค่าความคงทนต่อแรงดันไฟฟ้ากระแสสลับได้สูงกว่าน้ำมันปาล์มปกติ ซึ่งการดูดซับนี้ไม่ได้ส่งผลกระทบอย่างรุนแรงต่อสมบัติฉนวนของวัสดุ

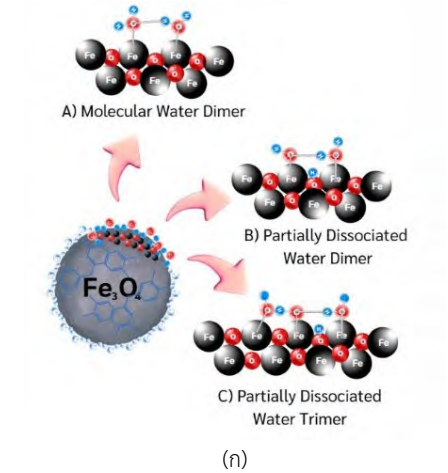

(ก)

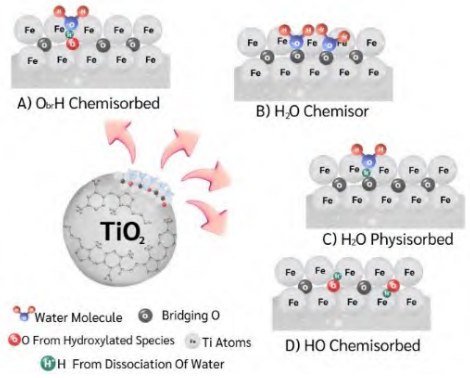

(ข)

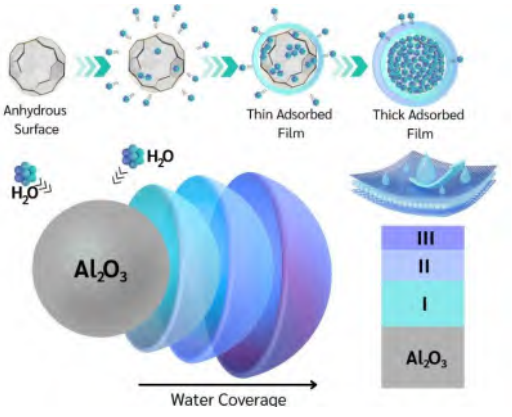

(ค)

รูปที่ 8 การดูดซับความชื้นสารอนุภาคนาโน (ก) สารอนุภาคนาโนFe_3O_4 [17] (ข) สารอนุภาคนาโน TiO_2 [18] (ค) สารอนุภาคนาโน Al_2O_3 [19]

4.3 การวิเคราะห์ผลจากความสัมพันธ์

จากกราฟจะเห็นได้ชัดว่าค่าความคงทนต่อแรงดันไฟฟ้ากระแสสลับมีแนวโน้มลดลงอย่างต่อเนื่องเมื่อค่าความชื้นในน้ำมันแร่เพิ่มขึ้น สะท้อนให้เห็นถึงความสัมพันธ์เชิงผกผันระหว่างความชื้นกับประสิทธิภาพในการเป็นฉนวนของน้ำมัน เนื่องจากโมเลกุลของน้ำเป็นตัวนำไฟฟ้าและรบกวนโครงสร้างการเป็นฉนวน ส่งผลให้ค่าทนต่อแรงดันไฟฟ้าลดลงอย่างมีนัยสำคัญ กล่าวคือ เมื่อค่าปริมาณน้ำในน้ำมันมีค่าน้อย จะเกิดการคายประจุบางส่วน (partial discharge) จะลดลง และค่าความคงทนทางไฟฟ้าของน้ำมันจะเพิ่มขึ้น ส่งผลให้ค่าแรงดันไฟฟ้าที่น้ำมันสามารถทนได้มีค่าสูงตามไปด้วย [20] ดังรูปที่ 9

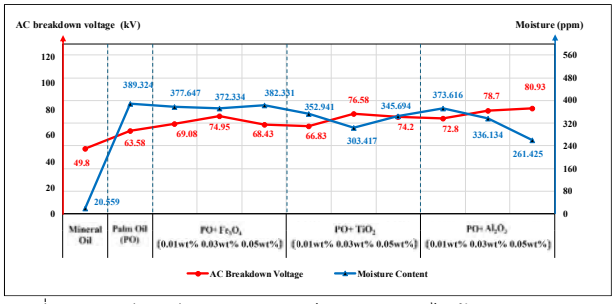

รูปที่ 9 การเปรียบเทียบความสัมพันธ์ของค่าแรงดันไฟฟ้ากระแสสลับกับค่าความชื้นของน้ำมันแร่ น้ำมันปาล์ม และน้ำมันปาล์มที่ผสมสารอนุภาคนาโน

5. สรุปผลการทดสอบ

ผลการทดลองแสดงให้เห็นว่า การเติมอนุภาคนาโน Fe_3O_4, TiO_2 และ Al_2O_3 ลงในน้ำมันปาล์มที่ผ่านการปรับคุณภาพ สามารถปรับปรุงคุณสมบัติการเป็นฉนวนทางไฟฟ้าและลดค่าความชื้นได้อย่างมีนัยสำคัญ เมื่อเปรียบเทียบกับน้ำมันปาล์มปกติและน้ำมันแร่ โดยเฉพาะน้ำมันปาล์มที่เติม Al_2O_3 ที่ความเข้มข้น 0.05 wt% แสดงค่าความทนทานต่อแรงดันไฟฟ้ากระแสสลับสูงสุดและมีค่าความชื้นต่ำที่สุด ซึ่งเป็นคุณสมบัติสำคัญสำหรับฉนวนเหลวในระบบไฟฟ้าแรงสูง จากผลการศึกษา สามารถสรุปได้ว่าน้ำมันปาล์มผสมอนุภาคนาโนมีแนวโน้มที่ดีในการนำไปพัฒนาเป็นฉนวนเหลวที่เป็นมิตรต่อสิ่งแวดล้อม และอาจเป็นทางเลือกที่ยั่งยืนแทนน้ำมันแร่ อย่างไรก็ตาม ยังมีความจำเป็นต้องศึกษาผลกระทบในระยะยาว รวมถึงวิเคราะห์สมบัติทางกายภาพอื่น ๆ เพื่อประเมินความเสถียรและความปลอดภัยในการใช้งานจริงในอุตสาหกรรมไฟฟ้า

6. กิตติกรรมประกาศ

คณะผู้วิจัยขอขอบคุณ คณะวิศวกรรมศาสตร์ มหาวิทยาลัยเทคโนโลยีราชมงคลอีสาน วิทยาเขตขอนแก่น ที่ให้การสนับสนุนในการวิจัย และการนำเสนอเผยแพร่ผลงานวิจัยนี้

เอกสารอ้างอิง

[1] Y. Cilliyuz, Y. Bicen, F. Aras, and G. Aydugan, "Measurements and performance evaluations of natural ester and mineral oil-immersed identical transformers," Int. J. Electr. Power Energy Syst., Vol. 125, pp. 1-8, Sep. 2020.

[2] N. Yadav, R. K. Jarial, and U. M. Rao, "Characterization of Mineral Oil Based Fe_3O_4 Nanofluid for Application in Oil-Filled Transformers," Int. J. Electr. Eng. Inf., Vol. 10, No. 2, pp. 338-349, Jun. 2018.

[3] Z. Wang, Y. Zhou, W.u. Lu, N. Peng, W. Chen, "The impact of TiO_2 nanoparticle concentration levels on impulse breakdown performance of mineral oil-based nanofluids", Nanomaterials. Vol. 9, No. 4, pp. 1-13, Apr. 2019.

[4] E. G. Atiya, D. A. Mansour, R. M. Khattab, and A. M. Azmy, "Dispersion Behavior and breakdown Strength of Transformer Oil Filled with TiO_2 Nanoparticles," IEEE Trans. Dielectr. Electr. Insul., Vol. 22, No. 5, pp. 2463-2472, Oct. 2015

[5] IEC 60296, International standard: Fluids for electrotechnical applications – Mineral insulating oils for electrical equipment, 2020.

[6] P. Muangpratoom, N. Chaipanha, K. Sangduan, and I. Khonchaiyaphum, "Effect of Concentration of Al_2O_3 Nanoparticles on Electrical Properties of Mineral Oil," *Trends in Sciences*, Vol. 18, No. 20, pp. 1–9, 2021.

[7] IEC 60156; Insulating Liquids Determination of the breakdown Voltage at Power Frequency Test Method. 2nd ed. Reference number CEI/IEC 156: 07. IEC: Geneve, Switzerland, 1995.

[8] ASTM D1533; Standard Test Method for Water in Insulating Liquids by Coulometric Karl Fischer Titration. ASTM: Conshohocken, PA, USA, 2013.

[9] Q. Qiu, J. Zhang, L. Yang, J. Zhang, B. Chen, and C. Tang, "Simulation of the diffusion behavior of water molecules in palm oil and mineral oil at different temperatures," *Renewable Energy*, Vol. 174, pp. 909–917, Aug. 2021.

[10] J. Jacob, P. Preetha, and S. T. Krishnan, "Review on natural ester and nanofluids as an environmental friendly alternative to transformer mineral oil," IET Nanodielectrics, Vol. 3, No. 2, pp. 33–43, May 2020.

[11] K. Azmi, A. Ahmad, and M. Kamarol, "Study of dielectric properties of a potential RBD palm oil and RBD soybean oil mixture as insulating liquid in transformer," J. Electr. Eng. Technol., Vol. 10, No. 5, pp. 2105–2119, Sep. 2015.

[12] M. S. Mohamad, H. Zainuddin, S. Ab Ghani, and I. S. Chairul, "AC breakdown voltage and viscosity of palm fatty acid ester (PFAE) oil-based nanofluids," *J. Electr. Eng. Technol.*, Vol. 12, No. 6, pp. 2333–2341, Nov. 2017.

[13] M. M. Bhunia, K. Panigrahi, C. B. Naskar, S. Bhattacharjee, K. K. Chattopadhyay, and P. Chattopadhyay, "2D square nanosheets of Anatase TiO_2: A surfactant free nanofiller for transformer oil nanofluids," J. Mol. Liq., Vol. 325, No. 115000, Dec. 2020.

[14] W. Sima, J. Shi, Q. Yang, S. Huang, and X. Cao, "Effects of conductivity and permittivity of nanoparticle on transformer oil insulation performance: experiment and theory," IEEE Trans. Dielectr. Electr. Insul., Vol. 22, No. 1, pp. 380–390, Feb. 2015.

[15] S. S. Dessouky, D. A. Mansour, M. Shaban, and S. A. M. Abdelwahab, "Insulation performance enhancement of aged current transformers using nanofluids," *Int. J. Electr. Power Energy Syst.*, Vol. 126, Part A, No. 106613, Jan. 2021.

[16] J. Hao, J. Zhang, W. Ye, R. Liao, and L. Yang, "Development of mixed insulation oil as alternative liquid dielectric: A review," *CSEE J. Power Energy Syst.*, Vol. 10, No. 3, pp. 1242–1254, May 2024.

[17] M. Meier, J. Hulva, Z. Jakub, J. Pavelec, M. Setvin, R. Bliem, M. Schmid, U. Diebold, C. Franchini, G.S. Parkinson, "Water agglomerates on Fe_3O_4(001)," PNAS, pp.1–9, January 2018.

[18] S. Benkoula, O. Sublemontier, M. Patanen, C. Nicolas, F. Sirotti, A. Naitabdi, F. Gaie-Levrel, E. Antonsson, D. Aureau, F.-X. Ouf, et al., "Water adsorption on TiO_2 surfaces probed by soft x-ray spectroscopies: bulk materials vs. isolated nanoparticles," Sci. Rep., Vol. 5, No. 1, October 2015.

[19] H. R. Castro Ricardo and D. V. Quach, "Analysis of Anhydrous and Hydrated Surface Energies of Gamma Al_2O_3 by Water Adsorption Microcalorimetry," J. Phys. Chem. C. Vol. 116, No.46, pp.24726–24733 November 2012.

[20] S. Abdi, N. Harid, L. Safiddine, A. Boubakeur, and A. Haddad, "The correlation of transformer oil electrical properties with water content using a regression approach," Energies, Vol. 14, No. 8, Apr. 2021.

การเปรียบเทียบการใช้หม้อแปลงแยกกับหม้อแปลงร่วมในระบบโซลาร์เซลล์สำหรับอาคารเดียวกัน

Comparison of Shared and Separate Transformer Designs in Building Solar PV Systems

ศุภวุฒิ เนตรโพธิ์แก้ว[1] ศุภณัฐ อุ้ยกิ้ม[1] และ นัฐโชติ รักไทยเจริญชีพ[1]*
[1] สาขาวิชาวิศวกรรมไฟฟ้า คณะวิศวกรรมศาสตร์ มหาวิทยาลัยเทคโนโลยีราชมงคลพระนคร nattachote.r@rmutp.ac.th*

บทคัดย่อ

บทความนี้นำเสนอการเปรียบเทียบระบบหม้อแปลงแบบร่วมและแบบแยกสำหรับอาคารที่ติดตั้งโซลาร์เซลล์ โดยพิจารณา 4 ประการ ได้แก่ การกระจายพลังงาน ความสูญเสีย ความต่อเนื่องของโหลด และต้นทุนเบื้องต้น กรณีศึกษาอาคารขนาดกลางที่ใช้ไฟฟ้าเฉลี่ย 10,000 kWh/เดือน (โซลาร์ ร้อยละ50 + การไฟฟ้า ร้อยละ50) ผลการคำนวณพบว่า ระบบร่วมสูญเสียรวม ~1% ส่งพลังงานได้ 9,900 kWh/เดือน ส่วนระบบแยกสูญเสีย ~4% ส่งได้ 9,600 kWh/เดือน ด้านต้นทุน ระบบร่วมใช้ ~850,000 บาท ต่ำกว่าระบบแยก ~1,170,000 บาท (~37.6%) อย่างไรก็ดี ระบบแยกมีความยืดหยุ่นและความต่อเนื่องสูงกว่า เหมาะกับโหลดสำคัญหรือมีแผนขยาย สรุปได้ว่าการเลือกควรพิจารณาความสำคัญของโหลดและงบประมาณ แนวทางที่นำเสนอสามารถสนับสนุนการออกแบบระบบไฟฟ้าอาคารสมัยใหม่และสอดคล้องนโยบาย Smart Grid/Net Zero

คำสำคัญ: หม้อแปลงร่วม, หม้อแปลงแยก, โซลาร์เซลล์, ความสูญเสีย, ต้นทุนระบบ

Abstract

This paper compares shared and separate transformer configurations for buildings with solar PV, focusing on four aspects: energy distribution, power losses, load continuity, and initial cost. A medium-sized building with an average monthly demand of 10,000 kWh (50% solar, 50% utility) is studied. Results show the shared transformer has ~1% total losses, delivering 9,900 kWh/month, while the separate transformer has ~4% losses, delivering 9,600 kWh/month. In terms of cost, the shared design requires ~850,000 THB, lower than the separate design at ~1,170,000 THB (~37.6% higher). However, the separate design provides greater flexibility and higher reliability, making it suitable for critical loads and future expansion. Transformer selection should therefore consider both load criticality and budget constraints. The proposed approach supports modern building power system design and aligns with Smart Grid and Net Zero policies.

Keywords: shared transformer, separate transformer, solar PV, energy distribution, power losses, system cost

1. บทนำ

ปัจจุบันการผลิตไฟฟ้าด้วยระบบเซลล์แสงอาทิตย์ (Solar PV) เป็นแนวทางสำคัญในการใช้พลังงานอย่างยั่งยืน [1]–[6] โดยเฉพาะในภาคอาคารและธุรกิจที่มีการใช้ไฟฟ้าอย่างต่อเนื่อง ทั้งนี้ยังสอดคล้องกับมาตรฐานสากลด้านพลังงานสะอาด [7]–[9] ระบบ PV ไม่เพียงช่วยลดภาระโครงข่ายหลัก (Grid) แต่ยังสามารถออกแบบให้ทำงานร่วมกับระบบจ่ายไฟเดิมเพื่อเพิ่มความมั่นคงได้

การติดตั้งระบบ PV จำเป็นต้องพิจารณาโครงสร้างการเชื่อมต่อกับหม้อแปลงไฟฟ้า (Transformer) ซึ่งมีผลต่อประสิทธิภาพ ความสูญเสีย ความต่อเนื่องของโหลด และต้นทุน โดยทั่วไปแบ่งเป็น 2 แนวทาง ได้แก่ (1) ระบบหม้อแปลงร่วม (Shared Transformer): ใช้หม้อแปลงตัวเดียว (2) ระบบหม้อแปลงแยก (Separate Transformer): ใช้หม้อแปลงแยกสำหรับ PV และการไฟฟ้า แม้ทั้งสองแนวทางใช้งานได้จริง แต่มีข้อดีข้อจำกัดต่างกัน เช่น ความสูญเสีย ความต่อเนื่องเมื่อเกิดความขัดข้อง และต้นทุนติดตั้ง [5]

กรณีศึกษานี้กำหนดเป็นอาคารสำนักงานขนาดกลาง ใช้ไฟฟ้าเฉลี่ย 10,000 kWh/เดือน แบ่งจาก PV และการไฟฟ้าในอัตรา 50:50 พร้อมหม้อแปลงขนาด 250–315 kVA ซึ่งพบได้ทั่วไปในหน่วยงานราชการและอาคารพาณิชย์ เพื่อวิเคราะห์ 4 ด้านหลัก คือ การกระจายพลังงาน ความสูญเสีย ความต่อเนื่อง และต้นทุนเบื้องต้น งานวิจัยล่าสุดยังสะท้อนประเด็นที่ต้องศึกษา เช่น Mitra et al. (2022) วิเคราะห์การเสื่อมสภาพหม้อแปลง [11], Shrestha et al. (2023) ศึกษาอินเวอร์เตอร์และ THD [12], Yükselen (2024) เสนอการออกแบบหม้อแปลงรองรับโหลดสูงสุด [13], และ Chaiyadej et al. (2024) วิเคราะห์ความพร้อมอาคาร PV ในไทยสู่ Smart Grid/Net Zero [14]ดังนั้นบทความนี้มีวัตถุประสงค์เพื่อเปรียบเทียบระบบหม้อแปลงร่วมและแยก โดยใช้การคำนวณเชิงทฤษฎี [4],[6] พร้อมนำเสนอแผนภาพสายเดี่ยว (SLD), สมการ และตารางเปรียบเทียบ เพื่อเป็นแนวทางทางวิศวกรรมสำหรับอาคารสมัยใหม่ และสนับสนุนเป้าหมาย Smart Grid/Net Zero ของประเทศ

2. วิธีการดำเนินงาน

การศึกษานี้ใช้วิธีการคำนวณเชิงทฤษฎี (Analytical Approach) เพื่อเปรียบเทียบระบบหม้อแปลงแบบร่วม (Shared Transformer) และแบบแยก (Separate Transformer) ในการจ่ายไฟฟ้าให้อาคารที่ติดตั้งระบบโซลาร์เซลล์ โดยดำเนินการตามลำดับดังนี้

2.1 สมมติฐานและพารามิเตอร์ที่ใช้

สมมติฐานและพารามิเตอร์หลักที่ใช้ในการวิเคราะห์ ดังแสดงในตารางที่ 1

*นัฐโชติ รักไทยเจริญชีพ; nattachote.r@rmutp.ac.th

ตารางที่ 1 สมมติฐานหลักในการวิเคราะห์ระบบ

รายการ	ค่า	หน่วย
โหลดเฉลี่ยของอาคาร	10,000	kWh/เดือน
พลังงานจากโซลาร์เซลล์	5,000	kWh/เดือน
พลังงานจากการไฟฟ้า	5,000	kWh/เดือน
ขนาดหม้อแปลง	250–315	kVA
ประสิทธิภาพหม้อแปลง (ηTransformer)	98%	–
ประสิทธิภาพสายส่ง (ηline)	97% (ร่วม), 94% (แยก)	–
ระยะสายส่ง (เฉพาะระบบแยก)	30	เมตร
ความต้านทานสายส่ง (Rline)	0.15	Ω
ตัวประกอบกำลัง (Power Factor, pf)	0.95	–
Reliability Index (SAIFI/SAIDI)	ใช้ค่าเปรียบเทียบเชิงคุณภาพ	–

2.2 การออกแบบระบบโซลาร์เซลล์

กำหนดขนาดโซลาร์ให้ผลิตไฟฟ้าเฉลี่ย 5,000 kWh/เดือน โดยใช้อินเวอร์เตอร์ที่มีประสิทธิภาพ 96% เชื่อมต่อเข้ากับระบบไฟฟ้าภายในอาคาร

2.3 การเลือกการเชื่อมต่อหม้อแปลง

2.3.1 ระบบหม้อแปลงร่วม (Shared Transformer)

รวมการจ่ายไฟจากโซลาร์เซลล์และการไฟฟ้าเข้าสู่หม้อแปลงเดียวก่อนจ่ายโหลด

2.3.2 ระบบหม้อแปลงแยก (Separate Transformer)

โซลาร์เซลล์และการไฟฟ้าใช้หม้อแปลงแยกอิสระ ก่อนรวมเข้าที่ MDB ของอาคาร

2.4 แผนผังสายเดี่ยว (Single Line Diagram, SLD)

ไดอะแกรมเส้นเดียวของระบบหม้อแปลงร่วม ดังแสดงในรูปที่ 1

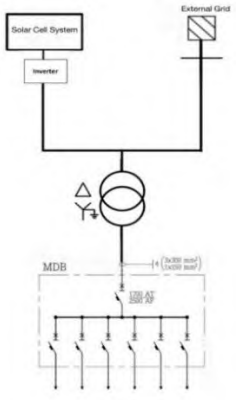

รูปที่ 1 ไดอะแกรมเส้นเดียวของระบบหม้อแปลงร่วม

ไดอะแกรมเส้นเดียวของระบบหม้อแปลงแยก ดังแสดงในรูปที่ 2

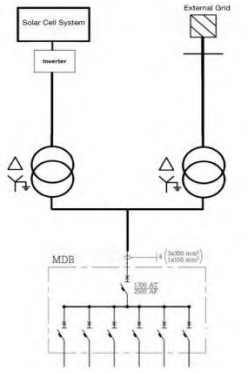

รูปที่ 2 ไดอะแกรมเส้นเดียวของระบบหม้อแปลงแยก

2.5 สมการที่ใช้ในการวิเคราะห์

เพื่อให้การวิเคราะห์ครอบคลุมด้านพลังงาน ความสูญเสีย และต้นทุน ได้กำหนดสมการหลัก 3 สมการ ดังนี้แสดงในสมการที่ (1) - (3)

$$E_delivered = P_source \times \eta_Transformer \times \eta_line \quad (1)$$

$$P_loss = I^2 \times R_line \quad (2)$$

$$Cost_total = C_tr + C_PV + C_cable + C_control + C_install \quad (3)$$

โดยที่

P_source คือ กำลังไฟฟ้าที่จ่ายจากแหล่งกำเนิด (โซลาร์/การไฟฟ้า)

η_Transformer คือ ค่าประสิทธิภาพหม้อแปลง

η_line คือ ค่าประสิทธิภาพสายส่ง

I คือ กระแสไฟฟ้า (A)

R_line คือ ความต้านทานสาย (Ω)

C_tr, C_PV, C_cable, C_control, C_install คือ ต้นทุนหม้อแปลง, ระบบโซลาร์, สายไฟ, อุปกรณ์ควบคุม, และค่าติดตั้ง

จากสมการ (1)–(3) สามารถเห็นได้ว่าการวิเคราะห์ครอบคลุมทั้งด้านพลังงานที่ส่งถึงโหลด ความสูญเสียในสายส่ง และต้นทุนระบบเบื้องต้น ซึ่งเป็นตัวชี้วัดหลักในการเปรียบเทียบระบบหม้อแปลงร่วมและหม้อแปลงแยก ข้อมูลที่ได้จากการคำนวณตามสมการเหล่านี้จะถูกนำไปใช้ในการวิเคราะห์และอภิปรายผลในหัวข้อถัดไป

2.6 ปัจจัยเพิ่มเติมที่พิจารณา

เพื่อให้การวิเคราะห์ครอบคลุมมากขึ้น ได้พิจารณาพารามิเตอร์เสริม 3 รายการ ได้แก่ ประสิทธิภาพหม้อแปลง (Transformer

*นัฐโชติ รักไทยเจริญชีพ; nattachote.r@rmutp.ac.th

Efficiency), ตัวประกอบกำลัง (Power Factor, pf) และดัชนีความเชื่อถือได้ (Reliability Index: SAIFI/SAIDI) ดังนี้

2.6.1 ประสิทธิภาพหม้อแปลง (Transformer Efficiency)

นิยาม: η_Transformer คือสัดส่วนพลังงานด้านออกของหม้อแปลงต่อพลังงานด้านเข้า (หน่วยเป็น %) โดยในกรณีฐาน ระบบหม้อแปลงร่วมกำหนดให้ η_Transformer = 98% ส่วนระบบหม้อแปลงแยกใช้ค่า η_Transformer ของแต่ละหม้อแปลง = 98% โดยผลการสูญเสียรวมสะท้อนผ่านค่า η_line ที่ต่ำกว่าอยู่แล้ว สำหรับวิธีใช้ในแบบจำลองได้แทนค่าในสมการ (1)นอกจากนี้ยังได้ทำการทดสอบความไว (Sensitivity Analysis) โดยพิจารณาช่วงค่า η_Transformer = 97–99% เพื่อประเมินผลกระทบต่อค่า E_delivered ตัวอย่างเช่น หากกำหนด P_source = 10,000 kWh/เดือน และ η_line = 97% ที่ค่า η_Transformer = 98% จะได้ E_delivered ≈ 9,506 kWh/เดือน ในขณะที่เมื่อ η_Transformer = 97% จะได้ E_delivered ≈ 9,409 kWh/เดือน หรือลดลงประมาณ 97 kWh/เดือน (~1.0%)

2.6.2 ตัวประกอบกำลัง (Power Factor, pf)

นิยาม: pf = P/S (กำลังจริงต่อกำลังปรากฏ) ซึ่งมีผลโดยตรงต่อค่ากระแสในสายและความสูญเสีย I^2R โดยในระบบสามเฟส ความสัมพันธ์ที่ใช้สามารถเขียนได้ดังนี้ $S = \sqrt{3} \times V_{LL} \times I_{line}$ (VA) และ $P = S \times pf$ ดังนั้น $I_{line} = P / (\sqrt{3} \times V_{LL} \times pf)$ ส่วนความสูญเสียในสายคำนวณจาก $P_{loss} = I_{line}^2 \times R_{line}$ สำหรับตัวอย่างการคำนวณ กำหนดให้ P = 100 kW, V_{LL} = 400 V และ R_{line} คงที่ เมื่อ pf = 0.95 จะได้ $I_{line} \approx 100{,}000 / (1.732 \times 400 \times 0.95) \approx 152$ A ในขณะที่เมื่อ pf = 0.85 จะได้ $I_{line} \approx 100{,}000 / (1.732 \times 400 \times 0.85) \approx 170$ A จากนั้นเปรียบเทียบอัตราส่วนความสูญเสีย พบว่า $(170/152)^2 \approx 1.24$ หรือคิดเป็นความสูญเสีย I^2R ที่สูงขึ้นประมาณ 24% เมื่อ pf ลดลงจาก 0.95 เหลือ 0.85
การนำไปใช้: ในกรณีฐานของงานวิจัยนี้ กำหนดค่า pf = 0.95 และอภิปรายเพิ่มเติมว่าหากค่า pf ลดลง ความสูญเสียของระบบจะเพิ่มขึ้นตามสัดส่วน I^2

2.6.3 ดัชนีความเชื่อถือได้ (Reliability Index: SAIFI/SAIDI)

2.6.3.1 นิยามมาตรฐาน:

SAIFI คือ จำนวนครั้งที่ลูกค้าเฉลี่ยถูกดับไฟต่อปี (ครั้ง/ลูกค้า-ปี)
SAIDI คือ ระยะเวลาที่ลูกค้าเฉลี่ยถูกดับไฟต่อปี (ชั่วโมง/ลูกค้า-ปี)

2.6.3.2 แนวคิดการประเมินในงานนี้

ใช้ค่าประเมินเชิงวิศวกรรมอย่างง่าย เพื่อเปรียบเทียบแนวโน้มระหว่างโครงสร้างระบบ (ไม่ได้อ้างอิงข้อมูลยูทิลิตี้จริง) โดยให้เหตุผลว่าโครงสร้างแบบแยกสามารถแยกเขตความขัดข้องและสลับจ่ายได้คล่องตัวกว่า ค่าประเมินที่ใช้ (สมมติสำหรับการเปรียบเทียบ) ดังแสดงในตารางที่ 2

ตารางที่ 2 ค่าประเมิน SAIFI/SAIDI ของระบบหม้อแปลงร่วมและหม้อแปลงแยก

ระบบ	SAIFI (ครั้ง/ลูกค้า-ปี)	SAIDI (ชั่วโมง/ลูกค้า-ปี)	หมายเหตุ
หม้อแปลงร่วม	1.2	1.5	จุดล้มเหลวเดี่ยวส่งผลกว้าง
หม้อแปลงแยก	0.8	0.9	แยกโซน/สลับจ่ายได้

การแปลงเป็นคะแนนรวม (สำหรับตารางสรุปภาพรวม): สามารถ Normalize เมตริกที่ “ยิ่งน้อยยิ่งดี” (เช่น SAIFI, SAIDI, P_loss, ต้นทุน) เป็นสเกล 0–5 ด้วยสูตรเชิงเส้น เช่น Score = 5 × (x_max − x) / (x_max − x_min) แล้วเฉลี่ยถ่วงน้ำหนักร่วมกับมิติอื่น เพื่อให้ได้คะแนนรวมของระบบแต่ละแบบ

3. ผลการทดลอง

ทำการวิเคราะห์เปรียบเทียบระบบจ่ายไฟฟ้าในอาคารที่ติดตั้งโซลาร์เซลล์ โดยพิจารณา 2 แนวทาง ได้แก่ หม้อแปลงร่วม และ หม้อแปลงแยก ภายใต้สมมุติว่าอาคารมีความต้องการพลังงานเฉลี่ย 10,000 kWh/เดือน แบ่งจาก Solar และ Grid อย่างละ 50% การวิเคราะห์ครอบคลุม 4 ด้านหลักคือ การกระจายพลังงาน ความสูญเสีย ความต่อเนื่อง และต้นทุน

3.1 การกระจายพลังงาน

จากสมมุติฐาน 10,000 kWh/เดือน ระบบหม้อแปลงร่วมส่งพลังงานถึงโหลดได้มากกว่า เนื่องจากมี Loss เพียง ~1% ขณะที่หม้อแปลงแยกสูญเสีย ~4% จากการเดินสายและหม้อแปลงหลายชุด

ตารางที่ 3 การกระจายพลังงานจาก Solar และ Grid ของระบบหม้อแปลงร่วมและแยก

ระบบ	พลังงานจากโซลาร์ (kWh)	พลังงานจากการไฟฟ้า (kWh)	รวมพลังงานถึงโหลด (kWh)
หม้อแปลงร่วม	4,950	4,950	9,900
หม้อแปลงแยก	4,800	4,800	9,600

หมายเหตุ: ในการคำนวณนี้กำหนดพลังงานเริ่มต้นจากแต่ละแหล่งจ่าย (โซลาร์เซลล์และการไฟฟ้า) เท่ากับ 5,000 kWh ต่อเดือน โดยระบบหม้อแปลงร่วมมีค่าการสูญเสียรวมประมาณ 1% ทำให้พลังงานถึงโหลดจริงประมาณ 4,950 kWh ขณะที่ระบบหม้อแปลงแยกมีค่าการสูญเสียรวมสูงกว่า ประมาณ 4% ทำให้พลังงานถึงโหลดจริงลดลงเหลือประมาณ 4,800 kWh

พลังงานเริ่มต้นจากแต่ละแหล่งหมายถึง พลังงานที่ระบบโซลาร์เซลล์และการไฟฟ้าจ่ายเข้าสู่ระบบ ณ จุดก่อนเข้าหม้อแปลงและสายส่ง โดยในระบบหม้อแปลงร่วมใช้หม้อแปลงเดียวรองรับทั้งโหลด ในขณะที่ระบบ

*นัฐโชติ รักไทยเจริญชีพ; nattachote.r@rmutp.ac.th

หม้อแปลงแยกมีการแยกหม้อแปลงตามโซนของโหลด ทำให้มีค่าความสูญเสียโดยรวมสูงกว่า

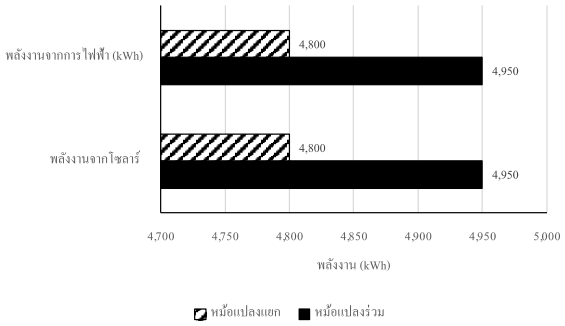

รูปที่ 3 สัดส่วนพลังงาน Solar/Grid ถึงโหลดจริง

3.2 กำลังไฟฟ้าสูญเสีย

ระบบหม้อแปลงร่วมมีการสูญเสียต่ำ (≈100 kWh/เดือน) ขณะที่ระบบแยกสูงถึง 400 kWh/เดือน ตัวอย่างการคำนวณเมื่อ I = 50 A และ R = 0.15 Ω จะได้ P = 375 W หากใช้สายส่ง 2 เส้นเท่ากับ 0.75 kWh/ชม. หรือรวม ~540 kWh/เดือน

ตารางที่ 4 การเปรียบเทียบพลังงานสูญเสียของระบบหม้อแปลงร่วมและแยก

ระบบ	พลังงานรวมจากต้นทาง (kWh)	กำลังไฟฟ้าสูญเสีย (kWh)	กำลังไฟฟ้าสูญเสีย (ร้อยละ)
หม้อแปลงร่วม	10,000	1%	100
หม้อแปลงแยก	10,000	4%	400

หมายเหตุ: พลังงานรวมจากต้นทางกำหนดเป็น 10,000 kWh/เดือน โดยค่ากำลังไฟฟ้าสูญเสียเป็นค่าที่สมมุติจากลักษณะระบบไฟฟ้าระบบหม้อแปลงแยกมีระยะสายส่งมากกว่าและมีอุปกรณ์หลายชุด จึงพิจารณาให้มีกำลังไฟฟ้าสูญเสียสูงกว่าระบบหม้อแปลงร่วม

3.3 ความต่อเนื่องของโหลด

ระบบหม้อแปลงร่วมมีจุดล้มเหลวเดี่ยว (Single Point of Failure) หากแหล่งจ่ายขัดข้องจะกระทบทั้งระบบ ขณะที่ระบบแยกสามารถสลับโหลดอิสระ ลดความเสี่ยงไฟดับ และมีค่า **SAIFI/SAIDI** ต่ำกว่า แสดงถึงความเชื่อถือได้สูงกว่า

ตารางที่ 5 การเปรียบเทียบเชิงคุณภาพของความต่อเนื่องโหลด

ระบบ	คะแนนความต่อเนื่อง	จำนวนแหล่งจ่ายที่ใช้ได้	ความสามารถในการสลับโหลด	ความเสี่ยงดับทั้งหมด	ความต่อเนื่องของโหลด
หม้อแปลงร่วม	2	2 (โซลาร์ + การไฟฟ้า)	ไม่มี (ใช้ร่วมกัน)	สูง	ปานกลาง
หม้อแปลงแยก	3	2 ต่อ 2 (แยกโซลาร์ + การไฟฟ้า/โหลด)	มี (แยกอิสระ)	ต่ำ	สูง

ตารางที่ 6 ดัชนีความเชื่อถือได้ (SAIFI และ SAIDI) ของระบบหม้อแปลงร่วมและแยก

ระบบ	SAIFI (ครั้ง/ปี)	SAIDI (ชั่วโมง/ปี)	ระดับความเชื่อถือได้
หม้อแปลงร่วม	2.5	10	ปานกลาง
หม้อแปลงแยก	1.0	4	สูง

3.4 การประเมินต้นทุนระบบ

ระบบหม้อแปลงร่วมใช้หม้อแปลงเพียงชุดเดียว ทำให้ต้นทุนรวม ~850,000 บาท ขณะที่ระบบแยกต้องลงทุนหม้อแปลงและสายไฟเพิ่ม รวม ~1,170,000 บาท (สูงขึ้น ≈37.6%) แม้มีต้นทุนสูงกว่า แต่ได้ความยืดหยุ่นและรองรับการขยายระบบ

ตารางที่ 7 การเปรียบเทียบต้นทุนเบื้องต้นของระบบหม้อแปลงร่วมและแยก

รายการต้นทุน	หม้อแปลงร่วม (บาท)	หม้อแปลงแยก (บาท)
หม้อแปลงไฟฟ้า	200,000	400,000
ระบบโซลาร์เซลล์ (รวมโครงสร้าง)	500,000	500,000
ค่าติดตั้งและสายไฟ	100,000	180,000
อุปกรณ์ควบคุมและป้องกัน	50,000	90,000
รวมต้นทุนทั้งหมด	850,000	1,170,000

หมายเหตุ ข้อมูลในตารางเป็นเพียงค่าประมาณเพื่อใช้เปรียบเทียบแนวโน้ม ไม่ใช่ราคาตลาดจริง ซึ่งขึ้นกับหลายปัจจัย เช่น ขนาดระบบ โครงสร้างอาคาร มาตรฐานอุปกรณ์ พื้นที่ติดตั้ง และค่าแรงงาน ควรตรวจสอบราคาปัจจุบันจากผู้รับเหมา วิศวกรผู้ออกแบบ และข้อกำหนดตามระเบียบโครงการลดก๊าซเรือนกระจกของภาครัฐ [10] การเปรียบเทียบดังแสดงในรูปที่ 4

*นัฐโชติ รักไทยเจริญชีพ; nattachote.r@rmutp.ac.th

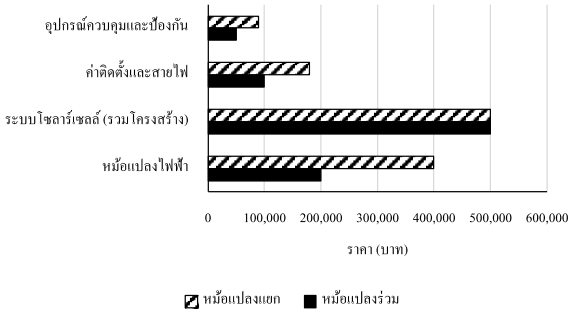

รูปที่ 4 กราฟเปรียบเทียบต้นทุนรวม

4. อภิปรายผล

จากการเปรียบเทียบระบบจ่ายไฟฟ้าที่ใช้หม้อแปลงแบบร่วมและแบบแยก พบว่าทั้งสองแนวทางมีข้อดีที่แตกต่างกันอย่างชัดเจน ดังนี้

4.1 การกระจายพลังงาน

ระบบหม้อแปลงร่วมมีความสูญเสียน้อยกว่า ส่งผลให้พลังงานถึงโหลดเฉลี่ยสูงกว่าเล็กน้อย (≈9,900 kWh/เดือน) เมื่อเทียบกับหม้อแปลงแยก (≈9,600 kWh/เดือน)

4.2 ความสูญเสียพลังงาน

ระบบหม้อแปลงแยกมีความสูญเสียรวมสูงกว่า (≈400 kWh/เดือน) เนื่องจากใช้สายไฟและอุปกรณ์มากกว่า จึงมีความร้อนสะสมและการสูญเสีย I^2R มากขึ้น

4.3 ความต่อเนื่องของโหลด

ระบบหม้อแปลงแยกสามารถแยกโซนจ่ายไฟและรักษาโหลดสำคัญได้แม้บางส่วนขัดข้อง จึงให้ความต่อเนื่องสูงกว่าระบบหม้อแปลงร่วมที่มีจุดล้มเหลวเดี่ยว

4.4 ต้นทุนเบื้องต้น

ต้นทุนของหม้อแปลงร่วมต่ำกว่า (≈850,000 บาท) ในขณะที่ระบบแยกสูงกว่า ≈37.6% แต่ให้ความคุ้มค่าในด้านความยืดหยุ่นและรองรับการขยายระบบในอนาคต

โดยสรุประบบหม้อแปลงร่วมเหมาะกับอาคารทั่วไปที่ต้องการลดต้นทุนและคงประสิทธิภาพด้านพลังงาน ขณะที่ระบบหม้อแปลงแยกเหมาะกับอาคารที่มีโหลดสำคัญ ต้องการความต่อเนื่องและความยืดหยุ่น แม้มีต้นทุนสูงกว่า แต่ช่วยเพิ่มความมั่นคงและรองรับอนาคตได้ดีกว่า

ตารางที่ 8 สรุปคะแนนเปรียบเทียบระบบหม้อแปลง (Normalized 0–5)

หัวข้อประเมิน	หม้อแปลงร่วม (0–5)	หม้อแปลงแยก (0–5)
พลังงานถึงโหลด	4.9	4.6
ความสูญเสียพลังงาน	4.9	3.0
ความต่อเนื่องของโหลด	2.0	5.0
ความยืดหยุ่นในการใช้งาน	2.0	4.5
ต้นทุนรวมของระบบ	5.0	2.5

4.5 เกณฑ์ที่ใช้ในการ Normalize

การประเมินค่าต่าง ๆ ถูกแปลงให้อยู่ในช่วง 0–5 โดยใช้เกณฑ์วิศวกรรมพื้นฐานและสมมุติฐานของงานวิจัย ดังนี้

พลังงานถึงโหลด: ค่าจริง 9,900/10,000 = 99% แปลงเป็น 4.9/5

ความสูญเสียพลังงาน: ใช้ช่วง 1–4% โดยยิ่งน้อยยิ่งได้คะแนนสูง

ความต่อเนื่องและความยืดหยุ่น: อ้างอิงจากผลการวิเคราะห์ในตารางก่อนหน้า

ต้นทุนระบบ: 850,000 vs 1,170,000 บาท โดยยิ่งต่ำยิ่งได้คะแนนสูง

จากตารางที่ 8 พบว่า ระบบหม้อแปลงร่วมได้คะแนนสูงในด้านพลังงานถึงโหลด ความสูญเสียต่ำ และต้นทุน ขณะที่ระบบหม้อแปลงแยกเด่นกว่าด้านความต่อเนื่องและความยืดหยุ่น เหมาะกับอาคารที่มีโหลดสำคัญหรือมีแนวโน้มขยายในอนาคต

โดยสรุป ระบบหม้อแปลงร่วมเหมาะสำหรับอาคารทั่วไปที่ต้องการประสิทธิภาพและต้นทุนต่ำในระยะสั้น ส่วนระบบหม้อแปลงแยกเหมาะสำหรับอาคารที่ต้องการเสถียรภาพและการรองรับพลังงานสำรองหรือพลังงานหมุนเวียนในระยะยาว เช่น ศูนย์ข้อมูล หน่วยงานรัฐ หรือโรงพยาบาลขนาดกลาง

5. สรุปผล

บทความนี้ได้ทำการเปรียบเทียบระบบจ่ายไฟฟ้าอัจฉริยะในอาคารที่ติดตั้งโซลาร์เซลล์ โดยพิจารณาระหว่าง ระบบหม้อแปลงร่วม และ ระบบหม้อแปลงแยก ครอบคลุม 4 ประเด็นหลัก ได้แก่ การกระจายพลังงาน ความสูญเสีย ความต่อเนื่องของโหลด และต้นทุนเบื้องต้น

เพื่อให้เห็นภาพรวมที่ชัดเจน ตารางที่ 9 แสดงการสรุปผลการเปรียบเทียบระหว่างระบบทั้งสอง

ตารางที่ 9 สรุปเปรียบเทียบ: หม้อแปลงร่วมได้เปรียบด้านพลังงาน–ต้นทุน ส่วนหม้อแปลงแยกเด่นด้านความต่อเนื่อง–ความยืดหยุ่น

ด้านการประเมิน	หม้อแปลงร่วม	หม้อแปลงแยก
พลังงานถึงโหลด	สูง (9,900 kWh/เดือน)	ปานกลาง (9,600 kWh/เดือน)
ความสูญเสียพลังงาน	ต่ำ (1% ≈ 100 kWh)	สูง (4% ≈ 400 kWh)
ความต่อเนื่องของโหลด	ปานกลาง (คะแนน 2.0/5.0)	สูง (คะแนน 5.0/5.0)
ความยืดหยุ่นในการใช้งาน	ต่ำ	สูง
ต้นทุนเบื้องต้น	ต่ำ (850,000 บาท)	สูง (1,170,000 บาท)

จากตารางที่ 9 ระบบหม้อแปลงร่วมมีข้อได้เปรียบด้านการส่งพลังงานและความสูญเสียต่ำ ลด Losses ได้ถึง 8% (1% เทียบกับ 4%) และมีต้นทุนต่ำกว่าประมาณ37.6% เหมาะสำหรับอาคารทั่วไปที่มีงบจำกัดแต่ต้องการประสิทธิภาพพลังงาน ขณะที่ระบบหม้อแปลงแยก แม้มีต้นทุนสูงกว่า แต่ได้เปรียบด้านความต่อเนื่องและความยืดหยุ่น สามารถรักษาโหลด

*นัฐโชติ รักไทยเจริญชีพ; nattachote.r@rmutp.ac.th

สำคัญได้แม้บางแหล่งจ่ายมีปัญหา และมีค่าความน่าเชื่อถือสูงกว่าเกือบ 2.5 เท่า (5.0 เทียบกับ 2.0) จึงเหมาะกับอาคารที่ต้องการความมั่นคง เช่น โรงพยาบาล ศูนย์ข้อมูล และหน่วยงานรัฐ

ในเชิงยุทธศาสตร์เมืองอัจฉริยะ ทั้งสองระบบยังสอดคล้องกับเป้าหมาย Net Zero และแนวคิด Smart Grid/Smart Building โดยหม้อแปลงร่วมช่วยลดการใช้พลังงานและต้นทุน ส่วนหม้อแปลงแยกเพิ่มความยืดหยุ่นต่อการบูรณาการพลังงานหมุนเวียน ระบบกักเก็บ และการควบคุมโหลดอัจฉริยะ ซึ่งเป็นองค์ประกอบสำคัญของระบบไฟฟ้าที่เสถียรและเป็นมิตรต่อสิ่งแวดล้อม [7]–[9]

6.กิตติกรรมประกาศ

บทความนี้สามารถสำเร็จลุล่วงได้ด้วยดีจากความช่วยเหลือและการสนับสนุนของคณาจารย์ประจำสาขาวิชาวิศวกรรมไฟฟ้า คณะวิศวกรรมศาสตร์ มหาวิทยาลัยเทคโนโลยีราชมงคลพระนคร ที่ได้กรุณาให้คำแนะนำและข้อเสนอแนะอันมีคุณค่า ซึ่งเป็นประโยชน์อย่างยิ่งต่อการพัฒนางานวิจัยครั้งนี้

เอกสารอ้างอิง

[1] R. Naskar, S. Ghosh, and R. Mandal, “Estimation & Analysis of a 5KWP Solar Photovoltaic Power Plant at JIS College of Engineering, Kalyani,” Int. Res. J. Eng. Technol. (IRJET), vol. 4, pp. 223–230, 2017.

[2] K. Hermawan, “Design analysis of photovoltaic systems as renewable energy resource in airport,” Proc. 2017 4th Int. Conf. Inf. Technol., Comput. Electr. Eng. (ICITACEE), Semarang, Indonesia, 2017, pp. 113–116.

[3] นพดล ชลังสุทธิ์, ณัฐพล เรืองทรัพย์, และ นัฐโชติ รักไทยเจริญชีพ, “การประเมินผลตอบแทนจากเครดิตคาร์บอนของระบบโซลาร์รูฟท็อปแบบไฮบริด,” การประชุมวิชาการนานาชาติด้านพลังงานและนวัตกรรม (ICPEI 2023), กรุงเทพฯ, ประเทศไทย, 2024,
หน้า 80–83.

[4] Y. Yang, H. Wen, and X. Wang, “Modeling and Analysis of PV–Transformer Interactions in Grid-Connected Systems,” Proc. 2022 IEEE Energy Conversion Congress and Exposition (ECCE), Detroit, MI, USA, 2022, pp. 4123–4130.

[5] IEEE Power and Energy Society, “IEEE Standard for Interconnection and Interoperability of Distributed Energy Resources with Associated Electric Power Systems Interfaces,” IEEE Std 1547-2018, pp. 1–138, Apr. 2018.

[6] G. Masters, Renewable and Efficient Electric Power Systems, 2nd ed., Hoboken, NJ: Wiley, 2013,
pp. 405–430.

[7] M. T. Iqbal, “Transformer Loading and Efficiency in Grid-Connected Solar Photovoltaic Systems,” Renewable Energy, vol. 195, pp. 650–660, Oct. 2022.

[8] J. Lee and S. Lee, “Reliability Evaluation of Distribution Networks with PV and Transformer Integration,” Proc. 2023 IEEE Power & Energy Society General Meeting (PESGM), Orlando, FL, USA, 2023, pp. 1–5.

[9] H. Li, Y. Zhang, and J. Wu, “Optimal Design of Distribution Transformers for Smart Grid with Renewable Energy Penetration,” Electric Power Systems Research, vol. 222, pp. 109–121, Jan. 2024.

[10] A. Kumar and R. Singh, “Impact of Net Zero Policies on Transformer Design in Building-Integrated PV Systems,” Proc. 2023 IEEE Int. Conf. Sustainable Energy Technologies (ICSET), Kuala Lumpur, Malaysia, 2023, pp. 210–215.

[11] B. Mitra, M. Mousavi, and R. Tonkoski, “Analyzing Distribution Transformer Degradation with Increased Power Electronic Loads,” Proc. 2022 IEEE Int. Conf. Power Electronics, Smart Grid, and Renewable Energy (PESGRE), Trivandrum, India, 2022, pp. 1–6.

[12] S. Shrestha, D. Maskey, and K. Jha, “A Comparative Analysis of Transformer-less Inverter Topologies for Grid-Connected PV Systems: Minimizing Leakage Current and THD,” Proc. 2023 IEEE Int. Conf. Sustainable Energy and Future Electric Transportation (SEFET), Kathmandu, Nepal, 2023, pp. 45–50.

[13] H. Yükselen, “An Improvement in the Design Process of Sustainable Peak Load Transformer Integration in Renewable Energy Systems,” Applied Energy, vol. 360, pp. 121–133, Jan. 2024.

[14] พงษ์เทพ ชัยเดช, ณัฐวุฒิ ชลคุป, และ สมชาย มฤคทัต, “ความพร้อมของอาคารที่ติดตั้งโซลาร์เซลล์สู่ระบบโครงข่ายอัจฉริยะและการปล่อยคาร์บอนสุทธิเป็นศูนย์ในประเทศไทย,” Energy Reports, vol. 10, pp. 1250–1262, มีนาคม 2024.

*นัฐโชติ รักไทยเจริญชีพ; nattachote.r@rmutp.ac.th

การควบคุมการเริ่มหมุนแบบนิ่มนวลให้กับมอเตอร์เหนี่ยวนำหนึ่งเฟสด้วยการควบคุมกระแสเริ่มต้นเพื่อการประหยัดพลังงานโดยใช้เทคนิคอะซิงโครนัส พีดับเบิ้ลยูเอ็ม เอซี ช็อปเปอร์

Soft Start Control for a Single-Phase Induction Motor With Starting Current Control for Energy Saving Using an Asynchronous PWM AC Chopper Technique

โกวิท ภูฉลาด[1]* พัชรพงศ์ กันหารินทร์[3] ณัฐพงษ์ ประพฤติ[2] เฉลิมชาติ มานพ[1] และ วิจิตร กิณเรศ[1]

[1]สาขาวิชาวิศวกรรมไฟฟ้า คณะวิศวกรรมศาสตร์ สถาบันเทคโนโลยีพระจอมเกล้าเจ้าคุณทหารลาดกระบัง hikowit@gmail.com*

[2]สาขาวิชาวิศวกรรมไฟฟ้ากำลัง คณะวิศวกรรมศาสตร์และเทคโนโลยี มหาวิทยาลัยเทคโนโลยีมหานคร

[3]สาขาวิชาวิศวกรรมไฟฟ้ากำลัง คณะวิศวกรรมศาสตร์บูรณาการและเทคโนโลยี มหาวิทยาลัยเทคโนโลยีราชมงคลตะวันออก วิทยาเขตจันทบุรี

บทคัดย่อ

บทความนี้ได้นำเสนอการควบคุมกระแสขณะเริ่มหมุนแบบนิ่มนวลของมอเตอร์เหนี่ยวนำหนึ่งเฟสชนิดตัวเก็บประจุสตาร์ทขนาด 0.5 แรงม้า 230 โวลต์ 4.3 แอมป์ 50 เฮิรตซ์ 4 ขั้ว ด้วยการควบคุมกระแสเริ่มต้นให้คงที่ตามที่ต้องการโดยใช้เทคนิคอะซิงโครนัส พีดับเบิ้ลยูเอ็ม เอซี ช็อปเปอร์ ซึ่งเทคนิคนี้สามารถลดความผิดเพี้ยนของกระแสฮาร์มอนิกและสามารถออกตัวได้เมื่อมีแรงบิดทางกลเริ่มต้น และลดกระแสกระชากเมื่อเปรียบเทียบกับการต่อตรง อีกทั้งไม่มีความจำเป็นซิงโครไนส์กับแหล่งจ่ายไฟฟ้ากระแสสลับทำให้ง่ายในการควบคุม โดยการจำลองและทดสอบการทำงานของระบบด้วยโปรแกรม MATLAB/Simulink Version R2024a และไมโครคอนโทรลเลอร์ C2000 Microcontroller เบอร์ TMS320F28379D โดยการนำกระแสของมอเตอร์ขณะเริ่มหมุนมาเป็นสัญญาณป้อนกลับไปเปรียบเทียบกับค่าที่ตั้งไว้แล้วเข้าตัวควบคุมแบบพีไอแล้วนำผลของสัญญาณไปเปรียบเทียบกับสัญญาณพาหะเพื่อสร้างสัญญาณพีดับบลิวเอ็มหรือพัลส์วิดมอดูเลตชั่นไปควบคุมการทำงานของสวิตช์ โดยการควบคุมดิวตี้ไซเคิลตามเวลาเพื่อให้มีการเพิ่มแรงดันมูลฐานของมอเตอร์เป็นแบบเชิงเส้นในช่วงเวลาการเริ่มหมุนที่กำหนดผลการจำลองและทดสอบที่ได้คือรูปคลื่นกระแสเข้าใกล้ไซน์และกระแสมอเตอร์ขณะเริ่มหมุนเป็นไปตามที่กำหนดทำให้มอเตอร์เริ่มหมุนได้แบบนิ่มนวล เทคนิคนี้ยังทำให้ค่าการใช้พลังงานต่ำกว่ากรณีที่ไม่มีการควบคุมกระแสเริ่มหมุนและส่งผลทำให้ลดการกระเพื่อมของแรงบิด

คำสำคัญ: มอเตอร์เหนี่ยวนำหนึ่งเฟส, การควบคุมกระแสเริ่มต้น, อะซิงโครนัส พีดับเบิ้ลยูเอ็ม เอซี ช็อปเปอร์

Abstract

This paper presents the soft start control of a 0.5 HP, 230 V, 4.3 A, 50 Hz, 4 Pole single-phase capacitor start induction motor with constant starting current control as required using an asynchronous PWM AC chopper technique. The advantages of this technique is capability of a reduction in harmonic distortion of motor current, starting with inertial mechanical load and a decrease in inrush current when compared to a direct on line start. Also the synchronization with an AC source is not necessary resulting in simplicity in starting control. The simulation and experiment of system performance by both MATLAB/Simulink Version R2024a and TMS320F28379D C2000 microcontroller for generating asynchronous PWM signals for using the motor is current during startup as a feedback signal to compare with a preset value, the signal is then sent into a PI (Proportional-Integral) controller. The output of this controller is then compared with a carrier signal to generate a PWM (Pulse Width Modulation) signal, which is used to control the operation of the switch. According to the simulation and test results, the input current waveform closely resembles a sine wave, and the motor current during startup follows the predefined pattern, allowing the motor to start smoothly. This technique also results in lower energy consumption compared to the case without startup current control, and it helps reduce torque ripple.

Keywords: Single-Phase Induction Motor, Starting Current Control, Asynchronous PWM AC Chopper

1. บทนำ

ในปัจจุบันนี้เราคงจะปฏิเสธไม่ได้ว่าเครื่องจักรกลที่ใช้ในการเปลี่ยนรูปพลังงานจากพลังงานไฟฟ้าเป็นพลังงานกลที่นิยมนำมาใช้กันอย่างแพร่หลายก็คือมอเตอร์ไฟฟ้าเหนี่ยวนำได้เข้ามามีบทบาทอย่างมากทั้งในชีวิตประจำวันและการทำงาน เนื่องมาจากลักษณะโครงสร้างของมอเตอร์เหนี่ยวนำที่ไม่จำเป็นต้องมีการดูแลรักษามากนัก เพื่อใช้สำหรับอำนวยความสะดวกสบายโดยเฉพาะอย่างยิ่งเครื่องจักรกลไฟฟ้าประเภทมอเตอร์เหนี่ยวนำหนึ่งเฟส (Single Phase Induction Motor: SPIM) ซึ่งนิยมใช้กันอย่างแพร่หลายทั้งภาคอุตสาหกรรม และภาคเกษตรกรรม เนื่องมาจากมีโครงสร้างที่มีความแข็งแรงทนทาน ใช้งานได้ง่าย บำรุงรักษาน้อย และที่

*ผู้ประพันธ์บรรณกิจ

สำคัญราคาไม่สูงมากนัก สำหรับการนำไปใช้ขึ้นอยู่กับลักษณะของงานในชีวิตประจำวันที่ใช้อยู่ตามบ้านเรือน อย่างเช่น พัดลม เครื่องม้วน เครื่องเจาะ ปั๊มน้ำ เครื่องซักผ้า และคอมเพรสเซอร์ในเครื่องปรับอากาศ ระบบไฟฟ้าในบ้านเรือน โดยทั่วไปจะเป็นระบบไฟฟ้าหนึ่งเฟสเพราะมีความสะดวกสะบาย ราคาไม่แพง เป็นต้น เราเรียกลักษณะใช้มอเตอร์เปลี่ยนรูปพลังงานว่า ภาระของมอเตอร์ (Load Motor)

ซึ่งในอดีตที่ผ่านมามีวิวัฒนาการในการควบคุมการเริ่มหมุนให้กับมอเตอร์เหนี่ยวนำหลายๆรูปแบบซึ่งได้แก่ วิธีที่ 1 การใช้หม้อแปลงปรับแรงดัน (Auto Transformer) ที่มักใช้งานโดยการมาปรับขนาดแรงดันที่จ่ายให้กับมอเตอร์ซึ่งเป็นวิธีการดั้งเดิมซึ่งสามารถค่อยๆปรับขนาดแรงดันที่จ่ายให้กับมอเตอร์ได้แต่มีค่าใช้จ่ายที่ค่อนข้างสูงเพราะต้องใช้ขนาดหม้อแปลงที่สูงตามขนาดมอเตอร์ด้วย ในขณะที่ในปัจจุบันได้มีการนำอุปกรณ์อิเล็กทรอนิกส์กำลังมาใช้ในการควบคุมหรือที่เราเรียกว่าการควบคุมการเริ่มหมุนแบบนิ่มนวล (Soft Start Controlling) วิธีที่ 2 โดยใช้หลักการควบคุมเฟส (Phase Control) ส่วนมากใช้ไทรีสเตอร์ต่อสลับหัวท้ายแล้วควบคุมมุมจุดชนวน ซึ่งหลักการนี้สามารถควบคุมแรงดันที่จ่ายให้กับมอเตอร์เหนี่ยวนำได้อีกวิธีการหนึ่งและเป็นที่นิยมในปัจจุบัน ถึงแม้ว่าวิธีเริ่มหมุนแบบนี้ทำให้รูปคลื่นแรงดันและกระแสผิดเพี้ยนไปจากรูปคลื่นไซน์ก็ตาม และส่วนวิธีที่ 3 นั้นคือการใช้อินเวอร์เตอร์ในการปรับความถี่ให้กับมอเตอร์ซึ่งวิธีนี้สามารถควบคุมความเร็วรอบของมอเตอร์ได้อีกด้วยแต่วิธีการนี้หากไม่ค่อยนิยมนำมาใช้ขับเคลื่อนภาระทั่วไปเพราะว่ามีค่าใช้จ่ายที่สูงกว่าแบบที่ใช้การไทรีสเตอร์ในการควบคุมการเริ่มหมุน

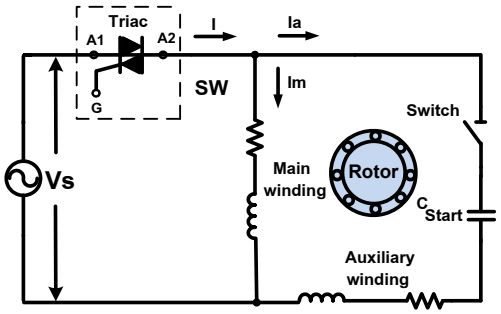

รูปที่ 1 วงจรควบคุมมอเตอร์เหนี่ยวนำหนึ่งเฟสด้วยไตรแอคที่เป็นสวิตช์แบบดั้งเดิม

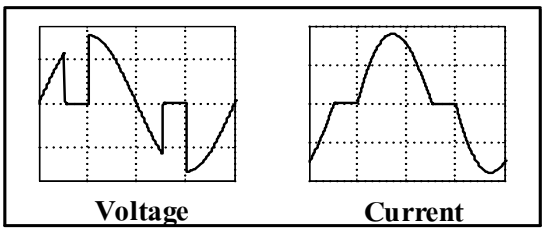

รูปที่ 2 สัญญาณคลื่นแรงดันและกระแสด้วยวิธีการควบคุมแบบ Phase Control แบบดั้งเดิม

ในงานวิจัยนี้ได้เน้นการศึกษาและนำเสนอการควบคุมการเริ่มหมุนแบบนิ่มนวลให้กับมอเตอร์เหนี่ยวนำหนึ่งเฟสแบบคาปาซิเตอร์สตาร์ท โดยการเปลี่ยนวงจรกำลังระบบเดิมที่ใช้การควบคุมเฟสมาใช้วงจรกำลังเอซีช็อปเปอร์ ซึ่งใช้หลักการปรับค่าดิวตี้เรโชให้กับวงจรกำลังซึ่งทำหน้าที่ควบคุมแรงดันที่จ่ายให้กับมอเตอร์เหนี่ยวนำ เมื่อค้นคว้างานวิจัยต่างๆที่เกี่ยวข้องตั้งแต่อดีตจนถึงปัจจุบันพบว่าส่วนใหญ่ยังคงใช้วิธีการควบคุมเฟสให้กับไทรีสเตอร์ที่ต่อแบบสลับหัวท้ายแล้วใช้การปรับขนาดมุมจุดชนวนเพื่อปรับขนาดแรงดันที่จ่ายให้กับมอเตอร์ดังรูปที่ 1 ซึ่งข้อเสียของหลักการนี้ทำให้รูปคลื่นกระแสผิดเพี้ยนไปจากรูปคลื่นไซน์ดังรูปที่ 2 งานวิจัยนี้จึงได้นำเสนอการควบคุมการเริ่มหมุนแบบนิ่มนวลให้กับมอเตอร์เหนี่ยวนำหนึ่งเฟสแบบคาปาซิเตอร์สตาร์ทโดยใช้เทคนิคอะซิงโครนัส พีดับเบิ้ลยูเอ็ม เอซีช็อปเปอร์ดังรูปที่ 3 ที่มีข้อดีทำให้รูปคลื่นกระแสไม่ผิดเพี้ยนไปจากรูปคลื่นไซน์ดังรูปที่ 4 โดยได้ศึกษาค้นคว้าและรวบรวมข้อมูลวิจัยที่เกี่ยวข้อง [1]

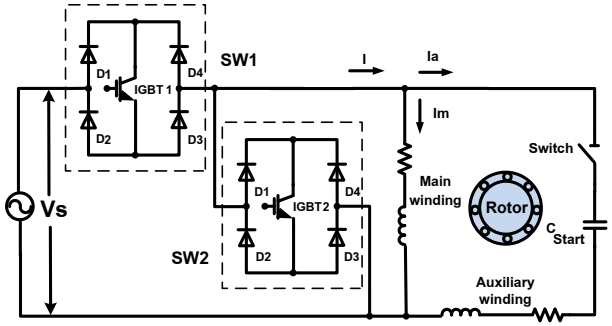

รูปที่ 3 วงจรควบคุมมอเตอร์เหนี่ยวนำหนึ่งเฟสด้วยพีดับเบิ้ลยูเอ็ม เอซีช็อปเปอร์ ที่มีไอจีบีทีเป็นสวิตช์แบบใหม่ที่นำเสนอ

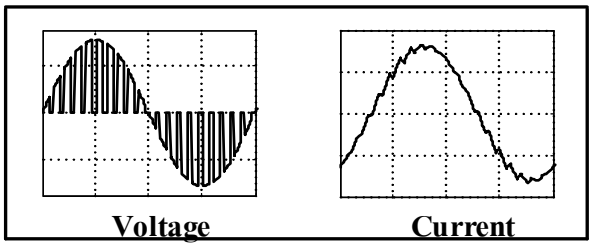

รูปที่ 4 สัญญาณคลื่นแรงดันและกระแสด้วยวิธีการควบคุมแบบ PWM AC Chopper แบบใหม่ที่นำเสนอ

2. ทฤษฎีและหลักการควบคุมการเริ่มหมุนแบบนิ่มนวลให้กับมอเตอร์เหนี่ยวนำหนึ่งเฟส

จากรูปที่ 5 เป็นการแสดงลักษณะของวงจรมอเตอร์เหนี่ยวนำหนึ่งเฟส (Single Phase Induction Motor: SPIM) ชนิดใช้ตัวเก็บประจุในการเริ่มหมุน ซึ่งเมื่อมีการจ่ายแรงดันให้กับมอเตอร์เริ่มหมุนนั้นจะกินกระแสไฟฟ้าประมาณ 5-7 เท่าของกระแสพิกัด โดยช่วงเริ่มต้นนี้ Capacitor Start : Cs จะช่วยสร้างแรงบิดเริ่มหมุนให้มอเตอร์สามารถหมุนไปได้จนเมื่อความเร็วเพิ่มขึ้นถึงประมาณ 75% ของความเร็วสนามแม่เหล็กหมุนสวิตช์แรงเหวี่ยงหนีศูนย์กลางจะตัด Cs ออกจากวงจร

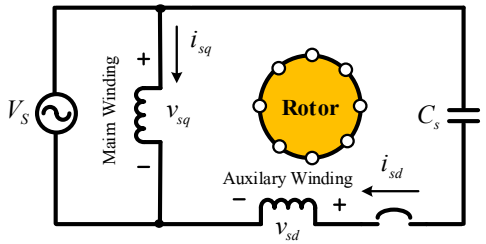

รูปที่ 5 ลักษณะของวงจรมอเตอร์เหนี่ยวนำหนึ่งเฟส (SPIM)

โดยสมการแรงบิดแม่เหล็กนั้นสามารถหาได้จากสมการที่ 1

$$T_e = \frac{P}{2}\frac{Lmq}{Lr}(\lambda_{rd}.i_{sq} - \lambda_{rq}.i_{sd}) \quad (1)$$

T_e = แรงบิดแม่เหล็ก
P = จำนวนคู่ของขั้วแม่เหล็ก
Lmq = รีแอคแตนซของแกนเหล็กแกน q
Lr = รีแอคแตนซ์ของโรเตอร์
λ_{rd} , λ_{rq} = ฟลักซ์ของโรเตอร์แกน d , q
i_{sq} , i_{sd} = กระแสสเตเตอร์แกน d , q

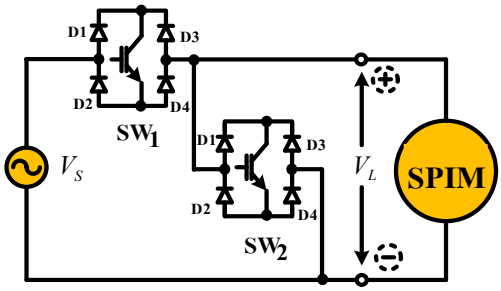

รูปที่ 6 วงจรกำลังการควบคุมการเริ่มหมุนแบบนิ่มนวลที่ใช้กับมอเตอร์เหนี่ยวนำหนึ่งเฟส (SPIM)

จากรูปที่ 6 เป็นวงจรกำลังที่ใช้ในการควบคุมมอเตอร์เหนี่ยวนำหนึ่งเฟส (Single Phase Induction Motor: SPIM) โดยมอเตอร์ชนิดใช้ตัวเก็บประจุช่วยในการเริ่มหมุนและมีสวิตช์จำนวนสองตัวทำหน้าที่ควบคุมขนาดของแรงดันที่จะจ่ายให้กับมอเตอร์ซึ่งจะถูกควบคุมตาม Duty Ratio (D) ตามสมการที่ 2 และขนาดแรงดันที่ได้จะเป็นไปตามรูปที่ 7 เป็นวงจรกำลังในการควบคุมแบบพีดับเบิ้ลยูเอ็ม เอซี ช็อปเปอร์

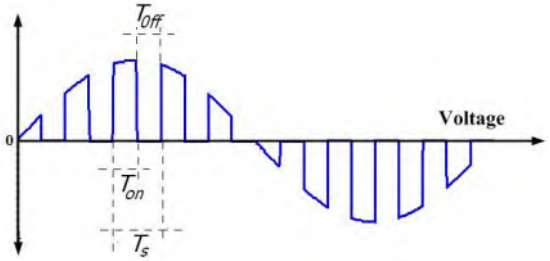

รูปที่ 7 สัญญาณการควบคุมแรงดันแบบพีดับเบิ้ลยูเอ็ม เอซี ช็อปเปอร์

$$f_{PWM}(t) = a_o + \sum_{n=1}^{\infty}(a_n \cos n\omega_c t + b_n \sin n\omega_c t) \quad (2)$$

$$a_o = \frac{T_{on}}{T_s} = \frac{T_{on}}{T_{on}+T_{off}} = \frac{V_{cont}}{V_{tri}} = D \quad (3)$$

$$a_n = \frac{1}{n\pi}\sin(2n\pi D)$$

$$b_n = -\frac{1}{n\pi}[1+\cos(2n\pi D)]$$

a_o = องค์ประกอบไฟตรง
a_n , b_n = องค์ประกอบฟูเรียร์
n = อันดับฮาร์มอนิก
$\sin n\omega_c t$ = ความถี่เชิงมุมของสัญญาณพาหะ
V_{cont} = แอมปลิจูดของสัญญาณแรงดันควบคุม
V_{tri} = แอมปลิจูดของสัญญาณแรงดันพาหะ
D = ค่าดิวตี้เรโชหรือดิวตี้ไซเคิล
T_{on} = คาบเวลาสวิตช์ On
T_{off} = คาบเวลาสวิตช์ Off
T_s = คาบเวลาสวิตช์ชิ่ง

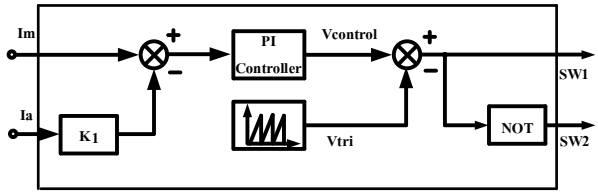

รูปที่ 8 รูปแบบการควบคุมสัญญาณการป้อนกลับของกระแส

รูปที่ 8 แสดงการควบคุมสัญญาณการป้อนกลับของกระแสในขณะที่วงจรควบคุมนั้นจะได้จากการนำสัญญาณป้อนกลับของกระแสขดลวดเสริม (I_a) ไปคูณกับค่าคงที่ (K_1) ซึ่งเป็นค่าที่ได้จากการจำลองโดยการจ่ายดันไซน์ให้กับมอเตอร์ที่ภาระหรือโหลดต่างๆตามสมการจะได้ค่ากระแสขดลวดหลักที่เหมาะสม (I_a) ไปเปรียบเทียบกับกระแสจริงของขดลวดหลัก(I_m) ทำให้ได้สัญญาณความผิดพลาดไปเข้าตัวควบคุมแบบ PI จะได้สัญญาณควบคุมที่เหมาะสม ($V_{control}$) ไปเปรียบเทียบกับสัญญาณพาหะ (V_{tri}) ซึ่งก็คือการปรับ Duty Ratio ดังรูปที่ 7 เพื่อให้ได้ค่าแรงดันตามสมการที่ (3) ซึ่งรูปแบบการควบคุมสามารถแสดงได้ดังรูปที่ 8

3. ผลการจำลองการควบคุมการเริ่มหมุนแบบนิ่มนวลให้กับมอเตอร์เหนี่ยวนำหนึ่งเฟสในโปรแกรม MATLAB/Simulink

บทนี้จะเป็นการจำลองการควบคุมการเริ่มหมุนแบบนิ่มนวลให้กับมอเตอร์เหนี่ยวนำหนึ่งเฟสในโปรแกรม MATLAB/Simulink Version R2024a และค่าพารามิเตอร์มอเตอร์เหนี่ยวนำหนึ่งเฟส (SPIM) ชนิดตัวเก็บประจุสตาร์ทขนาด 0.5 แรงม้า 230 โวลต์ 4.3 แอมป์ 50 เฮิรตซ์ 4 ขั้ว เพื่อกำเนิดสัญญาณพีดับบลิวเอ็มแบบอะซิงโครนัสใช้ในการควบคุมวงจรกำลังไฟฟ้ากระแสสลับหนึ่งเฟสที่มีสวิตช์กำลัง 2 ตัวโดยสัญญาณแรงดันไฟตรงอ้างอิง 1 สัญญาณถูกนำมาเปรียบเทียบกับสัญญาณพาหะคลื่นฟันเลื่อยความถี่สูง 1 สัญญาณทำให้ได้สัญญาณพีดับบลิวเอ็มสำหรับการควบคุมสวิตช์ 1 คู่ที่ทำงานสลับกันด้วยเทคนิคนี้เพื่อการประหยัดพลังงานโดยใช้เทคนิคแบบพัลส์วิดมอดูเลชั่น เอซี ช็อปเปอร์ โดยการจำลองเปรียบเทียบการเริ่มหมุนแบบต่อโดยตรงจากไลน์หรือ DOL การเริ่มหมุนแบบปรับแบบ Voltage-Ramp ค่าความชันเท่ากับ 1 ได้ตามความต้องการโดยการปรับ Duty Cycle และการเริ่มหมุนแบบนิ่มนวลด้วยการควบคุม PWM AC Chopper Soft Starter : PWMSS เพื่อเปรียบเทียบดูความเร็วกระแสเริ่มหมุน ผลการตอบสนองทางไดนามิกส์ของความเร็ว ค่าเพาเวอร์แฟคเตอร์และการกระเพื่อมของแรงบิดตามรูปที่ 9 - รูปที่ 11 ด้านล่าง

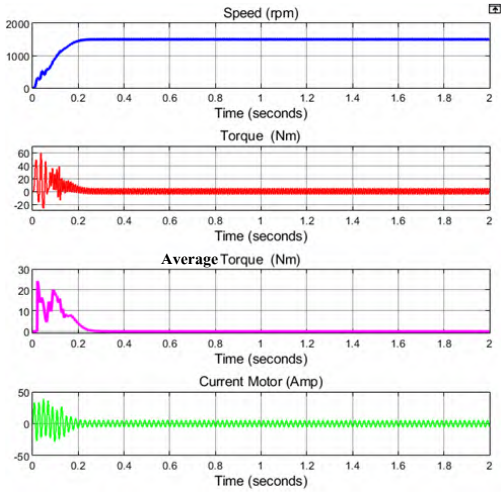

(ก) การเริ่มหมุนของมอเตอร์แบบต่อโดยตรง DOL

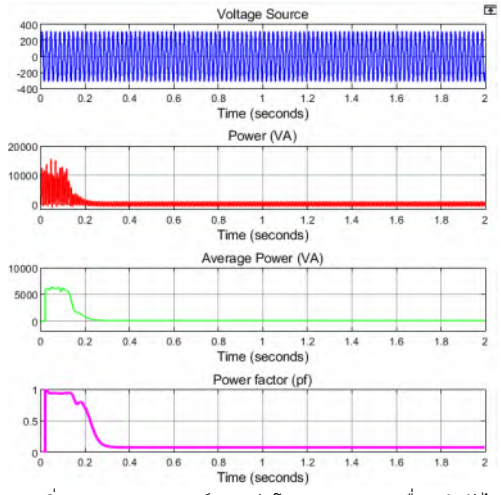

(ข) การเริ่มหมุนของมอเตอร์แบบต่อโดยตรง DOL เพื่อดูกำลังไฟฟ้า

รูปที่ 9 การเริ่มหมุนแบบ DOL เพื่อดูสมรรถนะการทำงานมอเตอร์

จากรูปที่ 9 (ก) และ (ข) เป็นการจำลองลักษณะการทำงานของมอเตอร์แบบต่อโดยตรง DOL จะเห็นว่าการเริ่มหมุนจะใช้เวลาน้อยในการเริ่มหมุนแต่จะใช้กระแสเยอะและค่าพลังงานเยอะอีกทั้งมีแรงกระเพื่อมของแรงบิลมากกว่าเมื่อเปรียบเทียบกับการเริ่มหมุนแบบนิ่มนวล PWMSS

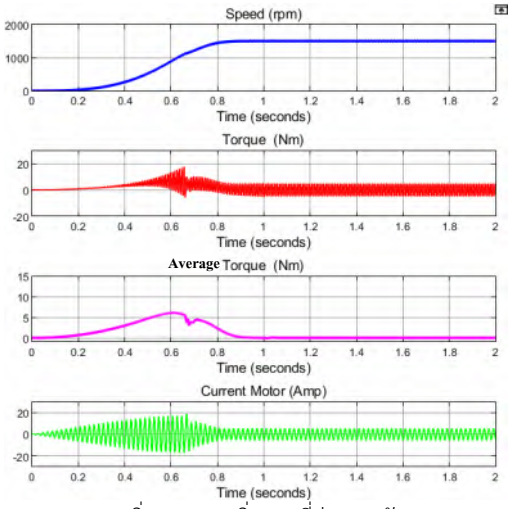

(ก) การเริ่มหมุนแบบนิ่มนวลที่ค่าความชัน S=1

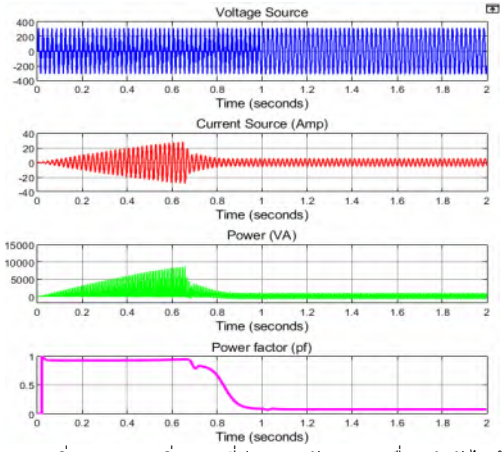

(ข) การเริ่มหมุนแบบนิ่มนวลที่ค่าความชัน S=1 เพื่อดูกำลังไฟฟ้า

รูปที่ 10 การเริ่มหมุนแบบนิ่มนวลโดยการปรับค่าความชันที่ S=1 Voltage-Ramp เพื่อดูสมรรถนะการทำงานมอเตอร์

จากรูปที่ 10 (ก) และ (ข) เป็นการจำลองการเริ่มหมุนแบบนิ่มนวล PWMSS โดยการปรับค่าความชันที่ S=1 พบว่าใช้เวลามากในการเริ่มหมุนแต่จะใช้กระแสน้อย ค่าพลังงานน้อยและมีแรงกระเพื่อมของแรงบิลไม่มากเมื่อเปรียบเทียบกับการเริ่มหมุนแบบต่อโดยตรง (Direct-On-Line : DOL)

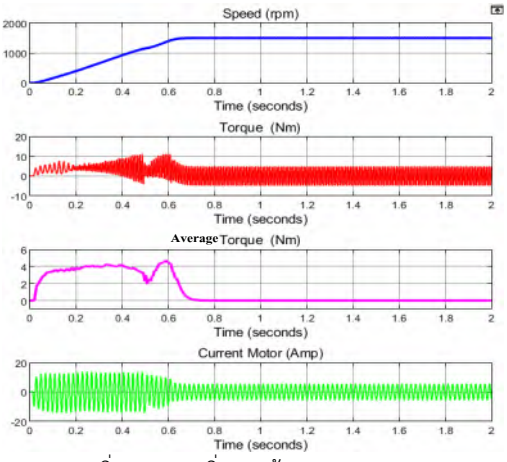

(ก) การเริ่มหมุนแบบนิ่มนวลด้วยการควบคุม PWMSS

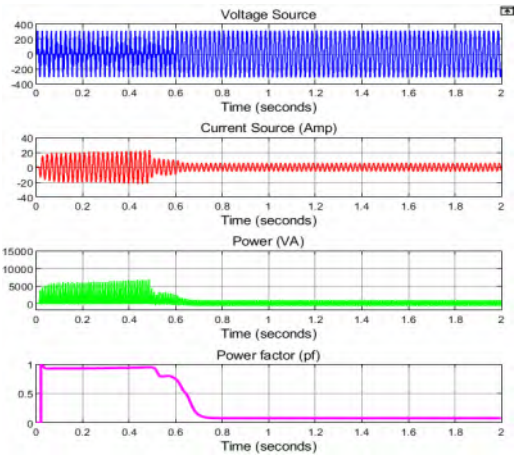

(ข) การเริ่มหมุนแบบนิ่มนวลด้วยการควบคุม PWMSS เพื่อดูกำลังไฟฟ้า

รูปที่ 11 การเริ่มหมุนแบบนิ่มนวลด้วยการควบคุม PWMSS เพื่อดูสมรรถนะการทำงานมอเตอร์

จากรูปที่ 11 (ก) และ (ข) เป็นการจำลองการเริ่มหมุนแบบนิ่มนวลด้วยการควบคุม PWMSS พบว่าใช้เวลามากในการเริ่มหมุนใช้กระแสน้อย ค่าพลังงานน้อยและมีแรงกระเพื่อมของแรงบิดไม่มากเมื่อเปรียบเทียบกับการเริ่มหมุนแบบต่อโดยตรง (Direct-On-Line : DOL)

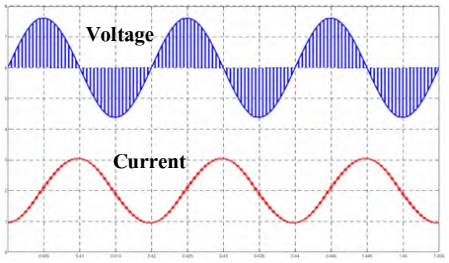

(ก) สัญญาณคลื่นแรงดันและกระแส

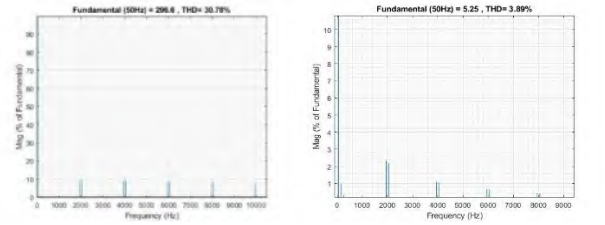

(ข) ฮาร์มอนิกของแรงดัน (ค) ฮาร์มอนิกของกระแส

รูปที่ 12 สัญญาณและฮาร์มอนิกของแรงดันและกระแสที่ค่าดิวตี้ 90% จากการจำลอง

จากรูปที่ 12 (ก), (ข) และ (ค) เป็นการจำลองเพื่อดูสัญญาณแรงดันและกระแสที่ค่าการค่าดิวตี้ 90% และค่าฮาร์มอนิกของแรงดันและกระแสที่ได้จากการใช้ความถี่สวิตช์ที่ 2 kHz โดยจะเห็นว่าลักษณะของสัญญาณกระแสเข้าใกล้ไซน์กล่าวคือสามารถลดค่าฮาร์มอนิกในระบบได้นั่นเอง

4. ผลการทดสอบการควบคุมการเริ่มหมุนแบบนิ่มนวลให้กับมอเตอร์เหนี่ยวนำหนึ่งเฟส

งานวิจัยนี้ใช้มอเตอร์เหนี่ยวนำหนึ่งเฟสชนิดคาปาซิเตอร์หรือตัวเก็บประจุช่วยในการเริ่มหมุนพิกัดขนาดที่ 50 ไมโครฟารัด ยี่ห้อ Mitsubishi รุ่น SC-KR มีขนาดพิกัด 1/2 แรงม้า หรือ 0.4 กิโลวัตต์ 230 โวลต์ 50 เฮิรตซ์ 4.3 แอมป์ 4 ขั้ว และความเร็วรอบที่พิกัดที่ 1,430 รอบต่อนาที จากรูปที่ 13 ด้านล่างเป็นการแสดงให้เห็นภาพรวมของการทดสอบการเริ่มหมุนแบบ DOL แบบนิ่มนวล PWMSS ทั้งวงจรกำลังและวงจรควบคุม

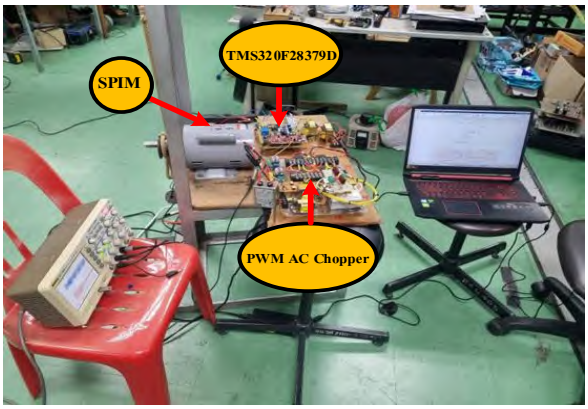

รูปที่ 13 ชุดควบคุมระบบการทดสอบการเริ่มหมุนแบบนิ่มนวล PWMSS

ในการทดสอบโดยจะทำการเปรียบเทียบรูปคลื่นสัญญาณแรงดันและกระแสของค่าฮาร์มอนิกที่ค่าดิวตี้ 50% และ 90% เพื่อดูความแตกต่างกัน

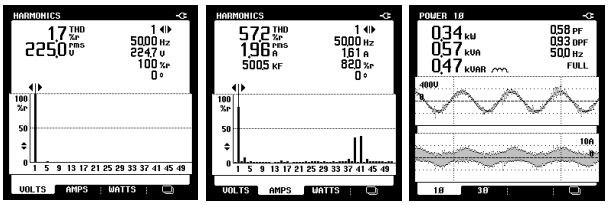

(ก) ฮาร์มอนิกของแรงดัน (ข) ฮาร์มอนิกของกระแส (ค) ค่ากำลังไฟฟ้า

รูปที่ 14 การเริ่มหมุนแบบนิ่มนวลโดยการควบคุม PWMSS ที่ค่าดิวตี้ 50%

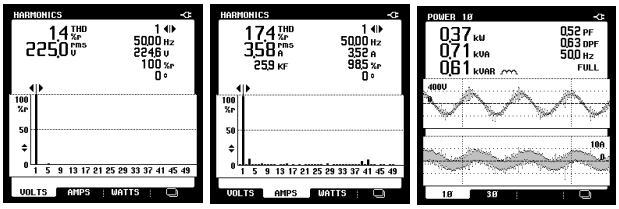

(ก) ฮาร์มอนิกของแรงดัน (ข) ฮาร์มอนิกของกระแส (ค) ค่ากำลังไฟฟ้า

รูปที่ 15 การเริ่มหมุนแบบนิ่มนวลโดยการควบคุม PWMSS ที่ค่าดิวตี้ 90%

จากรูปที่ 14 (ก), (ข) และ(ค) ที่ค่าดิวตี้ 50% และรูปที่ 15 (ก), (ข) และ(ค) ที่ค่าดิวตี้ 90% เป็นการวัดค่าด้านหน้าซ็อปเปอร์ที่ความถี่ 50 Hz หรือด้านหน้าของกริดจากเครื่องวัด Fluke รุ่น Fluke 43B/003 Power Quality Analyzer การเริ่มหมุนแบบนิ่มนวล Asynchronous PWM AC Chopper Soft Starter : PWMSS โดยการควบคุมการป้อนกลับที่กระแสของมอเตอร์สำหรับการเริ่มหมุนแบบนิ่มนวลและการทำงานที่ค่าดิวตี้ 50% และ 90% เพื่อดูความสัมพันธ์ของรูปคลื่นสัญญาณแรงดัน กระแส และพบว่าค่าฮาร์มอนิกที่ค่าดิวตี้ 90% จะมีอันดับต่ำกว่าที่ค่าดิวตี้ 50% นั้นคือมีประสิทธิภาพการทำงานที่ดีกว่าและรูปคลื่นกระแสเข้าใกล้ไซน์นั่นเอง

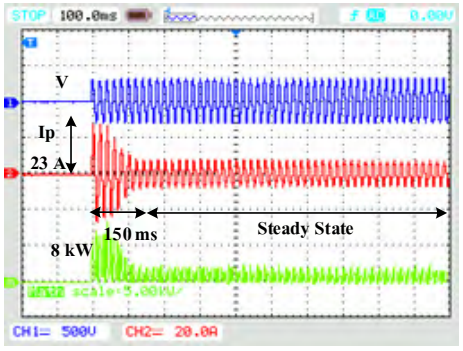

รูปที่ 16 การทดสอบการเริ่มหมุนแบบต่อโดยตรง DOL

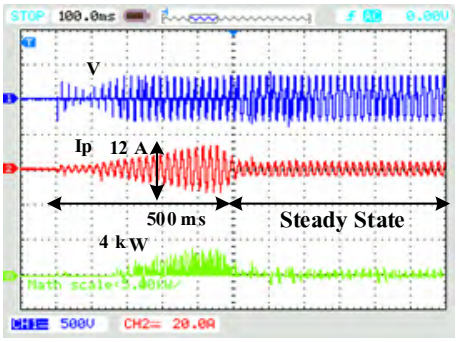

รูปที่ 17 การทดสอบการเริ่มหมุนแบบนิ่มนวลที่ค่าความชัน S=1

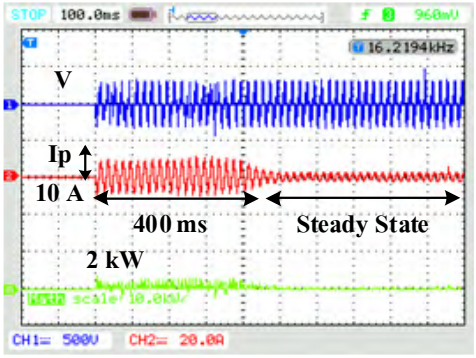

รูปที่ 18 การเริ่มหมุนแบบนิ่มนวลการควบคุมแบบ PWMSS ที่ 200%

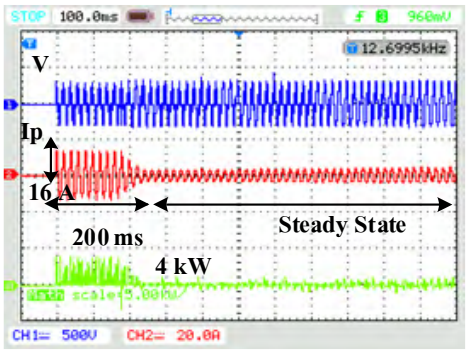

รูปที่ 19 การเริ่มหมุนแบบนิ่มนวลการควบคุมแบบ PWMSS ที่ 300%

จากรูปที่ 16 เป็นการเริ่มหมุนแบบต่อโดยตรง DOL ใช้กระแสมาก พลังงานมากและใช้เวลาน้อย ส่วนรูปที่ 17 การเริ่มหมุนแบบนิ่มนวลที่ค่าความชัน S=1 จะใช้เวลานานค่ากระแสน้อย พลังงานน้อย เปรียบเทียบกับการเริ่มหมุนแบบต่อโดยตรง DOL ส่วนรูปที่ 18 การเริ่มหมุนแบบนิ่มนวลการควบคุมแบบ PWMSS ที่ 200% และส่วนรูปที่ 19 การเริ่มหมุนแบบนิ่มนวลการควบคุมแบบ PWMSS ที่ 300% จะใช้เวลานานค่ากระแสน้อย พลังงานน้อยเมื่อเปรียบเทียบกับการเริ่มหมุนแบบต่อโดยตรง DOL

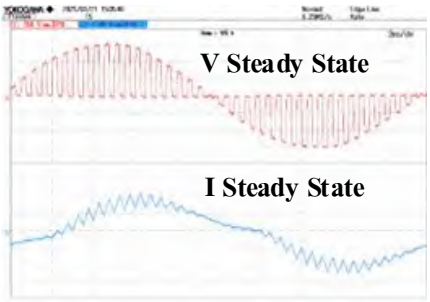

(ก) รูปสัญญาณค่าแรงดันและกระแสช่วงทำงานสภาวะคงที่ค่าดิวตี้ 50%

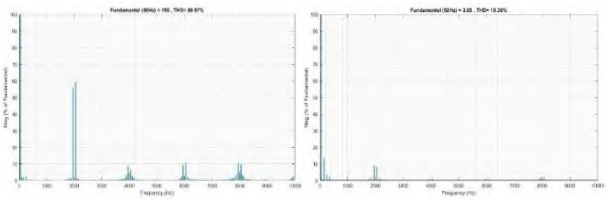

(ข) ฮาร์มอนิกแรงดันที่ค่าดิวตี้ 50% (ค) ฮาร์มอนิกกระแสที่ค่าดิวตี้ 50%

รูปที่ 20 ความสัมพันธ์ของค่าแรงดันและค่ากระแสในช่วงทำงานสภาวะคงที่ค่าดิวตี้ 50%

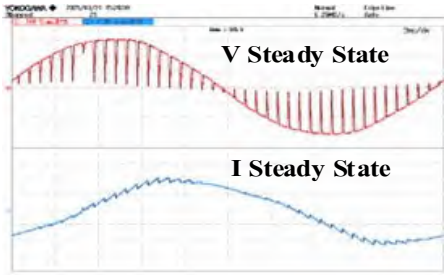

(ก) รูปสัญญาณค่าแรงดันและกระแสช่วงทำงานสภาวะคงที่ค่าดิวตี้ 90%

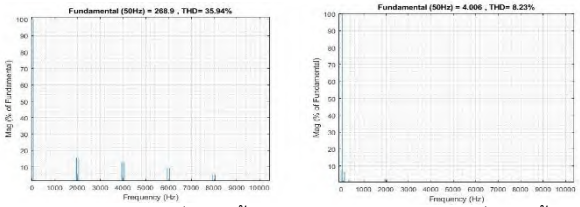

(ข) ฮาร์มอนิกแรงดันที่ค่าดิวตี้ 90% (ค) ฮาร์มอนิกกระแสที่ค่าดิวตี้ 90%

รูปที่ 21 ความสัมพันธ์ของค่าแรงดันและค่ากระแสในช่วงทำงานสภาวะคงที่ค่าดิวตี้ 90%

จากรูปที่ 20 (ก), (ข) และ (ค) ทำงานสภาวะคงที่ค่าดิวตี้ 50% และรูปที่ 21 (ก), (ข) และ (ค) ทำงานสภาวะคงที่ค่าดิวตี้ 90% ด้านที่มีการช็อปเปอร์ที่ความถี่ 2 kHz หรือด้านหลังกริดเพื่อดูความสัมพันธ์ของค่าแรงดันและค่ากระแสขณะทำการเริ่มต้นการหมุนในสถานะการทำงานที่ได้ทดสอบและเปรียบเทียบช่วงเข้าสู่การทำงานสภาวะคงที่ (Steady State) ของเนื้อรูปคลื่นสัญญาณแรงดัน กระแส และค่าของฮาร์มอนิกจะเห็นว่าที่ค่าดิวตี้ 90% มีค่าอันดับฮาร์มอนิกต่ำกว่าที่ค่าดิวตี้ 50% นั้นคือมีประสิทธิภาพการทำงานที่ดีกว่าและรูปคลื่นกระแสเข้าใกล้ไซน์นั่นเอง

5. สรุปการควบคุมการเริ่มหมุนแบบนิ่มนวลให้กับมอเตอร์เหนี่ยวนำหนึ่งเฟส

บทความนี้ได้นำเสนอการควบคุมการเริ่มหมุนแบบนิ่มนวลให้กับมอเตอร์เหนี่ยวนำหนึ่งเฟสด้วยการควบคุมกระแสเริ่มต้นเพื่อการประหยัดพลังงานโดยการนำสัญญาณกระแสมอเตอร์มาผ่านวงจรควบคุมที่ได้ทำการออกแบบไว้แล้วนำสัญญาณที่ได้ไปควบคุมสวิตช์สองทางทำให้ขนาดแรงดันที่จ่ายให้กับมอเตอร์มีความเหมาะสมกับค่ากระแสอ้างอิงที่กำหนดไว้ที่ 300% และ200% ของกระแสพิกัดสามารถลดกระแสช่วงเริ่มหมุนได้ 63% และ75% ตามลำดับผลที่ได้จากการจำลองและการทดสอบสอดคล้องกันดี ทำงานได้อย่างมีประสิทธิภาพ และมีความเหมาะสมสำหรับการเริ่มหมุนแบบนิ่มนวลให้กับมอเตอร์เหนี่ยวนำหนึ่งเฟสที่ต้องการควบคุมแรงบิดได้ ในขณะมีโหลดทางกลตอนเริ่มต้นทำให้มอเตอร์เริ่มหมุนด้วยความนิ่มนวล

เอกสารอ้างอิง

[1] Nabil A. Ahmed, Kenji Amei and Masaaki Sakui, “AC Chopper Voltage Controller-fed Single-phase Induction Motor Employing Symmetrical PWM Control Technique.” Elsevier Science, Electric Power Systems Research., Vol.1, No.1, March 1999, pp.15-25.

การควบคุมความถี่ไฟฟ้าในระบบไมโครกริดด้วยตัวควบคุมพีไอดีและดรูพคอนโทรล
Frequency Control in Microgrid Using PID Controller and Droop Control

เอกชัย ภูมลี[1*] และ คมสันติ์ ดาโรจน์[2]

[1]การไฟฟ้าส่วนภูมิภาคเขต 2 (ภาคตะวันออกเฉียงเหนือ) จ.อุบลราชธานี akachai.po.67@ubu.ac.th*
[2]ภาควิชาวิศวกรรมไฟฟ้าและอิเล็กทรอนิกส์ คณะวิศวกรรมศาสตร์ มหาวิทยาลัยอุบลราชธานี komson.d@ubu.ac.th

บทคัดย่อ

บทความฉบับนี้นำเสนอแนวทางการวิเคราะห์และควบคุมความถี่ไฟฟ้าในระบบไมโครกริดภายใต้สภาวะแยกตัวอิสระจากระบบไฟฟ้าหลัก โดยใช้ตัวควบคุม PID ร่วมกับ Droop Control สำหรับเครื่องกำเนิดไฟฟ้าที่สามารถจัดสรรกำลังการผลิตไฟฟ้าได้เพื่อรักษาเสถียรภาพของความถี่ไฟฟ้า โดยได้วิเคราะห์ในประเด็นสัญญาณควบคุมและผลตอบสนองต่อการเปลี่ยนแปลงกำลังการผลิตไฟฟ้า กรณีศึกษาใช้ระบบทดสอบเทียบเคียงจากสถานีไฟฟ้าย่อย ขนาด 50 MVA ในระบบจำหน่ายไฟฟ้าที่ประกอบด้วยแหล่งผลิตไฟฟ้าพลังงานเซลล์แสงอาทิตย์ ระบบกังหันลมผลิตไฟฟ้า เครื่องกำเนิดไฟฟ้าดีเซล กังหันก๊าซธรรมชาติ และเครื่องกำเนิดไฟฟ้าพลังน้ำ ผลการจำลองพบว่าการใช้ตัวควบคุม PID ร่วมกับ Droop Control สามารถรองรับการเปลี่ยนแปลงของกำลังการผลิตไฟฟ้าจากพลังงานหมุนเวียนที่มีความผันผวนสูงได้ดี แนวทางที่นำเสนอสามารถนำไปใช้ประเมินสมรรถนะของระบบควบคุมเพื่อรักษาเสถียรภาพทางความถี่ไฟฟ้าในระบบไมโครกริดที่จะเกิดขึ้นในอนาคตได้ดี

คำสำคัญ: ไมโครกริด, พลังงานหมุนเวียน, การควบคุมความถี่

Abstract

This study presents a framework for analyzing and regulating system frequency in isolated microgrids. The control strategy combines a Proportional–Integral–Derivative (PID) controller with Droop Control to coordinate dispatchable generators and maintain frequency stability. To assess its effectiveness, a test system was developed based on a 50 MVA distribution substation that included solar photovoltaic units, wind turbines, diesel generators, natural gas turbines, and hydroelectric power plants. The analysis examines the dynamic response of control signals to changes in power generation. Simulation results show that integrating PID with Droop Control effectively reduces frequency fluctuations caused by renewable energy sources. These findings demonstrate that the proposed framework offers a practical and reliable approach for evaluating and enhancing frequency stability in microgrids with high levels of renewable energy penetration.

Keywords: Microgrid, Renewable energy, Frequency Control

1. บทนำ

ปัจจุบันระบบไฟฟ้าทั่วโลกกำลังเผชิญกับการเปลี่ยนผ่านครั้งสำคัญจากระบบที่พึ่งพาการผลิตไฟฟ้าด้วยเชื้อเพลิงฟอสซิลไปสู่การใช้พลังงานหมุนเวียน (Renewable Energy: RE) เช่น พลังงานแสงอาทิตย์และพลังงานลมในรูปแบบกระจายตัว (distributed energy resources) เพื่อผลิตไฟฟ้าเพิ่มมากขึ้น แต่เนื่องจากการผลิตไฟฟ้าด้วย RE มีความผันผวนสูงตามการเปลี่ยนแปลงของรังสีดวงอาทิตย์และความเร็วลม นอกจากนี้ระบบยังมีการแปลงพลังงานผ่านคอนเวอร์เตอร์ เมื่อเทียบกับเครื่องกำเนิดไฟฟ้าซิงโครนัสแบบดั้งเดิม ทำให้ระบบประสบปัญหาเสถียรภาพทางความถี่ไฟฟ้ามากขึ้นจากความเฉื่อยทางกลของระบบที่มีต่อการเปลี่ยนความถี่ไฟฟ้า (inertia response) ที่ลดลง

ไมโครกริดเป็นระบบไฟฟ้าขนาดเล็กที่สามารถดำเนินการได้ทั้งในโหมดเชื่อมต่อกับโครงข่ายไฟฟ้าหลัก (grid-connected mode) และโหมดแยกตัวอิสระ (islanded mode) [1] ในอนาคตระบบจำหน่ายไฟฟ้าจะต้องสามารถดำเนินการในรูปแบบระบบไมโครกริดที่แยกตัวจากระบบไฟฟ้าหลักได้เพื่อรองรับการผลิตไฟฟ้าจาก RE ที่เพิ่มขึ้นจากการสนับสนุนเชิงนโยบาย ใน [2] ได้กล่าวถึงกลยุทธ์การควบคุมความถี่และแรงดันไฟฟ้าในระบบไมโครกริดที่ความถี่ไฟฟ้ามีความผันผวนสูงเนื่องจากความเฉื่อยทางกลต่อการเปลี่ยนแปลงความถี่ไฟฟ้ามีค่าต่ำ โดยใช้เครื่องกำเนิดไฟฟ้าดีเซลร่วมกับระบบกักเก็บพลังงานด้วยแบตเตอรี่ ใน [3, 4] ได้กล่าวถึงแนวทางการควบคุมความถี่ไฟฟ้าของระบบผลิตไฟฟ้าไฮบริดระหว่าง RE ร่วมกับระบบแบตเตอรี่กักเก็บพลังงานที่มีการควบคุมผ่านทั้ง Droop Control และคอนเวอเตอร์ ใน [5] ได้กล่าวถึงการพัฒนาระบบควบคุมความถี่ไฟฟ้าของคอนเวอเตอร์ร่วมกับระบบสะสมพลังงานแบตเตอรี่เพื่อสังเคราะห์ความเฉื่อยเสมือน (synthetic inertia) เพื่อเลียนแบบพฤติกรรมของเครื่องกำเนิดไฟฟ้าซิงโครนัส ใน [6] ได้มีการกล่าวถึงการพัฒนา Droop Control ที่แตกต่างจากแบบดั้งเดิมที่เป็นตัวควบคุมเชิงเส้น (proportional controller) ซึ่งมีข้อจำกัดในการตอบสนองแบบพลวัตต่อการเปลี่ยนแปลงความถี่ไฟฟ้าร่วมกับการใช้ตัวควบคุม PID สำหรับระบบไมโครกริดที่ใช้เครื่องกำเนิดไฟฟ้าพลังน้ำ ใน [7] ได้กล่าวถึงประเด็นการออกแบบตัวควบคุม เช่น MPC (Model Predictive Control) และตัวควบคุมแบบฟัซซี่ เพื่อจัดสรรกำลังการผลิตไฟฟ้ารวมของเครื่องกำเนิดไฟฟ้าในระบบไมโครกริดที่มีความสามารถในการปรับตัวตามโหลดและรูปแบบการผลิตไฟฟ้าที่เปลี่ยนแปลง

จากที่กล่าวมาการเลือกใช้รูปแบบและสมรรถนะตัวควบคุมกำลังการผลิตไฟฟ้าที่เหมาะสมของระบบไฟฟ้าไมโครกริดจะแตกต่างจากระบบไฟฟ้ากำลังขนาดใหญ่แต่ยังคงขึ้นอยู่กับปัจจัย เช่น ประเภทของแหล่งผลิตไฟฟ้า ความสามารถในการตอบสนองต่อการเปลี่ยนแปลงความถี่ เป้าหมายการดำเนินงานของระบบไมโครกริดในเชิงเศรษฐศาสตร์ คุณภาพกำลังไฟฟ้า ความมั่นคงและเชื่อถือได้ของระบบ เป็นต้น โดยจะต้องดำเนินการตามเกณฑ์การควบคุมระบบไฟฟ้า (grid code) ที่กำหนด

บทความฉบับนี้ นำเสนอแนวทางการควบคุมความถี่ไฟฟ้าในระบบไมโครกริดของสถานีไฟฟ้าย่อยด้วยการใช้ตัวควบคุม PID ร่วมกับ Droop Control โดยรายละเอียดในบทความนี้มีหัวข้อที่กล่าวถึงดังนี้ พื้นฐานการควบคุมความถี่ไฟฟ้า ตัวควบคุม PID และ Droop Control ระบบไมโครกริด ข้อมูลระบบทดสอบ ผลการจำลอง และสรุปผล ตามลำดับ

*ผู้ประพันธ์บรรณกิจ

2. พื้นฐานการควบคุมความถี่ไฟฟ้า

2.1 เทคโนโลยีการควบคุม

การตอบสนองกำลังการผลิตไฟฟ้าที่เปลี่ยนแปลงตามความถี่ไฟฟ้าสามารถจำแนกตามลำดับเวลาและวัตถุประสงค์ของการควบคุมออกเป็น 3 ระดับ ดังนี้ [8]

- **การตอบสนองปฐมภูมิ (primary response)** เป็นการตอบสนองเบื้องต้นที่เกิดขึ้นอัตโนมัติและต่อเนื่องของเครื่องกำเนิดไฟฟ้าประเภทที่สามารถเปลี่ยนแปลงกำลังการผลิตไฟฟ้าได้รวดเร็ว เช่น เครื่องกำเนิดไฟฟ้าดีเซล กังหันก๊าซธรรมชาติ และเครื่องกำเนิดไฟฟ้าพลังน้ำ เป็นต้น
- **การตอบสนองทุติยภูมิ (secondary response)** เป็นกระบวนการควบคุมความถี่ไฟฟ้า เพื่อให้ค่าความถี่ไฟฟ้าของระบบอยู่ในเกณฑ์ที่กำหนด การควบคุมในระดับนี้จะดำเนินการเป็นรอบเวลาไม่ต่อเนื่องขึ้นกับสมรรถนะของระบบควบคุมที่ใช้
- **การตอบสนองตติยภูมิ (tertiary response)** เป็นกระบวนการควบคุมกำลังการผลิตไฟฟ้าของเครื่องที่สามารถจัดสรรกำลังการผลิตไฟฟ้าได้ เพื่อให้ราคาพลังงานไฟฟ้าอยู่ในระดับต่ำ การควบคุมในระดับนี้มักดำเนินการเป็นรอบเวลาไม่ต่อเนื่องแต่มีช่วงเวลาการควบคุมนานกว่าการตอบสนองทุติยภูมิ

2.2 ช่วงความถี่ไฟฟ้าที่ไม่มีการตอบสนอง (deadband)

เป็นเงื่อนไขสำคัญในการควบคุมความถี่ไฟฟ้าของระบบไฟฟ้าขนาดใหญ่ตามเกณฑ์การควบคุมระบบไฟฟ้า โดยกำหนดให้ระบบผลิตไฟฟ้าบางประเภทไม่มีการตอบสนองของระบบควบคุมต่อค่าความถี่ไฟฟ้าที่เปลี่ยนแปลงในช่วงที่อยู่ภายในเกณฑ์ [9]

2.3 AGC (Automatic Generation Control)

การควบคุมกำลังการผลิตไฟฟ้าแบบอัตโนมัติเป็นเงื่อนไขสำคัญในการควบคุมความถี่ไฟฟ้าของระบบไฟฟ้าขนาดใหญ่ ในบทความนี้การควบคุมกำลังการผลิตไฟฟ้าของเครื่องกำเนิดไฟฟ้าที่สามารถจัดสรรกำลังการผลิตไฟฟ้าได้จะใช้ตัวควบคุม PID ร่วมกับ Droop Control โดยมีไดอะแกรมการควบคุมเครื่องกำเนิดไฟฟ้า 1 เครื่อง แสดงได้ดังรูปที่ 1

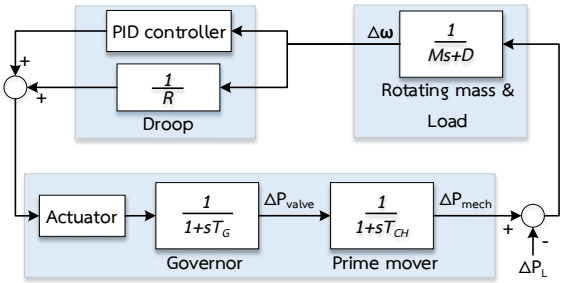

รูปที่ 1 ระบบควบคุมการผลิตไฟฟ้าด้วยตัวควบคุม PID ร่วมกับ Droop Control

จากรูปที่ 1 ไดอะแกรมประกอบด้วย 3 ส่วน ดังนี้

2.3.1 ตัวควบคุม PID ร่วมกับ Droop Control จะทำหน้าที่คำนวณและสร้างสัญญาณควบคุมเพื่อตอบสนองต่อการเบี่ยงเบนความถี่ไฟฟ้า ($\Delta\omega$) ตามสัดส่วน ($\frac{1}{R}$) ซึ่งเป็นคุณสมบัติ Droop Control ของเครื่องกำเนิดไฟฟ้าแต่ละประเภทร่วมกับตัวควบคุม PID ที่เป็นการตอบสนองในระดับปฐมภูมิและทุติยภูมิตามลำดับ การตั้งค่า gain ที่ไม่เหมาะสมของตัวควบคุม PID อาจทำให้เกิดการชดเชยที่มากเกินไป (Over-Compensation) อาจส่งผลให้ระบบเกิดการแกว่งของความถี่ไฟฟ้าในขณะที่การชดเชยที่ไม่เพียงพอ (Under-Compensation) ทำให้ความถี่ไฟฟ้าไม่สามารถกลับสู่ค่าปกติได้อย่างมีประสิทธิภาพ

2.3.2 กัฟเวอเนอร์วาล์วและตัวขับ สัญญาณควบคุมจะถูกส่งไปยังไดอะแกรมกัฟเวอเนอร์ ซึ่งจำลองด้วยฟังก์ชัน ($\frac{1}{1+sT_G}$) เพื่อสะท้อนพฤติกรรมของระบบผลิตไฟฟ้าและวาล์วควบคุมในเครื่องจักรต้นกำลัง จากนั้นผ่านไดอะแกรมวาล์วควบคุมของตัวขับที่มีพฤติกรรมพลวัตเชิงกล ($\frac{1}{1+sT_G}$) เพื่อขับเพลาหมุนของเครื่องกำเนิดไฟฟ้า

2.3.3 ความถี่ไฟฟ้า การเบี่ยงเบนความถี่ไฟฟ้าเกิดขึ้นจากการเปลี่ยนแปลงของผลต่างกำลังไฟฟ้าระหว่างกำลังการผลิตไฟฟ้ารวมในระบบกับโหลดสามารถคำนวณได้เมื่อผ่านไดอะแกรม ($\frac{1}{Ms+D}$) โดย M คือ ค่าคงที่ความเฉื่อยทางกล (inertia constant) ของเครื่องกำเนิดไฟฟ้าซิงโครนัสและเครื่องกำเนิดไฟฟ้าเหนี่ยวนำรวมในระบบ และ D คือ ค่าสัมประสิทธิ์ด้านการเปลี่ยนแปลงความถี่ไฟฟ้าของโหลด (damping coefficient)

3. การควบคุมความถี่ไฟฟ้า

ไดอะแกรมการควบคุมความถี่ไฟฟ้าในระบบไมโครกริดกรณีศึกษาในบทความนี้ แสดงได้ดังรูปที่ 2

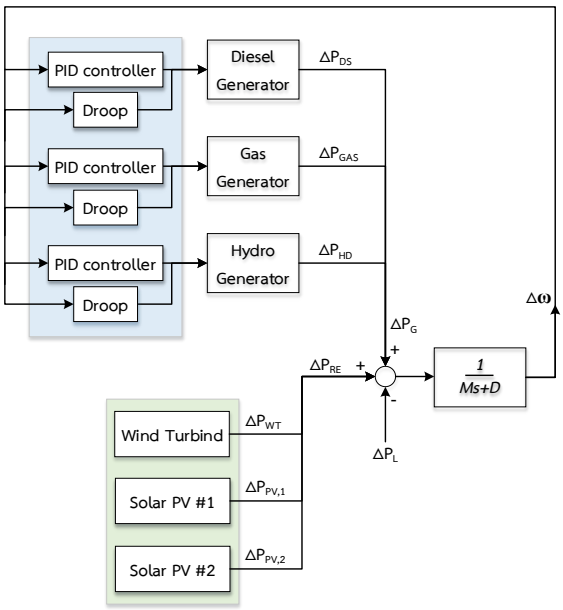

รูปที่ 2 การควบคุมความถี่ไฟฟ้าในระบบไมโครกริดกรณีศึกษา

การเปลี่ยนแปลงกำลังการผลิตไฟฟ้าของเครื่องกำเนิดไฟฟ้ารวมของระบบไมโครกริด (ΔP_S) แสดงได้ดังสมการที่ (1)

$$\Delta P_S = \Delta P_{DS} + \Delta P_{GAS} + \Delta P_{HD} + \Delta P_{PV,1} + \Delta P_{PV,2} + \Delta P_{WT} - \Delta P_L \quad (1)$$

ΔP_{DS} คือ กำลังไฟฟ้าของเครื่องกำเนิดไฟฟ้าดีเซล
ΔP_{GAS} คือ กำลังไฟฟ้าของเครื่องกำเนิดไฟฟ้าก๊าซธรรมชาติ
ΔP_{HD} คือ กำลังไฟฟ้าของเครื่องกำเนิดไฟฟ้าพลังน้ำ
$\Delta P_{PV,1}$ คือ กำลังไฟฟ้าของเครื่องกำเนิดไฟฟ้าเซลล์แสงอาทิตย์ #1
$\Delta P_{PV,2}$ คือ กำลังไฟฟ้าของเครื่องกำเนิดไฟฟ้าเซลล์แสงอาทิตย์ #2
ΔP_{WT} คือ กำลังไฟฟ้าของเครื่องกำเนิดไฟฟ้าพลังงานลม
ΔP_L คือ กำลังไฟฟ้าของโหลด

ความถี่ไฟฟ้าในระบบที่เปลี่ยนแปลงสามารถแสดงได้ดังสมการที่ (2)

$$\Delta\omega = \frac{1}{Ms + D} \cdot \Delta P_S \qquad (2)$$

สัญญาณควบคุมจากตัวควบคุม PID ร่วมกับ Droop Control ของเครื่องกำเนิดไฟฟ้าแต่ละเครื่อง คือ $u(t)_i$ ที่คำนวณจากสมการที่ (3)

$$u(t)_i = u_{DC,i} + u_{PID,i} \qquad (3)$$

$u_{DC,i}$ คือ สัญญาณควบคุมจากการตอบสนองปฐมภูมิมีค่า $(\frac{\Delta\omega}{R_i})$

$u_{PID,i}$ คือ สัญญาณตอบสนองแบบทุติยภูมิจากตัวควบคุม PID ที่คำนวณได้ตามสมการที่ (4)

$$u_{PID,i} = K_{P,i}e(t) + K_{I,i}\int_0^t e(t)\,dt + K_{D,i}\frac{de(t)}{dt} \qquad (4)$$

$e(t)$ คือ ค่าความเบี่ยงเบนของความถี่ไฟฟ้า $f_{ref} - f_{measured}$

$K_{P,i}$ คือ ค่า gain แบบ Proportional

$K_{I,i}$ คือ ค่า gain แบบ Integral

$K_{D,i}$ คือ ค่า gain แบบ Derivative

การปรับจูนตัวควบคุม PID ของเครื่องกำเนิดไฟฟ้าในบทความนี้ใช้วิธีทดสอบแบบสแกน (scan test) ซึ่งพบว่ามีช่วงของ gain อยู่หลายค่าที่สามารถควบคุมความถี่ไฟฟ้าของระบบได้ดี ดังแสดงในตารางที่ 3

4. ระบบไมโครกริดกรณีศึกษา

โครงสร้างและระบบควบคุมแสดงดังรูปที่ 3 และ 4 ตามลำดับ

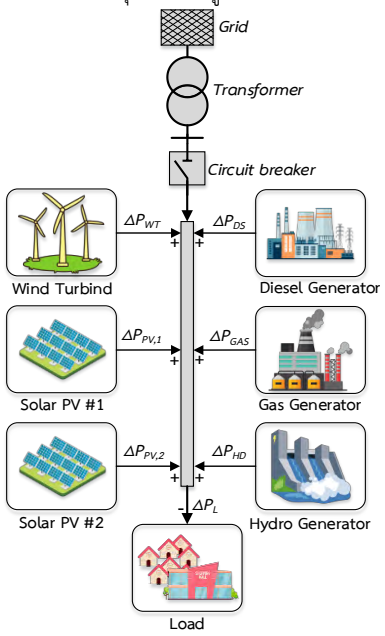

รูปที่ 3 โครงสร้างระบบไมโครกริดกรณีศึกษา

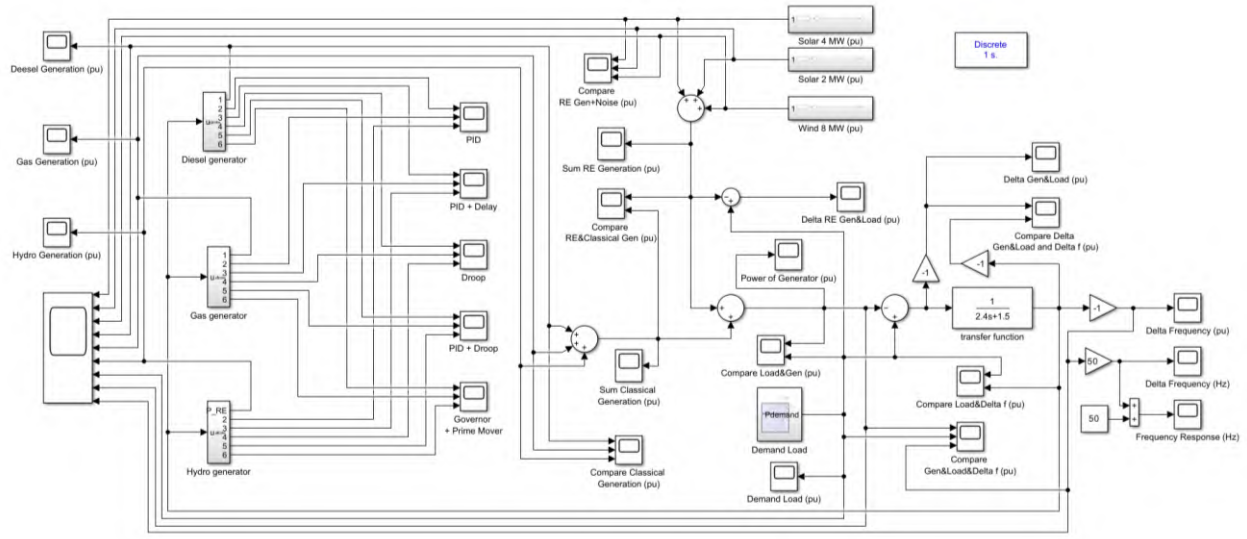

รูปที่ 4 ไดอะแกรมการควบคุมความถี่ไฟฟ้าของระบบไมโครกริดกรณีศึกษา

5. ข้อมูลระบบทดสอบ

ตารางที่ 1 คุณสมบัติของระบบผลิตไฟฟ้า

Generator	ขนาด Generator (MW)	Ramp Limit				Time Constant		Inertia Constant (H) ของเครื่องกำเนิดไฟฟ้า
		Ramp Up Rate		Ramp Down Rate		Governor (T_g)	Prime Mover (T_{ch})	
		(MW/s)	(p.u./s)	(MW/s)	(p.u./s)			
Diesel	10 MW (0.20 p.u.)	1.0	0.02	0.8	0.016	0.2	0.7	H_D = 6 s
Hydro	8 MW (0.16 p.u.)	2.0	0.04	1.5	0.030	0.3	5.0	H_H = 3.5 s
Gas	8 MW (0.16 p.u.)	3.5	0.07	3.0	0.06	0.1	0.4	H_G = 4 s
Synchronous Generator	26 MW (0.52 p.u.)	6.5	0.13	5.3	0.106	-	-	M = 2.40 MW·s/Hz
Solar PV #1	4 MW (0.08 p.u.)	ไม่มีการควบคุม (Non- dispatchable) ขึ้นอยู่กับสภาวะแวดล้อม ตามการเปลี่ยนแปลงของรังสีดวงอาทิตย์และความเร็วลม						$H_{PV,1}$ = 0 s
Solar PV #2	2 MW (0.04 p.u.)							$H_{PV,2}$ = 0 s
Wind turbine	8 MW (0.16 p.u.)							$H_W \approx$ 1 s
Renewable Energy	14 MW (0.28 p.u.)							$M \approx$ 0.16 MW·s/Hz

ตารางที่ 2 พารามิเตอร์ของระบบไมโครกริดและเงื่อนไขการจำลอง

พารามิเตอร์	Value
Power base (S_{base})	50 MVA
Frequency base (f_{base})	50 Hz
Discrete Time step	6 s
ค่าคงที่ความเฉื่อยของระบบ (M)	2.4 MW·s/Hz
สัมประสิทธิ์ต้านการเปลี่ยนแปลงความถี่ไฟฟ้า (D)	1.5 MW/Hz
ระยะเวลาการในจำลอง Simulation time (t)	12 hr

ตารางที่ 3 การตั้งค่าตัวควบคุม PID และ Droop Control

Generator	PID Controller			Droop control
	K_P	K_I	K_D	
Diesel	0.800	0.040	0.010	5%
Gas	0.700	0.060	0.010	4%
Hydro	1.200	0.080	0.015	6%

กำลังการผลิตไฟฟ้าจาก RE และโหลดในกรอบเวลา 12 ชั่วโมง ระหว่างเวลา 06.00 – 18.00 น. แสดงได้ดังรูปที่ 5 และ 6 ตามลำดับ

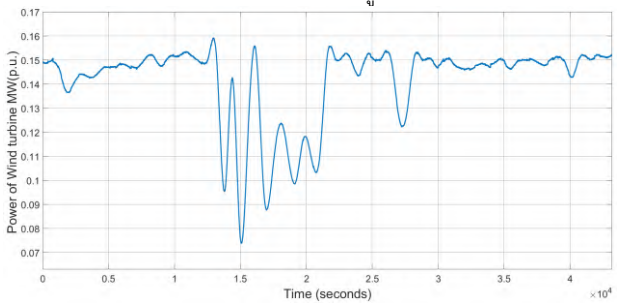

(ก)

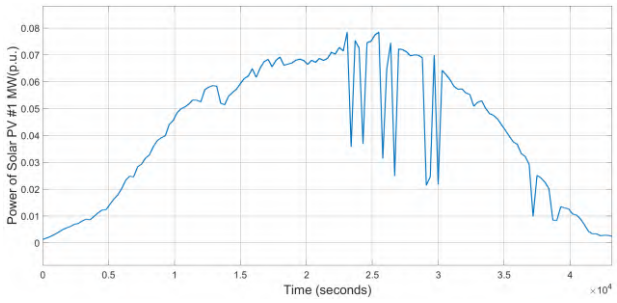

(ข)

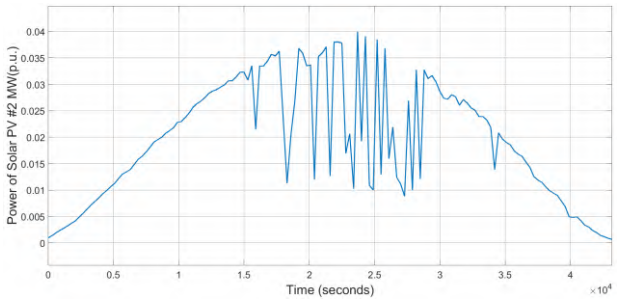

(ค)

รูปที่ 5 กำลังไฟฟ้าจากพลังงานหมุนเวียน
(ก) เครื่องกำเนิดไฟฟ้าพลังพลังลม
(ข) ระบบผลิตไฟฟ้าพลังงานเซลล์แสงอาทิตย์ #1
(ค) ระบบผลิตไฟฟ้าพลังงานเซลล์แสงอาทิตย์ #2

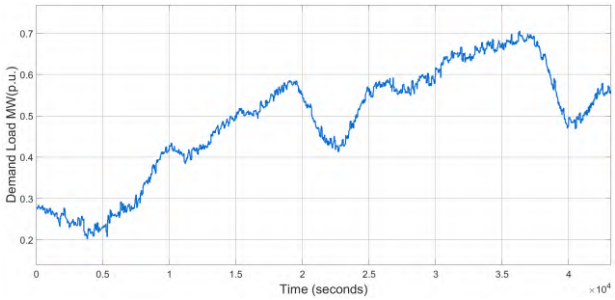

รูปที่ 6 โหลดในระบบไมโครกริด

6. ผลการจำลอง

6.1 เงื่อนไขเริ่มต้น

สภาวะเริ่มต้นของระบบสมมติให้ความถี่ไฟฟ้ามีค่า 50 Hz และกำลังการผลิตไฟฟ้าของ RE ไม่มีการควบคุมส่วนกำลังการผลิตไฟฟ้าของเครื่องกำเนิดไฟฟ้าที่สามารถจัดสรรได้แสดงดังตารางที่ 4

ตารางที่ 4 เงื่อนไขเริ่มต้นในการจำลอง

เงื่อนไขเริ่มต้นที่เวลา t = 0 s	Value
เครื่องกำเนิดไฟฟ้าดีเซล (P_D)	0.03886 p.u.
เครื่องกำเนิดไฟฟ้าก๊าซธรรมชาติ (P_{GAS})	0.16000 p.u.
เครื่องกำเนิดไฟฟ้าพลังน้ำ (P_{HD})	0.02719 p.u.

ผลการจำลองเรียงลำดับตามการทำงานในรูปที่ 4 รายละเอียดดังนี้

6.2 ลักษณะรูปคลื่นของสัญญาณควบคุม

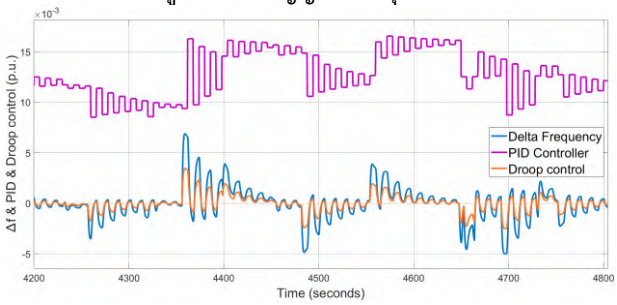

รูปที่ 7 ลักษณะรูปคลื่นของสัญญาณควบคุมในกรอบเวลา 10 นาที

จากรูปที่ 7 สัญญาณควบคุมเพื่อปรับกำลังการผลิตไฟฟ้าของเครื่องกำเนิดไฟฟ้าในกรอบเวลา 10 นาที ประกอบด้วยสัญญาณควบคุม 2 ประเภท โดยสัญญาณควบคุมจากตัวควบคุม PID เป็นสัญญาณดิจิตอลที่มีการเปลี่ยนแปลงทุกๆ 6 วินาที ในขณะที่สัญญาณควบคุมจาก Droop Control ที่เป็นสัญญาณอนาล็อกมีการตอบสนองต่อเนื่องตลอดเวลา

6.3 สัญญาณควบคุมจาก PID และ Droop Control

สัญญาณควบคุมกำลังการผลิตไฟฟ้าของเครื่องกำเนิดไฟฟ้าในกรอบเวลา 12 ชั่วโมง ระหว่างเวลา 06.00 – 18.00 น. แสดงได้ดังรูปที่ 8

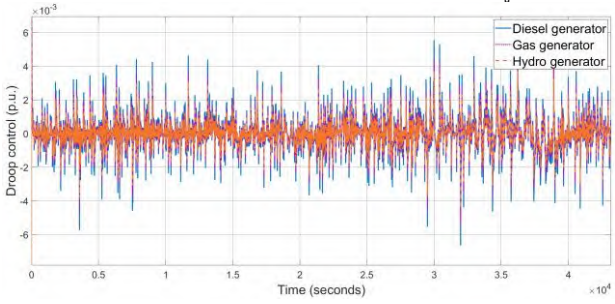

(ก)

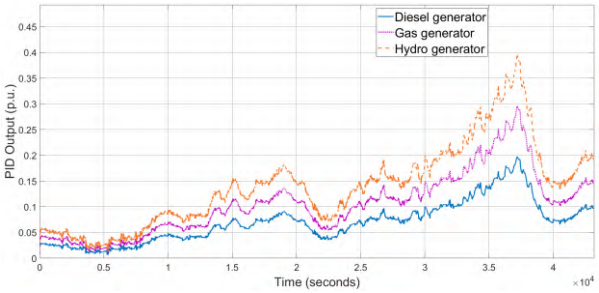

(ข)

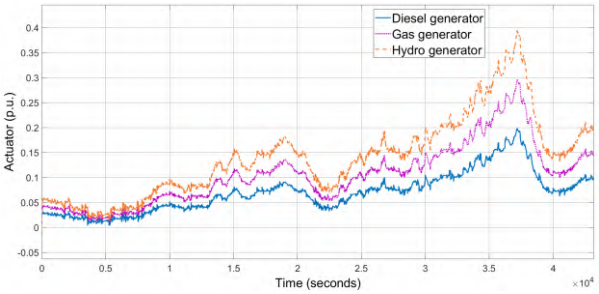

(ค)

รูปที่ 8 สัญญาณควบคุมกำลังการผลิตไฟฟ้าของเครื่องกำเนิดไฟฟ้า
(ก) Droop Control
(ข) ตัวควบคุม PID
(ค) ตัวปรับกำลังการผลิตไฟฟ้า (actuator)

จากรูปที่ 8 ผลจากการปรับกำลังการผลิตไฟฟ้าสำหรับเครื่องกำเนิดไฟฟ้าที่ต้องควบคุม แสดงได้ดังรูปที่ 9 และ 10 ตามลำดับ

6.4 การตอบสนองของวาล์วกัฟเวอเนอร์และตัวขับ

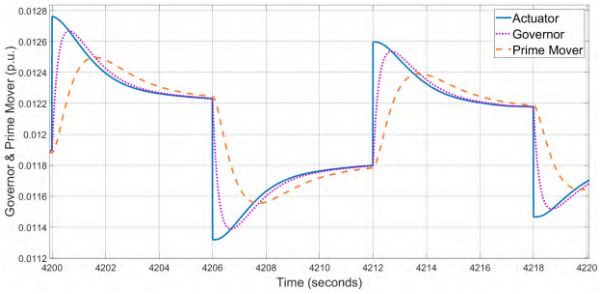

รูปที่ 9 กำลังไฟฟ้าเมื่อผ่านตัวปรับกำลังการผลิตไฟฟ้าวาล์วกัฟเวอเนอร์และตัวขับ ในกรอบเวลา 20 วินาที

6.5 กำลังการผลิตไฟฟ้าของเครื่องกำเนิดไฟฟ้า

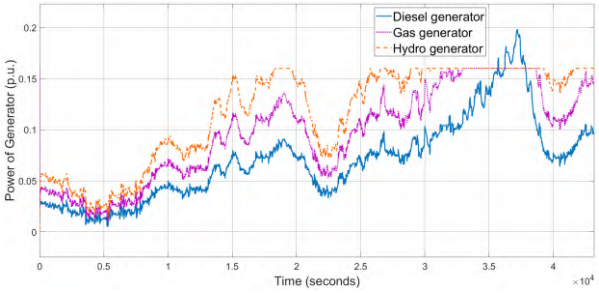

รูปที่ 10 กำลังการผลิตไฟฟ้าเมื่อผ่านตัวขับของเครื่องกำเนิดไฟฟ้าดีเซลเครื่องกำเนิดไฟฟ้าก๊าซธรรมชาติและเครื่องกำเนิดไฟฟ้าพลังน้ำ ระหว่างเวลา 06.00-18.00 น.

6.6 การเปลี่ยนแปลงกำลังไฟฟ้า (ΔP) และความถี่ไฟฟ้า (f)

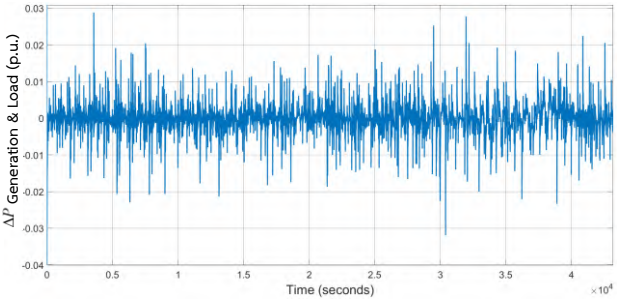

(ก)

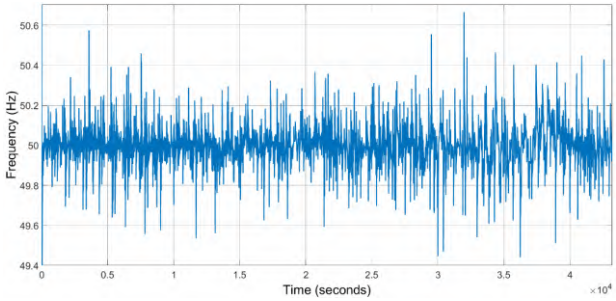

(ข)

รูปที่ 11 (ก) กำลังไฟฟ้าส่วนต่างของการผลิตไฟฟ้ากับโหลด
(ข) ความถี่ไฟฟ้า

7. สรุป

บทความฉบับนี้ได้ศึกษาแนวทางการควบคุมความถี่ไฟฟ้าในระบบไมโครกริดของสถานีไฟฟ้าย่อยในระบบจำหน่ายไฟฟ้า โดยใช้โปรแกรม MATLAB เพื่อจำลองระบบไมโครกริดแบบแยกตัวอิสระขนาด 50 MVA ระบบจำลองประกอบด้วยเครื่องกำเนิดไฟฟ้าพลังงานแสงอาทิตย์ พลังงานลม และเครื่องกำเนิดไฟฟ้าดีเซล กังหันก๊าซธรรมชาติ และเครื่องกำเนิดไฟฟ้าพลังน้ำ วัตถุประสงค์หลักของการศึกษาคือนำเสนอแนวทางการควบคุมความถี่ไฟฟ้าในระบบไมโครกริ โดยการจำลองระบบไมโครกริดแบบแยกตัวอิสระที่รวมแหล่งผลิตไฟฟ้าจากพลังงานหมุนเวียนและเครื่องกำเนิดไฟฟ้าแบบควบคุมได้

พื้นฐานของการควบคุมความถี่ไฟฟ้าด้วย Droop Control เพียงอย่างเดียวมีลักษณะการตอบสนองเชิงล้าหลัง โดยสัญญาณควบคุมจะถูกสร้างขึ้นเมื่อเกิดความไม่สมดุลระหว่างกำลังการผลิตและโหลดในระบบไมโครกริด แม้ว่ากลไกนี้จะสามารถตอบสนองต่อความผันผวนของกำลังไฟฟ้าได้อย่างต่อเนื่อง แต่ยังคงมีข้อจำกัดในด้าน steady-state error เนื่องจากไม่สามารถทำให้ความถี่ไฟฟ้ากลับคืนสู่ค่าพิกัดที่ 50 Hz ได้อย่างสมบูรณ์ ส่งผลให้ความถี่ไฟฟ้ามีความผันผวนคงค้าง อย่างไรก็ตาม การเสริมการควบคุมด้วยตัวควบคุม PID เข้ามาช่วยสามารถแก้ไขข้อจำกัดดังกล่าวได้ โดยที่ Integral action มีบทบาทสำคัญในการลดค่าเบี่ยงเบนของความถี่ไฟฟ้าให้อยู่ในสมดุล ขณะที่ Proportional และ Derivative action ช่วยปรับปรุงพลวัตของระบบให้มีค่า overshoot และ settling time ที่ลดลง เมื่อเปรียบเทียบกับการใช้ Droop Control เพียงอย่างเดียว

การนำเสนอการควบคุมความถี่ไฟฟ้าด้วยตัวควบคุม PID ร่วมกับ Droop control ได้รับการพิสูจน์แล้วว่ามีประสิทธิภาพในการจัดการกับความผันผวนของพลังงานหมุนเวียนและความไม่แน่นอนของโหลด ซึ่งเป็นสิ่งสำคัญอย่างยิ่งต่อการพัฒนาและส่งเสริมการใช้พลังงานหมุนเวียนในระบบไฟฟ้าในอนาคต

บสนุ ทุนการศึกษาในระดับบัณฑิตศึกษา

เอกสารอ้างอิง

[1] S. Ahmad, M. Shafiullah, C. B. Ahmed and M. Alowaifeer, "A Review of Microgrid Energy Management and Control Strategies," in *IEEE Access*, vol. 11, pp. 21729-21757, 2023.

[2] R. Maharjan, F. Guo and R. Sharma, "Control strategy for islanded microgrid integrating renewable energy with storage and diesel generator," *2016 IEEE Industry Applications Society Annual Meeting*, Portland, OR, USA, 2016, pp. 1-7, doi: 10.1109/IAS.2016.7731950.

[3] A. B. Alao, O. Adesanju, M. Chamana, M. Bayne, S. Bilbao, and A. Adeyanju, "Optimized Universal Droop Control Framework for Enhancing Stability and Resilience in Renewable-Dense Power Grids," Electronics, vol. 14, no. 11, p. 2149, 2025. doi: 10.3390/electronics14112149.

[4] C. Wang, J. Li and Y. Hu, "Frequency Control of Isolated Wind-Diesel Microgrid Power System by Double Equivalent-Input-Disturbance Controllers," in *IEEE Access*, vol. 7, pp. 105617-105626, 2019, doi: 10.1109/ACCESS.2019.2932472.

[5] N. Xie, J. Liu, Y. Wang, Z. Yin, C. Chen, and L. Wang, "Synergistic adaptive control of virtual inertia and damping coefficient in virtual synchronous generators for standalone microgrid applications," Sci. Technol. Energy Transit., vol. 79, p. 75, Sep. 2024, doi: 10.2516/stet/2024081.

[6] A. E. Khandakji and A. A. Younis, "Optimal transient droop compensator and PID tuning for load frequency control in hydro power systems," *Electric Power Systems Research*, vol. 189, pp. 106657, Nov. 2020

[7] L. A. Aloo, P. K. Kihato, S. I. Kamau and R. S. Orenge, "Model Predictive Control-Adaptive Neuro-Fuzzy Inference System Control Strategies for Photovoltaic-Wind Microgrid: Feasibility Review," *2020 IEEE PES/IAS PowerAfrica*, Nairobi, Kenya, 2020, pp. 1-5

[8] Y. Hennane, Y. A. Ait Ben Hassi, A. Berdai and V. Tytiuk, "Primary, Secondary and Tertiary Controls of a Mesh Multi-PCC Microgrid," *2022 IEEE 4th International Conference on Modern Electrical and Energy System (MEES)*, Kremenchuk, Ukraine, 2022, pp. 1-5

[9] Y. Yoshida, K. Koiwa, A. Umemura, R. Takahashi and J. Tamura, "Power system frequency control with dead band by using kinetic energy of variable speed wind power generators," *2015 IEEE Energy Conversion Congress and Exposition (ECCE)*, Montreal, QC, Canada, 2015.

[10] A. J. Wood, B. F. Wollenberg, and G. B. Sheblé, Power Generation, Operation, and Control, 3rd ed. Hoboken, NJ, USA: Wiley, 2013.

Kiam Heong Ang, G. Chong and Yun Li, "PID control system analysis, design, and technology," in *IEEE Transactions on* , vol. 13, no. 4, pp. 559-576, July 2005, doi: 10.1109/TCST.2005.847331.

ประวัติผู้เขียนบทความ

นายเอกชัย ภูมลี
ปัจจุบันปฏิบัติงานในตำแหน่ง วิศวกร ระดับ 5
การไฟฟ้าส่วนภูมิภาค เขต 2
ภาคตะวันออกเฉียงเหนือ จังหวัดอุบลราชธานี
งานวิจัยที่สนใจ Power System Control, Microgrids, Frequency control, Smart Grid

ผศ.ดร.คมสันติ์ ดาโรจน์
ปัจจุบันปฏิบัติงานในตำแหน่ง ผู้ช่วยศาสตราจารย์
ภาควิชาวิศวกรรมไฟฟ้าและอิเล็กทรอนิกส์
คณะวิศวกรรมศาสตร์ มหาวิทยาลัยอุบลราชธานี

การประยุกต์ใช้โครงข่ายประสาทเทียมเพื่อทำนายแรงดันเบรกดาวน์ของฉนวนในสภาวะเปียก

Application of Artificial Neural Network for Breakdown Voltage Prediction of Insulators under Wet Conditions

กฤษณ์ กิจวัฒนา อภิชาติ ทองมา และพินิจ จิตจริง*

สาขาวิชาวิศวกรรมไฟฟ้า คณะวิศวกรรมศาสตร์ มหาวิทยาลัยเทคโนโลยีราชมงคลธัญบุรี krit.k@en.rmutt.ac.th

สาขาวิชาวิศวกรรมไฟฟ้า คณะวิศวกรรมศาสตร์ มหาวิทยาลัยเทคโนโลยีราชมงคลธัญบุรี apichart_t@en.rmutt.ac.th

สาขาวิชาวิศวกรรมไฟฟ้า คณะวิศวกรรมศาสตร์ มหาวิทยาลัยเทคโนโลยีราชมงคลธัญบุรี pinit.j@en.rmutt.ac.th

บทคัดย่อ

งานวิจัยนี้มีวัตถุประสงค์เพื่อพัฒนาแบบจำลองเชิงคณิตศาสตร์ด้วยโครงข่ายประสาทเทียม (ANN) ในการทำนายค่าแรงดันเบรกดาวน์ของฉนวนไฟฟ้าในสภาวะเปียก โดยใช้ข้อมูลจากการทดลองในห้องปฏิบัติการจำนวน 25 ชุด ซึ่งครอบคลุมปัจจัยนำเข้า ได้แก่ ปริมาณน้ำฝนและค่าความนำไฟฟ้าของน้ำฝน โครงสร้างของแบบจำลอง ANN ที่ใช้เป็นแบบ Multi-layer Perceptron (MLP) ประกอบด้วย 3 ชั้น ได้แก่ ชั้นนำเข้า 2 เซลล์, ชั้นซ่อนเร้น 10 เซลล์ และชั้นส่งออก 1 เซลล์ การฝึกฝนแบบจำลองใช้ข้อมูลจากการทดลองจริง และใช้อัลกอริทึม Levenberg-Marquardt ในการปรับค่าพารามิเตอร์ของโครงข่าย โดยผลการศึกษาพบว่า ค่าแรงดันเบรกดาวน์ของฉนวนลดลงอย่างมีนัยสำคัญเมื่อปริมาณน้ำฝนและค่าความนำไฟฟ้าเพิ่มขึ้น โดยมีค่าสูงสุดที่ 155.16 kV และค่าต่ำสุดที่ 96.80 kV แบบจำลอง ANN ที่พัฒนาขึ้นแสดงให้เห็นถึงประสิทธิภาพและความแม่นยำสูงในการทำนาย โดยมีค่าความผิดพลาดสูงสุดเพียง 0.74% และสามารถทำนายค่าได้ตรงกับผลการทดลองจริงในหลายสภาวะ ผลการวิจัยยืนยันว่าโครงข่ายประสาทเทียมเป็นเครื่องมือที่เชื่อถือได้ในการประเมินความเสี่ยงและเพิ่มความปลอดภัยของระบบส่งจ่ายกำลังไฟฟ้าได้

คำสำคัญ: โครงข่ายประสาทเทียม (ANN), แรงดันเบรกดาวน์, ฉนวนไฟฟ้า ค่าความนำน้ำฝน, แบบจำลองเชิงคณิตศาสตร์

Abstract

This research aims to develop a mathematical model using an Artificial Neural Network (ANN) to predict the breakdown voltage of electrical insulators under wet conditions. The model is based on 25 sets of laboratory experimental data, which include input factors such as rainfall amount and rain water conductivity. The structure of the ANN model is a Multi-layer Perceptron (MLP) consisting of three layers: an input layer with 2 neurons, a hidden layer with 10 neurons, and an output layer with 1 neuron. The model training was conducted using the actual experimental data and the Levenberg-Marquardt algorithm to adjust the network's parameters. The study found that the insulator's breakdown voltage decreased significantly as the rainfall amount and conductivity increased, with the maximum value at 155.16 kV and the minimum at 96.80 kV. The developed ANN model demonstrated high efficiency and accuracy in prediction, with a maximum error of only 0.74% and perfect alignment with actual experimental results in several conditions. The findings confirm that artificial neural network is a reliable tool for risk assessment and enhancing the safety of power transmission systems.

Keywords:

Artificial Neural Network (ANN), Breakdown Voltage, Insulator, Rainfall Conductivity, Mathematical Model.

1.บทนำ

การส่งจ่ายพลังงานไฟฟ้าผ่านสายส่งและสถานีไฟฟ้าย่อยเป็นส่วนสำคัญของโครงสร้างพื้นฐานทางพลังงาน ซึ่งความน่าเชื่อถือและเสถียรภาพของระบบจะขึ้นอยู่กับประสิทธิภาพของอุปกรณ์ต่างๆ โดยเฉพาะอย่างยิ่งฉนวนไฟฟ้าที่ทำหน้าที่ป้องกันการลัดวงจรและรักษาระดับแรงดันไฟฟ้าให้อยู่ในสภาวะปกติ อย่างไรก็ตาม ปรากฏการณ์ทางธรรมชาติ เช่น น้ำฝน ถือเป็นปัจจัยภายนอกที่ส่งผลกระทบโดยตรงต่อประสิทธิภาพของฉนวนไฟฟ้าได้ เมื่อฝนตกกระทบผิวหน้าฉนวน จะทำให้เกิดชั้นฟิล์มน้ำบางๆ บนพื้นผิว ซึ่งคุณสมบัติทางไฟฟ้าของชั้นฟิล์มน้ำนี้ขึ้นอยู่กับค่าการนำไฟฟ้า (Conductivity) ของน้ำฝน หากน้ำฝนมีค่าการนำไฟฟ้า สูง (เนื่องจากมีสิ่งเจือปน เช่น ฝุ่นละออง หรือสารเคมีในบรรยากาศ) จะทำให้กระแสรั่วไหลบนผิวหน้าฉนวนเพิ่มขึ้นและอาจนำไปสู่การเกิดปรากฏการณ์ Flashover ซึ่งส่งผลให้เกิดความเสียหายต่อฉนวนและอุปกรณ์ไฟฟ้า รวมถึงการหยุดชะงักของการจ่ายพลังงานไฟฟ้าได้ [1]

การทำนายและประเมินค่าการนำไฟฟ้า ของน้ำฝนที่ตกลงบนฉนวนจึงเป็นสิ่งจำเป็นอย่างยิ่งสำหรับการวางแผนการบำรุงรักษาและการออกแบบฉนวนไฟฟ้าที่เหมาะสม งานวิจัยที่ผ่านมาส่วนใหญ่มักจะอาศัยการทดสอบในห้องปฏิบัติการ ซึ่งต้องใช้เวลาและทรัพยากรสูงในการเก็บข้อมูล การสร้างแบบจำลองทางคณิตศาสตร์หรือเชิงสถิติเพื่อทำนายค่าดังกล่าวจึงเป็นทางเลือกที่น่าสนใจและมีประสิทธิภาพมากกว่า ดังเช่นที่มีการศึกษาผลกระทบของพารามิเตอร์ต่างๆ บนพื้นผิวฉนวนในสภาวะฝนตก [2]

งานวิจัยนี้จึงมีวัตถุประสงค์หลักเพื่อศึกษาความสัมพันธ์ระหว่างปริมาณน้ำฝนและค่าคงที่การนำไฟฟ้า ของน้ำฝน กับค่าการนำไฟฟ้า ที่วัดได้บนผิวหน้าฉนวน โดยใช้ข้อมูลจากการทดสอบในห้องปฏิบัติการเพื่อสร้างแบบจำลองการทำนายด้วย โครงข่ายประสาทเทียม (Neuron network) ซึ่ง

*ผู้ประพันธ์บรรณกิจ

เป็นเทคนิคการเรียนรู้ของเครื่องที่สามารถจำลองความสัมพันธ์ที่ซับซ้อนระหว่างตัวแปรได้ โดยจะทำการเปรียบเทียบผลลัพธ์ที่ได้จากแบบจำลองกับข้อมูลจริง เพื่อประเมินความแม่นยำและประสิทธิภาพของโครงข่ายประสาทเทียมในการทำนายค่าการนำไฟฟ้า ซึ่งผลการศึกษาที่ได้สามารถนำไปประยุกต์ใช้เป็นเครื่องมือในการทำนายเพื่อเพิ่มความน่าเชื่อถือและความปลอดภัยของระบบส่งจ่ายกำลังไฟฟ้าในอนาคต

2.ทฤษฎีและหลักการ

2.1 ทฤษฎีโครงข่ายประสาทเทียม (Neural Network Theory)

โครงข่ายประสาทเทียม (Artificial Neural Networks: ANN) เป็นแบบจำลองทางคณิตศาสตร์ที่เลียนแบบการทำงานของระบบประสาทในสมองของสิ่งมีชีวิต เพื่อใช้ในการประมวลผลข้อมูลและเรียนรู้รูปแบบที่ซับซ้อน โดยมีโครงสร้างพื้นฐานประกอบด้วยเซลล์ประสาทเทียม (Neuron) จำนวนมากที่เชื่อมต่อกันเป็นชั้น ๆ [3]

การทำงานของเซลล์ประสาทแต่ละตัวเป็นหน่วยประมวลผลพื้นฐานของ ANN (ดังรูปที่ 1) จะรับข้อมูลนำเข้าจากเซลล์ประสาทในชั้นก่อนหน้า ($x_1, x_1 \ldots, x_i$) โดยข้อมูลแต่ละตัวจะถูกคูณด้วยค่าน้ำหนัก ($w_1, w_1 \ldots, w_i$) ซึ่งเป็นพารามิเตอร์ที่ระบบเรียนรู้และปรับปรุงระหว่างการฝึกฝน ผลรวมของผลคูณเหล่านี้จะถูกรวมกับค่าไบแอส (b_1) เพื่อให้ได้ผลรวมเชิงเส้น (Z) ดังสมการที่ 1

$$Z = \sum_{j=1}^{i} w_j x_j + b_1 \qquad (1)$$

หลังจากนั้น ผลลัพธ์ที่ได้จากฟังก์ชันผลรวมถ่วงน้ำหนัก (Z) จะถูกป้อนเข้าสู่ฟังก์ชันกระตุ้น (Activation Function) ซึ่งมีบทบาทสำคัญในการเพิ่มคุณสมบัติที่ไม่เป็นเชิงเส้น (Non-linearity) ให้กับแบบจำลอง ทำให้ ANN สามารถเรียนรู้ความสัมพันธ์ที่ซับซ้อนในข้อมูลได้ ANN จะเรียนรู้จากข้อมูลจำนวนมาก (Training Data) ด้วยกระบวนการที่เรียกว่า การแพร่กระจายความผิดพลาดย้อนกลับ (Back-propagation) โดยระบบจะทำการคำนวณค่าความผิดพลาด (Loss) โดยการเปรียบเทียบผลลัพธ์ที่ทำนายได้กับค่าที่ถูกต้องจริง จากนั้นจะใช้ค่าความผิดพลาดที่ได้มาปรับปรุงค่าน้ำหนักและไบแอสย้อนกลับจากชั้นส่งออกไปยังชั้นนำเข้า เพื่อลดความผิดพลาดในการทำนายให้เหลือน้อยที่สุด [4] ด้วยกระบวนการดังกล่าว ทำให้ ANN สามารถพัฒนาความสามารถในการทำนายและจำแนกข้อมูลได้อย่างแม่นยำ เหมาะสำหรับการสร้างแบบจำลองที่ซับซ้อนเพื่อแก้ปัญหาในหลากหลายสาขา เช่น การจดจำรูปภาพ, การพยากรณ์, และการประมวลผลภาษาธรรมชาติ

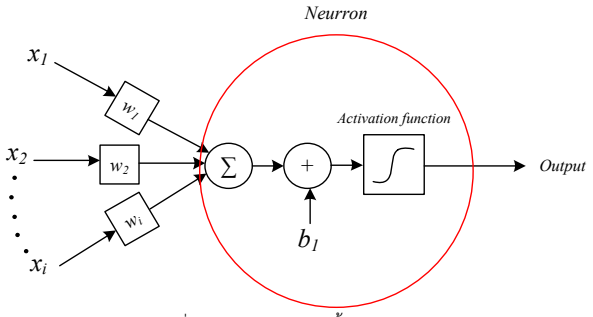

รูปที่ 1 หน่วยประมวลผลพื้นฐานของ ANN

2.2 การเกิดเบรกดาวน์ในสภาวะเปียก (Breakdown in Wet Conditions)

การเกิดเบรกดาวน์ (Breakdown) ในวัสดุฉนวนไฟฟ้า โดยเฉพาะในสภาวะที่มีความชื้นหรือฝนตก เป็นปรากฏการณ์ที่ซับซ้อนซึ่งส่งผลให้ค่าความทนทานทางไฟฟ้าของฉนวนลดลงอย่างมาก กลไกการเกิดเบรกดาวน์ในสภาวะเปียกนั้นแตกต่างจากการเบรกดาวน์ในสภาวะแห้งอย่างชัดเจน [5] โดยเริ่มต้นเมื่อพื้นผิวของฉนวนเปียกชื้น ไม่ว่าจะเป็นจากฝน หมอก หรือน้ำค้าง จะทำให้เกิดชั้นฟิล์มน้ำบนพื้นผิว ซึ่งทำหน้าที่เป็นทางเดินกระแสไฟฟ้าที่มีความต้านทานต่ำลง ทำให้กระแสรั่วไหล (Leakage Current) สามารถไหลผ่านพื้นผิวได้ง่ายขึ้น กระแสรั่วไหลที่เพิ่มขึ้นนี้จะทำให้เกิดการสูญเสียพลังงานในรูปของความร้อน และเป็นจุดเริ่มต้นของกระบวนการเบรกดาวน์

ความร้อนที่เกิดขึ้นจากกระแสรั่วไหลบนชั้นฟิล์มน้ำจะทำให้น้ำระเหยออกไปในบางบริเวณบนพื้นผิวของฉนวน ทำให้เกิดพื้นที่แห้งที่เรียกว่า "วงแหวนแห้ง" (Dry Bands) บริเวณวงแหวนแห้งนี้จะมีความต้านทานสูงมาก ทำให้ความเค้นทางไฟฟ้า (Electric Field Stress) ไปตกอยู่บริเวณนี้อย่างรุนแรง ความเค้นทางไฟฟ้าที่สูงขึ้นจะทำให้เกิดการคายประจุบางส่วน (Partial Discharge) ขึ้นในอากาศเหนือพื้นผิวฉนวน เมื่อปรากฏการณ์นี้เกิดขึ้นอย่างต่อเนื่องและรุนแรงขึ้น จะทำให้เกิดการลุกไหม้เป็นเส้นทางนำไฟฟ้าที่เรียกว่า "Dry-band Arc" ซึ่งสามารถขยายขนาดจนครอบคลุมพื้นผิวทั้งหมดของฉนวน ทำให้เกิดการเบรกดาวน์แบบสมบูรณ์ที่เรียกว่า "Flashover" ซึ่งเป็นสาเหตุหลักของความล้มเหลวของระบบฉนวนในสภาวะเปียก

ในทางวิศวกรรม การคำนวณแรงดันไฟวาบ (Flashover Voltage) ที่ใช้ในงานวิจัยและวิศวกรรมมักอ้างอิงจากแบบจำลองทางคณิตศาสตร์ที่ซับซ้อน แต่สามารถสรุปความสัมพันธ์พื้นฐานได้ว่า แรงดันไฟวาบ (V_f) จะมีความสัมพันธ์แบบผกผันกับค่าความนำไฟฟ้าของพื้นผิว (σ) ซึ่งเป็นผลจากความชื้นและสิ่งปนเปื้อนในรูปแบบสมการถดถอย ดังสมการที่ 2

$$V_f = A \cdot \sigma^{-n} \qquad (2)$$

เมื่อ V_f คือ แรงดันไฟวาบ, σ คือ ค่าความนำไฟฟ้าของพื้นผิว, และ A , n คือ ค่าคงที่ที่ได้จากการทดลอง ซึ่งจะขึ้นอยู่กับรูปร่างและวัสดุของฉนวน [6] นอกจากนี้ ตามกฎของโอห์ม (Ohm's Law) กระแสรั่วไหล (I_{lc}) ที่ไหลบนพื้นผิวฉนวนสามารถคำนวณได้โดยใช้ความต้านทานของพื้นผิว (R_s) ดังสมการที่ 3

$$I_{lc} = \frac{V}{R_s} \tag{3}$$

เมื่อ I_{lc} คือ กระแสรั่วไหล, V คือ แรงดันไฟฟ้า, และ R_s คือ ความต้านทานของพื้นผิวฉนวนในสภาวะเปียก [7] สูตรนี้เป็นพื้นฐานในการวิเคราะห์ว่าเมื่อความชื้นทำให้ค่า R_s ลดลง จะส่งผลให้ I_{lc} เพิ่มสูงขึ้น ซึ่งเป็นจุดเริ่มต้นของกลไกการเกิดวงแหวนแห้งและการเกิดไฟวาบตามมา

3. การออกแบบและการวิเคราะห์

3.1 การทดสอบแรงดันเบรกดาวน์แบบเปียก

การศึกษาครั้งนี้ได้ออกแบบชุดการทดลองเพื่อจำลองการเกิดแรงดันเบรกดาวน์ของฉนวนในสภาวะที่มีความชื้น โดยวงจรการทดสอบ (ดังแสดงในรูปที่ 2) ประกอบด้วยหม้อแปลงทดสอบแรงสูง (1) สำหรับจ่ายแรงดันไฟฟ้า, ตัวแบ่งแรงดัน (2), ฉนวนทดสอบ (3), ออสซิโลสโคป (4) สำหรับวัดแรงดัน และหัวฉีดน้ำฝน (5) สำหรับจำลองปริมาณฝนในระหว่างการทดสอบ ชุดทดสอบทั้งหมดเมื่อติดตั้งแล้วเสร็จจะอยู่ในลักษณะดังรูปที่ 3

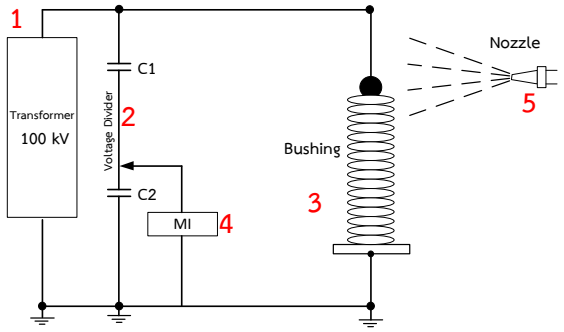

รูปที่ 2 วงจรการทดสอบ

รูปที่ 3 การติดตั้งอุปกรณ์ทดสอบ

สำหรับการทดลองนี้ได้มีการกำหนดชุดตัวแปรที่ใช้ในการทดสอบอย่างครอบคลุม ได้แก่ ปริมาณน้ำฝน 5 ระดับ (1.2, 1.4, 1.6, 1.8 และ 2.0 มิลลิเมตรต่อนาที) และค่าความนำไฟฟ้าของน้ำฝน 5 ระดับ (100, 200, 300, 400 และ 500 µS/cm) โดยทำการทดสอบแรงดันเบรกดาวน์สำหรับทุกการผสมผสานของค่าเหล่านี้ ในแต่ละสภาวะจะทำการเพิ่มแรงดันไฟฟ้ากระแสสลับจนกระทั่งเกิดการเบรกดาวน์ และทำการทดสอบซ้ำค่าละ 5 ครั้ง เพื่อรวบรวมข้อมูลสำหรับนำไปวิเคราะห์ผล

3.2 การออกแบบโมเดลเชิงคณิตศาสตร์ด้วยโครงข่ายประสาทเทียม

ในการวิจัยนี้ได้มีการพัฒนาแบบจำลองเชิงคณิตศาสตร์ด้วยโครงข่ายประสาทเทียม (ANN) เพื่อทำนายค่าแรงดันเบรกดาวน์ของฉนวนในสภาวะเปียก โดยใช้ข้อมูลจากการทดลองในห้องปฏิบัติการจำนวน 25 ชุด ซึ่งครอบคลุมตัวแปรนำเข้า ได้แก่ ปริมาณน้ำฝนและค่าความนำไฟฟ้าของน้ำฝน โครงสร้างของโมเดล ANN ที่ออกแบบมาเป็นแบบ Multi-layer Perceptron (MLP) [8] ซึ่งประกอบด้วย 3 ชั้น ได้แก่ ชั้นนำเข้า (Input Layer), ชั้นซ่อนเร้น (Hidden Layer) และชั้นส่งออก (Output Layer) ดังแสดงในรูปที่ 4 รายละเอียดของโครงสร้างมีดังนี้

Input Layer ประกอบด้วยเซลล์ประสาท 2 เซลล์ สำหรับรับข้อมูลนำเข้าที่เป็นตัวแปรอิสระ ได้แก่ ปริมาณน้ำฝน (หน่วยเป็น mm/min) และค่าความนำไฟฟ้า (หน่วยเป็น µS/cm)

Hidden Layer ประกอบด้วยเซลล์ประสาท 10 เซลล์ ซึ่งใช้ฟังก์ชันกระตุ้นแบบ Sigmoid ในการเพิ่มคุณสมบัติที่ไม่เป็นเชิงเส้นให้กับแบบจำลอง

Output Layer ประกอบด้วยเซลล์ประสาท 1 เซลล์ สำหรับให้ผลลัพธ์การทำนายที่เป็นตัวแปรตาม ได้แก่ แรงดันเบรกดาวน์ (หน่วยเป็น kV) โดยใช้ฟังก์ชันกระตุ้นแบบ Purelin

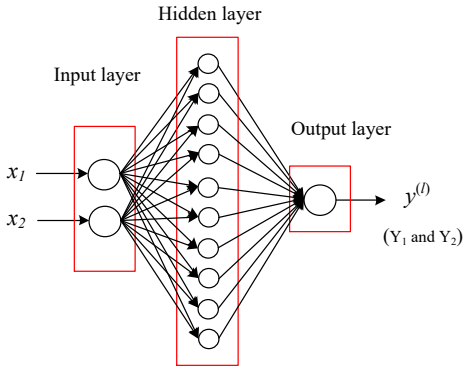

รูปที่ 4 โครงสร้างโมเดลโครงข่ายประสาทเทียมแบบ Multi-layer Perceptron

สมการการคำนวณของแบบจำลอง ANN ที่ใช้ในการทำนายค่าแรงดันเบรกดาวน์ สามารถแสดงได้ดังสมการ 3 ถึง 5 โดยที่สมการ 3 แสดงการคำนวณผลลัพธ์ของโครงข่ายในภาพรวม ซึ่งเป็นการรวมผลลัพธ์จากชั้นซ่อนเร้นทั้งหมดเข้าด้วยกัน ส่วนสมการ 4 แสดงฟังก์ชันกระตุ้นแบบ Sigmoid (f(x)) ที่ใช้ในชั้นซ่อนเร้น และสมการ 5 แสดงการคำนวณที่ง่ายขึ้นในรูปแบบเมทริกซ์ [9]

$$y^{(l)} = \sum_{j=1}^{n}\left\{ w_{2,j}^{(l)} f\left(\sum_{i=1}^{N}\left(w_{1,ij}^{(l)} \cdot t_i + b_{1,ij}^{(l)} \right) \right) + b_{2,j}^{(l)} \right\} \quad (3)$$

$$f(x) = \frac{2}{1+e^{-2x}} - 1 \quad (4)$$

$$y^{(l)} = W_2^{(l)} \left\{ f\left(W_1^{(l)} t + B_1^{(l)} \right) \right\} + B_2^{(l)} \quad (5)$$

กระบวนการฝึกฝนนี้สามารถอธิบายได้ด้วยผังงาน (Flowchart) ดังแสดงในรูปที่ 4 ซึ่งเริ่มต้นจากการกำหนดชุดข้อมูลและโครงสร้างของเครือข่าย จากนั้นจึงทำการปรับปรุงค่าน้ำหนัก และไบแอสอย่างต่อเนื่องจนกว่าค่าความคลาดเคลื่อนจะถึงเกณฑ์ที่ตั้งไว้ ก่อนที่จะนำไปใช้ทำนายผล

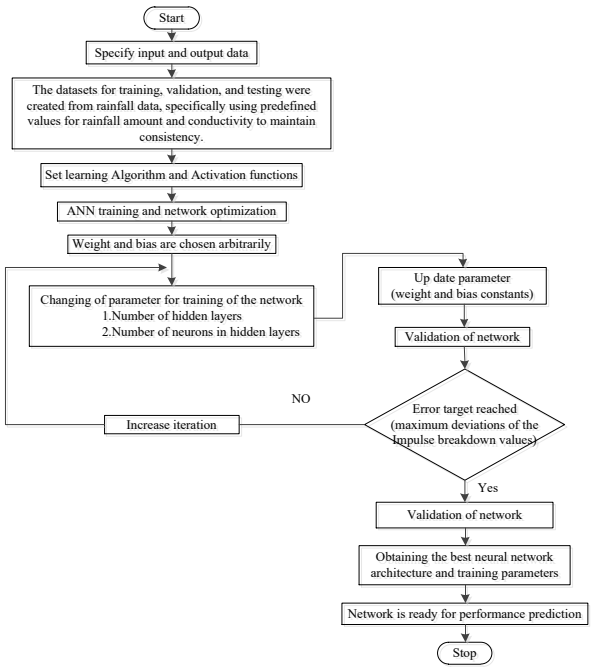

รูปที่ 4 ผังงานแสดงขั้นตอนการฝึกฝนและตรวจสอบโมเดลโครงข่ายประสาทเทียม

4. ผลการทดสอบและวิเคราะห์ผล

4.1 ผลการทดสอบในห้องปฏิบัติการ

ในส่วนนี้เป็นการนำเสนอผลลัพธ์จากการทดสอบในห้องปฏิบัติการ โดยมีวัตถุประสงค์เพื่อศึกษาความสัมพันธ์ระหว่างปัจจัยนำเข้า (Input) ได้แก่ ปริมาณน้ำฝน และค่าความนำของน้ำฝน การทดลองได้ดำเนินการในสภาวะที่หลากหลายเพื่อให้ได้ชุดข้อมูลการเกิดเบรกดาวน์สำหรับใช้วิเคราะห์และสร้างแบบจำลองต่อไป

ปัจจัยที่ใช้ในการทดสอบประกอบด้วยปริมาณน้ำฝนที่ระดับ 1.2, 1.4, 1.6, 1.8 และ 2.0 มิลลิเมตรต่อนาที และค่าความนำของน้ำฝนที่ระดับ 100, 200, 300, 400 และ 500 ไมโครซีเมนส์ต่อเซนติเมตร ผลการเกิดเบรคดาวน์ที่ได้จากการทดลองแสดงในตารางที่ 1 ซึ่งเป็นข้อมูลพื้นฐานของงานวิจัยนี้

ตารางที่ 1 ผลการทดสอบหาค่าแรงดันเบรกดาวน์ในปริมาณน้ำฝนทดสอบและค่าความนำน้ำฝน

		ค่าคงที่การนำไฟฟ้า (uS/cm)				
		100	200	300	400	500
ค่าปริมาณน้ำฝน (mm./min)	1.2	155.16	149.80	129.24	123.02	113.44
	1.4	149.20	143.76	131.13	125.46	118.16
	1.6	143.64	138.45	126.39	121.00	114.02
	1.8	137.00	131.44	119.39	113.77	106.70
	2	128.52	122.29	110.13	104.08	96.80

จากตารางที่ 1 สามารถสรุปผลการทดสอบด้วยตัวเลขได้ดังนี้: ค่าแรงดันเบรกดาวน์สูงสุดอยู่ที่ 155.1 kV ซึ่งเกิดขึ้นเมื่อปริมาณน้ำฝนเท่ากับ 1.2 มิลลิเมตรต่อนาที และค่าคงที่การนำไฟฟ้า เท่ากับ 100 ไมโครซีเมนส์ต่อเซนติเมตร ในทางกลับกัน ค่าแรงดันเบรกดาวน์ต่ำสุดอยู่ที่ 96.8 kV ซึ่งเกิดขึ้นเมื่อปริมาณน้ำฝนเท่ากับ 2.0 มิลลิเมตรต่อนาที และค่าคงที่การนำไฟฟ้าเท่ากับ 500 ไมโครซีเมนส์ต่อเซนติเมตร

4.2 ผลการประเมินค่าแรงดันเบรกดาวน์ด้วยโครงข่ายประสาทเทียม (Neural Network)

ในส่วนนี้เป็นการนำเสนอผลลัพธ์ที่ได้จากการประเมินค่าแรงดันเบรกดาวน์ด้วยโครงข่ายประสาทเทียม (Neural Network) และเปรียบเทียบกับค่าที่ได้จากการทดสอบในห้องปฏิบัติการ เพื่อตรวจสอบประสิทธิภาพและความแม่นยำของแบบจำลองที่สร้างขึ้น โดยผลการคำนวณและค่าความผิดพลาดเมื่อเทียบกับข้อมูลจริงแสดงในตารางที่ 2

ตารางที่ 2 การเปรียบเทียบผลการทดสอบกับผลการคำนวณด้วยโครงข่ายประสาทเทียม

ปริมาณน้ำฝน (mm./min)	ค่าความนำไฟฟ้า (uS/cm)	แรงดันเบรกดาวน์จากการทดสอบ (kV)	แรงดันเบรกดาวน์จาก Neuron network (kV)	ค่าความผิดพลาด (Error %)
1.2	100	155.16	155.09	0.04%
	200	149.80	149.88	-0.06%
	300	129.24	129.43	-0.15%
	400	123.02	123.33	-0.25%
	500	113.44	113.73	-0.25%
1.4	100	149.20	149.20	0.00%
	200	143.76	142.69	0.74%
	300	131.13	130.99	0.11%
	400	125.46	125.46	-0.01%
	500	118.16	118.29	-0.11%
1.6	100	143.64	143.66	-0.01%
	200	138.45	138.44	0.01%
	300	126.39	126.33	0.05%
	400	121.00	121.14	-0.11%
	500	114.02	114.33	-0.27%

ตารางที่ 2 การเปรียบเทียบผลการทดสอบกับผลการคำนวณด้วยโครงข่ายประสาทเทียม (ต่อ)

ปริมาณน้ำฝน (mm./min)	ค่าความนำไฟฟ้า (uS/cm)	แรงดันเบรกดาวน์จากการทดสอบ (kV)	แรงดันเบรกดาวน์จาก Neuron network (kV)	ค่าความผิดพลาด (Error %)
1.8	100	137.00	136.53	0.35%
	200	131.44	131.42	0.01%
	300	119.39	120.07	-0.57%
	400	113.77	113.82	-0.04%
	500	106.70	106.97	-0.25%
2.0	100	128.52	128.52	0.00%
	200	122.29	122.32	-0.02%
	300	110.13	110.24	-0.10%
	400	104.08	104.09	-0.01%
	500	96.80	96.79	0.01%

จากการวิเคราะห์พบว่าผลลัพธ์ของค่าแรงดันเบรกดาวน์ที่ได้จากโครงข่ายประสาทเทียมมีความใกล้เคียงกับค่าที่วัดได้จริงจากการทดลองอย่างน่าพอใจ ซึ่งชี้ให้เห็นว่าแบบจำลองที่เราพัฒนาขึ้นสามารถจับความสัมพันธ์ที่ซับซ้อนของปัจจัยนำเข้าได้เป็นอย่างดี เมื่อพิจารณาค่าความผิดพลาดจะเห็นว่าส่วนใหญ่อยู่ในระดับที่ต่ำมาก โดยมีค่าสูงสุดเพียง 0.74% เท่านั้น และในหลายสภาวะ (เช่น ที่ปริมาณน้ำฝน 1.4 mm/min, ค่าคงที่การนำไฟฟ้า 100 uS/cm) แบบจำลองยังสามารถทำนายค่าได้ตรงกับผลการทดลองจริงโดยไม่มีความคลาดเคลื่อน

5. บทสรุป

จากการศึกษาในครั้งนี้ เราได้ทำการวิเคราะห์อิทธิพลของปริมาณน้ำฝนและค่าคงที่การนำไฟฟ้า ที่มีต่อค่าแรงดันเบรกดาวน์ของฉนวนไฟฟ้า โดยใช้แบบจำลองโครงข่ายประสาทเทียมในการทำนาย ผลการทดลองในห้องปฏิบัติการได้แสดงให้เห็นอย่างชัดเจนว่า ค่าแรงดันเบรกดาวน์ลดลงอย่างมีนัยสำคัญ ตั้งแต่ค่าสูงสุดที่ 155.16 kV ไปจนถึงค่าต่ำสุดที่ 96.80 kV เมื่อปัจจัยด้านปริมาณน้ำฝนและค่าคงที่การนำไฟฟ้า เพิ่มสูงขึ้น ซึ่งชี้ให้เห็นถึงความสัมพันธ์เชิงลบที่ชัดเจนระหว่างตัวแปรเหล่านี้กับความแข็งแรงของฉนวน นอกจากนี้ แบบจำลองโครงข่ายประสาทเทียมที่พัฒนาขึ้นยังแสดงให้เห็นถึงประสิทธิภาพและความแม่นยำที่สูงมากในการทำนายค่าดังกล่าว โดยมีค่าความผิดพลาดอยู่ในระดับต่ำ ซึ่งยืนยันว่าเทคนิคนี้เป็นเครื่องมือที่น่าเชื่อถือในการประเมินความเสี่ยงและวางแผนการบำรุงรักษาเชิงป้องกัน เพื่อเพิ่มความมั่นคงและความปลอดภัยของระบบส่งจ่ายกำลังไฟฟ้า สำหรับการวิจัยในอนาคต มีข้อเสนอแนะให้พิจารณาปัจจัยด้านสภาพแวดล้อมอื่น ๆ ที่อาจส่งผลกระทบเพิ่มเติม รวมถึงการขยายขอบเขตการทดลองไปยังฉนวนประเภทอื่น ๆ เพื่อให้ได้ข้อมูลที่ครอบคลุมยิ่งขึ้น

เอกสารอ้างอิง

[1] M. Lan et al., "Prediction Model for the DC Flashover Voltage of a Composite Insulator Based on a BP Neural Network," Energies, vol. 16, no. 2, p. 984, 2023. DOI: 10.3390/en16020984

[2] B. Zhang et al., "Experimental Investigation on Influence of Shed Parameters on Surface Rainwater Characteristics of Large-Diameter Composite Post Insulators under Rain Conditions," Energies, vol. 13, no. 19, p. 5011, 2020. DOI: 10.3390/en13195011

[3] Haykin, S. (1999). Neural Networks: A Comprehensive Foundation. Prentice Hall. (Chapter 1)

[4] Hornik, K., Stinchcombe, M., & White, H. (1989). Multilayer feedforward networks are universal approximators. Neural Networks, 2(5), 359-366. https://doi.org/10.1016/0893-6080(89)90020-8

[5] Arshad et al. (2017). Numerical computation of electric field and potential along silicone rubber insulators under contaminated and dry band condition. *ResearchOnline*, pp. 3-4.

[6] Lin Bo, A. (2009). *Modeling Flashover of AC Outdoor Insulators under Contaminated Conditions with Dry Band Formation and Arcing*. CORE.

[7] A. Abidin, Z. (2021). The Analysis of Leakage Current on a 20-kV Silicone Rubber Post-Insulator under Dry and Wet Conditions. *CORE*, pp. 4.

[8] Yutthagowith, P., Kitwattana, K. & Kunakorn, A. Fast and Effective Technique in Evaluation of Lightning Impulse Voltage Parameters. J. Electr. Eng. Technol. 16, 459–467 (2021). doi.org/10.1007/s42835-020-00555-x.

[9] K. Kitwattana., J. Pinit, & T. Apichart (2024). Study of the Relationship between the Occasion of Lightning Strikes and the Critical Breakdown Voltage According to ANSI/NEMA C29.11-2012 in Crown, D-cup, and Blunt Lightning Rods. In 2024 IEEE/IAS Industrial and Commercial Power System Asia (I&CPS Asia). DOI:10.1109/ICPSAsia61913.2024.10761884

ประวัติผู้เขียน

ผศ.ดร.กฤษณ์ กิจวัฒนา จบการศึกษา วศ.ด.ไฟฟ้า จากสถาบันเทคโนโลยีพระจอมเกล้าเจ้าคุณทหารลาดกระบัง เมื่อปี พ.ศ. 2664 ปัจจุบันดำรงตำแหน่งอาจารย์ประจำภาควิชาวิศวกรรมไฟฟ้า คณะวิศวกรรมศาสตร์ มหาวิทยาลัยเทคโนโลยีราชมงคลธัญบุรี

นายอภิชาติ ทองมา จบการศึกษา วศ.บ.ไฟฟ้าจาก มหาวิทยาลัยเทคโนโลยีราชมงคลธัญบุรี เมื่อปี 2551 ปัจจุบันดำรงตำแหน่งเจ้าหน้าที่ห้องปฏิบัติการประจำภาควิชาวิศวกรรมไฟฟ้า คณะวิศวกรรมศาสตร์ มหาวิทยาลัยเทคโนโลยีราชมงคลธัญบุรี

รศ พินิจ จิตจริง จบการศึกษา วศ.ม.ไฟฟ้าจาก Electrical Power from RWTH-Aachen University, Republic of Germany เมื่อปี 2546 ปัจจุบันดำรงตำแหน่งอาจารย์ประจำภาควิชาวิศวกรรมไฟฟ้า คณะวิศวกรรมศาสตร์ มหาวิทยาลัยเทคโนโลยีราชมงคลธัญบุรี

การประเมินความสัมพันธ์ระหว่างการเปลี่ยนแปลงของปริมาณน้ำฝนและค่าความนำไฟฟ้าของน้ำฝนที่มีผลต่อแรงดันเบรคดาวน์ของฉนวนอากาศ

Impact of Rainfall Rate and Water Conductivity on the Breakdown Voltage of Air Insulation.

พินิจ จิตจริง อภิชาติ ทองมา และกฤษณ์ กิจวัฒนา*
สาขาวิชาวิศวกรรมไฟฟ้า คณะวิศวกรรมศาสตร์ มหาวิทยาลัยเทคโนโลยีราชมงคลธัญบุรี pinit.j@en.rmutt.ac.th
สาขาวิชาวิศวกรรมไฟฟ้า คณะวิศวกรรมศาสตร์ มหาวิทยาลัยเทคโนโลยีราชมงคลธัญบุรี apichart_t@en.rmutt.ac.th
สาขาวิชาวิศวกรรมไฟฟ้า คณะวิศวกรรมศาสตร์ มหาวิทยาลัยเทคโนโลยีราชมงคลธัญบุรี krit.k@en.rmutt.ac.th

บทคัดย่อ

งานวิจัยนี้มีวัตถุประสงค์เพื่อประเมินความสัมพันธ์ระหว่างการเปลี่ยนแปลงของปริมาณน้ำฝนและค่าความนำไฟฟ้าของน้ำฝนที่มีผลต่อแรงดันเบรคดาวน์ของฉนวนอากาศบริเวณรอบๆ Bushing ซึ่งเป็นส่วนประกอบสำคัญในระบบส่งกำลังไฟฟ้าที่ต้องเผชิญกับสภาพแวดล้อมกลางแจ้ง การทดลองได้จำลองสภาวะฝนตกโดยควบคุมปริมาณน้ำฝน (0-2.0 mm/min) และค่าความนำไฟฟ้าของน้ำฝน (100-500 µS/cm) ผลการทดลองแสดงให้เห็นอย่างชัดเจนว่า แรงดันเบรคดาวน์ของ ฉนวนอากาศบริเวณรอบๆ Bushing มีแนวโน้มลดลงอย่างต่อเนื่องเมื่อปริมาณน้ำฝนเพิ่มขึ้น และลดลงอย่างมีนัยสำคัญเมื่อค่าความนำไฟฟ้าของน้ำฝนสูงขึ้น โดยเฉพาะอย่างยิ่งที่ปริมาณน้ำฝน 2.0 mm/min แรงดันเบรคดาวน์เฉลี่ยลดลงจาก 161.62 kV (สภาวะแห้ง) เหลือ 128.52 kV และที่ค่าความนำไฟฟ้า 500 µS/cm แรงดันเบรคดาวน์เฉลี่ยลดลงจาก 155.14 kV (ที่ 100 µS/cm) เหลือ 113.44 kV ผลการวิจัยนี้ยืนยันว่าการก่อตัวของฟิล์มน้ำนำไฟฟ้าบนผิวฉนวน ซึ่งเพิ่มขึ้นตามปริมาณและค่าความนำไฟฟ้าของน้ำฝน เป็นปัจจัยหลักที่ลดความสามารถในการเป็นฉนวนของ อากาศบริเวณโดยรอบ Bushing และเร่งให้เกิดการเบรคดาวน์หรือวาบไฟตามผิวฉนวนได้ง่ายขึ้น ข้อมูลที่ได้มีความสำคัญต่อการออกแบบ การติดตั้ง และการบำรุงรักษาระบบส่งกำลังไฟฟ้าให้มีความปลอดภัยและประสิทธิภาพสูงสุดในพื้นที่ที่มีฝนตกชุกและมีมลภาวะ

คำสำคัญ: แรงดันเบรคดาวน์, ค่าความนำไฟฟ้า, ปริมาณน้ำฝน ฉนวนอากาศ

Abstract

This research aims to evaluate the correlation between varying rainfall rates and rainwater conductivity on the breakdown voltage of the air insulation surrounding Bushings, critical components in outdoor power transmission systems. Experiments simulated rainfall conditions by controlling rainfall rates (0-2.0 mm/min) and water conductivity (100-500 µS/cm). The results clearly indicate that the breakdown voltage of the air insulation surrounding the Bushing consistently decreased with increasing rainfall rates and significantly dropped with higher rainwater conductivity. Specifically, at a rainfall rate of 2.0 mm/min, the average breakdown voltage decreased from 161.62 kV (dry condition) to 128.52 kV, and at a conductivity of 500 µS/cm, it reduced from 155.14 kV (at 100 µS/cm) to 113.44 kV. This study confirms that the formation of a conductive water film on the insulation surface, which intensifies with increased rainfall and water conductivity, is a primary factor that diminishes the insulation capability of the surrounding air and accelerates breakdown or flashover. The findings are crucial for the safe and efficient design, installation, and maintenance of power transmission systems in areas prone to heavy rainfall and pollution.

Keywords: Breakdown Voltage, Electrical Conductivity, Rainfall, Air Insulation

1.บทนำ

การศึกษาคุณสมบัติการเกิดเบรคดาวน์เป็นปัจจัยสำคัญในการพัฒนาระบบส่งกำลังไฟฟ้า โดยเฉพาะในอุปกรณ์ที่ต้องทนต่อสภาพแวดล้อมที่มีการเปลี่ยนแปลงของปริมาณน้ำฝนและค่าความนำไฟฟ้า (Conductivity). ความต้านทานของอากาศต่อการเกิดการลัดวงจรในระบบส่งกำลังไฟฟ้าจะลดลงเมื่อมีการสัมผัสกับน้ำฝนหรือมลพิษในอากาศ ซึ่งทำให้เกิดการเปลี่ยนแปลงของแรงดันเบรคดาวน์ที่สามารถส่งผลกระทบต่อความปลอดภัยและประสิทธิภาพของระบบไฟฟ้า [1]

จากการศึกษาของ Yang et al. (2020) พบว่า การเพิ่มความนำไฟฟ้าของน้ำฝนและการเพิ่มปริมาณน้ำฝนที่ตกลงมาจะส่งผลต่อการลดลงของแรงดันเบรคดาวน์. การศึกษานี้เน้นการตรวจสอบความสัมพันธ์ระหว่างแรงดันเบรคดาวน์ที่เกิดขึ้นเมื่อมีการเปลี่ยนแปลงของค่าปริมาณน้ำฝนและค่าความนำไฟฟ้าของน้ำฝน, ซึ่งเป็นการศึกษาที่มีความสำคัญในการออกแบบระบบส่งกำลังไฟฟ้าในพื้นที่ที่มีสภาพอากาศฝนตกชุก [2]

นอกจากนี้ Lampe et al. (1991) พบว่า การเปลี่ยนแปลงของแรงดันเบรคดาวน์ที่เกิดขึ้นใน bushing ภายใต้สภาวะฝนตกมีผลกระทบต่อการทำงานของระบบไฟฟ้า, โดยแรงดันเบรคดาวน์ที่ลดลงทำให้การทดสอบแรงดันในระบบส่งกำลังไฟฟ้าไม่สามารถทนต่อสภาพแวดล้อมที่มีมลพิษและฝนตกได้ดี [3]

*ผู้ประพันธ์บรรณกิจ

การศึกษานี้จึงมีวัตถุประสงค์เพื่อประเมินความสัมพันธ์ระหว่างการเปลี่ยนแปลงของปริมาณน้ำฝนและค่าความนำไฟฟ้าของน้ำฝนที่มีผลต่อแรงดันเบรคดาวน์ของระบบ bushing. โดยจะทำการทดสอบการเปลี่ยนแปลงค่าปริมาณน้ำฝนและค่าความนำไฟฟ้าในกรณีต่าง ๆ เพื่อตรวจสอบว่าปัจจัยเหล่านี้ส่งผลต่อแรงดันเบรคดาวน์อย่างไร, ซึ่งจะช่วยในการพัฒนาและออกแบบระบบส่งกำลังไฟฟ้าที่ปลอดภัยและมีประสิทธิภาพมากขึ้น [4-5]

2.ทฤษฎีและหลักการ

2.1 การเกิดเบรคดาวน์ในก๊าซ

การเกิดเบรคดาวน์ในก๊าซ (Gas Breakdown) หมายถึงกระบวนการที่ก๊าซหรืออากาศที่ทำหน้าที่เป็นฉนวนภายในช่องว่างระหว่างขั้วไฟฟ้าเกิดการแตกหักเมื่อถูกกระทำด้วยแรงดันไฟฟ้าที่เกินกว่าค่าที่สามารถทนได้ ทำให้เกิดกระแสไฟฟ้าไหลผ่านได้. กระบวนการนี้ถือเป็นปรากฏการณ์ที่สำคัญในวิศวกรรมไฟฟ้าและระบบฉนวนไฟฟ้า เนื่องจากมันเกี่ยวข้องกับความปลอดภัยและความทนทานของระบบส่งกำลังไฟฟ้าในสภาวะที่มีการกระทำของสนามไฟฟ้าสูง.

การทดสอบแรงดันเบรคดาวน์ในก๊าซโดยปกติจะใช้หลักการจาก Paschen's Law ซึ่งอธิบายถึงความสัมพันธ์ระหว่างแรงดันไฟฟ้า, ระยะห่างระหว่างขั้วไฟฟ้า, และคุณสมบัติของก๊าซในช่องว่างระหว่างขั้วไฟฟ้า. สมการของ Paschen's Law ให้ข้อมูลที่สำคัญสำหรับการคำนวณแรงดันที่จำเป็นในการทำให้เกิดการแตกหักของก๊าซในช่องว่างระหว่างขั้วไฟฟ้าและสามารถใช้ในการคำนวณค่าแรงดันเบรคดาวน์ที่เกิดขึ้นในสภาพแวดล้อมที่มีการเปลี่ยนแปลงของก๊าซที่ใช้ทดสอบ. สมการของ Paschen's Law มีลักษณะดังนี้:

$$P \cdot d = A \cdot e^{B/d} \tag{10}$$

โดยที่: P คือแรงดันไฟฟ้าที่ใช้ในการทดสอบ

d คือระยะห่างระหว่างขั้วไฟฟ้า

A และ B เป็นค่าคงที่ที่ขึ้นอยู่กับคุณสมบัติของก๊าซที่ใช้ในกระบวนการทดสอบ

สมการนี้แสดงให้เห็นว่า, เมื่อระยะห่างระหว่างขั้วไฟฟ้าหรือความดันเปลี่ยนแปลง, การเกิดเบรคดาวน์ในก๊าซจะเกิดขึ้นที่แรงดันที่แตกต่างกัน, โดยเฉพาะในก๊าซอากาศที่ใช้ในการทดสอบ

จากการศึกษาของ Boyle and Kisliuk (1955) พบว่าเมื่อมีการเพิ่มความดันหรือระยะห่างระหว่างขั้วไฟฟ้าในสภาวะที่มีอากาศเป็นตัวนำไฟฟ้า , จะส่งผลให้การแตกหักของแรงดันในก๊าซมีแนวโน้มที่จะเกิดขึ้นที่แรงดันที่ต่ำกว่าในกรณีที่ไม่มีการเพิ่มระยะห่างระหว่างขั้วไฟฟ้า [6] นอกจากนี้, Loveless et al. (2019) ยังได้แสดงให้เห็นว่าในบางกรณี, เมื่อระยะห่างระหว่างขั้วไฟฟ้าอยู่ในระดับไมโครสเกล, การเบี่ยงเบนจาก Paschen's Law สามารถเกิดขึ้นได้, โดยการเปลี่ยนแปลงของแรงดันเบรคดาวน์ที่ไม่เป็นไปตามทฤษฎีที่คาดการณ์ [7]

2.2 ผลกระทบของน้ำฝนและค่าความนำไฟฟ้าต่อแรงดันเบรคดาวน์

การศึกษาผลกระทบของน้ำฝนและค่าความนำไฟฟ้าต่อแรงดันเบรคดาวน์ เป็นหนึ่งในปัจจัยสำคัญในการออกแบบระบบไฟฟ้าให้ทนทานต่อสภาพแวดล้อมที่มีฝนตกหรือมลพิษ. น้ำฝนที่มีความนำไฟฟ้าสูงสามารถทำให้แรงดันเบรคดาวน์ลดลงได้, ซึ่งส่งผลให้เกิดการแตกหักในแรงดันที่ต่ำกว่าที่คาดการณ์. เมื่อมีน้ำฝนตก, น้ำฝนจะทำหน้าที่เพิ่มประสิทธิภาพการนำไฟฟ้าของอากาศในช่องว่างระหว่างขั้วไฟฟ้า, ซึ่งช่วยให้การเบรคดาวน์เกิดขึ้นได้ที่แรงดันต่ำกว่า

ความนำไฟฟ้า σ ของสารใด ๆ คือความสามารถในการนำกระแสไฟฟ้า, ซึ่งขึ้นอยู่กับการเคลื่อนที่ของอิเล็กตรอนหรือไอออนในสารนั้น ๆ. ในกรณีของน้ำฝน, ความนำไฟฟ้าจะเพิ่มขึ้นเมื่อมีการเพิ่มปริมาณเกลือหรือสารอื่น ๆ ที่สามารถแยกตัวเป็นไอออนในน้ำฝน. ปัจจัยที่มีผลต่อความนำไฟฟ้าของน้ำฝนประกอบด้วยความเข้มข้นของสารละลาย, อุณหภูมิ, และ pH ของน้ำ. สมการพื้นฐานที่ใช้ในการคำนวณความนำไฟฟ้าของสารละลาย (เช่น น้ำฝน) คือ:

$$\sigma = \frac{I}{V} \times \frac{L}{A} \tag{2}$$

โดยที่: σ คือ ความนำไฟฟ้า (S/m)

I คือ กระแสไฟฟ้า (A)

V คือ แรงดัน (V)

L คือ ระยะทางที่กระแสไหล (m)

A คือ พื้นที่ของขั้วไฟฟ้า (m^2)

จากสมการที่ 2 ความนำไฟฟ้าของน้ำฝนจะมีผลโดยตรงต่อการลดความต้านทานของอากาศ, ซึ่งทำให้การเกิดเบรคดาวน์ในระบบไฟฟ้าสามารถเกิดขึ้นที่แรงดันที่ต่ำลงได้

2.3 การทดสอบแรงดันเบรคดาวน์แบบเปียก (Wet Breakdown Voltage Test)

การทดสอบแรงดันเบรคดาวน์แบบเปียกเป็นขั้นตอนสำคัญในการประเมินประสิทธิภาพของฉนวนไฟฟ้าแรงสูงที่ออกแบบมาเพื่อใช้งานกลางแจ้ง ซึ่งต้องเผชิญกับสภาพแวดล้อมที่มีความชื้นและฝนตกชุก การทดสอบนี้มีวัตถุประสงค์เพื่อจำลองผลกระทบของน้ำฝนต่อคุณสมบัติของฉนวน โดยเฉพาะอย่างยิ่งการเปลี่ยนแปลงของแรงดันเบรคดาวน์และการเกิดวาบไฟตามผิวฉนวน (flashover) ที่เกิดจากฟิล์มน้ำนำไฟฟ้าบนพื้นผิวฉนวน มาตรฐานสากลที่ใช้ในการกำกับการทดสอบนี้คือ IEC 60060-1 และ IEEE Std 4 [8, 9] โดยมีขั้นตอนดำเนินการดังนี้

1.ใช้น้ำที่มีค่าความนำไฟฟ้าจำเพาะที่ควบคุมได้ โดยทั่วไปมาตรฐานกำหนดให้เป็น 100 ± 10 ไมโครซีเมนส์ต่อเซนติเมตร (µS/cm) ที่อุณหภูมิ 20°C

2.กำหนดอัตราการตกของน้ำฝน (precipitation rate) โดยปกติจะอยู่ที่ประมาณ 1.0 ถึง 1.5 มิลลิเมตรต่อนาที (mm/min)

3.ก่อนการจ่ายแรงดันไฟฟ้า จะต้องทำการฉีดน้ำอย่างต่อเนื่องบนอุปกรณ์ทดสอบเป็นระยะเวลาหนึ่ง (โดยทั่วไปไม่น้อยกว่า 5-10 นาที)

4.หลังจากพื้นผิวฉนวนเปียกได้ที่แล้ว จะค่อยๆ เพิ่มแรงดันไฟฟ้า (ทั้งกระแสสลับหรือกระแสตรง) ข้ามฉนวนอย่างต่อเนื่องจนกระทั่งเกิดการเบรคดาวน์

3. การออกแบบและการวิเคราะห์

3.1 ขั้นตอนการทดสอบหาค่าแรงดันเบรคดาวน์ในปริมาณน้ำฝนทดสอบ

การออกแบบการจำลองหาค่าแรงดันเบรคดาวน์ในปริมาณน้ำฝนต่างๆ กำหนดให้น้ำฝนมีปริมาณแตกต่างกัน 6 ค่า เริ่มตั้งแต่ 0, 1.2, 1.4, 1.6, 1.8 และ 2.0 มิลลิเมตรต่อนาที (mm./min) โดยใช้อุปกรณ์วัดปริมาณน้ำฝนขนาด 10x10 cm. ในการวัดค่าดังรูปที่ 1

รูปที่ 1 อุปกรณ์วัดปริมาณน้ำฝนทดสอบ

เมื่อทำการตั้งค่าหัวฉีดให้ได้ปริมาณน้ำฝนตามต้องการจะทำการขึ้นแรงดันทดสอบจนเกิดการเบรคดาวน์ โดยจากรูปที่ 2 วงจรการทดสอบเริ่มจากหมายเลข 1 หม้อแปลงทดสอบแรงสูงพิกัด 100 kV หมายเลข 2 Voltage Divider หมายเลข 3 Bushing ที่ใช้ในการทดสอบ หมายเลข 4 ออสซิโลสโคป ใช้ในการวัดแรงดันสำหรับทดสอบ หมายเลข 5 หัวฉีดน้ำฝนจำลอง ใช้ในการทดสอบที่ปริมาณน้ำฝน โดยชุดทดสอบเมื่อติดตั้งแล้วเสร็จแสดงดังรูปที่ 3

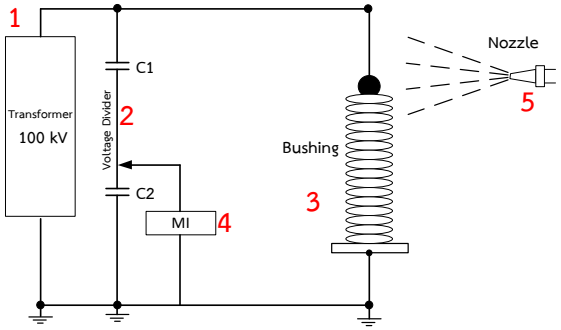

รูปที่ 2 วงจรการทดสอบ

รูปที่ 3 การติดตั้งชุดทดสอบฉนวนแบบเปียกจริง

ในการทดสอบหัวข้อนี้จะทำการเตรียมน้ำฝนที่มีค่าความนำไฟฟ้าคงที่ 100 µS/cm และทำการปรับหัวฉีด (Nozzle) ให้มีการจ่ายน้ำฝนจำลองที่ปริมาณ 0 (ค่าอ้างอิง) 1.2, 1.4, 1.6, 1.8 และ 2.0 มิลลิเมตรต่อนาที จากนั้นทำการจ่ายแรงดันไฟฟ้ากระแสสลับเข้าไปยังชุดทดสอบ โดยจะทำการทดสอบค่าละ 5 ครั้ง และทำการบันทึกผล

3.2 ขั้นตอนการทดสอบหาค่าแรงดันเบรคดาวน์ที่ค่าความนำทดสอบ

ขั้นตอนการทดสอบหาค่าแรงดันเบรคดาวน์ที่ความนำมีค่าแตกต่างกัน โดยความนำที่ใช้ทดสอบจะมีค่าตั้งแต่ 100, 200, 300, 400 และ 500 µS/cm ซึ่งการติดตั้งอุปกรณ์จะเหมือนกับการทดสอบในหัวข้อ 3.1 แต่จะกำหนดค่าปริมาณน้ำฝนคงที่ไว้ที่ 1.2 มิลลิเมตรต่อนาที ตลอดการทดสอบ โดยจะทำการทดสอบค่าละ 5 ครั้ง และทำการบันทึกผล ค่าความนำของน้ำที่วัดได้แสดงดังรูปที่ 4

รูปที่ 4 ค่าความนำในการทดสอบ

4. ผลการทดสอบและวิเคราะห์ผล

4.1 ผลการทดสอบหาค่าแรงดันเบรคดาวน์ในปริมาณน้ำฝนทดสอบ

การทดสอบนี้ดำเนินการโดยควบคุมค่าความนำไฟฟ้าของน้ำฝนให้คงที่ที่ 100 µS/cm และทำการเปลี่ยนแปลงปริมาณน้ำฝนในอัตรา 0, 1.2, 1.4, 1.6, 1.8 และ 2.0 มิลลิเมตรต่อนาที (mm/min) ตารางที่ 1 แสดงค่าแรงดันเบรคดาวน์ที่วัดได้ในแต่ละครั้ง รวมถึงค่าเฉลี่ยและส่วนเบี่ยงเบนมาตรฐานสำหรับแต่ละปริมาณน้ำฝน

จากตารางที่ 1 แสดงให้เห็นอย่างชัดเจนว่า ค่าแรงดันเบรคดาวน์มีแนวโน้มลดลงอย่างต่อเนื่องเมื่อปริมาณน้ำฝนที่ตกลงบน Bushing เพิ่มขึ้น ในสภาวะที่ไม่มีน้ำฝน (0 mm/min) แรงดันเบรคดาวน์เฉลี่ยอยู่ที่ 161.62 kV ซึ่งเป็นค่าสูงสุด เมื่อปริมาณน้ำฝนเพิ่มขึ้นเป็น 1.2 mm/min ค่าเฉลี่ยลดลงมาเป็น 155.16 kV และลดลงอย่างมีนัยสำคัญต่อไปจนถึง 128.52 kV ที่ปริมาณน้ำฝน 2.0 mm/min การลดลงนี้สอดคล้องกับหลักการที่ว่า ฟิล์มน้ำที่ก่อตัวขึ้นบนผิวฉนวนยิ่งหนาและต่อเนื่องมากเท่าใด ก็จะยิ่งสร้างเส้นทางนำไฟฟ้าได้ชัดเจนขึ้น ทำให้กระแสรั่วไหลตามผิวฉนวนเพิ่มขึ้นและลดความสามารถในการทนแรงดันของฉนวนลงได้ นอกจากนี้ การกระจายของสนามไฟฟ้าบนผิวฉนวนก็จะถูกรบกวนมากขึ้นเมื่อมีปริมาณน้ำฝนสูงขึ้น ซึ่งส่งผลให้การเกิดวาบไฟตามผิวฉนวนเกิดขึ้นได้ง่ายขึ้น

ตารางที่ 1 ผลการทดสอบหาค่าแรงดันเบรคดาวน์ในปริมาณน้ำฝนทดสอบ

ปริมาณน้ำฝน (มม./นาที)	แรงดันทดสอบครั้งที่ (kV)				
	1	2	3	4	5
0.0	159.4	161.2	163.2	161.9	162.4
1.2	153.4	157.4	154.1	154.7	156.2
1.4	149.2	150.9	148.2	147.9	149.8
1.6	142.1	143.2	143.7	144.1	145.1
1.8	138.7	137.2	135.6	136.7	136.8
2.0	129.2	120.0	133.1	133.9	126.4

จากตารางที่ 1 แสดงให้เห็นอย่างชัดเจนว่า ค่าแรงดันเบรคดาวน์มีแนวโน้มลดลงอย่างต่อเนื่องเมื่อปริมาณน้ำฝนที่ตกลงบน Bushing เพิ่มขึ้น ในสภาวะที่ไม่มีน้ำฝน (0 mm/min) แรงดันเบรคดาวน์เฉลี่ยอยู่ที่ 161.62 kV ซึ่งเป็นค่าสูงสุด เมื่อปริมาณน้ำฝนเพิ่มขึ้นเป็น 1.2 mm/min ค่าเฉลี่ยลดลงมาเป็น 155.16 kV และลดลงอย่างมีนัยสำคัญต่อไปจนถึง 128.52 kV ที่ปริมาณน้ำฝน 2.0 mm/min การลดลงนี้สอดคล้องกับหลักการที่ว่า ฟิล์มน้ำที่ก่อตัวขึ้นบนผิวฉนวนยิ่งหนาและต่อเนื่องมากเท่าใด ก็จะยิ่งสร้างเส้นทางนำไฟฟ้าได้ชัดเจนขึ้น ทำให้กระแสรั่วไหลตามผิวฉนวนเพิ่มขึ้นและลดความสามารถในการทนแรงดันของฉนวนลงได้ นอกจากนี้ การกระจายของสนามไฟฟ้าบนผิวฉนวนก็จะถูกรบกวนมากขึ้นเมื่อมีปริมาณน้ำฝนสูงขึ้น ซึ่งส่งผลให้การเกิดวาบไฟตามผิวฉนวนเกิดขึ้นได้ง่ายขึ้น

4.2 ผลการทดสอบหาค่าแรงดันเบรคดาวน์ที่ค่าความนำทดสอบ

การทดสอบนี้ดำเนินการโดยควบคุมปริมาณน้ำฝนให้คงที่ที่ 1.2 mm/min และทำการเปลี่ยนแปลงค่าความนำไฟฟ้าของน้ำฝนในอัตรา 100, 200, 300, 400 และ 500 ไมโครซีเมนส์ต่อเซนติเมตร (µS/cm) ตารางที่ 2 แสดงค่าแรงดันเบรคดาวน์ที่วัดได้ในแต่ละครั้ง รวมถึงค่าเฉลี่ยและส่วนเบี่ยงเบนมาตรฐานสำหรับแต่ละค่าความนำไฟฟ้า

ตารางที่ 2 ผลการทดสอบหาค่าแรงดันเบรคดาวน์ที่ค่าความนำทดสอบ

ค่าความนำไฟฟ้า	แรงดันทดสอบครั้งที่ (kV)				
	1	2	3	4	5
100	153.4	157.3	154.1	154.7	156.2
200	150.9	149.9	151.6	149.3	147.3
300	129.7	129.7	129.3	129.1	128.4
400	126.0	121.6	123.9	122.2	121.4
500	112.0	112.3	114.3	114.7	113.9

จากตารางที่ 2 แสดงให้เห็นว่า ค่าแรงดันเบรคดาวน์ลดลงอย่างมีนัยสำคัญเมื่อค่าความนำไฟฟ้าของน้ำฝนเพิ่มขึ้น จากค่าความนำไฟฟ้า 100 µS/cm ที่มีแรงดันเบรคดาวน์เฉลี่ย 155.14 kV ค่าเฉลี่ยลดลงเป็น 149.80 kV ที่ 200 µS/cm และลดลงอย่างรวดเร็วเป็น 129.24 kV ที่ 300 µS/cm และลดต่ำสุดถึง 113.44 kV ที่ 500 µS/cm ผลลัพธ์นี้ยืนยันว่าน้ำฝนที่มีค่าความนำไฟฟ้าสูงขึ้น (ซึ่งหมายถึงมีปริมาณไอออนที่ละลายอยู่มาก) จะเพิ่มความสามารถในการนำไฟฟ้าของฟิล์มน้ำบนผิวฉนวนอย่างมาก ทำให้ความต้านทานผิวลดลง ส่งผลให้กระแสรั่วไหลตามผิวฉนวนสูงขึ้นอย่างรุนแรง และนำไปสู่การเกิดวาบไฟตามผิวฉนวนที่แรงดันไฟฟ้าต่ำลง นี่คือสิ่งที่ยืนยันตามสมมติฐานที่ว่ามลภาวะในน้ำฝนมีผลกระทบโดยตรงต่อประสิทธิภาพการเป็นฉนวนของอุปกรณ์ไฟฟ้า

5. บทสรุป

งานวิจัยนี้ได้ศึกษาและประเมินความสัมพันธ์ระหว่างการเปลี่ยนแปลงของปริมาณน้ำฝนและค่าความนำไฟฟ้าของน้ำฝนที่มีผลต่อแรงดันเบรคดาวน์ของ Bushing ซึ่งเป็นส่วนสำคัญในระบบส่งกำลังไฟฟ้าที่ต้องเผชิญกับสภาพแวดล้อมภายนอกอาคาร การทดลองได้จำลองสภาวะฝนตกโดยควบคุมปัจจัยทั้งสองอย่างเป็นระบบ

ผลการทดลองแสดงให้เห็นอย่างชัดเจนว่า ทั้งปริมาณน้ำฝนและค่าความนำไฟฟ้าของน้ำฝนมีผลกระทบโดยตรงและมีนัยสำคัญต่อการลดลงของแรงดันเบรคดาวน์ของ Bushing โดยสรุปผลการวิจัยได้ดังนี้:

1. ผลกระทบของปริมาณน้ำฝน: เมื่อค่าความนำไฟฟ้าของน้ำฝนคงที่ที่ 100 µS/cm พบว่าแรงดันเบรคดาวน์ของ Bushing มีแนวโน้มลดลงอย่างต่อเนื่องเมื่อปริมาณน้ำฝนเพิ่มขึ้น จากค่าสูงสุดที่ 161.62 kV ในสภาวะไม่มีน้ำฝน ลดลงเหลือ 128.52 kV ที่ปริมาณน้ำฝน 2.0 mm/min

การลดลงนี้เกิดจากการก่อตัวของฟิล์มน้ำที่หนาขึ้นบนผิวฉนวน ซึ่งนำไปสู่การเพิ่มขึ้นของกระแสรั่วไหลและการเปลี่ยนแปลงการกระจายสนามไฟฟ้า ทำให้ฉนวนอ่อนแอลง

2. ผลกระทบของค่าความนำไฟฟ้าของน้ำฝน: ที่ปริมาณน้ำฝนคงที่ 1.2 mm/min พบว่าแรงดันเบรคดาวน์ลดลงอย่างรวดเร็วและมีนัยสำคัญ เมื่อค่าความนำไฟฟ้าของน้ำฝนเพิ่มขึ้น จาก 155.14 kV ที่ 100 µS/cm ลดลงเหลือเพียง 113.44 kV ที่ 500 µS/cm ซึ่งแสดงให้เห็นว่าน้ำฝนที่มีไอออนละลายอยู่มากจะยิ่งเพิ่มความสามารถในการนำไฟฟ้าของฟิล์มน้ำบนผิวฉนวน ส่งผลให้ความต้านทานผิวลดลงอย่างรุนแรง และเร่งให้เกิดวาบไฟตามผิวฉนวนได้ง่ายขึ้นที่แรงดันไฟฟ้าต่ำ

ผลการวิจัยนี้ยืนยันสอดคล้องกับงานวิจัยก่อนหน้าและหลักการทางทฤษฎีเกี่ยวกับการนำไฟฟ้าของสารละลายอิเล็กโทรไลต์และกลไกการเกิดวาบไฟตามผิวฉนวนภายใต้สภาวะเปียกชื้น ซึ่งเน้นย้ำถึงความสำคัญของการพิจารณาปัจจัยด้านสิ่งแวดล้อม โดยเฉพาะคุณภาพของน้ำฝน ในการออกแบบ การติดตั้ง และการบำรุงรักษาระบบส่งกำลังไฟฟ้า เพื่อให้มั่นใจในความปลอดภัยและประสิทธิภาพของระบบ โดยเฉพาะอย่างยิ่งในพื้นที่ที่มีสภาพอากาศฝนตกชุกและมีมลภาวะ

เอกสารอ้างอิง

[1] International Electrotechnical Commission (IEC) Standard 60060-1:2010, “High-voltage test techniques – Part 1: General definitions and test requirements.”

[2] Yang, L., Kuang, Z., Sun, Y., Liao, Y., Hao, Y., & Li, L. (2020). Study on Surface Rainwater and Arc Characteristics of High-Voltage Bushing With Booster Sheds Under Heavy Rainfall. IEEE Access, 8, 1–1. https://doi.org/10.1109/ACCESS.2020.3012978

[3] Lampe, W., Wikstrom, D., & Jacobson, B. (1991). Field Distribution on an HVDC Wall Bushing During Laboratory Rain Tests. IEEE Transactions on Power Delivery, 6(3), 1152–1158. https://doi.org/10.1109/61.97689

[4] Shiny, G., Prakash, N. B., & Madavan, R. (2016). Analysis of Bushing Performance Under Different Polluted Environment. Proceedings of the 10th International Conference on Intelligent Systems and Control (ISCO), 7726888. https://doi.org/10.1109/ISCO.2016.7726888

[5] ASTM D149-09: “Standard Test Method for Dielectric Breakdown Voltage and Dielectric Strength of Insulating Materials Using a Ball-Plate Electrode.”

[6] Boyle, W. S., & Kisliuk, P. (1955). Departure from Paschen’s Law of Breakdown in Gases. Physical Review, 97(2), 255–263. DOI: 10.1103/PhysRev.97.255

[7] Loveless, A. M., et al. (2019). The Transition to Paschen’s Law for Microscale Gas Breakdown at Subatmospheric Pressure. Scientific Reports, 9(1), 5669. DOI: 10.1038/s41598-019-42111-2

[8] IEC 60060-1:2010, *High-voltage test techniques – Part 1: General definitions and test requirements*. Geneva, Switzerland: International Electrotechnical Commission, 2010.

[9] IEEE Std 4-2013, *IEEE Standard for High-Voltage Testing Techniques*. New York, NY, USA: Institute of Electrical and Electronics Engineers, 2013.

ประวัติผู้เขียน

รศ พินิจ จิตจริง จบการศึกษา วศ.ม.ไฟฟ้าจาก Electrical Power from RWTH-Aachen University, Republic of Germany เมื่อปี 2546 ปัจจุบันดำรงตำแหน่งอาจารย์ประจำภาควิชาวิศวกรรมไฟฟ้าคณะวิศวกรรมศาสตร์ มหาวิทยาลัยเทคโนโลยีราชมงคลธัญบุรี

นายอภิชาติ ทองมา จบการศึกษา วศ.บ.ไฟฟ้าจาก มหาวิทยาลัยเทคโนโลยีราชมงคลธัญบุรี เมื่อปี 2551 ปัจจุบันดำรงตำแหน่งเจ้าหน่ที่ห้องปฏิบัติการประจำภาควิชาวิศวกรรมไฟฟ้าคณะวิศวกรรมศาสตร์ มหาวิทยาลัยเทคโนโลยีราชมงคลธัญบุรี

ดร.ภฤษณ์ กิจวัฒนา จบการศึกษา วศ.ด.ไฟฟ้า จาก สถาบันเทคโนโลยีพระจอมเกล้าเจ้าคุณทหารลาดกระบัง เมื่อปี พ.ศ. 2664 ปัจจุบันดำรงตำแหน่งอาจารย์ประจำภาควิชาวิศวกรรมไฟฟ้าคณะวิศวกรรมศาสตร์ มหาวิทยาลัยเทคโนโลยีราชมงคลธัญบุรี

การจัดการการตอบสนองด้านผู้ใช้ไฟฟ้าในระบบจำหน่ายไฟฟ้าอัจฉริยะด้วยดิจิทัลแพลตฟอร์ม

Demand Response Management in Smart Distribution Grid Using Digital Platforms

ศักรินทร์ รักษาศรี[1*] และ คมสันติ์ ดาโรจน์[2]

[1]การไฟฟ้าส่วนภูมิภาคสาขาตระการพืชผล การไฟฟ้าส่วนภูมิภาค เขต 2 (ภาคตะวันออกเฉียงเหนือ) จ.อุบลราชธานี sakkarin.ruk@pea.co.th*
[2]ภาควิชาวิศวกรรมไฟฟ้าและอิเล็กทรอนิกส์ คณะวิศวกรรมศาสตร์ มหาวิทยาลัยอุบลราชธานี komson.d@ubu.ac.th

บทคัดย่อ

บทความนี้นำเสนอแนวทาง การจัดการการตอบสนองความต้องการใช้ไฟฟ้าแบบพลวัตของผู้ใช้ไฟฟ้าในระบบจำหน่ายไฟฟ้าอัจฉริยะโดยใช้ดิจิทัลแพลตฟอร์มที่ควบคุมโหลดของผู้ใช้ไฟฟ้า ณ เวลาจริงผ่านการเชื่อมโยงกับระบบบริหารจัดการพลังงานหลายระดับ การดำเนินการของระบบจะใช้การวิเคราะห์การไหลของกำลังไฟฟ้าร่วมกับการวิเคราะห์ค่าดัชนีความไวของการตัดโหลดที่เหมาะสมเพื่อลดพลังงานสูญเสียในระบบให้มากที่สุดภายใต้เงื่อนไขที่กำหนด การทดสอบใช้ระบบจำหน่าย IEEE 33 บัส ผลการดำเนินการที่ได้แสดงให้เห็นถึงประสิทธิภาพของแนวทางที่เสนอในการลดพลังงานสูญเสียอันเป็นการเพิ่มประสิทธิภาพการจ่ายพลังของระบบไฟฟ้า

คำสำคัญ: ระบบไฟฟ้าอัจฉริยะ การจัดการด้านอุปสงค์ การบริหารจัดการพลังงาน

Abstract

This paper presents a dynamic approach to Demand Response (DR) management for electricity users in a smart distribution system using a digital platform that controls user loads in real-time. The control mechanism is integrated across multiple energy management levels. The system operation combines power flow analysis with a sensitivity index-based load shedding analysis to identify optimal load reduction points, aiming to minimize power losses under predefined constraints. The proposed method is tested on the IEEE 33-bus distribution system. The results demonstrate the effectiveness of the proposed approach in reducing energy losses, thereby enhancing the overall power delivery efficiency of the electrical system.

Keywords: Smart Grid, demand response, demand side management, energy management

1. บทนำ

ระบบจำหน่ายไฟฟ้ากำลังเผชิญกับความท้าทายที่ซับซ้อนขึ้นจากปัจจัยต่าง ๆ เช่น การเพิ่มขึ้นของความต้องการใช้พลังงาน ความไม่แน่นอนของแหล่งพลังงาน ระบบจำหน่ายไฟฟ้าอัจฉริยะจึงถูกพัฒนาขึ้นโดยนำเทคโนโลยีดิจิทัล มาใช้เพื่อบริหารจัดการและควบคุมระบบแบบอัตโนมัติในหลายประเด็นช่วยให้ระบบไฟฟ้ามีความคล่องตัว เชื่อถือได้ ปลอดภัย และมีประสิทธิภาพมากยิ่งขึ้น การนำแนวคิดการตอบสนองด้านผู้ใช้ไฟฟ้า (Demand Response: DR) มาควบคุมการใช้พลังงานไฟฟ้า โดยปิดหรือลดการทำงานชั่วคราวของอุปกรณ์ เช่น เครื่องปรับอากาศ ปั๊มน้ำ และเครื่องทำความร้อนแทนระบบ DR แบบเดิม ระบบการจัดการพลังงานจึงมีบทบาทสำคัญเพิ่มมากขึ้น รูปแบบการตอบสนองความต้องการใช้ไฟฟ้าสามารถแบ่งออกได้เป็น 2 ลักษณะ [1, 2] คือ การตอบสนองความต้องการใช้ไฟฟ้าแบบสถิต (Static Demand Response: SDR) ซึ่งเป็นการกำหนดตารางเวลาและรูปแบบการลดโหลดไว้ล่วงหน้าโดยอิงตามพฤติกรรมเดิมของผู้ใช้ไฟฟ้า และจะดำเนินการลดโหลดตามแผนที่กำหนดไว้ โดยไม่คำนึงถึงสภาวะของระบบในขณะนั้น ซึ่งเหมาะกับสถานการณ์ที่คาดการณ์ได้ แต่มีความยืดหยุ่นน้อยและไม่สามารถปรับตามเวลาจริง และการตอบสนองความต้องการใช้ไฟฟ้าแบบพลวัต (Dynamic Demand Response: DDR) เป็นการตอบสนองโหลดแบบทันทีโดยอิงจากสภาวะจริงของระบบไฟฟ้า เช่น ความต้องการใช้พลังงานที่สูงขึ้น ความเสี่ยงที่อาจส่งผลต่อความมั่นคงของระบบ โดยระบบจะใช้ข้อมูลจากระบบวัดและวิเคราะห์ตามเวลาจริง เพื่อออกคำสั่งลดโหลดเฉพาะช่วงเวลาที่จำเป็น ทำให้สามารถเพิ่มประสิทธิภาพและความยืดหยุ่นในการควบคุมระบบจำหน่ายไฟฟ้าได้ดียิ่งขึ้น การตอบสนองความต้องการใช้ไฟฟ้าสามารถแบ่งระดับการควบคุมการตัดโหลดในระบบจำหน่ายไฟฟ้า ได้แก่ Manual DR การแจ้งเตือนให้ผู้ใช้ลดโหลดด้วยตนเอง Semi-Automated DR การสั่งลดโหลดผ่านระบบจัดการพลังงานโดยผู้ใช้ต้องยืนยันก่อนและ Fully-Automated DR เป็นระบบลดโหลดอัตโนมัติตามคำสั่งที่ได้รับโดยไม่ต้องอาศัยการตอบรับจากผู้ใช้ไฟฟ้า ซึ่งกล่าวถึงเพิ่มใน [3, 4, 5] ระบบบริหารจัดการพลังงานของการไฟฟ้า (Utility Energy Management System: UEMS) และระบบบริหารจัดการพลังงานไฟฟ้า (Energy Management System: EMS) ของผู้ใช้ไฟฟ้าอีกหลายระดับ ได้แก่ ระบบบริหารจัดการพลังงานภายในที่อยู่อาศัย (Home Energy Management System: HEMS) ระบบบริหารจัดการพลังงานในอาคารพาณิชย์ (Building Energy Management System: BEMS) และระบบบริหารจัดการพลังงานในโรงงานอุตสาหกรรม (Factory Energy Management System: FEMS) โดยการบูรณาการระบบเหล่านี้จะช่วยให้สามารถควบคุมโหลดได้อย่างมีประสิทธิภาพ ตอบสนองต่อความต้องการของระบบไฟฟ้าในอนาคต

ดังนั้นบทความฉบับนี้จะได้นำเสนอแนวการจัดการการตอบสนองความต้องการใช้ไฟฟ้าของผู้ใช้ในอนาคตแบบพลวัต โดยการนำดิจิทัลแพลตฟอร์มเข้ามาใช้ควบคุมและบริหารจัดการควบคุมโหลด โดยเนื้อในบทความประกอบด้วย EMS การตอบสนองความต้องการทางด้านโหลด ความสัมพันธ์ของ EMS กับ DRR การทำงานของ UEMS จะกล่าวถึงในหัวข้อที่ 2 การคำนวณเชิงวิศวกรรมกล่าวถึงในหัวข้อที่ 3 ข้อมูลระบบทดสอบและผลการคำนวณกล่าวในหัวข้อที่ 4 และ 5 ตามลำดับ ผลที่ได้จากบทความจะสรุปในหัวข้อที่ 6

2. เนื้อหาที่เกี่ยวข้อง

2.1 ระบบจัดการพลังงาน

ระบบจัดการพลังงานสามารถจำแนกตามประเภทผู้ใช้ ได้แก่

2.2.1 HEMS มุ่งจัดการการใช้พลังงานของอุปกรณ์ไฟฟ้าในที่อยู่อาศัย

*ผู้ประพันธ์บรรณกิจ

2.2.2 BEMS เป็นระบบที่มีการวัดข้อมูลการใช้ไฟฟ้าภายในอาคาร เช่น ระบบแสงสว่าง เครื่องปรับอากาศ ลิฟต์ หรือระบบผลิตพลังงาน เพื่อวิเคราะห์และจัดสรรการใช้พลังงานอย่างเหมาะสม โดยมีเป้าหมายหลักคือการประหยัดพลังงานและลดค่าไฟฟ้า

2.2.3 FEMS เป็นระบบที่สามารถวิเคราะห์การใช้พลังงานของเครื่องจักรในโรงงานอุตสาหกรรม โดยใช้ระบบประมวลผลเพื่อควบคุมการทำงานหรือปรับปรุงคุณภาพการใช้พลังงานให้ดียิ่งขึ้น และลดต้นทุนด้านพลังงาน

2.2.4 UEMS เป็นระบบควบคุมและวิเคราะห์การจัดการพลังงานในระดับของการไฟฟ้าจึงมีขอบเขตและระดับการควบคุมที่กว้างและซับซ้อนกว่า HEMS, BEMS และ FEMS ในบทความนี้ UEMS จะหมายถึง EMS ที่ดำเนินการโครงการโดยการไฟฟ้าฝ่ายจำหน่าย

2.1 การตอบสนองความต้องการทางด้านโหลด

ในความหมายปัจจุบันหมายถึงกลไกการควบคุมโหลดที่มุ่งเน้นให้ผู้ใช้ไฟฟ้าปรับเปลี่ยนพฤติกรรมการใช้พลังงานในช่วงเวลาที่ระบบผลิตไฟฟ้ามีความเสี่ยงต่อปัญหาความมั่นคงของระบบ โดยมีการจูงใจด้วยค่าตอบแทนหรือสิทธิประโยชน์เพื่อให้ผู้ใช้ไฟฟ้าตอบสนองด้วยการลดการใช้พลังงานในระบบแสงสว่าง ระบบปรับอากาศ หรือลดโหลดโดยการสลับไปใช้เครื่องกำเนิดไฟฟ้าสำรอง ทั้งนี้การดำเนินการ DDR จะเกิดขึ้นเฉพาะในช่วงเวลาที่ได้รับคำร้องขอจากการไฟฟ้าฝ่ายผลิตด้านการผลิตหรือผู้ควบคุมระบบไฟฟ้า ซึ่งแตกต่างจากมาตรการประหยัดพลังงานทั่วไปที่ยังคงมีการใช้พลังงานต่อเนื่องอย่างมีประสิทธิภาพ การดำเนินการ DR ในระบบจำหน่ายสามารถแบ่งออกเป็น 3 รูปแบบหลัก ตามระดับของการทำงานอัตโนมัติ ได้แก่

2.3.1 Manual DR เป็นระดับที่การไฟฟ้าส่งคำสั่งลดโหลดไปยังผู้ใช้ไฟฟ้าผ่านช่องทางสื่อสารโดยผู้ใช้ไฟฟ้าปลายทางจะต้องดำเนินการลดโหลดด้วยตนเอง

2.3.2 Semi-Automated DR เป็นระดับที่การไฟฟ้าส่งคำสั่งลดโหลดไปยังระบบควบคุมของผู้ใช้ไฟฟ้าโดยผู้ใช้ไฟฟ้าต้องทำการยืนยันหรืออนุมัติคำสั่งก่อนที่ระบบจะลดโหลดตามค่าที่ตั้งไว้ล่วงหน้า

2.3.3 Fully-Automated DR เป็นระดับอัตโนมัติโดยไม่ต้องอาศัยการตอบรับจากผู้ใช้ไฟฟ้า กระบวนการเริ่มจากศูนย์ควบคุมหลักตรวจพบปัญหาโหลดเกินหรือกำลังการผลิตไฟฟ้าไม่เพียงพอแล้วทำการส่งคำสั่งลดโหลดไปยังระบบ UEMS เพื่อสั่งลดโหลดของกลุ่มผู้ใช้ไฟฟ้า เช่น ที่อยู่อาศัย อาคารพาณิชย์ และโรงงานอุตสาหกรรม ในแต่ละวงจรแล้ว UEMS จะส่งคำสั่งและรวบรวมผลกลับสู่ศูนย์ควบคุม เพื่อประเมินผลและสั่งการเพิ่มเติมหากจำเป็น

กลไกลการทำงานของ DDR จากไดอะแกรมในรูปที่ 1 นั้น เมื่อการไฟฟ้าฝ่ายผลิตซึ่งเป็นศูนย์ควบคุมหลักจะทำหน้าที่เฝ้าระวังและตรวจสอบข้อมูลโหลดตามเวลาจริงหากตรวจพบความเสี่ยง ศูนย์ควบคุมจะออกคำสั่งลดโหลดส่งไปยังการไฟฟ้าฝ่ายจำหน่ายซึ่งมีหน่วยควบคุมย่อยในแต่ละภูมิภาค เพื่อให้ดำเนินการลดโหลดในพื้นที่ที่รับผิดชอบอย่างเหมาะสมและรวดเร็วเมื่อได้รับคำสั่ง การไฟฟ้าฝ่ายจำหน่ายจะเริ่มกระบวนการวิเคราะห์การไหลของกำลังไฟฟ้าและคำนวณค่าดัชนีความไวของการตัดโหลดเพื่อระบุว่าบัสใดมีผลต่อกำลังไฟฟ้าสูญเสียน้อยที่สุด จากนั้นจึงทำการเรียงลำดับค่าดัชนีความไวของการตัดโหลดแต่ละบัส และเลือกบัสที่มีค่าดัชนีความไวของการตัดโหลดสูงสุดเป็นเป้าหมายในการลดโหลด โดยพิจารณาร่วมกับปริมาณโหลด ความสำคัญของผู้ใช้ และศักยภาพในการตอบสนองหลังจากนั้นคำสั่งลดโหลดจะถูกส่งต่อไปยัง UEMS ซึ่งจะกระจายคำสั่งต่อไปยัง Feeder แต่ละวงจรที่เชื่อมต่อกับกลุ่มผู้ใช้ไฟฟ้าในพื้นที่รับผิดชอบ Feeder จะทำหน้าที่ส่งคำสั่งไปยัง EMS ในระดับผู้ใช้ได้แก่ HEMS, BEMS และ FEMS ซึ่งระบบเหล่านี้จะควบคุมอุปกรณ์ไฟฟ้าภายในของผู้ใช้ให้ลดโหลดลงตามคำสั่ง เช่น ปิดเครื่องปรับอากาศ ลดการใช้แสงสว่าง ลดการทำงานของเครื่องจักร เมื่อผู้ใช้ไฟฟ้าดำเนินการลดโหลดเสร็จสิ้น Feeder จะรวบรวมข้อมูลผลการลดโหลดที่เกิดขึ้นจริงส่งกลับไปยังการไฟฟ้าฝ่ายจำหน่ายและต่อไปยังศูนย์ควบคุมหลักของการไฟฟ้าฝ่ายผลิตเพื่อตรวจสอบว่าเป้าหมายในการลดโหลดบรรลุผลหรือไม่ หากยังไม่เพียงพอ ระบบอาจออกคำสั่งเพิ่มเติมเพื่อให้สามารถควบคุมโหลดได้ตามแผนที่กำหนดไว้

2.2 ความสัมพันธ์ของ EMS กับ DDR

ในอดีตระบบ EMS ถูกออกแบบเพื่อให้ผู้ใช้ไฟแต่ละประเภทจัดการพลังงานภายในองค์กร โดยยังไม่มีการเชื่อมต่อกับระบบ DDR ของการไฟฟ้า ในอนาคตระบบ HEMS, BEMS และ FEMS จะทำหน้าที่เป็นตัวกลางเชื่อมต่อคำสั่งลดโหลดจากระบบ UEMS ไปยังผู้ใช้ไฟฟ้าได้แบบอัตโนมัติ

2.3 การทำงานของ UEMS

ในบทความนี้หมายถึง UEMS ของการไฟฟ้าฝ่ายจำหน่ายที่ใช้เพื่อวางแผน วิเคราะห์ และควบคุมการใช้พลังงานในระบบจำหน่ายอย่างมีประสิทธิภาพ โดยมีการสื่อสารข้อมูลผ่านระบบ SCADA ระบบพยากรณ์โหลด ระบบประเมินโหลดภายใต้โครงการ DDR ระบบพลังงานหมุนเวียน และตลาดซื้อขายไฟฟ้า UEMS มีบทบาทสำคัญ ดังแสดงในรูปที่ 1

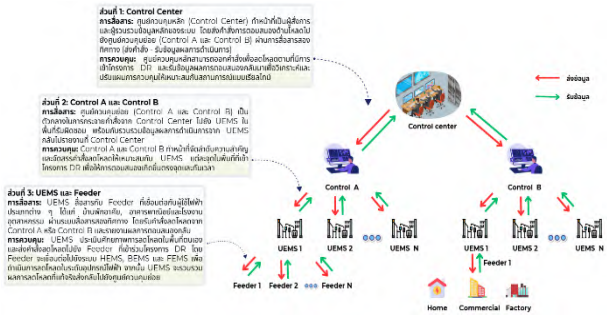

รูปที่ 1 ระบบ UEMS ของการไฟฟ้าฝ่ายจำหน่าย

3. การคำนวณที่เกี่ยวข้อง

3.1 การวิเคราะห์การไหลของกำลังไฟฟ้า

UEMS จะใช้การคำนวณการไหลของกำลังไฟฟ้าเพื่อลดค่ากำลังไฟฟ้าสูญเสียของโครงการ DDR ที่มีต่อประสิทธิภาพพลังงานในระบบโดยจะใช้ข้อมูลกำลังไฟฟ้าที่บัส (bus data) และข้อมูลสายป้อน (line data) ในการคำนวณหา $|V|$ และ $\angle\delta$ ทุกบัสเพื่อนำไปคำนวณผลการไหลของกำลังไฟฟ้าและกำลังไฟฟ้าสูญเสีย การคำนวณกำลังไฟฟ้าสูญเสียตามสมการที่ (1) [6] และคำนวณพลังงานสูญเสียตามสามการที่ (2)

$$P_{loss} = \sum_{(i,j)\in Lines} G_{ij}(V_i + V_j - 2V_iV_j\cos(\delta_i - \delta_j)) \quad (1)$$

$$E_{loss} = \sum_{t=1}(P^t_{loss}) \times \Delta t \quad (2)$$

เมื่อ P_{loss} คือ กำลังไฟฟ้าสูญเสียรวมของระบบ

E_{loss} คือ พลังงานไฟฟ้าสูญเสียรวมของระบบ

i, j คือ สายส่งระหว่างบัส i และ j

V_i, V_j คือ แรงดันของบัส i และ j

δ_i, δ_j คือ มุมเฟสของแรงดันที่บัส i และ j

G_{ij} คือ ความนำของสายส่งระหว่างบัส i และ j

Δt คือ ระยะเวลาช่วงการคำนวณโหลด

3.2 การคำนวณค่าดัชนีความไวของการตัดโหลด

ค่าดัชนีความไวของการตัดโหลด (S_i) ต่อกำลังไฟฟ้าสูญเสียของระบบแสดงได้ดังสมการที่ (3)

$$S_i = \frac{\Delta P^t_{loss}}{\Delta P_{load,i}} = \frac{P^t_{loss,base} - P^t_{loss,new}}{\Delta P_{load,i}} \quad (3)$$

UEMS จะใช้ค่าดัชนีนี้ในการประเมินการตัดโหลดในโครงการ DDR เพื่อให้พลังงานไฟฟ้าสูญเสียที่เกิดขึ้นมีค่าต่ำที่สุด

3.3 กลไกล DDR

หลักการลดกำลังไฟฟ้าในโครงการ DDR เมื่อมีการร้องขอจากการไฟฟ้าฝ่ายผลิตมายังการไฟฟ้าฝ่ายจำหน่ายเพื่อลดโหลดและ UEMS จะหาบัสที่เหมาะสมที่สุดที่สามารถลดกำลังไฟฟ้าลงได้แล้วทำให้กำลังสูญเสียในระบบน้อยที่สุด โดยสามารถที่จะเขียนเป็นปัญหา Optimization ได้ดังสมการที่ (4)

$$\text{Min } P_{loss} = \sum_{i=1}^{n} (\Delta P_{load,i})(S_{loss_i}) \quad (4)$$

เมื่อ P_{loss} คือ กำลังไฟฟ้าสูญเสียรวมในระบบ

$\Delta P_{load,i}$ คือ กำลังไฟฟ้าที่ต้องการลดลงของบัส i

S_{loss_i} คือ ค่าความไวของกำลังสูญเสียต่อโหลดที่บัส i

ภายใต้เงื่อนไขข้อกำจัด ดังนี้

1. ข้อจำกัดการลดโหลด (Load Shedding Limits)

$$\Delta P_{load,i} < \beta_{i,t} P_{load,base,i} \quad i = 2,...,33 \quad (5)$$

β_i คือ สัมประสิทธิ์จำกัดการลดโหลด ณ บัส i

2. ข้อจำกัดกำลังไฟฟ้ารวม

$$\sum_{i=1}^{n} (\Delta P_{load,i}) = P_{cut} \quad (6)$$

P_{cut} คือ กำลังไฟฟ้ารวมที่ต้องตัด

4. ข้อมูลระบบทดสอบ

4.1 ระบบจำหน่ายไฟฟ้า

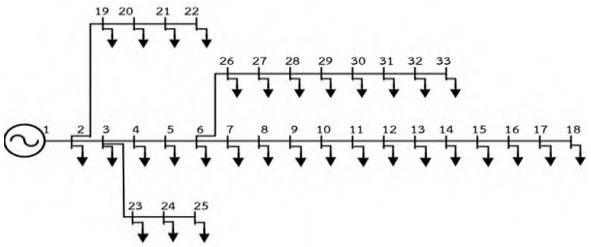

รูปที่ 2 ไดอะแกรมระบบจำหน่ายเรเดียล IEEE 33 บัส [7]

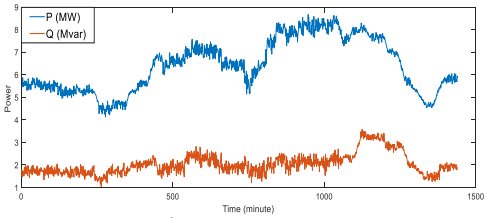

รูปที่ 3 ข้อมูลโหลดรายนาที

- ไดอะแกรมระบบจำหน่าย 33 บัส แสดงได้ดังรูปที่ 2
- ข้อมูลโหลดรายนาที แสดงได้ดังรูปที่ 3
- ข้อมูลโหลดในโครงการ DDR แสดงได้ดังรูปที่ 4

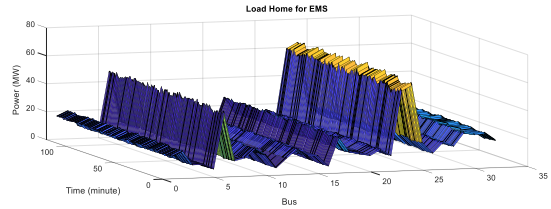

(ก)

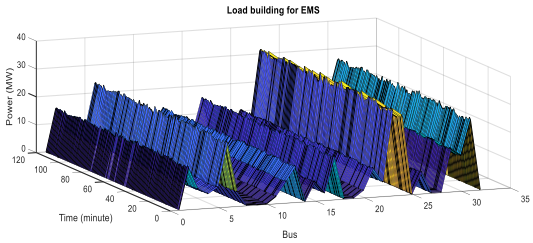

(ข)

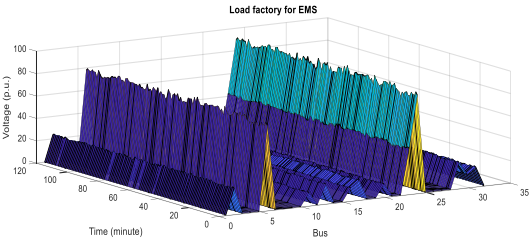

(ค)

รูปที่ 4 (ก) โหลดที่อยู่อาศัยของ HEMS ที่เข้าร่วมโครงการ DDR
(ข) โหลดอาคารพาณิชย์ของ BEMS ที่เข้าร่วมโครงการ DDR
(ค) โหลดโรงงานอุตสาหกรรมของ FEMS ที่เข้าร่วมโครงการ DDR

ในไดอะแกรมรูปที่ 2 เป็นการกระจายแต่ละบัสตามสัดส่วนที่กำหนดโดยแบ่งเป็นโหลดที่อยู่อาศัย โหลดอาคารพาณิชย์ และโหลดโรงงานอุตสาหกรรมซึ่งใช้เป็นฐานข้อมูลในการดำเนินการ DDR ในรูปที่ 3 แสดงโหลดโปรไฟล์ของระบบไฟฟ้าโดยเป็นค่าโหลดรวมของกำลังไฟฟ้าจริงและกำลังไฟฟ้ารีแอคทีฟตลอดช่วงเวลาทดลอง ทั้งนี้เพื่อใช้เป็นข้อมูลพื้นฐานสำหรับการวิเคราะห์การไหลของกำลังไฟฟ้าและการกำหนดจุดเหมาะสมในการลดโหลด ในรูปที่ 4 แสดงโหลดที่อยู่อาศัย อาคารพานิชย์และโรงงานอุตสาหกรรมที่เข้าร่วมโครงการ DDR ซึ่งเป็นโหลดที่สามารถควบคุมและตัดได้ โดยแสดงให้เห็นพฤติกรรมการใช้พลังงานของผู้ใช้ไฟฟ้าที่เข้าร่วมโครงการในช่วงเวลา 15.00-17.00 น.

5. ผลการคำนวณ

- การคำนวณดัชนีความไวของการตัดโหลด

ตารางที่ 1 ค่าความไวเมื่อลดโหลด 10- 60 kW (บัส2-33)

Bus Number	Sensitivity					
	10 kW	20 kW	30 kW	40 kW	50 kW	60 kW
2	0.0100	0.0100	0.0100	0.0100	0.0100	0.0100

Bus Number	Sensitivity					
	10 kW	20 kW	30 kW	40 kW	50 kW	60 kW
3	0.0600	0.0600	0.0600	0.0600	0.0600	0.0600
4	0.0900	0.0900	0.0900	0.0925	0.0920	0.0917
5	0.1200	0.1250	0.1233	0.1225	0.1220	0.1233
6	0.2000	0.2000	0.1967	0.1950	0.1960	0.1950
7	0.2100	0.2100	0.2100	0.2100	0.2080	0.2083
8	0.2400	0.2450	0.2400	0.2400	0.2380	0.2383
9	0.2700	0.2750	0.2733	0.2725	0.2720	0.2700
10	0.3000	0.3000	0.2967	0.2975	0.2960	0.2967
11	0.3100	0.3150	0.3133	0.3125	0.3100	0.3100
12	0.3400	0.3400	0.3333	0.3350	0.3320	0.3317
13	0.3800	0.3900	0.3800	0.3800	0.3760	0.3750
14	0.3900	0.3950	0.3900	0.3875	0.3860	0.3833
15	0.4400	0.4350	0.4333	0.4325	0.4300	0.4267
16	0.4000	0.4000	0.3967	0.3950	0.3940	0.3933
17	0.4200	0.4200	0.4167	0.4150	0.4120	0.4100
18	0.4400	0.4350	0.4333	0.4325	0.4280	0.4250
19	0.0100	0.0150	0.0133	0.0125	0.0120	0.0133
20	0.0200	0.0200	0.0200	0.0200	0.0200	0.0200
21	0.0200	0.0200	0.0200	0.0200	0.0200	0.0200
22	0.0200	0.0200	0.0200	0.0200	0.0200	0.0200
23	0.0800	0.0750	0.0767	0.0750	0.0740	0.0750
24	0.1000	0.1050	0.1033	0.1025	0.1020	0.1017
25	0.1200	0.1200	0.1167	0.1175	0.1160	0.1150
26	0.2000	0.2000	0.2000	0.2000	0.1980	0.1983
27	0.2100	0.2100	0.2100	0.2100	0.2080	0.2067
28	0.2400	0.2350	0.2367	0.2375	0.2360	0.2350
29	0.2700	0.2700	0.2633	0.2675	0.2640	0.2633
30	0.2900	0.2900	0.2833	0.2850	0.2840	0.2817
31	0.3100	0.3100	0.3033	0.3025	0.3020	0.3017
32	0.3100	0.3150	0.3067	0.3075	0.3040	0.3033
33	0.3100	0.3150	0.3100	0.3075	0.3080	0.3067

ในรูปที่ 5 แสดงค่าดัชนีความไวของการตัดโหลดแต่ละบัสในระบบจำหน่ายไฟฟ้า IEEE 33 บัส โดยค่าดัชนีนี้ใช้เพื่อประเมินผลกระทบของการลดโหลดในแต่ละตำแหน่งต่อปริมาณพลังงานสูญเสียในระบบ ซึ่งค่าดัชนีที่สูงกว่าจะบ่งชี้ว่าการลดโหลดที่บัสนั้นจะส่งผลต่อการลดกำลังไฟฟ้าสูญเสียได้มากกว่าผลการวิเคราะห์นี้ยืนยันว่าการใช้ค่าดัชนีความไวของการตัดโหลดเป็นเครื่องมือในการเลือกจุดลดโหลดในระบบ DDR แบบอัตโนมัติ ที่เชื่อมโยงกับระบบ UEMS สามารถช่วยให้การจัดการโหลดมีประสิทธิภาพสูงสุด ทั้งในแง่ของการลดพลังงานสูญเสียและการรักษาเสถียรภาพของระบบ

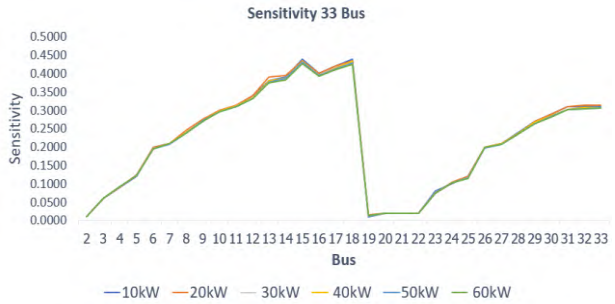

รูปที่ 5 ค่าดัชนีความไวของการตัดโหลดเมื่อลดโหลด 10-60 kW

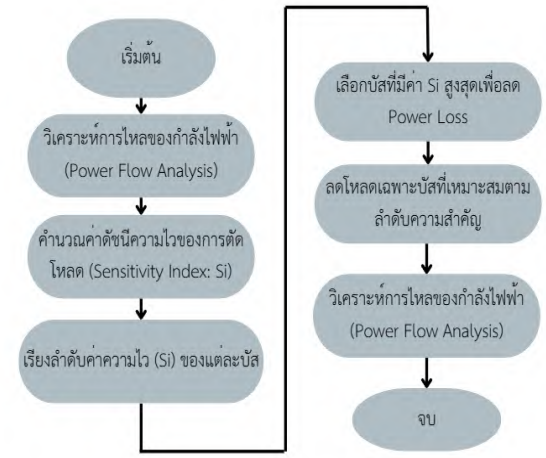

รูปที่ 6 ไดอะแกรมการวิเคราะห์และเลือกจุดตัดโหลดเพื่อลดกำลังไฟฟ้าสูญเสียในระบบจำหน่ายไฟฟ้า

ในรูปที่ 6 เป็นขั้นตอนการดำเนินการใน UEMS เพื่อให้บรรลุตามวัตถุประสงค์ตามหัวข้อ 2.3 เมื่อ UEMS ได้รับคำสั่งให้ลดโหลดใน feeder แล้ว UEMS จะดำเนินการตามขั้นตอนนี้

- การจำลองจะดำเนินการอยู่ในช่วงเวลา 15.00-17.00 น. โดยเงื่อนไขการจำลองแบ่งเป็น 3 กรณี

Case#1 กรณีฐานที่ไม่มีคำสั่งลดโหลด

Case#2 กรณีลดโหลด 500 kW แบบเลือกตัดโหลดตามลำดับโหลดที่มีขนาดใหญ่

Case#3 กรณีลดโหลด 500 kW แบบ DDR

Case#1 กรณีฐานที่ไม่มีคำสั่งลดโหลด เป็นกรณีที่ไม่มีการตัดโหลดใช้เพื่อเปรียบเทียบกับ Case#2 และ Case#3

- ผลการจำลองพลังงานไฟฟ้าสูญเสียกรณีฐานที่ไม่มีคำสั่งลดโหลดค่าเท่ากับ 3181.02 kWh

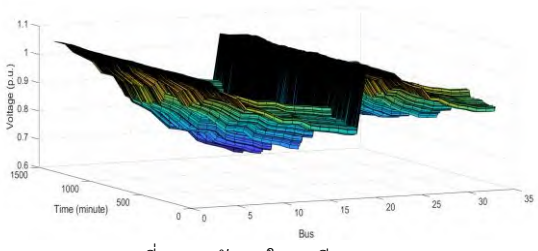

รูปที่ 7 แรงดันพบในกรณีฐาน

Case#2 กรณีลดโหลด 500 kW แบบเลือกตัดโหลดตามลำดับของโหลดใน UEMS ที่มีขนาดใหญ่เพื่อไม่ให้เกิดผลกระทบต่อผู้ใช้ไฟฟ้าจำนวนมาก

- ผลการจำลองพลังงานไฟฟ้าสูญเสียกรณีลดโหลด 500 kW แบบเลือกตัดโหลดตามลำดับโหลดที่มีขนาดใหญ่ โดยการลดโหลดบัสที่มีโหลดโรงงานอุตสาหกรรมและอาคารพาณิชย์มากก่อนโดยไม่คำนึงถึงค่ากำลังไฟฟ้าสูญเสียคือ bus 24 25 และปริมาณการลดโหลด 250, 250 kW ตามลำดับ พลังงานไฟฟ้าสูญเสียมีค่าเท่ากับ 2962.02 kWh

Case#3 กรณีลดโหลด 500 kW แบบ DDR โดยการตัดโหลดตามกลไกล DDR ตามปัญหา Optimization ในสมการที่ (4)

- ผลการจำลองพลังงานไฟฟ้าสูญเสียกรณีลดโหลด 500 kW แบบ DDR โดยลดโหลด bus ที่มีค่ากำลังไฟฟ้าสูญเสียต่ำที่สุดคือ bus 15 17 18 และปริมาณการลดโหลด 73.42, 96.61, 329.97 kW ตามลำดับ พลังงานไฟฟ้าสูญเสียมีค่าเท่ากับ 2318.74 kWh

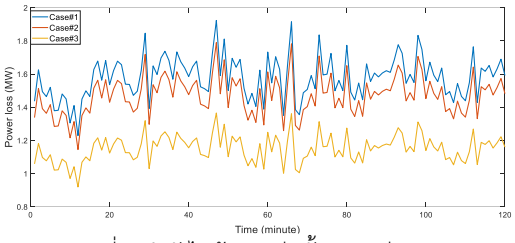

รูปที่ 8 กำลังไฟฟ้าสูญเสียทั้ง 3 กรณี

6. สรุป

จากผลการจำลองทั้ง 3 กรณี พบว่าในกรณีฐานที่ไม่มีการลดโหลด ระบบมีพลังงานไฟฟ้าสูญเสีย 3181.02 kWh ขณะที่กรณีการลดโหลด 500 kW โดยเลือกตัดโหลดตามลำดับของโหลดที่มีขนาดใหญ่สามารถลดพลังงานไฟฟ้าสูญเสียลงเหลือ 2962.02 kWh หรือคิดเป็นการลดลง 6.88% อย่างไรก็ตาม กรณีที่สามซึ่งดำเนินการลดโหลด 500 kW โดยอิงตาม ค่าดัชนีความไวของการตัดโหลดให้ผลลัพธ์ที่ดีที่สุด โดยสามารถลดพลังงานไฟฟ้าสูญเสียลงเหลือเพียง 2318.74 kWh หรือคิดเป็นการลดลง 27.12% ผลการศึกษานี้แสดงให้เห็นอย่างชัดเจนว่า การใช้ค่าดัชนีความไวของการตัดโหลดเป็นเกณฑ์ในการเลือกตำแหน่งบัสสำหรับการลดโหลด ช่วยเพิ่มประสิทธิภาพในการลดการสูญเสียพลังงานในระบบจำหน่ายไฟฟ้าได้ดีกว่าวิธีการที่ 1 และ 2 ที่อิงจากขนาดโหลดเพียงอย่างเดียว บทความนี้จึงสะท้อนให้เห็นถึงศักยภาพของการบูรณาการ การวิเคราะห์การไหลของกำลังไฟฟ้าและการวิเคราะห์ค่าความไวในการออกแบบมาตรการการตอบสนองผู้ใช้ไฟฟ้าที่แม่นยำและมีประสิทธิภาพ ซึ่งสามารถนำไปประยุกต์ใช้จริงเพื่อยกระดับระบบจำหน่ายไฟฟ้าในอนาคตได้อย่างมีประสิทธิภาพ

เอกสารอ้างอิง

[1] M. Shariatzadeh, P. Mandal, and A. Srivastava, "A review of demand response techniques in smart grids," 2015 IEEE Power & Energy Society Innovative Smart Grid Technologies Conference (ISGT), Washington, DC, USA, 2015.

[2] T. Q. Péan, J. Salpakari, J. Kiviluoma, and S. Cao, "A dynamic simulation tool for estimating demand response potential from residential loads," *Energy and Buildings*, vol. 257, p. 111801, 2022.

[3] Q. Ibrahim, R. Akbarzadeh, T.-C. Jen, and D. M. Madyira, "Case study and energy analysis of power system management of confectionery factory in Jordan," in *Proc. 2019 Int. Conf. Power Generation Syst. Renewable Energy Technol. (PGSRET)*, Johannesburg, South Africa, Aug. 2019, pp. 410–414.

[4] M. A. Piette, O. Sezgen, D. S. Watson, N. Motegi, C. Shockman, and L. ten Hope, "Development and Evaluation of Fully Automated Demand Response in Large Facilities," California Energy Commission, Public Interest Energy Research (PIER) Program, CEC-500-2005-013, Jan. 2005.

[5] P. Sonsaard, "Business Solution for Demand Response in Thailand Grid Modernization Development," Ph.D. dissertation, School of Renewable Energy and Smart Grid Technology, Naresuan University, Phitsanulok, Thailand, 2021.

[6] S. M. M. El-Hawary, "Optimal Reactive Power Planning and Compensation Effects on Transmission Loss Components," *International Journal of Electrical Power & Energy Systems*, vol. 24, no. 9, pp. 701–709, Nov. 2002.

[7] V. Vita, "Development of a decision-making algorithm for the optimum size and placement of distributed generation units in distribution networks," *Energies*, vol. 10, no. 9, Art. no. 1433, Sep. 2017.

ศักรินทร์ รักษาศรี สำเร็จการศึกษาระดับปริญญาตรี วศ.บ. (ไฟฟ้า) จากมหาวิทยาลัยอุบลราชธานี เมื่อปี พ.ศ. 2559 ปัจจุบันดำรงตำแหน่งผู้ช่วยหัวหน้าแผนกการไฟฟ้าส่วนภูมิภาคและกำลังศึกษาต่อระดับปริญญาโท ที่มหาวิทยาลัยอุบลราชธานี

ผศ.ดร.คมสันต์ ดาโรจน์ สำเร็จการศึกษาระดับปริญญาตรี (ไฟฟ้า) เมื่อปี พ.ศ. 2535 ปริญญาโท เมื่อปี(ไฟฟ้า) พ.ศ. 2541 และปริญญาเอก (ไฟฟ้า) จากจุฬาลงกรณ์มหาวิทยาลัย เมื่อปี พ.ศ. 2549 ปัจจุบันดำรงตำแหน่งอาจารย์ มหาวิทยาลัยอุบลราชธานี

ข้อพิจารณามาตรการปรับปรุงตัวประกอบกำลังไฟฟ้าในโรงงานอุตสาหกรรมที่มีการใช้ไฟฟ้าผันผวนสูง : กรณีศึกษาโรงสีข้าว

Considerations for Power Factor Correction Measures in Factory of High Uncertain Load : Case Study of a Rice Mill

คมสันติ์ ดาโรจน์

ภาควิชาวิศวกรรมไฟฟ้าและอิเล็กทรอนิกส์ คณะวิศวกรรมศาสตร์ มหาวิทยาลัยอุบลราชธานี

บทคัดย่อ

มีคำถามจากผู้ประกอบการในอุตสาหกรรมเกษตร เช่น โรงสีข้าวที่มีความผันผวนการใช้ไฟฟ้าสูงอยู่บ่อยครั้งว่ามาตรการปรับปรุงตัวประกอบกำลังไฟฟ้าในโรงงานประเภทนี้ต้องมีประเด็นพิจารณาเพิ่มเติมจากโรงงานอุตสาหกรรมประเภทอื่นอย่างไร บทความนี้ได้เสนอแนวทางการประเมินอรรถประโยชน์ของการปรับปรุงตัวประกอบกำลังไฟฟ้าในโรงสีข้าว โดยคำนึงถึงพลังงานสูญเสียในขดลวดหม้อแปลงเพิ่มเติมจากวัตถุประสงค์การลดค่าปรับตัวประกอบกำลังไฟฟ้า โดยใช้โรงสีข้าวแห่งหนึ่งที่มีข้อมูลการใช้พลังงานที่วัดจากมิเตอร์ TOU เป็นระบบทดสอบ ผลที่ได้พบว่าขนาดของตัวเก็บประจุที่เหมาะสมสำหรับโครงการลดค่าปรับตัวประกอบกำลังไฟฟ้าและอนุรักษ์พลังงานมีค่าต่างกัน แนวทางที่นำเสนอสามารถใช้เพื่อประเมินขนาดตัวเก็บประจุที่เหมาะสมต่อการลงทุนในโครงการปรับปรุงตัวประกอบกำลังไฟฟ้าและอนุรักษ์พลังงานได้อย่างเป็นรูปธรรม

คำสำคัญ: ตัวประกอบกำลังไฟฟ้า โรงสีข้าว ผลตอบแทนการลงทุน

Abstract

There are questions from operators in the agro-industrial sector, such as rice mills that frequently experience high fluctuations in electricity usage, regarding what additional considerations are required for power factor improvement measures in this type of factory compared to other types of industrial facilities. This paper proposed an approach for evaluating the utility of power factor improvement in rice mills, taking into account transformer winding losses in addition to the primary objective of reducing power factor penalty charges. A rice mill with electricity usage data measured by a TOU (Time-of-Use) meter is used as a test case. The obtained results indicated that the optimal capacitor size for a project aimed at reducing power factor penalties differs from that for energy conservation. The proposed approach can be practically applied to assess the appropriate capacitor size for investment in power factor improvement and energy conservation projects.

Keywords: Power factor, Rice mill factory, Return investment.

1. บทนำ

ไทยเป็นประเทศเกษตรกรรมที่มีการปลูกข้าวและส่งออกระดับต้นๆ ของโลก จาก [1] ได้รายงานว่าจำนวนโรงสีข้าวที่มีใบทะเบียน รง.4 ของกระทรวงอุตสาหกรรมเคยมีสูงถึง 30,000 โรง ขณะนี้มีจำนวนโรงสีที่การต่อทะเบียนตาม พ.ร.บ.ค้าข้าว 1,000 โรง แต่มีการประกอบธุรกิจจริงเพียงประมาณ 400 โรง กระจายตัวอยู่ทั่วประเทศโดยภาคตะวันออกเฉียงเหนือมีโรงสีข้าวประมาณ 343 แห่ง คิดเป็นสัดส่วนหนึ่งในสามของจำนวนโรงสีข้าวทั้งหมดในประเทศ

การปลูกข้าวในประเทศไทยสามารถดำเนินการได้ตลอดทั้งปีที่แบ่งเป็นในฤดูฝนและนอกฤดูฝน ขึ้นอยู่กับความพอเพียงของปริมาณน้ำ รวมถึงชนิดของพันธ์ข้าวที่ต้องใช้ในการเพาะปลูก ทำให้การใช้พลังงานเพื่อสีข้าวของโรงสีข้าวหลังการเก็บเกี่ยวขึ้นอยู่กับหลายปัจจัย เช่น ขนาดและประเภทของโรงสี ตำแหน่งที่ตั้ง ประเภทของการสีข้าว ความจำเป็นเร่งด่วนในการสีข้าวและระบายข้าว เป็นต้น ทำให้โรงสีขนาดเล็กและขนาดกลางหลายแห่งมีรูปแบบการใช้พลังงานไม่แน่นอน ส่งผลกระทบต่อมาตรการจัดการพลังงานและลดค่าไฟฟ้า

บทความนี้เสนอแนวทางการประเมินอรรถประโยชน์ของการปรับปรุงตัวประกอบกำลังไฟฟ้าในธุรกิจโรงสีข้าว โดยใช้ข้อมูลจากมิเตอร์ TOU ที่โรงสีลงทุนติดตั้งเอง เพื่อประเมินความคุ้มค่าของแต่ละรูปแบบการลงทุนที่ได้รับจากการลดพลังงานไฟฟ้าสูญเสียในหม้อแปลงจำหน่ายไฟฟ้าเพิ่มเติมจากการลดค่าปรับตัวประกอบกำลังไฟฟ้า

2. เนื้อหาที่เกี่ยวข้อง

2.1 ระบบมิเตอร์ TOU

ระบบมิเตอร์ TOU คือระบบมิเตอร์ดิจิตัลสำหรับวัดการใช้พลังงานไฟฟ้าที่สามารถบันทึกและเรียกดูข้อมูลย้อนหลังได้โดยการป้อนข้อมูลผู้ใช้งานและรหัสผ่าน โดยสถาปัตยกรรมของระบบสามารถแสดงได้ดังรูป

ในประเทศไทย การไฟฟ้าส่วนภูมิภาค (Provincial Electricity Authority; PEA) และ การไฟฟ้านครหลวง (Metropolitan Electricity Authority; MEA) เริ่มโครงการนำร่องลงทุนติดตั้งมิเตอร์ TOU สำหรับผู้ใช้ไฟขาดกลางและขนาดใหญ่บางราย ภายใต้โครงการระบบอ่านมิเตอร์อัตโนมัติ (Automatic Meter Reading; AMR) [2] ต่อมาภายหลังผู้ใช้ไฟฟ้าสามารถลงทุนระบบได้เองเพื่อที่จะใช้ข้อมูลโหลด พิจารณาการลงทุน

*คมสันติ์ ดาโรจน์ ภาควิชาวิศวกรรมไฟฟ้าและอิเล็กทรอนิกส์ คณะวิศวกรรมศาสตร์ มหาวิทยาลัยอุบลราชธานี

ในโครงการประหยัดพลังงาน ปรับปรุงตัวประกอบกำลังไฟฟ้า เปลี่ยนประเภทผู้ใช้ไฟฟ้า หรือติดตั้งระบบแผงเซลล์แสงอาทิตย์ เป็นต้น

ระบบนี้ทำงานร่วมกับระบบ AMR/AMI เพื่อให้สามารถดูข้อมูลผ่านเว็บไซต์ได้ และยังส่งเสริมให้ผู้ใช้ไฟฟ้าสามารถลงทุนติดตั้งระบบมิเตอร์ TOU หรือ AMR ได้เองภายในหน่วยงาน

2.2 อัตราค่าไฟฟ้า [3]

โรงสีข้าวกรณีศึกษา มีความต้องการพลังไฟฟ้าเฉลี่ยใน 15 นาทีสูงสุดตั้งแต่ 30 kW แต่ไม่ถึง 1,000 kW และมีปริมาณการใช้พลังงานไฟฟ้าเฉลี่ยไม่เกิน 250,000 หน่วยต่อเดือน เป็นประเภทกิจการขนาดกลาง มีอัตราค่าไฟฟ้าแบบ TOU ที่ระดับแรงดันไฟฟ้า 22 kV แยกเป็น

- ค่าความต้องการพลังไฟฟ้า 132.93 บาท/kW
- ค่าพลังงานไฟฟ้าช่วง Peak 3.7731 บาท/kWh
- ค่าพลังงานไฟฟ้าช่วง Off-Peak 2.2695 บาท/kWh
- ค่าปรับตัวประกอบกำลังไฟฟ้า 56.07 บาท/kVar ถ้าในเดือนนั้นมีค่าความต้องการพลังไฟฟ้ารีแอคตีฟเฉลี่ยใน 15 นาทีที่สูงสุดเกินกว่าร้อยละ 61.97 ของความต้องการพลังไฟฟ้าจริงเฉลี่ยใน 15 นาทีที่สูงสุด เมื่อคิดในหน่วยกิโลวัตต์แล้ว

3. รูปแบบการปรับปรุง P.F. [4] – [6]

การปรับปรุง P.F. ในโรงงานอตสาหกรรมมีประเด็นพิจารณา ดังนี้

3.1 รูปแบบการควบคุม

- **ไม่มีการควบคุม** หมายถึง การตั้งตัวเก็บประจุขนาดคงที่ค่าหนึ่งตลอดเวลาโดยไม่มีการปลดออก วิธีนี้มีต้นทุนต่ำเฉพาะค่าติดตั้งและค่าตัวเก็บประจุ มีวัตถุประสงค์เพื่อลดค่าปรับตัวประกอบกำลังไฟฟ้าแต่อาจทำให้พลังงานไฟฟ้าสูญเสียในหม้อแปลงเพิ่มขึ้นได้
- **ควบคุมบางช่วงเวลา** หมายถึง ติดตั้งตัวเก็บประจุขนาดคงที่ค่าหนึ่งแต่มีการควบคุมด้วยการสวิตช์ในช่วงเวลาทำงานและปลดออกเมื่อเลิกงาน วิธีนี้สามารถลดค่าปรับตัวประกอบกำลังไฟฟ้าและพลังงานไฟฟ้าสูญเสียในหม้อแปลงได้ แต่ใช้เงินลงทุนสูงกว่าแบบที่ไม่มีการควบคุม
- **ควบคุมแบบอัตโนมัติ** หมายถึง การลงทุนระบบ APFC (Automatic Power Factor Controller) ที่สามารถควบคุมการสวิตช์เลือกขนาดตัวเก็บประจุรวมที่เหมาะสมแบบอัตโนมัติตามการเปลี่ยนแปลงโหลด ทำให้สามารถลดพลังงานไฟฟ้าสูญเสียในหม้อแปลงลงได้มากกว่าวิธีอื่นแต่มีเงินลงทุนสูง

3.2 ตำแหน่งการติดตั้งตัวเก็บประจุ

- **ขั้วทุติยภูมิหม้อแปลง** นิยมติดตั้งด้วยตัวเก็บประจุขนาดคงที่ที่ไม่มีการควบคุม เน้นเพื่อลดค่าปรับตัวประกอบกำลังไฟฟ้า
- **ตู้ไฟหลัก (Main Distribution Board: MDB)** นิยมติดตั้งตัวเก็บประจุแบบสวิตช์เข้าระบบได้ในช่วงเวลาทำงานที่โหลดสูงและปลดออกหลังเลิกงาน วิธีนี้ยังคงเน้นเพื่อลดค่าปรับตัวประกอบกำลังไฟฟ้า
- **กลุ่มโหลด** นิยมติดตั้งตัวเก็บประจุที่กลุ่มโหลดประเภทมอเตอร์ที่ตู้ควบคุมมอเตอร์ (Motor Control Center: MCC) ด้วยระบบ APFC เพื่อให้ทำงานได้แบบอัตโนมัติตามการใช้ไฟฟ้าของมอเตอร์ วิธีนี้สามารถลดค่าปรับตัวประกอบกำลังไฟฟ้า ลดพลังงานไฟฟ้าสูญเสียในหม้อแปลงไฟฟ้าสายป้อนหลักและสายป้อนย่อยได้ แต่ลงทุนสูง

ตำแหน่งการติดตั้งทั้ง 3 รูปแบบ แสดงได้ดังรูปที่ 1

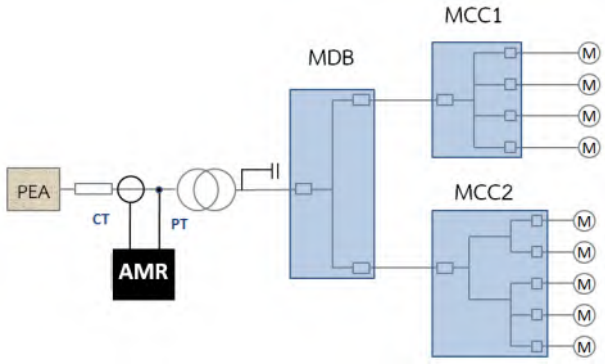

(ก)

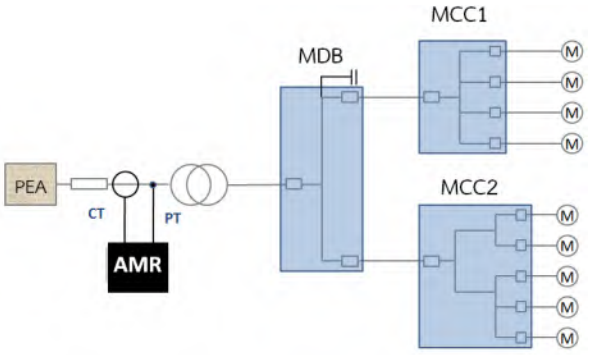

(ข)

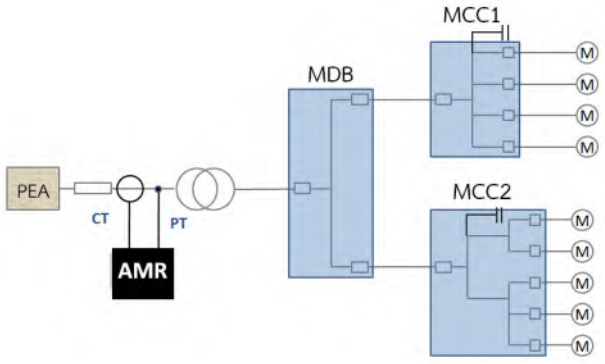

(ค)

รูปที่ 1 ตำแหน่งการติดตั้งตัวเก็บประจุ (ก) ขั้วทุติยภูมิของหม้อแปลง
(ข) ตู้ MDB
(ค) ตู้ MCC

4. การคำนวณ

4.1 การปรับปรุง P.F.

การปรับปรุงตัวประกอบกำลังไฟฟ้า ดำเนินการโดยติดตั้งตัวเก็บประจุเพื่อให้จ่ายกำลังไฟฟ้ารีแอคตีฟ Q_C ปริมาณดังสมการที่ (1)

$$Q_C = P\left(\tan\theta_2 - \tan\theta_1\right) \quad (1)$$

เพื่อปรับมุมตัวประกอบกำลังไฟฟ้าจาก $\theta_2 \rightarrow \theta_1$ เมื่อ P คือค่ากำลังไฟฟ้าจริงของโหลด ณ เวลานั้น ประโยชน์รูปธรรมที่ได้จากการลดกำลังไฟฟ้าสูญเสียในขดลวดของหม้อแปลงหลังการปรับปรุง P_{Cu}^{new} แสดงได้ดังสมการที่ (2)

$$P_{Cu}^{new} = P_{Cu}^{rated}\left(\frac{(P_T)^2+(Q_T-Q_C)^2}{(P_T)^2+(Q_T)^2}\right) \quad (2)$$

P_{Cu}^{rated}, P_T และ Q_T คือกำลังไฟฟ้าสูญเสียที่ขดลวดหม้อแปลงที่พิกัดกำลัง กำลังไฟฟ้าจริงและกำลังไฟฟ้ารีแอคตีฟที่ไหลผ่านหม้อแปลง ณ เวลานั้น ตามลำดับ ผลจาก (2) สามารถลดพลังไฟฟ้าสูงสุดลงเหลือดังสมการที่ (3)

$$P_d^{new} = P_d^{old} + P_{Cu,d}^{new} - P_{Cu,d}^{old} \quad (3)$$

$P_{Cu,d}^{old}$ และ $P_{Cu,d}^{new}$ คือกำลังไฟฟ้าสูญเสียในขดลวดหม้อแปลง ณ คาบเวลาที่เกิดพลังไฟฟ้าจริงสูงสุดของเดือนก่อนและหลังการปรับปรุง นอกจากนี้ยังสามารถลดค่าปรับตัวประกอบกำลังไฟฟ้าดังสมการที่ (4)

$$PF_{charged} = 56.07\times\left(Q_d - Q_C - 0.6197P_d^{new}\right) \quad (4)$$

P_d และ Q_d คือพลังไฟฟ้าจริงและรีแอคตีฟสูงสุดของเดือน

4.2 ค่าไฟฟ้า

จากอัตราค่าไฟฟ้าในหัวข้อ 2.2 ค่าพลังงานไฟฟ้าในแต่ละเดือนคำนวณได้ดังสมการที่ (5)

$$E_C = \left(3.7731\times\sum_{i\in\Re}P_{T,i}^{Peak} + 2.2695\times\sum_{j\in\aleph}P_{T,j}^{Off-peak}\right)\times\Delta T \quad (5)$$

$\Re$ และ $\aleph$ คือเซ็ตค่าดีมานด์กำลังไฟฟ้าจริงของโหลดในช่วงเวลา Peak และ Off-peak ตามลำดับ ΔT คือคาบเวลา 15 นาที ที่บันทึกได้จากมิเตอร์ TOU ค่าไฟฟ้ารายเดือน C_E ที่เกี่ยวข้องกับมาตรการปรับปรุงตัวประกอบกำลังไฟฟ้า คำนวณได้ดังสมการที่ (6)

$$C_E = (3)\times 132.93 + (4) + (5) \quad (5)$$

4.3 ผลตอบแทนการลงทุน

บทความนี้ประเมินความคุ้มค่าการลงทุนของโครงการปรับปรุงตัวประกอบกำลังไฟฟ้าที่มีเงินลงทุน C_{PF} โดยใช้ระยะเวลาการคืนทุน (Payback Period: PB) คือค่า m ในสมการที่ (6) และมูลค่าสุทธิของโครงการ ณ เวลาปัจจุบัน (Net Present Value: NPV) ดังสมการที่ (7)

$$0 = C_{PF} - \sum\left(\frac{\Delta C_E}{(1+d)^m}\right) \quad (6)$$

$$NPV = \sum_{m=1}^{60}\left(\frac{\Delta C_E}{(1+d)^m}\right) - C_{PF} \quad (7)$$

ΔC_E ในสมการที่ (6) และ (7) คือเงินที่ได้จากค่าไฟฟ้าที่ลดลงของสมการที่ **(5)** ก่อนและหลังการปรับปรุงตัวประกอบกำลังไฟฟ้า ตัวแปร d คืออัตราการลดลงของมูลค่าเงิน (discount rate)

5. ระบบทดสอบ

โรงสีข้าวกรณีศึกษาเป็นผู้ใช้ไฟขนาดกลางซื้อไฟที่ระดับแรงดัน 22 kV ผ่านหม้อแปลง 400 kVA ทีมีกำลังไฟฟ้าสูญเสีย P_{Cu} ที่พิกัดกำลัง 2.5 kW ข้อมูลโหลดในเดือนที่ใช้เป็นกรณีศึกษา แสดงดังรูปที่ 2

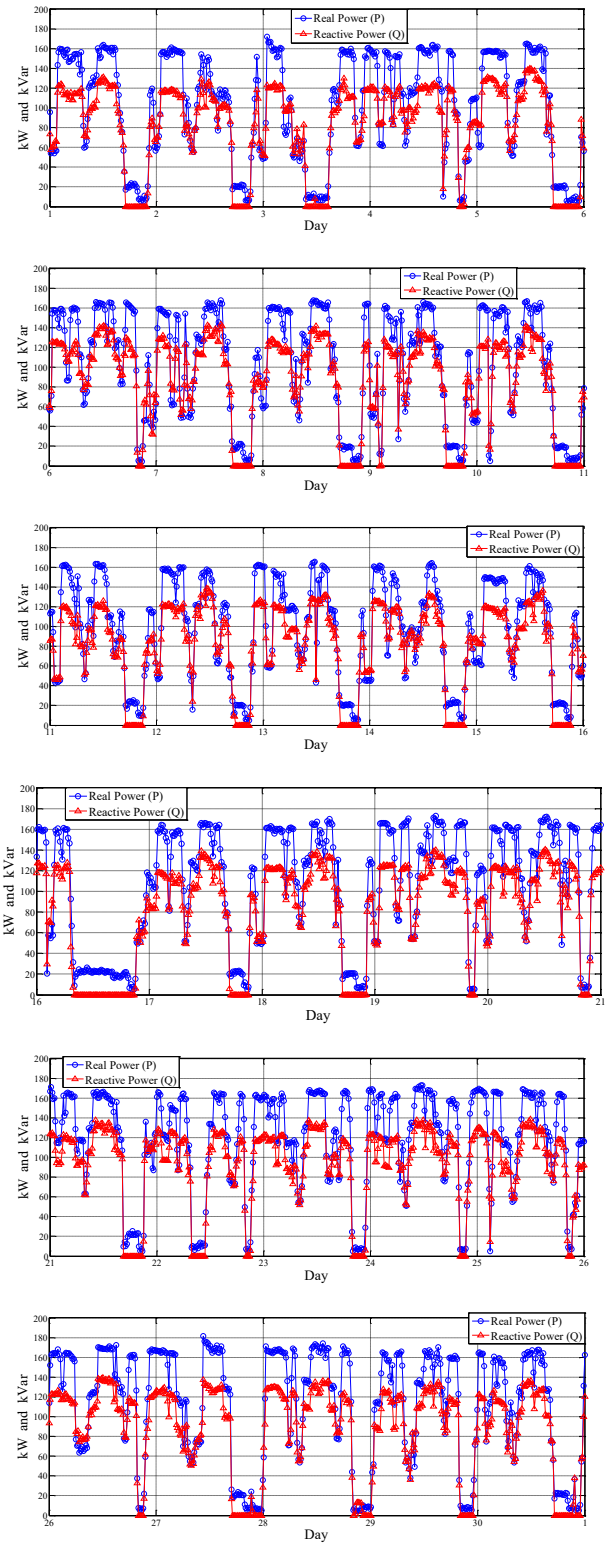

รูปที่ 2 โหลด 30 วัน ในเดือนที่ใช้เป็นกรณีศึกษา

จากรูปที่ 2 พลังไฟฟ้าจริงสูงสุด 181.60 kW เกิดขึ้น ณ วันที่ 27 ระหว่างเวลา 10:30 – 10:45 น. พลังไฟฟ้ารีแอคตีฟสูงสุด 143.20 kVar เกิดขึ้น ณ วันที่ 7 ระหว่างเวลา 14:30 – 14:45 น. กำลังไฟฟ้ารีแอคตีฟที่ต้องการเพื่อลดค่าปรับให้เหลือศูนย์มีค่า 30.65 kVar ตามสมการที่ (4)

6. ผลการคำนวณ

6.1 ก่อนปรับปรุง P.F.

พลังงานไฟฟ้าในช่วง On-peak และ Off-peak แสดงได้ดังรูปที่ 3 และ 4 ตามลำดับ

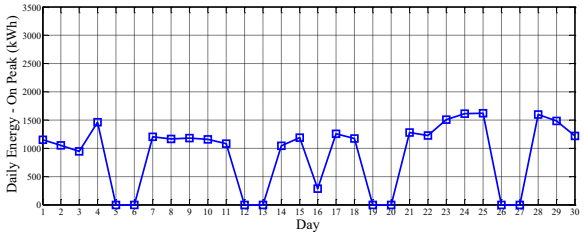

รูปที่ 3 พลังงานไฟฟ้าในช่วง On-peak

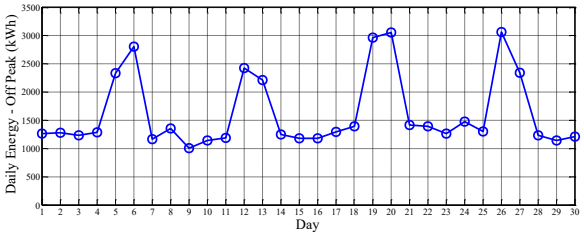

รูปที่ 4 พลังงานไฟฟ้าในช่วง Off-peak

พลังงานไฟฟ้าสูญเสียของหม้อแปลง P_{Cu} รายวัน ที่รวมผลมาจากการคำนวณ ณ แต่ละค่าโหลดจากสมการที่ (2) แสดงได้ดังรูปที่ (5)

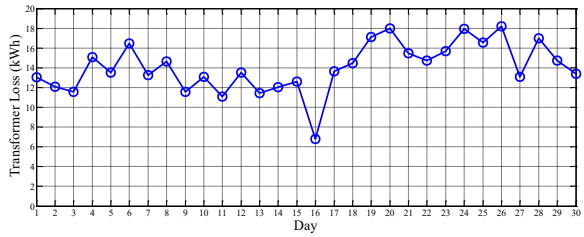

รูปที่ 5 พลังงานไฟฟ้าสูญเสีย P_{Cu} รายวัน

จากรูปที่ 5 พลังงานไฟฟ้าสูญเสีย P_{Cu} รายเดือนมีค่า 421.66 kWh

6.2 หลังปรับปรุง P.F.

6.2.1 ไม่มีการควบคุม

พลังงานไฟฟ้าสูญเสียที่หม้อแปลง P_{Cu} รายวัน เมื่อติดตั้งตัวเก็บประจุคงที่แบบไม่มีการควบคุมตั้งแต่ 10 kVar – 140 kVar แสดงได้ดังรูปที่ 6 และพลังงานไฟฟ้าสูญเสียรวมรายเดือนแสดงได้ดังรูปที่ 7 ตัวเก็บประจุขนาด 90 kVar ทำให้พลังงานไฟฟ้าสูญเสียต่ำสุดมีค่า 291.58 kWh

6.2.2 มีการควบคุมบางเวลา

สมมติให้มีการควบคุมสวิตช์เมื่อโหลดในระบบมีค่ามากกว่า 60 kW พลังงานไฟฟ้าสูญเสียที่หม้อแปลง P_{Cu} รวมรายเดือนแสดงได้ดังรูปที่ 8 ซึ่งพบว่าตัวเก็บประจุ 100 kVar ให้พลังงานไฟฟ้าสูญเสียต่ำสุด 266.55 kWh

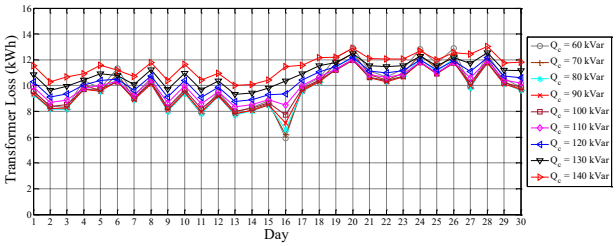

รูปที่ 6 P_{Cu} รายวันเมื่อติดตั้งตัวเก็บประจุคงที่แบบไม่มีการควบคุม

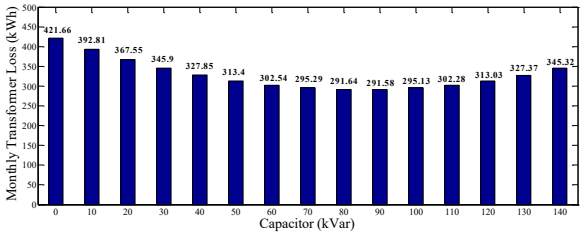

รูปที่ 7 P_{Cu} รายเดือนเมื่อติดตั้งตัวเก็บประจุคงที่แบบไม่มีการควบคุม

6.2.3 มีการควบคุมบางเวลา

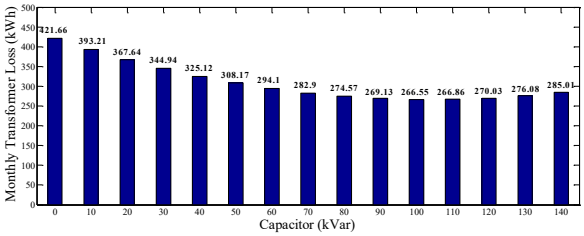

รูปที่ 8 P_{Cu} รายเดือนเมื่อติดตั้งตัวเก็บประจุคงที่แบบควบคุม

6.2.4 ควบคุมแบบอัตโนมัติ

สมมติให้มีการใช้ APFC ควบคุมที่ P.F. 0.95 lagging พลังงานไฟฟ้าสูญเสียที่หม้อแปลง P_{Cu} รายเดือนมีค่า 281.9776 kWh ผลทั้ง 3 กรณีแสดงได้ดังรูปที่ 9

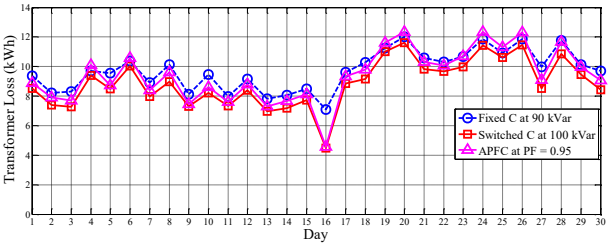

รูปที่ 9 P_{Cu} รายวันในโครงการปรับปรุง P.F. ทั้ง 3 รูปแบบ

ตามรูปที่ 9 พลังงานไฟฟ้าสูญเสียที่หม้อแปลง P_{Cu} รวมรายเดือนเรียงลำดับจากค่ามากไปน้อยมีค่า 291.58 kWh 281.9776 kWh และ 266.55 kWh ซึ่งเป็นของกรณี ไม่มีการควบคุมขนาดตัวเก็บประจุ 90 kVar ควบคุมบางช่วงเวลาขนาดตัวเก็บประจุ 100 kVar และ กรณีใช้ระบบ APFC ตามลำดับ จากการวิเคราะห์พบว่ากำลังไฟฟ้ารีแอคตีฟจากการควบคุมด้วย APFC ที่ PF. 0.95 ที่ค่าโหลดสูงมีค่าน้อยกว่ากำลังไฟฟ้ารีแอคตีฟที่ของกรณีควบคุมแบบสวิตช์ตามช่วงที่มีการใช้ไฟฟ้าจริง ทำให้ P_{Cu} รวมรายเดือน กรณี APFC ต่ำกว่ากรณีควบคุมตามช่วงเวลาทำงาน

6.3 ผลตอบแทนการลงทุน

ผลตอบแทนการลงทุนในหัวข้อ 4.3 คำนวณโดยใช้อัตราการลดลงของมูลค่าเงิน 5%/ปี และระยะเวลาของโครงการเป็น 5 ปี ตามอายุการใช้งานของตัวเก็บประจุ ผลที่ได้กรณีปรับปรุงตัวประกอบกำลังไฟฟ้าแบบไม่มีการควบคุมและมีการควบคุมสวิตช์เฉพาะช่วงเวลาทำงานแสดงได้ดังตารางที่ 1 และ 2 ตามลำดับ

ตารางที่ 1 ผลตอบแทนการลงทุนกรณีไม่มีการควบคุม

Capacitor (kVar)	E_{Cu} ที่ลดลง (kWh)		มูลค่า E_{Cu} ลดลง (บาท/เดือน)	ค่าปรับ PF ลดลง (บาท/เดือน)	ต้นทุน (บาท)	เวลาคืนทุน (เดือน)	NPV 5 ปี (บาท)
	Peak	Off-peak					
10	9.93	18.92	91.6	560.7	4,600	21.2	8,445
20	18.44	35.67	171.4	1121.4	7,500	17.4	18,356
30	25.51	50.25	239.5	1682.1	9,400	14.7	29,032
40	31.15	62.66	295.9	1719.2	12,400	18.5	27,903
50	35.36	72.90	340.6	1719.2	14,200	20.7	26,996
60	38.15	80.97	373.5	1719.2	19,200	27.5	22,655
70	39.50	86.87	394.7	1719.2	23,000	32.6	19,279
80	39.42	90.60	404.2	1719.2	24,500	34.6	17,969
90	37.92	92.16	401.9	1719.2	26,600	37.6	15,824
100	34.98	91.55	388.0	1719.2	28,400	40.4	13,744
110	30.61	88.77	362.3	1719.2	33,400	48.1	8,230
120	24.81	83.82	324.9	1719.2	38,400	56.4	2,482
130	17.59	76.70	275.7	1719.2	42,200	63.5	-2,301
140	8.93	67.41	214.8	1719.2	46,000	71.4	-7,318

ตารางที่ 2 ผลตอบแทนการลงทุนกรณีมีการควบคุมบางเวลา

Capacitor (kVar)	E_{Cu} ที่ลดลง (kWh)		มูลค่า E_{Cu} ลดลง (บาท/เดือน)	ค่าปรับ PF ลดลง (บาท/เดือน)	ต้นทุน (บาท)	เวลาคืนทุน (เดือน)	NPV 5 ปี (บาท)
	Peak	Off-peak					
10	9.90	18.55	90.4	560.7	12,600	58.1	423
20	18.84	35.18	171.8	1121.4	15,500	36.0	10,364
30	26.82	49.90	244.1	1682.1	17,400	27.1	21,124
40	30.12	66.43	301.4	1719.2	20,400	30.3	20,014
50	39.93	73.56	361.5	1719.2	22,200	32.0	19,415
60	45.05	82.51	406.6	1719.2	27,200	38.4	15,317
70	49.22	89.54	442.6	1719.2	31,500	43.7	11,738
80	52.43	94.66	469.6	1719.2	33,500	45.9	10,277
90	54.68	97.85	487.5	1719.2	38,600	52.5	5,535
100	55.98	99.12	496.3	1719.2	41,000	55.5	3,311
110	56.33	98.47	496.1	1719.2	49,400	66.9	-5,094
120	55.72	95.91	486.8	1719.2	53,700	73.0	-9,580
130	54.16	91.42	468.4	1719.2	55,700	76.4	-11,948
140	51.64	85.01	440.9	1719.2	61,200	85.0	-17,997

จากตารางที่ 1 พลังงานไฟฟ้าสูญเสียที่หม้อแปลงลดลงมากที่สุดเมื่อติดตั้งตัวเก็บประจุขนาด 90 kVar แต่กรณีลงทุนตัวเก็บประจุ 80 kVar ให้มูลค่าของพลังงานสูญเสียที่ลดลงได้สูงที่สุด แต่ผลตอบแทนการลงทุนที่ดีที่สุดเกิดเมื่อใช้ตัวเก็บประจุขนาด 30 kVar เนื่องจากมีระยะเวลาการลงทุนต่ำสุดและ NPV สูงที่สุด จากตารางที่ 2 พลังงานไฟฟ้าสูญเสียที่หม้อแปลงและมูลค่าของพลังงานดีสุดเมื่อลงทุนติดตั้งตัวเก็บประจุขนาด 90 kVar แต่ผลตอบแทนการลงทุนที่ดีที่สุดเกิดเมื่อใช้ตัวเก็บประจุขนาด 30 kVar คล้ายกับกรณีไม่มีการควบคุมในตารางที่ 1 สำหรับกรณี APFC มีเงินลงทุนในระบบสูงถึง 186,000 บาท ทำให้ระยะเวลาคืนทุน 258.3 เดือน และ NPV ของโครงการติดลบ อย่างไรก็ตามในการคำนวณกรณีนี้ยังไม่ได้คำนึงถึงพลังงานไฟฟ้าสูญเสียที่สายป้อนของวงจรทั้งหมดที่อยู่เหนือจุดติดตั้ง APFC

นอกจากนี้ยังพบว่ามูลค่าของพลังงานไฟฟ้าสูญเสียมีสัดส่วนประมาณ 22% ของค่าไฟฟ้าที่ลดลงได้ในโครงการเมื่อมีการติดตั้งตัวเก็บประจุขนาดที่เหมาะสมในมุมมองของโครงการอนุรักษ์พลังงาน แต่ในมุมมองการลงทุนสำหรับโรงสีข้าวกรณีศึกษา ขนาดของตัวเก็บประจุที่เหมาะสมควรเน้นที่วัตถุประสงค์เพื่อการลดค่าปรับตัวประกอบกำลังไฟฟ้า ซึ่งมีผลพลอยได้ในการลดพลังงานไฟฟ้าสูญเสียที่หม้อแปลงไฟฟ้า คิดเป็นสัดส่วนประมาณ 13% ของค่าไฟทั้งหมดที่ลดลงได้

7. สรุป

บทความนี้ได้เสนอแนวทางการประเมินอรรถประโยชน์ของการปรับปรุงตัวประกอบกำลังไฟฟ้าในโรงสีข้าวที่มีความผันผวนการใช้ไฟฟ้าสูงจากการสีข้าวหลังฤดูเก็บเกี่ยว โดยคำนึงถึงพลังงานสูญเสียในขดลวดหม้อแปลงเพิ่มเติมจากวัตถุประสงค์การลดค่าปรับตัวประกอบกำลังไฟฟ้า ผลที่ได้พบว่าขนาดของตัวเก็บประจุที่เหมาะสมสำหรับโครงการลดค่าปรับตัวประกอบกำลังไฟฟ้าและอนุรักษ์พลังงานมีค่าต่างกัน สำหรับโรงสีข้าวกรณีศึกษา ขนาดของตัวเก็บประจุที่เหมาะสมควรเน้นที่วัตถุประสงค์เพื่อการลดค่าปรับตัวประกอบกำลังไฟฟ้า ซึ่งมีผลพลอยได้ในการลดพลังงานไฟฟ้าสูญเสียที่หม้อแปลงไฟฟ้า คิดเป็นสัดส่วนประมาณ 13% ของค่าไฟทั้งหมดที่ลดลงได้ แนวทางที่นำเสนอสามารถใช้เพื่อประเมินขนาดตัวเก็บประจุที่เหมาะสมต่อการลงทุนในโครงการปรับปรุงตัวประกอบกำลังไฟฟ้าและอนุรักษ์พลังงานได้อย่างเป็นรูปธรรม

เอกสารอ้างอิง

[1] โรงสีข้าว ชาวนา ธนาคาร กับวิกฤติที่จะมาถึง..

[2] https://www.amr.pea.co.th/

[3] “**อัตราค่าไฟฟ้า**” http://www.pea.co.th/

[4] H. Lee Willis, “Power Distribution Planning Reference Book”

[5] Ahmed F. Z., “Maintaining a Good Power Factor and Saving Money for Industrial Loads,” IEEE Transaction on Industrial Electronics, Vol. 53, No. 2, pp. 710 – 712.

[6] “คู่มือการจัดการพลังงานไฟฟ้าในโรงงาน” กรมส่งเสริมอุตสาหกรรม กระทรวงอุตสาหกรรม

ประวัติผู้เขียนบทความ ผศ.ดร.คมสันติ์ ดาโรจน์ ปัจจุบันดำรงตำแหน่งผู้ช่วยศาสตราจารย์ สังกัดภาควิชาวิศวกรรมไฟฟ้าและอิเล็กทรอนิกส์ คณะวิศวกรรมศาสตร์ มหาวิทยาลัยอุบลราชธานี การศึกษา ปรด. วิศวกรรมไฟฟ้า (ไฟฟ้ากำลัง) จุฬาลงกรณ์มหาวิทยาลัย มีความสนใจในสาขาวิศวกรรมไฟฟ้ากำลัง หลายหัวข้อ เช่น Power System Operation and Control Distribution System Design and Planning Electric System Design Power System Reliability Power System Protection Energy Conservation and Management และ Power Quality

การปรับปรุงเสถียรภาพความถี่ในระบบไมโครกริดแบบโดดโดยใช้ตัวควบคุมแบบความเฉื่อยเสมือนที่เหมาะที่สุดด้วยวิธีหมาป่าสีเทาแบบหลายวัตถุประสงค์สำหรับระบบสะสมพลังงานชนิดแบตเตอรี่

Frequency Stability Improvement in An Islanded Microgrid Using Optimal Virtual Inertia Controller With Multi-Objective Grey Wolf Optimizer for Battery Energy Storage System

ชัยมงคล เพ็งเต็ม[1] ประหยัด บุญคำ[1] ธีระพล เหมือนขาว[2] ศิริชัย แดงเอม[2] กฤษณ์ชนม์ ภูมิกิตติพิชญ์[2] และ ศีลวัต ร่มโพธิ์ชัย[2*]

[1]สาขาวิชาวิศวกรรมไฟฟ้า คณะครุศาสตร์อุตสาหกรรม มหาวิทยาลัยเทคโนโลยีราชมงคลธัญบุรี chaimongkol_p@rmutt.ac.th

[2]ภาควิชาวิศวกรรมไฟฟ้า คณะวิศวกรรมศาสตร์ มหาวิทยาลัยเทคโนโลยีราชมงคลธัญบุรี sillawat.r@en.rmutt.ac.th*

บทคัดย่อ

ระบบไมโครกริดในโหมดแยกโดดออกส่งผลกระทบทำให้ความถี่เปลี่ยนแปลงทำให้ระบบสูญเสียเสถียรภาพด้านความถี่ได้ ดังนั้นบทความนี้นำเสนอการปรับปรุงเสถียรภาพความถี่ในระบบไมโครกริดในสภาวะแยกโดดโดยตัวควบคุมแบบความเฉื่อยเสมือนที่เหมาะสมที่สุด การหาค่าที่เหมาะสมที่สุดของตัวควบคุมใช้อัลกอริทึมหมาป่าสีเทาแบบหลายวัตถุประสงค์ (MOGWO) เพื่อหาค่าคงตัวความเฉื่อยเสมือนและค่าคงตัวการหน่วงเสมือนของตัวควบคุมระบบสะสมพลังงานชนิดแบตเตอรี่ เพื่อตอบโจทย์ฟังก์ชั่นหลายวัตถุประสงค์ 1. ค่าปริพันธ์ของความผิดพลาดยกกำลังสอง 2. ค่าปริพันธ์ของความผิดพลาดสัมบูรณ์ และ 3. ค่าปริพันธ์ของความผิดพลาดสัมบูรณ์คูณเวลาให้มีค่าน้อยที่สุด วิธีการที่นำเสนอถูกทดสอบโดยใช้ฮาร์ดแวร์อินเดอะลูป Opal-RT OP4512 เพื่อจำลองระบบไมโครกริด และตัวควบคุมตามเวลาจริง TI TMS320F280049C สำหรับตัวควบคุมความเฉื่อยเสมือน ผลการทดสอบจริงดังกล่าวพบว่าวิธีการที่นำเสนอสามารถปรับปรุงเสถียรภาพความถี่ของระบบไมโครกริดในสภาวะแยกโดดได้อย่างดีเมื่อเปรียบเทียบกับวิธีการหาค่าที่เหมาะสมด้วยอัลกอริทึมทางพันธุกรรมและแบบอนุภาค

คำสำคัญ: เสถียรภาพความถี่, การหาค่าที่เหมาะสมที่สุดแบบหมาป่าสีเทา, ไมโครกริด, ตัวควบคุมความเฉื่อยเสมือน

Abstract

An islanded microgrid occurrence affects the frequency deviation, resulting in a loss of stability margin. Thus, this paper proposes frequency stability improvement in an islanded microgrid using an optimal virtual inertia controller. Multi-objective grey wolf optimizer is used to optimize the virtual inertia and the virtual damping constants for BESS that satisfy three-objective functions, including 1. Integral Squared Error (ISE); 2. Integral of Absolute Error (IAE); and 3. Integral of Time Multiple Absolute Error (ITAE) minimizations. The proposed method is verified using hardware-in-the-loop (HIL), and the real-time controller TI TMS320F280049C for the real-time microgrid and the proposed virtual inertia controller, respectively. The experimental results show that the proposed method can improve the frequency stability in an islanded microgrid with a superior performance in comparison with the genetic algorithm and particle swarm optimization.

Keywords: Frequency Stability, Grey Wolf Optimizer, Microgrid, Virtual Inertia Controller

1. บทนำ

ไมโครกริด (Microgrid : MG) เป็นระบบโครงข่ายไฟฟ้าขนาดเล็กที่มีขอบเขตชัดเจน ซึ่งติดตั้งแหล่งผลิตพลังงานไฟฟ้าขนาดเล็ก เช่น เครื่องกำเนิดไฟฟ้าเชื้อเพลิงดีเซล (Diesel Generator : DIG) ร่วมกับพลังงานทดแทน (Renewable Energy : RE) เช่น โซลาร์เซลล์ กังหันลม และติดตั้งระบบกักเก็บพลังงาน (Battery Energy Storage System : BESS) พร้อมระบบควบคุมอัจฉริยะแสดงดังรูปที่ 1 ซึ่งทำงานร่วมกันและสามารถดำเนินการได้ทั้งในโหมดเชื่อมต่อกับกริดหลักและโหมดแยกโดด (Island Mode : IM) เมื่อจำเป็น[1]

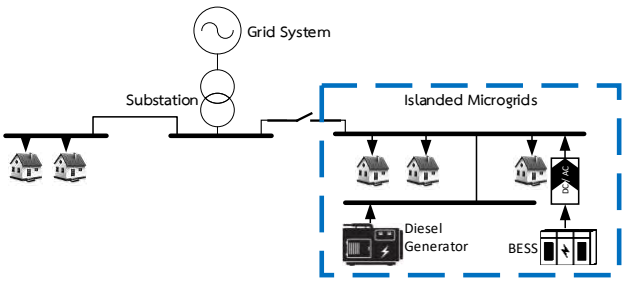

รูปที่ 1 ระบบไมโครกริด

อย่างไรก็ตามระบบ MG เชื่อมต่อกับระบบกริดหลักมากกว่าทำงานแยกโดดในโหมด IM ด้วยเหตุนี้ระบบควบคุมของระบบ MG จึงถูกออกแบบสำหรับการจัดการโหลดในโหมดเชื่อมต่อกับระบบกริด เมื่อระบบ MG เปลี่ยนเป็นโหมด IM ระบบควบคุมของระบบ MG จึงไม่สามารถจัดการโหลดได้มีประสิทธิภาพ ดังนั้นการปรับปรุงระบบ MG ให้สามารถจัดการโหลดในโหมด IM ได้ ระบบไมโครกริดในสถาวะแยกโดด (Islanded Microgrids : IMG) จึงถูกออกแบบขึ้นเพื่อให้ระบบ MG สามารถจัดการโหลดเมื่อเข้าสู่โหมด IM[2] ระบบ IMG มีการควบคุมตามวัตถุประสงค์หลักสองอย่าง ได้แก่ การควบคุมขั้นต้นและการควบคุมทุติยภูมิ โดยการควบคุมขั้นต้น คือ การรักษาเสถียรภาพของความถี่ แรงดันไฟฟ้าและความสมดุลระหว่างอุปสงค์และอุปทานของโหลด การควบคุมทุติยภูมิ คือ การมุ่งเน้นไปที่การควบคุมการทำงานแบบไดนามิกของระบบ IMG ซึ่งเป็นเป้าหมายหลักในบทความนี้ อย่างไรก็ตามการควบคุมอย่างเหมาะสมตามพฤติกรรม

*ผู้ประพันธ์บรรณกิจ

ที่เปลี่ยนแปลงตลอดเวลาของระบบไฟฟ้า บทความที่ [3–4] ได้นำเสนอแนวทางการควบคุมแหล่งพลังงานแบบกระจายหลายจุดบน IMG แบบไดนามิกด้วยอัลกอลิทึมที่แตกต่างกัน เพื่อสร้างความสมดุลระหว่างการผลิตพลังงานไฟฟ้าและความต้องการของโหลด แสดงให้เห็นว่าการควบคุมแบบไดนามิกจำเป็นต้องมีอัลกอลิทึมที่เหมาะเพื่อให้ IMG สามารถคงอยู่ในสภาวะปกติและสภาวะ IM การควบคุม IMG ไม่เพียงแต่คำนึงถึงความต้องการของโหลดแต่ต้องคำนึงถึงความเฉื่อยในระบบ IMG ด้วย ซึ่งการติดตั้ง DIG สามารถจัดการความผันแปรของโหลดและควบคุมความถี่ได้ไม่กี่วินาทีหลังจากเกิดเหตุการณ์ฉุกเฉินผ่านพลังงานจลน์ที่เก็บไว้ในโรเตอร์ของ DIG การติดตั้ง DIG จึงสามารถจัดการความผันแปรและเพิ่มความเฉื่อยในระบบได้ แตกต่างจาก RE ที่ไม่มีคุณสมบัตินั้นอยู่ในการผลิตพลังงานไฟฟ้า ส่งผลให้ความเฉื่อยของระบบไฟฟ้าลดลงอย่างมากและทำให้ระบบมีความไวต่อการรบกวนมากขึ้น ส่งผลให้ระบบไฟฟ้าที่มีการติดตั้ง RE จำนวนมากมีความเฉื่อยต่ำและสร้างความเบี่ยงเบนของความถี่มากขึ้น [5] ดังนั้นการควบคุมความเฉื่อยด้วยระบบ BESS สามารถแก้ปัญหานี้ได้ จากบทความที่ [6-7] เสนอกลยุทธ์การควบคุมความเฉื่อยเสมือน (virtual inertia control : VIC) โดยอาศัยวิธีการที่แตกต่างกันเพื่อลดความเบี่ยงเบนของความถี่ในระบบ IMG แม้ว่าติดตั้งระบบ BESS สำหรับควบคุมความเฉื่อยของระบบ IMG การควบคุมตามวัตถุประสงค์ของระบบ IMG ต้องพิจารณาควบคู่กันไป หาก VIC ของระบบ BESS ไม่สามารถควบคุมตามการควบคุมทุติยภูมิได้ อาจส่งผลกระทบต่อความไม่เสถียรของความถี่และความเสี่ยงต่อความล้มเหลวของ IMG

บทความนี้นำเสนอการปรับปรุงเสถียรภาพความถี่ในระบบไมโครกริดแบบโดด โดยตัวควบคุมแบบความเฉื่อยเสมือนที่เหมาะสมที่สุดของระบบ BESS วัตถุประสงค์เพื่อการปรับปรุงคุณภาพไฟฟ้าและรักษาเสถียรภาพในช่วงที่เกิดการรบกวนขนาดใหญ่ด้วยวิธีหมาป่าสีเทาแบบหลายวัตถุประสงค์ บทความนี้จะพิจารณารูปแบบโหลด ความผันผวนของเอาต์พุตของแหล่งพลังงานแบบกระจายและการปฏิบัติตามกฎระเบียบของโครงข่ายไฟฟ้า วิธีการที่นำเสนอนี้ถูกนำไปใช้งานในสภาพแวดล้อม HIL ซึ่งประกอบด้วยการจำลองโครงข่ายไฟฟ้าและไมโครคอนโทรลเลอร์ที่ใช้ระบบควบคุมดูแล เพื่อมอบโซลูชันที่แข็งแกร่งและปรับเปลี่ยนได้ ซึ่งเหมาะสำหรับการกำหนดค่าโครงข่ายไฟฟ้าที่หลากหลาย

2. ระบบไมโครกริด

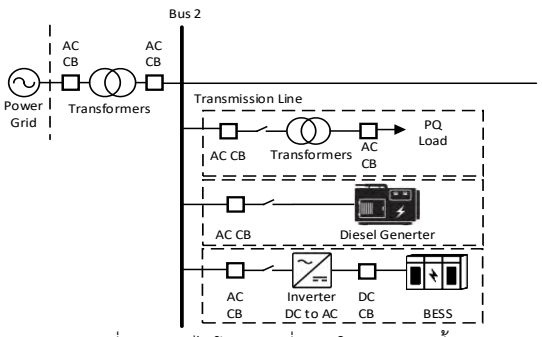

รูปที่ 2 ระบบไมโครกริดที่เสอนในบทความนี้

ระบบไมโครกริดของบทความนี้ออกแบบสำหรับจำลองการทำงานในสภาวะ IM ดังนั้นระบบ IMG ของบทความนี้จึงละเลยองค์ประกอบบางส่วน เช่น พารามิเตอร์สายส่งของระบบ IMG ในการทดสอบนี้ โดยอุปกรณ์ในระบบ IMG แสดงดังตารางที่ 1

ตารางที่ 1 พารามิเตอร์อุปกรณ์ของระบบ IMG

อุปกรณ์ในระบบ IMG	รายละเอียด
แหล่งจ่ายไฟฟ้า 3 เฟส	V_{rms}: 115 kV, ความถี่: 50 Hz, VA: 250 MVA
หม้อแปลง 115/22 kV	Pn: 20 MVA, V1 Ph-Ph: 115 kV, V1 Ph-Ph: 22 kV
โหลด	V_{rms}: 22 kV, P: 200 kW
เครื่องกำเนิดไฟฟ้าดีเซล	P_{out}: 1 MW, V_{rms}: 22 kV
ระบบกักเก็บพลังงานไฟฟ้า	V_{rms}: 22 kV, P_{out}: 500 kW,

3. การควบคุมความเฉื่อยเสมือนของแบตเตอรี่ที่เหมาะสมที่สุดด้วยวิธีหมาป่าสีเทา

บทความนี้ได้ใช้สามฟังก์ชันวัตถุประสงค์ภายใต้เงื่อนไขและข้อจำกัดที่ระบุตามที่อธิบายไว้ด้านล่าง โดยในบทความนี้จะมุ่งเป้าที่ความถี่ของระบบไมโครกริด (f) ด้วยการใช้ MOGWO เนื่องจากการค้นหาคำตอบที่เร็วและประสิทธิภาพในการแก้ปัญหาตามฟังก์ชันวัตถุประสงค์ได้

3.1 ฟังก์ชั่นหลายวัตถุประสงค์

1) ค่าปริพันธ์ของความผิดพลาดยกกำลังสอง

วัตถุประสงค์สำหรับแสดงค่าระบบมีความผิดพลาดมากน้อยแค่ไหน โดยให้ความสำคัญกับค่าความผิดพลาดระหว่างค่าที่ต้องการ (f_{ref}) กับค่าจริง (f) ยกกำลังสองเพื่อให้มีขนาดมากดังสมการที่ (1)

$$\min \ f_1 = \min \ ISE = \int_0^t \left(f_{ref} - f\right)^2 dt \qquad (1)$$

2) ค่าปริพันธ์ของความผิดพลาดสัมบูรณ์

ฟังก์ชั่นวัตถุประสงค์สำหรับแสดงประสิทธิภาพของระบบควบคุมโดยใช้สำหรับประเมินความผิดพลาดระหว่าง f_{ref} การกับ f ตลอดช่วงเวลาดังสมการที่ (2)

$$\min \ f_2 = \min \ IAE = \int_0^t \left|f_{ref} - f\right| dt \qquad (2)$$

3) ค่าปริพันธ์ของความผิดพลาดสัมบูรณ์คูณเวลา

ฟังก์ชั่นวัตถุประสงค์สำหรับประเมินคุณภาพของระบบควบคุมโดยการวัด ผลรวมของค่าความคลาดเคลื่อนสัมบูรณ์ (Absolute Error) แต่เพิ่มน้ำหนักให้กับเวลาที่ใช้ไปดังสมการที่ (3)

$$\min \ f_3 = \min \ ITAE = \int_0^t t \times \left|f_{ref} - f\right| dt \qquad (3)$$

3.2 ข้อจำกัดของวัตถุประสงค์

1) ข้อจำกัดการผลิตพลังงานไฟฟ้า

$$P_S = P_{grid} + P_{SG} + P_{BESS} - P_{DR} \quad (4)$$

$$P_{SG} = P_{grid} + P_{BESS} - P_{DR} \quad (5)$$

$$P_{IMG} = P_{SM} + P_{BESS} - P_{DR} \quad (6)$$

โดยที่ P_S คือ ผลรวมพลังงานไฟฟ้าทั้งระบบ (W) P_{IMG} คือ พลังงานไฟฟ้าของ IMG (W) และ P_{SG} คือ พลังงานไฟฟ้าของ IMG และ SG (W), P_{DR} คือ ความต้องการของโหลดในระบบ IMG (W) ตามลำดับ

2) ข้อจำกัดความสมดุลของความถี่

$$\Delta f = f_{ref} + f = \frac{\Delta\omega}{2\pi} = \frac{\omega_{ref}-\omega}{2\pi}(p.u.) \quad (7)$$

$$\frac{d\omega}{dt} = \frac{1}{M}\left[P_{SG}+P_{BESS}-P_{DR}-P'_{DR}\right] \quad (8)$$

โดยที่ Δf คือ ความเปลี่ยนแปลงทางความถี่ (Hz), f_{ref} คือ ความถี่ตั้งต้น (Hz), $\Delta\omega$ คือ การเปลี่ยนแปลงของความเร็วเชิงมุม (rad/s), M คือ ค่าความเฉื่อยของเครื่องจักรกล (p.u./s) ตามลำดับ

3) ข้อจำกัดการผลิตพลังงานไฟฟ้า

$$-\infty < P_{grid} < \infty \quad (9)$$

$$P_{SG}^{\min} < P_{SG} < P_{SG}^{\max} \quad (10)$$

$$P_{BESS}^{\min} < P_{BESS} < P_{BESS}^{\max} \quad (11)$$

3.3 การวิเคราะห์ความสำคัญของฟังก์ชั่นหลายวัตถุประสงค์

การกำหนดค่าพารามิเตอร์ที่เหมาะสมที่สุดของการควบคุม BESS ภายใน IMG สามารถวิเคราะห์ผ่านสมการฟังก์ชันที่หลากหลายวัตถุประสงค์ ดังสมการที่ (12)

$$F = \min\left(w_1 f_1 + w_2 f_2 + w_3 f_3\right) \quad (12)$$

โดยที่ w_1, w_2, w_3 คือ ค่าน้ำหนักความสำคัญของแต่ละวัตถุประสงค์นั้น โดยบทความนี้กำหนดน้ำหนักความสำคัญที่ 33.334 วัตถุประสงค์

3.4 การควบคุมความเฉื่อยเสมือนของแบตเตอรี่

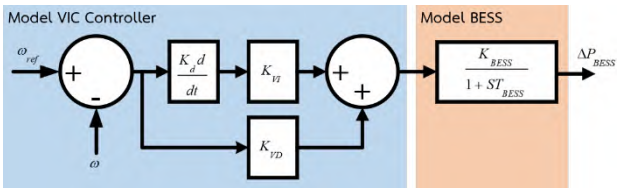

รูปที่ 3 แบบจำลองตัวควบคุมความเฉื่อยเสมือนและ BESS

การควบคุมจำนวนมากถูกนำมาใช้เพื่อแก้ไขปัญหา LFC ตัวควบคุมที่เกี่ยวข้องกับตัวควบคุมลำดับเลขจำนวนเต็ม (IO) ได้รับความสนใจอย่างมากทั้งในงานวิชาการและอุตสาหกรรม ตัวควบคุมแบบอินทิกรัล (I), PI, อนุพันธ์สัดส่วน (PD) และ PID แบบดั้งเดิมเป็นตัวควบคุม LFC ที่ได้รับการพัฒนาอย่างกว้างขวางที่สุด นอกจากนี้ ตัวควบคุม LFC ยังถูกนำมารวมกับตัวเพิ่มประสิทธิภาพเมตาฮิวริสติกต่างๆ เพื่อเพิ่มประสิทธิภาพ บทความนี้จึงนำเสนอโมเดลการควบคุม BESS[8] แสดงดังรูปที่ 3 ด้วยการปรับปรุงพารามิเตอร์ที่เหมาะสม โดยในกรอบสีฟ้าจะเป็นระบบควบคุมที่รับค่าจาก ω เปรียบเทียบกับ ω_{ref} เพื่อเข้าสู่กระบวนการวิเคราะห์ผ่านฟังก์ชัน IO โดยมีฟังก์ชันควบคุมความเฉื่อยเสมือนปรับปรุงที่ได้อีกครั้งก่อนส่งค่าพลังงานไฟฟ้าตั้งต้นแสดงดังสมการที่ (13)

$$\Delta P_{ref} = \left(\frac{\omega_{ref}-\omega}{2\pi}\right)\times\frac{K_d d}{dt}\times K_{VI} + K_{VD} \quad (13)$$

โดยที่ P_{ref} คือ พลังงานไฟฟ้าอ้างอิง (W), K_d คือ ตัวควบคุมแบบสัดส่วน, K_{VI} คือ ค่าคงตัวความเฉื่อยเสมือนและ K_{VD} คือ ค่าคงตัวการหน่วงเสมือนในระบบตามลำดับ

3.5 การเพิ่มประสิทธิภาพด้วยวิธีหมาป่าสีเทา

บทความนี้นำเสนอวิธีหมาป่าสีเทาที่เพิ่มการค้นหาหลายวัตถุประสงค์พฤติกรรมการค้นหาคำตอบจึงมีความคล้ายคลึงกับวิธีหมาป่าสีเทาแบบดั้งเดิมในบทความที่ [9] แสดงดังสมการที่ (14) – (18)

1) การค้นหาเหยื่อ

$$x(t+1) = X_p(t) - A\times D \quad (14)$$

$$D = \left|C\times X_p(t) - X(t)\right| \quad (15)$$

2) การล้อมเหยื่อ

$$\begin{aligned} D_\alpha &= \left|C_1\times X\right|, \\ D_\beta &= \left|C_2\times X_\beta - x\right|, \\ D_\delta &= \left|C_\delta\times X_\delta - X\right| \end{aligned} \quad (16)$$

3) การโจมตีเหยื่อ

$$\begin{aligned} x_1 &= X_\alpha - A_1\times(D_\alpha), \\ x_2 &= X_\beta - A_2\times(D_\beta), \\ x_3 &= X_\delta - A_3\times(D_\delta) \end{aligned} \quad (17)$$

4) การค้นหาตำแหน่งเหยื่อครั้งถัดไป

$$x_{new} = \frac{x_1 + x_2 + x_3}{3} \quad (18)$$

4. ผลการทดสอบ

บทความนี้นำเสนอการพัฒนาวิธีการปรับปรุงเสถียรภาพความถี่ของระบบ IMG ผ่านการออกแบบตัวควบคุม VIC ที่เหมาะสมที่สุดสำหรับระบบ BESS โดยใช้วิธีการ MO-GWO การทดสอบในโหมด IM เพื่อประเมินประสิทธิภาพของตัวควบคุมภายใต้สถานการณ์ที่รุนแรงที่สุด

ผลลัพธ์ได้เปรียบเทียบกับวิธีการหาค่าที่เหมาะสมด้วยอัลกอริทึมทางพันธุกรรมและแบบอนุภาค โดยขอบเขตการค้นหากำหนดให้ขนาดกลุ่มค้นหาเท่ากับ 30 และทำการค้นหาซ้ำ 30 รอบ โดยช่วงค่าของพารามิเตอร์ที่ใช้ค้นหาถูกกำหนด (K_{VI} , K_{VD}) ให้อยู่ระหว่าง 0 ถึง 1000 ผลลัพธ์แสดงการลู่เข้าหาคำตอบของทั้งสามวิธีตามที่ปรากฏในรูปที่ 4 และค่าพารามิเตอร์ที่เหมาะสมแสดงไว้ในตารางที่ 2

ตารางที่ 2 ผลลัพธ์ค่าตัวควบคุมที่เหมาะสม

ชื่ออัลกอริทึม	K_{VI}	K_{VD}
แบบดั้งเดิม	-	-
GA	1.681	922.63
PSO	815	906
MOGWO	951	463

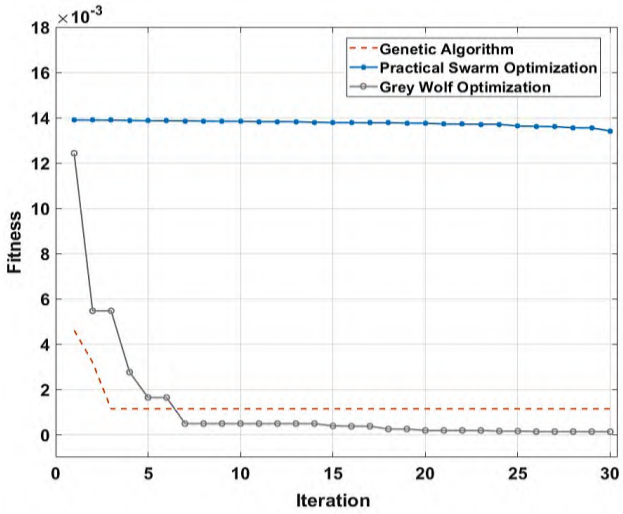

รูปที่ 4 กราฟลู่เข้าหาคำตอบ

รูปที่ 4 แสดงการลู่เข้าหาคำตอบของทั้งสามวิธีการที่นำมาเปรียบเทียบ โดยการค้นหาดำเนินไปตามวัตถุประสงค์ที่ระบุในสมการ (12) ผลการทดลองพบว่าทุกวิธีให้ผลลัพธ์ที่แตกต่างกันอย่างชัดเจนอัลกอริทึมทางพันธุกรรมแสดงประสิทธิภาพการค้นหาสูงที่สุดในช่วงต้น โดยสามารถหาคำตอบที่ดีที่สุดได้ตั้งแต่รอบที่ 3 และหลังจากนั้นไม่พบค่าที่ดีกว่าเดิมอีก ผลลัพธ์นี้แสดงด้วยเส้นสีแดงในกราฟ ในทางกลับกันอัลกอริทึมแบบอนุภาคเป็นวิธีที่ให้ผลลัพธ์ต่ำที่สุดในงานวิจัยนี้ การค้นหามีความล่าช้าและยังคงอยู่ในระดับที่ไม่เหมาะสม แม้จะทำการค้นหาจนครบ 30 รอบ คำตอบที่ดีที่สุดปรากฏในรอบสุดท้ายตามผลลัพธ์ที่แสดงด้วยเส้นสีน้ำเงิน สุดท้ายสำหรับวิธีการ MOGWO แม้การลู่เข้าหาคำตอบจะช้ากว่าอัลกอริทึมทางพันธุกรรมแต่สามารถหาคำตอบที่เหมาะสมที่สุดได้ในรอบที่ 30 ซึ่งแสดงด้วยเส้นสีเทา ระหว่างการค้นหายังพบคำตอบที่ดีกว่ารอบก่อนหน้าอย่างต่อเนื่อง ส่งผลให้รอบสุดท้ายได้ค่าที่ดีที่สุดเหนือกว่าวิธีอื่น

รูปที่ 5 อุปกรณ์สำหรับการทดสอบ

ผลลัพธ์ที่ได้จากการใช้วิธีการทั้งสามวิธีการค้นหาคำตอบที่เหมาะสมที่สุดนำมาทดสอบทดสอบโดยใช้ฮาร์ดแวร์อินเดอะลูป Opal-RT OP4512 เพื่อจำลองระบบไมโครกริด และตัวควบคุมตามเวลาจริง TI TMS320F280049C สำหรับตัวควบคุมความเฉื่อยเสมือนด้วยโมเดล IMG ตามหัวข้อที่ 2. อุปกรณ์สำหรับการแสดงผลลัพธ์ประกอบไปด้วย คอมพิวเตอร์สำหรับการดูผลลัพธ์ผ่านโปรแกรม RT – LAB และ โปรแกรม MATLAB Simulink โน้ตบุ๊คสำหรับอัปโหลดโมเดลตัวควบคุมความเฉื่อยเสมือนของระบบ BESS เครื่องมือวัดทางไฟฟ้าออสซิลโลสโคป รุ่น Yokogawa DLM2024, Mixed Signal Oscilloscopes, 200 MHz, 4Ch, 2.5GS/s สำหรับวัดผลที่ผ่านการทดสอบของบทความนี้ อุปกรณ์ทั้งหมดสำหรับการทดสอบในบทความนี้แสดงดังรูปที่ 5 ขอบเขตผลลัพธ์ที่นำมาแสดงจากการทดสอบประกอบด้วย ความถี่ของระบบ IMG, กำลังไฟฟ้าของระบบ BESS และแรงดันไฟฟ้าระบบ IMG แสดงดังรูปที่ 6 – 8

รูปที่ 6 แสดงค่าความถี่ที่วัดจากเครื่องมือวัดทางไฟฟ้าของระบบจำลองเสมือนจริงแบบ HIL หลังเชื่อมต่อกับบอร์ดไมโครคอนโทรลเลอร์ เส้นสีขาวแสดงกรณีระบบ IMG ที่ไม่มีการติดตั้ง BESS เมื่อเกิดเหตุการณ์ IM ที่เวลา 3 วินาที ความถี่ลดต่ำสุดอยู่ที่ 49.7 Hz ในเวลา 3.6 วินาที จากนั้น DIG จะเพิ่มกำลังผลิตเพื่อรักษาเสถียรภาพความถี่ ส่งผลให้ระบบกลับสู่ค่ามาตรฐานภายใน 9 วินาที หรือใช้เวลา 6 วินาทีในการกู้คืน เส้นสีเหลืองแสดงกรณีติดตั้ง BESS โดยปรับพารามิเตอร์การควบคุมด้วยวิธีอัลกอริทึมพันธุ์กรรม ผลลัพธ์แสดงให้เห็นว่าการควบคุมความถี่ได้ไม่เหมาะสม แม้ผ่านไป 10 วินาที ความถี่ของระบบ IMG ยังไม่สามารถลู่เข้า 50 HZ. เส้นสีเขียวแสดงกรณีติดตั้ง BESS โดยปรับพารามิเตอร์การควบคุมด้วยอัลกอริทึมแบบอนุภาค ผลการทดสอบพบว่า แม้อัลกอริทึมแบบอนุภาคจะตอบสนองต่อความถี่ได้รวดเร็วที่สุดเมื่อเทียบกับสามวิธี แต่หลังจากความถี่ลู่เข้าสู่ 50 Hz กลับเกิดการสั่นต่อเนื่องในระยะยาว เส้นสีชมพูแสดงผลการใช้วิธี MOGWO ในการหาพารามิเตอร์ควบคุม ความเร็วในการลู่เข้าสู่ 50 Hz ได้เร็วที่สุดและค้นหาค่าพารามิเตอร์ที่เหมาะสมที่สุดเมื่อเทียบกับสามวิธี ระบบสามารถปรับปรุงความถี่ได้เร็วกว่าอัลกอริทึมทางพันธุกรรมและไม่มีการสั่นหลังการปรับปรุงเหมือนอัลกอริทึมแบบอนุภาค ดังนั้น MOGWO จึงเป็นวิธีที่เหมาะสมที่สุดสำหรับปัญหาที่ศึกษาในบทความนี้ โดยผลลัพธ์ดังกล่าวในรูปที่ 6 จะมีความสอดคล้องกับรูปที่ 7 และ 8 ซึ่งจะอธิบายในส่วนถัดไป

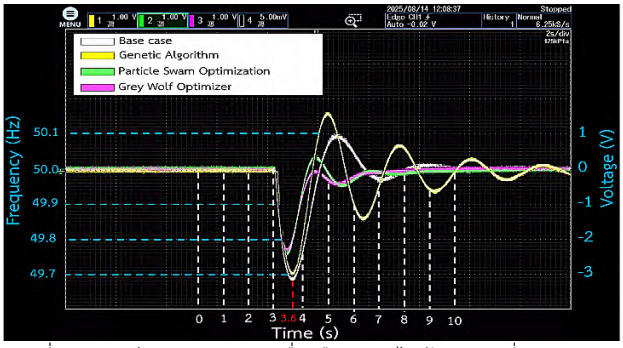

รูปที่ 6 ผลลัพธ์จากการวัดผ่านเครื่องมือวัดทางไฟฟ้า (ความถี่ของระบบ)

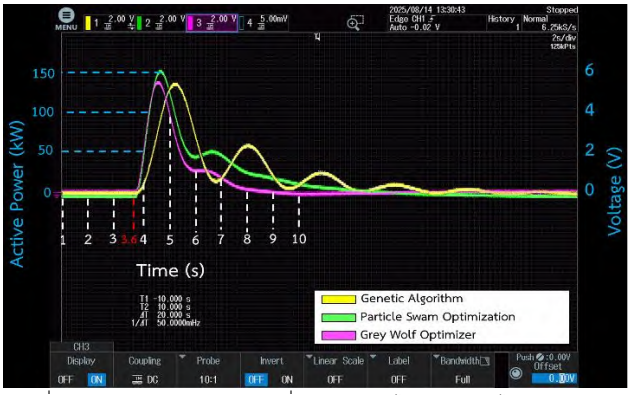

รูปที่ 7 ผลลัพธ์จากการวัดผ่านเครื่องมือวัดทางไฟฟ้า (กำลังไฟฟ้า BESS)

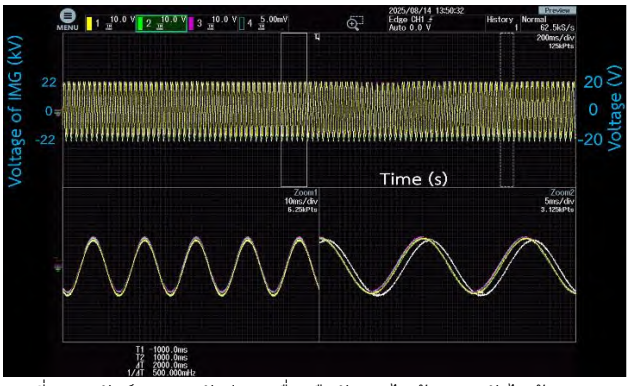

รูปที่ 8 ผลลัพธ์จากการวัดผ่านเครื่องมือวัดทางไฟฟ้า (แรงดันไฟฟ้าระบบ)

การตอบสนองทางความถี่ของระบบ IMG มีผลกระทบต่อหลายด้าน บทความนี้จึงได้ขยายผลลัพธ์เพื่ออธิบายรายละเอียดเพิ่มเติม โดยรูปที่ 7 แสดงค่ากำลังไฟฟ้าของระบบ BESS เมื่อพารามิเตอร์ได้รับการปรับปรุงอย่างเหมาะสมด้วยสามวิธีการที่นำเสนอ ได้แก่ อัลกอริทึมทางพันธุกรรม (เส้นสีเหลือง) อัลกอริทึมแบบอนุภาค (เส้นสีเขียว) และวิธี MOGWO (เส้นสีชมพู) ผลการทดสอบในกรณี IMG ซึ่งเกิดเหตุการณ์ IM แสดงให้เห็นว่าระบบ BESS ได้จ่ายพลังงานเข้าสู่ระบบ IMG จากการขยายช่วงเวลาที่เกิดเหตุพบว่า กำลังไฟฟ้าของ BESS ที่ปรับด้วยอัลกอริทึมทางพันธุกรรมมีการเปลี่ยนแปลงชัดเจน แต่ยังไม่มากเท่าอัลกอริทึมแบบอนุภาคและ MOGWO นอกจากนี้ ในช่วงที่ อัลกอริทึมทางพันธุกรรมเริ่มเกิดการเปลี่ยนแปลงกำลังไฟฟ้า ระบบที่ปรับด้วยอัลกอริทึมแบบอนุภาคและ MOGWO ได้ตอบสนองไปก่อนแล้ว ส่งผลให้ทั้งสองวิธีนี้สามารถตอบสนองต่อการเปลี่ยนแปลงความถี่ได้รวดเร็วกว่าอัลกอริทึมทางพันธุกรรม โดยผลลัพธ์การเปลี่ยนแปลงมีความสอดคล้องกับรูปที่ 8 เมื่อทำการตรวจสอบแรงดันของระบบ IMG พบว่าเส้นสีเขียวแสดงถึงการรับรู้และปรับปรุงเสถียรภาพทางแรงดันได้ช้าที่สุดเมื่อเทียบกับสองอัลกอริทึม อย่างไรก็ตาม เส้นสีเหลืองซึ่งใช้อัลกอริทึมแบบอนุภาค แม้ว่าจะสามารถรับรู้และปรับปรุงเสถียรภาพได้เร็วกว่าวิธีอื่น แต่แรงดันในวิธีนี้ยังไม่คงที่ ต่างจากอัลกอริทึมทางพันธุกรรม และ MOGWO ที่แสดงความมั่นคงมากกว่า โดยเฉพาะวิธี MOGWO ที่แม้ว่าจะมีการรับรู้และปรับปรุงเสถียรภาพทางแรงดันในระดับปานกลาง แต่กลับสามารถรักษาเสถียรภาพของแรงดันได้อย่างสม่ำเสมอ จึงทำให้วิธี MOGWO ถูกยอมรับว่าเป็นวิธีที่เหมาะสมที่สุดในบรรดาวิธีทั้งสามที่นำมาเปรียบเทียบ

5. สรุป

บทความนี้นำเสนอการปรับปรุงประสิทธิภาพของ BESS สำหรับการควบคุมความถี่ใน IMG ด้วยวิธีการปรับปรุงประสิทธิภาพของ MOGWO มีประสิทธิภาพมากที่สุดสำหรับการค้นหาพารามิเตอร์ของระบบควบคุมของ BESS อย่างเหมาะสมเมื่อเปรียบเทียบกับวิธีการอื่น ผลลัพธ์จะถูกทดสอบเพิ่มเติมด้วยอุปกรณ์สำหรับการทดสอบเสมือนจริง HIL ร่วมกับบอร์ดไมโครคอนโทรเลอร์ C2000 สำหรับระบบควบคุมของ BESS ผลลัพธ์แสดงให้เห็นว่าวิธีการที่บทความนี้นำเสนอสามารถตอบสนองต่อความเปลี่ยนแปลงทางความถี่และสามารถรักษาเสถียรภาพของระบบ IMG ได้อย่างมีประสิทธิภาพ งานในอนาคตจะมุ่งเน้นไปที่การขยายการวิเคราะห์ไปยังระบบกริดที่มีขนาดใหญ่และซับซ้อนมากขึ้น เพื่อประเมินความสามารถในการปรับขนาดและประสิทธิภาพของกลยุทธ์การควบคุมการสร้างกริดภายใต้เงื่อนไขที่สมจริงยิ่งขึ้น

เอกสารอ้างอิง

[1] U.S. Department of Energy, Microgrid Overview, Grid Deployment Office, Washington, DC, USA, Fact Sheet, Jan. 20, 2024. [Online].

[2] W. Hua, J. Guan and B. Dou, "Distributed Fixed-Time Secondary Frequency and Average Voltage Control for Islanded AC Microgrids," 2025 IEEE 3rd International Conference on Power Science and Technology (ICPST), Kunming, China, 2025, pp. 1010-1016.

[3] N. Kouba, A. Brik and A. Boudoucha, "Optimal Multi-Stage Design of Frequency Control and Load Shedding for Islanded Microgrid with Multiple Distributed Power Sources," 2024 International Conference on Advances in Electrical and Communication Technologies (ICAECOT), Setif, Algeria, 2024, pp. 1-5.

[4] N. Idrissi Chehaibi, M. Ferfra, R. Rabeh and A. Bouaddi, "Optimizing Cascade-Loop Controller Parameters of Two-Area Autonomous Microgrid for Load Frequency Control

Using Genetic Algorithm," 2024 International Conference on Control, Automation and Diagnosis (ICCAD), Paris, France, 2024, pp. 1-6.

[5] K. Prabhakar, S. K. Jain and P. K. Padhy, "Enhancing Frequency Stability in Microgrids with MPC-Based Virtual Inertia Controller," 2024 23rd National Power Systems Conference (NPSC), Indore, India, 2024, pp. 1-6.

[6] M. Dua and P. Gupta, "Virtual Inertia Emulation in Standalone Microgrid with Photovoltaic-Battery Energy Storage System," 2024 IEEE Region 10 Symposium (TENSYMP), New Delhi, India, 2024, pp. 1-6.

[7] Y. Zeng, Q. Yang, Y. Lin, Y. Chen, X. Chen and J. Wen, "Fractional-Order Virtual Inertia Control and Parameter Tuning for Energy-Storage System in Low-Inertia Power Grid," in Protection and Control of Modern Power Systems, vol. 9, no. 5, pp. 70-83, September 2024.

[8] Kerdphol, T.; Rahman, F.S.; Mitani, Y. Virtual Inertia Control Application to Enhance Frequency Stability of Interconnected Power Systems with High Renewable Energy Penetration. Energies 2018, 11, 981. https://doi.org/10.3390/en11040981

[9] C. Pengtem, N. Janjamraj, S. Romphochai, S. Ngaemngam and K. Bhumkittipich, "Multi-Objective Hybrid LF-GWO Based Optimal Location and Sizing of Multiple PV-DSG Units for Voltage Profile Improvement," 2024 International Conference on Power, Energy and Innovations (ICPEI), Nakhon Ratchasima, Thailand, 2024, pp. 133-139.

การหาตำแหน่งที่เหมาะสมด้วยฟังก์ชันหลายวัตถุประสงค์โดยประสานงานกันระหว่างอุปกรณ์ตัวเก็บประจุอนุกรมที่ควบคุมด้วยไทริสเตอร์และอุปกรณ์ชดเชยซิงโครนัสแบบสถิต ในระบบไฟฟ้ากำลังด้วยอัลกอริทึมผสมผสานวิธีเชิงพันธุกรรมและฝูงอนุภาค

Multi-Objective Coordinated TCSC-STATCOM Optimal Placement in Power Systems with Hybrid GA-PSO Algorithm

มงคล แซ่เจีย[1]* พลสิทธิ์ ศานติประพันธ์[1] และ อนุวัตร ประเสริฐสิทธิ์[1]

[1]สาขาวิชาวิศวกรรมไฟฟ้าฯคณะวิศวกรรมศาสตร์ มหาวิทยาลัยสงขลานครินทร์ samongkol@gmail.com,phonsit.s@psu.ac.th,anuwat.p@psu.ac.th

บทคัดย่อ

งานวิจัยนี้นำเสนอการหาตำแหน่งและขนาดที่เหมาะสมโดยพิจารณาการทำงานประสานงานกันระหว่างอุปกรณ์ตัวเก็บประจุอนุกรมที่ควบคุมด้วยไทริสเตอร์และอุปกรณ์ชดเชยซิงโครนัสแบบสถิตโดยใช้ฟังก์ชันวัตถุประสงค์หลายตัวประกอบด้วย การลดการสูญเสียกำลังไฟฟ้า การปรับปรุงโปรไฟล์แรงดันไฟฟ้าและการลดต้นทุนการดำเนินงานด้วยอัลกอริทึมผสมผสานวิธีเชิงพันธุกรรมและฝูงอนุภาคการศึกษาใช้ระบบไฟฟ้ากำลังทดสอบมาตรฐาน IEEE ขนาด 30 บัสเพื่อตรวจสอบประสิทธิภาพของวิธีการที่นำเสนอ ผลการศึกษาแสดงให้เห็นว่าการติดตั้ง TCSC 3 ตัวที่สาย 29, 16, และ 10 พร้อมกับ STATCOM 3 ตัวที่บัส 8, 17, และ 15 สามารถลดสูญเสียในระบบได้ 20.7% เพิ่มแรงดันต่ำสุดในระบบได้ 8.1% และปรับปรุงเสถียรภาพแรงดันที่วัดด้วยดัชนี L-index ได้ 23.1% ที่ระดับภาระโหลด 150%

คำสำคัญ: อุปกรณ์ตัวเก็บประจุอนุกรมที่ควบคุมด้วยไทริสเตอร์, อุปกรณ์ชดเชยซิงโครนัสแบบสถิต, การหาค่าเหมาะสมหลายวัตถุประสงค์, อัลกอริทึมผสมผสานวิธีเชิงพันธุกรรมและฝูงอนุภาค

Abstract

This research presents an optimal placement and sizing methodology for coordinated operation of Thyristor Controlled Series Compensator (TCSC) and Static Synchronous Compensator (STATCOM) using multi-objective functions consisting of power loss reduction, voltage profile improvement, and operating cost minimization through a hybrid Genetic Algorithm-Particle Swarm Optimization (GA-PSO) approach. The study employs the IEEE 30-bus standard test system to validate the effectiveness of the proposed methodology. Results demonstrate that the installation of three TCSC devices on lines 29, 16, and 10 along with three STATCOM devices at buses 8, 17, and 15 can reduce system losses by 20.7%, improve minimum voltage by 8.1%, and enhance voltage stability measured by L-index by 23.1% at 150% loading level.

Keywords: Thyristor Controlled Series Capacitor (TCSC), Static Synchronous Compensator (STATCOM), Multi-Objective optimization, Hybrid Genetic Algorithm-Particle Swarm Optimization (GA-PSO)

1. บทนำ

ระบบไฟฟ้ากำลังในปัจจุบันเผชิญกับความท้าทายจากการเพิ่มขึ้นของความต้องการไฟฟ้าและการทำงานใกล้เคียงกับขีดจำกัดความสามารถของระบบส่งผลให้เกิดปัญหากำลังไฟฟ้าสูญเสีย การเบี่ยงเบนของแรงดันและความเสี่ยงต่อความไม่เสถียรของระบบ การแก้ไขด้วยวิธีดั้งเดิมต้องใช้งบประมาณสูงและเผชิญข้อจำกัดด้านพื้นที่และสิ่งแวดล้อม

อุปกรณ์ FACTS (Flexible AC Transmission System) เป็นทางเลือกสำหรับเพิ่มประสิทธิภาพระบบที่มีอยู่โดยไม่ต้องลงทุนสร้างโครงสร้างใหม่ [1] งานวิจัยนี้เลือกใช้ TCSC และ STATCOM เนื่องจากมีข้อดีที่ส่งเสริมกัน โดย TCSC ควบคุมอิมพีแดนซ์สายส่งและเพิ่มขีดความสามารถการส่งผ่านกำลังไฟฟ้า ขณะที่ STATCOM ควบคุมแรงดันด้วยเวลาตอบสนองที่รวดเร็ว การใช้งานร่วมกันครอบคลุมทั้งการไหลของกำลังและระดับแรงดัน แต่ต้องพิจารณาการประสานงานกัน

การหาตำแหน่งติดตั้งและขนาดที่เหมาะสมของ TCSC และ STATCOM เป็นปัญหาการเพิ่มประสิทธิภาพหลายวัตถุประสงค์ที่ซับซ้อนจำเป็นต้องเลือกใช้อัลกอริทึมที่เหมาะสม [2] แต่อัลกอริทึมดั้งเดิม เช่น PSO มีความเร็วในการค้นหาแต่อาจติดในค่าเหมาะสมท้องถิ่น [4] ขณะที่ GA สามารถหลีกเลี่ยงปัญหานี้แต่ใช้เวลานาน [3] การพัฒนาอัลกอริทึม Hybrid GA-PSO จึงเป็นแนวทางที่เหมาะสมเพื่อผสมผสานข้อดีของทั้งสองอัลกอริทึม

งานวิจัยนี้นำเสนอวิธีการหาตำแหน่งและขนาดที่เหมาะสมของ TCSC และ STATCOM โดยใช้ฟังก์ชันหลายวัตถุประสงค์ร่วมกับพิจารณาการทำงานประสานงานกันระหว่างอุปกรณ์ทั้ง 2 ชนิด ด้วยอัลกอริทึม Hybrid GA-PSO งานวิจัยนี้ใช้ระบบ IEEE 30-Bus ในการศึกษา ผลการศึกษาที่ได้จะเป็นประโยชน์ในการสร้างองค์ความรู้ใหม่ต่อการวางแผนและออกแบบระบบไฟฟ้ากำลังที่มีประสิทธิภาพและความคุ้มค่าทางเศรษฐศาสตร์ต่อไป

*ผู้ประพันธ์บรรณกิจ

2. ระบบที่ใช้ศึกษา

2.1 ระบบไฟฟ้ากำลัง

การศึกษานี้ใช้ระบบไฟฟ้ากำลังทดสอบมาตรฐาน IEEE 30-Bus ในการตรวจสอบประสิทธิภาพของวิธีการที่นำเสนอ ระบบ IEEE 30-Bus ประกอบด้วย 30 บัส (1 บัสอ้างอิง, 5 บัสควบคุมแรงดัน, 24 บัสโหลด), 41 สายส่ง, 6 เครื่องกำเนิดไฟฟ้า และ 4 หม้อแปลงไฟฟ้าที่มีตัวปรับแท็ปโหลดรวมของระบบคือ 283.4 MW และ 126.2 MVAr กำลังการผลิตรวม 300.0 MW ระบบมีค่าฐานแรงดัน 100 kV และ 132 kV ค่าฐานกำลังไฟฟ้า 100 MVA การเลือกใช้ระบบ IEEE 30-Bus เนื่องจากเป็นระบบที่มีความซับซ้อนที่เหมาะสมสำหรับการทดสอบอัลกอริทึมการหาค่าเหมาะสม เป็นมาตรฐานที่ยอมรับในแวดวงวิชาการ มีความหลากหลายของลักษณะโหลด และมีข้อมูลพารามิเตอร์ครบถ้วน

2.2 อุปกรณ์ TCSC และ STATCOM

TCSC เป็นอุปกรณ์ FACTS ประเภทอนุกรมที่ประกอบด้วยตัวเก็บประจุที่ขนานคร่อมขดลวดอนุกรมกับไทริสเตอร์ที่เป็นตัวควบคุม อุปกรณ์นี้สามารถควบคุมค่าอิมพีแดนซ์ของสายส่งได้อย่างต่อเนื่องโดยการปรับมุมจุดชนวนของไทริสเตอร์ การทำงานของ TCSC สามารถแสดงได้ดังสมการ:

$$X_{TCSC}(\alpha) = \frac{\pi X_L}{2(\pi-\alpha)+\sin(2\alpha)+\frac{\pi X_L}{X_C}} \quad (1)$$

โดยที่ $X_{TCSC}(\alpha)$ คือรีแอกแตนซ์ของ TCSC, X_L, X_C คือรีแอกแตนซ์ของตัวเหนี่ยวนำและตัวเก็บประจุ และ α คือมุมจุดชนวนของไทริสเตอร์

ในการศึกษานี้ โมเดล TCSC ถูกจำลองโดยการปรับค่ารีแอกแตนซ์ของสายส่งตามสมการ:

$$X_{line_{new}} = X_{line_{original}} \cdot (1 + k_{TCSC}) \quad (2)$$

โดยที่ k_{TCSC} คืออัตราส่วนการชดเชยที่มีช่วงการทำงานตั้งแต่ -30% ถึง +30%

STATCOM เป็นอุปกรณ์ FACTS ประเภทขนานที่ใช้เทคโนโลยีอินเวอร์เตอร์แรงดันโดยใช้ตัวสวิตช์กำลังความเร็วสูง อุปกรณ์นี้สามารถจ่ายหรือรับกำลังรีแอกทีฟได้อย่างอิสระจากแรงดันของระบบและมีเวลาตอบสนองที่รวดเร็ว กำลังรีแอกทีฟที่ STATCOM สามารถผลิตหรือดูดซับได้คำนวณจาก:

$$Q_{STATCOM} = \frac{V_{bus} \cdot V_{STATCOM} \sin(\delta) - V_{bus}^2}{X_{transformer}} \quad (3)$$

โดยที่ V_{bus} คือแรงดันที่บัสที่ติดตั้ง STATCOM, $V_{STATCOM}$ คือแรงดันที่อินเวอร์เตอร์ผลิต, δ คือมุมเฟสระหว่างแรงดัน และ $X_{transformer}$ คือรีแอกแตนซ์ของหม้อแปลงต่อเชื่อม

ในการศึกษานี้ STATCOM ถูกจำลองเป็นแหล่งกำลังรีแอกทีฟควบคุมได้ที่บัสที่ติดตั้ง:

$$Q_{bus,new} = Q_{bus,original} + Q_{STATCOM} \quad (4)$$

โดยที่ $Q_{STATCOM}$ มีช่วงการทำงานตั้งแต่ -50 ถึง +50 MVAr ติดตั้งได้เฉพาะบัสโหลดเท่านั้น

3. ทฤษฎีที่เกี่ยวข้อง

3.1 ปัญหาค่าเหมาะสมแบบหลายวัตถุประสงค์

การหาตำแหน่งและขนาดที่เหมาะสมของ TCSC และ STATCOM เพื่อให้ระบบทำงานได้อย่างมีประสิทธิภาพสูงสุดภายใต้ข้อจำกัดต่างๆ ถือเป็นปัญหาค่าเหมาะสมแบบหลายวัตถุประสงค์ (multi-objective optimization) เนื่องจากต้องพิจารณาหลายปัจจัยที่อาจขัดแย้งกัน เช่น การลดสูญเสียพลังงาน การเพิ่มความเสถียรภาพแรงดัน และการลดต้นทุน ในกรณีนี้สามารถแสดงปัญหาค่าเหมาะสมนี้ให้อยู่ในรูปแบบทางคณิตศาสตร์ได้ดังนี้

$$\min \; f(\boldsymbol{x}) = w_1 \cdot PI + w_2 \cdot L\text{-index} + w_3 \cdot EI + w_4 \cdot VDI - w_5 \cdot CI \quad (5)$$

subject to $0.95 \le |V_i| \le 1.05$ สำหรับทุกบัส i

$$P_{Gmin,i} \le P_{Gi} \le P_{Gmax,i}$$
$$Q_{Gmin,i} \le Q_{Gi} \le Q_{Gmax,i}$$
$$S_i \le S_{i,max} \text{ สำหรับทุกสาย i}$$
$$-30\% \le x_{\text{tcsc},k} \le +30\% \quad \forall k \in \text{TCSC}_{\text{lines}},$$
$$-50 \text{ MVAr} \le Q_{\text{statcom},m} \le +50 \text{ MVAr} \quad \forall m \in \text{STATCOM}_{\text{buses}}$$

โดยที่ $\boldsymbol{x}$ เป็นตัวแปรควบคุม ได้แก่ ตำแหน่งและขนาดของ TCSC และ STATCOM

$w_1, w_2, \ldots, w_5$ เป็นค่าน้ำหนัก (weights) ของฟังก์ชัน fitness $f(x)$ ($w_1 = 0.25$, $w_2 = 0.15$, $w_3 = 0.25$, $w_4 = 0.20$ และ $w_5 = 0.15$)

PI (Performance Index) เป็นดัชนีสมรรถนะระบบ ใช้วัดการโหลดของสายส่ง

$$f_1(\boldsymbol{x}) = PI = \sum_{i=1}^{n} w_i \times \left(\frac{S_i}{S_{i,rate}}\right)^2 \quad (6)$$

L-index เป็นดัชนีเป็นตัวชี้วัดเสถียรภาพแรงดันไฟฟ้าของระบบ

$$f_2(x) = \max\{L\text{-index}\}$$
$$= \max\left\{\left|1 - \sum_{i \in G} \frac{V_i}{V_j} Y_{ji}\right|\right\} \quad \text{for } j \in \{\text{load buses}\} \quad (7)$$

EI (Economic Index) เป็นดัชนีเศรษฐกิจรวมต้นทุนการผลิตไฟฟ้า ต้นทุนการสูญเสีย และต้นทุนการลงทุนในอุปกรณ์ FACTS

$$f_3(x) = EI = C_{gen} + C_{loss} + CRF \times C_{FACTS} \quad (8)$$

โดยที่ C_{gen} เป็นค่าใช้จ่ายในการผลิตไฟฟ้า, C_{loss} เป็นค่าการสูญเสียในระบบส่ง, CRF เป็นอัตราคืนทุน และ C_{FACTS} เป็นต้นทุนการลงทุนในอุปกรณ์ FACTS

VDI (Voltage Deviation Index) เป็นดัชนีเบี่ยงเบนแรงดันไฟฟ้าวัดคุณภาพแรงดันไฟฟ้าทั่วทั้งระบบ

$$f_4(\boldsymbol{x}) = VDI = \frac{\sum_{j=1}^{n_b} w_j \times |V_j - 1.0|}{\sum_{j=1}^{n_b} w_j} \quad (9)$$

CI (Complementarity Index) เป็นดัชนีวัดระดับการทำงานร่วมกันระหว่างอุปกรณ์ TCSC และ STATCOM

$$f_5(\boldsymbol{x}) = CI = 1.5 \times CI_{TCSC} + 1.8 \times CI_{STATCOM} + 1.2 \times CI_{Mixed} + CI_{Spacing} \quad (10)$$

โดยที่ CI_{TCSC} วัดการประสานงานระหว่าง TCSC, $CI_{STATCOM}$ วัดการประสานงานของ STATCOM, CI_{Mixed} วัดการประสานงานระหว่าง TCSC และ STATCOM และ $CI_{Spacing}$ วัดการกระจายการติดตั้ง TCSC และ STATCOM

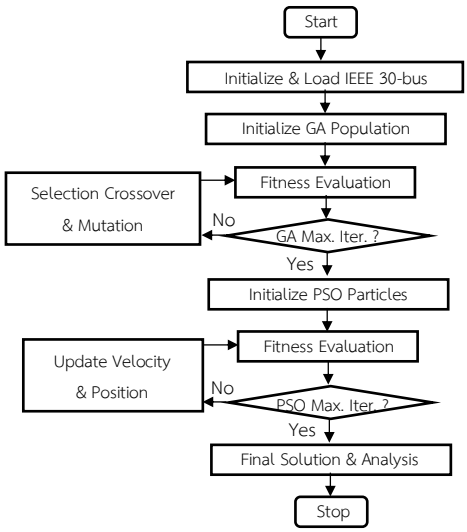

รูปที่ 1 Flowchart อัลกอริทึมไฮบริด GA-PSO

3.2 อัลกอริทึมไฮบริด GA-PSO

รูปที่ 1 แสดงอัลกอริทึมไฮบริด GA-PSO มีขั้นตอนการหาค่าเหมาะสม 3 ขั้นตอนด้วยกัน โดยทำงานประสานงานกันดังนี้

ขั้นตอนที่ 1: การหาตำแหน่งด้วย GA

ใช้ Genetic Algorithm ในการหาตำแหน่งที่เหมาะสมของอุปกรณ์ FACTS พารามิเตอร์หลักประกอบด้วย ขนาดประชากร 50 ตัว จำนวนรุ่น 60 รุ่น อัตราการผสมพันธุ์ 0.8 และอัตราการกลายพันธุ์ 0.15

ขั้นตอนที่ 2: การหาขนาดด้วย PSO

ใช้ Particle Swarm Optimization ในการหาขนาดที่เหมาะสมของอุปกรณ์ FACTS การอัปเดตความเร็วและตำแหน่งใช้สมการมาตรฐานของ PSO ดังนี้

$$v_i^{(t+1)} = w \cdot v_i^{(t)} + c_1 \cdot r_1 \cdot \left(p_{best,i} - x_i^{(t)}\right) + \ldots + c_2 \cdot r_2 \cdot \left(g_{best} - x_i^{(t)}\right) \quad (11)$$
$$x_i^{(t+1)} = x_i^{(t)} + v_i^{(t+1)}$$

โดยใช้ค่าความเฉื่อยแบบปรับตัวได้ (w) ที่ลดลงจาก 0.9 เป็น 0.4 และค่าสัมประสิทธิ์การเรียนรู้ $c_1 = c_2 = 2.0$

ขั้นตอนที่ 3: การปรับแต่งด้วย PSO

การปรับแต่งใช้ PSO ด้วยพารามิเตอร์ที่ลดลงและพื้นที่ค้นหาที่แคบลงจากรอบคำตอบที่ได้ในขั้นตอนที่ 2 โดยใช้ค่าความเฉื่อยคงที่ 0.4 และจำกัดพื้นที่ค้นหาเป็น ±30% สำหรับ TCSC และ ±50 MVAr สำหรับ STATCOM

4. ผลการจำลองที่ได้และอภิปราย

จากการแก้ไขปัญหาค่าเหมาะสมเพื่อหาตำแหน่งและขนาดของ TCSC และ STATCOM ที่ติดตั้งบนระบบไฟฟ้ากำลัง IEEE 30-bus ด้วยโปรแกรม MATLAB และ Matpower [5]-[7] ได้ผลดังตารางที่ 1

ตารางที่ 1 ผลที่ได้จากการแก้ไขปัญหาค่าเหมาะสมเพื่อหาตำแหน่งและขนาดของ TCSC และ STATCOM

อุปกรณ์ FACT	ตำแหน่ง	ขนาด
TCSC	Line 10	4.0 %
	Line 16	-5.5 %
	Line 29	-8.4 %
STATCOM	Bus 8	22.1 MVAr
	Bus 15	12.3 MVAr
	Bus 17	10.3 MVAr

เมื่อนำ TCSC และ STATCOM ติดตั้งบนระบบไฟฟ้ากำลัง IEEE 30-bus แล้วทดสอบเพื่อวิเคราะห์การทำงานของระบบจะพบว่าในรูปที่ 2 เป็นรูปโปรไฟล์แรงดันที่ภาระโหลด 100% แสดงให้เห็นว่าก่อนติดตั้งอุปกรณ์ FACTS ระบบมีแรงดันต่ำสุด 0.9585 pu ในขณะที่ระบบที่มีอุปกรณ์ FACTS ดังที่นำเสนอ มีแรงดันต่ำสุด 0.9679 pu การปรับปรุงนี้มีความสำคัญยิ่งขึ้นเมื่อระดับภาระโหลดเพิ่มสูงขึ้น โดยที่ระดับภาระโหลด 150% แรงดันต่ำสุดปรับปรุงจาก 0.8790 pu เป็น 0.9504 pu (ปรับปรุง 8.1%) ซึ่งจะช่วยให้ระบบสามารถรักษาแรงดันให้อยู่ในเกณฑ์ที่ยอมรับได้ ดังในรูปที่ 3 นอกจากนี้ระบบที่ติดตั้งอุปกรณ์ FACTS สามารถลดกำลังไฟฟ้าสูญเสียรวมในระบบอย่างมีนัยสำคัญที่ระดับภาระโหลดสูง (100-150%) โดยเฉพาะที่ระดับภาระโหลด 150% สามารถลดกำลังไฟฟ้าสูญเสียรวมจาก 9.71 MW เป็น 7.70 MW (ลดลง 20.7%) ดังในรูปที่ 4 สุดท้ายระบบที่มีอุปกรณ์ FACTS สามารถปรับปรุงเสถียรภาพแรงดันได้อย่างมีนัยสำคัญ โดยเฉพาะอย่างยิ่งที่บัสที่มีความเสี่ยงสูง ได้แก่ บัส 8, 18 และ 19 ดังในรูปที่ 5 จากรูปจะพบว่าที่ระดับภาระโหลด 150% บัส 19 มีการลดลงของค่าดัชนี L-index จาก 0.0989 เป็น 0.0760 (ลดลง 23.1%) ซึ่งแสดงถึงการเพิ่มขึ้นของเสถียรภาพแรงดันอย่างชัดเจน

5. สรุป

งานวิจัยนี้ได้พัฒนาแนวทางการหาตำแหน่งที่เหมาะสมสำหรับติดตั้งอุปกรณ์ TCSC และ STATCOM ในระบบไฟฟ้ากำลังที่พิจารณาการประสานงานระหว่างอุปกรณ์ด้วยฟังก์ชันวัตถุประสงค์ 5 ชนิด โดยใช้อัลกอริทึมไฮบริด GA- PSO ที่พัฒนาขึ้นซึ่งมีการทำงานอยู่ 3 ขั้นตอน คือ ขั้นตอนที่ 1 ใช้ GA หาตำแหน่งที่เน้นการประสานงาน ขั้นตอนที่ 2 ใช้

PSO หาขนาดแบบสมดุล และขั้นตอนที่ 3 ใช้ PSO ปรับแต่งอย่างละเอียด ผลการทดสอบในระบบ IEEE 30-bus แสดงถึงการปรับปรุงประสิทธิภาพในหลายด้าน ได้แก่ การลดสูญเสียจาก 9.71 MW เป็น 7.70 MW (ลดลง 20.7%), การปรับปรุงแรงดันต่ำสุดจาก 0.8790 pu เป็น 0.9504 pu (ดีขึ้น 8.1%) และการปรับปรุงเสถียรภาพแรงดันที่วัดด้วยดัชนี L-index ที่บัส 19 จาก 0.0989 เป็น 0.0760 (ลดลง 23.1%) ที่ระดับภาระโหลด 150%

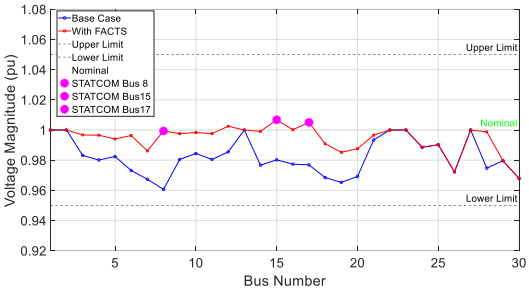

รูปที่ 2 เปรียบเทียบระดับแรงดันไฟฟ้าแต่ละบัสก่อนและหลังติดตั้งอุปกรณ์ FACT

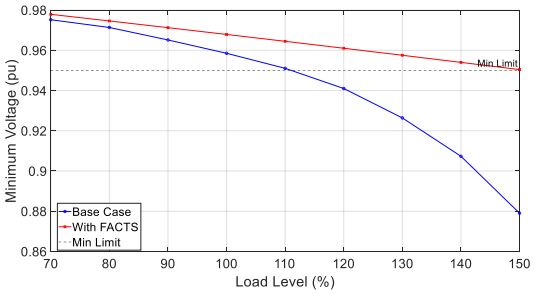

รูปที่ 3 แรงดันไฟฟ้าต่ำสุดที่ระดับโหลดต่างๆเปรียบเทียบระหว่างก่อนและหลังติดตั้งอุปกรณ์ FACT

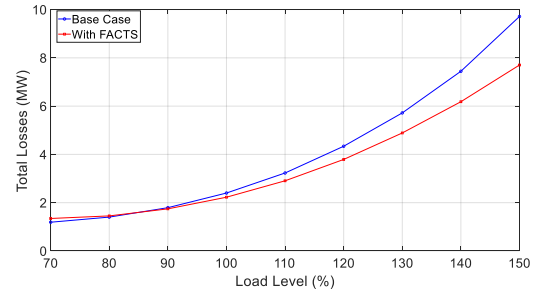

รูปที่ 4 การสูญเสียรวมของระบบไฟฟ้ากำลังที่ระดับโหลดต่างๆ เปรียบเทียบระหว่างก่อนและหลังติดตั้งอุปกรณ์ FACT

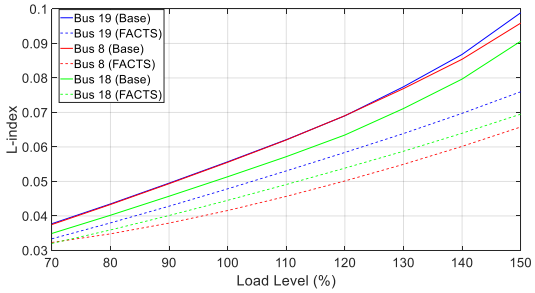

รูปที่ 5 เสถียรภาพแรงดัน (L-index) ของบัสวิกฤต (บัส 8, 18 และ 19) ที่ระดับโหลดต่างๆเปรียบเทียบระหว่างก่อนและหลังติดตั้งอุปกรณ์ FACT

เอกสารอ้างอิง

[1] N. G. Hingorani, and L. Gyugyi, “Understanding FACTS: Concepts and Technology of Flexible AC Transmission Systems”, IEEE Press, 2000.

[2] S. Gerbex, et al., “Optimal location of multi-type FACTS devices in a power system by means of genetic algorithms”, IEEE Transactions on Power Systems, vol. 16, pp. 537–544, 2001.

[3] K. Deb, et al., “A fast and elitist multiobjective genetic algorithm: NSGA-II”, IEEE Transactions on Evolutionary Computation, vol. 6, pp. 182-197, 2002.

[4] M. Saravanan, et al., “Application of particle swarm optimization technique for optimal location of FACTS devices considering cost of installation and system loadability”, Electric Power Systems Research, vol. 77, pp. 276-283, 2007.

[5] R. D. Zimmerman, et al., “MATPOWER: Steady-State Operations, Planning, and Analysis Tools for Power Systems Research and Education”, IEEE Transactions on Power Systems, vol. 26, pp. 12-19, 2011.

[6] R. Sirjani, “Optimal Placement and Sizing of PV-STATCOM in Power Systems Using Empirical Data and Adaptive Particle Swarm Optimization”, Sustainability, vol. 10, 727, 2018.

[7] A. Sharma, “Gravitational search assisted algorithm for TCSC placement for congestion control in deregulated power system”, Electric Power Systems Research, vol. 174, 105874, 2019.

ประวัติผู้เขียนบทความ

มงคล แซ่เจีย สำเร็จการศึกษาระดับปริญญาตรี โท และเอก สาขาวิชาวิศวกรรมไฟฟ้า จากมหาวิทยาลัยสงขลานครินทร์,จุฬาลงกรณ์มหาวิทยาลัยและสถาบันเทคโนโลยีพระจอมเกล้าเจ้าคุณทหารลาดกระบัง ตามลำดับ มีความสนใจในงานด้านระบบไฟฟ้ากำลัง

พลสิทธิ ศานติประพันธ์ สำเร็จการศึกษาระดับปริญญาตรี โท และเอก สาขาวิชาวิศวกรรมไฟฟ้าจากมหาวิทยาลัยเทคโนโลยีสุรนารี มีความสนใจในงานด้านอิเล็กทรอนิกส์กำลัง ระบบควบคุม และการประยุกต์ทางด้านปัญญาประดิษฐ์

อนุวัตร ประเสริฐสิทธิ์ สำเร็จการศึกษาระดับ ปริญญาตรีและโท สาขาวิชาวิศวกรรมไฟฟ้า จากมหาวิทยาลัยสงขลานครินทร์ และ The George Washington University ตามลำดับ มีความสนใจในงานด้านอิเล็กทรอนิกส์กำลัง ระบบไฟฟ้ากำลัง และระบบควบคุม

การศึกษาพฤติกรรมการกัดกร่อนของจุดเชื่อมต่อระหว่างสายทองแดงและสายอะลูมิเนียม ในระบบจำหน่ายไฟฟ้า 22 กิโลโวลต์

Corrosion Behavior of an Assembly between Copper and Aluminum Cable for 22 kV Distribution System

สำเริง ฮินท่าไม้[1*] และ ภรชัย จูอนุวัฒนกุล[1]

[1]สาขาวิชาวิศวกรรมไฟฟ้า คณะวิศวกรรมศาสตร์ มหาวิทยาลัยศรีปทุม samroeng.hi@spu.ac.th*, parachai.ju@spu.ac.th

บทคัดย่อ

บทความนี้เป็นการศึกษาพฤติกรรมการกัดกร่อนของจุดเชื่อมต่อระหว่างสายทองแดงและสายอลูมิเนียมในระบบจำหน่ายไฟฟ้า 22 กิโลโวลต์ด้วยพิจารณาการกัดกร่อนแบบกัลวานิก เพื่อทดสอบวิธีการป้องกันและลดการเกิดปัญหาการกัดกร่อนแบบกัลวานิกบริเวณผิวสัมผัสของวัสดุต่างชนิดของจุดเชื่อมต่อ ในการศึกษาพฤติกรรมการกัดกร่อนได้ทำการออกแบบ ติดตั้งและทดสอบการเชื่อมต่อของตัวนำหางปลาทองแดงและอลูมิเนียมชุบด้วยนิเกิล โดยมีรูปแบบการเชื่อมต่อ 4 รูปแบบ คือ รูปแบบที่ 1 จุดเชื่อมต่อไม่มีการป้องกันจากสภาวะแวดล้อม รูปแบบที่ 2 จุดเชื่อมต่อชุบด้วยนิกเกิลที่ไม่มีการป้องกันจากสภาวะแวดล้อม รูปแบบที่ 3 จุดเชื่อมต่อชุบด้วยนิกเกิลที่มีการป้องกันจากสภาวะแวดล้อมโดยวิธีการพันเทป และรูปแบบที่ 4 จุดเชื่อมต่อชุบด้วยนิกเกิลที่มีการป้องกันจากสภาวะแวดล้อมโดยวิธีการใช้ท่อหดความร้อน แล้วนำไปติดตั้งใช้งานเป็นส่วนหนึ่งของวงจรจ่ายไฟในระบบจำหน่าย 22 กิโลโวลต์ ซึ่งก่อนการติดตั้งได้ทำการทดสอบค่าความต้านทานหน้าสัมผัสบริเวณรอยต่อและทำการเก็บผลการทดสอบทุกๆ 15 วัน จนครบ 90 วัน(3 เดือน) จากผลการทดสอบพบว่าจุดเชื่อมต่อที่ชุบด้วยนิกเกิล และมีการป้องกันจากสภาวะแวดล้อมโดยวิธีการใช้ท่อหดความร้อนจะมีค่าความต้านทานหน้าสัมผัสเพิ่มขึ้น 16.5 **μΩ** คิดเป็น 41.87 เปอร์เซ็นต์ ดังนั้นจากการทดสอบสรุปได้ว่าจุดเชื่อมต่อชุบด้วยนิกเกิลที่มีการป้องกันจากสภาวะแวดล้อมโดยวิธีการใช้ท่อหดความร้อนให้ผลการทดสอบมีประสิทธิภาพดีที่สุดและต่ำกว่าเกณฑ์ที่การไฟฟ้ากำหนด

คำสำคัญ: การกัดกร่อน จุดเชื่อมต่อหางปลาทองแดงและอลูมิเนียม ความต้านทานหน้าสัมผัส

Abstract

This article presents a study on the corrosion behavior at the connection point between copper and aluminum conductors in a 22 kV distribution system, focusing on galvanic corrosion. The objective was to test methods for preventing and mitigating galvanic corrosion at the contact surfaces of dissimilar materials in the connection. The connection of copper and aluminum cable lugs was designed, installed, and tested in four configurations: (1) joint without nickel coating an unprotected connection exposed to environmental conditions, (2) a nickel-plated connection without environmental protection, (3) a nickel-plated connection protected with insulation tape, and (4) a nickel-plated connection protected with heat-shrink tubing. These connections were installed as part of a live 22 kV distribution circuit. Before installation, the contact resistance at the joints was measured, and the resistance was subsequently recorded every 15 days for a total period of 90 days (3 months) for comparison. The results showed that the nickel-plated connection protected with heat-shrink tubing exhibited an increase in contact resistance of 16.5 **μΩ**, equivalent to 41.87%. Therefore, the test results indicate that the nickel-plated connection protected from the environment using heat-shrink tubing provides the most effective performance and remains below the threshold specified by the utility..

Keywords: Corrosion, Nickel-plated connection, Contact resistance

1. บทนำ

ด้วยคุณสมบัติการนำไฟฟ้าที่ดีของทองแดงจึงได้ถูกเลือกใช้เป็นวัสดุหลักในงานด้านระบบไฟฟ้า แต่อย่างไรก็ตาม ด้วยความหนาแน่นที่มากและราคาทองแดงที่ค่อนข้างมีราคาสูง จึงทำให้มีการใช้วัสดุทดแทนด้วยอะลูมิเนียมโดยเฉพาะอย่างยิ่งโครงสร้างที่มีน้ำหนักเบา เช่น สายไฟอลูมิเนียม และการประหยัดต้นทุน[1-2] และคุณสมบัติทางไฟฟ้าของทองแดงที่ไม่สามารถทดแทนด้วยอะลูมิเนียมได้อย่างสมบูรณ์ จึงจำเป็นต้องมีการพัฒนาจุดเชื่อมต่อระหว่างทองแดงและอะลูมิเนียม ซึ่งการเชื่อมต่อนั้นจะต้องทำให้เกิดความแข็งแรง มีค่าความต้านทานไฟฟ้าต่ำและมีความเสถียรภาพในระยะยาว

ปัจจุบันระบบจำหน่าย 22 กิโลโวลต์ในประเทศไทยมีทั้งสายไฟฟ้าเหนือดินและสายไฟฟ้าใต้ดิน ซึ่งระบบจำหน่าย 22 กิโลโวลต์จำเป็นต้องเชื่อมต่อกันระหว่างวงจรกับวงจร และวงจรกับอุปกรณ์ทางไฟฟ้าต่างๆ โดยเชื่อมต่อกันด้วยหางปลา(Terminal Lug) แล้วจึงใช้น็อตสแตนเลสยึดเข้าด้วยกัน และเนื่องจากในระบบจำหน่าย 22 กิโลโวลต์จะต้องจ่ายโหลดในปริมาณมาก วัสดุตัวนำต่างชนิดกัน สภาพแวดล้อมที่เป็นมลภาวะ จึงทำให้เกิดปัญหาขึ้นที่บริเวณหางปลาและน็อตสแตนเลสที่ใช้ยึดกัน ซึ่งตรงจุดต่อนี้จะเกิดปัญหาทั้งการกัดกร่อน เกิดตะกรันและเกิดความร้อนที่จุดเชื่อมต่อทำให้ส่งผลกระทบต่อเสถียรภาพของระบบจำหน่าย 22 กิโลโวลต์

ดังนั้นในบทความนี้มีวัตถุประสงค์ เพื่อทำการศึกษาการกัดกร่อนของจุดเชื่อมต่อระหว่างสายทองแดงและสายอะลูมิเนียมชุบด้วยนิเกิล โดยทำการทดสอบวิธีการป้องกัน 4 รูปแบบ เพื่อลดการกัดกร่อนแบบกัลวานิกบริเวณผิวสัมผัสของวัสดุต่างชนิดกัน

2. การเชื่อมต่อระหว่างสายเหนือดินกับสายเคเบิลใต้ดิน

การออกแบบโครงสร้างเสาไฟฟ้าในระบบจำหน่ายไฟฟ้าแรงดันปานกลาง 22 กิโลโวลต์ เพื่อรองรับทั้งสายอากาศเหนือดินและสายเคเบิลใต้ดินเป็นสิ่งจำเป็นอย่างยิ่ง โดยเฉพาะในบริเวณที่มีการเปลี่ยนผ่านจากระบบสายอากาศเหนือดินเป็นสายเคเบิลใต้ดิน เช่น พื้นที่ชุมชน หรือบริเวณจุดเชื่อมโยงกับสถานีไฟฟ้าย่อย การออกแบบที่เหมาะสมและการเลือกใช้อุปกรณ์ให้สอดคล้องกับสภาพแวดล้อมและลักษณะของวัสดุ จะช่วยลดปัญหาการกัดกร่อนเพิ่มความปลอดภัย และยืดอายุการใช้งานของระบบไฟฟ้าโดยรวมได้อย่างมีประสิทธิภาพ

ตารางที่ 1 ศักย์ไฟฟ้าของวัสดุโลหะต่างๆ [3]

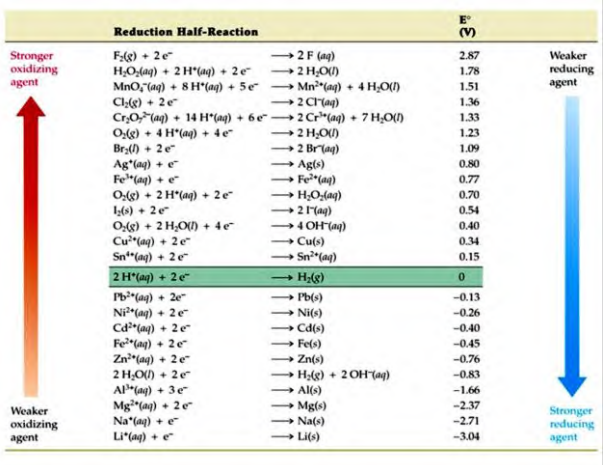

2.1 การกัดกร่อนแบบกัลวานิก (Galvanic corrosion)[4]

การเชื่อมต่อระหว่างโลหะต่างชนิด เช่น ทองแดงและอะลูมิเนียม มักก่อให้เกิดปัญหาการกัดกร่อนกัลวานิก (Galvanic Corrosion) เนื่องจากความแตกต่างของศักย์ไฟฟ้าเคมีระหว่างโลหะทั้งสอง เมื่อมีการเชื่อมต่อกันภายใต้สภาพแวดล้อมที่มีตัวกลางนำไฟฟ้า เช่น น้ำ ความชื้น หรือสารละลายอิเล็กโทรไลต์ จะทำให้เกิดกระแสไฟฟ้าเคมีไหลเวียน โดยปริมาณกระแสมีความสัมพันธ์โดยตรงกับค่าความต่างศักย์ที่เกิดขึ้น ในกรณีของการเชื่อมต่อทองแดงกับอะลูมิเนียม อะลูมิเนียมทำหน้าที่เป็นแอโนด (Anode) ซึ่งจะปลดปล่อยอิเล็กตรอนและเกิดการออกซิเดชันจนกลายเป็นไอออน ส่งผลให้อะลูมิเนียมถูกกัดกร่อนก่อน ขณะที่ทองแดงทำหน้าที่เป็นแคโทด (Cathode) และไม่เกิดความเสียหาย กระบวนการดังกล่าวสะท้อนให้เห็นว่าการกัดกร่อนกัลวานิกเกิดขึ้นได้เมื่อโลหะสองชนิดที่มีคุณสมบัติทางไฟฟ้าเคมีแตกต่างกันสัมผัสกันในสภาวะแวดล้อมที่เอื้อต่อการเกิดปฏิกิริยาไฟฟ้าเคมี แม้ว่าการหลีกเลี่ยงการใช้โลหะต่างชนิดในทางปฏิบัติจะทำได้ยาก แต่การควบคุมหรือป้องกันการกัดกร่อนกัลวานิกอย่างสมบูรณ์ก็แทบเป็นไปไม่ได้ เนื่องจากโลหะมักต้องสัมผัสร่วมกันและอยู่ในสภาวะแวดล้อมที่มีฤทธิ์กัดกร่อน ดังนั้น จึงจำเป็นต้องมีมาตรการลดความเสี่ยง เช่น การเลือกใช้วัสดุที่มีศักย์ไฟฟ้าใกล้เคียงกัน การออกแบบและเลือกวิธีการเชื่อมต่อที่เหมาะสม การติดตั้งวัสดุฉนวนเพื่อแยกชิ้นส่วน การใช้สารยับยั้งการกัดกร่อน รวมถึงการออกแบบโครงสร้างให้ลดโอกาสการเกิดวงจรกัลวานิก วิธีการดังกล่าวจะช่วยยืดอายุการใช้งานของระบบและลดความเสียหายที่เกิดจากการกัดกร่อนกัลวานิกได้อย่างมีประสิทธิภาพ

2.2 ความต้านทานจุดเชื่อมต่อระหว่างสายอากาศเหนือดินกับสายเคเบิลใต้ดิน

เมื่ออุณหภูมิของตัวนำเปลี่ยนแปลง จะทำให้สภาพต้านทานจำเพาะของตัวนำประเภทโลหะหรือค่าความต้านทานของตัวนำเปลี่ยนแปลงไปด้วย ดังสมการที่ (1)

$$R_t = R_0\left(1+1.5\alpha t\right) \qquad (1)$$

โดยที่ R_0 ความต้านทานของตัวนาที่ 0 °C

t อุณหภูมิของโลหะตัวนำในหน่วยองศาเซลเซียส

α สัมประสิทธิ์ของอุณหภูมิของความต้านทาน, $°C^{-1}$ ดังแสดงในตารางที่ 2

ตารางที่ 2 ค่าความต้านทานจำเพาะและค่าสัมประสิทธิ์อุณหภูมิของความต้านทานที่ 20 °C

สาร	ρ , Ohm-m	α , $°C^{-1}$
เงิน	1.59×10^{-8}	0.0038
ทองแดง	1.68×10^{-8}	0.0039
อะลูมิเนียม	2.65×10^{-8}	0.0039
ดีบุก	11.5×10^{-8}	
นิกเกิล	6.93×10^{-8}	0.006
เหล็ก	9.71×10^{-8}	0.00651

2.3 การป้องกันการกัดกร่อนด้วยการเคลือบหางปลา [5]

การเคลือบโลหะที่แตกต่างกันเป็นวิธีการเชิงพาณิชย์ทั่วไปที่ใช้เพื่อปรับปรุงเสถียรภาพและป้องกันการกัดกร่อนแบบกัลวานิกของการเชื่อมต่ออะลูมิเนียมกับทองแดง วัสดุเคลือบผิวที่ใช้กันอย่างแพร่หลาย ได้แก่ ดีบุก เงิน ทองแดง แคดเมียมและนิกเกิล แต่มีการศึกษาเปรียบเทียบน้อยมากเกี่ยวกับประสิทธิภาพของสารเคลือบเหล่านี้ ในการรักษาการทำงานของการเชื่อมต่ออะลูมิเนียมกับทองแดงอย่างต่อเนื่องภายใต้สภาพการทำที่แตกต่างกัน สามารถแก้ปัญหาการเชื่อมต่อกันของทองแดงกับอะลูมิเนียม

ได้ โดยการนำทองแดงกับอะลูมิเนียมเคลือบด้วยนิกเกิลจะให้ประสิทธิภาพการเชื่อมต่อดีที่สุด

3. วิธีการออกแบบและทำการทดสอบ

3.1 การออกแบบ

ในที่นี้ได้ทำการออกแบบ ติดตั้ง และทดสอบการเชื่อมต่อหางปลาทองแดงและหางปลาอะลูมิเนียมในระบบจำหน่ายของการไฟฟ้าตามมาตรฐานการเชื่อมสายอากาศเหนือดินและสายเคเบิลใต้ดินของการไฟฟ้าส่วนภูมิภาค เพื่อทดสอบวิธีการป้องกันและลดการเกิดปัญหาของการกัดกร่อนแบบกัลวานิกบริเวณผิวสัมผัสของวัสดุต่างชนิดกันของจุดเชื่อมต่อ โดยใช้ตัวนำหางปลาทองแดงและอะลูมิเนียมชุบด้วยนิเกิล ซึ่งจะทำให้มีคุณสมบัติทางไฟฟ้าที่ใกล้เคียงกัน นำไปติดตั้งใช้งานเป็นส่วนหนึ่งของวงจรจ่ายไฟในระบบจำหน่าย 22 กิโลโวลต์ ซึ่งก่อนการติดตั้งจะทำการทดสอบค่าความต้านทานบริเวณรอยต่อ(Contact Resistance Test) ดังในรูปที่ 4 และนำไปติดตั้งวางแผนเก็บผลการทดสอบทุกระยะเวลา 15 วัน จนครบ 90 วัน(3 เดือน) ดังแสดงในรูปที่ 3 แล้วนำมาเปรียบเทียบผลการทดสอบรูปแบบการเชื่อมต่อแบบต่างๆ ต่อไป รูปแบบการเชื่อมต่อดังแสดงในรูปที่ 1 และ 2

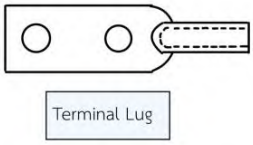

a) รูปแบบที่ 1 การเชื่อมต่อหางปลาทองแดงกับหางปลาอะลูมิเนียมแบบไม่มีการป้องกันจากสภาวะแวดล้อม

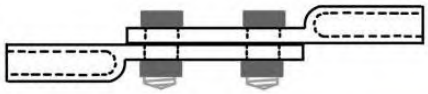

b) รูปแบบที่ 2 การเชื่อมต่อหางปลาทองแดงกับหางปลาอะลูมิเนียมชุบด้วยนิกเกิล แบบไม่มีการป้องกันจากสภาวะแวดล้อม

c) รูปแบบที่ 3 การเชื่อมต่อหางปลาทองแดงกับหางปลาอะลูมิเนียมชุบด้วยนิกเกิล แบบมีการป้องกันจากสภาวะแวดล้อมโดยวิธีการพันเทป

d) รูปแบบที่ 4 การเชื่อมต่อหางปลาทองแดงกับหางปลาอะลูมิเนียมชุบด้วยนิกเกิล แบบมีการป้องกันจากสภาวะแวดล้อมโดยวิธีการใช้ท่อหดความร้อน

รูปที่ 1 แสดงรายละเอียดของรูปแบบการเชื่อมต่อ

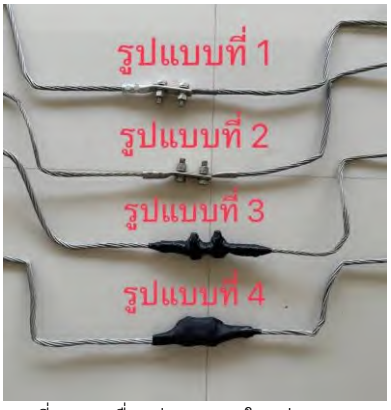

รูปที่ 2 การเชื่อมต่อหางปลาในแต่ละรูปแบบ

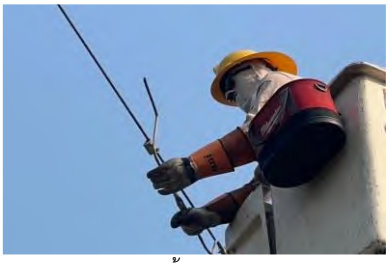

a) ทำการติดตั้งในระบบจำหน่าย

b) ติดตั้งใช้งานเป็นส่วนหนึ่งของวงจรจ่ายไฟ

รูปที่ 3 แสดงการติดตั้งเพื่อทำการทดสอบในระบบจำหน่าย

a) การตรวจวัดความต้านทานหน้าสัมผัสบริเวณจุดต่อ

b) ทำการบันทึกค่าความต้านทานหน้าสัมผัสบริเวณรอยต่อ

รูปที่ 4 ชิ้นงานจุดต่อและบันทึกค่าความต้านทานหน้าสัมผัสบริเวณรอยต่อ

3.2 การเก็บข้อมูล

ในการเก็บข้อมูลจากการทดสอบ ได้แบ่งการเก็บข้อมูลแบ่งออกเป็น 6 ระยะคือ ระยะที่ 1 ก่อนติดตั้ง ระยะที่ 2 หลังจากติดตั้งเป็นเวลา 15 วัน ระยะที่ 3 หลังการติดตั้งเป็นเวลา 30 วัน ระยะที่ 4 หลังจากติดตั้งเป็นเวลา 45 วัน ระยะที่ 5 หลังจากติดตั้งเป็นเวลา 60 วัน ระยะที่ 6 หลังจากติดตั้งเป็นเวลา 75 วัน และระยะที่ 7 หลังจากติดตั้งเป็นเวลา 90 วัน โดยทำการวัดค่าความต้านทานหน้าสัมผัสด้วยการใช้เครื่องวัด MICRO-OHMMETER CONTACT TEST SET ทั้ง 4 รูปแบบ ดังแสดงในตารางที่ 2 และแสดงการปรียบเทียบดังแสดงในรูปที่ 5

ตารางที่ 2 ค่าความต้านทานหน้าสัมผัสของจุดเชื่อมต่อ

ลักษณะการเชื่อมต่อของหางปลาชุดต้นแบบ	ค่าความต้านทานหน้าสัมผัส (μΩ)						
	ทำการติดตั้งเป็นเวลา (วัน)						
	1	15	30	45	60	75	90
แบบไม่มีการป้องกันจากสภาวะแวดล้อม	28.3	34.6	38.7	47.2	58.8	71.4	80.2
แบบที่ชุบด้วยนิกเกิลและไม่มีการป้องกันจากสภาวะแวดล้อม	39.4	45.1	49.7	55.7	60.3	64.2	69.8
แบบที่ชุบด้วยนิกเกิล และมีการป้องกันจากสภาวะแวดล้อมโดยวิธีการพันเทป	39.4	43.6	46.2	49.8	51.9	58.7	62.1
แบบที่ชุบด้วยนิกเกิล และมีการป้องกันจากสภาวะแวดล้อมโดยวิธีการใช้ท่อหดความร้อน	39.4	42.3	44.8	46	50.3	53.7	55.9

จากการทดสอบค่าความต้านของหน้าสัมผัสจุดเชื่อมต่อหางปลาทองแดงกับหางปลาอะลูมิเนียมชุบด้วยนิกเกิลในช่วงระยะเวลา 90 วัน ดังแสดงในรูปที่ 5 จะเห็นได้ว่าการนำหางปลาทองแดงและหางปลาอะลูมิเนียมชุบด้วยนิกเกิลที่มีการป้องกันจากสภาวะแวดล้อมโดยวิธีการใช้ท่อหดความร้อน จะให้ผลการทดสอบดีที่สุดคือมีค่าความต้านทานหน้าสัมผัสเพิ่มขึ้นมาจากค่าเดิม 16.5 μΩ คิดเป็น 41.87 เปอร์เซ็นต์ การนำหางปลาทองแดงและหางปลาอลูมิเนียมชุบด้วยนิกเกิลที่มีการป้องกันจากสภาวะแวดล้อมโดยวิธีการพันเทป จะให้ค่าความต้านทานหน้าสัมผัสเพิ่มขึ้น 22.7 μΩ คิดเป็น 57.61 เปอร์เซ็นต์ การนำหางปลาทองแดงและหางปลาอะลูมิเนียมชุบด้วยนิกเกิลที่ไม่มีการป้องกันจากสภาวะแวดล้อม ค่าความต้านทานหน้าสัมผัสเพิ่มขึ้น 30.4 μΩ คิดเป็น 77.15 เปอร์เซ็นต์ ซึ่งเทียบกับหางปลาทองแดงและหางปลาอะลูมิเนียมที่ไม่มีการป้องกันจากสภาวะแวดล้อมซึ่งเป็นวิธีการที่ใช้กันในปัจจุบัน มีค่าความต้านทานหน้าสัมผัสเพิ่มขึ้น 51.9 μΩ คิดเป็น 183.39 เปอร์เซ็นต์

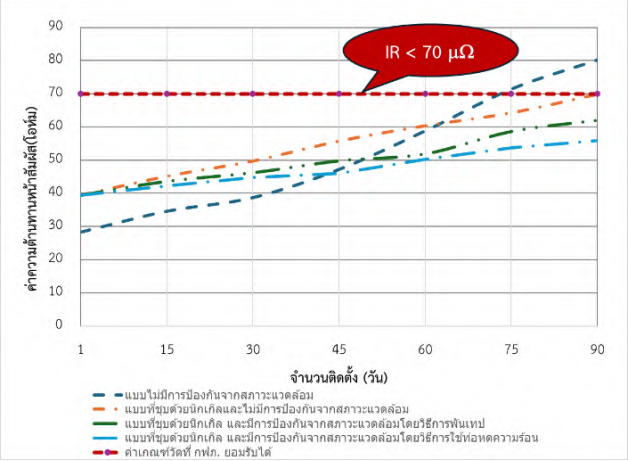

รูปที่ 5 เปรียบเทียบผลการทดสอบค่าความต้านทานหน้าสัมผัสของรูปแบบการเชื่อมต่อแบบต่าง ๆ

4. อภิปรายผลการทดสอบ

จากผลการทดสอบจะพบว่า รูปแบบที่ 1 การเชื่อมต่อหางปลาทองแดงกับหางปลาอะลูมิเนียมแบบไม่มีการป้องกันจากสภาวะแวดล้อม ค่าความต้านทานหน้าสัมผัสเพิ่มขึ้น 183.39% สาเหตุหลักมาจากเกิดการกัดกร่อนแบบกัลวานิกขึ้นโดยตรงที่รอยต่อ เพราะไม่มีการเคลือบหรือป้องกันใดๆ ทำให้ความชื้นและสิ่งสกปรกเข้าสู่รอยต่อได้โดยตรง ถือเป็นรูปแบบการเชื่อมต่อที่ทำให้เกิดการเสื่อมสภาพรุนแรงที่สุดและไม่เหมาะสมต่อการใช้งานจริง รูปแบบที่ 2 จุดเชื่อมต่อมีการชุบหางปลาอลูมิเนียมด้วยนิกเกิล แต่ไม่มีการป้องกันจากสภาวะแวดล้อม ค่าความต้านทานหน้าสัมผัสเพิ่มขึ้น 77.15% การชุบนิกเกิลมีส่วนลดการกัดกร่อนลงได้ แต่ยังไม่สามารถเป็นเกราะป้องกันจากสภาวะแวดล้อมได้ จึงยังคงมีการเสื่อมสภาพต่อเนื่องจากผลของความชื้นและมลภาวะแวดล้อม แต่ดีกว่าแบบแรก แต่ยังไม่เพียงพอสำหรับการใช้งานระยะยาว รูปแบบที่ 3 ชุบนิกเกิลและพันเทปป้องกัน ค่าความต้านทานหน้าสัมผัสเพิ่มขึ้น 57.61% การพันเทปช่วยป้องกันสภาวะแวดล้อมได้ระดับหนึ่ง และลดความชื้นเข้าสู่รอยต่อได้พอสมควร แต่อย่างไรก็ตามการพันเทปอาจเสื่อมสภาพเมื่อเวลาผ่านไป ทำให้ยังไม่สามารถควบคุมการกัดกร่อนได้อย่างมีประสิทธิภาพ และรูปแบบที่ 4 ชุบนิกเกิลและใช้ท่อหดความร้อน ค่าความต้านทานหน้าสัมผัส เพิ่มขึ้น 41.87% ถือเป็นวิธีที่ให้ผลดีที่สุด เนื่องจากท่อหดความร้อนสามารถปิดผนึกแน่นหนา ลดการแทรกซึมของความชื้นและสิ่งสกปรกได้ดีกว่าการพันเทป ค่าความต้านทานที่เพิ่มขึ้นยังคงต่ำกว่าเกณฑ์มาตรฐานที่การไฟฟ้าส่วนภูมิภาคกำหนด แสดงว่ามีความเหมาะสมต่อการใช้งานจริง

5. สรุป

งานวิจัยนี้ได้ศึกษาการกัดกร่อนแบบกัลวานิกที่เกิดขึ้นบริเวณจุดเชื่อมต่อระหว่างสายทองแดงและสายอะลูมิเนียมในระบบจำหน่ายไฟฟ้า 22 กิโลโวลต์ ทั้ง 4 รูปแบบ โดยนำไปติดตั้งใช้งานเป็นส่วนหนึ่งของวงจรจ่ายไฟในระบบจำหน่าย 22 กิโลโวลต์ สามารถสรุปได้ว่าการเชื่อมต่อด้วย

การชุบนิกเกิลและมีการป้องกันจากสภาวะแวดล้อมโดยใช้ท่อหดความร้อน ทำให้ค่าความต้านทานหน้าสัมผัสเพิ่มขึ้นเล็กน้อยเมื่อเทียบกับวิธีอื่น และมีค่าต่ำกว่าเกณฑ์ที่การไฟฟ้าส่วนภูมิภาคกำหนด ถือเป็นวิธีที่ให้ผลดีที่สุด เนื่องจากท่อหดความร้อนสามารถปิดผนึกแน่นหนา ลดการแทรกซึมของความชื้นและสิ่งสกปรกได้ดีกว่าการพันเทป ดังนั้นการเชื่อมต่อหางปลาทองแดงกับหางปลาอะลูมิเนียมที่ชุบด้วยนิกเกิล แบบมีการป้องกันจากสภาวะแวดล้อมโดยวิธีการใช้ท่อหดความร้อนมีความเหมาะสมต่อการใช้งานจริง

เอกสารอ้างอิง

[1] Deutsches Kupferinstitut: Schweißen von Kupfer und Kupferlegierungen, Informationsdruck i.12 (2009). URL: Kupferverband

[2] T. Boettcher et al., "On the intermetallic corrosion of Cu-Al wire bonds," None, 2010. URL: https://doi.org/10.1109/eptc.2010.5702706

[3] Standard Reduction Potentials from Chang 10th edition URL:https://www.gpschools.org/cms/lib/MI01000971/Centricity/Domain/478/Standard%20Reduction%20Potentials%20from%20Chang%2010th%20edition.pdf

[4] GALVANIC CORROSION. X. G. ZHANG. Teck Metals Ltd., Mississauga, Ontario, Canada. A. Introduction. B. Definition. C. Factors in galvanic corrosion. D. Material.

[5] M. Braunovic, “Evaluation of different planting for Aluminum-to-Copper connections” IEEE Transaction on components, hybrids, and manufacturing technological, vol.15, No. 2, April 1992.

สำเริง ฮินท่าไม้ ปัจจุบันเป็นหัวหน้าสาขาวิชาวิศวกรรมไฟฟ้า คณะวิศวกรรมศาสตร์ มหาวิทยาลัยศรีปทุม มีความสนใจงานวิจัยด้านวิศวกรรมไฟฟ้าแรงสูง ระบบการต่อลงดินและระบบการป้องกันฟ้าผ่า และการบำรุงรักษาหม้อแปลงไฟฟ้า

ภรชัย จูอนุวัฒนกุล สำเร็จการศึกษา วศ.บ. วิศวกรรมไฟฟ้า จากมหาวิทยาลัยเทคโนโลยีมหานคร (เกียรตินิยม อันดับสอง) วศ.ม . วิศวกรรมไฟฟ้า จากมหาวิทยาลัยเกษตรศาสตร์ และ Ph.D. จาก Curtin University ปัจจุบันดำรงตำแหน่ง ผู้ช่วยศาสตราจารย์ สาขาวิชาวิศวกรรมไฟฟ้า สาขาวิชาวิศวกรรมไฟฟ้า คณะวิศวกรรมศาสตร์ มหาวิทยาลัยศรีปทุม

การควบคุมพีไอที่ใช้การเรียนรู้เสริมแรงของอิเล็กโทรไลเซอร์ชนิดเยื่อแลกเปลี่ยนโปรตอนเพื่อปรับปรุงเสถียรภาพความถี่ไมโครกริด

Reinforcement Learning-Based PI Control of a Proton Exchange Membrane Electrolyzer for Microgrid Frequency Stability Improvement

อภิรัตน์ จอมเจตีย์[1] ดวงดี แสนรักษ์ [1] เชวศักดิ์ รักเป็นไทย [1] และ จงลักษณ์ พาหะชา [1,*]

[1]สาขาวิชาวิศวกรรมไฟฟ้า คณะวิศวกรรมศาสตร์ มหาวิทยาลัยพะเยา 66103433@up.ac.th, jonglak.pa@up.ac.th*

บทคัดย่อ

บทความนี้นำเสนอการควบคุมอิเล็กโทรไลเซอร์ชนิดเยื่อแลกเปลี่ยนโปรตอน (PEMEL) เพื่อเพิ่มเสถียรภาพความถี่ในไมโครกริด โดยใช้ตัวควบคุมสัดส่วน-ปริพันธ์ (PI) ที่ปรับค่าพารามิเตอร์ด้วยวิธีการเรียนรู้แบบเสริมแรง (RL) โดยประยุกต์ใช้อัลกอริทึม Deep deterministic policy gradient (DDPG) ซึ่งมีวัตถุประสงค์เพื่อลดการเบี่ยงเบนของความถี่และลดการใช้พลังงานที่ไม่จำเป็นของ PEMEL ทั้งนี้ แบบจำลองที่พัฒนาสามารถปรับค่าเกนสัดส่วน (Kp) และเกนปริพันธ์ (Ki) ของตัวควบคุม PI ได้แบบเวลาจริงตามสภาวะการทำงานของระบบที่เปลี่ยนแปลงไป ซึ่งแสดงถึงศักยภาพของวิธีการ RL-PI ในการเพิ่มเสถียรภาพการควบคุมความถี่ในไมโครกริด ผลการจำลองในไมโครกริดที่ใช้ในการศึกษา แสดงให้เห็นว่าวิธีการ RL-PI ที่นำเสนอ สามารถลดการเบี่ยงเบนของความถี่ได้ดีกว่าการควบคุมด้วย PI แบบทั่วไป โดยเฉพาะในช่วงเกิดการรบกวน

คำสำคัญ: ไมโครกริด, อิเล็กโทรไลเซอร์ชนิดเยื่อแลกเปลี่ยนโปรตอน, การควบคุมความถี่, การเรียนรู้แบบเสริมแรง, ตัวควบคุมพีไอ

Abstract

This paper presents a control strategy for a proton exchange membrane electrolyzer (PEMEL) to enhance microgrid frequency stability. A proportional-integral (PI) controller with parameters tuned by reinforcement learning (RL), using the deep deterministic policy gradient (DDPG) algorithm, is employed to minimize frequency deviation and reduce unnecessary energy consumption of the PEMEL. The developed model enables real-time adjustment of proportional gain (Kp) and integral gain (Ki) parameters in response to system conditions, highlighting the potential of the RL-PI for improving microgrid frequency stability. Simulation results in the studied microgrid demonstrate that the proposed RL-PI achieves better performance in frequency regulation compared to conventional PI, especially during disturbances.

Keywords: Microgrid, proton exchange membrane electrolyzer, frequency control, reinforcement learning, PI controller

1. บทนำ

การผลิตไฟฟ้าจากพลังงานทดแทน เช่น พลังงานแสงอาทิตย์และพลังงานลม ได้เข้ามามีบทบาทมากขึ้นในระบบไมโครกริด เพราะช่วยลดการพึ่งพาเชื้อเพลิงฟอสซิลและลดการปล่อยก๊าซเรือนกระจก อย่างไรก็ตาม แหล่งพลังงานเหล่านี้มีลักษณะกำลังผลิตที่ผันผวนตามสภาพอากาศและเวลา จึงทำให้ การเบี่ยงเบนของความถี่มากขึ้น ซึ่งอาจกระทบต่อความมั่นคงของระบบไฟฟ้า อุปกรณ์ที่ช่วยแก้ปัญหานี้ได้คืออิเล็กโทรไลเซอร์ชนิดเยื่อแลกเปลี่ยนโปรตอน (Proton exchange membrane electrolyzer: PEMEL) เนื่องจาก PEMEL สามารถตอบสนองต่อความผันผวนได้รวดเร็ว ทำหน้าที่เป็นโหลดเสมือน (Virtual load) ช่วยใช้พลังงานส่วนเกิน และเพิ่มแรงเฉื่อยเสมือน (Virtual inertia) ให้กับระบบ ช่วยให้ความถี่ของไมโครกริดมีความเสถียรมากขึ้น [1-2]

ตัวควบคุมสัดส่วน-ปริพันธ์ เป็นตัวควบคุมที่นิยมใช้ในการควบคุมระบบไฟฟ้ากำลัง เนื่องจากมีข้อดีคือ มีความน่าเชื่อถือ สามารถควบคุมระบบได้ทั้งแบบรวดเร็วและแม่นยำ โดยสามารถตอบสนองต่อการเปลี่ยนแปลงของระบบได้อย่างมีประสิทธิภาพ และยังช่วยลดข้อผิดพลาดในสภาวะคงตัว (Steady-state error) ได้อีกด้วย [3] การใช้ตัวควบคุม PI สำหรับควบคุม PEMEL ได้มีการนำเสนอมาแล้วใน [1] อย่างไรก็ตาม การหาค่าพารามิเตอร์ที่เหมาะสมของตัวควบคุม PI ถือเป็นปัจจัยสำคัญ เพื่อให้ PEMEL ทำงานได้อย่างมีประสิทธิภาพมากที่สุด ตามวัตถุประสงค์ในการลดการแกว่งของความถี่ให้ได้มากที่สุด นอกจากนี้ ในสภาวะจริง ไมโครกริดต้องเผชิญกับความผันผวนของกำลังไฟฟ้าจากพลังงานหมุนเวียนและการเปลี่ยนแปลงของโหลดอยู่ตลอดเวลา ทำให้ค่าพารามิเตอร์ PI ที่ถูกกำหนดแบบคงที่อาจไม่เพียงพอสำหรับทุกสภาวะการทำงานของระบบ ส่งผลให้ประสิทธิภาพในการควบคุมความถี่ของระบบอาจลดลง ดังนั้น การประยุกต์ใช้ วิธีการเรียนรู้แบบเสริมแรง (Reinforcement learning: RL) มาช่วยในการปรับ ค่าเกนสัดส่วน (Kp) และเกนปริพันธ์ (Ki) ของตัวควบคุม PI ได้แบบเวลาจริงตามสภาวะการทำงานของระบบที่เปลี่ยนแปลงไป จะทำให้สามารถเพิ่มเสถียรภาพความถี่ของไมโครกริดได้ดียิ่งขึ้น [4-5]

บทความนี้นำเสนอการออกแบบและพัฒนา ตัวควบคุมพีไอ (PI) ที่สามารถปรับค่าพารามิเตอร์แบบเวลาจริงด้วยวิธีการเรียนรู้แบบเสริมแรง โดยประยุกต์ใช้อัลกอริทึม Deep deterministic policy gradient (DDPG) เพื่อใช้ควบคุม PEMEL ภายในระบบไมโครกริด โดยมีเป้าหมาย

*ผู้ประพันธ์บรรณกิจ

เพื่อลดการแกว่งของความถี่ให้ได้อย่างรวดเร็วและแม่นยำภายใต้สภาวะการทำงานของระบบที่เปลี่ยนแปลงตลอดเวลา

2. แบบจำลองไมโครกริดที่ใช้ในการศึกษา

ในการศึกษาการควบคุมความถี่ในงานวิจัยนี้ ได้ทำการสร้างแบบจำลองไมโครกริดซึ่งแสดงไว้ในรูปที่ 1 โดยระบบดังกล่าวประกอบด้วยเครื่องกำเนิดไฟฟ้าดีเซล เครื่องกำเนิดไฟฟ้าพลังงานแสงอาทิตย์ เครื่องกำเนิดไฟฟ้าพลังงานลม โหลด และ PEMEL ทั้งนี้ ภายใต้สภาวะปกติ PEMEL มักถูกใช้เพื่อกักเก็บพลังงานในช่วงที่เครื่องกำเนิดไฟฟ้าพลังงานลมและพลังงานแสงอาทิตย์ผลิตได้เกินความต้องการของโหลด อย่างไรก็ตาม ในงานวิจัยนี้ได้นำเสนอการควบคุม PEMEL ในบทบาทของอุปกรณ์ตอบสนองเร็ว เพื่อช่วยรักษาเสถียรภาพความถี่ในสภาวะที่มีความผันผวนสูง

แบบจำลองเชิงเส้นของโรงไฟฟ้าดีเซลล์ที่ใช้ในการศึกษาแสดงดังรูปที่ 2 โดยปกติการควบคุมความความถี่ไมโครกริดจะกระทำโดยวงรอบดรูป (Droop) ป้อนกลับและตัวควบคุมเสริม (บล็อก Integral) อย่างไรก็ตาม เมื่อมีการเปลี่ยนแปลงของกำลังไฟฟ้าด้านผลิตที่เกิดจากเครื่องกำเนิดไฟฟ้าพลังแสงอาทิตย์และเครื่องกำเนิดไฟฟ้าพลังลม ส่งผลให้การเบี่ยงเบนของความถี่มีค่าสูงขึ้น การควบคุมความถี่ด้วยวงรอบดรูปและตัวควบคุมเสริมที่เครื่องกำเนิดไฟฟ้าดีเซลล์จึงไม่สามารถรักษาความถี่ให้อยู่ในช่วงที่กำหนดได้ ดังนั้น จึงมีการนำเสนอการควบคุมเสริมจากอุปกรณ์กักเก็บพลังงาน PEMEL ในงานวิจัยนี้

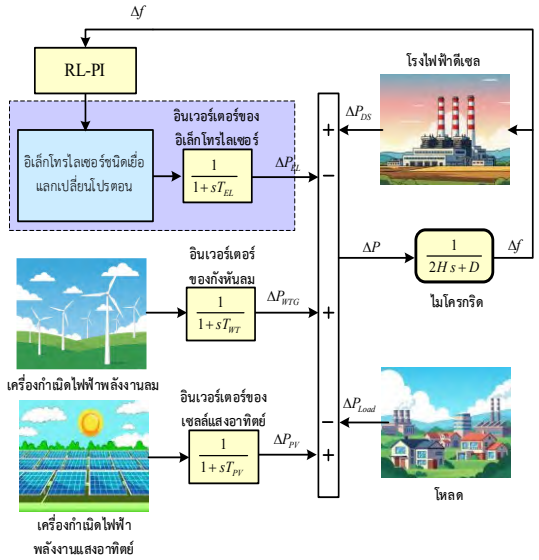

รูปที่ 1 ไมโครกริดสำหรับการควบคุมความถี่ที่ใช้ในการศึกษา

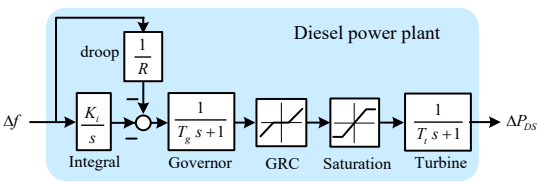

รูปที่ 2 แบบจำลองเชิงเส้นของโรงไฟฟ้าดีเซลที่ใช้ในการศึกษา

จากรูปที่ 1 ความสัมพันธ์ระหว่างกำลังไฟฟ้าภายในไมโครกริดและการเบี่ยงเบนของความถี่ สามารถอธิบายได้ดังสมการ

$$\Delta f = \frac{1}{2Hs + D}\Delta P \tag{1}$$

$$\Delta P = \Delta P_{DS} + \Delta P_{PV} + \Delta P_{WTG} - \Delta P_{Load} - \Delta P_{EL} \tag{2}$$

เมื่อ H คือแรงเฉื่อยไมโครกริด, D คือการหน่วง, P_{DS} คือกำลังไฟฟ้าของเครื่องกำเนิดไฟฟ้าดีเซลล์, P_{PV} คือกำลังไฟฟ้าของเครื่องกำเนิดไฟฟ้าพลังแสงอาทิตย์, P_{WTG} คือกำลังไฟฟ้าของเครื่องกำเนิดไฟฟ้าพลังลม, P_{Load} คือกำลังไฟฟ้าของความต้องการโหลด, และ P_{EL} คือกำลังไฟฟ้าของ PEMEL

ความผันผวนตามธรรมชาติของแหล่งจ่ายพลังงานหมุนเวียน เช่น เครื่องกำเนิดไฟฟ้าพลังงานแสงอาทิตย์ และเครื่องกำเนิดไฟฟ้าพลังงานลม ซึ่งปรากฏในรูปที่ 1 เป็นปัจจัยสำคัญที่ทำให้เกิดการเบี่ยงเบนของความถี่ภายในไมโครกริด อย่างไรก็ตาม การควบคุมการทำงานของ PEMEL สามารถช่วยลดผลกระทบดังกล่าวได้

3. แบบจำลอง PEMEL สำหรับการควบคุมความถี่

ไฮโดรเจนอิเล็กโทรลิซิส (Hydrogen electrolysis) คือเทคโนโลยีการกักเก็บพลังงานแบบพลังงานเป็นก๊าซ ซึ่งช่วยให้สามารถทำงานร่วมกับแหล่งจ่ายพลังงานหมุนเวียนที่ไม่ต่อเนื่องได้อย่างมีประสิทธิภาพ และขยายการใช้งานในวงกว้างไปสู่ระบบพลังงานแห่งอนาคต รูปที่ 3 แสดงวงจรสมมูลทางไฟฟ้าไดนามิกของ PEMEL stack [1] ซึ่งทำงานโดยอาศัยวงจรสมมูลทางไฟฟ้าไดนามิกสำหรับการปรับความถี่ของระบบ [2]

สมการเชิงอนุพันธ์อันดับหนึ่งต่อไปนี้สามารถใช้เพื่อแสดงคุณสมบัติไดนามิกของวงจรในรูปที่ 2

$$\frac{dV_a}{dt} = \frac{I_{EL}}{C_d} - \frac{V_a}{T_{EL}} \tag{3}$$

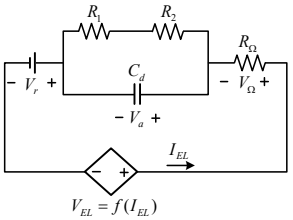

รูปที่ 3 วงจรสมมูลทางไฟฟ้าไดนามิกของ PEMEL [2]

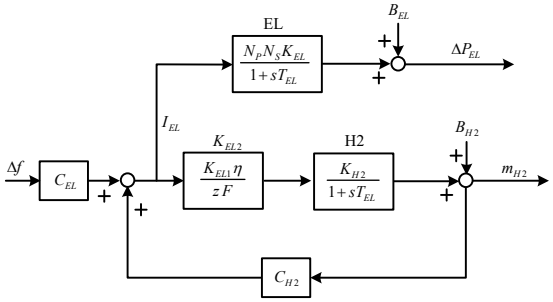

รูปที่ 4 แบบจำลอง PEMEL สำหรับการควบคุมความถี่ที่ใช้ในการศึกษา

เมื่อ V_a คือแรงดันไฟฟ้าในการเปิดใช้งานลดลง (Activation voltage drop), I_{EL} คือกระแสไฟฟ้า PEMEL, C_d คือตัวเก็บประจุ, และ T_{EL} คือค่าคงตัวทางเวลาอันดับหนึ่งของ PEMEL

แบบจำลองเชิงเส้นของ PEMEL สำหรับการควบคุมความถี่ระบบไฟฟ้ากำลังซึ่งปรับมาจากเอกสารอ้างอิง [1-2] แสดงดังรูปที่ 4 โดยต้องมีการพิจารณา T_{EL} ด้วยเมื่อมีการใช้ PEMEL สำหรับปรับความถี่ในระบบไฟฟ้ากำลัง การควบคุมและการปรับการใช้กำลังไฟฟ้าของ PEMEL จะมีการหน่วงเวลาเท่ากับ T_{EL} ในกรณีที่มีการเปลี่ยนแปลงอย่างทันทีทันใดของความถี่ระบบไฟฟ้ากำลัง ดังนั้น การใช้กำลังไฟฟ้าของ PEMEL สามารถอธิบายด้วยการแปลงลาปลาซ ดังสมการต่อไปนี้ [1-2]

$$P_{EL}(s) = \frac{K_{EL}}{1+sT_{EL}} I_{EL}(s) + B_{EL} \tag{4}$$

เมื่อ K_{EL} และ B_{EL} คือสัมประสิทธิ์และค่าเริ่มต้นของการใช้กำลังไฟฟ้าของ PEMEL โดยอัตราการผลิตไฮโดรเจนขั้นปลาย (downstream hydrogen production rate, m_{H2} $[Nm^3/s]$,) แสดงได้ดังสมการต่อไปนี้

$$m_{H2}(s) = K_{EL1} \frac{\eta_F I_{EL}(s)}{z F} \tag{5}$$

เมื่อ K_{EL1} คือสัมประสิทธิ์การเปลี่ยน mole/s ไปเป็น Nm^3/s, z คือความหนาแน่นของอิเล็กตรอน, F คือค่าคงตัวของฟาราเดย์ (Faraday's constant) และ η_F คือสัมประสิทธิ์ของฟาราเดย์

เวลาหน่วง T_{EL} อาจเปลี่ยนการผลิตของแบบจำลองย่อยไฮโดรเจนเมื่ออัตราการสังเคราะห์ไฮโดรเจนเป็นฟังก์ชันเชิงเส้นของกระแสไฟฟ้า ดังนั้น การผลิตของแบบจำลองย่อยไฮโดรเจนแสดงดังสมการต่อไปนี้

$$m_{H2}(s) = \frac{K_{EL2}K_{H2}}{1+sT_{EL}} I_{EL}(s) + B_{H2} \tag{6}$$

$$K_{EL2} = K_{EL1}\left(\frac{\eta_F}{zF}\right) \tag{7}$$

เมื่อ K_{H2} คือค่าสัมประสิทธิ์ของการผลิตไฮโดรเจน และ B_{H2} คือค่าเริ่มต้นอัตราการผลิตไฮโดรเจน

ในกรณีที่ต้องการผลิตแรงดัน กระแส และกำลังไฟฟ้าสำหรับการใช้งานในระบบไฟฟ้า เรียกการต่อแบบนี้ว่าเป็น PEMEL stack ซึ่งจะมีการต่อ PEMEL แบบขนานและอนุกรมเพื่อให้ได้ แรงดัน กระแส และกำลังไฟฟ้าตามต้องการ ซึ่งแสดงได้ดังสมการต่อไปนี้

$$V_{EL,stack} = N_S V_{EL} \tag{8}$$

$$I_{EL,stack} = N_P I_{cell} \tag{9}$$

$$P_{EL,stack} = V_{EL,stack} I_{EL,stack} \tag{10}$$

เมื่อ N_S และ N_P คือจำนวนเซลล์ที่ต่ออนุกรมและขนานต่อหนึ่ง PEMEL stack ตามลำดับ โดยกระแสของ PEMEL stack ($I_{EL,stack}$) สามารถปรับเพื่อควบคุมอัตราการผลิตไฮโดรเจนด้านต่ำ (Downstream) และการใช้กำลังไฟฟ้า ดังแสดงในสมการ (9) และ (10) โดยเป้าหมายของการควบคุมอัตราการผลิตไฮโดรเจนคือ เพื่อรักษาการแกว่งของอัตราการผลิตไฮโดรเจนด้านต่ำ โดยความแตกต่างระหว่างอัตรากระแสของการผลิตไฮโดรเจน เพื่อเปลี่ยนอัตราการผลิตไฮโดรเจนด้านต่ำของ PEMEL stack ซึ่งความแตกต่างนี้สามารถเขียนได้ดังสมการต่อไปนี้

$$\Delta m_{H2}(s) = m_{pre}(s) - m_{past}(s) \tag{11}$$

ดังนั้น การเบี่ยงเบนกระแสของ PEMEL สามารถเขียนได้ดังสมการ

$$\Delta I_{EL}(s) = C_{H2}(s) \cdot \Delta m_{H2}(s) \tag{12}$$

เมื่อ C_{H2} คือ ตัวควบคุมในตัวซึ่งควบคุมอัตราการผลิตไฮโดรเจน

เพื่อให้ได้คุณสมบัติการปรับความถี่ได้ C_{EL} จึงถูกเพิ่มเข้าไปเพื่อปรับอัตราการผลิตไฮโดรเจน สำหรับการควบคุมความถี่ [2] ดังนั้นสมการ (12) จึงสามารถเขียนใหม่อีกครั้ง ได้ดังสมการต่อไปนี้

$$\Delta I_{EL}(s) = C_{H2}(s) \cdot \Delta m_{H2}(s) + C_{EL}(s) \cdot \Delta f(s) \tag{13}$$

เมื่อ Δf คือการเบี่ยงเบนความถี่ของระบบไฟฟ้ากำลัง

แทนสมการ (13) ในสมการ (10) จะได้ การเปลี่ยนแปลงกำลังไฟฟ้าของ PEMEL ดังสมการต่อไปนี้

$$\Delta P_{EL}(s) = \frac{K_{EL}}{1+sT_{EL}} C_{H2}(s) \cdot \Delta m_{H2}(s) + \frac{K_{EL}}{1+sT_{EL}} C_{EL}(s) \cdot \Delta f(s) \tag{14}$$

ดังสมการ (14) จะเห็นว่ามีพารามิเตอร์ 2 ตัว ที่สัมพันธ์กับการปรับกำลังไฟฟ้าด้านทำงานของ PEMEL นั่นคือ (1) การแกว่งของอัตราการผลิตไฮโดรเจน (Δm_{H2}), และ (2) การเบี่ยงเบนของความถี่ โดยการแกว่งของอัตราการผลิตไฮโดรเจนสามารถละทิ้งได้ เนื่องจากช่วงเวลาการปรับความถี่สั้นมาก (มากสุด 30 s) [2] ผลที่ได้คือ มีความเป็นไปได้ที่จะสมมติให้การแกว่งของอัตราการผลิตไฮโดรเจนมีค่าคงที่ระหว่างช่วงเวลาการควบคุมความถี่นี้ [2] ดังนั้น สมการ (14) สามารถแสดงได้เป็นดังสมการ

$$\Delta P_{EL}(s) = C_{EL}(s) \cdot \frac{K_{EL}}{1+sT_{EL}} \cdot \Delta f(s) \tag{15}$$

ในการศึกษานี้ RL-PI ได้ถูกใช้เพื่อควบคุม PEMEL สำหรับการปรับความถี่ ซึ่ง Δf คืออินพุตของ RL-PI ซึ่งถูกใช้เพื่อคำนวณสัญญาณควบคุมสำหรับตัวควบคุม PEMEL ดังนั้น เมื่อใช้ RL-PI เพื่อควบคุม PEMEL สำหรับการปรับความถี่ สมการ (15) เขียนใหม่ได้เป็นดังสมการ

$$\Delta P_{EL}(s) = \Delta f \cdot \left(K_P + \frac{K_I}{s} + sK_D\right) \cdot \frac{K_{EL}}{1+sT_{EL}} \tag{16}$$

4. การฝึก RL เพื่อปรับค่าพารามิเตอร์ PI

เทคนิคการเรียนรู้เสริมแรง ถูกนำมาใช้ในงานวิจัยนี้เพื่อปรับค่าพารามิเตอร์ของตัวควบคุม PI ที่ควบคุมการทำงานของ PEMEL ภายในไมโครกริด โดยมีเป้าหมายเพื่อลดการแกว่งของความถี่ให้ได้อย่างมีประสิทธิภาพภายใต้สภาวะที่เปลี่ยนแปลงตลอดเวลา และผันผวนสูง เช่น ไมโครกริดที่ต้องรองรับพลังงานหมุนเวียนที่มีความไม่ต่อเนื่อง

ในการออกแบบระบบ ในงานนี้ ได้ปริภูมิสถานะ (State space) ของระบบถูกกำหนดให้ประกอบด้วยค่าเบี่ยงเบนของความถี่และค่าพารามิเตอร์ปริพันธ์ในรอบเวลาก่อนหน้า ดังสมการ (17)

$$s_t = [\Delta f, K_i] \tag{17}$$

โดยที่ Δf คือค่าการเบี่ยงเบนของความถี่ และ K_i คือค่าการกระทำในรอบเวลาก่อนหน้า ส่วนปริภูมิการกระทำ (Action space) นิยามเป็นพารามิเตอร์ของตัวควบคุม PI ดังสมการ (18)

$$a_t = [K_p, K_i] \tag{18}$$

ฟังก์ชันรางวัล (Reward Function) คือสัญญาณที่ชี้นำการเรียนรู้ของเอเจนต์ โดยถูกออกแบบมาเพื่อกระตุ้นให้เอเจนต์เลือกการกระทำที่สามารถรักษาเสถียรภาพของความถี่ได้อย่างรวดเร็วและมีประสิทธิภาพ ฟังก์ชันรางวัลรวม (r) ประกอบด้วยส่วนที่เกี่ยวกับความถี่ (r_f) ส่วนที่ขึ้นกับเวลา (r_t) และพารามิเตอร์ (r_{Ki}) ดังแสดงในสมการ

$$r = r_f + r_t + r_{Ki} \tag{19}$$

ในการคำนวณรางวัล จะมีบทลงโทษพื้นฐานที่เกิดขึ้นทุกครั้งเมื่อความถี่เบี่ยงเบนจากค่าที่ต้องการ เพื่อผลักดันให้เอเจนต์ลดค่าเบี่ยงเบนของความถี่ ให้เข้าใกล้ศูนย์อยู่เสมอดังสมการ

$$r_f = -10 \bullet |\Delta f(t)| \tag{20}$$

องค์ประกอบแรกของฟังก์ชันรางวัลจะให้รางวัลหรือลงโทษตามขนาดของการเบี่ยงเบนความถี่ ควบคู่กับเงื่อนไขด้านเวลา เพื่อส่งเสริมให้การเรียนรู้มุ่งเน้นไปที่การทำให้ระบบเข้าสู่สภาวะคงที่ดังสมการ

$$r_t = \begin{cases} r_f + 300, & |\Delta f| < 0.03 \text{ and } t \geq 200 \\ r_f + 100, & 0.03 \leq |\Delta f| < 0.05 \text{ and } t \geq 200 \\ r_f - 100, & |\Delta f| > 0.2 \text{ and } t \geq 200 \end{cases} \tag{21}$$

ขณะที่องค์ประกอบที่สองมุ่งชี้นำให้เอเจนต์เลือกใช้ค่าพารามิเตอร์ K_i ที่อยู่ในช่วงเหมาะสม เพื่อปรับปรุงคุณภาพการควบคุมดังสมการ

$$r_{Ki} = \begin{cases} -50, & K_i(t) < 0.5 \text{ or } K_i(t) \geq 10 \\ 10 \bullet \log(K_i(t)), & K_i(t) \geq 1 \end{cases} \tag{22}$$

เป้าหมายของกระบวนการเรียนรู้ คือการค้นหานโยบายการตัดสินใจเชิงกำหนด (Deterministic policy, μ) ที่ดีที่สุด ซึ่งจะทำการจับคู่สถานะ (s_t) ไปยังการกระทำ (a_t) เพื่อให้ได้ผลรวมรางวัลแบบคิดลด (Cumulative Discounted Reward) ในระยะยาวมีค่าสูงสุด ซึ่งในงานนี้ได้เลือกใช้ DDPG เนื่องจากเป็น RL ที่รองรับการควบคุมแบบต่อเนื่อง เนื่องจากการปรับค่าพารามิเตอร์ของตัวควบคุม PI เป็นปัญหาที่มีค่าต่อเนื่อง โดย DDPG สามารถจัดการกับ Action Space ที่เป็นค่าต่อเนื่องได้โดยตรง และสามารถเรียนรู้นโยบาย ที่ให้ผลตอบแทนดีที่สุดภายใต้สภาวะที่เปลี่ยนแปลงอย่างรวดเร็ว [4-5]

รูปที่ 5 แสดงการทำงานของอัลกอริทึม DDPG ที่ใช้สถาปัตยกรรมแบบ Actor-Critic ซึ่งมีการอัปเดตค่าการคาดประมาณผลตอบแทน (Q-value) ของเครือข่าย Critic โดยใช้สมการ Bellman [6] ที่อ้างอิงค่าจากเครือข่ายเป้าหมาย (Target Networks) ดังสมการต่อไปนี้

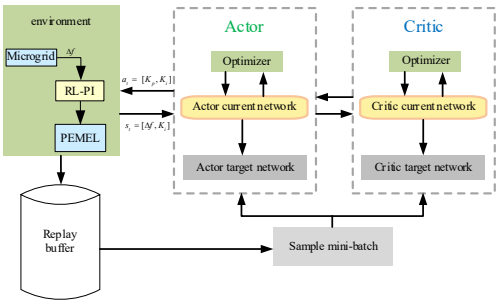

รูปที่ 5 การทำงานของอัลกอริทึม DDPG

$$y_t = r_t + \gamma Q'(s_{t+1}, \mu'(s_t + 1 | \theta^{\mu'}) | \theta^{Q'}) \tag{23}$$

โดยที่ y_t คือค่าเป้าหมาย (Target value), r_t คือ รางวัลที่ได้รับ, γ คือ ค่าตัวประกอบคิดลด (Discount factor), Q และ μ คือเครือข่ายเป้าหมาย, θ^Q และ θ^μ คือพารามิเตอร์ของเครือข่ายเป้าหมาย

ผลลัพธ์ที่ต้องการของการฝึก RL ในงานนี้ คือ การลดค่าเฉลี่ยของการเบี่ยงเบนความถี่ ตลอดช่วงเวลาการจำลอง ซึ่งนิยามฟังก์ชันวัตถุประสงค์ (Objective function) ดังสมการต่อไปนี้

$$J(\theta^\mu) = E_{s_0 \sim p(s_0)}[V^\mu(s_0)] = E[\sum_{t=0}^{\infty} \gamma^t r_t] \tag{24}$$

5. ผลการจำลอง

ไมโครกริดดังรูปที่ 1 ถูกใช้เพื่อทดสอบวิธีที่นำเสนอ ด้วยโปรแกรม MATLAB/Simulink ข้อมูลไมโครกริด, PEMEL และพารามิเตอร์ของ DDPG ที่ใช้ในการศึกษา มีดังนี้ [1-2]

$f_{ref} = 50\,\text{Hz}$, $H = 0.42\,\text{s}$, $D = 0.42$ pu, $T_g = 0.1\,\text{s}$, $T_t = 0.4\,\text{s}$,
$R = 2.4\,\text{Hz/pu.MW}$, $K_i = 0.2$ s , $P_{EL} = 5$ MW,
$K_{EL} = 1.6$ W / A, $K_{EL1} = 4841.4$ pu, $T_{EL} = 37$ s, $C_d = 37$ F,
$B_{H2} = 0.5\ \text{m}^3/\text{s}$, , $B_{PEL} = 82$ W, $K_{H2} = 0.028\ \text{m}^3/\text{As}$

และ ขอบเขตพารามิเตอร์ที่ RL ค้นหาคือ $K_p \in [0, 200]$, $K_i \in [0, 20]$

การออกแบบสถาปัตยกรรมเครือข่าย Actor-Critic รวมถึงการตั้งค่าไฮเปอร์พารามิเตอร์อื่นๆ ดังแสดงในตารางที่ 1 และเส้นกราฟแสดงรางวัลของเอเจนต์ในแต่ละรอบการฝึกแสดงดังรูปที่ 6

ตารางที่ 1 ไฮเปอร์พารามิเตอร์ของ DDPG

พารามิเตอร์	ค่าที่ใช้
Learning Rate (Actor)	1×10^{-4}
Learning Rate (Critic)	1×10^{-3}
Discount Factor (γ)	0.99
Noise Standard Deviation	[20; 2]
Experience Buffer Length	1×10^{6}
Mini-Batch Size	128
Max Episodes	500

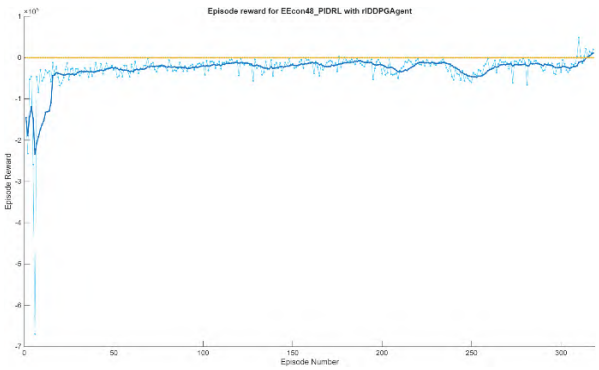

รูปที่ 6 เส้นกราฟแสดงรางวัลของเอเจนต์ในแต่ละรอบการฝึก

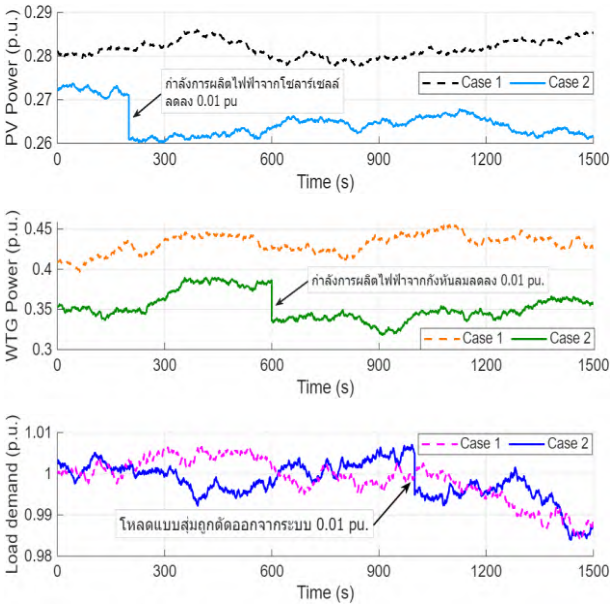

รูปที่ 7 กำลังไฟฟ้าจาก PV, WTG และ โหลดแบบสุ่ม กรณีศึกษา

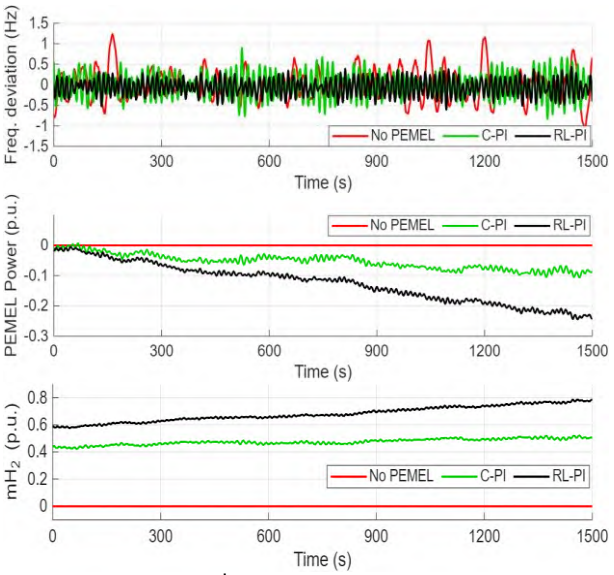

รูปที่ 8 ผลการจำลอง กรณี 1

รูปที่ 7 แสดงกำลังไฟฟ้าที่จ่ายจากแหล่งพลังงานหมุนเวียน (WTG และ PV) และโหลดแบบสุ่มสำหรับกรณีศึกษาสองกรณี โดย กรณี 1 (Case 1) และ กรณี 2 (Case 2) ถูกออกแบบให้มีลักษณะความผันผวนแตกต่างกัน เพื่อประเมินความสามารถของตัวควบคุมที่นำเสนอภายใต้สภาวะที่เปลี่ยนแปลงของโหลดและกำลังการผลิตไฟฟ้า โดย กรณี 1 จะมีลักษณะความผันผวนแบบต่อเนื่อง ในขณะที่ กรณี 2 ถูกออกแบบให้มีความท้าทายมากขึ้น โดยจำลองให้เกิดการเปลี่ยนแปลงแบบทันทีทันใด (Step Change) เพิ่มเติมจากความผันผวนปกติ ได้แก่ การลดลงของกำลังการผลิตจากโซลาร์เซลล์ (PV) ที่วินาทีที่ 200, การลดลงของกำลังการผลิตจากกังหันลม (WTG) ที่วินาทีที่ 600, และการตัดโหลดออกจากระบบที่วินาทีที่ 1000

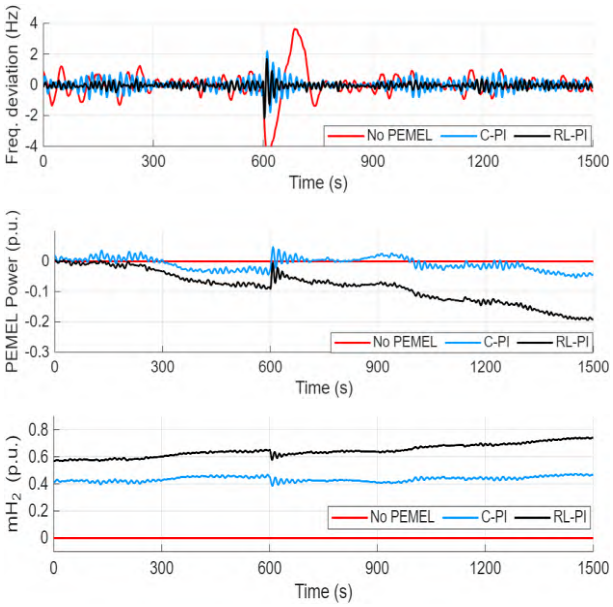

รูปที่ 9 ผลการจำลอง กรณี 2

ตารางที่ 2 ผลสถิติค่าเบี่ยงเบนความถี่

ตัวชี้วัดทางสถิติ/ กรณีศึกษา	ค่าเบี่ยงเบนความถี่ (Hz)		
	No-PEMEL	C-PI	RL-PI
กรณีศึกษาที่ 1			
ค่าสูงสุด	1.233	0.862	0.609
ค่าเฉลี่ย	0.235	0.163	0.114
ค่าเบี่ยงเบนมาตรฐาน	0.188	0.358	0.262
กรณีศึกษาที่ 2			
ค่าสูงสุด	4.623	2.197	2.160
ค่าเฉลี่ย	0.528	0.277	0.154
ค่าเบี่ยงเบนมาตรฐาน	0.811	0.261	0.181

ผลการจำลองสำหรับกรณีศึกษาที่ 1 ซึ่งแสดงในรูปที่ 8 เป็นการเปรียบเทียบประสิทธิภาพการควบคุมความถี่ของไมโครกริดระหว่าง 3 วิธี จากผลลัพธ์เชิงคุณภาพจะเห็นได้อย่างชัดเจนว่าเส้นกราฟของ RL-PI มีขนาดการแกว่งตัวของ ค่าเบี่ยงเบนความถี่ น้อยที่สุดเมื่อเทียบกับวิธีอื่น ซึ่งเป็นผลมาจากการที่ตัวควบคุม RL-PI สามารถสั่งการให้ PEMEL ปรับเปลี่ยนการใช้ กำลังไฟฟ้า ได้อย่างรวดเร็วและเหมาะสมกับสภาวะของระบบมากกว่า ดังนั้น วิธีการที่นำเสนอจึงสามารถลดผลกระทบที่เกิดจากการรบกวนและทำให้ระบบโดยรวมมีเสถียรภาพสูงกว่าอย่างมีนัยสำคัญ

สำหรับกรณีศึกษาที่ 2 ดังแสดงในรูปที่ 9 ซึ่งเป็นสภาวะที่ท้าทายยิ่งขึ้นด้วยความผันผวนที่สูงกว่าและการเปลี่ยนแปลงแบบทันทีทันใด ตัวควบคุม RL-PI ได้แสดงให้เห็นถึงความทนทาน (Robustness) ที่ดีเยี่ยม โดยยังคงสามารถจำกัดการเบี่ยงเบนของความถี่ให้อยู่ในขอบเขตที่แคบกว่าเมื่อเทียบกับ C-PI และกรณีที่ไม่มี PEMEL ได้สำเร็จ แม้จะมีการแกว่งตัวเพิ่มขึ้นเล็กน้อย แต่โดยรวมแล้วระบบยังคงมีเสถียรภาพสูง และตัวควบคุม

สามารถสั่งการใช้กำลังไฟฟ้าจาก PEMEL ได้อย่างต่อเนื่องเพื่อรักษาเสถียรภาพของระบบ

เพื่อพิสูจน์ยืนยันประสิทธิภาพของตัวควบคุมที่นำเสนอในเชิงปริมาณจากข้อมูลในตารางที่ 2 ซึ่งสรุปผลทางสถิติของค่าเบี่ยงเบนความถี่ (Δf) พบว่า ตัวควบคุม RL-PI สามารถลดค่าเบี่ยงเบนความถี่สูงสุดและค่าเฉลี่ยได้ต่ำที่สุดในทุกกรณีศึกษาเมื่อเทียบกับตัวควบคุม C-PI และกรณีที่ไม่มีการควบคุมจากอิเล็กโทรไลเซอร์ชนิดเยื่อแลกเปลี่ยนโปรตอน ยิ่งไปกว่านั้นในกรณีศึกษาที่ 2 ซึ่งจำลองสภาวะการทำงานที่รุนแรงกว่า ผลลัพธ์ยิ่งตอกย้ำถึงสมรรถนะที่เหนือกว่าอย่างชัดเจน เนื่องจากไม่เพียงแต่ให้ค่าเบี่ยงเบนสูงสุดและค่าเฉลี่ยที่ต่ำที่สุดเท่านั้น แต่ยังรวมถึงค่าเบี่ยงเบนมาตรฐานที่น้อยที่สุดด้วย ซึ่งการที่ค่าทางสถิติเหล่านี้มีค่าน้อยบ่งชี้ถึงความสามารถในการรักษาความถี่ให้คงที่และมีความผันผวนน้อย อันสะท้อนให้เห็นถึงเสถียรภาพและความแม่นยำในการควบคุมที่สูง ด้วยเหตุนี้ ข้อมูลเชิงปริมาณดังกล่าวจึงเป็นหลักฐานเชิงประจักษ์ที่สนับสนุนข้อสรุปว่า ตัวควบคุม RL-PI ที่พัฒนาขึ้นมีประสิทธิภาพและความทนทานต่อการรบกวนในระบบสูงกว่าตัวควบคุม C-PI อย่างมีนัยสำคัญ

6. สรุปผล

งานวิจัยนี้ได้นำเสนอการออกแบบและประยุกต์ใช้ตัวควบคุมพีไอที่ปรับค่าพารามิเตอร์ด้วยเทคนิคการเรียนรู้แบบเสริมแรง (RL-PI) สำหรับควบคุมอิเล็กโทรไลเซอร์ชนิดเยื่อแลกเปลี่ยนโปรตอน (Proton exchange membrane electrolyzer: PEMEL) เพื่อเพิ่มเสถียรภาพความถี่ในไมโครกริด โดยผลการจำลองในสองกรณีศึกษาแสดงให้เห็นว่าวิธีที่นำเสนอ RL-PI มีประสิทธิภาพเหนือกว่าตัวควบคุม PI แบบดั้งเดิมและกรณีที่ไม่มี PEMEL ซึ่งผลลัพธ์ทั้งเชิงคุณภาพและเชิงปริมาณยืนยันว่าวิธีการที่นำเสนอสามารถลดค่าเบี่ยงเบนความถี่ ทั้งในแง่ของค่าสูงสุดและค่าเฉลี่ยได้อย่างมีนัยสำคัญ ความสามารถของเอเจนต์ในการปรับค่าพารามิเตอร์ได้แบบเวลาจริงไม่เพียงแต่ทำให้ระบบกลับสู่สภาวะสมดุลได้อย่างรวดเร็ว แต่ยังแสดงให้เห็นถึงความทนทาน ต่อการรบกวนที่รุนแรงได้เป็นอย่างดี ดังนั้นผลลัพธ์ที่ได้จึงชี้ให้เห็นถึงศักยภาพของตัวควบคุม RL-PI ในการนำไปประยุกต์ใช้จริงเพื่อแก้ปัญหาเสถียรภาพความถี่ใน ระบบไมโครกริดที่ต้องเผชิญกับความผันผวนสูง ได้อย่างมีประสิทธิภาพ

เอกสารอ้างอิง

[1] M.B. Hossain, S.H.K. Roni, M.M. Chowdhury, and M.A. Mahmud, “Dynamic electrical circuit modeling of a proton exchange membrane electrolyzer for frequency stability, resiliency, and sensitivity analysis in a power grid,” *IEEE Trans. Ind. Appl.*, vol. 59, no. 6, pp. 7271-7281, 2023.

[2] M.B. Hossain, S.H.K. Roni, M.M. Chowdhury, and M.A. Mahmud, “Power system dynamic performance analysis based on frequency control by proton exchange membrane electrolyzers,” *IEEE Trans. Ind. Appli.,* vol. 59, no. 4, pp. 4998-5008, 2023.

[3] K. Botina Trujillo, J. G. Álvarez, and E. Cortés, “PI and PID controller tuning with deep reinforcement learning,” in *Proc. IEEE Int. Conf. Autom. /XXV Congr. Chilean Assoc. Autom. Control (ICA-ACCA)*, 2022, pp. 1-6.

[4] K.-H. Liu, T. A. Badgwell, and M. H. Kovalski, “Deep reinforcement learning for PID controller tuning,” in *Foundations of Computer Aided Process Operations / Chemical Process Control (FOCAPO/CPC)*, 2017.

[5] Z. Yan and Y. Xu, “A multi-agent deep reinforcement learning method for cooperative load frequency control of multi-area power systems,” *IEEE Trans. Power Syst.*, vol. 35, no. 5, pp. 3366-3376, Sept. 2020.

[6] R. S. Sutton and A. G. Barto, Reinforcement Learning: An Introduction. Cambridge, MA, USA: MIT Press, 2018.

อภิรัตน์ จอมเจดีย์ สำเร็จการศึกษาระดับปริญญาตรี สาขาวิศวกรรมไฟฟ้า ปี 2566 ปัจจุบันกำลังศึกษาระดับปริญญาโท สาขาวิชาวิศวกรรมไฟฟ้า คณะวิศวกรรมศาสตร์ มหาวิทยาลัยพะเยา สนใจงานวิจัยด้านการควบคุมเสถียรภาพความถี่ การควบคุมอัจฉริยะ ไมโครกริด และสมาร์ทกริด

ดวงดี แสนรักษ์ สำเร็จการศึกษาปริญญาโท ในสาขาวิศวกรรมไฟฟ้า จากมหาวิทยาลัยเชียงใหม่ ขณะนี้เป็นผู้ช่วยศาสตราจารย์ ประจำที่สาขาวิชาวิศวกรรมไฟฟ้า คณะวิศวกรรมศาสตร์ มหาวิทยาลัยพะเยา สนใจงานวิจัยด้านพลังงานหมุนเวียนและอิเล็กทรอนิกส์กำลัง

เชวศักดิ์ รักเป็นไทย สำเร็จการศึกษาปริญญาตรี โท และเอก ในสาขาวิศวกรรมไฟฟ้า จากมหาวิทยาลัยเชียงใหม่ ขณะนี้เป็นศาสตราจารย์ ประจำที่สาขาวิชาวิศวกรรมไฟฟ้า คณะวิศวกรรมศาสตร์ มหาวิทยาลัยพะเยา สนใจงานวิจัยด้านการประมาณสถานะของระบบไฟฟ้ากำลัง การควบคุมระบบ และอิเล็กทรอนิกส์กำลัง

จงลักษณ์ พาหะซา สำเร็จการศึกษาปริญญาเอกในสาขาวิศวกรรมไฟฟ้า จาก สถาบันเทคโนโลยีพระจอมเกล้าเจ้าคุณทหารลาดกระบัง ขณะนี้เป็นรองศาสตราจารย์ ประจำที่สาขาวิชาวิศวกรรมไฟฟ้า คณะวิศวกรรมศาสตร์ มหาวิทยาลัยพะเยา สนใจงานวิจัยด้านการควบคุมเสถียรภาพความถี่ การควบคุมอัจฉริยะ ไมโครกริด และสมาร์ทกริด

การวิเคราะห์ภาระโหลดเกินของหม้อแปลงไฟฟ้าและแรงดันไฟฟ้าตกในระบบจำหน่าย ด้วยซอฟแวร์ GIS (ArcMap) ร่วมกับเครื่องมือ OPSA

Analysis of Transformer Overload and Voltage Drop in Distribution Systems Using GIS (ArcMap) Software Integrated with OPSA Tool

ธีรพงษ์ หมัดจันทร์[1] ธวัช ชูชิต[1] วิวรรธน์ สุเหร็น[1] ธนวัฒน์ ศรีรักษา[2] และ ศุภชัย แก้วพวง[3*]

[1]สาขาวิชาวิศวกรรมไฟฟ้า คณะวิศวกรรมศาสตร์ มหาวิทยาลัยทักษิณ t.madjun@gmail.com tawat.c@tsu.ac.th wiwat.s@tsu.ac.th
[2]ภาควิชาวิศวกรรมเครื่องกล คณะวิศวกรรมศาสตร์ มหาวิทยาลัยทักษิณ tanawat.s@tsu.ac.th
[3]ภาควิชาวิศวกรรมไฟฟ้า คณะวิศวกรรมศาสตร์ มหาวิทยาลัยทักษิณ supachai.ka@tsu.ac.th*

บทคัดย่อ

บทความนี้มุ่งเน้นการทดลองและวิเคราะห์ภาระโหลดเกินของหม้อแปลงไฟฟ้าและแรงดันไฟฟ้าตกโดยใช้ซอฟต์แวร์ GIS (ArcMap) ร่วมกับเครื่องมือ OPSA ซึ่งการทดลองและวิเคราะห์ถูกแบ่งออกเป็นสองกรณี ในกรณีแรกเป็นการวิเคราะห์หม้อแปลงไฟฟ้ารหัส PEA:42-002992 (ก่อนปรับปรุง) ขนาดพิกัด 30 kVA ในกรณีที่สองเป็นการติดตั้งหม้อแปลงไฟฟ้าลูกใหม่เพิ่มรหัส PEA:68-006767 (หลังปรับปรุง) ขนาดพิกัด 30 kVA จากผลการทดลองและวิเคราะห์พบว่าในกรณีแรกมีภาระโหลดเกินร้อยละ 125.38 % ของพิกัดหม้อแปลง มีแรงดันไฟฟ้าตกเฉลี่ย 172.45 V และสูญเสียพลังงานไฟฟ้า 2,158.00 kWh ในกรณีที่สองพบว่าภาระโหลดของหม้อแปลงไฟฟ้ารหัส PEA:42-002992 (หลังปรับปรุง) ลดลงเหลือร้อยละ 39.83 % มีแรงดันไฟฟ้าเพิ่มขึ้นเป็น 225.91 V และสูญเสียพลังงานไฟฟ้าลดลงเหลือ 165.00 kWh ในขณะที่หม้อแปลงไฟฟ้าลูกที่ติดตั้งเพิ่มใหม่ รหัส PEA:68-006767 (หลังปรับปรุง) มีภาระโหลดร้อยละ 60.86 % มีแรงดันไฟฟ้าเฉลี่ย 235.36 V และสูญเสียพลังงานไฟฟ้า 163.00 kWh ซึ่งทั้งสองกรณีดังกล่าวยังพบว่าในกรณีที่สองสามารถลดการสูญเสียพลังงานไฟฟ้าเมื่อเปรียบเทียบในกรณีแรก 1,830.00 kWh รวมทั้งสามารถลดการปลดปล่อยก๊าซเรือนกระจกเฉลี่ย 1,095.44 kg.CO_2 ดังนั้นบทความนี้สะท้อนให้เห็นว่าการติดตั้งหม้อแปลงไฟฟ้าเพิ่ม สามารถแก้ไขปัญหาภาระโหลดเกินและแรงดันไฟฟ้าตกได้อย่างมีประสิทธิภาพ รวมทั้งช่วยลดการสูญเสียพลังงานไฟฟ้าและลดการปลดปล่อยก๊าซเรือนกระจกได้เป็นอย่างดี

คำสำคัญ: GIS (ArcMap), OPSA, หม้อแปลงไฟฟ้า, ภาระโหลดเกินพิกัด, แรงดันไฟฟ้าตก

Abstract

In this article, the OPSA tool and Geographic Information System (GIS) software (ArcMap) are used to experimentally investigate and analyze transformer overloading and voltage drop. There were two cases for the experiments and analyses. The transformer with the code PEA:42-002992 (before improvement) and a 30 kVA rating was the subject of the first case study. In the second instance, an extra transformer with the code PEA:68-006767 (after improvement) that was rated at 30 kVA was installed before the analysis was carried. The transformer in the first scenario encountered an overload of 125.38 % of its rated capacity, resulting in an average voltage drop to 172.45 V and an energy loss of 2,158.00 kWh, according to the experimental data and assessments. In the second instance, the energy loss dropped to 165.00 kWh, the voltage rose to 225.91 V, and the load on transformer PEA:42-002992 (after improvement) was lowered to 39.83 %. In the meantime, the recently installed transformer PEA:68-006767 (after improvement) demonstrated an energy loss of 163.00 kWh, carried a load of 60.86 %, and maintained an average voltage of 235.36 V. The analysis was carried out. Additionally, it was noted that the second scenario reduced average greenhouse gas emissions by 1,095.44 kg.CO_2 and energy losses by 1,830.00 kWh in comparison to the first scenario. This analysis so shows that adding a second transformer can significantly lower energy losses and greenhouse gas emissions while also mitigating transformer overloading and voltage drop issues.

Keywords: GIS (ArcMap), OPSA, transformer, rated overloading, voltage drop

1. บทนำ

ในปัจจุบันระบบจำหน่ายไฟฟ้าที่ใช้หม้อแปลงไฟฟ้าถือว่าเป็นอุปกรณ์ที่มีบทบาทสำคัญอย่างยิ่งในการจ่ายพลังงานไฟฟ้าจากต้นทางที่หม้อแปลงจำหน่ายไปยังโหลดปลายทาง ซึ่งการทำงานของหม้อแปลงไฟฟ้านั้นส่งผลต่อคุณภาพไฟฟ้าในการจ่ายพลังงานไฟฟ้าให้กับโหลด พร้อมทั้งยังช่วยรักษาความเสถียรภาพของระบบจำหน่ายไฟฟ้า ในกรณีสภาวะหม้อแปลงไฟฟ้าทำงานเกินพิกัดภาระโหลด ซึ่งเป็นตัวเร่งกระบวนการเสื่อมสภาพของฉนวน จึงทำให้เกิดการสูญเสียพลังงานเพิ่มขึ้นและลดอายุการใช้งานของหม้อแปลงไฟฟ้าอย่างมีนัยสำคัญ และในขณะเดียวกันการเกิดแรงดันไฟฟ้าตก (Voltage Drop) จึงส่งผลให้เกิดความผิดพร่องหรือความเสียหายกับอุปกรณ์ไฟฟ้าที่ใช้งานเป็นประจำทุก ๆ วัน [1], [2]

อย่างไรก็ตามโครงข่ายของระบบจำหน่ายไฟฟ้าเริ่มมีความซับซ้อนเพิ่มมากขึ้นเรื่อย ๆ จึงทำให้การเฝ้าติดตามและวิเคราะห์คุณภาพของหม้อแปลงไฟฟ้าด้วยวิธีแบบดั้งเดิมไม่สามารถวิเคราะห์ข้อมูลเชิงพื้นที่และเวลาได้แม่นยำและมีประสิทธิภาพ ในการประยุกต์ใช้ซอฟแวร์ Geographic Information Systems (GIS) จึงกลายเป็นเครื่องมือสำคัญอีกหนึ่งชนิดที่มีประสิทธิภาพในการวิเคราะห์ข้อมูลเชิงพื้นที่และเวลา พร้อมทั้งช่วยสนับสนุนการตัดสินใจบนพื้นฐานข้อมูลอันเกิดประโยชน์สูงสุด [3] ทั้งนี้การประยุกต์ใช้ข้อมูลจากระบบโครงสร้างพื้นฐานเครื่องวัดหน่วยแบบขั้นสูง (Advanced Metering Infrastructure : AMI) รวมเข้ากับซอฟแวร์ GIS ช่วยให้สามารถวิเคราะห์ภาระโหลดของหม้อแปลงไฟฟ้าพร้อมทั้งระบุตำแหน่งหม้อแปลงไฟฟ้าที่มีภาระโหลดเกินพิกัดได้อย่างแม่นยำ [4]

*ผู้ประพันธ์บรรณกิจ

นอกจากนี้การประยุกต์ใช้ซอฟแวร์ GIS เพื่อวิเคราะห์ภาระโหลดเกินของหม้อแปลงไฟฟ้าและแรงดันไฟฟ้าตก ซึ่งเป็นเครื่องมือที่ได้รับความนิยมนำมาใช้ในงานวิจัยด้านระบบจำหน่ายไฟฟ้าเพิ่มมากขึ้นอย่างต่อเนื่องเป็นวงกว้างทั้งในประเทศและต่างประเทศ [5] อีกทั้งยังมีงานวิจัยเกี่ยวข้องกับการพัฒนาแบบจำลองเชิงวางแผน (Heuristic Model) ที่ใช้ซอฟแวร์ GIS เพื่อกำหนดตำแหน่งของหม้อแปลงไฟฟ้าอย่างมีประสิทธิภาพ และสามารถวิเคราะห์แรงดันไฟฟ้าตกของวงจรทุติยภูมิได้อย่างแม่นยำ [6], [9] โดยประยุกต์ใช้เทคนิคการจัดกลุ่ม (Clustering) และการสร้างแผนภาพต้นไม้ขยายแบบขั้นต่ำ (Minimum Spanning Tree) เพื่อหาตำแหน่งที่เหมาะสมที่สุดในการติดตั้งหม้อแปลงไฟฟ้า

2. ทฤษฎีที่เกี่ยวข้องและแบบจำลองทางคณิตศาสตร์

2.1 ระบบส่งจ่ายกำลังไฟฟ้า

ในระบบส่งจ่ายกำลังไฟฟ้าตั้งแต่ระบบการผลิต ระบบส่งกำลังไฟฟ้าและระบบจำหน่ายกำลังไฟฟ้าไปยังโหลด ดังรูปที่ 1 โดยเริ่มจากโรงไฟฟ้า (Power Plant) ซึ่งทำหน้าที่แปลงผันพลังงานด้านปฐมภูมิ ได้แก่ เชื้อเพลิงฟอสซิล พลังงานน้ำ หรือ พลังงานหมุนเวียน รวมทั้งพลังงานทดแทนเป็นพลังงานไฟฟ้า จากนั้นไฟฟ้าที่ผลิตได้ถูกปรับระดับแรงดันไฟฟ้าโดยหม้อแปลงไฟฟ้าและส่งผ่านสายส่งกำลังไฟฟ้าแรงสูง 69, 115, 230 และ 500 kV เพื่อลดการสูญเสียพลังงานในระหว่างการส่งกำลังไฟฟ้าในระยะไกล และเมื่อถึงสถานีจ่ายไฟย่อย (Substation) แรงดันไฟฟ้าถูกปรับลดลงที่ระดับแรงดันปานกลาง 22, 24 และ 33 kV เพื่อจำหน่ายกำลังไฟฟ้าให้กับโรงงานอุตสาหกรรม นอกจากนี้ระบบไฟฟ้าที่ถูกส่งผ่านสายจำหน่ายกำลังไฟฟ้าแรงดันปานกลางไปยังหม้อแปลงจำหน่าย ซึ่งทำหน้าที่ปรับลดระดับแรงดันให้เหลือ 230/400 V ซึ่งเป็นระดับแรงดันไฟฟ้ามาตรฐานที่เหมาะสมต่อการใช้งานในส่วนสำนักงาน อาคารพาณิชย์ และบ้านพักอาศัย เป็นต้น [7]

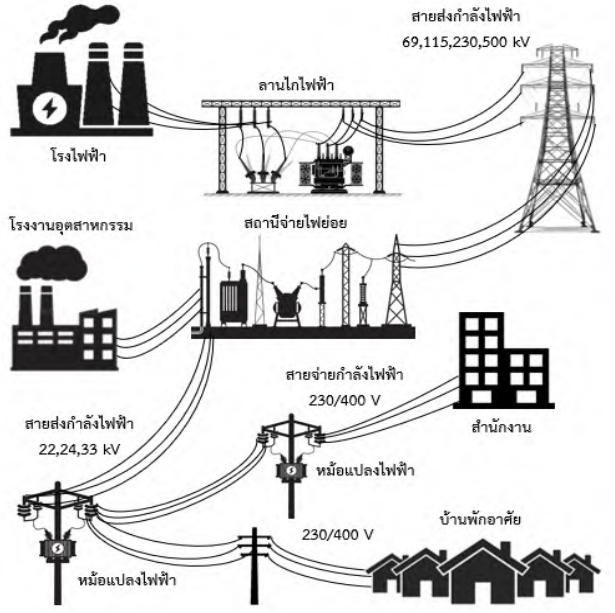

รูปที่ 1 ระบบส่งจ่ายกำลังไฟฟ้า

สำหรับหม้อแปลงไฟฟ้าที่ใช้ในปัจจุบันถูกจำแนกตามมาตรฐานของ American National Standards Institute (ANSI) ออกเป็น 3 ระดับ โดยระดับแรก คือ หม้อแปลงไฟฟ้าแรงสูง (High Voltage Transformer) ที่สามารถรองรับระดับแรงดันไฟฟ้าตั้งแต่ 115 kV จนถึง 11,000 kV ซึ่งนิยมใช้ในระบบส่งกำลังไฟฟ้าในระยะทางไกลเพื่อลดการสูญเสียพลังงานจากกระแสไฟฟ้า ถัดมาในระดับที่สอง คือ หม้อแปลงไฟฟ้าแรงดันปานกลาง (Medium Voltage Transformer) ที่สามารถรองรับระดับแรงดันไฟฟ้าตั้งแต่ 2.4 kV จนถึง 69 kV ซึ่งเหมาะใช้งานในโรงงานอุตสาหกรรมขนาดใหญ่และระบบจำหน่ายระดับปานกลาง และในระดับที่สาม คือ หม้อแปลงไฟฟ้าแรงดันต่ำ (Low Voltage Transformer) ที่รองรับแรงดันไฟฟ้าระหว่าง 240 V จนถึง 600 V ซึ่งถูกใช้ในระบบจำหน่ายไฟฟ้าทั่วไป

2.2 แบบจำลองแรงดันไฟฟ้าตกและการไหลของโหลด

สำหรับการวิเคราะห์ระบบจำหน่ายไฟฟ้าโดยอาศัยหลักการพิจารณาแบบจำลองแรงดันไฟฟ้าตกและการไหลของโหลด (Load Flow) เพื่อประเมินประสิทธิภาพและเสถียรภาพของระบบไฟฟ้า ซึ่งหลักการวิเคราะห์ DistFlow Model ดังรูปที่ 2 เป็นที่นิยมนำมาใช้อย่างแพร่หลายในระบบไฟฟ้าแรงดันต่ำและระบบไฟฟ้าแรงดันปานกลาง โดยแบบจำลองที่ใช้วิเคราะห์ระบบจำหน่ายไฟฟ้า โดยเฉพาะในกรณีศึกษาปัญหาแรงดันไฟฟ้าตกและการไหลของโหลด ซึ่งในระบบจำหน่ายไฟฟ้าที่มีโครงสร้างแบบรัศมี (Radial Distribution Network) มีรูปแบบการเชื่อมต่อบัส (Bus) ในลำดับอนุกรมของการอนุรักษ์กำลังไฟฟ้าจริง (Real Power Balance) ดังสมการที่ 1 โดยคำนึงถึงการสูญเสียพลังงานจากค่าความต้านทานของสายส่ง ส่วนสมการที่ 2 ได้อธิบายการอนุรักษ์กำลังไฟฟ้ารีแอคทีฟ (Reactive Power Balance) ที่พิจารณาผลกระทบจากค่ารีแอคแตนซ์ของสายส่ง และสมการที่ 3 อธิบายลักษณะของแรงดันไฟฟ้าตกตลอดแนวสายส่ง ซึ่งส่งผลโดยตรงจากกำลังไฟฟ้าจริงและกำลังไฟฟ้ารีแอคทีฟ รวมถึงค่าพารามิเตอร์ทางไฟฟ้าของสายส่ง อย่างไรก็ตามสมการ DistFlow Model ยังชี้ให้เห็นถึงหลักการอนุรักษ์กำลังไฟฟ้า (Power Conservation) และตอบสนองต่อความสัมพันธ์ไม่เชิงเส้น (Nonlinear Relationship) ระหว่างค่ากำลังไฟฟ้าและแรงดันไฟฟ้าภายในระบบจำหน่ายไฟฟ้าอย่างเป็นรูปธรรม [8], [10]

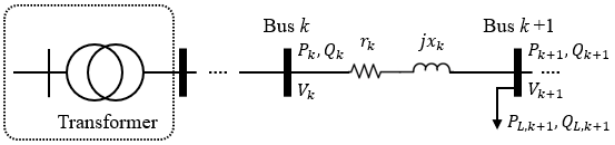

รูปที่ 2 DistFlow Model

$$P_{k+1} = P_k - r_k \frac{P_k^2+Q_k^2}{V_k^2} - P_{L.k+1} \quad (1)$$

$$Q_{k+1} = Q_k - x_k \frac{P_k^2+Q_k^2}{V_k^2} - Q_{L.k+1} \quad (2)$$

$$V_{k+1}^2 = V_k^2 - 2\left(r_k P_k + x_k Q_k\right) + \left(r_k^2 + x_k^2\right)\frac{P_k^2+Q_k^2}{V_k^2} \quad (3)$$

โดยที่ P_k , Q_k คือ กำลังไฟฟ้าจริงและรีแอคทีฟที่ Bus k
P_{k+1} , Q_{k+1} คือ กำลังไฟฟ้าจริงและรีแอคทีฟที่ Bus k+1
$P_{L,k+1}$ คือ โหลดกำลังไฟฟ้าจริงที่ Bus k+1
$Q_{L,k+1}$ คือ โหลดกำลังไฟฟ้ารีแอคทีฟที่ Bus k+1
r_k , x_k คือ ค่าความต้านทานและรีแอคแตนซ์ของสายส่ง
V_k คือ แรงดันไฟฟ้าที่ Bus k
V_{k+1} คือ แรงดันไฟฟ้าที่ Bus k+1

3. ระเบียบวิธีการและการอภิปรายผล

การทดลองของบทความนี้ใช้รูปแบบการวิเคราะห์ผลข้อมูลโหลดเกินของหม้อแปลงไฟฟ้าและแรงดันไฟฟ้าตกผ่านซอฟแวร์ GIS (ArcMap) โดยใช้ร่วมกับเครื่องมือ OPSA โดยแบ่งการทดลองและวิเคราะห์ออกเป็น 2 กรณี ดังรูปที่ 3 โดยกรณีแรกทดลองและวิเคราะห์ที่จุดติดตั้งหม้อแปลงไฟฟ้า (เดิม) จุดหมายเลข 1 (สามเหลี่ยมสีม่วง) รหัส PEA:42-002992 ณ บ้านสะพานไทร หมู่ 7 ต.ท่าแค อ.เมืองพัทลุง จ.พัทลุง ที่ตำแหน่ง (ละติจูด , ลองติจูด) : (7.556949, 100.04577) ซึ่งมีขนาดพิกัดหม้อแปลงไฟฟ้า 30 kVA และทำการวิเคราะห์ผลข้อมูลโหลดเกินของหม้อแปลงไฟฟ้าและแรงดันไฟฟ้าตก รวมทั้งวิเคราะห์ลักษณะกระแสไฟฟ้า (A) แรงดันไฟฟ้า (V) กำลังไฟฟ้า (kW) และพลังงานไฟฟ้า (kWh) ในระบบจำหน่ายไฟฟ้าของหม้อแปลงไฟฟ้ารหัส PEA:42-002992 (ก่อนปรับปรุง) ในช่วงเดือน มกราคม 2568 ถึงเดือน สิงหาคม 2568 และกรณีที่สองที่จุดติดตั้งหม้อแปลงไฟฟ้า (ใหม่) หมายเลข 2 (สามเหลี่ยมสีน้ำเงิน) รหัส PEA:68-006767 ณ บ้านสะพานไทร หมู่ 7 ต.ท่าแค อ.เมืองพัทลุง จ.พัทลุง ที่ตำแหน่ง (ละติจูด, ลองติจูด) : (7.554189, 100.047385) ซึ่งมีขนาดพิกัดหม้อแปลงไฟฟ้า 30 kVA และทำการวิเคราะห์ผลข้อมูลโหลดเกินของหม้อแปลงไฟฟ้าและแรงดันไฟฟ้าตก รวมทั้งวิเคราะห์ลักษณะกระแสไฟฟ้า แรงดันไฟฟ้า กำลังไฟฟ้า และพลังงานไฟฟ้า ในระบบจำหน่ายไฟฟ้าของหม้อแปลงไฟฟ้ารหัส PEA:42-002992 (หลังปรับปรุง) และ PEA:68-006767 (หลังปรับปรุง) ในช่วงเดือน มกราคม 2568 ถึงเดือน สิงหาคม 2568

รูปที่ 3 จุดติดตั้งหม้อแปลงไฟฟ้า PEA:42-002992 และ PEA:68-006767

ในกรณีแรกพบว่าการวิเคราะห์ผลข้อมูลผ่านซอฟแวร์ GIS (ArcMap) โดยใช้ร่วมกับเครื่องมือ OPSA ของหม้อแปลงไฟฟ้ารหัส PEA:42-002992 ขนาด 30 kVA ติดตั้งมิเตอร์แรงต่ำอยู่จำนวน 55 ลูก มีค่ารวมสูงถึง 37.61 kVA คิดเป็นร้อยละ 125.38 % ของพิกัด ดังรูปที่ 4 ซึ่งเกินค่ามาตรฐานที่กำหนดไว้ไม่เกินร้อยละ 80 % ซึ่งส่งผลให้หม้อแปลงไฟฟ้ารหัส PEA:42-002992 มีภาระโหลดเกินพิกัดอย่างต่อเนื่อง รวมทั้งมีค่าแรงดันไฟฟ้าตกเหลือเพียง 172.45 V ซึ่งต่ำกว่าค่ามาตรฐานที่กำหนดไว้ขั้นต่ำ 200 V จึงส่งผลให้เกิดปัญหาทางด้านคุณภาพไฟฟ้าที่ไม่มีความเสถียรภาพของระบบและสูญเสียพลังงานไฟฟ้า 2,158.00 kWh สำหรับกรณีที่สองพบว่าหม้อแปลงไฟฟ้ารหัส PEA:42-002992 (หลังปรับปรุง) เพื่อแก้ปัญหาภาระโหลดเกินและแรงดันไฟฟ้าตก ซึ่งวิเคราะห์ผลข้อมูลผ่านซอฟแวร์ GIS (ArcMap) โดยใช้ร่วมกับเครื่องมือ OPSA ทดลองลดการติดตั้งมิเตอร์แรงต่ำเหลือจำนวน 29 ลูก มีค่าลดลงเหลือเพียง 11.95 kVA หรือคิดเป็นร้อยละ 39.83 % ของกำลังพิกัด ดังรูปที่ 5 ซึ่งอยู่ในเกณฑ์ที่ปลอดภัยและไม่เกินค่ามาตรฐานการใช้งานที่กำหนดไว้ร้อยละ 80 % โดยแรงดันไฟฟ้ามีค่า 225.91 V ซึ่งอยู่ในเกณฑ์มาตรฐานของแรงดันไฟฟ้าระบบจำหน่ายไฟฟ้าและสูญเสียพลังงานไฟฟ้าลดลงเหลือ 165.00 kWh

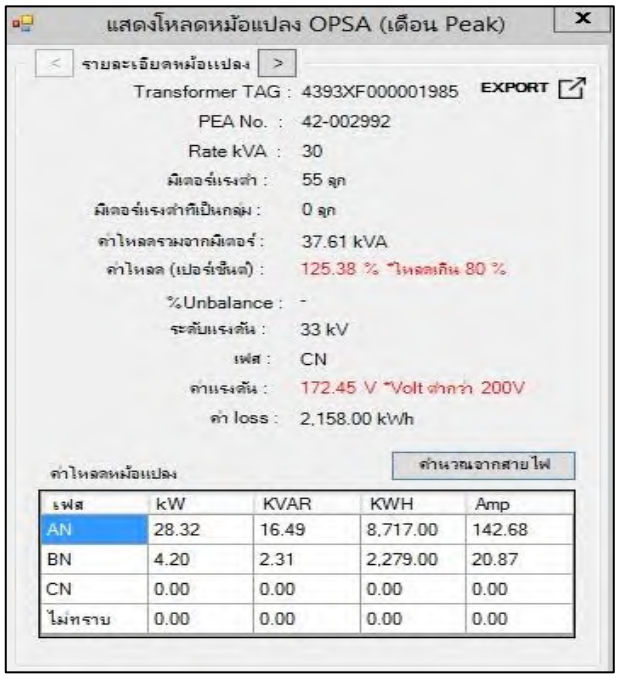

รูปที่ 4 ผลวิเคราะห์ภาระโหลดเกินและแรงดันไฟฟ้าตก
ของหม้อแปลงไฟฟ้ารหัส PEA:42-002992 (ก่อนปรับปรุง)

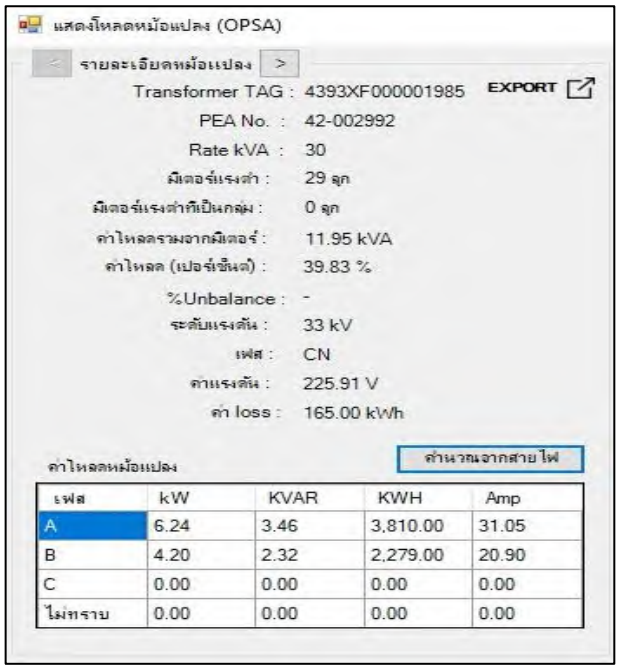

รูปที่ 5 ผลวิเคราะห์การแก้ปัญหาภาระโหลดเกินและแรงดันไฟฟ้าตก
ของหม้อแปลงไฟฟ้ารหัส PEA:42-002992 (หลังปรับปรุง)

ทั้งนี้ในกณีที่สองดังกล่าวยังพบว่าจากการวิเคราะห์และประเมินผลการทำงานของหม้อแปลงไฟฟ้ารหัส PEA:68-006767 (หลังปรับปรุง) ผ่านซอฟแวร์ GIS (ArcMap) ร่วมกับเครื่องมือ OPSA ทดลองติดตั้งมิเตอร์แรงต่ำจำนวน 26 ลูก มีค่าภาระโหลดรวม 18.26 kVA คิดเป็นร้อยละ 60.86 % ของกำลังพิกัด ซึ่งอยู่ในเกณฑ์การทำงานระดับมาตรฐานที่กำหนดไว้ โดยค่าแรงดันไฟฟ้าเฉลี่ย 235.36 V อยู่ในช่วงมาตรฐานของระบบจำหน่าย

ไฟฟ้า 220–240 V จึงสามารถชี้ให้เห็นถึงความเสถียรภาพทางด้านคุณภาพไฟฟ้า และสูญเสียพลังงานไฟฟ้า 163.00 kWh ดังรูปที่ 6 เมื่อเปรียบเทียบกับหม้อแปลงไฟฟ้ารหัส PEA:42-002992 (ก่อนปรับปรุง) ที่พบปัญหาภาระโหลดเกินขีดจำกัดของหม้อแปลงไฟฟ้าและแรงดันไฟฟ้าตกในระบบจำหน่ายไฟฟ้า

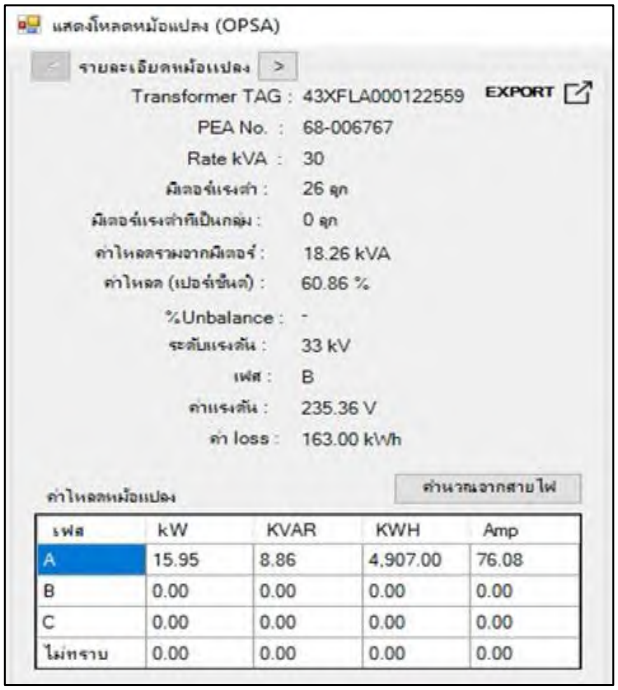

รูปที่ 6 ผลวิเคราะห์การแก้ปัญหาภาระโหลดเกินและแรงดันไฟฟ้าตกของหม้อแปลงไฟฟ้ารหัส PEA:68-006767 (หลังปรับปรุง)

นอกจากนี้ในการทดลองและวิเคราะห์โหลดเกินและแรงดันไฟฟ้าตกของหม้อแปลงไฟฟ้าในระบบจำหน่ายไฟฟ้า ซึ่งจากทั้งสองกรณีดังกล่าวได้ทดลองและวิเคราะห์ของการติดตั้งหม้อแปลงไฟฟ้ารหัส PEA:68-006767 (หลังปรับปรุง) และวิเคราะห์จากการแก้ไขปัญหาของหม้อแปลงไฟฟ้ารหัส PEA:42-002992 (หลังปรับปรุง) ที่สามารถช่วยแก้ปัญหาภาระโหลดเกินและแรงดันไฟฟ้าตกได้อย่างมีประสิทธิภาพ ดังตารางที่ 1 พบว่าที่หม้อแปลงไฟฟ้ารหัส PEA:68-006767 (หลังปรับปรุง) มีค่าภาระโหลดของพิกัดและแรงดันไฟฟ้า 60.68 % และ 235.36 V ตามลำดับ และหม้อแปลงไฟฟ้ารหัส PEA:42-002992 (หลังปรับปรุง) มีค่าภาระโหลดของพิกัดและแรงดันไฟฟ้า 39.83 % และ 225.91 V ตามลำดับ ซึ่งก่อนการปรับปรุงระบบจำหน่ายไฟฟ้าหม้อแปลงไฟฟ้ารหัส PEA:42-002992 (ก่อนปรับปรุง) มีค่าภาระโหลดของพิกัดและแรงดันไฟฟ้า 125.38 % และ 172.45 V ตามลำดับ สำหรับการเปรียบเทียบพลังงานไฟฟ้าสูญเสียและการลดการปลดปล่อยก๊าซเรือนกระจก (CO_2) ดังตารางที่ 2 พบว่าหม้อแปลงไฟฟ้ารหัส PEA:42-002992 (ก่อนการปรับปรุง) สูญเสียพลังงานไฟฟ้าสูงถึง 2,158.00 kWh และก่อให้เกิดการปลดปล่อยก๊าซเรือนกระจก 1,291.77 kg.CO_2 อย่างไรก็ตามหลังการปรับปรุงโดยการติดตั้งหม้อแปลงไฟฟ้าเพิ่ม พบว่าหม้อแปลงไฟฟ้าเดิม PEA:42-002992 (หลังปรับปรุง) มีการสูญเสียพลังงานไฟฟ้าลดลงเหลือเพียง 165.00 kWh และการปลดปล่อยก๊าซเรือนกระจกลดลงเหลือ 98.76 kg.CO_2 ในขณะที่หม้อแปลงไฟฟ้าลูกใหม่ PEA:68-006767 (หลังการปรับปรุง) สูญเสียพลังงานอยู่ที่ 163.00 kWh และปลดปล่อยก๊าซเรือนกระจก 97.57 kg.CO_2 เมื่อเปรียบเทียบผลรวมก่อนและหลังปรับปรุง พบว่าสามารถลดการสูญเสียพลังงานไฟฟ้าได้มากถึง 1,830.00 kWh และลดการปลดปล่อยก๊าซเรือนกระจกได้ถึง 1,095.44 kg.CO_2 ซึ่งสะท้อนให้เห็นว่าการเพิ่มหม้อแปลงไฟฟ้าเป็นอีกหนึ่งมาตรการที่มีประสิทธิภาพด้านความมั่นคงของระบบจำหน่ายไฟฟ้า โดยสามารถรักษาให้มีความเสถียรภาพทางด้านไฟฟ้าในลักษณะของกระแสไฟฟ้า แรงดันไฟฟ้า กำลังไฟฟ้า และพลังงานไฟฟ้า ในช่วงเดือน มกราคม ถึง สิงหาคม ดังรูปที่ 7 ถึงรูปที่ 10 ตามลำดับ รวมถึงลดการสูญเสียพลังงานไฟฟ้าภายในระบบและลดการปลดปล่อยก๊าซเรือนกระจก โดยกลุ่มไฟฟ้ามีค่า Emission Factor หรือ EF เท่ากับ 0.5986 kg.CO_2/kWh [11]

ตารางที่ 1 เปรียบเทียบภาระโหลดเกินและแรงดันไฟฟ้าตก

หม้อแปลงไฟฟ้า (รหัส)	แรงดันไฟฟ้า (V)	LOAD (%)
PEA:42-002992 (ก่อนปรับปรุง)	172.45	125.38
PEA:42-002992 (หลังปรับปรุง)	225.91	39.83
PEA:68-006767 (หลังปรับปรุง)	235.36	60.86

ตารางที่ 2 เปรียบเทียบพลังงานไฟฟ้าสูญเสียและลดการปล่อย CO_2 [11]

หม้อแปลงไฟฟ้า (รหัส)	พลังงานไฟฟ้าสูญเสีย (kWh)	ลด CO_2 (kg.CO_2)
PEA:42-002992 (ก่อนปรับปรุง)	2,158.00	1,291.77
PEA:42-002992 (หลังปรับปรุง)	165.00	98.76
PEA:68-006767 (หลังปรับปรุง)	163.00	97.57
สรุป : ก่อนปรับปรุง-หลังปรับปรุง	1,830.00	1,095.44

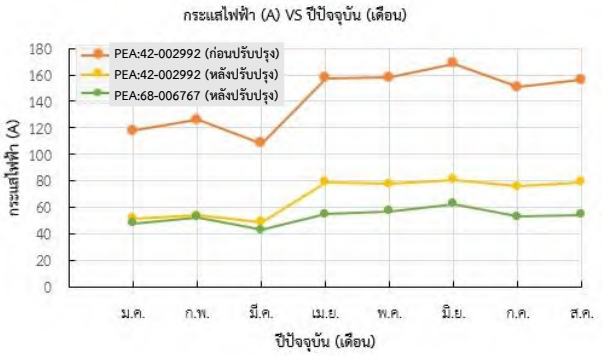

รูปที่ 7 ลักษณะของกระแสไฟฟ้าจากการทดลองและวิเคราะห์ (ก่อนปรับปรุงและหลังปรับปรุง)

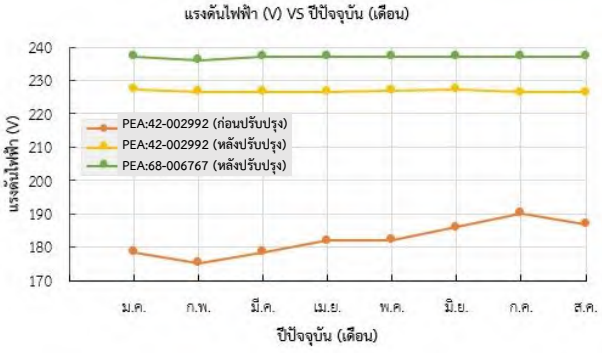

รูปที่ 8 ลักษณะของแรงดันไฟฟ้าจากการทดลองและวิเคราะห์ (ก่อนปรับปรุงและหลังปรับปรุง)

รูปที่ 9 ลักษณะของกำลังไฟฟ้าจากการทดลองและวิเคราะห์ (ก่อนปรับปรุงและหลังปรับปรุง)

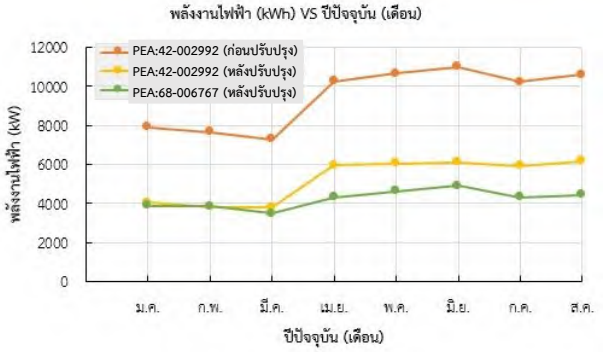

รูปที่ 10 ลักษณะของพลังงานไฟฟ้าจากการทดลองและวิเคราะห์ (ก่อนปรับปรุงและหลังปรับปรุง)

4. สรุป

จากผลการทดลองและวิเคราะห์ภาระโหลดเกินของหม้อแปลงไฟฟ้าและแรงดันไฟฟ้าตกโดยใช้ซอฟต์แวร์ GIS (ArcMap) ร่วมกับเครื่องมือ OPSA ซึ่งเป็นเครื่องมือที่ใช้วิเคราะห์หม้อแปลงที่มีปัญหาการจ่ายโหลดเกินพิกัดและแรงดันไฟฟ้าตกที่ปลายสาย รวมถึงการจ่ายโหลดไม่สมดุลในระบบจำหน่ายไฟฟ้าบนแผนที่ทางภูมิศาสตร์ ในการทดลองแบ่งออกเป็น 2 กรณี โดยกรณีแรก คือ การวิเคราะห์หม้อแปลงไฟฟ้ารหัส PEA:42-002992 (ก่อนปรับปรุง) ขนาดพิกัด 30 kVA พบว่ามีภาระโหลดเกินร้อยละ 125.38 % ของพิกัด มีแรงดันไฟฟ้าตกเฉลี่ยเพียง 172.45 V ซึ่งต่ำกว่ามาตรฐานกำหนดไว้ที่ขั้นต่ำ 200 V และสูญเสียพลังงานไฟฟ้า 2,158.00 kWh ในกรณีที่สองเป็นการติดตั้งหม้อแปลงไฟฟ้าเพิ่มรหัส PEA:68-006767 (หลังปรับปรุง) ส่งผลให้หม้อแปลงไฟฟ้ารหัส PEA:42-002992 (หลังปรับปรุง) ภาระโหลดลดลงเหลือ 39.83 % ของพิกัด มีแรงดันไฟฟ้าเพิ่มขึ้นเป็น 225.91 V และสูญเสียพลังงานไฟฟ้าลดลงเหลือ 165.00 kWh ในขณะที่หม้อแปลงไฟฟ้าที่ติดตั้งเพิ่มรหัส PEA:68-006767 (หลังปรับปรุง) มีค่าภาระโหลด 60.86 % มีแรงดันไฟฟ้าเฉลี่ย 235.36 V และสูญเสียพลังงานไฟฟ้า 163.00 kWh ทั้งนี้เมื่อเปรียบเทียบจากทั้งสองกรณีดังกล่าวยังพบว่าสามารถลดการสูญเสียพลังงานไฟฟ้า 1,830.00 kWh และสามารถลดการปลดปล่อยก๊าซเรือนกระจก 1,095.44 kg.CO_2 ดังนั้นผลการทดลองในบทความนี้สะท้อนให้เห็นว่าการติดตั้งหม้อแปลงไฟฟ้าเพิ่มสามารถช่วยแก้ไขปัญหาภาระโหลดเกินและแรงดันไฟฟ้าตกได้อย่างมีประสิทธิภาพ ทำให้แรงดันไฟฟ้าอยู่ในเกณฑ์มาตรฐานที่กำหนดไว้ รวมทั้งลดการสูญเสียพลังงานไฟฟ้าที่ไม่จำเป็นและลดการปลดปล่อยก๊าซเรือนกระจกที่ส่งผลกระทบต่อสิ่งแวดล้อมโดยตรง

อย่างไรก็ตามแนวทางวิจัยของบทความนี้ยังสามารถต่อยอดเชื่อมโยงเปรียบเทียบข้อมูลพารามิเตอร์ทางไฟฟ้าจากมิเตอร์ AMI และการประยุกต์ในพื้นที่ที่มีโครงสร้างระบบ Smart Grid ที่มีความซับซ้อนมากยิ่งขึ้น เพื่อยกระดับความมั่นคงด้านพลังงานไฟฟ้า รวมถึงการวิเคราะห์ต้นทุนและผลตอบแทนด้านความคุ้มค่าทางเศรษฐศาสตร์กรณีลงทุนติดตั้งหม้อแปลงไฟฟ้าเพิ่มเติม เพื่อปรับปรุงระบบจำหน่ายไฟฟ้าในพื้นที่อื่น ๆ ในประเทศไทย ภายใต้การบริหารจัดการระบบไฟฟ้าของการไฟฟ้าส่วนภูมิภาค

5. กิตติกรรมประกาศ

คณะทีมวิจัยขอขอบคุณคณะวิศวกรรมศาสตร์ มหาวิทยาลัยทักษิณ และการไฟฟ้าส่วนภูมิภาคสาขาเมืองพัทลุง จังหวัดพัทลุง ที่เอื้ออำนวยความสะดวกด้านสถานที่และเครื่องมือวิจัยในครั้งนี้เป็นอย่างดี

เอกสารอ้างอิง

[1] Panton, S. A. (2021). Integrating AMI with GIS for electric distribution transformer load management (Master's thesis, Penn State University). Penn State University.

[2] Limsakul, P., Chaiyaratana, N., & Khunthongjan, N. (2023). Spatial electric load forecasting using a geographic information system: A case study of Khon Kaen, Thailand. Energies, 18(10), 2484.

[3] Richaud, L. (2020). Analysis of voltage patterns for topology identification and GIS correction. ODIT-E.

[4] Triplett, J., et al. (2020). Evaluating distribution system losses using data from deployed AMI and GIS systems. Power System Engineering, Inc.

[5] Pinzón, S., Yánez, S., & Ruiz, M. (2020). Optimal location of transformers in electrical distribution networks using geographic information systems. ResearchGate.

[6] Pinzón, S., Yánez, S., & Ruiz, M. (2020). Scalable electrical distribution networks planning for medium and low voltage considering capacity on transformers and voltage drop. ResearchGate.

[7] ชานาญ ห่อเกียรติ. (2562). ระบบไฟฟ้ากำลัง. กรุงเทพฯ: โครงการพัฒนาความชำนาญด้านไฟฟ้ากำลัง.

[8] Wang, D., Turitsyn, K., & Chertkov, M. (2012). DistFlow ODE: Modeling, analyzing and controlling long distribution feeder. In Proceedings of the 51st IEEE Conference on Decision and Control (pp. 5613–5618). IEEE.

[9] Gao, Y., Kang, B., Xiao, H., Wang, Z., Ding, G., Xu, Z., ... & Li, Y. (2023). A model for identifying the feeder-transformer relationship in distribution grids using a data-driven machine-learning algorithm. Frontiers in Energy Research, 11, 1225407.

[10] Sondharangalla, M., Moldovan, D., & Ayyanar, R. (2025). Volt-pf control mode for distribution feeder voltage management under high penetration of distributed energy resources. IEEE Access.

[11] Thailand Greenhouse Gas Management Organization. (n.d.). Emission factor (CFP). Thailand Carbon Label.

พีไอดีแบบยืดหยุ่นสำหรับควบคุมอิเล็กโทรไลเซอร์เพื่อปรับปรุงความเฉื่อยเสมือนในไมโครกริดแยกโดดภายใต้การโจมตีไซเบอร์แบบปฏิเสธการให้บริการ

Resilient PID Based Electrolyzers Control for Virtual Inertia Improvement in Islanded Microgrid Under Denial-of-Service Cyber-attacks

วิชยุตม์ เมืองมูล[1] บุญเรือง มะรังศรี [2]* เชวศักดิ์ รักเป็นไทย [1] และ จงลักษณ์ พาหะซา[1]*

[1]สาขาวิศวกรรมไฟฟ้า คณะวิศวกรรมศาสตร์ มหาวิทยาลัยพะเยา jonglak.pa@up.ac.th*
[2]สาขาวิศวกรรมไฟฟ้า คณะวิศวกรรมศาสตร์ มหาวิทยาลัยเทคโนโลยีสุรนารี bmshvee@sut.ac.th*

บทคัดย่อ

บทความนี้นำเสนอพีไอดีแบบยืดหยุ่นสำหรับควบคุมอิเล็กโทรไลเซอร์ชนิดเยื่อแลกเปลี่ยนโปรตอน (Proton exchange membrane electrolyzers: PEMEL) เพื่อควบคุมความเฉื่อยเสมือน (Virtual inertia control: VIC) ในไมโครกริดแยกโดด ภายใต้การโจมตีไซเบอร์แบบปฏิเสธการให้บริการ denial-of-service (DoS) ผลการจำลองด้วยโปรแกรม MATLAB/Simulink แสดงให้เห็นว่า การใช้พีไอดีที่เสริมด้วยการควบคุมความเฉื่อยเสมือน สามารถลดการแกว่งของความถี่ได้ดีกว่าการควบคุมแบบพีไอดีทั่วไป โดยเฉพาะอย่างยิ่งเมื่อเกิดการโจมตี DoS

คำสำคัญ: ไมโครกริด, ตัวควบคุมพีไอดี, การควบคุมความเฉื่อยเสมือน, อิเล็กโทรไลเซอร์ชนิดเยื่อแลกเปลี่ยนโปรตอน, การโจมตีไซเบอร์แบบปฏิเสธการให้บริการ

Abstract

This article proposes resilient PID based proton exchange membrane electrolyzers (PEMEL) control for virtual inertia control (VIC) in islanded microgrid under denial-of-service (DoS) cyber-attacks. Simulation results carried out in MATLAB/Simulink program demonstrate that the PID controller with virtual inertia control significantly outperforms conventional PID control in reducing frequency oscillations, particularly under DoS attack conditions.

Keywords: Microgrid, PID controller, virtual inertia control, proton exchange membrane electrolyzer, denial-of-service cyber-attack

1. บทนำ

ในปัจจุบัน ไมโครกริด (Microgrid) ได้รับความสนใจอย่างแพร่หลาย เนื่องจากเป็นโครงสร้างพลังงานที่สามารถบูรณาการแหล่งพลังงานหมุนเวียน เช่น พลังงานแสงอาทิตย์และพลังงานลม ร่วมกับเครื่องกำเนิดไฟฟ้าแบบดั้งเดิมและระบบกักเก็บพลังงาน เพื่อเพิ่มความยืดหยุ่นและความมั่นคงในการจ่ายไฟฟ้า [1] อย่างไรก็ตาม การเชื่อมต่อผ่านอินเวอร์เตอร์จำนวนมากทำให้ไมโครกริดมีค่าแรงเฉื่อยเชิงกลต่ำ ส่งผลให้ความสามารถในการรักษาเสถียรภาพความถี่ลดลง โดยเฉพาะในกรณีที่เกิดการเปลี่ยนแปลงโหลดหรือการสูญเสียกำลังการผลิตอย่างฉับพลัน อัตราการเปลี่ยนแปลงความถี่ (Rate of change of frequency: RoCoF) อาจสูงจนกระทบต่อความมั่นคงของระบบไฟฟ้า

เพื่อแก้ไขปัญหาดังกล่าว แนวคิดการควบคุมความเฉื่อยเสมือน (Virtual inertia control: VIC) [1] ถูกนำเสนอและพัฒนาอย่างต่อเนื่อง โดยมีหลักการสร้างพฤติกรรมของแหล่งพลังงานหมุนเวียนให้เลียนแบบคุณสมบัติของเครื่องจักรไฟฟ้าซิงโครนัส ช่วยลด RoCoF และเพิ่มความเสถียรของความถี่ในช่วงเกิดเหตุการณ์รบกวน ขณะเดียวกัน ในปัจจุบันหน่วยงานภาครัฐได้ให้ความสนใจและส่งเสริมเกี่ยวกับการใช้อุปกรณ์กักเก็บพลังงานไฮโดรเจน เนื่องจากการกักเก็บพลังงานด้วยไฮโดรเจนมีข้อดีคือเป็นมิตรต่อสิ่งแวดล้อมและอุปกรณ์มีอายุการใช้งานยาวนานและสามารถนำกลับมาใช้ใหม่ได้ [2] โดยอิเล็กโทรไลเซอร์ (Electrolyzer: EZ) เป็นอุปกรณ์สำหรับผลิตไฮโดรเจน สำหรับยานยนต์ไฮโดรเจน หรือเครื่องผลิตไฟฟ้าจากไฮโดรเจนที่เรียกว่าเซลล์เชื้อเพลิง (Fuel cell: FC) ก็ได้รับการส่งเสริมเช่นกัน โดยในงานวิจัย [2] ได้นำอิเล็กโทรไลเซอร์ชนิดเยื่อแลกเปลี่ยนโปรตอน (Proton exchange membrane electrolyzer: PEMEL) มาประยุกต์ใช้เพื่อควบคุมความถี่ไมโครกริด ซึ่งให้ผลการควบคุมเป็นที่น่าพอใจ ซึ่งแสดงให้เห็นว่า อิเล็กโทรไลเซอร์ไม่เพียงแต่ใช้เพื่อการผลิตไฮโดรเจนและกักเก็บพลังงานเท่านั้น แต่ยังสามารถใช้เป็นตัวควบคุมเสริมด้านแรงเฉื่อยและความถี่ของไมโครกริดได้

นอกจากนี้ ความท้าทายสำคัญของไมโครกริดยุคใหม่คือความเสี่ยงต่อการโจมตีทางไซเบอร์ โดยเฉพาะการโจมตีไซเบอร์แบบปฏิเสธการให้บริการ (Denial-of-service: DoS) ซึ่งอาจทำให้สัญญาณควบคุมหรือการสื่อสารภายในระบบขาดหาย ส่งผลต่อประสิทธิภาพการควบคุมและอาจทำให้ระบบสูญเสียเสถียรภาพได้ [3] ด้วยเหตุนี้ จึงมีความจำเป็นต้องพัฒนากลยุทธ์การควบคุมที่มีความยืดหยุ่น (Resilient) เพื่อรับมือกับความไม่แน่นอนที่เกิดจากการโจมตีทางไซเบอร์ [4]

บทความนี้ นำเสนอการออกแบบการควบคุมความเฉื่อยเสมือนของไมโครกริดโดยใช้ตัวควบคุมพีไอดีแบบยืดหยุ่น (Resilient PID: R-PID) ควบคู่กับการเสริมแรงเฉื่อยเสมือนในส่วนการควบคุมเสริมของอิเล็กโทรไล

*ผู้ประพันธ์บรรณกิจ

เซอร์ชนิดเยื่อแลกเปลี่ยนโปรตอน (PEMEL) เพื่อเพิ่มความสามารถในการรักษาเสถียรภาพความถี่ แม้ในสภาวะที่เกิดการโจมตีไซเบอร์แบบปฏิเสธการให้บริการ (DoS)

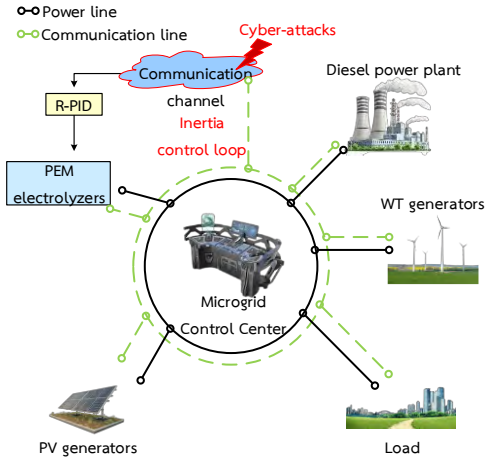

รูปที่ 1 ไมโครกริดภายใต้การโจมตีทางไซเบอร์ที่ใช้ในการศึกษา

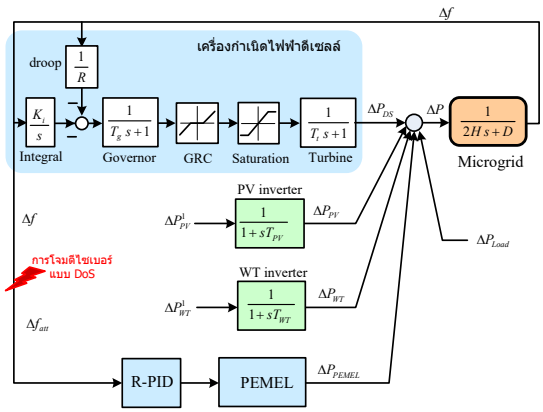

รูปที่ 2 แบบจำลองเชิงเส้นของไมโครกริดที่ใช้ในการศึกษา

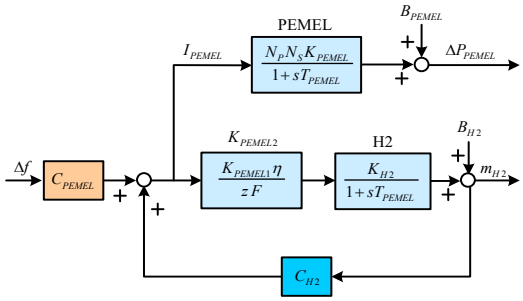

รูปที่ 3 แบบจำลอง PEMEL สำหรับการควบคุมความถี่ที่ใช้ในการศึกษา

2. แบบจำลองไมโครกริดที่ใช้ในการศึกษา

แบบจำลองไมโครกริดสำหรับการควบคุมความถี่ด้วยพีไอดี (PID) แบบยืดหยุ่นสำหรับควบคุม PEMEL ภายใต้การโจมตีทางไซเบอร์แบบปฏิเสธการให้บริการที่ใช้ในการศึกษาแสดงดังรูปที่ 1 [2] ซึ่งเป็นไมโครกริดที่ประกอบด้วย เครื่องกำเนิดไฟฟ้าดีเซลล์ (Diesel generator: DS) เครื่องกำเนิดไฟฟ้าพลังแสงอาทิตย์ (Photovoltaic generator: PV) เครื่องกำเนิดไฟฟ้าพลังลม (Wind power generator: WP) และโหลด PEMEL

รูปที่ 2 แสดงแบบจำลองเชิงเส้นของไมโครกริดที่ใช้ในการศึกษา ซึ่งการเบี่ยงเบนความถี่ไมโครกริดสามารถแสดงได้ดังสมการ

$$\Delta f = \frac{1}{2Hs + D}\Delta P \tag{1}$$

$$\Delta P = \Delta P_{DS} + \Delta P_{PV} + \Delta P_{WTG} - \Delta P_{Load} - \Delta P_{PEMEL} \tag{2}$$

เมื่อ H คือแรงเฉื่อยไมโครกริด, D คือการหน่วง, P_{DS} คือกำลังไฟฟ้าของเครื่องกำเนิดไฟฟ้าดีเซลล์, P_{PV} คือกำลังไฟฟ้าของเครื่องกำเนิดไฟฟ้าพลังแสงอาทิตย์, P_{WTG} คือกำลังไฟฟ้าของเครื่องกำเนิดไฟฟ้าพลังลม, P_{Load} คือกำลังไฟฟ้าของความต้องการโหลด, P_{PEMEL} คือกำลังไฟฟ้าของ PEMEL, และ Δ คือการเบี่ยงเบนสัญญาณ

ในช่องทางการสื่อสารระหว่างบล็อก “Microgrid” และตัวควบคุม “R-PID” จะมีการโจมตีทางไซเบอร์แบบปฏิเสธการให้บริการ (DoS) ซึ่งจะไปขัดขวางช่องทางการสื่อสาร ทำให้การควบคุมผิดพลาดได้ ผลที่ตามมาคือ การเบี่ยงเบนความถี่ของไมโครกริด อาจมีค่าสูงกว่าค่าที่รีเลย์ป้องกันตั้งไว้ อาจทำให้เกิดไฟฟ้าดับทั้งไมโครกริดได้ เพื่อเพิ่มประสิทธิภาพการควบคุมความถี่ไมโครกริด งานวิจัยนี้จึงนำเสนอพีไอดีแบบยืดหยุ่น (Resilient PID: R-PID) เพื่อควบคุม PEMEL สำหรับเพิ่มประสิทธิภาพของความเฉื่อยเสมือนในไมโครกริด ระหว่างการโจมตีทางไซเบอร์แบบ DoS

3. แบบจำลอง PEMEL สำหรับควบคุมความถี่ไมโครกริด

แบบจำลองเชิงเส้นของ PEMEL สำหรับการควบคุมความถี่ไมโครกริดแสดงดังรูปที่ 3 [2] โดยไฮโดรเจนอิเล็กโทรลิซิส (Hydrogen electrolysis) คือเทคโนโลยีการกักเก็บพลังงานแบบพลังงานเป็นก๊าซ ซึ่งทำให้ง่ายต่อการทำงานร่วมกับแหล่งจ่ายพลังงานหมุนเวียนที่ไม่ต่อเนื่องซึ่งมีเพิ่มมากขึ้นและจะนำไปสู่ระบบพลังงานแห่งอนาคต

จากรูปที่ 3 เมื่อประยุกต์ใช้ PEMEL เพื่อควบคุมความถี่ไมโครกริดจะต้องมีการพิจารณาเวลาหน่วงหรือเวลาล่าช้าของ PEMEL (T_{PEMEL}) ด้วย ในกรณีที่มีการเปลี่ยนแปลงอย่างทันทีทันใดของความถี่ไมโครกริด ดังนั้นการใช้กำลังไฟฟ้าของ PEMEL สามารถอธิบายด้วยการแปลงลาปลาซ ดังสมการ (3) เมื่อ K_{PEMEL} คือ ค่าสัมประสิทธิ์ของการใช้กำลังไฟฟ้าของ PEMEL และ B_{PEMEL} คือ ค่าเริ่มต้นของการใช้กำลังไฟฟ้าของ PEMEL ทั้งนี้อัตราการผลิตไฮโดรเจนขั้นปลาย (Downstream hydrogen production rate) หรือ m_{H2} มีหน่วยเป็น $[Nm^3/s]$, แสดงได้ดังสมการ (4) เมื่อ K_{PEMEL1} คือสัมประสิทธิ์การเปลี่ยน mole/s ไปเป็น Nm^3/s, z คือความหนาแน่นของอิเล็กตรอน, F คือค่าคงตัวของฟาราเดย์ (Faraday's constant) และ η_F คือสัมประสิทธิ์ของฟาราเดย์

$$P_{PEMEL}(s) = \frac{K_{PEMEL}}{1 + sT_{PEMEL}} I_{PEMEL}(s) + B_{PEMEL} \tag{3}$$

$$m_{H2}(s) = K_{PEMEL1}\frac{\eta_F\, I_{PEMEL}(s)}{zF} \tag{4}$$

เวลาหน่วง T_{PEMEL} อาจเปลี่ยนการผลิตของแบบจำลองย่อยไฮโดรเจนเมื่ออัตราการสังเคราะห์ไฮโดรเจนเป็นฟังก์ชันเชิงเส้นของ

กระแสไฟฟ้า ดังนั้น การผลิตของแบบจำลองย่อยไฮโดรเจนแสดงดังสมการ (5)-(6) เมื่อ K_{H2} คือสัมประสิทธิ์ของไฮโดรเจน และ B_{H2} คือค่าเริ่มต้นอัตราการผลิตไฮโดรเจน

$$m_{H2}(s) = \frac{K_{PEMEL2}K_{H2}}{1+sT_{PEMEL}} I_{PEMEL}(s) + B_{H2} \tag{5}$$

$$K_{PEMEL2} = K_{PEMEL1}\left(\frac{\eta_F}{zF}\right) \tag{6}$$

ในกรณีที่ต้องการผลิตแรงดัน กระแส และกำลังไฟฟ้าสำหรับการใช้งานในระบบไฟฟ้า เรียกการต่อแบบนี้ว่าเป็น PEMEL stack ซึ่งจะมีการต่อ PEMEL แบบขนานและอนุกรมเพื่อให้ได้แรงดัน กระแส และกำลังไฟฟ้าตามต้องการ ซึ่งแสดงได้ดังสมการ (7)-(9) เมื่อ N_S คือจำนวนเซลล์ที่ต่ออนุกรมต่อหนึ่ง PEMEL stack และ N_P คือจำนวนเซลล์ที่ต่อขนานต่อหนึ่ง PEMEL stack

$$V_{PEMEL,stack} = N_S V_{PEMEL} \tag{7}$$

$$I_{PEMEL,stack} = N_P I_{cell} \tag{8}$$

$$P_{PEMEL,stack} = V_{PEMEL,stack} I_{PEMEL,stack} \tag{9}$$

กระแสของ PEMEL stack ($I_{PEMEL,stack}$) สามารถปรับเพื่อควบคุมอัตราการผลิตไฮโดรเจนด้านต่ำ (Downstream) และการใช้กำลังไฟฟ้า ดังแสดงในสมการ (8) และ (9) โดยเป้าหมายของการควบคุมอัตราการผลิตไฮโดรเจนคือ เพื่อรักษาการแกว่งของอัตราการผลิตไฮโดรเจนด้านต่ำ โดยความแตกต่างระหว่างอัตรากระแสของการผลิตไฮโดรเจน ถูกแสดงโดย m_{pre} และค่าก่อนหน้านั้นแสดงโดย m_{past} ซึ่งทั้งสองค่านี้ถูกใช้เพื่อเปลี่ยนอัตราการผลิตไฮโดรเจนด้านต่ำของ PEMEL stack ซึ่งความแตกต่างนี้สามารถเขียนได้ดังสมการต่อไปนี้

$$\Delta m_{H2}(s) = m_{pre}(s) - m_{past}(s) \tag{10}$$

ดังนั้น การเบี่ยงเบนกระแสของ PEMEL สามารถเขียนได้ดังสมการ (11) เมื่อ C_{H2} คือ ตัวควบคุมในตัวซึ่งควบคุมอัตราการผลิตไฮโดรเจน

$$\Delta I_{PEMEL}(s) = C_{H2}(s)\cdot\Delta m_{H2}(s) \tag{11}$$

เพื่อให้ได้คุณสมบัติการปรับความถี่ได้ C_{PEMEL} จึงถูกเพิ่มเข้าไปเพื่อปรับอัตราการผลิตไฮโดรเจน สำหรับการควบคุมความถี่ [2] ดังนั้นสมการ (11) จึงสามารถเขียนใหม่อีกครั้ง ได้ดังสมการ (12) เมื่อ Δf คือการเบี่ยงเบนความถี่ของไมโครกริด

$$\Delta I_{PEMEL}(s) = C_{H2}(s)\cdot\Delta m_{H2}(s) + C_{PEMEL}(s)\cdot\Delta f(s) \tag{12}$$

แทนสมการ (12) ในสมการ (9) จะได้ การเปลี่ยนแปลงกำลังไฟฟ้าของ PEMEL ดังสมการต่อไปนี้

$$\left.\begin{aligned}\Delta P_{PEMEL}(s) = {} & \frac{K_{PEMEL}}{1+sT_{PEMEL}} C_{H2}(s)\cdot\Delta m_{H2}(s) \\ & + \frac{K_{PEMEL}}{1+sT_{PEMEL}} C_{PEMEL}(s)\cdot\Delta f(s)\end{aligned}\right\} \tag{13}$$

ดังสมการ (13) จะเห็นว่ามีพารามิเตอร์ 2 ตัว ที่สัมพันธ์กับการปรับกำลังไฟฟ้าดำเนินการของ PEMEL นั่นคือ (1) การแกว่งของอัตราการผลิตไฮโดรเจน (Δm_{H2}), และ (2) การเบี่ยงเบนของความถี่ (Δf) โดยการแกว่งของอัตราการผลิตไฮโดรเจนสามารถละทิ้งได้ เนื่องจากช่วงเวลาการปรับความถี่สั้นมาก (มากสุด 30 s) ผลที่ได้คือ มีความเป็นไปได้ที่จะสมมติให้การแกว่งของอัตราการผลิตไฮโดรเจนมีค่าคงที่ระหว่างช่วงเวลาการควบคุมความถี่นี้ ดังนั้น สมการ (13) สามารถแสดงในรูปแบบอย่างง่ายได้เป็นดังสมการ

$$\Delta P_{PEMEL}(s) = C_{PEMEL}(s)\cdot\frac{K_{PEMEL}}{1+sT_{PEMEL}}\cdot\Delta f(s) \tag{14}$$

ในการศึกษานี้ R-PID ได้ถูกใช้เพื่อควบคุม PEMEL สำหรับการปรับความถี่ไมโครกริด ซึ่ง Δf คืออินพุตของ R-PID ซึ่งถูกใช้เพื่อคำนวณสัญญาณควบคุมสำหรับตัวควบคุม PEMEL ดังนั้น เมื่อใช้ R-PID เพื่อควบคุม PEMEL สำหรับการปรับความถี่ไมโครกริด ดังนั้น สมการ (14) เขียนใหม่ได้เป็นดังสมการ (15) เมื่อ K_P คืออัตราขยายสัดส่วน ***(Proportional gain)***, K_I คือ อัตราขยายปริพันธ์, และ K_D คืออัตราขยายอนุพันธ์

$$\Delta P_{PEMEL}(s) = \Delta f\cdot\left(K_P + \frac{K_I}{s} + sK_D\right)\cdot\frac{K_{PEMEL}}{1+sT_{PEMEL}} \tag{15}$$

4. แบบจำลองการโจมตีทางไซเบอร์แบบ DoS

การโจมตีไซเบอร์แบบ DoS จะส่งข้อมูลที่ทำให้เข้าใจผิดและไม่มีความหมายไปยังส่วนประกอบของระบบไฟฟ้า [3] ช่วงเวลาเหตุการณ์การโจมตีไซเบอร์แบบ DoS สามารถระบุได้โดยสมการต่อไปนี้

$$\Im(0,\infty) \triangleq \bigcup_{l\in\mathbb{N}} [T_{on,l},\, T_{off,l}] \tag{16}$$

เมื่อ T คือช่วงเวลาการชักตัวอย่าง, $T_{on,l} \in [T_{on}^{\min}, T], l\in\mathbb{N}$ คือเวลาที่เกิดการโจมตีไซเบอร์แบบ DoS ครั้งแรก หรือเวลาเริ่มเกิดการโจมตีไซเบอร์แบบ DoS, $T_{off,l} \in [T_{off}^{\min}, T], l\in\mathbb{N}$ คือช่วงเวลาที่การโจมตีไซเบอร์แบบ DoS สิ้นสุดลง, $T_{on} < T_{off} \le T$ คือ เวลาทริกเกอร์สำหรับการโจมตีไซเบอร์แบบ DoS แต่ละครั้ง, และ $T_{off} - T_{on}$. คือระยะเวลาเกิดการโจมตีไซเบอร์แบบ DoS

แบบจำลองของการโจมตีแบบ DoS แบบตัวแปรสุ่มไม่เป็นรายคาบในช่วงเวลาเกิด DoS ทั้งหมดสามารถกำหนดได้ดังสมการ

$$S_{DoS}(t) = \begin{cases} 0, & t \in \Im(0,\infty) \\ 1, & t \notin \Im(0,\infty) \end{cases} \tag{17}$$

เมื่อ $S=0$ คือ การเกิดขึ้นของการโจมตีแบบ DoS และ $S=1$ คือ การส่งสัญญาณปกติ

5. R-PID สำหรับควบคุม PEMEL ภายใต้การโจมตี DoS

พิจารณารูปที่ 1 และ 2 โดยปกติสัญญาณป้อนกลับ Δf จะถูกใช้เพื่อเป็นอินพุตให้ตัวควบคุม R-PID ซึ่งเป็นตัวควบคุม PEMEL ให้จ่ายกำลังไฟฟ้าเพื่อควบคุมความถี่ไมโครกริด (Δf) ให้มีค่าน้อยๆ และอยู่ในช่วงที่กำหนด อย่างไรก็ตาม การส่งสัญญาณผ่านช่องทางการสื่อสารอาจเกิดการโจมตีไซเบอร์แบบปฏิเสธการให้บริการ (DoS) ได้ โดยสัญญาณการเบี่ยงเบนความถี่ที่ผ่านช่องทางการสื่อสารในช่วงที่มีการโจมตีทางไซเบอร์ จะมีสัญลักษณ์ในรูปที่ 2 เป็น Δf_{att} และเมื่อ Δf_{att} ถูกใช้เพื่อการควบคุม ส่งผลให้ในช่วงเวลาดังกล่าวสัญญาณที่ส่งไปยัง R-PID เกิดความเสียหาย นั่นคือสัญญาณที่ส่งมาจะกลายเป็นศูนย์ในบางช่วง เป็นสัญญาณที่ไม่สมบูรณ์ ทำให้สัญญาณควบคุมที่คำนวณได้จากตัวควบคุม R-PID มีค่าผิดเพี้ยนไป ซึ่งจะทำให้การควบคุมความถี่ไมโครกริดมีความผิดพลาดได้ ดังนั้น จึงได้มีการนำเสนอตัวควบคุมแบบยืดหยุ่น (Resilient) นั่นคือจะใช้

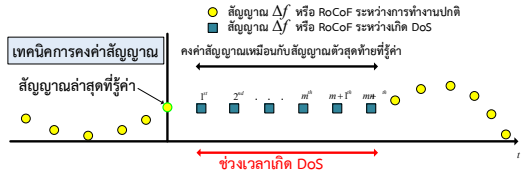

รูปที่ 4 วิธีการใช้สัญญาณเดิมก่อนมีการรบกวนทางไซเบอร์แบบ DoS

ตารางที่ 1 คุณภาพของสัญญาณเมื่อเกิด DoS ในแต่ละกรณี

กรณีที่	ความน่าจะเป็นศูนย์ของ DoS	คุณภาพสัญญาณเมื่อเกิด DoS ในแต่ละกรณี
1	0	ไม่มี DoS เกิดขึ้นในการส่งสัญญาณสามารถส่งสัญญาณป้อนกลับได้ด้วยความถูกต้องแน่นอน
2	0.1-0.49	มี DoS เกิดขึ้นในการส่งสัญญาณ น้อยกว่า การไม่มี DoS ในกรณีนี้ การส่งสัญญาณยังพอใช้ได้
3	0.5	มี DoS เกิดขึ้นในการส่งสัญญาณ พอๆ กับการไม่มี DoS
4	0.51-0.99	มี DoS เกิดขึ้นในการส่งสัญญาณมากกว่าการไม่มี DoS ในกรณีนี้ การส่งสัญญาณถือว่าไม่ดี
5	1	มี DoS เกิดขึ้นตลอดเวลาในการส่งสัญญาณ ทำให้ไม่สามารถส่งสัญญาณป้อนกลับได้ ถ้าเกิดเหตุการณ์นี้จะต้องหยุดการควบคุม การทำงานของระบบหรือหาวิธีแก้ปัญหาด้วยวิธีการอื่นๆ

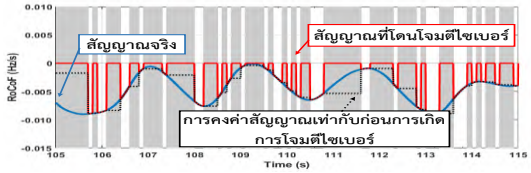

รูปที่ 5 การเบี่ยงเบนของความถี่เมื่อความน่าจะเป็นศูนย์ของ DoS = 0.60

สัญญาณป้อนกลับ Δf ค่าสุดท้าย (ก่อนตรวจสอบพบว่ามีการรบกวนไซเบอร์แบบ DoS) มาใช้ในการสร้างสัญญาณควบคุม

รูปที่ 4 แสดงวิธีการใช้สัญญาณเดิมก่อนมีการรบกวนทางไซเบอร์แบบ DoS ซึ่งจะเห็นว่า ช้ายมือในช่วงก่อนเกิดการโจมตีไซเบอร์แบบ DoS จะใช้สัญญาณวงกลมสีเหลืองขอบนอกสีดำ ซึ่งเป็นสัญญาณที่วัดได้จริงในไมโครกริด แต่เมื่อมีการโจมตีไซเบอร์แบบ DoS (ช่วง DoS attacks) ซึ่งเป็นช่วงไฮไลท์สีเทา สัญญาณป้อนกลับที่วัดได้จริงในระบบ (The last known signal) ซึ่งก็คือ วงกลมสีเหลืองอันสุดท้ายไฮไลท์วงนอกด้วยสีเขียว จะถูกใช้เป็นสัญญาณป้อนกลับ เข้าสู่ตัวควบคุมพีไอดีซ้ำๆ ไป จนกว่าการโจมตีไซเบอร์แบบ DoS จะหายไป จึงจะกลับมาใช้สัญญาณวัดได้จริงอีกครั้งในด้านขวามือของรูปที่ 4 โดย การรบกวนไซเบอร์แบบ DoS มีขนาดความรุนแรง ความถี่และความยาวนานในการเกิด DoS หลายระดับ โดยสามารถวัดออกมาในรูปแบบของความน่าจะเป็น “ศูนย์” ของสัญญาณ DoS ดังกรณีตัวอย่าง ดังตารางที่ 1

รูปที่ 5 แสดงการเบี่ยงเบนของความถี่เมื่อความน่าจะเป็นศูนย์ของ DoS เท่ากับ 0.60 โดยช่วงสีเทาคือช่วงการเกิดการรบกวนทางไซเบอร์แบบ DoS ในรูปนี้เป็นการเปรียบเทียบสัญญาณการเบี่ยงเบนของความถี่ (Frequency deviation) โดยเส้นแรกเป็นเส้นสีน้ำเงินแสดงค่าการเบี่ยงเบนของความถี่ที่วัดได้จริง (Actual) หากไม่มีการโจมตีไซเบอร์แบบ DoS ซึ่งจะเห็นว่าเส้นสีน้ำเงินมีความสมบูรณ์ต่อเนื่องและมีการเปลี่ยนแปลงอย่างช้าๆ สามารถใช้เป็นสัญญาณป้อนกลับเพื่อควบคุมความถี่ไมโครกริดได้ แต่ในความเป็นจริงแล้วสัญญาณสีน้ำเงินนี้ ไม่สามารถส่งไปถึงตัวควบคุมพีไอดีได้ เนื่องจากในระหว่างการส่งสัญญาณ มีการโจมตีไซเบอร์แบบ DoS เกิดขึ้น เส้นที่สองเป็นเส้นสีแดงแสดงสัญญาณการเบี่ยงเบนของความถี่เมื่อมีการโจมตีไซเบอร์แบบปฏิเสธการให้บริการ (Attacked) และเส้นที่สามเป็นเส้นสีดำประแสดงสัญญาณการเบี่ยงเบนของความถี่ที่ถูกการรบกวนไซเบอร์แบบปฏิเสธการให้บริการ แล้วได้รับการแก้ไขแบบใช้สัญญาณเดิมก่อนเกิดการโจมตีทางไซเบอร์แบบปฏิเสธการให้บริการ (Hold signal technique) ซึ่งสัญญาณที่แก้ไขนี้สามารถใช้เป็นสัญญาณป้อนกลับเพื่อควบคุมความถี่ไมโครกริดได้ ตัวควบคุม R-PID ที่นำเสนอในบทความนี้ (ดูรูปที่ 1) ประกอบด้วยตัวควบคุม R-PID จำนวน 1 ตัว ใช้สำหรับควบคุม PEMEL โดยมีขั้นตอนการออกแบบ ดังนี้

ขั้นที่ 1: ออกแบบ R-PID โดยใช้ตัวควบคุมพีไอดีทั่วไปที่หาค่าพารามิเตอร์ทั้งสามของตัวควบคุม ได้แก่ K_P, K_I, และ K_D ด้วยวิธีการหาค่าเหมาะสมที่สุดด้วยอัลกอริทึมหาค่าเหมาะสมที่สุด ในที่นี้ใช้อัลกอริทึมหิ่งห้อย โดยวัตถุประสงค์ของการหาค่าเหมาะสมที่สุดคือหาค่าน้อยสุดของการเบี่ยงเบนความถี่ไมโครกริด (Δf) (ซึ่งจะไม่ขอกล่าวในที่นี้ เนื่องจากไม่ใช่ประเด็นหลักของบทความนี้) จากนั้นในช่วงสภาวะการทำงานปกติ ตัวควบคุมพีไอดีที่ออกแบบดังกล่าวได้ถูกใช้ในการควบคุม PEMEL ในสภาวะปกติ ที่ไม่มีการโจมตีไซเบอร์

ขั้นที่ 2: เมื่อมีการโจมตีทางไซเบอร์แบบปฏิเสธการให้บริการ สัญญาณการเบี่ยงเบนของความถี่ที่ป้อนกลับเป็นอินพุตของ R-PID มีค่าเป็นศูนย์ ไม่สามารถใช้ในการควบคุมได้ดังแสดงในรูปที่ 4 และรูปที่ 5 ทำให้ต้องมีการใช้สัญญาณก่อนเกิดการ โจมตีทางไซเบอร์ ในระหว่างที่เกิดการโจมตีทางไซเบอร์

6. การควบคุมความเฉื่อยเสมือน

การควบคุมความเฉื่อยเสมือนเป็นเทคนิคที่พัฒนาเพื่อเลียนแบบพฤติกรรมการตอบสนองของเครื่องกำเนิดไฟฟ้าซิงโครนัสต่อการเปลี่ยนแปลงความถี่ โดยใช้อุปกรณ์กักเก็บพลังงานและอินเวอร์เตอร์กำลังเพื่อสร้าง “กำลังไฟฟ้าเชิงเฉื่อย” (Inertia power) [1] เข้ามาช่วยเสริมในช่วงที่เกิดการรบกวน แนวคิดดังกล่าวทำให้ระบบสามารถชะลออัตราการเปลี่ยนแปลงของความถี่ (RoCoF) และลดโอเวอร์ชูต (Overshoot) ในช่วงแรกของการเปลี่ยนแปลงโหลดหรือกำลังผลิตจากพลังงานหมุนเวียน ซึ่งถือเป็นปัญหาสำคัญของไมโครกริดที่มีค่าแรงเฉื่อยต่ำสำหรับงานวิจัยนี้ VIC ถูกนำมาทำงานร่วมกับพีไอดีแบบยืดหยุ่น (Resilient PID: R-PID) และ PEMEL โดย VIC จะช่วยสร้างแรงเฉื่อยเสมือนในช่วงแรกของการรบกวน ขณะที่ R-PID จะรักษาความเสถียรในระยะยาว แม้ในสภาวะที่เกิดการโจมตีไซเบอร์แบบ DoS การสร้างกำลังไฟฟ้าเชิงเฉื่อยสามารถอธิบายได้จากสมการ (18) [2] โดยที่ J คือค่าคงที่แรงเฉื่อยเสมือน, T_{VI} คือค่าคงตัวทางเวลา (Time

constant) ของตัวกรองความถี่ต่ำผ่าน (Low-pass filter) ที่ใช้ลดสัญญาณรบกวนจากการวัดความถี่, และ Δf คือการเบี่ยงเบนความถี่ของระบบ

$$\Delta P_{inertia} = \frac{J}{1+sT_{VI}}\left(\frac{d(\Delta f)}{dt}\right) \quad (18)$$

แบบจำลองเชิงพลวัตของการควบคุมความเฉื่อยเสมือนเพื่อทำเสถียรภาพความถี่ แสดงดังรูปที่ 6

7. ผลการจำลอง

ในบทความนี้จะใช้โปรแกรม MATLAB/Simulink เพื่อทดสอบประสิทธิภาพของวิธีพีไอดีแบบยืดหยุ่น (R-PID) ที่นำเสนอสำหรับ PEMEL เพื่อควบคุมการเบี่ยงเบนความถี่และเพิ่มแรงเฉื่อยเสมือนในไมโครกริดภายใต้การโจมตีแบบปฏิเสธการให้บริการ ระบบที่ใช้ในการศึกษาเป็นระบบไมโครกริดดังแสดงในรูปที่ 1 โดยรายละเอียดข้อมูลไมโครกริดและตัวควบคุมที่ใช้ในการศึกษา มีดังนี้

- *ข้อมูลไมโครกริด* [4] : $f_{ref} = 50\text{Hz}$, $H = 0.06\text{s}$, $D = 0.12$ pu, $T_g = 0.1\text{s}$, $T_t = 0.4$ s, $R = 2.4\text{Hz/pu.MW}$, และ $K_i = 0.2$ s
- *ข้อมูล PEMEL* [2] : $P_{PEMEL} = 5$ MW, $K_{PEMEL} = 1.6$ W/A, $K_{PEMEL1} = 4841.4$ pu, $T_{PEMEL} = 13$ s, $C_d = 37$ F, $B_{H2} = 0.5\ \text{m}^3/\text{s}$, $B_{PEMEL} = 82$ W, และ $K_{H2} = 0.028\ \text{m}^3/\text{As}$
- *ข้อมูล VIC* [1] : $P_{inertia_max} = 0.25$, $P_{inertia_min} = 0.25$, และ $J = 0.85$

ในการศึกษาประสิทธิภาพของวิธีการนำเสนอ จะทำการเปรียบเทียบ 4 วิธีคือ NoPEMEL, C-PID, R-PID และ R-PID+VIC โดย NoPEMEL คือการไม่ติดตั้ง PEMEL ในไมโครกริด, C-PID คือการติดตั้ง PEMEL ในไมโครกริดและควบคุม PEMEL ด้วยพีไอดีทั่วไป, R-PID คือการติดตั้ง PEMEL ในไมโครกริดและควบคุม PEMEL ด้วยพีไอดีแบบยืดหยุ่น, และ R-PID+VIC คือการติดตั้ง PEMEL ในไมโครกริดและควบคุม PEMEL ด้วยพีไอดีแบบยืดหยุ่นและเพิ่มการควบคุม VIC ซึ่งเป็นการควบคุมที่นำเสนอในบทความวิจัยนี้

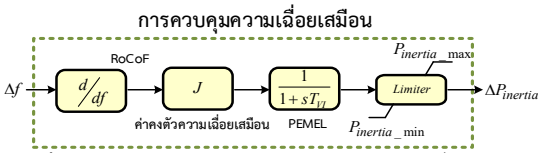

รูปที่ 6 แบบจำลองเชิงพลวัตของการควบคุมความเฉื่อยเสมือน

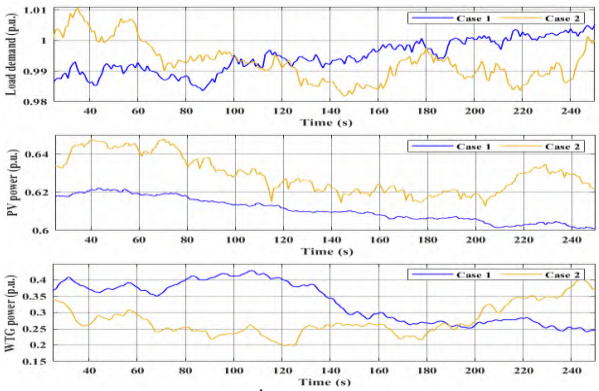

รูปที่ 7 กรณีศึกษา

รูปที่ 7 แสดงความต้องการของโหลด กำลังไฟฟ้าจากเครื่องกำเนิดไฟฟ้าพลังลม และกำลังไฟฟ้าจากเครื่องกำเนิดไฟฟ้าพลังแสงอาทิตย์ของกรณีศึกษา 2 กรณี โดยในกรณี 1 (Case 1) การแกว่งของความต้องการโหลด การแกว่งของกำลังไฟฟ้าจากเครื่องกำเนิดไฟฟ้าพลังลมและพลังแสงอาทิตย์จะต่ำกว่ากรณี 2 (Case 2) ซึ่งหมายความว่า กรณีที่ 2 มีการรบกวนที่รุนแรงกว่ากรณีที่ 1 ดังนั้น กรณี 2 มีโอกาสที่การเบี่ยงเบนของความถี่ไมโครกริดจะสูง และมีความท้าทายสำหรับการควบคุมมากกว่ากรณี 1

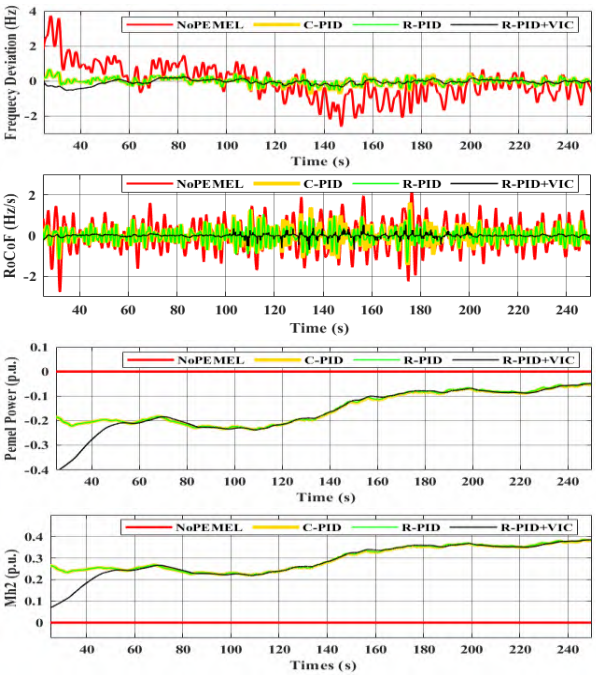

รูปที่ 8 ผลการจำลอง กรณีที่ 1

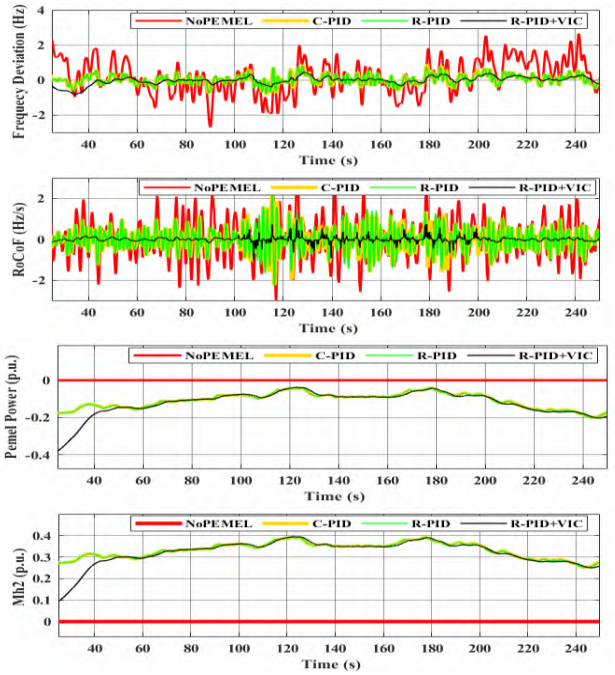

รูปที่ 9 ผลการจำลอง กรณีที่ 2

ผลการจำลองของการศึกษากรณีที่1 แสดงดังรูปที่ 8 ผลการจำลองภายใต้การแกว่งของโหลดและกำลังผลิตที่มีระดับต่ำ พบว่าในช่วงเวลาปกติ (ระหว่างเวลา 25–50 s) วิธีที่ติดตั้ง PEMEL (C-PID, R-PID และ R-PID+VIC) สามารถลดค่าเบี่ยงเบนความถี่ได้ดีกว่ากรณีไม่มีการติดตั้ง PEMEL (NoPEMEL) อย่างชัดเจน โดยเฉพาะวิธีนำเสนอ R-PID+VIC ที่ให้ค่าการเบี่ยงเบนความถี่และ RoCoF ต่ำที่สุด เมื่อเกิดการโจมตีทางไซเบอร์แบบ DoS (ระหว่างเวลา 100–200 s) นอกจากนี้ วิธี R-PID+VIC ยังคงรักษาเสถียรภาพความถี่ได้เหนือกว่าวิธีอื่น อันเป็นผลจากกลยุทธ์ คงค่าข้อมูลตัวสุดท้าย (Hold-last-sample) ของ R-PID ที่ลดผลกระทบจากสัญญาณสูญหาย ร่วมกับ VIC ที่เสริมแรงเฉื่อยเสมือนเพื่อลดโอเวอร์ชูตและ RoCoF หลังสิ้นสุดการโจมตีทางไซเบอร์ ระบบที่ควบคุมด้วยวิธี R-PID+VIC สามารถฟื้นตัวได้รวดเร็วที่สุด แสดงถึงศักยภาพในการรักษาเสถียรภาพระยะยาวที่เหนือกว่าวิธีอื่น

ผลการจำลองของการศึกษากรณีที่ 2 แสดงดังรูปที่ 9 สำหรับกรณีนี้ระบบเผชิญกับการเปลี่ยนแปลงโหลดและกำลังผลิตจากพลังงานหมุนเวียนที่มีความรุนแรงกว่ากรณีแรก ส่งผลให้ค่าโอเวอร์ชูต และ RoCoF สูงขึ้นอย่างชัดเจน โดยวิธี R-PID+VIC แสดงผลลัพธ์ที่ดีที่สุด แม้ภายใต้การโจมตีทางไซเบอร์แบบ DoS (ระหว่างเวลา 100–200 s) ระบบยังคงรักษาเสถียรภาพความถี่ไว้ได้อย่างต่อเนื่องหลังสิ้นสุดการโจมตี นอกจากนี้ยังพบว่าวิธี R-PID+VIC ใช้เวลาฟื้นตัวได้รวดเร็วที่สุดเมื่อเทียบกับวิธีอื่น รองลงมาคือวิธี R-PID และวิธี C-PID ส่วนวิธี NoPEMEL ใช้เวลานานที่สุด สะท้อนถึงความได้เปรียบของการเสริมแรงเฉื่อยเสมือนร่วมกับการควบคุมแบบยืดหยุ่น

8. สรุปผล

งานวิจัยนี้ได้นำเสนอการควบคุมความถี่ของระบบไมโครกริดโดยใช้ตัวควบคุมพีไอดีแบบยืดหยุ่น (R-PID) เพื่อควบคุมอิเล็กโทรไลเซอร์ชนิดเยื่อแลกเปลี่ยนโปรตอน (PEMEL) และทำงานร่วมกับการควบคุมความเฉื่อยเสมือน (VIC) เพื่อลดการแกว่งและเพิ่มเสถียรภาพความถี่ของไมโครกริด ผลการจำลองแสดงให้เห็นว่าแนวทางดังกล่าวสามารถลดค่าอัตราการเปลี่ยนแปลงของความถี่ (RoCoF) และลดการเบี่ยงเบนของความถี่ได้ดีกว่าการควบคุมแบบเดิม อีกทั้งยังช่วยปรับปรุงการจ่าย–รับกำลังไฟฟ้าและเพิ่มประสิทธิภาพการผลิตไฮโดรเจนได้อย่างต่อเนื่อง ดังนั้นจึงสรุปได้ว่าวิธีที่นำเสนอมีประสิทธิภาพและเหมาะสมต่อการประยุกต์ใช้ในไมโครกริดที่มีพลังงานหมุนเวียนสูงและเผชิญความเสี่ยงจากการโจมตีทางไซเบอร์

เอกสารอ้างอิง

[1] T. Kerdphol et al. “Self-adaptive virtual inertia control-based fuzzy logic to improve frequency stability of microgrid with high renewable penetration,” *IEEE Access*, vol. 7, pp. 76071-76083, 2019.

[2] M.B. Hossain et al., “Dynamic electrical circuit modeling of a proton exchange membrane electrolyzer for frequency stability, resiliency, and sensitivity analysis in a power grid,” *IEEE Trans. Ind. Appl.,* vol. 59, no. 6, pp. 7271-7281, 2023.

[3] P. S. Tadepalli and D. Pullaguram, “Distributed control microgrids: cyber-attack models, impacts and remedial strategies,” *IEEE Trans. Sig. Info. Process. over Net.,* vol. 8, pp. 1008-1023, 2022.

[4] S. Muangchuen, J. Pahasa and C. Rakpenthai, “Enhanced resilient model predictive control electrolyzers for frequency regulations under severe denial-of-service attacks,” *IEEE Access*, vol. 12, pp. 65352-65361, 2024.

วิชยุตม์ เมืองมูล สำเร็จการศึกษาระดับปริญญาตรี สาขาวิศวกรรมไฟฟ้า จากมหาวิทยาลัยพะเยา ปัจจุบันกำลังศึกษาในระดับปริญญาโท สาขาวิศวกรรมไฟฟ้า มหาวิทยาลัยพะเยา สนใจงานวิจัยด้านการควบคุมระบบไฟฟ้ากำลัง ไมโครกริด และสมาร์ทกริด

บุญเรือง มะรังศรี สำเร็จการศึกษาระดับปริญญาตรีและปริญญาโท สาขาวิศวกรรมไฟฟ้า จากจุฬาลงกรณ์มหาวิทยาลัย และระดับปริญญาเอก สาขาวิศวกรรมไฟฟ้า จากมหาวิทยาลัยชูบุ ประเทศญี่ปุ่น ปัจจุบันดำรงตำแหน่งรองศาสตราจารย์ประจำสาขาวิศวกรรมไฟฟ้า มหาวิทยาลัยเทคโนโลยีสุรนารี สนใจงานวิจัยเกี่ยวกับสมาร์ทกริด ระบบพลังงาน และเทคโนโลยีฉนวนไฟฟ้าแรงสูง

เชวศักดิ์ รักเป็นไทย สำเร็จการศึกษาปริญญาตรี โท และเอก ในสาขาวิศวกรรมไฟฟ้า จากมหาวิทยาลัยเชียงใหม่ ขณะนี้เป็นศาสตราจารย์ประจำที่สาขาวิชาวิศวกรรมไฟฟ้า คณะวิศวกรรมศาสตร์ มหาวิทยาลัยพะเยา สนใจงานวิจัยด้านการประมาณสถานะของระบบไฟฟ้ากำลัง การควบคุมระบบ และอิเล็กทรอนิกส์กำลัง

จงลักษณ์ พาหะซา สำเร็จการศึกษาปริญญาเอกในสาขาวิศวกรรมไฟฟ้า จาก สถาบันเทคโนโลยีพระจอมเกล้าเจ้าคุณทหารลาดกระบัง ขณะนี้เป็นรองศาสตราจารย์ ประจำที่สาขาวิชาวิศวกรรมไฟฟ้า คณะวิศวกรรมศาสตร์ มหาวิทยาลัยพะเยา สนใจงานวิจัยด้านการควบคุมเสถียรภาพความถี่ การควบคุมอัจฉริยะ ไมโครกริด และสมาร์ทกริด

การหาค่าเหมาะที่สุดภาพลวงตาของตัวควบคุมทีไอดีเพื่อปรับความถี่ไมโครกริดด้วยอิเล็กโทรไลเซอร์ชนิดเยื่อแลกเปลี่ยนโปรตอน

Mirage Search Optimization of a TID Controller for Microgrid Frequency Regulation with a Proton Exchange Membrane Electrolyzer

ภัคธีมา อรุณกิจ[1] สุรพล ดำรงกิตติกุล[1] เชวศักดิ์ รักเป็นไทย [1] และ จงลักษณ์ พาหะซา[1]*

[2]สาขาวิชาวิศวกรรมไฟฟ้า คณะวิศวกรรมศาสตร์ มหาวิทยาลัยพะเยา jonglak.pa@up.ac.th*

บทคัดย่อ

บทความนี้นำเสนอการหาค่าเหมาะที่สุดภาพลวงตา (MSO) ของตัวควบคุมลาดเอียง-ปริพันธ์-อนุพันธ์ (TID) เพื่อปรับความถี่ไมโครกริดด้วยอิเล็กโทรไลเซอร์ชนิดเยื่อแลกเปลี่ยนโปรตอน การหาค่าเหมาะที่สุดภาพลวงตาเป็นเมตาฮิวริสติกที่ได้รับการพัฒนาใหม่ล่าสุดซึ่งได้รับแรงบันดาลใจจากปรากฏการณ์ภาพลวงตา ในขณะที่ตัวควบคุม TID มีความยืดหยุ่นและให้ผลการควบคุมที่เหนือกว่าตัวควบคุม PID ทั่วไป วัตถุประสงค์ของการปรับจูนตัวควบคุมทีไอดีด้วย MSO คือเพื่อลดการเบี่ยงเบนของความถี่ไมโครกริด ผลการจำลองแสดงให้เห็นว่าตัวควบคุม TID ที่ปรับจูนด้วย MSO สามารถลดการแกว่งของความถี่ ได้ดีกว่า PID และ TID ทั่วไป ภายใต้การรบกวนไมโครกริดแบบต่างๆ

คำสำคัญ: ไมโครกริด, การควบคุมความถี่, ตัวควบคุม TID, การหาค่าเหมาะที่สุดภาพลวงตา, อิเล็กโทรไลเซอร์ชนิดเยื่อแลกเปลี่ยนโปรตอน

Abstract

This paper presents mirage search optimization (MSO) of a tilt-integral-derivative (TID) controller for microgrid frequency regulation with a proton exchange membrane electrolyzer. The MSO algorithm is a recently developed metaheuristic inspired by the mirage phenomenon, whereas the TID controller provides greater flexibility and improved performance compared to the conventional PID controller. The purpose of tuning the TID controller with MSO is to reduce the microgrid frequency deviation. Simulation results demonstrate that the proposed MSO-based TID controller reduces frequency deviation more effectively than conventional PID and TID controllers under various microgrid disturbances.

Keywords: Microgrid, frequency control, TID controller, mirage search optimization, proton exchange membrane electrolyzer.

1. บทนำ

การรักษาความถี่ของระบบไมโครกริดให้มีเสถียรภาพถือเป็นประเด็นสำคัญ เนื่องจากไมโครกริดประกอบด้วยแหล่งพลังงานที่มีความผันผวนสูง เช่น พลังงานแสงอาทิตย์และพลังงานลม ทำให้เกิดการเบี่ยงเบนและการแกว่งของความถี่ได้ง่าย หากไม่สามารถควบคุมได้อย่างมีประสิทธิภาพ ความเสถียรและความน่าเชื่อถือของระบบจะลดลง [1-2]

การแก้ปัญหาการเบี่ยงเบนความถี่จากความถี่พื้นฐาน โดยปกติจะทำโดยตัวปรับความเร็วของเครื่องกำเนิดไฟฟ้าซิงโครนัส แต่เนื่องจากการเบี่ยงเบนความถี่ที่รุนแรงมากขึ้น จึงมีการควบคุมเสริมเพิ่มเข้ามา เช่น การใช้อุปกรณ์กักเก็บพลังงานประเภทต่างๆ เช่น ระบบกักเก็บพลังงานแบตเตอรี่ (Battery energy storage systems: BESS), ล้อตุนกำลัง (Flywheel), และอิเล็กโทรไลเซอร์ชนิดเยื่อแลกเปลี่ยนโปรตอน (Proton Exchange Membrane Electrolyzer: PEMEL) [3-4] ข้อดีของระบบกักเก็บพลังงานอิเล็กโทรไลเซอร์ชนิดเยื่อแลกเปลี่ยนโปรตอน PEMEL คือเป็นระบบกักเก็บพลังงานที่เป็นมิตรต่อสิ่งแวดล้อม ไม่ก่อให้เกิดมลพิษ และอุปกรณ์ประกอบต่างๆ ยังสามารถนำกลับมาใช้ใหม่ได้

โดยตัวควบคุมที่ใช้ในการควบคุมระบบกักเก็บพลังงานที่นิยมใช้คือ ตัวควบคุมแบบสัดส่วน-ปริพันธ์-อนุพันธ์ (Proportional-integral-derivative: PID) ซึ่งได้รับความนิยมอย่างแพร่หลายเนื่องจากมีโครงสร้างที่เรียบง่าย สามารถตอบสนองได้อย่างรวดเร็วและมีความทนทาน แต่กลับมีข้อจำกัดเมื่อต้องใช้งานกับระบบที่ไม่เป็นเชิงเส้นและมีพลวัตซับซ้อน ขณะที่ ตัวควบคุมแบบลาดเอียง-ปริพันธ์-อนุพันธ์ (Tilt-integral-derivative: TID) มีความยืดหยุ่นและศักยภาพที่ดีกว่า แต่การหาค่าพารามิเตอร์ที่เหมาะสมยังคงเป็นความท้าทาย เนื่องจากเครื่องมือมาตรฐาน เช่น MATLAB autotuning อาจไม่สามารถให้ผลลัพธ์ที่มีความทนทานเพียงพอภายใต้สภาวะที่ซับซ้อน ดังนั้นการใช้อัลกอริทึมการหาค่าที่เหมาะสมเชิงเมตาฮิวริสติกสมัยใหม่เพื่อการปรับจูนค่าตัวควบคุม จึงเป็นแนวทางที่มีศักยภาพในการเพิ่มประสิทธิภาพของการควบคุมความถี่ในไมโครกริด

ในงานวิจัยนี้ ได้นำเสนอการใช้อัลกอริทึมการหาค่าที่เหมาะที่สุดด้วยภาพลวงตา (Mirage search optimization: MSO) ซึ่งเป็นอัลกอริทึมเชิงเมตาฮิวริสติก [5-6] ที่พัฒนาขึ้นใหม่เมื่อเร็วๆ นี้ มาประยุกต์ใช้ในการปรับจูนค่าพารามิเตอร์ของตัวควบคุม TID สำหรับการควบคุมความถี่ของไมโครกริด และทำการเปรียบเทียบประสิทธิภาพกับ PID และ TID ที่ปรับจูนด้วย MATLAB autotuning รวมถึง TID แบบทั่วไป ผลการจำลองแสดงให้เห็นว่า TID ที่หาค่าเหมาะสมด้วย MSO (MSO–TID) สามารถลดการแกว่งของความถี่ได้ดีกว่าวิธีทั่วไป และช่วยเพิ่มเสถียรภาพของระบบโดยรวมได้อย่างมีประสิทธิภาพ

*ผู้ประพันธ์บรรณกิจ

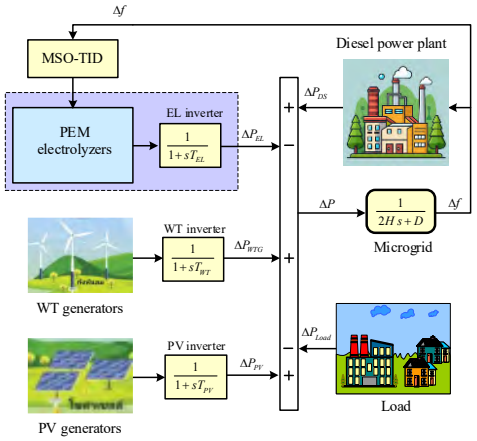

รูปที่ 1 ไมโครกริดสำหรับการควบคุมความถี่ที่ใช้ในการศึกษา

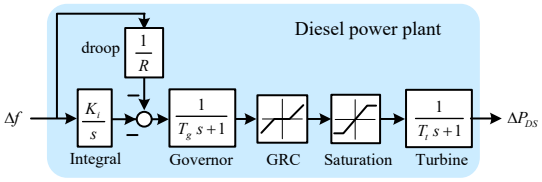

รูปที่ 2 แบบจำลองเชิงเส้นของโรงไฟฟ้าดีเซลที่ใช้ในการศึกษา

2. แบบจำลองไมโครกริดที่ใช้ศึกษา

รูปที่ 1 แสดงแบบจำลองเชิงเส้นของไมโครกริดที่ใช้ในการศึกษา ซึ่งประกอบด้วยแหล่งกำเนิดไฟฟ้าหลัก ได้แก่ เครื่องกำเนิดไฟฟ้าดีเซล เครื่องกำเนิดไฟฟ้าพลังงานแสงอาทิตย์ เครื่องกำเนิดไฟฟ้าพลังงานลม โหลด และอิเล็กโทรไลเซอร์ชนิดเยื่อแลกเปลี่ยนโปรตอน (PEMEL) ซึ่งโดยทั่วไป PEMEL ทำหน้าที่ในการกักเก็บพลังงานจากพลังงานหมุนเวียนที่ผลิตเกินความต้องการ แต่ในงานวิจัยนี้ได้เพิ่มการควบคุมเสริมเพื่อให้ PEMEL สามารถช่วยรักษาความถี่ของไมโครกริดได้ด้วย

การเบี่ยงเบนความถี่ไมโครกริด (Microgrid frequency deviation) ในรูปที่ 1 สามารถแสดงได้ดังสมการ

$$\Delta f = \frac{1}{2H\,s + D}\Delta P \tag{1}$$

$$\Delta P = \Delta P_{DS} + \Delta P_{PV} + \Delta P_{WTG} - \Delta P_{Load} - \Delta P_{EL} \tag{2}$$

เมื่อ H คือแรงเฉื่อยไมโครกริด, D คือการหน่วง, P_{DS} คือกำลังไฟฟ้าของเครื่องกำเนิดไฟฟ้าดีเซลส์, P_{PV} คือกำลังไฟฟ้าของเครื่องกำเนิดไฟฟ้าพลังแสงอาทิตย์, P_{WTG} คือกำลังไฟฟ้าของเครื่องกำเนิดไฟฟ้าพลังลม, P_{Load} คือกำลังไฟฟ้าของความต้องการโหลด, P_{EL} คือกำลังไฟฟ้าของ PEMEL, และ Δ คือการเบี่ยงเบนสัญญาณ

รูปที่ 2 แสดงแบบจำลองเชิงเส้นของโรงไฟฟ้าดีเซลส์ที่ใช้ในการศึกษา โดยปกติการควบคุมความความถี่ไมโครกริดจะกระทำโดยวงรอบดรูป (Droop) ป้อนกลับและตัวควบคุมเสริม (บล็อก Integral) อย่างไรก็ตาม เมื่อมีการเปลี่ยนแปลงของกำลังไฟฟ้าด้านผลิตที่เกิดจากเครื่องกำเนิดไฟฟ้าพลังแสงอาทิตย์และเครื่องกำเนิดไฟฟ้าพลังลม ส่งผลให้การเบี่ยงเบนของความถี่มีค่าสูงขึ้น การควบคุมความถี่ด้วยวงรอบดรูปและตัวควบคุมเสริมที่เครื่องกำเนิดไฟฟ้าดีเซลส์จึงไม่สามารถรักษาความถี่ให้อยู่ในช่วงที่กำหนดได้ ดังนั้น จึงมีการนำเสนอการควบคุมเสริมจากอุปกรณ์กักเก็บพลังงาน PEMEL ในงานวิจัยนี้

3. แบบจำลอง PEMEL สำหรับการควบคุมความถี่

ไฮโดรเจนอิเล็กโทรลิซิส (Hydrogen electrolysis) เป็นเทคโนโลยีการกักเก็บพลังงานในรูปแบบก๊าซ ซึ่งเหมาะสมต่อการทำงานร่วมกับแหล่งพลังงานหมุนเวียนที่มีความไม่ต่อเนื่อง และสามารถขยายการใช้งานได้อย่างกว้างขวางในระบบพลังงานแห่งอนาคต รูปที่ 2 แสดงวงจรสมมูลทางไฟฟ้าเชิงไดนามิกของ PEMEL stack ซึ่งใช้ในการปรับความถี่ของระบบไฟฟ้า

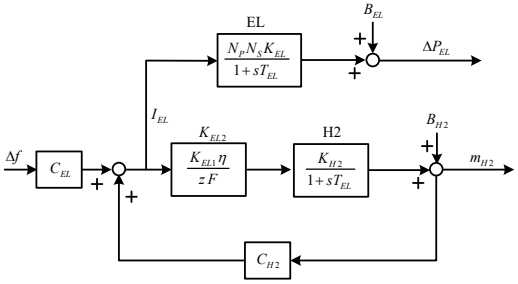

รูปที่ 3 แบบจำลอง PEMEL สำหรับการควบคุมความถี่ที่ใช้ในการศึกษา

เมื่อ V_a คือแรงดันไฟฟ้าในการเปิดใช้งานลดลง (Activation voltage drop), I_{EL} คือกระแสไฟฟ้า PEMEL, C_d คือตัวเก็บประจุ และ T_{EL} คือค่าคงตัวทางเวลาอันดับหนึ่งของ PEMEL

รูปที่ 3 แสดงแบบจำลองเชิงเส้นของ PEMEL สำหรับการควบคุมความถี่ระบบไฟฟ้ากำลังซึ่ง [3-4] โดยต้องมีการพิจารณา T_{EL} ด้วยเมื่อมีการใช้ PEMEL สำหรับปรับความถี่ในระบบไฟฟ้ากำลัง การควบคุมและการปรับการกินกำลังไฟฟ้าของ PEMEL จะมีการหน่วงเวลาเท่ากับ T_{EL} ในกรณีที่มีการเปลี่ยนแปลงอย่างทันทีทันใดของความถี่ระบบไฟฟ้ากำลัง ดังนั้น การกินกำลังไฟฟ้าของ PEMEL สามารถอธิบายด้วยการแปลงลาปลาซ ดังสมการที่ (3) เมื่อ K_{EL} และ B_{EL} คือสัมประสิทธิ์และค่าเริ่มต้นของการใช้กำลังไฟฟ้าของ PEMEL

$$P_{EL}(s) = \frac{K_{EL}}{1 + sT_{EL}} I_{EL}(s) + B_{EL} \tag{3}$$

โดยอัตราการผลิตไฮโดรเจนขั้นปลาย (Downstream hydrogen production rate) m_{H2} $[Nm^3/s]$, แสดงได้ดังสมการ (4) เมื่อ K_{EL1} คือสัมประสิทธิ์การเปลี่ยน mole/s ไปเป็น Nm^3/s, z คือความหนาแน่นของอิเล็กตรอน, F คือค่าคงตัวของฟาราเดย์ (Faraday's constant) และ η_F คือสัมประสิทธิ์ของฟาราเดย์

$$m_{H2}(s) = K_{EL1}\frac{\eta_F\, I_{EL}(s)}{z\,F} \tag{4}$$

ทั้งนี้ เวลาหน่วงของอิเล็กโทรไลเซอร์ (T_{EL}) อาจเปลี่ยนการผลิตของแบบจำลองย่อยไฮโดรเจนเมื่ออัตราการสังเคราะห์ไฮโดรเจนเป็นฟังก์ชัน

เชิงเส้นของกระแสไฟฟ้า ดังนั้น การผลิตของแบบจำลองย่อยไฮโดรเจนแสดงดังสมการ (5)-(6) เมื่อ K_{H2} คือสัมประสิทธิ์ของไฮโดรเจน และ B_{H2} คือค่าเริ่มต้นอัตราการผลิตไฮโดรเจน

$$m_{H2}(s) = \frac{K_{EL2}K_{H2}}{1+sT_{EL}} I_{EL}(s) + B_{H2} \quad (5)$$

$$K_{EL2} = K_{EL1}\left(\frac{\eta_F}{zF}\right) \quad (6)$$

ในกรณีที่ต้องการผลิตแรงดัน กระแส และกำลังไฟฟ้าสำหรับการใช้งานในระบบไฟฟ้า เรียกการต่อแบบนี้ว่าเป็น PEMEL stack ซึ่งจะมีการต่อ PEMEL แบบขนานและอนุกรมเพื่อให้ได้ แรงดัน กระแส และกำลังไฟฟ้าตามต้องการ ซึ่งแสดงได้ดังสมการต่อไปนี้

$$V_{EL,stack} = N_S V_{EL} \quad (7)$$

$$I_{EL,stack} = N_P I_{cell} \quad (8)$$

$$P_{EL,stack} = V_{EL,stack} I_{EL,stack} \quad (9)$$

เมื่อ N_S คือจำนวนเซลล์ที่ต่ออนุกรมต่อหนึ่ง PEMEL stack และ N_P คือจำนวนเซลล์ที่ต่อขนานต่อหนึ่ง PEMEL stack โดยกระแสของ PEMEL stack $(I_{EL,stack})$ สามารถปรับเพื่อควบคุมอัตราการผลิตไฮโดรเจนด้านต่ำ (Downstream) และการกินกำลังไฟฟ้า ดังแสดงในสมการ (8) และ (9) โดยเป้าหมายของการควบคุมอัตราการผลิตไฮโดรเจนคือ เพื่อรักษาการแกว่งของอัตราการผลิตไฮโดรเจนด้านต่ำ โดยความแตกต่างระหว่างอัตรากระแสของการผลิตไฮโดรเจน ถูกแสดงโดย m_{pre} และค่าก่อนหน้านั้นแสดงโดย m_{past} ซึ่งทั้งสองค่านี้ถูกใช้เพื่อเปลี่ยนอัตราการผลิตไฮโดรเจนด้านต่ำของ PEMEL stack ซึ่งความแตกต่างนี้สามารถเขียนได้ดังสมการต่อไปนี้

$$\Delta m_{H2}(s) = m_{pre}(s) - m_{past}(s) \quad (10)$$

ดังนั้น การเบี่ยงเบนกระแสของ PEMEL สามารถเขียนได้ดังสมการ (11) เมื่อ C_{H2} คือ ตัวควบคุมในตัวซึ่งควบคุมอัตราการผลิตไฮโดรเจน

$$\Delta I_{EL}(s) = C_{H2}(s) \cdot \Delta m_{H2}(s) \quad (11)$$

เพื่อให้ได้คุณสมบัติการปรับความถี่ได้ C_{EL} จึงถูกเพิ่มเข้าไปเพื่อปรับอัตราการผลิตไฮโดรเจน สำหรับการควบคุมความถี่ [3] ดังนั้นสมการ (13) จึงสามารถเขียนใหม่อีกครั้ง ได้ดังสมการ (12) เมื่อ Δf คือการเบี่ยงเบนความถี่ของระบบไฟฟ้ากำลัง

$$\Delta I_{EL}(s) = C_{H2}(s) \cdot \Delta m_{H2}(s) + C_{EL}(s) \cdot \Delta f(s) \quad (12)$$

จากนั้น แทนสมการ (12) ในสมการ (9) จะได้ การเปลี่ยนแปลงกำลังไฟฟ้าของ PEMEL ดังสมการต่อไปนี้

$$\Delta P_{EL}(s) = \frac{K_{EL}}{1+sT_{EL}} C_{H2}(s) \cdot \Delta m_{H2}(s) + \frac{K_{EL}}{1+sT_{EL}} C_{EL}(s) \cdot \Delta f(s) \quad (13)$$

ดังสมการ (13) จะเห็นว่ามีพารามิเตอร์ 2 ตัว ที่สัมพันธ์กับการปรับกำลังไฟฟ้าดำเนินการของ PEMEL นั่นคือ (1) การแกว่งของอัตราการผลิตไฮโดรเจน (Δm_{H2}), และ (2) การเบี่ยงเบนของความถี่ (Δf) โดยการแกว่งของอัตราการผลิตไฮโดรเจนสามารถละทิ้งได้ เนื่องจากช่วงเวลาการปรับความถี่สั้นมาก (มากสุด 30 s) [3] ผลที่ได้คือ มีความเป็นไปได้ที่จะสมมติให้การแกว่งของอัตราการผลิตไฮโดรเจนมีค่าคงที่ระหว่างช่วงเวลาการควบคุมความถี่นี้ [3] ดังนั้น สมการ (13) สามารถแสดงในรูปแบบอย่างง่ายได้เป็นดังสมการ

$$\Delta P_{EL}(s) = C_{EL}(s) \cdot \frac{K_{EL}}{1+sT_{EL}} \cdot \Delta f(s) \quad (14)$$

ในการศึกษานี้ ตัวควบคุม TID ได้ถูกใช้เพื่อควบคุม PEMEL สำหรับการปรับความถี่ ซึ่ง Δf คืออินพุตของตัวควบคุม TID ซึ่งถูกใช้เพื่อคำนวณสัญญาณควบคุมสำหรับตัวควบคุม PEMEL ดังนั้น เมื่อใช้ตัวควบคุม TID เพื่อควบคุม PEMEL สำหรับการปรับความถี่ สมการ (16) เขียนใหม่ได้เป็นดังสมการ

$$\Delta P_{EL}(s) = \Delta f \cdot (TID) \cdot \frac{K_{EL}}{1+sT_{EL}} \quad (15)$$

4. ตัวควบคุม TID

ตัวควบคุมแบบลาดเอียง-ปริพันธ์-อนุพันธ์ (Tilt-integral-derivative: TID) แสดงดังรูปที่ 4 เป็นการพัฒนาต่อยอดจากตัวควบคุม PID โดยเพิ่มตัวแปรกำลังเอ็กซ์โพเนนเชียล n ในพจน์สัดส่วน (Proportional term) เพื่อเพิ่มความยืดหยุ่นในการควบคุม ทำให้เหมาะสมกับระบบที่มีความซับซ้อนและไม่เชิงเส้น เช่น ไมโครกริด ทั้งนี้ในเชิงทฤษฎี ตัวควบคุม TID สามารถมองเป็นตัวควบคุมแบบป้อนกลับ (Feedback controller) ที่มีลักษณะใกล้เคียงกับตัวควบคุม PID แต่พจน์สัดส่วนถูกแทนด้วย Tilted proportional action ซึ่งนิยามด้วยฟังก์ชันถ่ายโอน $\frac{1}{s^{\frac{1}{n}}}$ หรือ $s^{\frac{-1}{n}}$

ในงานวิจัยนี้ ตัวควบคุม TID ถูกใช้ในการควบคุม PEMEL โดยใช้สัญญาณเบี่ยงเบนความถี่ (Δf) เป็นอินพุต และส่งสัญญาณควบคุมไปยัง PEMEL เพื่อชดเชยกำลังไฟฟ้าที่ไม่สมดุล จุดเด่นของตัวควบคุม TID คือ สามารถลดค่าพุ่งเกิน (Overshoot), ลดเวลาการลู่เข้า (Settling time) และปรับปรุงความเสถียรโดยรวมของไมโครกริดได้ดีกว่าตัวควบคุม PID แบบทั่วไป โดยเฉพาะเมื่อระบบมีแหล่งพลังงานหมุนเวียนที่มีความผันผวนสูง

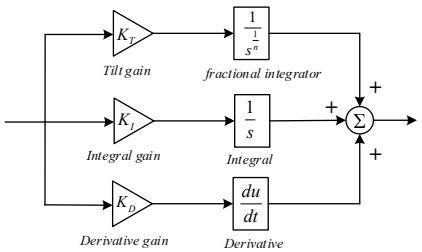

รูปที่ 4 แบบจำลองตัวควบคุม TID

$$G_{TID}(s) = K_t s^{-n} + \frac{K_i}{s} + K_d s \quad (16)$$

เมื่อ K_t คือค่าขยายของพจน์ tilt, K_i คือค่าขยายของพจน์อินทิกรัล, K_d คือค่าขยายของพจน์ดิฟเฟอเรนเชียล และ n คือพารามิเตอร์ tilt (ค่าจริงบวก) ซึ่งช่วยปรับสมดุลระหว่างความเร็วในการตอบสนองและความเสถียร แม้ว่าตัวควบคุม TID จะมีศักยภาพสูง แต่การเลือกค่าพารามิเตอร์ K_t, K_i, K_d และ n ที่เหมาะสมไม่สามารถทำได้ง่ายด้วยการจูนแบบดั้งเดิมหรือ MATLAB autotuning ซึ่งมักไม่สามารถรับมือกับสภาวะที่ซับซ้อนและไม่แน่นอนได้ งานวิจัยล่าสุดจึงหันมาใช้ อัลกอริทึมการหาค่า

เหมาะสมเชิงเมตาฮิวริ ในการปรับจูนค่าของตัวควบคุม TID ในงานวิจัยนี้ได้ประยุกต์ใช้อัลกอริทึมการหาค่าเหมาะที่สุดภาพลวงตา (Mirage search optimization: MSO) เพื่อหาค่าพารามิเตอร์ที่เหมาะสมที่สุดของตัวควบคุม TID โดยเป้าหมายคือการลดการเบี่ยงเบนและการแกว่งของความถี่ในไมโครกริด

5. พารามิเตอร์ที่เหมาะสมของอัลกอริทึมภาพลวงตา

การงานวิจัยนี้จะใช้อัลกอริทึมการหาค่าเหมาะที่สุดภาพลวงตา (MSO) [5-6] ทำการหาค่าพารามิเตอร์ของตัวควบคุม TID ที่เหมาะสมที่สุด โดยวัตถุประสงค์ของการควบคุมคือ การหาค่าน้อยสุดของการเบี่ยงเบนความถี่ (Δf) ปัญหาการหาค่าเหมาะสมเป็นดังสมการต่อไปนี้

$$\text{Minimize } J = \int_{t_{init}}^{t_{final}} w_1 |\Delta f(t)| dt \tag{17}$$

$$\text{Subject to } K_t^{\min} \le K_t \le K_t^{\max},$$

$$K_i^{\min} \le K_i \le K_i^{\max},$$

$$K_d^{\min} \le K_d \le K_d^{\max}, 0 < n < 3$$

โดยที่ w_i คือเวกเตอร์น้ำหนักที่ใช้กำหนดความสำคัญของค่าการเบี่ยงเบนในแต่ละช่วงเวลา, t คือเวลาในการจำลอง, t_{init} และ t_{final} คือเวลาเริ่มต้นและเวลาสิ้นสุดของการจำลองตามลำดับ กระบวนการค้นหาค่าเหมาะสมทำภายใต้ข้อจำกัดของพารามิเตอร์ตัวควบคุม $K_t^{\min} \le K_t \le K_t^{\max}$, $K_i^{\min} \le K_i \le K_i^{\max}$, $K_d^{\min} \le K_d \le K_d^{\max}$ ซึ่งข้อจำกัดเหล่านี้กำหนดช่วงค่าที่เป็นไปได้ของพารามิเตอร์ เพื่อให้ได้ตัวควบคุมที่มีความเสถียรและสามารถใช้งานได้จริง

ดังนั้น ปัญหาการหาค่าเหมาะสมในงานวิจัยนี้จึงสามารถสรุปได้ว่าเป็นการใช้ MSO เพื่อปรับจูนค่าพารามิเตอร์ของตัวควบคุม TID ภายใต้ฟังก์ชันวัตถุประสงค์ที่มุ่งเน้นการลดการเบี่ยงเบนของความถี่ในระบบไมโครกริด

รูปที่ 5 แสดงการค้นหาภาพลวงตาเชิงล่าง และรูปที่ 6 แสดงขั้นตอนการหาพารามิเตอร์ที่เหมาะสมของอัลกอริทึมการหาค่าเหมาะที่สุดภาพลวงตา (MSO) โดย ค่าอินพุต (Input) ประกอบด้วย จำนวนตัวแทนค้นหา (Search agents) = $popsize$, จำนวนรอบการทำซ้ำสูงสุด = T, มิติของตัวแปร = Dim และค่าเอาต์พุต (Output) ประกอบด้วย คำตอบที่ดีที่สุด X_{best} และค่าฟิตเนส f_{best}

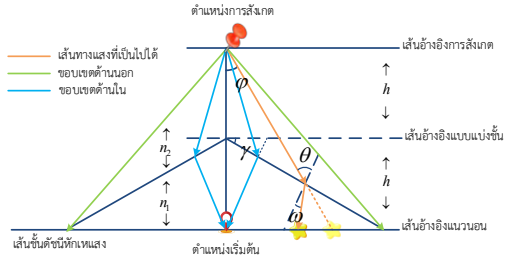

รูปที่ 5 การค้นหาภาพลวงตาเชิงล่าง

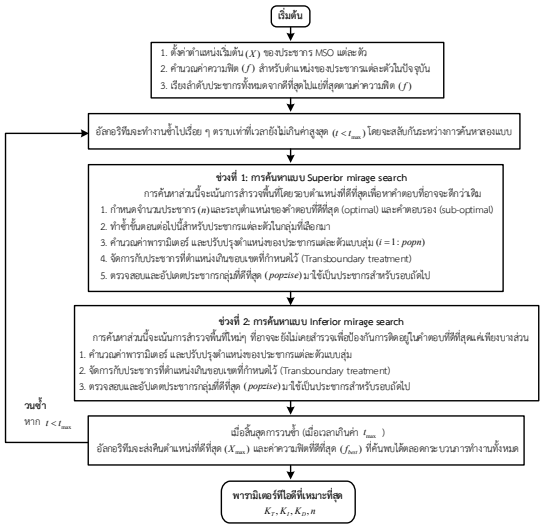

รูปที่ 6 ขั้นตอนการหาพารามิเตอร์ที่เหมาะสมของอัลกอริทึมการหาค่าเหมาะที่สุดภาพลวงตา (MSO)

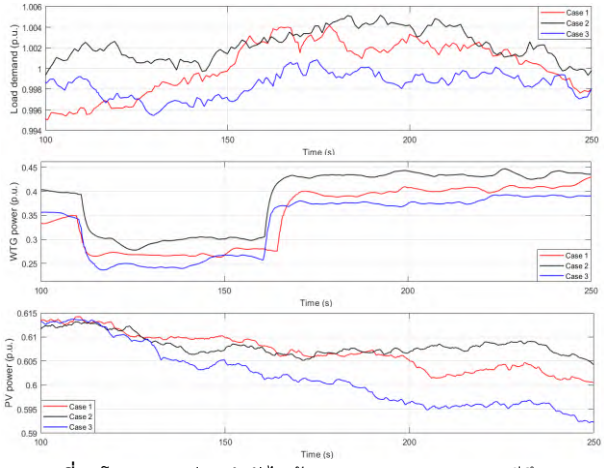

รูปที่ 7 โหลดแบบสุ่ม, กำลังไฟฟ้าจาก WTG และ PV กรณีศึกษา

6. ผลการจำลอง

ไมโครกริดดังรูปที่ 1 ถูกใช้เพื่อทดสอบวิธีที่นำเสนอ ด้วยโปรแกรม MATLAB/Simulink ข้อมูลไมโครกริด, PEMEL และพารามิเตอร์การค้นหาที่ใช้ในการศึกษา มีดังนี้ [3-4]

$$f_{ref} = 50\text{Hz},\ H = 0.42\text{s},\ D = 0.42\text{ pu},$$

$$T_g = 0.1\text{s},\ T_t = 0.4\text{ s},\ R = 2.4\text{Hz/pu.MW},$$

$$K_i = 0.2\text{ s},\ P_{EL} = 5\text{ MW},\ K_{EL} = 1.6\text{ W/A},$$

$$K_{EL1} = 4841.4\text{ pu},\ T_{EL} = 37\text{ s},\ n = 2.2878$$

$$B_{H2} = 0.5\text{ m}^3/\text{s},\ B_{PEL} = 82\text{ W, และ } K_{H2} = 0.028\text{ m}^3/\text{As}$$

พารามิเตอร์ของอัลกอริทึมและพารามิเตอร์การค้นหาสำหรับอัลกอริทึมการหาค่าเหมาะที่สุดภาพลวงตา คือ ขนาดประชากร (Population size) = 16, จำนวนรอบการทำซ้ำสูงสุด (T) = 30, $\sigma = 0.20$, $\alpha = 0.60$, $\beta = 0.10$ และค่าพารามิเตอร์ที่ไอดีที่ได้คือ

$$K_t = 23.7660, K_i = 0.8346, K_d = 4.7894 \text{ และ } n = 2.2878$$

รูปที่ 7 แสดงโหลดแบบสุ่ม, กำลังไฟฟ้าจากเครื่องกำเนิดไฟฟ้าและพลังลมกรณีศึกษา 3 กรณีที่แตกต่างกัน สังเกตว่า ทั้ง 3 กรณีได้มีการปลดเครื่องกำเนิดไฟฟ้าพลังลมที่เวลาประมาณ 120 s และต่อเครื่องกำเนิดไฟฟ้าพลังลมกลับคืนเข้าระบบที่เวลาประมาณ 160 s

ในการทดสอบประสิทธิภาพของวิธีการนำเสนอ จะทำการเปรียบเทียบวิธีการควบคุม 3 วิธี ได้แก่ C-PID, C-TID, และ MSO-TID โดยที่ C-PID คือ การใช้ PEMEL เพื่อช่วยลดการเบี่ยงเบนความถี่ไมโครกริดและ PEMEL ถูกควบคุมด้วยตัวควบคุมแบบ PID ซึ่งหาค่าพารามิเตอร์จากการใช้ฟังก์ชัน Tune ในบล็อก PID ของโปรแกรม MATLAB/Simulink, C-TID คือ การใช้ PEMEL เพื่อช่วยลดการเบี่ยงเบนความถี่ไมโครกริดและ PEMEL ถูกควบคุมด้วยตัวควบคุมแบบ TID ซึ่งหาค่าพารามิเตอร์จากการใช้ฟังก์ชัน Tune ในบล็อก TID ของโปรแกรม MATLAB/Simulink, และ MSO-TID คือ การใช้ PEMEL เพื่อช่วยลดการเบี่ยงเบนความถี่ไมโครกริดและ PEMEL ถูกควบคุมด้วยตัวควบคุมแบบ TID ซึ่งหาค่าพารามิเตอร์เหมาะสมด้วยอัลกอริทึมการหาค่าเหมาะที่สุดภาพลวงตา

รูปที่ 8 แสดงผลการจำลองกรณี 1 ซึ่งประกอบด้วย การเบี่ยงเบนของความถี่ (Freq. deviation), อัตราการเบี่ยงเบนความถี่ (RoCoF), กำลังไฟฟ้าที่ใช้โดยอิเล็กโทรไลเซอร์ (MEMEL power) และปริมาณ H_2 ที่ผลิตได้ในถังเก็บไฮโดรเจน (m_{H2}) จากรูปที่ 1 จะเห็นว่าการเบี่ยงเบนของความถี่และ RoCoF ของวิธีนำเสนอ MSO-TID มีค่าน้อยกว่าวิธี C-PID และ C-TID

รูปที่ 9 แสดงผลการจำลองกรณี 2 ซึ่งประกอบด้วย การเบี่ยงเบนของความถี่, อัตราการเบี่ยงเบนความถี่, กำลังไฟฟ้าที่ใช้โดยอิเล็กโทรไลเซอร์ และปริมาณ H_2 ที่ผลิตได้ในถังเก็บไฮโดรเจน จากรูปที่ 1 จะเห็นว่าการเบี่ยงเบนของ ความถี่และ RoCoF ของวิธีนำเสนอ MSO-TID มีค่าน้อยกว่าวิธี C-PID และ C-TID

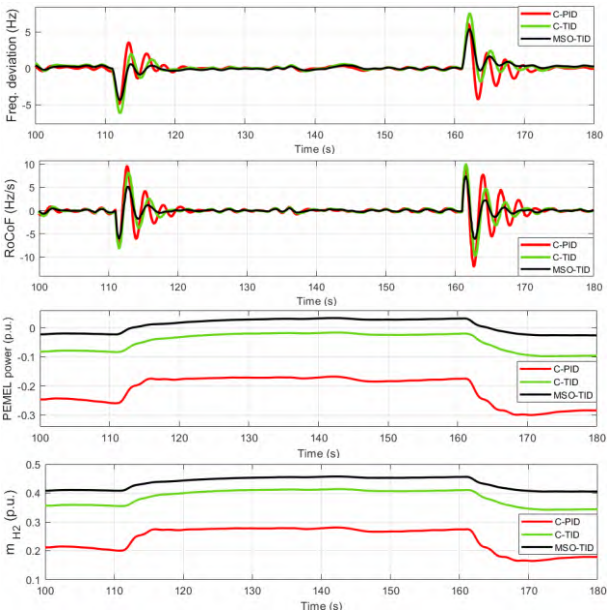

รูปที่ 8 ผลการจำลองกรณีที่ 1

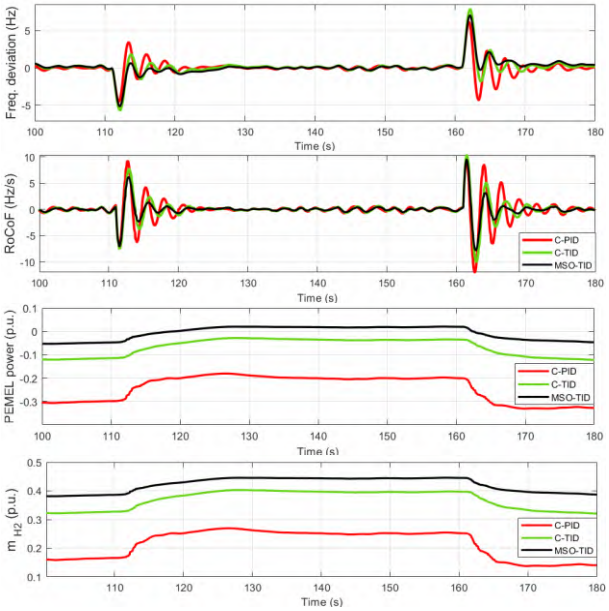

รูปที่ 9 ผลการจำลองกรณีที่ 2

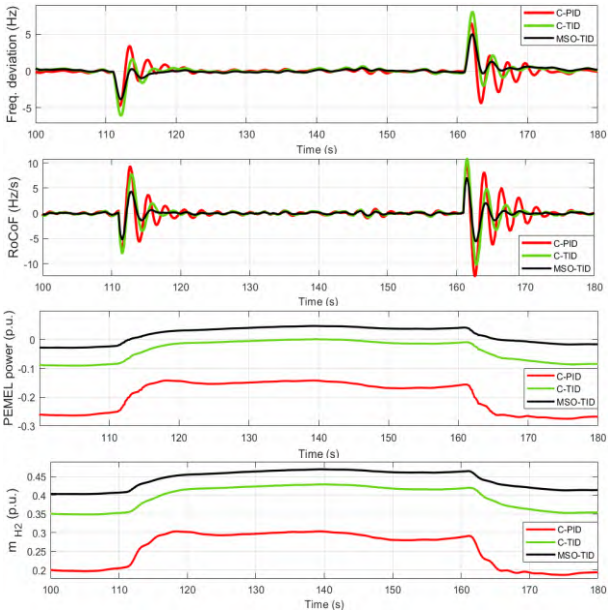

รูปที่ 10 ผลการจำลองกรณีที่ 3

รูปที่ 10 แสดงผลการจำลองกรณี 3 ซึ่งประกอบด้วย การเบี่ยงเบนของความถี่, อัตราการเบี่ยงเบนความถี่, กำลังไฟฟ้าที่ใช้โดยอิเล็กโทรไลเซอร์ และปริมาณ H_2 ที่ผลิตได้ในถังเก็บไฮโดรเจน จากรูปที่ 1 จะเห็นว่าการเบี่ยงเบนของ ความถี่และ RoCoF ของวิธีนำเสนอ MSO-TID มีค่าน้อยกว่าวิธี C-PID และ C-TID

จากผลการจำลองทั้ง 3 กรณี แสดงให้เห็นว่า ค่าการเบี่ยงเบนความถี่และ RoCoF พร้อมเวลาตั้งตัวสั้นที่สุด สะท้อนความสามารถในการระงับการแกว่งและทำให้การตอบสนองช่วงเปลี่ยนผ่านราบรื่นขึ้นของวิธีการนำเสนอ MSO-TID มีค่าน้อยกว่าวิธี C-TID และ C-PID ที่ใช้ MATLAB autotuning

7. สรุปผล

งานวิจัยนี้นำเสนอ การหาค่าเหมาะที่สุดภาพลวงตา (Mirage search optimization: MSO) ของตัวควบคุมลาดเอียง-ปริพันธ์-อนุพันธ์ (Tilt-integral-derivative: TID) เพื่อปรับความถี่ไมโครกริดด้วยอิเล็กโทรไลเซอร์ชนิดเยื่อแลกเปลี่ยนโปรตอน (Proton exchange membrane electrolyzer: PEMEL) วัตถุประสงค์ของการปรับจูนตัวควบคุมทีไอดีด้วย MSO คือเพื่อลดการเบี่ยงเบนของความถี่ไมโครกริด ผลการจำลองแสดงให้เห็นว่าตัวควบคุม TID ที่ปรับจูนด้วย MSO สามารถลดการแกว่งของความถี่ไมโครกริดได้ดีกว่า PID และ TID ทั่วไป ที่ใช้ MATLAB autotuning ภายใต้การรบกวนไมโครกริดแบบต่างๆ

เอกสารอ้างอิง

[1] T. Kerdphol, et.al., Virtual Inertia Synthesis and Control, (Power Systems) 1st ed. Springer, 2021.

[2] M.B. Hossain et al., “Power system dynamic performance analysis based on frequency control by proton exchange membrane electrolyzers,” *IEEE Trans. Ind. Appl.,* vol. 59, no. 4, pp. 4998-5008, 2023.

[3] M.B. Hossain et al., “Dynamic electrical circuit modeling of a proton exchange membrane electrolyzer for frequency stability, resiliency, and sensitivity analysis in a power grid,” *IEEE Trans. Ind. Appl.,* vol. 59, no. 6, pp. 7271-7281, 2023.

[4] S. Muangchuen, J. Pahasa and C. Rakpenthai, “Enhanced resilient model predictive control electrolyzers for frequency regulations under severe denial-of-service attacks,” *IEEE Access*, vol. 12, pp. 65352-65361, 2024.

[5] A. Sadegheih and A. Khosravi, “Mirage search optimization (MSO): a novel nature-inspired algorithm for solving optimization problems,” *Applied Soft Computing*, vol. 131, p. 109713, 2022.

[6] D. Deepak, S. P. Simon, and G. Mallesham, “Application of mirage Search optimization for controller tuning in power electronic systems,” *Proc. IEEE Int. Conf. Power Elect., Drives Ener. Syst. (PEDES)*, Jaipur, India, Dec. 2024, pp. 1-6.

ภัคธีมา อรุณกิจ สำเร็จการศึกษาระดับปริญญาตรี สาขาวิศวกรรมไฟฟ้า จากมหาวิทยาลัยพะเยา ปัจจุบันกำลังศึกษาในระดับปริญญาโท สาขาวิศวกรรมไฟฟ้า มหาวิทยาลัยพะเยา สนใจงานวิจัยด้านการควบคุมระบบไฟฟ้ากำลัง ไมโครกริด และสมาร์ทกริด

สุรพล ดำรงกิตติกุล สำเร็จการศึกษาระดับปริญญาเอก สาขาวิศวกรรมไฟฟ้า จาก University of Trondheim (The Norwegian Institute of Technology) ประเทศ Norway ปี พ.ศ. 2527 ปัจจุบันดำรงตำแหน่งอาจารย์ ประจำสาขาวิศวกรรมไฟฟ้า มหาวิทยาลัยพะเยา สนใจงานวิจัยเกี่ยวกับเทคโนโลยีฉนวนไฟฟ้าแรงสูง

เชวศักดิ์ รักเป็นไทย สำเร็จการศึกษาปริญญาตรี โท และเอก ในสาขาวิศวกรรมไฟฟ้า จากมหาวิทยาลัยเชียงใหม่ ขณะนี้เป็นศาสตราจารย์ประจำที่สาขาวิชาวิศวกรรมไฟฟ้า คณะวิศวกรรมศาสตร์ มหาวิทยาลัยพะเยา สนใจงานวิจัยด้านการประมาณสถานะของระบบไฟฟ้ากำลัง การควบคุมระบบ และอิเล็กทรอนิกส์กำลัง

จงลักษณ์ พาหะซา สำเร็จการศึกษาปริญญาเอกในสาขาวิศวกรรมไฟฟ้า จาก สถาบันเทคโนโลยีพระจอมเกล้าเจ้าคุณทหารลาดกระบัง ขณะนี้เป็นรองศาสตราจารย์ ประจำที่สาขาวิชาวิศวกรรมไฟฟ้า คณะวิศวกรรมศาสตร์ มหาวิทยาลัยพะเยา สนใจงานวิจัยด้านการควบคุมเสถียรภาพความถี่ การควบคุมอัจฉริยะ ไมโครกริด และสมาร์ทกริด

A Time-Scheduling Control Framework for Microgrid Energy Management System Based on MILP

Saridpong Rangsaritaphiban[1] and Paramet Wirasanti[1*]

[1]Department of Electrical Engineering, Faculty of Engineering, Chiang Mai University, Thailand,
saridpongtop.r@gmail.com paramet.w@cmu.ac.th*

Abstract

This paper proposes a development of an energy management based on time-scheduling control approach for a microgrid system. The objectives are to minimize grid electricity import while enhancing operational reliability during outages. Existing control strategies, especially to the battery energy storage system's (BESS) built-in "Load First" and "Battery First" modes, limit system flexibility and result in suboptimal energy utilization. To address these challenges, a Mixed-Integer Linear Programming (MILP) algorithm is formulated to schedule optimal daily BESS operations. The proposed method achieves two major outcomes: (1) a quantified reduction in weekly grid dependency, ranging from nearly two to ten times across seasons compared with the Battery First mode, while maintaining competitive energy costs (COE) relative to the Load First mode; and (2) improved system resilience, with the BESS capable of maintaining islanded operation during grid outages. Consequently, the simulation results substantiate the effectiveness of the proposed approach across seasonal and operational variations, ensuring robust system performance while obviating the need for real-time optimization.

Keywords: Energy Management System, Microgrid, Mixed-Integer Linear Programming

1. Introduction

A microgrid, defined as a localized system of distributed energy resources (DERs), operates with local loads as a single controllable entity [1]. Its configuration generally includes renewable energy (RE) sources, an energy storage system (ESS), and an energy management system (EMS). The microgrid is interconnected with the utility grid through a 22 kV/400 V transformer.

After commissioning, several inefficiencies in the EMS were observed, including suboptimal operation of the BESS and the demand-supply coordination. These issues resulted in excessive reliance on grid-imported energy and a reduction in system reliability, primarily attributable to the converter's built-in operating modes.

To address these issues, this study develops an EMS that schedules BESS operations based on seasonal and weekday-weekend patterns without relying on real-time optimization. As highlighted in a recent study [2], the EMS play a critical role in microgrid energy management by allowing high penetration and utilization of DERs. Among commonly used optimization methods, such as rule-based, metaheuristic, and other AI-based approaches [3]–[4], this study employs an MILP. The MILP, a deterministic optimization technique formulated under linear programming (LP) with integer constraints [5], is particularly suitable when constraints can be linearized for scheduling. While more advanced algorithms can address nonlinearities and uncertainties, MILP remains advantageous for balancing multi-objective optimality, system stability, and coordinated RE–demand response (DR) actions [6]. Previous studies [7]–[8] have also underscored its benefits in terms of economic performance, optimal load shifting, efficient battery dispatch, and maintaining critical load reliability.

This paper is organized as follows: Section 2 describes the microgrid system configuration. Section 3 outlines the formulation of the energy management problems. Section 4 presents simulation results and discussions. Finally, Section 5 concludes the study.

2. Microgrid System Configuration

This section outlines the vital system components, as depicted in the schematic diagram in Fig. 1, along with the corresponding operational profiles.

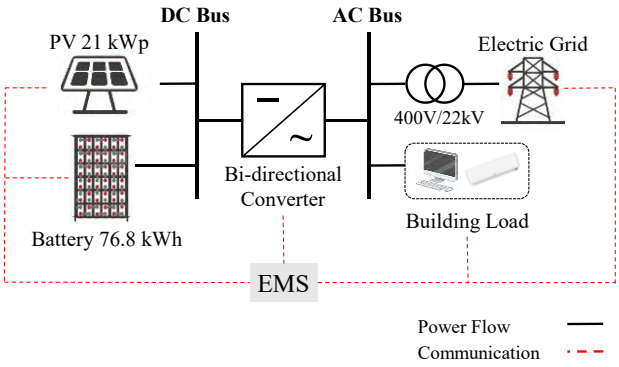

Fig. 1 Schematic diagram of the microgrid

The PV system (21 kWp) and BESS (76.8 kWh) are installed and coupled to the DC bus, while the AC bus is connected to the electric grid and building loads. Both buses are interconnected through the power conversion system (PCS), which consists of the bi-directional converter and the BESS. Its specifications, shown in Table 1, allow full power transfer between the supply, demand, and storage.

The PCS has two built-in operating modes, along with a time-scheduling mode. The first two modes are named "Load First" and "Battery First." The former prioritizes supplying electricity to the loads from any available resources without considering battery management, whereas the latter prioritizes charging the battery. Both built-in modes may lead to insufficient energy supply to the loads under certain conditions, as well as excessive power imports.

*Corresponding Author

Table 1 PCS Specification

Equipment	Parameter	DC Side	AC Side
Converter	Output Power	-	30 kW (33 kVA)
	Rated Grid Power	-	60 kVA (set at 15 kW)
	Rated PV Power	45 kWp	-
	Maximum Battery Charge Power	45 kW	-
	Maximum Battery Discharge Power	33 kW	-
	Coupled Charging (PV+Grid to BESS)	Allow only Rainy season rated at 0.15C	
Battery	Rated Charge/Discharge	0.5C	-

As shown in Fig. 2, the PV power output peaked in summer, reaching approximately 18 kW. Although the generation during winter and the rainy season was considerably lower, the rainy season exhibited the longest generation duration, while winter had the shortest.

Regarding demand, the weekday profile indicated that the load during summer and the rainy season was almost twice as high as in winter, particularly during office hours, while it remained steady at around 2.5 kW throughout the non-working hours. The weekend profile, on the other hand, resembled the non-working hours of weekdays, except for a slight rise to just above 5 kW during daytime in summer.

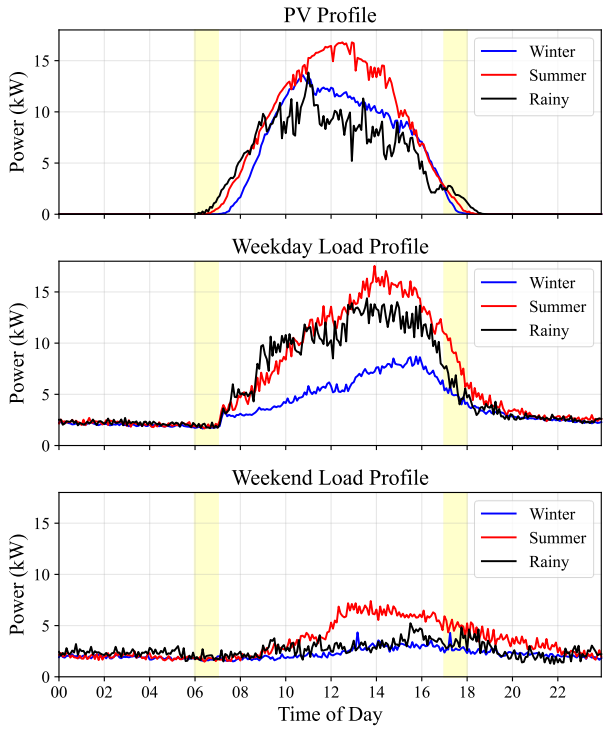

Fig. 2 Average Load and PV Profile since in operation

The data were aggregated into the energy aspect on an hourly basis, as shown in Fig. 3. These characteristics form the foundation for the battery management analysis, which is embedded into the system constraints.

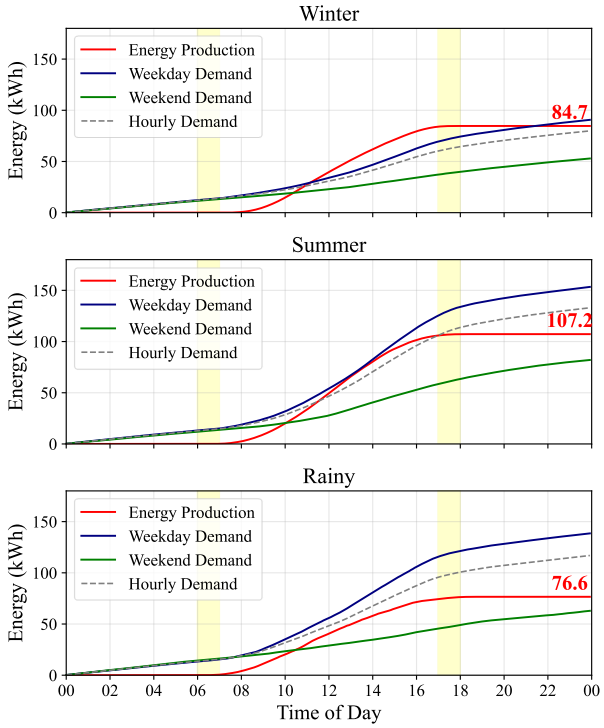

Fig. 3 Cumulative energy demand and generation since in operation

Beginning with the winter period, the PV system produced slightly under 100 kWh per day. This amount was a bit lower than the total weekday demand but substantially exceeded the weekend demand. As a result, the system itself had the ability to operate in an islanding mode during weekends efficiently with the appropriate application of the EMS.

During the summer period, daily generation was roughly 30 kWh higher than in winter, despite a drastic increase in weekday demand. This made grid support more essential, although generation fully covered the weekend demand, similar to winter.

In the last season, the production was substantially lower than weekday demand, averaging around 77 kWh, and remained about 30 units below the day-weighted average hourly demand. This season experienced the lowest production across all seasons; even though, the EMS will be implemented, grid support is still indicated as a critical reliance.

3. Energy Management Problem Formulation

This section presents the MILP formulation, including the objective functions and system-specific operational and economic constraints.

3.1 Objective Functions

The primary objective is to minimize grid-imported energy, represented by the COE, subject to the cost and power balance equations. The corresponding functions, evaluated at each time step, are expressed as follows:

$$\min \sum_{t} c_{Total}(t) \tag{1}$$

$$c_{Total}(t) = \int_{t} P_{grid}^{import}(t) \cdot [c_p(t) + c_{op}(t)]dt \tag{2}$$

$$P_{Load}(t) + P_{BESS}^{charge}(t) + P_{PV,curtail}(t) = P_{PV}(t) + P_{BESS}^{dis}(t) + P_{grid}^{import}(t) \tag{3}$$

Here, c_{Total} represents the COE purchased from the grid, based on the Time-of-Use (TOU) tariff architecture of the Provincial Electricity Authority (PEA). This can be calculated by the P_{grid}^{import} multiplied by the tariff terms.

By the way, in the study, the service charge is excluded, hence the remaining cost equation reflects only the energy price. In addition, the corresponding tariff rates are summarized in Table 2.

Table 2 TOU-Based Pricing Mechanism

Tariff Scheme	Definition	Parameter	Price Rate (USD/kWh)
Peak	9a.m.-10p.m. on weekdays	c_p	0.160
Off Peak	10p.m.-9a.m. on weekdays and All hours of weekends and holidays	c_{op}	0.081

3.2 Constraints

The operation of the microgrid is governed by a set of constraints that maintain system reliability and reflect the technically operational limitations of each component. These include converter capacity, battery operation limits, state-of-charge (SoC) boundaries, defined system losses, and binary decision variables.

The operating limits of the BESS are defined by the following equations.

$$SoC(t) = SoC(t-1) + \frac{\eta_{conv}}{C_{batt}} \int P_{BESS}(t)dt \tag{4}$$

$$30\% \le SoC \le 95\% \tag{5}$$

$$E_{\min} \le E_{batt} \le E_{\max} \tag{6}$$

The term η_{conv} denotes the system losses associated with the PCS, which encompass switching losses in the power electronics, DC-AC wiring losses, and the round-trip efficiency of the battery modules. The battery packs are assumed to operate under ideal conditions, thus the system degradation is not considered in this study. As a result, the total battery capacity, C_{batt}, is assumed to be fully available for operation. The BESS is limited to operate within a predefined range, which is between 23 and 73 kWh. In accordance with circuit theory, both of the PV-generated power and the power consumption are non-negatively defined. Furthermore, the charge–discharge operation of the BESS is modeled using the following equations, incorporating binary decision variables. This introduces an essential distinction from standard LP approaches, as it requires an MILP formulation.

$$P_{BESS}(t) = \begin{cases} P_{BESS}^{charge}(t) & ; x_t^{peak} = 1, \\ P_{BESS}^{dis}(t) & ; x_t^{valley} = 1, \\ 0 & ; x_t^{idle} = 1 \end{cases} \tag{7}$$

$$x_t^{peak}, x_t^{valley}, x_t^{idle} \in \{0,1\} \tag{8}$$

$$\sum x_t(t) = 1 \tag{9}$$

The battery power, P_{BESS}, is governed by decision variables that determine its operational mode: discharging (peak mode), charging (valley mode), or remaining battery (idle mode). At any given timestep, only one of these modes can be active, ensuring that the sum of the binary variables always equals one.

3.3 Battery Allocation

This subsection is critical to achieving the other objective, which involves the strategic battery allocation as referred to Fig. 3. Although this analysis cannot be directly implementable due to the PCS limitations, it can be effectively simulated to evaluate the potential benefits of the proposed approach as seen in Fig. 4.

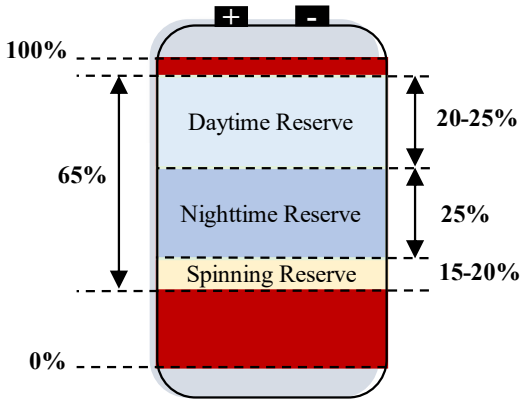

Fig. 4 Planned Utilization of Battery Capacity

The demand is categorized into critical and non-critical periods. The former is prioritized and defined as occurring between 8:00 a.m. and 5:00 p.m., while the latter corresponds to all remaining hours.

The battery capacity is divided into three operational zones. The nighttime reserve, covering 6:00 p.m. to 6:00 a.m. and based on estimated cumulative demand, is set to 20% of capacity (19.2 kWh). The daytime reserve, used in the afternoon, accounts for 20% of capacity (15.36 kWh) in winter and summer and 25% (19.2 kWh) in the rainy season, supporting critical loads and unexpected events. The remaining capacity serves as the spinning reserve for grid outages or early-morning demand, set at 15% in winter/summer and 20% in the rainy season.

3.4 Reliability Assessment

To assess system resilience, the Loss of Load Probability (LOLP) reliability index is used. Unlike deterministic or duration-based indices like loss of load expectation (LOLE) or expected energy not served (ENS), LOLP provides a probabilistic measure of the microgrid's likelihood of failing to meet its load, making it ideal for capturing the stochastic behavior of renewable generation and variable loads.

In this study, the LOLP index is expressed in its energy-based form, defined as the ratio of total unserved energy to total load demand over a specified period.

$$LOLP = \frac{\sum_t \sum_i E_{deficit}(t,i)}{\sum_t E_{demand}(t)} \quad (10)$$

Where $E_{demand}(t)$ denotes the total load demand at time t, and $E_{deficit}(t,i)$ represents the unserved energy at time t under outage set index i.

Then, the unserved energy is given by:

$$E_{deficit}(t,i) = s(t) \cdot D(i) \cdot (P_{Load}(t) - P_G(t)) \cdot \Delta t \quad (11)$$

Whereas, $P_G(t)$ is the available generation capacity during outages, $s(t)$ is a binary shortage indicator, and $D(t)$ is the outage duration.

The available generation capacity is defined as:

$$P_G(t) = P_{PV}(t) + P_{BESS}^{dis}(t) \quad (12)$$

It should be noted that to assess the system resilience, the simulation is conducted under outage conditions, during which grid imports are set to zero for the sampled time steps. Next, the shortage indicator, which identifies whether a supply shortfall occurs during a given time step, is defined as follows:

$$s(t) = \begin{cases} 1 & ; P_G(t) < P_{Load}(t) \\ 0 & ; otherwise \end{cases} \quad (13)$$

The final component of the LOLP formulation is the outage duration, which is assumed to follow a uniform distribution. This set contains discrete values range from 0.5 to 24 hours, with increments of 30 minutes:

$$D(i) \in \{0.5, 1, 1.5, ..., 24\} \quad (14)$$

4. Simulation Results and Discussion

The simulation was conducted for three seasonal scenarios to account for variations in resource availability and demand. Each scenario was further subdivided into weekday and weekend schedules.

4.1 Scenario 1: Winter Season

After applying the time-scheduling rules outlined in Table 3, the results compared to built-in control methods are presented in Table 4. Then, the weekly operational profiles of winter are illustrated in Figure 5 and 6.

Table 3 Winter Schedules

Mode	Weekday		Weekend	
	Duration	Hours per day	Duration	Hours per day
Peak	15:30-02:30, 05:00-08:30	15.5	17:00-08:00	15.0
Valley	08:30-15:30	5.0	08:00-14:00	6.0
Idle	02:30-05:00	2.5	14:00-17:00	3.0

Table 4 Evaluation of Control Strategies

Control Mode	Grid Dependency		LOLP (%)
	Imported Energy (kWh/week)	Cost of Energy (USD/week)	
Time Schedule	24.62	2.00	0.00
Load First	21.18	1.71	1.64
Battery First	273.40	22.00	0.00

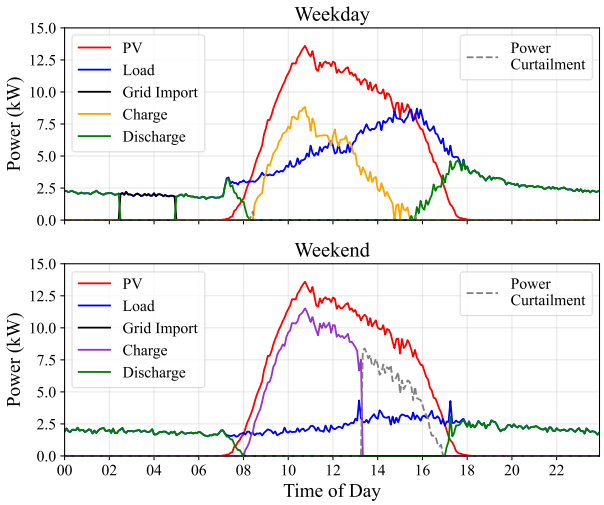

Fig. 5 Winter Operation after applying a scheduling-based MILP

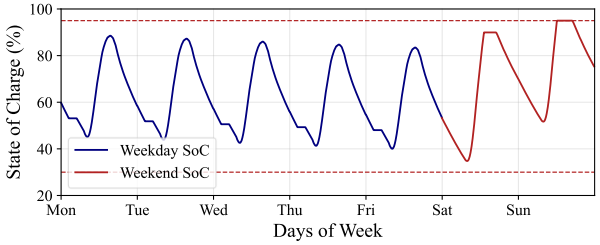

Fig. 6 SoC Operation in Winter

During weekdays, the PCS schedules battery charging during daytime hours, as seen in Table 3, with the system primarily relying on the BESS. The grid supports only 2.5 hours during the off-peak period. On weekends, the BESS charges for an additional hour, with idle mode set in the afternoon, allowing it to supply effectively to the remaining hours.

The simulation results show that weekly grid imports declined by more than tenfold compared with the Battery First mode, while the weekly COE was only 0.3 USD higher than the Load First mode, as reported in Table 4. The proposed strategy achieved a seasonal LOLP of 0%, which is substantially lower than the former (1.64%) and equal to the latter, indicating reliability improvement under outage conditions. The battery operated slightly below the prior strategic allocation during weekdays as seen in Fig. 6, yet the overall strategy enhanced system reliability and markedly reduced unnecessary energy imports during the winter period.

4.2 Scenario 2: Summer Season

As summarized in Table 5, the summer results are presented by modes and are compared in Table 6. Their operations and the SoC are shown in Figure 7 and 8.

Table 5 Summer Schedules

Mode	Weekday		Weekend	
	Duration	Hours per day	Duration	Hours per day
Peak	14:00-17:00	3.0	15:00-07:30	17.0
Valley	08:00-13:30	5.5	08:00-13:30	5.5
Idle	13:30-14:00, 17:00-08:00	15.5	07:30-08:00, 13:30-15:00	1.5

Table 6 Evaluation of Control Strategies

Control Mode	Grid Dependency		LOLP (%)
	Imported Energy (kWh/week)	Cost of Energy (USD/week)	
Time Schedule	223.37	18.47	0.00
Load First	221.38	17.93	0.45
Battery First	410.00	33.11	0.00

Table 5 shows that the battery is charged from morning for 5.5 hours on throughout the week. The peak mode allows a single three-hour afternoon slot, about one-fifth of the weekend's peak mode. While PCS limits weekday BESS operation for 15.5 hours, it is reduced to roughly ten short daytime slots for Saturday and Sunday.

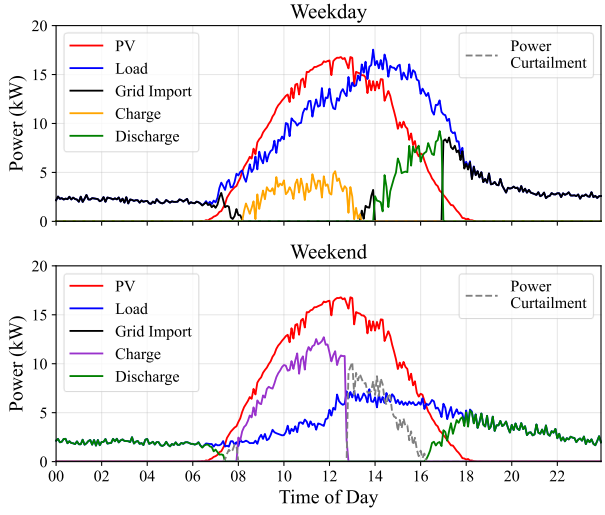

Fig. 7 Summer Operation after applying a scheduling-based MILP

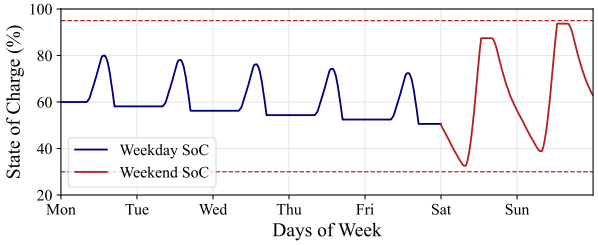

Fig. 8 SoC Operation in Summer

In summer, the proposed strategy reduced weekly grid imports by nearly half compared with the Battery First mode, while maintaining a weekly COE competitive with the Load First mode, as reported in Table 6. The seasonal LOLP was 0%, considerably lower than the former (0.45%) and the same as the latter, reflecting improved reliability. Although the SoC profile operated slightly lower during weekdays as illustrated in Fig. 8, the strategy enhanced reliability and reduced unnecessary grid dependence during the summer period.

4.3 Scenario 3: Rainy Season

In this scenario, the system operation during the rainy season is analyzed using the schedules in Table 7, with performance metrics summarized in Table 8 and operational profiles illustrated in Figure 9 and 10.

Table 7 Rainy Schedules

Mode	Weekday		Weekend	
	Duration	Hours per day	Duration	Hours per day
Peak	06:30-08:00, 11:30-15:30, 16:00-16:30, 17:30-02:00	14.5	06:00-07:00, 17:00-02:30	10.5
Valley	02:00-03:00, 08:00-11:30	4.5	07:30-17:00	9.5
Idle	03:00-06:30, 15:30-16:00, 16:30-17:30	5.0	02:30-06:00, 07:00-07:30	4.0

Table 8 Evaluation of Control Strategies

Control Mode	Grid Dependency		LOLP (%)
	Imported Energy (kWh/week)	Cost of Energy (USD/week)	
Time Schedule	303.09	24.55	0.00
Load First	309.61	25.08	36.94
Battery First	383.69	33.88	0.00

Peak mode functions five times daily, totaling nearly 15 hours, while weekends are reduced by 4 hours. Valley and idle modes preserve almost 10 hours on weekdays, with weekend valleys nearly doubling the length of those on weekdays, close to 10 hours, as reported in Table 7. Moreover, Table 8 shows that MILP reduced weekly COE from 0.5 to 10 USD and reached 0% LOLP, significantly lower than the Load First mode and still equal to another mode. During the rainy season shown in Fig. 10, the SoC often reaches the upper limit, specifically on weekends, due to surplus PV and reduced demand, as seen in Fig. 9.

Although battery degradation is not modeled, continuous high SoC tends to accelerate aging, which can be mitigated by reserving a small headroom manually at the PCS without affecting the optimization objective.

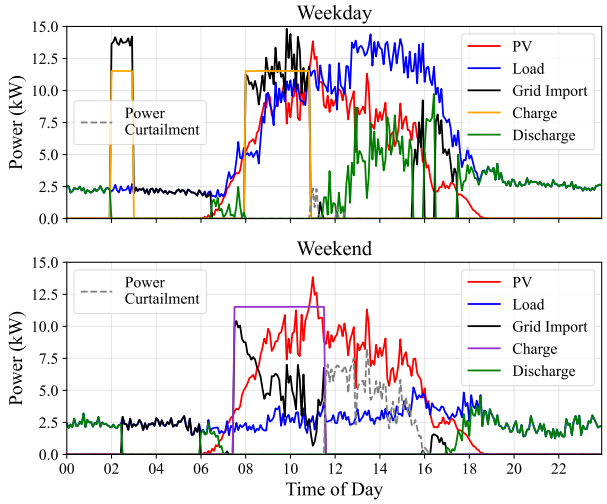

Fig. 9 Rainy Operation after applying a scheduling-based MILP

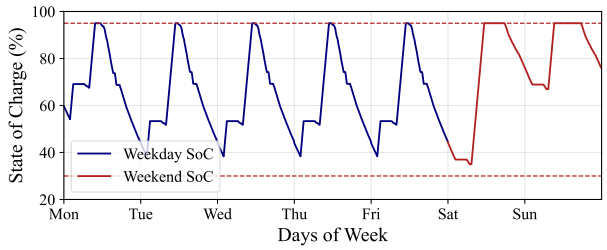

Fig. 10 SoC Operation in Rainy season

5. Conclusion

This study developed a microgrid EMS utilizing MILP time scheduling to address inefficient energy use resulting from the PCS's built-in operational modes and assessed its effectiveness across seasons. The problems thereby reveal the ongoing challenge of balancing reliability, grid dependence, and COE without real-time optimization.

In all seasons, the COE for the time-scheduling and the Load First mode was up to tenfold lower than that of the Battery First mode, although the reliability, as measured by LOLP, for both the time-scheduling and the Battery First mode was stronger than that of the other mode. However, in summer and winter, the COE of the time scheduling was slightly higher than that of the Load First mode by less than a dollar per week, while these two modes was vice versa in the remaining season.

The results demonstrated significant improvements in energy management efficiency, particularly during peak demand periods. Furthermore, the optimized scheduling not only sustained competitive costs compared to the Load First mode but also enhanced the overall reliability of the microgrid system throughout the year. This underscores the potential as a practical and robust alternative to conventional microgrid EMS.

References

[1] M. Farrokhabadi *et al.*, "Microgrid stability definitions, analysis, and examples," *IEEE Transactions on Power Systems*, vol. 35, no. 1, Jan., pp. 13–29, 2020.

[2] X. Xing and L. Jia, "Energy management in microgrid and multi-microgrid," *IET Renewable Power Generation*, vol. 18, no. 15, Nov., pp. 3480–3508, 2024.

[3] J. Sievers and T. Blank, "A systematic literature review on data-driven residential and industrial energy management systems," *Energies*, vol. 16, no. 4, p. 1688, 2023.

[4] R. Liemthong, C. Srithapon, P. K. Ghosh, and R. Chatthaworn, "Home energy management strategy-based meta-heuristic optimization for electrical energy cost minimization considering TOU tariffs," *Energies*, vol. 15, no. 2, p. 537, 2022.

[5] J. P. Vielma, "Mixed integer linear programming formulation techniques," *SIAM Rev.*, vol. 57, no. 1, pp. 3–57, 2015.

[6] K. V. S. M. Babu, P. Chakraborty, and M. Pal, "Demand response optimization MILP framework for microgrids with DERs," *arXiv preprint arXiv:2502.08764*, Feb. 2025. [Online]. Available: https://arxiv.org/abs/2502.08764

[7] V. V. V. S. N. Murty and A. Kumar, "Optimal energy management and techno-economic analysis in microgrid with hybrid renewable energy sources," *Journal of Modern Power Systems and Clean Energy*, vol. 8, no. 5, Sep., pp. 929–940, 2020.

[8] B. E. Barkouki *et al.*, "An economic dispatch for a shared energy storage system using MILP optimization: A case study of a Moroccan microgrid," Energies, vol. 16, no. 12, p. 4601, 2023.

Saridpong Rangsaritaphiban

He received a B.Eng. in Electrical Engineering from CMU and is currently working in the renewable energy sector. He interests in energy management in microgrids, power system optimization and computational renewables.

Paramet Wirasanti

He earned a Ph.D. in Electrical Engineering from Germany, and is an Associate Professor at the Department of Electrical Engineering, CMU. His research interests are in the areas of transactive energy, power system control and system integration of renewable energy sources.

การจำแนกรูปแบบของดิสชาร์จบางส่วนโดยใช้ปัญญาประดิษฐ์

Partial Discharge Pattern Classification Using Artificial Intelligence

กนก เฮงเลี้ยง* นวคุณ ไตรรัตนาภิรักษ์ และ บุษยพล เพาพาน

สาขาวิชาเทคโนโลยีวิศวกรรมไฟฟ้าและอัตโนมัติ คณะวิศวกรรมศาสตร์และเทคโนโลยี

มหาวิทยาลัยเทคโนโลยีพระจอมเกล้าพระนครเหนือ วิทยาเขตระยอง kanok435@gmail.com*

บทคัดย่อ

บทความนี้นำเสนอแนวทางการจำแนกรูปแบบพื้นฐานของดิสชาร์จบางส่วน โดยประยุกต์ใช้ขั้นตอนวิธีป่าแบบสุ่ม ซึ่งเป็นเทคนิคการเรียนรู้ของเครื่องที่มีความแม่นยำและเชื่อถือได้สูง ข้อมูลที่ใช้ในการฝึกอบรมและทดสอบได้มาจากการทดสอบในห้องปฏิบัติการไฟฟ้าแรงสูง และบันทึกข้อมูลด้วยซอฟต์แวร์ตรวจวัดดิสชาร์จบางส่วนเชิงพาณิชย์ ซึ่งมีชุดข้อมูลจำนวน 36 ชุด ประกอบไปด้วยดิสชาร์จบางส่วน 4 รูปแบบได้แก่ โคโรนาดิสชาร์จด้านแรงต่ำ โคโรนาดิสชาร์จด้านแรงสูง ดิสชาร์จภายใน และดิสชาร์จตามผิว ภายในชุดข้อมูลที่ได้จากการทดสอบประกอบด้วยองค์ประกอบสำคัญ ได้แก่ เวลา แรงดันไฟฟ้า ประจุไฟฟ้า และเฟส โดยข้อมูลเหล่านี้ได้รับการประมวลผลเบื้องต้นเพื่อเพิ่มประสิทธิภาพในการเรียนรู้ ผลลัพธ์จากการจำแนกได้รับการตรวจสอบความถูกต้องจากการทดสอบในห้องปฏิบัติการและการยืนยันโดยผู้เชี่ยวชาญ พบว่าขั้นตอนวิธีที่นำเสนอสามารถจำแนกรูปแบบดิสชาร์จได้อย่างแม่นยำและสอดคล้องกับลักษณะสัญญาณทางทฤษฎีของปรากฏการณ์ จึงสะท้อนให้เห็นถึงศักยภาพในการนำไปพัฒนาระบบตรวจจับดิสชาร์จบางส่วนที่มีความน่าเชื่อถือ และสามารถต่อยอดสู่การใช้งานจริงในอนาคต

คำสำคัญ: ดิสชาร์จบางส่วน, การเรียนรู้ของเครื่อง, ขั้นตอนวิธีป่าแบบสุ่ม

Abstract

This paper presents a technique for classifying fundamental patterns of partial discharges by applying the Random Forest algorithm, a highly accurate machine-learning technique. The training and testing datasets were obtained from high-voltage laboratory experiments, using the commercial PD monitoring software. A total of 36 datasets of PD were collected, covering four patterns: corona discharge at low voltage, corona discharge at high voltage, internal discharge, and surface discharge. Each dataset included key parameters such as time, voltage, electric charge, and phase. These data were preprocessed to enhance learning performance. The classification results were validated through laboratory experiments and confirmed by experts. The results demonstrate that the proposed technique can accurately classify PD patterns and reflect the theoretical characteristics of discharge phenomena. This approach shows strong potential for developing reliable PD detection systems and further applications in real-world scenarios.

Keywords: Partial Discharge, Machine-Learning, Random Forest

1. บทนำ

ระบบไฟฟ้าแรงสูงถือเป็นโครงสร้างพื้นฐานที่สำคัญของสังคมในยุคปัจจุบัน โดยมีบทบาทอย่างยิ่งต่อการพัฒนาในด้านเศรษฐกิจ อุตสาหกรรม พลังงาน และการดำรงชีวิตของมนุษย์ อุปกรณ์ไฟฟ้าที่ใช้ในระบบไฟฟ้าแรงสูง เช่น หม้อแปลงไฟฟ้า สายเคเบิลแรงสูง และฉนวนไฟฟ้าประเภทต่าง ๆ ล้วนมีอายุการใช้งานที่จำกัด และมีความเสี่ยงต่อการเสื่อมสภาพเมื่อเวลาผ่านไป หากไม่ได้รับการตรวจสอบอย่างเหมาะสมอาจนำไปสู่ความเสียหายรุนแรงและสูญเสียเสถียรภาพของระบบไฟฟ้าได้

หนึ่งในสัญญาณเริ่มต้นที่สามารถบ่งชี้ถึงความเสื่อมของฉนวนได้คือดิสชาร์จบางส่วน (Partial Discharge, PD) ซึ่งเป็นปรากฏการณ์ทางไฟฟ้าที่เกิดขึ้นในฉนวนที่มีความบกพร่องหรือเสื่อมสภาพ การตรวจจับและจำแนกประเภทของดิสชาร์จบางส่วนจึงเป็นกระบวนการสำคัญในการประเมินสุขภาพของระบบฉนวนและวางแผนการบำรุงรักษาเชิงรุก [1]

แม้ว่าในปัจจุบันจะมีเทคนิคหลายรูปแบบสำหรับการวิเคราะห์ดิสชาร์จบางส่วน เช่น การวัดสัญญาณไฟฟ้า การถ่ายภาพด้วยกล้องอัลตราไวโอเลต และการวิเคราะห์เสียง แต่เทคนิคเหล่านี้ยังคงมีข้อจำกัดในด้านความซับซ้อนของระบบ ความต้องการผู้เชี่ยวชาญ และระยะเวลาที่ใช้ในการวิเคราะห์

บทความนี้นำเสนอการประยุกต์ใช้เทคนิคการเรียนรู้ของเครื่อง (Machine Learning) โดยใช้ขั้นตอนวิธีป่าแบบสุ่ม (Random Forest) [2] ในการจำแนกประเภทของดิสชาร์จบางส่วน โดยอาศัยข้อมูลที่ได้จากซอฟต์แวร์ตรวจวัดดิสชาร์จบางส่วนเชิงพาณิชย์ ซึ่งประกอบด้วยองค์ประกอบหลัก ได้แก่ เวลา แรงดันไฟฟ้า ประจุไฟฟ้า และเฟส ทั้งนี้ข้อมูลได้ผ่านกระบวนการประมวลผลล่วงหน้า และกำหนดช่วงเวลาเรียนรู้และทดสอบเป็นระยะเวลา 2 วินาที เพื่อให้ได้แบบจำลองที่มีความแม่นยำและสามารถนำไปใช้ในงานจริงได้อย่างมีประสิทธิภาพ

2. การจัดเตรียมการทดลอง

รูปที่ 1 แสดงวงจรพื้นฐานสำหรับการตรวจวัดดิสชาร์จบางส่วนตามมาตรฐาน IEC 60270 [3] ซึ่งประกอบด้วยองค์ประกอบหลัก ได้แก่

หม้อแปลงแรงสูงสำหรับจ่ายแรงดันทดสอบ (T_r) วงจรกรองสัญญาณรบกวน (Z_f) ตัวเก็บประจุคาบเกี่ยว (C_k) วัสดุทดสอบ (C_a) อิมพีแดนซ์สำหรับการวัด (Z_m) และสายเคเบิลส่งสัญญาณ (C_c) ซึ่งจะถูกส่งไปยังอุปกรณ์แสดงผลเพื่อการวิเคราะห์ ในการทดสอบวัสดุทดสอบจะถูกแทนที่ด้วยอิเล็กโทรดในลักษณะต่าง ๆ ดังแสดงในรูปที่ 2 เพื่อจำลองรูปแบบการเกิดดิสชาร์จบางส่วน โดยสัญญาณที่เกิดขึ้นจากการทดสอบจะแสดงผลบนฐานเวลา 2 รูปแบบ ได้แก่ การแสดงดิสชาร์จบางส่วนบนฐานเวลารูปวงรีและฐานเวลารูปคลื่นไซน์ เป็นการแสดงรูปแบบและขนาดของการเกิดดิสชาร์จบางส่วนแสดงไว้ใน รูปที่ 3 ถึง 6 ซึ่งใช้สำหรับวิเคราะห์และจำแนกประเภทของดิสชาร์จในแต่ละกรณี

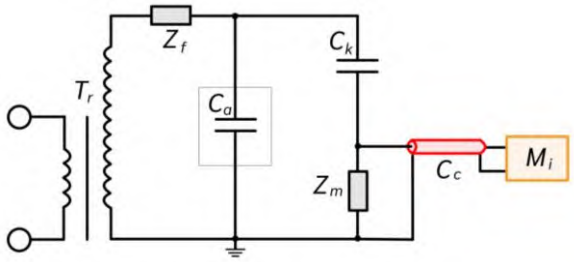

รูปที่ 1 วงจรพื้นฐานการตรวจวัดดิสชาร์จบางส่วน

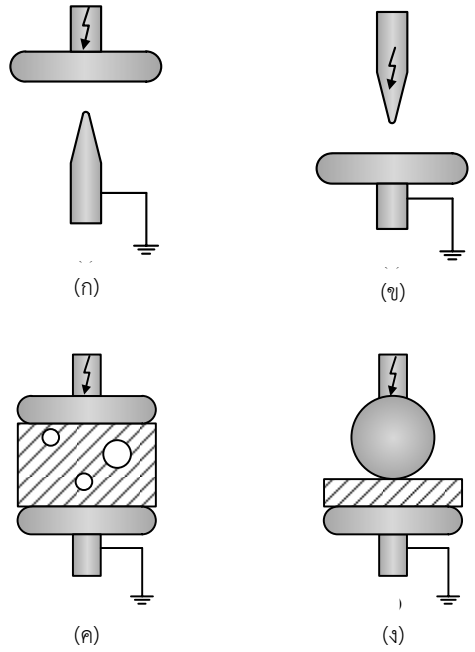

รูปที่ 2 อิเล็กโทรดจำลองรูปแบบการเกิดดิสชาร์จบางส่วน
(ก) โคโรนาดิสชาร์จด้านแรงต่ำ (ข) โคโรนาดิสชาร์จด้านแรงสูง
(ค) ดิสชาร์จภายใน (ง) ดิสชาร์จตามผิว

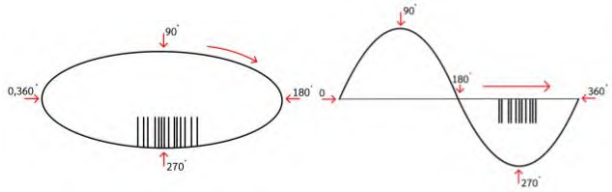

รูปที่ 3 ตัวอย่างผลโคโรนาดิสชาร์จด้านแรงสูงบนฐานเวลารูปวงรีและบนฐานเวลารูปคลื่นไซน์

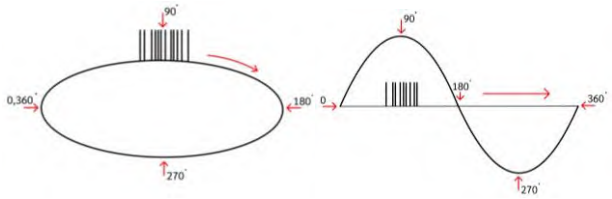

รูปที่ 4 ตัวอย่างผลโคโรนาดิสชาร์จด้านแรงต่ำบนฐานเวลารูปวงรีและบนฐานเวลารูปคลื่นไซน์

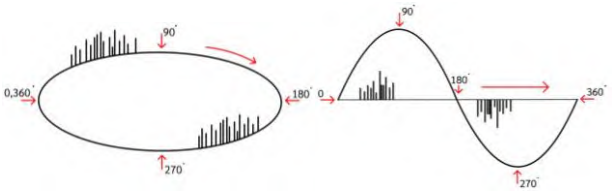

รูปที่ 5 ตัวอย่างผลดิสชาร์จตามผิวบนฐานเวลารูปวงรีและบนฐานเวลารูปคลื่นไซน์

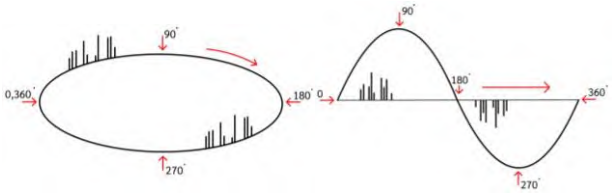

รูปที่ 6 ตัวอย่างผลดิสชาร์จภายในบนฐานเวลารูปวงรีและบนฐานเวลารูปคลื่นไซน์

3. การสร้างแบบจำลอง

ชุดข้อมูลจากการทดสอบการเกิดดิสชาร์จบางส่วนในรูปแบบต่างๆที่ถูกต้องและเชื่อถือได้ รูปแบบดิสชาร์จบางส่วนที่บันทึกไว้ได้รับจากซอฟต์แวร์เชิงพาณิชย์ จะต้องผ่านการประมวลผลล่วงหน้าอย่างระมัดระวังเพื่อเพิ่มความน่าเชื่อถือและความสม่ำเสมอ รูปแบบที่บันทึกมีชุดข้อมูลจำนวน 36 ชุด แบ่งออกเป็นประเภทละ 9 กลุ่มของรูปแบบ ได้แก่ โคโรนาดิสชาร์จด้านแรงต่ำ โคโรนาดิสชาร์จด้านแรงสูง ดิสชาร์จภายใน และดิสชาร์จตามผิว โดยแบ่งข้อมูลเป็นชุดฝึกอย่างละ 6 ชุด และชุดทดสอบอย่างละ 3 ชุด

ในบทความนี้จะกำหนดคุณสมบัติคุณลักษณะที่ป้อนเข้าเป็น เวลา แรงดันไฟฟ้า ประจุไฟฟ้า และเฟส จึงจำเป็นอย่างยิ่งที่จะต้องจัดค่าเวลาของการเกิดประจุไฟฟ้ากับข้อมูลแรงดันไฟฟ้าที่สอดคล้องกันเชิงเวลา อีกทั้งยังจัดการกับความไม่เท่าเทียมกันของความหนาแน่นของจำนวนข้อมูล

รวมถึงการเรียงลำดับเวลาใหม่ทุก ๆ 0.000048 วินาที ตั้งแต่ 0 – 2 วินาที ให้ตรงกับข้อมูลแรงดันไฟฟ้าให้ตรงกับการสุ่มข้อมูล (Sampling) ของซอฟต์แวร์ที่ใช้ในการตรวจวัด นอกจากนี้การปรับแก้ค่าสัญญาณแรงดันไฟฟ้าให้มีความสมดุลระหว่างขั้วบวกและขั้วลบมากยิ่งขึ้นจะช่วยเพิ่มความแม่นยำในการเรียนรู้ของแบบจำลองได้อย่างมีนัยสำคัญ เมื่อการประมวลผลล่วงหน้าเสร็จสิ้น ข้อมูลจะถูกกำหนดมาตรฐานเป็นระยะเวลาคงที่ 2 วินาทีสำหรับการฝึกอบรม

3.1 การดึงคุณลักษณะ

การทำให้ข้อมูลตรงกันทางเวลา (Time Alignment) เป็นกระบวนการที่ใช้เพื่อปรับข้อมูลดิสชาร์จบางส่วนให้ตรงกับสัญญาณแรงดันไฟฟ้าที่เกิดขึ้นในระบบไฟฟ้า โดยกระบวนการนี้ช่วยให้สามารถจับคู่ข้อมูลที่เกี่ยวข้องกันได้อย่างแม่นยำ ลดความคลาดเคลื่อนที่เกิดจากการบันทึกข้อมูลที่ไม่ได้อยู่ในช่วงเวลาเดียวกัน ทำให้การวิเคราะห์ดิสชาร์จบางส่วนมีความแม่นยำมากขึ้น

3.1.1 การทำให้ข้อมูลตรงกันทางคาบเวลาของคลื่น (Period)

คือ ระยะเวลาที่ใช้ในการเกิดคลื่นหนึ่งลูก หรือรอบหนึ่งของการเคลื่อนที่ แบบซ้ำๆของคลื่นคำนวณได้จากสมการ (1)

$$T = \frac{1}{f} \tag{1}$$

เมื่อ T คือ คาบเวลา (วินาที, s)
f คือ ความถี่ (เฮิรตซ์, Hz) จำนวนรอบที่เกิดขึ้นใน 1 วินาที

3.1.2 ค่าชดเชย (Offset)

เป็นการบอกตำแหน่งของจุดกึ่งกลางของสัญญาณในแนวแกนตั้ง (Amplitude) หรือค่าศูนย์กลางของช่วงข้อมูล หากข้อมูลมีทั้งค่าบวกและค่าลบ ค่าชดเชยจะแสดงตำแหน่งกลางระหว่างค่ามากที่สุดและน้อยที่สุดของข้อมูลนั้น เพื่อให้ค่าแรงดันไฟฟ้าด้านบวกและด้านลบมีความสมดุลกันมากขึ้นจะเห็นได้ว่าข้อมูลก่อนทำค่าชดเชยค่าแรงดันไฟฟ้าด้านลบมีค่าประมาณ -50 kV และค่าแรงดันไฟฟ้าด้านบวกมีค่าประมาณ 40 kV ดังรูปที่ 7 เมื่อนำข้อมูลมาทำค่าชดเชยสามารถคำนวณได้ตามสมการที่ (2) และ (3) จะเห็นได้ว่าแรงดันไฟฟ้าด้านลบมีค่าประมาณ -45 kV และค่าแรงดันไฟฟ้าด้านบวกมีค่าประมาณ 45 kV ค่าแรงดันไฟฟ้าด้านบวกและด้านลบมีความสมดุลกันดังรูปที่ 8 เนื่องจากสัญญาณที่มีค่าเฉลี่ยไม่อยู่ที่ศูนย์จะส่งผลให้ข้อมูลเอนเอียงไปด้านใดด้านหนึ่ง ซึ่งทำให้ข้อมูลไม่สมดุลกัน หากนำข้อมูลไปใช้โดยตรง อาจก่อให้เกิดการอคติ (Bias)

$$Offset = \frac{\max(X) + \min(X)}{2} \tag{2}$$

เมื่อ min(X) คือ ค่าต่ำสุดของข้อมูล
max(X) คือ ค่าสูงสุดของข้อมูล

หลังจากได้ค่าชดเชยมา ต้องทำการปรับข้อมูลให้มีศูนย์กลางที่ศูนย์ (Offset Centering) คำนวณได้จากสมการ (3)

$$X_{centered} = X - Offset \tag{3}$$

เมื่อ X คือ ชุดข้อมูลต้นฉบับ
$Offset$ คือ ค่าชดเชย

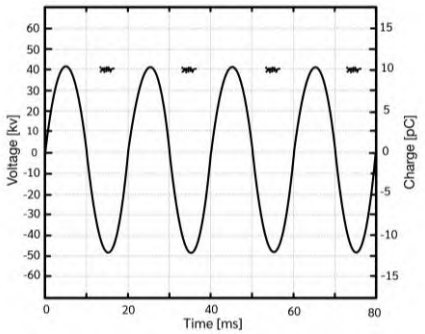

รูปที่ 7 ข้อมูลก่อนทำค่าชดเชย

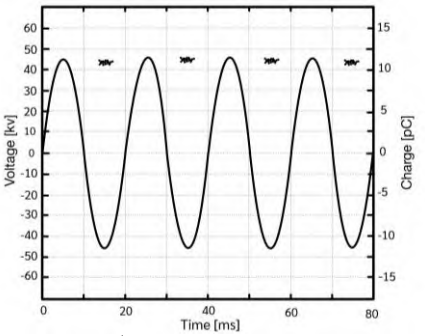

รูปที่ 8 ข้อมูลหลังทำค่าชดเชย

3.1.3 การปรับขนาดข้อมูล (Normalization)

เป็นกระบวนการที่ใช้ในการปรับขนาดของข้อมูลให้อยู่ในช่วงที่เหมาะสมสำหรับการวิเคราะห์และจำแนกประเภทของดิสชาร์จบางส่วน โดยการปรับขนาดข้อมูลช่วยลดผลกระทบของค่าที่มีขนาดต่างกันมาก ทำให้ขั้นตอนวิธีป่าแบบสุ่มสามารถเรียนรู้จากข้อมูลได้ดีขึ้น วิธีที่ใช้คือ การปรับช่วงข้อมูลโดยใช้ค่าสูงสุดและค่าต่ำสุด (Min-Max Scaling) ในช่วง -1 ถึง 1 ดังรูปที่ 9 ซึ่งช่วยให้ข้อมูลมีความสม่ำเสมอและปรับค่าให้เหมาะสมคำนวณได้จากสมการ (4)

$$Normalization = \frac{X}{\max(|\min(X)|, |\max(X)|)} \tag{4}$$

เมื่อ X คือ ชุดข้อมูลต้นฉบับ
min(X) คือ ค่าต่ำสุดของข้อมูล
max(X) คือ ค่าสูงสุดของข้อมูล
|min(X)| คือ ค่าสัมบูรณ์ของค่าต่ำสุด (เพื่อให้ไม่มีค่าติดลบ)
|max(X)| คือ ค่าสัมบูรณ์ของค่าสูงสุด

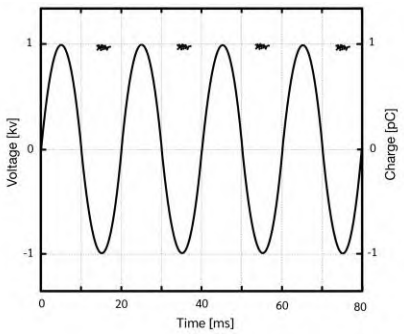

รูปที่ 9 การทำข้อมูลให้เป็นมาตรฐาน

3.2 การออกแบบขั้นตอนวิธีป่าแบบสุ่มที่ใช้ในการจำแนกประเภทดิสชาร์จบางส่วน

ขั้นตอนวิธีป่าแบบสุ่มเป็นขั้นตอนวิธีการเรียนรู้ของเครื่องที่ใช้ชุดของต้นไม้การตัดสินใจ (Decision Trees) ในการจำแนกผลลัพธ์ ซึ่งสร้างต้นไม้แต่ละต้นจะขึ้นอยู่กับค่าของเวกเตอร์ที่สุ่มขึ้นมาอย่างอิสระ ต้นไม้เหล่านี้เป็นเครื่องมือในการตัดสินใจที่ใช้แบบจำลองที่เหมือนรากและกิ่งก้านเพื่อระบุผลที่ตามมาโดยใช้คำสั่งควบคุม ต้นไม้แต่ละต้นในป่าแบบสุ่มจะทำการคาดการณ์คลาส และแบบจำลองเลือกการจำแนกประเภทที่มีคะแนนโหวตมากที่สุดเป็นการคาดการณ์

3.2.1 การเตรียมข้อมูล

1. การรวบรวมข้อมูลที่ใช้ในการฝึกแบบจำลองจากรูปแบบไฟล์ .CSV ทุกชุดข้อมูลไว้ในตารางข้อมูลแบบ 2 มิติ (DataFrame) เดียวกัน แล้วทำการกำหนดป้ายกำกับข้อมูล โดยแบ่งประเภทของดิสชาร์จบางส่วน

2. การทำความสะอาดข้อมูล ลบค่าที่ไม่จำเป็น เช่น คอลัมน์ที่ไม่มีข้อมูล แทนค่าประจุ และเฟสที่เป็นศูนย์ด้วยการแทนค่าไม่ใช่ตัวเลข (Not a Number, NaN) เพื่อลดค่าที่ไม่สมเหตุสมผล

3. การเลือกคุณลักษณะ ในแบบจำลองนี้เลือกใช้ 4 คุณลักษณะหลัก ได้แก่ เวลา แรงดันไฟฟ้า ประจุไฟฟ้า และเฟส ซึ่งเป็นพารามิเตอร์สำคัญที่มีผลต่อพฤติกรรมของ ดิสชาร์จบางส่วน

3.2.2 การสร้างและปรับแต่งขั้นตอนวิธีป่าแบบสุ่ม

การตั้งค่าองค์ประกอบที่เหมาะสม ซึ่งจะช่วยเพิ่มประสิทธิภาพ องค์ประกอบหลักที่ปรับแต่ง [4]

1. จำนวนต้นไม้ในป่าช่วงค่าที่ใช้ทดลอง 50 – 1000 (เพิ่มทีละ50)

2. ความลึกสูงสุดของต้นไม้ช่วงค่าที่ใช้ทดลอง 1 - 100 (เพิ่มทีละ 10)

3. จำนวนข้อมูลขั้นต่ำที่ต้องมีเพื่อแบ่งโหนด และจำนวนข้อมูลขั้นต่ำที่ต้องมีในใบของต้นไม้ช่วงค่าที่ใช้ทดลอง 2 – 20

4. การสุ่มตัวอย่างซ้ำ (Bootstrap) ตัวเลือกถูก (True) หรือผิด (False)

5. ฟังก์ชันวัดคุณภาพการแบ่งข้อมูล (Criterion) ตัวเลือก (Gini) หรือ (Entropy)

3.2.3 การทดสอบขั้นตอนวิธีป่าแบบสุ่มกับข้อมูลภายนอก

นำข้อมูลทดสอบที่แบ่งไว้มาทดสอบกับขั้นตอนวิธีป่าแบบสุ่มที่ฝึกไว้ วิเคราะห์ค่าความแม่นยำกับข้อมูลภายนอกด้วยค่าความแม่นยำ คำนวณได้จากสมการที่ (5)

$$Accuracy\ Score = \frac{Correct\ Classifications}{Total\ Classification} \quad (5)$$

เมื่อ *Accuracy Score* คือ ค่าความแม่นยำ

4. ผลแบบจำลอง

4.1 เส้นโค้งลักษณะการทำงานของตัวรับ

เส้นโค้งลักษณะการทำงานของตัวรับ (ROC Curve) เป็นเครื่องมือประเมินประสิทธิภาพของแบบจำลองจำแนกประเภท โดยแสดงความสัมพันธ์ระหว่างอัตราการตรวจจับผลบวกจริง (TPR) และผลบวกเท็จ (FPR) ประสิทธิภาพของแบบจำลองสามารถพิจารณาได้จากค่าพื้นที่ใต้โค้ง (AUC) ซึ่งมีค่าระหว่าง 0 ถึง 1 โดยค่าที่ใกล้ 1 แสดงถึงความสามารถในการจำแนกที่ดี

จากรูปที่ 10 แบบจำลองป่าแบบสุ่มสามารถจำแนกโคโรนาดิสชาร์จด้านแรงต่ำและแรงสูงได้อย่างแม่นยำ (AUC = 1.00) ขณะที่ดิสชาร์จภายในและดิสชาร์จตามผิวมีค่าความแม่นยำลดลงเล็กน้อยเนื่องจากเกิดข้อผิดพลาดในการจำแนกบางส่วน

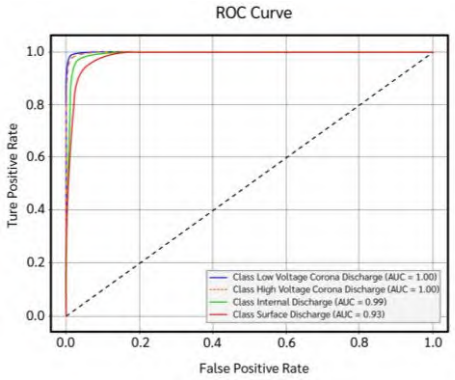

รูปที่ 10 เส้นโค้งลักษณะการทำงานของตัวรับของผลแบบจำลองป่าแบบสุ่มด้วยชุดข้อมูลทดสอบ

4.2 การจำแนกประเภทของดิสชาร์จบางส่วน

จากผลการทดสอบตามตารางที่ 1 พบว่าแบบจำลองที่ใช้ในการจำแนกประเภทของสัญญาณดิสชาร์จมีประสิทธิภาพสูง โดยสามารถจำแนกประเภทของโคโรนาดิสชาร์จด้านแรงต่ำและโคโรนาดิสชาร์จด้านแรงสูงได้อย่างถูกต้องครบถ้วน อีกทั้งยังให้ค่าความแม่นยำในการจำแนกประเภทเท่ากับ 100 เปอร์เซ็นต์ แสดงว่าไม่มีข้อผิดพลาดใด ๆ เกิดขึ้นในการทำนายผลของแบบจำลองในกรณีดังกล่าว อย่างไรก็ตามสำหรับดิสชาร์จภายในและดิสชาร์จตามผิวยังพบความคลาดเคลื่อนเล็กน้อยซึ่ง

อาจเนื่องมาจากลักษณะของสัญญาณที่มีความคล้ายคลึงกันส่งผลให้แบบจำลองเกิดความสับสนระหว่างทั้งสองประเภทนี้บ้าง

เมื่อพิจารณาค่าประสิทธิภาพของแบบจำลองในเชิงตัวเลขพบว่า โคโรนาดิสชาร์จด้านแรงต่ำและโคโรนาดิสชาร์จด้านแรงสูงมีค่าความแม่นยำ (Precision) และค่าการเรียกกลับ (Recall) เท่ากับ 1.00 ทั้งสองค่า ซึ่งแสดงให้เห็นว่าแบบจำลองสามารถจำแนกได้อย่างถูกต้องและครบถ้วนโดยไม่มีการทำนายผิดพลาด ในขณะที่ดิสชาร์จภายในมีค่าความแม่นยำเท่ากับ 0.945 และค่าการเรียกกลับเท่ากับ 0.9997 แม้ว่าค่าการเรียกกลับจะอยู่ในระดับสูงมาก แต่ค่าความแม่นยำยังมีข้อผิดพลาดอยู่บ้างเล็กน้อย สำหรับดิสชาร์จตามผิวมีค่าความแม่นยำอยู่ที่ 0.9998 และค่าการเรียกกลับเท่ากับ 0.9426 แสดงให้เห็นว่าแบบจำลองสามารถจำแนกได้อย่างแม่นยำสูง แต่ยังคงมีความคลาดเคลื่อนสำหรับสัญญาณของดิสชาร์จภายในในบางกรณี

นอกจากนี้เมื่อคำนวณค่าเฉลี่ยรวมของตัวชี้วัดต่างๆ พบว่าค่าความแม่นยำเฉลี่ยของทั้งระบบอยู่ที่ 98.6 เปอร์เซ็นต์ ขณะที่ค่าการเรียกกลับเฉลี่ยอยู่ที่ 98.56 เปอร์เซ็นต์ และค่า F1-Score ซึ่งเป็นค่าเฉลี่ยของค่าความแม่นยำและค่าการเรียกกลับอยู่ที่ 98.6 เปอร์เซ็นต์ ผลลัพธ์ดังกล่าวแสดงให้เห็นว่าแบบจำลองที่ใช้ในการจำแนกประเภทของดิสชาร์จบางส่วนมีประสิทธิภาพในระดับสูง และสามารถนำไปประยุกต์ใช้ในงานตรวจวินิจฉัยหรือประเมินสภาพของระบบไฟฟ้าแรงสูงได้อย่างเหมาะสมและเชื่อถือได้

ตารางที่ 1 ผลลัพธ์ของขั้นตอนวิธีป่าแบบสุ่มจากชุดข้อมูลทดสอบ

รูปแบบการทดสอบ	รูปแบบการจำแนกประเภท	จำแนก (เปอร์เซ็นต์)
โคโรนาดิสชาร์จด้านแรงต่ำ	โคโรนาดิสชาร์จด้านแรงต่ำ	100
	โคโรนาดิสชาร์จด้านแรงสูง	0
	ดิสชาร์จภายใน	0
	ดิสชาร์จตามผิว	0
โคโรนาดิสชาร์จด้านแรงสูง	โคโรนาดิสชาร์จด้านแรงต่ำ	0
	โคโรนาดิสชาร์จด้านแรงสูง	100
	ดิสชาร์จภายใน	0
	ดิสชาร์จตามผิว	0
ดิสชาร์จภายใน	โคโรนาดิสชาร์จด้านแรงต่ำ	0
	โคโรนาดิสชาร์จด้านแรงสูง	0
	ดิสชาร์จภายใน	99.97
	ดิสชาร์จตามผิว	0.02
ดิสชาร์จตามผิว	โคโรนาดิสชาร์จด้านแรงต่ำ	0
	โคโรนาดิสชาร์จด้านแรงสูง	0
	ดิสชาร์จภายใน	5.73
	ดิสชาร์จตามผิว	94.26

5. สรุป

บทความนี้นำเสนอแนวทางการจำแนกรูปแบบของดิสชาร์จบางส่วนโดยประยุกต์ใช้ขั้นตอนวิธีป่าแบบสุ่ม ซึ่งเป็นเทคนิคการเรียนรู้ของเครื่องที่มีประสิทธิภาพสูงในการจัดการกับข้อมูลที่ไม่เป็นเชิงเส้นและมีความซับซ้อน โดยเฉพาะในปัญหาการจำแนกรูปแบบที่ต้องการความแม่นยำสูง ข้อมูลที่ใช้ในการฝึกและทดสอบแบบจำลองได้มาจากผลการทดสอบจริงในห้องปฏิบัติการวิศวกรรมไฟฟ้าแรงสูง โดยใช้อุปกรณ์ตรวจวัดดิสชาร์จบางส่วนเชิงพาณิชย์ที่มีความแม่นยำ เพื่อให้ได้ข้อมูลที่มีคุณภาพและสะท้อนลักษณะของสัญญาณจริงจากการเกิดดิสชาร์จในสภาวะควบคุม

สำหรับชุดข้อมูลที่นำมาใช้ได้มีการเลือกคุณลักษณะที่สำคัญ ได้แก่ เวลา แรงดันไฟฟ้า ประจุไฟฟ้า และเฟส พร้อมทั้งผ่านกระบวนการทำให้เป็นมาตรฐาน และจัดให้อยู่ในช่วงเวลาคงที่ 2 วินาที เพื่อให้เกิดความสอดคล้องเชิงเวลาในการเรียนรู้ของแบบจำลอง

ผลการทดสอบแสดงให้เห็นว่าแบบจำลองสามารถจำแนกรูปแบบของโคโรนาดิสชาร์จด้านแรงต่ำและโคโรนาดิสชาร์จด้านแรงสูงได้อย่างถูกต้องสมบูรณ์ โดยให้ค่าความแม่นยำและค่าการเรียกกลับเท่ากับ 1.00 ซึ่งสอดคล้องกับผลลัพธ์ในตารางที่แสดงค่าความถูกต้อง 100 เปอร์เซ็นต์สำหรับดิสชาร์จภายในและดิสชาร์จตามผิว แม้จะมีความคล้ายคลึงกันของลักษณะสัญญาณ แต่แบบจำลองยังสามารถจำแนกได้ด้วยความแม่นยำในระดับสูงโดยมีอัตราความถูกต้อง 99.97% และ 94.26% ตามลำดับ

แม้จะมีข้อจำกัดเล็กน้อยจากความคล้ายคลึงของสัญญาณบางประเภท แต่ผลการทดลองนี้ยังคงยืนยันถึงศักยภาพของขั้นตอนวิธีป่าแบบสุ่มในการจำแนกรูปแบบของดิสชาร์จบางส่วนได้อย่างมีประสิทธิภาพ

แนวทางการพัฒนาในอนาคตอาจมีการขยายขอบเขตการศึกษาโดยเพิ่มชุดข้อมูลจากหลายแหล่งหรือเปรียบเทียบกับขั้นตอนวิธีอื่นๆ เช่น วิธีเวกเตอร์สนับสนุน (Support Vector Machine) หรือเทคนิคการเรียนรู้เชิงลึก (Deep Learning) เพื่อยกระดับประสิทธิภาพของระบบให้ครอบคลุมยิ่งขึ้น

เอกสารอ้างอิง

[1] B. Chen, Y. Hu, W. Xu, X. Jiang, “Partial Discharge Pattern Recognition Based on Kolmogorov-Smirnov Cluster Analysis of Discharge Pulse Sequences,” in Proc. 9 th CMD, 2022, pp. 193–196.

[2] นภาพร ศิริกุลวิริยะ, “การผสานกฎจากป่าแบบสุ่ม,” วิทยานิพนธ์วิทยาศาสตรมหาบัณฑิต, จุฬาลงกรณ์มหาวิทยาลัย, 2554.

[3] International Electrotechnical Commission, *IS/IEC 60270: High-voltage test techniques - Partial discharge measurements*. ETD 19: High Voltage Engineering, 2000.

[4] Géron, A. (2019). Hands-on machine learning with Scikit-Learn, Keras, and TensorFlow (2nd ed.). O’Reilly Media.

การควบคุมระบบกักเก็บพลังงานไฮโดรเจนด้วยพีไอดีเหมาะที่สุดเพื่อรักษาเสถียรภาพความถี่ในไมโครกริดบนเรือ

Optimal PID-Based Control of Hydrogen Energy Storage System for Frequency Stabilization in Shipboard Microgrids

ภูวดล พิมพิลา[1] ขวัญชัย สกุลตา[1] เชวศักดิ์ รักเป็นไทย[1] และ จงลักษณ์ พาหะซา[1]*
[1]สาขาวิชาวิศวกรรมไฟฟ้า คณะวิศวกรรมศาสตร์ มหาวิทยาลัยพะเยา jonglak.pa@up.ac.th*

บทคัดย่อ

ไมโครกริดบนเรือที่มีการบูรณาการแหล่งจ่ายพลังงานหมุนเวียน เช่น เครื่องกำเนิดไฟฟ้ากังหันลม เครื่องกำเนิดไฟฟ้าพลังงานแสงอาทิตย์ และเครื่องกำเนิดไฟฟ้าพลังงานคลื่นทะเล ได้รับความสนใจอย่างมากในช่วงไม่กี่ปีที่ผ่านมา เนื่องจากกฎระเบียบด้านมลพิษทางทะเลที่เข้มงวดยิ่งขึ้น บทความนี้นำเสนอการควบคุมระบบกักเก็บพลังงานไฮโดรเจน (HESS) ด้วยตัวควบคุมอนุพันธ์อินทิกรัลเชิงสัดส่วน (PID) ที่หาค่าเหมาะที่สุดด้วยตัวหาค่าเหมาะที่สุดภาพลวงตา (MSO) เพื่อรักษาเสถียรภาพความถี่ในไมโครกริดบนเรือ ผลการจำลองแสดงให้เห็นว่าตัวควบคุม MSO-PID ที่นำเสนอ สามารถลดการเบี่ยงเบนของความถี่ได้ดีกว่าการควบคุมด้วยพีไอดีทั่วไป นอกจากนี้ การใช้ระบบกักเก็บพลังงานไฮโดรเจนสามารถลดการเบี่ยงเบนของความถี่ได้ดีกว่าการใช้เพียงอิเล็กโทรไลเซอร์หรือเซลล์เชื้อเพลิง

คำสำคัญ: ไมโครกริดบนเรือ, การควบคุมความถี่, ตัวควบคุมพีไอดี, ระบบกักเก็บพลังงานไฮโดรเจน, การหาค่าเหมาะที่สุดภาพลวงตา

Abstract

Shipboard microgrids, which integrate renewable energy sources such as wind turbine generators, photovoltaic generators, and wave energy generators, have gained significant attention in recent years due to increasingly stringent maritime pollution regulations. This paper proposes a hydrogen energy storage system (HESS) control strategy for frequency stabilization in shipboard microgrids using a proportional-integral-derivative (PID) controller optimized by mirage search optimization (MSO). Simulation results demonstrate that the proposed MSO-PID approach outperforms conventional control strategies by reducing frequency fluctuations and improving system stability. Moreover, the use of a hydrogen energy storage system reduces frequency deviation more effectively than using only an electrolyzer or a fuel cell.

Keywords: Shipboard microgrid, frequency control, PID controller, hydrogen energy storage system, mirage search optimization

1. บทนำ

ความก้าวหน้าอย่างรวดเร็วของเทคโนโลยีพลังงานหมุนเวียนและข้อจำกัดที่เข้มงวดที่กำหนดโดยโปรโตคอลมลพิษทางทะเลได้จุดประกายความสนใจอย่างมากในการรวมพลังงานแสงอาทิตย์ กังหันลม พลังงานคลื่นทะเลเข้าไปเป็นแหล่งผลิตไฟฟ้าให้กับไมโครกริดบนเรือ (Shipboard microgrids: SMGs) [1-2] อย่างไรก็ตาม การพึ่งพาการเชื่อมต่อระบบไมโครกริดด้วยอุปกรณ์อิเล็กทรอนิกส์กำลังและลักษณะที่ไม่ต่อเนื่องของแหล่งพลังงานหมุนเวียน (Renewable energy sources: RES) โดยเฉพาะกังหันลมและพลังงานคลื่นทะเล ส่งผลให้ไมโครกริดบนเรือมีแรงเฉื่อยต่ำ (Low inertia) และไม่มีเสถียรภาพความถี่ ระบบกักเก็บพลังงาน (Energy storage systems: ESSs) ที่เป็นมิตรต่อสิ่งแวดล้อม เช่น มู่เล่หรือล้อตุนกำลัง (Flywheel: FW) และระบบกักเก็บพลังงานไฮโดรเจน (Hydrogen energy storage systems: HESS) ถูกนำมาใช้เพื่อปรับปรุงแรงเฉื่อยเสมือนและเสถียรภาพความถี่ในไมโครกริดบนเรือ ระบบกักเก็บพลังงานไฮโดรเจน ประกอบด้วยอิเล็กโทรไลเซอร์ (Electrolyzer: EZ), เซลล์เชื้อเพลิง (Fuel cell: FC) และถังกักเก็บไฮโดรเจน (Hydrogen tank) โดยอิเล็กโทรไลเซอร์ทำหน้าที่เป็นโหลดที่ใช้พลังงานไฟฟ้าเพื่อผลิตไฮโดรเจน [3-4] ในขณะที่เซลล์เชื้อเพลิงทำหน้าที่เป็นเครื่องกำเนิดไฟฟ้าที่ใช้ไฮโดรเจนเป็นเชื้อเพลิง [4-5] การควบคุมระบบกักเก็บพลังงานไฮโดรเจนที่เหมาะสมสามารถรักษาแรงเฉื่อยเสมือนและปรับปรุงประสิทธิภาพการควบคุมความถี่ไมโครกริดได้

อย่างไรก็ตาม สำหรับระบบไมโครกริดบนเรือ แหล่งกำเนิดพลังงานไฟฟ้าที่มีความผันผวนสูงจากพลังงานคลื่นทะเล กังหันลม และพลังงานแสงอาทิตย์ทำให้เกิดความผันผวนของความถี่อย่างรุนแรง ดังนั้น การนำระบบกักเก็บพลังงานไฮโดรเจนมาใช้เพื่อลดการแกว่งของความถี่ในระบบไมโครกริดบนเรือ จำเป็นต้องออกแบบตัวควบคุมให้สามารถลดการแกว่งของความถี่ให้ได้ดีที่สุด โดยตัวควบคุมที่นิยมใช้ได้แก่ ตัวควบคุมพีไอดี (Proportional-integral-derivative: PID) ซึ่งมีข้อดีคือ เป็นตัวควบคุมที่มีโครงสร้างไม่ซับซ้อนและใช้งานง่าย อย่างไรก็ตาม การหาค่าพารามิเตอร์ของตัวควบคุมพีไอดีที่เหมาะที่สุด ที่สามารถลดการเบี่ยงเบนของความถี่ได้ดีที่สุดก็เป็นสิ่งจำเป็น โดยเมื่อเร็วๆ นี้ได้มีการนำเสนอวิธีการหาค่าเหมาะที่สุดภาพลวงตา (Mirage search optimization: MSO) ซึ่งเป็นอัลกอริทึมเชิงเมตาฮิวริสติก ที่สามารถหาค่าเหมาะที่สุดได้ดีกว่าวิธีการดั้งเดิม เช่น อัลกอริทึมเชิงพันธุกรรม (Genetic algorithm: GA) และ (Firefly

*ผู้ประพันธ์บรรณกิจ

algorithm: FLA) โดย Sadegheih และ Khosravi [6] ได้แสดงให้เห็นประสิทธิภาพที่ MSO ดีกว่า GA และ FLA และวิธีการอื่นๆ นอกจากนี้ยังมีการประยุกต์ใช้ MSO เพื่อหาตัวควบคุมเหมาะที่สุดในการควบคุมระบบอิเล็กทรอนิกส์กำลัง [7]

งานวิจัยนี้นำเสนอ การควบคุมระบบกักเก็บพลังงานไฮโดรเจน (HESS) ด้วยตัวควบคุมพีไอดีที่หาค่าเหมาะที่สุดด้วยตัวหาค่าเหมาะที่สุดภาพลวงตา เพื่อรักษาเสถียรภาพความถี่ในไมโครกริดบนเรือ ผลการจำลองแสดงให้เห็นว่าวิธีการควบคุมที่นำเสนอดีกว่าการควบคุมทั่วไป

2. แบบจำลองไมโครกริดบนเรือที่ใช้ในการศึกษา

แบบจำลองไมโครกริดบนเรือที่ใช้ในการศึกษาแสดงดังรูปที่ 1 ซึ่งระบบประกอบไปด้วย เครื่องกำเนิดไฟฟ้าดีเซล (Diesel generator: DS), เครื่องกำเนิดไฟฟ้าพลังงานลม (Wind turbine generator: WTG), เครื่องกำเนิดไฟฟ้าพลังงานแสงอาทิตย์ (Photovoltaic generator: PVG), เครื่องกำเนิดไฟฟ้าพลังงานคลื่นทะเล (Sea wave energy generator: SWEG), โหลดเปลี่ยนแปลงได้ (Varying load), ระบบกักเก็บพลังงานไฮโดรเจน (HESS) โดยศูนย์ควบคุมไมโครกริดบนเรือ (SMG control center) ทำหน้าที่ควบคุมไมโครกริด โดยเส้นทึบสีเทาแสดงถึงสายส่งไฟฟ้า (Power line) จากเครื่องกำเนิดไฟฟ้าไปยังโหลด และเส้นประสีน้ำเงินแสดงถึงการส่งสัญญาณผ่านช่องทางการสื่อสาร (Communication line) เพื่อให้ศูนย์ควบคุมไมโครกริดสามารถควบคุมไมโครกริดได้ เช่น การควบคุมความถี่ดังได้นำเสนอในบทความนี้

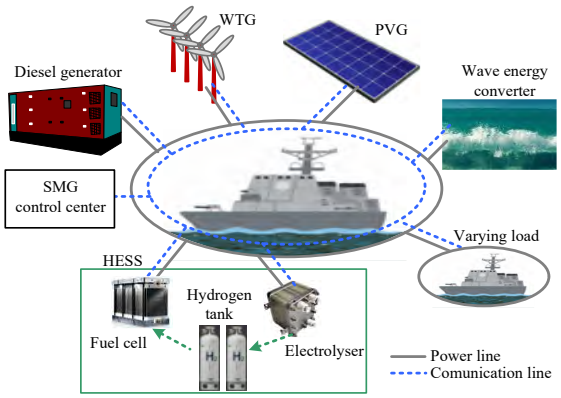

รูปที่ 1 ไมโครกริดบนเรือที่ใช้ในการศึกษา

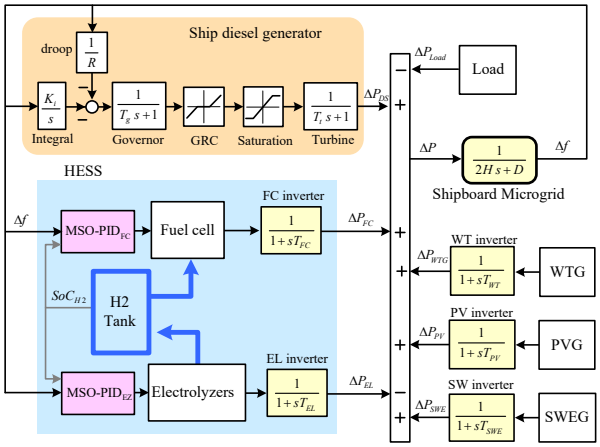

รูปที่ 2 แบบจำลองเชิงเส้นของไมโครกริดบนเรือที่ใช้ในการศึกษา

รูปที่ 2 แสดงแบบจำลองเชิงเส้นของไมโครกริดบนเรือที่ใช้ในการศึกษา ซึ่งจะเห็นว่าการเบี่ยงเบนความถี่ไมโครกริดบนเรือ (Δf) เกิดจากความไม่เท่ากันของกำลังไฟฟ้าที่ผลิตได้และกำลังไฟฟ้าที่ใช้ไป (ΔP) โดยความสัมพันธ์ระหว่างการเบี่ยงเบนของความถี่ (Δf) และการเบี่ยงเบนของกำลังไฟฟ้า (ΔP) ในไมโครกริดบนเรือสามารถแสดงได้ดังสมการ (1)

$$\Delta f = \frac{1}{2Hs + D}\Delta P \tag{1}$$

และการเบี่ยงเบนของกำลังไฟฟ้า (ΔP) สามารถแสดงได้ดังสมการ (2)-(4)

$$\Delta P = \Delta P_{DS} + \Delta P_{RES} - \Delta P_{Load} + \Delta P_{HESS} \tag{2}$$

$$\Delta P_{RES} = \Delta P_{PVG} + \Delta P_{WTG} + \Delta P_{SWEG} \tag{3}$$

$$\Delta P_{HESS} = -\Delta P_{EL} + \Delta P_{FC} \tag{4}$$

เมื่อ H คือแรงเฉื่อยไมโครกริด, D คือการหน่วง, P_{DS} คือกำลังไฟฟ้าของเครื่องกำเนิดไฟฟ้าดีเซลล์, P_{RES} คือกำลังไฟฟ้าจากเครื่องกำเนิดไฟฟ้าพลังงานหมุนเวียน, P_{Load} คือกำลังไฟฟ้าของความต้องการโหลด, P_{HESS} คือกำลังไฟฟ้าของระบบกักเก็บพลังงานไฮโดรเจน, P_{PVG} คือกำลังไฟฟ้าของเครื่องกำเนิดไฟฟ้าพลังแสงอาทิตย์, P_{WTG} คือกำลังไฟฟ้าของเครื่องกำเนิดไฟฟ้าพลังลม, P_{SWEG} คือกำลังไฟฟ้าของเครื่องกำเนิดไฟฟ้าพลังงานคลื่นทะเล, P_{EL} คือกำลังไฟฟ้าของอิเล็กโทรไลเซอร์, P_{FC} คือกำลังไฟฟ้าของเซลล์เชื้อเพลิง, และ Δ คือการเบี่ยงเบนของสัญญาณ

3. แบบจำลองระบบกักเก็บพลังงานไฮโดรเจน

ดังแสดงในรูปที่ 1 และรูปที่ 2 ระบบกักเก็บพลังงานไฮโดรเจนที่ใช้ในงานวิจัยนี้ ประกอบด้วย อิเล็กโทรไลเซอร์ (Electrolyzer: EZ), เซลล์เชื้อเพลิง (Fuel cell: FC) และถังกักเก็บไฮโดรเจน โดยอิเล็กโทรไลเซอร์ทำหน้าที่เป็นโหลด ใช้พลังงานไฟฟ้าเพื่อผลิตไฮโดรเจน [3-4] ในขณะที่เซลล์เชื้อเพลิงทำหน้าที่เป็นแหล่งกำเนิดไฟฟ้าจ่ายให้ไมโครกริด โดยมีไฮโดรเจนเป็นเชื้อเพลิงในการผลิตไฟฟ้าของเซลล์เชื้อเพลิง

แบบจำลองอิเล็กโทรไลเซอร์ (EL) ที่ใช้ในงานวิจัยนี้ เป็นแบบจำลองเชิงเส้นอย่างง่าย ประกอบด้วยค่าคงตัวทางเวลา (T_{EL}) ดังแสดงในรูปที่ 2 โดยส่วนประกอบอื่นจะไม่ขอกล่าวในที่นี้

แบบจำลองเซลล์เชื้อเพลิง (FC) ที่ใช้ในงานวิจัยนี้ เป็นแบบจำลองเชิงเส้นอย่างง่าย ประกอบด้วยค่าคงตัวทางเวลา (T_{FC}) ดังแสดงในรูปที่ 2 โดยส่วนประกอบอื่นจะไม่ขอกล่าวในที่นี้

การควบคุมระบบกักเก็บพลังงานไฮโดรเจนเพื่อทำเสถียรภาพความถี่แสดงดังรูปที่ 3 ซึ่งเป็นการควบคุมกำลังไฟฟ้าของอิเล็กโทรไลเซอร์และเซลล์เชื้อเพลิง โดยใช้ค่าการเบี่ยงเบนของความถี่ เป็นตัวเลือกว่าอุปกรณ์ตัวไหนจะทำงาน

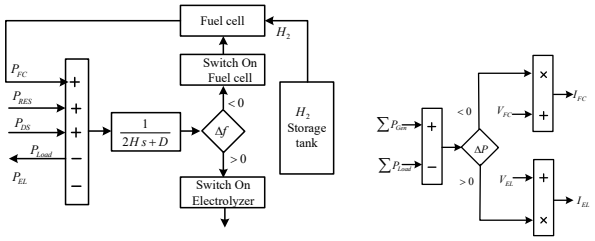

รูปที่ 3 การควบคุมระบบกักเก็บพลังงานไฮโดรเจนเพื่อทำเสถียรภาพความถี่ (ก) การควบคุมกำลังไฟฟ้า (ข) การคำนวณกระแสอ้างอิง

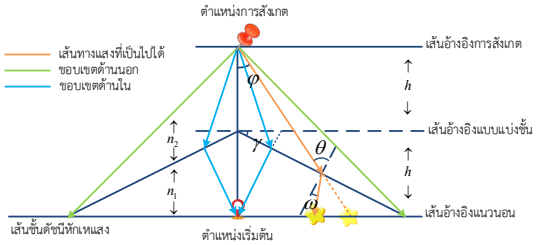

รูปที่ 4 การค้นหาภาพลวงตาเชิงล่าง

4. การหาพารามิเตอร์พีไอดีเหมาะที่สุดด้วยอัลกอริทึมภาพลวงตา

งานวิจัยนี้จะใช้อัลกอริทึมการหาค่าเหมาะที่สุดภาพลวงตา (MSO) [6-7] ทำการหาค่าพารามิเตอร์ของตัวควบคุม PID ที่เหมาะสมที่สุด โดยวัตถุประสงค์ของการควบคุมคือ การหาค่าน้อยสุดของการเบี่ยงเบนความถี่ (Δf) ปัญหาการหาค่าเหมาะสมแสดงได้ดังสมการต่อไปนี้

$$\text{Minimize } J = \int_{t_{init}}^{t_{final}} w_1 |\Delta f(t)| dt \tag{5}$$

$$\text{Subject to } K_p^{\min} \le K_p \le K_p^{\max},$$
$$K_i^{\min} \le K_i \le K_i^{\max},$$
$$K_d^{\min} \le K_d \le K_d^{\max}, 0 < n < 2$$

โดยที่ w_1 คือเวกเตอร์น้ำหนักที่ใช้กำหนดความสำคัญของค่าการเบี่ยงเบนความถี่ในแต่ละช่วงเวลา, t คือเวลาในการจำลอง, t_{init} และ t_{final} คือเวลาเริ่มต้นและเวลาสิ้นสุดของการจำลองตามลำดับ กระบวนการค้นหาค่าเหมาะสมกระทำภายใต้ข้อจำกัดของพารามิเตอร์ตัวควบคุม $K_p^{\min} \le K_p \le K_p^{\max}$, $K_i^{\min} \le K_i \le K_i^{\max}$, $K_d^{\min} \le K_d \le K_d^{\max}$ ซึ่งข้อจำกัดเหล่านี้กำหนดช่วงค่าที่เป็นไปได้ของพารามิเตอร์ เพื่อให้ได้ตัวควบคุมที่มีความเสถียรและสามารถใช้งานได้จริง

ดังนั้น ปัญหาการหาค่าเหมาะสมในงานวิจัยนี้จึงสามารถสรุปได้ว่าเป็นการใช้ MSO เพื่อปรับจูนค่าพารามิเตอร์ของตัวควบคุม PID_{FC} และ PID_{EZ} ภายใต้ฟังก์ชันวัตถุประสงค์ที่มุ่งเน้นการลดการเบี่ยงเบนของความถี่ในไมโคร กริดบนเรือ

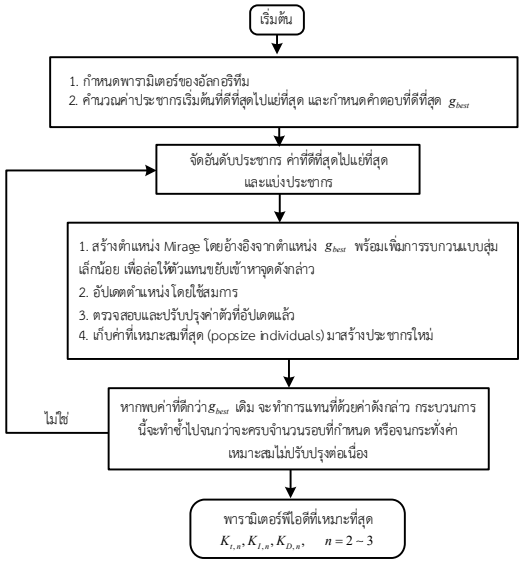

รูปที่ 5 ขั้นตอนการหาพารามิเตอร์ที่เหมาะสมของ MSO

รูปที่ 4 แสดงการค้นหาภาพลวงตาเชิงล่าง และรูปที่ 5 แสดงขั้นตอนการหาพารามิเตอร์ที่เหมาะสมของอัลกอริทึมการหาค่าเหมาะที่สุดภาพลวงตา (MSO) โดย ค่าอินพุต (Input) ประกอบด้วย จำนวนตัวแทนค้นหา (Search agents) = popsize , จำนวนรอบการทำซ้ำสูงสุด = T , มิติของตัวแปร = Dim และค่าเอาต์พุต (Output) ประกอบด้วย คำตอบที่ดีที่สุด X_{best} และค่าฟิตเนส f_{best}

5. ผลการจำลอง

ไมโครกริดบนเรือดังแสดงในรูปที่ 1 และ 2 ถูกใช้เพื่อทดสอบวิธีการที่นำเสนอ ด้วยโปรแกรม MATLAB/Simulink โดยข้อมูลไมโครกริดบนเรือที่ใช้ในการศึกษา มีค่าพารามิเตอร์ต่างๆ ดังนี้ [2]

$f_{ref} = 50$ Hz, $H = 0.1$s, $D = 0.12$ pu, $T_g = 0.1$ s,

$T_t = 0.4$ s, $R = 2.4$ Hz / pu.MW, $K_i = 0.2$ s

เพื่อให้ง่ายต่อการจำลองจึงสมมุติให้ระบบกักเก็บพลังงานไฮโดรเจนมีค่าคงตัวทางเวลาของอิเล็กโทรไลเซอร์และค่าคงตัวทางเวลาของเซลล์เชื้อเพลิงมีค่าเท่ากัน นั่นคือ $T_{EL1} = 13$ s และ $T_{FC1} = 13$ s [3] และในการหาค่าเหมาะที่สุดของตัวควบคุมพีไอดีสำหรับควบคุมอิเล็กโทรไลเซอร์ (PID_{EZ}) และเซลล์เชื้อเพลิง (PID_{FC}) พารามิเตอร์การค้นหาสำหรับอัลกอริทึมการหาค่าเหมาะที่สุดภาพลวงตา คือ ขนาดประชากร (Population size) เท่ากับ 24, จำนวนรอบการทำซ้ำสูงสุด (T) เท่ากับ 200 รอบ

รูปที่ 6 แสดงเส้นโค้งการลู่เข้า (Convergence curve) ของอัลกอริทึมการหาค่าเหมาะที่สุดภาพลวงตา ของการหาค่าเหมาะที่สุดของตัวควบคุมอิเล็กโทรไลเซอร์และเซลล์เชื้อเพลิง โดยค่าพารามิเตอร์พีไอดีเหมาะที่สุดที่หาได้คือ

MSO-PID_{FC}: $K_p = 97.0726, K_i = 0.0117, K_d = 3.2332$

MSO-PID_{EZ}: $K_p = 80.1972, K_i = 0.0102, K_d = 2.9417$

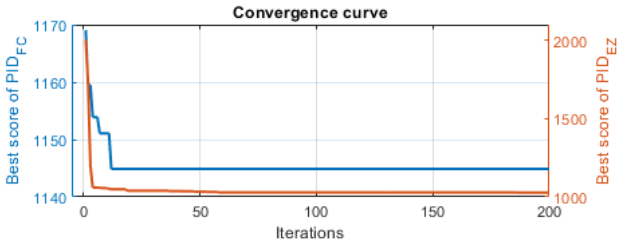

รูปที่ 6 เส้นโค้งการลู่เข้า (Convergence curve) ของ MSO

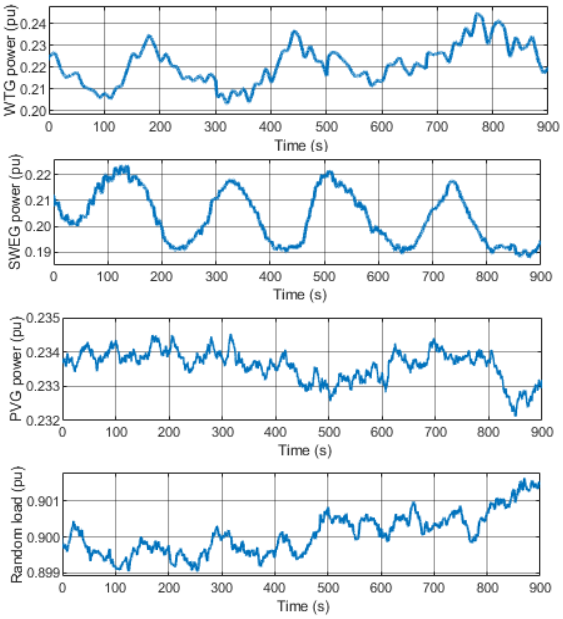

รูปที่ 7 กำลังไฟฟ้าจาก WTG, SWEG, PVG และโหลดแบบสุ่ม กรณีศึกษา

รูปที่ 7 แสดงกำลังไฟฟ้าจากเครื่องกำเนิดไฟฟ้าพลังลม (WTG), กำลังไฟฟ้าจากเครื่องกำเนิดไฟฟ้าพลังงานคลื่นทะเล (SWEG), กำลังไฟฟ้าจากเครื่องกำเนิดไฟฟ้าพลังงานแสงอาทิตย์ (PVG) และโหลดแบบสุ่ม (Random load) ของกรณีศึกษา ซึ่งจะเห็นว่ากำลังไฟฟ้าจากพลังงานคลื่นทะเลและพลังงานลมจะมีการแกว่งค่อนข้างสูง เมื่อเทียบกับการผลิตไฟฟ้าจากพลังงานแสงอาทิตย์และความต้องการโหลด ซึ่งส่งผลให้เกิดการแกว่งของความถี่อย่างรุนแรง และสามารถแก้ไขได้โดยการติดตั้งระบบกักเก็บพลังงานไฮโดรเจน ดังที่ได้เสนอในงานวิจัยนี้

โดยในการทดสอบประสิทธิภาพของวิธีการนำเสนอ จะทำการศึกษาผลของการติดตั้งระบบกักเก็บพลังงานไฮโดรเจน 3 กรณี ดังนี้

5.1 กรณีศึกษา 1: ผลของการติดตั้งเซลล์เชื้อเพลิง

ระบบไมโครกริดดังรูปที่ 1 และ 2 ได้รับการติดตั้งเฉพาะเซลล์เชื้อเพลิง แล้วทำการเปรียบเทียบ 3 กรณีคือ w/o-HESS, C-PID$_{FC}$, MSO-PID$_{FC}$ โดยที่ w/o-HESS คือไมโครกริดบนเรือที่ไม่มีการติดตั้งระบบกักเก็บพลังงานไฮโดรเจน (ไม่ติดตั้งเซลล์เชื้อเพลิง), C-PID$_{FC}$ คือไมโครกริดบนเรือที่มีการติดตั้งเซลล์เชื้อเพลิงที่ถูกควบคุมด้วยพีไอดีทั่วไป, และ MSO-PID$_{FC}$ คือไมโครกริดบนเรือที่มีการติดตั้งเซลล์เชื้อเพลิงที่ถูกควบคุมด้วยพีไอดีที่หาค่าเหมาะสมที่สุดด้วยอัลกอริทึมภาพลวงตาที่นำเสนอ

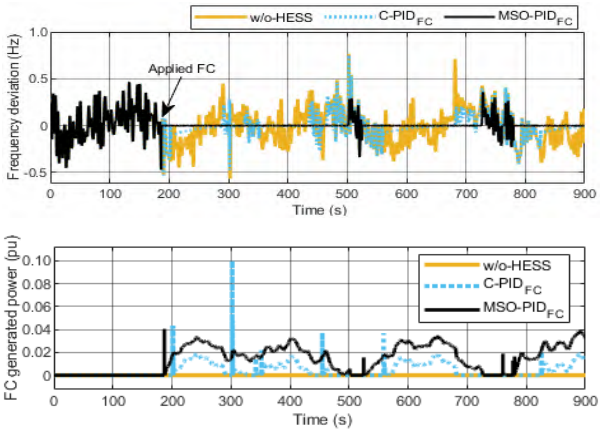

รูปที่ 8 ผลการจำลอง กรณีศึกษา 1

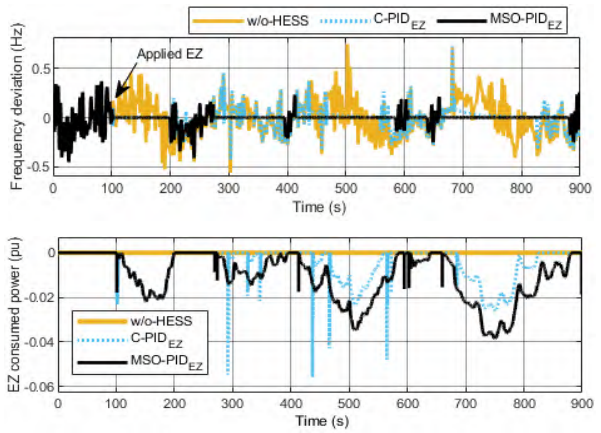

รูปที่ 9 ผลการจำลอง กรณีศึกษา 2

ผลการจำลอง กรณีศึกษา 1 แสดงดังรูปที่ 8 ซึ่งจะเห็นว่า การหาค่าเหมาะสมด้วยอัลกอริทึมภาพลวงตา ทำให้วิธีการนำเสนอ MSO-PID$_{EZ}$ มีการเบี่ยงเบนของความถี่น้อยที่สุดเมื่อเปรียบเทียบกับ C-PID$_{EZ}$ และ w/o-HESS แต่ยังมีบางช่วงที่ไม่สามารถทำเสถียรภาพความถี่ได้ตามต้องการ เนื่องจากอิเล็กโทรไลเซอร์ไม่สามารถจ่ายไฟเข้าระบบได้ ทำให้ความถี่ในช่วงดังกล่าว มีขนาดเท่ากับกรณี w/o-HESS

5.2 กรณีศึกษา 2: ผลของการติดตั้งอิเล็กโทรไลเซอร์

ระบบไมโครกริดดังรูปที่ 1 และ 2 ได้รับการติดตั้งเฉพาะอิเล็กโทรไลเซอร์ แล้วทำการศึกษาเปรียบเทียบ 3 กรณีคือ w/o-HESS, C-PID$_{EZ}$, MSO-PID$_{EZ}$ โดยที่ w/o-HESS คือไมโครกริดบนเรือที่ไม่มีการติดตั้งระบบกักเก็บพลังงานไฮโดรเจน (ไม่ติดตั้งอิเล็กโทรไลเซอร์), C-PID$_{EZ}$ คือไมโครกริดบนเรือที่มีการติดตั้ง อิเล็กโทรไลเซอร์ที่ถูกควบคุมด้วยพีไอดีทั่วไป, และ MSO-PID$_{EZ}$ คือไมโครกริดบนเรือที่มีการติดตั้งอิเล็กโทรไลเซอร์ที่ถูกควบคุมด้วยพีไอดีที่หาค่าเหมาะสมที่สุดด้วยอัลกอริทึมภาพลวงตาที่นำเสนอ

ผลการจำลอง กรณีศึกษา 2 แสดงดังรูปที่ 9 ซึ่งจะเห็นว่า การหาค่าเหมาะสมด้วยอัลกอริทึมภาพลวงตา ทำให้วิธีการนำเสนอ MSO-PID$_{FC}$ มีการเบี่ยงเบนของความถี่น้อยที่สุดเมื่อเปรียบเทียบกับ C-PID$_{FC}$ และ w/o-

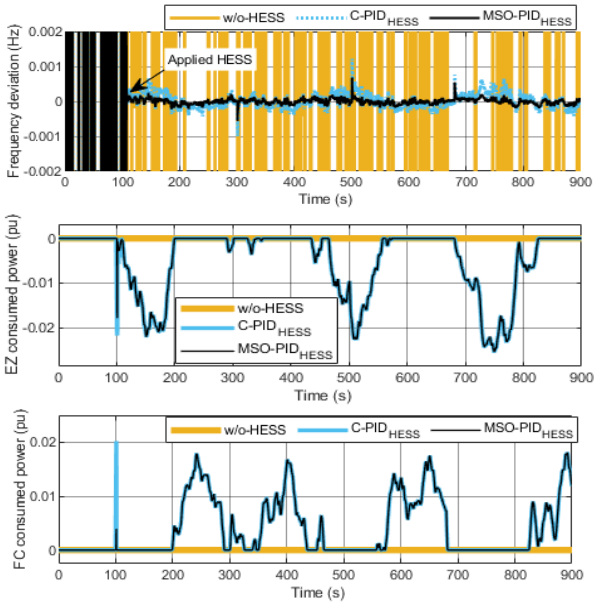

รูปที่ 10 ผลการจำลอง กรณีศึกษา 3

HESS แต่ยังมีบางช่วงที่ไม่สามารถลดการเบี่ยงเบนความถี่ไมโครกริดได้ตามต้องการ เนื่องจากเซลล์เชื้อเพลิงไม่สามารถใช้กำลังไฟฟ้าเพื่อลดการเบี่ยงเบนของความถี่ได้ ทำให้ความถี่ในช่วงดังกล่าว มีขนาดเท่าๆ กับกรณี w/o-HESS

5.3 กรณีศึกษา 3: ติดตั้งทั้งอิเล็กโทรไลเซอร์และเซลล์เชื้อเพลิง

ระบบไมโครกริดดังรูปที่ 1 และ 2 ได้รับการติดตั้งทั้งอิเล็กโทรไลเซอร์และเซลล์เชื้อเพลิง แล้วทำการเปรียบเทียบ 3 กรณีคือ w/o-HESS, C-PID_{HESS}, MSO-PID_{HESS} โดยที่ w/o-HESS คือไมโครกริดบนเรือที่ไม่มีการติดตั้งระบบกักเก็บพลังงานไฮโดรเจน (ไม่ติดตั้งทั้งอิเล็กโทรไลเซอร์และเซลล์เชื้อเพลิง), C-PID_{HESS} คือไมโครกริดบนเรือที่มีการติดตั้งระบบกักเก็บพลังงานไฮโดรเจนที่ถูกควบคุมด้วยพีไอดีทั่วไป, และ MSO-PID_{HESS} คือไมโครกริดบนเรือที่มีการติดตั้งระบบกักเก็บพลังงานไฮโดรเจนที่ถูกควบคุมด้วยพีไอดีที่หาค่าเหมาะสมที่สุดด้วยอัลกอริทึมภาพลวงตาที่นำเสนอ

ผลการจำลอง กรณีศึกษา 3 แสดงดังรูปที่ 10 ซึ่งจะเห็นว่า MSO-PID_{HESS} และ C-PID_{HESS} สามารถทำเสถียรภาพความถี่ได้ดีกว่า w/o-HESS นอกจากนี้ผลการจำลองยังแสดงให้เห็นว่า การใช้อิเล็กโทรไลเซอร์ ร่วมกับเซลล์เชื้อเพลิง (ที่เรียกว่า HESS) สามารถลดการเบี่ยงเบนของความถี่ได้ดีกว่าการใช้อิเล็กโทรไลเซอร์หรือเซลล์เชื้อเพลิงอย่างใดอย่างหนึ่ง เมื่อตัวควบคุมเป็นพีไอดีที่หาค่าเหมาะที่สุดด้วยอัลกอริทึมหาค่าเหมาะที่สุดภาพลวงตาที่นำเสนอ

นอกจากนี้ผลการจำลองทั้ง 3 กรณีศึกษา ยังแสดงให้เห็นว่า ตัวควบคุมพีไอดีที่หาค่าเหมาะสมด้วยอัลกอริทึมหาค่าเหมาะสมภาพลวงตา (MSO-PID) สามารถลดการเบี่ยงเบนความถี่ไมโครกริดบนเรือได้ดีกว่าพีไอดีทั่วไป (C-PID)

6. สรุปผล

บทความนี้ได้นำเสนอการควบคุมระบบกักเก็บพลังงานไฮโดรเจนด้วยพีไอดีแบบเหมาะที่สุดเพื่อรักษาเสถียรภาพความถี่ในไมโครกริดบนเรือ โดยตัวหาค่าเหมาะที่สุดภาพลวงตา (Mirage search optimization: MSO) ถูกใช้เพื่อหาค่าพารามิเตอร์ที่เหมาะที่สุดของตัวควบคุมพีไอดี (Proportional-integral-derivative: PID) โดยวัตถุประสงค์ของการหาค่าเหมาะสมคือ เพื่อลดการเบี่ยงเบนของความถี่ไมโครกริดบนเรือ ผลการจำลองแสดงให้เห็นว่า MSO-PID ที่นำเสนอ มีประสิทธิภาพเหนือกว่าพีไอดีทั่วไป นอกจากนี้ การใช้ระบบกักเก็บพลังงานไฮโดรเจนยังสามารถลดการเบี่ยงเบนของความถี่ได้ดีกว่าการใช้เพียงอิเล็กโทรไลเซอร์หรือเซลล์เชื้อเพลิงเพียงอย่างเดียว

เอกสารอ้างอิง

[1] M.-H. Khooban, T. Dragicevic, F. Blaabjerg and M. Delimar, “Shipboard microgrids: a novel approach to load frequency control,” *IEEE Trans. Sustain. Ener.,* vol. 9, no. 2, pp. 843-852, 2018.

[2] B. Yildirim, M. Gheisarnejad and M. H. Khooban, “Delay-dependent stability analysis of modern shipboard microgrids,” *IEEE Trans. Circuits Syst. I: Regular Papers*, vol. 68, no. 4, pp. 1693-1705, April 2021.

[3] M.B. Hossain et al., “Power system dynamic performance analysis based on frequency control by proton exchange membrane electrolyzers,” *IEEE Trans. Ind. Appl.,* vol. 59, no. 4, pp. 4998-5008, 2023.

[4] C. Peter, E. Vrettos, and F.N. Buchi, “Polymer electrolyte membrane electrolyzer and fuel cell system characterization for power system frequency control,” *Electrical Power Ener. Syst*., vol. 141, no. 108121, pp. 1-10, 2022.

[5] K.V. Vidyanandan and N. Senroy, “Frequency regulation in microgrid using wind-fuel cell-diesel generator,” 2012 IEEE Power and Energy Society General Meeting, San Diego, CA, USA, pp. 1-8, 2012.

[6] A. Sadegheih and A. Khosravi, “Mirage search optimization (MSO): a novel nature-inspired algorithm for solving optimization problems,” *Applied Soft Computing*, vol. 131, p. 109713, 2022.

[7] D. Deepak, S. P. Simon, and G. Mallesham, “Application of mirage search optimization for controller tuning in power electronic systems,” *Proc. IEEE Int. Conf. Power Elect., Drives Ener. Syst. (PEDES)*, Jaipur, India, Dec. 2024, pp. 1-6.

ภูวดล พิมพิลา สำเร็จการศึกษาระดับปริญญาตรี สาขาวิศวกรรมไฟฟ้า มหาวิทยาลัยพะเยา ปัจจุบันกำลังศึกษาระดับปริญญาโท สาขาวิชาวิศวกรรมไฟฟ้า คณะวิศวกรรมศาสตร์ มหาวิทยาลัยพะเยา สนใจงานวิจัยด้านการควบคุมระบบไฟฟ้ากำลัง การควบคุมความถี่ ไมโครกริด และสมาร์ทกริด

ขวัญชัย สกุลตา สำเร็จการศึกษาระดับปริญญาตรี สาขาวิศวกรรมไฟฟ้า ปี พ.ศ. 2564 ปัจจุบันกำลังศึกษาระดับปริญญาโท สาขาวิชาวิศวกรรมไฟฟ้า คณะวิศวกรรมศาสตร์ มหาวิทยาลัยพะเยา สนใจงานวิจัยด้านการควบคุมระบบไฟฟ้ากำลัง การควบคุมความถี่ ไมโครกริด และสมาร์ทกริด

เชวศักดิ์ รักเป็นไทย สำเร็จการศึกษาปริญญาตรี โท และเอก ในสาขาวิศวกรรมไฟฟ้า จากมหาวิทยาลัยเชียงใหม่ ขณะนี้เป็นศาสตราจารย์ประจำที่สาขาวิชาวิศวกรรมไฟฟ้า คณะวิศวกรรมศาสตร์ มหาวิทยาลัยพะเยา สนใจงานวิจัยด้านการประมาณสถานะของระบบไฟฟ้ากำลัง การควบคุมระบบ และอิเล็กทรอนิกส์กำลัง

จงลักษณ์ พาหะซา สำเร็จการศึกษาปริญญาเอกในสาขาวิศวกรรมไฟฟ้า จาก สถาบันเทคโนโลยีพระจอมเกล้าเจ้าคุณทหารลาดกระบัง ขณะนี้เป็นรองศาสตราจารย์ ประจำที่สาขาวิชาวิศวกรรมไฟฟ้า คณะวิศวกรรมศาสตร์ มหาวิทยาลัยพะเยา สนใจงานวิจัยด้านการควบคุมความถี่ การควบคุมอัจฉริยะ ไมโครกริด และสมาร์ทกริด

การวิเคราะห์เงื่อนไขทางเทคนิคเพื่อคุ้มครองการรบกวนจากระบบโทรคมนาคมที่มีต่อหอสังเกตการณ์ดาราศาสตร์วิทยุแห่งชาติ

The Analysis of Technical Conditions to Protect Thai National Radio Astronomy Observatory from Interference Caused by Telecommunication Systems

ถิรพิรุฬห์ ทองคำวิฑูรย์ และ ศุภณัฐ จุฑาเจริญวงศ์

สำนักบริหารคลื่นความถี่ สำนักงานคณะกรรมการกิจการกระจายเสียง กิจการโทรทัศน์ และกิจการโทรคมนาคมแห่งชาติ

thirapiroon.t@nbtc.go.th supanath.j@nbtc.go.th

บทคัดย่อ

บทความนี้นำเสนอการศึกษาเพื่อกำหนดเกณฑ์ทางเทคนิคที่เหมาะสมเพื่อให้การคุ้มครองการรบกวนแก่หอสังเกตการณ์ดาราศาสตร์วิทยุแห่งชาติ จากการรบกวนที่เกิดจากระบบโทรคมนาคมในพื้นที่ข้างเคียง โดยใช้การวิเคราะห์สมดุลลิงก์ (Link Budget) การจำลองแบบมอนติคาร์โล (Monte Carlo Simulation) และการจำลองการแพร่กระจายคลื่นที่ผ่านภูมิประเทศโดยใช้ข้อมูลทางภูมิศาสตร์ ผลการศึกษาช่วยให้เข้าใจเงื่อนไขเพื่อใช้ประกอบการพิจารณากำหนดหลักเกณฑ์ทางเทคนิคเพื่อคุ้มครองการรบกวน เช่น ระยะเว้นการตั้งสถานี ผลของแนวป้องกันทางภูมิศาสตร์ โอกาสเกิดการรบกวนจากจำนวนของอุปกรณ์ที่ใช้งานเพิ่มขึ้นในพื้นที่ใกล้เคียง ซึ่งเงื่อนไขทางเทคนิคเหล่านี้ จะสนับสนุนการพัฒนากฎระเบียบเพื่อให้โครงสร้างพื้นฐานด้านวิทยาศาสตร์และโทรคมนาคมสามารถพัฒนาไปพร้อมกันอย่างสมดุลในประเทศไทย

คำสำคัญ: ดาราศาสตร์วิทยุ, การป้องกันการรบกวน, สมดุลลิงก์, การจำลองแบบมอนติคาร์โล, การจำลองภูมิประเทศ, นโยบายคลื่นความถี่

Abstract

This paper presents studies to determine technical conditions for the protection of the Thai National Radio Astronomy Observatory (TNRO) from interference caused by telecommunication systems. The approach investigates link budget analysis, Monte Carlo simulation, and terrain-aware propagation modeling using geographic data. The results provide insights to better understand technical conditions such as station separation distances, geographical shielding, and the probability of interference relative to the number of devices in nearby areas. These conditions will support the development of regulations that enable coexistence between scientific and telecommunication infrastructure, fostering balanced technological growth in Thailand.

Keywords: Radio astronomy, interference protection, link budget, Monte Carlo analysis, terrain modeling, spectrum policy

1. บทนำ

ดาราศาสตร์วิทยุ (Radio Astronomy) เป็นสาขาหนึ่งของดาราศาสตร์ที่ศึกษาเกี่ยวกับวัตถุท้องฟ้าและปรากฏการณ์ธรรมชาติผ่านการตรวจจับและวิเคราะห์คลื่นแม่เหล็กไฟฟ้าในย่านความถี่วิทยุ โดยเฉพาะในช่วงความถี่เมกะเฮิรตซ์ (MHz) จนถึงหลายร้อยกิกะเฮิรตซ์ (GHz) ซึ่งใช้เป็นข้อมูลในการศึกษาวิจัยดาราศาสตร์และสังเกตการณ์เทหะวัตถุร่วมกับการศึกษาดาราศาสตร์เชิงแสง (Optical Astronomy) ผ่านการเก็บข้อมูลและวิเคราะห์กิจกรรมในห้วงอวกาศจากแสงในย่านความถี่ที่ตามองเห็น (visible light) ทั้งนี้ ข้อมูลทางดาราศาสตร์วิทยุจะถูกเก็บจากอุปกรณ์ภาครับของหอสังเกตการณ์ดาราศาสตร์วิทยุ (radioastronomy observatory) ซึ่งจะรับคลื่นวิทยุซึ่งมีระดับความแรงสัญญาณต่ำจากห้วงอวกาศก่อนนำไปขยายขนาดสัญญาณและประมวลผลต่อเพื่อแปลผลการสังเกตการณ์ ทั้งนี้การใช้งานดังกล่าวมีลักษณะพาสซีฟ (passive) หรือรับสัญญาณเพียงอย่างเดียว และมีความอ่อนไหวสูงต่อการถูกรบกวนทางแม่เหล็กไฟฟ้า

ปัจจุบัน สถาบันวิจัยดาราศาสตร์แห่งชาติ (องค์การมหาชน) (สดร.) ได้ดำเนินโครงการพัฒนาเครือข่ายดาราศาสตร์วิทยุและยีออเดซี่ ในพื้นที่ของศูนย์การศึกษาการพัฒนาห้วยฮ่องไคร้อันเนื่องมาจากพระราชดำริ อำเภอดอยสะเก็ด จังหวัดเชียงใหม่ ซึ่งประกอบด้วยกล้องโทรทรรศน์วิทยุขนาดเส้นผ่านศูนย์กลาง 40 เมตร และกล้องโทรทรรศน์วิทยุขนาดเส้นผ่านศูนย์กลาง 13 เมตร เพื่อเป็นโครงสร้างพื้นฐานที่สำคัญทางวิทยาศาสตร์และเทคโนโลยีของประเทศไทย โดยได้สรุปการศึกษาและดำเนินโครงการเพื่อตั้งหอสังเกตการณ์ดาราศาสตร์วิทยุ และสำรวจสภาพระดับการรบกวนทางคลื่นวิทยุ (Radio Frequency Interference: RFI) เพื่อพิจารณาเลือกสถานที่ตั้งที่เหมาะสมไว้ในบทความ [1] และ [2] ตามลำดับ

สำนักงานคณะกรรมการกิจการกระจายเสียง กิจการโทรทัศน์ และกิจการโทรคมนาคมแห่งชาติ (สำนักงาน กสทช.) มีภารกิจตามกฎหมายในการคุ้มครองไม่ให้เกิดการรบกวนระหว่างการใช้คลื่นความถี่ในกิจการต่างๆ ซึ่งรวมถึงการรบกวนจากการใช้คลื่นความถี่เพื่อรองรับกิจกรรมทางโทรคมนาคมต่อหอสังเกตการณ์ดาราศาสตร์วิทยุ งานวิจัยนี้จึงเป็นส่วนหนึ่งของการศึกษาเพื่อประกอบการพิจารณากำหนดหลักเกณฑ์ทางเทคนิคพารามิเตอร์ที่สำคัญ และแนวทางการใช้งานที่เกี่ยวข้องเพื่อให้การใช้คลื่นความถี่ในกิจการโทรคมนาคมในพื้นที่ใกล้เคียงไม่ก่อให้เกิดการรบกวนต่อภาครับของหอสังเกตการณ์ดาราศาสตร์วิทยุ ดังกล่าว

บทความนี้ แบ่งออกเป็น 5 หัวข้อ โดยหัวข้อที่ 1 และ 2 นำเสนอบทนำและงานวิจัยที่เกี่ยว หัวข้อที่ 3 อธิบายถึงการวิเคราะห์การรบกวน ผลการจำลองและบทสรุปจะถูกนำเสนอในหัวข้อที่ 4 และ 5 ตามลำดับ

2. งานวิจัยที่เกี่ยวข้อง

การให้การคุ้มครองให้กับการใช้งานในกิจการดาราศาสตร์วิทยุ (Radio Astronomy Service: RAS) จากการรบกวนที่เกิดจากระบบโทรคมนาคมในพื้นที่ใกล้เคียงเป็นประเด็นที่ได้รับความสนใจอย่างต่อเนื่องทั้งในระดับงานวิจัยและด้านการกำกับดูแลในระดับนานาชาติ ซึ่งหลักเกณฑ์ทางเทคนิคที่ถูกใช้เป็นมาตรฐานอ้างอิงระดับสากล สำหรับกำหนดกฎระเบียบในประเทศต่างๆ เพื่อให้การคุ้มครองการรบกวนที่มีแหล่งกำเนิดจากระบบโทรคมนาคมที่อยู่ในระดับส่งผลกระทบต่อการสังเกตการณ์ทางดาราศาสตร์วิทยุ ได้แก่ เอกสารข้อเสนอแนะ ITU-R Recommendation RA.769 [3] ของสหภาพโทรคมนาคมระหว่างประเทศ (International Telecommunication Union: ITU) ซึ่งใช้

ประเมินความสามารถในการร่วมใช้คลื่นความถี่และเข้ากันได้ (sharing and compatibility) ระหว่างกิจการดาราศาสตร์วิทยุที่ใช้งานแบบพาสซีฟ (passive) และระบบโทรคมนาคมที่ใช้งานแบบแอคทีฟ (active) และ ITU-R Report RA.2332 [4] ได้ศึกษาค่าพารามิเตอร์ที่เหมาะสม เช่น ขีดจำกัดกำลังส่ง และระยะเว้นใช้งานเพื่อป้องกันการรบกวน (separation distance) ระหว่างสถานีดาราศาสตร์วิทยุและสถานีฐานทางโทรคมนาคมในกิจการโทรคมนาคมเคลื่อนที่สากล (International Mobile Telecommunications: IMT) หรือ 4G/5G เพื่อให้การคุ้มครองการรบกวนให้กับการใช้งานทางดาราศาสตร์วิทยุ

งานวิจัย [5] ได้ศึกษาแนวทางบรรเทาการรบกวนจากคลื่นวิทยุ (Radio frequency Interference: RFI) โดยใช้วิธีการกำกับดูแล (regulatory approach) ประกอบกับกรรมวิธีการประมวลผลสัญญาณเพื่อตัดเอาสัญญาณรบกวนออกจากภาครับในกิจการดาราศาสตร์วิทยุ ในขณะที่งานวิจัย [6] ได้ศึกษาวิธีการควบคุมกำลังส่งของสถานีฐานในระบบ 5G และจำกัดการแพร่แปลกปลอมนอกย่าน (out-of-band emission) เพื่อป้องกันการรบกวนดังกล่าว การศึกษาวิเคราะห์ผลของการรบกวนจากสถานีฐานภาคพื้นดินในระบบ 6G ที่มีต่อระบบตรวจจับสัญญาณแบบพาสซีฟในกิจการสำรวจพิภพผ่านดาวเทียมและระบบดาราศาสตร์วิทยุ ได้ถูกนำเสนอในงานวิจัยของ P. Testolina et al [7]

3. การวิเคราะห์การรบกวน

3.1 ปัจจัยที่เกี่ยวข้อง

3.1.1 คลื่นความถี่

การตรวจรับสัญญาณด้วยกล้องโทรทรรศน์วิทยุมีวัตถุประสงค์หลักเพื่อตรวจรับสัญญาณและข้อมูลที่ไม่สามารถตรวจรับได้จากการสังเกตการณ์โดยใช้แสงที่ตามนุษย์มองเห็น โดยสามารถตรวจจับสัญญาณจากวัตถุในอวกาศที่ปล่อยคลื่นวิทยุ เช่น ก๊าซไฮโดรเจน พัลซาร์ หลุมดำ และกาแล็กซีที่อยู่ห่างไกล ซึ่งมีความสำคัญต่อการทำความเข้าใจโครงสร้างองค์ประกอบทางเคมี และวิวัฒนาการของเอกภพ ดังนั้น ในบริบทของการศึกษาทางดาราศาสตร์วิทยุจึงต้องการรับสัญญาณทุกช่วงความถี่ให้กว้างที่สุดที่จะเป็นไปได้ ในขณะเดียวกัน มนุษย์มีความจำเป็นต้องใช้คลื่นความถี่ในการสื่อสารโทรคมนาคมและการประยุกต์ใช้อื่นทางวิทยาศาสตร์ ประเทศสมาชิกของสหภาพโทรคมนาคมระหว่างประเทศ (ITU) จึงร่วมกำหนดคลื่นความถี่สงวนตามคุณสมบัติทางฟิสิกส์ที่มีความสำคัญยิ่งยวดต่อการวิจัยทางดาราศาสตร์วิทยุ และกำหนดไว้ในข้อ RR. 5.340 ของข้อบังคับวิทยุระหว่างประเทศ (Radio Regulations) โดยห้ามระบบใดๆ ที่มนุษย์สร้างขึ้นแพร่คลื่นความถี่ในย่านต่อไปนี้ ตามตัวอย่างซึ่งแสดงในตารางที่ 1

เนื่องจาก ข้อบังคับวิทยุระหว่างประเทศถูกบังคับใช้ในระดับสากลโดยทั่วไป ส่งผลให้ไม่มีระบบโทรคมนาคมใดถูกออกแบบให้ใช้คลื่นความถี่สงวนดังกล่าว อย่างไรก็ตาม ยังมีคลื่นความถี่อื่นที่สำคัญต่อการศึกษาดาราศาสตร์วิทยุ แต่ต้องร่วมใช้คลื่นความถี่ซ้อนทับกับกิจการอื่นที่สำคัญ โดยประเทศต่างๆ ต้องพิจารณาออกกฎระเบียบเพิ่มเติมสำหรับการใช้คลื่นความถี่ร่วมกัน (sharing and compatibility) ให้เข้ากับบริบทของตน เช่น กรณีในประเทศไทย ได้แก่ คลื่นความถี่ย่าน 1718.80 - 1722.20 MHz ที่ตรงกับคลื่นความถี่ที่ใช้สำหรับระบบโทรศัพท์เคลื่อนที่ย่าน 1800 MHz นอกจากนี้ ถึงแม้ไม่มีการใช้งานคลื่นความถี่ตรงกับย่านที่กล้องโทรทรรศน์วิทยุได้รับการคุ้มครองโดยตรง แต่การรบกวนอาจเกิดขึ้นได้จากการใช้คลื่นความถี่ข้างเคียง (adjacent bands) และการแพร่ออกนอกย่านความถี่ใช้งานที่เกิดจากลักษณะทางเทคนิคของอุปกรณ์ภาคส่งที่ไม่สมบูรณ์

ตารางที่ 1 ตัวอย่างรายการคลื่นความถี่ที่สงวนห้ามมิให้มีการแพร่คลื่นความถี่ตามข้อบังคับ RR. 5.340 ของข้อบังคับวิทยุระหว่างประเทศ

ย่านความถี่ (MHz / GHz)	รายละเอียด / การใช้งานทางดาราศาสตร์
1400-1427 MHz	เส้นไฮโดรเจน (Hydrogen line); สำคัญในการศึกษาก๊าซไฮโดรเจนในกาแล็กซีและเอกภพ
10.6-10.68 GHz	การรับสัญญาณต่อเนื่อง (continuum); ใช้ในการศึกษาอวกาศห้วงลึก (deep space)
23.6-24.0 GHz	ไอน้ำในชั้นบรรยากาศ; ใช้ในการศึกษาดาราศาสตร์และสภาพอากาศ
31.3-31.8 GHz	การวัดการแผ่รังสีต่อเนื่อง; สำคัญในการศึกษารังสีไมโครเวฟพื้นหลังของจักรวาล
86-92 GHz	การศึกษาคลื่นมิลลิเมตร เช่น โมเลกุลคาร์บอนมอนอกไซด์ (CO)
100-102 GHz	การวัดคลื่นสเปกตรัมละเอียด; ใช้ศึกษาคุณสมบัติของวัตถุท้องฟ้า
109.5-111.8 GHz	การสังเกตโมเลกุลในกลุ่มเมฆระหว่างดวงดาว
114.25-116 GHz	การศึกษารังสีจากฝุ่นและโมเลกุลในจักรวาล
148.5-151.5 GHz	การศึกษาดาราศาสตร์ความถี่สูง (submillimeter)
164-167 GHz	การแผ่รังสีจากฝุ่นและการเปลี่ยนระดับพลังงานของโมเลกุล
167-174.8 GHz	ใช้ในงานวิจัยด้านคลื่นต่อเนื่องและคลื่นสเปกตรัม
200-231.5 GHz	การศึกษาดาราศาสตร์ความถี่สูง (submillimeter)
250-252 GHz	การศึกษาวัตถุท้องฟ้าในระดับความถี่สูงมาก

3.1.2 ลักษณะทางเทคนิคของอุปกรณ์ภาคส่ง

ลักษณะทางเทคนิคและสภาพการใช้งานภาคส่งในอุปกรณ์โทรคมนาคม มีโอกาสก่อให้เกิดสัญญาณรบกวนวิทยุ (RFI) ต่อ ภาครับดาราศาสตร์วิทยุที่มีความไวสูง และถูกออกแบบมาเพื่อรับสัญญาณจากอวกาศที่อ่อนมาก โดยปัจจัยที่สำคัญมีดังนี้

1) กำลังส่ง (Transmit Power): อุปกรณ์ภาคส่งที่มีกำลังส่งสูงจะมีระยะครอบคลุมของการแพร่สัญญาณที่ไกล และเพิ่มโอกาสที่สัญญาณรบกวนในระดับที่เกินกำหนดต่อกล้องโทรทรรศน์วิทยุได้

2) การแพร่สัญญาณนอกย่านความถี่ (Out-of-Band Emissions – OOBE): ระบบโทรคมนาคมไม่เพียงแค่แพร่สัญญาณในย่านความถี่ที่ได้รับอนุญาตเท่านั้น แต่ยังแพร่ออกนอกย่านด้วย เนื่องจากความไม่สมบูรณ์ของวงจรกรองสัญญาณ (filter) ความไม่เชิงเส้นในวงจร หรือ การรั่วไหลของสเปกตรัมและฮาร์โมนิค (Spectral Leakage and Harmonics) การแพร่สัญญาณเหล่านี้อาจทับซ้อนกับย่านความถี่ที่สงวนไว้สำหรับดาราศาสตร์วิทยุ โดยเฉพาะเมื่อไม่มีแถบความถี่ป้องกัน (guard bands) มากเพียงพอ

3) ลักษณะทางเทคนิคอื่น เช่น เทคนิคการมอดูเลต (Modulation Techniques) ความต่อเนื่องหรืออัตราการใช้งานของอุปกรณ์ลูกข่าย ลักษณะและทิศทางของเสาอากาศ (Antenna Characteristics and Orientation) โดยเสาอากาศที่มีกำลังขยายสูงและชี้ไปยังกล้องโทรทรรศน์วิทยุ หรือตั้งอยู่บนที่สูง เช่น หอสูงหรือดาวเทียม สามารถก่อให้เกิดการรบกวนแบบทิศทางเข้มข้นได้

3.1.3 ลักษณะทางเทคนิคของอุปกรณ์ภาครับ

ลักษณะทางเทคนิคของอุปกรณ์ภาครับของกล้องโทรทรรศน์วิทยุมีบทบาทสำคัญต่อความไวต่อการถูกรบกวนจากสัญญาณรบกวนทางคลื่นความถี่วิทยุ (RFI) โดยตรง ระบบรับสัญญาณที่มีความไวสูงซึ่งจำเป็นสำหรับตรวจจับสัญญาณจักรวาลที่อ่อนมากจะมีโอกาสถูกรบกวนได้ง่ายแม้

สัญญาณรบกวนจะมีระดับต่ำก็ตาม อุปกรณ์ภาครับที่มีช่วงไดนามิกกว้าง (High Dynamic Range) จะช่วยให้สามารถรับสัญญาณดาราศาสตร์ที่อ่อนมากควบคู่กับสัญญาณรบกวนที่แรงกว่าได้โดยไม่เกิดความเพี้ยนหรือการอิ่มตัวของกำลังขยาย (gain compression) ระบบที่มีความเป็นเชิงเส้นสูง (High Linearity) และมีการติดตั้ง และใช้อุปกรณ์ขยายสัญญาณรบกวนต่ำ (Low Noise Amplifier: LNA) จะทำให้มีความต้านทานในการป้องกันการรบกวนจากอินเตอร์มอดดูเลชั่น (intermodulation) ของสถานีฐานที่มีภาคส่งกำลังส่งที่อยู่ใกล้เคียง ทั้งนี้ ลักษณะทางเทคนิคและสถานะปัจจุบันของพารามิเตอร์ที่เกี่ยวข้องของอุปกรณ์ภาครับของกล้องโทรทรรศน์วิทยุ 40 เมตร ที่ติดตั้ง ณ หอสังเกตการณ์ดาราศาสตร์วิทยุแห่งชาติ และสภาพการถูกรบกวนในปัจจุบันมีรายละเอียดปรากฏตาม [8]

3.1.4 ลักษณะภูมิประเทศ

ลักษณะของภูมิประเทศมีบทบาทสำคัญอย่างยิ่งต่อการบรรเทาโอกาสของการถูกรบกวน โดยเฉพาะลักษณะภูมิประเทศที่มีที่ตั้งอยู่ในหุบเขาลึกหรือล้อมรอบด้วยเทือกเขา (Radio Shielded Basin) จะได้รับการลดทอนสัญญาณที่แพร่เข้ามาจากภายนอกโดยธรรมชาติ การอยู่ห่างจากแหล่งชุมชนหรือเมืองใหญ่จะช่วยลดโอกาสการถูกรบกวนจากสัญญาณโทรคมนาคมและอุปกรณ์อิเล็กทรอนิกส์ต่าง ๆ เป็นพื้นที่โล่งที่ไม่มีตึกสูงหรือโครงสร้างโลหะช่วยลดการเกิดคลื่นสะท้อน (multipath interference) และควรเป็นบริเวณที่อากาศแห้งและความชื้นต่ำซึ่งจะช่วยลดช่วยลดการดูดกลืนคลื่นความถี่ที่ย่านที่สูงกว่า 10 GHz

สถาบันวิจัยดาราศาสตร์แห่งชาติ ได้เลือกที่ตั้งของหอสังเกตการณ์ดาราศาสตร์วิทยุในพื้นที่ของศูนย์การศึกษาการพัฒนาห้วยฮ่องไคร้อันเนื่องมาจากพระราชดำริ อำเภอดอยสะเก็ด จังหวัดเชียงใหม่ อยู่ห่างจากเมืองเชียงใหม่ไปทางทิศตะวันออกเฉียงเหนือประมาณ 30 กิโลเมตร และเป็นพื้นที่ในร่องเขาจึงมีปราการทางธรรมชาติช่วยป้องกันการรบกวนจากชุมชนภายนอกเขตสันเขา โดยรูปที่ 1 แสดงผลการจำลองขอบเขตพิสัยการมองเห็น (line of sight) ของอุปกรณ์ภาครับที่ติดตั้งในหอสังเกตการณ์ดาราศาสตร์วิทยุแห่งชาติ ณ ตำแหน่งความสูง 40 เมตร พบว่าหอสังเกตการณ์ดาราศาสตร์วิทยุแห่งชาติมีเทือกเขาเป็นปราการลดทอนการรบกวนที่มาจากทิศตะวันออกและทิศตะวันตกของตำแหน่งที่ตั้ง โดยขอบเขตดังกล่าวชี้ถึงขอบเขตตำแหน่งของสถานีฐานที่มีโอกาสก่อให้เกิดการรบกวนต่อกล้องดาราศาสตร์วิทยุได้

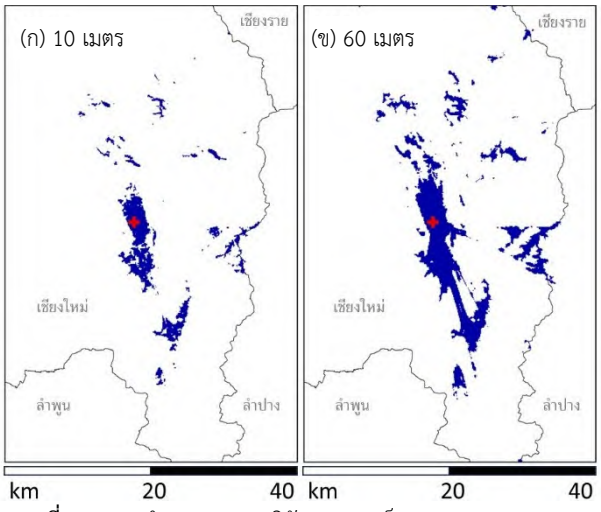

รูปที่ 1 ผลการจำลองขอบเขตพิสัยการมองเห็น (line of sight) ของอุปกรณ์ภาครับ (จุดสีแดง) ที่มีต่ออุปกรณ์ภาคส่งในพื้นที่โดยรอบ ณ ตำแหน่งความสูงสายอากาศของสถานีส่งที่ (ก) 10 เมตร และ (ข) 60 เมตร

3.2 หลักการวิเคราะห์การรบกวน

3.2.1 ระดับสัญญาณที่ก่อให้เกิดการรบกวน

การรบกวน คือ สภาพที่เกิดสัญญาณรบกวนที่ไม่ต้องการ (unwanted signal หรือ interfering signal) ปรากฏและถูกรับเข้าไปในอุปกรณ์ภาครับ (victim receiver) ในระดับที่สูงเกินจนเป็นอุปสรรคทำให้ภาครับไม่สามารถรับ หรือแยกแยะสัญญาณที่ต้องการ (Wanted Received Signal) มาใช้ประโยชน์ได้ รูปที่ 2 แสดงแผนภาพเปรียบเทียบความรุนแรงตามระดับค่าเฉลี่ยสัญญาณการรบกวนภายใต้สัญญาณรบกวนพื้นฐาน (noise floor) ใน 3 กรณี ดังนี้

กรณีที่ 1 เมื่อไม่มีสัญญาณรบกวนจากระบบอื่น และระดับความเข้มของสัญญาณที่ต้องการ (Wanted Signal Strength) ซึ่งแทนด้วยตัวแปร C มีระดับสูงกว่า noise floor (แทนด้วยตัวแปร N) เป็นสัดส่วนที่สูงกว่าค่า Signal-to-Noise Ratio (SNR) ของอุปกรณ์ภาครับ อุปกรณ์ภาครับจะสามารถแยกแยะสัญญาณที่ต้องการออกจากสัญญาณ noise floor ได้

กรณีที่ 2 เมื่อมีสัญญาณรบกวนจากระบบอื่นเข้ามายกระดับ noise floor ให้สูงขึ้น (increased noise floor) เป็นค่า $N+I$ แต่ระดับดังกล่าวยังคงมีค่าต่ำเมื่อเทียบกับระดับความเข้มของสัญญาณที่ต้องการ และค่าสัดส่วน $C/(N+I)$ ยังคงมีค่าสูงกว่าค่าระดับ SNR ของอุปกรณ์ภาครับ อุปกรณ์ภาครับจะสามารถแยกแยะสัญญาณที่ต้องการออกจากสัญญาณ noise floor ไปใช้ประโยชน์ได้

กรณีที่ 3 เมื่อมีสัญญาณรบกวนจากระบบอื่นเข้ามายกระดับ noise floor ให้สูงขึ้นในระดับสูงจนเป็นอันตราย (harmful interference) โดยมีค่าสัดส่วน $C/(N+I)$ ต่ำกว่า ค่าระดับ SNR ของอุปกรณ์ภาครับ ทำให้ระดับสัญญาณรบกวนกลบสัญญาณที่ต้องการรับจนอุปกรณ์ภาครับไม่สามารถแยกแยะสัญญาณที่ต้องการออกจากสัญญาณรบกวนได้

ในกรณีของการสังเกตการณ์ทางดาราศาสตร์วิทยุ สัญญาณที่ต้องการรับ (Wanted Signal) จะมีระดับความเข้มที่ต่ำมากเมื่อเทียบกับระดับความเข้มของสัญญาณที่มนุษย์สร้างขึ้น โดยมีระดับใกล้เคียงหรือในบางกรณีอาจต่ำกว่าระดับ noise floor $(C \approx N)$ ดังนั้น อุปกรณ์ภาครับของกล้องโทรทรรศน์วิทยุจะต้องมีความสามารถแยกแยะสัญญาณที่มีค่า SNR ที่ต่ำมาก และต้องอาศัยเทคนิคการประมวลผลสัญญาณ (signal processing) โดยการรวมสัญญาณตลอดช่วงระยะเวลาสังเกตการณ์ การกรองสัญญาณ การลบ noise floor ออกโดยใช้กระบวนการทางสถิติเพื่อให้สามารถตรวจจับสัญญาณที่รบกวนได้ ทั้งนี้ การคุ้มครองการรบกวนให้กับกิจการดาราศาสตร์วิทยุโดยการควบคุมระดับสัญญาณรบกวนให้มีระดับต่ำมากจึงมีความสำคัญ รวมถึง การควบคุมค่าจำกัดระดับสัญญาณที่ระบบโทรคมนาคมต่างๆ ที่แพร่ในคลื่นความถี่อื่นจะหลุดรั่ว (leak) ออกไปยังคลื่นความถี่กลุ่มดังกล่าวใน ITU-R Recommendation RA.769 [3]

ในการศึกษานี้ จะเลือกพิจารณาการรบกวนจากคลื่นความถี่ที่มีโอกาสก่อให้เกิดการรบกวนกับภาครับของกล้องดาราศาสตร์วิทยุ ได้มากที่สุดใน 2 กรณี คือ การใช้งานสถานีฐานในกิจการ IMT หรือระบบ 4G/5G ตามแผนความถี่ 1427-1517 MHz ในหัวข้อ 3.2.2 (adjacent band) และการรบกวนจากการส่งสัญญาณ uplink จากลูกข่ายโทรศัพท์เคลื่อนที่ในคลื่นความถี่ 1800 MHz ในหัวข้อที่ 3.2.3 (in band)

3.2.2 การรบกวนจากสถานีฐานภาคส่ง

การคุ้มครองการรบกวนจากสถานีฐานภาคส่งในระบบโทรคมนาคมซึ่งโดยทั่วไปจะมีกำลังส่งสูง ที่มีต่อกล้องดาราศาสตร์วิทยุ จะเน้นการควบคุม หรือ ประสานงานให้ระดับสัญญาณที่แพร่นอกย่าน (Out of Band Emission) ที่แพร่ออกจากสถานีฐานในบริเวณข้างเคียง ให้มีระดับต่ำมาก

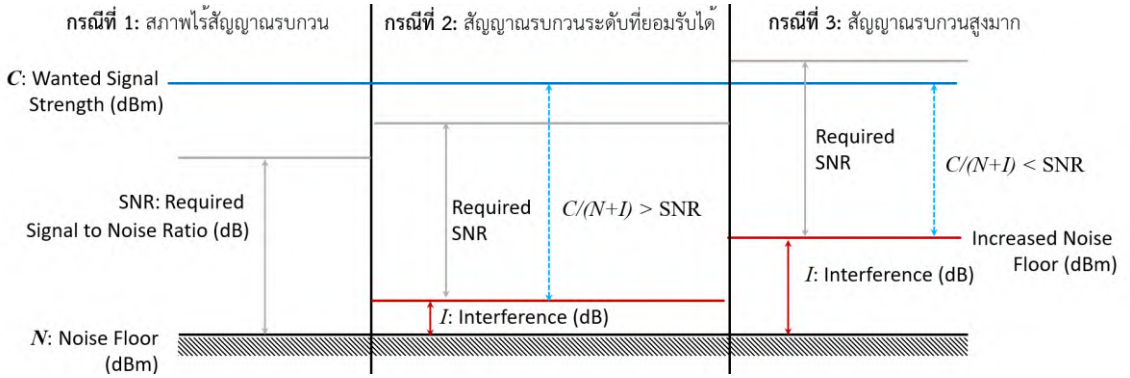

รูปที่ 2 แผนภาพเปรียบเทียบความรุนแรงของระดับสัญญาณการรบกวนภายใต้สัญญาณรบกวนพื้นฐาน (noise floor) ในกรณีที่ (ก) ปราศจากสัญญาณรบกวนที่ไม่ต้องการ (ข) สัญญาณรบกวนในระดับต่ำที่ยอมรับได้ (ค) สัญญาณรบกวนรุนแรงจนภาครับไม่สามารถรับสัญญาณได้

และไปปรากฏ ณ ตำแหน่งภาครับของกล้องดาราศาสตร์วิทยุไม่เกินค่าที่กำหนดไว้ โดยใช้วิธีการ Link Budget ประมาณค่าระดับความเข้มสัญญาณของสถานีฐานโทรคมนาคม i ซึ่งแพร่ผ่านระยะทาง d ไปปรากฏที่ภาครับของกล้องโทรทรรศน์วิทยุมีค่าตามสมการที่ (1) ดังนี้

$$I_i = P_{T,OOB,i} + G_T - L_F + G_R - L_d \quad (1)$$

โดย I_i คือ ค่าประมาณกำลังสัญญาณรบกวนของสถานีโทรคมนาคม i ที่ปรากฏ ณ ภาครับของกล้องโทรทรรศน์วิทยุ

$P_{T,OOB,i}$ คือ ค่ากำลังส่งที่แพร่ออกนอกย่าน (Out of Band Emission) ของสถานีโทรคมนาคม i ที่ไปปรากฏในย่านความถี่ของอุปกรณ์ภาครับดาราศาสตร์วิทยุ

G_T คือ ค่าขยายสายอากาศของอุปกรณ์ภาคส่ง ที่ตรงกับ ความถี่ของอุปกรณ์ภาครับดาราศาสตร์วิทยุ

G_R คือ ค่าขยายสายอากาศของอุปกรณ์ภาครับในย่านความถี่ที่พิจารณา

L_d คือ ค่าการลดทอนจากการแพร่ผ่านระยะทาง d ของย่านความถี่ที่พิจารณา

เมื่อวิเคราะห์ แนวทางป้องกันการรบกวนเฉพาะกรณี ให้กับหอสังเกตการณ์ดาราศาสตร์วิทยุแห่งชาติจากการใช้งานตามแผนความถี่ IMT ย่าน 1427-1517 MHz ซึ่งถูกกำหนดให้นำมาจัดสรรในปี พ.ศ. 2568 และเป็นการใช้ช่องความถี่ในระยะประชิดกับย่านความถี่ 1400-1427 MHz ที่กล้องโทรทรรศน์วิทยุใช้งาน ตามแผนความถี่ในรูปที่ 3

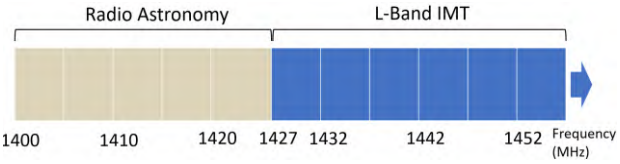

รูปที่ 3 แผนความถี่ย่าน 1427-1517 MHz ซึ่งเป็นย่านความถี่ประชิดการใช้งานภาครับของกล้องโทรทรรศน์วิทยุในย่านความถี่ 1400-1427 MHz

เมื่อพิจารณาจากขีดจำกัดกำลังสำหรับการให้การคุ้มครองการรบกวนต่อกิจการวิทยุดาราศาสตร์ตาม Recommendation ITU-R RA.769 [3] ค่ากำลังรบกวนที่ปรากฏตลอดย่านความถี่ 1400-1427 MHz ณ อุปกรณ์ภาครับ จะต้องมีค่าไม่เกิน -205 dBW ตามตารางที่ 2

เมื่อพิจารณาเปรียบเทียบกำลังส่งแพร่ออกอากาศนอกย่านมารบกวนย่านความถี่ 1400-1427 MHz ของอุปกรณ์ภาคส่งที่แตกต่างกันจำนวน 4 กรณี โดยอุปกรณ์เป็นตามข้อบังคับสากล และมีการแพร่ไม่เกินที่กำหนดไว้ตาม Out of Band Emission และ Spurious Emission ของอุปกรณ์ Class A มาตรฐาน TS 36.104 ของ 3GPP [9] รายละเอียดเป็นไปตามตารางที่ 3

ตารางที่ 2 ค่าพารามิเตอร์สำหรับอุปกรณ์ภาครับในย่านความถี่ 1400-1427 MHz ตาม Recommendation ITU-R RA.769-2

พารามิเตอร์	หน่วย	ค่าที่กำหนด
Received frequency	MHz	1400-1427
Bandwidth	MHz	27
Protection Threshold Power ตาม ITU-R RA.769-2	dBW	-205

ตารางที่ 3 ค่าจำกัดกำลังส่งซึ่งแพร่ออกนอกย่านใช้งาน (Out-of-band Emission) ไปยังตลอดย่านความถี่ 1400-1427 MHz

กรณี	ลักษณะของอุปกรณ์ภาคส่ง	ค่าจำกัดกำลังส่ง (dBW)
1	Resolution ที่ 750 ของ Radio Regulations	-72
2	Class A มาตรฐาน TS 36.104 ใช้ช่องความถี่ 1427-1432 MHz	-22.24
3	อุปกรณ์ในกรณีที่ 2 ซึ่งใช้ช่องความถี่ 1437-1442 MHz (10 MHz Guard Band)	-28.69
4	อุปกรณ์ในกรณีที่ 2 ซึ่งติด Suppression Filter ค่า 55 dB/MHz ในช่วง 1400-1427 MHz	-77.40

เมื่อนำค่าที่ประเมินได้ในตารางที่ 3 มาหาค่าระดับสัญญาณรบกวน I_i ต่อย่านความถี่ 1400-1427 MHz โดยการแทนค่าที่ได้ในตารางที่ 3 ลงใน $P_{T,OOB,i}$ ในสมการที่ (1) โดยมีสมมุติฐานว่าการสูญเสียต่างๆ (loss) ได้ถูกรวมในค่าจำกัดดังกล่าวแล้ว ประกอบกับลดทอนจากการแพร่ผ่าน L_d โดยใช้ Free Space Path Loss Model ตามสมการที่ (2)

$$L_d = 20log_{10}(d) + 20log_{10}(f) + 32.44 \quad (2)$$

โดย d คือ ค่าระยะทางระหว่างสถานีภาคส่งและสถานีภาครับของกล้องโทรทรรศน์วิทยุ

f คือ ค่าความถี่กลางที่ไปแพร่รบกวนต่อย่านความถี่ 1400-1427 MHz ซึ่งกำหนดค่าเท่ากับ 1413.5 MHz

จะได้การเปรียบเทียบระดับสัญญาณรบกวนที่ลดลงตามระยะห่างที่เพิ่มขึ้น สำหรับอุปกรณ์ทั้ง 4 กรณี ของตารางที่ 3 ปรากฏตามกราฟในรูปที่ 4

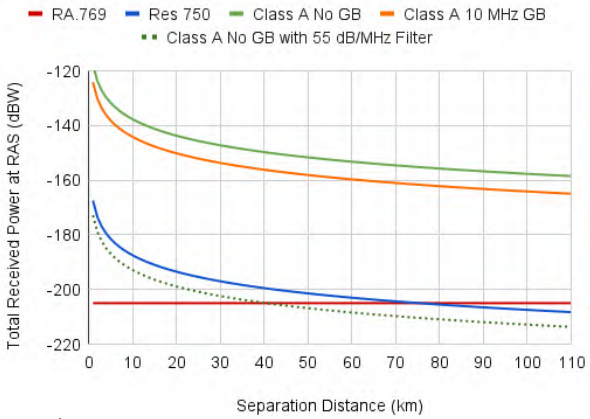

รูปที่ 4 ระดับสัญญาณรบกวนจากอุปกรณ์ภาคส่งของสถานีฐาน IMT ใน 4 กรณี ตามขีดจำกัดกำลังส่งที่แพร่ออกนอกย่านของอุปกรณ์ตามตารางที่ 3 และมารบกวนภาครับในย่านความถี่ 1400-1427 MHz

เมื่อพิจารณาผลตามทฤษฎีในรูปที่ 4 โดยเปรียบเทียบระดับสัญญาณรบกวนจากอุปกรณ์ภาคส่งที่แตกต่างกันทั้ง 4 กรณีที่แพร่แบบ Free Space Path Loss พร้อมกับค่าพารามิเตอร์ที่จำกัดระดับสัญญาณที่ภาครับของกล้องโทรทรรศน์วิทยุที่ค่า -205 dBW/27 MHz (เส้นทึบสีแดง) ตามตารางที่ 2 พบว่า หากอุปกรณ์ภาคส่งมีลักษณะทางเทคนิคเป็นไปตาม Resolution ที่ 750 ของข้อบังคับวิทยุระหว่างประเทศ (เส้นทึบสีน้ำเงิน) จะต้องใช้ระยะเว้นใช้งานเพื่อป้องกันการรบกวน (separation distance) เท่ากับ 75.4 กิโลเมตร เพื่อลดทอนระดับสัญญาณให้อยู่ในระดับที่ต้องการ

ในกรณีค่าพารามิเตอร์ทางเทคนิคของอุปกรณ์ที่ออกแบบในลักษณะ Class A ในมาตรฐาน TS 36.104 ของ 3GPP ซึ่งเป็นมาตรฐานสำหรับการตรวจสอบรับรองให้ใช้งานทั่วไปในประเทศไทย ทั้งในกรณีที่มีและไม่มีแถบความถี่ป้องกัน (guard band) 10 MHz พบว่าจากการคำนวณเชิงเลข ต้องใช้ระยะทางมากกว่า 1000 กิโลเมตรเพื่อลดทอนสัญญาณดังกล่าว ซึ่งเป็นระยะทางที่เป็นไปไม่ได้ในทางปฏิบัติ จึงจำเป็นต้องพิจารณามาตรการทางเทคนิคอื่นเพิ่มเติมเพื่อคุ้มครองการรบกวนดังกล่าว โดยจากผลการคำนวณหากมีการติดตั้งวงจรกรองสัญญาณ (filter) ที่ค่าลดทอน -55 dB ในอุปกรณ์ภาคส่งตลอดความถี่ 1400-1427 MHz ใน ภาคสถานีฐาน (sector) จะสามารถลดระยะเว้นใช้งานเพื่อป้องกันการรบกวนลงมาเหลือ 40.5 กิโลเมตร ทั้งนี้ หัวข้อที่ 4.1 นำเสนอการจำลองเชิงเลขที่สมจริงขึ้นโดยใช้ข้อมูลลักษณะของภูมิประเทศประกอบข้อมูลสถานีฐานโดยละเอียด

3.2.3 การรบกวนจากอุปกรณ์ลูกข่าย

โดยทั่วไป อุปกรณ์ลูกข่ายถือเป็นอุปกรณ์ที่มีกำลังส่งต่ำมากเมื่อเทียบกับสถานีฐาน โดยมาตรฐาน 3GPP TS 36.101 และ 3GPP TS 38.101-1 ซึ่งเป็นมาตรฐานสำหรับอุปกรณ์ลูกข่ายในระบบ 4G และ 5G ตามลำดับ ได้กำหนดขีดจำกัดกำลังส่งให้กับอุปกรณ์ลูกข่ายมาตรฐานไว้เท่ากันที่ไม่เกิน 23 dBm หรือ 200 mW e.i.r.p. และกำลังส่งดังกล่าวจะมีค่าต่ำลงมากหากวัด ณ ความถี่ที่อยู่นอกจากย่านความถี่ใช้งาน อย่างไรก็ตามอุปกรณ์ลูกข่ายสามารถก่อให้เกิดการรบกวนต่อกล้องโทรทรรศน์วิทยุได้หากมีการใช้งานอุปกรณ์ลูกข่ายจำนวนมากพร้อมกันใกล้พื้นที่ตั้งของหอสังเกตการณ์ฯ ในลักษณะกำลังรับรวม (aggregated received power) และอาจไม่สามารถวิเคราะห์ในรูปแบบเดียวกับสถานีฐานในหัวข้อ ที่ 3.2.2 ได้ จึงมีความเหมาะสมที่จะต้องใช้วิธีการแบบ Monte Carlo Analysis [10] ซึ่งเป็นเทคนิคการจำลองทางสถิติที่ใช้สุ่มค่าพารามิเตอร์ต่าง ๆ ซ้ำหลายพันครั้งเพื่อวิเคราะห์ผลลัพธ์ที่เป็นไปได้ภายใต้รูปแบบการแพร่สัญญาณที่มีการเปลี่ยนแปลงและไม่แน่นอนผ่านการจำลองสุ่มตำแหน่งของเครื่องลูกข่าย และค่าทางเทคนิค เช่น กำลังส่ง การลดทอนสัญญาณที่แตกต่างกัน เพื่อประกอบการจำลองค่าสถิติของการแพร่กระจายคลื่นในการคำนวณระดับสัญญาณ โดยการจำลองจะถูกนำเสนอในหัวข้อที่ 4.2

4. ผลการจำลอง

4.1 การถูกรบกวนจากสถานีฐานโทรศัพท์เคลื่อนที่

จากการวิเคราะห์เชิงทฤษฎีในหัวข้อที่ 3.2.2 จึงนำหลักการดังกล่าวประกอบการจำลองเชิงเลขผ่านโปรแกรม PROGIRA โดยใช้ข้อมูลลักษณะของภูมิประเทศ ตำแหน่งที่ตั้งจริงของหอสังเกตการณ์ดาราศาสตร์วิทยุแห่งชาติ และข้อมูลอุปกรณ์ของภาคส่งที่เป็นไปตามมาตรฐานอุปกรณ์ Class A ที่ใช้ในกระบวนการตรวจสอบรับรองทางเทคนิคเป็นตัวแทนของอุปกรณ์ที่จะถูกติดตั้งในอนาคต ซึ่งกำหนดพารามิเตอร์ ตามรายละเอียดที่ปรากฏในตารางที่ 4 ได้ผลการจำลองในรูปที่ 5 ซึ่งชี้ว่าระยะห่าง 20 กิโลเมตรสามารถลดทอนสัญญาณและใช้ป้องกันการรบกวนที่เกิดจากการแพร่นอกย่านของสถานีฐานของระบบโทรศัพท์เคลื่อนที่ย่าน 1427-1432 MHz ได้ โดยระยะทางดังกล่าวมีค่าต่ำกว่าผลการจำลองแบบ Free Space Path Loss ในทุกกรณีของผลการจำลองในรูปที่ 4 ซึ่งชี้ว่าที่ตั้งในภูมิประเทศที่เหมาะสมเป็นปัจจัยประกอบที่สำคัญซึ่งช่วยคุ้มครองการรบกวนและช่วยให้การจำกัดเงื่อนไขที่เข้มงวดต่อระบบโทรคมนาคมสามารถยืดหยุ่นลงได้

ตารางที่ 4 ค่าพารามิเตอร์สำหรับอุปกรณ์ภาคส่งสำหรับการจำลอง

พารามิเตอร์	หน่วย	ค่าที่กำหนด
Downlink frequency	MHz	1427-1432
Bandwidth	MHz	5
Deployment Mode	-	Rural
Transmitter power	dBm	43
Spurious Emission (Class A, TS 36.104)	dBm/MHz	-13
Antenna gain	dBi	18
Antenna height	m	30

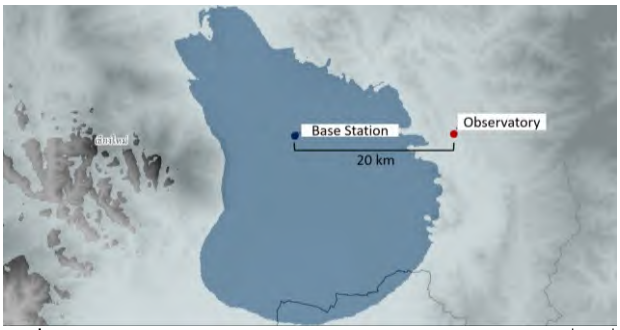

รูปที่ 5 ผลการจำลองขอบเขตของการแพร่สัญญาณระบบโทรศัพท์เคลื่อนที่ย่าน 1427-1432 MHz ไปยังความถี่ 1400-1427 MHz ในระยะที่ก่อให้เกิดการรบกวนต่อภาครับของกล้องโทรทรรศน์วิทยุได้ ผ่านโปรแกรม PROGIRA

4.2 การถูกรบกวนจากลูกข่ายโทรศัพท์เคลื่อนที่

เมื่อใช้วิธีการจำลองแบบแบบ Monte Carlo Analysis โดยใช้โปรแกรม SEAMCAT เพื่อคำนวณหาระยะห่างและจำนวนเครื่องลูกข่ายที่เหมาะสมที่จะไม่ก่อให้เกิดการรบกวน โดยเลือกพิจารณาคลื่นความถี่ที่มีความเสี่ยงที่สุดต่อการใช้งานโดยสถาบันวิจัยดาราศาสตร์แห่งชาติ คือ คลื่นความถี่ย่าน 1715-1725 MHz ซึ่งใช้งานในลักษณะ Uplink ของอุปกรณ์ลูกข่ายโทรศัพท์เคลื่อนที่ และส่งคลื่นรบกวนภาครับของกล้องโทรทรรศน์วิทยุที่มีทิศทางสายอากาศขนานขอบฟ้า (towards the

horizon) ความสูงสายอากาศ 40 เมตร ในคลื่นความถี่ 1718.80 - 1722.20 MHz ในลักษณะการรบกวนแบบความถี่ย่านเดียวกัน (In-band) และอุปกรณ์เครื่องลูกข่ายเป็นไปตามมาตรฐาน 3GPP TS 36.101 จำนวน 20,000 ครั้งต่อเนื่องกันได้ผลการจำลองการกระจายของตำแหน่งลูกข่ายและความสูงของลูกข่ายจากพื้นตามการกระจายตัวแบบ Gaussian ได้ผลในรูปที่ 6 และมีโอกาสเกิดการรบกวน (ร้อยละ) เป็นไปตามตารางที่ 5

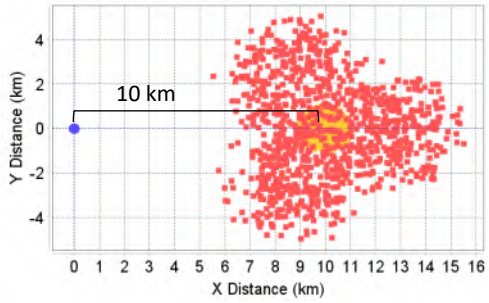

รูปที่ 6 ผลการจำลอง Monte Carlo Analysis ผ่านโปรแกรม SEAMCAT ของอุปกรณ์ลูกข่ายตามรายละเอียดในหัวข้อที่ 4.2

ตารางที่ 5 โอกาสเกิดการรบกวนต่อภาครับของกล้องโทรทรรศน์วิทยุในคลื่นความถี่ 1718.80 - 1722.20 MHz โดยอุปกรณ์ลูกข่ายโทรศัพท์เคลื่อนที่ที่ใช้ความถี่ตรงกัน ตามค่าจำนวนเครื่องลูกข่ายและระยะห่างระหว่างลูกข่ายและที่ตั้งกล้องดาราศาสตร์วิทยุ

	ระยะห่าง (กิโลเมตร)			
จำนวนเครื่องลูกข่าย	10	30	40	50
1	91.54	64.04	39.76	9.075
10	99.25	88.99	69.72	20.91
20	99.98	99.64	97.00	60.64

จากผลการจำลองในตารางที่ 5 พบว่าการรบกวนจากการใช้คลื่นความถี่ตรงกับย่านความถี่ที่ภาครับของกล้องโทรทรรศน์วิทยุใช้งาน (in-band interference) มีความรุนแรงสูงในสภาวะแวดล้อมที่ไม่มีแนวป้องกันทางภูมิศาสตร์ แม้มีการใช้งานจำนวนลูกข่ายเพียง 1 เครื่องเท่านั้น และจำเป็นต้องใช้ระยะห่างมากกว่า 30 กิโลเมตร เพื่อป้องกันการรบกวน โดยเมื่อมีจำนวนเครื่องลูกข่าย 20 เครื่อง ระยะห่าง 50 กิโลเมตรยังไม่เพียงพอที่จะลดการรบกวนลงให้น้อยกว่าร้อยละ 50 ได้ ซึ่งชี้ว่าการกำหนดเกณฑ์ข้อจำกัดจำนวนลูกข่ายของผู้ใช้งานรอบพื้นที่ตั้งกล้องโทรทรรศน์วิทยุสามารถบังคับใช้ได้ยากในทางปฏิบัติ

5. สรุปและข้อเสนอแนะ

บทความนี้ได้วิเคราะห์เงื่อนไขทางเทคนิคที่เหมาะสมเพื่อให้การคุ้มครองการรบกวนแก่หอสังเกตการณ์ดาราศาสตร์วิทยุแห่งชาติ โดยได้วิเคราะห์ปัจจัยที่เกี่ยวข้อง และโมเดลการรบกวนของระบบโทรคมนาคมต่อดาราศาสตร์วิทยุ โดยใช้การวิเคราะห์สมดุลลิงก์ และ Monte Carlo Analysis โดยเลือกพิจารณาวิเคราะห์ในรายละเอียดใน 2 กรณี คือ 1) การแพร่นอกย่านของการใช้ระบบโทรศัพท์เคลื่อนที่ย่าน 1427-1517 MHz ซึ่งเป็นย่านความถี่ประชิดย่านความถี่ 1400-1427 MHz ซึ่งเป็นย่านสำคัญของการใช้งานภาครับของกล้องโทรทรรศน์วิทยุ และ 2) สัญญาณรบกวนจากเครื่องลูกข่ายโทรศัพท์เคลื่อนที่ย่าน 1800 MHz ซึ่งถึงแม้จะมีกำลังส่งต่ำกว่าสถานีฐาน แต่การรบกวนมีความรุนแรงกว่าเนื่องจากเป็นการใช้คลื่นความถี่ซ้อนทับ (in-band interference) กับการใช้งานในระบบดาราศาสตร์วิทยุ

ในทั้งสองกรณีพบว่า มีความจำเป็นต้องกำหนดระยะห่างเพื่อป้องกันการรบกวนระหว่างการใช้งานระหว่างระบบโทรคมนาคมและกล้องดาราศาสตร์วิทยุ ซึ่งเมื่อนำปัจจัยที่เกี่ยวข้องและผลลัพธ์ที่แตกต่างในหลายกรณีมาประกอบการพิจารณา และใช้ประโยชน์จากแนวป้องกันทางภูมิศาสตร์ที่เป็นเทือกเขาโดยรอบ ตามระยะพิสัยมีโอกาสได้รับการรบกวนในรูปที่ 5 ซึ่งเป็นย่านที่สำคัญที่สุด จึงเห็นควรกำหนดระยะห่างอย่างน้อย 20 กิโลเมตร สำหรับทุกย่านความถี่ โดยคำนึงถึงสมดุลของการให้การคุ้มครองการรบกวนต่อระบบดาราศาสตร์วิทยุและผลกระทบต่อผู้ใช้งานระบบโทรศัพท์เคลื่อนที่ไม่ให้เกินสมควร ซึ่งสำนักงาน กสทช. จะใช้ผลการวิเคราะห์ดังกล่าวนี้ประกอบการพิจารณากับปัจจัยที่เกี่ยวข้องอื่น เพื่อกำหนดมาตรการคุ้มครองที่เกี่ยวข้องให้กับหอสังเกตการณ์ดาราศาสตร์วิทยุแห่งชาติต่อไป

งานวิจัยที่เกี่ยวข้องในอนาคตควรให้ความสำคัญกับการวิเคราะห์การรบกวนที่เกิดขึ้นจากสถานีฐานโทรคมนาคมหลายสถานี และจากการใช้งานเทคโนโลยีใหม่ที่มีความถี่ซ้อนทับกับความถี่ที่ต้องให้การคุ้มครองต่อระบบดาราศาสตร์วิทยุ โดยเฉพาะการรบกวนจากอวกาศสู่โลกโดยดาวเทียมแบบ Low Earth Orbits ที่กำลังถูกพัฒนาให้ใช้งานอย่างแพร่หลายในปัจจุบัน

เอกสารอ้างอิง

[1] K. Sugiyama et. al, “Thai National Radio Astronomy Observatory Project and a future South-East Asian VLBI Network,” Journal of Physics Conference Series, June, 2024
[2] P. Jaroenjittichai et al., “Radio Frequency Interference Site Survey for Thai Radio Telescopes”, Siam Physics Congress, 2017
[3] ITU, “ITU-R Recommendation RA.769 - Protection criteria used for radio astronomical measurements”, 2003.
[4] ITU, “ITU-R Report RA.2332- Compatibility and sharing studies between the radio astronomy service and IMT systems”, 2014
[5] J. M. Ford and K. D. Buch, "RFI mitigation techniques in radio astronomy," in Proc. IEEE Int. Geoscience and Remote Sensing Symp. (IGARSS), 2014, pp. 4976–4979
[6] N. Jai et. Al, “Out-of-Band Interference Management to Protect Radio Astronomy”, IEEE Military Communications Conference (MILCOM), 2024, pp. 1150-1155
[7] P. Testolina et al., "Modeling Interference for the Coexistence of 6G Networks and Passive Sensing Systems" , IEEE Transactions on Wireless Communications, August 2024
[8] สถาบันวิจัยดาราศาสตร์แห่งชาติ (องค์การมหาชน), https://indico.narit.or.th/event/218/page/840-status-report
[9] ETSI, TS 136 104 – LTE; E-UTRA; BS radio transmission and reception, 2018
[10] The European Conference of Postal and Telecommunications Administrations, ECC Report 252 – SEAMCAT Handbook Edition 2, 2016

ถิรพิรุฬห์ ทองคำวิฑูรย์ จบการศึกษาระดับปริญญาเอก สาขา Electrical and Electronic Engineering จาก Imperial College London ปัจจุบันดำรงตำแหน่งผู้อำนวยการส่วนวิศวกรรมคลื่นความถี่ สำนักงาน กสทช. มีความสนใจด้าน Signal Processing และการพัฒนา AI

ศุภณัฐ จุฑาเจริญวงศ์ จบการศึกษาระดับปริญญาโทสาขา Electrical Engineering จาก Stanford University ปัจจุบันดำรงตำแหน่งวิศวกรปฏิบัติการระดับสูง สำนักงาน กสทช. มีความสนใจด้านSpectrum Management และการใช้คลื่นความถี่สำหรับการวิจัยและพัฒนาทางวิทยาศาสตร์

การประชุมวิชาการทางวิศวกรรมไฟฟ้า ครั้งที่ 48
The 48th Electrical Engineering Conference (EECON-48)
วันที่ 19-21 พฤศจิกายน 2568 ณ โรงแรมฟูราม่า จังหวัดเชียงใหม่

ระบบเคออสเจ็ดวงม้วนรูปแบบใหม่ด้วยสองฟังก์ชันสามเหลี่ยมและการประยุกต์ใช้สเปกตรัมลำดับการแพร่กระจายโดยตรง

New 7-scroll chaotic system with two triangle functions and Direct Sequence Spread Spectrum (DS/SS) Application

พชรพล อภิวรรณ์[1] และ คุณานนต์ คะระวานิช[1*]

[1]ภาควิชาวิศวกรรมไฟฟ้า คณะวิศวกรรมศาสตร์และเทคโนโลยีอุตสาหกรรม มหาวิทยาลัยศิลปากร karawanich_k@su.ac.th*

บทคัดย่อ

งานวิจัยนี้นำเสนอระบบเคออสด้วยโครงสร้างอนุพันธ์ลำดับสามแบบใหม่ และฟังก์ชันไม่เป็นเชิงเส้นสามเหลี่ยม 2 ตำแหน่งภายในโครงสร้างระบบสามารถกำเนิดที่มีความซับซ้อนสูงด้วยลักษณะตัวดึงดูดเจ็ดวงม้วน โดยระบบที่ออกแบบมีการวิเคราะห์เชิงทฤษฎีด้วยเลขชี้กำลัง Lyapunov เพื่อพิสูจน์ความซับซ้อนด้วยค่า D_{KY} มีการใช้เครื่องมือ Poincaré Section สำหรับการตรวจสอบจำนวนวงม้วนของระบบ มีการใช้แผนภาพ Bifurcation ในการตรวจสอบพารามิเตอร์เพื่อสังเกตุพฤติกรรมที่เปลี่ยนแปลงไปของระบบ สุดท้ายมีการนำระบบเคออสที่ออกแบบไปประยุกต์กับการสื่อสารที่ปลอดภัยด้วยข้อความ (Text) โดยใช้เทคนิคสเปกตรัมลำดับการแพร่กระจายโดยตรง (DS/SS) บนเครื่องมือ SIMULINK โปรแกรม MATLAB โดยแสดงการเข้ารหัสมากกว่าหนึ่งผู้ใช้งาน พร้อมแสดงผลทั้งกรณีชิงโครไนซ์ถูกต้องและชิงโครไนซ์ผิดพลาด ผลลัพธ์พบว่าเทคนิคในการเข้ารหัสเป็นไปตามทฤษฎี และมีความปลอดภัยสูงจากสัญญาณเคออสตัวดึงดูดเจ็ดวงม้วนที่ออกแบบ

คำสำคัญ: สัญญาณเคออส, ฟังก์ชันไม่เป็นเชิงเส้นสามเหลี่ยม, ตัวดึงดูดเจ็ดวงม้วน, การสื่อสารที่ปลอดภัย, สเปกตรัมลำดับการแพร่กระจายโดยตรง

Abstract

This research presents a chaotic system based on a new third-order differential structure with two triangular nonlinear functions. The system generates highly complex behavior characterized by a seven-scroll attractor. The designed system is theoretically analyzed using Lyapunov exponents to confirm its complexity through the Kaplan–Yorke dimension (D_{KY}). The Poincaré section tool is employed to investigate the number of scrolls in the attractor, and the bifurcation diagram is used to examine parameter variations and their effects on the system's dynamic behavior. Finally, the designed chaotic system is applied to secure communication using text messages, employing the Direct Sequence Spread Spectrum (DS/SS) technique in SIMULINK (MATLAB). The implementation demonstrates multi-user text encryption, The results have shown in both correct-synchronized and mismatch-synchronized scenarios. The results confirm that the encryption technique conforms to theoretical expectations and offers a high level of security due to the designed seven-scroll chaotic attractor.

Keywords: Chaotic signal, Nonlinear Triangular function, Seven-scroll attractors, Secure communication, DS/SS.

1.บทนำ

ระบบเคออส (Chaotic System) เป็นระบบที่อยู่ในสาขาพลวัตไม่เป็นเชิงเส้น ที่มีคุณสมบัติเฉพาะสำหรับพฤติกรรมที่ซับซ้อนและคาดเดาได้ยาก ทำให้สามารถประยุกต์ใช้ได้หลากหลายสาขาวิชา เช่น คณิตศาสตร์ ฟิสิกส์ และวิศวกรรมไฟฟ้าสื่อสาร เป็นต้น

ในปี ค.ศ. 1963 Edward Lorenz ได้พัฒนาระบบ Lorenz [1] ขึ้น ซึ่งเป็นสมการไม่เชิงเส้นที่แสดงถึงระบบที่เมื่อค่าเริ่มต้นเปลี่ยนแปลงเพียงเล็กน้อยส่งผลให้เกิดการเปลี่ยนแปลงในระยะยาวอย่างคาดเดาได้ยาก โดยปรากฏการณ์นี้ถูกเรียกว่า "ความไวต่อค่าเริ่มต้น" (Sensitivity to initial conditions) ซึ่งถือเป็นคุณสมบัติที่สำคัญของระบบเคออส หลังการนั้นได้มีการค้นคว้าและพัฒนาระบบเคออสในหลายรูปแบบ เช่น Henon [2], Rössler [3], Chua [4], Chen [5], Lü [6] และ Sprott [7] ที่มีทั้งรูปแบบสองมิติ และสามมิติ เป็นต้น ระบบเคออสอย่างเช่น ระบบ Lorenz นั้นจะมีลักษณะตัวดึงดูด (Attractor) เพียง 2 เท่านั้น แต่อย่างไรก็ตาม ในยุคปัจจุบันนั้นได้มีการค้นคว้าและออกแบบระบบเคออสที่มีหลายวงม้วน (Multi-scroll Chaotic system) เช่น ระบบดึงดูดแบบหลายวงม้วนและพลวัตที่เสถียรหลายแบบของระบบ Jerk สามมิติ [8] เป็นต้น ซึ่งส่งผลให้พฤติกรรมของระบบพลวัตมีความซับซ้อนและยากต่อการคาดเดามากยิ่งขึ้น

พฤติกรรมของระบบพลวัตที่มีลักษณะเคออสมักไม่สามารถทำนายล่วงหน้าได้อย่างแน่นอน การวิเคราะห์และพิสูจน์ระบบพลวัตที่เป็นเคออสนั้นจำเป็นต้องใช้ทฤษฎีทางคณิตศาสตร์หลายแขนงร่วมกันเพื่อยืนยันลักษณะเฉพาะของระบบ ทฤษฎีเลขชี้กำลัง Lyapunov [9] เพื่อแสดงถึงระบบมีที่ความไวต่อค่าเริ่มต้น (Sensitive dependence on initial conditions) ซึ่งเป็นคุณสมบัติสำคัญของระบบเคออส การนำเลขชี้กำลัง Lyapunov มาใช้ร่วมกับสูตรมิติของ Kaplan-Yorke (D_{KY}) [10] ยังช่วยในการประเมินความซับซ้อนเชิงโครงสร้างได้อย่างชัดเจน อีกหนึ่งวิธีการที่นิยมในการพิสูจน์และวิเคราะห์พฤติกรรมของระบบเคออสคือการใช้ Poincaré Section [11] เป็นเทคนิคที่ช่วยลดมิติของระบบเพื่อให้สามารถมองเห็นรูปแบบของวิถีในลักษณะการตัดขวาง โดยพิจารณาว่าเมื่อระบบเคลื่อนที่ผ่านระนาบใดระนาบหนึ่งจะมีตำแหน่งของจุดตัดเปลี่ยนแปลง เทคนิคนี้ช่วยยืนยันลักษณะความไม่เป็นคาบและลักษณะทางเรขาคณิตของระบบได้อย่างมีประสิทธิภาพ

จากที่กล่าวมาข้างต้น งานวิจัยนี้ได้ออกแบบโครงสร้างระบบเคออสอันดับสามรูปแบบใหม่ พร้อมทั้งออกแบบฟังก์ชันไม่เชิงเส้นเป็นฟังก์ชัน

สามเหลี่ยม เพื่อสร้างตัวดึงดูดแบบเจ็ดวงม้วน (7-scroll attractor) ผลการจำลองแสดงให้เห็นว่าระบบที่ออกแบบมีมิติ Kaplan-Yorke (D_{KY}) เท่ากับ 2.404 ซึ่งยืนยันระดับความซับซ้อนอย่างมีนัยสำคัญ นอกจากนี้ยังได้คำนวณเลขชี้กำลัง Lyapunov ซึ่งปรากฏค่าเป็นบวกหนึ่งค่า รวมถึงทำการวิเคราะห์แผนภาพ Bifurcation [12] เพื่อตรวจสอบช่วงพารามิเตอร์ที่นำไปสู่พฤติกรรมเคออสในรูปแบบต่างๆ

ในส่วนสุดท้ายได้ประยุกต์ระบบเคออสเจ็ดวงม้วนในการเข้ารหัสและถอดรหัสข้อมูลข้อความด้วยเทคนิคสเปกตรัมลำดับการแพร่กระจายโดยตรง (Direct Sequence Spread Spectrum: DS/SS) [13] โดยใช้สัญญาณเคออสเป็นรหัสกระจายสเปกตรัม (pseudo noise sequence) ผลทดลองยืนยันว่าสามารถปกปิดเนื้อหาข้อความต้นฉบับและถอดรหัสกลับได้อย่างถูกต้อง ขณะเดียวกันเพิ่มความยากต่อการโจมตีด้วยการดักคัดลอก (eavesdropping) เมื่อเทียบกับรหัสสุ่มเชิงเส้นแบบดั้งเดิม ทำให้ระบบที่พัฒนาขึ้นมีศักยภาพสำหรับเป็นต้นแบบในงานสื่อสารปลอดภัยยุคต่อไป

2.การวิเคราะห์และออกแบบระบบเคออสที่นำเสนอ

2.1 หลักการออกแบบ

งานวิจัยนี้ได้ใช้สมการอนุพันธ์อิสระอันดับสาม ออกแบบร่วมกับฟังก์ชันไม่เป็นเชิงเส้นสามเหลี่ยมจำนวนสองตำแหน่ง สมการของฟังก์ชันคือ $y=\arcsin(\sin(Ax))$ โดยมีกราฟการแสดงผลของสมการดังรูปที่ 1

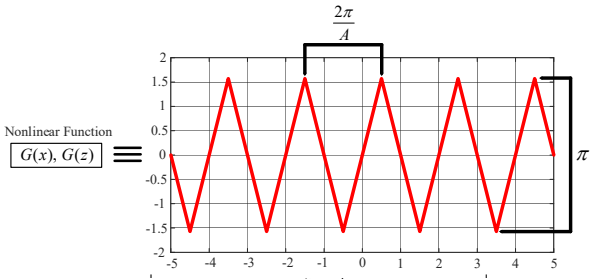

รูปที่ 1 ตัวอย่างฟังก์ชันไม่เป็นเชิงเส้นสามเหลี่ยม

กำหนดให้ $A=T$ คาบ(period) เพราะฉะนั้น $A=\frac{2\pi}{\omega}$ โดยการปรับพารามิเตอร์จะทำให้ความยาวของคาบเพิ่มขึ้น และอีกทั้งฟังก์ชันที่ใช้นี้ก็ยังมีจุดหมุนตรงกลางของสามเหลี่ยมแตกต่างจากฟังก์ชันสามเหลี่ยมทั่วไปที่จะมีจุดหมุน ณ จุดยอด

2.2 ระบบเคออสอนุพันธ์อันดับสามที่นำเสนอ

ระบบเคออสที่นำเสนอนั้น โดยใช้ฟังก์ชันไม่เป็นเชิงเส้นสองตำแหน่ง แสดงตัวอย่างบล็อกไดอะแกรมได้ ดังรูปที่ 2

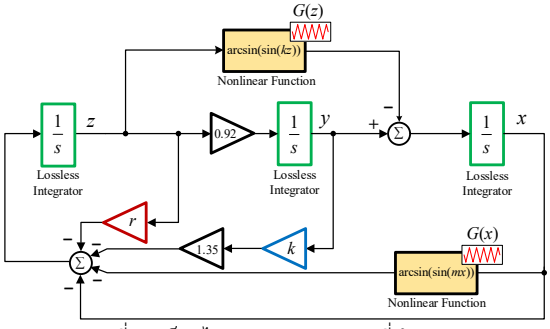

รูปที่ 2 บล็อคไดอะแกรมของระบบที่นำเสนอ

สมการอนุพันธ์อิสระอันดับหนึ่ง สามสมการ เขียนได้ดังสมการที่ (1)

$$\begin{cases}\dot{x}=y-G(z),\\ \dot{y}=0.92z,\\ \dot{z}=-rz-1.35ky-x-G(x).\end{cases} \quad (1)$$

จากพารามิเตอร์ A ของฟังก์ชันสามเหลี่ยมในหัวข้อที่ 2.1 ถูกกำหนดดังนี้ $G(x)=\arcsin(\sin(mx))$ และ $G(z)=\arcsin(\sin(kz))$, ส่วนค่าคงที่ของ m เป็นค่าคงที่ลบ และค่าคงที่ของ k, r เป็นค่าคงที่บวก ระบบสมการ (1) กำหนดตัวแปร $k=4.5$, $m=-7$ และ $r=0.4$ และเงื่อนไขเริ่มต้นของตัวแปรสเตท $(x_0, y_0, z_0)=(0.1, 0.1, 0.01)$ แสดงผลตัวดึงดูดบนระนาบ x-z ดังรูปที่ 3 และแสดงผลเอาต์พุต x, y และ z เทียบกับเวลาดังรูปที่ 4

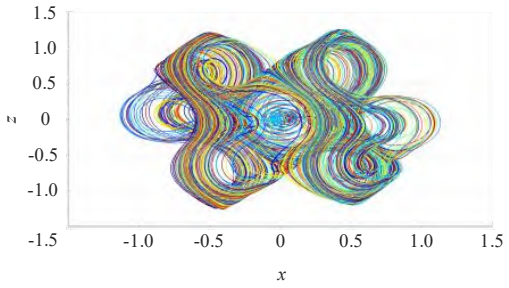

รูปที่ 3 กราฟระนาบ x-z ของระบบที่นำเสนอ

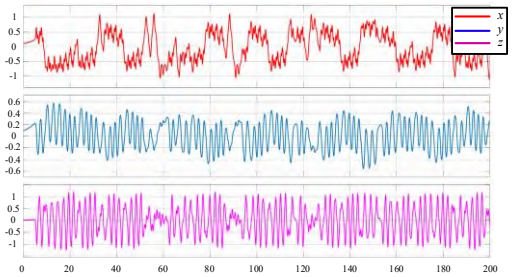

รูปที่ 4 กราฟที่แสดงค่าของตัวแปร x, y และ z เทียบกับเวลา

2.3 การวิเคราะห์เชิงตัวเลขของระบบ

การวิเคราะห์โดยทั่วไปจะใช้ทฤษฎีเลขชี้กำลัง Lyapunov เพื่อบ่งบอกถึงอัตราการแยกตัวของวิถีโคจรบนพื้นที่เฟส (Phase space) และ คำนวณพิสูจน์ความซับซ้อนของระบบด้วยสูตร Kaplan-Yorke (D_{KY})

ในงานวิจัยนี้มีการใช้อัลกอริทึมบนโปรแกรม MATLAB ของ Wolf ในการคำนวณเลขชี้กำลัง Lyapunov [9] โดยมีการกำหนดพารามิเตอร์ $k=4.5$, $m=-7$ และ $r=0.4$ และเงื่อนไขเริ่มต้นของตัวแปรสเตท $(x_0, y_0, z_0)=(0.1, 0.1, 0.01)$ ค่าเลขชี้กำลัง Lyapunov ที่ได้ คือ $LE_1=0.275405$, $LE_2=-0.003787$ และ $LE_3=-0.671617$ จากค่าดังกล่าวได้ยืนยันพฤติกรรมความเป็นเคออสของระบบ

จากนั้นจะนำค่าเลขชี้กำลัง Lyapunov มาคำนวณพิสูจน์ความซับซ้อนของระบบด้วยสูตร Kaplan-Yorke (D_{KY}) ดังนี้

$$D_{KY}=j+\frac{1}{|LE_{j+1}|}\sum_{i=1}^{j}LE_i=2+\frac{LE_1+LE_2}{|LE_3|}$$
$$=2+\frac{0.275405-0.003787}{|-0.671617|}\approx 2.404 \quad (2)$$

โดยที่ j คือค่าจำนวนเต็มสูงสุด เมื่อ $\sum_{i=1}^{j}LE_i\geq 0$ และเมื่อ $LE_{j+1}<0$ ดังนั้นแล้วค่า D_{KY} จะถูกกำหนดอยู่ในช่วง $j\leq D_{KY}<j+1$

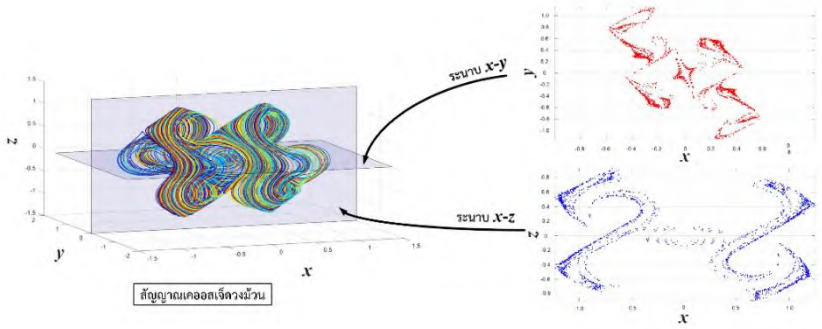

รูปที่ 5 ภาพการตัดโดยใช้เทคนิค Poincaré Section กราฟระนาบแกน x-y และกราฟระนาบแกน x-z

ตารางที่ 1 เปรียบเทียบจำนวนวงม้วน, ค่า *LE* และค่า D_{KY} ของระบบ

อ้างอิง	อันดับระบบ	จำนวนวงม้วน	*Lyapunov Exponents: LEs* (*LE*1, *LE*2, *LE*3)	D_{KY}
[14]	3	2	(1.459, 0, −13.959)	2.104
[15]	3	4	(1.0123, -0.004, -7.0083)	2.114
ระบบใหม่	3	7	(0.2754, -0.0038, -0.6716)	2.404

จากการคำนวณเชิงตัวเลขของระบบที่ออกแบบในหัวข้อที่ 2.3 เมื่อนำค่า *LEs* และ D_{KY} ของระบบเคออสที่ออกแบบ มาเปรียบเทียบกับระบบอื่นในอดีตด้วยโครงสร้างระบบอันดับสามเท่ากัน ระบบที่ออกแบบมีความซับซ้อนสูงกว่าด้วยลักษณะสัญญาณที่มี 7 วงม้วน และยืนยันด้วยค่าเชิงตัวเลข D_{KY}=2.404 ดังแสดงในตารางที่ 1 ซึ่งสัญญาณที่มีความซับซ้อนสูงช่วยเพิ่มประสิทธิภาพในการนำไปประยุกต์ใช้ โดยเฉพาะด้านความปลอดภัยในการเข้ารหัสการสื่อสาร ที่เพิ่มความยากในการคัดลอกลักษณะของสัญญาณ

จากรูปที่ 5 คือการยืนยันผลวิถีวงโคจรของสัญญาณเคออส 7 วงม้วน ด้วยเครื่องมือ Poincaré Section [11] โดยจะแสดงให้เห็นรูปแบบของวิถีโคจรที่ผ่านระนาบตัดขวาง โดย Poincaré Section เป็นเครื่องมือที่มีประสิทธิภาพในการแสดงให้เห็นถึงโครงสร้างและพฤติกรรมของระบบเคออสในเชิงเรขาคณิต ระบบที่นำเสนอได้ใช้เทคนิค Poincaré Section แบ่งออกเป็น 2 แบบ คือ ตัดขว้างที่แกน *x-y* และตัดขว้างที่แกน *x-z* ดังรูปที่ 5

จากผลในระนาบ *x–y* พบจุดตัดในลักษณะที่คล้ายกับวงม้วนจำนวน 7 กลุ่ม ซึ่งเกิดจากวิถีวงโคจรที่ผ่านระนาบตัดขวาง ขณะที่ภาพในระนาบ *x–z* แสดงลักษณะของวงม้วน โดยปรากฏจุดตัดกระจายออกเป็น 5 กลุ่มในแต่ละจตุภาค โดยทั้ง 2 ภาพตัดขว้างแสดงให้เห็นถึงวิถีวงโคจรของระบบเคออสที่มี 7 วงม้วน

3. การตรวจสอบพารามิเตอร์ตัวแปรต่างๆ ของระบบเคออส

ในหัวข้อนี้แสดงถึงพฤติกรรมที่เปลี่ยนแปลงไปของระบบเคออสที่นำเสนอ โดยการจำลองผลบนโปรแกรม MATLAB บนพื้นฐานทฤษฎี Bifurcation โดยที่กราฟของทฤษฎีจะแสดงถึงการกระจายตัวสูงสุดของค่าเอาต์พุตตัวแปรสเตท x_{max} ต่อช่วงของค่าตัวแปรต่างๆ โดย Bifurcation จะแสดงผลของ 3 พารามิเตอร์ คือ *m*, *k* และ *r* รูปที่ 6 จะแสดงถึงพารามิเตอร์ *m* และ *k* ในฟังก์ชัน *G*(*x*) และ *G*(*z*) ตามลำดับ

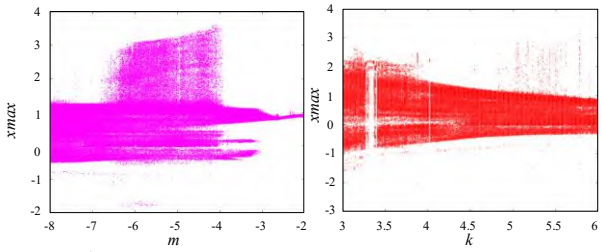

รูปที่ 6 กราฟ Bifurcation ของตัวแปรจากฟังก์ชัน *G(x)* และ *G(z)*

จากรูปที่ 6 ซ้ายมือ แสดงตัวแปร *m* (*k*=4.5, *r*=0.4)จากฟังก์ชัน G(x) โดยตั้งแต่ช่วง -8 ถึง -6.9 พฤติกรรมเคออสที่ชัดเจนและอีกทั้งในช่วงนี้ก็มีการปรากฏ 7 วงม้วนที่มีความเสถียรสูงเกิดขึ้น หลังจากนั้นตั้งแต่ช่วง 6.9 ถึง -4 พฤติกรรมเคออสสูงที่สุด มีการกระจายตัวอย่างมีนัยสำคัญแต่มีก็ความเสถียรค่อนข้างต่ำ และในช่วงท้ายตั้งแต่ช่วง -4 ถึง -2 การเปลี่ยนแปลงลักษณะตัวดึงดูดบนพื้นที่เฟส โดยเริ่มจากลักษณะจุดคงที่

และในรูปที่ 6 ขวามือ ได้แสดงตัวแปร *k* จากฟังก์ชัน *G*(*z*) ในกราฟ Bifurcation นี้พบว่ากราฟตั้งแต่ช่วง 3-6 มีลักษณะการกระจายค่อยๆลดลงไปเรื่อยๆและในช่วงตั้งแต่ 5 ถึง 6 ระบบจะเริ่มมีความเสถียรที่น้อยลง และอีกทั้งยังมีข้อสังเกตุคือในช่วงค่าพารามิเตอร์ตั้งแต่ 3.3 ถึง 3.42 พฤติกรรมพลวัตของระบบลดลงอย่างเห็นได้ชัดเจน

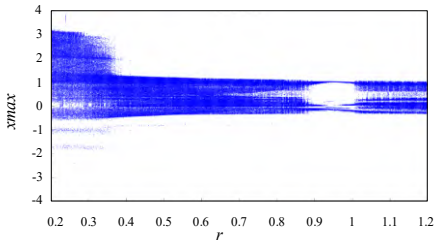

รูปที่ 7 กราฟ Bifurcation ของเอาต์พุต x_{max} กับตัวแปร *r* (*k*=4.5, *m*=-7)

ในรูปที่ 7 แสดงพฤติกรรมพลวัตเมื่อเปลี่ยนแปลงพารามิเตอร์ *r* สังเกตได้ตามช่วงของค่า *r* ที่แตกต่างกัน เริ่มจากช่วง 0.2 ถึง 0.37 ซึ่งเป็นช่วงที่ระบบมีการกระจายตัวสูงที่สุด และความหนาแน่นของการกระจายจะลดลงเมื่อค่าของ *r* เพิ่มขึ้น ถัดมาในช่วง 0.37 ถึง 0.65 ระบบแสดงพฤติกรรมที่เสถียรที่สุด เนื่องจากการกระจายตัวมีความหนาแน่นและต่อเนื่อง จากนั้นในช่วง 0.65 ถึง 1.02 การกระจายตัวของระบบลดลงอย่างเห็นได้ชัด หรือมีพฤติกรรมเคออสที่ลดลง ก่อนจะกลับมารวมกันอีกครั้งที่ประมาณ *r* =1.02

4. การประยุกต์ใช้เข้ารหัสด้านการสื่อสาร

4.1 สเปกตรัมลำดับการแพร่กระจายโดยตรง

ระบบการสื่อสารแบบใช้เทคนิคสเปกตรัมลำดับการแพร่กระจายโดยตรง(Direct Sequence Spread Spectrum: DS/SS) [13] ที่ใช้ลำดับของระบบเคออสแทนที่ลำดับสุ่มเทียมโดยทั่วไป เช่น ลำดับ m-sequence [16] และ ลำดับ Gold sequence [17] แต่อย่างไรก็ตามลำดับเหล่านี้มีลักษณะเป็นคาบ(periodic), มีจำนวนลำดับที่จำกัด และอีกทั้งยังมีความสามารถในการต้านทานการดักฟังที่ไม่ดีนัก ในทางตรงกันข้ามการใช้ลำดับเคออส เป็นลำดับที่ ไม่เป็นคาบ(non-periodic) และมีคุณสมบัติทางสถิติใกล้เคียงกับสัญญาณรบกวนสีขาวแบบเกาส์ (Gaussian White Noise) นอกจากนี้ลำดับเคออสที่สร้างจากระบบเคออสที่ต่างกัน หรือมีเฟสเริ่มต้นต่างกันก็จะได้ลำดับที่แตกต่างกันไปอีกด้วย ในการที่จะสร้างขึ้นนั้นจะมีแนวคิดจากหนังสือของ Kehui Sun [18] ตามที่แสดงไว้ใน รูปที่ 8 โดยในระบบนี้มีจะแบ่งออกเป็น 2 หลักๆ ดังนี้

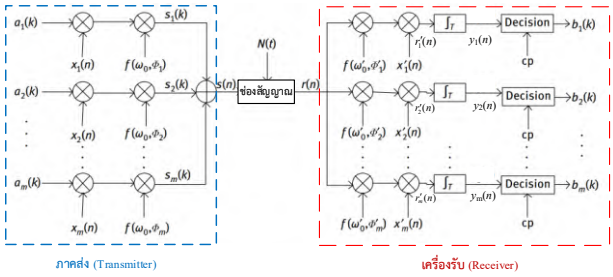

รูปที่ 8 บล็อคไดอะแกรมของเทคนิค DS/SS

ภาคส่ง คือ กระบวนการนำข้อมูลนำเข้าจากผู้ใช้ $(a_m(k))$ ไปคูณกับรหัสกระจายสเปกตรัม $(x_m(n))$ หรือก็คือสัญญาณของระบบเคออสเพื่อขยายแบนด์วิดท์ของสัญญาณ หลังจากนั้นจะนำสัญญาณที่ถูกเข้ารหัสแล้วมาคูณกับการมอดูเลตด้วยคลื่นพาหะ $f(\omega_0, \phi_m)$ โดยที่ ω_0 แทนความถี่เชิงมุม (ซึ่งสัมพันธ์กับความถี่ f ด้วย $\omega_0 = 2\pi f$) และ ϕ_m แทนมุมเฟสเริ่มต้น ในการคำนวณ $s_m(n)$ แสดงดังสมการที่ (3)

$$s_m(n) = a_m(k) \bullet x_m(n) \bullet f(\omega_0, \phi_m) \tag{3}$$

แล้วนำสัญญาณ $s_m(n)$ ทั้งหมดรวมกันแล้วส่งไปช่วงสัญญาณ $s(n)$ โดยในรูปจะมีสัญญาณรบกวนในการส่งข้อมูล $N(t)$ จะเขียนเป็นความสัมพันธ์ได้เป็นดังสมการที่ (4)

$$r(n) = \sum_{m=1}^{M} a_m(n) \bullet x_m(n) \bullet f(\omega_0, \phi_m) + N(t) \tag{4}$$

ภาครับ คือ กระบวนการนำข้อมูลที่ส่งมาจากภาคส่งมาคูณกับการมอดูเลตด้วยคลื่นพาหะ $f(\omega_0', \phi_m')$ เพื่อถอดสัญญาณรหัสของจากผู้ใช้ หลังจากนั้นคูณรหัสกระจายสเปกตรัม $x_m'(n)$ สำหรับการถอดรหัส $r_m'(n)$ ขั้นตอนสุดท้ายคือการตัดสัญญาณรบกวนของสัญญาณและเปรียบเทียบเกณฑ์ที่กำหนดไว้ (Decision) เพื่อตัดสินใจตามเกณฑ์ของข้อมูลแล้วส่งต่อไปยังปลายทาง $(b_m(k))$

4.2 เข้ารหัสด้วยเทคนิคสเปกตรัมลำดับการแพร่กระจายโดยตรงสำหรับระบบเคออสที่ออกแบบ

หัวข้อนี้คือการประยุกต์ระบบเคออสมาเข้ารหัสข้อความด้วยเทคนิค DS/SS โดยการจำลองผลบนโปรแกรม MATLAB ด้วยเครื่องมือ SIMULINK บล็อคไดอะแกรมของระบบเคออส 7 วงม้วนที่นำเสนอแสดงดังรูปที่ 9 มีการกำหนดตัวแปร คือ k=4.5, m=-7 และ r = 0.4 และเงื่อนไขเริ่มต้นของตัวแปรสเตท $(x_0, y_0, z_0) = (0.1, 0.1, 0.01)$ และสัญญาณอนาล็อคของระบบจะถูกแปลงสัญญาณพัลส์

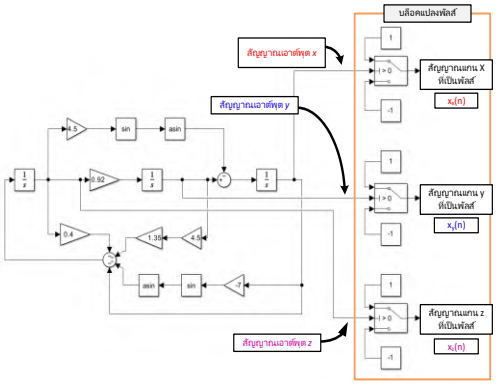

รูปที่ 9 บล็อกไดอะแกรมระบบเคออสที่ออกแบบ บน SIMULINK

จากรูปที่ 9 สัญญาณเคออสที่เอาต์พุต x, y และ z พร้อมแปลงสัญญาณเป็นพัลส์ สามารถแสดงได้ดังรูปที่ 10 โดยสัญญาณเคออสรูปแบบพัลส์ $(x_m(n))$ ดังกล่าวจะนำไปใช้ในการเข้ารหัสด้วยวิธี DS/SS

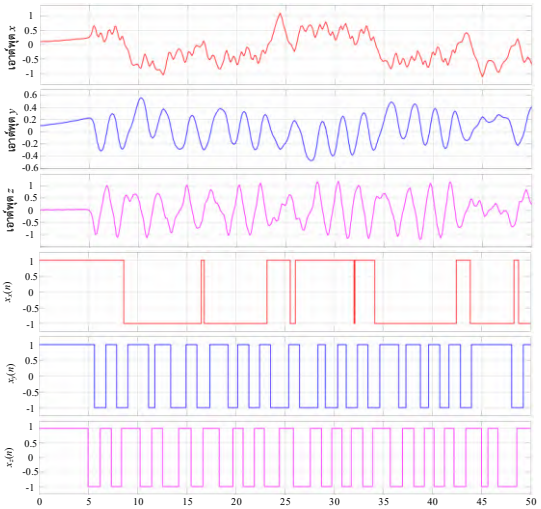

รูปที่ 10 สัญญาณเคออสพร้อมผลลัพธ์การแปลงเป็นพัลส์

ในการเข้ารหัสด้วยเทคนิค DS/SS บน SIMULINK แสดงภาพรวมได้ดังรูปที่ 11 ข้อมูลอินพุต $(a_m(k))$ ที่ใช้ในการเข้ารหัสถูกใช้เป็นข้อมูลข้อความ โดยข้อความที่ใช้จะถูกแปลงเป็นข้อมูล ASCII และแปลงเป็นสัญญาณไบนารีเพื่อนำไปใช้เข้ารหัสกับสัญญาณเคออสรูปแบบพัลส์ที่ถูกออกแบบไว้ดังรูปที่ 10 โดยข้อความที่ใช้ในการเข้ารหัส คือ “hello” และ “world” ซึ่งถูกแบ่งออกเป็นผู้ใช้คนที่ 1 $(a_1(k))$ และ 2 $(a_2(k))$ ตามลำดับ ข้อมูลการแปลงแสดงรายละเอียดดังตารางที่ 2 และแสดงสัญญาณได้ดังรูปที่ 12

ตารางที่ 2 แสดงข้อมูลข้อความสำหรับแปลง ASCII และ ไบนารี

ข้อความ	ASCII	ไบนารี (Binary)
“hello”	104-101-108-108-111	01101000-01100101-01101100-01101100-01101111
“world”	119-111-114-108-100	01110111-01101111-01110010-01101100-01100100

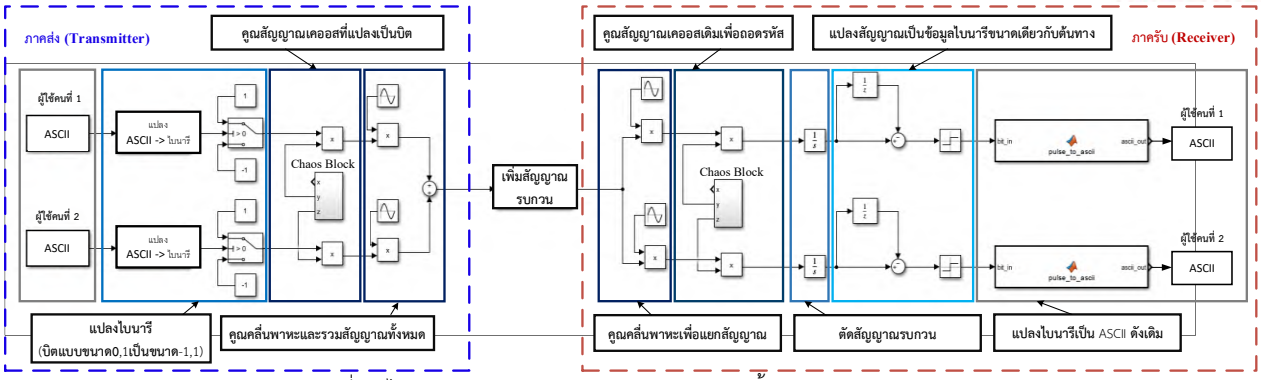

รูปที่ 11 ไดอะแกรมของภาคส่งและภาครับของระบบทั้งหมด บน SIMULINK

โดยในส่วนภาคส่งนั้นได้ทำการแปลงข้อมูลไบนารีที่ขนาด 0 ถึง 1 เป็นขนาด -1 ถึง 1 เพื่อนำไปคูณกับสัญญาณเคออสที่ขนาดเดียวกัน หลังจากนั้นได้ทำการคูณกับคลื่นพาหะโดยได้กำหนด ในผู้ใช้คนที่ 1 คูณกับสัญญาณเคออส $x_1(n)$ และคูณกับคลื่นไซน์ที่เป็นคลื่นพาหะความถี่ 1k Hz และเฟสเริ่มต้น 90 องศา และผู้ใช้คนที่ 2 คูณกับสัญญาณเคออส $x_2(n)$ และคูณกับคลื่นไซน์ที่เป็นคลื่นพาหะความถี่ 1k Hz และเฟสเริ่มต้น 0 องศา จากนั้นได้สร้างบล็อกไดอะแกรมเพื่อแปลงข้อความเป็นไบนารีสำหรับการเข้ารหัส โดยใช้ MATLAB Function ในการแปลงข้อความแบบ string เป็นรหัส ASCII [19] ขนาด 8 บิต จากนั้นแปลง ASCII เป็นไบนารีขนาด 8 บิต ข้อมูลแต่ละตัวอักษรจะถูกส่งออกมาทีละตัว ทุกๆ 8 วินาที โดยพัลส์แต่ละบิตจะมีความยาว 1 วินาที เพื่อให้สอดคล้องกับเวลา 8 บิตต่อหนึ่งอักขระ

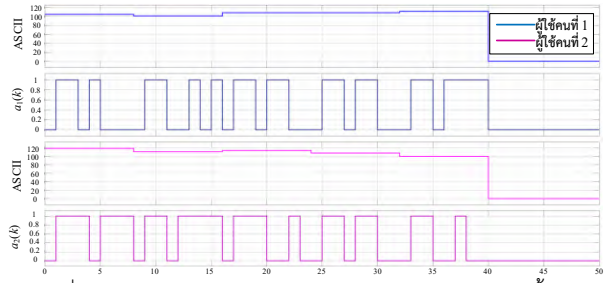

รูปที่ 12 แสดงสัญญาณ ASCII และสัญญาณไบนารีของผู้ใช้ทั้งหมด

สัญญาณที่ได้ภาคส่งแบ่งออกเป็น 3 ส่วน คือ สัญญาณไบนารี (จากรูปที่ 12) สัญญาณที่ถูกคูณกับสัญญาณเคออส $(a_m(k)\bullet x_z(n))$ และสัญญาณที่คูณกับคลื่นพาหะ $(s_1(k))$ แสดงดังรูปที่ 13

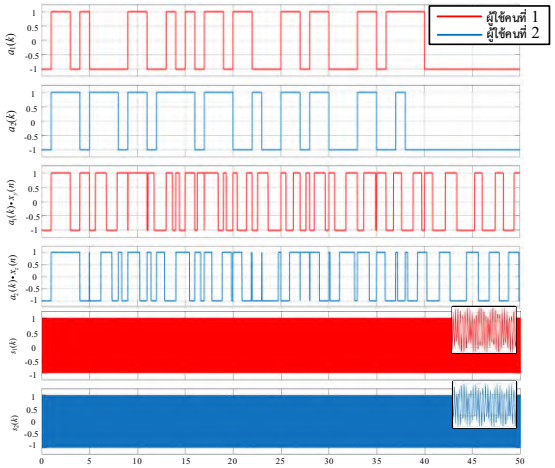

รูปที่ 13 แสดงสัญญาณในแต่ละขั้นตอนของภาคส่ง

ในรูปที่ 13 สัญญาณไบนารีต้นฉบับเมื่อนำมาคูณกับสัญญาณเคออสแล้วมีความคาดเดาได้ยากมากขึ้น และสุดท้ายเมื่อนำไปคูณคลื่นพาหะกราฟจะมีความถี่ที่สูงมากและมีลักษณะคล้ายคลื่นไซน์โดยมีข้อแตกต่างระหว่างทั้ง 2 ผู้ใช้งานคือคาบของสัญญาณทั้ง 2 แตกต่างกัน 90 องศาตามค่าเฟสเริ่มต้นของคลื่นพาหะ

หลังจากนั้นได้ทำการรวมสัญญาณของผู้ใช้ทั้ง 2 แล้วส่งไปยังภาครับเพื่อนำไปถอดรหัสต่อไป แต่ระหว่างนำส่งได้ทำการทดสอบประสิทธภาพการต้านทานสัญญาณรบกวนโดยการเพิ่มสัญญาณรบกวนขนาด 5 dB ลงไปในสัญญาณ โดยจะสังเกตเห็นได้ในรูปที่ 14 สัญญาณที่ยังไม่มีสัญญาณรบกวนจะมีความเรียบนิ่ง และเมื่อใส่สัญญาณรบกวนตัวสัญญาณมีขนาดบางช่วงเพิ่มขึ้นสูงสุดเกือบ 2 เท่าของขนาดสัญญาณเดิม

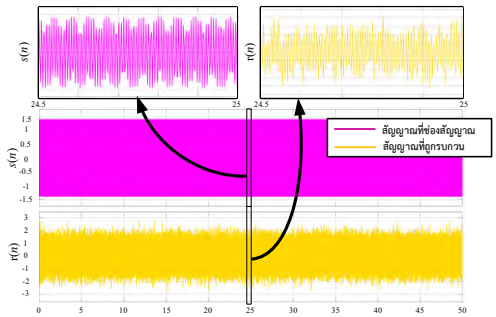

รูปที่ 14 สัญญาณที่ช่องสัญญาณเมื่อเทียบกับสัญญาณที่ถูกรบกวน

ในรูปที่ 15 จะแบ่งสัญญาณออกเป็น 3 ช่วงคือ สัญญาณที่ถูกคูณกับคลื่นพาหะเพื่อแยกสัญญาณ $(r(n)\bullet f(\omega_0,\phi_m))$ สัญญาณที่ถูกคูณสัญญาณเคออสเพื่อถอดรหัส $(r'_m(n))$ และสัญญาณที่ถูกลบสัญญาณรบกวนจัดสัญญาณในเป็นสัญญาณไบนารี $(b_m(n))$

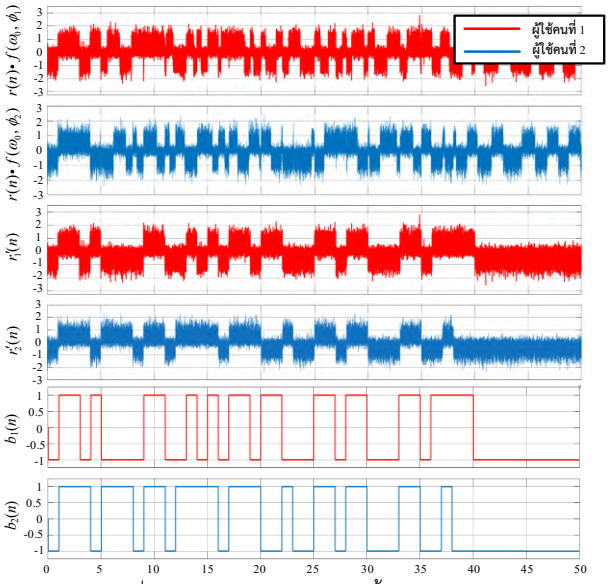

รูปที่ 15 แสดงสัญญาณในแต่ละขั้นตอนของภาครับ

จากรูปที่ 13 และ 15 กรณีที่ทำการตั้งค่าสัญญาณคลื่นพาหะ ค่าเงื่อนไขเริ่มต้น และสัญญาณเคออสที่ตรงกัน การเข้ารหัสหรือชิงโครไนซ์ที่ถูกต้องจากสัญญาณต้นฉบับ ($a_1(k)$, $a_2(k)$) จนถึงสัญญาณที่ถอดได้ ($b_1(k)$, $b_2(k)$) สำหรับผู้ใช้คนที่ 1 และ 2 สามารถแสดงผลได้ดังรูปที่ 16

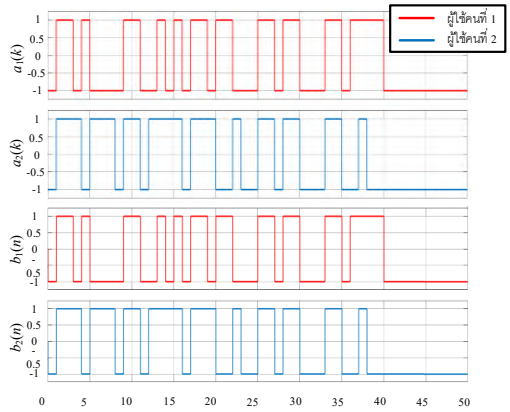

รูปที่ 16 แสดงการเปรียบเทียบสัญญาณกรณีสัญญาณที่ชิงโครไนซ์ถูกต้อง

สุดท้ายนี้ได้ทำการจำลองการถอดรหัสกรณีชิงโครไนซ์ผิดพลาดเมื่อภาคส่งตั้งค่าคลื่นพาหะหรือใช้สัญญาณเคออสที่ไม่ตรงกับสัญญาณภาครับ ดังรูปที่ 17 โดยในรูปจะแบ่งออกเป็น ผู้ใช้คนที่ 1 ตั้งค่าคลื่นพาหะภาคส่งต่างจากภาครับ $f(\omega_0, \phi_1) \neq f(\omega_0', \phi_1')$ ความถี่ 1 Hz โดยใช้สัญญาณเคออสตรงกัน $x_y(n) \equiv x_y'(n)$ และผู้ใช้คนที่ 2 ได้ตั้งค่าเงื่อนไขเริ่มต้นแตกต่างกัน โดยเข้ารหัสด้วยสัญญาณเคออส $x_z(n)$ เงื่อนไขเริ่มต้นของภาคส่งตัวแปรสเตท $z = 0.01$ ภาครับตัวแปรสเตท $z = 0.02$ และตั้งค่าคลื่นพาหะ $f(\omega_0, \phi_2) \equiv f(\omega_0', \phi_2')$

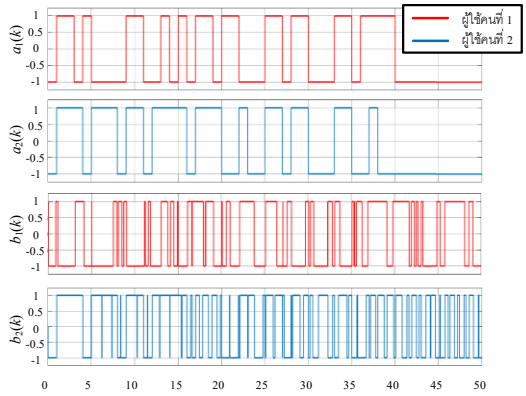

รูปที่ 17 แสดงการเปรียบเทียบสัญญาณกรณีชิงโครไนซ์ผิดพลาด

จากผลที่แสดงพบว่าหากภาครับหรือผู้ดักจับสัญญาณไม่สามารถตั้งค่าของคลื่นพาหะและสัญญาณเคออสที่ถูกเข้ารหัสภาคส่งอย่างแม่นยำ จึงมีความเป็นไปได้ยากที่จะแปลงสัญญาณกลับเป็นดั่งเดิม โดยเฉพาะระบบเคออส 7 วงม้วนที่นำเสนอนี้มีความซับซ้อนที่สูงจึงยากที่จะถอดรหัสได้

5.บทสรุป

งานวิจัยนี้นำเสนอระบบเคออสสามมิติแบบใหม่โดยใช้ฟังก์ชันไม่เป็นเชิงเส้นสามเหลี่ยมสองตำแหน่ง ระบบสามารถสร้างพฤติกรรมซับซ้อนสูง พร้อมตัวดึงดูดเจ็ดวงม้วน ภายใต้พารามิเตอร์ $k = 4.5$, $m = -7$, $r = 0.4$ และเงื่อนไขเริ่มต้น (x_0,y_0,z_0)=(0.1,0.1,0.01)การวิเคราะห์เชิงทฤษฎีด้วยเลขชี้กำลัง Lyapunov และค่า D_{KY} แสดงถึงความซับซ้อนสูงของระบบ แผนภาพ Poincaré Section แสดงการกระจายจุดตัดเป็นจำนวน 3 วงม้วนในระนาบ x–y และ 4 วงม้วนในระนาบ x–z แผนภาพ Bifurcation แสดงการเปลี่ยนแปลงพฤติกรรมระบบตามพารามิเตอร์ โดย m ระหว่าง -6.9 ถึง -4 ระบบเคออสสูงแต่เสถียรต่ำ k ระหว่าง 3 ถึง 6 การกระจายลดลง และพารามิเตอร์ r การกระจายลดลงและรวมตัวอีกครั้งที่ $r \approx 1.02$ ระบบเคออสนี้ถูกนำไปประยุกต์ใช้ในการสื่อสารปลอดภัยด้วยข้อความผ่านเทคนิค DS/SS บน MATLAB โดยเข้ารหัสข้อความ “hello” และ “world” สำหรับผู้ใช้สองคน ผลลัพธ์สอดคล้องกับทฤษฎีและแสดงให้เห็นความปลอดภัยสูงจากสัญญาณเคออสตัวดึงดูดเจ็ดวงม้วนที่ออกแบบ นอกจากนี้ ระบบเคออสและวิธีการเข้ารหัสที่ออกแบบสามารถประยุกต์ใช้ได้บนฮาร์ดแวร์ เช่น ไมโครคอนโทรลเลอร์ [20] โดยสามารถสร้างสัญญาณเคออสและใช้ในการเข้ารหัสข้อมูลแบบเรียลไทม์ ซึ่งจะนำระบบที่ออกแบบไปขยายผลพร้อมประยุกต์ใช้ในเชิงปฏิบัติในอนาคต

เอกสารอ้างอิง

[1] E N. Lorenz, “Deterministic nonperiodic flow,” *J. Atmos. Sci.*, vol.20, no.2, pp. 130-141, 1963.
[2] M. Hénon, “A two-dimensional mapping with a strange attractor,” Commun. Math. Phys., vol. 50, no. 1, pp. 69-77, 1976.
[3] O. E. Rössler, “An analogous system different from the Lorenz system,” Phys. Lett. A, vol. 57, no. 5, pp. 397-398, 1976.
[4] L. O. Chua, “Memristor—the missing circuit element,” IEEE Trans. Circuit Theory, vol. 18, no. 5, pp. 507-519, 1971.
[5] G. Chen and T. Ueta, “Yet another chaotic attractor,” Int. J. Bifurc. Chaos, vol. 9, no. 7, pp. 1465-1466, 1999.
[6] J. Lü and G. Chen, “A new chaotic attractor coined,” Int. J. Bifurc. Chaos, vol. 12, no. 3, pp. 659-661, 2002.
[7] J. C. Sprott, “Some simple chaotic flows,” Phys. Rev. E, vol. 50, no. 2, pp. R647-R650, 1994.
[8] F. Li and J. Zeng, “Multi-scroll attractor and multi-stable dynamics of a three-dimensional jerk system,” Energies, vol. 16, no. 5, p. 2494, 2023.
[9] J. Argyris, G. Faust and M. Haase “An Exploration of Chaos,” Springer-Verlag Berlin Heidelberg 2015.
[10] A. Wolf, J.B. Swift, H.L. Swinney and J.A. Vastano, “Determining Lyapunov exponents from a time series,” *Phys. D.*, vol.16, pp.285–317, 1985.
[11] S. Strogatz, *Nonlinear Dynamics and Chaos: With Applications to Physics, Biology, Chemistry, and Engineering*. Boulder, CO: Westview Press, 2018.
[12] R.O. Medrano-T, M.S. Baptista and I.L. Caldas, “Basic structures of the Shilnikov homoclinic bifurcation scenario,” *CHAOS*, vol.15, ID:033112, 2005
[13] B. Sklar, Digital Communications: Fundamentals and Applications. 2nd ed. Upper Saddle River, NJ: Prentice Hall, 2001.
[14] A. T. Azar and S. Vaidyanathan, “A novel three dimension autonomous chaotic system with a quadratic exponential nonlinear term,” Engineering, Technology and Applied Science Research, vol. 2, no. 2, pp. 208–213, Apr. 2012.
[15] S. Zhang, J. Peng, S. Jin, and S. Gu, “Analysis of a New 3-D Chaotic System with a Self-Excited Attractor,” presented at the 2020 IEEE 19th International Conference on Cognitive Informatics & Cognitive Computing (ICCI*CC), 2020, pp. 45–51.
[16] S. W. Golomb and G. Gong, “Signal design for good correlation: For wireless communication, cryptography, and radar,” Cambridge University Press, 2005.
[17] R. Gold, “Optimal binary sequences for spread spectrum multiplexing,” IEEE Trans. Inf. Theory, vol. 13, no. 4, pp. 619–621, Oct. 1967.
[18] K. Sun, “Chaotic secure communication: Principles and technologies,” Walter de Gruyter GmbH, 2016.
[19] A. S. Tanenbaum and D. Wetherall, “Computer networks,” 5th ed. Pearson Education, 2011.
[20] A. M. Alnajjar and M. I. Younis, “Chaos-Based Digital Communication Prototype Using Microcontrollers,” Appl. Sci., vol. 13, no. 2, p. 936, Jan. 2023.

ระบบสื่อสารด้วยเสียงผ่านแสงเลเซอร์ที่สามารถเก็บเกี่ยวพลังงานได้พร้อมกันโดยใช้แผงโซล่าเซลล์

Laser-Based Audio Communication System with Simultaneous Energy Harvesting Using Solar Panels

เอกทัศน์ พฤกษวรรณ[1] ระพินทร์ วราภัชระ[1] ปุณยสิริ บุญเป็ง[1] และ กฤษดา ยิ่งขยัน[1]*

[1]สาขาวิศวกรรมไฟฟ้า คณะวิศวกรรมศาสตร์ มหาวิทยาเทคโนโลยีราชมงคลล้านนา eakrmutl@rmutl.ac.th rapin56_1@rmutl.ac.th p_boonpeng@rmutl.ac.th krisda@rmutl.ac.th*

บทคัดย่อ

งานวิจัยนี้นำเสนอระบบสื่อสารด้วยเสียงแบบไร้สายและเจาะจงทิศทางที่สามารถสร้างได้ง่าย ลดความซับซ้อน ราคาประหยัด โดยใช้แสงเลเซอร์ที่มองเห็นได้เป็นพาหะในการส่งสัญญาณเสียงผ่านอากาศ (VLC) และใช้แผงโซลาร์เซลล์เป็นตัวรับสัญญาณที่สามารถทำหน้าที่ได้สองอย่างพร้อมกันคือการรับสัญญาณสื่อสาร และการเก็บเกี่ยวพลังงานแสงเป็นสัญญาณไฟฟ้าเพื่อนำไปใช้กับจงจรส่วนภาครับ งานวิจัยนี้ใช้ซุปเปอร์คาปาซิเตอร์(Super Capacitor) มาเก็บพลังงานไฟฟ้าเนื่องจากมีความปลอดภัยสูง ราคาประหยัด ชาร์จประจุได้เร็ว มีช่วงอุณหภูมิใช้งานกว้าง อายุการใช้งานยาวนาน การดูแลรักษาต่ำ ในส่วนระบบสื่อสารเลเซอร์สัญญาณเสียงจะมอดูเลตแล้วส่งให้กับเลเซอร์ไดโอด จากนั้นแสงเลเซอร์ส่งผ่านอากาศไปยังด้านรับที่ติดตั้งแผงโซลาร์เซลล์ ที่ด้านเอาท์พุทของแผงโซลาร์เซลล์จะมีสัญญาณเสียงปนมากับไฟฟ้ากระแสตรง สัญญาณนี้จะผ่านกระบวนการดีมอดูเลตเพื่อแยกสัญญาณเสียงออกจากไฟฟ้ากระแสตรงหลังจากนั้นจะนำสัญญาณเสียงที่แยกได้ส่งไปยังภาคขยายสัญญาณเสียงและส่งต่อไปยังลำโพงทำให้ได้ยินเสียงเหมือนกับที่ส่งมาจากต้นทาง งานวิจัยนี้ใช้เลเซอร์ไดโอดขนาด 5 mW พบว่าระยะ 25 เมตรเป็นระยะที่ภาครับยังสามารถดีมอดูเลตสัญญาณเสียงไม่ผิดเพี้ยน ระบบเก็บเกี่ยวกำลังงานมีระยะเวลา 19 นาทีที่สามารถจ่ายไฟให้ระบบภาครับเมื่อไม่มีแสงสว่างตกกระทบแผงโซลาร์เซลล์ และเมื่อมีแสงสว่างระบบก็จะทำงานพร้อมกับชาร์จประจุให้กับซุปเปอร์คาปาซิเตอร์จนเต็มใช้เวลาเท่ากับ 3 นาที 30 วินาที และจากการใช้แสงเลเซอร์เป็นสื่อกลางแทนคลื่นวิทยุจึงลดการรบกวนจากคลื่นสนามแม่เหล็กไฟฟ้า และสามารถนำไปใช้ในพื้นที่ที่มีข้อจำกัดเรื่องคลื่นวิทยุได้ เช่นในโรงพยาบาล

คำสำคัญ: มอดูเลต, แสงเลเซอร์, การเก็บเกี่ยวพลังงาน, ซุปเปอร์คาปาซิเตอร์

Abstract

This research presents a wireless and directional audio communication system that is simple to construct, less complex, and cost-effective. The system utilizes visible laser light as a carrier for transmitting audio signals through air (VLC) and employs solar panels as receivers that can simultaneously perform dual functions: receiving communication signals and harvesting light energy as electrical signals for the receiver circuit. This research uses super capacitors for electrical energy storage due to their high safety, cost-effectiveness, rapid charging capability, wide operating temperature range, long lifespan, and low maintenance requirements. In the laser audio communication system, audio signals are modulated and transmitted to a laser diode. The laser light then travels through air to the receiving end equipped with solar panels. At the output of the solar panels, audio signals are mixed with direct current. This signal undergoes demodulation to separate the audio signals from the direct current. Subsequently, the extracted audio signals are sent to an audio amplifier and then to a speaker, reproducing the sound identical to that transmitted from the source. This research employs a 5 mW laser diode and found that at a distance of 25 meters, the receiver can still demodulate audio signals without distortion. The energy harvesting system provides 19 minutes of power supply to the receiver system when no light illuminates the solar panels. When illuminated, the system operates while simultaneously charging the super capacitor to full capacity in 3 minutes and 30 seconds. By using laser light as a medium instead of radio waves, electromagnetic field interference is reduced, and the system can be deployed in areas with radio wave restrictions, such as hospitals.

Keywords: modulation, laser light, energy harvesting, super capacitor

1. บทนำ

ในปัจจุบัน ความต้องการระบบสื่อสารไร้สายมีแนวโน้มเพิ่มสูงขึ้นอย่างต่อเนื่องเพื่อตอบสนองการใช้งานของอุปกรณ์อิเล็กทรอนิกส์ที่หลากหลาย ไม่ว่าจะเป็นอุปกรณ์สื่อสารเคลื่อนที่ ระบบอัตโนมัติในอุตสาหกรรม หรือระบบอินเทอร์เน็ตของสรรพสิ่ง (IoT) ระบบสื่อสารไร้สายส่วนใหญ่ในปัจจุบันใช้คลื่นวิทยุ (RF) เป็นสื่อกลางในการส่งข้อมูล

*ผู้ประพันธ์บรรณกิจ

อย่างไรก็ตาม เทคโนโลยีนี้มีข้อจำกัดหลายประการ เช่น การรบกวนทางคลื่นแม่เหล็กไฟฟ้า (EMI) ซึ่งอาจส่งผลกระทบต่ออุปกรณ์ที่มีความไวสูง และข้อจำกัดในการใช้งานในพื้นที่ที่มีข้อห้ามหรือข้อควบคุมเกี่ยวกับการใช้คลื่นวิทยุ เช่น ห้องผ่าตัดในโรงพยาบาล ห้องปฏิบัติการทางการแพทย์ หรือบริเวณที่มีอุปกรณ์ทางการแพทย์สำคัญ นอกจากนี้ ระบบไร้สายยังต้องการแหล่งจ่ายพลังงานที่มีความต่อเนื่อง ซึ่งเป็นอีกปัจจัยสำคัญด้านความยั่งยืนและต้นทุนในระยะยาว

เพื่อลดข้อจำกัดดังกล่าว มีการเสนอการใช้แสงเป็นพาหะสำหรับการสื่อสารไร้สาย ซึ่งหนึ่งในแนวทางที่ได้รับความสนใจคือเทคโนโลยี Visible Light Communication (VLC) โดยใช้แสงในช่วงความยาวคลื่นที่มองเห็นได้ในการส่งข้อมูล ข้อดีของระบบ VLC คือไม่ก่อให้เกิด EMI มีความปลอดภัยต่อสุขภาพมนุษย์ และสามารถนำไปใช้งานในพื้นที่ที่จำกัดการใช้คลื่นวิทยุได้ [1] โดยเฉพาะอย่างยิ่งเมื่อเลือกใช้ เลเซอร์ เป็นแหล่งกำเนิดแสงในระบบ VLC จะได้ลำแสงที่มีความเข้มสูงและทิศทางคงที่ ช่วยให้สามารถส่งข้อมูลได้ไกลและแม่นยำมากยิ่งขึ้น [6], [7]

อีกแนวโน้มสำคัญของเทคโนโลยีสื่อสารด้วยแสง คือการบูรณาการการส่งข้อมูลและการเก็บเกี่ยวพลังงานจากแสงในระบบเดียวกัน ซึ่งเรียกว่า Simultaneous Lightwave Information and Power Transfer (SLIPT) แนวคิดนี้ได้รับความสนใจในระบบ IoT และอุปกรณ์ไร้สายพลังงานต่ำ ซึ่งสามารถรับข้อมูลจากลำแสงขณะเดียวกันกับแปลงพลังงานแสงเป็นพลังงานไฟฟ้าเพื่อนำมาใช้กับวงจรรับ [1], [2] โดยมีรายงานว่าระบบที่ใช้แผงโซลาร์เซลล์ร่วมกับการรับสัญญาณแสงเลเซอร์สามารถทำงานแบบสองหน้าที่ได้อย่างมีประสิทธิภาพ [3], [4] ทำให้ไม่ต้องพึ่งพาแบตเตอรี่หรือการชาร์จไฟภายนอกในบางกรณี

ในขณะเดียวกัน ความก้าวหน้าด้านเทคโนโลยีอวกาศและการสื่อสารความเร็วสูงยังได้แสดงให้เห็นถึงศักยภาพของระบบ Laser-based Optical Wireless Communication ในบริบทระดับสูง เช่น การส่งข้อมูลระหว่างดาวเทียม การสื่อสารระหว่างสถานีภาคพื้นดินกับยานอวกาศ และระบบดาวเทียมระดับต่ำ [5], [6] รวมถึงการใช้เทคนิค Intelligent Reflecting Surfaces (IRS) เพื่อควบคุมการสะท้อนของแสงเลเซอร์ให้เหมาะสมกับสภาพแวดล้อม ซึ่งช่วยเพิ่มประสิทธิภาพการเชื่อมต่อไร้สายและลดจุดอับสัญญาณ [8]

จากพื้นฐานดังกล่าว งานวิจัยนี้มีวัตถุประสงค์เพื่อพัฒนาระบบสื่อสารด้วยเสียงแบบไร้สาย โดยใช้แสงเลเซอร์ที่มองเห็นได้เป็นพาหะข้อมูลร่วมกับการใช้แผงโซลาร์เซลล์เป็นตัวรับสัญญาณที่สามารถทำหน้าที่ทั้ง รับข้อมูลเสียง และ เก็บพลังงานแสง ได้ในเวลาเดียวกัน ระบบจะสามารถมอดูเลตสัญญาณเสียงผ่านแสงเลเซอร์ ส่งผ่านอากาศ และดีมอดูเลตด้วยวงจรรับที่ใช้พลังงานจากแผงโซลาร์เซลล์ ซึ่งเก็บไว้ในซุปเปอร์คาปาซิเตอร์ ระบบต้นแบบจะถูกทดสอบในด้านระยะทางการส่งข้อมูลและคุณภาพเสียงเพื่อประเมินประสิทธิภาพและความเป็นไปได้ในการนำไปประยุกต์ใช้งานจริง โดยเฉพาะในพื้นที่ที่ไม่สามารถใช้คลื่นวิทยุได้อย่างปลอดภัยงานวิจัยนี้มีวัตถุประสงค์เพื่อพัฒนาระบบสื่อสารด้วยเสียงแบบไร้สายที่ใช้แสงเลเซอร์ที่มองเห็นได้เป็นพาหะ โดยมีนวัตกรรมสำคัญคือการใช้แผงโซลาร์เซลล์เป็นตัวรับสัญญาณที่สามารถทำหน้าที่สองอย่างพร้อมกันได้แก่ การรับสัญญาณสื่อสารและการเก็บเกี่ยวพลังงานแสง ระบบที่พัฒนาขึ้นจะสามารถมอดูเลตสัญญาณเสียงกับแสงเลเซอร์ ส่งผ่านอากาศ และดีมอดูเลตที่ด้านรับเพื่อให้ได้สัญญาณเสียงที่มีคุณภาพ พร้อมทั้งเก็บพลังงานที่ได้รับไว้ในซุปเปอร์คาปาซิเตอร์สำหรับนำไปช่วยจ่ายไฟให้กับวงจรภาครับต่อไป การวิจัยนี้จะทดสอบประสิทธิภาพของระบบในด้านระยะทางการส่งสัญญาณและคุณภาพของเสียงที่ได้รับ เพื่อประเมินความเป็นไปได้ในการนำไปประยุกต์ใช้งานจริงในพื้นที่ที่มีข้อจำกัดด้านการใช้คลื่นวิทยุ

2. การออกแบบและการสร้างระบบสื่อสารด้วยเสียงผ่านแสงเลเซอร์

2.1 หลักการทำงานของระบบ

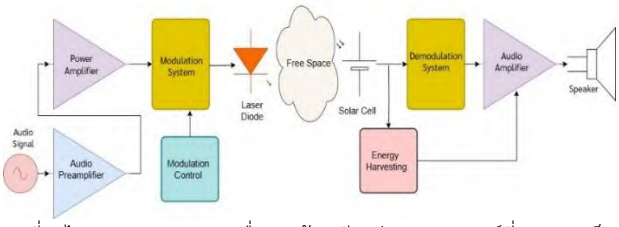

รูปที่ 1 ไดอะแกรมของระบบสื่อสารด้วยเสียงผ่านแสงเลเซอร์ที่สามารถเก็บเกี่ยวพลังงานแสงสว่างรอบระบบรับและจากแสงเลเซอร์นำไปเลี้ยงส่วนวงจรภาครับ

พิจารณาตามรูปที่ 1 งานวิจัยนี้นำเสนอการออกแบบระบบสื่อสารไร้สายจำนวนสองส่วนคือส่วนส่งสัญญาณและส่วนรับสัญญาณ โดยภาคส่งใช้แสงเลเซอร์เป็นพาหะนำคลื่นเสียงผ่านอากาศไปยังด้านรับที่ใช้แผงโซลาร์เซลล์ทำหน้าที่รับสัญญาณเลเซอร์ที่มีเสียงผสมมาด้วยขณะเดียวกันก็รับสัญญาณแสงรอบ ๆ เพื่อนำมาใช้เป็นพลังงานไฟฟ้าเลี้ยงวงจรภาครับสัญญาณ ซึ่งงานวิจัยจะเน้นใช้อุปกรณ์ราคาประหยัด สามารถหาง่าย ระบบไม่ซับซ้อน และสร้างใช้งานได้อย่างรวดเร็ว

ภาคส่งสัญญาณ สัญญาณเสียงอาจมาจากไมโครโฟน หรือบลูทูธ นำเข้าสู่ภาคออดิโอปรีแอมพลิไฟเออร์ (Audio Preamplifier) เพื่อปรับความแรงสัญญาณเสียงให้มีขนาดเหมาะสมก่อนเข้าไปขยายให้แรงขึ้นเพียงพอต่อการทำขบวนการมอดูเลต (Modulation) ภาคควบคุมการมอดูเลต (Modulation Control)จะทำหน้าที่ปรับความแรงของการมอดูเลตให้เหมาะสมก่อนส่งผ่านไปที่หลอดเลเซอร์ไดโอด

ช่องทางการส่ง (Transmission Channel) เป็นอากาศว่าง (Free Space)ที่ลำแสงเลเซอร์เดินทางผ่าน ซึ่งอาจได้รับผลกระทบจากสภาพอากาศ ฝุ่นละออง หรือการสั่นไหวของอากาศ ส่งผลต่อคุณภาพการรับสัญญาณ ภาครับสัญญาณ แผงโซลาร์เซลล์ของงานวิจัยนี้ทำหน้าที่สองอย่างคือเป็นตัวรับแสงเลเซอร์และเปลี่ยนพลังงานแสงรอบ ๆ ระบบรับเป็นสัญญาณไฟฟ้าส่งต่อให้ภาคเก็บเกี่ยวพลังงาน (Energy Harvesting) งานวิจัยนี้ประยุกต์ใช้ซุปเปอร์คาปาซิเตอร์เพื่อเก็บกำลังงานจ่ายให้กับวงจรส่วนภาครับ ในขณะเดียวกันสัญญาณเสียงจะถูกแยกออกจากไฟฟ้ากระแส

ตรงที่ภาคดีมอดูเลต (Demodulation) และถูกส่งให้ภาคขยายสัญญาณเสียงต่อไป

2.2 การออกแบบระบบภาคส่ง

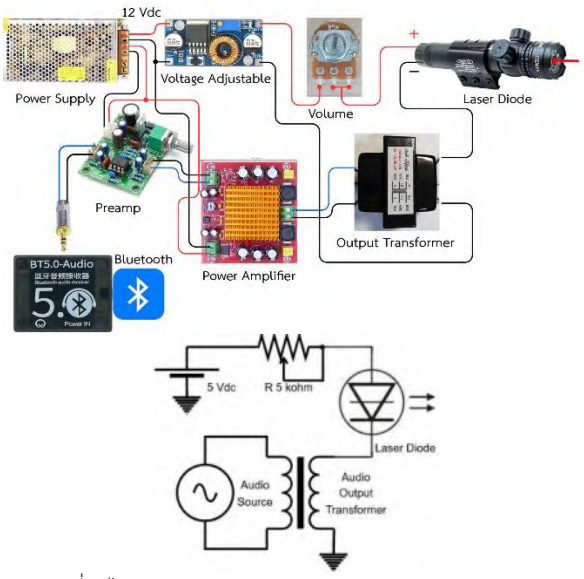

รูปที่ 2 ไดอะแกรมการต่อระบบภาคส่งและวงจรการมอดูเลตทางแอมปลิจูด

ภาคส่งสัญญาณของงานวิจัยได้ประยุกต์ใช้วงจรปรีแอมป์ย่านความถี่เสียงทำหน้าที่ขยายสัญญาณจากเครื่องรับสัญญาณบลูทูธให้มีขนาดที่เหมาะสมเพื่อส่งให้วงจรขยายกำลังสัญญาณเสียงที่มีความแรงเพียงพอในขบวนการมอดูเลต โดยสัญญาณเสียงจะส่งไปที่ออดิโอเอาท์พุททรานเฟอร์เมอร์(Audio Output Transformer) ด้านขดปฐมภูมิ (Primary Coil) และถูกเหนี่ยวนำข้ามไปรวมกับไฟกระแสตรงที่ไหลผ่านขดทุติยภูมิ (Secondary Coil) ดังนั้นจึงทำให้ความสว่างของลำแสงเลเซอร์เปลี่ยนแปลงตามสัญญาณเสียง เกิดการมอดูเลตทางแอมปลิจูด (Amplitude Modulation) ของแสงเลเซอร์ ซึ่งในส่วนไฟกระแสตรงงานวิจัยใช้บัคคอนเวอร์เตอร์ (Buck Converter)ร่วมกับความต้านทานปรับค่าได้เพื่อควบคุมแรงดันที่ตกคร่อมเลเซอร์อย่างเหมาะสม

2.3 การออกแบบระบบภาครับ

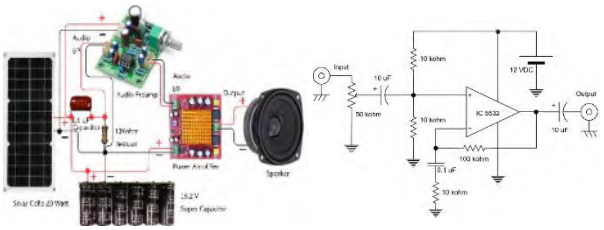

รูปที่ 3 ไดอะแกรมการต่อระบบภาครับและวงจรภาคปรีแอมป์

การทำงานของวงจรภาครับเริ่มขึ้นเมื่อแสงเลเซอร์ที่ผ่านขบวนการมอดูเลตทางแอมปลิจูดตกกระทบที่แผงโซลาร์เซลล์ซึ่งทำหน้าที่เป็นโฟโต้ดีเทกเตอร์ (Photodetector) จะมีกระแสไฟฟ้าสลับ (AC) สัญญาณเสียงเท่านั้นที่ผ่านตัวเก็บประจุได้ ไฟฟ้ากระแสตรงจากแผงโซลาร์เซลล์จะไม่สามารถผ่านเข้าสู่วงจรขยายเสียง ทำให้วงจรขยายเสียงได้รับเฉพาะสัญญาณเสียงที่เป็นไฟฟ้ากระแสสลับเท่านั้น ขณะเดียวกันงานวิจัยได้ต่อความต้านทานไปยังขั้วลบของระบบทำให้เกิดเป็นวงจรกรองความถี่สูงผ่านชนิดอาซี (RC Filter) เพื่อไม่ให้เสียงรบกวนความถี่ต่ำ (Low-frequency Noise) ผ่านไปที่ภาคขยายเสียงก่อให้เกิดความรำคาญ การคำนวณค่าความถี่สูงผ่านพิจารณาจากสมการที่ 1

$$f_C = \frac{1}{2\pi RC} \quad (1)$$

โดยที่

f_C คือค่าความถี่คัทออฟของวงจรกรองแบบ RC

R คือค่าความต้านทานในวงจรกรองแบบ RC

C คือค่าตัวเก็บประจุที่ใช้ในวงจรกรองแบบ RC

เมื่อแทนค่า R เท่ากับ 10 $k\Omega$ และแทนค่า C เท่ากับ 0.1 μF ลงในสมการที่ 1 จะได้ค่า = 159.15 Hz ซึ่งค่าความถี่คัทออฟนี้สามารถหลีกเลี่ยงสัญญาณรบกวน(เสียงฮัม)ที่เกิดจากระบบแสงสว่างในอาคารหรือกลางแจ้งได้ นอกจากนี้งานวิจัยใช้ซุปเปอร์คาปาซิเตอร์(Super Capacitor)มาเก็บประจุไฟกระแสตรงที่ได้จากแผงโซล่าร์เซลล์ใช้เป็นระบบสำรองไฟให้กับวงจรภาครับ

3. ผลการทดลอง

งานวิจัยนี้แบ่งการนำเสนอการทดลองสองอย่างคือระบบสื่อสารด้วยเสียงผ่านแสงเลเซอร์ และส่วนการเก็บเกี่ยวพลังงานจากแผงโซลาร์เซลล์อย่างง่ายโดยการชาร์จประจุให้กับซุปเปอร์คาปาซิเตอร์ (Super Capacitor) ขนาด 16.2 Vdc

3.1 ผลการทดลองส่วนระบบสื่อสารด้วยเสียงผ่านแสงเลเซอร์

งานวิจัยมีการนำแผงโซลาร์เซลล์มารับแสงในอาคารที่มีระบบแสงสว่างพบว่าแรงดันไฟฟ้ากระแสตรงมีการกระเพื่อม (Ripple)

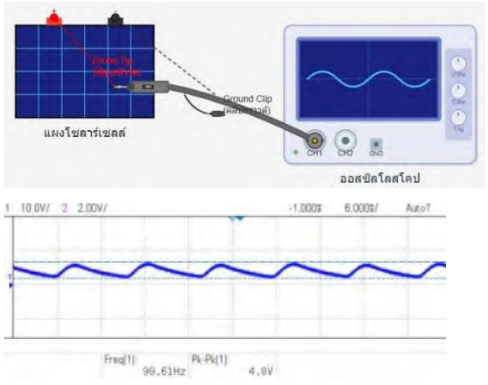

รูปที่ 4 การใช้สโคปตรวจสอบการกระเพื่อมของแรงดันเมื่อแผงโซลาร์เซลล์รับแสงสว่างภายในอาคาร

เมื่อนำแผงโซลาร์เซลล์มาต่อกับวงจรกรองความถี่ RC พบว่าสัญญาณ Ripple ที่ปนมากับไฟกระแสตรงหายไปดังรูปที่ 5

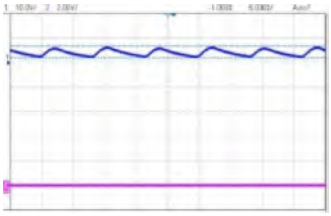

รูปที่ 5 เปรียบเทียบผลวัดไฟกระแสตรงจากแผงโซลาร์เซลล์ก่อนและหลังใส่วงจรกรอง

พิจารณารูปที่ 5 เมื่อต่อวงจรกรอง RC ที่ขั้วเอ้าท์พุทของแผงโซลาร์เซลล์พบว่าสัญญาณ Ripple หายไป ดังนั้นจะมีสัญญาณไฟ AC ที่เกิดเสียงที่มอดูเลตมากับเลเซอร์เท่านั้นที่ผ่านไปสู่วงจรขยายได้ โดยเสียงที่มอดูเลตกับเลเซอร์ควรมีความถี่สูงกว่า 159.15 Hz ตามการคำนวณ แต่ผลวัดจริงพิจารณาได้จากรูปที่ 6

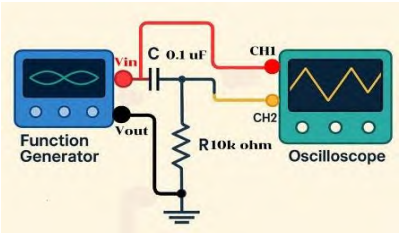

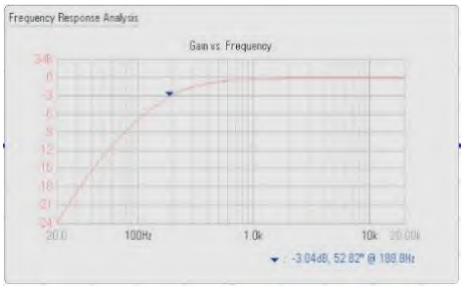

รูปที่ 6 การวัดค่าตอบสนองเชิงความถี่ของวงกรองความถี่สูง RC

พิจารณารูปที่ 6 ผลวัดจริงพบว่าค่าความถี่คัทออฟของวงจรกรอง มีค่าเท่ากับ 188.8 Hz ผิดพลาดจากผลคำนวณ 29.65 Hz อาจเนื่องมาจากคุณภาพของอุปกรณ์ C และ R ที่ใช้แต่อย่างไรก็ตามผลดังกล่าวนี้ยังคงสามารถหลีกเลี่ยงสัญญาณรบกวน(เสียงฮัม)ที่เกิดจากระบบแสงสว่างในอาคารและนอกอาคารได้

งานวิจัยนำไดอะแกรมรูปที่ 2 และ 3 มาทำการทดสอบการสื่อสารด้วยเสียงผ่านแสงเลเซอร์ดังรูปที่ 7

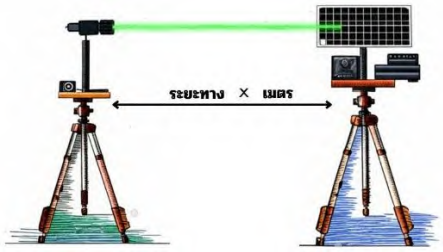

รูปที่ 7 การทดลองการส่งและรับสัญญาณเสียงที่มอดูเลตกับแสงเลเซอร์

การทดลองจะมอดูเลตสัญญาณรูปไซน์ความถี่ 1 kHz เข้ากับแสงเลเซอร์ จากรูปตัวแปร X คือระยะทางระหว่างชุดส่งและชุดรับสัญญาณโดยเลเซอร์ไดโอดที่ใช้ทดลองมีขนาด 5 mW และปรับให้ด้านรับมีกำลังขยายสูงสุดโดยที่สัญญาณไม่ผิดเพี้ยน ผลการทดลองแสดงไว้ในตารางที่ 1

ตารางที่ 1 ผลการทดลองส่งและรับเสียง 1 KHz ผ่านแสงเลเซอร์

ระยะที่ทดลอง	สัญญาณเสียงที่เอ้าท์พุทภาครับ (ขยายแล้วไม่ผิดเพี้ยน)(no load)	ลักษณะเสียงที่ได้ยินและค่าความดังของเสียง (dB)
1 เมตร	185 Vp-p	ชัดเจน (60.0 dB)
3 เมตร	165 Vp-p	ชัดเจน (59.0 dB)
5 เมตร	127 Vp-p	ชัดเจน (56.7 dB)
25 เมตร	115 Vp-p	ชัดเจน (55.9 dB)
35 เมตร	3.86 Vp-p	ความชัดเจนน้อย (26.4 dB)

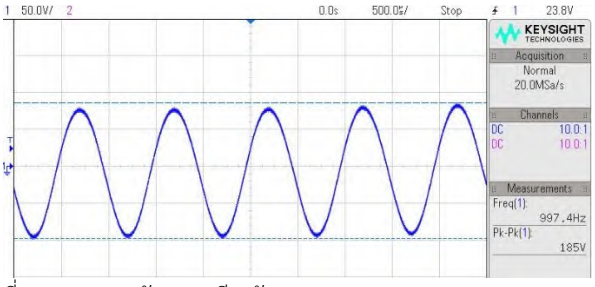

ที่ระยะ 1 เมตร สัญญาณเสียงชัดเจน

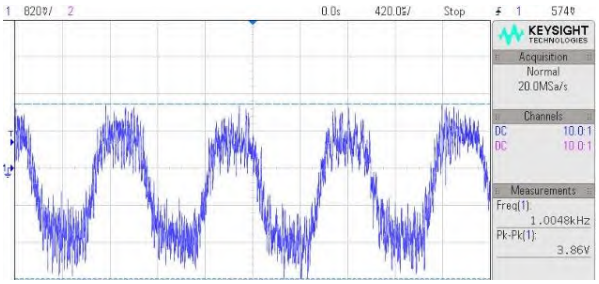

ที่ระยะ 35 เมตร เสียงเบา ความชัดเจนน้อย

รูปที่ 8 สัญญาณที่ดีมอดูเลตแล้วนำไปขยายเพื่อฟังเสียง ระยะ 1 เมตร กับ 35 เมตร

จากการทดลองพบว่าสภาพแสงโดยรอบและการสั่นไหวของอากาศส่งผลต่อคุณภาพสัญญาณสามารถแก้ไขโดยเพิ่มกำลังของแสงเลเซอร์

3.2 ผลการทดลองส่วนการเก็บเกี่ยวพลังงานจากแผงโซลาร์เซลล์อย่างง่าย

งานวิจัยทดลองใช้ซุปเปอร์คาปาซิเตอร์ขนาด 16.2 โวลท์ 20 ฟารัด มาต่อขนานกับวงจรภาครับเพื่อเก็บเกี่ยวพลังงานไฟฟ้ากระแสตรงที่ได้จากแผงโซลาร์เซลล์ขนาด 20 วัตต์ ดังรูปที่ 9 เพื่อทดสอบเวลาที่ใช้ประจุจนเต็ม

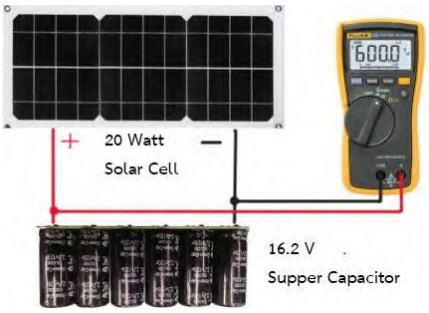

รูปที่ 9 การต่อแผงโซลาร์เซลล์กับซุปเปอร์คาปาซิเตอร์

จากการทดลองใช้เวลา 3 นาที 30 วินาที ค่าแรงดันตกคร่อมชุดซุปเปอร์คาปาซิเตอร์เท่ากับ 16.2 โวลท์ เพื่อคำนวณเวลาที่ซุปเปอร์คาปาซิเตอร์ใช้จ่ายไฟให้กับวงจรภาครับ โดยมีข้อมูลดังนี้กระแสภาครับเท่ากับ 120 มิลลิแอมป์ ใช้แรงดันเริ่มต้น 16.2 โวลท์ ค่าแรงดันต่ำสุดที่ภาครับยังทำงานได้เท่ากับ 9 โวลท์ ส่วนซุปเปอร์คาปาซิเตอร์แต่ละตัวมีขนาด 120 ฟารัด 2.7 โวลท์ จำนวน 6 ตัวต่ออนุกรมกันดังนั้นความจุรวมจึงเท่ากับ 20 ฟารัด คำนวณค่าเวลาจ่ายไฟให้วงจรโดยใช้สมการที่ 2

$$V(t)=V_o-(I\times t)/C \quad (2)$$

แทนค่าสมการ $9=16.2-(0.12\times t)/20$

ดังนั้น $t=1{,}200$ วินาที (20 นาที)

ค่ากำลังไฟเฉลี่ยที่ภาครับใช้ทำงาน(P) โดยใช้แรงดันเฉลี่ย 12.6 V คำนวณจาก $P=V\times I$ เมื่อแทนค่าแรงดัน

และกระแส $P=12.6\ V\times 0.12\ A=1.512$ วัตต์

จากนั้นต่อใช้งานดังรูปที่ 3 ใช้วัสดุสีดำปิดพื้นที่แผงโซลาร์เซลล์ไว้โดยให้มีเฉพาะช่องที่แสงเลเซอร์ผ่านได้พบว่าซุปเปอร์คาปาซิเตอร์ใช้เวลา 19 นาทีจ่ายกำลังงานไฟฟ้าให้กับชุดรับสัญญาณโดยที่เสียงไม่ผิดเพี้ยน วงจรยังคงทำงานเป็นปกติ แต่ถ้าเลยเวลาดังกล่าวแล้ววงจรชุดรับไม่สามารถทำงานได้ เปรียบเทียบเวลาที่คำนวณกับเวลาจริง ดังตารางที่ 2

ตารางที่ 2 เปรียบเทียบการจ่ายไฟให้ภาครับระหว่างเวลาคำนวณกับเวลาจริง

เวลาที่คำนวณ	เวลาจริง
20 นาที	19 นาที

สาเหตุที่เวลาจริงไม่ตรงกับเวลาคำนวณผู้วิจัยสันนิฐานเป็นผลเนื่องมาจากค่าการสูญเสียภายในอุปกรณ์ในรูปของความร้อน อย่างไรก็ตามงานวิจัยพบว่าซุปเปอร์คาปาซิเตอร์มีข้อดีคือชาร์จประจุได้เร็ว ปลอดภัย อายุการใช้งานยาวนาน ราคาไม่แพง นำมาใช้งานได้ง่าย

รูปที่ 10 ชุดอุปกรณ์ทดลองการส่งและรับสัญญาณเสียงที่มอดูเลตกับแสงเลเซอร์ประกอบลงแท่นเพื่อความเรียบร้อย

4. สรุปผล

งานวิจัยนี้นำเสนอระบบสื่อสารด้วยเสียงผ่านแสงเลเซอร์ที่สามารถเก็บเกี่ยวพลังงานได้ในเวลาเดียวกัน โดยใช้แสงเลเซอร์ที่ถูกมอดูเลตด้วยสัญญาณเสียงแบบ AM ซึ่งเป็นระบบการมอดูเลตที่ไม่ซับซ้อน ประหยัดงบประมาณ เมื่อแสงเลเซอร์ถูกส่งไปยังภาครับที่ใช้แผงโซลาร์เซลล์ทำหน้าที่สองอย่าง คือดีมอดูเลตสัญญาณเสียงเพื่อส่งออกลำโพง และแปลงพลังงานแสงเป็นไฟฟ้าเพื่อเก็บไว้ในซุปเปอร์คาปาซิเตอร์สำหรับจ่ายไฟให้ระบบ ผลการทดลองใช้ไดโอดเลเซอร์ขนาด 5 mW พบว่าระบบสามารถส่งสัญญาณเสียงได้คมชัดที่ระยะ 25 เมตร และยังคงใช้งานได้ถึง 35 เมตร ผู้วิจัยเสนอแนะการเพิ่มระยะทางสามารถทำได้โดยเลือกใช้ไดโอดเลเซอร์ที่มีกำลังส่งมากขึ้น ในส่วนเก็บเกี่ยวพลังงานใช้เวลาเพียง 3 นาที 30 วินาที ในการชาร์จซุปเปอร์คาปาซิเตอร์จนเต็ม ซึ่งสามารถจ่ายไฟเลี้ยงวงจรภาครับได้นาน 19 นาทีเมื่อไม่มีแสงสว่าง งานวิจัยนี้จึงเป็นทางเลือกที่น่าสนใจสำหรับการสื่อสารไร้สายในพื้นที่ที่อ่อนไหวต่อคลื่นแม่เหล็กไฟฟ้า เช่น โรงพยาบาล เนื่องจากไม่ก่อให้เกิดการรบกวนทางคลื่นแม่เหล็กไฟฟ้า ข้อเด่นอีกด้านของงานวิจัยนี้คือสร้างง่าย ใช้ต้นทุนต่ำ การบำรุงรักษาน้อย จึงเป็นทางเลือกที่น่าสนใจสำหรับการสื่อสารไร้สายโดยใช้แสงเลเซอร์ในอนาคต

5. กิตติกรรมประกาศ

คณะผู้วิจัยขอขอบคุณ คณะวิศวกรรมศาสตร์ มหาวิทยาลัยเทคโนโลยีราชมงคลล้านนา ที่ให้ความอนุเคราะห์สถานที่สำหรับดำเนินการวิจัย

เอกสารอ้างอิง

[1] P. D. Diamantoulakis, and G. K. Karagiannidis, "Simultaneous Lightwave Information and Power Transfer (SLIPT) for Indoor IoT Applications," *GLOBECOM 2017 - 2017 IEEE Global Communications Conference*, Singapore, 2017, pp. 1-6, doi: 10.1109/GLOCOM.2017.8254781.

[2] M. Syed, A. Hassnain, Q. Haoze, and H. Amjad. “A comprehensive review of optical wireless power transfer

technology," *Frontiers of Information Technology & Electronic Engineering*. doi: 10.1631/FITEE.2100443.

[3] J.-W. Shin, T.-U. Yun, and S.-M. Kim, "Simultaneous Transmission of Optical Wireless Power Transfer and Optical Wireless Communication using a Laser Diode," *The Journal of the Korea institute of electronic communication sciences*, vol. 16, no. 4, pp. 605–610, Aug. 2021.

[4] W. Z. Ncube, A. A. Qidan, T. El-Gorashi and J. M. H. Elmirghani, "On the energy efficiency of Laser-based Optical Wireless Networks," *arXiv,* Mar. 2022.

[5] O. S. Khwairakpam, "Review of laser-based communication systems in space missions," *presented at [unpublished]*, Dec. 2022.

[6] J. Keller, "The promise of laser communications to revolutionize optical links," *Military Aerospace*, Sept. 19, 2023.

[7] C. Cheng et al., "100 Gbps Indoor Access and 4.8 Gbps Outdoor Point-to-Point LiFi Transmission Systems using Laser-based Light Sources," *arXiv*, Feb. 2024.

[8] A. Hamad, W. Ncube, A. Qidan, T. E. H. El-Gorashi, and J. M. H. Elmirghani, "Intelligent Reflecting Surfaces assisted Laser-based Optical Wireless Communication Networks," arXiv, Apr. 2024.

เอกทัศน์ พฤกษวรรณ สำเร็จการศึกษาวิศวกรรมศาสตรมหาบัณฑิต วิศวกรรมไฟฟ้า มหาวิทยาลัยเชียงใหม่ ปัจจุบันเป็นอาจารย์ประจำสาขาวิชาวิศวกรรมโทรคมนาคม มหาวิทยาลัยเทคโนโลยีราชมงคลล้านนา เชียงใหม่ มีความสนใจทางด้านวิศวกรรมวิศวกรรมไฟฟ้าสื่อสาร วิศวกรรมไมโครเวฟ การออกแบบวงจรความถี่สูง

ระพินทร์ วราภัชระ สำเร็จปริญญาวิศวกรรมศาสตรดุษฎีบัณฑิต (วิศวกรรมโทรคมนาคม) ปัจจุบันเป็นผู้ช่วยศาสตราจารย์ประจำสาขาวิชาวิศวกรรมโทรคมนาคม มหาวิทยาลัยเทคโนโลยีราชมงคลล้านนา มีความสนใจทางด้านวิศวกรรมสายอากาศ

ปุณยสิริ บุญเป็ง สำเร็จปรัชญาดุษฎีบัณฑิต (วิศวกรรมไฟฟ้า) จากจุฬาลงกรณ์มหาวิทยาลัย ปัจจุบันเป็นอาจารย์ประจำในสาขาวิชาวิศวกรรมไฟฟ้ามหาวิทยาลัยเทคโนโลยีราชมงคลล้านนา มีความสนใจทางด้านวิศวกรรมอิเล็กทรอนิกส์

กฤษดา ยิ่งขยัน สำเร็จปริญญาวิศวกรรมศาสตรดุษฎีบัณฑิต(วศ.ด.วิศวกรรมไฟฟ้า) มหาวิทยาลัยเชียงใหม่ ปัจจุบันเป็นผู้ช่วยศาสตราจารย์ประจำหลักสูตรวิศวกรรมศาสตรดุษฎีบันฑิต สาขาวิชาวิศวกรรมไฟฟ้า มหาวิทยาลัยเทคโนโลยีราชมงคลล้านนาเชียงใหม่ มีความสนใจทางด้านอิเล็กทรอนิกส์ระบบสมองกลฝังตัวและ IoT

การศึกษาการแพร่กระจายคลื่นแม่เหล็กไฟฟ้าผ่านดินที่ความถี่ 1.2 MHz

Study on the Propagation of 1.2 MHz Electromagnetic Waves through Soil

เอกทัศน์ พฤกษวรรณ[1] กฤตยา นาคประสิทธิ์[1] และ ระพินทร์ วราภัชระ[1]*

[1]สาขาวิชาวิศวกรรมโทรคมนาคม สาขาวิศวกรรมไฟฟ้า คณะวิศวกรรมศาสตร์ มหาวิทยาลัยเทคโนโลยีราชมงคลล้านนา
rapin56_1@rmutl.ac.th*

บทคัดย่อ

บทความนี้มีวัตถุประสงค์เพื่อศึกษาการแพร่กระจายของคลื่นแม่เหล็กไฟฟ้าผ่านดิน โดยใช้แท่งทองแดงเกรด C1100 เป็นสายอากาศสำหรับการรับและส่งสัญญาณ การทดลองประกอบด้วยการวัดค่าพารามิเตอร์ S11 และ S21 ผ่านเครื่องวิเคราะห์เครือข่าย เพื่อประเมินประสิทธิภาพของสายอากาศในการแพร่กระจายคลื่นแม่เหล็กไฟฟ้า นอกจากนี้ ได้มีการออกแบบและสร้างอุปกรณ์สำหรับส่งคลื่นแม่เหล็กไฟฟ้าผ่านดินที่ความถี่ 1.2 MHz ซึ่งเป็นค่าความถี่ที่เลือกโดยพิจารณาจากความเหมาะสมในการวิเคราะห์ค่าพารามิเตอร์ S11 และ S21 เพื่อให้สามารถประเมินประสิทธิภาพของการส่งสัญญาณได้อย่างถูกต้อง อีกทั้ง ความถี่ 1.2 MHz ยังเหมาะสมต่อการสร้างวงจรกำเนิดความถี่ เนื่องจากสามารถหาอุปกรณ์ที่รองรับได้ง่ายกว่าความถี่อื่นที่สูงกว่านี้ ซึ่งอาจมีข้อจำกัดด้านอุปกรณ์และการออกแบบวงจร การทดสอบพบว่าสามารถรับสัญญาณได้ที่ระยะทางไม่น้อยกว่า 20 เมตร แสดงให้เห็นว่าการส่งสัญญาณผ่านดินที่ความถี่ดังกล่าวเป็นไปได้อย่างมีประสิทธิภาพ โดยพบว่าคุณสมบัติของดิน เช่น สภาพความชื้นและองค์ประกอบทางกายภาพมีผลโดยตรงต่อระดับการลดทอนของคลื่นแม่เหล็กไฟฟ้า ผลการศึกษานี้สามารถนำไปประยุกต์ใช้ในระบบสื่อสารที่ไม่สามารถใช้สายอากาศทั่วไปได้ เช่น การสื่อสารใต้ดิน การสื่อสารในพื้นที่ภัยพิบัติ หรือสถานการณ์ฉุกเฉินที่ไม่สามารถพึ่งพาระบบสื่อสารแบบดั้งเดิมได้

Abstract

This thesis aims to study the propagation of electromagnetic waves through the ground using a C1100-grade copper rod as an antenna for signal transmission and reception. The experiment involves measuring the S11 and S21 parameters using a network analyzer to evaluate the antenna's efficiency in electromagnetic wave propagation. Additionally, a system for transmitting electromagnetic waves through the ground at a frequency of 1.2 MHz was designed and constructed. This frequency was selected based on its suitability for analyzing S11 and S21 parameters, ensuring accurate signal transmission performance assessment. Moreover, 1.2 MHz is an optimal frequency for circuit design, as compatible components are more readily available compared to higher frequencies, which may pose challenges in component sourcing and circuit implementation. The experimental results indicate that the signal can be received at a distance of at least 20 meters, demonstrating the feasibility of ground wave transmission at this frequency. It was also found that the electrical properties of the soil, such as moisture content and composition, directly affect the attenuation of electromagnetic waves. This study provides insights for developing underground communication techniques, which may be beneficial for communication systems in environments where conventional antennas are impractical, such as underground communication, disaster areas, or emergency situations where traditional communication infrastructure is unavailable.

1. บทนำ

เหตุการณ์ 13 ชีวิตติดถ้ำหลวง-ขุนน้ำนางนอน เมื่อปี 2561 เผยให้เห็นปัญหาใหญ่ของการสื่อสารในสถานการณ์วิกฤติ วิทยุสื่อสารและโทรศัพท์มือถือไม่สามารถสื่อสารภายใต้สภาพแวดล้อม และภูมิประเทศที่ซับซ้อนได้ สาเหตุทางเทคนิคที่ "วิทยุสื่อสาร" ใช้ไม่ได้ในถ้ำ (ถึงแม้จะมองเห็นกัน) คือ การสะท้อนของคลื่นวิทยุในพื้นที่แคบ ถ้ำมีลักษณะเป็นช่องหินแคบ มีความโค้งงอ และผนังถ้ำไม่เรียบ คลื่นวิทยุ (โดยเฉพาะ VHF/UHF) จะ สะท้อน, กระเจิง, หรือ หักเห เมื่อกระทบหิน ทำให้เกิดการรบกวนสัญญาณ (multipath interference) การดูดซับคลื่นโดยน้ำและหิน น้ำมีคุณสมบัติเป็น ตัวดูดซับสัญญาณวิทยุ โดยเฉพาะย่านความถี่สูง , ไม่มี Line-of-Sight ที่ดีแม้มองเห็นกัน วิทยุสื่อสารทำงานได้ดีเมื่อคลื่นเดินทางแบบตรง (line-of-sight) ถึงแม้มองเห็นกันจริง แต่ถ้ามีความชื้นสูง, พื้นเปียก, หรือมีแค่ “มุม” หันเข้าหากัน คลื่นอาจยังไม่สามารถส่งผ่านตรงๆ ได้ อีกกรณีคือเครื่องรับอยู่ในตำแหน่งอับคลื่น (shadow zone) ถึงแม้อยู่ห่างกันไม่กี่เมตร

การส่งคลื่นแม่เหล็กไฟฟ้าผ่านดิน (Ground Wave Propagation) จึงเป็นแนวทางที่มีศักยภาพ ในการสื่อสารในพื้นที่อับสัญญาณ รวมถึงการสำรวจใต้ผิวดิน คุณสมบัติของดินที่แตกต่างกันทั้งชนิดและความชื้นส่งผลต่อการแพร่กระจายคลื่น การหาค่าความถี่ที่เหมาะสมจึงเป็นสิ่งจำเป็น

งานวิจัยนี้จึงเสนอแนวคิดการนำ แท่งทองแดง ซึ่งเป็นวัสดุนำไฟฟ้าสูง มาประยุกต์ใช้เป็นส่วนหนึ่งของระบบสื่อสารผ่านดิน โดยใช้เป็นสายอากาศเพื่อส่งและรับสัญญาณร่วมกับเครื่องกำเนิดสัญญาณและเครื่องวิเคราะห์สเปกตรัม หลักการนี้สามารถนำไปประยุกต์ใช้ได้จริงในการสื่อสารใต้ดิน เช่น ในเหมืองแร่หรืออุโมงค์ รวมถึงการสำรวจทางธรณีวิทยา งานวิจัยนี้จึงมุ่งพัฒนาการสื่อสารผ่านชั้นดิน เพื่อเป็นอีกหนึ่งทางเลือกสำคัญในการแก้ปัญหาการสื่อสารในสถานการณ์วิกฤติและพื้นที่จำกัด ดังกรณีที่เกิดขึ้นกับ 13 ชีวิตในถ้ำหลวง

2. การออกแบบและจัดทำโครงการ

การศึกษาพฤติกรรมของคลื่นแม่เหล็กไฟฟ้าที่แพร่กระจายผ่านชั้นดิน จำเป็นต้องคำนึงถึงคุณสมบัติของตัวกลาง เช่น ความต้านทาน สภาพนำไฟฟ้า และความชื้น ซึ่งมีผลต่อการลดทอนสัญญาณโดยตรง ในการทดลองนี้ใช้ดินร่วนปนดินเหนียวที่มีความชื้นประมาณ 45% บริเวณสนามหญ้าของมหาวิทยาลัยเทคโนโลยีราชมงคลล้านนา เชียงใหม่ โดยเริ่มจากการหาความลึกที่เหมาะสมของแท่งทองแดงเส้นผ่านศูนย์กลาง 16

*ผู้ประพันธ์บรรณกิจ

มิลลิเมตร ที่ระดับความลึก 50, 100 และ 150 เซนติเมตร เพื่อตรวจวัดค่าการสะท้อนกลับของคลื่นในระยะใกล้ ก่อนนำไปทดสอบอัตราการส่งผ่านคลื่น และทดลองส่งสัญญาณเสียงด้วยระบบ AM

การเลือกใช้ความถี่ในช่วง 300 kHz – 5 MHz เหมาะสมกับการส่งสัญญาณผ่านดิน โดยเฉพาะ ย่านความถี่ AM (530 – 1700 kHz) ซึ่งสามารถแพร่กระจายผ่านดินได้ระดับหนึ่ง และรองรับการรับสัญญาณด้วยวิทยุทั่วไป จึงเป็นทางเลือกที่เหมาะสมสำหรับสถานการณ์ฉุกเฉิน เช่น การเตือนภัยพิบัติ ที่ต้องการความเรียบง่ายในการใช้งานและการเข้าถึงของประชาชน

2.1 การหาความยาวของแท่งทองแดงที่เหมาะสม

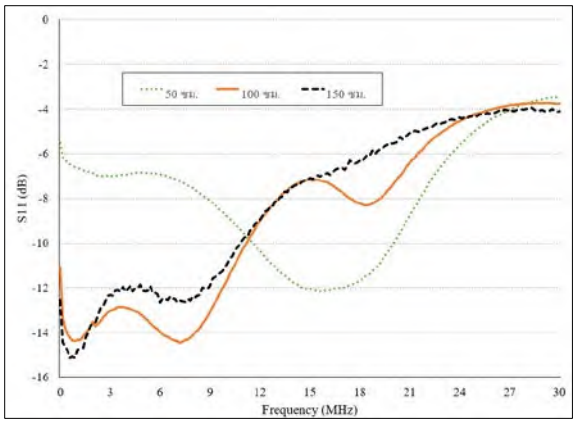

รูปที่ 1 กราฟการสะท้อนกลับที่แท่งทองแดงส่ง (S11) และ มีขนาดความยาวทองแดงต่างกันเท่ากับ (50 ซม., 100 ซม, 150 ซม)

จากรูปที่ 1 จะแสดงให้เห็นว่า ความลึกของแท่งทองแดง ยาว 100 ซม. กับ 150 ซม. จะให้ค่าการสะท้อนกลับไม่ต่างกันมากนัก ณ. สภาพแวดล้อมเดียวกัน ให้ค่า S11 ที่ดีสุด -14.32 dB ที่ความถี่ 1.2 MHz ความยาวทองแดง 100 ซม.

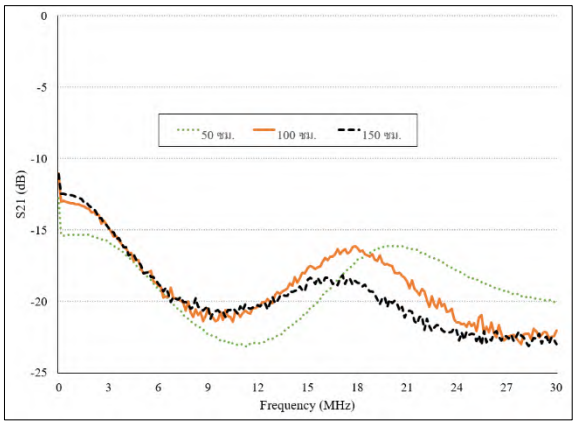

รูปที่ 2 กราฟการส่งผ่าน (S21) ที่ระยะห่าง 1 เมตร แท่งทองแดงยาวเท่ากับ (50 ซม., 100 ซม, 150 ซม)

จากรูปที่ 2แสดงผลการวัดอัตราการส่งผ่านสัญญาณ (S21) ที่ระยะห่าง 1 เมตร ระหว่างแท่งทองแดงที่ทำหน้าที่เป็นตัวส่งและรับสัญญาณ โดยแท่งทองแดงฝังในดินมีความยาวแตกต่างกัน ได้แก่ 50 ซม., 100 ซม. และ 150 ซม. จากผลการทดลองพบว่า ในย่านความถี่ต่ำ อัตราการส่งผ่านของสัญญาณมีค่าสูงกว่าย่านอื่นอย่างชัดเจน และความยาวแท่งทองแดงมีผลกระทบต่อสัญญาณเพียงเล็กน้อย โดยกราฟของแต่ละกรณีแสดงแนวโน้มที่ใกล้เคียงกัน ซึ่งสะท้อนว่า ความยาวของแท่งทองแดงในช่วงที่ทดลองไม่มีผลต่อประสิทธิภาพของการส่งผ่านสัญญาณอย่างมีนัยสำคัญ

2.2 การออกแบบเครื่องส่งสัญญาณคลื่นวิทยุสำหรับงานวิจัย 1.2 MHz

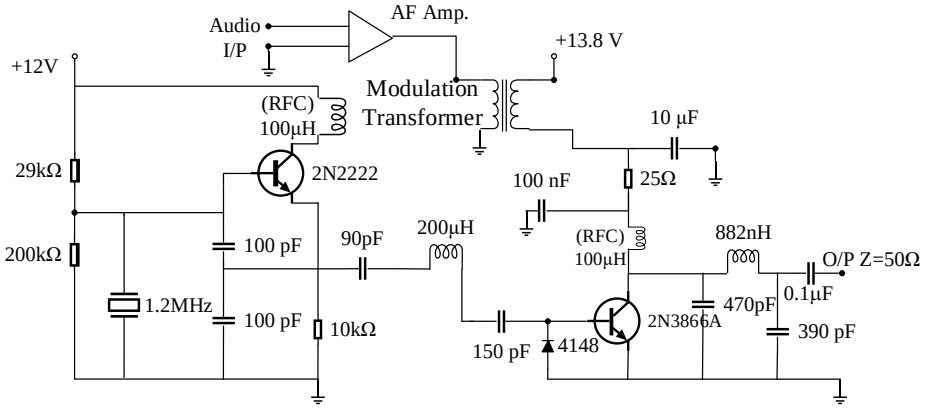

รูปที่ 3. วงจรเครื่องส่งสัญญาณวิทยุความถี่ 1.2 MHz

จากรูปที่ 3 วงจรที่แสดงนี้เป็นวงจรเครื่องส่งสัญญาณวิทยุระบบ AM (Amplitude Modulation) ที่ใช้ความถี่พาหะที่ 1.2 MHz โดยมีวัตถุประสงค์เพื่อใช้ส่งสัญญาณวิทยุ โดยจะทำการมอดูเลตคลื่นเสียงไปกับคลื่นพาหะ ก่อนจะขยายสัญญาณและส่งออกผ่านสายอากาศ (หรือผ่านดินตามงานวิจัยนี้) วงจรแบ่งออกเป็น 3 ส่วนหลัก คือ วงจรสร้างคลื่นพาหะ วงจรมอดูเลต และวงจรขยายกำลังและปรับแมตช์อิมพีแดนซ์ ในส่วนแรกของวงจรคือ วงจรสร้างคลื่นพาหะ ซึ่งใช้ทรานซิสเตอร์เบอร์ 2N2222 ทำหน้าที่เป็นออสซิลเลเตอร์ โดยควบคุมความถี่ด้วยผลึกคริสตัล (Crystal Oscillator) ที่ความถี่ 1.2 MHz สัญญาณคลื่นพาหะที่ได้จะถูกส่งต่อผ่านคาปาซิเตอร์และตัวเหนี่ยวนำที่ใช้เป็นวงจรกรองความถี่ เพื่อเตรียมเข้าสู่ขั้นตอนมอดูเลต โดยวงจรมอดูเลตจะทำการรวมสัญญาณเสียงเข้ากับคลื่นพาหะ โดยสัญญาณเสียงจากภายนอกจะถูกขยายด้วยภาคขยายเสียง (AF Amp) แล้วส่งผ่านหม้อแปลง(Modulation Transformer)เพื่อรวมแรงดันกับแหล่งจ่ายไฟที่ระดับ 13.8 โวลต์ กระแสที่ผสมระหว่างแรงดันเสียงและ

พาหะนี้จะถูกใช้ในการควบคุมกระแสไบอัสของทรานซิสเตอร์ขยายกำลังในขั้นถัดไป ทำให้เกิดสัญญาณ AM ซึ่งมีแอมปลิจูดแปรผันตามสัญญาณเสียงต้นทาง ทรานซิสเตอร์เบอร์ 2N3866A ทำหน้าที่เป็นภาคขยายกำลัง (RF Power Amplifier) โดยรับสัญญาณที่มอดูเลตแล้วมาขยายให้มีกำลังงานเพียงพอสำหรับการส่งออก ตัววงจรมีการจัดไบอัสด้วยไดโอด 1N4148 และใช้ขดลวด RFC ป้องกันสัญญาณความถี่วิทยุรบกวนวงจรภายใน นอกจากนี้ยังมีวงจรกรองความถี่ที่ประกอบด้วยคาปาซิเตอร์และตัวเหนี่ยวนำ เพื่อให้สัญญาณความถี่ 1.2 MHz ส่งออกไปได้ดีที่สุดและสามารถถ่ายเทกำลังงานได้อย่างมีประสิทธิภาพสู่โหลดที่มีอิมพีแดนซ์ 50 โอห์ม เช่น สายอากาศ เป็นต้น

3. ผลการทดลองการส่งสัญญาณเสียงด้วยความถี่พาหะที่ 1.2 MHz

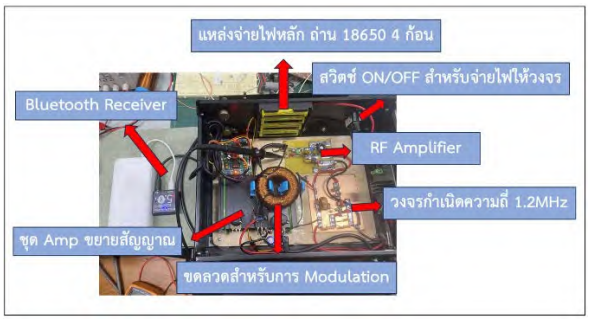

รูปที่ 4 เครื่องสัญญาณวิทยุย่านความถี่ AM

จากรูปที่ 4 เป็นรูปอุปกรณ์ที่ใช้ในการทดสอบจริง โดยระบบส่งสัญญาณต้นแบบในย่านความถี่ AM ใช้เครื่องกำเนิดความถี่ 1.2 MHz เป็นสัญญาณพาหะ (Carrier) สำหรับมอดูเลตข้อมูล สัญญาณข้อมูลที่ใช้ในการทดลองมีความถี่ 1 kHz ซึ่งได้จากการส่งผ่านแบบไร้สายจากโทรศัพท์มือถือ ไปยังโมดูลรับสัญญาณบลูทูธ จากนั้นสัญญาณข้อมูลจะถูกขยายด้วยวงจรขยายสัญญาณก่อนเข้าสู่ขั้นตอนการมอดูเลตแบบ AM กับสัญญาณพาหะ ภายหลังการมอดูเลต สัญญาณที่ได้จะถูกขยายกำลังอีกครั้ง เพื่อให้เพียงพอต่อการส่งผ่านผ่านชั้นดิน โดยกำลังงานสูงสุดวัดได้ 9.037 dBm หรือเพียง 8.011 mW เท่านั้น โดย เครื่องวิเคราะห์สเปกตรัม (Spectrum Analyzer) ยี่ห้อ Agilent Technology รุ่น N9912A ดังรูปที่ 5

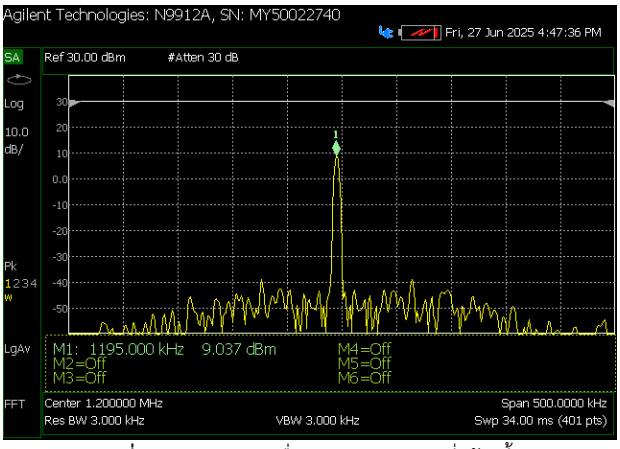

รูปที่ 5 กำลังส่งของเครื่องส่งสัญญาณวิทยุที่สร้างขึ้น

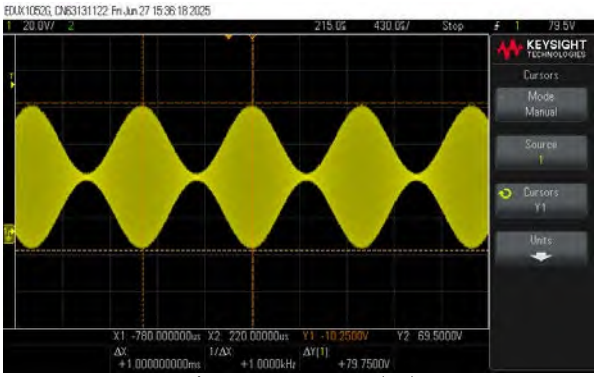

รูปที่ 6 สัญญาณมอดูเลทที่เครื่องส่ง

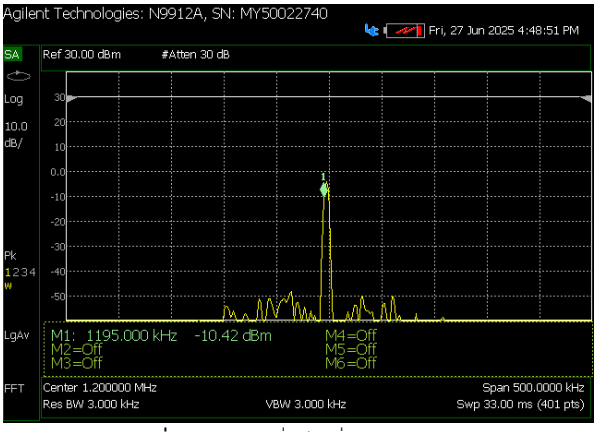

รูปที่ 7 กำลังงานที่รับได้ที่ระยะ 10 เมตร

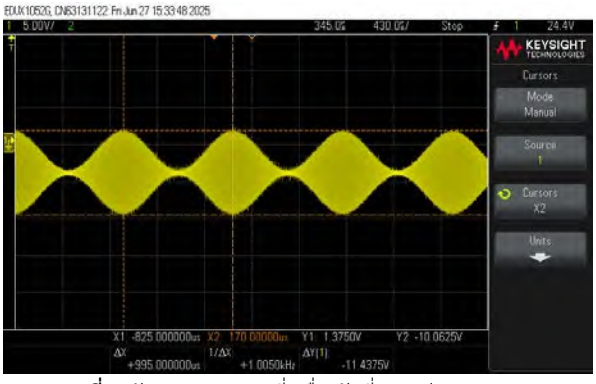

รูปที่ 8 สัญญาณมอดูเลทที่เครื่องรับที่ระยะห่าง 10 เมตร

จากรูปที่ 6 แสดงรูปคลื่นของสัญญาณที่ผ่านการมอดูเลตแบบแอมพลิจูดมอดูเลชัน (AM) โดยใช้สัญญาณพาหะความถี่ 1.195 MHz ขนาด 40 Vp ทำการมอดูเลตร่วมกับสัญญาณข้อมูลความถี่ 1 kHz ขนาด 38 Vp ผลจากการมอดูเลตทำให้ได้สัญญาณเอาต์พุตที่มีขนาด 79.75 Vp-p ซึ่งจากสมการที่ (1) สามารถคำนวณค่าดัชนีมอดูเลชัน (Modulation Index) ได้เท่ากับ 0.95 ภายหลังได้นำสัญญาณดังกล่าวส่งผ่านชั้นดินโดยใช้แท่งทองแดงยาว 1 เมตรเป็นอิเล็กโทรดส่ง และทำการรับสัญญาณด้วยแท่งทองแดงอีกแท่งหนึ่งที่ระยะห่าง 10 เมตร จากการวัดพบว่ากำลังงานของสัญญาณที่ได้รับเท่ากับ –10.42 dBm หรือ 90.782 ไมโครวัตต์ ดังแสดงในรูปที่ 7 และเมื่อวัดขนาดของสัญญาณมอดูเลตที่ตำแหน่งดังกล่าวจะมีค่าประมาณ 11.43 Vp-p ตามที่แสดงในรูปที่ 8

$$m = \frac{Vm}{Vc} \quad (1)$$

m = ดัชนีการมอดูเลท (modulation index)
Vm = ค่าสูงสุด(peak)ของสัญญาณข้อมูล
Vc = ค่าสูงสุด(peak)ของสัญญาณพาหะ

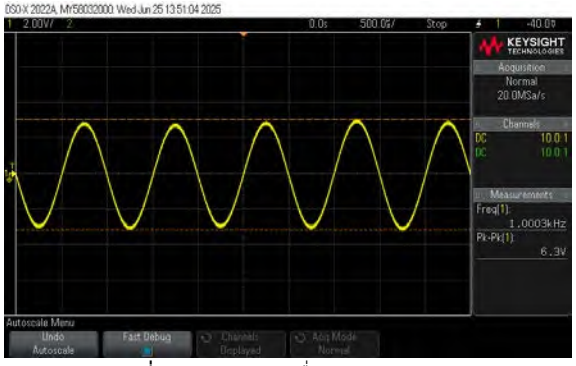

รูปที่ 9 กำลังส่งของเครื่องส่งสัญญาณวิทยุ

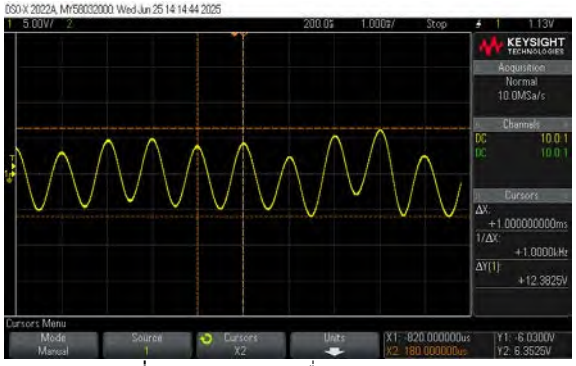

รูปที่ 10 กำลังส่งของเครื่องส่งสัญญาณวิทยุ

รูปที่ 9 แสดงผลการวัดสัญญาณที่ได้รับโดยการเชื่อมต่อสายอากาศจากแท่งทองแดง (แท่งรับ) ซึ่งอยู่ห่างจากจุดส่งสัญญาณ 10 เมตร เข้ากับขั้วต่อสายอากาศของเครื่องรับวิทยุ AM และทำการวัดสัญญาณที่ขั้ว Audio Output (หรือสายลำโพง) ของเครื่องรับโดยใช้ออสซิลโลสโคป จากผลการวัดพบว่าสามารถถอดรหัสสัญญาณข้อมูล (Demodulation) ออกมาได้อย่างถูกต้อง โดยไม่มีความผิดเพี้ยนที่สังเกตได้ สำหรับรูปที่ 10 เป็นการทดลองในลักษณะเดียวกันกับรูปที่ 9 แต่เพิ่มระยะห่างระหว่างจุดส่งและจุดรับออกไปเป็น 20 เมตร ผลการทดลองพบว่าสามารถดีมอดูเลตสัญญาณข้อมูลออกมาได้เช่นเดียวกัน นอกจากนี้ คณะผู้วิจัยได้ทดลองมอดูเลตสัญญาณเสียงเข้าไปยังสัญญาณพาหะ และทำการรับสัญญาณด้วยเครื่องรับวิทยุ AM ในระยะมากกว่า 20 เมตร พบว่าสามารถรับฟังเสียงที่ถูกส่งมาได้อย่างชัดเจน ซึ่งแสดงให้เห็นว่าสัญญาณที่ส่งผ่านชั้นดินสามารถส่งผ่านข้อมูลเสียงได้อย่างมีประสิทธิภาพในระยะดังกล่าว

4. สรุป

การทดลองประกอบด้วยการวัดค่าพารามิเตอร์ S11 และ S21 ผ่านเครื่องวิเคราะห์เครือข่าย เพื่อประเมินประสิทธิภาพของสายอากาศในการแพร่กระจายคลื่นแม่เหล็กไฟฟ้า นอกจากนี้ ความถี่ 1.2 MHz ซึ่งเป็นค่าความถี่ที่เลือกโดยพิจารณาจากความเหมาะสมในการวิเคราะห์ค่าพารามิเตอร์ S11 และ S21 เพื่อให้สามารถประเมินประสิทธิภาพของการส่งสัญญาณได้อย่างถูกต้อง อีกทั้ง ความถี่ 1.2 MHz ยังเหมาะสมต่อการสร้างวงจรกำเนิดความถี่ เนื่องจากสามารถหาอุปกรณ์ที่รองรับได้ง่ายกว่าความถี่อื่นที่สูงกว่านี้ ซึ่งอาจมีข้อจำกัดด้านอุปกรณ์และการออกแบบวงจร การทดสอบพบว่าการส่งสัญญาณผ่านดินที่ความถี่ดังกล่าวเป็นไปได้อย่างมีประสิทธิภาพ โดยพบว่าคุณสมบัติของดิน เช่น สภาพความชื้นและองค์ประกอบทางกายภาพ มีผลโดยตรงต่อระดับการลดทอนของคลื่นแม่เหล็กไฟฟ้า ผลการศึกษานี้สามารถนำไปประยุกต์ใช้ในระบบสื่อสารที่ไม่สามารถใช้สายอากาศทั่วไปได้ เช่น การสื่อสารใต้ดิน การสื่อสารในพื้นที่ภัยพิบัติ หรือสถานการณ์ฉุกเฉินที่ไม่สามารถพึ่งพาระบบสื่อสารแบบดั้งเดิมได้

เอกสารอ้างอิง

[1] Wang, Z., Jia, D., Sun, F., Chen, Q., Zhu, S., & Wang, Q. (n.d.). Research on extremely low frequency electromagnetic wave model and simulation in wellbore communication. Retrieved from www.nature.com/scientificreports

[2] Carr, Joseph J. (2001). Practical Antenna Handbook (4th ed.). หน้า 29. McGraw-Hill International Edition.

[3.] รังสรรค์ วงศ์สรรค์ และคณะผู้วิจัย.. รายงานฉบับสมบูรณ์ โครงการศึกษาแนวทางการใช้คลื่นความถี่สำหรับระบบสื่อสารรวมทั้งการสร้างแบบจำลองและระบุตำแหน่งในถ้ำ (รหัสโครงการวิจัย BT62-1-(2)/004). สาขาวิชาวิศวกรรมโทรคมนาคม สำนักวิชาวิศวกรรมศาสตร์ มหาวิทยาลัยเทคโนโลยีสุรนารี. ได้รับการสนับสนุนจาก กองทุน กทปส. สำนักงาน กสทช.

[4] Wikipedia contributors, "Through-the-Earth communications," Wikipedia, [Online]. Available: https://en.wikipedia.org/wiki/Through-the-earth_communications. [Accessed: Jan. 27, 2025].

เอกทัศน์ พฤกษวรรณ สำเร็จการศึกษาวิศวกรรมศาสตรมหาบัณฑิต ภาควิชาวิศวกรรมไฟฟ้า มหาวิทยาลัยเชียงใหม่ ปัจจุบันเป็นอาจารย์ ประจำสาขาวิชาวิศวกรรมโทรคมนาคม มหาวิทยาลัยเทคโนโลยีราชมงคลล้านนา เชียงใหม่ มีความสนใจทางด้านวิศวกรรมวิศวกรรมไฟฟ้าสื่อสาร วิศวกรรมไมโครเวฟ การออกแบบวงจรความถี่สูง

กฤตยา นาคประสิทธิ์ สำเร็จปริญญาวิศวกรรมศาสตรดุษฎีบัณฑิต สาขาวิชาวิศวกรรมไฟฟ้า สถาบันเทคโนโลยีพระจอมเกล้าเจ้าคุณทหารลาดกระบัง ปัจจุบันเป็นอาจารย์ ประจำสาขาวิชาวิศวกรรมโทรคมนาคม มหาวิทยาลัยเทคโนโลยีราชมงคลล้านนา เชียงใหม่ มีความสนใจทางด้านวิศวกรรมการสื่อสารไร้สาย วิศวกรรมสายอากาศ

ระพินทร์ วราภัชระ สำเร็จปริญญาวิศวกรรมศาสตรดุษฎีบัณฑิต สาขาวิชาวิศวกรรมโทรคมนาคม ปัจจุบันเป็นอาจารย์ ประจำสาขาวิชาวิศวกรรมโทรคมนาคม มหาวิทยาลัยเทคโนโลยีราชมงคลล้านนา มีความสนใจทางด้านวิศวกรรมสายอากาศ

สายอากาศโปร่งใสแถบความถี่กว้างสำหรับเทคโนโลยีการสื่อสารหลายอินพุตหลายเอาต์พุต

WIDEBAND TRANSPARENT ANTENNA FOR MIMO COMMUNICATION TECHNOLOGY

บุษยากร รุ่งอุทัย[1] นภาวรรณ ป่านแก้ว[1] พชรพล รักธัญญการณ์[2] ภัชดาพร แสงเพชร์[3] และ ชวลิต รักเหลือ[4]*

[1]สาขาวิชาอิเล็กทรอนิกส์และโทรคมนาคม คณะวิศวกรรมศาสตร์ มหาวิทยาลัยเทคโนโลยีราชมงคลธัญบุรี butsayakorn_r@mail.rmutt.ac.th 1164104001089@mail.rmutt.ac.th [2]1164104005049@mail.rmutt.ac.th [3]patchadaporn.s@en.rmutt.ac.th [4]chawalit@rmutt.ac.th*

บทคัดย่อ

งานวิจัยนี้นำเสนอสายอากาศโปร่งใสแถบความถี่กว้างสำหรับเทคโนโลยีการสื่อสารหลายอินพุตหลายเอาต์พุต วัสดุใช้อะคริลิคเป็นฐานรอง สายอากาศโปร่งใสแถบความถี่กว้างต้นแบบมีอัตราขยาย 2.5-5.0 dBi และมีแบบรูปการแผ่กระจายคลื่นแบบรอบตัว ตลอดแถบความถี่ใช้งาน 690–2700 MHz โดยจะถูกออกแบบผสมผสานระหว่างเทคนิคความหลากหลายทางโพลาไรเซชัน เทคนิคการจัดวางระยะ เพื่อได้ค่าการแยกตัวต่ำกว่า -15 dB และ -18 dB สำหรับผลการจำลองการทำงานและการวัดจริงตามลำดับ สายอากาศโปร่งใสแถบความถี่กว้างสำหรับเทคโนโลยีการสื่อสารหลายอินพุตหลายเอาต์พุต มีความเหมาะสมที่จะนำไปประยุกต์ใช้กับการสื่อสารต่าง ๆ ที่ใช้เทคโนโลยีการสื่อสารหลายอินพุตหลายเอาต์พุต

คำสำคัญ: สายอากาศโปร่งใส, ความถี่กว้าง, เทคโนโลยีหลายอินพุตหลายเอาต์พุต, การแผ่กระจายคลื่นรอบทิศทาง

Abstract

This research presents a transparent wideband antenna for multiple-input multiple-output communication technology. The antenna is fabricated on an acrylic substrate. The prototype transparent wideband antenna exhibits a gain ranging from 2.5 to 5.0 dBi and an omnidirectional radiation pattern across the operating frequency band of 690–2700 MHz. The design incorporates polarization diversity and spatial arrangement techniques to achieve isolation levels of less than –15 dB in simulations and –18 dB in measurements. The transparent wideband antenna is well-suited for various MIMO communication applications.

Keywords: Transparent Antenna, Wideband, Multiple-Input Multiple-Output (MIMO) Technology, Omnidirectional Radiation Pattern

1. บทนำ

ระบบสื่อสารแบบหลายอินพุตหลายเอาต์พุต มีบทบาทสำคัญในการเพิ่มอัตราการส่งข้อมูล ความจุของระบบ และลดผลกระทบจากการสะท้อนของสัญญาณ [1] การออกแบบสายอากาศสำหรับระบบดังกล่าวจำเป็นต้องพิจารณาทั้งการกระจายคลื่นรอบทิศทางและความหลากหลายทางโพลาไรเซชัน โดยสายอากาศประเภทโมโนโพลเป็นโครงสร้างที่เหมาะสม เนื่องจากสามารถแผ่พลังงานได้สม่ำเสมอในระนาบแนวนอน จึงเอื้อต่อการรับและส่งสัญญาณจากทุกทิศทางได้อย่างมีประสิทธิภาพ [3]

แนวโน้มการพัฒนาสายอากาศโปร่งใสได้รับความสนใจเพิ่มขึ้นอย่างต่อเนื่องในช่วงหลายปีที่ผ่านมา [2], [4] โดยมีจุดเด่นที่ความบางเบา ความกลมกลืนกับสิ่งแวดล้อม และความเหมาะสมต่อการประยุกต์ใช้กับอุปกรณ์ไร้สายสมัยใหม่ วัสดุโปร่งใสถูกนำมาใช้เป็นวัสดุฐานรองเพื่อสร้างโครงสร้างสายอากาศที่ตอบสนองต่อความต้องการดังกล่าว อีกทั้งยังมีการออกแบบให้รองรับแถบความถี่กว้าง [5]–[7] ครอบคลุมย่านความถี่ 700, 1800 และ 2600 MHz ซึ่งสอดคล้องกับมาตรฐาน 4G, 5G และเทคโนโลยีไร้สายอื่น ๆ

สายอากาศระบบสื่อสารแบบหลายอินพุตหลายเอาต์พุตควรมีการแยกสัญญาณระหว่างองค์ประกอบต่ำกว่า –15 dB ค่าการแมตช์อิมพีแดนซ์ที่ดี (S_{11} < –10 dB) ความสัมพันธ์ระหว่างช่องสัญญาณต่ำ (ECC < 0.5) มีเกนและขนาดที่เหมาะสม [8], [9] งานวิจัยนี้นำเสนอการออกแบบสายอากาศโมโนโพลโปร่งใสโดยใช้แผ่นอะคริลิกเป็นวัสดุฐานรอง และใช้เทปทองแดงเป็นแพทช์ ซึ่งสามารถรองรับการทำงานในย่านความถี่ 690–2700 MHz มีค่าอัตราขยายเฉลี่ย 2.5 dBi และใช้เทคนิคการจัดวางร่วมกับความหลากหลายทางโพลาไรเซชัน เพื่อให้ได้การแยกสัญญาณที่ดีและรูปแบบการแผ่พลังงานรอบทิศทาง และเป็นไปตามหลักเกณฑ์ของระบบสื่อสารแบบหลายอินพุตหลายเอาต์พุต [10]

2. โครงสร้างสายอากาศโปร่งใสแถบความถี่กว้าง

สายอากาศโปร่งใสแถบความถี่กว้างมีการปรับปรุงโครงสร้างเพื่อให้มีคุณสมบัติที่เหมาะสมที่สุดสำหรับการสร้างอากาศโปร่งใสแถบความถี่กว้างสำหรับเทคโนโลยีการสื่อสารหลายอินพุตหลายเอาต์พุต สายอากาศถูกสร้างขึ้นบนวัสดุอะคริลิคที่มีค่าคงตัวไดอิเล็กตริก (ε_r) 2.7 และความหนา 1 มิลลิเมตร โครงสร้างสายอากาศที่นำเสนอแสดงใน รูปที่ 1 และตารางที่ 1 แสดงพารามิเตอร์ต่างๆที่เหมาะสมของสายอากาศต้นแบบ จากโครงสร้างสายอากาศโปร่งใสแบบหนึ่งองค์ประกอบในรูปที่ 1(ก) ในการออกแบบสายอากาศโปร่งใสแถบความถี่กว้าง มีการกำหนดระยะ Gap ระหว่างแพทช์กับระนาบกราวด์และสร้างร่อง Wgslot บนกราวด์ระนาบเพื่อปรับปรุงคุณสมบัติการทำงานของสายอากาศ โดย Gap ช่วยให้เกิดการแมตช์ชิงอิมพีแดนซ์ที่ดีขึ้นและลดการสะท้อนกลับ ขณะที่ Wgslot ช่วยควบคุมการกระจายกระแสไฟฟ้า ทำให้สายอากาศสามารถรองรับย่าน

*ผู้ประพันธ์บรรณกิจ

ความถี่กว้างขึ้นและมีการตอบสนองที่ดี การศึกษาผลกระทบของการปรับระยะห่างระหว่างแพทช์และระนาบกราวด์โดยใช้พารามิเตอร์ Gap2 แสดงดังรูปที่ 2 จะเห็นได้ว่าเมื่อ Gap2 เท่ากับ 1 มิลลิเมตร ค่าพารามิเตอร์ S_{11} ต่ำที่สุดประมาณ -40 dB และ -35 dB ในช่วงความถี่ 1.5 GHz และ 2.8 GHz ซึ่งแสดงถึงการแมตช์ชิงอิมพิแดนซ์ที่ดี ดังนั้นค่า Gap2 ที่เหมาะสมคือ 1 มิลลิเมตร ซึ่งช่วยให้สายอากาศสามารถแมตช์ชิงอิมพิแดนซ์ได้อย่างมีประสิทธิภาพ นอกจากนี้ได้มีการปรับปรุงโครงสร้างเพิ่มเติมโดยการเซาะร่องระนาบกราวด์ ใช้พารามิเตอร์ Wgslot แสดงในรูปที่ 3 พบว่า Wgslot ที่ 1.5 มิลลิเมตร ให้ผลการแมตช์ชิงอิมพิแดนซ์ดีที่สุดในช่วง 2.5–3.0 GHz โดยมีค่า S_{11} ต่ำสุดประมาณ -35 dB

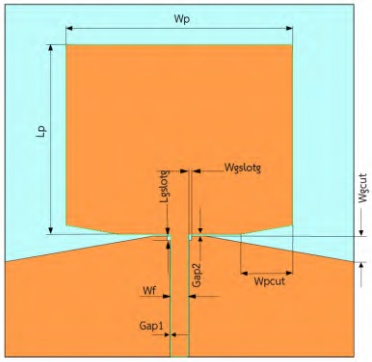

(ก)

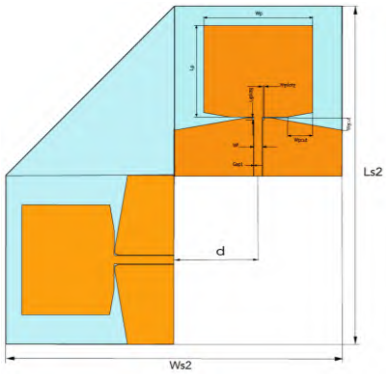

(ข)

รูปที่ 1 โครงสร้างสายอากาศ (ก) สายอากาศต้นแบบแบบหนึ่งองค์ประกอบ และ (ข) สายอากาศต้นแบบสำหรับเทคโนโลยีการสื่อสารหลายอินพุตหลายเอาต์พุต

ตารางที่ 1 พารามิเตอร์ของสายอากาศที่นำเสนอ

พารามิเตอร์	ขนาด (มม.)	พารามิเตอร์	ขนาด (มม.)
Ws2	200	Lg	70
Ls2	200	Gap1	0.5
Wp	130	Gap2	1
Lp	110	Wpcut	30
Wf	10	Wgcut	85
Lf	70	Lgslot	2.5
Wg	97.5	Wgslot	1.5

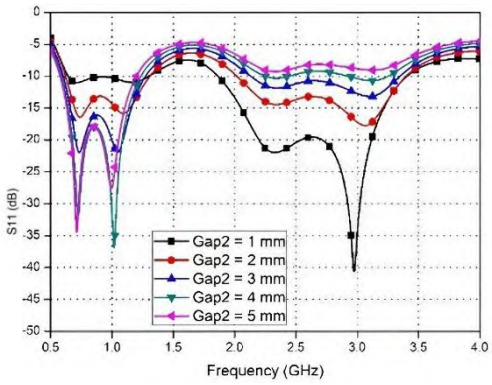

รูปที่ 2 ค่าสัมประสิทธิ์การสะท้อนเมื่อศึกษาพารามิเตอร์ Gap2

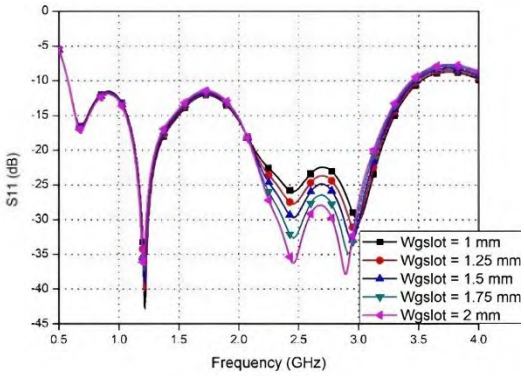

รูปที่ 3 ค่าสัมประสิทธิ์การสะท้อนเมื่อศึกษาพารามิเตอร์ Wgslot

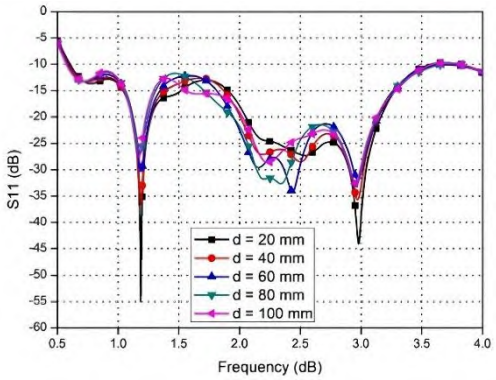

(ก)

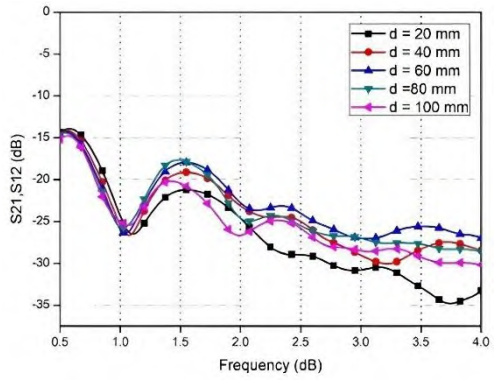

(ข)

รูปที่ 4 ผลจำลองค่าสัมประสิทธิ์ (ก) ผลจำลอง S_{11} เมื่อปรับค่าระยะ d และ (ข) ผลจำลองค่า S_{21} เมื่อปรับค่าระยะ d

ในการวิเคราะห์ผลกระทบของระยะห่างระหว่างสายอากาศทั้งสองพอร์ต (d) จากโครงสร้างสายอากาศโปร่งใสแสดงในรูปที่ 1 (ข) เมื่อปรับระยะห่าง d พบว่าค่าที่เหมาะสมคือ 20 มิลลิเมตร ค่าสัมประสิทธิ์การสะท้อน S_{11} ดังรูปที่ 4 (ก) การสะท้อนพลังงานของสัญญาณกลับ มีค่าน้อยกว่า -10 dB ในช่วงความถี่ 690–3500 MHz สายอากาศมีการแมตช์ชิงอิมพิแดนซ์ที่ดี ในขณะเดียวกัน รูปที่ 4(ข) แสดงค่า S_{21} พอร์ตทั้งสอง โดยมีค่าต่ำกว่า –15 dB ตลอดช่วงความถี่ ดังนั้นสายอากาศโปร่งใสต้นแบบที่มีระยะห่างระหว่างพอร์ตเท่ากับ 20 มิลลิเมตร แสดงให้เห็นถึงสมรรถนะที่ดีทั้งในด้านการตอบสนองแถบความถี่ที่กว้างและค่าการแยกสัญญาณ

3. การจำลองและการวัดผล

ในการทดสอบสายอากาศโปร่งใสต้นแบบ ได้ทำการสร้างชิ้นงานจริงและนำมาวัดค่าพารามิเตอร์ ดังแสดงในรูปที่ 5 ซึ่งเป็นชิ้นงานสายอากาศระหว่างการวัดในห้องปฏิบัติการ ผลการวัดค่าสัมประสิทธิ์การสะท้อน S_{11} ของสายอากาศแสดงในรูปที่ 6 พบว่ามีการตอบสนองต่อความถี่ครอบคลุมช่วง 600–4000 MHz ค่าการส่งผ่านระหว่างพอร์ต S_{21} แสดงในรูปที่ 7 มีค่าต่ำกว่า –15 dB ตลอดย่านความถี่ 500–4000 MHz ผลการวัดแสดงให้เห็นว่าสายอากาศโปร่งใสต้นแบบสามารถทำงานได้ในย่านความถี่กว้าง

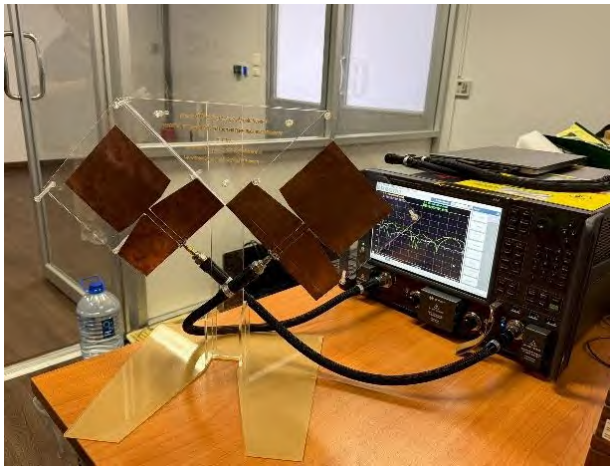

รูปที่ 5 ชิ้นงานสายอากาศโปร่งใสต้นแบบระหว่างการวัดค่าพารามิเตอร์

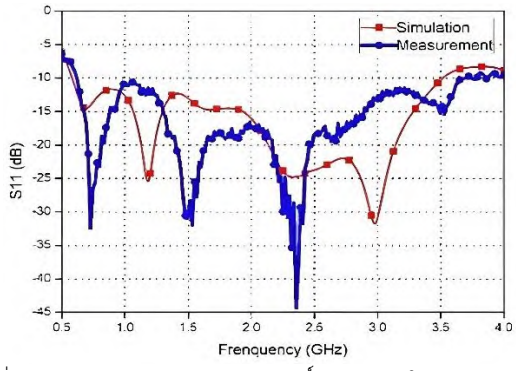

รูปที่ 6 ผลการเปรียบเทียบค่าสัมประสิทธิ์การสะท้อนในการจำลองการทำงานและการวัดทดสอบจริงของ S_{11}

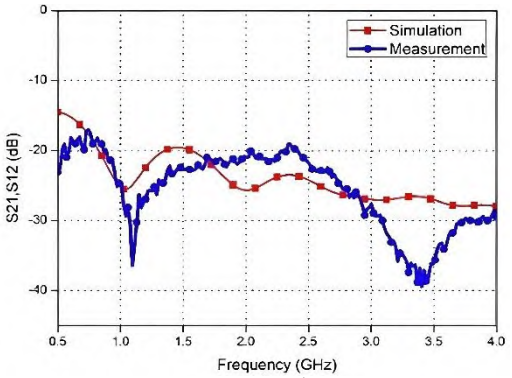

รูปที่ 7 ผลการเปรียบเทียบค่าสัมประสิทธิ์การสะท้อนในการจำลองการทำงานและการวัดทดสอบจริงของ S_{21},S_{12}

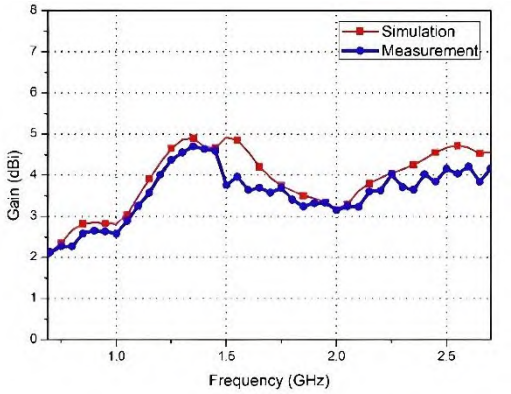

(ก)

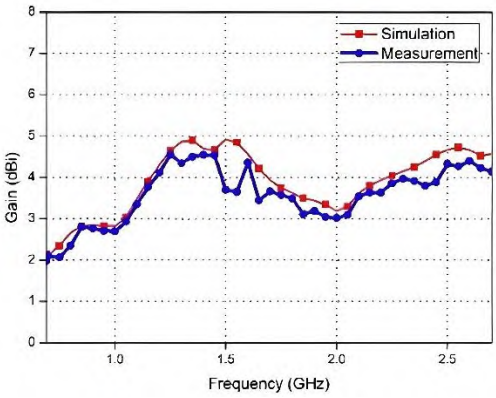

(ข)

รูปที่ 8 ผลการเปรียบเทียบอัตราขยายของผลการจำลองและผลวัดจริง พอร์ตของสายอากาศ (ก) พอร์ตที่ 1 (ข) พอร์ตที่ 2

ค่าอัตราขยายของสายอากาศจากการจำลองกับผลการวัดชิ้นงานต้นแบบทั้ง 2 พอร์ต ใช้งานได้ที่ช่วงความถี่ 690–2700 MHz มีค่าอัตราขยายเฉลี่ยอยู่ที่ 3.5 dBi ดังรูปที่ 8 แสดงให้เห็นว่าสายอากาศโปร่งใสสามารถทำงานในแถบความถี่กว้างได้ดี และมีค่าการสูญเสียการส่งผ่านต่ำตลอดย่านความถี่ที่ต้องการ และสามารถใช้งานร่วมกับการสื่อสารหลายอินพุตหลายเอาต์พุตได้ นอกจากนี้ค่าการแผ่กระจายคลื่นที่ได้ยังแสดงถึงความเหมาะสมของสายอากาศ ที่ต้องการทั้งแถบความถี่กว้างและการทำงานของระบบสื่อสารแบบหลายอินพุตหลายเอาต์พุต ที่มีประสิทธิภาพ

แบบรูปการแผ่พลังงานสำหรับสายอากาศโปร่งใสแถบความถี่กว้างต้นแบบที่ความถี่ 700 MHz, 1800 MHz และ 2600 MHz ถูกวัดโดยการส่งคลื่นทั้ง 2 รูปแบบตามลำดับ ได้แก่ ระนาบโพลาไรเซชันแนวตั้งและระนาบโพลาไรเซชันแนวนอน โดยผลการวัดรูปแบบการแผ่กระจายคลื่นของทั้ง 3 ความถี่แสดงดังรูปที่ 9, 10 และ 11 แบบรูปการแผ่พลังงานของสายอากาศที่ความถี่ 700 MHz และ 2600 MHz มีแบบรูปการแผ่พลังงานหลักแบบรอบตัว ทั้งสองพอร์ตสามารถกระจายคลื่นได้อย่างสม่ำเสมอในหลายทิศทางและแบบรูปการแผ่กระจายพลังงานของสายอากาศที่ความถี่ 1800 MHz มีแบบรูปการแผ่พลังงานพบว่า พอร์ตที่ 1 มีลักษณะการแผ่พลังงานไปทางด้านขวาของกราฟ ในขณะที่พอร์ตที่ 2 แผ่พลังงานไปทางด้านซ้าย โดยทั้งสองพอร์ตมีรูปแบบการแผ่ที่ไม่สมมาตรและแตกต่างกันชัดเจนในทั้งสองแนวของโพลาไรเซชัน ซึ่งแสดงให้เห็นถึงลักษณะเฉพาะของทิศทางการแผ่พลังงาน และยังส่งผลดีต่อการสร้างความหลากหลายเชิงทิศทางและเชิงโพลาไรเซชัน

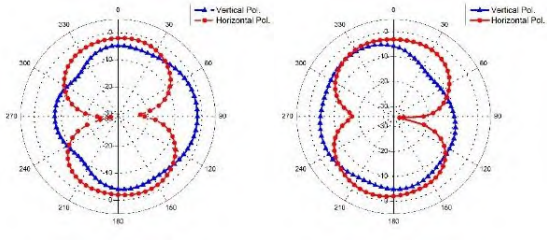

(ก) (ข)

รูปที่ 9 รูปแบบการแผ่พลังงานของสายอากาศระนาบ XZ ที่ความถี่ 700 MHz (ก) พอร์ตที่ 1 (ข) พอร์ตที่ 2

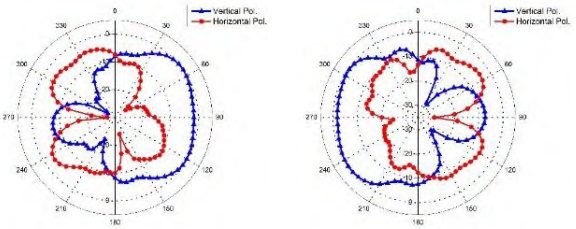

(ก) (ข)

รูปที่ 10 รูปแบบการแผ่พลังงานของสายอากาศระนาบ XZ ที่ความถี่ 1800 MHz (ก) พอร์ตที่ 1 (ข) พอร์ตที่ 2

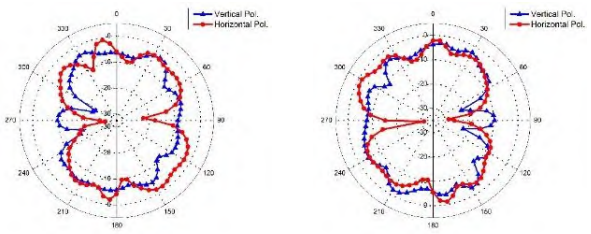

(ก) (ข)

รูปที่ 11 รูปแบบการแผ่พลังงานของสายอากาศระนาบ XZ ที่ความถี่ 2600 MHz (ก) พอร์ตที่ 1 (ข) พอร์ตที่ 2

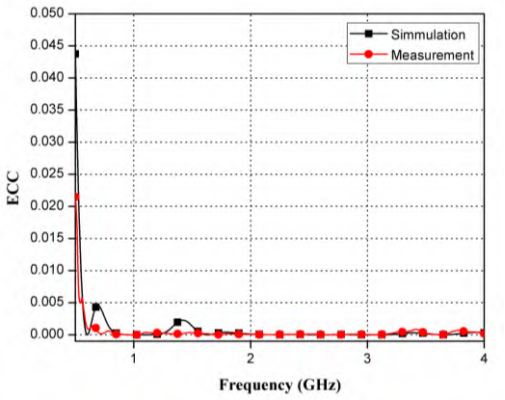

รูปที่ 12 ค่าความสัมพันธ์ของเอนเวลลอป(Envelope Correlation Coefficient) จากผลการจำลองและผลการวัดจริงของสายอากาศโปร่งใส

ในการประเมินสมรรถนะของสายอากาศในระบบหลายอินพุตหลายเอาต์พุต ได้ทำการคำนวณค่าความสัมพันธ์ของเอนเวลลอป (Envelope Correlation Coefficient) ทั้งผลการจำลองและการวัดจริง ซึ่งค่าที่เหมาะสมสำหรับการทำงานของ MIMO ควรมีค่าไม่เกิน 0.5 จากผลการทดลองที่แสดงในรูปที่ 12 พบว่า ค่า ECC ของสายอากาศโปร่งใสที่นำเสนอนี้มีค่าต่ำกว่า 0.05 ตลอดย่านความถี่ 690–2700 MHz โดยค่าจากการจำลองและการวัดมีแนวโน้มใกล้เคียงกันอย่างมาก แสดงให้เห็นว่าสายอากาศต้นแบบมีความเป็นอิสระระหว่างพอร์ตสูงและมีความเหมาะสมอย่างยิ่งต่อการใช้งาน นอกจากนี้ค่า ECC ที่ต่ำกว่ามาตรฐานยังสะท้อนถึงความสามารถของสายอากาศในการลดการรบกวนระหว่างช่องสัญญาณ

4. สรุป

สายอากาศโปร่งใสแบบโมโนโพลสำหรับเทคโนโลยี หลายอินพุตหลายเอาต์พุต ซึ่งออกแบบบนวัสดุอะคริลิค และใช้เทปทองแดงเป็นแพทช์ มีขนาด 40×40 เซนติเมตร รองรับการทำงานในช่วงความถี่ 690–2700 MHz ด้วยแบบรูปการแผ่คลื่นแบบรอบทิศทาง เหมาะสำหรับระบบ 4G, 5G และการสื่อสารไร้สายสมัยใหม่ สายอากาศต้นแบบมีการออกแบบโดยใช้เทคนิคความหลากหลายทางโพลาไรเซชันและการจัดวางระยะ เพื่อเพิ่มค่าการแยกตัว ซึ่งผลจากการจำลองแสดงค่า S_{11} ต่ำสุดประมาณ –40 dB และค่าการแยกตัวต่ำกว่า –15 dB เมื่อระยะห่างพอร์ตเท่ากับ 20 มิลลิเมตร ขณะที่ผลการวัดจริงพบว่าค่า S_{11} ครอบคลุมย่านความถี่ 600–4000 MHz และ ค่าการแยกตัวต่ำกว่า –15 dB ตั้งแต่ความถี่ 500–4000 MHz แสดงถึงการแมตช์ชิงอิมพิแดนซ์ที่ดีและมีการแยกสัญญาณที่มีประสิทธิภาพค่าอัตราขยายเฉลี่ยจากผลจำลองและการวัดจริงอยู่ที่ประมาณ 3.5 dBi และแบบรูปการแผ่พลังงานในที่ความถี่ 700 MHz และ 2600 MHz มีลักษณะรอบทิศทาง ขณะที่ 1800 MHz มีแบบรูปการแผ่กระจายคลื่นแบบเจาะจงทิศทาง แสดงให้เห็นว่าสายอากาศโปร่งใสต้นแบบมีความเหมาะสมต่อการใช้งานในระบบสายอากาศหลายอินพุตหลายเอาต์พุตที่ต้องการทั้งความกว้างแถบความถี่ การแยกตัวที่ดี และการกลมกลืนกับสิ่งแวดล้อม

5. กิตติกรรมประกาศ

ผู้วิจัยขอขอบคุณสาขาวิชาอิเล็กทรอนิกส์และโทรคมนาคม คณะวิศวกรรมศาสตร์ และมหาวิทยาลัยเทคโนโลยีราชมงคลธัญบุรี สำหรับการสนับสนุนด้านสถานที่และอุปกรณ์ในการดำเนินงานวิจัยครั้งนี้ รวมถึงอาจารย์ที่ปรึกษาที่ให้คำแนะนำและความช่วยเหลือด้วยดีตลอดมา

เอกสารอ้างอิง

[1] Y. Zhao, C. Rakluea, T. Hongnara, and S. Chaimool, “A compact dual-broadband multiple-input multiple-output (MIMO) indoor base station antenna for 2G/3G/LTE systems,” IEEE Access, vol. 7, pp. 82238–82245, 2019.

[2] B. Wu, X.-Y. Sun, H.-R. Zu, H.-H. Zhang, and T. Su, “Transparent ultrawideband halved coplanar Vivaldi antenna with metal mesh film,” IEEE Antennas and Wireless Propagation Letters, vol. 21, no. 12, pp. 2532–2536, Dec. 2022.

[3] T. Thianthong, et al., “Design of monopole transparent antenna for satellite internet aboard aircraft,” in Proc. 2025 13th Int. Electrical Engineering Congress (iEECON), Hua Hin, Thailand, 2025, pp. 1–4.

[4] S. Hong, Y. Kim, and C. W. Jung, “Transparent microstrip patch antennas with multilayer and metal-mesh films,” IEEE Antennas and Wireless Propagation Letters, vol. 16, pp. 772–775, 2017.

[5] Z. Cheng, Z. Zhou, and Z. D. Chen, “Design of a wideband MIMO antenna based on indium-tin-oxide (ITO) material,” in Proc. 2023 IEEE 11th Asia-Pacific Conf. on Antennas and Propagation (APCAP), Guangzhou, China, 2023, pp. 1–2.

[6] C. Rakluea, S. Chaimool, N. Wongsin, W. Amonvatsirikul, A. Chandadaeng, and P. Rakluea, “Low-cost dual-band transparent antenna for WLAN communication systems,” in Proc. 2024 IEEE Int. Workshop on Antenna Technology (iWAT), Sendai, Japan, 2024, pp. 198-201.

[7] F. López-Marcos, M. A. Vásquez-Agustín, and R. Torrealba-Meléndez, “Design and simulation of a MIMO octagonal-shape hybrid transparent-metallic film antenna for ultra-wideband systems,” in Proc. 2023 20th Int. Conf. on Electrical Engineering, Computing Science and Automatic Control (CCE), Mexico City, Mexico, 2023, pp. 1-6.

[8] C. F. Zhou, J. X. Sun, and H. Li, “Wideband MIMO antenna with decoupling slots for 5G smartphone applications,” in Proc. 2021 Int. Symp. on Antennas and Propagation (ISAP), Taipei, Taiwan, 2021, pp. 1-3.

[9] B. A. F. Esmail, et al., “Design of compact dual-port super wideband MIMO antennas for communication systems,” in Proc. 2021 IEEE Asia-Pacific Conf. on Applied Electromagnetics (APACE), Penang, Malaysia, 2021, pp. 1-4.

[10] A. A. Desai, S. K. Sharma, S. K. Mishra, and R. K. Gupta, “Transparent 2-element 5G MIMO antenna for Sub-6 GHz applications,” *Electronics*, vol. 11, no. 2, p. 251, 2022.

บุษยากร รุ่งอุทัย สำเร็จการศึกษาระดับปริญญาตรีวิศวกรรมศาสตร์ สาขาวิศวกรรมอิเล็กทรอนิกส์และโทรคมนาคม จากมหาวิทยาลัยเทคโนโลยีราชมงคลธัญบุรี, จังหวัดปทุมธานี, ประเทศไทย ในปี 2025 โดยปัจจุบันกำลังศึกษาต่อระดับปริญญาโท สาขาวิศวกรรมอิเล็กทรอนิกส์และโทรคมนาคม ที่มหาวิทยาลัยเทคโนโลยีราชมงคลธัญบุรี ความสนใจงานวิจัยครอบคลุมด้านการออกแบบและพัฒนาสายอากาศ การสื่อสารไร้สาย และเทคโนโลยีการสื่อสารความถี่สูง โดยเฉพาะงานวิจัยที่เกี่ยวข้องกับสายอากาศโปร่งใส, วัสดุนาโน และการประยุกต์ใช้งานในระบบสื่อสารสมัยใหม่

นภาวรรณ ป่านแก้ว สำเร็จการศึกษาระดับปริญญาตรีวิศวกรรมศาสตร์ สาขาวิศวกรรมอิเล็กทรอนิกส์และโทรคมนาคม จากมหาวิทยาลัยเทคโนโลยีราชมงคลธัญบุรี, จังหวัดปทุมธานี, ประเทศไทย ในปี 2025 โดยในระหว่างการศึกษาเขามีความสนใจด้านสายอากาศ, เทคโนโลยีการสื่อสารความถี่สูง, การสื่อสารไร้สาย และได้มีส่วนร่วมในงานวิจัยฉบับนี้

พชรพล รักธัญญการณ์ สำเร็จการศึกษาระดับปริญญาตรีวิศวกรรมศาสตร์ สาขาวิศวกรรมอิเล็กทรอนิกส์และโทรคมนาคม จากมหาวิทยาลัยเทคโนโลยีราชมงคลธัญบุรี, จังหวัดปทุมธานี, ประเทศไทย ในปี 2025 โดยในระหว่างการศึกษาเขามีความสนใจด้านสายอากาศ, เทคโนโลยีการสื่อสารความถี่สูง, การสื่อสารไร้สาย และได้มีส่วนร่วมในงานวิจัยฉบับนี้

ดร.ภัชดาพร แสงเพชร์ สำเร็จระดับปริญญาตรีสาขาฟิสิกส์อุตสาหกรรม ระดับปริญญาโทและปริญญาเอก สาขาวิศวกรรมไฟฟ้า มหาวิทยาลัยเทคโนโลยีพระจอมเกล้าพระนครเหนือ อาจารย์ประจำภาควิชาวิศวกรรมอิเล็กทรอนิกส์และโทรคมนาคม มหาวิทยาลัยเทคโนโลยีราชมงคลธัญบุรี ความสนใจงานวิจัยสายอากาศ, เทคโนโลยีการพิมพ์ 3 มิติ และสายอากาศบนชิป

ดร.ชวลิต รักเหลือ สำเร็จการศึกษาระดับปริญญาตรีวิศวกรรมศาสตรบัณฑิต ปริญญาโทวิศวกรรมศาสตรมหาบัณฑิต และปริญญาเอก สาขาวิศวกรรมไฟฟ้า จากมหาวิทยาลัยเทคโนโลยีพระจอมเกล้าพระนครเหนือ โดยปัจจุบันดำรงตำแหน่งอาจารย์ประจำมหาวิทยาลัยเทคโนโลยีราชมงคลธัญบุรี ประเทศไทย ความสนใจด้านงานวิจัยของเขา ได้แก่ การส่งกำลังไฟฟ้าไร้สาย, เมตาแมทีเรียล, เมตาเซอร์เฟซ และเทคโนโลยีเสาอากาศ

สายอากาศแถวลำดับไดโพลแบบรายคาบล็อกชนิดระนาบโดยใช้แฟร็กทรัลเส้นโค้งมังกรสำหรับการตรวจจับโพรงใต้ดินด้วยเรดาร์ทะลุพื้นดิน

Planar Log-Periodic Dipole Array Antenna Using Dragon Curve Fractal for Underground Cavity Detection with Ground Penetrating Radar

ฉัตรชัย โชคชัย[1] จีรยุ คณธิดามี[2*] และ ศักรินทร์ แก้วทอง[3]

[1]ภาควิชาวิศวกรรมอิเล็กทรอนิกส์และโทรคมนาคม คณะวิศวกรรมศาสตร์ มหาวิทยาลัยเทคโนโลยีราชมงคลธัญบุรี chatchai_c@rmutt.ac.th
[2]ภาควิชาวิศวกรรมคอมพิวเตอร์ คณะวิศวกรรมศาสตร์ มหาวิทยาลัยเทคโนโลยีราชมงคลธัญบุรี jerayu.k@en.rmutt.ac.th*
[3]แผนกวิจัยและพัฒนา บริษัท ไดมอนด์ พาย จำกัด sakkarin.k@diamond-pi.com

บทคัดย่อ

บทความนี้เสนอสายอากาศแถวลำดับแบบรายคาบล็อกชนิดระนาบโดยใช้แฟร็กทรัลเส้นโค้งมังกรสำหรับการตรวจจับโพรงใต้ดินด้วยเรดาร์ทะลุพื้นดิน โดยออกแบบโครงสร้างด้วยแฟร็กทรัลเส้นโค้งมังกรที่การทำซ้ำระดับ 4 เพื่อลดขนาดและเพิ่มบีมด์วิดท์ครึ่งกำลังของสายอากาศ ซึ่งมีขนาด 265x240x1.6 มม.^{3} จากการทดสอบพบว่าสายอากาศมีแบนด์วิดท์ 400 MHz (72.7%) มีแบบรูปการแผ่พลังงานแบบเจาะจงทิศทาง มีอัตราขยายสูงสุดที่มุม 0 องศา เท่ากับ 7.24 dBi และมีบีมด์วิดท์ครึ่งกำลัง เท่ากับ 80 องศา ในระนาบ XZ สามารถลดขนาดจากสายอากาศแถวลำดับไดโพลแบบปกติได้ถึง 33% จากการทดสอบพบว่า การตรวจจับโพรงใต้ดินจากการสะท้อนของคลื่นสามารถตรวจพบได้เมื่อโพรงมีขนาดและความลึกมากกว่า 30 ซม. ขึ้นไป โดยที่ความลึก 40 ซม. ให้ผลการตรวจจับที่แม่นยำที่สุด

คำสำคัญ: สายอากาศแบบแถวลำดับ, แฟร็กทรัลเส้นโค้งมังกร, โพรงใต้ดิน, เรดาร์ทะลุพื้นดิน

Abstract

This paper presents a planar log-periodic dipole array (LPDA) antenna utilizing a dragon curve fractal design for underground cavity detection via ground-penetrating radar (GPR). The antenna structure is designed using a 4th iteration of the dragon curve fractal to achieve size reduction and increase the half-power beamwidth of the antenna, which has dimensions of 265 × 240 × 1.6 mm^3. Measurement results show that the antenna operates over a bandwidth of 350–750 MHz (72.7%). The antenna exhibits directional radiation patterns with a maximum gain of 7.24 dBi and a half-power beamwidth of 80 degrees in the XZ plane. Compared to conventional dipole array antennas, the design achieves a 33% reduction in size. Experimental results confirm that underground cavity detection is achievable when the cavity size and depth exceed 30 cm, with the most precise detection observed at a depth of 40 cm.

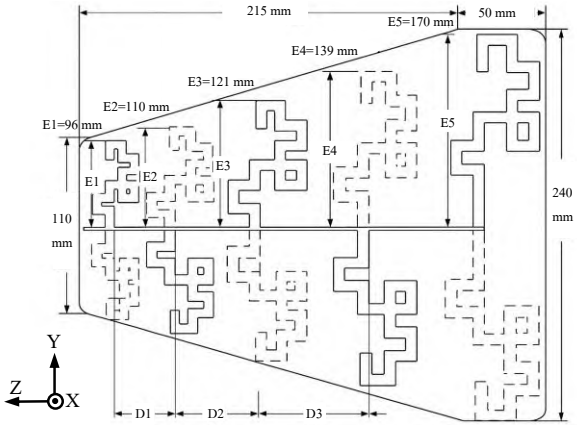

รูปที่ 1 โครงสร้างสายอากาศแถวลำดับแบบรายคาบล็อกชนิดระนาบโดยใช้แฟร็กทรัลเส้นโค้งมังกร

Keywords: Array Antennas, Dragon Curves Fractal, Underground cavity, Ground Penetrating Radar

1. บทนำ

ในปัจจุบัน ปัญหาการเกิดโพรงใต้ดิน (Underground Cavity) กลายเป็นภัยคุกคามที่อาจนำไปสู่การทรุดตัวของพื้นดินหรือการเกิดหลุมยุบ ซึ่งสร้างความเสียหายต่ออาคาร ถนน หรือโครงสร้างพื้นฐานต่างๆ ได้อย่างรุนแรง โดยเฉพาะในพื้นที่ที่มีการกัดเซาะจากน้ำใต้ดิน รวมไปถึงเหตุแผ่นดินไหว โพรงใต้ดินเหล่านี้มักไม่สามารถตรวจพบได้ด้วยตาเปล่าหรือการตรวจสอบทั่วไป ดังนั้นระบบการสำรวจใต้พื้นดินจึงมีความจำเป็นต้องใช้เทคโนโลยีที่สามารถสำรวจโครงสร้างของดินได้โดยไม่ทำลายพื้นผิว [1]

ระบบเรดาร์ทะลุทะลวงผิวดิน (Ground Penetrating Radar: GPR) เป็นเทคโนโลยีที่ใช้คลื่นแม่เหล็กไฟฟ้าในการส่งสัญญาณเข้าสู่พื้นดิน และตรวจวัดคลื่นที่สะท้อนกลับจากวัตถุหรือชั้นดินที่มีคุณสมบัติต่างกัน เพื่อสร้างภาพหรือข้อมูลของโครงสร้างใต้ดินแบบไม่ทำลาย (Non-Destructive Testing) [2] ซึ่ง GPR ได้รับความนิยมในการใช้งานหลายด้าน เช่น การสำรวจโบราณคดี, การตรวจสอบโครงสร้างพื้นฐาน, การค้นหาโพรง หรือท่อใต้ดิน โดยจุดเด่นคือความแม่นยำในการตรวจสอบและความสามารถในการแสดงผลแบบเรียลไทม์

*ผู้ประพันธ์บรรณกิจ

ในระบบเรดาร์ทะลุทะลวงผิวดินนั้น ในการออกแบบสายอากาศและความถี่ที่ใช้จะมีส่วนเกี่ยวข้องกับความลึกของการทะลุพื้นผิวและการรับสัญญาณสะท้อนกลับอย่างมาก สายอากาศจึงมีความสำคัญ ดังนั้นจึงได้มีการพัฒนาสายอากาศที่มีรูปแบบที่แตกต่างกัน สายอากาศแถวลำดับแบบรายคาบล็อก (Log Periodic Dipole Array: LPDA) เป็นสายอากาศที่มีแบบรูปการแผ่กระจายคลื่นแบบเจาะจงทิศทาง และอัตราขยายสูง แต่มีขนาดค่อนข้างใหญ่ ดังนั้นจึงมีการนำเสนอเทคนิคต่างๆ ในการลดขนาดของสายอากาศอย่างหลากหลาย แฟร็กทรัลเป็นหนึ่งในเทคนิคที่ได้รับความนิยม ใน [3] นำเสนอโครงสร้างแฟร็กทรัลต้นไม้ร่วมกับสายอากาศแถวลำดับแบบรายคาบล็อกเพื่อเพิ่มสภาพเจาะจงทิศทางของสายอากาศ นอกจากนี้มีการนำเสนอสายอากาศแถวลำดับแบบรายคาบล็อกแบบระนาบสำหรับระบบระบุตำแหน่ง [4] และสายอากาศแถวลำดับแบบรายคาบล็อกแบบกึ่งระนาบ [5] สำหรับย่านความถี่ 5G

บทความนี้นำเสนอการออกแบบสายอากาศแถวลำดับแบบรายคาบล็อกชนิดระนาบสำหรับการใช้งานในระบบเรดาร์ทะลุผิวดินในการสำรวจโพรงใต้พื้นดิน ทำการออกแบบโครงสร้างสายอากาศ โดยการประยุกต์ใช้รูปเลขาคณิตแฟร็กทรัลเส้นโค้งมังกรเพื่อลดขนาดของสายอากาศ เพิ่มอัตราขยายและเพิ่มบีมด์วิดท์ของกำลังครึ่งหนึ่ง (Half-power Beamwidth: HPBW)

2. การออกแบบ

2.1 การออกแบบสายอากาศ

โครงสร้างของสายอากาศแถวลำดับไดโพลแบบรายคาบล็อกชนิดระนาบดังรูปที่ 1 ซึ่งสายอากาศทำการออกแบบบนแผ่น FR4 ที่มีค่าคงที่ไดอิเล็กตริก ε_r = 4.3 มีความหนาของวัสดุฐานรอง (Substrate) h = 1.6 มม. และมีค่าประกอบการสูญเสีย tan δ = 0.019 ด้านบนเป็นแผ่นโลหะทองแดงมีความหนา 0.035 มม. โดยใช้โปรกรม CST Microwave Studio [6] ในการจำลองสายอากาศ ขั้นตอนแรกในการออกแบบเริ่มจากการคำนวณขนาดของสายอากาศแถวลำดับไดโพลแบบรายคาบล็อก โครงสร้างและพารามิเตอร์ต่างๆ เป็นไปตามทฤษฎีการออกแบบ [7] แสดงดังรูปที่ 2 โดยคำนวณค่าต่างๆ ตามสมการที่ (1) – (8) ของ [8] ค่าที่คำนวณได้แสดงดังตารางที่ 1

$$\alpha=\tan^{-1}\left[1-\tau/4\sigma\right] \quad (1)$$

หา B_{ar}

$$B_{ar}=1.1+7.7(1-\tau)^2\cot\alpha \quad (2)$$

และจะได้ B_S จากสมการ (3)

$$B_s=BB_{ar}=B[1.1+7.7(1-\tau)^2\cot\alpha] \quad (3)$$

จะได้จำนวนอีลีเมนต์ N จากสมการ (4)

$$N=1+\frac{\ln B_s}{\ln(1/\tau)} \quad (4)$$

หาค่า l, R, d และ s หาได้จากสมการ (5)

$$\frac{1}{\tau}=\frac{l_2}{l_1}=\frac{l_{n+1}}{l_n}=\frac{R_2}{R_1}=\frac{R_{n+1}}{R_n}=\frac{d_2}{d_1}=\frac{d_{n+1}}{d_n}=\frac{s_{n+1}}{s_n} \quad (5)$$

หาค่า λ_{max} จากสมการ (6)

$$\lambda_{max}=2l_{max}=\frac{c}{f_{min}} \quad (6)$$

หาค่า l จากสมการ (7)

$$\frac{1}{\tau}=\frac{l_2}{l_1}=\frac{l_{n+1}}{l_n} \quad (7)$$

หาค่า d จากสมการ (8)

$$\frac{1}{\tau}=\frac{d_2}{d_1}=\frac{d_{n+1}}{d_n} \quad (8)$$

ขั้นตอนที่สองนำโครงสร้างแฟร็กทรัลเส้นโค้งมังกร มาประยุกต์ใช้กับสายอากาศแถวลำดับไดโพลแบบรายคาบล็อกแบบปกติ (ทำซ้ำระดับที่ 0) เพื่อลดขนาดของสายอากาศ โครงสร้างแฟร็กทรัลเส้นโค้งมังกร [9] ระดับการทำซ้ำตั้งแต่ระดับ 0-4 แสดงดังรูปที่ 3 ใช้การทำซ้ำที่มุม 90 องศา โดยค่าเริ่มต้องของ A = l_8 จากนั้นทำการจำลองผลเพื่อศึกษาแนวโน้มความเป็นไปได้ของการลดขนาดของสายอากาศและเพิ่มอัตราขยายโดยที่บีมด์วิดท์ของกำลังครึ่งหนึ่งมีมุมที่กว้าง แบบรูปการแผ่พลังงานจากการจำลองของสายอากาศที่ความถี่ 600 MHz ในระดับที่ 0-4 แสดงดังรูปที่ 4 จะเห็นได้ว่าสายอากาศแถวลำดับไดโพลแบบรายคาบล็อกแบบปกติ (ทำซ้ำระดับที่ 0) นั้น มีค่า HPBW=75.8 องศา และอัตราขยายที่มุม 0 องศา เท่ากับ 2.65 dBi

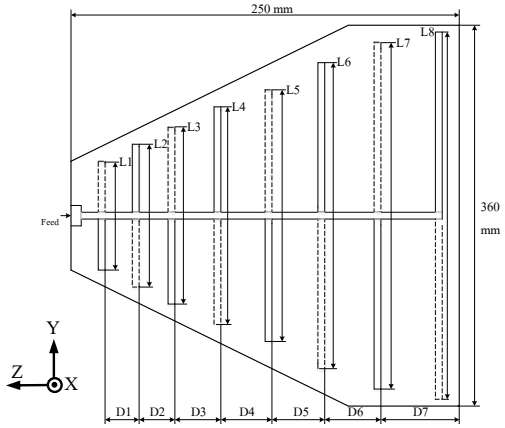

รูปที่ 2 โครงสร้างแถวลำดับไดโพลแบบรายคาบล็อกแบบระนาบ

ตารางที่ 1 พารามิเตอร์ของสายอากาศที่ได้จากการคำนวณ

ความยาวของไดโพล	ความยาว (mm)	ระยะห่างของแถวลำดับ	ระยะห่าง (mm)
l_1	100	d_1	23
l_2	110	d_2	25
l_3	140	d_3	28
l_4	170	d_4	32
l_5	210	d_5	36
l_6	250	d_6	42
l_7	310	d_7	45
l_8	380		

ในขณะที่สายสายอากาศแถวลำดับไดโพลแบบรายคาบล็อกโครงสร้างแฟร็กทรัลเส้นโค้งมังกร ที่มีระดับการทำซ้ำ 1-4 แสดงให้เห็นถึงแนวโน้มการเพิ่มขึ้นของบีมด์วิดท์ของกำลังครึ่งหนึ่งและอัตราขยาย โดยที่ระดับการทำซ้ำที่ 4 มีค่า HPBW=82.7 องศา และอัตราขายายที่มุม 0 องศา เท่ากับ 2.84 dBi ซึ่งมีขนาดโดยรวมของสายอากาศที่เล็กลงเมื่อเทียบกับสายอากาศแบบปกติ ซึ่งแสดงให้เห็นว่าเมื่อระดับการทำซ้ำเพิ่มขึ้น สามารถเพิ่มความกว้างของบีมด์วิดท์ของกำลังครึ่งหนึ่งและอัตราขยายที่สอดคล้องกันในลักษณะเชิงเส้นโดยที่HPBW เพิ่มขึ้น แต่ส่งผลกระทบต่ออัตราขยายที่ลดลงเพียงเล็กน้อย

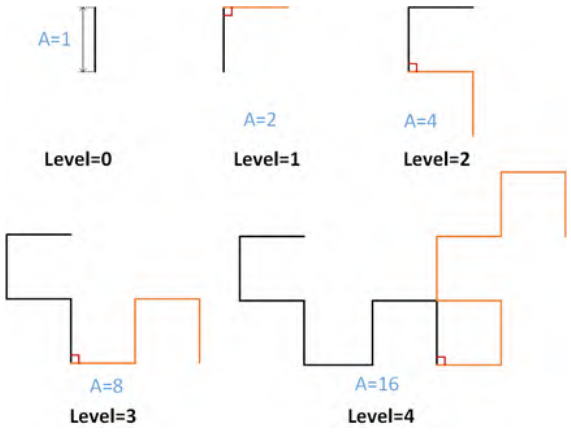

รูปที่ 3 ระดับการทำซ้ำของแฟร็กทรัลเส้นโค้งมังกร ระดับ 0 - 4

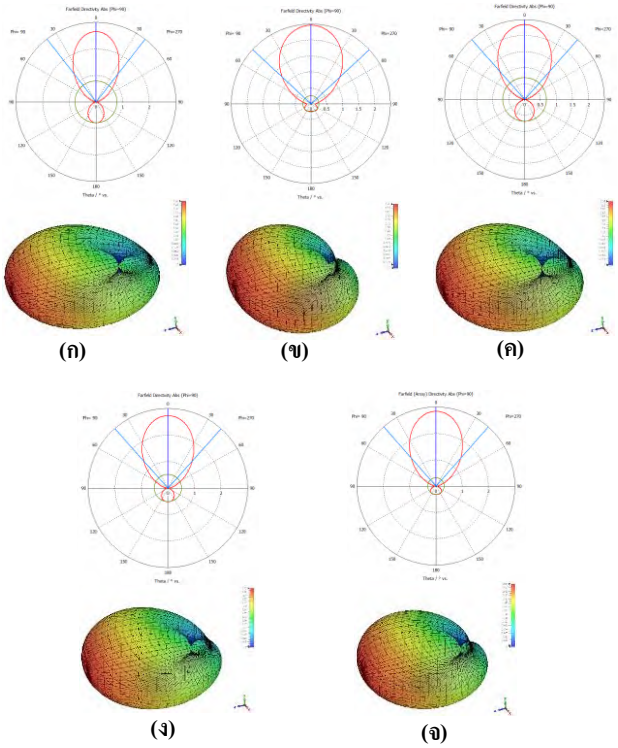

รูปที่ 4 แบบรูปการแผ่พลังงานของสายอากาศที่ความถี่ 600 MHz (ก) ระดับ 0 (ข) ระดับ 1 (ค) ระดับ 2 (ง) ระดับ 3 และ (จ) ระดับ 4

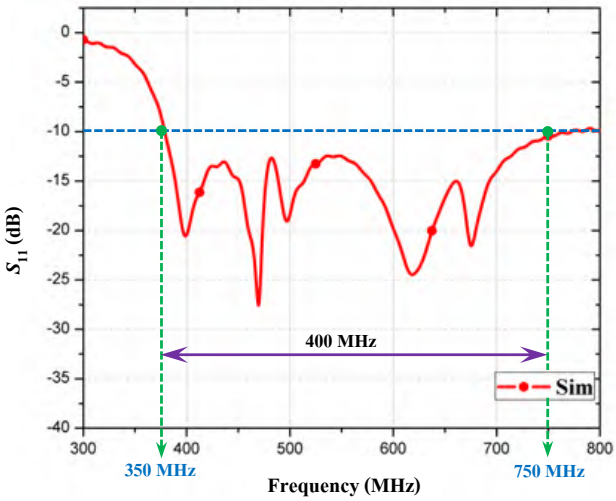

รูปที่ 5 ค่าสัมประสิทธิ์การสะท้อนจากการจำลอง

จากนั้นนำสายสายอากาศแถวลำดับไดโพลแบบรายคาบล็อกโครงสร้างแฟร็กทรัลเส้นโค้งมังกรที่มีระดับการทำซ้ำ ที่ระดับ 4 ไปทำการเพิ่มอิลิเมนต์จาก 3E ไปเป็น 5E และทำการปรับแต่งขนาดให้ได้ผลการตอบสนองที่ดีที่สุด โดยขนาดของสายอากาศแสดงไว้ในรูปที่ 1 ผลการจำลองค่าสัมประสิทธิ์การสะท้อนของสายอากาศแสดงดังรูปที่ 5 แสดงให้เห็นว่าค่าสัมประสิทธิ์การสะท้อนของสายอากาศที่ต่ำกว่า -10 dB มีแบนด์วิดท์ 350-750 MHz (400 MHz) และลดขนาดของสายอากาศที่นำเสนอเทียบกับสายอากาศแถวลำดับไดโพลแบบรายคาบล็อกแบบปกติ (ทำซ้ำระดับที่ 0) ได้ถึง 33 % มีอัตราขยายสูงสุดที่มุม 0 องศา เท่ากับ 7.54 dBi

2.2 การออกแบบโปรแกรมสำหรับเรดาร์ทะลุพื้นดิน

การออกแบบโปรแกรมควบคุมจะใช้โปรแกรม LabVIEW [10] โดยแบ่งการออกแบบเป็น 2 ส่วนหลักๆ ก็คือการออกแบบภาคส่ง (Tx) แสดงดังรูปที่ 6 และภาครับ (Rx) แสดงดังรูปที่ 7 โปรแกรมที่ออกแบบจะนำไปใช้ในการควบคุมอุปกรณ์ USRP (Universal Radio Peripheral) [11]

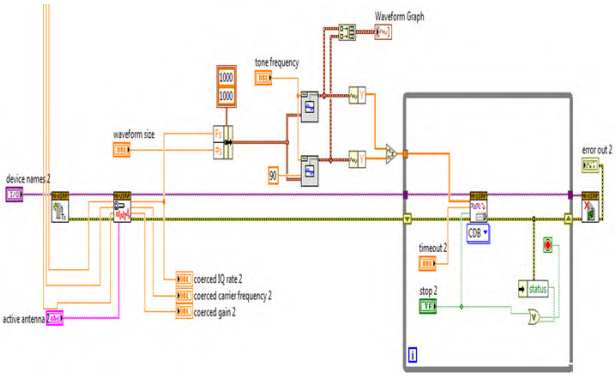

รูปที่ 6 โปรแกรมภาคส่ง (Tx)

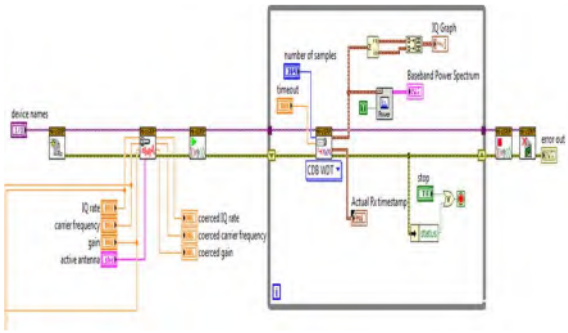

รูปที่ 7 โปรแกรมภาครับ (Rx)

โปรแกรมออกแบบให้ให้มีทั้งส่วนของสัญญาณดิจิตอลเบสแบนด์และสัญญาณความถี่กลางเพื่อรองรับการออกแบบระบบสื่อสารโดยการใช้เทคโนโลยีกำหนดสัญญาณวิทยุด้วยซอฟแวร์ หน้าที่หลัก คือประมวลผลสัญญาณวิทยุ เช่น การมอดูเลต การดีมอดูเลต การขยายความถี่ และการแปลงสัญญาณ

โดยฝั่งภาคส่งจะเริ่มจากการกำหนดชื่ออุปกรณ์ ความถี่พาหะ อัตราสุ่มสัญญาณ (IQ rate) และกำลังส่ง จากนั้นจะสร้างคลื่นความถี่ที่ต้องการส่ง และส่งออกทางพอร์ต TX ของ USRP ในขณะที่ฝั่งภาครับจะรับสัญญาณกลับมาผ่านพอร์ต RX โดยมีการตั้งค่าคลื่นความถี่และกำลังรับให้สอดคล้องกัน พร้อมกำหนดจำนวน sample ที่ต้องการและวิเคราะห์ค่ากำลังในโดเมนความถี่เพื่อนำมาแสดงเป็นกราฟ

3. การวัดทดสอบและอภิปรายผล

ผลจากการทำการปรับค่าพารามิเตอร์ต่างๆ จนได้ค่าที่เหมาะสมที่สุด จึงนำขนาดของสายอากาศจากการจำลองไปสร้างชิ้นงานดังรูปที่ 8 จากนั้นนำไปวัดค่าสัมประสิทธิ์การสะท้อนโดยการใช้เครื่อง (Vector Network Analyzer) รุ่น Rohde & Schwarz ZVA40 10 MHz – 40 GHz จากรูปที่ 9 แสดงผลการวัดค่าสัมประสิทธิ์การสะท้อนของสายอากาศ จากการวัดจริงพบว่ามีแบนด์วิดท์ 350 MHz -750 MHz (400 MHz) จากรูปที่ 10 แสดงแบบรูปการแผ่พลังงานของสายอากาศที่ความถี่ 500 MHz โดยทำการวัดในห้องปิดกั้นคลื่นแม่เหล็กไฟฟ้า และใช้สายอากาศมาตรฐานฮอร์น รุ่น HF907 (Rohde & Schwarz) เป็นสายอากาศตัวส่งและใช้สายอากาศต้นแบบเป็นตัวรับ ซึ่งในระนาบ XZ และ YZ พบว่ามีลักษณะแผ่พลังงานแบบเจาะจงทิศทางที่ระนาบ XZ โดยมีบีมด์วิดท์ครึ่งกำลังในระนาบ XZ เท่ากับ 80 องศา และมีอัตราขยายสูงสุดที่มุม 0 องศา เท่ากับ 7.24 dBi

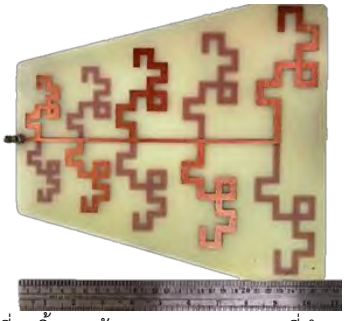

รูปที่ 8 ชิ้นงานต้นแบบของสายอากาศที่นำเสนอ

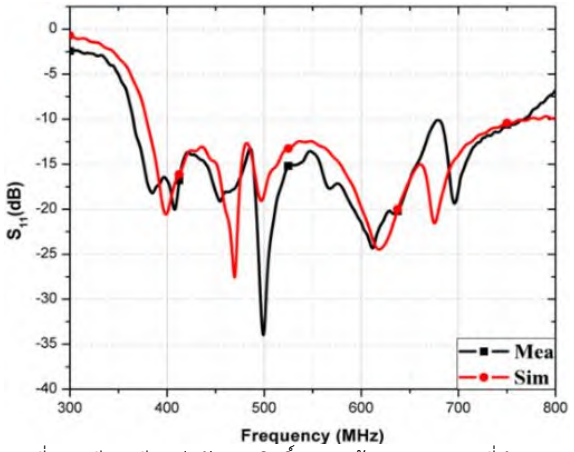

รูปที่ 9 เปรียบเทียบค่าสัมประสิทธิ์การสะท้อนสายอากาศที่นำเสนอ

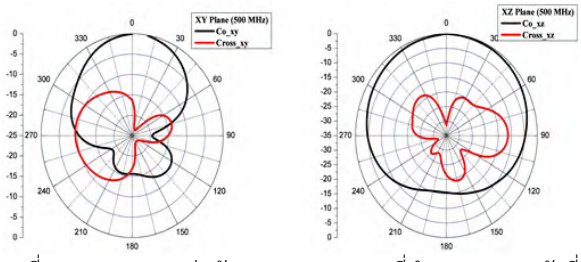

รูปที่ 10 แบบรูปการแผ่พลังงานของสายอากาศที่นำเสนอจากการวัดที่ความถี่ 600 MHz

4. สรุป

บทความนี้นำเสนอสายอากาศแถวลำดับแบบรายคาบล็อกชนิดระนาบโดยใช้แฟร็กทรัลเส้นโค้งมังกรสำหรับการตรวจจับโพรงใต้ดินด้วยเรดาร์ทะลุพื้นดิน โครงสร้างแฟร็กทรัลเส้นโค้งมังกรสามารถลดขนาดของสายอากาศได้ 33% เทียบกับสายอากาศปกติ จากผลทดสอบจากชิ้นงานจริง มีแบนด์วิดธ์เท่ากับ 400 MHz มีอัตราขยายสูงสุดที่มุม 0 องศา เท่ากับ 7.24 dBi และมีบีมด์วิดท์ครึ่งกำลังเท่ากับ 80 องศา ในระนาบ XZ แสดงให้เห็นว่าสายอากาศที่ออกแบบมีผลการตอบสนองครอบคลุมความถี่ใช้งานรวมทั้งมีอัตราขยายที่ดี มีขนาดที่เหมาะสม สามารถใช้งานร่วมกับเรดาร์ทะลุพื้นดินอย่างมีประสิทธิภาพ

5. กิตติกรรมประกาศ

ขอขอบคุณห้องปฏิบัติการงานวิจัยสื่อสารไร้สายภาควิชาวิศวกรรมไฟฟ้า คณะวิศวกรรมศาสตร์ มหาวิทยาลัยเทคโนโลยีพระจอมเกล้าพระนครเหนือที่ให้การสนับสนุนด้านเครื่องมือสำหรับการวัดและทดสอบ

เอกสารอ้างอิง

[1] M.-S. Kang, N. Kim, J. J. Lee, and Y.-K. An, “Deep learning-based automated underground cavity detection using three-dimensional ground penetrating radar,” *Struct. Health Monit.*, vol. 18, no. 6, pp. 1811–1823, 2019.

[2] Z. Liu, S. Wang, X. Gu, and Q. Dong, "Non-destructive testing and intelligent evaluation of road structural conditions using GPR and FWD," *J. Traffic Transp. Eng.*, 2025.

[3] A. K. Mondal, P. Kumar, P. Saxena, and K. Premkumar, "A planar log periodic dipole array antenna for IEMI detection," *2022 IEEE Microw. Antennas Propag. Conf.*, Bangalore, India, Dec. 2022,pp.1763–1768.

[4] P. Phaisan, S. Thainiramit, and P. Akkaraekthalin, "Design and implementation of planar log periodic dipole array antenna for UHF passive coherent location system," *2022 19th Int. Conf. Elect. Eng./Electron., Comput., Telecommun. Int. Technol. (ECTI-CON)*, Prachuap Khiri Khan, Thailand, 2022, pp. 476–479.

[5] A. Venouil, M. Egels, M. Benwadih, C. Serbutoviez, and P. Pannier, "Planar quasi log periodic dipole antenna for millimeter wave 5G band," *2023 17th Eur. Conf. Antennas Propaga. (EuCAP)*, Florence, Italy, Mar. 2023, pp. 1–4.

[6] CST Microwave Studio 2024, www.cst.com.

[7] C.A.Balanis, Antenna theory : analysis and design. Third Edition, John Wiley & Sons Ins. 2005, Ch. 11, pp. 623-636.

[8] C. Chokchai, "A tree fractal log-periodic dipole array antenna for UHF RFID reader," *The 41st Elect. Eng. Conf. (EECON-41)*, Vol. 2, pp. 41-44, Thailand, Nov. 2018.

[9] S.Tabachnikov, "Dragon curves revisite," *The Math. Intell.*, vol. 36, no. 1, pp. 13–17, 2014.

[10] National Instruments, LabVIEW 2017 System Design Software, Austin, TX, USA: National Instruments, 2017.

[11] Ettus Research, USRP B200 Universal Software Radio Peripheral, Austin, TX, USA: Ettus Research, 2023.

การวิเคราะห์การส่งสัญญาณระยะไกลจากตัวตรวจจับอุณหภูมิและความชื้นแบบไร้สายโดยที่ความถี่ 433 เมกะเฮิรตซ์ เมื่อคลื่นเดินทางแบบตรง

An Analysis of Long-range (LoRa) Transmission from Wireless Temperature and Humidity Sensors at Frequency 433 MHz in Line-of-sight Propagation

กฤตยา นาคประสิทธิ์[1] ระพินทร์ วราภัชระ[1] ปุณยสิริ บุญเป็ง[1] และ เอกทัศน์ พฤกษวรรณ[1]*

[1]สาขาวิชาวิศวกรรมโทรคมนาคม สาขาวิศวกรรมไฟฟ้า คณะวิศวกรรมศาสตร์ มหาวิทยาลัยเทคโนโลยีราชมงคลล้านนา เชียงใหม่
krittaya@rmutl.ac.th rapin56_1@rmutl.ac.th p_boonpeng@rmutl.ac.th eakrmutl@rmutl.ac.th*

บทคัดย่อ

บทความนี้นำเสนอการวิเคราะห์สัญญาณเครื่องตรวจจับอุณหภูมิและความชื้นแบบไร้สายโดยใช้เทคโนโลยี LoRa เมื่อคลื่นเดินทางแบบตรง (Line-of-sight propagation) เนื่องจากพฤติกรรมการแพร่กระจายคลื่นวิทยุ LoRa ในสภาพแวดล้อมของพื้นที่ที่ติดตั้งเซนเซอร์ไร้สายเป็นสิ่งสำคัญ การประเมินคุณภาพการส่งสัญญาณจะช่วยรับประกันและทำให้ทราบว่าการส่งสัญญาณข้อมูลของเซนเซอร์จะประสบความสำเร็จหรือไม่ ในการวิเคราะห์การส่งสัญญาณของเครื่องตรวจจับอุณหภูมิและความชื้นแบบไร้สาย จะใช้สมการการส่งสัญญาณแบบฟลีส (Friis's transmission equation) คำนวณหางบประมาณลิ้งค์ (Link budget) ทำให้ทราบค่า Received signal strength indicator (RSSI) ของเครื่องรับสำหรับกรณีที่ไม่มีสิ่งกีดขวาง ในการทดสอบการส่งสัญญาณได้ทำการเปรียบเทียบผลจากการจำลองงบประมาณลิ้งค์กับผลจากการทดลองการส่งสัญญาณจริงในกรณีคลื่นเดินทางแบบตรง ส่งสัญญาณคลื่นวิทยุ LoRa จากบนสะพานจันทร์สมอนุสรณ์ (ขัวแขก) ถึงสะพานนวรัฐ ในอำเภอเมือง จังหวัดเชียงใหม่ โดยผลจากการวิจัยแสดงให้เห็นถึงลักษณะการสูญเสียของสัญญาณในช่องทางสื่อสารจริง และสามารถใช้เป็นแนวทางในการออกแบบระบบเซนเซอร์ไร้สายที่ใช้เทคโนโลยี LoRa ได้อย่างมีประสิทธิภาพในสภาพแวดล้อมจริง

คำสำคัญ: LoRa คลื่นเดินทางแบบตรง งบประมาณลิ้งก์

Abstract

This paper presents an analysis of LoRa transmission from wireless temperature and humidity sensors at frequency 433 MHz in line-of-sight (LOS) propagation. Given the significance of LoRa radio wave propagation behavior in environments where wireless sensor nodes are deployed, evaluating the transmission quality is essential to ensure reliable data communication. The study employed Friis's transmission equation to calculate the link budget and estimate the received signal strength indicator (RSSI) under unobstructed conditions or LOS. A comparative analysis was conducted between the simulated link budget results and real-world transmission experiments under LOS scenarios. The LoRa radio signal was transmitted from Chansom Memorial Bridge (Khua Khaek) to Nawarat Bridge in Mueang District, Chiang Mai Province. The results are valuable for effectively designing and evaluating the performance of LoRa-based wireless sensor systems in various deployment environments.

Keywords: LoRa, line-of-sight, link budget.

1. บทนำ

ปัจจุบันเทคโนโลยีอินเทอร์เน็ตของสรรพสิ่ง (IoT) ได้รับความสนใจและมีความสำคัญอย่างมากในภาคเกษตรและอุตสาหกรรมสมัยใหม่ โดยเทคโนโลยีอินเทอร์เน็ตของสรรพสิ่งหมายถึงการแลกเปลี่ยนข้อมูลการสื่อสารระหว่างเซนเซอร์ไร้สายที่เชื่อมโยงถึงกัน [1] ความสนใจที่เพิ่มขึ้นนี้มีสาเหตุหลักมาจากความก้าวหน้าทางเทคโนโลยีและนวัตกรรม ซึ่งส่งผลให้การประยุกต์ใช้ IoT ในทางปฏิบัติขยายตัวมากยิ่งขึ้น ดังนั้น IoT จึงถูกนำไปใช้อย่างแพร่หลายในหลากหลายภาคส่วน เช่น เมืองและอาคารอัจฉริยะ โทรคมนาคม การผลิต การแพทย์ การเกษตร การเงิน และความมั่นคงปลอดภัย เพื่อให้การประยุกต์ใช้เหล่านี้มีประสิทธิภาพ ระบบ IoT จำเป็นต้องมีต้นทุนต่ำ ประหยัดพลังงาน และรองรับการสื่อสารในระยะไกลได้ ข้อกำหนดของการประยุกต์ใช้งานที่อิงกับเทคโนโลยี IoT ได้นำไปสู่การพัฒนาเครือข่ายระยะไกลพลังงานต่ำ (Low Power Wide Area Networks : LPWAN) ซึ่งเทคโนโลยี LoRa (Long-Range) ถือเป็น LPWAN ที่ได้รับความนิยม ช่วยให้อุปกรณ์สามารถทำงานด้วยแบตเตอรี่ได้นาน พร้อมรองรับการสื่อสารที่มีอัตราข้อมูลต่ำในระยะทางไกล [2] – [6]

ท้องถิ่นจังหวัดเชียงใหม่เป็นตัวอย่างที่ชัดเจนถึงความหลากหลายทางสภาพภูมิประเทศที่ซับซ้อน รวมถึงเป็นเมืองที่มีศักยภาพด้านการท่องเที่ยวระดับโลก การนำเทคโนโลยีเข้ามาประยุกต์ใช้ในการบริหารจัดการพัฒนาเป็นเมืองอัจฉริยะจึงมีความสำคัญอย่างยิ่ง เพื่อยกระดับประสิทธิภาพการผลิต ลดต้นทุน โครงการวิจัยนี้จึงมุ่งเน้นไปที่การประยุกต์ใช้เทคโนโลยี Long Range Radio (LoRa) ซึ่งเป็นเทคโนโลยีการสื่อสารไร้สายที่มีศักยภาพสูงในการส่งข้อมูลในระยะทางไกลโดยใช้พลังงานต่ำ มาใช้กับเครื่องตรวจจับอุณหภูมิและความชื้นแบบไร้สาย เพื่อเพิ่มประสิทธิภาพในการตรวจจับในพื้นที่ที่อาจมีสิ่งกีดขวางต่อการส่งสัญญาณ การประเมินผล

*ผู้ประพันธ์บรรณกิจ

กระทบของสิ่งกีดขวางที่มีต่อระยะทางการสื่อสาร ความแรงของสัญญาณและความน่าเชื่อถือของการส่งข้อมูล (วัดจากอัตราการสูญเสียข้อมูล) เพื่อให้ได้ข้อมูลเชิงลึกที่จำเป็นสำหรับการออกแบบและติดตั้งระบบเครือข่ายเซ็นเซอร์ไร้สาย LoRa ที่มีความเสถียรและมีประสิทธิภาพ

การศึกษาการส่งสัญญาณตัวตรวจจับอุณหภูมิและความชื้นแบบไร้สายโดยใช้เทคโนโลยี LoRa ความถี่ 433 เมกะเฮิรตซ์ เมื่อคลื่นเดินทางแบบตรง เป็นจุดเริ่มต้นสำหรับการวิเคราะห์การส่งสัญญาณที่ลดความซับซ้อน ซึ่งจะนำไปสู่การศึกษาและประเมินการส่งสัญญาณในพื้นที่ที่มีความหลากหลายต่อไป ลำน้ำแม่ปิงมีบริเวณที่กว้างขวางไหลในภูมิประเทศพื้นที่ป่าไม้ การเกษตร และชุมชนเมือง การศึกษาถึงผลกระทบของพื้นที่แม่น้ำผ่านชุมชนเมืองต่อการส่งสัญญาณจึงเป็นประเด็นน่าสนใจ ที่จะนำมาสู่การประยุกต์ใช้งานสื่อสารของเมืองอัจฉริยะต่อไป

2. การออกแบบและวิธีดำเนินการวิจัย

เทคโนโลยี LoRa มีโมดูลยอดนิยมที่รองรับความถี่ 433 MHz คือ โมดูล Ra-01 และ Ra-02 ผลิตโดย AI-Thinker ที่ใช้ชิพ SX1278 และโมดูล LoRa E32 series (เช่น E32-433T30D) ที่ใช้งานได้กับ Arduino สำหรับสายอากาศของโมดูล Ra-01 เป็นแบบสายอากาศแบบเกลียว (Spiral antenna) ส่วนสายอากาศของโมดูล Ra-02 เป็นแบบสายอากาศขั้วต่อ SMA ทำให้สามารถต่อสายอากาศที่มีอัตราขยายที่สูงเพื่อเพิ่มระยะทางในการสื่อสารได้ [7] ดังนั้นผู้วิจัยจึงเลือกใช้โมดูล LoRa-Ra02 ทำหน้าที่เป็น LoRa End Devices (ตัวส่งข้อมูล) พารามิเตอร์ของโมดูล Ra-02 ผลิตโดย AI-Thinker ที่ใช้ชิพ SX1278 แสดงได้ดังตารางที่ 1 โดยการทำงานส่วนของตัวส่งข้อมูล เริ่มต้นการทำงานหลังจากเปิดสวิตช์ไฟแหล่งจ่ายจะส่งแรงดัน 3.7V (DC) เข้าโมดูล MT3608 แรงดัน 3.7V (DC) จะถูกปรับแรงดันขึ้นเป็น 5V (DC) 2A เพื่อจ่ายให้กับไมโครคอนโทรลเลอร์ ESP32 เมื่อไมโครคอนโทรลเลอร์ ESP32 ได้รับแรงดัน 5V (DC) 2A จะเริ่มทำงานทันทีและจ่ายแรงดัน 3.3V (DC) ให้กับ LoRa-Ra02 และอุปกรณ์เซนเซอร์ทุกตัวในวงจร หลังจากนั้น ไมโครคอนโทรลเลอร์ ESP32 จะเรียกใช้งาน LoRa-Ra02 เมื่อเรียกใช้สำเร็จ ข้อมูลจากเซนเซอร์จะถูกส่งผ่าน LoRa-Ra02 ด้วยคลื่น 433 MHz ที่เข้ารหัส 0xA5 ผังงานการทำงานของตัวส่งข้อมูลแสดงดังรูปที่ 1

ตารางที่ 1 พารามิเตอร์ชั้นกายภาพของ LoRa (LoRa PHY) ของตัวส่งและรับที่ใช้ชิพ SX1278 ผลิตโดย Semtech และ Ra-02

พารามิเตอร์	Semtech SX1278	Ra-02
ช่วงความถี่ (MHz)	137 – 525	410-525
ปัจจัยการแพร่กระจาย (Spreading Factor: SF)	6 – 12	7 – 12
แบนด์วิดธ์ (kHz)	7.8 – 500	125
บิตเรต (kbps)	0.018 – 37.5	Max 300
ความไว (dBm)	-111 ถึง -148	-141
ค่าสูงสุดของเอาต์พุตวงจรขยายกำลังงานอาร์เอฟ (dBm)	20	18 ± 1

จากรูปที่ 2 การทำงานส่วนของ LoRa Gateway (ตัวรับข้อมูล) เริ่มต้นด้วยการจ่ายไฟให้ 5V 1-2A ให้กับ ไมโครคอนโทรลเลอร์ ESP32 หลังจากเริ่มทำงานตัว ไมโครคอนโทรลเลอร์ ESP32 จะทำการเชื่อมต่อไวไฟที่เซตค่าไว้ หลังเชื่อมต่อไวไฟได้แล้วจะทำการเชื่อมต่อ HiveMQ ผ่าน MQTT Server และรอรับข้อมูลผ่านคลื่น 433 MHz ที่เข้ารหัส 0xA5 แล้วนำข้อมูลที่ได้รับส่งผ่าน MQTT Server ของ HiveMQ และแสดงผลที่แอปพลิเคชัน IoT MQTT Panel พร้อมบันทึกข้อมูลไว้ที่ Google sheet ซึ่งทั้งแอปพลิเคชัน IoT MQTT Panel และ Google sheet สามารถตรวจดูได้ทางสมาร์ตโฟนและคอมพิวเตอร์

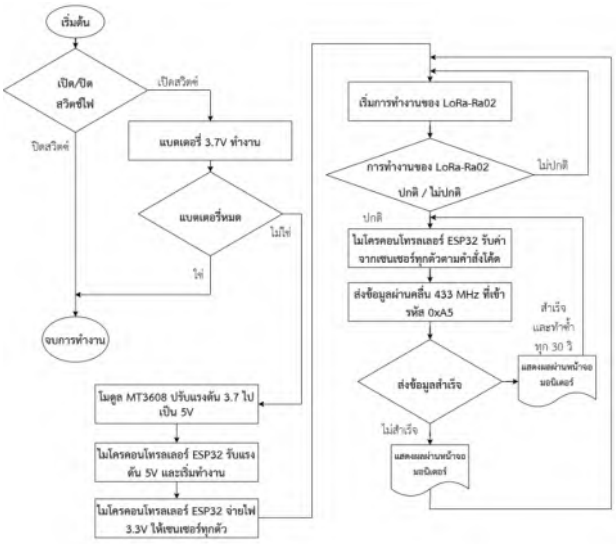

รูปที่ 1 ผังงานการทำงานส่วนของ LoRa End Device (ตัวส่งข้อมูล)

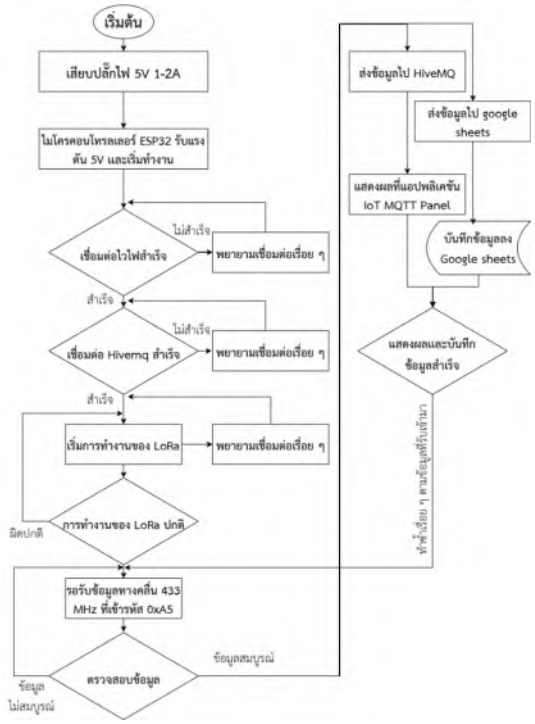

รูปที่ 2 ผังงานการทำงานส่วนของ LoRa Gateway (ตัวรับข้อมูล)

3. ผลการทดลอง

สำหรับการทดลองการส่งสัญญาณของเครื่องตรวจจับอุณหภูมิและความชื้นไร้สายด้วยเทคโนโลยี LoRa ผู้วิจัยได้บันทึกข้อมูลพารามิเตอร์การส่งสัญญาณ โดยสนใจค่าความแรงของสัญญาณ (RSSI) ค่าการสูญเสียเส้นทาง (Path loss) ในกรณีส่งคลื่นแบบเส้นตรง ที่ความถี่ 433 MHz ระยะทาง 500 เมตร ทำการทดสอบส่งข้อมูลจาก LoRa End Device (ตัวส่งข้อมูล) ไปหายัง LoRa Gateway (ตัวรับข้อมูล) อุปกรณ์ที่ใช้ในการทดสอบตามรูปที่ 3 และรูปที่ 4

จากการคำนวณหาค่า First Fresnel Zone ของเครื่องตรวจจับอุณหภูมิและความชื้นไร้สายด้วยเทคโนโลยี LoRa ที่ใช้คลื่น 433 MHz และต้องการระยะทางในการส่งและรับข้อมูล ที่ 500 เมตร จึงมีค่ารัศมีของ First Fresnel Zone อยู่ที่ 9.28 เมตร แต่การทดสอบในครั้งนี้ จะใช้ค่ารัศมีของ First Fresnel Zone เพียง 60% ของ 9.28 เมตร ซึ่งเท่ากับ 6 เมตร โดยประมาณ และทำการทดสอบจากบนสะพานจันทร์สมอนุสรณ์ (ขัวแขก) ถึงสะพานนวรัฐ ตามรูปที่ 5 ผลการจำลองงบประมาณลิ้งก์แสดงไดอะแกรมได้ดังรูปที่ 6 ค่าการสูญเสียสายส่งสัญญาณทั้งด้านส่งและด้านรับมีค่าเท่ากันคือ 0.5 dB

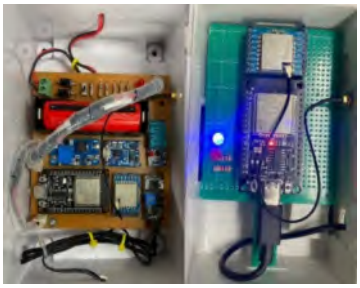

รูปที่ 3 อุปกรณ์ภายในกล่อง LoRa End Device และ LoRa Gateway

รูปที่ 4 LoRa End Device และ LoRa Gateway

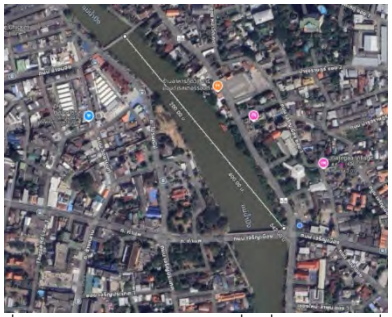

รูปที่ 5 สถานที่ทดสอบ ในสภาพแวดล้อมที่ไร้สิ่งกีดขวาง คลื่นเดินทางแบบตรงที่ระยะทาง 500 เมตร

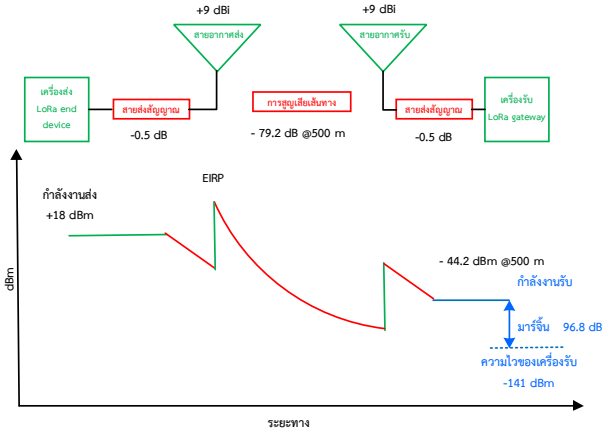

รูปที่ 6 ไดอะแกรมงบประมาณลิ้งก์ (Link budget) ของการส่งสัญญาณตัวตรวจจับอุณหภูมิและความชื้นแบบไร้สาย ที่ความถี่ 433 MHz

ตารางที่ 2 ผลการทดสอบการส่งข้อมูลจาก LoRa End Device ไปยัง LoRa Gateway โดยมีความสูง 6 เมตรเท่ากัน เมื่อคลื่นเดินทางแบบตรง ทำการทดสอบ 10 ครั้ง แต่ละครั้งห่างกัน 10 วินาที

ครั้งที่	RSSI (dBm)	Path Loss (dBm)	SNR (dB)	อุณหภูมิ (°C)	ความชื้น (%)
1	−88.0	107.0	8.0	27.6	61.0
2	−84.0	103.0	9.5	27.6	61.0
3	−82.0	101.0	9.5	27.6	61.0
4	−86.0	105.0	8.3	27.6	61.0
5	−87.0	106.0	8.5	27.6	61.0
6	−85.0	104.0	8.8	27.6	61.0
7	−88.0	107.0	7.8	27.6	61.0
8	−86.0	105.0	8.5	27.6	61.0
9	−87.0	106.0	8.5	27.6	61.0
10	−86.0	105.0	8.0	27.6	61.0
ค่าเฉลี่ย	−85.9	105.0	8.5	27.6	61.0

4. สรุปและอภิปราย

จากการทดลองส่งสัญญาณจาก LoRa End Device ไปยัง LoRa Gateway ในกรณีคลื่นเดินทางแบบตรง พบว่าผลที่ได้จากการจำลองงบประมาณลิ้งค์กับผลจากการทดลองการส่งสัญญาณจริงมาเปรียบเทียบกัน ค่ากำลังงานรับที่ได้จากงบประมาณลิ้งค์มีค่า -44.2 dBm ค่า RSSI ที่วัดได้จากการใช้งานจริง มีค่าเฉลี่ย −85.9 dBm โดยผลจากการทดสอบวัดสัญญาณแสดงให้เห็นถึงลักษณะการสูญเสียของสัญญาณในช่องทางสื่อสารจริงในทางปฏิบัติมีมากกว่าทางทฤษฎี 41.7 dB ที่ความถี่ 433 MHz ระยะทาง 500 m ซึ่งค่าที่แตกต่างนี้เป็นผลมาจากหลายปัจจัยร่วมกัน เช่น multipath fading การดูดกลืนคลื่นสัญญาณจากสิ่งแวดล้อมในเส้นทางที่คลื่นเดินทาง การดูดกลืนคลื่นสัญญาณของน้ำจากแม่น้ำ การสูญเสียจากหัวต่อสายนำสัญญาณและหัวต่อสายอากาศ รวมถึงสายอากาศโมโนโพลที่

ซื้อมาติดตั้งใช้งานจริงอาจจะไม่ได้มีค่าอัตราขยายตามคุณสมบัติที่ระบุไว้ งานวิจัยนี้สามารถใช้เป็นแนวทางในการออกแบบระบบเซนเซอร์ไร้สายที่ใช้เทคโนโลยี LoRa ได้อย่างมีประสิทธิภาพในสภาพแวดล้อมจริง

5. กิตติกรรมประกาศ

ผู้เขียนบทความขอขอบคุณ นายธนัติ ไม่มีชื่อสกุล นายไม้ ไม่มีชื่อสกุล และนางสาวนันท์นภัส บุญเทียม นักศึกษาระดับปริญญาตรี สาขาวิชาวิศวกรรมโทรคมนาคม คณะวิศวกรรมศาสตร์ มหาวิทยาลัยเทคโนโลยีราชมงคลล้านนา เชียงใหม่ ที่ช่วยเหลือในการบันทึกผลการทดลองในโครงการนี้

เอกสารอ้างอิง

[1] M. Ayaz, M. Ammad-Uddin, Z. Sharif, A. Mansour and E. -H. M. Aggoune, “Internet-of-Things (IoT)-Based Smart Agriculture: Toward Making the Fields Talk,” in *IEEE Access*, vol. 7, pp. 129551-129583, 2019.

[2] A. Almarhabi, A. J. Aljohani, and M. Moinuddin, “LoRa and High-Altitude Platforms: Path Loss, Link Budget and Optimum Altitude,” *2020 8th International Conference on Intelligent and Advanced Systems (ICIAS)*, Kuching, Malaysia, 2021, pp. 1-6.

[3] P. Uarchoojitt, S. Pothongkham, T. Kongnarong, W. Boonsong, C. Samakee and T. Inthasuth, “The Communication Link Analysis of ZigBee Mesh Networks Using Received Signal Strength Indicator (RSSI) for the Agricultural Slope Environment,” *2023 International Conference on Electronics, Information, and Communication (ICEIC),* Singapore, 2023, pp. 1-4

[4] Y. Onykiienko, P. Popovych, R. Yaroshenko, A. Mitsukova, A. Beldyagina and Y. Makarenko, “Using RSSI Data for LoRa Network Path Loss Modeling,” *2022 IEEE 41st International Conference on Electronics and Nanotechnology (ELNANO)*, Kyiv, Ukraine, 2022, pp. 576-580.

[5] D. Dinev, A. Haka, V. Aleksieva and H. Valchanov, “Analysis of LoRa RSSI Data Using Simulations and Real Devices,” *2023 18th Conference on Electrical Machines, Drives and Power Systems (ELMA)*, Varna, Bulgaria, 2023, pp. 1-4.

[6] A. K. Pashchenko and A. A. Bombizov, “Estimating Data Transmission Range in a Wooded Area via the Lora Channel,” *2022 International Siberian Conference on Control and Communications (SIBCON)*, Tomsk, Russian Federation, 2022, pp. 1-4.

[7] CircuitState, “Interfacing RA-01/RA-02 (SX1278) LoRa Modules with ESP32 using Arduino,” CircuitState Electronics Tutorials, Jan. 10, 2022. [Online]. Available: https://www.circuitstate.com/tutorials/interfacing-ra-01-ra-02-sx1278-lora-modules-with-esp32-using-arduino/

กฤตยา นาคประสิทธิ์ สำเร็จปริญญาวิศวกรรมศาสตรดุษฎีบัณฑิต สาขาวิชาวิศวกรรมไฟฟ้า สถาบันเทคโนโลยีพระจอมเกล้าเจ้าคุณทหารลาดกระบัง ปัจจุบันเป็นอาจารย์ ประจำสาขาวิชาวิศวกรรมโทรคมนาคม มหาวิทยาลัยเทคโนโลยีราชมงคลล้านนา เชียงใหม่ มีความสนใจทางด้านวิศวกรรมสายอากาศ การสื่อสารไร้สาย

ระพินทร์ วราภัชระ สำเร็จปริญญาวิศวกรรมศาสตรดุษฎีบัณฑิต (วิศวกรรมโทรคมนาคม) ปัจจุบันเป็นผู้ช่วยศาสตราจารย์ประจำสาขาวิชาวิศวกรรมโทรคมนาคม มหาวิทยาลัยเทคโนโลยีราชมงคลล้านนา มีความสนใจทางด้านวิศวกรรมสายอากาศ

ปุณยสิริ บุญเป็ง สำเร็จปริญญาปรัชญาดุษฎีบัณฑิต (วิศวกรรมไฟฟ้า) จากจุฬาลงกรณ์มหาวิทยาลัย ปัจจุบันเป็นผู้ช่วยศาสตราจารย์ประจำในสาขาวิชาวิศวกรรมโทรคมนาคม มหาวิทยาลัยเทคโนโลยีราชมงคลล้านนา มีความสนใจทางด้านวิศวกรรม อิเล็กทรอนิกส์

เอกทัศน์ พฤกษวรรณ สำเร็จปริญญาวิศวกรรมศาสตรมหาบัณฑิต วิศวกรรมไฟฟ้า มหาวิทยาลัยเชียงใหม่ ปัจจุบันเป็นอาจารย์ ประจำสาขาวิชาวิศวกรรมโทรคมนาคม มหาวิทยาลัยเทคโนโลยีราชมงคลล้านนา เชียงใหม่ มีความสนใจทางด้านวิศวกรรมวิศวกรรมไฟฟ้าสื่อสาร วิศวกรรมไมโครเวฟ การออกแบบวงจรความถี่สูง

การหาประสิทธิภาพตัวตรวจจับแบบความผิดพลาดกำลังสองเฉลี่ยต่ำสุดที่มีความซับซ้อนต่ำโดยวิธีการปรับปรุงสมการของเกาส์-ไซเดลสำหรับระบบสื่อสารแบบระบบไมโมแบบหลายสายอากาศจำนวนมาก

Performance Enhancement of a Low-Complexity MMSE Detector Based on Refinement Gauss-seidel method for massive MIMO system

นิรุตม์ กุลสุวรรณ์[1]* จิรโรจน์ สามารถโชติพันธุ์[1] และ สุภาพร ชุ่มช่วย[2]

[1]สาขาวิชาครุศาตร์อุตสาหกรรมอิเล็กทรอนิกส์และโทรคมนาคม คณะครุศาสตร์อุตสาหกรรม มหาวิทยาลัยเทคโนโลยีราชมงคลอีสาน วิทยาเขตขอนแก่น
nirut.gu@rmuti.ac.th* และ jirarot.sa@rmuti.ac.th
[2]สาขาวิชาวิศวกรรมหุ่นยนต์และอิเล็กทรอนิกส์อัจฉริยะ คณะวิศวกรรมศาสตร์ สถาบันเทคโนโลยีเจ้าคุณทหารลาดกระบัง วิทยาเขตชุมพร
supaporn.ch@kmitl.ac.th

บทคัดย่อ

บทความนี้ นำเสนอการหาประสิทธิภาพตัวตรวจจับแบบความผิดพลาดกำลังสองเฉลี่ยต่ำสุด(Minimum Mean Square Error detector : MMSE) โดยการปรับปรุงสมการของเกาส์-ไซเดล (Refinement Gauss-Seidel method : RGS) แม้ว่าตัวตรวจจับ MMSE ดั้งเดิมมีจุดเด่นในเรื่องความซับซ้อนต่ำแต่พบความซับซ้อนของการสร้างเมทริกซ์ผกผัน ในงานวิจัยนี้ได้นำเกาส์-ไซเดลดั้งเดิม (conventional Gauss-Seidel method : GS) ที่มีจุดเด่นในเรื่องรอบในการคำนวณน้อยมาปรับปรุงสมการ การทดสอบประสิทธิภาพโดยการเปรียบอัตราบิตผิดพลาด(Bit Error Rate : BER) ระบบที่พัฒนากับระบบ MMSE ระบบ GS ผลการทดสอบประสิทธิภาพ พบว่า ตัวตรวจจับที่พัฒนาขึ้นมีค่าประสิทธิภาพใกล้เคียงระบบ MMSE และดีกว่าแบบ GS นอกจากนี้จำนวนการวนรอบของระบบพัฒนามีค่าน้อยกว่าระบบ GS

คำสำคัญ: ตัวตรวจจับแบบความผิดพลาดกำลังสองเฉลี่ยต่ำสุด วิธีการเติมสมการของเกาส์-ไซเดล วิธีการแบบเกาส์-ไซเดลดั้งเดิม

Abstract

This article presents the performance enhancement of the Minimum Mean Square Error (MMSE) detector based on a refinement of the Gauss-Seidel method (Refinement Gauss-Seidel method: RGS). Although the conventional MMSE detector is known for its low complexity, it suffers from the high computational cost of matrix inversion. To address this, the conventional Gauss-Seidel (GS) method, which is characterized by a low number of computational iterations, is utilized in the refinement process. Performance evaluation is conducted by comparing the Bit Error Rate (BER) between the proposed detector, the conventional MMSE detector, and the GS-based detector. The test results show that the proposed detector achieves performance close to that of the MMSE detector and outperforms the GS-based detector. Additionally, the proposed method requires fewer iteration than the GS method.

Keywords: Minimum Mean Square Error detector , the Refinement Gauss-Seidel method , conventional Gauss-Seidel method

1. บทนำ

ระบบสื่อสารแบบไมโมที่สายอากาศจำนวนมาก ได้ถูกนำมาประยุกต์ใช้เทคโนโลยีการสื่อสารระบบโทรศัพท์เคลื่อนที่แบบ 5G เพราะว่าระบบดังกล่าวทำให้ประสิทธิภาพการใช้แบนด์วิดท์สูง [1] ระบบนี้เป็นระบบที่มีการใช้สายอากาศที่สถานีส่ง(base station :BS) จำนวนมาก เพื่อการรองรับผู้ใช้งานที่มีประสิทธิภาพ ดังนั้น ตัวตรวจจับสัญญาณ ณ สถานีรับ (base user : BU) จะไม่ใช้วิธีการตรวจจับสัญญาณที่เหมาะสม (Maximum likelihood : ML) แม้ว่าวิธีนี้ให้ประสิทธิภาพการประมาณค่าสัญญาณที่ดีสุดแต่ถ้านำวิธีการตรวจจับสัญญาณ ML ใช้กับระบบไมโมแบบหลายเสาอากาศจำนวนมากทำให้เกิดความซับซ้อนสูง

ปัจจุบันวิธีการตรวจจับสัญญาณที่เหมาะสมกับระบบสื่อสารแบบไมโมที่สายอากาศจำนวนมาก มี 2 วิธี ได้แก่ แบบการบังคับเป็นศูนย์ (Zero Forcing : ZF) และวิธีการตรวจจับสัญญาณแบบความผิดพลาดกำลังสองเฉลี่ยต่ำสุด (Minimum Mean Square Error : MMSE) ทั้งสองวิธีเป็นวิธีตรวจวัดสัญญาณแบบเชิงเส้น เมื่อนำมาใช้ในระบบระบบสื่อสารแบบไมโมที่สายอากาศจำนวนมาก ทำให้ระบบมีความซับซ้อนต่ำกว่าวิธี ML อย่างไรก็ตามวิธีการตรวจจับสัญญาณแบบ MMSE ดั้งเดิมยังคงมีความซับซ้อนสูงที่เกิดจากเมทริกซ์ผกผันเมื่อใช้ในทางปฏิบัติ ดังนั้น เพื่อหลีกเลี่ยงความซับซ้อนนักวิจัยจึงได้ประยุกต์การตรวจจับสัญญาณแบบ MMSE ดั้งเดิมด้วยวิธีการประมาณค่าเชิงตัวเลข เช่น วิธีอนุกรมนอยมันน์ (Neumann series :NS)[2] ทำให้ระบบสื่อสารแบบไมโมมีความซับซ้อนต่ำมาก แต่ประสิทธิภาพแย่มาก ถ้าระบบมีการใช้สายอากาศจำนวนมากขึ้น วิธีการริชาร์ดสัน (Richardson Method : RS) [3] และวิธีคอนจูเกต-เกรเดียนต์

*ผู้ประพันธ์บรรณกิจ

(Conjugate Gradient Method : CG) [4] เป็นวิธีการประมาณค่าเชิงตัวเลขที่ทำให้ประสิทธิภาพใกล้เคียง MMSE แบบดั้งเดิมแต่ต้องการใช้ในการเร่งการลู่เข้าของลำดับการประมาณค่าจำนวนการวนค่าเยอะมาก ซึ่งวิธี RS มีความซับซ้อนต่ำกว่า วิธี CG [5] นอกจากนี้ เพื่อการลดจำนวนลำดับการประมาณค่า เพื่อทำให้ประสิทธิภาพใกล้เคียง MMSE แบบดั้งเดิมนั้น นักวิจัยได้ใช้วิธีจาโคบี้(Jacobi method: JB)และวิธี เกาส์-ไซเดล (Gauss-Seidel method : GS) ซึ่งวิธี JB มีลำดับการประมาณค่ามากกว่าวิธี GS [5]-[6]

ดังนั้น ในงานวิจัยนี้ จึงนำเสนอการประยุกต์วิธีการปรับปรุงสมการลงในวิธีการแบบเกาส์-ไซเดลดั้งเดิม (conventional Gauss-Seidel method : GS) เพื่อหลีกเลี่ยงความซับซ้อน และลดตัวเลขในการวน เพื่อให้ได้ประสิทธิภาพใกล้เคียงตัวตรวจจับแบบ MMSE ดั้งเดิม

2. ระบบเชื่อมโยงขาขึ้น

เริ่มต้นการพิจารณาเชื่อมโยงขาขึ้นของระบบสื่อสารแบบไมโมที่มีสายอากาศจำนวนมาก ดังแสดงในรูปที่ 1 โดยมีสายอากาศจำนวน M สายอากาศ ณ สถานีฐาน (Base Station : BS)และมีผู้ใช้บริการ(User Station : US) จำนวน U ผู้ใช้งาน ซึ่งหนึ่งผู้ใช้งานมีจำนวนสายอากาศเพียงหนึ่งสายอากาศเท่านั้น

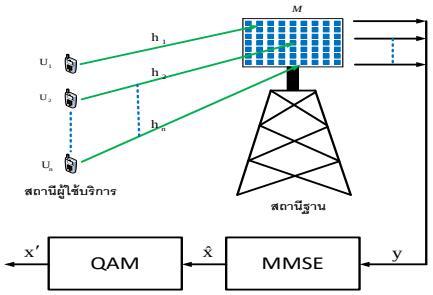

รูปที่ 1 แสดงการเชื่อมโยงขาขึ้นของระบบสื่อสารแบบไมโมที่มีสายอากาศจำนวนมาก

การส่งข้อมูลบิตจากผู้ใช้บริการเป็นการกล้ำสัญญาณแบบแบบควอดราเจอร์ (Quadrature Amplitude Modulation : QAM) โดยเขียนเวคเตอร์ที่ถูกส่งจากผู้ใช้บริการทุกคน คือ $x=[x_1,x_2,...,x_U]^T$ การส่งดังกล่าวได้ส่งภายใต้ช่องทางการสื่อสารของระบบสื่อสารแบบไมโมที่มีสายอากาศจำนวนมาก ทำให้สัญญาณที่รับได้ ณ สถานีฐาน มีสมการเวคเตอร์การรับ คือ $y=[y_1,y_2,...,y_M]^T$ เราจึงสามารถเขียนรูปแบบสมการ ณ สถานีฐาน ได้ดังนี้

$$y=Hx+n \quad (1)$$

เมื่อ n คือสัญญาณรบกวนแบบเกาส์เซียนสีขาว (Additve White Gaussian Noise : AWGN) ที่มีค่าฉลี่ยเท่ากับศูนย์และความหนาแน่นสเปกตรัมกำลังแบบสองด้าน (two-side power spectral density) มักเขียนสัญลักษณ์เป็น $CN(0,N_0)$ สัญญาณรบกวนนี้แสดงค่าเวคเตอร์ เป็น $n=[n_1,n_2,...,n_M]^T$ H คือ เมตริกซ์ของช่องทางการสื่อสารที่จางหายเรลีย์แบบเรียบ (flat Rayleigh fading)

2.1 ตัวตรวจจับแบบความผิดพลาดกำลังสองเฉลี่ยต่ำสุด (minimum mean square error detector : MMSE)

ตามรูปที่ 1 ภาคตรวจจับ ทำหน้าที่กู้สัญญาณที่ถูกส่ง ทำให้ได้สัญญาณที่รับ $(\hat{x})$ ภาคนี้เป็นการตรวจจับแบบ MMSE ซึ่งเป็นระบบที่มีประสิทธิภาพใกล้เคียงวิธีการตรวจจับแบบ ML ดังนั้นค่าประมาณสัญญาณที่กู้กลับคืนมา (x') นั้น เราสามารถเขียนสมการได้ดังนี้

$$\hat{x}=\left(H^HH+\sigma^2I_U\right)^{-1}H^Hy=A^{-1}b \quad (2)$$

โดยที่ $b=H^Hy$ คือ เป็นสมการการตรวจจับแบบแมตช์ฟิลเตอร์ (matched-filter) และ A คือเมตริกซ์แบบถ่วงน้ำหนักของ MMSE จากสมการที่ 2 เราสังเกตว่าเมตริกซ์นี้เป็นเมตริกซ์ผกผันแบบอย่างละเอียด ซึ่งถ้าคำนวณความซับซ้อนของระบบนี้ ทำให้มีความซับซ้อนสูงสำหรับระบบสื่อสารแบบไมโมที่มีสายอากาศจำนวนมาก ดังนั้น เพื่อหลีกเลี่ยงปัญหาดังกล่าว เราสามารถใช้ระเบียบวิธีเชิงตัวเลขของระบบสมการเชิงเส้นแบบการประมาณค่าด้วยการวนค่าหาคำตอบ หลักการนี้สามารถเขียนสมการได้ คือ [2]

$$Ax=b \quad (3)$$

2.2 วิธีการแบบเกาส์-ไซเดลดั้งเดิม (Conventional Gauss-Seidel :GS)

วิธีนี้ ได้มีการพิจารณาการแยกองค์ประกอบเมตริกซ์ออกเป็น

$$A=D-L-L^H \quad (4)$$

โดยที่ D คือ เมตริกซ์เส้นทแยงมุม L คือ เมตริกซ์แบบสามเหลี่ยมล่าง และ $-L^H$ คือ เมตริกซ์แบบสามเหลี่ยมบน ดังนั้นสมการของวิธีนี้คือ

$$\hat{x}_{k+1}=(D-L)^{-1}L^H\hat{x}_k+(D-L)^{-1}b \ ,k=1,2,...,\infty \quad (5)$$

โดยที่ $\hat{x}_k$ คือเวคเตอร์ค่าประมาณสัญญาณที่รับได้ ณ การวนค่าลำดับที่ k

2.3 วิธีการเติมค่าของเกาส์-ไซเดล (A refinement gauss seidel method : RGS)

เราพิจารณา สมการ (3) โดยการใส่ค่าตัวแปรในสมการ (4) ลงไป จึงสามารถวิเคราะห์หาสมการได้ดังนี้ [7]

$$\begin{aligned}
&(D-L-L^H)X = b \\
&(D-L)X = L^H X + b \\
&(D-L)X = (D-L-A)X + b \\
&(D-L)X = (D-L)X - AX + b \\
&(D-L)X = (D-L)X + b - AX \\
&X = X + (D-L)^{-1}(b-AX)
\end{aligned} \tag{6}$$

ดังนั้น เราจะได้นิยามของวิธีการเติมค่าของเกาส์-ไซเดล ใหม่คือ

$$\hat{x}_{k+1} = \hat{x}_{k+1} + (D-L)^{-1}(b - A\hat{x}_{k+1}) \tag{7}$$

เมื่อ $\hat{x}_{k+1}$ เป็นการเติมค่าลงในสมการที่ (5) ดังนั้นทำให้เราได้สมการที่ (7) ใหม่ คือ

$$\hat{x}_{k+1} = \left[(D-L)^{-1}L^H \hat{x}_k + (D-L)^{-1}b\right] + \ldots$$

$$(D-L)^{-1}\left(b - \left[D-L-L^H\right]\left[(D-L)^{-1}L^H \hat{x}_k + (D-L)^{-1}b\right]\right)$$

$$\hat{x}_{k+1} = \left[(D-L)^{-1}L^H\right]^2 \hat{x}_k + \left[I_U + (D-L)^{-1}L^H\right](D-L)^{-1}b \tag{8}$$

3. ผลการวิเคราะห์

ในบทนี้ เราได้ทำการจำลองผลประสิทธิภาพ BER ภายใต้ค่า SNR ต่างๆ ซึ่งได้มีการเปรียบเทียบระหว่างตัวตรวจจับแบบ MMSE แบบดั้งเดิม และตัวตรวจจับแบบ MMSE โดยวิธีการ GS แบบดั้งเดิม และวิธีการ RGS ในระบบสื่อสารแบบไมโมที่สายอากาศจำนวนมาก วิธีการทั้งหมด ได้ถูกจำลองระบบด้วยการกล้ำสัญญาณแบบ 16 QAM ที่ใช้สายอากาศ ณ สถานีฐานจำนวน 32 สายอากาศ และใช้สายอากาศ ณ สถานีผู้ใช้งานจำนวน 16 สายอากาศ และค่าอัตราส่วนจำนวนสถานีผู้ใช้งานต่อจำนวนสายอากาศสถานีฐานเท่ากับ 0.5 ซึ่งเป็นข้อกำหนดในการจำลอง เพื่อแสดงถึงประสิทธิภาพของระบบที่ออกแบบ เนื่องจากการจำลองวิธีการ GS แบบดั้งเดิม ที่มีค่าอัตราส่วนน้อยกว่า 1 ทำให้ประสิทธิภาพการรับ-ส่งข้อมูลต่ำที่การวนค่ารอบแรกและสองตามที่ได้กล่าวไว้ในงานวิจัยของ M. A. Albreem และคณะ[5] นอกจากนี้ได้กำหนดค่าเริ่มต้นการวนค่า เท่ากับศูนย์

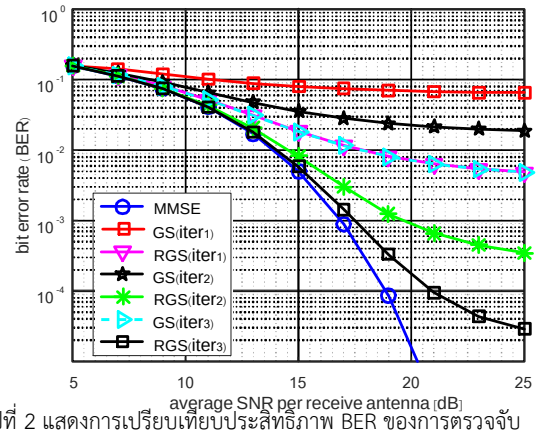

รูปที่ 2 แสดงการเปรียบเทียบประสิทธิภาพ BER ของการตรวจจับสัญญาณแบบ GS และ RGS ในระบบสื่อสารแบบไมโมที่มีสายอากาศจำนวนมากที่ขนาด 32X16 ด้วยการกล้ำสัญญาณแบบ 16 QAM

จากรูปที่ 2 เมื่อพิจารณาที่ค่า SNR เท่ากับ 15 dB พบว่าวิธี RGS ที่เสนอในการวนรอบครั้งที่ 2 (iter2) ให้ค่า BER ประมาณ 10^{-2} ในขณะที่วิธี GS แบบดั้งเดิมให้ค่า BER ประมาณ $6x10^{-1}$ ซึ่งหมายความว่าวิธี RGS สามารถลดอัตราบิตผิดพลาดลงได้ถึง 98.33% เมื่อเทียบกับวิธี GS แบบดั้งเดิมที่จำนวนการวนรอบเท่ากัน และประสิทธิภาพ BER ที่ 10^{-2} วิธี GS แบบดั้งเดิม (iter2) ต้องใช้ SNR ประมาณ 19 dB ในขณะที่วิธี RGS (iter2) ต้องการ SNR เพียง 14 dB ซึ่งแสดงให้เห็นว่าวิธีที่นำเสนอมี SNR gain หรือประหยัดพลังงานในการส่งได้ดีกว่าประมาณ 5 dB

4. สรุป

บทความวิจัย เราได้นำเสนอการศึกษา ตัวตรวจจับแบบความผิดพลาดกำลังสองเฉลี่ยต่ำสุดที่มีความซับซ้อนต่ำโดยอาศัยวิธีการแบบ RGS ในระบบสื่อสารแบบไมโมที่สายอากาศจำนวนมาก โดยได้มีการเปรียบเทียบกับวิธีการแบบ GS และตัวตรวจจับแบบ MMSE ดั้งเดิม พบว่าแบบ RGS ดีกว่าแบบ GS และลดจำนวนการวนรอบของระบบได้ ที่ทำให้ได้ค่าใกล้เคียงตัวตรวจจับแบบ MMSE ดั้งเดิม

5. กิตติกรรมประกาศ

ขอขอบคุณผู้บริหารคณะครุศาสตร์อุตสาหกรรม มหาวิทยาลัยเทคโนโลยีราชมงคลอีสาน วิทยาเขตขอนแก่น ทุกท่านที่ให้การสนับสนุนการนำเสนอบทความวิจัยในครั้งนี้ นอกจากนี้ขอขอบคุณทีมงานห้องปฏิบัติการวิจัยนวัตกรรมด้านไฟฟ้า อิเล็กทรอนิกส์ และการศึกษา ในวิทยาเขตขอนแก่น (Innovationof Electrical Electronic and Education in Khon Kean campus research laboratory : IEEEKK lab.) ทุกท่านที่ส่งเสริมและให้กำลังใจในการทำงานอย่างดีเสมอมา

เอกสารอ้างอิง

[1] N. Al-Falahy and, and O. Y. Alani, “Technologies for 5G Networks : Challenges and Opportunities,” IT Professional, vol. 19, no. 1, pp. 12–20, 2017.

[2] B. Yin, M. Wu, C. Studer, J. R. Cavallaro, and C. Dick, “Large-scale MIMO detection for 3GPP LTE: Algorithms and FPGA implementations,” IEEE J. Sel. Topics Signal Process., vol. 18, No. 5, pp. 916-929, Mar. 2014.

[3] X. Gao, L. Dai, Y. Ma, and Z. wang, “Low-complexity near-optimal signal detection for uplink large-scale MIMO systems,” Electronics Letters, vol. 18, pp. 1326-1328, August 2014.

[4] Y. Hu, Z. Wang, X. Gaol, and J. Ning, “Low-complexity signal detection using CG method for uplink large-scale MIMO systems,” in Proc. IEEE Int. Conf. Communication system, pp. 477-481, Nov. 2014.

[5] M. A. Albreem, W. A. Salah, A. Kumar, M. H. Alsharif , A. H. Rambe, M. Jusoh, and A. N. Uwaechia, "Low Complexity Linear Detectors for Massive MIMO: A Comparative Study," in *IEEE Access*, vol. 9, pp. 45740-45753, 2021.

[6] L. Dai, X. Gao, X. Su, S. Han, C. -L. I and Z. Wang, "Low-Complexity Soft-Output Signal Detection Based on Gauss–Seidel Method for Uplink Multiuser Large-Scale MIMO Systems," in *IEEE Transactions on Vehicular Technology*, vol. 64, no. 10, pp. 4839-4845, Oct. 2015.

[7] V. B. Kumar Vatti, and T. K. Eneyew, “A refinement of Gauss-Seidel method for solving of linear system of equation,” Int. J. Contemp. Math. Sciences, vol. 6, pp. 117-121, 2011.

นิรุตม์ กุลสุวรรณ์ อาจารย์สาขาวิชาครุศาสตร์อุตสาหกรรมอิเล็กทรอนิกส์และโทรคมนาคม คณะครุศาสตร์อุตสาหกรรม มหาวิทยาลัยเทคโนโลยีราชมงคลอีสาน วิทยาเขตขอนแก่น สนใจงานวิจัยด้านการประมวลสัญญาณดิจิทัลสำหรับระบบสื่อสาร

จิรโรจน์ สามารถโชติพันธุ์ อาจารย์สาขาวิชาครุศาสตร์อุตสาหกรรมอิเล็กทรอนิกส์และโทรคมนาคม คณะครุศาสตร์อุตสาหกรรม มหาวิทยาลัยเทคโนโลยีราชมงคลอีสาน วิทยาเขตขอนแก่น สนใจงานวิจัยด้านการประมวลสัญญาณดิจิทัลสำหรับระบบสื่อสาร

สุภาพร ชุ่มช่วย อาจารย์สาขาวิชาวิศวกรรมหุ่นยนต์และอิเล็กทรอนิกส์อัจฉริยะ คณะวิศวกรรมศาสตร์ สถาบันเทคโนโลยีเจ้าคุณทหารลาดกระบัง วิทยาเขตชุมพร สนใจงานวิจัยด้านการประมวลสัญญาณดิจิทัลสำหรับระบบสื่อสารและการประมวลสัญญาณภาพ

การประชุมวิชาการทางวิศวกรรมไฟฟ้า ครั้งที่ 48
The 48th Electrical Engineering Conference (EECON-48)
วันที่ 19-21 พฤศจิกายน 2568 ณ โรงแรมฟูราม่า จังหวัดเชียงใหม่

ระบบระบุตำแหน่งภายในอาคารโดยอาศัยการเรียนรู้ของเครื่องและการผสานข้อมูลตัวบ่งชี้ความแรงสัญญาณที่ได้รับและเซนเซอร์วัดความเร่ง

An Indoor Localization System using Machine Learning and Data Fusion of RSSI and an Accelerometer Sensor

ธราดล วัฒนนาวิน[1*] ดุจดาว บูรณะพาณิชย์กิจ[1] เกียรติศักดิ์ เส้งช่วย[1] และ อภิเดช บูรณวงศ์[1]

[1]ภาควิชาวิศวกรรมไฟฟ้าและชีวการแพทย์ คณะวิศวกรรมศาสตร์ มหาวิทยาลัยสงขลานครินทร์ Thradon_wat@nstru.ac.th
dujdow.b@psu.ac.th kiattisak.se@psu.ac.th apidet.b@psu.ac.th

บทคัดย่อ

งานวิจัยนี้นำเสนอการพัฒนาระบบระบุตำแหน่งภายในอาคาร โดยการผสานข้อมูลตัวบ่งชี้ความแรงสัญญาณที่ได้รับ (Received Signal Strength Indicator: RSSI) กับข้อมูลเซนเซอร์วัดความเร่ง 3 แกน และประยุกต์ใช้การเรียนรู้ของเครื่อง (Machine Learning) การศึกษาใช้โหนดเซนเซอร์ไร้สาย SparkFun Thing Plus - XBee3 Micro ที่ทำงานตามมาตรฐาน IEEE 802.15.4 ความถี่ 2.4 GHz ในการเก็บข้อมูลการเคลื่อนไหวและความแรงสัญญาณจากอาสาสมัคร ระบบได้รับการออกแบบเพื่อจำแนกตำแหน่ง 3 บริเวณภายในอาคาร ได้แก่ บริเวณบันได ห้องนั่งเล่น และห้องรับประทานอาหาร การวิจัยทำการทดสอบเปรียบเทียบตัวจำแนก (Classifier) 33 แบบผ่านโปรแกรม MATLAB R2024b ผลการทดลองพบว่า การใช้ข้อมูลตัวบ่งชี้ความแรงสัญญาณที่ได้รับเพียงอย่างเดียว (จำนวน 12 คุณลักษณะ) ให้ความแม่นยำ 93.0% ในการจำแนกบริเวณ ในขณะที่การผสานข้อมูลตัวบ่งชี้ความแรงสัญญาณที่ได้รับกับข้อมูลเซนเซอร์วัดความเร่ง 3 แกน (51 คุณลักษณะ) ให้ความแม่นยำสูงถึง 99.6% ด้วยตัวจำแนก Fine K-Nearest-Neighbors (KNN) ผลการวิจัยแสดงให้เห็นว่าการรวมข้อมูลเซนเซอร์สามารถเพิ่มความแม่นยำได้อย่างมีนัยสำคัญ โดยมีความแม่นยำเพิ่มขึ้น 6.6%

คำสำคัญ: การระบุตำแหน่งภายในอาคาร ตัวบ่งชี้ความแรงสัญญาณที่ได้รับ การเรียนรู้ของเครื่อง เซนเซอร์วัดความเร่ง การผสานข้อมูลเซนเซอร์

Abstract

This work presents the development of an indoor localization system through the integration of Received Signal Strength Indicator (RSSI) data with 3-axis acceleration data and machine learning techniques. The study employs SparkFun Thing Plus - XBee3 Micro wireless sensor nodes operating under the IEEE 802.15.4 standard at 2.4 GHz to collect RSSI and acceleration data from volunteers. The system was designed to classify three indoor locations: a staircase area, a living room, and a dining room. The research methodology involved testing and comparison of 33 machine learning-based classification models using MATLAB R2024b. Experimental results indicated that using only RSSI data with 12 features, a classification accuracy of 93.0% could be obtained. For the fusion of RSSI data with 3-axis accelerometer data, totaling 51 features, there was an accuracy of 99.6% using the Fine k-Nearest Neighbors (k-NN). Experimental results demonstrate that sensor data fusion can significantly enhance localization accuracy with a 6.6% improvement.

Keywords: Indoor Localization, Received Signal Strength Indicator, Machine Learning, Accelerometer, Sensor Fusion

1. บทนำ

ในยุคปัจจุบันที่เทคโนโลยีมีความก้าวหน้าอย่างรวดเร็ว การระบุตำแหน่งภายในอาคาร (Indoor Localization) ได้กลายเป็นเทคโนโลยีสำคัญที่ขับเคลื่อนการพัฒนาแอปพลิเคชันอัจฉริยะหลากหลายประเภท ตั้งแต่ระบบนำทางภายในอาคารขนาดใหญ่ การจัดการคลังสินค้า ไปจนถึงระบบดูแลสุขภาพผู้สูงอายุในบ้านอัจริยะ ถึงแม้ว่าระบบระบุตำแหน่งด้วยจีพีเอส (Global Positioning System: GPS) จะได้รับความนิยมและถูกใช้งานอย่างแพร่หลาย แต่ก็มีข้อบกพร่องบางประการที่จำกัดประสิทธิภาพของการใช้งานในการระบุตำแหน่งภายในอาคาร เนื่องจากสภาพแวดล้อมภายในอาคารที่มีความซับซ้อนและมีขนาดที่แตกต่างกัน นอกจากนี้ยังมีวัตถุที่อยู่นิ่งและเคลื่อนไหว เช่น เฟอร์นิเจอร์และผู้คน ปัจจัยเหล่านี้ส่งผลต่อการแพร่กระจายของคลื่นสัญญาณวิทยุอย่างมีนัยสำคัญ ทำให้เกิดการลดทอน (Attenuation) การกระเจิง (Scattering) การบดบัง (Shadowing) และจุดอับสัญญาณ ซึ่งลดความแม่นยำของการระบุตำแหน่งภายในอาคารลงอย่างมาก [1]

ด้วยเหตุนี้การพัฒนาระบบระบุตำแหน่งภายในอาคารให้มีความแม่นยำจึงเป็นประเด็นที่น่าสนใจและมีความท้าทายอย่างมาก โดยเฉพาะอย่างยิ่งในสถานการณ์ที่ต้องการการติดตามการเคลื่อนไหวของบุคคลหรือวัตถุภายในอาคารแบบเรียลไทม์ เช่น การช่วยเหลือผู้พิการหรือผู้สูงอายุในการนำทาง การจัดการบุคลากรในโรงงานอุตสาหกรรม หรือระบบรักษาความปลอดภัยในอาคาร ในช่วงล่าสุด วิธีการระบุตำแหน่งแบบอิงระยะทาง (Range-based) โดยอิงตัวบ่งชี้ความแรงของสัญญาณที่ได้รับ เป็นวิธีการหนึ่งที่ได้รับความนิยม [2-7] วิธีการดังกล่าวต้องการโหนดอ้างอิงที่ทราบตำแหน่งอย่างน้อยสามจุดเพื่อคำนวณตำแหน่งของเป้าหมายที่ไม่ทราบตำแหน่ง แนวทางนี้ต้องประสบกับความท้าทายอย่างมาก ได้แก่ ความแปรปรวนของสัญญาณวิทยุที่ส่งผลต่อความแม่นยำ และความซับซ้อนในการคำนวณ อย่างไรก็ตามช่วงไม่กี่ปีที่ผ่านมา การเรียนรู้ของเครื่อง (Machine Learning: ML) ได้พบความสำเร็จที่ดีในการระบุตำแหน่งไม่ว่าจะเป็นภายนอกอาคาร [8] และการระบุตำแหน่งภายในอาคาร [9] ข้อได้เปรียบหลักของแนวทางการเรียนรู้ของเครื่อง คือ ความสามารถในการตัดสินใจอย่างมีประสิทธิภาพโดยใช้ข้อมูลที่สังเกตได้โดยไม่ต้องมีการสร้างสูตรทางคณิตศาสตร์ที่แม่นยำ [1]

จากการทบทวนวรรณกรรม พบช่องว่างของการวิจัยหลายประการที่ยังสามารถพัฒนาต่อยอดได้ งานวิจัยส่วนใหญ่มุ่งเน้นไปที่การพัฒนาอัลกอริทึมเฉพาะ แม้ว่าจะมีการศึกษาอัลกอริทึมต่าง ๆ เช่น K-Nearest-Neighbors (KNN) [2, 10, 11] Support Vector Machine (SVM) [11] Random Forest (RF) [11, 12] และ Artificial Neural Network (ANN) [12, 13] แต่ยังขาดการเปรียบเทียบประสิทธิภาพในสภาพแวดล้อมเดียวกันและด้วยชุดข้อมูลเดียวกัน งานวิจัยส่วนใหญ่ทำการทดลองในสภาพแวดล้อมที่ควบคุมได้ เช่น ห้องปฏิบัติการหรือสำนักงาน ซึ่งอาจไม่สะท้อนถึงความซับซ้อนและความท้าทายที่เกิดขึ้นในสภาพแวดล้อมที่อยู่อาศัยจริง

งานวิจัยนี้มุ่งเน้นการพัฒนาระบบระบุตำแหน่งภายในอาคารที่รวมการวัดตัวบ่งชี้ความแรงของสัญญาณที่ได้รับเข้ากับข้อมูลจากเซนเซอร์วัดความเร่งเพื่อจำแนกรูปแบบการเคลื่อนไหวของมนุษย์ในตำแหน่งต่าง ๆ ภายในอาคาร โดยเปรียบเทียบแบบจำลองการเรียนรู้ของเครื่องจำนวน 33 แบบใน 8 กลุ่มตัวจำแนกในสภาพแวดล้อมเดียวกัน เพื่อหาแบบจำลองที่ให้ประสิทธิภาพสูงสุดสำหรับการจำแนกตำแหน่งภายในอาคาร

บทความนี้จัดโครงสร้างดังต่อไปนี้ ส่วนที่ 2 วิธีการดำเนินการวิจัย ซึ่งประกอบไปด้วย สภาพแวดล้อมการทดลอง ส่วนประกอบฮาร์ดแวร์ ขั้นตอนการเก็บข้อมูล และการใช้งานการเรียนรู้ของเครื่อง ส่วนที่ 3 ผลการวิจัยและการวิเคราะห์ และสุดท้ายส่วนที่ 4 บทสรุป

2. วิธีการดำเนินงานวิจัย

2.1 สภาพแวดล้อมการทดลอง

ลักษณะของพื้นที่ที่ใช้ในทดลองเป็นอาคารที่อยู่อาศัย 2 ชั้น ขนาดประมาณ 8.40 x 8.23 เมตร ชั้นล่างประกอบด้วยห้องต่าง ๆ หลายห้อง คือ ห้องครัว ห้องเก็บวัสดุอุปกรณ์ ห้องซักผ้า ห้องรับประทานอาหาร ห้องสวดมนต์ ห้องนั่งเล่น และห้องน้ำ กำหนดเส้นทางที่ใช้ครอบคลุมพื้นที่หลัก ได้แก่ ตำแหน่งที่ 1 บริเวณบันได (ป้ายกำกับ 1 หรือ Label 1) ตำแหน่งที่ 2 ห้องนั่งเล่น (ป้ายกำกับ 2) และตำแหน่งที่ 3 ห้องรับประทานอาหาร (ป้ายกำกับ 3) โดยให้อาสาสมัครทำการเดินตามเส้นทางที่กำหนดไว้ล่วงหน้า เริ่มจากห้องรับประทานอาหาร เคลื่อนผ่านห้องนั่งเล่น และขึ้นบันไดไปยังชั้นที่สอง ตามที่แสดงด้วยลูกศรสีเขียวในแผนผังอาคาร ดังรูปที่ 1 ทำการเก็บข้อมูลเส้นทางนี้ทำซ้ำทั้งหมด 20 ครั้ง เพื่อใช้ในการวิเคราะห์ผล

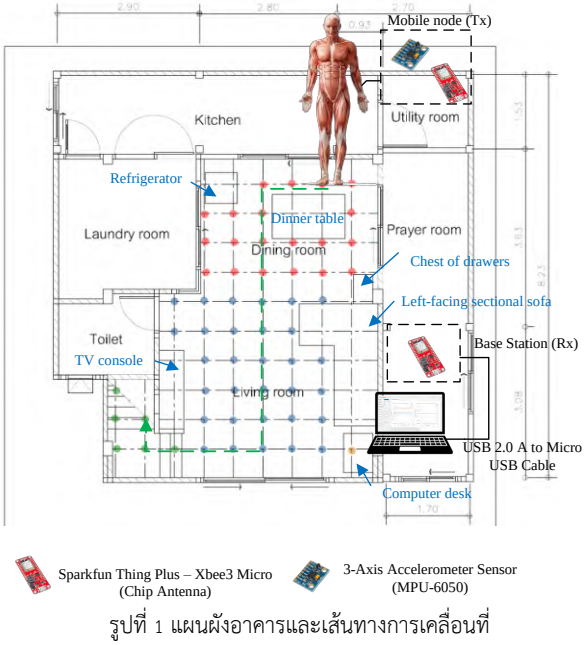

รูปที่ 1 แผนผังอาคารและเส้นทางการเคลื่อนที่

2.2 ส่วนประกอบฮาร์ดแวร์

เซนเซอร์โหนดไร้สายที่ใช้ในงานวิจัยทั้งหมดจำนวน 2 โหนด ถูกออกแบบขึ้นจากบอร์ดไมโครคอลโทรลเลอร์ SparkFun Thing Plus - XBee3 Micro [14] มาพร้อมเสาอากาศแบบชิปติดตั้งอยู่บนบอร์ด ผลิตโดยบริษัท SparkFun Electronics บอร์ดไมโครคอลโทรลเลอร์ดังกล่าวอ้างอิงมาตรฐาน IEEE 802.15.4 ความถี่ 2.4 GHz โดยมีอัตราบิต 250 kbps และอัตราการถ่ายโอนข้อมูลแบบอนุกรม 1 Mbps งานวิจัยนี้กำหนดให้กำลังส่งสัญญาณเท่ากับ +8 dBm [15]

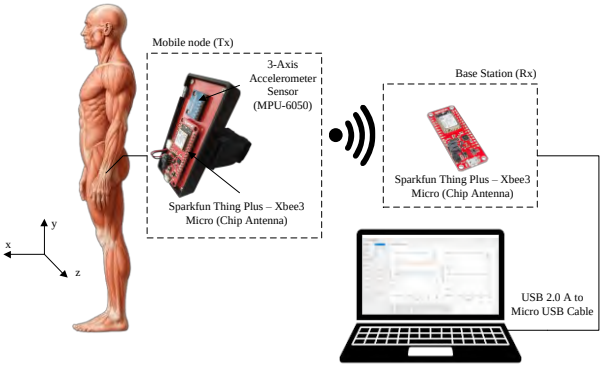

รูปที่ 2 ส่วนประกอบของระบบเซนเซอร์โหนดไร้สาย

เซนเซอร์โหนดตัวที่หนึ่งเป็นโหนดส่งสัญญาณ (Transmitter: Tx) ซึ่งเป็นโหนดเคลื่อนที่สวมใส่ที่ข้อมือของอาสาสมัครชาย (อายุ 38 ปี ส่วนสูง 165 เซนติเมตร น้ำหนัก 57 กิโลกรัม) เนื่องจากผู้สวมใส่ให้คะแนนความสบายและความสะดวกในการสวมใส่เป็นปัจจัยสำคัญที่สุดในการตัดสินใจเลือกตำแหน่งการวางเซนเซอร์ โดยตำแหน่งที่ได้รับความพึงพอใจมากที่สุดคือ บริเวณข้อมือ ข้อเท้า และเอว [16, 17] โหนดส่งสัญญาณ (Tx) ประกอบด้วยเซนเซอร์วัดความเร่ง GY-521 ที่ใช้ชิป MPU-6050 ซึ่งเป็นเซนเซอร์ความเร่งแบบ 3 แกน ที่สามารถวัดข้อมูลความเร่งในทิศทางแกน x แกน y และแกน z เซนเซอร์ GY-521 มีความยืดหยุ่นในการวัดเนื่องจากมีช่วงการวัดความเร่งที่สามารถปรับเปลี่ยนได้ 4 ระดับ ได้แก่ ±2g, ±4g, ±8g และ ±16g งานวิจัยนี้กำหนดค่าดังกล่าวไว้ที่ ±2g เพื่อให้เหมาะสมกับการเก็บสัญญาณความเร่งขณะมนุษย์มีการเคลื่อนที่ การเชื่อมต่อกับบอร์ดไมโครคอลโทรลเลอร์ทำผ่าน I²C (Inter-Integrated Circuit) ข้อมูลจำเพาะของบอร์ด XBee3 Micro และเซนเซอร์วัดความเร่ง GY-521 แสดงดังตารางที่ 1

เซนเซอร์โหนดตัวที่สองทำหน้าที่เป็นสถานีฐาน (Base Station: BS) สำหรับรับข้อมูลเซนเซอร์และเชื่อมต่อกับคอมพิวเตอร์เป็นศูนย์กลางประมวลผล แสดงดังรูปที่ 2

ตารางที่ 1 ข้อมูลจำเพาะของบอร์ด SparkFun Thing Plus - XBee3 Micro และเซนเซอร์วัดความเร่ง GY-521 [14, 15]

ข้อมูลจำเพาะของบอร์ดไมโครคอลโทรลเลอร์	
ไมโครคอลโทรลเลอร์	Silicon Labs EFR32MG SoC
หน่วยความจำแฟลช	1 MB (รองรับไมโครไพธอน 32 KB)
หน่วยความจำแรม	128 KB
ย่านความถี่	2.4 GHz (2.4 – 2.4835 GHz)
อัตราบิต	250 Kbps
ระยะการสื่อสารภายในอาคาร/เมือง	สูงสุด 200 ฟุต (60 m)
ระยะการสื่อสารภายนอกอาคาร/ทางตรง	สูงสุด 4,000 ฟุต (1,200 m)
กำลังส่ง	-5 dBm, -1 dBm, +2 dBm, +5 dBm และ +8 dBm
ความไวของตัวรับ	-103 dBm
การสื่อสารแบบอนุกรม	UART, I2C
แรงดันไฟฟ้า	2.6 VDC – 3.6 VDC
กระแสไฟฟ้าในการทำงาน (ส่ง, ปกติ)	40 mA @ +3.3 V, +8 dBm
กระแสไฟฟ้าในการทำงาน (รับ, ปกติ)	17 mA
จำนวนช่องสัญญาณ	16 ช่อง (11 - 26)
การจัดการพลังงาน	รองรับการชาร์จแบตเตอรี่ LiPo

ข้อมูลจำเพาะของเซนเซอร์วัดความเร่ง GY-521

ชิป	MPU-6050
ช่วงการวัดความเร่ง	2g, ±4g, ±8g และ ±16g
ความละเอียดของ ADC	16 บิต
การสื่อสารแบบอนุกรม	I2C
แรงดันไฟฟ้า	2.375 V - 3.46 V
กระแสไฟฟ้าในการทำงาน (ปกติ)	500 μA
กระแสไฟฟ้าในการทำงาน (ประหยัด)	10 μA @ 1.25 Hz, 20 μA @ 5 Hz, 60 μA @ 20 Hz และ 110 μA @ 40 Hz

2.3 ขั้นตอนการเก็บข้อมูล

การกำหนดค่าการสุ่มตัวอย่างการส่งข้อมูลเกิดขึ้นทุก ๆ 100 มิลลิวินาที (อัตราการสุ่ม 10 Hz) [15, 16] จากโหนดส่งสัญญาณไปยังโหนดสถานีฐาน ซึ่งข้อมูลแต่ละแพ็กเก็ตประกอบด้วย หมายเลขระบุโหนด ลำดับของแพ็กเก็ต ค่าความเร่งในแนวแกน x แกน y และแกน z ตามลำดับ หลังจากโหนดสถานีฐานได้รับแพ็กเก็ตข้อมูลจะทำการอ่านค่าตัวบ่งชี้ความแรงสัญญาณที่ได้รับ จากนั้นข้อมูลทั้งหมดจะถูกจัดเก็บในรูปแบบของไฟล์ .CSV สำหรับใช้วิเคราะห์ข้อมูลในขั้นตอนต่อไป ชุดข้อมูลทั้งหมดประกอบด้วยข้อมูลจากการทดลอง 20 ครั้ง ส่งผลให้ได้ตัวอย่างข้อมูลทั้งหมด 13,342 ตัวอย่าง

2.4 การใช้งานการเรียนรู้ของเครื่อง

2.4.1 การสกัดคุณลักษณะและการประมวลผลสัญญาณ

การสกัดคุณลักษณะ (Feature Extraction) ตัวบ่งชี้ความแรงสัญญาณที่ได้รับ ใช้เทคนิคหน้าต่างเลื่อน (Sliding window) ที่มีขนาดหน้าต่าง 25 ตัวอย่าง เพื่อสกัดคุณลักษณะทางสถิติ งานวิจัยนี้กำหนดให้สกัดคุณลักษณะทางสถิติจำนวน 11 ตัว แสดงดังสมการที่ (1) - (11)

ค่าสูงสุด (Maximum)

$$max_{w,i} = max\{x[k] : k \in [i-w+1, i]\} \quad (1)$$

ค่าต่ำสุด (Minimum)

$$min_{w,i} = min\{x[k] : k \in [i-w+1, i]\} \quad (2)$$

ค่าเฉลี่ย (Mean)

$$\mu_{w,i} = \frac{1}{w}\sum_{k=i-w+1}^{i} x[k] \quad (3)$$

ส่วนเบี่ยงเบนมาตรฐาน (Standard deviation)

$$\sigma_{w,i} = \sqrt{\frac{1}{w}\sum_{k=i-w+1}^{i}\left(x[k]-\mu_{w,i}\right)^2} \quad (4)$$

พิสัย (Range)

$$range_i = max_{w,i} - min_{w,i} \quad (5)$$

มัธยฐาน (Median)

$$median_{w,i} = \begin{cases} sorted_{x_k}\left[(w+1)/2\right] \\ \text{if w is odd} \\ \dfrac{\left(sorted_{x_k}\left[w/2\right] + sorted_{x_k}\left[(w/2)+1\right]\right)}{2} \\ \text{if w is even} \end{cases} \quad (6)$$

โดย $sorted_{x_k} = sorted\left(\{x[k]\} : k \in [i-w+1, i]\right)$

พิสัยระหว่างควอร์ไทล์ (Interquartile range)

$$IQR_{w,i} = Q_{3,w,i} - Q_{1,w,i} \quad (7)$$

โดยที่ $Q_{1,w,i}$ คือเปอร์เซ็นต์ไทล์ที่ 25 (25th percentile) และ $Q_{3,w,i}$ เปอร์เซ็นต์ไทล์ที่ 75 (75th percentile)

เปอร์เซ็นต์ไทล์ที่ 10 (10th percentile)

$$P_{10,w,i} = \text{value at position } [0.10 \times w] \text{ in sorted array} \quad (8)$$

เปอร์เซ็นต์ไทล์ที่ 25 (25th percentile)

$$P_{25,w,i} = \text{value at position } [0.25 \times w] \text{ in sorted array} \quad (9)$$

เปอร์เซ็นต์ไทล์ที่ 75 (75th percentile)

$$P_{75,w,i} = \text{value at position } [0.75 \times w] \text{ in sorted array} \quad (10)$$

เปอร์เซ็นต์ไทล์ที่ 90 (90th percentile)

$$P_{90,w,i} = \text{value at position } [0.90 \times w] \text{ in sorted array} \quad (11)$$

โดยที่ w ขนาดหน้าต่าง

สำหรับการสกัดคุณลักษณะจากเซนเซอร์วัดความเร่งดำเนินการในลักษณะเดียวกันกับการสกัดคุณลักษณะจากตัวบ่งชี้ความแรงสัญญาณที่ได้รับ เซนเซอร์วัดความเร่งให้ข้อมูล 3 แกน ได้แก่ แกน x, y และ z ซึ่งในแต่ละแกนจะถูกสกัดคุณลักษณะทางสถิติ 11 ตัว เช่นเดียวกับกรณีตัวบ่งชี้ความแรงสัญญาณที่ได้รับ ทำให้ได้คุณลักษณะรวมจากเซนเซอร์วัดความเร่งทั้ง 3 แกน เท่ากับ 33 คุณลักษณะ นอกจากการสกัดคุณลักษณะจากแต่ละแกนแล้ว ยังได้คำนวณหาขนาดเวกเตอร์ความเร่ง (Signal Vector Magnitude) จากข้อมูลความเร่งทั้ง 3 แกน ตามสมการ (12)

$$SVM_i = \sqrt{a_{x,i}{}^2 + a_{y,i}{}^2 + a_{z,i}{}^2} \quad (12)$$

โดยที่ $a_{x,i}$, $a_{y,i}$ และ $a_{z,i}$ คือ ความเร่งในแนวแกน x, y และ z จากขนาดเวกเตอร์ความเร่งที่คำนวณได้ จะถูกนำมาสกัดคุณลักษณะเพิ่มเติมโดยใช้เทคนิคหน้าต่างเลื่อนที่มีขนาดหน้าต่าง 25 ตัวอย่าง เพื่อให้ได้คุณลักษณะทางสถิติอีก 2 ตัว ประกอบด้วย ค่าเฉลี่ยของขนาดเวกเตอร์ความเร่ง (Mean of acceleration magnitude) และส่วนเบี่ยงเบนมาตรฐานของขนาดเวกเตอร์ความเร่ง (Standard deviation of acceleration magnitude)

งานวิจัยนี้กำหนดชุดข้อมูลทดสอบเป็นสองกรณี โดยกรณีแรกใช้เฉพาะข้อมูลตัวบ่งชี้ความแรงสัญญาณที่ได้รับและคุณลักษณะทางสถิติของตัวบ่งชี้ความแรงสัญญาณที่ได้รับ รวม 12 คุณลักษณะ ส่วนกรณีที่สองใช้คุณลักษณะทั้งหมดจากตัวบ่งชี้ความแรงสัญญาณที่ได้รับ 12 คุณลักษณะและเซนเซอร์วัดความเร่ง 39 คุณลักษณะ รวมเป็น 51 คุณลักษณะ

2.4.2 การจำแนกประเภท

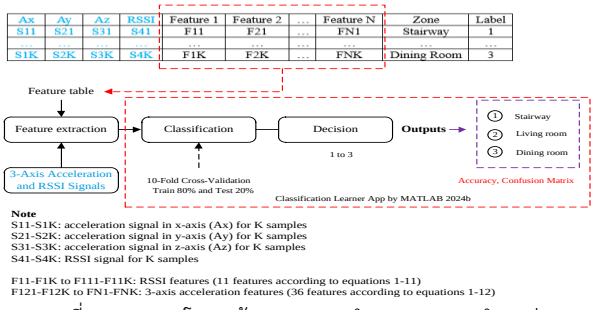

รูปที่ 3 แผนภาพโครงสร้างระบบการจำแนกประเภทตำแหน่ง

รูปที่ 3 แสดงภาพรวมของการจำแนก ตั้งแต่การเก็บข้อมูลไปจนถึงการจำแนกตำแหน่ง ขั้นตอนการประมวลผลเริ่มต้นด้วยการสกัดคุณลักษณะ โดยรับข้อมูลดิบจากเซนเซอร์ความเร่งสามแกนและตัวบ่งชี้ความแรงสัญญาณที่ได้รับ จากนั้นประมวลผลด้วยหน้าต่างเลื่อนขนาด 25 ตัวอย่าง เพื่อสกัดคุณลักษณะตามที่อธิบายไว้ในหัวข้อย่อย 2.4.1 สำหรับขั้นตอนการจำแนกประเภท งานวิจัยนี้ได้ใช้โปรแกรม MATLAB 2024b ทำการประเมินแบบจำลองการเรียนรู้ของเครื่องทั้งหมด 33 โมเดลย่อย ใน 8 กลุ่มตัวจำแนก แสดงดังตารางที่ 2 โดยใช้การตรวจสอบไขว้ 10-fold cross-validation และแบ่งชุดข้อมูล 80% สำหรับฝึกสอน (10,674 ตัวอย่าง) และ 20% สำหรับทดสอบ (2,668 ตัวอย่าง) [11] ในขั้นตอนการตัดสินใจ ระบบให้ผลลัพธ์การจำแนกประเภทเป็นตัวเลข 1-3 โดยหมายเลข 1 แทนบริเวณบันได หมายเลข 2 แทนห้องนั่งเล่น และหมายเลข 3 แทนห้องรับประทานอาหาร สุดท้ายขั้นตอนการประเมินผลด้วยตัวชี้วัดประสิทธิภาพ เปอร์เซ็นต์ความแม่นยำการจำแนกประเภท (Classification Accuracy %) และเมทริกซ์ความสับสน

ตารางที่ 2 ข้อมูลตัวจำแนก

ตัวจำแนก (Classifier)	โมเดลย่อย (Sub-model)	ตัวจำแนก (Classifier)	โมเดลย่อย (Sub-model)
Tree	1) Fine Tree 2) Medium Tree 3) Coarse Tree	KNN	1) Fine KNN 2) Weighted KNN 3) Medium KNN 4) Cubic KNN 5) Cosine KNN 6) Coarse KNN
Discriminant	1) Quadratic Discriminant 2) Linear Discriminant	Kernel	1) SVM Kernel 2) Logistic Regression Kernel
SVM	1) Fine Gaussian SVM 2) Cubic SVM 3) Medium Gaussian SVM 4) Quadratic SVM 5) Coares Gaussian SVM 6) Linear SVM	Ensemble	1) Subspace KNN 2) Bagged Trees 3) Boosted Trees 4) RUSBoosted Trees 5) Subspace Discriminant
Efficient Linear	1) Efficient Logistic Regression 2) Efficient Linear SVM	Neural Network	1) Wide Neural Network 2) Medium Neural Network 3) Trilayered Neural Network 4) Bilayered Neural Network 5) Narrow Neural Network

3. ผลการวิจัยและการวิเคราะห์ผล

รูปที่ 4 (ก) แสดงสัญญาณความเร่ง 3 แกน ขณะที่รูปที่ 4 (ข) แสดงค่าตัวบ่งชี้ความแรงสัญญาณที่ได้รับ ซึ่งเป็นสัญญาณที่บันทึกได้ในเวลาเดียวกันระหว่างกาทดสอบ 1 ครั้ง โดยการกระจายสัญญาณ ช่วงตัวอย่างที่ 1-180 เป็นสัญญาณจากห้องรับประทานอาหาร ขณะที่ช่วงตัวอย่างที่ 181-529 เป็นสัญญาณจากห้องนั่งเล่น และช่วงตัวอย่างที่ 530-730 เป็นสัญญาณจากบริเวณบันได จากรูปที่ 4 (ก) หากคำนวณหาค่าเฉลี่ยพิสัยของความเร่งแกน x และแกน y จากตัวอย่างที่ 530-730 จะได้ค่าดังกล่าวเท่ากับ 0.90 และ 1.07 ตามลำดับ ในขณะที่หากคำนวณหาค่าเฉลี่ยพิสัยของความเร่งแกน x และแกน y จากตัวอย่างที่ 1-180 จะได้ค่าดังกล่าวเท่ากับ 0.63 และ 0.38 ซึ่งจะเห็นได้ว่าค่าเฉลี่ยพิสัยของความเร่งแกน x และแกน y จากทั้งสองช่วงตัวอย่างมีความแตกต่างกันอย่างชัดเจน ดังนั้นหากนำข้อมูลความเร่งเข้ามาช่วยในการจำแนกประเภทก็จะช่วยจำแนกบริเวณบันไดกับห้องรับประทานอาหารได้อย่างแม่นยำยิ่งขึ้น ขณะที่รูปที่ 4 (ข) แสดงค่าตัวบ่งชี้ความแรงสัญญาณที่ได้รับ ซึ่งจะเห็นได้ว่าค่าดังกล่าวจะค่อย ๆ เพิ่มมากขึ้นเมื่อมีการเคลื่อนที่จากห้องรับประทานอาหารมายังห้องนั่งเล่น และค่อย ๆ ลดลงเมื่อเคลื่อนที่จากห้องนั่งเล่นไปยังบริเวณบันได เนื่องจากเซนเซอร์โหนดที่ทำหน้าที่เป็นสถานีฐานติดตั้งอยู่ที่ห้องนั่งเล่น

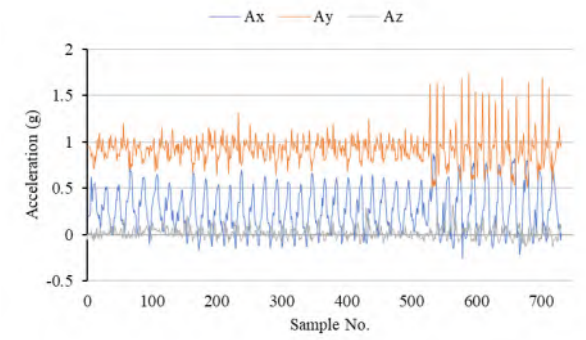

(ก)

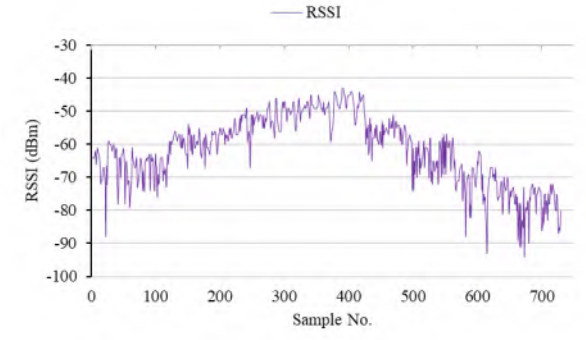

(ข)

รูปที่ 4 สัญญาณข้อมูลเซนเซอร์ตัวอย่างจากการทดลอง 1 ครั้ง: (ก) สัญญาณความเร่ง 3 แกน และ (ข) ค่าตัวบ่งชี้ความแรงสัญญาณที่ได้รับ

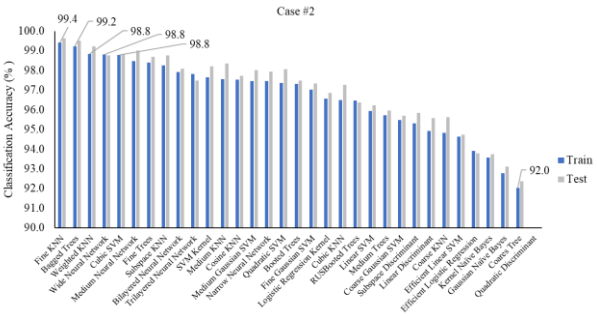

รูปที่ 5 การเปรียบเทียบประสิทธิภาพของตัวจำแนกทั้ง 33 แบบ สำหรับกรณีที่ 2

จากการวิเคราะห์ผลลัพธ์จากแบบจำลองทั้งหมดแสดงให้เห็นว่าแบบจำลอง Fine KNN (K=1, Euclidean Distance) ให้ประสิทธิภาพสูงสุดด้วยความแม่นยำ 99.4% สำหรับการฝึกสอน ดังนั้นงานวิจัยนี้จึงเลือกโมเดลย่อยดังกล่าวมานำเสนอการวิเคราะห์ประสิทธิภาพเปรียบเทียบระหว่างการกำหนดคุณลักษณะสองกรณี อย่างไรก็ตามแบบจำลองที่ให้ประสิทธิภาพใกล้เคียงกัน ได้แก่ Bagged Trees, Weighted KNN, Wide Neural Network และ Cubic SVM โดยให้ความแม่นยำมากกว่า 98% ดังรูปที่ 5

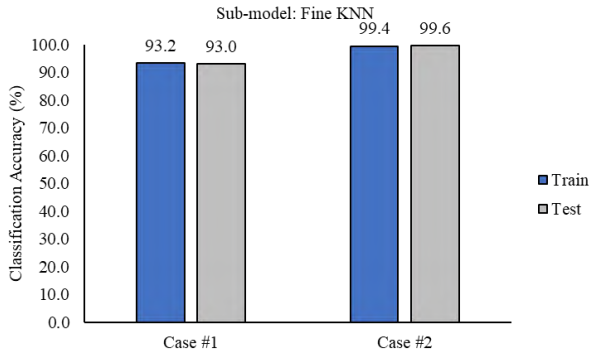

รูปที่ 6 การเปรียบเทียบประสิทธิภาพโมเดลย่อย Fine k-NN

จากรูปที่ 6 จะเห็นว่าโมเดล Fine KNN ให้ประสิทธิภาพที่แตกต่างกันอย่างชัดเจนระหว่างสองกรณี โดยกรณีที่หนึ่งใช้เฉพาะข้อมูลตัวบ่งชี้ความแรงสัญญาณที่ได้รับและคุณลักษณะของตัวบ่งชี้ความแรงสัญญาณที่ได้รับ รวม 12 คุณลักษณะ ระบบให้ความแม่นยำการฝึกสอน 93.2% และความแม่นยำการทดสอบ 93.0% ในขณะที่กรณีที่สองซึ่งใช้ชุดคุณลักษณะทั้งหมดจากการผสานข้อมูลส่งผลให้ได้ความแม่นยำการฝึกสอน 99.4% และความแม่นยำทดสอบ 99.6% ผลลัพธ์ดังกล่าวนี้แสดงการปรับปรุงประสิทธิภาพอย่างมีนัยสำคัญเมื่อผสานคุณลักษณะเซนเซอร์วัดความเร่งเข้ากับการวัดตัวบ่งชี้ความแรงสัญญาณที่ได้รับ โดยชุดคุณลักษณะทั้งหมดในกรณีที่สองให้ความแม่นยำการจำแนกด้วยการปรับปรุงความแม่นยำการทดสอบเพิ่มขึ้น 6.6% เมื่อเทียบกับแนวทางที่ใช้ตัวบ่งชี้ความแรงสัญญาณที่ได้รับเพียงอย่างเดียว

Confusion Matrix สำหรับกรณีที่หนึ่ง ดังรูปที่ 7 แสดงให้เห็นประสิทธิภาพการจำแนกประเภทที่แตกต่างกันในแต่ละตำแหน่ง โดยตำแหน่งที่หนึ่งซึ่งเป็นบริเวณบันไดมีความแม่นยำ 92.2% ด้วยข้อผิดพลาดรวม 7.8% ซึ่งประกอบด้วยการจำแนกผิดเป็นตำแหน่งที่สอง (ห้องนั่งเล่น) 2.5% และเป็นตำแหน่งที่สาม (ห้องรับประทานอาหาร) 5.3% ตำแหน่งที่สองคือห้องนั่งเล่นแสดงประสิทธิภาพที่ดีที่สุดด้วยความแม่นยำ 94.5% และข้อผิดพลาดรวม 5.5% จากการจำแนกผิดเป็นตำแหน่งที่หนึ่ง (บริเวณบันได) 2.1% และเป็นตำแหน่งที่สาม (ห้องรับประทานอาหาร) 3.4% ส่วนตำแหน่งที่สามซึ่งเป็นห้องรับประทานอาหารมีความแม่นยำ 91.4% พร้อมข้อผิดพลาดรวม 8.6% จากการจำแนกผิดเป็นตำแหน่งที่หนึ่ง (บริเวณบันได) 5.7% และเป็นตำแหน่งที่สอง 2.9%

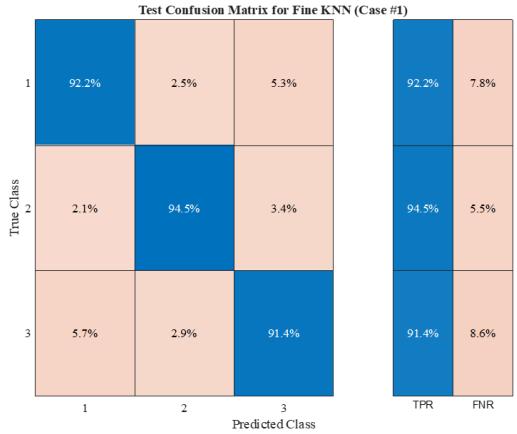

รูปที่ 7 Confusion Matrix สำหรับการจำแนกตำแหน่งโดยใช้คุณลักษณะ RSSI เพียงอย่างเดียว (12 คุณลักษณะ) ด้วยโมเดลย่อย Fine k-NN

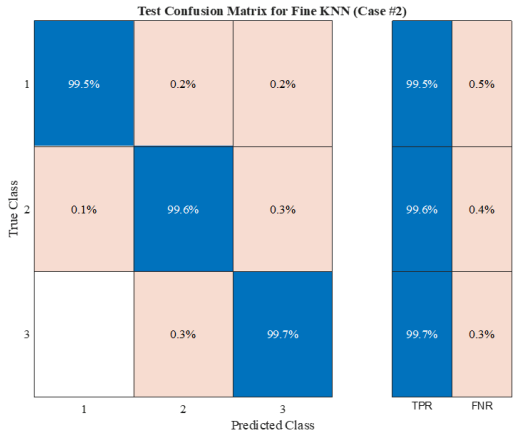

รูปที่ 8 Confusion Matrix สำหรับการจำแนกตำแหน่งโดยการผสานข้อมูล RSSI และเซนเซอร์วัดความเร่ง (51 คุณลักษณะ) ด้วยโมเดลย่อย Fine k-NN

Confusion Matrix สำหรับกรณีที่สอง ดังรูปที่ 8 แสดงให้เห็นประสิทธิภาพการจำแนกประเภทที่แม่นยำในทุกตำแหน่ง บริเวณบันไดซึ่งมีความแม่นยำ 99.5% ด้วยข้อผิดพลาดรวมเพียง 0.5% ซึ่งแบ่งเป็นการจำแนกผิดเป็นตำแหน่งที่สอง (ห้องนั่งเล่น) และตำแหน่งที่สาม (ห้องรับประทานอาหาร) อย่างละ 0.2% ห้องนั่งเล่นหรือตำแหน่งที่สองให้ความแม่นยำ 99.6% พร้อมข้อผิดพลาดรวม 0.4% จากการจำแนกผิดเป็นตำแหน่งที่หนึ่ง (บริเวณบันได) 0.1% และเป็นตำแหน่งที่สาม (ห้องรับประทานอาหาร) 0.3% ห้องรับประทานอาหารซึ่งเป็นตำแหน่งที่สามแสดงประสิทธิภาพสูงสุดด้วยความแม่นยำ 99.7% และข้อผิดพลาดรวม 0.3% จากการจำแนกผิดเป็นตำแหน่งที่สองเพียง 0.3% โดยไม่มีการจำแนกผิดเป็นตำแหน่งที่หนึ่งเลย

4. บทสรุป

งานวิจัยนี้ได้พัฒนาระบบระบุตำแหน่งภายในอาคารผ่านการผสานข้อมูลตัวบ่งชี้ความแรงสัญญาณที่ได้รับ (RSSI) กับข้อมูลเซนเซอร์วัดความเร่ง 3 แกน และประยุกต์ใช้เทคนิคการเรียนรู้ของเครื่อง ผลการศึกษาแสดงให้เห็นความสำเร็จในการจำแนกตำแหน่ง 3 บริเวณภายในอาคาร ได้แก่ บริเวณบันได ห้องนั่งเล่น และห้องรับประทานอาหาร ด้วยความแม่นยำสูง การเปรียบเทียบประสิทธิภาพพบว่า การใช้ข้อมูล RSSI (12 คุณลักษณะ) ให้ความแม่นยำการจำแนก 93.0% ในขณะที่การผสานข้อมูล RSSI กับข้อมูลเซนเซอร์วัดความเร่ง 3 แกน (51 คุณลักษณะ) สามารถเพิ่มความแม่นยำได้ถึง 99.6% ด้วยแบบจำลอง Fine k-Nearest Neighbors ซึ่งแสดงการปรับปรุงประสิทธิภาพ 6.6% เมื่อเปรียบเทียบกับการใช้ RSSI เพียงอย่างเดียว อย่างไรก็ตามการเลือกใช้ชุดคุณลักษณะควรพิจารณาความสมดุลระหว่างความแม่นยำและภาระการคำนวณ สำหรับการใช้งานทั่วไปที่อุปกรณ์มีข้อจำกัดด้านทรัพยากร การใช้ข้อมูล RSSI (12 คุณลักษณะ) อาจเหมาะสมกว่าเนื่องจากให้ความแม่นยำ 93.0% ที่ยังคงอยู่ในระดับสูงพร้อมภาระการคำนวณที่ต่ำ ในขณะที่ระบบที่ต้องการความแม่นยำสูงสุด เช่น ระบบดูแลผู้สูงอายุหรือการดูแลทางการแพทย์ การเพิ่มขึ้นของประสิทธิภาพ 6.6% นี้อาจมีความสำคัญมาก

สำหรับข้อจำกัดของงานวิจัยนี้ประกอบด้วย การวิจัยในสภาพแวดล้อมเฉพาะเจาะจงคือในอาคารที่อยู่อาศัยแห่งเดียว การใช้อาสาสมัครเพียงคนเดียว และการจำกัดตำแหน่งเป้าหมายเพียง 3 บริเวณ ซึ่งอาจส่งผลต่อความสะดวกในการใช้งานจริง ผลการวิจัยนี้มีความสำคัญต่อการพัฒนาระบบนำทางภายในอาคาร การติดตามสุขภาพผู้สูงอายุ และระบบบ้านอัจฉริยะ การ

ผลสานข้อมูลเซนเซอร์หลายชนิดแสดงให้เห็นว่าเป็นแนวทางที่มีประสิทธิภาพในการเพิ่มความแม่นยำของระบบระบุตำแหน่ง สำหรับงานวิจัยในอนาคตควรขยายการทดสอบในสภาพแวดล้อมที่หลากหลายมากขึ้น การศึกษาผลกระทบของจำนวนและตำแหน่งการติดตั้งเซนเซอร์โหนดต่อประสิทธิภาพของระบบ การพัฒนาอัลกอริทึมที่สามารถทำงานแบบเรียลไทม์ และการรวมข้อมูลจากเซนเซอร์ชนิดอื่น ๆ เช่น ไจโรสโคป แมกนีโตมิเตอร์ หรือเซนเซอร์ความดัน เพื่อเพิ่มความแม่นยำและความน่าเชื่อถือของระบบให้สูงยิ่งขึ้น

5. กิตติกรรมประกาศ

ผู้วิจัยขอขอบคุณกระทรวงอุดมศึกษา วิทยาศาสตร์ วิจัยและนวัตกรรม ที่ให้การสนับสนุนทุนวิจัยในการดำเนินงานวิจัยครั้งนี้

เอกสารอ้างอิง

[1] A. Nessa, B. Adhikari, F. Hussain, and X. N. Fernando, "A Survey of Machine Learning for Indoor Positioning," *IEEE Access,* vol. 8, pp. 214945-214965, 2020, doi: 10.1109/ACCESS.2020.3039271.

[2] H. S. Fahama, K. Ansari-Asl, Y. S. Kavian, and M. N. Soorki, "An Experimental Comparison of RSSI-Based Indoor Localization Techniques Using ZigBee Technology," *IEEE Access,* vol. 11, pp. 87985-87996, 2023, doi: 10.1109/ACCESS.2023.3305396.

[3] F. Y. M. Adiyatma, D. J. Suroso, and P. Cherntanomwong, "TLB & WC-TLB-MM: The Improved Min-Max Algorithms for Multi Targets Indoor Localization," *IEEE Access,* vol. 11, pp. 129733-129748, 2023, doi: 10.1109/ACCESS.2023.3333901.

[4] A. Booranawong, K. Sengchuai, D. Buranapanichkit, N. Jindapetch, and H. Saito, "RSSI-Based Indoor Localization Using Multi-Lateration With Zone Selection and Virtual Position-Based Compensation Methods," *IEEE Access,* vol. 9, pp. 46223-46239, 2021, doi: 10.1109/ACCESS.2021.3068295.

[5] B. Yang, L. Guo, R. Guo, M. Zhao, and T. Zhao, "A Novel Trilateration Algorithm for RSSI-Based Indoor Localization," *IEEE Sensors Journal,* vol. 20, no. 14, pp. 8164-8172, 2020, doi: 10.1109/JSEN.2020.2980966.

[6] T. Wattananavin, K. Sengchuai, N. Jindapetch, and A. Booranawong, "A Comparative Study of RSSI-Based Localization Methods: RSSI Variation Caused by Human Presence and Movement," *Sensing and Imaging,* vol. 21, no. 1, p. 31, 2020/07/03 2020, doi: 10.1007/s11220-020-00296-1.

[7] A. Booranawong, K. Sengchuai, and N. Jindapetch, "Implementation and test of an RSSI-based indoor target localization system: Human movement effects on the accuracy," *Measurement,* vol. 133, pp. 370-382, 2019/02/01/ 2019, doi: https://doi.org/10.1016/j.measurement.2018.10.031.

[8] D. Dogan, Y. Dalveren, A. Kara, and M. Derawi, "A Simplified Method Based on RSSI Fingerprinting for IoT Device Localization in Smart Cities," *IEEE Access,* vol. 12, pp. 163752-163763, 2024, doi: 10.1109/ACCESS.2024.3491977.

[9] S. Singh, K. Kumar, and S. Gupta, "Machine Learning based Indoor Localization Techniques for Wireless Sensor Networks," in *2020 2nd International Conference on Advances in Computing, Communication Control and Networking (ICACCCN)*, 18-19 Dec. 2020 2020, pp. 373-380, doi: 10.1109/ICACCCN51052.2020.9362802.

[10] M. T. Hoang *et al.*, "A Soft Range Limited K-Nearest Neighbors Algorithm for Indoor Localization Enhancement," *IEEE Sensors Journal,* vol. 18, no. 24, pp. 10208-10216, 2018, doi: 10.1109/JSEN.2018.2874453.

[11] L. Polak, S. Rozum, M. Slanina, T. Bravenec, T. Fryza, and A. Pikrakis, "Received Signal Strength Fingerprinting-Based Indoor Location Estimation Employing Machine Learning," *Sensors,* vol. 21, no. 13, p. 4605, 2021. [Online]. Available: https://www.mdpi.com/1424-8220/21/13/4605.

[12] D. Csík, O. Á, and P. Sarcevic, "Comparison of RSSI-Based Fingerprinting Methods for Indoor Localization," in *2022 IEEE 20th Jubilee International Symposium on Intelligent Systems and Informatics (SISY)*, 15-17 Sept. 2022 2022, pp. 000273-000278, doi: 10.1109/SISY56759.2022.10036270.

[13] Z. Munadhil, S. K. Gharghan, A. H. Mutlag, A. Al-Naji, and J. Chahl, "Neural Network-Based Alzheimer's Patient Localization for Wireless Sensor Network in an Indoor Environment," *IEEE Access,* vol. 8, pp. 150527-150538, 2020, doi: 10.1109/ACCESS.2020.3016832.

[14] "SparkFun Thing Plus - XBee3 Micro (Chip Antenna)." https://www.sparkfun.com/sparkfun-thing-plus-xbee3-micro-chip-antenna.html (accessed 26, 2025).

[15] A. Booranawong, S. Sukveeraphan, L. Pan, N. Jindapetch, P. Phukpattaranont, and H. Saito, "A real-time system for monitoring and classification of human falls on stairs using 2.4 GHz XBee3 micro modules with a tri-axial accelerometer and KNN algorithms," *Egyptian Informatics Journal,* vol. 30, p. 100643, 2025/06/01/ 2025, doi: https://doi.org/10.1016/j.eij.2025.100643.

[16] O. Reich, E. Hübner, B. Ghita, M. F. Wagner, and J. Schäfer, "A Survey Investigating the Combination and Number of IMUs on the Human Body Used for Detecting Activities and Human Tracking," in *2020 World Conference on Computing and Communication Technologies (WCCCT)*, 13-15 May 2020 2020, pp. 20-27, doi: 10.1109/WCCCT49810.2020.9170009.

[17] J. O'Day *et al.*, "Assessing inertial measurement unit locations for freezing of gait detection and patient preference," *Journal of NeuroEngineering and Rehabilitation,* vol. 19, no. 1, p. 20, 2022/02/13 2022, doi: 10.1186/s12984-022-00992-x.

T-Slot Design for an Enhanced Electromagnetic Band Gap to Reduce Mutual Coupling in MIMO Antennas

Nopphadon Phusam[1], Artitiphong Sangthong[1]*, Thanakarn Suangun[1]*, Nutyada Nantapanich[2], and Buntueng Yana[1]

[1]Department of Electrical Engineering, Faculty of Engineering, University of Phayao, Thailand, ph.nopphadon@gmail.com,s.artitiphong@gmail.com*,thanakarn.su@up.ac.th*,mr.buntueng@gmail.com,
[2]Department of Thai-German Pre-Engineering School, Faculty of The College of Industrial Technology, King Mongkut's University of Technology North Bangkok, Bangsue, Bangkok, Thailand, nutyadan@kmutnb.ac.th

Abstract

The paper presents an enhanced Electromagnetic Band Gap (EBG) structure designed to significantly reduce mutual interaction among closely spaced antenna components. This enhancement is accomplished by the incorporation of a wave isolation mechanism consisting of two rectangular elements incorporated into the EBG design. These coatings function as both electromagnetic and physical barriers. The T-slot EBG design has a 2×8 periodic unit cell array tuned for peak efficiency at a frequency of 2.45 GHz. This architecture is often used in wireless communication systems adhering to the IEEE 802.11b/g/n specifications. The isolation efficacy of the suggested T-slot EBG design is markedly enhanced, as shown by experimental and simulation findings. This yields a decrease in mutual coupling of 15 dB compared to traditional systems. The antenna radiation pattern is maintained, and the rear lobe radiation is significantly decreased, with a 10 degree shift towards the XY plane. In the frequency range of 2.39 to 2.96 GHz, the T-slot EBG system has a bandgap of 21.31%. The results confirm that the T-slot EBG design is a suitable option for high-performance wireless and MIMO applications, since it enhances antenna array performance by reducing undesirable electromagnetic interactions.

Keywords: Electromagnetic band gap (EBG), T-slot design, multiple-input multiple-output (MIMO), isolation, radiation pattern.

1. Introduction

At present, the requirement for sustainable high-speed wireless communication systems, including Industrial Internet of Things (IIoT) devices and Wi-Fi networks, has propelled the widespread use of multiple-input-multiple-output (MIMO) technology [1,2]. MIMO systems enhance data throughput by employing multiple antennas at both the transmitter and receiver, thereby supporting a greater number of users. However, mutual coupling between closely spaced antenna elements significantly degrades performance. In typical MIMO antenna arrays with closely spaced elements, the envelope correlation coefficient (ECC) often rises beyond acceptable levels, resulting in degraded isolation and reduced channel capacity.

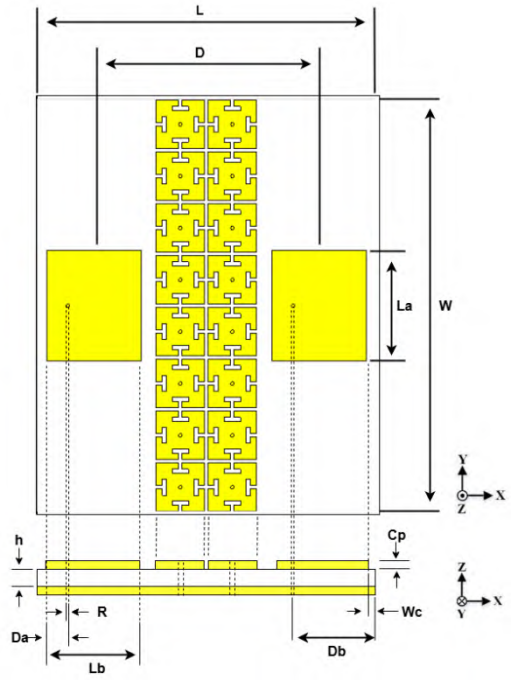

Figure 1. The Dimensions of the proposed antennas with the T-Slot EBG

Furthermore, the radiation pattern can become distorted, and the resonance frequency can shift due to unwanted interactions with nearby conductive materials when electronic components or conductors are situated close to the antenna structures. These challenges can lead to an increase in the envelope correlation coefficient (ECC) and a reduction in channel capacity [3].

Previous studies have explored various methods for reducing mutual coupling in MIMO systems. For example, defected ground structures (DGS) are highly effective for enhancing signal separation at 22 dB of the workpiece, despite the fact that their design complexity remains a challenge. Despite their outstanding performance at lower frequencies, metamaterial-inspired antennas suffer deterioration in higher frequency bands [4]. Complementary split-ring resonators (CSRRs) significantly enhance isolation, achieving 22.4 dB and 31.5 dB for the unstructured and fluted configurations, respectively. The efficient isolation of multi-port systems is enhanced by the greater degree of isolation. This

*Corresponding Author

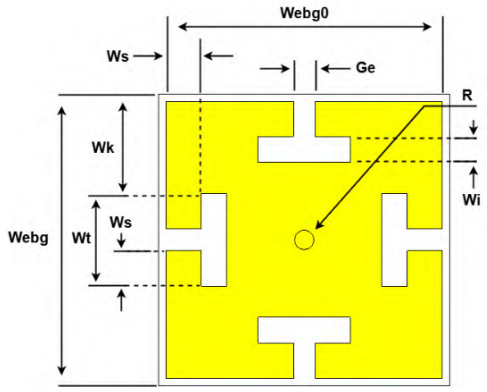

Figure 2. Geometry of the T-slot EBG unit cell

enhancement, however, presents physical design challenges that may compromise directional stability and positioning accuracy, resulting in variations in radiation patterns of 60 degrees and 25 degrees. [5, 6]. Parallel-coupled resonators (PCRs) have remarkable multi-band capabilities and omnidirectional transmission; however, they utilize resistors for modulation and directional regulation. Moreover, there exists a potential for interference at concurrently functioning frequencies. [7] Meanwhile, frequency-selective surfaces (FSSs) use slot-based techniques to control emitted or reflected frequencies. The transmission isolation level is -30 dB, covering the bandwidth of 23.63-32.90 GHz, and offers a tilt angle of 15 degrees. The main limitation of FSS in this approach is that its efficacy is contingent upon the angle at which the electromagnetic wave strikes the item, rendering it troublesome for mobile systems or settings with variable angles. Consequently, FSSs are mostly confined to high-frequency configurations. [8].

The aforementioned approaches can be broadly classified under electromagnetic wave control techniques, which have been extensively investigated to address the stated limitations. This category aims to improve antenna performance through modifications in material characteristics and structural configurations. Among these, electromagnetic band gap (EBG) structures represent a particularly effective solution [9-11]. The primary objective of EBGs is to enhance isolation by suppressing surface waves while minimally affecting the desired wave propagation. Typically, EBGs employ periodic arrangements of unit cells, which can be tailored to generate bandgaps at specific target frequencies by appropriately modifying their geometrical features, such as the positioning of T-shaped slots.

This work presents an innovative EBG-T slot configuration to address the connectivity challenges of 2.45 GHz MIMO systems (IEEE 802.11b/g/n). The suggested technique attempts to achieve two key objectives: first, to substantially decrease mutual coupling while preserving system bandwidth, and second, to reduce distortion in the radiation pattern. The suggested wireless system is ultimately informed by practical insights derived from the systematic advancement of the project, including the intricate design of the antenna and T-slot EBG, followed by analytical dispersion analysis and experimental validation.

2. Antenna Design

The proposed design, intended for operation at 2.45 GHz, consists of two symmetrical microstrip rectangular patch antennas. L × W = 102.9 mm × 123.5 mm are the board's overall dimensions. The antenna is fabricated on a FR-4 substrate with a thickness (h) of 1.6 mm, a copper thickness (cp) of 0.035 mm, a relative permittivity (ε_r) of 4.3, and a loss tangent (tan δ) of 0.019, as illustrated in Figure 1. Equation (1) employs these material parameters to calculate the effective dielectric constant (ε_{eff}), which is then used in Equation (2) to determine the guided wavelength (λ_g).

$$\varepsilon_{eff} = \left(\frac{\varepsilon_r + 1}{2}\right) + \left(\frac{\varepsilon_r - 1}{2}\right)\left(1 + 12\frac{h}{W}\right)^{-1/2} \quad (1)$$

$$\lambda_g = \frac{\lambda_0}{\sqrt{\varepsilon_{eff}}} \quad (2)$$

The wavelength of the two rectangular patch antennas is about half that of the guide wavelength. The resonance frequency of 2.45 GHz may be altered by adjusting the patch dimensions to La = 33 mm and Lb = 28 mm. This configuration is equivalent to a side-by-side at the E Plane design with a distance of D = 66.9 mm. The two antennas were connected via a 50 Ω SMA probe with a fed diameter (d) of 1 mm. The connections are positioned at the fed location on the rectangle, with dimensions Da = 6.4 mm and Db = 25.7 mm. The width between the left and right borders of Reduction of Surface Wave Reflections or Edge Effects in Antenna Substrates [12] is Wc = 4 mm.

In the next step, a T-slot EBG is placed between the two antennas to reduce mutual coupling, as seen in Figure 2. Each unit cell measures about 0.125λ₀ to provide optimum suppression of surface waves around the operating frequency [13]. The wave gap develops from the inductive-capacitive (LC) characteristics of the unit cell, which significantly restricts the frequency range in which electromagnetic waves may travel. Equation (3) of the unit cell illustrates how the resonance frequency of 2.45 GHz may be calculated utilizing a similar circuit model.

$$f_0 = \frac{1}{2\pi\sqrt{LC}} \quad (3)$$

The EBG specifies an inductance (L) of 0.91 nH and a capacitance (C) of 5.62 pF, determined by the unit cell's physical dimensions, including gap spacing, conductor width, and the dielectric characteristics of the supporting material. The T-slot unit cell was specifically designed to get the requisite gap wave characteristics for this study. The implemented geometrical parameters are Webg = 15.4 mm, Webg0 = 14.4 mm, We = 1.8 mm, Wk = 3.2 mm, Wt = 4.8 mm, and Ge = 1.1 mm, with the via hole

diameter set to r = 1 mm. The exact setting of these parameters to create a band gap in the 2.45 GHz geography efficiently reduces surface current propagation and enhances mutual signal separation between adjacent MIMO antennas.

The electromagnetic bandgap (EBG) properties of the proposed design will be validated by the dispersion diagram shown in Figure 3, which illustrates the connection between frequency and wave number (k). indicates the spatial periodicity and phase modulation of electromagnetic waves propagating via the periodic EBG structure. The parameter k may be understood as the rate of phase variation and the direction of wave propagation as it moves across the periodic unit cells of the EBG lattice. The dispersion diagram is assessed along the high-symmetry direction Γ→X→M→Γ, using the x-axis inside the primary Brillouin zone [13]. This approach illustrates the anisotropic characteristics of the structure by including important directions of wave propagation. The point Γ represents the center of the Brillouin zone (k = 0), whilst X and M signify symmetry points situated at the borders and corners of the zone, respectively. The dispersion characteristics along this path are analyzed in order to provide a comprehensive evaluation of wave propagation within the EBG structure and, more importantly, to identify bandgap frequencies, which are regions where electromagnetic wave propagation is prohibited.

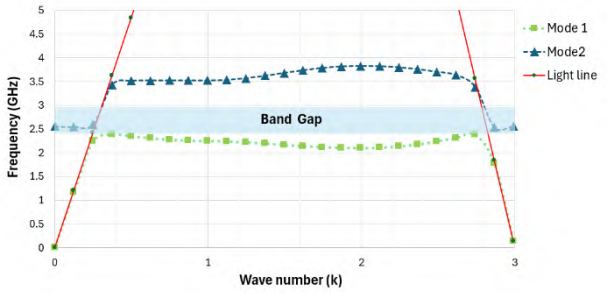

Figure 3. Dispersion diagram of the proposed T-slot EBG

The dispersion diagram delineates two characteristic eigenmodes: Mode 1 Transverse Magnetic (TM) and Mode 2 Transverse Electric (TE). In mode 1, a longitudinal electric component exists, but in mode 2, the electric field is totally transverse to the direction of propagation. Identifying these modes is important for analyzing the impact of the EBG structure on bandgap development and wave propagation. The light line, indicating wave propagation in open space, serves as a reference. Modes located below the light line are often confined inside the structure, whilst those above it possess the capacity to radiate. This observation supports the EBG's capacity to contain energy and prevent the propagation of harmful waves. The presence of a frequency range without propagating modes indicates the existence of an electromagnetic bandgap. This claim is further confirmed by the finding of phase changes at symmetry locations and the absence of mode curves. The

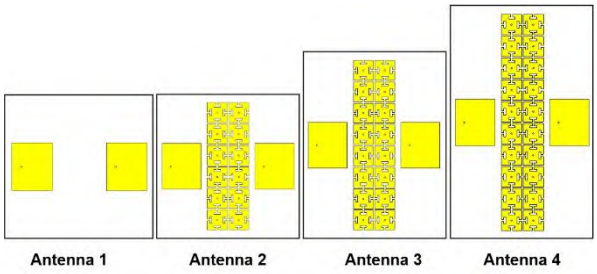

Figure 4 The Evolution of Design and the implementation of EBG for the analysis of the proposed unit cell.

bandgap of 2.39 to 2.96 GHz, representing a 21.31% fractional bandwidth, signifies an extensive reduction of wave transmission. This stopband illustrates the efficacy of the EBG structure in reducing mutual coupling and surface wave interference in MIMO systems operating at 2.45 GHz.

3. Experimental and Result

The CST Studio Suite program will be used to analyze the impact of the EBG structure on the performance of the MIMO antenna, with the antenna's location remaining constant. The objective is to use the EBG, which is designed to form a barrier. Antenna 1, simulated with three more antenna designs, represents the baseline devoid of an EBG structure. EBG walls with 2 × 6, 2 × 8, and 2 × 10 unit cells are integrated into antennas 2, 3, and 4, respectively (Figure 4). As the number of EBG cells increases, the S-parameter test results (Figure 5) indicate enhancements in impedance matching (S_{11}) and a reduction in coupling (S_{21}). The S_{11} values for all antennas are around -17 dB; however, the S_{21} values for Antennas 3 and 1 vary by up to 15 dB at 2.45 GHz. The S_{21} measurements of Antennas 3 and 2 show a discrepancy of about 4 dB The experimental findings indicate that antennas 3 and 4 function at optimal efficiency, exhibiting an average S_{21} value of -37 dB Antenna 4 has a somewhat higher separation, about 1 dB inferior to antenna 3; however, it also covers a wider physical region. It also includes a broader geographic region. Antenna 3, with 2 × 8 unit cells, is considered the most optimal configuration because of its outstanding performance and compact construction, therefore avoiding excessive size

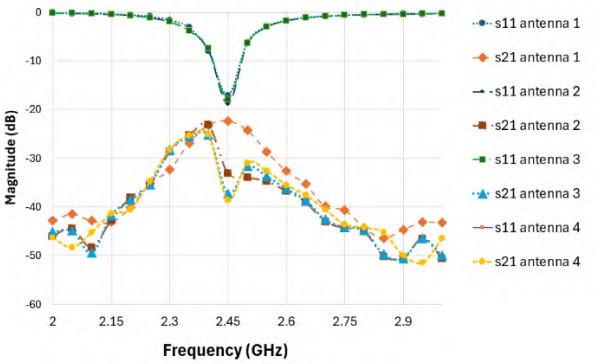

Figure 5 The Simulated results of the EBG design Evolution are shown through the reflection coefficients (S_{11}) and transmission coefficients (S_{21}).

enhancement. This confirms that the adoption of EBG in MIMO systems is important for wireless applications, since antenna 3 has superior impedance and signal separation characteristics compared to antenna 1

To determine the efficacy of MIMO antennas with differing antenna splits, supplementary experiments are conducted. Following the determination that the 2×8 EBG unit cell structure attains an optimal equilibrium between efficiency and dimensions at 2.45 GHz,

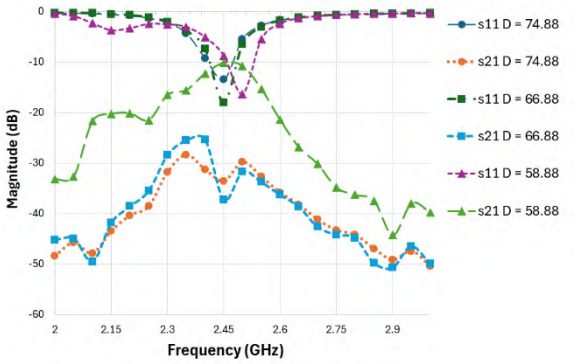

Figure 6 The simulated results of the EBG design with adjusted antenna spacing are presented using the reflection coefficients (S_{11}) and transmission coefficients (S_{21}).

The EBGs are positioned at different distances (D) from the antenna, as seen in Figure 6. The S_{11} value of about -8 dB and the S_{21} value of -10 dB indicate that a distance of 0.48λ₀, equivalent to 58.88 mm, from the EBG to the closest point is inadequate for effective impedance matching. This indicates that the spacing is inadequate for correctly separating the antenna components, leading to distorted S_{11} values at other frequencies of -13 dB and altered radiation patterns. This ultimately results in an enhancement of S_{21} values. The experimental mid-range distance is 0.58λ₀, equivalent to 66.88 mm, with S_{11} values of -17 dB and S_{21} values of -37 dB. The distance of 0.62λ₀, measuring 74.88 mm, is the greater distance, with S_{11} and S_{21} values recorded at -33 dB. The measured distance of 66.88 mm is the ideal distance for applications demanding good impedance matching and great isolation between the antenna, as shown by the experimental results.

Figure 7 illustrates the fabrication of a physical prototype of a MIMO antenna system to rigorously confirm the simulation findings and assess the practical performance of the developed system. This prototype has an antenna distance of 66.88 mm and an improved 2 × 8 EBG unit cell configuration. The prototype was fabricated on an economical FR-4 substrate with the conventional PCB etching method. Subsequently, the S parameters were precisely measured in a controlled setting and calibrated using a FieldFox-N9923A. Results were then contrasted with the appropriate simulation results shown in Figure 8. The modeling and discovered results indicate virtually identical trends in S_{11} and S21; however, slight variations exist. The resonant frequency of the observed S_{11} presents a little deviation of roughly 2.45 GHz relative to the predicted S_{11}. This deviation may stem from multiple factors, including manufacturing inconsistencies

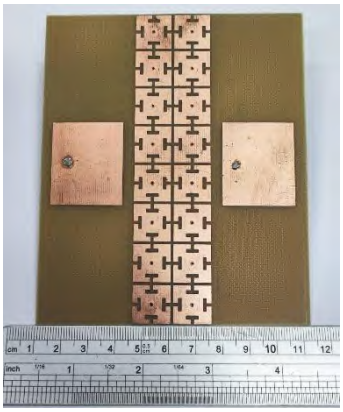

Figure 7 Prototype of the Proposed MIMO Antenna System with EBG Structure

in the PCB etching process, minor variations in the electrical properties of the actual FR-4 material utilized in the prototype compared to the simulation values, connector losses, possible solder defects, and background noise or fundamental inaccuracies in the measurement apparatus. The rectangular patch antenna coupled with the T-slot EBG design provides maximum gains of 10 degrees and 350 degrees for the left and right antennas, respectively, in the XZ-plane (A), as depicted in Figure 9. Moreover, it exhibits a lower rear lobe relative to a traditional antenna. Furthermore, both antennas have a maximum gain of 0 degrees in the YZ plane (B). The EBG structure influences the overall radiation properties, producing a unidirectional radiation pattern. The experimental findings verify the simulation-driven design technique, illustrating the practical viability of incorporating a compact EBG wall into a MIMO antenna system operating in the 2.4 GHz ISM band to improve performance.

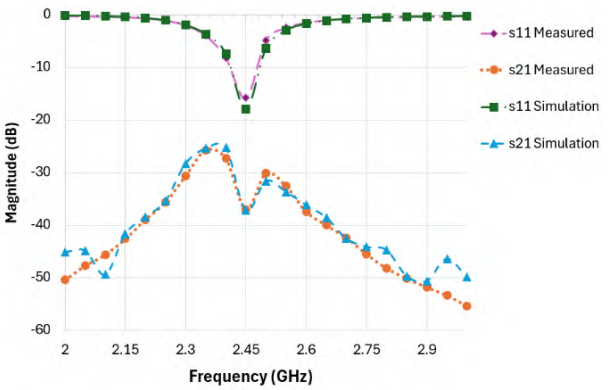

Figure 8 Simulated and Measured results of the proposed antenna with the T-Slot EBG, showing the reflection coefficients (S_{11}) and transmission coefficients (S_{21}).

4. Conclusion

This work presents a compact T-slot EBG structure that improves MIMO antenna isolation by 14.9 dB in the 2.39–2.96 GHz band by suppressing surface waves and minimizing coupling. The design achieves size efficiency and operates within the 2.45 GHz ISM band (IEEE

802.11b/g/n), making it suitable for IoT, Wi-Fi, and industrial systems. Potential applications also include wireless sensor networks, wearable devices, vehicular communications, and UAV platforms. Future research may explore reconfigurable designs and multi-band scalability for 5G/6G integration.

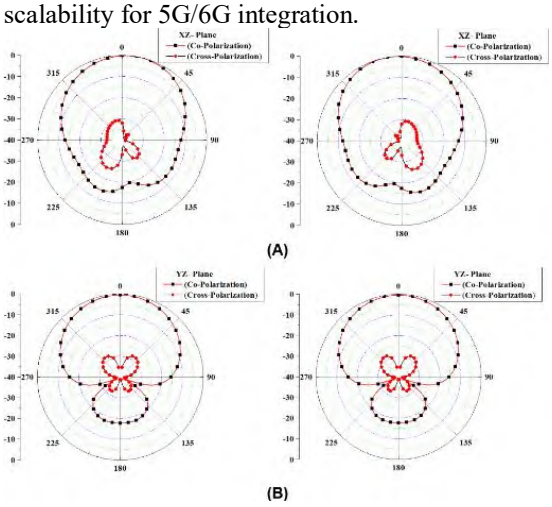

Figure 9 Radiation patterns of the proposed antenna with the EBG T-Slot Design at the resonance frequency of 2.45 GHz. (A) XZ-plane and (B) YZ- plane.

5. Acknowledgments

This thesis research was supported by a grant from the University of Phayao.

References

[1] Wang, H., et al., I*solation Improvement and Bandwidth Enhancement of Dual-Band MIMO Antenna Based on Metamaterial Wall.* IEEE Antennas and Wireless Propagation Letters, 2025. 24(5): p. 1144-1148.

[2] Chutchavong V.,et al., *A Flexible and Compact UWB MIMO Antenna with Dual-Band-Notched Double U-Shaped Slot on Mylar® Polyester Film*. Electronics, 2025. 14: p. 1-24.

[3] Khan, A., et al., *Mutual Coupling Reduction Using Ground Stub and EBG in a Compact Wideband MIMO-Antenna.* IEEE Access, 2021. 9: p. 40972-40979.

[4] Megahed, A.A., et al., *Sub-6 GHz Highly Isolated Wideband MIMO Antenna Arrays.* IEEE Access, 2022. 10: p. 19875-19889.

[5] Wang, P., et al., *Wideband Gain Enhancement of High-Isolation and Quasi-Omnidirectional Metamaterial MIMO Antenna for Vehicular Radar.* IEEE Transactions on Instrumentation and Measurement, 2022. 71: p. 1-12.

[6] H., T., and B. Roy, *Low-Profile CO-CSRR and EBG Loaded Tri-Quarter Circular Patch EWB MIMO Antenna With Multiple Notch Bands.* IEEE Open Journal of Antennas and Propagation, 2024. 5(3): p. 634-643.

[7] Park, J.D., M. Rahman, and H.N. Chen, *Isolation Enhancement of Wide-Band MIMO Array Antennas Utilizing Resistive Loading.* IEEE Access, 2019. 7: p. 81020-81026.

[8] Ahmad, J., and M. Hashmi, *Reduced Inter-Element Interference mmWave MIMO Antenna and Its Application in WBAN.* IEEE Access, 2025. 13: p. 70947-70963.

[9] Althuwayb, A.A., et al., *Metasurface-Inspired Flexible Wearable MIMO Antenna Array for Wireless Body Area Network Applications and Biomedical Telemetry Devices.* IEEE Access, 2023. 11: p. 1039-1056.

[10] Wongsin, N., et al. *Improvement of Isolation with EBG Wall Applied by E Model Structure for IEEE 802.11b/g/n*. in 2021 9th International Electrical Engineering Congress (iEECON). 2021.

[11] Li, W., et al., *Bandwidth Enhancement and Isolation Improvement in Compact UWB-MIMO Antenna Assisted by Characteristic Mode Analysis.* IEEE Access, 2024. 12: p. 17152-17163.

[12] Balanis, C.A., *Antenna Theory: Analysis and Design*, in *Modern Antenna Handbook*. 2016, Wiley: Hoboken, NJ, USA. p. 819.

[13] Ahmed, A., M.R. Robel, and W.S.T. Rowe, *Dual-Band Two-Sided Beam Generation Utilizing an EBG-Based Periodically Modulated Metasurface.* IEEE Transactions on Antennas and Propagation, 2020. 68(4): p. 3307-3312.

Nopphadon Phusam received the Bachelor's Degree in Electrical Engineering from the University of Phayao (UP), Phayao, Thailand, in 2018. He is currently pursuing the master's degree in electrical engineering with the Department of Electrical Engineering, Faculty of Engineering, University of Phayao. His research interests include metamaterials, MIMO antennas, and deep learning.

Artitiphong Sangthong graduated from Thatako Pittayakhom School in 2021. I am currently studying for a bachelor's degree in the Faculty of Engineering, Department of Electrical Engineering, University of Phayao. Current research interests: metamaterials in antennas.

Thanakarn Suangun received B.Eng., M.Sc. in Communication Engineering, and Ph.D. degrees in Electrical Engineering from King Mongkut's University of Technology North Bangkok (KMUTNB), Thailand, in 2006, 2009, and 2020, respectively. Since 2012, he has been a lecturer at the Department of Electrical Engineering, School of Engineering, University of Phayao, Thailand. His research interests include RF/microwave, multiband small antennas for communication applications, and automation.

Nutyada Nantapanich received her B.Eng. in Chemical Engineering from King Mongkut's University of Technology North Bangkok in 2006 and M.Eng. in Chemical and Environmental Engineering from Burapha University, in 2014. Her master's independent study focused on wastewater treatment from tank-cleaning processes using electrocoagulation with both monopolar and bipolar electrodes. She is currently pursuing a Ph.D. in Electrical Engineering at Rajamangala University of Technology Thanyaburi, where her research is centered on chemical detection sensors.

Buntueng Yana (Member, IEEE) received B.Eng. and M.Eng. degrees in Electrical Engineering from Chiang Mai University, Thailand, in 2006 and 2009, respectively, and a Ph.D. in Information Science and Technology from Osaka University, Japan, in 2019. He is currently a lecturer with the Department of Electrical Engineering at the University of Phayao, Thailand, where he began his academic career. His research interests include robotics, automatic control, power generation, and the application of machine learning to medical applications

A High-Gain Dipole Antenna with a Modified Cross-Shaped AMC Reflector for sub-6 GHz 5G Applications

Artitiphong Sangthong[1], Nopphadon Phusam[1]*, Thanakarn Suangun[1]*,

Nutyada Nantapanich[2], Buntueng Yana[1]

Department of Electrical Engineering, Faculty of Engineering, University of Phayao, Thailand,
s.artitiphong@gmail.com, ph.nopphadon@gmail.com, thanakarn.su@up.ac.th, mr.buntueng@gmail.com
[2]Department of Thai-German Pre-Engineering School, Faculty of The College of Industrial Technology, King Mongkut's University of Technology North Bangkok, Bangsue, Bangkok, Thailand,
nutyadan@kmutnb.ac.th

Abstract -----The research details the design and development of a high-gain, compact dipole antenna for sub-6 GHz frequencies, aimed at 5G communication systems. The design employs an Artificial Magnetic Conductor (AMC) reflector with a modified cross-shaped unit cell to improve the antenna's performance. The design was refined by comparing several unit cell geometries, reflector array dimensions, and the distance between the antenna and the reflector. Additionally, its performance was evaluated in comparison to a freestanding dipole and a dipole equipped with a typical Perfect Electric Conductor (PEC) reflector. The findings indicate that the optimized design attains a 3.7 dB gain improvement compared to the solitary dipole, yielding a realized gain of 6.2 dBi at the specified frequency of 4.3 GHz. The suggested structure is considerably more compact than the PEC-based option. This study verifies that utilizing an AMC reflector is an exceptionally efficient method for creating tiny, high-gain antennas appropriate for 5G applications.

Keywords: Artificial Magnetic Conductor (AMC), Reflector, Dipole, High Gain, Unidirectional

1. Introduction

The shift to fifth-generation (5G) wireless communications, alongside advancements for sixth-generation (6G), has transformed communications technology. Contemporary wireless networks require the swiftest and most dependable connections, with service in the sub-6 GHz bands, especially the 3.5 GHz and 4.5 GHz bands, crucial for worldwide 5G network implementations [1]. This spectrum provides an ideal balance between data transmission and signal range. Antennae have evolved into an important point and complex technical element to fulfill these performance requirements. The microstrip patch antenna is a foundational design element for wireless communication hardware[1, 2], valued for its compact dimensions, lightweight nature, and ease of manufacturing, which allows for seamless integration with the main circuit board. The reduction of antennas for small devices imposes significant physical constraints, notably a reduction in antenna gain, which negatively impacts the quality and reliability of connections in 5G networks. [3]. The main objective of this research is to design and build an antenna that attains high gain while preserving a small form suited for sub-6 GHz 5G communication systems. This study proposes utilizing an Artificial Magnetic Conductor (AMC) surface as a reflector to improve antenna performance in achieving these objectives. The primary benefit of an AMC structure is its distinctive in-phase (0° phase shift) reflection characteristic at a specified frequency. This differs significantly from a traditional metallic Perfect Electric Conductor (PEC) reflector, which inverts the phase of reflected waves and necessitates an exact separation distance for constructive interference, frequently leading to a cumbersome structure. The AMC's in-phase reflection property permits the antenna to be situated near the surface without inducing signal cancelation, facilitating a notably slimmer and more compact design suitable for contemporary wireless devices.

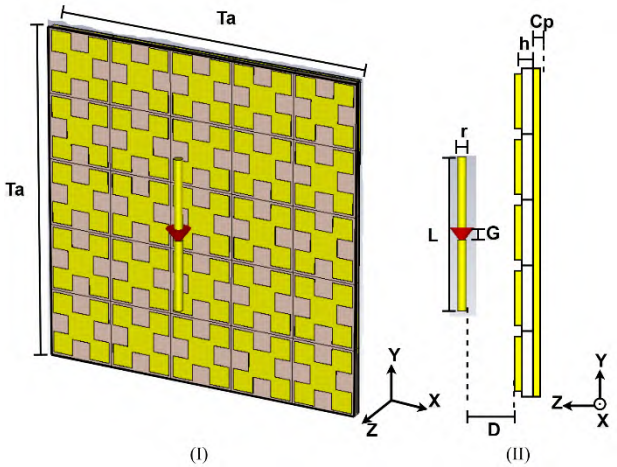

Fig 1. Configuration of the proposed antenna: (I) Overall assembly and (II) side-view profile with design parameters.

Various techniques have been previously presented to mitigate the restricted gain of patch antennas. This basic method is to setup a metallic reflector behind the antenna. This approach exhibits significant physical constraints [4, 5], The reflector must be placed at a precise distance from the antenna element to achieve constructive interference and expand the bandwidth at the operating frequency. This requirement creates a bulky structure that is unsuitable for the streamlined design of modern network devices. A more advanced method requires setting up the antennas in an array, utilizing a greater

*Corresponding Author

quantity of antenna elements to enhance the overall gain. This method helps enhance the gain [6] [7], but it leads to significantly larger system dimensions, more intricate feed circuitry, and connectivity challenges, all of which pose significant difficulties in the design of small 5G/6G and Wi-Fi systems. Due to the constraints of current techniques, there is a distinct necessity for novel solutions that can improve antenna gain without substantially increasing the antenna's size.

This article presents the Artificial Magnetic Conductor (AMC) as a complex solution to the gain enhancement issue in antennas for wireless networks. An AMC is an engineered surface with electromagnetic wave reflection characteristics that are fundamentally different from those of conventional materials. In contrast to a conventional metallic reflector, which inverts the phase of reflected waves and requires a certain spacing [8] distance to prevent signal cancellation[9], an AMC structure is designed to reflect waves in-phase (0° phase shift) at a target frequency[10],[11]. This unique characteristic removes the thickness limitation, enabling the antenna to be positioned near the AMC surface while still attaining constructive signal interference. Several conventional techniques are employed to enhance antenna gain, each with distinct advantages and disadvantages. Traditional reflectors, for instance, can effectively direct waves into a single direction. Nonetheless, their dimensions, often around 48 mm, render them unsuitable for tiny devices. Maximum of 96 mm. [5] It possesses the capability to create complex structures. Array antennas, capable of improving gain by as much as 6 dBi, represent another common technique. The primary disadvantages of arrays are the size and intricacy, which often demand multi-tiered configurations with distinct layers, therefore complicating the development process. These constraints contradict the necessity to advance more efficient signal amplification methods while keeping the compact design of the antenna. The primary advantage of AMC compared to the antenna array method is its ability to significantly improve gain without increasing antenna size or complicating the system[12]. Furthermore, the unique properties of the AMC surface diminish the transmission of surface waves, which mostly result in energy dissipation at the source. Thus, the application of AMC constitutes an effective approach for developing compact[13] and highly efficient antennas to meet the demands of 5G and 6G communication networks.

A structure was designed for measuring the model unit cell of the AMC, determining the number of arrays, and finding the distance between the antenna and the AMC to identify the optimal configuration that maximizes gain while maintaining a compact size. Electromagnetic simulations were performed using CST Studio Suite. A dipole antenna operating in the 3.8-4.3 GHz frequency range was used as a reference prototype and was subsequently integrated with an artificial magnetic conductor (AMC) surface designed to exhibit in-phase reflection characteristics at the same frequency. Both components were designed on a common printed circuit board with a dielectric constant (ε_r) of 4.3 and a thickness of 1.6 mm. The primary performance parameters, including the reflection coefficient (S_{11}), gain, and radiation pattern, were simulated and compared with those of a reference antenna at the designated frequency to demonstrate the significant improvements achieved by the AMC substrate.

2. Antenna design

This article delineates the design of a high-gain, flat-profile antenna system operating at 4.3 GHz, employing the previously discussed characteristics of artificial magnetic conductor (AMC). An AMC reflector, specifically built, is incorporated with a dipole antenna system to form a directed antenna. The AMC is constructed on commonly accessible and cost-effective FR-4 substrate. The waves reflected from the AMC surface must constructively interfere with the waves from the original dipole in the forward direction, as the surface possesses the possibility for same-phase reflection. This stage efficiently redirects energy, augmenting the antenna's gain and directivity.

2.1 Dipole Radiator

The primary radiating element is a half-wavelength ($\lambda_0/2$) dipole antenna, designed to resonate at 4.3 GHz with a 50-ohm impedance feed. Show in Fig. 1. (I), The radiator is constructed from copper with the following specifications: a total length (L) of 28 mm, an arm radius (r) of 1.6 mm, and a central feed gap (G) of 2 mm. In its standalone configuration, the dipole shows a conventional omnidirectional radiation pattern with a baseline gain of approximately 2.1 dBi. This serves as the reference against which the gain enhancement provided by the AMC reflector is measured.

2.2 AMC Reflector Design

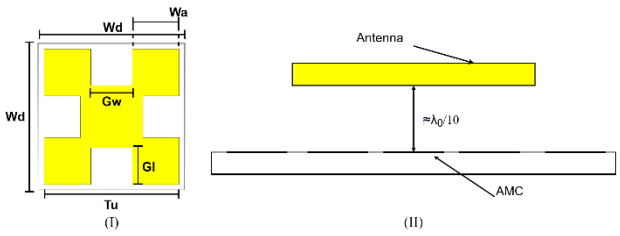

Fig 2. (I) Proposed dimensions of unit cell AMC, (II)Reflection of unit cell AMC.

$$L = \mu_0 \times h \quad (1)$$

$$f_0 = \frac{1}{2\pi\sqrt{LC}} \quad (2)$$

The core of the gain enhancement mechanism is the AMC reflector, which is composed of a 5x5 array of the unit cell shown in Fig 1. (II). The total dimension of the reflector (Ta) is 61.25 mm. The unit cell is designed on a low-cost and widely available FR-4 substrate, which has a dielectric constant (ε_r) of 4.3, a thickness (h) of 1.6 mm, and a copper cladding thickness (Cp) of 0.035 mm. The unit cell has dimensions of 12.25 mm x 12.25 mm,

corresponding to an electrical size of approximately 0.175λ₀ at the target frequency. The behavior of this via-less AMC can be modeled as a parallel LC resonant circuit.

The inductance (**L**) is primarily determined by the substrate thickness and is calculated to be approximately 2.01 nH using the formula (1). To achieve resonance at the target frequency (f_0) of 4.3 GHz, the required equivalent capacitance (C) is calculated from the resonance formula (2), result in a target capacitance of approximately 0.68 pF. The physical geometry of the unit cell shown in Fig. 2(I), a modified cross-shape with parameters Wd = 12.25 mm, Tu = 11.38 mm, Wa = 3.94 mm, Gw = 3.5 mm, and Gl = 3.06 mm, was optimized to achieve this required capacitance and provide a 0° phase reflection. By placing the dipole radiator at a close proximity of D = 7 mm (should not exceed λ₀/10), the AMC surface acts as an artificial magnetic ground plane, ensuring that the reflected waves are in phase with the source waves, thus significantly increasing the antenna's forward gain, as shown in Fig. 2(II).

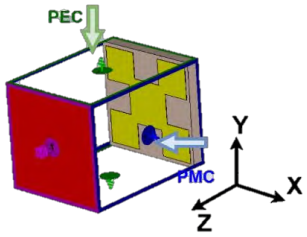

Fig 3. Simulation setup for the AMC unit cell, illustrating the use of PEC and PMC boundary conditions for reflection phase analysis.

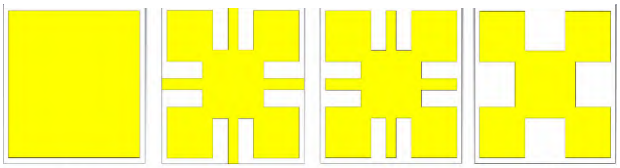

Fig 4 The design evolution of the AMC unit cell: (I) a conventional square patch, (II) an inter-connected slotted-cross structure, (II) an isolated slotted-cross structure with gaps between cells , and (IV) the modified cross-shaped structure.

A simulation using the commercial electromagnetic software CST Studio Suite was performed based on the analysis of the reflection phase characteristics of the unit cell shown in Fig. 3. The simulation was set up using periodic boundary conditions to model an array, with a Perfect Magnetic Conductor (PMC) boundary along the x-axis and a Perfect Electric Conductor (PEC) boundary along the y-axis. Waveguide ports were placed along the z-axis to launch a plane wave towards the AMC surface and measure the reflection coefficient, from which the reflection phase is determined.

To find the optimal reflector geometry, four unit cell designs (I, II, III, and IV) were simulated, as shown in Fig. 4. The primary selection criterion was the reflection phase characteristic of the standalone unit cell, with the objective of achieving a 0° phase crossing at the target frequency of 4.3 GHz.

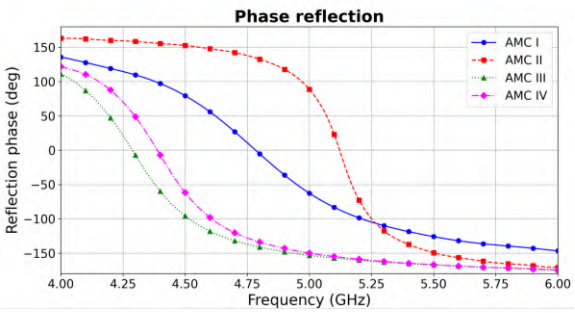

Fig 5. Simulated reflection phase of the four different AMC unit cell geometries (I-IV), showing the resonant frequency at the zero-degree phase crossing.

To select the most suitable shape, four different unit cell structures were simulated, as shown in Fig. 5. The reflection range was from 90 degrees to -90 degrees[7] The analysis results showed that the simple square patch (I) and the connected structure (II) had higher resonant frequencies, approximately 4.4 to 5.1 GHz and 5 to 5.3 GHz, respectively. Conversely, the separated structures (III and IV) resonated at lower frequencies. It was observed that although structures II and III looked similar, increasing the gap between cells in structure III increased the electrical length of the surface current path, significantly reducing the resonant frequency to 4.1 to 4.5 GHz. Therefore, an increase in electrical length results in a decrease in frequency, consequently influencing the overall size of the reflector. Based on this analysis, the AMC structure IV was selected as the most interesting option because its resonant frequency of approximately 4.2 to 4.55 GHz was closest to the target frequency of 4.3 GHz, making it the best choice for the final design.

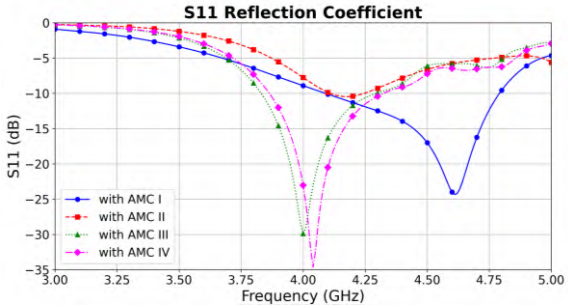

Fig6. Comparison of the simulated reflection coefficient (S_{11}) for the dipole antenna when integrated with the four different arrays 5x5 AMC reflector geometries (I-IV).

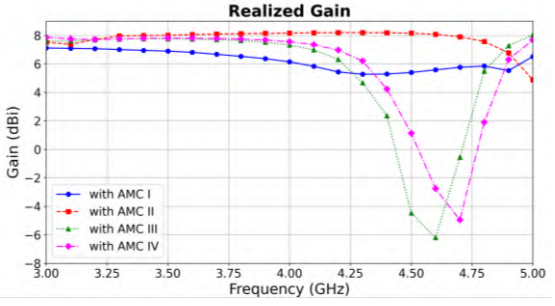

Fig 7. Comparison of the simulated realized gain for the dipole antenna when integrated with the four different arrays 5x5 AMC reflector geometries (I-IV).

After theoretically selecting based on the phase response of the unit cells, the performance of the entire antenna system was simulated by integrating the dipole with the four types of AMC to confirm the best option. The results for the reflection coefficient (S_{11}) and actual gain values were analyzed. From Fig. 6, S11 is unsuitable for the AMC II structure because the impedance was slightly low, exactly -10 dB. While AMC I showed acceptable matching, its resonant frequency was shifted to 4.6 GHz. In contrast, both AMC III and IV provided excellent impedance matching, with S_{11} values below -30 dB, but the optimal resonant points of both models were consistently shifted down to 4.0 GHz. This frequency shift was caused by the strong near-field coupling between the dipole and the complex geometry of these cells. The gain graphs provided clear information for selection, as shown in Fig. 7. The AMC IV structure had a maximum gain of almost 8 dBi. Despite reaching its peak at 4.0 GHz, the AMC IV structure maintained a gain of 4.3 GHz at the target frequency. It still outperforms other configurations, even though it's less than AMC II. However, AMC II has too low impedance, and although AMC I has consistent gain, its focus gain range is less than AMC IV. In final analysis, despite the shift in the frequency of the peak performance, the AMC IV structure was definitively chosen for the final design due to its superior impedance matching properties and maximum gain at the desired operating frequency.

This analysis compares the performance of the dipole antenna when integrated with the proposed Artificial Magnetic Conductor (AMC) reflector versus a conventional Perfect Electric Conductor (PEC) reflector. The AMC configuration consists of a 5x5 unit cell array (61.25 x 61.25 mm) placed at a distance of 7 mm from the dipole, while the PEC reflector has dimensions of 70 x 70 mm and is positioned 17 mm away. The provided graph illustrates the simulated reflection coefficient (S_{11}) and realized gain for both configurations. As shown in Fig. 8.

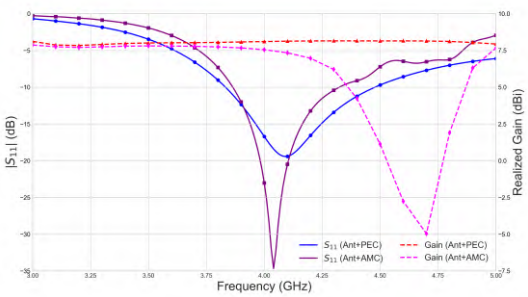

Fig 8 Comparison of the simulated reflection coefficient (S_{11}) and realized gain for the dipole antenna with the proposed AMC reflector versus a conventional PEC reflector.

A comparative investigation indicates that the proposed AMC reflector demonstrates enhanced performance for the intended application relative to a standard PEC reflector. The AMC has significantly superior impedance matching, achieving a reflection coefficient (S11) below -30 dB, greatly surpassing the PEC's -19 dB at the 4.05 GHz resonance. The PEC reflector provides a wider gain bandwidth, whilst the AMC attains a similar peak gain of around 8 dBi within the designated band. The primary advantage of the AMC is its inconspicuous nature. It allows for a markedly decreased antenna separation distance of merely 7 mm, in contrast to the 17 mm mandated by the PEC. The significant decrease in total thickness is essential for compact 5G devices, rendering the AMC the optimal selection that corresponds with the key aims of this research.

3. Experimental and Result

To validate the performance and determine the optimal size of the AMC reflector, CST Studio Suite.was employed for the simulations, and the FieldFox N9923A was utilized to measure S11 and S21 parameters, which were subsequently used for the calculations. The antenna system was simulated in four configurations: the dipole antenna alone (without AMC) and the dipole backed by 4x4, 5x5, and 6x6 arrays of the selected AMC IV unit cell. The performance was evaluated based on the reflection coefficient (S11) and the realized gain, as shown in Fig. 9 and Fig. 10, respectively.

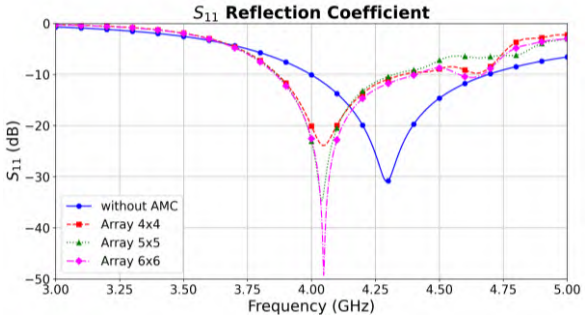

Fig 9 Comparison of the simulated realized gain for the standalone dipole versus the dipole integrated with 4x4, 5x5, and 6x6 AMC reflectors.

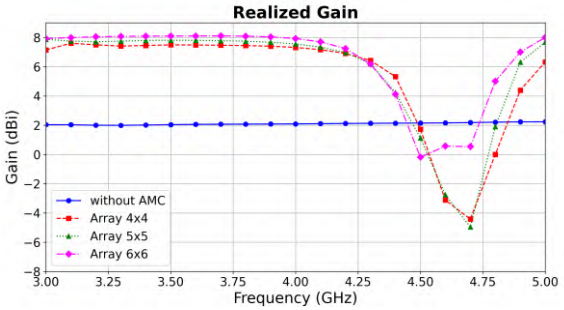

Fig 10 Comparison of the simulated realized gain for the standalone dipole versus the dipole integrated with 4x4, 5x5, and 6x6 AMC reflectors.

The analysis of the reflection coefficient in Fig. 9 reveals that the standalone dipole is well-matched at the target frequency of 4.3 GHz. However, the introduction of the AMC reflector shifts the resonant frequency of the system down to approximately 4.05 GHz due to near-field coupling. While the 6x6 array provides the best impedance match at this new frequency, the 5x5 array also shows acceptable matching. Notably, the 4x4 array results in a poorer match compared to the standalone dipole at the

target frequency. All three AMC array configurations achieve a fractional bandwidth of approximately 12%, representing a significant enhancement compared to the 3–4% bandwidth obtained without the AMC.

The gain performance, shown in Fig. 10, demonstrates the effectiveness of the AMC reflector. All array designs provide significant gains over the only dipole's 2.5 dBi gain. The 6x6 array achieves the highest peak gain, but the gain of the 5x5 array is only marginally lower. The 5x5 array was chosen as the optimum arrangement, balancing performance and physical dimensions. It offers an advantageous combination of high gain, effective impedance matching, and a more compact design relative to the 6x6 array, rendering it the most pragmatic option for the application.

The distance D that exists between the dipole radiator and the 5x5 AMC reflector is an essential variable influencing both impedance matching and gain. The antenna system was simulated to determine the best spacing with spacing distances of D = 4 mm, 7 mm, and 10 mm.

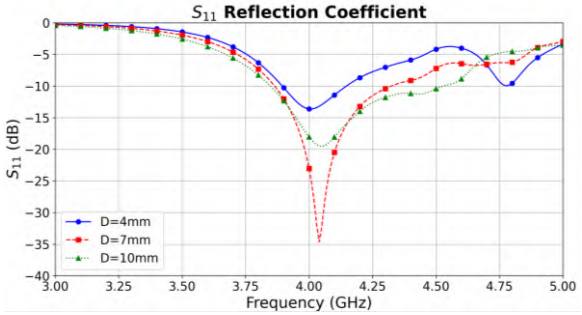

Fig 11. Comparison of the simulated reflection coefficient (S_{11}) for the proposed antenna with different separation distances (D) of 4 mm, 7 mm, and 10 mm.

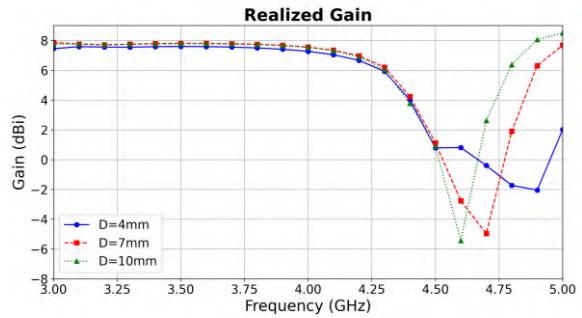

Fig 12. Comparison of the simulated realized gain for the proposed antenna with different separation distances (D) of 4 mm, 7 mm, and 10 mm.

The S_{11} in Fig. 11 shows the effect of separation distance on the antenna's impedance matching. The resonant frequency consistently centers about 4.05 GHz across all instances, although the quality of the matching exhibits considerable variation. The D = 7 mm design fulfills optimal performance, attaining a profound resonance of under -30 dB. At the designated frequency of 4.3 GHz, this case sustains an adequate match of approximately -11 dB. In Fig. 12, the gain plot shows the efficacy of each setup at the designated frequency. At 4.3 GHz, the D=7 mm arrangement results in the maximum gain of approximately 6.2 dBi, whereas the D=10 mm configuration exhibits a gain of 6.0 dBi. According to this data, a separation distance of D = 7 mm is determined to be the ideal selection. It provides not only the best impedance match but also the highest realized gain of 6.2 dBi at the target frequency of 4.3 GHz. This represents a 3.7 dB improvement over the standalone dipole and successfully meets all design requirements.

The ideal antenna comprises a dipole antenna fixed on a 5x5 array of AMC IV unit cells, with a separation distance of 7 mm. This configuration achieves a realized gain of 6.2 dBi and a satisfactory impedance match at the target frequency of 4.3 GHz, indicating a significant 3.7 dB enhancement compared to the dipole antenna alone.

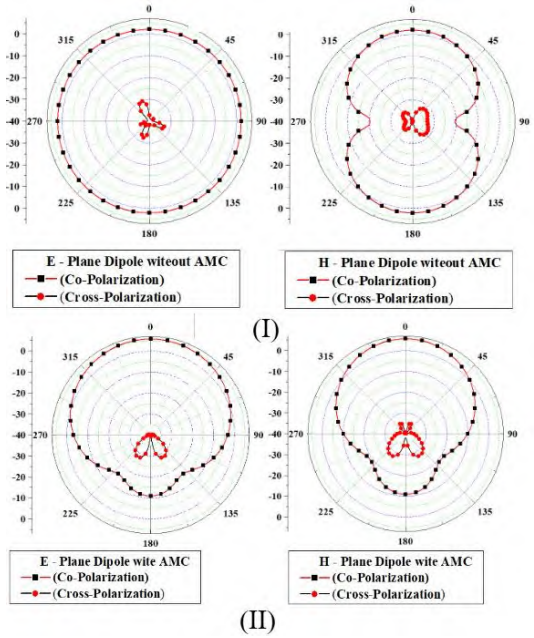

Fig 13. Simulated radiation patterns at 4.3 GHz, illustrating the transformation from an omnidirectional pattern (I) for the standalone dipole to a unidirectional pattern (II) with the addition of the AMC reflector.

Fig. 13(I) shows the pattern of the standalone dipole at 4.3 GHz, which demonstrates a classic omnidirectional characteristic, radiating energy equally in all directions perpendicular to its axis. In contrast, Fig. 13(II) shows the radiation pattern of the dipole integrated with the 5x5 AMC reflector. The pattern is converted into a highly directed, unidirectional beam, with the primary lobe focused in the forward direction (0°). The backward radiation (at 180°) is markedly diminished, validating that the AMC surface functions efficiently as a reflector, redirecting energy that would have been emitted backward into the primary beam. This transformation from an omnidirectional to a unidirectional pattern is the primary reason for the significant gain enhancement observed. Based on the iterative design process and experimental validation, the antenna parameters were optimized to achieve the desired performance characteristics. A physical prototype was subsequently

Fig 14. A prototype proposed of antenna

fabricated to conduct empirical measurements, which were then compared against the simulated results to assess the accuracy of the computational model, as shows in Fig. 14. During the practical installation, in order to avoid deviations in the air gap, either foam or 3D-printed material with a dielectric constant (ε_r) of approximately 1 will be employed, corresponding to a thickness of 7 mm to closely match that of air.

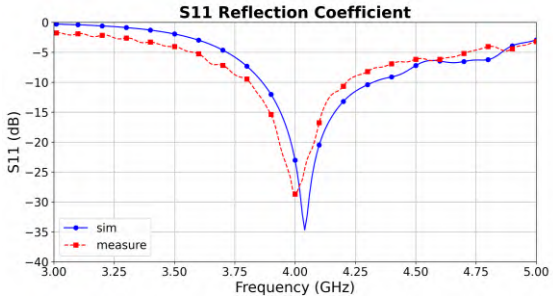

Fig 15. Comparison between the simulated and measured reflection coefficient (S_{11}) of the proposed antenna.

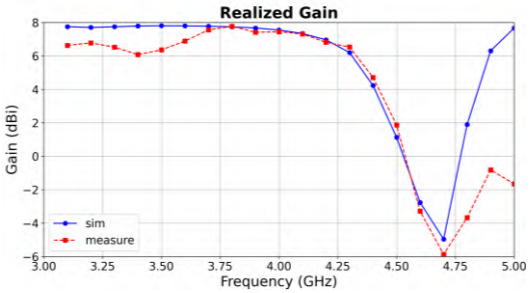

Fig 16. Comparison between the simulated and measured realized gain of the proposed antenna.

From Fig. 15 and Fig. 16. The measured results show a strong agreement with the simulated data. Both curves exhibit very similar trends and reach a peak gain of approximately 8 dBi. Although the measured values donot exactly match the simulated results, the overall outcome confirms that the simulation model is highly accurate, and the designed antenna performs as expected.

4. Conclusion

This research has effectively demonstrated the design, development, and optimization of a high-gain antenna for the 4.3 GHz band utilizing an Artificial Magnetic Conductor (AMC) reflector. A methodical design method was executed, encompassing the comparison of four unique AMC unit cell shapes, the optimization of the reflector array dimensions, and the adjustment of the separation distance. The ultimate optimum arrangement comprises a dipole antenna supported by a 5x5 array of the proposed modified cross-shaped (AMC IV) unit cells, positioned at a separation distance of 7 mm.

The results validate the efficacy of the suggested design. The final antenna attains a notable 3.7 dB gain improvement over the independent dipole radiator, yielding an average realized gain of 7.24 dBi across the working frequency range of 3.8 GHz to 4.3 GHz. It achieves a bandwidth of approximately 12%The examination of the radiation patterns clearly illustrates the efficacy of the AMC reflector, which adeptly converts the dipole's inherent omnidirectional pattern into a highly directed, unidirectional beam with improved backward radiation suppression. This study confirms that employing an AMC reflector is a viable and efficient approach for creating tiny, high-performance antennas that satisfy the stringent demands of 5G and available wireless communication systems. Future work will be directed towards the development of a high-gain multiband antenna.

5. Acknowledgments

This thesis research was supported by a grant from the University of Phayao.

References

1. Cheng, B. and Z. Du, *A Wideband Low-Profile Microstrip MIMO Antenna for 5G Mobile Phones*. IEEE Transactions on Antennas and Propagation, 2022. 70(2): p. 1476-1481.
2. Hu, M. and Y. Li, *Wideband Back Cover Microstrip Antenna With Multiple Shorting Vias for Mobile 5G MIMO Applications*. IEEE Transactions on Antennas and Propagation, 2023. 71(10): p. 8290-8295.
3. Ren, A., et al., *A Broadband MIMO Antenna Based on Multimodes for 5G Smartphone Applications.* IEEE Antennas and Wireless Propagation Letters, 2023. 22(7): p. 1642-1646.
4. Yamamoto, S.I., S. Nuimura, and M. Takikawa, *Grid-Loaded Step Reflector Antenna with TM01-Mode Excitation.* IEICE Transactions on Communications, 2025. E108-B(3): p. 274-281.
5. Mishra, G., et al., *Ku-Band Dual Linear-Polarized 1-D Beam Steering Antenna Using Parabolic-Cylindrical Reflector Fed by a Phased Array Antenna.* IEEE Open Journal of Antennas and Propagation, 2020. 1: p. 57-70.
6. Qi, J., et al., *Low-Profile Uni-Cavity High-Gain FPC Antenna Covering Entire Global 2.4 GHz and 5 GHz WiFi-Bands Using Uncorrelated Dual-Band PRS and Phase Compensation AMC.* IEEE Transactions on Antennas and Propagation, 2022. 70(11): p. 10187-10198.
7. Chakunna, P., et al. *Enhancement of Antenna Gain With M&W Slot Model on EBG Reflector Structure Utilizing Reflection Phase Diagram Analysis.* in 2025 13th International Electrical Engineering Congress (iEECON). 2025.

8. Bajaj, C., et al., *GPS-Integrated RFID Antenna With AMC Backing for IoT-Based Sensing and Tracking Applications.* IEEE Transactions on Antennas and Propagation, 2024. 72(2): p. 1929-1934.
9. Yadav, V., et al., *Heterogeneous Artificial Magnetic Conductor Integrated Low-Frequency Quad-Band Microstrip Antenna for Underground Wireless Sensor Network. IEEE Antennas and Wireless Propagation Letters*, 2025. 24(5): p. 1129-1133.
10. Yang, S., et al., *Compact Tetracyclic Nested AMC-Backed Multiband Antenna With High OoB Rejection and Enhanced Gain Radiation for IIoV-Based Sensing and Communication.* IEEE Internet of Things Journal, 2024. 11(2): p. 2819-2829.
11. Liu, Q., et al., *A Low-Profile Dual-Band Dual-Polarized Antenna With an AMC Reflector for 5G Communications. IEEE Access*, 2020. 8: p. 24072-24080.
12. Nguyen, T.D., et al., *Optically Invisible Artificial Magnetic Conductor Subarrays for Triband Display-Integrated Antennas.* IEEE Transactions on Microwave Theory and Techniques, 2022. 70(8): p. 3975-3986.
13. Ahmad, S., et al., *A Metasurface-Based Single-Layered Compact AMC-Backed Dual-Band Antenna for Off-Body IoT Devices*. IEEE Access, 2021. 9: p. 159598-159615.

Artitiphong Sangthong graduated from Thatako Pittayakhom School in 2021. He is currently studying for a bachelor's degree in the Faculty of Engineering, Department of Electrical Engineering, University of Phayao. Current research interests: metamaterials in antennas

Nopphadon Phusam received the Bachelor's Degree in Electrical Engineering from the University of Phayao (UP), Phayao, Thailand, in 2018. He is currently studying for a master's degree at the department of Electrical Engineering, Faculty of Engineering. His current research interests include metamaterials, MIMO antennas, and deep learning.

Thanakarn Suangun received B.Eng., M.Sc. in Communication Engineering and a Ph.D. degree in Electrical Engineering from King Mongkut's University of Technology North Bangkok (KMUTNB), Thailand, in 2006, 2009, and 2020, respectively. Since 2012, he has been a lecturer at the Department of Electrical Engineering, School of Engineering, University of Phayao, Thailand. His research interests include RF/microwave, multiband small antennas for communication applications, and automation.

Buntueng Yana (Member, IEEE) received B.Eng. and M.Eng. degrees in Electrical Engineering from Chiang Mai University, Thailand, in 2006 and 2009, respectively, and a Ph.D. in Information Science and Technology from Osaka University, Japan, in 2019. He is currently a lecturer with the Department of Electrical Engineering at the University of Phayao, Thailand, where he began his academic career. His research interests include robotics, automatic control, power generation, and the application of machine learning to medical applications.

ศึกษาความหนาแน่นของเลนส์ครึ่งซีกวงกลมเพื่อเพิ่มประสิทธิภาพของสายอากาศ

Study Infill Density of the Hemispherical Lens for Improved Antenna Efficiency

ธนกร สุธรรม[1,2] ชูวงศ์ พงศ์เจริญพาณิชย์[1] ดิศพล เลิศสุวรรณวงษ์[2] ภัชดาพร แสงเพชร์[2] บุญฤทธิ์ คุ้มเขต และ นิพนธ์ ทางทอง[2]*

[1]ภาควิชาวิศวกรรมโทรคมนาคม คณะวิศวกรรมศาสตร์ สถาบันเทคโนโลยีพระจอมเกล้าเจ้าคุณทหารลาดกระบัง 67016171@kmitl.ac.th, chuwong.ph@kmitl.ac.th

[2]ภาควิชาวิศวกรรมอิเล็กทรอนิกส์และโทรคมนาคม คณะวิศวกรรมศาสตร์ มหาวิทยาลัยเทคโนโลยีราชมงคลธัญบุรี thanakorn.s@en.rmutt.ac.th, didsapol_l@mail.rmutt.ac.th, patchadaporn.s@en.rmutt.ac.th, boonyarit.k@en.rmutt.ac.th, nipont.t@en.rmutt.ac.th*

บทคัดย่อ

บทความนี้นำเสนอความหนาแน่นของวัสดุที่มีผลต่อการเพิ่มประสิทธิภาพของสายอากาศ โดยด้านหน้าของสายอากาศถูกออกแบบเป็นแพตช์รูปสี่เหลี่ยมผืนผ้า และด้านหลังเป็นกราวด์เต็ม ทำงานที่ความถี่ 2.4 GHz ซึ่งสายอากาศนี้จะทำงานร่วมกับเลนส์ครึ่งซีกวงกลม ใช้วัสดุ Polylactic Acid (PLA) และมีความหนาแน่นของวัสดุต่างกันคือ 20%, 40%, 60%, 80% และ 100% ถูกสร้างขึ้นด้วยเทคโนโลยีการพิมพ์ 3 มิติ จากผลการทดสอบพบว่าค่าสัมประสิทธิ์การสะท้อนมีความถี่คลาดเคลื่อนเพียงเล็กน้อยที่ความหนาแน่นของวัสดุต่างกัน สำหรับรูปแบบการแพร่กระจายคลื่นของความหนาแน่นของวัสดุที่ 20%, 40%, 60% และ 80% เป็นรูปแบบการแพร่กระจายคลื่นแบบทิศทางเดียวแต่ไม่อยู่ในมุม 0 องศา ยกเว้นที่ความหนาแน่นของวัสดุ 100% เป็นรูปแบบการแพร่กระจายคลื่นแบบทิศทางเดียวที่มุม 0 องศา อีกทั้งยังมีอัตราขยายสูงสุดที่ 4.35 dBi ดังนั้นความหนาแน่นของวัสดุจึงมีผลต่อการหักเหของลำแสงของคลื่น

คำสำคัญ: เลนส์ครึ่งซีกวงกลม สายกาศเลนส์ ความหนาแน่นของวัสดุ เทคโนโลยีการพิมพ์ 3 มิติ

Abstract

This paper proposes the effect of material density on antenna performance enhancement. The proposed antenna is designed with a rectangular patch, the back side is a full ground plane, and operates at a frequency of 2.4 GHz. This antenna works in conjunction with a hemispherical lens, uses polylactic acid (PLA) material with varying material densities of 20%, 40%, 60%, 80%, and 100% and using 3D printing technology. The measurement results indicate that the reflection coefficient shows slight frequency deviations with varying material densities. The radiation patterns at material densities of 20%, 40%, 60%, and 80% exhibited unidirectional, but not at 0 degrees. However, at 100% material density, the radiation pattern was unidirectional at 0 degrees. Moreover, it achieved a maximum gain of 4.35 dBi. Therefore, the material density significantly affects the beam refraction of electromagnetic waves.

Keywords: Hemispherical lens, Lens antenna, Infill density, 3D-Printed technology

1. บทนำ

เทคโนโลยีการสื่อสารไร้สายถือว่ามีบทบาทความสำคัญอย่างยิ่งต่อระบบเครือข่ายและอุปกรณ์อิเล็กทรอนิกส์ต่าง ๆ สำหรับในยุคปัจจุบันโดยเทคโนโลยีนี้ได้แทรกซึมเข้าไปอยู่ในระบบที่เกี่ยวข้องกับการใช้ชีวิตประจำวันของมนุษย์ เช่น จีพีเอส (GPS) รีโมตคอนโทรลประตูโรงรถ เมาส์ คีย์บอร์ด ชุดหูฟังไร้สาย และโทรศัพท์บ้านไร้สาย เป็นต้น นอกจากนี้เทคโนโลยีดังกล่าวยังมีนักวิจัยให้ความสนใจและพัฒนาอย่างต่อเนื่องเพื่อนำไปประยุกต์ใช้กับสิ่งต่าง ๆ อาทิเช่น [1 - 3] การพัฒนาและปรับปรุงประสิทธิภาพของสายอากาศจึงกลายเป็นอีกหัวข้อที่ได้รับความสนใจอย่างต่อเนื่อง โดยเฉพาะในระบบที่ต้องการอัตราขยายสูง และการกระจายคลื่นที่แม่นยำ เทคนิคในการปรับปรุงประสิทธิภาพของสายอากาศมีหลากหลายเทคนิค เช่น สายอากาศอาเรย์ [4 – 5] ตัวสะท้อนสายอากาศ [6 – 7] เลนส์ [8 – 9] และอภิวัสดุ [10 – 11] ซึ่งงานวิจัยนี้เลือกใช้เทคนิคเลนส์มาทำงานร่วมกับสายอากาศ เนื่องจากเป็นเทคนิคที่สามารถปรับปรุงลักษณะการกระจายคลื่นของสายอากาศ โดยการใช้เลนส์เพื่อรวมและโฟกัสคลื่นแม่เหล็กไฟฟ้า ทำให้ได้รูปแบบการกระจายคลื่นที่ต้องการมากขึ้น อีกทั้งยังไม่ต้องปรับหรือแก้ไขการออกแบบของสายอากาศอีกด้วย

เลนส์ที่ใช้ในงานด้านคลื่นแม่เหล็กไฟฟ้าส่วนใหญ่จะเป็นเลนส์ไดอิเล็กทริก ที่ได้รับความนิยมมากที่สุด เนื่องจากสามารถปรับปรุงลักษณะการแผ่กระจายคลื่นและเพิ่มอัตราขยายของสายอากาศได้อย่างมีประสิทธิภาพ โดยเลนส์ครึ่งซีกวงกลม (hemispherical lens) ถูกนำมาใช้ในงานวิจัยนี้ ด้วยโครงสร้างที่มีข้อได้เปรียบด้านความง่ายในการออกแบบและผลิต สามารถทำงานร่วมกับสายอากาศแถบเดี่ยว และแถบกว้างได้เป็นอย่างดี ปัจจัยสำคัญที่มีผลโดยตรงต่อการทำงานของเลนส์ประเภทนี้คือ ความหนาแน่นของวัสดุ ซึ่งมีผลต่อดัชนีหักเห (refractive index) และการโฟกัสของคลื่นแม่เหล็กไฟฟ้า หากสามารถออกแบบหรือเลือกใช้ความหนาแน่นของเลนส์ให้เหมาะสม ก็จะสามารถควบคุมทิศทางของคลื่น เพิ่มอัตราขยาย และลดการกระจายของคลื่นออกด้านข้างได้

ดังนั้น งานวิจัยฉบับนี้จึงเป็นการศึกษาความหนาแน่นของเลนส์ครึ่งซีกวงกลมที่ส่งผลต่อการเพิ่มประสิทธิภาพของสายอากาศ ซึ่งสายอากาศที่ใช้เป็นสายอากาศแถบเดี่ยวที่ความถี่ 2.4 GHz ทำงานร่วมกับเลนส์ครึ่งซีกวงกลม ที่ขึ้นรูปด้วยเทคโนโลยีการพิมพ์ 3 มิติ ด้วยกระบวนการ Fused Deposit Modeling (FDM) เลนส์จะถูกกำหนดให้มีความหนาแน่นของวัสดุอยู่ที่ 20% - 100% ที่ 5 ตัวอย่าง สำหรับการศึกษาการเพิ่มประสิทธิภาพของสายอากาศ เช่น สัมประสิทธิ์การสะท้อน รูปแบบการแพร่กระจายคลื่น และอัตราขยาย ซึ่งจะถูกอธิบายในหัวข้อถัดไป

*นิพนธ์ ทางทอง

2. การออกแบบและผลการจำลอง

2.1 การออกแบบสายอากาศและเลนส์ครึ่งซีกวงกลม

จากรูปที่ 1 แสดงโครงสร้างของสายอากาศร่วมกับเลนส์ครึ่งซีกวงกลม โดยแบ่งการออกแบบออกเป็น 2 ส่วน ส่วนแรกเป็นการออกแบบสายอากาศไมโครสตริปทำงานที่ความถี่ 2.4 GHz ใช้วัสดุฐานรอง FR-4 ที่มีค่าคงที่ไดอิเล็กตริกเท่ากับ 4.3 และค่าการสูญเสียพลังงานเท่ากับ 0.002 ด้านหน้าของสายอากาศเป็นแพตช์รูปสี่เหลี่ยมผืนผ้า มีอิมพีแดนซ์ของสายป้อนสัญญาณ 50 โอห์ม และมีช่องว่างระหว่างสายป้อนสัญญาณกับแพตช์เพื่อช่วยให้การแมตช์อิมพีแดนซ์มีประสิทธิภาพมากยิ่งขึ้น สำหรับด้านหลังของสายอากาศเป็นแผ่นกราวด์เต็ม ซึ่งสายอากาศมีขนาดโดยรวมอยู่ที่ 40 × 46 × 1.6 ตารางมิลลิเมตร นอกจากนี้ขนาดและพารามิเตอร์ของสายอากาศที่ออกแบบนี้สามารถศึกษาเพิ่มเติมได้ที่ [12]

ส่วนที่สองเป็นการออกแบบเลนส์ครึ่งซีกวงกลม โดยใช้วัสดุ PLA เป็นพลาสติกชีวภาพที่ผลิตจากวัสดุธรรมชาติ เช่น ส่วนประกอบของข้าวโพด ธัญพืช มันสำปะหลัง และอ้อย ผ่านกระบวนการหมัก วัสดุชนิดนี้มีคุณสมบัติเฉพาะคือ มีจุดหลอมเหลวอยู่ระหว่างที่ 180 – 220 องศาเซลเซียส ทำให้สามารถขึ้นรูปชิ้นงานได้ง่าย สวยงาม เย็นตัวเร็ว เก็บรายละเอียดได้ดี และมีความแข็งแรง อีกทั้งยังมีค่าคงที่ไดอิเล็กทริกเท่ากับ 2.75 และค่าการสูญเสียพลังงานเท่ากับ 0.0027 [13] โครงสร้างของเลนส์ครึ่งซีกวงกลมแสดงในรูปที่ 1 โดยมีความยาวของเลนส์ (E_L) และรัศมีของเลนส์เท่ากับ 23 มิลลิเมตร

2.2 การออกแบบความหนาแน่นของเลนส์ครึ่งซีกวงกลม

การออกแบบความหนาแน่นของเลนส์ครึ่งซีกวงกลมเป็นศึกษาความแตกต่างของความหนาแน่นของเลนส์มีผลต่อการเพิ่มประสิทธิภาพของสายอากาศ โดยเลนส์ครึ่งซีกวงกลมที่ออกแบบในซอฟต์แวร์จำลองและวิเคราะห์ทางด้านคลื่นแม่เหล็กไฟฟ้า (CST Microwave Studio) จะส่งออกไฟล์เป็น .STL จากนั้นนำไฟล์นี้เข้าสู่ซอฟต์แวร์ Anycubic Slicer และทำการกำหนดความหนาแน่นของเลนส์ (infill density) ที่ 20%, 40%, 60%, 80%, และ 100% ดังแสดงในรูปที่ 2 สำหรับการขึ้นรูปเลนส์ใช้เครื่อง Anycubic Kobra 2 Pro มีความเร็วในการพิมพ์สูงสุด 500 มม. ต่อวินาที มีระบบปรับระดับอัตโนมัติแบบ LeviQ 2.0 (25 จุด) หลักการทำงานคือเครื่องจะทำความร้อนเพื่อละลายพลาสติก PLA ที่มีขนาดเส้นเท่ากับ 1.75 ± 0.02 มิลลิเมตร โดยพลาสติกที่ถูกหลอมละลายจะเปลี่ยนจากสถานะของแข็งมาเป็นรูปแบบของเหลว ไหลออกมาที่หัวฉีด เครื่องจะเคลื่อนหัวฉีดเพื่อวาดรูปร่างหน้าตัดขวาง (cross section) ของโมเดล 3 มิติ ขึ้นมาเป็นชั้นต่อชั้น ทำไปเรื่อย ๆ จนออกมาเป็นชิ้นงาน

2.3 ผลการจำลอง

รูปที่ 3 แสดงผลการจำลองการเปรียบเทียบระหว่างสายอากาศเดี่ยวและสายอากาศร่วมกับเลนส์ครึ่งซีกวงกลมของค่าสัมประสิทธิ์การสะท้อน (reflection coefficient, S_{11}) และอัตราขยายของสายอากาศ จากรูปพบว่าค่าสัมประสิทธิ์การสะท้อนของสายอากาศเดี่ยว (เส้นทึบสีดำ) ทำงานที่ความถี่ 2.41 GHz และมีอัตราขยาย (เส้นประสีดำ) เท่ากับ 2.4 dBi เมื่อเพิ่มเลนส์ครึ่งซีกวงกลมที่ความหนาแน่น 100% ร่วมกับสายอากาศ พบว่าค่าสัมประสิทธิ์การสะท้อน (เส้นทึบสีแดง) ทำงานที่ความถี่ 2.42 GHz และมีอัตราขยาย (เส้นประสีแดง) เท่ากับ 4.04 dBi ดังนั้นจากการเปรียบเทียบผลการจำลองข้างต้นจะเห็นว่าการเพิ่มเลนส์ครึ่งซีกวงกลมไม่ส่งผลกระทบต่อการเปลี่ยนแปลงความถี่ของการทำงาน แต่สามารถช่วยเพิ่มอัตราขยายของสายอากาศได้มากขึ้นถึง 1.64 dBi

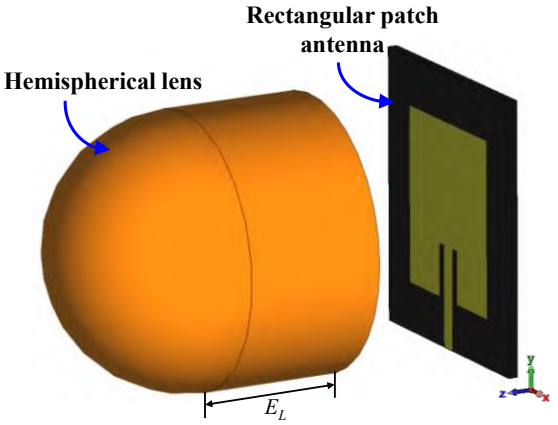

รูปที่ 1 โครงสร้างของสายอากาศและเลนส์ครึ่งซีกวงกลม

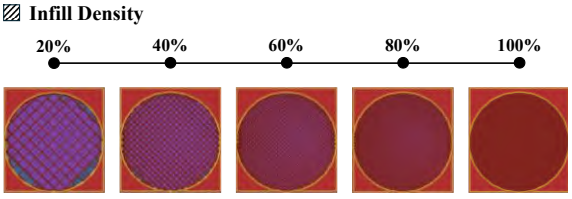

รูปที่ 2 ความหนาแน่นของเลนส์ครึ่งซีกวงกลมที่ใช้ในการออกแบบ

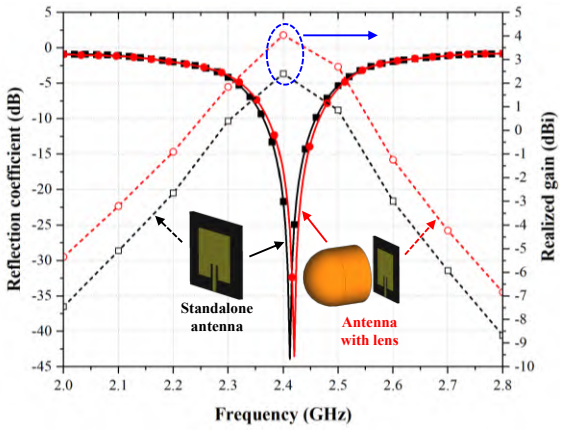

รูปที่ 3 ผลการจำลองของค่าสัมประสิทธิ์การสะท้อน (S_{11}) และอัตราขยาย (gain) ของสายอากาศสำหรับสายอากาศเดี่ยวเทียบกับสายอากาศร่วมกับเลนส์ครึ่งซีกวงกลม

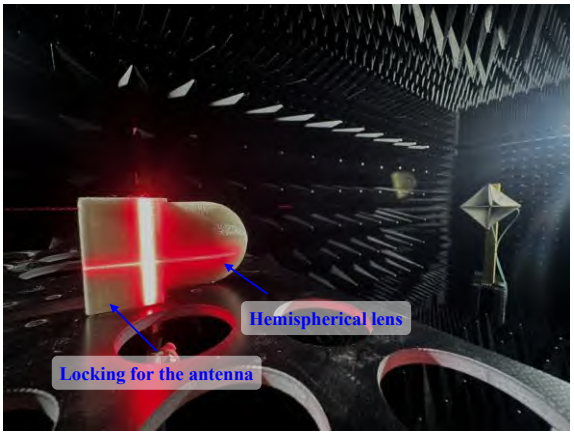

รูปที่ 4 การตั้งค่าการทดสอบรูปแบบการกระจายคลื่นของสายอากาศร่วมกับเลนส์ครึ่งซีกวงกลมในห้องทดสอบไร้คลื่นสะท้อน

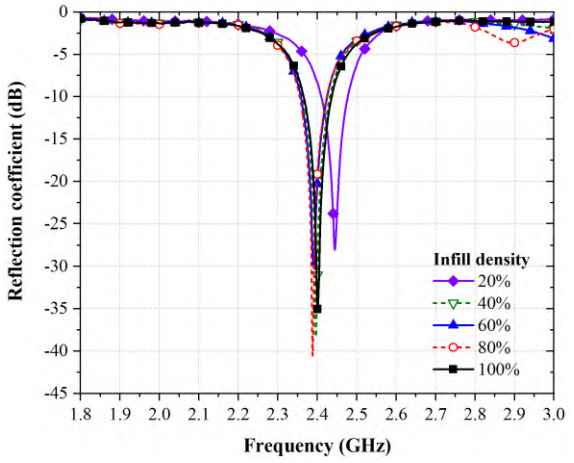

รูปที่ 5 ผลการทดสอบค่าสัมประสิทธิ์การสะท้อนของสายอากาศร่วมกับเลนส์ครึ่งซีกที่มีความหนาแน่นของวัสดุ 20%, 40%, 60%, 80%, และ 100%

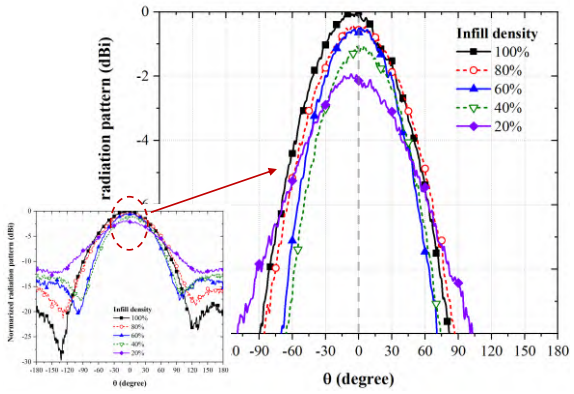

รูปที่ 6 ผลการทดสอบรูปแบบการกระจายคลื่นของสายอากาศร่วมกับเลนส์ครึ่งซีกที่มีความหนาแน่นของวัสดุ 20%, 40%, 60%, 80%, และ 100%

3. ผลการทดสอบและการอภิปราย

การตั้งค่าการทดสอบของสายอากาศร่วมกับเลนส์ครึ่งซีกวงกลมจะถูกติดตั้งในห้องทดสอบไร้คลื่นสะท้อน (anechoic chamber) ตามเงื่อนไขของสนามระยะไกล (far field) เพื่อทดสอบรูปแบบการแพร่กระจายคลื่นและอัตราขยายของชิ้นงาน ดังแสดงในรูปที่ 4 สายอากาศจะถูกประกอบเข้ากับเลนส์ครึ่งซีกวงกลมที่ถูกออกแบบให้มีตัวยึด (locking) ติดกับเลนส์เพื่อให้สะดวกต่อการทดสอบและใช้งานจริง โดยในห้องทดสอบไร้คลื่นสะท้อนจะติดตั้งเซนเซอร์ไว้สำหรับการวางชิ้นงานให้อยู่ในจุดศูนย์กลางและให้ตรงกับสายอากาศตัวส่ง (horn antenna) รูปที่ 5 แสดงผลการทดสอบค่าสัมประสิทธิ์การสะท้อนของสายอากาศร่วมกับเลนส์ครึ่งซีกที่ความหนาแน่นของวัสดุ 20%, 40%, 60%, 80%, และ 100% ทำงานที่ความถี่ 2.444 GHz, 2.396 GHz, 2.392 GHz, 2.388 GHz และ 2.40 GHz ตามลำดับ

การนำเลนส์ครึ่งซีกวงกลมมาทำงานร่วมกับสายอากาศ เลนส์จะทำหน้าที่รวมคลื่นและโฟกัสคลื่นแม่เหล็กไฟฟ้า ทำให้ได้รูปแบบการกระจายคลื่นเป็นแบบทิศทางเดียว ในความหนาแน่นของวัสดุ 20%, 40%, 60%, 80%, และ 100% ซึ่งมีเพียงความหนาแน่นของวัสดุ 100% เท่านั้นที่สามารถโฟกัสที่มุม 0 องศาได้ และมีอัตราขยายสูงสุด 4.35 dBi ดังแสดงในรูปที่ 6 นอกจากนี้การเปรียบเทียบประสิทธิภาพความหนาแน่นของวัสดุที่แตกต่างกันแสดงในตารางที่ 1

ตารางที่ 1 เปรียบเทียบประสิทธิภาพความหนาแน่นของวัสดุที่แตกต่างกัน

/ความหนาแน่นของวัสดุ	20%	40%	60%	80%	100%
ความถี่ทำงาน (GHz)	2.44	2.39	2.39	2.38	2.40
θ (degree)	-7	5	2	7	0
ความกว้างของลำคลื่นครึ่งกำลัง (degree)	107	84	81	95	93
อัตราขยาย @ 0 degree (dBi)	2.21	3.79	3.88	4.06	4.35

4. สรุป

การเพิ่มประสิทธิภาพของสายอากาศด้วยเลนส์ครึ่งซีกวงกลมที่มีความหนาแน่นของวัสดุแตกต่างกันถูกนำเสนอในบทความนี้ โดยนำสายอากาศไมโครสตริปแบบพื้นฐานที่ออกแบบการทำงานที่ความถี่ 2.4 GHz มาประกอบเข้ากับเลนส์ครึ่งซีกวงกลมที่มีความหนาแน่นของวัสดุแตกต่างคือ 20%, 40%, 60%, 80%, และ 100% ขึ้นรูปด้วยเทคโนโลยีการพิมพ์ 3 มิติ โดยใช้วัสดุ PLA ผลการทดสอบชี้ให้เห็นว่าความหนาแน่นของวัสดุที่แตกต่างกันทำให้ลำคลื่นเกิดการหักเหไปในทิศทางที่ไม่ได้กำหนดไว้ และมีเพียงความหนาแน่นของวัสดุ 100% เท่านั้นที่ตรงตามเงื่อนไขและให้ผลลัพธ์ที่ดีที่สุด ดังนั้นการศึกษาความหนาแน่นของวัสดุจึงมีความสำคัญต่อการออกแบบระบบสื่อสารไร้สาย โดยเฉพาะในระบบที่ต้องการประสิทธิภาพสูง เช่น ระบบเรดาร์ การสื่อสารผ่านดาวเทียม และระบบ 5G/6G ซึ่งจำเป็นต้องใช้สายอากาศที่มีลำคลื่นแคบ ควบคุมทิศทางได้แม่นยำ และมีอัตราขยายสูง การศึกษานี้จะช่วยส่งเสริมความเข้าใจเชิงลึกในการเลือกวัสดุและโครงสร้างที่เหมาะสมสำหรับการพัฒนาการเพิ่มประสิทธิภาพของสายอากาศมากขึ้น

5. กิตติกรรมประกาศ

งานวิจัยนี้ได้รับการสนับสนุนจากโครงการพัฒนางานประจำสู่งานวิจัย สำหรับบุคลากรสายสนับสนุน มหาวิทยาลัยเทคโนโลยีราชมงคลธัญบุรี ประจำปีงบประมาณ 2568 (Routine to Research: R2R)

เอกสารอ้างอิง

[1] N. Pukrongta et al., "Implementing Dual-Inverted L-Shape Grooves on the Dual-Band Monopole Antenna for Portable WiFi, WiMAX, and 5G Applications," *2024 12th International Electrical Engineering Congress (iEECON)*, Pattaya, Thailand, 2024, pp. 1-4.

[2] B. Kumkhet, P. Rakluea, N. Wongsin, P. Sangmahamad, W. Thaiwirot and C. Mahatthanajatuphat, "Ultra Wideband Fabric MIMO Antenna for future 5G Applications," *2022 19th International Conference on Electrical Engineering /Electronics, Computer, Telecommunications and Information Technology (ECTI-CON)*, Prachuap Khiri Khan, Thailand, 2022, pp. 1-4.

[3] S. Hongdumnuen, W. Chanwattanapong and B. Kumkhet, "Multiband Thin Film Antenna for WLAN and LTE MIMO Systems," *2021 Research, Invention, and Innovation Congress: Innovation Electricals and Electronics (RI2C)*, Bangkok, Thailand, 2021, pp. 139-142.

[4] N. Supreeyatitikul, P. Akkaraekthalin, S. Kawdungta and C. Phongcharoenpanich, "Deployable Wideband Circularly Polarized S-Band Antenna Array for CubeSat Applications," *2024 12th International Electrical Engineering Congress (iEECON)*, Pattaya, Thailand, 2024, pp. 1-3.

[5] I. J. Q. Santos et al., "Twin-Array Quasi FSS Reflector with Dual Band Cross-Dipole for 5G Base Station Antenna Application," *2023 International Conference on Power, Energy and Innovations (ICPEI)*, Phrachuap Khirikhan, Thailand, 2023, pp. 136-140.

[6] S. Chaimool, C. Rakluea, P. Sangmahamad, Y. Zhao, A. Worapishet and P. Akkaraekthalin, "Experiment of a Phase-Gradient Metasurface Reflector for Millimeter Wave and 5G Applications," *2022 16th European Conference on Antennas and Propagation (EuCAP)*, Madrid, Spain, 2022, pp. 1-3.

[7] T. Sutham, W. Thaiwirot and P. Akkaraekthalin, "Design of Ultra-Wideband Inverted U-Shaped Slot Antenna with Reflector for GPR Applications," *2022 19th International Conference on Electrical Engineering/Electronics, Computer, Telecommunications and Information Technology (ECTI-CON)*, Prachuap Khiri Khan, Thailand, 2022, pp. 1-4.

[8] P. Sangpet, V. Pirajnanchai, S. Chalermwisutkul, S. Chudpooti, P. Akkaraekthalin and N. Chudpooti, "Investigation of Beam Steering Using a Rotatable All-Dielectric Hemispherical Lens Assembly with an Ultra-Wideband Antenna," *2024 Research, Invention, and Innovation Congress: Innovative Electricals and Electronics (RI2C)*, Bangkok, Thailand, 2024, pp. 344-346.

[9] N. Chudpooti et al., "An Additive 3D-Printed Hemispherical Lens With Flower-Shaped Stub Slot Ultra-Wideband Antenna for High-Gain Radiation," in *IEEE Access*, vol. 11, pp. 91225-91233, 2023.

[10] S. Chaimool, N. Prasert and C. Rakluea, "Low-Cost FR-4 Metasurface-Enhanced Microstrip Patch Antenna Array for Wideband 5G millimeter-Wave Applications," *2024 IEEE International Workshop on Antenna Technology (iWAT)*, Sendai, Japan, 2024, pp. 118-121.

[11] S. Chaimool, C. Rakluea, P. Sangmahamad, Y. Zhao, A. Worapishet and P. Akkaraekthalin, "Experiment of a Phase-Gradient Metasurface Reflector for Millimeter Wave and 5G Applications," *2022 16th European Conference on Antennas and Propagation (EuCAP)*, Madrid, Spain, 2022, pp. 1-3.

[12] P. Sangpet, T. Sutham, P. Sangmahamad, T. Pechrkool, B. Kumkhet and N. Chudpooti, "The Passenger Counting Prototype on the Aircraft Using Microwave Sensors," *2025 13th International Electrical Engineering Congress (iEECON)*, Hua Hin, Thailand, 2025, pp. 1-4.

[13] H.-N. Morales-Lovera, J.-L. Olvera-Cervantes, A.-E. Perez-Ramos, A. Corona-Chavez, and C. E. Saavedra, "Microstrip sensor and methodology for the determination of complex anisotropic permittivity using perturbation techniques," in *Scientific Reports*, vol. 12, no. 1, pp. 2205, 2022.

นายธนกร สุธรรม สำเร็จการศึกษาระดับปริญญาตรี สาขาวิศวกรรมอิเล็กทรอนิกส์และโทรคมนาคม มหาวิทยาลัยเทคโนโลยีราชมงคลธัญบุรี ระดับปริญญาโท สาขาวิศวกรรมไฟฟ้า มหาวิทยาลัยเทคโนโลยีพระจอมเกล้าพระนครเหนือ นักวิชาการศึกษาปฏิบัติการ ประจำภาควิชาวิศวกรรมอิเล็กทรอนิกส์และโทรคมนาคม มีความสนใจด้านงานวิจัยเกี่ยวกับสายอากาศ คลื่นแม่เหล็กไฟฟ้า และระบบสื่อสารไร้สาย

ศ.ดร.ชูวงค์ พงศ์เจริญพาณิชย์ สำเร็จการศึกษาระดับปริญญาตรี (เกียรตินิยม), ปริญญาโท และปริญญาเอกวิศวกรรมศาสตร์ จากสถาบันเทคโนโลยีพระจอมเกล้าเจ้าคุณทหารลาดกระบัง อาจารย์ประจำภาควิชาวิศวกรรมโทรคมนาคม และยังเป็นหัวหน้าห้องปฏิบัติการวิจัยนวัตกรรมสายอากาศและการประยุกต์ทางแม่เหล็กไฟฟ้า ความสนใจด้านการวิจัยเกี่ยวกับ การออกแบบสายอากาศสำหรับระบบการสื่อสารไร้สายและการสื่อสารเคลื่อนที่หลากหลายรูปแบบ

นายดิศพล เลิศสุวรรณวงษ์ สำเร็จการศึกษาระดับปริญญาตรี สาขาวิศวกรรมเครื่องกล มหาวิทยาลัยเทคโนโลยีพระจอมเกล้าพระนครเหนือ กำลังศึกษาต่อระดับปริญญาโท สาขาวิศวกรรมอิเล็กทรอนิกส์และโทรคมนาคม มหาวิทยาลัยเทคโนโลยีราชมงคลธัญบุรี ปัจจุบันดำรงตำแหน่ง Aircraft Appearance Supervisor บริษัท ไทย ไลอ้อน เมนทารี จำกัด มีความสนใจด้านงานวิจัยเกี่ยวกับ aircraft engine thrust reverser simulation

ดร.ภัชดาพร แสงเพชร์ สำเร็จการศึกษาระดับปริญญาตรี สาขาฟิสิกส์อุตสาหกรรม ระดับปริญญาโท และปริญญาเอก สาขาวิศวกรรมไฟฟ้า มหาวิทยาลัยเทคโนโลยีพระจอมเกล้าพระนครเหนือ อาจารย์ประจำภาควิชาวิศวกรรมอิเล็กทรอนิกส์และโทรคมนาคม มหาวิทยาลัยเทคโนโลยีราชมงคลธัญบุรี มีความสนใจด้านงานวิจัยเกี่ยวกับสายอากาศ เทคโนโลยีการพิมพ์ 3 มิติ และสายอากาศบนชิป

ผศ.ดร.บุญฤทธิ์ คุ้มเขต สำเร็จการศึกษาระดับปริญญาตรี วิศวกรรมศาสตร์บัณฑิต สาขาวิศวกรรมอิเล็กทรอนิกส์และโทรคมนาคม ระดับปริญญาโท และปริญญาเอกวิศวกรรมศาสตร์มหาบัณฑิต สาขาวิศวกรรมไฟฟ้า จากมหาวิทยาลัยเทคโนโลยีราชมงคลธัญบุรี (มทร.) ในปี พ.ศ. 2552, 2554 และ 2567 ตามลำดับ ปัจจุบันเป็นอาจารย์ประจำคณะวิศวกรรมศาสตร์ มทร.ธัญบุรี มีความสนใจด้านงานวิจัยเกี่ยวกับ เทคโนโลยีอินเทอร์เน็ตในทุกสิ่ง (IoT), LPWAN, WBAN, Meta surfaces, สายอากาศ MIMO สายอากาศแบบสวมใส่ แถบแม่เหล็กไฟฟ้า (EBG) และเทคโนโลยีไร้สาย

ผศ.ดร.นิพนธ์ ทางทอง สำเร็จการศึกษาระดับปริญญาเอก สาขาวิศวกรรมไฟฟ้าศึกษา มหาวิทยาลัยเทคโนโลยีพระจอมเกล้าพระนครเหนือ หัวหน้าศูนย์สถาบันการบินแห่งมหาวิทยาลัยเทคโนโลยีราชมงคลธัญบุรี มีความสนใจด้านงานวิจัยเกี่ยวกับสายอากาศระบบสื่อสารไร้สาย เทคโนโลยีด้านอากาศยาน

SDR Based Anti-Drone System on 2.4-GHz ISM band

Raktanwan Poolsuwan[1], Arsit Boonyaprapasorn[2], and Pasu Kaewplung[3,*]

[1,3] Defense Engineering and Technology, Faculty of Engineering, Chulalongkorn University
Phayathai Rd., Pathumwam, Bangkok, Thailand, 10330
[2] Department of Mechanical Engineering, Chulachomklao Royal Military Academy (CRMA)
Suwansorn Rd., Muang, Nakhon-Nayok, 26001 Thailand
6670207921@student.chula.ac.th[1], arsit.bo@crma.ac.th[2], Pasu.K@Chula.ac.th[3,*]

Abstract

This research delineates the design and feasibility of a comprehensive, full-cycle counter-unmanned aerial vehicle (UAV) or drone multi-stage process system leveraging Software-Defined Radio (SDR) platforms. In first process, the detection employs a Frequency Modulated Continuous Wave (FMCW) radar on ISM as carrier frequency for the detection and tracking of aerial targets. This subsystem is designed to ascertain the distance and velocity of incoming objects. The second stage involves the classification of radio frequency (RF) signals. A Convolutional Neural Network (CNNs) is utilized to analyze the control and data transfer signals transmitted between the drone and its operator within the Industrial, Scientific, and Medical (ISM) band (2.4 GHz). The last stage is neutralization of confirmed threats achieved through two electronic countermeasure techniques. The first step is the deployment of a jamming signal to disrupt the command-and-control link in the ISM band (2.4 GHz), effectively isolating the drone from its operator. Concurrently, the system will engage in Global Positioning System (GPS) spoofing within the L1 band by transmitting simulated GPS L1 signal in 1.575-GHz band to confuse drone's position. The system tested with DJI Mini 4K drone with radar cross section of 0.01 m^2 has result as detection range of 20 m with jamming and spoofing range of 50 m in limited transmitted power of 20 dB according to ISM band limitation.

Keywords: Drone, UAV, Anti-drone, SDR, Radar, Jamming, RF-classification

1. Introduction

The rapid proliferation and the technological advancement of Unmanned Aerial Vehicles (UAVs), commonly known as drones, present a significant and evolving challenge to national security across multiple domains, including economic, social, political, and military sectors. The increasing accessibility and the affordability of UAV technology, available in various sizes and configurations, have democratized its use, extending its reach from state actors to non-state entities and individuals. This widespread availability complicates monitoring and control, creating a new threat vector that is difficult to mitigate comprehensively. Recent conflicts, such as those in Ukraine, Gaza, and Myanmar [1]-[3], have demonstrated the potent application of UAVs in modern warfare and asymmetric engagements, highlighting the urgent need for effective anti-drone system [4].

This paper outlines the design and feasibility of an integrated anti-drone system engineered for the surveillance, monitoring, and neutralization of unauthorized drones within high-security zones. The proposed system is intended for deployment by security agencies tasked for the protection of critical infrastructure and areas of national importance. The system's architecture is predicated on a multi-layered approach encompassing detection, classification, and interception. Initially, the system employs radar technology for the detection and localization of small drones. Upon identifying an anomalous object within its operational radius, after detected turn to a classification phase. This utilizes signature analysis to recognize the specific characteristics of the drone's control signal, thereby determining its type, manufacturer, or operational mode. The positional and classification data are then relayed to a central control system for threat assessment and decision-making. The system will execute a jamming by transmitting interference signals on the same frequency band as the drone's command and control link to sever communication with its operator. Subsequently, the system will engage in GPS spoofing, broadcasting counterfeit satellite navigation signals to deceive the drone's guidance system. This research can detect drone of size 0.01 m^2 in 20 m and disrupt all wireless communication both navigation and control in 50 m.

2. Principles and related works

2.1 Anti-drone System

An anti-drone system is engineered to detect, classify, and neutralize unauthorized drone activity within a designated area. Its functionality hinges on three interdependent requirements. Firstly, drone detection involves the acquisition of data, such as RF reflections, emitted RF signals, thermal signatures, or acoustic emissions, utilizing technologies like radar, thermal and visible cameras, or acoustic sensors, each optimized for specific environmental conditions. Secondly, drone classification and identification are critical to mitigate false positives from other aerial objects or environmental noise. This process typically employs advanced techniques like image processing or RF recognition, often integrated with neural networks, to ascertain the drone's type, manufacturer, and size, thereby enabling a comprehensive risk assessment. Finally, drone neutralization, primarily for non-military drones, is

*Corresponding Author

achieved through soft-kill methods. This involves the disruption the drone wireless communication signals, including both control and GPS links, effectively severing the operator's control and rendering the drone inert within the anti-drone system's operational range. [4]-[7]

2.2 Drone Detection with FMCW Radar

FMCW radar (Frequency-Modulated Continuous Wave) determines target range and relative velocity by analyzing the frequency and phase differences between a continuously transmitted, frequency-modulated signal and its reflections shown in Fig 1. This method's continuous monitoring and low power consumption make it well-suited for drone detection, as it provides simultaneous, high-resolution measurements of both parameters. After transmitting signal reflex with a delay t received back to the radar, the two signal mixed by multiplying conjugate within the time domain and the result is intermediate frequency (f_{IF})

$$f_{IF} = \frac{B}{T_c}t + f_0\left(\frac{B}{T_c}(t - \tau) + f_0\right) = \tau\left(\frac{B}{T_c}\right) \quad (1)$$

$$R = \tau\left(\frac{c}{2}\right) = T_c\left(\frac{f_{IF}}{2}\right)\left(\frac{c}{B}\right) \quad (2)$$

$$v = \frac{\lambda\Delta\phi}{(4\pi T_c)} \quad (3)$$

t is the time delay, d is the distance from the object to the detector, and c is the speed of light. and B is the frequency bandwidth used in the system. v is the speed of the object, λ is the wavelength, $\Delta\Phi$ is the angle difference of the received wave, f_{IF} is intermediate frequency and T_c is the time delay between the transmitted and received signal.

[9]-[13] have successfully demonstrated the efficiency of a drone detection system employing Frequency Modulated Continuous Wave (FMCW) radar implemented via SDR. This approach leverages the inherent advantages of SDR technology, including its compact form factor, wide operating frequency range, cost-effectiveness, and high sample rate, all of which are highly conducive to the stringent requirements of anti-drone applications. The programmability and the reconfigurability offered by SDR enables a flexible system design and a rapid adaptation to evolving drone threats and environmental conditions, representing a promising avenue for robust and scalable drone detection solutions.

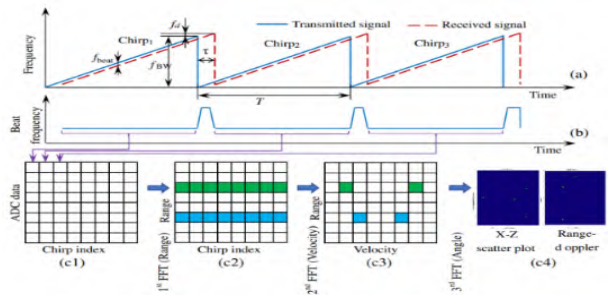

Fig. 1 The basic FMCW radar principle [8]

2.3 RF-Classification

Radio frequency (RF) signal classification for drone detection leverages the unique communication patterns between drones and their controllers. This is often achieved by employing SDRs due to their wide frequency band operation, cost-effectiveness, and high sample rates suitable for anti-drone. Upon signal reception via SDR, the raw RF data is transformed into spectrograms, visual representations of the signal's frequency content over time. These spectrogram images are then analyzed and categorized using CNNs, a deep learning architecture adept at image recognition. [14]-[17] has demonstrated high accuracy, with some research reporting up to 98% classification accuracy. This indicates that CNNs-based spectrogram analysis is reliable drone signal identification in noisy environments.

2.4 Jamming and GPS Spoofing

RF jamming systems are designed to disrupt drone operations by emitting interference signals across the specific frequency bands used for drone control and communication. Commercial drones predominantly utilize bands at 2.4 GHz and 5.6 GHz, although a broader range of 400 MHz to 6 GHz can be employed. There is indicated RF noise with a 10-MHz bandwidth that can effectively interfere with Wi-Fi channels and control communications.

In parallel, GPS spoofing offers another neutralization method. The public L1 channel (1.575 GHz) of GPS is susceptible to artificial signal injections. By transmitting a carefully crafted, more powerful artificial GPS L1 signal, a drone's onboard GPS receiver can be forced to compute an erroneous position, overriding the weak legitimate satellite signals. This manipulation effectively redirects or disorients the drone. Studies, often utilizing commercial Software-Defined Radios (SDRs), [18]-[25] have successfully demonstrated both RF jamming in the (2.4-2.5)-GHz ISM band with varying bandwidths to cover drone communication channels, and GPS jamming and spoofing at the L1 band. The effectiveness of these techniques can be quantitatively assessed through Free Space Path Loss (FSPL) and Received Power calculations.

$$L = 20\log_{10}(d) + 20\log_{10}(f) + 20\log_{10}\left(\frac{4\pi}{c}\right) - G_t - G_r \quad (4)$$

$$P_r = R_t + G_t + G_r - L - L_t - L_r \quad (5)$$

where d is the distance in m, f is the frequency used, c is the speed of light, G_t is the gain of the transmitting antenna, and G_r is the gain of the receiving antenna. P_r is the receiving power, P_t is the transmitting power, G is the antenna gain, L is the loss in the medium, and L_t , L_r are the losses in the transmitting and receiving circuits, respectively.

3. Implementation

3.1 Proposed SDR based anti-drone system

The proposed anti-drone system, centered on SDR technology, integrates three essential functions. Firstly, drone detection is achieved using an SDR, specifically the USRP B200, which serves as a versatile signal generator, transmitter, and receiver. Secondly, the drone identification is performed by processing spectrogram images of drone control signals through CNNs developed with the TensorFlow. This enables robust classification of drone types. Finally, the drone neutralization is accomplished through a combination of RF jamming within the ISM band to disrupt control signals and GPS L1 spoofing, as visually represented in Fig. 2.

Fig. 2 Proposed anti-drone system concept [26]

3.2 Detection sub-system SDR base radar

[26] Simulations initially predicted a detection range of approximately 70 m for a radar cross-section (RCS) of 0.1 m^2 at a transmit power of 0.1 W. However, for field testing, we tested with a DJI Mini 4K drone, which has a smaller RCS of 0.01 m^2. Consequently, a revised simulation was necessary to reflect this smaller RCS while maintaining other parameters. This updated MATLAB simulation indicated a detection range of approximately 25 m. The simulation also incorporated an antenna gain of 10 dB, a triangular linear chirp signal with 1024 chirps per sweep, and a bandwidth of 14 MHz (ranging from −7 MHz to 7 MHz). The system demonstrated a velocity resolution of 0.5 m/s, as illustrated in Fig. 3 has simulated detection range of 26 m and gr-plasma implements and generated linear frequency-modulated waveform (LFM) to plot range-doppler map for visualize a detection [28].

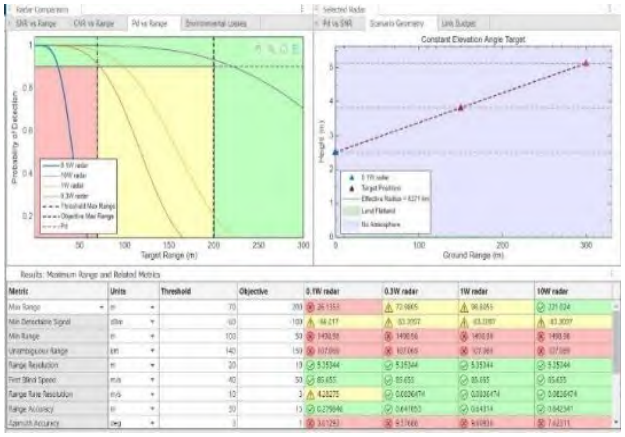

Fig. 3 MATLAB simulated radar with RCS of 0.01 m^2

3.3 SDR Base RF-Classification

This research employs the CNNs model, implemented in Python 3.12 with TensorFlow 2.19, for the classification of drone control radio frequency (RF) signals. CNNs is designed to recognize distinct patterns in power-based spectrograms, which exhibit clear variations across different drone models. The training dataset for the CNN dataset [28],[29] has a sampling rate of 100 MSps and a center frequency of 2.44 GHz shown in Fig. 4 and dataset for DJI Mini 4k captured by SDR shown in Fig. 5. This comprises control signals from various drone models, as well as environmental noise signals within the same frequency band. The objective is to enable the model to accurately differentiate between various types of received RF signals. Through the iterative fine-tuning of program parameters, the aim is to achieve a classification accuracy of at least 80%. The CNNs model is structured as a 1024 x 1221 matrix, representing 1024 frequency bins across 1221 time samples and layers shown in Table 1 .

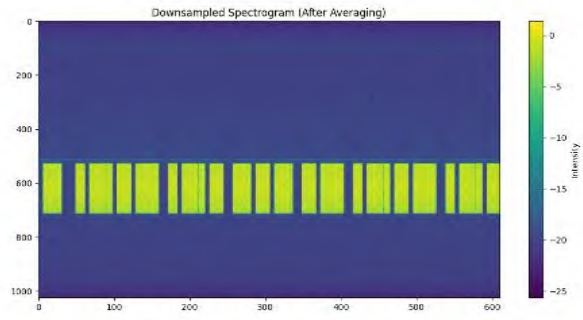

Fig. 4 Example of KU RDR dataset [29]

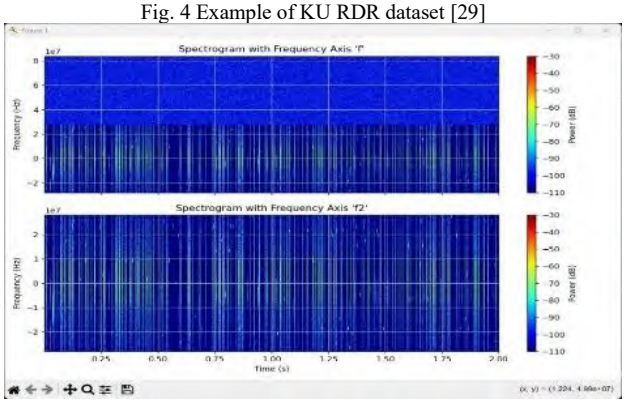

Fig. 5 Spectrogram of DJI Mini 4k RF signal

Table 1. CNNs model description

	Layer	Details
0	Input	spectrogram size 1024 x 1221
1	Conv2D1	32 filters 3 x 3, activation Relu
	Maxpool2D1	Pool size 2 x 2
2	Conv2D2	64 filters 3 x 3, activation Relu
	Maxpool2D2	Pool size 2 x 2
3	Conv2D3	128 filters 3 x 3, activation Relu
	Maxpool2D3	Pool size 2 x 2
Fc	Fully connected	Dense 128, dropout 0.4
		Dense 64, dropout 0.4
SoftMax		Number of classes = 0 - 6

3.4 SDR Base Jamming and GPS Spoofing

The control signal jamming system generates random amplitude and phase interference, mimicking Rayleigh noise to simulate rapid communication disruption. It combines Gaussian noise with random communication signals in Fig. 6 (16-28 MHz bandwidth) and transmits them via SDR using GNU Radio. The output features random signal intensity and frequency, with the combined signal ready for antenna transmission. For a reliable connection, a drone's RF signal-to-noise ratio (SNR) must exceed 0 dB. An SNR below -5 dB indicates a weak signal, resulting in an automatic loss of the connection. The dynamic range for a stable link is between 0 dB and -5 dB. In Fig. 7 show MATLAB simulated of range and SNR with both control and jamming transmitting power of 20 dB in 150 m range.

Satellite positioning signal simulation is performed by generating simulated signals from a The daily GPS broadcast ephemeris file (BRDC) file with GPS-SDR-SIM, which transmits satellite numbers, transmission angles, transmission duration, and power strength to closely resemble signals received from real positioning satellites. The transmitted signal compose of details, including the angular position of each satellite in the area. In Fig. 8 show received GPS simulated signal on GPS tester.

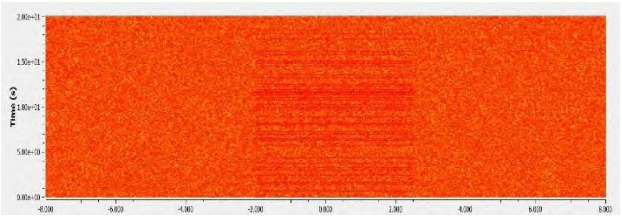

Fig. 6 Simulated signal with gaussian noise use in jamming

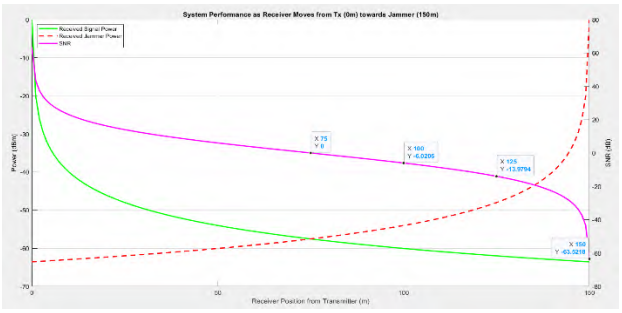

Fig. 7 SNR of received signal and jamming signal in 150 m

Fig. 8 Received GPS simulated signal with random location

3.5 Field test setup

Field tests were conducted on a two-lane road at least 200 m long to define the operational area and range for the prototype, which is expected to have a detection range of at least 20 m and a control jamming signal range of 50 m. The test setup included a main processor (MSI Katana GF76 11UG), an SDR (USRP B200), a radio frequency amplifier (ZX60-V62+, ZX60-33LNR-S), a band pass filter (TAOGLAS BPF.24.01), and antennas (MD24-12 (2.4 GHz) , ANT-20087EB56 (1.575 GHz)), as shown in Fig. 9. The transmitting and receiving antennas were positioned 70 cm above the ground and spaced 1 m apart to help reduce signal reflection from the transmitting antenna.

Fig. 9 Field test setup

4. Field test results

4.1 Radar sub-system

The UAV was positioned 50 m away from the prototype, flying at an altitude of 2 m from the ground. It then flew in and out within an area ranging from 1 to 50 m at speeds between 0 and 7.5 m/s. The detection map sets a range of 200 m and speeds from -15 (moving away) to 15 (approaching) m/s. The results were recorded based on the detection range of the drone in increments of 5 m, as shown in Fig 10. The red circles indicate the detectable range and signal intensity: 1 m (-25 dB), 5 m (-30 dB), 10 m (-40 dB), 15 m (-45 dB), and 20 m (-50 dB).

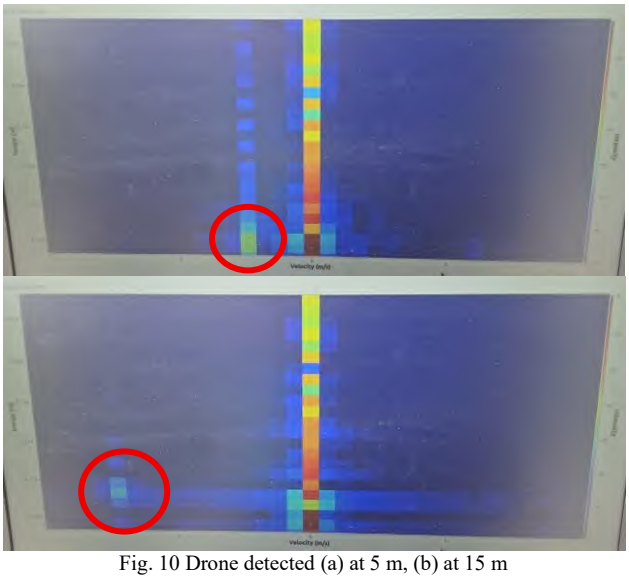

Fig. 10 Drone detected (a) at 5 m, (b) at 15 m

4.2 RF-Classification sub-system

The data was categorized into seven types, labeled 0 through 6, with each category containing 200 samples. These categories are: 0 (DJI Matrice 300), 1 (Frysky), 2 (DJI Mini 4K), 3 (DJI Inspire 2), 4 (DJI Mavic), 5 (DJI Mini 2), and 6 (Background signal), as illustrated by the training examples in Fig. 4. The dataset fed into the model was divided into three parts: 70% for training, 10% for validation, and 20% for testing. The model then classified the data into these seven categories, providing a probability percentage from 0 to 1 for each type, as shown in Fig 11. A probability exceeding 80% for a given category was used as the criterion for subsequent decision-making.

```
esc[1m1/1esc[0m esc[32m====================esc[0mesc[37mesc[0m esc[1m0sesc[0m 236ms/step
esc[1m1/1esc[0m esc[32m====================esc[0mesc[37mesc[0m esc[1m0sesc[0m 256ms/step
Sample 0 Prediction: [[4.2753168e-27 3.5029034e-22 3.7236363e-28 7.1430049e-11 9.9960560e-01
 2.6496823e-08 3.9438382e-04]]
Sample 0 Shape: (1, 1024, 1221, 1), Min: -15.0, Max: 17.775466918945312
Sample 0 Prediction (Percentages):
Class 0: 0.00%
Class 1: 0.00%
Class 2: 0.00%
Class 3: 0.00%
Class 4: 99.96%
Class 5: 0.00%
Class 6: 0.04%
Key of 1 = dict_keys(['__header__', '__version__', '__globals__', 'data_with_label'])
Keys: ('spectrogram', 'label')

esc[1m1/1esc[0m esc[32m====================esc[0mesc[37mesc[0m esc[1m0sesc[0m 140ms/step
esc[1m1/1esc[0m esc[32m====================esc[0mesc[37mesc[0m esc[1m0sesc[0m 160ms/step
Sample 1 Prediction: [[6.3499137e-08 1.1364733e-06 6.2682200e-04 9.4022274e-01 5.8856238e-02
 2.8036206e-04 1.2540402e-05]]
Sample 1 Shape: (1, 1024, 1221, 1), Min: -15.0, Max: 13.549842834472656
Sample 1 Prediction (Percentages):
Class 0: 0.00%
Class 1: 0.00%
Class 2: 0.06%
Class 3: 94.02%
Class 4: 5.89%
Class 5: 0.03%
Class 6: 0.00%
Key of 2 = dict_keys(['__header__', '__version__', '__globals__', 'data_with_label'])
Keys: ('spectrogram', 'label')
```

Fig. 11 RF-Classification testing with data samples

4.3 Jamming sub-system

After transmitting 2.45-GHz interference, the UAV operator, positioned at least 150 m away, flew the drone incrementally closer to the prototype, assessing control at 5-m intervals. The RC screen showed green signal from 75-200 m. Between 75-55 m, it turned yellow with a "Drone has interference" message (Fig. 12(a)) , causing delayed control. Below 55 m, the UAV completely lost control, the screen turned red with "Drone loses connected to remote" (Fig. 12(b)). This indicates the system's effective jamming range is at least 50 m.

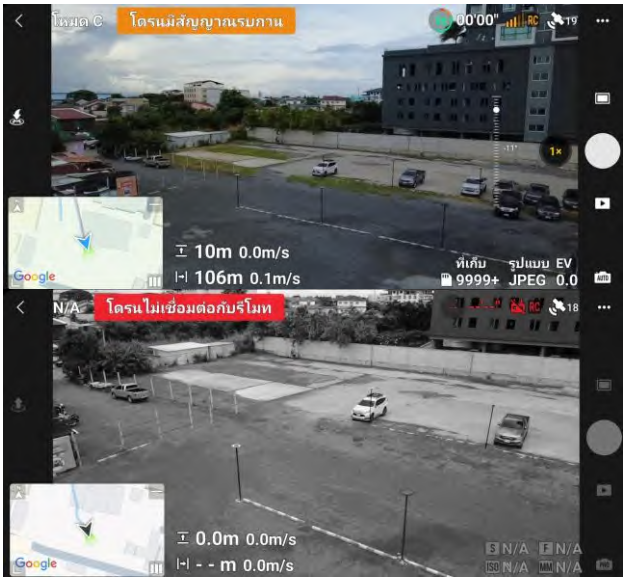

Fig. 12 Drone status (a) has interference, (b) loses connected to remote

4.4 GPS Spoofing sub-system

The GPS Spoofing system was tested with a drone flying in a circular path, starting 100 m from the prototype and incrementally moving 5 m closer and simulating GPS signal shown in Fig 13 (a) and received by GPS receiver in Fig 13 (b). Normally, the control screen would show reception from 16-20 satellites (top-right corner). However, as the drone approached 20-50 m, the number of satellites dropped to 6-8, and the UAV's position on the screen became static. After at least 3 seconds, the drone's position appeared as a large green circle, indicating an inability to accurately determine its location (Fig 14). When the UAV was less than 15 m from the prototype, the control screen showed no satellite signal reception at all (Fig 15).

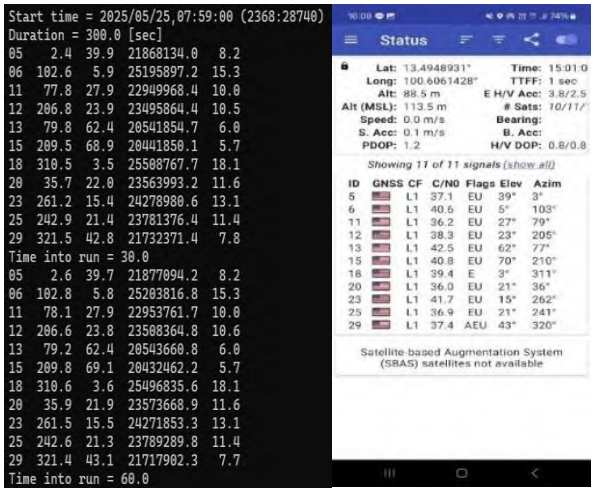

Fig. 13 GPS signal details of (a) Simulated GPS signal, (b) GPS spoofing in GPS receiver

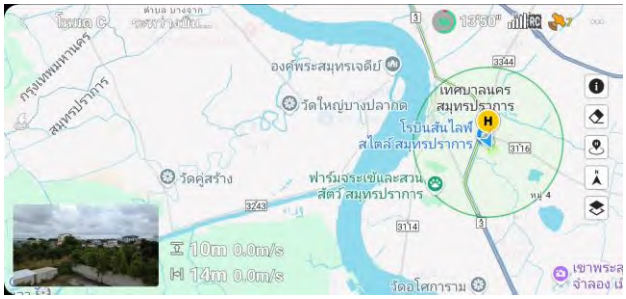

Fig. 14 Drone confusing on GPS signal

Fig. 15 . Drone lost GPS signal

4.5 Anti-drone system specification

When integrating all four sub-systems into a single prototype, the operational range of the overall system is limited by the sub-system with the shortest range. This constraint is specifically due to the radio detection system, which has an operational range of 20 m. Details regarding the operational ranges of each sub-system are provided in Table 2.

Table 2. Proposed anti-drone system specification

Functionality	Sub-system	Range (m)
Detection	Radar RCS (0.01 / 0.05 / 1.0 / >1.0)	20 / 30 / 90 / 200
Classification	RF classification	100
Neutralization	RF Jamming	50
	GPS spoofing	50
Anti-drone prototype		20

5. Conclusions

This research successfully presents the design, implementation, and testing of a prototype anti-drone system, leveraging a SDR USRP B200 as the primary transceiver across all subsystems. Developed using GNU Radio and Python. Field test results demonstrated the radar's ability to detect drones with a 0.01 RCS at 20 m, the classification system achieving 80% accuracy at a 100 m signal range, and both jamming and spoofing functionalities effectively disrupting drones communication and navigation at a minimum range of 50 m. Consequently, the prototype successfully demonstrated the operational capability of all four subsystems within a 20-m radius limited by detection sub-system, fulfilling the research objectives and establishing a foundation for future performance enhancements.

6. Future work

In the future, we will work on adding more drone RF data and including RF frequency range more than ISM band to increase prototype capacity to work with RC control drone (FPV drone) with realistic testing environment. We are going to test with multiple drone models, sizes and manufactures to verify the results then use the results to optimize and modify the system for better performance in the future requirements.

7. Acknowledgments

This research is part of the defense engineering and technology, Chulalongkorn university, Thailand. This research is funded by Ratchadapisek Somphot Fund for Center of Excellence in Artificial Intelligence, Machine Learning and Smart Grid Technology and funded by Defence Technology Institute.

References

[1] Bender and J. Staggs, "Leveling the Playing Field: Equipping Ukrainian Freedom Fighters with Low-Cost Drone Detection Capabilities," in 2023 15th International Conference on Cyber Conflict: Meeting Reality (CyCon), Tallinn, Estonia, 2023, pp. 287-312, doi: 10.23919/CyCon58705.2023.10181421.

[2] A. Kajander, "Russian Invasion of Ukraine 2022: Time to Reconsider Small Drones?," in 2023 15th International Conference on Cyber Conflict: Meeting Reality (CyCon), 30 May-2 June 2023 2023, pp. 313-327, doi: 10.23919/CyCon58705.2023.10181494.

[3] Kaniewski, "Hamas: Learning about drone warfare from the war in Ukraine," DW. [Online]. Available: https://www.dw.com/en/hamas- learning-about-drone-warfare-from-the-war-in-ukraine/a-67169578, Feb. 2024.

[4] S. Park, H. T. Kim, S. Lee, H. Joo, and H. Kim, "Survey on Anti-Drone Systems: Components, Designs, and Challenges," IEEE Access, vol. 9, pp. 42635-42659, 2021, doi: 10.1109/ACCESS.2021.3065926.

[5] S. Winkler, S. Zeadally, and K. Evans, "Privacy and Civilian Drone Use: The Need for Further Regulation," IEEE Security & Privacy, vol. 16, no. 5, pp. 72-80, 2018, doi: 10.1109/MSP.2018.3761721.

[6] S. Pisa et al., "Evaluating the radar cross section of the commercial IRIS drone for anti-drone passive radar source selection," in 2018 22nd International Microwave and Radar Conference (MIKON), 14-17 May 2018 2018, pp. 699-703, doi: 10.23919/MIKON.2018.8405330.

[7] Y. Mekdad et al., "Exploring Jamming and Hijacking Attacks for Micro Aerial Drones," ICC 2024 - IEEE International Conference on Communications, Denver, CO, USA, 2024, pp. 1939-1944, doi: 10.1109/ICC51166.2024.10623000.

[8] Long, Ningbo & Wang, Kaiwei & Cheng, Ruiqi & Yang, Kailun & Weijian, Hu & Bai, Jian. (2019). Assisting the visually impaired: Multitarget warning through millimeter wave radar and RGB-depth sensors. Journal of Electronic Imaging. 28. 1. 10.1117/1.JEI.28.1.013028.

[9] S. Deshmukh and K. J. Vinoy, "Design and Development of RADAR for detection of Drones and UAVs," in 2022 IEEE Microwaves, Antennas, and Propagation Conference (MAPCON), 12-16 Dec. 2022 2022, pp. 1714-1719, doi: 10.1109/MAPCON56011.2022.10047163.

[10] S. G. Gutierrez, et al, "Design of a low-cost continuous-wave Doppler RADAR operating at 2.4 GHz," in 2021 Argentine Conference on Electronics – CAE, pp. 19-24, 2021.

[11] D. Santos, P. Sebastião, and N. Souto, "Low-cost SDR based FMCW radar for UAV localization," in 2019 22nd International Symposium on Wireless Personal Multimedia Communications (WPMC), 24-27 Nov. 2019 2019, pp. 1-6, doi: 10.1109/WPMC48795.2019.9096117.

[12] Y. K. Kwag, I. S. Woo, H. Y. Kwak, and Y. H. Jung, "Multi-mode SDR radar platform for small air-vehicle Drone detection," in 2016

CIE International Conference on Radar (RADAR), 10-13 Oct. 2016 2016, pp. 1-4, doi: 10.1109/RADAR.2016.8059254.
[13] P. Janpangngern et al., "High-Resolution FMCW Radar for Small UAV Detection Using GNU Software-Defined Radio," IEEE Access, vol. 13, pp. 86396-86412, 2025, doi: 10.1109/ACCESS.2025.3570635.
[14] Garvanov, D. Kanev, M. Garvanova, and V. Ivanov, "Drone Detection Approach Based on Radio Frequency Detector," in 2023 International Conference Automatics and Informatics (ICAI), 5-7 Oct. 2023 2023, pp. 230-234, doi: 10.1109/ICAI58806.2023.10339072.
[15] K. Pärlin, T. Riihonen, G. Karm, and M. Turunen, "Jamming and Classification of Drones Using Full-Duplex Radios and Deep Learning," in 2020 IEEE 31st Annual International Symposium on Personal, Indoor and Mobile Radio Communications, 31 Aug.-3 Sept. 2020 2020, pp. 1-5, doi: 10.1109/PIMRC48278.2020.9217351.
[16] C. Xue, T. Li, Y. Li, Y. Ruan and R. Zhang, "Radio Frequency Identification for Drones Using Spectrogram and CNN," GLOBECOM 2022 - 2022 IEEE Global Communications Conference, Rio de Janeiro, Brazil, 2022, pp. 4564-4569, doi: 10.1109/GLOBECOM48099.2022. 10000823.
[17] D. I. Noh et al., "Signal Preprocessing Technique With Noise-Tolerant for RF-Based UAV Signal Classification," IEEE Access, vol. 10, pp. 134785-134798, 2022, doi: 10.1109/ACCESS.2022.3232036.
[18] T. Multerer et al., "Low-cost jamming system against small drones using a 3D MIMO radar based tracking," in 2017 European Radar Conference (EURAD), 11-13 Oct. 2017 2017, pp. 299-302, doi: 10.23919/EURAD.2017.8249206.
[19] J. Gordon, V. Kraj, J. H. Hwang and A. Raja, "A Security Assessment for Consumer WiFi Drones," 2019 IEEE International Conference on Industrial Internet (ICII), Orlando, FL, USA, 2019, pp. 1-5, doi: 10.1109/ICII.2019.00011.
[20] L. Chiper, A. Martian, D. I. Muscalu, C. Vladeanu, and I. Marghescu, "Aerial Drone Defense System based on Software Defined Radio Platforms," in 2022 14th International Conference on Communications (COMM), 16-18 June 2022 2022, pp. 1-4, doi: 10.1109/COMM54429.2022.9817314.
[21] R. Ferreira, J. Gaspar, P. Sebastião, and N. Souto, "A Software Defined Radio Based Anti-UAV Mobile System with Jamming and Spoofing Capabilities," Sensors, vol. 22, p. 1487, 02/15 2022, doi: 10.3390/s22041487.
[22] S. Deshmukh and V. Sharma, "An SDR-based anti-drone system with Detection, Tracking, Jamming, and Spoofing Capabilities," in 2022 IEEE Microwaves, Antennas, and Propagation Conference (MAPCON), 12-16 Dec. 2022, pp. 388-393, doi: 10.1109/MAPCON56011.2022. 10046968.
[23] R. Ferreira, J. Gaspar, P. Sebastião, and N. Souto, "A Software Defined Radio Based Anti-UAV Mobile System with Jamming and Spoofing Capabilities," Sensors, vol. 22, p. 1487, 02/15 2022, doi: 10.3390/s22041487.
[24] M. Ezuma, F. Erden, C. K. Anjinappa, O. Ozdemir, and I. Guvenc, ``Drone remote controller RF signal dataset," Tech. Rep., 2020, doi: 10.21227/ss99-8d56.
[25] B. W. Parkinson, P. Enge, P. Axelrad, and J. J. Spilker, Jr., Global Positioning System: Theory and Applications, vol. 2. Reston, VI, USA: Amer. Inst. Aeronaut. Astronaut., 1996.
[26] R. Poolsuwan, A. Boonyaprapasorn and P. Kaewplung, "SDR Based Anti-Drone System with 2.4GHz," 2025 27th International Conference on Advanced Communications Technology (ICACT), Pyeong Chang, Korea, Republic of, 2025, pp. 31-35, doi: 10.23919/ICACT63878.2025.10936779.
[27] S. Flandermeyer, R. Mattingly, and J. Metcalf, "gr-plasma: A New GNU Radio-based Tool for Software-defined Radar," Proceedings of the GNU Radio Conference, vol. 7, no. 1, 2022-09-25 2022. [Online]. Available: https://pubs.gnuradio.org/index.php/grcon/article/view/121.
[28] M. Mokhtari, J. Bajčetić, B. Sazdić-Jotić and B. Pavlović, "RF-based drone detection and classification system using convolutional neural network," 2021 29th Telecommunications Forum (TELFOR), Belgrade, Serbia, 2021, pp. 1-4, doi: 10.1109/TELFOR52709.2021.9653332.
[29] S. Basak, S. Pollin, and B. Scheers, "Drone Detection and Classification using Artificial Intelligence based RF Sensing," Detectie en classificatie van drones met behulp van kunstmatige intelligentie op basis van RF-detectie, 2023.

Raktawan Poolsuwan received B.S. degree in the electrical energy engineering, KMITL, Thailand in 2020 and currently pursuing an M.S. degree in defense engineering and technology with Chulalongkorn University, Thailand. His current research interest includes the design and application of RF integrated circuit, wireless communication, drone, and anti-drone technology.

ARSIT BOONYAPRAPASORN received the B.S. degree in mechanical engineering from the King Mongkut's University of Technology (KMUTT), Thailand, in 1998, and the M.S. degree in systems and control engineering and the Ph.D. degree in mechanical engineering from Case Western Reserve University, Cleveland, OH, USA, in 2003 and 2009, respectively. Since then, he has been a Lecturer with the Chulachomklao Royal Military Academy, Nakhon Nayok, Thailand. His research interests include nonlinear control and robotics, with a specific focus on nonlinear feedback control and its application in biological systems, lab-on-chips, and climbing robots

PASU KAEWPLUNG was born in Bangkok, Thailand, in December 1971. He received the B.S. and M.S. degrees in electrical engineering from Yokohama National University, Yokohama, Japan, in 1996 and 1998, respectively, and the Ph.D. degree in electrical engineering from Chulalongkorn University, in 2003. From April 1998 to March 2000, he has conducted research with the Research Center for Advanced Science and Technology (RCAST), The University of Tokyo, Japan. He is currently an Associate Professor with the Department of Electrical Engineering, Faculty of Engineering, Chulalongkorn University. His research activities have been devoted to optical access technology, optical fiber transmission systems, dispersion management, and the applications ofnonlinear optical effects.

Finite Precision Investigation of OFDM Implementation

Wannaree Wongtrairat[1], Padungphon Pupaboon[2*], Bussakorn Bunsri[2], and Kidsanapong Puntsri[2]

[1]Department of Electronics Engineering, Faculty of Engineering and Technology,
Rajamangala University of Technology Isan, Nakhon Ratchasima, Thailand, wannaree.wo@rmuti.ac.th
[2]Department of Electronics and Telecommunication Engineering, Faculty of Engineering,
Rajamangala University of Technology Isan Khonkhaen Campus, Khonkaen, Thailand,
padungphon.pu@rmuti.ac.th*, bussakorn.bu@rmuti.ac.th, kidsanapong.pu@rmuti.ac.th

Abstract

This paper focuses on the development of precision hardware for digital signal processing using fixed-point representation for the implementation of orthogonal frequency division multiplexing (OFDM). The primary emphasis is on the fast Fourier transform (FFT), which is essential for the transmitter, as it converts signals from the time domain to the frequency domain. Additionally, the paper discusses linear interpolation, a technique used to acquire the channel response for data recovery. Both FFT and linear interpolation demand strong computational resources from hardware, and they greatly influence the bit error rate (BER). The MATLAB numerical simulation results are employed, and it indicates that the optimal precision for the fixed-point representation is between 10 and 13 bits, which is a favorable balance between system performance, hardware complexity, and power consumption.

Keywords: OFDM, FPGA, Fast Fourier Transform, Linear Interpolation

1. Introduction

Orthogonal frequency division multiplexing (OFDM) has become a fundamental part of modern wireless communication systems because of its ability to minimize multipath fading and enhance bandwidth efficiency effectively. The fast Fourier transform (FFT) is the primary processing component in the OFDM receiver architecture and allows signal processing in the frequency domain. However, the accuracy of FFT-based transforms is susceptible to distortions caused by factors like time and frequency offsets, especially in environments with rapidly changing channels [1].

Channel estimation plays a pivotal role in ensuring reliable signal recovery in OFDM systems. Typically, linear interpolation methods are used to estimate the channel impulse response (CIR) through least squares (LS) or minimum mean square error (MMSE) techniques [2]. Nevertheless, these approaches often prove insufficient to capture the subtle temporal and spectral fluctuations intrinsic to dynamic wireless channels.

For hardware implementation, like a field programmable logic array (FPGA), a fixed-point number system is mainly used to represent the calculation and computation format. The question is what the optimum bit error rate (BER) performance is for both signal transformations via FFT and channel estimation in OFDM systems. This work aims to enhance and report the estimation accuracy and processing reliability under fast-fading and frequency-selective conditions for high speed communication systems. The study further explores the mathematical implications of fix-points and demonstrates their applicability through simulation results. Ultimately, this work seeks to contribute to the development of high-precision OFDM-based communication architectures, with potential applications in next-generation wireless systems that demand resilience and adaptability under complex propagation scenarios. Additionally, we also investigate the trade-off between energy consumption and system performance by varying the fractional bit allocation in an 18-bit fixed-point OFDM system. Through extensive simulations, we analyze the BER performance under different quadrature amplitude modulation (QAM) orders and in the presence of frequency selective fading channels. Our study aims to provide valuable insights into the design of energy-efficient OFDM systems that maintain acceptable levels of performance, particularly in the context of fixpoint arithmetic, where the impact of finite word length and fractional bit representation can be significant.

2. Overview of the OFDM system

2.1 Basic of OFDM system

The OFDM system consists of a transmitter and a receiver, as illustrated in Fig.1. The input bit stream is first mapped into symbols, where the QAM modulation method is generally used. Next, the symbols stream are converted from serial to parallel. Then, the pilot symbols are inserted to acquire the channel response. The frequency domain symbols are converted into a sequence of the time domain symbols by the inverse FFT (IFFT) process. The IFFT calculation is given by [3]

$$x(n)=\frac{1}{\sqrt{N}}\sum_{k=0}^{N-1}X(k)e^{\left(\frac{2j\pi kn}{N}\right)} \quad n=0,1,2\ldots N-1, \quad (1)$$

where $X(k)$ is QAM signal in frequency-domain signal, $x(n)$ is OFDM signal in time-domain signal. N is the total of subcarrier. To eliminate interference (ISI), a cyclic prefix (CP) is added to the front of each OFDM symbols, and then the symbols are converted from parallel to serial. At the receiver end, the signal is ultimately transmitted across CIR, denoted by $h(n)$, and the Additive White Gaussian Noise (AWGN), $z(n)$ is considered. The received signal calculation is obtained by

$$y(n)=x(n)*h(n)+z(n), \quad (2)$$

*Corresponding Author

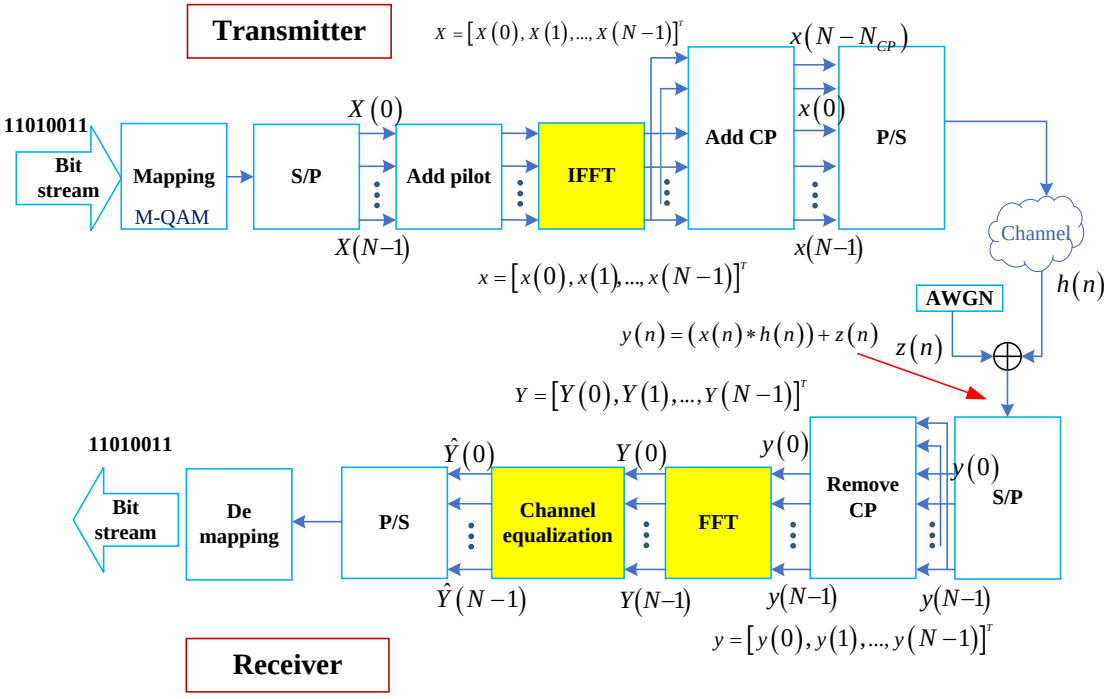

Fig. 1 Block diagram of considered OFDM system processing unit.

where * is convolution operation. The revived signal stream is converted from a serial to a parallel format, and the cyclic prefix (CP) is eliminated. Afterward, the signal is converted from time to frequency domain by the process FFT can be computed by,

$$X(k)=\frac{1}{\sqrt{N}}\sum_{n=0}^{N-1}x(n)e^{\left(\frac{-j2\pi kn}{N}\right)}\quad k=0,1,2\ldots,N-1. \quad (3)$$

Finally, the signal is converted from parallel to serial format and the bits are separated to return to the original bit signal.

2.2 Spilt Radix Calculation

The IFFT and FFT are the primary algorithms in the field of digital signal processing (DSP) for OFDM processing. IFFT/FFT is a fast calculation of discrete Fourier transform (DFT). DFT is difficult to compute in the real world. The IFFT/FFT algorithm reduce the complex multiplication, and, it can be easily implement in the real world. The calculation pair is express as [4],

$$x(n)=\frac{1}{N}\sum_{k=0}^{N-1}X(k)W_N^{-kn}, \quad (4)$$

and

$$X(k)=\sum_{k=0}^{N-1}x(n)W_N^{kn}. \quad (5)$$

Equation (4) is IFFT and (5) is FFT equation, respectively. W_N^{kn} is Twiddle factor.

IFFT/FFT algorithm is included of Radix-2, Radix-4, and Spilt Radix. Spilt Radix is used in this work because it has a small number of complex multiplications and fewer stages than Radix-2 and Radix-4.

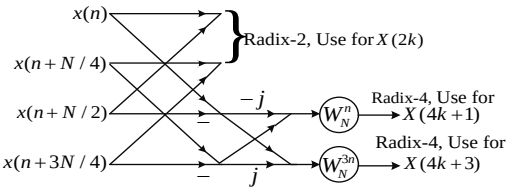

Fig 2. Split-Radix "L" shaped

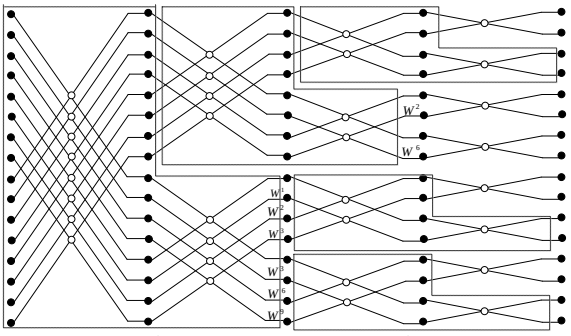

Fig 3. Butterfly diagram Split-Radix FFT for 16 points.

In Split-Radix, it split N into two part, which are $N/2$, and $N/4$. Split-Radix algorithm combines the simplicity of Radix-2 and Radix-4. Where Radix-2 is used for the even input index, output is $X(2k)$ as shown in (6), and Radix-4 is used for the two odd input index and output is $X(4k+1)$ and $X(4k+3)$ as shown in (7) and (8), As can be see, the butterfly is in "L"- shaped, as shown in Fig 2.

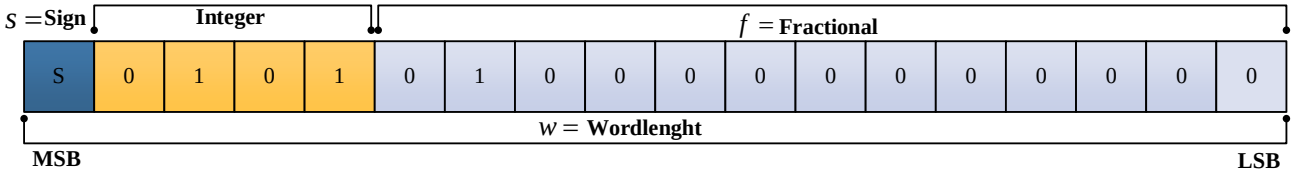

Fig. 4. Fixed-point number.

$$X(2k)=\sum_{n=0}^{N/2-1}\left[x(n)+x\left(n+\frac{N}{2}\right)\right]\cdot W_{N/2}^{nk}, \quad (6)$$

$$X(4k+1)=\sum_{n=0}^{N/4-1}\left\{\left[x(n)-x\left(n+\frac{N}{2}\right)\right]-j\left[x\left(n+\frac{N}{4}\right)-x\left(n+\frac{3N}{4}\right)\right]\right\}\cdot W_N^n W_{N/4}^{3k} \quad (7)$$

$$X(4k+3)=\sum_{n=0}^{N/4-1}\left\{\left[x(n)-x\left(n+\frac{N}{2}\right)\right]+j\left[x\left(n+\frac{N}{4}\right)+x\left(n+\frac{3N}{N}\right)\right]\right\}\cdot W_N^{3n} W_{N/4}^{kn} \quad (8)$$

From (6) – (8), we can extend to butterfly diagram Split-Radix FFT used for 16 points shown as in Fig 3. By (3), we get the received signal pair in frequency domain, denote by $Y\ \ k$ ..

2.3 Fixed-point Numbers

In this paper, Fixed-point numbers [5] is used. The fraction bits are investigated, which is considered in numerical simulation analysis. The fractional bits can be specified during the system design process. In FPGA, the maximum word length is 18 bits, which can be specified as shown in Fig 4. w is word length; and in this paper, 18 bits is used, s represents the format sign 1 bit, f is fractional 13 bits. In this case, integer can be computed by $w-(f-s)$ bits, in this paper integer of 4 bits is employed.

3. Interpolation in OFDM system

At receiver after FFT can be rewritten in the frequency domain as follows (9)

$$Y(k)=X(k)H(k)+Z(k), \quad (9)$$

where $Y(k)$ is OFDM signal within pilot signal, $X(k)$ is Data receiver signal, $H(k)$ is channel communication in received, and $Z(k)$ is noise signal (AWGN). Linear interpolation method employed, simple to implementation, can be seen in (10) [6].

$$\hat{H}_{Li}(k)=\hat{H}_{Li}(mL+l)=\left(\hat{H}_{LS}(m+1)-\hat{H}_{LS}(m)\right)\frac{l}{L}+\hat{H}_{LS}(m), \quad (10)$$

when $\hat{H}_{Li}(k)$ is the estimate of the channel between the linear intervals with subcarrier k, L is the length of the interval between the pilot signals $m=0,1,\ldots N_P-1$ and $l=0,1,\ldots L-1$.

The channel estimated by using LS can be seen in (11), which is calculated as,

$$\hat{H}_{LS}(k)=\frac{Y(k)}{X_P(k)}, \quad (11)$$

when $\hat{H}_{LS}(k)$ is an approximation using the LS method, $Y(k)$ is the received frequency signal, $X_P(k)$ is pilot signal, which is known by the receiver.

When received $\hat{H}_{LS}(k)$ from (11) is estimated, we can obtain estimated $\hat{Y}(k)$ signal after channel equalization as follows

$$\hat{Y}(k)=\frac{X(k)H(k)}{\hat{H}_{LS}(k)}+\frac{Z(k)}{\hat{H}_{LS}(k)}=X(k)+\frac{Z(k)}{\hat{H}_{LS}(k)}, \quad (12)$$

hence, $\hat{H}_{LS}(k)$ is channel estimate using LS, $\hat{Y}(k)$ is an approximation of the received signal after equalized, $X(k)$ is QAM symbols.

4. Simulation result

In this section, the description of the BER performance in OFDM processing using fixed-point calculation is proposed, where the simulated parameters are in Table 1.

Fig. 5 comparison of the performance of different QAM modulation formats for fractional bits, using the parameter values from Table 1. The fractional bit values considered are 10, 12, and 14 bits, with a SNR of 35 dB. The X-axis, labeled "Vary QAM" and annotated with numerical values (4, 64, 256, 1024), which likely represent different QAM orders. A precise definition of "Vary QAM" on the X-axis would help readers accurately understand how changes in QAM order affect BER performance for each fractional bit. Given the trends of the lines, the fractional bits 12 proves the lowest BER and the best fractional bits performance is between 10 and 12 bits, and specifying the range of QAM orders where 12 bits provide optimal performance would enhance the accuracy of the analysis.

TABLE I. Setting parameters on OFDM system

Parameter	Setting
Subcarrier	4096
Symbols	14
Modulation	4,16,64,256,1024-QAM
No. of CP	1024
SNR	0-40 dB
IFFT/FFT	4096

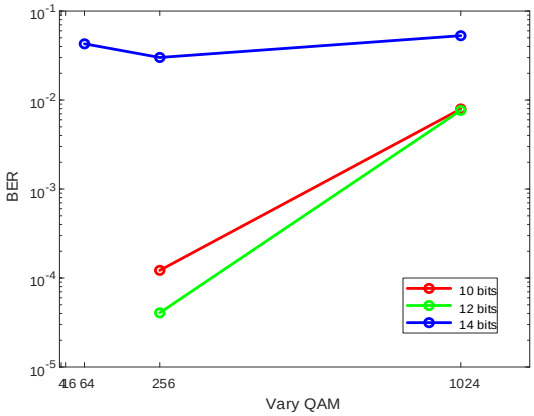

Fig. 5. The performance comparison of BER versus vary QAM by setting SNR 35 dB

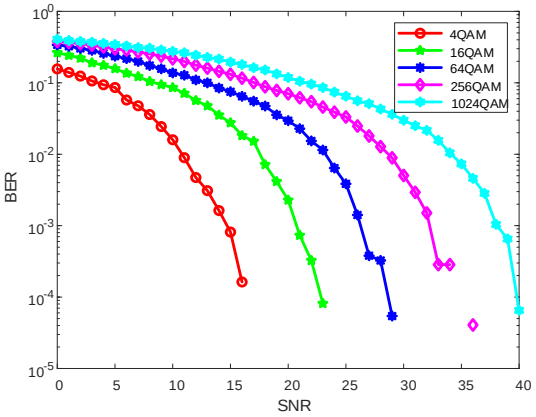

Fig. 6. The performance comparison of BER versus SNR by using fractional 13 bits

Fig. 6 illustrates the results of a MATLAB simulation. This simulation was designed to evaluate the performance of various QAM schemes specifically 4-QAM, 16-QAM, 64-QAM, 256-QAM, and 1024-QAM in terms of BER versus SNR. The simulation incorporated a 4096-point IFFT and FFT utilizing a Split-Radix algorithm with 13 fractional bits. The X-axis of the graph represents the SNR, while the Y-axis displays the corresponding BER.

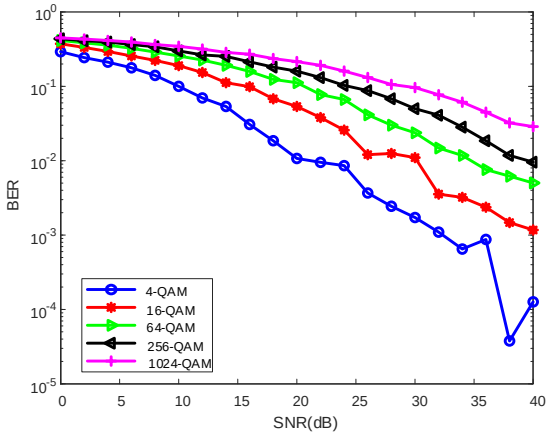

Fig.7 QAM-modulation scheme with channel estimation by linear interpolation with 10 OFDM symbols.

Fig. 7 illustrates the simulated performance of an OFDM system using the Linear Interpolation, specifically for various levels of QAM complexity ranging from 4-QAM to 1024-QAM. From the graph, it is evident that the results for BER versus SNR do not follow the expected linear relationship seen in an ideal channel. The primary reason for this non-linearity is that the OFDM signal is significantly affected by a multipath channel, and sensitivity to subcarriers and channel conditions. In this simulation, which uses 10 OFDM symbols, the results clearly show that as the modulation order increases (from 4-QAM to 1024-QAM), the BER curve degrades (higher BER for the same SNR). This is because higher-order modulation schemes are more sensitive to noise and channel effects, requiring a significantly higher SNR to achieve an acceptable BER.

5. Conclusion

This paper investigates the optimal number of bits for a fractional-bit OFDM system, employing a 4096-point FFT and IFFT. Through extensive MATLAB simulations, our findings reveal that a 13-bit precision is the most effective for processing, offering the best performance. We also observed that a range of 10 to 13 bits provides consistently good results.

Furthermore, this study underscores the critical role of accurate channel estimation and compensation. The simulation results demonstrate a significant rise in the BER when additional channels are introduced. Even after applying signal estimation and compensation techniques, the BER remains notably high, particularly when compared to the impact of adding more AWGN channels at the same SNR. This suggests that in this specific scenario, channel impairments have a more pronounced negative effect on system performance than AWGN.

A crucial next step would be to validate these results through experimental implementation, for instance, on a FPGA. We should investigate how different channel estimation techniques, such as pilot-based or decision-directed methods, perform when using fixed-point arithmetic. The current study suggests channel effects are a major limiting factor, so exploring new estimation and compensation algorithms is vital to improving system robustness. This finding is crucial for hardware implementation, as it directly impacts the complexity, power consumption, and cost of the OFDM receiver. Highlighting this practical contribution would add significant value to the paper.

References

[1] T. Tyagi, R. P. Giddings and J. M. Tang, "Real-Time Demonstration of Concurrent Upstream and Inter-ONU Communications in Hybrid OFDM DFMA PONs," in *IEEE Photonics Technology Letters*, vol. 35, no. 3, 1 Feb.1, 2023, pp. 148-151.

[2] A. Farzamnia, N. W. Hlaing, M. K. Haldar and J. Rahebi, "Channel estimation for sparse channel OFDM systems using least square and minimum mean square error techniques," *2017 International*

Conference on Engineering and Technology (ICET), Antalya, Turkey, 2017, pp. 1-5.

[3] J. Armstrong, "OFDM for Optical Communications," in *Journal of Lightwave Technology*, vol. 27, no. 3, pp. 189-204, Feb.1, 2009,

[4] B. Bunsri, K. Puntsri and A. Yindeemak, "FPGA Implementation of IFFT-2048 Points for High Speed Transmitter OFDM Communication Systems with 64-QAM Mapping," *2024 12th International Electrical Engineering Congress (iEECON)*, Pattaya, Thailand, 2024, pp. 1-4.

[5] J. Jankovic, M. Subotic and V. Marinkovic, "One solution of the accurate summation using fixed-point accumulator," *2015 23rd Telecommunications Forum Telfor (TELFOR)*, Belgrade, Serbia, 2015, pp. 508-511

[6] K. Puntsri and W. Partipralam, "System Performance Investigation of OFDM Channel Qualization for 5G using Least Squares with Various Interpolation Methods," *2023 20th International Conference on Electrical Engineering/Electronics, Computer, Telecommunications and Information Technology (ECTI-CON)*, Nakhon Phanom, Thailand, 2023, pp. 1-4.

สายอากาศพื้นผิวอภิวัสดุจัดเรียงกระแสเพื่อเก็บเกี่ยวพลังงานไร้สาย

Metasurface Rectenna for Wireless Energy Harvesting

คมกฤช บุญยิ่ง[1] และ ทศพล ทิพย์โพธิ์[2]

[1*]สาขาวิชาวิศวกรรมโทรคมนาคม คณะวิศวกรรมศาสตร์ มหาวิทยาลัยเทคโนโลยีราชมงคลรัตนโกสินทร์ komkris.boo@rmutr.ac.th*
[2]สาขาวิชาวิศวกรรมไฟฟ้า คณะวิศวกรรมศาสตร์ มหาวิทยาลัยเทคโนโลยีราชมงคลรัตนโกสินทร์ tossapol.tip@rmutr.ac.th

บทคัดย่อ

บทความนี้นำเสนอการออกแบบสายอากาศพื้นผิวอภิวัสดุจัดเรียงกระแสสำหรับการเก็บเกี่ยวพลังงานไร้สายจากสถานีฐานโทรศัพท์เคลื่อนที่ โดยสายอากาศที่พัฒนาขึ้นมีโครงสร้างแบบไมโครสตริปชนิดแขวนลอย พร้อมแผ่นแพร่กระจายคลื่นรูปวงกลมและรองรับโพลาไรซ์เชิงเส้นแบบคู่ ซึ่งช่วยเพิ่มประสิทธิภาพในการรับสัญญาณ โครงสร้างของชั้นวางซ้อนประกอบด้วยหน่วยเซลล์ในรูปแบบวงแหวนหกเหลี่ยมจำนวน 3×3 หน่วย ออกแบบมาเพื่อควบคุมทิศทางของการแพร่กระจายคลื่นได้อย่างมีประสิทธิภาพ ส่งผลให้อัตราขยายของสายอากาศสูงกว่า 9 dBi สำหรับทั้งสองโพลาไรซ์ที่ความถี่ 2.6 GHz ในส่วนของวงจรจัดเรียงกระแสเลือกใช้ไดโอดชอตต์กี้รุ่น SMS7630 สามารถสร้างแรงดันไฟฟ้ากระแสตรงได้สูงสุด 1.53 โวลต์ ที่ระดับกำลังงานขาเข้า 4 dBm โดยมีภาระโหลดเท่ากับ 3 kΩ จากการทดสอบสายอากาศภายใต้เงื่อนไขการโพลาไรซ์เชิงเส้นในแนวตั้งพบว่า ที่ระยะห่าง 0.5 เมตร และมีระดับกำลังงาน EIRP เท่ากับ 16.4 dBm สายอากาศที่ได้นำเสนอสามารถผลิตแรงดันไฟฟ้ากระแสตรงได้สูงสุด 0.289 โวลต์

คำสำคัญ: เก็บเกี่ยวพลังงานไร้สาย วงจรจัดเรียงกระแส และสายอากาศพื้นผิวอภิวัสดุ

Abstract

This paper presents the design of a metasurface rectenna for wireless energy harvesting from mobile base stations. The proposed antenna features a suspended microstrip structure integrated with a circular radiation patch and supports dual linear polarization to enhance signal reception efficiency. The superstrate configuration incorporates a 3×3 of hexagonal ring-shaped unit cells, which are engineered to achieve directional radiation control effectively. As a result, the antenna achieves a gain exceeding 9 dBi for both polarizations at the operating frequency of 2.6 GHz. The rectifying circuit employs the SMS7630 Schottky diode, which provides a maximum direct current (DC) output voltage of 1.53 V under an input power level of 4 dBm with a load resistance of 3 kΩ. Experimental evaluation under vertically polarized excitation, at a distance of 0.5 meters and an equivalent isotropically radiated power (EIRP) of 16.4 dBm, shows that the proposed antenna is capable of generating a peak DC voltage of 0.289 V.

Keywords: wireless energy harvesting, rectifying circuit and metasurface antenna

1. บทนำ

สายอากาศจัดเรียงกระแส (Rectifying Antenna: Rectenna) ถือเป็นองค์ประกอบสำคัญของระบบเก็บเกี่ยวพลังงานไร้สาย (Wireless Energy Harvesting: WEH) ซึ่งมีบทบาทหลักในการแปลงพลังงานจากคลื่นแม่เหล็กไฟฟ้าในย่านความถี่วิทยุ (Radio Frequency: RF) ให้เป็นแรงดันไฟฟ้ากระแสตรง (Direct Current: DC) ที่สามารถนำไปประยุกต์ใช้งานได้โดยตรง ทั้งในด้านการชาร์จแบตเตอรี่และการจ่ายพลังงานให้กับอุปกรณ์อิเล็กทรอนิกส์ขนาดเล็กหรือระบบเซนเซอร์ที่ใช้พลังงานต่ำอย่างมีประสิทธิภาพ ([1]–[3]) เทคโนโลยีการเก็บเกี่ยวพลังงานไร้สายมีพื้นฐานจากแนวคิดของการส่งผ่านกำลังงานแบบไร้สาย (Wireless Power Transfer: WPT) ซึ่งมีจุดเริ่มต้นจากการค้นพบการแพร่กระจายของคลื่นแม่เหล็กไฟฟ้าโดย ไฮน์ริช เฮิรตซ์ (Heinrich Hertz) เมื่อปี ค.ศ. 1888 และพัฒนาต่อยอดจนกระทั่ง นิโคลา เทสลา (Nikola Tesla) สามารถสาธิตการแปลงพลังงานจากคลื่นแม่เหล็กไฟฟ้าเป็นพลังงานไฟฟ้ากระแสตรงได้สำเร็จเป็นครั้งแรกของโลกในปี ค.ศ. 1891 ([4]–[5]) ในปัจจุบัน เทคโนโลยีการส่งผ่านพลังงานไร้สายได้มีความก้าวหน้าอย่างต่อเนื่องและถูกนำไปประยุกต์ใช้อย่างแพร่หลายในหลากหลายระบบ เช่น การส่งถ่ายพลังงานจากแหล่งพลังงานแสงอาทิตย์บนสถานีอวกาศมายังพื้นโลกผ่านคลื่นไมโครเวฟ ระบบชาร์จไฟแบบไร้สายสำหรับอุปกรณ์พกพา และระบบระบุตัวตนอัตโนมัติ (Radio Frequency Identification: RFID) ซึ่งต่างต้องอาศัยความสามารถของสายอากาศจัดเรียงกระแสในการแปลงคลื่นความถี่วิทยุให้กลายเป็นพลังงานไฟฟ้าที่พร้อมใช้งาน

โครงสร้างพื้นฐานของสายอากาศจัดเรียงกระแสสามารถแบ่งออกได้เป็นสององค์ประกอบหลัก ได้แก่ 1) สายอากาศ (Antenna) มีหน้าที่รับคลื่น RF จากแหล่งกำเนิดภายนอก และ 2) วงจรจัดเรียงกระแส (Rectifying Circuit) ทำหน้าที่แปลงสัญญาณคลื่นความถี่วิทยุที่รับได้ให้เป็นแรงดันไฟฟ้ากระแสตรง สำหรับวงจรจัดเรียงกระแส ประกอบด้วยส่วนประกอบสำคัญ ได้แก่ ตัวเก็บประจุเชื่อมต่อ (Coupling Capacitor) ที่ทำหน้าที่แยกสัญญาณ RF ออกจากไฟ DC, ไดโอดจัดเรียงกระแส (Rectifying Diode) ที่ทำหน้าที่แปลงสัญญาณ RF แบบสลับให้เป็นแรงดันแบบทางเดียว, วงจรกรองความถี่ต่ำ (Low-Pass Filter) ที่ทำหน้าที่กรองความถี่สูงออกจากสัญญาณที่แปลงแล้ว และตัวต้านทานโหลด (Load Resistor) สำหรับการเพิ่มประสิทธิภาพการแปลงกำลังงานสามารถทำได้หลากหลายเทคนิควิธี อาทิเช่น การออกแบบสายอากาศต่อลำดับแถว ([6 - 7]) การออกแบบวงจรจัดเรียงกระแสไฟฟ้าให้มีหลายวงจร หรือการเพิ่มกำลังงานความถี่วิทยุทางด้านขาเข้า ([8 - 9]) การแทรกวงจรตัดฮาโมนิคเข้าไปยังวงจรจัดเรียงกระแสไฟฟ้า [10] และการเลือกประเภทไดโอดเพื่อให้ได้ประสิทธิภาพและแรงดันไฟฟ้ากระแสตรงขาออกสูงสุด [11]

จากการศึกษาวรรณกรรมที่ผ่านมา พบว่ามีงานวิจัยจำนวนหนึ่งที่มุ่งเน้นการออกแบบสายอากาศร่วมกับวงจรจัดเรียงกระแสเพื่อเพิ่มประสิทธิภาพในการเก็บเกี่ยวกำลังงานจากคลื่นแม่เหล็กไฟฟ้า ตัวอย่างเช่น

*ผู้ประพันธ์บรรณกิจ

งานวิจัยใน [12] ได้นำเสนอการออกแบบสายอากาศแบบสองชั้น โดยชั้นบนสุดเป็นสายอากาศลักษณะสามแขนและชั้นล่างออกแบบเป็นร่องว่างรูปทรงดอกจิก ซึ่งช่วยส่งเสริมการรับคลื่นจากทิศทางต่างๆ ได้อย่างมีประสิทธิภาพ ในส่วนของวงจรจัดเรียงกระแส เลือกใช้ไดโอดชอตต์กี้รุ่น SMS7630 โดยผลการทดลองแสดงให้เห็นว่าสามารถแปลงกำลังงานได้อย่างมีประสิทธิภาพ โดยมีประสิทธิภาพการแปลงกำลังงาน สูงถึง 43% และสามารถนำแรงดันไฟฟ้ากระแสตรงที่ได้ไปใช้งานกับอุปกรณ์เซนเซอร์หรือหลอด LED ได้โดยตรง ในขณะเดียวกัน งานวิจัยใน [13] ได้พัฒนาโครงสร้างสายอากาศล็อกพีริโอดิกบนแผ่นวงจรพิมพ์ซึ่งสามารถรองรับการทำงานใน 4 ย่านความถี่ ได้แก่ FM (89 MHz), GSM900 (900 MHz), GSM1800 (1,800 MHz) และ WiFi (2,400 MHz) โดยใช้ไดโอดชอตต์กี้รุ่นเดียวกันคือ SMS7630 ผลการทดสอบแสดงค่าประสิทธิภาพการแปลงกำลังงานที่แตกต่างกันตามย่านความถี่ โดยมีค่าเท่ากับ 70.28%, 41.7%, 33.37% และ 27.69% ตามลำดับ และเมื่อทดสอบที่ระดับกำลังงาน -6 dBm พบว่าค่าประสิทธิภาพการแปลงอยู่ที่ 31.3%

สำหรับอภิวัสดุ (Metamaterials) เป็นวัสดุประดิษฐ์ที่ได้รับการออกแบบเชิงวิศวกรรมเพื่อสร้างคุณสมบัติทางกายภาพที่ไม่สามารถพบได้ตามธรรมชาติ คุณสมบัติเหล่านี้เกิดจากโครงสร้างจุลภาคที่ถูกจัดเรียงอย่างมีแบบแผน มากกว่าการพึ่งพาองค์ประกอบทางเคมีของวัสดุโดยตรง วัสดุย่อยที่นำมาประกอบมักมีขนาดเล็กกว่าความยาวคลื่นของคลื่นแม่เหล็กไฟฟ้า และสามารถมีคุณสมบัติแตกต่างกัน การรวมกันในลักษณะนี้นำไปสู่สมบัติประสิทธิผลใหม่ในระดับมหภาค ที่เปิดโอกาสต่อการพัฒนาอุปกรณ์ทางแม่เหล็กไฟฟ้าและการสื่อสารที่ก้าวล้ำ ในช่วงสองทศวรรษที่ผ่านมา อภิวัสดุได้รับการศึกษาอย่างกว้างขวางในหลายสาขา ไม่ว่าจะเป็นออปติก ฟิสิกส์ของของแข็ง วิทยาศาสตร์วัสดุ และนาโนเทคโนโลยี ตัวอย่างที่โดดเด่นได้แก่ เลนส์สมบูรณ์ (Perfect Lens) เสื้อคลุมล่องหน (Invisibility Cloak) และวัสดุสำหรับระบบยานยนต์อัตโนมัติ ล่าสุดงานวิจัยด้านการสื่อสารไร้สายได้หันมาให้ความสำคัญกับ การประยุกต์ใช้อภิวัสดุในสายอากาศ (Metamaterial Antennas) อาทิเช่น 1) การลดขนาดโครงสร้างสายอากาศ (Miniaturization) 2) การเพิ่มค่าอัตราขยายสายอากาศ (Gain Enhancement) หรือ พื้นผิวอภิวัสดุที่ได้นำเสนอในบทความวิจัยนี้ 3) การออกแบบอภิวัสดุเพื่อการทำแมตชิ่งอิมพีแดนซ์ และ 4) การสร้างสายอากาศที่รวมความสามารถ เช่น frequency selective surface (FSS), beam steering และการปรับ reconfigurable properties เพื่อรองรับการใช้งานที่หลากหลาย เป็นต้น สำหรับงานวิจัยนี้ได้ออกแบบสายอากาศพื้นผิวอภิวัสดุและวงจรจัดเรียงกระแสได้เลือกใช้ไดโอดชอตต์กี้รุ่น SMS7630 ผลการทดสอบสายอากาศที่ได้นำเสนอพบว่าที่ระยะห่าง 0.5 เมตร และมีระดับกำลังงาน EIRP เท่ากับ 16.4 dBm สายอากาศที่ได้นำเสนอสามารถผลิตแรงดันไฟฟ้ากระแสตรงได้สูงสุด 0.289 โวลต์

2. สายอากาศพื้นผิวอภิวัสดุจัดเรียงกระแส

สายอากาศที่นำเสนอในงานวิจัยนี้ได้รับการจำลองด้วยซอฟต์แวร์ CST studio suit [14] โดยโครงสร้างที่ออกแบบเป็นสายอากาศชนิดแขวนลอย (Suspended) [15] มีการเว้นช่องว่างอากาศ (Air gap: h_a) ระหว่าง แผ่นแพร่กระจายคลื่น (Radiating plate) และระนาบกราวด์ (Ground plane) โดยโครงสร้างชนิดนี้มีอัตราขยายสูงกว่าโครงสร้างสายอากาศไมโครสตริปพื้นฐาน สำหรับแผ่นแพร่กระจายคลื่นออกแบบให้มีรูปร่างเป็นวงกลมพร้อมกระตุ้นสัญญาณโคแอคเชียล แบบโพลาไรซ์เชิงเส้นคู่ คือ โพลาไรซ์เชิงเส้นแนวตั้งและแนวนอน (Vertical and horizontal polarizations) โดยมีระยะจุดศูนย์กลางแผ่นแพร่กระจายคลื่นถึงจุดกระตุ้นสัญญาณ (d_p) ดังรูปที่ 1 สำหรับวัสดุแผ่นวงจรพิมพ์ที่ใช้ในการออกแบบสายอากาศเป็นชนิดอีพ็อกซี่ (Epoxy) มีความสูงเป็น h_d มีความหนา (t_g) ของแผ่นทองแดงเท่ากับ 0.035 mm มีค่าไดอิเล็กตริกคงที่ (ε_r) เท่ากับ 3.2 และค่าการสูญเสียแทนเจนต์ เท่ากับ 0.003 ตามลำดับ

ตารางที่ 1 ขนาดและพารามิเตอร์ของสายอากาศพื้นผิวอภิวัสดุที่ได้นำเสนอ

พารามิเตอร์	ขนาด (มม.)	พารามิเตอร์	ขนาด (มม.)
W_g	80	R	28.62
h_d	1.6	r_1	1.26
h_a	6	r_2	1.96
d_p	18	r_3	11.24
S_a	100	S_{uc}	24.6

สำหรับชั้นวางซ้อน (Superstrate) ถูกวางเหนือสายอากาศชนิดแขวนลอยที่ได้กล่าวมาข้างต้น ประกอบด้วย หน่วยเซลล์ (Unit cell) มีขนาด 3x3 จำนวน 9 หน่วยเซลล์ แต่ละหน่วยเซลล์ออกแบบให้มีรูปร่างเป็นวงแหวนหกเหลี่ยม (Hexagonal annular ring-shaped) โดยมีรัศมีวงแหวนหกเหลี่ยมด้านใน (r_1) รัศมีร่องว่างวงแหวนหกเหลี่ยม (r_2) และรัศมีหกเหลี่ยมด้านนอก (r_3) นอกจากนี้ยังมีระยะห่างแต่ละหน่วยเซลล์คือ S_{uc} และมีระยะห่างระหว่างสายอากาศชนิดแขวนลอยกับชั้นวางซ้อนเป็น S_a แสดงขนาดต่างๆ ดังตารางที่ 1

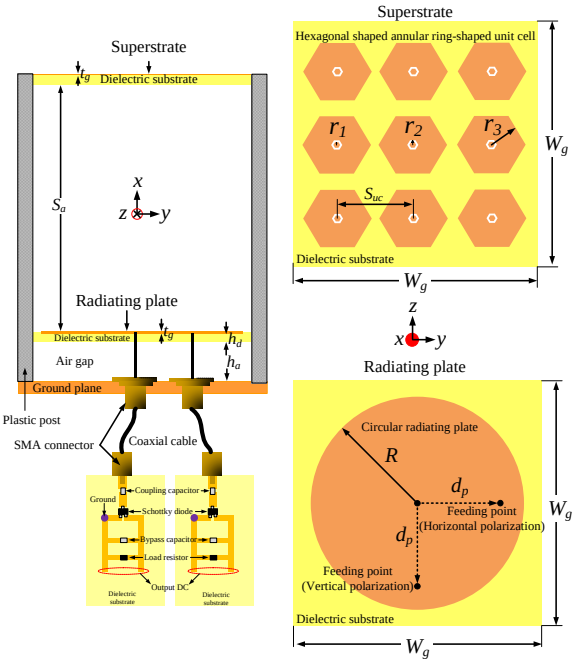

รูปที่ 1 โครงสร้างสายอากาศพื้นผิวอภิวัสดุจัดเรียงกระแสที่ได้นำเสนอ

3. การทดสอบสายอากาศพื้นผิวอภิวัสดุจัดเรียงกระแส

3.1 สายอากาศพื้นผิวอภิวัสดุ

รูปที่ 2 แสดงผลการวิเคราะห์ทั้งจากการจำลองและการทดสอบจริงของอัตราส่วนคลื่นนิ่ง (Voltage Standing Wave Ratio: VSWR) สำหรับ

สายอากาศที่ได้ออกแบบขึ้นมา จากผลการจำลองพอร์ตที่ 1 ซึ่งทำงานในโพลาไรซ์เชิงเส้นแนวตั้ง มีแถบความถี่ที่ตอบสนองค่ามากที่สุดระหว่าง 2.524–2.676 GHz ในขณะที่พอร์ตที่ 2 ซึ่งรองรับโพลาไรซ์เชิงเส้นแนวนอน สามารถทำงานได้ในช่วงความถี่ 2.518–2.686 GHz โดยทั้งสองพอร์ตมีค่าคลื่นนิ่งไม่เกิน 2 (VSWR ≤ 2)

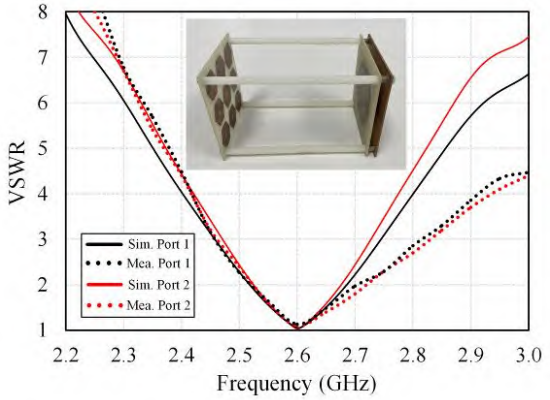

รูปที่ 2 ผลจำลองและผลทดสอบค่าอัตราส่วนคลื่นนิ่งของสายอากาศพื้นผิวอภิวัสดุที่ได้นำเสนอ

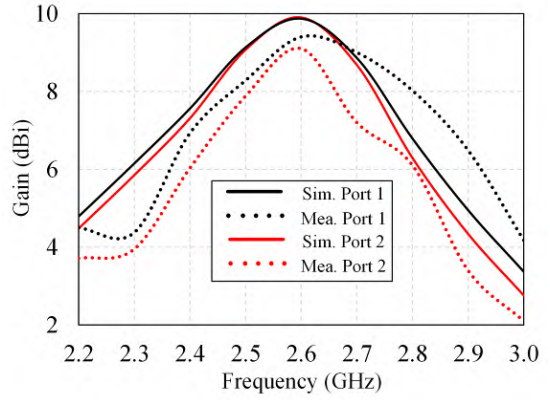

รูปที่ 3 ผลจำลองและผลทดสอบอัตราขยายของสายอากาศพื้นผิวอภิวัสดุที่ได้นำเสนอ

จากผลการทดสอบพบว่า พอร์ตที่ 1 สามารถรองรับย่านความถี่ได้ในช่วง 2.57–2.72 GHz ขณะที่พอร์ตที่ 2 รองรับช่วงความถี่ระหว่าง 2.56–2.71 GHz โดยทั้งสองพอร์ตแสดงค่าการแมตช์อิมพีแดนซ์ที่ดีที่ความถี่กลาง 2.6 GHz ซึ่งมีค่าอัตราส่วนคลื่นนิ่ง (VSWR) เท่ากับ 1.100 และ 1.135 ตามลำดับ รูปที่ 3 แสดงผลการวิเคราะห์อัตราขยาย (Gain) ของสายอากาศพื้นผิวอภิวัสดุที่นำเสนอ ทั้งในเชิงการจำลองและการทดสอบ โดยผลการจำลองพบว่า ค่าอัตราขยายเฉลี่ยในย่านความถี่ทำงานของพอร์ตที่ 1 และพอร์ตที่ 2 อยู่ที่ 9.29 และ 9.22 dBi ตามลำดับ ที่ความถี่กลาง 2.6 GHz สายอากาศมีค่าอัตราขยายสูงสุดเท่ากับ 9.90 dBi สำหรับพอร์ตที่ 1 และ 9.85 dBi สำหรับพอร์ตที่ 2 และรูปที่ 4 เป็นผลจำลองและผลการทดสอบแบบรูปการแพร่กระจายคลื่นสายอากาศที่ได้นำเสนอทั้งพอร์ตที่ 1 และพอร์ตที่ 2 บนระนาบ *xz* และ *xy* จากการวิเคราะห์พบว่า ทั้งผลจำลองและผลทดสอบสายอากาศที่ได้นำเสนอนี้มีแบบรูปการแพร่กระจายคลื่นชนิดเจาะจงทิศทาง (Uni-directional radiation) ทั้งสองระนาบและทั้งโพลาไรซ์เชิงเส้นแนวตั้งและแนวนอน

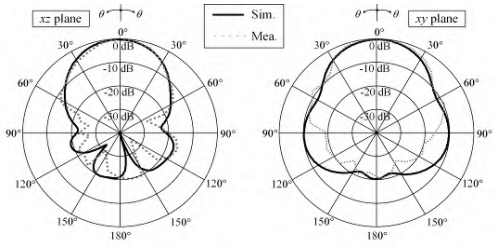

(ก) พอร์ตที่ 1 (โพลาไรซ์เชิงเส้นแนวตั้ง)

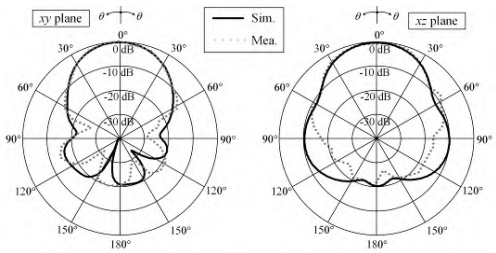

(ข) พอร์ตที่ 2 (โพลาไรซ์เชิงเส้นแนวนอน)

รูปที่ 4 ผลจำลองและผลทดสอบแบบรูปการแพร่กระจายคลื่นของสายอากาศที่ได้นำเสนอ

3.2 วงจรจัดเรียงกระแส

รูปที่ 5 แสดงโครงสร้างของวงจรจัดเรียงกระแสที่นำเสนอ ซึ่งประกอบด้วยองค์ประกอบหลัก 4 ส่วน โดยเริ่มจาก 1) ตัวเก็บประจุเชื่อมต่อ ที่ทำหน้าที่ป้องกันไม่ให้กระแสตรงไหลย้อนกลับไปยังพอร์ตขาเข้าหรือลามเข้าสู่ฝั่งความถี่วิทยุใช้ค่าเท่ากับ 100 pF ถัดมาเป็น 2) ตัวเก็บประจุบายพาส (Bypass Capacitor) หรือวงจรกรองความถี่ต่ำมีหน้าที่ลดสัญญาณรบกวนแรงดันไฟฟ้ากระแสตรง (Ripple) ทำให้แรงดันมีความเรียบมากยิ่งขึ้น อีกทั้งยังช่วยลดการเกิดฮาร์มอนิกระดับสูง โดยเลือกใช้ค่าเท่ากับ 100 pF เช่นเดียวกัน องค์ประกอบที่สำคัญอีกประการหนึ่งคือ 3) ไดโอดชอตต์กี้เบอร์ SMS7630 ซึ่งใช้ในลักษณะอนุกรมคู่ โดยติดตั้งอยู่ในแพคเกจแบบ SOT-23 มีคุณสมบัตินำไฟฟ้าได้รวดเร็วและมีแรงดันเริ่มนำต่ำ เหมาะสำหรับการแปลงคลื่นความถี่วิทยุให้เป็นแรงดันไฟฟ้ากระแสตรงอย่างมีประสิทธิภาพ และส่วนสุดท้ายคือ ตัวต้านทานโหลดของวงจรถูกกำหนดค่าความต้านทานไว้ที่ 3 กิโลโอห์ม

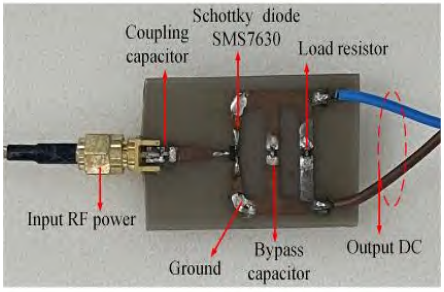

รูปที่ 5 โครงสร้างวงจรต้นแบบ

การทดสอบประสิทธิภาพของวงจรจัดเรียงกระแสต้นแบบดำเนินการโดยใช้เครื่องกำเนิดสัญญาณความถี่วิทยุยี่ห้อ Rohde & Schwarz รุ่น SMC100A ในการทดสอบกำหนดความถี่ที่ 2.6 GHz และปรับระดับกำลังงานขาเข้าในช่วงตั้งแต่ −30 dBm ถึง 20 dBm เพื่อประเมินการตอบสนองของวงจรภายใต้เงื่อนไขที่หลากหลาย สำหรับการวัดแรงดันไฟฟ้ากระแสตรงที่ขา

ออกของวงจร ได้ใช้มัลติมิเตอร์ยี่ห้อ Fluke รุ่น 115 เป็นเครื่องมือวัดดังรูปที่ 6 จากผลการทดสอบ พบว่า วงจรสามารถสร้างแรงดันไฟฟ้ากระแสตรงสูงสุดได้เท่ากับ 1.75 V เมื่อระดับกำลังงานขาเข้าเท่ากับ 15 dBm และให้แรงดันไฟฟ้ากระแสตรงต่ำสุด 0.01 V ที่ระดับกำลังขาเข้า −30 dBm สำหรับระดับกำลังงานขาเข้าที่ระดับกำลังงาน 0 dBm วงจรสามารถผลิตแรงดันไฟฟ้ากระแสตรงเท่ากับ 0.94 V ในการวิเคราะห์ประสิทธิภาพการแปลงกำลังงานพบว่า วงจรที่พัฒนาขึ้นมาสามารถให้ค่าประสิทธิภาพสูงสุดอยู่ที่ 26.7% ที่ระดับกำลังงาน 4 dBm และยังคงมีประสิทธิภาพอยู่ที่ 10% เมื่ออินพุตลดลงเหลือ −10 dBm

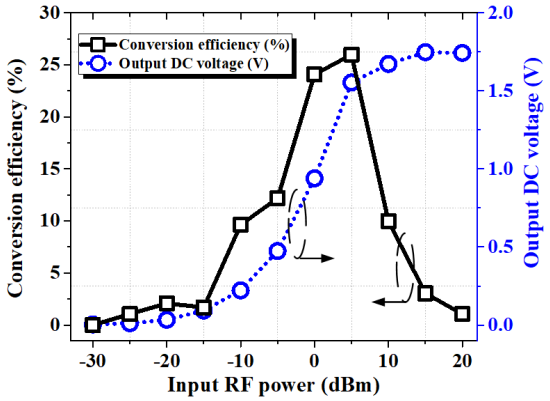

รูปที่ 6 วงจรจัดเรียงกระแสต้นแบบที่ได้นำเสนอ

3.3 สายอากาศอภิวัสดุวงจรจัดเรียงกระแสต้นแบบ

สายอากาศพื้นผิวอภิวัสดุได้ถูกเชื่อมต่อกับวงจรจัดเรียงกระแสตามที่แสดงในรูปที่ 1 และรูปที่ 7 สายนำสัญญาณได้เลือกใช้ชนิด RG316 มม. มีการสูญเสียต่ำ เหมาะกับความถี่สูง และมีอิมพีแดนซ์ 50 Ω โดยมีความยาวสายนำสัญญาณเท่ากับ 150 มม. สำหรับการติดตั้งระบบทดสอบแบ่งออกเป็น 2 ส่วนหลัก ประกอบด้วย 1) ภาคส่ง ประกอบด้วยสายอากาศมาตรฐานแบบล็อกพีริโอดิก (Log-Periodic Antenna) ยี่ห้อ AARONIA AG รุ่น HyperLOG 30250 เชื่อมต่อกับเครื่องกำเนิดสัญญาณความถี่วิทยุ Rohde & Schwarz รุ่น SMC100A เพื่อทำหน้าที่เป็นต้นกำเนิดสัญญาณความถี่วิทยุ และ 2) ภาครับ ใช้สายอากาศพื้นผิวอภิวัสดุที่ออกแบบขึ้นร่วมกับวงจรจัดเรียงกระแสต้นแบบ โดยวัดแรงดันไฟฟ้ากระแสตรงที่ขาออกของวงจรด้วย มัลติมิเตอร์ยี่ห้อ FLUKE รุ่น 115 การทดสอบดำเนินการที่ความถี่ 2.6 GHz โดยมีการปรับเปลี่ยนระยะห่างระหว่างสายอากาศส่งและสายอากาศรับในช่วง 0.5 ถึง 2.5 เมตร พร้อมทั้งควบคุมระดับกำลังงานไฟฟ้าที่แพร่กระจายออกมาจากสายอากาศที่เทียบกับสายอากาศไอโซโทรปิค (Effective Isotopically Radiated Power: EIRP) อยู่ในช่วง -18.6 dBm ถึง 16.4 dBm ดังรูปที่ 8 สำหรับรูปที่ 9 แสดงผลการทดสอบเชิงเปรียบเทียบระหว่างค่าความหนาแน่นของกำลังงาน (Power Density) กับแรงดันไฟฟ้ากระแสตรงที่ขาออกของสายอากาศพื้นผิวอภิวัสดุแบบจัดเรียงกระแสซึ่งได้พัฒนาขึ้น โดยใช้เครื่องวิเคราะห์คลื่นความถี่วิทยุ Anritsu รุ่น MS2090 แสดงผลลัพธ์หน่วยเป็นเปอร์เซ็นต์ การทดสอบดำเนินการภายใต้ความถี่ 2.6 GHz และมีระยะทางต่าง ๆ โดยที่ระยะ 0.5 เมตร เมื่อปรับระดับกำลังงาน EIRP ที่ 6.4, 11.4 และ 16.4 dBm พบว่าเครื่องวิเคราะห์ MS2090 สามารถตรวจวัดค่าความหนาแน่นของกำลังงานได้เท่ากับ 0.01%, 0.40% และ 0.36% ตามลำดับ ในขณะที่ระยะทาง 1.0 เมตร ภายใต้เงื่อนไข EIRP เดียวกัน พบว่า ที่ระดับ 6.4 และ 11.4 dBm เครื่องมือไม่สามารถตรวจจับค่าความหนาแน่นของกำลังงานได้ เนื่องจากระดับพลังงานต่ำกว่าขีดจำกัดของการวัด (อ่านค่าได้เท่ากับ 0.00%) ส่วนที่ระดับ 16.4 dBm ตรวจวัดได้ที่ 0.05%

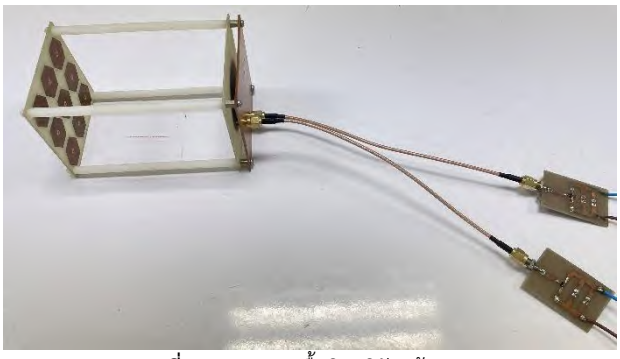

รูปที่ 7 สายอากาศพื้นผิวอภิวัสดุต้นแบบ

รูปที่ 8 การติดตั้งอุปกรณ์ต่างๆ ในการทดสอบ

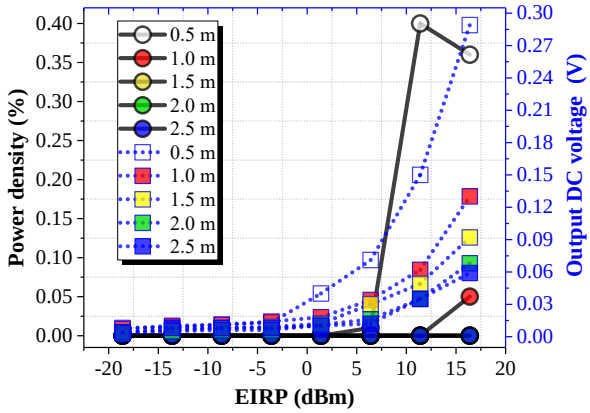

รูปที่ 9 ผลการทดสอบสายอากาศพื้นผิวอภิวัสดุจัดเรียงกระแสที่ความถี่ 2.6 GHz (โพลาไรซ์เชิงเส้นแนวตั้ง)

สำหรับการทดสอบแรงดันไฟฟ้ากระแสตรงที่ขาออกของสายอากาศพื้นผิวอภิวัสดุจัดเรียงกระแสที่ได้นำเสนออยู่ภายใต้การกระตุ้นด้วยสัญญาณโพลาไรซ์เชิงเส้นแนวตั้งที่ความถี่ 2.6 GHz โดยได้ทำการกำหนดระยะห่างระหว่างสายอากาศส่งและสายอากาศรับในช่วง 0.5, 1.0, 1.5, 2.0 และ 2.5 เมตร สำหรับประเมินผลกระทบของระยะทางต่อแรงดันที่ผลิตได้ โดยมีเงื่อนไขภายใต้ระดับกำลังงาน EIRP ที่แตกต่างกัน และเมื่อกำหนดระดับกำลังงาน EIRP เท่ากับ −18.6 dBm พบว่าแรงดันไฟฟ้ากระแสตรงที่ขาออกของวงจรมี

ค่าเท่ากับ 0.008, 0.007, 0.004, 0.003 และ 0.004 โวลต์ ตามลำดับ ซึ่งแสดงให้เห็นว่าการลดระดับกำลังงานและเพิ่มระยะทางส่งผลต่อประสิทธิภาพในการเก็บเกี่ยวพลังงานอย่างมีนัยสำคัญ ในกรณีที่ปรับระดับ EIRP เป็น –3.6 dBm วัดแรงดันที่ได้เท่ากับ 0.013, 0.014, 0.009, 0.006 และ 0.008 โวลต์ ตามลำดับ ซึ่งยังคงแสดงพฤติกรรมการลดลงของแรงดันตามระยะทาง ขณะที่เมื่อเพิ่มระดับกำลังงานเป็น 16.4 dBm ซึ่งเป็นค่าสูงสุดในการทดสอบ พบว่าแรงดันไฟฟ้ากระแสตรงที่ได้เท่ากับ 0.289, 0.130, 0.092, 0.068 และ 0.059 โวลต์ ตามระยะทางที่กำหนด

4. สรุป

งานวิจัยนี้ได้นำเสนอการออกแบบและพัฒนาสายอากาศพื้นผิวอภิวัสดุแบบจัดเรียงกระแส สำหรับการเก็บเกี่ยวพลังงานไร้สายจากสถานีฐานโทรศัพท์เคลื่อนที่ สายอากาศที่พัฒนาขึ้นมีลักษณะเป็นโครงสร้างไมโครสตริปชนิดแขวนลอย พร้อมแผ่นแพร่กระจายคลื่นรูปวงกลม และรองรับโพลาไรซ์เชิงเส้นแบบคู่ รวมทั้งเพิ่มชั้นวางซ้อนที่ประกอบด้วย หน่วยเซลล์อภิวัสดุในรูปแบบวงแหวนหกเหลี่ยมขนาด 3×3 หน่วยเซลล์ ซึ่งส่งผลให้สายอากาศมีอัตราขยายสูงกว่า 9 dBi สำหรับทั้งสองโพลาไรซ์ที่ความถี่ 2.6 GHz ในส่วนของวงจรจัดเรียงกระแส ได้เลือกใช้ไดโอดชอตต์กี้รุ่น SMS7630 ซึ่งมีคุณสมบัติเหมาะสมสำหรับการแปลงระดับกำลังงานต่ำ โดยสามารถผลิตแรงดันไฟฟ้ากระแสตรงได้สูงสุด 1.53 โวลต์ ภายใต้ระดับพลังงานขาเข้า 4 dBm ที่โหลดความต้านทาน 3 กิโลโอห์ม จากการทดสอบประสิทธิภาพการทำงานของสายอากาศที่ระยะห่าง 0.5 เมตร ภายใต้เงื่อนไขโพลาไรซ์เชิงเส้นแนวตั้ง และกำลังงาน EIRP เท่ากับ 16.4 dBm พบว่าสามารถผลิตแรงดันไฟฟ้ากระแสตรงได้สูงสุดที่ 0.289 โวลต์ แสดงให้เห็นถึงศักยภาพของสายอากาศและวงจรที่ออกแบบในการประยุกต์ใช้สำหรับระบบเก็บเกี่ยวพลังงานไร้สาย โดยเฉพาะในสภาพแวดล้อมที่ต้องการใช้งานอุปกรณ์อิเล็กทรอนิกส์พลังงานต่ำในเครือข่ายการสื่อสารไร้สายยุคใหม่

5. กิตติกรรมประกาศ

ผู้วิจัยขอขอบคุณคณะวิศวกรรมศาสตร์ มหาวิทยาลัยเทคโนโลยีราชมงคลรัตนโกสินทร์ในการสนับสนุนงบประมาณสำหรับการนำเสนอผลงานวิจัยในการประชุมวิชาการทางวิศวกรรมไฟฟ้าครั้งที่ 48

เอกสารอ้างอิง

[1] N. Shinohara, “Development of rectenna with wireless communication system,” *Proceedings of the 5th European Conference on Antennas and Propagation*, 2011, pp. 3970-3973.

[2] Z. Popvic, S. Korhummel, S. Dunbar, R. Scheeler, A. Dolgov, R, Zane, E. Falkenstein, and J. Hagerty, “Scalable RF energy harvesting,” *IEEE Transactions on Microwave Theory and Techniques*, 2014, pp. 1046-1056.

[3] S. Tsukamoto, N. Iizasa, K. Yoshitomi, R. Pokharel, K. Yoshida, R. Hattori, H. Kanaya, and D. Kanemoto, “Development of a rectenna for batteryless electronic paper”, *Proceedings of the IEEE Region 10 Conference*, 2013, pp. 1-4.

[4] A. S. Marincic, “Nikola tesla and the wireless transmission of energy”, *IEEE Transactions on Power Apparatus and Systems*, 1982, pp. 4064-4068.

[5] W. C. Brown, “The history of power transmission by radio wave”, *IEEE Transactions on Microwave Theory and Techniques*, 1984, pp. 1230-1242.

[6] N. Shinohara, and H. Matsumoto, “Experimental study of large rectenna array for microwave energy transmission”, *IEEE Transactions on Microwave Theory and Technique*, 1998, pp. 261-268.

[7] J. A. Hagerty, and Z. Popovic, “An experimental and theoretical characterization of broadband arbitrarily polarized rectenna array”, *IEEE International Microwave Symposium Digest*, 2001, pp. 1855-1858.

[8] Y. –H. Suh, and K. Chang, “A high-efficiency dual-frequency rectenna for 2.45 and 5.8-GHz wireless power transmission”, *IEEE Transactions on Microwave Theory and Techniques*, 2002, pp. 1784-1789.

[9] A. Slavova, and A. S. Omar, “Wideband rectenna for energy recycling”, *IEEE Antenna and Propagation Society International Symposium*, 2003, pp.954-957.

[10] J. -H. Chou, D. -B. Lin, K. -L. Weng, and H. -J. Li, “All polarization receiving rectenna with harmonic rejection property for wireless power transmission”, *IEEE Transactions on Antennas and Propagation*, 2014, pp. 5242-5249.

[11] Ch. Phongcharoenpanich, and K. Boonying, “A 2.4-GHz dual polarized suspended square plate rectenna with inserted annular rectangular ring slot”, *International Journal of RF and Microwave Computer-Aided Engineering*, 2015, pp. 164-173.

[12] D. H. Sadek, H. A. Shawkey, and Ab. A. Zekry, “Compact and high-efficiency rectenna for wireless power-harvesting applications”, *International Journal of Antennas and Propagation*, 2021, pp. 1-8.

[13] F. Khalid, W. Saeed, N. Shoaib, M. U. Khan, and H. M. Cheema, “Quad-band 3D rectenna array for ambient RF energy harvesting”, *International Journal of Antennas and Propagation*, 2020, pp. 1-23.

[14] CST® Microwave Studio, Research Base, 2020.

[15] K. Boonying, and Ch. Phongcharoenpanich, “Analysis and design of circularly polarized capacitively-fed planar suspended antenna for universal UHF RFID applications”, *Przeglad Elektrotechniczny*, 2020, pp. 100-107.

สายอากาศเครือข่ายไร้สายร่องว่างวงแหวนสี่เหลี่ยมด้วยไดเวอร์ซิตี้เชิงโพลาไรซ์และปรุงปรับค่าแยกโดดเดี่ยว

Annular Rectangular Ring Slot WLAN Antenna with Polarization Diversity and Improved Isolation

ยุกติทัศน์ ชวานนท์พิทักษ์[1]

[1]สาขาวิชาวิศวกรรมอิเล็กทรอนิกส์ คณะวิศวกรรมศาสตร์และเทคโนโลยี มหาวิทยาลัยเทคโนโลยีราชมงคลอีสานนครราชสีมา
yuktitath.ch@rmuti.ac.th*

บทคัดย่อ

บทความนี้ได้นำเสนอสายอากาศไดเวอร์ซิตี้เชิงโพลาไรซ์พร้อมด้วยการแพร่กระจายคลื่นแบบโพลาไรซ์เชิงเส้นคู่ สายอากาศที่ได้นำเสนอได้ถูกปรับปรุงค่าแยกโดดเดี่ยวด้วยร่องว่างวงแหวนสี่เหลี่ยมผืนผ้าถูกฝังบนแผ่นแพร่กระจายคลื่นรูปทรงสี่เหลี่ยมจัตุรัสสำหรับใช้กับระบบโครงข่ายไร้สาย (WLAN) ความถี่ 2.45 GHz ผลการทดสอบได้ค่าแยกโดดเดี่ยวมากกว่า 40 dB และมีอัตราขยายสูงสุดมากกว่า 8 dBi พร้อมด้วยการแพร่กระจายคลื่นชนิดเจาะจงทิศทาง ระดับกำลังงานการโพลาไรซ์แบบไขว้ของการแพร่กระจายคลื่นของสายอากาศมีระดับกำลังงานน้อยกว่า -20 dB ทั้งสองระนาบ

คำสำคัญ: สายอากาศไดเวอร์ซิตี้เชิงโพลาไรซ์ ค่าแยกโดดเดี่ยว ร่องว่างวงแหวนสี่เหลี่ยมผืนผ้า

Abstract

This paper presents the polarization diversity antenna with dual linear polarized radiations. The proposed antenna is improved its isolation with an annular rectangular ring slot embedded into the square radiating plate. The antenna is suitable for Wireless Local Area Network (WLAN) system at the frequency of 2.45 GHz. The measured results revealed an isolation of over 40 dB, a peak gain exceeding 8 dBi and highly directional wave propagation. The cross polarization levels of the radiation antenna are lower than -20 dB in for both planes.

Keywords: Polarization diversity antenna, Isolation, Annular rectangular ring slot

1. บทนำ

ระบบสื่อสารเครือข่ายไร้สาย (Wireless Communication System) ในปัจจุบันมักประสบปัญหาต่างๆ เกี่ยวกับปัญหาการจางหาย (Fading) ของสัญญาณซึ่งมีผลกระทบเนื่องจากปัญหาการลดทอนตามเส้นทางการเดินทางของคลื่น (Path Loss) เพราะสัญญาณเหล่านี้จะมีความสัมพันธ์ลดลงอย่างคงที่ตามระยะทางที่เปลี่ยนแปลงไป ส่วนปัญหาการลดทอนจากสิ่งกีดขวาง (Shadowing Fading) ที่เกิดขึ้นจากธรรมชาติและสิ่งที่มนุษย์ก่อสร้างขึ้น เช่น ต้นไม้ เม็ดฝน ฝุ่นละออง ผนังกำแพง ตึกอาคาร ฯลฯ เพราะวัสดุหรือโลหะจะมีผลกระทบต่อสัญญาณเหล่านี้และปัญหาที่เกิดจากการจางหายจากการเดินทางของคลื่นหลายวิถี (Multipath Fading) เป็นต้น ปัญหาต่างๆ ที่ได้กล่าวมานั้น มีเทคนิควิธีที่สามารถแก้ไขปัญหาอยู่หลายเทคนิควิธีด้วยกัน [1]-[2] อาทิเช่น เทคนิคไดเวอร์ซิตี้เชิงตำแหน่ง (Space Diversity Technique) สายอากาศถูกวางห่างกันหลายเท่าของความยาวคลื่นทำให้โครงสร้างสายอากาศมีขนาดใหญ่และสายอากาศมีโพลาไรซ์เชิงเส้นเดียวกัน สำหรับเทคนิคไดเวอร์ซิตี้เชิงมุม (Angle Diversity Technique) จะช่วยแก้ปัญหาสัญญาณที่มีเส้นทางเดินและทิศทางแตกต่างกัน เทคนิคไดเวอร์ซิตี้เชิงโพลาไรซ์ที่ได้นำเสนอในบทความนี้จะมีโครงสร้างสายอากาศขนาดที่เล็กกว่าเทคนิคไดเวอร์ซิตี้เชิงตำแหน่ง สายอากาศไดเวอร์ซิตี้เชิงโพลาไรซ์ ประกอบด้วยสายอากาศโพลาไรซ์เชิงเส้นแนวตั้งและแนวนอนที่ถูกวางในลักษณะรูปกากบาท (Orthogonal Polarization) โดยมีระยะห่างของสายอากาศทั้งสองแต่เมื่อสายอากาศโพลาไรซ์ทั้งสองถูกวางใกล้กันจะทำให้เกิดการเชื่อมต่อร่วม (Coupling) ระหว่างโพลาไรซ์กัน และส่งผลทำให้ลดประสิทธิภาพการรับสัญญาณหรือไม่สามารถแยกแยะการโพลาไรซ์ที่ส่งมายังสายอากาศรับได้ จากปัญหาดังกล่าวบทความนี้ได้ทำการปรับปรุงค่าแยกโดดเดี่ยวให้กับสายอากาศไดเวอร์ซิตี้โพลาไรซ์เซชั่นด้วยการแทรกร่องว่างวงแหวนสี่เหลี่ยมผืนผ้าระหว่างโพลาไรซ์เชิงเส้นทั้งคู่นี้ สำหรับการใช้งานความหลากหลายของโพลาไรเซชันเพิ่มเติมจำเป็นต้องมีข้อกำหนดอื่นๆ เช่น แบนด์วิดท์กว้าง การแยกพอร์ตสูง และรูปแบบการแพร่กระจายคลื่นดังนั้น [3] จึงได้เสนอสายอากาศแบบแพทช์ที่มีฟีดไฮบริด ซึ่งมีแบนด์วิดท์กว้างและการแยกพอร์ตสูง เมื่อเทียบกับสายอากาศแบบโพลาไรเซชันคู่แบบอื่นๆ ใน [4]

สำหรับบทความวิจัยนี้ได้นำเสนอสายอากาศไดเวอร์ซิตี้เชิงโพลาไรซ์โดยใช้สายอากาศไมโครสตริปรูปทรงสี่เหลี่ยมจัตุรัสและมีการกระตุ้นสัญญาณด้วยโพรบไฟฟ้าคู่ โดยโพรบไฟฟ้าที่ถูกกระตุ้นตามแนวแกนตั้งของสายอากาศทำให้เกิดโพลาไรซ์เชิงเส้นแกนตั้งและโพรบไฟฟ้าที่ถูกกระตุ้นสัญญาณตามแนวแกนนอนของสายอากาศทำให้เกิดโพลาไรซ์เชิงเส้นแกนนอน ร่องว่างวงแหวนสี่เหลี่ยมผืนผ้าถูกฝังบนแผ่นแพร่กระจายคลื่นเพื่อเพิ่มค่าแยกโดดเดี่ยวให้สูงขึ้น ผลจำลองและผลการทดสอบสายอากาศตัว

*ผู้ประพันธ์บรรณกิจ

ต้นแบบ พบว่าค่าแยกโดดเดี่ยวมากกว่า 40 dB และมีอัตราขยายสูงสุดมากกว่า 8 dBi พร้อมด้วยการแพร่กระจายคลื่นชนิดเจาะจงทิศทาง ระดับกำลังงานการโพลาไรซ์แบบไขว้ของการแพร่กระจายคลื่นของสายอากาศมีระดับกำลังงานน้อยกว่า -20 dB ทั้งสองระนาบ

2. โครงสร้างสายอากาศตัวต้นแบบ

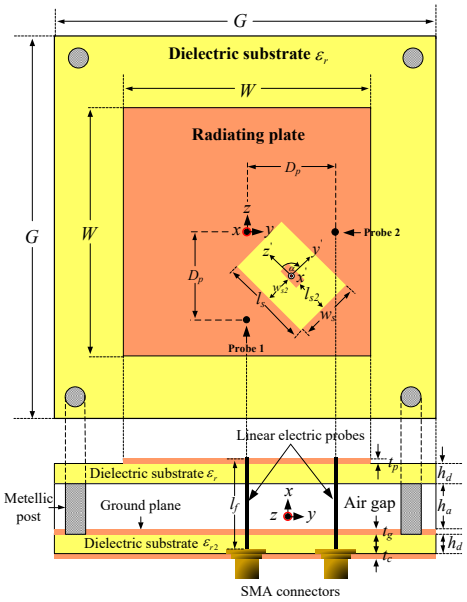

รูปที่ 1 โครงสร้างของสายอากาศต้นแบบ

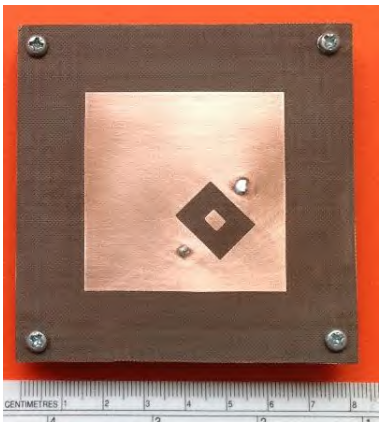

รูปที่ 2 รูปถ่ายโครงสร้างสายอากาศสายอากาศต้นแบบ

โครงสร้างสายอากาศต้นแบบแสดงดังรูปที่ 1 ประกอบด้วยแผ่นแพร่กระจายคลื่นออกแบบให้มีรูปทรงสี่เหลี่ยมจัตุรัสมีขนาดความกว้าง (W) เท่ากับ 47.20×47.20 mm และมีความหนาแผ่นทองแดง (t_p) ของแผ่นแพร่กระจายคลื่นเท่ากับ 35 μm สำหรับสายอากาศตัวต้นแบบนี้ได้ใช้แผ่นวงจรพิมพ์ยี่ห้อ Taconic-RF45 มีค่าไดอิเล็กตริก (ε_r) การสูญเสียจากแผ่นวงจรพิมพ์ (Tanδ) และความสูงของแผ่นวงจรพิมพ์ (h_d) เท่ากับ 4.50 0.0037 และ 0.51 mm ตามลำดับ

สายอากาศที่ได้นำเสนอนี้ได้ทำการกระตุ้นสัญญาณจำนวน 2 โพรบไฟฟ้าซึ่งตั้งฉากต่อกัน และแต่ละโพรบไฟฟ้าจะมีความยาว (l_f) เท่ากับ 7.32 mm สำหรับโพรบไฟฟ้าที่ 1 (Probe 1) ถูกกระตุ้นสัญญาณด้วยโหมด TM_{100} และโพรบไฟฟ้าที่ 2 (Probe 2) ถูกกระตุ้นสัญญาณด้วยโหมด TM_{010} โดยกำหนดให้โพรบไฟฟ้าที่ 1 เป็นโพลาไรซ์เชิงเส้นแนวตั้ง (Vertical polarization: VP) และโพรบไฟฟ้าที่ 2 เป็นโพลาไรซ์เชิงเส้นแนวนอน (Horizontal polarization: HP) นอกจากนี้แต่ละโพรบไฟฟ้ามีระยะทาง (d_p) จากจุดศูนย์กลางของแผ่นแพร่กระจายคลื่นไปยังตำแหน่งกระตุ้นสัญญาณเท่ากับ 14.00 mm ส่วนรูปที่ 2 แสดงรูปถ่ายโครงสร้างสายอากาศต้นแบบที่ได้จัดสร้างขึ้น

3. การศึกษาและการออกแบบสายอากาศไดเวอร์ซิตี้ตัวต้นแบบ

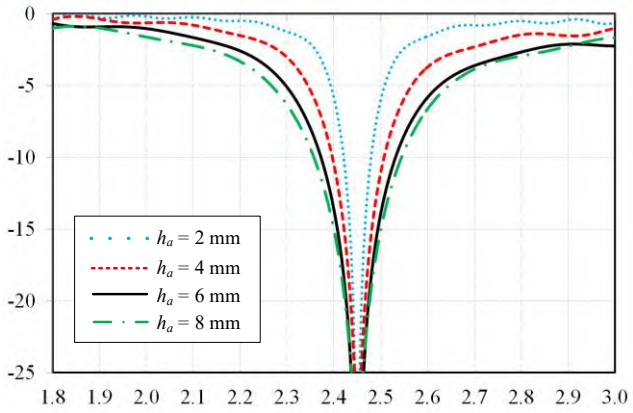

รูปที่ 3 ผลจำลองความสูงของช่องว่างอากาศ โดยปรับเปลี่ยน h_a ตั้งแต่ 2 mm ถึง 8 mm

รูปที่ 3 แสดงผลการจำลองความสูง h_a สำหรับช่องว่างอากาศ (Air gap) อยู่ตำแหน่งกึ่งกลางระหว่างแผ่นแพร่กระจายคลื่นและระนาบกราวนด์ โดยอาศัยฐานรองโลหะรูปทรงกระบอกเพื่อเสริมความแข็งแรงให้กับโครงสร้างสายอากาศที่ได้นำเสนอ และมีความสูง (h_a) ของช่องว่างอากาศเท่ากับ 6 mm นอกจากนี้ได้ทำการจำลองผล $|S_{11}|$ โดยทำการปรับเปลี่ยนความสูงของช่องว่างอากาศ (h_a) ตั้งแต่ 2 ถึง 8 mm จากผลการจำลองพบว่า ความสูงของช่องว่างอากาศมีผลทำให้สายอากาศมีแถบความกว้าง (Bandwidth) $|S_{11}|$ เพิ่มขึ้น โดยช่องว่างอากาศเท่ากับ 2 mm และ 8 mm จะมีแถบความกว้าง $|S_{11}|$ เท่ากับ 2.45% (2.42-2.48 GHz) และ 7.34% (2.36-2.54 GHz) และที่ความสูงของช่องว่างอากาศเท่ากับ 6 mm ซึ่งเป็นความสูงที่ได้นำเสนอในบทความฉบับนี้มีแถบความกว้าง $|S_{11}|$ เท่ากับ 6.53% (2.37-2.53 GHz) ซึ่งคลอบคลุมแถบความกว้าง $|S_{11}|$ ในระบบ WLAN (2.40-2.50 GHz) และได้อัตราขยายสูงสุดมากกว่า 8 dBi

จากที่ได้กล่าวมาในบทนำโดยทั่วไปสายอากาศหลายๆ ตัวหรือสายอากาศไดเวอร์ซิตี้เชิงโพลาไรซ์เมื่อถูกนำมาจัดวางใกล้กันจะส่งผลต่อการเชื่อมต่อร่วมกันทางคลื่นความถี่วิทยุ (Radio wave: RF) อิมพีแดนซ์ (Impedance) ของสายอากาศ และมีผลต่อการแพร่กระจายคลื่น (Radiation patterns) ของสายอากาศเช่นเดียวกัน จากรูปที่ 4 (ก) เมื่อทำการจำลองผลและกระตุ้นสัญญาณโพรบไฟฟ้าที่ 1 และต่อโหลด 50Ω ไว้ที่

โพรบไฟฟ้าที่ 2 พบว่ามีกระแสไฟฟ้าบางส่วนและมีขนาดโดยประมาณเท่ากับ 4.5-5.0 A/m ไหลเข้าไปยังโพรบไฟฟ้าที่ 2 ซึ่งแสดงถึงการเชื่อมต่อร่วมระหว่างโพรบไฟฟ้าที่ 1 และโพรบไฟฟ้าที่ 2

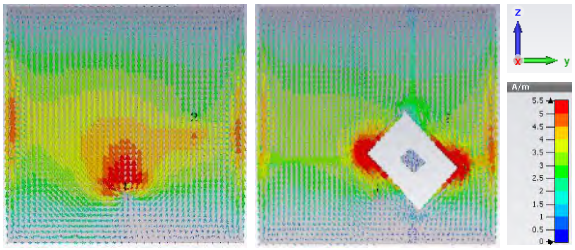

(ก) (ข)

รูปที่ 4 ผลจำลองกระแสไฟฟ้าที่ไหลบนแผ่นแพร่กระจายคลื่น
(ก) กรณีไม่มีร่องว่างวงแหวนสี่เหลี่ยมผืนผ้า
(ข) กรณีใช้ร่องว่างวงแหวนสี่เหลี่ยมผืนผ้า

ซึ่งจากปัญหานี้บทความนี้จึงได้นำเสนอเทคนิคการปรับปรุงค่าแยกโดดเดี่ยวให้สูงขึ้นเพื่อลดปัญหาการเชื่อมต่อร่วมได้โดยนำร่องว่างวงแหวนสี่เหลี่ยมจัตุรัสเข้าไปฝังลงไปบนแผ่นแพร่กระจายคลื่น โดยร่องว่างดังกล่าวจะถูกฝังไว้บนตำแหน่งจุดกึ่งกลางของโพรบไฟฟ้าทั้งสอง และร่องว่างที่ได้นำเสนอนี้จะถูกวางบนเส้นแนวทแยงของแผ่นแพร่กระจายคลื่นแสดงดังรูปที่ 1 และทำการกระตุ้นสัญญาณโพรบไฟฟ้าที่ 1 และต่อโหลด 50Ω ไว้ที่โพรบไฟฟ้าที่ 2 จากผลการจำลองพบว่า ร่องว่างวงแหวนสี่เหลี่ยมผืนผ้าที่ได้นำเสนอ สามารถป้องกันกระแสไฟฟ้าไหลเข้าไปยังโพรบไฟฟ้าที่ 2 ได้หรือกระแสไฟฟ้าไม่สามารถไหลเข้าหาระหว่างพอร์ตกันได้ ส่งผลทำให้สัญญาณความถี่วิทยุไม่สามารถเชื่อมต่อระหว่างพอร์ตกันได้ดังรูปที่ 4 (ข)

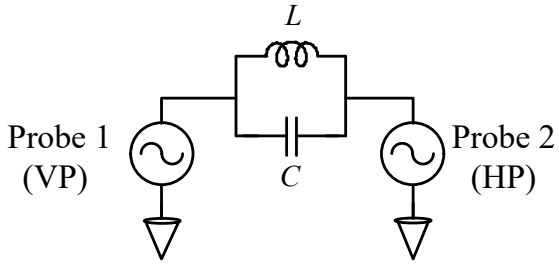

รูปที่ 5 วงจรสมมูลของร่องว่างวงแหวนสี่เหลี่ยมผืนผ้าที่ได้นำเสนอ

ร่องว่างที่ได้นำเสนอนี้เปรียบเสมือนวงจรกรองผ่านความถี่แบบช่องบากขนานกัน (Parallel band stop filter) ประกอบด้วยค่าเหนี่ยวนำขนานกับค่าเก็บประจุและอนุกรมกับแหล่งจ่าย ดังรูปที่ 5 ร่องสี่เหลี่ยมผืนผ้ามีค่าอิมพีแดนซ์สูง ดังนั้นกระแสที่ไหลบนตัวแผ่นแพร่กระจายคลื่นจึงไม่สามารถไหลผ่านไปได้ แต่ในทางกลับกันความถี่อื่นที่มีค่าอิมพีแดนซ์ต่ำจะสามารถผ่านเข้ามาได้

สำหรับร่องว่างวงแหวนสี่เหลี่ยมผืนผ้าที่ได้นำเสนอถูกฝังตัวบนเส้นแนวทแยงกับแผ่นแพร่กระจายคลื่นด้วยมุม (α) เท่ากับ 315 องศา โดยกำหนดให้ภายในของร่องว่างที่ได้นำเสนอมีขนาดความกว้าง (w_{s2}) และความยาว (l_{s2}) เท่ากับ 3.00 mm และ 4.00 mm ตามลำดับ และได้ทำการปรับเปลี่ยนพารามิเตอร์ภายนอกของร่องว่างที่ คือความกว้าง (w_s) และความยาว (l_s) โดยความกว้าง (w_s) ปรับความกว้างตั้งแต่ 3.00 mm ถึง 17.00 mm และความยาว (l_s) ปรับความยาวตั้งแต่ 12 mm ถึง 16.00 mm แสดงดังรูปที่ 6 โดยความยาวของร่องว่างวงแหวนสี่เหลี่ยมผืนผ้า (l_s) มีความยาวประมาณความยาวคลื่นส่วนสี่ ($\lambda/4$) เปิดปลายสายส่งผลทำเกิดอิมพีแดนซ์สูง ณ ความถี่ที่ออกแบบ กระแสที่ไหลบนแผ่นแพร่กระจายคลื่นจะถูกป้องกันการเชื่อมต่อมระหว่างโพรบไฟฟ้าดังแสดงรูปที่ 4 (ข)

4. ผลจำลองและผลทดสอบของสายอากาศไดเวอร์ซิตี้ตัวต้นแบบ

ผลจำลองและผลทดสอบสายอากาศไดเวอร์ซิตี้ตัวต้นแบบที่ความถี่กลาง 2.45 GHz ผลการทดสอบพบว่า ค่า $|S_{11}|$ ของโพรบไฟฟ้าที่ 1 และค่า $|S_{22}|$ ของโพรบไฟฟ้าที่ 2 เท่ากับ -27.80 dB และ -25.70 dB ตามลำดับ สำหรับผลการทดลองค่าแยกโดดเดี่ยว ($|S_{21}|$) เท่ากับ 48.25 dB และค่าการสะท้อนกลับ ($|S_{11}|$ และ$|S_{22}|$) ครอบคลุมย่านความถี่ WLAN ตามที่ต้องการดังรูปที่ 6

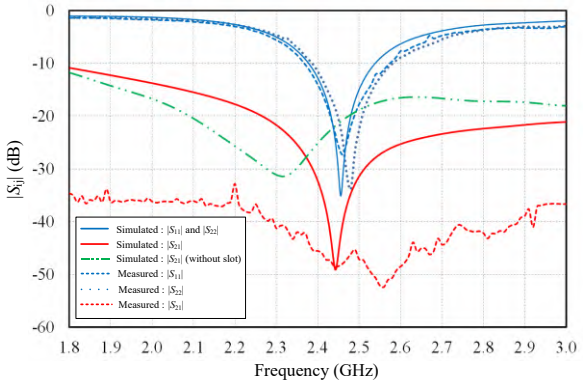

รูปที่ 6 ผลจำลองและผลการทดสอบ $|S_{ij}|$ ของสายอากาศที่ได้นำเสนอ

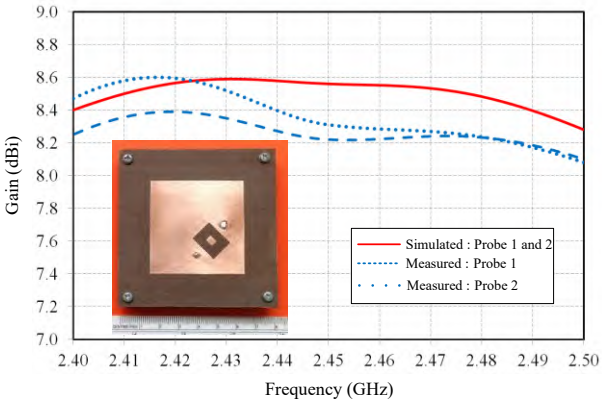

รูปที่ 7 ผลจำลองและผลทดสอบอัตราขยายสายอากาศที่ได้นำเสนอ

จากรูปที่ 7 ผลจำลองและผลทดสอบอัตราขยายสายอากาศที่ได้นำเสนอผลการทดสอบอัตราขยายสายอากาศที่ความถี่ 2.45 GHz ที่โพรบไฟฟ้า 1 และ 2 มีอัตราขยาย 8.22 dBi และ 8.31 dBi ตามลำดับในส่วนอัตราขยายสายอากาศเฉลี่ยมากกว่า 8.00 dBi (2.40-2.50 GHz)

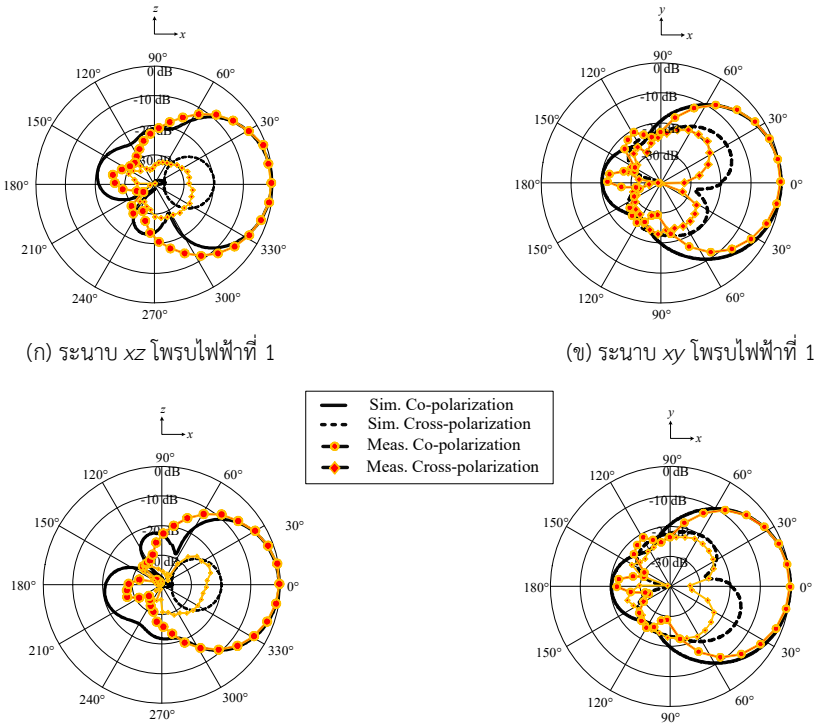

(ก) ระนาบ *xz* โพรบไฟฟ้าที่ 1 (ข) ระนาบ *xy* โพรบไฟฟ้าที่ 1

(ค) ระนาบ *xz* โพรบไฟฟ้าที่ 2 (ง) ระนาบ *xy* โพรบไฟฟ้าที่ 2

รูปที่ 8 ผลจำลองและผลทดสอบแบบรูปการแพร่กระจายคลื่นของสายอากาศที่ได้นำเสนอ

รูปที่ 8 แสดงผลจำลองและผลทดสอบแบบรูปการแพร่กระจายคลื่นของสายอากาศต้นแบบที่ได้นำเสนอ ผลการทดสอบรูปที่ 8 (ก) และ (ข) พบว่ามีความกว้างครึ่งหนึ่งของกำลังงานคลื่น (Half power beamwidth : HPBW) เท่ากับ 64 องศาและ 72 องศา และผลทดสอบระดับกำลังงานโพลาไรซ์ไขว้ (Cross polarization level: XPL) พบว่ามีระดับกำลังงาน -28.6 dB และ -40 dB และในรูปที่ 8 (ค) และ (ง) ผลการทดสอบพบว่ามีความกว้างครึ่งหนึ่งของกำลังงานคลื่น เท่ากับ 62.4 องศาและ 73.10 องศา ในส่วนผลทดสอบระดับกำลังงานโพลาไรซ์ไขว้เท่ากับ -25.2 dB และ-33.6 dB

5. สรุป

สายอากาศไดเวอร์ซิตี้เชิงโพลาไรซ์ที่ได้นำเสนอนี้มีค่าแยกโดดเดี่ยวมากกว่า 40 dB และมีอัตราขยายสูงสุดมากกว่า 8 dBi พร้อมด้วยการแพร่กระจายคลื่นชนิดเจาะจงทิศทาง ระดับกำลังงานการโพลาไรซ์แบบไขว้ของการแพร่กระจายคลื่นของสายอากาศมีระดับกำลังงานน้อยกว่า -20 dB ทั้งสองระนาบ

ส่วนในการพัฒนาสายอากาศในอนาคตเพื่อการประยุกต์ใช้ในระบบเครือข่ายไร้สายได้หลายความถี่ สายอากาศต้องพัฒนาเป็นสายอากาศความถี่คู่ครอบคลุมความถี่ ทั้ง 2.4 GHz และความถี่ 5.2 GHz พร้อมทั้งการส่งสัญญาณและรับสัญญาณที่มีทิศทางการโพลาไรซ์ได้ทั้งแนวตั้งและแนวนอนได้

เอกสารอ้างอิง

[1] U. Wahlberg, S. Widell and C. Beckham, “The performance of polarization diversity antennas at 1800 MHz” *Antenna and Propagation Society International Symposium Digest,* Vol. 2, 1997, pp. 1046-1057

[2] D. Popovic and Z. Popovic, “Multibeam antennas with polarization and angle diversity,” *IEEE Transection Antennas and Propagation,* Vol. 50, 2002, pp. 651-657

[3] Peng Wei, Zhijun Zhang, Wenhua Chen, Zhenghe Feng, “A Novel Hybrid Fed Patch Antenna With Pattern Diversity,” *IEEE Antennas Wire. Propag. Lett.,* Vol. 9, 2010, pp 562-565

[4] S. Gao and A. Sambell, “Dual-polarized broad-band patch antennas fed by proximity coupling,” *IEEE Trans. Antennas Propag.,* Vol.53, No.1 2005, pp.526-531

ประวัติผู้เขียนบทความ
ผู้ช่วยศาสตราจารย์ ดร.ยุกติทัศน์ ชวานนท์พิทักษ์ ความเชี่ยวชาญในสาขาวิชา Antenna Design และ Wireless Communication System

Comparative Analysis of MQTT and MQTT-SN Protocols in Wireless Sensor Network

Juthathip Wannawan[1], Weeraphon Yana[2], Buntueng Yana[3] *

[1]Department of Electrical Engineering, School of Engineering, University of Phayao, Thailand,
juthathipwannawan@gmail.com[1], weeraphonyana@gmail.com[2], mr.buntueng@gmail.com[3*]

Abstract

The growth of resource-constrained devices within the Internet of Things (IoT) and Wireless Sensor Networks (WSNs) necessitates the use of highly efficient communication protocols. This study compares the performance of the MQTT protocol and its lighter version, MQTT-SN, on the popular ESP32 platform. The goal is to see if they are good enough for real-world IoT applications by testing important performance metrics including latency, throughput, and packet loss with different packet sizes and Quality of Service levels. An experimental testbed was established using an ESP32 microcontroller as the client. It communicates with a host PC running a Mosquitto broker and a Paho MQTT-SN gateway. The experimental results support that MQTT-SN offers significant performance advantages in terms of speed and efficiency. It reliably shows lower average latency and higher data throughput compared to standard MQTT across most tested conditions. The findings suggest that the option between MQTT and MQTT-SN presents a clear engineering trade-off. MQTT-SN is the more suitable option for applications prioritizing low latency and high efficiency with small data packets. The present resilience of standard MQTT makes it more suitable for applications requiring guaranteed delivery of larger data payloads.

Keywords: MQTT, MQTT-SN, Internet of Things, Wireless Sensor Networks

1. Introduction

Wireless Sensor Networks (WSNs) are now a basic technology for gathering data in places like industries, farms, hospitals, and cities. A typical WSN has a lot of small sensor nodes that are spread out over a wide area. Each node can sense, process, and communicate. Because these nodes often have very limited power and memory, the choice of communication protocol is crucial. For these small devices, standard internet protocols like HTTP and FTP are often too demanding[1]. As a result, the field has moved toward lighter options like CoAP, 6LoWPAN, and Message Queuing Telemetry Transport (MQTT), which are all designed to work within tight power, memory, and processing limits[2].

MQTT is a popular option in the messaging protocol space. The publish-subscribe model works well for many Internets of Things applications, and this protocol is lightweight. It is a good choice for data transmission between devices and the cloud due to features like its ease of use, low overhead, and support for various Quality of Service (QoS) levels[3]. However, MQTT still has a problem with TCP/IP networks. It needs a stable connection and good bandwidth. This reliance on TCP/IP[3] is a major hurdle in constrained of WSNs, where nodes often use UDP and have to deal with unreliable connections, low bandwidth, and a high chance of losing packets[2].

To solve the problems, MQTT-SN was created. It's an optimized version of MQTT that works well on non-TCP/IP networks like Zigbee, Bluetooth Low Energy (BLE), and 6LoWPAN, mostly by using UDP as its transport layer. One of its main improvements is the ability to pre-register a topic ID, which makes messages much smaller. It also includes a "sleep mode" for clients, saving a lot of power by letting devices disconnect and reconnect as needed. These features make MQTT-SN a better, more energy-efficient choice for battery-powered sensors working in difficult wireless conditions[4].

This study implements a WSN using MQTT and MQTT-SN to demonstrate real-world performance. We considered ESP32 microcontrollers to implement the MQTT and MQTT-SN protocols in our configuration. The ESP32 is a widespread choice for IoT projects[5]. Since it has built-in Wi-Fi and Bluetooth. Then we conducted performance tests, comparing MQTT-SN directly to regular MQTT. The point is to evaluate the performance of MQTT-SN by measuring latency, throughput, and packet loss rate.

2. Literature Review

Advancements in digital electronics and wireless communications have enabled the significant rise of the field of WSNs. The setting up of a WSN is about the deployment of multiple sensor nodes. Their devices are tiny and low power. They can sense, compute, and communicate. To ensure the durability and efficiency of a WSN, it is important to take into account several major parameters during the design process. These include network topologies such as star, tree, or mesh. These influences connectivity, communication paths, and energy efficiency[6]. It may have a problem because the sensor nodes often rely on batteries and are deployed in remote or hardly to access areas. In addition, some factors such as scalability, security, and QoS are important. It has a function to maintain data reliability and timely delivery. The design strategy must consider the specific application context, whether terrestrial, underground, or mobile[7].

WSNs rely on a variety of protocols. Each operating protocol is at a specific layer in the network stack. At the data-link layer, WSNs are often dependent on MAC protocols such as Carrier Sense Multiple Access (CSMA) and Time Division Multiple Access (TDMA). It used to coordinate which nodes transmit at any given time. This control factors reduces the chance of collisions and reduce

*Corresponding Author

energy usage[8]. At the network layer, routing protocols are used to determine. It helps data to travel from individual sensor nodes to the base station. Reactive protocols like Ad hoc On-Demand Distance Vector (AODV) and Dynamic Source Routing (DSR) create routes only when they are suitable for dynamic or frequently changing network needed. This strategy makes topologies[9]. In addition to these, several standard protocol stacks have become common. It includes Zigbee, which is based on the IEEE 802.15.4 standard. It is widespread for low power consumption and mesh networking capabilities system. 6LoWPAN is one of the standard protocol tools. It enables IPv6 packets to be carried over low-power wireless networks[10, 11].

The MQTT protocol has developed into a common messaging protocol for the IoT. It has been widely adopted in WSN applications. MQTT is a lightweight, publish-subscribe protocol that operates on top of TCP/IP. Its design is optimized for environments with high latency and low bandwidth. MQTT can also handle many sensor networks. The publish-subscribe model decouples publishers to subscribers via a central broker. It also allows for scalable and flexible one-to-many and many-to-one communication patterns. This architecture simplifies the communication logic for resource-constrained sensor nodes [12].

In WSNs where traditional the TCP/IP stacks are impractical. Some protocol such as Zigbee, Bluetooth, and MQTT-SN offers a more suitable choice. MQTT-SN is specifically designed to be a lightweight protocol for machine-to-machine communication in environments where holding a TCP/IP stack. It is unfeasible because of limitations in memory, computing capacity, or power availability[13]. It keeps the fundamental publish-subscribe architecture from MQTT. But it modified to function over connectionless protocols such as UDP. A core architectural component of MQTT-SN is the gateway. It connects the MQTT-SN clients in the sensor network to the MQTT broker [1] that is either in the cloud or on a local server. This gateway translates between MQTT-SN to MQTT protocols. This allows sensor nodes to reliably forward data into broader IoT ecosystems through the MQTT-SN gateway.

MQTT-SN has several advantages compared to the standard MQTT protocol. It is specifically designed for battery-operated and resource-constrained wireless sensor networks. The most significant benefit is the reduction in packet size. Instead of using long, human-readable topic names in every published message. MQTT-SN allows clients to register a topic name with the gateway and receive a shorter two-byte topic ID. Subsequent communications utilize this topic ID, significantly reducing the overhead. Consequently, the energy required for transmission decreases[11]. Furthermore, MQTT-SN is transport-agnostic and is commonly used over UDP. It is more lightweight than the connection-oriented TCP used by MQTT[3]. MQTT-SN includes features designed for sleeping devices. It includes an offline keep-alive mechanism, in which the gateway buffers messages for sleeping clients until they reconnect. A further benefit is the gateway finding technique. It enables clients to dynamically discover a gateway inside the network without previous configuration of its address. These features collectively make MQTT-SN more efficient and practical choice for many WSN deployments[13, 14].

3. System Design

This section speaks about how the system was set up for the performance test. There are two different test settings for the experimental work. One is for the regular MQTT protocol, and the other is for the MQTT-SN protocol. Each environment is meant to look at the unique features of the protocols being compared.

3.1 MQTT Protocol

In this architecture, the client device communicates directly with the broker. Its working principle is as follows:

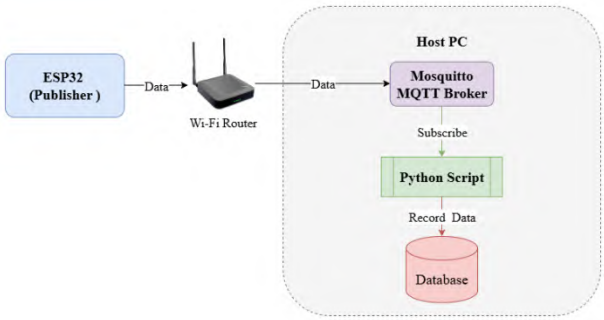

Fig. 1 MQTT Protocol model

This setup shows the direct communication line that a client device uses to submit data through a central broker. The ESP32, which acts as the client, starts the process by making the data payload. Then it connects to the local network through a Wi-Fi router, which is the device that sends data over the LAN to its final destination, the Host PC.

The Host PC is the main computer that handles all of the system's processing. The MQTT Broker, which is the main part of the system that handles all message flow, runs on this machine. The ESP32 connects directly to this broker over TCP/IP to publish its message. This reliance on TCP/IP is particularly important because its confident delivery method is what makes the system so reliable. The subscriber runs on the same host computer. It subscribes to the MQTT topic and establishes a connection with the broker. Upon receiving a message, the broker promptly forwards it to the script. The script checks the data, then figures out the throughput and latency and saves the results in MariaDB.

3.2 MQTT-SN Protocol

This architecture is adapted for resource-constrained devices, with the gateway as a key additional component.

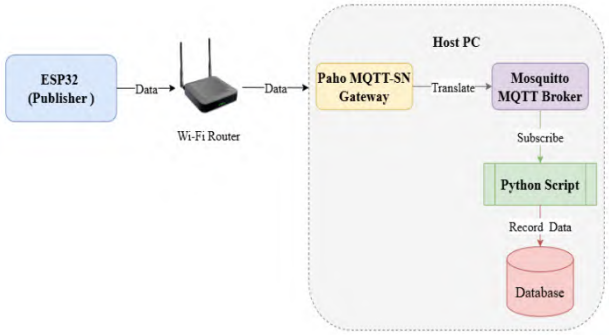

Fig. 2 MQTT-SN Protocol model

The proposed system contains ESP32 nodes, Router, and computer to run python script and software. The main change to this architecture is the addition of a gateway. The ESP32 client cannot connect directly to the MQTT broker. Instead, it sends MQTT-SN messages to the Gateway. Then, the Gateway changes these MQTT-SN messages into standard MQTT messages and sends them over TCP to the MQTT Broker. The Broker views the Gateway as just another MQTT client.

4. Methodology

The methodology for this research is experimental, based on a quantitative performance comparison between the MQTT and MQTT-SN protocols. The evaluation is structured around three distinct tests, including latency, throughput, and packet loss rate. It is all designed to analyze the performance of the protocols under different scenarios. The data gathered from these tests will form the basis for our conclusions, allowing for a direct comparison to determine the suitability of each protocol for resource.

Table 1: Independent Variables

Parameter	**Specification / Value**
Protocol Tested	MQTT, MQTT-SN
Quality of Service	0, 1, 2
Payload Size	20, 60, 100, 140, 180, 220 bytes

Table 1 shows the variables that were adjusted in each experiment. We run following a structured approach to observe and measure their impact on protocol performance such as latency, throughput, and packet loss.

Table 2: Controlled Variables

Parameter	Specification / Value
Client Device	ESP32-WROOM-32 Development Board
MQTT Broker	Mosquitto v2.0.22
MQTT-SN Gateway	Eclipse Paho MQTT-SN Gateway v1.1
Data Collection Script	Python v3.13.3 with Paho-MQTT Library
Database	MariaDB v11.8.2
Messages per Run	500 messages
Time Synchronization	ESP32 synchronized time with NTP server
Client Libraries	PubSubClient(MQTT); WiFiUDP client (MQTT-SN)
Network	5 GHz Wi-Fi

Table 2 lists parameters and components that were maintained constant throughout the experiment. This ensures that the comparison between different conditions is impartial and accurate. linking any observed changes in results solely to the effects of the independent variables

4.1 Latency Measurement

We utilized timestamps to verify latency in this experiment to ensure its accuracy. The initial action of the ESP32 is to synchronize with an NTP server.[15]. The payload contains the current time in milliseconds, the Message ID, and the packet size for each transmission. The Host PC, serving as the data receiver, communicates the experimental results upon receiving this payload over MQTT or MQTT-SN. The computer logs the timestamp upon message receipt. To ascertain the transmission latency, one must compare the arrival time with the message timestamp. MariaDB retains the outcomes. Numerous test sets for the experiment are predicated on specific conditions. MQTT and MQTT-SN were employed, utilizing QoS levels 0, 1, and 2 for MQTT, with packet sizes varying from 20 to 220 bytes. The experiment's packet size was limited to a maximum of 220 bytes because the configuration used a single-octet Length field, which supports a total message length of up to 255 bytes. Testing larger sizes would be outside the specification of this length-encoding mechanism. In every experiment, 500 messages are transmitted continuously to ensure the statistical reliability of the data. The data was subsequently utilized to calculate the mean, minimum, maximum, and standard deviation of the delay. Graphs facilitate the comparison of packet sizes and their respective arrival times. It demonstrates the efficacy of each regimen.

4.2 Throughput Measurement

This test evaluates the volume of data the ESP32 device can transmit to the PC gateway within a certain timeframe. The PC does the measurements, alleviating the ESP32 of this task due to its limited resources. The computer's Python program subscribes to the ESP32's

data topic. The script enumerates the number of messages successfully received throughout each testing interval. It monitors all messages, from the initial to the final. The mean data transfer rate in messages per second is derived from this data. It demonstrates the system's operational speed across several scenarios. The protocol (MQTT/MQTT-SN), the QoS levels (0, 1, 2), and the payload size (20–220 bytes) exemplify certain scenarios. MariaDB retains the outcomes. Subsequently, analyze throughput in relation to packet size or Quality of Service (QoS) level and construct a graph to evaluate the efficacy of each protocol.

4.3 Packet Loss Measurement

We used sequential message identifiers to assess protocol transmission reliability. Each experiment had the ESP32 client send 500 messages. Each message's payload had a unique, incrementing message ID (1–500). It gave the receiver a predictable sequence. The host PC Python subscriber script collected and logged all incoming messages and message IDs. Breaks in the received number sequence were used to quantify packet loss. The packet loss rate was calculated by comparing the total number of messages received to the 500 delivered messages[16]:

$$PLR = \frac{(TTM - TRM)}{TTM} X100\% \qquad (1)$$

PLR is a packet loss rate, TTM is a total transmitted message, and TRM is the total received messages. This measurement was systematically performed for every combination of protocol MQTT, MQTT-SN, Quality of Service (QoS) level, and payload size. These results are allowing for a direct and accurate comparison of their reliability under varying operational conditions

5. Result

Using graphs, this section compares the performance of MQTT and MQTT-SN protocols experimentally.

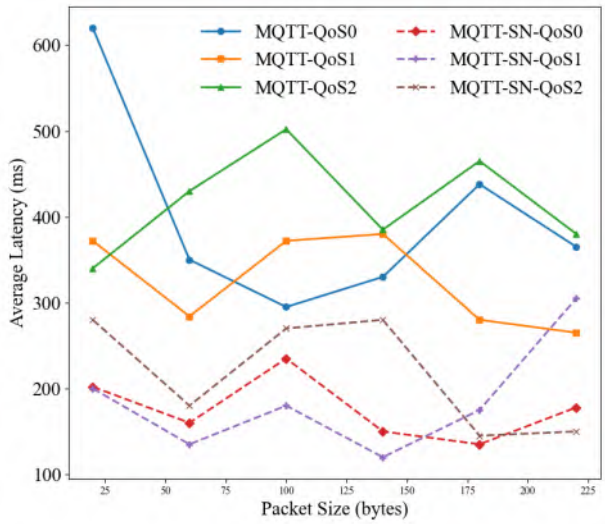

Fig.3 Latency vs. Packet Size of MQTT and MQTT-SN

5.1 Latency

Fig.3 indicates that the average latency of almost all MQTT-SN protocols is lower than the average latency of the standard MQTT protocol at low packet size, because MQTT-SN is lightweight and uses UDP for communication, which is faster than MQTT's use of TCP.

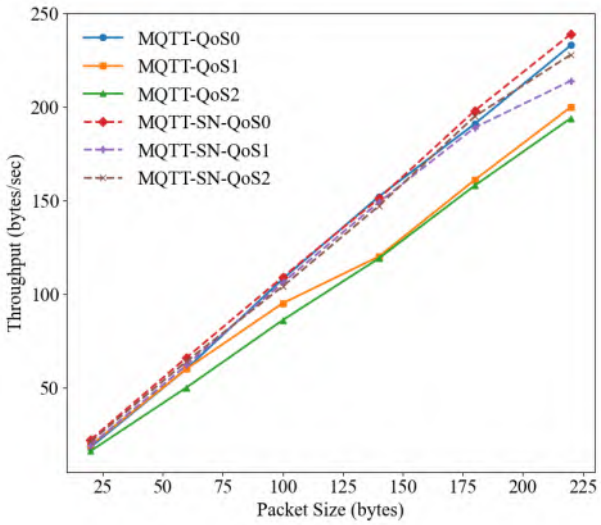

Fig.4 Throughput vs Packet Size of MQTT and MQTT-SN

5.2 Throughput

Fig. 4 shows that the throughput for both MQTT and MQTT-SN keeps going up as the packet size becomes bigger. In the first range with smaller packets, MQTT-SN always has a higher throughput than MQTT, which means it is better for sending small amounts of data at all QoS levels. This is because MQTT-SN is a lightweight protocol that uses a short topic ID instead of a long topic name, which uses less data, and it typically runs over the faster UDP protocol.

5.3 Packet Loss

The results show that for packet sizes ranging from 20 to 220 bytes, there was zero packet loss across all QoS levels for both protocols.

6. Conclusions

This study presented a performance comparison of the MQTT and MQTT-SN protocols on the resource constrained ESP32 platform. The purpose was to assess their applicability to IoT applications by measuring key performance metrics.

The experimental findings showed that MQTT-SN had big performance benefits in terms of speed and efficiency. For tiny to medium-sized packets, it always had reduced average latency and higher data throughput. The lightweight UDP transport protocol and topic ID registration technique used by MQTT-SN to cut down on packet overhead were both tested and found to work as planned. MQTT-SN is the best solution for apps that need to be fast and use as little bandwidth as possible.

In the end, the decision between MQTT and MQTT-SN comes down to a trade-off between speed and dependability. The conventional MQTT protocol via TCP is the better solution for any application where guaranteed delivery of large payloads is important. MQTT-SN works well in low-power, resource-constrained applications where low latency for small data packets is important.

7. References

[1] Al-Fuqaha, A., et al., Internet of Things: A Survey on Enabling Technologies, Protocols, and Applications. IEEE Communications Surveys & Tutorials, 2015. 17(4): p. 2347-2376.
[2] Yalli, J., et al., A Systematic Review For Evaluating IoT Security: A Focus On Authentication, Protocols and Enabling Technologies. IEEE Internet of Things Journal, 2025. PP: p. 1-1.
[3] Akshatha, P.S., S.M.D. Kumar, and K.R. Venugopal, MQTT Implementations, Open Issues, and Challenges: A Detailed Comparison and Survey. International Journal of Sensors, Wireless Communications and Control, 2022. 12(8): p. 553-576.
[4] Stangaciu, V., et al., Integrating Real-Time Wireless Sensor Networks into IoT Using MQTT-SN. Journal of Network and Systems Management, 2025. 33.
[5] Amirkhanov, B., et al., Evaluating HTTP, MQTT over TCP and MQTT over WEBSOCKET for digital twin applications: A comparative analysis on latency, stability, and integration. International Journal of Innovative Research and Scientific Studies, 2025. 8(1): p. 679-694.
[6] Singla, P. and A. Munjal, Topology Control Algorithms for Wireless Sensor Networks: A Review. Wirel. Pers. Commun., 2020. 113(4): p. 2363–2385.
[7] Khatami, S.S., et al. Energy-Efficient and Secure Double RIS-Aided Wireless Sensor Networks: A QoS-Aware Fuzzy Deep Reinforcement Learning Approach. Journal of Sensor and Actuator Networks, 2025. 14, DOI: 10.3390/jsan14010018.
[8] Olatinwo, D.D., et al., Energy-Efficient Multichannel Hybrid MAC Protocol for IoT-Enabled WBAN Systems. IEEE Sensors Journal, 2023. 23(22): p. 27967-27983.
[9] Tan, X., et al., Performance Analysis of Routing Protocols for UAV Communication Networks. IEEE Access, 2020. 8: p. 92212-92224.
[10] Alyami, S., R. Alharbi, and F. Azzedin Fragmentation Attacks and Countermeasures on 6LoWPAN Internet of Things Networks: Survey and Simulation. Sensors, 2022. 22, DOI: 10.3390/s22249825.
[11] Bruniaux, A., et al. Defragmenting the 6LoWPAN Fragmentation Landscape: A Performance Evaluation. Sensors, 2021. 21, DOI: 10.3390/s21051711.
[12] Shahrokhi, A. and M. Ahmadi. Power Evaluation of IOT Application Layer Protocols. in 2023 7th International Conference on Internet of Things and Applications (IoT). 2023.
[13] Roldán-Gómez, J., et al. Security Analysis of the MQTT-SN Protocol for the Internet of Things. Applied Sciences, 2022. 12, DOI: 10.3390/app122110991.
[14] Palmese, F., A.E.C. Redondi, and M. Cesana, Adaptive Quality of Service Control for MQTT-SN. Sensors (Basel), 2022. 22(22).
[15] Gamage, K.A.A., et al. A Dynamic Framework for Internet-Based Network Time Protocol. Sensors, 2024. 24, DOI: 10.3390/s24020691.
[16] Sonklin, K. and C. Sonklin, A performance evaluation of the internet of things-message queue telemetry transport protocol based water level warning system. International Journal of Electrical and Computer Engineering (IJECE), 2024. 14: p. 7178.

Juthathip Wannawan She is an undergraduate student in the Faculty of Engineering, majoring in Electrical Engineering at the University of Phayao, Thailand. Current research interests: Electrical Communication System

Weeraphon Yana He is an undergraduate student in the Faculty of Engineering, majoring in Electrical Engineering at the University of Phayao, Thailand. Current research interests: Electrical Communication System

Buntueng Yana (Member, IEEE) received B.Eng. and M.Eng. degrees in Electrical Engineering from Chiang Mai University, Thailand, in 2006 and 2009, respectively, and a Ph.D. in Information Science and Technology from Osaka University, Japan, in 2019. He is currently a lecturer with the Department of Electrical Engineering at the University of Phayao, Thailand, where he began his academic career. His research interests include robotics, automatic control, power generation, and the application of machine learning to medical applications.

วงจรกรองความถี่ชาโดว์แบบหลายหน้าที่ ที่ใช้พลังงานต่ำ ด้วย MI-OTAs สามารถปรับค่า Q ได้อย่างอิสระ

Shadow Universal Filter with Independent Q Tuning at 0.45 V Using MI-OTAs

พิชัย สุขใสบูลย์[1] ปัณณวิชญ์ ภัทร์สรณ์สิริ[2] ณัฐพงศ์ ธัญญรัตน์สกุล[3] และ มนตรี คำเงิน[3*]

[1]วิศวกรรมอิเล็กทรอนิกส์และโทรคมนาคม คณะวิศวกรรมศาสตร์ มหาวิทยาลัยเทคโนโลยีราชมงคลธัญบุรี pichai.s@en.rmutt.ac.th

[2]วิศวกรรมไฟฟ้าและคอมพิวเตอร์ สถาบันเทคโนโลยีปทุมวัน ppunnavich@pit.ac.th

[3]ภาควิชาโทรคมนาคม คณะวิศวกรรมศาสตร์ สถาบันเทคโนโลยีพระจอมเกล้าคุณทหารลาดกระบัง 67016168@kmitl.ac.th montree.ku@kmitl.ac.th*

บทคัดย่อ

งานวิจัยนี้นำเสนอวงจรกรองความถี่ชาโดว์แบบหลายหน้าที่ (Shadow Universal Filter) ในโหมดแรงดันโดยใช้วงจรขยายค่าความนำถ่ายโอนแบบหลายอินพุต (MI-OTAs) โดยโครงสร้างที่นำเสนอรองรับการทำงานทั้งแบบกลับเฟสและไม่กลับเฟสของการตอบสนองทั้ง 5 รูปแบบ ได้แก่ วงจรกรองความถี่ต่ำผ่าน, วงจรกรองความถี่สูงผ่าน, วงจรกรองความถี่แถบผ่าน, วงจรกรองความถี่แถบหยุด, และ วงจรกรองความถี่ทุกแถบผ่าน ภายในโครงสร้างเดียว วงจรสามารถทำงานได้ที่ไฟเลี้ยงต่ำเพียง ±0.45*V* อีกทั้งสามารถปรับตัวประกอบคุณภาพ ได้อย่างอิสระโดยไม่ส่งผลกระทบต่อความถี่ธรรมชาติ

คำสำคัญ: วงจรกรองความถี่หลายหน้าที่ วงจรกรองความถี่ชาโดว์ วงจรขยายค่าความนำถ่ายโอน

Abstract

This paper presents a novel shadow universal filter implemented in voltage mode, based on multiple-input operational transconductance amplifiers (MI-OTAs). The proposed shadow universal filter incorporates both non-inverting and inverting transfer functions for low-pass, high-pass, band-pass, band-stop, and all-pass responses within a single topology. The proposed circuits operate at an ultra-low supply voltage of ±0.45*V*. Moreover, it enables independent tuning of the quality factor without affecting the natural frequency.

Keywords: Universal filter, Shadow filter, Operational transconductance amplifier

1. บทนำ

วงจรกรองความถี่แบบหลายหน้าที่ (Universal Filter) เป็นวงจรที่สามารถสร้างการตอบสนองได้ทั้งหมด 5 รูปแบบ ได้แก่ LPF, HPF, BPF, BSF, และ APF ภายในโครงสร้างเดียว จากการทบทวนวรรณกรรมที่ผ่านมาพบว่า มีการนำเสนอวงจรกรองความถี่หลายหลากหลายรูปแบบ [1-11] โดยสร้างจากอุปกรณ์แอคทีฟหลายชนิด เช่น วงจรสายพานกระแส (Current Conveyors) [1-2], วงจรขยายป้อนกลับกระแส (Current-Feedback Operational Amplifier : CFOA) [3-4], วงจรสายพานกระแสรุ่นที่ 2 (Second-Generation Current-Controlled Conveyor : CCCII) [5,6] วงจรขยายความนำถ่ายโอน (Operational Transconductance Amplifier : OTA) [7-9] วงจรกรองที่นำเสนอใน [1-4] สามารถปรับค่าความถี่ธรรมชาติด้วยการปรับค่าต้านทานหรือความต้านทานแบบแฝงของอุปกรณ์แอคทีฟและปรับค่าตัวประกอบคุณภาพจากอัตราส่วนของตัวเก็บประจุหรือตัวต้านทาน วงจรกรองที่นำเสนอใน [5,6] สามารถปรับค่าความถี่ธรรมชาติด้วยค่าความต้านทานแฝง (R_X) ของอุปกรณ์แอคทีฟ และวงจรกรองที่นำเสนอใน [7-9] สามารถปรับความถี่ธรรมชาติได้ด้วยค่าความนำถ่ายโอนอุปกรณ์แอคทีฟ ค่าตัวประกอบคุณภาพใน [5-11] สามารถปรับจาก (1) อัตราส่วนของตัวเก็บประจุกับตัวต้านทาน (2) ปรับค่าความต้านทานแฝงของอุปกรณ์แอคทีฟ (3) ปรับจากค่าความนำถ่ายโอน อย่างไรก็ตามการปรับค่าความต้านทานแฝงหรือปรับจากค่าความนำถ่ายโอนผ่านกระแสไบอัสของอุปกรณ์แอคทีฟ มักจะส่งผลต่อประสิทธิภาพของวงจรกรอง เช่น ความเป็นเชิงเส้น ช่วงความถี่ในการทำงาน นอกจากนี้การปรับค่าตัวเก็บประจุเพื่อปรับตัวประกอบคุณภาพเป็นอุปสรรคสำหรับการทำวงจรรวม

วงจรกรองความถี่ชาโดว์เป็นวงจรกรองที่ปรับค่าความถี่ธรรมชาติและตัวประกอบคุณภาพ ได้จากการใช้วงจรขยายภายนอก [12,13] วงจรกรองความถี่ชาโดว์ใน [12] ประกอบไปด้วยวงจรกรองลำดับที่ 2 สามารถให้การตอบสนอง LPF, BPF ต่อร่วมกับวงจรขยายภายนอก หลักการคือป้อนกลับเอาต์พุต LPF ผ่านวงจรขยายภายนอกไปยังพอร์ตอินพุต จึงทำให้สามารถควบคุมความถี่ธรรมชาติด้วยวงจรขยายสัญญาณภายนอก วงจรกรองความถี่ชาโดว์ใน [13] รวมสัญญาณเอาต์พุต LPF และ HPF เข้าด้วยกันแล้วป้อนกลับไปที่อินพุตทำให้สามารถปรับค่าตัวประกอบคุณภาพได้ และสัญญาณเอาต์พุต LPF และ BPF ถูกป้อนกลับผ่านวงจรขยายภายนอกอย่างละหนึ่งตัว จากนั้นนำสัญญาณที่ผ่านวงจรขยายของทั้งสองป้อนกลับที่อินพุต จึงทำให้สามารถปรับความถี่ธรรมชาติได้ วงจรใน [13] จึงใช้วงจรขยายภายนอกจำนวนสองตัวเพื่อให้สามารถปรับค่าตัวประกอบคุณภาพและความถี่ธรรมชาติ จากการที่ [12,13] ได้ออกแบบวงจรกรองความถี่ชาโดว์จึงทำให้ได้มีการเสนอตัวกรองความถี่แบบชาโดว์ที่ใช้อุปกรณ์แอคทีฟต่างๆใน [14-16] การออกแบบงานเหล่านี้มีข้อจำกัดหลายประการ

*ผู้ประพันธ์บรรณกิจ

วงจรกรองความถี่ชาโดว์ใน [14] ยังคงไม่สามารถปรับค่าตัวประกอบคุณภาพและความถี่ธรรมชาติทางอิเล็กทรอนิกส์ได้ วงจรกรองความถี่ชาโดว์ใน [15] ไม่สามารถให้การตอบสนองครบทั้ง 5 รูปแบบได้

ดังนั้นเพื่อแก้ปัญหาที่ผ่านมาข้างต้น งานวิจัยนี้จึงนำเสนอวงจรกรองความถี่ชาโดว์หลายหน้าที่รูปแบบใหม่ที่ใช้ MI-OTAs ซึ่งรองรับฟังก์ชันการถ่ายโอนทั้งแบบกลับเฟสและไม่กลับเฟสของการตอบสนองทั้ง 5 แบบ สามารถปรับค่าได้ด้วยวิธีทางอิเล็กทรอนิกส์ วงจรที่นำเสนอใช้แหล่งจ่ายแรงดันต่ำ นอกจากนี้ยังสามารถปรับปรับค่า Q_s ได้อย่างอิสระโดยไม่ส่งผลกระทบต่อ ω_o และสามารถชดเชยการเปลี่ยนแปลงของอัตราขยายความถี่ผ่านได้ด้วยการปรับค่าสัญญาณอินพุต

2. ทฤษฎีที่เกี่ยวข้อง

2.1 0.45-V MI-OTA

วงจร MI-OTA แบบสามอินพุตที่ใช้ในวงจรที่นำเสนอเป็นวงจรที่ดัดแปลงจากวงจร bulk-driven [16], non-tailed transconductor [17] โดยได้เพิ่มอินพุตเข้ามาอีกหนึ่งชุดเพื่อให้เป็นสามอินพุต อีกทั้งเพื่อให้สามารถทำงานที่แรงดันต่ำมาก วงจรได้ตัดแหล่งกำเนิดกระแส (Tail Current Source) ออกไป อีกทั้งเพื่อแก้ไขปัญหาอัตราขยายแรงดันต่ำจึงนำเทคนิค SC (Self-Cascode) มาใช้กับทรานซิสเตอร์ชนิด PMOS (M_{1A}, M_{1B}, M_{2A}, M_{2B}) และชนิด NMOS (M_4, M_5) ซึ่งช่วยเพิ่มค่าความต้านทานเอาต์พุตและทำให้ขยายแรงดันเอาต์พุตสูงขึ้นเหมาะสำหรับไปใช้ในวงจรที่นำเสนอ สัญลักษณ์และโครงสร้างภายในของ MI-OTA แสดงดังรูปที่ 1 และ 2 ตามลำดับ

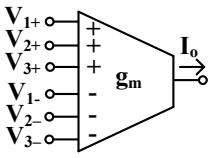

รูปที่ 1 สัญลักษณ์ของ MI-OTA

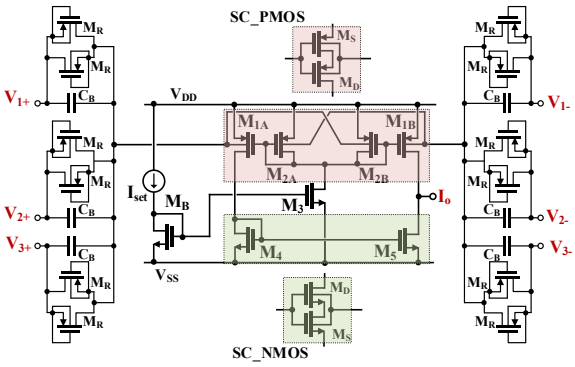

รูปที่ 2 โครงสร้าง CMOS ของวงจร MI-OTA แบบสามอินพุต

วงจร MI-OTA ที่มีอินพุต 3 ชุด กระแสเอาต์พุต (I_O) สามารถอธิบายได้ด้วยสมการที่ 1

$$I_o = g_m\left(V_{1+} + V_{2+} + V_{3+} - V_{1-} - V_{2-} - V_{3-}\right) \quad (1)$$

g_m คือค่าความนำถ่ายโอน V_{1+},V_{2+},V_{3+} เป็นขาอินพุต (Non-inverting) และ V_{1-},V_{2-},V_{3-} เป็นขาอินพุต (Inverting)

2.2 บล็อคไดอะแกรมวงจรกรองความถี่ชาโดว์แบบพื้นฐาน

วงจรกรองความถี่ชาโดว์แบบพื้นฐาน [12] คือ วงจรกรองความถี่อันดับที่ 2 (Second-order Filters) ที่ออกแบบให้สามารถปรับค่าความถี่ธรรมชาติ (ω_0) ได้อย่างอิสระ โดยอาศัยการเพิ่มแอมพลิฟายเออร์ภายนอกเข้ามาทำงานร่วมกับวงจรกรองความถี่อันดับที่ 2 ดังบล็อคไดอะแกรมรูปที่ 3

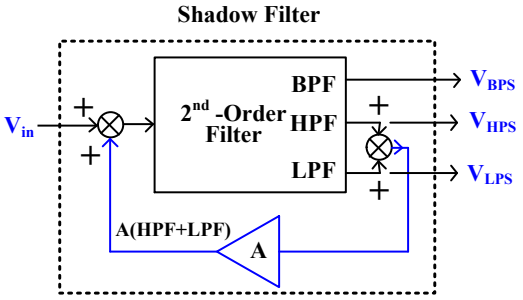

รูปที่ 3 บล็อคไดอะแกรมวงจรกรองความถี่ชาโดว์แบบพื้นฐาน

3. การออกแบบและการวิเคราะห์วงจรที่นำเสนอ

วงจรกรองความถี่ชาโดว์แบบหลายหน้าที่ ถูกพัฒนามาจากบล็อคไดอะแกรมวงจรกรองความถี่ชาโดว์แบบพื้นฐานที่ได้กล่าวไว้ในรูปที่ 3 วงจรที่นำเสนอ อาศัยหลักการทำงานที่แบ่งออกเป็น 2 ส่วนดังรูปที่ 4 ส่วนแรกคือวงจรกรองความถี่หลายหน้าที่ (Universal Filter) ที่สร้างจาก MI-OTAs ดังรูปที่ 5 สัญญาณเอาต์พุตที่ออกมาเป็นแรงดันความถี่ต่ำผ่าน (V_{LPF}) และความถี่สูงผ่าน (V_{HPF}) ทั้งสองจะถูกป้อนเข้าไปที่แอมพลิฟายเออร์

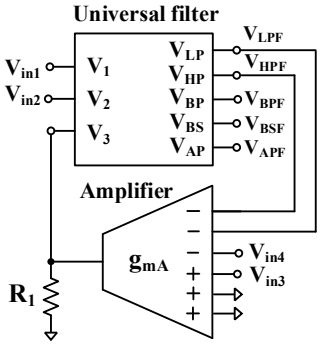

รูปที่ 4 วงจรกรองความถี่ชาโดว์แบบหลายหน้าที่ ที่นำเสนอ

วงจรแอมพลิฟลายเออร์ทำหน้าที่ขยายสัญญาณและป้อนกลับแบบลบไปรวมกับสัญญาณอินพุต จะทำให้เกิดพจน์ $(1+g_{mA}R_1)$ ในสมการคุณลักษณ์ของทุกฟังก์ชัน ด้วยเหตุนี้จึงสามารถปรับปรุงค่า Q_s (Quality factor) ที่มีผลต่ออัตราขยายในย่านของ LPF และ HPF แต่ไม่ส่งผลกระทบกับอัตราขยายของ BPF จึงต้องชดเชยอัตราขยายให้กับ LPF และ HPF โดยใช้สัญญาณอินพุต V_{in3} และ V_{in4} ในการชดเชยนี้ สามารถเลือกวิธีการ

ต่อสัญญาณอินพุตเพื่อกำหนดทิศทางแบบกลับเฟสและไม่กลับเฟสได้ตามที่ต้องการ โดยการตอบสนองแบบไม่กลับเฟสของวงจร LPF และ HPF สามารถทำได้โดยกำหนดสัญญาณอินพุตที่ $V_{in1}=V_{in3}=V_{in}$ ขณะที่การตอบสนองแบบกลับเฟสของวงจร LPF และ HPF สามารถทำได้โดยกำหนดสัญญาณอินพุตที่ $V_{in2}=V_{in4}=V_{in}$ โดยแรงดันเอาต์พุต V_{LPF} และ V_{HPF} สามารถเขียนได้ดังนี้

$$V_{LPF}=\frac{g_{m1}g_{m2}\{(V_{in1}-V_{in2})+g_{mA}R_1(V_{in3}-V_{in4})\}}{s^2C_1C_2(1+g_{mA}R_1)+sC_2g_{m1}+g_{m1}g_{m2}(1+g_{mA}R_1)} \quad (2)$$

$$V_{HPF}=\frac{s^2C_1C_2\{(V_{in1}-V_{in2})+g_{mA}R_1(V_{in3}-V_{in4})\}}{s^2C_1C_2(1+g_{mA}R_1)+sC_2g_{m1}+g_{m1}g_{m2}(1+g_{mA}R_1)} \quad (3)$$

ในกรณีของวงจร BPF จะไม่ใช้สัญญาณอินพุตที่ V_{in3} และ V_{in4} โดยสามารถเลือกการตอบสนองโดยการปรับ V_{in1} และ V_{in2} ตามลำดับ

$$V_{BPF}=\frac{sC_2g_{m1}(V_{in2}-V_{in1})}{s^2C_1C_2(1+g_{mA}R_1)+sC_2g_{m1}+g_{m1}g_{m2}(1+g_{mA}R_1)} \quad (4)$$

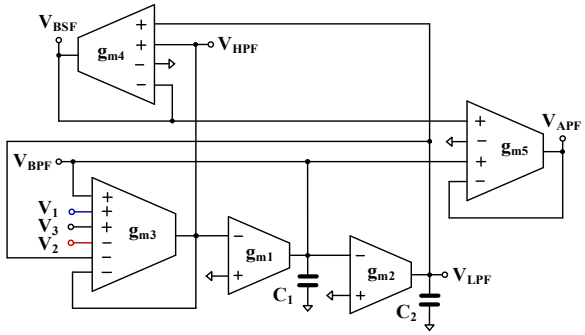

(ก)

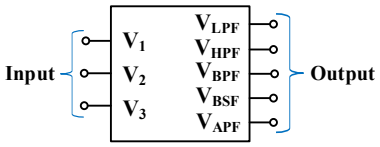

(ข)

รูปที่ 5 วงจรกรองความถี่หลายหน้าที่ที่นำเสนอ
(ก) โครงสร้างภายใน (ข) สัญลักษณ์วงจรกรองความถี่หลายหน้าที่

สำหรับการตอบสนองแบบ BSF และ APF สามารถทำได้โดยใช้เงื่อนไขเช่นเดียวกันกับ LPF และ HPF

$$V_{BSF}=\frac{\left\{\begin{array}{l}s^2C_1C_2\{(V_{in1}-V_{in2})+g_{mA}R_1(V_{in3}-V_{in4})\}\\+g_{m1}g_{m2}\{(V_{in1}-V_{in2})+g_{mA}R_1(V_{in3}-V_{in4})\}\end{array}\right\}}{s^2C_1C_2(1+g_{mA}R_1)+sC_2g_{m1}+g_{m1}g_{m2}(1+g_{mA}R_1)} \quad (5)$$

$$V_{APF}=\frac{\left\{\begin{array}{l}s^2C_1C_2\{(V_{in1}-V_{in2})+g_{mA}R_1(V_{in3}-V_{in4})\}\\+sC_2g_{m1}(V_{in2}-V_{in1})\\+g_{m1}g_{m2}\{(V_{in1}-V_{in2})+g_{mA}R_1(V_{in3}-V_{in4})\}\end{array}\right\}}{s^2C_1C_2(1+g_{mA}R_1)+sC_2g_{m1}+g_{m1}g_{m2}(1+g_{mA}R_1)} \quad (6)$$

ค่าความถี่ธรรมชาติ (ω_o) และ ค่า Q_s ของวงจรที่นำเสนอสามารถเขียนได้ดังนี้

$$\omega_o=\sqrt{\frac{g_{m1}g_{m2}}{C_1C_2}} \quad (7)$$

$$Q_s=(1+g_{mA}R_1)\sqrt{\frac{C_1g_{m2}}{C_2g_{m1}}} \quad (8)$$

ดังนั้นสามารถสรุปได้ว่าวงจรกรองความถี่ชาโดว์แบบหลายหน้าที่ที่นำเสนอสามารถทำงานได้ทั้งแบบกลับเฟสและไม่กลับเฟสเป็นวงจร LPF, HPF, BPF, BSF, และ APF โดยไม่ได้ต้องปรับเปลี่ยนวงจร สามารถปรับ ω_o และ ค่า Q_s ได้ด้วยวิธีทางอิเล็กทรอนิกส์

4. ผลการทดลอง

ตารางที่ 1 พารามิเตอร์ของ MI-OTA

พารามิเตอร์	อัตราส่วน W/L (*μm/ μm*)
$M_{1A(S)}$, $M_{1A(D)}$, $M_{1B(S)}$, $M_{1B(D)}$	4×5/2
$M_{2A(S)}$, $M_{2A(D)}$, $M_{2B(S)}$, $M_{2B(D)}$, M_3, M_B	5/2
$M_{4(S)}$, $M_{4(D)}$, $M_{5(S)}$, $M_{5(D)}$	3/3
M_R	5/3

เพื่อยืนยันสมรรถนะของวงจรที่ได้นำเสนอในหัวข้อที่ 3 ด้วยการจำลองด้วยโปรแกรม Cadence Virtuoso ใช้โครงสร้างขนาด CMOS 130*nm* เทคโนโลยี UMC ค่าพารามิเตอร์ W/L แสดงดังตารางที่ 1 เมื่อกำหนดให้กระแส I_{set} =100*nA* และ C_B = 200fF ผลการจำลองพบว่าอุปกรณ์ MI-OTA มีอัตราสิ้นเปลืองพลังงานเพียง 270*nW* จากการจำลองวงจรที่ในรูปที่ 4 โดยกำหนดค่าพารามิเตอร์อุปกรณ์พาสซีฟ C_1=C_2=20*pF* และกำหนดกระแส I_{set} =100*nA* พบว่าวงจรมีค่าความถี่ธรรมชาติ (f_0) อยู่ที่ประมาณ 2*kHz* โดยผลการจำลองการตอบสนองทางความถี่สำหรับฟังก์ชันการกรองทั้ง 5 ชนิด ได้แก่ LPF, HPF, BPF, BSF และ APF ได้ถูกแสดงไว้ในรูปที่ 6 ซึ่งผลลัพท์ทั้งหมดนี้ได้รับการยืนยันแล้วว่ามีความถูกต้องตรงกับค่าที่คำนวณได้จากทฤษฎี

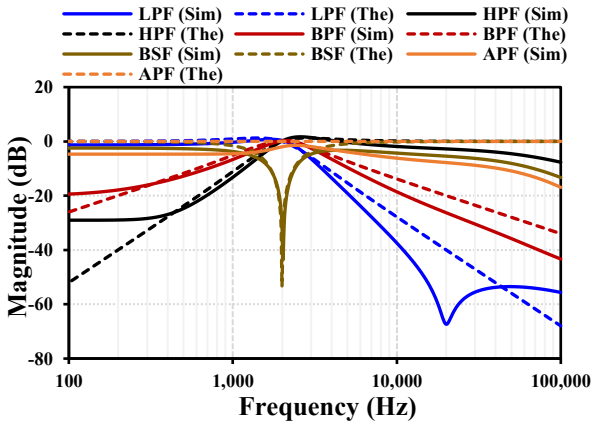

รูปที่ 6 การตอบสนองทางความถี่ของวงจรที่นำเสนอ

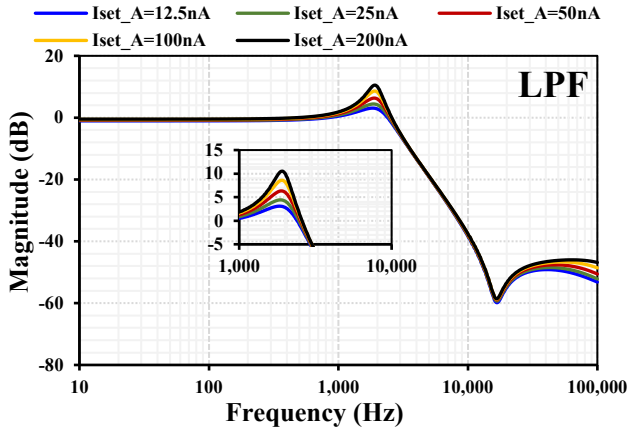

รูปที่ 7 การตอบสนองทางความถี่ของฟังก์ชัน LPF

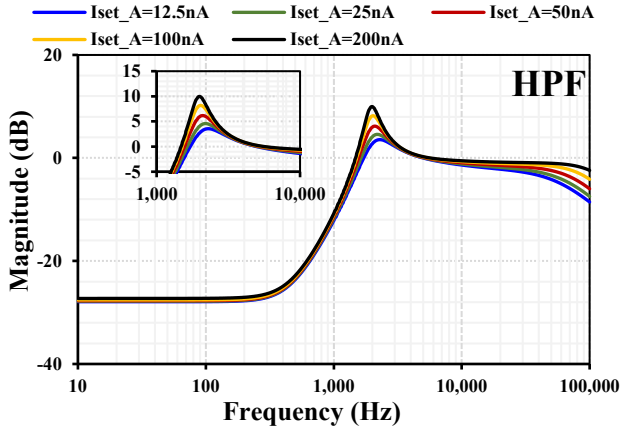

รูปที่ 8 การตอบสนองทางความถี่ของฟังก์ชัน HPF

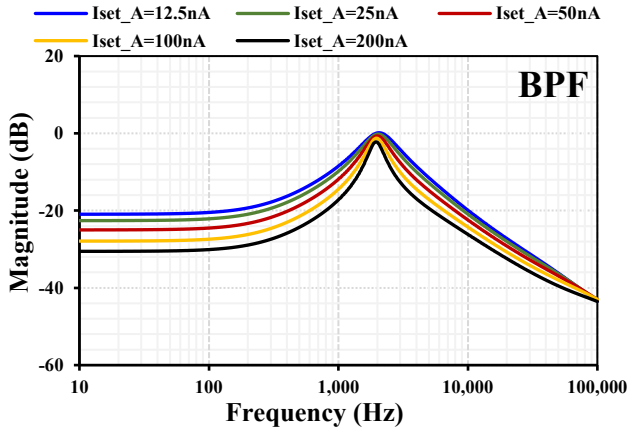

รูปที่ 9 การตอบสนองทางความถี่ของฟังก์ชัน BPF

สำหรับวงจรกรองความถี่ชาโดว์แบบหลายหน้าที่ เมื่อกำหนดให้ I_{set} = 100nA และ R_1 = 10MΩ จะได้ความถี่คัดออฟที่ 3kHz โดยสามารถปรับค่า Q_s ได้จากการปรับกระแส I_{set_A} ซึ่งส่งผลต่อค่าความนำถ่ายโอน (g_{mA}) ดังแสดงในรูปที่ 7,8 และ 9 จะเห็นได้วงจรที่นำเสนอนี้ สามารถปรับค่า Q_s แบบอิสระด้วยวิธีการอิเล็กทรอนิกส์ผ่านวงจรขยายภายนอกได้ เนื่องด้วยคุณสมบัติหลายอินพุตของ MI-OTA ทำให้เทคนิคการชดเชยการเปลี่ยนแปลงของอัตราขยายในความถี่แถบผ่าน ขณะปรับค่า Q_s สามารถทำได้จริง ดังนั้นการปรับค่า Q_s ของวงจรที่นำเสนอจึงไม่ส่งผลกระทบต่ออัตราขยายในแถบความถี่ผ่าน

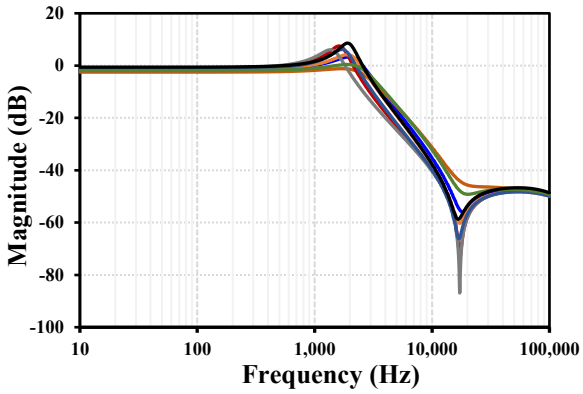

รูปที่ 10 การตอบสนองทางความถี่ของฟังก์ชัน LPF ด้วยการทดสอบ PVT

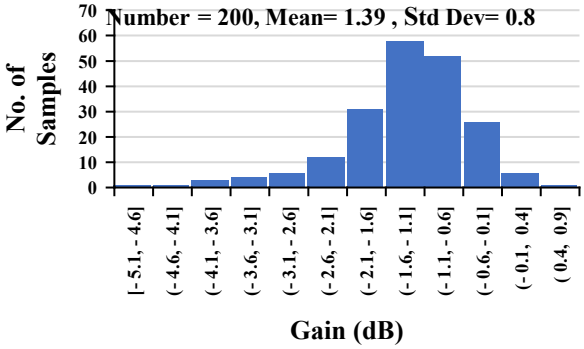

รูปที่ 11 ฮิสโทแกรมของความคลาดเคลื่อนของอัตราขยายแรงดันของวงจรกรอง LPF ที่นำเสนอ ซึ่งได้มาจากการวิเคราะห์แบบมอนติคาร์โล

ในรูปที่ 10 แสดงการตอบสนองทางความถี่ของวงจรกรอง LPF เมื่อกำหนด I_{set} = I_{setA} = 100nA ด้วยการทดสอบภายใต้ความผันแปร PVT ที่กำหนดให้แหล่งจ่าย V_{DD} เปลี่ยนแปลง ±10% และอุณหภูมิเปลี่ยนแปลงในช่วง 0 ถึง 50 องศาเซลเซียส สำหรับการเปลี่ยนแปลงของค่า Q_s ที่เกิดขึ้นจากการทดสอบ PVT สามารถชดเชยได้ด้วยการปรับกระแส I_{setA} ในรูปที่ 11 แสดงฮิสโทแกรมของความคลาดเคลื่อนของอัตราขยายแรงดันของวงจรกรอง LPF ที่นำเสนอ ซึ่งได้มาจากการวิเคราะห์แบบมอนติคาร์โล จำนวน 200 ครั้ง โดยพบค่าเบี่ยงเบนมาตรฐานเท่ากับ 0.8

5. สรุป

งานวิจัยฉบับนี้นำเสนอวงจรกรองความถี่ชาโดว์แบบหลายหน้าที่ (Universal Shadow Filter) โดยใช้วงจร MI-OTAs (Multiple-input Operational Tranconductance Amplifier) ซึ่งมีความสามารถในการรับสัญญาณหลายอินพุต จึงทำให้วงจรกรองความถี่ชาโดว์แบบหลายหน้าที่ที่นำเสนอสามารถรองรับฟังก์ชันถ่ายโอนแบบกลับเฟส (Inverting) และไม่กลับเฟส (Non-inverting) สำหรับการตอบสนองต่าง ๆ ได้แก่ LPF, HPF,

BPF, BSF และ APF ซึ่งสัญญาณเอาต์พุตของ LPF และ HPF จะถูกขยายและป้อนกลับไปยังขาเข้า การป้อนกลับนี้ช่วยให้สามารถควบคุมค่า Q_s ได้โดยอิสระจากความถี่ธรรมชาติ อีกทั้งการใช้ทรานซิสเตอร์มอสทำงานในช่วง subthreshold ช่วยให้ MI-OTA สามารถทำงานภายใต้แรงดันไฟฟ้าต่ำ บริโภคพลังงานต่ำ คุณสมบัติเหล่านี้ทำให้การออกแบบที่นำเสนอเหมาะสมอย่างยิ่งสำหรับการใช้งานที่ต้องการใช้งานในช่วงความถี่ต่ำและข้อจำกัดด้านพลังงาน เช่น การสัญญาณชีวภาพ (Biomedical Signal Acquisition)

เอกสารอ้างอิง

[1] F. Yucel, E. Yuce, “Supplementary CCII based second-order universal filter and quadrature oscillators,” AEU-International Journal of Electronics and Communications, vol. 118, 2020.

[2] H. Alpaslan, E. Yuce, “DVCC+ based multifunction and universal filters with the high input impedance features,” Analog Integrated Circuits and Signal Processing, vol. 103, 2020.

[3] H.-P. Chen, I.-C. Wey, L.-Y., Chen, C.-Y. Wu, S.-F. Wang, “Design and Verification of a New Universal Active Filter Based on the Current Feedback Operational Amplifier and Commercial AD844 Integrated Circuit,” Sensors, vol. 23, 8258, 2023.

[4] M. Dogan, E. Minayi, E. Yuce, S. Minaei, “Current feedback operational amplifier-based fully orthogonal universal and multifunction filters,” International Journal of Circuit Theory and Applications, vol. 52, pp. 4086-4104, 2024.

[5] C. Wang, H. Liu, Y. Zhao, “A New Current-Mode Current-Controlled Universal Filter Based on CCCII(±),” Circuits, Systems & Signal Processing, vol. 27, pp. 673–682, 2008.

[6] D. Agrawal, S. Maheshwari, “Electronically tunable mixed-mode third-order universal filter using a single EX-CCCII,” Australian Journal of Electrical and Electronics Engineering, vol. 19, 2022.

[7] M. Kumngern, K. Dejhan, “Voltage-mode low-pass, high-pass, band-pass biquad filter using simple CMOS OTAs,” 2009 IEEE Instrumentation and Measurement Technology Conference, Singapore, 2009.

[8] A. Raj, “Mixed-Mode Electronically-Tunable First-Order Universal Filter Structure Employing Operational Transconductance Amplifiers,” Journal of Circuits, Systems and Computers, vol. 31, 2250234, 2022.

[9] A. Namdari, M. Dolatshahi, M. Aghababaei Horestani, “A New Ultra-Low-Power High-Order Universal OTA-C Filter Based on CMOS Double Inverters in the Subthreshold Region,” Circuits, Systems, and Signal Processing, vol. 42, pp. 6379–6398, 2023.

[10] N. Herencsar, O. Cicekoglu, R. Sotner, J. Koton, K. Vrba, “New resistorless tunable voltage-mode universal filter using single VDIBA,” Analog Integrated Circuits and Signal Processing, vol. 76, pp. 251-260, 2013.

[11] W. Jaikla, F. Khateb, T. Kulej, K. Pitaksuttayaprot, “Universal Filter Based on Compact CMOS Structure of VDDDA,” Sensors, vol. 21, 1683, 2021.

[12] Y. Lakys, A. Fabre, “Shadow filters–new family of second-order filters,” Electronics Letters, vol. 46, pp. 276–277, 2010, DOI: 10.1049/el.2010.3249

[13] V. Biolkova, D. Biolek, “Shadow Filters for Orthogonal Modification of Characteristic Frequency and Bandwidth,” Electronics Letters, vol. 46, pp. 830-831, 2010.

[14] F. Khateb, W. Jaikla, T. Kulej, M. Kumngern, D. Kubanek, “Shadow Filters Based on DDCC,” IET Circuits, Devices & Systems, vol. 11, pp. 631-637, 2017, doi: 10.1049/iet-cds.2016.0522

[15] F. Khateb, M. Kumngern, T. Kulej, R. K. Ranjan, “0.5 V Multiple-Input Multiple-Output Differential Difference Transconductance Amplifier and Its Applications to Shadow Filter and Oscillator,” IEEE Access, vol. 11, pp. 31212-31227, 2023, doi: 10.1109/ACCESS.2023.3260146

[16] I. Grech, J. Micallef, G. Azzopardi, C. J. Debono, “A low voltage wide-input-range bulk-input CMOS OTA,” Analog Integrated Circuits and Signal Processing, vol. 43, pp. 127–136, 2005.

[17] M. Kumngern, T. Kulej, F. Khateb, 0.3-V 36-nW Voltage-Mode First-Order Filter based on Multiple-Input Operational Transconductance Amplifier, IEEE ACCESS, 2025.

การศึกษาความทนทานต่อสัญญาณรบกวนเฟสในระบบสื่อสารหลายกิกะบิต โดยใช้ STBC MIMO-OFDM สำหรับ WiFi-8

Phase Noise Tolerance of Multi Gigabit Communication using STBC MIMO-OFDM for WiFi-8

บุษกร บุญศรี[1] และ กฤษณะพงศ์ พันธ์ศรี[1]*

[1]สาขาวิชาวิศวกรรมอิเล็กทรอนิกส์ และโทรคมนาคม คณะวิศวกรรมศาสตร์ มหาวิทยาลัยเทคโนโลยีราชมงคลอีสาน วิทยาเขตขอนแก่น

bussakorn.bu@rmuti.ac.th kidsanapong.pu@rmuti.ac.th

บทคัดย่อ

บทความนี้นำเสนอ การวิเคราะห์ความทนทานต่อสัญญาณรบกวนเฟสในการสื่อสารความเร็วหลายกิกะบิต โดยใช้การเข้ารหัสแบบบล็อกพื้นที่-เวลา ร่วมการกล้ำสัญญาณแบบแบ่งความถี่เชิงตั้งฉาก (Space-time block code OFDM) โดยพิจารณาการนำไปใช้งานย่านความถี่สำหรับมาตรฐาน Wi-Fi-8 โดยใช้ MATLAB ในการจำลองแบบ จากการศึกษาผลกระทบตั้งแต่ความกว้างเส้น (Linewidth) ตั้งแต่ 10 100 200 300 400 ถึง 500 เฮิร์ต และใช้การกล้ำสัญญาณที่ 64-QAM 256-QAM 1024-QAM จากผลการจำลองพบว่าความกว้างเส้นมีผลกระทบโดยตรงต่อระบบที่นำเสนอ และมีอัตราบิตผิดพลาดน้อย เมื่อเปรียบเทียบอัตราบิตผิดพลาดกับสัญญาณต่อสัญญาณรบกวน โดยมีอัตราบิตผิดพลาดสำหรับ 64-QAM 256-QAM 1024-QAM ที่ 10^{-7} 10^{-4} และ 10^{-2} ตามลำดับ เมื่อมีค่า SNR 40dB พบว่าระบบที่นำเสนอมีความคงทนต่อสัญญาณรบกวนเฟส

คำสำคัญ: การส่งข้อมูลหลายอินพุต-หลายเอาต์พุต การเข้ารหัสแบบบล็อกในมิติพื้นที่-เวลา โครงสร้างอาลามูติ การกล้ำสัญญาณแบบแบ่งความถี่เชิงตั้งฉาก อะลามูติ Wi-Fi-8

Abstract

This paper investigates the phase noise tolerance of multi-gigabit communication systems, employing space–time block coding (STBC) multiple-input multiple-output orthogonal frequency division multiplexing (MIMO-OFDM) for the frequency band in Wi-Fi 8 standard. The system performance was evaluated by MATLAB numerical simulations with considering the oscillator linewidths of 10, 100, 200, 300, 400, and 500 Hz. The QAM order of 64-QAM, 256-QAM, and 1024-QAM are adopted. Simulation results reveal that the linewidth exerts only a marginal impact on the proposed system, which consistently achieves low bit error rates (BER). When evaluating BER performance with respect to the signal-to-noise ratio (SNR), the BER values for 64-QAM, 256-QAM, and 1024-QAM are observed to be 10^{-7} , 10^{-4} and 10^{-2}, respectively, SNR = 40 dB. These findings confirm that the proposed system exhibits high robustness against phase noise.

Keywords: MIMO STBC OFDM Alamouti WiFi-8

1. บทนำ

การสื่อสารไร้สายในยุคปัจจุบัน โดยเฉพาะอย่างยิ่งสำหรับเทคโนโลยีใหม่ ๆ เช่น Wi-Fi 8 (IEEE 802.11nb) [1] มีความต้องการอย่างสูงในด้านความเร็วและประสิทธิภาพในการรับส่งข้อมูล เพื่อรองรับการใช้งานที่หลากหลาย เช่น การสตรีมมิงวิดีโอ (Streaming video) ความละเอียดสูง การเล่นเกมออนไลน์ และเทคโนโลยีโลกเสมือน (Virtual Reality: VR) อีกทั้งรองรับความเร็วสูงระดับกิกะบิต แต่การส่งข้อมูลเหล่านี้ต้องเผชิญกับข้อจำกัดทางกายภาพหลายอย่าง เช่น การสูญเสียสัญญาณจากการจางหายของสัญญาณ (Fading) ซึ่งเกิดจากการที่คลื่นวิทยุสะท้อนจากวัตถุต่าง ๆ ทำให้สัญญาณที่มาถึงภาครับมีหลายเส้นทางและมีเฟสที่แตกต่างกัน และสัญญาณรบกวน (Noise) ที่มาจากสภาพแวดล้อม ซึ่งส่งผลให้คุณภาพของข้อมูลลดลง

เพื่อแก้ไขปัญหาเหล่านี้ เทคโนโลยีการส่งข้อมูลหลายอินพุต-หลายเอาต์พุต (Multiple input multiple output: MIMO) [2] ร่วมกับการกล้ำสัญญาณแบบแบ่งความถี่เชิงตั้งฉาก (Orthogonal frequency division multiplexing: OFDM) [3] จึงถูกนำมาใช้เพื่อเพิ่มอัตราข้อมูลและความทนทานของระบบโดยใช้สายอากาศหลายตัวทั้งที่ภาคส่ง (Transmitter) และภาครับ (Receiver) เทคนิคนี้ใช้ประโยชน์จากแนวคิดที่เรียกว่า ความหลากหลายเชิงพื้นที่ (Spatial Diversity) กล่าวคือ หากสัญญาณที่ส่งจากสายอากาศต้นหนึ่งได้รับผลกระทบจากการสูญเสียสัญญาณจากการจางหายของสัญญาณ สัญญาณที่ส่งจากสายอากาศอีกต้นหนึ่งอาจยังคงรับได้ดี เพื่อให้ MIMO สามารถใช้ประโยชน์จากความหลากหลายเชิงพื้นที่ได้อย่างเต็มที่ จึงมีการนำ การเข้ารหัสแบบบล็อกในมิติพื้นที่-เวลา (Space-time Block Coding: STBC) [4] มาใช้ เทคนิคนี้จะกระจายข้อมูลชุดเดียวกันในเชิงเวลา (Time) และพื้นที่ (Space) เพื่อให้ภาครับสามารถถอดรหัสและกู้คืนข้อมูลได้แม่นยำยิ่งขึ้นแม้ว่าช่องสัญญาณจะมีการจางหายอย่างรุนแรง ระบบ STBC สามารถมีขนาดที่แตกต่างกัน เช่น 2x1 (ภาคส่ง 2 สายอากาศ ภาครับ 1 สายอากาศ) และ 2x2 (ภาคส่ง 2 สายอากาศ ภาครับ 2 สายอากาศ) เป็นต้น อย่างไรก็ดี OFDM มีผลกระทบต่อสัญญาณรบกวนเฟส (Phase noise: PN) ทำให้ความตั้งฉากของแต่ละคลื่นพาห์ (Carrier) หายไป ทำให้เกิด การแทรกสอดระหว่างคลื่นพาห์ (Inter carrier interference: ICI) ดังแสดงได้ใน [5] โดยเฉพาะอย่างยิ่ง

*ผู้ประพันธ์บรรณกิจ

Y. Wu, และคณะนำเสนอผลกระทบจากสัญญาณรบกวนเฟสในเครือข่าย massive MIMO-OFDM แบบไร้เซลล์เกิดจากความไม่สมบูรณ์ของอุปกรณ์กำเนิดความถี่ (Local oscillators) ทั้งที่จุดเชื่อมต่อ (APs) และอุปกรณ์ของผู้ใช้ (UEs) สัญญาณรบกวนเฟสนี้ทำให้ความตั้งฉากของคลื่นพาห์ใน OFDM หายไป ก่อให้เกิด ICI นอกจากนี้เฟสยังทำให้อัตราส่วนสัญญาณต่อสัญญาณรบกวน (Signal to noise ratio: SNR) [6] ลดลง ทำให้ประสิทธิภาพสเปกตรัม (Spectral efficiency) ของระบบลดลง โดยเฉพาะอย่างยิ่งเมื่อจำนวนผู้ใช้เพิ่มขึ้น ดังนั้น การประเมินและชดเชยเฟส จึงเป็นสิ่งสำคัญในการออกแบบเครือข่ายให้ประหยัดและเชื่อถือได้ซึ่งพบว่าสัญญาณรบกวนเฟสมีผลอย่างมาก

บทความนี้นำเสนอผลการวิเคราะห์ประสิทธิภาพการทนทานต่อสัญญาณรบกวนเฟสของระบบ STBC 2x2 ร่วมกับ OFDM ซึ่งยังมีนักวิจัยคำนึงถึงการทำงานจุดดังกว่าไม่มากนัก บทความนี้ยังนำเสนอการประมาณค่าสัญญาณรบกวนด้วยวิธีที่สามารถสร้างจริงได้ คือวิธีการเฟสผิดพลาดร่วม (Common phase error: CPE) โดยใช้วิธีการจำลองแบบ จากผลการจำลองแบบพบว่า เมื่อ SNR เพิ่มขึ้น อัตราบิตผิดพลาดน้อยลงตามไปด้วย ซึ่งในบทความนี้จำลองการกล้ำสัญญาณ 64 256 และ 1024-QAM และเมื่อเปรียบเทียบกับความกว้างเส้นที่เพิ่มมากขึ้น อัตราบิตผิดพลาดมีค่าน้อย

2. ระบบ STBC สำหรับ Wi-Fi 8

การเข้ารหัสแบบบล็อกพื้นที่-เวลา (Space-time Block coding : STBC) โดยใช้เทคนิคโครงสร้างอาลามูติ (Alamouti) [7] เป็นวิธีการที่ใช้ในการเพิ่มอัตราสัญญาณต่อสัญญาณรบกวน (Signal-to-noise ratio: SNR) สำหรับการสื่อสารไร้สาย โดยส่งข้อมูลหลายชุดด้วยสายอากาศมากกว่าหนึ่งต้น ทำให้สามารถเพิ่มกำลังส่ง โดยอาศัยช่องสัญญาณการจางหายหลายเส้นทาง เช่นแบบเรย์ลีห์ (Rayleigh Multipath Channel)

จากรูปที่ 1 พิจารณาที่ขนาด 2 x 2 พบว่ามีการทำงานโดยการส่งข้อมูลชุดเดียวกันในช่วงเวลาที่ต่างกัน เมื่อ x_1 คือข้อมูลที่ส่งจากสายอากาศที่หนึ่ง x_2 คือข้อมูลที่ส่งจากสายอากาศที่สอง t_1 คือช่วงเวลาที่หนึ่งและ t_2 คือ ช่วงเวลาที่สอง

จากที่กล่าวมาข้างต้นสามารถอธิบาย STBC MIMO-OFDM ได้ดังรูปที่ 2 ซึ่งประกอบไปด้วยภาคส่งประกอบไปด้วย 2 เสาอากาศสำหรับส่งข้อมูล และภาครับประกอบไปด้วย 2 เสาอากาศสำหรับรับข้อมูล สามารถอธิบายได้ดังสมการที่ (1) - (2)

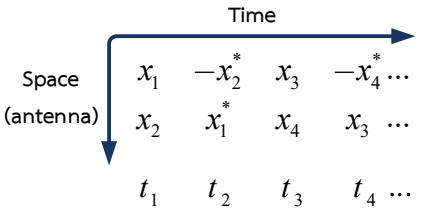

รูปที่ 1 การเข้ารหัสแบบบล็อกพื้นที่-เวลา

$$x_1[n] \rightarrow x_1[n] * h_{11}[n] + x_2 * h_{12}[n] \cdot P_N^1[N] + Z[n] \quad (1)$$

$$x_2[n] \rightarrow x_1[n] * h_{21}[n] + x_2 * h_{22}[n] \cdot P_N^2[N] + Z[n] \quad (2)$$

ดังนั้นสัญญาณที่รับได้ของระบบ STBC-OFDM อธิบายได้สมการ

$$y_1 = x_1[n] * h_{11}[n] + x_2[n] * h_{12}[n] \cdot P_N^1[n] + Z[n] \quad (3)$$

และ

$$y_2 = x_1[n] * h_{21}[n] + x_2[n] * h_{22}[n] \cdot P_N^2[n] + Z[n] \quad (4)$$

โดยที่ y_1 คือ สัญญาณที่รับได้ของภาครับที่สายอากาศที่หนึ่ง y_2 คือ สัญญาณที่รับได้ของภาครับที่สายอากาศที่ 2 และ * คือ การคูณประสาน (Convolution) $x_1[n]$ และ $x_2[n]$ คือสัญญาณไม่ต่อเนื่องทางโดเมนเวลา (Time domain) ที่ถูกส่งในสายอากาศที่หนึ่ง และสายอากาศที่สอง ตามลำดับ $P_N^1 = e^{j\theta_1[n]}$ $P_N^2 = e^{j\theta_2[n]}$ คือ สัญญาณรบกวนทางเฟสเป็นสัญญาณรบกวนที่เกิดขึ้นแบบสุ่ม โดยมีค่าเฉลี่ยเป็นศูนย์และ $\sigma^2 = 2\pi\nu T_s$ เมื่อ ν คือความกว้างเส้น (Linewidth) T_s คือเวลาที่ใช้ในการชักตัวอย่าง (Sampling) $Z(n)$ คือสัญญาณรบกวน (Noise) มักนิยามเป็นสัญญาณรบกวนเกาส์สีขาวแบบบวก (Additive white Gaussian noise: AWGN) $h_{11}[n]$ และ $h_{12}[n]$ คือ ช่องสัญญาณสำหรับสายอากาศที่หนึ่ง ส่งครั้งที่หนึ่ง และส่งครั้งที่สอง ตามลำดับ $h_{21}[n]$ และ $h_{22}[n]$ คือ ช่องสัญญาณสำหรับสายอากาศที่สอง ส่งครั้งที่หนึ่ง และส่งครั้งที่สอง ตามลำดับ

เมื่อได้สัญญาณ y_1 และ y_2 ที่ภาครับดังสมการที่ (3) – (4) จากนั้นแปลงสัญญาณจากโดเมนเวลาเป็นโดเมนทางความถี่ (Frequency Domain) โดยใช้การแปลงฟูเรียร์แบบเร็ว (Fast Furrier Transform : FFT) [8] ที่สัญญาณที่รับได้จากสมการที่ภาครับหนึ่ง (Rx1) จะได้ว่า

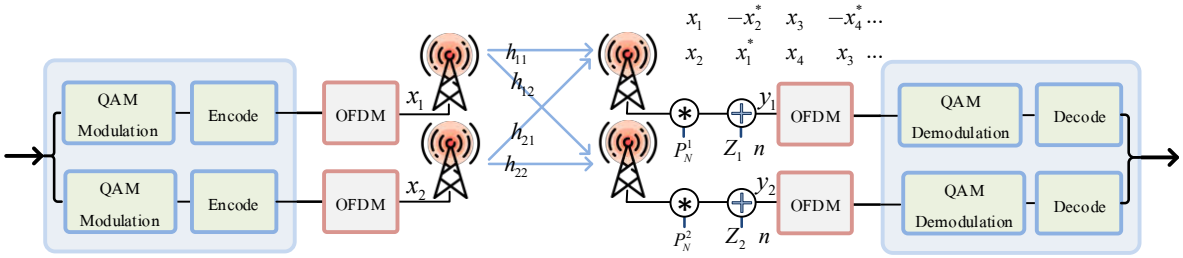

รูปที่ 2 ระบบ STBC-OFDM ที่ใช้ในการวิเคราะห์เฟส

$FFT(y_1)$ และที่ภาครับสอง (Rx2) จะได้ว่า $FFT(y_2)$ ซึ่งสามารถหาผลของการแปลงฟูเรียร์แบบเร็วได้ดังนี้

$$Y_1[k] = X_1[k] \cdot H_{11}[k] + X_2[k] \cdot H_{12}[k] * P_N^1[k] + Z[k] \quad (5)$$

และ

$$Y_2[k] = X_1[k] \cdot H_{21}[k] + X_2[k] \cdot H_{22}[k] * P_N^2[k] + Z[k] \quad (6)$$

จากสมการข้างต้นระบบการสื่อสารที่ใช้คลื่นพาห์ (Carrier) ไม่สามารถหลีกเลี่ยงสัญญาณรบกวนทางเฟสได้ ซึ่งมีผลกระทบมากสำหรับการสื่อสาร OFDM แต่อย่างไรก็ดีสัญญาณรบกวนเฟสนี้สามารถแก้ไขได้ที่ภาครับ ซึ่งจะกล่าวในหัวข้อถัดไป

3. การประมาณค่าและชดเชยเฟส

ในบทความนี้กำหนดให้รู้ค่า H_{11} H_{12} H_{21} H_{22} ที่เครื่องรับ และในวิจัยนี้พิจารณาที่ใช้วงจรกำเนิดความถี่ (Oscillator) ตัวเดียวกันทั้งสายอากาศตัวที่ หนึ่งและสองทำให้ $P_N^1 = P_N^2 = P_N$ และเวกเตอร์สัญญาณนำร่องที่รับได้มีค่าเป็น

$$\mathbf{Y}_1^{Pilot} = \mathbf{X}_1^{Pilot} \cdot \mathbf{H}_{11} + \mathbf{X}_2^{Pilot} \cdot \mathbf{H}_{12} * \mathbf{P}_N + \mathbf{Z} \quad (7)$$

และ

$$\mathbf{Y}_2^{Pilot} = \mathbf{X}_1^{Pilot} \cdot \mathbf{H}_{21} + \mathbf{X}_2^{Pilot} \cdot \mathbf{H}_{22} * \mathbf{P}_N + \mathbf{Z} \quad (8)$$

ทั้งนี้ที่ $k = 0$ และสามารถประมาณค่าเฟสร่วมได้ดังสมการ

$$\tilde{P}_N^1(0) = \frac{Y_1^{Pilot}}{X_1(k) \cdot H_{11}(k) + X_2(k) \cdot H_{12}(k)} = \tilde{P}_N(0) + \tilde{Z}_1 \quad (9)$$

และ

$$\tilde{P}_N^2(0) = \frac{Y_2^{Pilot}}{X_1(k) \cdot H_{11}(k) + X_2(k) \cdot H_{12}(k)} = \tilde{P}_N(0) + \tilde{Z}_2 \quad (10)$$

เมื่อ

$$\tilde{Z}_1 = \frac{(ICI + Z_1)}{X_1(k) \cdot H_{11}(k) + X_2(k) \cdot H_{12}(k)} \quad (11)$$

และ

$$\tilde{Z}_2 = \frac{(ICI + Z_2)}{X_1(k) \cdot H_{21}(k) + X_2(k) \cdot H_{22}(k)} \quad (12)$$

เมื่อ Z คือ สัญญาณรบกวนแบบเกาส์สีขาว (AWGN) ICI คือ การแทรกสอดระหว่างคลื่นพาห์ซึ่งเป็นสัญญาณรบกวนที่ทำให้พลังงานของสัญญาณลดลง ซึ่งมีค่า

$$ICI = \sum_{p=0, p \neq k}^{N_{FFT}-1} X(p) P_N(k-p) \quad (13)$$

โดยที่ N_{FFT} คือขนาด FFT = 4096 จากสมการที่ (9) และ (10) $\tilde{P}_N^1$ และ $\tilde{P}_N^2$ สามารถหาค่าคลาดเคลื่อนทางเฟสร่วม (Common Phase error: CPF) [9] ได้สำหรับภาครับหนึ่ง

$$P_{CPE1} = \frac{1}{Np} \sum_{0 \in N_P} \tilde{P}_N^1(0) \quad (14)$$

และภาครับสอง

$$P_{CPE2} = \frac{1}{Np} \sum_{0 \in N_P} \tilde{P}_N^2(0) \quad (15)$$

จากนั้นทำการสังยุค และคูณกลับสมการที่ (5) และที่ (6) จะได้สัญญาณที่ประมาณค่าได้ที่ภาครับหนึ่ง

$$\tilde{Y}_1[k] = Y_1[k] \frac{P_{CPE1}^*}{|P_{CPE1}^*|^2} \quad (16)$$

และสำหรับภาครับสอง

$$\tilde{Y}_2[k] = Y_2[k] \frac{P_{CPE2}^*}{|P_{CPE2}^*|^2} \quad (17)$$

4. ผลการทดลอง

การทดลองในงานวิจัยนี้ใช้ MATLAB จำลองผลสำหรับ STBC MIMO-OFDM 2x2 สำหรับการมอดดูเลต 64 256 และ 1024-QAM กำหนดให้ FFT มีขนาด 4096 และ ส่วนหัว (Cyclic prefix :CP) มีขนาด 512 จากรูปที่ 3 เปรียบเทียบอัตราบิตผิดพลาดสัญญาณต่อสัญญาณรบกวน โดยที่ความกว้างเส้นเท่ากับ 40 Hz พบว่าเมื่อสัญญาณต่อสัญญาณรบกวนเพิ่มขึ้น อัตราบิตผิดพลาดมีค่าลดลงตามไปด้วย

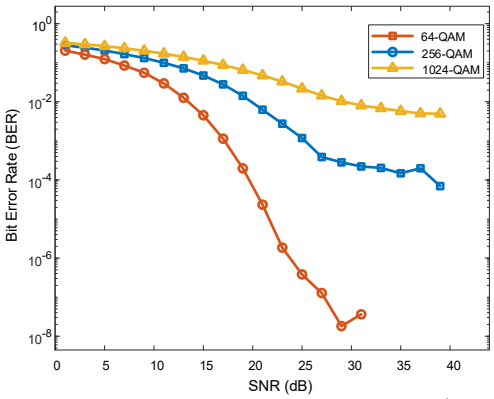

รูปที่ 3 การจำลองผลสำหรับเทคนิค STBC-OFDM 2 x 2 ที่ความกว้างเส้น 40 Hz สำหรับการมอดดูเลต 64 256 และ 1024-QAM

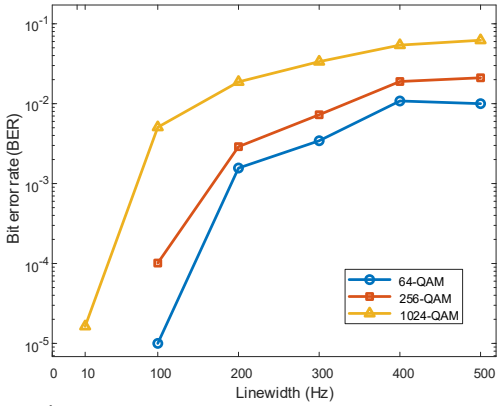

รูปที่ 4 การจำลองผลสำหรับเทคนิค STBC-OFDM 2 x 2 SNR = 40 dB สำหรับการมอดดูเลต 64 256 และ 1024-QAM

รูปที่ 4 จำลองผลความกว้างเส้นเทียบกับอัตราบิตผิดพลาด โดยที่มีความกว้างเส้นมีค่าตั้งแต่ 10 Hz ถึง 500 Hz และ SNR = 40 dB จากการจำลองผลพบว่าเมื่อความกว้างเส้นเพิ่มขึ้น นั่นคือสัญญาณรบกวนเฟสมากขึ้น ส่งผลกระทบให้อัตราบิตผิดพลาดสูงขึ้น บ่งชี้ว่าสัญญาณรบกวนเฟสมีผลกระทบโดยตรงต่อความถูกต้องของสัญญาณ จะเห็นได้ว่า 64-QAM ทนทานต่อสัญญาณรบกวนเฟสมากที่สุด 256-QAM 1024-QAM ไวต่อสัญญาณรบกวนเฟสมากขึ้น และอัตราบิตผิดพลาดสูงขึ้นเมื่อความกว้างเส้นมากกว่า 100 Hz

5. สรุป

จากการทดลองสรุปว่าการศึกษาความทนทานต่อสัญญาณรบกวนโดยใช้ STBC MIMO-OFDM สำหรับ WiFi-8 สำหรับ 64 256 1024-QAM เมื่อ SNR สูงขึ้น อัตราบิตผิดพลาดก็ลดลงตามไปด้วย อีกทั้งผลการทดลองบ่งชี้ได้ว่าเมื่อความกว้างเส้นเพิ่มขึ้นมากกว่า 100 Hz ทำให้อัตราบิตผิดพลาดมีค่าสูงขึ้นสัญญาณรบกวนเฟสมีผลกระทบต่อความถูกต้องของสัญญาณของทุกการมอดดูเลต แสดงให้เห็นว่าเมื่อความกว้างเส้นแคบสัญญาณมีความทนทาน สัญญาณเฟสคงที่ และเมื่อความกว้างเส้นกว้างขึ้นอัตราบิตพลาดพลาดสูงขึ้นและสัญญาณเฟสไม่คงที่ เป็นไปตามวัตถุประสงค์ของบทความนี้ ในอนาคตผู้วิจัยจะนำไปสร้างจริง (Implement) ด้วยอุปกรณ์ลอจิกแบบโปรแกรมได้ (Field-Programmable Gate Array :FPGA) โดยพิจารณาการสื่อสารความเร็วระดับกิกกะบิตต่อวินาที โดยใช้เทคโนโลยี STBC MIMO-OFDM 2 x 2 จริงต่อไป

เอกสารอ้างอิง

[1] [Online]. Available:https://mentor.ieee.org/802.11/dcn/23/11-23-0480-03-0uhr-uhr-proposed-par.pdf.

[2] H. Kamrani, A. Ebrahimnejad and N. Kohan, “Time Hopping Multiple input-Multiple output (TH-MIMO) systems,” *2011 2nd International Conference on Engineering and Industries (ICEI)*, Seogwipo, Korea (South), 2011.

[3] I.B. Djordjevic and B. Vasic, “100-gb/s transmission using orthogonal frequency-division multiplexing,” *IEEE Photonics Technology Letters (Volume: 18, Issue: 15, August 2006)*, 2006, pp. 1576-1578.

[4] Shang-Chih Ma, “A new super-orthogonal space-time block code,” *2008 IEEE Radio and Wireless Symposium*, Orlando, FL, USA, 2008, pp. 567-570.

[5] Wu Yibo, Sanguinetti Luca, Gustavsson Ulf, Graelli Amat Alexandre and Wymeersch Henk, “Impact of Phase Noise on Uplink Cell-Free Massive MIMO OFDM,” *GLOBECOM 2023 - 2023 IEEE Global Communications Conference*, Kuala Lumpur, Malaysia, 2023, pp. 5829-5834.

[6] Bhatnagar R. Manav and Anees Sanya, “On the Performance of Alamouti Scheme in Gamma-Gamma Fading FSO Links With Pointing Errors,” *IEEE Wireless Communications Letters (Volume: 4, Issue: 1, February 2015),* 2014, pp. 94-97.

[7] Giorgio Taricco, “On the Convergence of Multipath Fading Channel Gains to the Rayleigh Distribution,” *IEEE Wireless Communications Letters (Volume: 4, Issue: 5, October 2015)*, 2015, pp. 549-552.

[8] Bunsri Bussakorn, Puntsri Kidsanapong and Yindeemak Ampawan, “FPGA Implementation of IFFT-2048 Points for High Speed Transmitter OFDM Communication Systems with 64-QAM Mapping,” *2024 12th International Electrical Engineering Congress (iEECON)*, Pattaya, Thailand, 2024.

[9] กฤษณะพงศ์ พันธ์ศรี, “การสื่อสารแบบดิจิทัลโดยใช้หลายคลื่นพาห์” หน้าที่ 130, 2561.

การตรวจวัดเพื่อประเมินความผิดเพี้ยนของกระแสฮาร์มอนิกในระบบไฟฟ้า ตามมาตรฐาน IEEE519-2022 กรณีศึกษาห้องเย็นจัดเก็บสินค้า

Measurement for Assessment of Harmonic Current Distortion in Power system Using IEEE519-2022 Standard A Case of Study Cold Storage Warehouse

สุวิชา บัวอิน[1] ศิวดล นวลนภดล[1] ศักดิ์ชัย นวลนิ่ม[1] และ คฑาวุธ ชุมขวัญ[1*]

[1]สาขาไฟฟ้า วิทยาลัยรัตภูมิ มหาวิทยาลัยเทคโนโลยีราชมงคลศรีวิชัย

suwicha.b@rmutsv.ac.th sivadol.n@rmutsv.ac.th Sakchai.n@rmutsv.ac.th katawoot.ch@rmutsv.ac.th

บทคัดย่อ

บทความวิจัยนี้นำเสนอกรณีศึกษาการตรวจวัดเพื่อประเมินความเพี้ยนของกระแสฮาร์มอนิกในระบบจ่ายไฟฟ้า แบบ 3 เฟส 4 สาย สำหรับจ่ายไฟฟ้าอาคารห้องเย็นจัดเก็บสินค้า การทำงานที่ผิดพลาดของอุปกรณ์ไฟฟ้า ส่วนหนึ่งอาจเกิดจากอุปกรณ์ชนิดไม่เป็นเชิงเส้น ทั้งชนิดเฟสเดียวและชนิดสามเฟส ซึ่งเป็นแหล่งกำเนิดของกระแสฮาร์มอนิกในระบบไฟฟ้า อีกทั้งปัจจุบันอาคารได้มีการติดตั้งระบบโซล่าเซลล์เข้ามาใช้งาน ดังนั้น งานวิจัยที่นำเสนอ เป็นการตรวจวัดและประเมินความรุนแรงของกระแสฮาร์มอนิกในระบบไฟฟ้า เพื่อให้ทราบถึงความรุนแรงของกระแสฮาร์มอนิกอ้างอิงผลการตรวจวัดตามมาตรฐาน IEEE519-2022 ตรวจวัดสาย 3 เฟส ถึงฮาร์มอนิกลำดับที่ 50

คำสำคัญ: ความเพี้ยนกระแสฮาร์มอนิก, โซล่าเซลล์, มาตรฐาน IEEE519-2022

Abstract

This research article presents a case study on the measurement and evaluation of harmonic current distortion in a three-phase four-wire power distribution system supplying a cold storage facility. Malfunctions of electrical equipment may partly arise from nonlinear devices, both single-phase and three-phase types, which serve as significant sources of harmonic currents within the power system. Moreover, with the increasing adoption of solar photovoltaic systems in such facilities, the issue of harmonic distortion has become more critical. Therefore, this study focuses on the measurement and assessment of the severity of harmonic currents in the electrical system. The evaluation is based on measurement results referenced against the IEEE Standard 519-2022, with harmonic components analyzed up to the 50th order.

Keywords: Harmonic Current Distortion, Solar Photovoltaic, IEEE Standard 519-2022

1. บทนำ

ในปัจจุบันในอาคารห้องเย็นจัดเก็บสินค้า จะมีการใช้ไฟฟ้าตลอด 24 ชั่วโมง มีการนำอุปกรณ์อิเล็กทรอนิกกำลังมาประยุกต์ใช้งานด้านต่างๆ เช่น อุปกรณ์ควบคุมการทำงานของคอมเพลสเซอร์ อุปกรณ์ควบคุมการทำงานของพัดลมอีวาพอเรเตอร์ อุปกรณ์ควบคุมการทำงานของระบบระบายความร้อนและรวมไปถึงระบบปรับอากาศสำนักงาน อุปกรณ์สำรองไฟ เป็นต้น และอาคารได้มีการติดตั้งระบบโซล่าเซลล์เข้ามาใช้งานร่วมกับระบบไฟฟ้าหลักโดยอุปกรณ์ที่ต่อร่วม อย่างเช่น อินเวอร์เตอร์สำหรับแปลงผันกำลังไฟฟ้า จัดเป็นอุปกรณ์กำเนิดฮาร์มอนิกเช่นเดียวกัน

ทั่วไปเป็นที่ทราบกันดีอุปกรณ์อิเล็กทรอนิกกำลังทั้งชนิดเฟสเดียวและชนิดสามเฟส จัดเป็นอุปกรณ์ประเภทไม่เป็นเชิงเส้น (non-linear device) ซึ่งเป็นสาเหตุหลักของการสร้างความผิดเพี้ยนของกระแสฮาร์มอนิก [1] เมื่อมีการนำมาต่อใช้งานในระบบไฟฟ้าที่เพิ่มมากขึ้น จะส่งผลก่อให้เกิดความผิดเพี้ยนที่มากขึ้น ก่อให้เกิดปัญหาด้านคุณภาพไฟฟ้า มาตรฐาน IEEE 1159-2009 [2] ได้แบ่งประเภทปัญหาด้านคุณภาพไฟฟ้าไว้ 7 ประเภท ทั้งนี้ความผิดเพี้ยนของกระแสฮาร์มอนิก จัดอยู่ในประเภทของความผิดเพี้ยนของรูปคลื่น

ปัญหาที่เกิดขึ้นจากความรุนแรงของกระแสฮาร์มอนิก โดยเฉพาะกับระบบไฟฟ้าที่ไม่ได้มีการออกแบบรองรับไว้ เช่น เกิดความเสียหายต่อคาปาซิเตอร์ เกิดความร้อนสะสมของหม้อแปลงไฟฟ้ากำลัง การปลดวงจรของเซอร์กิตเบรกเกอร์ การเพิ่มขึ้นของกระแสในตัวนำไฟฟ้าและความร้อนต่ออุปกรณ์เครื่องจักร เป็นต้น [1-3]

จากปัญหาที่เกิดขึ้นได้ข้างต้น งานวิจัยจึงทำการตรวจวัดและประเมินความรุนแรงของกระแสฮาร์มอนิกแสดงการตรวจวัดค่าความผิดเพี้ยนรวมของแรงดันและของกระแสฮาร์มอนิกส์อาคารมหาวิทยาลัย [4] และการติดตั้งอุปกรณ์ตรวจวัดและประเมินของความรุนแรงของอาคารศูนย์การค้า [5]

งานวิจัย [6] ได้มีการตรวจวัดกระแสฮาร์มอนิกที่จุดเชื่อมต่อระหว่างแหล่งจ่ายไฟฟ้าจากระบบโซล่าเซลล์กับระบบไฟฟ้าหลักของอาคารประเภทจัดเก็บสินค้า

*ผู้ประพันธ์บรรณกิจ

มาตรฐาน IEEE519 [7,9] ได้มีการกำหนดขีดจำกัดและกำหนดจุดตรวจวัดที่จุดต่อร่วม (Point of Common Coupling, PCC) ซึ่งเป็นจุดที่เชื่อมต่อระหว่างผู้ใช้ไฟฟ้าและผู้จำหน่าย

บทความนี้นำเสนอการตรวจวัดและประเมินความรุนแรงของกระแสฮาร์มอนิกในระบบไฟฟ้า 3 เฟส 4 สาย ของอาคารประเภทห้องเย็นจัดเก็บสินค้า ซึ่งมีการใช้ระบบไฟฟ้าตลอด 24 ชั่วโมง โดยการใช้เครื่องมือตรวจวัดคุณภาพไฟฟ้า power quality analyzer (มาตรฐาน IEEE519-2022 แนะนำให้มีการตรวจวัดลำดับของฮาร์มอนิกถึงลำดับที่ 50) ทำการติดตั้งที่ตำแหน่งตู้จ่ายไฟฟ้าหลักของอาคารห้องเย็นจัดเก็บสินค้า ซึ่งมีการต่อใช้งานร่วมกับระบบโซล่าเซลล์ขนาดกำลังไฟฟ้า 997 kWp นำค่าที่ได้จากการตรวจวัดมาเปรียบเทียบขีดจำกัด เพื่อประเมินความรุนแรงของกระแสฮาร์มอนิกเปรียบเทียบกับมาตรฐาน

หัวข้อดังต่อไปนี้จะเป็นการกล่าวถึงขีดจำกัดต่างๆ ของกระแสฮาร์มอนิกในระบบไฟฟ้า ตำแหน่งการตรวจวัด การคำนวณและแสดงผลการตรวจวัดมาอ้างอิงตามมาตรฐาน [7] และสุดท้ายเป็นการสรุปผลการตรวจวัด

2. ฮาร์มอนิกในระบบไฟฟ้า

มาตรฐานฮาร์มอนิกในระบบไฟฟ้า ตามมาตฐาน IEEE519 ได้มีการกำหนดจุดตรวจวัดของกระแสฮาร์มอนิกที่จุดต่อร่วม (PCC) ระหว่างผู้ใช้ไฟฟ้าและผู้จำหน่ายและได้นิยามความผิดเพี้ยนรวมของกระแสฮาร์มอนิกในระบบไฟฟ้าไว้ ดังนี้

1.ความเพี้ยนของฮาร์มอนิกรวม (Total Harmonics Distortion, THD) คือ อัตราส่วนระหว่างค่ารากที่สองของผลบวกกำลังสอง (root-sum-square) ของค่า อาร์เอ็มเอส (rms) ของส่วนประกอบฮาร์มอนิก (I_h) กับค่า อาร์เอ็มเอส (rms) ของส่วนประกอบความถี่มูลฐาน (I_1) เทียบเป็นเปอร์เซ็นต์

$$THD = \frac{\sqrt{\sum_{h=2}^{\infty} I_h^2}}{I_1} x100\% \qquad (1)$$

2.ความเพี้ยนของดีมานด์รวม (Total Demand Distortion, TDD) คือ อัตราส่วนระหว่างค่ารากที่สองของผลบวกลำดับที่สองของค่า อาร์เอ็มเอส ของส่วนประกอบฮาร์มอนิก (I_h) กับค่ากระแสดีมานด์โหลดสูงสุด (I_L) เทียบกับเปอร์เซ็นต์

$$TDD = \frac{\sqrt{\sum_{h=2}^{\infty} I_h^2}}{I_L} x100\% \qquad (2)$$

ตารางที่ 1 แสดงข้อกำหนดขีดจำกัดความผิดเพี้ยนของดีมานด์รวมกระแสฮาร์มอนิก (TDD) หน่วยเป็นเปอร์เซ็นต์และแต่ละขีดจำกัดความเพี้ยนถึงลำดับ 50

ตารางที่ 1 ขีดจำกัดความเพี้ยนกระแสฮาร์มอนิก IEEE 519-2022 [7]

Current distortion limits for system rate 120 throuth 69kV						
Maximum current harmonics distortion in percent of I_L						
Individual harmonics order[b]						
I_{SC}/I_{SL}	2≤h<11[a]	11≤h<17	17≤h<23	23≤h<35	35≤h≤50	TDD
<20[c]	4.0	2.0	2.0	1.5	0.3	5.0
20<50	7.0	3.5	3.5	2.5	0.5	8.0
50<100	10.0	4.5	4.5	4.0	0.7	12.0
100<1000	12.0	5.5	5.5	5.0	1.0	15.0
>1000	15.0	7.0	7.0	6.0	1.4	20.0
[a] For $h \le 6$, even harmonics are limited to 50% of the harmonic limits show in the table						

ในส่วนตารางที่ 1 แสดงขีดจำกัดความเพี้ยนรวมของกระแส ตั้งแต่แรงดัน 120 โวลต์ ถึง 69,000 โวลต์ ตามมาตรฐานกำหนดให้มีความผิดเพี้ยนดีมานด์รวมของรูปคลื่นกระแส (TDD) ได้ตั้งแต่ 5.0 ถึง 20.0 เปอร์เซ็นต์ ทั้งนี้ขีดจำกัดจะมีค่าใด ขึ้นอยู่กับอัตราส่วนของกระแสลัดวงจรต่อค่า ดีมานด์โหลดสูงสุด (I_{SC}/I_L) กระแสลัดวงจร (I_{SC}) สามารถคำนวณได้ตามสมการ

$$I_{SC} = \frac{kVAx1,000}{\sqrt{3}xV_{line-line}x\%impedance} \qquad (3)$$

3. การติดตั้งและตรวจวัด

การวิจัยได้ทำการติดตั้งเครื่องมือวัดทางไฟฟ้า Chauvin arnoux power quality analyzer model C.A 8335 ตรวจวัดกระแสฮาร์มอนิกส์ถึงลำดับที่ 50 [8] ติดตั้งที่ตำแหน่งตู้ไฟฟ้าหลักของอาคาร ตรวจวัด 24 ชั่วโมง บันทึกค่าทุกๆ 1 นาที

คุณสมบัติที่สำคัญของเครื่องมือตรวจวัด ดังนี้

1) เป็นไปตามมาตรฐานการตรวจวัด IEC 61000-4-30
2) ตรวจวัดและบันทึกค่าฮาร์มอนิกได้ถึงลำดับที่ 50
3) ตรวจวัดและบันทึกค่าเฟสเซอร์ทางไฟฟ้าและรวมทั้งค่าอื่นๆที่เกี่ยวข้อง

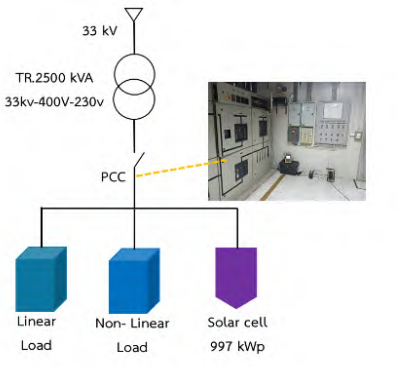

รูปที่ 1 ตำแหน่งติดตั้งเครื่องตรวจวัดทางไฟฟ้า

รูปที่ 1 ตำแหน่งติดตั้งเครื่องมือตรวจวัดทางไฟฟ้าที่จุดต่อร่วม PCC เป็นจุดที่มีการต่อใช้งานโหลดร่วมในระบบหลักของอาคาร

4. การเปรียบเทียบผลการตรวจวัดกับมาตรฐาน IEEE519-2022 [7]

ทำการคำนวณหาอัตราส่วนของกระแสลัดวงจรต่อค่าดีมานด์โหลดสูงสุด (I_{SC} / I_L) ตามรายละเอียดข้อมูลของระบบไฟฟ้า คือ

1) แรงดันของระบบไฟฟ้า 33 kV – 400/230 V
2) พิกัดหม้อแปลงไฟฟ้า 2,500 kVA
3) ค่าอิมพีแดนซ์ของหม้อแปลงไฟฟ้า 6.53 เปอร์เซ็นต์
4) ค่ากระแสพิกัดโหลดสูงสุดของหม้อแปลง 3,608.44 แอมแปร์
5) ค่ากระแสเฉลี่ยใช้งานสูงสุด 1,591.2 แอมแปร์

จากข้อมูลหาค่ากระแสลัดวงจรตามสมการที่ 3 จะได้อัตราส่วน (I_{SC} / I_L) ตามสมการที่ 4

$$\frac{I_{SC}}{I_L} = \frac{54,442.76}{1,591.2} = 34.21 \qquad (4)$$

นำผลคำตอบการคำนวณของสมการที่ 4 ไปเปรียบเทียบกับตารางที่ 1 จะได้ขีดจำกัดของ TDD 8.0 เปอร์เซ็นต์และค่ากระแสฮาร์มอนิกแต่ละลำดับตั้งแต่ลำดับที่ 2 จนถึงลำดับที่ 50 ยอมรับขีดจำกัดสูงสุด 7.0 ลดลงต่ำลงจนถึง 0.5 ทั้งนี้มาตฐาน IEEE519-2022 กำหนดให้ขีดจำกัดของฮาร์มอนิกลำดับคู่ที่ ≤ 6 จำกัดที่ 50 เปอร์เซ็นต์ของลำดับเลขคี่ (มาตรฐาน IEEE519-2014 [9] กำหนดขีดจำกัดที่ 25 เปอร์เซ็นต์ของลำดับเลขคี่) ขีดจำกัดนี้นำไปเปรียบเทียบผลการตรวจวัดกระแสฮาร์มอนิก ตั้งแต่วันที่ 23 พฤษภาคม 2567 ไปจนถึง วันที่ 24 พฤษภาคม 2567 รวมระยะเวลา 24 ชั่วโมง ผลที่ได้ไปเปรียบเทียบค่า TDD ตามมาตรฐานของเฟส L1, L2, L3 ตามลำดับและเปรียบเทียบความรุนแรงของกระแสฮาร์มอนิกโดยเฉพาะลำดับเลขคู่ h ≤ 6 ที่มีการเปลี่ยนแปลงขีดจำกัดมาตรฐาน [9]

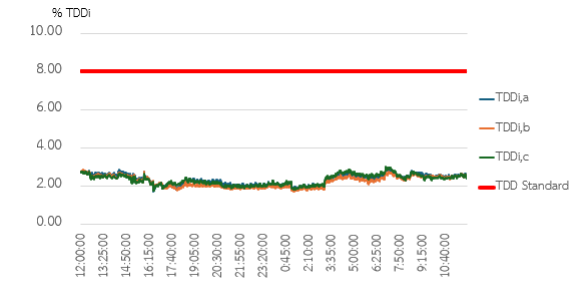

รูปที่ 2 แสดงค่า TDD ที่ได้จากการตรวจวัด

ค่าที่ TDD ที่ได้จากการตรวจวัดของทั้ง 3 เฟส อยู่ในเกณฑ์มาตรฐานไม่ได้เกินกว่าขีดจำกัด 8 เปอร์เซ็นต์ แสดงให้เห็นว่า อุปกรณ์ที่ไม่เป็นเชิงเส้นอาจมีการต่อใช้งานอยู่เป็นสัดส่วนที่น้อยจนไม่ได้สร้างความรุนแรงที่ทำให้เกิดความผิดเพี้ยนรวมของค่ากระแสฮาร์มอนิกให้ปรากฏอย่างเด่นชัด

แต่ในมาตรฐาน IEEE519-2022 ได้มีการเปลี่ยนแปลงขีดจำกัดของกระแสฮาร์มอนิกแต่ละลำดับ (individual harmonic order) โดยเฉพาะในลำดับคู่ที่ h ≤ 6 รูปที่ 3 เปรียบเทียบผลการตรวจวัดกระแสฮาร์มอนิกแต่ละลำดับเปรียบเทียบกับมาตรฐาน IEEE519-2014 กับ IEEE519-2022

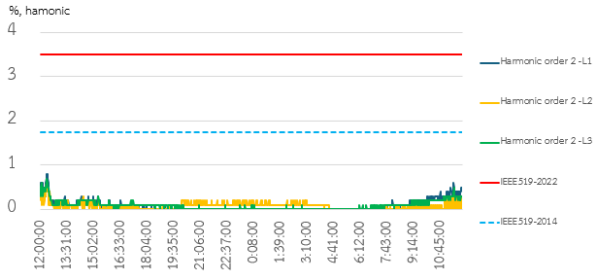

(a)

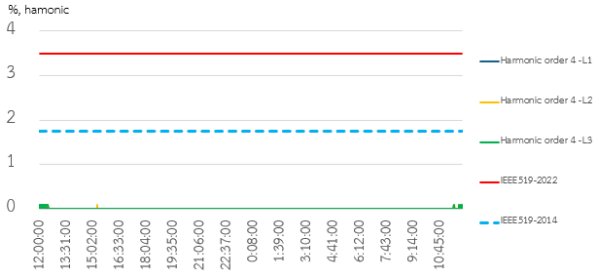

(b)

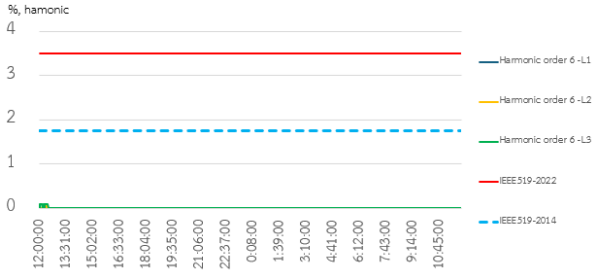

(c)

รูปที่ 3 เปรียบเทียบค่าที่ตรวจวัดกับขีดจำกัดตามมาตรฐาน IEEE519-2014 กับ IEEE519-2022 (a) ลำดับที่ 2 (b) ลำดับที่ 4 และ (c) ลำดับที่ 6

รูปที่ 3, (a) (b) และ (c) แสดงให้เห็นว่ากระแสฮาร์มอนิกของลำดับคู่ ทั้ง 3 เฟส คือ ลำดับที่ 2, 4 และ 6 ไม่ได้เกินกว่าขีดจำกัด แม้ว่าจะมีการเปลี่ยนแปลงค่าเปอร์เซ็นต์ขีดจำกัดของลำดับดังกล่าวเพิ่มมากขึ้น

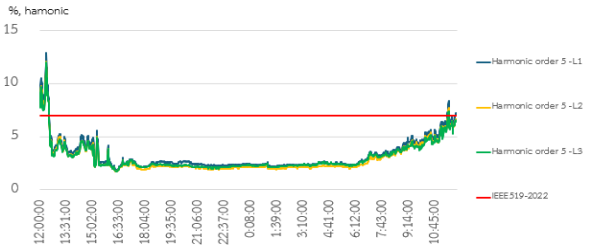

รูปที่ 4 เปรียบเทียบค่ากระแสฮาร์มอนิกส์ลำดับที่ 5 ของทั้ง 3 เฟส กับมาตรฐาน IEEE519-2022

ถึงแม้ว่าค่า TDD รวมของความเพี้ยนกระแสฮาร์มอนิก ไม่ได้เกินกว่าขีดจำกัด รูปที่ 4 เมื่อแยกความรุนแรงแต่ละลำดับ เห็นได้ชัดว่าองค์ประกอบกระแสฮาร์มอนิกลำดับที่ 5 ของทั้ง 3 เฟส โดยเฉพาะช่วงเวลา ตั้งแต่ประมาณ 12.00 น. มีการเพิ่มขึ้นอย่างสูงสุดและลดลงเมื่อถึงเวลาประมาณ 13.06 น. อาจมีการสตาร์ทอุปกรณ์ที่สร้างกระแสฮาร์มอนิกลำดับที่ 5 ชั่วครู่ แต่ไม่ได้ส่งผลต่อระบบอย่างเป็นนัยสำคัญ

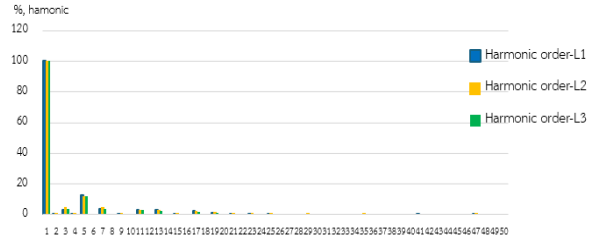

รูปที่ 5 องค์ประกอบความถี่แต่ละลำดับของกระแสฮาร์มอนิก ตั้งแต่ลำดับที่ 1 – 50 ของสายเฟส $I_{h,\ L1\text{-}L3}$

รูปที่ 5 แสดงความเพี้ยนกระแสฮาร์มอนิกตั้งแต่ลำดับที่ 1 จนถึงลำดับที่ 50 ซึ่งเป็นมาตรฐานข้อกำหนดในการตรวจวัดฮาร์มอนิก

รูปที่ 6 ค่า TDD ได้จากการตรวจวัดอาคารประเภทศูนย์การค้า

รูปที่ 6 แสดงผลการตรวจวัดค่า TDD ของอาคารประเภทศูนย์การค้า [5] จะเห็นว่าค่า TDD จะลดลงอย่างมากตั้งแต่เวลา 21.00 น. ไปจนถึงช่วงเวลา 10.00 น. เนื่องจากเวลาดังกล่าวมีการปิดอุปกรณ์เครื่องจักร ซึ่งแตกต่างกับอาคารประเภทห้องเย็นจัดเก็บสินค้าซึ่งค่า TDD ค่อนข้างคงที่หรือมีการเปลี่ยนแปลงเพียงเล็กน้อย

5. สรุปผลการทดลอง

งานวิจัยนี้เป็นการนำเสนอการตรวจวัดและประเมินความรุนแรงของกระแสฮาร์มอนิกในระบบไฟฟ้า อ้างอิงตามมาตรฐาน IEEE519-2022 ที่มีการเปลี่ยนแปลงขีดจำกัดของลำดับคู่ที่ h ≤ 6 แตกต่างไปจากมาตรฐานเดิม IEEE519-2014

กระแสฮาร์มอนิกแต่ละลำดับที่ได้จากการตรวจวัดของทั้ง 3 เฟส จะปรากฏความรุนแรงที่เด่นชัดในลำดับที่ 5 ในสภาวะชั่วครู่ จากนั้นมีการเปลี่ยนแปลงลดลงในช่วงเวลาที่รวดเร็ว โดยที่ค่าความผิดเพี้ยนดีมานด์รวมของกระแสฮาร์มอนิก TDD อยู่ในเกณฑ์ของขีดจำกัดตามมาตรฐาน แม้ว่าจะมีการเชื่อมต่อระบบโซล่าเซลล์ร่วมด้วยแต่ไม่ได้ส่งผลกระทบต่อคุณภาพไฟฟ้าของอาคารห้องเย็นจัดเก็บสินค้า

ทั้งนี้ขีดจำกัดลำดับคู่ที่ h ≤ 6 ที่มีการเปลี่ยนแปลงไปจากมาตรฐานเดิม [2] ผลที่ได้จากการตรวจวัดพบว่าไม่ได้เกินกว่าเกณฑ์มาตรฐาน [7] ตลอดทั้งช่วงเวลาของการตรวจวัด

เอกสารอ้างอิง

[1] S. Mikkili, and A. kumar Panda, “*Power Quality issues Current Harmonics*” Taylor & Francis Group, 2018

[2] IEEE Recommended Practice for Monitoring electric Power Quality, IEEE std. 1159-2009

[3] S. R. Durdhavale, and D. D. Ahire, “*A Review of Harmonics Detection and Measurement in Power System*” International journal of Computer Application (0975-8887), Volume 143- No.10, June 2016

[4] A. Boharb, I. Moufid, N. Soukaina, E. M. Hassame, E. M. Hassame, and L. Tijani, “*Harmonics Pollution Filtering : case Study of A University Campus*” ICIES’ 22 Web of Conferences 351, (01005) , 2022

[5] P. Nakmahachalasint, and S. Buain, “*Real-Time Monitoring of Harmonic Currents : A Case Study of A Shopping Center*” Advanced Materials Research ISSN:1662-8985, Vol. 1016, pp 666-670, 2014

[6] E. Janssen and L. St. Hillalre, “*Power Quality Assessments of Solar photovoltaic Inverter*” Sustainble Technologies Evaluation Program, January, 2016

[7] IEEE Standard for Harmonic Control in Electric Power System, IEEE std. 519-2022

[8] Power and Energy Quality Analyzers, “Chauvin Arnoux C.A 8335” User Manual, Chauvin Arnoux Group, 11-2012

[9] IEEE Recommended Practice for Monitoring electric Power Quality, IEEE std. 519-2014

นายสุวิชา บัวอิน สำเร็จการศึกษา ป.ตรี จาก มจพ. และ ป.โท จาก ม.ธรรมศาสตร์ สาขาวิศวกรรมไฟฟ้า ปัจจุบัน อาจารย์ประจำสาขาไฟฟ้า มทร.ศรีวิชัย วิทยาลัยรัตภูมิ งานวิจัยที่สนใจ ด้านคุณภาพไฟฟ้าระบบ IOT และการจัดการพลังงาน

นายศิวดล นวลนภดล สำเร็จการศึกษา ป.ตรี จาก มจธ. และ ป.โท จาก มจพ. สาขาวิศวกรรมไฟฟ้า ปัจจุบัน อาจารย์ประจำสาขาไฟฟ้า มทร.ศรีวิชัย วิทยาลัยรัตภูมิ งานวิจัยที่สนใจด้านวิศวกรรมไฟฟ้าและโทรคมนาคม

นายคฑาวุธ ชุมขวัญ สำเร็จการศึกษา ป.ตรี จาก มจธ. และ ป.โท จาก มจพ. สาขาวิศวกรรมไฟฟ้า ปัจจุบัน อาจารย์ประจำสาขาไฟฟ้า มทร.ศรีวิชัย วิทยาลัยรัตภูมิ งานวิจัยที่สนใจด้านพลังงานทางเลือกและการอนุรักษ์พลังงาน

นายศักดิชัย นวลนิ่ม สำเร็จการศึกษา ป.ตรี จาก มทร.ศรีวิชัย กำลังศึกษาระดับ ป.โท สาขาวิศวกรรมไฟฟ้า มทร.ศรีวิชัย ปัจจุบัน อาจารย์ประจำสาขาไฟฟ้า มทร.ศรีวิชัย วิทยาลัยรัตภูมิ งานวิจัยที่สนใจด้านเครื่องจักรกลไฟฟ้าและพลังงานทางเลือก

การขนานแหล่งจ่ายไฟฟ้ากระแสตรงโดยใช้วงจรโอริง

DC Power Supplies Paralleling using ORing Circuit

โชคชรัตน์ ฤทธิ์เย็น[1] ณรงค์ฤทธิ์ พิมพ์คำวงศ์[1] สมนึก เครือสอน[1] และ ทัศนะ ถมทอง[1]*

[1]สาขาวิชาวิศวกรรมไฟฟ้า คณะวิศวกรรมศาสตร์ มหาวิทยาลัยเทคโนโลยีราชมงคลล้านนา ตาก chokcharat@rmutl.ac.th p.narongrit@rmutl.ac.th somnuk@rmutl.ac.th tatsana@rmutl.ac.th*

บทคัดย่อ

บทความนี้นำเสนอการขนานสองแหล่งจ่ายไฟฟ้าด้วยวงจรโอริง โดยมีไดโอดทำหน้าที่เป็นสวิตช์ควบคุมการไหลของกระแสไฟฟ้าและทำหน้าที่ป้องกันกระแสไฟฟ้าไหลย้อนกลับ วงจรดังกล่าวมีโหมดการทำงานสองโหมด คือ โหมดเลือกให้จ่ายกระแสไฟฟ้าด้วยแหล่งจ่ายเดียว และโหมดจ่ายกระแสไฟฟ้าร่วมกัน จากผลการทดสอบในโหมดการขนานแหล่งจ่ายพบว่า ไดโอดสามารถควบคุมการขนานแหล่งจ่ายได้ในกรณีที่ผลต่างของระดับแรงดันไฟฟ้าของทั้งสองแหล่งจ่ายไม่เกินแรงดันตกคร่อมไดโอดขณะนำกระแส โดยมีกำลังไฟฟ้าสูญเสียที่ไดโอดทั้งสองเฉลี่ย 15 เปอร์เซ็นต์ของพิกัดกำลังไฟฟ้าที่จ่ายโดยทั้งสองแหล่งจ่าย

คำสำคัญ: วงจรโอริง ไดโอด กำลังไฟฟ้าสูญเสีย

Abstract

This article presents a method of paralleling two DC power supplies using an ORing circuit. The circuit employs diodes that act as current control switches while also providing reverse current protection function. It operates in two modes, selectable mode and parallel mode, which regulate current flow from the two power supplies. Test results show that the diodes enable parallel current sharing when the voltage difference between the two supplies does not exceed the diode's forward voltage drop. However, diode operation results in power dissipation of approximately 15% of the total supply power.

Keywords: ORing circuit, Diode, Power dissipation

1. ข้อมูลทั่วไป

การขนานหรือการอนุกรมแหล่งจ่ายไฟฟ้ากระแสตรงเป็นการเพิ่มความสามารถและเพิ่มความน่าเชื่อถือได้ในการจ่ายพลังงานไฟฟ้าให้กับโหลด[1-4] การขนานแหล่งจ่ายไฟฟ้ากระแสตรงเป็นที่นิยมและมีความสำคัญในหลายระบบ เช่น ศูนย์คอมพิวเตอร์ คลังข้อมูล หรือระบบทดสอบอุปกรณ์อิเล็กทรอนิกส์ต่อเนื่อง เป็นต้น การเชื่อมต่อแหล่งจ่ายไฟฟ้าหลายแหล่งเข้าด้วยกันทำให้โหลดสามารถทำงานได้ต่อเนื่อง แม้ในขณะแหล่งจ่ายบางตัวเกิดความเสียหายหรือทำงานผิดปกติ แม้ว่าการเชื่อมต่อแหล่งจ่ายแบบขนานจะได้รับความนิยมแต่มีความซับซ้อนในการควบคุม[5-7] วงจรโอริงเป็นเทคนิคหนึ่งที่นิยมใช้ขนานแหล่งจ่ายไฟฟ้ากระแสตรง[8-10] โดยใช้ไดโอดหรือมอสเฟตบังคับกระแสไฟฟ้าให้ไหลในทิศทางที่ต้องการและทำหน้าที่ป้องกันกระแสไฟฟ้าไหลย้อนกลับไปยังแหล่งจ่ายไฟฟ้าอื่น ๆ ที่มีแรงดันไฟฟ้าต่ำกว่าไปพร้อมกัน บทความนี้คณะผู้จัดทำอธิบายหลักการทำงานและกำลังไฟฟ้าสูญเสียของวงจรโอริง และการควบคุมกำลังไฟฟ้าของแหล่งจ่ายไฟฟ้ากระแสตรงที่ขนานกันสองตัวเพื่อจ่ายให้กับโหลดพิกัดกระแสไฟฟ้า 2 , 4 และ 6 แอมแปร์

2. แนวคิดและหลักทฤษฎีที่เกี่ยวข้อง

2.1 วงจรโอริง

วงจรโอริงในรูปที่ 1 เป็นวงจรโอริงแบบสองแหล่งจ่าย มีส่วนประกอบหลักคือไดโอด 2 ตัว ทำหน้าที่ควบคุมการไหลของกระแสไฟฟ้าผ่านตัวมันได้ทิศทางเดียวและป้องกันกระแสไหลย้อนกลับได้อย่างมีประสิทธิภาพ แต่จะมีการสูญเสียเนื่องจากแรงดันตกคร่อมตัวมันขณะนำกระแสประมาณ 0.7 โวลต์สำหรับซิลิกอนไดโอดและ 0.3 โวลต์สำหรับชอตกีไดโอด

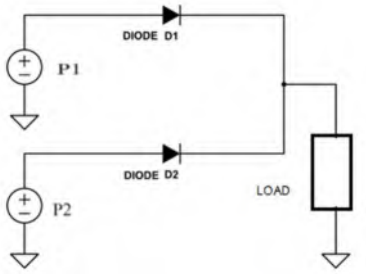

รูปที่ 1 วงจรโอริงแบบสองแหล่งจ่าย

หากใช้มอสเฟตแทนไดโอด ข้อดีคือมอสเฟตมีกำลังไฟฟ้าสูญเสียขณะนำกระแสที่น้อยกว่าไดโอด แต่มีข้อเสียคือต้องมีวงจรควบคุมแรงดัน V_{gs} เพื่อควบคุมการนำกระแสของมอสเฟตและมอสเฟตไม่สามารถทนแรงดันรีเวิร์สไบแอสได้

2.2 การทำงานของวงจรโอริง

วงจรโอริงมีการทำงานได้สองโหมด คือ โหมดเลือกจ่ายกระแสไฟฟ้าและโหมดขนานการจ่ายกระแสไฟฟ้า

2.2.1 โหมดเลือกจ่ายกระแสไฟฟ้า

โหมดเลือกจ่ายกระแสไฟฟ้า ดังรูปที่ 2 จะมีไดโอดนำกระแสเพียงหนึ่งตัวโดยไดโอดตัวที่นำกระแสนั้นจะต้องต่ออยู่กับแหล่งจ่ายที่มีแรงดันไฟฟ้าสูงกว่าอีกแหล่งจ่ายหนึ่ง โดยผลต่างระหว่างแรงดันไฟฟ้าของทั้งสองแหล่งจ่ายจะต้องมากกว่าแรงดันตกคร่อมไดโอดขณะนำกระแส V_{dth}

*ผู้ประพันธ์บรรณกิจ

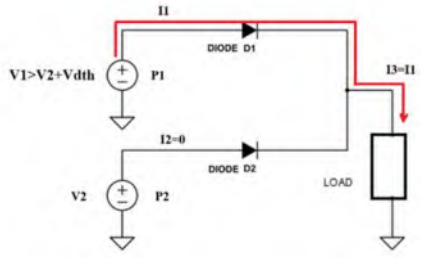

(ก) โหมดเลือกจ่ายกระแสไฟฟ้าด้วยแหล่งจ่าย P1

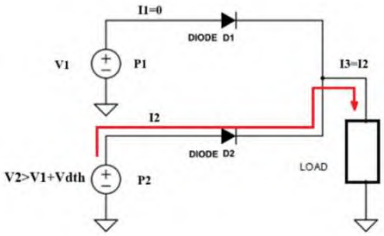

(ข) โหมดเลือกจ่ายกระแสไฟฟ้าด้วยแหล่งจ่าย P2

รูปที่ 2 การทำงานของวงจรโอริงในโหมดเลือกจ่ายกระแสไฟฟ้า

2.2.2 โหมดขนานการจ่ายกระแสไฟฟ้า

โหมดขนานการจ่ายกระแสไฟฟ้า ดังรูปที่ 3 คือ โหมดที่แหล่งจ่ายทั้งสองมีแรงดันไฟฟ้าเท่า ๆ กันและผลต่างของแรงดันไฟฟ้าไม่เกินค่าแรงดันไฟฟ้าตกคร่อมไดโอดขณะนำกระแส V_{dt}

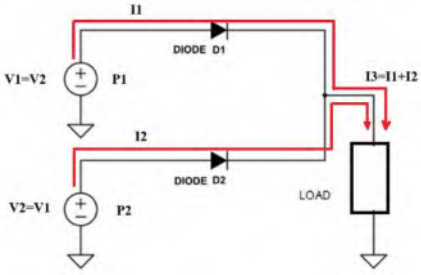

รูปที่ 3 วงจรโอริงทำงานในโหมดขนานการจ่ายกระแสไฟฟ้า

3. วิธีดำเนินการวิจัย

3.1 การทดสอบหาโหมดการทำงานของวงจรโอริง

วงจรในรูปที่ 4 (ก) เป็นวงจรโอริงที่ออกแบบและชื่อพารามิเตอร์ที่ใช้เก็บผลทดสอบ รูปที่ 4 (ข) เป็นวงจรต้นแบบที่ใช้ทดสอบจริง ประกอบด้วยแหล่งจ่ายไฟฟ้าสองแหล่งจ่าย ไดโอดเบอร์ MBRF30100CT และโหลดสร้างจากตัวต้านทาน 20 โอห์ม 100 วัตต์ 8 ตัวต่อขนานกัน เป็นการทดสอบหาผลต่างของแรงดันไฟฟ้าที่ทำให้วงจรเปลี่ยนโหมดทำงานที่พิกัดกระแสโหลด 2, 4 และ 6 แอมแปร์

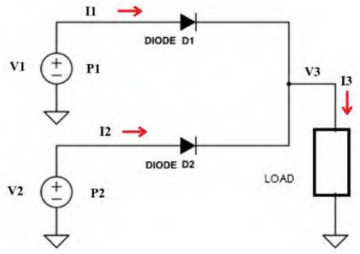

(ก) วงจรโอริงที่ออกแบบ

(ข) วงจรโอริงต้นแบบ

รูปที่ 4 วงจรโอริงที่นำเสนอ

3.2 ผลการทดสอบเพื่อหาโหมดการทำงานของวงจรโอริง

การทดสอบเริ่มโดยปรับค่าแรงดันไฟฟ้า V2 เท่ากับ 0 โวลต์ จากนั้นปรับค่าแรงดันไฟฟ้า V1 จนกระทั่งกระแสโหลดเท่ากับพิกัดทดสอบ 2, 4 และ 6 แอมแปร์ โดยจะคงค่าแรงดัน V1 ไว้ ณ จุดที่กระแสถึงค่าพิกัดทดสอบ จากนั้นทำการปรับค่าแรงดัน V2 ครั้งละ 50 มิลลิโวลต์ จนกระทั่งกระแส I1 เป็นศูนย์ ได้ผลการทดสอบดังรูปที่ 5-7

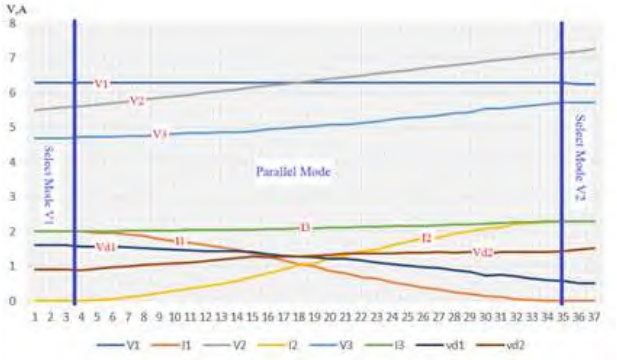

รูปที่ 5 กราฟค่ากระแส-แรงดันไฟฟ้าในวงจรโอริงที่พิกัดกระแสโหลด 2 A

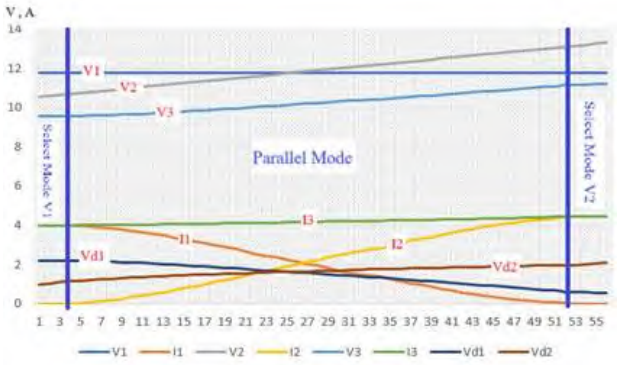

รูปที่ 6 กราฟค่ากระแส-แรงดันไฟฟ้าในวงจรโอริงที่พิกัดกระแสโหลด 4 A

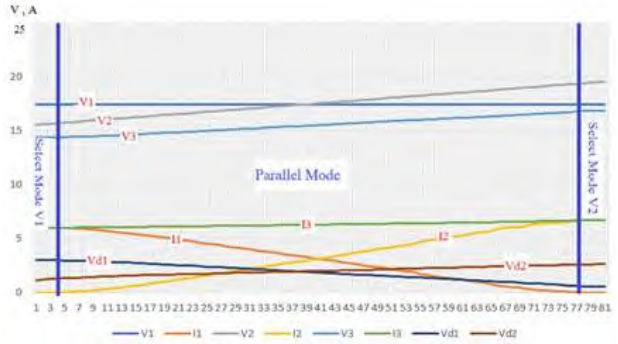

รูปที่ 7 กราฟค่ากระแส-แรงดันไฟฟ้าในวงจรโอริงที่พิกัดกระแสโหลด 6 A

จากรูปที่ 5-7 เป็นกราฟความสัมพันธ์ระหว่างค่ากระแสและแรงดันไฟฟ้าในโหมดขนานการจ่ายกระแสไฟฟ้า โดยแหล่งจ่าย P1 และ P2 สามารถช่วยกันจ่ายกระแสไฟฟ้า I1 และ I2 รวมกันได้เท่ากับค่ากระแสไฟฟ้า I3 ซึ่งเป็นพิกัดกระแสโหลด 2,4,และ 6 แอมแปร์ได้

3.3 กำลังไฟฟ้าสูญเสียในวงจรโอริง

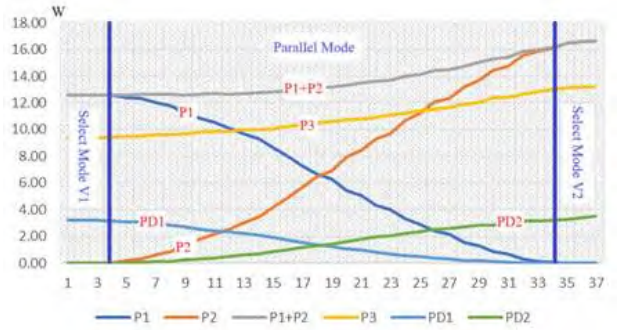

รูปที่ 8 กราฟค่ากำลังไฟฟ้าในวงจรโอริงที่พิกัดกระแสโหลด 2 A

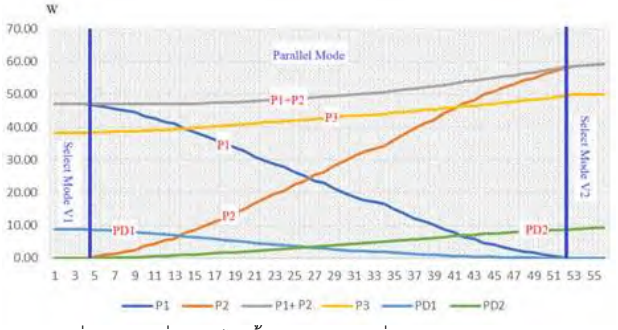

รูปที่ 9 กราฟค่ากำลังไฟฟ้าในวงจรโอริงที่พิกัดกระแสโหลด 4 A

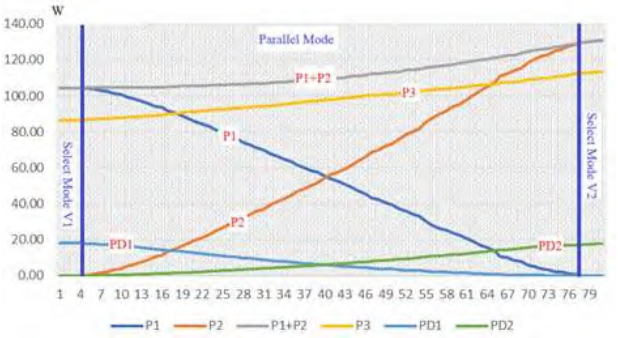

รูปที่ 10 กราฟค่ากำลังไฟฟ้าในวงจรโอริงที่พิกัดกระแสโหลด 6 A

จากกราฟผลทดสอบในรูปที่ 8-10 พบว่าแหล่งจ่ายทั้งสองแหล่งสามารถช่วยกันจ่ายกำลังไฟฟ้าตามพิกัดโหลดได้ กำลังไฟฟ้าสูญเสียของไดโอดแต่ละตัวแปรผันตามกำลังไฟฟ้าที่ต้องจ่ายให้กับโหลด โดยกำลังไฟฟ้าสูญเสียที่ไดโอดทั้งสองตัวรวมกันคิดเป็นค่าเฉลี่ย 15 เปอร์เซ็นต์ของกำลังไฟฟ้าที่ทั้งสองแหล่งจ่ายร่วมกันจ่ายให้กับโหลด

4. สรุป

จากผลการทดสอบวงจรขนานสองแหล่งจ่ายพบว่าเมื่อผลต่างของระดับแรงดันของทั้งสองแหล่งจ่ายไม่เกินแรงดันตกคร่อมไดโอดขณะนำกระแส จะสามารถขนานแหล่งจ่ายให้ช่วยกันจ่ายกระแสไฟฟ้าได้ ผลรวมค่ากระแสไฟฟ้าของทั้งสองแหล่งจ่ายจะเท่ากับพิกัดกระแสโหลดที่กำหนด วงจรดังกล่าวมีกำลังไฟฟ้าสูญเสียที่ไดโอดทั้งสองตัวรวมกันมีค่าเฉลี่ยที่ 15 เปอร์เซ็นต์ ของค่ากำลังไฟฟ้าที่จ่ายโดยทั้งสองแหล่งจ่ายรวมกัน พฤติกรรมดังกล่าวสามารถนำไปพัฒนาการขนานแหล่งจ่ายที่มากกว่าสองแหล่งจ่ายและสามารถจัดลำดับการจ่ายกระแสไฟฟ้าตามระดับแรงดันไฟฟ้าที่คงค่าได้

เอกสารอ้างอิง

[1] A. Asadi, M. S. Karimzadeh, X. Liang, M. S. Mahdavi, and G. B. Gharehpetian, “A Novel Control Approach for a SI-MISO DC-DC Boost Converter for PV Applications,” *J. IEEE Access* Vol.11, pp. 114753-114764, 2023.

[2] P. Saritha, V. Devi, A. Babu, and R. P. Praveen, “Design and Analysis of multiple input single output converter for

hybrid renewable energy system with energy storage capability," *J. Ain Shams Eng.*, Vol.14, pp.1-17, 2023.

[3] M. R. Banaei, H. Ardi, R. Alizadeh, and A. Farakhor, "Non-isolated multi-input single-output DC/DC converter for photovoltaic power generation systems," *IET Power Electron.*, Vol.7, Iss. 11, pp. 2806-2816, 2014.

[4] F. Nejabatkhah, S. Danyali, S. H. Hosseini, M. Sabahi, and S. M. Niapour, "Modeling and control of a new three Input DC-DC boost converter for hybrid PV FC Battery power system," *IEEE Trans. Power Electron.*, Vol. 27, No. 5, pp. 2309-2324, 2012.

[5] A. A. Shalbaf, N. Shahidi, and M. Hemati, "A high-gain interleaved DC-DC converter with reduced components for EV charging application," *J. Comp. Elec. Eng.*, Vol. 118, pp. 1-26, 2024.

[6] D. Taheri, G. Shahgholian, M. M. Mirtalaei, A. Mosavi, A. Fathollahi, and A. Varkonyi-Koczy, "Design and Implementation of charging circuit for energy storage system in multi-input non-isolated converter with high gain," *27th IEEE Int. Conf. Intel. Eng. Sys.*, July 26-31, 2023.

[7] A. Vasudev, Dheeraj M, N. S. Varghese, and S. Kumar, "Analysis of a Three-port converter for Integrating renewable sources in to Electric Vehicle," *9th Int. Conf. Smart Comp. and Commu.*, pp. 760-765, 2023.

[8] B. Karthikeyan, K. Sundararaju, R. Palanisamy, R. Manivasagam, I. Hossain, M. Bajaj, M. Shouran, B. A. Samad, and S. Kamel, "A dual input single output non-isolated DC-DC converter for multiple sources electric vehicle applications," *J. Front. Ener. Res.*, pp. 1-16, 2022.

[9] A. Rajulapati, and M. Prabhakar, "Comparison of Non-isolated High Gain Multi-input DC-DC Converters," *Int. J. Renew. Energy Res.*, Vol.11, No.3, 2021.

[10] Y. M. Chen, Y. C. Lui, and S. H. Lin, "Double-Input PWM DC-DC Converter for High-/Low Voltage Sources," *IEEE Trans. Ind. Electron.*, Vol. 53, No.5, pp. 1538-1545, 2006.

โชคชรัตน์ ฤทธิ์เย็น สำเร็จการศึกษาวิศวกรรมศาสตรบัณฑิต(วิศวกรรมไฟฟ้า) จากมหาวิทยาลัยนเรศวร พ.ศ. 2552 วิศวกรรมศาสตรมหาบัณฑิต (วิศวกรรมไฟฟ้า) จากมหาวิทยาลัยนเรศวร พ.ศ. 2556 ปัจจุบันเป็นอาจารย์ประจำสาขาวิชาวิศวกรรมไฟฟ้า คณะวิศวกรรมศาสตร์ มหาวิทยาลัยเทคโนโลยีราชมงคลล้านนา ตาก ทำงานวิจัยด้านพลังงานและระบบควบคุม

ณรงค์ฤทธิ์ พิมพ์คำวงศ์ สำเร็จการศึกษาวิศวกรรมศาสตรบัณฑิต(วิศวกรรมไฟฟ้า) จากมหาวิทยาลัยหอการค้าไทย พ.ศ. 2543 วิศวกรรมศาสตรมหาบัณฑิต (วิศวกรรมไฟฟ้า) จากมหาวิทยาลัยเทคโนโลยีพระจอมเกล้าธนบุรี พ.ศ. 2546 Ph.D.(Electrical Engineering) พ.ศ. 2560 จาก Southern Taiwan University of Science and Technology, Taiwan ปัจจุบันเป็นอาจารย์ประจำสาขาวิชาวิศวกรรมไฟฟ้า คณะวิศวกรรมศาสตร์ มหาวิทยาลัยเทคโนโลยีราชมงคลล้านนา ตาก ทำงานวิจัยด้านการขับเคลื่อนมอเตอร์และการติดตามจุดจ่ายกำลังไฟฟ้าสูงสุด

สมนึก เครือสอน สำเร็จการศึกษาวิศวกรรมศาสตรบัณฑิต(วิศวกรรมไฟฟ้า) จากสถาบันเทคโนโลยีราชมงคล พ.ศ. 2538 วิศวกรรมศาสตรมหาบัณฑิต (วิศวกรรมไฟฟ้า) จากมหาวิทยาลัยเทคโนโลยีพระจอมเกล้าธนบุรี พ.ศ. 2547 ปัจจุบันเป็นอาจารย์ประจำสาขาวิชาวิศวกรรมไฟฟ้า คณะวิศวกรรมศาสตร์ มหาวิทยาลัยเทคโนโลยีราชมงคลล้านนา ตาก ทำงานวิจัยด้านอิเล็กทรอนิกส์กำลังและระบบควบคุมด้วยไมโครคอนโทรลเลอร์

ทัศนะ ถมทอง สำเร็จการศึกษาวิศวกรรมศาสตรบัณฑิต(วิศวกรรมไฟฟ้า) จากสถาบันเทคโนโลยีราชมงคล พ.ศ. 2537 วิศวกรรมศาสตรมหาบัณฑิต (วิศวกรรมไฟฟ้า) จากมหาวิทยาลัยเชียงใหม่ พ.ศ. 2545 ปัจจุบันเป็นอาจารย์ประจำ สาขาวิชาวิศวกรรมไฟฟ้า คณะวิศวกรรมศาสตร์ มหาวิทยาลัยเทคโนโลยีราชมงคลล้านนา ตาก ทำงานวิจัยด้านอิเล็กทรอนิกส์กำลังและระบบควบคุม

การออกแบบวงจรอินเวอร์เตอร์โดยใช้ IGBT แบบแยกส่วนเพื่อทดแทน IPM ในการขับมอเตอร์

The design of an inverter circuit using discrete IGBT to replace IPM for driving motor

กฤษ เฉยไสย[1*] ณัฐพงษ์ แก่นมาลี[1] และ ไปรยา เฉยไสย[2]

[1]สาขาวิชาวิศวกรรมไฟฟ้า คณะวิศวกรรมศาสตร์ มหาวิทยาลัยขอนแก่น kritchoeisai@kku.ac.th k.nattapong.2559@gmail.com

[2]สาขาวิชาวิศวกรรมสิ่งแวดล้อม คณะวิศวกรรมศาสตร์ มหาวิทยาลัยขอนแก่น Pairaya@yahoo.com

บทคัดย่อ

บทความนี้แสดงการออกแบบวงจรอินเวอร์เตอร์โดยใช้ IGBT แบบแยกส่วนเพื่อทดแทน IPM (Intelligent Power Module) ในการขับมอเตอร์ โดยวงจรที่ออกแบบมีพิกัดกำลังไม่เกิน 5000W เพื่อนำไปใช้กับปั๊มน้ำแบบมอเตอร์เหนี่ยวนำ 220V AC 50Hz ในระบบโซล่าเซลล์เพื่อการเกษตร และระบบโซล่าเซลล์ของประปาหมู่บ้าน เนื่องจากผลิตภัณฑ์ที่ใช้วงจร IPM นั้นมีความซับซ้อนในการจัดซื้อ และการซ่อมแซม รวมทั้งมีต้นทุนที่สูง จึงทำให้ทีมงานวิจัยต้องการที่จะเปลี่ยนจาก วงจร IPM เป็น IGBT แบบแยกส่วน ซึ่งจะสามารถแก้ปัญหาการผลิตและการจัดการบริการหลังการขายได้ดีขึ้น ภายในตัว IPM นั้นมีวงจรที่สำคัญคือ1.วงจรขับเกต 2.วงจรป้องกันการลัดวงจร และ 3.เซ็นเซอร์วัดอุณหภูมิ ซึ่งทีมงานวิจัยได้ทำการออกแบบวงจรทดแทนใหม่และสามารถใช้งานกับผลิตภัณฑ์เดิมได้เป็นอย่างดี

คำสำคัญ: IGBT, IPM, วงจรขับเกต, วงจรป้องกันการลัดวงจร, เซ็นเซอร์วัดอุณหภูมิ

Abstract

This paper presents the design of an inverter circuit using discrete IGBTs to replace Intelligent Power Modules (IPMs) for driving motors. The designed circuit has a power rating of up to 5000W for use with water pump induction motors. This application is specifically for 220V AC 50Hz systems within agricultural solar cell systems and village water supply solar cell systems. The decision to transition from IPM-based circuits to discrete IGBTs stems from the difficulties in procuring and repairing IPM products, as well as their high cost. The research team aims to resolve these issues by using discrete IGBTs, which will improve manufacturing and after-sales service management. IPMs typically integrate three key circuits are 1.Gate driver circuit 2.Short-circuit protection circuit and 3.Temperature sensor. The research team has successfully designed a new replacement circuit that functions effectively with existing products.

Keywords: IGBT, IPM, gate drive circuit, Short-circuit protection, Temperature sensor

การควบคุมแบบสไลดิ้งโหมดทวิตติ้งแบบซุปเปอร์ควาซีสำหรับกริดซับพอร์ตติ่งโหมดของอินเวอร์เตอร์กำลังในไมโครกริด

Quasi-Super-Twisting Sliding Mode Control for Grid-Supporting Mode of Power Inverters in a Microgrid

สมเกียรติ คงคะชาติ[1] และ สุรินทร์ คำฝอย[2]*

[1]สาขาวิชาวิศวกรรมไฟฟ้า คณะวิศวกรรมศาสตร์ มหาวิทยาลัยธนบุรี 62601021@kmitl.ac.th
[2]ภาควิชาวิศวกรรมไฟฟ้า คณะวิศวกรรมศาสตร์ สถาบันเทคโนโลยีพระจอมเกล้าเจ้าคุณทหารลาดกระบัง surin.kh@kmitl.ac.th*

บทคัดย่อ

บทความนี้นำเสนอยุทธวิธีการควบคุมแบบสไลดิ้งโหมดอันดับที่สองด้วยพื้นฐานอัลกอริทึมทวิตติ้งแบบซุปเปอร์ควาซี ซึ่งออกแบบมาโดยเฉพาะสำหรับอินเวอร์เตอร์กำลังแบบกริดซับพอร์ตติ่งในการประยุกต์กับไมโครกริด ยุทธวิธีการควบคุมแบบสไลดิ้งโหมดทวิตติ้งแบบซุปเปอร์ควาซีประยุกต์ใช้ในลูปการควบคุมแรงดันและลูปการเกาะตามกระแส ยุทธวิธีที่นำเสนอนี้เพื่อปรับปรุงประสิทธิภาพของลูปการควบคุมแรงดันภายใต้ความไม่แน่นอนของพารามิเตอร์และเพื่อให้มั่นใจว่าในการควบคุมลูปกระแสจะรวดเร็วและคงทน เปรียบเทียบกับการควบคุมแบบสไลดิ้งโหมดทวิตติ้งแบบซุปเปอร์แบบเดิม ผลการจำลองยืนยันถึงความเป็นไปได้และประสิทธิภาพของยุทธวิธีการควบคุมที่เสนอ

คำสำคัญ: ไมโครกริด การควบคุมทวิตติ้งแบบซุปเปอร์ควาซี การควบคุมแบบสไลดิ้งโหมด อินเวอร์เตอร์กำลัง

Abstract

This paper presents a second-order sliding mode control approach based on a quasi-super-twisting algorithm (QSTA), specifically designed for grid-supporting power inverters in microgrid applications. The quasi-super-twisting sliding mode control (QST-SMC) approach is adopted in both the voltage regulation loop and the current tracking loop. This approach is proposed to enhance the performance of voltage loop regulation under parameter uncertainty and to ensure fast and robust control in the current loop. Compared to the traditional super-twisting sliding mode control (ST-SMC), the simulation results confirm the feasibility and effectiveness of the proposed control strategy.

Keywords: Microgrid, Quasi-Super-Twisting Control, Sliding Mode Control, Power Inverter

1. บทนำ

เป้าหมายของการลดการปล่อยก๊าซเรือนกระจกกำลังเปลี่ยนไปสู่แหล่งพลังงานที่เป็นมิตรกับสิ่งแวดล้อมและยั่งยืนมากขึ้น พลังงานหมุนเวียนกำลังมีบทบาทสำคัญในสังคมที่ไม่เพียงพึ่งพาพลังงานมากขึ้น แต่ยังตระหนักถึงปัญหาสิ่งแวดล้อมมากขึ้นด้วย แหล่งพลังงานหมุนเวียน (Renewable Energy Sources: RESs) สามารถจำแนกประเภทได้ว่าเป็นพลังงานที่ยั่งยืนและไม่มีวันหมดสิ้น ไมโครกริด (Microgrids) เป็นทางเลือกเพื่อทดแทนโรงไฟฟ้าแบบเดิมในการผลิตไฟฟ้ารวมถึงเทคโนโลยีต่างๆ ทำให้ไมโครกริดสามารถถูกมองได้ว่าเป็นโซลูชั่นใหม่และเป็นไปได้ในการผลิตไฟฟ้าที่ผลิตในท้องถิ่น ไมโครกริดถือเป็นก้าวต่อไปในวิวัฒนาการของการจัดหาและการจ่ายไฟฟ้า [1]

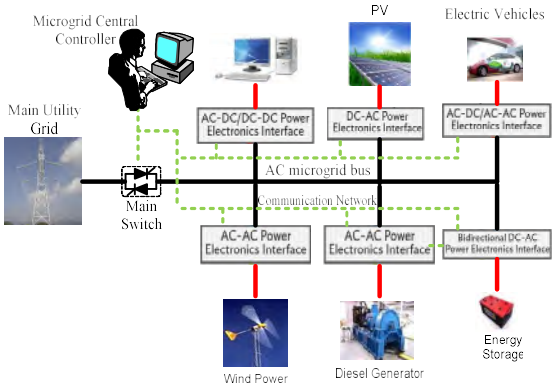

รูปที่ 1 การอินเทอร์เฟซด้วยอิเล็กทรอนิกส์กำลังในไมโครกริด

สำหรับแนวคิดของเอซีไมโครกริด (AC microgrid) ประกอบด้วยแหล่งพลังงานแบบกระจาย (Distributed Energy Resources: DER) โหลดท้องถิ่นแบบดีซีและแบบเอซี ระบบการจัดเก็บพลังงานไฟฟ้า และอินเทอร์เฟซอิเล็กทรอนิกส์กำลังถูกใช้เพื่อเชื่อมต่อและจัดการส่วนประกอบต่างๆ ดังรูปที่ 1 เมื่อไมโครกริดสามารถทำงานได้ทั้งในโหมดเชื่อมต่อกับกริด (Grid-connected) และโหมดแยกตัวตัวอิสระ (Islanded) ดังนั้นไมโครกริดจึงกลายเป็นศูนย์รวมที่สำคัญสำหรับการบูรณาการแหล่งผลิตไฟฟ้าที่ใช้กับระบบอินเวอร์เตอร์ (Inverter-Based Resources: IBRs)

จากพัฒนาการใหม่ในเทคโนโลยีของการควบคุมอินเวอร์เตอร์ [2] อินเวอร์เตอร์แบบกริดซับพอร์ตติ่ง (Grid-Supporting Inverters) เป็นการควบคุมแบบตรงกลางระหว่างอินเวอร์เตอร์แบบกริดฟอร์มมิ่ง (Grid-Forming) และอินเวอร์เตอร์แบบกริดฟอร์โลวิ่ง (Grid-Following) โดยอินเวอร์เตอร์แบบนี้จะใช้การควบคุมเพิ่มเติมในการปรับกำลังไฟฟ้าจริงและกำลังไฟฟ้าเสมือนที่จ่ายออกมา เพื่อช่วยสนับสนุนแรงดันไฟฟ้าและ

*ผู้ประพันธ์บรรณกิจ

ความถี่ของระบบ โดยการควบคุมอินเวอร์เตอร์แบบกริดซับพอร์ตติ่งถูกควบคุมให้เลียนแบบคุณลักษณะ *P-f* และ *Q-V* ของดรูปคอนโทรลของการควบคุมเครื่องกำเนิดไฟฟ้าแบบซิงโครนัสและสามารถทำงานได้ทั้งในโหมดเชื่อมต่อกับกริด (Grid-connected) และโหมดแยกตัวอิสระ (Islanded)

บทความนี้มีวัตถุประสงค์เพื่อปรับปรุงประสิทธิภาพของ VSI ด้วยการประยุกต์ใช้การควบคุมแบบคงทน (Robust Control) ในระบบของ DG และไมโครกริด โดยการประยุกต์ใช้ตัวควบคุมแบบสไลดิ้งโหมดทวิตติ้งแบบซุปเปอร์ควาซี (QST-SMC) ในลูปการควบคุมแรงดันและลูปการควบคุมกระแสของอินเวอร์เตอร์กำลังแบบกริดซับพอร์ตติ่งในกรอบอ้างอิงหมุนแบบซิงโครนัส (SRRF) เมื่อตัวควบคุมแบบ QST-SMC ใช้ฟังก์ชั่นซิกมอยด์ (Sigmoid) ในกฎการควบคุมของตัวควบคุมแบบ ST-SMC ตามแบบธรรมดา เมื่อโหมดราบเรียบควาซี (Quasi-Smooth Mode) ช่วยลดการกระแทกจากการสวิตชิ่งในขณะที่สถานะของระบบอยู่บนพื้นผิวการสไลด์และลดปรากฏการณ์การสั่น (Chattering Phenomenon) ความถี่สูงได้ในระดับหนึ่ง [3] และโครงสร้างของการควบคุมที่นำเสนอ ดังรูปที่ 2

เนื้อหาในบทความนี้จัดเรียงลำดับดังต่อไปนี้ ส่วนที่ 2 นำเสนอแบบจำลองทางคณิตศาสตร์ของ VSI ที่เชื่อมต่อกับกริดผ่านวงจรกรองชนิด LC อธิบายการควบคุมแบบดรูปและอธิบายยุทธวิธีการควบคุมที่นำเสนอ ซึ่งจะเกี่ยวข้องกับการออกแบบตัวควบคุมแบบ QST-SMC สำหรับโครงสร้างการควบคุมแบบแคสเคดแรงดันและกระแสของอินเวอร์เตอร์กำลังแบบกริดซับพอร์ตติ่งสามเฟส ในส่วนที่ 3 จะอธิบายผลการจำลองด้วยโปรแกรม และในส่วนที่ 4 นำเสนอบทสรุป

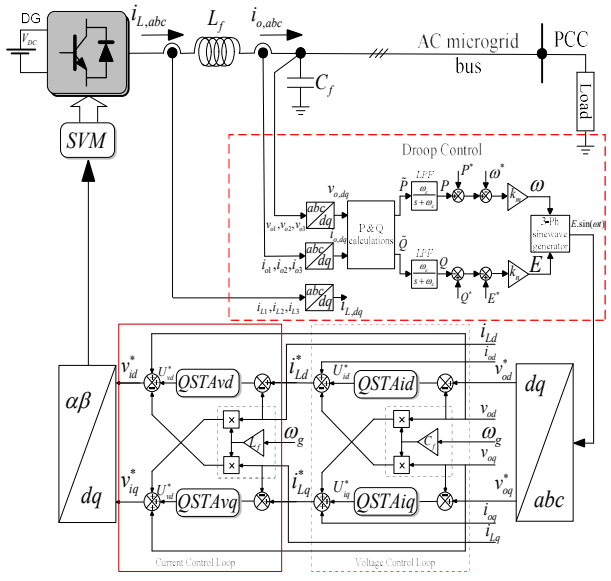

รูปที่ 2 โครงสร้างของยุทธวิธีการควบคุมแบบ QST-SMC สำหรับอินเวอร์เตอร์กำลังแบบกริดซับพอร์ตติ่งสามเฟส

2. วิธีการควบคุมอินเวอร์เตอร์กำลังแบบกริดซับพอร์ตติ่งด้วยการควบคุมแบบสไลดิ้งโหมดทวิตติ้งแบบซุปเปอร์ควาซี

2.1 สมการพลวัต

จากรูปที่ 2 สมการทางไฟฟ้าที่สอดคล้องกับแต่ละเฟสทั้งสามของวงจรกรองสัญญาณด้านเอาต์พุตของอินเวอร์เตอร์ชนิดแหล่งจ่ายแรงดัน (Voltage Source Inverter: VSI) มีดังต่อไปนี้

$$v_{i,abc} = R_f i_{L,abc} + L_f di_{L,abc}/dt + v_{o,abc} \quad (1)$$

$$i_{L,abc} = i_{o,abc} + C_f dv_{o,abc}/dt \quad (2)$$

เมื่อ $v_{i,abc}$ คือ แรงดันที่ขั้วของอินเวอร์เตอร์, $v_{o,abc}$ คือ แรงดันของตัวเก็บประจุของวงจรกรอง, $i_{L,abc}$ คือ กระแสเอาต์พุตของอินเวอร์เตอร์, $i_{o,abc}$ คือ กระแสโหลด, R_f และ L_f คือ ความต้านทานและความเหนี่ยวนำของวงจรกรอง และ C_f คือ ความจุของตัวเก็บประจุของวงจรกรอง ตามลำดับ ประยุกต์ใช้การแปลงแกนในกรอบอ้างอิง *dq* ในสมการที่ (1) และ (2) และสามารถเขียนเป็นสมการได้ใหม่ ดังสมการที่ (3) และ (4)

$$v_{id} = R_f i_{Ld} + L_f di_{Ld}/dt - \omega_g L_f i_{Lq} + v_{od} \quad (3)$$

$$v_{iq} = R_f i_{Lq} + L_f di_{Lq}/dt + \omega_g L_f i_{Ld} + v_{oq} \quad (4)$$

และ สมการที่ (5) และ (6)

$$i_{Ld} = i_{od} - \omega_g C_f v_{oq} + C_f dv_{od}/dt \quad (5)$$

$$i_{Lq} = i_{oq} + \omega_g C_f v_{od} + C_f dv_{oq}/dt \quad (6)$$

เมื่อสมการสถานะของระบบ (State Equations) ของ VSI ในแกน *dq* ดังสมการที่ (7), (8), (9) และ (10)

$$\dot{x}_{1d} = \dot{i}_{Ld} = (1/L_f)[-R_f i_{Ld} + \omega_g L_f i_{Lq} - v_{od} + v_{id}] \quad (7)$$

$$\dot{x}_{1q} = \dot{i}_{Lq} = (1/L_f)[-R_f i_{Lq} - \omega_g L_f i_{Ld} - v_{oq} + v_{iq}] \quad (8)$$

$$\dot{x}_{2d} = \dot{v}_{od} = (1/C_f)[-i_{od} + \omega_g C_f v_{oq} + i_{Ld}] \quad (9)$$

$$\dot{x}_{2q} = \dot{v}_{oq} = (1/C_f)[-i_{oq} - \omega_g C_f v_{od} + i_{Lq}] \quad (10)$$

2.2 การควบคุมแบบดรูป (Droop Control)

การควบคุมแบบดรูป (Droop Control) คือ ยุทธวิธีการควบคุมของอินเวอร์เตอร์แบบกริดซับพอร์ตติ่ง (Grid-Supporting Inverter Control) ที่นิยมใช้มากที่สุดในไมโครกริดแบบแยกตัวอิสระ (Islanded Microgrids) การควบคุมแบบดรูปช่วยให้สามารถควบคุมอินเวอร์เตอร์ได้หลายตัวพร้อมกันด้วยการควบคุมแบบกระจายศูนย์ (Decentralized Control) โดยไม่จำเป็นต้องมีการสื่อสารระหว่างอินเวอร์เตอร์แต่ละตัว เมื่อหลักการของการควบคุมแบบนี้คือ การจับคู่ระหว่างกำลังไฟฟ้าจริงกับความถี่และกำลังไฟฟ้าเสมือนกับแรงดันไฟฟ้าในลักษณะเชิงเส้น การควบคุมอินเวอร์เตอร์แบบนี้ทำให้สามารถควบคุมได้ในลักษณะเดียวกับเครื่องกำเนิดไฟฟ้าแบบซิงโครนัสที่เชื่อมต่อกริด โดยการโปรแกรมคุณลักษณะดรูป (Droop Characteristics) ลงในตัวควบคุมของอินเวอร์เตอร์และสมการของการควบคุมแบบดรูป [4] ดังสมการที่ (11) และ (12)

$$\omega = \omega^* - k_m(P - P^*) \quad (11)$$

$$E = E^* - k_n(Q - Q^*) \quad (12)$$

เมื่อ P^* และ Q^* คือ กำลังไฟฟ้าจริงและกำลังไฟฟ้าเสมือนอ้างอิง, P และ Q คือ กำลังไฟฟ้าจริงและกำลังไฟฟ้าเสมือนเอาต์พุตของอินเวอร์เตอร์, ω^* และ E^* คือ ความถี่เชิงมุมและแรงดันอ้างอิง, ω และ E คือ ความถี่เชิงมุม

และแรงดันชั่วขณะ และ k_m และ k_n คือ ค่าอัตราขยายของดรูปคอนโทรล เมื่อลูปการควบคุมแบบดรูปสร้างสัญญาณแรงดันอ้างอิง $v_{ref} = Esin(\omega t)$ ให้กับลูปการควบคุมแรงดันและโครงสร้างของการควบคุม ดังรูปที่ 2

2.3 โครงสร้างของตัวควบคุมแบบสไลดิ้งโหมดทวิตติ้งแบบซุปเปอร์ควาซี

เมื่อการควบคุมแบบสไลดิ้งโหมดทวิตติ้งแบบซุปเปอร์ (Super-Twisting Sliding Mode Control: ST-SMC) เพื่อแก้ไขปัญหาการสั่น (Chattering Problem) ในวิธีนี้ แนววิถีสถานะของระบบในตัวควบคุมแบบ ST-SMC คือ ตัวควบคุมอันดับที่สอง (Second-Order Sliding-Mode Controller) เมื่อแนววิถีสถานะของระบบจะหมุนรอบจุดกำเนิดในระนาบเฟส (Phase Plane) และในการหมุนแต่ละรอบค่าสัมบูรณ์ของระยะตัดแกนของแนววิถีจะลดลง ซึ่งจะเคลื่อนที่ในลักษณะวงก้นหอย (Spiral Pattern) บนระนาบของสถานะและในที่สุดจะลู่เข้าสู่จุดกำเนิดอย่างมีขอบเขตในเวลาจำกัด เมื่อสมการทั่วไปของการควบคุมแบบสไลดิ้งโหมดทวิตติ้งแบบซุปเปอร์ (ST-SMC) มีรูปแบบดังต่อไปนี้ [5]

$$\begin{cases} U(t) = -\alpha |s|^{1/2} \operatorname{sign}(s) + u_2 \\ \dot{u}_2(t) = -\beta \operatorname{sign}(s) \end{cases} \quad (13)$$

เมื่อ s คือ ตัวแปรการสไลด์ (Sliding Variable) หรือ พื้นผิวการสไลด์ (Sliding Surface) และ α กับ β คือ ค่าสัมประสิทธิ์อัตราขยายของสไลดิ้งโหมด (Sliding Mode Gain Coefficients)

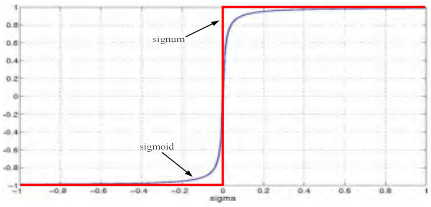

รูปที่ 3 การเปรียบเทียบฟังก์ชั่นซิกนัมและฟังก์ชั่นซิกมอยด์

ในกฎการควบคุมการใช้ฟังก์ชั่นซิกนัม (Signun Function) ซึ่งมีประสิทธิภาพในการทำให้ราบเรียบได้ไม่ดีพอเมื่อเข้าใกล้พื้นผิวการสไลด์ สิ่งนี้อาจก่อให้เกิดการกระเพื่อมที่ความถี่สูง จากการสวิตช์อย่างรวดเร็วและถี่มากขึ้นเมื่อเข้าใกล้พื้นผิวการสไลด์ ซึ่งจะลดความแม่นยำในการควบคุมของระบบ วิธีการแก้ปัญหาที่ชัดเจนอีกวิธีหนึ่งในการทำให้กฎการควบคุม (Control Law) มีความต่อเนื่อง/ราบเรียบ คือ การประมาณค่าฟังก์ชั่นไม่ต่อเนื่องของกฎการควบคุม v (s) = $-\rho$ sign(s) ด้วยฟังก์ชั่นที่มีความต่อเนื่องหรือราบเรียบแทน ดังนั้นจึงได้มีการออกแบบฟังก์ชั่นซิกมอยด์ (Sigmoid Function) ที่ราบเรียบกว่าเพื่อใช้ทดแทน และสมการของฟังก์ชั่นซิกมอยด์ [3], [6] ดังสมการที่ (14)

$$\operatorname{sign}(s) \approx s/|s| + \varepsilon \quad (14)$$

เมื่อ ε คือ ค่าสเกล่าบวก และฟังก์ชั่นซิกมอยด์ สมการที่ (14) ดังรูปที่ 3

เมื่อนำฟังก์ชั่นซิกมอยด์มาประยุกต์ใช้ในกฎการควบคุม สามารถเขียนนิพจน์ทางคณิตศาสตร์ของการควบคุมแบบสไลดิ้งโหมดทวิตติ้งแบบซุปเปอร์ควาซี (Quasi-Super-Twisting Sliding Mode Control: QST-SMC) [3] ได้ดังนี้

$$\begin{cases} U(t) = -\alpha |s|^{1/2} \operatorname{sd}(s) + u_2(t) \\ \dot{u}_2(t) = -\beta \operatorname{sd}(s) \end{cases} \quad (15)$$

เมื่อ sd (s) คือ ฟังก์ชั่นซิกมอยด์

และกฎการควบคุมที่นำเสนอ ซึ่งคำนวณตามอัลกอริทึมทวิตติ้งแบบซุปเปอร์ควาซี (Quasi-Super-Twisting Algorithm: QSTA) ดังสมการที่ (16)

$$U(t) = -k_1 |s|^{\frac{1}{2}} \operatorname{sd}(s) - \int_0^t k_2 \operatorname{sd}(s) d\tau \quad (16)$$

เมื่อ k_1 และ k_2 คือ ค่าคงที่บวก

อัลกอริทึม QST นี้เป็นเวอร์ชั่นไม่เชิงเส้นของตัวควบคุมแบบ PI ตามแบบธรรมดาและการเปรียบเทียบโครงสร้างของการควบคุม ดังรูปที่ 4 ดังนั้นตัวควบคุมแบบ QST-SMC การประยุกต์ใช้ในการควบคุมจึงสามารถแทนที่โดยตรงกับโครงสร้างของตัวควบคุมแบบ PI [7]

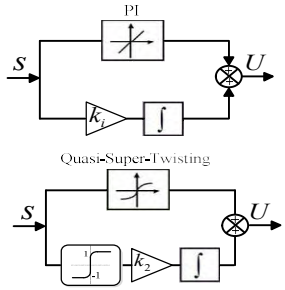

รูปที่ 4 การเปรียบเทียบระหว่างโครงสร้างของตัวควบคุมแบบ QST-SMC และตัวควบคุมแบบ PI

2.4 ลูปการเกาะตามกระแส

รูปที่ 2 โครงสร้างการควบคุมที่นำเสนอ การออกแบบตัวควบคุมกระแสด้วยตัวควบคุมแบบ QST-SMC ในกรอบอ้างอิงแบบ $d-q$ และการออกแบบมี 2 ขั้นตอนในลูปการเกาะตามกระแส ขั้นตอนแรกคือ การเลือกพื้นผิวการสไลด์ (Sliding Surface) เพื่อขับเคลื่อนสถานะของระบบไปยังจุดกำเนิด ขั้นตอนที่สองคือ การออกแบบกฎการควบคุม (Control Law) เพื่อรักษาสถานะของระบบให้อยู่บนพื้นผิวการสไลด์ตลอดเวลา [8]

สำหรับการควบคุมกระแส สมการพื้นผิวการสไลด์ (Sliding Surface) ดังสมการที่ (17) และ (18)

$$s_{id} = i_{Ld}^* - i_{Ld} \quad (17)$$

$$s_{iq} = i_{Lq}^* - i_{Lq} \quad (18)$$

เมื่อ i^*_{Ld} และ i^*_{Lq} คือ ค่าที่ต้องการ (Desired Values) และ i_{Ld} และ i_{Lq} คือ ค่าจริง (Actual Values) จากกระแสการป้อนกลับ และอนุพันธ์เวลา (Time Derivative) ของพื้นผิวการสไลด์ ดังสมการที่ (19) และ (20)

$$\dot{s}_{id} = \dot{i}_{Ld}^* - \dot{i}_{Ld} \quad (19)$$

$$\dot{s}_{iq} = \dot{i}_{Lq}^* - \dot{i}_{Lq} \quad (20)$$

และในสภาวะคงตัว (Steady-State) กำหนดให้ $\dot{s}_{id} = \dot{s}_{iq} = 0$ สามารถเขียนเป็นสมการได้ใหม่ [8], [9] ดังสมการที่ (21) และ (22)

$$\begin{cases} 0 = \dot{i}^*_{Ld} - \dot{i}_{Ld} \Rightarrow \dot{i}^*_{Ld} = \dot{i}_{Ld} \\ \dot{i}^*_{Ld} = \dot{i}_{Ld} = (1/L_f)[-R_L i_{Ld} + \omega_g L_f i_{Lq} - v_{od} + v_{id}] \end{cases}$$
$$v^*_{id} = v_{id} = R_f i_{Ld} - \omega_g L_f i_{Lq} + v_{od} + L_f \dot{i}_{Ld} \quad (21)$$

$$\begin{cases} 0 = \dot{i}^*_{Lq} - \dot{i}_{Lq} \Rightarrow \dot{i}^*_{Lq} = \dot{i}_{Lq} \\ \dot{i}^*_{Lq} = \dot{i}_{Lq} = (1/L_f)[-R_L i_{Lq} - \omega_g L_f i_{Ld} - v_{oq} + v_{iq}] \end{cases}$$
$$v^*_{iq} = v_{iq} = R_f i_{Lq} + \omega_g L_f i_{Ld} + v_{oq} + L_f \dot{i}_{Lq} \quad (22)$$

เมื่อกฎการควบคุม (Control Law) ประกอบด้วย การควบคุมแบบสมมูล (Equivalent Control) และฟังก์ชั่นการสวิตช์ (Switching Function) ซึ่งฟังก์ชั่นดังกล่าวนี้จะขับเคลื่อนและรักษาสถานะของระบบให้อยู่บนพื้นผิวการสไลด์ตลอดเวลา การออกแบบกฎการควบคุม (U^*_{id} และ U^*_{iq}) จะพิจารณาจากเงื่อนไข $\dot{s}_{id} = \dot{s}_{iq} = 0$ [8] ดังสมการที่ (23) และ (24)

$$U^*_{id} = v^*_{id} = R_f i_{Ld} - \omega_g L_f i_{Lq} + v_{od} + L_f \dot{i}_{Ld} \quad (23)$$
$$U^*_{iq} = v^*_{iq} = R_f i_{Lq} + \omega_g L_f i_{Ld} + v_{oq} + L_f \dot{i}_{Lq} \quad (24)$$

จากสมการที่ (7) แทนค่าลงในสมการที่ (23) และสมการที่ (8) แทนค่าลงในสมการที่ (24) และสามารถเขียนเป็นสมการได้ใหม่ ดังสมการที่ (25) และ (26)

$$U^*_{id} = R_f i_{Ld} - \omega_g L_f i_{Lq} + v_{od} + (-R_f i_{Ld} + \omega_g L_f i_{Lq} - v_{od} + v_{id})$$
$$U^*_{id} = v_{id} \quad (25)$$

$$U^*_{iq} = R_f i_{Lq} + \omega_g L_f i_{Ld} + v_{oq} + (-R_f i_{Lq} - \omega_g L_f i_{Ld} - v_{oq} + v_{iq})$$
$$U^*_{iq} = v_{iq} \quad (26)$$

ดังนั้นกฎการควบคุม (Control Law) U^*_{id} และ U^*_{iq} จากพื้นฐานของอัลกอริทึมทวิตติ้งแบบซุปเปอร์ควาซี ($QSTA_{id,iq}$) สำหรับลูปการควบคุมกระแส (Current Control Loop) สามารถออกแบบได้ดังนี้

$$U^*_{id} = -k_{1id} |s|^{\frac{1}{2}} \operatorname{sd}(s) - \int_0^t k_{2id} \operatorname{sd}(s) d\tau \quad (27)$$

$$U^*_{iq} = -k_{1iq} |s|^{\frac{1}{2}} \operatorname{sd}(s) - \int_0^t k_{2iq} \operatorname{sd}(s) d\tau \quad (28)$$

เมื่อ k_{1id} และ k_{1iq} คือ ค่าอัตราขยายของตัวควบคุมแบบสมมูล และ k_{2id} และ k_{2iq} คือ ค่าอัตราขยายของตัวควบคุมแบบสวิตชิ่ง [8], [9]
เอาต์พุตของลูปการควบคุมกระแส คือ สัญญาณการมอดูเลชั่นของอินเวอร์เตอร์โดยจะถูกกำหนดจากแอมพลิจูดของแรงดันแกน d และ แกน q ดังสมการที่ (29) และ (30)

$$v^*_{id} = U^*_{id} - \omega_g L_f i_{Lq} + v_{od} \quad (29)$$
$$v^*_{iq} = U^*_{iq} + \omega_g L_f i_{Ld} + v_{oq} \quad (30)$$

2.5 ลูปการควบคุมแรงดัน

สำหรับการออกแบบตัวควบคุมแรงดันโดยใช้พื้นฐานของอัลกอริทึมทวิตติ้งแบบซุปเปอร์ควาซี ขั้นตอนของการออกแบบตัวควบคุมแรงดันเหมือนกับการออกแบบตัวควบคุมกระแส ดังนั้นขั้นตอนแรก คือ การเลือกพื้นผิวการสไลด์ของตัวควบคุมแรงดัน [9] สามารถกำหนดได้ตามสมการที่ (31) และ (32)

$$s_{vd} = v^*_{od} - v_{od} \quad (31)$$
$$s_{vq} = v^*_{oq} - v_{oq} \quad (32)$$

เมื่อ v^*_{od} และ v^*_{oq} คือ ค่าที่ต้องการ (Desired Values) และ v_{od} และ v_{oq} คือ ค่าจริง (Actual Values) จากแรงดันการป้อนกลับ พิจารณาอนุพันธ์เวลาของพื้นผิวการสไลด์ $\dot{s}_{vd} = \dot{s}_{vq} = 0$ ดังสมการดังต่อไปนี้

$$\dot{s}_{vd} = \dot{v}^*_{od} - \dot{v}_{od} \Rightarrow 0 = \dot{v}^*_{od} - \dot{v}_{od} \quad (33)$$

$$\begin{cases} \dot{v}^*_{od} = \dot{v}_{od} \\ \dot{v}^*_{od} = \dot{v}_{od} = (1/C_f)[-i_{od} + \omega_g C_f v_{oq} + i_{Ld}] \end{cases}$$
$$i^*_{Ld} = i_{Ld} = i_{od} - \omega_g C_f v_{oq} + C_f \dot{v}_{od} \quad (34)$$

$$\dot{s}_{vq} = \dot{v}^*_{oq} - \dot{v}_{oq} \Rightarrow 0 = \dot{v}^*_{oq} - \dot{v}_{oq} \quad (35)$$

$$\begin{cases} \dot{v}^*_{oq} = \dot{v}_{oq} \\ \dot{v}^*_{oq} = \dot{v}_{oq} = (1/C_f)[-i_{oq} - \omega_g C_f v_{od} + i_{Lq}] \end{cases}$$
$$i^*_{Lq} = i_{Lq} = i_{oq} + \omega_g C_f v_{od} + C_f \dot{v}_{oq} \quad (36)$$

จากการสมมติให้อนุพันธ์เวลาของพื้นผิวการสไลด์มีค่าเท่ากับศูนย์ ($\dot{s}_{vd} = \dot{s}_{vq} = 0$) ในเวลาจำกัดนำมาใช้เพื่อออกแบบกฎการควบคุม (U^*_{vd} และ U^*_{vq}) ดังสมการที่ (37) และ (38)

$$U^*_{vd} = i^*_{Ld} = i_{od} - \omega_g C_f v_{oq} + C_f \dot{v}_{od} \quad (37)$$
$$U^*_{vq} = i^*_{Lq} = i_{oq} + \omega_g C_f v_{od} + C_f \dot{v}_{oq} \quad (38)$$

แทนค่าสมการสถานะของระบบ สมการที่ (9) ลงในสมการที่ (37) และแทนค่าสมการที่ (10) ลงในสมการที่ (38) ดังนั้นสามารถเขียนเป็นสมการได้ใหม่ ดังสมการที่ (39) และ (40)

$$U^*_{vd} = i_{od} - \omega_g C_f v_{oq} + (-i_{od} + \omega_g C_f v_{oq} + i_{Ld})$$
$$U^*_{vd} = i_{Ld} \quad (39)$$

$$U^*_{vq} = i_{oq} + \omega_g C_f v_{od} + (-i_{oq} - \omega_g C_f v_{od} + i_{Lq})$$
$$U^*_{vq} = i_{Lq} \quad (40)$$

นิพจน์ของกฎการควบคุมเอาต์พุตของอัลกอริทึมทวิตติ้งแบบซุปเปอร์ควาซี ($QSTA_{vd,vq}$) สำหรับลูปการควบคุมแรงดัน (Voltage Control Loop) ดังสมการที่ (41) และ (42)

$$U^*_{vd} = -k_{1vd} |s|^{\frac{1}{2}} \operatorname{sd}(s) - \int_0^t k_{2vd} \operatorname{sd}(s) d\tau \quad (41)$$

$$U^*_{vq} = -k_{1vq} |s|^{\frac{1}{2}} \operatorname{sd}(s) - \int_0^t k_{2vq} \operatorname{sd}(s) d\tau \quad (42)$$

และเอาต์พุตของลูปการควบคุมแรงดัน คือ กระแสอ้างอิง i^*_{Ld} และ i^*_{Lq} ดังสมการที่ (43) และ (44) [9] และโครงสร้างการควบคุม ดังรูปที่ 2

$$i^*_{Ld} = U^*_{vd} - \omega_g C_f v_{oq} + i_{od} \quad (43)$$
$$i^*_{Lq} = U^*_{vq} + \omega_g C_f v_{od} + i_{oq} \quad (44)$$

3. ผลการจำลอง

ผลลัพธ์จากเงื่อนไขการทดสอบการจำลองต่าง ๆ ได้ถูกนำเสนอเพื่อแสดงให้เห็นถึงประสิทธิภาพของโครงสร้างการควบคุมที่นำเสนอ โดยสถานการณ์การทดสอบต่อไปนี้ได้ถูกจำลองเพื่อยืนยันประสิทธิภาพของยุทธวิธีการควบคุมที่นำเสนอในบทความนี้

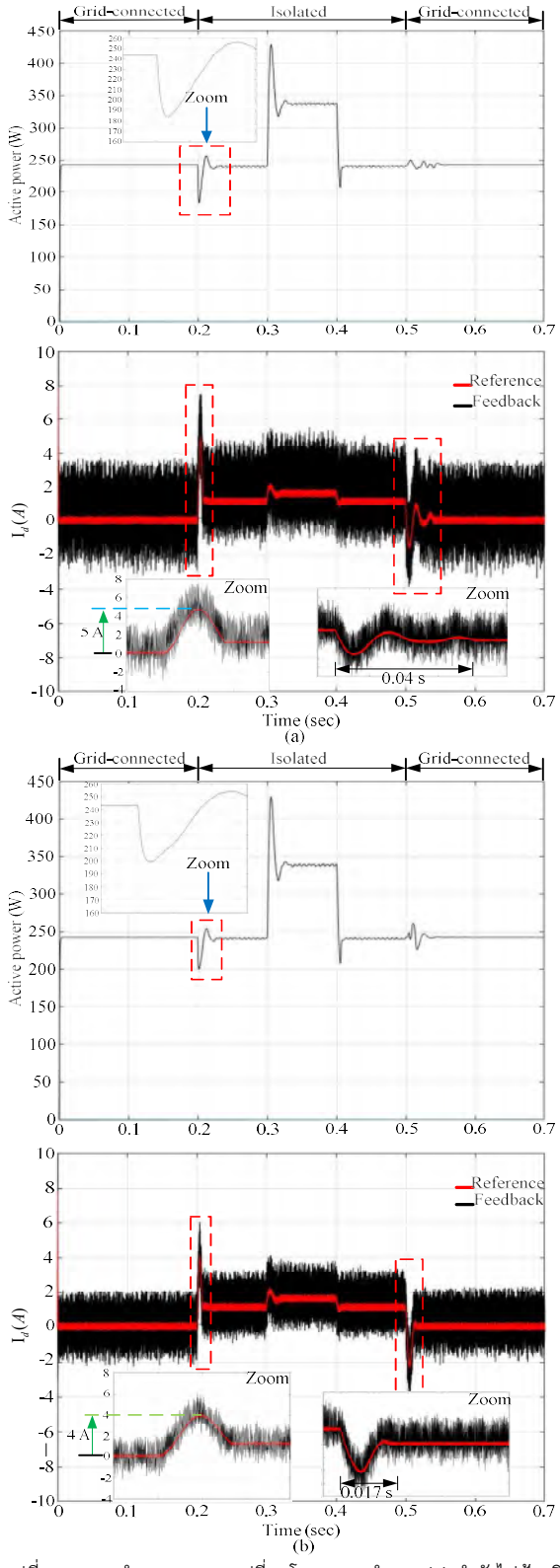

รูปที่ 5 ผลการจำลองของการเปลี่ยนโหมดการทำงาน (a) กำลังไฟฟ้าจริงและกระแสแกน *d* จากการควบคุมแบบ ST-SMC (b) กำลังไฟฟ้าจริงและกระแสแกน *d* จากยุทธวิธีการควบคุมที่นำเสนอ

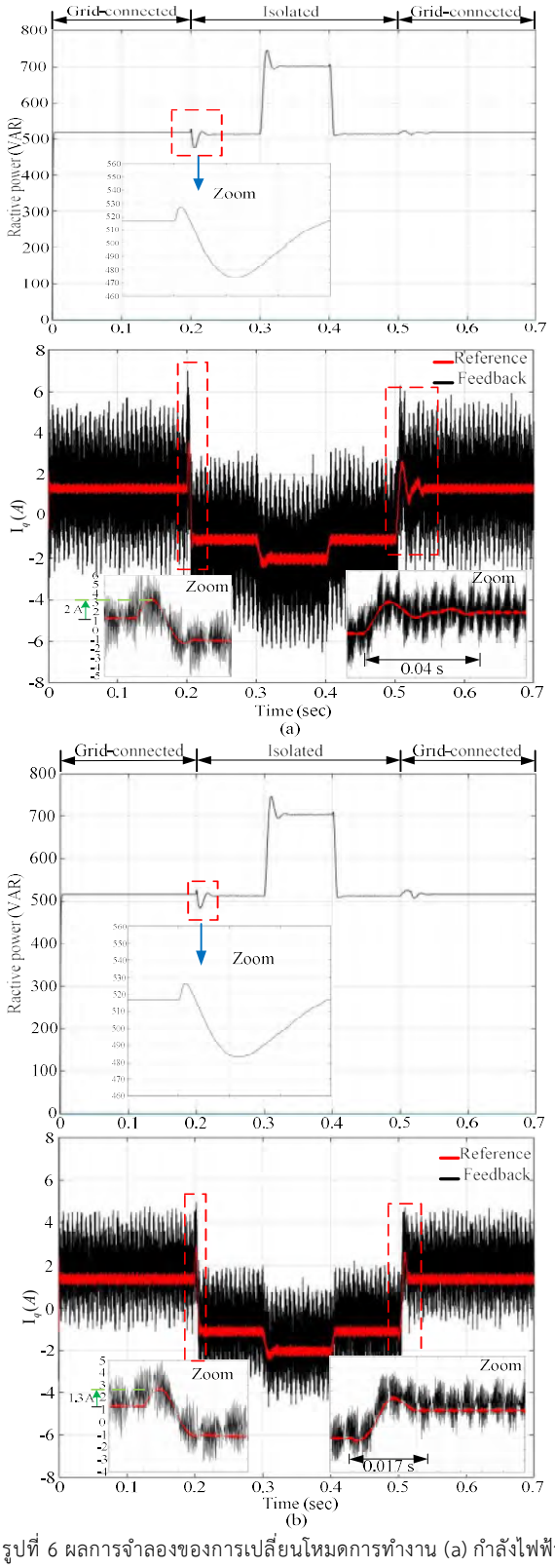

รูปที่ 6 ผลการจำลองของการเปลี่ยนโหมดการทำงาน (a) กำลังไฟฟ้าเสมือนและกระแสแกน *q* จากการควบคุมแบบ ST-SMC (b) กำลังไฟฟ้าเสมือนและกระแสแกน *q* จากยุทธวิธีการควบคุมที่นำเสนอ

ผลการจำลอง ดังรูปที่ 5 และ 6 สำหรับยุทธวิธีการควบคุมแบบ ST-SMC และยุทธวิธีการควบคุมที่นำเสนอ การทดสอบนี้ การเปลี่ยนโหมดการทำงานจากโหมดเชื่อมต่อกับระบบไฟฟ้าเป็นโหมดการทำงานแบบแยกตัวอิสระ โดยการจ่ายกำลังไฟฟ้าให้กับโหลดคือ กำลังไฟฟ้าจริง 243 W และกำลังไฟฟ้าเสมือน 516 VAR พบว่า ช่วงการเปลี่ยนโหมดการทำงานความต่อเนื่องของการจ่ายกำลังไฟฟ้าจริง เมื่อประยุกต์ใช้ยุทธวิธีการควบคุมที่นำเสนอกำลังไฟฟ้าจริงลดลง 43 W ในทางตรงกันข้าม พบว่ากำลังไฟฟ้าจริงลดลง 58 W เมื่อประยุกต์ใช้ยุทธวิธีการควบคุมแบบ ST-SMC ในขณะเดียวกัน เมื่อเปลี่ยนโหมดการทำงานจากโหมดแยกตัวอิสระกลับมาเชื่อมต่อกับระบบไฟฟ้าอีกครั้ง กระแสแกน d (i_d) เกิดการแกว่งและช่วงเวลาเข้าสู่สภาวะคงตัวที่เวลา 0.017 s เมื่อประยุกต์ใช้ยุทธวิธีการควบคุมที่นำเสนอ ในขณะที่ระบบที่ควบคุมด้วยยุทธวิธีการควบคุมแบบ ST-SMC ช่วงเวลาเข้าสู่สภาวะคงตัวที่เวลา 0.04 s ดังรูปที่ 5 ในทำนองเดียวกัน การจ่ายกำลังไฟฟ้าเสมือนให้กับโหลด เมื่อเปลี่ยนโหมดการทำงานจากโหมดเชื่อมต่อกับระบบไฟฟ้าเป็นโหมดแยกตัวอิสระ รูปที่ 6 ผลการจำลองสำหรับยุทธวิธีการควบคุมที่นำเสนอและยุทธวิธีการควบคุมแบบ ST-SMC กำลังไฟฟ้าเสมือนลดลงเมื่อประยุต์ใช้ยุทธวิธีการควบคุมที่นำเสนอ คือ 33 VAR ในทางตรงกันข้าม พบว่า กำลังไฟฟ้าเสมือนลดลงอยู่ที่ 41 VAR เมื่อประยุกต์ใช้ยุทธวิธีการควบคุมแบบ ST-SMC ในขณะเดียวกัน เมื่อเปลี่ยนโหมดการทำงานจากโหมดแยกตัวอิสระเป็นโหมดการเชื่อมต่อกับระบบไฟฟ้า การแกว่งของกระแสแกน q (i_q) แสดงการตอบสนองที่เร็วกว่าสำหรับยุทธวิธีการควบคุมที่นำเสนอ ซึ่งช่วงเวลาเข้าสู่สภาวะคงตัวที่เวลา 0.017 s และระบบที่ควบคุมด้วยยุทธวิธีการควบคุมแบบ ST-SMC ช่วงเวลาเข้าสู่สภาวะคงตัวที่เวลา 0.04 s

4. สรุป

ในบทความนี้นำเสนอยุทธวิธีการควบคุมแบบสไลดิ้งโหมดอันดับที่สอง (SOSMC) ด้วยพื้นฐานการควบคุมแบบสไลดิ้งโหมดทวิตติ้งแบบซุปเปอร์ควาซี (QST-SMC) โครงสร้างการควบคุมภายในแบบแคสเคตแรงดันและกระแสของอินเวอร์เตอร์กำลังแบบกริดซับพอร์ตติ้งสามเฟสประยุกต์ใช้การควบคุมแบบ QST-SMC ซึ่งได้นำเสนอในบทความนี้ การประยุกต์ใช้ยุทธวิธีการควบคุมแบบ QST-SMC กับการควบคุมแรงดันเพื่อปรับปรุงประสิทธิภาพต่อความไม่แน่นอนของพารามิเตอร์ของระบบ การควบคุมกระแสด้วยยุทธวิธีการควบคุมแบบ QST-SMC สำหรับการเกาะตามกระแสอ้างอิงในกรอบอ้างอิง dq เพื่อการตอบสนองที่รวดเร็วและช่วงเวลาเข้าสู่สภาวะคงตัวลดลงเมื่อเปรียบเทียบกับยุทธวิธีการควบคุมแบบเดิม ผลการจำลองแสดงให้เห็นถึงประสิทธิภาพของยุทธวิธีการควบคุมที่นำเสนอและแสดงให้เห็นถึงประสิทธิภาพที่ดีกว่าเมื่อเปรียบเทียบกับยุทธวิธีการควบคุมแบบ ST-SMC ตามแบบธรรมดา

เอกสารอ้างอิง

[1] Y. Zhai. Handbook on Microgrids for Power Quality and Connectivity. Metro Manila : Asian Development Bank, pp. 1-25, Inc. 2020.

[2] N. Mohammed, H. H. Alhelou, and B. Bahrani. Grid-Forming Power Inverters Control and Applications. Florida : CRC Press, pp. 1-14, Inc. 2023.

[3] W. Ma, X. Wang, Y. Wang, W. Zhang, H. Li, and Y. Zhu, " Adaptive Quasi-Super-Twisting Sliding Mode Control for Flexible Multistate Switch" *Energies*, vol. 17, 2643, pp. 1–23, 2024.

[4] J.M. Guerrero, J.C. Vasquez, J. Matas, L.G. De Vicuna, and M. Castilla. "Hierarchical Control of Droop-Controlled AC and DC Microgrid-A General Approach Toward Standardization." *IEEE Transactions on Industrial Electronics*, vol. 58, pp. 158 – 172, 2011.

[5] J. Liu, Y. Gao, Y. Yin, J. Wang, W. Luo, and G. Sun. Sliding Mode Control Methodology in the Applications of Industrial Power Systems. Cham : Springer Nature, pp. 11-25, Inc. 2020.

[6] Y. Shtessel, C. Edwards, L. Fridman, and A. Levant. Sliding Mode Control and Observation. New York : Springer, pp. 1-11, Inc. 2014.

[7] K. Zeb, T. D. C. Busarello, S. U. Islam, W. Uddin, K. V. G. Raghavendra, M. A. Khan, and H. J. Kim, "Design of Super Twisting Sliding Mode Controller for a Three-Phase Grid-connected Photovoltaic System under Normal and Abnormal Conditions," *Energies*, vol. 13, 3773, pp. 1–20, 2020.

[8] J. Lu, M. Savaghebi, A.M.Y.M. Ghias, X. Hou, and J.M. Guerrero, " A Reduced-Order Generalized Proportional Integral Observer-Based Resonant Super-Twisting Sliding Mode Control for Grid-Connected Power Converters *IEEE Transactions on Industrial Electronics*, vol. 68, No. 7, pp. 5897–5908, 2021.

[9] S. Khongkhachat, and S. Khomfoi, " Advanced Control Approach Based on a Super-Twisting Sliding Mode for a Cascade Voltage and Current Control Topologies of a Grid-Supporting Grid-Forming Power Converters" *International Review of Electrical Engineering (I.R.E.E.)*, vol. 18, No. 5, pp. 354–372, 2023.

การพัฒนาวงจรแปลงผันกำลังไฟฟ้ากระแสตรงเป็นไฟฟ้ากระแสตรงเต็มบริดจ์สามกิ่งที่มีการสวิตช์แบบแรงดันศูนย์กระแสศูนย์โดยใช้วงจรช่วยแบบแอคทีฟ

Development of a ZVZCS Three-Leg Full-Bridge DC-DC Converter Using an Active Auxiliary Circuit

อภิรักษ์ อินทจักร[1] ธวัชชัย ทองเหลี่ยม[2] ชิติพัทธ์ มีศรีสุข[2*]

[1]สาขาวิชาวิศวกรรมไฟฟ้าและปัญญาประดิษฐ์ คณะวิทยาศาสตร์และเทคโนโลยี มหาวิทยาลัยราชภัฏนครปฐม 669906101@webmail.npru.ac.th

[2]สาขาวิชาวิศวกรรมไฟฟ้าและปัญญาประดิษฐ์ คณะวิทยาศาสตร์และเทคโนโลยี มหาวิทยาลัยราชภัฏนครปฐม

บทคัดย่อ

บทความนี้นำเสนอการพัฒนาวงจรแปลงผันกำลังไฟฟ้ากระแสตรงเป็นไฟฟ้ากระแสตรงเต็มบริดจ์สามกิ่งที่มีการสวิตช์แบบแรงดันศูนย์กระแสศูนย์โดยใช้วงจรช่วยแบบแอคทีฟ และควบคุมกำลังไฟฟ้าของวงจรด้วยวิธีปรับมุมเลื่อนเฟสของสัญญาณพัลส์วิดมอดูเลชัน (พีดับบิวเอ็ม) ระหว่างสวิตช์แต่ละกิ่ง นอกจากนั้นเทคนิคการสวิตช์แบบแรงดันศูนย์กระแสศูนย์ถูกนำมาใช้เพื่อลดความสูญเสียกำลังไฟฟ้า วงจรดังกล่าวได้ถูกทำการออกแบบและจำลองการทำงานด้วยโปรแกรมคอมพิวเตอร์ที่พิกัดกำลังไฟฟ้า 1 กิโลวัตต์ แรงดันไฟฟ้าขาเข้า 325 โวลต์ แรงดันไฟฟ้าขาออก 60 โวลต์ ความถี่ของการสวิตช์ 50 กิโลเฮิรตซ์ พบว่าสวิตช์ภายในวงจรสามารถทำงานได้ภายใต้เงื่อนไขการสวิตช์แบบแบบแรงดันศูนย์กระแสศูนย์

คำสำคัญ: เทคนิคการสวิตช์แบบแรงดันศูนย์กระแสศูนย์ สัญญาณพีดับบลิวเอ็มแบบเลื่อนเฟส วงจรเต็มบริดจ์แบบสามกิ่ง

Abstract

This article presents the development of a three-leg full-bridge DC-DC converter that employs a zero-voltage zero-current switching (ZVZCS) technique using an active auxiliary circuit. Power control is achieved by adjusting the phase shift angle of the pulse-width modulation (PWM) signals between the switches of each leg. Additionally, the ZVZCS technique is implemented to reduce switching power losses. The proposed circuit was designed and simulated using computer software, with a power rating of 1 kW, an input voltage of 325 V, an output voltage of 60 V, and a switching frequency of 50 kHz. The results show that the switches in the circuit can operate under ZVZCS conditions.

Keywords: Zero-Voltage Zero-Current Switching Technique, Phase-Shifted PWM Signal, Three-Leg Full-Bridge Converter

1. บทนำ

ปัจจุบันวงจรแปลงผันกำลังไฟฟ้ากระแสตรงเป็นไฟฟ้ากระแสตรง (DC – DC Converter) ถูกนำไปออกแบบใช้งานจำนวนมาก วงจรแปลงผันกำลังไฟฟ้าดังกล่าวมีปัญหาที่ความสำคัญเรื่องกำลังไฟฟ้าที่สูญเสียอันเนื่องมาจากการสวิตช์ (Switching losses) โดยเฉพาะงานที่ต้องใช้กำลังไฟฟ้าสูง ๆ เช่น งานระบบขับเคลื่อนหรือแหล่งพลังงานในรถไฟฟ้า แหล่งจ่ายไฟฟ้ากระแสตรงขนาดใหญ่ การแปลงผันระดับแรงดันไฟฟ้าจากแบตเตอรี่ให้มีค่าสูงขึ้นเพื่อใช้กับวงจรอินเวอร์เตอร์ เป็นต้น งานที่ใช้กำลังไฟฟ้าสูง ๆ มีความสูญเสียกำลังไฟฟ้ามากเนื่องจากการสวิตช์ การสูญเสียกำลังไฟฟ้าทำให้เกิดความร้อนสะสมที่อุปกรณ์สวิตช์ ส่งผลให้อายุการใช้งานของสวิตช์สั้นลง และวงจรยังมีประสิทธิภาพลดลงอีกด้วย เพื่อลดกำลังไฟฟ้าสูญเสียขณะสวิตช์ งานวิจัยในอดีตที่ผ่านมาได้มีการนำเสนอเทคนิคการสวิตช์แบบนุ่มนวล (Soft-switching technique) [1-6] และเทคนิคการสวิตช์แบบแรงดันศูนย์กระแสศูนย์ (Zero-voltage zero-current switching : ZVZCS) [7-10] สามารถลดกำลังไฟฟ้าที่สูญเสียในขณะสวิตช์ได้ทั้งขณะเริ่มนำกระแส (Turning-ON) และขณะเริ่มหยุดนำกระแส (Turning-OFF) ซึ่งถูกนำไปใช้ในวงจรแปลงผันแบบกิ่งบริดจ์ (Half – bridge converter) [7] วงจรแปลงผันแบบเต็มบริดจ์ (Full – bridge converter) [8, 9] และวงจรแปลงผันแบบหลายระดับ (Multi – level converter) [10] วิธีการทำให้เกิดเทคนิคการสวิตช์แบบแรงดันศูนย์กระแสศูนย์นั้นยังสามารถแบ่งออกหลัก ๆ ได้แก่ การใช้วงจรช่วยแบบพาสซีฟ (Passive auxiliary circuit) และวงจรช่วยแบบแอคทีฟ (Active auxiliary circuit) [2, 4] ซึ่งจะมีข้อดีและข้อเสียแตกต่างกัน

งานวิจัยนี้นำเสนอการใช้เทคนิคการสวิตช์แบบแรงดันศูนย์กระแสศูนย์โดยใช้วงจรช่วยแบบแอคทีฟมาพัฒนาวงจรแปลงผันกำลังไฟฟ้ากระแสตรงเป็นไฟฟ้ากระแสตรงเต็มบริดจ์สามกิ่งโดยนำสวิตช์ช่วยต่อเข้าที่วงจรฝั่งขาออกของวงจร บทความนี้กล่าวถึงลักษณะของวงจรที่ได้ทำการนำเสนอ การวิเคราะห์การทำงานวงจรและผลที่ได้จากการจำลองการทำงานด้วยโปรแกรมทางคอมพิวเตอร์เพื่อศึกษาการทำงานของวงจรตามแนวคิดที่ได้เสนอข้างต้น

2. วงจรที่ได้ทำการนำเสนอและหลักการที่เกี่ยวข้อง

*ผู้ประพันธ์บรรณกิจ

2.1 วงจรที่ได้ทำการนำเสนอ

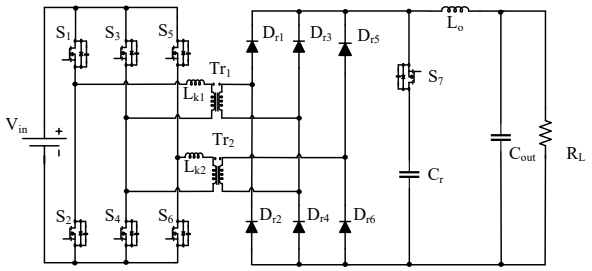

รูปที่ 1 วงจรแปลงผันกำลังไฟฟ้ากระแสตรงเป็นไฟฟ้ากระแสตรงเต็มบริดจ์ที่นำเสนอ

รูปที่ 1 แสดงวงจรแปลงผันกำลังไฟฟ้ากระแสตรงเป็นไฟฟ้ากระแสตรงเต็มบริดจ์สามกิ่งที่มีการสวิตช์แบบแรงดันศูนย์กระแสศูนย์โดยใช้วงจรช่วยแบบแอคทีฟที่นำเสนอ วงจรมีส่วนประกอบที่สำคัญดังนี้ แรงดันไฟฟ้ากระแสตรงขาเข้า (V_{in}) วงจรแปลงผันกำลังไฟฟ้าตรงเป็นไฟฟ้ากระแสตรงแบบเต็มบริดจ์มีสวิตช์ 3 กิ่ง (กิ่ง A, B และ C) แต่ละกิ่งจะมีสวิตช์มอสเฟต (MOSFET) 2 ตัว ($S_1 - S_6$) และขาออกของวงจรอินเวอร์เตอร์จะถูกต่อเข้ากับด้านปฐมภูมิของหม้อแปลงไฟฟ้าความถี่สูงจำนวน 2 ตัว (Tr_1 และ Tr_2) เพื่อลดระดับแรงดันไฟฟ้าลง ด้านทุติยภูมิจะถูกต่อวงจรเรียงกระแสแบบสามกิ่ง ($D_{r1} - D_{r6}$) เพื่อให้แรงดันไฟฟ้าขาออกของหม้อแปลงไฟฟ้าความถี่สูงกลับมาเป็นกระแสตรงอีกครั้ง ด้านขาออกของวงจรเรียงกระแสแบบสามกิ่งจะถูกต่อเข้ากับวงจรช่วยแบบแอคทีฟซึ่งประกอบไปด้วยสวิตช์ช่วย (S_7) ที่ต่ออนุกรมกับตัวเก็บประจุช่วย (C_r) วงจรช่วยแบบแอคทีฟนี้จะช่วยให้สวิตช์หลักสามารถทำงานภายใต้เงื่อนไขสวิตช์แบบแรงดันศูนย์กระแสศูนย์โดยอาศัยหลักการของวงจรเรโซแนนซ์แบบแอลซีระหว่างตัวเก็บประจุเรโซแนนซ์กับตัวเหนี่ยวนำรั่วไหลของหม้อแปลงไฟฟ้าความถี่สูง นอกจากนี้ แรงดันขาออกของวงจรเรียงกระแสแบบสามกิ่งยังถูกต่อกับวงจรกรองความถี่ต่ำผ่านอันดับสองแบบแอลซี (L_{out} และ C_{out}) เพื่อกรองให้แรงดันไฟฟ้ากระแสตรงเรียบ และแรงดันขาออกถูกจ่ายไปยังโหลดตัวต้านทาน (R_L) ต่อไป

2.2 การควบคุมกำลังไฟฟ้าของวงจรที่นำเสนอ

การควบคุมกำลังไฟฟ้าของวงจรแปลงผันกำลังไฟฟ้ากระแสตรงเป็นไฟฟ้ากระแสตรงการควบคุมกำลังไฟฟ้าของวงจรแปลงผันกำลังไฟฟ้ากระแสตรงเป็นไฟฟ้ากระแสตรงที่สวิตช์ด้วยแรงดันศูนย์และกระแสศูนย์นั้นสามารถทำได้โดยการปรับกำลังไฟฟ้าด้วยวิธีการปรับมุมเลื่อนเฟสของสัญญาณพีดับเบิลยูเอ็ม ($G_{s1} - G_{s6}$) ดังแสดงในรูปที่ 2 ซึ่งเป็นการปรับมุมเฟสระหว่างสวิตช์กิ่งหน้าและกิ่งหลัง ส่งผลให้แรงดันขาออกของวงจรแปลงผันกำลังไฟฟ้ากระแสตรงเป็นไฟฟ้ากระแสตรงเปลี่ยนแปลงไปและส่งผลกำลังไฟฟ้าของวงจรเปลี่ยนแปลงไปด้วย กำลังไฟฟ้าของวงจรจะมีค่ามากที่สุดเมื่อมุมเลื่อนเฟสของสัญญาณมีค่าเป็นศูนย์

3. โหมดการทำงาน

รูปที่ 2 แสดงสัญญาณขับสวิตช์พีดับบลิวเอ็มแบบเลื่อนเฟส (Phase shifted PWM) รูปคลื่นแรงดันและกระแสไฟฟ้าภายในวงจร จากรูปจะสังเกตเห็นว่าการทำงานในครึ่งไซเคิล วงจรมีโหมดการทำงาน 8 โหมด อย่างไรก็ตาม เพื่อความกระชับในการอธิบาย บทความนี้จะนำเสนอเฉพาะโหมดการทำงานที่เกิดการสวิตช์แรงดันศูนย์กระแสศูนย์ ซึ่งมีรายละเอียดโหมดการทำงานดังต่อไปนี้

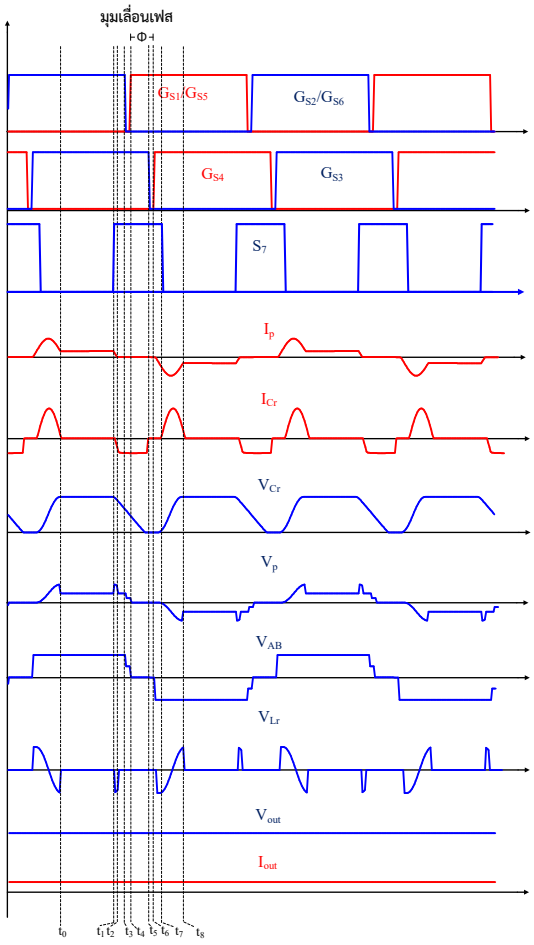

รูปที่ 2 คลื่นการทำงานของวงจร

1) โหมดการทำงานที่ 1 [t_0-t_1]

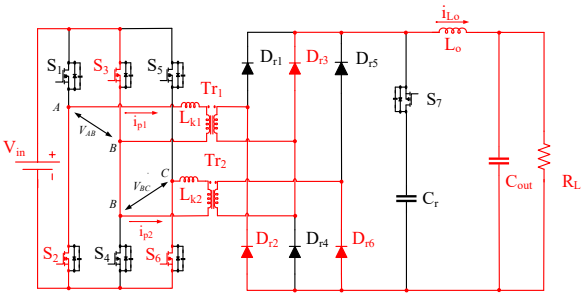

รูปที่ 3 โหมดการทำงานที่ 1 [t_0-t_1]

รูปที่ 3 แสดงโหมดการทำงานที่ 1 วงจรมีกระแสไหลผ่านสวิตช์ S_2, S_3 และ S_6 โดยกระแสไหลเข้าสู่ด้านปฐมภูมิของหม้อแปลงไฟฟ้าความถี่สูง Tr_1 และ Tr_2 ซึ่งมีแรงดันตกคร่อมเกิดขึ้น ขณะเดียวกันด้านทุติยภูมิของหม้อแปลงจ่ายกระแสให้กับไดโอดเรียงกระแส Dr_2, Dr_3 และ Dr_6 ส่งผลให้อุปกรณ์ทุกตัวในวงจรมีกระแสและแรงดันไหลผ่านคงที่ แสดงถึงสภาวะการทำงานที่เสถียรของระบบในช่วงเวลานี้

2) โหมดการทำงานที่ 2 [t_1-t_2]

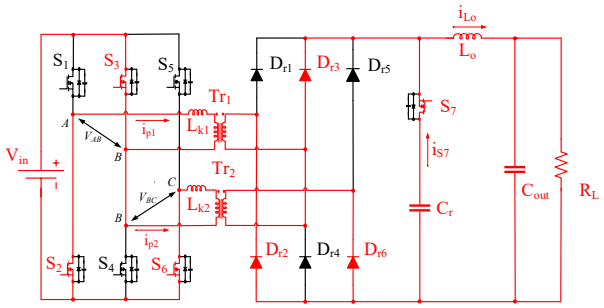

รูปที่ 4 โหมดการทำงานที่ 2 [t_1-t_2]

รูปที่ 4 แสดงโหมดการทำงานที่ 2 วงจรมีกระแสไหลผ่านสวิตช์ S_2, S_3 และ S_6 กระแสดังกล่าวไหลเข้าสู่ด้านปฐมภูมิของหม้อแปลงไฟฟ้าความถี่สูง Tr_1 และ Tr_2 ขณะที่ด้านทุติยภูมิของหม้อแปลงจ่ายกระแสให้กับไดโอดเรียงกระแส D_{r2} D_{r3} และ D_{r6} พร้อมกันนั้น สวิตช์ S_7 เริ่มทำงาน ส่งผลให้ตัวเก็บประจุ C_r เกิดการคายประจุออกมา ทำให้กระแส i_p ค่อย ๆ ลดลง จนกระทั่งเป็นศูนย์ ส่งผลให้สวิตช์ S_1 S_4 และ S_5 สามารถเข้าสู่สภาวะสวิตช์แบบกระแสศูนย์ (ZCS) ได้ในช่วงเวลาภายหลังจากนี้ และเกิดการเรโซแนนซ์ระหว่าง L_{lk1} และ L_{lk2} กับ C_r ส่งผลให้แรงดันคร่อม L_{lk1} และ L_{lk2} มีค่าเป็น $V_{in} - NV_{Cr} < 0$ ซึ่งเป็นสาเหตุให้ i_p ลดลง กระแสและแรงดันของ C_r แสดงได้ตามสมการ (1) และ (2) ตามลำดับ

$$i_{Cr}(t) = -\frac{V_{in}}{N \times Z_r} \sin\left(\omega_r (t - t_2)\right) \quad (1)$$

$$V_{Cr}(t) = \frac{V_{in}}{N} \left(1 + \cos\left(\omega_r (t - t_2)\right)\right) \quad (2)$$

เมื่อ ω_r คือ ความถี่เรโซแนนซ์, Z_r คือ ความต้านทานเรโซแนนซ์, N คือ อัตราส่วนการแปลงของหม้อแปลง, i_p คือ กระแสไฟฟ้าหลักของวงจร และ V_{Cr} คือ แรงดันคร่อมตัวเก็บประจุ

3) โหมดการทำงานที่ 7 [t_6-t_7]

รูปที่ 5 แสดงโหมดการทำงานที่ 7 วงจรมีกระแสไหลผ่านสวิตช์ S_1, S_4 และ S_5 และไหลเข้าสู่ด้านปฐมภูมิของหม้อแปลงไฟฟ้าความถี่สูง Tr_1 และ Tr_2 ขณะที่ด้านทุติยภูมิของหม้อแปลงจ่ายกระแสให้กับไดโอดเรียง D_{r1}, D_{r4} และ D_{r5} พบว่ากระแสไม่ไหลผ่านตัวเก็บประจุ C_r ส่งผลให้สวิตช์ S_7 ไม่มีกระแสไหลผ่านตามไปด้วย ซึ่งทำให้สวิตช์ S_2, S_3 และ S_6 สามารถเข้าสู่โหมดสวิตช์แบบแรงดันศูนย์ (ZVS) ภายหลังจากช่วงเวลานี้

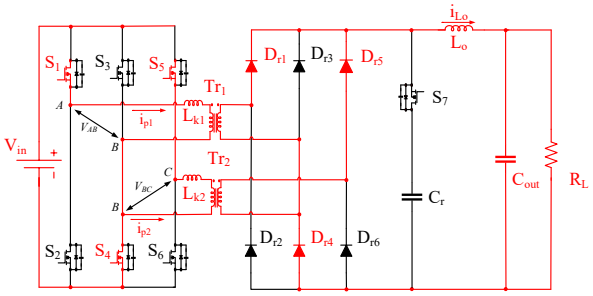

รูปที่ 5 โหมดการทำงานที่ 7 [t_6-t_7]

4) โหมดการทำงานที่ 8 [t_7-t_8]

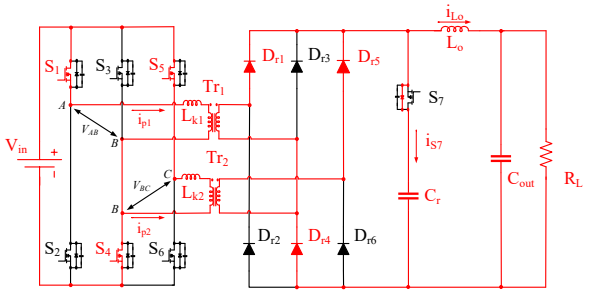

รูปที่ 6 โหมดการทำงานที่ 8 [t_7-t_8]

รูปที่ 6 แสดงโหมดการทำงานที่ 8 วงจรมีกระแสไหลผ่านสวิตช์ S_1, S_4 และ S_5 กระแสดังกล่าวไหลเข้าสู่ด้านปฐมภูมิของหม้อแปลงไฟฟ้าความถี่สูง Tr_1 และ Tr_2 ขณะที่ด้านทุติยภูมิของหม้อแปลงจ่ายกระแสให้กับไดโอดเรียงกระแส D_{r1}, D_{r4} และ D_{r5} นอกจากนี้ยังพบว่าสวิตช์ S_7 มีกระแสไหลผ่านทางไดโอดในตัวสวิตช์ ซึ่งส่งผลให้ตัวเก็บประจุ C_r เริ่มเกิดการชาร์จประจุขึ้นในช่วงเวลาดังกล่าว

4. ผลการจำลอง

วงจรแปลงผันกำลังไฟฟ้ากระแสตรงเป็นไฟฟ้ากระแสตรงเต็มบริดจ์สามกิ่งที่มีการสวิตช์แบบแรงดันศูนย์กระแสศูนย์โดยใช้วงจรช่วยแบบแอคทีฟถูกจำลองการทำงานด้วยโปรแกรมทางคอมพิวเตอร์ เพื่อพิสูจน์การทำงานของวงจรตามแนวคิดที่ได้ทำการนำเสนอ โดยใช้ค่าพารามิเตอร์ดังแสดงในตารางที่ 1

ตารางที่ 1 ค่าพารามิเตอร์ของวงจร

ตัวแปร	ค่าที่ใช้
V_{in}	325 V
ความถี่สวิตช์	50 kHz
L_{lk1} และ L_{lk2}	70 µH
C_r	0.3 µf
C_{out}	1000 µf
L_{out}	80 µH
R_L	3.6 Ohm
อัตราส่วนจำนวนรอบขดลวดของหม้อแปลงไฟฟ้า	5:1
กำลังไฟฟ้าขาออก (P_{out})	1 kW

รูปที่ 7 – 9 แสดงผลการจำลองการทำงานของสวิตช์ในวงจรที่นำเสนอ จากผลการจำลองพบว่าสวิตช์ทุกตัวในวงจร (S_1 – S_6) สามารถทำงานได้ภายใต้เงื่อนไขการสวิตช์แบบนุ่มนวล รูปที่ 7 แสดงคลื่นแรงดันและกระแสของสวิตช์ S_1 เป็นตัวอย่างของรูปคลื่นการทำงานของสวิตช์กิ่ง *A* และ *C* สังเกตเห็นว่าวงจรทำงานลักษณะแรงดันศูนย์กระแสศูนย์ สังเกตได้ว่าในช่วงเริ่มนำกระแสแรงดันตกคร่อมสวิตช์ลดลงเป็นศูนย์ก่อนที่จะมีกระแสไหลผ่าน ส่งผลให้ไม่เกิดความสูญเสียกำลังไฟฟ้าในช่วงดังกล่าว ขณะที่ในช่วงเริ่มหยุดนำกระแส กระไฟฟ้าที่ไหลผ่านสวิตช์จะลดลงเป็นศูนย์ก่อนที่สวิตช์จะหยุดนำกระแส ส่งผลให้ไม่เกิดความสูญเสียกำลังไฟฟ้าในช่วงดังกล่าวเช่นกัน ลักษณะการทำงานเช่นนี้จะเกิดขึ้นกับสวิตช์ S_1, S_2, S_5 และ S_6 รูปที่ 8 แสดงคลื่นแรงดันและกระแสของสวิตช์ S_3 เป็นตัวอย่างของรูปคลื่นการทำงานของสวิตช์กิ่ง *B* ซึ่งเป็นกิ่งร่วม พบว่าสวิตช์ดังกล่าวมีลักษณะการทำงานเข้าใกล้เงื่อนไขแรงดันศูนย์กระแสศูนย์ กล่าวคือในช่วงเริ่มนำกระแสมีลักษณะใกล้เคียงการทำงานแบบแรงดันศูนย์ (Near ZVS) และในช่วงเริ่มหยุดนำกระแสมีลักษณะการทำงานแบบกระแสศูนย์ แสดงให้เห็นว่าวงจรสามารถลดการสูญเสียกำลังไฟฟ้าได้อย่างมีประสิทธิภาพ รูปที่ 9 แสดงคลื่นแรงดันและกระแสไฟฟ้าของสวิตช์ช่วย S_7 ซึ่งจะพบว่าเกิดการทำงานแบบแรงดันศูนย์กระแสศูนย์เช่นเดียวกันจากสภาวะเรโซแนนซ์ระหว่าง L_{lk1} และ L_{lk2} กับ C_r รูปที่ 10 แสดงคลื่นแรงดันและกระแสไฟฟ้าของหม้อแปลงไฟฟ้าความถี่สูง Tr_1 ซึ่งจะพบลักษณะการทำงานที่สภาวะเรโซแนนซ์ในช่วงแรกของคลื่นกระแสทั้งกระแสฝั่งบวกและลบ ซึ่งเป็นผลมาจากการเรโซแนนซ์ระหว่าง L_{lk1} และ L_{lk2} กับ C_r เช่นเดียวกันเมื่อพิจารณารูปคลื่นแรงดันและกระแสไฟฟ้าของตัวเก็บประจุช่วย C_r ก็จะพบสภาวะเรโซแนนซ์เช่นเดียวกันดังแสดงในรูปที่ 11

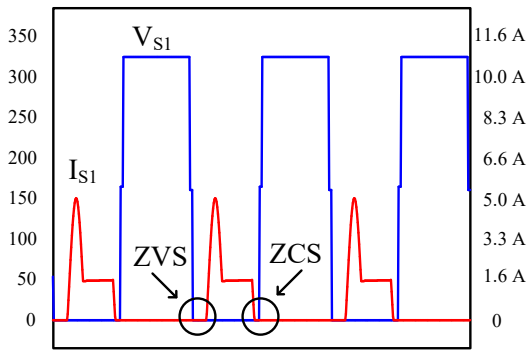

รูปที่ 7 คลื่นแรงดันและกระแสของสวิตช์ S_1

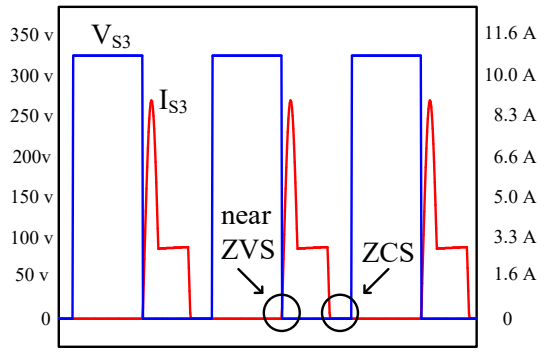

รูปที่ 8 คลื่นแรงดันและกระแสของสวิตช์ S_3

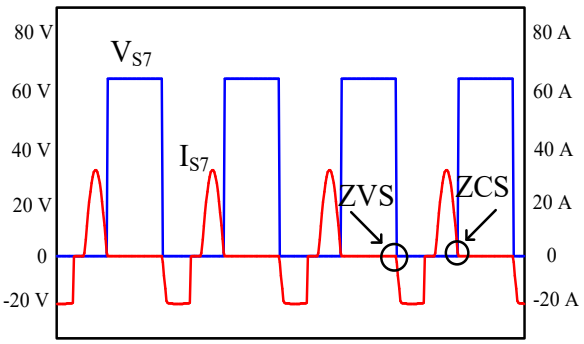

รูปที่ 9 คลื่นแรงดันและกระแสของสวิตช์ช่วย (S_7)

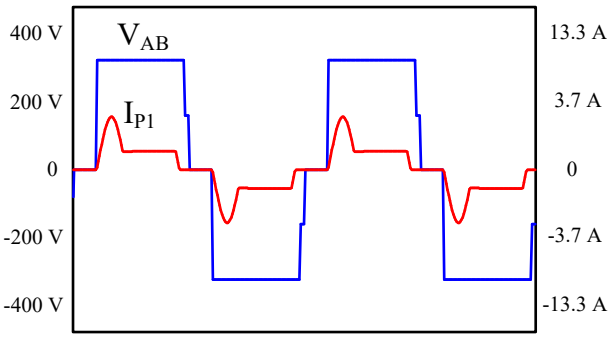

รูปที่ 10 คลื่นแรงดันและกระแสขาเข้าหม้อแปลงไฟฟ้าความถี่สูง

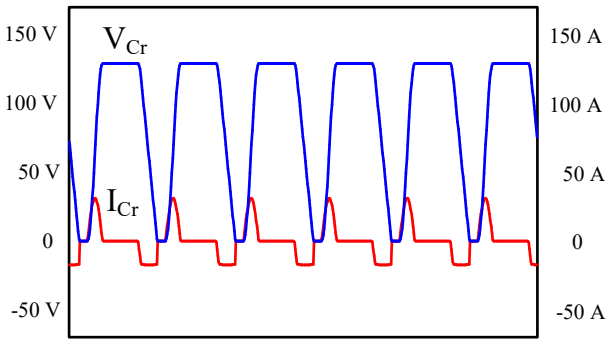

รูปที่ 11 คลื่นแรงดันและกระแสของตัวเก็บประจุ Cr

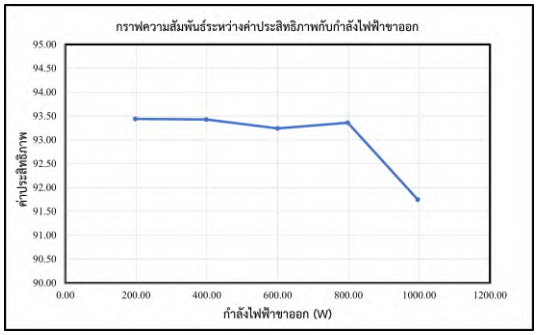

รูปที่ 12 ความสัมพันธ์ระหว่างประสิทธิภาพกับกำลังไฟฟ้าขาออก

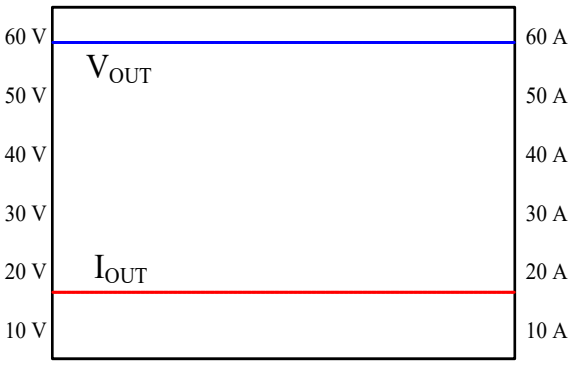

รูปที่ 13 รูปคลื่นแรงดันและกระแสด้านขาออกของวงจร

รูปที่ 12 แสดงความสัมพันธ์ระหว่างประสิทธิภาพกับกำลังไฟฟ้าขาออก ซึ่งได้จากการจำลองการทำงานที่พิกัดแรงดันขาเข้า 325 โวลต์ แรงดันขาออก 60 โวลต์ และทำการปรับโหลดเพื่อให้ได้กำลังไฟฟ้าที่ต้องการ จากนั้นทำการวัดกำลังไฟฟ้าขาเข้าและกำลังไฟฟ้าขาออกและนำมาคำนวณหาค่าประสิทธิภาพการทำงานของวงจร โดยจากการจำลองวงจรสามารถทำงานได้มีประสิทธิภาพสูงสุดเท่ากับ 93.44 % ที่กำลังไฟฟ้า 20 % ของพิกัด รูปที่ 13 แสดงรูปคลื่นแรงดันและกระแสไฟฟ้าขาออกของวงจรที่พิกัดกำลังไฟฟ้า 1 กิโลวัตต์ สังเกตุเห็นว่าแรงดันไฟฟ้าขาออกมีค่าเท่ากับ 60 โวลต์ และกระแสมีค่าเท่ากับ 16.67 แอมป์แปร์

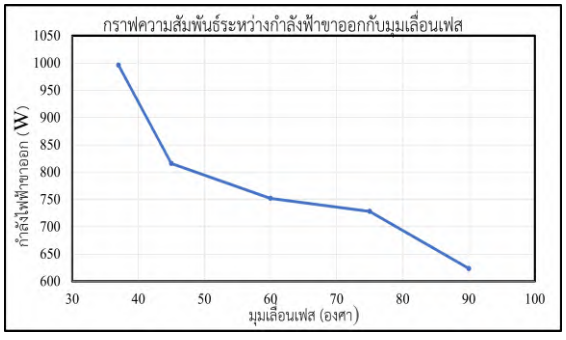

รูปที่ 14 กราฟความสัมพันธ์ระหว่างประสิทธิภาพกับกำลังไฟฟ้าขาออก

รูปที่ 14 แสดงกราฟความสัมพันธ์ระหว่างกำลังไฟฟ้าขาออกกับมุมเลื่อนเฟสด้วยการจำลองการทำงานของวงจรกรณีมีแรงดันขาเข้า 325 โวลต์ และทำการเปลี่ยนแปลงมุมเลื่อนเฟสจาก 37 องศา และทำการเพิ่มมุมเลื่อนเฟสไปจนมุมเลื่อนเฟสมีค่าเท่ากับ 90 องศา จากผลการทดลองพบว่าเมื่อปรับมุมเลื่อนเฟสให้มีค่าเพิ่มขึ้นจะทำให้วงจรมีกำลังไฟฟ้าขาออกลดลง เนื่องจากแรงดันไฟฟ้าขาออกมีค่าลดลง ซึ่งการปรับมุมเลื่อนเฟสนี้จะถูกนำมาใช้ในการควบคุมกำลังไฟฟ้าและแรงดันไฟฟ้าขาออกของวงจร

5. สรุปผลการวิจัย

วงจรแปลงผันกำลังไฟฟ้ากระแสตรงเป็นไฟฟ้ากระแสตรงเต็มบริดจ์สามกิ่งที่มีการสวิตช์แบบแรงดันศูนย์กระแสศูนย์โดยใช้วงจรช่วยแบบแอคทีฟ วงจรดังกล่าวได้ใช้เทคนิคการปรับมุมเลื่อนเฟสของสัญญาณพีดับบลิวเอ็มระหว่างสวิตช์แต่ละกิ่งในการควบคุมกำลังไฟฟ้า วงจรที่นำเสนอได้ถูกทำการออกแบบและจำลองการทำงานด้วยโปรแกรมคอมพิวเตอร์ที่พิกัดกำลังไฟฟ้า 1 กิโลวัตต์ แรงดันไฟฟ้าขาเข้า 325 โวลต์ แรงดันไฟฟ้าขาออก 60 โวลต์ ความถี่ของการสวิตช์ 50 กิโลเฮิรตซ์ จากผลการจำลองการทำงานพบว่าสวิตช์ทุกตัวภายในวงจรสามารถทำงานได้ภายใต้เงื่อนไขการสวิตช์แบบแบบแรงดันศูนย์กระแสศูนย์ อาศัยการเรโซแนนซ์ระหว่างตัวเหนี่ยวนำรั่วไหลของหม้อแปลงไฟฟ้าและตัวเก็บประจุช่วย ซึ่งจากผลการจำลองการทำงานพบว่าวงจรสามารถทำงานได้มีประสิทธิภาพสูงสุดเท่ากับ 93.44 % ที่กำลังไฟฟ้า 20 % ของพิกัด

เอกสารอ้างอิง

[1] Liangcai Shu, Wu Chen, Guang Ning and Dajun Ma, “Analysis of Strategy for Achieving Zero-Current Switching in Full-Bridge Converters,” (2018) IEEE transaction on industrial electronics. 65(7),5509-5517

[2] Liangcai Shu, Wu Chen, Guang Ning and Dajun Ma, “A Novel ZCS Full-Bridge PWM Converter with Simple Auxiliary Circuits,” (2018) IEEE transaction on industrial electronics. 978-1-5386-6054-6/18

[3] Anirban Pal and Kaushik Basu, “A Zero-Current-Switched PWM Full Bridge DC-DC Converter,” (2019) IEEE transaction on industrial electronics 978-1-7281-0395-2/19

[4] Enhui Chu, Ping Lu, Chang Xu, and Jianqun Bao, “ Zero-Current-Switching in Full-Bridge DC-DC Converters Based on Activity Auxiliary Circuit,” (2019) Journal of Power Electronics, Vol. 19, No. 2, pp. 353-362

[5] Xin Zhang, and Xinbo Ruan., “A ZCS Full-Bridge Converter Without Voltage Overstress on the Switches,” (2010) IEEE Transactions on Power Electronics, Vol. 25, No. 3, March 2010

[6] Marek Pastor, Milan Lacko., Jaroslav Dudrik and Adrian Marcinek, “Soft-Switching Full-Bridge DC-DC Converter with Energy Recovery Capacitor Snubber,” (2023) Energies 2023, 16, 1591

[7] Haoyu Li and Lei Zhao, “A Dual Half-Bridge Phase Shifted Converter With Wide ZVZCS Switching Range,” (2017) transactions on power electronics, digital object Identifier 10.1109/ACCESS.2020.3021747

[8] In-Ho Cho, and Gun-Woo Moon, “A Zero-Voltage and Zero-Current Switching Full Bridge Converter using an Auxiliary Circuit,” (2012) IEEE transaction on industrial electronics 978-1-4673-2421-2

[9] A. Jangwanitlert, “Analysis of a Wide Load Variation of ZVZCS Phase Shifted PWM Full-Bridge DC-DC Converter,” (2014) IEEE transaction on industrial electronics 978-1-4799-3174-3

[10] Enhui Chu, Xutong Hou, and Huaguang Zhang, “Novel Zero-voltage and Zero-current Switching (ZVZCS) PWM Three-level DC/DC Converter Using Output Coupled Inductor,” (2013) IEEE 2013

Mitigation of Bifurcation Effect in Wireless Power Transfer Systems Using a Tunable Fractional-Order Capacitor

Thakun Chinsakunrattanachai, Nattapong Hatchavanich, Ekkachai Mujjalinvimut and Supapong Nutwong*

Department of Electrical Engineering, Faculty of Engineering, King Mongkut's University of Technology Thonburi, Thailand
Thakun.chins@kmutt.ac.th nattapong.hat@kmutt.ac.th ekkachai.muj@kmutt.ac.th supapong.nut@kmutt.ac.th*

Abstract

In most cases, Wireless Power Transfer (WPT) systems operate at the resonant frequency, as this condition maximizes both transfer capability and efficiency. One major challenge of WPT system under magnetic coupling variation is the bifurcation phenomenon, which induces resonant frequency splitting and consequently decreases output power while narrowing the control range. This paper presents a method to mitigate the bifurcation effect through the use of a Fractional-Order Capacitor (FOC). Compared to conventional tunable capacitors, the FOC approach offers an additional degree of freedom, enabling high-resolution control of capacitance. Simulation results obtained from MATLAB/Simulink demonstrate that the proposed FOC technique effectively eliminates bifurcation by adjusting the duty cycle of the FOC converter. Consequently, the output power is enhanced by 385% compared to a conventional system operating under bifurcation conditions. The proposed method offers strong theoretical validation of the FOC's potential and establishes a foundation for future practical implementation.

Keywords: Bifurcation, Fractional-Order Capacitor (FOC), Wireless Power Transfer (WPT)

1. Introduction

Wireless Power Transfer systems have attracted considerable attention owing to their capability to transmit electrical power without physical contact, a feature that is particularly advantageous for applications such as electric vehicles (EVs), consumer electronics, and biomedical devices. [1 – 3]. In practical operation, WPT systems inevitably experience variations in load resistance and magnetic coupling between the transmitter and receiver coils. This may lead to a bifurcation phenomenon if the load resistance or magnetic coupling exceeds the critical value. Under bifurcation, the system no longer exhibits a unique resonant frequency; that is, the frequency at which the phase angle of the input impedance is zero, commonly referred to as the Zero Phase Angle (ZPA) frequency. Instead, multiple resonant frequencies occur, which reduce the output power, narrow the controllable operating range, and loss of frequency stability [4 – 6].

Several methods have been proposed to address the bifurcation issue in WPT systems. A design guideline introduced in [7] can prevent bifurcation, but it is limited to parameters corresponding to a given load. Nonidentical transmitter and receiver coil is presented in [8] to eliminate the bifurcation under over coupling conditions. Although this method is simple, it can only be applied to certain applications and is not suitable for those that require interoperability, such as wireless chargers for EVs. In [9], a series inductor is added to the primary circuit to increase the magnitude of the input impedance, aiming to alleviate the bifurcation phenomenon. However, for systems with parameter variations, a controllable inductor is required, which is difficult to design and can regulate the inductance only within a limited range.

The bifurcation phenomenon in WPT systems is influenced by the parameters of the primary circuit, and it can be mitigated by appropriately adjusting these parameters. However, because the value of the primary coil inductance cannot be altered, the resonant capacitance remains the only adjustable parameter. To vary the capacitance in the primary circuit, an array of tunable capacitors has been introduced [10 – 12]. Nevertheless, the use of integral-order capacitors restricts the capacitance to a narrow range and limits its resolution, which reduces their effectiveness in preventing bifurcation.

To overcome the limitations of conventional capacitance-tuning methods, this paper proposes a novel approach by introducing a Fractional-Order Capacitor (FOC) [13 – 15] into the primary circuit. The high-resolution capacitance, at the fractional scale, can be easily adjusted by controlling the duty cycle of the FOC converter, which operates as a half-bridge inverter. This expands the tuning range of the capacitor, leading to increased controllability. The proposed method is validated through computer simulations using MATLAB/Simulink, in which the performance of the tuned and untuned systems is compared.

2. Circuit analysis

2.1 Impedance Analysis

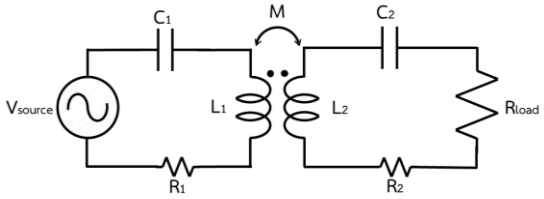

Fig. 1 Equivalent circuit of WPT system with SS resonant compensation topology

* Corresponding Author

The simplified equivalent circuit of the WPT system is shown in Fig. 1, where the sinusoidal input voltage (V_{source}) represents the fundamental component of the inverter output. The self-inductance of the transmitter coil and that of the receiver coil are denoted by L_1 and L_2, respectively. The mutual inductance between the two coils is defined as M. Resonant compensation capacitors C_1 and C_2 are connected in series with the coils, forming a Series-Series (SS) compensation topology. The load's equivalent AC resistance is indicated by R_{load}.

The input impedance of the circuit in Fig. 1 can be expressed as:

$$Z_{in} = R_1 + j\omega L_1 + \frac{1}{j\omega C_1} + \frac{\omega^2 M^2 (R_{load} + R_2) - j\omega^2 M^2 (\omega L_2 - \frac{1}{\omega C_2})}{(R_{load} + R_2)^2 + (\omega L_2 - \frac{1}{\omega C_2})^2} \quad (1)$$

From (1), the real and imaginary parts of the input impedance are given as:

$$Re\{Z_{in}\} = R_1 + \frac{\omega^2 M^2 (R_{load} + R_2)}{(R_{load} + R_2)^2 + (\omega L_2 - \frac{1}{\omega C_2})^2} \quad (2)$$

$$Im\{Z_{in}\} = \omega L_P - \frac{1}{\omega C_P} - \frac{\omega^2 M^2 \left(\omega L_S - \frac{1}{\omega C_S}\right)}{(R_L + R_S)^2 + \left(\omega L_S - \frac{1}{\omega C_S}\right)^2} \quad (3)$$

The frequency at which the imaginary part of the input impedance is zero is known as the resonant frequency, or zero-phase-angle frequency. From (3), three possible resonant frequencies are given as:

$$\omega_0 = \frac{1}{\sqrt{L_1 C_1}} = \frac{1}{\sqrt{L_2 C_2}} \quad (4)$$

$$\omega_{1,2} = \sqrt{\frac{-\beta \pm \sqrt{\beta^2 - 4(1-k^2)}}{2(1-k^2)}} \times \omega_0 \quad (5)$$

where $\beta = \left[\frac{L_2}{\omega_0 C_1 L_1 (R_{load}+R_2)}\right]^2 - 2$

The natural resonant frequency is defined as ω_0, whereas the split resonant frequencies are denoted by ω_1 and ω_2. In normal operation, the circuit exhibits only the natural resonant frequency (ω_0). However, during over-coupling or over-loading conditions, a bifurcation phenomenon occurs, resulting in two additional resonant frequencies (ω_1 and ω_2), as shown in Fig. 2. This causes the output power to drop. Moreover, it shifts the ZVS region, or inductive region, which may lead to non-ZVS operation and frequency instability. As noted in (5), if the primary capacitance (C_1) is properly adjusted, the complex frequency can be achieved, thereby eliminating the split resonant frequency.

2.2 Bifurcation Criteria

A bifurcation phenomenon will arise in WPT if the magnetic coupling coefficient and/or load resistance exceed the critical values, which are defined as follows:

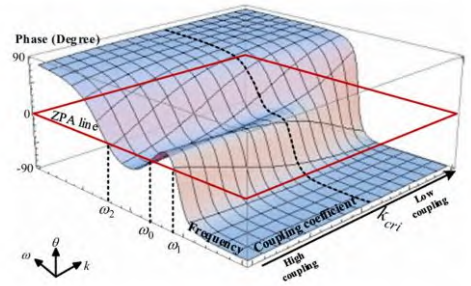

Fig. 2 3D plot of input impedance phase angle as a function of frequency and magnetic coupling.

$$k_{cri} = \frac{L_2}{\omega_0 C_1 L_1 (R_{load} + R_2)} \sqrt{1 - \frac{1}{4}\left[\frac{L_2}{\omega_0 C_1 L_1 (R_{load} + R_2)}\right]^2} \quad (6)$$

$$R_{Lcri} = \omega_0 L_2 \sqrt{2 - 2\sqrt{1-k^2}} - R_2 \quad (7)$$

As indicated in (6) and (7), the bifurcation criteria depend on the primary capacitance (C_1). Therefore, bifurcation phenomenon in WPT system can be avoided by tuning the value of this capacitance.

2.3 Concept of Fractional-Order Capacitor

The Fractional-Order Capacitor (FOC) exhibits a unique impedance behavior governed by the fractional-order derivative, enabling it to function as a dynamically tunable capacitive element. The FOC is characterized by a non-integer-order derivative in its voltage-current relationship, which can be expressed as:

$$i_{c_\alpha}(t) = C_\alpha \frac{d^\alpha v_{c_\alpha}(t)}{dt^\alpha} \quad (8)$$

where $\frac{d^\alpha}{dt^\alpha}$ is defined as the fractional-order derivative, $v_{c\alpha}(t)$ and $i_{c\alpha}(t)$ are the voltage and current of FOC, and α is the order of the capacitor obtained from FOC. The impedance of FOC is described in [15] as:

$$Z_C(j\omega) = \frac{1}{(j\omega)^\alpha C_\alpha} \angle \frac{\alpha\pi}{2} = \frac{1}{(j\omega)^\alpha C_\alpha} \left(\cos\left(\frac{\alpha\pi}{2}\right) - j\sin\left(\frac{\alpha\pi}{2}\right)\right) \quad (9)$$

It can be seen from (9) that the impedance of the FOC can be adjusted by modifying the order α ($0 < \alpha < 1$). This range of orders has an impedance composite characteristic, such as parasitic resistance [16]. In this order range, parasitic resistance is a small positive value and increases when the order is decreased.

To effectively control the capacitance in the primary circuit of the WPT system, an FOC is introduced, as shown in Fig. 3, where C_α represents the tunable capacitance provided by the FOC. Its complete circuit configuration is illustrated in Fig.4, which consists of a half-bridge inverter, a filter inductor (L_f), a filter capacitor (C_f), and a parallel capacitor (C_p). The current through the FOC is given by:

$$I_{C_\alpha}(j\omega) = I_{Zf}(j\omega) + I_{Cp}(j\omega) = \frac{V_{C_\alpha}(j\omega) - V_f(j\omega)}{Z_f(j\omega)} + (j\omega C_p)V_{C_\alpha}(j\omega) \quad (10)$$

By adjusting the duty cycle of the inverter voltage (V_f), the magnitude and phase of the voltage across the FOC ($C_{C\alpha}$) can be modulated. This results in an effective change in both the order-dependent capacitance and the appearance of an impedance characteristic, which can be exploited to modify the input impedance of the WPT system under parameters variation. Therefore, the capacitance tuning capability of the FOC can be adopted to address the bifurcation issue in the WPT system.

3. Simulation Result

To validate the proposed bifurcation mitigation technique using the FOC, a computer simulation of the circuit shown in Fig. 5 was performed using MATLAB/Simulink, with the circuit parameters as listed Table 1.

Table 1 Circuit Parameters

Parameter	Value
Inductance of Primary Coil (L_1)	68.6 µH
Inductance of Secondary Coil (L_2)	68.6 µH
Mutual Inductance (M)	20.58 µH
Magnetic Coupling Coefficient (k)	0.3
Primary Compensation Capacitor (C_1)	51.1nF
Secondary Compensation Capacitor (C_2)	51.1nF
Resistance of Primary Coil (R_1)	0.2 Ω
Resistance of Secondary Coil (R_2)	0.2 Ω
Natural Resonant Frequency (f_0)	85 kHz
Load Resistance (R_{load})	6 Ω
Critical Coupling Coefficient (k_{cri})	0.163
Critical Load Resistance (R_{Lcri})	10.92 Ω
FOC Parallel Capacitance (C_p)	200 nF
FOC Filter Inductance (L_f)	100 µH
FOC Filter Capacitance (C_f)	34 nF
Quality Factor of Primary circuit (Q_1)	6.106
Quality Factor of Secondary circuit (Q_2)	6.106
Ripple Filter Capacitance (C_{out})	100 µF

To highlight the influence of the FOC on the WPT system's behavior, two operating scenarios were investigated and compared.

- Case I: The WPT system operates under bifurcation conditions without FOC
- Case II: Under the same condition as Case I, the FOC is applied to the system with the aim of eliminating the bifurcation.

In both cases, the DC-bus voltage of the full-bridge inverter was fixed at 20 V, the DC-link voltage of the half-bridge inverter was fixed at 40 V, and all other circuit parameters were kept identical.

Simulation results of the circuit's frequency response under Case I are shown in Fig. 6. It can be clearly seen that three distinct ZPA frequency (f_0, f_1, and f_2) occur during bifurcation. The magnitude of the primary current is minimum at natural resonant frequency (ω_0), which is the normal operating frequency. This results in reduced output power. On the other hand, with the use of the FOC

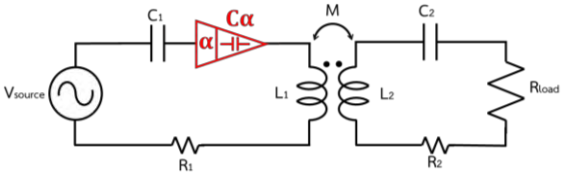

Fig. 3 Equivalent circuit of the SS-WPT system with FOC in the primary circuit

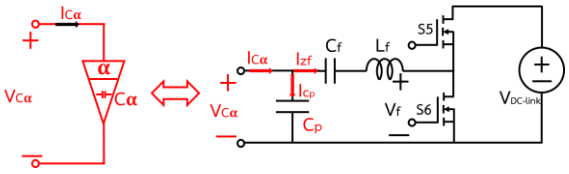

Fig. 4 Circuit diagram of the FOC

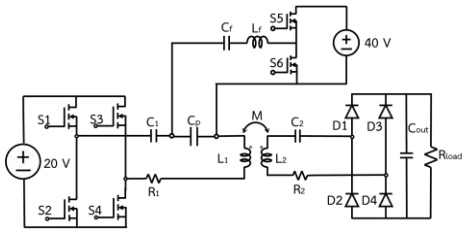

Fig. 5 Circuit configurations used in the simulation

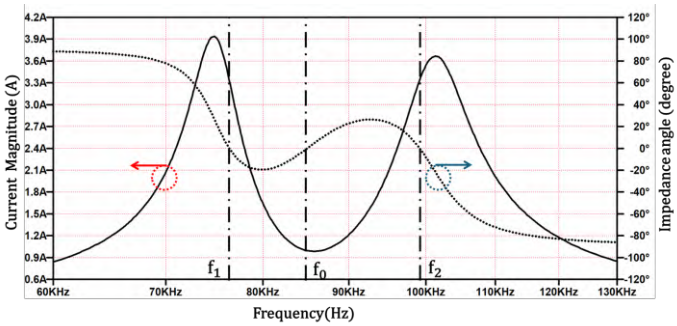

Fig. 6 Frequency response of the magnitude of primary current (I_1) and the input impedance angle under Case I

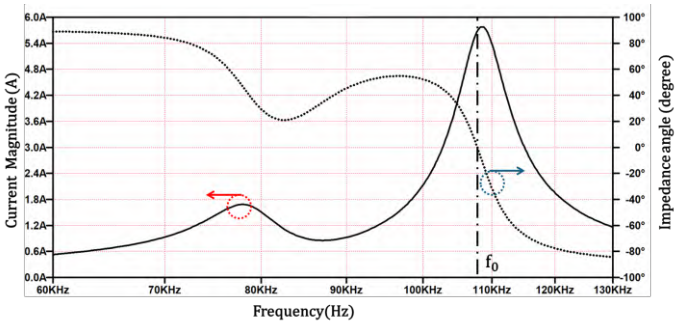

Fig. 7 Frequency response of the magnitude of primary current (I_1) and the input impedance angle under Case II

in case II, bifurcation can be eliminated, as shown in Fig. 7, where a single resonant frequency appears.

Table 2 FOC order and circuit impedance under changing duty cycle conditions

FOC Duty cycle	FOC Order	FOC Impedance	FOC Phase angle (degree)	FOC Capacitance (nF)	Total Capacitance (nF)	Frequency Resonance (kHz)
0.5	0.989	0.0019-j0.134	89.044	191.411	40.333	109.493
0.4	0.994	0.0001-j0.109	89.489	171.246	39.356	109.794
0.3	0.99	0.0018-j0.111	89.091	183.953	39.991	109.697
0.2	0.983	0.0028-j0.105	88.463	192.224	40.368	109.503

Furthermore, the primary current reaches its maximum at this frequency, which increases the output power.

Simulation waveforms of the circuit under Case I are shown Fig. 8 for operation at the natural resonant frequency (f_0) of 85 kHz. The magnitude of the primary current and output power is obtained as 1.418 A and 15 W, respectively. For Case II, as shown in Fig. 9, the operation of the FOC shifts the natural resonant frequency to 109.493 kHz, which increases the magnitude of primary current and output power to 3.487 A and 72.82 W, respectively. These results validate the effectiveness of the proposed bifurcation mitigation technique using the FOC.

Figure 10 illustrates the voltage–current phase relationship of the FOC, confirming its ability to vary impedance when the FOC converter's duty cycle is set to 0.5. The phase angle between $V_{C\alpha}, I_{C\alpha}$ is 89.04 degree. The fractional order is calculated as 0.989, yielding an effective FOC capacitance of 191.411 nF. The resulting equivalent circuit capacitance is 40.333 nF, and the FOC impedance is 0.0019-j0.134 Ω.

Figure 11 shows the FOC operation when the converter duty-cycle is reduced to 0.4. The phase angle between $V_{C\alpha}, I_{C\alpha}$ is 89.484 degree. From these values the fractional order is 0.994, corresponding to an effective FOC capacitance of 171.246 nF. The equivalent circuit capacitance is therefore 39.356 nF, and the FOC impedance is 0.0001 - j0.109 Ω. This result shows that when the order changes with the duty cycle, the impedance of the FOC can change. More detailed simulation results of the FOC concept with impedance changing are shown in Table 2.

Table 2 demonstrates how changes in the DC-link voltage—and thus the converter duty cycle—affect the FOC's fractional order, its impedance, and the circuit's matched resonance frequency. As the duty cycle is reduced, the phase shift between the FOC voltage and current, the impedance magnitude, and the matched resonance frequency all increase, while the effective fractional order initially rises and then falls.

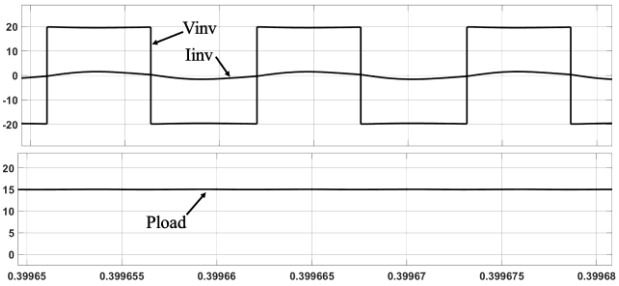

Fig. 8 Simulation waveforms of the system under case I

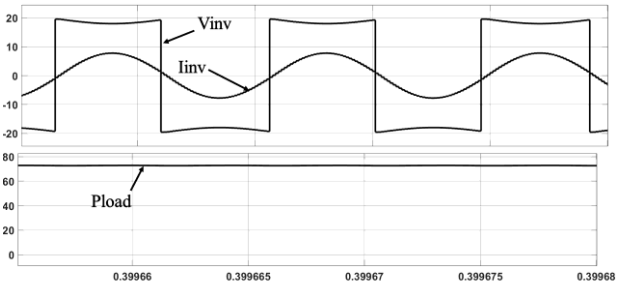

Fig. 9 Simulation waveforms of the system under case II

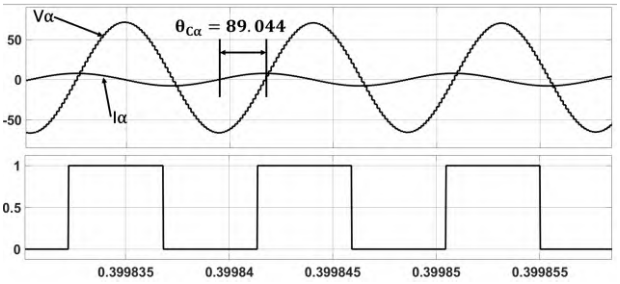

Fig. 10 Simulation

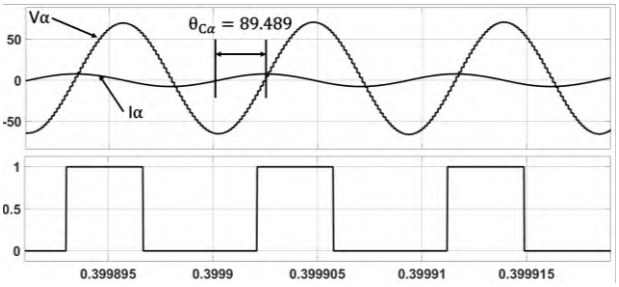

Fig. 11 Simulation

Table 2 demonstrates the effect of varying the inverter voltage duty cycle (V_f) on the FOC control, its impedance, and the resonant frequency. As the duty cycle decreases, the phase shift between the FOC voltage and current as well as the resonant frequency both increase. Meanwhile, the effective fractional order first increases and then decreases.

The maximum order reached in this setup is 0.994 at a duty cycle of 0.4; decreasing the duty cycle further causes the order to drop. This behavior establishes the practical upper limit for the fractional order attainable with the present circuit and confirms the feasibility of using the proposed FOC to prevent bifurcation.

Figure 12 plots the input impedance angle versus frequency for fractional orders of 0.983 and 0.994, which are obtained by setting the duty cycles to 0.2 and 0.4, respectively. In both FOC cases, only one ZPA point and a single ZVS region appear for each order–frequency pair. These results confirm that the proposed FOC strategy effectively reshapes the resonant behavior, ensuring that the system avoids the bifurcation region.

4. Conclusions

This paper presents a novel method to prevent bifurcation in wireless power transfer (WPT) systems by integrating a Fractional-Order Capacitor (FOC) into the primary resonant circuit. By controlling the duty cycle of the half-bridge inverter, the FOC enables real-time adjustment of the circuit's effective capacitance. This tunable behavior allows the system to dynamically shift its resonance frequency and maintain stable Zero Phase Angle (ZPA) operation, even in the presence of uncontrollable variables such as coupling coefficient fluctuations.

Simulation results validate the effectiveness of the proposed method in eliminating bifurcation-related issues, with the system achieving significantly higher output power and improved impedance matching. The resonance frequency is shifted from 85 kHz to 109.493 kHz under FOC control, and the output power increases from 15 W to 72.82 W under identical input conditions. These findings demonstrate that the FOC-based approach mitigates the bifurcation conditions in the WPT system

5. Discussion and Future Work

This The simulation results presented in this paper strongly validate the theoretical concept of using a tunable FOC to mitigate bifurcation in WPT systems. By dynamically adjusting the input impedance, the proposed method successfully eliminates frequency splitting, stabilizes the operating point, and significantly enhances power transfer and efficiency under conditions that would otherwise cripple a conventional system.

However, we acknowledge that these findings are currently based on simulation. The immediate and essential next step is the experimental validation of the proposed FOC-based WPT system.

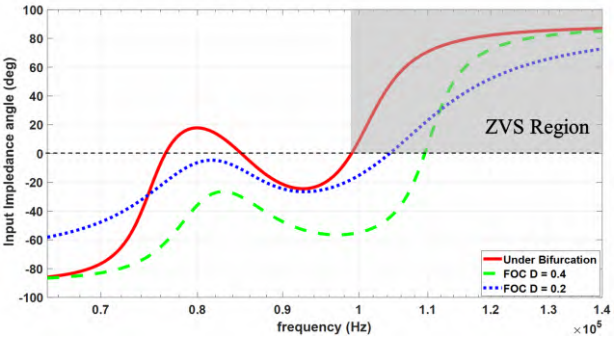

Fig. 12 The input impedance phase angle versus frequency for FOC

A hardware prototype is under development, which will consist of a full-bridge inverter for the primary coil, a c2000 Texas controller to manage the main operating frequency, and a dedicated half-bridge inverter circuit to implement the FOC as described in Fig 4. This experimental setup will allow for the verification of the FOC's performance in a real-world environment, including measurements of power transfer efficiency, thermal performance, and dynamic response to rapid changes in load and coil alignment. This future work will be critical for confirming the practical feasibility and scalability of this promising bifurcation mitigation technique.

References

[1] D. Patil, M. K. Mcdonough, M. M. John , B. Fahimi and P. T. Balsara, "Wireless Power Transfer for Vehicular Applications: Overview and Challenges," IEEE TRANSACTIONS ON TRANSPORTATION ELECTRIFICATION, vol. 4, no. 1, pp. 3-37, 2018.

[2] V. T. Nguyen, S. H. Kang, J. H. Choi and C. W. Jung, "Magnetic Resonance Wireless Power Transfer using Three-Coil System with Single Planar Receiver for Laptop Applications," IEEE Transactions on Consumer Electronics, vol. 61, no. 2, pp. 160-166, 2015.

[3] . K. Agarwal, R. Jegadeesan, Y.-X. Guo and N. V. Thakor, "Wireless Power Transfer Strategies for Implantable Bioelectronics," IEEE REVIEWS IN BIOMEDICAL ENGINEERING, vol. 10, pp. 136-161, 2017.

[4] C.-S. Wang, G. A. Covic and O. H. Stielau, "Power Transfer Capability and Bifurcation Phenomena of Loosely Coupled Inductive Power Transfer Systems," IEEE TRANSACTIONS ON INDUSTRIAL ELECTRONICS, vol. 51, no. 1, pp. 148-157, 2004.

[5] . N. HATCHAVANICH, A. SANGSWANG, S. NUTWONG and M. KONGHIRUN, "Bifurcation Identification From Magnetic Flux Distribution by Using TMR Sensor-Based Wireless Power Transfer System," IEEE Access, vol. 12, pp. 53178 - 53188, 2024.

[6] Y. Zhang and Z. Zhao, "Frequency Splitting Analysis of Two-Coil Resonant Wireless Power Transfer," IEEE

ANTENNASANDWIRELESSPROPAGATIONLETTERS, vol. 13, pp. 400-402, 2014.
[7] K. Aditya and S. . S. Williamson, "Design Guidelines to Avoid Bifurcation in a Series–Series Compensated Inductive Power Transfer System," IEEE TRANSACTIONS ON INDUSTRIAL ELECTRONICS, vol. 66, no. 5, pp. 3973-3982, 2019.
[8] . Y.-L. Lyu, F.-Y. Meng, G.-H. Yang, B.-J. Che, Q. Wu, L. Sun, D. Erni and J. L.-W. Li, "A Method of Using Nonidentical Resonant Coils for Frequency Splitting Elimination in Wireless Power Transfer," IEEE TRANSACTIONS ONPOWERELECTRONICS, vol. 30, no. 11, pp. 6097-6107, 2015.
[9] Y. Shin, S. Woo and S. Ahn, "Design of Series Inductors to Reduce EMI and Improve Power Bifurcation Phenomenon in WPT System," in 2022 Asia-Pacific Microwave Conference (APMC), Yokohama, Japan, 2022.
[10] N. Keskin and H. Liu, "Tuning of a wireless power transfer system with a hybrid capacitor array," Wireless Power Transfer, vol. 3, no. 1, pp. 9-14, 2016.
[11] J. Kim,, D.-H. Kim and Y.-J. Park, "Free-Positioning Wireless Power Transfer to Multiple Devices Using a Planar Transmitting Coil and Switchable Impedance Matching Networks," IEEE TRANSACTIONS ON MICROWAVE THEORY AND TECHNIQUES,, vol. 64, no. 11, pp. 3714-3722, 2016.
[12] A. G. Radwan, "Resonance and quality factor of the RLαCα fractional," IEEE JOURNAL ONEMERGINGANDSELECTEDTOPICSINCIRCUITSANDSYSTEMS, vol. 3, no. 3, pp. 377 - 385, 2013.
[13] Y. JIANG, B. ZHANG and J. ZHOU, "A Fractional-Order Resonant Wireless Power Transfer System With Inherently Constant Current Output," IEEE Access, vol. 8, pp. 23317 - 23323, 2020.
[14] Y. Jiang and B. Zhang, "A Fractional-order Wireless Power Transfer System Insensitive to Resonant Frequency," IEEE POWER ELECTRONICS REGULAR PAPER/LETTER/CORRESPONDENCE, vol. 35, no. 5, pp. 5496 - 5505, 2019.
[15] H. Liu, L. H. and B. C. , "Powerless Fractional-Order Tuning Wireless Power Transfer System With Zero Phase Angle Input," IEEE TRANSACTIONS ON CIRCUITS AND SYSTEMS—I: REGULAR PAPERS, vol. 72, no. 1, pp. 433-443, 2025.
[16] C. Rong and B. Zhang, "A Fractional-Order Wireless Power Transfer System With Misalignment and Detuning Tolerance," IEEE TRANSACTIONS ONPOWERELECTRONICS,, vol. 38, no. 12, pp. 14884-14895, 2023

THAKUN CHINSAKUNRATTANACHAI : He received the B.Eng. degree from the King Mongkut's University of Technology Thonburi (KMUTT), Bangkok, Thailand, in 2024. His current research interests include the field of power electronics, the resonant power converter and wireless power transfer.

NATTAPONG HATCHAVANICH : He received the B.Eng degree in electrical engineering from King Mongkut's University of Technology North Bangkok (KMUTNB), Bangkok, in 2012. He received M.Eng in Electrical Engineering from King Mongkut's University of Technology Thonburi (KMUTT), Bangkok in 2016, and D.E. in Electrical and Information Engineering Technology, KMUTT, Bangkok in 2020. His current research interests include the resonant power converter and finite element analysis for magnetic coupling applications.

SUPAPONG NUTWONG : He received the B.Eng. and M.Eng. degrees in electrical engineering and the D.Eng. degree in electrical and information engineering technology from the King Mongkut's University of Technology Thonburi, in2007,2011, and 2019, respectively. He has been a Lecturer with the Electrical Engineering Department, Faculty of Engineering, King Mongkut's University of Technology Thonburi (KMUTT), Bangkok, Thai land, since 2020. From 2013 to 2014, he was a Researcher with the Educational Support Unit, KMUTT, where he has been an Assistant Professor with the Department of Electrical Engineering, since 2022. His research interests include the field of power electronics, inductive power transfer (IPT) systems, capacitive power transfer (CPT) systems, wireless charging applications, and induction heating systems.

EKKACHAI MUJJALINVIMUT: He received the B. Eng. degree and M. Eng. degree in Electrical Engineering from King Mongkut's University of Technology Thonburi (KMUTT) in 2007 and 2009, respectively. and the D. Eng degree in Electrical and Information Engineering Technology from King Mongkut's University of Technology Thonburi (KMUTT) in 2016, Since 2019, he has been an Assistant Professor with the Department of Electrical Engineering, KMUTT. His current research interests include switched-mode power supplies, applications of nonlinear control theory, and digital control.

เครื่องจ่ายไฟกระแสตรงแบบโปรแกรมได้
Programable Switching DC Power Supply

เทพพนม โสภาเพิ่ม

สาขาวิชาวิศวกรรมไฟฟ้า สถาบันวิศวกรรมไฟฟ้าและอิเล็กทรอนิกส์ มหาวิทยาลัยเทคโนโลยีมหานคร theppanom@mut.ac.th

บทคัดย่อ

บทความนี้ได้นำเสนอการพัฒนาเครื่องจ่ายไฟกระแสตรงแบบโปรแกรมได้ โดยใช้วงจรแปลงผันกำลังแบบบัคก์-บูสต์ เพื่อให้สามารถปรับระดับแรงดันไฟฟ้าด้านเอาต์พุตได้ตามความต้องการ ทั้งในรูปแบบการลดทอนและเพิ่มทบระดับแรงดันไฟฟ้า เครื่องจ่ายไฟฟ้าที่พัฒนานี้สามารถปรับแรงดันไฟฟ้าได้ตั้งแต่ 0 - 60 โวลต์ และกระแสไฟฟ้าตั้งแต่ 0 - 6 แอมแปร์ โดยมีระบบควบคุมผ่านไมโครคอนโทรลเลอร์ Arduino เพื่อความสะดวกและความสามารถในการปรับแต่งค่าต่าง ๆ ได้อย่างรวดเร็ว สำหรับบทความนี้จะอธิบายโครงสร้างของวงจรแปลงผันกำลังแบบบัคก์ - บูสต์ หลักการทำงานของวงจร การออกแบบพารามิเตอร์ของวงจรเพื่อเลือกขนาดของตัวเก็บประจุและตัวเหนี่ยวนำที่เหมาะสม และเปรียบเทียบอัตราการลดทอนและการเพิ่มระดับแรงดันไฟฟ้าของวงจรโดยการจำลองผลโดยโปรแกรมคอมพิวเตอร์ ซึ่งผลการเปรียบเทียบผลแสดงให้เห็นว่าเครื่องจ่ายไฟฟ้าที่พัฒนาขึ้นสามารถปรับแรงดันไฟฟ้าได้อย่างมีประสิทธิภาพ โดยมีค่าประสิทธิภาพไม่ต่ำกว่า 90%

คำสำคัญ: วงจรแปลงผันแบบบัคก์-บูสต์ ไมโครคอนโทรเลอร์

Abstract

This paper presents the design and development of a programmable direct current (DC) power supply utilizing a buck–boost converter topology. The proposed system provides a wide operating range with an adjustable output voltage from 0 to 60 V and a current capacity from 0 to 6 A. An Arduino-based microcontroller is implemented to control the system, offering user-friendly operation and rapid parameter configuration. The study discusses the converter architecture, operating principles, and parameter design, including the selection of suitable capacitor and inductor values. Simulation-based analyses are carried out to evaluate the step-down and step-up voltage conversion characteristics of the circuit. The results demonstrate that the developed power supply can achieve efficient and stable voltage regulation, with overall efficiency exceeding 90%.

Keywords: Buck-Boost Converter, Microcontroller

1. บทนำ

ในปัจจุบัน การพัฒนาเทคโนโลยีทางด้านอิเล็กทรอนิกส์และไฟฟ้าเป็นไปอย่างรวดเร็วและต่อเนื่อง ทำให้อุปกรณ์ที่เกี่ยวข้องกับการจ่ายไฟฟ้าต้องมีความยืดหยุ่นและปรับแต่งได้ตามความต้องการที่หลากหลาย[1-2] ทั้งนี้เพื่อรองรับการใช้งานในด้านต่างๆ ตั้งแต่การทดลองในห้องปฏิบัติการไปจนถึงการใช้งานในอุตสาหกรรม การพัฒนาเครื่องจ่ายไฟกระแสตรงแบบโปรแกรมได้ (Programmable DC Power Supply) จึงเป็นสิ่งที่มีความสำคัญอย่างยิ่ง เนื่องจากเป็นอุปกรณ์ที่สามารถปรับแรงดันและกระแสไฟฟ้าได้ตามที่ต้องการ และมีความสามารถในการควบคุมผ่านโปรแกรมเพื่อให้การใช้งานเป็นไปอย่างมีประสิทธิภาพและสะดวกสบาย

การแปลงผันกำลังไฟฟ้ากระแสตรงเป็นกระแสตรงเป็นการเปลี่ยนแปลงระดับแรงดันไฟฟ้าของแหล่งจ่ายกำลังไฟฟ้ากระแสตรงจากระดับแรงดันไฟฟ้าค่าหนึ่งไปเป็นระดับแรงดันไฟฟ้าอีกค่าหนึ่ง ดังนั้นการแปลงผันกำลังไฟฟ้ากระแสตรงเป็นไฟฟ้ากระแสตรง จึงเปรียบเทียบได้เหมือนกับหม้อแปลงแรงดันไฟตรง (DC transformer) ซึ่งอาจจะทำหน้าที่แปลงระดับแรงดันไฟตรงให้ลดลง (Step down) หรืออาจจะทำหน้าที่แปลงระดับแรงดันให้สูงขึ้น (Step up) ได้ เช่นเดียวกันกับหม้อแปลงไฟฟ้าที่จะทำหน้าที่แปลงระดับแรงดันไฟสลับ สำหรับวงจรลดทอน – เพิ่มทบระดับแรงดันไฟตรง หรือวงจรบัคก์ – บูสต์คอนเวอร์เตอร์เป็นวงจรที่รวมคุณสมบัติของวงจรลดหรือทอนระดับแรงดันไฟตรงและวงจรเพิ่มหรือทบระดับแรงดันไฟตรงเอาไว้ในวงจรเดียวกัน[3-4] ซึ่งจะแตกต่างจากวงจรบัคก์คอนเวอร์เตอร์ที่ทำได้เพียงแค่ลด หรือวงจรบูสต์คอนเวอร์เตอร์ที่ทำได้เพียงเพิ่มระดับแรงดันไฟตรงเพียงอย่างเดียว ซึ่งจะพบได้ว่าวงจรบัคก์ – บูสต์คอนเวอร์เตอร์นี้สามารถทำการลด หรือเพิ่มระดับแรงดันไฟตรงทางด้านเอาต์พุตได้ในวงจรเดียวกัน จึงทำให้มีระดับแรงดันไฟตรงที่ต่ำกว่าหรือมากกว่าแรงดันไฟตรงที่ถูกป้อนเข้ามาทางด้านอินพุตของวงจร ซึ่งอาศัยการควบคุมอุปกรณ์การสวิตช์กำลังด้วยสัญญาณที่เกิดจากการเปลี่ยนตามความกว้างของพัลส์ (Pulse – width modulation; PWM) ที่ความถี่ค่าหนึ่ง ในการวิเคราะห์การทำงานของวงจรบัคก์ – บูสต์คอนเวอร์เตอร์นั้นจะแยกการวิเคราะห์ออกเป็นสองโหมด ตามสภาวะการสวิตช์ของอุปกรณ์สวิตช์กำลังคือ โหมดที่สวิตช์อยู่ในสภาวะปิดวงจรและโหมดที่สวิตช์อยู่ในสภาวะเปิดวงจร โดยการปรับแรงดันทางด้านเอาต์พุตจะอาศัยผ่านการปรับค่าดิวตี้ไซเคิล (Duty Cycle) [6] ซึ่งอาจจะทำให้แรงดันเอาต์พุตมีค่าไม่สอดคล้องตามทฤษฎี ดังนั้นในบทความนี้จะควบคุมแรงดันเอาต์พุต โดยใช้ตัวควบคุมแบบพีไอ รวมถึงการควบคุมกระแสให้คงที่ได้ด้วยอีกเช่นเดียวกัน อีกทั้งนำเสนอการตรวจสอบการทำงานของวงจรโดยอาศัยการจำลองสถานการณ์ผ่าน Simulink บนโปรแกรมของ MATLAB รวมไปถึงการสร้างชุดทดลองที่มีการเขียนโปรแกรมด้วยบอร์ดไมโครคอนโทรลเลอร์ผ่าน Arduino ซึ่งมีต้นทุนที่ต่ำกว่าการใช้ DSP หรือ FPGA และการเขียนโปรแกรมที่มีความซับซ้อนน้อยกว่า

2. ระบบไฟฟ้าที่พิจารณา

ระบบไฟฟ้าที่พิจารณาแสดงได้ดังรูปที่ 1 ประกอบด้วย แหล่งจ่ายไฟฟ้ากระแสสลับ 1 เฟส 220 V_{rms}, 50 Hz วงจรแปลงไฟฟ้าเอซีเป็นดีซีขนาด 48 V วงจรแปลงผันแบบบัคก์-บูสต์ โหลดความต้านทาน และวงจรควบคุมแบบ PI

*ผู้ประพันธ์บรรณกิจ

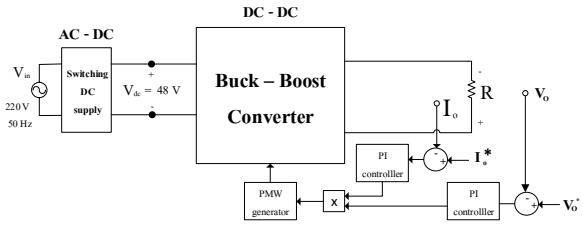

รูปที่ 1 ระบบไฟฟ้าที่พิจารณา

จากรูปที่ 1 เป็นระบบไฟฟ้าที่รับไฟฟ้ากระแสสลับ 1 เฟสขนาด 220V และต่อผ่านผ่านสวิตชิ่งพาวเวอร์ซัพพลายเพื่อให้ได้แรงดันไฟฟ้ากระแสตรง (V_{dc}) ขนาดแรงดัน 48 V โดยจ่ายให้กับวงจรแปลงผันกำลังแบบบัคก์ – บูสต์ที่มีการควบคุมแรงดันและกระแสไฟฟ้าผ่านตัวควบคุมแบบพีไอจำนวน 2 ชุด เพื่อใช้ในการควบคุมแรงดันและกระแสไฟฟ้าให้มีค่าคงที่

2.1 การออกแบบวงจรแปลงผันแบบบัคก์-บูสต์

วงจรแปลงผันกำลังแบบบัคก์ – บูสต์ประกอบไปด้วย แหล่งจ่ายไฟฟ้ากระแสตรง(V_{IN}) อุปกรณ์สวิตช์ ไดโอด ตัวเหนี่ยวนำ ตัวเก็บประจุ และโหลดตัวต้านทาน แสดงดังรูปที่ 2

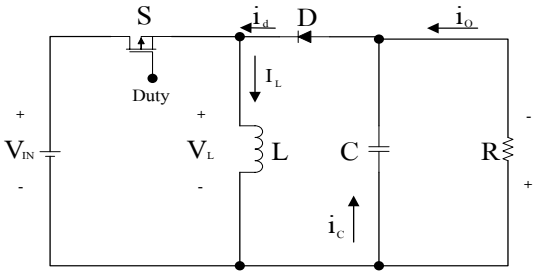

รูปที่ 2 วงจรแปลงผันแบบบัคก์-บูสต์

จากรูปที่ 2 วงจรแปลงผันกำลังแบบบัคก์ – บูสต์ ในการออกแบบวงจรพิจารณาจากโหลดความต้านทานขนาดไม่เกิน 360 W โดยกำหนดค่าอัตราระลอกรูปคลื่นแรงดันมีค่าไม่เกิน 2% อัตราค่าวัฏจักรหน้าที่ (Duty Cycle) ที่ใช้ 20% ถึง 60% โดยที่ระบบมีแหล่งจ่ายไฟฟ้ากระแสตรง 48 V วงจรแปลงผันกำลังแบบบัคก์ - บูสต์ ทำงานในโหมดกระแสไหลต่อเนื่องที่ความถี่สวิตช์ชิ่ง (f_s) เท่ากับ 25 kHz

เลือกขนาดตัวเหนี่ยวนำ

พิจารณาการหาค่าต่ำสุดของขนาดตัวเหนี่ยวนำโดยคำนวณจากสมการที่ (1) จากสมการจะใช้อัตราส่วนค่าวัฏจักรหน้าที่ (duty cycle) ที่ต้องการใช้งานคือ 20% โดยกำหนดให้ R = 10 Ω (360W)

$$L_{\min} = \frac{(1-D)^2 R}{2f} \tag{1}$$

จากสมการที่ (1) สามารถคำนวนกำหนดและกำหนดให้ตัวเหนี่ยวนำมีค่าที่มากกว่า L_{min} เพื่อให้แน่ใจว่ากระแสไฟฟ้าที่ตัวเหนี่ยวนำจะไหลต่อเนื่อง ดังนั้นเลือกใช้ตัวเหนี่ยวนำมีขนาด 5 mH

เลือกขนาดตัวเก็บประจุ

พิจารณาตัวเก็บประจุจากอัตราระลอกรูปคลื่นแรงดันไม่เกิน 2% ตามสมการที่ (2)

$$C = \frac{D}{Rf\dfrac{\Delta V_o}{V_o}} \tag{2}$$

จากสมการที่ (2) จึงเลือกใช้ตัวเก็บประจุขนาด 150 μF

2.2 การออกแบบตัวควบคุมแบบพีไอ

ตัวควบคุมพีไอสำหรับลูปแรงดันไฟฟ้า รูปที่ 3 และลูปกระแสไฟฟ้าที่ไหลผ่านตัวเหนี่ยวนำ รูปที่ 4 สามารถออกแบบได้จากสมการที่ (3), (4), (5) และ (6) ตามลำดับ ซึ่งสมการของตัวควบคุมดังกล่าวนั้นจะขึ้นอยู่กับพารามิเตอร์ของระบบและค่าทางสมรรถนะของตัวควบคุม[5] คือ อัตราส่วนความหน่วง (Damping ration:ζ) และความถี่ธรรมชาติ (natural frequency:ω_n) ของตัวควบคุม ซึ่งในบทความนี้จะทำการเลือกค่าอัตราส่วนความหน่วงและความถี่ธรรมชาติ เพื่อนำไปออกแบบสัมประสิทธิ์ K_p และ K_i ของตัวควบคุมแบบพีไอทั้งลูปแรงดันและลูปกระแสไฟฟ้าที่ไหลผ่านตัวเหนี่ยวนำจากสมการที่ (4), (5), (6) และ (7) ตามลำดับ โดยจะทำการกำหนดการออกแบบให้ค่าอัตราส่วนความหน่วง ซึ่ง $0 \le \zeta \le 1$ ดังนั้นจะทำการกำหนดให้ ζ = 0.8 ทั้งลูปแรงดันและลูปกระแสไฟฟ้าที่ไหลผ่านตัวเหนี่ยวนำ

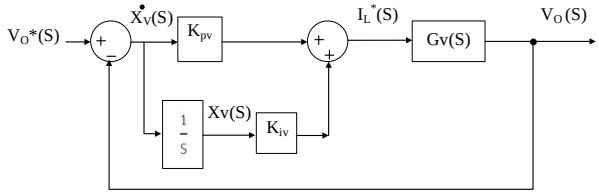

รูปที่ 3 โครงสร้างสำหรับการออกแบบตัวควบคุมแรงดันเอาต์พุต

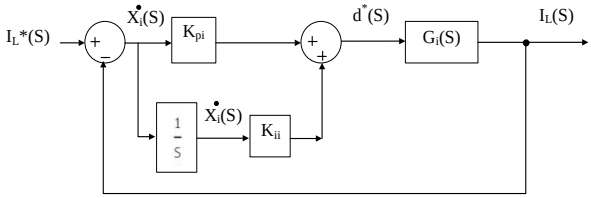

รูปที่ 4 โครงสร้างสำหรับออกแบบตัวควบคุมกระแสไฟฟ้า

ลูปแรงดันไฟฟ้า

$$K_{pv} = \frac{2\zeta\omega_n RC - 1}{R} \tag{3}$$

$$K_{iv} = \omega_n^2 C \tag{4}$$

ลูปกระแสไฟฟ้า

$$K_{pi} = \frac{2\zeta\omega_n L}{V_{dc}} \tag{5}$$

$$K_{ii} = \frac{\omega_n^2 L}{V_{dc}} \tag{6}$$

3. การจำลองสถานการณ์บนคอมพิวเตอร์

การจำลองวงจรแปลงผันกำลังแบบบัคก์ - บูสต์ที่ใช้ตัวควบคุมพีไอ (PI Controller) ในการควบคุมแรงดันและกระแสที่เอาต์พุต ตัวควบคุมพีไอมีบทบาทสำคัญในการช่วยรักษาระดับแรงดันและกระแสให้คงที่ แม้ว่าโหลดหรือแรงดันไฟฟ้าขาเข้าจะเปลี่ยนไป การจำลองนี้ใน MATLAB Simulink จะช่วยทดสอบว่าตัวควบคุมแบบพีไอสามารถทำงานได้ดีเพียงใด โดยพยายามปรับให้วงจรตอบสนองได้รวดเร็วและแม่นยำ

3.1 โหมดการควบคุมแรงดันเอาต์พุต(V_o)

รูปที่ 5 แสดงการจำลองสถานการณ์โดยการลดค่าความต้านทานโหลดของโหลดจาก 100 Ω - 25 Ω โดยที่กำหนดให้แรงดันเอาต์พุตมีค่าคงที่ 20 V

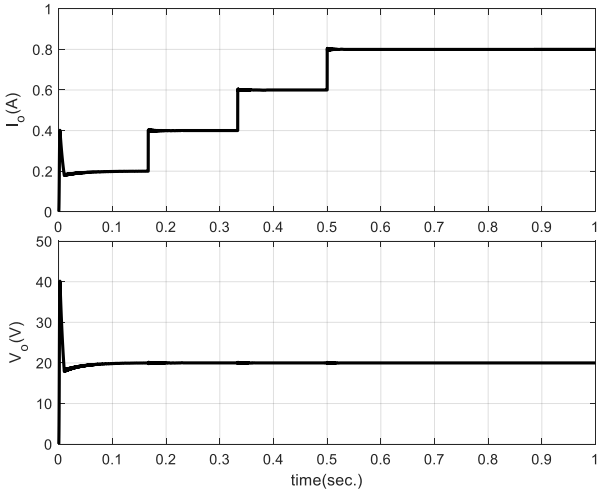

รูปที่ 5 การจำลองสถานการณ์ที่มีการควบคุมแรงดันเอาต์พุต

จากรูปที่ 5 จะเห็นได้ว่า เมื่อมีการลดความต้านทานจาก 100 Ω ไปเป็น 25 Ω จะทำให้ค่ากระแสไฟฟ้าที่โหลดมีค่าสูงขึ้น โดยที่แรงดันเอาต์พุตที่ค่าคงที่จากการกำหนดค่าดังกล่าวไว้นั่นคือ 20 V

3.2 โหมดการควบคุมกระแสเอาต์พุต(I_o)

รูปที่ 6 แสดงการจำลองสถานการณ์เมื่อกำหนดให้กระแสไฟฟ้ามีค่าคงที่ 0.5 A และมีการลดค่าโหลดความต้านทานจาก 100 Ω - 25 Ω ตามลำดับ

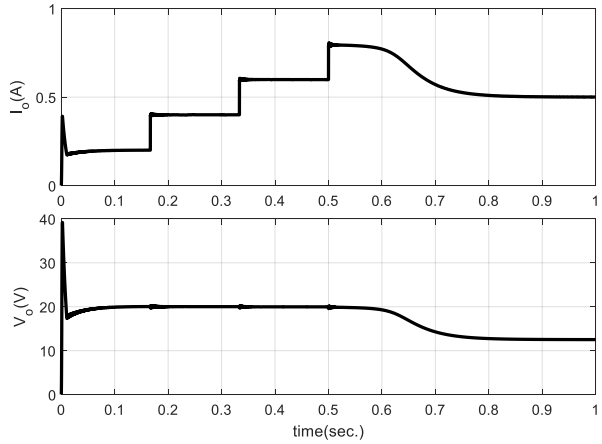

รูปที่ 6 การจำลองสถานการณ์ที่มีการควบคุมกระแสไฟฟ้าเอาต์พุต

จากรูปที่ 6 จะเห็นได้ว่า เมื่อมีการลดโหลดความต้านทานจาก 100 Ω ไปเป็น 25 Ω จะทำให้ค่ากระแสไฟฟ้าที่โหลดมีค่าสูงขึ้น และเมื่อกระแสไฟฟ้ามีค่าเกิน 0.5 A ที่ได้กำหนดไว้ วงจรดังกล่าวจะปรับค่ากระแสไฟฟ้าลดลง โดยจะส่งผลให้แรงดันเอาต์พุตมีค่าลงลดด้วย

4. การสร้างชุดทดสอบ

การสร้างชุดทดสอบของวงจรแปลงผันกำลังแบบบัคก์–บูสต์ ซึ่งจัดทำขึ้นเพื่อศึกษาพฤติกรรมการทำงานของวงจรจริง เปรียบเทียบกับผลการจำลองสถานการณ์ของวงจรแปลงผันกำลังแบบเดียวกัน โดยในหัวข้อนี้ประกอบด้วย การสร้างวงจรบัคก์–บูสต์ วงจรตรวจจับแรงดัน วงจรตรวจจับกระแส และการใช้งานบอร์ดไมโครคอนโทรลเลอร์ Arduino Mega 2560 แสดงดังรูปที่ 7 โดยชุดทดสอบที่พัฒนาขึ้นจะใช้สำหรับควบคุมแรงดันเอาต์พุตผ่านการเขียนโปรแกรมบนบอร์ดไมโครคอนโทรลเลอร์ โดยกำหนดให้แรงดันอยู่ในช่วง 10 – 60 โวลต์ เพื่อสังเกตผลการตอบสนองของวงจรภายใต้ระดับแรงดันที่แตกต่างกัน รวมถึงการประเมินประสิทธิภาพของชุดทดสอบ

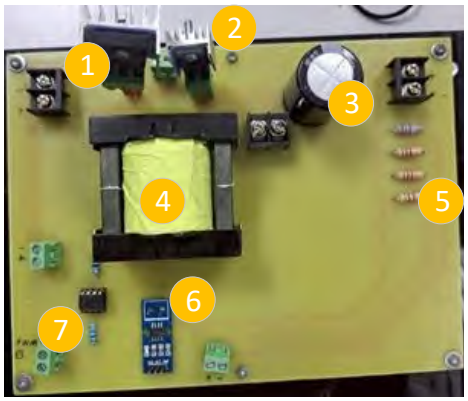

1. Mosfet 2. Diode 3. Capacitor 4. Inductor
5. Voltage Sensor 6. Current Sensor 7. Gate Drive

รูปที่ 7 การสร้างเครื่องจ่ายไฟฟ้ากระแสตรงแบบปรับค่าได้

จากรูปที่ 7 อุปกรณ์อิเล็กทรอนิกส์กำลังที่ใช้สร้างชุดทดสอบของวงจรแปลงผันกำลังแบบบัคก์ - บูสต์ สามารถสรุปเบอร์ ขนาด และพิกัดของอุปกรณ์อิเล็กทรอนิกส์ที่ใช้สร้างชุดทดสอบ ดังตารางที่ 1

ตารางที่ 1 เบอร์, ขนาดและพิกัดของอุปกรณ์อิเล็กทรอนิกส์ที่ใช้สร้างชุดทดสอบ

อุปกรณ์	สัญลักษณ์	เบอร์	ขนาด	พิกัด
ตัวเหนี่ยวนำ	L	-	5 mH	15A
ตัวเก็บประจุ	C	-	150 μF	450V
มอสเฟต	S	IRFP250N	-	200V,30A
ไดโอด	D	MUR1560	-	600V,15A
โหลดตัวต้านทาน	R	-	10 Ω	12A

รูปที่ 8 แสดงผลการทดสอบการปรับแรงดันเอาต์พุตของวงจรแปลงผันแบบบักค์-บูสต์ที่มีขนาด 10 V โดยเส้นสีเหลืองแสดงสัญญาณของแรงดันไฟฟ้าและเส้นสีเขียวแสดงสัญญาณ PWM และรูปที่ 9 แสดงผลการทดสอบการปรับค่าแรงดันเอาต์ที่มีขนาด 50 V โดยมีขนาดกำลังไฟฟ้าที่โหลดมีค่าเท่ากับ 253.9 W

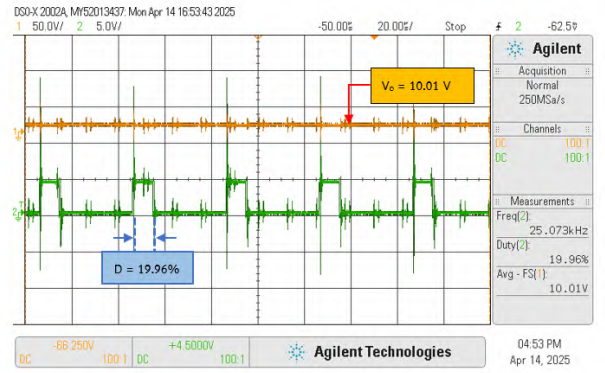

รูปที่ 8 ผลการทดสอบเมื่อปรับแรงดันเอาต์พุตมีค่าขนาด 10 V

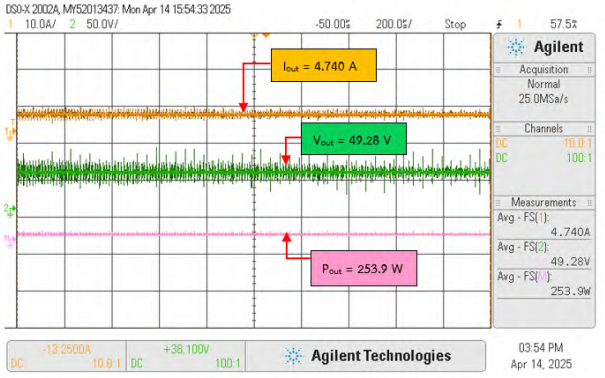

รูปที่ 9 ผลการทดสอบเมื่อปรับแรงดันเอาต์พุตมีค่าขนาด 50 V

จากรูปที่ 8 และ 9 จะเห็นได้ว่า ระบบที่พิจารณาในบทความนี้สามารถควบคุมแรงเอาต์พุตได้ตั้งแต่ 10 v - 60 v โดยดูได้จากรูปสัญญาณที่ได้จากการทดสอบ และผลการทดสอบแสดงได้ดังตารางที่ 2 ดังนี้

ตารางที่ 2 ผลจากการทดสอบแรงดันเอาต์พุตของวงจรแปลงผันกำลังแบบบัคก์ – บูสต์ที่มีตัวควบคุมพีไอ ในการควบคุมแรงดันเอาต์พุต

V_o^*	V_{in}(V)	I_{in}(A)	P_{in}(W)	V_{out}(V)	I_{out}(A)	P_{out}(W)	eff
10	47.79	0.27	18.16	10.01	1.25	12.51	96.97
20	47.75	0.81	62.06	19.63	1.89	37.06	95.83
30	47.69	1.92	132.58	29.93	2.88	86.16	94.10
40	46.86	3.46	221.65	39.75	3.82	151.98	93.74
50	46.65	5.42	360.14	49.28	4.74	233.59	92.38
60	46.57	8.01	406.09	59.56	5.73	341.20	91.47

จากตารางที่ 2 จะเห็นได้ว่า เมื่อโหลดมีค่ากำลังไฟฟ้าที่สูงขึ้น ผ่านปรับค่าแรงดันไฟฟ้าเอาต์พุตของวงจรแปลงผันแบบบัคก์-บูสต์ด้วยตัวควบคุมแบบพีไอ วงจรที่ได้รับนำเสนอในบทความนี้ สามารถควบคุมแรงดันเอาต์มีค่าใกล้เคียงกับค่าอ่างอิงและมีประสิทธิภาพอยู่ในช่วง 91-97 % และการทดสอบในตารางที่ 3 แสดงการปรับเปลี่ยนโหลดตัวต้านทาน 4 ค่า คือ 10 Ω, 12 Ω, 16 Ω และ 18 Ω โดยที่มีการคงที่แรงดันไฟฟ้ามีค่าเท่ากับ 50 V

ตารางที่ 3 ผลการทดสอบโหลดตัวต้านทานที่แรงดันเอาต์พุต 50 V

Load(Ω)	V_{in}(V)	I_{in}(A)	P_{in}(W)	V_{out}(V)	I_{out}(A)	P_{out}(W)
10	46.65	5.66	263.97	49.28	4.93	242.85
12	47.49	4.74	224.91	50.10	4.18	209.17
16	47.58	3.54	168.22	50.30	3.14	158.13
18	47.99	3.12	149.91	50.63	2.51	142.41

จากตารางที่ 3 จะเห็นได้ว่า เมื่อมีการปรับเปลี่ยนโหลดความต้านทานของวงจรดังกล่าวให้มีค่าลดลง จะส่งผลทำให้กำลังไฟฟ้าที่โหลดมีค่าสูงขึ้น และเมื่อดูค่าแรงดันไฟฟ้าเอาต์พุต ระบบยังสามารถควบคุมแรงดันเอาต์พุตของวงจรให้มีค่าคงที่ได้

5. สรุป

ในบทความนี้นำเสนอการสร้างเครื่องจ่ายไฟฟ้ากระแสตรงด้วยการอาศัยวงจรแปลงผันกำลังแบบบัคก์ – บูสต์ที่มีตัวควบคุมแบบพีไอ ผ่านการเขียนโปรแกรมควบคุมด้วยบอร์ดไมโครคอนโทรลเลอร์ ซึ่งสามารถควบคุมแรงดันไฟฟ้าได้ตั้งแต่ในช่วง 10V - 60V และควบคุมกระแสไฟฟ้าทางด้านเอาต์พุตตั้งแต่ 1A - 6A จากผลการทดลองด้วยการจำลองสถานการณ์บนคอมพิวเตอร์บนโปรแกรม MATLAB ผ่าน SIMULINK และการสร้างชุดสอบแสดงให้เห็นว่า สมรรถนะของวงจรแปลงผันแบบบัคก์-บูสต์ที่มีตัวควบคุมพีไอสามารถรักษาแรงดันไฟฟ้าและกระแสไฟฟ้าเป็นไปตามค่าอ้างอิงได้

เอกสารอ้างอิง

[1] ภาณุเดช โสพส และเอกภูมิ ดีระพัฒน์, “POWER SUPPLY ปรับแรงดัน 0-40 V และปรับกระแส 0-5 A”, ปริญญานิพนธ์ปีการศึกษา 2548.

[2] ประกวด หงษาชาติ และคณะ, “การพัฒนาเครื่องจ่ายไฟฟ้ากระแสตรงแบบควบคุมกระแสขนาด 10 แอมป์”. ใน รายงานการประชุมวิชาการเครือข่ายวิศวกรรมอุตสาหการ, , 2555, หน้า 2305-2313

[3] A. Giyantara, D. Christover and Y. T. K. Priyanto, “Design and implementation buck-boost converter using Arduino Mega 2560”. *in Proceedings of the 1st International Conference on Industrial Technology (ICONIT 2019)*, 2020, pp. 169–176.

[4] H. Shayeghi, S. Pourjafar and F. Sedaghati, “A buck-boost converter: Design, analysis and implementation suggested for renewable energy systems”. *in Iranian Journal of Electrical and Electronic Engineering*, 17(2), pp. 1862–1874, 2021.

[5] T. Turahyo, “A simple strategy of control DC-DC converter as power supply on household lights”, *in Journal of Robotics and Control (JRC)*, 2(6), pp. 484–488, 2021.

[6] R. Abhishek, P. Zoting and P. Ragit, “Design and analysis of a DC-DC buck converter and boost converter to achieve high efficiency by altering duty cycle and input voltage”, *in International Journal of Scientific and Research Publications*, 10(6), pp. 731–738, 2020.

การจำลองการทำงานของคอนเวอร์เตอร์แบบหลายพอร์ตสำหรับงานด้าน PVB2V และ V2V ด้วยฮาร์ดแวร์ในลูป (HiL simulations)

Hardware in the Loop (HiL) Simulations of Multi - Port Converter for PVB2V and V2V Applications

โฆสิต พงษ์ไพร[1] ชญากานต์ แซ่เซียว[1] ปิยดนัย ภาชนะพรรณ์[1,*] และ ธนกร แก้วชุ่ม[2] ศักดา สมกุล[2]

[1]สาขาวิชาวิศวกรรมไฟฟ้า คณะวิศวกรรมศาสตร์ มหาวิทยาลัยนเรศวร kositp65@nu.ac.th, chayakarns66@nu.ac.th, piyadanip@nu.ac.th*

[2]วิทยาลัยพลังงานและสมาร์ตกริดเทคโนโลยี มหาวิทยาลัยนเรศวร tanakornka66@nu.ac.th, sakdaso@nu.ac.th

บทคัดย่อ

บทความนี้ได้นำเสนอแบบจำลองวงจรคอนเวอร์เตอร์แบบหลายพอร์ตสำหรับชาร์จยานยนต์ไฟฟ้าที่มีการเชื่อมต่อกับแหล่งจ่ายพลังงานไฟฟ้าหลากหลายรูปแบบ เพื่อนำไปประยุกต์ใช้เป็นเครื่องอัดประจุแบบเคลื่อนย้ายได้สำหรับการชาร์จแบบฉุกเฉินนอกสถานที่ โดยวงจรคอนเวอร์เตอร์ประกอบด้วย 2 พอร์ต ได้แก่ 1) DC-DC Bidirectional Converter สำหรับแบตเตอรี่สะสมพลังงาน 2) DC-DC Boost Converter สำหรับระบบเซลล์แสงอาทิตย์ โดยทำการทดสอบ 2 กรณี ได้แก่ 1) ใช้ระบบเซลล์แสงอาทิตย์ร่วมกับแบตเตอรี่สะสมพลังงานในการชาร์จยานยนต์ไฟฟ้า (PVB2V) และ 2) ใช้ระบบแบตเตอรี่ยานยนต์ไฟฟ้าในการชาร์จแบตเตอรี่ยานยนต์ไฟฟ้า (V2V) โดยวงจรคอนเวอร์เตอร์ต้นแบบขนาด 30 kVA ได้ถูกจำลองและทดสอบใน Hardware in the loop (HiL) real time Simulator ด้วยผลิตภัณฑ์ OPAL-RT รุ่น OP4510 และเชื่อมต่อกับระบบควบคุมการทำงานด้วยบอร์ด Texas Instruments (TI C2000) รุ่น LAUNCHXL-F280049C

คำสำคัญ: คอนเวอร์เตอร์แบบหลายพอร์ต, แบตเตอรี่สะสมพลังงานชนิดแรงดันสูง, ยานยนต์ไฟฟ้า, เครื่องอัดประจุแบบเคลื่อนย้ายได้

Abstract

This paper presents a multi-port converter designed for electric vehicle (EV) charging applications with multi-energy sources. The proposed system is intended for use as a mobile EV charger in outdoor emergency charging circumstances. The converter consists of two ports: (1) a DC-DC bidirectional converter for battery energy storage and (2) a DC-DC boost converter for a photovoltaic (PV) system. Two case studies were investigated: (1) EV charging using both the PV system and the battery energy storage (PVB2V) and (2) vehicle-to-vehicle (V2V) charging using an EV battery as the power source. A 30 kVA prototype converter circuit was simulated and evaluated using Hardware-in-the-Loop (HiL) real-time simulator (OPAL-RT OP4510) and integrated with a control system based on the Texas Instruments (TI C2000) LAUNCHXL-F280049C development board.

Keywords: Multi-Port Converter, High-Voltage Battery Energy Storage, Electric Vehicles, Mobile EV Charger

1. บทนำ

ในปัจจุบันยานยนต์ไฟฟ้ามีจำนวนเพิ่มขึ้นอย่างมากในหลายๆ ประเทศรวมถึงประเทศไทย [1] แต่จากอัตราการเพิ่มขึ้นของยานยนต์ไฟฟ้าที่รวดเร็วทำให้เกิดปัญหาสถานีอัดประจุมีไม่เพียงพอต่อความต้องการ โดยเฉพาะในช่วงเทศกาลวันหยุดที่มีการเดินทางเป็นจำนวนมาก ทำให้บางครั้งยานยนต์ไฟฟ้าบางคันต้องประสบปัญหาแบตเตอรี่หมดกลางทาง โดยเฉพาะในช่วงเส้นทางที่มีการจราจรแออัด

จึงเกิดแนวคิดที่จะพัฒนาเครื่องอัดประจุสำหรับยานยนต์ไฟฟ้าชนิดเคลื่อนย้ายได้เพื่อใช้สำหรับชาร์จยานยนต์ไฟฟ้าในกรณีฉุกเฉิน โดยสามารถใช้ร่วมกับแหล่งผลิตไฟฟ้าที่หลากหลายรูปแบบ เช่น เซลล์แสงอาทิตย์และแบตเตอรี่สะสมพลังงานได้ รวมทั้งการชาร์จยานยนต์ไฟฟ้า

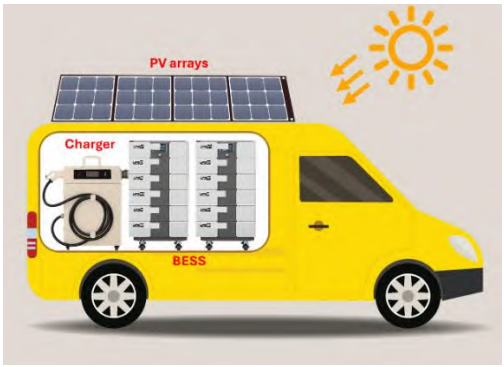

รูปที่ 1 เครื่องอัดประจุสำหรับยานยนต์ไฟฟ้าชนิดเคลื่อนย้ายได้

จากแบตเตอรี่ของยานยนต์ไฟฟ้าคันอื่นๆได้อีกด้วย โดยสามารถบรรจุอยู่ในรถตู้ส่งของดังแสดงในรูปที่ 1 ซึ่งเครื่องอัดประจุได้ถูกพัฒนาในรูปแบบ

วงจรคอนเวอร์เตอร์แบบหลายพอร์ต ซึ่งมีรูปแบบการใช้งานที่หลากหลายดังที่รีวิวใน [2] โดยเลือกใช้โครงสร้างคอนเวอร์เตอร์แบบไม่แยกวงจร (Non-isolated converter) เพื่อให้เครื่องอัดประจุมีขนาดกะทัดรัดเหมาะแก่การเคลื่อนย้ายได้ง่าย

งานวิจัยนี้จึงได้ออกแบบวงจรคอนเวอร์เตอร์ที่ประกอบด้วย 2 พอร์ต ได้แก่ DC-DC Bidirectional Converter ชนิดอินเตอร์ลีฟสำหรับแบตเตอรี่สะสมพลังงาน/แบตเตอรี่แรงสูงในยานยนต์ไฟฟ้า และ DC-DC Boost Converter สำหรับระบบเซลล์แสงอาทิตย์ โดยที่วงจร DC-DC Bidirectional Converter จะคอยควบคุมกระแสชาร์จไปที่ยานยนต์ไฟฟ้า และในส่วนวงจร DC-DC Boost Converter จะทำหน้าที่ดึงการผลิตพลังงานไฟฟ้าจากแผงเซลล์แสงอาทิตย์ให้ได้มากที่สุด ซึ่งจะช่วยเพิ่มกำลังไฟฟ้าในการอัดประจุไปที่ยานยนต์ไฟฟ้าได้มากขึ้น ส่งผลให้ระยะเวลาในการชาร์จเร็วขึ้น และเมื่อยานยนต์ไฟฟ้าถูกชาร์จจนเต็มแล้ว กำลังไฟฟ้าจากระบบเซลล์แสงอาทิตย์จะถูกนำมาใช้ชาร์จแบตเตอรี่สะสมพลังงานแทน

นอกจากนี้วงจร DC-DC Bidirectional Converter สามารถรองรับการใช้พลังงานจากแบตเตอรี่แรงดันสูงของยานยนต์คันอื่นเพื่อนำมาชาร์จยานยนต์ไฟฟ้าคันที่มีปัญหาได้ แทนการเชื่อมต่อแบตเตอรี่สะสมพลังงานโดยไม่ต้องทำการเปลี่ยนแปลงโครงสร้างวงจรและระบบควบคุม ส่งผลให้การชาร์จยานยนต์ไฟฟ้าในกรณีฉุกเฉินสามารถทำได้ยืดหยุ่นมากขึ้น

2. คอนเวอร์เตอร์แบบหลายพอร์ต

วงจรคอนเวอร์เตอร์สำหรับชาร์จยานยนต์ไฟฟ้ามีลักษณะดังรูปที่ 2 การอัดประจุจะเชื่อมต่อแบตเตอรี่แรงสูงของยานยนต์ไฟฟ้าเข้ากับบัสดีซี (DC link bus) ของวงจรโดยตรง โดยมีวงจร DC-DC Bidirectional Converter ชนิดอินเตอร์ลีฟที่เชื่อมต่อกับแบตเตอรี่สะสมพลังงานหรือแบตเตอรี่จากยานยนต์ไฟฟ้า ทำหน้าที่ควบคุมขนาดกระแสที่ไปชาร์จยานยนต์ไฟฟ้า โดยมีการปรับขนาดกระแสให้สอดคล้องกับสถานะการชาร์จ (State of charge, SOC) ของยานยนต์ไฟฟ้า

นอกจากนี้กำลังไฟฟ้าจากระบบเซลล์แสงอาทิตย์จะถูกควบคุมด้วย DC-DC Boost Converter โดยมีการทำงานร่วมกับฟังก์ชั่น Maximum Power Point Tracking (MPPT) เพื่อดึงกำลังไฟฟ้ามาเสริมการชาร์จจากแบตเตอรี่สะสมพลังงาน ส่งผลให้การชาร์จมีระยะเวลาที่รวดเร็วขึ้น

2.1 คอนเวอร์เตอร์กระแสตรงแบบสองทิศทางสำหรับแบตเตอรี่สะสมพลังงาน

คอนเวอร์เตอร์กระแสตรงแบบสองทิศทางนั้นจะใช้เทคนิคอินเตอร์ลีฟสำหรับเชื่อมต่อกับแบตเตอรี่สะสมพลังงานแรงดันสูง เพื่อเพิ่มประสิทธิภาพในการทำงานและลดการกระเพื่อม (Ripple) ของกระแสและแรงดันไฟฟ้าตามจำนวนของวงจรที่เพิ่มขึ้น

จากรูปที่ 2 เมื่อต้องการดึงพลังงานไฟฟ้ามาชาร์จแบตเตอรี่สะสมพลังงาน คอนเวอร์เตอร์จะทำงานใน Buck mode ด้วยการสับสวิตช์ S1

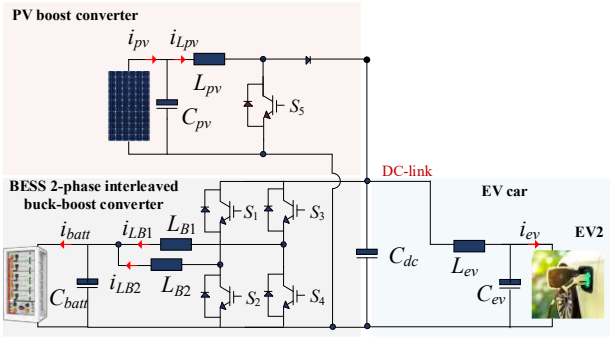

(ก) กรณี PVB2V

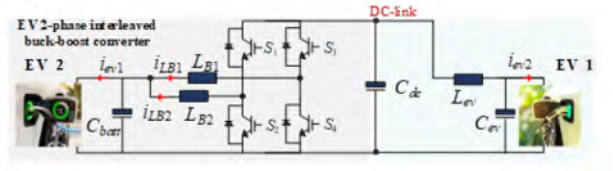

(ข) กรณี V2V

รูปที่ 2 ภาพรวมวงจรคอนเวอร์เตอร์แบบหลายพอร์ต (ทิศทางลูกศร คือ ทิศทางที่กระแสมีค่าเป็นบวก)

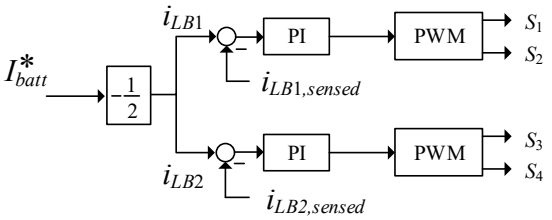

รูปที่ 3 วงจรควบคุม DC-DC Converter สำหรับแบตเตอรี่สะสมพลังงาน

และ S3 และเปิดสวิตช์ S2 และ S4 ในทางตรงกันข้ามเมื่อต้องการดิสชาร์จพลังงานจากแบตเตอรี่ออกไป คอนเวอร์เตอร์จะเปลี่ยนมาทำงานใน Boost mode ด้วยการสับสวิตช์ S2 และ S4 และเปิดสวิตช์ S1 และ S3 ซึ่งการทำงานทั้งสองโหมดพบว่าคู่สวิตช์ในแต่ละเฟสจะทำงานกลับสถานะกัน (Complementary)

โดยงานวิจัยนี้เลือกใช้เทคนิคอินเตอร์รีฟแบบสองเฟส (N=2) ซึ่งแต่ละเฟสทำมุมต่างกัน 180° ซึ่งจะส่งผลให้การกระเพื่อมของกระแสที่ไหลเข้าออกแบตเตอรี่ (i_{batt}) ลดลงได้เกือบ 50 % [3] ซึ่งพิจารณา ได้จาก

$$\frac{di_{batt}(t)}{dt} = \sum_{n=1}^{N} \frac{di_{LBn}(t)}{dt} \qquad (1)$$

ในส่วนวงจรควบคุมแบตเตอรี่สะสมพลังงานจะเป็นการควบคุมกระแส (i_{LBn}) ของแต่ละเฟสของวงจรอินเตอร์ลีฟด้วยระบบควบคุมแบบ PI เพื่อควบคุมกระแสที่ไหลเข้ามาและออกจากแบตเตอรี่สะสมพลังงานแรงดันสูง ดังแสดงในรูปที่ 3 โดยที่ขนาดกระแสอ้างอิงของวงจรควบคุมแบตเตอรี่ (i^*_{batt}) จะมีขนาดขึ้นอยู่กับสถานะการชาร์จของยานยนต์ไฟฟ้าที่กำลังถูกชาร์จอยู่ (SOC_EV) โดยมีการตัดสินใจเป็น 3 ระดับดังนี้

1) SOC_EV ≤ 95% : วงจรควบคุมจะดิจชาร์จกำลังไฟฟ้าจากแบตเตอรี่สะสมพลังงานที่ค่าพิกัดของวงจรคอนเวอร์เตอร์กระแสตรง โดยที่ i_{batt}^{*} มีค่าเท่ากับ พิกัดกำลังของคอนเวอร์เตอร์หารด้วยพิกัดแรงดันของแบตเตอรี่สะสมพลังงาน

2) 95% < SOC_EV ≤ 99 % : วงจรควบคุมจะค่อยๆ ลดกระแสที่ดิสชาร์จออกจากแบตเตอรี่ ด้วยอัตรา 25 % ต่อ SOC_EV ที่เพิ่มขึ้น 1% โดยการเปลี่ยนแปลงค่ากระแสแบตเตอรี่อ้างอิงสามารถเขียนได้เป็น

$$i_{batt}^{*} = 1 - 0.25 \times (\text{SOC_EV} - 95) \qquad (2)$$

3) 99% < SOC_EV : วงจรควบคุมหยุดการดิสชาร์จกระแสไปที่ยานยนต์ไฟฟ้า และจะเปลี่ยนเป็นการดึงกำลังไฟฟ้าจากแหล่งจ่ายอื่น เช่น ระบบเซลล์แสงอาทิตย์ เพื่อชาร์จแบตเตอรี่สะสมพลังงาน โดยมีอัตราการเปลี่ยนแปลงกระแสแบตเตอรี่อ้างอิงเป็น

$$i_{batt}^{*} = -1 \times (\text{SOC_EV} - 99) \qquad (3)$$

2.2 บูสต์คอนเวอร์เตอร์สำหรับระบบเซลล์แสงอาทิตย์

วงจรบูสคอนเวอร์เตอร์และระบบควบคุมที่ใช้สำหรับเชื่อมต่อกับระบบเซลล์แสงอาทิตย์ดังแสดงในรูปที่ 4 โดยมีการทำงานร่วมกับฟังก์ชัน Maximum Power Point Tracking (MPPT) เพื่อดึงการผลิตพลังงานไฟฟ้าจากแผงเซลล์แสงอาทิตย์ให้ได้มากที่สุดด้วยการปรับแรงดัน (v_{pv}) และกระแสไฟฟ้า (i_{Lpv}) ให้เหมาะสม

โดยงานวิจัยนี้เลือกวิธี Incremental Conductance Method สำหรับการติดตามจุดกำลังสูงสุดของเซลล์แสงอาทิตย์ ซึ่งเป็นวิธีที่มีความแม่นยำสูงและตอบสนองได้ดีต่อการเปลี่ยนแปลงของสภาพแวดล้อม ซึ่งเป็นวิธีที่ไม่ซับซ้อนมากและมีความไวต่อการติดตามกำลังไฟฟ้าสูงสุด โดยจะมีการปรับค่าแรงดันอ้างอิง ($v_{pv,ref}$) ตามเงื่อนไขการทำงานในรูปที่ 5 [4]

3.ระบบทดสอบคอนเวอร์เตอร์แบบหลายพอร์ตใน Hardware in the Loop (HiL)

การทำงานของ Hardware-in-the-Loop (HiL) เป็นวิธีการทดสอบและตรวจสอบระบบควบคุมอิเล็กทรอนิกส์ด้วยการจำลองสภาวะแวดล้อมจริงแบบเรียลไทม์ โดยจำลองฮาร์ดแวร์แบบเสมือนจริงเพื่อทดสอบการทำงานของซอฟต์แวร์โดยยังไม่จำเป็นต้องใช้อุปกรณ์จริง ทำให้ช่วยประหยัดเวลาในการทดสอบและช่วยตรวจสอบความถูกต้องเพื่อลดความเสี่ยงต่อการใช้งานจริง

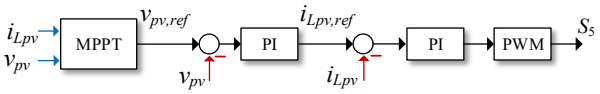

รูปที่ 4 ระบบควบคุมวงจร DC-DC Boost Converter ร่วมกับ MPPT

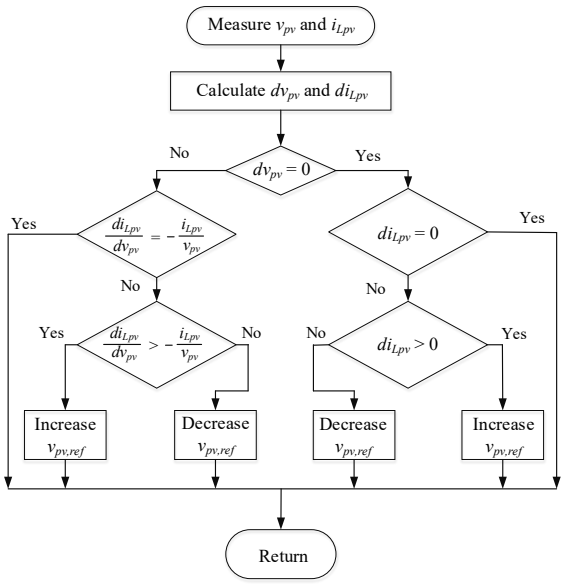

รูปที่ 5 โฟลว์ชาร์ต MPPT ด้วยเทคนิค Incremental Conductance

ในงานวิจัยนี้ ได้พัฒนาวงจรคอนเวอร์เตอร์แบบหลายพอร์ตแบบเสมือนจริงด้วยวงจร RT-Lab ใน Hardware in the loop (HiL) real time Simulator ของผลิตภัณฑ์ OPAL-RT รุ่น OP4510 ซึ่งมีการเชื่อมต่อกับวงจรควบคุมที่พัฒนาบนบอร์ด DSP ไมโครคอนโทรลเลอร์ของผลิตภัณฑ์ Texas Instruments (TI C2000) รุ่น LAUNCHXL-F280049C ดังแสดงในรูปที่ 6 และมีการเก็บผลด้วยออสซิโลสโคป SIGLENT รุ่น sds 1104x HD ซึ่งตั้งค่าความละเอียด 200 s/div สามารถเก็บค่าทดสอบได้ 2000 วินาที (ประมาณ 33 นาที)

ในการทดสอบแบ่งเป็น 2 กรณี โดยมีรายละเอียดของอุปกรณ์ต่างๆ ดังนี้

กรณี PVB2V : แบตเตอรี่สะสมพลังงานขนาด 300 V พิกัด 70 Ah, ระบบเซลล์แสงอาทิตย์ขนาด 300 V พิกัด 6 kW และยานยนต์ไฟฟ้าขนาดแบตเตอรี่ 400 V พิกัด 100 Ah โดยทำการควบคุมคอนเวอร์เตอร์ใน Boost mode

กรณี V2V : ยานยนต์ที่ใช้ดิสชาร์จกำลังไฟฟ้า (EV1) ใช้แบตเตอรี่ขนาด 420 V พิกัด 150 Ah และยานยนต์ไฟฟ้าตัวที่ถูกชาร์จ (EV2) ใช้แบตเตอรี่ 400 V พิกัด 100 Ah เนื่องจากการควบคุมคอนเวอร์ให้อยู่ใน Buck mode จึงจำเป็นให้แรงดันของยานยนต์ไฟฟ้า (EV1) นั้นต้องมีระดับแรงดันที่สูงกว่าแรงดันไฟฟ้าของยานยนต์ไฟฟ้า (EV2) เพื่อให้ทำการดิสชาร์จกำลังไฟฟ้าได้

สำหรับการออกแบบวงจรภาคกำลังและวงจรควบคุมของแต่ละพอร์ต มีค่าพารามิเตอร์ต่างๆ และวงจรดังนี้

1) พารามิเตอร์ของวงจร DC-DC bidirectional converter พิกัดกำลังของคอนเวอร์เตอร์ 30 kVA, แรงดันไฟฟ้าฝั่งแบตเตอรี่สะสมพลังงาน (V_{batt}) อยู่ในช่วงระหว่าง 300 - 500 V, ตัวเก็บประจุฝั่งแบตเตอรี่(C_{batt}) ขนาด 150 μF, ตัวเก็บประจุฝั่งดีซีบัส(C_{dc}) ขนาด 200 μF, แรงดันที่บัสดีซี (V_{dc}) ขนาด 450 V ,ตัวเหนี่ยวนำไฟฟ้าฝั่งแบตเตอรี่สองตัว (L_{B1} และ L_{B2}) ขนาดตัวละ 2 mH, แบนด์วิดท์ 35 Hz, ค่าเกนของวงจรควบคุมกระแส K_p = 1.8502, K_i = 0.1542, ความถี่สวิตชิ่ง 20 kHz

2) พารามิเตอร์ของวงจร DC-DC boost converter พิกัดกำลังของคอนเวอร์เตอร์ 6 kVA, แรงดันไฟฟ้าฝั่งระบบเซลล์แสงอาทิตย์ (V_{PV}) อยู่ในช่วงระหว่าง 300 - 500 V, ตัวเก็บประจุฝั่งเซลล์แสงอาทิตย์ (C_{PV}) ขนาด 50 μF, ตัวเหนี่ยวนำไฟฟ้าฝั่งเซลล์แสงอาทิตย์ (L_{PV}) ขนาด 2 mH, ค่าเกนของวงจรควบคุมแรงดัน K_p = 0.8330, K_i = 0.0083, แบนด์วิดท์ 45 Hz, ค่าเกนของวงจรควบคุมกระแส K_p = 0.2177, K_i = 0.0181, ความถี่สวิตชิ่ง 20 kHz

ตารางที่ 1 สรุปเหตุการณ์ในการทดสอบ กรณี PVB2V

วินาทีที่	เหตุการณ์
0	ได้เริ่มชาร์จยานยนต์ไฟฟ้าด้วยแบตเตอรี่แรงดันสูงด้วยกระแส 100 A (30 kW)
120	มีระบบเซลล์แสงอาทิตย์เข้ามา เพื่อเพิ่มอัตราการชาร์จยานยนต์ไฟฟ้าให้สูงขึ้น เปิดการทำงาน MPPT เพื่อให้ระบบเซลล์แสงอาทิตย์จ่ายค่ากำลังสูงสุด 6 kW (กระแส 20 A)
1150	SOC ของยานยนต์ไฟฟ้าสูงเกิน 95 % กระแสดิสชาร์จจะค่อยๆ ลดลงตามสมการที่ (2)
1500	SOC ของยานยนต์ไฟฟ้าเกิน 99 % กระแสจะหยุดไหลเข้ายานยนต์ไฟฟ้า กำลังไฟฟ้าจากระบบเซลล์แสงอาทิตย์จะถูกนำมาชาร์จที่แบตเตอรี่สะสมพลังงานตามสมการที่ (3)
2000	การชาร์จจากระบบเซลล์แสงอาทิตย์ ทำให้ SOC ของแบตเตอรี่สะสมพลังงานเพิ่มจาก 57 % มาเป็น 63 %

ตารางที่ 2 สรุปเหตุการณ์ในการทดสอบ กรณี V2V

วินาทีที่	เหตุการณ์
0	เริ่มชาร์จยานยนต์ไฟฟ้า EV2 (ขนาดพิกัด 100 Ah) จากยานยนต์ไฟฟ้า EV1 (ขนาดพิกัด 150 Ah) ด้วยกระแส 72.5 A (กำลังไฟฟ้าดิสชาร์จ เท่ากับ 30 kW)
2000	SOC ของยานยนต์ไฟฟ้า EV1 ลดลงเหลือ 70 % และ SOC ของยานยนต์ไฟฟ้า EV2 เพิ่มขึ้นมาเป็น 50 % ได้

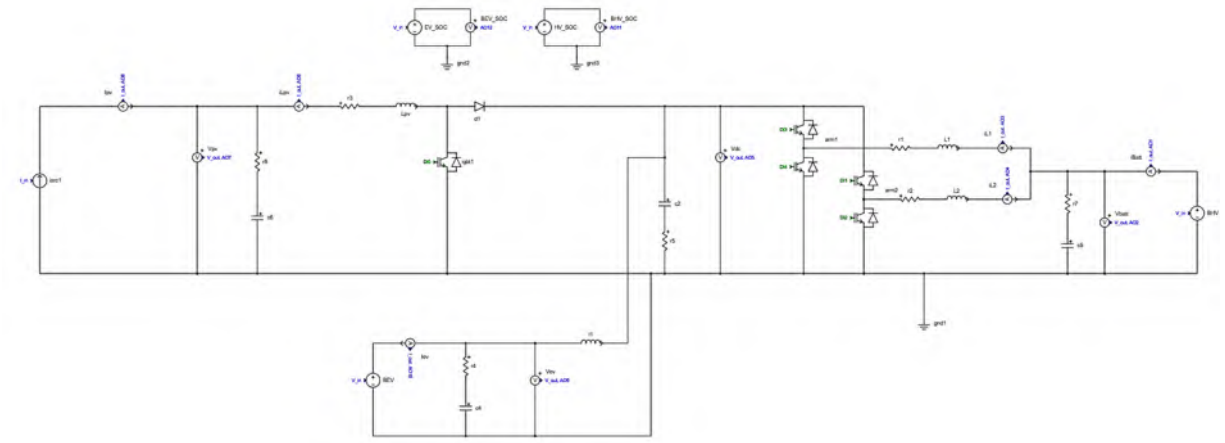

(ก) วงจรคอนเวอร์เตอร์แบบหลายพอร์ตในโปรแกรม RT-Lab

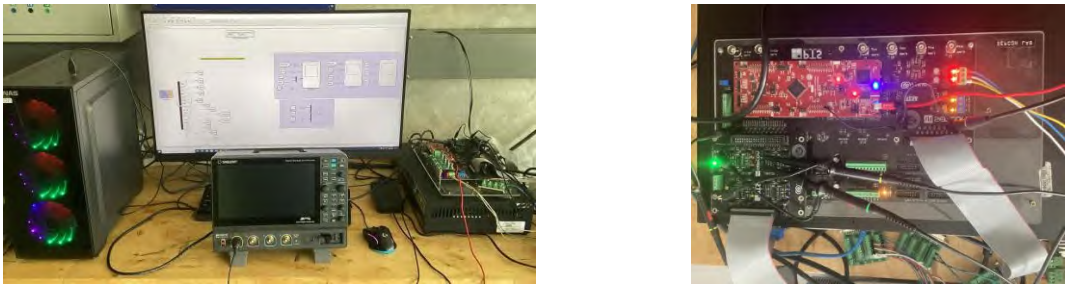

(ข) ชุดทดสอบ OPAL-RT รุ่น OP4510 และ บอร์ดควบคุม Texas Instruments (TI C2000) รุ่น LAUNCHXL-F280049C ในห้องปฏิบัติการ

รูปที่ 6 ระบบทดสอบคอนเวอร์เตอร์แบบหลายพอร์ตบน HiL real time simulator

3) พารามิเตอร์ของวงจรฝั่งที่เชื่อมต่อกับยานยนต์ไฟฟ้าตัวที่ถูกชาร์จ ได้แก่ ตัวเก็บประจุ (C_{ev}) ขนาด 150 μF, ตัวเหนี่ยวนำไฟฟ้าฝั่ง (L_{ev}) ขนาด 0.1 mH และ ตัวต้านทานไฟฟ้า (R_e) ขนาด 5 mΩ

4. รายละเอียดการทดสอบ

ทำการทดสอบการทำงานของคอนเวอร์เตอร์แบบหลายพอร์ตที่ได้ออกแบบ เป็น 2 กรณีดังนี้

กรณีที่ 1 ใช้ระบบเซลล์แสงอาทิตย์ร่วมกับแบตเตอรี่สะสมพลังงานชนิดแรงดันสูงเพื่อชาร์จยานยนต์ไฟฟ้า (PVB2V) กำหนดให้ SOC เริ่มต้นของยานยนต์ไฟฟ้าและแบตเตอรี่สะสมพลังงานคือ 70 % และ 100 % ตามลำดับ และมีการทดสอบตามเหตุการณ์ต่างๆ ที่กำหนดในตารางที่ 1

กรณีที่ 2 กรณีใช้แบตตเตอรี่แรงดันสูงในยานยนต์ไฟฟ้าเพื่อชาร์จยานยนต์ไฟฟ้า (V2V) กำหนดให้ SOC เริ่มต้นของยานยนต์ไฟฟ้าที่ใช้ดิสชาร์จ (EV1) และยานยนต์ไฟฟ้าถูกชาร์จ (EV2) คือ 100 % และ 10 % ตามลำดับ และมีการทดสอบตามเหตุการณ์ต่างๆ ที่กำหนดในตารางที่ 2

5.. ผลการทดสอบ

5.1 กรณีศึกษา PVB2V

ผลการทดสอบในกรณีที่ 1 (PVB2V) แสดงได้ในรูปที่ 7 ถึง 11 พบว่าเริ่มต้นแบตเตอรี่สะสมพลังงานได้ทำการถูกใช้เพื่อชาร์จยานยนต์ไฟฟ้าเพียงอย่างเดียว โดยกำลังไฟฟ้าที่ถูกดิสชาร์จมีขนาดเท่ากับพิกัดของวงจร DC-DC bidirectional converter ซึ่งวัดค่าได้ประมาณ 32 kW (กระแสดิสชาร์จประมาณ 100 A) จากนั้นในวินาทีที่ 120 ได้มีการเชื่อมต่อกับเซลล์แสงอาทิตย์เข้ามาในระบบและถูกเปิดการทำงานในโหมด MPPT เพื่อหาจุดสูงสุดของกำลังไฟฟ้าของระบบเซลล์แสงอาทิตย์ที่ 6 kW (กระแส 20 A) สามารถช่วยเพิ่มกำลังไฟฟ้าในการชาร์จยานยนต์ไฟฟ้าขึ้นมาเป็น 38 kW

ในวินาทีที่ 1150 ค่า SOC ของยานยนต์ไฟฟ้าถูกเพิ่มถึงระดับ 95 % วงจร DC-DC bidirectional converter ได้ทำการค่อยๆ ลดกระแสชาร์จลง จนกระทั่งในวินาทีที่ 1500 ค่า SOC ของยานยนต์ไฟฟ้าเกิน 99 % จึงหยุดชาร์จยานยนต์ไฟฟ้า แล้ววงจร DC-DC bidirectional converter จะพยายามดึงกำลังไฟฟ้าจากระบบเซลล์แสงอาทิตย์เข้าไปชาร์จที่แบตเตอรี่สะสมพลังงานต่อ พบว่า ค่า SOC ของแบตเตอรี่สะสมพลังงานจะค่อยๆ เพิ่มขึ้น จากระดับ 50 % จนมาแตะที่ 52 % ณ วินาทีที่ 2000 โดยตลอดการทดสอบแรงดันที่บัสดีซีมีค่าคงที่ ที่ค่าประมาณ 450 V

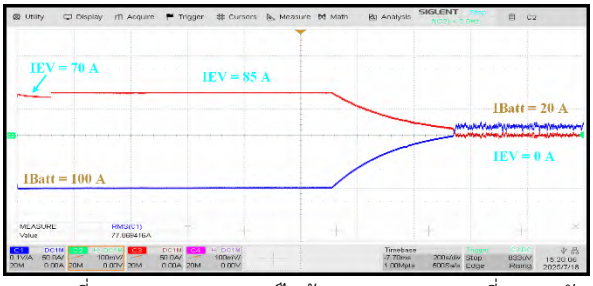

รูปที่ 7 กระแสของยานยนต์ไฟฟ้า (IEV) และแบตเตอรี่สะสมพลังงาน (IBESS) ในกรณีศึกษา PVB2V

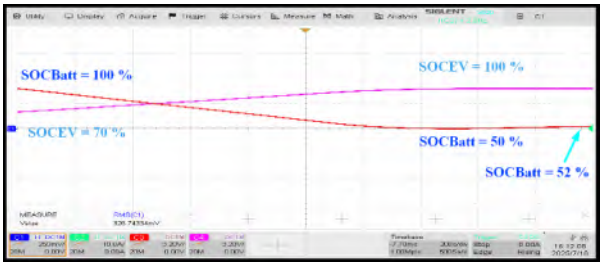

รูปที่ 8 สถานะการชาร์จของยานยนต์ไฟฟ้า (SOCEV)และแบตเตอรี่สะสมพลังงาน (SOCBESS) ในกรณีศึกษา PVB2V

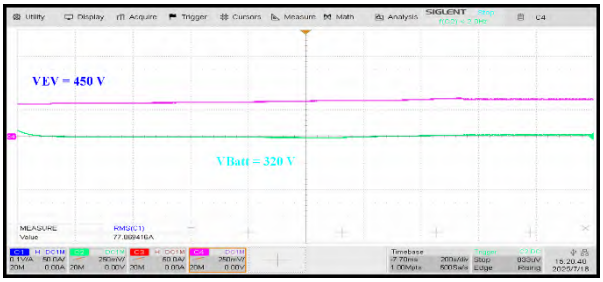

รูปที่ 9 แรงดันไฟฟ้าของยานยนต์ไฟฟ้า (VEV) และแบตเตอรี่สะสมพลังงาน (VBESS) ในกรณีศึกษา PVB2V

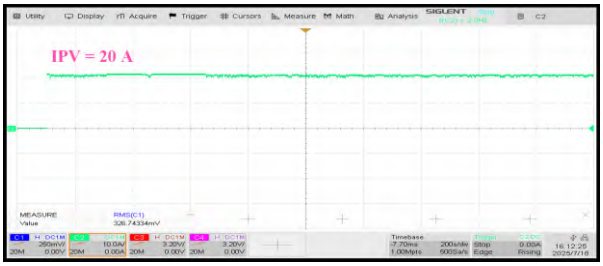

รูปที่ 10 กระแสของเซลล์แสงอาทิตย์ในกรณีศึกษา PVB2V

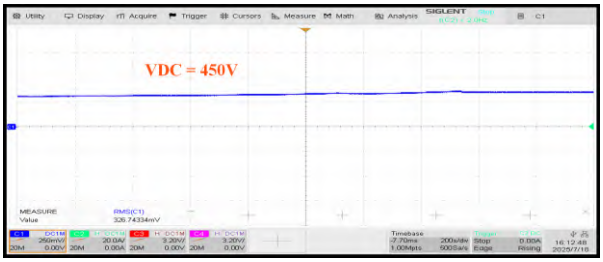

รูปที่ 11 แรงดันที่บัสดีซี (DC link) ในกรณีศึกษา PVB2V

5.2 กรณีศึกษา V2V

ผลการทดสอบในกรณีที่ 2 (V2V) แสดงได้ในรูปที่ 12 ถึง 15 พบว่ายานยนต์ไฟฟ้า EV2 ถูกชาร์จจากแบตเตอรี่ของยานยนต์ไฟฟ้า EV1 ด้วยกำลังไฟฟ้าขนาดเทียบเท่าพิกัดของวงจร DC-DC bidirectional converter วัดค่าได้ประมาณ 31 kW (กระแสดิสชาร์จประมาณ 72.5 A) เมื่อทำการชาร์จต่อเนื่องด้วยค่ากำลังไฟฟ้าดังกล่าวในลักษณะคงที่เป็นระยะเวลา 2000 วินาที จะส่งผลให้ค่า SOC ของยานยนต์ไฟฟ้า EV1 นั้นค่อยๆ ลดลงจากค่าเริ่มต้น 100% ลดลงเหลือ 75% ในทางตรงกันข้าม ค่า SOC ยานยนต์ไฟฟ้า EV2 ค่อยๆ เพิ่มขึ้นจาก 10 % ขึ้นมาเป็น 50 % ได้โดยที่ตลอดการทดสอบแรงดันที่บัสดีซีมีขนาดคงที่ ที่ค่าประมาณ 451 V

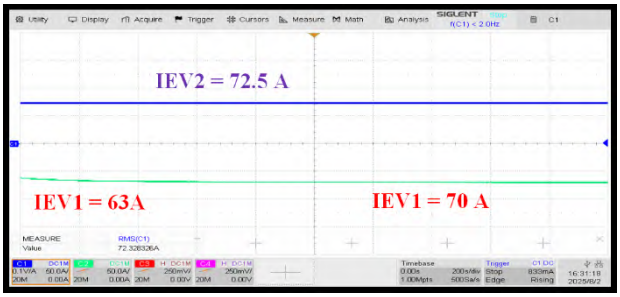

รูปที่ 12 กระแสของยานยนต์ไฟฟ้า EV1 (IEV1) และยานยนต์ไฟฟ้า EV2 (IEV2) ในกรณีศึกษา V2V

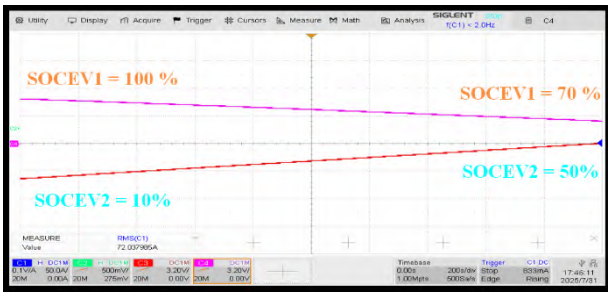

รูปที่ 13 สถานะการชาร์จของยานยนต์ไฟฟ้า EV1 (SOCEV1) และยานยนต์ไฟฟ้า EV2 (SOCEV2) ในกรณีศึกษา V2V

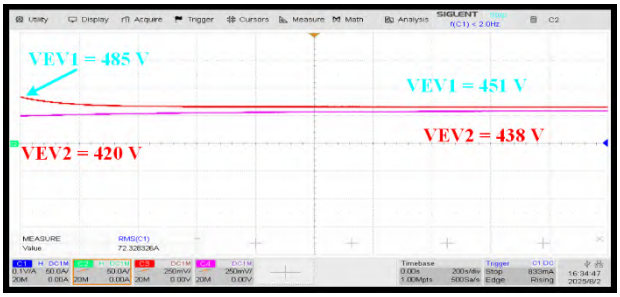

รูปที่ 14 แรงดันไฟฟ้าของยานยนต์ไฟฟ้า EV1 (VEV1) และยานยนต์ไฟฟ้า EV2 (VEV2) ในกรณีศึกษา V2V

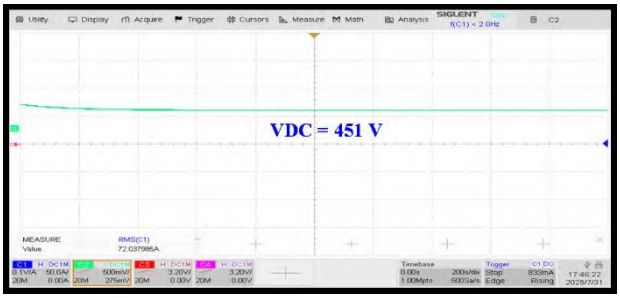

รูปที่ 15 แรงดันที่บัสดีซี (DC link) ในกรณีศึกษา V2V

6. สรุปผลการทดสอบ

วงจรคอนเวอร์เตอร์แบบ 2 พอร์ตที่ประกอบด้วยวงจร DC-DC Bidirectional Converter สำหรับแบตเตอรี่สะสมพลังงาน และวงจร DC-DC Boost Converter สำหรับระบบเซลล์แสงอาทิตย์สามารถใช้ชาร์จยานยนต์ไฟฟ้าได้อย่างมีประสิทธิภาพ โดยไม่จำเป็นต้องมีวงจร DC-DC converter ทางฝั่งยานยนต์ไฟฟ้า ส่งผลให้เครื่องอัดประจุยานยนต์ไฟฟ้ามีขนาดเล็กลงเหมาะแก่การเคลื่อนย้ายและใช้งานภายนอกสถานที่ได้สะดวก

ผลการทดสอบด้วย HiL real time simulator พบว่ากรณีศึกษา PVB2V สามารถเชื่อมต่อระบบเซลล์แสงอาทิตย์ที่ทำงานในโหมด MPPT เพื่อช่วยเพิ่มอัตราการชาร์จยานยนต์ไฟฟ้าได้โดยไม่ส่งผลกระทบต่อการชาร์จยานยนต์ไฟฟ้า ส่งผลให้ระยะเวลาที่ใช้ชาร์จยานยนต์ไฟฟ้าลดลงเมื่อเทียบกับการชาร์จจากแบตเตอรี่สะสมพลังงานเพียงอย่างเดียว ในส่วนกรณีศึกษา V2V พบว่า วงจร DC-DC bidirectional converter สามารถรองรับแบตเตอรี่ของยานยนต์ไฟฟ้าซึ่งมีแรงดันสูงกว่าแบตเตอรี่สะสมพลังงานได้โดยไม่ต้องเปลี่ยนแปลงรายละเอียดองค์ประกอบต่างๆ ของวงจร จึงสามารถใช้ร่วมกับแบตเตอรี่แรงดันสูงได้หลากหลายขนาด ส่งผลให้การใช้งานมีความยืดหยุ่นเพิ่มขึ้น โดยระบบควบคุมจะมีการปรับเปลี่ยนขนาดกระแสที่ไหลเข้าออกแบตเตอรี่ตามระดับพิกัดแรงดันของแบตเตอรี่ที่แตกต่างกันด้วย

7.กิตติกรรมประกาศ

บทความนี้เป็นส่วนของงานวิจัย “ระบบควบคุมการไหลของกำลังไฟฟ้าสำหรับเครื่องอัดประจุยานยนต์ไฟฟ้าชนิดเคลื่อนย้ายได้ที่สามารถเชื่อมต่อกับเซลล์แสงอาทิตย์และแบตเตอรี่แรงดันสูง” ทุนอุดหนุนวิจัยงบประมาณรายได้ ปีงบประมาณ 2567 ม.นเรศวร (R2567C029) และขอบคุณบริษัท PTS combination Co., Ltd สำหรับการสนับสนุนและช่วยเหลือที่เกี่ยวกับเครื่อง OPAL-RT รุ่น OP4510

เอกสารอ้างอิง

[1] J. Monjagapate and S. Smitintu, “The Market Growth of Light Electric Vehicles (EVs) in Thailand Situation Projection from 2024 to 2031”, Journal of Industrial Business Administration, vol. 6, no. 2, pp. 167–180, Dec. 2024.

[2] A. Lavanya, J. D. Navamani, K. Vijayakumar, and R. Rakesh, "Multi-input DC-DC converter topologies-a review," in 2016 International Conference on Electrical, Electronics, and Optimization Techniques (ICEEOT), 3-5 March 2016 , pp. 2230-2233, doi: 10.1109/ICEEOT.2016.7755089.

[3] C. Saeseiw, P. Pachanapan, S. Somkun, S. Srita and T. Kaewchum, Interleaved Bidirectional Buck-Boost DC/DC Converter for High Voltage Battery Application," 2022 25th International Conference on Electrical Machines and Systems (ICEMS), Chiang Mai, Thailand, 2022, pp. 1-6, doi: 10.1109/ICEMS56177.2022.9982920.

[4] Esram, T., & Chapman, P.L. (2007), “Comparison of photovoltaic array maximum power point tracking techniques,” IEEE Transactions on Energy Conversion, vol.22(2), pp. 439-449, doi: 10.1109/TEC.2006.874230

การตรวจจับฮาร์มอนิกด้วยวิธีกรอบอ้างอิงซิงโครนัสสำหรับวงจรกรองกำลังแอกทีฟในสภาวะแหล่งจ่ายไม่อุดมคติ

Harmonic Detection Using the Synchronous Reference Frame in Non-Ideal Source Condition

เศรษฐ์ สุขจันทร์[1] และ พลสิทธิ์ ศานติประพันธ์[1*]

[1]สาขาวิชาวิศวกรรมไฟฟ้าและชีวการแพทย์ คณะวิศวกรรมศาสตร์ มหาวิทยาลัยสงขลานครินทร์ phonsit.s@psu.ac.th 6810120004@psu.ac.th

บทคัดย่อ

บทความนี้นำเสนอการออกแบบตัวตรวจจับฮาร์มอนิกด้วยวิธีกรอบอ้างอิงซิงโครนัส (SRF) สำหรับวงจรกรองกำลังแอกทีฟ วัตถุประสงค์ของงานนี้ คือ คำนวณค่ากระแสอ้างอิงที่ถูกต้องในสภาวะแหล่งจ่ายไม่อุดมคติ กระบวนการตรวจจับฮาร์มอนิกด้วยวิธี SRF ถูกใช้งานร่วมกับวงจรเฟสล็อคลูป (PLL) ค่าความถี่ตัดของวงจรกรองและค่าความถี่แบนด์วิธของวงจร PLL ได้ถูกทดสอบและเลือกใช้ค่าที่ให้สมรรถนะการตรวจจับที่ดี ผลการทดสอบด้วยโปรแกรม MATLAB/Simulink ยืนยันได้ว่า การทดสอบหาค่าความถี่ตัดของวงจรกรองและค่าความถี่แบนด์วิธของวงจร PLL ที่เหมาะสม สามารถให้ผลการชดเชยกระแสฮาร์มอนิกที่ดี ค่าความเพี้ยนฮาร์มอนิกรวมและค่าตัวประกอบกำลังอยู่ในมาตรฐาน IEEE std.519 และ IEEE std.141 ถึงแม้ว่าแหล่งจ่ายอยู่ในสภาวะแรงดันผิดเพี้ยนและความถี่เปลี่ยนแปลง

คำสำคัญ: วงจรกรองกำลังแอกทีฟ การตรวจจับฮาร์มอนิก วงจรเฟสล็อคลูป

Abstract

This article presents the design of a harmonic detector using synchronous reference frame (SRF) for an active power filter. The objective of this work is to calculate a correct reference current under mom-ideal source condition. The process of harmonic detection based on the SRF method is operated with a phase-locked loop (PLL) . The cutoff frequency of filter and the bandwidth of the PLL circuit are tested and selected to provide a good performance of the harmonic detection. Simulation results using MATLAB/Simulink confirm that choosing the proper filter cutoff and PLL bandwidth frequencies can provide effective harmonic current compensation. The total harmonic distortion and the power factor are satisfied within the IEEE std.519 and IEEE std.141, respectively. Even when the power supply has voltage distortion and frequency variations.

Keywords: Active power filter, Harmonic detection, Phase locked loop

1. บทนำ

ในปัจจุบันการใช้งานเทคโนโลยีสมัยใหม่มีเพิ่มขึ้น ซึ่งต้องอาศัยการใช้งานโหลดไม่เป็นเชิงเส้น (Non-Linear Load) โหลดดังกล่าวส่งผลให้ระบบไฟฟ้าเกิดปัญหาทางด้านคุณภาพกำลังไฟฟ้า เช่น กระแสฮาร์มอนิก ค่าตัวประกอบกำลัง เป็นต้น ปัจจัยดังกล่าวทำให้มีวิธีการปรับปรุงคุณภาพกำลังไฟฟ้าในอดีต คือ การใช้วงจรกรองกำลังพาสซีฟ [1] ซึ่งเป็นวิธีการที่สามารถลดทอนกระแสฮาร์มอนิกในระบบไฟฟ้าได้ แต่มีประเด็น คือ สมรรถนะการชดเชยกระแสฮาร์มอนิกในกรณีโหลดมีการเปลี่ยนแปลงอาจก่อให้เกิดปัญหาเรโซแนนซ์จากการออกแบบวงจรนี้ วิธีการในปัจจุบันจึงนิยมใช้วงจรกรองกำลังแอกทีฟ [2] ที่สามารถแก้ไขปัญหาเรื่องการชดชเยกระแสฮาร์มอนิกได้หลายอันดับและปรับปรุงค่าตัวประกอบกำลัง วงจรกรองกำลังแอกทีฟจำเป็นต้องพึ่งพาการตรวจจับฮาร์มอนิก [2] ด้วยวิธีการต่าง ๆ เช่น วิธีกรอบซิงโครนัส (SRF) , วิธีทฤษฎีกำลังรีแอกทีฟขณะหนึ่ง (IRPT) , การแปลงเวฟเล็ต (Wavelet Transform) เป็นต้น บทความนี้เลือกใช้การตรวจจับฮาร์มอนิกด้วยวิธี SRF [3] เนื่องจากวิธีดังกล่าวสามารถตรวจจับกระแสฮาร์มอนิกได้โดยการพิจารณาองค์ประกอบของค่ากระแสตรงและค่ากระแสสลับบนแกนดีคิว ซึ่งส่งผลให้สามารถใช้ตัวกรองแยกปริมาณฮาร์มอนิกได้อย่างมีประสิทธิภาพ

อย่างไรก็ตาม ในปัจจุบันระบบไฟฟ้ามีการติดตั้งระบบผลิตไฟฟ้าแบบกระจายศูนย์ [4] เช่น โซล่าเซลล์ กังหันลม โรงไฟฟ้าชีวมวล เชื่อมต่ออยู่ตามจุดต่าง ๆ ในระบบจำหน่าย ซึ่งส่งผลให้เกิดปัญหาคุณภาพไฟฟ้า (Power Quality Disturbance) [5] เช่น แรงดันฮาร์มอนิก (Harmonic Voltage) แรงดันตกชั่วขณะ (Voltage Sag) แรงดันเกินชั่วขณะ (Voltage Swell) ความถี่ผันผวน (Frequency fluctuation) เป็นต้น ด้วยเหตุนี้วงจรกรองกำลังแอกทีฟด้วยวิธี SRF จึงต้องได้รับการออกแบบให้ทำงานได้ดีในสภาวะที่แรงดันผิดเพี้ยนและความถี่ของระบบไม่คงที่ การทำงานของวงจร PLL ในวิธี SRF จึงควรได้รับการออกแบบอย่างเหมาะสม ดังนั้นบทความนี้จะได้นำเสนอการออกแบบและเปรียบเทียบค่าพารามิเตอร์ตัวควบคุมพีไอในวงจร PLL ด้วยวิธี Symmetrical Optimum [6]

บทความนี้นำเสนอระบบไฟฟ้าที่ใช้พิจารณาในหัวข้อที่ 2 หัวข้อที่ 3 จะนำเสนอวิธีการตรวจจับฮาร์มอนิกด้วยวิธี SRF หัวข้อที่ 4 เป็นการนำเสนอขั้นตอนการออกแบบวงจร PLL ด้วยวิธี Symmetrical Optimum หัวข้อที่ 5 จะเป็นการจำลองสถานการณ์ด้วยโปรแกรม MATLAB/Simulink เพื่อเปรียบเทียบสมรรถนะการปรับปรุงคุณภาพกำลังไฟฟ้าพร้อมทั้งอภิปรายผล และการสรุปผลของบทความนี้จะนำเสนอในหัวข้อที่ 6

2. ระบบไฟฟ้าที่พิจารณา

ระบบไฟฟ้าที่พิจารณาแสดงได้ดังรูปที่ 1 ซึ่งแบ่งออกเป็น 3 ส่วน ส่วนที่ 1 คือ แหล่งจ่ายไฟฟ้าไม่อุดมคติ โหลดเชิงเส้น ซึ่งประกอบด้วยตัวต้านทานและตัวเหนี่ยวนำ และโหลดไม่เป็นเชิงเส้น ซึ่งประกอบด้วยวงจรเรียงกระแสแบบสามเฟสต่อเข้ากับโหลดกำลังไฟฟ้าคงที่ (constant power load) ส่วนที่ 2 คือ ตัวตรวจจับฮาร์มอนิกด้วยวิธี SRF และส่วนที่ 3 คือแหล่งจ่ายกระแสอุดมคติ ซึ่งทำหน้าที่ฉีดกระแสชดเชยเข้าสู่ระบบที่จุดเชื่อต่อร่วม (point of common coupling : PCC) เพื่อวัดสมรรถนะการทำงานของการตรวจจับฮาร์มอนิกด้วยวิธี SRF

*พลสิทธิ์ ศานติประพันธ์

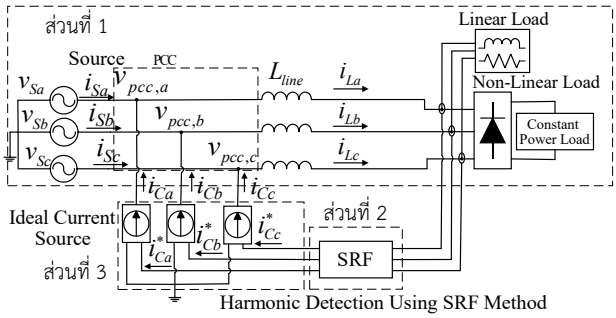

รูปที่ 1 ระบบไฟฟ้าที่พิจารณา

3. การตรวจจับฮาร์มอนิกด้วยวิธี SRF

การตรวจจับฮาร์มอนิกด้วยวิธี SRF ในรูปที่ 2 เป็นวิธีการคำนวณหาค่ากระแสชดเชย $(i^*_{C,abc})$ โดยการจับกระแสโหลดทั้งสามเฟส $(i_{L,abc})$ ผ่านการแปลงพาร์ก (Park Transformation) เปลี่ยนจากเฟส abc ให้อยู่บนแกนดีคิวที่หมุนตามความถี่ของระบบมี 4 ขั้นตอนดังนี้

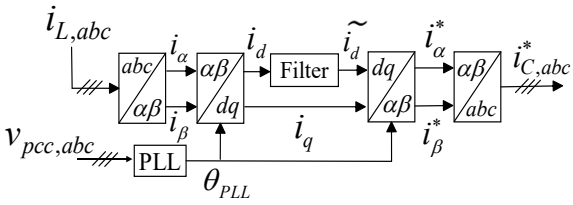

รูปที่ 2 Synchronous Reference Frame (SRF)

ขั้นตอนที่ 1 คำนวณแปลงกระแสโหลดสามเฟส $(i_{L,abc})$ ไปเป็นกระแสโหลดบนแกน $\alpha\beta$ (i_α, i_β) ดังสมการที่ 1

$$\begin{bmatrix} i_\alpha \\ i_\beta \end{bmatrix} = \begin{bmatrix} 1 & -1/2 & -1/2 \\ 0 & \sqrt{3}/2 & -\sqrt{3}/2 \end{bmatrix} \begin{bmatrix} i_a \\ i_b \\ i_c \end{bmatrix} \quad (1)$$

ขั้นตอนที่ 2 คำนวณแปลงกระแสโหลดบนแกน $\alpha\beta$ (i_α, i_β) ไปเป็นกระแสโหลดบนแกนดีคิว (i_d, i_q) ดังสมการที่ 2

$$\begin{bmatrix} i_d \\ i_q \end{bmatrix} = \begin{bmatrix} \cos(\theta_{PLL}) & \sin(\theta_{PLL}) \\ -\sin(\theta_{PLL}) & \cos(\theta_{PLL}) \end{bmatrix} \begin{bmatrix} i_\alpha \\ i_\beta \end{bmatrix} \quad (2)$$

จากสมการที่ (2) ค่า θ_{PLL} คือมุมเฟสล็อคลูปที่ได้จากวงจร PLL ในหัวข้อที่ 4

ขั้นตอนที่ 3 เมื่อได้ค่ากระแสโหลดบนแกนดีคิว (i_d, i_q) จากขั้นตอนที่ 2 จะนำค่ากระแส i_d ผ่านวงจรกรองความถี่สูง (High Pass Filter : HPF) ดังรูปที่ 3 (ก) หรือวงจรกรองความถี่ต่ำ (Low Pass Filter : LPF) ดังรูปที่ 3 (ข) เพื่อแยกปริมาณกระแสฮาร์มอนิก $(\tilde{i}_d)$ ออกจากปริมาณกระแสมูลฐาน $(\bar{i}_d)$ ดังนั้นจึงจำเป็นต้องเลือกค่าความถี่ตัด (f_c) และอันดับของวงจรกรอง

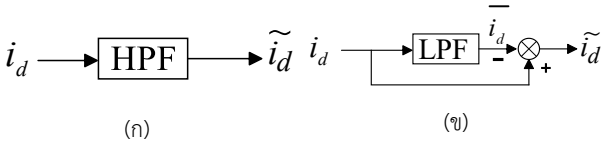

(ก) (ข)

รูปที่ 3 วงจรกรองความถี่สูงและความถี่ต่ำ

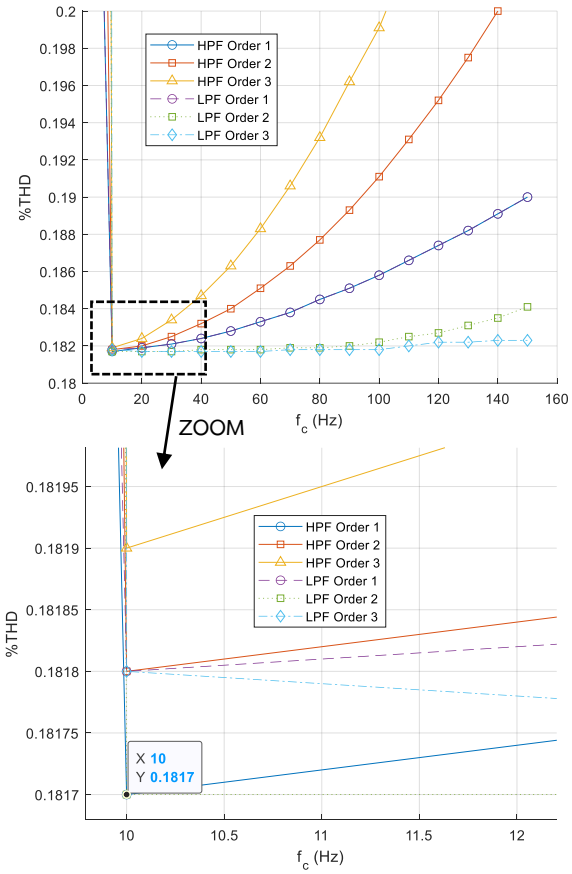

รูปที่ 4 ความสัมพันธ์ระหว่างความถี่ตัดกับค่าความเพี้ยนฮาร์มอนิกรวม

จากรูปที่ 4 เป็นการเปรียบเทียบสมรรถนะการทำงานของวงจรกรองความถี่สูงและความถี่ต่ำด้วยค่าความเพี้ยนฮาร์มอนิกรวม โดยการปรับอันดับของวงจรกรองความถี่ตั้งแต่ 1 ถึง 3 และค่าความถี่ตัดเท่ากับ 1 Hz ถึง 150 Hz พบว่า การเลือกอันดับของวงจรกรองความถี่สูงเท่ากับ 1 และค่าความถี่ตัดเท่ากับ 10 Hz ให้ค่าความเพี้ยนฮาร์มอนิกรวมต่ำที่สุดเท่ากับ 0.1817%

ขั้นตอนที่ 4 คำนวณแปลงกระแสโหลดบนแกนดีคิว (i_d, i_q) กลับไปเป็นกระแสอ้างอิงสามเฟส $(i^*_{C,abc})$ จากสมการที่ (3) และ (4) ผ่านไปยังแหล่งจ่ายกระแสอุดมคติ (Ideal Current Source) เพื่อให้ได้กระแสชดเชยสามเฟส $(i_{C,abc})$ จ่ายกลับเข้าสู่ระบบไฟฟ้าที่จุด PCC

$$\begin{bmatrix} i^*_\alpha \\ i^*_\beta \end{bmatrix} = \begin{bmatrix} \cos(\theta_{PLL}) & -\sin(\theta_{PLL}) \\ \sin(\theta_{PLL}) & \cos(\theta_{PLL}) \end{bmatrix} \begin{bmatrix} \tilde{i}_d \\ \tilde{i}_q \end{bmatrix} \quad (3)$$

$$\begin{bmatrix} i_a^* \\ i_b^* \\ i_c^* \end{bmatrix} = \begin{bmatrix} 1 & 0 \\ -1/2 & \sqrt{3}/2 \\ -1/2 & -\sqrt{3}/2 \end{bmatrix} \begin{bmatrix} i_\alpha^* \\ i_\beta^* \end{bmatrix} \quad (4)$$

4. การออกแบบ PLL ด้วยวิธี Symmetrical Optimum

จากรูปที่ 2 จะเห็นว่ามีการป้อนมุมเฟสแรงดัน (θ_{PLL}) เพื่อใช้คำนวณมุมเฟสอ้างอิงในขั้นตอนการแปลงกระแสโหลดบนแกนดีคิว โครงสร้างของวงจร PLL แสดงได้ดังรูปที่ 5 มีขั้นตอนการคำนวณมุมเฟสอ้างอิงของระบบ สามารถอธิบายได้ดังนี้

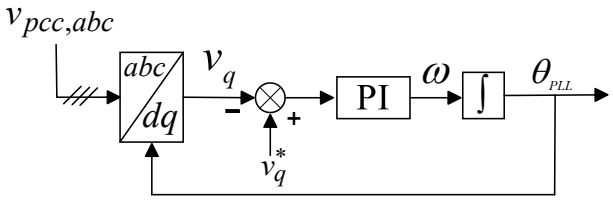

รูปที่ 5 วงจร PLL

ขั้นตอนที่ 1 คำนวณแปลงแรงดันของระบบสามเฟสจากจุด ($v_{pcc,abc}$) ไปเป็นแรงดันบนแกนดีคิว (v_d, v_q) ดังสมการที่ (1) และ (2) โดยเปลี่ยนจากกระแสเป็นแรงดัน จากสมการที่ 5 จะเห็นว่าถ้า θ_{pcc} มีค่าเท่ากับ θ_{PLL} จะทำให้แรงดันอ้างอิงบนแกนคิว (v_q^*) มีค่าเท่ากับ 0 และจากสมการที่ 6 ถ้า v_q มีค่าเท่ากับ 0 ด้วย หมายความว่าในลูปนี้ไม่เกิดค่าผิดพลาด (error) ทำให้มุมเฟสแรงดัน θ_{PLL} ตรงกับมุมของระบบไฟฟ้า θ_{pcc}

$$v_q^* = v_m \sin(\theta_{pcc} - \theta_{PLL}) \quad (5)$$

$$error = v_q^* - v_q \quad (6)$$

ขั้นตอนที่ 2 คำนวณค่าความเร็วเชิงมุม (ω) ในรอบการควบคุมปัจจุบันเพื่อลดค่าผิดพลาดจากสมการที่ 6 ด้วยตัวควบคุมพีไอ (PI Controller) จากนั้นค่า ω ผ่านการอินทิเกรตเพื่อให้ได้ค่า θ_{PLL} ซึ่งจะนำไปปรับการคำนวณ v_q การออกแบบตัวควบคุมพีไอของบทความนี้ใช้วิธี Symmetrical Optimum สามารถออกแบบได้ดังสมการที่ (7) ถึง (11)

$$G_c = K_P + \frac{K_I}{s} \quad (7)$$

$$K_P = \left(\frac{1}{\alpha}\right)\left(\frac{1}{|V| \times T_S}\right) \quad (8)$$

$$K_I = \left(\frac{K_P}{T_{PLL}}\right) \quad (9)$$

$$\alpha = \left(\frac{1}{2\pi \times f_{BW} \times T_S}\right) \quad (10)$$

$$T_{PLL} = \alpha^2 \times T_S \quad (11)$$

จากสมการที่ (7) ถึง (11) สามารถทำการคำนวณเพื่อออกแบบค่า K_P และ K_I ได้โดยกำหนดให้เวลาการชักตัวอย่างของระบบ (T_S) มีค่าเท่ากับ 20 μs ขนาดแรงดันไฟฟ้าของระบบ $|V|$ เท่ากับ 381.04 V และค่าความถี่แบนด์วิธ (f_{BW}) เป็นค่าที่ใช้ในการออกแบบและเปรียบเทียบการทำงานของวงจร PLL โดยกำหนดให้ใช้ 3 ค่า คือ 50 Hz , 100 Hz และ 150 Hz ค่า K_P และ K_I ที่คำนวณได้เป็นไปตามตารางที่ 1

ตารางที่ 1 K_P และ K_I จากการออกแบบความถี่แบนด์วิธ (f_{BW})

f_{BW} (Hz)	K_P	K_I
50	0.8244	1.626
100	1.65	12.99
150	2.474	44.18

5. การจำลองสถานการณ์และอภิปรายผล

การจำลองสถานการณ์จะใช้ระบบไฟฟ้าที่พิจารณาตามหัวข้อที่ 2 ผ่านโปรแกรม MATLAB/Simulink เพื่อทดสอบสมรรถนะการทำงานจากการออกแบบค่าพารามิเตอร์ตัวควบคุมพีไอ (PI Controller) ภายในวงจร PLL ด้วยวิธี Symmetrical Optimum ดังตารางที่ 2 โดยแบ่งสถานการณ์เป็น 7 ช่วงเวลาดังตารางที่ 2

ตารางที่ 2 ช่วงเวลาการจำลองสถานการณ์

ช่วงเวลา (s)	สถานการณ์
0 - 0.2	- ช่วงเริ่มต้นวงจรกรองกำลังแอกทีฟยังไม่ทำงาน - แรงดันแหล่งจ่ายของระบบ 220 *Vrms*
0.2 - 0.7	- วงจรกรองกำลังแอกทีฟเริ่มการทำงาน - ความถี่ของระบบ 50 Hz
0.7 - 1.2	- ความถี่ของระบบเปลี่ยนเป็น 49 Hz
1.2 - 1.7	- ความถี่ของระบบเปลี่ยนเป็น 50 Hz
1.7 - 2.2	- ความถี่ของระบบเปลี่ยนเป็น 51 Hz
2.2 - 2.7	- ความถี่ของระบบเปลี่ยนเป็น 50 Hz
2.7 - 3.2	- ความถี่ของระบบ 50 Hz - แรงดันแหล่งจ่ายของระบบมีการรบกวนจากแรงดันฮาร์มอนิกแอมพลิจูด 20 อันดับที่ 5 และ 7

จากการจำลองสถานการณ์การออกแบบค่า K_P และ K_I ส่งผลต่อการทำงานของวงจร PLL ดังรูปที่ 6 โดยยกตัวอย่างการทำงานของวงจร PLL ช่วงวินาทีที่ 1.65 ถึง 2 พบว่าวินาทีที่ 1.7 ช่วงที่ความถี่เปลี่ยนจาก 50 Hz เป็น 51 Hz รูปสัญญาณจะมีการเปลี่ยนแปลงเพื่อปรับความถี่ให้ทัน ซึ่งจะวัดจากการตามสัญญาณของวงจร PLL ในรูปที่ 7 เป็นการเปรียบเทียบว่าค่า f_{BW} ที่เท่ากับ 100 Hz และ 150 Hz สามารถตามสัญญาณไซน์อ้างอิงได้เร็วใกล้เคียงกันและช้าที่สุดคือค่า f_{BW} เท่ากับ 50 Hz

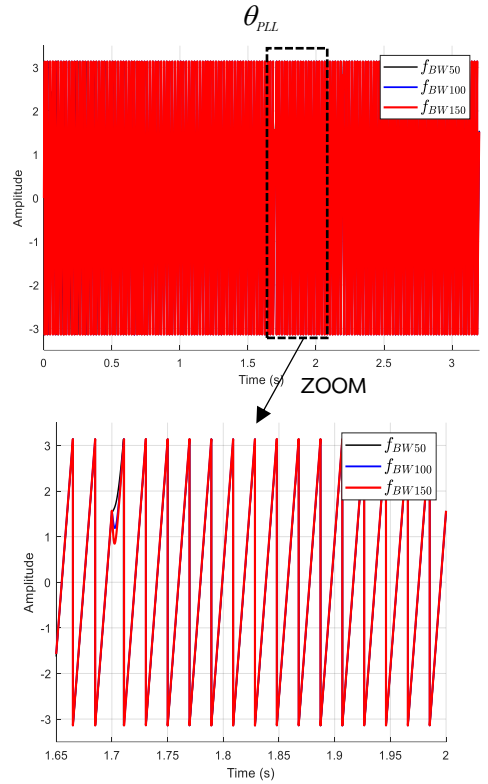

รูปที่ 6 สัญญาณของวงจร PLL ของความถี่แบนด์วิธ 50 , 100 ,150 Hz

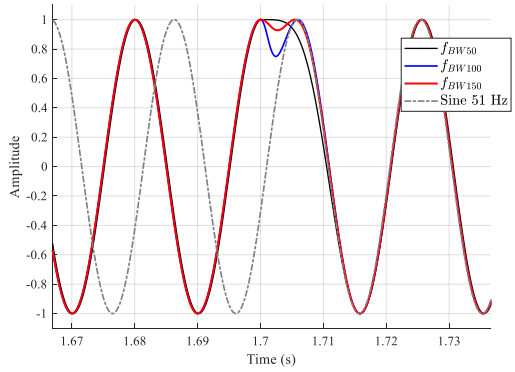

รูปที่ 7 การเปรียบเทียบเฟสของฟังก์ชันไซน์ที่ค่าความถี่แบนด์วิธต่าง ๆ กับสัญญาณอ้างอิงที่ 51 Hz ในช่วงเวลาความถี่เกิดการเปลี่ยนแปลง

การออกแบบค่า f_{BW} ที่แตกต่างกันยังส่งผลต่อคุณภาพการไหลของกำลังไฟฟ้าดังรูปที่ 8 และ 9 จะเห็นว่าในช่วงเวลาเริ่มต้นการทำงานของวงจรกรองกำลังแอกทีฟ (วินาทีที่ 0.2) ที่ f_{BW} เท่ากับ 50 Hz มีการลู่เข้าของกำลังไฟฟ้าจริงและกำลังไฟฟ้ารีแอคทีฟอย่างช้า ๆ ในส่วนของแหล่งจ่ายและวงจรกรองกำลังแอกทีฟที่ทำงานสัมพันธ์กัน แต่ที่ค่า f_{BW} เท่ากับ 150 Hz มีการตามสัญญาณได้รวดเร็ว ส่งผลให้การลู่เข้าของกำลังไฟฟ้าเร็วกว่าค่า f_{BW} ที่เท่ากับ 100 Hz เพียงเล็กน้อยในขณะที่วงจรกรองกำลังแอกทีฟเริ่มทำงานหรือความถี่ในระบบเกิดการเปลี่ยนแปลง

ผลของการกำจัดฮาร์มอนิกในระบบ โดยใช้ค่า f_{BW} เท่ากับ 150 Hz ดังรูปที่ 11 (ก) เมื่อวงจรกรองกำลังแอกทีฟทำงาน ยกตัวอย่างเฟส a กระแสโหลด $(i_{L,a})$ มีลักษณะผิดเพี้ยนแสดงถึงฮาร์มอนิกที่เกิดขึ้นในระบบ โดยวัดค่า %THD ก่อนการชดเชยได้ 24.91% รูปคลื่นแรงดันที่จุด PCC (V_{pcc}) และกระแสไฟฟ้าด้านแหล่งจ่าย $(i_{S,a})$ มีลักษณะเป็นรูปคลื่นไซน์หลังจากการชดเชยวัดค่า %THD ได้ 0.185% ในช่วงความถี่เกิดการเปลี่ยนแปลงค่า %THD เท่ากับ 2.955% ในช่วงที่ระบบเกิดแรงดันฮาร์มอนิกดังรูปที่ 11 (ข)

ประสิทธิภาพการทำงานของการออกแบบวงจร PLL ที่ออกแบบด้วยวิธี Symmetrical Optimum ในบทความนี้ให้ค่าความเพี้ยนฮาร์มอนิกรวม (%THD) และค่าตัวประกอบกำลัง (Power Factor) ภายหลังการชดเชยด้วยได้ ดังตารางที่ 3 และ 4 ซึ่งพบว่า ในช่วงที่เกิดความถี่เปลี่ยนแปลงในระบบ ค่า f_{BW} เท่ากับ 100 Hz และ 150 Hz ให้ค่า %THD ใกล้เคียงกันแต่ต่ำกว่า f_{BW} เท่ากับ 50 Hz แต่ในช่วงที่ความถี่คงที่แต่เกิดแรงดันฮาร์มอนิกขึ้นทางด้านแหล่งจ่ายที่ค่า f_{BW} เท่ากับ 50 Hz ให้ค่า %THD ที่ต่ำที่สุด โดยค่า %THD ที่กล่าวมาทั้งหมดรวมถึงค่า PF ยังอยู่ภายใต้มาตรฐาน IEEE std.519 และ IEEE std.141 ดังนั้นเมื่อพิจารณาร่วมกับการไหลของกำลังไฟฟ้า จะเห็นว่าค่าการออกแบบ f_{BW} เท่ากับ 150 Hz ให้ผลลัพธ์ที่ดีต่อระบบไฟฟ้าที่พิจารณามากที่สุด

ตารางที่ 3 สมรรถนะการทำงานของ APF ช่วงความถี่เปลี่ยนแปลง

	ช่วงความถี่เปลี่ยนแปลง											
	50 Hz			49 Hz			50 Hz			51 Hz		
f_{BW}	50	100	150	50	100	150	50	100	150	50	100	150
%THD ก่อนการชดเชย	24.91	24.91	24.91	24.71	24.91	24.91	24.91	24.91	24.91	25.1	24.91	24.91
%THD หลังการชดเชย	0.57	0.18	0.18	0.3	0.178	0.178	0.2	0.18	0.1815	0.2	0.185	0.185
PF ก่อนการชดเชย	0.81	0.81	0.81	0.806	0.81	0.801	0.81	0.81	0.81	0.813	0.81	0.813
PF หลังการชดเชย	0.99	0.99	1	0.99	1	1	0.99	1	1	0.99	1	1

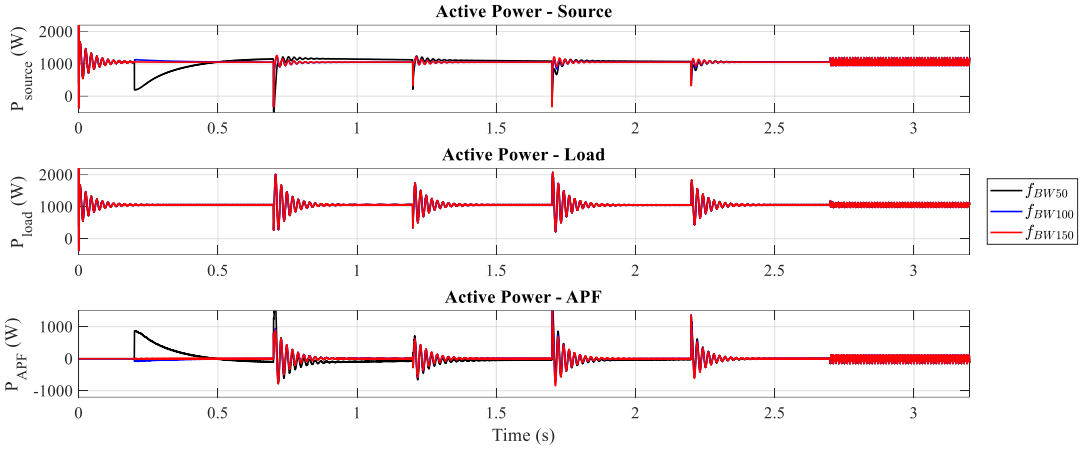

รูปที่ 8 กำลังไฟฟ้าจริงของแหล่งจ่าย โหลด และวงจรกรองกำลังแอกทีฟ

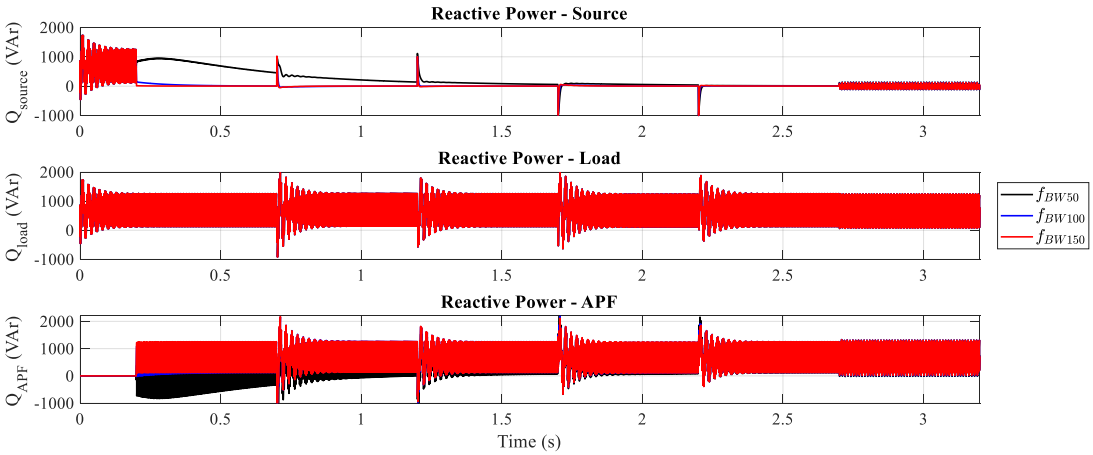

รูปที่ 9 กำลังไฟฟ้ารีแอคทีฟของแหล่งจ่าย โหลด และวงจรกรองกำลังแอกทีฟ

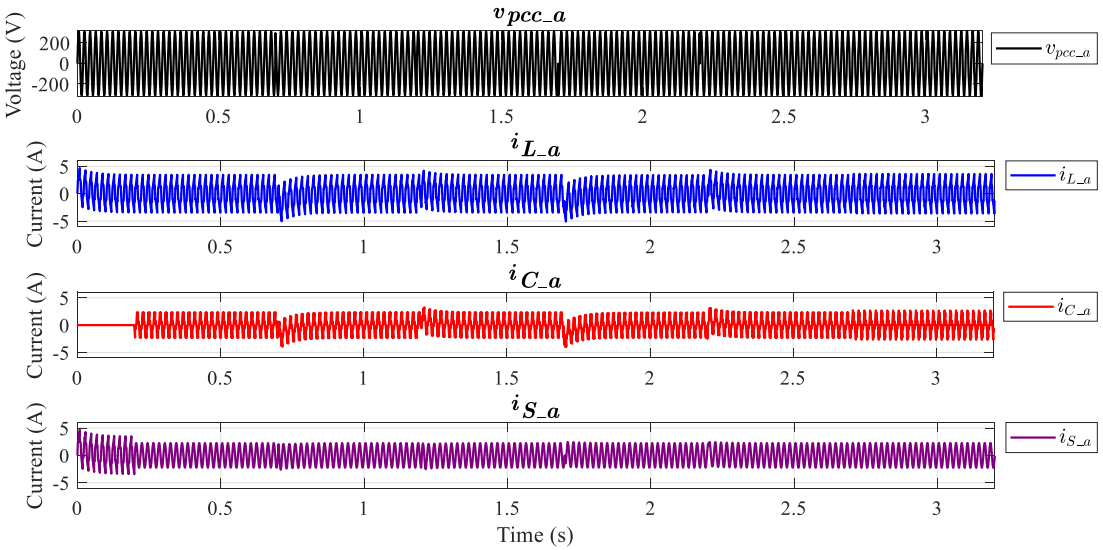

รูปที่ 10 ผลการกำจัดฮาร์มอนิกที่ค่า f_{BW} ของวงจร PLL เท่ากับ 150 Hz

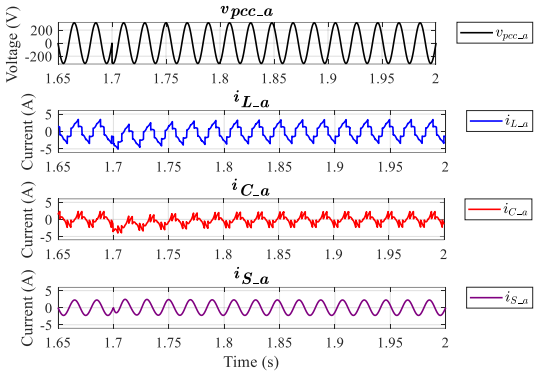

(ก) วินาทีที่ 1.65 - 2

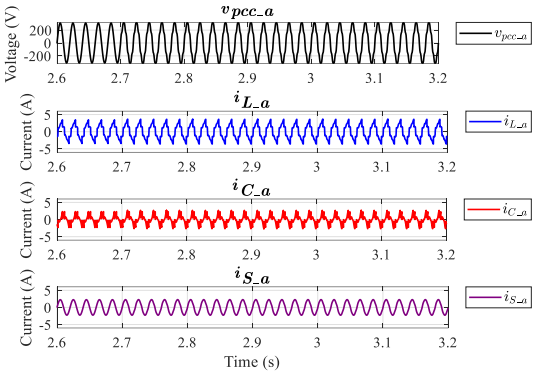

(ข) วินาทีที่ 2.6 – 3.2

รูปที่ 11 ภาพขยายของรูปที่ 10

ตารางที่ 4 สมรรถนะการทำงานของ APF ช่วงความถี่คงที่และเกิดแรงดันฮาร์มอนิก

	ช่วงความถี่คงที่ 50 Hz					
	50 Hz			50 Hz + $V^{th}_{5,7}$		
f_{BW}	50	100	150	50	100	150
%THD ก่อนการชดเชย	24.91	24.91	24.91	26.97	24.91	24.91
%THD หลังการชดเชย	0.18	0.185	0.18	1.13	2.13	2.955
PF ก่อนการชดเชย	0.81	0.81	0.81	0.795	0.81	0.795
PF หลังการชดเชย	1	1	1	0.995	0.96	0.96

6. สรุป

บทความนี้ได้นำเสนอการออกแบบวงจร PLL ด้วยวิธี Symmetrical Optimum เพื่อใช้กับการตรวจจับฮาร์มอนิกด้วยวิธี SRF ผลการจำลองสถานการณ์ต่าง ๆ ตามค่าพารามิเตอร์ที่ได้ออกแบบและทำการเปรียบเทียบ พบว่า การเลือกค่าความถี่ตัดและอันดับของวงจรกรองที่เหมาะสมมีผลต่อค่า %THD ซึ่งเป็นผลมาจากประสิทธิภาพในการแยกปริมาณกระแสฮาร์มอนิกออกจากปริมาณกระแสมูลฐาน เช่นเดียวกับการกำหนดค่าความถี่แบนด์วิธ ที่ทำให้การทำงานของวงจร PLL มีประสิทธิภาพในการตรวจจับความถี่เปลี่ยนแปลงที่เกิดขึ้นในระบบไฟฟ้าได้รวดเร็ว ส่งผลทำให้การไหลของกำลังไฟฟ้ามีผลตอบสนองค่า %THD และ PF อยู่ในมาตรฐาน IEEE std.519 และ IEEE std.141 ทั้งหมด ดังนั้นควรออกแบบและเลือกใช้ค่าที่เหมาะสมตามสถานการณ์ของระบบไฟฟ้าที่พิจารณา

สำหรับงานในอนาคต จะมุ่งเน้นที่การออกแบบระบบควบคุมกระแสชดเชย ระบบควบคุมแรงดันบัสไฟตรง และการออกแบบพารามิเตอร์สำหรับวงจรกรองกำลังแอคทีฟ จากนั้น จึงจะดำเนินการจำลองสถานการณ์และทดสอบบนอุปกรณ์จริงต่อไป

เอกสารอ้างอิง

[1] S. Golestan and J. M. Guerrero, "A Review of Harmonic Detection Techniques for Power Quality Improvement Using Passive Filters," *IEEE Transactions on Industrial Electronics*, vol. 65, no. 3, pp. 2433–2443, Mar. 2018.

[2] H. Akagi, E. H. Watanabe, and M. Aredes, *Instantaneous Power Theory and Applications to Power Conditioning*, 2nd ed. Hoboken, NJ, USA: Wiley-IEEE Press, 2017

[3] C. Pisano, G. Giardina, G. Scelba, and F. Genduso, "Design and Implementation of a Fast Synchronous Reference Frame PLL for Single-Phase Systems," *IEEE Transactions on Power Electronics*, vol. 34, no. 12, pp. 12048–12058, Dec. 2019.

[4] P. Ramesh and P. A. Ghosh, "A Review on Control Strategies of Distributed Generation Interface to Microgrid," *International Conference on Power, Energy and Control (ICPEC)*, 2013, pp. 457–462.

[5] N. Vazquez, C. Hernandez, and C. Aguilar, "A Study of Voltage Distortion Effects on Load Compensation Using Active Power Filters," *IEEE Transactions on Industrial Electronics*, vol. 58, no. 1, pp. 303–310, Jan. 2011.

[6] K. Somsai, T. Kulworawanichpong, and N. Voraphonpiput, "Design of Decoupling Current Control with Symmetrical Optimum Method for D-STATCOM," *IEEE PES Innovative Smart Grid Technologies (ISGT)*, 2012.

นายเศรษฐ์ สุขจันทร์ เกิดที่อำเภอหาดใหญ่ จังหวัดสงขลา ประเทศไทย เมื่อวันที่ 20 กุมภาพันธ์ พ.ศ. 2546 สำเร็จการศึกษาระดับปริญญาตรี สาขาวิชาวิศวกรรมไฟฟ้า คณะวิศวกรรมศาสตร์ มหาวิทยาลัยสงขลานครินทร์ วิทยาเขตหาดใหญ่ ปัจจุบันศึกษาต่อระดับปริญญาโทสาขาวิชาวิศวกรรมไฟฟ้า คณะวิศวกรรมศาสตร์ มหาวิทยาลัยสงขลานครินทร์ วิทยาเขตหาดใหญ่ มีความสนใจด้าน การปรับปรุงคุณภาพไฟฟ้า การตรวจจับฮาร์มอนิก และการออกแบบวงจรกรองแอคทีฟแบบขนาน

การปรับแต่งพารามิเตอร์ตัวควบคุมด้วยเทคนิคเจเนติกอัลกอริทึมสำหรับวงจรแปลงผันไฟฟ้ากระแสสลับเป็นกระแสตรงหนึ่งเฟสแบบทบระดับแรงดันที่มีการแก้ไขค่าตัวประกอบกำลัง

Parameter Tuning of a Controller Using Genetic Algorithm Technic for a Single-Phase AC/DC Boost Converter with Power Factor Correction

ณภสุ สมเสร็จ อิทธิกร คงใหม่ ศุภเกียรติ บุตรดีสุวรรณ โกศล ชัยเจริญอุดมรุ่ง และ หัฏฐะ สาวะจันทร์*

ภาควิชาเทคโนโลยีวิศวกรรมไฟฟ้า วิทยาลัยเทคโนโลยีอุตสาหกรรม มหาวิทยาลัยเทคโนโลยีพระจอมเกล้าพระนครเหนือ
hatta.s@cit.kmutnb.ac.th*

บทคัดย่อ

บทความนี้นำเสนอแนวทางในการเพิ่มประสิทธิภาพการปรับปรุงตัวประกอบกำลัง (Power Factor) สำหรับวงจรแปลงผันไฟฟ้ากระแสสลับเป็นกระแสตรงหนึ่งเฟสแบบทบระดับแรงดัน ระบบควบคุมประกอบด้วยตัวควบคุมแบบฮิสเทอรีซิส ที่ใช้เพื่อควบคุมให้กระแสของตัวเหนี่ยวนำติดตามรูปแบบของกระแสอ้างอิงอย่างรวดเร็วและการควบคุมแรงดันที่ใช้ตัวควบคุมแบบพีไอ โดยในบทความนี้ได้นำอัลกอริธึมเชิงพันธุกรรม (Genetic algorithm) มาประยุกต์ใช้ปรับแต่งพารามิเตอร์ของตัวควบคุมแบบพีไอให้เหมาะสม ประสิทธิภาพการควบคุมได้รับการประเมินผ่านการจำลองสถานการณ์ด้วยโปรแกรม MATLAB/Simulink ภายใต้สภาวะโหลด 50% และ 100% ของพิกัดที่ 400 วัตต์ ผลการจำลองแสดงให้เห็นว่าวิธีควบคุมที่เสนอสามารถรักษาแรงดันขาออกให้คงที่ที่ 400 โวลต์ และปรับปรุงค่าตัวประกอบกำลังได้ โดยมีค่า THDi เท่ากับ 3.50%

คำสำคัญ: โหลดไม่เป็นเชิงเส้น ความผิดเพี้ยนของรูปคลื่น กระแสไม่เป็นรูปคลื่นไซน์ ฮาร์มอนิก

Abstract

This paper presents an approach to improve the power factor of a single-phase AC-DC boost converter. The proposed system employs a hysteresis current controller for fast inductor current tracking and a PI voltage controller for output voltage regulation. A Genetic Algorithm (GA) is utilized to optimize the PI controller parameters. The proposed method is evaluated through MATLAB/Simulink simulations under 50% and 100% load conditions of a 400 W system. Simulation results confirm that the control scheme maintains a stable output voltage of 400 V and significantly enhances the power factor, achieving an input current THD of 3.50%.

Keywords: Non-linear Loads, Waveform Distortion, Non-sinusoidal Current, Harmonics

1. บทนำ

ปัจจุบันอุปกรณ์ไฟฟ้าได้มีการควบคุมให้เป็นไปตามมาตราฐาน IEC 61000-3-2 มาตรฐานนี้ได้กำหนดขีดจำกัดการปล่อยกระแสฮาร์มอนิกกระแสเข้าของอุปกรณ์ ≤16 แอมป์ต่อเฟส ที่อุปกรณ์สามารถปล่อยเข้าสู่ระบบจำหน่ายไฟฟ้า กระแสฮาร์มอนิกดังกล่าวเกิดจากโหลดที่ไม่เป็นเชิงเส้น (Non-linear Load) อาทิเช่น อุปกรณ์อิเล็กทรอนิกส์กำลัง วงจรแปลงผันกำลัง แหล่งจ่ายสวิตชิง คอมพิวเตอร์ คุณสมบัติของโหลดที่ไม่เป็นเชิงเส้นเหล่านี้ ทำให้กระแสขาเข้าไม่เป็นรูปคลื่นไซน์ ก่อให้เกิดมลพิษทางระบบไฟฟ้าย้อนกลับไปยังแหล่งจ่ายกระแสไฟฟ้า ซึ่งเป็นสาเหตุของการเกิดความผิดเพี้ยนของสัญญาณไฟฟ้า (Harmonic Distortion) ในสายส่งฮาร์มอนิกในระบบไฟฟ้ากำลังก่อให้เกิดความร้อนสะสมในอุปกรณ์ไฟฟ้า การรบกวนสัญญานควบคุมทำให้อุปกรณ์ทำงานผิดพลาด จึงจำเป็นต้องหาวิธีลดปริมาณฮาร์มอนิกที่เข้าสู่ระบบจำหน่ายรวมถึงป้องกันผลกระทบต่ออุปกรณ์และโครงข่ายไฟฟ้า

วงจรแปลงผันไฟฟ้ากระแสสลับเป็นกระแสตรงหนึ่งเฟสเป็นที่นิยมใช้สำหรับส่วนหน้าของอุปกรณ์อิเล็กทรอนิกส์ในครัวเรือนและอุตสาหกรรมหลายชนิด[1] เพราะมีความเรียบง่ายและมีประสิทธิภาพ อย่างไรก็ตามกระแสไฟฟ้าขาเข้าของวงจรแปลงผันไฟฟ้ากระแสสลับเป็นไฟฟ้ากระแสตรงไม่เป็นรูปคลื่นไซน์ จึงทำให้มีค่าตัวประกอบกำลังต่ำและแรงดันขาออกของไม่คงที่ขึ้นอยู่กับโหลด เพื่อแก้ไขปัญหาดังกล่าวจึงจำเป็นต้องมีการควบคุมกระแสขาเข้าให้มีรูปคลื่นสัญญาณใกล้เคียงรูปคลื่นไซน์และมีมุมเฟสตรงกับมุมเฟสของแรงดันไฟฟ้า เรียกว่า “การปรับปรุงตัวประกอบกำลัง (Power Factor Correction: PFC)” รวมถึงการรักษาระดับแรงดันขาออกให้คงที่อีกด้วย ซึ่งสามารถทำได้โดยการเพิ่มวงจรแปลงผันแบบทบระดับแรงดัน โครงสร้างวงจรแปลงผันไฟฟ้ากระแสสลับเป็นกระแสตรงหนึ่งเฟสแบบทบระดับแรงดัน (Single-phase AC/DC Boost Converter) นี้เป็นที่นิยมมากในบรรดาวงจรแปลงผัน PFC รูปแบบอื่น ๆ เพราะโครงสร้างไม่ซับซ้อนและสามารถควบคุมรักษาระดับแรงดันไฟฟ้าขาออกได้ วิธีการควบคุมกระแสแบบฮิสเทอรีซิสเป็นหนึ่งในรูปแบบการควบคุมกระแส วิธีการนี้มีการความเรียบง่าย ความคลาดเคลื่อนขึ้นอยู่กับฮิสเทอรีซิส มีผลการตอบสนองที่รวดเร็ว ในขณะที่ลูปแรงดันจะมีลักษณะการตอบสนองคงที่ช้ากว่าลูปกระแส ทำหน้าที่รักษาแรงดันขาออก จึงนิยมใช้โครงสร้างตัวควบคุมแบบพีไอ สมรรถนะการควบคุมขึ้นอยู่กับพารามิเตอร์ตัวควบคุมแบบพีไอ เพื่อให้วงจรแปลงผันแบบทบระดับแรงดันที่มีการปรับปรุงตัวประกอบกำลังทำงานได้อย่างมีประสิทธิภาพจึงจำเป็นต้องออกแบบค่าพารามิเตอร์ตัวควบคุมแบบพีไอให้เหมาะสม

ด้วยเหตุนี้จึงได้มีการเสนอแนวคิดการหาค่าพารามิเตอร์ตัวควบคุมโดยใช้เทคนิคทางปัญญาประดิษฐ์ ดังในเอกสารอ้างอิง [2 - 3] จากที่ได้กล่าวในข้างต้น บทความนี้จึงเสนอการปรับแต่งพารามิเตอร์ตัวควบคุมด้วยเทคนิคการค้นหาแบบจีเนติกอัลกอริทึมวงจรแปลงผันไฟฟ้ากระแสสลับเป็นไฟฟ้ากระแสตรงหนึ่งเฟสแบบทบระดับแรงดันที่มีการปรับปรุงตัวประกอบกำลัง สมรรถนะการควบคุม ยืนยันด้วยผลการจำลองสถานการณ์บนโปรแกรม MATLAB/Simulink ภายใต้เงื่อนไขภาวะที่โหลด 50% และ 100% ของพิกัดวงจรแปลงผันที่ 400 วัตต์

*ผู้ประพันธ์บรรณกิจ

2. วงจรแปลงไฟฟ้ากระแสสลับเป็นไฟฟ้ากระแสตรง 1 เฟส แบบทบระดับแรงดันที่มีการแก้ไขค่าตัวประกอบกำลัง

วงแปลงผันไฟฟ้ากระแสสลับเป็นไฟฟ้ากระแสตรงหนึ่งเฟสแบบทบระดับแรงดันและโครงสร้างการควบคุมแก้ไขค่าตัวประกอบกำลังแสดงในรูปที่ 1 ซึ่งประกอบด้วย แหล่งจ่ายไฟฟ้ากระแสสลับหนึ่งเฟส 230 Vrms 50 Hz เป็นแรงดันไฟฟ้าขาเข้าของวงจรเรียงกระแสเต็มคลื่นแบบบริดจ์ ในขณะที่ตัวเหนี่ยวนำ (*L*) เป็นตัวเหนี่ยวนำของวงจรแปลงผันแบบทบระดับแรงดันทำหน้าที่เก็บและถ่ายพลังงานไฟฟ้า สวิตช์ (*SW*) ทำหน้าที่เปิด-ปิด ตามสัญญาณพัลส์ที่ได้จากระบบควบคุม

การควบคุมแรงดันขาออกอาศัยตัวควบคุมแบบพีไอ ผลลัพธ์จากตัวควบคุมดังกล่าวถูกคูณกับค่าสมบูรณ์หนึ่งหน่วยของรูปคลื่นสัญญาณไซน์ที่ได้จากขั้นตอนการวัดแรงดันที่แหล่งจ่ายเพื่อสร้างสัญญาณอ้างอิงกระแสการควบคุมกระแส ในบทความนี้ใช้วิธีการควบคุมกระแสแบบฮิสเทอรีซิสที่เปรียบเทียบระหว่างค่ากระแสจริงของตัวเหนี่ยวนำกับค่ากระแสอ้างอิงนำมาสร้างสัญญาณพัลส์สำหรับการควบคุมสวิตช์ของวงจรแปลงผันแบบทบระดับแรงดัน

3. การควบคุมแก้ไขตัวประกอบกำลังและการออกแบบ

การควบคุมแก้ไขตัวประกอบกำลังสำหรับวงจรแปลงผันไฟฟ้ากระแสสลับเป็นไฟฟ้ากระแสตรงหนึ่งเฟสแบบทบระดับแรงดันที่แสดงตามรูปที่ 1 ประกอบด้วยลูปการควบคุมกระแสและลูปการควบคุมแรงดัน โดยมีรายละเอียดดังต่อไปนี้

3.1 ตัวควบคุมกระแสไฟฟ้า

กระแสตัวเหนี่ยวนำจะถูกควบคุมตามรูปร่างของกระแสอ้างอิงผลต่างของกระแสอ้างอิงและกระแสตัวเหนี่ยวนำถูกเปรียบเทียบกับฮิสเตอร์รีซิสเพื่อสร้างสัญญาณพัลส์สำหรับการควบคุมกระแสตัวเหนี่ยวนำของวงจรแปลงผันทบระดับแรงดัน เมื่อกระแสตัวเหนี่ยวนำมากกว่ากระแสอ้างอิงไปยังขอบบนของแถบฮิสเตอร์รีซิส สวิตช์จะเปิดทำให้กระแสตัวเหนี่ยวนำลดลง ในทางกลับกันเมื่อกระแสตัวเหนี่ยวนำลดลงถึงขอบล่างของแถบฮิสเตอร์รีซิส สวิตช์จะปิดกระแสที่ไหลผ่านตัวเหนี่ยวนำจะเพิ่มขึ้นจนถึงแถบบนของฮิสเตอร์รีซิสอีกครั้ง ทำงานสลับกันไป ตามที่แสดงในรูปที่ 2

3.2 ตัวควบคุมแรงดันไฟฟ้า

โครงสร้างตัวควบคุมแรงดันของระบบรูปที่ 1 สามารถพิจารณาได้ด้วยบล็อกไดอะแกรมในรูปที่ 3 แรงดันขาออกจะถูกเปรียบเทียบแรงดันอ้างอิงกลายเป็นสัญญาณผิดพลาด ซึ่งเป็นอินพุตของตัวควบคุมแบบพีไอ เอาต์พุตของตัวควบคุมเป็นสัญญาณกระแสอ้างอิง

โดยที่ $K_S = \frac{V_o}{\hat{i}}$ และ $\tau_s = \frac{2CV_o^{\,2}}{\hat{V}_s \hat{i}_L}$ อ้างอิงตาม [1] (1)

จากแผนภาพบล็อกไดอะแกรมสามารถวิเคราะห์สมการสำหรับการออกแบบค่า K_p และ K_i ได้ดังนี้

$$K_p = \frac{2CV_o}{\tau \hat{V}_s} \quad (2)$$

$$K_i = \frac{K_p}{\tau} \quad (3)$$

เมื่อค่า τ คือ ค่าคงที่ของเวลา

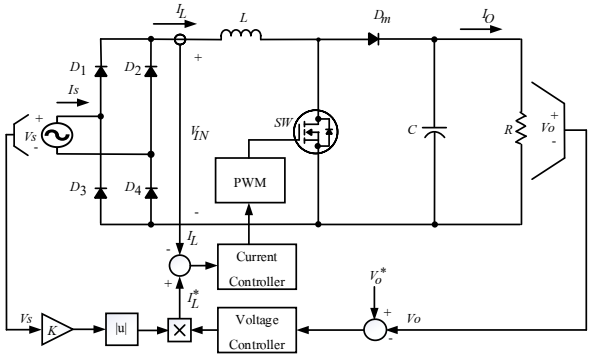

รูปที่ 1 วงจรแปลงผันไฟฟ้ากระแสสลับเป็นกระแสตรงหนึ่งเฟส แบบทบระดับแรงดันที่มีการปรับปรุงตัวประกอบกำลัง

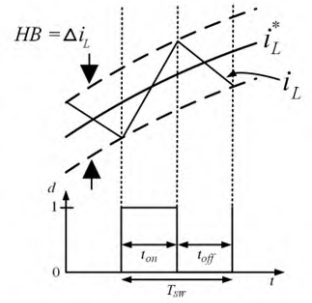

รูปที่ 2 การควบคุมกระแสแบบฮิสเตอร์รีซิส

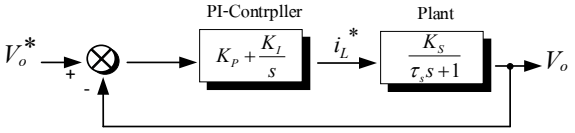

รูปที่ 3 บล็อคไดอะแกรม

4. การออกแบบตัวควบคุมแบบพีไอสำหรับแก้ไขค่าตัวประกอบกำลังด้วยเทคนิคเจเนติกอัลกอริทึม

ประสิทธิภาพของการควบคุมสามารถประเมินได้โดยใช้ค่าอินทิกรัลของค่าความผิดพลาดสมบูรณ์ (Integral of Time Multiplied by Absolute Error: ITAE) ตามสมการที่ 4 โดยทั่วไปแล้วตัวควบคุมที่มีสมรรถนะการควบคุมที่ดีจะมีค่าดัชนี ITAE ต่ำ

$$ITAE = \int_0^t t \cdot |e(t)| dt \quad (4)$$

แผนภาพบล็อกไดอะแกรมสำหรับการออกแบบตัวควบคุมแบบพีไอด้วยเจเนติกอัลกอริทึมแสดงในรูปที่ 4 ในบทความนี้ได้ใช้เพื่อปรับแต่งพารามิเตอร์ K_p และ K_i เพื่อให้วงจรแปลงผันไฟฟ้ากระแสสลับเป็นไฟฟ้ากระแสตรงหนึ่งเฟสแบบทบระดับแรงดันที่มีการปรับปรุงตัวประกอบกำลังทำงานได้ดียิ่งขึ้น โดยมีขั้นตอนดังต่อไปนี้

กระบวนการเริ่มจากการกำหนด K_p และ K_i ด้วยเจเนติกอัลกอริทึม ประสิทธิภาพของการควบคุมจะถูกประเมินโดยใช้ค่าดัชนี ITAE ผ่านฟังก์ชันวัตถุประสงค์ ซึ่งค่าดังกล่าวจะถูกส่งต่อไปยังเจเนติกอัลกอริทึม เพื่อทำการประมวลผลต่อไป

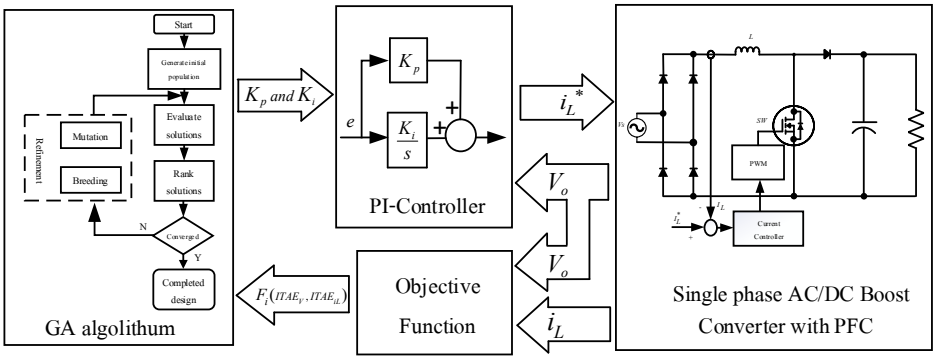

รูปที่ 4 แผนภาพบล็อกของระบบการปรับแต่งพารามิเตอร์

ค่า ITAE จะถูกจัดอันดับจากน้อยไปหามาก สำหรับตัวควบคุมที่มีประสิทธิภาพดียิ่งจะให้ค่า ITAE ที่ต่ำกว่าต่อจากนั้น ระบบจะเข้าสู่ขั้นตอนการปรับแต่งพารามิเตอร์ ซึ่งเป็นการเลือกโครโมโซมพ่อแม่ที่มีความเหมาะสม เพื่อสร้างโครโมโซมรุ่นลูกหลานที่มีคุณภาพดียิ่งขึ้น ซึ่งจะนำมาแทนที่โครโมโซมในรุ่นก่อนหน้า เพื่อปรับปรุงประชากรให้ดีขึ้นในแต่ละรุ่น หากจำนวนรุ่นที่กำหนดล่วงหน้า ยังไม่ถึง กระบวนการจะวนกลับไปที่ขั้นตอนการเลือกโครโมโซมใหม่อีกครั้ง และใช้โครโมโซมเหล่านี้เป็นพื้นฐานสำหรับประชากรรุ่นถัดไปในกรณีที่ถึงรุ่นสูงสุดที่กำหนดไว้แล้ว กระบวนการจะสิ้นสุดลง โดยโครโมโซมที่มีค่าความเหมาะสม สูงที่สุดจะถือเป็นคำตอบสุดท้ายที่ดีที่สุดของระบบควบคุม ฟังก์ชันวัตถุประสงค์ที่ใช้ในบทความประกอบไปด้วยการประเมินสมรรถนะการควบคุมของแรงดันควบคู่ไปกับการประเมิณสมรรถนะการควบคุมกระแสเป็นไปตามความสัมพันธ์ต่อไปนี้

$$W(ITAE_V, ITAE_{iL}) = \lambda_1 ITAE_V + \lambda_2 ITAE_{iL} \qquad (5)$$

โดยที่ λ_1 และ λ_2 เป็นตัวประกอบถ่วงน้ำหนักของตัวชี้วัด $ITAE_V$ และ $ITAE_{iL}$ ตามลำดับ

5. ผลการจำลอง

การค้นหาค่าพารามิเตอร์ที่เหมาะสมของตัวควบคุมแบบพีไอด้วยเจเนติกอัลกอริทึมสำหรับการแก้ไขตัวประกอบกำลังดำเนินการบนโปรแกรม MATLAB/Simulink โดยใช้พารามิเตอร์ของระบบที่ใช้จำลองดังตารางที่ 1 ตัวควบคุมแบบพีไอที่ได้รับการออกแบบตามหลักการดั้งเดิมมีพารามิเตอร์ K_p = 0.0066 และ K_i = 0.0264 ซึ่งใช้เป็นแนวทางสำหรับการกำหนดขอบเขตการค้นหาพารามิเตอร์ตัวควบคุมแบบพีไอ โดยให้ K_p อยู่ในขอบเขตช่วง [0.0006 – 0.06] และ K_i อยู่ในช่วง [0.00264 – 0.264] ตามลำดับ การประเมินสมรรถนะการควบคุมกำหนดสถานการณ์ให้แรงดันไฟฟ้าขาออกอ้างอิงที่ 400 โวลต์ จากนั้นให้โหลดทางไฟฟ้ามีการเปลี่ยนแปลงเพิ่มขึ้นจาก 50% เป็น 100% ของพิกัด และเปลี่ยนแปลงโหลดลดลงจาก 100% เป็น 50% ของพิกัด โดยที่เจเนติกอัลกอริทึมได้กำหนดให้จำนวนรุ่น (Generation) เท่ากับ 100 จำนวนประชากร (Population) เท่ากับ 10 ความห่างของรุ่น (Generation Gap) เท่ากับ 0.5 อัตราการไขว้เปลี่ยนพันธุ์ (Crossover Rate) เท่ากับ 0.8 อัตราการกลายพันธุ์ (Mutation Rate) เท่ากับ 1 แสดงในรูปที่ 5 แสดงการลู่เข้าค่าน้อยที่สุดของฟังก์ชันวัตถุประสงค์ ซึ่งพบว่าค่าฟังก์ชันวัตถุประสงค์น้อยที่สุดอยู่ที่ 8.88 ผลการออกแบบตัวควบคุมแบบพีไอได้พารามิเตอร์ K_p เท่ากับ 0.0586 และ K_i เท่ากับ 0.2435 ตามลำดับ

ตารางที่ 1 พารามิเตอร์ที่ใช้ในการจำลอง

พารามิเตอร์	ค่า
กำลังไฟฟ้าขาออก *(Po)*	400 W
แรงดันไฟฟ้าขาเข้า *(Vs)*	220 V_{rms}
แรงดันไฟฟ้าขาออก *(Vo)*	400 V
ตัวเหนี่ยวนำ *(L)*	15 mH
ตัวเก็บประจุ *(C)*	680 µF
แถบแบนฮีสเตอรีซิส	2 mA

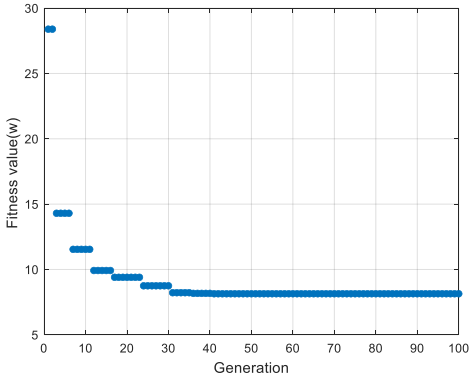

รูปที่ 5 การลู่เข้าค่าน้อยสุดของฟังก์ชันวัตถุประสงค์

ผลการจำลองสถานการณ์ทดสอบประสิทธิภาพการควบคุมในสภาวะชั่วครู่ของแรงดันไฟฟ้าขาออกที่กำหนดแรงดันไฟฟ้าอ้างอิงที่ 400 โวลต์ และโหลดมีการเปลี่ยนแปลงเพิ่มขึ้นและลดลงแบบทันทีทันใดแสดงในรูปที่ 6 และรูปที่ 7 ตามลำดับ ในรูปที่ 6 แสดงผลตอบสนองของแรงดันไฟฟ้าขาออกเมื่อโหลดเปลี่ยนแปลงเพิ่มขึ้นจาก 50% เป็น 100% ของพิกัด เปรียบเทียบสมรรถนะการควบคุมระหว่างตัวควบคุมที่ได้รับการออกแบบตามหลักการแบบดั้งเดิม (Conventional-PI) กับ ตัวควบคุมพีไอที่ออกแบบด้วยวิธีที่นำเสนอ (GA-PI) พบว่า ตัวควบคุมที่ออกแบบจากทั้ง 2 วิธี สามารถรักษาแรงดันขาออกให้คงที่ที่ 400 โวลต์ ได้ แต่อย่างไรก็ตามที่เวลา 5 วินาที โหลดมีการเปลี่ยนแปลงเพิ่มขึ้น จะเห็นได้ว่าแรงดันขาออกของตัวควบคุม GA-PI ให้ประสิทธิภาพที่ดีอย่างเห็นได้ชัด โดยมีการพุ่งลงและเวลาเข้าที่ที่น้อยกว่าเมื่อเทียบกับตัวควบคุม Conventional-PI ในขณะที่รูปที่ 7 แสดงผลตอบสนองของแรงดันไฟฟ้าขาออกเมื่อโหลดมีการเปลี่ยนแปลงลดลงแบบทันทีทันใดจาก 100% เป็น 50% ของพิกัด พบว่าตัวควบคุม GA-PI ยังคงมีการตอบสนองที่ดีกว่าเมื่อเทียบกับตัวควบคุม Conventional-PI

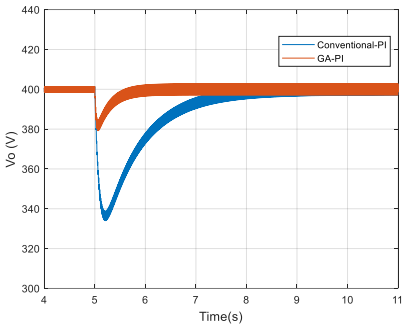

รูปที่ 6 ผลตอบสนองของแรงดันไฟฟ้าขาออกขณะโหลดเปลี่ยนเพิ่มขึ้นจาก 50% เป็น 100% ของพิกัด

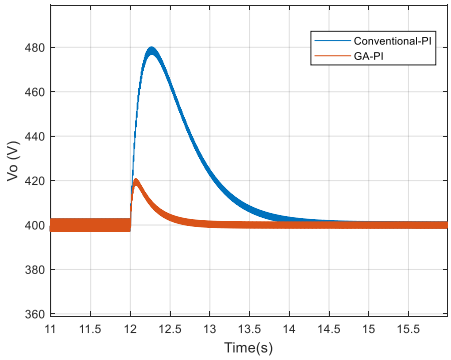

รูปที่ 7 ผลตอบสนองของแรงดันไฟฟ้าขาออกขณะโหลดเปลี่ยนจาก 100% ไปยัง 50% ของพิกัด

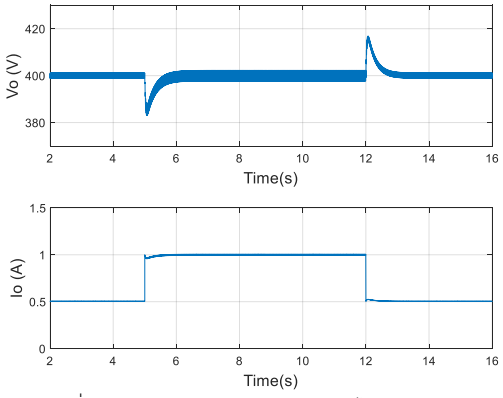

รูปที่ 8 ผลตอบสนองแรงดันและกระแสไฟฟ้าขาออกเมื่อโหลดมีการเปลี่ยนแปลงของตัวควบคุมที่นำเสนอ

ผลตอบสนองแรงดันและกระแสขาออกขณะโหลดมีการเปลี่ยนแปลงเพิ่มขึ้นและลดลงของตัวควบคุม GA-PI แสดงในรูปที่ 8 จะเห็นได้ว่าเมื่อโหลดมีการเปลี่ยนแปลงเพิ่มขึ้นและลดลงกระแสขาออกมีค่าเพิ่มและลดลงตามการเปลี่ยนแปลงของโหลดในขณะที่แรงดันขาออกมีค่าคงที่ที่ 400 โวลต์

ผลตอบสนองในสภาวะคงตัวที่ค่าพิกัดของแรงดันและกระแสไฟฟ้าขาเข้าเปรียบเทียบกันระหว่างตัวควบคุม Conventional-PI กับ GA-PI แสดงในรูปที่ 9 จะเห็นได้ว่ารูปสัญญาณกระแสขาเข้าของตัวควบคุมทั้งคู่เป็นรูปคลื่นไซน์และมีมุมเฟสตรงกับมุมเฟสของแรงดันขาเข้าและมีค่าความผิดเพี้ยนของกระแสฮาร์มอนิกแต่ละอันดับต่ำกว่ามาตรฐาน โดยมีค่า THDi จากตัวควบคุม Conventional-PI และ GA-PI อยู่ที่ 2.04% และ 3.50% ตามลำดับ ดังแสดงในรูปที่ 10

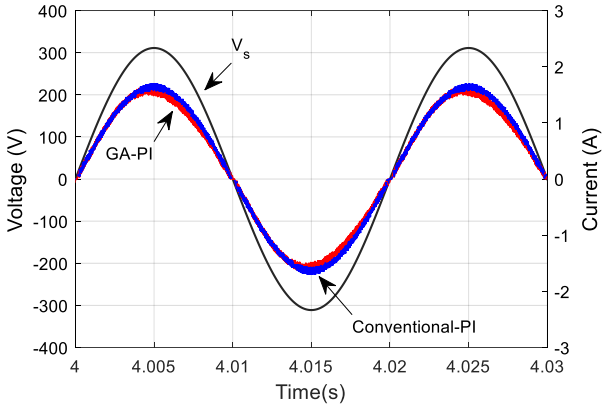

รูปที่ 9 แรงดันและกระแสไฟฟ้าขาเข้า

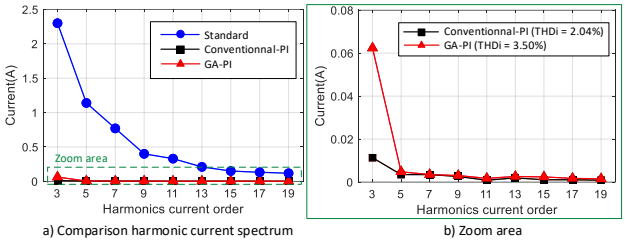

รูปที่ 10 เปรียบเทียบอันดับกระแสฮาร์มอนิกส์ภายใต้มาตรฐาน IEC 61000-3-2 standard (Class A)

6. สรุป

บทความได้นำเสนอการประยุกต์ใช้เจเนติกอัลกอริทึม ซึ่งเป็นเทคนิคทางปัญญาประดิษฐ์สำหรับการปรับแต่งพารามิเตอร์ตัวควบคุมของวงจรแปลงผันไฟฟ้ากระแสสลับเป็นกระแสตรงแบบทบระดับแรงดันหนึ่งเฟสที่มีการแก้ไขตัวประกอบกำลัง การปรับแต่งพารามิเตอร์นี้มุ่งเน้นที่ตัวควบคุมแรงดัน ซึ่งเป็นตัวควบคุมแบบพีไอ ผลตอบสนองของระบบที่จำลองถูกประเมินประสิทธิภาพการควบคุมผ่านฟังก์ชันวัตถุประสงค์แบบหลายตัวแปรบนพื้นฐานค่าอินทิกรัลของค่าความผิดพลาดสมบูรณ์ ผลการจำลองแสดงให้เห็นว่าวิธีที่นำเสนอสามารถควบคุมแรงดันไฟฟ้าขาออกได้ดีกว่าเมื่อเทียบกับวิธีแบบดั้งเดิม ในขณะที่ค่า THDi ของวิธีที่นำเสนอมีค่ามากกว่าวิธีแบบดั้งเดิมเล็กน้อย แต่อย่างไรก็ตามค่า THDi ของวิธีที่นำเสนอยังคงอยู่ภายใต้ค่าที่มาตรฐาน IEC 61000-3-2 standard (Class A) กำหนด

เอกสารอ้างอิง

[1] T. Chotiwattanatrakul, P. Liutanakul and N. Wiwatcharagoses, "Simplify and automate the boost converter design regarding mode of controller and feedforward technique," 2017 International Electrical Engineering Congress (iEECON), Pattaya, Thailand, 2017, pp. 1-4

[2] M. S. Ali, L. Wang, H. Alquhayz, O. U. Rehman, and G. Chen, " Performance Improvement of Three-Phase Boost Power Factor Correction Rectifier Through Combined Parameters Optimization of Proportional-Integral and Repetitive Controller," *IEEE Access*, vol. 9, 2021, pp. 58893 – 58909

[3] A. Kessal and L. Rahmani, "Ga-Optimized Parameters of Sliding-Mode Controller Based on Both Output voltage and Input Current With an Application in the PFC of AC/DC Converters," *IEEE Transactions on Power Electronics*, vol. 29, 2014, pp. 3159 - 3165

การออกแบบตัวควบคุมฟัซซีลอจิกที่เหมาะสมสำหรับการควบคุมความเร็วรอบมอเตอร์ไฟฟ้ากระแสตรงแบบไร้แปรงถ่านโดยอัลกอริทึมเชิงพันธุกรรม

Design of an Optimal Fuzzy Logic Controller for Speed Control of a BLDC Motor Using a Genetic Algorithm

สายฟ้า นพรัตน์ สรศักดิ์ อาจหาญ ชวนะ อยู่ภักดี และ โกศล ชัยเจริญอุดมรุ่ง*

ภาควิชาเทคโนโลยีวิศวกรรมไฟฟ้า วิทยาลัยเทคโนโลยีอุตสาหกรรม มหาวิทยาลัยเทคโนโลยีพระจอมเกล้าพระนครเหนือ
koson.c@cit.kmutnb.ac.th*

บทคัดย่อ

บทความนี้นำเสนอการออกแบบตัวควบคุมฟัซซีลอจิก(Fuzzy logic control: FLC) สำหรับการควบคุมความเร็วรอบของมอเตอร์ไฟฟ้ากระแสตรงแบบไร้แปรงถ่าน (Brushless DC motor: BLDC) โดยอาศัยอัลกอริทึมเชิงพันธุกรรม (Genetic algorithm: GA) ในบทความนี้ได้แสดงการวิเคราะห์แบบจำลองทางคณิตศาสตร์ในรูปแบบฟังก์ชันถ่ายโอนของ BLDC เพื่อใช้สำหรับออกแบบตัวควบคุม พร้อมทั้งรายละเอียดการออกแบบฟังก์ชันสมาชิกและกฎของฟัซซี อัลกอริทึมเชิงพันธุกรรมถูกใช้ค้นหาค่าที่เหมาะสมที่สุดของฟังก์ชันสมาชิกอินพุตของฟัซซี ประสิทธิภาพการควบคุมถูกประเมินด้วยฟังก์ชันวัตถุประสงค์แบบหลายตัวแปรบนพื้นฐานการจำลองสถานการณ์ ผลการจำลองสถานการณ์แสดงให้เห็นว่า ตัวควบคุม FLC ที่ได้รับการออกแบบด้วยวิธีที่นำเสนอ สามารถลดค่าพุ่งเกินของระบบและลดเวลาการตอบสนองของการควบคุมได้

คำสำคัญ: ตัวควบคุมฟัซซี อัลกอริทึมเชิงพันธุกรรม มอเตอร์ไฟฟ้ากระแสตรงแบบไร้แปรงถ่าน

Abstract

This paper presents the design of a fuzzy logic controller (FLC) for speed control of a brushless DC motor (BLDC) using a genetic algorithm (GA). In this paper, mathematical modeling of the BLDC motor transfer function is described for controller design. Details of the fuzzy membership functions and rule base design are also provided. The GA is applied to optimize the parameters of the input membership functions. Control performance is evaluated using a multi-objective function based on simulation. Simulation results demonstrate that the proposed FLC design can reduce system overshoot and shortens the control response time.

Keywords: Fuzzy Controller, Genetic Algorithm, Brushless DC Motor

1. บทนำ

ในปัจจุบันมอเตอร์ไฟฟ้าถือได้ว่าเป็นองค์ประกอบที่สำคัญในระบบอัตโนมัติและเครื่องจักรในโรงงานอุตสาหกรรม รวมถึงอุปกรณ์เครื่องใช้ไฟฟ้าต่าง ๆ สำหรับงานที่ต้องการความแม่นยำในการควบคุมความเร็วรอบและแรงบิด มอเตอร์ไฟฟ้ากระแสตรงแบบไร้แปรงถ่าน [1] ได้รับความนิยมเพิ่มขึ้นอย่างต่อเนื่อง เพราะมีข้อได้เปรียบหลายประการ เช่น บำรุงรักษาต่ำ อายุการใช้งานนานและมีประสิทธิภาพสูง นอกจากนี้มอเตอร์ BLDC ยังมีคุณสมบัติในการตอบสนองต่อคำสั่งควบคุมได้อย่างรวดเร็ว จึงมักถูกนำมาประยุกต์ใช้ในอุปกรณ์หลายประเภท เช่น ยานยนต์ไฟฟ้า หุ่นยนต์ ระบบขับเคลื่อนของโดรน ระบบอัตโนมัติทางอุตสาหกรรม และเครื่องใช้ไฟฟ้าอัจริยะต่าง ๆ

การควบคุมการทำงานของมอเตอร์ BLDC ให้มีประสิทธิภาพจำเป็นต้องอาศัยเทคนิคการควบคุมที่ซับซ้อนและแม่นยำ ควบคุมการจ่ายแรงดันไฟฟ้าให้สอดคล้องกับตำแหน่งของโรเตอร์ โดยมีตัวตรวจจับสนามแม่เหล็ก(Hall sensor) ทำหน้าที่ระบุตำแหน่งของโรเตอร์ ดังแสดงในรูปที่ 1 ด้วยเหตุนี้ การพัฒนาและปรับปรุงระบบควบคุม BLDC ให้มีประสิทธิภาพจึงเป็นประเด็นที่ได้รับความสนใจอย่างต่อเนื่อง โดยมีการนำเสนองานวิจัยการควบคุมมอเตอร์ BLDC ด้วยวิธีการที่หลากหลาย ตัวควบคุมพีไอดีเป็นหนึ่งในวิธีการควบคุมที่ได้รับความนิยมอย่างแพร่หลาย เพราะมีโครงสร้างการควบคุมที่เรียบง่าย สามารถลดการพุ่งเกินและขจัดค่าผิดพลาดในสถานอยู่ตัวได้ การออกแบบตัวควบคุมสามารถใช้วิธีการลองผิดลองถูก (Trial and error: TE) หรือวิธีการของซีกเกลอร์-นิโคลส์ (Ziegler – Nichols: ZN) แต่อย่างไรก็ตามการกำหนดค่าพารามิเตอร์ตัวควบคุมพีไอดีให้เหมาะสมไม่ใช่เรื่องง่าย[3-4] จึงได้มีแนวคิดการประยุกต์ใช้ตัวควบคุมแบบฟัซซีลอจิกที่มีข้อได้เปรียบด้านการออกแบบการควบคุมด้วยกฎภาษาที่เข้าใจง่าย มีความหยืดหยุ่นในการควบคุม อย่างไรก็ตามการออกแบบการควบคุมให้มีประสิทธิภาพจำเป็นต้องอาศัยผู้เชี่ยวชาญออกแบบกฎการควบคุม รวมถึงการปรับแต่งพารามิเตอร์ของตัวควบคุม โดยที่ไม่สามารถยืนยันค่าที่เหมาะสมที่สุดของตัวควบคุมได้ จากที่ได้กล่าวมาข้างต้น

ในบทความนี้จึงเสนอการออกแบบและการหาค่าที่เหมาะสมของฟังก์ชันสมาชิกสำหรับตัวควคุมแบบฟัซซีที่ใช้ควบคุมความเร็วรอบมอเตอร์ BLDC โดยใช้อัลกอริทึมเชิงพันธุกรรม การประเมินประสิทธิภาพการควบคุมพิจารณาด้วยค่าดัชนีต่าง ๆ ประกอบด้วย การพุ่งเกิน เวลาเข้าสู่สภาวะคงตัวและค่าผิดพลาดในสภาวะคงตัว สมรรถนะการควบคุมยืนยันด้วยผลการจำลองสถานการณ์เปรียบเทียบระหว่างตัวควบคุมฟัซซีแบบทั่วไปกับตัวควบคุมฟัซซีที่ได้รับการออกแบบด้วยวิธีการที่นำเสนอ

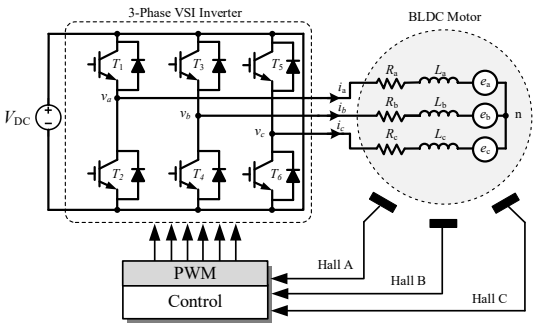

รูปที่ 1 การขับเคลื่อนมอเตอร์ BLDC

*ผู้ประพันธ์บรรณกิจ

2. แบบจำลองมอเตอร์ไฟฟ้ากระแสตรงแบบไร้แปรงถ่าน

จากภาพที่ 1 แสดงวงจรสมมูลของมอเตอร์ BLDC โดยที่ขดลวดแต่ละเฟสแทนที่ด้วยความต้านทาน (R_s) และตัวเหนี่ยวนำ (L_s) แรงดันไฟฟ้าต้านกลับแต่ละเฟส e_{an} e_{bn} และ e_{cn} การขับเคลื่อนอาศัยอินเวอร์เตอร์สามเฟส ตำแหน่งโรเตอร์ถูกตรวจจับด้วยเซ็นเซอร์วัดสนามแม่เหล็ก (Hall senser) ทั้ง 3 ตัว ที่ถูกติดตั้งอยู่ภายใน ส่งสัญญาณให้กับระบบควบคุม เพื่อสร้างสัญญาณขับสวิตช์ แบบจำลองของมอเตอร์ BLDC สามารถเขียนให้อยู่ในรูปแรงดันที่ขั้วทั้ง 3 เฟส ได้ดังสมการที่ (1)-(3) ตามลำดับ

$$v_{an} = R_a i_a + \frac{d}{dt}\left(L_a i_a + M_{ab} i_b + M_{ac} i_c\right) + e_{an} \tag{1}$$

$$v_{bn} = R_b i_b + \frac{d}{dt}\left(L_b i_b + M_{ba} i_a + M_{bc} i_c\right) + e_{bn} \tag{2}$$

$$v_{cn} = R_c i_c + \frac{d}{dt}\left(L_c i_c + M_{ca} i_a + M_{cb} i_b\right) + e_{cn} \tag{3}$$

พิจารณาขดลวดทั้ง 3 มีความสมมาตรตัวเหนี่ยวนำแต่ละเฟสเท่ากัน สำหรับค่าความเหนี่ยวนำร่วมจึงเท่ากันและกระแสไฟฟ้าสามเฟสเป็นตามเงื่อนไข

$$i_a + i_b + i_c = 0 \tag{4}$$

จากสมการที่ (1) – (3) สามารถลดรูปสมการได้เป็น

$$v_{an} = Ri_a + \left(L - M\right)\frac{di_a}{dt} + e_{an} \tag{5}$$

$$v_{bn} = Ri_b + \left(L - M\right)\frac{di_b}{dt} + e_{bn} \tag{6}$$

$$v_{cn} = Ri_c + \left(L - M\right)\frac{di_c}{dt} + e_{cn} \tag{7}$$

การควบคุมสวิตช์ทำงานครั้งละ 2 เฟส เมื่อ $L_d = L - M$ และ $e = K_b\omega_m$ โดยที่ K_b คือ ค่าคงที่แรงดันของมอเตอร์ สามารถเขียนสมการใหม่ได้เป็น

$$v_d = R_d i + L_d\frac{di}{dt} + K_b\omega_m \tag{8}$$

สมการแรงบิดทางไฟฟ้าสามารถเขียนแสดงดังสมการ

$$T_e = \frac{e_a i_a + e_b i_b + e_c i_c}{\omega_m} = K_T i \tag{9}$$

เมื่อ K_T คือ ค่าคงที่แรงบิดของมอเตอร์
สมการเคลื่อนที่แบบหมุนสามารถเขียนได้ดังนี้

$$T_e = T_L + J\frac{d\omega_m}{dt} + B\omega_m \tag{10}$$

พิจารณา $T_L = 0$ นำสมการที่ (8) แทนลงใน (9) และจัดให้อยู่ในรูปเทอมของกระแส จะได้

$$i = \frac{J}{K_T}\frac{d\omega_m}{dt} + \frac{B}{K_T}\omega_m \tag{11}$$

จากสมการข้างต้นดำเนินการแปลงลาปลาซและจัดรูปได้เป็น

$$G_d(s) = \frac{\omega_m(s)}{v_d(s)} = \frac{K_T}{LJs^2 + (R_d J + JB)s + (R_d B + K_b K_T)} \tag{12}$$

มอเตอร์ BLDC ถูกควบคุมผ่านชุดขับเคลื่อนที่สามารถแทนได้ด้วยฟังก์ชันถ่ายโอนอันดับหนึ่ง ทำให้สามารถเขียนฟังก์ชันถ่ายโอนของระบบได้ดังสมการที่ (13) โดยที่ K_c คือ ค่าอัตราขยายและ τ_c คือ ค่าคงตัวทางเวลาของชุดขับเคลื่อน

$$G_P(s) = \left(\frac{K_c}{\tau_c s + 1}\right)\frac{K_T}{JLs^2 + (JR_d + JB)s + (R_d B + K_b K_T)} \tag{13}$$

3. การออกแบบตัวควบคุมฟัซซีลอจิก

ตัวควบคุมฟัซซีใช้เพื่อแก้ไขปัญหาที่เกิดขึ้นจากการใช้ ลอจิกแบบดั้งเดิม (Boolean Logic) ที่มีข้อจำกัดในการจัดการกับข้อมูลที่ไม่ชัดเจนหรือมีความไม่แน่นอน การออกแบบตัวควบคุมฟัซซีมี 3 ขั้นตอนหลักได้แก่ การฟัซซิฟิเคชัน (Fuzzification) กลไกการอนุมาน (Inference Mechanism) และการดีฟัซซิฟิเคชัน (Defuzzification) ในบทความนี้ ค่าความคลาดเคลื่อน (error) เป็นค่าความแตกต่างระหว่างความเร็วที่อ้างอิงกับค่าความเร็วรอบของมอเตอร์ ส่วนค่าอัตราการเปลี่ยนแปลงของความคลาดเคลื่อน (Error Rate) จะอยู่ในรูปแบบของอัตราการเปลี่ยนแปลงความคลาดเคลื่อนเทียบกับอัตราการเปลี่ยนแปลงของเวลา สัญญาณทั้งสองจะถูกส่งไปยังฟังก์ชันสมาชิกเพื่อเข้าสู่ขั้นตอนการอนุมาน ตัวควบคุมฟัซซีถูกออกแบบโดยใช้วิธีการอนุมานแบบ (Sugeno Inference Method) ซึ่งใช้ค่าความคลาดเคลื่อนและอัตราการเปลี่ยนแปลงของความคลาดเคลื่อนเป็นตัวแปรนำเข้า โดยแต่ละกฎฟัซซีจะอยู่ในรูปแบบ ถ้า-แล้ว (If-Then) ค่าผลลัพธ์จากกฎแต่ละข้อจะถูกคำนวณโดยใช้ฟังก์ชันเชิงเส้น และนำมารวมกันด้วยวิธี เฉลี่ยถ่วงน้ำหนัก (Weighted Average) โดยใช้อัตราส่วนของค่าความเป็นสมาชิก (Membership Degree) ฟังก์ชันสมาชิกอินพุต รูปแบบฟังก์ชันสมาชิกตัวแปรอินพุตแบบรูปสามเหลี่ยมและสี่เหลี่ยมคางหมูถูกใช้อย่างแพร่หลาย เนื่องจากมีข้อดีในเรื่องของเวลาคำนวณและความง่ายในการเขียนโปรแกรม ฟังก์ชันสมาชิกนี้ถูกกำหนดให้มีลักษณะสมมาตร โดยมีขอบเขตอยู่ระหว่าง [−1,1] ส่วนเอาต์พุตมีการอนุมานแบบซูกิโนที่มีขอบเขตอยู่ระหว่าง [-0.01,0.01] ดังแสดงในรูปที่ 2 และรูปที่ 3 ตามลำดับ

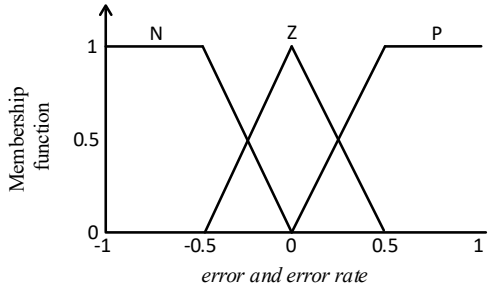

ภาพที่ 2 ฟังก์ชันสมาชิกอินพุต

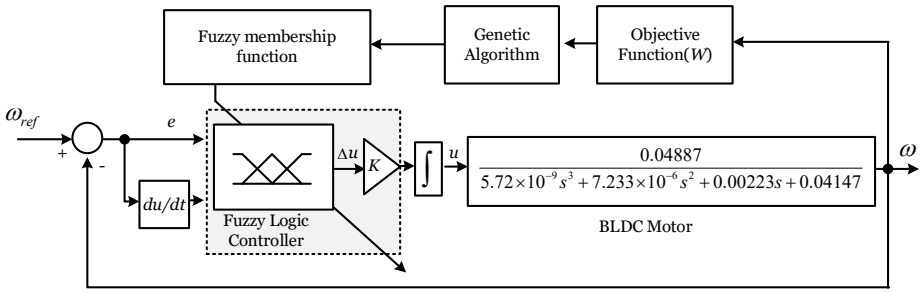

รูปที่ 4 แผนภาพการออกแบบ FLC สำหรับควบคุมความเร็วรอบมอเตอร์ BLDC ด้วยอัลกอริทึมเชิงพันธุกรรม

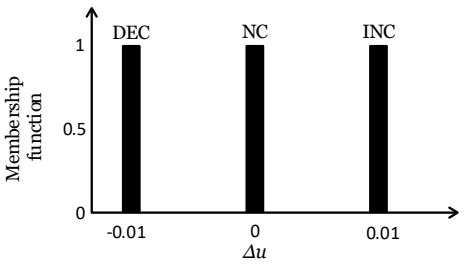

รูปที่ 3 ฟังก์ชันสมาชิกเอาต์พุต

การกำหนดกฎของฟัซซีถูกออกแบบโดยใช้ความสัมพันธ์ระหว่างค่าความคลาดเคลื่อนกับค่าอัตราการเปลี่ยนแปลงความคลาดเคลื่อนกับเอาต์พุตของฟัซซีที่เป็นค่าอัตราการเปลี่ยนแปลงของสัญญาณควบคุม ตัวแปรอินพุตของฟัซซีเป็นแบบ 3x3 ทำให้มีกฎของฟัซซี 9 กฎ ดังแสดงในตารางที่ 1 โดยที่มีค่าอัตราขยาย K = 540

ตารางที่ 1 กฎของฟัซซี

Input Fuzzy		*error*		
		N	**Z**	**P**
error rate	**N**	DEC	DEC	INC
	Z	DEC	NC	INC
	P	DEC	NC	DEC

4. การออกแบบตัวควบคุมฟัซซีลอจิกด้วยอัลกอริทึมเชิงพันธุกรรม

อัลกอริทึมเชิงพันธุกรรมเป็นวิธีการค้นหาแบบหนึ่งที่อิงตามหลักของการคัดเลือกโดยธรรมชาติและพันธุกรรมเชิง พันธุศาสตร์เพื่อใช้ในการค้นหาคำตอบที่เหมาะสมที่สุดในพื้นที่ของคำตอบที่มีขนาดใหญ่และซับซ้อนซึ่งมีกระบวนการอยู่สามข้อคือ การคัดเลือกสายพันธุ์ เป็นกระบวนการที่เลือกประชากรที่ดีที่สุดในแต่ละรุ่น เพื่อให้อัลกอริทึมสามารถเลือกสมาชิกที่มีคุณสมบัติที่ดีที่สุดในรุ่น มาใช้ในการสร้างรุ่นถัดไป โดยจะมีการคัดเลือกตามคุณสมบัติหรือค่าฟิตเนส (Fitness value) ของแต่ละตัวแทนพันธุกรรม หลังจากการคัดเลือกสายพันธุ์แล้ว การปฏิบัติการทางสายพันธุ์จะเกิดขึ้น ซึ่งรวมถึงกระบวนการหลักสองประเภท คือ การผสมพันธุ์ (Crossover) และการกลายพันธุ์ (Mutation) การผสมพันธุ์เป็นการแลกเปลี่ยนข้อมูลระหว่างสองสายพันธุ์เพื่อสร้างลูกหลานที่มีคุณสมบัติดีขึ้น การกลายพันธุ์จะเป็นการเปลี่ยนแปลงบางส่วนของพันธุกรรมของลูกหลาน เพื่อเพิ่มความหลากหลายและหลีกเลี่ยงปัญหาที่อาจเกิดขึ้นจากการคัดเลือกที่จำกัด เมื่อการผสมพันธุ์และการกลายพันธุ์เสร็จสิ้นแล้ว ขั้นตอนต่อไปคือการแทนที่ ซึ่งหมายถึงการนำประชากรที่ดีที่สุดในรุ่นก่อนหน้าออกและนำลูกหลานที่ได้รับการปรับปรุงใหม่มาแทนที่ เพื่อให้ประชากรในรุ่นถัดไปมีคุณสมบัติที่ดีขึ้น แผนภาพการออกแบบ FLC ที่เหมาะสมด้วยอัลกอริทึมเชิงพันธุกรรมสำหรับควบคุมความเร็วรอบของ BLDC แสดงดังรูปที่ 4 กระบวนการออกแบบเริ่มต้นจากการกำหนดพารามิเตอร์ฟังก์ชันสมาชิกอินพุตด้วยอัลกอริทึมเชิงพันธุกรรม จากนั้นจำลองสถานการณ์ผ่านแบบจำลองทางคณิตศาสตร์ในรูปแบบของฟังก์ชันถ่ายโอนที่อ้างอิงตาม [2] ฟังก์ชันวัตถุประสงค์ทำหน้าที่ประเมินประสิทธิภาพของการควบคุมความเร็วรอบ โดยมีค่า W เป็นดัชนีชี้วัดคุณภาพของพารามิเตอร์ในแต่ละรอบของการค้นหาเป็นค่าของฟิตเนส

การออกแบบ FLC ด้วยอัลกอริทึมเชิงพันธุกรรมกำหนดให้ จำนวนรุ่น (Generation) = 300 จำนวนประชากร (Population) = 20 ความห่างของรุ่น (Generation gap) = 1 อัตราการไขว้เปลี่ยนพันธุ์ (Crossover rate) = 0.8 อัตราการกลายพันธุ์ (Mutation rate) = 1 พารามิเตอร์ตัวควบคุมที่ต้องค้นหาเป็นตำแหน่งของฟังก์ชันสมาชิกอินพุตรวมถึงค่าคงที่อัตราขยาย K มีทั้งหมด 13 ค่า ผลตอบสนองของการควบคุมถูกประเมินประสิทธิภาพของการควบคุมด้วยฟังก์ชันวัตถุประสงค์ ฟังก์ชันวัตถุประสงค์ดังกล่าวประกอบด้วยค่าเปอร์เซ็นต์พุ่งเกิน (percent overshoot: PO) ช่วงเวลาขึ้น(rise time: t_r) ช่วงเวลาเข้าที่ (setting time: t_s) และค่าผิดพลาดในสภาวะคงตัว (steady-stage error: e_{ss}) พิจารณาร่วมกันเป็นฟังก์ชันแบบหลายตัวแปร เขียนได้ดังสมการที่ 14

$$W = PO + t_r + t_s + e_{ss} \qquad (14)$$

5. ผลการจำลองสถานการณ์

การออกแบบ FLC กำหนดให้ช่วงขอบเขตของค้นหาตำแหน่งของฟังก์ชันสมาชิกอินพุตดังรูปที่ 5 และค่าอัตราขยาย K มีขอบเขตการค้นหาในช่วง 1 ถึง $1x10^7$ ผลลัพธ์ของการค้นหาในแต่ละรอบที่ประเมินผ่านค่าฟิตเนสที่ลู่เข้าสู่ค่าที่น้อยที่สุด แสดงในรูปที่ 6

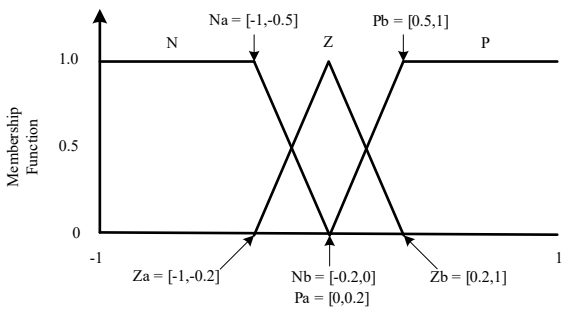

รูปที่ 5 ขอบเขตค้นหาของฟังก์ชันสมาชิก *error* และ *error rate*

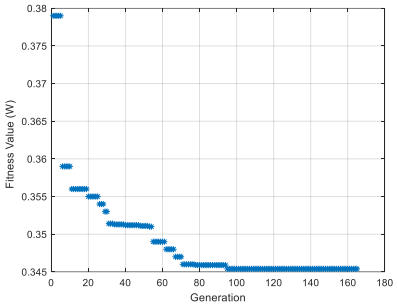

ภาพที่ 6 การลู่เข้าค่าน้อยสุดของ Fitness value (*W*)

ในภาพที่ 6 จะเห็นได้ว่า ค่า Fitness value หรือค่า *W* มีค่าลดลงเมื่อจำนวนรอบของการค้นหาหรือจำนวนรุ่นเพิ่มขึ้นและเริ่มคงที่ประมาณรุ่นที่ 100 ผลลัพธ์ให้คำตอบออกมาจากรอบการค้นหา 300 รอบ พารามิเตอร์ FLC ที่เหมาะสมของฟังก์ชันสมาชิกอินพุตของ *error* และ *error rate* แสดงดังภาพที่ 7 และ 8 ตามลำดับ โดยที่ค่าอัตราขยาย *K* ที่ออกแบบเท่ากับ 5.45×10^4

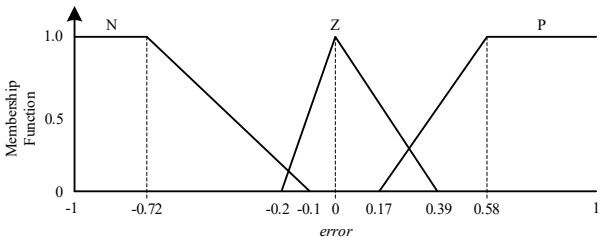

รูปที่ 7 ฟังก์ชันสมาชิก *error* ที่ได้จากอัลกอริทึมเชิงพันธุกรรม

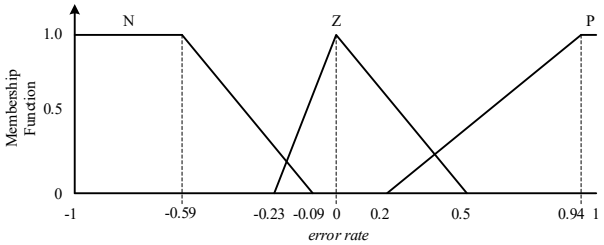

รูปที่ 8 ฟังก์ชันสมาชิก *error rate* ที่ได้จากอัลกอริทึมเชิงพันธุกรรม

การจำลองสถานการณ์ทดสอบประสิทธิภาพการควบคุมความเร็วรอบของมอเตอร์ BLDC กำหนดให้ความเร็วอ้างอิง 1,000 rpm โดยมีผลตอบสนองความเร็วรอบ แสดงในรูปที่ 9

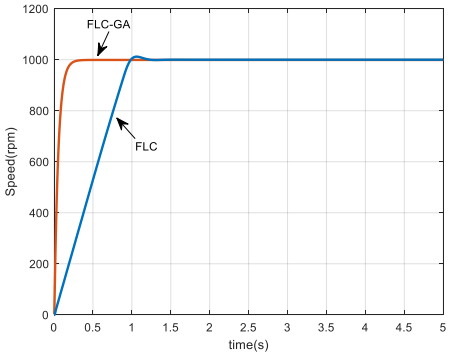

ภาพที่ 9 ผลตอบสนองความเร็วรอบมอเตอร์ BLDC

ตารางที่ 2 ตารางผลการเปรียบเทียบของระบบ

วิธีออกแบบ	ผลการตอบสนอง				*W*
	PO	t_r(s)	t_s(s)	e_{ss}	
FLC	1.1952	0.762	0.94	0	2.9032
FLC-GA	0	0.1109	0.2015	0	0.3454

จากรูปที่ 9 แสดงผลตอบสนองความเร็วรอบของมอเตอร์ BLDC เปรียบเทียบกันระหว่างตัวควบคุมฟัซซี (FLC) กับ ตัวควบคุมฟัซซีที่ถูกออกแบบด้วยอัลกอริทึมเชิงพันธุกรรม (FLC-GA) ซึ่งพบว่า ตัวควบคุมทั้งสองสามารถควบคุมความเร็วรอบของมอเตอร์ให้เข้าสู่ความเร็วรอบอ้างอิงที่ 1,000 rpm ได้ โดยมีค่าความผิดพลาดในสภาวะคงตัวเป็นศูนย์ แต่เมื่อเปรียบเทียบผลตอบสนองค่าพุ่งเกิน ช่วงเวลาขึ้นและช่วงเวลาเข้าที่ พบว่าตัวควบคุม FLC-GA ให้ประสิทธิภาพที่ดีกว่าเมื่อเทียบกับตัวควบคุม FLC โดยมีรายละเอียดของผลตอบสนองแสดงในตารางที่ 2

6 สรุป

บทความนี้ได้นำเสนอการออกแบบตัวควบคุม FLC ที่เหมาะสมสำหรับควบคุมความเร็วรอบมอเตอร์ BLDC เพื่อให้สามารถควบคุมความเร็วรอบได้อย่างมีประสิทธิภาพ โดยใช้อัลกอริทึมเชิงพันธุกรรมค้นหาปรับตำแหน่งของฟังก์ชันสมาชิกอินพุตฟัซซีที่เหมาะสมบนพื้นฐานการจำลองสถานการณ์ผ่านฟังก์ชันถ่ายโอนของมอเตอร์ สมรรถนะการควบคุมได้รับการประเมินด้วยฟังก์ชันวัตถุประสงค์แบบหลายตัวแปร ผลการจำลองแสดงให้เห็นว่าวิธีการออกแบบตัวควบคุมที่นำเสนอมีประสิทธิภาพการควบคุมที่เหนือกว่าตัวควบคุม FLC ถือเป็นแนวทางการออกแบบตัวควบคุมแบบฟัซซีที่ช่วยเพิ่มประสิทธิภาพการควบคุมความเร็วรอบของมอเตอร์ BLDC ให้ดียิ่งขึ้น สามารถลดค่าพุ่งเกิน ช่วงเวลาขึ้นและช่วงเวลาเข้าที่ได้ โดยมีผลการจำลองสถานการณ์ยืนยันประสิทธิภาพการควบคุมของวิธีที่นำเสนอ

เอกสารอ้างอิง

[1] S. Sharma, N. Kumar Sharma, M. Bajaj, V. Kumar, F. Jurado, and S. Kamel, “Optimal BLDC Motor Control Using a WOA-based LQR Strategy,” *2022 4th Global Power, Energy and Communication Conference (GPECOM)*, Nevsehir, Turkey 2022, pp. 14-17.

[2] ชูเกียรติ ศีรี โภควินท์ สำราญมาก ประเสริฐ แสงโป๋ ญาณวรรณ เก่งถนอมม้า และดนุพล คำปัญญา, “การระบุเอกลักษณ์แบบจ าลองทางคณิตศาสตร์ของมอเตอร์ไฟฟ้ากระแสตรงแบบไร้แปรงถ่านด้วยการหาค่าเหมาะที่สุดแบบค้างคาว,” การประชุมวิชาการทางวิศวกรรมไฟฟ้า ครั้งที่ 42, 31 ตุลาคม -1 พฤศจิกายน 2562, หน้า 265-268

[3] J. Pakdeeto, S. Wansungnoen, K-L Areerak, and K-N Areerak, “ Optimal Speed Controller Design of Commercial BLDC Motor by Adaptive Tabu Search Algorithm,” *IEEE Access,* vol. 11, 2023

[4] Y. Xu, M. Sun, S. Huang, S. Luo, and B. Hu, “ Research on BLDC Motor Controller Based on GA Optimization,” China Automation Congress (CAC), 25-27 November 2022.

วงจรทบแรงดันแบบอินเตอร์ลีฟที่มีการดึงกำลังไฟฟ้าสูงสุดด้วยวิธีการควบคุมกำลังไฟฟ้าโดยตรงสำหรับระบบผลิตไฟฟ้าด้วยเซลล์แสงอาทิตย์

Interleaved Boost Converter with MPPT Using Direct Power Control for Photovoltaic Power Generation System

ธนัตนนท์ เอี่ยมพงศ์ศักดา ธนบดี เริงสมุทร อนุศักดิ์ บิสลาม และ โกศล ชัยเจริญอุดมรุ่ง*
ภาควิชาเทคโนโลยีวิศวกรรมไฟฟ้า วิทยาลัยเทคโนโลยีอุตสาหกรรม
มหาลัยวิทยาลัยเทคโนโลยีพระจอมเกล้าพระนครเหนือ เลขที่ 1518 ถนนประชาราษฎร์1 แขวงวงศ์สว่าง เขตบางซื่อ กรุงเทพฯ 10800
koson.c@cit.kmutnb.ac.th*

บทคัดย่อ

บทความนี้นำเสนอกลยุทธ์การควบคุมติดตามกำลังไฟฟ้าสูงสุดด้วยวิธีการควบคุมกำลังไฟฟ้าโดยตรงที่นำมาประยุกต์ใช้กับระบบผลิตไฟฟ้าจากเซลล์แสงอาทิตย์บนพื้นฐานวงจรทบแรงดันแบบอินเตอร์ลีฟ เพื่อเพิ่มประสิทธิภาพในการผลิตไฟฟ้าด้วยเซลล์แสงอาทิตย์ การควบคุมที่นำเสนอทำงานร่วมกับตัวควบคุมแบบพีไอ ในบทความนี้ดำเนินการโดยใช้การจำลองด้วยโปรแกรม MATLAB/Simulink เพื่อทดสอบประสิทธิภาพการควบคุมบนระบบผลิตไฟฟ้าเซลล์แสงอาทิตย์ขนาด 325 W ภายใต้เงื่อนไขที่มีการเปลี่ยนแปลงความเข้มแสง ผลการจำลองสถานการณ์ยืนยันถึงประสิทธิภาพการควบคุมของวิธีที่นำเสนอที่สามารถเข้าถึงจุดกำลังไฟฟ้าสูงสุดได้ นอกจากนี้ยังสามารถลดการแกว่งไกวของกำลังไฟฟ้าและมีผลตอบสนองที่เร็วกว่าเมื่อเทียบกับวิธีการรบกวนและสังเกต

คำสำคัญ: การติดตามกำลังไฟฟ้าสูงสุด,วิธีการรบกวนและสังเกต,วิธีการควบคุมกำลังไฟฟ้าโดยตรง,วงทบแรงดันแบบอินเตอร์ลีฟ

Abstract

This paper presents a maximum power point tracking (MPPT) control strategy based on direct power control (DPC) for photovoltaic (PV) power generation systems utilizing an interleaved boost converter. The proposed method aims to improve the efficiency of the PV system and operates in conjunction with a proportional-integral (PI) controller. In this paper, MATLAB/Simulink simulation is used to test the control performance of a 325 W photovoltaic (PV) system under conditions of changing solar irradiance. The simulation results validate the effectiveness of the proposed method in accurately tracking the maximum power point. In addition, the approach demonstrates reduced power oscillations and a faster dynamic response compared to the conventional perturb and observe (P&O) method.

Keywords: MPPT, P&O, DPC, Interleaved Boost Converter

1. บทนำ

ในปัจจุบันพลังงานไม่หมุนเวียน เริ่มลดน้อยลงและมีขีดจำกัดในการใช้งาน อีกทั้งการใช้พลังงานประเภทนี้ยังอาจก่อให้เกิดผลกระทบต่อสิ่งแวดล้อม เช่น มลพิษทางอากาศ ภาวะโลกร้อน และการเปลี่ยนแปลงสภาพภูมิอากาศ ด้วยเหตุนี้ จึงเกิดแนวโน้มการเปลี่ยนผ่านไปสู่การใช้พลังงานหมุนเวียนเพื่อทดแทนแหล่งพลังงานดั้งเดิม ตัวอย่างของพลังงานหมุนเวียนที่ได้รับความนิยม ได้แก่ พลังงานแสงอาทิตย์ พลังงานลม พลังงานคลื่น และพลังงานน้ำ เนื่องจากพลังงานเหล่านี้สามารถนำกลับมาใช้ได้อย่างต่อเนื่อง เป็นมิตรต่อสิ่งแวดล้อม และไม่ก่อให้เกิดมลพิษ

พลังงานแสงอาทิตย์จึงเป็นแหล่งพลังงานหมุนเวียนที่ได้รับความนิยมเพิ่มขึ้น เนื่องจากสามารถผลิตไฟฟ้าได้โดยตรงผ่านเซลล์แสงอาทิตย์ อย่างไรก็ตามการผลิตไฟฟ้าจากเซลล์แสงอาทิตย์นั้น มักประสบปัญหาในเรื่องของความไม่คงที่ของแรงดันไฟฟ้าและกำลังไฟฟ้าที่ผลิตได้[1] ซึ่งเกิดจากความผันผวนของความเข้มแสงและอุณหภูมิที่มีการเปลี่ยนแปลงอยู่ตลอดเวลา รวมถึงโหลดของระบบ การผลิตไฟฟ้าจากเซลล์แสงอาทิตย์มีความไม่แน่นอน เพื่อให้มั่นใจได้ว่าสามารถติดตามและดึงกำลังไฟฟ้าสูงสุดจากแผงเซลล์แสงอาทิตย์ได้ในทุกสภาวะ จำเป็นต้องอาศัยการติดตามจุดตามรอยกำลังไฟฟ้าสูงสุด (Maximum Power Point Tracking: MPPT) โดยทั่วเทคนิค MPPT มีหลากหลายวิธีการ [2 - 3] เช่น วิธีการรบกวนและสังเกต (perturb and observation: P&O) วิธีการเพิ่มค่าความนำ(Incremental Conductance :INC) และวิธีที่ใช้แรงดันไฟฟ้าเปิดของเซลล์แสงอาทิตย์ (Open Circuit Voltage: VOC) เป็นต้น ซึ่งมักถูกนำไปใช้กับระบบผลิตไฟฟ้าด้วยเซลล์แสงอาทิตย์ ผลลัพธ์โดยทั่วไปบนพื้นฐานวิธีการ P&O หรือ INC มักให้เป็นค่าที่เหมาะสมสำหรับดึงกำลังไฟฟ้าสูงสุดจากเซลล์แสงอาทิตย์ เช่น วัฏจักรหน้าที่ กระแสไฟฟ้าหรือแรงดันไฟฟ้าอ้างอิง เป็นต้น MPPT ที่ให้ผลลัพธ์เหล่านี้ สามารถดึงกำลังไฟฟ้าสูงสุดได้ในลักษณะทางอ้อม ดังนั้น ในบทความนี้จึงนำเสนอการดึงกำลังไฟฟ้าสูงสุดด้วยวิธีการที่อยู่บนพื้นฐานวิธีการแบบแบบ P&O โดยจะเรียกวิธีการนี้ว่า “วิธีการควบคุมกำลังไฟฟ้าโดยตรง [4] (Direct power control: DPC)” นำมาประยุกต์ใช้กับวงจรทบระดับแรงดันแบบอินเตอร์ลีฟที่มีข้อได้เปรียบสามารถลดกระแสริปเปิลที่ตัวเหนี่ยวนำได้ [5 - 6] เพื่อศึกษาและยืนยันประสิทธิภาพของการควบคุมด้วยวิธีการที่นำเสนอ ได้ดำเนินการจำลองสถานการณ์บนระบบเซลล์แสงอาทิตย์ขนาดพิกัด 325 W โดยใช้โปรแกรม MATLAB/Simulink ภายใต้เงื่อนไขการทดสอบที่ความเข้มแสงมีการเปลี่ยนแปลง

2. การจำลองและคุณลักษณะพื้นฐานของเซลล์แสงอาทิตย์

เซลล์แสงอาทิตย์เป็นแหล่งพลังงานทดแทนซึ่งสามารถเปลี่ยนพลังงานแสงอาทิตย์ให้เป็นพลังงานไฟฟ้าโดยตรง เซลล์แสงอาทิตย์มีรอยต่อ p-n โดยการนำสารกึ่งตัวนำชนิด p และ n มารวมกัน เพื่อสร้างสนามไฟฟ้าภายในบริเวณรอยต่อ สนามไฟฟ้านี้จะช่วยแยกประจุไฟฟ้าที่เกิดจากแสงอาทิตย์ ทำให้สามารถผลิตกระแสไฟฟ้าได้เมื่อมีการเชื่อมต่อวงจรภายนอก แสดงด้วยแบบ วงจรสมมูลทางไฟฟ้าของเซลล์แสงอาทิตย์แสดงไว้ในรูปที่ 1

*ผู้ประพันธ์บรรณกิจ

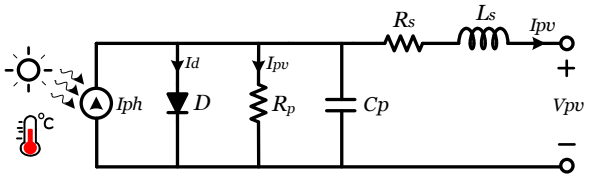

รูปที่ 1 วงจรสมมูลทางไฟฟ้าของเซลล์แสงอาทิตย์

จากรูปที่ 1 แหล่งจ่ายกระแสด้วยเซลล์แสงอาทิตย์ (I_{ph}) ต่อรวมกับไดโอด ตัวต้านทานขนาน (R_p) ตัวเก็บประจุ (C_p) ตัวต้านอนุกรม (R_s) และตัวเหนี่ยวนำ (L_s) โดยสามารถเขียนได้ดังสมการที่ (1)

$$I_{pv} = I_{ph} - I_o\left(\exp\frac{q(V_{pv}+I_{pv}R_s)}{A.k.T} - 1\right) - \frac{(V_{pv}+I_{pv}R_s)}{R_p} \quad (1)$$

เมื่อ I_{pv} คือ กระแสที่จ่ายจากเซลล์แสงอาทิตย์ I_d คือ กระแสรั่วย้อนกลับของไดโอด q คือ ประจุของอิเล็กตรอนเท่ากับ 1.602 x 10^{-9} C, A คือ แฟกเตอร์ในอุดมคติ K คือ ค่าคงที่ของ Boltzmann เท่ากับ 1.3806 x 10^{-19} J/K และ T คือ อุณหภูมิของโมดูลเซลล์แสงอาทิตย์ ตารางที่ 1 แสดงค่าพารามิเตอร์โมดูลเซลล์แสงอาทิตย์ขนาดพิกัด 325 W (FULL SOLAR F-325P) ซึ่งเป็นเซลล์แสงอาทิตย์ที่ใช้สำหรับการจำลองสถานการณ์ในบทความนี้ ผลการจำลองจำลองคุณลักษณะของเส้นโค้งกำลังไฟฟ้าเทียบแรงดันไฟฟ้า(P-V Curve) และกระแสไฟฟ้าเทียบแรงดันไฟฟ้า (I-V Curve)ของเซลล์แสงอาทิตย์ในสภาวะความเข้มแสงที่แตกต่างกัน แสดงในรูปที่ 2

ตารางที่ 1 พารามิเตอร์ของเซลล์แสงอาทิตย์ FULL SOLAR F-325P

Parameter	Description	Value
P_{mp}	Maximum PV power	325 W
V_{oc}	Open circuit voltage	46.21 V
I_{oc}	Short circuit current	9.18 A
V_{mp}	Maximum power voltage	37.41 V
I_{mp}	Maximum power current	8.69 A

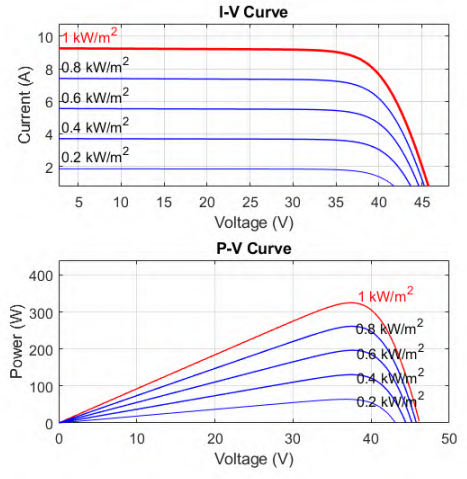

รูปที่ 2 คุณลักษณะพื้นฐานของเซลล์แสงอาทิตย์

3. ระบบการควบคุมด้วยอัลกอริทึมและการออกแบบวงจรทบแรงดันแบบอินเตอร์ลีฟ

ระบบผลิตพลังงานจากแสงอาทิตย์มีลักษณะไม่เป็นเชิงเส้นระหว่างแรงดัน กระแส และกำลังไฟฟ้า ทำให้พลังงานที่ผลิตได้ไม่คงที่ ดังแสดงในรูปที่ 3 ระบบมีการทำงานเพียงจุดเดียวที่สามารถให้กำลังไฟฟ้าสูงสุด (Maximum power point: MPP) ดังนั้นจึงจำเป็นต้องใช้เทคนิคการติดตามจุดกำลังไฟฟ้าสูงสุด เพื่อปรับแรงดันหรือพารามิเตอร์ให้ระบบทำงานบริเวณ MPP ตลอดเวลา แม้สภาพแสงหรืออุณหภูมิจะเปลี่ยนแปลง

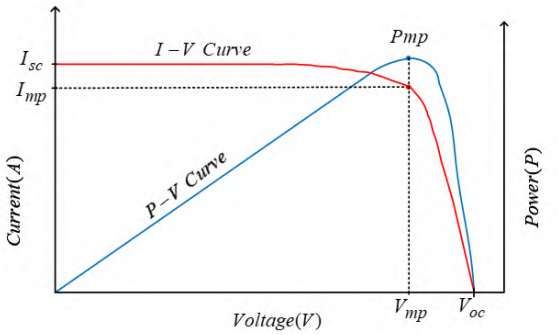

รูปที่ 3 คุณลักษณะของ P-V Curve และ I-V Curve

โดยเทคนิคการติดตามจุดกำลังไฟฟ้าสูงสุดของเซลล์แสงอาทิตย์ (MPPT) ที่นิยมอย่างมากคือ วิธีการรบกวนและสังเกต (P&O) เนื่องจากความเรียบง่ายและนำไปใช้งานที่ไม่ซับซ้อนโดยหลักการทำงานคือการปรับแรงดันอ้างอิงของแผงเซลล์แสงอาทิตย์เพิ่มขึ้นหรือลดลงตามสถานการณ์แล้วสังเกตการณ์เปลี่ยนแปลงของกำลังไฟฟ้าที่เกิดขึ้นหากแรงดันที่เปลี่ยนไปทำให้กำลังไฟฟ้าเพิ่มขึ้น ระบบจะยังคงปรับไปในทิศทางเดิม หากทำให้กำลังไฟฟ้าลดลง จะเปลี่ยนทิศทางการปรับ เพื่อเข้าจุด MPP แม้ว่าอัลกอริทึมนี้ใช้งานง่ายแต่ก็มีข้อจำกัดคือ เกิดการแกว่งไกวรอบจุดกำลังไฟฟ้าสูงสุดและตอบสนองช้าเมื่อความเข้มแสงเปลี่ยนแปลง

3.1 การติดตามจุดกำลังไฟฟ้าสูงสุดด้วยวิธีการควบคุมกำลังไฟฟ้าโดยตรง

วิธีที่นำเสนอนี้เป็นเทคนิคที่ได้รับการพัฒนาบนพื้นฐานวิธีการรบกวนและสังเกต (P&O) แผนภาพการควบคุม MPPT ด้วยวิธีการควบคุมกำลังไฟฟ้าโดยตรง (DPC) แสดงในรูปที่ 4 หลักการทำงานของ DPC เริ่มจากการตรวจจับค่าแรงดันไฟฟ้าของเซลล์แสงอาทิตย์(V_{pv}) และกระแสไฟฟ้าของเซลล์แสงอาทิตย์ (I_{pv}) นำมาคูณกันได้เป็นกำลังไฟฟ้าของเซลล์แสงอาทิตย์(Ppv) ค่าการเปลี่ยนแปลงของแรงดันไฟฟ้า (ΔV) และกำลังไฟฟ้า (ΔP) ถูกคำนวณโดยใช้ค่าปัจจุบันลบกับค่าในอดีตของแรงดันและกำลังไฟฟ้าตามลำดับ จากนำทำการคำนวณค่าความชัน (slope) ด้วย $\Delta P / \Delta V$ หากค่าความชันมีค่าเป็นบวกแสดงว่าจุดการทำงานของระบบอยู่ด้านซ้ายของ MPP ในทางกลับกันหากค่าความชันมีค่าเป็นลบแสดงว่าจุดการทำงานของระบบอยู่ด้านขวาของ MPP ค่าความชันนี้จะมีค่าลดลงเมื่อเข้าใกล้จุด MPP อ้างอิงตามกราฟเส้นโค้ง P-V ในรูปที่ 3 จากนั้นอัลกอริทึม DPC จะนำความค่าชันที่เปลี่ยนแปลงดังกล่าวมาทำการหาผลรวมตามเวลา(Integator) และคูณกับอัตราขยาย K ได้ผลลัพธ์เป็นแรงดันไฟฟ้าที่จุด MPP (V_{mpp}) นำค่ากระแสไฟฟ้าของเซลล์แสงอาทิตย์คูณกับ V_{mpp} จะได้เป็นค่ากำลังไฟฟ้าสูงสุดอ้างอิง (P_{mpp}) สำหรับการควบคุมต่อไป

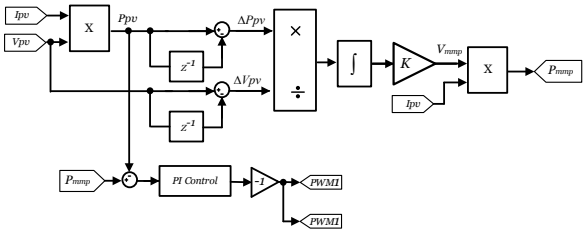

รูปที่ 4 การติดตามจุดกำลังไฟฟ้าสูงสุดด้วยวิธีการที่นำเสนอ

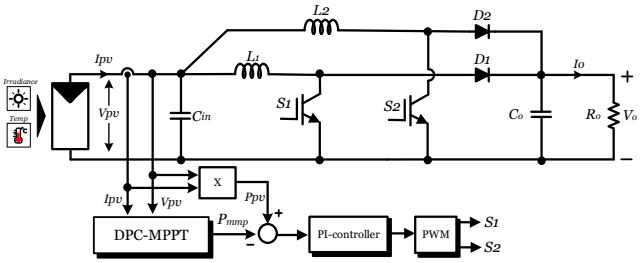

รูปที่ 6 ระบบที่พิจารณา

ถัดมานำค่า P_{mpp} ที่ได้มาเปรียบเทียบกำลังไฟฟ้า P_{pv} เพื่อตรวจสอบค่าความคลาดเคลื่อนและส่งเข้าเป็นอินพุตของตัวควบคุมแบบพีไอ เพื่อสร้างสัญญาณควบคุมที่เหมาะสมให้กับวงจรทบระดับแรงดันแบบอินเตอร์ลีฟ

3.2 การออกแบบวงจรทบแรงดันแบบอินเตอร์ลีฟ

วงจรทบแรงดันแบบดั้งเดิมที่มักมประสบปัญหาริปเปิลกระแสไฟฟ้าที่ไหนผ่านตัวเหนี่ยวนำ จึงเหมาะสำหรับการใช้งานที่มีกำลังไฟฟ้าต่ำเท่านั้น ในทางกลับกันวงจรทบแรงดันแบบอินเตอร์ลีฟ ได้รับการออกแบบมาเพื่อรองรับ งานที่ต้องการกระแสและกำลังไฟฟ้าสูง โดยในการออกแบบวงจรแปลงผันกำลังชนิดนี้ จะมีการใช้องค์ประกอบพาสซีฟ (Passive Components) เช่น ตัวเหนี่ยวนำและตัวเก็บประจุ ในปริมาณมากขึ้น เพื่อช่วยในการกรองและควบคุมการทำงานของวงจร

วงจรทบแรงดันแบบอินเตอร์ลีฟที่มีการควบคุม MPPT แสดงในรูปที่ 6 ประกอบด้วยสวิตช์หลักสองตัว คือ S_1 และ S_2 ซึ่งทำงานด้วยสัญญาณขับที่มีเฟสต่างกัน 180 องศา ทำให้เกิดการเลื่อมการทำงานระหว่างสวิตช์ทั้งสองแบบสลับกัน การทำงานในลักษณะนี้จะช่วยให้กระแสรวมที่ไหลเข้าสู่ระบบมีความต่อเนื่องลดริปเปิลของกระแสไฟฟ้าขาเข้าได้ ถือเป็นคุณสมบัติที่สำคัญในการเพิ่มประสิทธิภาพและความเสถียรของระบบ โดยการออกแบบตัวเหนี่ยวนำและตัวเก็บประจุสามารถคำนวณได้ตามสมการ (2) และ (3) ตามลำดับ โดยค่าพารามิเตอร์ที่ใช้สำหรับการจำลองสถานการณ์ของวงจรทบแรงดันแบบอินเตอร์ลีฟจากตารางที่ 2

$$L = \frac{V_{in}D}{f_S \Delta I_L} \tag{2}$$

และ

$$C = \frac{V_{in}Df_S}{R\Delta V_O} \tag{3}$$

ตารางที่ 2 พารามิเตอร์ของวงจรทบแรงดันแบบอินเตอร์ลีฟ

พารามิเตอร์	ค่า
Inductor (L_1,L_2)	345 uH
The input capacitor (C_{in})	1000 uF
Output capacitor (C_{out})	220 uF
Resistance (R)	17.22 Ω
f_{sw}	25 kHz

4. ผลการจำลองสถานการณ์

การจำลองสถานการณ์ในโปรแกรม MATLAB/Simulink พิสูจน์การทำงานของอัลกอริทึมติดตามจุดกำลังไฟฟ้าด้วยวิธี DPC และ วิธี P&O ภายใต้เงื่อนไขที่มีการเปลี่ยนแปลงของความเข้มแสงแบบทันทีทันใด พบว่าทั้งสองวิธีการควบคุมมีลักษณะการตอบสนองที่แตกต่างกันอย่างชัดเจนดังแสดงในรูปที่ 5 โดยในช่วงเริ่มต้นของการทำงานที่ความเข้มแสง 1000 W^2/m ช่วงเวลา 0 ถึง 0.2 วินาที จะพบว่า DPC และ P&O สามารถเข้าถึงจุดกำลังไฟฟ้าสูงสุดได้ โดยที่วิธีการ DPC สามารถเข้าสู่จุด MPP ได้เร็วในขณะที่ P&O ใช้เวลามากกว่าในการเข้าสู่จุด MPP และมีการแกว่งไกวของกำลังไฟฟ้าในช่วงแรกและก่อนที่จะเข้าสู่จุด MPP ดังแสดงในรูปที่ 6 วิธีการที่นำเสอนได้แสดงพฤติกรรมที่ราบเรียบและเข้าสู่ค่ากำลังสูงสุดได้ในระยะเวลาสั้น สามารถลดการแกว่งไกวของกำลังไฟฟ้าได้

สถานการณ์ต่อมาเมื่อความเข้มแสงอาทิตย์เปลี่ยนแปลงแบบฉับพลัน ความเข้มแสงลดลงจาก 1000 W^2/m เป็น 500 W^2/m ที่เวลา 0.2 วินาที วิธี DPC สามารถตอบสนองและปรับจุดทำงานกลับเข้าสู่จุด MPP ได้อย่างรวดเร็วและราบรื่น ขณะที่วิธี P&O มีการตอบสนองล่าช้า และยังคงเกิดการแกว่งไกวของกำลังไฟฟ้าในช่วงการปรับตัวดังแสดงในรูปที่ 7 ส่งผลให้ประสิทธิภาพการติดตามกำลังไฟฟ้าลดลงในช่วงเวลาสั้น ๆ ในช่วงที่ความเข้มแสงคงที่วิธี DPC ยังคงรักษาการดึงกำลังไฟฟ้าสูงสุดจากเซลล์แสงอาทิตย์ได้ ซึ่งแสดงให้เห็นถึงความสามารถในการควบคุมในสภาพแวดล้อมที่ความเข้มแสงมีการเปลี่ยนแปลง

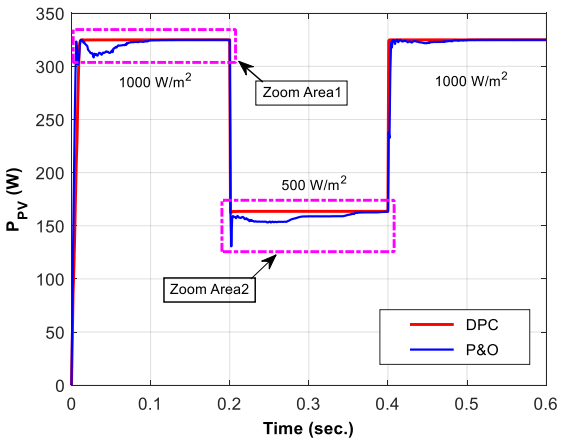

รูปที่ 5 กำลังไฟฟ้าด้านเอาต์พุตของเซลล์แสงอาทิตย์

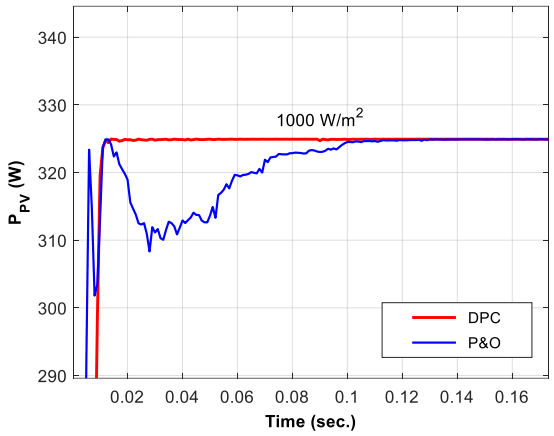

รูปที่ 6 ภาพขยายพื้นที่ 1 ของรูปที่ 5

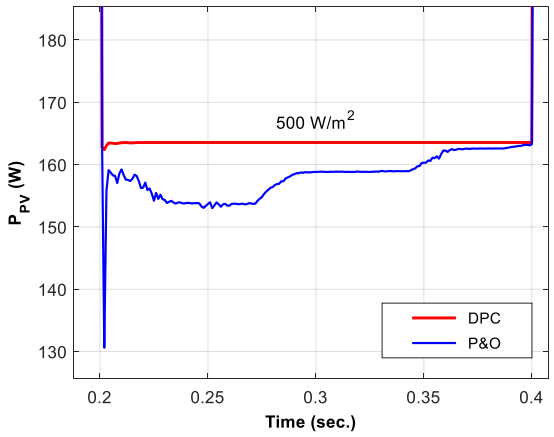

รูปที่ 7 ภาพขยายพื้นที่ 2 ของรูปที่ 6

ในรูปที่ 8 แสดงการเปรียบเทียบรูปคลื่นกระแสของขดลวด I_{L1} และ I_{L2} ของวงจรทบแรงดันแบบอินเตอร์ลีฟขณะระบบทำงานที่จุด MPP ที่ความเข้มแสง 1000 W^2/m โดยรูปคลื่นมีลักษณะเป็นคลื่นสามเหลี่ยมและมีเฟสต่างกัน 180 องศา ส่งผลให้กระแสรวมมีริปเปิลลดลงอย่างมีนัยสำคัญ ซึ่งช่วยเพิ่มประสิทธิภาพของระบบ

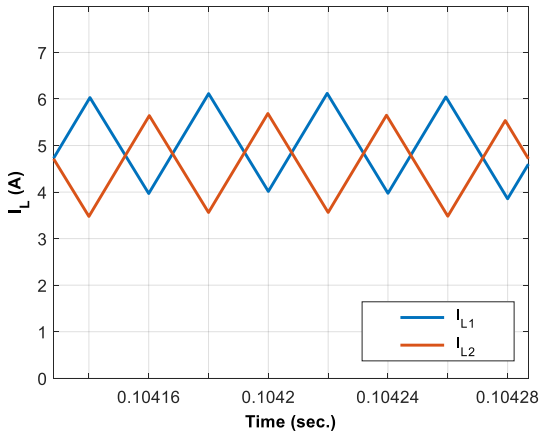

รูปที่ 8 ผลการจำลองเปรียบเทียบกระแส I_{L1} และ I_{L2}

5. สรุปผล

ในบทความนี้ได้มีการเสนอกลยุทธ์การควบคุมติดตามกำลังไฟฟ้าสูงสุดสำหรับระบบผลิตไฟฟ้าด้วยเซลล์แสงอาทิตย์ด้วยวิธีการควบคุมกำลังไฟฟ้าโดยตรงที่ประยุกต์ใช้กับวงจรทบระดับแรงดันแบบอินเตอร์ลีฟ กระบวนการทำงานของวิธีการควบคุมที่นำเสนอได้รับการอธิบายในบทความนี้ ผลการจำลองสถานการณ์ยืนยันประสิทธิภาพการควบคุมของวิธีที่นำเสนอที่สามารถติดตามจุดกำลังไฟฟ้าสูงสุดได้และมีความราบเรียบของกำลังไฟฟ้าที่บริเวณจุดกำลังไฟฟ้าสูงสุด นอกจากนี้ยังให้การตอบสนองต่อการเปลี่ยนแปลงความเข้มแสงที่เร็วกว่าเมื่อเทียบกับวิธีการรบกวนและสังเกต ซึ่งแสดงให้เห็นว่าวิธีการที่นำเสนอมีความเป็นไปได้ที่จะนำไปทดสอบกับระบบผลิตไฟฟ้าจากเซลล์แสงอาทิตย์จริงในอนาคต

เอกสารอ้างอิง

[1] V. K Viswambaran, A. Ghani, and E. Zhou, " Modelling and simulation of maximum power point tracking algorithms & review of MPPT techniques for PV applications," *International Conference on Electronic Devices, Systems and Applications (ICEDSA)*, Ras Al Khaimah, United Arab, 06-08 December 2016

[2] Aditi Narang, G. G. Farivar, H. D. Tafti, and J. Pou, "Power Reserve Control Methods for Grid-Connected Photovoltaic Power Plants: A Review" *2022 IEEE 7th Southern Power Electronics Conference (SPEC)*, Nadi, Fiji, 05-08 December 2022

[3] X. Li, and H. Wen, " Evaluation of different Maximum power point tracking techniques by using EN 50530 dynamic test standard," *IEEE International Conference on Power Electronics, Drives and Energy Systems (PEDES)*, Trivandrum, India, 14-17 December 2016

[4] E. Heydari, and A. Y. Varjani, "Combined Modified P&O Algorithm with Improved Direct Power Control Method Applied to Single- Stage Three-Phase Grid-Connected PV System," *Annual Power Electronics, Drives Systems and Technologies Conference (PEDSTC)*, Tehran, Iran , 13-15 February 2018

[5] B. M. Alharbi, M. A. Alhomim, and R. A. McCann, "An Efficient High Voltage Gain Using Two-Stage Cascaded Interleaved Boost Converter for Solar PV System with MPPT Technique," *IEEE Power & Energy Society Innovative Smart Grid Technologies Conference (ISGT)*, Washington, DC, USA, 17-20 February 2020

[6] R. Gupta, Ruchika, S. Gautam, and M. Kumar, "Comparative Analysis of Boost and Interleaved Boost Converter for PV Application," *International Conference on Emerging Frontiers in Electrical and Electronic Technologies (ICEFEET)*, Patna, India, 24-25 June 2022,

Output Voltage Control using Primary-Side Parameter Estimation Method for WPT System

Supakorn Luemkham[1], Praewa Hariruk[1], Krittisak Klangnet[1], Hatta Sawachan[1] and Kan Voottipruex[1*]

[1]Department of Electrical Engineering Technology, College of Industrial Technology, King Mongkut's University of Technology North Bangkok, Bangkok, Thailand,
hatta.s@cit.kmutnb.ac.th kan.v@cit.kmutnb.ac.th*

Abstract

This paper proposes an output voltage control method for Wireless Power Transfer (WPT) systems that uses primary-side parameter estimation, eliminating the need for wireless communication between the primary and secondary sides. Conventional closed-loop control methods typically rely on a dedicated wireless communication channel to send feedback from the secondary side, which adds cost, complexity, and potential reliability issues. The proposed method overcomes these drawbacks by implementing a primary-side controller that analyzes the primary-side voltage and current waveforms to accurately estimate the output voltage. This estimation allows for the direct calculation and precise regulation of the output voltage across varying load conditions. Experimental results validate the proposed system, demonstrating stable output voltage and high efficiency.

Keywords: Output voltage control, Parameter estimation method, Wireless power transfer.

1. General Information

Wireless power transfer (WPT) systems are used in charging applications such as biomedical implants [1], mining applications [2], underwater applications [3], and electric vehicles (EVs) [4]. The ability to transfer power across an air gap without physical connectors enhances safety, durability, and user experience. Among the various WPT topologies, inductively coupled power transfer (IPT) systems are widely adopted due to their high efficiency and power capability [5]. The compensation topology in a WPT system is normally applied minimize the VA rating and maximizing the power transfer efficiency of the loosely coupled coils.

In wireless power transfer systems, there are four basic compensation topologies: Series-Series (SS), Series-Parallel (SP), Parallel-Series (PS), and Parallel-Parallel (PP) [5]. The Series-Series (SS) compensation topology is widely used due to its high power efficiency and purely resistive reflected impedance. A critical challenge in the practical implementation of SS topology in WPT systems is regulating the output voltage on the secondary side, as it is highly sensitive to variations in load resistance. However, applying an SS topology in a WPT system at its resonant frequency results in a constant current output [5]. Consequently, the output voltage varies directly with the load, making it difficult to regulate. To maintain a constant output voltage, conventional systems typically require an additional DC-DC converter on the secondary side, complex control schemes, and wireless communication between the primary and secondary sides [6] as shown in Figure 1. Nevertheless, achieving stable voltage regulation across a wide range of load variations remains a significant challenge.

This paper proposes an output voltage control method for WPT systems that uses a primary-side controller, eliminating the need for secondary-to-primary communication. The controller analyzes primary-side voltage and current waveforms to accurately estimate the output voltage. This enables the direct calculation and precise regulation of the output voltage across a wide range of operating load conditions. This paper is organized as follows: Section 2 presents an analysis of the design parameters for the SS topology, Section 3 describes the details of the coil design, Section 4 presents the proposed WPT system, and Section 5 provides experimental results to validate the system's performance.

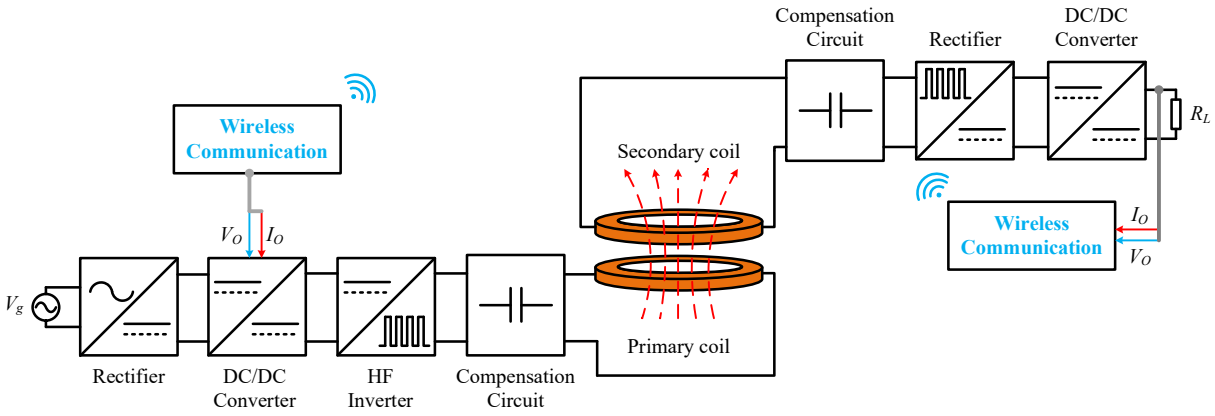

Fig. 1 Conventional WPT system

2. Analysis of SS Topology

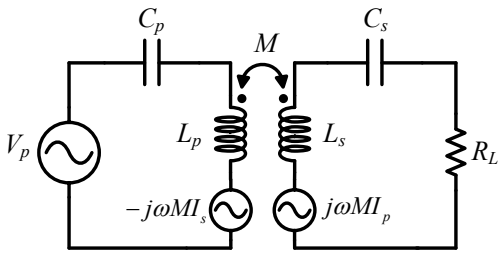

Fig. 2 Equivalent of SS topology

The equivalent circuit of the series–series compensated circuit (SS topology) is shown in Figure 2. The circuit consists of the primary side and the secondary side. On the primary side, the primary voltage (V_p) is connected in series with the primary capacitor (C_p) and the primary coil (L_p). The primary impedance can be calculated by

$$Z_p = j\omega L_p + \frac{1}{j\omega C_p} \tag{1}$$

On the secondary side, the secondary coil (L_s) is connected in series with the secondary capacitor (C_s) and the load (R_L). The secondary impedance can be calculated by

$$Z_s = j\omega L_s + \frac{1}{j\omega C_s} + R_L \tag{2}$$

Both sides of the circuit are magnetically coupled. The impedance of the secondary side is reflected to the primary side through the mutual inductance (M). The reflected impedance can be expressed by

$$Z_r = -j\omega MI_s = \frac{\omega^2 M^2}{Z_s} \tag{3}$$

Therefore, the input impedance (Z_{in}) can be calculated by

$$Z_{in} = \mathrm{Re}(Z_{in}) + \mathrm{Im}(Z_{in}) = Z_p + Z_r \tag{4}$$

A WPT system is typically designed to operate at the same resonant frequency (ω_0) on both sides. This causes the input reactance to become zero, enhancing power transfer capability and minimizing the supply's apparent power (VA) rating. The resonant frequency can be expressed by

$$\omega_0 = \frac{1}{\sqrt{L_p C_p}} = \frac{1}{\sqrt{L_s C_s}} \tag{5}$$

The SS topology provides a load-independent output current characteristic at the resonant frequency (ω_0). The amplitude of the secondary current (I_s) in terms of the primary voltage (V_p) at the resonant frequency which can be expressed by

$$\left|I_s\right|_{\omega=\omega_0} = \frac{V_p}{\omega_0 M} \tag{6}$$

The secondary voltage (V_s) at the resonant frequency can be calculated by

$$V_s = j\omega_0 MI_p \tag{7}$$

However, the amplitude of the secondary voltage (V_s) in terms of the primary voltage (V_p) at the resonant frequency depends on load, which can be expressed as

$$\left|V_s\right|_{\omega=\omega_0} = \frac{R_L V_p}{\omega_0 M} \tag{8}$$

Therefore, this paper presents a method for estimating the secondary-side voltage using mathematical approximation based on primary-side parameters, with the obtained value used to control the output voltage. The parameter estimation method will be presented in Section 4.

3. Coil Design

A circular coil was selected for its simplicity and symmetrical shape. The coil parameters are listed in Table 1, and the coil prototypes are shown in Figure 3. The dimensions are designed to suit low-power applications, such as mobile robotics, with a 5 cm air-gap.

Table 1 Parameters of coils

Parameters	Values	Unit
Inner radius	5	cm
Outer radius	15	cm
Coil inductance: L_p	74.16	μH
Coil inductance: L_s	73.74	μH
Mutual inductance	21.24	μH

Fig. 3 Coil prototype

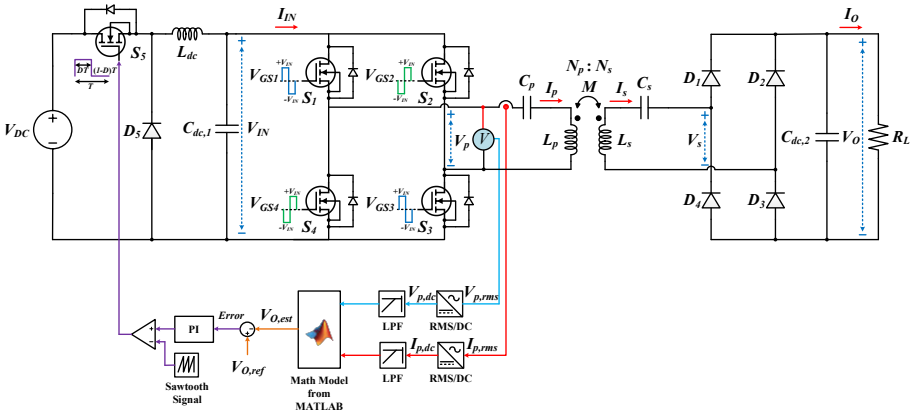

Fig. 4 Proposed WPT system

4. Proposed WPT System

The proposed WPT system is a composite of the primary side and secondary side. The primary side includes a buck converter, a full-bridge inverter, a primary capacitor, and a primary coil. The secondary side includes a secondary coil, a secondary capacitor, a bridge diode rectifier, a capacitive output filter, and load. The schematic of the proposed WPT system is shown in Figure 4 and the electrical parameters listed in Table 2. A DC input voltage of 48 volts is supplied to a buck converter, which operates at a switching frequency of 25 kHz. The buck converter controls the amplitude of the voltage supplied to the inverter. The inverter then converts the DC voltage obtained from the buck converter into a high-frequency square-wave voltage. The fixed-frequency control was adopted in the paper to provide a the resonant frequency (f_0 = 85 kHz).

The method for estimating the secondary-side voltage, based on the secondary-side voltage equation at the resonant frequency in (8), can be performed by approximating the load resistance from the primary-side parameters, which can be estimated by

$$R_{L,est} = \left(\frac{\omega_0^2 M^2 I_p}{V_p} \right) \tag{9}$$

Therefore, the secondary voltage can be approximated using a primary-side parameter estimation method that includes the primary voltage, primary current, and estimated load resistance, which can be calculated by

$$\left| V_{s,est} \right|_{\omega=\omega_0} = \sqrt{V_p I_p R_{L,est}} \tag{10}$$

The square waveform of the secondary voltage can be described as,

$$V_{s,est}(t) = \frac{4V_m}{\pi} \sum \frac{1}{n} \sin(n\omega_0 t) \tag{11}$$

where $i = 1, 2, 3, \ldots, n$.

Table 2 Electrical parameters for the proposed WPT system

Parameters	Values	Unit
Inverter frequency (f_{inv})	85	kHz
Buck converter frequency (f_{buck})	25	kHz
DC input voltage (V_{DC})	48	V
Primary coil inductance (L_p)	74.16	µH
Secondary coil inductance (L_s)	73.74	µH
Primary capacitance (C_p)	46.81	nF
Secondary capacitance (C_s)	46.94	nF
Mutual inductance (M)	21.24	µH

Therefore, the output voltage across the bridge rectifier with a capacitive output filter can be estimated by,

$$\left| V_{O,est} \right|_{\omega=\omega_0} = \left| V_{s,est} \right|_{\omega=\omega_0} - 2V_F \tag{12}$$

where V_F is forward voltage of bridge diode.

The estimation of output voltage in (12) was calculated in the microcontroller unit and used as feedback for PI controller. Hence, the output voltage can be controlled by a buck converter on the primary side as illustrated in Figure 4.

5. Experiment

A hardware prototype with a 11 Ω load resistance was constructed to verify the proposed method, as shown in Figure 5.

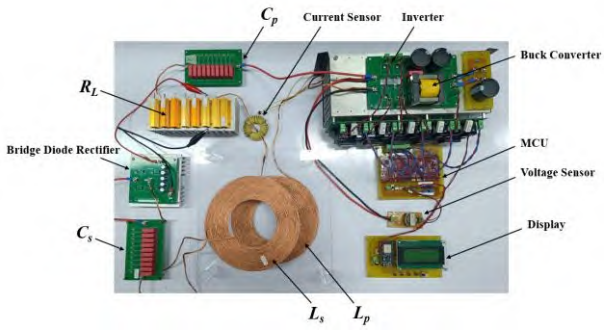

Fig. 5 Hardware prototype

The experimental results indicated a DC input voltage (V_{DC}) of 47.3 V and an input current (I_{DC}) of 1.42 A, as illustrated in Figure 6. Correspondingly, Figure 7 shows a primary voltage (V_p) of 33.2 V with a primary current (I_p) of 2.52 A, and a secondary voltage (V_s) of 27.7 V with a secondary current (I_s) of 2.63 A. Finally, the results in Figure 8 illustrate an output voltage (V_O) of 24.5 V and an output current (I_O) of 2.32 A.

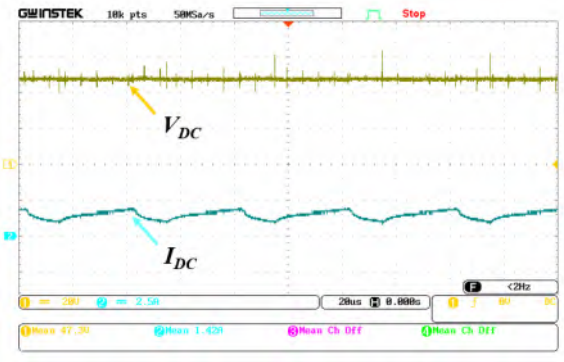

Fig. 6 Experimental waveforms of V_{DC} and I_{DC}

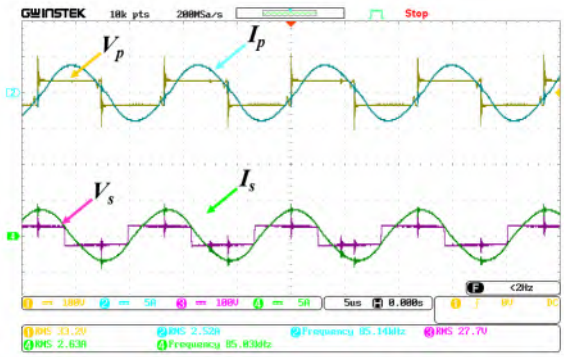

Fig. 7 Experimental waveforms of *Vp, Ip, Vs*, and *Is*

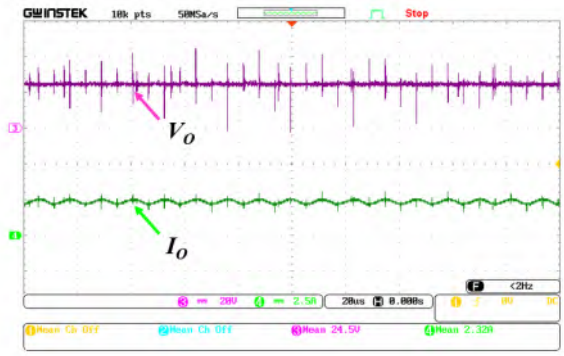

Fig. 8 Experimental waveforms of V_O and I_O

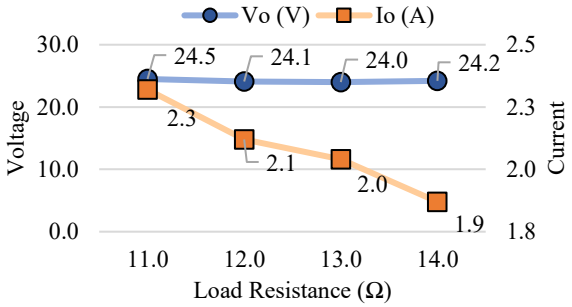

Fig. 9 Output voltage and output current versus different load resistances

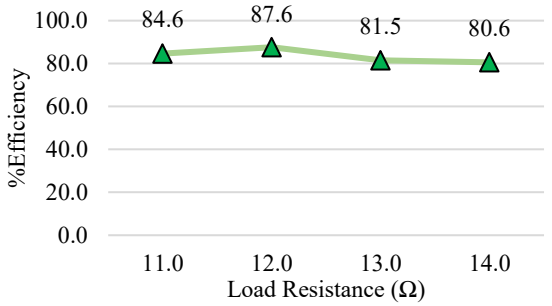

Fig. 10 Experimental Efficiency versus load resistances

Subsequently, varying load resistance was set up in the experiment to demonstrates constant output voltage behavior. The graph in Figure 9 illustrates the relationship between load resistance, output voltage (V_o), and output current (I_o). As the load resistance was increased from 11 Ω to 14 Ω, the output voltage (blue line) remained highly stable, fluctuating minimally between 24.2 V and 24.5 V. In contrast, the output current (orange line) showed a clear inverse relationship with resistance, decreasing steadily from a maximum of 2.3 A at 11 Ω to a minimum of 1.9 A at 14 Ω.

Figure 10 shows the system's efficiency as a function of varying load resistance from 11 Ω to 14 Ω. Efficiency initially increases with resistance, rising from 84.6% at 11 Ω to a peak of 87.6% when the load resistance is 12 Ω. Beyond this optimal point, efficiency continues to drop, reaching 81.5% at 13 Ω and 80.6% at 14 Ω. This trend demonstrates that the system achieves its maximum operational efficiency at a specific load resistance of 12 Ω.

6. Conclusions

This paper validates a primary-side control method for a Series-Series (SS) Wireless Power Transfer (WPT) system that eliminates the need for a secondary wireless communication. The controller accurately regulates the output voltage by estimating it from primary-side voltage and current measurements. A hardware prototype confirmed the method's effectiveness, maintaining a stable at 24 V (±2%) output under varying loads (11 to 14 Ω) while achieving a maximum efficiency of 87.6%.

References

[1] P. Si, A. P. Hu, S. Malpas, and D. Budgett, "A frequency control method for regulating wireless power to implantable devices," *IEEE Trans. Biomed. Circuits Syst.*, vol. 2, pp. 22-29, 2008.
[2] K. W. Klontz, D. M. Divan, D. W. Novotny, and R. D. Lorenz, "Contactless power delivery system for mining applications," *IEEE Trans. Ind. Applicat.*, vol. 31, pp. 27-35, 1995.
[3] J. Kuipers, H. Bruning, S. Bakker, and H. Rijnaarts, "Near field resonant inductive coupling to power electronic devices dispersed in water," *Sens. Actuators A Phys.*, vol. 178, pp. 217-222, 2012.
[4] S. Hasanzadeh, S. Vaez-Zadeh, and A. H. Isfahani, "Optimization of a contactless power transfer system for electric vehicles," *IEEE Trans. Veh. Technol.*, vol. 61, pp. 3566-3573, 2012.
[5] V. Shevchenko, O. Husev, R. Strzelecki, B. Pakhaliuk, N. Poliakov, and N. Strzelecka, "Compensation topologies in IPT systems: standards, requirements, classification, analysis, comparison and application," *IEEE Access*, vol. 7, pp. 120559-120580, 2019.
[6] T. Diekhans, and R. W. De Doncker, "A dual-side controlled inductive power transfer system optimized for large coupling factor variations and partial load," *IEEE Trans. Power Electron.*, vol. 30, pp. 6320-6328, 2015.

Supakorn Luemkham: graduated with a vocational certificate in the field of Electrical Power Engineering in 2021 and an advanced vocational certificate in the field of Electrical Power Engineering in 2023. He is currently studying for a Bachelor of Industrial Technology in Electrical and Power Electronics Technology, Department of Electrical Engineering Technology, College of Industrial Technology, King Mongkut's University of Technology North Bangkok (KMUTNB).

Praewa Hariruk: graduated with a vocational certificate in Power Electronics in 2021 and an advanced vocational certificate in Power Electricity in 2023 from Phranakhon Si Ayutthaya Technical College. She is currently studying for a Bachelor of Industrial Technology in Electrical and Power Electronics Technology, Department of Electrical Engineering Technology, College of Industrial Technology, King Mongkut's University of Technology North Bangkok (KMUTNB).

Krittisak Klangnet : graduated with vocational certificate in Electrical Power in 2020 and advanced vocational certificate in Electrical Control in 2022. He is currently studying for a Bachelor of Industrial Technology in Electrical and Power Electronics Technology, Department of Electrical Engineering Technology, College of Industrial Technology, King Mongkut's University of Technology North Bangkok (KMUTNB).

Hatta Sawachan : received the B.Ind.Tech. degree in Power Electronics Technology from King Mongkut's University of Technology North Bangkok (KMUTNB), Bangkok, Thailand, in 2014, and the M.Eng. degree in Electrical Engineering (Automatic Control) from the same university in 2017. He is currently an Assistant Professor with the Department of Electrical Engineering Technology, College of Industrial Technology, KMUTNB. His research interests include Power Electronics (Power Converter, Grid Connection, Electric Drive), Control System, and Digital Control.

Kan Voottipruex : received the B.Eng. degree in Electronic and Telecommunication Engineering from King Mongkut's University of Technology Thonburi (KMUTT), Bangkok, in 2014, and the M.Eng. degree in Electrical Engineering from King Mongkut's University of Technology Thonburi (KMUTT), Bangkok, in 2017. He is currently a lecturer with the Department of Electrical Engineering Technology, College of Industrial Technology, King Mongkut's University of Technology North Bangkok (KMUTNB). His research interests include inductive power transfer systems (IPT), wireless charging applications, and renewable energy applications.

Output Current Control via Primary Side Controller using Wireless Communication for WPT System

Suttisak Uraiwong[1], Phongthanaphat Lamunphak[1], Athit Suanchuto[1], Hatta Sawachan[1] and Kan Voottipruex[1*]

[1]Department of Electrical Engineering Technology, College of Industrial Technology, King Mongkut's University of Technology North Bangkok, Bangkok, Thailand,
hatta.s@cit.kmutnb.ac.th kan.v@cit.kmutnb.ac.th*

Abstract

Variations in the output parameters of a Wireless Power Transfer (WPT) system are unavoidable, particularly due to load fluctuations caused by the battery's state of charge (SOC). Therefore, an appropriate compensation circuit topology is essential for maintaining either a constant output voltage (CV) or a constant output current (CC). This paper proposes an output current control method for a WPT system using a primary-side controller combined with wireless communication. A Series-Series (SS) compensation topology is adopted to ensure a load-independent output current characteristic. NodeMCUs are employed on both the primary and secondary sides to enable real-time feedback and control. Experimental results demonstrate a stable output current of 2 A across load resistances ranging from 6 to 20 Ω, with a maximum power transfer efficiency of 87.163% achieved at a 16 Ω load.

Keywords: Output current control, Wireless communication, Wireless power transfer.

1. General Information

A Wireless Power Transfer (WPT) system transfers power to a load via a loosely coupled transformer without physical contact. This technology can be found in diverse areas such as electric vehicles (EVs) [1], autonomous robotics [2], and consumer electronics [3]. Compensation circuit topologies are commonly applied in Inductive Power Transfer (IPT) or Wireless Power Transfer (WPT) systems. These circuits are tuned to resonate with the coil inductances to maximize power transfer capability on both sides, enhance system efficiency by enabling soft-switching techniques such as Zero Voltage Switching (ZVS) for the primary-side inverter, and achieve the desired output characteristics. The output voltage or current of WPT systems can vary across a wide range of equivalent load conditions. Therefore, a suitable compensation circuit topology is essential for maintaining either a constant output voltage (CV) or constant output current (CC), independent of the load conditions. Conventional compensation topologies include four topologies, each with a single compensation element on both the primary and secondary sides: Series-Series (SS), Series-Parallel (SP), Parallel-Series (PS), and Parallel-Parallel (PP) [4]. A comparison of these four basic topologies is presented in Table 1.

A primary-side parallel compensation circuit is typically used with a current source inverter (CSI), but it results in a larger hardware size due to the required DC-link inductor. Topologies with a parallel-compensated primary, such as Parallel-Series (PS) and Parallel-Parallel (PP), provide constant output current (CC) and constant output voltage (CV), respectively, under resonant conditions. However, the resonant or operating frequency in these configurations depends on the mutual inductance and load resistance. As a result, the operating frequency must be tracked, or the primary-side capacitance must be tuned to accommodate specific variations.

Table 1 Comparison of four basic topologies

Topo-logy	Primary capacitance	Operating frequency	Output
SS	$C_p = \frac{1}{\omega_0^2 L_p}$	Independent of M and R	CC
SP	$C_p = \frac{1}{\omega_0^2\left(L_p - \frac{M^2}{L_s}\right)}$	Depends on M	CV
PS	$C_p = \frac{L_p}{\left(\frac{\omega_0^2 M^2}{R}\right)^2 + \omega_0^2 L_p{}^2}$	Depends on M and R	CC
PP	$C_p = \frac{L_p - \frac{M^2}{L_s}}{\left(\frac{M^2 R}{L_s^2}\right)^2 + \omega_0^2\left(L_p - \frac{M^2}{L_s}\right)^2}$	Depends on M and R	CV

On the other hand, a primary-side series compensation circuit is commonly used with a voltage source inverter (VSI), enabling a more compact hardware design. The Series-Parallel (SP) topology provides a constant output voltage (CV), but its operating frequency still depends on the mutual inductance. Therefore, similar to PS and PP topologies, the operating frequency must be tracked, or the primary-side capacitance in the SP topology must be adjusted to account for variations. The Series-Series (SS) topology is extensively studied and widely implemented. One of its key advantages is that the resonant frequency remains independent of variations in both the load and the mutual inductance between the primary and secondary coils. As a result, the impedance reflected from the secondary to the primary side is purely resistive. This characteristic significantly simplifies the control strategy, allowing fixed frequency operation. Moreover, the SS topology inherently exhibits a constant output current or load-independent output current characteristic, which is highly beneficial for battery

charging applications during the constant current (CC) mode [5]. However, regulating a constant charging current under varying system parameters such as load fluctuations or air gap changes remains critical. To address this, conventional systems often incorporate converters on the secondary side to precisely regulate the charging current. Nevertheless, this approach results in a more complex and bulky secondary side structure, with an increased number of components, greater complexity, and larger overall system size [6].

This paper presents output current control through a primary side controller using wireless communication for the proposed WPT system. The control system is specifically designed to provide accurate current regulation using NodeMCUs. The paper is organized as follows: Section 2 presents an analysis of the design parameters for the SS topology, Section 3 describes the proposed WPT system, and Section 4 provides experimental results to confirm the system performance.

2. Analysis of Series-Series Topology

An SS topology consists of a primary coil (L_p) and a secondary coil (L_s) magnetically coupled through a mutual inductance (M). The coupling coefficient can be expressed as

$$k = \frac{M}{\sqrt{L_p L_s}} \tag{1}$$

To compensate the inductive reactance of the coils and achieve resonance, a capacitor is placed in series with each coil, C_p on the primary side and C_s on the secondary side. The circuit is driven by a high-frequency AC voltage source (V_p) on the primary side, and the transferred power is delivered to a load (R_L) on the secondary side as shown in Figure 1. The secondary impedance can be calculated by

$$Z_s = j\omega L_s + \frac{1}{j\omega C_s} + R_L \tag{2}$$

The reflected impedance can be expressed by

$$Z_r = \frac{\omega^2 M^2}{Z_s} \tag{3}$$

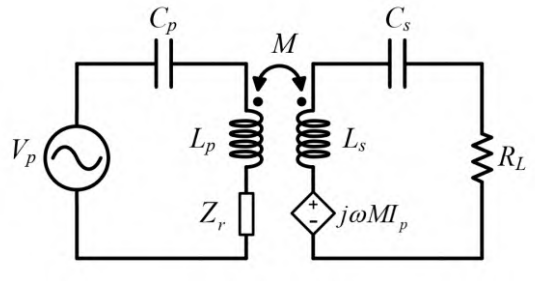

Fig. 1 Equivalent of SS topology

Hence, the input impedance (Z_{in}) can be described by

$$Z_{in} = j\omega L_p + \frac{1}{j\omega C_p} + Z_r \tag{4}$$

The primary and secondary circuits are tuned to resonate at the same angular frequency (ω_0). This resonant condition is crucial for maximizing power transfer efficiency. The resonant frequency is determined by the inductance and capacitance values in each circuit, which expressed by

$$\omega_0 = \frac{1}{\sqrt{L_p C_p}} = \frac{1}{\sqrt{L_s C_s}} \tag{5}$$

The SS topology exhibits a load-independent output current characteristic at the resonant frequency (ω_0). The secondary current (I_s) can be expressed as

$$I_s(\omega_0) = j\frac{V_p}{\omega_0 M} \tag{6}$$

Therefore, the output current (I_o) can be calculated by

$$I_o = \left(\frac{2\sqrt{2}}{\pi}\right) I_s(\omega_0) \tag{7}$$

3. Proposed WPT System

A circular coil was chosen to validate the proposed WPT system. The coil dimensions, designed to suit low-power applications with a vertical air gap of 5 cm, are shown in Figure 2.

Table 2 Electrical parameters for the proposed WPT system

Parameters	Values	Unit
Inverter frequency (f_{inv})	85	kHz
Buck converter frequency (f_{buck})	25	kHz
Input voltage (V_{IN})	48	V
Primary coil inductance (L_p)	74	μH
Secondary coil inductance (L_s)	74	μH
Primary capacitance (C_p)	47	nF
Secondary capacitance (C_s)	47	nF
Mutual inductance (M)	19.24	μH

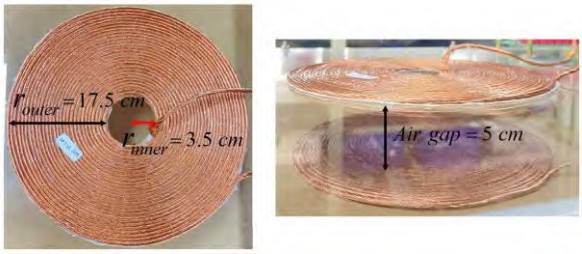

Fig. 2 Coil dimensions and vertical air gap arrangement

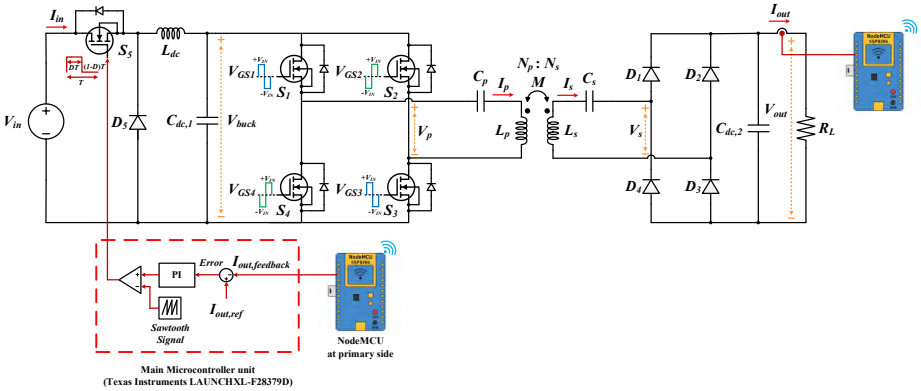

Fig. 3 Proposed WPT system

The proposed WPT system comprises a primary and a secondary circuit. The primary circuit integrates a buck converter, a full-bridge inverter, a primary capacitor, and a primary coil. The secondary circuit contains a secondary coil, a capacitor, a bridge rectifier, and a capacitive filter connected to a load. Figure 3 provides a schematic illustration of the system, and its specified electrical parameters are presented in Table 2. An input voltage of 48 volts is supplied to a buck converter, which operates at a switching frequency of 25 kHz. The amplitude of the primary voltage is regulated by a PI controller. This controller continuously adjusts the buck converter's output by comparing a reference current to feedback output current data sent wirelessly from the secondary side via NodeMCUs. The inverter then converts the regulated DC voltage into a high-frequency square-wave voltage, operating at a fixed resonant frequency (f_0) of 85 kHz.

4. Experiment

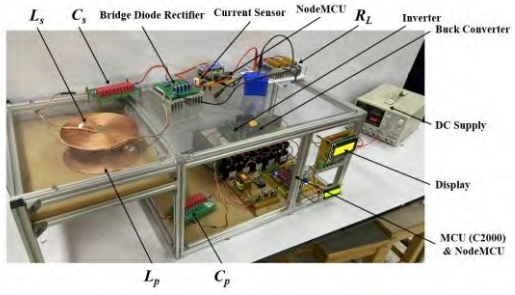

Fig. 4 Hardware prototype

The hardware prototype was constructed to verify the proposed method using a 6 Ω load, as shown in Figure 4. The experimental results in Figure 5 show that the DC input voltage (V_{in}) was 47.9 V, with an input current (I_{in}) of 612 mA. Correspondingly, the experimental results in Figure 6 illustrate that the primary voltage (V_p) was 26.39 V, with an primary current (I_p) of 1.41 A, while the secondary voltage (V_s) was 14.02 V with an secondary current (I_s) of 2.23 A as shown in Figure 7. Correspondingly, the experimental results in Figure 8 illustrate that the output voltage (V_{out}) was 11.54 V, with an output current (I_{out}) of 2.03 A.

Furthermore, the graph in Figure 9 shows the relationship between load resistance and the output parameters (V_{out} and I_{out}) of the proposed WPT system. The output current (I_{out}) remains nearly constant at approximately 2 A over the tested load range of 6 Ω to 20 Ω, indicating effective load-independent characteristics. Meanwhile, the output voltage (V_{out}) increases linearly from about 11.5 V to over 38.99 V as the load resistance increases.

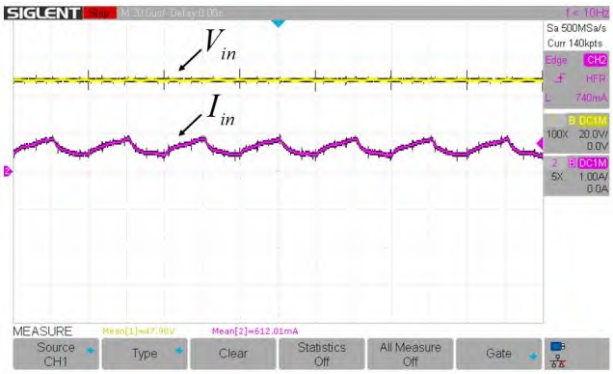

Fig. 5 Experimental waveforms of V_{in} and I_{in}

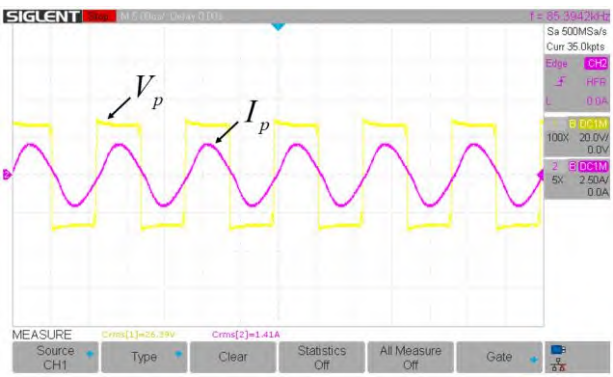

Fig. 6 Experimental waveforms of V_p and I_p

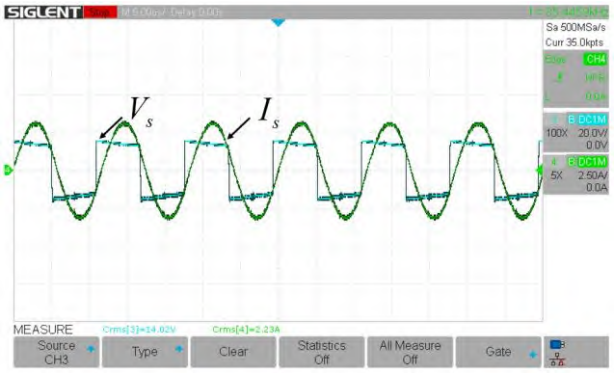

Fig. 7 Experimental waveforms of V_s and I_s

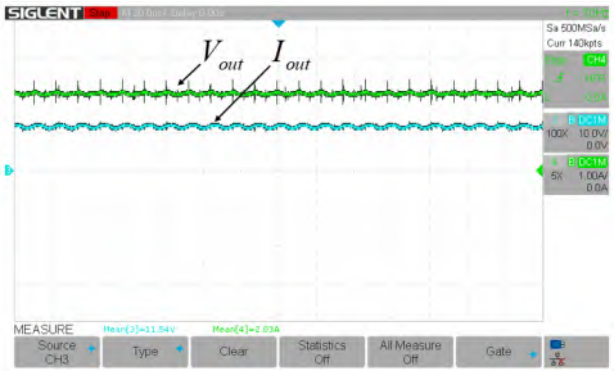

Fig. 8 Experimental waveforms of V_{out} and I_{out}

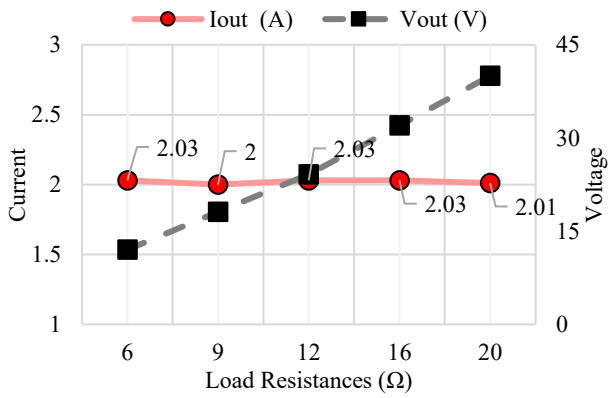

Fig. 9 V_{out} and I_{out} versus different load resistances

The efficiency shown in Figure 10 initially increases from 79.912% at a load of 6 Ω, reaching a maximum value of 87.163% at 16 Ω. Beyond this load resistance value, efficiency gradually decreases, falling to 84.424% at a load of 20 Ω. These results indicate that the system operates most efficiently at a load of 16 Ω.

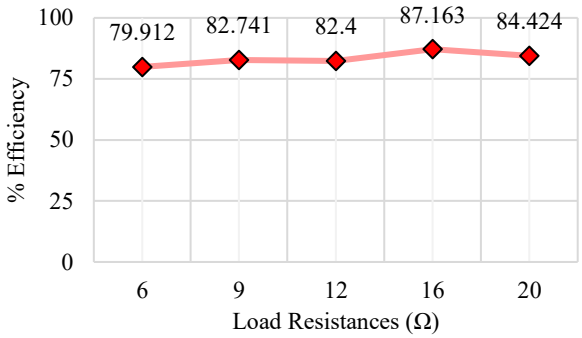

Fig. 10 Efficiency versus different load resistances

5. Conclusions

The proposed SS WPT system effectively maintains load-independent output current control using primary-side regulation and wireless feedback. Experimental validation demonstrates that the system maintains a constant output current of approximately 2 A over varying load conditions (6 Ω to 20 Ω), while achieving a peak efficiency of 87.163% at a 16 Ω load. These results highlight the effectiveness of the primary-side control strategy in WPT applications.

References

[1] D. Patil, M. K. Mcdonough, J. M. Miller, B. Fahimi, and P. T. Balsara, "Wireless power transfer for vehicular applications: Overview and challenges," *IEEE Trans. Transp. Electrific.*, vol. 4, no. 1, pp. 3–37, Mar. 2018.

[2] C. Zhu, J. Yu, Y. Gu, J. Gao, H. Yang, R. Mai, Y. Li, and Z. He, "Analysis and design of cost-effective WPT systems with dual independently regulatable outputs for automatic guided vehicles," *IEEE Trans. Power Electron.*, vol. 36, no. 6, pp. 6183–6193, Jun. 2021.

[3] J. Park, D. Kim, K. Hwang, H. H. Park, S. I. Kwak, J. H. Kwon, and S. Ahn, "A resonant reactive shielding for planar wireless power transfer system in smartphone application," *IEEE Trans. Electromagn. Compat.*, vol. 59, no. 2, pp. 695–703, Apr. 2017.

[4] V. Shevchenko, O. Husev, R. Strzelecki, B. Pakhaliuk, N. Poliakow, and N. Strzelecka, "Compensation topologies in IPT systems: Standards, requirements, classification, analysis, comparison and application," *IEEE Access*, vol. 7, pp. 120559–120580, 2019.

[5] W. Zhang, S.-C. Wong, C. K. Tse, and Q. Chen, "Load-independent duality of current and voltage outputs of a series- or parallel-compensated inductive power transfer converter with optimized efficiency," *IEEE J. Emerg. Sel. Topics Power Electron.*, vol. 3, no. 1, pp. 137–146, Mar. 2015.

[6] T. Diekhans and R. W. De Doncker, "A dual-side controlled inductive power transfer system optimized for large coupling factor variations and partial load,"

IEEE Trans. Power Electron., vol. 30, no. 11, pp. 6320–6328, Nov. 2015.

Suttisak Uraiwong : received a vocational certificate in Electrical Power from Saraburi Technical College in 2021 and an advanced vocational certificate in Power Transmission Technology from Saraburi Technical College in 2023. He is currently studying for a Bachelor of Industrial Technology in Electrical and Power Electronics Technology, Department of Electrical Engineering Technology, College of Industrial Technology, King Mongkut's University of Technology North Bangkok (KMUTNB).

Phongthanaphat Lamunphak : received a vocational certificate in Electrical Power from Saraburi Technical College in 2021 and an advanced vocational certificate in Power Transmission Technology from Saraburi Technical College in 2023. He is currently studying for a Bachelor of Industrial Technology in Electrical and Power Electronics Technology, Department of Electrical Engineering Technology, College of Industrial Technology, King Mongkut's University of Technology North Bangkok (KMUTNB).

Athit Suanchuto : received a vocational certificate in Automotive from Ratchaburi Technical College in 2021 and an advanced vocational certificate in Electrical Power from Ratchaburi Technical College in 2023. He is currently studying for a Bachelor of Industrial Technology in Electrical and Power Electronics Technology, Department of Electrical Engineering Technology, College of Industrial Technology, King Mongkut's University of Technology North Bangkok (KMUTNB).

Hatta Sawachan : received the B.Ind.Tech. degree in Power Electronics Technology from King Mongkut's University of Technology North Bangkok (KMUTNB), Bangkok, Thailand, in 2014, and the M.Eng. degree in Electrical Engineering (Automatic Control) from the same university in 2017. He is currently an Assistant Professor with the Department of Electrical Engineering Technology, College of Industrial Technology, KMUTNB. His research interests include Power Electronics (Power Converter, Grid Connection, Electric Drive), Control System, and Digital Control.

Kan Voottipruex : received the B.Eng. degree in Electronic and Telecommunication Engineering from King Mongkut's University of Technology Thonburi (KMUTT), Bangkok, in 2014, and the M.Eng. degree in Electrical Engineering from King Mongkut's University of Technology Thonburi (KMUTT), Bangkok, in 2017. He is currently a lecturer with the Department of Electrical Engineering Technology, College of Industrial Technology, King Mongkut's University of Technology North Bangkok (KMUTNB). His research interests include inductive power transfer systems (IPT), wireless charging applications, and renewable energy applications.

การควบคุมแรงดันไฟฟ้าขาออกด้วยฟัซซีลอจิกสำหรับระบบถ่ายโอนพลังงานแบบไร้สาย

Fuzzy Logic-Based Output Voltage Regulation for Wireless Power Transfer Systems

อานนท์ ศรีสุข พีรณัฐ ทันจิต ณัชพิชาญ์นันท์ ปิยะนันท์ โกศล ชัยเจริญอุดมรุ่ง และ กันต์ วุฒิพฤกษ์*

ภาควิชาเทคโนโลยีวิศวกรรมไฟฟ้า วิทยาลัยเทคโนโลยีอุตสาหกรรม มหาวิทยาลัยเทคโนโลยีพระจอมเกล้าพระนครเหนือ

kan.v@cit.kmutnb.ac.th*

บทคัดย่อ

บทความนี้นำเสนอเทคนิคการควบคุมแรงดันไฟฟ้าขาออกของระบบการส่งถ่ายพลังงานไฟฟ้าแบบไร้สายที่มีโครงสร้างแบบอนุกรม - อนุกรม โดยใช้ตัวควบคุมฟัซซีลอจิก แรงดันไฟฟ้าขาออกถูกวัดโดยตรงเพื่อเปรียบเทียบกับแรงดันไฟฟ้าอ้างอิง ค่าความคลาดเคลื่อนและอัตราการเปลี่ยนแปลงความคลาดเคลื่อนถูกใช้เป็นอินพุตของตัวควบคุมฟัซซีลอจิก โดยมีเอาต์พุตเป็นค่าอัตราการเปลี่ยนแปลงสัญญาณควบคุมสำหรับควบคุมวงจรแปลงผันกำลัง ซึ่งทำหน้าที่ปรับเปลี่ยนแรงดันไฟฟ้าด้านปฐมภูมิจนกระทั่งแรงดันไฟฟ้าขาออกสอดคล้องกับแรงดันไฟฟ้าอ้างอิง ผลการจำลองสถานการณ์ภายใต้สภาวะที่โหลดเปลี่ยนแปลงแสดงให้เห็นว่าวิธีการควบคุมที่นำเสนอสามารถควบคุมแรงดันไฟฟ้าขาออกได้และให้สมรรถนะการควบคุมที่ดีกว่าเมื่อเทียบกับการใช้ตัวควบคุมแบบพีไอ

คำสำคัญ: การส่งพลังงานไฟฟ้าแบบไร้สาย, การควบคุมด้วยฟัซซีลอจิก, วงจรแปลงผันแบบบัค

Abstract

This paper presents a voltage regulation strategy for wireless power transfer with a series-series topology using a fuzzy logic controller. The output voltage is directly measured and compared with a reference voltage. The error value and error rate change are used as inputs to the fuzzy logic controller. The controller generates the rate of change of the control signal, which regulates the power converter to adjust the primary-side voltage until the output voltage corresponds to the reference voltage. The simulation results under load variation conditions demonstrate that the proposed control method can regulate the output voltage and provide superior performance compared to conventional PI controllers.

Keywords: wireless power transfer, fuzzy logic controller, buck converter

1. บทนำ

เทคนิคการส่งผ่านพลังงานไฟฟ้าแบบไร้สาย (Wireless Power Transfer: WPT) ได้รับความสนใจอย่างมากและถูกนำมาใช้อย่างแพร่หลาย เทคโนโลยีนี้ช่วยให้สามารถส่งพลังงานจากต้นทางไปยังโหลดได้โดยไม่ต้องสัมผัสกันโดยตรงผ่านสนามแม่เหล็ก ซึ่งเพิ่มความปลอดภัยและสะดวกมากกว่าการเสียบปลั๊กแบบทั่วไป รวมถึงการบำรุงรักษาที่ต่ำ เทคโนโลยีนี้ถูกนำไปใช้สำเร็จในงานต่าย ๆ เช่น ระบบขนส่งสาธารณะ เครื่องชาร์จแบตเตอรี่รถยนต์ไฟฟ้า และอุปกรณ์ฝังในทางการแพทย์

ระบบ WPT แบบทั่วไปจะมีการชดเชยค่าปฏิกิริยา (Reactive Compensation) ในขดลวดทั้งฝั่งปฐมภูมิและทุติยภูมิเพื่อลดค่ากำลังไฟฟ้าปรากฏ (VA) ที่ต้นทางจ่ายและเพิ่มความสามารถในการส่งพลังงาน ตัวเก็บประจุชดเชยอาจถูกต่ออนุกรมหรือขนานกับขดลวดฝั่งปฐมภูมิ ขดลวดฝั่งทุติยภูมิ หรือขดลวดทั้งสองฝั่ง ทำให้เกิดโครงสร้างการชดเชยที่นิยมใช้ด้วยกัน 4 แบบ ได้แก่ อนุกรม-อนุกรม (Series - Series: SS) อนุกรม – ขนาน (Series - Parallel: SP) ขนาน – อนุกรม (Parallel – Series: PS) และ ขนาน - ขนาน (Parallel – Parallel: PP)[1] การเลือกโครงสร้างดังกล่าวขึ้นอยู่กับลักษณะการใช้งานและข้อกำหนดทางวิศวกรรม เพื่อให้แรงดันไฟฟ้าขาออกของระบบ WPT คงที่จำเป็นต้องอาศัยการควบคุมร่วมกับวงจรแปลงผันกำลัง ด้วยเหตุนี้จึงได้มีงานวิจัยที่เสนอการควบคุมแรงดันไฟฟ้าขาออกของระบบ WPT หลากหลายวิธี[2-3] ซึ่งดำเนินการได้โดยควบคุมการทำงานของวงจรแปลงผันกำลังที่เชื่อมต่อด้านปฐมภูมิหรือทุติยภูมิ ตัวควบคุมแบบพีไอ (PI) หรือพีไอดี (PID) เป็นตัวควบคุมที่ถูกใช้งานอย่างแพร่หลาย เพราะโครงสร้างตัวควบคุมมีความเรียบง่ายและสามารถขจัดค่าผิดพลาดในสภาวะอยู่ตัวได้ แต่ก็ยังมีข้อจำกัดเมื่อถูกนำมาใช้งานกับระบบที่มีลักษณะไม่เป็นเชิงเส้น ประสิทธิภาพการควบคุมขึ้นอยู่กับการออกแบบพารามิเตอร์ที่เหมาะสม

ในบทความนี้เสนอการควบคุมแรงดันไฟฟ้าขาออกของระบบ WPT แบบ SS โดยได้นำตัวควบคุมฟัซซีลอจิก (Fuzzy logic control: FLC) มาประยุกต์ใช้ ตัวควบคุมนี้มีข้อได้เปรียบที่สามารถทำงานได้ดีกับระบบที่ไม่เป็นเชิงเส้น ไม่ต้องพึ่งพาแบบจำลองทางคณิตศาสตร์ที่ซับซ้อน การออกแบบอาศัยความรู้และประสบการณ์ของผู้เชี่ยวชาญ โปรแกรม MATLAB/Simulink ถูกใช้จำลองสถานการณ์และประเมินผลภายใต้เงื่อนไขที่โหลดมีการเปลี่ยนแปลงแบบทันทีทันใด เพื่อยืนยันความถูกต้องและประสิทธิภาพการควบคุมของวิธีการที่นำเสนอ นอกจากนี้ยังได้มีการเปรียบเทียบประสิทธิภาพของการควบคุมระหว่างที่นำเสนอกับตัวควบคุมแบบพีไอ

2. ทฤษฎีที่เกี่ยวข้องและการออกแบบ

2.1 วงจรเรโซแนนซ์แบบอนุกรม

วงจรสมมูลของระบบชดเชยแบบอนุกรม–อนุกรม (Series–Series: SS) แสดงในรูปที่ 1 โดยแบ่งออกเป็นฝั่งปฐมภูมิและฝั่งทุติยภูมิ[4] ฝั่งปฐมภูมิมีแรงดันไฟฟ้าปฐมภูมิ (V_p) ถูกต่ออนุกรมกับตัวเก็บประจุ (C_p) และขดลวดฝั่งปฐมภูมิ (L_p) อิมพีแดนซ์ฝั่งปฐมภูมิสามารถคำนวณได้จากสมการที่ (1)

$$Z_p = j\omega L_p + \frac{1}{j\omega C_p} \quad (1)$$

*ผู้ประพันธ์บรรณกิจ

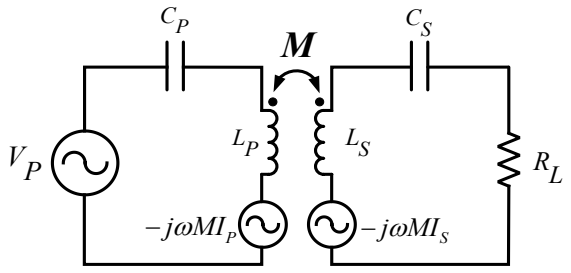

รูปที่ 1 วงจรเทียบเท่าชุดเรโซแนนซ์แบบอนุกรม - อนุกรม

ขดลวดฝั่งทุติยภูมิ (L_s) ถูกต่ออนุกรมกับตัวเก็บประจุ (C_s) และโหลด (R_L) โดย อิมพีแดนซ์ของฝั่งทุติยภูมิ คือ

$$Z_s = j\omega L_s + \frac{1}{j\omega C_s} + R_L \tag{2}$$

พิจารณาทั้งสองฝั่งของวงจรถูกเชื่อมโยงกันด้วยการเหนี่ยวนำร่วมกัน (Mutual Inductance: M) โดยอิมพีแดนซ์ของฝั่งทุติยภูมิจะถูกสะท้อนกลับมายังฝั่งปฐมภูมิ ซึ่งสามารถคำนวณอิมพีแดนซ์สะท้อนกลับได้จาก

$$Z_r = \frac{\omega^2 M^2}{Z_s} \tag{3}$$

ดังนั้น อิมพีแดนซ์ขาเข้ารวม (Z_{in}) เขียนได้เป็น

$$Z_{in} = \mathrm{Re}(Z_{in}) + \mathrm{Im}(Z_{in}) = Z_p + Z_r \tag{4}$$

ระบบ WPT มักออกแบบให้ทำงานที่ความถี่เรโซแนนซ์(ω_0) ที่ทั้งฝั่งปฐมภูมิและทุติยภูมิ เพื่อให้ได้ประสิทธิภาพสูงสุดและลดค่ากำลังไฟฟ้าจริงที่ต้นทางแหล่งจ่าย ความถี่เรโซแนนซ์สามารถคำนวณได้จาก

$$\omega_0 = \frac{1}{\sqrt{L_P C_P}} = \frac{1}{\sqrt{L_S C_S}} \tag{5}$$

ระบบ WPT แบบ SS มีพฤติกรรมกระแสทุติยภูมิไม่ขึ้นอยู่กับโหลดเมื่อทำงานที่ความถี่เรโซแนนซ์(ω_0) โดยค่ากระแสทุติยภูมิ (I_s) ที่สัมพันธ์กับแรงดันในฝั่งปฐมภูมิ (V_p) ณ ความถี่เรโซแนนซ์สามารถคำนวณได้จาก

$$\left|I_s\right|_{\omega=\omega_0} = \frac{V_P}{\omega_0 M} \tag{6}$$

แรงดันทุติยภูมิ (V_s) ณ ความถี่เรโซแนนซ์คำนวณได้จาก

$$V_s = j\omega_0 M I_p \quad \text{หรือ} \quad V_s = \frac{j\omega_0 M V_p}{Z_p} \tag{7}$$

ส่วนขนาดของแรงดัน $\left|V_s\right|$ จะขึ้นอยู่กับ V_p และโหลด R_L และสามารถเขียนได้ดังนี้

$$\left|V_s\right|_{\omega=\omega_0} = \frac{R_L V_p}{\omega_0 M} \tag{8}$$

จากสมการที่ (6) ถึง (8) จะเห็นได้ว่ากระแสขาออกที่มีสัมพันธ์กับแรงดันไฟฟ้าขาออกของระบบ WPT จะขึ้นอยู่กับแรงดันปฐมภูมิ ดังนั้นในบทความนี้จึงได้ทำการวัดค่าแรงดันไฟฟ้าขาออกของระบบ WPT โดยตรงเพื่อตรวจสอบความผิดพลาดและปรับแรงดันด้านปฐมภูมิ โดยโครงสร้างของระบบ WPT ในบทความนี้แสดงในรูปที่ 2 ซึ่งประกอบด้วยแหล่งจ่ายไฟฟ้ากระแสตรง วงจรแปลงผันแบบบัค วงจรอินเวอร์เตอร์แบบฟูลบริดจ์ที่ต่อด้านขดลวดปฐมภูมิ วงจรด้านทุติยภูมิเชื่อมต่อกับวงจรเรียงกระแสเต็มคลื่นแบบบริดจ์และตัวเก็บจุสำหรับกรองแรงดันไฟฟ้าขาออกของระบบ WPT ที่นำเสนอ รายละเอียดการออกแบบการควบคุมด้วยวิธีที่นำเสนอแสดงไว้ในหัวข้อที่ 2.2

2.2 การออกแบบตัวควบคุมฟัซซีลอจิกและกฎฟัซซี

ตัวควบคุมลอจิกฟัซซีชถูกนำมาใช้ในระบบควบคุมแบบป้อนกลับเพื่อปรับปรุงการควบคุมแบบดั้งเดิม เช่น ประสิทธิภาพและความแม่นยำที่จำกัด สัญญาณควบคุมของ FLC จะถูกคำนวณผ่าน 3 ขั้นตอนหลัก ได้แก่ อินพุต การประมวลผล และเอาต์พุต

การออกแบบฟังก์ชันสมาชิกของอินพุตและเอาต์พุต สำหรับระบบควบคุมแรงดันไฟฟ้าขาออกของระบบ WPT กำหนดอินพุตของตัวควบคุมฟัซซีจำนวน 2 ตัวแปร ดังนี้

ค่าความคลาดเคลื่อนของแรงดันไฟฟ้าขาออก(*Error*) เมื่อเปรียบเทียบกับแรงดันไฟฟ้าอ้างอิง

$$Error(t) = V_o^*(t) - V_o(t) \tag{9}$$

อัตราการเปลี่ยนแปลงของค่าความคลาดเคลื่อนในช่วงเวลาปัจจุบันกับค่าก่อนหน้า(Error rated: *dError*)

$$dError(t) = \frac{e(t) - e(t-1)}{\Delta t} \tag{10}$$

ฟังก์ชันสมาชิกอินพุตทั้งสองประกอบด้วยรูปสามเหลี่ยมและรูปสี่เหลี่ยมคางหมู ซึ่งกำหนดให้เป็นแบบสมมาตร 5 ตัวแปรดังแสดงในรูปที่ 3 โดยมีเอาต์พุตของฟัซซีเป็นอัตราการเปลี่ยนแปลงสัญญาณควบคุม (Δu) ที่กำหนดให้เป็นฟังก์ชันสมาชิกเอาต์พุตเป็นเส้นตรงโทนดังแสดงในรูปที่ 4 และมีกฎของฟัซซีที่ออกแบบแสดงในตารางที่ 1

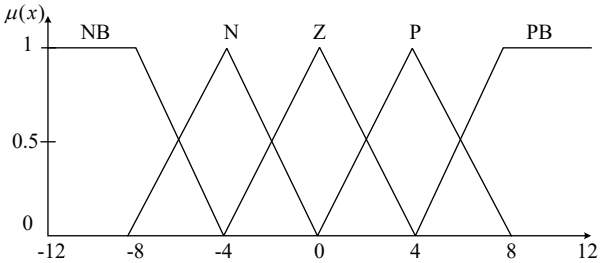

รูปที่ 3 ฟังก์ชันสมาชิกของอินพุต *Error* และ *dError*

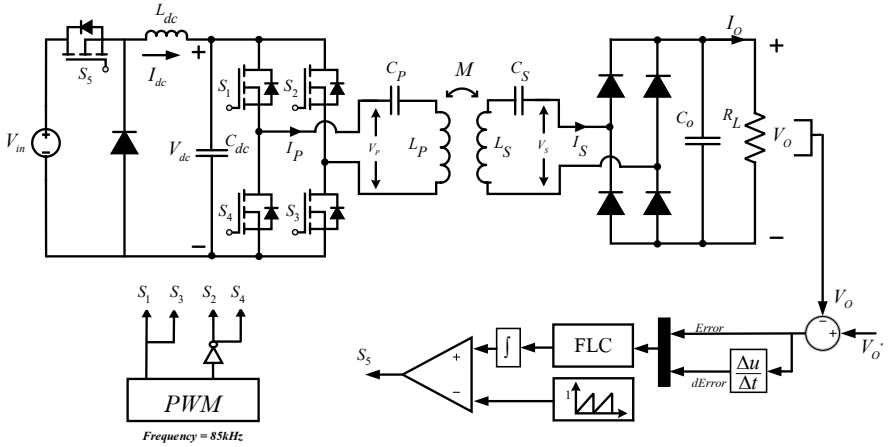

รูปที่ 2 ระบบส่งพลังงานไฟฟ้าแบบไร้สายที่นำเสนอ

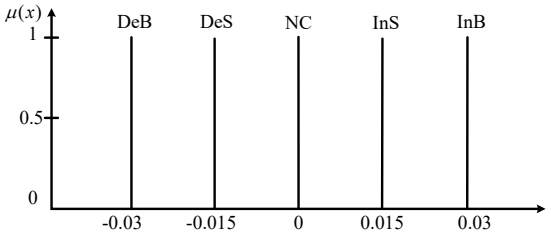

รูปที่ 4 ฟังก์ชันสมาชิกของเอาต์พุต Δu

ตารางที่ 1 กฎของฟัซซี

Input		dError				
		NB	N	Z	P	PB
Error	NB	DeB	DeB	DeS	Nc	InS
	N	DeB	DeS	Nc	InS	InS
	Z	DeS	DeS	Nc	InS	InS
	P	InS	InS	Nc	InS	InB
	PB	InS	InS	InS	InB	InB

3. ผลการจำลอง

ในหัวข้อนี้เป็นการจำลองสถานการณ์ของระบบ WPT เพื่อพิสูจน์การวิเคราะห์ทางทฤษฎีและยืนยันประสิทธิภาพการควบคุม โครงสร้างระบบ WPT ตามที่แสดงในรูปที่ 2 ถูกจำลองสถานการณ์โดยใช้พารามิเตอร์ในตารางที่ 2 การควบคุมความถี่คงที่ (Fixed-Frequency Control) ได้ถูกนำมาใช้ควบคุมการสวิตช์ของวงจรอินเวอร์เตอร์แบบฟูลบริดจ์ เพื่อให้เกิดความถี่เรโซแนนซ์ (f_0 = 85 kHz) ตัวควบคุมแบบพีไอมีพารามิเตอร์ $K_P = 0.0048$ และ $K_I = 0.15$ การจำลองสถานการณ์กำหนดให้ช่วงเวลาเริ่มต้นระบบ WPT มีภาระโหลดครึ่งพิกัดและเปลี่ยนแปลงเพิ่มขึ้นเป็นโหลดเต็มพิกัดที่เวลา 0.5 วินาที

ผลการจำลองการตอบสนองของแรงดันและกระแสไฟฟ้าขาออกของระบบ WPT แสดงในรูปที่ 5 โดยเปรียบเทียบระหว่างการควบคุมด้วยตัวควบคุมแบบพีไอและวิธีการที่นำเสนอ พบว่าทั้งสองวิธีสามารถควบคุมแรงดันไฟฟ้าขาออกให้เข้าสู่ค่าที่อ้างอิง 24 โวลต์ได้ เมื่อโหลดเพิ่มขึ้น แรงดันไฟฟ้าขาออกจะลดลงชั่วขณะก่อนเพิ่มกลับเข้าสู่ค่าอ้างอิง ในขณะที่กระแสไฟฟ้าขาออกเพิ่มขึ้นอย่างต่อเนื่องจนเข้าสู่สภาวะคงตัวที่ 1.182 แอมป์ เมื่อพิจารณาสมรรถนะการควบคุม พบว่า ในช่วงโหลดครึ่งพิกัด การควบคุมด้วยตัวควบคุมแบบพีไอเกิดแรงดันไฟฟ้าขาออกในสภาวะคงตัวมีการแกว่งไกวราว 7.02 โวลต์ ในขณะที่การควบคุมด้วย FLC มีแรงดันไฟฟ้าขาออกมีความราบเรียบ ส่วนการควบคุมในช่วงโหลดเต็มพิกัดทั้งสองวิธีสามารถรักษาแรงดันไฟฟ้าได้อย่างมีประสิทธิภาพและไม่มีการแกว่งไกวของแรงดันไฟฟ้าขาออก ด้านผลการตอบสนองต่อการเปลี่ยนแปลงโหลด พบว่า FLC ใช้เวลาเข้าสู่สภาวะคงตัวน้อยกว่าตัวควบคุมแบบพีไอ

ตารางที่ 2 พารามิเตอร์ของระบบ WPT

Parameters	Value	unit
กำลังไฟฟ้าพิกัด	30	W
ความถี่สวิตช์วงจรแปลงผันแบบบัค	25	kHz
แรงดันไฟตรงอินพุต (V_{in})	48	V
ตัวเก็บประจุฝั่งปฐมภูมิ (C_P)	33	nF
ตัวเก็บประจุฝั่งทุติยภูมิ (C_S)	33	nF
ขดลวดเหนี่ยวนำปฐมภูมิ (L_P)	106	µH
ขดลวดเหนี่ยวนำทุติยภูมิ (L_S)	103	µH
ขดลวดเหนี่ยวนำร่วม (M)	33	µH

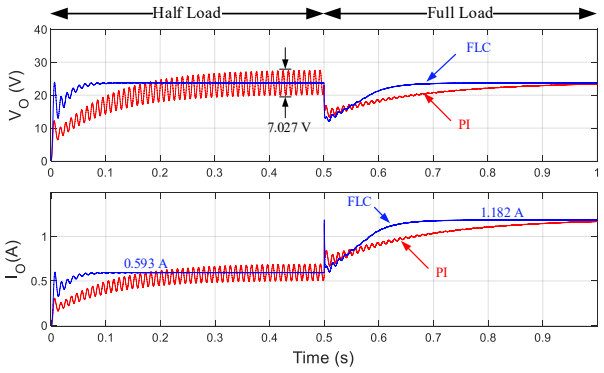

รูปที่ 5 ผลตอบสนองแรงดันไฟฟ้าและกระแสไฟฟ้าขาออกเมื่อโหลดเปลี่ยนจากครึ่งพิกัดเป็นเต็มพิกัด

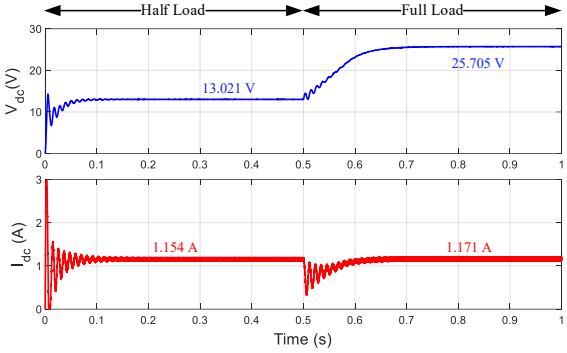

รูปที่ 6 ผลตอบสนองแรงดันและกระแสไฟฟ้าขาออกของวงจรแปลงผันแบบบัค

ในรูปที่ 6 แสดงผลตอบสนองแรงดันไฟฟ้าและกระแสไฟฟ้าขาออกของวงจรแปลงผันแบบบัค ซึ่งสัมพันธ์กับแรงดันไฟฟ้าและกระแสไฟฟ้าขาเข้าของวงจรฝั่งปฐมภูมิ เมื่อโหลดเพิ่มขึ้นจากครึ่งพิกัดเป็นเต็มพิกัด พบว่าแรงดันไฟฟ้าขาออกของวงจรแปลงผันแบบบัค (V_{DC}) เพิ่มขึ้น ในขณะที่กระแสไฟฟ้าขาออกของวงจร(I_{DC}) คงที่ แสดงให้เห็นถึงความสัมพันธ์ของระบบ WPT แบบ SS เมื่อ I_S เพิ่มขึ้นเนื่องจากการเพิ่มโหลด V_P เพิ่มขึ้นตาม สอดคล้องกับความสัมพันธ์ในสมการที่ (6)

ในรูปที่ 7 และรูปที่ 8 แสดงผลตอบสนองในสภาวะคงตัวของแรงดันและกระแสไฟฟ้าฝั่งปฐมภูมิ V_P และ I_P ขณะจ่ายโหลดครึ่งพิกัดและเต็มพิกัด โดยจะสังเกตได้ว่า V_P มีรูปคลื่นสัญญาณเป็นสี่เหลี่ยม ตามสัญญาณการสวิตช์และมีขนาดเพิ่มขึ้นเมื่อโหลดเพิ่มขึ้น ในขณะที่ I_P มีรูปสัญญาณเป็นคลื่นไซน์และแอมพิจูดคงที่

ผลตอบสนองในสภาวะคงตัวของแรงดันและกระแสไฟฟ้าฝั่งทุติยภูมิ V_S และ I_S ขณะจ่ายโหลดครึ่งพิกัดและเต็มพิกัด แสดงในรูปที่ 9 และรูปที่ 10 ตามลำดับ โดยจะสังเกตได้ว่า V_S มีรูปคลื่นสัญญาณเป็นสี่เหลี่ยมและมีขนาดคงที่ ในขณะที่ I_S มีรูปสัญญาณเป็นคลื่นไซน์และแอมพิจูดเพิ่มขึ้นตามโหลด

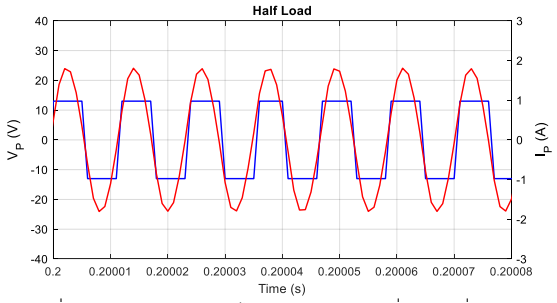

รูปที่ 7 แรงดันและกระแสไฟฟ้าด้านปฐมภูมิที่โหลดครึ่งพิกัด

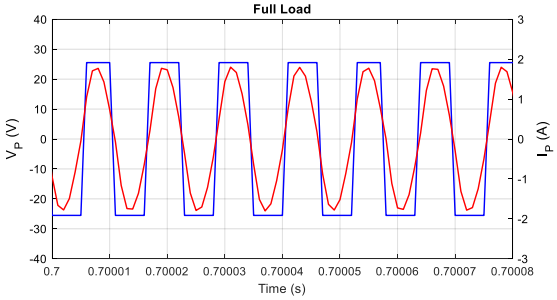

รูปที่ 8 แรงดันและกระแสไฟฟ้าด้านปฐมภูมิโหลดเต็มพิกัด

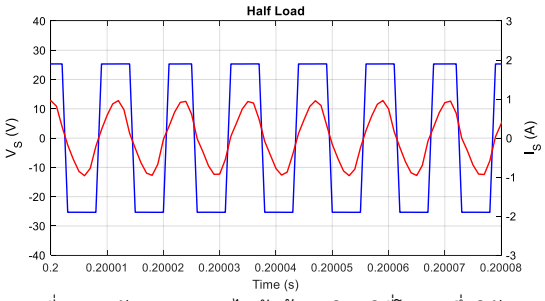

รูปที่ 9 แรงดันและกระแสไฟฟ้าด้านทุติยภูมิที่โหลดครึ่งพิกัด

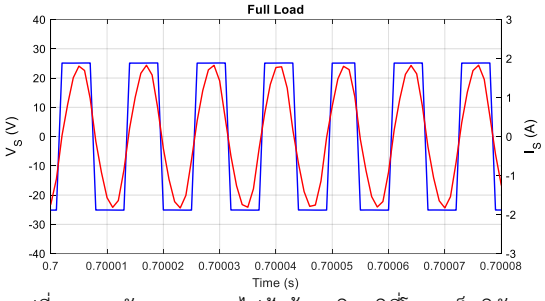

รูปที่ 10 แรงดันและกระแสไฟฟ้าด้านทุติยภูมิที่โหลดเต็มพิกัด

4. สรุป

การควบคุมแรงดันไฟฟ้าขาออกด้วยตัวควบคุม FLC สำหรับระบบ WPT ที่มีโครงสร้างแบบ SS ได้ถูกนำเสนอในบทความนี้ การวิเคราะห์เชิงทฤษฎีได้แสดงให้เห็นถึงความสัมพันธ์แรงดันไฟฟ้าขาออกของระบบ WPT ที่นำเสนอสามารถควบคุมได้ผ่านการปรับตั้งแรงดันไฟฟ้ากระแสตรงฝั่งปฐมภูมิ โดยอาศัยวงจรแปลงผันแบบบัคที่มีความเรียบง่ายต่อการควบคุม ในขณะที่อินเวอร์เตอร์ทำงานที่ความถี่สวิตช์คงที่ รายละเอียดขั้นตอนการออกแบบตัวควบคุม FLC ได้รับการอธิบาย ผลการจำลองสถานการณ์แสดงให้เห็นว่า การควบคุมการควบคุมแรงดันฝั่งปฐมภูมิสามารถสะท้อนถึงแรงดันไฟฟ้าขาออกของระบบ WPT ได้ โดยการควบคุมด้วยวิธีที่นำเสนอสามารถให้สมรรถนะการควบคุมแรงดันไฟฟ้าขาออกได้ดีกว่าเมื่อเทียบกับตัวควบคุมแบบพีไอ ภายใต้การเปลี่ยนแปลงโหลดแบบทันทีทันใด สำหรับงานในอนาคตจะเป็นการสร้างชุดทดสอบ เพื่อยืนยันความถูกต้อง

เอกสารอ้างอิง

[1] S. Nutwong, A. Sangswang, and S. Naetiladdanon, “Output voltage control of the SP topology IPT system using a primary side controller,” *2016 13th International Conference on Electrical Engineering/Electronics, Computer, Telecommunications and Information Technology (ECTI-CON)*, Chiang Mai, Thailand, 2016.

[2] Y. Yang, W. Zhong, S, Kiratipongvoot, S-C. Tan, and S. Y. R. Hui, “Dynamic Improvement of Series–Series Compensated Wireless Power Transfer Systems Using Discrete Sliding Mode Control,” *IEEE Transactions on Power Electronics*, vol. 33, 2018, pp. 6351 – 6360.

[3] Y. Fei, F. Chen, R. Gao, S. Zhao, C. Tang, and L. Zhao, “Oscillation Frequency Manipulation in Autonomous WPT Systems With Series–Series Compensation,” *IEEE Transactions on Power Electronics*, Vol. 39, Issue 1, 2024, pp. 58 - 63.

[4] K. Voottipruex and A. Sangswang, “ Dynamic IPT System Operating Under Bifurcation Phenomenon for Reducing Output Power Pulsation,” *IEEE Access*, vol. 12, 2024.

การวิเคราะห์วงจรดีซี-ดีซีฟูลบริดจ์คอนเวอร์เตอร์แบบแยกกันสำหรับอุปกรณ์จ่ายไฟยานยนต์ไฟฟ้า

Analysis of An Isolated DC-DC Full bridge Converter for EVSE

ยุทธนา จงเจริญ[1*] และ ชญา ไชยมงคล[2]

[1]ภาควิชาวิศวกรรมไฟฟ้าและคอมพิวเตอร์ คณะวิศวกรรมศาสตร์ มหาวิทยาลัยธรรมศาสตร์ cyutana@engr.tu.ac.th*

[2]สาขาวิชาวิศวกรรมศาสตร์ (วิศวกรรมไฟฟ้า) คณะวิศวกรรมศาสตร์ มหาวิทยาลัยธรรมศาสตร์ chaya.cha@dome.tu.ac.th

บทคัดย่อ

งานวิจัยนี้นำเสนอการศึกษาและวิเคราะห์วงจรดีซี–ดีซีฟูลบริดจ์คอนเวอร์เตอร์แบบแยกกัน สำหรับการประยุกต์ใช้งานในอุปกรณ์จ่ายไฟยานยนต์ไฟฟ้า (EVSE) โดยใช้เทคนิคการควบคุมแบบ Phase-Shifted Full Bridge (PSFB) วัตถุประสงค์ของงานวิจัยเพื่อสร้างความเข้าใจที่สามารถใช้เป็นพื้นฐานสำหรับการพัฒนาต้นแบบเพาเวอร์โมดูลในอนาคต วงจรถูกออกแบบและจำลองการทำงานด้วยโปรแกรม PSIM เพื่อประเมินลักษณะการทำงาน ผลการจำลองแสดงให้เห็นว่า ในสภาวะไม่มีโหลด การเลื่อนเฟสที่ $d = 90°$ สามารถทำให้ได้แรงดันขาออกประมาณ $V_{out} = 400V$ ตามการออกแบบ ขณะที่ในสภาวะมีโหลด การเพิ่มค่าเลื่อนเฟสส่งผลให้แรงดันและกระแสขาออกลดลง โดยที่ $d = 0°$ วงจรให้ค่า $V_{out} \approx 400V, I_{out} = 50A$ ผลการศึกษานี้สะท้อนถึงพฤติกรรมพื้นฐานของฟูลบริดจ์คอนเวอร์เตอร์ที่ควบคุมด้วย PSFB และสามารถใช้เป็นแนวทางต่อยอดไปสู่การควบคุมแบบลูปปิด เพื่อปรับการเลื่อนเฟสให้สัมพันธ์กับแรงดันและกระแสที่โหลดต้องการได้อย่างเหมาะสมในอนาคต

คำสำคัญ: ดีซี-ดีซีคอนเวอร์เตอร์แบบแยกกัน, อุปกรณ์จ่ายไฟสำหรับยานยนต์ไฟฟ้า, วงจรฟูลบริดจ์คอนเวอร์เตอร์

Abstract

This research presents the study and analysis of an isolated DC–DC full-bridge converter for application in electric vehicle supply equipment (EVSE), employing the Phase-Shifted Full Bridge (PSFB) control technique. The objective is to establish a fundamental understanding that can support the future development of a power module prototype. The circuit was designed and simulated using the PSIM program to evaluate its operating characteristics. The simulation results indicate that, under no-load conditions, a phase shift of $d = 90°$ produces an output voltage of approximately $V_{out} = 400V$, which is consistent with the design specification. Under load conditions, increasing the phase shift leads to a reduction in both output voltage and current, while at $d = 0°$ the circuit delivers $V_{out} \approx 400V, I_{out} = 50A$. These results demonstrate the fundamental behavior of the PSFB-controlled full-bridge converter and provide a useful guideline for future extension toward closed-loop control, where the phase shift can be adaptively regulated according to the voltage and current requirements of the load.

Keywords: Isolated DC-DC Converters, Electric Vehicle Supply Equipment, Full Bridge Converter

1. บทนำ

อุปกรณ์จ่ายไฟสำหรับยานยนต์ไฟฟ้า (Electric vehicle supply equipment - EVSE) ที่ควบคุมการถ่ายโอนไฟฟ้าจากแหล่งจ่ายไฟในสถานีไฟฟ้าไปยังยานยนต์ไฟฟ้า (Electric Vehicle - EV) เพื่อให้เกิดการชาร์จแบตเตอรี่ได้อย่างปลอดภัยและมีประสิทธิภาพ [1] สำหรับส่วนประกอบภายในของ EVSE ที่สำคัญที่จ่ายพลังงานออกมาให้กับแบตเตอรี่ก็คือ เพาเวอร์โมดูล (Power module) ซึ่งทำหน้าที่แปลงพลังงานไฟฟ้าจากแหล่งจ่ายไฟฟ้ากระแสสลับ ให้เป็นกระแสตรง ที่เหมาะสมสำหรับการชาร์จแบตเตอรี่ของยานยนต์ไฟฟ้า [2 - 3]

โดยเพาเวอร์โมดูลประกอบด้วยวงจรแปลงพลังงานไฟฟ้าหรือคอนเวอร์เตอร์ ซึ่งมีหน้าที่แปลงแรงดันและกระแสไฟฟ้าให้เหมาะสมกับความต้องการของแบตเตอรี่ ไม่ว่าจะเป็นการแปลงจากกระแสสลับเป็นกระแสตรง หรือแปลงแรงดันกระแสตรงให้สูงขึ้นหรือต่ำลง นอกจากนี้เพาเวอร์โมดูลยังรวมไปถึงวงจรควบคุมและระบบป้องกันต่าง ๆ เพื่อให้การจ่ายพลังงานมีประสิทธิภาพและปลอดภัย โดยประเภทของคอนเวอร์เตอร์ในระบบ EVSE มักถูกออกแบบให้เป็นแยกกันทางไฟฟ้า (Electrical Isolation) เช่น Flyback, Forward, Push-Pull และ Full Bridge เป็นต้น โดยแยกกันระหว่างฝั่งระบบจ่ายไฟฟ้าและฝั่งรถยนต์ ตามมาตรฐาน IEC 61851-1 เพื่อป้องกันอันตรายจากไฟฟ้าลัดวงจรและเพิ่มความน่าเชื่อถือให้กับระบบ EVSE [4] ซึ่งมีความสำคัญในด้านความปลอดภัยต่อผู้ใช้งานและการทำงานของระบบการจัดการแบตเตอรี่ (Battery Management System-BMS) ภายในรถ [5]

จากการศึกษาพบว่า Flyback Converter มีโครงสร้างง่าย ใช้ชิ้นส่วนน้อย แต่เมื่อใช้กำลังไฟฟ้าสูง หม้อแปลงจะเป็นตัวเก็บพลังงาน ยิ่งกำลังไฟมากหม้อแปลงก็จะมีขนาดใหญ่ ทำให้ส่วนใหญ่ขีดจำกัดจะอยู่ประมาณ 60W [6] ส่วน Forward Converter ส่งผ่านพลังงานโดยตรงขณะสวิตช์นำกระแส ทำให้มีประสิทธิภาพและการควบคุมแรงดันดีกว่า Flyback แต่ต้องใช้วงจรรีเซ็ตสนามแม่เหล็ก จึงมีความซับซ้อนเพิ่มขึ้น เหมาะกับระบบระดับกลาง (~200W) [7] ขณะที่ Push-Pull Converter รองรับกำลังปานกลางถึงสูง (~500W) ใช้หม้อแปลงหลายขดลวดให้แรงดันขาออกคงที่โดยไม่ต้องพึ่งวงจรควบคุมซับซ้อน แต่ต้องออกแบบให้สมมาตรเพื่อป้องกันการอิ่มตัวของหม้อแปลง [8], [9] แต่ Full Bridge Converter มีประสิทธิภาพสูง (>90%) แรงดันตกคร่อมของทรานซิสเตอร์ต่ำกว่ารูปแบบ Push-Pull Converter เนื่องจากมีการกระจายแรงดันและกระแสให้กับสวิตชิ่งมากกว่าหนึ่งตัว [9], [10] เหมาะกับงานกำลังสูง เช่น โมดูลจ่ายไฟในยานยนต์ไฟฟ้า และระบบพลังงานแสงอาทิตย์ เป็นต้น

เมื่อพิจารณาจากการชาร์จแบบ DC Fast Charging ซึ่งพลังงานที่ EVSE จะสร้างเพื่อชาร์จ EV มีตั้งแต่ 50kW – 500kW [11], [12] โดยใน EVSE จะมี Power Module หลายตัวเพื่อสร้างพลังงาน ซึ่ง Power Module 1 ตัว จะมีตั้งแต่ 20kW – 50kW และมีแรงดันขาออกของวงจรตั้งแต่ 50V – 1000V เพื่อรองรับแบตเตอรี่ EV หลายชนิด [13] ในปัจจุบันแรงดันของแบตเตอรี่ EV จะอยู่ที่ 400V [14] จึงทำให้เพาเวอร์โมดูลจะต้องจ่ายแรงดันขาออกอยู่ที่ 400V หรือมากกว่า ขึ้นอยู่กับชนิดของแบตเตอรี่ ทำให้วงจร Full Bridge Converter เหมาะอย่างยิ่งสำหรับการใช้งานที่มีแรงดันสูงและกำลังไฟฟ้าสูง

จากความสำคัญดังกล่าว ทำให้การใช้ดีซี-ดีซีคอนเวอร์เตอร์แบบแยกกันในเพาเวอร์โมดูลของระบบ EVSE มีความสำคัญเป็นอย่างมาก ดังนั้นงานวิจัยนี้มีวัตถุประสงค์เพื่อศึกษาและวิเคราะห์ดีซี-ดีซีคอนเวอร์เตอร์แบบแยกกันทางไฟฟ้าโดยใช้โปรแกรม PSIM ที่ใช้งานในด้านเพาเวอร์อิเล็กทรอนิกส์อย่างแพร่หลาย [15] ส่วนที่ 2 จะอธิบายทฤษฎีที่เกี่ยวข้อง Full Bridge Converter โดยแสดงสมการในการคำนวณพื้นฐานของวงจร ต่อมาในส่วนที่ 3 นำสมการพื้นฐานคำนวณออกแบบหาค่าภายในวงจรเพื่อทำการจำลองและวิเคราะห์ผ่านการจำลองด้วยโปรแกรม PSIM เพื่อศึกษาพฤติกรรมการทำงานและประสิทธิภาพของวงจร ผลการจำลองจะถูกนำเสนอในส่วนที่ 4 และส่วนสุดท้ายเป็นการสรุปผลการศึกษา เพื่อใช้เป็นแนวทางสำหรับการออกแบบโมดูลเพาเวอร์ ในระบบ EVSE ที่มีประสิทธิภาพและปลอดภัยต่อไป

2. ทฤษฎีที่เกี่ยวข้อง

2.1 โครงสร้างวงจร Full Bridge Converter

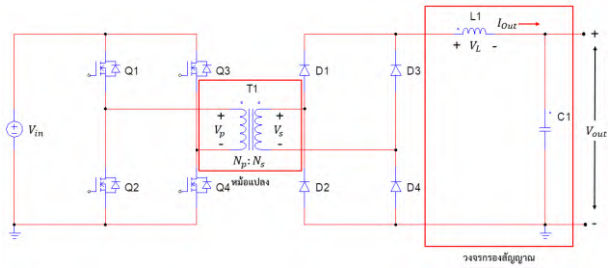

รูปที่ 1 โครงสร้างของวงจร Full Bridge Converter

โครงสร้างของวงจร ดังรูปที่ 1 ที่ประกอบด้วยทรานซิสเตอร์สวิตชิ่ง 4 ตัว (Q1, Q2, Q3, Q4), หม้อแปลงความถี่สูง (T1), ไดโอด (D1, D2, D3, D4), ตัวเหนี่ยวนำ (L1), และตัวเก็บประจุ (C1) การคำนวณจะแบ่งเป็น 2 ส่วน คือ 1. คำนวณค่าที่หม้อแปลง และ 2. การคำนวณค่าวงจรกรองสัญญาณ ดังต่อไปนี้

2.1.1 ทฤษฎีการคำนวณค่าที่หม้อแปลง

หม้อแปลงของวงจร Full Bridge Converter จะใช้หม้อแปลงความถี่สูงในการเพิ่มลดระดับแรงดันหรือกระแส สำหรับการนำเสนอนี้จะพิจารณาหม้อแปลงในอุดมคติ ซึ่งมีค่าที่คำนวณดังนี้

1. อัตราส่วนหม้อแปลง (Transformation Ratio)

$$a = \frac{V_p}{V_s} = \frac{N_p}{N_s} \quad (1)$$

เมื่อ a : อัตราส่วนหม้อแปลง
V_p : แรงดันฝั่งปฐมภูมิ
V_s : แรงดันฝั่งทุติยภูมิ
N_p : จำนวนรอบขดลวดปฐมภูมิ
N_s : จำนวนรอบขดลวดทุติยภูมิ

2.1.2 ทฤษฎีการคำนวณค่าวงจรกรองสัญญาณ

วงจรกรองสัญญาณของวงจร Full Bridge Converter ในการนำเสนอนี้ ใช้ LC filter เพื่อลดแรงดันและกระแสกระเพื่อม (Ripple voltage and Ripple current) โดยทั่วไปค่า Ripple voltage ที่เหมาะสมจะอยู่ในช่วงประมาณ 1% ถึง 2% ของแรงดันขาออก [16], [17] และ Ripple current มักอยู่ในช่วง 20% ถึง 40% ของกระแสโหลด [18] ใน [19] ได้ทำการจำลองโดยใช้ค่าแรงดันกระเพื่อม 1% และกระแสกระเพื่อม 20%

1. ค่าตัวเหนี่ยวนำ (Inductance)

การคำนวณค่าตัวเหนี่ยวนำจากกระแสกระเพื่อมเพื่อคำนวณหาค่า L1 สามารถหาได้โดย

จากรูปที่ 1 KVL วงจรกรองสัญญาณจะได้ $V_L = V_{s,on} - V_{out}$ (2)

เมื่อ $V_{s,on} = V_{out} + V_{ripple}$ (3)

และที่ V_L จะได้ $V_L = L\frac{di}{dt}$ (4)

จัดรูปสมการที่ (4) จะได้ $L = V_L\frac{dt}{di}$ (5)

จัดรูปสมการที่ (5) จะได้ $L = V_L\frac{D \cdot T_s}{I_{ripple}}$ (6)

หรือ $L = \frac{V_L \cdot D}{f \cdot I_{ripple}}$ (7)

ซึ่งสมการที่ (6) และ (7) สามารถใช้คำนวณหาค่า L1 ได้ โดยสมการที่ (6) ใช้คาบเวลาในการคำนวณ และสมการที่ (7) ทำการแปลงคาบเวลาเป็นความถี่ ซึ่งเป็นรูปสมการที่ใช้บ่อยกว่า ความหมายของตัวแปรมีดังนี้

เมื่อ L : ค่าตัวเหนี่ยวนำ
V_L : แรงดันที่ตกคร่อมอินดักเตอร์ในช่วงสวิตช์นำ
$V_{s,on}$: แรงดันทุติยภูมิที่ป้อนเข้าสู่โหลดในช่วง conduction
V_{out} : แรงดันขาออกของวงจร
V_{ripple} : แรงดันกระเพื่อม
I_{ripple} : กระแสกระเพื่อม
D : สัดส่วนเวลาที่สวิตช์เปิดในหนึ่งคาบการทำงาน
T_s : คาบของเวลา โดย $T_S = 1/f$
f : ความถี่ของสวิตชิ่ง

2. ค่าตัวเก็บประจุ (Capacitance)

การคำนวณค่าตัวเก็บประจุจากแรงดันกระเพื่อมเพื่อคำนวณหาค่า C1 สามารถหาได้โดย

จากรูปที่ 1 กระแสในวงจรกรองสัญญาณจะได้ $I_C = C\frac{dv}{dt}$ (8)

จัดรูปสมการที่ (7) จะได้ $C = I_C\frac{dt}{dV}$ (9)

จัดรูปสมการที่ (8) อีกครั้ง $C = \frac{I_{ripple} \cdot D \cdot T_S}{V_{ripple}}$ (10)

หรือ $C = \frac{I_{ripple} \cdot D}{f \cdot V_{ripple}}$ (11)

ซึ่งสมการที่ (10) และ (11) สามารถใช้คำนวณหาค่า C1 ได้ โดยสมการที่ (10) ใช้คาบเวลาในการคำนวณ และสมการที่ (11) ทำการแปลงคาบเวลาเป็นความถี่ ความหมายของตัวแปรมีดังนี้

เมื่อ C : ค่าตัวเก็บประจุ

2.1.3 ทฤษฎีการคำนวณโหลดตัวต้านทาน

โหลดตัวต้านทานสามารถคำนวณได้โดยใช้สมการกำลังไฟฟ้า เพื่อคำนวณหาค่า R_L ดังนี้

$$P_o = \frac{V_o^2}{R_L} = I_o^2 R_L \quad (12)$$

จัดรูปสมการที่ (12) จะได้ $R_L = \frac{V_o^2}{P_o}$ (13)

จัดรูปสมการที่ (12) จะได้ $R_L = \frac{P_o}{I_o^2}$ (14)

จากการที่จัดรูปสมการที่ (12) แล้วได้เป็นสมการที่ (13) และ (14) สามารถนำไปใช้หาค่าโหลดตัวต้านทานในวงจรได้ ด้วยใช้ค่าแรงดันขาออกวงจร (V_o) หรือกระแสขาออกวงจร (I_o) และกำลังไฟฟ้าขาออกของวงจร (P_o)

2.2 การควบคุม Full Bridge Converter

ดีซี-ดีซีคอนเวอร์เตอร์แบบแยกกัน นิยมใช้ MOSFET และ IGBT เป็นอุปกรณ์สวิตช์หลักในวงจร และอาศัยเทคนิคการควบคุมแบบสวิตชิ่ง (Switching Control) ความถี่สูงในช่วงประมาณ 10kHz - 1MHz MOSFET จะเหมาะกับงานที่ต้องการความถี่สวิตชิ่งสูงและระดับกำลังไฟต่ำถึงปานกลาง ส่วน IGBT จะถูกเลือกใช้ในระบบที่ต้องการกำลังไฟสูงแต่ความถี่ไม่สูงมาก [2]

สำหรับการควบคุมสวิตช์ในวงจร Full Bridge Converter จะใช้เทคนิค Phase Shifted Full Bridge (PSFB) เนื่องจาก รองรับความถี่สูง, ประสิทธิภาพสูง, การสลับแบบนุ่มนวล (Soft switching) ช่วยลดการสูญเสียจากการสวิตช์และ การรบกวนทางแม่เหล็กไฟฟ้า (EMI) ได้อย่างชัดเจน [20]

3. ระบบและการออกแบบพารามิเตอร์ที่ใช้จำลอง

เมื่อได้สมการในการคำนวณแล้วเสร็จ ต้องกำหนดค่าคงที่เพื่อทำการจำลอง โดยการกำหนดค่าของตัวแปร ภายในเพาเวอร์โมดูลจะมี AC-DC Converter จะเป็นส่วนที่รับไฟฟ้ากระแสสลับ 1 เฟสหรือ 3 เฟส เพื่อแปลงเป็นไฟฟ้ากระแสตรง ซึ่งจะมีแรงดันอยู่ในช่วง 250 – 480V [21] เพื่อใช้เป็นแรงดันขาเข้าวงจร Full Bridge Converter สำหรับการควบคุมใน [22] ได้แนะนำการควบคุมแบบ PSFB ซึ่งได้ใช้ความถี่อยู่ที่ 100kHz และใน [23] ได้ใช้ค่าสัดส่วนเวลาที่สวิตช์เปิดในหนึ่งคาบการทำงานอยู่ที่ 50% จากข้อมูลที่กล่าวมา จึงเลือกใช้ค่าเริ่มต้น สำหรับสำหรับวงจร Full Bridge Converter ดังต่อไปนี้

ตารางที่ 1 ค่าที่กำหนดสำหรับการจำลอง

ชื่อของตัวแปร	ค่า
แรงดันขาเข้าวงจร, V_{in}	$250V$
แรงดันขาออกวงจร, V_{out}	$400V$
กระแสขาออกวงจร, I_{out}	$50A$
กำลังไฟฟ้าขาออกวงจร, P_{out}	$20kW$
ความถี่ของวงจร, f	$100kHz$
แรงดันกระเพื่อมของวงจร, V_{ripple}	1%
กระแสกระเพื่อมของวงจร, I_{ripple}	20%
ค่าสัดส่วนเวลาที่สวิตช์เปิดในหนึ่งคาบการทำงาน, D	0.5 หรือ 50%

จากค่าคงที่ที่กำหนดสำหรับการจำลอง สามารถคำนวณค่าภายในหม้อแปลง, ค่าวงจรกรองสัญญาณ LC filter และโหลดตัวต้านทาน ได้ดังนี้

1. อัตราส่วนหม้อแปลง (Transformation Ratio)

หาค่า a จากสมการที่ (1) ;

$$a = \frac{V_p}{V_s} \quad (1)$$

$$a = 0.625$$

2. ค่าตัวเหนี่ยวนำ (Inductance)

หาค่า V_{ripple} จาก

$$V_{ripple} = 1\% \times V_{out}$$

$$V_{ripple} = 4V$$

นำค่า V_{ripple} แทนในสมการที่ (3) ;

$$V_{s,on} = V_{out} + V_{ripple} \quad (3)$$

$$V_{s,on} = 404V$$

นำค่า $V_{s,on}$ แทนในสมการที่ (2) ;

$$V_L = V_{s,on} - V_{out} \quad (2)$$

$$V_L = 4V$$

หาค่า I_{ripple} จาก

$$I_{ripple} = 20\% \times I_{out}$$

$$I_{ripple} = 10A$$

นำค่า V_L และ I_{ripple} แทนในสมการที่ (7) ;

$$L = \frac{V_L \cdot D}{f \cdot I_{ripple}} \quad (7)$$

$$L = 0.000002H \text{ หรือ } 2\mu H$$

3. ค่าตัวเก็บประจุ (Capacitance)

นำค่า V_{ripple} และ I_{ripple} แทนในสมการที่ (10) ;

$$C = \frac{I_{ripple} \cdot D}{f \cdot V_{ripple}} \quad (11)$$

$$C = 0.0000125F \text{ หรือ } 12.5\mu F$$

4. ค่าโหลดตัวต้านทาน (Resistance)

หาค่า R_L จากสมการที่ (13) ;

$$R_L = \frac{V_o^2}{P_o} \quad (13)$$

$$R_L = 8\Omega$$

ดังนั้น จากการคำนวณค่าภายในหม้อแปลงตามสมการที่ (1) อัตราส่วนหม้อแปลง $a = 0.625$ หรือ $5:8$ ค่าวงจรกรองสัญญาณ LC filter ค่าตัวเหนี่ยวนำตามสมการที่ (6) $L1 = 2\mu H$ ค่าตัวเก็บประจุตามสมการที่ (10) $C1 = 12.5\mu F$ และค่าโหลดตัวต้านทานตามสมการที่ (12) $R_L = 8\Omega$ แทนค่าที่คำนวณลงในวงจร แสดงในรูปที่ 2 และผลการจำลอง

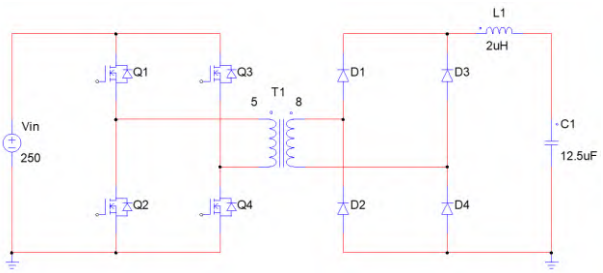

รูปที่ 2 วงจร Full bridge converter สำหรับการจำลอง

4. ผลการจำลอง

4.1 ผลการจำลองการเลื่อนเฟสแบบไม่มีโหลด

การจำลองการเลื่อนเฟสแบบไม่มีโหลด ได้ทำการบันทึกกราฟสัญญาณของ V_{in}, V_{out} และ V_p ในวงจร Full bridge converter ดังรูปที่ 3

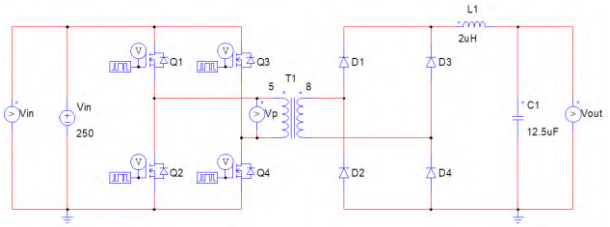

รูปที่ 3 การจำลองการเลื่อนเฟสแบบไม่มีโหลด

จากการจำลองพบว่า เมื่อเลื่อนเฟสตั้งแต่ 0 ถึง 180 องศา ทำให้ V_{out} เพิ่มขึ้นตามลำดับ แต่จากตารางที่ 1 ได้กำหนด $V_{out} = 400V$ เมื่อดูผลของการจำลองแล้ว ความต่างเฟสที่ทำให้แรงดันเข้าใกล้ $400V$ คือ $d = 80°$ มี $V_{out} = 454.95V$ และ $d = 100°$ มี $V_{out} = 370.68V$ จึงได้ทำการนำค่า $d = 80°$ และ $d = 100°$ หาค่ากลางได้เป็น $d = 90°$ ซึ่งได้ผลการจำลองตามรูปที่ 4 และ 5 ซึ่งเป็นรูปการเลื่อนเฟสสัญญาณ และรูปกราฟการจำลองตามลำดับ ทำให้การเลื่อนเฟสแบบไม่มีโหลดที่เหมาะสมกับ V_{out} คือ $d = 90°$ เมื่อนำข้อมูลการเลื่อนเฟสและแรงดันขาออกของวงจรเมื่อไม่มีโหลดจัดทำเป็นกราฟ ได้ดังรูปที่ 6

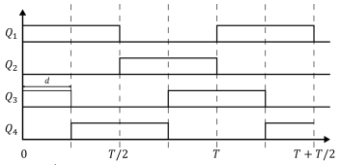

รูปที่ 4 การเลื่อนเฟสสัญญาณแบบไม่มีโหลด $d = 90°$

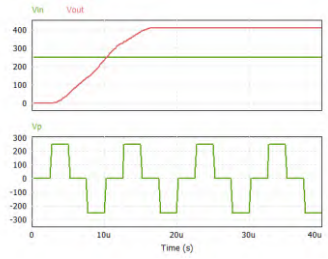

รูปที่ 5 กราฟการจำลองแบบไม่มีโหลด $d = 90°$

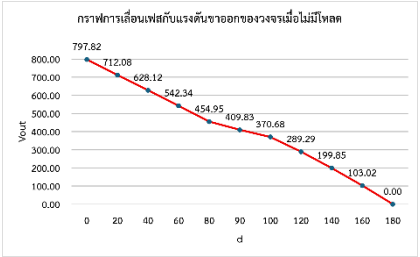

รูปที่ 6 กราฟความสัมพันธ์ระหว่างการเลื่อนเฟสกับแรงดันขาออกของวงจรเมื่อไม่มีโหลด

4.2 ผลการจำลองการเลื่อนเฟสแบบมีโหลด

การจำลองการเลื่อนเฟสแบบมีโหลด ได้ทำการบันทึกกราฟสัญญาณของ V_{in}, V_{out}, V_p และ I_{out} ในวงจร Full bridge converter ดังรูปที่ 7

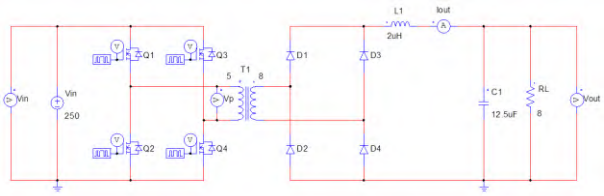

รูปที่ 7 การจำลองการเลื่อนเฟสแบบมีโหลด

จากการจำลองพบว่า เมื่อมีโหลดและปรับการเลื่อนเฟสตั้งแต่ 0 ถึง 180 องศา V_{out}, I_{out} ของวงจรจะลดลง ซึ่งการเลื่อนเฟสเมื่อมีโหลดที่ $d = 0°$ ทำให้ V_{out}, I_{out} ของวงจรเท่ากับค่าที่กำหนดไว้ในตารางที่ 1 คือ $V_{out} = 400V, I_{out} = 50A$ และ $P_{out} = 20kW$ เมื่อกราฟอยู่ในสภาวะคงที่ (Steady State) ตามรูปที่ 8 และเมื่อนำข้อมูลการเลื่อนเฟสและแรงดันขาออกของวงจรเมื่อมีโหลดจัดทำเป็นกราฟ จะได้กราฟดังรูปที่ 9

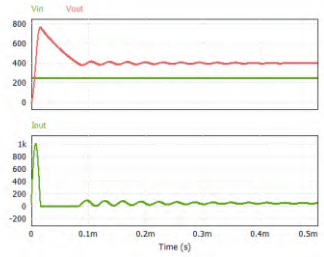

รูปที่ 8 กราฟการจำลองแบบมีโหลด $d = 0°$

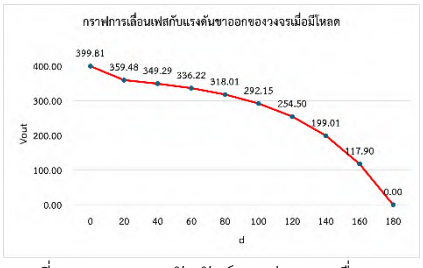

รูปที่ 9 กราฟความสัมพันธ์ระหว่างการเลื่อนเฟสกับแรงดันขาออกของวงจรเมื่อไม่มีโหลด

ดังนั้นในการจำลองเลื่อนเฟสพบว่า ในกรณีที่ไม่มีโหลด V_{out} จะเพิ่มขึ้นตามมุมเฟสที่มากขึ้น ซึ่งค่า $d = 90°$ จะทำให้ $V_{out} \approx 400V$ ตามที่กำหนดไว้ และในกรณีเมื่อมีโหลดพบว่า เมื่อเลื่อนเฟสมากขึ้น V_{out}, I_{out} จะลดลง ซึ่งค่า $d = 0°$ จะให้ผลลัพธ์ใกล้เคียงตามค่าที่กำหนดไว้คือ $V_{out} = 400V, I_{out} = 50A$ และ $P_{out} = 20kW$ ซึ่งพฤติกรรมดังกล่าวสอดคล้องกับหลักการของ PSFB ที่ออกแบบมาเพื่อรองรับการแปลงพลังงานที่มีประสิทธิภาพ โดยการควบคุมมุมเฟสจะต้องปรับให้เหมาะสมกับสภาวะโหลดเพื่อให้เกิด ZVS และลดการสูญเสียพลังงานให้ได้มากที่สุด [24], [25]

5. สรุปผล

การศึกษานี้มีวัตถุประสงค์เพื่อศึกษาและวิเคราะห์ ดีซี-ดีซีคอนเวอร์เตอร์แบบแยกกันทางไฟฟ้าโดยใช้โปรแกรม PSIM และนำผลการศึกษาและวิเคราะห์ไปพัฒนาเป็นต้นแบบในอนาคต

การคำนวณพารามิเตอร์ ได้แก่ หม้อแปลงมีอัตราส่วน $5{:}8$ $(a = 0.625)$, ตัวเหนี่ยวนำ $L1 = 2\mu H$, ตัวเก็บประจุ $C1 = 12.5\mu F$ และโหลด $RL = 8\Omega$ เมื่อนำไปจำลองผ่านโปรแกรม PSIM พบว่า ในกรณีที่ไม่มีโหลด เมื่อเลื่อนเฟสมากขึ้นแรงดันขาออกจะเพิ่มขึ้นตามลำดับ โดยที่ $d = 90°$ ให้ค่า $V_{out} \approx 400V$ และในกรณีที่มีโหลด เมื่อเลื่อนเฟสมากขึ้นทำให้แรงดันและกระแสขาออกลดลง โดยที่ $d = 0°$ ทำให้ $V_{out} = 400V, I_{out} = 50\ A$ และ $P_{out} = 20kW$

ในงานวิจัยครั้งต่อไปต้องมีการการควบคุมแบบลูปปิด เพื่อควบคุมการเลื่อนเฟสของวงจรในสัมพันธ์กับแรงดันและกระแสขาออก ให้เหมาะสมกับแรงดันและกระแสที่โหลดต้องการ

เอกสารอ้างอิง

[1] Driivz, “What is Electric Vehicle Supply Equipment (EVSE)?,” *Driivz*, [Online]. Available:https://driivz.com /glossary/electric-vehicle-supply-equipment-evse/.

[2] D. M. Bellur and M. K. Kazimierczuk, "DC-DC converters for electric vehicle applications," *2007 Electrical Insulation Conference and Electrical Manufacturing Expo*, Nashville, TN, USA, 2007, pp. 286-293, doi: 10.1109/EEIC.2007.4562633.

[3] SCU Power, “EV Charger Power Module,” *Sichuan Injet Electric Co., Ltd.*, [Online]. Available: https:// www.scupower.com/ev-charger/ev-charger-module/

[4] Ikonix Asia, *IEC 61851 Testing Insight Ensures EV Charger Safety*, [Online]. Available: https://www. ikonixasia.com/2023/10/issue46-iec-61851-testing-insight-ensures-ev-charger-safety/

[5] S. B. Sudarshan and G. Arunkumar, "Isolated DC-DC Power Converters for Simultaneous Charging of Electric Vehicle Batteries: Research Review, Design, High-Frequency Transformer Testing, Power Quality Concerns, and Future," *Sustainability*, vol. 15, no. 3, p. 2813, Feb. 2023. [Online]. Available: https://doi.org/10.3390/su15032813

[6] Analog Devices, "When the Flyback Converter Reaches Its Limits," [Online]. Available: https://www .analog.com/en/resources/technical-articles/when-the-flyback-converter-reaches-its-limits.html

[7] F. Alhaj Omar, “Comprehensive Analysis and Evaluation of DC-DC Converters: Advancements, Applications, and Challenges,” *BSJ Eng. Sci.*, vol. 6, no. 4, pp. 557–571, 2023, doi: 10.34248/bsengineering.1357849.

[8] A. Kamath, “Push-pull converter simplifies isolated power supply design in HEV/EV systems,” *Analog Design Journal*, Texas Instruments, 1Q 2020.

[9] J. Wang, M. Reinhard, F. Z. Peng and Zhaoming Qian, "Design guideline of the isolated DC-DC converter in green power applications," *The 4th International Power Electronics and Motion Control Conference, 2004. IPEMC 2004.*, Xi'an, China, 2004, pp. 1756-1761 Vol.3.

[10] M. A. Chewale, R. A.Wanjari, V. B.Savakhande and P. R.Sonawane, "A Review on Isolated and Non-isolated DC-DC Converter for PV Application," *2018 International Conference on Control, Power, Communication and Computing Technologies (ICCPCCT)*, Kannur, India, 2018, pp. 399-404, doi: 10.1109/ICCPCCT.2018.8574312.

[11] A. Ahmad, Z. Qin, T. Wijekoon and P. Bauer, "An Overview on Medium Voltage Grid Integration of Ultra-Fast Charging Stations: Current Status and Future Trends," in IEEE Open Journal of the Industrial Electronics Society, vol. 3, pp. 420-447, 2022, doi: 10.1109/OJIES.2022.3179743.

[12] A. K. M. Yousuf, Z. Wang, R. Paranjape and Y. Tang, "An In-Depth Exploration of Electric Vehicle Charging Station Infrastructure: A Comprehensive Review of Challenges, Mitigation Approaches, and Optimization Strategies," in IEEE Access, vol. 12, pp. 51570-51589, 2024, doi: 10.1109/ACCESS.2024.3385731.

[13] MIDA Power, “UL EV Charger Module 30 kW/40 kW AC-DC EV Charging Power Module - Output Voltage Range 50-1000 V DC,” *MIDA Power*, 2025. [Online]. Available: https://www.midapower.com/ ev-charging-module-40kw-1000v-ac-dc-ev-charging-power-module.

[14] F. Grazian, T. B. Soeiro and P. Bauer, "Voltage/Current Doubler Converter for an Efficient Wireless Charging of Electric Vehicles With 400-V and 800-V Battery Voltages," in *IEEE Transactions on Industrial Electronics*, vol. 70, no. 8, pp. 7891-7903, Aug. 2023, doi: 10.1109/TIE.2022.3208582.

[15] *Powersim Inc.*, “PSIM: Simulation Software for Power Electronics and Motor Drive,” [Online]. Available: https://powersimtech.com

[16] R. W. Erickson and D. Maksimovic, *Fundamentals of Power Electronics*, 2nd ed., Springer, 2001.

[17] M. H. Rashid, *Power Electronics: Circuits, Devices, and Applications*, 4th ed. Pearson, 2013.

[18] B. K. Bose, “Power electronics and motor drives recent technology advances,” *IEEE Trans. Ind. Electron.*, vol. 56, no. 2, pp. 581–588, Feb. 2009.

[19] Electronics Two, "Ripple current and voltage in battery charger circuit," YouTube, Sep. 24, 2021. [Online]. Available: https://www.youtube.com/watch?v=ula919l-w6o.

[20] [a] V. V. G. Reddy, A. G. Krishna, and K. S. Reddy, "Phase Shifted Full Bridge Converter for High Power Applications," Int. Res. J. Eng. Technol. (IRJET), vol. 2, no. 4, pp. 1337–1341, July 2015. [Online]. Available: https://www.irjet.net/archives/V2/i4/Irjet-v2i4288.pdf

[21] D. F. Opila, E. Oh, K. Kintzley and J. Lomax, "A reconfigurable three- and single-phase AC/DC non-isolated bi-directional converter for multiple worldwide voltages," *2017 IEEE Energy Conversion Congress and Exposition (ECCE)*, Cincinnati, OH, USA, 2017, pp. 1708-1714, doi: 10.1109/ECCE.2017.8095999.

[22] Texas Instruments, “Phase-Shifted Full Bridge DC/DC Power Converter Design Guide, TIDU248,” Application Report, Apr. 2014. [Online]. Available: https://www.ti.com/lit/ug/tidu248/tidu248.pdf.

[23] Chanthy Phok, Jaruwat Manerutanaporn, Nattapong Keanmalee, Pairaya Choeisai and Krit Choeisai, "The design of Power Factor Correction (PFC) Boost Converter Circuit and Phase-shift Full-bridge Inverter Circuit for Electric Vehicle Battery Charger", KKU RESEARCH JOURNAL (GRADUATE STUDIES), Vol. 19 NO. 1: January-March 2019

[24] Texas Instruments, “Phase-Shifted Full-Bridge Converter Design Considerations,” Application Report SLUA560, Sep. 2009. [Online]. Available: https://www.ti.com/lit/an/slua560/slua560.pdf.

[25] Infineon Technologies, “Phase-shift ZVS full-bridge converter: Basic function and calculation,” Technical Document, Jun. 2021. [Online]. Available: https://www.infineon.com/dgdl/Infineon-N_2020_03_Functionality_and_Design_of_a_PSFB-ApplicationNotes-v01_00-EN.pdf.

ยุทธนา จงเจริญ อาจารย์ประจำภาควิชาวิศวกรรมไฟฟ้าและคอมพิวเตอร์ คณะวิศวกรรมศาสตร์ มหาวิทยาลัยธรรมศาสตร์ ขอบเขตการวิจัยทางด้าน Electrical Machines and Drives/ Power Electronics in Renewable Energy Systems

ชญา ไชยมงคล ปัจจุบันกำลังศึกษาในหลักสูตรปริญญาเอก สาขาวิชาวิศวกรรมศาสตร์ (วิศวกรรมไฟฟ้า) คณะวิศวกรรมศาสตร์ มหาวิทยาลัยธรรมศาสตร์ งานวิจัยที่สนใจ Power Electronics, DC-DC Converter

การออกแบบและควบคุมวงจรปรับปรุงค่าตัวประกอบกำลังแบบบริดจ์อินเตอร์ลีฟบูสคอนเวอเตอร์สำหรับอัดประจุไฟฟ้าในยานยนต์ไฟฟ้า

Design and Control of Interleaved PFC Boost Converter for Electric Vehicle Charger

ณัฐดนัย ไตรสุธา[1] และ มนฑล นาวงษ์ [2]*

ภาควิชาวิศวกรรมไฟฟ้า คณะวิศวกรรมศาสตร์ มหาวิทยาลัยเทคโนโลยีราชมงคลธัญบุรี [1]natdanai_tr@mail.rmutt.ac.th
[2]monthon.n@en.rmutt.ac.th*

บทคัดย่อ

บทความนี้นำเสนอการออกแบบและควบคุมวงจรปรับปรุงค่าตัวประกอบกำลังแบบบริดจ์อินเตอร์ลีฟบูสคอนเวอเตอร์ ซึ่งเป็นวงจรที่ใช้สำหรับอัดประจุไฟฟ้าในยานยนต์ไฟฟ้า มีพิกัดกำลังไฟฟ้า 3.7 kW แรงดันไฟฟ้าด้านออก 400V แบบเฟสเดียวที่มีการควบคุมการทำงานของวงจรอินเตอร์ลีฟบูสคอนเวอเตอร์ให้มีค่าตัวประกอบกำลังทางด้านเข้ามีค่าเข้าใกล้ 1 และวงจรสามารถลดค่าระลอกคลื่นของกระแสไฟฟ้าด้านเข้าด้วย ผลการทดสอบการจำลองการทำงานของวงจร กระแสไฟฟ้าด้านเข้ามีค่าเป็นไซน์และมีค่า PF ใกล้เคียง 1 และเมื่อทดสอบเปลี่ยนโหลดจาก 100% เป็นโหลด 50% ผลการทดสอบพบว่าวงจรยังสามารถรักษาระดับของแรงดันไฟฟ้าด้านออกได้ดี และนำเสนอวงจรการลดกระแสไฟฟ้าพุ่งเข้า (Inrush Current) ที่ทางด้านเข้าแบบใช้ NTC และแบบใช้ SCR ซึ่งสามารถลดกระแสไฟฟ้าพุ่งเข้าที่ทางด้านเข้าได้มากกว่า 50% ของวงจรแบบเดิม

คำสำคัญ: วงจรปรับปรุงค่าตัวประกอบกำลังแบบบริดจ์อินเตอร์ลีฟบูสคอนเวอเตอร์ การอัดประจุไฟฟ้าในยานยนต์ไฟฟ้า วงจรปรับปรุงค่าตัวประกอบกำลัง

Abstract

This paper presents the design and control of a bridgeless interleaved boost converter for electric vehicle charging applications. The proposed converter is rated at 3.7 kW with a single-phase output voltage of 400 V. The control strategy is implemented to achieve a near-unity input power factor while minimizing input current ripple. Simulation results demonstrate that the input current waveform is sinusoidal with a power factor approaching unity. Furthermore, when the load is varied from 100% to 50%, the output voltage remains well regulated. Additionally, inrush current mitigation techniques employing both an NTC thermistor and an SCR-based approach are presented. The proposed methods achieve more than a 50% reduction in inrush current compared with conventional designs.

Keywords: Interleaved PFC Boost Converter, Electric Vehicle Charger, Power Factor Correction (PFC)

1. บทนำ

ในช่วงทศวรรษที่ผ่านมายานยนต์ไฟฟ้า (Electric Vehicle: EV) ได้รับความสนใจอย่างกว้างขวางจากทั้งภาคอุตสาหกรรมและภาครัฐ เนื่องจากเป็นเทคโนโลยีสำคัญในการลดการปล่อยก๊าซเรือนกระจกและลดการพึ่งพาเชื้อเพลิงฟอสซิล อย่างไรก็ตาม การเติบโตของการใช้งานยานยนต์ไฟฟ้าจำเป็นต้องมีโครงสร้างพื้นฐานด้านระบบอัดประจุไฟฟ้าในยานยนต์ไฟฟ้า (Electric Vehicle Charger) ที่มีประสิทธิภาพ เชื่อถือได้ และมีคุณภาพพลังงานไฟฟ้าที่สอดคล้องกับมาตรฐานสากล การทำงานของวงจรคอนเวอร์เตอร์สำหรับการอัดประจุในยานยนต์ไฟฟ้าตามรูปที่ 1 ประกอบด้วยวงจรปรับปรุงค่าตัวประกอบกำลัง (Power Factor Correction (PFC)) [1] ซึ่งมีหน้าที่ลดฮาร์มอนิกของกระแสไฟฟ้าด้านขาเข้าและปรับปรุงค่าเพาเวอร์แฟกเตอร์ให้เป็นไปตามข้อกำหนด เช่น มาตรฐาน IEC 61000-3-2 โครงสร้างวงจรปรับปรุงค่าตัวประกอบกำลังแบบบริดจ์อินเตอร์ลีฟบูสคอนเวอเตอร์ (Interleaved PFC Boost Converter) [2] ได้รับความสนใจและเป็นอีกหนึ่งวงจรจากวงจรเอซีทูดีซีคอนเวอร์เตอร์สำหรับการอัดประจุไฟฟ้าในยานยนต์ไฟฟ้า โดยเป็นวงจรอัดประจุไฟฟ้าที่ต้องการกำลังไฟฟ้าระดับปานกลางถึงสูง เนื่องจากสามารถลดค่าระลอกคลื่นของกระแสไฟฟ้าด้านเข้า เพื่อช่วยลดความร้อนสะสมในอุปกรณ์สวิตช์ และเพิ่มประสิทธิภาพการแปลงพลังงานโดยรวมของระบบ

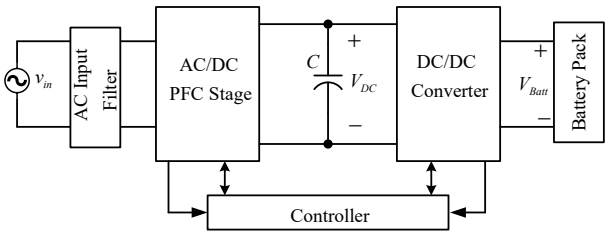

รูปที่ 1 การทำงานของวงจรคอนเวอร์เตอร์สำหรับการอัดประจุในยานยนต์ไฟฟ้า

การควบคุมของวงจรปรับปรุงค่าตัวประกอบกำลังแบบบริดจ์อินเตอร์ลีฟบูสคอนเวอเตอร์มีความสำคัญอย่างยิ่งต่อการรักษาเสถียรภาพของแรงดันไฟฟ้าด้านออก และการตอบสนองต่อโหลดที่เปลี่ยนแปลงอย่างรวดเร็ว โดยเฉพาะเมื่อพิจารณาถึงสภาวะการทำงานที่หลากหลายในการ

*ผู้ประพันธ์บรรณกิจ

ใช้งานจริง เช่น การอัดประจุไฟฟ้าในสภาพแวดล้อมที่มีแรงดันไฟฟ้าผันผวน หรือการทำงานร่วมกับระบบพลังงานทดแทน ดังนั้นบทความนำเสนอการออกแบบและควบคุมวงจรปรับปรุงค่าตัวประกอบกำลังแบบบริดจ์อินเตอร์ลีฟบูสคอนเวอเตอร์พิกัดกำลังไฟฟ้า 3.7kW แบบเฟสเดียวที่มีการปรับปรุงค่าตัวประกอบกำลังทางด้านเข้าให้มีค่าเข้าใกล้ 1 และวงจรการลดกระแสไฟฟ้าพุ่งเข้า (Inrush Current) [3] ที่ทางด้านเข้า โดยมีแรงดันไฟฟ้าทางด้านออก 400V สำหรับใช้งานกับระบบอัดประจุไฟฟ้าในยานยนต์ไฟฟ้า

2. การออกแบบวงจรเอซีทูดีซีคอนเวอร์เตอร์

วงจรปรับปรุงค่าตัวประกอบกำลังแบบบริดจ์บูสคอนเวอเตอร์เป็นวงจรที่แปลงแรงดันไฟฟ้าจากแรงดันไฟฟ้ากระแสสลับให้เป็นแรงดันไฟฟ้ากระแสตรง วงจรประกอบด้วยวงจรเรียงกระแส (Rectifiers) และวงจร PFC Boost Converter (Power Factor Correction Boost Converter) ซึ่งเป็นวงจรที่แปลงแรงดันไฟฟ้ากระแสตรง (DC-DC Converter) ที่ทำหน้าที่เพิ่มแรงดันไฟฟ้าที่ทางด้านออกให้สูงกว่าแรงดันไฟฟ้าที่ทางด้านเข้า โดยปรับปรุงค่าตัวประกอบกำลังทางด้านเข้าให้มีค่าเข้าใกล้ 1 มีวงจรการทำงานดังรูปที่ 2

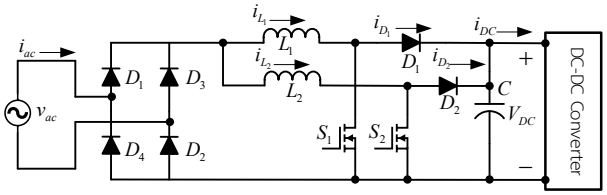

รูปที่ 2 วงจรปรับปรุงค่าตัวประกอบกำลังแบบบริดจ์อินเตอร์ลีฟบูสคอนเวอเตอร์

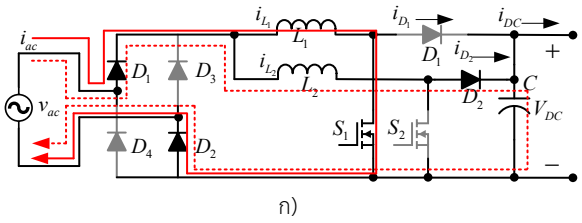

ก)

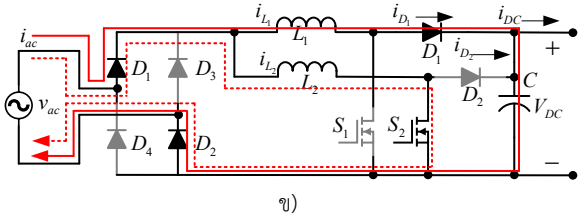

ข)

รูปที่ 3 การทำงานของวงจรครึ่งไซเคิลบวก ก) เมื่อสวิตช์ S_1 ปิด S_2 เปิด ข) เมื่อสวิตช์ S_1 เปิด S_2 ปิด

การทำงานวงจรปรับปรุงค่าตัวประกอบกำลังแบบบริดจ์อินเตอร์ลีฟบูสคอนเวอเตอร์มีการทำงานโดยแบ่งออกเป็นการทำงานในครึ่งไซเคิลบวกตามรูปที่ 3 และการทำงานครึ่งไซเคิลลบตามรูปที่ 4

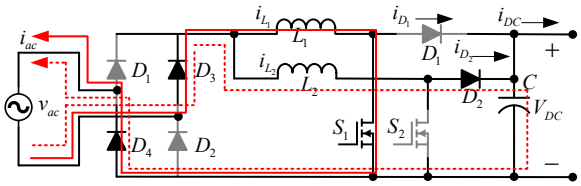

ก)

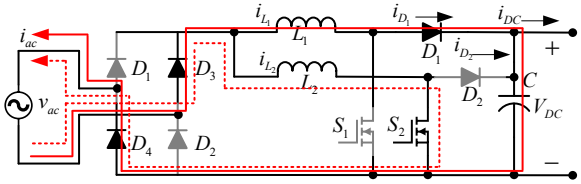

ข)

รูปที่ 4 การทำงานของวงจรครึ่งไซเคิลลบ ก) เมื่อสวิตช์ S_1 ปิด S_2 เปิด ข) เมื่อสวิตช์ S_1 เปิด S_2 ปิด

2.1 ออกแบบวงจรเรียงกระแสไฟฟ้า

การออกแบบวงจรเรียงกระแสไฟฟ้าแบบเต็มคลื่น เมื่อกำหนดให้แรงดันไฟฟ้าและกระแสไฟฟ้าทางด้านเข้าที่ความถี่ f = 50Hz มีค่าดังนี้

$$V_{in} = V_{\max}\sin(\omega t) = \sqrt{2}\times 230\sin(\omega t) \quad (1)$$

กระแสไฟฟ้าทางด้านเข้าที่พิกัดกำลังไฟฟ้า 3,7 kW ดังนี้

$$I_{in} = \frac{P_{in}}{V_{in}\cos\varphi} = \frac{3700\text{W}}{230*1} = 16\text{A} \quad (2)$$

ดังนั้นกระแสไฟฟ้าทางด้านเข้าสูงสุดคือ

$$I_{in,\max} = \sqrt{2}I_{in} = \sqrt{2}\times 16 = 22.6\text{A} \quad (3)$$

แรงดันไฟฟ้าที่ตกคล่อมไดโอด

$$\begin{aligned} V_{rms} &= \sqrt{\frac{1}{2\pi}\int_{\pi}^{2\pi} V_{in}^2\sqrt{2}^2\cos^2\theta d\theta} \\ &= V_{in}\sqrt{-\frac{1}{2}}(230)\sqrt{-\frac{1}{2}} \\ &= -162.6\text{V} \end{aligned} \quad (4)$$

แรงดันไฟฟ้าที่ตกคล่อมไดโอดสูงสุด

$$V_{D,\max} = V_{in}\sqrt{2} = (230)\sqrt{2} = -325.3\text{V} \quad (5)$$

กระแสไฟฟ้าที่ไหลผ่านไดโอด

$$I_{D,\text{rms}} = I_{in}\sqrt{\frac{1}{2}} = (16\text{A})\sqrt{\frac{1}{2}} = 11.3\text{A} \quad (6)$$

กระแสไฟฟ้าที่ไหลผ่านไดโอดสูงสุด

$$I_{D,\text{rms}} = I_{in}\sqrt{2} = (10\text{A})\sqrt{2} = 22.6\text{A} \quad (7)$$

2.2 ออกแบบวงจรบูสคอนเวอเตอร์

วงจรบูสคอนเวอเตอร์มีการกำหนดแรงดันไฟฟ้าด้านเข้าและกระแสไฟฟ้าทางด้านออกเพื่อหาค่าดิวตี้ไซเคิ้ล ($D_{\max}$)

$$D_{\max} = \frac{V_{DC} - \sqrt{2}V_{in,\min}}{V_{DC}} = \frac{400 - \sqrt{2}(200)}{400} = 0.3 \quad (8)$$

ค่าระลอกคลื่นของกระแสไฟฟ้าที่ไหลผ่านตัวเหนี่ยวนำมีค่าเท่ากับ

$$\Delta I_{L1} = \Delta I_{L2} = \frac{P_O}{V_{DC}} \times 20\% = \frac{3700}{400} \times 0.2 = 1.85\text{A} \quad (9)$$

ค่าตัวเหนี่ยวนำที่ใช้งาน

$$L_1 = L_2 = \frac{V_{DC} * D}{f_S \Delta i_L} = \frac{400 * 0.3}{4000 * 1.85} = 1.62\text{mH} \quad (10)$$

ค่าระลอกคลื่นของแรงดันไฟฟ้าที่ไหลผ่านตัวเก็บประจุมีค่าเท่ากับ $\Delta V_{DC} = 1\%$ ดังนั้น

$$\Delta V_C = \frac{1 * 400}{100} = 4\text{V} \quad (11)$$

ค่าตัวเก็บประจุที่ใช้งาน

$$C \geq \frac{P_O}{4\pi f (V_{DC}) \Delta V_C} \geq 3,680\mu F \quad (13)$$

ตารางที่ 1 ค่าพารามิเตอร์ของวงจรปรับปรุงค่าตัวประกอบกำลังแบบบริดจ์อินเตอร์ลีฟบูสคอนเวอเตอร์

ค่าพารามิเตอร์	พิกัด
แรงดันไฟฟ้าด้านเข้า	$V_{in} = 230\text{V}, 50\text{Hz}$
แรงดันไฟฟ้าด้านออก	$V_{DC} = 400\text{V}$
กำลังไฟฟ้าด้านเข้า	$P_{in} = 3,700\text{W}$
ค่าระลอกคลื่นของกระแสไฟฟ้าที่ไหลผ่านตัวเหนี่ยวนำ	$\Delta I_L = 20\%$
ค่าระลอกคลื่นของแรงดันไฟฟ้าที่ไหลผ่านตัวเก็บประจุ	$\Delta V_{DC} = 1\%$
ความถี่ที่ใช้งานของวงจร	$f_s = 40\text{kHz}$
ค่าตัวเหนี่ยวนำ	$L_1 = L_2 = 1.62\text{mH}$
ค่าตัวเก็บประจุ	$C = 3680\mu\text{F}$

3. การออกแบบการควบคุมของวงจร

การควบคุมการทำงานของวงจรปรับปรุงค่าตัวประกอบกำลังแบบบริดจ์อินเตอร์ลีฟบูสคอนเวอเตอร์ เป็นการควบคุมแบบสองวงรอบ วงรอบแรกเป็นการควบคุมแรงดันไฟฟ้า (Voltage Control Loop) และวงรอบที่สองเป็นการควบคุมกระแสไฟฟ้า (Current Control Loop) ตามรูปที่ 5 โดยใช้ค่าพารามิเตอร์ของวงจรตามตารางที่ 1 วงรอบการควบคุมแรงดันไฟฟ้าเป็นการวัดแรงดันไฟฟ้าทางด้านออกนำมาเปรียบเทียบกับแรงดันไฟฟ้าอ้างอิง โดยใช้การควบคุมแบบพีไอ (PI Controller) วงรอบการควบคุมกระแสไฟฟ้าเป็นการใช้กระแสไฟฟ้าของตัวเหนี่ยวนำมาเปรียบเทียบกับกระแสไฟฟ้าอ้างอิง (I_{ref}) และใช้การควบคุมแบบพีไอเพื่อสร้างสัญญาน PWM ที่มีเฟสต่างกัน 180° สำหรับควบคุมการทำงานของสวิตช์

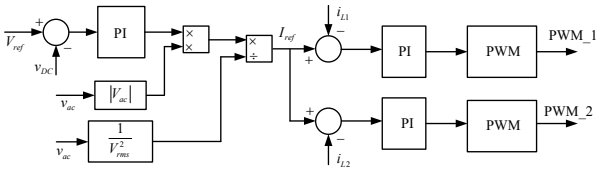

รูปที่ 5 ไดอะแกรมการควบคุมการทำงานของวงจร

4. ผลการจำลองการทำงาน

การจำลองการทำงานของวงจรปรับปรุงค่าตัวประกอบกำลังแบบบริดจ์อินเตอร์ลีฟบูสคอนเวอเตอร์ที่พิกัดกำลังไฟฟ้าขนาด 3.7 kW แรงดันไฟฟ้ากระแสตรงที่ทางด้านออกมีค่า 400V พบว่าแรงดันไฟฟ้ากระแสไฟฟ้าที่ทางด้านเข้าตามรูปที่ 6 มีค่าตัวประกอบกำลังใกล้เคียง 1

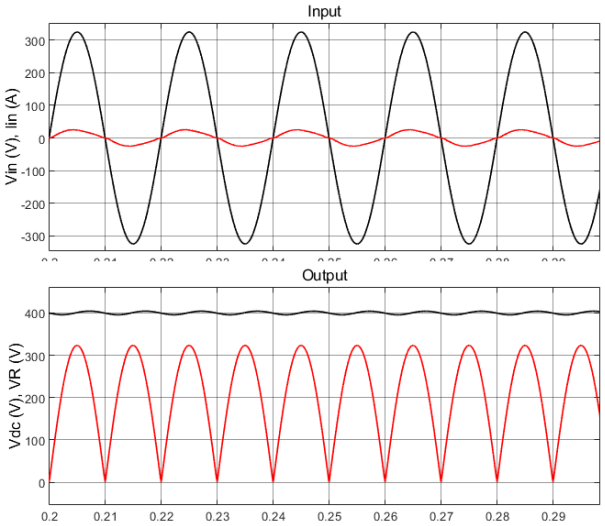

รูปที่ 6 แรงดันไฟฟ้าด้านเข้า (V_{in}) และกระแสไฟฟ้าด้านเข้า (I_{in}) และแรงดันไฟฟ้า (V_O) และแรงดันไฟฟ้าด้านออก (V_{DC})

เมื่อมีการทดสอบวงจรการทำงานโดยการเปลี่ยนกระแสไฟฟ้าด้านออก (I_{DC}) จาก 9.25A เป็น 4.625A ที่เวลา 0.4s และจาก 4.625A เป็น 9.25A ที่เวลา 0.8s ผลการทดลองเป็นว่าวงจรยังคงรักษาระดับของแรงดันไฟฟ้าที่ทางด้านออกได้ดังรูปที่ 7

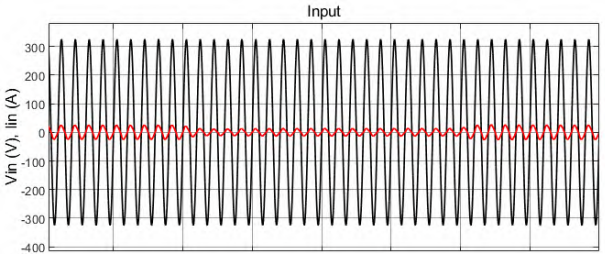

ก)

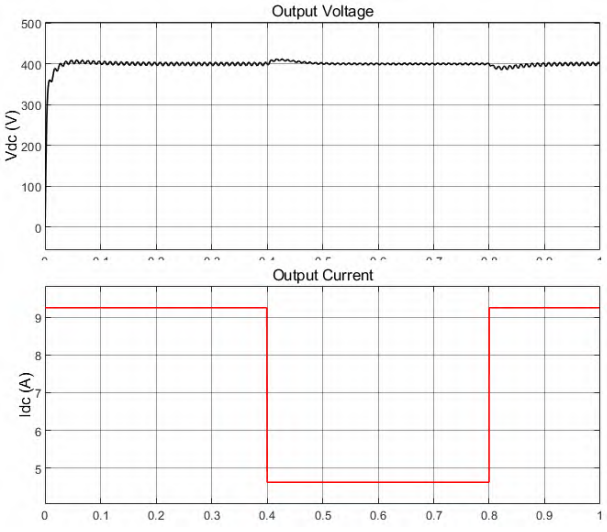

ข)

รูปที่ 7 ก) แรงดันไฟฟ้าด้านเข้า (V_{in}) และกระแสไฟฟ้าด้านเข้า (I_{in}) ข) แรงดันไฟฟ้า (V_O) และแรงดันไฟฟ้าด้านออก (V_{DC}) เมื่อมีการเปลี่ยนกระแสไฟฟ้าด้านออก (I_{DC})

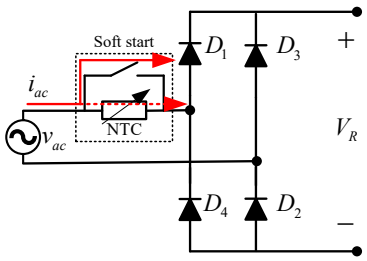

ก)

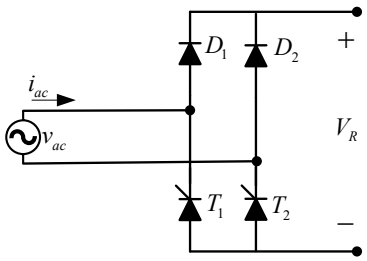

ข)

รูปที่ 8 วงจรการทำงานเพื่อลดกระแสไฟฟ้าพุ่งเข้า ก) แบบใช้ NTC และสวิตช์ ข) แบบใช้ SCR

การทดสอบการลดกระแสไฟฟ้าพุ่งเข้า (Inrush Current) เป็นการลดขนาดของกระแสไฟฟ้าในช่วงเริ่มต้นของการทำงานโดยการเพิ่มตัว NTC ให้ทำงานในช่วงแรกเพื่อลดกระแสไฟฟ้าด้านเข้าและสวิตช์ในช่วงเวลาการทำงานปกติเพื่อลดความสูญเสีย การทำงานของวงจรตามรูปที่ 8 ก) การทำงานในรูปที่ 9 เมื่อไม่มีการต่อวงจรเพื่อลดกระแสไฟฟ้าพุ่งเข้า เห็นได้ว่ากระแสไฟฟ้าเริ่มต้นสูงสุดที่ 700A และเมื่อมีการต่อวงจรเพื่อลดกระแสไฟฟ้าพุ่งเข้าแบบใช้ NTC และสวิตช์ตามรูปที่ 10 ซึ่งสามารถลดกระแสไฟฟ้าเริ่มต้นสูงสุดเป็น 250A และวงจรการทำงานเพื่อลดกระแสไฟฟ้าพุ่งเข้าแบบใช้ SCR ตามรูปที่ 8 ข) โดยมีหลักการทำงานเป็นการควบคุมมุมการทำงานของ SCR เพื่อให้นำกระแสไฟฟ้าตามมุมที่กำหนด ส่งผลให้ลดกระแสไฟฟ้าพุ่งเกินได้ตามรูปที่ 11 เมื่อเทียบกับวงจรที่ไม่มีการต่อวงจรเพื่อลดกระแสไฟฟ้าพุ่งเข้า

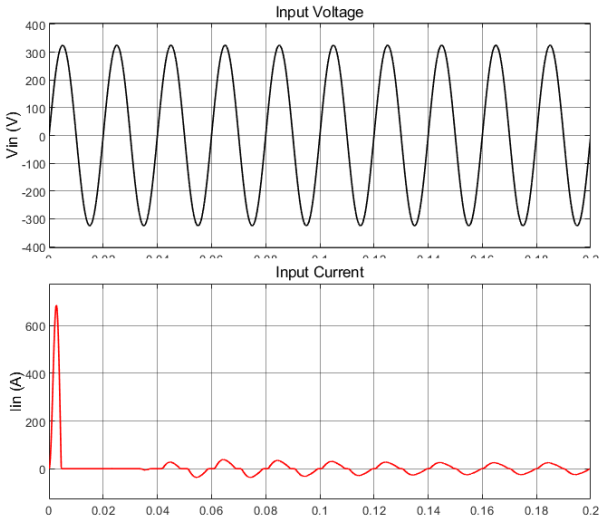

รูปที่ 9 กระแสไฟฟ้าด้านเข้าเมื่อไม่มีการต่อวงจรลดกระแสไฟฟ้าพุ่งเข้า

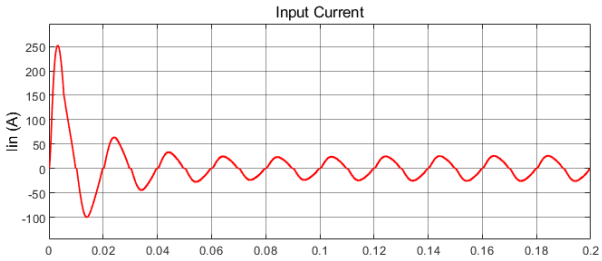

รูปที่ 10 กระแสไฟฟ้าด้านเข้าเมื่อมีการต่อวงจรลดกระแสไฟฟ้าพุ่งเข้าแบบใช้ NTC และสวิตช์

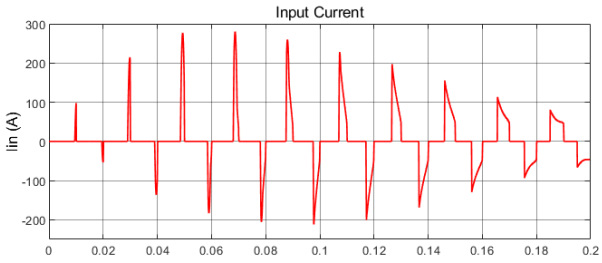

รูปที่ 11 กระแสไฟฟ้าด้านเข้าเมื่อมีการต่อวงจรลดกระแสไฟฟ้าพุ่งเข้าแบบใช้ SCR

5. สรุป

การออกแบบวงจรปรับปรุงค่าตัวประกอบกำลังแบบบริดจ์อินเตอร์ลีฟบูสคอนเวอเตอร์สำหรับอัดประจุในยานยนต์ไฟฟ้าเนื่องจากมีคุณสมบัติด้านประสิทธิภาพ ความน่าเชื่อถือ และความสามารถในการควบคุมที่ดี อย่างไรก็ตามมีประเด็นและหัวข้อที่พัฒนาต่อเพิ่มเติม เช่น การนำเสนอวงจรที่ลดการใช้งานของอุปกรณ์เพื่อเพิ่มประสิทธิ์ภาพให้สูงขึ้น ซึ่งเป็นประเด็นที่งานวิจัยนี้มุ่งเน้นต่อไป

เอกสารอ้างอิง

[1] L. Bao, L. Fan and Z. Miao, “ Modeling and Analysis of Single-phase Boost Converter with Power Factor Correction Control,” *2020 52nd North American Power Symposium (NAPS)*, Tempe, AZ, USA, 2021, pp. 1-6.

[2] D. S. Gautam, F. Musavi, M. Edington, W. Eberle and W. G. Dunford, "An Automotive Onboard 3.3-kW Battery Charger for PHEV Application," in IEEE Transactions on Vehicular Technology, vol. 61, no. 8, pp. 3466-3474, Oct. 2012.

[3] Cédric Reymond , " An Active Inrush Current Limiter Based on SCR Phase Shift Control for EV Charging Systems," Journal of Energy and Power Engineering 10 (2016), pp. 247-257, April. 2016.

อินเวอร์เตอร์ 5 ระดับ ผลิตไฟฟ้าหนึ่งเฟสแบบอิสระจากเซลล์แสงอาทิตย์

Standalone Single-Phase Five Level Inverter from Photovoltaic Cells

ณัฐพงษ์ ประพฤติ[1*] เจษฎา อำพันธุ์[1] เทพพนม โสภาเพิ่ม[1] และ วิจิตร กิณเรศ[2]

[1]สาขาวิชาวิศวกรรมไฟฟ้า สถาบันวิศวกรรมไฟฟ้าและอิเล็กทรอนิกส์ มหาวิทยาลัยเทคโนโลยีมหานคร
nuttapong@mut.ac.th*, jessadaampan@gmail.com, theppanom@mut.ac.th
[2]ภาควิชาวิศวกรรมไฟฟ้า คณะวิศวกรรมศาสตร์ สถาบันเทคโนโลยีพระจอมเกล้าเจ้าคุณทหารลาดกระบัง vijit.ki@kmitl.ac.th

บทคัดย่อ

บทความนี้นำเสนอระบบผลิตไฟฟ้าแบบอิสระด้วยอินเวอร์เตอร์ 5 ระดับ หนึ่งเฟสจากเซลล์แสงอาทิตย์ จำลองการทำงานโดยใช้เทคนิคการสวิตช์แบบยกระดับคลื่นพาห์ ด้วยโปรแกรม MATLAB/Simulink จากนั้นนำผลการจำลองมาออกแบบและพัฒนาอินเวอร์เตอร์ 5 ระดับ ชนิดคาสเคดเอชบริดจ์ ต่อใช้งานร่วมกับแหล่งจ่ายไฟฟ้ากระแสตรงและแหล่งจ่ายเซลล์แสงอาทิตย์ ใช้ไมโครคอนโทรลเลอร์ตระกูล C2000 เบอร์ TMS320F28379D ของบริษัท Texas Instrument ในการประมวลผลเพื่อทำการควบคุมการทำงานของระบบทั้งหมด จากผลการทดลองอินเวอร์เตอร์ 5 ระดับ ที่ค่าดัชนีมอดูเลต 1.0 เมื่อต่อใช้งานร่วมกับแหล่งจ่ายไฟฟ้ากระแสตรง สามารถจ่ายแรงดันไฟฟ้าเอาต์พุตได้ 220 V และภาระทางไฟฟ้าได้ 300 W และเมื่อต่อใช้งานร่วมกับแหล่งจ่ายเซลล์แสงอาทิตย์ สามารถจ่ายแรงดันไฟฟ้าเอาต์พุตได้ 180 V และภาระทางไฟฟ้าได้ 50 W ตามลำดับ แสดงให้เห็นว่าอินเวอร์เตอร์ที่ได้รับการออกแบบและพัฒนาสามารถใช้งานร่วมกับแหล่งจ่ายไฟฟ้ากระแสตรงและแหล่งจ่ายเซลล์แสงอาทิตย์ได้

คำสำคัญ: อินเวอร์เตอร์หลายระดับ, คาสเคดเอชบริดจ์, การสวิตช์แบบยกระดับคลื่นพาห์, ไมโครคอนโทรลเลอร์

Abstract

This paper presents a standalone single-phase five-level inverter from photovoltaic (PV) cells. The inverter operation was simulated using the Level-Shifted Pulse Width Modulation (LSPWM) technique in MATLAB/Simulink. Based on the simulation results, a five-level Cascaded H-Bridge Multilevel Inverter (CHB-MLI) was designed and developed to operate with both DC power sources and PV cells. The system control was implemented using a Texas Instruments C2000 microcontroller, model TMS320F28379D. Experimental results show that, at a modulation index of 1.0, the inverter can deliver an output voltage of 220 V and a load of 300 W when supplied by a DC source, and 180 V with a load of 50 W when supplied by PV cells, respectively. These results demonstrate that the designed five-level inverter can effectively operate with both DC and photovoltaic power sources.

Keywords: Multilevel Inverter, Cascaded H-Bridge, Level-Shifted PWM, Microcontrollers

1. บทนำ

ปัจจุบันอินเวอร์เตอร์หลายระดับ (Multilevel Invertor; MLI) ได้รับความสนใจและนิยมกันอย่างกว้างขวาง เนื่องจากสามารถสร้างแรงดันเอาต์พุตคุณภาพสูง ลดค่าความเพี้ยนฮาร์มอนิกรวม (Total Harmonic Distortion; THD) และลดการสูญเสียการสวิตช์ เหมาะอย่างยิ่งสำหรับงานแรงดันสูงและกำลังสูง ซึ่งอินเวอร์เตอร์สองระดับแบบปกติไม่สามารถรองรับได้ โดยทั่วไปหลักแล้วอินเวอร์เตอร์หลายระดับมี 3 รูปแบบ ตามโครงสร้างการต่อวงจร ดังนี้ [1-2]

- วงจรอินเวอร์เตอร์หลายระดับแบบจุดนิวตรอนร่วม (Neutral-Point Clamped Inverter; NPC-MLI) โครงสร้างหลักใช้ไดโอดคั่นระดับแรงดัน หรือเรียกอีกอย่างว่า (Diode-Clamped Multilevel Inverter; DC-MLI) เพื่อสร้างจุดนิวตรอนร่วมของแรงดันทำให้แรงดันเอาต์พุตหลายระดับ เหมาะกับใช้งานแรงดันสูงและกำลังสูง
- วงจรอินเวอร์เตอร์หลายระดับแบบตัวเก็บประจุอนุกรม (Flying-Capacitor Multilevel Inverter; FYC-MLI) โครงสร้างหลักใช้ตัวเก็บประจุต่อพ่วงระหว่างสวิตช์ สามารถสร้างแรงดันเอาต์พุตหลายระดับโดยไม่ต้องใช้ไดโอดเยอะเหมือน DC-MLI และปรับสมดุลได้ง่าย เหมาะกับใช้งานแรงดันปานกลางถึงแรงดันสูง
- วงจรอินเวอร์เตอร์หลายระดับแบบคาสเคด (Cascaded H-Bridge Multilevel Inverter; CHB-MLI) โครงสร้างหลักประกอบด้วย H-Bridge Inverter ต่ออนุกรมกัน อินพุตใช้แหล่งจ่ายไฟฟ้ากระแสตรงแยกอิสระ ส่วนเอาต์พุตของแต่ละ H-Bridge Inverter จะต่อเข้าด้วยกันเพื่อสร้างแรงดันเอาต์พุตหลายระดับ เหมาะกับใช้งานแรงดันปานกลางถึงแรงดันสูง และเหมาะใช้งานร่วมกับเซลล์แสงอาทิตย์หรือแบตเตอรี่

ในบรรดาโครงสร้างอินเวอร์เตอร์หลายระดับ อินเวอร์เตอร์ชนิดคาสเคดเอชบริดจ์ (CHB-MLI) ได้รับความนิยมเป็นอย่างมากในการแปลงพลังงานไฟฟ้าจากเซลล์แสงอาทิตย์ทั้งแบบเชื่อมต่อกับระบบไฟฟ้ากำลังและแบบอิสระ ด้วยข้อดีหลายประการเมื่อเทียบกับอินเวอร์เตอร์แบบทั่วไป [3-4] เช่น ลดความเครียดสนามไฟฟ้าของสวิตช์ ลดแรงดันตกคร่อมสวิตช์แต่ละตัว มีโครงสร้างแบบโมดูลาร์สามารถขยายจำนวนระดับแรงดันได้ง่าย และการต่ออนุกรมหลาย H-Bridge ทำให้สามารถสร้างแรงดันเอาต์พุตแบบขั้นบันไดที่ใกล้เคียงกับสัญญาณไซน์ ส่งผลให้ค่าความเพี้ยนฮาร์มอนิกรวมทั้งของแรงดันและกระแสมีค่าต่ำเมื่อเทียบกับอินเวอร์เตอร์สองระดับแบบไบโพลาร์ และสามระดับแบบยูนิโพลาร์

อย่างไรก็ตามอินเวอร์เตอร์หลายระดับชนิดคาสเคดเอชบริดจ์ (CHB-MLI) เมื่อพิจารณาจากโครงสร้างของวงจรจะเห็นได้ว่าต้องใช้แหล่งจ่ายแรงดันไฟฟ้ากระแสตรงแยกอิสระในแต่ละ H-Bridge ซึ่งเป็นข้อด้อยของอินเวอร์เตอร์ชนิดนี้ แต่หากนำมาใช้งานร่วมกับเซลล์แสงอาทิตย์หรือแบตเตอรี่ ก็สามารถลดข้อด้อยของอินเวอร์เตอร์ชนิดนี้ลงได้

*ผู้ประพันธ์บรรณกิจ

ดังนั้น งานวิจัยนี้ มีจุดประสงค์เพื่อออกแบบและพัฒนาอินเวอร์เตอร์ 5 ระดับ ชนิดคาสเคดเอชบริดจ์ (CHB-MLI) โดยใช้เทคนิคการสวิตช์แบบยกระดับคลื่นพาห์ (Level-Shifted PWM; LSPWM) ควบคุมการทำงานของระบบให้มีความเสถียรภาพด้วยไมโครคอนโทรลเลอร์ตระกูล C2000 เบอร์ TMS320F28379D สำหรับการต่อใช้งานร่วมกับแหล่งจ่ายไฟฟ้ากระแสตรงและแหล่งจ่ายเซลล์แสงอาทิตย์

2. ระบบที่นำเสนอ

การออกแบบวงจรอินเวอร์เตอร์ให้เอาท์พุตมีรูปคลื่นแรงดันเฟส 5 ระดับ จำเป็นต้องใช้อินเวอร์เตอร์แบบเอชบริดจ์ จำนวน 2 เซลล์ โครงสร้างและสัญญาณแรงดันไฟฟ้าเอาท์พุตของอินเวอร์เตอร์ 5 ระดับชนิดคาสเคดเอชบริดจ์ (CHB-MLI) ดังแสดงในรูปที่ 1 และรูปที่ 2 ตามลำดับ [5]

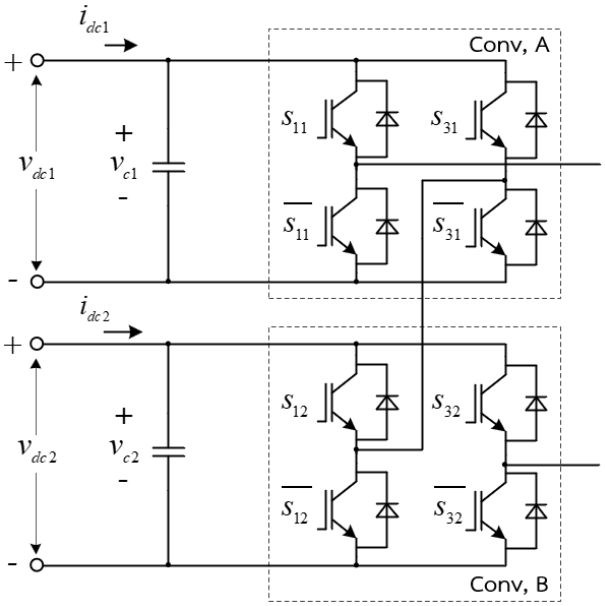

รูปที่ 1 โครงสร้างของอินเวอร์เตอร์ 5 ระดับชนิดคาสเคดเอชบริดจ์

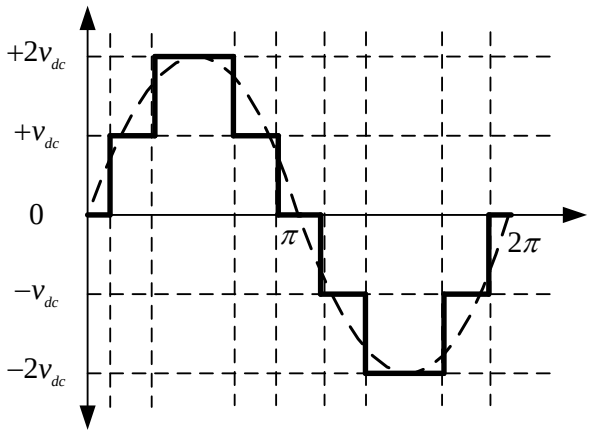

รูปที่ 2 สัญญาณแรงดันไฟฟ้าเอาท์พุตของอินเวอร์เตอร์ 5 ระดับชนิดคาสเคดเอชบริดจ์

จากรูปที่ 1 จะเห็นได้ว่าแรงดันไฟฟ้าเอาต์พุตจะมีค่าเท่ากับผลรวมแรงดันไฟฟ้าของอินเวอร์เตอร์ชนิดเอชบริดจ์ในแต่ละเซลล์รวมกัน โดยสามารถคำนวณหาแรงดันไฟฟ้าเอาต์พุต ดังสมการที่ (1)

$$v_o = v_{dc1} + v_{dc2} \tag{1}$$

และจากรูปที่ 2 สัญญาณแรงดันไฟฟ้าเอาท์พุตของอินเวอร์เตอร์ 5 ระดับ ชนิดคาสเคดเอชบริดจ์ มีลักษณะเป็นสัญญาณแบบขั้นบันไดแบบสมมาตรใกล้เคียงสัญญาณไซน์ หากเพิ่มระดับของอินเวอร์เตอร์จะทำให้สัญญาณแรงดันไฟฟ้าเอาท์พุตยิ่งเข้าใกล้สัญญาณไซน์มากขึ้น ส่งผลให้ลดค่าความผิดเพี้ยนฮาร์มอนิกรวมของแรงดันไฟฟ้า และลดค่าความสูญเสียกำลังไฟฟ้าที่อุปกรณ์สวิตช์ในรูปของพลังงานความร้อน

เทคนิคการสวิตช์แบบยกระดับคลื่นพาห์ (Level-Shifted Pulse Width Modulation) เป็นเทคนิคที่ใช้งานง่ายและนิยมใช้ในอินเวอร์เตอร์หลายระดับ โดยอาศัยการเปรียบเทียบระหว่าง **คลื่นพาห์ (Carrier Waveforms)** หลายรูปที่ถูกจัดเรียงในแนวดิ่ง (Level-Shifted) กับ **สัญญาณอ้างอิง (Reference Signal)** เพื่อสร้างแรงดันเอาต์พุตแบบขั้นบันได (Stepped Output Voltage) เมื่อสัญญาณอ้างอิงถูกเปรียบเทียบกับคลื่นพาห์ แต่ละช่วงเวลาจะได้สัญญาณ PWM ที่ควบคุมให้สวิตช์ทำงานตามลำดับ เพื่อให้แรงดันเอาต์พุตเป็นหลายระดับตามที่ออกแบบไว้ อีกทั้งช่วยกระจายสเปกตรัมของฮาร์มอนิก ให้รูปคลื่นแรงดันเอาต์พุตใกล้เคียงสัญญาณไซน์มากขึ้น โดยใช้ความถี่ในการสวิตช์ต่ำ และลดความผิดเพี้ยนฮาร์มอนิกรวม (THD) ในแรงดันเอาต์พุตเมื่อเทียบกับ PWM แบบเดิมได้อย่างมีประสิทธิภาพ เทคนิคการสวิตช์แบบยกระดับคลื่นพาห์แสดงดังรูปที่ 3 และสามารถแบ่งออกเป็น 3 รูปแบบ ดังนี้

- **PD-LSPWM (Phase Disposition)** คลื่นพาห์ทั้งหมดอยู่ในเฟสเดียวกัน ต่างกันเพียงตำแหน่งการจัดเรียงในแนวดิ่ง เหมาะสำหรับลดฮาร์มอนิกในแรงดันเอาต์พุต
- **POD-LSPWM (Phase Opposition Disposition)** คลื่นพาห์ด้านบวกทั้งหมดมีเฟสตรงข้าม (180°) กับคลื่นพาห์ด้านลบ เหมาะสำหรับปรับสมดุลของแรงดันเอาต์พุต
- **APOD-LSPWM (Alternate Phase Opposition Disposition)** คลื่นพาห์ถูกจัดเรียงสลับกันโดยแต่ละเส้นมีเฟสตรงข้าม (180°) กับเส้นถัดไป เหมาะสำหรับกระจายฮาร์มอนิกไปย่านความถี่สูงมากขึ้น

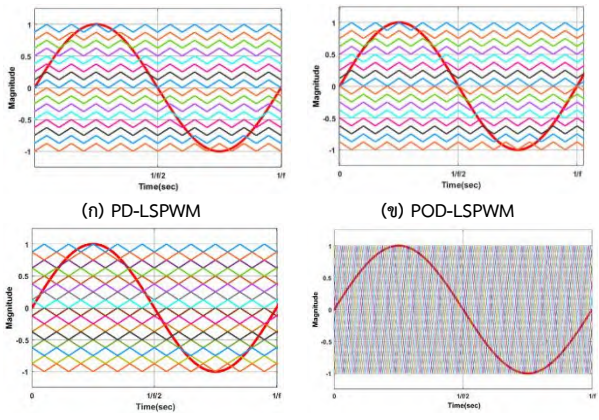

รูปที่ 3 เทคนิคการสวิตช์แบบยกระดับคลื่นพาห์ (LSPWM) และแบบเลื่อนเฟสคลื่นพาห์ (PSPWM) [6]

3. การออกแบบวงจรอินเวอร์เตอร์ 5 ระดับ

การออกแบบวงจรอินเวอร์เตอร์ 5 ระดับ สามารถแบ่งออกเป็น 4 ส่วน ดังนี้ **ส่วนแรก**เป็นวงจรแปลงแรงดันไฟฟ้ากระแสตรงเป็นแรงดันไฟฟ้ากระแสสลับ **ส่วนที่สอง**เป็นวงจรสำหรับการสร้างสัญญาณมอดูเลตแบบ PWM **ส่วนที่สาม**เป็นวงจรสำหรับเซลล์แสงอาทิตย์ และ**ส่วนสุดท้าย**เป็นวงจรกรองความถี่ต่ำผ่านและหม้อแปลงไฟฟ้า

3.1 วงจรแปลงแรงดันไฟฟ้ากระแสตรงเป็นแรงดันไฟฟ้ากระแสสลับ

อินเวอร์เตอร์ 5 ระดับ ชนิดคาดเคดเอชบริดจ์ ส่วนของวงจรกำลังจะออกแบบโดยการใช้อินเวอร์เตอร์แบบเอชบริดจ์มาต่ออนุกรมกัน 2 วงจร เพื่อให้มีระดับแรงดัน 5 ระดับ ดังนั้นจึงเลือกใช้ IGBT รุ่น RJH60D7ADPK ขนาดพิกัด 600 V, 50 A จำนวน 4 ตัว ในแต่ละเซลล์ของวงจร แสดงดังรูปที่ 4

รูปที่ 4 IGBT รุ่น RJH60D7ADPK ขนาดพิกัด 600 V, 50 A

โดยที่ขาเกตของ IGBT แต่ละตัวจะต่อกับวงจรขับเกตที่ได้รับสัญญาณมาจากสัญญาณควบคุม วงจรเอชบริดจ์อินเวอร์เตอร์ออกแบบให้มีการทำงานในการสวิตช์เพื่อนำกระแสแบบพัลส์เป็นหนึ่ง (Active HIGH) ดังนั้นจึงได้เลือกใช้งานไอซีเบอร์ TLP250 ที่มีหลักการทำงานเช่นเดียวกันกับการทำงานของอินเวอร์เตอร์ เพื่อแยกกราวนด์สัญญาณขับเกตในการส่งสัญญาณโดยแยกลูปวงจรของวงจรกำลังและวงจรควบคุมออกจากกัน

3.2 วงจรสำหรับการสร้างสัญญาณมอดูเลตแบบ PWM

การสร้างสัญญาณมอดูเลตแบบ PWM ใช้ไมโครคอนโทรลเลอร์ตระกูล C2000 เบอร์ TMS320F28379D แสดงดังรูปที่ 5

รูปที่ 5 ไมโครคอนโทรลเลอร์ตระกูล C2000 เบอร์ TMS320F28379D

โดยเขียนคำสั่งลงในโปรแกรม MATLAB/Simulink เพื่อปรับดัชนีมอดูเลตผ่านหน้าต่างการแสดงผลในโปรแกรม Code Composer Studio ที่ทำงานร่วมกับ MATLAB/Simulink และเพื่อป้องกันการลัดวงจรในแต่ละกิ่งของอินเวอร์เตอร์ สัญญาณควบคุมจากไมโครคอนโทรลเลอร์ก่อนส่งสัญญาณเข้าที่ขาเกตของ IGBT ในส่วนที่ 3.1 นั้น ต้องผ่านวงจรประวิงเวลาก่อน แสดงดังรูปที่ 6 โดยสามารถคำนวณหาค่าตัวต้านทาน (R) และตัวเก็บประจุ (C) ได้จากสมการ Dead time (t_d) ดังสมการที่ (2)

$$t_d = R \times C \times \ln(2) \quad (2)$$

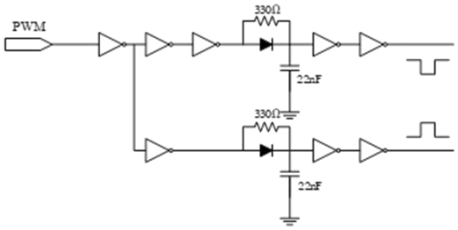

รูปที่ 6 วงจรประวิงเวลาที่ออกแบบสร้าง

3.3 วงจรสำหรับเซลล์แสงอาทิตย์

เซลล์แสงอาทิตย์ใช้ของ BSC รุ่น BS40 ต่อใช้งานกับอินเวอร์เตอร์ที่ด้านอินพุตทั้ง 2 เซลล์ที่แยกอิสระจากกัน สำหรับค่าพารามิเตอร์ของเซลล์แสงอาทิตย์ แสดงดังตารางที่ 1

ตารางที่ 1 ค่าพารามิเตอร์ของเซลล์แสงอาทิตย์ BSC รุ่น BS40

Parameter	Rated
Nominal Power	40 W
Open circuit voltage	62.2 V
Short- circuit current	1.14 A
Operating voltage	44.8 V
Current at rated Operating voltage	0.93 A

ต้องการออกแบบให้อินเวอร์เตอร์จ่ายแรงดันไฟฟ้าเอาต์พุตได้ 220 V และภาระทางไฟฟ้าได้ 300 W ดังนั้น จากตารางที่ 1 ต้องใช้แผงเซลล์แสงอาทิตย์ต่ออนุกรมกัน 2 แผงต่อหนึ่งสตริง และต่อขนานกันทั้งหมด 3 สตริง สำหรับอินเวอร์เตอร์ในแต่ละเซลล์ แสดงดังรูปที่ 7

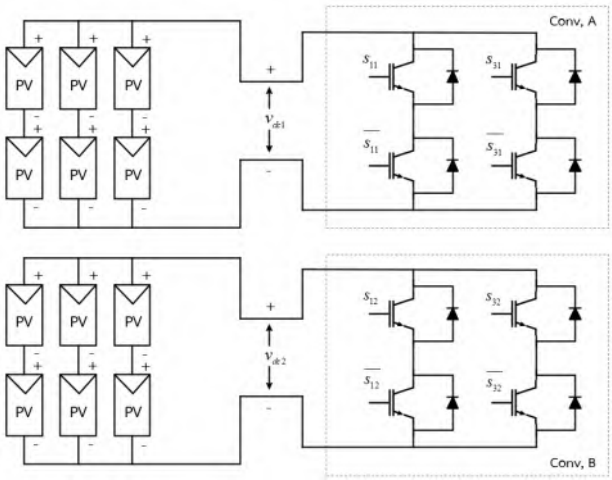

รูปที่ 7 ลักษณะการต่อแผงเซลล์แสงอาทิตย์เพื่อใช้งานกับอินเวอร์เตอร์

3.4 วงจรกรองความถี่ต่ำผ่านและหม้อแปลงไฟฟ้า

วงจรกรองความถี่ต่ำผ่าน (Low-Pass Filter) ทำหน้าที่เป็นวงจรกรองเพื่อลดทอนความถี่สูงในระบบพลังงานไฟฟ้า โดยเฉพาะอย่างยิ่งในอินเวอร์เตอร์ที่สร้างรูปคลื่นแรงดันเอาต์พุตแบบหลายระดับ (CHB-MLI) มักมีฮาร์มอนิกสูงที่ต้องถูกกำจัดออก จากงานวิจัย [7] การออกแบบความถี่ตัดผ่านควรอยู่ที่ประมาณ 0.1 เท่าของความถี่การสวิตช์ ดังนั้นหากต้องการออกแบบให้มีความถี่ตัดผ่านอยู่ที่ 500 Hz จะต้องใช้ตัวเหนี่ยวนำ ขนาดพิกัด 10 mH และตัวเก็บประจุ ขนาดพิกัด 16 μF เชื่อมต่อด้านเอาต์พุตของอินเวอร์เตอร์

สำหรับส่วนของหม้อแปลงไฟฟ้าเลือกใช้โดยคำนึงถึงความสามารถของอินเวอร์เตอร์ที่สามารถสร้างแรงดันสูงสุดได้ประมาณ 120 V จึงเลือกใช้หม้อแปลงไฟฟ้าที่มีอัตราส่วน 1:2 เพื่อเพิ่มแรงดันด้านออกให้ได้พิกัดแรงดันที่ต้องการ

การออกแบบและพัฒนาอินเวอร์เตอร์ 5 ระดับ ชนิดคาสเคดเอชบริดจ์ มีวงจรและชิ้นงานจริงที่ใช้ในการทดลอง แสดงดังรูปที่ 8 และรูปที่ 9 ตามลำดับ

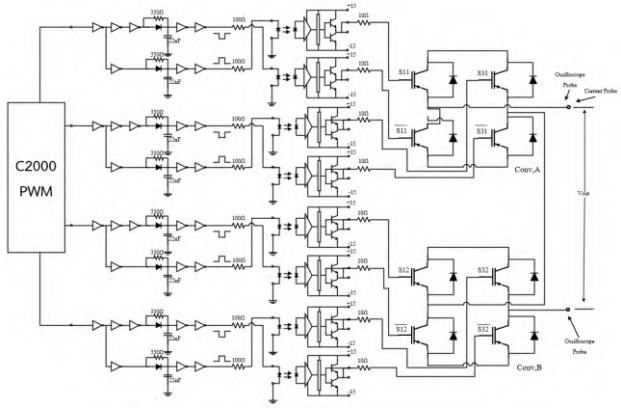

รูปที่ 8 วงจรที่ใช้ในการทดลอง

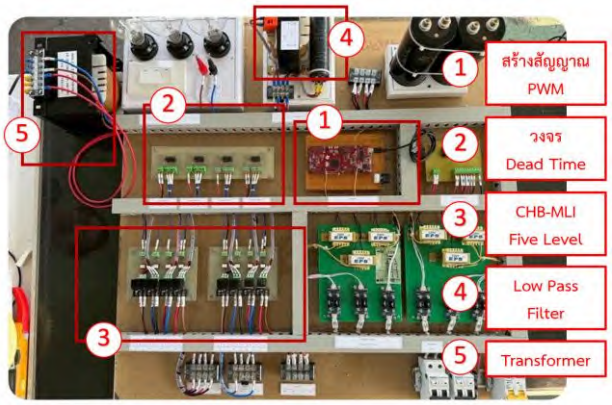

รูปที่ 9 ชิ้นงานจริงที่ใช้ในการทดลอง

สัญญาณแรงดันไฟฟ้าเอาต์พุตของอินเวอร์เตอร์ 5 ระดับ จากการจำลองด้วย MATHLAB/Simulink เปรียบเทียบกับผลการทดลองจริงในห้องปฏิบัติการ แสดงดังรูปที่ 10 และรูปที่ 11 ตามลำดับ

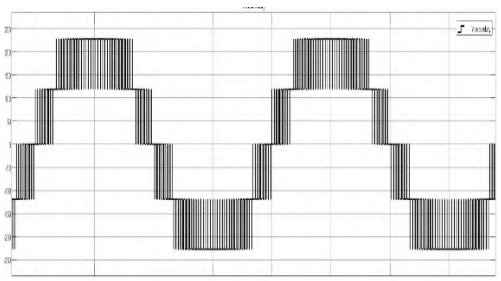

รูปที่ 10 สัญญาณแรงดันไฟฟ้าเอาต์พุตของอินเวอร์เตอร์ 5 ระดับ จากการจำลองด้วย MATHLAB/Simulink

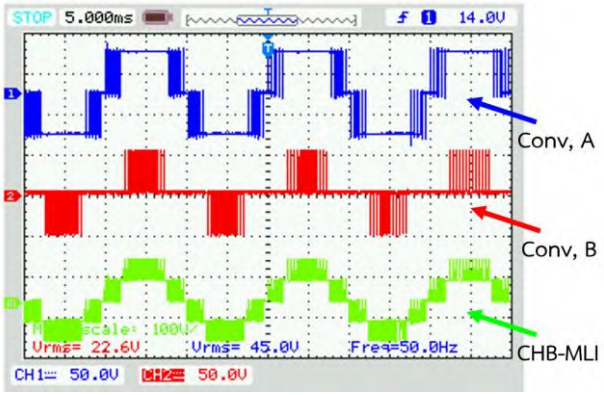

รูปที่ 11 สัญญาณแรงดันไฟฟ้าเอาต์พุตของอินเวอร์เตอร์ 5 ระดับ จากการทดลองจริงในห้องปฏิบัติการ

4. ผลการทดลองและการวิเคราะห์ผล

เพื่อให้อินเวอร์เตอร์ 5 ระดับ ชนิดคาสเคดเอชบริดจ์ ที่ได้ทำการออกแบบสร้างขึ้นบรรลุและเป็นไปตามวัตถุของงานวิจัย จึงได้แบ่งหัวข้อการทดลองออกเป็น 2 หัวข้อ ดังนี้

4.1 การทดลองต่อร่วมกับแหล่งจ่ายไฟฟ้ากระแสตรง

การทดลองอินเวอร์เตอร์ 5 ระดับ ต่อร่วมกับแหล่งจ่ายไฟฟ้ากระแสตรง อาศัยการปรับดัชนีมอดูเลต ตั้งแต่ 0.2 – 1.0 (เพิ่มขึ้นครั้งละ 0.2) ผ่านตัวต้านทานแบบปรับค่าได้ และควบคุมแรงดันไฟฟ้าอินพุตของอินเวอร์เตอร์ ตั้งแต่ 30 V – 90 V (เพิ่มขึ้นครั้งละ 15 V) ทั้ง 2 เซลล์ของอินเวอร์เตอร์ให้ระดับแรงดันไฟฟ้าเท่ากัน ผ่านไมโครคอนโทรลเลอร์ตระกูล C2000 เพื่อสร้างสัญญาณ PWM โดยใช้เทคนิคการสวิตช์แบบยกระดับคลื่นพาห์ (PD-LSPWM) ผ่านวงจร Dead Time (4 วงจร) เพื่อสร้างสัญญาณทั้งหมด 8 สัญญาณ ไปยังวงจรขับเกต IGBT ทั้ง 8 ตัว เมื่อสัญญาณขับเกตมีสถานะเป็น 1 สัญญาณจะถูกส่งไปขับเกต IGBT ที่แรงดัน 15 V_{dc} ของอินเวอร์เตอร์ ผลการทดลองต่อร่วมกับแหล่งจ่ายไฟฟ้ากระแสตรง แสดงดังรูปที่ 12 ถึง รูปที่ 16 ตามลำดับ

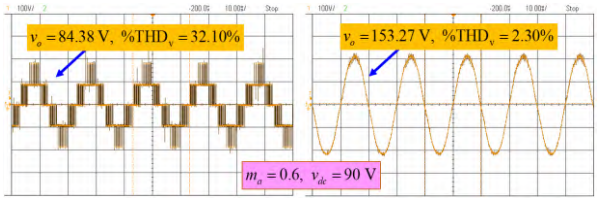

(ก) ไม่ต่อ LPF+Transformer (ข) ต่อ LPF+Transformer

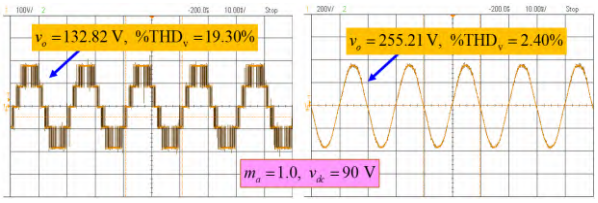

(ค) ไม่ต่อ LPF+Transformer (ง) ต่อ LPF+Transformer

รูปที่ 12 สัญญาณแรงดันไฟฟ้าเอาต์พุตของอินเวอร์เตอร์ 5 ระดับ (No-load)

จากรูปที่ 12 ขณะไม่มีโหลด พบว่าเมื่อค่าดัชนีมอดูเลต (m_a) เพิ่มขึ้น สัญญาณแรงดันไฟฟ้าเอาต์พุต (v_o) ของอินเวอร์เตอร์ 5 ระดับ มีค่าเพิ่มขึ้นในทุกช่วงของแรงดันไฟฟ้าอินพุต (v_{dc}) ความสัมพันธ์ดังกล่าว แสดงดังรูปที่ 13 และจะเห็นได้ว่า**กรณีต่อ**วงจรกรองความถี่ร่วมกับหม้อแปลงไฟฟ้า แรงดันมีขนาดเพิ่มขึ้นและรูปสัญญาณแรงดันไฟฟ้าเอาต์พุต (v_o) ใกล้เคียงสัญญาณไซน์ ส่งผลให้ค่าความผิดเพี้ยนรวมของแรงดันไฟฟ้าเอาต์พุตลดลง (%THD_v) เมื่อเทียบกับ**กรณีไม่ต่อ**วงจรกรองความถี่ร่วมกับหม้อแปลงไฟฟ้า

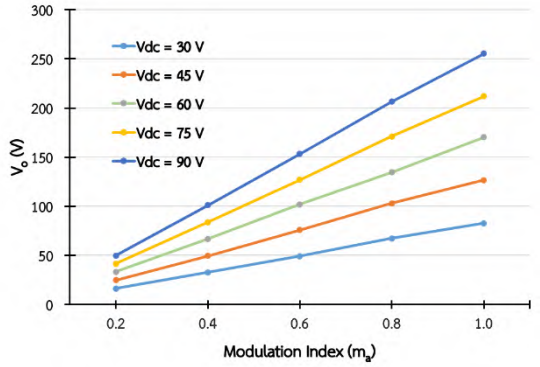

รูปที่ 13 ความสัมพันธ์ระหว่างแรงดันไฟฟ้าเอาต์พุตกับดัชนีมอดูเลต **กรณีต่อ**วงจรกรองความถี่ร่วมกับหม้อแปลงไฟฟ้า (No-load)

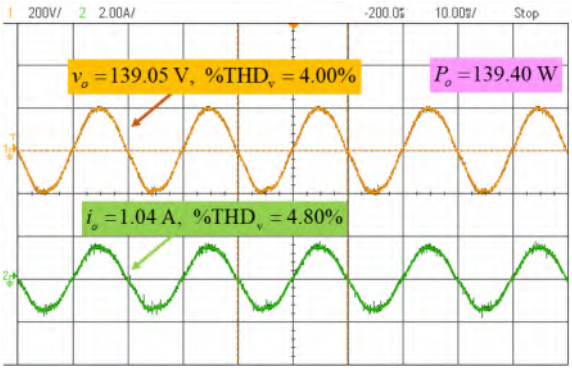

รูปที่ 14 สัญญาณแรงดันไฟฟ้าเอาต์พุตและกระแสไฟฟ้าเอาต์พุตของอินเวอร์เตอร์ 5 ระดับ ที่ค่า m_a = 0.6, v_{dc} = 90 V (On-load)

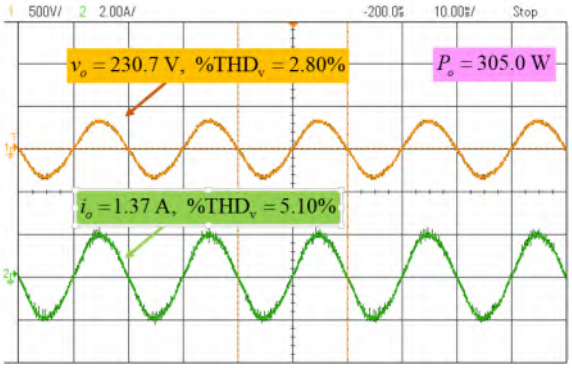

รูปที่ 15 สัญญาณแรงดันไฟฟ้าเอาต์พุตและกระแสไฟฟ้าเอาต์พุตของอินเวอร์เตอร์ 5 ระดับ ที่ค่า m_a = 1.0, v_{dc} = 90 V (On-load)

จากรูปที่ 14 และรูปที่ 15 ขณะทดลองกับโหลดหลอดไฟ พบว่าอินเวอร์เตอร์ 5 ระดับ สามารถดึงกำลังไฟฟ้าของแต่ละวงจรได้อย่างสมดุล สูงกว่างานวิจัยที่เคยทำก่อนหน้านี้ [5] ลักษณะรูปสัญญาณแรงดันไฟฟ้าเอาต์พุต (v_o) และกระแสไฟฟ้าเอาต์พุต (i_o) ใกล้เคียงสัญญาณไซน์ ส่งผลให้ค่าความผิดเพี้ยนรวมของทั้งแรงดันไฟฟ้าเอาต์พุต (%THD_v) และกระแสไฟฟ้าเอาต์พุต (%THD_i) มีค่าน้อย และจะเห็นได้ว่าขนาดของแรงดันไฟฟ้าเอาต์พุตมีขนาดลดลงเมื่อเทียบกับขณะไม่มีโหลดในรูปที่ 13 ในทุกช่วงของการใช้งาน แสดงดังรูปที่ 16

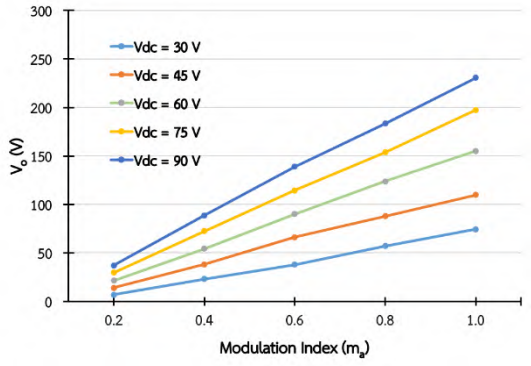

รูปที่ 16 ความสัมพันธ์ระหว่างแรงดันไฟฟ้าเอาต์พุตกับดัชนีมอดูเลต **กรณีต่อ**วงจรกรองความถี่ร่วมกับหม้อแปลงไฟฟ้า (On-load)

4.2 การทดลองต่อร่วมกับแหล่งจ่ายเซลล์แสงอาทิตย์

ทำการทดลองเหมือนกับหัวข้อ 4.1 แต่เปลี่ยนจากแหล่งจ่ายไฟฟ้ากระแสตรงเป็นแหล่งจ่ายเซลล์แสงอาทิตย์แทน โดยที่ความเข้มแสงขณะทำการทดลองประมาณ 800 W/m^2 ผลการทดลองต่อร่วมกับแหล่งจ่ายเซลล์แสงอาทิตย์ แสดงดังรูปที่ 17 ถึง รูปที่ 20 ตามลำดับ

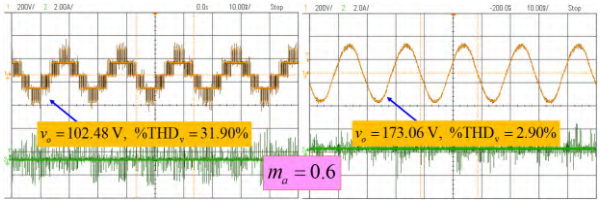

(ก) ไม่ต่อ LPF+Transformer (ข) ต่อ LPF+Transformer

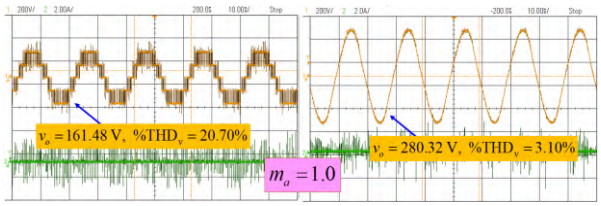

(ค) ไม่ต่อ LPF+Transformer (ง) ต่อ LPF+Transformer

รูปที่ 17 สัญญาณแรงดันไฟฟ้าเอาต์พุตของอินเวอร์เตอร์ 5 ระดับ (No-load)

จากรูปที่ 17 ขณะไม่มีโหลด พบว่าเมื่อค่าดัชนีมอดูเลต (m_a) เพิ่มขึ้น สัญญาณแรงดันไฟฟ้าเอาต์พุต (v_o) ของอินเวอร์เตอร์ 5 ระดับ มีค่าเพิ่มขึ้นและจะเห็นได้ว่า**กรณีต่อ**วงจรกรองความถี่ร่วมกับหม้อแปลงไฟฟ้า แรงดันมีขนาดเพิ่มขึ้นและรูปสัญญาณแรงดันไฟฟ้าเอาต์พุต (v_o) ใกล้เคียงสัญญาณไซน์ ส่งผลให้ค่าความผิดเพี้ยนรวมของแรงดันไฟฟ้าเอาต์พุตลดลง (%THD_v) เมื่อเทียบกับ**กรณีไม่ต่อ**วงจรกรองความถี่ร่วมกับหม้อแปลงไฟฟ้า

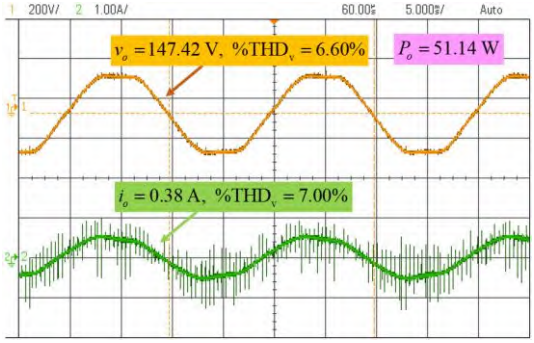

รูปที่ 18 สัญญาณแรงดันไฟฟ้าเอาต์พุตและกระแสไฟฟ้าเอาต์พุตของอินเวอร์เตอร์ 5 ระดับ ที่ค่า m_a = 0.6 (On-load)

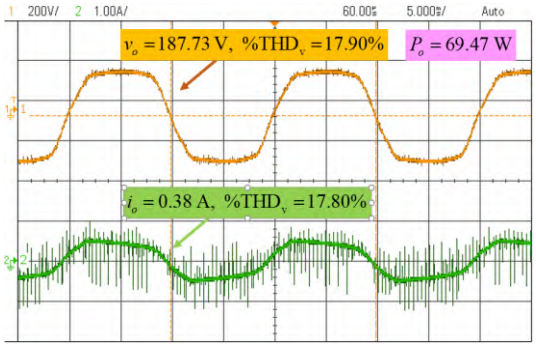

รูปที่ 19 สัญญาณแรงดันไฟฟ้าเอาต์พุตและกระแสไฟฟ้าเอาต์พุตของอินเวอร์เตอร์ 5 ระดับ ที่ค่า m_a = 1.0 (On-load)

จากรูปที่ 18 และรูปที่ 19 ขณะทดลองกับโหลดหลอดไฟ พบว่าอินเวอร์เตอร์ 5 ระดับ สามารถดึงกำลังไฟฟ้าของแต่ละวงจรได้ โดยที่ m_a = 0.6 ได้กำลังไฟฟ้าเอาต์พุต เท่ากับ 51.14 W และที่ m_a = 1.0 ได้กำลังไฟฟ้าเอาต์พุต เท่ากับ 69.47 W ตามลำดับ แต่เมื่อเปรียบเทียบกับผลการทดลองก่อนหน้านี้ จะเห็นได้ว่าอินเวอร์เตอร์ 5 ระดับต่อร่วมกับแหล่งจ่ายเซลล์แสงอาทิตย์ ขณะ**มีโหลด**ค่าความผิดเพี้ยนรวมของทั้งแรงดันไฟฟ้าเอาต์พุต (%THD$_v$) และกระแสไฟฟ้าเอาต์พุต (%THD$_i$) มีค่าสูงกว่า ในขณะที่**ไม่มีโหลด**พบว่ามีค่าใกล้เคียงกัน เนื่องจากแรงดันไฟฟ้ากระแสตรงอินพุตของเซลล์แสงอาทิตย์ทั้งสองชุดมีค่าไม่เท่ากัน ต่างกับแหล่งจ่ายไฟฟ้ากระแสตรงที่สามารถควบคุมแรงดันไฟฟ้าให้มีค่าเท่ากันก่อนจ่ายให้กับทั้ง 2 เซลล์ของอินเวอร์เตอร์ได้ และอาจเกิดจากการออกแบบวงจร Low-Pass Filter ที่มีประสิทธิภาพไม่มากพอ จากรูปที่ 19 เมื่อทำการวิเคราะห์สัญญาณสเปกตรัมฮาร์มอนิกของแรงดันไฟฟ้าเอาต์พุต พบว่ามีฮาร์มอนิกเลขคี่ (3, 5, 7, ...) เพิ่มขึ้นมา ดังแสดงในรูปที่ 20

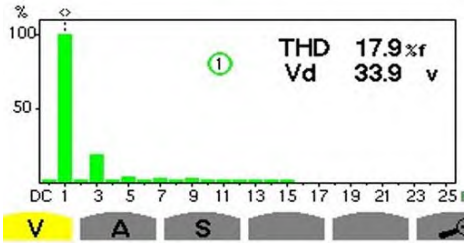

รูปที่ 20 ฮาร์มอนิกสเปกตรัมของสัญญาณแรงดันไฟฟ้าเอาต์พุตของอินเวอร์เตอร์ 5 ระดับ ที่ค่า m_a = 1.0 (On-load)

5. สรุป

บทความนี้นำเสนอระบบผลิตไฟฟ้าแบบอิสระด้วยอินเวอร์เตอร์ 5 ระดับ หนึ่งเฟสจากเซลล์แสงอาทิตย์ จากผลการทดลองอินเวอร์เตอร์ 5 ระดับ ที่ค่าดัชนีมอดูเลต 1.0 เมื่อต่อใช้งานร่วมกับแหล่งจ่ายไฟฟ้ากระแสตรง สามารถจ่ายแรงดันไฟฟ้าเอาต์พุตได้ 220 V และภาระทางไฟฟ้าได้ 300 W และเมื่อต่อใช้งานร่วมกับแหล่งจ่ายเซลล์แสงอาทิตย์ สามารถจ่ายแรงดันไฟฟ้าเอาต์พุตได้ 180 V และภาระทางไฟฟ้าได้ 50 W แสดงให้เห็นว่าอินเวอร์เตอร์ที่ได้รับการออกแบบและพัฒนาสามารถใช้งานร่วมกับแหล่งจ่ายไฟฟ้ากระแสตรงและแหล่งจ่ายเซลล์แสงอาทิตย์ได้อย่างดี

6. กิตติกรรมประกาศ

บทความฉบับนี้ขอขอบคุณ นักศึกษาโครงงานวิศวกรรมเรื่อง การศึกษาอินเวอร์เตอร์ 5 ระดับ สำหรับผลิตไฟฟ้าหนึ่งเฟสแบบอิสระจากเซลล์แสงอาทิตย์ สาขาวิชาวิศวกรรมไฟฟ้า สถาบันวิศวกรรมและอิเล็กทรอนิกส์ มหาวิทยาลัยเทคโนโลยีมหานคร ที่ให้ความช่วยเหลือในการทดลอง

เอกสารอ้างอิง

[1] ศักดาวุฒิ บุญตั้ว, “การควบคุมกระแสแบบเวกเตอร์สำหรับระบบเชื่อมต่อโครงข่ายไฟฟ้าหนึ่งเฟสด้วยวงจรเอชบริดจ์อินเวอร์เตอร์ 5 ระดับ,” *วิทยานิพนธ์วิศวกรรมศาสตรมหาบัณฑิต*, ภาควิชาวิศวกรรมไฟฟ้า, สถาบันเทคโนโลยีพระจอมเกล้าเจ้าคุณทหารลาดกระบัง, 2562

[2] Jih-Sheng Lai and F. ZhengPeng, “Multilevel converters-a new breed of power converters,” *IEEE Transactions on Industry Applications*, vol. 32, no. 3, pp. 509-517, May-June 1996.

[3] P. Panagis, F. Stergiopoulos, P. Marabeas and S. Manias, “Comparison of atate of the art multilevel inverters,” *2008 IEEE Power Electronics Specialists Conference*, 15-19 June 2008, pp.4296-4301.

[4] S. Rathore, M. Kukesh Kirar and S. K. Bhaopal, “Simukation of Cascades H-Bridge Multilevel using PD, POD, APOD Technique,” *Electrical & Computer Engineering: An International Journal (ECIJ)*, vol. 4, no. 3, pp. 27-41, 2015.

[5] เทพพนม โสภาเพิ่ม, ณัฐพงษ์ ประพฤติ และ วิจิตร กิณเรศ, “อินเวอร์เตอร์ 5 ระดับชนิดคาสเคดเอชบริดจ์”, *การประชุมวิชาการทางวิศวกรรมไฟฟ้า ครั้งที่ 47*, 13-15 พฤศจิกายน 2567, หน้า 257-260

[6] N. Mohan, T.M. Undeland and W.P. Robbins, Power Electronics: Converters, Applications, and Design, 3rd ed. Wiley, 2003.

[7] V. Ramu, P. Satish Kumar and G.N. Srinivas, “LSPWM, PSPWM and NLCPWM on multilevel inverters with reduced number of switches”, *Material Today: Proceedings*, vol. 54, part 3, pp. 710-727, 2022.

การจำลองการถ่ายโอนกำลังไฟฟ้าแบบไร้สายด้วยวงจรเมตริกซ์คอนเวอร์เตอร์หนึ่งเฟส

Simulation of Wireless Power Transfer (WPT) with Single-phase Matrix Converter

สันติสุข สว่างกล้า[1] ประสพโชค โห้ทองคำ[2] สถาพร เสือเทศ[3*]

[1]ภาควิชาวิศวกรรมไฟฟ้า คณะวิศวกรรมศาสตร์ มหาวิทยาลัยสยาม
[2]สาขาวิชาวิศวกรรมไฟฟ้า คณะวิศวกรรมศาสตร์ มหาวิทยาลัยเทคโนโลยีราชมงคลรัตนโกสินทร์ prasopchok.hot@rmutr.ac.th
[3]ภาควิชาวิศวกรรมเมคคาทรอนิกส์ คณะวิศวกรรมศาสตร์ มหาวิทยาลัยเทคโนโลยีราชมงคลรัตนโกสินทร์ sataporn.sua@rmutr.ac.th*

บทคัดย่อ

บทความนี้นำเสนอการส่งถ่ายโอนกำลังไฟฟ้าแบบไร้สายที่ใช้วงจรเมตริกซ์คอนเวอร์เตอร์หนึ่งเฟสในการแปลงผันพลังงานไฟฟ้าจากไฟฟ้ากระแสสลับเป็นไฟฟ้ากระแสสลับแล้วทำการถ่ายโอนพลังงานไฟฟ้าผ่านชุดขดลวดทางด้านภาคส่งและภาครับที่ความถี่สูงเท่ากับ 50kHz ผ่านวงจรเรโซแนนท์แบบอนุกรมส่งผ่านกำลังไฟฟ้าไปยังวงจรเร็กติไฟร์แบบฟูลบริดจ์เพื่อแปลงผันพลังงานไฟฟ้ากระแสสลับเป็นไฟฟ้ากระแสตรงเพื่อนำไปใช้ในการเชื่อมต่อโหลด การทดสอบการทำงานด้วยการจำลองด้วยโปรแกรม MATLAB/Simulink ผลจากการจำลองแสดงได้ด้วยรูปคลื่นแรงดันไฟฟ้าและกระแสไฟฟ้าที่ส่วนต่างๆ ของระบบ ระบบสามารถทำการถ่ายโอนพลังงานได้ ซึ่งจะเป็นข้อมูลที่จะสามารถนำไปประยุกต์ในงานจริงได้ต่อไป

คำสำคัญ: การส่งถ่ายกำลังไฟฟ้าแบบไร้สาย วงจรเมตริกซ์คอนเวอร์เตอร์หนึ่งเฟส วงจรเรโซแนนท์แบบอนุกรม

Abstract

This paper presents a wireless power transfer (WPT) system utilizing a single-phase matrix converter to directly convert AC power into AC power, which is transferred through a pair of coils on the transmitter and receiver sides at a frequency of 50 kHz. A series-resonant topology is employed to enable efficient power transfer through a full-bridge rectifier to the load. Simulation studies carried out in MATLAB/Simulink illustrates the voltage and current waveforms of the proposed system, confirming the effective transfer of power to the load. The obtained results will be employed for the development of a hardware prototype in future work.

Keywords: Wireless Power Transfer (WPT), Single-phase Matrix Converter, Series Resonant Circuits

1. บทนำ

การถ่ายโอนกำลังไฟฟ้าแบบไร้สายมีการนำมาใช้ในการอัดประจุไฟฟ้าที่แบตเตอรี่ที่เป็นแบบไร้สายนับว่าเป็นนวัตกรรมใหม่ที่มีในปัจจุบันนี้ ซึ่งเป็นระบบที่น่าสนใจในการทำวิจัยในขณะนี้ที่เป็นที่ต้องการในปัจจุบัน ซึ่งในการอัดประจุต้องมีการควบคุมแรงดันไฟฟ้าและกระแสไฟฟ้าในขณะอัดประจุด้วย เนื่องจากค่าความต้านทานในแบตเตอรี่จะมีการเปลี่ยนแปลงด้วย ดังนั้นในระบบอัดประจุแบบไร้สายนี้จะมีการควบคุมแรงดันไฟฟ้าลักระแสไฟฟ้าในขณะอัดประจุด้วย เพื่อป้องกันการเสียหายของแบตเตอรี่และเป็นการยืดอายุการใช้งานของแบตเตอรี่ด้วย ซึ่งมีงานวิจัยที่ได้รับการวิจัยปัจจุบันนี้ คือ ระบบอัดประจุแบตเตอรี่แบบไร้สายที่ได้ทำการจำลองและสร้างที่ขนาด 500W ได้ทำการใช้เทคนิคในการประมาณผลของค่าฮาร์มอนิกที่ใช้งาน พบว่าสามารถใช้งานที่ค่าประสิทธิภาพเท่ากับ 80% ได้ผลเป็นที่พอใจ [1] การจำลองและสร้างชุดต้นแบบขนาดเล็กได้มีการออกแบบและสร้างขึ้นเพื่อทดสอบการทำงานและหลักการในการนำหลักการเรโซแนนท์มาใช้ในการควบคุมกระแสไฟฟ้าที่ใช้ในการอัดประจุแบบไร้สายที่ใช้ในยานยนต์ไฟฟ้า ซึ่งผลการทดสอบได้ทำการทดสอบกับแบตเตอรี่ได้ผลเป็นอย่างดี ซึ่งหลักการนี้ก็เป็นที่สนใจในระดับหนึ่ง [2] การอัดประจุแบบไร้สายยังสามารถใช้ในการอัดประจุแบตเตอรี่ในขณะที่ยานยนต์ไฟฟ้ากำลังขับเคลื่อนและกำลังเคลื่อนที่ได้ด้วย ซึ่งสามารถใช้งานได้เป็นอย่างดีในการทดสอบระบบการทำงานของระบบอัดประจุแบบนี้ได้ รวมทั้งยังนำระบบการจัดการแบตเตอรี่มาใช้ในการทำงานของแบตเตอรี่เพื่อให้มีความเหมาะสมในการทำงานของแบตเตอรี่ที่ดียิ่งขึ้น [3] ระบบการอัดประจุแบบไร้สายด้านแหล่งจ่ายได้มีการปรับปรุงค่าตัวประกอบด้วยเพื่อให้เกิดค่าการสูญเสียทางด้านแหล่งจ่ายไฟฟ้าน้อยที่สุดรวมทั้งยังมีการรักษาระดับการเปลี่ยนแปลงแรงดันไฟฟ้าและทำให้ค่าแรงดันไฟฟ้าคงที่ด้วยการปรับค่าอัตราส่วนของสัญญาณพัลส์ที่ใช้ในการควบคุมวงจรแปลงผันพลังงานไฟฟ้าแบบอินเวอร์เตอร์ ซึ่งแสดงการทำงานได้อย่างดี [4]

นอกจากนั้นยังมีการนำวงจรคอนเวอร์เตอร์ที่สามารถแปลงผันพลังงานไฟฟ้า AC-AC เพียงขั้นตอนเดียวมาใช้ในระบบการอัดประจุด้วยทำให้ราคาและน้ำหนักเบาลง ซึ่งระบบนี้มีประสิทธิภาพ 89% ที่สามารถทำงานได้ในการอัดประจุแบตเตอรี่ด้วย [5] ซึ่งงานวิจัยต่างๆ ดังที่กล่าวไปเป็นส่วนหนึ่งของงานวิจัยที่มีการทำวิจัยกันในปัจจุบัน ซึ่งการถ่ายโอนกำลังไฟฟ้าแบบไร้สายส่วนใหญ่ใช้วงจรคอนเวอร์เตอร์ที่มีการแปลงผันพลังงานไฟฟ้าในการส่งผ่านกำลังไฟฟ้าแบบไร้สายเป็นวงจรเร็กติไฟร์และวงจรดีซีทูเอซีคอนเวอร์เตอร์ (AC-DC-AC Converter) เป็นชุดวงจรที่ทำการแปลงผันพลังงานไฟฟ้าแล้วผ่านวงจรเรโซแนนท์ถ่ายโอนพลังงานไฟฟ้าไปยังชุดขดลวดภาคส่งและภาครับ เพื่อทำการถ่ายโอนกำลังไฟฟ้าแบบไร้สายต่อไป [6], [7] ซึ่งวงจรคอนเวอร์เตอร์ทางภาคส่งที่มีการศึกษาวิจัยอยู่พบว่ามีการแปลงผันพลังงานสองขั้นตอนซึ่งต้องมีส่วนของดีซีลิงค์ (DC Link) ที่ประกอบด้วยตัวเก็บประจุที่นำไปสู่การสูญเสียพลังงานไฟฟ้า ดังนั้นในงานวิจัยนี้ได้มีการนำวงจรเมตริกซ์คอนเวอร์เตอร์หนึ่งเฟส [8-10] ที่มีการแปลงผันพลังงานไฟฟ้าเพียงขั้นตอนเดียวจากไฟฟ้ากระแสสลับเป็นไฟฟ้ากระแสสลับโดยตรง ซึ่งทำการจำลองการทำงานของการถ่ายโอนพลังงานไฟฟ้าแบบไร้สายด้วยโปรแกรม MATLAB/Simulink โดยมีระบบในการถ่ายโอนพลังงานไฟฟ้าแบบไร้สายด้วยวงจรเมตริกซ์คอนเวอร์เตอร์หนึ่งเฟส แสดงได้ดังรูปที่ 1

2. วงจรเมตริกซ์คอนเวอร์เตอร์หนึ่งเฟส

วงจรเมตริกซ์คอนเวอร์เตอร์หนึ่งเฟสแสดงได้ดังรูปที่ 1 ค่าแรงดันไฟฟ้าด้านอินพุทเท่ากับ

$$v_{in}(t) = V_{im} \sin \omega_i t \qquad (1)$$

*ผู้ประพันธ์บรรณกิจ

และมีค่าแรงดันไฟฟ้าเอาท์พุทเท่ากับ

$$v_{out}(t) = V_{om} \sin \omega_o t \quad (2)$$

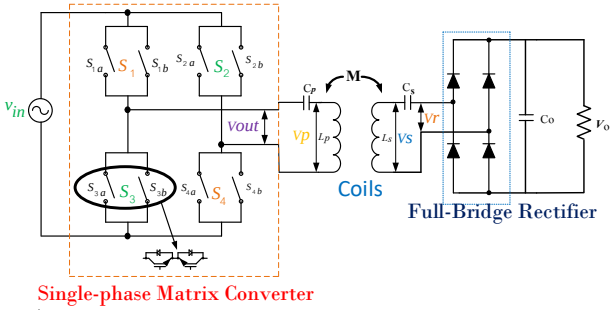

รูปที่ 1 การถ่ายโอนพลังงานไฟฟ้าแบบไร้สายด้วยวงจรเมตริกซ์คอนเวอร์เตอร์หนึ่งเฟส

การทำงานของสวิทช์จะทำงานเพื่อตัดต่อแรงดันไฟฟ้าและกระแสไฟฟ้าอินพุทเพื่อให้ได้แรงดันไฟฟ้าและกระแสไฟฟ้าเอาท์พุทที่สามารถปรับความถี่และอัตราการม็อดได้ โดยมีการทำงานดังสมการที่ (4) ดังนี้ [8], [9] และ [11]

$$v_o(t) = \begin{cases} v_i(t) & S_1 \& S_4 \text{ are ON} \\ -v_i(t) & S_2 \& S_3 \text{ are ON} \\ 0 & S_1 \& S_2 \text{ are ON} \\ 0 & S_3 \& S_4 \text{ are ON} \end{cases} \quad (3)$$

3. วงจรเรโซแนนท์แบบอนุกรมที่ใช้ในการถ่ายโอนพลังงานไฟฟ้าแบบไร้สาย

การถ่ายพลังงานไฟฟ้าแบบไร้สายสามารถเขียนแสดงเป็นวงจรสมมูลได้ดังรูปที่ 2 โดยประกอบด้วยส่วนของวงจรเรโซแนนท์แบบอนุกรม (LC serie resonant) ทั้งด้านรับและด้านส่งผ่านชุดขดลวดทั้งสองด้าน ซึ่งสามารถแสดงเป็นวงจรสมมูลด้วยค่าอินดัคแตนซ์ การคำนวณหาค่าของตัวเก็บประจุที่ใช้ในการเรโซแนนท์สามารถคำนวณได้ด้วยสมการที่ (4) และ (5) โดยที่ค่าตัวเหนี่ยวนำเป็นค่าที่เกิดจากขดลวดทั้งสองด้านโดยช้าค่าความถี่เรโซแนนท์เท่ากับ 50kHz ที่วงจรเมตริกซ์คอนเวอร์เตอร์หนึ่งเฟสทำงานและทำการแปลงผันเป็นไฟฟ้ากระแสสลับออกมาจ่ายให้กับชุดขดลวดที่ด้านส่ง

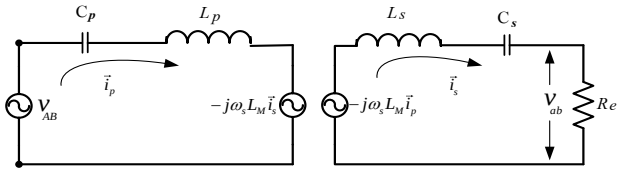

รูปที่ 2 วงจรเทียบเท่าชุดเรโซแนนท์แบบอนุกรม

การคำนวณค่าพารามิเตอร์ในวงจรเรโซแนนซ์สามารถคำนวณได้ดังนี้

$$f = \frac{1}{2\pi\sqrt{LC}} \quad (4)$$

$$\omega = \frac{1}{\sqrt{LC}} \quad (5)$$

เมื่อ L= ค่าความเหนี่ยวนำ หน่วยเฮนรี C = ค่าตัวเก็บประจุ หน่วยฟารัด

4. ผลการจำลองการทำงานและอภิปรายผล

การจำลองการทำงานของการถ่ายโอนพลังงานไฟฟ้าแบบไร้สายด้วยวงจรเมตริกซ์คอนเวอร์เตอร์หนึ่งเฟสด้วยโปรแกรม MATLAB/Simulink สามารถแสดงลักษณะวงจรที่ใช้ดังรูปที่ 3 แหล่งจ่ายไฟฟ้ากระแสสลับหนึ่งเฟสจ่ายค่าแรงดันไฟฟ้าเท่ากับ 100V, 50Hz พร้อมกับมีวงจรกรองแบบ LC (LC Filter) ต่อทางด้านอินพุทที่แหล่งจ่ายไฟฟ้าเพื่อกรองแรงดันไฟฟ้าและกระแสไฟฟ้าด้านอินพุทจากการทำงานของสวิตช์สองทิศทางในวงจรเมตริกซ์คอนเวอร์เตอร์หนึ่งเฟสด้วย แหล่งจ่ายไฟฟ้ากระแสสลับทำการจ่ายกำลังไฟฟ้าไปยังวงจรเมตริกซ์คอนเวอร์เตอร์หนึ่งเฟสที่ประกอบด้วยสวิตช์สองทิศทางจำนวน 4 ชุด ต่อกัน เพื่อทำหน้าที่แปลงผันไฟฟ้ากระแสสลับหนึ่งเฟสเป็นไฟฟ้ากระแสสลับหนึ่งเฟสที่สามารถปรับขนาดและความถี่ได้ โดยในการจำลองนี้สวิตช์ทำงานที่ความถี่เท่ากับ 50kHz ซึ่งเป็นความถี่เรโซแนนท์ด้วยแล้วทำการส่งผ่านไปยังวงจรเรโซแนนท์แบบอนุกรมเพื่อถ่ายโอนพลังงานไฟฟ้าจากขดลวดด้านส่งไปยังขดลวดด้านรับที่เป็นไฟฟ้ากระแสสลับ หลังจากนั้นส่งผ่านไปยังวงจรเร็กติไฟร์แบบเต็มคลื่นแปลงเป็นไฟฟ้ากระแสตรงเชื่อมต่อกับโหลดที่เป็นตัวต้านทาน เพื่อเป็นการสมมูลแบตเตอรี่ที่จะทำการทดสอบจริงต่อไป ซึ่งค่าพารามิเตอร์ของชุดขดลวดด้านส่งและรับสามารถแสดงได้ดังรูปที่ 4 ส่วนค่าพารามิเตอร์ที่ใช้ในการจำลองการทำงานของระบบการถ่ายโอนกำลังไฟฟ้าแบบไร้สายด้วยวงจรเมตริกซ์คอนเวอร์เตอร์หนึ่งเฟสนี้ สามารถแสดงได้ดังตารางที่ 1 [10]

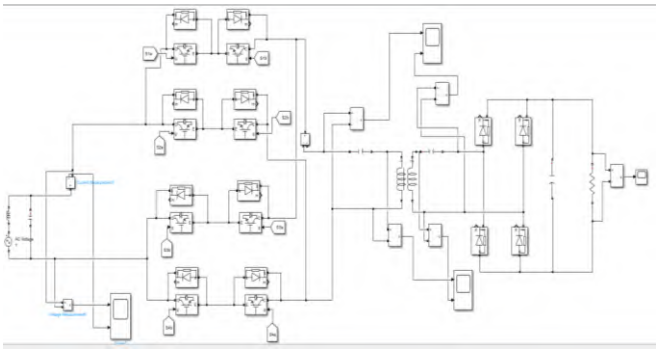

รูปที่ 3 การถ่ายโอนพลังงานไฟฟ้าแบบไร้สายด้วยวงจรเมตริกซ์คอนเวอร์เตอร์หนึ่งเฟสที่จำลองด้วยโปรแกรม MATLAB/Simulink

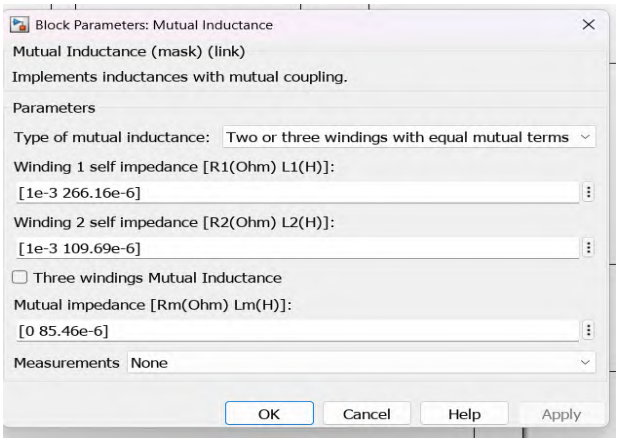

รูปที่ 4 ค่าพารามิเตอร์ที่ขดลวดทั้งด้านส่งและด้านรับ

ตารางที่ 1 ค่าพารามิเตอร์สำหรับการจำลองการทำงานในส่วนต่างๆของการถ่ายโอนพลังงานไฟฟ้าแบบไร้สาย

Parameters	Value
Input Voltage	100V
Input frequency	50Hz
Input Filter	L= 10mH, C= 1uF
Output frequency	50kHz
Resonant capacitor transmitter (Cp)	3.807e-8 F
Resonant capacitor receiver (Cs)	9.237e-8 F
Resistive Load	10 ohms

ผลการจำลองการทำงานของการถ่ายกำลังไฟฟ้าแบบไร้สายด้วยวงจรเมตริกซ์คอนเวอร์เตอร์หนึ่งเฟสได้ทการจ่ายค่าแรงดันไฟฟ้า 1 เฟส, 100Vac, 50Hz ให้กับวงจรและสามารถทำการจำลองรูปคลื่นที่จุดต่างๆ ที่ได้จากการจำลองการทำงานด้วยโปรแกรม MATLAB/Simulink แสดงได้ดังรูปที่ 5-9 ซึ่งจะมีภาพขยายของรูปคลื่นทั้งสองปรากฏด้วยในแต่ละรูปเพื่อให้เกิดความชัดเจนมากยิ่งขึ้น รูปคลื่นแรงดันไฟฟ้าและกระแสไฟฟ้าทางด้านแหล่งจ่ายไฟฟ้าหนึ่งเฟสหรือด้านอินพุทแสดงได้ดังรูปที่ 5 โดยมีวงจรกรองต่ออยู่ด้วยแบบ LC filter ทางด้านแหล่งจ่ายไฟฟ้าที่มีค่าตามตารางที่ 1 สวิตช์สองทิศทางในวงจรเมตริกซ์คอนเวอร์เตอร์หนึ่งเฟสจะได้รับสัญญาณพัลส์ที่ใช้ในการขับนำสวิตช์ที่ความถี่เท่ากับ 50kHz และค่า Duty ratio เท่ากับ 50% แสดงได้ดังรูปที่ 6 เพื่อทำการแปลงผันไฟฟ้ากระแสสลับเป็นไฟฟ้ากระแสสลับที่ด้านเอาท์พุทที่มีความถี่สูงเท่ากับ 50kHz ด้วยที่ทางขดลวดด้านรับ

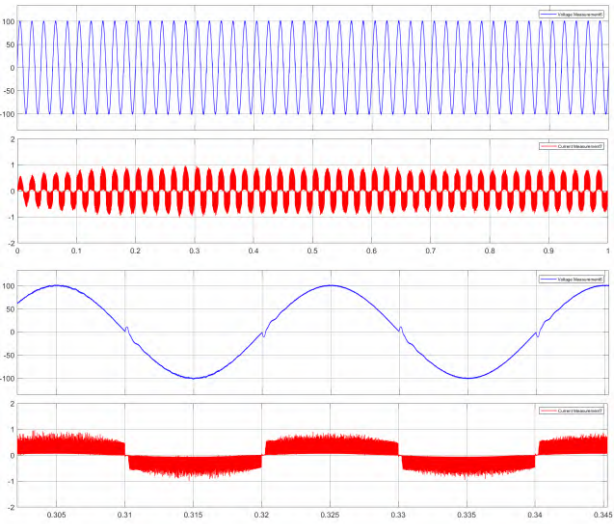

รูปที่ 5 รูปคลื่นแรงดันไฟฟ้าและกระแสไฟฟ้าด้านอินพุท พร้อมภาพขยาย (น้ำเงิน=แรงดันไฟฟ้า, แดง=กระแสไฟฟ้า)

รูปคลื่นแรงดันไฟฟ้าและกระแสไฟฟ้าด้านเอาท์พุทของวงจรเมตริกซ์คอนเวอร์เตอร์หนึ่งเฟสหรือทางด้านขดลวดด้านส่งสามารถแสดงได้ดังรูปที่ 7 เพื่อใช้ทำการส่งไฟฟ้ากระแสสลับที่ความถี่ 50kHz ส่งผ่านขดลวดด้านส่งไปยังขดลวดด้านรับที่แสดงรูปคลื่นแรงดันไฟฟ้าและกระแสไฟฟ้าได้ดังรูปที่ 8 ซึ่งพบว่าสามารถทำการถ่ายโอนพลังงานไฟฟ้าความถี่สูงได้อย่างมีประสิทธิภาพ แต่ในการโอนถ่ายพลังงานไฟฟ้านี้ พบว่าขนาดแรงดันไฟฟ้าและกระแสไฟฟ้าทางด้านขดลวดด้านรับมีขนาดลดลงที่ค่าความถี่เท่าเดิมโดยขนาดแรงดันไฟฟ้าและกระแสไฟฟ้านั้นขึ้นอยู่กับอตราส่วนของชุดขดลวดทั้งสองด้านร ในการจำลองนี้ใช้ค่าพารามิเตอร์ต่างๆ ในการจำลองการทำงานตามตารางที่ 1 ซึ่งในการปรับค่าพารามิเตอร์ที่ขดลวดทั้งสองด้านจะได้มีการดำเนินการศึกษาในงานวิจัยลำดับต่อไป รวมทั้งเพื่อสามารถใช้เป็นข้อมูลในการออกแบบชุดต้นแบบได้อย่างความเหมาะสมและใช้งานได้

รูปที่ 6 รูปคลื่นพัลส์ที่ใชในการควบคุมการทำงานของวงจรเมตริกซ์คอนเวอร์เตอร์หนึ่งเฟสที่ความถี่ 50kHz พร้อมภาพขยาย

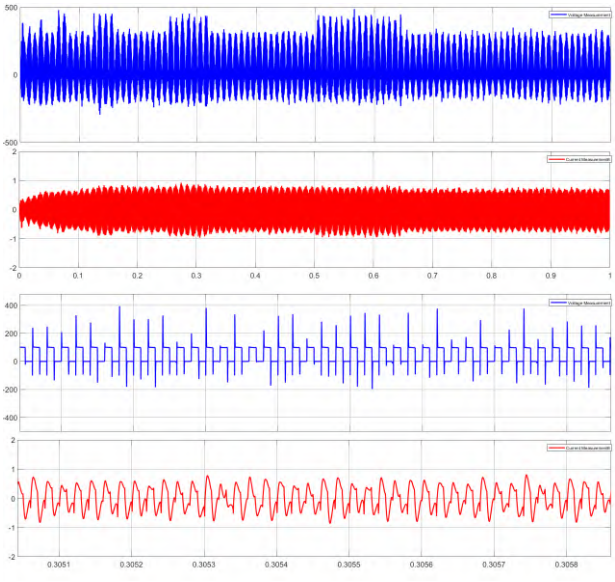

รูปที่ 7 รูปคลื่นแรงดันไฟฟ้าและกระแสไฟฟ้าด้านเอาท์พุทของวงจรเมตริกซ์คอนเวอร์เตอร์หนึ่งหรือด้านส่งที่ความถี่ 50kHz พร้อมภาพขยาย (น้ำเงิน=แรงดันไฟฟ้า, แดง=กระแสไฟฟ้า)

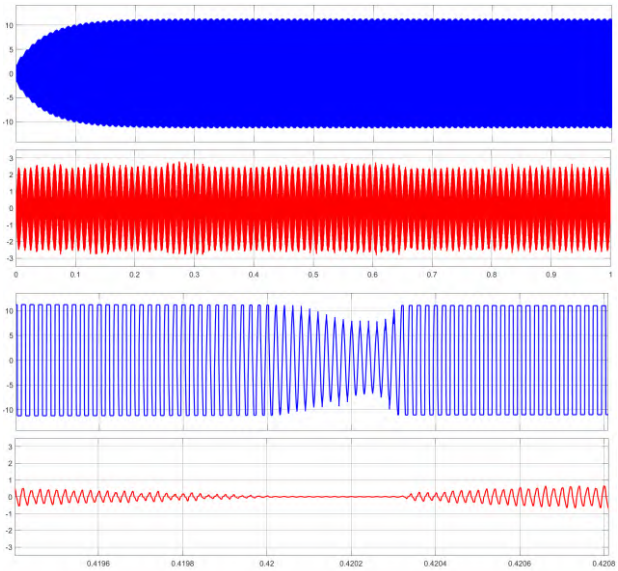

รูปที่ 8 รูปคลื่นแรงดันไฟฟ้าและกระแสไฟฟ้าที่ขดลวดด้านรับที่ความถี่ 50kHz พร้อมภาพขยาย (น้ำเงิน=แรงดันไฟฟ้า, แดง=กระแสไฟฟ้า)

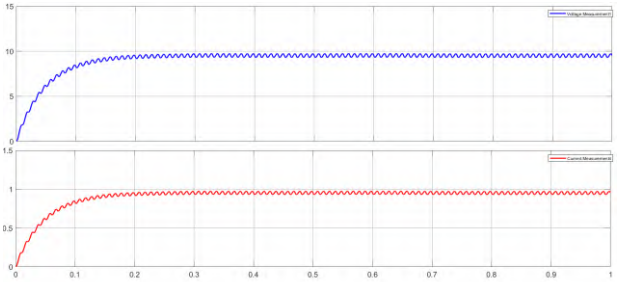

รูปที่ 9 รูปคลื่นแรงดันไฟฟ้าและกระแสไฟฟ้าที่โหลดตัวต้านทานความถี่ 50kHz (น้ำเงิน=แรงดันไฟฟ้า, แดง=กระแสไฟฟ้า)

จากรูปที่ 9 เป็นแรงดันไฟฟ้าและกระแสไฟฟ้ากระแสตรงที่ผ่านการแปลงผันจากไฟฟ้ากระแสสลับเป็นไฟฟ้ากระแสตรงด้วยวงจรเร็กติไฟร์แบบฟูลบริดจ์ เพื่อจ่ายไปยังโหลดที่เป็นตัวต้านทาน พบว่าผลการจำลองสามารถทำการจ่ายแรงดันไฟฟ้าได้เท่ากับ 10Vdc, 1A โดยเป็นการจ่ายพลังงานไฟฟ้าให้กับโหลดได้ แต่ยังมีผลการเข้าสู่สภาวะคงตัวที่ช้าตามค่าพารามิเตอร์ในระบบ ซึ่งต้องมีการออกแบบและพัฒนาต่อไปให้เหมาะสม

5. สรุป

การจำลองการทำงานของการถ่ายโอนกำลังไฟฟ้าแบบไร้สายด้วยวงจรเมตริกซ์คอนเวอร์เตอร์หนึ่งเฟสด้วยโปรแกรม MATLAB/Simulink เพื่อแสดงผลการทำงานของระบบ พบว่าสามารถทำการถ่ายโอนกำลังไฟฟ้าได้ ซึ่งการถ่ายโอนกำลังไฟฟ้าจะมีผลของค่าอัตราส่วนของขดลวดด้านส่งและด้านรับเป็นสำคัญ การจ่ายกำลังไฟฟ้าไปยังโหลดที่เป็นตัวต้านทานด้านเอาท์พุทที่เป็นไฟฟ้ากระแสตรงได้แสดงดังผลการทดลองข้างต้น ทั้งนี้ยังต้องมีการปรับปรุงและพัฒนาของค่าพารามิเตอร์ต่างๆที่ใช้ในการจำลองให้เหมาะสมเป็นไปตามมาตรฐานสากลที่มีอยู่ ซึ่งในงานวิจัยนี้เป็นการศึกษาหลักการเบื้องต้นในการประยุกต์ใช้งานวงจรเมตริกซ์คอนเวอร์เตอร์หนึ่งเฟสกับงานทางด้านความถี่สูง ซึ่งสามารถพิสูจน์ได้ว่าสามารถใช้งานได้ ดังนั้นสามารถนำข้อมูลที่ได้รับนี้นำไปใช้ในการพัฒนาเป็นชุดต้นแบบต่อไป รวมทั้งต้องมีการทดสอบกับการอัดประจุแบตเตอรี่ที่เป็นการประยุกต์ใช้งานของงานวิจัยนี้

เอกสารอ้างอิง

[1] Worapong Pairindra, Panya Khemmook, and Surin Khomfoi, “The Implementation of Fundamental Harmonic Approximation Technique on Electric Vehicle Wireless Charger” 2010 18th International Conference on Electrical Engineering/Electronics, Computer, Telecommunications, and Information Technology (ECTI-CON 2021), 19-22 May 2021, Chiang Mai, Thailand.

[2] Pedro Lopes, Pedro Costa, and Sonia Pinto, “Wireless Power Transfer System for Electric Vehicle Charging” 2020 International Young Engineers Forum (YEF-ECE), 15-19 Nov. 2020, Seoul, Korea.

[3] Mohammed Irfan Ahamed M, Syed Mateen, Arun Savadi, Abdul Lateef Haroon PS, and Syed Naushad, “Wireless Charging and BMS for Optimizing Electric Vehicle Charging and Battery Management”, 2023 International Conference on Distributed Computing and Electrical Circuits and Electronics (ICDCECE), 29-30 April 2023, Ballari, Karnataka, India.

[4] Ali Zakerian, Sadegh Vaez-Zadeh, and Amir Babaki, “A Dynamic WPT System With High Efficiency and High Power Factor for Electric Vehicles”, IEEE Transactions on Power Electronics, Vol.35, No.7, July 2020.

[5] Erdem Asa, Jason Pries, Veda Galigekere, Subho Mukherjee, Omer C. Onar, Gui-Jia Su, and Burak Ozpineci, “A Novel AC to AC Wireless Power Transfer System for EV Charging Applications”, 2020 IEEE Applied Power Electronics Conference and Exposition (APEC), 15-19 March 2020, New Orleans, LA, USA.

[6] สันติสุข สว่างกล้า จิรศักดิ์ ส่งบุญแก้ว สถาพร เสือเทศ และประสพโชค โห้ทองคำ“การถ่ายโอนพลังงานไฟฟ้าแบบไร้สายด้วยวงจรอินเวอร์เตอร์ความถี่สูงแบบเต็มบริดจ์ที่ใช้หลักการเลื่อนเฟส”, การประชุมวิชาการทางวิศวกรรมไฟฟ้า ครั้งที่ 47 (The 47th Electrical Engineering Conference (EECON-47)) วันที่ 13-15 พฤศจิกายน 2567 ณ โรงแรมเซ็นทาราและคอนเวนชันเซ็นเตอร์ จังหวัดอุดรธานี

[7] จิรศักดิ์ ส่งบุญแก้ว สันติสุข สว่างกล้า สถาพร เสือเทศ และประสพโชค โห้ทองคำ “การส่งกำลังไฟฟ้าแบบไร้สายด้วยวงจรอินเวอร์เตอร์ความถี่สูงแบบครึ่งบริดจ์”, การประชุมวิชาการทางวิศวกรรมไฟฟ้า ครั้งที่ 47 (The 47th Electrical Engineering Conference (EECON-47)) วันที่ 13-15 พฤศจิกายน 2567 ณ โรงแรมเซ็นทาราและคอนเวนชันเซ็นเตอร์ จังหวัดอุดรธานี

[8] Abdollah Khoei and Subbaraya Yuvarajan, “Single-Phase AC-AC Converter Using Power MOSFET’s”, IEEE Transaction on Industrial Electronics, Vol. 35, No. 3, August 1988.

[9] A. Zuckerberger, D. Weinstock, and A. Alexandrovitz, “Single-phase Matrix Converter”, IEE Proc.-Electr. Power Appl., vol.144, No.4, pp. 235-240., July 1997.

[10] N. Nguyen-Quang, D. A. Stone, C. M. Bingham, and M.P. Foster, “Single Phase Matrix Converter for Radio Frequency Induction Heating”, SPEEDAM 2006 International Symposium on Power Electronics, Electrical Drives, Automation and Motion, 23-36 May 2006, Taormina, Italy

[11] ประสพโชค โห้ทองคำ, กิตติธัช ศิริพรนพคุณ, จุฑาธร จันทร์สีชัง, อาสา วงษ์คำ, และ ครองยศ โพธิ์ชัย “การสร้างและทดสอบวงจรเอซีทูเอซีเมตริกซ์คอนเวอร์เตอร์หนึ่งเฟสกับโหลดแบบพาสซีฟ” การประชุมวิชาการทางวิศวกรรมไฟฟ้าครั้งที่ 37 (The 37th Electrical Engineering Conference (EECON-37)) วันที่ 19-21 พฤศจิกายน 2557, ณ โรงแรมพูลแมน ขอนแก่น ราชา ออคิด จ.ขอนแก่น มหาวิทยาลัยขอนแก่น

อิทธิพลของความเข้มและระยะเวลาการอาบสนามไฟฟ้าและแม่เหล็กคงที่ต่ออัตราการงอกและการเจริญเติบโตของเมล็ดพันธุ์ข้าวมะลิ กข105

Effect of constant electric and magnetic field irradiation intensity and duration on RD105 jasmine rice seed germination rate and growth

ทศพล มานะศรี[1] และ กฤษดา สิทธิดา[2]*

1 สาขาวิชาวิศวกรรมอิเล็กทรอนิกส์และหุ่นยนต์ มหาวิทยาลัยนครพนม E-mail:thosapol@npu.ac.th

2 สาขาวิชาวิศวกรรมอิเล็กทรอนิกส์ คณะเทคโนโลยีอุตสาหกรรม มหาวิทยาลัยนครพนม E-mail:kitsada@npu.ac.th

1. บทคัดย่อ

บทความนี้กล่าวถึงรายละเอียดการศึกษาการงอกของข้าวหอมมะลิพันธ์ กข 105 ด้วยการใช้สนามแม่เหล็ก ทั้งในรูปแบบสนามแม่เหล็กคงที่ (Static Magnetic Field: SMF) และสนามแม่เหล็กไฟฟ้า (Electromagnetic Field: EMF) ซึ่งส่งผลต่อเซลล์พืชในระดับโมเลกุล โดยช่วยกระตุ้นการเคลื่อนไหวของไอออนในเซลล์พืช ทำให้กระบวนการต่าง ๆ เช่น การงอกของเมล็ด การดูดน้ำ และการลำเลียงสารอาหารเกิดได้ดีขึ้น ซึ่งส่งผลให้พืชมีการเจริญเติบโตที่รวดเร็วและแข็งแรงขึ้น บทความนี้นี้มีแนวคิดในการออกแบบและสร้างอุปกรณ์สำหรับกระตุ้นการเจริญเติบโตของพืชโดยอาศัยพลังงานจากสนามแม่เหล็กและสนามไฟฟ้า เพื่อศึกษาผลของการประยุกต์ใช้เทคโนโลยีดังกล่าวต่อประสิทธิภาพการเจริญเติบโตของข้าวหอมมะลิ กข 105โดยมีเป้าหมายเพื่อเป็นแนวทางในการพัฒนาเทคโนโลยีเกษตรกรรมที่ยั่งยืน

คำสำคัญ: สนามแม่เหล็ก, ,สนามไฟฟ้า,กระตุ้นการงอกของข้าว

Abstract

This study describes the germination of RD105 jasmine rice using SMF and EMF. These fields affect plant cells at the molecular level by stimulating ion movement in plant cells, which improves seed germination, water uptake, and transport of nutrients. This results in faster and stronger plant growth. This study presents the design and construction of a device for stimulating plant growth using magnetic and electric field energy. Studying the effect of such technology application on the growth efficiency of RD105 jasmine rice to provide guidelines for the development of sustainable agricultural technology

Keywords: magnetic field, electric field, rice seed germination

2. บทนำ

ในปัจจุบันการเพิ่มผลผลิตทางการเกษตรอย่างมีประสิทธิภาพความต้องการอาหารที่เพิ่มขึ้นควบคู่กับข้อจำกัดด้านทรัพยากรธรรมชาติและปัญหาสิ่งแวดล้อม แนวทางดั้งเดิมที่มุ่งพึ่งพาปุ๋ยเคมีและสารกระตุ้นการเจริญเติบโตมีข้อจำกัดทั้งในด้านต้นทุนและผลกระทบต่อสิ่งแวดล้อม จึงมีความจำเป็นในการพัฒนากระบวนการที่มีความปลอดภัยและเป็นมิตรกับระบบนิเวศและเพิ่มประสิทธิภาพการเพิ่มผลผลิตให้กับเกษตรกร ผู้วัจัยจึงมีความสนใจคือการใช้ ปัจจัยทางกายภาพ (physical stimuli) ได้แก่ สนามแม่เหล็ก (magnetic field) และสนามไฟฟ้า (electric field) เพื่อกระตุ้นการงอกและการเจริญเติบโตของเมล็ดพืชการประยุกต์ใช้สนามแม่เหล็กและสนามไฟฟ้าในกระบวนการทางการเกษตร การกระตุ้นด้วยสนามแม่เหล็กหรือสนามไฟฟ้าสามารถส่งผลต่อการงอกและการเจริญเติบโตของเมล็ดพืช โดยเฉพาะในระดับเซลล์ ซึ่งเกี่ยวข้องกับการเคลื่อนที่ของไอออน การสังเคราะห์เอนไซม์ และการกระตุ้นสัญญาณทางชีวเคมี

2.1ทฤษฎีที่เกี่ยวข้อง

2.1.1สนามแม่เหล็กและคุณสมบัติของแม่เหล็กนีโอดิเมียม

รูปที่1 แม่เหล็กนิโอดิเนียม

แม่เหล็กนีโอดิเมียม (Nd–Fe–B permanent magnet) เป็นวัสดุแม่เหล็กสมัยใหม่ที่มีความหนาแน่นฟลักซ์แม่เหล็กสูงที่สุดในบรรดาแม่เหล็กถาวรเชิงพาณิชย์ โดยมีโครงสร้างผลึกเตตระโกนัล $Nd_2Fe_{14}B$ ที่ให้สมบัติ เฟอร์โรแมกเนติก (ferromagnetic property) ที่เสถียรที่อุณหภูมิสูงกว่าอุณหภูมิห้องอย่างมาก ทำให้เหมาะสมสำหรับการประยุกต์ใช้งานในด้านที่ต้องการความเข้มของสนามแม่เหล็กสูง ข้อได้เปรียบสำคัญของแม่เหล็กนีโอดิเมียม ได้แก่ remanence (Br) และ coercivity (Hc) ที่สูง ส่งผลให้สามารถสร้างสนามแม่เหล็กที่คงที่และยาวนาน อย่างไรก็ตาม ข้อจำกัดที่สำคัญคือ thermal instability ซึ่งทำให้สูญเสียสมบัติแม่เหล็กเมื่ออุณหภูมิเกินค่าการทำงานสูงสุด และ susceptibility to corrosion ที่จำเป็นต้องได้รับการเคลือบป้องกัน

2.1.2.สนามไฟฟ้าสม่ำเสมอ

สนามไฟฟ้าสม่ำเสมอ (uniform electric field) เป็นระบบสนามที่มี field intensity (E-field strength) คงที่ทั้งขนาดและทิศทาง สามารถสร้างได้จากแผ่นตัวนำคู่ขนานภายใต้ความต่างศักย์ V และระยะห่าง d โดยมีสมการพื้นฐาน

$$E = \frac{V}{d}$$

*ผู้ประพันธ์บรรณกิจ

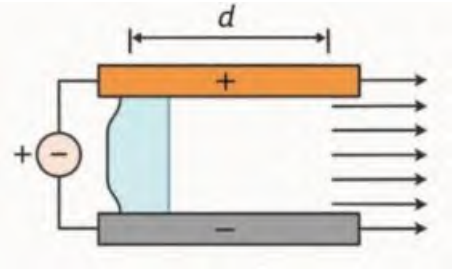

รูปที่ 2 สนามไฟฟ้าสม่ำเสมอ

2.1.3. การกระตุ้นในการงอกของเมล็ด

การงอกของเมล็ด (seed germination) เริ่มต้นจาก imbibition หรือการดูดซึมน้ำเข้าสู่เมล็ด ซึ่งกระตุ้นให้เกิดการ metabolic reactivation ได้แก่ การสังเคราะห์เอนไซม์ใหม่ การเร่งอัตราการหายใจของไมโตคอนเดรีย และการสลายสารอาหารสำรอง เช่น แป้งและไขมัน เพื่อจัดหาพลังงานและสารตั้งต้นสำหรับการพัฒนาเอ็มบริโอ สนามแม่เหล็กและสนามไฟฟ้าสามารถทำให้เกิด ion transport modulation และ cell signaling activation ซึ่งส่งผลโดยตรงต่อการกระตุ้นกระบวนการทางชีวเคมีเช่น การผลิต reactive oxygen species (ROS) และการเปลี่ยนแปลง membrane permeability ของเซลล์พืช

3. การออกแบบ

เครื่องต้นแบบที่ใช้ในการวิจัยนี้ทางผู้วิจัยได้ออกแบบเครื่องสร้างสนามไฟฟ้า สนามแม่เหล็กคงที่ และสนามแม่เหล็กไฟฟ้า เพื่อวิเคราะห์ความแตกต่างของอัตราการงอกและการเจริญเติบโตภายใต้เงื่อนไขที่ต่างโดยมีโครงสร้างดังนี้ ความกว้าง 25 เซนติเมตร ความยาว 42 เซนติเมตร และความสูง 25 เซนติเมตร ภายในโครงสร้างมีการติดตั้งอุปกรณ์ ขดลวดพันรอบแกนอี ซึ่งทำหน้าที่เป็น แม่เหล็กไฟฟ้าทำหน้าที่สร้างสนามแม่เหล็กไฟฟ้า (Electromagnetic Field: EMF) ควบคุมโดยสวิตช์ที่หนึ่ง เพื่อเปิด–ปิดการจ่ายแรงดันไฟฟ้ากระแสตรง ขนาด 12 โวลท์ 10 แอมแปร์ เข้าสู่ขดลวดและยังติดตั้งวงจรควบคุมเวลา เพื่อสามารถกำหนดระยะเวลาการสร้างสนามแม่เหล็กฟ้าได้ตามค่าที่กำหนด ในส่วนของการสร้างสนามไฟฟ้าใช้สวิตช์ชุดที่สองในการควบคุมส่วนโครงสร้างชุดสนามไฟฟ้าได้มีการใช้ แผ่นวงจรพิมพ์ (PCB) 2 แผ่นโดยมีขนาด 20*20 เซนติเมตร และมีระยะห่างระหว่างแผ่นอยู่ที่ 1.5 เซนติเมตร เพื่อทำหน้าที่เป็นแผ่นอิเล็กโทรด โดยต่อเข้ากับแหล่งจ่ายไฟฟ้าโดยที่ภาคจ่ายไฟมีแรงดันไฟฟ้ากระแสตรงเอาท์พุทที่ 48 โวลท์ 5 แอปแปร์ ซึ่งจ่ายให้กับแผ่น PCB ทั้ง 2 แผ่น เพื่อสร้างสนามไฟฟ้าแบบสม่ำเสมอ (uniform electric field) ระหว่างแผ่นตัวนำ และด้านหลังแผ่นตัวนำทั้ง 2 แผ่นได้มีการติดตั้งแม่เหล็กนีโอดีเมียม (Nd–Fe–B permanent magnet)เพื่อเป็นชุดสร้างสนามแม่เหล็ก โดยที่ขั่วเหนือจะติดตั้งเข้ากับแผ่นPCB ขั่วบวก และ ขั่วใต้จะติดตั้งด้านของแผ่น PCB ขั่วลบ

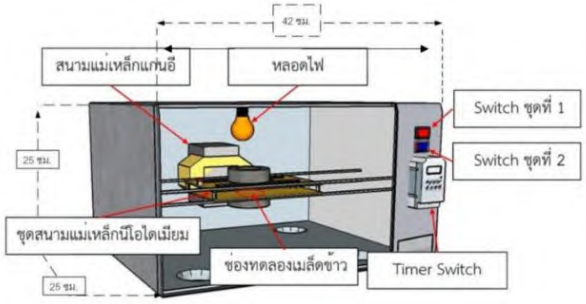

รูปที่3 ภาพ 3 มิติเครื่องกระตุ้นสนามแม่เหล็ก

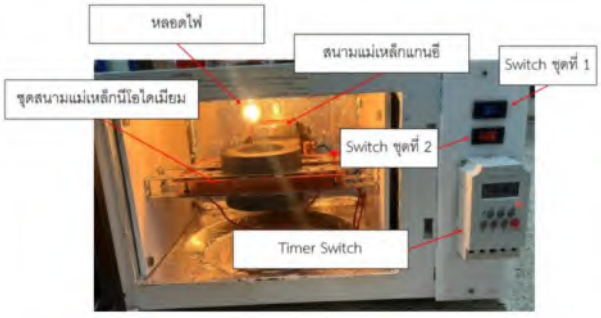

รูปที่ 4 เครื่องต้นแบบ

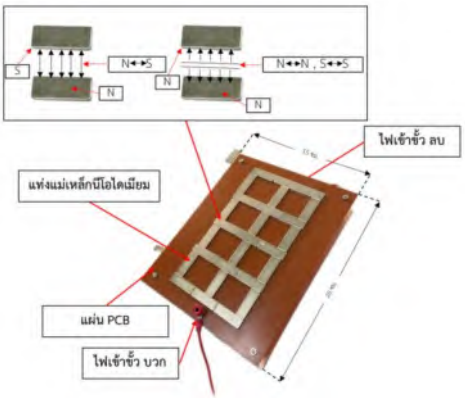

รูปที่ 5 แม่เหล็กที่ติดตั้งด้านหลังแผ่น PCB

4. ขั้นการทดลอง

การวิจัยนี้ผู้วิจัยได้ดำเนินการภายใต้ สภาวะแวดล้อมที่มีการควบคุมเพื่อจำกัดอิทธิพลของตัวแปรแทรกซ้อนอื่น ๆ ให้อยู่ในระดับคงที่ อันได้แก่ อุณหภูมิ ความชื้นและแสง โดยเมล็ดพันธุ์ข้าวหอมมะลิ 105 ได้ผ่านกระบวนการอาบด้วย สนามไฟฟ้า สนามแม่เหล็กคงที่และสนามแม่เหล็กไฟฟ้า **โดย**ที่สนามแม่ไฟฟ้าในการวิจัยครั้งนี้จะใช้ค่าคงที่ ซึ่งได้จากคำนวณจากสมการเบื้องต้น โดยจากการคำนวณ ค่าสนามไฟฟ้า อยู่ที่ 8 นิวตัน/คูลอมบ์ ส่วนความเข้มสนามแม่เหล็กที่ใช้ในการวิจัยมีค่าดังนี้ **82 mT, 100** mT และ 123 mT ตามลำดับสำหรับการทดลองในแต่ละระดับความเข้มสนามไฟฟ้าและสนามแม่เหล็ก ได้มีการกำหนดช่วงเวลาในการวิจัย ที่ **1, 5, 10, 20, 30** และ 60 นาที ในส่วนจำนวนเมล็ดพันธุ์ข้าวหอมมะลิ 105 ที่ใช้ในการวิจัย คือ 30 เมล็ดต่อชุด เมื่อครบระยะเวลาที่กำหนดแล้วที่ผ่านกระบวนจะถูกนำไปเพาะปลูกในกระถางที่เตรียมไว้

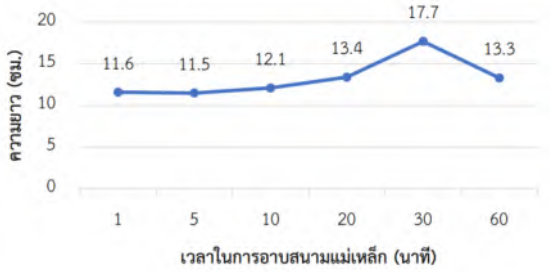

รูปที่ 6 ผลการอัตราการงอกของข้าวหอมมะลิ 105 ที่ความเข็ม 82 mT

ความยาวต้นข้าวที่ผ่านการอาบด้วยสนามแม่เหล็กและสนามไฟฟ้า ความเข้ม 82 mT โดยความเข้มชุดนี้เกิดจากสนามแม่เหล็กแม่เหล็กนีโอดิเมียม (Nd–Fe–B permanent magnet) ที่ติดตั้งด้านหลังแผ่น PCB และพร้อมกับการเปิดสนามไฟฟ้าและปิดวงจรสนามแม่เหล็กไฟฟ้า แล้วทำการวัดค่าด้วยเกาส์มิเตอร์ ซึ่งผลการวัดเฉลี่ยอยู่ที่ 82 mT จากนั้นนำเมล็ดข้าววางภายในช่องว่างระหว่าง แผ่น PCB จากการทดลองพบว่าในช่วงเวลา 1–20 นาที ความยาวต้นเพิ่มขึ้นอย่างต่อเนื่องจาก11.5 เซนติเมตรไปจนถึง 13.4 เซนติเมตร และมีค่าสูงสุดที่เวลา 30 นาที ซึ่งอยู่ที่ 17.7 เซนติเมตร แสดงให้เห็นว่าการอาบเมล็ดด้วยสนามไฟฟ้าและสนามแม่เหล็กสามารถกระตุ้นการเจริญเติบโตในด้านความยาวของต้นได้ อย่างไรก็ตามเมื่อเวลาอาบนานถึง 60 นาที ความยาวต้นกลับลดลงเหลือ 13.3 เซนติเมตร ซึ่งเกิดจากผลกระทบของระยะเวลาที่ใช้ทำให้เมล็ดข้าวอาบพลังงานสนามไฟฟ้าและสนามแม่เหล็กที่มากเกินไป

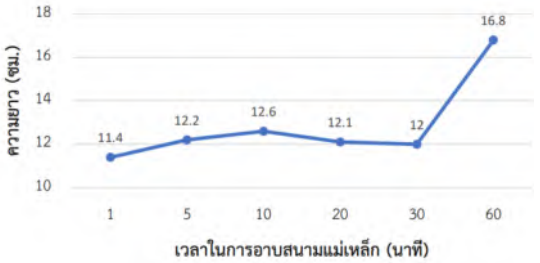

รูปที่ 7 อัตราการงอกของข้าวหอมมะลิ 105ที่ความเข็ม 100 mT

จากการทดลองที่ระดับความเข้มของสนามไฟฟ้าและสนามแม่เหล็ก 100 mT ผู้วิจัยได้เพิ่มจำนวนแท่งแม่เหล็กเข้าไปในชุดแม่เหล็กถาวรเพื่อปรับค่าความเข้มข้นของสนามแม่เหล็กให้อยู่ที่ระดับที่ต้องการ โดยที่ค่าสนามไฟฟ้าคงที่ จากนั้นทำการวัดค่าสนามแม่เหล็กด้วยเกาส์มิเตอร์ มีค่าเฉลี่ยอบอยู่ที่ 100 mT จากนั้นได้ดำเนินการทดลองตามระยะเวลาตามที่ได้ตามที่กำหนด จากการทดลองพบว่าช่วงเวลา 1 นาที ความสูงเฉลี่ยของต้นข้าวอยู่ที่ 11.4 เซนติเมตรเพิ่มขึ้นเล็กน้อยที่ 5 นาที (12.2 เซนติเมตร) และ 10 นาที (12.6 เซนติเมตร)อย่างไรก็ตาม 20 นาที ความสูงเฉลี่ยลดลงเล็กน้อยเป็น 12.1 เซนติเมตรที่ 30 นาที ความยาวใกล้เคียงเดิม คือ 12.0 เซนติเมตร แต่เมื่อเพิ่มเวลาเป็น 60 นาที ความสูงเฉลี่ยเพิ่มขึ้นเป็น16.8 เซนติเมตร จากผลการทดลองการอาบสนามแม่เหล็ก 100 mT เป็นระยะเวลานานถึง 60 นาที มีผลต่อการเจริญเติบโตของต้นข้าวหอมมะลิ 105ได้อย่างชัดเจน แตกต่างจากระยะเวลาสั้นจะให้ผลเพียงเล็กน้อยหรือไม่ต่างกันมาก

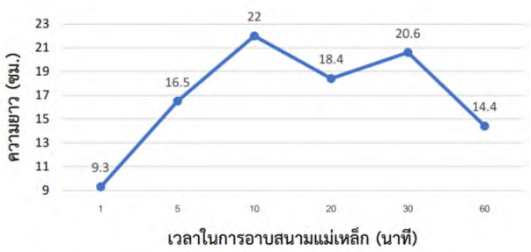

รูปที่ 8 ผลการอัตราการงอกของข้าวหอมมะลิ 105ที่ความเข็ม 123 mT

จากการทดลองที่ระดับความเข้มข้นสนามแม่เหล็ก 123mT ผู้วิจัยได้ทำการเปิดวงจรสนามแม่เหล็กไฟฟ้าร่วมกับวงจรสนามไฟฟ้าและชุดแม่เหล็กถาวรพร้อมทั้งทำการวัดค่าความเข้มสนามแม่เหล็กด้วยเกามิเตอร์ ค่า ซึ่งมีผลการวัดเฉลี่ยอยู่ที่ 123 mTจากนั้นทำการวางเมล็ดพันธุ์ภายช่องว่างระหว่างแผ่น PCB และได้รับการอาบสนามไฟฟ้า สนามแม่เหล็กและสนามแม่เหล็กไฟฟ้า(Electromagnetic Field: EMF)ตามเวลาที่ได้กำหนดไว้ จากการทดลอง เวลา 1 นาที ความสูงของต้นกล้าอยู่ที่เพียง 9.3 เซนติเมตร เพิ่มขึ้นชัดเจนที่ 5 นาที (16.5 เซนติเมตร) สูงสุดที่ 10 นาที (22.0 เซนติเมตร) แสดงให้เห็นว่าเมล็ดข้าวตอบสนองได้ดีที่สุด จากนั้นความยาวเริ่มลดลงที่ 20 นาที (18.4 เซนติเมตี) เพิ่มเล็กน้อยอีกครั้งที่ 30 นาที (20.6 เซนติเมตร) และลดลงอีกครั้งที่ 60 นาที (14.4 เซนติเมตร) การอาบ สนามแม่เหล็ก 123 mT ที่ 10 นาทีเป็นช่วงเวลาที่เหมาสมที่สุดในการกระตุ้นการเจริญเติบโตของต้นกล้า ส่งผลให้ต้นกล้ามีความยาวมากที่สุด หากอาบนาน เกินไป เช่น 60 นาที อาจมีผลกระทบในเชิงลบ ส่งผลให้การเจริญเติบโตของต้นกล้าลดลง

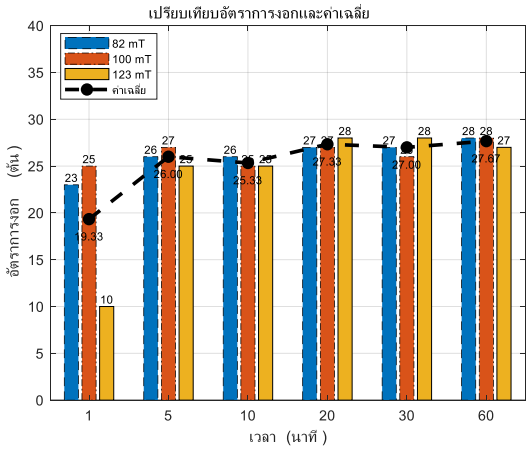

รูปที่ 8 กราฟเปรียบเทียบอัตราการงอกและค่าเฉลี่ย

ผลการเปรียบเทียบอัตราการงอกของเมล็ดข้าวหอมมะลิ 105 กภายใต้การอาบสนามไฟฟ้า สนามแมเหล็กคงที่และสนามแม่เหล็กไฟฟ้า พบว่าเมล็ดพันธ์มีการตอบสนองต่อความเข้มสนามแม่เหล็กที่แตกต่างกัน โดยจากการทดลองที่ระดับสนามแม่เหล็กที่ความเข้มต่างกัน ได้แก่ 82 mT, 100 mT และ 123 mT พบว่าผลการทดลองชี้ให้เห็นว่า อัตราการงอกของในแต่ละระดับความเข้มมีความใกล้เคียงกัน แต่ความเข้มข้นที่ 100 mT มีประสิทธิภาพสูงสุดเมื่อเปรียบเทียบกับระดับความเข้มอื่นๆ นอกจากนี้ช่างเวลาของการอาบสนามแม่เหล็ก พบว่า ระยะเวลา 60 นาที ให้ค่าเฉลี่ย

ของการงอกสูงที่สุด โดยมีจำนวนเมล็ดพันธ์ที่งอกอยู่ที่ 27.67 เมล็ดซึ่งมากกว่าการทดลองในช่วงเวลาอื่นๆ

4.1ตัวอย่างต้นข้าวหอมมะลิที่ผ่านกระบวนการทดลอง

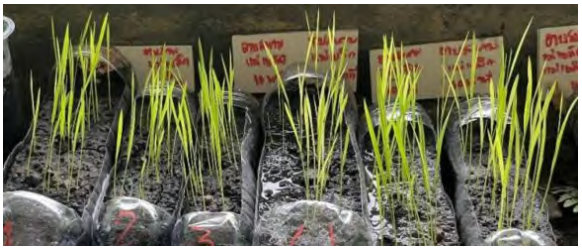

รูปที่ 10 ต้นข้าวหอมมะลิ105ที่ความเข้มข้น 82 mT เวลา 10 วัน

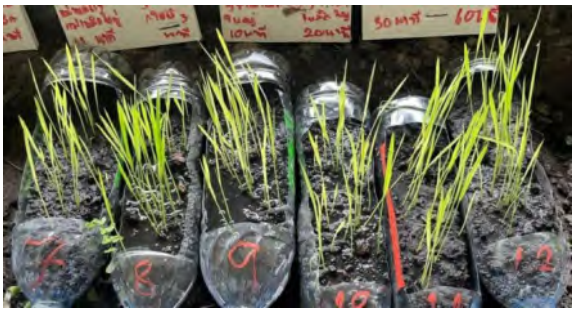

รูปที่ 11 ต้นข้าวหอมมะลิ105ที่ความเข้มข้น 100 mT เวลา 10 วัน

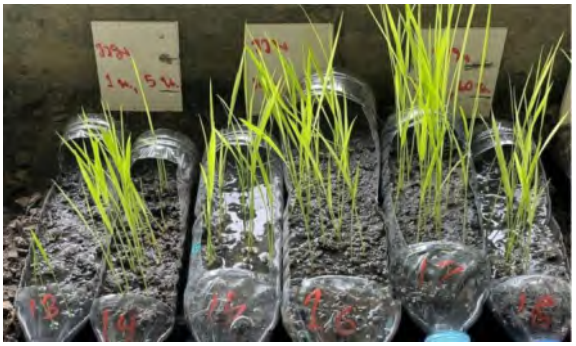

รูปที่ 12 ต้นข้าวหอมมะลิที่ความเข้มข้น 123 mT เวลา 10 วัน

5. อภิปรายและสรุปผล

ผลการวิจัยพบว่าเมล็ดพันธุ์ข้าวหอมมะลิ 105มีการตอบสนองต่อการอาบสนามไฟฟ้า สนามแม่เหล็กคงที่และสนามแม่เหล็กไฟฟ้าในลักษณะที่แตกต่างกัน ซึ่งพิจารณาจากความเข้มของสนามแม่เหล็กคงที่ ที่ระดับ 82 mT, 100 mT และ 123 mT พบว่าอัตราการงอกของเมล็ดมีค่าใกล้เคียงกัน แต่ความเข้ม 100 mT มีผลดีที่สุด โดยเฉพาะเมื่อใช้เวลาอาบสนาม 60 นาที ซึ่งมีค่าเฉลี่ยของการงอกของเมล็ดพันธ์สูงที่สุดที่ 27.67 เมล็ด ขณะที่ความเข้ม 82 mT และ 123 mT มีประสิทธิภาพต่ำกว่า เมื่อพิจารณาการเจริญเติบโตของต้นกล้า จะเห็นได้ว่า สนามแม่เหล็กที่ความเข้ม 123 mT ให้ผลชัดเจนที่สุด โดยความสูงของต้นกล้าเพิ่มขึ้นจาก 9.3 เซนติเมตร (1 นาที) จนถึงค่าสูงสุด 22.0 เซนติเมตร (10 นาที) หลังจากนั้นความสูงลดลงที่ 20 นาที (18.4 เซนติเมตร) และแม้จะเพิ่มขึ้นเล็กน้อยที่ 30 นาที (20.6 เซนติเมตร) แต่กลับลดลงอีกครั้งที่ 60 นาที (14.4 เซนติเมตร) แสดงให้เห็นว่าระยะเวลาที่เหมาะสมที่สุดในการอาบสนามคือ 10 นาที ซึ่งสามารถกระตุ้นการเจริญเติบโตได้สูงสุด ขณะที่การอาบนานเกินไปอาจส่งผลในเชิงลบการทดลองในการเปรียบเทียบ สนามไฟฟ้า สนามแม่เหล็กคงที่ และสนามแม่เหล็กไฟฟ้า จะเห็นได้ว่าการใช้สนามแม่เหล็กคงที่ ที่เหมาะสมมีผลต่อการเพิ่มอัตราการงอกของเมล็ดข้าว ในขณะที่สนามแม่เหล็กไฟฟ้าที่ความเข้มสูงสามารถกระตุ้นการเจริญของต้นกล้าได้ดีในระยะเวลาเหมาะสม อย่างไรก็ตาม หากระยะเวลาอาบสนามมากเกินไป จะเกิดผลเสีย เนื่องจากอาจทำให้สมดุลทางสรีรวิทยาของเมล็ดเสียไป หรือเกิดความเครียดต่อเนื้อเยื่อ ทำให้การอัตราการเจริญเติบโตลดลง กล่าวโดยสรุป การอาบสนามแม่เหล็กคงที่ที่ 100 mT เป็นเวลา 60 นาที เหมาะสมต่อการงอกของเมล็ด ขณะที่การอาบสนามแม่เหล็กไฟฟ้าที่ 123 mT เป็นเวลา 10 นาที ให้ผลดีที่สุดต่อการเจริญเติบโตของต้นกล้า ซึ่งแสดงให้เห็นว่าปัจจัยทั้งความเข้มและระยะเวลาในการอาบมีบทบาทสำคัญในการกระตุ้นการงอกและการเจริญเติบโตของเมล็ดพันธุ์ข้าวหอมมะลิ 105

6. กิตติกรรมประกาศ

ขอบคุณสาขาวิชาอิเล็กทรอนิกส์ คณะเทคโนโลยีอุตสาหกรรม มหาวิทยาลัยนนครพนม ที่ให้การสนับสนุนด้านสถานที่ เครื่องมือ และความช่วยเหลือในการจัดทำบทความนี้ จนทำให้บทความนี้สำเร็จลุล่วงอย่างสมบูรณ์

เอกสารอ้างอิง

[1] .Tiwanat Gaewsondee, Cherdpong Chiawchanwattana, Phirayot Khaengkan, Juckamas Laohavanich, Chanat Vipattanaporn, and Suphan Yangyuen, “Influence of Dynamic Magnetic Field Exposure Duration on the Germination and Growth of Khao Dawk Mali 105 Rice Seed,”Agronomy,vol.15,no.7,2025,doi:10.3390/agronomy15071630.

[2] . Waluyo, Lita LIDYAWATI, Rohana Rohana, and Mochamad Sanny HERMAWAN, “Comparisons of Rice Seed Growths Due to Alternating and Direct Current Electric and Magnetic Field Influences,” Electrotehnică, electronică, automatică, 2024, doi: 10.46904/eea.23.72.2.1108005.

[3] . Waluyo, Lita LIDYAWATI, Rohana Rohana, and Mochamad Sanny HERMAWAN, “Comparisons of Rice Seed Growths Due to Alternating and Direct Current Electric and Magnetic Field Influences,” Electrotehnică, electronică, automatică, 2024, doi: 10.46904/eea.23.72.2.1108005.

[4] N. Nordin et al., “Effect of seed germination and early seedling growth response on two rice (Oryza sativa) varieties supplied with different types and concentrations

of wastewater in Thailand," JOURNAL OF BIOCHEMISTRY, MICROBIOLOGYANDBIOTECHNOLOGY,2023,doi:10.54987/jobimb.v11i2.848.

[5] Ismail Ercan et al., "Magnetic field effects on the magnetic properties, germination, chlorophyll fluorescence, and nutrient content of barley (Hordeum vulgare L.).," Plant physiology and biochemistry : PPB, vol. 170, 2022, doi: 10.1016/j.plaphy.2021.11.033.

[6] . Jianfei Wang, Hui Ma, and Shunmin Wang, "Application of Ultrasound, Microwaves, and Magnetic Fields Techniques in the Germination of Cereals," Food science and technology research, 2019, doi: 10.3136/fstr.25.489.

[7] S. Lewandowska, I. Michalak, Katarzyna Niemczyk, J. Detyna, H. Bujak, and Pelin Arik, "Influence of the Static Magnetic Field and Algal Extract on the Germination of Soybean Seeds,"Open Chemistry,2019, doi: 10.1515/chem-2019-0039.

[8] Jaime A. Teixeira da Silva, and Judit Dobránszki, "Magnetic fields: how is plant growth and development impacted?," Protoplasma, vol. 253, no. 2, 2016, doi: 10.1007/s00709-015-0820-7.

[9] . M. Carbonnel, E. Martinez, M. Florez, R. Maqueda, A. Pintor-López, and J. M. Amaya, "Magnetic field treatments improve germination and seedling growth in Festuca arundinacea Schreb. and Lolium perenne L.,", vol. 36, 2008, doi: 10.15258/sst.2008.36.1.03.

[10] A. Gholami, S. Sharafi, and H. Abbasdokht, "Effect of Magnetic Field on Seed Germination of Two Wheat Cultivars,", 2010.

ประวัติผู้เขียนบทความ

ทศพล มานะศรี
ผู้ช่วยศาสตราวิศวกรรมอิเล็กทรอนิกส์และ หุ่นยนต์
คณะเทคโนโลยีอุตสาหกรรม
มหาวิทยาลัยนครพนม
มีความสนใจเรื่อง IOTระบบการควบคุมอัตโนมัติ

กฤษดา สิทธิดา
สาขาวิชาอิเล็กทรอนิกส์ คณะเทคโนโลยีอุตสาหกรรม
มหาวิทยาลัยนครพนม
มีความสนใจเรื่อง พลังงานทดแทน

การควบคุมแบบเวกเตอร์ไร้เซ็นเซอร์วัดความเร็วรอบของมอเตอร์ไฟฟ้าเหนี่ยวนำสามเฟสด้วยวิธีการประมาณค่าความเร็วรอบจากระบบอ้างอิงแบบปรับตัวด้วยโครงข่ายประสาทเทียม

Sensorless Vector Control of Three-Phase Induction Motor Using Speed Estimation Based on Adaptive-Reference Neural Network System

นิคม ก้านจักร[1*] ปุณยภัทร ภูมิภาค[1] วิจิตร กิณเรศ[2] ศักดาวุฒิ บุญตั้ว[3] และ พัชรพงศ์ กันหารินทร์[3]

[1]สาขาวิชาวิศวกรรมไฟฟ้า คณะวิศวกรรมศาสตร์ สถาบันเทคโนโลยีพระจอมเกล้าเจ้าคุณทหารลาดกระบัง วิทยาเขตชุมพรเขตรอุดมศักดิ์
[2]ภาควิชาวิศวกรรมไฟฟ้า คณะวิศวกรรมศาสตร์ สถาบันเทคโนโลยีพระจอมเกล้าเจ้าคุณทหารลาดกระบัง
[3]สาขาวิชาวิศวกรรมไฟฟ้า คณะวิศวกรรมศาสตร์บูรณาการและเทคโนโลยี มหาวิทยาลัยเทคโนโลยีราชมงคลตะวันออก วิทยาเขตจันทบุรี

บทคัดย่อ

บทความวิจัยนี้นำเสนอระบบควบคุมแบบเวกเตอร์ที่ไม่ใช้เซนเซอร์วัดความเร็วรอบสำหรับการขับเคลื่อนมอเตอร์ไฟฟ้าเหนี่ยวนำสามเฟส ระบบที่นำเสนอเป็นการประมาณค่าความเร็วรอบโดยอาศัยระบบแบบจำลองอ้างอิงปรับตัวได้ (MRAS) บนพื้นฐานการประมาณค่าฟลักซ์ของโรเตอร์จากสัญญาณแรงดันและกระแสไฟฟ้า ค่าผลต่างระว่างฟลักซ์โรเตอร์จากแบบจำลองอ้างอิงและแบบจำลองปรับตัวได้ถูกควบคุมด้วยตัวควบคุมแบบสัดส่วนและปริพันธ์สำหรับปรับค่าความเร็วรอบโดยประมาณ นอกจากนั้นยังได้การทำงานร่วมกับระบบโครงข่ายประสาทเทียม สำหรับการประมาณค่าฟลักซ์ของสเตเตอร์ในลักษณะวงรอบปิดที่มี การออกแบบระบบโครงข่ายที่เหมาะสม เพื่อยืนยันความถูกต้องของระบบที่นำเสนอได้ทำการจำลองด้วยโปรแกรม MATLAB/Simulink การทดสอบระบบดำเนินภายใต้สภาวะเริ่มต้นหมุน, การเปลี่ยนแปลงโหลด, ความเร็วอ้างอิงหลากหลายระดับ และสภาวะกลับทิศการหมุน ผลการจำลองพบว่าระบบสามารถควบคุมความเร็วรอบของมอเตอร์เหนี่ยวนำได้อย่างแม่นยำ และมีเสถียรภาพ

คำสำคัญ: การควบคุมแบบเวกเตอร์, มอเตอร์ไฟฟ้าเหนี่ยวนำสามเฟส, โครงข่ายปราสาทเทียม,แบบจำลองอ้างอิงแบบปรับตัวได้,การควบคุมแบบไม่มีเซ็นเซอร์

Abstract

This paper presents a sensor less vector control strategy for three-phase induction motor drives. The proposed system is estimated the rotor speed using the model reference adaptive system (MRAS) based on the rotor fluxes estimation of voltage and current signals. The error of the rotor fluxes between the reference model and adaptive model has been reduced with Proportional–Integral (PI) controller in order to fix the estimated rotor speed. In addition, the Artificial Neural Network (ANN) has been integrated to employ the closed-loop stator flux estimation which is optimization. In order to the correctness of the proposed system that simulated by MATLAB/Simulink program which carries out under the rotor starting, load chang, speed referent adjustable and rotor reverse rotation. The simulation results found that the proposed system can control the rotor speed is correctness and stability

Keywords: Vector control, Three-phase induction motor, Neural network, Model reference adaptive system (MRAS), Sensor less control

1.บทนำ

การควบคุมด้วยวิธีปรับสนามแม่เหล็กหรือการควบคุมเวกเตอร์นั้นเป็นการควบคุมที่ใช้ปริมาณไฟฟ้าสามเฟสแบบเวกเตอร์ในระบบไฟฟ้าสองแกน ซึ่งมีพฤติกรรมเดียวกันกับมอเตอร์ไฟฟ้ากระแสตรงแบบกระตุ้นแยก คือปริมาณไฟฟ้าที่ป้อนให้กับขดลวดสนาม (Field winding) เพื่อใช้สร้างสนามแม่เหล็กและมีปริมาณไฟฟ้าที่ป้อนเข้าขดลวดอาร์เมเจอร์ที่ใช้ในการสร้างแรงบิด โดยการแปลงสัญญาณไฟสลับสามเฟส (ABC) ไปเป็นเวกเตอร์ไฟตรงแบบ 2 แกน (d-q) โดยใช้วิธีการแปลงบนกรอบอ้างอิงแกนหมุน (Rotating referent frame) โดยแยกปริมาณเวกเตอร์กระแสในแกน d จะขนานกับสนามแม่เหล็ก และเวกเตอร์แกน q จะตั้งฉากกับสนามแม่เหล็กตลอด [5] แต่ข้อเสียของระบบนี้ต้องใช้อุปกรณ์เซ็นเซอร์วัดความเร็ว เอ็นโคดเดอร์ (Encoder) ซึ่งมีราคาแพงและมีข้อจำกัดในการใช้งานและติดตั้งยาก ดังนั้น การควบคุมแบบไร้เซ็นเซอร์วัดความเร็วด้วยการประมาณค่าความเร็วรอบจึงถูกนำมาใช้ทั้งในภาคอุตสาหกรรมและงานวิจัย

ระบบจำลองอ้างอิงแบบปรับตัว (MRAS) เป็นการใช้ฟลักซ์โรเตอร์[3] เป็นการประมาณค่าความเร็วแบบวงรอบปิด โดยหลักการจะนำค่าแรงดันและกระแสของขดลวดสเตเตอร์มาทำการประมาณหาค่าฟลักซ์โรเตอร์โดยใช้แบบจำลองแรงดันและกระแสเพื่อหาค่าผลต่างของค่าฟลักซ์แล้วถูกนำไปใช้ปรับค่าความเร็วประมาณผ่านตัวควบคุมแบบสัดส่วนและปริพันธ์-(Proportional–Integral (PI) Controller) [1,3]

บทความนี้ได้นำเสนอการบรูณาการใหม่โดยใช้โครงข่ายประสาทเทียมในการประมาณค่าฟลักซ์โรเตอร์ในแบบจำลองกระแสให้เหมาะกับอัตราขยายในการประมาณความเร็วรอบโดยใช้โครงข่ายประสาทเทียมแบบป้อนไปข้างหน้าด้วยเทคนิคการสอนแบบ Scaled Conjugate Gradient ที่มีอินพุต 5 เงื่อนไขและเอาต์พุต 2 คือ $\hat{\lambda}_{dr}^{s}$, $\hat{\lambda}_{qr}^{s}$ โดยเอาต์พุตจะถูกนำกลับมาเป็นเงื่อนไขอินพุตของโครงข่ายที่มีความเร็วรอบที่ได้จากการประมาณค่านำมาปรับปรุงให้ได้ค่าฟลักซ์ที่เหมาะกับอัตราการขยายของตัวควบคุมแบบสัดส่วนและปริพันธ์เพื่อให้ได้ความเร็วรอบที่มีประสิทธิภาพในสภาวะความเร็วรอบใด ๆ [2,1]

2. องค์ประกอบของงานวิจัยที่นำเสนอ

2.1 การควบคุมแบบเวกเตอร์

เทคนิคการควบคุมแบบเวกเตอร์ต้องแปลงกรอบอ้างอิงไฟสลับสามเฟสให้อยู่ในกรอบอ้างอิง d - q โดยการควบคุมจะใช้หลักการเดียวกันกับมอเตอร์ไฟฟ้ากระแสตรงแสดงวงจรสมมูลรูปที่ 1 รูปแบบสมการของมอเตอร์ไฟฟ้าเหนี่ยวนำสามเฟสจะถูกแปลงให้อยู่ในแกน d-q สมการที่ (1-1)-(1-4) แรงดันไฟฟ้าที่ขดลวดสเตเตอร์และโรเตอร์ สมการที่ (1-5)-(1-8) ฟลักซ์เชื่อมโยงที่ขดลวดขดลวด สเตเตอร์และโรเตอร์และสมการที่ (1-9) แรงบิดของมอเตอร์ที่ ถูกแปลงมาอยู่บนแกน d-q

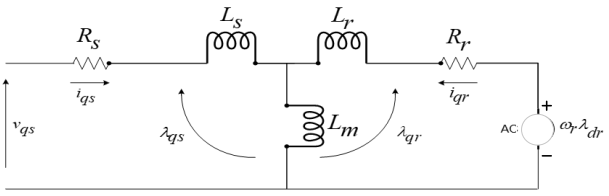

ก. วงจรสมมูลแกน q

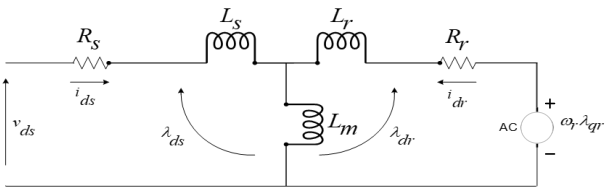

ข. วงจรสมมูลแกน d

รูปที่ 1 วงจรสมมูลมอเตอร์ไฟฟ้าเหนี่ยวนำสามเฟสบนแกน d-q

$$V_{ds} = R_s i_{ds} + \frac{d}{dt}\lambda_{ds} \quad (1\text{-}1)$$

$$V_{qs} = R_s i_{qs} + \frac{d}{dt}\lambda_{qs} \quad (1\text{-}2)$$

$$0 = R_r i_{qs} + \frac{d}{dt}\lambda_{qs} - \omega_r\lambda_{dr} \quad (1\text{-}3)$$

$$0 = R_r i_{ds} + \frac{d}{dt}\lambda_{ds} - \omega_r\lambda_{qr} \quad (1\text{-}4)$$

และฟลักซ์เชื่อมโยงที่ขดลวดสเตเตอร์และโรเตอร์ใน (1-5) ถึง (1-8)

$$\lambda_{ds} = L_s i_{ds} + L_m i_{dr} \quad (1\text{-}5)$$

$$\lambda_{qs} = L_s i_{ds} + L_m i_{qr} \quad (1\text{-}6)$$

$$\lambda_{dr} = L_r i_{ds} + L_m i_{ds} \quad (1\text{-}7)$$

$$\lambda_{qr} = L_r i_{qs} + L_m i_{qs} \quad (1\text{-}8)$$

แรงบิดของมอเตอร์มีค่า (1-9)

$$T_e = \frac{3}{2}\left(\frac{P}{2}\right)\vec{\lambda}_m \times \vec{I}_r \quad , \quad T_e - T_L = \left(\frac{2}{P}\right)J\frac{d\omega_r}{dt}$$

$$T_e = \frac{3}{2}\left(\frac{P}{2}\right)(\lambda_{dr} i_{qs} - \lambda_{qs} i_{ds}) \quad (1\text{-}9)$$

แรงบิดทางไฟฟ้าที่ต้องการเพื่อควบคุมแบบเวกเตอร์ จะได้ตามสมการที่ (1-10)

$$T_e = K_T i_{ds} i_{qs} \text{ เมื่อ } K_T = \frac{3}{2}\frac{p}{2}\frac{L_m^2}{L_r} \quad (1\text{-}10)$$

การควบคุมแรงบิดของมอเตอร์จะควบคุมด้วยกระแส i_{qs} เป็นหลัก และในส่วนของการควบคุมฟลักซ์จะถูกควบคุมด้วยกระแส i_{ds} ซึ่งจะมีค่าเปลี่ยนแปลงตามตามกระแส i_{qs}^* และ i_{ds}^* ที่เหมาะสม โดยการหากระแส i_{qs}^* จะได้จากสมการที่ (1-11) โดย แรงบิดอ้างอิง T_e^* ได้จากตัวควบคุมวงรอบความเร็วแบบปิด

$$i_{qs}^* = \frac{2}{3} * \frac{2}{p} * \frac{L_r}{L_m} * \frac{T_e^*}{\lambda_r^*} \quad (1\text{-}11)$$

และกระแสของ i_{ds}^* ได้จากการคงที่ค่าฟลักซ์ของโรเตอร์ λ_r^* โดยแสดงในสมการที่ (12)

$$i_{ds}^* = \frac{\lambda_r^*}{L_m} \quad (1\text{-}12)$$

การควบคุมเวกเตอร์โดยตรงสำหรับไดรฟ์อินเวอร์เตอร์แรงดันไฟฟ้า PWM โดยหลักการควบคุมเวกเตอร์โดยตรงมีพารามิเตอร์ได้แก่ i_{ds}^* และ i_{qs}^* ซึ่งเป็นค่ากระแสตรงในกรอบอ้างอิงแกนหมุนซิงโคนัสโดยมุมอ้างอิงแกนหมุนได้จาก $\cos\theta_e$ และ $\sin\theta_e$ ซึ่งหาได้จากฟลักซ์ $\lambda_{dr}^{\ s}$ และ $\lambda_{qr}^{\ s}$ ที่ได้จากการประมาณค่าด้วยแบบจำลองแรงดันที่ขั้วโดยจะกล่าวในหัวข้อถัดไป แสดงในสมการที่ (1-13) ถึง (1-16)

$$\lambda_{ds}^{\ s} = \hat{\lambda}_r \cos\theta_e \quad (1\text{-}13)$$

$$\lambda_{qs}^{\ s} = \hat{\lambda}_r \cos\theta_e \quad (1\text{-}14)$$

$$\cos\theta_e = \frac{\lambda_{dr}^{\ s}}{\hat{\lambda}_r} \quad (1\text{-}15)$$

$$\sin\theta_e = \frac{\lambda_{qr}^{\ s}}{\hat{\lambda}_r} \quad (1\text{-}16)$$

$$\hat{\lambda}_r = \sqrt{\lambda_{dr}^{\ s2} + \lambda_{qr}^{\ s2}} \quad (1\text{-}17)$$

2.2 การประมาณค่าฟลักซ์ด้วยแบบจำลองแรงดันและกระแส

วิธีการนี้เป็นการตรวจจับแรงดันและกระแสไฟฟ้าที่ขั้วของมอเตอร์เพื่อคำนวณหาค่า ฟลักซ์จากวงจรสมมูล d-q โดยพิจารณาฟลักซ์สเตเตอร์จากสมการที่ (1-1) และ (1-2) เขียนใหม่เป็นสมการที่ (2-18)-(2-19)

เพื่อหาฟลักซ์เชื่อมโยงระหว่างขดลวดสเตเตอร์และโรเตอร์ในสมการที่ (2-20)-(2-21)

$$\lambda_{ds}{}^{s} = \int \left(v_{ds}{}^{s} - R_s i_{ds}{}^{s} \right) dt \quad (2\text{-}18)$$

$$\lambda_{qs}{}^{s} = \int \left(v_{qs}{}^{s} - R_s i_{qs}{}^{s} \right) dt \quad (2\text{-}19)$$

$$\lambda_{dm}{}^{s} = \lambda_{ds}{}^{s} - L_{ls} i_{ds}{}^{s} = L_m \left(i_{ds}{}^{s} + i_{dr}{}^{s} \right) \quad (2\text{-}20)$$

$$\lambda_{qm}{}^{s} = \lambda_{ds}{}^{s} - L_{ls} i_{qs}{}^{s} = L_m \left(i_{qs}{}^{s} + i_{qr}{}^{s} \right) \quad (2\text{-}21)$$

จากนั้น ฟลักซ์ทางด้านโรเตอร์ได้จากสมการที่ (1-7)-(1-8) โดยแทนสมการที่ (2-20)-(2-21) ลงในสมการฟลักซ์โรเตอร์ เพื่อกำจัด $i_{dr}{}^{s}$ และ $i_{qr}{}^{s}$ จะได้ดังสมการที่ (2-22)-(2-23)

$$\lambda_{dr}{}^{s} = \frac{L_r}{L_m} \left(\lambda_{ds}{}^{s} - \sigma L_s i_{ds}{}^{s} \right) \quad (2\text{-}22)$$

$$\lambda_{qr}{}^{s} = \frac{L_r}{L_m} \left(\lambda_{qs}{}^{s} - \sigma L_s i_{qs}{}^{s} \right) \quad (2\text{-}23)$$

โดยที่ $\sigma = 1 - \frac{L_m{}^{2}}{L_r L_s}$ และจากสมการที่ (2-22)-(2-23) โดยจะแสดงลำดับขั้นตอนด้วยบล็อกไดอะแกรมในรูปที่ 2

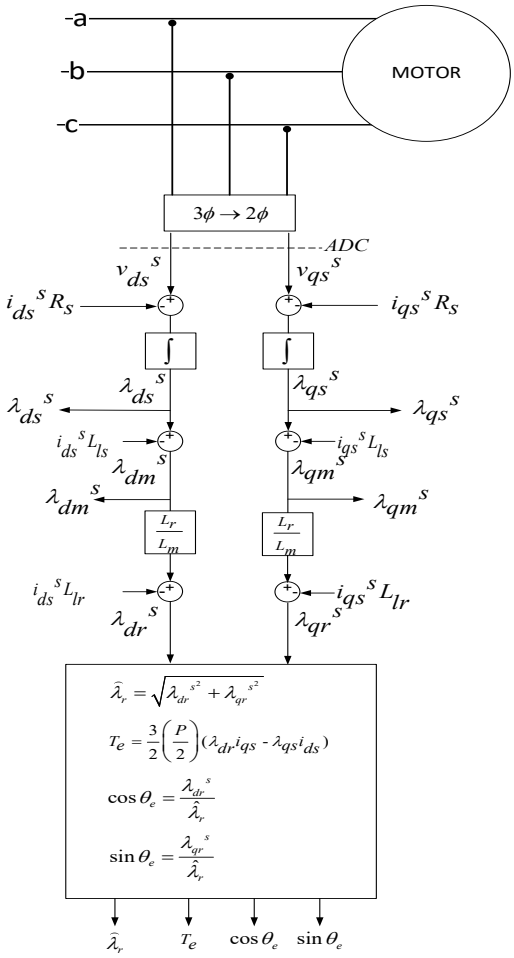

รูปที่ 2 บล็อกไดอะแกรมการประมาณค่าสัญญาณด้วยแบบจำลองแรงดัน

แบบจำลองแรงดันจะมีการประมาณค่าฟลักซ์ที่ไม่แน่นอนที่ความเร็วต่ำ ซึ่งแบบจำลองกระแสสามารถประมาณค่าฟลักซ์ได้แน่นอนกว่าในย่านความเร็วต่ำ ส่วนประกอบฟลักซ์ของโรเตอร์ สามารถสังเคราะห์ขึ้นได้ด้วยการใช้สัญญาณความเร็วและกระแสในวงจรสมมูล d-q แล้วบวกค่าพารามิเตอร์ $(L_m R_r / L_r) i_{ds}^{s}$ และ $(L_m R_r / L_r) i_{qs}^{s}$ ลงไปในสมการที่ (1-3)-(1-4) จะได้เป็นสมการที่ (2-24)-(2-25)

$$\frac{d\lambda_{dr}^{s}}{dt} + \frac{R_r}{L_r}(L_m i_{ds}^{s} + L_r i_{dr}^{s}) + \omega_r \lambda_{qr}^{s} = \frac{L_m R_r}{L_r} i_{ds}^{s} \quad (2\text{-}24)$$

$$\frac{d\lambda_{qr}^{s}}{dt} + \frac{R_r}{L_r}(L_m i_{qs}^{s} + L_r i_{qr}^{s}) - \omega_r \lambda_{dr}^{s} = \frac{L_m R_r}{L_r} i_{qs}^{s} \quad (2\text{-}25)$$

ซึ่งสามรถเขียนใหม่ได้เป็นสมการที่ (2-26)-(2-27)

$$\frac{d\lambda_{dr}^{s}}{dt} + \frac{L_m}{T_r} i_{dr}^{s} - \omega_r \lambda_{qr}^{s} - \frac{1}{T_r} \lambda_{dr}^{s} \quad (2\text{-}26)$$

$$\frac{d\lambda_{qr}^{s}}{dt} + \frac{L_m}{T_r} i_{qr}^{s} + \omega_r \lambda_{dr}^{s} - \frac{1}{T_r} \lambda_{qr}^{s} \quad (2\text{-}27)$$

โดยที่ $T_r = L_r / R_r$ คือค่าคงที่เวลาของโรเตอร์ โดยแสดงในรูปแบบของบล็อกไดอะแกรมในรูปที่ 3

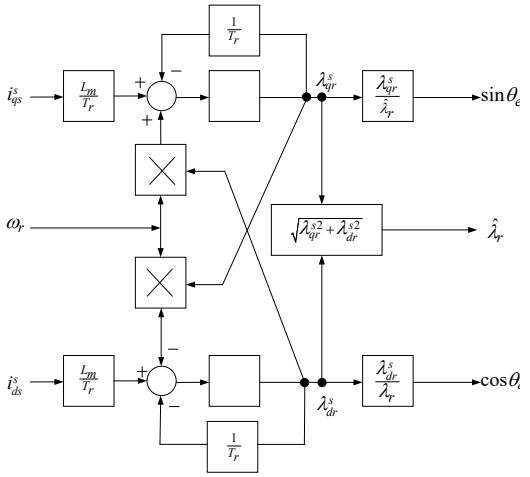

รูปที่ 3 บล็อกไดอะแกรมการประมาณค่าสัญญาณด้วยแบบจำลองกระแส

การประมาณค่าฟลักซ์ของโรเตอร์ในแบบจำลองกระแสจำเป็นต้องทราบกระแสในกรอบอ้างอิงหยุดนิ่งของสเตเตอร์และความเร็ว จะสามารถประมาณค่า ฟลักซ์และ มุมหมุนอ้างอิง $\sin\theta_e$ และ $\cos\theta_e$ ได้

2.3 การประมาณค่าความเร็วรอบจากระบบปรับตัวตามแบบจำลองอ้างอิง

ความเร็วสามารถคำนวณโดยใช้ระบบปรับตัวตามแบบจำลองอ้างอิง ซึ่งเอาต์พุตของแบบจำลองอ้างอิงจะถูกเปรียบเทียบกับเอาต์พุตของแบบจำลองที่ปรับตัวได้ จนกว่าข้อผิดพลาดของแบบจำลองทั้งสองเป็นศูนย์แล้ว นำเข้าตัวควบคุมแบบสัดส่วนและปริพันธ์ ในการประมาณความเร็วรอบมาแสดงในรูปที่ 4

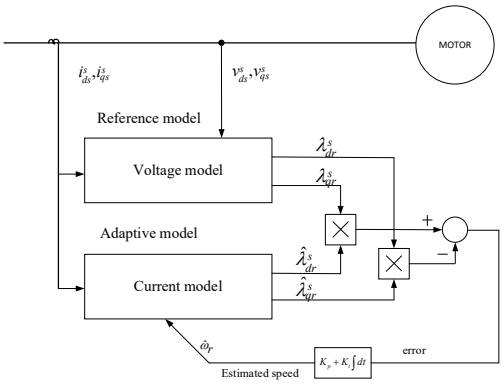

รูปที่ 4 บล็อกไดอะแกรมการประมาณค่าความเร็วรอบจากระบบปรับตัวตามแบบจำลองอ้างอิง

พิจารณาสมการฝั่งสเตเตอร์ของแบบจำลองแรงดัน (voltage model) ที่สมการ (2-22) และ (2-23.) ซึ่งถูกกำหนดให้เป็นแบบจำลองอ้างอิงในรูปที่ 2 แบบจำลองนี้จะรับสัญญาณแรงดันและกระแสของสเตเตอร์ของมอเตอร์เข้ามา และคำนวณสัญญาณเวกเตอร์ฟลักซ์ของโรเตอร์ตามที่ระบุ นำมาเปรียบเทียบ ฟลักซ์โรเตอร์ของแบบจำลองกระแส (current model) ในสมการ (2-26) และ (2-27) ถูกกำหนดให้เป็นแบบจำลองเชิงปรับตัวในรูปที่ 3 แบบจำลองนี้สามารถคำนวณค่าฟลักซ์จากกระแสสเตเตอร์ที่ป้อนเข้ามาได้ก็ต่อเมื่อทราบค่าสัญญาณความเร็ว ω_r

2.4 การประมาณค่าฟลักซ์โรเตอร์ด้วยแบบจำลองกระแสที่ใช้โครงข่ายประสาทเทียม

จากความสัมพันธ์ฟลักซ์โรเตอร์ของแบบจำลองกระแส (current model) ในสมการ (2-26) และ (2-27) สามารถนำมาฝึกสอนโครงข่ายประสาทเทียม (Artificial Neural Network, ANN) ให้ทำนายค่าฟลักซ์โรเตอร์ของแบบจำลองกระแส ในงานวิจัยนี้เป็นการใช้นิวรอนแบบป้อนไปข้างหน้าที่มี 5 อินพุต อินพุตทั้งหมด ถูกคูณด้วยน้ำหนักประสาท (weight) W โดยมีไบอัส b (bias หรือ ออฟเซ็ต-offset) เป็นเสมือนอินพุตหนึ่งที่มีค่าน้ำหนักประสาทคงที่กับ 1 อินพุตทั้งสองรวม (sum) ได้เอาต์พุตเป็น n ซึ่งจะเป็นอินพุตของฟังก์ชันถ่ายโอน f (transfer function หรือ activation function) และได้เอาต์พุตของนิวรอนคือ y แสดงดังรูปที่ 5

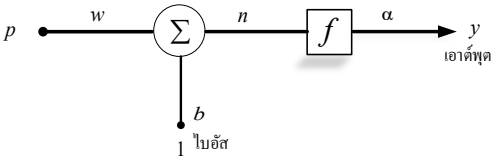

รูปที่ 5 นิวรอนอินพุตเดียว

เอาต์พุตของนิวรอนสามารถคำนวณได้ดังสมการที่ (2-28)

$$y = f(wp) + b \tag{2-28}$$

กระบวนการสร้างแบบจำลองโครงข่ายประสาทเทียม จำเป็นต้องมีข้อมูลในการฝึกสอนโครงข่ายประสาทเทียมโดยข้อมูลได้จากค่าพารามิเตอร์ Lm Lr และ Rr บนกระแสที่อยู่บนแกนหยุดนิ่ง d-q ที่มีความเร็วรอบเท่าพิกัด เพื่อให้ได้ค่าฟลักซ์โรเตอร์ของแบบจำลองกระแสปรับตัวที่อยู่ในแกน d-q แล้ว นำมาชดเชยค่าพารามิเตอร์เพื่อให้ได้ค่าฟลักซ์โรเตอร์ของแบบจำลองกระแสปรับตัวได้ที่เหมาะสมกับแบบจำลองลองแรงดันอ้างอิง ดังนั้นค่าข้อมูลอินพุตของโครงข่าย จะได้เป็นกระแสที่อยู่ในแกนหยุดนิ่ง d-q จากสมการ (1-11) และ (1-12) ค่าประมาณความเร็วด้วย ตัวควบคุมแบบสัดส่วนและปริพันธ์ ฟลักซ์โรเตอร์ของแบบจำลองกระแสจากสมการที่ (2-26) และ (2-27) เอาต์พุตของนิวรอนจะถูกปรับด้วยค่า W และ b ตามกฎการเรียนรู้ของฟังก์ชันถ่ายโอนซึ่งทำหน้าที่รวมค่าเชิงตัวเลขเอาต์พุตของนิวรอน มาตัดสินใจในการส่งสัญญาณเอาต์พุตออกไปรูปแบบฟังก์ชันถ่ายโอนสามารถเป็นได้ทั้งแบบเชิงเส้นหรือไม่เชิงเส้นก็ได้ ในส่วนฟังก์ชันปรับการเรียนรู้ในงานวิจัยได้ใช้ ฟังก์ชันแทนซิกมอยด์ (tan-sigmoid) ส่วนชั้นนำเข้า (Input Layer) และชั้นซ่อน (Hidden Layer) ส่วนชั้นผลลัพท์ (Output layer) ใช้ฟังก์ชันเพียวริน (purelin) เพื่อที่ได้ค่าเฉลี่ยความผิดพลาดน้อยที่สุด (Mean Square Error, MSE) และมีประสิทธิภาพในการทำนายที่แม่นยำ สำหรับฟังก์ชันการถ่ายโอนในแต่ละชั้นในรูปที่ 6 และ 7 ในสมการที่ (2-29) และ (2-30)

$$a = \text{Tansig}(n) = \frac{2}{1+e^{-2n}} - 1 \tag{2-29}$$

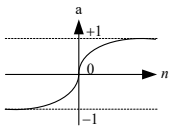

รูปที่ 6 ฟังก์ชันแทนซิกมอยด์(tan-sigmoid)

$$a = \text{Purelin}(n) \tag{2-30}$$

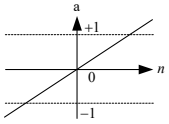

รูปที่ 7 ฟังก์ชันเพียวริน (purlin)

โครงสร้างของโครงข่ายประสาทเทียมในการทำนายความเร็วรอบแบ่งได้เป็น 5-10-2 ประกอบด้วยจำนวนนิวรอนในชั้นอินพุต 5 นิวรอน คือ i_{ds}, i_{qs}, λ^s_{dr}, λ^s_{qr} และ $\hat{\omega}_r$ จำนวนนิวรอนในชั้นซ่อน 10 นิวรอน และจำนวนนิวรอนในชั้นเอาต์พุต 2 นิวรอน คือ $\hat{\lambda}^s_{dr}$, $\hat{\lambda}^s_{qr}$ โดยแสดงโครงสร้างในรูปที่ 8

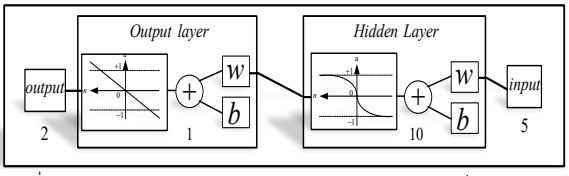

รูปที่ 8 โครงข่ายประสาทเทียมของการทำนายค่าความเร็วรอบ

การประมาณค่าฟลักซ์โรเตอร์แบบจำลองกระแสปรับตัวได้จะถูกแทนด้วยโครงข่ายประสาทเทียมในการ นำเอาต์พุตของโครงข่ายมาเทียบกับ

เอาต์พุตของแบบจำลองอ้างอิง นำเข้าตัวควบคุมแบบสัดส่วนและปริพันธ์เพื่อประมาณความเร็วรอบมาแสดงในรูปที่ 9

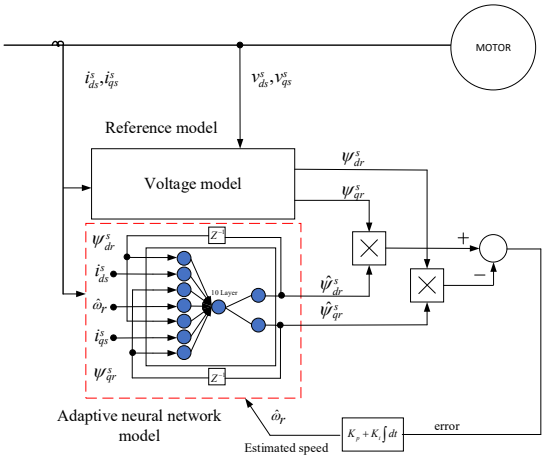

รูปที่ 9 บล็อกไดอะแกรมการประมาณค่าฟลักซ์จากระบบปรับตัวแบบโครงข่ายประสาทเทียมตามแบบจำลองอ้างอิง

3. ผลการจำลองที่นำเสนอ

เพื่อยืนยันแนวความคิดได้ทำการทดสอบระบบด้วยโปรแกรม MATLAB/Simulink เพื่อดูผลการตอบสนองทางพลวัตของมอเตอร์โดยจำลองโครงสร้างของระบบดังรูปที่ 10

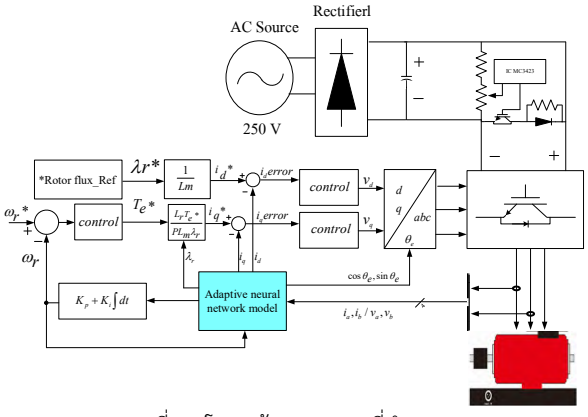

รูปที่ 10 โครงสร้างของระบบที่นำเสนอ

แสดงผลการจำลองความเร็วรอบที่ประมาณค่าได้ เปรียบเทียบกับความเร็วรอบของมอเตอร์จริง เพื่อแสดงค่าความผิดพลาดระหว่างสองความเร็วนี้ รวมถึงแรงบิดของมอเตอร์ ซึ่งกำหนดเงื่อนไขในการทดสอบต่อไปนี้ ที่ความเร็วรอบของมอเตอร์ที่ 50 rpm และ1500 rpm ในสภาวะเริ่มต้นการหมุน,สภาวะขณะโหลดที่ 10 Nm.,สภาวะกลับทางหมุน และกำหนดความเร็วอ้างอิงตามลำดับ แสดงในรูปที่ 11-13

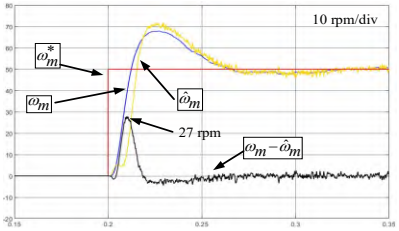

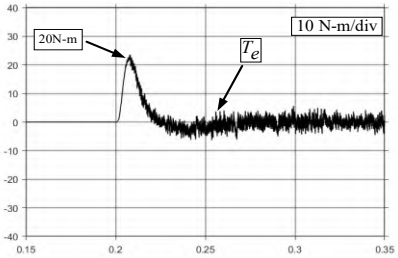

สภาวะเริ่มต้นการหมุน

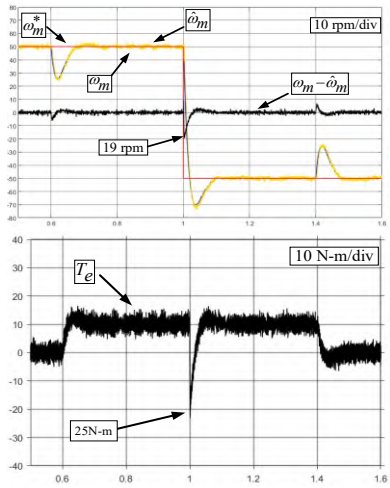

สภาวะขณะโหลดที่ 10 Nm. และกลับทางหมุน

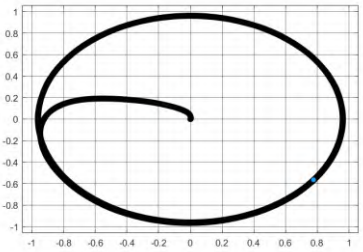

$\hat{\lambda}^s_{dr}$, $\hat{\lambda}^s_{qr}$

รูปที่ 11 ผลการจำลองที่ความเร็ว 50 rpm

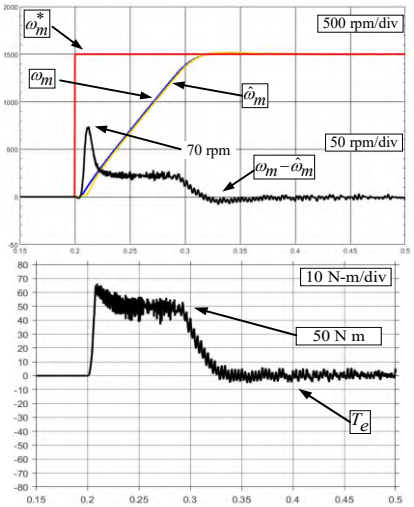

สภาวะเริ่มต้นการหมุน

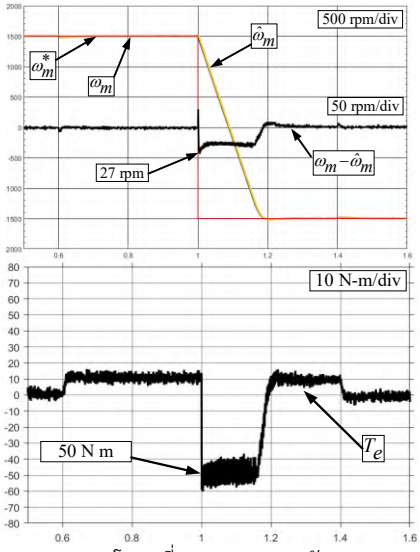

สภาวะขณะโหลดที่ 10 Nm. และกลับทางหมุน

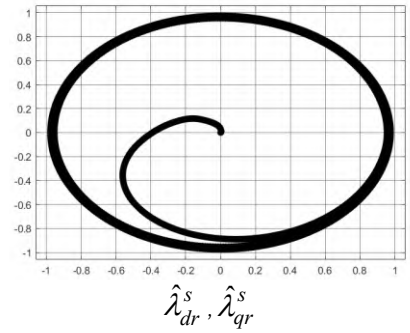

รูปที่ 12 ผลการจำลองที่ความเร็ว 1500 rpm

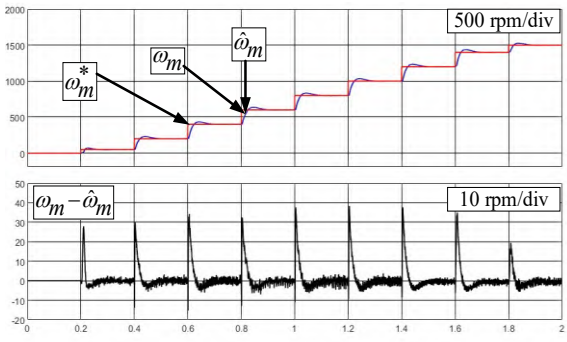

รูปที่ 13 ผลการจำลองมอเตอร์เปลี่ยนแปลงตามความเร็วอ้างอิง 50rpm,200rpm,400rpm,600rpm,800rpm,1000rpm,1200rpm,1400 rpm,1500rpm

4. สรุป

จากที่ได้ทำการออกแบบและจำลองระบบที่นำเสนอ ภายใต้เงื่อนไขการทดสอบ ที่ความเร็ว 1500rpm ในสภาวะเริ่มหมุนความเร็วรอบประมาณมีความต่างกับความเร็วรอบจริงอยู่ที่ 70 rpm ที่เวลา 0.2 วินาที ถึง 0.35 วินาที คิดเป็นค่าความผิดพลาด 4.66% ของความเร็วรอบจริง สภาวะกลับทางหมุนอยู่ที่ 27 rpm ที่เวลา 1 วินาที ถึง 1.2 วินาที คิดเป็นค่าความผิดพลาด 1.8% ของความเร็วรอบจริง

ทดสอบที่ความเร็ว 50 rpm ในสภาวะเริ่มหมุนความเร็วรอบประมาณมีความต่างกับความเร็วรอบจริงอยู่ที่ 27 rpm ที่เวลา 0.2 วินาที ถึง 0.35 วินาที คิดเป็น 70% เนื่องจากกระแสในการเริ่มหมุนของมอเตอร์สูงชั่วขณะทำให้ค่าความผิดพลาดที่รอบต่ำสูง ในช่วงระยะเวลาดังกล่าว สภาวะกลับทางหมุนอยู่ที่ 19 rpm ที่เวลา 1 วินาที ถึง 1.2 วินาที คิดเป็น 38%

ระบบที่นำเสนอสามารถควบคุมมอเตอร์ตามความเร็วอ้างอิงได้โดยความเร็วรอบที่ประมาณมีความต่างกับความเร็วรอบจริงเฉลี่ยที่ 30.33 rpm ในอนาคตเพื่อยืนยันแนวความคิดการจำลองของระบบด้วยการสร้างชุดต้นแบบ และเปรียบเทียบตัวควบคุมในบทความนี้กับตัวควบคุมแบบอื่นๆเพื่อยืนยันประสิทธิภาพของตัวควบคุมแบบโครงข่ายประสาทเทียม

5. กิตติกรรมประกาศ

บทความวิจัยนี้ขอขอบคุณ ภาควิชาวิศวกรรมไฟฟ้า คณะวิศวกรรมศาสตร์ สถาบันเทคโนโลยีพระจอมเกล้าเจ้าคุณทหารลาดกระบัง วิทยาเขตชุมพรเขตรอุดมศักดิ์ ที่สนับสนุนเงินทุนและเอื้อเฟื้อสถานที่ดำเนินงานวิจัย

เอกสารอ้างอิง

[1] B. K. Bose, (2002). *Modern Power Electronics and AC Drives*. Prentice-Hall, Inc.

[2] M. Cirrincione, A. Accetta, M. Pucci and G. Vitale, "MRAS Speed Observer for High-Performance Linear Induction Motor Drives Based on Linear Neural Networks," in *IEEE Transactions on Power Electronics*, vol. 28, no. 1, pp. 123-134, Jan. 2013, doi: 10.1109/TPEL.2012.2200506.

[3] Muangchan, N., & Kinnares, V. (2012). Design of a Speed Sensorless Vector Control System for Induction Motor Drive Based on Model Reference Adaptive System. *Engineering and Applied Science Research*, *37*(1), 9–17. retrieved from https://ph01.tci-thaijo.org/index.php/easr/article/view/1685

[4] Aydin Boyar, Ersan Kabalci, Yasin Kabalci. (2024). Sensorless speed controller of an induction motor with MRAS-based model predictive control. *Computers and Electrical Engineering*. vol.118, part A, ISSN0045-7906, https://doi.org/10.1016/j.compeleceng.2024.109350.

[5] นิคม ก้านจักร, เฉลิมชาติ มานพ, วิจิตร กิณเรศ และศักดาวุฒิ บุญตั้ว. (2556). การควบคุมความเร็วรอบอาศัยเทคนิคแบบผสมโครงข่ายประสาทเทียมและอินทิกรัลของมอเตอร์เหนี่ยวนำสามเฟสใช้หลักการควบคุมแบบเวกเตอร์ทางอ้อม. ใน การประชุมวิชาการเครือข่ายวิศวกรรมไฟฟ้า (EENET2023) ครั้งที่ 15. (น. 213-216). ภูเก็ต, ประเทศไทย.

การเปรียบเทียบสมรรถนะของตัวควบคุม PID, PI$^{\lambda}$D$^{\mu}$ และ TID ที่ออกแบบด้วยการค้นหาแบบนกกาเหว่าสำหรับการควบคุมความถี่โหลด

Performance Comparison of PID, PI$^{\lambda}$D$^{\mu}$ and TID Controllers Designed by Cuckoo Search for Load Frequency Control

กิตติศักดิ์ ฤาแรง[1] อรรถรัตน์ นาวิกาวตาร[1] ทิวา จิตหวัง[2] ไชโย ธรรมรัตน์[3] และ เดชา พวงดาวเรือง[3]*

[1]สาขาการบริหารงานวิศวกรรม บัณฑิตวิทยาลัย มหาวิทยาลัยเวสเทิร์น kitisak.lu@western.ac.th, auttarat.na@western.ac.th
[2]นักวิชาการอิสระ, 68/112 ถ.บางบัวทอง-สุพรรณบุรี ต.บางแม่นาง อ.บางใหญ่, นนทบุรี, ประเทศไทย thiwa@thipphaya-tip.com
[3]สาขาวิชาวิศวกรรมไฟฟ้า, คณะวิศวกรรมศาสตร์, มหาวิทยาลัยเอเชียอาคเนย์ chaiyot@sau.ac.th, deachap@sau.ac.th*

บทคัดย่อ

บทความนี้นำเสนอการเปรียบเทียบสมรรถนะของตัวควบคุม PID, PI$^{\lambda}$D$^{\mu}$ และ TID สำหรับการควบคุมความถี่โหลด (load frequency control: LFC) ที่ออกแบบด้วยการค้นหาแบบนกกาเหว่า (cuckoo search: CS) ซึ่งเป็นเทคนิคการค้นหาแบบอภิศึกษาสำนึกที่ทรงประสิทธิภาพ ตัวควบคุม PI$^{\lambda}$D$^{\mu}$ และ TID ถูกพิจารณาให้อยู่ในกลุ่มของตัวควบคุมเชิงเศษส่วน ในงานวิจัยนี้กำหนดให้ค่าความถี่เอาต์พุตที่เบี่ยงเบนของระบบ LFC เป็นฟังก์ชันวัตถุประสงค์ที่ต้องการทำให้มีค่าน้อยที่สุดด้วยขั้นตอนวิธี CS ตามบริบทของการหาค่าเหมาะที่สุดแนวใหม่ จากผลการเปรียบเทียบ พบว่า ตัวควบคุม TID สามารถควบคุมระบบ LFC ให้มีผลตอบสนองที่รวดเร็วกว่าและปรากฏการสั่นไกวที่น้อยกว่าตัวควบคุม PI$^{\lambda}$D$^{\mu}$ และ PID ตามลำดับ

คำสำคัญ: ตัวควบคุม PID ตัวควบคุม PI$^{\lambda}$D$^{\mu}$ ตัวควบคุม TID ระบบควบคุมความถี่โหลด การค้นหาแบบนกกาเหว่า

Abstract

This paper presents a performance comparison of PID, PI$^{\lambda}$D$^{\mu}$, and TID controllers for load frequency control (LFC) designed by the cuckoo search (CS), which is one of the most powerful metaheuristic searching techniques. The PI$^{\lambda}$D$^{\mu}$ and TID controllers are classified into the class of the fractional controller. In this work, the objective function is defined as the deviated frequency output of the LFC system to be minimized by CS. As comparative results based on modern optimization contexts, it was found that the TID controller demonstrates superior performance by providing faster response and reduced oscillations once compared to the PI$^{\lambda}$D$^{\mu}$ and PID controllers, respectively.

Keywords: PID Controller, PI$^{\lambda}$D$^{\mu}$ Controller, TID Controller, Load Frequency Control System, Cuckoo Search

1. บทนำ

ตัวควบคุม PID (proportional-integral-derivative controller) ได้รับการนำเสนอครั้งแรกในปี ค.ศ.1922 โดย Minorsky [1] ซึ่งประกอบด้วยองค์ประกอบ-P (P-element) หรือองค์ประกอบเชิงสัดส่วน (proportional element), องค์ประกอบ-I (I-element) หรือองค์ประกอบเชิงปริพันธ์ (integral element) และองค์ประกอบ-D (D-element) หรือองค์ประกอบเชิงอนุพันธ์ (derivative element) ที่สามารถปรับจูนได้อย่างอิสระต่อกัน และได้รับการพิจารณาให้เป็นตัวควบคุมเชิงจำนวนเต็ม (integer controller) เนื่องจากอันดับของ s ในพจน์ปริพันธ์และพจน์อนุพันธ์นั้นมีค่าเป็นจำนวนเต็ม ตัวควบคุม PID ได้รับการยอมรับและถูกนำมาประยุกต์ใช้ในภาคอุตสาหกรรมอย่างกว้างขวางในฐานะหัวใจหลักของวิศวกรรมควบคุมอัตโนมัติ [2-3]

ต่อมาในปี ค.ศ.1994 Podlubny ได้นำเสนอ ตัวควบคุม PI$^{\lambda}$D$^{\mu}$ หรือตัวควบคุม PID เชิงเศษส่วน (fractional PID controller) [4-5] ซึ่งประกอบด้วยองค์ประกอบ-P, องค์ประกอบ-I และองค์ประกอบ-D เช่นเดียวกับตัวควบคุม PID แต่ในองค์ประกอบ-I และองค์ประกอบ-D ของตัวควบคุม PI$^{\lambda}$D$^{\mu}$ นั้น อันดับของ s ในพจน์ปริพันธ์และพจน์อนุพันธ์จะมีค่าเป็นจำนวนจริง (real number) บนพื้นฐานของแคลคูลัสเชิงเศษส่วน (fractional calculus) ตัวควบคุม PI$^{\lambda}$D$^{\mu}$ จึงได้รับการพิจารณาให้เป็นตัวควบคุมเชิงเศษส่วน (fractional controller) และได้รับการยืนยันว่าสามารถควบคุมระบบได้ดีกว่าตัวควบคุม PID [4-5]

ในปี ค.ศ.1994 เช่นเดียวกันนั้น Lurie ได้นำเสนอ ตัวควบคุม TID (tilt-integral-derivative controller) [6] ซึ่งประกอบด้วยองค์ประกอบ-T (T-element) หรือองค์ประกอบเชิงเอน (tilt element), องค์ประกอบ-I และองค์ประกอบ-D ซึ่งในองค์ประกอบ-T นั้นจะมีพฤติกรรมอยู่ระหว่างองค์ประกอบ-P และองค์ประกอบ-I ที่สามารถปรับให้เอนเอียงไปทางด้านใดด้านหนึ่งเชิงเศษส่วนได้ ตัวควบคุม TID จึงได้รับการพิจารณาให้เป็นตัวควบคุมเชิงเศษส่วน และได้รับการยืนยันว่าสามารถควบคุมระบบได้นุ่มนวลกว่าตัวควบคุม PID [6-8]

บทความวิจัยนี้จึงนำเสนอการศึกษาเชิงเปรียบเทียบสมรรถนะของตัวควบคุม PID, PI$^{\lambda}$D$^{\mu}$ และ TID สำหรับระบบควบคุมความถี่โหลด (load

*ผู้ประพันธ์บรรณกิจ

frequency control: LFC) ที่ได้รับการออกแบบด้วยการค้นหาแบบนกกาเหว่า (cuckoo search: CS) [9] ซึ่งเป็นเทคนิคการค้นหาค่าเหมาะที่สุดแบบอภิศึกษาสำนึกที่ทรงประสิทธิภาพ ตามบริบทของการหาค่าเหมาะที่สุดแนวใหม่ (modern optimization) ในหัวข้อต่อไปจะนำเสนอแบบจำลองทางคณิตศาสตร์ของตัวควบคุม PID, PI$^{\lambda}$D$^{\mu}$ และ TID, การก่อรูปปัญหาการออกแบบตัวควบคุมสำหรับระบบ LFC โดยขั้นตอนวิธี CS, ผลการเปรียบเทียบสมรรถนะการควบคุมระบบ และสรุปผล ตามลำดับ

2. ตัวควบคุม PID, PI$^{\lambda}$D$^{\mu}$ และ TID

2.1 ตัวควบคุม PID

ตัวควบคุม PID [1-3] มีแบบจำลองทางคณิตศาสตร์ในโดเมนเวลาดังแสดงในสมการที่ (1) เมื่อ $e(t)$ คือสัญญาณความคลาดเคลื่อน (error signal) ซึ่งเป็นสัญญาณอินพุตของตัวควบคุม และ $u(t)$ คือสัญญาณควบคุม (control signal) ซึ่งเป็นสัญญาณเอาต์พุตของตัวควบคุม เมื่อทำผลการแปลงลาปลาซ (Laplace transform) แบบจำลองทางคณิตศาสตร์ในสมการที่ (1) จะได้แบบจำลองทางคณิตศาสตร์ของตัวควบคุม PID ในโดเมน s ดังแสดงในสมการที่ (2) เมื่อ K_p คืออัตราขยายเชิงสัดส่วน (proportional gain), K_i คืออัตราขยายเชิงปริพันธ์ (integral gain) และ K_d คืออัตราขยายเชิงอนุพันธ์ (derivative gain) จากสมการที่ (1)-(2) จะพบว่า ตัวควบคุม PID มีค่าพารามิเตอร์สำหรับการปรับจูนจำนวน 3 ตัว ได้แก่ K_p, K_i และ K_d

$$u(t) = K_p e(t) + K_i \int e(t)dt + K_d \frac{de(t)}{dt} \tag{1}$$

$$G_c(s)\big|_{PID} = K_p + \frac{K_i}{s} + K_d s \tag{2}$$

2.2 ตัวควบคุม PI$^{\lambda}$D$^{\mu}$

ตัวควบคุม PI$^{\lambda}$D$^{\mu}$ [4-5] จะอาศัยตัวดำเนินการมูลฐานอันดับไม่เป็นจำนวนเต็ม (non–integer order fundamental operator) ${}_a\mathcal{D}_t^{\alpha}$ ดังแสดงในสมการที่ (3) เมื่อ a และ t คือขอบเขตของการดำเนินการ ส่วน α คืออันดับเชิงเศษส่วน (fractional order) ของการดำเนินการ โดยที่ $\alpha \in \mathbb{R}$ เมื่อ $\mathbb{R}$ คือจำนวนจริง

$${}_a\mathcal{D}_t^{\alpha} = \begin{cases} \dfrac{d^{\alpha}}{dt}, & \mathbb{R}(\alpha) > 0 \\ 1, & \mathbb{R}(\alpha) = 0 \\ \displaystyle\int_a^t (d\tau)^{-\alpha}, & \mathbb{R}(\alpha) < 0 \end{cases} \tag{3}$$

แบบจำลองทางคณิตศาสตร์ของตัวควบคุม PI$^{\lambda}$D$^{\mu}$ ในโดเมนเวลาแสดงดังสมการที่ (4) และเมื่อทำผลการแปลงลาปลาซในสมการที่ (4) จะได้แบบจำลองทางคณิตศาสตร์ของตัวควบคุม PI$^{\lambda}$D$^{\mu}$ ในโดเมน s ดังแสดงในสมการที่ (5) เมื่อ λ คืออันดับของการหาปริพันธ์เชิงเศษส่วน (order of fractional integration) และ μ คืออันดับของการหาอนุพันธ์เชิงเศษส่วน (order of fractional differentiation) จากสมการที่ (4)-(5) จะพบว่า ตัวควบคุม PI$^{\lambda}$D$^{\mu}$ มีค่าพารามิเตอร์สำหรับการปรับจูนจำนวน 5 ตัว ได้แก่ K_p, K_i, K_d, λ และ μ

$$u(t) = K_p e(t) + K_i \mathcal{D}_t^{-\lambda} e(t) + K_d \mathcal{D}_t^{\mu} e(t), \quad (\mathcal{D}_t^{(*)} \equiv {}_0\mathcal{D}_t^{(*)}) \tag{4}$$

$$G_c(s)\big|_{PI^{\lambda}D^{\mu}} = K_p + \frac{K_i}{s^{\lambda}} + K_d s^{\mu}, \quad 0 < \lambda, \mu < 1.0 \tag{5}$$

2.3 ตัวควบคุม TID

ตัวควบคุม TID [6-8] มีแบบจำลองทางคณิตศาสตร์ในโดเมนเวลาดังแสดงในสมการที่ (6) เมื่อทำผลการแปลงลาปลาซในสมการที่ (6) จะได้แบบจำลองทางคณิตศาสตร์ของตัวควบคุม TID ในโดเมน s ดังแสดงในสมการที่ (7) เมื่อ K_t คืออัตราขยายเชิงเอน (tilt gain) และ n คืออันดับของการหาปริพันธ์แบบเอนเชิงเศษส่วน (order of fractional tilt integration) จากสมการที่ (6)-(7) จะพบว่า ตัวควบคุม TID มีค่าพารามิเตอร์สำหรับการปรับจูนจำนวน 4 ตัว ได้แก่ K_t, K_i, K_d และ n เมื่อ $n \in \mathbb{R}^+$ หรือ $n > 0$ นั่นเอง (ถ้า $n = 1$ องค์ประกอบ-T จะมีปฏิบัติการทางคณิตศาสตร์เช่นเดียวกับองค์ประกอบ-I ซึ่งเป็นการหาปริพันธ์อันดับ 1 และถ้า $n >> 1$ หรือ $n \to \infty$ องค์ประกอบ-T จะมีปฏิบัติการทางคณิตศาสตร์เช่นเดียวกับองค์ประกอบ-P)

$$u(t) = K_t \frac{d^{-1/n} e(t)}{dt} + K_i \int e(t)dt + K_d \frac{de(t)}{dt} \tag{6}$$

$$G_c(s)\big|_{TID} = \frac{K_t}{s^{1/n}} + \frac{K_i}{s} + K_d s, \quad n \in \mathbb{R}^+ \tag{7}$$

3. การก่อรูปปัญหาการออกแบบ

3.1 ระบบควบคุมความถี่โหลด

ระบบควบคุมความถี่โหลด หรือระบบ LFC เป็นองค์ประกอบที่มีความสำคัญอย่างยิ่งในการรักษาความถี่ของระบบไฟฟ้ากำลังให้คงที่ เมื่อโหลดมีการเปลี่ยนแปลง ระบบ LFC จะพยายามรักษาค่าความคลาดเคลื่อนของความถี่ในระบบให้เป็นศูนย์โดยรวดเร็ว [10-11] โดยทั่วไประบบ LFC จะประกอบไปด้วย 4 องค์ประกอบหลัก ได้แก่ ตัวบังคับ (governor), เทอร์ไบน์ (turbine), เครื่องจักรกล-โหลด (load-machine) และพลวัตดรูป (droop dynamic) ดังโครงสร้างที่แสดงในรูปที่ 1 เมื่อ $G_g(s)$, $G_t(s)$, $G_m(s)$ และ $G_d(s)$ คือแบบจำลองทางคณิตศาสตร์ของตัวบังคับ, เทอร์ไบน์, เครื่องจักรกล-โหลด และพลวัตดรูป ซึ่งแสดงดังสมการที่ (8)-(11) ตามลำดับ [12]

$$G_g(s) = \frac{1}{T_g s + 1} \tag{8}$$

$$G_t^{reheated}(s) = \frac{cT_r s + 1}{(T_r s + 1)(T_t s + 1)} \tag{9}$$

$$G_m(s) = \frac{K_m}{T_m s + 1} \tag{10}$$

$$G_d(s) = \frac{1}{R} \tag{11}$$

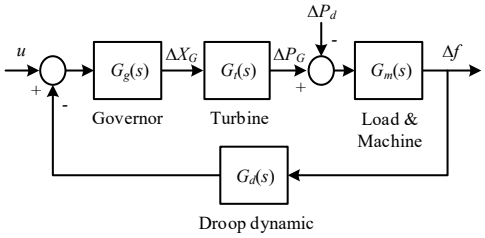

รูปที่ 1 โครงสร้างของระบบ LFC

จากรูปที่ 1 ΔP_d คือการรบกวนเนื่องจากโหลด (load disturbance), ΔP_g คือเอาต์พุตของเทอร์ไบน์, ΔX_g คือตำแหน่งวาล์วของตัวบังคับ, u คือสัญญาณอินพุตควบคุม (control input signal) และ Δf คือความถี่เอาต์พุตที่เบี่ยงเบน (deviated frequency output) จากสมการที่ (8)-(11) T_g คือค่าคงตัวเวลาของตัวบังคับ, T_m คือค่าคงตัวเวลาของเครื่องจักรกล-โหลด, K_m คืออัตราขยายของเครื่องจักรกล-โหลด และ R คืออัตราขยายผกผันของดรูป [12] สมการที่ (9) แสดงแบบจำลองของเทอร์ไบน์ชนิดนำความร้อนกลับมาใช้ใหม่ (reheated-type turbine) เมื่อ T_t คือค่าคงตัวเวลาของเทอร์ไบน์, T_r คือค่าคงตัวเวลาของเทอร์ไบน์ชนิดนำความร้อนกลับมาใช้ใหม่ และ c คือค่าสัดส่วนของกำลังไฟฟ้าที่ผลิตได้จากกระบวนการนำความร้อนกลับมาใช้ใหม่ [12]

3.2 กรอบงานการออกแบบตัวควบคุม

กรอบงานการออกแบบตัวควบคุมสำหรับระบบ LFC ด้วยขั้นตอนวิธี CS แสดงในรูปที่ 2 เมื่อกำหนดให้อินพุตอ้างอิง r มีค่าเท่ากับศูนย์ (r = 0) ค่า Δf จะถูกกำหนดให้เป็นฟังก์ชันวัตถุประสงค์ (objective function) ซึ่งจะถูกป้อนให้กับขั้นตอนวิธี CS เพื่อทำให้มีค่าน้อยที่สุด ดังแสดงในสมการที่ (12) โดยการค้นหาค่าพารามิเตอร์ของตัวควบคุม PID, $PI^{\lambda}D^{\mu}$ และ TID ที่เหมาะสม ภายในขอบเขต (ปริภูมิการค้นหา) และเงื่อนไขการออกแบบดังแสดงในสมการที่ (13) เมื่อ PO_{reg} คือเปอร์เซ็นต์การพุ่งเกินเนื่องจากการคุมค่า (percent overshoot of regulation) ซึ่งกำหนดให้มีค่าไม่เกิน PO_{reg_max}, t_{reg} คือเวลาการคุมค่า (regulating time) ซึ่งกำหนดให้มีค่าไม่เกิน t_{reg_max} และ e_{ss} คือค่าความคลาดเคลื่อนในสถานะอยู่ตัว (steady-state error) ซึ่งกำหนดให้มีค่าไม่เกิน e_{ss_max} สำหรับตัวควบคุม PID $[K_{p_min}, K_{p_max}]$ คือปริภูมิการค้นหาของ K_p, $[K_{i_min}, K_{i_max}]$ คือปริภูมิการค้นหาของ K_i และ $[K_{d_min}, K_{d_max}]$ คือปริภูมิการค้นหาของ K_d สำหรับตัวควบคุม $PI^{\lambda}D^{\mu}$ $[K_{p_min}, K_{p_max}]$ คือปริภูมิการค้นหาของ K_p, $[K_{i_min}, K_{i_max}]$ คือปริภูมิการค้นหาของ K_i, $[K_{d_min}, K_{d_max}]$ คือปริภูมิการค้นหาของ K_d, $[\lambda_{min}, \lambda_{max}]$ คือปริภูมิการค้นหาของ λ และ $[\mu_{min}, \mu_{max}]$ คือปริภูมิการค้นหาของ μ สำหรับตัวควบคุม TID $[K_{t_min}, K_{t_max}]$ คือปริภูมิการค้นหาของ K_t, $[K_{i_min}, K_{i_max}]$ คือปริภูมิการค้นหาของ K_i, $[K_{d_min}, K_{d_max}]$ คือปริภูมิการค้นหาของ K_d และ $[n_{min}, n_{max}]$ คือปริภูมิการค้นหาของ n เมื่อพิจารณาจากกรอบงานการออกแบบที่แสดงในรูปที่ 2 โดยกำหนดให้อินพุตอ้างอิง r มีค่าเท่ากับศูนย์ จะพบว่า การควบคุมระบบ LFC คือการควบคุมที่มีวัตถุประสงค์เพื่อการคุมค่าโหลด (load regulation)

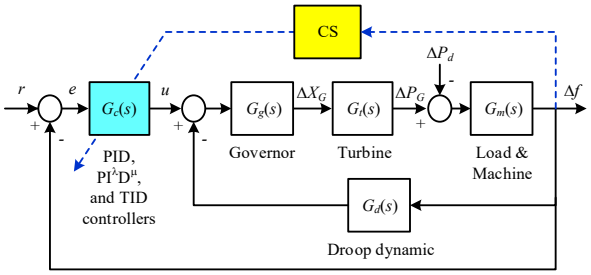

รูปที่ 2 กรอบงานการออกแบบตัวควบคุมสำหรับระบบ LFC ด้วย CS

$$\textbf{Minimize } \Delta f \tag{12}$$

$$\begin{aligned}
\text{Subject to } & PO_{reg} \le PO_{reg_max}, \\
& t_{reg} \le t_{reg_max}, \\
& e_{ss} \le e_{ss_max}, \\
& \left.\begin{aligned} K_{p_min} \le K_p \le K_{p_max}, \\ K_{i_min} \le K_i \le K_{i_max}, \\ K_{d_min} \le K_d \le K_{d_max} \end{aligned}\right\} : PID \\
& \left.\begin{aligned} K_{p_min} \le K_p \le K_{p_max}, \\ K_{i_min} \le K_i \le K_{i_max}, \\ K_{d_min} \le K_d \le K_{d_max}, \\ \lambda_{min} \le \lambda \le \lambda_{max}, \\ \mu_{min} \le \mu \le \mu_{max} \end{aligned}\right\} : PI^{\lambda}D^{\mu} \\
& \left.\begin{aligned} K_{t_min} \le K_t \le K_{t_max}, \\ K_{i_min} \le K_i \le K_{i_max}, \\ K_{d_min} \le K_d \le K_{d_max}, \\ n_{min} \le n \le n_{max} \end{aligned}\right\} : TID
\end{aligned} \tag{13}$$

3.3 ขั้นตอนวิธี CS

ขั้นตอนวิธี CS ได้รับการนำเสนอครั้งแรกในปี ค.ศ.2009 โดย Yang และ Deb [9] ในฐานะอภิศึกษาสำนึกแบบอิงประชากร ที่เลียนแบบพฤติกรรมการวางไข่ของนกกาเหว่าในรังของนกชนิดอื่น ผสมผสานกับพฤติกรรมการเคลื่อนที่ในลักษณะการสุ่มที่มีการแจกแจงแบบ Lévy ผลเฉลยใหม่จะถูกสร้างขึ้นโดยอาศัยกระบวนการสุ่มที่มีการแจกแจงแบบ Lévy ดังแสดงในสมการที่ (14) เมื่อ $\alpha > 0$ คือขนาดขั้นการค้นหา จากสมการที่ (14) สัญลักษณ์ $\oplus$ หมายถึง การคูณแบบ entry-wise (entry-wise multiplication) ในขณะที่สัญลักษณ์ Lévy(λ) หมายถึงค่าสุ่มที่มีการแจกแจงแบบ Lévy ซึ่งมีค่าเฉลี่ยและค่าความแปรปรวนเป็นอนันต์ ดังแสดงในสมการที่ (15) ขนาดขั้นการค้นหา s สามารถคำนวณได้จากความสัมพันธ์ในสมการที่ (16) เมื่อ u และ v คือค่าสุ่มที่มีการแจกแจงแบบปรกติ (normal distribution) ดังแสดงในสมการที่ (17) ซึ่งค่าเบี่ยงเบนมาตรฐาน (standard deviation) ของ u และ v แสดงดังสมการที่ (18) เมื่อ Γ คือฟังก์ชันแกมมามาตรฐานที่สามารถคำนวณได้จากความสัมพันธ์ในสมการที่ (19) ขั้นตอนวิธี CS แสดงด้วยแผนภูมิดังรูปที่ 3

$$\boldsymbol{x}_i^{(t+1)} = \boldsymbol{x}_i^{(t)} + \alpha \oplus \text{Lévy}(\lambda) \tag{14}$$

$$\text{Lévy} \approx u = t^{-\lambda}, \quad 1 < \lambda \le 3 \tag{15}$$

$$s = u/|v|^{1/\beta} \tag{16}$$

$$u \approx N(0, \sigma_u^2), \quad v \approx N(0, \sigma_v^2) \tag{17}$$

$$\sigma_u = \left\{ \frac{\Gamma(1+\beta)\sin(\pi\beta/2)}{\Gamma[(1+\beta)/2]\beta 2^{(\beta-1)/2}} \right\}^{1/\beta}, \quad \sigma_v = 1 \tag{18}$$

$$\Gamma(z) = \int_0^\infty t^{z-1}e^{-t}dt \tag{19}$$

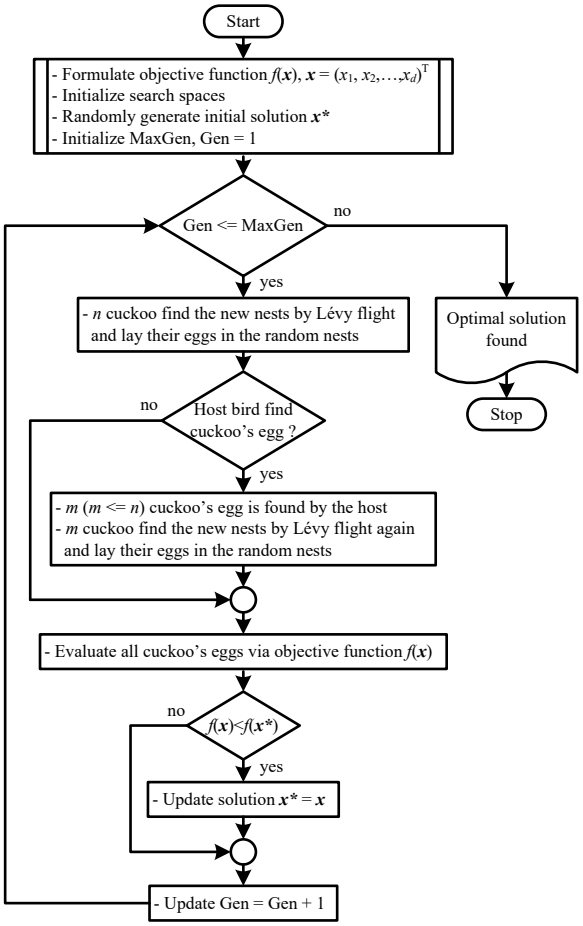

รูปที่ 3 แผนภูมิการทำงานของขั้นตอนวิธี CS

4. ผลการเปรียบเทียบสมรรถนะ

ระบบ LFC ในงานวิจัยนี้เป็นระบบ LFC ที่ใช้เทอร์ไบน์ชนิดนำความร้อนกลับมาใช้ใหม่ ซึ่งมีค่าพารามิเตอร์ ดังนี้ $K_m = 120$, $T_m = 20$ sec, $T_t = 0.3$ sec, $T_g = 0.08$ sec, $R = 2.4$, $T_r = 4.20$ sec และ $c = 0.35$ [12] จากรูปที่ 1 แบบจำลองทางคณิตศาสตร์ของระบบ LFC ที่ถูกใช้เป็นพลานต์ (plant) ของระบบ แสดงดังสมการที่ (20)

$$\left.\begin{aligned} G_p(s) &= \frac{G_g G_t G_m}{1 + (G_g G_t^{reheated} G_m)/R} \\ &= \frac{87.5s + 59.52}{s^4 + 16.12s^3 + 46.24s^2 + 48.65s + 25.3} \end{aligned}\right\} \tag{20}$$

ขั้นตอนวิธี CS ถูกพัฒนาเป็นโปรแกรมการค้นหา ด้วยโปรแกรม MATLAB 2018b (License No.#40637337) และ FOMCON Toolbox [13-14] เพื่อประมวลผลบนเครื่องคอมพิวเตอร์ Intel(R) Core(TM) i5-3470 CPU@3.60GHz, 4.0GB-RAM สำหรับออกแบบตัวควบคุม PID, PI$^\lambda$D$^\mu$ และ TID ค่าพารามิเตอร์ของขั้นตอนวิธี CS ที่เหมาะสม ได้รับการทดสอบเบื้องต้นโดยการปรับค่าต่าง ๆ ดังนี้ จำนวนนกกาเหว่า $n = 5, 10, 15, \ldots, 50$ และสัดส่วนความสามารถในการค้นพบไข่แปลกปลอม $p_a = 0.1, 0.2, \ldots, 0.5$ ซึ่งพบว่า $n = 30$ และ $p_a = 0.2$ เป็นค่าที่เหมาะสมสำหรับงานวิจัยนี้ และเป็นค่าที่สอดคล้องกับข้อแนะนำของ Yang และ Deb [12] จากนั้น ดำเนินการออกแบบตัวควบคุม PID, PI$^\lambda$D$^\mu$ และ TID สำหรับระบบ LFC โดยแต่ละตัวควบคุมจะดำเนินการออกแบบจำนวน 50 ครั้ง (trial) ซึ่งในแต่ละครั้งจะยุติการค้นหาเมื่อจำนวนรอบการค้นหาเท่ากับจำนวนรอบการค้นหาสูงสุด $\text{Max_Gen} = 200$ ขั้นตอนวิธี CS จะทำการค้นหาค่าพารามิเตอร์ของตัวควบคุม PID, PI$^\lambda$D$^\mu$ และ TID ที่เหมาะสม เพื่อทำให้ฟังก์ชันวัตถุประสงค์ Δf ในสมการที่ (12) มีค่าน้อยที่สุด และสอดคล้องกับขอบเขตและเงื่อนไขการออกแบบที่กำหนด ดังแสดงในสมการที่ (21), (22) และ (23) สำหรับตัวควบคุม PID, PI$^\lambda$D$^\mu$ และ TID ตามลำดับ

$$\left.\begin{aligned} \text{Subject to} \quad & PO_{reg} \le 5.00\%, \\ & t_{reg} \le 10 \text{ sec}, \\ & e_{ss} \le 0.01\%, \\ & 0 \le K_p \le 30, \\ & 0 \le K_i \le 15, \\ & 0 \le K_d \le 5 \end{aligned}\right\} \tag{21}$$

$$\left.\begin{aligned} \text{Subject to} \quad & PO_{reg} \le 5.00\%, \\ & t_{reg} \le 10 \text{ sec}, \\ & e_{ss} \le 0.01\%, \\ & 0 \le K_p \le 30, \\ & 0 \le K_i \le 15, \\ & 0 \le K_d \le 5, \\ & 0 \le \lambda \le 1.0, \\ & 0 \le \mu \le 1.0 \end{aligned}\right\} \tag{22}$$

$$\left.\begin{aligned} \text{Subject to} \quad & PO_{reg} \le 5.00\%, \\ & t_{reg} \le 10 \text{ sec}, \\ & e_{ss} \le 0.01\%, \\ & 0 \le K_t \le 30, \\ & 0 \le K_i \le 15, \\ & 0 \le K_d \le 5, \\ & 0 \le n \le 5 \end{aligned}\right\} \tag{23}$$

จากการออกแบบตัวควบคุม PID, PI$^\lambda$D$^\mu$ และ TID ด้วยขั้นตอนวิธี CS จำนวน 50 ครั้ง อัตราการลู่เข้าหาผลเฉลยของขั้นตอนวิธี CS ที่กระทำกับฟังก์ชันวัตถุประสงค์ Δf ในสมการที่ (12) ในกรณีการออกแบบตัวควบคุม TID แสดงดังรูปที่ 4 ซึ่งจะสังเกตเห็นว่า ขั้นตอนวิธี CS สามารถออกแบบตัวควบคุม TID ได้อย่างมีประสิทธิภาพ สำหรับอัตราการลู่เข้าหาผลเฉลยของขั้นตอนวิธี CS ในกรณีการออกแบบตัวควบคุม PID และ PI$^\lambda$D$^\mu$

จะมีลักษณะเช่นเดียวกันกับรูปที่ 4 จึงไม่ขอนำเสนอในที่นี้ ขั้นตอนวิธี CS ใช้เวลาค้นหาเฉลี่ยสำหรับการออกแบบตัวควบคุม PID, PI$^{\lambda}$D$^{\mu}$ และ TID เท่ากับ 7.53, 9.92 และ 8.24 วินาที ตามลำดับ และตัวควบคุม PID, PI$^{\lambda}$D$^{\mu}$ และ TID ที่ออกแบบด้วยขั้นตอนวิธี CS อย่างเหมาะสม แสดงดังสมการที่ (24), (25) และ (26) ตามลำดับ

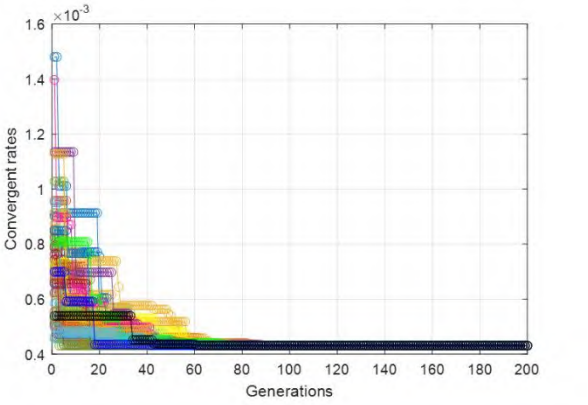

รูปที่ 4 อัตราการลู่เข้าหาผลเฉลยของขั้นตอนวิธี CS ในการออกแบบตัวควบคุม TID

$$G_c(s)\big|_{PID} = 2.8133 + \frac{1.2542}{s} + 0.7786s \tag{24}$$

$$G_c(s)\big|_{PI^{\lambda}D^{\mu}} = 8.8512 + \frac{5.6138}{s^{0.9985}} + 2.9174s^{0.9816} \tag{25}$$

$$G_c(s)\big|_{TID} = \frac{26.8524}{s^{1/2.8478}} + \frac{12.6137}{s} + 2.7218s \tag{26}$$

ผลการเปรียบเทียบสมรรถนะของตัวควบคุม PID, PI$^{\lambda}$D$^{\mu}$ และ TID สำหรับระบบ LFC ที่ออกแบบด้วยขั้นตอนวิธี CS แสดงดังรูปที่ 5 ซึ่งแสดงผลตอบสนองแบบคุมค่าโหลดของระบบ LFC เมื่อไม่มีตัวควบคุม, เมื่อมีตัวควบคุม PID ที่ออกแบบด้วยขั้นตอนวิธี CS ในสมการที่ (24), เมื่อมีตัวควบคุม PI$^{\lambda}$D$^{\mu}$ ที่ออกแบบด้วยขั้นตอนวิธี CS ในสมการที่ (25), และเมื่อมีตัวควบคุม TID ที่ออกแบบด้วยขั้นตอนวิธี CS ในสมการที่ (26) ผลตอบสนองของระบบ LFC ในรูปที่ 5 สามารถแสดงด้วยค่าเชิงตัวเลขได้ดังตารางที่ 1 ซึ่งพบว่า ระบบ LFC ที่ไม่มีตัวควบคุมจะไม่สามารถควบคุมให้ผลตอบสนองกลับมามีค่าเป็นศูนย์ได้ แต่ในขณะที่ใช้ตัวควบคุม PID, PI$^{\lambda}$D$^{\mu}$ และ TID ที่ออกแบบด้วยขั้นตอนวิธี CS ระบบ LFC สามารถควบคุมให้ผลตอบสนองกลับมามีค่าเป็นศูนย์ได้สอดคล้องกับเงื่อนไขการออกแบบที่กำหนดในสมการที่ (21), (22) และ (23) ตามลำดับ เมื่อพิจารณาจากรูปที่ 5 และตารางที่ 1 จะพบว่า ตัวควบคุม TID สามารถควบคุมระบบ LFC ให้มีผลตอบสนองกลับมามีค่าเป็นศูนย์ได้อย่างรวดเร็วกว่า (เมื่อพิจารณาจากค่า t_{reg}) และปรากฏการสั่นไกวที่น้อยกว่า (เมื่อพิจารณาจากค่า PO_{reg}) ตัวควบคุม PI$^{\lambda}$D$^{\mu}$ และ PID ตามลำดับ

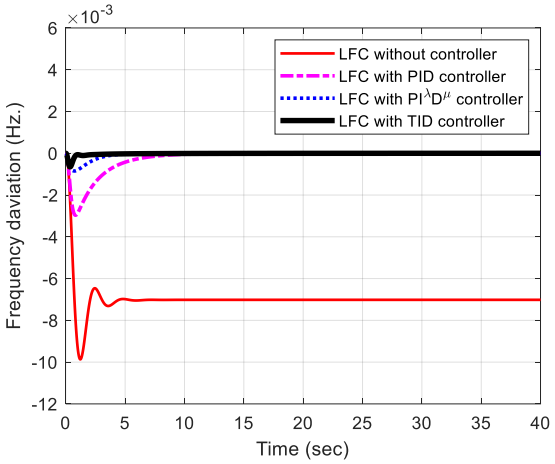

รูปที่ 5 ผลตอบสนองของระบบ LFC

ตารางที่ 1 ผลตอบสนองแบบคุมค่าโหลดของระบบ LFC

ตัวควบคุม	PO_{reg} (%)	t_{reg} (sec.)	e_{ss} (%)
ไม่มี	42.4712	6.7518	0.71
PID-CS	0.2965	7.4204	0.00
PI$^{\lambda}$D$^{\mu}$-CS	0.0848 ลดจาก PID = 71.40%	3.6768 ลดจาก PID = 50.45%	0.00
TID-CS	0.0652 ลดจาก PID = 78.01% ลดจาก PI$^{\lambda}$D$^{\mu}$ = 23.11%	1.2402 ลดจาก PID = 83.29% ลดจาก PI$^{\lambda}$D$^{\mu}$ = 66.27%	0.00

5. สรุป

บทความนี้นำเสนอการเปรียบเทียบสมรรถนะของตัวควบคุม PID, PI$^{\lambda}$D$^{\mu}$ และ TID สำหรับการควบคุมระบบ LFC ในงานวิจัยนี้ ตัวควบคุม PID, PI$^{\lambda}$D$^{\mu}$ และ TID ได้รับการออกแบบด้วยขั้นตอนวิธี CS ตามบริบทของการหาค่าเหมาะที่สุดแนวใหม่ จากผลการทดสอบ พบว่า ตัวควบคุม PID, PI$^{\lambda}$D$^{\mu}$ และ TID ที่ออกแบบด้วยขั้นตอนวิธี CS สามารถควบคุมระบบ LFC ได้สอดคล้องกับเงื่อนไขการออกแบบที่กำหนด ผลการเปรียบเทียบสมรรถนะของตัวควบคุมในงานวิจัยนี้ พบว่า ตัวควบคุม TID สามารถควบคุมระบบ LFC ให้มีผลตอบสนองกลับมามีค่าเป็นศูนย์ได้อย่างรวดเร็วที่สุดและปรากฏการสั่นไกวที่น้อยที่สุด รองลงมาคือตัวควบคุม PI$^{\lambda}$D$^{\mu}$ และตัวควบคุม PID ตามลำดับ

เอกสารอ้างอิง

[1] N. Minorsky, “Directional stability of automatically steered bodies,” *Journal of the American Society of Naval Engineering*, vol. 34, no. 2, 1922, pp. 280-309.

[2] K. J. Åström, and T. Hägglund, *PID Controllers: Theory, Design, and Tuning*, Instrument Society of America, Research Triangle Park, North Carolina, 1995.

[3] A. O’Dwyer, *Handbook of PI and PID Controller Tuning Rules*, Imperial College Press, 2009.

[4] I. Podlubny, *Fractional-Order Systems and Fractional-Order Controllers*, UEF-03-94, Slovak Academy of Sciences, Kosice, 1994.

[5] I. Podlubny, "Fractional-order systems and $PI^{\lambda}D^{\mu}$–controllers," *IEEE Transactions on Automatic Control*, vol. 44, no. 1, 1999, pp. 208-214.

[6] B. J. Lurie, "Three-parameter tunable tilt-integral-derivative (TID) controller," *United States Patent, 5-371-670*, USA, 1994.

[7] A. Mukhtar, P. M. Tiwari, S. Alotaibi, T. Alzahrani, B. Namomsa, and M. Ahmed, "Optimal design of tilt integral derivative controller for a boost converter based on swarm-inspired algorithms," *Scientific Reports*, 2025, pp. 1-21.

[8] M. Z. Malik, S. Zhang, G. Chen, and M. L. Alghaythi, "Robust tilt-integral-derivative controllers for fractional-order interval systems," Mathematics, vol. 11, 2023, pp. 1-14.

[9] X. S. Yang and S. Deb, "Cuckoo search via Lévy flights," *Proceedings of World Congress on Nature & Biologically Inspired Computing (NaBIC 2009)*, 2009, pp. 210-214.

[10] P. Kundur, *Power System Stability and Control*, McGraw-Hill, New York, 1994.

[11] H. Shayeghi, H. A. Shayanfar and A. Jalili, "Load frequency control strategies: a state-of-the-art survey for the researcher," *Energy Conversion and Management*, vol. 50, 2009, pp. 344-353.

[12] W. Tan, "Unified tuning of PID load frequency controller for power systems via IMC," *IEEE Transactions on Power Systems*, vol. 25, no. 1, 2010, pp.341-350.

[13] A. Tepljakov, F. Petlenkov, and J. Belikov, "FOMCON: a MATLAB toolbox for fractional-order system identification and control," *International Journal of Microelectronics and Computer Science*, vol. 2, no. 2, 2011, pp. 51-62.

[14] A. Tepljakov, E. Petlenkov and J. Belikov, "FOMCON: Fractional order modeling and control toolbox for MATLAB," *Proceedings of the 18th international conference of Mixed Design of Integrated Circuits and Systems (MIXDES)*, 2011, pp. 684-689.

ประวัติผู้เขียนบทความ

กิตติศักดิ์ ฤาแรง สำเร็จการศึกษา ปร.ด. สาขาวิชาวิศวกรรมไฟฟ้า จากมหาวิทยาลัยเอเชียอาคเนย์ พ.ศ.2563 ปัจจุบันเป็นผู้ช่วยศาสตราจารย์ประจำบัณฑิตวิทยาลัย มหาวิทยาลัยเวสเทิร์น งานวิจัยที่สนใจได้แก่ วิศวกรรมระบบควบคุม การจัดการพลังงาน การจัดการงานวิศวกรรม และการประยุกต์เทคนิคการค้นหาแบบอภิศึกษาสำนึกเพื่อแก้ปัญหาทางวิศวกรรม

อรรถรัตน์ นาวิกาวตาร สำเร็จการศึกษา วศ.ด. สาขาวิชาวิศวกรรมไฟฟ้า จากสถาบันเทคโนโลยีปทุมวัน พ.ศ.2559 ปัจจุบันเป็นผู้ช่วยศาสตราจารย์ประจำบัณฑิตวิทยาลัย มหาวิทยาลัยเวสเทิร์น งานวิจัยที่สนใจได้แก่ วิศวกรรมระบบควบคุม การจัดการพลังงาน การจัดการงานวิศวกรรม และการประยุกต์เทคนิคการค้นหาแบบอภิศึกษาสำนึกเพื่อแก้ปัญหาทางวิศวกรรม

ทิวา จิตหวัง สำเร็จการศึกษา ปร.ด. สาขาวิชาวิศวกรรมไฟฟ้า จากมหาวิทยาลัยเอเชียอาคเนย์ พ.ศ.2563 ปัจจุบันเป็นนักวิจัยอิสระ งานวิจัยที่สนใจได้แก่ วิศวกรรมระบบควบคุม การจัดการพลังงาน การจัดการงานวิศวกรรม และการประยุกต์เทคนิคการค้นหาแบบอภิศึกษาสำนึกเพื่อแก้ปัญหาทางวิศวกรรม

ไชโย ธรรมรัตน์ สำเร็จการศึกษา ปร.ด. สาขาวิชาวิศวกรรมไฟฟ้า จากมหาวิทยาลัยเอเชียอาคเนย์ พ.ศ.2565 ปัจจุบันเป็นผู้ช่วยศาสตราจารย์ประจำสาขาวิชาวิศวกรรมไฟฟ้า มหาวิทยาลัยเอเชีย-อาคเนย์ งานวิจัยที่สนใจได้แก่ วิศวกรรมระบบควบคุม และการประยุกต์เทคนิคการค้นหาแบบอภิศึกษาสำนึกเพื่อแก้ปัญหาทางวิศวกรรม

เดชา พวงดาวเรือง สำเร็จการศึกษา วศ.ด. สาขาวิชาวิศวกรรมไฟฟ้า จากมหาวิทยาลัยเทคโนโลยีสุรนารี พ.ศ.2548 ปัจจุบันเป็นรองศาสตราจารย์ประจำสาขาวิชาวิศวกรรมไฟฟ้า มหาวิทยาลัยเอเชียอาคเนย์ งานวิจัยที่สนใจได้แก่ วิศวกรรมระบบควบคุม และการประยุกต์เทคนิคการค้นหาแบบอภิศึกษาสำนึกเพื่อแก้ปัญหาทางวิศวกรรม

การออกแบบตัวควบคุม I-PD และ I-TD อย่างเหมาะสมสำหรับระบบควบคุมความเร็วมอเตอร์ไฟฟ้ากระแสตรงแบบไร้แปรงถ่านโดยใช้ขั้นตอนวิธีการผสมเกสรดอกไม้เชิงดัดแปร

Optimal I-PD and I-TD Controller Design for Brushless DC Motor Speed Control System using Modified Flower Pollination Algorithm

กิตติศักดิ์ ฤาแรง[1] อรรถรัตน์ นาวิกาวตาร[1] ทิวา จิตหวัง[2] ไชโย ธรรมรัตน์[3] และ เดชา พวงดาวเรือง[3]*

[1]สาขาการบริหารงานวิศวกรรม บัณฑิตวิทยาลัย มหาวิทยาลัยเวสเทิร์น kitisak.lu@western.ac.th, auttarat.na@western.ac.th
[2]นักวิชาการอิสระ, 68/112 ถ.บางบัวทอง-สุพรรณบุรี ต.บางแม่นาง อ.บางใหญ่, นนทบุรี, ประเทศไทย thiwa@thipphaya-tip.com
[3]สาขาวิชาวิศวกรรมไฟฟ้า, คณะวิศวกรรมศาสตร์, มหาวิทยาลัยเอเชียอาคเนย์ chaiyot@sau.ac.th, deachap@sau.ac.th*

บทคัดย่อ

ตัวควบคุม PID และ TID ได้รับการนำเสนอในฐานะตัวควบคุมหลักของระบบควบคุมอัตโนมัติ ปัญหาหลักของตัวควบคุม PID และ TID คือ เมื่อรับสัญญาณอินพุตที่มีการเปลี่ยนแปลงอย่างทันทีทันใด สัญญาณควบคุมของตัวควบคุม PID และ TID จะปรากฏพฤติกรรมที่เรียกว่า set-point kick อันส่งผลทำให้ประสบปัญหาในการอนุวัตตัวควบคุมเพื่อใช้งานจริง การแก้ปัญหาดังกล่าวสามารถกระทำได้โดยการใช้ตัวควบคุม I-PD และ I-TD บทความนี้นำเสนอการออกแบบตัวควบคุม I-PD และ I-TD อย่างเหมาะสมสำหรับระบบควบคุมความเร็วมอเตอร์ไฟฟ้ากระแสตรงแบบไร้แปรงถ่าน (มอเตอร์ BLDC) โดยใช้ขั้นตอนวิธีการผสมเกสรดอกไม้เชิงดัดแปร (modified flower pollination algorithm: MoFPA) จากผลการออกแบบ ตัวควบคุม I-PD และ I-TD สามารถลดปรากฏการณ์ set-point kick ได้อย่างน่าพึงพอใจ ยิ่งกว่านั้น ตัวควบคุม I-TD สามารถให้ผลตอบสนองที่รวดเร็วกว่าและปรากฏการสั่นไกวที่น้อยกว่าตัวควบคุม I-PD

คำสำคัญ: ตัวควบคุม I-PD ตัวควบคุม I-TD การควบคุมความเร็วมอเตอร์ BLDC ขั้นตอนวิธีการผสมเกสรดอกไม้เชิงดัดแปร

Abstract

PID and TID controllers have been proposed as the main controllers of the automatic control systems. A major drawback of both PID and TID controllers arises when they encounter a sudden change in the input signal—the control signal exhibits a phenomenon known as the set-point kick. This behavior poses significant challenges in the practical implementation of these controllers. Such a problem can be solved by using I-PD and I-TD controllers. This paper presents the optimal design of I-PD and I-TD controllers for a brushless DC (BLDC) motor speed control system, utilizing the modified flower pollination algorithm (MoFPA). The results demonstrate that both I-PD and I-TD controllers effectively mitigate the set-point kick phenomenon. Moreover, the I-TD controller exhibits faster response time and less oscillation once compared to the I-PD controller.

Keywords: I-PD Controller, I-TD Controller, BLDC Motor Speed Control, Modified Flower Pollination Algorithm

1. บทนำ

นับเวลากว่า 1 ศตวรรษ ที่ตัวควบคุม PID (proportional-integral-derivative controller) ได้รับการนำเสนอครั้งแรกเมื่อปี ค.ศ.1922 โดย Minorsky [1] จนถึงปัจจุบัน ตัวควบคุม PID ได้รับการยอมรับและถูกประยุกต์ใช้ในภาคอุตสาหกรรมอย่างกว้างขวางในฐานะหัวใจหลักของการควบคุมอัตโนมัติ [2] ตัวควบคุม PID ประกอบด้วยองค์ประกอบ-P (P-element) หรือองค์ประกอบเชิงสัดส่วน (proportional element), องค์ประกอบ-I (I-element) หรือองค์ประกอบเชิงปริพันธ์ (integral element) และองค์ประกอบ-D (D-element) หรือองค์ประกอบเชิงอนุพันธ์ (derivative element) ที่สามารถปรับจูนได้อย่างอิสระต่อกัน

ในปี ค.ศ.1994 Lurie ได้นำเสนอ ตัวควบคุม TID (tilt-integral-derivative controller) [3] ซึ่งประกอบด้วยองค์ประกอบ-T (T-element) หรือองค์ประกอบเชิงเอน (tilt element), องค์ประกอบ-I และองค์ประกอบ-D ซึ่งในองค์ประกอบ-T นั้นจะมีพฤติกรรมอยู่ระหว่างองค์ประกอบ-P และองค์ประกอบ-I ที่สามารถปรับให้เอนเอียงไปทางด้านใดด้านหนึ่งเชิงเศษส่วนได้ ตัวควบคุม TID จึงได้รับการพิจารณาให้เป็นตัวควบคุมเชิงเศษส่วน (fractional controller) และได้รับการยืนยันว่าสามารถควบคุมระบบได้นุ่มนวลกว่าตัวควบคุม PID [3-4]

อย่างไรก็ตาม ปัญหาที่สำคัญของตัวควบคุม PID และ TID คือ ผลกระทบจากองค์ประกอบ P และ D ของตัวควบคุม PID และผลกระทบจากองค์ประกอบ T และ D ของตัวควบคุม TID ที่วางตัวอยู่ในวิถีป้อนไปหน้า (forward path) ซึ่งเมื่อได้รับสัญญาณอินพุตที่มีการเปลี่ยนแปลงอย่างทันทีทันใด เช่น สัญญาณอินพุตแบบขั้นบันได (step input) สัญญาณควบคุม (control signal) ของตัวควบคุม PID และ TID จะมีขนาดสูงมาก ปรากฏการณ์ดังกล่าวรู้จักกันในนาม set-point kick ซึ่งจะส่งผลทำให้เกิดปัญหาในการอนุวัตตัวควบคุมเพื่อใช้งานจริง ปัญหาดังกล่าวสามารถ

*ผู้ประพันธ์บรรณกิจ

แก้ไขโดยการใช้ตัวควบคุม I-PD หรือ I-TD ที่มีการวางองค์ประกอบ I ไว้ในวิถีป้อนไปหน้า และย้ายองค์ประกอบ P และ D (ของตัวควบคุม PID) และองค์ประกอบ T และ D (ของตัวควบคุม TID) มาไว้ในวิถีป้อนกลับ (feedback path) [5] จากการสำรวจงานวิจัยที่เกี่ยวข้อง พบว่า ได้มีการนำเทคนิคการค้นหาแบบอภิศึกษาสำนึกมาทำการออกแบบตัวควบคุม I-PD อย่างเหมาะสม เช่น การหาค่าเหมาะที่สุดแบบฝูงอนุภาค (particle swarm optimization: PSO) [6] และการค้นหาแบบนกกาเหว่า (cuckoo search: CS) [7] เป็นต้น และการออกแบบตัวควบคุม I-TD อย่างเหมาะสม เช่น ขั้นตอนวิธีเชิงพันธุกรรม (genetic algorithm: GA) [8], ขั้นตอนวิธีแบบหิ่งห้อย (firefly algorithm: FA) [9], การหาค่าเหมาะที่สุดแบบหมาป่าสีเทา (grey-wolf optimization: GWO) [9] และขั้นตอนวิธีแบบตั๊กแตน (grass-hopper algorithm: GHA) [9] เป็นต้น

บทความวิจัยนี้นำเสนอการประยุกต์ขั้นตอนวิธีการผสมเกสรดอกไม้เชิงดัดแปร (modified flower pollination algorithm: MoFPA) [10] ซึ่งพัฒนามาจากขั้นตอนวิธี FPA แบบดั้งเดิม [11] เพื่อออกแบบตัวควบคุม I-PD และ I-TD อย่างเหมาะสม สำหรับระบบควบคุมความเร็วมอเตอร์ BLDC และเปรียบเทียบผลกับตัวควบคุม PID และ TID ในหัวข้อต่อไปจะนำเสนอแบบจำลองทางคณิตศาสตร์ของตัวควบคุม PID, TID, I-PD และ I-TD, การก่อรูปปัญหาการออกแบบตัวควบคุมสำหรับระบบควบคุมความเร็วมอเตอร์ BLDC โดยขั้นตอนวิธี MoFPA, ผลการออกแบบและการอภิปราย และสรุปผล ตามลำดับ

2. ตัวควบคุม PID, TID, I-PD และ I-TD

2.1 ตัวควบคุม PID

ตัวควบคุม PID [1-2] มีแบบจำลองทางคณิตศาสตร์ในโดเมนเวลาดังแสดงในสมการที่ (1) เมื่อ $e(t)$ คือสัญญาณความคลาดเคลื่อน (error signal) ซึ่งเป็นสัญญาณอินพุตของตัวควบคุม, $u(t)$ คือสัญญาณควบคุม (control signal) ซึ่งเป็นสัญญาณเอาต์พุตของตัวควบคุม, K_p คืออัตราขยายเชิงสัดส่วน (proportional gain), K_i คืออัตราขยายเชิงปริพันธ์ (integral gain) และ K_d คืออัตราขยายเชิงอนุพันธ์ (derivative gain) จากสมการที่ (1) จะพบว่า ตัวควบคุม PID มีค่าพารามิเตอร์สำหรับการปรับจูนจำนวน 3 ตัว ได้แก่ K_p, K_i และ K_d ตัวควบคุม PID จะวางตัวอยู่ในวิถีป้อนไปหน้าของวงควบคุม (control loop) ดังแสดงในรูปที่ 1 ฟังก์ชันถ่ายโอนวงปิดของระบบในรูปที่ 1 แสดงในสมการที่ (2) จากรูปที่ 1 จะพบว่าตัวควบคุม PID มีโครงสร้างขนาน โดยองค์ประกอบ P, I และ D จะวางตัวอยู่ในวิถีป้อนไปหน้า เมื่อได้รับสัญญาณอินพุตที่มีการเปลี่ยนแปลงอย่างทันทีทันใด จะก่อให้เกิดปรากฏการณ์ set-point kick ในสัญญาณควบคุม

$$u(t)\big|_{PID} = K_p e(t) + K_i \int e(t)dt + K_d \frac{de(t)}{dt} \tag{1}$$

$$\frac{C(s)}{R(s)} = \frac{\left(K_p + \frac{K_i}{s} + K_d s\right) G_p(s)}{1 + \left(K_p + \frac{K_i}{s} + K_d s\right) G_p(s)} \tag{2}$$

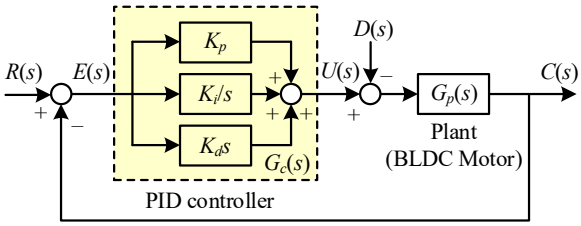

รูปที่ 1 วงควบคุม PID

2.2 ตัวควบคุม TID

ตัวควบคุม TID [3-4] มีแบบจำลองทางคณิตศาสตร์ในโดเมนเวลาดังแสดงในสมการที่ (3) เมื่อ K_t คืออัตราขยายเชิงเอน (tilt gain) และ n คืออันดับของการหาปริพันธ์แบบเอนเชิงเศษส่วน (order of fractional tilt integration) จากสมการที่ (3) จะพบว่า ตัวควบคุม TID มีค่าพารามิเตอร์สำหรับการปรับจูนจำนวน 4 ตัว ได้แก่ K_t, K_i, K_d และ n เมื่อ $n \in \mathbb{R}^+$ ตัวควบคุม TID จะวางตัวอยู่ในวิถีป้อนไปหน้าของวงควบคุม ดังแสดงในรูปที่ 2 ฟังก์ชันถ่ายโอนวงปิดของระบบในรูปที่ 2 แสดงในสมการที่ (4) จากรูปที่ 2 จะพบว่า ตัวควบคุม TID มีโครงสร้างขนาน โดยองค์ประกอบ T, I และ D จะวางตัวอยู่ในวิถีป้อนไปหน้า เมื่อได้รับสัญญาณอินพุตที่มีการเปลี่ยนแปลงอย่างทันทีทันใด จะก่อให้เกิดปรากฏการณ์ set-point kick ในสัญญาณควบคุมเช่นเดียวกับตัวควบคุม PID

$$u(t)\big|_{TID} = K_t \frac{d^{-1/n} e(t)}{dt} + K_i \int e(t)dt + K_d \frac{de(t)}{dt} \tag{3}$$

$$\frac{C(s)}{R(s)} = \frac{\left(\frac{K_t}{s^{1/n}} + \frac{K_i}{s} + K_d s\right) G_p(s)}{1 + \left(\frac{K_t}{s^{1/n}} + \frac{K_i}{s} + K_d s\right) G_p(s)} \tag{4}$$

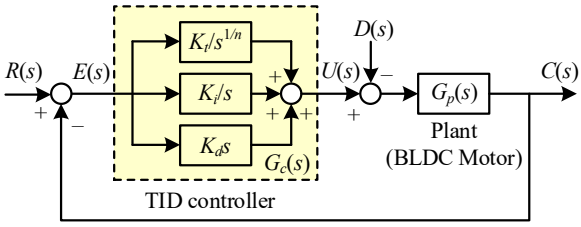

รูปที่ 2 วงควบคุม TID

2.3 ตัวควบคุม I-PD

ตัวควบคุม I-PD [5] มีแบบจำลองทางคณิตศาสตร์ในโดเมนเวลาดังแสดงในสมการที่ (5) เมื่อ $c(t)$ คือสัญญาณเอาต์พุตของระบบ (system output signal) จากสมการที่ (5) จะพบว่า ตัวควบคุม I-PD มีค่าพารามิเตอร์สำหรับการปรับจูนจำนวน 3 ตัว ได้แก่ K_p, K_i และ K_d เช่นเดียวกับตัวควบคุม PID สำหรับตัวควบคุม I-PD นั้น องค์ประกอบ I จะวางตัวอยู่ในวิถีป้อนไปหน้า ส่วนองค์ประกอบ P และ D จะวางตัวอยู่ในวิถีป้อนกลับของวงควบคุม ดังแสดงในรูปที่ 3 ซึ่งมีฟังก์ชันถ่ายโอนวงปิดแสดงดังสมการที่ (6) ด้วยโครงสร้างของวงควบคุมในรูปที่ 3 เมื่อระบบได้รับสัญญาณอินพุตที่เปลี่ยนแปลงอย่างทันทีทันใด ตัวควบคุม I-PD จะสามารถลดปรากฏการณ์ set-point kick ที่เกิดขึ้นในสัญญาณควบคุมได้

$$u(t)|_{I-PD} = K_i \int e(t)dt - \left[K_p c(t) + K_d \frac{dc(t)}{dt} \right] \quad (5)$$

$$\frac{C(s)}{R(s)} = \frac{\left(\frac{K_i}{s}\right) G_p(s)}{1 + \left(K_p + \frac{K_i}{s} + K_d s \right) G_p(s)} \quad (6)$$

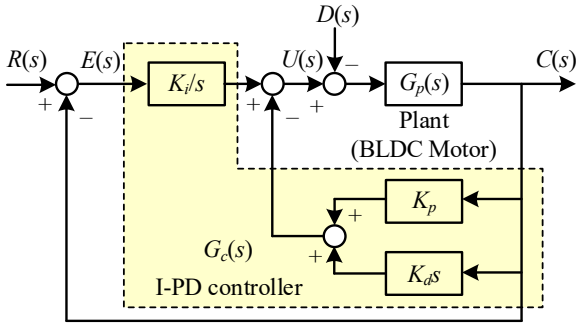

รูปที่ 3 วงควบคุม I-PD

2.4 ตัวควบคุม I-TD

ตัวควบคุม I-TD [5, 8-9] มีแบบจำลองทางคณิตศาสตร์ในโดเมนเวลาดังแสดงในสมการที่ (7) ซึ่งพบว่า ตัวควบคุม I-TD มีค่าพารามิเตอร์สำหรับการปรับจูนจำนวน 4 ตัว ได้แก่ K_t, K_i, K_d และ n เมื่อ $n \in \mathbb{R}^+$ เช่นเดียวกับตัวควบคุม TID สำหรับตัวควบคุม I-TD นั้น องค์ประกอบ I จะวางตัวอยู่ในวิถีป้อนไปหน้า ส่วนองค์ประกอบ T และ D จะวางตัวอยู่ในวิถีป้อนกลับของวงควบคุม ดังแสดงในรูปที่ 4 ซึ่งมีฟังก์ชันถ่ายโอนวงปิด แสดงดังสมการที่ (8) ด้วยโครงสร้างของวงควบคุมในรูปที่ 4 เมื่อระบบได้รับสัญญาณอินพุตที่มีการเปลี่ยนแปลงอย่างทันทีทันใด ตัวควบคุม I-TD จะสามารถลดปรากฏการณ์ set-point kick ที่เกิดขึ้นในสัญญาณควบคุมได้เช่นเดียวกับตัวควบคุม I-PD

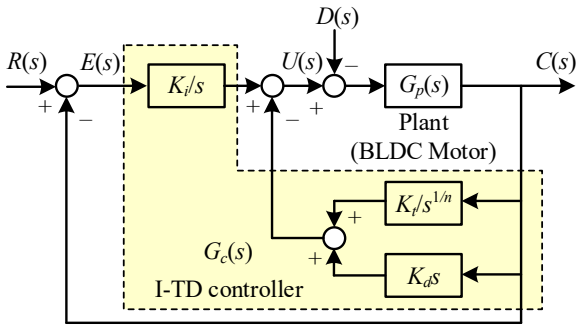

รูปที่ 4 วงควบคุม I-TD

$$u(t)|_{I-TD} = K_i \int e(t)dt - \left[K_t \frac{d^{-1/n} c(t)}{dt} + K_d \frac{dc(t)}{dt} \right] \quad (7)$$

$$\frac{C(s)}{R(s)} = \frac{\left(\frac{K_i}{s}\right) G_p(s)}{1 + \left(\frac{K_t}{s^{1/n}} + \frac{K_i}{s} + K_d s \right) G_p(s)} \quad (8)$$

3. การก่อรูปปัญหาการออกแบบ

3.1 มอเตอร์ BLDC

มอเตอร์ BLDC ที่ใช้ในงานวิจัยนี้เป็นมอเตอร์ของบริษัท Beijing Electechnic รุ่น Ø72-201105-220 พิกัด 471 W, 220 V, 4 Poles, 23,000 rpm จากการสำรวจงานวิจัยที่เกี่ยวข้อง พบว่า แบบจำลองทางคณิตศาสตร์ของมอเตอร์ดังกล่าวในรูปของฟังก์ชันถ่ายโอนอันดับ-3 ได้รับการระบุเอกลักษณ์ที่ความเร็วรอบเท่ากับ 20,000 rpm ด้วยการค้นหาแบบตาบูเชิงปรับตัว (adaptive tabu search: ATS) ดังแสดงในสมการที่ (9) [12] ดังนั้น แบบจำลอง $G_p(s)$ ในสมการที่ (9) จะถูกใช้เป็นพลานต์ (plant) ของระบบ เพื่อการออกแบบตัวควบคุม PID, TID, I-PD และ I-TD ด้วยขั้นตอนวิธี MoFPA ต่อไป

$$G_p(s) = \frac{0.2059 \times 10^8}{0.0597s^3 + 31.2477s^2 + 364.4712s + 1{,}069.9862} \quad (9)$$

3.2 กรอบงานการออกแบบตัวควบคุม

กรอบงานการออกแบบตัวควบคุม PID และ TID สำหรับระบบควบคุมความเร็วมอเตอร์ BLDC ด้วยขั้นตอนวิธี MoFPA แสดงในรูปที่ 5 ในขณะที่กรอบงานการออกแบบตัวควบคุม I-PD และ I-TD สำหรับระบบควบคุมความเร็วมอเตอร์ BLDC ด้วยขั้นตอนวิธี MoFPA แสดงในรูปที่ 6 เมื่อกำหนดให้ฟังก์ชันวัตถุประสงค์ (objective function) J อยู่ในรูปของผลรวมของค่าความคลาดเคลื่อนยกกำลังสอง (sum-squared error: SSE) ระหว่างอินพุตอ้างอิง r และเอาต์พุต c ดังแสดงในสมการที่ (10) เมื่อ N คือจำนวนข้อมูล ฟังก์ชันวัตถุประสงค์ J จะถูกป้อนให้กับขั้นตอนวิธี MoFPA เพื่อทำให้มีค่าน้อยที่สุด ด้วยการค้นหาค่าพารามิเตอร์ของตัวควบคุมที่เหมาะสม ภายในขอบเขต (ปริภูมิการค้นหา) และเงื่อนไขการออกแบบดังแสดงในสมการที่ (11)

$$\textbf{Minimize } J = \sum_{i=1}^{N} (r_i - c_i)^2 \quad (10)$$

$$\text{Subject to } \begin{cases} t_r \le t_{r_max},\ M_p \le M_{p_max}, \\ t_s \le t_{s_max},\ e_{ss} \le e_{ss_max}, \\ \left.\begin{array}{l} K_{p_min} \le K_p \le K_{p_max}, \\ K_{i_min} \le K_i \le K_{i_max}, \\ K_{d_min} \le K_d \le K_{d_max} \end{array}\right\} : PID \,\&\, I-PD \\ \left.\begin{array}{l} K_{t_min} \le K_t \le K_{t_max}, \\ K_{i_min} \le K_i \le K_{i_max}, \\ K_{d_min} \le K_d \le K_{d_max}, \\ n_{min} \le n \le n_{max} \end{array}\right\} : TID \,\&\, I-TD \end{cases} \quad (11)$$

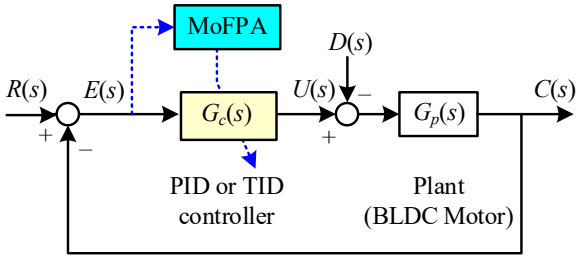

รูปที่ 5 กรอบงานการออกแบบตัวควบคุม PID และ TID ด้วย MoFPA

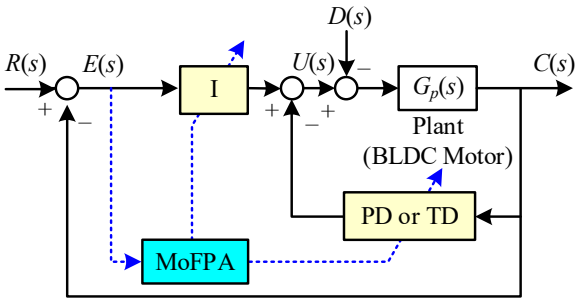

รูปที่ 6 กรอบงานการออกแบบตัวควบคุม I-PD และ I-TD ด้วย MoFPA

จากสมการที่ (11) t_r คือช่วงเวลาขึ้น (rise time) ซึ่งกำหนดให้มีค่าไม่เกิน t_{r_max}, M_p คือเปอร์เซ็นต์การพุ่งเกินสูงสุด (maximum percent overshoot) ซึ่งกำหนดให้มีค่าไม่เกิน M_{p_max}, t_s คือช่วงเวลาเข้าที่ (settling time) ซึ่งกำหนดให้มีค่าไม่เกิน t_{s_max} และ e_{ss} คือค่าความคลาดเคลื่อนในสถานะอยู่ตัว (steady-state error) ซึ่งกำหนดให้มีค่าไม่เกิน e_{ss_max} สำหรับตัวควบคุม PID และ I-PD $[K_{p_min}, K_{p_max}]$ คือปริภูมิการค้นหาของ K_p, $[K_{i_min}, K_{i_max}]$ คือปริภูมิการค้นหาของ K_i และ $[K_{d_min}, K_{d_max}]$ คือปริภูมิการค้นหาของ K_d สำหรับตัวควบคุม TID และ I-TD $[K_{t_min}, K_{t_max}]$ คือปริภูมิการค้นหาของ K_t, $[K_{i_min}, K_{i_max}]$ คือปริภูมิการค้นหาของ K_i, $[K_{d_min}, K_{d_max}]$ คือปริภูมิการค้นหาของ K_d และ $[n_{min}, n_{max}]$ คือปริภูมิการค้นหาของ n

3.3 ขั้นตอนวิธี MoFPA

ขั้นตอนวิธี MoFPA ได้รับการนำเสนอเป็นครั้งแรกในปี ค.ศ.2020 [10] ในฐานะเทคนิคการค้นหาค่าเหมาะที่สุดแบบอภิศึกษาสำนึกที่ทรงประสิทธิภาพ ซึ่งได้รับการพัฒนามาจากขั้นตอนวิธี FPA แบบดั้งเดิม [11] โดยเลียนแบบพฤติกรรมการผสมเกสรของไม้ดอกตามธรรมชาติ ซึ่งแบ่งออกเป็นการผสมเกสรดอกไม้ด้วยตัวเอง (self-pollination) หรือการผสมเกสรเฉพาะที่ (local pollination) และการผสมเกสรดอกไม้แบบไขว้ (cross-pollination) หรือการผสมเกสรวงกว้าง (global pollination) ขั้นตอนวิธี MoFPA สามารถแสดงได้ด้วยแผนภูมิดังรูปที่ 7 ซึ่งจะพบเงื่อนไข ถ้า $rand > randp$ (เมื่อ $rand$ และ $randp$ คือค่าสุ่มในช่วง 0 – 1) ขั้นตอนวิธี MoFPA จะเรียกใช้การผสมเกสรวงกว้าง โดยอาศัยการสุ่มที่มีการแจกแจงแบบ Lévy (Lévy distribution) ดังแสดงในสมการที่ (12) – (13) ไม่เช่นนั้น ขั้นตอนวิธี MoFPA จะเรียกใช้การผสมเกสรเฉพาะที่ โดยอาศัยการสุ่มที่มีการแจกแจงแบบเอกรูป (uniform distribution) ดังแสดงในสมการที่ (14) – (15)

$$\boldsymbol{x}_i^{t+1} = \boldsymbol{x}_i^t + L(\boldsymbol{x}_i^t - \boldsymbol{g}^*) \tag{12}$$

$$L \approx \frac{\lambda\Gamma(\lambda)\sin(\pi\lambda/2)}{\pi}\frac{1}{s^{1+\lambda}}, \quad (s >> s_0 > 0) \tag{13}$$

$$\boldsymbol{x}_i^{t+1} = \boldsymbol{x}_i^t + \varepsilon(\boldsymbol{x}_j^t - \boldsymbol{x}_k^t) \tag{14}$$

$$\varepsilon(\rho) = \begin{cases} 1/(b-a), & a \le \rho \le b \\ 0, & \rho < a \text{ or } \rho > b \end{cases} \tag{15}$$

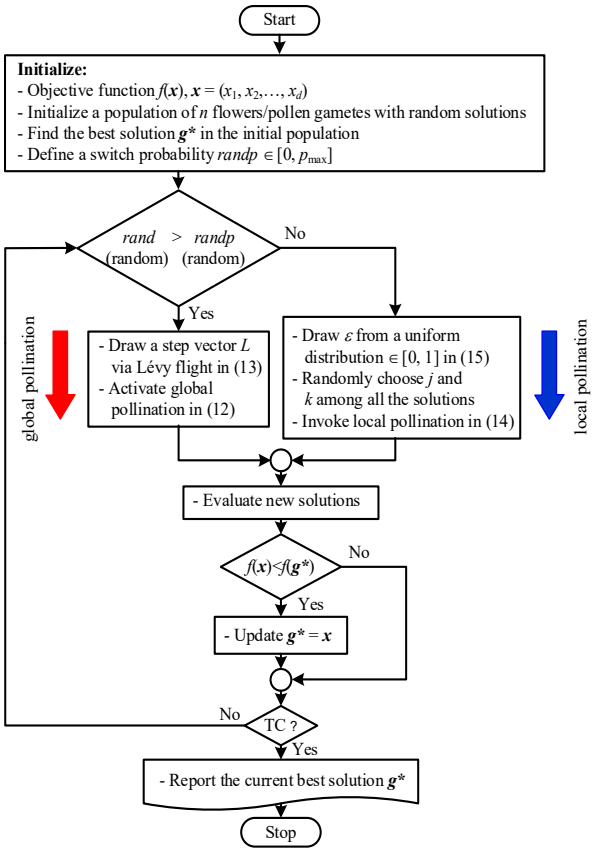

รูปที่ 7 แผนภูมิการทำงานของขั้นตอนวิธี MoFPA

4. ผลการออกแบบและการอภิปราย

ขั้นตอนวิธี MoFPA ได้ถูกพัฒนาเป็นโปรแกรมการค้นหา ด้วยโปรแกรม MATLAB 2018b (License No.#40637337) และ FOMCON Toolbox [13-14] เพื่อประมวลผลบนเครื่องคอมพิวเตอร์ Intel(R) Core(TM) i5-3470 CPU@3.60GHz, 4.0GB-RAM ค่าพารามิเตอร์ของขั้นตอนวิธี MoFPA ที่เหมาะสม ได้รับการทดสอบเบื้องต้นโดยการปรับค่าต่าง ๆ ดังนี้ จำนวนดอกไม้ n = 5, 10, 15,...,50 และ $randp$ คือค่าสุ่มที่กำหนดให้อยู่ในช่วง 0 – 0.25, 0 – 0.50, และ 0 – 0.75 ซึ่งพบว่าค่าพารามิเตอร์ที่เหมาะสมคือ n = 30 และ $randp$ คือค่าสุ่มในช่วง 0 – 0.50 จากนั้น ดำเนินการออกแบบตัวควบคุม PID, TID, I-PD และ I-TD โดยแต่ละตัวควบคุมจะดำเนินการออกแบบจำนวน 50 ครั้ง (trial) แต่ละครั้งจะยุติการค้นหาเมื่อจำนวนรอบการค้นหาเท่ากับจำนวนรอบการค้นหาสูงสุด Max_Gen = 200 ขั้นตอนวิธี MoFPA จะค้นหาค่าพารามิเตอร์ของตัวควบคุมที่เหมาะสม เพื่อทำให้ฟังก์ชันวัตถุประสงค์ J ในสมการที่ (10) มีค่าน้อยที่สุด และสอดคล้องกับขอบเขตและเงื่อนไขการออกแบบที่กำหนด ดังแสดงในสมการที่ (16)

จากการออกแบบตัวควบคุม PID, TID, I-PD และ I-TD ด้วยขั้นตอนวิธี MoFPA จำนวน 50 ครั้ง อัตราการลู่เข้าหาผลเฉลยของขั้นตอนวิธี MoFPA ที่กระทำกับฟังก์ชันวัตถุประสงค์ J ในสมการที่ (10) ในกรณีการออกแบบตัวควบคุม I-TD แสดงดังรูปที่ 8 ซึ่งจะสังเกตเห็นว่า ขั้นตอนวิธี

MoFPA สามารถออกแบบตัวควบคุม I-TD ได้อย่างมีประสิทธิภาพ สำหรับอัตราการลู่เข้าหาผลเฉลยของขั้นตอนวิธี MoFPA ในกรณีการออกแบบตัวควบคุม PID, TID และ I-PD จะมีลักษณะเช่นเดียวกันกับรูปที่ 8 จึงไม่ขอนำเสนอในที่นี้ ขั้นตอนวิธี MoFPA ใช้เวลาค้นหาเฉลี่ยสำหรับการออกแบบตัวควบคุม PID และ I-PD เท่ากับ 7.24 วินาที และใช้เวลาค้นหาเฉลี่ยสำหรับการออกแบบตัวควบคุม TID และ I-TD เท่ากับ 8.17 วินาที

$$\begin{aligned} \text{Subject to} \quad & t_r \le 0.50\,\text{sec},\ M_p \le 15.00\%, \\ & t_s \le 1.00\,\text{sec},\ e_{ss} \le 0.01\%, \\ & 0 \le K_p, K_t \le 50, \\ & 0 \le K_i \le 200, \\ & 0 \le K_d \le 2.00, \\ & 0 \le n \le 100 \end{aligned} \tag{16}$$

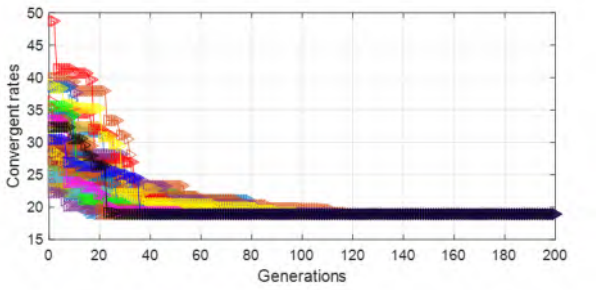

รูปที่ 8 อัตราการลู่เข้าหาผลเฉลยของขั้นตอนวิธี MoFPA ในการออกแบบตัวควบคุม I-TD

ผลตอบสนองของระบบควบคุมความเร็วมอเตอร์ BLDC แสดงดังรูปที่ 9 ในขณะที่สัญญาณควบคุมแสดงดังรูปที่ 10 ซึ่งพบว่า ตัวควบคุม I-PD และ I-TD จะให้ผลตอบสนองในสภาวะชั่วครู่ที่ล่าช้ากว่าตัวควบคุม PID และ TID อยู่เล็กน้อย แต่เมื่อพิจารณาจากสัญญาณควบคุม จะพบว่าตัวควบคุม I-PD และ I-TD สามารถลดปรากฏการณ์ set-point kick ได้อย่างน่าพึงพอใจ นอกจากนี้ ยังพบว่า ตัวควบคุม I-TD สามารถให้ผลตอบสนองของระบบที่รวดเร็วกว่าและปรากฏการสั่นไกวที่น้อยกว่าตัวควบคุม I-PD

5. สรุป

บทความนี้นำเสนอการออกแบบตัวควบคุม I-PD และ I-TD อย่างเหมาะสมสำหรับระบบควบคุมความเร็วมอเตอร์ BLDC โดยใช้ขั้นตอนวิธี MoFPA จากผลการออกแบบ พบว่า ขั้นตอนวิธี MoFPA สามารถออกแบบตัวควบคุมได้อย่างเหมาะสม และสอดคล้องกับเงื่อนไขการออกแบบที่กำหนด และถึงแม้ว่าตัวควบคุม I-PD และ I-TD จะให้ผลตอบสนองในสภาวะชั่วครู่ที่มีคุณภาพต่ำกว่าตัวควบคุม PID และ TID ไปบ้าง แต่สามารถลดปรากฏการณ์ set-point kick ได้อย่างน่าพึงพอใจ ยิ่งกว่านั้น ตัวควบคุม I-TD ยังสามารถให้ผลตอบสนองที่รวดเร็วกว่าและปรากฏการสั่นไกวที่น้อยกว่าตัวควบคุม I-PD อีกด้วย

เอกสารอ้างอิง

[1] N. Minorsky, “Directional stability of automatically steered bodies,” *Journal of the American Society of Naval Engineering*, vol. 34, no. 2, 1922, pp. 280-309.

[2] A. O’Dwyer, *Handbook of PI and PID Controller Tuning Rules*, Imperial College Press, 2009.

[3] B. J. Lurie, “Three-parameter tunable tilt-integral-derivative (TID) controller,” *United States Patent, 5-371-670*, USA, 1994.

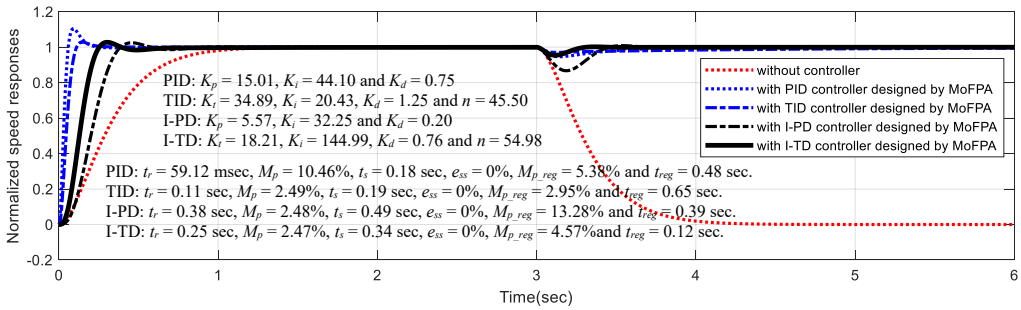

รูปที่ 9 ผลตอบสนองของระบบควบคุมความเร็วมอเตอร์ BLDC

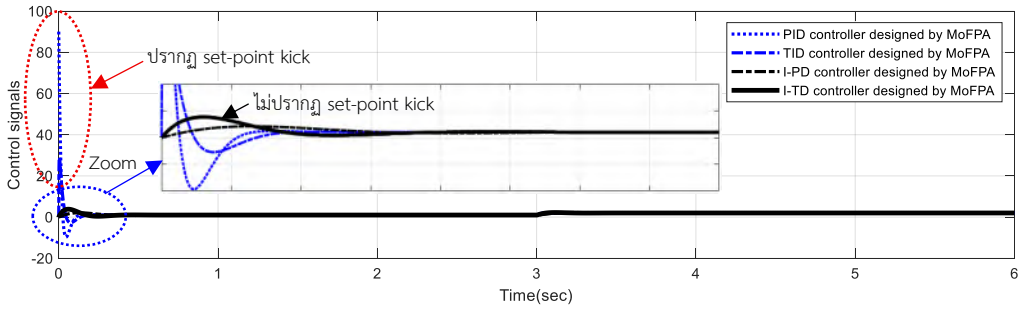

รูปที่ 10 สัญญาณควบคุม

[4] M. Z. Malik, S. Zhang, G. Chen, and M. L. Alghaythi, "Robust tilt-integral-derivative controllers for fractional-order interval systems," *Mathematics*, vol. 11, 2023, pp. 1-14.

[5] M. A. Johnson, and M. H. Moradi, *Control: New Identification and Design Methods*, Springer, London, UK, 2005.

[6] S. J. S. Prasad, and P. A. Balakrishnan, "PSO based I-PD controller for barrel temperature control in plastic injection molding system," *European Journal of Scientific Research*, vol. 80, 2012, pp. 351-357.

[7] D. Puangdownreong, A. Nawikavatan, and C. Thammarat, "Optimal design of I–PD controller for DC motor speed control system by cuckoo search," *Procedia Computer Science*, vol. 86, 2016, pp. 83-86.

[8] D. Sain, S. K. Swain, and S. K. Mishra, "TID and I-TD controller design for magnetic levitation system using genetic algorithm," *Perspectives in Science*, vol. 8, 2016, pp. 370-373.

[9] S. K. Bhagat, N. R. Babu, L. C. Sakia, and D. K. Raju, "Maiden application of meta-heuristic techniques with optimized integral minus tilt-derivative controller for AGC of multi-area multi-source system," *EAI Endorsed Transactions on Scalable Information Systems*, vol. 7, no. 28, 2020, pp. 1-9.

[10] N. Pringsakul, and D. Puangdownreong, "MoFPA-based PIDA controller design optimization for electric furnace temperature control system," *International Journal of Innovative Computing, Information and Control*, vol. 16, no. 6, 2020, pp. 1863-1876.

[11] X. S. Yang, "Flower pollination algorithm for global optimization," *Unconventional Computation and Natural Computation, Lecture Notes in Computer Science*, vol. 7445, 2012, pp. 240-249.

[12] K. Chaicharoenaudomrung, S. Wansungnoen, J. Pakdeeto, K-N. Areerak, and K-L. Areerak, "Parameter identification of BLDC motor by using adaptive tabu search," *Proceedings of the International Conference on Power, Energy and Innovation (ICPEI2021)*, 2021, pp. 5-8.

[13] A. Tepljakov, F. Petlenkov, and J. Belikov, "FOMCON: a MATLAB toolbox for fractional-order system identification and control," *International Journal of Microelectronics and Computer Science*, vol. 2, no. 2, 2011, pp. 51-62.

[14] A. Tepljakov, E. Petlenkov and J. Belikov, "FOMCON: Fractional order modeling and control toolbox for MATLAB," *Proceedings of the 18th international conference of Mixed Design of Integrated Circuits and Systems (MIXDES)*, 2011, pp. 684-689.

ประวัติผู้เขียนบทความ

กิตติศักดิ์ ฤาแรง สำเร็จการศึกษา ปร.ด. สาขาวิชาวิศวกรรมไฟฟ้า จากมหาวิทยาลัยเอเชียอาคเนย์ พ.ศ.2563 ปัจจุบันเป็นผู้ช่วยศาสตราจารย์ประจำบัณฑิตวิทยาลัย มหาวิทยาลัยเวสเทิร์น งานวิจัยที่สนใจได้แก่ วิศวกรรมระบบควบคุม การจัดการพลังงาน การจัดการงานวิศวกรรม และการประยุกต์เทคนิคการค้นหาแบบอภิศึกษาสำนึกเพื่อแก้ปัญหาทางวิศวกรรม

อรรถรัตน์ นาวิกาวตาร สำเร็จการศึกษา วศ.ด. สาขาวิชาวิศวกรรมไฟฟ้า จากสถาบันเทคโนโลยีปทุมวัน พ.ศ.2559 ปัจจุบันเป็นผู้ช่วยศาสตราจารย์ประจำบัณฑิตวิทยาลัย มหาวิทยาลัยเวสเทิร์น งานวิจัยที่สนใจได้แก่ วิศวกรรมระบบควบคุม การจัดการพลังงาน การจัดการงานวิศวกรรม และการประยุกต์เทคนิคการค้นหาแบบอภิศึกษาสำนึกเพื่อแก้ปัญหาทางวิศวกรรม

ทิวา จิตหวัง สำเร็จการศึกษา ปร.ด. สาขาวิชาวิศวกรรมไฟฟ้า จากมหาวิทยาลัยเอเชียอาคเนย์ พ.ศ.2563 ปัจจุบันเป็นนักวิจัยอิสระ งานวิจัยที่สนใจได้แก่ วิศวกรรมระบบควบคุม การจัดการพลังงาน การจัดการงานวิศวกรรม และการประยุกต์เทคนิคการค้นหาแบบอภิศึกษาสำนึกเพื่อแก้ปัญหาทางวิศวกรรม

ไชโย ธรรมรัตน์ สำเร็จการศึกษา ปร.ด. สาขาวิชาวิศวกรรมไฟฟ้า จากมหาวิทยาลัยเอเชียอาคเนย์ พ.ศ.2565 ปัจจุบันเป็นผู้ช่วยศาสตราจารย์ประจำสาขาวิชาวิศวกรรมไฟฟ้า มหาวิทยาลัยเอเชีย-อาคเนย์ งานวิจัยที่สนใจได้แก่ วิศวกรรมระบบควบคุม และการประยุกต์เทคนิคการค้นหาแบบอภิศึกษาสำนึกเพื่อแก้ปัญหาทางวิศวกรรม

เดชา พวงดาวเรือง สำเร็จการศึกษา วศ.ด. สาขาวิชาวิศวกรรมไฟฟ้า จากมหาวิทยาลัยเทคโนโลยีสุรนารี พ.ศ.2548 ปัจจุบันเป็นรองศาสตราจารย์ประจำสาขาวิชาวิศวกรรมไฟฟ้า มหาวิทยาลัยเอเชียอาคเนย์ งานวิจัยที่สนใจได้แก่ วิศวกรรมระบบควบคุม และการประยุกต์เทคนิคการค้นหาแบบอภิศึกษาสำนึกเพื่อแก้ปัญหาทางวิศวกรรม

The Data-Driven Safeguard: Redefined Intelligent Control as Smart and Safe

Tanet Wonghong*

Department of Electrical Engineering, Faculty of Engineering at Sriracha, Kasetsart University, Thailand,
tanet.w@ku.th

Abstract

The integration of artificial intelligence into control systems remains hindering by a fundamental barrier: the inherent risk of applying learning algorithms to physical, safety-critical systems. This paper introduces a paradigm shift in intelligent control by demonstrating that this high-risk, trial-and-error problem can be transformed into a completely safe, purely data-driven, black-box optimization task. We present a novel framework, the "Data-Driven Safeguard," that constructs a high-fidelity "fictitious fitness landscape" using only a single set of measured input-output data. The surprising core of this method lies not in a complex AI model, but in the elegant solution of a single linear system, which allows us to compute the performance of any candidate controller without it ever interacting with physical plant. By empirically proving that this safe, virtual landscape accurately mirrors the true performance landscape, we unlock the ability for any AI optimizer – demonstrated here with an Evolution Strategy – to find optimal controller parameters with zero physical risk. This work redefines the challenge of intelligent control: the goal is not just to build a smarter AI, but to create a fundamentally safer world for it to learn in.

Keywords: Adaptive Control, Artificial Intelligence, Intelligent Control, Unfalsified Control, Safeguard Control

1. Introduction

The grand vision of Intelligent Control – systems that can self-optimize and adapt – has been a driving force in our field for decades. Early pioneering work established the immense potential of using sophisticated techniques, such as neural networks, to control complex dynamical systems where traditional models fall short [1-3]. This sparked a long-standing quest to create truly autonomous controllers. However, a fundamental and persistent challenge has always stood in the way: "learner's dilemma." How can an intelligent algorithm learn and explore without posing a direct risk to the physical, often safety-critical, system it is connected to?

In response to this critical safety problem, a powerful and uniquely data-driven philosophy emerged: the theory of Unfalsified Control (UC) [4]. Unlike approaches that require detailed system models, UC introduced the revolutionary idea that one could use direct input-output data to invalidate, or "falsify," controllers that are inconsistent with desired performance specifications. This provided a practical, model-free path towards ensuring system safety and was successfully demonstrated for tasks like automatic PID tuning [5]. This line of research established a key principle: that raw data itself, when used correctly, holds the key to safe control. Our work is born from this powerful lineage, seeking to extend its original promise to its ultimate conclusion.

While the UC paradigm offered an elegant, data-centric solution, the broader field has more recently pursued safety through different, more complex avenues. The current state-of-the-art is largely dominated by Safe Reinforcement Learning (Safe RL) and the use of Control Barrier Functions (CBFs) [6-7]. These modern methods attempt to manage risk by adding complex safety layers, constraints, or penalty functions into the learning algorithm, often requiring extensive simulations or an accurate mathematical model. They operate by trying to make the AI learner "smarter" or "more cautious" as it interacts with the world.

This paper argues that this prevailing direction, while valuable, misses a more fundamental opportunity. We return to the elegant spirit of Unfalsified Control and ask a different question: instead of managing the risk of a physical trial, what if we could eliminate the need for a physical trial entirely? Our work introduces the "Data-Driven Safeguard," a framework that uses the core principles of UC to achieve something new: the creation of a complete, high-fidelity "fictitious fitness landscape" from a single data set. This framework is not an incremental improvement; it is a paradigm shift. We demonstrate that the high-risk problem of intelligent control can be transformed into a perfectly safe, offline optimization task by solving a single, simple linear system.

The contribution of this work are as follows:

1. We introduce the Data-Driven Safeguard, a novel framework that transforms the high-risk physical tuning problem into a completely safe, offline computation task.
2. We show this is achieved by leveraging the principles of Unfalsified Control to solve a single, well-behaved system of linear equations, bypassing the need for complex plant models.
3. We provide direct, empirical proof that the resulting "fictitious fitness landscape" is a high-fidelity replica of the true performance landscape, validating it as a safe and accurate virtual testbed.
4. We demonstrate, through a proof-of-concept using an Evolution Strategy, that this framework is optimizer-agnostic and can be readily used by and AI algorithm to find optimal controller parameters with zero physical risk.

*Corresponding Author

This paper presents a simpler, more direct path to achieving unconditionally safe intelligent control, fulfilling the original promise of data-driven methods and bypassing the inherent limitations of more complex, modern approaches.

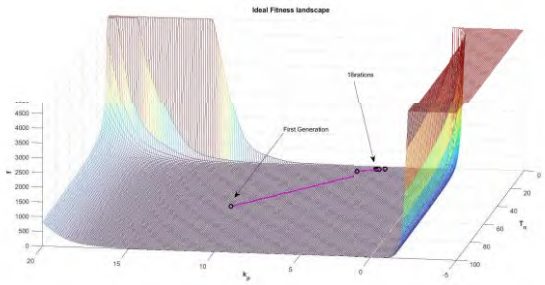

Fig. 1 Ideal Fitness Landscape

Table 1 Routh Table for Stability

s^4	1	11	$6\frac{k_p}{T_n}$
s^3	6	$6k_p+6$	
s^2	$-k_p+10$	$6\frac{k_p}{T_n}$	
s^1	x		
s^0	$6\frac{k_p}{T_n}$		

2. The Ideal Stabilizing Region

We assume that the linear plant model is a third-order sable process with three distinct poles:

$$P(s) = \frac{6}{(s+1)(s+2)(s+3)} \quad (1)$$

For simplicity, we implement the feedback loop with the standard PI controller structure:

$$C(s) = k_p(1 + \frac{1}{T_n s}) \quad (2)$$

This controller is chosen as it represents the most widely used controller in industrial applications, making our safety framework directly relevant to a broad range of real-world problems. From (1) and (2), we generate the Routh Table for our analysis as shown in Table 1.

Using the Routh-Hurwitz criterion, all elements in the first column must be positive:

$$s^2: -k_p + 10 > 0 \rightarrow k_p < 10$$

Since the integral time is always positive,

$$s^0: 6\frac{k_p}{T_n} > 0 \rightarrow k_p > 0.$$

We now have the first condition on the proportional gain $k_p \in (0,10)$ and

$$x = \frac{-36\frac{k_p}{T_n} - 6k_p^2 + 54k_p + 60}{-k_p + 10} \quad (3)$$

For T_n, we consider (3), $x > 0$ and we compute T_n when $k_p \in \{1,2,\dots,9\}$ as shown in Table 2.

To visualize the ideal stabilizing region, MATLAB is used to make it a clear picture and it will be compared to our work under the same situation. Firstly, we compute the true error signal $e(t)$ for 10 seconds for each candidate controller within the candidate controller space $k_{p_i} \in [-5,20]$ and $T_{n_i} \in [-1,100]$.

Table 2 Region of Stabilizing Controllers

k_p	T_n
1	>0.3333
2	>0.5
3	>0.643
4	>0.8
5	>1
6	>1.286
7	>1.75
8	>2.67
9	>5.4

Secondly, to evaluate performances for all candidate controllers, we define the following cost function:

$$J_i(t) = \frac{\|e_i(t)\|^2_{t=[0,10s]}}{\|r(t)\|^2_{t=[0,10s]}} \quad (4)$$

where i is an index of a candidate controller and $r(t)$ is a unit step function. Thirdly, the ideal fitness landscape is plotted as shown in Fig. 1. Next, we implement the standard Evolution Strategy (ES) [8] as our artificial intelligence computing method (any other optimization techniques can be applied) to find ideal optimized controllers using initial sixteen destabilizing controllers as $k_{p_i} \in \{-5,-1,11,15\}$ and $T_{n_i} \in \{1,5,10,50\}$. Finally, the ES at 18 generations and returns the results as shown in Table 3. The pair $(k_p^* = 3.4204, T_n^* = 3.6401)$ is the ideal optimized controller. This solution will be used to compare with our approach as an intelligent indicator.

Table 3 Sixteen Optimized Controllers for the Ideal Fitness Landscape

Rank	k_p^*	T_n^*
1	3.4202	3.6401
2	3.4433	3.7070
3	3.3581	3.5300
4	3.3630	3.6440
5	3.3909	3.7262
6	3.3891	3.5196
7	3.3545	3.6535
8	3.4507	3.7972
9	3.3652	3.6883
10	3.3165	3.5413
11	3.4761	3.6713
12	3.4861	3.8115
13	3.3121	3.5266
14	3.3125	3.4897
15	3.4921	3.7216
16	3.3555	3.4414

3. Unfalsified Control Theory

3.1 Experimental Plant Data

We assume that $P(s)$ is a completely unknown plant, $C_i(s)$ is a candidate controller where $i \in \boldsymbol{M} = \{1,2,\dots,m\}$. The finite set of m candidate controllers is defined as $\omega_m = \omega_s \cup \omega_d$ where ω_s is a set of stabilizing controllers and ω_d is a set of destabilizing controllers for the unknown plant $P(s)$. Then we assume an active controller $\hat{C}(s) \in \omega_s$ and we can observe the bounded experimental plant input data as

$$\hat{U}(s) = \frac{\hat{C}(s)}{1+\hat{C}(s)P(s)}R(s) \tag{5}$$

and the bounded experimental plant output data as

$$\hat{Y}(s) = \frac{\hat{C}(s)P(s)}{1+\hat{C}(s)P(s)}R(s). \tag{6}$$

3.2 Original Fictitious Signals

The original fictitious reference signal [4] for a candidate controller $C_i(s)$ can be computed as

$$\tilde{R}_i(s) = C_i^{-1}(s)\hat{U}(s) + \hat{Y}(s). \tag{7}$$

Using (6) and (7), the original fictitious error signal for $C_i(s)$ is obtained as

$$\tilde{E}_i(s) = \tilde{R}_i(s) - \hat{Y}(s). \tag{8}$$

3.3 Relationship of Fictitious Reference Signal and True Reference Signal

Taking (5) and (6) into (7), we obtain

$$\tilde{R}_i(s) = \frac{\hat{C}(s)}{C_i(s)}\frac{1+C_i(s)P(s)}{1+C(s)P(s)}R(s) = \frac{\hat{C}(s)\hat{S}(s)}{C_i(s)S_i(s)}R(s)$$

$$\tilde{R}_i(s) = \tilde{\Lambda}_i(s)R(s) \tag{9}$$

where $\hat{S}(s) = \frac{1}{1+\hat{C}(s)P(s)}$ is the unknown sensitivity function for the active closed-loop pair $(\hat{C}(s), P(s))$ and $S_i(s) = \frac{1}{1+C_i(s)P(s)}$ is the unknown sensitivity function for a non-active closed-loop pair $(C_i(s), P(s))$. A black-box mapping $\tilde{\Lambda}_i(s)$ is called the fictitious signal generator for $C_i(s)$. Note that if $C_i(s) = \hat{C}(s)$, then $\tilde{R}_i(s) = R(s)$ and $\tilde{E}_i(s) = E(s)$. Thus, the original fictitious signals for the active controller $\hat{C}(s)$ are the same as the true signals.

3.4 PI Controller Structure

We use the standard PI controller structure, e.g., $C_i(s) = k_{p_i}(1 + \frac{1}{T_{n_i}s})$. Using (9), we obtain

$$\tilde{R}_i(s) = \frac{s}{k_{p_i}s + \frac{k_{p_i}}{T_{n_i}}}\hat{U}(s) + \hat{Y}(s). \tag{10}$$

We realize (10) into a state-space representation,

$$\begin{bmatrix}\dot{x}_i \\ \cdots \\ \tilde{r}_i\end{bmatrix} = \begin{bmatrix}-\frac{1}{T_{n_i}} & \frac{1}{k_{p_i}} & 0 \\ \cdots & \cdots & \cdots \\ -\frac{1}{T_{n_i}} & \frac{1}{k_{p_i}} & 1\end{bmatrix}\begin{bmatrix}x_i \\ \cdots \\ \hat{u} \\ \hat{y}\end{bmatrix}. \tag{11}$$

Note that the state-space system is always stable since the integral time is positive. Thus, the PI controller structure is causally left invertible.

3.5 Deconvolution

We use the relationship of the original fictitious signals [9]:

$$\tilde{E}_i(s) = S_i(s)\tilde{R}_i(s). \tag{12}$$

Considering the transfer function in the time-domain:

$$\{\tilde{e}_i(k)\} = \{s_i(k)\} * \{\tilde{r}_i(k)\}$$

where $\tilde{e}_i(k) = \sum_{j=0}^{k}\tilde{r}_i(k-j)s_i(j), \forall i$ and iterating $k = 0,1,2,..,l$:

$$\begin{aligned}\tilde{e}_i(0) &= \tilde{r}_i(0)s_i(0)\\ \tilde{e}_i(1) &= \tilde{r}_i(1)s_i(0) + \tilde{r}_i(0)s_i(1)\\ &\vdots\\ \tilde{e}_i(l) &= \sum_{j=0}^{l}\tilde{r}_i(l-j)s_i(l).\end{aligned}$$

It is straightforward to compute $\{s_i(k)\}$ iteratively as

$$\begin{aligned}s_i(0) &= \frac{\tilde{e}_i(0)}{\tilde{r}_i(0)}\\ s_i(1) &= \frac{\tilde{e}_i(1) - s_i(0)\tilde{r}_i(1)}{\tilde{r}_i(0)}\\ &\vdots\\ s_i(l) &= \frac{\tilde{e}_i(l) - \sum_{m=0}^{l-1}s_i(m)\tilde{r}_i(l-m)}{\tilde{r}_i(0)}\end{aligned}$$

where

$$\forall i, \tilde{r}_i(0) \neq 0.$$

Thus, the estimated sensitivity vector is

$$\boldsymbol{s_i} = \begin{bmatrix}s_i(0)\\ s_i(1)\\ s_i(2)\\ \vdots\\ s_i(l)\end{bmatrix}. \tag{13}$$

3.6 Artificial Error Signal

The artificial error signal can be defined [6] as

$$E_i^*(s) = S_i(s)R(s) \tag{14}$$

or in the time-domain, we directly compute as

$$\begin{aligned}e_i^*(0) &= r(0)s_i(0)\\ e_i^*(1) &= r(1)s_i(0) + r(0)s_i(1)\\ &\vdots\\ e_i^*(l) &= \sum_{j=0}^{l}r(l-j)s_i(l).\end{aligned}$$

Therefore, the artificial error vector is

$$\boldsymbol{e_i^*} = \begin{bmatrix}e_i^*(0)\\ e_i^*(1)\\ e_i^*(2)\\ \vdots\\ e_i^*(l)\end{bmatrix}. \tag{15}$$

3.7 Artificial Cost Function

In this work, we assume that the stabilizing controller

$$\hat{C}(s) = 1(1 + \frac{1}{s})$$

was in the loop up to 10 seconds after a unit step was applied. We have observed $r_{[0,10]}(t), \hat{u}_{[0,10]}(t), \hat{y}_{[0,10]}(t)$. Note that the unknown plant $P(s)$ is used for generating our plant input and output data. The artificial cost function

is defined similarly with the artificial error signal $e_i^*(k)$ and the true reference signal $r(k)$ as

$$J_i^*(k) = \frac{\|e_i^*(k)\|^2}{\|r(k)\|^2}. \quad (16)$$

In this example, we implement every signal for 10 seconds and the sampling time is 0.1 seconds. Thus, the maximum iteration is 100. Using the artificial cost function, the fictitious landscape is computed as shown in Fig. 2 and the ES terminates at 20 generations as shown in Table 4. Note that the pair $(k_p^* = 2.9430, T_n^* = 3.2396)$ is the fictitious optimized controller. In addition, using MATLAB, we can design a PI controller using "pidtune" function as follows:

sys = zpk([],[-1,-2,-3], 6)
C0 = pidstd(1,1,0)
C = pidtune(sys, C0).

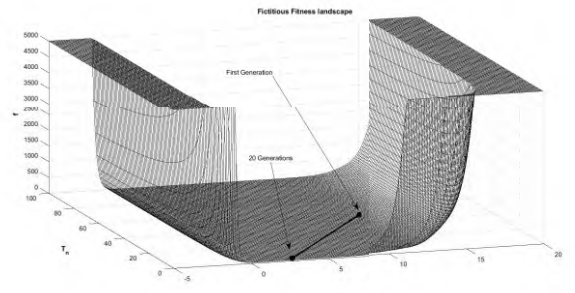

Fig. 2 The Fictitious Fitness Landscape

We obtain the pair $(k_p^* = 1.26, T_n^* = 1.51)$. Finally, three optimized controllers from the three different approaches as shown in Fig. 3.

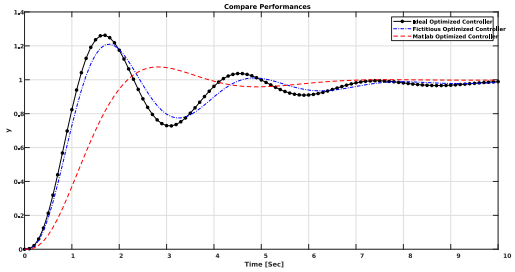

Fig. 3 Comparison

Table 4 Sixteen Optimized Controllers for the Fictitious Fitness Landscape

Rank	k_p^*	T_n^*
1	2.9430	3.2396
2	2.9273	3.1987
3	2.9377	3.3105
4	2.9635	3.2736
5	2.9396	3.3185
6	2.9017	3.2102
7	2.8999	3.1996
8	2.8930	3.1961
9	2.8894	3.1723
10	2.9359	3.3389
11	2.8910	3.1627
12	2.8955	3.1516
13	2.8852	3,1430
14	2.8846	3.1423
15	2.9593	3.1978
16	2.8808	3.1491

4. Discussions

From the experimental results as shown in Fig. 3, unfalsified control can bring the optimized controller out closely to the ideal one. This is the most important thing because we only use data obtained from measurements to evaluate the ability of candidate controllers without connecting them in the real loop. It is not the ability of artificial intelligence alone, but it is due to the method of computing the artificial error signals that makes controller performance prediction possible.

The results presented in this paper validate the core thesis: that the high-risk problem of intelligent control can be transformed into a completely safe, data-driven optimization task. This section discusses the practical implications of this framework, including its computational complexity, hardware deployment considerations, and its generality with respect to the choice of AI optimizer.

A. Computational Complexity and Real-World Deployment

A crucial aspect of any practical control strategy is its computational feasibility. The proposed Data-Driven Safeguard framework consists of two distinct computational stages:

1. Safeguard Construction (Solving Ax=b):

The heart of our method is the construction of the fictitious fitness landscape by solving the linear system Ax=b for the artificial error vector e^*. A key property of the matrix A is that it is a lower triangular Toeplitz matrix. This structure allows the system to be solved with extreme efficiency using forward substitution, a non-iterative and deterministic algorithm. The computational complexity of this step is $O(n^2)$, where n is the length of the data set. For typical control applications, where n might be a few thousand data points, this calculation is computationally trivial for any modern processor and can be completed in well under a second.

2. AI Optimization (Searching the Landscape):

Once the safeguard is in place, the AI optimizer (in our case, an Evolution Strategy) performs its search. This is the most computationally intensive part. However, it is critical to emphasize that this entire process is performed offline. The AI interacts only with the safe, virtual landscape, not the physical plant. Therefore, the runtime of the optimizer is not a real-time constraint. It is a practical engineering consideration, where a search lasting seconds or minutes is perfectly acceptable for finding optimal controller parameters before deployment.

Given this two-stage process, we can now address the question of hardware, While our initial thoughts might have considered low-cost platforms like a Raspberry Pi, the professional and safety-critical nature of this framework demands a more robust architecture. The ideal real-world deployment would utilize a hybrid hardware architecture:

- High-Level Optimizer: An Industrial PC (IPC) or a dedicated System-on-Module (SoM) like the NVIDIA Jetson would be responsible for the offline tasks: collecting the initial data set, solving the Ax=b system, and running the AI optimizer to find the optimal controller gains (Kp, Tn). Its powerful processor is well-suited for these computationally intensive, non-real-time tasks.
- Low-Level Real-Time Controller: The proven, safe controller parameters discovered by the AI are then downloaded to a dedicated Microcontroller (MCU) or a Digital Signal Controller (DSC). This hardware is solely responsible for executing the simple PI control law in hard real-time. This separation of concerns is a classic design pattern in safety-critical systems, ensuring that the complex, intelligent "brain" is isolated from the last, reliable "reflexes" of the real-time control loop. This architecture guarantees both intelligence and safety.

B. Generality and Alternative Optimization Strategies

The second key recommendation was to highlight the generality of our framework by considering other optimization methods. This is an excellent point that underscores a core strength of our approach: the Data-Driven Safeguard is optimizer-agnostic.

The framework's primary contribution is the creation of the safe virtual testbed. Once this testbed exists, any black-box optimization algorithm can be deployed to search it. We chose the Evolution Strategy (ES) for this paper as a robust, proof-of-concept demonstrator. However, other algorithms are equally viable and offer different performance trade-offs:

- Particle Swarm Optimization (PSO): PSO is another population-based algorithm, often lauded for its fast convergence speed. It could potentially find a high-quality solution in fewer iterations than ES. However, it can sometimes be more prone to premature convergence on local optima. Deploying PSO on our fictitious landscape would be a straightforward process and a valid alternative.
- Bayesian Optimization (BO): BO is a powerful technique for optimizing functions that are expensive to evaluate. It builds a probabilistic model of the objective function and uses it to select the most promising points to evaluate next. In our context, each "evaluation" is a quick calculation using the artificial error vector e^* vector, not a physical experiment. BO would be particularly interesting if the landscape were highly complex, as it is extremely sample-efficient.

The crucial point is that our framework makes it safe to use any of these. The choice of ES, PSO, or BO becomes a secondary engineering decision based on desired convergence speed and problem complexity, rather than a primary decision based on physical risk. While a detailed benchmark comparing the performance of these optimizers within our framework is a compelling direction for future work, it falls outside the scope of this paper's primary goal: to introduce and validate the safety concept itself. The success of the ES is sufficient to prove that the fictitious landscape is not only safe but also effectively searchable.

5. Conclusion

This paper has successfully introduced and validated a novel framework that fundamentally redefines the application of AI in control systems by resolving the critical issue of safety. We have demonstrated that it is possible to completely decouple the exploratory, trial-and-error nature of AI optimization from the physical plant. The "Data-Driven Safeguard" presented here constructs a "fictitious fitness landscape" – a safe and accurate virtual testbed for controller tuning – using nothing more than a single set of measured data. Our results empirically confirm that this virtual landscape is a high-fidelity replica of the true performance landscape, allowing an AI optimizer to find optimal solutions without ever posing a risk to the real-world system.

The most striking aspect of this work is perhaps its foundational simplicity. While the world pursues ever-more-complex AI models to solve the control problem, our research reveals that the key to unlocking safe intelligent control was not hidden in complexity, but in a change of perspective. By leveraging the principles of Unfalsified Control to solve for an "artificial error" via a simple linear system (Ax=b), we have turned what was once a high-risk physical experiment into a safe and deterministic computational problem. It is a classic case of a "hidden in plain sight" solution, where the most profound impact comes from the most elegant and unexpected of sources.

The implications of this discovery are far-reaching. This framework is optimizer-agnostic and can serve as a universal safety layer for a wide array of AI-based optimization techniques. It paves the way for the confident application of intelligent controllers in fields where safety is paramount, from industrial manufacturing

and robotics to autonomous vehicles. Ultimately, the "Data-Driven Safeguard" offers more than just a new technique; it offers a new philosophy for building the next generation of control systems – systems that are not only intelligent but are, by their very design, fundamentally safe.

6. Future Work

The success of the Data-Driven Safeguard framework opens up numerous exciting avenues for future research. We believe this work can serve as foundation stepping stone for a new generation of safe intelligent systems. We propose the following directions for researchers interested in building upon this paradigm:

1. Extension to MIMO and Complex Systems: The current work focused on a SISO system. A significant and valuable next step would be to extend the mathematical framework to handle MIMO systems, which are common in industrial processes. This would involve investigating the structure of the resulting linear equations and the scalability of the approach.
2. Online, Adaptive Safeguarding: This paper demonstrated an offline approach where the safeguard is constructed once before deployment. A highly impactful extension would be to develop an online, adaptive version. This would involve techniques for continuously updating the fictitious landscape using real-time data, allowing the AI to safely re-optimize the controller in response to changing system dynamics or environmental conditions, without ever needing to inject risky exploratory signals.
3. Benchmarking and Integration with Advanced AI Optimizers: While we proved the concept with an Evolution Strategy, a comprehensive study is warranted to benchmark the performance of various state-of-the-art optimizers (e.g., Bayesian Optimization, advances Reinforcement Learning agents like PPO or SAC) on the safe landscape. The goal would be to identify which optimizers are most efficient at exploiting the information contained within the data-driven safeguard.
4. Hardware-in-the-Loop (HIL) Validation: To bridge the gap between simulation and real-world application, the next logical step is to deploy and validate this framework on a Hardware-in-the-loop (HIL) testbed or a pilot-scale industrial process. This would provide invaluable data on the real-world performance and robustness of the safeguard under noisy conditions and hardware limitations, confirming its readiness for industrial adoption.
5. Formal Safety Guarantees: While our empirical results show a near-perfect match between the fictitious and real landscapes, a theoretical investigation into providing formal mathematical guarantees on the "closeness" of the two landscapes under specific noise andncertainty conditions would be a powerful contribution, further solidifying the framework's reliability for the most critical of applications.

References

[1] P.J. Antsaklis and K.M. Passino, "An Introduction to Intelligent and Autonomous Control," *Kluwer Academic Publishers*, 1993.
[2] K.S. Narendra and K. Parthasarathy, "Identification and control of dynamical systems using neural networks," *IEEE Transactions Neural Networks*, 1990;1(1):4-27.
[3] P.J. Antsaklis, "Intelligent Control, Encyclopedia of Electrical and Electronic Engineering," *John Wiley & Sons*, 1999;10:493-503.
[4] M.G. Safonov and T.C. Tsao, "The unfalsified control concept and learing," *IEEE Transactions on Automatic Control*, 1997;42(6):843-847.
[5] M. Jun and M.G. Safonov. "Automatic PID tuning: an application of unfalsified control," *1999 IEEE International Symposium on Computer Aided Control System Design*, Kohala Coast, HI, USA, 1999:328-333.
[6] J. Garcia and F. Fernandez. "A Comprehensive Survey on Safe Reinforcement Learning," *Journal of Machine Learning Research*, 2015:1437-1480.
[7] A. Ames, X. Xu, J. Grizzle, and P. Tabuada. "Control Barrier Function Based Quadratic Programs for Safety Critical Systems," *IEEE Transactions on Automatic Control*, 2017:3861-3876.
[8] H. Schwefel. "Evolution and Optimal Seeking," *John Wiley & Sons*, 1995.
[9] S. Engell, T. Tometzki, and T. Wonghong. "A New Approach to Adaptive Unfalsified Control," *2007 European Control Conference*, Kos Island, Greece, 2007:1328-1333.

Tanet Wonghong is an Assistant Professor in the Department of Electrical Engineering at Kasetsart University, Sriracha Campus. He received his Ph.D. in Bio and Chemical Engineering from TU Dortmund, Germany in 2010. His research is focused on creating fundamentally safe and reliable intelligent control systems. His interest include data-driven control, system identification, unfalsified control theory, AI safety, and the application of evolutionary algorithms to complex optimization problems.

วิธีหาค่าเหมาะสมที่สุดด้วยไฮเปอร์คิวบ์ที่ใช้กลยุทธ์การเรียนรู้แบบพลวัตของวิธีค้นหาเชิงฝูงอนุภาค

Hypercube Search with Dynamic Strategy Learning in Particle Swarm Optimization

รังสิมันต์ สิทธิกร

สาขาวิชาวิศวกรรมควบคุมอุตสาหกรรมและเครื่องมือวัด สถาบันวิศวกรรมไฟฟ้าและอิเล็กทรอนิกส์
คณะวิศวกรรมศาสตร์และเทคโนโลยี มหาวิทยาลัยเทคโนโลยีมหานคร rungsimant@mut.ac.th

บทคัดย่อ

บทความนี้เสนอวิธีหาค่าเหมาะสมที่สุดด้วยการสร้างบริเวณค้นหาขนาดเล็กที่เรียกว่าไฮเปอร์คิวบ์ ซึ่งสามารถเคลื่อนที่และขนาดลดลง ที่แปรตามสมรรถนะของการค้นหาในขณะนั้น แล้วอาศัยวิธีค้นหาเชิงฝูงอนุภาคที่ใช้กลยุทธ์การเรียนรู้เชิงพลวัตในไฮเปอร์คิวบ์ สามารถหาคำตอบในฟังก์ชันเปรียบเทียบสมรรถนะแบบดั้งเดิมได้ถึง 6 และ 5 จาก 7 ฟังก์ชันที่จำนวนมิติเท่ากับ 10 และ 30 ภายใต้เงื่อนไขจำนวนการประเมินฟังก์ชันสูงสุด 10000*D วิธีค้นหานี้มีสมรรถนะเหนือกว่าวิธีอื่นที่นำมาเปรียบเทียบ การทดสอบกับฟังก์ชันที่ถูกดัดแปลงให้ตำแหน่งคำตอบในแต่ละมิติที่ต่างกัน วิธีค้นหาที่เสนอยังคงหาคำตอบได้เช่นเดิม

คำสำคัญ: ไฮเปอร์คิวบ์ การหาค่าเหมาะสมที่สุดวิธีเชิงฝูงอนุภาค

Abstract

This paper proposes an optimization method by constructing a small search area called a hypercube, which can move and shrink based on the current search performance. The approach uses particle swarm optimization with a dynamic learning strategy within the hypercube. The method successfully found solutions for 6 and 5 out of 7 classical benchmark test functions with 10 and 30 dimensions, respectively, under the maximum function evaluation limit of 10,000*D. The proposed method outperformed other comparative optimization techniques. Moreover, the proposed method maintained strong performance even when we modified the solution of benchmark functions to position differently across dimensions.

Keywords: Hypercube, Particle Swarm Optimization

1. บทนำ

การหาค่าเหมาะสมที่สุดวิธีเชิงฝูงอนุภาค (Particle Swarm Optimization: PSO) โดย Eberhart และ Kennedy [1] อาศัยการสุ่มตำแหน่งของอนุภาคจำนวนหนึ่ง แล้วนำไปทดสอบในปัญหา ถ้ายังไม่ได้ค่าเหมาะสมที่สุด จะปรับปรุงตำแหน่งของอนุภาค โดยเรียนรู้จากตำแหน่งที่ดีที่สุดของตัวเองในอดีต (personal best: *pbest*) และตำแหน่งที่ดีที่สุดในฝูงอนุภาคจากการค้นหาที่ผ่านมา (global best: *gbest*) การทดสอบสมรรถนะวิธีค้นหาจะอาศัยฟังก์ชันเปรียบเทียบสมรรถนะ ซึ่งรู้ค่าเหมาะสมที่สุดของตำแหน่งคำตอบ วิธี PSO สามารถหาคำตอบของฟังก์ชันฐานนิยมเดียว (Unimodal function) ที่จำนวนมิติ (Dimension: D) ไม่สูง แต่การค้นหาจะแย่ลงหรือเรียกว่าติดกับดักค้นหา (trap) เมื่อทดสอบในฟังก์ชันพหุฐานนิยม (Multimodal function) แต่ด้วยจุดเด่นของวิธีค้นหาที่ไม่ซับซ้อน จึงถูกนำไปพัฒนาต่อมากมาย วิธี CLPSO โดย Liang และคณะ [2] เสนอวิธีปรับปรุงตำแหน่งในแต่ละมิติของอนุภาค ให้สามารถเรียนรู้จาก *pbest* ของอนุภาคตัวอื่นได้ สามารถหาค่าเหมาะสมที่สุดได้อย่างรวดเร็วในฟังก์ชันจำนวน 10 มิติ แต่การค้นหากลับแย่ลงในฟังก์ชันจำนวน 30 มิติ ด้วยอัลกอริทึมที่ไม่ซับซ้อน วิธี CLPSO จึงถูกนำไปพัฒนาต่อโดย Lynn และ Suganthan [3] เรียกว่า HCLPSO-EE โดยแบ่งอนุภาคออกเป็นสองกลุ่ม ที่วัตถุประสงค์การค้นหาของแต่ละกลุ่มต่างกัน คือกลุ่มที่เน้นการค้นหาในวงกว้าง (Exploration search) และกลุ่มที่เน้นการค้นหาในวงแคบ (Exploitation search) แม้ว่าสมรรถนะโดยรวมดีกว่าวิธีค้นหาอื่นที่นำมาเปรียบเทียบ แต่ทดสอบในฟังก์ชันเปรียบเทียบสมรรถนะ CEC2005 ซึ่งไม่ใช่ฟังก์ชันเดิมที่วิธี CLPSO ใช้ทดสอบ จึงไม่สามารถพิสูจน์ได้ว่าวิธี HCLPSO-EE มีสมรรถนะดีกว่าวิธี CLPSO หรือไม่ สำหรับวิธี CLPSO ยังถูกนำไปพัฒนาโดย Xia และคณะ [4] เรียกว่า TAPSO อาศัยการสร้างคลังข้อมูลอนุภาค 3 ชุด สำหรับเลือกใช้เรียนรู้การปรับปรุงตำแหน่ง ผลทดสอบในฟังก์ชันเปรียบเทียบสมรรถนะแบบดั้งเดิม ผลการค้นหาดีกว่าวิธี CLPSO และวิธีค้นหาอื่นที่นำมาเปรียบเทียบ แต่ก็ยังติดกับดักค้นหา นอกจากนี้ผลทดสอบในฟังก์ชันเปรียบเทียบสมรรถนะแบบดั้งเดิม ที่ดัดแปลงโดยใช้วิธีการเลื่อนและการหมุนให้กับค่าค้นหา ก่อนจะนำค่าไปทดสอบในฟังก์ชัน จะเป็นการเพิ่มความยากอย่างมากในการค้นหา ส่งผลให้สมรรถนะแย่ลงอย่างมาก ดังนั้น B. Zhan และคณะ [5] ที่เสนอวิธีค้นหา MASPE-HGSA ได้เสนอการดัดแปลงตำแหน่งคำตอบของฟังก์ชัน เพียงแค่การเลื่อนในหลายรูปแบบ วิธีนี้ง่ายและยังคงลักษณะเดิมของฟังก์ชัน เพียงแต่ตำแหน่งคำตอบแต่ละมิติที่ต่างกัน เป็นการค่อยเพิ่มระดับความยากให้กับฟังก์ชัน ซึ่งสามารถตรวจสอบวิธีค้นหาที่สามารถหาคำตอบกรณีตำแหน่งคำตอบแต่ละมิติเหมือนกัน จะยังคงหาคำตอบได้ดังเดิมหรือไม่ถ้าตำแหน่งคำตอบเปลี่ยนไป

วิธีค้นหา Hc-ACPSO โดย [6] สามารถหาคำตอบในฟังก์ชันเปรียบเทียบสมรรถนะแบบดั้งเดิมได้ถึง 5 ฟังก์ชัน แต่ต้องใช้อนุภาคจำนวนมากและความเร็วการค้นหาต่ำ ดังนั้นบทความนี้จึงปรับปรุงวิธี

ดังกล่าวโดยเสนอวิธี Hc-DSPSO ซึ่งจะอธิบายอัลกอริทึมทั้งสองวิธีในหัวข้อที่ 2 และ 3 ผลการทดสอบและการเปรียบเทียบสมรรถนะค้นหากับวิธีค้นหาอื่นแสดงในหัวข้อที่ 4 และสรุปผลการทดลองในหัวข้อสุดท้าย

2. วิธี Hc-ACPSO

วิธีหาค่าเหมาะสมที่สุดด้วยการจำกัดบริเวณค้นหาให้เล็กลงที่เรียกว่าไฮเปอร์คิวบ์ (Hypercube: Hc) โดย [6] สามารถหาคำตอบของฟังก์ชันเปรียบเทียบสมรรถนะจำนวนมิติสูงได้รวดเร็ว แต่ไม่ได้อธิบายวิธีการสร้าง Hc ซึ่งเป็นกระบวนการสำคัญ ดังนั้นวิธี Hc-ACPSO โดย [7] เสนอวิธีการสร้าง Hc และคลังข้อมูลเก็บตำแหน่งศูนย์กลาง Hc ไว้สำหรับสร้าง Hc ใหม่ของอัลกอริทึม โดยที่ข้อมูลในคลังได้จากกระบวนการสุ่มอนุภาคในขอบเขตของฟังก์ชัน แล้วนำไปทดสอบและเลือกตำแหน่งของอนุภาคที่ดีที่สุด ซึ่งกระบวนการดังกล่าวจะยังเกิดขึ้นในวงรอบค้นหา สำหรับขนาดความกว้างของ Hc (Hypercube width: WD) และค่าถ่วงน้ำหนัก (inertia weight: w) ของอัลกอริทึม ACPSO จะแปรตามขนาดการลดลงของค่าเหมาะสมที่สุด เทียบกับค่าจากในวงรอบค้นหาก่อนหน้า วิธีนี้สามารถหาคำตอบของฟังก์ชันจำนวน 20 มิติ แต่จะต้องใช้อนุภาคจำนวนมากถึง 200 ใน 10,000 วงรอบซ้ำของการค้นหา เมื่อคำนวณจำนวนการประเมินฟังก์ชันมากที่สุด (Maximum function evaluation: femax) ได้เท่ากับ $4x10^6$ จึงไม่เหมาะกับการค้นหาของฟังก์ชันที่จำนวนมิติสูง

3. วิธี Hc-DSPSO

หลักการของวิธีค้นหาที่เสนอ จะเริ่มจากการสร้างคลังข้อมูล Ct1 และ Ct2 ไว้สำหรับสร้าง Hc ซึ่งจะอธิบายในหัวข้อ 3.1 จากนั้นสร้าง Hc ให้ความกว้าง (WD) แต่ละมิติเท่ากับ 1.5% ของขอบเขตค้นหาของปัญหาหรือฟังก์ชัน สุ่มตำแหน่งของอนุภาคจำนวน N ในบริเวณ Hc ประเมินค่าฟังก์ชัน เก็บข้อมูลอนุภาคลงใน *pvPso* และ *cPso* รีเซ็ตตัวบ่งชี้การติดกับดักค้นหา (trap) และตัวบ่งชี้การค้นหาดีขึ้น (better) ในระหว่างการค้นหาก่อนเข้าสู่การตรวจสอบตัวบ่งชี้และเมื่อมีการประเมินค่าฟังก์ชัน นอกจากนี้จะตรวจสอบการเกินจำนวน femax เพื่อสิ้นสุดการค้นหา

เส้นทางการค้นหาในวงรอบมี 3 วิธี โดยถ้า trap ถูกเซ็ต จะไปสู่การสร้าง Hc ใหม่ ด้วยวิธีการเดียวกันกับก่อนเข้าสู่วงรอบค้นหา แต่ถ้า trap ถูกรีเซ็ต และ better ถูกเซ็ต จะลดขนาด Hc ลง โดยจะแทนที่ข้อมูล *pvPso* ด้วย *cPso* แล้วใช้ตำแหน่งของอนุภาคที่ค่าของฟังก์ชันดีที่สุดเป็นจุดศูนย์กลางใหม่ของ Hc คำนวณความกว้าง WD ใหม่ ซึ่งจะอธิบายในหัวข้อ 3.2 จากนั้นสุ่มอนุภาคใหม่จำนวน N-1 ประเมินค่าฟังก์ชัน เก็บข้อมูลของอนุภาคใหม่และอนุภาคที่เป็นจุดศูนย์กลางลงใน *cPso* แต่ถ้า better ถูกรีเซ็ต จะแทนที่ข้อมูล *pvPso* ด้วย *cPso* แล้วเข้าสู่อัลกอริทึม DSPSO ซึ่งจะอธิบายในหัวข้อ 3.3

หลังผ่านการค้นหาจากการลดขนาด Hc หรืออัลกอริทึม DSPSO จะปรับปรุงค่า trap กับ better และ w ในอัลกอริทึม DSPSO กับ WD จากนั้นปรับปรุงคลังข้อมูล Ct1 และ Ct2 แล้ววนกลับไปตรวจสอบการเกินจำนวน Femax อีกครั้ง

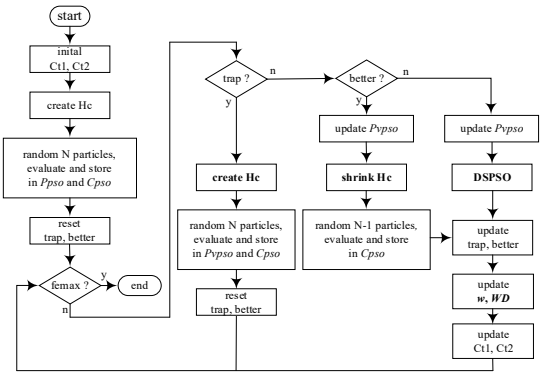

รูปที่ 1 โครงสร้าง Hc-DSPSO

3.1 วิธีการสร้างและปรับปรุงคลังข้อมูลของ Hc

ข้อมูลในคลัง Ct1 และ Ct2 ได้จากการสุ่มตำแหน่งของอนุภาคจำนวน 100 ในขอบเขตของฟังก์ชัน ประเมินค่าฟังก์ชัน แล้วเลือกตำแหน่งของอนุภาคที่ค่าฟังก์ชันดีที่สุด มาสร้างอนุภาคนี้ซ้ำจำนวน 300 จากนั้นจะแทนที่ตำแหน่งในมิติแรกของอนุภาคทั้งหมด ด้วยการสุ่มตำแหน่งใหม่เพียงมิติเดียว ประเมินค่าฟังก์ชัน ตำแหน่งในมิติแรกของอนุภาคที่ค่าฟังก์ชันดีที่สุด จะถูกเก็บใน Ct1 และเก็บตำแหน่งทุกมิติของอนุภาคนี้และค่าฟังก์ชันใน Ct2 จากนั้นเลื่อนไปทำด้วยกระบวนการเดียวกันในมิติถัดไปจนครบทุกมิติ แล้ววนกลับมาทำซ้ำอีก 2 ครั้ง ดังนั้นคลัง Ct1 จะมีอนุภาคจำนวน 3 ตำแหน่ง และคลัง Ct2 จะมีอนุภาคจำนวน 3*D ตำแหน่ง จากนั้นคำนวณค่าฟังก์ชันของอนุภาคใน Ct1 แล้วเก็บค่าไว้

ในระหว่างการค้นหา ถ้า trap ไม่ถูกเซ็ตและค่าฟังก์ชันที่ดีที่สุดของอนุภาคใน *cPso* น้อยกว่า 10 เท่า ของค่าฟังก์ชันที่แย่ที่สุดของอนุภาคในคลังข้อมูลนั้น ก็จะแทนที่อนุภาคที่แย่ที่สุดในคลังข้อมูล ด้วยอนุภาคที่ดีที่สุดใน *cPso*

3.2 การปรับปรุงค่าพารามิเตอร์

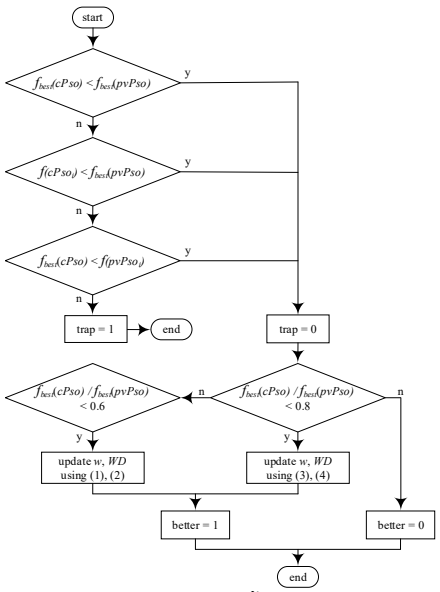

รูปที่ 2 วิธีกำหนดค่าตัวบ่งชี้ trap และ better

ในระหว่างการค้นหาถ้าค่าฟังก์ชันลดลงน้อยมาก หมายความว่าตำแหน่งคำตอบอาจไม่อยู่ใน Hc ก็จะไปสร้าง Hc ใหม่ โดยตรวจสอบจากตัวบ่งชี้การติดกับดักคือ trap ว่าถูกเซ็ตหรือไม่ โดยถ้าเงื่อนไขทั้ง 3 เป็นจริง คือ ค่าฟังก์ชันของอนุภาคที่ดีที่สุดใน *cPso* ไม่น้อยกว่าค่าของอนุภาคที่ดีที่สุดใน *pvPso* ค่าฟังก์ชันของอนุภาคที่ดีในลำดับ j ใน *cPso* ไม่น้อยกว่าค่าของอนุภาคที่ดีที่สุดใน *pvPso* และค่าฟังก์ชันของอนุภาคที่ดีที่สุดใน *cPso* ไม่น้อยกว่าค่าของอนุภาคที่ดีในลำดับ j ใน *pvPso* โดยที่ลำดับ j กำหนดให้เท่ากับ 40% ของจำนวนอนุภาค N

ดังนั้นถ้าไม่ติดกับดักการค้นหา แล้วค่าฟังก์ชันของอนุภาคที่ดีที่สุดใน *cPso* น้อยกว่า 60% ของค่าจากอนุภาคที่ดีที่สุดใน *pvPso* จะปรับปรุง w และ WD ด้วยสมการ (1) และ (2) แต่ถ้าค่าน้อยกว่ากว่า 80% จะปรับปรุงค่าทั้งสองด้วยสมการ (3) และ (4) นอกเหนือจากเงื่อนไขนี้ ค่าทั้งสองจะเท่าเดิม จากนั้นเซ็ตค่าตัวบ่งชี้ better

$$w \leftarrow \left(0.5 + 0.1\times\left(\frac{f_{best}(cPso)}{f_{best}(pvPso)}\right)^2\right)\times w \quad (1)$$

$$WD \leftarrow \left(0.5 + 0.1\times\left(\frac{f_{best}(cPso)}{f_{best}(pvPso)}\right)\right)^2 \times WD \quad (2)$$

$$w \leftarrow \left(1 - 0.1\times e^{\left(-\frac{0.5\times f_{best}(cPso)}{f_{best}(pvPso)}\right)}\right)\times w \quad (3)$$

$$WD \leftarrow \left(1 - 0.1\times e^{\left(-\frac{0.5\times f_{best}(cPso)}{f_{best}(pvPso)}\right)}\right)\times WD \quad (4)$$

เมื่อ $f_{best}(cPso)$ คือค่าฟังก์ชันที่ดีที่สุดของอนุภาคใน *cPso*

$f_{worst}(cPso)$ คือค่าฟังก์ชันที่แย่ที่สุดของอนุภาคใน *cPso*

w มีค่าเริ่มต้นเท่ากับ 0.3

3.3 อัลกอริทึม DSPSO

การปรับปรุงตำแหน่งอนุภาคใน DSPSO จะพิจารณาจากขนาดการลดลงของค่าฟังก์ชันของ *gbest* เทียบกับในวงรอบค้นหาก่อนหน้า แสดงดังรูปที่ 3 เพื่อไปสู่เงื่อนไขชั้นถัดไป ซึ่งจะตรวจสอบการลดลงของค่าฟังก์ชันของอนุภาคตัวนั้นเปรียบเทียบกับวงรอบค้นหาก่อนหน้า แล้วไปสู่เงื่อนไขชั้นสุดท้าย ซึ่งก็จะสุ่มอนุภาคมาตรวจสอบว่าอยู่ใกล้อนุภาคที่ค่าฟังก์ชันดีที่สุดหรือแย่ที่สุด ด้วยสมการ (5) จากเงื่อนไขเหล่านี้ จะไปสู่การเลือกวิธีคำนวณค่าสัมประสิทธิ์ $c1_i$ $c2_i$ และ w_i ในอัลกอริทึม DSPSO ด้วยสมการ (6)-(8) และเลือกรูปสมการคำนวณความเร็วจากตัวเลือกในสมการ (9)-(12) สำหรับปรับปรุงตำแหน่งของอนุภาคด้วยสมการ (13) ถ้าหลังการปรับปรุงแล้วตำแหน่งของอนุภาคในมิติใดอยู่นอกขอบเขต Hc จะถูกทำให้กลับมาอยู่ในบริเวณ Hc ด้วยวิธีเช่นเดียวกับใน [7]

$$\frac{f(cPso_i)}{f_{best}(cPso)} < \frac{f_{worst}(cPso)}{f(cPso_i)} \quad (5)$$

$$C1_i = 1 - 0.1\times e^{\left(-\frac{0.5\times f(cPso_i)}{f_{best}(cPso)}\right)} \quad (6)$$

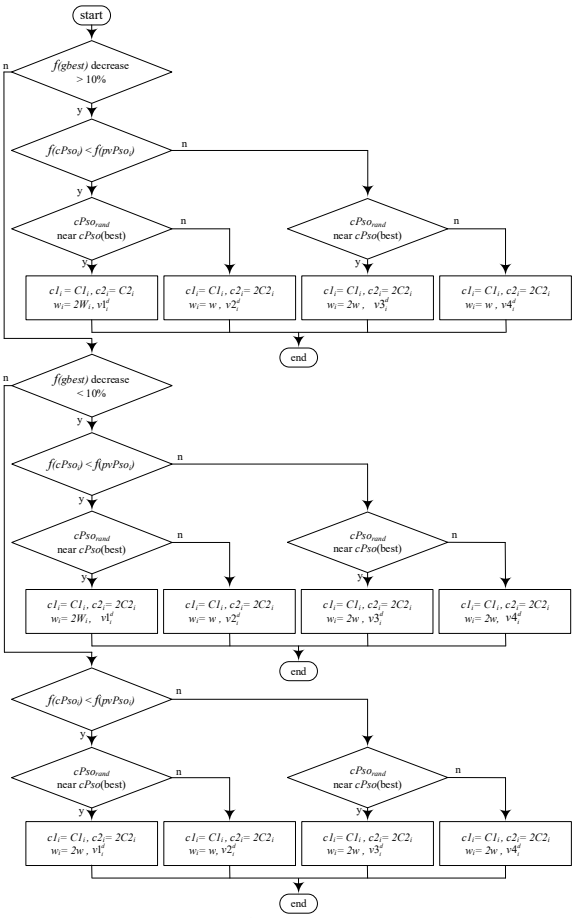

รูปที่ 3 วิธีกำหนดค่าสัมประสิทธิ์สำหรับการปรับปรุงความเร็วใน DSPSO

$$C2_i = 1 - 0.1\times e^{\left(-\frac{0.5\times f(cPso_i)}{f(gbest)}\right)} \quad (7)$$

$$W_i = w\times\frac{f(cPso_i)}{f_{worst}(cPso)} \quad (8)$$

เมื่อ $f(cPso_i)$ คือค่าฟังก์ชันของอนุภาคตัวที่ i ใน *cPso*,

$$v1_i^d \leftarrow w_i\times rand_i^d\times v_i^d + c1_i\times rand_i^d\times\left(pbest_i^d - x_i^d\right) + c2_i\times rand_i^d\times\left(gbest^d - x_i^d\right) \quad (9)$$

$$v2_i^d \leftarrow w_i\times rand_i^d\times v_i^d - c1_i\times rand_i^d\times gbest^d + c2_i\times rand_i^d\times\left(gbest^d - x_i^d\right) \quad (10)$$

$$v3_i^d \leftarrow w_i\times rand_i^d\times v_i^d + c2_i\times rand_i^d\times\left(gbest^d - x_i^d\right) \quad (11)$$

$$v4_i^d \leftarrow w_i\times rand_i^d\times v_i^d - c1_i\times rand_i^d\times gbest^d + c2_i\times rand_i^d\times\left(gbest^d - x_i^d\right) \quad (12)$$

$$x_i^d \leftarrow x_i^d + vk_i^d \;;\; k = 1,2,3,4 \quad (13)$$

4. ผลการทดลอง

การทดสอบจำนวนของอนุภาคที่เหมาะสมของวิธีค้นหา กำหนดจำนวนอนุภาคตั้งแต่ 10-50 และ 30-70 ทดสอบในฟังก์ชัน *f1-f7* [7] จำนวน 10 และ 30 มิติ ขอบเขตค้นหาเช่นเดียวกับ [4] เงื่อนไข FEmax เท่ากับ 10000*D โดยใช้โปรแกรม Matlab ทดสอบซ้ำแต่ละฟังก์ชันเป็นจำนวน 30 ครั้ง แต่ละครั้งจะถูกควบคุมให้รูปแบบการสุ่มเริ่มต้นที่ต่างกันด้วยคำสั่ง rng (Control random number generator) แสดงผลทดสอบ

ด้วยแผนภาพกล่องดังรูปที่ 4-10 โดยเพิ่มข้อมูลของค่าเฉลี่ยแบบ Mean แสดงด้วยสัญลักษณ์รูปเพชรที่ถูกแรเงา

ผลทดสอบในฟังก์ชันจำนวน 10 มิติ สามารถหาคำตอบได้ 30 ครั้ง ในฟังก์ชัน $f3$, $f5$ และ $f6$ ทุกจำนวนของอนุภาคที่ใช้ทดสอบ แต่ใน $f1$ เมื่อจำนวนอนุภาคเท่ากับ 30 ส่วน $f4$ และ $f7$ หาคำตอบได้อยู่ในช่วง 22-29 ครั้ง ส่วน $f2$ มีค่าฟังก์ชันเฉลี่ยแบบ Mean และ Median ใกล้เคียงกันเมื่อจำนวนอนุภาคระหว่าง 30-50 ส่วนผลทดสอบในฟังก์ชันจำนวน 30 มิติ สามารถหาคำตอบได้ 30 ครั้ง ในฟังก์ชัน $f4$, $f5$ และ $f6$ ทุกจำนวนของอนุภาคที่ใช้ทดสอบ ส่วน $f3$ และ $f7$ หาคำตอบได้อยู่ในช่วง 17-27 ครั้ง ในขณะที่สมรรถนะการค้นหาใน $f3$ และ $f7$ จะตรงกันข้ามกันเมื่อเปลี่ยนแปลงจำนวนอนุภาค

ความเร็วของการค้นหารูปที่ 11 มาจากการทดสอบ กรณีรูปแบบการสุ่มเริ่มต้นการค้นหาของทุกฟังก์ชันเหมือนกัน โดยใช้จำนวนอนุภาคเท่ากับ 30 และ 50 ในฟังก์ชันจำนวน 10 และ 30 มิติ สามารถหาคำตอบได้ 6 และ 5 ฟังก์ชัน และเมื่อเรียงลำดับความเร็วของการค้นหาในฟังก์ชัน จากมากไปน้อยจะเหมือนกันคือ $f6$, $f4$, $f7$, $f3$, $f5$, $f1$ และ $f2$

การเปรียบเทียบสมรรถนะระหว่างวิธีค้นหาค่าเหมาะสมที่สุดจะใช้เงื่อนไข Femax เท่ากัน โดยเลือกวิธีค้นหาที่ผลการค้นหาดีที่สุดในฟังก์ชัน $f1$-$f7$ จำนวน 10 มิติ จาก [4, 7] และเพิ่มวิธีค้นหา MASPE-HGSA ในการเปรียบเทียบฟังก์ชันจำนวน 30 มิติ แสดงดังตารางที่ 1 และ 2 สำหรับการเปรียบเทียบสมรรถนะ มักใช้ค่าเฉลี่ยของฟังก์ชันแบบ Mean เป็นเกณฑ์ประเมิน แต่ถ้าค่าฟังก์ชันซึ่งมาจากการทดสอบซ้ำ ไม่ได้มีลักษณะการกระจายแบบปรกติ (Normal distribution) เช่น ผลทดสอบ $f4$ ในตารางที่ 1 ค่าเฉลี่ยของฟังก์ชันแบบ Mean ของวิธีค้นหาทั้งหมดจะใกล้เคียงกัน แต่ค่าเฉลี่ยแบบ Median ของวิธี Hc-DSPSO เท่ากับ 0.00E+00 โดยที่ตัวเลขในวงเล็บคือจำนวน 22 ครั้งที่หาคำตอบได้ จะเห็นว่าด้วยข้อมูลค่าเฉลี่ยแบบ Median จะเห็นสมรรนะค้นหาที่แท้จริง ซึ่งจะทำให้การเปรียบเทียบสมรรถนะของวิธีค้นหามีความถูกต้องมากขึ้น

สมรรถนะวิธีค้นหาของฟังก์ชัน 10 มิติ ในตารางที่ 1 ถ้าใช้ค่าเฉลี่ยแบบ Mean เป็นเกณฑ์ประเมิน วิธี Hc-DSPSO ดีที่สุด ซึ่งดีกว่าวิธี TAPSO เพียงเล็กน้อย แต่เมื่อพิจารณาค่าเฉลี่ยแบบ Median และจำนวนครั้งที่ได้คำตอบ วิธีที่เสนอดีกว่าอย่างชัดเจน ส่วนวิธี Hc-ACPSO สามารถหาคำตอบได้ 4 ฟังก์ชัน โดยเฉพาะ $f2$ หาค่าได้ดีที่สุด แต่จำนวน Femax มากถึง $6x10^5$

สมรรถนะวิธีค้นหาของฟังก์ชัน 30 มิติ ในตารางที่ 2 วิธี TAPSO สมรรถนะค้นหาดีที่สุดในฟังก์ชันฐานนิยมเดียว แม้ว่าจะด้อยกว่า MASPE-HGSA เพียงเล็กน้อยในฟังก์ชัน $f1$ ส่วนคำตอบจะค้นหาได้เพียงฟังก์ชันเดียวคือ $f6$ สำหรับวิธี Hc-DSPSO หาคำตอบได้ 5 ฟังก์ชัน และถ้าใช้ค่าเฉลี่ยแบบ Median ประกอบการพิจารณา วิธีที่เสนอไม่ติดกับดักค้นหาในฟังก์ชัน $f2$ ในขณะที่สมรรถนะค้นหาลดลงในฟังก์ชัน $f1$

วิธี MASPE-HGSA แม้ว่าจะค้นหาได้ดีเฉพาะ $f1$ แต่ได้เพิ่มการทดสอบการค้นหาในฟังก์ชันที่ดัดแปลง ให้ตำแหน่งคำตอบซึ่งเดิมทุกมิติค่าเดียวกันให้ต่างออกไป แต่ลักษณะของฟังก์ชันยังเหมือนเดิม จึงสามารถตรวจสอบวิธีค้นหา ที่ถูกออกแบบให้หาคำตอบได้ดีเฉพาะตำแหน่งของคำตอบในทุกมิติเหมือนกัน วิธีการดัดแปลงฟังก์ชันจะแสดงในตารางที่ 3 และผลทดสอบในตารางที่ 4 สำหรับวิธี MASPE-HGSA ได้ทดสอบเฉพาะฟังก์ชันจำนวน 30 มิติ ซึ่งดัดแปลงด้วยวิธี Simple shift เท่านั้น ซึ่งยังคงสมรรถนะเดิมใน $f1$ แต่ด้อยลงใน $f2$ ส่วนวิธีที่เสนอหาคำตอบได้ 100% ทั้งในปัญหา 10 มิติ และ 30 มิติ ส่วนการค้นหาใน $f2$ ดีขึ้นเล็กน้อย

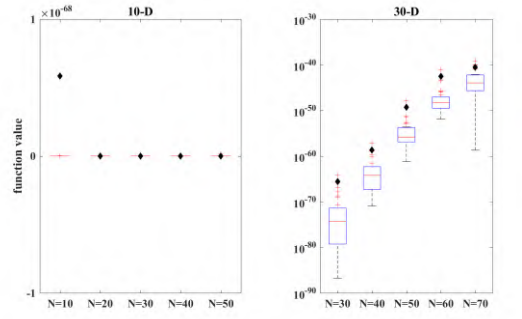

รูปที่ 4 ผลทดสอบฟังก์ชัน $f1$

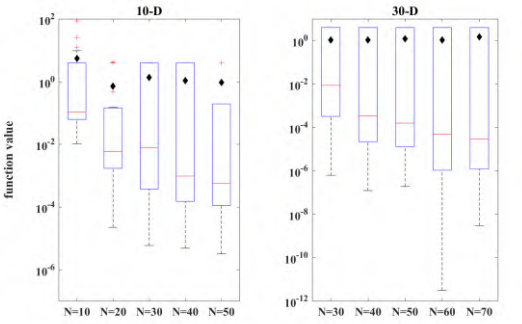

รูปที่ 5 ผลทดสอบฟังก์ชัน $f2$

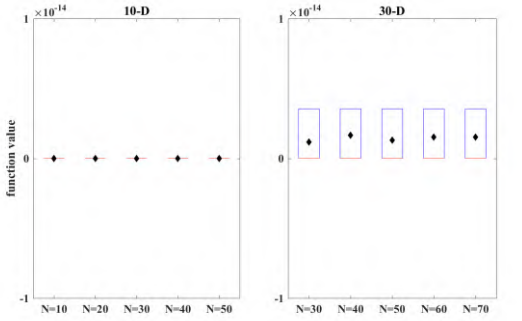

รูปที่ 6 ผลทดสอบฟังก์ชัน $f3$

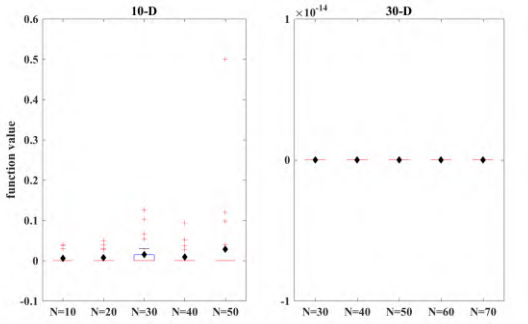

รูปที่ 7 ผลทดสอบฟังก์ชัน $f4$

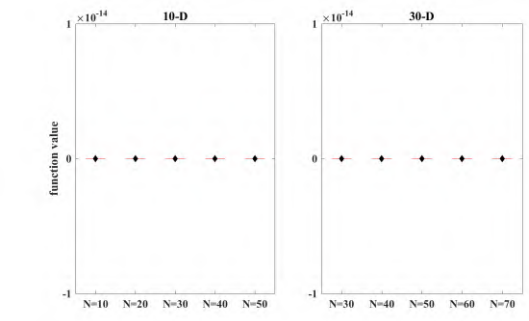

รูปที่ 8 ผลทดสอบฟังก์ชัน *f5*

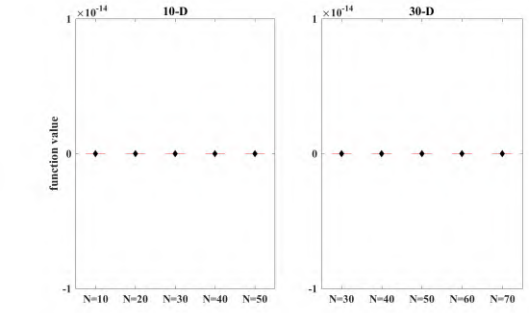

รูปที่ 9 ผลทดสอบฟังก์ชัน *f6*

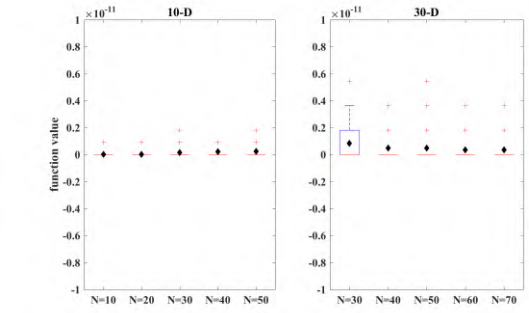

รูปที่ 10 ผลทดสอบฟังก์ชัน *f7*

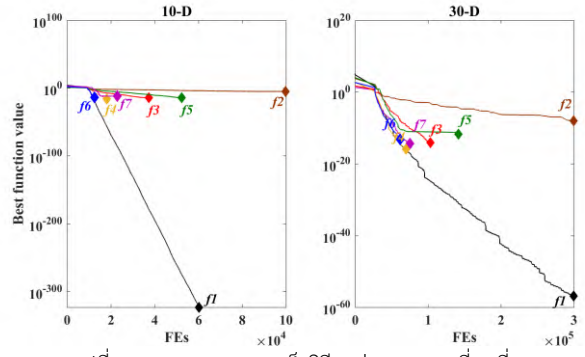

รูปที่ 11 ผลทดสอบความเร็ววิธีหาค่าเหมาะสมที่สุดที่เสนอ

5. สรุป

บทความนี้เสนอวิธีหาค่าเหมาะสมที่สุดด้วยไฮเปอร์คิวบ์ร่วมกับวิธีค้นหาเชิงฝูงอนุภาคที่อาศัยกลยุทธ์การเรียนรู้เชิงพลวัต โดยระหว่างการค้นหาถ้าได้ค่าฟังก์ชันที่ดีขึ้น ไฮเปอร์คิวบ์สามารถเคลื่อนที่และขนาดลดลงได้ จากนั้นจะสุ่มอนุภาคใหม่จำนวน N-1 ในไฮเปอร์คิวบ์ และเก็บอนุภาคที่ดีที่สุดไว้ สามารถหาคำตอบอย่างรวดเร็วในหลายฟังก์ชัน และสมรรถนะดีกว่าวิธีค้นหา Hc-ACPSO รวมถึงดีกว่าวิธีค้นหาอื่นที่นำมาเปรียบเทียบอย่างไรก็ตามยังติดกับดักค้นหา 8 ครั้ง ในฟังก์ชัน f4 จำนวน 10 มิติ เมื่อพิจารณาตำแหน่งของค่าฟังก์ชันที่ดีที่สุดจากการค้นหา มี 1-2 มิติของตำแหน่งที่อยู่ห่างจากคำตอบ ดังนั้นถ้าเพิ่มการตรวจสอบมิติที่ติดกับดักในไฮเปอร์คิวบ์ แล้วนำไปใช้เป็นข้อมูลสำหรับสร้างตำแหน่งศูนย์กลางของไฮเปอร์คิวบ์ อาจได้สมรรถนะค้นหาที่ดีขึ้น

เอกสารอ้างอิง

[1] R. Eberhart and J. Kennedy, "A new optimizer using particle swarm theory," in *MHS'95. Proceedings of the Sixth International Symposium on Micro Machine and Human Science*, Nagoya, Japan, 1995, pp. 39-43.

[2] J. J. Liang, A. K. Qin, P. N. Suganthan, and S. Baskar, "Comprehensive learning particle swarm optimizer for global optimization of multimodal functions," *IEEE Transactions on Evolutionary Computation*, vol. 10, no. 3, pp. 281-295, June 2006.

[3] N. Lynn and P. N. Suganthan, "Heterogeneous comprehensive learning particle swarm optimization with enhanced exploration and exploitation," *Swarm and Evolutionary Computation*, vol. 24, pp. 11-24, Oct. 2015.

[4] X. Xia *et al.*, "Triple archives particle swarm optimization," *IEEE Transactions on Cybernetics*, vol. 50, no. 12, pp. 4862-4875, Dec. 2020, doi: 10.1109/TCYB.2019.2943928.

[5] B. Zhan and W. Gu, "A multi-stage adaptive sequential parameter exploration hunger games search algorithm for solving complex optimization problems," *IEEE Access*, vol. 11, pp. 100919-100947, 2023, doi: 10.1109/ACCESS .2023.3308690.

[6] M. Tunay, "Evolutionary search algorithm based on hypercube optimization for high-dimension functions," *Int. J. of Comput. And Exp. Sci. and Eng.*, vol. 6, no. 1, pp. 42-62, Mar. 2020.

[7] S. Rungsimant, "Optimization methods through selecting suitable search techniques in adaptive hypercubes," *Thailand Electrical Engineering Journal*, vol. 4, no. 3, pp. 12-18, Sep. 2024.

รังสิมันต์ สิทธิกร คณะวิศวกรรมศาสตร์และเทคโนโลยี มหาวิทยาลัยเทคโนโลยีมหานคร สนใจงานวิจัยด้าน วงจรรวม เครื่องมือวัดชนิดแม่นยำสูง เซนเซอร์ และวิธีหาค่าเหมาะสมที่สุด

ตารางที่ 1 การเปรียบเทียบสมรรถนะการค้นหาในฟังก์ชันจำนวน 10 มิติ

Algorithm	*f1*		*f2*		*f3*		*f4*		*f5*		*f6*		*f7*	
	Mean	Median	Mean	Median	Mean	Median	Mean	Median	Mean	Median	Mean	Median	Mean	Median
F_PSO	1.21E-148	-	8.97E-01	-	3.55E-15	-	4.28E-02	-	0.00E+00	-	2.48E-01	-	7.14E+02	-
HCLPSO	6.81E-45	-	1.01E+00	-	4.50E-15	-	9.85E-03	--	0.00E+00	-	0.00E+00	-	3.95E+00	-
EPSO	3.51E-46	-	1.37E-01	-	4.38E-15	-	2.18E-02	-	0.00E+00	-	0.00E+00	-	1.18E+01	-
TAPSO	4.48E-273	-	1.42E-11	-	0.00E+00	-	5.98E-02	-	1.62E-03	-	0.00E+00	-	0.00E+00	-
Hc-DSPSO	0.00E+00	0.00E+00 (30)	1.34E+00	7.90E-03 (0)	0.00E+00	0.00E+00 (30)	1.48E-02	0.00E+00 (22)	0.00E+00	0.00E+00 (30)	0.00E+00	0.00E+00 (30)	1.51E-13	0.00E+00 (26)
Hc-ACPSO (Hc2)	2.61E-70	- (0)	1.93E-25	- (0)	2.96E-15	- (5)	0.00E+00	- (30)	8.02E-07	- (0)	0.00E+00	- (30)	0.00E+00	- (30)

ตารางที่ 2 การเปรียบเทียบสมรรถนะการค้นหาในฟังก์ชันจำนวน 30 มิติ

Algorithm	*f1*		*f2*		*f3*		*f4*		*f5*		*f6*		*f7*	
	Mean	Median	Mean	Median	Mean	Median	Mean	Median	Mean	Median	Mean	Median	Mean	Median
F_PSO	5.19E-58	-	2.24E+01	-	6.39E-15	-	2.48E-07	-	0.00E+00	-	1.80E01	-	2.39E+03	-
HCLPSO	3.57E-43	-	3.65E+00	-	2.46E-14	-	9.14E-16	-	2.37E-15	-	2.55E-14	-	2.37E+01	-
EPSO	1.04E-44	-	9.93E-01	-	1.59E-14	-	1.11E-16	-	1.89E-15	-	5.92E-10	-	9.70E-13	-
TAPSO	9.31E-155	-	2.86E-10	-	5.45E-15	-	9.35E-03	-	1.27E-02	-	0.00E+00	-	1.82E-13	-
Hc-DSPSO	4.77E-50	1.49E-56 (0)	1.20E+00	1.56E-04 (0)	1.30E-15	0.00E+00 (19)	0.00E+00	0.00E+00 (30)	0.00E+00	0.00E+00 (30)	0.00E+00	0.00E+00 (30)	4.84E-13	0.00E+00 (27)
MASPE-HGSA	2.70E-176	-	3.09E+00	-	5.15E-14	-	8.20E-04	-	-	-	2.08E-13	-	1.36E+03	-

ตารางที่ 3 วิธีดัดแปลงคำตอบของฟังก์ชันด้วยการเลื่อน

Function	Original	Simple shift	Step shift	Random shift
$f1(x)=\sum_{i=1}^{D} z_i^2,\ z=x-o$ $z=[z_1,z_2,\ldots,z_D],\ x=[x_1,x_2,\ldots,x_D]$	$o=[0,0,\ldots,0]$	$o=[10,10,\ldots,10]$	$o=[2,4,\ldots,2\cdot D]$	$o=[rand_1,rand_2,\ldots,rand_D]$
$f2(x)=\sum_{i=1}^{D} 100\cdot(z_{i+1}-z_i^2)^2-(z_i-1)^2$ $z=x-o,\ z=[z_1,z_2,\ldots,z_D],$ $x=[x_1,x_2,\ldots,x_D]$	$o=[0,0,\ldots,0]$	$o=[10,10,\ldots,10]$	$o=[0.5,1,\ldots,0.5\cdot(D+1)]$	$o=[rand_1,rand_2,\ldots,rand_D]$

ตาราง 4 ผลทดสอบในฟังก์ชันที่ดัดแปลง

Algorithm		Hc-DSPSO (10-D)		Hc-DSPSO (30-D)		MASPE-HGSA (30-D)	
		Mean	Median	Mean	Median	Mean	Median
f1	Original	0.00E+00	0.00E+00 (30)	4.77E-50	1.49E-56	2.70E-176	-
	Simple	0.00E+00	0.00E+00 (30)	0.00E+00	0.00E+00 (30)	2.70E-176	-
	Step	0.00E+00	0.00E+00 (30)	8.91E-28	0.00E+00 (29)	-	-
	Random	0.00E+00	0.00E+00 (30)	0.00E+00	0.00E+00 (30)	-	-
f2	Original	1.34E+00	7.90E-03 (0)	1.20E+00	1.56E-04 (0)	3.09E+00	-
	Simple	6.69E-01	3.00E-03 (0)	1.20E+00	4.50E-03 (0)	1.16E+00	-
	Step	1.26E+00	2.37E-02	9.33E-01	2.57E-04	-	-
	Random	1.22E+00	1.04E-02	9.34E-01	3.72E-04	-	-

การพัฒนาหุ่นยนต์หลบหลีกสิ่งกีดขวางโดยใช้ Arduino และ PID Controller

Development of Obstacle Avoidance Robot Using Arduino and PID Controller

เลอชัย กิรสมุทรานนท์[1], กอสิทธิ์ ประยุทธเต[1] ศิรวัฒน์ สุรโชติเวศย์[2]และกฤชนันท์ เจริญสุข[1*]

[1]สาขาวิชาเทคโนโลยีอุตสาหกรรมและการจัดการนวัตกรรม คณะวิทยาศาสตร์และเทคโนโลยี สถาบันเทคโนโลยีปทุมวัน กรุงเทพมหานคร 10330

[2]สาขาวิชาวิศวกรรมบูรณาการ คณะวิศวกรรมศาสตร์ สถาบันเทคโนโลยีปทุมวัน กรุงเทพมหานคร 10330

ติดต่อ: lerchai.k@pit.ac.th

บทคัดย่อ

งานวิจัยนี้ได้พัฒนาหุ่นยนต์หลบหลีกสิ่งกีดขวางโดยใช้เซ็นเซอร์อัลตราโซนิก (HC-SR04) ตรวจจับสิ่งกีดขวาง และ Arduino UNO R3 เป็นหน่วยประมวลผลหลัก ระบบควบคุมใช้ PID Controller เพื่อปรับการเคลื่อนที่ของหุ่นยนต์ให้เหมาะสมกับสถานการณ์ หุ่นยนต์ขับเคลื่อนด้วยโครงสร้าง 4WD Smart Robot Car Chassis ควบคุมโดยโมดูล L298N และใช้เซอร์โวมอเตอร์สำหรับการปรับมุมตรวจจับ ผลการทดลองพบว่าหุ่นยนต์สามารถตรวจจับและหลบหลีกสิ่งกีดขวางได้อย่างมีประสิทธิภาพในพื้นที่เปิด แต่ยังมีข้อจำกัด เช่น มุมการตรวจจับที่จำกัดและการตอบสนองที่ล่าช้าในบางสถานการณ์ เพื่อปรับปรุงประสิทธิภาพของหุ่นยนต์ในอนาคต อาจเพิ่มเซ็นเซอร์เสริม เช่น LIDAR หรืออินฟราเรดเพื่อขยายขอบเขตการมองเห็น ปรับปรุงอัลกอริธึมการประมวลผลให้ตอบสนองรวดเร็วยิ่งขึ้น รวมถึงพัฒนาแหล่งพลังงานให้รองรับการใช้งานได้นานขึ้น นอกจากนี้ ควรทดสอบระบบในสภาพแวดล้อมที่ซับซ้อนมากขึ้นเพื่อประเมินประสิทธิภาพในสถานการณ์จริง งานวิจัยนี้ช่วยเสริมสร้างความรู้ด้านการควบคุมระบบ การเขียนโปรแกรม Arduino และการแก้ปัญหาทางวิศวกรรมหุ่นยนต์ ซึ่งสามารถนำไปต่อยอดในการพัฒนาหุ่นยนต์อัตโนมัติและระบบอัจฉริยะในอนาคต

คำสำคัญ: หุ่นยนต์, สิ่งกีดขวาง,ไมโครคอนโทรลเลอร์,การตรวจจับ

Abstract

This research presents the development of an obstacle-avoiding robot using an ultrasonic sensor (HC-SR04) for obstacle detection and an Arduino UNO R3 as the main processor. The control system employs a PID Controller to dynamically adjust the robot's movement. The robot is driven by a 4WD Smart Robot Car Chassis and controlled by an L298N module, with a servo motor used to adjust the detection angle. Experimental results indicate that the robot effectively detects and avoids obstacles in open environments. However, limitations remain, such as restricted detection angles and delayed responses in certain situations. Future improvements may include integrating additional sensors, such as LIDAR or infrared, to enhance perception, optimizing the processing algorithm for faster response times, and improving the power system for extended operation. Further testing in more complex environments is also recommended to evaluate real-world performance. This research contributes to advancements in system control, Arduino programming, and robotic engineering, with potential applications in autonomous robotics and intelligent systems.

Keywords: robot, obstacle, microcontroller, detection

1.บทนำ

ในช่วงเวลาไม่กี่ปีที่ผ่านมาหัวข้อเกี่ยวข้องกับหุ่นยนต์เคลื่อนที่ได้กลายเป็นหัวข้อวิจัยที่ถูกวิจัยเพิ่มมากขึ้น ด้วยการเติบโตอย่างรวดเร็วของเทคโนโลยี งานวิจัยฉบับนี้จึงจัดทำขึ้นเพื่อทำการพัฒนาการทำงานของหุ่นยนต์หลบหลีกสิ่งกีดขวาง เพราะในปัจจุบันความต้องการในการใช้งานซับซ้อนและหลากหลายขึ้น เช่น การเข้าถึงพื้นที่ยากในการใช้งานอุตสาหกรรม ใช้ในการดูแลผู้ป่วยสูงอายุ หรือใช้ในเรื่องการทำความสะอาด ระบบควบคุมที่ใช้ในงานวิจัยนี้คือ PID Controller ซึ่งเป็นเทคนิคควบคุมที่มีประสิทธิภาพและสามารถนำไปปรับใช้ได้ในหลายสถานการณ์ ไม่ว่าจะเป็นการปรับความเร็ว ทิศทาง และระยะห่างจากสิ่งกีดขวางของหุ่นยนต์ได้อย่างเหมาะสม โดยมีเซ็นเซอร์ตรวจจับ RGB-D Camera, Ultrasonic Sensor และ LIDAR ทำหน้าที่ตรวจจับระยะและลักษณะของสิ่งกีดขวางในบริเวณรอบหุ่นยนต์ ก่อนส่งข้อมูลเข้าระบบเพื่อประมวลผลด้วยโปรแกรม Arduino งานวิจัยนี้มีขอบเขตให้หุ่นยนต์สามารถหลบหลีกสิ่งกีดขวางที่อยู่ด้านหน้าได้ มีเซ็นเซอร์ของหุ่นยนต์สามารถตรวจพบสิ่งที่อยู่ข้างหน้าได้ถ้าต่ำกว่า 20 เซนติเมตร หุ่นยนต์จะหลบหลีกสิ่งกีดขวางและวิ่งต่อได้ หุ่นสามารถตัดสินใจเลือกทางที่ไม่มีสิ่งกีดขวางได้ และเมื่อหุ่นไม่สามารถวิ่งหาทางออกได้เกิน 3 ครั้ง หุ่นจะหยุดทำงาน และงานวิจัยนี้โดยใช้โปรแกรม MATLAB ช่วยในการออกแบบอังกอริทึมเพื่อความแม่นยำ ในงานวิจัย ของ Seyyed Mohammad ได้ทำ การศึกษาการเครื่องที่ของ Mobile robot และทำการปรับปรุงอังกอริทึมให้คำนึงถึง Artificial Potential Field (APF) ของวัตถุ โดยไม่ติดอยู่ในตำแหน่งที่เรียกว่า Local Minimum ซึ่งเป็นข้อเสียหลักของ APF แบบเดิม ซึ่งใช้โปรแกรม MATLAB ช่วยในการออกแบบอังกอริทึม และคำนวณผลลัพธ์ความเป็นไปได้ และพบว่าอังกอริทึมที่ออกแบบไว้ทำให้ประสิทธิภาพการเคลื่อนที่ของ Mobile robot ดีขึ้น [7] และงานวิจัย Magda S.ได้ศึกษาระบบตรวจจับสิ่งกัดขวางของกล้อง RGB-Dที่ติดตั้งในหุ่นยนต์เคลื่องที่ เป็นการศึกษามุ้งประเมินความแม่นยำของการทำแผนที่สิ่งกีดขวาง โดยพิจารณาทั้งความไม่แน่นอน

*ผู้ประพันธ์บรรณกิจ

จากกล้อง RGB-Dและกระบวนการประมวลผลข้อมูล การประเมินใช้ข้อมูลจากทั้งการจำลองและข้อมูลจริง เพื่อคำนวณตัวชี้วัดด้านความแม่นยำ ผลลัพธ์แสดงให้เห็นว่า กระบวนการประมวลผลข้อมูลจากภาพและข้อมูลความลึกที่นำเสนอมีความคลาดเคลื่อนเฉลี่ยประมาณ 38 เซนติเมตร[5] รวมไปถึงงานวิจัย Kyriaki A. Tychola ได้ศึกษาวิธีการที่เกี่ยวข้องกับการจำลองและการสร้างโมเดลสามมิติ โดยเน้นไปที่การใช้เทคนิคการถ่ายภาพทาง (Photogrammetry) และสเตอริโอสโคปี (Stereoscopy) ในการสร้างแบบ 3D ที่มีความแม่นยำสูงและข้อมูลทางเมตริกโดยไม่ต้องใช้เวลาและต้นทุนสูง โดยในงานวิจัยนี้ได้อธิบายถึงเทคโนโลยีของ RGB-D Cameras ในขณะนั้น ที่เน้นการจับภาพและมีข้อมูลของความลึกของภาพที่จับ พร้อมทั้งเก็บข้อมูลในสภาพแวดล้อมทั้งแบบคงที่ (Static) และแบบเคลื่อนไหว (Dynamic) รวมถึงเทคนิคการจับภาพแผนที่ความลึก (Depth map) และอธิบายข้อมูลดีกับข้อมูลเสียไว้[4] ในงานวิจัยนี้ ของ VanQuang N. ได้เสนอแนวทางการตรวจจับข้อมูลช่องทางเดินรถและยานพาหนะเพื่อใช้ในระบบช่วยเปลี่ยนเลน (Lane Change Assistant System: LCAS) โดยใช้กล้องจับระยะ สำหรับการตรวจจับเลนใช้วิธีการตรวจจับเส้น (Line Detection) ส่วนการตรวจจับยานพาหนะนั้นจะผสานการใช้ฟิลเตอร์ขอบแนวนอน (Horizontal Edge Filter), และขอบแนวตั้ง (Vertical Edge) อัลกอริธึมที่นำเสนอสามารถประมวลผลได้โดยเฉลี่ยที่ 43 มิลลิวินาทีต่อเฟรม ซึ่งเป็นกรณีศึกาที่ดีในการใช้กล้องตรวจจับวัตถุ[9] และในงานวิจัยนี้ ผู้วิจัยAbdulkadir S. B. ได้ศึกษาและให้คำนิยาม Obstacle Avoiding Robot ไว้ว่าเป็นเครื่องจักรอัจฉริยะที่สามารถตรวจจับสิ่งกีดขวาง ได้โดยอัตโนมัติ และหลีกเลี่ยงโดยการเปลี่ยนทิศทาง ซึ่งความสามารถในการหลีกเลี่ยงการชนถือเป็นสิ่งจำเป็นพื้นฐานสำหรับหุ่นยนต์เคลื่อนที่อัตโนมัติชนิดนี้ จึงจำเป็นต้องให้ความสำคัญกับระบบนำทาง (Navigation System) ของหุ่นยนต์ [2] รวมไปถึง Abdu I. A 2023กล่าวถึงการนำทางของหุ่นยนต์ (Robotic Navigation) โดยในงานวิจัยนี้มีการพูดถึงอัลกอริธึมต่าง ๆ ที่ใช้ในการหลีกเลี่ยงสิ่งกีดขวางได้แก่ Fuzzy Logic ที่ตอบสนองได้รวดเร็ว เหมาะกับสถานการณ์ซับซ้อน แต่เน้นเฉพาะสิ่งกีดขวางแบบอยู่กับที่ (static), Model-Based Predictive Controller (MBPC) ใช้ Neural Networks และ Ultrasonic Sensors เพื่อนำทางผ่านสิ่งกีดขวางที่เกิดขึ้นโดยไม่คาดคิด, Dynamic Artificial Neural Network (DANN) ช่วยให้หุ่นยนต์หลีกเลี่ยงได้ทั้งสิ่งกีดขวางที่อยู่กับที่และเคลื่อนที่, Generalized Dynamic Fuzzy Neural Networks (GDFNN) เป็นการผสานระหว่าง Neural Network และ Fuzzy Logic เพื่อเพิ่มประสิทธิภาพในการควบคุมหุ่นยนต์แบบ Real-Time และผลการทดลอง ชี้ให้เห็นว่า GDFNN สามารถช่วยให้หุ่นยนต์หลีกเลี่ยงสิ่งกีดขวางได้อย่างมีประสิทธิภาพมากขึ้น[1] ในขณะเดียวกัน Muhammad A. B ได้ศึกษาลักษณะการทำงานของหุ่นยนต์หลีกเลี่ยงสิ่งกีดขวาง พบว่าเมื่อเปิดระบบผ่านสวิตช์ ON/OFF ตัวไมโครคอนโทรลเลอร์ Arduino จะเริ่มอ่านข้อมูลจาก เซ็นเซอร์อัลตราโซนิก เพื่อหาว่ามีสิ่งกีดขวางอยู่ด้านหน้าหรือไม่ ถ้าตรวจพบสิ่งกีดขวาง หุ่นยนต์จะถอยหลัง ถ้าไม่พบสิ่งกีดขวาง (ระยะห่างยังมากพอ) หุ่นยนต์จะเคลื่อนที่ไปข้างหน้า หุ่นยนต์จะทำแบบนี้ไปเรื่อย ๆ จนกว่าจะพบสิ่งกีดขวางและหยุด ซึ่งจากงานวิจัยอ้างพบว่าที่กล่าวมาข้างต้นเป็นพฤติกรรมโดยเฉลี่ยของหุ่นยนต์หลีกเลี่ยงสิ่งกีดขวาง ระบบนี้ใช้ภาษา C ในการพัฒนาโปรแกรมบนบอร์ด Arduino และมีหน่วยจ่ายไฟของระบบเป็นแบตเตอรี่ที่มีระบบชาร์จ[6] ในส่วนของการวิเคราะห์ นักวิจัย XINYU G. AND ZHONGYI W. ได้คลาดการและวิเคราะห์ถึงปัญหาการนำทางของหุ่นยนต์เคลื่อนที่แบบล้อ (Wheeled Mobile Robots - WMRs) รวมไปถึงสรุปวิธีการแก้ปัญหาย่อยต่าง ๆ เช่น การสร้างแผนที่ (Mapping), การระบุตำแหน่ง (Localization) และการวางแผนเส้นทาง (Path Planning) ซึ่งเป็นองค์ประกอบสำคัญของการนำทางหุ่นยนต์ พร้อมทั้งอธิบายข้อดีและข้อจำกัดของวิธีที่มีอยู่ในตอนนั้น[10] และนักวิจัย Isa A. I.ได้เขียนงานวิจัยขึ้นเพื่อมีเป้าหมายคือการรีวิวบทความที่เกี่ยวกับ เซอร์โวมอเตอร์ชนิดต่าง ๆ พร้อมทั้ง เปรียบเทียบคุณสมบัติระหว่างมอเตอร์ DC และ AC โดยมีการอภิปรายถึงข้อดีของมอเตอร์ DC ที่เหนือกว่ามอเตอร์ AC ในบางด้าน ร่วมถึงแสดงให้เห็นว่างตัว PID Controller มีบทบาทสำคัญในการควบคุมมอเตอร์ เนื่องจากสามารถจูนค่าพารามิเตอร์ได้อย่างแม่นยำ โครงสร้างไม่ซับซ้อน มีความเสถียร และเชื่อถือได้[3] คณะของ Yan P. and Jason G. ได้นำเสนออัลกอริธึมที่มีประสิทธิภาพสำหรับการตรวจจับและหลีกเลี่ยงสิ่งกีดขวางโดยใช้ Lidar แบบ 2 มิติ วิธีการนี้จะดึงข้อมูลของสิ่งกีดขวางจากข้อมูลเลเซอร์พอยต์ คลาวด์ โดยใช้เทคนิคการกรองและการจัดกลุ่ม (Clustering) พร้อมทั้งคำนวณมุมการเคลื่อนที่ไปข้างหน้าและความเร็วของหุ่นยนต์ โดยใช้ต้นทุนต่ำสุด (Minimum Cost Function) อัลกอริธึมที่พัฒนาขึ้นนี้มีข้อดีคือใช้แบบจำลองทางคณิตศาสตร์ที่ไม่ซับซ้อน และสามารถทำงานได้แบบเรียลไทม์[11] ในขณะเดียวกันนักวิจัย Rahmot U.ได้นำเสนอการออกแบบและพัฒนาหุ่นยนต์ Line Maze Solving Robot ซึ่งเป็นหุ่นยนต์วิ่งตามเส้นที่ได้รับการปรับปรุงให้สามารถแก้ปัญหาเขาวงกตและค้นหาเส้นทางที่สั้นที่สุดได้โดยอัตโนมัติ และใช้อัลกอริธึม Short Path Finder พร้อมทั้งเสริมประสิทธิภาพด้วย ระบบควบคุมความเร็วของมอเตอร์แบบ PID ที่ปรับปรุงใหม่ เพื่อให้เคลื่อนที่ตามเส้นได้อย่างแม่นยำ ระบบประกอบด้วยเซนเซอร์อินฟราเรด (IR) สำหรับตรวจจับเส้น, ไมโครคอนโทรลเลอร์สำหรับประมวลผลข้อมูล, มอเตอร์ไดร์เวอร์ควบคุมมอเตอร์ DC และเซนเซอร์อัลตราโซนิกสำหรับตรวจจับสิ่งกีดขวาง ซึ่งผลการทดลองแสดงให้เห็นว่าหุ่นยนต์สามารถนำทางจากจุดเริ่มต้นไปยังจุดสิ้นสุดได้อย่างมีประสิทธิภาพ[8]

2.ทฤษฎีที่เกี่ยวข้อง

การพัฒนาหุ่นยนต์หลบหลีกสิ่งกีดขวางจำเป็นต้องอาศัยองค์ความรู้ด้านระบบควบคุมอัตโนมัติ ระบบตรวจจับวัตถุ และการประมวลผลแบบเวลาจริง โดยทั่วไป หุ่นยนต์เคลื่อนที่ประเภทนี้จะประกอบด้วยเซนเซอร์ตรวจจับระยะทาง หน่วยประมวลผลกลาง เช่น Arduino UNO R3 และชุดขับเคลื่อนที่ควบคุมด้วยมอเตอร์แบบล้อซ้าย-ขวา Arduino เป็นบอร์ดไมโครคอนโทรลเลอร์ที่ได้รับความนิยมในการพัฒนาระบบต้นแบบ

เนื่องจากสามารถเชื่อมต่อกับอุปกรณ์ภายนอกได้หลากหลาย มีไลบรารีสนับสนุนที่ครอบคลุม และใช้งานง่าย

ระบบตรวจจับสิ่งกีดขวางของหุ่นยนต์ในงานวิจัยนี้เลือกใช้เซนเซอร์อัลตราโซนิก HC-SR04 ซึ่งทำงานโดยการส่งคลื่นเสียงความถี่สูงไปยังวัตถุและรับคลื่นสะท้อนกลับ เพื่อคำนวณระยะทางจากเวลาที่เสียงเดินทางไป-กลับ โดยใช้สมการ

$$\text{Distance} = \frac{v \cdot t}{2} \quad (1)$$

โดยที่ v คือ ความเร็วของเสียงในอากาศ (ประมาณ 343 m/s ที่อุณหภูมิ 25°C) และ t คือระยะเวลาเดินทางของคลื่นเสียงแบบไปกลับ ในระบบ Arduino มักแปลงระยะเวลาดังกล่าวเป็นเซนติเมตรโดยใช้สูตร

$$\text{Distance(cm)} = \frac{duration(\mu s)}{58} \quad (2)$$

ข้อมูลระยะทางที่ได้จากเซนเซอร์จะถูกส่งไปยังระบบควบคุมเพื่อตัดสินใจปรับทิศทางของหุ่นยนต์ โดยใช้ในการควบคุม PID (Proportional-Integral-Derivative Controller) ซึ่งเป็นกลไกควบคุมแบบฟีดแบ็คที่ได้รับความนิยมสูง เนื่องจากสามารถควบคุมการตอบสนองของระบบได้อย่างมีเสถียรภาพ ลดการแกว่ง (oscillation) และค่า steady-state error ได้ดี โดยมีสมการควบคุมพื้นฐานดังนี้

$$u(t) = K_p e(t) + K_i \int_0^t e(\tau)d\tau + K_d \frac{de(t)}{dt} \quad (3)$$

โดยที่ $u(t)$ คือ สัญญาณควบคุม, $e(t)=r(t)-y(t)$ คือค่าคลาดเคลื่อนระหว่างค่าที่ต้องการกับค่าที่วัดได้, และ K_p คือ สัดส่วน (Proportional Gain), K_i คือ อินทิกรัล (Integral Gain), K_d คือ อนุพันธ์ (Derivative Gain)[12]

ในระบบหุ่นยนต์ล้อ 2 ข้าง ค่าสัญญาณควบคุม $u(t)$ จะนำไปใช้ในการปรับความเร็วของล้อซ้ายและขวาเพื่อให้หุ่นยนต์หันไปทางที่ปลอดภัยที่สุด โดยสมการควบคุมพื้นฐานสามารถเขียนได้ว่า

$$V_{left} = V_{base} - u(t) \quad (4)$$

และ $V_{right} = V_{base} + u(t)$ (5)

ซึ่ง V_{base} คือความเร็วพื้นฐานของหุ่นยนต์ และ $u(t)$ จะเพิ่มหรือลดความเร็วของแต่ละล้อตามทิศทางที่ควรหลบหลีก

นอกจากนี้ ในกรณีที่ต้องการประสิทธิภาพที่สูงขึ้นในสภาพแวดล้อมซับซ้อน ยังสามารถผสาน PID เข้ากับอัลกอริธึมหลบหลีกขั้นสูง เช่น Vector Field Histogram (VFH) ซึ่งทำหน้าที่สร้างแผนที่เวกเตอร์ของสิ่งกีดขวางรอบตัวหุ่นยนต์ และเลือกทิศทางที่มีโอกาสชนต่ำที่สุดเพื่อกำหนดมุมเลี้ยวอย่างเหมาะสม[14] หรืออาจใช้ร่วมกับเทคนิคปัญญาประดิษฐ์ เช่น การเรียนรู้เชิงลึกหรือฟัซซีลอจิก[13]

ในส่วนของโปรแกรม Arduino IDE นั้น แพลตฟอร์มฮาร์ดแวร์และซอฟต์แวร์โอเพนซอร์ส (Open-source) ซึ่งออกแบบมาเพื่อช่วยให้เราสามารถสร้างโปรเจกต์อิเล็กทรอนิกส์ได้ง่ายขึ้น ถือเป็นอีกหนึ่งองค์ประกอบที่สะท้อนการนำแนวคิดด้านการควบคุมอัตโนมัติมาประยุกต์ใช้ในระบบฝังตัว (embedded control system) อย่างเป็นรูปธรรม Arduino IDE ทำหน้าที่เป็นแพลตฟอร์มสำหรับเขียนและอัปโหลดโปรแกรมไปยังไมโครคอนโทรลเลอร์ Arduino UNO ซึ่งเป็นตัวกลางในการควบคุมเซนเซอร์รับข้อมูลและส่งสัญญาณควบคุมการเคลื่อนไหวของหุ่นยนต์ ในเชิงทฤษฎี การนำสมการ PID มาใช้ในระบบควบคุมที่มีเวลาต่อเนื่อง (continuous-time) จะต้องมีการประมาณค่าทางคณิตศาสตร์ให้เหมาะสมกับการทำงานแบบเวลาถึง (real-time) ของโปรแกรม Arduino ซึ่งจัดเป็นระบบเวลาคู่ (discrete-time system) โดยมีการแทนค่าการอินทิกรัลและอนุพันธ์ในรูปแบบอนุกรมเวลา เพื่อให้สามารถประมวลผลได้ในแต่ละรอบของฟังก์ชันควบคุม โดยเฉพาะในกระบวนการควบคุมมอเตอร์ผ่านสัญญาณ PWM ซึ่งใช้ค่าควบคุมที่ได้จาก PID เป็นฐานในการปรับความเร็วและทิศทางของล้อหุ่นยนต์อย่างแม่นยำ

3.วิธีดำเนินงาน

การพัฒนาหุ่นยนต์เคลื่อนที่แบบอัตโนมัติเพื่อหลบหลีกสิ่งกีดขวางในงานวิจัยนี้ ประกอบด้วยการออกแบบเชิงระบบ การเลือกใช้อุปกรณ์ให้เหมาะสม การเขียนโปรแกรมควบคุมแบบเวลาจริง และการทดสอบประสิทธิภาพของระบบ โดยใช้หลักการควบคุมอัตโนมัติแบบ PID (Proportional-Integral-Derivative Control) ซึ่งมีความสามารถในการปรับพฤติกรรมของหุ่นยนต์ตามสภาพแวดล้อมอย่างยืดหยุ่นและแม่นยำ

3.1การออกแบบและประกอบโครงสร้าง

ระบบหุ่นยนต์พื้นฐานที่ใช้ในงานวิจัยนี้เป็นชุดโครงรถ 4 ล้อ (4WD Smart Robot Car Chassis) ซึ่งมีความแข็งแรง น้ำหนักเบา และสามารถติดตั้งอุปกรณ์ควบคุมได้สะดวก ตัวหุ่นยนต์ขับเคลื่อนด้วยมอเตอร์แบบ DC ขนาดเล็กจำนวน 4 ตัวที่ติดตั้งพร้อมชุดเฟืองลดรอบ เพื่อให้สามารถควบคุมความเร็วในการเคลื่อนที่ได้แม่นยำขึ้น

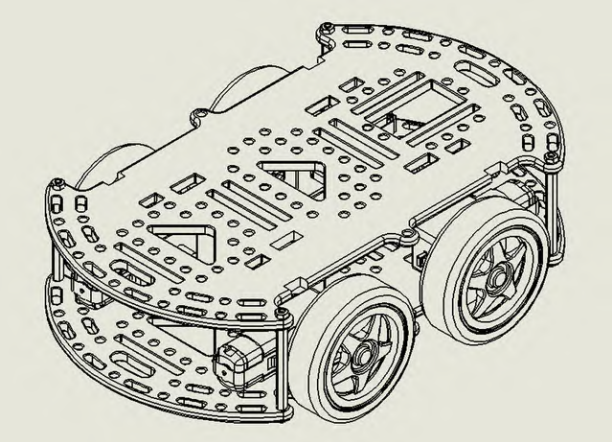

รูปที่ 1 โมเดลสามมิติชุดโครงรถ 4 ล้อ

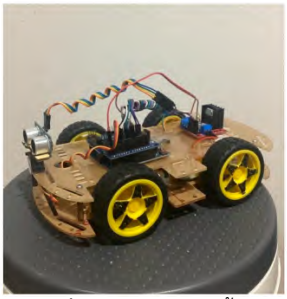

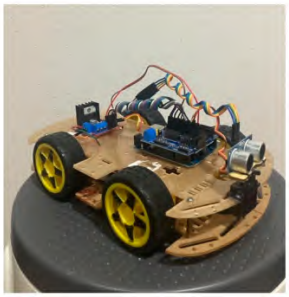

รูปที่ 2 ชุดโครงรถ 4 ล้อ (4WD Smart Robot Car Chassis) ที่ทำการติดเซ็นเซอร์แล้ว

บนตัวโครงรถ มีการติดตั้งเซนเซอร์อัลตราโซนิก HC-SR04 ซึ่งทำหน้าที่ตรวจจับระยะห่างระหว่างหุ่นยนต์กับสิ่งกีดขวาง โดยเซนเซอร์ดังกล่าวติดตั้งบนเซอร์โวมอเตอร์ SG90 เพื่อให้สามารถหมุนตรวจจับได้หลายทิศทาง เพิ่มขอบเขตการรับรู้ของหุ่นยนต์ การควบคุมการทำงานของเซนเซอร์และมอเตอร์ทั้งหมดเชื่อมต่อกับบอร์ด Arduino UNO R3 ผ่าน Sensor Shield V5.0 ซึ่งช่วยให้การจัดการสายสัญญาณเป็นระเบียบ และง่ายต่อการบำรุงรักษา

3.2ระบบควบคุมและการเขียนโปรแกรม

ระบบควบคุมของหุ่นยนต์ในงานวิจัยนี้อาศัยการประมวลผลแบบฝังตัวผ่านบอร์ด Arduino UNO R3 ซึ่งเป็นแกนกลางในการควบคุมการทำงานของเซนเซอร์ มอเตอร์ และอุปกรณ์ต่าง ๆ ที่เชื่อมต่ออยู่กับตัวหุ่นยนต์ โดยใช้ภาษา C++ ผ่านแพลตฟอร์ม Arduino IDE เพื่อพัฒนาโปรแกรมควบคุมแบบวนซ้ำ (loop-based control) ที่ตอบสนองต่อสภาพแวดล้อมแบบเวลาจริง

โปรแกรมควบคุมที่พัฒนาขึ้นมีหน้าที่ตรวจจับระยะทางระหว่างหุ่นยนต์กับสิ่งกีดขวางผ่านเซนเซอร์อัลตราโซนิก HC-SR04 ซึ่งติดตั้งบนเซอร์โวมอเตอร์ SG90 เพื่อให้สามารถหมุนสำรวจพื้นที่ด้านหน้าได้ครอบคลุมหลายทิศทาง ข้อมูลที่ได้จากการตรวจจับจะถูกประมวลผลเปรียบเทียบกับค่าระยะปลอดภัยที่กำหนดไว้ เพื่อคำนวณค่าความคลาดเคลื่อน (error) ระหว่างตำแหน่งปัจจุบันกับตำแหน่งเป้าหมาย

ค่าความคลาดเคลื่อนดังกล่าวจะถูกนำมาใช้ในสมการควบคุม PID เพื่อคำนวณสัญญาณควบคุมที่เหมาะสม โดยค่าพารามิเตอร์ของตัวควบคุมได้แก่ ค่าสัดส่วน K_p , K_i และ K_d ได้รับการปรับจูนด้วยวิธีทดลองซ้ำหลายรอบ (trial-and-error) เพื่อให้ระบบตอบสนองได้อย่างมีเสถียรภาพและลดพฤติกรรมที่ไม่พึงประสงค์ เช่น การแกว่งของล้อ (oscillation) หรือการเคลื่อนที่ผิดทิศทาง

ค่าที่ได้จากสมการ PID ถูกนำไปควบคุมความเร็วของล้อซ้ายและขวาโดยอาศัยโมดูลควบคุมมอเตอร์ L298N ซึ่งสามารถรับสัญญาณ PWM จาก Arduino เพื่อควบคุมแรงดันไฟฟ้าไปยังมอเตอร์แต่ละตัวอย่างแม่นยำ หุ่นยนต์จะเปลี่ยนทิศทางโดยการเพิ่มหรือลดความเร็วสัมพัทธ์ของล้อทั้งสองด้าน ทำให้สามารถเลี้ยวได้อย่างปลอดภัย

หลังจากการเขียนโปรแกรมและปรับจูนพารามิเตอร์แล้ว ได้มีการทดสอบระบบในสถานการณ์จริง โดยกำหนดให้หุ่นยนต์เคลื่อนที่ในพื้นที่ที่จัดวางสิ่งกีดขวางหลายลักษณะ เช่น กล่อง ท่อ และวัสดุผิวมัน เพื่อประเมินความสามารถในการตรวจจับและหลบหลีกในแต่ละกรณี ทดสอบในสภาพแสงปกติและพื้นที่เรียบ เพื่อควบคุมตัวแปรภายนอกให้ได้ผลการทดสอบที่ชัดเจน ผลการทดสอบถูกบันทึกทั้งในรูปแบบการสังเกต (observation) และการจับเวลาการตอบสนอง รวมถึงวัดความแม่นยำในการหลบหลีก

เมื่อนำทุกอย่างทั้งโครงสร้างและระบบควบคุม มาเขียนแผนภาพบล็อค(Block Diagrams) ดังรูปที่ 3 แสดงให้เห็นโครงสร้างและลำดับขั้นตอนการทำงานของระบบหลีกเลี่ยงสิ่งกีดขวางอัตโนมัติ ซึ่งพัฒนาขึ้นโดยใช้บอร์ดควบคุม Arduino UNO R3 และเขียนโปรแกรมด้วย Arduino Software (IDE) โดยระบบนี้อาศัยกลไกการควบคุมแบบสัดส่วน–ปริพันธ์–อนุพันธ์ (PID Controller) เพื่อเพิ่มความแม่นยำในการควบคุมทิศทางของการเคลื่อนที่

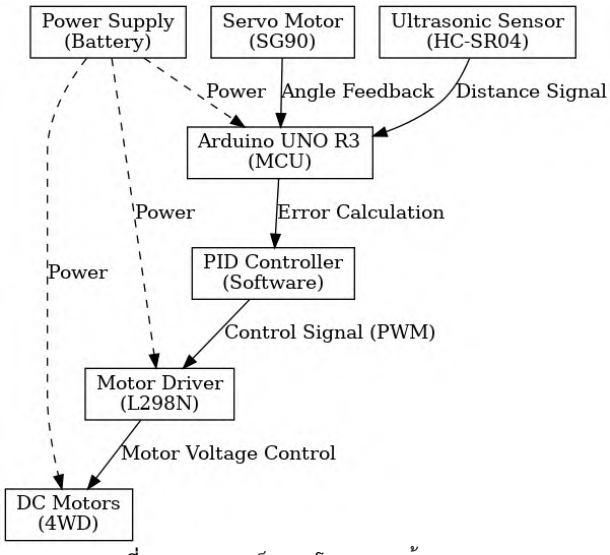

รูปที่ 3 แผนภาพบล็อคชุดโครงรถ 4 ล้อ

4.ผลการทดลอง

การทดสอบระบบหุ่นยนต์หลบหลีกสิ่งกีดขวางในงานวิจัยนี้มีวัตถุประสงค์เพื่อประเมินความสามารถของหุ่นยนต์ในด้านการตรวจจับสิ่งกีดขวาง การตอบสนองต่อสถานการณ์ที่เปลี่ยนแปลง และเสถียรภาพของระบบควบคุมแบบ PID ที่ฝังอยู่ในหน่วยประมวลผลไมโครคอนโทรลเลอร์

พื้นที่ทดสอบถูกกำหนดขนาดไว้ที่ 2 × 3 เมตร ภายในห้องปฏิบัติการซึ่งมีพื้นเรียบและแสงสว่างคงที่ เพื่อควบคุมตัวแปรแวดล้อมภายนอกให้มีผลต่อระบบน้อยที่สุด สิ่งกีดขวางที่ใช้ในการทดสอบประกอบด้วย 3 ประเภท ได้แก่

1.กล่องกระดาษลูกฟูก – พื้นผิวด้าน ดูดซับคลื่นเสียงบางส่วน

2.กล่องพลาสติกแข็ง – พื้นผิวกึ่งมัน มีการสะท้อนเสียงปานกลาง

3.แผ่นอะคริลิก – พื้นผิวเรียบมัน สะท้อนเสียงสูง

ตำแหน่งของสิ่งกีดขวางถูกจัดวางแบบสุ่มในแต่ละรอบการทดสอบ โดยหุ่นยนต์จะเริ่มต้นจากจุดกำหนด และเคลื่อนที่โดยอัตโนมัติไปตามเส้นทาง พร้อมตรวจจับสิ่งกีดขวางที่ระยะไม่เกิน 20 เซนติเมตร และตัดสินใจเลี้ยวหลบตามตรรกะควบคุมที่กำหนดไว้

4.1ผลการตรวจจับสิ่งกีดขวาง

ระบบสามารถตรวจจับสิ่งกีดขวางได้อย่างมีประสิทธิภาพ โดยค่าความแม่นยำในการตรวจจับจำแนกตามประเภทสิ่งกีดขวาง แสดงไว้ใน รูปที่ 2

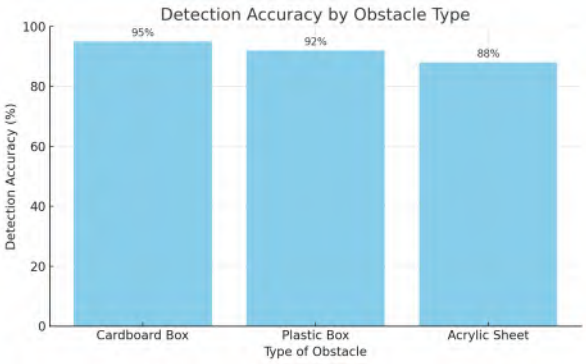

รูปที่ 3 ค่าความแม่นยำในการตรวจจับจำแนกตามประเภทสิ่งกีดขวาง

จากรูปที่ 2 จะเห็นได้ว่าหุ่นยนต์มีความแม่นยำสูงที่สุดเมื่อเจอกล่องกระดาษ (95%) รองลงมาคือกล่องพลาสติก (92%) ส่วนแผ่นอะคริลิกให้ค่าความแม่นยำต่ำสุดที่ 88% ซึ่งสอดคล้องกับคุณสมบัติการสะท้อนคลื่นเสียงของวัตถุแต่ละประเภท เมื่อหุ่นยนต์ตรวจจับสิ่งกีดขวาง ระบบควบคุม PID จะทำหน้าที่คำนวณสัญญาณควบคุมและส่งคำสั่งให้ล้อซ้าย-ขวาปรับความเร็วในทิศทางที่เหมาะสม โดยไม่เกิดอาการสั่นหรือแกว่งเกินควร หุ่นยนต์สามารถตอบสนองและเปลี่ยนทิศทางภายในเวลาประมาณ 1.1–1.4 วินาที ดังตารางที่ 1 ซึ่งถือว่าอยู่ในเกณฑ์ที่เหมาะสมสำหรับระบบควบคุมแบบเรียลไทม์ที่ประมวลผลด้วยไมโครคอนโทรลเลอร์ระดับพื้นฐาน

ตารางที่ 1 ค่าความแม่นยำในการตรวจจับจำแนกตามประเภทสิ่งกีดขวาง

ประเภทสิ่งกีดขวาง	ความแม่นยำในการตรวจจับ (%)	เวลาในการตอบสนองเฉลี่ย (วินาที)	ค่าความผิดพลาด (%)
กล่องกระดาษ	95	1.1	0.7
กล่องพลาสติก	92	1.2	1.3
แผ่นอะคริลิก	88	1.4	3.2

5.สรุปผลการทดลองและข้อเสนอแนะ

จากการออกแบบ พัฒนา และทดสอบระบบหุ่นยนต์เคลื่อนที่แบบอัตโนมัติที่สามารถหลบหลีกสิ่งกีดขวางโดยใช้เซนเซอร์อัลตราโซนิกและระบบควบคุมแบบ PID

5.1สรุปผลการทดลอง

หุ่นยนต์สามารถตรวจจับวัตถุที่อยู่ในระยะไม่เกิน 20 เซนติเมตรได้อย่างแม่นยำ และสามารถตอบสนองต่อสิ่งกีดขวางโดยการเปลี่ยนทิศทางได้อย่างเหมาะสม โดยมีความแม่นยำเฉลี่ยอยู่ในช่วง 88–95% ขึ้นอยู่กับคุณลักษณะของสิ่งกีดขวางที่ตรวจจับ

ระบบ PID ที่นำมาใช้สามารถลดพฤติกรรมการสั่นของหุ่นยนต์ขณะเลี้ยวได้อย่างมีประสิทธิภาพ โดยสามารถปรับความเร็วล้อซ้ายและขวาให้สัมพันธ์กับค่าความคลาดเคลื่อนระหว่างระยะทางที่ตรวจจับและระยะปลอดภัย ทำให้การหลบหลีกมีความนุ่มนวล ไม่เกิดการหยุดชะงักโดยไม่จำเป็น ทั้งยังสามารถตอบสนองต่อสถานการณ์ต่าง ๆ ได้ภายในเวลาเฉลี่ยประมาณ 1.1–1.4 วินาที ซึ่งถือว่าเหมาะสมกับระบบควบคุมแบบเวลาจริงบนฮาร์ดแวร์ที่มีทรัพยากรจำกัด

หุ่นยนต์ที่พัฒนาขึ้นสามารถทำงานได้อย่างเสถียรในพื้นที่ทดลองขนาด 2 × 3 เมตร โดยไม่มีการชนสิ่งกีดขวางระหว่างการทดสอบในสถานการณ์ควบคุม ซึ่งแสดงให้เห็นถึงศักยภาพของระบบในการนำไปประยุกต์ใช้ในงานจริง เช่น งานบริการในร่ม งานสำรวจพื้นที่แคบ หรือระบบนำทางอัตโนมัติในระดับต้นแบบ

5.2ข้อเสนอแนะ

แม้ว่าระบบที่พัฒนาจะสามารถทำงานได้อย่างมีประสิทธิภาพในสภาพแวดล้อมควบคุม แต่ยังมีข้อจำกัดบางประการที่ควรพิจารณาสำหรับการพัฒนาในอนาคต ได้แก่

1. ข้อจำกัดด้านการตรวจจับเซนเซอร์อัลตราโซนิกมีข้อจำกัดในการตรวจจับพื้นผิวมันหรือโค้ง ซึ่งอาจทำให้การสะท้อนของคลื่นเสียงผิดพลาด ส่งผลให้การอ่านค่าระยะทางไม่แม่นยำ ควรพิจารณาเสริมด้วยเซนเซอร์ประเภทอื่น เช่น อินฟราเรดหรือ LiDAR เพื่อเพิ่มความน่าเชื่อถือของระบบตรวจจับ

2. การขยายพื้นที่ทดสอบควรมีการทดลองในพื้นที่ที่กว้างขึ้น หรือมีสิ่งกีดขวางที่เคลื่อนไหวได้ เพื่อประเมินความสามารถของระบบในสถานการณ์จริงที่มีความซับซ้อนมากขึ้น

3. การเพิ่มการประมวลผลเชิงตรรกะ เช่น Fuzzy Logic หรือ Neural Network อาจช่วยให้หุ่นยนต์สามารถตัดสินใจได้ยืดหยุ่นขึ้น และตอบสนองต่อสถานการณ์ที่ไม่สามารถคาดการณ์ล่วงหน้าได้

4. ในการพัฒนาเชิงอุตสาหกรรม อาจพิจารณาใช้หน่วยประมวลผลที่มีประสิทธิภาพสูงขึ้น เช่น ESP32 หรือ Raspberry Pi เพื่อเพิ่มความเร็วในการตอบสนอง และรองรับการทำงานแบบหลายเซนเซอร์พร้อมกัน

6.เอกสารอ้างอิง

[1] Abdu I. A., Abdulkadir S. B., Amina I., Muhammad A. B., 2023, "The Several uses for Obstacle-Avoidance Robots.",Global Journal of Research in Engineering & Computer Sciences, ISSN: 2583-2727 (Online), Volume 03 Issue 03 2023.

[2] Abdulkadir S. B., Muhammad A. F., Amina I., Mukhtar I. B., Muhammad A. B., 2023, "Elements needed to implement the Obstacle-Avoidance Robots",Global Journal of Research in Engineering & Computer Sciences,ISSN: 2583-2727 (Online), Volume 03 Issue 03 2023.

[3] Isa A. I., Muhammad A. B., "The DC Motor Advantages: Key Benefits and Improvements over AC Motors.", Global Journal of Research in Engineering & Computer Sciences., ISSN: 2583-2727 (Online), Volume 04 Issue 05 2024.

[4] Kyriaki A. Tychola *, Ioannis Tsimperidis , George A. Papakostas * 2022, “On 3D Reconstruction Using RGB-D Cameras.”, MDPI Digital 2022, vol. 2, Page 401–423.

[5] Magda S., Marcin O., Krystian S., Maciej N., Damian K., Marcin P. and Andrzej P., 2021,"Obstacle Detection System for Agricultural Mobile RobotApplication Using RGB-D Cameras.", MDPI Sensors 2021, vol. 21, Page 5292-5310.

[6] Muhammad A. B., Mukhtar I. B., Shehu H. A., Umar F. M.,2023, Obstacle Avoidance Robot using an ultrasonic Sensor with Arduino Uno, Global Journal of Research in Engineering & Computer Sciences,ISSN: 2583-2727(Online) Volume 03 Issue 05 2023.

[7] Seyyed Mohammad H. R., Arun K. S., Jin Wang and Xiaozhu Liu 2019, “Obstacle avoidance of mobile robots using modified artificial potential field algorithm.”, EURASIP Journal on Wireless Communications and Networking 2019.

[8] Rahmot U., Kazi W., Md. Mahbub A. R., Md. Sazzadul, Islam S.and Suhel A., "INTELLIGENT MAZE-SOLVING ROBOT EQUIPPED WITH ADVANCED OBSTACLE DETECTION TECHNOLOGY" World Journal of Engineering Research and Technology (WJERT) 2025, Vol.11 Issue 2, Page 13-25.

[9] VanQuang, N., Heungsuk, K., SeoChang, J., Boo K., 2018, "A Study on Real-Time Detection Method of Lane and Vehicle for Lane Change Assistant System Using Vision System on Highway.", Eng. Sci. Technol. Int. J. 2018, Page 822–833.

[10] XINYU G. AND ZHONGYI W., 2018 "Review of Wheeled Mobile Robots Navigation Problems and Application Prospects in Agriculture", Published in IEEE Access Volume 6, Electronic ISSN: 2169-3536, Page 49248 - 49268.

[11] Yan P., Dong Q., Yuxuan Z., Shaorong X., Jun L., Jason G., 2015,"The Obstacle Detection and Obstacle Avoidance Algorithm Based on 2-D Lidar", Proceeding of the 2015 IEEE International Conference on Information and Automation Lijiang, China, August 2015, Page 1648-1653.

[12] Åström, K. J., & Murray, R. M. (2010). Feedback Systems: An Introduction for Scientists and Engineers (2nd ed.). Princeton University Press.

[13] Sousa, L. C. et al. (2025). Obstacle Avoidance Technique for Mobile Robots at Autonomous Human-Robot Collaborative Warehouse Environments. Sensors, 25(8), 2387.

[14] Borenstein, J., & Koren, Y. (1991). The Vector Field Histogram—Fast Obstacle Avoidance for Mobile Robots. IEEE Transactions on Robotics and Automation,7(3),278–288.

Design of Higher-Order Derivative PID Controller for a Water Tank System

Baitong Thongsakul, and Warakon Jantapoon*

Department of Electrical Engineering, Faculty of Engineering, Pathumwan Institute of Technology, Thailand,
warakon.j@pit.ac.th*

Abstract

This paper presents an approach to enhance the performance of a water tank control system using a higher-order derivative PID controller (HO-PID) and compares it with a traditional PID controller. The water tank system is modeled as a FOPDT system, and simulations were conducted in MATLAB/Simulink software to evaluate its performance under noise-free and noisy conditions. The simulation results clearly demonstrate that the HO-PID controller, specifically PID_5^5, outperforms the traditional PID controller in all aspects. It achieves superior transient performance with a shorter rise time and settling time, along with zero overshoot. Furthermore, it exhibits excellent disturbance rejection capabilities with the lowest IAE performance index. Under noisy conditions, the PID_5^5 controller demonstrates superior robustness by producing a smoother and less volatile control signal, which is a crucial characteristic for real-world applications.

Keywords: FOPDT, HO-PID, PID, Water Tank System.

1. Introduction

The control of nonlinear systems represents a significant and persistent challenge within industrial process applications. Among these, liquid level control in tanks is a fundamental and ubiquitous problem [1], frequently encountered in sectors ranging from chemical processing to water treatment. These systems are often characterized by inherent nonlinearities and can typically be modeled as first-order plus dead-time (FOPDT) processes [2], [3]. The presence of dead time, in particular, complicates control design, often leading to performance degradation and potential instability. Effectively managing such systems is a key area of research in the control field, demanding robust and efficient control strategies that can ensure stability and optimal performance despite these complexities.

Historically, the Proportional-Integral-Derivative (PID) controller has been the most widely adopted solution for industrial process control, including liquid level regulation. Its popularity stems from its structural simplicity, reliability, and the intuitive nature of its three control terms. However, traditional PID controller [4] exhibit significant limitations, especially when applied to systems with substantial nonlinearity or time delay. These controllers often struggle to provide a satisfactory balance between aggressive tracking and disturbance rejection, and smooth, stable operation. Common drawbacks include excessive overshoot, prolonged settling time, and a lack of robustness to variations in system parameters, which can compromise process efficiency and safety [9].

To address these shortcomings, numerous advanced control strategies have been developed specifically for FOPDT systems. Notable examples include enhanced PID structures such as the Two-Degrees-of-Freedom (2DOF-PID) controller [5], which separates setpoint tracking and disturbance rejection to improve overall performance. The Internal Model Control (IMC) [6] approach has also gained prominence due to its systematic tuning procedure, which directly incorporates the process model to achieve robust and predictable closed-loop responses. Furthermore, other advanced techniques have been applied to tackle these challenges, such as Model Predictive Control (MPC) [7], which uses a system model to predict future behavior and optimize control actions, and Fuzzy Logic Control [8], which relies on a set of rules to handle nonlinearities without requiring a precise mathematical model. However, while these methods offer significant improvements, they often introduce computational complexities or may not fully mitigate the adverse effects of strong dead time and nonlinearities, leaving room for further innovation in control design.

This study is designed to develop and assess the performance of a higher-order derivative PID (HO-PID) controller [9] – [14], which has been recently introduced by Mikulas Huba and his research team. Preliminary findings indicate that this controller significantly enhances response times. Consequently, we have selected this method for the regulation of liquid levels. We begin by approximating the system's mathematical model as a FOPDT system. Building on this foundation, a novel HO-PID controller is designed, which incorporates a second-order derivative term to enhance the system's ability to handle nonlinearities and dead time effectively. To validate the proposed controller's superior performance, the system is simulated in a realistic environment using MATLAB/Simulink. These simulations include tests under system input disturbances and measurement noise. The results are then comprehensively compared against a traditional PID controller, focusing on key metrics such as time-domain performance and the Integral Absolute Error (IAE), thereby confirming the presented HO-PID design's ability to significantly improve system response.

The remainder of this paper is structured as follows: Section 2 details the modeling of the water tank system, including the mathematical model, and the estimation of model parameters. Section 3 focuses on the design of the HO-PID. In Section 4, we present the simulation results using MATLAB/Simulink. Finally, Section 5 provides a conclusion that summarizes the key findings of this research and discusses potential avenues for future work.

*Corresponding Author

2. Water Tank System

The single tank water system is a fundamental example of industrial process control, illustrating the challenges of managing liquid levels in systems with time-varying dynamics and high nonlinearities. For this study, we utilize a virtual 3D water level control system, simulated in the Factory I/O simulator software [15], as shown in Fig. 1. This system consists of a liquid tank with two control valves and a capacitive level sensor. The control valves are operated by pneumatic actuators that accept control signals ranging from $0V$ to $10V$. The system is primarily intended for level and flow control using a PID controller. The physical properties of the tank are as follows: a height of $3m$, a diameter of $2m$, a discharge pipe radius of $0.125m$, a maximum input flow of $0.25m^3/s$, and a maximum output flow of $0.3543m^3/s$ [15].

This section will detail the mathematical modeling of this system, its linearization, and the estimation of its FOPDT model parameters.

Fig. 1 Water tank system in Factory I/O simulator [15].

2.1 Mathematical Model for Water Tank System

The dynamic behavior of a single water tank system, as illustrated in the provided Fig. 2, can be described by a nonlinear differential equation. This equation is derived from the principle of mass balance, where the rate of change of the water volume in the tank equals the inflow rate minus the outflow rate.

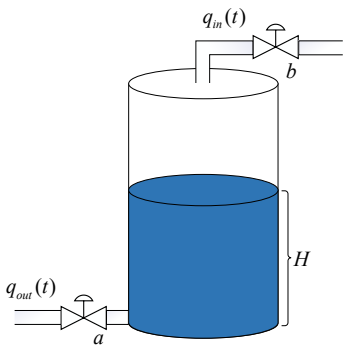

Fig. 2 Sigle tank system model.

A fundamental principle for modeling a single water tank system is the conservation of mass, which states that the rate of change of liquid volume inside the tank is equal to the inflow rate minus the outflow rate. Based on this principle, the fundamental equation for the rate of change of the water level in the tank can be expressed as

$$A\frac{dH}{dt} = q_{in}(t) - q_{out}(t), \tag{1}$$

where A is the cross-sectional area of the tank, H is the water level, $q_{in}(t)$ is the inflow rate, and $q_{out}(t)$ is the outflow rate. According to Torricelli's Law, the outflow rate is dependent on the water level, which introduces a nonlinear term into the system's equation:

$$q_{out}(t) = a\sqrt{H}, \tag{2}$$

where a is the outflow constant. Similarly, the inflow rate is expressed as $q_{in}(t) = bV$, where b is the inflow constant and V is the control input. Hence, the nonlinear dynamic equation describing the water tank system is given by

$$A\frac{dH}{dt} = bV - a\sqrt{H}. \tag{3}$$

2.2 Estimation of the FOPDT Model

The FOPDT model [2] is a widely used mathematical representation in control engineering, particularly for industrial processes that exhibit first-order dynamics and a time delay. This model is favored because of its structural simplicity and its ability to accurately reflect the dynamic behavior of many real-world systems.

From the linearized differential equation derived in the previous section, the system's dynamics can be represented by the following FOPDT transfer function:

$$G_p(s) = \frac{K_p e^{-L_p s}}{T_p s + 1}, \tag{4}$$

where K_p is process gain, T_p is time constant, and L_p is dead-time.

The modeling procedure was conducted as follows. Experimental data were collected from the water level control system using the Factory I/O environment. During the test, the outlet valve was fixed at 50%, and the inlet valve was also set to 50%. The experiment was run for $500s$. The measured input was the control voltage (in volts), and the output was the water level (in meters). These input-output datasets were then used to estimate a mathematical model via the System Identification Toolbox in MATLAB. The identified parameters of the FOPDT model were: $K_p = 0.2982$, $T_p = 70.448s$ and $L_p = 1.8s$.

Based on these parameters, the transfer function of the system can be expressed as:

$$G_p = \frac{0.2982}{70.448s + 1} \cdot e^{-1.8s}. \tag{5}$$

To validate the accuracy of the identified model, the step response of the FOPDT transfer function was compared with the actual system response obtained from the experiment. As shown in Fig. 3, the model response (dashed line) closely matches the measured data, with

a goodness of fit of 95.9%. This result confirms that the simplified FOPDT model effectively captures the essential dynamic behavior of the water level system, particularly during the transient and steady-state phases.

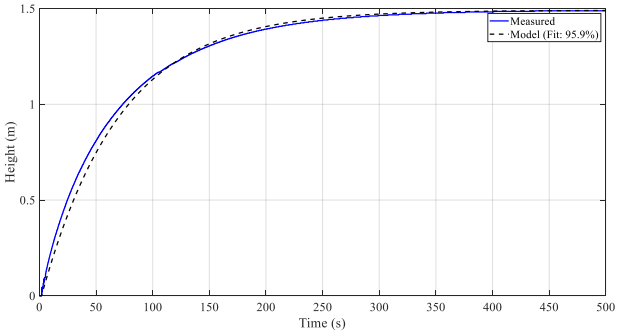

Fig. 3 Comparison between the tank level response and the first-order process model.

3. Higher-Order Derivative PID Controller

The HO-PID or PID_n^m controller was developed by Mikulas Huba and his research team [9, 10, 11, 13, 14, 16], evolving from the traditional PID controller. It incorporates additional higher-order derivative terms and filters to enhance control performance.

The PID controller with the degree of derivative being added to PID^n [16] contains higher degree of derivative and can be defined as:

$$C^m(s) = K_c + \frac{K_i}{s} + K_{D_1}s + \ldots + K_{D_m}s^m, \quad (6)$$

where $m = 0, 1, 2, \ldots$.

The purpose of the prefilter $F_p(s)$ in the control circuit is to prevent overshoot and to accelerate the system's response. Overshoot is avoided by designing the prefilter denominator to cancel the numerator of the setpoint-to-output transfer function. The response is sped up by the design of the prefilter numerator.

$$F_p(s) = \frac{b_{m+1}T_iT_{D_m}s^{m+1} + \ldots + b_2T_iT_{D_1}s^2 + b_1T_is + 1}{T_iT_{D_m}s^{m+1} + \ldots + T_iT_{D_1}s^2 + T_is + 1}, \quad (7)$$

where $m = 0, 1, 2, \ldots$.

An ideal controller that for production requires a additional filter, so the control is expanded by the n-order binomial filter.

$$Q(s) = \frac{1}{(T_fs+1)^n}, \quad (8)$$

where $n = 0, 1, 2, \ldots$ and $n \geq m$.

So, this controller can be described as follows:

$$C_n^m(s) = PID^m(s)Q_n(s). \quad (9)$$

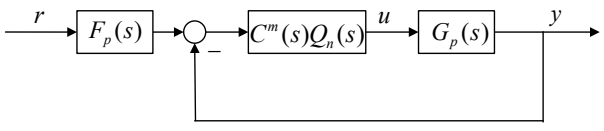

Fig. 4 Block diagram of the feedback control with HO-PID controller.

Based on the HO-PID controller structure shown in Fig. 4, an example of parameter tuning for the PID_n^m $(m = 0)$ with a prefilter $F_p(s)$ is presented using the relationships in (10),

$$C(s) = K_c\frac{1+T_is}{T_is} = K_c + \frac{K_i}{s};\ F_p(s) = \frac{b_1T_is+1}{T_is+1}. \quad (10)$$

The system's behavior is described by the transfer function:

$$\frac{Y(s)}{R(s)} = \frac{K_pK_c(b_1T_is+1)}{T_is(T_ps+1)e^{L_ps} + K_pK_c(T_is+1)}. \quad (11)$$

This function yields the characteristic quasi-polynomial shown in (12),

$$P(s) = T_is(T_ps+1)e^{L_ps} + K_pK_c(T_is+1). \quad (12)$$

The optimal set of parameters, K_c and T_i along with the prefilter tuning b_1 are determined using the Triple Real Dominant Pole (TRDP) method. This method requires identifying a dominant pole, s_0, that generates a triple root in the characteristic equation, subject to the conditions $P(s_0) = 0$, $\dot{P}(s_0) = 0$, and $\ddot{P}(s_0) = 0$. The detailed derivation of these parameters is provided in (13) – (16),

$$s_o = -\frac{A+4-S}{2L_p}, \quad (13)$$

where $A = \frac{L_p}{T_p}$ and $S = \sqrt{A^2+8}$,

$$K_c = \frac{(S-2)e^{(S-A-4)/2}}{K_pL_p}, \quad (14)$$

$$T_i = \frac{2(2-S)L_p}{A^2+2A+28-(A+10)S}, \quad (15)$$

$$b_1 = \frac{1}{T_is_o} = \frac{A^2+2A+28-(A+10)S}{(S-2)(S-A-4)}. \quad (16)$$

4. Simulation Results

To evaluate the performance of the HO-PID controller, a water tank system was simulated using a process approximated by a FOPDT model. The system parameters were identified as follows: process gain $K_p = 0.2982$, time constant $T_p = 70.448s$, and dead-time $L_p = 1.8s$. The simulations were conducted using MATLAB/Simulink with a sample time of $0.1s$ and a total simulation duration of $2000s$.

This study compares the performance of two controllers: (i) the traditional PID controller tuned using the IMC method with a tuning parameter of $\lambda = 20$, selected to minimize the IAE and (ii) the HO-PID controller, designed with a maximum derivative order of $m \leq 5$ and a binomial filter order of at $n = 5$ at $T_f = 16.5$. To simplify, we define a prefilter using a binomial filter of $n = 2$ as described in [14]. The controller parameters for the HO-PID are listed in Table 1.

The simulation was conducted under two scenarios: one without measurement noise and the other with noise. The first interval, from $0s$ to $1000s$, evaluated the

system's step response to a reference level of $1.5m$. The second interval, from $1000s$ to $2000s$, assessed the controllers' ability to reject input disturbances.

To quantitatively assess performance, time-domain response metrics (namely rise time, settling time, and percentage overshoot) were measured. In addition, the IAE performance index was used to evaluate the overall control effectiveness of each controller.

Table 1. HO-PID controller parameters.

	K_c	K_i	K_{D_1}	K_{D_2}	K_{D_3}	K_{D_4}	K_{D_5}
PID_5^0	1.858	0.023	-	-	-	-	-
PID_5^1	4.269	0.038	0.112	-	-	-	-
PID_5^2	7.849	0.062	0.304	0.039	-	-	-
PID_5^3	14.27	0.103	0.662	0.133	0.102	-	-
PID_5^4	30.24	0.206	1.566	0.385	0.464	0.226	-
PID_5^5	143.7	0.939	8.021	2.225	3.324	2.571	8.110

Remark: $K_{D_1}\times10^3$, $K_{D_2}\times10^5$, $K_{D_3}\times10^6$, and $(K_{D_4}, K_{D_5})\times10^7$

4.1 Simulation Results without Noise

Based on the simulation results shown in Fig. 5 and Table 2 under noise-free conditions, the HO-PID controllers (specifically PID_5^4 and PID_5^5) demonstrate significantly better reference tracking performance than the traditional PID controller. These higher-order controllers achieve shorter rise time and lower percentage overshoots. As illustrated in Fig. 5(a), increasing the derivative order in the HO-PID structure enhances the system's ability to track a $1.5m$ step reference with improved speed and accuracy. The corresponding control signals in Fig. 6(b) for the PID_5^5 controller are smoother and exhibit fewer oscillations.

Furthermore, Fig. 5(c) presents the system's response to an input disturbance applied from $1000s$ to $2000s$. The PID_5^5 controller demonstrates a superior disturbance rejection capability compared to both the traditional PID and lower-order HO-PID controllers, maintaining the water level near the desired setpoint with greater stability. T0his is quantitatively supported by the IAE metric in Table 2, where PID_5^5 achieves the lowest overall IAE of 54.86. Notably, under the disturbance scenario, the IAE value drops to 1.06, highlighting the controller's high precision and effectiveness in minimizing output error.

4.2 Simulation Results with Noise

This section presents the simulation results showing the performance of the controllers when the system is subjected to noise. A band-limited white noise block was used, with a noise power of 0.001 and a sample time of $4s$. As shown in Fig. 6(a) and Table 3, the HO-PID controllers, particularly PID_5^5, demonstrate superior reference tracking. They achieve significantly shorter rise time and lower overshoots compared to the traditional PID controller. The values in Table 3 also confirm that the HO-PID can effectively reduce the IAE during the step response, reflecting higher control accuracy. The corresponding control signals in Fig. 6(b) show that PID_5^5 produces a smoother and less volatile signal than the other controllers, even with measurement noise present.

For the disturbance rejection tests in Fig. 6(c), conducted between $1000s$ to $2000s$, the PID_5^5 controller again demonstrates the best performance by maintaining the water level near the reference value with significantly less fluctuation. Fig. 6(d) further illustrates that the control signal of PID_5^5 is less volatile under these conditions, confirming its superior ability to handle disturbances. When evaluating the quantitative performance indices in Table 3, the PID_5^5 controller yields the lowest IAE value of 1.06, which are the best results among all controllers tested. This confirms that the HO-PID controller possesses superior robustness to noise compared to the traditional PID and lower-order HO-PID controllers.

Table 2. Performance of simulation without noise.

Controllers	Rise time	Settling time	%Overshoot	IAE
Step responses				
PID	80.1086	131.8111	0.3936	58.41
PID_5^0	160.9709	504.1695	5.9827	296.5
PID_5^1	100.7701	304.4883	5.9180	195.1
PID_5^2	73.5806	201.6114	4.1151	137.4
PID_5^3	58.9747	111.2366	0.4135	98.65
PID_5^4	54.5538	113.4650	0.0000	73.89
PID_5^5	55.3741	99.8267	0.0000	54.86
Disturbance rejection				
PID	-	164.9482	5.2028	11.27
PID_5^0	-	322.7042	14.3523	45.80
PID_5^1	-	221.8293	11.6776	26.10
PID_5^2	-	164.4332	9.0821	16.30
PID_5^3	-	119.6235	6.4872	9.75
PID_5^4	-	65.7452	3.8129	4.85
PID_5^5	-	0.0000	0.9888	1.06

Table 3. Performance of simulation with noise.

Controllers	Rise time	Settling time	%Overshoot	IAE
Step responses				
PID	79.4524	131.7789	0.7818	60.43
PID_5^0	160.6506	501.0646	5.9095	297.2
PID_5^1	100.4719	304.8091	6.0075	197.0
PID_5^2	73.0668	201.7164	4.1154	139.4
PID_5^3	58.3524	109.8072	0.6301	101.8
PID_5^4	53.5310	112.3676	0.9129	78.24
PID_5^5	55.3741	99.8267	0.0000	54.86
Disturbance rejection				
PID	-	159.8414	5.3220	12.79
PID_5^0	-	319.8406	14.3991	45.80
PID_5^1	-	217.2324	11.7912	27.40
PID_5^2	-	158.8933	9.2291	17.90
PID_5^3	-	121.3039	6.5218	11.60
PID_5^4	-	73.7834	3.6745	7.45
PID_5^5	-	0.0000	0.9888	1.06

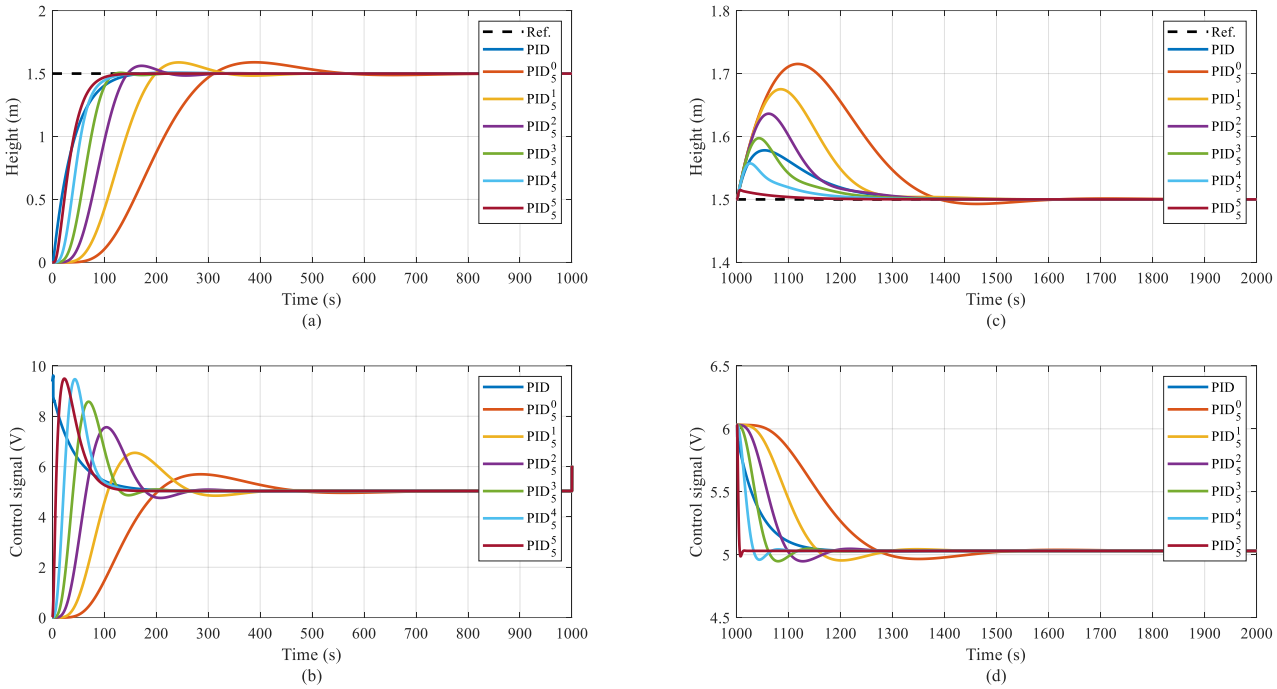

Fig. 5 Simulation results of a water level control system under noise-free conditions, comparing the performance of traditional PID and HO-PID. (a) System's step response during setpoint tracking to a reference of 1.5 m. (b) Corresponding control signals generated during the tracking phase. (c) System response to an input disturbance. (d) Control signals applied during the disturbance rejection phase.

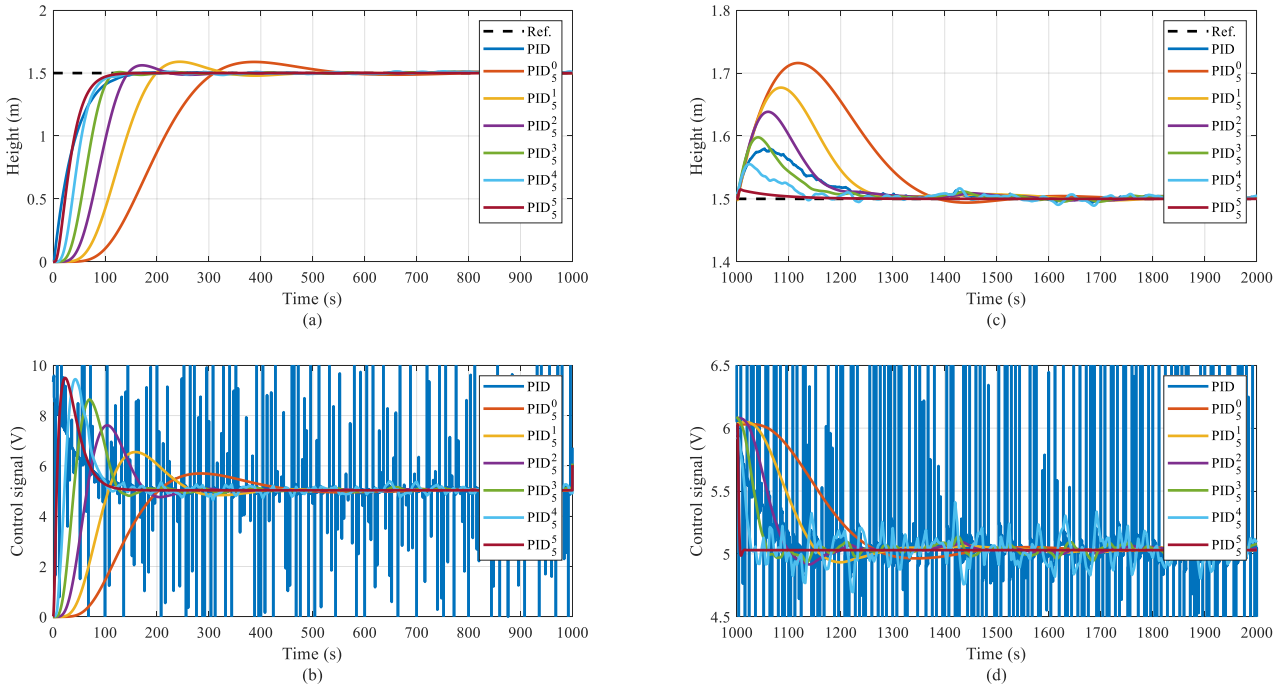

Fig. 6. Simulation results of a water level control system under noisy conditions, comparing the performance of traditional PID and HO-PID controllers. (a) Step response for setpoint tracking in the presence of measurement noise. (b) Corresponding control signals during the tracking phase. (c) System response during input disturbance rejection. (d) Control signals during disturbance rejection under noisy conditions.

5. Conclusion

This research investigated and analyzed the performance of a water level control system using HO-PID controller in comparison to a traditional PID controller. The study's findings can be summarized as follows. This work proposed an enhancement to the traditional PID controller by incorporating higher-order derivative terms into its structure, aiming to improve the control performance of sluggish and high-inertia systems like the water level system. From the simulations conducted under both noise-free and noisy conditions, it was found that the HO-PID controller, particularly the PID_5^5, consistently demonstrated a superior performance to the traditional PID controller. Under noise-free conditions, the PID_5^5 controller achieved a faster and more accurate response to the reference signal, characterized by a shorter rise time and a lower overshoot percentage. Furthermore, it exhibited excellent disturbance rejection capabilities, maintaining the water level near the setpoint with great stability, which was supported by the lowest quantitative performance index, IAE. When simulated under noisy conditions, the results further confirmed the superior robustness of the PID_5^5. It effectively managed noise, resulting in a smoother and less volatile control signal, a crucial characteristic for real-world applications. In conclusion, the application of a HO-PID controller, specifically the PID_5^5, can significantly enhance the performance of a water tank control system in terms of transient response, disturbance rejection, and control accuracy. This research supports the notion that the HO-PID concept is a highly effective alternative for application in industrial process control systems.

For future work, further research should involve applying the HO-PID controller to a real physical system to validate its performance in a real-world scenario.

References

[1] D. Izci and S. Ekinci, “Optimizing Three-Tank Liquid Level Control: Insights from Prairie Dog Optimization,” International Journal of Robotics and Control Systems, vol. 3, no. 3, pp. 599–608, Aug. 2023.

[2] C. I. Muresan and C. M. Ionescu, “Generalization of the FOPDT Model for Identification and Control Purposes,” Processes, vol. 8, no. 6, p. 682, Jun. 2020.

[3] Z. Huang, T. Li, Y. Long, H. Liang, C. L. P. Chen, and H. Yang, “Improved prescribed performance control for nonlinear systems with unknown control direction and input dead-zone,” International Journal of Robust and Nonlinear Control, vol. 34, no. 7, pp. 4489–4508, Jan. 2024.

[4] D. S. Bhandare and N. R. Kulkarni, “Performances evaluation and comparison of PID controller and fuzzy logic controller for process liquid level control,” Oct. 2015, vol. 20, pp. 1347–1352.

[5] K. Bingi, R. Ibrahim, S. M. Hassan, V. R. Harindran, and M. N. Karsiti, “A comparative study of 2DOF PID and 2DOF fractional order PID controllers on a class of unstable systems,” Archives of Control Sciences, vol. 28, no. 4, pp. 635–682, Jul. 2023.

[6] R. Ranganayakulu, A. Seshagiri Rao, and G. Uday Bhaskar Babu, “Analytical design of fractional IMC filter – PID control strategy for performance enhancement of cascade control systems,” International Journal of Systems Science, vol. 51, no. 10, pp. 1699–1713, Jun. 2020.

[7] J. A. Paulson and A. Mesbah, “Approximate Closed-Loop Robust Model Predictive Control With Guaranteed Stability and Constraint Satisfaction,” IEEE Control Systems Letters, vol. 4, no. 3, pp. 719–724, Jul. 2020.

[8] A. T. Nguyen, J.-W. Jung, A. U. Rehman, S.-W. Ryu, and H. H. Choi, “Improved Continuous Control Set Model Predictive Control for Three-Phase CVCF Inverters: Fuzzy Logic Approach,” IEEE Access, vol. 9, pp. 75158–75168, Jan. 2021.

[9] M. Huba, D. Vrancic and P. Bistak, "PID Control With Higher Order Derivative Degrees for IPDT Plant Models," in IEEE Access, vol. 9, pp. 2478-2495, 2021.

[10] M. Huba, D. Vrancic and P. Bistak, "Series PID Control With Higher-Order Derivatives for Processes Approximated by IPDT Models," in IEEE Transactions on Automation Science and Engineering, vol. 21, no. 3, pp. 4406-4418, July 2024.

[11] P. Bistak, M. Huba, D. Vrancic, and S. Chamraz, “IPDT model-based Ziegler–Nichols tuning generalized to controllers with higher-order derivatives,” Sensors, vol. 23, no. 8, p. 3787, 2023.

[12] M. Zirkohi and S. Khorashadizadeh, “Chaos synchronization using higher-order adaptive PID controller,” AEU - Int. J. Electron. Commun., vol. 94, pp. 157–167, Sep. 2018.

[13] P. Bisták and M. Huba, "Analysis of Higher Derivative Degree PID Controllers via Virtual Laboratory," 2019 27th Mediterranean Conference on Control and Automation (MED), Akko, Israel, 2019, pp. 256-261.

[14] D. Vrančić and M. Huba, “High-order filtered PID controller tuning based on magnitude optimum,” Mathematics, vol. 9, no. 12, p. 1340, Jun. 2021

[15] Real Games, “Stations - FACTORY I/O,” Factory I/O Documentation, [Online]. Available: https://docs.factoryio.com/manual/parts/stations/#palletizer. [Accessed: Aug. 4, 2025].

[16] P. Bisták and M. Huba, "Analysis of Higher Derivative Degree PID Controllers via Virtual Laboratory," 2019 27th Mediterranean Conference on Control and Automation (MED), Akko, Israel, 2019, pp. 256-261.

การออกแบบตัวควบคุมโหมดการเลื่อนของระบบขับเคลื่อนจักรยานไฟฟ้าพลังงานไฮโดรเจน

The Sliding Mode Controller Design of Hydrogen-Powered Electric Bicycle Drive System

วุฒินันท์ สุระขันต์[1] กองพัน อารีรักษ์[2] อภิชัย สุยะพันธ์[3] และ จักรกริช ภักดีโต[4*]

[1]สาขาวิชาวิศวกรรมไฟฟ้าและคอมพิวเตอร์ สำนักวิชาวิศวกรรมศาสตร์ มหาวิทยาลัยเทคโนโลยีสุรนารี
[2]สาขาวิชาวิศวกรรมไฟฟ้า สำนักวิชาวิศวกรรมศาสตร์ มหาวิทยาลัยเทคโนโลยีสุรนารี
[3]ภาควิชาวิศวกรรมไฟฟ้า คณะวิศวกรรมศาสตร์ มหาวิทยาลัยเทคโนโลยีพระจอมเกล้าธนบุรี
[4]ภาควิชาครุศาสตร์ไฟฟ้า คณะครุศาสตร์อุตสาหกรรม มหาวิทยาลัยเทคโนโลยีพระจอมเกล้าพระนครเหนือ
*Corresponding author : jakkritpa@kmutnb.ac.th

บทคัดย่อ

บทความนี้ได้นำเสนอการออกแบบตัวควบคุมโหมดการเลื่อนสำหรับวงจรแปลงผันกำลังไฟฟ้าดีซีเป็นดีซีแบบสองทิศทางชนิดฮาร์ฟบริดจ์ สำหรับควบคุมการส่งจ่ายกำลังไฟฟ้าจากแหล่งจ่ายเซลล์เชื้อเพลิงไปยังโหลดกำลังไฟฟ้าคงตัวในระบบจักรยานไฟฟ้า เพื่อควบคุมแรงดันไฟฟ้าเอาต์พุตให้มีค่าคงที่และผลตอบสนองที่ดี การออกแบบจะใช้วิธีการสุ่มค่าพารามิเตอร์ตัวควบคุมโหมดการเลื่อน จากนั้นนำไปตรวจสอบสมรรถนะของตัวควบคุมโดยอาศัยการจำลองสถานการณ์บน SIMULINK ของโปรแกรม MATLAB ผลการจำลองสถานการณ์แสดงให้เห็นว่าตัวควบคุมโหมดการเลื่อนสามารถควบคุมการส่งจ่ายกำลังไฟฟ้าจากแหล่งจ่ายเซลล์เชื้อเพลิงไปยังโหลดกำลังไฟฟ้าคงตัวได้ถึงค่าพิกัด แรงดันไฟฟ้าเอาต์พุตของวงจรแปลงผันเป็นไปตามมาตรฐาน ISO 21780 : 2020 ยิ่งไปกว่านั้นผลตอบสนองเชิงพลวัตของระบบยังมีความรวดเร็วสำหรับนำไปใช้กับชุดทดสอบจริงในอนาคต

คำสำคัญ: ตัวควบคุมโหมดการเลื่อน วงจรแปลงผันกำลังไฟฟ้าดีซีเป็นดีซีแบบสองทิศทางชนิดฮาร์ฟบริดจ์ จักรยานไฟฟ้าพลังงานไฮโดรเจน

Abstract

This paper presents the design of a sliding mode controller for a half-bridge bidirectional DC-DC converter which is used to control the power from a fuel cell stack feeding to a constant power load in an electric bike application. The aim is the output voltage regulation achieving a good dynamic response. The trial and error technique is used for design process. This controller is then evaluated via simulation results from MATLAB/SIMULINK. The simulation results demonstrate that the proposed sliding mode controller can effectively control the power from the fuel cell to until the constant power load reaches up the rated power. The output voltage regulation can achieve the ISO 21780: 2020 standard. Moreover, the system can provide the fast dynamic responses for the experiment in the future.

Keywords: sliding mode control, half bridge bidirectional DC/DC converter, hydrogen electric bike

1. บทนำ

ในปัจจุบันพลังงานจากไฮโดรเจน (H_2) ถือว่าเป็นพลังงานสะอาดอีกหนึ่งทางเลือกที่นำไปสร้างเป็นพลังงานไฟฟ้า โดยผ่านการทำปฏิกิริยาทางเคมีร่วมกับออกซิเจน (O_2) ผ่านแหล่งจ่ายไฟฟ้าที่เรียกว่า เซลล์เชื้อเพลิง (Fuel cell) อีกทั้งกระบวนการสร้างพลังงานไฟฟ้าไม่มีการปล่อยคาร์บอนไดออกไซด์ (CO_2) ทำให้เป็นมิตรต่อสิ่งแวดล้อม [1-2]

ด้วยเหตุผลข้างต้น มีแนวโน้มว่าการขนส่งในอนาคตจะมีการใช้พลังงานไฟฟ้าจากไฮโดรเจนเป็นจำนวนมากในระบบยานยนต์ไฟฟ้า (EVs) อีกหนึ่งในยานพาหนะในปัจจุบันที่มีการพัฒนาให้ใช้พลังงานสะอาดคือจักรยานไฟฟ้า (E-Bike) ซึ่งมีการใช้งานกันอย่างแพร่หลายเนื่องจากใช้งานง่ายและสะดวก อย่างไรก็ตามการสร้างกำลังไฟฟ้าจากพลังงานไฮโดรเจนยังมีความไม่คงที่ของแรงดันไฟฟ้าเอาต์พุตของเซลล์เชื้อเพลิง [1-4] จำเป็นต้องอาศัยการควบคุมด้วยวงจรแปลงผันกำลังไฟฟ้า บทความนี้จึงมุ่งเน้นไปที่การออกแบบตัวควบคุมของเพื่อคงค่าแรงดัน วงจรที่นำมาประยุกต์ คือ วงจรแปลงผันกำลังไฟฟ้าดีซีเป็นดีซีแบบสองทิศทางชนิดฮาร์ฟบริดจ์ วงจรดังกล่าวสามารถใช้งานได้ทั้งโหมดขับเคลื่อน (driving mode) และโหมดแปลงผันพลังงานสูญเสียขณะห้ามล้อ (regenerative brake mode) [5-6] อย่างไรก็ตามบทความนี้จะมุ่งเน้นในโหมดขับเคลื่อนเนื่องจากเป็นโหมดขับเคลื่อนหลัก เพื่อให้การจ่ายกำลังไฟฟ้าจากแหล่งจ่ายเซลล์เชื้อเพลิงไปยังโหลดให้มีการควบคุมให้ระดับแรงดันเอาต์พุตคงที่ ทั้งนี้ระบบควบคุมเป็นส่วนที่สำคัญอย่างยิ่งต่อการประเมินสมรรถนะของระบบ เช่น การตอบสนองที่รวดเร็วต่อการเปลี่ยนแปลงของโหลด การเพิ่มประสิทธิภาพการทำงานของระบบ การป้องกันความเสียหายของอุปกรณ์ การควบคุมทิศทางการจ่ายพลังงาน และการจัดการพลังงาน เป็นต้น บทความนี้จึงนำเสนอการออกแบบตัวควบคุมโหมดการเลื่อน (sliding mode controller : SMC) สำหรับการควบคุมวงจรแปลงผันกำลังไฟฟ้าดีซีเป็นดีซีแบบสองทิศทางชนิดฮาร์ฟบริดจ์ เพื่อให้ได้ผลตอบสนองเชิงพลวัต (dynamic response) ที่รวดเร็วเหมาะสำหรับระบบที่มีการเปลี่ยนแปลงแบบไม่เป็นเชิงเส้น [6-8] สำหรับโหลดที่ใช้ในระบบจักรยานไฟฟ้าในบทความนี้จะกำหนดให้เป็นโหลดกำลังไฟฟ้าคงตัว ซึ่งโหลด

*ผู้ประพันธ์บรรณกิจ

ดังกล่าวขึ้นอยู่กับความต้องการกำลังไฟฟ้า ณ ขณะนั้น การออกแบบตัวควบคุมโหมดการเลื่อนจะมีการกำหนดสมการพื้นผิวการเลื่อน (sliding surface equation) โดยอาศัยผลรวมแบบเชิงเส้นของตัวแปรสถานะ เนื่องจากการนำไปใช้งานมีความง่ายในทางปฏิบัติและการออกแบบที่ไม่ซับซ้อนจนเกินไป [6-8] สำหรับการออกแบบค่าพารามิเตอร์ของตัวควบคุมโหมดการเลื่อนจะใช้วิธีการสุ่มค่า เพื่อให้มั่นใจได้ว่าตัวควบคุมที่ถูกออกแบบสามารถควบคุมระบบจักรยานไฟฟ้าได้จึงจำเป็นต้องมีการตรวจสอบสมรรถนะของตัวควบคุมโดยอาศัยการจำลองสถานการณ์บน SIMULINK ของโปรแกรม MATLAB ผลการตอบสนองของระบบแสดงให้เห็นว่า ตัวควบคุมโหมดการเลื่อนที่นำเสนอสามารถควบคุมการส่งจ่ายกำลังไฟฟ้าจากแหล่งจ่ายเซลล์เชื้อเพลิงไปยังโหลดกำลังไฟฟ้าคงตัว โดยแรงดันไฟฟ้าเอาต์พุตเป็นไปตามมาตรฐาน รวมทั้งมีสมรรถนะการควบคุมในส่วนของผลตอบสนองเชิงพลวัตที่รวดเร็ว

บทความนี้ประกอบไปด้วย 5 ส่วน ได้แก่ ส่วนที่ 1 คือส่วนบทนำ ส่วนที่ 2 คือการอธิบายระบบไฟฟ้าที่พิจารณา ส่วนที่ 3 คือส่วนการออกแบบตัวควบคุมโหมดการเลื่อน ส่วนที่ 4 คือการจำลองสถานการณ์บนคอมพิวเตอร์ด้วยโปรแกรม MATLAB เพื่อตรวจสอบสมรรถนะของตัวควบคุม และส่วนที่ 5 สรุปผลและแนวทางสำหรับการทำงานวิจัยในอนาคต

2. ระบบไฟฟ้าที่พิจารณา

ระบบไฟฟ้าที่พิจารณาในบทความนี้แสดงได้ดังรูปที่ 1 ประกอบด้วย 3 ส่วน คือ ส่วนที่ 1 เซลล์เชื้อเพลิง ทำหน้าที่เป็นแหล่งจ่ายกำลังไฟฟ้ากระแสตรง ส่วนที่ 2 วงจรแปลงผันดีซีเป็นดีซีแบบสองทิศทางชนิดฮาร์ฟบริดจ์ที่มีการควบคุมแรงดันไฟฟ้าดีซีเอาต์พุตด้วยตัวควบคุมโหมดการเลื่อน และส่วนที่ 3 โหลดกำลังไฟฟ้าคงตัวซึ่งเปรียบเสมือนโหลดมอเตอร์ในระบบขับเคลื่อนสำหรับจักรยานไฟฟ้า ค่าพารามิเตอร์ของระบบไฟฟ้าที่พิจารณาแสดงได้ดังตารางที่ 1

ตารางที่ 1 พารามิเตอร์ของระบบไฟฟ้าที่พิจารณา

พารามิเตอร์	ค่าที่ใช้	รายละเอียด
V_{FC}	16.2 V	แหล่งจ่ายเซลล์เชื้อเพลิงพิกัด 500 W [9]
L	0.72 mH	ความเหนี่ยวนำของวงจรแปลงผันแบบสองทิศทางชนิดฮาร์ฟบริดจ์
C_O	90 mF	ความจุไฟฟ้าของวงจรแปลงผันแบบสองทิศทางชนิดฮาร์ฟบริดจ์
f_S	10 kHz	ความถี่ในการสวิตช์ของวงจรแปลงผันแบบสองทิศทางชนิดฮาร์ฟบริดจ์
V_O^{ref}	48 V	แรงดันไฟฟ้าเอาต์พุตอ้างอิง
P_{CPL}	0 - 500 W	ระดับกำลังไฟฟ้าของโหลดกำลังไฟฟ้าคงตัวในระบบจักรยานไฟฟ้า

3. การออกแบบตัวควบคุมโหมดการเลื่อน

สำหรับการออกแบบตัวควบคุมโหมดการเลื่อนนั้นจะพิจารณาแบบจำลองทางคณิตศาสตร์ของวงจรแปลงผันดีซีเป็นดีซีแบบสองทิศทางชนิดฮาร์ฟบริดจ์ที่มีโหลดกำลังไฟฟ้าคงตัวตามรูปที่ 1 แบบจำลองแสดงได้ดังสมการที่ (1) เมื่อ V_{FC} คือ แรงดันไฟฟ้าขาเข้า (Input voltage) ของวงจรแปลงผันดีซีเป็นดีซีแบบสองทิศทางชนิดฮาร์ฟบริดจ์ V_O คือ แรงดันไฟฟ้าขาออก (Output voltage) ของวงจรแปลงผันดีซีเป็นดีซีแบบสองทิศทางชนิดฮาร์ฟบริดจ์ i_L คือ กระแสไฟฟ้าที่ไหลผ่านตัวเหนี่ยวนำของวงจรแปลงผันดีซีเป็นดีซีแบบสองทิศทางชนิดฮาร์ฟบริดจ์ P_{CPL} คือ โหลดกำลังไฟฟ้าคงตัว และ $u(t)$ คือ สัญญาณพีอับเบิลยูเอ็ม (Pulse With Modulation : PWM) สำหรับควบคุมสวิตช์ [5-8]

$$\begin{cases} \dot{i}_L = \frac{V_{FC}}{L} + \frac{(u(t)-1)V_O}{L} \\ \dot{V}_O = \frac{-P_{CPL}}{CV_O} + \frac{(1-u(t))i_L}{C} \end{cases} \quad (1)$$

การออกแบบตัวควบคุมโหมดการเลื่อนสำหรับควบคุมแรงดันไฟฟ้าเอาต์พุตของวงจรแปลงผันดีซีเป็นดีซีแบบสองทิศทางชนิดฮาร์ฟบริดจ์จำเป็นต้องกำหนดสมการพื้นผิวการเลื่อน (S) ซึ่งบทความนี้เลือกกำหนดให้เป็นการรวมกันแบบเชิงเส้นของตัวแปรสถานะที่อาศัยความคลาดเคลื่อนของแรงดันไฟฟ้าและกระแสไฟฟ้า สมการพื้นผิวการเลื่อนสามารถแสดงได้ในสมการที่ (2)

$$S = ae_1 + be_2 + me_3 \quad (2)$$

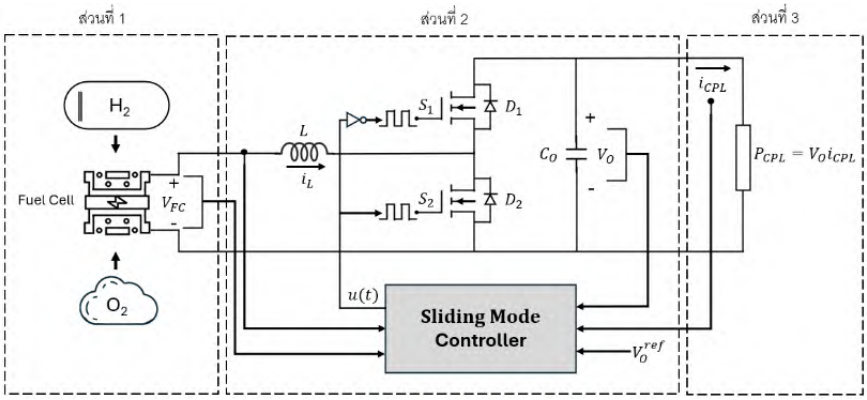

รูปที่ 1 วงจรแปลงผันดีซีเป็นดีซีแบบสองทิศทางชนิดฮาร์ฟบริดจ์ที่มีแหล่งจ่ายเป็นเซลล์เชื้อเพลิง

เมื่อ a, b และ m คือ ค่าสัมประสิทธิ์ของตัวควบคุม e_1 คือ ค่าความคลาดเคลื่อนของกระแสไฟฟ้า e_2 คือ ค่าความคลาดเคลื่อนของแรงดันไฟฟ้า และ e_3 คือ ค่าปริพันธ์ของผลรวมความคลาดเคลื่อนระหว่างกระแสไฟฟ้าและแรงดันไฟฟ้า สมการความสัมพันธ์ e_1, e_2 และ e_3 สามารถแสดงได้ดังสมการที่ (3)

$$\begin{cases} e_1 = i_{ref} - i_L \\ e_2 = V_o^{ref} - V_o \\ e_3 = \int [e_1 + e_2] dt \end{cases} \quad (3)$$

โดยที่ $i_{ref} = K[V_o^{ref} - V_o]$ โดยที่ค่าพารามิเตอร์ K คือค่าอัตราขยายความผิดพลาดของแรงดันไฟฟ้า

สำหรับตัวควบคุมโหมดการเลื่อนในสภาวะอยู่ตัว ระบบจะเคลื่อนที่บนระนาบของพื้นผิวการเลื่อนตามสมการพื้นผิวการเลื่อนที่กำหนด ซึ่งในอุดมคติความสัมพันธ์ของสมการพื้นผิวการเลื่อนจะเท่ากับศูนย์ (S = 0) ในขณะที่ตัวควบคุมของระบบเคลื่อนที่บนระนาบและอนุพันธ์ของสมการพื้นผิวการเลื่อนเท่ากับศูนย์ ($\dot{S}$ = 0) ส่งผลให้ระบบเข้าสู่การควบคุมแรงดันไฟฟ้าเอาต์พุต โดยจะทำให้มีค่าเท่ากับแรงดันไฟฟ้าอ้างอิงที่กำหนดและค่าความผิดพลาดในสภาวะอยู่ตัวเป็นศูนย์ ดังนั้นการพิจารณาหาอนุพันธ์สมการพื้นผิวการเลื่อนที่ได้จากสมการที่ (1) ร่วมกับสมการที่ (2) และสมการที่ (3) สามารถหาสมการอนุพันธ์ของสมการพื้นผิวการเลื่อนแสดงในสมการที่ (4)

$$\dot{S} = \frac{-aV_{in}}{L} - \frac{au(t)V_o}{L} + \frac{aV_o}{L} + \frac{bP_{CPL}}{CV_o} - \frac{bi_L}{C} + \frac{bu(t)i_L}{C} + \frac{aKP_{CPL}}{CV_o} - \frac{aKi_L}{C} + \frac{aKu(t)i_L}{C} + m[(K+1)[V_o^{ref} - V_o] - i_L] \quad (4)$$

จากสมการที่ (4) สามารถนำไปจัดรูปเพื่อหาค่าสัญญาณการควบคุม (u_{eq}) ที่ได้จากการคำนวณในสมการดังกล่าว โดยจะกำหนดให้ $u(t)$ = u_{eq} เป็นสัญญาณการควบคุมที่จะถูกเปรียบเทียบกับสัญญาณพาหะเพื่อสร้างสัญญาณ PWM สำหรับควบคุมสวิตช์ของวงจรแปลงผันดีซีเป็นดีซีแบบสองทิศทางชนิดฮาร์ฟบริดจ์ ภายใต้เงื่อนไขการพิจารณาว่า อนุพันธ์ของสมการพื้นผิวการเลื่อนเท่ากับศูนย์ ซึ่งจากสมการจะพบว่าพารามิเตอร์ a, b, m และ K เป็นค่าพารามิเตอร์ของตัวควบคุมโหมดการเลื่อนที่ต้องมีการออกแบบ โดยการออกแบบค่าพารามิเตอร์ดังกล่าวจะนำเสนอในหัวข้อถัดไป อย่างไรก็ตามในสมการของตัวควบคุมโหมดการเลื่อนจำเป็นต้องมีการวัดค่าแรงดันอินพุตจากเซลล์เชื้อเพลิงที่มีความผันผวนของแรงดันไฟฟ้าเพื่อที่จะนำมาคำนวณหาค่าสัญญาณการควบคุมที่เหมาะสม สมการสำหรับการคำนวณ u_{eq} แสดงได้ในสมการที่ (5)

$$u_{eq} = \frac{i_L[V_o(bL+aKL)] - P_{CPL}[bL+aKL] + V_o\left[aCV_{in} - aCV_o - mLC[(K+1)[V_o^{ref} - V_o] - i_L]\right]}{V_o[-aCV_o + i_L(bL+aKL)]} \quad (5)$$

4. การตรวจสอบสมรรถนะของตัวควบคุม

จากการคำนวณ u_{eq} ในสมการที่ (5) สังเกตได้ว่า ตัวควบคุมโหมดการเลื่อนที่นำเสนอประกอบด้วยพารามิเตอร์ a, b, m และ K สำหรับการออกแบบในบทความนี้จะใช้วิธีสุ่มค่าและการตรวจสอบสมรรถนะของตัวควบคุมด้วยการจำลองสถานการณ์บน SIMULINK ของโปรแกรม MATLAB โดยพิจารณาจากการเพิ่มค่าโหลดกำลังไฟฟ้าคงตัวจาก 100 W ไปเป็น 200 W และกำหนดแรงดันอ้างอิงไว้ที่ 48 V โดยพิจารณาแรงดันไฟฟ้าให้อยู่ในมาตรฐาน ISO 21780 : 2020 สำหรับโหลดยานยนต์ ซึ่งกำหนดค่าความคลาดเคลื่อนของแรงดันไฟฟ้าไว้ที่ 0.5 % ซึ่งสามารถแสดงรายละเอียดในการออกแบบได้ดังต่อไปนี้

- **การออกแบบค่าพารามิเตอร์ a**

ทำการปรับค่าพารามิเตอร์ a ให้มีค่าคือ 0.05, 1 และ 120 โดยให้ค่าพารามิเตอร์ b = 1, m = 8000000 และ K = 155 ผลการตรวจสอบสมรรถนะของตัวควบคุมแสดงได้ดังรูปที่ 2 ซึ่งผลลัพธ์จากรูปพบว่า เมื่อกำหนดค่าพารามิเตอร์ a = 1 จะทำให้ตัวควบคุมสามารถควบคุมแรงดันไฟฟ้าเอาต์พุตได้ตามมาตรฐาน ส่วนการกำหนดค่าพารามิเตอร์ a = 0.05 และ a = 120 ไม่สามารถควบคุมแรงดันไฟฟ้าเอาต์พุตให้อยู่ในมาตรฐานได้ ดังนั้นจึงกำหนด a = 1 เพื่อดำเนินการปรับพารามิเตอร์อื่นเป็นลำดับถัดไป

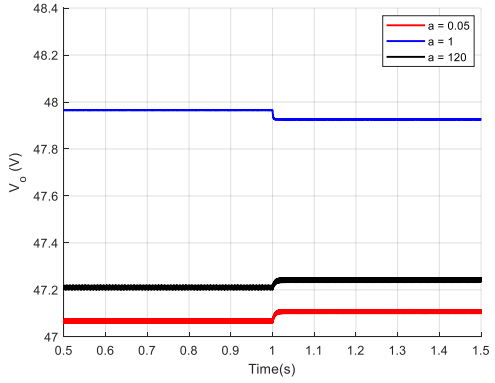

รูปที่ 2 ผลการออกแบบค่าพารามิเตอร์ a

- **การออกแบบค่าพารามิเตอร์ b**

ทำการปรับค่าพารามิเตอร์ b ให้มีค่าคือ 0.01, 1 และ 20 โดยให้ค่าพารามิเตอร์ a = 1, m = 8000000 และ K = 155 ผลการตรวจสอบสมรรถนะของตัวควบคุมแสดงได้ดังรูปที่ 3 ซึ่งผลลัพธ์จากรูปพบว่า เมื่อกำหนดค่าพารามิเตอร์ b = 1 จะทำให้ตัวควบคุมสามารถควบคุมแรงดันไฟฟ้าเอาต์พุตได้ตามมาตรฐาน ส่วนการกำหนดค่าพารามิเตอร์ b = 0.1 และ b = 20 แรงดันไฟฟ้าเอาต์พุตที่ได้มีค่าเท่ากันและอยู่ต่ำกว่ามาตรฐาน ซึ่งหมายความว่าไม่เหมาะสำหรับใช้ควบคุมระบบ ดังนั้นจึงเลือก b = 1 เพื่อออกแบบพารามิเตอร์ที่เหลือเป็นลำดับถัดไป

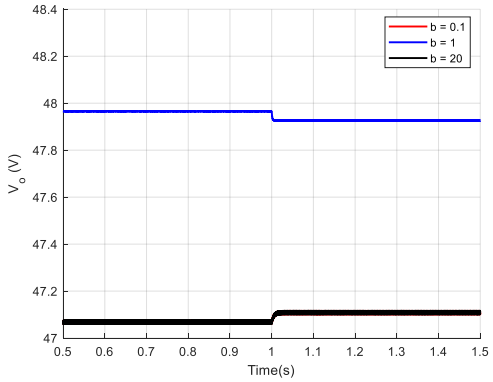

รูปที่ 3 ผลการออกแบบค่าพารามิเตอร์ b

- **การออกแบบค่าพารามิเตอร์ m**

ทำการปรับค่าพารามิเตอร์ m ให้มีค่าคือ 10000, 800000 และ 8000000 โดยคงค่าพารามิเตอร์ a = 1, b = 1 และ K = 155 ผลการตรวจสอบสมรรถนะของตัวควบคุมแสดงได้ดังรูปที่ 4 ซึ่งผลลัพธ์จากรูปพบว่า เมื่อกำหนดค่าพารามิเตอร์ m = 10000 และ m = 8000000 จะทำให้ตัวควบคุมสามารถควบคุมแรงดันไฟฟ้าเอาต์พุตได้ตามมาตรฐาน แต่ค่าพารามิเตอร์ m = 10000 มีค่าเข้าใกล้แรงดันที่อ้างอิงน้อยกว่าและเกิดความผิดพลาดในสภาวะอยู่ตัวขึ้น ส่วนการกำหนดค่าพารามิเตอร์ m = 800000 แรงดันไฟฟ้าเอาต์พุตที่ได้อยู่ต่ำกว่ามาตรฐาน เมื่อตรวจสอบจะพบว่าการปรับค่าพารามิเตอร์ m น้อยลงไปจะยิ่งส่งผลให้เกิดความผิดพลาดในสภาวะอยู่ตัว ดังนั้นจึงเลือก m = 8000000

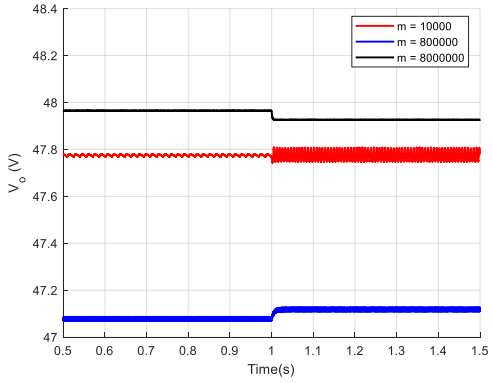

รูปที่ 4 ผลการออกแบบค่าพารามิเตอร์ m

- **การออกแบบค่าพารามิเตอร์ K**

ทำการปรับค่าพารามิเตอร์ K ให้มีค่าคือ 25, 55 และ 155 โดยให้ค่าพารามิเตอร์ a = 1, b = 1 และ m = 8000000 ผลการตรวจสอบสมรรถนะของตัวควบคุมแสดงได้ดังรูปที่ 5 ซึ่งผลลัพธ์จากรูปพบว่า เมื่อกำหนดค่าพารามิเตอร์ K = 55 และ K = 155 จะทำให้ตัวควบคุมสามารถควบคุมแรงดันไฟฟ้าเอาต์พุตได้ตามมาตรฐาน แต่ค่าพารามิเตอร์ K = 55 มีค่าเข้าใกล้แรงดันอ้างอิงที่น้อยกว่าและผลการตอบสนองเชิงพลวัตที่ช้ากว่า ส่วนการกำหนดค่าพารามิเตอร์ K = 25 แรงดันไฟฟ้าเอาต์พุตที่ได้อยู่ต่ำกว่ามาตรฐาน เมื่อตรวจสอบจะพบว่าการปรับค่าพารามิเตอร์ K น้อยลงไปจะยิ่งส่งผลต่อค่าแรงดันเอาต์พุตที่ลดลงและผลการตอบสนองเชิงพลวัตที่ช้าลง ดังนั้นเลือก K = 155

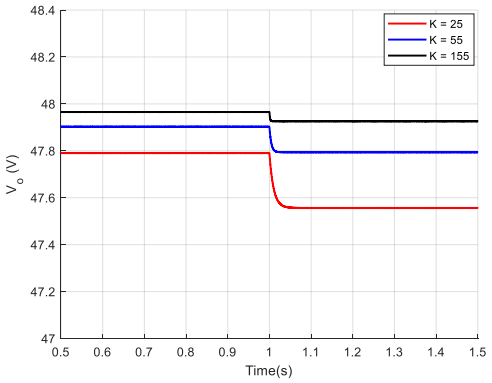

รูปที่ 5 ผลการออกแบบค่าพารามิเตอร์ K

จากผลการออกแบบโดยการสุ่มค่าพารามิเตอร์สำหรับตัวควบคุมโหมดการเลื่อน ทำให้ได้ค่าพารามิเตอร์ที่เหมาะสมสำหรับระบบของจักรยานไฟฟ้าที่มีแหล่งจ่ายเป็นเซลล์เชื้อเพลิง คือ a = 1, b = 1, m = 8000000 และ K = 155 จากนั้นนำค่าพารามิเตอร์ตัวควบคุมไปตรวจสอบสมรรถนะกับระบบที่พิจารณาด้วยเงื่อนไขการเพิ่มโหลดกำลังไฟฟ้าจาก 0 W ถึงพิกัด 500 W โดยผลการตอบสนองของแรงดันไฟฟ้าเอาต์พุตแสดงตามรูปที่ 6

จากรูปที่ 6 พบว่าแรงดันไฟฟ้าเอาต์พุตมีค่าลดลงเป็นขั้นบันได แต่ยังคงค่าแรงดันไฟฟ้าที่ได้นั้นให้อยู่ในมาตรฐาน ISO 21780:2020 ที่แรงดันอ้างอิง 48 V ทำให้ระบบอยู่ในช่วงผลตอบสนองที่ 47.76 V ถึง 48.24 V ตามค่าความคลาดเคลื่อนที่กำหนดคือ 0.5 % และพบว่าในขณะที่โหลดมีการเปลี่ยนแปลงจะมีผลการตอบสนองเชิงพลวัตที่รวดเร็ว ทำให้มีสมรรถนะที่ดีในการควบคุมแรงดันไฟฟ้าเอาต์พุตสำหรับระบบจักรยานไฟฟ้าที่มีแหล่งจ่ายเป็นเซลล์เชื้อเพลิง

5. สรุป

บทความนี้นำเสนอการออกแบบตัวควบคุมโหมดการเลื่อนสำหรับวงจรแปลงผันดีซีเป็นดีซีแบบสองทิศทางชนิดฮาร์ฟบริดจ์ในระบบจักรยานไฟฟ้าที่มีแหล่งจ่ายเป็นเซลล์เชื้อเพลิง โดยการออกแบบใช้วิธีการสุ่มค่าพารามิเตอร์ของตัวควบคุม จากนั้นนำเสนอการตรวจสอบสมรรถนะของตัวควบคุมผ่านการจำลองสถานการณ์บนคอมพิวเตอร์ซึ่งผลลัพธ์ที่ได้คือระบบสามารถควบคุมแรงดันไฟฟ้าเอาต์พุตให้มีค่าตรงตามมาตรฐาน ISO 21780 : 2020 ทั้งนี้ระบบยังมีการตอบสนองเชิงพลวัตรวดเร็วในขณะที่โหลดมีการเปลี่ยนแปลง และควบคุมความผันผวนของแรงดันไฟฟ้าจากแหล่งจ่ายเซลล์เชื้อเพลิงได้ อย่างไรก็ตามการออกแบบยังใช้วิธีการสุ่มค่าพารามิเตอร์ของตัวควบคุมโหมดการเลื่อน และยังไม่มีวิธีการทั่วไปสำหรับการออกแบบตัวควบคุมดังกล่าว เพื่อต่อยอดงานวิจัยในอนาคต การใช้วิธีการทางปัญญาประดิษฐ์ (Artificial Intelligence : AI) จึงเป็นทางเลือกที่น่าสนใจในการนำมาประยุกต์ใช้สำหรับการออกแบบตัวควบคุม

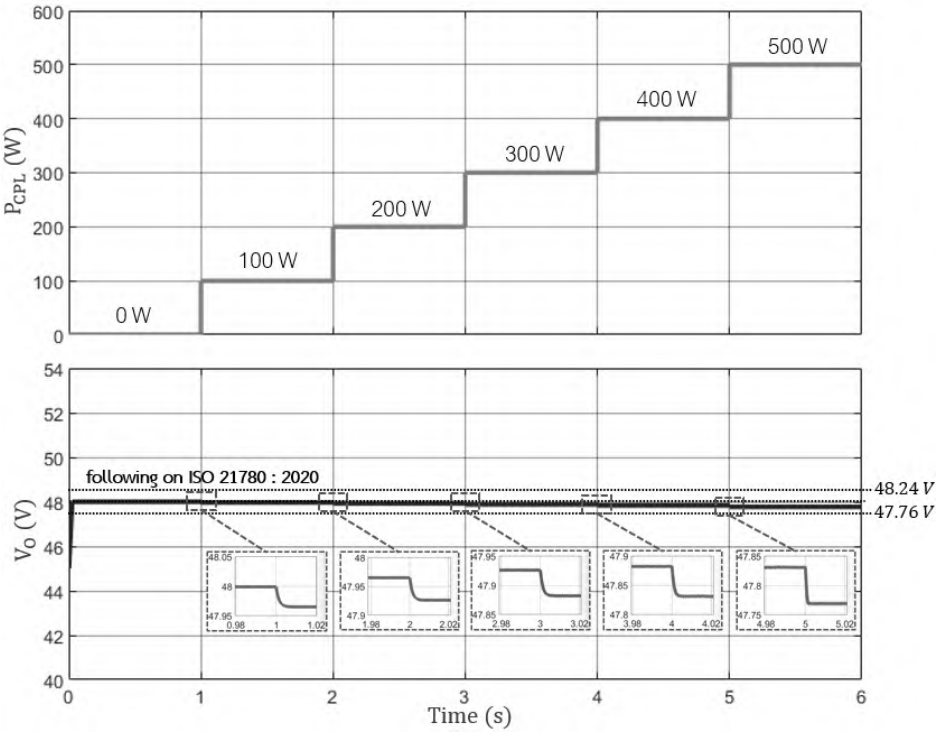

รูปที่ 6 ผลการทดสอบสมรรถนะของตัวควบคุม

เอกสารอ้างอิง

[1] M. Faizan, S. Ali, and A. Ahmad, “An overview of Fuel Cell Based Distribution Generation Integration,” 2019 IEEE Global Conference on Renewable Energy and Energy Efficiency (REnergy), India, 2019, pp. 1-6.

[2] W. Surakan, M. Niyomthai, A. Suyapan, T. Narongrit and K. Areerak, "The Cascade PI Controller Design for Hydrogen Electric Bike Systems," in 2025 13th International Electrical Engineering Congress (iEECON), 2025, pp. 1-4.

[3] R. Putala and V. Ferencey, "Hydrogen Fuel Cell System Modeling Approaches," 2025 Cybernetics & Informatics (K&I), 2025, pp. 1-7.

[4] S. Njoya M., O. Tremblay and L.-A. Dessaint, "A Generic Fuel Cell Model for the Simulation of Fuel Cell Vehicles," 2009 IEEE Electrical Power & Energy Conference (EPEC), Canada, 2009, pp. 1-8.

[5] K. M. Kanthi and D. M. Abraham, “PWM-Based Sliding Mode Current Controller for Bidirectional DC-DC Converters in Electric Vehicles,” in Proc. Int. Conf. on Power, Instrumentation, Control and Computing (PICC), Kerala, India, Jan. 2020, pp. 1–6.

[6] อภิชัย สุยะพันธ์, สุรบดินทร์ แดงด่อน, และ กองพัน อารีรักษ์, "การออกแบบตัวควบคุมโหมดการเลื่อนสำหรับวงจรแปลงผันแบบบัคก์ที่มีแหล่งจ่ายเป็นวงจรเรียงกระแสสามเฟสแบบบริดจ์," การประชุมวิชาการ งานวิจัยและพัฒนาเชิงประยุกต์ครั้งที่ 16, สุรินทร์, ประเทศไทย, 7-9 พ.ค. 2567. หน้า 166-170.

[7] อภิชัย สุยะพันธ์, อภิรักษ์ ศรีชะนะ, และ กองพัน อารีรักษ์, "การออกแบบตัวควบคุมโหมดการเลื่อนของวงจรแปลงผันดีซีเป็นดีซีแบบสองทิศทางชนิดฮาร์ฟบริดจ์ที่มีโหลดกำลังไฟฟ้าคงตัวสำหรับยานยนต์ไฟฟ้า," การประชุมวิชาการทางวิศวกรรมไฟฟ้า ครั้งที่ 47 (EECON-47), อุดรธานี, ประเทศไทย, 13-15 พ.ย. 2567. หน้า 233-237.

[8] สาธิต ชลสถิตจำเริญ, แบบจำลองคณิตศาสตร์ของวงจรแปลงผันแบบบัคก์ที่รวมพารามิเตอร์ของตัวควบคุม, วิทยานิพนธ์ปริญญาวิศวกรรมศาสตร์มหาบัณฑิต, สาขาวิชาวิศวกรรมไฟฟ้า, มหาวิทยาลัยเทคโนโลยีสุรนารี, นครราชสีมา, 2013.

[9] Horizon Educational, "H-Series Fuel Cell Stacks," H-Series Brochure, pp. 4, [Online]. Available: https://www.horizon educational.com, [Accessed: Sep. 29, 2024].

ระบบตรวจวัดและแสดงผลการสั่นสะเทือนของเครื่องขัดมันข้าวแบบเรียลไทม์ด้วยเซนเซอร์ 3 แกนผ่าน IoT Gateway

Real-Time Vibration Monitoring and Display System for a Rice Polishing Machine Using a 3-Axis Sensor via IoT Gateway

ปฏิภาณ ห่วงศร[1] จักรรินทร์ ถิ่นนคร[1] สาธิต รุ่งสว่าง[1] และ กฤษฎิ์ รัชชภูมิ[1]*

[1]สาขาวิชาวิศวกรรมไฟฟ้า คณะวิศวกรรมศาสตร์ มหาวิทยาเทคโนโลยีราชมงคลล้านนา

Padipan@rmutl.ac.th Jakarin_t@rmutl.ac.th sathit_r@rmutl.ac.th kritratchapum@rmutl.ac.th*

บทคัดย่อ

งานวิจัยนี้นำเสนอการออกแบบและพัฒนาระบบตรวจวัดและแสดงผลการสั่นสะเทือนของเครื่องขัดมันข้าวแบบเรียลไทม์ โดยใช้เซนเซอร์วัดการสั่นสะเทือนแบบสามแกนร่วมกับอุปกรณ์ IoT Gateway รุ่น EWON Flexy 205 ระบบสามารถวัดค่าการสั่นสะเทือนของมอเตอร์ในแกน X,Y และ Z และส่งข้อมูลไปยังแพลตฟอร์มคลาวด์เพื่อประเมินสถานะของเครื่องจักรตามมาตรฐาน ISO 10816-1 จากการทดลองในโรงสีข้าวจริง พบว่าสามารถตรวจจับค่าการสั่นสะเทือนรวมในสภาวะปกติได้ประมาณ 2.45 mm/s อยู่ใน "ระดับ C" (Level C) และในสภาวะผิดปกติที่เกิดความเสียหาย มีค่าสูงถึง 26.87 mm/s อยู่ใน "ระดับ D" (Level D) ระบบสามารถแจ้งเตือนความผิดปกติได้ล่วงหน้าอย่างถูกต้อง โดยไม่พบการแจ้งเตือนผิดพลาดตลอดช่วงการทดสอบ แสดงให้เห็นถึงความแม่นยำในการตรวจจับที่น่าเชื่อถือ และสามารถนำไปประยุกต์ใช้กับแนวทางการบำรุงรักษาเชิงคาดการณ์เพื่อลดความเสี่ยงจากการหยุดชะงักของเครื่องจักร และเพิ่มประสิทธิภาพของระบบการผลิต

คำสำคัญ: อินเทอร์เน็ตของสรรพสิ่ง การบำรุงรักษาเชิงคาดการณ์ การตรวจวัดการสั่นสะเทือน เครื่องขัดสีข้าว ระบบแสดงผลแบบเรียลไทม์

Abstract

This study presents the design and development of a real-time vibration monitoring and visualization system for rice polishing machines using a 3-axis vibration sensor and the EWON Flexy 205 IoT gateway. The system captures motor vibration data along the X, Y, and Z axes and transmits it to a cloud-based platform for condition evaluation based on ISO 10816-1. Field experiments showed that the system detected a combined vibration level of approximately 2.45 mm/s under normal conditions (Class C) and as high as 26.87 mm/s under abnormal conditions (Class D). Throughout the testing period, the system provided early warnings accurately with no false alarms observed, demonstrating its reliability and high detection accuracy. The proposed system effectively supports predictive maintenance strategies, minimizes machine downtime, and enhances the overall efficiency of rice milling operations.

Keywords: Internet of Things (IoT), Predictive Maintenance, Vibration Monitoring, Rice Polishing Machine, Real-Time Monitoring System

1. บทนำ

ในกระบวนการผลิตข้าวของโรงสีขนาดใหญ่ เครื่องขัดสีข้าว (Rice Polishing Machine) เป็นหนึ่งในเครื่องจักรสำคัญที่ใช้ในการปรับปรุงคุณภาพและความเงาของข้าวสารก่อนการบรรจุจำหน่าย โดยทั่วไปโรงสีข้าวขนาด 300 ตันต่อวัน สามารถดำเนินการขัดสีได้ต่อเนื่องทั้งกลางวันและกลางคืน ส่งผลให้มอเตอร์และชุดกลไกของเครื่องต้องทำงานหนักและเกิดการสึกหลอในระยะยาว โดยเฉพาะในส่วนของมอเตอร์ ตลับลูกปืน และเพลาขับ

การบำรุงรักษาเครื่องขัดสีข้าวในปัจจุบันยังคงอาศัยวิธีการแบบดั้งเดิม เช่น การตรวจสอบตามรอบเวลา (Preventive Maintenance) และการซ่อมแซมเมื่อเกิดความเสียหาย (Corrective Maintenance) ซึ่งอาจไม่สามารถตอบสนองต่อความต้องการของโรงงานที่ต้องการลดเวลาหยุดเครื่อง (Downtime) และต้นทุนการผลิตได้อย่างมีประสิทธิภาพ นอกจากนี้ ความล่าช้าในการตรวจพบความผิดปกติยังอาจส่งผลให้เกิดความเสียหายต่ออุปกรณ์ในระดับที่รุนแรง และกระทบต่อคุณภาพของข้าวสารที่ผลิต

Predictive Maintenance (PdM) จึงได้รับความสนใจเพิ่มขึ้นในอุตสาหกรรมโรงสี โดยเป็นแนวทางการบำรุงรักษาที่อิงจากข้อมูลจริง (Data-driven) เพื่อประเมินและคาดการณ์สภาพของเครื่องจักรล่วงหน้า หนึ่งในเทคนิคที่นิยมใช้ในระบบ PdM คือ การตรวจวัดการสั่นสะเทือน (Vibration Monitoring) ซึ่งสามารถใช้ระบุความผิดปกติของเครื่องจักรหมุนได้อย่างแม่นยำ เช่น ความไม่สมดุล การเยื้องศูนย์ หรือการเสื่อมสภาพของตลับลูกปืน

*ผู้ประพันธ์บรรณกิจ

งานวิจัยนี้นำเสนอการออกแบบและพัฒนาระบบตรวจวัดและแสดงผลการสั่นสะเทือนของมอเตอร์เครื่องขัดสีข้าวแบบเรียลไทม์ โดยใช้เซนเซอร์ตรวจวัดการสั่นสะเทือนแบบสามแกน ร่วมกับอุปกรณ์ IoT Gateway ยี่ห้อ EWON ซึ่งสามารถเก็บข้อมูลการสั่นสะเทือนในแกน X, Y และ Z และส่งข้อมูลแบบไร้สายไปยังแพลตฟอร์มแสดงผลและแจ้งเตือนผ่านระบบคลาวด์ โดยใช้วิธีการตรวจจับความผิดปกติด้วยเกณฑ์ Threshold เพื่อประเมินสภาพของมอเตอร์

วัตถุประสงค์ของงานวิจัยนี้ คือ เพื่อพัฒนาระบบที่สามารถตรวจจับความผิดปกติของมอเตอร์เครื่องขัดสีข้าวได้อย่างแม่นยำในระยะเริ่มต้น เพื่อรองรับการบำรุงรักษาเชิงคาดการณ์ ลดความเสี่ยงจากการหยุดเครื่องอย่างกะทันหัน และเพิ่มประสิทธิภาพในการดูแลรักษาเครื่องจักรในโรงสีขนาดใหญ่ได้อย่างมีประสิทธิภาพและต่อเนื่อง

2. การออกแบบต้นแบบ คำอธิบาย และการใช้งาน

2.1 อุปกรณ์ที่ใช้ในระบบต้นแบบ

ตารางที่ 1 อุปกรณ์ในงานวิจัย

อุปกรณ์	รุ่น/รายละเอียด	ขนาด
มอเตอร์ไฟฟ้า	ABB M2QA250M6A	37 kW, 980 RPM
เซนเซอร์การสั่นสะเทือนและอุณหภูมิ	SN-3001 Temp and Vibration sensor RS485	– ความถี่ ช่วงการวัด 10 - 1600 Hz – ความแม่นยำในการวัด ±1.5% – ช่วงการวัดอุณหภูมิ 0 - 50 mm/S – ความแม่นยำในการวัด ±0.5 °C – ช่วงอุณหภูมิ 40 – 85 °C – วัสดุสแตนเลส
IoT Gateway	EWON Flexy 205	
แพลตฟอร์มคลาวด์	M2 Web	
ซอฟต์แวร์แสดงผล	Ewon Flexy 205 Web Brower	
ระบบแจ้งเตือน	Email and Alarm Notification	

2.2 การวัดการสั่นสะเทือน

การสั่นสะเทือนเป็นพารามิเตอร์ที่สามารถบ่งชี้ถึงสภาพทางกลของเครื่องจักร เช่น ความไม่สมดุล (unbalance), การเยื้องศูนย์ (misalignment), หรือความเสียหายของตลับลูกปืน (bearing fault) ซึ่งมักแสดงออกในรูปของแรงสั่นสะเทือนที่เปลี่ยนแปลงผิดปกติจากค่าพื้นฐาน

ระบบจะใช้ เซนเซอร์ตรวจวัดความเร่งแบบ 3 แกน (3-axis accelerometer) เพื่อวัดค่าความเร่งในแกน X, Y และ Z ต่อเนื่อง แล้วคำนวณเป็น ค่าการสั่นสะเทือนรวม (Resultant Vibration) ตามสมการ

$$V_{total} = \sqrt{x^2 + y^2 + z^2} \quad (1)$$

โดยที่

x, y, z คือ ค่าความเร็วที่วัดได้ในแต่ละแกน หน่วย mm/s หรือ g

V_{total} คือ ค่าการสั่นรวมที่ใช้เปรียบเทียบกับค่าเกณฑ์

สมการนี้เป็นการรวมค่าความเร็วแบบเวกเตอร์ (vector magnitude) ซึ่งให้ภาพรวมของระดับแรงสั่นสะเทือนที่เกิดขึ้นในทุกทิศทาง ทำให้สามารถใช้ประเมินสถานะของมอเตอร์ได้อย่างแม่นยำมากขึ้นเมื่อเปรียบเทียบกับการวัดค่าจากเพียงแกนใดแกนหนึ่ง

2.3 มาตรฐาน ISO 10816-1

ตารางที่ 2 ประเภทเครื่องจักรตาม ISO 10816-1

ประเภทเครื่องจักร (Class)	รายละเอียดการใช้งาน	ขนาด
Class I	เครื่องจักรขนาดเล็ก ติดตั้งแบบแข็งแรงหรือกับเครื่องมือขนาดเล็ก	≤ 15 kW
Class II	เครื่องจักรขนาดกลาง ติดตั้งกับฐานรากทั่วไป	15 – 75 kW
Class III	เครื่องจักรขนาดใหญ่ติดตั้งถาวร เครื่องยนต์อุตสาหกรรมขนาดใหญ่	>75 kW
Class IV	เครื่องจักรขนาดใหญ่มากบนฐานรากอ่อน	>10 MW

มาตรฐาน ISO 10816-1 จัดทำขึ้นโดยองค์การระหว่างประเทศว่าด้วยการมาตรฐาน (International Organization for Standardization ISO) เพื่อใช้เป็นแนวทางในการประเมินระดับความรุนแรงของการสั่นสะเทือนในเครื่องจักรหมุน (Rotating Machinery) อาทิ มอเตอร์ไฟฟ้า ปั๊ม หรือเครื่องปั่นไฟ โดยอาศัยการวัดค่าเฉลี่ยความเร็วการสั่น - RMS ซึ่งเป็นตัวชี้วัดพลังงานรวมของสัญญาณการสั่นสะเทือนในช่วงเวลาหนึ่ง

ค่าการสั่นสะเทือนที่นำมาใช้ในการประเมินมีหน่วยเป็น มิลลิเมตรต่อวินาที (mm/s) ภายใต้ย่านความถี่ระหว่าง 10 – 1000 Hz สำหรับเครื่องจักรทั่วไป และ 2 – 1000 Hz สำหรับเครื่องจักรพิเศษบางประเภท

มาตรฐานดังกล่าวแบ่งระดับความรุนแรงของการสั่นสะเทือนออกเป็น 4 ระดับ ได้แก่ A, B, C และ D ตามลำดับความเสี่ยงจากน้อยไปหามาก พร้อมทั้งแบ่งเครื่องจักรออกเป็น 4 ประเภท (Class I – IV) เพื่อให้สอดคล้องกับขนาดและวิธีการติดตั้งของอุปกรณ์ ดังตารางที่ 2

ในกรณีของมอเตอร์ไฟฟ้าขนาดกลางที่จัดอยู่ในประเภท Class II (กำลังไฟฟ้า 15–75 kW และติดตั้งบนฐานทั่วไปหรือมีโครงสร้างรองรับระดับปานกลาง) การจำแนกระดับความสั่นสะเทือนได้ดังนี้

2.3.1 ระดับ A (≤ 0.71 mm/s)

หมายถึงสภาวะการทำงานที่ดีเยี่ยม มักพบในเครื่องจักรที่เพิ่งติดตั้งใหม่หรืออยู่ในสภาพดีมาก เหมาะสมต่อการใช้งานต่อเนื่องโดยไม่ต้องดำเนินการใด ๆ

2.3.2 ระดับ B (0.71 – 1.80 mm/s) แสดงถึงสภาวะการทำงานที่ยังอยู่ในเกณฑ์ยอมรับได้ สามารถใช้งานได้ในระยะยาวโดยไม่มีความเสี่ยงต่อความเสียหาย แต่ควรเริ่มมีการเก็บข้อมูลเชิงพฤติกรรมไว้ใช้ในการวางแผนบำรุงรักษา

2.3.3 ระดับ C (1.80 – 2.80 mm/s) บ่งชี้ถึงการเริ่มเสื่อมสภาพของชิ้นส่วนบางประการ อาจเกิดจากการสึกหลอของตลับลูกปืน ความไม่สมดุล หรือเพลาเยื้องศูนย์ จำเป็นต้องมีการตรวจสอบและวางแผนการซ่อมบำรุงในระยะใกล้

2.3.4 ระดับ D (> 2.80 mm/s) ถือเป็นระดับความสั่นสะเทือนที่สูงเกินเกณฑ์ความปลอดภัย และมีแนวโน้มก่อให้เกิดความเสียหายต่อมอเตอร์หรืออุปกรณ์ที่เกี่ยวข้องอย่างรุนแรง ควรหยุดใช้งานทันทีเพื่อตรวจสอบและดำเนินการบำรุงรักษา

การตั้งค่าขอบเขตเกณฑ์ในระบบแจ้งเตือนของงานวิจัยฉบับนี้จึงอ้างอิงตามเกณฑ์ Class II ของ ISO 10816-1 เพื่อให้สามารถตรวจจับความผิดปกติที่เกิดขึ้นกับมอเตอร์เครื่องขัดสีข้าวขาวได้อย่างมีประสิทธิภาพและสอดคล้องกับแนวทางมาตรฐานอุตสาหกรรม

2.4 การออกแบบฮาร์ดแวร์ที่เชื่อมต่อเซ็นเซอร์เข้ากับ IoT Gateway (Ewon)

ในงานวิจัยนี้ ได้ประยุกต์ใช้ระบบ IoT สำหรับการตรวจจับและแสดงผลค่าการสั่นสะเทือนของมอเตอร์ในเครื่องขัดสีข้าวแบบเรียลไทม์ โดยมีองค์ประกอบหลัก ได้แก่ เซ็นเซอร์ตรวจวัด, อุปกรณ์ IoT Gateway (Ewon Flexy 205), ระบบเครือข่าย และแดชบอร์ดแสดงผลบนแพลตฟอร์มคลาวด์

เซ็นเซอร์ที่ใช้ในระบบเป็นเซ็นเซอร์ชนิด 3 แกน (3-Axis Vibration Sensor) ซึ่งสามารถตรวจวัดการสั่นสะเทือนในทิศทาง X, Y และ Z ได้พร้อมกัน โดยค่าที่วัดได้จะถูกประมวลผลให้เป็นค่าความเร็วการสั่น (Vibration Velocity) หน่วย mm/s หรือความเร่ง (Acceleration) หน่วย g แล้วส่งต่อไปยังอุปกรณ์เกตเวย์

Ewon Flexy 205 ทำหน้าที่เป็นเกตเวย์กลางในระบบ IoT โดยเชื่อมต่อเซ็นเซอร์เข้ากับเครือข่ายอินเทอร์เน็ตและระบบคลาวด์ Ewon รองรับการเชื่อมต่อแบบ Ethernet และ Cellular (4G) พร้อมทั้งสนับสนุนโปรโตคอลอุตสาหกรรม เช่น Modbus, MQTT, OPC UA และ HTTPS นอกจากนี้ยังมีฟังก์ชันสำหรับ Logging ข้อมูล, Trigger Alarm, ส่งค่าผ่าน VPN ไปยัง M2Web และรองรับการพัฒนา Script ภายในตัวอุปกรณ์

ข้อมูลจากเซ็นเซอร์จะถูกส่งขึ้นคลาวด์ผ่านบริการ Talk2M และสามารถดูค่าการสั่นแบบเรียลไทม์ได้จาก M2Web Dashboard หรือส่งต่อไปยังระบบ SCADA, ฐานข้อมูลภายนอก หรือแพลตฟอร์มคลาวด์อื่น เช่น AWS, Azure ผ่านโปรโตคอล MQTT สำหรับจัดเก็บและวิเคราะห์เพิ่มเติม

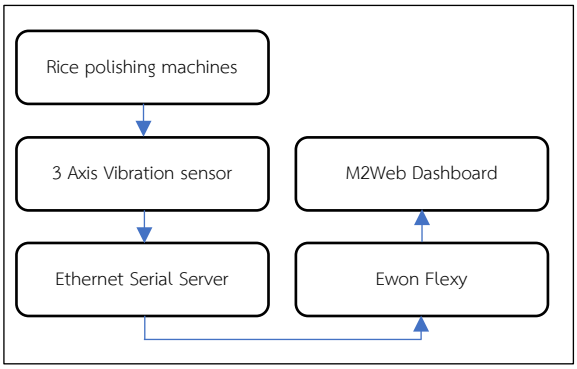

รูปที่ 1 แผนภาพระบบ IOT ด้วย EWON Flexy

2.5 ผลการตรวจวัดการสั่นสะเทือนของเครื่องขัดสีข้าว

ระบบที่พัฒนาขึ้นสามารถแสดงผลค่าการสั่นสะเทือนของมอเตอร์เครื่องขัดมันข้าวแบบเรียลไทม์ โดยอาศัยการเชื่อมต่อระหว่างเซ็นเซอร์วัดความสั่นสะเทือนแบบสามแกน (3-Axis Vibration Sensor) กับ IoT Gateway รุ่น Ewon Flexy ผ่านอุปกรณ์ Ethernet Serial Server และแสดงผลข้อมูลผ่าน Web Interface ภายในโรงงาน

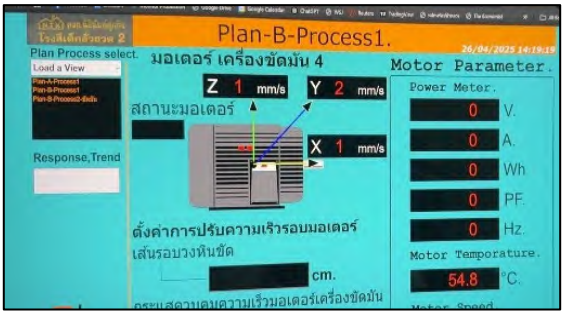

รูปที่ 2 ผลการทดลองในสถานะปกติ

จากรูปที่ 2 แสดงหน้าจอการทำงานของระบบ แสดงผลค่าการสั่นสะเทือนในแต่ละแกน ได้แก่ แกน X เท่ากับ 1.00 mm/s แกน Y เท่ากับ 2.00 mm/s แกน Z เท่ากับ 1.00 mm/s โดยค่าดังกล่าวถูกนำมาคำนวณเพื่อหาค่าความสั่นสะเทือนรวม ด้วยสมการแบบเวกเตอร์

$$V_{total} = \sqrt{1^2 + 2^2 + 1^2}$$

$$V_{total} = \sqrt{6} = 2.45 mm/s$$

ค่าที่คำนวณได้สามารถนำไปเปรียบเทียบกับมาตรฐาน ISO 10816-1 สำหรับประเมินระดับความรุนแรงของการสั่นสะเทือน โดยค่าที่อยู่ในช่วง 1.80 – 2.80 mm/s จัดอยู่ในระดับ C ซึ่งบ่งชี้ถึงการเริ่มมีแนวโน้มการเสื่อมสภาพของอุปกรณ์และควรได้รับการตรวจสอบ อย่างเร่งด่วน ก่อนที่จะเกิดความเสียหายร้ายแรงกับมอเตอร์เครื่องขัดมันข้าวขาว ดังแสดงในรูปที่ 3 ผลการทดลองในสถานะผิดปกติ

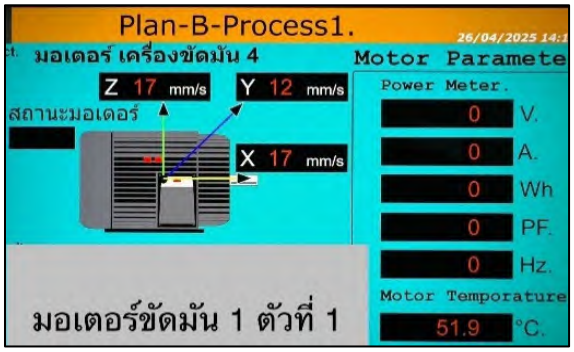

รูปที่ 3 ผลการทดลองในสถานะผิดปกติ

เพื่อตรวจสอบประสิทธิภาพของระบบตรวจวัดการสั่นสะเทือนแบบเรียลไทม์ ได้ทำการติดตั้งเซ็นเซอร์วัดการสั่นสะเทือนแบบ 3 แกน (3-Axis Vibration Sensor) เข้ากับโครงมอเตอร์ของเครื่องขัดมันหมายเลข 1 ซึ่งเป็นมอเตอร์ขนาด 37 kW ความเร็วรอบ 980 RPM โดยค่าเฉลี่ยความเร็วการสั่นสะเทือนในแต่ละแกน ได้แก่ แกน X เท่ากับ 17.00 mm/s แกนY เท่ากับ 12.00 mm/s และ แกน Z = 17.00 mm/s

$$V_{total} = \sqrt{722} = 26.87 mm/s$$

มอเตอร์ขัดมันข้าวขาว อยู่ในสถานะการสั่นสะเทือนระดับ D ซึ่งอาจส่งผลให้เกิดความเสียหายต่อเครื่องจักรหากไม่มีการตรวจสอบหรือบำรุงรักษาในทันที

3. อภิปราย

จากการตรวจวัดค่าความเร็วการสั่นสะเทือนแบบ RMS ในมอเตอร์ของเครื่องขัดมัน พบว่า ค่าการสั่นสะเทือนในแต่ละแกน ได้แก่ X = 17.00 mm/s, Y = 12.00 mm/s และ Z = 17.00 mm/s ซึ่งเมื่อคำนวณเป็นค่าการสั่นสะเทือนรวม ตามสมการเวกเตอร์สามมิติ ได้ค่า V_{total} เท่ากับ 26.87 mm/s

ดังนั้นค่าสั่นสะเทือนรวมที่ได้มีค่าสูงกว่าค่าขีดจำกัดที่กำหนดไว้ในมาตรฐาน ISO 10816-1 ซึ่งระบุว่าการสั่นสะเทือนในระดับเกิน 2.80 mm/s (Class II, ระดับ D) จัดเป็นระดับที่มีความรุนแรงสูง และอาจก่อให้เกิดความเสียหายต่อเครื่องจักรในระยะเวลาอันสั้นหากไม่ได้รับการตรวจสอบหรือดำเนินการแก้ไขอย่างทันท่วงที

จึงเกิดการสั่นสะเทือนระดับสูงดังกล่าวอาจเกิดจากหลายปัจจัย เช่น ความไม่สมดุลของเพลา การคลาดศูนย์ของเพลา ความหลวมของฐานยึด การเสื่อมของตลับลูกปืน หรือการสึกหลอของชิ้นส่วนกลไก ซึ่งสอดคล้องกับแนวทางของ IEC 60034-14 ที่ระบุว่า การสั่นสะเทือนที่มีค่ารุนแรงสามารถบ่งชี้ถึงความผิดปกติของส่วนหมุนในมอเตอร์

การวิเคราะห์ค่าการสั่นสะเทือนในหลายแกนพร้อมกันยังช่วยให้สามารถระบุทิศทางและแหล่งที่มาของแรงสั่นสะเทือนได้แม่นยำยิ่งขึ้น เช่น ในกรณีนี้ค่าการสั่นที่สูงในทั้งแกน X และ Z อาจบ่งชี้ถึงความผิดปกติในแนวรัศมี (radial) หรือความไม่สมดุลของโรเตอร์ ของมอเตอร์ ขณะที่ค่าการสั่นในแกน Y ที่ค่อนข้างต่ำอาจเป็นเพียงผลพลอยได้จากแรงกระทำในอีกสองแกน

ทางผู้วิจัยจึงนำระบบการตรวจวัดแบบเรียลไทม์ผ่านเซ็นเซอร์ 3 แกน ร่วมกับ IoT Gateway (Ewon Flexy) และ Dashboard แสดงผลออนไลน์ ช่วยให้สามารถเฝ้าระวังสถานะเครื่องจักรได้อย่างมีประสิทธิภาพ โดยสามารถแจ้งเตือนทันทีเมื่อค่าการสั่นสะเทือนเกินเกณฑ์ จึงเป็นแนวทางที่สอดคล้องกับแนวคิดของการบำรุงรักษาเชิงคาดการณ์ (Predictive Maintenance)

นอกจากนี้ ข้อมูลที่บันทึกไว้ยังสามารถนำมาใช้ในการวิเคราะห์แนวโน้มการเสื่อมสภาพ (trend analysis) เพื่อนำไปสู่การวางแผนบำรุงรักษาล่วงหน้า ลดความเสี่ยงจากการหยุดชะงักของระบบการผลิต ลดต้นทุนการซ่อมแซม และเพิ่มอายุการใช้งานของมอเตอร์ในระยะยาว ทางผู้ทำการวิจัยได้จัดทำหน้าความคุมการทำงานผ่านของส่วนการแสดงผลโดยการใช้ เว็บบราวเซอร์ แสดงผลการทำงานของ การผลิตของโรงสีข้าว รวมถึงการ แสดงผลทั้งหมดของกระบวนการผลิตผ่านเว็บบราวเซอร์ SCADA ดังแสดงในรูปที่ 4 หน้าจอแสดงผลกระบวนการผลิตของโรงสีข้าว

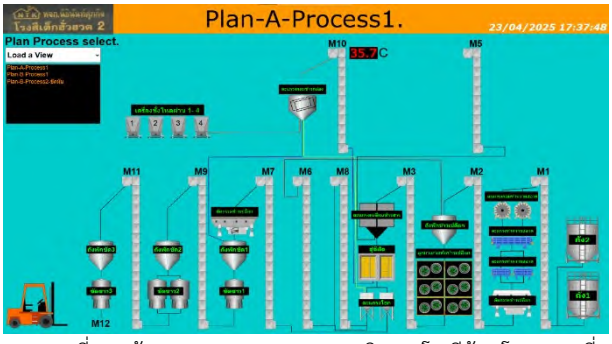

รูปที่ 4 หน้าจอแสดงผลกระบวนการผลิตของโรงสีข้าว โปรแกรมที่ 1

นอกจากนี้ จะแสดงโปรแกรมที่ 2 เพิ่มเติมจากโปรแกรมการทำงานที่ 1 ที่ได้ออกแบบการทำงานไว้เพื่อที่จะสามารถ ดูสถานะการทำงานของระบบของโรงสีข้าว ดังแสดงในรูที่ 5 หน้าจอแสดงผลกระบวนการผลิตของโรงสีข้าว โปรแกรมที่ 2

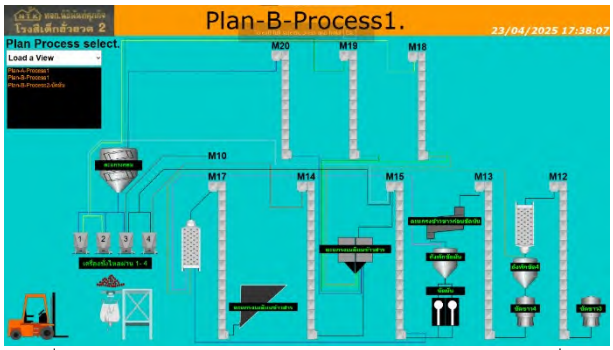

รูที่ 5 หน้าจอแสดงผลกระบวนการผลิตของโรงสีข้าว โปรแกรมที่ 1

4. สรุป

รายการ	สภาวะปกติ	สภาวะผิดปกติ
แกน X (mm/s)	1.00	17.00
แกน Y (mm/s)	2.00	12.00
แกน Z (mm/s)	1.00	17.00
ค่าการสั่นสะเทือนรวม	≈ 2.45 mm/s	≈ 26.87 mm/s
ระดับตาม ISO 10816-1	C (เริ่มเสื่อมสภาพ)	D (อันตราย)
ข้อสังเกต	สภาพการทำงานปกติ ไม่มีเสียงผิดปกติ	เสียงดังผิดปกติ ความเสี่ยงสูงต่อความเสียหาย

จากภาพรวมของการออกแบบการออกแบบและพัฒนาระบบตรวจวัดและแสดงผลการสั่นสะเทือนของเครื่องขัดมันข้าวแบบเรียลไทม์ด้วยเซนเซอร์ 3 แกนผ่าน IoT Gateway เพื่อการบำรุงรักษาเชิงคาดการณ์ สามารถที่จะตรวจจับการสั่นสะเทือนของมอเตอร์เครื่องขัดข้าวขาว ได้อย่างมีประสิทธิภาพ ร้อยละ 100 เป็นสิ่งที่ทางผู้วิจัยได้คาดหวังไว้ก่อนดำเนินการทดลองวิจัย สามารถที่ตรวจสอบและคาดเหตุการณ์จาก การใช้ระบบ PdM

5. กิตติกรรมประกาศ

ผู้วิจัยขอขอบพระคุณ คณะวิศวกรรมศาสตร์ มหาวิทยาลัยเทคโนโลยีราชมงคลล้านนา ที่ให้การสนับสนุนด้านการเดินทาง และทรัพยากรในการดำเนินโครงการวิจัยนี้

ขอขอบคุณ โรงสีข้าวนิธินันท์ศุภกิจ ที่เอื้อเฟื้อความร่วมมือในการติดตั้งและทดลองใช้งานระบบจริง

สุดท้ายนี้ ผู้วิจัยขอแสดงความขอบคุณต่อทุกภาคส่วนที่มีส่วนเกี่ยวข้องในการผลักดันให้งานวิจัยฉบับนี้สำเร็จลุล่วงตามวัตถุประสงค์

เอกสารอ้างอิง

[1] International Organization for Standardization, ISO 10816-1: Mechanical vibration — Evaluation of machine vibration by measurements on non-rotating parts — Part 1: General guidelines, 1st ed., Geneva, Switzerland: ISO, 1995.

[2] A. Jardine, D. Lin, and D. Banjevic, “A review on machinery diagnostics and prognostics implementing condition-based maintenance,” Mechanical Systems and Signal Processing, vol. 20, no. 7, pp. 1483–1510, Oct. 2006.

[3] H. M. Hashemian, “State-of-the-art predictive maintenance techniques,” IEEE Transactions on Instrumentation and Measurement, vol. 60, no. 1, pp. 226–236, Jan. 2011.

[4] P. C. C. de Aguirre, L. Severo, and A. G. Girardi, “A Review on Vibration Monitoring Techniques for Predictive Maintenance of Rotating Machinery,” Current Energy, vol. 4, no. 3, Art. 102, 2024.

[5] N. Midha et al., “Bibliometric Review of Predictive Maintenance using Vibration Analysis,” Library Philosophy and Practice, 2021

[6] S. Aburakhia, T. Tayeh, R. Myers, and A. Shami, “Similarity-Based Predictive Maintenance Framework for Rotating Machinery,” arXiv preprint, arXiv:2212.14550, 2022.

[7] IEC, IEC 60034-14: Rotating electrical machines – Part 14: Mechanical vibration of certain machines with shaft heights 56 mm and higher – Measurement, evaluation and limits of vibration, Geneva, Switzerland: IEC, 2018.

[8] F. Calabrese, M. Cimmino, F. Fiume, and D. Kapetis, “SOPHIA: An event-based IoT and machine learning architecture for predictive maintenance in Industry 4.0,” Information (MDPI), vol. 11, no. 4, p. 202, Apr. 2020

[9] Condition monitoring based on IoT for predictive maintenance of CNC machines,” Procedia Manufacturing, vol. 55, pp. 358–365, 2021.

[10] S. F. Chevtchenko et al., “Predictive maintenance model based on anomaly detection in induction motors: A machine learning approach using real-time IoT data,” arXiv preprint, arXiv:2310.14949, Oct. 2023

[11] W. He, Y. Ding, Y. Zi, and I. W. Selesnick, “Sparsity-based algorithm for detecting faults in rotating machines,” arXiv preprint, arXiv:1511.00067, Oct. 2015.

ปฏิภาณ ห่วงศร
ประวัติการศึกษา
ปริญญาโท วิศวกรรมศาสตรมหาบัณฑิต
สาขาวิศวกรรมไฟฟ้า มหาวิทยาลัยเทคโนโลยีราชมงคลล้านนา
ประวัติการทำงาน อาจารย์ประจำหลักสูตร วิศวกรรมหุ่นยนต์และระบบอัตโนมัติ สาขาวิศวกรรมไฟฟ้า คณะวิศวกรรมศาสตร์ มหาวิทยาลัยเทคโนโลยีราชมงคลล้านนา
งานวิจัยที่สนใจ : Automation, Industrial robot, Machine vision, AI

กฤษฎ์ รัชชภูมิ
ประวัติการศึกษา
ปริญญาโท วิศวกรรมศาสตรมหาบัณฑิต
สาขาวิศวกรรมไฟฟ้า มหาวิทยาลัยเทคโนโลยีราชมงคลล้านนา
ประวัติการทำงาน นักวิชาการศึกษา คณะวิศวกรรมศาสตร์

งานวิจัยที่สนใจ : Three-port DC–DC converters

จักรรินทร์ ถิ่นนคร
ประวัติการศึกษา
ปริญญาโท วิศวกรรมศาสตรมหาบัณฑิต
สาขาวิศวกรรมไฟฟ้า มหาวิทยาลัยเชียงใหม่

ประวัติการทำงาน อาจารย์ประจำหลักสูตร วิศวกรรมหุ่นยนต์และระบบอัตโนมัติ สาขาวิศวกรรมไฟฟ้า คณะวิศวกรรมศาสตร์ มหาวิทยาลัยเทคโนโลยีราชมงคลล้านนา
งานวิจัยที่สนใจ : Sensor and Transducer, Mobile Robotic, Automation

สาธิต รุ่งสว่าง
ประวัติการศึกษา
ปริญญาโท วิศวกรรมศาสตรมหาบัณฑิต
สาขาวิศวกรรมระบบ มหาวิทยาลัยเทคโนโลยีสุรนารี

ประวัติการทำงาน อาจารย์ประจำหลักสูตร วิศวกรรมหุ่นยนต์และระบบอัตโนมัติ สาขาวิศวกรรมไฟฟ้า คณะวิศวกรรมศาสตร์ มหาวิทยาลัยเทคโนโลยีราชมงคลล้านนา
งานวิจัยที่สนใจ : Automation System, Manufacturing System, Simulation System, Robot 3D Printing

วิธีการวัดความต้านทานของเซ็นเซอร์แบบหลายช่องสัญญาณด้วยวงจรป้อนกลับกลับขั้วร่วมกับเทคนิคการสอบเทียบ

A Multi-Channel Resistive Sensor Measurement Technique Using Inverting Amplifier with Calibration-Based Compensation

จิรพงษ์ จิตตะโคตร[1] อภินันท์ อุรโสภณ[2]* สายชล ชุดเจือจีน[3] คณิตพันธ์ บุญสมเชื้อ[1] ดำรงค์ อมรเดชาพล[4] และสัญญา ควรคิด[5]

[1]ภาควิชาครุศาสตร์อุตสาหกรรม สาขาวิศวกรรมไฟฟ้า คณะครุศาสตร์อุตสาหกรรม มหาวิทยาลัยเทคโนโลยีราชมงคลธัญบุรี
[2]คณะวิศวกรรมศาสตร์ มหาวิทยาลัยมหาสารคาม apinan.a@msu.ac.th*
[3]ภาควิชาวิศวกรรมไฟฟ้าและโทรคมนาคม คณะวิศวกรรมศาสตร์ มหาวิทยาลัยเทคโนโลยีราชมงคลกรุงเทพ
[4]คณะวิศวกรรมศาสตร์ มหาวิทยาลัยพะเยา [5]คณะวิทยาศาสตร์และเทคโนโลยีมหาวิทยาลัยราชภัฏนครปฐม

บทคัดย่อ

บทความนี้นำเสนอวิธีการวัดค่าความต้านทานของเซ็นเซอร์แบบหลายช่องสัญญาณ โดยใช้วงจรขยายสัญญาณกลับขั้ว (Inverting Amplifier) ที่มีตัวต้านทานป้อนกลับแทนค่าความต้านทานของเซ็นเซอร์ ร่วมกับสวิตช์อนาล็อกสำหรับเลือกเซ็นเซอร์แต่ละตัว ระบบที่พัฒนาขึ้นสามารถลดผลกระทบจากแรงดันออฟเซ็ตของออปแอมป์และความต้านทานของสวิตช์ได้อย่างมีประสิทธิภาพ ด้วยการสอบเทียบแรงดันเอาต์พุตร่วมกับตัวต้านทานมาตรฐานที่ทราบค่า ผลการทดลองโดยใช้ไมโครคอนโทรลเลอร์ Arduino Mega2560 ซึ่งมีมอดูลการแปลงสัญญาณแอนะล็อกเป็นดิจิทัล (Analog to Digital converter, ADC) ความละเอียด 10 บิต แสดงให้เห็นว่าวงจรที่เสนอสามารถวัดค่าความต้านทานของเซ็นเซอร์ในช่วง 1–10 kΩ ได้อย่างแม่นยำ โดยมีค่าคลาดเคลื่อนสัมพัทธ์ต่ำกว่า 0.15%

คำสำคัญ: การวัดความต้านทาน วงจรขยายสัญญาณกลับขั้ว สวิตช์อนาล็อก การสอบเทียบ และเซ็นเซอร์แบบหลายช่องสัญญาณ

Abstract

This paper presents a multi-channel resistive sensor measurement technique based on an inverting amplifier configuration, where the sensor resistance is placed in the feedback path. An analog switch is employed to select each sensor channel, enabling the system to support multiple sensors with a shared analog front-end. The proposed approach effectively mitigates the effects of op-amp input offset voltage and the resistance of analog switches (RonR_{on}Ron) by utilizing a calibration procedure with a known reference resistor. Experimental results using an Arduino Mega 2560 microcontroller with a 10-bit ADC demonstrate that the system can accurately measure sensor resistances in the range of 1–10 kΩ, achieving a relative error of less than 0.15% throughout the range.

Keywords: Resistive measurement Inverting amplifier Analog switch Calibration and Multi-channel sensor

1. บทนำ

เซ็นเซอร์แบบรีซิสทีฟ (Resistive Sensors) ทำงานโดยอาศัยหลักการที่ค่าความต้านทานภายในของเซ็นเซอร์เปลี่ยนแปลงตามปริมาณทางกายภาพที่ตรวจวัด เช่น เซ็นเซอร์อุณหภูมิ (RTD และเทอร์มิสเตอร์), เซ็นเซอร์ความชื้น, เซ็นเซอร์ตรวจจับตำแหน่งแบบพอติโอมิเตอร์ และเซ็นเซอร์ก๊าซตระกูล MQ [1]–[3] ด้วยโครงสร้างที่เรียบง่าย ต้นทุนต่ำ และความสามารถในการประยุกต์ใช้งานได้หลากหลาย เซ็นเซอร์ประเภทนี้จึงได้รับความนิยมอย่างแพร่หลายในงานระบบสมองกลฝังตัวและระบบวัดทางอุตสาหกรรม

การตรวจวัดค่าความต้านทานของเซ็นเซอร์สามารถทำได้หลากหลายเทคนิค โดยทั่วไปนิยมแปลงค่าความต้านทานให้อยู่ในรูปของสัญญาณทางไฟฟ้า เช่น สัญญาณดิจิตอล คาบเวลา [4]–[7] หรือแรงดัน [8]-[10] และนำสัญญาณเหล่านี้ประมวลผลด้วยไมโครคอนโทรลเลอร์ เทคนิคที่พบได้บ่อย ได้แก่ 1) เทคนิคแปลงความต้านทานเป็นความถี่ (Resistance-to-Frequency หรือ R-to-F) เป็นเทคนิคที่อาศัยวงจรออสซิลเลเตอร์ในการแปลงค่าความต้านทานให้เป็นสัญญาณเอาต์พุต โดยความถี่ที่ได้จะมีความสัมพันธ์กับค่าความต้านทานของเซ็นเซอร์ R_x ที่เชื่อมต่อ ตัวอย่างเช่น วงจร Relaxation Oscillator หรือ 555 Timer จากนั้นไมโครคอนโทรลเลอร์สามารถนำสัญญาณที่ได้มาวัดเป็นคาบเวลา หรือจำนวนพัลส์ต่อหน่วยเวลา เพื่อแปลงกลับเป็นค่าความต้านทานของเซ็นเซอร์ 2) เทคนิคแปลงความต้านทานเป็นเวลา (Resistance-to-Time หรือ R-to-T) โดยใช้วงจร *RC* ชาร์จหรือคายประจุร่วมกับตัวต้านทานและตัวเก็บประจุ แล้ววัดช่วงเวลาที่แรงดันเปลี่ยนผ่านค่าที่กำหนด เทคนิคนี้สามารถใช้งานร่วมกับพอร์ตดิจิทัลของไมโครคอนโทรลเลอร์ได้ โดยไม่ต้องใช้ ADC และ 3) เทคนิคการแปลงความต้านทานเป็นแรงดัน (Resistance-to-Voltage หรือ R-to-V) ซึ่งทำได้โดยใช้วงจรแบ่งแรงดัน (Voltage Divider) ร่วมกับแรงดันอ้างอิงที่รู้ค่าชัดเจน แล้วอ่านแรงดันที่ได้ด้วย ADC ของไมโครคอนโทรลเลอร์ วิธีนี้ให้ความแม่น หากได้รับการออกแบบวงจรและเลือกค่าตัวต้านทานอ้างอิง (Resistance reference, R_{ref}) อย่างเหมาะสม [9] อย่างไรก็ตาม วงจรแบ่งแรงดันยังคงมีข้อจำกัดด้านความ

*ผู้ประพันธ์บรรณกิจ

แม่นยำ โดยเฉพาะเมื่อค่าความต้านทานของเซ็นเซอร์มีการเปลี่ยนแปลงในช่วงกว้าง และ ADC มีจำนวนบิตจำกัด [10]

อย่างไรก็ตาม เนื่องจากโครงสร้างของเทคนิคเหล่านี้ [4]–[7] โดยทั่วไปถูกออกแบบมาสำหรับการวัดเซ็นเซอร์เพียงตัวเดียว จึงยากต่อการประยุกต์ใช้งานกับระบบที่ต้องวัดค่าจากเซ็นเซอร์หลายตัวพร้อมกัน เช่น ระบบจมูกอิเล็กทรอนิกส์ หรือระบบตรวจจับหลายพารามิเตอร์พร้อมกัน ในกรณีของวงจรแบ่งแรงดัน หากต้องการวัดเซ็นเซอร์หลายตัว ก็จำเป็นต้องออกแบบวงจรแบ่งแรงดันแยกให้แต่ละเซ็นเซอร์ ซึ่งต้องใช้ตัวต้านทานอ้างอิงหลายชุดร่วมด้วย ทำให้วงจรมีความซับซ้อนและสิ้นเปลืองพื้นที่บนแผงวงจรมากขึ้น [10] เทคนิคการต่อเซ็นเซอร์เป็นอะเรย์หรือแมทริกซ์ (Sensor Array or Matrix) สามารถลดจำนวนพอร์ตของไมโครคอนโทรลเลอร์และสายสัญญาณได้อย่างมีประสิทธิภาพ โดยใช้หลักการสแกนแถว–คอลัมน์ร่วมกับสวิตช์หรือมัลติเพล็กเซอร์ [11]-[12] อย่างไรก็ตาม เทคนิคดังกล่าวมีข้อจำกัดหลายประการ เช่น ความแม่นยำลดลงเนื่องจากการรบกวนระหว่างช่องสัญญาณ (Cross-talk) ความแตกต่างของความต้านทานภายในสวิตช์ (R_{on}) แต่ละช่อง ความซับซ้อนในการควบคุมลำดับการสแกน และข้อจำกัดในการใช้งานกับเซ็นเซอร์ที่ต้องการความแม่นยำสูงหรือมีช่วงความต้านทานกว้าง เช่น เซ็นเซอร์ก๊าซตระกูล MQ

ด้วยข้อจำกัดข้างต้น งานวิจัยนี้จึงเสนอแนวทางใหม่ในการวัดค่าความต้านทานของเซ็นเซอร์หลายตัว โดยใช้วงจรขยายสัญญาณกลับขั้วร่วมกับสวิตช์อนาล็อก พร้อมเทคนิคการสอบเทียบที่สามารถลดผลกระทบจากแรงดันออฟเซ็ต (Offset) ของออปแอมป์ (Op-amp) และความต้านทานของสวิตช์ได้อย่างมีประสิทธิภาพ อีกทั้งยังรองรับการวัดเซ็นเซอร์ได้หลายตัวโดยใช้วงจรขยายเพียงชุดเดียว ช่วยลดความซับซ้อนของวงจรและขยายขอบเขตการใช้งานให้ครอบคลุมระบบตรวจวัดแบบหลายช่องสัญญาณ ภายใต้โครงสร้างวงจรที่กะทัดรัดและเหมาะสมกับระบบสมองกลฝังตัว

2. วงจรขยายสัญญาณกลับขั้วกับการประยุกต์ใช้วัดความต้านทานเซ็นเซอร์

2.1 วงจรขยายสัญญาณกลับขั้วกับเซ็นเซอร์ต่อเข้าที่อินพุต

รูปที่ 1 แสดงโครงสร้างของวงจรขยายสัญญาณกลับขั้วที่สามารถปรับอัตราการขยายได้ (Programmable Gain Control) ซึ่งถูกนำมาประยุกต์ใช้สำหรับการวัดค่าความต้านทานของเซ็นเซอร์ โดยมีการต่อเซ็นเซอร์ R_x ไว้ที่ขาอินพุตของออปแอมป์ และใช้แรงดันกระตุ้น v_{ect} เพื่อสร้างกระแสอ้างอิงผ่านเซ็นเซอร์ อัตราขยายของวงจรถูกควบคุมด้วยตัวต้านทานป้อนกลับ R_n เพื่อให้แรงดันเอาต์พุต v_o อยู่ในช่วงการทำงานของ ADC ได้อย่างเหมาะสม ความสัมพันธ์ระหว่างแรงดันเอาต์พุตกับค่าความต้านทานของเซ็นเซอร์สามารถแสดงได้ดังสมการที่ (1)

$$v_o = \frac{v_{ect}}{R_x}(R_n + R_{on}) \quad (1)$$

เมื่อ R_{on} คือความต้านทานภายในของสวิตช์อนาล็อก และ R_n คือตัวต้านทานป้อนกลับ จากสมการที่ (1) สามารถจัดรูปใหม่เพื่อคำนวณค่าความต้านทานของเซ็นเซอร์ R_x ได้ดังนี้:

$$R_x = \frac{v_{ect}}{v_o}(R_n + R_{on}) \quad (2)$$

แม้ว่าวงจรขยายสัญญาณกลับขั้วตามรูปที่ 1 จะสามารถวัดค่าความต้านทานของเซ็นเซอร์ได้อย่างแม่นยำ และยืดหยุ่นในด้านอัตราขยาย แต่ยังคงมีข้อจำกัดบางประการที่อาจส่งผลต่อความถูกต้องของการวัด กล่าวคือ การเบี่ยงเบนของแรงดันกระตุ้น v_{ect}, ค่าความคลาดเคลื่อนของตัวต้านทานอ้างอิง R_{ref} และแรงดันออฟเซ็ตของออปแอมป์ v_{offset} อาจก่อให้เกิดความคลาดเคลื่อนในแรงดันเอาต์พุต v_o

นอกจากนี้ วงจรในลักษณะนี้ยังไม่เหมาะสมต่อการใช้งานร่วมกับเซ็นเซอร์หลายตัวพร้อมกัน เนื่องจากจำเป็นต้องปรับเปลี่ยนหรือสลับค่าตัวต้านทานป้อนกลับทุกครั้งที่ต้องการวัดเซ็นเซอร์แต่ละตัว ซึ่งเพิ่มความซับซ้อนของฮาร์ดแวร์และภาระของระบบควบคุม หากไม่มีการออกแบบระบบเลือกเซ็นเซอร์และกลไกการสอบเทียบที่เหมาะสม วงจรดังกล่าวอาจไม่สามารถใช้งานได้อย่างมีประสิทธิภาพในระบบแบบหลายช่องสัญญาณ

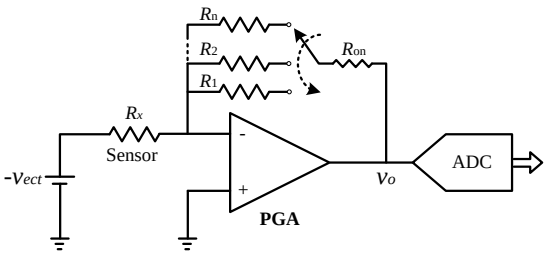

รูปที่ 1 วงจรขยายสัญญาณกลับขั้วกับเซ็นเซอร์ต่อเข้าที่อินพุต

2.2 วงจรขยายสัญญาณกลับขั้วกับเซ็นเซอร์ป้อนกลับ

วงจรขยายสัญญาณกลับขั้วที่มีเซ็นเซอร์ต่อเป็นความต้านทานป้อนกลับนั้น เคยถูกนำไปประยุกต์ใช้งานกับเซ็นเซอร์เพียงตัวเดียวมาก่อน [13] ในงานวิจัยนี้ วงจรถูกขยายความสามารถเพื่อรองรับการใช้งานกับเซ็นเซอร์หลายตัว ดังแสดงในรูปที่ 2 โดยแรงดันกระตุ้น v_{ect} ถูกจ่ายให้กับตัวต้านทานอ้างอิง R_{ref} ที่ต่ออยู่ที่ขาอินพุตของออปแอมป์ ขณะที่ด้านป้อนกลับของออปแอมป์สามารถเลือกค่าความต้านทานได้จากเซ็นเซอร์แต่ละตัว R_{xn} ผ่านสวิตช์อนาล็อก ถูกควบคุมด้วยไมโครคอนโทรลเลอร์เพื่อเลือกเซ็นเซอร์ที่ต้องการวัดในแต่ละช่วงเวลา

โครงสร้างนี้ช่วยให้สามารถเลือกวัดเซ็นเซอร์ได้อย่างยืดหยุ่นโดยไม่ต้องเปลี่ยนแปลงโครงสร้างวงจรหลัก อีกทั้งยังสามารถกำหนดกระแสที่ไหลผ่านเซ็นเซอร์ได้อย่างคงที่ผ่านค่าของ v_{ect} และ R_{ref} นอกจากนี้งานวิจัยนี้ยังเสนอแนวทางการชดเชยความคลาดเคลื่อนที่เกิดจากออฟเซ็ตของออปแอมป์ และความต้านทานภายในของสวิตช์ โดยใช้ตัวต้านทานมาตรฐานที่ทราบค่า R_{cal} เป็นตัวอ้างอิงในขั้นตอนสอบเทียบ การทำงานของวงจรแบ่งออกเป็นสองโหมด ได้แก่

- ในโหมดสอบเทียบ วงจรเลือกใช้ R_{cal} เป็นตัวต้านทานป้อนกลับ ทำให้สามารถวัดแรงดันเอาต์พุตที่เกิดจากตัวต้านทานที่ทราบค่า โดยแรงดันเอาต์พุตในกรณีนี้กำหนดโดยสมการที่ (3):

$$v_{o_cal} = \frac{v_{ect}}{R_{ref}}(R_{cal} + R_{on}) + v_{offset} \quad (3)$$

- ในโหมดวัดเซ็นเซอร์จริง วงจรเลือกใช้ R_{xn} เป็นตัวต้านทานป้อนกลับ ทำให้ได้แรงดันเอาต์พุตตามสมการที่ (4):

$$v_{oxn} = \frac{v_{ect}}{R_{ref}}(R_{xn} + R_{on}) + v_{offset} \quad (4)$$

นำสมการที่ (4) หักล้างกับสมการที่ (3) หาค่าความต้านทานของเซ็นเซอร์ R_{xn} ได้ดังนี้:

$$R_{xn} = \frac{R_{ref}}{v_{ect}}\left(v_{oxn} - v_{o_cal}\right) + R_{cal} \quad (5)$$

จากผลลัพธ์ในสมการที่ (5) จะเห็นว่าความต้านทานสวิตช์ R_{on} และแรงดันออฟเซ็ต v_{offset} ถูกลบล้างออก ทำให้วิธีการที่เสนอสามารถวัดค่าความต้านทานของเซ็นเซอร์ได้อย่างแม่นยำภายใต้เทคนิคการปรับเทียบที่เสนอ

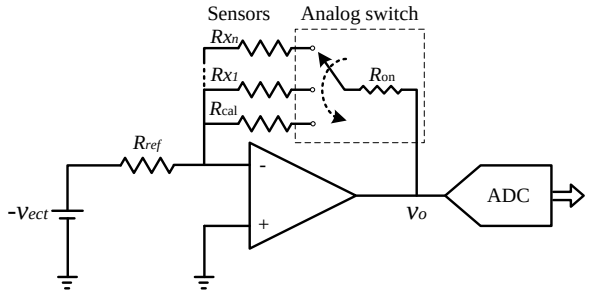

รูปที่ 2 วงจรขยายสัญญาณกลับขั้วกับเซ็นเซอร์ป้อนกลับที่เสนอ

2.3 การวิเคราะห์ความคลาดเคลื่อน

แม้ว่าระบบที่นำเสนอจะสามารถลดผลกระทบจากออฟเซ็ตของออปแอมป์ได้อย่างมีประสิทธิภาพผ่านเทคนิคการสอบเทียบตามสมการที่ (3)–(5) แต่ยังคงมีความคลาดเคลื่อนบางประการที่อาจส่งผลต่อความแม่นยำของค่าความต้านทานที่วัดได้ ซึ่งสามารถวิเคราะห์ได้จากสองแหล่งหลัก ได้แก่ ความต้านทานของสวิตช์อนาล็อก R_{on} และความผิดพลาดจากกระบวนการแปลงสัญญาณของ ADC

1) ความคลาดเคลื่อนจาก R_{on}

ในสมการที่ (3) และ (4) ได้มีการสมมุติว่า ความต้านทานของสวิตช์อนาล็อก R_{on} ในแต่ละช่องสัญญาณมีค่าเท่ากัน เพื่อให้การวิเคราะห์วงจรเป็นไปอย่างง่ายและต่อเนื่อง อย่างไรก็ตาม ในทางปฏิบัติ ค่าความต้านทาน R_{on} ของแต่ละช่องอาจมีความแตกต่างกันได้ เนื่องจากลักษณะการทำงานของสวิตช์อนาล็อกมีการเปลี่ยนแปลงค่าความต้านทานตามอุณหภูมิ แรงดันควบคุม และกระแสที่ไหลผ่าน [14]

ความแตกต่างของ R_{on} ระหว่างช่องสัญญาณอาจส่งผลโดยตรงต่อแรงดันเอาต์พุต v_o ที่วัดได้ และทำให้เกิดความคลาดเคลื่อนในค่าความต้านทานของเซ็นเซอร์ R_{xn} ที่คำนวณได้จากสมการที่ (5) โดยเฉพาะในกรณีที่เซ็นเซอร์มีค่าความต้านทานต่ำ ซึ่งความต้านทานของสวิตช์จะมีอิทธิพลต่อแรงดันเอาต์พุตในวงจรอย่างชัดเจน

2) ความคลาดเคลื่อนจาก ADC

ความผิดพลาดภายในที่เกิดจากตัวแปลงสัญญาณแอนะล็อกเป็นดิจิทัล (ADC) ได้แก่ ออฟเซ็ต (Offset Error), อัตราขยาย (Gain Error), อินทิกรัลนอนลิเนียร์ริตี (Integral Nonlinearity: INL) และ ดิฟเฟอเรนเชียลนอนลิเนียร์ริตี (Differential Nonlinearity: DNL) ซึ่งความผิดพลาดเหล่านี้อาจทำให้ค่าแรงดันที่แปลงได้เบี่ยงเบนจากค่าจริง แม้ในกรณีที่ไม่มีสัญญาณรบกวนจากภายนอก โดย:

- Offset Error ทำให้ผลการแปลงทุกค่าเบี่ยงเบนในทิศทางเดียวกัน
- Gain Error ส่งผลให้สัดส่วนระหว่างแรงดันอินพุตกับค่าดิจิทัลผิดเพี้ยน
- INL ทำให้ลักษณะการแปลงไม่เป็นเส้นตรงเทียบกับเส้นอุดมคติ
- DNL ทำให้เกิดสเตปไม่สม่ำเสมอ หรืออาจมีโค้ดบางค่าหายไป (Missing Code)

ความผิดพลาดเหล่านี้มีผลต่อความแม่นยำในการคำนวณค่าความต้านทานของเซ็นเซอร์จากแรงดัน v_o ที่วัดได้ โดยเฉพาะเมื่อใช้ ADC ที่มีความละเอียดต่ำ การลดความคลาดเคลื่อนจาก ADC สามารถทำได้โดยการเพิ่มการเฉลี่ยผลการวัดหลายครั้ง (oversampling) หรือ การใช้ external ADC ที่มีความละเอียดสูงขึ้น (เช่น 12 บิต หรือ 16 บิต)

3. ผลการทดลอง

3.1 ตั้งค่าการทดลอง

การทดลองในงานวิจัยนี้ใช้ไมโครคอนโทรลเลอร์ Arduino Mega 2560 ซึ่งมีวงจรแปลงสัญญาณแอนะล็อกเป็นดิจิทัล ความละเอียด 10 บิต โดยมีแรงดันอ้างอิง V_{ref} เท่ากับแรงดันไฟเลี้ยงระบบ V_{cc} ที่วัดได้อยู่ที่ 5.01 V สำหรับฟรอนต์เอนด์แบบแอนะล็อก ซึ่งประกอบด้วย ออปแอมป์ (LM741) และสวิตช์อนาล็อก (CD4051B) ได้รับแรงดันเลี้ยงจากแหล่งจ่ายไฟคู่ ±6 V กำหนดแรงดันกระตุ้น $v_{ect} = -6\,\text{V}$ โดยมีตัวต้านทานอ้างอิง $R_{ref} = 12{,}198\,\Omega$ ซึ่งทำหน้าที่กำหนดกระแสผ่านวงจรเท่ากับประมาณ $\frac{6}{12{,}198} \approx 4.9\,\text{mA}$ ระบบถูกออกแบบให้เหมาะสำหรับการวัดความต้านทานของเซ็นเซอร์ในช่วง 1–10 kΩ สำหรับขั้นตอนสอบเทียบ ใช้ตัวต้านทานมาตรฐาน $R_{cal} = 981\,\Omega$ เพื่อใช้ในสมการที่ (3)–(5) ในการชดเชยข้อผิดพลาดของระบบ ผลลัพธ์ 100 ค่าถูกนำมาทำการเฉลี่ยหาค่า R_x ค่าความต้านทานทั้งหมดที่เกี่ยวข้อง ได้แก่ R_x, R_{cal} และ R_{ref} ถูกวัดด้วยดิจิทัลมัลติมิเตอร์ TECPEL DMM8050 ซึ่งมีความแม่นยำสูง เพื่อใช้เป็นค่ามาตรฐานสำหรับการเปรียบเทียบผลการวัดของระบบที่พัฒนาขึ้น

3.2 วัดความไม่แน่นอนของความต้านทาน

รูปที่ 3 แสดงความสัมพันธ์ระหว่างค่าความต้านทานของเซ็นเซอร์ที่วัดได้ (Measured resistance) กับค่าจริงของ R_x ที่วัดด้วยมัลติมิเตอร์มาตรฐาน โดยมีการวางแนวเส้นประมาณค่าที่ดีที่สุด (Best-fit line) เพื่อใช้เปรียบเทียบแนวโน้มของข้อมูล วงกลมสีน้ำเงินแสดงค่าความต้านทานที่วัดได้ในแต่ละตัวอย่าง ขณะที่สามเหลี่ยมสีม่วงแสดง ค่าความคลาดเคลื่อนสัมพัทธ์ (Relative Error) ซึ่งคำนวณจากสมการ:

$$\frac{\Delta R_x}{R_x} = \frac{R_{measured} - R_{actual}}{R_{actual}} \times 100\% \quad (6)$$

จากกราฟจะเห็นได้ว่า:

- ค่าความต้านทานที่วัดได้มีแนวโน้มอยู่ใกล้กับเส้นตรงอ้างอิง (Best-fit line) ซึ่งแสดงถึงความถูกต้องโดยรวมของระบบวัดที่พัฒนา
- ความคลาดเคลื่อนสัมพัทธ์ ($\Delta R_x/R_x$) ส่วนใหญ่อยู่ในช่วง ±0.15% โดยไม่มีแนวโน้มเบี่ยงเบนอย่างชัดเจนในช่วงใดช่วงหนึ่งของค่าความต้านทาน

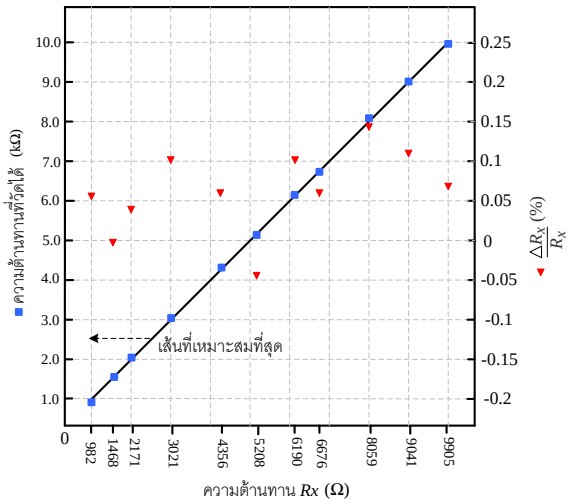

รูปที่ 3 ผลการวัดความไม่แน่นอนของความต้านทานเซ็นเซอร์

ผลการวัดนี้แสดงให้เห็นว่า วงจรที่เสนอสามารถวัดค่าความต้านทานในช่วง 1–10 kΩ ได้อย่างแม่นยำ โดยมีความคลาดเคลื่อนสัมพัทธ์ต่ำกว่า ±0.15% ตลอดช่วงการวัด ซึ่งถือว่าอยู่ในเกณฑ์ที่เหมาะสมสำหรับการใช้งานทั่วไปกับเซ็นเซอร์แบบรีซิสทีฟหลายตัว โดยไม่ต้องใช้วงจรแยกสำหรับแต่ละเซ็นเซอร์ แม้จะใช้ออปแอมป์ LM741 ซึ่งเป็นออปแอมป์ทั่วไปที่มีแรงดันออฟเซ็ตอินพุตสูง (1-5 mV) เมื่อเทียบกับออปแอมป์ชนิด precision แต่ผลการทดลองแสดงให้เห็นว่าเทคนิคที่เสนอ ซึ่งใช้การสอบเทียบร่วมกับตัวต้านทานมาตรฐาน R_{cal} และนำแรงดันของโหมดวัดเซ็นเซอร์มาหักลบกับแรงดันจากโหมดสอบเทียบ ตามสมการที่ (5) สามารถลดผลกระทบจากแรงดันออฟเซ็ตได้อย่างมีประสิทธิภาพกลไกการลบแรงดัน $v_{oxn} - v_{o_cal}$ มีผลในการลบส่วนของออฟเซ็ตที่ส่งผลเท่ากันในทั้งสองสถานะ ทำให้ค่าที่คำนวณได้มีความแม่นยำใกล้เคียงกับค่าจริง แม้จะไม่ได้ใช้วงจรชดเชยออฟเซ็ตภายนอกหรืออุปกรณ์ที่มีสเปคสูง จึงยืนยันได้ว่าวิธีการที่นำเสนอสามารถใช้งานร่วมกับออปแอมป์ต้นทุนต่ำในงานวัดแบบหลายช่องสัญญาณได้อย่างมีประสิทธิภาพผลการวัดนี้แสดงให้เห็นว่า วงจรที่เสนอสามารถวัดค่าความต้านทานในช่วง 1–10 kΩ ได้อย่างแม่นยำ โดยมีความคลาดเคลื่อนสัมพัทธ์ต่ำกว่า ±0.15% ตลอดช่วงการวัด ซึ่งถือว่าอยู่ในเกณฑ์ที่เหมาะสมสำหรับการใช้งานทั่วไปกับเซ็นเซอร์แบบรีซิสทีฟหลายตัว โดยไม่ต้องใช้วงจรแยกสำหรับแต่ละเซ็นเซอร์

4. อภิปราย

จากผลการทดลองที่แสดงในรูปที่ 3 สามารถสังเกตได้ว่าวงจรที่นำเสนอสามารถวัดค่าความต้านทานของเซ็นเซอร์ในช่วง 1–10 kΩ ได้อย่างมีความแม่นยำและเสถียร ความคลาดเคลื่อนสัมพัทธ์ที่เกิดขึ้นในแต่ละจุดวัดส่วนใหญ่อยู่ในช่วง ±0.15% ซึ่งถือว่าอยู่ในเกณฑ์ที่ยอมรับได้สำหรับการใช้งานทั่วไป โดยเฉพาะในระบบที่ต้องวัดเซ็นเซอร์หลายตัว เช่น ระบบจมูกอิเล็กทรอนิกส์ หรือระบบตรวจวัดสิ่งแวดล้อมแบบหลายพารามิเตอร์

แม้ว่าการทดลองในครั้งนี้จะดำเนินการเฉพาะกับเซ็นเซอร์เพียงตัวเดียวเพื่อประเมินประสิทธิภาพของวงจรและวิธีการสอบเทียบ แต่โครงสร้างวงจรที่เสนอสามารถรองรับการวัดเซ็นเซอร์หลายตัวได้โดยตรง ด้วยการใช้ไมโครคอนโทรลเลอร์ควบคุมการเลือกสวิตช์อนาล็อกเพื่อสลับช่องสัญญาณการวัด ซึ่งจากหลักการและสมการที่ใช้ในการคำนวณ คาดว่าผลการวัดของเซ็นเซอร์ช่องอื่นๆ จะมีความแม่นยำในระดับใกล้เคียงกันตราบเท่าที่สภาวะแวดล้อม เช่น ค่า R_{on} และแรงดันกระตุ้นคงที่ และการสอบเทียบถูกดำเนินการในลักษณะเดียวกัน แม้ว่าจะมีการสมมุติให้ค่าความต้านทานของสวิตช์อนาล็อก R_{on} เท่ากันในทุกช่องสัญญาณ แต่จากผลการวัดจริง พบว่าแนวโน้มความคลาดเคลื่อนไม่ได้เบี่ยงเบนอย่างเป็นระบบ แสดงให้เห็นว่าผลกระทบจากความแตกต่างของ R_{on} แต่ละช่องยังอยู่ในระดับที่ไม่รบกวนการวัดอย่างมีนัยสำคัญ การใช้เทคนิคสอบเทียบร่วมกับตัวต้านทานมาตรฐาน R_{cal} สามารถลดผลกระทบจากออฟเซ็ตของออปแอมป์ได้อย่างมีประสิทธิภาพ

อย่างไรก็ตาม ความแม่นยำโดยรวมยังคงถูกจำกัดด้วยข้อผิดพลาดภายในของ ADC เช่น Offset Error, Gain Error, INL และ DNL ซึ่งในการทดลองนี้ใช้ ADC ความละเอียด 10 บิตของ Arduino Mega2560 ที่มี LSB ประมาณ 4.88 mV และมีความไม่เชิงเส้นอยู่บางช่วง หากต้องการยกระดับความแม่นยำเพิ่มเติม อาจพิจารณาใช้ ADC ภายนอกที่มีความละเอียดสูงกว่า หรือใช้วิธีการเฉลี่ยผลการวัดหลายรอบ (Oversampling) เพื่อช่วยลดผลกระทบจากสัญญาณรบกวนและควอนไทเซชัน (Quantization noise)

5. สรุป

บทความนี้นำเสนอวงจรวัดค่าความต้านทานของเซ็นเซอร์แบบหลายช่องสัญญาณ โดยใช้วงจรขยายสัญญาณกลับขั้วที่มีการควบคุมการเลือกเซ็นเซอร์ผ่านสวิตช์อนาล็อก และใช้เทคนิคสอบเทียบร่วมกับตัวต้านทานมาตรฐาน เพื่อลดข้อผิดพลาดที่เกิดจากแรงดันออฟเซ็ตของออปแอมป์ ผลการทดลองที่ใช้ไมโครคอนโทรลเลอร์ Arduino Mega2560 กับ ADC

ความละเอียด 10 บิต แสดงให้เห็นว่าวงจรที่เสนอสามารถวัดค่าความต้านทานในช่วง 1–10 kΩ ได้อย่างมีประสิทธิภาพ โดยมีค่าคลาดเคลื่อนสัมพัทธ์ไม่เกิน ±0.15%

วงจรที่เสนอมีความเหมาะสมสำหรับการใช้งานในระบบที่ต้องการวัดเซ็นเซอร์หลายตัวด้วยทรัพยากรฮาร์ดแวร์จำกัด และสามารถต่อยอดไปสู่การประยุกต์ใช้งานกับเซ็นเซอร์ประเภทต่าง ๆ ที่มีลักษณะความต้านทานเปลี่ยนแปลง เช่น เซ็นเซอร์ก๊าซ เซ็นเซอร์ความชื้น หรือเซ็นเซอร์อุณหภูมิในงานเกษตรอัจฉริยะและอุปกรณ์พกพา

6. กิตติกรรมประกาศ

ขอขอบคุณคณะวิศวกรรมศาสตร์ มหาวิทยาลัยมหาสารคาม ที่สนับสนุนทุนวิจัย

เอกสารอ้างอิง

[1] Application Notes for RTD, TE Connectivity. Accessed: Nov. 5, 2023. [Online]. Available: Datasheet: https://www.te.com/content/dam/te com/documents/sensors/global/how-rtd-sensors-work.pdf

[2] F. Reverter, “A tutorial on thermal sensors in the 200th anniversary of the Seebeck effect,” *IEEE Sensors Journal*, vol. 21, no. 20, pp. 22122–22132, Oct. 2021.

[3] S. Kaunkid, A. Aurasopon, W. Khamsen, C. Takeang, N. Piladaeng and J. Lloret, "Resistive Measurement Method for MQ Sensors Based on ADCs of Microcontrollers," *IEEE Access*, vol. 12, pp. 144364-144376, Oct. 2024.

[4] Z. Kokolanski, C. Gavrovski, V. Dimcev, and M. Makraduli, “Simple interface for resistive sensors based on pulse width modulation,” *IEEE Trans. Instrum. Meas.*, vol. 62, no. 11, pp. 2983–2992, Nov. 2013.

[5] K. Elangovan and C. S. Anoop, “Simple and efficient relaxation oscillator-based digital techniques for resistive sensors—Design and performance evaluation,” *IEEE Trans. Instrum. Meas.*, vol. 69, no. 9, pp. 6070–6079, Sep. 2020.

[6] F. Reverter, “A microcontroller-based interface circuit for non-linear resistive sensors,” *Meas. Sci. Technol.*, vol. 32, no. 2, Feb. 2021, Art. no. 027001.

[7] F. Reverter, “A microcontroller-based interface circuit for three-wire connected resistive sensors,” *IEEE Trans. Instrum. Meas.*, vol. 71, pp. 1–4, 2022.

[8] G. Makan, R. Mingesz, and Z. Gingl, “How accurate is an Arduino Ohmmeter?” *Phys. Educ.,* vol. 54, no. 3, May 2019, Art. no. 033001.

[9] A. Aurasopon, W. Khamsen, C. Takeang, T. Thongsan and J. Lloret, "Adaptive Reference Resistance for Accurate Measurement of Resistive Sensors With Microcontroller," in *IEEE Sensors Journal*, vol. 25, no. 5, pp. 8446-8457, March, 2025,

[10] S. Lakshminarayana, Y. Park, H. Park, and S. Jung, “A readout system for high speed interface of wide range chemiresistive sensor array,” *IEEE Access*, vol. 10, pp. 45726–45735, May 2022.

[11] J. S. Kim, D.-Y Kwon and B. D. Choi, “High-Accuracy, Compact Scanning Method and Circuit for Resistive Sensor Arrays,” *Sensors*, vol. 16, 2016, Art. no. 155

[12] W. Zhang, L. Qin, R. Chen, J. Wang, W. Zheng and W. Zhou, "The Influence Mechanism and Improvement Strategy of Multiplexer on Measurement Error of the 2-D Resistive Sensor Array Data Acquisition Circuit," *IEEE Sensors Journal*, vol. 23, no. 17, pp. 20086-20096, Sept., 2023.

[13] F. Reverter, “A Front-End Circuit for Two-Wire Connected Resistive with a Wire-Resistance Compensation,” Sensors, vol. 23, 2023, Art. no. 8228.

[14] CD4051B: May. 18, 2025. [Online]. Available: https://www.alldatasheet.com/datasheet-pdf/

จิรพงษ์ จิตตะโคตร์ เกิดที่จังหวัดศรีสะเกษ ประเทศไทย ในปี 2517 เขาได้รับปริญญาตรีสาขาวิศวกรรมไฟฟ้าจากวิทยาลัยภาคตะวันออกเฉียงเหนือ จังหวัดขอนแก่น ประเทศไทย ในปี 2539 และปริญญาโทสาขาวิศวกรรมไฟฟ้า และปริญญาเอกจากมหาวิทยาลัยเทคโนโลยีพระจอมเกล้าธนบุรี กรุงเทพมหานคร ประเทศไทย ในปี 2548 และ 2561 ตามลำดับ ปัจจุบันเขาทำงานเป็นรองศาสตราจารย์ในภาควิชาวิศวกรรมไฟฟ้า คณะครุศาสตร์อุตสาหกรรม มหาวิทยาลัยเทคโนโลยีราชมงคลธัญบุรี จังหวัดปทุมธานี ประเทศไทย ความสนใจในการวิจัยปัจจุบันของเขา ได้แก่ อิเล็กทรอนิกส์กำลังสำหรับอินเวอร์เตอร์เรโซแนนซ์ความถี่สูง การควบคุมแบบดิจิตอลของตัวแปลงอิเล็กทรอนิกส์กำลัง และพลังงานหมุนเวียน

อภินันท์ อุรโสภณ สำเร็จการศึกษาระดับปริญญาตรีวิศวกรรมศาสตร์ สาขาวิศวกรรมอิเล็กทรอนิกส์ จากวิทยาลัยภาคตะวันออกเฉียงเหนือ จังหวัดขอนแก่น ประเทศไทย ในปี 2538 สำเร็จการศึกษาระดับปริญญาโทและปริญญาเอกวิศวกรรมไฟฟ้า จากมหาวิทยาลัย

เทคโนโลยีพระจอมเกล้าธนบุรี กรุงเทพมหานคร ประเทศไทย ในปี 2546 และ 2550 ตามลำดับ เขาเป็นอาจารย์ประจำภาควิชาวิศวกรรมไฟฟ้า คณะวิศวกรรมศาสตร์ มหาวิทยาลัยบูรพา จังหวัดชลบุรี ประเทศไทย ในปี 2550 จากนั้นเขาย้ายไปที่คณะวิศวกรรมศาสตร์ มหาวิทยาลัยมหาสารคาม ประเทศไทย ในปี 2551 โดยปัจจุบันดำรงตำแหน่งรองศาสตราจารย์ ความสนใจทางด้านงานวิจัยปัจจุบัน ได้แก่ การประยุกต์ใช้ไมโครคอนโทรลเลอร์ในเครื่องมือวัด และอิเล็กทรอนิกส์-คอมพิวเตอร์ในเกษตรกรรม

สายชล ชุดเจือจีน สำเร็จการศึกษาระดับปริญญาตรี วิศวกรรมศาสตรบัณฑิต (วศ.บ.) จากมหาวิทยาลัยเทคโนโลยีมหานคร กรุงเทพมหานคร ในปี พ.ศ. 2543 และปริญญาวิศวกรรมศาสตรมหาบัณฑิต (วศ.ม.) จากมหาวิทยาลัยเทคโนโลยีพระจอมเกล้าธนบุรี กรุงเทพมหานคร ในปี พ.ศ. 2547 และปริญญาดุษฎีบัณฑิต (ปร.ด.) สาขาวิศวกรรมไฟฟ้าและคอมพิวเตอร์ 2554 ปัจจุบันเป็นอาจารย์ประจำภาควิชาวิศวกรรมไฟฟ้า มหาวิทยาลัยเทคโนโลยีราชมงคลกรุงเทพ กรุงเทพมหานคร ปัจจุบันดำรงตำแหน่งรองศาสตราจารย์ ความสนใจในการวิจัยปัจจุบันของเขารวมถึงอินเวอร์เตอร์เรโซแนนซ์ความถี่สูงสำหรับการเหนี่ยวนำความร้อน อินเวอร์เตอร์แบบต้นทางกระแสและแรงดันไฟฟ้า รวมถึงการควบคุมระบบอิเล็กทรอนิกส์กำลัง

คณิตพันธ์ บุญสมเชื้อ เป็นอาจารย์ประจำภาควิชาเทคโนโลยีและสื่อสารการศึกษา คณะครุศาสตร์อุตสาหกรรม มหาวิทยาลัยเทคโนโลยีราชมงคลธัญบุรี (RMUTT) จังหวัดปทุมธานี ประเทศไทย สำเร็จการศึกษาระดับปริญญาตรีอุตสาหกรรมศึกษาบัณฑิต (วท.บ.) สาขาวิศวกรรมไฟฟ้า, ปริญญาโทวิศวกรรมศาสตรมหาบัณฑิต (วศ.ม.) สาขาวิศวกรรมไฟฟ้า และปริญญาเอกวิศวกรรมศาสตรดุษฎีบัณฑิต (วศ.ด.) สาขาวิศวกรรมไฟฟ้าโดยมีประสบการณ์และความเชี่ยวชาญในด้านเทคโนโลยีการศึกษา อิเล็กทรอนิกส์กำลัง อินเทอร์เน็ตของสรรพสิ่ง (IoT) และปัญญาประดิษฐ์ (AI)

ดำรงค์ อมรเดชาพล สำเร็จการศึกษาระดับปริญญาตรี สาขาวิชาวิศวกรรมไฟฟ้า มหาวิทยาลัยเทคโนโลยีพระจอมเกล้าพระนครเหนือ ในปี 2539 สำเร็จการศึกษาระดับปริญญาโท สาขาวิชาวิศวกรรมไฟฟ้า มหาวิทยาลัยเทคโนโลยีพระจอมเกล้าธนบุรี ในปี 2543 และ สำเร็จการศึกษาระดับปริญญาเอก สาขาวิชาวิศวกรรมไฟฟ้า มหาวิทยาลัยเชียงใหม่ ในปี 2554 ปัจจุบันเป็นอาจารย์ประจำภาควิชาวิศวกรรมไฟฟ้า คณะวิศวกรรมศาสตร์ มหาวิทยาลัยพะเยา โดยดำรงตำแหน่งผู้ช่วยศาสตราจารย์ มีความถนัดและสนใจในงานวิจัย ได้แก่ การประยุกต์ใช้งานอิเล็กทรอนิกส์กำลังในอุตสาหกรรม พลังงานทดแทน ยานยนต์ไฟฟ้า ระบบขนส่งทางราง

สัญญา ควรคิด สำเร็จการศึกษาระดับปริญญาตรี สาขาวิศวกรรมอิเล็กทรอนิกส์ สถาบันเทคโนโลยีพระจอมเกล้าลาดกระบัง พ.ศ. 2542 ระดับปริญญาโท สาขาวิศวกรรมไฟฟ้า มหาวิทยาลัยเทคโนโลยีพระจอมเกล้าธนบุรี พ.ศ. 2547 และระดับปริญญาเอก สาขาวิศวกรรมไฟฟ้าและคอมพิวเตอร์ มหาวิทยาลัยมหาสารคาม พ.ศ. 2558 ปัจจุบันดำรงตำแหน่งรองศาสตราจารย์ ประจำสาขาวิชาวิศวกรรมไฟฟ้า คณะวิทยาศาสตร์และเทคโนโลยี มหาวิทยาลัยราชภัฏนครปฐม งานวิจัยที่สนใจมุ่งเน้นในด้านระบบฝังตัวอัจฉริยะ เทคโนโลยีอินเทอร์เน็ตของสรรพสิ่ง และพลังงานหมุนเวียนที่นำมาใช้ในระบบการเกษตรอัจฉริยะ

การทดสอบการบินของระบบควบคุมการบินดิจิทัลระยะไกลสำหรับอากาศยานไร้คนขับ

Flight Testing of Digital Control System for Long-range Unmanned Aerial Vehicles

อนุชิต เจริญ[1] ชาติ ฤทธิ์หิรัญ[1*] วิญญู แสวงสินกสิกิจ[1] ฉนวน เอื้อการณ์[1] และ ประภาส ผ่องสนาม[2]

[1] สาขาวิชาวิศวกรรมไฟฟ้า คณะวิศวกรรมศาสตร์ มหาวิทยาลัยเกษมบัณฑิต chart.rit@kbu.ac.th*
[2] สาขาวิชาวิศวกรรมคอมพิวเตอร์ คณะวิศวกรรมศาสตร์ มหาวิทยาลัยเทคโนโลยีราชมงคลอีสาน วิทยาเขตขอนแก่น

บทคัดย่อ

บทความนี้นำเสนอการออกแบบและทดสอบระบบควบคุมการบินดิจิทัลระยะไกลสำหรับอากาศยานไร้คนขับ (UAV) ที่สามารถปฏิบัติภารกิจนอกระยะสายตา (BVLOS) ได้อย่างมีประสิทธิภาพ โดยใช้ UAV อีกลำเป็นตัวกลางถ่ายทอดสัญญาณ (Relaying UAV) ระหว่างสถานีควบคุมภาคพื้นดิน (GCS) กับ Long-range UAV ระบบสื่อสารประกอบด้วยโมดูล Telemetry ความถี่ 915 MHz จำนวน 6 ชุด และเทคโนโลยี 4G LTE สำหรับการบันทึกและแสดงข้อมูลการบินแบบเรียลไทม์ผ่าน Cloud Server ระบบควบคุมพัฒนาด้วยอัลกอริทึม Fuzzy PD+I และโครงข่ายการสื่อสารถูกออกแบบให้แยกความถี่และ Net ID เพื่อหลีกเลี่ยงสัญญาณรบกวน การทดสอบภาคสนามใช้ UAV บินน้ำมันสองรุ่น คือ Calmato 60 และ Hi-Fly 90 บินในระยะทาง 5 กิโลเมตร พบว่าสามารถถ่ายทอดสัญญาณได้เสถียรโดยไม่มีการขาดหายของข้อมูล ผลการทดลองยืนยันว่าแนวคิด Relaying UAV สามารถเพิ่มระยะการควบคุมได้อย่างมีประสิทธิภาพและสามารถประยุกต์ใช้ในภารกิจภาคสนามระยะไกล เช่น การลาดตระเวน การสำรวจพื้นที่ห่างไกล และการกู้ภัยในภาวะฉุกเฉิน

คำสำคัญ: อากาศยานไร้คนขับ, อากาศยานไร้คนขับระยะไกล, อากาศยานไร้คนขับถ่ายทอดสัญญาณ

Abstract

This paper presents the design and testing of a long-range digital flight control system for Unmanned Aerial Vehicles (UAVs) capable of performing Beyond Visual Line of Sight (BVLOS) missions efficiently. The system employs a secondary UAV as a signal-relaying platform (Relaying UAV) to maintain communication between the Ground Control Station (GCS) and the Long-range UAV. The communication system integrates six 915 MHz telemetry modules and 4G LTE technology for real-time flight data logging and display via a cloud server. The flight control is developed using a Fuzzy PD+I algorithm, and the communication network is configured with separate frequencies and Net IDs to prevent signal interference. Field tests using gasoline-powered UAVs (Calmato 60 and Hi-Fly 90) over a 5-kilometer distance showed stable and uninterrupted signal transmission. The results confirm that the Relaying UAV concept is an effective solution for extending UAV control range and can be applied in long-distance field operations such as coastal patrol, remote area exploration, and emergency search and rescue missions.

Keywords: UAV, Unmanned aerial vehicle, Long-range UAV, Relaying UAV

1. บทนำ

ในช่วงทศวรรษที่ผ่านมา อากาศยานไร้คนขับ (Unmanned Aerial Vehicles: UAVs) ได้กลายเป็นเทคโนโลยีที่มีบทบาทสำคัญในภารกิจหลากหลาย ทั้งด้านการสำรวจภูมิประเทศ การเกษตรแม่นยำ การตรวจการณ์ชายแดน การจัดการภัยพิบัติ ตลอดจนภารกิจด้านความมั่นคง ด้วยคุณสมบัติที่สามารถบินได้โดยไม่ต้องมีนักบินบนอากาศยาน UAV จึงเหมาะสำหรับการปฏิบัติการในพื้นที่เสี่ยงหรือเข้าถึงยาก อย่างไรก็ตาม UAV ขนาดเล็กทั่วไปยังคงมีข้อจำกัดด้านระยะการควบคุม ซึ่งมักอยู่ในขอบเขตของการมองเห็น (Visual Line of Sight: VLOS) เท่านั้น ระบบควบคุมที่พึ่งพาสัญญาณจากรีโมตภาคพื้นดินจะสูญเสียความสามารถในการสื่อสารและควบคุมเมื่อตัว UAV เคลื่อนที่ออกนอกระยะสายตา ทำให้ไม่สามารถนำ UAV เหล่านี้ไปใช้งานในพื้นที่ห่างไกลหรือภารกิจระยะไกลได้อย่างมีประสิทธิภาพ แม้ว่าในปัจจุบันจะมีการนำระบบสื่อสารผ่านดาวเทียมหรือระบบโทรคมนาคมระยะไกลมาใช้ร่วมกับ UAV ระดับอุตสาหกรรม แต่แนวทางดังกล่าวยังมีต้นทุนสูงและข้อจำกัดด้านโครงสร้างพื้นฐานในหลายพื้นที่ งานวิจัยนี้จึงเสนอทางเลือกใหม่ในการขยายระยะควบคุม UAV โดยใช้แนวคิดการถ่ายทอดสัญญาณผ่าน UAV อีกลำหนึ่งที่บินในตำแหน่งกึ่งกลาง เรียกว่า “Relaying UAV” ซึ่งทำหน้าที่เป็นสถานีเชื่อมโยงการสื่อสารระหว่างสถานีควบคุมภาคพื้นดิน (Ground Control Station: GCS) กับ Long-range UAV ที่ทำภารกิจจริง แนวคิดนี้มีศักยภาพในการประยุกต์ใช้ในภารกิจที่ต้องการความต่อเนื่องของสัญญาณควบคุมในระยะไกล โดยไม่ต้องพึ่งพาโครงข่ายดาวเทียมหรือสถานีภาคพื้นกระจายตัวหลายจุด อีกทั้งยังสามารถปรับใช้ได้กับ UAV ประเภท Fixed-Wing ที่ต้องการรัศมีปฏิบัติการกว้าง ซึ่งระบบควบคุมการบินระยะไกลนี้จึงเป็นอีกทางเลือกหนึ่งที่มีต้นทุนต่ำกว่าและใช้งานได้จริงในภาคสนาม

2. ระบบควบคุมการบินระยะไกล

2.1 ระบบควบคุม

ระบบควบคุมการบินระยะไกล[1]ที่นำเสนอในงานวิจัยนี้มีองค์ประกอบหลัก 3 ส่วน ได้แก่ สถานีควบคุมภาคพื้นดิน (Ground Control Station: GCS), อากาศยานไร้คนขับถ่ายทอดสัญญาณ (Relaying UAV) และอากาศยานไร้คนขับระยะไกล (Long-range UAV) โดย GCS จะควบคุมภารกิจผ่านโมดูลสื่อสารชนิด RFD 900 ซึ่งใช้ความถี่ 915 MHz และ กำลังส่ง 1 วัตต์ พร้อมมีการตั้งค่าช่องสัญญาณ (Channel) และรหัสเครือข่าย (Net ID) แยกจากกันในแต่ละลิงก์ (T1-1, T1-2, T2-1, T2-2, T3-1 และ T3-2) เพื่อป้องกันการรบกวนกันของคลื่นวิทยุ (RF Interference) ระบบนี้อธิบายภาพรวมไว้ใน รูปที่ 1

จากจากโครงสร้างในรูปที่ 1 การจัดวางระบบสื่อสารแบบแบ่งระดับโดยการสื่อสารระหว่าง GCS และ Long-range UAV ระยะไกลจะส่งผ่าน Relaying UAV ที่ทำหน้าที่เป็นโนดกลาง (data relay node) ในการรับ–ส่งคำสั่งและข้อมูลสถานะ การใช้ Relaying UAV หรือ UAV ตัวกลาง

*ผู้ประพันธ์บรรณกิจ

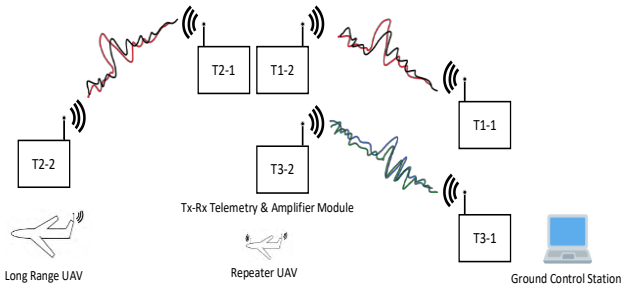

รูปที่ 1 ไดอะแกรมระบบการสื่อสารของสถานีภาคพื้นดิน กับ UAV ระยะไกล และระบบการสื่อสารของสถานีภาคพื้นดิน กับ Relaying UAV

จึงเป็นแนวทางหนึ่งที่มีประสิทธิภาพในการเพิ่มระยะทางและความต่อเนื่องของการควบคุม ระบบนี้ประกอบด้วยอุปกรณ์ 3 ส่วนหลัก ได้แก่

1. GCS Long Range: เป็นสถานีควบคุม UAV ปลายทาง โดยเชื่อมต่อกับ Relaying UAV ผ่าน RFD 900 ที่ตั้งค่าช่องสัญญาณ (Channel) และ Net ID เฉพาะ
2. Relaying UAV: เป็น UAV ตัวกลางที่ติดตั้งโมดูล RFD 900 จำนวน 3 ตัว เพื่อรับ-ส่งข้อมูลระหว่าง GCS และ UAV ปลายทาง โดยทำหน้าที่เป็นสะพานเชื่อมสัญญาณ (Data Relay)
3. UAV ปลายทาง (Long-range UAV): รับคำสั่งควบคุมจาก GCS ผ่าน Relaying UAV อีกทอดหนึ่ง

เสาอากาศแบบ Omni-gain ถูกติดตั้งบริเวณตัวลำของ Relaying UAV โดยเว้นระยะห่างระหว่างกัน 20–30 เซนติเมตร และใช้สาย RG316 ความยาวไม่เกิน 1 ฟุต เพื่อเชื่อมต่อสัญญาณจากโมดูลภายในมายังเสาอากาศภายนอก โดยปลายสายถูกออกแบบให้วางในแนวต่างกันเพื่อลดการแทรกสัญญาณ

ในการควบคุมการเคลื่อนที่ของ Relaying UAV นั้น สามารถทำได้ทั้งแบบบินอัตโนมัติในโหมด Loiter ซึ่ง UAV จะบินวนรอในตำแหน่งที่กำหนดไว้ล่วงหน้า หรือควบคุมด้วยมือจากภาคพื้นผ่านรีโมทคอนโทรล โดยผู้ควบคุมที่อยู่ใน GCS จะสามารถมอนิเตอร์ตำแหน่งของ UAV ทั้งสองลำผ่านหน้าจอแสดงผลได้แบบเรียลไทม์ ซึ่งช่วยให้สามารถประเมินสถานะของระบบโดยรวมได้อย่างต่อเนื่องตลอดภารกิจบิน

2.2 ระบบสื่อสารการบิน

ระบบสื่อสาร[2]ในงานวิจัยนี้ได้รับการออกแบบให้มีความสามารถในการเชื่อมโยงข้อมูลระหว่างสถานีควบคุมภาคพื้นดิน (GCS) และอากาศยานไร้คนขับ (UAV) ได้อย่างต่อเนื่อง แม้ในกรณีที่ Long-range UAV บินออกนอกระยะสายตา โดยใช้เทคนิคการถ่ายทอดสัญญาณผ่าน UAV ตัวกลาง หรือ Relaying UAV

องค์ประกอบหลักของระบบสื่อสาร ได้แก่ โมดูล RFD900 จำนวน 6 ชุด โดยแบ่งใช้งานระหว่าง GCS, Relaying UAV และ Long-range UAV สำหรับการสื่อสารแบบ full-duplex ในแต่ละลิงก์ ซึ่งมีการกำหนดความถี่ (Channel) และ Net ID แยกจากกัน ดังนี้:

1. ลิงก์ที่ 1: GCS ของ Long-range UAV ↔ Relaying UAV (CH 100 / Net ID 100)
2. ลิงก์ที่ 2: GCS ของ Relaying UAV ↔ คอนโทรลเลอร์ของ Relaying UAV (CH 50 / Net ID 50)
3. ลิงก์ที่ 3: Relaying UAV ↔ Long-range UAV (CH 150 / Net ID 150)

จากการตั้งค่าดังกล่าว โมดูลแต่ละตัวสามารถสื่อสารได้โดยไม่รบกวนกัน และสามารถทำงานพร้อมกันแบบอิสระ (parallel communication) โดยไม่เกิด cross-talk ระหว่างช่องสัญญาณ เสาอากาศ omni-gain ที่ใช้มีค่าขยายสัญญาณ 2.1 dBi ติดตั้งแบบเว้นระยะและหันต่างทิศทางกัน เพื่อเพิ่มประสิทธิภาพในการรับ–ส่งข้อมูลและลดสัญญาณสะท้อน (multipath interference)

เพื่อให้ระบบสามารถมอนิเตอร์ข้อมูลการบินได้แบบเรียลไทม์ มีการใช้เทคโนโลยี 4G LTE เชื่อมต่อข้อมูลจาก GCS ทั้งของ Relaying UAV และ Long-range UAV ขึ้นสู่ Cloud Server โดยข้อมูลที่ถูกส่งประกอบด้วยค่าตำแหน่ง GPS, ความเร็ว, มุมเอียง (Attitude) และค่าความสูงของอากาศยานทั้ง 2 ลำ ซึ่งสามารถเข้าถึงได้ผ่าน Web Application บนสมาร์ตโฟนหรือคอมพิวเตอร์

ระบบสื่อสารนี้รองรับการทำงานทั้งในแบบ manual control และ autonomous flight โดยสามารถควบคุมจากระยะไกลผ่านคำสั่งบน GCS ได้ทันที จุดเด่นของระบบคือสามารถเชื่อมโยง UAV ทั้งสองลำและ GCS เข้าด้วยกันเป็นเครือข่ายควบคุมเดียว โดยยังคงรักษาเสถียรภาพของสัญญาณไว้ได้ตลอดภารกิจ แม้ในพื้นที่ที่ไม่มีโครงข่ายโทรคมนาคมพื้นฐาน การทดสอบจริงพบว่าสัญญาณระหว่างลิงก์ที่ 1 และลิงก์ที่ 3 อยู่ในเกณฑ์ที่สามารถถ่ายทอดข้อมูลได้อย่างต่อเนื่อง โดยไม่มีอาการหลุดลิงก์จากระบบควบคุม ซึ่งเป็นปัจจัยสำคัญต่อความปลอดภัยของการบินระยะไกล

2.3 ระบบควบคุมการบินอัตโนมัติ

ระบบควบคุมการบินอัตโนมัติที่ใช้ในการทดสอบการบินมีตัวควบคุมหลักที่ใช้คือตัวควบคุมแบบฟัซซีพีดีพลัสไอ [3],[4],[5] ที่มีการปรับจูนค่าพารามิเตอร์ของการควบคุมท่าทางการบินของมุม roll, pitch และ yaw มาแล้ว พร้อมระบบนำทางการบินไปยังจุดเป้าหมาย เพื่อให้อากาศยานสามารถบินทดสอบได้ตามจุดเป้าหมายที่กำหนดไว้ และมีการทดสอบในห้องปฏิบัติการตามรูปที่ 2 เพื่อจำลองการทำงานของระบบควบคุมการบินทั้งหมดแบบมีฮาร์ดแวร์ประกอบการทดสอบ เพื่อให้การทำงานเสมือนจริงใกล้เคียงกับการบินจริงมากที่สุด ซึ่งจะได้เห็นการทำงานของเซอร์โวมอเตอร์ ที่ต่อไปยังคันบังคับในการควบคุมท่าทางการบินของอากาศยาน เพื่อจะได้ทราบผลการควบคุมที่สั่งการไปนั้นถูกต้องหรือไม่ ซึ่งเมื่อผ่านขั้นตอนการทดสอบนี้แล้วก็พร้อมที่จะนำไปทดสอบการบินจริงต่อไป

รูปที่ 2 การทดสอบระบบในห้องปฏิบัติการ

3. การทดสอบการบิน

เพื่อประเมินประสิทธิภาพของระบบควบคุมการบินระยะไกลที่พัฒนาขึ้น ได้ดำเนินการทดสอบทั้งในห้องปฏิบัติการและภาคสนาม โดยการทดสอบมุ่งเน้นตรวจสอบความถูกต้องของการสื่อสาร การตอบสนองของระบบควบคุม และความเสถียรของลิงก์สื่อสารระหว่าง UAV แต่ละลำและสถานีควบคุมภาคพื้นดิน (GCS) และการทดสอบภาคสนามนี้ทำการทดสอบการบินที่ บริเวณชายหาดติดทะเลโรงเรียนชุมพลทหารเรือ อ.สัตหีบ จ.ชลบุรี แบ่งออกเป็นสองช่วง ได้แก่ การทดสอบการบินของอากาศยานที่ทำหน้าที่เป็น Relaying UAV และการทดสอบการบินของ Long-range UAV ที่ทำภารกิจในระยะไกล โดยในภารกิจการบิน Relaying UAV ถูกตั้งค่าให้บินอัตโนมัติในโหมด Loiter ที่ตำแหน่งให้บินวนเหนือน้ำทะเลบริเวณใกล้ชายฝั่ง โดยรักษาระดับความสูงไว้ที่ 200 เมตร เหนือระดับน้ำทะเล ขณะที่ Long-range UAV (Calmato 60) ได้รับคำสั่งให้บินจากจุดเริ่มต้นไปยัง Waypoint ที่ระยะห่าง 5 กิโลเมตร ก่อนจะวนกลับมาที่จุดเริ่มต้น รวมระยะทางรวมในการบินประมาณ 10 กิโลเมตร ระหว่างการทดสอบ มีการส่งข้อมูลควบคุมจาก GCS ผ่าน Relaying UAV ไปยัง Long-range UAV และในทางกลับกันมีการส่งข้อมูล Telemetry กลับมาที่ GCS ผ่านเส้นทางเดียวกัน โดยตลอดภารกิจ Long-range UAV บินรักษาความสูงเฉลี่ยอยู่ที่ประมาณ 220 เมตร และความเร็วเฉลี่ยประมาณ 60 กิโลเมตรต่อชั่วโมง อากาศยานทั้ง 2 ลำที่ใช้บินทดสอบแสดงดังรูปที่ 3 และรูปที่ 4

รูปที่ 3 อากาศยาน Long Range UAV รุ่น Calmato 60

รูปที่ 4 อากาศยาน Relaying UAV รุ่น Hi-Fly 90

ผลการทดสอบการบินอากาศยาน Relaying UAV รุ่น Hi-Fly 90 สามารถบินทำหน้าที่เป็นสะพานเชื่อมสัญญาณระหว่างสถานีควบคุมภาคพื้นดิน (GCS) กับ Long-range UAV ได้เป็นอย่างดี ใช้เวลาทำการทดสอบประมาณ 20 นาที และอากาศยานน้ำมัน Calmato 60 (Long-range UAV) สามารถบินไป Waypoint ที่ระยะทาง 5 กิโลเมตร และกลับมายังสถานีภาคพื้นดิน (GCS) ได้ โดยสามารถมอนิเตอร์การบินของอากาศยานทั้ง 2 ลำได้ตลอดเวลาที่ทดสอบ และไม่พบการรบกวนของสัญญาณสื่อสาร อีกทั้งยังได้บันทึกข้อมูลการทดสอบบินของอากาศยานทั้ง 2 ลำลงใน SD Card ที่ติดตั้งบนอากาศยาน และการบันทึกข้อมูลการบินผ่านระบบ 4G LTE ที่สถานีภาคพื้นดิน (GCS) ไปไว้บน Cloud Server สามารถเข้าไปดูเส้นทางการบินของอากาศยานไร้คนขับทั้ง 2 ลำย้อนหลังได้ที่ http://www.smartbot-ai.com/uav/monitor/monitor2.php กำหนดวันที่ 2 พฤษภาคม 2568 ช่วงเวลา 09.00 – 09.25 น. KBU-004 คือ อากาศยาน Relaying UAV (เส้นทางการบินสีม่วง) และ KBU-003 คือ อากาศยาน Long-range UAV (เส้นทางการบินสีเหลือง) ดังรูปที่ 5 สำหรับข้อมูลที่ได้จาก SD Card บนอากาศยาน Relaying UAV แสดงเส้นทางการบินแสดงดังรูปที่ 6 และข้อมูลที่ได้จาก SD Card บนอากาศยาน Long-range UAV แสดงเส้นทางการบิน ดังรูปที่ 7 ซึ่งข้อมูลการบินย้อนหลังที่บันทึกได้นี้ แสดงเส้นทางการบินของ UAV ที่ตรงตามแผนการบิน (flight plan) ที่กำหนดไว้ รวมถึงการรักษามุมเอียง ความเร็ว และระดับความสูงได้อย่างเสถียรในทุกช่วงของภารกิจ

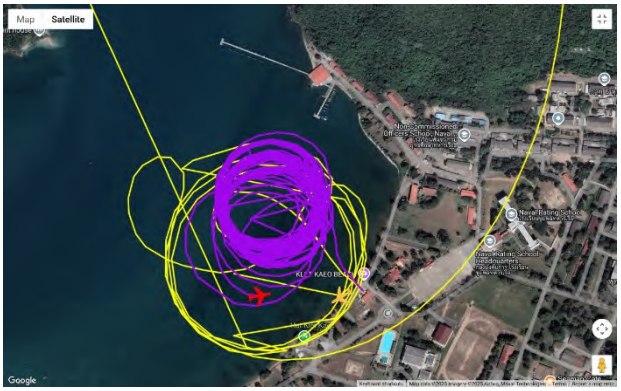

รูปที่ 5 เส้นทางการบินของอากาศยาน Hi-Fly 90 (Relaying UAV) และ Calmato 60 (Long-range UAV) ที่ดูย้อนหลังพร้อมกันบน Cloud server

รูปที่ 6 เส้นทางการบินของอากาศยาน Relaying UAV รุ่น Hi-Fly 90 ที่ได้จาก SD Card

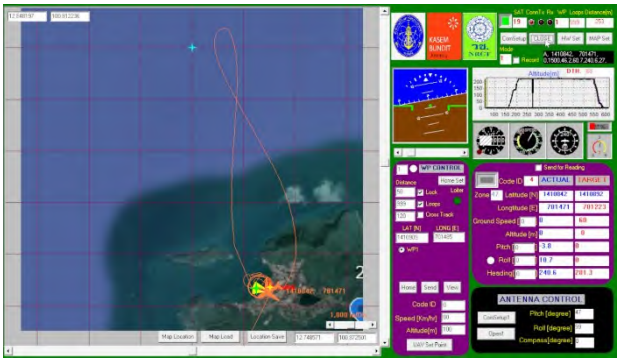

รูปที่ 7 เส้นทางการบินของอากาศยาน Long-range UAV รุ่น Calmato 60 ที่ได้จาก SD Card

4. สรุปผลการทดสอบการบิน

จากการพัฒนาระบบควบคุมการบินดิจิทัลระยะไกล สำหรับอากาศยานไร้คนขับ (UAV) ที่ใช้แนวคิดของ Relaying UAV เป็นตัวกลางถ่ายทอดสัญญาณระหว่างสถานีควบคุมภาคพื้นดิน (GCS) และ Long-range UAV พบว่า แนวทางนี้สามารถเพิ่มขีดความสามารถของระบบควบคุมการบินได้อย่างมีประสิทธิภาพ โดยเฉพาะในภารกิจที่ต้องการการสื่อสารระยะไกลนอกระยะสายตา (BVLOS) การทดสอบภาคสนามยืนยันว่า Long-range UAV สามารถรับคำสั่งควบคุมและส่งข้อมูล Telemetry กลับมายังสถานีภาคพื้นดิน (GCS) ได้อย่างต่อเนื่อง โดยไม่มีอาการหลุดลิงก์หรือขาดสัญญาณตลอดช่วงการบินจริงที่ระยะทางกว่า 5 กิโลเมตร ระบบสามารถรักษาระดับความสูง มุมบิน และเสถียรภาพการควบคุมได้ดี ด้วยอัลกอริทึมของตัวควบคุมแบบ fuzzy PD+I และการแยกช่องสัญญาณสื่อสารอย่างมีประสิทธิภาพ

นอกจากนี้ ระบบยังสามารถบันทึกและแสดงผลข้อมูลการบินแบบเรียลไทม์ผ่านเครือข่าย 4G LTE ไปยัง Cloud Server ซึ่งช่วยให้ผู้ควบคุมสามารถติดตามสถานะ UAV และวิเคราะห์ข้อมูลย้อนหลังได้อย่างสะดวกและรวดเร็ว เหมาะสมสำหรับการนำไปประยุกต์ใช้ในภารกิจที่มีข้อจำกัดด้านพื้นที่ เช่น การลาดตระเวนชายแดน การสำรวจภูมิประเทศ และการให้ความช่วยเหลือในพื้นที่ห่างไกล โดยภาพรวมระบบควบคุมการบินระยะไกลที่พัฒนาขึ้นนี้แสดงศักยภาพที่ดีในการนำไปใช้งานจริง ทั้งในภารกิจเชิงวิศวกรรมและงานด้านความมั่นคง จึงเป็นพื้นฐานที่แข็งแกร่งสำหรับการต่อยอดในระดับสูงต่อไป

5. กิตติกรรมประกาศ

โครงการวิจัยนี้ได้รับทุนอุดหนุนการวิจัยและนวัตกรรม จากสำนักงานการวิจัยแห่งชาติ (วช.) ประจำปี 2567

เอกสารอ้างอิง

[1] Rithirun.C.,Charaen.A.,Sawaengsinkasikit.W.,Phongsanam P., “Development of Signal Transmission System for Long-Range Unmanned Aerial Vehicle,” 2024 International Conference on Power, Energy and Innovation (ICPEI 2024)

[2] อนุชิต เจริญ, ชาติ ฤทธิ์หิรัญ, วิญญู แสวงสินกสิกิจ และ ประภาส ผ่องสนาม, “การพัฒนาระบบควบคุมและการมอนิเตอร์อากาศยานไร้คนขับหลายลำผ่านการสื่อสารไร้สาย 4G LTE,” การประชุมวิชาการทางวิศวกรรมไฟฟ้า ครั้งที่ 45, จ.นครนายก, 16-18 พฤศจิกายน 2565, หน้า 372-375.

[3] Rithirun.C.,Charaen. A.,andSawaengsinkasikit. W., “Autopilot Flight Testing of Unmanned Aerial Vehicle,” 2021 International Conference on Power, Energy and Innovation (ICPEI 2021)

[4] Rithirun.C., Charaen .A., Sawaengsinkasikit.W. and Lokaphan S., “Development of Waypoint Navigation Control System of Unmanned Aerial Vehicle by Fuzzy PD+I Controller,” The 37th Electrical Engineering Conference (EECON-37) Thailand, 2015.

[5] Rithirun.C.,“Development of Fuzzy Autopilot for Unmanned Aerial Vehicle,” Doctoral Thesis of King Mongkut’s Institute of Technology, Ladkrabang Bangkok, 2012.

ระบบควบคุมดิจิตอลสำหรับเรือไร้คนขับระยะไกล

Digital Control System for Long-Range Unmanned Boat

ชาติ ฤทธิ์หิรัญ[1] อนุชิต เจริญ[1*] วิญญู แสวงสินกสิกิจ[1] ณธรรม เกิดสำอางค์[1] และ ประภาส ผ่องสนาม[2]

[1] สาขาวิชาวิศวกรรมไฟฟ้า คณะวิศวกรรมศาสตร์ มหาวิทยาลัยเกษมบัณฑิต anuchit.cha@kbu.ac.th*
[2] สาขาวิชาวิศวกรรมคอมพิวเตอร์ คณะวิศวกรรมศาสตร์ มหาวิทยาลัยเทคโนโลยีราชมงคลอีสาน วิทยาเขตขอนแก่น

บทคัดย่อ

โครงการวิจัยนี้มุ่งพัฒนาระบบควบคุมเรือไร้คนขับระยะไกล (Digital Control System for Long-Range Unmanned Boat) เพื่อตอบสนองภารกิจทางทะเลที่ต้องการควบคุมเรือในระยะไกล ทั้งในด้านความมั่นคง การสำรวจ และการช่วยเหลือผู้ประสบภัย โดยเฉพาะในพื้นที่ที่ไม่สามารถใช้การสื่อสารผ่านโทรศัพท์เคลื่อนที่ได้ ระบบควบคุมแบบเดิมที่ใช้คลื่นวิทยุในลักษณะ Line of Sight มีข้อจำกัดด้านระยะทางและความเสถียรของสัญญาณ ทีมวิจัยจึงประยุกต์ใช้เทคโนโลยีจากอากาศยานไร้คนขับ (UAV) โดยพัฒนาอากาศยานแบบเครื่องร่อนให้ทำหน้าที่เป็นสถานีถ่ายทอดสัญญาณลอยฟ้า (Airborne Relay Station) ที่ระดับความสูง 260 เมตร พร้อมใช้การสื่อสารผ่านระบบ Data Telemetry ความถี่ 915 MHz ร่วมกับสถานีควบคุมภาคพื้นดินดิจิตอล เพื่อเชื่อมต่อกับเรือไร้คนขับอย่างต่อเนื่อง ผลการพัฒนาระบบต้นแบบและการทดสอบภาคสนามบริเวณชายฝั่งทะเลจังหวัดชลบุรี พบว่าสามารถควบคุมเรือจากระยะไกลได้ไกลถึง 13 กิโลเมตรอย่างมีเสถียรภาพ โดยสามารถแสดงค่าตำแหน่งเรือและสถานะระบบแบบเรียลไทม์ โครงการสามารถบรรลุวัตถุประสงค์หลักได้เป็นอย่างดี ทั้งในด้านการควบคุมระยะไกล การส่งสัญญาณแบบทวนและการพัฒนาระบบต้นแบบที่นำไปใช้จริงได้ อย่างไรก็ตาม เพื่อเพิ่มศักยภาพของระบบในอนาคต ควรศึกษาการเพิ่มระยะการควบคุม ความมั่นคงของสัญญาณ และการเพิ่มฟังก์ชันอัตโนมัติในกรณีฉุกเฉินอย่างต่อเนื่อง

คำสำคัญ: อากาศยานไร้คนขับ, เรือไร้คนขับระยะไกล, อากาศยานไร้คนขับถ่ายทอดสัญญาณ

Abstract

This research presents the development of a Digital Control System for Long-Range Unmanned Boats, designed to support maritime missions that require extended-range remote operation. These include surveillance, reconnaissance, and disaster response tasks in areas where cellular communication is unavailable. Traditional control systems that rely on line-of-sight radio frequencies face limitations in range and signal stability, particularly for small unmanned surface vessels. To overcome these constraints, the proposed system integrates technologies from unmanned aerial vehicles (UAVs), employing a glider-type UAV as an airborne relay station positioned at an altitude of 260 meters. The UAV serves as a signal bridge between the digital ground control station and the unmanned boat, using a 915 MHz data telemetry system to enable real-time communication and control. The prototype was successfully tested in real-world coastal conditions in Chonburi Thailand, achieving a stable control range of up to 13 kilometers. The system also provided real-time GPS tracking and boat status monitoring. The project met its core objectives, particularly in demonstrating the feasibility of long-range control in the field. Future improvements are recommended, including extended communication range, enhanced signal redundancy, and integration of autonomous emergency functions, to ensure higher reliability and broader mission adaptability.

Keywords: Unmanned Aerial Vehicle, Long-Range Unmanned Boat, Relaying UAV, Unmanned Surface Vehicle, USV

1. บทนำ

การควบคุมเรือไร้คนขับ (Unmanned Surface Vehicle: USV) ได้กลายเป็นหนึ่งในเทคโนโลยีที่มีบทบาทสำคัญอย่างยิ่งต่อภารกิจทางทะเลสมัยใหม่ ทั้งในภาคพลเรือนและภาคความมั่นคง โดยเฉพาะภารกิจลาดตระเวนตรวจการณ์ และค้นหา-ช่วยเหลือผู้ประสบภัย ซึ่งล้วนต้องอาศัยระบบควบคุมที่มีความแม่นยำ เสถียร และครอบคลุมพื้นที่ปฏิบัติการขนาดใหญ่ อย่างไรก็ตาม ระบบควบคุมที่ใช้งานอยู่ในปัจจุบันส่วนใหญ่ยังคงอาศัยคลื่นวิทยุในลักษณะ Line of Sight (LOS) ซึ่งมีข้อจำกัดด้านระยะทางและอาจเกิดการสูญเสียการควบคุมได้ง่ายหากมีสิ่งกีดขวางทางสัญญาณ โดยเฉพาะในเรือไร้คนขับขนาดเล็กที่ไม่สามารถติดตั้งระบบสื่อสารผ่านดาวเทียมได้

ปัญหาหลักที่พบ ได้แก่ ความไม่เสถียรของสัญญาณ การสูญเสียการควบคุมเมื่อออกนอกระยะการรับ-ส่ง และผลกระทบจากคลื่นสะท้อนผิวน้ำ ซึ่งลดทอนประสิทธิภาพของระบบควบคุมอย่างมีนัยสำคัญ แม้ว่าในบางกรณีอาจมีการติดตั้งระบบ Failsafe เพื่อให้เรือกลับสู่จุดเริ่มต้นอัตโนมัติ แต่ก็ยังไม่เพียงพอต่อการใช้งานจริงในภารกิจสำคัญของกองทัพเรือหรือหน่วยงานความมั่นคงทางทะเลของประเทศ จากข้อจำกัดดังกล่าว ทีมวิจัยได้พัฒนาแนวทางใหม่โดยประยุกต์องค์ความรู้จากระบบควบคุมอากาศยานไร้คนขับ (UAV Control System) มาปรับใช้กับเรือไร้คนขับ ด้วยการออกแบบระบบสื่อสารที่สามารถเพิ่มระยะการควบคุมได้จริง โดยใช้อากาศยานไร้คนขับแบบเครื่องร่อนลอยนิ่งในอากาศระดับความสูงประมาณ 200–300 เมตร ทำหน้าที่เป็นสถานีถ่ายทอดสัญญาณลอยฟ้า (Airborne Relay Station) เชื่อมโยงระหว่างสถานีควบคุมภาคพื้นดินกับเรือไร้คนขับในทะเล ซึ่งระบบนี้ใช้การส่งข้อมูลผ่าน Data Telemetry ความถี่ 915 MHz ที่ได้รับการปรับจูนให้เหมาะสมกับภารกิจระยะไกลในพื้นที่ห่างไกลและสภาวะคลื่นลมทะเล ในงานวิจัยที่ผ่านมา มีความพยายามแก้ไขข้อจำกัดของระบบ LOS ด้วยแนวทางที่หลากหลาย เช่น การใช้ระบบ Failsafe เพื่อให้เรือกลับสู่จุดเริ่มต้นอัตโนมัติ แต่ยังไม่เพียงพอต่อการใช้งานจริงในภารกิจที่ต้องการความต่อเนื่อง [3] อีกแนวทางหนึ่งคือการพัฒนาระบบนำร่องอัตโนมัติของ UAV โดยใช้อัลกอริทึมควบคุมแบบ

*ผู้ประพันธ์บรรณกิจ

Fuzzy PD+I เพื่อเพิ่มความเสถียรในการบิน [4] ซึ่งชี้ให้เห็นศักยภาพของการใช้ UAV ในการสนับสนุนการควบคุมอัตโนมัติ แต่ยังไม่ถูกนำมาประยุกต์ใช้กับ USV อย่างเต็มรูปแบบ งานวิจัยล่าสุดยังนำเสนอการพัฒนาระบบสื่อสาร UAV หลายลำผ่านโครงข่าย 4G LTE [2] ซึ่งสามารถเพิ่มความสามารถในการมอนิเตอร์และควบคุมได้แบบเรียลไทม์ อย่างไรก็ตามระบบดังกล่าวยังคงพึ่งพาโครงสร้างพื้นฐานโทรคมนาคม และอาจไม่เหมาะสมสำหรับการปฏิบัติการในพื้นที่ห่างไกลที่ไม่มีสัญญาณโทรศัพท์มือถือ อีกหนึ่งแนวทางที่ได้รับการศึกษา คือการใช้ UAV แบบเครื่องร่อน (Glider UAV) ทำหน้าที่เป็นสถานีถ่ายทอดสัญญาณ (Airborne Relay Station) ซึ่งมีข้อดีคือสามารถเพิ่มระยะการควบคุม USV ได้จริง โดยการส่งผ่านข้อมูล Telemetry ที่ความถี่ 915 MHz [1] แต่ข้อจำกัดคือระยะเวลาบินที่จำกัดและความจำเป็นในการจัดการพลังงานของ UAV จากการทบทวนวรรณกรรมดังกล่าว จะเห็นได้ว่ายังไม่มีงานวิจัยใดที่พัฒนาระบบต้นแบบ การควบคุมเรือไร้คนขับระยะไกลโดยใช้อากาศยานไร้คนขับเป็นสถานีทวนสัญญาณแบบบูรณาการ ร่วมกับระบบ 4G LTE และ Cloud Server เพื่อการแสดงผลและติดตามเรือแบบเรียลไทม์ ทีมวิจัยจึงได้พัฒนาระบบควบคุมร่วมกับ ระบบ 4G LTE และ Cloud Server เพื่อรองรับการบันทึกและแสดงผลข้อมูลในรูปแบบเรียลไทม์ ซึ่งช่วยเพิ่มความสามารถในการติดตามและวิเคราะห์สถานะเรือจากระยะไกลได้อย่างต่อเนื่อง

โดยงานวิจัยนี้จึงมีวัตถุประสงค์หลักเพื่อ:

1. พัฒนาระบบควบคุมเรือไร้คนขับระยะไกล โดยประยุกต์องค์ความรู้จากระบบควบคุม UAV ที่มีอยู่เดิม
2. สร้างต้นแบบระบบสื่อสารและควบคุมที่สามารถถ่ายทอดองค์ความรู้ให้กับหน่วยงานในประเทศ โดยไม่ต้องพึ่งพาเทคโนโลยีจากต่างชาติ
3. ถ่ายทอดองค์ความรู้เชิงปฏิบัติแก่กองทัพเรือไทยและหน่วยงานด้านความมั่นคงทางทะเล เช่น ศรชล. เพื่อรองรับภารกิจในสถานการณ์จริง

จากแนวทางดังกล่าว ระบบควบคุมเรือไร้คนขับระยะไกลที่พัฒนาขึ้นจึงถือเป็นก้าวสำคัญในการยกระดับความสามารถทางเทคโนโลยีของประเทศไทยสู่การพึ่งพาตนเอง และเสริมสร้างความมั่นคงทางทะเลอย่างยั่งยืนในอนาคต

2. การออกแบบระบบควบคุม

การออกแบบระบบควบคุมเรือไร้คนขับระยะไกลในงานวิจัยนี้ [1] มีเป้าหมายเพื่อเพิ่มระยะทางการควบคุม และความเสถียรของการรับ–ส่งสัญญาณระหว่างสถานีควบคุมภาคพื้นดินกับเรือไร้คนขับ โดยใช้แนวคิดการถ่ายทอดสัญญาณผ่านอากาศยานไร้คนขับ (Relaying UAV) ซึ่งทำหน้าที่เป็นสถานีทวนสัญญาณลอยฟ้า (Airborne Relay Station) ที่สามารถลอยนิ่งอยู่ในอากาศที่ระดับความสูงประมาณ 200–300 เมตร บริเวณกึ่งกลางระหว่างจุดควบคุมกับพื้นที่ปฏิบัติการของเรือ

ระบบควบคุมทั้งหมดประกอบด้วย 3 ส่วนหลัก ได้แก่:

1. ระบบสถานีควบคุมภาคพื้นดิน (Digital Ground Control Station)
2. ระบบอากาศยานไร้คนขับสำหรับถ่ายทอดสัญญาณ (Relaying UAV)
3. ระบบควบคุมบนเรือไร้คนขับระยะไกล (Unmanned Boat Control Unit)

ภาพรวมการเชื่อมโยงระหว่างระบบแสดงดังรูปที่ 1

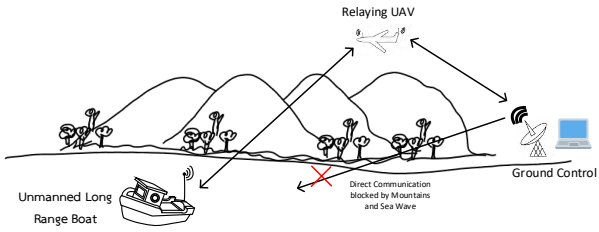

รูปที่ 1 ภาพรวมระบบเรือไร้คนขับระยะไกล (Long-range Unmanned Boat

จากรูปที่ 1 แสดงภาพรวมระบบควบคุมเรือไร้คนขับระยะไกล (Long-range Unmanned Boat) ซึ่งประกอบด้วย 3 ส่วนหลัก ได้แก่

1. สถานีควบคุมภาคพื้นดิน (Digital Ground Control Station) ทำหน้าที่สั่งการและรับข้อมูลสถานะของเรือแบบเรียลไทม์ผ่านการเชื่อมต่อกับระบบสื่อสารหลัก
2. อากาศยานไร้คนขับสำหรับถ่ายทอดสัญญาณ (Relaying UAV) ทำหน้าที่เป็นสถานีทวนสัญญาณลอยฟ้า (Airborne Relay Station) ที่ระดับความสูง 200–300 เมตร เพื่อเพิ่มระยะการควบคุมและลดผลกระทบจากสิ่งกีดขวาง
3. ระบบควบคุมบนเรือไร้คนขับ (Unmanned Boat Control Unit) ประกอบด้วยวงจรควบคุมมอเตอร์ขับเคลื่อนและหางเสือ พร้อมตัวรับสัญญาณ Telemetry ที่ทำงานประสานกับ UAV เพื่อควบคุมการเคลื่อนที่และส่งข้อมูลกลับสู่สถานีควบคุมภาคพื้นดิน

จากภาพรวมนี้ แสดงให้เห็นการบูรณาการระบบสื่อสารแบบสองทิศทางที่มีเสถียรภาพ โดย UAV ทำหน้าที่เป็นตัวกลางในการเชื่อมโยงสัญญาณระหว่างสถานีควบคุมภาคพื้นดินและเรือไร้คนขับ ช่วยให้สามารถควบคุมเรือได้จากระยะไกลและติดตามสถานะการปฏิบัติการในสภาพแวดล้อมทางทะเลจริง

2.1 การออกแบบฮาร์ดแวร์

1) ระบบควบคุมอากาศยานไร้คนขับ (Relaying UAV)

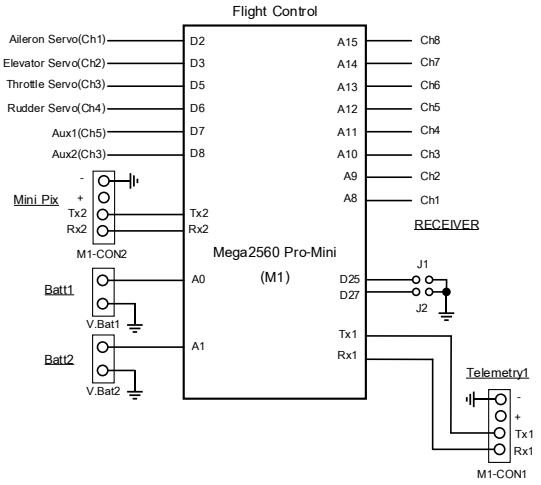

รูปที่ 2 วงจรด้านฮาร์ดแวร์ของระบบควบคุมการบิน

จากรูปที่ 2 แสดงวงจรด้านฮาร์ดแวร์ของระบบควบคุมการบินสำหรับอากาศยานไร้คนขับ (Relaying UAV) โดยมี บอร์ด Arduino Mega Pro 2560 เป็นหน่วยประมวลผลหลัก ทำหน้าที่ควบคุมการทำงานของ

ระบบการบินอัตโนมัติ (Autopilot) [3] วงจรเชื่อมต่อกับ โมดูลเซ็นเซอร์ IMU (Inertial Measurement Unit) เพื่อรับค่ามุม Pitch, Roll และ Yaw สำหรับรักษาสมดุลและควบคุมทิศทางการบิน นอกจากนี้ยังติดตั้ง โมดูลรับ–ส่งสัญญาณ Data Telemetry ความถี่ 915 MHz เพื่อสื่อสารข้อมูลการควบคุมระหว่างสถานีควบคุมภาคพื้นดินกับ UAV และถ่ายทอดข้อมูลต่อไปยังเรือไร้คนขับได้แบบสองทิศทาง

นอกจากนี้ยังมีการติดตั้งโมดูลรับ–ส่งสัญญาณ Data Telemetry ความถี่ 915 MHz (กำลังส่ง 1 วัตต์) เพื่อถ่ายทอดข้อมูลระหว่างสถานีควบคุมภาคพื้นดินไปยังชุด Data Transfer ส่งต่อไปยังเรือไร้คนขับระยะไกล และถ่ายทอดข้อมูลในทางกลับกันจากเรือไร้คนขับระยะไกลไปยัง Data Transfer กลับมายังสถานีควบคุมภาคพื้นดิน

2) ระบบถ่ายทอดสัญญาณ (Relay Board)

มีการออกแบบวงจรควบคุมพิเศษสำหรับจัดการกับข้อมูลขาเข้าและขาออกที่เชื่อมโยงกับทั้ง UAV และเรือไร้คนขับในลักษณะ bidirectional (2 ทิศทาง) [2]

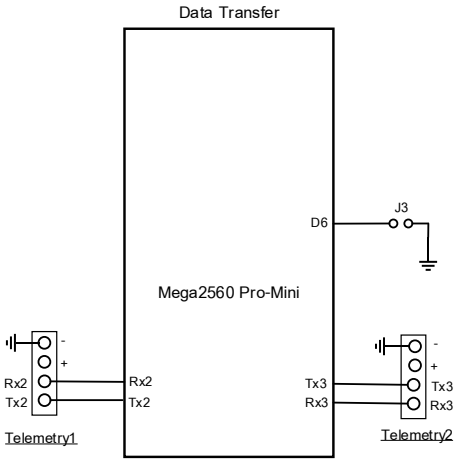

รูปที่ 3 วงจรด้านฮาร์ดแวร์ของระบบทวนสัญญาณการควบคุมการบิน

3) ระบบควบคุมเรือไร้คนขับ

บนเรือไร้คนขับติดตั้งวงจรควบคุมที่ประกอบด้วย:

1. Arduino Mega Pro 2560
2. ดีซีมอเตอร์ควบคุมพวงมาลัยบังคับหางเสือ
3. ดีซีมอเตอร์ควบคุมคันเร่งความเร็ว
4. ตัวรับสัญญาณ Telemetry 915 MHz
5. โมดูลรับสัญญาณสำรองจากรีโมทคอนโทรล (Manual override)

การควบคุมนี้จะมีการติดตั้งดีซีมอเตอร์สำหรับการควบคุมพวงมาลัยบังคับหางเสือเรือและดีซีมอเตอร์ควบคุมคันเร่งความเร็ว แสดงดังรูปที่ 4 นอกจากนี้ยังมีระบบควบคุมสำรองบนเรือไร้คนขับด้วยการเพิ่มวงจรควบคุมและเขียนโปรแกรมเพิ่มเติมให้สามารถบังคับเรือด้วยรีโมทคอนโทรลอีกชุดหนึ่งที่อยู่บนเรือได้ ซึ่งในการพัฒนาระบบควบคุมเพิ่มขึ้นนี้จะทำให้พลขับประจำเรือสามารถควบคุมเรือด้วยตัวเองได้ตลอดเวลา เพื่อการควบคุมเรือในกรณีเกิดเหตุฉุกเฉินขึ้น เช่น UAV สูญเสียพลังงานหรือสัญญาณขาดหาย พลประจำเรือก็จะยังสามารถควบคุมเรืออยู่ได้ โดยวงจรด้านฮาร์ดแวร์ของระบบควบคุมเรือไร้คนขับระยะไกลเขียนเป็นวงจรรวมระบบควบคุมที่พัฒนาขึ้นแสดงดังรูปที่ 5 และกล่องควบคุมต้นแบบที่ติดตั้งบนเรือไร้คนขับประกอบขึ้นจากวงจรควบคุมแสดงดังรูปที่ 6

รูปที่ 4 การติดตั้งดีซีมอเตอร์สำหรับการควบคุมพวงมาลัยบังคับหางเสือเรือ และดีซีมอเตอร์ควบคุมคันเร่งความเร็ว

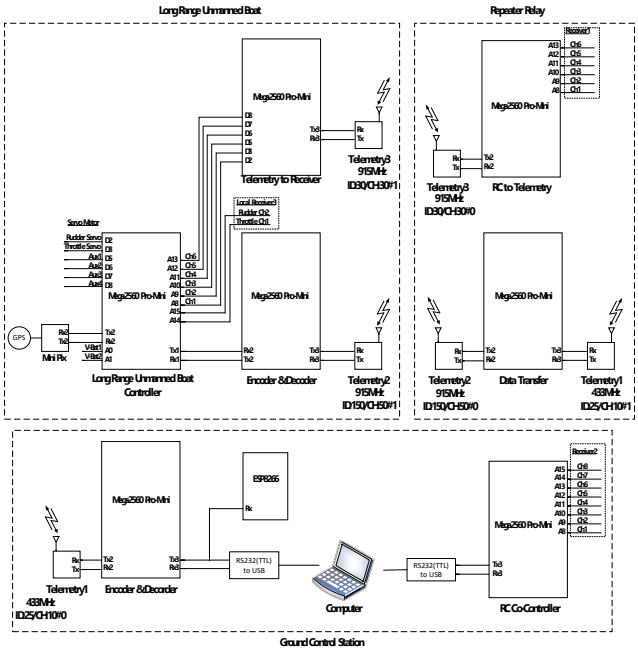

รูปที่ 5 วงจรรวมระบบควบคุมเรือไร้คนขับระยะไกล

จากรูปที่ 5 แสดงวงจรรวมของระบบควบคุมเรือไร้คนขับระยะไกล (Long-range Unmanned Boat Control System) โดยใช้ บอร์ด Arduino Mega Pro 2560 เป็นแกนหลักในการประมวลผลและควบคุมการทำงาน ร่วมกับวงจรควบคุม มอเตอร์ไฟฟ้ากระแสตรง (DC Motor) สำหรับการบังคับพวงมาลัยหางเสือและคันเร่งความเร็วของเรือ ภายในวงจรยังประกอบด้วย ตัวรับสัญญาณ Telemetry ความถี่ 915 MHz ที่เชื่อมโยงกับ UAV เพื่อรับ–ส่งข้อมูลแบบสองทิศทาง และ โมดูลควบคุมสำรอง (Manual Override) ที่ช่วยให้สามารถบังคับเรือด้วยรีโมทคอนโทรลในกรณีฉุกเฉิน วงจรทั้งหมดถูกออกแบบให้ทำงานประสานกันอย่างเป็นระบบ เพื่อให้การควบคุมเรือมีเสถียรภาพและรองรับการใช้งานในสภาพแวดล้อมทางทะเลจริง

รูปที่ 6 กล่องควบคุมต้นแบบที่ติดตั้งบนเรือไร้คนขับระยะไกล

2.2 การออกแบบซอฟต์แวร์

ซอฟต์แวร์ของระบบควบคุมพัฒนาด้วยภาษาซี (C/C++) บนแพลตฟอร์ม Arduino IDE โดยใช้ อัลกอริทึมควบคุมแบบ Fuzzy-PD+I (Fuzzy Proportional-Derivative with Integral) [4] ซึ่งให้ความยืดหยุ่นในการควบคุมทิศทางและความเร็วของเรือในสภาพแวดล้อมที่ไม่แน่นอน เช่น คลื่นลมทะเล และมีการพัฒนาและทดสอบการทำงานของซอฟต์แวร์ในห้องปฏิบัติการร่วมกับระบบทวนสัญญาณ (Relay Station) ซึ่งสามารถรับ–ส่งข้อมูลควบคุมได้แบบสองทิศทางโดยมี latency ต่ำ โดยการทดสอบโปรแกรมการควบคุมการบิน ข้อมูลการบิน และการรับ-ส่งข้อมูล กับเรือไร้คนขับ ทำการทดสอบระบบในห้องปฏิบัติการ แสดงดังรูปที่ 7

รูปที่ 7 การทดสอบการทดสอบสัญญาณของระบบควบคุมที่มีระบบทวนสัญญาณในห้องปฏิบัติการ

ผลจากการทดสอบขั้นต้นของระบบที่ออกแบบขึ้น สามารถควบคุมเรือไร้คนขับได้อย่างมีประสิทธิภาพ รองรับทั้งโหมดอัตโนมัติและการควบคุมด้วยรีโมท อีกทั้งยังสามารถปรับขยายได้ในอนาคต เช่น การเชื่อมต่อกับระบบ Ai สำหรับวิเคราะห์ภาพ การวางแผนเส้นทางอัตโนมัติ

3. การทดสอบเรือไร้คนขับระยะไกล

เพื่อประเมินประสิทธิภาพของระบบควบคุมเรือไร้คนขับระยะไกลที่พัฒนาขึ้น ทีมวิจัยได้ดำเนินการทดสอบภาคสนาม ณ พื้นที่ชายฝั่งทะเล บริเวณโรงเรียนชุมพลทหารเรือ อำเภอสัตหีบ จังหวัดชลบุรี โดยมีวัตถุประสงค์หลัก เพื่อทดสอบความสามารถของระบบควบคุมในการส่งสัญญาณผ่าน UAV แบบทวนสัญญาณ (Relaying UAV) ในสภาพแวดล้อมจริง

ก่อนการเริ่มทดสอบทีมวิจัยได้ดำเนินการติดตั้งระบบควบคุมภาคพื้นดิน (Ground Control Station) ระบบสื่อสารบน Relaying UAV และระบบควบคุมบนเรือไร้คนขับ รวมถึงการเชื่อมโยงข้อมูลผ่านคลื่นความถี่ 915 MHz ให้สมบูรณ์ พร้อมทั้งตรวจสอบการทำงานตาม Pre-Flight Checklist ของอากาศยานไร้คนขับ (Relaying UAV) และรูปที่ 8 แสดงเรือไร้คนขับลงน้ำพร้อมทดสอบ และรูปที่ 9 อากาศยานไร้คนขับ (Relaying UAV) พร้อมขึ้นบินทดสอบ

รูปที่ 8 เรือไร้คนขับลงน้ำพร้อมทดสอบ

รูปที่ 9 อากกาศยานไร้คนขับ (Relaying UAV) ที่ใช้บินถ่ายทอดสัญญาณ

3.1 การเริ่มการทดสอบ

การทดสอบเริ่มต้นด้วยการนำอากาศยานไร้คนขับบินขึ้นจากพื้นที่ชายหาด โดยนักบินบังคับให้ Relaying UAV ไต่ระดับจนถึงความสูงประมาณ 260 เมตร จากระดับน้ำทะเล จากนั้นเปลี่ยนโหมดการบินเป็น

อัตโนมัติ(Auto) เพื่อให้อากาศยานบินวนรอบจุดที่กำหนดไว้เหนือน้ำทะเล และถ่ายทอดสัญญาณควบคุมจากฝั่งไปยังเรือไร้คนขับ

บนชายฝั่งทีมควบคุมทำการสั่งการ เพื่อบังคับเรือไร้คนขับให้แล่นออกสู่ทะเล โดยควบคุมทิศทางผ่านรีโมทคอนโทรล พร้อมทั้งให้พลประจำเรือ (จำนวน 3 คน) สังเกตุการทำงานของระบบควบคุม ได้แก่

1. ความแม่นยำของทิศทางการแล่นเรือ
2. การตอบสนองของเซอร์โวมอเตอร์ในกล่องควบคุมต้นแบบ
3. ความต่อเนื่องของสัญญาณควบคุม

ในระยะที่สายตามองเรือจากชายฝั่งไม่สามารถติดตามเรือได้แล้ว การควบคุมจะเปลี่ยนไปใช้รีโมทคอนโทรลจากบนเรือโดยตรง พร้อมการสื่อสารด้วยวิทยุระหว่างพลประจำเรือและทีมควบคุมภาคพื้นดิน เพื่อดูการตอบสนองของเซอร์โวมอเตอร์ในกล่องควบคุม ที่ต้องทำงานตลอดเวลาที่มีการควบคุมเรือจากชายฝั่ง เพื่อดูว่าเรือสูญเสียการสั่งการควบคุมจากชายฝั่งหรือไม่ ภาพรวมการทดสอบระบบในทะเลด้วยเรือไร้คนขับที่มีพลประจำเรือ 3 นาย อยู่บนเรือด้วย ดังรูปที่ 10

รูปที่ 10 ภาพรวมการทดสอบระบบควบคุมเรือไร้คนขับในทะเล

3.2 ผลการทดสอบและการบันทึกข้อมูล

ผลการทดสอบแสดงให้เห็นว่า ระบบควบคุมสามารถส่งสัญญาณได้อย่างต่อเนื่องผ่าน Relay UAV ที่บินอยู่ ณ ความสูง 260 เมตร โดยควบคุมเรือแล่นออกไปได้ไกลถึง 13 กิโลเมตร จากจุดปล่อยเรือโดยไม่มีการสูญเสียสัญญาณควบคุมใด ๆ ระบบสามารถติดตามตำแหน่งเรือแบบเรียลไทม์ผ่าน GPS และข้อมูลการบินของ Relaying UAV รหัสเครื่อง KBU-004 ถูกบันทึกบน Cloud Server และสามารถตรวจสอบย้อนหลังได้ผ่านระบบมอนิเตอร์ออนไลน์วันที่ 22 พฤษภาคม 2568 เวลา 15.57 ถึง 16.27 น. ที่ http://www.smartbot-ai.com/uav/monitor/monitor2.php ซึ่งเมื่อนำข้อมูลมาดูย้อนหลังสามารถแสดงได้ดังรูปที่ 11 และข้อมูลการแล่นเรือที่บันทึกได้จาก SD แสดงในรูปที่ 12

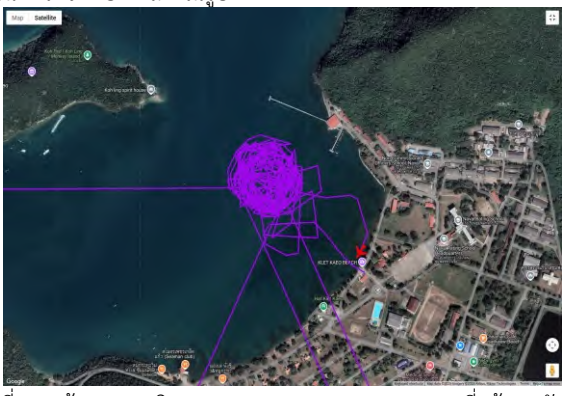

รูปที่ 11 เส้นทางการบินของ Relaying UAV (KBU-004) ที่ดูย้อนหลังบน Cloud Server

รูปที่ 12 ข้อมูลการแล่นเรือไร้คนขับ ที่บันทึกได้จาก SD Card

เมื่อตรวจสอบการทำงานของเซอร์โวมอเตอร์และพวงมาลัยเรือระหว่างการแล่น พบว่าการตอบสนองของระบบควบคุมเป็นไปอย่างแม่นยำ ไม่มีอาการล่าช้า (lag) แม้ในระยะไกล การควบคุมยังคงมีเสถียรภาพ จนกระทั่ง Relaying UAV เริ่มลดระดับความสูงส่งผลให้การเชื่อมต่อเริ่มลดประสิทธิภาพ จึงสั่งให้เรือเดินทางกลับฝั่งทันที จากการทดสอบภาคสนาม ระบบที่พัฒนาขึ้นสามารถตอบสนองต่อวัตถุประสงค์การวิจัยได้อย่างชัดเจน โดยเฉพาะความสามารถในการควบคุมเรือไร้คนขับจากระยะไกลด้วยสัญญาณที่มีเสถียรภาพ ผ่านเทคโนโลยี UAV Relay ซึ่งถือเป็นก้าวสำคัญต่อการประยุกต์ใช้ในภารกิจที่ต้องการการควบคุมระยะไกล เช่น งานกู้ภัย งานลาดตระเวน และการสำรวจนอกชายฝั่ง

4. สรุปผลการทดสอบและข้อเสนอแนะ

4.1 สรุปการทดสอบ

จากการทดสอบระบบควบคุมเรือไร้คนขับระยะไกลที่พัฒนาขึ้น พบว่าระบบสามารถทำงานได้อย่างมีเสถียรภาพและตอบสนองต่อภารกิจควบคุมทางไกลได้เป็นอย่างดี โดยสามารถสื่อสารผ่านอากาศยานไร้คนขับ (Relaying UAV) ได้ในระยะทางไกลถึง 13 กิโลเมตร จากชายฝั่ง โดยยังสามารถควบคุมทิศทาง การเคลื่อนที่ และสถานะเรือได้แบบเรียลไทม์

ระบบทั้งหมดทำงานประสานกันได้ดีระหว่าง:

1. สถานีควบคุมภาคพื้นดิน
2. อากาศยานไร้คนขับ (UAV) ที่บินวนระดับความสูง 260 เมตร
3. ระบบควบคุมบนเรือไร้คนขับ

การออกแบบระบบทั้งฮาร์ดแวร์และซอฟต์แวร์สามารถใช้งานจริงภายใต้สภาพแวดล้อมในทะเล ซึ่งมีความไม่แน่นอนจากคลื่นลมและการรบกวนของสัญญาณ โดยเฉพาะในพื้นที่ที่ไม่มีโครงข่ายโทรศัพท์มือถือ

นอกจากนี้ยังสามารถบันทึกข้อมูลการบินของ Relay UAV และข้อมูลการเดินเรือเพื่อใช้ในการวิเคราะห์ย้อนหลังและวางแผนภารกิจในอนาคต

4.2 ข้อเสนอแนะเพื่อการพัฒนาต่อยอด

แม้ว่าระบบควบคุมเรือไร้คนขับระยะไกลที่พัฒนาขึ้นในโครงการนี้จะสามารถบรรลุวัตถุประสงค์หลักได้เป็นส่วนใหญ่ แต่ยังมีแนวทางการพัฒนาต่อยอดที่สำคัญ ดังนี้

1. เพิ่มระยะทางการควบคุมให้ไกลยิ่งขึ้น โดยพิจารณาใช้ Relaying UAV แบบ Fixed-Wing ที่สามารถบินอยู่ได้นานขึ้น หรือการใช้ Relaying UAV หลายลำเป็นเครือข่ายทวนสัญญาณต่อเนื่อง (Multi Relaying UAV)
2. พัฒนาโหมดควบคุมอัตโนมัติ (Autonomous Mission) เพื่อให้เรือสามารถเดินทางไปยังพิกัดที่กำหนดโดยอัตโนมัติ หรือกลับสู่ฐานได้เองในกรณีฉุกเฉิน และสามารถตัดสินใจหลบหลีกสิ่งกีดขวางด้วยการติดตั้งกล้องตรวจจับวัตถุ ระบบเรดาร์ขนาดเล็ก

โดยสรุปแล้ว โครงการวิจัยนี้ถือเป็นก้าวสำคัญในการยกระดับศักยภาพของระบบควบคุมเรือไร้คนขับในประเทศไทย โดยการพัฒนาระบบต้นแบบที่ใช้งานได้จริงภายใต้เงื่อนไขปฏิบัติการทางทะเล และสามารถนำไปต่อยอดเพื่อเสริมสร้างขีดความสามารถด้านความมั่นคงทางทะเล และการพึ่งพาตนเองทางเทคโนโลยีได้อย่างยั่งยืน

5. กิตติกรรมประกาศ

โครงการนี้ได้รับทุนอุดหนุนการวิจัยและนวัตกรรม จากสำนักงานการวิจัยแห่งชาติ (วช.) ประจำปี 2567

เอกสารอ้างอิง

[1] Rithirun. C., Charaen. A., Sawaengsinkasikit. W., and Phongsanam. P., “Development of Signal Transmission System for Long-Range Unmanned Aerial Vehicle” 2024 International Conference on Power, Energy and Innovation (ICPEI 2024)

[2] อนุชิต เจริญ ชาติ ฤทธิ์หิรัญ วิญญู แสวงสินกสิกิจ และ ประภาส ผ่องสนาม, “การพัฒนาระบบควบคุมและการมอนิเตอร์อากาศยานไร้คนขับหลายลำผ่านการสื่อสารไร้สาย 4G LTE,” การประชุมวิชาการทางวิศวกรรมไฟฟ้า ครั้งที่ 45, จ.นครนายก, 16-18 พฤศจิกายน 2565, หน้า 372-375.

[3] Rithirun. C., Charaen. A., and Sawaengsinkasikit. W., “Autopilot Flight Testing of Unmanned Aerial Vehicle” 2021 International Conference on Power, Energy and Innovation (ICPEI 2021)

[4] Rithirun. C., Charaen. A., and Sawaengsinkasikit. W. and Lokaphan. S., “Development of Waypoint Navigation Control System of Unmanned Aerial Vehicle by Fuzzy PD+I Controller” The 37th Electrical Engineering Conference (EECON-37), Thailand, 2015.

[5] ชาติ ฤทธิ์หิรัญ, “การพัฒนาระบบควบคุมวิภัชนัยสำหรับการบินอัตโนมัติของอากาศยานไร้คนบังคับ,” วิทยานิพนธ์ปริญญาวิศวกรรมศาสตรดุษฎีบัณฑิต สถาบันเทคโนโลยีพระจอมเกล้า เจ้าคุณทหารลาดกระบัง, 2556.

การออกแบบตัวควบคุม PI-PD ที่เหมาะสมสำหรับหุ่นยนต์ดุลยภาพสองล้อด้วยขั้นตอนวิธีการผสมเกสรดอกไม้

Optimal PI-PD Controller Design for Two-Wheel Self-Balancing Robot via Flower Pollination Algorithm

ณธรรม เกิดสำอางค์[1] ธีรยุทธ จันทร์แจ่ม[2] สุธี รุกขพันธุ์[3] และ เชิงชาย สมประชา[3*]

[1]สาขาวิชาวิศวกรรมไฟฟ้า คณะวิศวกรรมศาสตร์ มหาวิทยาลัยเกษมบัณฑิต nathum.koe@kbu.ac.th
[2]สาขาวิชาวิศวกรรมไฟฟ้าและการจัดการพลังงาน คณะวิศวกรรมศาสตร์ มหาวิทยาลัยเกษมบัณฑิต theerayut.jan@kbu.ac.th
[3]สาขาวิชาวิศวกรรมการวัดคุม คณะวิศวกรรมศาสตร์ มหาวิทยาลัยเทคโนโลยีราชมงคลรัตนโกสินทร์ cherngchai.som@rmutr.ac.th*

บทคัดย่อ

บทความนี้เสนอการออกแบบตัวควบคุม PI-PD ที่เหมาะสมสำหรับหุ่นยนต์ดุลยภาพสองล้อด้วยขั้นตอนวิธีการผสมเกสรดอกไม้ ซึ่งเป็นวิธีการแบบอภิศึกษาสำนึกสำหรับหาผลเฉลยที่มีประสิทธิภาพสูง การออกแบบตัวควบคุม PI-PD จะกำหนดจากปัญหาการหาค่าเหมาะสมที่สุดภายใต้เงื่อนไข โดยค่า K_P, K_I, K_D และ K_{PF} จะถูกค้นหาด้วยวิธีการผสมเกสรดอกไม้ ที่ทำให้ฟังก์ชันวัตถุประสงค์มีค่าน้อยที่สุดภายใต้เงื่อนไขที่กำหนด จากผลการจำลองพบว่า พารามิเตอร์ที่เหมาะสมของตัวควบคุม PI-PD สามารถหาได้ด้วยวิธีการผสมเกสรดอกไม้อย่างมีประสิทธิภาพ และตัวควบคุมแบบ PI-PD ที่นำเสนอให้ผลตอบสนองที่ดีกว่าเมื่อเทียบกับตัวควบคุม PID สำหรับควบคุมหุ่นยนต์ดุลยภาพสองล้อ

คำสำคัญ: ตัวควบคุม PI-PD หุ่นยนต์ดุลยภาพสองล้อ ขั้นตอนวิธีการผสมเกสรดอกไม้

Abstract

This paper presents an optimal PI-PD controller design for the two-wheel self-balancing robot via flower pollination algorithm (FPA), the most efficient metaheuristic optimization method. The an optimal PI-PD controller design is based on constrained optimization problem. K_P, K_I, K_D and K_{PF} are searched by the FPA to minimize the objective function under inequality constraints. From simulation results, the optimal PI-PD parameters are obtained by the FPA. The proposed PI-PD controller can give better response than the parallel PID controller for the two-wheel self-balancing robot.

Keywords: PI-PD Controller, Two-Wheel Self-Balancing Robot, Flower Pollination Algorithm

1. บทนำ

ระบบหุ่นยนต์ดุลยภาพสองล้อ (two-wheel self-balancing robot, TWSBR) เป็นพลานต์ที่ถูกสนใจอย่างมากในการศึกษาและควบคุมในหลายปีที่ผ่านมา [1-2] หุ่นยนต์ดุลยภาพสองล้อนั้นมีพื้นฐานมาจากระบบเพนดูลัมผกผันที่ตั้งอยู่บนล้อซึ่งมีคุณสมบัติไม่เป็นเชิงเส้นและไม่มีเสถียรภาพ [3-4] การรักษาสมดุลของหุ่นยนต์จำเป็นต้องอาศัยตัวควบคุมที่เหมาะสม ระบบควบคุมที่ถูกนำมาใช้ในควบคุมหุ่นยนต์ดุลยภาพสองล้อ เช่น ระบบควบคุม LQR (linear quadratic regulator) และระบบควบคุม PID (proportional integral derivative) [1] เป็นต้น ตัวควบคุม PID ที่ถูกใช้อย่างแพร่หลายในงานอุตสาหกรรม จึงถูกนำมาใช้ออกแบบในการรักษาสมดุลของหุ่นยนต์ เนื่องจากมีโครงสร้างของระบบควบคุมไม่สลับซับซ้อน [5] อย่างไรก็ตาม ตัวควบคุม PID แบบดั้งเดิม ที่มีโครงสร้างของระบบควบคุมแบบขนาน นั้นก่อให้เกิดค่าพุ่งเกินขนาดใหญ่และเวลาเข้าที่ช้า เมื่อนำมาใช้ควบคุมระบบไม่เป็นเชิงเส้นและไม่มีเสถียรภาพ [6]

ตัวควบคุม PI-PD สามารถให้สมรรถนะการควบคุมที่สูงกว่าตัวควบคุม PID แบบดั้งเดิมสำหรับการควบคุมระบบที่ไม่มีเสถียรภาพ การออกแบบตัวควบคุม PI-PD โดยการพิจารณาเป็นปัญหาการหาค่าหมาะสมที่สุด (optimization problem) และค้นหาคำตอบด้วยวิธีอภิศึกษาสำนึก (metaheuristic method) ถูกนำเสนออย่างกว้างขวาง [7] ขั้นตอนวิธีการผสมเกสรดอกไม้ (flower pollination algorithm: FPA) เป็นหนึ่งในวิธีอภิศึกษาสำนึกที่มีประสิทธิภาพสูง [8] FPA สามารถลู่เข้าหาผลเฉลยวงกว้างได้อย่างมีประสิทธิภาพและรวดเร็วเมื่อเทียบกับการหาค่าเหมาะสมแบบฝูงอนุภาค (particle swarm optimization: PSO)[9]

ดังนั้นบทความนี้นำเสนอการออกแบบตัวควบคุม PI-PD ที่เหมาะสมสำหรับหุ่นยนต์ดุลยภาพสองล้อด้วยขั้นตอนวิธีการผสมเกสรดอกไม้แบบจำลองทางคณิตศาสตร์ระบบหุ่นยนต์ดุลยภาพสองล้อและโครงสร้างตัวควบคุม PI-PD ถูกอธิบายในส่วนที่ 2 หลักการขั้นตอนวิธีการผสมเกสรดอกไม้ ถูกอธิบายในส่วนที่ 3 การออกแบบตัวควบคุม PI-PD ด้วยขั้นตอนวิธีการผสมเกสรดอกไม้และผลการจำลอง ซึ่งกระบวนการทำผ่านโปรแกรม MATLAB/Simulink แสดงในส่วนที่ 4 และส่วนสุดท้ายคือสรุปผล

2. ระบบควบคุม PI-PD สำหรับหุ่นยนต์ดุลยภาพสองล้อ

ระบบควบคุมแบบป้อนกลับสำหรับรักษาดุลยภาพของหุ่นยนต์สองล้อด้วยตัวควบคุมแบบ PI-PD แสดงดังรูปที่ 1 โดยที่ $G_{c1}(s)$ $G_{c2}(s)$ และ $G_p(s)$ คือ ตัวควบคุม PI ตัวควบคุม PD และ พลานต์ของแบบจำลองหุ่นยนต์ดุลยภาพสองล้อ ตามลำดับ

*ผู้ประพันธ์บรรณกิจ

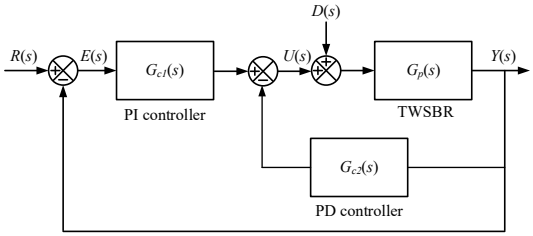

รูปที่ 1 ระบบควบคุมแบบป้อนกลับสำหรับหุ่นยนต์ดุลยภาพสองล้อ

2.1 แบบจำลองคณิตศาสตร์ระบบหุ่นยนต์ดุลยภาพสองล้อ

หุ่นยนต์ดุลยภาพสองล้อประกอบด้วยแชสซีของหุ่นยนต์ (chassis) แสดงพฤติกรรมเสมือนอินเวอร์ทเพนดูลัมที่ถูกวางอยู่บนล้อสองล้อ ซึ่งล้อทั้งสองถูกเชื่อมต่อด้วยมอเตอร์ไฟฟ้ากระแสตรงเพื่อใช้ในการเคลื่อนที่ [2] โดยหุ่นยนต์ดุลยภาพสองล้อ แสดงดังรูปที่ 2 การรักษาดุลยภาพของหุ่นยนต์สองล้อทำได้โดยการเคลื่อนที่ของล้อทั้งสองตามคำสั่งของตัวควบคุม ดังนั้นแบบจำลองทางคณิตศาสตร์ของหุ่นยนต์ดุลยภาพสองล้อได้จาก แบบจำลองของล้อของหุ่นยนต์ แชสซีของหุ่นยนต์และมอเตอร์ไฟฟ้ากระแสตรง

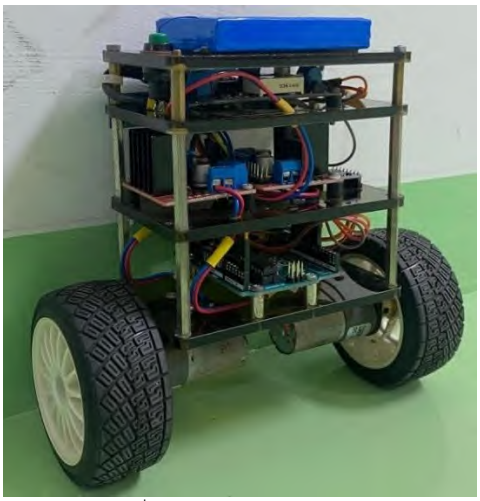

รูปที่ 2 หุ่นยนต์ดุลยภาพสองล้อ

แบบจำลองการเคลื่อนที่ล้อของหุ่นยนต์สามารถอธิบายได้จากแผนภาพอิสระ (free body diagram) แสดงดังรูปที่ 3

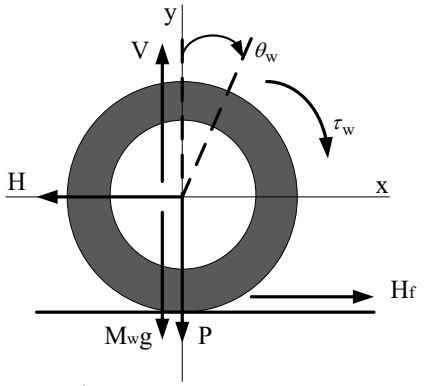

รูปที่ 3 แผนภาพอิสระของล้อหุ่นยนต์

ผลรวมของแรงของล้อหุ่นยนต์ในแนวแกน x สามารถแสดงได้ดังสมการที่ (1) และผลรวมของแรงบิดที่จุดศูนย์กลางล้อหุ่นยนต์ สามารถแสดงได้ดังสมการที่ (2)

$$M_w\ddot{x} = H_f - H \tag{1}$$

$$J_w\ddot{\theta}_w = \tau_w - H_f r \tag{2}$$

เมื่อการเคลื่อนที่ของล้อไม่มีการลื่นไถลจะพบว่า $x = \theta_w r$ จากสมการที่ (1) และ (2) สามารถเขียนแบบจำลองของล้อทั้งสองล้อได้ดังสมการที่ (3)

$$(2M_w + \frac{2J_w}{r})\ddot{x} = \frac{2\tau_w}{r} - 2H \tag{3}$$

แบบจำลองแชสซีของหุ่นยนต์สามารถอธิบายได้จากแผนภาพอิสระ (free body diagram) แสดงดังรูปที่ 4

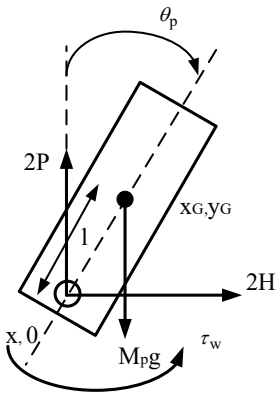

รูปที่ 4 แผนภาพอิสระของแชสซีหุ่นยนต์

ตำแหน่งจุดศูนย์ถ่วงของแชสซีหุ่นยนต์ (x_G, y_G)แสดงได้ดังสมการ (4)

$$x_G = x + l\sin\theta_p;\ \ y_G = l\cos\theta_p \tag{4}$$

ผลรวมของแรงของแชสซีหุ่นยนต์ในแนวแกน x สามารถแสดงได้ดังสมการที่ (5) และผลรวมของแรงของแชสซีหุ่นยนต์ในแนวแกน y สามารถแสดงได้ดังสมการที่ (6)

$$M_p(\ddot{x} + l\ddot{\theta}_p\cos\theta_p - l\dot{\theta}_p^2\sin\theta_p) = 2H \tag{5}$$

$$M_p(l\sin\theta_p\ddot{\theta}_p + l\cos\theta_p\dot{\theta}_p^2) = M_p g - 2P \tag{6}$$

ผลรวมของแรงบิดที่จุดศูนย์ถ่วงของแชสวีของหุ่นยนต์ สามารถแสดงได้ดังสมการที่ (7)

$$J_p\theta_p = 2Pl\sin\theta_p - 2Hl\cos\theta_p - 2\tau_w \tag{7}$$

ดังนั้นจากสมการข้างต้นสามารถเขียนแบบจำลองคณิตศาสตร์ระบบหุ่นยนต์ดุลยภาพสองล้อ ดังสมการที่ (8) และ (9)

$$(M_p + 2M_w + \frac{2J_w}{r^2})\ddot{x} = -M_p l\ddot{\theta}_p\cos\theta_p + M_p l\dot{\theta}_p^2\sin\theta_p + \frac{2\tau_w}{r} \tag{8}$$

$$(J_p + M_p l^2)\ddot{\theta}_p = M_p gl\sin\theta_p - M_p l\ddot{x}\cos\theta_p - 2\tau_w \tag{9}$$

แรงบิดที่ล้อของหุ่นยนต์สร้างมาจากแรงบิดของมอเตอร์ไฟฟ้ากระแสตรง [5] สามารถแสดงได้ดังสมการที่ (10)

$$\tau_w = \frac{K_m V_a}{R_a} - \frac{K_m K_e\dot{x}}{R_a r} \tag{10}$$

แบบจำลองคณิตศาสตร์ระบบหุ่นยนต์ดุลยภาพสองล้อแบบไม่เชิงเส้น (nonlinear) ในสมการที่ (8) (9) และ (10) ถูกทำให้เป็นเชิงเส้นได้ดังสมการที่ (11) และ (12) [5]

$$(M_p + 2M_w + \frac{2J_w}{r^2})\ddot{x} = M_p l\ddot{\theta} + \frac{2K_m}{R_a r}V_a - \frac{2K_m K_e}{R_a r^2}\dot{x} \quad (11)$$

$$(J_p + M_p l^2)\ddot{\theta} = M_p g l\theta + M_p l\ddot{x} - \frac{2K_m}{R_a}V_a + \frac{2K_m K_e}{R_a r}\dot{x} \quad (12)$$

สมการปริภูมิสถานะ (state space) ของระบบหุ่นยนต์ดุลยภาพสองล้อ ได้รับจากสมการที่ (11) และ (12) ดังสมการที่ (13) [5]

$$\begin{bmatrix}\dot{x}\\ \ddot{x}\\ \dot{\theta}\\ \ddot{\theta}\end{bmatrix} = \begin{bmatrix}0 & 1 & 0 & 0\\ 0 & A_{22} & A_{23} & 0\\ 0 & 0 & 0 & 1\\ 0 & A_{42} & A_{43} & 0\end{bmatrix}\begin{bmatrix}x\\ \dot{x}\\ \theta\\ \dot{\theta}\end{bmatrix} + \begin{bmatrix}0\\ B_{21}\\ 0\\ B_{41}\end{bmatrix}V_a \quad (13)$$

โดยที่

$$A_{22} = \frac{2K_m K_e(M_p l r - J_p - M_p l^2)}{R_a r \alpha} \qquad A_{23} = \frac{M_p^2 g l^2}{\alpha}$$

$$A_{42} = \frac{2K_m K_e(r\beta - M_p l)}{R_a r^2 \alpha} \qquad A_{43} = \frac{M_p g l \beta}{\alpha}$$

$$B_{21} = \frac{2K_m(J_p - M_p l^2 - M_p l r)}{R_a r \alpha} \qquad B_{41} = \frac{2K_m(M_p l - r\beta)}{R_a r \alpha}$$

$$\beta = (2M_w + 2J_w / r + M_p) \qquad \alpha = J_p\beta + 2M_p l^2(M_w + J_w / r)$$

2.2 ตัวควบคุม PI-PD

ตัวควบคุม PID โดยทั่วไปที่ถูกใช้ในระบบควบคุมแบบป้อนกลับ เป็นตัวควบคุม PID แบบขนาน โครงสร้างตัวควบคุมแสดงดังรูปที่ 5 สัญญาณควบคุม, $u(t)$ เกิดจากผลรวมของ ค่าอัตราขยายเชิงสัดส่วน, K_P คูณกับสัญญาณความคลาดเคลื่อน, $e(t)$ ค่าอัตราขยายเชิงอินทิเกรต, K_I คูณกับผลรวมสัญญาณความคลาดเคลื่อน ($\int e(t)dt$) และค่าอัตราขยายเชิงอนุพันธ์, K_D คูณกับอัตราการเปลี่ยนแปลงสัญญาณความคลาดเคลื่อน $de(t)/dt$ แสดงดังสมการที่ (14)

$$u(t)\big|_{PID} = K_P e(t) + K_I\int e(t)dt + K_D\frac{de(t)}{dt} \quad (14)$$

ตัวควบคุม PI-PD ถูกปรับมาจากตัวควบคุม PID แบบดั้งเดิม เพื่อเพิ่มประสิทธิภาพเมื่อมีการรบกวนจากภายนอก โครงสร้างตัวควบคุมแสดงดังรูปที่ 6 สัญญาณควบคุมของตัวควบคุม PI-PD แสดงดังสมการที่ (15) [7]

ตัวควบคุม PI-PD ประกอบด้วย ส่วนของอัตราขยายเชิงสัดส่วน, K_{PF} และอัตราขยายเชิงอนุพันธ์, K_D ถูกวางเป็นวงรอบป้อนกลับ (feedback loop) ด้านในที่รับสัญญาณเอาต์พุต, $y(t)$ ระบบที่ไม่มีเสถียรภาพจะกลายเป็นระบบที่มีเสถียรภาพจากส่วนนี้ และส่วนของอัตราขยายเชิงสัดส่วน, K_P และอัตราขยายเชิงอินทิเกรต, K_I ถูกวางเป็นวงรอบไปข้างหน้าที่ (forward loop) รับสัญญาณความคลาดเคลื่อน, $e(t)$ เพื่อควบคุม-พลานต์ที่มีเสถียรภาพแล้ว ซึ่งตัวควบคุม PI-PD สามารถตอบสนองได้อย่างดีเมื่อมีการรบกวนจากภายนอก

$$u(t)\big|_{PI-PD} = \left[K_P e(t) + K_I\int e(t)dt\right] - \left[K_{PF}y(t) + K_D\frac{dy(t)}{dt}\right] \quad (15)$$

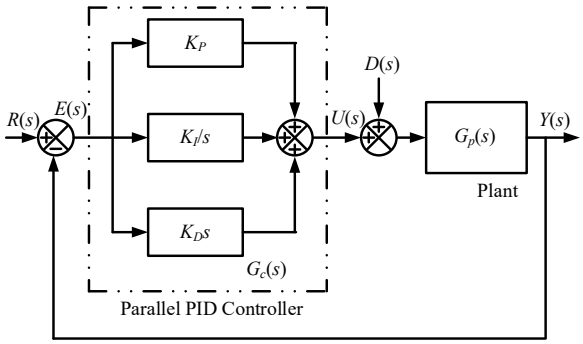

รูปที่ 5 ระบบควบคุมแบบป้อนกลับชนิดตัวควบคุม PID

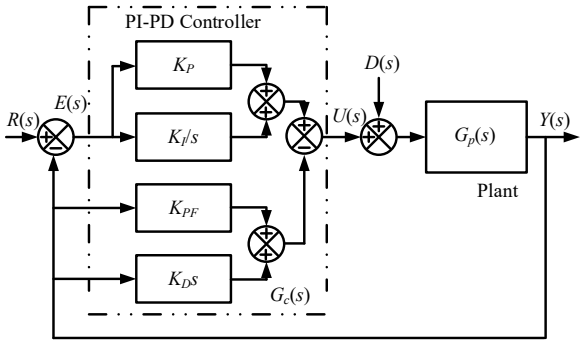

รูปที่ 6 ระบบควบคุมแบบป้อนกลับชนิดตัวควบคุม PI-PD

3. ขั้นตอนวิธีผสมเกสรดอกไม้ (FPA)

ขั้นตอนวิธี FPA เป็นขั้นตอนวิธีการหาคำตอบที่เหมาะสมที่สุดที่อยู่บนแนวคิดกระบวนการผสมเกสรของพืชดอกนำเสนอในปี ค.ศ. 2012 โดย Xin-She Yang การผสมเกสรดอกไม้แบ่งเป็น 2 แบบ การผสมเกสรดอกไม้ในต้นเดียวกัน (self-pollination) และการผสมเกสรดอกไม้ข้ามต้น (cross-pollination) แสดงดังรูปที่ 7

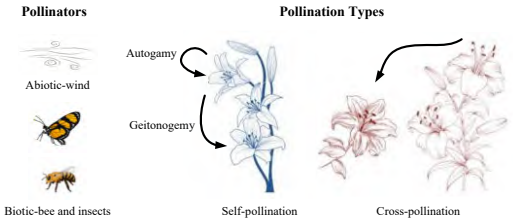

รูปที่ 7 แนวคิดผสมเกสรของพืชดอกนำเสนอโดย Xin-She Yang [9]

1.การผสมเกสรดอกไม้ข้ามต้น เป็นผสมเกสรดอกไม้ต่างต้นที่มีระยะทางไกลกัน ผ่านตัวขนถ่ายละอองเรณู (pollinators) แบบเป็นสิ่งมีชีวิต เช่น ผึ้ง ผีเสื้อ เป็นต้น และแบบไม่มีชีวิต เช่น น้ำ ลม เป็นต้น ซึ่งการเคลื่อนที่ของตัวขนถ่ายละอองเรณูจะเคลื่อนที่แบบ Lévy flights ดังนั้นการหาผลเฉลยใหม่จากการผสมเกสรดอกไม้ข้ามต้นหรือการผสมเกสรแบบวงกว้าง แสดงได้ดังสมการที่ (16) เมื่อ x_i ผลเฉลยปัจจุบัน g^* ผลเฉลยที่ดีที่สุด และ L คือค่าสุ่มที่มีการแจกแจงแบบเลวี (Lévy distribution)

$$x_i^{t+1} = x_i^t + L(x_i^t - g^*) \quad (16)$$

2.การผสมเกสรดอกไม้ในต้นเดียวกัน คือการผสมเกสรที่เกิดขึ้นภายในดอกเดียวกันหรือคนละดอกแต่อยู่ภายในต้นเดียวกัน การหาผลเฉลยใหม่จากการผสมเกสรดอกไม้ในต้นเดียวกันหรือการผสมเกสรแบบเฉพาะที่ แสดงดังสมการที่ (17) เมื่อ x_j และ x_k คือ 2 ค่าผลเฉลยที่ได้รับการสุ่มจากกลุ่มประชากรเดียวกับ x_i และ ε คือค่าสุ่มที่มีการแจกแจงแบบเอกรูป (uniform distribution)

$$x_i^{t+1} = x_i^t + \varepsilon(x_j^t - x_k^t) \quad (17)$$

ค่าความน่าจะเป็นในการสับเปลี่ยน (switch probability) $p \in [0,1]$ ใช้สำหรับการเลือกรูปแบบการผสมเกสร ถ้าค่าที่สุ่มได้น้อยกว่า p เป็นจริง การค้นหาผลเฉลยใหม่ในกรณีนี้ใช้การผสมเกสรแบบวงกว้างตามสมการที่ (16) แต่ถ้าเป็นเท็จ การค้นหาผลเฉลยใหม่ใช้การผสมเกสรแบบเฉพาะที่ตามสมการที่ (17) ขั้นตอนการค้นหาคำตอบแบบ FPA สามารถแสดงดังรูปที่ 8 [9]

```
begin
  Objective min or max f(x) of solution x = (x1, …, xd)
  Initial a population of n flower/pollen gametes with random solutions
  Find the best solution g* in initial population
  Define a switch proability p ∈[0,1]
  while (Gen < Max_Gen) or (stop criterion)
    for i = 1:n (all n flowers in the population)
      if rand < p,
        Draw a (d-dimensional) step vector L which obey a Lévy distribution
        Global pollination via (16)
      else
        Draw ε from a uniform distribution in [0,1]
        Randomly choose j and k among all the solutions
        Local pollination via (17)
      end if
      Evaluate new solutions
      If new solutions are better, update them in the population
    end for
      Find the current best solution g*
  end while
end
```

รูปที่ 8 รหัสเทียมขั้นตอนวิธีผสมเกสรดอกไม้[9]

4. การออกแบบตัวควบคุม PI-PD และผลการจำลอง

การออกแบบตัวควบคุม PI-PD ที่เหมาะสมสำหรับหุ่นยนต์ดุลยภาพสองล้อด้วยขั้นตอนวิธีผสมเกสรดอกไม้ แสดงดังรูปที่ 9 โดยกำหนดฟังก์ชันวัตถุประสงค์ f_{obj} เป็นผลรวมค่าความคลาดเคลื่อนสัมบูรณ์ (integral absolute error: IAE) ระหว่างสัญญาณมุมของตัวหุ่นยนต์อ้างอิง $r(t)$ และสัญญาณมุมของตัวหุ่นยนต์จริง $y(t)$ ค่าอัตราขยาย K_P, K_I, K_D และ K_{PF} ในสมการที่ (15) จะถูกค้นหาด้วย FPA เพื่อให้ได้ค่าที่เหมาะสมที่สุด ที่ทำให้ฟังก์ชันวัตถุประสงค์ f_{obj} มีค่าน้อยที่สุดที่อยู่ภายใต้เงื่อนไขที่กำหนด ที่ประกอบด้วย เวลาขึ้น (t_r) การพุ่งเกินสูงสุด (M_p) เวลาเข้าที่ (t_s) และความคลาดเคลื่อนในสภาวะอยู่ตัว (e_{ss}) ดังสมการที่ (18)

$$\begin{aligned} Minimize \quad & f_{obj}(K_P, K_I, K_D, K_{PF}) = \sum_{i=1}^{N} |r_i - y_i| \\ subject\ to \quad & t_r \le 1.0s,\ M_p \le 10\%,\ t_s \le 2.5s,\ e_{ss} < 1\%, \\ & 0 < K_P \le 500,\ 0 < K_I \le 200,\ 0 < K_D \le 20, \\ & 0 < K_{PF} \le 500, \end{aligned} \quad (18)$$

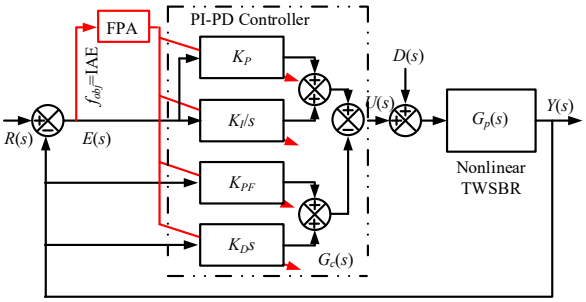

รูปที่ 9 การออกแบบตัวควบคุม PI-PD ด้วยขั้นตอนวิธี FPA

แบบจำลองของระบบหุ่นยนต์ดุลยภาพสองล้อแสดงได้ด้วยแบบจำลองปริภูมสถานะ (state space model) โดยค่าพารามิเตอร์ต่างๆ ที่ใช้ในการจำลองแสดงในตารางที่ 1

ตารางที่ 1 พารามิเตอร์ของระบบหุ่นยนต์ดุลยภาพสองล้อ[1]

มวลของล้อหุ่นยนต์ (M_w)	0.3 kg
มวลของตัวหุ่นยนต์ (M_p)	6.0 kg
โมเมนต์ความเฉื่อยของล้อ (J_w)	0.0017 kg.m^2
โมเมนต์ความเฉื่อยของตัวหุ่นยนต์ (J_p)	0.29 kg.m^2
รัศมีของล้อ (r)	0.077 m
ระยะจากจุดหมุนกับจุดศูนย์ถ่วงของตัวหุ่นยนต์ (l)	0.2 m
ค่าคงที่แรงบิดของมอเตอร์ (K_m)	0.0458 N.m/A
ค่าคงที่ Back EMF ของมอเตอร์ (K_e)	0.0458 V.s/rad
ค่าความต้านทานที่ขดลวดอาร์เมเจอร์ของมอเตอร์ (R_a)	2.49 Ω
ค่าความโน้มถ่วง (g)	9.81 m/sec^2

ขั้นตอนวิธี FPA เพื่อการออกแบบตัวควบคุม PI-PD ถูกพัฒนาบนโปรแกรม MATLAB/Simulink ค่าพารามิเตอร์ของ FPA กำหนดตามคำแนะนำของ Xin-She Yang [9] นั่นคือ จำนวนเกสรดอกไม้ n = 25, ค่าความน่าจะเป็นในการสับเปลี่ยนระหว่างการผสมเกสรแบบวงกว้างและการผสมเกสรแบบเฉพาะที่ p = 0.8 จำนวนรอบการค้นหาสูงสุด Max_Gen = 1000 เมื่อสิ้นสุดการค้นหา ค่าพารามิเตอร์ต่างๆของตัวควบคุม PID และ PI-PD ที่เหมาะสมสำหรับหุ่นยนต์ดุลยภาพสองล้อ แสดงตารางที่ 2

ตารางที่ 2 ตัวควบคุม PID และ PI-PD ที่เหมาะสมด้วย FPA

	K_P	K_I	K_D	K_{PF}
PID controller	499.9875	175.6659	7.6523	-
PI-PD controller	494.1438	82.1367	9.1500	0.0237

สมรรถนะของตัวควบคุม PID และ PI-PD ที่ออกแบบด้วยขั้นตอนวิธี FPA สำหรับควบคุมหุ่นยนต์ดุลยภาพสองล้อ นั้นถูกพิจารณาจากผลตอบสนองการติดตามคำสั่งและการคุมค่าการรบกวน แสดงดังรูปที่ 10 และ 11 ตามลำดับ พบว่าตัวควบคุม PI-PD ให้ผลตอบสนองที่ดีกว่าตัวควบคุม PID แบบดั้งเดิม นั่นคือมีค่าการพุ่งเกินสูงสุด (M_p) ที่ต่ำกว่าและมีค่าเวลาการเข้าที่ของการคุมค่าการรบกวน (t_{reg}) ที่เร็วกว่า แสดงดังตารางที่ 3 ซึ่งในทางปฏิบัติตัวควบคุม PI-PD เหมาะสมกว่าตัวควบคุม PID กับพลานต์ที่ไม่เสถียรภาพ เช่น ระบบหุ่นยนต์ดุลยภาพสองล้อ เป็นต้น

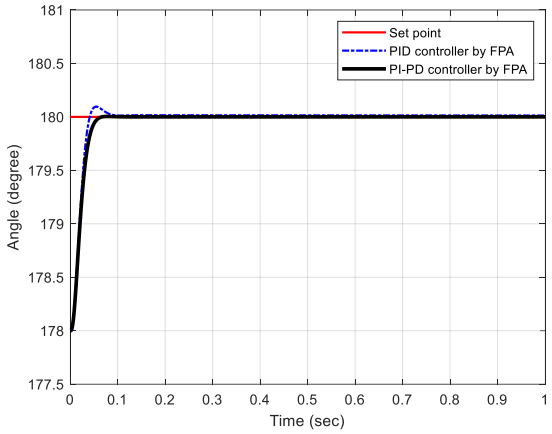

รูปที่ 10 ผลตอบสนองการติดตามคำสั่งแบบขั้นบันได

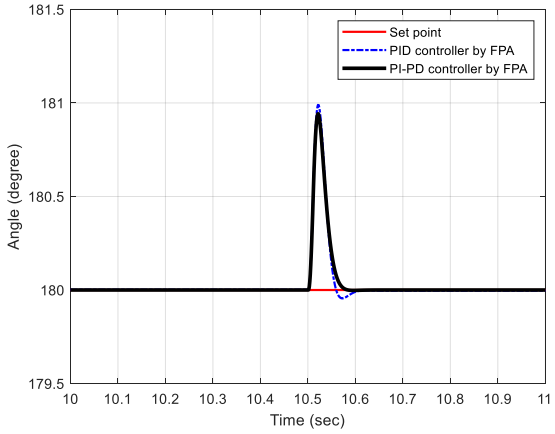

รูปที่ 11 ผลตอบสนองการคุมค่าการรบกวนแบบอิมพัลส์

ตารางที่ 3 สมรรถนะตัวควบคุม PID และ PI-PD ที่เหมาะสมด้วย FPA

	t_r(sec)	t_s(sec)	M_p(%)	E_{ss}(%)	t_{reg}(sec)
PID controller	0.04	0.1	5.00	0.0	0.11
PI-PD controller	0.06	0.07	0.00	0.0	0.08

5. สรุป

บทความนี้นำเสนอการออกแบบตัวควบคุม PI-PD ที่เหมาะสมสำหรับหุ่นยนต์ดุลยภาพสองล้อด้วยขั้นตอนวิธีการผสมเกสรดอกไม้ ตัวควบคุมแบบ PI-PD ที่นำเสนอสามารถคุมค่าการรบกวนและลดค่าการพุ่งเกินสูงสุดเป็นที่น่าพอใจในการควบคุมหุ่นยนต์ดุลยภาพสองซึ่งเป็นพลานต์ที่ไม่มีเสถียรภาพ ขั้นตอนวิธีการผสมเกสรดอกไม้ เป็นหนึ่งในวิธีอภิศึกษาสำนึกที่มีประสิทธิภาพในการหาผลเฉลยที่เหมาะสม ซึ่งนำมาประยุกต์หาค่าพารามิเตอร์ที่เหมาะสมของตัวควบคุม PID และ PI-PD จากผลการจำลองพบว่า ขั้นตอนวิธีการผสมเกสรดอกไม้สามารถหาผลเฉลยตัวควบคุม PID และ PI-PD ที่เหมาะสมได้อย่างรวดเร็วโดยอยู่ภายใต้เงื่อนไขที่กำหนด และตัวควบคุม PI-PD ให้ประสิทธิภาพที่เหนือกว่าตัวควบคุม PID ทั้งการพุ่งเกินสูงสุดและเวลาการเข้าที่ของการคุมค่าการรบกวน

เอกสารอ้างอิง

[1] O. Jamil, M. Jamil, Y. Ayaz and K. Ahmad, “Modeling, control of a two-wheeled self-balancing robot,” 2014 International Conference on Robotics and Emerging Allied Technologies in Engineering (iCREATE), Islamabad, Pakistan, 2014, pp. 191-199.

[2] H. Khabazi and M. Shariyat, “Control and simulation of autonomous navigation of a self-balancing robot,” the 12th RSI International Conference on Robotics and Mechatronic (IcoM 2024), Tehran, Iran, 2024, pp. 226-232.

[3] O.M.M. Gad, S.Z.M. Saleh, M.A. Bulbul and S. Khadraoui, “Design and control of two wheeled self balancing robot (TWSBR),” 2022 Advanced in Science and Engineering Technology International Conferences (ASET), Dubai, United Arab Emirate, 2022, pp. 1-6.

[4] F.R. Jimenez, I.A. Ruge and A.F. Jimenez, “Modeling and control of a two wheeled auto-balancing robot: a didactic platform for control engineering education,” 18th LACCEI International Multi-Conference for Engineering, Education, and Technology, Buenos Aires, Argentina, 2020, pp. 1-12.

[5] R.A.D.D. Dharmasiri and M.K. Jayananda, “A study of two-wheel self-balancing robot dynamics for control systems learning,” Current Scientia, No. 2 (2024), 2024, pp. 25-36.

[6] I. Kaya and D. Atherton, “Simple Analytical rules for PI-PD controllers to tune integrating and unstable processes,”, International Control Conference: Control 2006, Glasgow, Scotlan, 2006 pp. 1-6.

[7] M. Peram, S. Mishra, M. Vemulapaty, B. Verma and P.K. Padhy, “Optimal PI-PD and I-PD controller design using cuckoo search algorithm,” 5th International Conference on Signal Processing and Integrated Networks (SPIN), 2018, pp. 643-646.

[8] X. S. He, X. S. Yang, M. Karamanoglu and Y. X. Zhao, “Global convergence analysis of the flower pollination algorithm: a discrete-time Markov chain approach,” Procedia Computer Science, vol. 108, 2017, pp. 1354-1364.

[9] X. S. Yang, *Nature-Inspired Optimization Algorithms*, Elsevier Inc, 2014.

การประยุกต์การค้นหาแบบค้างคาวเพื่อออกแบบตัวควบคุมพีไอดีอันดับเชิงเศษส่วนสำหรับระบบประวิงเวลา

Application of Bat Search to Design Fractional Order PID Controller for Time Delay System

ชนิดา แก้วเพชร[1] สัตถาภูมิ ไทยพานิช[1] บารมี โอสธีรกุล[1] ชาญณรงค์ อ่างทอง[2] และ ดนุพล คำปัญญา[2]*

[1]สาขาวิชาระบบสารสนเทศและคอมพิวเตอร์ธุรกิจ คณะบริหารธุรกิจและเทคโนโลยีสารสนเทศ มหาวิทยาลัยเทคโนโลยีราชมงคลสุวรรณภูมิ
chanida.k@rmutsb.ac.th sattarpoom.t@rmutsb.ac.th baramee.o@rmutsb.ac.th
[2]สาขาวิชาวิศวกรรมไฟฟ้า คณะวิศวกรรมศาสตร์และสถาปัตยกรรมศาสตร์ มหาวิทยาลัยเทคโนโลยีราชมงคลสุวรรณภูมิ
channarong.at.tae@gmail.com danupon.k@rmutsb.ac.th*

บทคัดย่อ

การค้นหาแบบค้างคาวเป็นหนึ่งในเทคนิคการหาค่าเหมาะที่สุดแบบเมตา-ฮิวริสติกที่มีประสิทธิภาพ บทความนี้นำเสนอการประยุกต์การค้นหาแบบค้างคาวเพื่อออกแบบตัวควบคุมพีไอดีอันดับเชิงเศษส่วนสำหรับระบบประวิงเวลา การประวิงเวลาสามารถแทนด้วยการประมาณแบบพาเด ผลการออกแบบตัวควบคุมพีไอดีอันดับเชิงเศษส่วนสำหรับระบบประวิงเวลาด้วยวิธีการค้นหาแบบค้างคาวจะถูกนำไปเปรียบเทียบกับผลการออกแบบตัวควบคุมพีไอดีอันดับจำนวนเต็ม จากผลการจำลองพบว่าตัวควบคุมพีไอดีอันดับเชิงเศษส่วนที่ออกแบบด้วยการค้นหาแบบค้างคาวสามารถควบคุมระบบประวิงเวลาได้อย่างน่าพอใจ ให้ผลตอบสนองดีกว่าตัวควบคุมพีไอดีอันดับจำนวนเต็ม ทั้งการติดตามคำสั่งอินพุตและการกำจัดสัญญาณรบกวน

คำสำคัญ: การค้นหาแบบค้างคาว ตัวควบคุมพีไอดีอันดับเชิงเศษส่วน ระบบประวิงเวลา การหาค่าเหมาะที่สุดแบบเมตา-ฮิวริสติก

Abstract

One of most efficient meta-heuristic optimization search techniques is Bat Search (BS). This paper proposes application of the BS to design fractional order PID (FOPID) controllers for time delay system. The time delay occurred in the system can be substituted by Pade's approximation. The results obtained by the BS to design the FOPID controller for the time delay system will be compared with those obtained by the integer order PID (IOPID) controller. From the simulation results, it was found that the optimal the FOPID controller designed by the BS can provide yielded more satisfactory results than the IOPID controller in both input command tracking and disturbance rejection responses.

Keywords: Bat Search (BS), Fractional Order PID Controller, Time Delay System, Meta-heuristic Optimization Search

1. บทนำ

ตัวควบคุมพีไอดีอันดับจำนวนเต็ม (Integer-order PID Controller (IOPID) หรือ PID Controller) [1] ถูกยอมรับและใช้งานอย่างกว้างขวางในงานอุตสาหกรรม เนื่องจากสร้างง่ายและมีโครงสร้างอย่างง่าย โดยทั่วไปตัวควบคุม IOPID สามารถปรับแต่งได้ด้วยวิธีของซีเกลอร์และนิโคลส์ (Ziegler and Nichols หรือ ZN) [2] ซึ่งเป็นวิธีที่นิยมใช้ในการปรับแต่งค่าพารามิเตอร์ของตัวควบคุม IOPID อย่างเหมาะสมสำหรับระบบเชิงเส้นและเสถียรเท่านั้น นอกจากนี้ยังเกิดการแกว่งและมีค่าเกินพิกัดสูงมาก ข้อเสียของวิธีนี้คือ ถูกจำกัดการทำงานไว้เพียงบางส่วน และมีคุณสมบัติการออกแบบความคงทนต่อการเปลี่ยนแปลงที่ไม่น่าพอใจมากนัก

บนพื้นฐานตัวควบคุมพีไอดีอันดับเชิงเศษส่วน (Fractional-order PID หรือ (FOPID) Controller) ได้รับการนำเสนอครั้งแรกในปี ค.ศ. 1994 โดย Prof.Igor Podlubny [3] ที่ตั้งอยู่บนพื้นฐานของแคลคูลัสเชิงเศษส่วน (Fractional Calculus) ที่ประกอบด้วยค่าพารามิเตอร์จำนวน 5 ตัว คือ K_p เป็นอัตราขยายเชิงปรับสัดส่วน (Proportional Gain) K_i เป็นอัตราขยายเชิงปริพันธ์ (Integral Gain) K_d เป็นอัตราขยายเชิงอนุพันธ์ (Derivative Gain) λ เป็นอันดับเชิงปริพันธ์ (Integral Order) และ μ เป็นอันดับเชิงอนุพันธ์ (Derivative Order) โดยที่ λ และ μ จะมีค่าไม่เป็นเลขจำนวนเต็ม เมื่อเปรียบเทียบกับตัวควบคุม IOPID ที่ประกอบด้วยค่าพารามิเตอร์จำนวน 3 ตัว คือ K_p เป็นอัตราขยายเชิงปรับสัดส่วน (Proportional Gain) K_i เป็นอัตราขยายเชิงปริพันธ์ (Integral Gain) และ K_d เป็นอัตราขยายเชิงอนุพันธ์ (Derivative Gain) ทำให้ตัวควบคุม FOPID มีประสิทธิภาพการควบคุมครอบคลุมและดีกว่าตัวควบคุม IOPID จากการสำรวจงานวิจัยที่เกี่ยวข้อง พบว่า ตัวควบคุม FOPID ได้ถูกใช้กับการควบคุมกระบวนการ (Process) หรือพลานต์ (Plant) ที่หลากหลาย อาทิเช่น การควบคุมมอเตอร์ไฟฟ้ากระแสตรง การควบคุมแรงดันไฟฟ้าอัตโนมัติ การควบคุมอิเล็กทรอนิกส์กำลังในภาคอุตสาหกรรมต่างๆ เป็นต้น

การควบคุมพลานต์ในงานอุตสาหกรรมส่วนใหญ่ เช่น อุตสาหกรรมการผลิตกระดาษ เครื่องปฏิกรณ์เคมี และเครื่องฟอกอากาศ สามารถนำเสนอโดยใช้แบบจำลองที่มีการประวิงเวลา (Time Delay) [4] และมากกว่า 90% ของระบบกายภาพ การควบคุมพลานต์ที่มีการประวิงเวลาแบบจำลองสามารถประมาณด้วยพลานต์อันดับหนึ่งที่มีการประวิงเวลา (First Order Plus Time Delay หรือ FOPTD) อยู่ที่ประมาณ 60% และพลานต์อันดับสองที่มีการประวิงเวลา (Second Order Plus Time Delay หรือ SOPTD) อยู่ที่ประมาณ 30% ซึ่งโดยทั่วไปของพลานต์เหล่านี้ก็คือ พลานต์ที่มีการประวิงเวลาจะส่งผลกระทบต่อการออกแบบตัวควบคุม

*ผู้ประพันธ์บรรณกิจ

ปัญหาการออกแบบตัวควบคุม FOPID สามารถพิจารณาเป็นปัญหาการหาค่าเหมาะที่สุดแบบมีเงื่อนไข (Constraint) ที่สามารถค้นหาผลเฉลยด้วยเมตา-ฮิวริสติก (Meta-heuristic) ที่มีประสิทธิภาพ [5] จากการสำรวจงานวิจัยที่เกี่ยวข้อง พบว่า การค้นหาแบบค้างคาว (Bat Search หรือ BS) ถูกนำเสนอครั้งแรกโดย Yang เมื่อปี ค.ศ. 2010 [6] โดยได้แนวคิดจากพฤติกรรมการปล่อยคลื่นเสียงความถี่สูงของค้างคาว (Sonar) เพื่อใช้ในการนำทางและค้นหาอาหารในที่มืด (Echolocation) บทความนี้นำเสนอการประยุกต์ BS เพื่อออกแบบตัวควบคุม FOPID สำหรับระบบประวิงเวลา โดยที่ การประวิงเวลาสามารถแทนด้วยการประมาณแบบพาเด (Pade's Approximation) อันดับหนึ่ง [4] ผลที่ได้รับจาก FOPID สำหรับระบบประวิงเวลาด้วยวิธี BS ถูกนำไปเปรียบเทียบกับผลที่ได้รับจาก IOPID ทั้งการติดตามคำสั่งอินพุต (Input Command Tracking) และการกำจัดสัญญาณรบกวน (Disturbance Rejection)

2. การค้นหาแบบค้างคาว

การค้นหาแบบค้างคาว [6] จะอาศัยกลไกที่สำคัญ 3 ข้อ คือ

1) ค้างคาวเคลื่อนที่ขณะบินเข้าหาเหยื่อ ตามเสียงสะท้อนที่ถูกปล่อยออกมาด้วยคลื่นเสียงที่มีความถี่สูง (Sonar) อย่างเป็นจังหวะและสม่ำเสมอ (Echolocation)

2) ค้างคาวบินแบบสุ่มด้วยความเร็ว v_i ที่ตำแหน่ง x_i โดยมีความถี่ $f_{\min}$ ความยาวคลื่น λ และความดังของเสียง A_0 ที่แตกต่างกันเพื่อค้นหาเหยื่อและปรับความยาวคลื่น (ความถี่) ของพัลส์ที่ปล่อยออกมาได้โดยอัตโนมัติและปรับอัตราการปล่อยพัลส์ (Pulse Emission หรือ r) โดยที่ $r \in [0,1]$ จะขึ้นอยู่กับระยะของเป้าหมาย

3) ความดังของเสียงสามารถเปลี่ยนแปลงได้หลายรูปแบบ ความดังของเสียงจะเปลี่ยนแปลงจากความดังของเสียงสูงที่สุด A_0 ไปยังค่าคงที่ต่ำที่สุด $A_{\min}$ นั่นคือ ความดังจะลดไปเรื่อยๆ เมื่อค้างคาวเข้าใกล้เหยื่อเพิ่มมากขึ้น

จากขั้นตอนวิธีของ BS สามารถแสดงได้ด้วยรหัสลำลอง (Pseudo Code) ดังรูปที่ 1 เมื่อ TC คือ เกณฑ์ยุติการค้นหา

Initialized:
- Objective function $f(x), x = (x_1, \ldots, x_d)^T$
- Initialize the bat population $x_i = (i = 1, 2, \ldots, n)$ and v_i
- Define pulse frequency f_i at x_i
- Initialize pulse rate r_i and the loudness A_i

while $(t < Max_Gen)$ or (Termination Criteria: TC)
- Generate new solutions by adjusting frequency
- Update velocities and locations/solutions by using (1) - (3)
  if $(rand > r_i)$
  - Select as solution among the best solutions
  - Generate a local solution around the selected best solution
  else if
  - Generate a new solution by flying randomly
  if $(rand < A_i \,\&\, f(x_i) < f(x_*))$
  - Accept the new solutions
  - Increase r_i and reduce A_i
  end if
- Rank the bats and find the current best x_*

End while
Report the best solution found

รูปที่ 1 รหัสลำลองแสดงขั้นตอนวิธีของ BS [6]

ค้างคาวแต่ละตัวจะมีความสัมพันธ์กับความเร็ว v_i^t และตำแหน่ง x_i^t ที่รอบการทำซ้ำ t ในปริภูมิการค้นหา d มิติ ในจำนวนของค้างคาวทั้งหมด x_* คือ ผลเฉลยที่ดีที่สุดในรอบปัจจุบัน ดังนั้น จากกลไกที่สำคัญ 3 ข้อ ข้างต้น สามารถปรับปรุงตำแหน่ง x_i^t และความเร็ว v_i^t ได้ใหม่ โดยอาศัยสมการที่ (1) ถึงสมการที่ (3)

$$f_i = f_{\min} + \beta(f_{\max} - f_{\min}) \tag{1}$$

$$v_i^t = v_i^{t-1} + f_i(x_i^{t-1} - x_*) \tag{2}$$

$$x_i^t = x_i^{t-1} + v_i^t \tag{3}$$

เมื่อ $\beta \in [0,1]$ คือ เวกเตอร์การสุ่มจากการแจกแจงแบบปกติ (Uniform Distribution) ในค้างคาวแต่ละตัวจะถูกกำหนดความถี่แบบสุ่มซึ่งมาจากการสุ่ม $[f_{\min}, f_{\max}]$ อย่างสม่ำเสมอ ที่ระยะเวลาของการทำซ้ำความดัง A_i และอัตราพัลส์ r_i จะถูกปรับตามสมการที่ (4) เพื่อสร้างความสมดุลการสำรวจและการแสวงหาประโยชน์ สำหรับ $0 < \alpha < 1$ และ $\gamma > 0$ พบว่า ความดัง $(A_i^t \to 0)$ และอัตราพัลส์ $(r_i^t \to r_i^0)$ เมื่อ $(t \to \infty)$ โดยที่ Yang กำหนดให้ค่าของ $\alpha = \gamma \in [0.9, 0.98]$

$$A_i^{t+1} = \alpha A_i^t, \quad r_i^{t+1} = r_i^0(1 - e^{(-\gamma t)}) \tag{4}$$

ในเริ่มต้น ผู้ใช้งานสามารถปรับค่าพารามิเตอร์ของ BS ได้ตามความเหมาะสมจากคำแนะนำของ Yang [6] โดยกำหนดให้จำนวนของค้างคาว $n = 20$ ถึง 50 ตัว ความถี่ $f_{\min} = 0.0$ และ $f_{\max} = 2.0$ ความดังของเสียง $A_0 = 0.5$ อัตราปล่อยพัลส์ $r_0 = 0.5$ และ $\alpha = \gamma = 0.9$

3. โครงสร้างของระบบควบคุม

3.1 ตัวควบคุมพีไอดีอันดับเชิงเศษส่วน

โครงสร้างของระบบควบคุม FOPID สำหรับระบบประวิงเวลาสามารถแสดงได้ดังรูปที่ 2 ตัวควบคุม $G_c(s)$ ที่เป็นตัวควบคุม FOPID วางตัวอยู่ในวิถีป้อนไปหน้า (Forward Path) จะได้รับสัญญาณค่าความผิดพลาด $E(s)$ มาคำนวณและสร้างเป็นสัญญาณควบคุม $U(s)$ และส่งไปควบคุมทางเอาต์พุต $C(s)$ ของพลานต์ $G_p(s)$ ที่มีการประวิงเวลาที่สอดคล้องกับสัญญาณอินพุตอ้างอิง $R(s)$ และกำจัดสัญญาณรบกวน $D(s)$ ที่เกิดขึ้นจากภายนอกไปพร้อมกัน

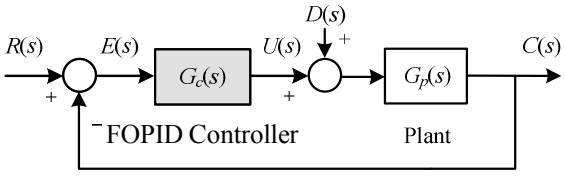

รูปที่ 2 โครงสร้างของระบบควบคุม FOPID

$$G_c(s)\big|_{FOPID} = K_p + \frac{K_i}{s^{\lambda}} + K_d s^{\mu}, \quad (\lambda, \mu \geq 0) \tag{5}$$

$$\frac{C(s)}{R(s)} = \frac{\left(K_p + \frac{K_i}{s^{\lambda}} + K_d s^{\mu}\right) G_p(s)}{1 + \left(K_p + \frac{K_i}{s^{\lambda}} + K_d s^{\mu}\right) G_p(s)} \tag{6}$$

จากสมการที่ (5) พบว่า เมื่อ K_p คือ อัตราขยายเชิงปรับสัดส่วน (Proportional Gain) K_i คือ อัตราขยายเชิงปริพันธ์ (Integral Gain) K_d คือ อัตราขยายเชิงอนุพันธ์ (Derivative Gain) λ คือ อันดับปริพันธ์เชิงเศษส่วน (Fractional Integral Order) และ μ คือ อันดับอนุพันธ์เชิงเศษส่วน (Fractional Derivative Order) ในขณะที่ สมการที่ (6) คือ ฟังก์ชันถ่ายโอนวงปิด $C(s)/R(s)$ ของระบบควบคุม FOPID ตามลำดับ

3.2 แบบจำลองที่มีการประวิงเวลา

ในบทความงานวิจัยนี้ใช้แบบจำลองอันดับหนึ่งที่มีการประวิงเวลา (First Order Plus Time Delay หรือ FOPTD) ดังแสดงในสมการที่ (7) โดยที่ K_m คือ อัตราขยายของพลานต์ (Gain of Plant) T_m คือ ค่าคงตัวทางเวลา (Time Constant) และ τ_d คือ เวลาประวิง (Delay Time) และเทอมเวลาประวิง (Delay Time) อาศัยการประมาณพาเดอันดับหนึ่ง (First Order Pade's Approximation) [4] ดังแสดงในสมการที่ (8)

$$G_p(s)\big|_{FOPTD} = \frac{K_m}{(T_m s+1)} e^{-\tau_d s}, e^{-\tau_d s} \cong \frac{1-\tau_d s/2}{1+\tau_d s/2} \quad (7)$$

$$G_p(s) = \frac{(-K_m\tau_d/2)s + K_m}{(T_m\tau_d/2)s^2 + (\tau_d/2 + T_m)s + 1} \quad (8)$$

การจำลองระบบควบคุม กำหนดให้อัตราขยายพลานต์ K_m = 1.0 เลือกเวลาประวิง τ_d = 1.0 วินาที และ 10 วินาที โดยให้ค่าคงตัวทางเวลา T_m = 1.0 วินาที และสัญญาณรบกวน $d(t)$ ที่เกิดขึ้นจากภายนอกเข้ามาในระบบควบคุม กำหนดให้เข้าที่เวลา 50 วินาที เป็นสัญญาณขั้นบันได (Unit Step Signal) มีค่า $d(t)$ = 1.0 ตามลำดับ

4. การออกแบบตัวควบคุมพีไอดีอันดับเชิงเศษส่วน

กรอบการออกแบบตัวควบคุม FOPID อย่างเหมาะสมสำหรับระบบประวิงเวลาโดยใช้ BS สามารถแสดงได้ดังรูปที่ 3 ฟังก์ชันวัตถุประสงค์ (Objective Function หรือ F) กำหนดเป็นผลรวมของค่าความผิดพลาดยกกำลังสอง (Sum Squared Error หรือ SSE) ระหว่างสัญญาณอินพุตอ้างอิง $R(s)$ และสัญญาณเอาต์พุต $C(s)$ ดังแสดงในสมการที่ (9) โดยที่ F จะถูกป้อนให้กับ BS ทำให้มีค่าน้อยที่สุด เพื่อค้นหาค่าพารามิเตอร์ของตัวควบคุม FOPID อย่างเหมาะสม นั่นคือ K_p, K_i, K_d, λ และ μ ในขอบเขตปริภูมิการค้นหา (Search Space) ดังแสดงในสมการที่ (10) สอดคล้องกับเงื่อนไขการออกแบบ (Design Constrains) โดยที่ M_p คือ เปอร์เซ็นต์ค่าพุ่งเกินสูงสุด (Maximum Overshoot Percentage) และ e_{ss} คือ ค่าความผิดพลาดที่สถานะอยู่ตัว (Steady-state Error)

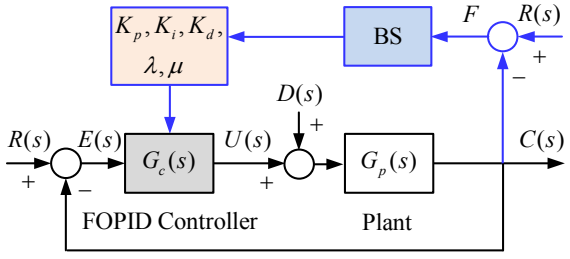

รูปที่ 3 โครงสร้างของระบบควบคุม FOPID โดยใช้ BS

$$\textbf{Minimize} \quad F(K_p, K_i, K_d, \lambda, \mu) = \sum_{i=1}^{N} [r(i) - c(i)]^2 \quad (9)$$

$$\textit{subject to} \quad \left.\begin{aligned} & M_p \le 20\%, \\ & e_{ss} \le 0.01\%, \\ & 0 \le K_p \le 1.0, \\ & 0 \le K_i \le 1.0, \\ & 0 \le K_d \le 0.1, \\ & 0 \le \lambda \le 1.0, \\ & 0 \le \mu \le 1.0 \end{aligned}\right\} \quad (10)$$

5. การทดสอบและการอภิปรายผล

ขั้นตอนวิธีของ BS ได้ถูกพัฒนาเป็นโปรแกรม MATLAB/SIMULINK ประมวลผลบนเครื่องคอมพิวเตอร์ ที่มีหน่วยประมวลผลกลางแบบ 8 แกน มีสัญญาณนาฬิกา 3.2 GHz และมีหน่วยความจำหลักชนิด DDR4 ขนาดความจุ 32 GB ที่คาบเวลาสุ่ม 1 มิลลิวินาที การหาค่าพารามิเตอร์ของ BS เบื้องต้นสามารถทำตามคำแนะนำของ Yang ได้ดังนี้ จำนวนของค้างคาว n = 30 ความถี่ $f_{\min}$ = 0.0 และ $f_{\max}$ = 2.0 ความดังเสียง A_0 = 0.5 อัตราการปล่อยพัลส์ r_0 = 0.5 และ α = γ = 0.9 จำนวนรอบสูงสุด (*Max_Gen*) = 1000 รอบ ซึ่งจะกำหนดให้เป็นเกณฑ์ยุติการค้นหา (Termination Criteria หรือ TC) ในการออกแบบจะดำเนินการค้นหาทั้งหมดจำนวน 40 ครั้ง ภายใต้ขอบเขตที่กำหนดไว้ในสมการที่ (10) หลังจากยุติการค้นหา ได้ค่าพารามิเตอร์ของตัวควบคุม FOPID โดยใช้ BS เพื่อให้ F มีค่าน้อยที่สุด เมื่อ t_r คือ ช่วงเวลาขึ้น (Rise Time) t_s คือ ช่วงเวลาเข้าที่ (Settling Time) ในขณะที่ M_d คือ ค่าของขนาดสูงสุดของผลตอบสนองที่เกิดจากการรบกวน (Maximum Disturbance) และ t_d คือ ช่วงเวลาในการกำจัดสัญญาณรบกวน (Disturbance Rejection) โดยผลที่ได้รับจากตัวควบคุม FOPID จะถูกเปรียบเทียบกับผลที่ได้รับจากตัวควบคุม IOPID โดยใช้ BS ที่การประวิงเวลา 1.0 วินาที และ 10 วินาที เมื่อยุติการค้นหาได้ค่าพารามิเตอร์ของตัวควบคุม FOPID อย่างเหมาะสม เมื่อ τ_d = 1.0 วินาที แสดงได้ดังตารางที่ 1 และผลตอบสนองของระบบควบคุมแสดงได้ดังรูปที่ 4 เมื่อ τ_d = 10 วินาที แสดงได้ดังตารางที่ 2 และผลตอบสนองของระบบควบคุมแสดงได้ดังรูปที่ 5 ตามลำดับ

ตารางที่ 1 สมรรถนะของระบบควบคุม เมื่อ τ_d = 1.0 วินาที

Methods	Parameters					System Responses					
	λ	μ	K_p	K_i	K_d	t_r(sec.)	M_p(%)	t_s(sec.)	e_{ss}(%)	t_d(sec.)	M_d(%)
IOPID (ZN)	–	–	1.228	1.111	0.277	1.675	15.880	4.103	0.00	5.642	54.060
IOPID (BS)	–	–	0.146	0.391	0.004	5.087	9.998	10.386	0.00	12.453	76.670
FOPID (BS)	0.992	0.629	0.580	0.566	0.004	3.321	4.830	5.556	0.00	5.898	67.090

ตารางที่ 2 สมรรถนะของระบบควบคุม เมื่อ τ_d = 10 วินาที

Methods	Parameters					System Responses					
	λ	μ	K_p	K_i	K_d	t_r(sec.)	M_p(%)	t_s(sec.)	e_{ss}(%)	t_d(sec.)	M_d(%)
IOPID (ZN)	–	–	0.720	0.151	0.855	4.566	46.560	29.516	0.00	22.993	155.670
IOPID (BS)	–	–	0.498	0.116	0.001	11.835	16.580	26.275	0.00	35.195	111.350
FOPID (BS)	1.000	0.575	0.573	0.105	0.005	11.805	4.110	17.170	0.00	33.450	111.230

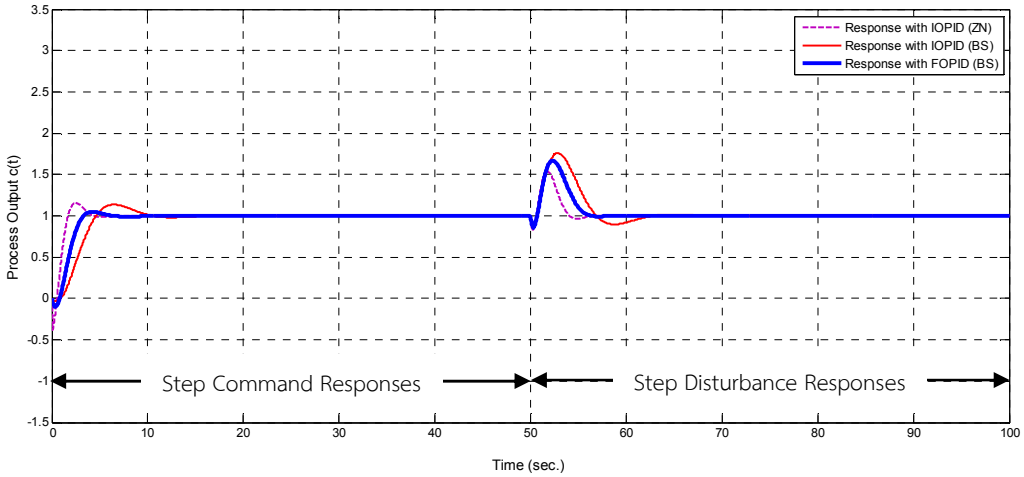

รูปที่ 4 ผลตอบสนองของระบบควบคุม เมื่อ τ_d = 1.0 วินาที

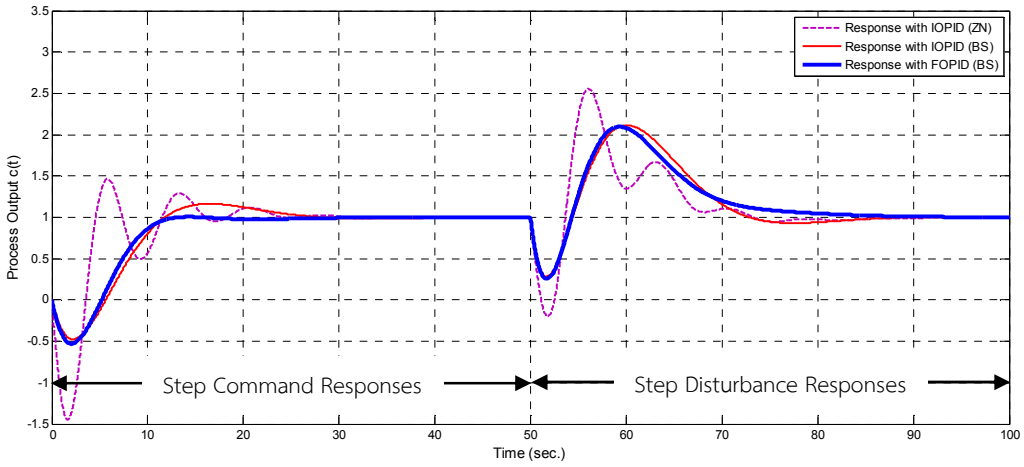

รูปที่ 5 ผลตอบสนองของระบบควบคุม เมื่อ τ_d = 10 วินาที

จากตารางที่ 1 และรูปที่ 4 กับตารางที่ 2 และรูปที่ 5 พบว่า วิธี BS สามารถหาค่าพารามิเตอร์ของตัวควบคุม FOPID ที่การประวิงเวลา 1.0 วินาที และ 10 วินาที ได้อย่างเหมาะสม ให้ผลตอบสนองของระบบควบคุมมีช่วงเวลาขึ้น t_r มีช่วงเวลาเข้าที่ t_s มีค่าเปอร์เซ็นต์ค่าพุ่งเกินสูงสุด M_p และมีช่วงเวลาในการกำจัดสัญญาณรบกวน t_d น้อยกว่าตัวควบคุม IOPID โดยไม่มีค่าความผิดพลาดที่สถานะอยู่ตัว e_{ss} ในขณะที่ ตัวควบคุม IOPID โดยใช้ ZN มีการแกว่งและมีค่าเปอร์เซ็นต์ค่าพุ่งเกินสูงสุด M_p ที่สูงมาก ทั้งการติดตามคำสั่งอินพุตและการกำจัดสัญญาณรบกวน

6. สรุป

บทความนี้นำเสนอการประยุกต์ BS เพื่อออกแบบตัวควบคุม FOPID สำหรับระบบประวิงเวลา วิธี BS สามารถหาค่าพารามิเตอร์ของตัวควบคุม FOPID ได้อย่างเหมาะสม ตัวควบคุม FOPID โดยใช้ BS สามารถควบคุมระบบประวิงเวลาได้อย่างน่าพอใจ ให้ผลตอบสนองดีกว่าตัวควบคุม IOPID โดยใช้ BS ในขณะที่ วิธีของ ZN พบว่า ที่เวลาประวิง 10 วินาที จะมีการแกว่งและมีค่าเปอร์เซ็นต์ค่าพุ่งเกินสูงสุดที่สูงมาก อาจไม่สามารถอนุวัตได้จริงในทางปฏิบัติ

เอกสารอ้างอิง

[1] A. O. Dwyer, Handbook of PI and PID Controller Tuning Rules, Imperial College Press, 2003.

[2] J. G. Ziegler and N. B. Nichols, “Optimum Settings for Automatic Controllers,” *In Trans. of the ASME*, Vol. 64, 1942, pp. 759–768.

[3] I. Podlubny, “Fractional-Order Systems and Fractional-Order Controller, UEF–03–94,” Slovak Academy of Sciences, Kosice, 1994.

[4] B. C. Kuo and F. Golnaraghi, Automatic Control Systems, 8th ed., John Wiley & Sons, 2003.

[5] X. S. Yang, Engineering Optimization, An Introduction with Metaheuristic Applications, John Wiley & Sons, 2010.

[6] X. S. Yang, “A new metaheuristic bat-inspired an algorithm,” *in: NICSO 2010* (Eds. J. R. Gonzalez et al.), Springer Berlin, 284, Springer, 2010, pp. 65–74.

การควบคุมความเร็วมอเตอร์ BLDC โดยใช้เซนเซอร์ฮอลล์ร่วมกับคอนโทรลเลอร์ $PI^{\lambda}D^{\mu}$ เชิงเศษส่วน ที่ออกแบบด้วยอัลกอริทึมค้างคาวแบบปรับปรุง (MBA)

Hall Sensor-Based Speed Control of a BLDC Motor Using a Fractional-Order $PI^{\lambda}D^{\mu}$ Controller Optimized by the Modified Bat Algorithm (MBA)

ชูเกียรติ คีรี

ภาควิชาเทคโนโลยีไฟฟ้า สถาบันการอาชีวศึกษาภาคกลาง 1 chookiat9999@gmail.com

บทคัดย่อ

งานวิจัยนี้นำเสนอการพัฒนาตัวควบคุมความเร็วแบบวงปิดสำหรับมอเตอร์ BLDC โดยประยุกต์ใช้ตัวควบคุมแบบอนุพันธ์–อินทิกรัลลำดับเศษส่วน(Fractional Order Integral-Derivative Controller: $PI^{\lambda}D^{\mu}$) ซึ่งสามารถปรับการทำงานของมอเตอร์ให้อยู่ใกล้ค่าความเร็วอ้างอิงได้อย่างแม่นยำ และให้ผลลัพธ์ที่มีเสถียรภาพและความทนทานสูงกว่าการควบคุมด้วยตัวควบคุม PID แบบดั้งเดิม ในขั้นตอนการวิจัย มอเตอร์ BLDC ได้รับการจำลองการทำงานด้วยโปรแกรม MATLAB/Simulink เพื่อนำไปสู่การหาค่าพารามิเตอร์ของตัวควบคุม $PI^{\lambda}D^{\mu}$ได้แก่ $K_p, K_i, K_d, \lambda, \mu$ โดยอาศัยการปรับหาค่าที่เหมาะสมผ่านอัลกอริทึมค้างคาวแบบปรับปรุง (Improved Bat Algorithm) การประเมินผลประสิทธิภาพของกลยุทธ์การควบคุมที่นำเสนอได้ดำเนินการผ่านการจำลองด้วยคอมพิวเตอร์ รวมถึงการทดสอบเพิ่มเติมภายใต้สภาวะที่มีการเปลี่ยนแปลงค่าพารามิเตอร์บางประการของมอเตอร์ เพื่อวิเคราะห์ความทนทานของระบบ ผลการทดลองเชิงจำลองแสดงให้เห็นว่า กลยุทธ์การควบคุมที่นำเสนอมีความยืดหยุ่นและมีเสถียรภาพสูงกว่าการควบคุมด้วย PID แบบดั้งเดิมอย่างมีนัยสำคัญ ทั้งนี้ชี้ให้เห็นถึงศักยภาพของการประยุกต์ใช้งานจริงในระบบขับเคลื่อนที่ต้องการความแม่นยำและความน่าเชื่อถือสูง

คำสำคัญ: ตัวควบคุม $PI^{\lambda}D^{\mu}$ ลำดับเศษส่วน มอเตอร์ BLDC การหาค่าเหมาะที่สุดโดยการดัดแปลงอัลกอริทึมค้างคาว

Abstract

This study presents the development of a closed-loop speed controller for BLDC motors by implementing a Fractional Order Integral-Derivative Controller ($PI^{\lambda}D^{\mu}$). The proposed controller can regulate the motor operation to closely track the reference speed with high accuracy, providing superior stability and robustness compared to conventional PID controllers. In this study, the BLDC motor was modeled and simulated using MATLAB/Simulink to determine the parameters of the $PI^{\lambda}D^{\mu}$ controller, including $K_p, K_i, K_d, \lambda, \mu$ .The optimal values were obtained using an Improved Bat Algorithm. The performance of the proposed control strategy was evaluated through computer simulations, as well as additional tests under conditions where certain motor parameters were varied, in order to assess the robustness of the system. The simulation results demonstrate that the proposed control strategy exhibits significantly higher flexibility and stability compared to conventional PID control. These findings highlight the potential for practical applications in drive systems that require high precision and reliability.

Keywords: Fractional-Order $PI^{\lambda}D^{\mu}$, BLDC Motor, Metaheuristic Search, Modified Bat Algorithm

1. บทนำ

มอเตอร์แบบไม่มีแปรงถ่าน (BLDC) มีการนำมาใช้งานอย่างแพร่หลาย เช่น ระบบอัตโนมัติในอุตสาหกรรม, การแพทย์, การขับเคลื่อนไฟฟ้า, เครื่องใช้ไฟฟ้าภายในบ้าน, อากาศยาน, ยานพาหนะบนถนน, เครื่องบิน, อุปกรณ์ทางการทหาร, ฮาร์ดดิสก์ เป็นต้น มอเตอร์ชนิดนี้มีข้อดีได้แก่ ความเชื่อถือได้สูง, ประสิทธิภาพดี, ความหนาแน่นของกำลังสูง, น้ำหนักเบา, ต้องการการบำรุงรักษาน้อย และรองรับช่วงความเร็วที่กว้าง ทำให้มอเตอร์ BLDC ได้รับความนิยมเพิ่มมากขึ้น [1] มอเตอร์ BLDC จะทำงานโดยในแต่ละช่วงเวลาจะมีเพียงสองเฟส ที่มีกระแสไหลอยู่ ในขณะที่เฟสที่สามจะเป็นสถานะลอย ซึ่งจะสัมพันธ์กับกระแสและแรงเคลื่อนไฟฟ้าย้อนกลับ (Back EMF) [2] โดยมีการตรวจจับตำแหน่งของโรเตอร์สองวิธี ได้แก่ ใช้เซนเซอร์(hall sensor) และวิธีที่ไม่ใช้เซนเซอร์ (sensorless) มอเตอร์ BLDC เป็นระบบที่มีหลายตัวแปรและไม่เป็นเชิงเส้น [3] ดังนั้นจึงเป็นเรื่องยากที่จะได้ผลการควบคุมที่แม่นยำและเชื่อถือได้โดยใช้วิธีการควบคุมแบบเชิงเส้นตามแบบดั้งเดิม ในงานวิจัยนี้ได้มีการใช้ตัวควบคุม PID อันดับเศษส่วน (Fractional Order PID Controller) เพื่อให้ได้ผลการควบคุมที่แม่นยำและเชื่อถือได้สูงกว่าวิธีการควบคุมแบบดั้งเดิม

2. การออกแบบระบบควบคุมลำดับเศษส่วน

2.1 คณิตศาสตร์ลำดับเศษส่วน

แคลคูลัสลำดับเศษส่วน (Fractional Order Calculus) เป็นแขนงหนึ่งของการวิเคราะห์ทางคณิตศาสตร์ ซึ่งนักคณิตศาสตร์ศึกษาการหาอนุพันธ์และอินทิกรัลของฟังก์ชันในลำดับที่ไม่เป็นจำนวนเต็ม (ลำดับเศษส่วน) แคลคูลัสลำดับเศษส่วนทำการประเมิน $(\frac{dy^n}{dt^n})$ และ n อินทิกรัล

*ผู้ประพันธ์บรรณกิจ

ซ้อนหลายชั้น โดยที่ n เป็นจำนวนเศษส่วน มีนิยามหลายแบบที่ใช้ในการอธิบายฟังก์ชันลำดับเศษส่วน [4] นิยามที่ได้รับการยอมรับอย่างแพร่หลายประกอบด้วย สูตรอินทิกรัลของโคชี (Cauchy integral formula), นิยามของกรุนวัลด์–เลตนิคอฟ (Grunwald–Letnikov) และนิยามของรีมันน์–ลิอูวิลล์ (Riemann–Liouville) นิยามของรีมันน์–ลิอูวิลล์ (Riemann–Liouville) เป็นนิยามที่มีการใช้งานมากที่สุดในแคลคูลัสลำดับเศษส่วน ซึ่งการอินทิกรัลลำดับเศษส่วนถูกนิยามไว้ดังนี้[4]

$$aDt^{-\varphi} f(t) = \frac{1}{\Gamma_{(\varphi)}} \int_a^t (t-\tau)^{\varphi-1} f(\tau) d\tau \quad (1)$$

โดยที่ $aDt^{-\varphi}$ คือ โอเปอเรเตอร์ดิฟเฟอเรนเชียล-อินทิกรัล มันเป็นการผสมผสานระหว่างการดำเนินการอนุพันธ์และอินทิกรัล ซึ่งถูกใช้อย่างแพร่หลายในแคลคูลัสลำดับเศษส่วน นิยามของรีมันน์–ลิอูวิลล์ แสดงดังนี้

$$aDt^{-\varphi} = \begin{cases} \frac{d^{\alpha}}{dt^{\alpha}} & \alpha > 0 \\ 1 & \alpha = 0 \\ \int_a^t (d\tau)^{-\alpha} & \alpha < 0 \end{cases} \quad (2)$$

โดยที่ φ แทนลำดับจริงของโอเปอเรเตอร์ดิฟเฟอเรนเชียล-อินทิกรัล $(0 < \varphi < 1)$, a คือระยะเวลาเริ่มต้น, $\Gamma(\varphi)$ คือฟังก์ชันแกมมาของออยเลอร์ และ t คือพารามิเตอร์ที่ใช้ในการดำเนินโอเปอเรเตอร์ดิฟเฟอเรนเชียล-อินทิกรัล การแปลงลาปลาซของอนุพันธ์ลำดับเศษส่วนของ $f(t)$นิยามได้ดังนี้[4]

$$L\left[Dt^{\varphi} f(t)\right] = s^{\varphi} L\left[f(t)\right] - \sum_{k=1}^{n} s^{k} \left[Dt^{\varphi-k-1} f(t)\right] t = 0 \quad (3)$$

2.2 ระบบ PID ลำดับเศษส่วน

ระบบควบคุมลำดับเศษส่วนถูกอธิบายด้วยสมการเชิงอนุพันธ์ลำดับเศษส่วน แคลคูลัสลำดับเศษส่วนอนุญาตให้อนุพันธ์และอินทิกรัล มีลำดับเป็นจำนวนจริงใด ๆ ก็ได้ [5] ตัวควบคุม $FOPID$ หรือ $PI^{\lambda}D^{\mu}$เป็นการขยายจากตัวควบคุม PID แบบดั้งเดิม โดยมีการเพิ่มพารามิเตอร์อินทิกรัล λ และอนุพันธ์ μ ซึ่งมีค่าเป็นลำดับเศษส่วน เพื่อเพิ่มความยืดหยุ่นและทำให้ระบบไวต่อการเปลี่ยนแปลงของพารามิเตอร์น้อยลงสมการเชิงอนุพันธ์ของตัวควบคุม $PI^{\lambda}D^{\mu}$ สามารถอธิบายได้ดังนี้[5]

$$u(t) = K_p e(t) + K_i D^{-\lambda} e(t) + K_d D^{\mu} e(t) \quad (4)$$

โดยที่ $e(t)$ คือค่าความคลาดเคลื่อนระหว่างค่าตัวแปรเอาต์พุตของกระบวนการที่วัดได้กับจุดที่ต้องการ (set point) และ $u(t)$ เป็นสัญญาณควบคุมเอาต์พุตของระบบดังนั้นฟังก์ชันถ่ายโอนของตัวควบคุมในโดเมนลาปลาซแสดงดังนี้

$$G(s) = K_p + K_i S^{-\lambda} + K_d S^{\mu} \quad (5)$$

รูปที่ 1 แสดงแผนภาพบล็อกของตัวควบคุม $FOPID$โดยสามารถได้ตัวควบคุม PID แบบดั้งเดิม จากการกำหนดให้ $\lambda = \mu = 1$นอกจากนี้ เมื่อ $\lambda = 1$ (หรือ 0) และ $\mu = 0$ (หรือ 1) จะได้ตัวควบคุม PI (หรือ PD) แบบปกติ ดังแสดงในรูปที่ 2 ตัวควบคุม $PI^{\lambda}D^{\mu}$ แบบลำดับเศษส่วนเป็นการทั่วไปของตัวควบคุม PID ลำดับจำนวนเต็ม และขยายจากจุดหนึ่งไปสู่ระนาบ[11]

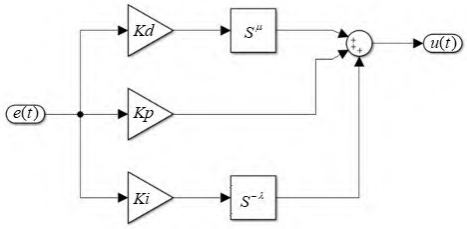

รูปที่ 1 แสดงแผนภาพบล็อกของตัวควบคุม $FOPID$

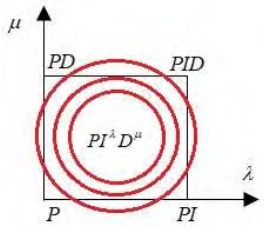

รูปที่ 2 ตัวควบคุม $PI^{\lambda}D^{\mu}$ แบบลำดับเศษส่วน

$$\left.\begin{array}{l} K_p \ \min = 0, \max = 20 \\ K_i \ \min = 0, \max = 200 \\ \lambda \ \min = 0, \max = 2.9999 \\ K_d \ \min = 0, \max = 20 \\ \mu \ \min = 0, \max = 2.9999 \end{array}\right\} \quad (6)$$

เมื่อกำหนดให้ค่า μ =1 และ λ =1 ฟังก์ชันวัตถุประสงค์ (Objective function) ของงานวิจัยนี้เป็นตัวควบคุม ลำดับจำนวนเต็ม ในกรณี μ อยู่ระหว่าง 0 ถึง 2.9999 และ λ อยู่ระหว่าง 0 ถึง 2.9999 ฟังก์ชันวัตถุประสงค์ (Objective function) เป็นตัวควบคุมลำดับเศษส่วน ข้อกำหนดขอบเขตการค้นหาของงานวิจัยนี้แสดงในสมการที่ (6)

2.3 แบบจำลองลำดับเศษส่วนของมอเตอร์ BLDC

มอเตอร์ BLDC แบบสามเฟสมีขดลวดสามชุดอยู่ในสเตเตอร์ ซึ่งจะรับพลังงานจากอินเวอร์เตอร์ที่ทำหน้าที่แปลงแรงดันไฟฟ้า DC ให้เป็นแรงดันไฟฟ้า AC แบบสามเฟส โดยมีความถี่ที่สอดคล้องกับตำแหน่งการหมุนของโรเตอร์โดยที่โรเตอร์มีขั้วแม่เหล็กถาวรติดตั้งอยู่บนแกนหมุน (shaft) ค่าความเหนี่ยวนำร่วมระหว่างสเตเตอร์และโรเตอร์มีลักษณะเป็นรูปทรงสี่เหลี่ยมคางหมู ซึ่งทำให้เกิดแรงเคลื่อนไฟฟ้าย้อนกลับ (Back EMF) ที่มีรูปร่างเป็นสี่เหลี่ยมคางหมูในขดลวดของสเตเตอร์ [6] รูปที่ 3 แสดงวงจรสมมูลของมอเตอร์ BLDC

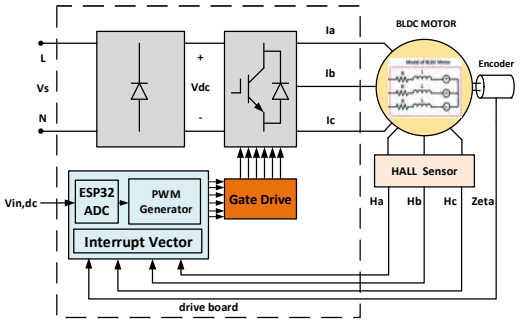

รูปที่ 3 แสดงวงจรขับและวงจรสมมูลของมอเตอร์ BLDC

สมการแรงดันของแต่ละเฟสในสเตเตอร์สามารถเขียนได้ดังนี้

$$v_a = Ri_a + (L-M)\frac{d}{dt}i_a + e_a \quad (7)$$

$$v_b = Ri_b + (L-M)\frac{d}{dt}i_b + e_b \quad (8)$$

$$v_c = Ri_c + (L-M)\frac{d}{dt}i_c + e_c \quad (9)$$

โดยที่ V_{abc} คือ แรงดันเฟส, I_{abc} คือ กระแสในเฟสของสเตเตอร์,R คือ ความต้านทานของสเตเตอร์ในแต่ละเฟส,L คือ ค่าความเหนี่ยวนำตัวเองของสเตเตอร์ในแต่ละเฟส และ M คือ ค่าความเหนี่ยวนำร่วม แรงเคลื่อนไฟฟ้าย้อนกลับ (Back EMF) ที่เหนี่ยวนำขึ้นนั้นขึ้นอยู่กับตำแหน่งของโรเตอร์ และสามารถแสดงได้ดังนี้[6]

$$e_a = \frac{k_e}{2} w_m F(\theta_e) \quad (10)$$

$$e_b = \frac{k_e}{2} w_m F(\theta_e - \frac{2\pi}{3}) \quad (11)$$

$$e_c = \frac{k_e}{2} w_m F(\theta_e - \frac{4\pi}{3}) \quad (12)$$

โดยที่ w_m คือ ความเร็วของโรเตอร์, k_e คือ ค่าคงที่ของแรงเคลื่อนไฟฟ้าย้อนกลับ (Back-EMF Constant) และ θ_e คือ มุมทางไฟฟ้าของโรเตอร์ มุมทางไฟฟ้าของโรเตอร์เท่ากับมุมทางกลของโรเตอร์ θ_m คูณด้วยจำนวนขั้วแม่เหล็ก p

$$\theta_e = \frac{p}{2}\theta_m \quad (13)$$

ฟังก์ชัน $F(\theta_e)$ แสดงรูปคลื่นของแรงเคลื่อนไฟฟ้าย้อนกลับ (Back-EMF) ที่มีลักษณะเป็นรูปสี่เหลี่ยมคางหมูหนึ่งคาบของฟังก์ชันนี้สามารถเขียนได้ดังนี้

$$F(\theta_e) = \begin{cases} 1 & 0 \prec \theta_e \prec \frac{2\pi}{3} \\ 1 - \frac{6}{\pi}(\theta_e - \frac{2\pi}{3}) & \frac{2\pi}{3} \prec \theta_e \prec \pi \\ -1 & \pi \prec \theta_e \prec \frac{5\pi}{3} \\ -1 + \frac{6}{\pi}(\theta_e - \frac{2\pi}{3}) & \frac{5\pi}{3} \prec \theta_e \prec 2\pi \end{cases} \quad (14)$$

แรงบิดที่พัฒนาได้ T_e สามารถแสดงได้ดังนี้

$$T_e = \frac{k_t}{2}\left[F(\theta_e)i_a + F(\theta_e - \frac{2\pi}{3})i_b + F(\theta_e - \frac{4\pi}{3})i_c\right] \quad (15)$$

โดยที่ k_t คือ ค่าคงที่ของแรงบิด (Torque Constant)สมการของส่วนทางกลสามารถแสดงได้ดังนี้

$$T_e - T_L = j\frac{dw_m}{dt} + \beta w_m \quad (16)$$

โดยที่ T_L คือ แรงบิดโหลด, J คือ โมเมนต์ความเฉื่อยของโรเตอร์ และ β คือ ค่าคงที่ของแรงเสียดทาน

ข้อมูลของมอเตอร์ BLDC พิจารณาฟังก์ชันถ่ายโอนเป็นระบบอันดับสองโดยเพิ่มวงจรขับที่แทนด้วยฟังก์ชันถ่ายโอนอันดับหนึ่งเข้าไป แสดงได้ดังสมการที่(17) ส่วนสมการที่(18),(19) แสดงแบบจำลองลำดับเศษส่วนโดยการดัดแปลงอัลกอริทึมค้างคาว(MBA) ที่ความเร็ว 1800 รอบต่อนาที แสดงดัง สมการที่(20)[7] เป็นplant ของระบบที่นำมาใช้ในงานวิจัยนี้ได้จากการระบุเอกลักษณ์ของแบบจำลองมอเตอร์ BLDC แบบลำดับเศษส่วน มอเตอร์ BLDC ขนาด 100W,100 VDC,2A มีขั้วแม่เหล็ก 4 ขั้ว แสดงได้ในรูปที่ 4 [7]

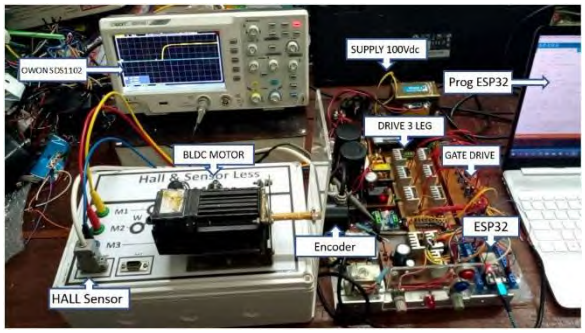

รูปที่ 4 การทดลองในห้องปฏิบัติการจริง)[7]

$$G_p(s) = \left(\frac{K_A}{\tau_A s + 1}\right)\left(\frac{K_t}{JL_a s^2 + (BL_a + JR_a)s + (BR_a + K_t K_b)}\right) \quad (17)$$

$$\left.\begin{aligned} a_0 &= K_A K_t \\ b_3 &= \tau_A JL_a \\ b_2 &= \tau_A BL_a + \tau_A JR_a + JL_a \\ b_1 &= \tau_A BR_a + \tau_A K_t K_b + BL_a + JR_a \\ b_0 &= BR_a + K_t K_b \end{aligned}\right\} \quad (18)$$

$$G_p(s) = \frac{a_0}{b_3 s^{\gamma_3} + b_2 s^{\gamma_2} + b_1 s^{\gamma_1} + b_0} \quad (19)$$

$$G_P(s)=\frac{30.983212}{0.00010998s^{2.6072}+0.01994747s^{1.5098}+1.00011994s^{0.9960}+30.98231285} \quad (20)$$

$$G_P(s)=\frac{0.0338}{0.000000000808s^{2.6072}+0.0000018648s^{1.5098}+0.0010955s^{0.9960}+0.033788} \quad (21)$$

สมการที่ (17) – (20) เป็นสมการที่ได้จากงานวิจัยของผู้เขียน[7] ส่วนในสมการที่(21) ได้จากการนำสมการที่(20) มาทำการหาค่าพารามิเตอร์ของมอเตอร์ BLDC และพารามิเตอร์ของชุดขับด้วยเมตาฮิวริสติกด้วยการดัดแปลงอัลกอริทึมค้าวคาวแสดงผลดังตารางที่1

ตารางที่1 แสดงค่าพารามิเตอร์ของ BLDC มอเตอร์และตัวขับ

Parameter	*DRIVE & BLDC MOTOR*
KA	0.1618
KT	0.2089
TA	0.0008
Kb	0.1363
J	0.0001
La	0.0101
Ra	10.6343
B	0.0005

ค่าในตารางนี้นำไปใช้ในการทดสอบในการควบคุมความเร็วมอเตอร์ BLDC และนำไปทดสอบความทนทานของระบบในงานวิจัยนี้ต่อไป

2.4 การดัดแปลงอัลกอริทึมค้าวคาว

ประเด็นสำคัญประการหนึ่งของเมตาฮิวริสติกแบบประชากร คือการสร้างสมดุลระหว่างขั้นตอนการสำรวจและขั้นตอนการเพิ่มความเข้มข้นในกระบวนการค้นหาคำตอบ ในทางตรงกันข้าม การเพิ่มความเข้มข้นมีหน้าที่ในการค้นหาในระดับเฉพาะจุด (local search) ของอัลกอริทึมตามที่ได้กำหนด [8] อัลกอริทึมค้าวคาวมีความสามารถสูงในการเพิ่มความเข้มข้นในการหาคำตอบแต่ยังมีข้อบกพร่องบางประการในขั้นตอนการสำรวจ อัลกอริทึมค้าวคาวยังประสบปัญหาขาดความสามารถในการจดจำคำตอบที่ดีที่สุดที่เคยพบระหว่างกระบวนการปรับให้เหมาะสม ซึ่งทำให้ค้าวคาวมีแนวโน้มที่จะหลุดออกจากบริเวณที่มีคำตอบที่ดีในพื้นที่การค้นหา อัลกอริทึมค้าวคาวยังมีแนวโน้มที่จะออกไปนอกขอบเขตของพื้นที่การค้นหาคำตอบ Yang ใน [9] ได้เสนอให้ใช้ขีดจำกัดบนของเวกเตอร์ตำแหน่ง (upper bound limits on position vector) เพื่อแก้ไขข้อจำกัดเหล่านี้ อย่างไรก็ตาม ยังไม่มีวิธีการแก้ปัญหาอย่างเป็นระบบสำหรับปัญหาที่กล่าวถึงก่อนหน้านี้ ดังนั้นจึงได้มีการเสนอการปรับปรุงในงานวิจัยนี้โดยการปรับปรุงอัลกอริทึมค้าวคาวได้ถูกนำเสนอในสองส่วน ได้แก่การปรับเปลี่ยนรูปแบบการยอมรับคำตอบใหม่ และการปรับสมการความเร็ว (velocity equation)เพื่อแก้ไขข้อจำกัดที่ได้กล่าวถึงก่อนหน้านี้ การปรับปรุงที่นำเสนอได้ถูกรวบรวมไว้ในรูปแบบรหัสเทียม (pseudo code) ซึ่งแสดงไว้ในรูปที่ 5 นอกจากนี้ยังได้มีการเพิ่มหน่วยความจำสำหรับเก็บคำตอบที่ดีที่สุดที่พบระหว่างกระบวนการปรับให้เหมาะสมโดยอัลกอริทึม

1: Randomly initialize position x_i and velocity v_i of i-th bat in population
2: Initialize pulsation frequency $Q_i \in [Q_{min}, Q_{max}]$, pulsation r_i and loudness A_i of i-th bat in population
3: **while not** termination conditions are satisfied:
4: **for_each** bat in population:
5: $v_i(t) = \alpha_i v_i(t-1) + Q_i(x^* - x_i(t-1)) + Q_i(x^*_{ever} - x_i(t-1))$
$x_i(t) = x_i(t-1) + v_i(t)$
6: **if rand(0,1)** $> r_i^t$:
$x_i' \leftarrow$ generate new solution around current bat x_i
7: **if** $f(x_i') < f(x_i)$ **or rand(0,1)** $< A_i^t$:
$x_i \leftarrow x_i'$
Update values of pulsation and loudness, respectively r_i^t and A_i^t as:
$A_i^{t+1} \leftarrow \alpha A_i^t$; $r_i^{t+1} \leftarrow r_i^t(1-\exp(-\gamma t))$
8: Evaluate bats population using fit function f
9: Find best bat in population and mark him as x^*
10: **if** $f(x^*) < f(x^*_{ever})$:
11: $x^*_{ever} \leftarrow x^*$

รูปที่ 5 การปรับเปลี่ยนอัลกอริทึมค้าวคาว[10]

แนวทางคือทำการปรับสมการตำแหน่งและความเร็วของค้างคาวเมื่อเปรียบเทียบกับสมการที่นำเสนอใน [9] ผู้วิจัยได้ใช้ส่วนประกอบของคลังคำตอบ (archive component) เพื่อช่วยนำทางค้างคาวไปยังบริเวณที่เคยพบคำตอบที่ดี และยังได้นำแนวคิดของสัมประสิทธิ์การรับรู้ (cognition coefficients) มาใช้แทนการใช้ขีดจำกัดบนของตำแหน่งสมการ (22) และ (23) แสดงการปรับปรุงที่เสนอไว้ดังนี้

$$v_i(t)=\alpha_i v_i(t-1)+Q_i(x^*-x_i(t-1))+Q_i(x^*_{ever}-x_i(t-1)) \quad (22)$$

$$v_i(t)=\alpha_i v_i(t-1)+Q_i(x^*-x_i(t-1))+Q_i(x^*_{ever}-x_i(t-1)) \quad (23)$$

α_i = สัมประสิทธิ์การรับรู้ของค้างคาวตัวที่ i

$x^*-x_i(t-1)$ = องค์ประกอบทางสังคมของค้างคาว

$x^*_{ever}-x_i(t-1)$ = ส่วนประกอบหน่วยความจำเก็บข้อมูลถาวร

Q_i = สัญญาณความถี่ของค้างคาวตัวที่ i

การปรับปรุงยังรวมถึงการ เพิ่มรูปแบบใหม่ของหน่วยความจำที่เรียกว่า x^*_{ever} ซึ่งใช้เก็บคำตอบที่ดีที่สุดที่เคยพบมาตลอดกระบวนการค้นหา สิ่งที่สำคัญคือ การปรับปรุงที่ได้นำเสนอไม่ได้เปลี่ยนความซับซ้อน

เชิงคำนวณของอัลกอริทึม เนื่องจากการปรับปรุงเหล่านี้มีลักษณะเป็นเชิงเส้น (linear) และไม่ได้อิงกับการคำนวณเพิ่มเติมหรือการประเมินฟังก์ชันความเหมาะสม (fitness function) เพิ่มเติมแต่อย่างใด

2.5 การออกแบบระบบควบคุมความเร็วลำดับเศษส่วน

ตัวควบคุม $PI^{\lambda}D^{\mu}$ ลำดับเศษส่วนได้นำการค้นหาแบบอัลกอริทึมค้างคาวแบบปรับปรุง มาใช้ในการออกแบบระบบควบคุมความเร็วรอบสำหรับมอเตอร์ BLDC โครงสร้างการค้นหาแบบอัลกอริทึมค้างคาวแบบปรับปรุงในการออกแบบระบบควบคุมความเร็วมอเตอร์ BLDC แสดงอยู่ในรูปที่ 6 อัลกอริทึมอัลกอริทึมค้างคาวแบบปรับปรุงถูกนำมาใช้เพื่อกำหนดค่า $K_p, K_i, K_d, \lambda, \mu$ ที่เหมาะสมที่สุดสำหรับพารามิเตอร์ โดยกำหนดขอบเขตการค้นหาดังสมการที่ (6) [4]

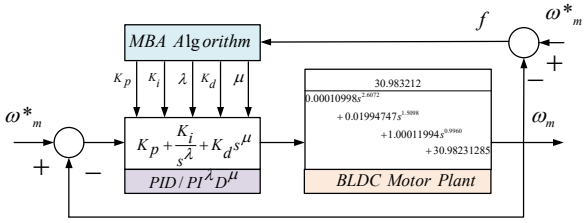

รูปที่ 6 โครงสร้างของระบบควบคุม $PI^{\lambda}D^{\mu}$ ที่ถูกออกแบบด้วย MBA

2.6 ความทนทาน

เพื่อทดสอบความทนทานของวิธีการที่นำเสนอได้มีการศึกษาผลของการเปลี่ยนแปลงฉับพลันสำหรับแรงบิดเมื่อใส่โหลด 1 หน่วย ต่อประสิทธิภาพของการควบคุมแรงบิดและการเปลี่ยนแปลงความเร็วจากความเร็ว 1800 รอบต่อนาที และ 800 รอบต่อนาที และการเปลี่ยนแปลงความต้านทาน Ra และความเฉื่อย J ต่อความเร็วแสดงดังตารางที่ 2

ตารางที่2 แสดงค่า Ra=Ra+20%Ra และ J=J+20%J

Parameter	*R,J normal*	$R=R+20\%R$, $J=J+20\%J$
KA	0.1618	0.1618
KT	0.2089	0.2089
TA	0.0008	0.0008
Kb	0.1363	0.1363
J	0.0001	0.00012
La	0.0101	0.0101
Ra	10.6343	12.7612
B	0.0005	0.0005

$$G_P(s)=\frac{0.0338}{0.0000000009696s^{2.6072}+0.0000024411s^{1.5098}+0.0015643s^{0.9960}+0.034854} \quad (24)$$

สมการที่(24) ได้จากตารางที่2 โดยปรับความต้านทาน Ra=Ra+20%Ra และปรับค่า J=J+20%J ในสมการนี้จะถูกนำไปทดสอบระบบเพื่อนำไปทดสอบความคงทนแสดงได้ดังรูปที่ 12-13

3. ผลการทดสอบและการอภิปรายผล

ในการวิจัยนี้ ตัวควบคุม *PID* และ $PI^{\lambda}D^{\mu}$ ถูกนำมาเปรียบเทียบกันโดยใช้เทคนิคการค้นหาเหมาะสมที่สุดแบบ MBA ค่าพารามิเตอร์เริ่มต้นการค้นหาดังนี้ จำนวนตัวแปรที่ต้องการค้นหาเป็น d =5 จำนวนของค้างคาว n = 20 ความถี่ $Q_{\min}$ = 0 และ $Q_{\max}$ = 2 ความดังของเสียง A = 0.5 อัตราการปล่อยพัลส์ = 0.5 และจำนวนรอบสูงสุด (*Max_Gen*) = 400 กำหนดให้เป็นเกณฑ์ยุติการค้นหา(TC) อยู่ภายใต้ขอบเขตสูงสุดและต่ำสุดดังสมการที่ (6) ผลที่ได้แสดงในตารางที่3

ตารางที่ 3 ค่าพารามิเตอร์ของตัวควบคุม *PID*/ $PI^{\lambda}D^{\mu}$

Parameter	*PID (PSO)*	*PID (MBA)*	$PI^{\lambda}D^{\mu}$*(MBA)*
K_p	4.1935	5.0780	25.8571
K_i	136.7900	170.6344	782.5988
λ	1	1	0.9979
K_d	0.0163	0.0038	0.0503
μ	1	1	1.0525

ค่าพารามิเตอร์ในตารางที่3 สำหรับระบบควบคุมความเร็ว มอเตอร์ BLDC ขึ้นอยู่ภายใต้การป้อนอินพุตสัญญาณแบบขั้นบันได นอกจากนี้ผู้วิจัยได้มีการหาค่าพารามิเตอร์ของตัวควบคุมเพื่อเปรียบเทียบประสิทธิภาพของ MBA กับเมตาฮิวริสติก PSO และ $PI^{\lambda}D^{\mu}$ เพื่อยืนยันข้อดีที่เหนือกว่า

ตารางที่ 4 ค่าประสิทธิภาพของตัวควบคุม *PID*/ $PI^{\lambda}D^{\mu}$

Controller	*Performance Parameter*						
	t_r	t_p	t_s	t_{reg}	*MO%*	*Obj(f)*	t_{Seach}
PID (PSO)	0.0431	0.0578	0.1458	0.2378	0.6399	1.7628	1223.55
PID (MBA)	0.0249	0.0328	0.0765	0.2528	0.6043	1.5990	724.100
$PI^{\lambda}D^{\mu}$*(MBA)*	0.0151	0.0216	0.0348	0.1191	0.1991	1.1288	756.801

ผลที่ได้ในตารางที่4 พบว่าตัวควบคุมแบบ $PI^{\lambda}D^{\mu}$ มีความเหมาะสมกว่าเมื่อเทียบกับตัวควบคุม PID(PSO) และตัวควบคุม PID(MBA) ผลตอบสนองแสดงได้ดังรูปที่ 7 ส่วนรูปที่ 8 แสดงเส้นโค้งลู่เข้าปัจจุบันของคำตอบสำหรับตัวควบคุม *PID*/ $PI^{\lambda}D^{\mu}$ โดยกำหนดพารามิเตอร์เริ่มต้นของการค้นหาในสมการที่(6) รูปที่9 แสดงผลการตอบสนองของระบบเมื่อเพิ่มโหลด 1 หน่วย และรูปที่ 11 แสดงผลตอบสนองของสัญญาณควบคุมขณะ No load และ On load ขนาด 1 หน่วย ที่เวลา 0.25 วินาที รูป 12-13 แสดงความคงทนของระบบเมื่อ R=R+20%R และ J=J+20%J ตามลำดับ

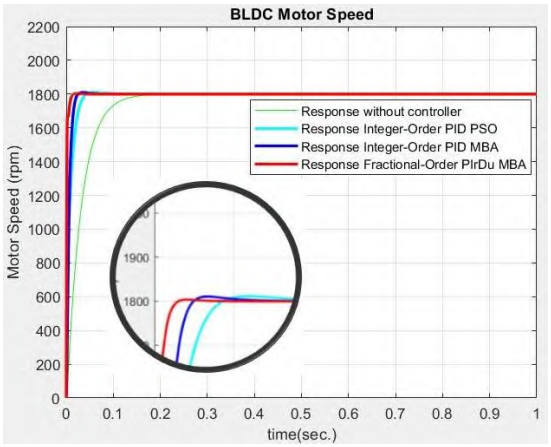

รูปที่ 7 ผลตอบสนองระบบควบคุม $PID/PI^{\lambda}D^{\mu}$ความเร็วรอบ 1800 rpm

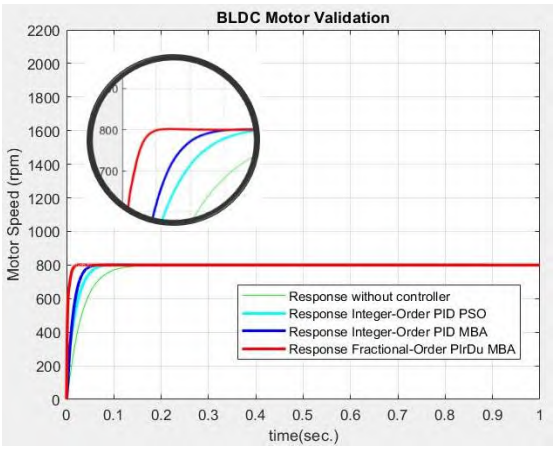

รูปที่ 10 ผลตอบสนอง PID/ $PI^{\lambda}D^{\mu}$ เมื่อทดสอบที่ 800 rpm

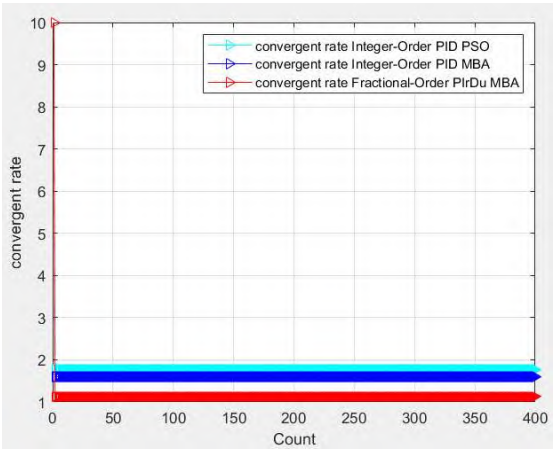

รูปที่ 8 การลู่เข้าหาผลเฉลยของตัวควบคุม $PID/PI^{\lambda}D^{\mu}$

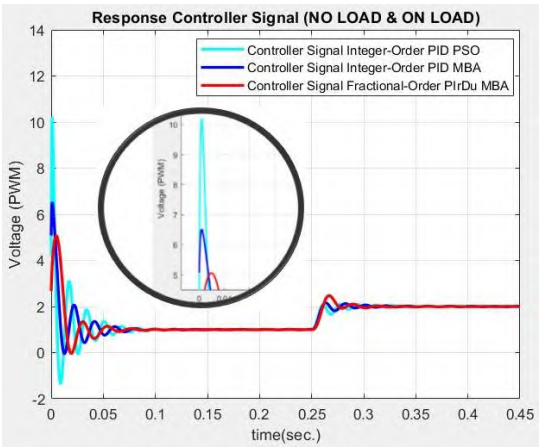

รูปที่ 11 ผลตอบสนองของสัญญาณควบคุมเมื่อเพิ่มโหลด 1 หน่วย

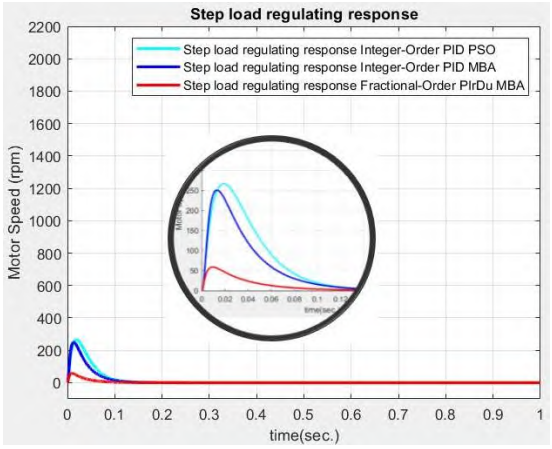

รูปที่ 9 ผลตอบสนองของตัวควบคุมเมื่อเพิ่มโหลด 1 หน่วย

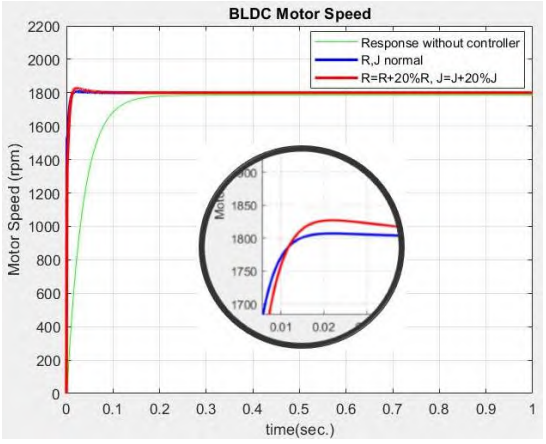

รูปที่ 12 ตัวควบคุม $PI^{\lambda}D^{\mu}$ เมื่อ R=R+20%R, J=J+20%J

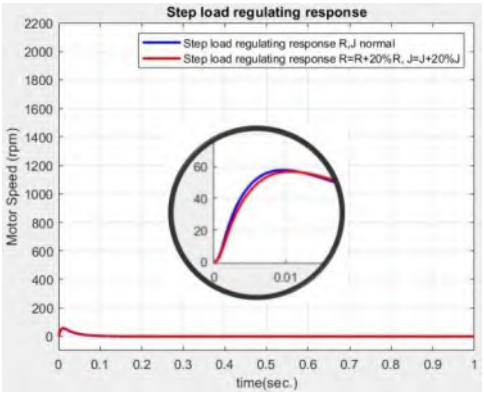

รูปที่ 13 ตัวควบคุม $PI^{\lambda}D^{\mu}$ เมื่อเพิ่มโหลด 1 หน่วย เมื่อ R=R+20%R, J=J+20%J

4. สรุป

ตัวควบคุม $PI^{\lambda}D^{\mu}$ ลำดับเศษส่วนอย่างเหมาะสมสำหรับควบคุมความเร็วมอเตอร์ BLDC ที่นำเสนอในบทความนี้ ผลจากการตรวจสอบโดยได้เปรียบเทียบสมรรถนะของระบบควบคุมที่ใช้ตัวควบคุม $PI^{\lambda}D^{\mu}$ ลำดับเศษส่วนกับตัวควบคุม PID ลำดับจำนวนเต็ม พบว่าตัวควบคุม $PI^{\lambda}D^{\mu}$ มีสมรรถนะดีกว่าตัวควบคุม *PID* ลำดับจำนวนเต็ม พิจารณาจากผลที่ได้ในตารางที่3 ค่าพารามิเตอร์ของตัวควบคุม $K_p, K_i, K_d, \lambda, \mu$ ที่ได้พบว่ามีค่าแตกต่างกันเนื่องจากฟังก์ชันวัตถุประสงค์ของ $PI^{\lambda}D^{\mu}$ มีค่าน้อยกว่า PID จึงทำให้ค่าพารามิเตอร์ของตัวควบคุมถูกต้องมากกว่าจึงให้ผลตอบสนองของระบบดีกว่าแสดงได้ดัง ตารางที่4 แสดงได้ดังรูปที่ 7 ผลตอบสนองของระบบควบคุม จึงทำให้ การตอบสนองของระบบควบคุมเมื่อเพิ่มโหลด 1หน่วย ดังรูปที่ 9 และเมื่อพิจารณาผลตอบสนองของสัญญาณควบคุมพบว่า $PI^{\lambda}D^{\mu}$ จะตอบสนองสัญญาณควบคุมขณะ On load และ No load ได้เร็วกว่า PID แสดงดัง รูปที่ 11 ส่วนรูปที่ 12-13 แสดงถึงความคงทนของระบบถึงแม้ว่าค่า R,และ J มีค่าเพิ่มขึ้นระบบยังคงมีเสถียรภาพดังผลแสดงในงานวิจัยนี้

เอกสารอ้างอิง

[1] Viond KvSingh patel, A. K. Pandey, " Modeling and Simulation of Brushless Dc motor using Pwm control Technique" International Journal of Engineering Research and Applications, Vol.3, Issue 3, May-Jun 2013, PP.612-620.

[2] Padmaraja Yedamale, “ Brushless DC (BLDC) Motor Fundementals”, AN885, 2003 Michrochip Technology Inc.

[3] José Carlos Gamazo - Real*, Ernesto Vázquez – Sánchez and Jaime Gómez – Gil, " Position and Speed Control of Brushless DC Motors Using Sensorless Techniques and Application Trends " Department of Signal Theory, Communications and Telematic Engineering, University of Valladolid, Sensors, PP.6901-6947, June-July 2010.

[4] Ammar A. Aldair and Weiji J. Wang ," Design of Fractional Order Controller Based on Evolutionary Algorithm for a Full Vehicle Nonlinear Active Suspension Systems ", International Journal of Control and Automation, Vol. 3, No.4, December 2010.

[5] Ankit Rastogi, Pratibha Tiwari," Optimal Tuning of Fractional Order PID Controller for DC Motor Speed Control Using Particle Swarm Optimization ", International Journal of Soft Computing and Engineering (IJSCE), ISSN: 2231-2307, Volume 3, Issue 2, May 201.

[6] Stefan Baldursson, “ BLDC motor modeling and control– a MATLAB/ SIMULINK implementation ”,Master Thesis in Electrical Power Engineering,Chalmers University of Technology, May 2005,Gothenburg, Sweden.

[7] C. Kiree, P. Somranmark, S. Karejinda, “ Fractional-Order Model Identification of BLDC Motor by Modified Bat Algorithm” The 47th Electrical Engineering Conference (EECON-47), Udon Thani, Thailand,2024, pp. 380-385.

[8] G. Wang and L. Guo, “A Novel Hybrid Bat Algorithm withHarmony Search for Global Numerical Optimization”,Journal of Applied Mathematics, vol. 2013, pp. 21, 2013

[9] X. S. Yang, “A new metaheuristic bat-inspired algorithm”,Nature Inspired Cooperative Strategies for Optimization,2010.

[10] A. Baziar, A. A. Kavoosi-Fard, J. Zare, “A novel Self Adoptive Modification Approach Based on Bat Algorithm for Optimal Management of Renewable MG”, Journal of Intelligent Learning System and Application, 2013.

[11] "การสังเคราะห์ระบบควบคุม" ของ รองศาสตราจารย์ เดชา พวงดาวเรือง ISBN978-616-7659-35-0 หน้า 348-352

อาจารย์ ดร.ชูเกียรติ คีรี
งานวิจัยที่สนใจ
Machine Design,Power Electronic, Embedded System and IoT, Control System,Search Optimization

ศึกษาการเคลื่อนที่ Mobile Robot ตาม GPS

Study of Mobile Robot based on GPS

จุฑารัตน์ พิชยาธัญโรจน์[1] รุ่งทิพย์ จันทร์เงิน[1] และ สุรชาติ เหล็กงาม[1]*

[1]สาขาวิชาวิศวกรรมไฟฟ้า คณะวิศวกรรมศาสตร์ มหาวิทยาลัยบูรพา surachat@eng.buu.ac.th*

บทคัดย่อ

โครงการนี้มุ่งเน้นการนำเสนอการศึกษาการนำทางหุ่นยนต์เคลื่อนที่อัตโนมัติด้วยระบบ GPS ซึ่งมีเป้าหมายเพื่อลดค่าความคลาดเคลื่อนในการเคลื่อนที่ให้เหลือน้อยที่สุด โดยเน้นการบูรณาการโมดูล GPS, เซ็นเซอร์ MPU9250 วัดการเคลื่อนไหวแบบ 9 แกน และไมโครคอนโทรลเลอร์ ESP32 เพื่อช่วยในการปรับทิศทาง และควบคุมให้รถเคลื่อนที่หรือเลี้ยวไปในทางที่เหมาะสม ผลการทดสอบยืนยันว่าหุ่นยนต์เคลื่อนที่อัตโนมัติสามารถเคลื่อนที่ไปยังพิกัดปลายทางได้อย่างถูกต้องภายใต้สภาพแวดล้อมที่เหมาะสม อีกทั้งระบบควบคุมทิศทางช่วยให้หุ่นยนต์เลี้ยวเข้าหาเป้าหมายได้อย่างเสถียรจากการกรองสัญญาณ โดยอาจจะมีความคลาดเคลื่อนเล็กน้อยในระดับที่ยอมรับได้และอัปเดตตำแหน่งทุก 0.2 วินาที ข้อมูลการนำทางแสดงผลแบบเรียลไทม์ผ่าน Web interface ทำให้ผู้ใช้สามารถตรวจสอบพิกัด ระยะทาง และทิศทางของหุ่นยนต์ได้ โครงการนี้สามารถนำไปต่อยอดและพัฒนาไปเป็นระบบนำทางอัตโนมัติในการขนส่งหรือการเกษตรได้

คำสำคัญ: จีพีเอส การนำทางอัตโนมัติ

Abstract

This project focuses on presenting a study of autonomous mobile robot navigation using GPS systems, aiming to minimize movement errors. It integrates a GPS module, a 9-axis MPU9250 motion sensor, and an ESP32 microcontroller to assist in orientation and control the vehicle's movement or turning in the appropriate direction. Test results confirm that the autonomous mobile robot can accurately reach its destination under suitable environmental conditions. Furthermore, the steering control system allows the robot to turn toward its target without significant oscillation, with acceptable margins of error. The system updates its position every 0.2 seconds. Navigation data is displayed in real time via a web interface, allowing users to monitor the robot's coordinates, distance, and direction. This project could be further developed into an automated navigation system for transportation or agriculture

Keywords: Manuscript Format, Manuscript Guidelines, Text Style

1.บทนำ

ระบบ GPS (Global Positioning System) ระบบที่ช่วยระบุตำแหน่งและนำทางโดยอาศัยสัญญาณดาวเทียมที่โคจรรอบโลกเป็นตัวส่งสัญญาณเพื่อบอกตำแหน่ง ความเร็ว และเวลาของผู้ใช้งาน องค์ประกอบของระบบ GPS ประกอบด้วย 3 ส่วนหลักคือ ส่วนอวกาศ ส่วนสถานีควบคุม และส่วนผู้ใช้ โดยหน้าที่สำคัญของ GPS คือจะรับข้อมูลจากสัญญาณดาวเทียมส่งข้อมูลไปยังพื้นโลก ใช้ในการคำนวณระหว่างดาวเทียม และบอกตำแหน่งดาวเทียมบนท้องฟ้า เพื่อใช้คำนวณหาตำแหน่งพิกัดของตัวเครื่อง GPS เพื่อให้เกิดความแม่นยำในการค้นหาตำแหน่งด้วยดาวเทียม ต้องมีดาวเทียมอย่างน้อย 4 ดวง เพื่อบอกตำแหน่งบนผิวโลก จะสามารถระบุตำแหน่งบนผิวโลกได้ จะทำให้สามารถคำนวณเรื่องความสูงเพื่อทำให้ได้ตำแหน่งที่ถูกต้อง [3]

โครงการศึกษาหุ่นยนต์เคลื่อนที่อัตโนมัติขนาดเล็กที่สามารถเคลื่อนที่ตามระบบพิกัด GPS เป็นการพัฒนาระบบที่สามารถกำหนดตำแหน่งและเคลื่อนที่ได้อย่างถูกต้อง เนื่องด้วยในปัจจุบัน GPS module ราคาถูกยังมีความคลาดเคลื่อนสูงและข้อมูลทิศทางจากวงจรเข็มทิศยังขาดความเสถียร โครงการนี้จึงได้ปรับปรุงคุณภาพข้อมูลเพื่อลดในการคลาดเคลื่อนในการนำทางและพัฒนา Web interface โดยสามารถนำไปประยุกต์ใช้กับงานได้หลากหลายประเภทร่วมกับการทำงานของระบบซอฟแวร์และฮาร์ดแวร์เพื่อให้ทำการวิเคราะห์และเก็บข้อมูลต่างๆมาปรับปรุงแก้ไขให้มีประสิทธิภาพการทำงานให้ดีมากขึ้น

2.ที่มาของปัญหาและพื้นฐานความรู้

2.1 ที่มาของปัญหา

ในปัจจุบันมีการใช้งาน GPS มาใช้ในการนำทางอย่างแพร่หลาย จึงทำให้เราสามารถกำหนดเส้นทางและเคลื่อนที่ไปสู่จุดที่หมายได้ ไปจนถึงการติดตามตำแหน่งแบบเรียลไทม์ การใช้งานอย่างแพร่หลายนี้ทำให้เกิดการนำ GPS มาประยุกต์ใช้กับอุปกรณ์ที่ทันสมัย เพื่อใช้งานในด้านต่างๆได้อย่างหลากหลาย เช่น ระบบขนส่งอัตโนมัติ การสำรวจสิ่งแวดล้อม ใช้ในการวิจัยและการศึกษาในด้านภูมิศาสตร์ และตัวอย่างในด้านการพัฒนาระบบอัตโนมัติโดยติดตั้ง GPS ในรถยนต์ จึงเกิดเป็นรถยนต์ไร้คนขับ การนำ GPS มาใช้ในโครงการนี้จึงมีความสำคัญในด้านของการศึกษาและสามารถพัฒนาเทคโนโลยีอัตโนมัติที่สามารถประยุกต์ใช้กับการเกษตรอัตโนมัติและการขนส่ง

*ผู้ประพันธ์บรรณกิจ

2.2 ระบบตำแหน่งพิกัดบนโลก

ระบบ Global Positioning System (GPS) ใช้ดาวเทียมในการระบุตำแหน่งบนพื้นโลกและเวลาขณะส่งสัญญาณ เป็นระบบดาวเทียม 24 ดวง ที่โคจรรอบโลก มี 3 ส่วนหลัก คือ ส่วนอวกาศ ส่วนควบคุมและส่วนผู้ใช้งาน โดย 3 ส่วนนี้จะเป็นหลักการทำงานระบบ GPS ทำให้คนบนพื้นโลกที่มีเครื่องรับสัญญาณสามารถทราบพิกัดตำแหน่งพิกัดตัวเองได้

รูปที่ 1 บอร์ด Neo-M8N GPS Module

2.3 ความแม่นยำของ GPS

ความแม่นยำของ GPS ขึ้นอยู่กับปัจจัยหลายประการ รวมถึงรูปทรงของดาวเทียม การถูกบดบังสัญญาณ สภาพบรรยากาศ และการออกแบบ/คุณภาพของเครื่องรับ สมาร์ทโฟนที่เปิดใช้งาน GPS มักมีความแม่นยำภายในรัศมี 4.9 เมตร (16 ฟุต) ภายใต้ท้องฟ้าเปิด แต่ความแม่นยำจะลดลงใกล้กับอาคาร สะพาน และต้นไม้ ผู้ใช้ระดับสูงสามารถระบุตำแหน่งได้แบบเรียลไทม์ภายในไม่กี่เซนติเมตร และวัดค่าระยะยาวในระดับมิลลิเมตรได้ด้วยเครื่องรับแบบสองความถี่หรือระบบเสริมประสิทธิภาพ [2]

ปัจจัยสำคัญที่ทำให้ความแม่นยำของ GPS ลดลง ได้แก่ ผลกระทบจากการถูกบดบังสัญญาณดาวเทียม เช่น อาคาร สะพาน สัญญาณรบกวน และความละเอียดของเครื่องรับ

$$bearing = tan^{-1}\left(\frac{\sin(\Delta lon)\times\cos(lat_2)}{\cos(lat_1)\times\sin(lat_2)-\sin(lat_1)\times\cos(lat_2)\times\cos(\Delta lon)}\right) \quad (1)$$

สมการที่ (1) ใช้เพื่อหามุมที่พิกัดเป้าหมายอยู่จากตำแหน่งปัจจุบัน

เมื่อ $bearing$ คือ มุมระหว่างตำแหน่งปัจจุบันไปยังตำแหน่งเป้าหมาย

lat_1 คือ ละติจูดของจุดเริ่มต้น

lat_2 คือ ละติจูดของเป้าหมาย

lon_1 คือ ลองติจูดของจุดเริ่มต้น

lon_2 คือ ลองติจูดของเป้าหมาย

Δlon คือ ส่วนต่างละติจูดระหว่างจุดหมายกับจุดปัจจุบัน

$$a = sin^2\left(\frac{\Delta lat}{2}\right) + \cos(lat_1)\times\cos(lat_2)\times sin^2\left(\frac{\Delta lon}{2}\right)$$
$$c = 2\times tan^{-1}\left(\sqrt{a}, \sqrt{1-a}\right)$$
$$distance = 6371000\times c \quad (2)$$

สมการที่ (2) ใช้เพื่อหาความห่างระหว่างตำแหน่งปัจจุบันเป้าหมายบนพื้นโลก

เมื่อ lat_1 คือ ละติจูดของจุดเริ่มต้น

lat_2 คือ ละติจูดของเป้าหมาย

lon_1 คือ ลองติจูดของจุดเริ่มต้น

lon_2 คือ ลองติจูดของเป้าหมาย

Δlon คือ ส่วนต่างละติจูดระหว่างจุดหมายกับจุดปัจจุบัน

Δlat คือ ส่วนต่างลองติจูดระหว่างจุดหมายกับจุดปัจจุบัน

a คือ ค่ากลางที่ใช้ในสูตรเพื่อคำนวณทิศทาง

c คือ มุมระหว่างสองจุดบนผิวโลก

6371000 คือ รัศมีเฉลี่ยของโลก (เมตร)

$distance$ คือ ระยะทางระหว่าง 2 จุด (เมตร)

$$latavg = \frac{lat_1+lat_2+lat_3+lat_4}{4} \quad (3)$$
$$lonavg = \frac{lon_1+lon_2+lon_3+lon_4}{4} \quad (4)$$

สมการที่ (3) (4) ไปเปรียบเทียบกับค่าจาก *Google Map*

เมื่อ $lat_1, lat_2, lat_3, lat_4$ คือ ค่าละติจูดของแต่ละจุดที่ไปเก็บมา (4 จุด)

$lon_1, lon_2, lon_3, lon_4$ คือ ค่าลองติจูดของแต่ละจุดที่ไปเก็บมา (4 จุด)

$latavg$ คือ ค่าเฉลี่ยของละติจูดทั้ง 4 จุด

$lonavg$ คือ ค่าเฉลี่ยของลองติจูดทั้ง 4 จุด

$$latoffset = latGoogle - latavg \quad (5)$$
$$lonoffset = lonGoogle - lonavg \quad (6)$$

สมการที่ (5) (6) ไปชดเชยกับค่า *GPS*

เมื่อ $latoffset$ คือ ค่าความต่างละติจูดระหว่าง *GPS* ที่วัดมากับค่ามาตรฐาน

$lonoffset$ คือ ค่าความต่างลองติจูดระหว่าง *GPS* ที่วัดมากับค่ามาตรฐาน

$latavg, lonavg$ คือ ค่าละติจูดและลองติจูดเฉลี่ยจากการวัดด้วย GPS

$latGoogle, lonGoogle$ คือ พิกัดจริงจาก Google Map

$$latcorrected = latGPS + latoffset \quad (7)$$
$$loncorrected = lonGPS + lonoffet \quad (8)$$

สมการที่ (7) (8) ใช้เพื่อชดเชยความคลาดเคลื่อน *GPS*

เมื่อ $latcorrected, loncorrected$ คือ ค่าพิกัดที่ถูกแก้ไขแล้ว

$latoffset, lonoffet$ คือ ค่าชดเชยที่คำนวณไว้

$latGPS, lonGPS$ คือ ค่าพิกัดที่อ่านได้จากโมดูล GPS ในปัจจุบัน

2.4 ฮาร์ดแวร์

รูปที่ 2 บอร์ด ESP32

ในการศึกษาการควบคุม Mobile Robot บอร์ดควบคุม ESP32 เป็นไมโครคอนโทรลเลอร์ที่มีคุณสมบัติในด้านการประมวลผลข้อมูลจากอุปกรณ์ต่าง ๆ เพื่อทำงานร่วมกับ GPS ได้ มีการสื่อสารไร้สาย Wi-Fi และ Bluetooth 4.2 BLE ในตัว มีแรม 512KB มี GPIO จำนวน 32 ช่อง ใช้แรงดันไฟฟ้า 2.6V-3V สามารถเขียนโปรแกรมพัฒนาสำหรับควบคุมร่วมกับอุปกรณ์อื่นๆ เช่น วงจรขับมอเตอร์ วงจรเข็มทิศเป็นต้น

รูปที่ 3 วงจรขับมอเตอร์ L298N

การควบคุมมอเตอร์จะทำงานร่วมกับวงจรไดรเวอร์ L298N จำนวน 2 ตัว เพื่อให้สามารถควบคุมทิศทางการหมุนและความเร็วผ่านตัวไมโครคอนโทรลเลอร์ ESP32 ระบบควบคุมล้ออิสระ 4 ล้อ ทำให้สามารถควบคุมทิศทางของแต่ละล้อได้อิสระ การควบคุมความเร็วของมอเตอร์ทำได้โดยส่งสัญญาณ PMW ไปยังขาของวงจรไดรเวอร์ L298N จึงสามารถควบคุมความเร็วของล้อแต่ละข้างได้อย่างแยกและอิสระ

รูปที่ 4 วงจรเข็มทิศ MPU9250

เซนเซอร์ MPU9250 เป็นเซนเซอร์สนามแม่เหล็ก เพื่อหาค่ามุม Heading ซึ่งเป็นสามารถบอกได้ว่าควรหันไปทางทิศไหนเมื่อเทียบกับทิศเหนือจริง ค่าทิศทางที่อ่านได้จากเซนเซอร์จะนำมาเปรียบเทียบกับมุม Bearing ซึ่งเป็นค่าที่คำนวณจากพิกัด GPS ของพิกัดปัจจุบันและพิกัดเป้าหมาย เพื่อให้ระบบได้ทราบว่ารถต้องหมุนไปทางซ้ายหรือทางขวาจึงจะสามารถเดินหน้าได้ แต่ค่าที่ได้จากเซนเซอร์ MPU9250 มีความแกว่งดังนั้นจึงเพิ่มการกรองข้อมูลเพื่อให้ค่าทิศทางมีความนิ่งและเหมาะสมกับการควบคุมรถ

3.ภาพรวมของระบบโดยรวม

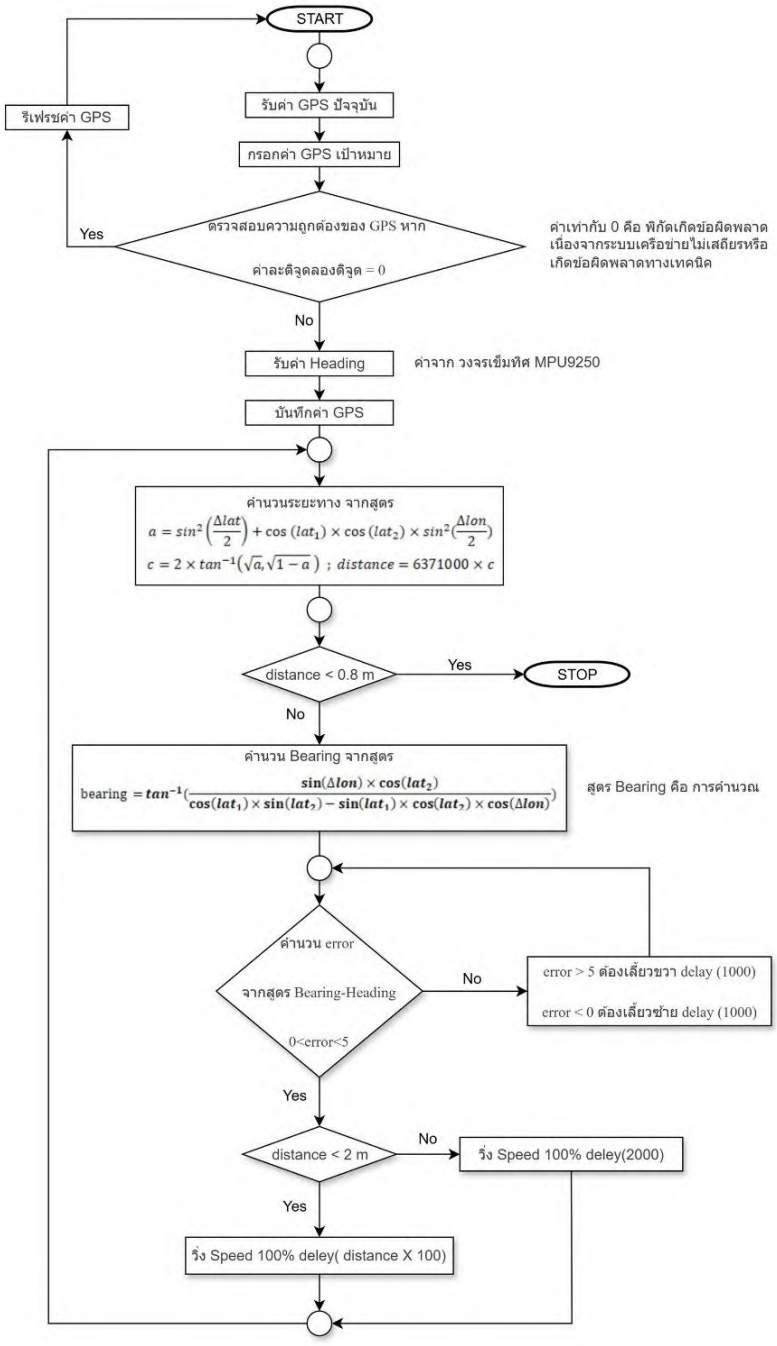

รูปที่ 5 แผนภาพความเชื่อมโยงรวมของระบบ

หุ่นยนต์เคลื่อนที่อัตโนมัติแบบ 4 ล้อขนาดเล็กนี้สามารถเคลื่อนที่ตามระบบพิกัด GPS เป็นการพัฒนาระบบที่สามารถกำหนดตำแหน่งและเคลื่อนที่ได้อย่างถูกต้อง โดยใช้โปรแกรมควบคุมการทำงานตามรูปที่ 5 การทำงานของระบบจะวนลูปอย่างต่อเนื่อง โดยใช้การเปรียบเทียบค่า

ทิศทางกับมุมเป้าหมาย เพื่อปรับทิศทางของรถ โดยใช้ระยะทางเป็นตัวในการหยุดรถและการเคลื่อนที่

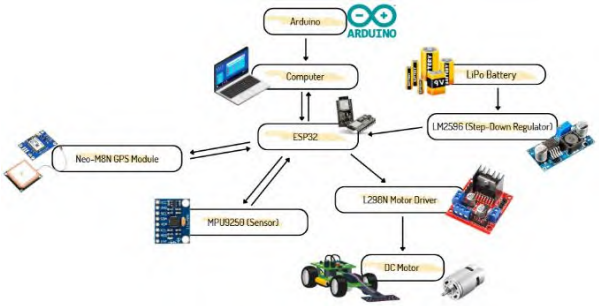

รูปที่ 6 แผนภาพอธิบายโครงงาน

จากแผนภาพในรูปที่ 6 นี้ จะเห็นได้ว่าตัวไมโครคอนโทรลเลอร์ฮาร์ดแวร์บอร์ด ESP32 เป็นตัวควบคุมหลักในการทำงานทั้งหมดโดยจะเชื่อมต่อกับเซ็นเซอร์และอุปกรณ์ต่างๆโดยรับค่า GPS มาจาก Neo-M8N GPS Module และรับค่าการเคลื่อนไหวจาก MPU9250 นำมาประมวลผลและควบคุมการทำงานของมอเตอร์ผ่าน L2985N Motor Driver เพื่อสั่งให้ DC Motor ซึ่งเป็นตัวขับเคลื่อนรถให้ทำหน้าที่เลี้ยวซ้ายเลี้ยวขวาหรือเดินหน้าหรือถอยหลัง โดยใช้พลังงานจากแบตเตอรี่เพื่อเป็นพลังงานให้กับอุปกรณ์ต่างๆ

4.ระเบียบการวิจัย

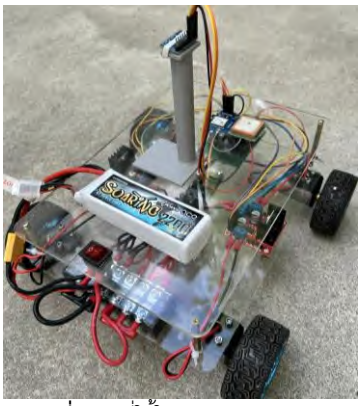

รูปที่ 7 รถที่ใช้ในการทำการทดลอง

จากการทดสอบการเชื่อมต่อ Wi-Fi และเปิดหน้าเว็บแสดงผลแบบ Real-time ทำระบบเชื่อมต่อ Wi-Fi หรือ Hotspot เมื่อเชื่อมต่อสำเร็จผู้ใช้งานเข้าสู่ Web Server เพื่อให้ผู้ใช้งานป้อนพิกัด 4 จุด เลือกจุดหมายที่จะให้คลื่อนที่เข้าหา มีปุ่มควบคุม การหยุดชั่วคราว และไปต่อ หน้าเว็บแสดงข้อมูลเรียลไทม์ให้รู้ตำแหน่ง

หลังจากที่ทำการเชื่อมต่อเสร็จแล้วจะแสดงค่า IP ผู้ใช้สามารถเข้าถึงหน้า Web Server ได้ผ่านทางมือถือหรือคอมพิวเตอร์อุปกรณ์ต่างๆที่เชื่อมต่อเครือข่ายเดียวกัน โดยหน้าเว็บที่เราทำจะแสดงข้อมูลดังนี้

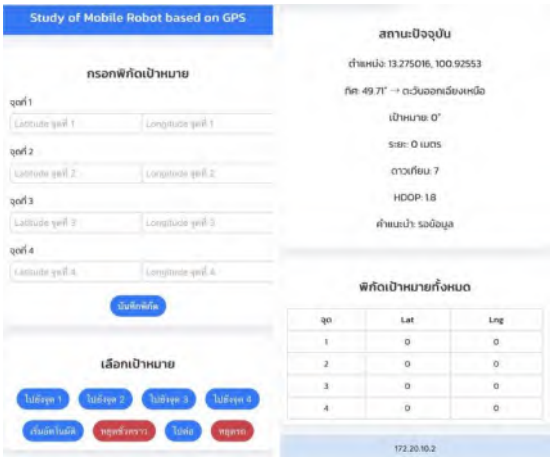

รูปที่ 8 หน้า Web Server

เมื่อได้หน้า Web Server จะสามารถกรอกพิกัดเป้าหมายที่ต้องการ 1-4 จุด และทำการบันทึกพิกัด เลือกจุดหมายที่ต้องการเพื่อเคลื่อนที่ไปยังจุดนั้น และทำการสั่งให้หยุดได้แล้วเคลื่อนที่ต่อได้ โดยมีการแสดงข้อมูลเรียลไทม์ เช่น ตำแหน่งพิกัดปัจจุบัน ทิศทางที่อยู่ ระยะทางที่ห่างจากจุดเป้าหมาย และ แสดงคำแนะนำว่ารถต้องเคลื่อนที่ยังไง เช่น เดินหน้า, หยุด, เลี้ยวซ้าย, เลี้ยวขวา และหน้าเว็บอัปเดตทุก 2 วินาที จะมีปุ่มหยุดชั่วคราวแล้วไปต่อ รถจะหยุดภายใน 3 วินาที และกลับมาเคลื่อนที่หลังจากผู้ใช้งานเลือกฟังก์ชันไปต่อเพื่อให้หุ่นยนต์เคลื่อนที่ต่อไป

การทดลองไปเก็บค่า GPS โดยใช้ข้อมูลจาก Neo-M8N GPS Module และเก็บค่า GPS มา 4 จุด นำข้อมูลดิบมากรองข้อมูลโดยใช้ค่าที่ซ้ำกันที่สุดมาใช้เป็นตำแหน่งละติจูดลองติจูดของแต่ละจุด จากนั้นนำค่าพิกัดจากสมาร์ทโฟนมาใช้เป็นข้อมูลเปรียบเทียบม พบว่าค่า GPS ที่ได้จาก Neo-M8N GPS Module มีความคลาดเคลื่อนกับค่า GPS ที่ค้นหาในโทรศัพท์มือถืออยู่เล็กน้อย จึงต้องมีการกรองข้อมูลที่ได้จากค่า GPS [4] การทดลองเชื่อมต่อของโมดูล GPS Neo-M8N สามารถที่จะล็อกสัญญาดาวเทียมและแสดงพิกัดได้ในเวลา 10-15 วินาที ความแม่นยำของ GPS ในสภาพแวดล้อม เช่น พื้นที่เปิดจำนวนดาวเทียมที่เชื่อมต่อได้มากกว่า 6 ดวง พิกัดที่ได้มีความคาดเคลื่อนอยู่ที่ ±2 เมตร หรือในส่วนของพื้นที่ที่มีสิ่งกีดขวางรบกวนสัญญาณ เช่นพื้นที่ใต้ต้นไม้ ในอาคารใกล้อาคาร จะทำให้เชื่อมต่อกับดาวเทียมไม่ได้

ตารางที่ 1 รับค่า GPS ที่มีการตรวจจับดาวเทียม โดยผ่านการกรองข้อมูล

ตำแหน่ง	ละติจูด	ลองติจูด
จุดที่ A	13.275090	100.925209
จุดที่ B	13.275126	100.925125
จุดที่ C	13.275246	100.925087
จุดที่ D	13.275303	100.925171

เมื่อทำการทดสอบในพื้นที่ที่มีอาคารหรือต้นไม้บัง ทำให้สัญญาณมันขาดหายแล้วไม่เชื่อมต่อกับโมดูล ทำให้ค่าพิกัดไม่อัปเดตหรือไม่แสดงค่าพิกัด การสูญเสียสัญญาณ GPS ส่งผลให้ระบบไม่สามารถอัปเดตพิกัดได้ ส่งผลต่อความต่อเนื่องของการนำทางลอง

เพื่อทดสอบระบบการเดินทางของรถได้มีการกำหนดเส้นทางที่รถเคลื่อนที่ไปตามเส้นทางกำกับดังภาพ ซึ่งมีจุดมุม 4 จุด ได้แก่จุด A B C และ D โดยขอบเขตภายในเส้นสีแดง (ด้านใน) ใช้สำหรับการทดสอบโดยอ่านตำแหน่งจากโมดูล GPS ทุก 0.2 วินาที ส่วนสีเหลือง (ด้านนอก) จะอ่านตำแหน่งทุก 0.4 วินาที เพื่อเปรียบเทียบผลของความถี่ในการอ่านค่าขอบเขตของการเดินรถในเส้นสีแดง มีความแม่นยำโดยเฉลี่ยประมาณ ± 1.0 เมตร

รูปที่ 9 เส้นการเดินทางของรถ

ขอบเขตของเส้นสีแดงและสีเหลืองในรูปที่ 9 ได้จากการทดลองซึ่งมีความคลาดเคลื่อนเฉลี่ยประมาณ ± 1.2 เมตร และ ± 1.8 เมตร ตามลำดับ โดยความเร็วเฉลี่ยของรถในระหว่างการทดลองอยู่ที่ประมาณ 1 m/s

การทดลองการอ่านทิศทางของวงจรเข็มทิศ MPU9250 [1] และนำมาเปรียบเทียบกับเข็มทิศในโทรศัพท์มือถือ พบว่าความความคลาดเคลื่อน จึงมีการปรับปรุงข้อมูลเพื่อชดเชยมุม และEMA Filter เพื่อลดการแกว่งของข้อมูล ทำให้ค่าทิศทางมีความใกล้เคียงกับเข็มทิศในโทรศัพท์มากขึ้น ใช้ค่า EMA Filter α=0.1 ช่วยให้ค่า Heading ที่คำนวณได้ลดการแกว่งได้ประมาณ ±2 องศา เพื่อที่จะใกล้เคียงกับค่าเข็มทิศจริง แต่หากเพิ่ม α=0.2 จะทำให้ค่า Heading จะตอบสนองไวขึ้นแต่มี noise ขณะที่รถหยุดนิ่ง แต่ได้ทำการชดเชยมุมคาดเคลื่อนด้วยการหาค่าเฉลี่ยและใช้ค่า EMA หลังจากจากใช้ค่าชดเชยมุม สมการ EMA Filter แสดงให้เห็นดังนี้

$$\text{filteredHeading} = \alpha \times \text{newHeading} + (1-\alpha)\text{previousHeading} \quad (9)$$

เมื่อ filteredHeading คือ ค่าทิศทางที่ผ่านการกรองแล้ว
α คือ ค่าคงที่น้ำหนัก กำหนดเป็น 0.1
newHeading คือ ค่าทิศทางใหม่ที่วัดได้จากเซนเซอร์
previousHeading คือ ค่าทิศทางก่อนหน้า

การทดสอบการควบคุมล้อด้วย L298N ควบคุมมอเตอร์ 4 ตัวผ่าน L298N จำนวน 2 ตัว แยกการควบคุมแบบล้อขวาและซ้าย ทดลองวิ่งบนพื้นเรียบ รถสามารถเคลื่อนที่ได้ด้วยความเร็วสูงสุดที่ตั้ง PWM ไว้ และรถสามารถเคลื่อนที่เข้าหาพิกัดเป้าหมายที่ตั้งไว้ ด้วยค่าคาดเคลื่อน ±0.8 เมตร แรงเสียดทานจากความแตกต่างของพื้นผิวถนนส่งผลให้รถมีการเบี่ยงจากทิศทางที่คำนวณได้เล็กน้อยเมื่อเคลื่อนที่ สามารถเพิ่มการชดเชยโดยการปรับค่า PWM เฉพาะของล้อที่มีปัญหา

ตารางที่ 2 ค่าเฉลี่ยมุมจากวงจรเข็มทิศ MPU9250

มุมจริง (องศา)	ทิศที่หันรถ	ค่าเฉลี่ยครั้งที่ 1 (องศา)	ค่าเฉลี่ยครั้งที่ 2 (องศา)	ค่าเฉลี่ยครั้งที่ 3 (องศา)
0	เหนือ	17.62	17.09	14.82
60	ตะวันออกเฉียงเหนือ	66.66	67.01	65.21
120	ตะวันออกฉียงใต้	116.74	118.18	116.75
180	ใต้	171.13	170.66	168.75
240	ตะวันตกเฉียงใต้	236.15	234.35	235.29
300	ตะวันตกเฉียงเหนือ	312.61	310.51	307.93

จากตารางที่ 2 แสดงค่ามุมที่ได้จากการวัดด้วยเซ็นเซอร์ MPU9650 เปรียบเทียบกับมุมจริงในแต่ละทิศ พบว่าค่าที่ได้มีความคาดเคลื่อนกับมุมจริง โดยได้ทำการวัดแล้วเก็บค่าเฉลี่ยของแต่ละมุม วัดซ้ำ 3 ครั้ง ค่าที่ได้ยังมีความคลาดเคลื่อนจากมุมจริงอยู่แต่ละมุม ซึ่งจำเป็นต้องมีการหาค่า Offset เพื่อนำไปใช้ชดเชยค่าการใช้งานจริ

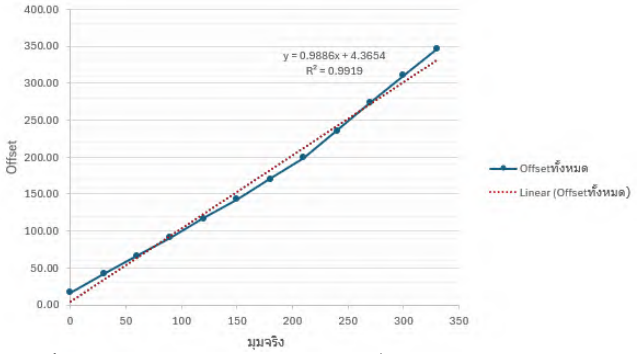

รูปที่ 10 กราฟแสดงความเปรียบเทียบระหว่างมุมจริงและมุม offset

จากรูปที่ 10 แสดงกราฟเปรียบเทียบระหว่างมุมจริงและมุมที่วัดได้จากเซ็นเซอร์ โดยค่าที่วัดได้มีความสัมพันธ์เชิงเส้นกับมุมจริงมาก ซึ่งบ่งบอกถึงความแม่นยำในการวัดมุม แต่ยังมีบางมุมที่ยังพบความคาดเคลื่อน ซึ่งทำการปรับด้วยการปรับเปรียบเทียบ

จากรูปที่ 11 เมื่อทำการกรอกพิกัดปลายทางและกดปุ่มไปยังจุดเป้าหมายสำเร็จ หุ่นยนต์สามารถเคลื่อนที่ไปยังตำแหน่งที่กำหนดได้โดยอัตโนมัติ ระบบจะคำนวณทิศทางและระยะทางแบบเรียลไทม์เพื่อปรับความเร็วและทิศทางการเคลื่อนที่ให้อยู่ในเส้นทางที่ถูกต้อง

มุม MPU9250	ทิศทาง	มุม เป้าหมายที่จะไป	ระยะทาง m.	คำแนะนำ
222.01	ตะวันตกเฉียงใต้	159.21	14.43	หมุนซ้าย
190.5	ทิศใต้	156.34	13.62	หมุนซ้าย
181.88	ทิศใต้	154.86	12.65	หมุนซ้าย
173.8	ทิศใต้	153.77	11.76	หมุนซ้าย
166.24	ทิศใต้	152.48	10.34	หมุนซ้าย
161.56	ทิศใต้	151.61	9.33	หมุนซ้าย
159.93	ทิศใต้	151.08	8.62	หมุนซ้าย
157.83	ทิศใต้	150.87	7.89	หมุนซ้าย
155.98	ตะวันออกเฉียงใต้	149.69	6.61	หมุนซ้าย
154.05	ตะวันออกเฉียงใต้	149.72	5.79	เดินหน้า
153.02	ตะวันออกเฉียงใต้	149.68	5	เดินหน้า
154.32	ตะวันออกเฉียงใต้	149.47	4.37	เดินหน้า
154.71	ตะวันออกเฉียงใต้	149.85	3.88	เดินหน้า
153.09	ตะวันออกเฉียงใต้	150.63	2.72	เดินหน้า
153.14	ตะวันออกเฉียงใต้	149.4	1.7	เดินหน้า
149.64	ตะวันออกเฉียงใต้	144.58	1.18	หมุนซ้าย
159.25	ทิศใต้	137.79	1.1	หมุนซ้าย
153.51	ตะวันออกเฉียงใต้	176.82	0.65	ถึงจุดหมาย

รูปที่ 11 ผลการทดลองที่แสดงรายละเอียดการเดินของรถไปยังจุดเป้าหมาย

ผลการทดลองพบว่าหุ่นยนต์สามารถหยุดได้ใกล้ตำแหน่งเป้าหมาย โดยมีความคลาดเคลื่อนเฉลี่ยประมาณ 0.65 เมตร ขึ้นกับคุณภาพสัญญาณ GPS และสภาพแวดล้อมการทดสอบ นอกจากนี้การเคลื่อนที่ของหุ่นยนต์ยังมีความต่อเนื่อง สามารถปรับแก้มุมเลี้ยวเคลื่อนที่หาเป้าหมาย แม้ค่า GPS จะผันผวนในบางช่วงที่เคลื่อนที่ ค่า HDOP ที่ต่ำกว่าระดับ 2 ทำให้ความแม่นยำของตำแหน่งอยู่ในเกณฑ์ที่ยอมรับได้ ทั้งนี้การใช้การกรองสัญญาณและการชดเชยค่า Offset ช่วยเพิ่มเสถียรภาพและลดความคลาดเคลื่อน

5.สรุป

โครงงานศึกษาการเคลื่อนที่ Mobile Robot ตาม GPS ที่พัฒนาขึ้นในครั้งนี้ ได้รวมเทคโนโลยีเข้าด้วยกัน ได้แก่ โมดูล GPS สำหรับรับค่าพิกัดตำแหน่ง, เซนเซอร์สนามแม่เหล็ก (Magnetometer) สำหรับวัดทิศทางการหันของรถ, อัลกอริทึมการคำนวณระยะทางและ, ระบบควบคุม PID สำหรับปรับการหมุนของล้อ, และระบบ Web Interface ที่ช่วยให้ผู้ใช้งานสามารถควบคุมข้อมูลได้แบบ Real-time ผ่าน Wi-Fi บนมือถือ เพื่อที่ในอนาคตจะสามารถปรับปรุงและต่อยอดทางด้านเทคโนโลยีใหม่ได้ จากการทดสอบในสนามจริง ระบบสามารถนำทางไปยังจุดหมายปลายทางได้ เมื่อมีการชดเชยค่าความคลาดเคลื่อนของ GPS ทำให้รถมีการเคลื่อนที่ไปยังจุดหมายได้ค่อนข้างใกล้เคียงกับจุดหมายจริง ระบบสามารถนำทางได้ภายใต้สภาพแวดล้อมกลางแจ้งไม่มีสิ่งกีดขวางสัญญาณ GPS แต่ก็ยังมีความคาดเคลื่อนที่อยู่ในเกณฑ์ยอมรับได้ และมีการออกแบบวนลูปที่มีการตรวจสอบ error ในการปรับทิศทางอัตโนมัติ ทำให้รถไปยังจุดหมายปลายทางได้โดยที่เราไม่ต้องควบคุมเอง

6.กิตติกรรมประกาศ

ข้าพเจ้าขอแสดงความขอบคุณอย่างสูงต่ออาจารย์ที่ปรึกษา อาจารย์สุรชาติ เหล็กงาม สำหรับคำแนะนำและการสนับสนุนอย่างเต็มที่ตลอดระยะเวลาการดำเนินโครงการวิจัยนี้ การชี้แนะแนวทาง การให้คำปรึกษาด้านวิชาการ และการแบ่งปันความรู้เชิงลึกของท่านทำให้ข้าพเจ้าสามารถทำโครงการนี้ได้สำเร็จลุล่วงตามเป้าหมาย

ขอขอบคุณทางภาควิชาวิศวกรรมไฟฟ้าคณะวิศวกรรมศาสตร์ มหาวิทยาลัยบูรพา ที่ให้การสนับสนุนด้านทรัพยากรและสถานที่ในการทำงาน รวมถึงบุคลากรทุกท่านที่ให้ความช่วยเหลือในทุกขั้นตอนของการดำเนินโครงการ

เอกสารอ้างอิง

[1] สุรีย์พร จันทร์แสง (2565) , “การประยุกต์ใช้ MPU9250 ในการวัดทิศทางของหุ่นยนต์เคลื่อนที่” วิทยานิพนธ์วิศวกรรมศาสตรมหาบัณฑิต, มหาวิทยาลัยเทคโนโลยีพระจอมเกล้าธนบุรี

[2] ศุภฤกษ์ นิลวงศ์ (2563), “การพัฒนารถบังคับด้วย ESP32 เพื่อการนำทางตามพิกัด GPS แบบอัตโนมัติ” งานวิจัยคณะวิศวกรรมศาสตร์, มหาวิทยาลัยเชียงใหม่.

[3] P.Zandbergen (2016). Accuracy of iPhone Locations: A Comparison with High-Precision GPS.

[4] Y. Alaba, (2024). “GPS–IMU Sensor Fusion for Reliable Autonomous Vehicle Position Estimation” การผสานข้อมูล GPS โดยใช้ Unscented Kalman Filter เพื่อปรับปรุงความแม่นยำ

ประวัติผู้เขียนบทความ

นางสาวจุฑารัตน์ พิชยาธัญโรจน์
คณะวิศวกรรมศาสตร์ สาขาไฟฟ้า
มหาวิทยาลัยบูรพา

นางสาวรุ่งทิพย์ จันทร์เงิน
คณะวิศวกรรมศาสตร์ สาขาไฟฟ้า
มหาวิทยาลัยบูรพา

สุรชาติ เหล็กงาม
อาจารย์ประจำภาควิชาวิศวกรรมไฟฟ้า
มหาวิทยาลัยบูรพา
งานวิจัยที่สนใจ ระบบอัตโนมัติ

A Sliding Mode Control Approach to Hybrid Manual-Automatic Velocity Regulation for a Raspberry Pi-Based Remote Vehicle

Vorrachit Cheakpimai[1], Nattavit Piamvilai[*1], Suriyotai Supanyapong[1], Nattaphat Thanavittayapaisan[1], and Polatip Thongpet[1]

[1*]Department of Electrical Engineering Technology, College of Industrial Technology,
King Mongkut's University of Technology North Bangkok,
E-mail: nattavit.p@cit.kmutnb.ac.th[*]

Abstract

This paper presents the design and implementation of a remote-controlled vehicle system that combines manual input with autonomous control using a Sliding Mode Control (SMC) algorithm executed on a Raspberry Pi 5 platform. The proposed system integrates throttle, steering, and gear inputs from the user with real-time closed-loop velocity regulation. The control architecture employs encoder-based feedback and layered communication between a Raspberry Pi 5 and Raspberry Pi Pico W, enabling low-latency PWM signal generation and stable actuation. To evaluate system performance, experiments were conducted on a custom-built chassis dynamometer under both no-load and mechanical full load conditions across multiple gear levels. The results demonstrate the SMC algorithm's ability to maintain consistent tracking accuracy, reject disturbances, and bound duty cycle variations within a narrow range. These findings validate the feasibility of applying robust control strategies on low-cost embedded platforms for hybrid manual–automatic vehicular systems.

Keywords: Sliding Mode Control, Raspberry Pi 5, Remote Vehicle, Embedded Control, PWM, Velocity Regulation, Encoder Feedback, Raspberry Pi Pico W

1. Introduction

Reliable control in vehicular systems under uncertain mechanical loads and external disturbances remains a core challenge, particularly in semi-manual settings where users operate the throttle, steering, and gear shifting. Maintaining consistent performance under such hybrid input conditions demands real-time, robust control strategies. a promising approach is SMC, known for its robustness against model uncertainties and external perturbations. By driving system states toward a sliding surface and maintaining them there, SMC achieves fast convergence and strong disturbance rejection. As control platforms integrate manual input with automation, SMC ensures accurate and stable closed-loop control—even with active user interaction.

This paper presents the design and implementation of an SMC-based control system applied to a four-wheel model vehicle, incorporating a discrete gear-shifting mechanism. While users manually operate input devices, the SMC algorithm autonomously adjusts motor speed through real-time PWM duty cycle modulation to maintain target velocity.

System validation was performed using a custom-built chassis dynamometer capable of simulating realistic road conditions. Experiments were conducted at three discrete gear levels—Gear 1 (15 km/h), Gear 2 (30 km/h), and Gear 3 (40 km/h)—under both no-load and load scenarios. Key performance metrics such as motor current and PWM duty cycle were recorded. Results confirm that the proposed control scheme effectively maintains stability and tracking performance under hybrid manual–automatic operation.

2. Methodology

2.1 Overview of the Remote-Controlled Vehicle System with Sliding Mode Control

Figure 1 provides an overview of the system architecture, illustrating the communication and control flow among key modules, including the user interface, central server, Raspberry Pi 5, Raspberry Pi Pico W, encoder, and actuators. It shows how user input is captured and propagated through each layer to enable real-time actuation via closed-loop feedback, ensuring responsiveness and accuracy.

The vehicle operates under a semi-manual framework, where users control the steering wheel, throttle, and gear level. At the same time, the embedded controller computes control actions based on sensor feedback and real-time processing. Each module plays a specific role, the user interface captures input, the server manages communication, the Pi 5 performs computation, the Pico W executes actuation, and the encoder supplies velocity feedback; all modules are interconnected via network and serial communication for synchronized operation.

The process begins with a USB-connected steering wheel on a local computer, which transmits x, y positions and gear selections to the server over a dedicated socket protocol [3]. The server, using a static IP, forwards this data to the Pi 5 via a lightweight socket interface. The Pi 5 calculates speed from encoder pulses and communicates with the Pico W over UART. It then runs the SMC algorithm to compute speed control, steering angle, and PWM duty cycle, which are sent to the Pico W for final actuation. The Pico W sends PWM signals to the DC motor and angle commands to the servo, completing the control loop. This modular setup ensures reliable performance and supports flexible testing of control strategies

*Corresponding Author

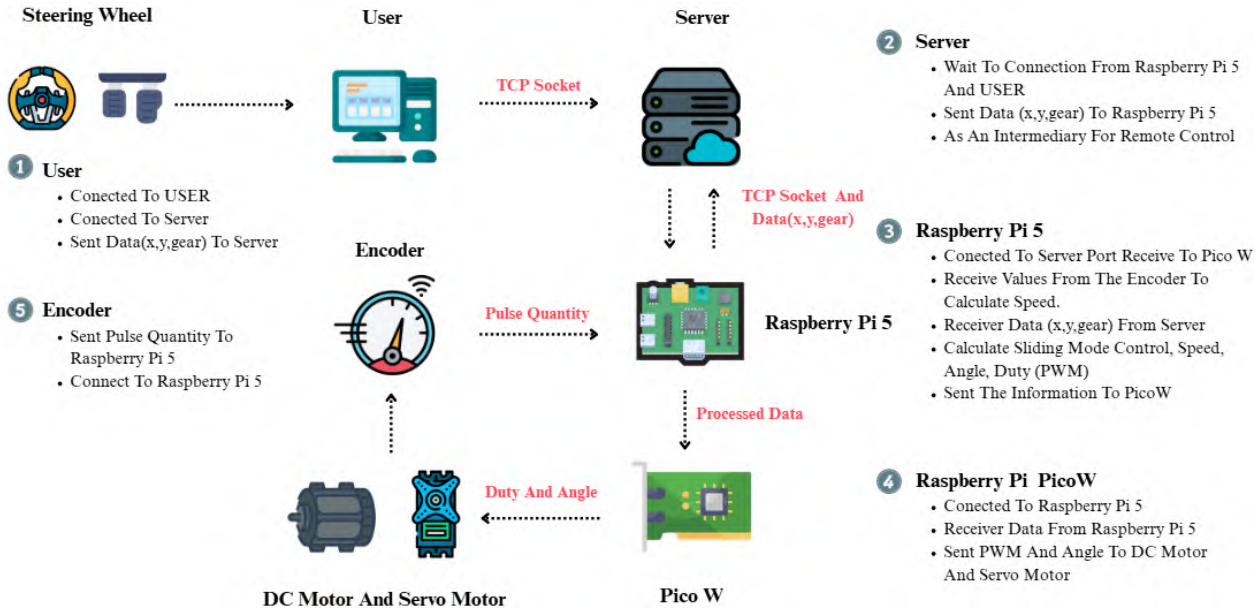

Fig. 1. Overview of the proposed remote-controlled vehicle system architecture, illustrating the data flow from the user's steering wheel, through a central server, to the Raspberry Pi 5 and Pico W for SMC-based motor control.

2.2 Sliding Mode Control (SMC) Methodology

SMC is a nonlinear control strategy that offers robustness against model uncertainties and external disturbances [1]. It is particularly effective for regulating dynamic systems such as mobile vehicles. This study implements SMC on a Raspberry Pi 5 to control vehicle speed under varying load conditions [4-5], using encoder feedback to obtain real-time velocity measurements. The SMC framework consists of three phases sliding surface definition, reaching phase, and sliding phase. The primary control objective is to drive the system state such that the sliding surface s converges to zero and remains there, i.e., $s(t) = 0$, indicating that the system has reached the desired dynamic behavior. As shown in Eq. (1).

$$s(t) = e(t) + \lambda \dot{e}(t) \tag{1}$$

where

$s(t)$ = sliding surface at time t

$e(t)$ = tracking error at time t

$\dot{e}(t)$ = derivative of the tracking error

λ = A positive constant that defines the slope of the sliding surface

During the reaching phase, the control input is designed to drive the system state toward the sliding surface by applying a discontinuous control law, as shown in Eq. (2).

This phase is critical to ensure that the system enters the desired sliding mode in finite time, regardless of initial conditions or external disturbances. The magnitude of the control gain plays a key role in determining how quickly the trajectory converges to the sliding surface, and improper tuning may lead to excessive control effort or slow convergence.

$$u_{smc} = -K \times sgn(s(t)) \tag{2}$$

where

u_{smc} = The corrective PWM signal from the SMC controller

K = positive gain that dictates the intensity of the correction

$sgn(s(t))$ = is the signum function, which returns +1, −1, or 0 based on the sign of $s(t)$

Once the system reaches the sliding surface, it enters the sliding phase, where system dynamics are constrained to follow the linear behavior of the surface. This phase provides SMC with robustness, enabling effective rejection of disturbances and model uncertainties.

However, the discontinuous control law may cause chattering—high-frequency switching that can degrade actuator performance [2], [6-7]. While this study employs the basic signum function, future work may introduce a boundary layer or saturation function to reduce chattering. The resulting control signal is then used to compute a PWM duty cycle transmitted to the motor driver, enabling real-time closed-loop speed control in the vehicle.

2.3 Execution Flowchart of the SMC-Based Control System

Figure 2 shows the flowchart of the SMC-based control system implemented on Raspberry Pi 5 and Raspberry Pi Pico W. The process starts with input data from a central server, including steering wheel positions x, y and gear selection. At the same time, encoder signals from a brushless DC motor are captured to compute the vehicle's real-time speed.

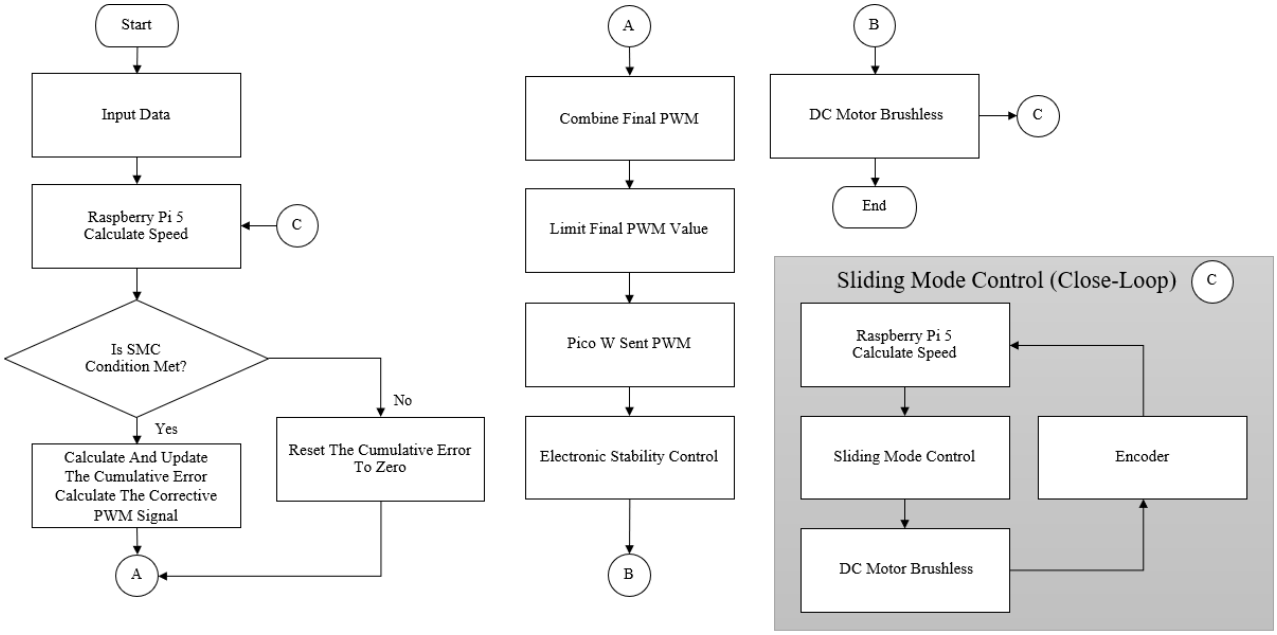

Fig. 2. System flowchart of the SMC-based motor control architecture, showing data acquisition, feedback processing, and PWM signal generation

The system first checks whether the SMC activation condition is met. This condition is triggered when the y-axis throttle value reaches 1.0, If the condition is not satisfied, the cumulative control error is reset to zero and the system operates in open-loop mode. Otherwise, SMC is activated.

The controller begins by calculating the tracking error $e(t)$ as the difference between the target speed v_{target} (set by the user via gear and throttle) and the actual speed v_{actual} as shown in Eq. (3).

$$e(t) = v_{\text{target}} - v_{\text{actual}} \tag{3}$$

where

$e(t)$ = is the tracking error at time t

v_{target} = the desired speed of the vehicle

v_{actual} = the current speed measured in real time

Next, the derivative of the tracking error $\dot{e}(t)$ is computed to capture the rate of change of the error, as shown in Eq. (4).

$$\dot{e}(t) = \frac{e(t) - e(t - \Delta t)}{\Delta t} \tag{4}$$

where

$e(t)$ = is the tracking error at time t

$\dot{e}(t)$ = derivative of the tracking error

Δt = Time elapsed since the previous measurement

These two values, $e(t)$ and $\dot{e}(t)$, are used to form the sliding surface $s(t)$, which governs the switching logic in SMC and is defined as shown in Eq. (1). Based on this surface, the system then applies the SMC control law to compute the corrective control signal u_{smc}, as shown in Eq. (2). This signal ensures robust and stable convergence toward the condition $s(t) = 0$, even in the presence of external disturbances. Finally, the generated u_{smc} is combined with a nominal PWM value from the open-loop path $u_{\text{open_loop}}$ to produce the final control output u_{final}, as shown in Eq. (5),

$$u_{\text{final}} = u_{\text{open_loop}} + u_{\text{smc}} \tag{5}$$

where

u_{final} = the composite PWM signal that incorporates both open-loop and feedback-based control

$u_{\text{open_loop}}$ = the nominal PWM value

u_{smc} = the corrective PWM signal from the SMC controller

Before transmission, u_{final} it is constrained within safe operating bounds and sent via serial communication to the Pico W.

The Pico W forwards the bounded PWM to the motor driver and applies necessary steering corrections. An ESC is integrated to improve dynamic response, enhance speed tracking, and reduce overshooting to compute the real-time velocity used in v_{actual}, the system utilizes feedback from an optical encoder attached to the motor shaft.
The number of pulses pulse_count is measured within a defined sampling interval Δt, allowing the calculation of pulse frequency in hertz, as shown in Eq. (6).

$$\text{pulse_per_sec} = \frac{\text{pulse_count}}{\Delta t} \quad (6)$$

where

pulse_per_sec	=	the number of pulses per second (Hz)
pulse_count	=	the number of pulses counted during time interval
Δt	=	sampling time in seconds

given the number of pulses per wheel revolution pulses_per_rev and the wheel diameter wheel_diameter the linear speed in meters per second is then calculated, as shown in Eq. (7).

$$\text{speed}_{\text{mps}} = \frac{\text{pulse_per_sec}}{\text{pulses_per_rev}} \times \pi \times \text{wheel_diameter} \quad (7)$$

where

$\text{speed}_{\text{mps}}$	=	the speed in meters per second
pulse_per_sec	=	the number of pulses per second (Hz)
pulses_per_ref	=	the number of pulses per full wheel revolution
wheel_diameter	=	the diameter of the wheel in meters

To express this result in kilometers per hour, value is converted using the factor 3.6, as shown in Eq. (8).

$$\text{speed}_{\text{km/h}} = \text{speed}_{\text{mps}} \times 3.6 \quad (8)$$

where

$\text{speed}_{\text{km/h}}$	=	the converted speed in kilometers per hour
$\text{speed}_{\text{mps}}$	=	the speed in meters per second

This computed speed value is then used as the feedback input to the SMC loop on the Raspberry Pi 5, by integrating this real-time velocity measurement with the control law described previously in Eqs. (1)–(5), the system can continuously adjust control efforts to maintain target performance even under dynamic load conditions and external disturbances.

Before transmission, the final PWM output is constrained within safe operating bounds to prevent overdriving the actuators and is sent via serial communication to the Pico W, which forwards the bounded PWM signal to the motor driver and applies steering corrections through the servo motor as needed. An ESC mechanism is also integrated into the system to improve dynamic response, enhance speed tracking precision, and reduce overshooting during rapid transitions. Finally, encoder feedback is continuously routed back to the Pi 5 in real time, completing the high-frequency closed-loop control cycle and ensuring stability throughout operation.

3. Implementation

3.1 Circuit Diagram and Hardware Implementation of the SMC-Based Control System

The complete hardware architecture of the proposed SMC-based control system is illustrated in Fig. 3, which depicts the interaction between the power supply, processing unit, actuator interface, and feedback components. This modular design separates high-level computation from time-sensitive actuation, enhancing system reliability, maintainability, and scalability for embedded vehicular control applications.

At the system's core is a 12 V lithium-ion battery (15,000 mAh, 3 A continuous discharge), which serves as the primary power source. It delivers energy to subsystems through two dedicated buck converters, ensuring appropriate voltage levels and minimizing the risk of overvoltage or current surges. The first converter steps the voltage down to 5 V, supplying power to the Raspberry Pi 5 and the servo motor, both sensitive to fluctuations. The second converter provides a stable 7 V to the ESC, which controls the brushless DC (BLDC) motor. This separation of power domains reduces interference between digital and analogue sections, improving overall stability and safety.

The Raspberry Pi 5 functions as the central control unit. It runs the SMC algorithm, processes encoder signals, and communicates via UART (RX-TX-GND) with a secondary microcontroller—the Raspberry Pi Pico W. To prevent power rail noise, the same 5 V supply does not power the Pico W but instead draws power through the Pi 5's USB port, improving signal integrity and simplifying wiring.

After computing the PWM duty cycle based on control laws and real-time velocity feedback, the Pi 5 sends commands to the Pico W. Acting as the low-level actuator controller, the Pico W generates two outputs: a PWM signal to the ESC for motor speed control, and a servo angle command via GPIO 14. The servo motor shares power and ground with the Pi 5 to ensure synchronized and noise-free operation.

The ESC, powered by 7 V, delivers three-phase outputs (A, B, and C) to the BLDC motor. In parallel, three Hall-effect sensors (Hall A, B, and C) provide rotor position and velocity feedback to the Pi 5, enabling accurate speed estimation and closed-loop control. This feedback ensures the control algorithm adapts precisely to real-time operating conditions.

Overall, the proposed architecture supports robust, real-time embedded control for hybrid manual–automatic vehicle systems using cost-effective and widely available components. The separation of power, computation, and actuation layers enhances system modularity, safety, and flexibility, making the platform well-suited for experimental validation of advanced control strategies.

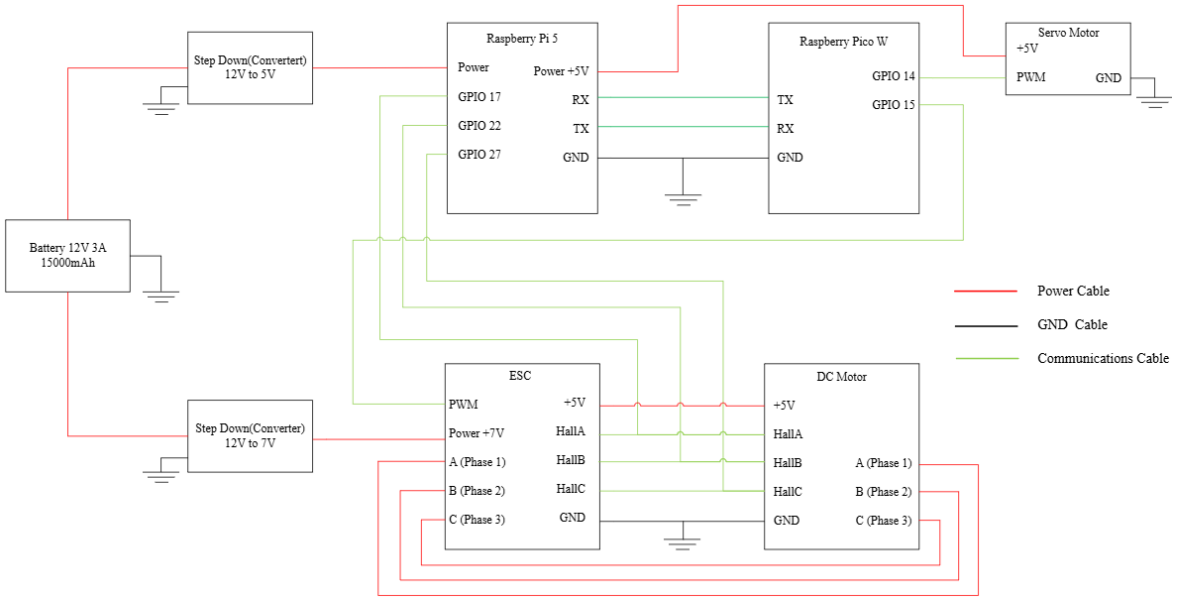

Fig. 3. Circuit diagram of the SMC-based vehicle control system, showing power distribution, communication links, and signal pathways between the main controller, actuator interface, and motor driver.

4. Results and Discussion

4.1 Performance Evaluation of the SMC-Based Control System

To evaluate the performance of the proposed SMC-based control architecture, a series of experiments was conducted using a custom-designed chassis dynamometer capable of replicating realistic road load conditions. Tests were carried out at three discrete gear settings—Gear 1 (15 km/h), Gear 2 (30 km/h), and Gear 3 (40 km/h)—under two test conditions: no-load, where the vehicle wheels rotate freely without contact with the ground, and load, where the vehicle is placed on the dynamometer with applied mechanical resistance to simulate real driving conditions.

The primary performance metrics recorded were the average PWM duty cycle (%) and current draw (A), representing control effort and energy consumption, respectively. Fig. 4. as shows in the box plot comparing current draw across the three gears under both no-load and load conditions. It is evident that the current consumption remains low and highly stable in all gear levels under no-load. In contrast, the load condition significantly increases, especially in higher gears. Notably, Gear 3 under load reaches peak current values exceeding 3.3 A, indicating increased torque demand and mechanical stress.

Fig. 5. as shown in the box plot for the PWM duty cycle. Despite the added load and speed variation, the PWM values remain tightly bound across all gears, demonstrating the SMC controller's ability to preserve control stability, reject disturbances, and prevent overshooting.

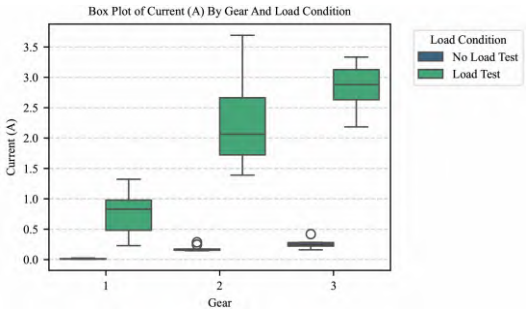

Fig. 4. Box plot of motor current (A) across three gear levels under load and no-load conditions. Load simulates driving resistance; no-load allows free wheel rotation.

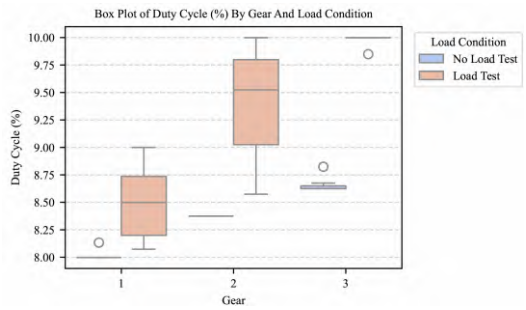

Fig. 5. Box plot of PWM duty cycle across gear levels. SMC maintains tight bounds under load and no-load conditions.

Under the no-load condition shown in Table 1, the system maintained low and consistent duty cycle values with minimal current draw. For instance, Gear 1 recorded an average duty cycle of 8.010 % and a current of only 0.011 A, whereas Gear 3 slightly increased to 0.267 A due to higher target speed. The small variation in duty cycle reflects precise control performance when external torque is negligible.

Table 1. Experimental results under no-load condition. The SMC performance demonstrates stable duty cycles with minimal current draw across all gears.

No load				
Gear	**Avg Duty Cycle (%)**		**Avg Current(A)**	
1	8.010 %		0.011 A	
2	8.374 %		0.159 A	
3	8.646 %		0.267 A	
	Duty Cycle (%)		**Current(A)**	
Gear	**Max**	**Min**	**Max**	**Min**
1	8.133 %	7.998 %	0.025 A	0.006 A
2	8.374 %	8.374 %	0.172 A	0.146 A
3	8.824 %	8.624 %	0.149 A	0.211 A

Under the load condition shown in Table 2, the system required significantly more control effort. Gear 3 recorded the highest average current of 2.869 A, along with a duty cycle of 9.985 %. However, even in this scenario, the duty cycle remained within a narrow operating range (9.999 % max, 9.849 % min), confirming the robustness of the SMC algorithm in rejecting disturbances and maintaining target velocity.

Table 2. Experimental results under load condition. Increased current reflects higher torque demand, while duty cycles remain tightly bounded, confirming control stability.

Load				
Gear	**Avg Duty Cycle (%)**		**Avg Current(A)**	
1	8.279 %		0.793 A	
2	9.178 %		2.077 A	
3	9.985 %		2.869 A	
	Duty Cycle (%)		**Current(A)**	
Gear	**Max**	**Min**	**Max**	**Min**
1	9 %	7.998 %	1.322 A	0.228 A
2	9.799 %	8.574 %	3.692 A	1.390 A
3	9.999 %	9.849 %	3.334 A	2.185 A

These findings confirm the effectiveness of the SMC scheme in regulating vehicle speed under dynamic and resistive environments. The controller compensates for load-induced variations while maintaining bounded actuation, which helps reduce system stress and enhances long-term reliability. Performance consistency across gear levels supports the suitability of this control approach in hybrid manual–automatic vehicle systems requiring real-time feedback control.

5. Conclusion

This paper presented the design and implementation of a robust SMC-based control system for a remote-controlled vehicle using Raspberry Pi 5 and Pico W. The system combines manual throttle, steering, and gear input with automated speed regulation through a real-time feedback loop driven by encoder data. To ensure precision and operational stability, a structured and modular hardware architecture—featuring independent power regulation, UART-based communication, and closed-loop motor control—was developed.

Experimental validation was done using a chassis dynamometer under no-load and loaded conditions. The results confirmed that the SMC algorithm effectively maintained target speeds while compensating for mechanical disturbances. The PWM duty cycles remained tightly bound, and current responses were stable across all gear levels, demonstrating robustness and control accuracy.

Overall, the findings demonstrate the feasibility of deploying sliding mode control on low-cost embedded platforms for hybrid manual–automatic vehicle systems. As future work, the system can be enhanced by incorporating wireless control input, adaptive gain tuning, and replacing the basic signum function with a boundary layer or saturation function to reduce chattering. These improvements could increase energy efficiency and adaptability under more complex or time-varying load conditions.

Reference

[1] L. G. Wu, J. Liu, S. Vázquez, and S. K. Mazumder, “Sliding mode control in power converters and drives: A review,” *IEEE/CAA J. Automatica Sinica*, vol. 9, no. 3, pp. 392–406, Mar. 2022.

[2] X. Xiong, S. Kamal, and S. Jin, “Adaptive gains to super-twisting technique for sliding mode design,” presented at *IEEE Conference* (arXiv preprint), May 2018.

[3] H. Yajima and K. Takami, “Inter-Vehicle Communication Protocol Design for a Yielding Decision at an Unsignalized Intersection and Evaluation of the Protocol Using Radio Control Cars Equipped with Raspberry Pi,” *Computers*, vol. 8, no. 1, Art. 16, 2019.

[4] X. Wang, “Field oriented sliding mode control of surface-mounted hybrid electric vehicles under automotive dynamometer load testing,” *Proc. IEEE Veh. Tech. Conf.*, 2018.

[5] R. Singh *et al.*, “MRAS-based Integral Sliding Mode Control of Electric Vehicles under Speed and Load Torque Fluctuations,” in *Proc. IEEE PEDES*, Dec. 2022.

[6] K. Rsetam *et al.*, “GPIO-based continuous sliding mode control for networked control systems under communication delays with experiments on servo motors,” *IEEE/CAA J. Autom. Sinica*, vol. 12, no. 1, pp. 99–113, Jan. 2025.

[7] T. Nayl, “Design and experimental evaluation of a novel sliding mode control scheme for articulated vehicle,” *Mechatronics*, 2018.

การปรับแต่งตัวควบคุมทีไอดีเออย่างเหมาะสมด้วยการหาค่าเหมาะที่สุดแบบแบบค้างคาว

Optimal Tuning of TIDA Controller by Bat Optimization

ชนิดา แก้วเพชร[1] สัตถาภูมิ ไทยพานิช[1] บารมี โอสธีรกุล[1] ชาญณรงค์ อ่างทอง[2] และ ดนุพล คำปัญญา[2]*

[1]สาขาวิชาระบบสารสนเทศและคอมพิวเตอร์ธุรกิจ คณะบริหารธุรกิจและเทคโนโลยีสารสนเทศ มหาวิทยาลัยเทคโนโลยีราชมงคลสุวรรณภูมิ
chanida.k@rmutsb.ac.th sattarpoom.t@rmutsb.ac.th baramee.o@rmutsb.ac.th
[2]สาขาวิชาวิศวกรรมไฟฟ้า คณะวิศวกรรมศาสตร์และสถาปัตยกรรมศาสตร์ มหาวิทยาลัยเทคโนโลยีราชมงคลสุวรรณภูมิ
channarong.at.tae@gmail.com danupon.k@rmutsb.ac.th*

บทคัดย่อ

หนึ่งในรุ่นที่ถูกดัดแปรของตัวควบคุมพีไอดีเอ คือ ตัวควบคุมทีไอดีเอ ที่ประกอบไปด้วยค่าพารามิเตอร์ จำนวน 5 ตัว คือ อัตราขยายเชิงเอียง อันดับของปริพันธ์เชิงเอียงแบบเศษส่วน อัตราขยายเชิงปริพันธ์ อัตราขยายเชิงอนุพันธ์ และอัตราขยายเชิงความเร่ง ในบทความนี้ นำเสนอการปรับแต่งตัวควบคุมทีไอดีเออย่างเหมาะสมด้วยการหาค่าเหมาะที่สุดแบบค้างคาว หนึ่งในวิธีการค้นหาค่าเหมาะที่สุดแบบเมตา-ฮิวริสติกที่ทรงประสิทธิภาพ ค่าความคลาดเคลื่อนเกิดขึ้นระหว่างสัญญาณอินพุตอ้างอิงและสัญญาณเอาต์พุตของระบบกำหนดเป็นฟังก์ชันวัตถุประสงค์ที่ทำให้น้อยที่สุด จากผลที่ได้รับพบว่า ตัวควบคุมทีไอดีเอที่ถูกปรับแต่งด้วยการหาค่าเหมาะที่สุดแบบค้างคาวจะให้ผลตอบสนองที่ดีกว่าเมื่อเปรียบเทียบกับผลตอบสนองของตัวควบคุมทีไอดีที่ถูกปรับแต่งด้วยการหาค่าเหมาะที่สุดแบบค้างคาว ดังรายละเอียดจะได้กล่าวถึงและแสดงไว้ในบทความนี้

คำสำคัญ: ตัวควบคุมทีไอดีเอ ตัวควบคุมทีไอดี การหาค่าเหมาะที่สุดแบบค้างคาว การหาค่าเหมาะที่สุดแบบเมตา-ฮิวริสติก

Abstract

One of modified versions of the PIDA controller is the TIDA controller. It consists of five parameters, i.e. the tilt gain, order of fractional tilt integral, the integral gain, the derivative gain and the accelerated gain. In this paper, an optimal tuning of TIDA controller by bat optimization (BO) is proposed. The BO is one of the powerful meta-heuristic optimization search methods. The sum squared errors (SSE) between reference input signal and output signal is performed to minimize the objective function (F). As the results, it was found that the TIDA controller designed by the BO can provides better responses once compared to that with the TID controller designed by the BO, of which the details are discussed and shown in the paper.

Keywords: TIDA Controller, TID Controller, Bat Optimization, Meta-heuristic Optimization

1. บทนำ

ตัวควบคุมทีไอดี (Tilt-Integral-Derivative Controller หรือ TID) [1] ถูกนำเสนอครั้งแรกโดย B. J. Lurie ในปี ค.ศ. 1994 ซึ่งจัดอยู่ในชนิดของตัวควบคุมพีไอดีอันดับเชิงเศษส่วน (Fractional-order PID หรือ FOPID) [2] ตัวควบคุม TID จะประกอบไปด้วยองค์ประกอบของที (T) หรือองค์ประกอบเชิงเอียง (Tilt) องค์ประกอบของไอ (I) และองค์ประกอบของดี (D) ในองค์ประกอบของ T จะมีค่าระหว่าง P และ I ที่สามารถปรับให้เอียงไปด้านใดด้านหนึ่งได้ด้วยอันดับของเลขยกกำลังเชิงเศษส่วน (Order of Fractional) จากวรรณกรรมที่ผ่านมา ตัวควบคุม TID ได้รับการยอมรับว่าให้ประสิทธิภาพที่ดีกว่าตัวควบคุมพีไอดีอันดับจำนวนเต็ม (Integer-order PID หรือ IOPID) [3]

ในปี ค.ศ. 1996 S. Jung และ R. C. Dorf [4] ได้นำเสนอตัวควบคุมแบบพีไอดีเอ (Proportional-Integral-Derivative-Accelerated หรือ PIDA) ตัวควบคุม PIDA มีซีโร (Zero) 3 ตัว และมีโพล (Pole) 1 ตัว ที่จุดกำเนิด ซึ่งจะให้ผลตอบสนองเรียบและรวดเร็วสำหรับพลานต์ (Plant) อันดับสูงกว่าตัวควบคุม PID นอกจากนี้ เทคนิคการค้นหาค่าเหมาะที่สุดแนวใหม่ [5] ที่เรียกว่า “เมตา-ฮิวริสติก” ถูกใช้ในการปรับแต่งตัวควบคุม PIDA เช่น ตัวควบคุม PIDA ที่ถูกออกแบบด้วยอัลกอริทึมเชิงพันธุกรรม (Genetic Algorithm หรือ GA) และการหาค่าเหมาะที่สุดแบบฝูงอนุภาค (Particle Swarm Optimization หรือ PSO) เป็นต้น

ในบรรดาเมตา-ฮิวริสติก ที่นิยมใช้ในปัจจุบัน การหาค่าเหมาะที่สุดแบบค้างคาว (Bat Optimization หรือ BO) [6] ถูกนำเสนอในครั้งแรกโดย X. S. Yang ในปี ค.ศ. 2010 จากพฤติกรรมการปล่อยคลื่นเสียงความถี่สูงของค้างคาว (Sonar of Bat) เพื่อระบุตำแหน่งด้วยเสียงสะท้อน (Echolocation) ซึ่งยอมรับว่าเป็นการหาค่าเหมาะที่สุดแบบเมตา-ฮิวริสติกที่ทรงประสิทธิภาพ [7] ที่ได้รับความนิยมมากในปัจจุบัน

บทความนี้ จึงนำเสนอการปรับแต่งตัวควบคุม TIDA อย่างเหมาะสมด้วย BO ที่ประกอบไปด้วยค่าพารามิเตอร์ จำนวน 5 ตัว คือ อัตราขยายเชิงเอียง (Tilt Gain: K_t) อันดับของปริพันธ์เชิงเอียงแบบเศษส่วน (Order of Fractional Tilt Integral: n) อัตราขยายเชิงปริพันธ์ (Integral Gain: K_i) อัตราขยายเชิงอนุพันธ์ (Derivative Gain: K_d) และอัตราขยายเชิงความเร่ง (Accelerated Gain: K_a) สำหรับแบบจำลองของมอเตอร์ DC ที่มีฟังก์ชันถ่ายโอนเป็นพลานต์อันดับ 4 [8] เปรียบเทียบกับตัวควบคุม TID

*ผู้ประพันธ์บรรณกิจ

2. การหาค่าเหมาะที่สุดแบบค้างคาว

ตามที่นำเสนอโดย X. S. Yang [6] อัลกอริทึมของ BO จะขึ้นอยู่กับกฎ 3 ข้อ ดังต่อไปนี้ 1) ค้างคาวทุกตัวใช้เสียงสะท้อน (Echolocation) ที่มีความถี่สูง (Sonar) เพื่อรับรู้ระยะทางและมันยังสามารถรู้ความแตกต่างระหว่างอาหาร (หรือเหยื่อ) และพื้นหลังที่มีสิ่งกีดขวางด้วยวิธีที่น่าอัศจรรย์ 2) ค้างคาวบินแบบสุ่มด้วยความเร็ว v_i ที่ตำแหน่ง x_i โดยมีความถี่ $f_{\max}$ ความยาวคลื่น λ และความดัง A_0 ที่แตกต่างกันเพื่อค้นหาเหยื่อ และมันสามารถปรับความยาวคลื่น (หรือความถี่) ของพัลส์ที่ปล่อยออกมาได้โดยอัตโนมัติ และปรับอัตราการปล่อยพัลส์ (Pulse Emission หรือ r) โดยที่ $r \in [0,1]$ ตามระยะห่างของเป้าหมาย และ 3) ความดังจะเปลี่ยนแปลงได้หลายวิธี แต่สันนิษฐานว่าความดังจะเปลี่ยนแปลงตั้งแต่ A_0 ที่มีค่ามาก (เป็นบวก) ไปจนถึงค่าคงที่ต่ำสุด $A_{\min}$ โดยที่ ความดังจะลดลง เมื่อมันบินเข้าใกล้เหยื่อเพิ่มขึ้น อัลกอริทึมของ BO สามารถแสดงได้ด้วยรหัสลำลอง (Pseudo Code) ดังรูปที่ 1 เมื่อ TC คือ เกณฑ์ยุติการค้นหา

Initialized:
- Objective function $f(x)$, $x = (x_1, \ldots, x_d)^T$
- Initialize the bat population $x_i = (i = 1, 2, \ldots, n)$ and v_i
- Define pulse frequency f_i at x_i
- Initialize pulse rate r_i and the loudness A_i

while $(t < Max_Gen)$ or (Termination Criteria: TC)
- Generate new solutions by adjusting frequency
- Update velocities and locations/solutions by using (1) - (3)
  if $(rand > r_i)$
  - Select as solution among the best solutions
  - Generate a local solution around the selected best solution

  else if
  - Generate a new solution by flying randomly

  if $(rand < A_i \,\&\, f(x_i) < f(x_*))$
  - Accept the new solutions
  - Increase r_i and reduce A_i

  end if
- Rank the bats and find the current best x_*

End while
Report the best solution found

รูปที่ 1 รหัสลำลองแสดงอัลกอริทึมของ BO [6]

ค้างคาวแต่ละตัวจะมีความสัมพันธ์กับความเร็ว v_i^t และตำแหน่ง x_i^t ที่รอบการทำซ้ำ t ในปริภูมิการค้นหา d มิติ ในจำนวนของค้างคาวทั้งหมด x_* คือ ผลเฉลยที่ดีที่สุดในรอบปัจจุบัน ดังนั้น จากกฎ 3 ข้อ สามารถปรับปรุงตำแหน่ง x_i^t และความเร็ว v_i^t ในสมการที่ (1) ถึง (3)

$$f_i = f_{\min} + \beta(f_{\max} - f_{\min}) \quad (1)$$

$$v_i^t = v_i^{t-1} + f_i(x_i^{t-1} - x_*) \quad (2)$$

$$x_i^t = x_i^{t-1} + v_i^t \quad (3)$$

เมื่อ $\beta \in [0,1]$ คือ เวกเตอร์การสุ่มจากการแจกแจงแบบปกติ (Uniform Distribution) ในค้างคาวแต่ละตัวจะถูกกำหนดความถี่แบบสุ่มซึ่งมาจากการสุ่ม $[f_{\min}, f_{\max}]$ อย่างสม่ำเสมอ ที่ระยะเวลาของการทำซ้ำ ความดัง A_i และอัตราพัลส์ r_i จะถูกปรับตามสมการที่ (4) เพื่อสร้างความสมดุลการสำรวจและการแสวงหาประโยชน์ สำหรับ $0 < \alpha < 1$ และ $\gamma > 0$ พบว่า ความดัง $(A_i^t \to 0)$ และอัตราพัลส์ $(r_i^t \to r_i^0)$ เมื่อ $(t \to \infty)$ โดยที่ X. S. Yang กำหนดให้ค่า $\alpha = \gamma \in [0.9, 0.98]$ [6–7]

$$A_i^{t+1} = \alpha A_i^t, \quad r_i^{t+1} = r_i^0(1 - e^{(-\gamma t)}) \quad (4)$$

ในเริ่มต้น ผู้ใช้งานสามารถปรับค่าพารามิเตอร์ของ BO ได้ตามความเหมาะสมจากคำแนะนำของ X. S. Yang [6] โดยให้จำนวนของค้างคาว $n = 20$ ถึง 50 ตัว ความถี่ $f_{\min} = 0.0$ และ $f_{\max} = 2.0$ ความดังของเสียง $A_0 = 0.5$ อัตราปล่อยพัลส์ $r_0 = 0.5$ และ $\alpha = \gamma = 0.9$

3. ระบบควบคุม TIDA

ตัวควบคุม TID [1] ประกอบด้วยค่าพารามิเตอร์ จำนวน 4 ตัว คือ K_t เป็นอัตราขยายเชิงเอียง K_i เป็นอัตราขยายเชิงปริพันธ์ K_d เป็นอัตราขยายเชิงอนุพันธ์ และ n เป็นอันดับของปริพันธ์เชิงเอียงแบบเศษส่วน โดยที่ $n > 0$ ซึ่งหมายความว่า ถ้า $n = 1$ องค์ประกอบ T จะมีสมการทางคณิตศาสตร์เป็น I ในขณะที่ ถ้า $n >> 1$ หรือ $n \to \infty$ องค์ประกอบ T จะมีสมการทางคณิตศาสตร์เป็น P แสดงได้ดังสมการที่ (5)

$$G_c(s)\big|_{TID} = \frac{K_d s^{2+(1/n)} + K_i s^{(1/n)} + K_t s}{s^{1+(1/n)}}, (n > 0) \quad (5)$$

และตัวควบคุม TIDA ประกอบด้วยค่าพารามิเตอร์ จำนวน 5 ตัว คือ K_t เป็นอัตราขยายเชิงเอียง K_i เป็นอัตราขยายเชิงปริพันธ์ K_d เป็นอัตราขยายเชิงอนุพันธ์ K_a เป็นอัตราขยายเชิงความเร่ง และ n เป็นอันดับของปริพันธ์เชิงเอียงแบบเศษส่วนแสดงได้ดังสมการที่ (6)

$$G_c(s)\big|_{TIDA} = \frac{K_a s^{3+(1/n)} + K_d s^{2+(1/n)} + K_i s^{(1/n)} + K_t s}{s^{1+(1/n)}}, (n > 0) \quad (6)$$

3.1 โครงสร้างของระบบควบคุม TIDA

ระบบควบคุม TIDA มีโครงสร้างดังรูปที่ 2 ตัวควบคุม $G_c(s)$ รับสัญญาณค่าความคลาดเคลื่อน $E(s)$ สร้างเป็นสัญญาณควบคุม $U(s)$ ส่งไปควบคุมทางเอาต์พุต $C(s)$ ของพลานต์ $G_p(s)$ ในขณะที่ $R(s)$ คือ อินพุตอ้างอิง และ $D(s)$ คือ การรบกวนจากภายนอก

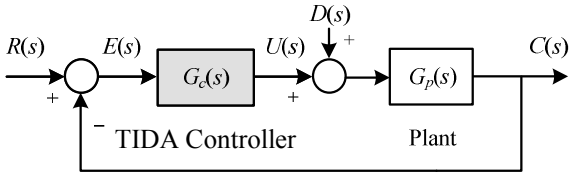

รูปที่ 2 โครงสร้างของระบบควบคุม TIDA

จากสมการที่ (6) ตัวควบคุม $G_c(s)$ ที่ปรากฏอยู่ในวิถีป้อนไปหน้า (Feedforward Path) ต่ออันดับกับพลานต์ $G_p(s)$ ฟังก์ชันถ่ายโอนวงปิด $C(s)/R(s)$ ของระบบควบคุม TIDA แสดงได้ดังสมการที่ (7)

$$\frac{C(s)}{R(s)} = \frac{\left(\frac{K_a s^{3+(1/n)} + K_d s^{2+(1/n)} + K_i s^{(1/n)} + K_t s}{s^{1+(1/n)}}\right) G_p(s)}{1 + \left(\frac{K_a s^{3+(1/n)} + K_d s^{2+(1/n)} + K_i s^{(1/n)} + K_t s}{s^{1+(1/n)}}\right) G_p(s)} \quad (7)$$

โดยที่ พลานต์ $G_p(s)$ ในสมการที่ (7) เป็นแบบจำลองมอเตอร์ DC ที่มีฟังก์ชันถ่ายโอนเป็นพลานต์อันดับ 4 [8] แสดงได้ดังสมการที่ (8)

$$G_p(s) = \frac{0.0351}{8.56\times10^{-10}s^4 + 2.45\times10^{-6}s^3 + 7.98\times10^{-4}s^2 + 0.011s} \quad (8)$$

3.2 การปรับแต่งตัวควบคุม TIDA

การปรับแต่งตัวควบคุม TIDA ด้วย BO สำหรับการควบคุมความเร็วของมอเตอร์ DC แสดงได้ดังรูปที่ 3 เพื่อประเมินสมรรถนะของตัวควบคุม TIDA ค่าความคลาดเคลื่อนกำลังสอง (Sum-squared Error หรือ SSE) หาได้จากผลรวมของค่าความคลาดเคลื่อนที่เกิดขึ้นระหว่างสัญญาณอินพุตอ้างอิง $R(s)$ และสัญญาณเอาต์พุต $C(s)$ ของระบบกำหนดให้เป็นฟังก์ชันวัตถุประสงค์ F แสดงได้ดังสมการที่ (9) โดยที่ ค่า F จะถูกป้อนให้กับ BO เพื่อทำให้มีค่าน้อยที่สุด ในการหาค่าพารามิเตอร์ จำนวน 5 ตัวของตัวควบคุม TIDA กำหนดให้สอดคล้องกับเงื่อนไขของสมการที่ (10) โดยที่ M_p คือ ค่าพุ่งเกินสูงสุด (Maximum Overshoot) และ e_{ss} คือ ค่าความคลาดเคลื่อนที่สถานะอยู่ตัว (Steady-state Error)

$$F\big|_{SSE} = \sum_{i=1}^{n}\left[r(i)-c(i)\right]^2 \qquad (9)$$

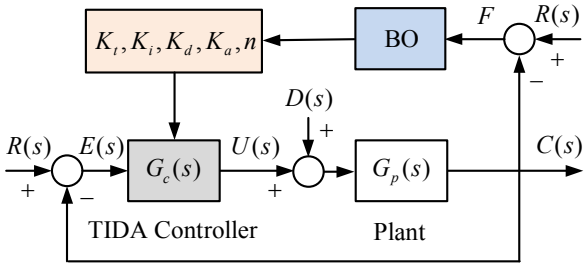

รูปที่ 3 โครงสร้างของระบบควบคุม TIDA ด้วย BO

$$K_t \in [0,200], K_i \in [0,20], K_d \in [0,10], K_a \in [0,1], n \in [0,12] \qquad (10)$$

และจากรูปที่ 3 สามารถจำลองการทำงานของระบบควบคุม TIDA สำหรับการควบคุมตำแหน่ง (Position Control) และความเร็วโรเตอร์ (Rotor Speed) สำหรับมอเตอร์ DC ด้วย BO โดยอาศัยกล่องเครื่องมือ FOMCON [9–10] ที่บรรจุอยู่ภายในโปรแกรม MATLAB/SIMULINK [11]

4. การทดสอบและการอภิปรายผล

การปรับแต่งตัวควบคุม TIDA สำหรับแบบจำลองมอเตอร์ DC อัลกอริทึมของ BO ถูกพัฒนาเป็นโปรแกรมการค้นหาด้วย MATLAB ค่าพารามิเตอร์ของ BO จะถูกกำหนดให้มีค่าเหมาะที่สุด จากการทดสอบเบื้องต้นกระทำได้ดังนี้ จำนวนของค้างคาว $n = 30$ ความถี่ $f_{\min} = 0.0$ และ $f_{\max} = 2.0$ ความดังของเสียง $A_0 = 0.5$ อัตราการปล่อยพัลส์ $r_0 = 0.5$ และ $\alpha = \gamma = 0.9$ จำนวนรอบสูงสุด (*Max_Gen*) = 1000 ซึ่งจะกำหนดให้เป็นเกณฑ์ยุติการค้นหา (Termination Criteria หรือ TC) ในการกำหนดขอบเขตของค่าพารามิเตอร์ตัวควบคุม TIDA จะกำหนดให้สอดคล้องกับปริภูมิการค้นหา (Search Space) ดังแสดงในสมการที่ (10) หลังจากยุติการค้นหาด้วยวิธี BO พบว่า ค่า F จำนวนทั้งหมด 5 ตัวอย่าง มีเพียงตัวอย่างเดียว ที่มีค่าน้อยที่สุด ที่ลดลงจาก 3.7221 ในรอบที่ 1 จนถึง 3.0632 ในรอบการค้นหาที่ 22 จากนั้น BO ได้ดำเนินการค้นหาจนถึง 80 รอบ ซึ่งจะสังเกตได้ว่า จากรอบการค้นหาที่ 22 ไปจนถึงรอบการค้นหาที่ 80 ค่า F จะคงค่าอยู่ที่ 3.0632 นั่นคือ ผลเฉลยที่ดีที่สุดได้รับการค้นพบด้วย BO เรียบร้อยแล้ว แสดงได้ดังรูปที่ 4

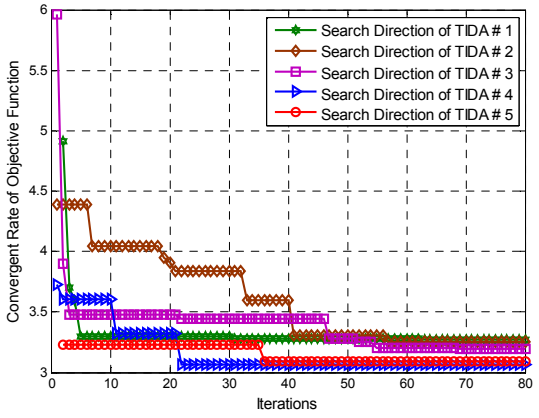

รูปที่ 4 การลู่เข้าหาผลเฉลยของตัวควบคุม TIDA

เปรียบเทียบระบบควบคุม TIDA กับ TID ที่ขอบเขตการค้นหาเดียวกัน หลังจากยุติการค้นหาด้วย BO ได้ค่าพารามิเตอร์ของตัวควบคุม แสดงได้ดังตารางที่ 1 สมรรถนะของระบบควบคุม แสดงได้ดังตารางที่ 2 และผลตอบสนองของระบบควบคุม แสดงได้ดังรูปที่ 5 ตามลำดับ

ตารางที่ 1 ค่าพารามิเตอร์ของตัวควบคุม

Method	Parameters				
	n	K_t	K_i	K_d	K_a
TID	8.8750	100.3489	12.0230	4.9278	–
TIDA	10.9468	180.9739	10.1790	9.0489	0.0146

ตารางที่ 2 สมรรถนะของระบบควบคุม

Method	System Responses			
	t_r(sec.)	M_p(%)	t_s(sec.)	e_{ss}(%)
TID	0.0099	10.60	0.0194	0.00
TIDA	0.0065	4.72	0.0106	0.00

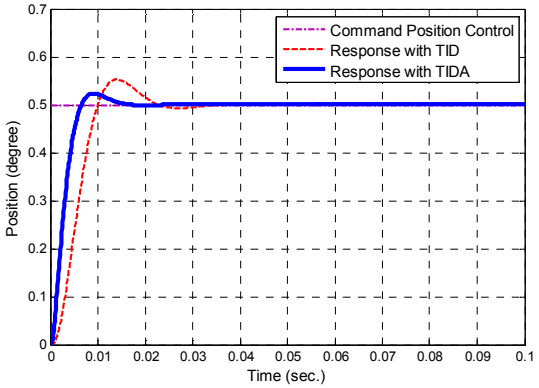

รูปที่ 5 ผลตอบสนองของระบบควบคุม

จากตารางที่ 1 พบว่า BO หาค่าพารามิเตอร์ของตัวควบคุม TIDA และ TID ได้อย่างเหมาะสม และจากตารางที่ 2 พบว่า ระบบควบคุม TIDA ให้ผลตอบสนองของระบบควบคุม มีช่วงเวลาขึ้น t_r มีช่วงเวลาเข้าที่ t_s และมีค่าพุ่งเกินสูงสุด M_p น้อยกว่าระบบควบคุม TID โดยไม่มีค่าความคลาดเคลื่อนที่สถานะอยู่ตัว e_{ss} ผลตอบสนองของการควบคุมตำแหน่งและความเร็วโรเตอร์ของมอเตอร์ DC แสดงได้ดังรูปที่ 6

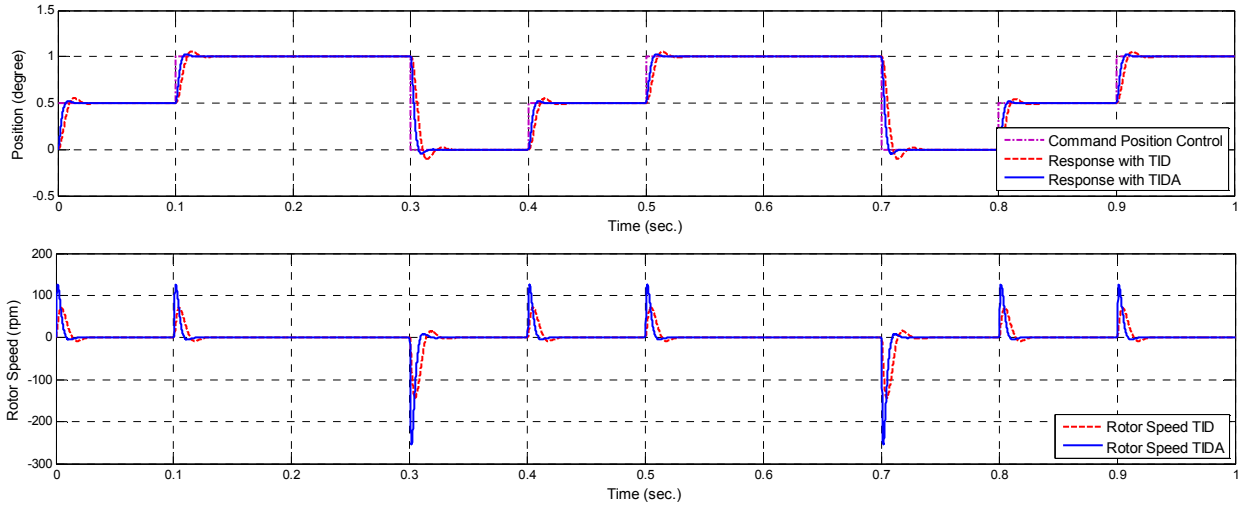

รูปที่ 6 ผลตอบสนองของการควบคุมตำแหน่งและความเร็วโรเตอร์ของมอเตอร์ DC

จากรูปที่ 6 พบว่า ระบบควบคุม TIDA ด้วย BO สำหรับมอเตอร์ DC จะให้ผลตอบสนองของการควบคุมตำแหน่งของมอเตอร์ DC คือ เพิ่มขึ้นจาก 0 องศา ไปเป็น 0.5 องศา และเพิ่มขึ้นจาก 0.5 องศา ไปเป็น 1 องศา จากนั้น ลดลงจาก 1 องศา ไปเป็น 0 องศา ระบบควบคุม TIDA สามารถปรับได้ตามตำแหน่งที่กำหนด โดยให้ผลตอบสนองของความเร็วโรเตอร์ของมอเตอร์ DC เร็วกว่าระบบควบคุม TID อย่างมีประสิทธิภาพ

5. สรุป

การปรับแต่งตัวควบคุม TIDA อย่างเหมาะสมด้วย BO ที่ได้นำเสนอในบทความนี้ พบว่า วิธีของ BO สามารถหาค่าพารามิเตอร์ จำนวน 5 ตัว ได้อย่างเหมาะสม โดยให้ผลตอบสนองของระบบควบคุม มีช่วงเวลาขึ้น t_r มีช่วงเวลาเข้าที่ t_s และมีค่าพุ่งเกินสูงสุด M_p น้อยกว่าตัวควบคุม TID แสดงให้เห็นว่าระบบควบคุม TIDA ให้สมรรถนะที่ดีกว่าระบบควบคุม TID นอกจากนี้ พบว่า ผลตอบสนองของการควบคุมตำแหน่งของมอเตอร์ DC ระบบควบคุม TIDA สามารถปรับได้ตามตำแหน่งที่กำหนด

เอกสารอ้างอิง

[1] B. J. Lurie, “Three-parameter tunable tilt-integral-derivative (TID) controller,” *United States Patent*. 5-371-670, USA, 1994.

[2] I. Podlubny, “*Fractional-Order Systems and Fractional-Order Controller*,” UEF–03–94, Slovak Academy of Sciences, Kosice, 1994.

[3] A. Mukhtar, P. M. Tiwari, S. Alotaibi, T. Alzahrani, B. Namomsa, and M. Ahmed, “Optimal design of tilt integral derivative controller for a boost converter based on swarm-inspired algorithms,” *Scientific Reports*, pp. 1–21, 2025.

[4] S. Jung and R. C. Dorf, “Analytic PIDA controller design technique for a third order system,” *in Proc. 35th IEEE Conference on Decision and Control*, Kobe, pp. 2513–2518, 1996.

[5] X. S. Yang, Engineering Optimization, An Introduction with Metaheuristic Applications, John Wiley & Sons, 2010.

[6] X. S. Yang, “A new metaheuristic bat-inspired an algorithm,” *in: NICSO 2010* (Eds. J. R. Gonzalez et al.), Springer Berlin, 284, Springer, pp. 65–74, 2010.

[7] X. S. Yang, “Bat algorithm for multi-objective optimization,” *Int. J. Bio-Inspired Computation*, Vol. 3 No. 5, pp. 267–274, 2011.

[8] V. Jambulingam, “Position Control of DC Motor Using PI Controller,” *Inter. Journal of Engineering Development and Research*, vol. 4(2), pp. 1342–1345, 2016.

[9] A. Tepljakov, E. Petlenkov and J. Belikov, “FOMCON: Fractional-Order Modeling and Control Toolbox for MATLAB,” *Proceedings of the 18th International Conference on Mixed Design of Integrated Circuits and Systems*, pp. 684–689, 2011.

[10] A. Tepljakov, E. Petlenkov and J. Belikov, “FOMCON: a MATLAB Toolbox for Fractional-Order Systems Identification and Control,” *International Journal of Micro-electronics and Computer Science*, Vol. 2, No. 2, pp. 51–62, 2011.

[11] MATLAB/SIMULINK User’s Guide, The Math Works Inc., Natick, MA, 1998.

ตัวควบคุมความเร็วรอบสปินเดิลของเครื่องกัดซีเอ็นซี สำหรับรักษาแรงกัดคงที่

Spindle Speed Controller of CNC Milling Machine for Maintaining Constant Cutting Force

อดิศักดิ์ แข็งสาริกิจ[1*], โกวิท พิเภก[1], และ สุธี รุกขพันธุ์[1]
สาขาวิชาวิศวกรรมการวัดคุม คณะวิศวกรรมศาสตร์ มหาวิทยาลัยเทคโนโลยีราชมงคลรัตนโกสินทร์ adisak.kha@rmutr.ac.th[*]

บทคัดย่อ

บทความนี้นำเสนอการออกแบบและพัฒนาตัวควบคุมความเร็วรอบสปินเดิลของเครื่องกัดซีเอ็นซี เพื่อรักษาแรงกัดให้อยู่ในระดับคงที่ โดยอาศัยแบบจำลองทางคณิตศาสตร์ของแรงกัด และใช้ความสัมพันธ์ระหว่างกระแสมอเตอร์แกนกับแรงกัดเป็นสัญญาณป้อนกลับเข้าสู่ตัวควบคุม ความเร็วรอบสปินเดิลถูกปรับเปลี่ยนแบบเรียลไทม์ตามค่าความคลาดเคลื่อนที่เกิดขึ้น การทดลองกัดชิ้นงานเหล็กกล้าเปรียบเทียบแรงกัดจริงกับค่าเป้าหมาย พบว่าตัวควบคุมสามารถรักษาแรงกัดให้อยู่ในค่าที่ต้องการได้อย่างมีประสิทธิภาพ ส่งผลให้อายุการใช้งานของดอกกัดยาวนานขึ้น และมีศักยภาพต่อการประยุกต์ใช้ในงานอุตสาหกรรมจริง

คำสำคัญ: แรงกัด, ความเร็วรอบสปินเดิล, เครื่องกัดซีเอ็นซี, ระบบขับเคลื่อนแกน

Abstract

This paper presents the design and development of a spindle speed controller for CNC milling machines to maintain constant cutting force. A mathematical model of the cutting force was established, and the relationship between the axis motor current and the cutting force was employed as a feedback signal. The spindle speed was adjusted in real time according to the control error. Experimental tests were performed on steel workpieces, comparing the measured cutting force with the target value. The results demonstrated that the proposed controller effectively maintained the cutting force, extended tool life, and showed potential for practical applications in machining processes.

Keywords: Cutting force, Spindle Speed, CNC milling machine, Feed drive system

1. บทนำ

อุตสาหกรรมการผลิตชิ้นส่วนโลหะและการขึ้นรูปโลหะส่วนใหญ่ใช้เครื่องกัดซีเอ็นซี (CNC Milling Machine) เป็นเครื่องจักรหลักในกระบวนการผลิต เนื่องจากสามารถเพิ่มประสิทธิภาพ ลดการสูญเสีย และลดเวลาการผลิตได้อย่างมีนัยสำคัญ อย่างไรก็ตาม เป้าหมายเหล่านี้มักสวนทางกับการสึกหรอของดอกกัด (Tool Life) [1] โดยหากเพิ่มความเร็วตัด (Cutting Speed) [1,2] จะทำให้ดอกกัดสึกหรอเร็วขึ้น ส่งผลให้ความถูกต้องและความแม่นยำของการผลิตลดลง และหากเพิ่มความเร็วมากเกินไป อาจก่อให้เกิดการแตกหักของดอกกัด (Tool Breakage) [1–3] ซึ่งเป็นสาเหตุของการหยุดทำงาน และส่งผลให้ต้นทุนการผลิตสูงขึ้น

แรงกัด (Cutting Force) [1–5] ถือเป็นตัวแปรสำคัญที่สะท้อนทั้งอายุการใช้งานของดอกกัด และคุณภาพผิวของชิ้นงาน หากแรงกัดสูงเกินไปจะทำให้ดอกกัดสึกหรอ หรือแตกหักง่าย ในขณะที่แรงกัดต่ำเกินไปย่อมทำให้ประสิทธิภาพการกัดลดลง ดังนั้นการควบคุมแรงกัดให้อยู่ในระดับเหมาะสม จึงเป็นประเด็นสำคัญของการตัดเฉือนด้วยเครื่องกัดซีเอ็นซี ที่ผ่านมา งานวิจัยจำนวนมากได้เสนอแนวทางการควบคุมแรงกัด [6–8] โดยอาศัยการตรวจวัดด้วยไดนาโมมิเตอร์ (Dynamometer) และป้อนข้อมูลกลับเข้าสู่ตัวควบคุม แม้จะมีความแม่นยำสูง แต่อุปกรณ์ดังกล่าวมีข้อจำกัดด้านราคา ขนาดการติดตั้ง และความไม่ยืดหยุ่นต่อการใช้งานจริงในโรงงานอุตสาหกรรม

จากข้อจำกัดดังกล่าว แนวคิดการออกแบบตัวควบคุมความเร็วรอบสปินเดิล จึงถูกนำมาใช้ โดยอาศัยความสัมพันธ์ระหว่างแรงกัดกับกระแสมอเตอร์ของระบบขับเคลื่อนแกน แทนการใช้ไดนาโมมิเตอร์ ทั้งนี้แรงกัดเป้าหมายจะถูกกำหนดจากคุณสมบัติของวัสดุ ความเร็วป้อน และความเร็วสปินเดิล จากนั้นนำมาเปรียบเทียบกับค่าแรงกัดที่ได้จากกระแสมอเตอร์ เพื่อหาความคลาดเคลื่อน และนำไปคำนวณด้วยกฎการควบคุม ทำให้สามารถปรับความเร็วรอบสปินเดิลแบบเรียลไทม์ ซึ่งผลการทดลองสามารถรักษาแรงกัดให้อยู่ในค่าที่เหมาะสม และส่งผลให้อายุการใช้งานของดอกกัดยาวนานขึ้น

2. แรงกัดเครื่องกัดซีเอ็นซี

2.1 แรงกัด

แรงกัดคือแรงที่เกิดขึ้นจากการตัดเฉือนวัสดุ ด้วยเครื่องมือตัดที่มีหลายฟัน โดยเครื่องมือนั้น หมุนรอบตัวเองในขณะที่ชิ้นงานถูกป้อนผ่านคมตัดของดอกกัด แต่ละคมตัดจะสัมผัสชิ้นงานเป็นช่วง ๆ ทำให้เกิดเศษวัสดุหรือที่เรียกว่าชิป (chip) ซึ่งปริมาณชิปและสภาพการตัดขึ้นอยู่กับพารามิเตอร์สำคัญ ได้แก่ ความเร็วรอบสปินเดิล อัตราป้อนความลึก และความกว้างตัด สามารถอธิบายได้จากสมการที่ 1 ดังนี้

$$F_C = k_C \cdot A \tag{1}$$

โดยที่

F_C เท่ากับแรงกัด (N)

k_C เท่ากับการตัด (N/mm²)

A เท่ากับพื้นที่หน้าตัดของเศษชิป (mm²)

ฉะนั้นแรงกัดเพิ่มขึ้น หรือลดลงเกินค่าที่เหมาะสม จะทำให้ดอกกัดสึกหรอเร็วขึ้น หรือแตกหักได้ ดังนั้นการควบคุมแรงกัดให้อยู่ในช่วงที่

เหมาะสม จึงเป็นปัจจัยสำคัญในการยืดอายุการใช้งานของดอกกัดและคุณภาพชิ้นงาน แรงกัดยังสามารถใช้กระแสมอเตอร์ของสปินเดิล หรือกระแสมอเตอร์แกน ในการประมาณค่าแรงกัดได้ เนื่องจากแรงที่ต้านการตัดเฉือนจะแปรผันโดยตรงกับโหลดที่มอเตอร์

2.2 โครงสร้างพื้นฐานเครื่องกัดซีเอ็นซี

โครงสร้างพื้นฐานของเครื่องกัดซีเอ็นซี ประกอบด้วยระบบขับเคลื่อนแกน 3 แกนเท่ากับ แกน X-Y-Z และหัวสปินเดิล ดังรูปที่ 1 ส่วนระบบขับเคลื่อนแกนประกอบด้วยเซอร์โวมอเตอร์ บอลสกรู บอลนัท คัพปลิ้ง และโต๊ะจับยึดชิ้นงานดังรูปที่ 2 การทำงานของเครื่องกัดซีเอ็นซีจะทำงานตามโปรแกรมจะสั่งงานให้ระบบขับเคลื่อนแกนแต่ละแกนทำงานตามคำสั่งที่เขียนไว้ในโปรแกรมกัดชิ้นงาน การใช้งานเครื่องกัดซีเอ็นซีทั่วไป

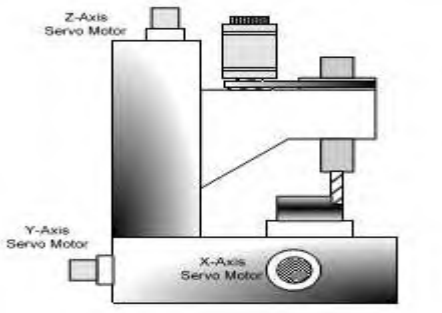

รูปที่ 1 โครงสร้างพื้นฐานของเครื่องกัดซีเอ็นซี

ชิ้นงานจะถูกจับยึดชิ้นงานอยู่บนโต๊ะจับยึดชิ้นงาน ต่อจากนั้นชิ้นงานจะเคลื่อนที่เข้าหาดอกกัดที่หมุนอยู่ ตามคำสั่งโปรแกรมชิ้นงาน ส่งผลให้เกิดการตัดเฉือนชิ้นงาน การตัดฉือนชิ้นงานนี้ถูกเรียกว่าแรงกัด และสามารถกำหนดสมการแบบจำลองทางคณิตศาสตร์ของแรงกัด [x] ได้ดังสมการที่ 2

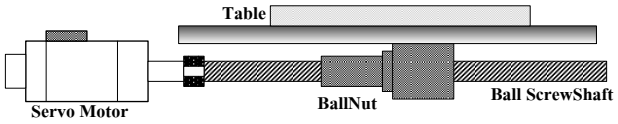

รูปที่ 2 ส่วนประกอบของระบบขับเคลื่อนแกน

$$J\ddot{\theta} + B\dot{\theta} + Tc = K_t I \quad (2)$$

โดยที่

J เท่ากับโมเมนท์ความเฉื่อย
B เท่ากับแดมปิ้ง
θ เท่ากับค่าตำแหน่งเชิงมุม
$\dot{\theta}$ เท่ากับค่าความเร็วเชิงมุม
$\ddot{\theta}$ เท่ากับค่าความเร่งเชิงมุม
K_t เท่ากับค่าคงที่ของดีซีมอเตอร์
Tc เท่ากับค่าแรงบิดกัด (Cutting Torque)
I เท่ากับค่ากระแสขณะดอกกัดยังไม่ได้กัดชิ้นงาน

2.3 การประมาณค่าแรงกัด

การประมาณค่าแรงกัดแบ่งการทำงานออกเป็น 2 ช่วงคือช่วงที่ดอกกัดยังไม่ได้กัดชิ้นงาน (Air cut) และช่วงที่ดอกกัดกำลังกัดชิ้นงาน (Cutting) สามารถกำหนดแบบจำลองทางคณิตศาสตร์ได้ ได้ดังนี้คือ

ช่วงที่ดอกกัดยังไม่ได้กัดชิ้นงาน

$$J_o\ddot{\theta} + B_o\dot{\theta} = K_t I_o \quad (3)$$

ช่วงที่ดอกกัดกำลังกัดชิ้นงาน

$$J_c\ddot{\theta} + B_c\dot{\theta} + Tc = K_t I_c \quad (4)$$

หมายเหตุ *ตัวห้อย o เท่ากับคือตัวแปรช่วงที่ดอกกัดยังไม่ได้กัดชิ้นงาน และตัวห้อย c เท่ากับตัวแปรช่วงที่ดอกกัดกัดชิ้นงาน*

จากสมการที่ 3 และ 4 พบว่าการคำนวณหาแรงกัดจะเท่ากับการหาค่าความแตกต่างของกระแสดีซีเซอร์โวมอเตอร์ช่วงที่ดอกกัดกำลังกัดชิ้นงานกับช่วงที่ดอกกัดยังไม่ได้กัดชิ้นงาน โดยที่ช่วงที่ดอกกัดกำลังกัดชิ้นงาน และช่วงที่ดอกกัดยังไม่ได้กัดชิ้นงาน มีการเปลี่ยนแปลงน้อยมากเมื่อเทียบกับค่าแรงบิดกัดสามารถประมาณ $J_c \cong J_o$ และ $B_c \cong B_o$ ค่าแรงบิดกัดดังสมการที่ 5

$$Tc = K_t(I_c - I_o) \quad (5)$$

แต่เนื่องจากกระแสช่วงดอกกัดกำลังกัดชิ้นงาน (I_c) และกระแสช่วงที่ดอกกัดยังไม่ได้กัดชิ้นงาน(I_o) มีการเปลี่ยนแปลงขึ้นอยู่กับค่าความเร็วเชิงมุม สามารถเขียนสมการแรงบิดกัดได้ดังสมการที่ 6

$$Tc = K_t(I_c(\dot{\theta}) - I_0(\dot{\theta})) \quad (6)$$

และเพื่อให้ง่ายต่อการทดลอง กระแสช่วงที่ดอกกัดยังไม่ได้กัดชิ้นงาน $I_o(\dot{\theta})$ สามารถหาค่าได้ในช่วงออฟไลน์

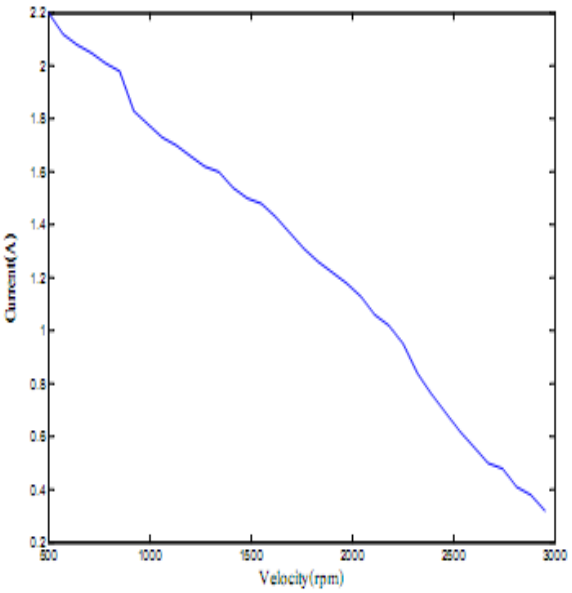

รูปที่ 3 กราฟความสัมพันธ์ระหว่างกระแสขณะดอกกัดยังไม่ได้กัดชิ้นงานเทียบกับความเร็วเชิงมุม

จากรูปที่ 3 สามารถประมาณค่าได้ด้วยกราฟความสัมพันธ์ระหว่างกระแสขณะดอกกัดยังไม่ได้กัดชิ้นงานกับค่าความเร็วเชิงมุมได้ดังรูปที่ 4 และดังสมการที่ 7

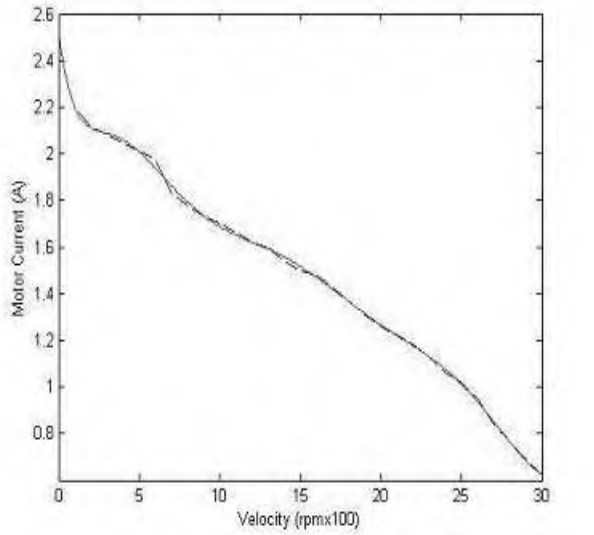

รูปที่ 4 กราฟเปรียบเทียบกระแสมอเตอร์จริงกับกระแสที่ได้จากการประมาณค่าขณะดอกกัดยังไม่ได้กัดชิ้นงาน
(เส้นทึบคือกระแสมอเตอร์จริง เส้นประคือจากการคำนวณ)

$$I_o(\dot{\theta}) = 1x10^{-30}\dot{\theta}^{10} - 1.9x10^{-26}\dot{\theta}^{9} + 1.4x10^{-22}\dot{\theta}^{8} - 6.5x10^{-19}\dot{\theta}^{7} + 1.8x10^{-15}\dot{\theta}^{6} - 3.5x10^{-12}\dot{\theta}^{5} + 4.4x10^{-9}\dot{\theta}^{4} - 3.6x10^{-6}\dot{\theta}^{3} + 0.0019\dot{\theta}^{2} - 54\dot{\theta} + 69 \quad (7)$$

แทนค่าสมการที่ 7 ลงในสมการที่ 6 จะได้สมการแรงบิดกัด จากนั้นจะต้องแปลงค่าสมการแรงบิดกัดให้เป็นค่าแรงกัดบนแนวระนาบ ดังสมการที่ 8 ค่าแรงกัดเท่ากับ

$$Fc = \frac{2\pi\mu T_c}{p} \quad (8)$$

โดยที่

Fc เท่ากับแรงกัดบนแนวระนาบ
μ เท่ากับสัมประสิทธิ์ของบอลสกรู
p เท่ากับพิทช์ของบอลสกรู

3. การควบคุมแรงกัด

การควบคุมแรงกัดของเครื่องกัดซีเอ็นซีให้คงที่ ตามค่าที่ต้องการ สามารถทำได้โดยปรับความเร็วรอบสปินเดิลแบบเรียลไทม์ผ่านการป้อนกลับด้วยตัวประมาณค่าแรงกัด ดังรูป 5 โดยตัวควบคุมแรงกัด ทำหน้าที่ปรับความเร็วรอบการหมุนของสปินเดิล เพื่อให้แรงกัดจริง ลู่เข้าสู่แรงกัดที่ตั้งไว้ตามที่ผู้ใช้งานกำหนด โดยตัวควบคุมที่ใช้เป็นแบบ PID ดังสมการที่ 9

$$u(t) = Kpe(t) + Ki\int e(\tau)\,dt + Kd\frac{de}{dt} \quad (9)$$

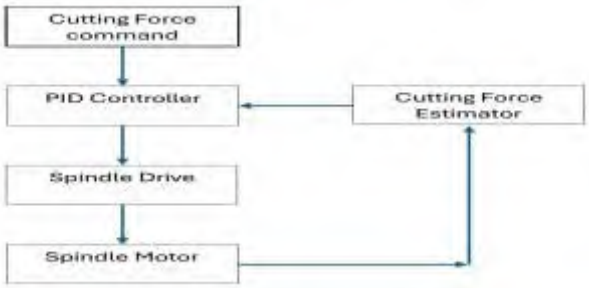

รูปที่ 5 ไดอะแกรมตัวควบคุมแรงกัด

ตัวควบคุมจะทำการเปรียบเทียบค่าแรงกัดที่ต้องการ (Ft)* กับค่าแรงกัดจากการประมาณค่า (F) ดังสมการที่ 10

$$E(t) = \mathrm{Ft(t)} - F(t) \quad (10)$$

โดยมีเงื่อนไขการทำงานคือ

- Error > 0 : ต้องเพิ่มแรงกัด โดยการลดความเร็วรอบสปินเดิล
- Error < 0 : ต้องลดแรงกัด โดยการเพิ่มความเร็วรอบสปินเดิล

โดยที่ ค่า Ft ได้มาจากการคำนวณ จากค่าความเร็วรอบสปินเดิล ค่าความลึก ค่าความแข็งของวัสดุ อัตราป้อนความลึก และความกว้างตัดและค่าความเร็วของแกนเคลื่อนที่ (Feedrate)

4. การทดลอง

การทดลองกระทำบนเครื่องกัดซีเอ็นซี HURCO ที่ดอกกัดหยาบเส้นผ่านศูนย์กลาง 16 มิลลิเมตร และส่วนตัวควบคุม PID ใช้บอร์ดไมโครคอนโทรลเลอร์ dsPIC30F4011 สามารถเชื่อมต่ออุปกรณ์ภายนอกคือวงจรแปลงสัญญาณอนาล็อกเป็นดิจิตอล วงจรแปลงสัญญาณดิจิตอลเป็นอนาล็อก และวงจรนับตำแหน่งจาก Increment Encoder ขนาด 2000 PPR(ติดตั้งบนดีซีเซอร์โวมอเตอร์) แรงกัดที่ตั้งไว้ 400 N ความลึก 2 มิลลิเมตร ชิ้นงานเป็นเหล็กกล้าเกรด SKD41

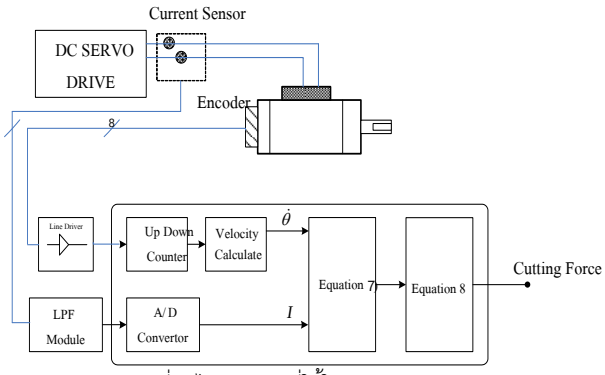

รูปที่ 6 ไดอะแกรมที่ใช้ในการทดลอง

การทดลองในรูปที่ 6 แสดงไดอะแกรมสัญญาณป้อนกลับ โดยที่สัญญาณจากเอนโค้ดเดอร์ถูกส่งไปยังวงจรรับสัญญาณ และส่งต่อไปยังวงจรนับตำแหน่งเพื่อนำไปคำนวณหาค่าความเร็วเชิงมุม จากนั้นนำเอาตัวแปรทั้งหมดคำนวณหาค่าแรงกัด เพื่อป้อนกลับไปยังตัวควบคุมแรงกัด

5. ผลการทดลอง

ในการทดลองเขียนโปรแกรมกัดชิ้นงาน ใช้งานเพียงแกนเดียวคือแกน X ผลการทดลองการควบคุมแรงกัดจะเปรียบเทียบเป็นกราฟผลตอบสนองค่าแรงกัดจากตัวประมาณค่าแรงกัด กับค่าแรงกัดที่ต้องการ ที่ดอกกัดขนาดเส้นผ่าศูนย์กลาง 16 มิลลิเมตร ดังรูปที่ 7 และ 8 ซึ่งผลการทดลองพบว่ากราฟของแรงกัดที่ใช้ตัวควบคุมแรงกัดสามารถควบคุมค่าแรงกัดได้

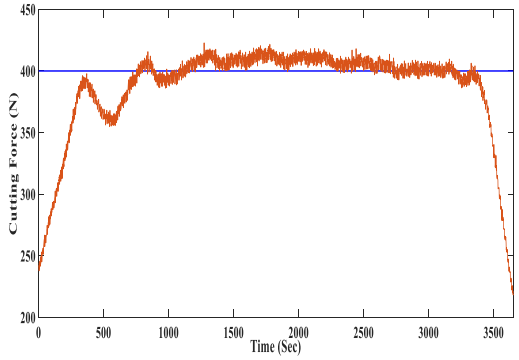

รูปที่ 7 กราฟเปรียบเทียบผลตอบสนองค่าแรงกัดจากตัวประมาณค่าแรงกัด กับค่าแรงกัดที่ต้องการ

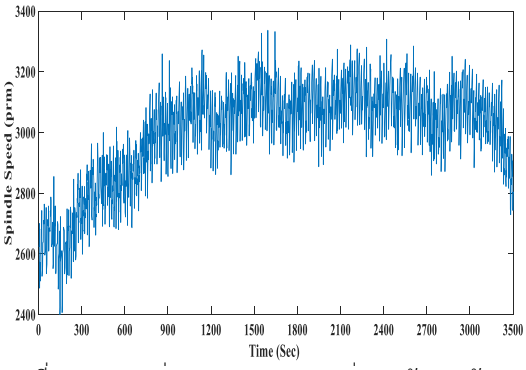

รูปที่ 8 กราฟผลต่างของผลตอบสนองค่าแรงกัดจากตัวประมาณค่าแรงกัด กับค่าแรงกัดที่ต้องการ

จากผลการทดลองในรูปที่ 7 พบว่าผลตอบสนองของแรงกัดมีค่าใกล้กับแรงกัดที่ตั้งไว้ ซึ่งให้เห็นว่าตัวควบคุมสามารถควบคุมได้ และรูปที่ 8 เป็นค่าผิดพลาดค่าแรงกัดจากตัวประมาณ กับค่าแรงกัดที่ต้องการ

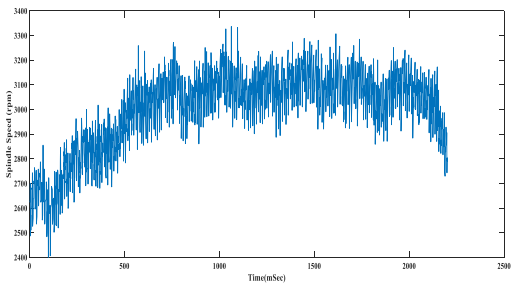

รูปที่ 9 แสดงการเปลี่ยนค่าความเร็วสปินเดิล

และค่าอัตราการขยายของ PID มีค่าเท่ากับ [151.2 2.1 3.7] ส่วนรูปที่ 9 แสดงการเปลี่ยนค่าความเร็วสปินเดิล แสดงให้เห็นว่าตัวควบคุมพยายามเปลี่ยนแปลงค่าความเร็วสปินเดิลตลอดเวลาในการควบคุม

6. สรุปผลการทดลอง

การวิจัยนี้ได้นำเสนอการออกแบบและพัฒนาตัวควบคุมความเร็วรอบสปินเดิลของเครื่องกัดซีเอ็นซี เพื่อรักษาแรงกัดให้คงที่ โดยใช้ความสัมพันธ์ระหว่างกระแสมอเตอร์แกน กับแรงกัดเป็นสัญญาณป้อนกลับแทนการใช้ไดนาโมมิเตอร์ การทดลองกัดชิ้นงานเหล็กกล้าแสดงให้เห็นว่าตัวควบคุมสามารถปรับความเร็วรอบสปินเดิลแบบเรียลไทม์ ทำให้แรงกัดมีค่าลู่เข้าสู่แรงกัดเป้าหมายได้อย่างมีประสิทธิภาพ ส่งผลให้อายุการใช้งานของดอกกัดยาวนานขึ้น และคุณภาพผิวงานมีความสม่ำเสมอ จากผลการทดลองสามารถสรุปได้ว่า ตัวควบคุมความเร็วรอบสปินเดิลสามารถควบคุมแรงกัดได้ แต่ทว่าจะต้องมีการพัฒนาเพิ่มเติม เรื่องของการทดลองกับวัสดุอื่น ๆ และความเร็วรอบที่เหมาะสม กับความลึกที่ใช้ในการกัด

เอกสารอ้างอิง

[1] Yusuf Altintas, “ Manufacturing Automation :metal cutting mechanics, machine tool vibrations, and CNC Design” .: Cambridge University Press 2000

[2] N K Mehta, ”Machine Tool Design and Numerical Control”,McGraw-Hill,1996

[3] L.N. Lopez de Lacalle, A. Lamikiz,”Machine Tools for High performance Machining”,Springer-Verlag London Ltd.

[4] Thomas Childs, Katsuhiro Maekawa, Toshiyuki Obikawa, Yasuo Yamane, “ Metal Machining Theory and Applications”.: John Wiley & Sons Inc.

[5] Hassan El-Hofy,”Fundamentals of Machining process”, Taylor & Francis Group, 2007

[6] Na Wang, Xiangbo Ze, Changsheng Ai, Yumei Ji,”The Adaptive Numerical Control System Based on Cutting Force Restriction”, Proceedings of the Sixth International Conference on Intelligent Systems Design and Applications (ISDA'06)

[7] Takashi Matsumura, Takahiro Shirakashi, and Eiji Usui, ”Adaptive Cutting Force Prediction in Milling Processes”, International. Journal. of Automation Technology, Vol.4, 2010

[8] F. Cus, U. Zuperl*, E. Kiker, M. Milfelner,”Adaptive self-learning controller design for feed rate maximisation of machining process”, Journal of Achievement in Materials and Manufacturing Engineering,Vol 31,2008

[9] **Bacciotti A, Rosier L, ”Lyapunov functions and stability in** control theory”, Springer-Verlag, London 2001

Lauderbaugh LK, Ulsoy AG.,” Model reference adaptive force control in milling.”, ASME J Eng Ind 1989;3 :13–21.

Automatic Water Pumping System with Adjustable Water Level Thresholds

Rattasat Laikanok*, Teeraphant Sutthitep, Phanuphong Ainthannu, and Arthit Tharaklang

Department of Industrial Electrical Engineering, Faculty of Industrial Technology, Nakhon Ratchasima Rajabhat University, Thailand, rattasat.l@nrru.ac.th* teeraphant.s@nrru.ac.th

Abstract

The development of an automated water pumping system has been presented in this paper, designed to operate effectively even at low water levels, specifically below 30 centimeters. This capability distinguishes it from conventional automatic water pumps commonly available, which often face limitations regarding the minimum water level for operation. The designed system enables users to adjust the initial water level threshold down to a minimum of 5 centimeters, making it suitable for applications in shallow water sources or areas requiring rapid drainage to prevent damage to property. The system incorporates a sensor for detecting and measuring water levels, with a servo motor enabling dynamic adjustment of the sensor's height. Data from the sensor is transmitted to a microcontroller for processing, which then precisely controls the on/off state of the automatic water pump via a relay. Users can monitor system information through an OLED display, remotely access data, and control the system via the Blynk application. Experimental results have confirmed the robust stability of both the water level threshold control and the pump operation.

Keywords: Automatic Water Pump, Low Water Level, Adjustable Threshold, IoT

1. Introduction

The critical importance of effective water management and the mitigation of water-related disasters are highlighted by various research efforts. The impact of flash flooding on urban transportation networks necessitates multi-scale assessment frameworks for better management [1]. Similarly, the development of monitoring and early warning systems for flood invasion into critical infrastructure like subway tunnels is crucial for preventing casualties [2]. In industrial settings, managing alarm floods, which can overwhelm operators during critical events, requires sophisticated online analysis techniques [3]. Furthermore, precise water level monitoring is essential in diverse applications, ranging from agriculture, where contactless systems using image recognition are being developed for efficient crop management [4, 5], to coordinated emergency response in interconnected electricity and drainage networks during rainstorm disasters [6]. The assessment of groundwater vulnerability, particularly in regions reliant on it as a primary freshwater source, also underscores the need for accurate water level and quality monitoring [7]. Advanced techniques like image-based water level estimation using single cameras are being explored for robust and accurate measurements in various environments [8].

Building upon these advancements, this paper details the design and evaluation of an automatic water pumping system with adjustable water level thresholds, addressing the limitations of existing systems by enabling operation at very low water levels and offering user-configurable thresholds for diverse applications.

2. System Design

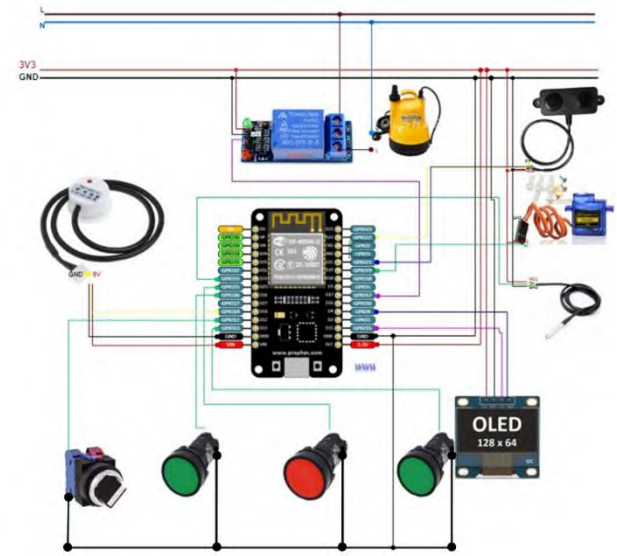

Fig. 1 Automatic water pump system structure

The automatic water pump system structure shown in Fig. 1 comprises a main processing unit, an ESP32 microcontroller. It coordinates water detection from a Non-contact Water Level sensor and an Ultrasonic sensor. A waterproof temperature sensor is installed to measure the water pump's temperature during operation. Processed data is displayed on an OLED screen. A rotary switch allows selection between Auto/Manual operation modes. Two push buttons control the rotation direction of a servo motor to increase or decrease the measurement height of the Non-contact Water Level sensor. Additionally, there's a push button for turning the water pump on or off in Manual mode. The water pump's on/off function is controlled via a relay.

2.1 System Structure

The operational flow of the automatic water pumping system with adjustable water level thresholds is illustrated in Fig. 2. The system initiates operation by measuring values from the water level sensor and the waterproof temperature sensor. This data is then used for decision-making and display purposes. Measurement data is displayed via the Blynk application and an OLED screen,

*Corresponding Author

enabling users to continuously monitor the system's status. User can select the system's operating mode between Auto and Manual.

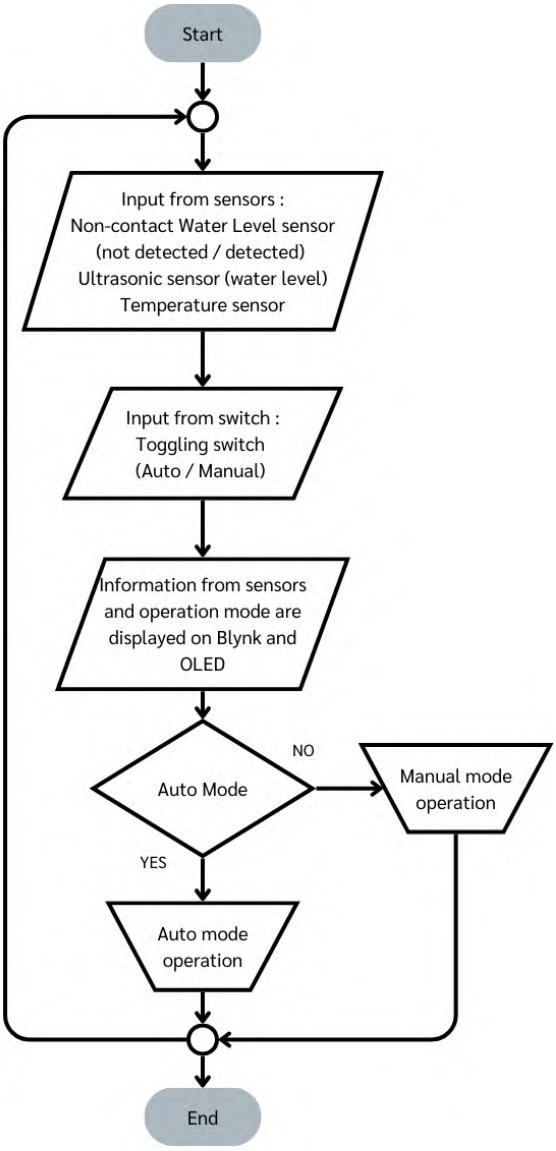

Fig. 2 Flowchart of automatic water pumping system and control via smartphone

From Fig. 3, in Auto mode, the system automatically controls the water pump's operation. It checks the water level against predefined thresholds. If the water level is within the desired range, the system will activate the relay to turn the water pump on. Conversely, if the conditions are not met, the system will deactivate the relay to stop the water pump.

From Fig. 4, in Manual mode, the user desires to control the water pump themselves. They can use the On/Off switch to manually activate or deactivate the water pump as needed.

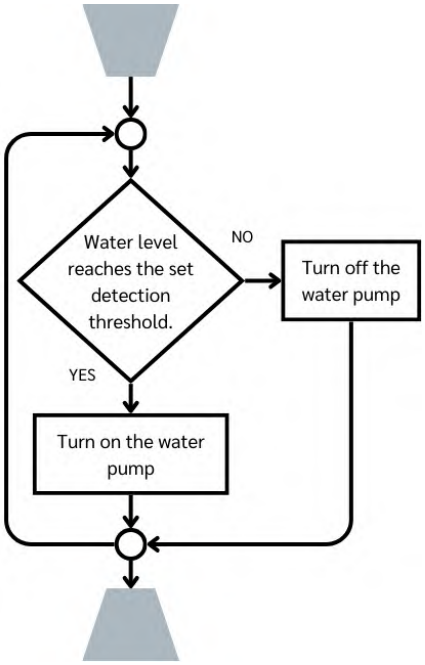

Fig. 3 Flowchart of water pumping system in Auto mode

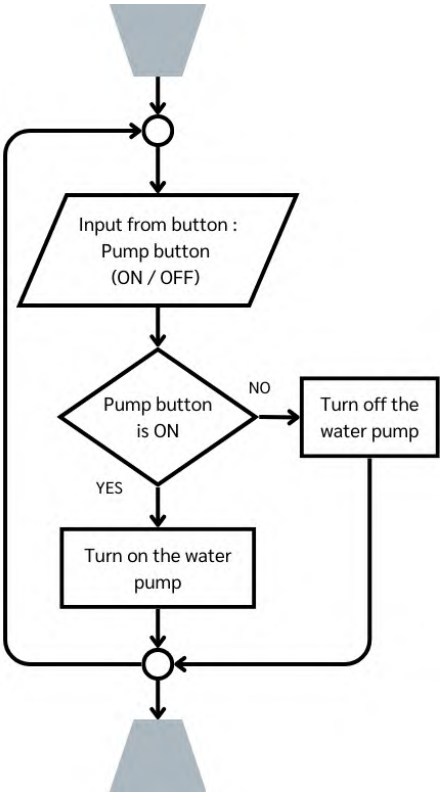

Fig. 4 Flowchart of water pumping system in Manual mode

The control mechanism of the servo motor rotating a pulley to adjust the position of the Non-contact Water Level sensor is illustrated in Fig. 5. It begins by receiving button press input. If the increase button is pressed, the servo motor rotates to move the Non-contact Water Level sensor upwards by 1 cm per press. Conversely, if the decrease button is pressed, the servo motor rotates to move the Non-contact Water Level sensor downwards by

1 cm per press. However, in the event that both the increase and decrease buttons are pressed simultaneously, or if neither button is pressed, the Non-contact Water Level sensor will not change its position. The system displays the height of the Non-contact Water Level sensor from the ground on the Blynk application, and this height also serves as the water detection threshold value.

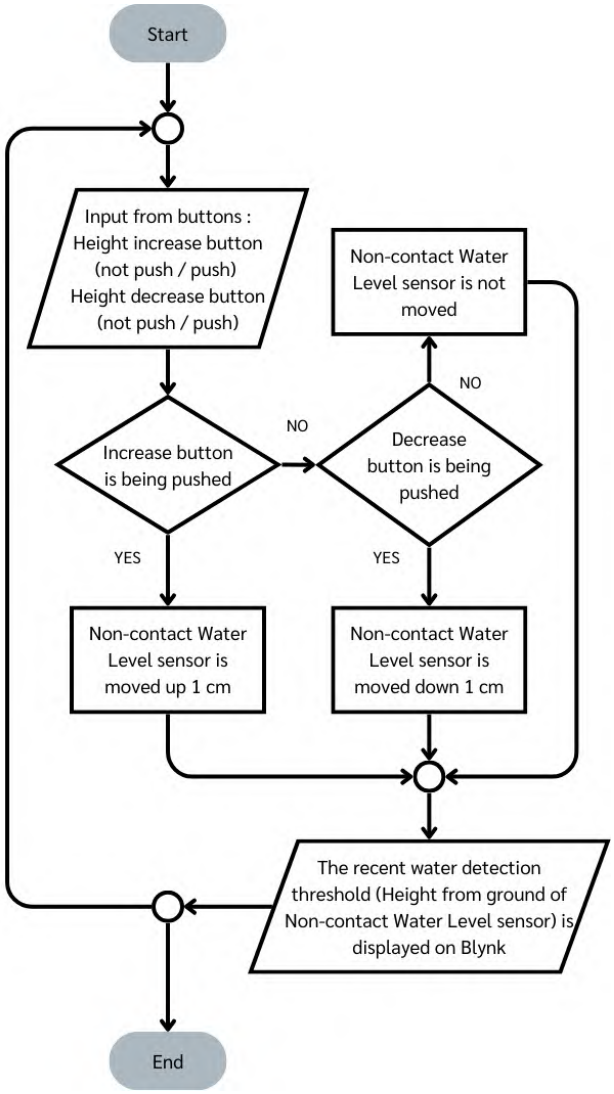

Fig. 5 Flowchart of servo motor control mechanism for adjusting water level threshold

2.2 Control Box

The details of the external water pumping system control box are shown in Fig. 6. There are a small OLED display and three types of control buttons, including a button to increase the water level threshold, a button to decrease the water level threshold, and a button to turn the water pump on/off. Additionally, there is a mode selection switch that allows toggling between automatic control, where the system operates based on the set water levels, and manual control, where the user can directly command the water pump. Notably, the on/off button for the water pump functions only in Manual mode. Inside the box, a 2P 30A 15mA Residual Current Circuit Breaker (RCCB) is installed to provide protection against electrical leakage hazards. The ESP32 board serves as the main controller of the system, receiving signals from various sensors and sending commands to the relay to control the water pump's operation. A 5V power supply board with 3-pin and 4-pin connectors is present for connecting to various devices within the system.

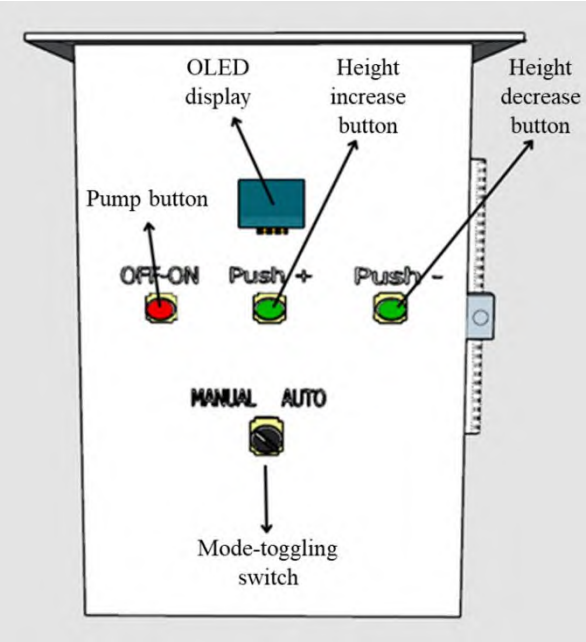

Fig. 6 Control box

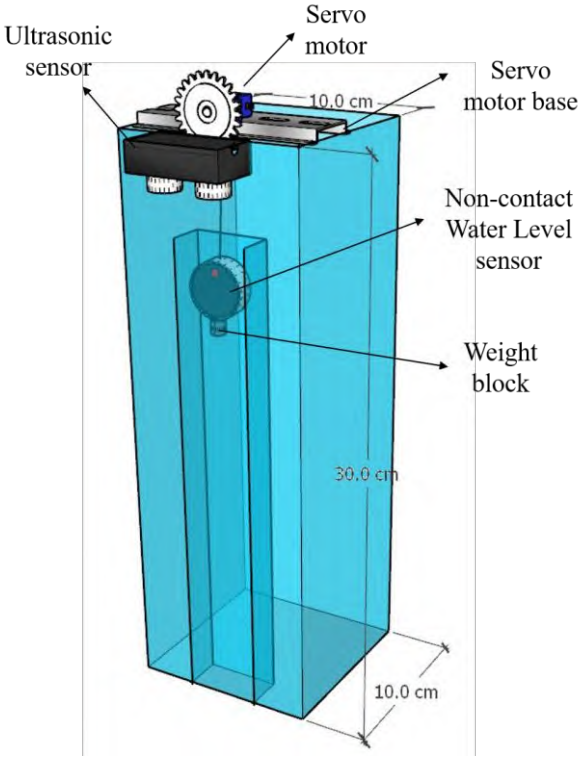

Fig. 7 Detection box

2.3 Detection Box

From Fig. 7, it illustrates a detection box which includes a servo motor for adjusting the position of the Non-contact Water Level sensor via a pulley and tendon mechanism, and an ultrasonic sensor mounted at the top to measure the water level using sound waves. Both sensors send data to the central processing unit to control the pump in Auto mode. The water level measurement box is made of transparent glass with dimensions of 10×10×30 cm. The Non-contact Water Level sensor weighing 50 g is attached to a weight block of 500 g. The spool has a diameter of 5 mm, and the motor's no-load speed is 0.12 s per 60 degrees.

2.4 User Interface on Smartphone

The menu screen on the Blynk application, as shown in Fig. 8, comprises: a work mode indicator (Auto / Manual), a water pump status indicator (On / Off), the water pump temperature, the current water level, the currently set water level detection threshold, a button to increase the height of the water level detection threshold, a button to decrease the height of the water level detection threshold, and a water pump on/off button that is only usable in Manual mode.

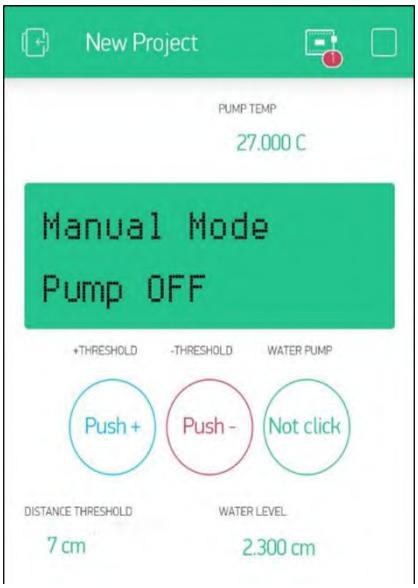

Fig. 8 Blynk gadgets

2.5 Motor Rotation Equation

First, we need to find the torque (τ) required for the motor to lift an object, use the following equation:

$$\tau = (m \cdot g) \cdot \left(\frac{d}{2}\right) \quad (1)$$

where τ is the torque (in N.m), m is the mass of the object (in kg), g is the acceleration due to gravity on Earth (approximately 9.81 m/s^2), and d is the diameter of the spool around which the string is wound (in m).

Next, we calculate the motor's loaded speed (ω). When a load is applied, the motor's speed decreases from its no-load speed along its Torque-Speed Curve, which is typically a linear relationship:

$$\omega = \omega_0 - k \cdot \tau \quad (2)$$

where ω is the actual angular velocity of the motor under load (in rad/s), ω_0 is the motor's no-load angular velocity (in rad/s), and k is a constant that depends on the motor's properties.

Once you know the motor's actual angular velocity from (2), you can calculate the vertical distance (h) the object is lifted using the relationship between the axle's rotation and the distance traveled:

$$h = \omega \cdot r \cdot t \quad (3)$$

where h is the distance the object is lifted (in m), t is the time taken to lift the object (in s), and r is the radius of the axle (in m):

$$r = \frac{d}{2} \quad (4)$$

Therefore, the final equation for finding the lifting distance is a combination of equations (2) and (3):

$$h = (\omega_0 - k \cdot \tau) \cdot r \cdot t \quad (5)$$

3. Results and Discussions

```
165  if (BUT_state1 == LOW || pinValue1 == 1) {
166    myservo.write(speedForward);
167    delay(distanceCM * timePerCM);
168    myservo.write(stopServo);
169    Serial.println("Servo+");
170
171    adjustedThreshold -= 1;
172  } else if (BUT_state2 == LOW || pinValue2 == 1) {
173    myservo.write(speedReward);
174    delay(distanceCM * timePerCM);
175    myservo.write(stopServo);
176    Serial.println("Servo-");
177
178    adjustedThreshold += 1;
179  } else {
180    myservo.write(stopServo);
181  }
```

Fig. 9 Servo motor rotation control command set

Table 1 Experimental evaluation of servo motor rotation time and Non-contact Water Level sensor displacement

Delay Multiplier for Rotation	Servo Motor Rotation Time (seconds)	Measured Distance (cm) [Decreasing]
1	0.1	0.15
2	0.2	0.2
3	0.3	0.2
4	0.4	0.7
5	0.5	0.7
6	0.6	0.8
7	0.7	0.9
8	0.8	1
9	0.9	1.2
10	1	1.3

In order to control the increase and decrease in height of the Non-contact Water Level sensor, which sets the water level detection threshold, the operation of a servo motor mechanism rotating a pulley to move the Non-contact Water Level sensor up and down is required. The

programming for this is shown in Fig. 9. Specifically, the command "delay(distanceCM * timePerCM);" controls the rotation cycle of the servo motor. Therefore, determining the value of the variable distanceCM, which dictates the amount of delay for the servo motor's rotation, is crucial. The variable timePerCM is defined as 100 ms.

According to Table 1, we focus on the object's release distance of 1 cm. The time taken for the release is used to calculate the damping constant according to (2). Then, we use (5) to generate a graph showing the relationship between the servo motor's rotation time and the upward movement of the Non-contact Water Level sensor.

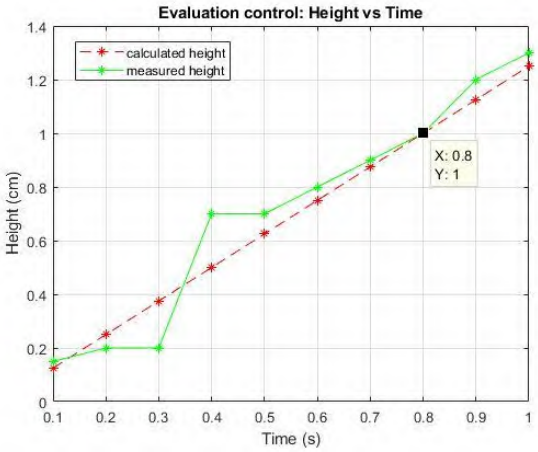

Fig. 10 The relationship between the servo motor's rotation time and the upward movement of the Non-contact Water Level sensor

From Fig. 10, a comparison between the calculated and measured lifting height of the Non-contact Water Level sensor is displayed. At a motor rotation time of 0.8 seconds, both the calculated and measured heights are equal at 1 cm. The consistent displacement during the sensor's downward movement confirms the pulley mechanism's stability, which effectively balances the upward motor-driven motion with the downward gravitational pull. With a servo motor rotation delay multiplier of 8, a 1 cm displacement is achieved, making it a suitable value for control. Therefore, the system is configured so that each press of the water level adjustment button corresponds to a 1 cm change in height.

Table 2 Cooperative analysis experimental results of Non-contact Water Level sensor and Ultrasonic sensor

No.	Scenario	Water Pump Operation (Auto Mode)
1	Non-contact Water Level sensor detected, Water level has not reached the threshold.	Pump does not work
2	Non-contact Water Level sensor not detected, Water level has reached the threshold.	Pump does not work
3	Non-contact Water Level sensor not detected, Water level has not reached the threshold.	Pump does not work
4	Non-contact Water Level sensor detected, Water level has reached the threshold.	Pump works

Next, the cooperative operation of the Non-contact Water Level sensor and the Ultrasonic sensor in Auto mode has been tested. This involved evaluating the consistency in their water status detection and the triggering of the water pumping system, to ensure that the system can process data from both sensors accurately and reliably.

Based on the results in Table 2, the system accurately coordinates the Non-contact Water Level and Ultrasonic sensors. The water pump activates only when the Non-contact sensor detects usage and the Ultrasonic sensor measures that the water has reached its threshold. This combined operation is accurate and effectively reduces pump activation errors in automatic mode.

Subsequently, the functionality of the control buttons in Manual mode for commanding the water pumping system has been tested to assess the stability of the water pump control button's response.

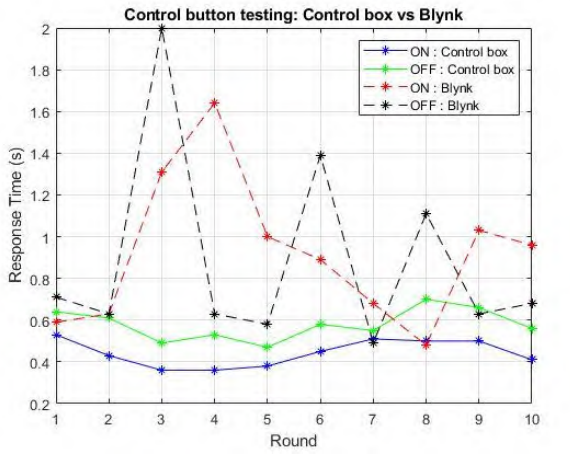

Fig. 11 Servo motor rotation control command set

From Fig. 11, it was observed that the on/off button for the water pump on the control box had a faster and more stable average response time for both turning on and off compared to the button on the Blynk application. The control box button showed an average response time of 0.443 seconds for turning on and 0.579 seconds for turning off, while the Blynk application button had an average response time of 0.921 seconds for turning on and 0.885 seconds for turning off. This indicates that controlling the water pump via the Blynk application is slower and has more fluctuating response times, which depends on the quality of the Wi-Fi signal. An unstable signal can lead to delays in button responsiveness. In contrast, the button on the control box exhibits a faster and more stable response due to its direct connection to the water pump's control system.

4. Conclusions

The Automatic Water Pumping System with Adjustable Water Level Thresholds allows users to set a minimum water level threshold of 5 cm for pump activation, with incremental adjustments of 1 cm up to a

maximum of 20 cm. In automatic mode, the system demonstrates high accuracy in pump control due to the integrated operation of the Non-contact Water Level sensor and the Ultrasonic sensor. Furthermore, manual pump control functions effectively via both the physical buttons on the control box and the buttons on the Blynk application, which also provides continuous monitoring of the water level and pump status.

References

[1] C. Du, M. Ouyang and C. Fan, "A Multi-Scale Validation and Analysis of Flash Flooding Impacts on Urban Road Transportation," in *IEEE Transactions on Intelligent Transportation Systems*, vol. 25, no. 11, 2024, pp. 16869-16880.

[2] W. Dong, H. Huang, M. Zhong, H. Wang and F. Hua, "Monitoring and Early Warning Mechanism of Flood Invasion into Subway Tunnels Based on the Experimental Study of Flooding Patterns," in *Journal of Intelligent Construction*, vol. 2, no. 2, 2024, pp. 1-16.

[3] H. S. Alinezhad, J. Shang, T. Chen and S. L. Shah, "A Probabilistic Framework for Online Analysis of Alarm Floods Using Convolutional Neural Networks," in *IEEE Transactions on Instrumentation and Measurement*, vol. 73, 2024, pp. 1-11.

[4] C. -H. Hung, Y. -Y. FanJiang, D. -J. Wang and K. -C. Chen, "Contactless Water Level Detection System for Pickling Barrels Using Image Recognition Technology," in *IEEE Access*, vol. 11, 2023, pp. 113931-113940.

[5] A. Alshami, E. Ali, M. Elsayed, A. E. E. Eltoukhy and T. Zayed, "IoT Innovations in Sustainable Water and Wastewater Management and Water Quality Monitoring: A Comprehensive Review of Advancements, Implications, and Future Directions," in *IEEE Access*, vol. 12, 2024, pp. 58427-58453.

[6] Y. Cao, B. Zhou, C. Y. Chung, K. Zhou, L. Zhu and Z. Shuai, "Resilience-Oriented Coordinated Topology Reconfiguration of Electricity and Drainage Networks With Distributed Mobile Emergency Resources," in *IEEE Transactions on Smart Grid*, vol. 16, no. 1, 2025, pp. 786-800.

[7] W. Jiazhe, D. Xinrui, S. Yancheng, Z. Xiangtian, B. Ghaffar, R. Nasir, A. Jamil, Z. Zafar, M. S. Meer, M. Abdullah-Al-Wadud, R. Naseer, and H. El-Askary., "Multisensor Data Fusion and GIS-DRASTIC Integration for Groundwater Vulnerability Assessment with Rainfall Consideration," in *IEEE Journal of Selected Topics in Applied Earth Observations and Remote Sensing*, vol. 18, 2025, pp. 3556-3568.

[8] L. -C. Kuo and C. -C. Tai, "Robust Image-Based Water-Level Estimation Using Single-Camera Monitoring," in *IEEE Transactions on Instrumentation and Measurement*, vol. 71, 2022, pp. 1-11.

Rattasat Laikanok was born in 1991 in Suratthani, Thailand, and received a B.Sc. degree in telecommunication engineering from Suranaree University of Technology, Thailand, in 2013, and the Ph.D. degree in telecommunication engineering from Suranaree University of Technology, in 2018. He is currently a lecturer in the Department of Electric Vehicle Engineering, Faculty of Industrial Technology, Nakhon Ratchasima Rajabhat University, Thailand. His main research interests are including programming, the internet of things, and monitoring systems.

Theeraphant Sutthetep was born in 1975 in Nakhon Ratchasima, Thailand, and received a B.Sc. degree in telecommunication engineering from Suranaree University of Technology, Thailand, in 1997, and a M.Sc. degree in electrical engineering from Suranaree University of Technology, in 2004. He is an Assistant Professor in the Department of Industrial Electrical Engineering, Faculty of Industrial Technology, Nakhon Ratchasima Rajabhat University, Thailand. His main research interests are including telecommunications and AI.

Phanuphong Ainthannu was born in 2003 in Nakhon Ratchasima, Thailand, and received a B.Sc. degree in industrial electrical engineering from Nakhon Ratchasima Rajabhat University, Thailand, in 2025.

Arthit Tharaklang was born in 2003 in Nakhon Ratchasima, Thailand, and received a B.Sc. degree in industrial electrical engineering from Nakhon Ratchasima Rajabhat University, Thailand, in 2025.

วงจรอ่านค่าความจุไฟฟ้าแบบลอยตัวต้นทุนต่ำด้วยวงจรกรองผ่านทุกความถี่สำหรับเซ็นเซอร์ระยะไกล

Low-Cost Floating Capacitive Sensor Readout Circuit Based on All-Pass Filter for Remote Applications

จิรัฏฐ์ ฉิมน้อย[1] นิพพิชฌน์ แสงนพรัตน์[2] *พิพัฒน์ พรหมมี[1]
[1]ภาควิชาวิศวกรรมโทรคมนาคม คณะวิศวกรรมศาสตร์ สถาบันเทคโนโลยีพระจอมเกล้าเจ้าคุณทหารลาดกระบัง
[2]โรงเรียนวิทยาศาสตร์จุฬาภรณราชวิทยาลัย ปทุมธานี
Email: pipat.pr@kmitl.ac.th*

บทคัดย่อ

บทความนี้นำเสนอวงจรอ่านค่าเซ็นเซอร์ความจุไฟฟ้า (Capacitive Sensor) รูปแบบใหม่ โดยอาศัยหลักการของวงจรกรองผ่านทุกความถี่ (All-Pass Filter) สำหรับการวัดค่าแบบระยะไกล (Remote Sensor) ร่วมกับเทคนิคการป้องกันแบบแอคทีฟ (Active Shield) เพื่อลดผลกระทบจากความจุแฝงของสายสัญญาณหุ้มฉนวน วงจรสามารถคำนวณค่าความจุได้จากสมการพื้นฐานของความถี่ธรรมชาติ (Natural Frequency) ของวงจรกรองผ่านทุกความถี่ โดยวงจรต้นแบบรองรับช่วงการวัด 100–1000 pF ความถูกต้องของวงจรได้รับการยืนยันผ่านการจำลองเชิงวงจรด้วยโปรแกรม PSPICE และการทดสอบวงจรจริง ผลการทดลองเปรียบเทียบกับเครื่องมือมาตรฐาน LCR meter พบว่าความคลาดเคลื่อนต่ำกว่า 1% นอกจากนี้ วงจรที่นำเสนอใช้อุปกรณ์จำนวนน้อย และใช้องค์ประกอบที่หาซื้อได้ง่ายในเชิงพาณิชย์ ทำให้มีต้นทุนต่ำแต่ยังคงให้ประสิทธิภาพสูง

คำสำคัญ: เซ็นเซอร์ความจุไฟฟ้า เซ็นเซอร์ระยะไกล ความจุไฟฟ้าแฝง วงจรกรองผ่านทุกความถี่

Abstract

This paper presents a novel readout circuit for capacitive sensors based on the all-pass filter principle, designed for remote measurement applications. To mitigate the adverse effects of parasitic capacitance from shielded signal cables, an active-shield technique is employed. The capacitance value can be calculated from the fundamental equation of the natural frequency of the all-pass filter circuit. The proposed prototype supports a measurement range of 100–1000 pF. The accuracy of the circuit was verified through both PSPICE circuit simulations and experimental tests. Comparative results with a standard LCR meter indicate that the proposed design achieves less than 1% error. In addition, the circuit requires only a small number of commercially available components, making it a low-cost yet high-performance solution.

Keywords: Capacitive Sensor, Remote Sensor, Parasitic capacitance, All-Pass Filter

1.บทนำ

เซ็นเซอร์ถือเป็นองค์ประกอบหลักที่ช่วยขับเคลื่อนนวัตกรรม โดยเฉพาะเซ็นเซอร์ความจุไฟฟ้า [1] ซึ่งได้รับความนิยมอย่างแพร่หลายในภาคอุตสาหกรรม จากมีคุณสมบัติเด่น [2-3] เช่น ความไวและความแม่นยำสูง ใช้พลังงานต่ำ ไม่ถูกรบกวนจากสี ความสว่าง หรือพื้นผิวของวัตถุ รองรับทั้งวัตถุนำไฟฟ้าและไม่นำไฟฟ้า อีกทั้งยังมีค่าบำรุงรักษาต่ำและทนทานต่อสภาพแวดล้อมที่เป็นอันตรายจากคุณสมบัติดังกล่าว เซ็นเซอร์ความจุไฟฟ้าจึงเหมาะสำหรับใช้งานในพื้นที่อันตราย เช่น อุตสาหกรรมปิโตรเคมี สำหรับตรวจวัดระดับของเหลวอันตราย หรือจนกระทั่งโรงงานนิวเคลียร์สำหรับวัดปริมาณของเหลวในเขตควบคุมรังสี อย่างไรก็ตาม การใช้งานในลักษณะนี้มักต้องแยกวงจรประมวลผลออกจากพื้นที่อันตราย และเชื่อมต่อกับเซ็นเซอร์ผ่านสายสัญญาณยาว ในรูปแบบเซ็นเซอร์ระยะไกล [4] ซึ่งส่งผลให้เกิดความจุแฝง (Parasitic Capacitance) [5] ที่ลดทอนความแม่นยำของการวัด

ที่ผ่านมา มีการนำเสนอแนวทางแก้ไขปัญหาดังกล่าวหลายวิธี เช่น การใช้วงจรบนพื้นฐานของ Relaxation oscillator [6] ร่วมกับเทคนิคลดผลกระทบจากความจุแฝงในสายสัญญาณ แบบการป้องกันแบบแอคทีฟ [7-8] และการเปรียบเทียบกับค่าความจุอ้างอิง รวมถึงการออกแบบวงจรด้วย Instrumentation Amplifier [9] ที่ใช้ความจุอ้างอิงแบบปรับค่าได้เพื่อหักล้างค่าความจุแฝง อย่างไรก็ตาม วิธีการเหล่านี้มักซับซ้อน ใช้อุปกรณ์จำนวนมาก และยากต่อการปรับใช้งานจริง นอกจากนี้ยังมีแนวทางใหม่ที่ ใช้หม้อแปลง 1:1 [10] และ Isolation Amplifier [11] ลดผลกระทบจากความจุแฝงด้วยหลักการป้องกันแบบแอคทีฟ ร่วมกับวงจร ดิฟเฟอร์เรนชิเอเตอร์ (Differentiator) ซึ่งแม้จะช่วยลดผลกระทบจากสายสัญญาณได้ แต่กลับเพิ่มความซับซ้อน และไวต่อสัญญาณรบกวน ต้องใช้เครื่องมือวัดเฉพาะทางในการอ่านค่าสัญญาณเอาต์พุตของวงจร ส่งผลให้มีต้นทุนที่สูง

บทความนี้นำเสนอวงจรอ่านค่าความจุไฟฟ้าแบบลอยตัว (Floating Capacitive Sensor) [12] รูปแบบใหม่ โดยแปลงค่าความจุให้อยู่ในรูปของการเลื่อนเฟส (Capacitive-to-Phase Converter) บนพื้นฐานของวงจรกรองผ่านทุกความถี่ [13] ร่วมกับเทคนิค การป้องกันแบบแอคทีฟ อีกทั้งจากพฤติกรรมของวงจรหลักที่มีอัตราขยายคงที่เท่ากับ 1 ทุกช่วงความถี่ จึงไม่ถูกรบกวนจากสัญญาณรบกวนที่ความถี่สูง เหมือนโครงสร้างของวงจรกรองความถี่สูงผ่าน (High-pass filter) และดิฟเฟอร์เรนชิเอเตอร์ [10-11] ส่งผลให้มีความเสถียรและความแม่นยำในการวัดที่ดีขึ้น วงจรที่นำเสนอใช้อุปกรณ์พื้นฐานเพียง 4 ชิ้น ได้แก่ ตัวต้านทาน 3 ตัว และออปแอมป์ (Operational Amplifier) 1 ตัว ซึ่งสามารถทำงานได้โดยไม่พึ่งพา เครื่อง Network Analyzer หรือ LCR meter ส่งผลให้วิธีการนี้มีต้นทุนต่ำ เหมาะสมสำหรับการประยุกต์ใช้ระบบเซ็นเซอร์ระยะไกล ได้อย่างมีประสิทธิภาพ

*ผู้ประพันธ์บรรณกิจ

2. ทฤษฎีที่เกี่ยวข้อง

2.1 วงจรกรองผ่านทุกความถี่ (All-pass filter)

วงจรกรองผ่านทุกความถี่ เป็นวงจรกรองความถี่รูปแบบหนึ่ง ที่นิยมนำไปประยุกต์ใช้ในงานด้านการประมวลผลสัญญาณ ซึ่งช่วยแก้ไขปัญหาเฟสบิดเบือน ชดเชยเฟส และการปรับดีเลย์ของสัญญาณ ที่มีอัตราขยายเท่ากับ 1 ครอบคลุมทุกช่วงความถี่ โดยวงจรกรองผ่านทุกความถี่ ที่นำมาประยุกต์ใช้ในบทความนี้เป็นรูปแบบเฟสนำ (Leading Phase) ที่มีช่วงการตอบสนองเฟสตั้งแต่ 180 องศา ถึง 0 องศา โดยแสดงรูปวงจร และการตอบสนองของเฟสต่อความถี่ดังรูปต่อไปนี้

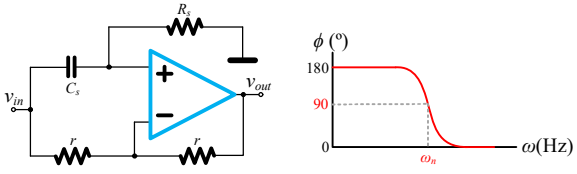

(ก) (ข)

รูปที่ 1 (ก) วงจรกรองผ่านทุกความถี่แบบอุดมคติ
(ข) ผลการตอบสนองความถี่ต่อเฟสของวงจรกรองความถี่ผ่านหมด

จากรูปที่ 1(ก) แสดงรูปวงจรกรองผ่านทุกความถี่ ประกอบไปด้วยออปแอมป์ 1 ตัวต้านทาน 3 และตัวเก็บประจุ 1 ตัว ซึ่งจะถูกแทนที่ด้วยเซ็นเซอร์ความจุที่ต้องการใช้งาน (C_s) จากวงจรดังกล่าวสามารถเขียนฟังก์ชันถ่ายโอนได้ดังสมการต่อไปนี้

$$H(s) = -\frac{1 - sR_sC_s}{1 + sR_sC_s} \tag{1}$$

จากสมการที่ (1) เมื่อวิเคราะห์ Pole และ Zero ของระบบสามารถเขียนผลการตอบสนองทางเฟส ได้ดังสมการต่อไปนี้

$$\Delta\phi = 180° - 2\tan^{-1}\left(\frac{\omega}{\omega_n}\right)\begin{cases}\omega \to 0 : \Delta\phi = 180° \\ \omega = \omega_n : \Delta\phi = 90° \\ \omega \to \infty : \Delta\phi = 0°\end{cases} \tag{2}$$

จากสมการที่ (2) เมื่อความถี่ธรรมชาติ ของระบบเท่ากับ $\omega_n = 1/R_sC_s$ โดยในบทความนี้ให้ความสนใจกับกรณีที่ความถี่อินพุตมีค่าเท่ากับความถี่ธรรมชาติ ($\omega=\omega_n$) ที่ส่งผลให้มีความต่างเฟส $\Delta\phi=90°$ สามารถคำนวณค่าความจุทดสอบ C_s ได้ดังสมการต่อไปนี้

$$C_s = \frac{1}{\omega R_s} \tag{3}$$

2.2.วิเคราะห์ความไม่เป็นอุดมคติของระบบ

2.2.1.ความจุแฝงที่ขาอินพุตของออปแอมป์

การใช้งานออปแอมป์ในทางปฏิบัติ ต้องคำนึงถึงความจุแฝงที่ขากลับเฟส (Inverting) และ ไม่กลับเฟส (Non-inverting) ของออปแอมป์ คือ ความจุรวม (C_{IC}) และ ความจุผลต่าง (C_{ID}) ระหว่างขาอินพุตทั้ง 2 ขาของออปแอมป์ ดังแสดงในรูปที่ 5(ก) เมื่อวิเคราะห์ความจุแฝงที่ขาอินพุตของออปแอมป์รวมกับวงจรที่นำเสนอแสดงดังรูปที่ 2(ข)

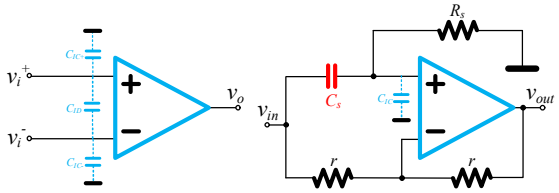

(ก) (ข)

รูปที่ 2 (ก) ความจุแฝงที่ขาอินพุตของออปแอมป์ในทางปฏิบัติ
(ข) วงจรกรองผ่านทุกความถี่และความจุแฝงที่ขาออปแอมป์

จากวงจรรูปที่ 2(ข) ความจุ C_{ID} ระหว่างขาอินพุตทั้งสองสามารถละเลยได้เนื่องจากคุณสมบัติเสมือนลัดวงจร (Virtual Short) ของออปแอมป์ ในส่วนความจุ C_{IC-} ซึ่งปรากฏในพจน์กำลังสองของฟังก์ชันถ่ายโอนส่งผลกระทบเฉพาะที่ความถี่สูงกว่าความถี่ธรรมชาติอย่างมาก จึงสามารถละเลยได้ ในการวิเคราะห์ระบบที่ความถี่ต่ำถึงปานกลาง โดยสมการฟังก์ชันถ่ายโอนและการตอบสนองเฟสแสดงไว้ในสมการที่ (4) และ (5) ตามลำดับ

$$H(s) = -\frac{1 - s\tau_1 - s^2(R_srC_sC_{IC-})}{1 + s\tau_2} \approx -\frac{1 - s\tau_1}{1 + s\tau_2} \tag{4}$$

$$\Delta\phi = 180° - \tan^{-1}(\omega\tau_1) - \tan^{-1}(\omega\tau_2) \tag{5}$$

โดยที่ $\tau_1=R_s(C_s-C_{IC})$ และ $\tau_2=R_s(C_s+C_{IC})$ เมื่อกำหนดให้ $C_s>>C_{IC}$ สมการที่ (4) จะสามารถประมาณค่าเท่ากับสมการที่ (1)

2.2.2.ความจุแฝงภายในสายสัญญาณ

ในการใช้งานในรูปแบบเซ็นเซอร์ระยะไกล โดยเชื่อมต่อเซ็นเซอร์ผ่านสายสัญญาณหุ้มฉนวนที่เชื่อมต่อลงกราวด์ (Passive shield) เพื่อป้องกันสัญญาณรบกวน จากความต่างศักย์ระหว่างสายชั้นใน (Inner) และฉนวนชั้นนอก (Outer) ส่งผลให้เกิดความจุแฝงของสายสัญญาณ (C_C) แสดงดังรูปจำลองสายสัญญาณดังรูปที่ 3(ก) เมื่อนำไปวิเคราะห์รวมกับวงจรที่นำเสนอสามารถแสดงวงจรได้ดังรูปที่ 3(ข)

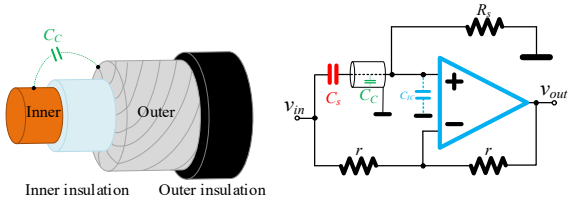

(ก) (ข)

รูปที่ 3 (ก)ส่วนประกอบภายในของสายสัญญาณแบบหุ้มฉนวน
(ข) วงจรอ่านค่าความจุเซ็นเซอร์เชื่อมต่อกับสายสัญญาณแบบลงกราวด์

จากรูปที่ 3(ข) กรณีวงจรเชื่อมต่อเซ็นเซอร์กับสายสัญญาณรูปแบบฉนวนที่เชื่อมต่อลงกราวด์ จะได้รับผลกระทบจากความจุแฝงภายในสายสัญญาณ ซึ่งมีค่าประมาณ 100pF/m เมื่อเทียบกับอัตราเปลี่ยนแปลงของความจุเซ็นเซอร์มีค่าต่างกันหลายเท่าตัว ซึ่งส่งผลกระทบโดยตรงต่อความแม่นยำในการอ่านค่าความจุเซ็นเซอร์ แสดงฟังก์ชันถ่ายโอนและสมการผลการตอบสนองทางเฟส ดังสมการที่ (6) และ (7) ตามลำดับ

$$H(s) \approx -\frac{1-s\tau_1'}{1+s\tau_2'} \quad (6)$$

$$\Delta\phi = 180° - \tan^{-1}(\omega\tau_1') - \tan^{-1}(\omega\tau_2') \quad (7)$$

โดยที่ $\tau_1'=R_s(C_s\text{-}C_{IC}\text{-}C_C)$ และ $\tau_2'=R_s(C_s+C_{IC}+C_C)$ ซึ่งค่าความจุแฝงภายในสายสัญญาณ (C_C) จะส่งผลให้เกิดความผิดพลาดของเฟส ค่าความจุแฝงของสายสัญญาณนั้นสามารถแก้ไขได้โดยจะกล่าวในหัวข้อถัดไป

2.3.การแก้ปัญหาความจุแฝงจากสายสัญญาณ

ในอดีตมีการนำเสนอวิธีแก้ปัญหาความจุแฝงของสายสัญญาณ (C_C) ที่นิยม ด้วยเทคนิคการป้องกันแบบแอคทีฟ [7-8] โดยการใช้วงจรฟอลโลเวอร์แรงดัน (Voltage follower) หรือที่รู้จักกันในชื่อ บัฟเฟอร์ (Buffer) เชื่อมต่อระหว่างสายชั้นในและชั้นนอก ดังแสดงในรูปที่ 4 ทำให้ความต่างศักย์ระหว่างสายทั้งสองชั้นมีค่าเป็นศูนย์ส่งผลให้สามารถลดผลกระทบของความจุแฝง C_C ได้อย่างมีประสิทธิภาพ

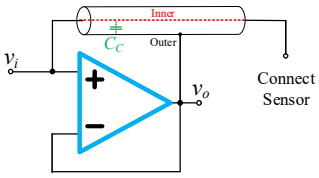

รูปที่ 4 วงจรลดผลกระทบจากความจุแฝงของสายสัญญาณ

3. วงจรอ่านค่าเซ็นเซอร์ความจุแบบลอยตัว

ในบทความนี้นำเสนอวงจรอ่านค่าเซ็นเซอร์ความจุรูปแบบใหม่บนพื้นฐานของวงจรกรองผ่านทุกความถี่รวมกับเทคนิคการแก้ปัญหาผลกระทบจากความจุแฝงในสายสัญญาณ (Cc) ด้วยการป้องกันแบบแอคทีฟที่ปรับปรุงจากวงจรรูปแบบเดิม ดังแสดงในรูปที่ 4 โดยแสดงวงจรที่นำเสนอและเทคนิคการป้องกันแบบแอคทีฟที่ปรับปรุง ดังรูปต่อไปนี้

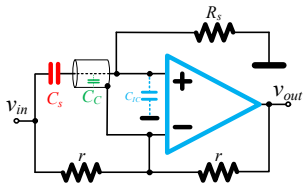

รูปที่ 5 วงจรอ่านค่าเซ็นเซอร์ความจุที่นำเสนอ

จากรูปที่ 5 แสดงวงจรที่นำเสนอในบทความนี้ร่วมกับเทคนิค การป้องกันแบบแอคทีฟแบบปรับปรุง ซึ่งช่วยลดจำนวนออปแอมป์ที่ต้องใช้ในส่วนของวงจรบัฟเฟอร์ โดยใช้คุณสมบัติลเสมือนลัดวงจร ของออปแอมป์ต่อเข้ากับสายสัญญาณชั้นนอกเข้ากับขาไม่กลับเฟส ของออปแอมป์ ทำให้สามารถใช้ออปแอมป์เพียง 1 ตัวในการแก้ปัญหาความจุแฝง C_C แสดงฟังก์ชันถ่ายโอนของวงจรที่นำเสนอ และสมการผลการตอบสนองทางเฟสดังสมการที่ (9) และ (10) ตามลำดับ

$$H(s) \approx -\frac{1-sR_s(C_s-C_{IC})}{1+sR_s(C_s+C_{IC})} \quad (9)$$

จากสมการที่ (9) เมื่อกำหนดให้ C_s มีค่าสูงกว่า C_{IC} ประมาณ 20 เท่าขึ้นไป สามารถละเลยผลกระทบจาก C_{IC} ได้โดยแสดงสมการของฟังก์ชันถ่ายโอนหลังประมาณค่า ดังสมการต่อไปนี้

$$H(s)\big|_{C_s>>C_{IC}} \approx -\frac{1-sR_sC_s}{1+sR_sC_s} \quad (10)$$

จากสมการฟังก์ชันถ่ายโอนของกรณีดังกล่าว ส่งผลให้สมการผลการตอบสนองเฟสของระบบอยู่ในรูปสมการเดียวกันกับสมการอุดมคติของวงจรกรองผ่านทุกความถี่ ดังสมการที่ (2) เมื่อพิจารณาสมการในเชิงความถี่พบว่า มีค่าความถี่ธรรมชาติ $\omega_n \approx 1/R_sC_s$ เมื่อทราบค่า R_s และความถี่ที่ส่งผลให้ความต่างเฟสมีค่าเท่ากับ $\Delta\phi=90°$ ($\omega=\omega_n$) สามารถหาค่าความจุ C_s ของวิธีการที่นำเสนอได้จากสมการที่ (3) โดยแสดงผลการทดสอบของทฤษฎีที่นำเสนอดังหัวข้อต่อไปนี้

4.ผลการจำลองการทำงานและผลการทดลอง

4.1.ผลการจำลองการทำงานด้วยโปรแกรม PSPICE

4.1.1.ผลกระทบจากความจุแฝงที่ขาอินพุตของออปแอมป์

ในส่วนนี้แสดงผลการทดสอบผลกระทบจากความจุแฝง C_{IC} ต่อวิธีการที่นำเสนอ จากวงจรดังรูปที่ 2(ข) โดยใช้ออปแอมป์อุดมคติ เมื่อเปรียบเทียบความจุแฝง C_{IC} ตั้งแต่ 0pF-20pF และกำหนดพารามิเตอร์ทดสอบดังต่อไปนี้ R_s=100kΩ, r=100kΩ, C_s=100pF ซึ่งสามารถคำนวณค่าความจุได้จากสมการที่ (3) แสดงผลการทดลองดังรูปที่ 6

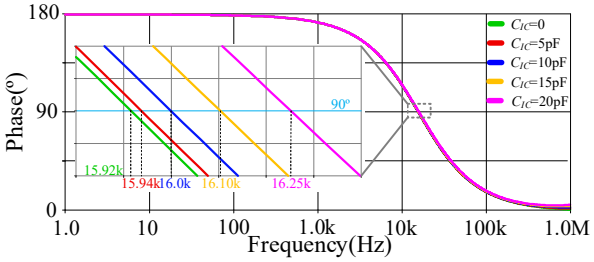

รูปที่ 6 ผลกระทบของความจุแฝง C_{IC} ต่อเฟสของวงจรที่นำเสนอ

จากผลการทดลองแสดงผลการวิเคราะห์ตัวอย่างได้ดังต่อไปนี้

- กรณี C_{IC}=20pF (เส้นสีชมพู) มีค่า C_s≈97.94pF
- กรณี C_{IC}=10pF (เส้นสีน้ำเงิน) มีค่า C_s≈99.47pF
- กรณี C_{IC}=5pF (เส้นสีแดง) มีค่า C_s≈100pF

จากการวิเคราะห์ชี้ให้เห็นว่าเมื่อค่าความจุ C_{IC} เพิ่มสูงขึ้นจะส่งผลให้ค่าความถี่ที่ $\Delta\phi=90°$ เพิ่มขึ้นจากจุดความถี่ธรรมชาติในอุดมคติทำให้ได้ผลการคำนวณค่า C_s ที่คลาดเคลื่อนไป ในทางกลับกัน กรณี C_{IC}=5pF มีค่า C_s ใกล้เคียงกับค่าความจุในการทดสอบ (100pF) โดยสรุปได้ว่า เมื่อกำหนดอัตราส่วนระหว่าง C_s/C_{IC} ให้มีอัตราส่วนโดยประมาณตั้งแต่ 20 เท่าขึ้นไป สามารถประมาณค่าได้เป็นไปตามสมการที่ (10)

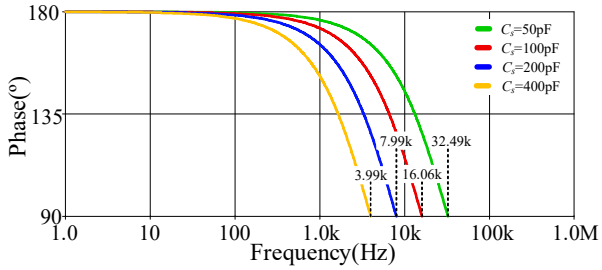

รูปที่ 7 ผลการทดสอบช่วงการทำงานของวงจรที่นำเสนอ

เพื่อยืนยันผลการทดลองจากวงจรที่นำเสนอดังรูปที่ 5 สมมติให้ความจุแฝง C_{IC}=5pF กำหนดพารามิเตอร์ทดสอบ R_s=100kΩ, r=100kΩ และ เปรียบเทียบความจุเซ็นเซอร์ตั้งแต่ 50pF-400pF พบว่าในกรณี C_s=50pF ค่าความถี่ธรรมชาติในทางทฤษฎีเท่ากับ 31.83kHz จากผลการทดลองพบว่ามีค่าความถี่ธรรมชาติเท่ากับ 32.49kHz ส่งผลให้ C_s มีค่าประมาณ C_s≈48.99pF ซึ่งเบี่ยงเบนไปจากค่าที่ใช้ในการทดสอบสอบประมาณ 1.01pF และค่าความคลาดเคลื่อนสัมพัทธ์ (ε:%) ซึ่งคำนวณได้จากสมการที่ (12) มีค่าประมาณ 2.02% ซึ่งความคลาดเคลื่อนที่พบเป็นผลมาจาก C_{IC} ตามที่แสดงดังสมการที่ (9) แสดงผลการจำลองอ่านค่าความจุ Cs ด้วยวิธีการที่นำเสนอ ได้ดังตารางต่อไปนี้

ตารางที่ 1 ผลการวิเคราะห์ช่วงทำงานของวิธีการที่นำเสนอ

C_s (pF)	$C_{s(proposed)}$ (pF)	C_s/C_{IC}	ΔC_s (pF)	ε(%)
50	48.99	10	1.01	2.02
100	99.12	20	0.88	0.88
200	199.19	40	0.81	0.40
400	399.29	80	0.71	0.18

ตารางที่ 1 สรุปได้ว่า เมื่ออัตราส่วนระหว่าง C_s/C_{IC} มีค่าตั้งแต่ 20 เท่าขึ้นไป มีค่าต่ำกว่า 1% ซึ่งถือว่าเป็นค่าที่ยอมรับได้ สอดคล้องกับผลการทดสอบที่แสดงดังรูปที่ 6 และสมการที่ (10)

4.1.2.ผลการจำลองการตอบสนองเฟสของวงจรที่นำเสนอ

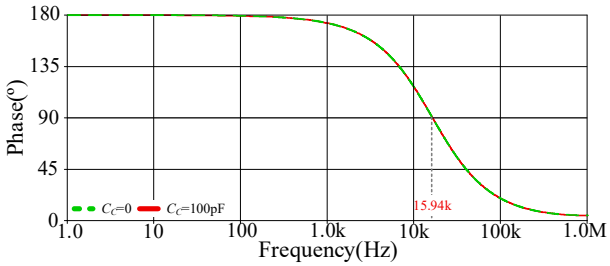

รูปที่ 8 ผลการจำลองการตอบสนองเฟสของวงจรที่นำเสนอ

จากผลการจำลองในรูปที่ 8 โดยใช้วงจรที่นำเสนอในบทความนี้ดังรูปที่ 5 เมื่อกำหนด R_s=100kΩ, r=100kΩ, C_s=100pF, C_{IC}=5pF และ C_C=100pF โดยใช้ออปแอมป์อุดมคติในการจำลองผล (เส้นสีแดง) เปรียบกับกรณี C_C=0 (เส้นสีเขียว) โดยมีความถี่ที่จุด $\Delta\phi$=90° เท่ากันที่ 15.94kHz ค่าความจุที่คำนวณจากสมการที่ (3) มีค่าประมาณ C_s≈100pF นั้นแสดงให้เห็นว่าสามารถกำจัดผลกระทบของความจุแฝงในสายสัญญาณ ได้อย่างมีประสิทธิภาพตามทฤษฎีที่นำเสนอ

4.2.ผลการทดลองวงจรจริง

4.2.1.ผลการทดสอบความจุ C_{IC} ของออปแอมป์ที่มีขายในเชิงพาณิชย์

จากวิธีการที่นำเสนอ ค่าความจุแฝง C_{IC} ที่ส่งผลโดยตรงต่อความแม่นยำในการอ่านค่าความจุของเซ็นเซอร์ การเลือกออปแอมป์ที่มีค่าความจุ C_{IC} ต่ำจะส่งผลให้ระบบมีความแม่นยำและช่วงการทำงานที่คลอบคลุมมากยิ่งขึ้น ซึ่งในการทดสอบค่าความจุแฝง C_{IC} ของออปแอมป์ที่มีขายทั่วไปตามท้องตลาดที่แตกต่างกัน 3 เบอร์ คือ LF157, UA741 และ LF351 ด้วยวงจรกรองความถี่ต่ำผ่านอันดับ 1 (RC Low-Pass Filter) ร่วมกับวงจรบัฟเฟอร์ กำหนดให้ความจุ C_{IC} เป็นตัวเก็บประจุและ ตัวต้านทานภายนอก 1 ตัว เป็นองค์ประกอบของวงจรกรองความถี่ต่ำผ่านอันดับ 1 โดยค่าความจุ C_{IC} คำนวณได้จากความสัมพันธ์ของความถี่ตัด (Cutoff Frequency) แสดงผลการทดสอบดังตารางที่ 2

ตารางที่ 2 ผลเปรียบเทียบความจุแฝงที่ขาอินพุตของออปแอมป์

Model	ความจุแฝงที่ขาอินพุตของออปแอมป์ (C_{IC}:pF)
LF157	9.37
UA741	4.15
LF351	3.56

จากตารางที่ 2 พบว่า ออปแอมป์ เบอร์ LF351 ให้ผลกระทบจากความจุแฝง C_{IC} ต่ำที่สุดจึงมีความเหมาะสมมากที่สุดในการนำมาใช้ในวิธีการที่นำเสนอในบทความนี้

4.2.2.ผลการทดสอบความแม่นยำของวงจรที่นำเสนอ

รูปที่ 9 การทดสอบความจุจริงด้วย LCR meter

ในการทดสอบความแม่นยำของวิธีการทำเสนอจำเป็นต้องเปรียบเทียบค่าความจุที่แท้จริงของตัวเก็บประจุโดยเครื่องมือวัดมาตรฐาน LCR meter ตั้งแต่ 50-1000pF จากผลการการทดสอบตัวเก็บประจุทดสอบตัวอย่าง ชนิดเซรามิกขนาด 100pF แสดงดังรูปที่ (9) พบว่ามีค่าความจุจริง C_s=101pF

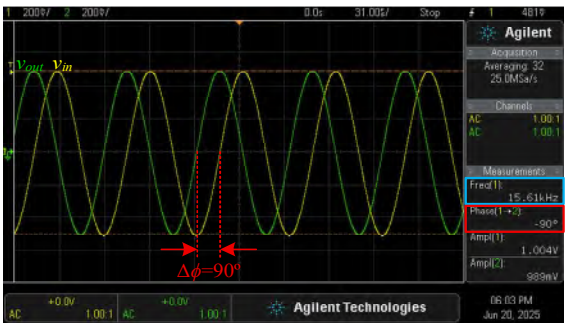

รูปที่ 10 ผลการทดสอบเอาต์พุตบนแกนเวลาของวงจรที่นำเสนอ

จากรูปที่ 10 แสดงผลการทดสอบวงจรที่นำเสนอดังรูปที่ 5 โดยต่อวงจรลงบอร์ดทดลอง (Breadboard) เมื่อกำหนดค่า R_s=100kΩ, r=100kΩ เชื่อมต่อผ่านสายสัญญาณหุ้มฉนวนความยาว 1 เมตร ซึ่งมีค่าความจุแฝงภายในสายประมาณ C_C≈100pF เข้ากับตัวเก็บประจุทดสอบ C_s=101pF จากการทดสอบสัญญาณเอาต์พุตบนแกนเวลา พบว่าความถี่ที่

จุด $\Delta\phi = 90^{o}$ มีความถี่เท่ากับ 15.61 kHz ส่งผลให้ค่าความจุที่คำนวณได้มีค่า $C_{s(proposed)} \approx 101.92$ pF จากผลการทดสอบบนแกนเวลาสามารถสังเกตได้ว่าระบบปราศจากสัญญาณรบกวน แม้ว่าจะมีการเชื่อมต่อผ่านสายสัญญาณหุ้มฉนวน ทั้งนี้ โดยปกติสัญญาณรบกวนมักปรากฏในย่านความถี่สูงและมีแอมพลิจูดขนาดเล็กมาก [10-11] อย่างไรก็ตาม ด้วยคุณลักษณะของวงจรกรองผ่านทุกความถี่ที่มีอัตราขยายคงที่เท่ากับ 1 ในทุกช่วงความถี่ จึงไม่เกิดการขยายสัญญาณรบกวน ส่งผลให้สัญญาณรบกวนมีค่าเล็กมากเมื่อเทียบกับสัญญาณอินพุตที่ป้อนเข้าสู่ระบบ (1 V_{pp}) ดังนั้นสามารถสรุปได้ว่าวิธีการที่นำเสนอไม่ถูกรบกวนจากสัญญาณรบกวนและยังคงรักษาความเสถียรของการวัดได้อย่างมีประสิทธิภาพ

ในบทความนี้วิเคราะห์ความแม่นยำของวิธีการที่นำเสนอ เป็นค่าเชิงตัวเลข ในรูปแบบของค่าความคลาดเคลื่อนสัมพัทธ์ (ε: %) โดยแสดงดังสมการต่อไปนี้

$$\varepsilon = \left| \frac{C_{s(proposed)} - C_{s(LCR)}}{C_{s(LCR)}} \right| \times 100\% \qquad (12)$$

เมื่อ $C_{s(proposed)}$ คือความจุที่อ่านได้จากวิธีการที่นำเสนอ และ $C_{s(LCR)}$ คือความจุอ้างอิงที่ได้จากเครื่องมือวัดมาตรฐาน LCR meter แสดงผลการทดสอบอ่านค่าความจุจากวิธีการที่นำเสนอ $C_{s(proposed)}$ พร้อมทั้ง ค่าความจุที่ได้จากการทดสอบด้วย LCR meter ($C_{s(LCR)}$)และความคลาดเคลื่อนสัมพัทธ์ (ε) จากสมการที่ (12) ของตัวเก็บประจุทดสอบตั้งแต่ 50-1000 pF ดังตารางต่อไปนี้

ตารางที่ 3 ผลการทดสอบความแม่นยำของวงจรที่นำเสนอ

$C_{s(LCR)}$ (pF)	$C_{s(proposed)}$ (pF)	ΔC_s (pF)	ε(%)
49	51.92	1.92	3.84
101	101.92	0.92	0.90
227	226.43	0.57	0.25
321	320.55	0.45	0.14
493	493.31	0.31	0.06
703	702.70	0.30	0.04
914	913.79	0.21	0.02

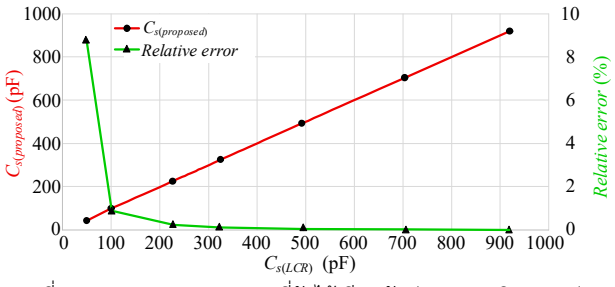

รูปที่ 11 ผลการทดสอบความจุที่วัดได้เทียบกับค่าความจุจริง และ ค่าความคลาดเคลื่อนสัมพัทธ์

จากตารางที่ 3 พบว่า ที่ $C_{s(LCR)} = 49$ pF ค่า ε สูงสุดอยู่ที่ 3.84% ขณะที่กรณี $C_s/C_{IC(LF351)} \leq 20$ เท่า ($C_{s(LCR)} \approx 101$ pF) ค่า ε ลดลงเหลือเพียง 0.90% และลดต่ำลงอย่างมีนัยสำคัญ เมื่ออัตราส่วนระหว่าง C_s และ C_{IC} ที่เพิ่มขึ้น ตามทฤษฎีดังแสดงในสมการที่ (10) ความสัมพันธ์ระหว่าง C_s และ ε แสดงในรูปที่ 10

5.สรุปผล

บทความนี้นำเสนอวงจรอ่านค่าความจุเซ็นเซอร์แบบลอยตัว สำหรับการใช้งานในลักษณะเซ็นเซอร์ระยะไกล โดยอิงหลักการของวงจรกรองผ่านทุกความถี่ ร่วมกับเทคนิคลดผลกระทบจากความจุแฝงในสายสัญญาณ วงจรที่นำเสนอใช้เพียงตัวต้านทาน 3 ตัว และออปแอมป์เพียง 1 ตัว เบอร์ LF351 ซึ่งเป็นอุปกรณ์ราคาต่ำและหาได้ทั่วไปในท้องตลาด ผลการทดสอบแสดงให้เห็นว่าค่าความคลาดเคลื่อนเมื่อเทียบกับเครื่องมือวัดมาตรฐาน LCR Meter ต่ำกว่า 1% เมื่อกำหนดเงื่อนไขให้ C_s มีค่ามากกว่าความจุแฝงที่ขาอินพุตของออปแอมป์ C_{IC} อย่างน้อย 20 เท่า ($C_s/C_{IC(LF351)} \leq 20$) มีค่าความเบี่ยงเบนของค่าความจุต่ำกว่า 1 pF โดยค่าความผิดพลาดลดลงตามความจุของเซ็นเซอร์ที่เพิ่มขึ้น วงจรที่นำเสนอมีความต้านทานผลกระทบจากสัญญาณรบกวน และสามารถพัฒนาเป็นวงจรรวมแบบ Silicon on Chip (SoC) หรือใช้งานร่วมกับไมโครคอนโทรลเลอร์ได้ในอนาคต

เอกสารอ้างอิง

[1] R. T. Bento, R. W. O. Silva, L. A. Dias, et al., "Design, development and application of a real-time capacitive sensor for automatically masuring liquid level," *SN Appl. Sci.*, vol. 1, no. 7, p. 734, Jul. 2019,

[2] M. Shadwani, S. Sachan, and P. Sachan, "Capacitive sensing & its applications," *Int. J. Eng. Res. Gen. Sci.*, vol. 4, no. 3, pp. 185-193, May-Jun. 2016.

[3] T. Islam, "Advanced interfacing techniques for the capacitive sensors," in Advanced Interfacing Techniques for Sensors, Berlin/Heidelberg, Germany: Springer, pp. 73–109, 2017.

[4] M. A. Haberman, E. M. Spinelli, and F. Reverter, "A Supply-Voltage Driving Scheme for Grounded Capacitive Sensor Front-Ends," IEEE Trans. Instrum. Meas., vol. 71, pp. 1-7, 2022.

[5] C. Bao, H. Zhu, and J. Liu, "Introduction of parasitic capacitance and methods of reducing its capacitance," Applied and Computational Engineering, vol. 85, pp. 141-147, 2024.

[6] F. Reverter, X. Li, and G. C. M. Meijer, "Liquid-level measurement system based on a remote grounded capacitive sensor," *Sens. Actuators A, Phys.*, vol. 138, no.1, pp.1-8, Sep. 2007.

[7] S. M. Herzog, "Circuit for measuring capacitance by charging and discharging capacitor under test and its shield," U.S. Patent 4,743,837, May 10, 1988.

[8] S. M. Huang, A. L. Stott, R. G. Green, and M. S. Beck, "Electronic transducers for industrial measurement of low-value capacitances," J. Phys. E: Sci. Instrum., vol. 21, no. 3, pp. 242, 1988.

[9] K. C. Baby and B. George, "A simple analog front-end circuit for grounded capacitive sensors with offset capacitance," in *Proc. IEEE Int. Instrum. Meas. Technol. Conf. (I2MTC)*, Minneapolis, MN, USA, pp. 1372-1375, May 2013

[10] M. A. Haberman, E. M. Spinelli and F. Reverter, "High-Linearity Front-End Circuit for Remote Grounded Capacitive Sensors," in *IEEE Transactions on Instrumentation and Measurement*, vol. 70, pp. 1-8, 2021

[11] D. Gelmini, M. A. Haberman, V. Ferrari, E. M. Spinelli, and F. Reverter, "An isolation amplifier-based front-end circuit for grounded capacitive sensors," *IEEE Trans. Instrum. Meas.*, vol. 73, pp. 1-10, Jan. 2024,

[12] D. Marioli, E. Sardini, and A. Taroni, "High-accuracy measurement techniques for capacitance transducers," Meas. Sci. Technol., vol. 4, no. 3, pp. 337, 1993.

[13] M. T. Thompson, *Intuitive analog circuit design*. Kidlington, Oxford: Newnes Is An Imprint Of Elsevier, 2014.

การออกแบบวงจรออสซิลเลเตอร์ควอดราเจอร์โดยใช้ไอซีสำเร็จรูปเชิงพาณิชย์เท่านั้น

Design of a Quadrature Oscillator Using Only Commercially Available Integrated Circuits

นัชนันย์ รุ่งเหมือนฟ้า[1] ธีรศิลป์ ทุมวิภาต[2] วรพงศ์ ตั้งศรีรัตน์[3]*

[1]ภาควิชาวิศวกรรมไอโอทีและสารสนเทศ คณะวิศวกรรมศาสตร์ สถาบันเทคโนโลยีพระจอมเกล้าเจ้าคุณทหารลาดกระบัง natchanai.ro@kmitl.ac.th
[2]สาขาวิชาสาขาวิชาวิศวกรรมคอมพิวเตอร์ คณะเทคโนโลยีดิจิทัล สถาบันเทคโนโลยีจิตรลดา teerasilapa.dum@cdti.ac.th
[3]ภาควิชาวิศวกรรมการวัดและควบคุม คณะวิศวกรรมศาสตร์ สถาบันเทคโนโลยีพระจอมเกล้าเจ้าคุณทหารลาดกระบัง drworapong@gmail.com*

บทคัดย่อ

บทความนี้นำเสนอการออกแบบและสังเคราะห์วงจรออสซิลเลเตอร์ควอดราเจอร์โดยใช้ไอซีสำเร็จรูปเท่านั้น ปราศจากการใช้งานอุปกรณ์พาสซีฟจากภายนอก วงจรที่นำเสนอประกอบด้วยไอซีสำเร็จรูปเบอร์ LT1228 และออปแอมป์เบอร์ LM741 อย่างละสองตัว โดยค่าความถี่ในการออสซิลเลตสามารถปรับค่าได้ด้วยวิธีการทางอิเล็กทรอนิกส์ผ่านอัตราขยายค่าความนำ (g_m) ของไอซีเบอร์ LT1228 จากการแปรค่ากระแสไบอัส (I_B) จากภายนอกวงจร คุณสมบัติการทำงานของวงจรที่นำเสนอถูกตรวจสอบด้วยผลการจำลองการทำงานโดยใช้เทคโนโลยีไอซีจากบริษัทผู้ผลิตผ่านโปรแกรม PSPICE เพื่อแสดงให้เห็นถึงการทำงานของวงจรที่มีความสอดคล้องกับผลลัพธ์ทางทฤษฎี

คำสำคัญ: วงจรออสซิลเลเตอร์ควอดราเจอร์ ไอซีสำเร็จรูปเชิงพาณิชย์ วงจรแอนะล็อกแบบใช้อุปกรณ์แอคทีฟเป็นหลัก การปรับค่าทางอิเล็กทรอนิกส์

Abstract

This paper proposes the design and synthesis of a quadrature oscillator circuit using only commercially available integrated circuits (ICs), without the use of any external passive components. The proposed circuit consists of two LT1228s along with two LM741s as an op-amp. The oscillation frequency can be adjusted electronically through the transconductance gain (g_m) of the LT1228 by varying the external biasing current (I_B). The performance of the proposed circuit was verified through simulation results using IC technology from the manufacturer via PSPICE software in order to demonstrate that the circuit is consistent with theoretical results.

Keywords: quadrature oscillator circuit, commercially available IC, only active analog circuit, electronically tunable

1. บทนำ

วงจรออสซิลเลเตอร์ควอดราเจอร์ (quadrature oscillator) หรือวงจรกำเนิดสัญญาณไซน์สองชุดที่ขนาดสัญญาณเท่ากัน แต่มีมุมต่างเฟสกัน 90° เป็นองค์ประกอบสำคัญที่ถูกนำไปใช้อย่างแพร่หลายสำหรับงานออกแบบระบบสื่อสารทางอิเล็กทรอนิกส์ และการประมวลผลสัญญาณต่างๆ เนื่องจากมีสัญญาณเอาต์พุตสองชุดที่มีมุมต่างเฟสกัน 90° จึงสามารถนำไปใช้ในวงจรผสมสัญญาณ (quadrature mixers) ระบบสร้างคลื่นไซน์แบนด์เดียว (single-sideband generators) ตลอดจนระบบทดสอบ และวัดค่าวงจรอิเล็กทรอนิกส์ที่ต้องการความแม่นยำสูง ในช่วงหลายปีที่ผ่านมา มีงานวิจัยจำนวนมากที่นำเสนอการออกแบบวงจรออสซิลเลเตอร์ควอดราเจอร์โดยใช้อุปกรณ์แอคทีฟหลากหลายชนิด ทั้งนี้เพื่อให้วงจรมีความเสถียร ขนาดกะทัดรัด และเหมาะสมต่อการนำไปพัฒนาเป็นวงจรรวมหรือไอซี (integrated circuits, IC) อย่างไรก็ตามจากงานวิจัยที่ผ่านมา [1]-[6] พบว่าวงจรใน [2], [3], [6] ไม่สามารถปรับความถี่ในการออสซิลเลต (oscillation frequency) ได้ด้วยวิธีทางอิเล็กทรอนิกส์ นอกจากนี้ยังมีข้อจำกัดที่สำคัญอีกประการคือ ต้องอาศัยอุปกรณ์พาสซีฟจากภายนอก [1]-[6] เช่น ตัวต้านทานและตัวเก็บประจุ ซึ่งเป็นอุปสรรคต่อการพัฒนาในระดับวงจรรวม ดังนั้นจึงมีแนวทางการวิจัยที่มุ่งเน้นการออกแบบวงจรโดยใช้อุปกรณ์แอคทีฟเพียงอย่างเดียว เพื่อหลีกเลี่ยงข้อจำกัดดังกล่าว งานวิจัยใน [7]-[9] จึงได้นำเสนอวงจรที่ไม่จำเป็นต้องใช้อุปกรณ์พาสซีฟจากภายนอก ซึ่งสอดคล้องกับความต้องการด้านการพัฒนาอุปกรณ์ในระดับวงจรรวม

ไอซีเบอร์ LT1228 ซึ่งเป็นไอซีเชิงพาณิชย์จากบริษัท Linear Technology Corporation [13] ได้รับความนิยมอย่างมากในการออกแบบวงจร เนื่องจากโครงสร้างภายในประกอบด้วยวงจรย่อยสองส่วน ได้แก่ วงจร OTA (operational transconductance amplifier) และวงจร CFOA (current feedback operational amplifier) ส่งผลให้ไอซีเบอร์ LT1228 มีประสิทธิภาพในการทำงานที่หลากหลาย ครอบคลุมทั้งการควบคุมคุณสมบัติด้วยกระแสจากภายนอก และการประมวลผลสัญญาณที่ความถี่สูง อีกทั้งยังมีขนาดเล็ก จึงเหมาะสมต่อการใช้งานในเชิงปฏิบัติ ด้วยคุณสมบัติที่กล่าวในข้างต้น ไอซีเบอร์ LT1228 จึงถูกนำไปพัฒนาเป็นวงจรต่างๆ เช่น วงจรกรองสัญญาณ [10] วงจรเลียนแบบตัวเหนี่ยวนำ [11] และวงจรคูณค่าความจุไฟฟ้า [12] เป็นต้น

ดังนั้นบทความนี้จึงนำเสนอการออกแบบและสังเคราะห์วงจรออสซิลเลเตอร์ควอดราเจอร์ขึ้นโดยอาศัยเพียงอุปกรณ์แอคทีฟเพียงเท่านั้น วงจรที่นำเสนอสังเคราะห์ขึ้นจากไอซีเบอร์ LT1228 และออปแอมป์เบอร์ LM741 จากบริษัท Intersil Corporation [14] จำนวนอย่างละสองตัว โดยไม่จำเป็นต้องใช้อุปกรณ์พาสซีฟจากภายนอก ความถี่ในการออสซิลเลตสามารถปรับค่าได้ด้วยวิธีการทางอิเล็กทรอนิกส์ ผ่านการแปรค่ากระแสไบอัสจากภายนอก คุณสมบัติการทำงานของวงจรที่นำเสนอถูกแสดงให้เห็นจริงด้วยผลการจำลองการทำงานโดยใช้โปรแกรม PSPICE ภายใต้เทคโนโลยีของบริษัทผู้ผลิต ซึ่งให้ผลสอดคล้องกับผลลัพธ์ในทางทฤษฎี

2. ไอซีสำเร็จรูป

2.1 ไอซีเบอร์ LT1228

รูปที่ 1 แสดงสัญลักษณ์ทางไฟฟ้าของไอซีเบอร์ LT1228 และโครงสร้างวงจรภายในของวงจรซึ่งประกอบด้วย วงจร OTA และวงจร CFOA โดยที่คุณสมบัติระหว่างแรงดันและกระแสของไอซีเบอร์ LT1228 อธิบายได้ดังนี้

*ผู้ประพันธ์บรรณกิจ

$$\begin{bmatrix} i_p \\ i_n \\ i_z \\ v_x \\ v_o \end{bmatrix} = \begin{bmatrix} 0 & 0 & 0 & 0 & 0 \\ 0 & 0 & 0 & 0 & 0 \\ \alpha g_m & -\alpha g_m & 0 & 0 & 0 \\ 0 & 0 & \beta & 0 & 0 \\ 0 & 0 & 0 & R_{OL} & 0 \end{bmatrix} \begin{bmatrix} v_p \\ v_n \\ v_z \\ i_x \\ i_o \end{bmatrix} \quad (1)$$

โดยที่ α และ β คือ ค่าความเบี่ยงเบนในการส่งผ่านอัตราขยายค่าความนำ (tranconductance tracking error) และค่าผิดพลาดในการส่งผ่านแรงดัน (non-ideal voltage gain) ตามลำดับ ในทางอุดมคติ α และ β มีค่าเท่ากับ 1 R_{OL} คือค่าส่งผ่านความต้านทานกรณีสัญญาณขนาดเล็ก (small-signal transresistance) ซึ่งในทางอุดมคติมีค่าเป็นอนันต์ และ g_m คือ อัตราขยายค่าความนำกรณีสัญญาณขนาดเล็ก (small-signal transconductance gain) ของไอซีเบอร์ LT1228 โดยสามารถปรับค่าได้ทางอิเล็กทรอนิกส์ด้วยการควบคุมกระแสไบอัส (I_B) จากภายนอก ดังความสัมพันธ์ต่อไปนี้

$$g_m = 10 I_B \quad (2)$$

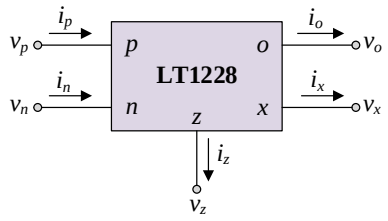

(ก)

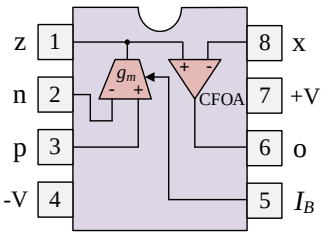

(ข)

รูปที่ 1 ไอซีเบอร์ LT1228
(ก) สัญลักษณ์ทางไฟฟ้า (ข) โครงสร้างภายในไอซี

2.2 ออปแอมป์

รูปที่ 2 แสดงสัญลักษณ์ทางไฟฟ้าของออปแอมป์ โดย v^+ คือแรงดันอินพุตไม่กลับเฟส (non-inverting input voltage) และ v^- คือแรงดันอินพุตกลับเฟส (inverting input voltage) ความสัมพันธ์ระหว่างแรงดันอินพุต (v_{in}) และแรงดันเอาต์พุต (v_o) จะเท่ากับ

$$v_o = A.\left(v^+ - v^-\right) = A.v_{in} \quad (3)$$

เมื่อ A คือ อัตราขยายแรงดันลูปเปิด (open-loop voltage gain) ซึ่งมีค่าขึ้นกับความถี่ในการใช้งาน หากออปแอมป์ไม่มีการต่อใช้งานร่วมกับอุปกรณ์อื่นๆ จากภายนอก ขนาดอัตราขยายแรงดันของออปแอมป์ที่ความถี่ต่ำหรือ $A_0 = |A(j\omega)|$ จะมีค่าสูงมาก หรือมีค่าอยู่ระหว่าง $10^8 > A_0 > 10^5$ สำหรับออปแอมป์ที่มีเทคโนโลยีแบบไบโพล่าร์

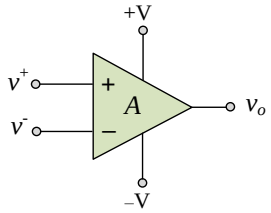

รูปที่ 2 ออปแอมป์

การออกแบบออปแอมป์ในทางปฏิบัตินั้นจะมีตำแหน่งโพลเด่น (dominant pole) อยู่บนแกนจริงซีกซ้ายของระนาบเชิงซ้อน s (s-plane) หรือ มีตำแหน่งอยู่ที่ $s = -\omega_a$ ส่งผลให้อัตราขยายแรงดันลูปเปิด $A(s)$ ที่ขึ้นกับความถี่จะเท่ากับ

$$A(s) = \frac{A_0\omega_a}{s+\omega_a} = \frac{\omega_t}{s+\omega_a} = \frac{B}{s+\omega_a} \quad (4)$$

เมื่อ A_0 คือ อัตราขยายแรงดันลูปเปิดที่ความถี่ต่ำ (open-loop dc gain) ω_a คือ ความถี่ -3dB ของออปแอมป์ และ ω_t คือ ผลคูณระหว่างอัตราขยายแรงดันลูปเปิดที่ความถี่ต่ำกับความถี่ -3dB (gain-bandwidth product, B) โดยทั่วไป ω_a จะมีค่าต่ำมาก ดังนั้นหากช่วงปฏิบัติงานของออปแอมป์มีค่าความถี่ $\omega >> \omega_a$ ส่งผลให้ ω_a ในสมการ (4) สามารถละทิ้งได้ หรือค่า $A(s)$ จะถูกประมาณเป็น

$$A(s) \cong \frac{B}{s} \quad (5)$$

สมการ (5) แสดงให้เห็นว่าออปแอมป์ที่ทำงานในลักษณะลูปเปิดมีคุณสมบัติเสมือนเป็นวงจรอินทิเกรเตอร์ที่ไม่มีการสูญเสีย (lossless integrator)

หากมีการใช้งานออปแอมป์ในช่วงความถี่สูง จะมีผลกระทบอันเนื่องจากโพลเด่นตัวที่สอง (second dominant pole, ω_b) ของออปแอมป์ ดังนั้นอัตราขยายแรงดันลูปเปิด $A(s)$ ในกรณีนี้จึงเขียนได้ใหม่เท่ากับ

$$A(s) = \frac{B}{s}\frac{\omega_b}{(s+\omega_b)} = \frac{B}{s\left(1+\frac{s}{\omega_b}\right)} \cong \frac{B}{s}\left(1-\frac{s}{\omega_b}\right) \quad (6)$$

3. วงจรออสซิลเลเตอร์ควอดราเจอร์ที่นำเสนอ

3.1 คุณสมบัติในทางอุดมคติ

รูปที่ 3 แสดงวงจรออสซิลเลเตอร์ควอดราเจอร์ที่นำเสนอ โดยออกแบบและสังเคราะห์ขึ้นจากไอซีเบอร์ LT1228 และออปแอมป์ซึ่งเป็นอุปกรณ์แอคทีฟทั้งหมด ปราศจากการใช้งานอุปกรณ์พาสซีฟ เมื่อวิเคราะห์วงจรในรูปที่ 3 โดยอาศัยคุณสมบัติของไอซีเบอร์ LT1228 ดังสมการ (1) และออปแอมป์ดังสมการ (5) จะได้สมการคุณลักษณะของวงจรเท่ากับ

$$s^2 + \frac{g_{m1}B_1B_2}{g_{m2}} = 0 \quad (7)$$

จากสมการ (7) พบว่าความถี่ในการออสซิลเลต (oscillation frequency, OF) ของวงจรเท่ากับ

$$\omega_{osc} = 2\pi f_{osc} = \sqrt{\frac{g_{m1}B_1B_2}{g_{m2}}} \quad (8)$$

สมการ (8) แสดงให้เห็นว่าค่าความถี่ในการออสซิลเลตที่สังเคราะห์ขึ้นสามารถปรับค่าได้ด้วยวิธีการทางอิเล็กทรอนิกส์ผ่านการแปรค่า g_{m1} และ/หรือ g_{m2} โดยค่า g_m ของไอซีเบอร์ LT1228 สามารถปรับค่าได้ระหว่าง 10 μA/V ถึง 10 mA/V (I_B = 1 μA ถึง 1 mA) [13]

ความสัมพันธ์ระหว่างแรงดันที่ขั้ว v_{out1} และ v_{out2} ของวงจรที่นำเสนอแสดงได้ดังนี้

$$v_{out2} = \left(\frac{s}{B_2}\right) v_{out1} \quad (9)$$

สมการ (9) แสดงให้เห็นว่าสัญญาณเอาต์พุตทั้งสองเป็นไปตามคุณสมบัติของวงจรออสซิลเลเตอร์ควอดราเจอร์ หรือมีมุมต่างเฟสเท่ากับ 90°

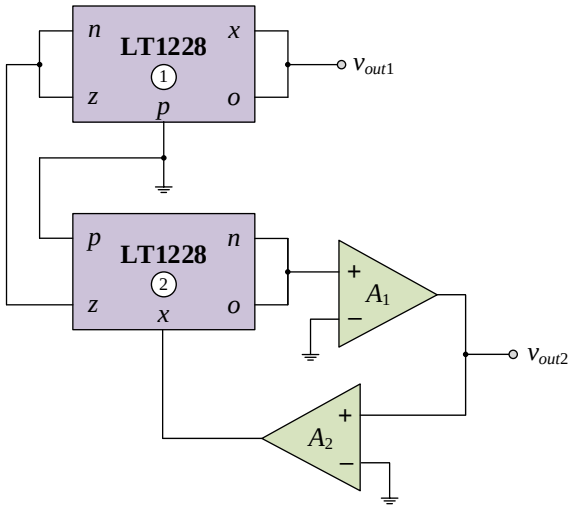

รูปที่ 3 วงจรออสซิลเลเตอร์ควอดราเจอร์ที่นำเสนอ

3.2 คุณสมบัติในทางปฏิบัติ

เมื่อวิเคราะห์วงจรออสซิลเลเตอร์ควอดราเจอร์ในรูปที่ 3 โดยคำนึงถึงคุณสมบัติของไอซีเบอร์ LT1228 ในทางปฏิบัติ และโพลเด่นตัวที่สองของออปแอมป์ ทำให้สมการคุณลักษณะของวงจรดังสมการ (7) กลายเป็น

$$s^2 + \left(\frac{\alpha_1 g_{m1} B_1 B_2}{\alpha_2 g_{m2}}\right)\left(\frac{1-\frac{s}{\omega_{b2}}}{1-\frac{s}{\omega_{b1}}}\right) = 0 \quad (10)$$

จากสมการข้างต้น แสดงให้เห็นว่าหากต้องการหลีกเลี่ยงผลกระทบจาก ω_{bi} โดยที่ i = 1, 2 ความถี่ปฏิบัติงานต้องมีค่าในช่วง $\omega << \omega_{bi}$ ดังนั้นจึงส่งผลให้สมการ (10) สามารถประมาณได้ดังนี้

$$s^2 + \left(\frac{\alpha_1 g_{m1} B_1 B_2}{\alpha_2 g_{m2}}\right) = 0 \quad (11)$$

และจะได้ความถี่ในการออสซิลเลตของวงจรในกรณีนี้ เท่ากับ

$$\omega_{osc} = 2\pi f_{osc} = \sqrt{\frac{\alpha_1 g_{m1} B_1 B_2}{\alpha_2 g_{m2}}} \quad (12)$$

สมการข้างต้นแสดงให้เห็นว่าค่าความถี่ ω_{osc} มีค่าเบี่ยงเบนไปจากค่าในทางอุดมคติ อย่างไรก็ตามค่าความถี่สามารถปรับชดเชยได้ด้วยการแปรค่า g_{m1} และ/หรือ g_{m2} ด้วยวิธีการทางอิเล็กทรอนิกส์

4. ผลการจำลองการทำงานของวงจร

วงจรออสซิลเลเตอร์ควอดราเจอร์ที่นำเสนอได้ถูกตรวจสอบด้วยผลการจำลองการทำงานโดยอาศัยเทคโนโลยีไอซีเบอร์ LT1228 [13] ร่วมกับออปแอมป์เบอร์ LM741 [14] จากบริษัทผู้ผลิตผ่านโปรแกรม PSPICE เมื่อกำหนดให้ไฟเลี้ยงให้กับวงจรเท่ากับ ±5 V ผลการจำลองการทำงานพบว่ากำลังไฟฟ้าสูญเสียทั้งหมด (total power consumption) เท่ากับ 0.143 W

ในการจำลองการทำงานของวงจรได้กำหนดให้ g_{m1} = 0.2 mA/V (I_{B1} = 20 µA) และ g_{m2} = 5.5 mA/V (I_{B2} = 550 µA) และ B = 5.65 Mrad/s จะได้ f_{osc} = 171.48 kHz โดยหากกำหนดให้ g_{m1} = 0.2 mA/V (I_{B1} = 20 µA) และ g_{m2} = 3.5 mA/V (I_{B2} = 350 µA) จะได้ f_{osc} = 214.96 kHz ซึ่งรูปที่ 4 แสดงผลตอบสนองทางเวลาของแรงดันเอาต์พุต v_{out1} และ v_{out2} ซึ่งพบว่าแรงดันเอาต์พุตทั้งสองมีมุมต่างเฟสประมาณ 91.51° คิดเป็นค่าความผิดพลาด (error) เท่ากับ 1.68% ในขณะที่รูปที่ 5 ผลตอบสนองสเปกตรัมความถี่ของแรงดันเอาต์พุต v_{out1} และ v_{out2} จากผลการจำลองการทำงานพบว่าวงจรมีค่า THD (total harmonic distortion) ของแรงดันเอาต์พุต v_{out1} และ v_{out2} เท่ากับ 3.18 % และ 5.12% ตามลำดับ รูปที่ 6 แสดงแผนภาพ Lissajous ระหว่าง v_{out1} กับ v_{out2} ซึ่งแสดงให้เห็นถึงความสัมพันธ์ควอดราเจอร์ของแรงดันเอาต์พุตทั้งสองที่มีความต่างเฟสใกล้เคียง 90°

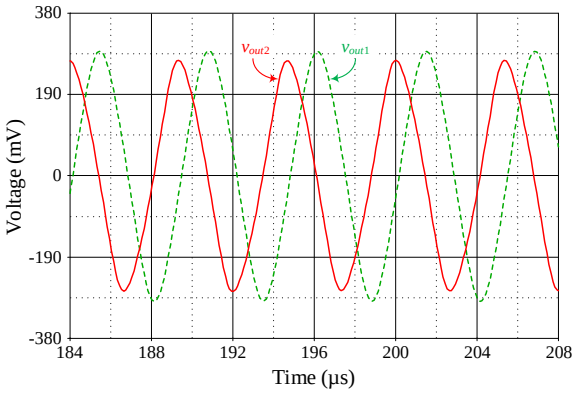

(ก)

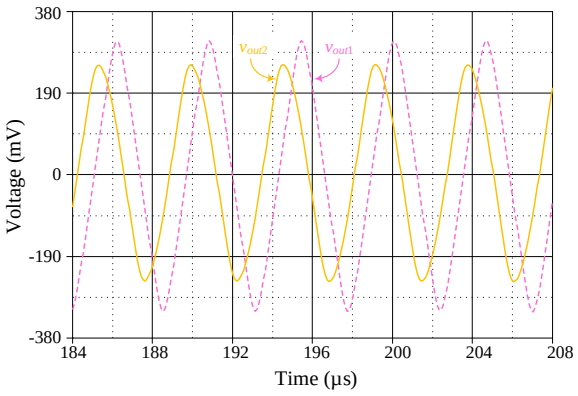

(ข)

รูปที่ 4 ผลตอบสนองทางเวลาของแรงดันเอาต์พุต v_{out1} และ v_{out2}
(ก) f_{osc} = 171.48 kHz (ข) f_{osc} = 214.96 kHz

5. สรุป

บทความนี้นำเสนอการออกแบบและสังเคราะห์วงจรออสซิลเลเตอร์ควอดราเจอร์โดยใช้ไอซีสำเร็จรูปเบอร์ LT1228 จำนวนสองตัวต่อร่วมกับออปแอมป์จำนวนสองตัว ปราศจากการใช้งานอุปกรณ์พาสซีฟ โดยวงจรที่นำเสนอสามารถสร้างสัญญาณไซน์ได้สองเอาต์พุต ซึ่งมีมุมต่างเฟส 90° ความถี่ในการออสซิลเลตสามารถปรับค่าได้ด้วยวิธีการทางอิเล็กทรอนิกส์จากการแปรค่าประแสไบอัสจากภายนอกวงจร ผลการจำลองการทำงานของวงจรได้ถูกตรวจสอบผ่านโปรแกรม PSPICE โดยใช้เทคโนโลยีจากบริษัทผู้ผลิต ซึ่งพบว่ามีผลการทำงานของวงจรที่ถูกต้องความสอดคล้องกับผลในทางทฤษฎี

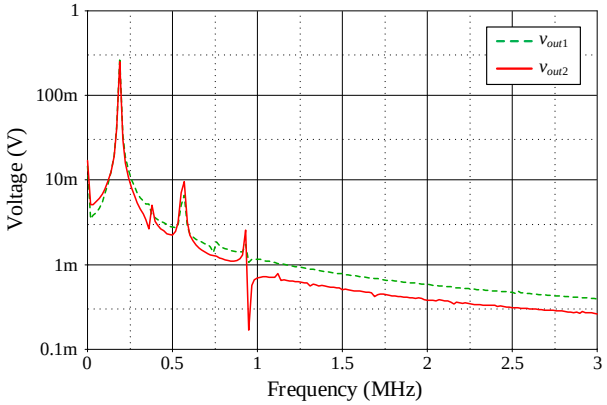

รูปที่ 5 ผลตอบสนองสเปกตรัมความถี่
ของ v_{out1} และ v_{out2} ที่ f_{osc} = 171.48 kHz

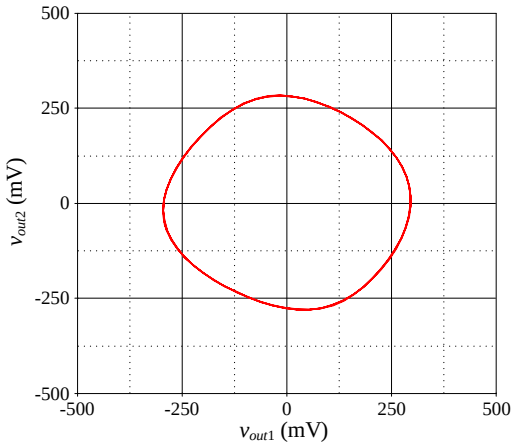

รูปที่ 6 แผนภาพ Lissajous
ระหว่าง v_{out1} และ v_{out2} ที่ f_{osc} = 171.48 kHz

6. กิตติกรรมประกาศ

งานวิจัยนี้ได้รับการสนับสนุนจาก คณะวิศวกรรมศาสตร์ สถาบันเทคโนโลยีพระจอมเกล้าเจ้าคุณทหารลาดกระบัง

เอกสารอ้างอิง

[1] S. Tuntrakool, M. Kumngern, R. Sotner, N. Herencsar, P. Suwanjan, W. Jaikla "High input impedance voltage-mode universal filter and its modification as quadrature oscillator using VDDDAs," *Indian J. Pure Appl. Phys.*, vol. 55, pp. 324–332, 2017.

[2] F. Yucel, E. Yuce, "Supplementary CCII based second-order universal filter and quadrature oscillators," *Int. J. Electron. Commun. (AEU)*, vol. 118, no. 153138, 2020.

[3] S. F. Wang, H. P. Chen, Y. Ku, M. X. Zhong, "Voltage-mode multifunction biquad filter and its application as fully-uncoupled quadrature oscillator based on current-feedback operational amplifiers," *Sensors*, vol. 20, no. 6681, 2020.

[4] M. Kumngern, F. Khateb, T. Kulej, C. Psychalinos, "Multiple-input universal filter and quadrature oscillator using multiple-input operational transconductance amplifiers," *IEEE Access*, vol. 9, pp. 56253–56263, 2021.

[5] W. Jaikla, S. Siripongdee, F. Khateb, R. Sotner, P. Silapan, P. Suwanjan, A. Chaichana, "Synthesis of biquad filters using two VD-DIBAs with independent control of quality factor and natural frequency," *Int. J. Electron. Commun. (AEU)*, vol. 132, no. 153601, 2021.

[6] H.P. Chen, S.F. Wang, Y. Ku, Y.C. Yi, Y.H. Chen, "Experimental verification of on-chip biquadratic filter and oscillator," *IEEE Sens. J.*, vol. 23, pp. 3736–3746, 2023.

[7] N. Roongmuanpha, S. Unhavanich, T. Pukkalanun, and W. Tangsrirat, "Practical realization of only active floating lossless inductance simulator," *2024 10th International Conference on Engineering, Applied Sciences, and Technology (ICEAST)*, Luang Prabang, Laos, 2024, pp. 5–8.

[8] นัชนันย์ รุ่งเหมือนฟ้า และ วรพงศ์ ตั้งศรีรัตน์, "วงจรคูณค่าความจุไฟฟ้าแบบลอยตัวโดยใช้อุปกรณ์แอคทีฟเป็นหลัก," การประชุมวิชาการทางวิศวกรรมไฟฟ้า ครั้งที่ 47, 13-15 พฤศจิกายน 2567

[9] นัชนันย์ รุ่งเหมือนฟ้า และ วรพงศ์ ตั้งศรีรัตน์, "วงจรความต้านทานค่าลบขึ้นกับความถี่แบบใช้อุปกรณ์แอคทีฟเป็นหลัก," การประชุมวิชาการเครือข่ายวิศวกรรมไฟฟ้า ครั้งที่ 17, 28-30 พฤษภาคม 2568, หน้า 145-148

[10] M. P. P. Wai, W. Jaikla, A. Chaichana, C. Chanapromma, P. Suwanjan, W. Sunthonkanokpong, "Voltage-mode biquad filter using three LT1228s with independent and electronic control of center frequency and quality factor," *Engineering Lett.*, vol. 31, no. 2, 2023.

[11] P. Srisuchart, W. Jaikla, M. Siripruchyanun, "Electronically controllable grounded inductance simulators using LT1228," *Microelectron. J.*, vol. 66, pp. 123–129, 2017.

[12] N. Roongmuanpha and W. Tangsrirat, "Practical floating capacitance multiplier implementation with commercially available IC LT1228s," *Inform. MIDEM*, vol. 51, no. 1, pp. 85–94, 2021.

[13] Linear Technology, "100 MHz current feedback amplifier with DC gain control", *LT1228 datasheet*, 1994.

[14] Intersil Corporation, "0.9 MHz single and dual, high gain operational amplifiers for military, industrial and commercial applications", *LM741 datasheet*, 1998.

การสังเคราะห์วงจรเลียนแบบค่าอิมพีแดนซ์โดยใช้วงจร VDBA และอุปกรณ์พาสซีฟต่อเทียบกราวด์

Synthesis of impedance simulation circuit using VDBAs and grounded passive elements

พิชญานิน มูลเมือง และ วรพงศ์ ตั้งศรีรัตน์*

คณะวิศวกรรมศาสตร์ สถาบันเทคโนโลยีพระจอมเกล้าเจ้าคุณทหารลาดกระบัง
ถนนฉลองกรุง เขตลาดกระบัง กรุงเทพมหานคร 10520 E-mail: pitchayanin.mo@kmitl.ac.th, drworapong@gmail.com

บทคัดย่อ

บทความนี้นำเสนอการสังเคราะห์วงจรเลียนแบบค่าอิมพีแดนซ์โดยใช้โดยใช้วงจร VDBA (voltage differencing buffered amplifier) เป็นอุปกรณ์แอคทีฟหลัก วงจรที่นำเสนอพัฒนาขึ้นด้วยวงจร VDBA และอุปกรณ์พาสซีฟจำนวนอย่างละสามตัวเท่านั้น ซึ่งสามารถสังเคราะห์เป็นวงจรเลียนแบบค่าอิมพีแดนซ์ในรูปแบบ RL หรือ RC หรือ LC จุดเด่นของวงจรอยู่ที่ความสามารถในการปรับค่าความต้านทานสมมูล ค่าความเหนี่ยวนำสมมูล และค่าความจุไฟฟ้าสมมูลได้ด้วยวิธีการทางอิเล็กทรอนิกส์โดยการควบคุมกระแสไบอัสจากภายนอก ประสิทธิภาพการทำงานของวงจรถูกตรวจสอบผ่านการจำลองการทำงานด้วยโปรแกรม PSPICE โดยใช้โมเดล CMOS ขนาด 0.18 μm ที่พัฒนาโดยบริษัท TSMC รวมถึงการประยุกต์ใช้งานในวงจรเรโซแนนซ์ เพื่อยืนยันศักยภาพในการนำไปใช้งานจริงของวงจรที่นำเสนอ

คำสำคัญ: VDBA (Voltage Differencing Buffered Amplifier), วงจรเลียนแบบค่าอิมพีแดนซ์, ปรับเปลี่ยนค่าทางอิเล็กทรอนิกส์, วงจรเรโซแนนซ์

Abstract

This paper proposes a synthesis of impedance simulation circuit using VDBAs and grounded passive elements utilizing the voltage differencing buffered amplifier (VDBA) as the main active element. The proposed configuration includes three VDBAs integrated with three passive components, which is capable of being synthesized into an RL, RC, or LC impedance simulator circuit. A notable property features of circuit is its ability to be electronically adjusted the equivalent resistance, inductance, and capacitance through the control of external bias currents. The proposed circuit's performance has been evaluated using PSPICE simulations implemented on 0.18-μm CMOS technology from TSMC (Taiwan Semiconductor Manufacturing Company). Furthermore, the circuit is applied in the design of a resonance circuit to demonstrate its workable benefit.

Keywords: VDBA (Voltage Differencing Buffered Amplifier), impedance simulator, electronically adjustable, resonance circuit

1. บทนำ

การออกแบบวงจรรวม (integrated circuit design) ได้รับการพัฒนาอย่างต่อเนื่องเพื่อรองรับแนวโน้มของเทคโนโลยีอุปกรณ์อิเล็กทรอนิกส์สมัยใหม่ที่มีขนาดเล็กลงแต่ยังคงไว้ซึ่งสมรรถนะในการทำงานที่สูง ซึ่งนำไปสู่การเพิ่มบทบาทของอุปกรณ์แอคทีฟ (active device) ซึ่งมีข้อได้เปรียบในด้านขนาดที่กะทัดรัดทำให้ใช้พื้นที่ในวงจรรวมน้อย รวมถึงสามารถรองรับการทำงานที่ย่านความถี่สูงได้อย่างมีประสิทธิภาพ เมื่อไม่นานมานี้ในแวดวงการวิจัยได้มีการนำเสนออุปกรณ์แอคทีฟที่รู้จักกันในชื่อวงจร VDBA [1] เนื่องจากวงจรมีโครงสร้างที่ไม่ซับซ้อนและง่ายต่อการวิเคราะห์ จึงเหมาะสมต่อการประยุกต์ใช้งานในหลายด้าน อาทิเช่น วงจรคูณค่าความจุไฟฟ้า (capacitance multiplier) [2] วงจรเลียนแบบตัวเหนี่ยวนำ (inductance simulator) [3] ตามที่ปรากฏในงานวิจัย [4] ได้นำเสนอวงจรเลียนแบบตัวเหนี่ยวนำที่มีการสูญเสียต่อเทียบกราวด์แบบขนานโดยใช้อุปกรณ์แอคทีฟที่ชื่อว่า DXCCII จำนวนหนึ่งตัวต่อร่วมกับอุปกรณ์พาสซีฟจำนวนสี่ตัว ซึ่งส่งผลให้มีข้อจำกัดด้านการใช้พื้นที่ค่อนข้างมาก อีกทั้งวงจรมีข้อเสียเปรียบเพราะขาดความสามารถในการปรับเปลี่ยนค่าพารามิเตอร์ทางอิเล็กทรอนิกส์ ทำให้มีความยุ่งยากในการนำไปประยุกต์ใช้งานในด้านต่างๆ

ดังนั้นงานวิจัยฉบับนี้จึงนำเสนอวงจรเลียนแบบค่าอิมพีแดนซ์โดยใช้วงจร VDBA จำนวนสามตัวและอุปกรณ์พาสซีฟต่อเทียบกราวด์จำนวนสามตัว ที่สามารถสังเคราะห์ให้เป็นวงจรเลียนแบบอิมพีแดนซ์ได้สามรูปแบบคือ RL, RC และ LC ต่อขนาน โดยที่ค่าความต้านทานไฟฟ้าสมมูล (equivalent resistance, R_{eq}) ความจุไฟฟ้าสมมูล (equivalent capacitance, C_{eq}) และค่าความเหนี่ยวนำสมมูล (equivalent inductance, L_{eq}) สามารถปรับแยกอิสระจากกันโดยอุปกรณ์พาสซีฟในวงจร นอกจากนี้ยังสามารถปรับด้วยวิธีการทางอิเล็กทรอนิกส์ด้วยอัตราขยายค่าความนำโดยอาศัยการควบคุมกระแสไบอัสจากภายนอกของวงจร VDBA พร้อมการวิเคราะห์ผลลัพธ์ในเชิงทฤษฎี และผลการจำลองการทำงานด้วยซอฟต์แวร์ PSPICE ใช้โมเดล CMOS ขนาด 0.18 μm ที่จัดทำโดยบริษัท TSMC ตลอดจนการประยุกต์ใช้งานในด้านการออกแบบวงจรเรโซแนนซ์ (resonance circuit) เพื่อแสดงให้เห็นถึงคุณสมบัติในการทำงานของวงจรที่นำเสนอ

*ผู้ประพันธ์บรรณกิจ

2. วงจร VDBA

2.1 คุณสมบัติการทำงานของวงจร VDBA

สัญลักษณ์ทางไฟฟ้าของวงจร VDBA แสดงได้ดังรูปที่ 1 ซึ่งประกอบด้วยขั้ว p และขั้ว n ทำหน้าที่เป็นขั้วแรงดันอินพุตแบบผลต่าง ขั้ว z เป็นขั้วกระแสเอาต์พุต และขั้ว w เป็นขั้วแรงดันเอาต์พุต พฤติกรรมการทำงานในเชิงอุดมคติของวงจร VDBA สามารถเขียนแสดงได้ดังต่อไปนี้

$$i_p = i_n = 0, \quad i_z = g_m(v_p - v_n), \quad v_w = v_z \tag{1}$$

จากสมการ (1) ประกอบไปด้วยตัวแปรสำคัญคืออัตราขยายค่าความนำ (transconductance gain, g_m) โดยทั่วไปสามารถปรับเปลี่ยนค่าในเชิงอิเล็กทรอนิกส์ด้วยการควบคุมกระแสไบอัส (I_B) จากภายนอก

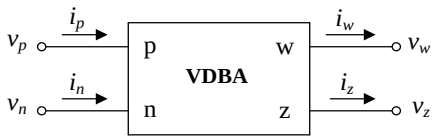

รูปที่ 1 สัญลักษณ์ทางไฟฟ้าของวงจร VDBA

2.2 วงจร VDBA โดยใช้เทคโนโลยี CMOS

วงจร VDBA ที่สร้างขึ้นด้วยเทคโนโลยี CMOS มีโครงสร้างภายในสามารถแบ่งออกเป็นสองส่วนหลัก ได้แก่ วงจรขยายค่าความนำ M_1-M_4) (transconductor circuit) และวงจรตามแรงดัน M_5-M_9 (voltage buffer ciruit) ดังรูปที่ 2 [3] สำหรับกรณีการวิเคราะห์สัญญาณขนาดเล็กของวงจร VDBA จะพบว่าอัตราขยายค่าความนำของวงจร สามารถนิยามได้ดังนี้

$$g_m = \sqrt{\mu C_{ox}\left(\frac{W}{L}\right) I_B} \tag{2}$$

โดยที่ I_B คือกระแสไบอัสไฟตรงจากภายนอก (external DC bias current) μ คือ ค่าความคล่องตัวของพาหะตัวนำ (effective carrier mobility) C_{ox} คือ ค่าความจุไฟฟ้าแผ่งต่อหนึ่งหน่วยพื้นที่ (gate oxide capacitance per unit area) ขณะที่ W และ L เป็นพารามิเตอร์ที่แทนถึงความกว้างและความยาวประสิทธิผลของช่องนำกระแส (effective channel width and length) ของทรานซิสเตอร์ M_1 และ M_2 จากสมการ (2) แสดงถึงความสัมพันธ์โดยตรงระหว่างอัตราขยายค่าความนำและกระแสไบอัสที่เป็นคุณสมบัติที่โดดเด่นเนื่องจากสามารถปรับค่า g_m ได้ด้วยวิธีอิเล็กทรอนิกส์ผ่านการควบคุม I_B

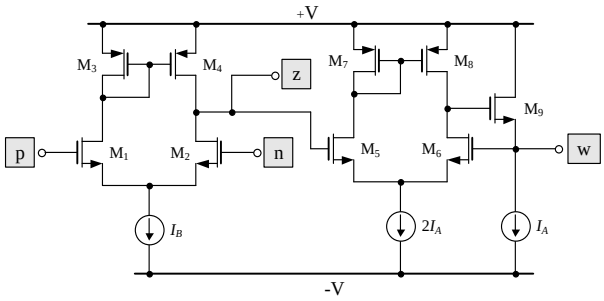

รูปที่ 2 โครงสร้างของวงจร VDBA ที่พัฒนาด้วยเทคโนโลยี CMOS

3. วงจรเลียนแบบค่าอิมพีแดนซ์โดยใช้วงจร VDBA

รูปที่ 3 แสดงวงจรเลียนแบบค่าอิมพีแดนซ์โดยใช้วงจร VDBA และอุปกรณ์พาสซีฟต่อเทียบกราวด์ที่นำเสนอ

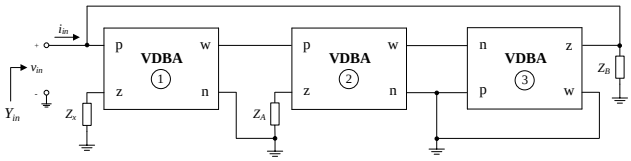

รูปที่ 3 วงจรเลียนแบบค่าอิมพีแดนซ์โดยใช้วงจร VDBA และอุปกรณ์พาสซีฟต่อเทียบกราวด์ที่นำเสนอ

หากวิเคราะห์วงจรที่นำเสนอโดยอาศัยคุณสมบัติของวงจร VDBA ในทางอุดมคติตามที่นิยามไว้ในสมการ (1) จะพบว่าค่าแอดมิตแตนซ์อินพุต (input admittance, Y_{in}) หรืออัตราส่วนของกระแสต่อแรงดันของวงจรที่นำเสนอมีค่าเท่ากับ

$$Y_{in} = \frac{i_{in}}{v_{in}} = g_{m1}g_{m2}g_{m3}Z_xZ_A + \frac{1}{Z_B} \tag{3}$$

ตารางที่ 1 แสดงถึงรายละเอียดค่าอุปกรณ์ Z_x, Z_A และ Z_B ที่ถูกกำหนดให้เหมาะสมและสอดคล้องกับวงจรที่นำเสนอรวมถึงผลลัพธ์การวิเคราะห์วงจรสมมูลทางไฟฟ้าและค่าแอดมิตแตนซ์อินพุตที่ได้ โดยที่ค่าความต้านทานสมมูล (R_{eqi}) ค่าความจุไฟฟ้าสมมูล (C_{eqi}) และค่าความเหนี่ยวนำสมมูล (L_{eqi}) เมื่อ i = 1, 2, 3

หากพิจารณากรณีวงจรเลียนแบบค่าอิมพีแดนซ์ในรูปแบบ RL ขนานต่อเทียบกราวด์จะได้ค่าอุปกรณ์สมมูลดังต่อไปนี้

$$R_{eq1} = R_B, \; L_{eq1} = \frac{C_A}{g_{m1}g_{m2}g_{m3}R_x} \tag{4}$$

ในขณะที่ค่าความต้านสมมูลและความจุไฟฟ้าสมมูลของวงจรเลียนแบบค่าอิมพีแดนซ์ในรูปแบบ RC ขนานต่อเทียบกราวด์มีค่าเท่ากับ

$$R_{eq2} = \frac{1}{g_{m1}g_{m2}g_{m3}R_xR_A}, \; C_{eq2} = C_B \tag{5}$$

วงจรเลียนแบบค่าอิมพีแดนซ์ในรูปแบบ LC ขนานต่อเทียบกราวด์เมื่อวิเคราะห์วงจรจะพบว่าค่าอุปกรณ์สมมูลแสดงได้ดังนี้

$$L_{eq3} = \frac{C_A}{g_{m1}g_{m2}g_{m3}R_x},\ C_{eq3} = C_B \qquad (6)$$

ตารางที่ 1 รายละเอียดการกำหนดค่าอุปกรณ์ วงจรสมมูลทางไฟฟ้าและค่าแอตมิตแตนที่ได้

วงจรที่นำเสนอ	Z_x	Z_A	Z_B	Y_{in}
วงจรเลียนแบบค่าอิมพีแดนซ์ในรูปแบบ RL 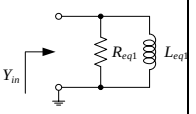	R_x	$1/sC_A$	R_B	$\frac{1}{R_B} + \frac{g_{m1}g_{m2}g_{m3}R_x}{sC_A}$
วงจรเลียนแบบค่าอิมพีแดนซ์ในรูปแบบ RC 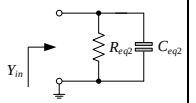		R_A	$1/sC_B$	$g_{m1}g_{m2}g_{m3}R_xR_A + sC_B$
วงจรเลียนแบบค่าอิมพีแดนซ์ในรูปแบบ LC 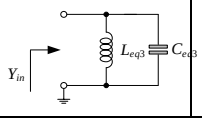		$1/sC_A$	$1/sC_B$	$\frac{g_{m1}g_{m2}g_{m3}R_x}{sC_A} + sC_B$

จากตารางที่ 1 เมื่อพิจารณาวงจรเลียนแบบค่าอิมพีแดนซ์ที่นำเสนอจะพบว่า R_{eqi} C_{eqi} และ L_{eqi} และสามารถปรับค่าได้อย่างอิสระจากกันด้วยอุปกรณ์พาสซีฟในวงจร หรือด้วยอัตราขยายค่าความนำ

กรณีที่วงจร VDBA มีพฤติกรรมเบี่ยงเบนจากอุดมคติ (non-ideal) ความสัมพันธ์ระหว่างแรงดันและกระแสจะเป็นไปตามสมการต่อไปนี้

$$i_p = i_n = 0, \quad i_z = \alpha g_m(v_p - v_n), \quad v_w = \beta v_z \qquad (7)$$

โดยที่ α แทนถึงค่าความเบี่ยงเบนการส่งผ่านอัตราขยายค่าความนำ (tranconductance tracking error) และ β คือ อัตราขยายแรงดันกรณีไม่เป็นไปตามอุดมคติ (non-ideal voltage gain) ของวงจร VDBA เมื่อพิจารณาลักษณะการทำงานของวงจรในรูปที่ 3 โดยคำนึงถึงผลกระทบจากพฤติกรรมที่ไม่เป็นอุดมคติของ VDBA ตามสมการ (7) จะได้ค่าแอตมิตแตนซ์อินพุตเปลี่ยนไปดังนี้

- สำหรับวงจรเลียนแบบค่าอิมพีแดนซ์ในรูปแบบ RL

$$Y'_{in} = \frac{1}{R'_{eq1}} + \frac{1}{sL'_{eq1}} = \frac{1}{R_B} + \frac{\alpha_1\alpha_2\alpha_3\beta_1\beta_2 g_{m1}g_{m2}g_{m3}R_x}{sC_A} \qquad (8)$$

- สำหรับวงจรเลียนแบบค่าอิมพีแดนซ์ในรูปแบบ RC

$$Y'_{in} = \frac{1}{R'_{eq2}} + sC'_{eq2} = \alpha_1\alpha_2\alpha_3\beta_1\beta_2 g_{m1}g_{m2}g_{m3}R_xR_A + sC_B \qquad (9)$$

- สำหรับวงจรเลียนแบบค่าอิมพีแดนซ์ในรูปแบบ LC

$$Y'_{in} = \frac{1}{sL'_{eq3}} + sC'_{eq3} = \frac{\alpha_1\alpha_2\alpha_3\beta_1\beta_2 g_{m1}g_{m2}g_{m3}R_x}{sC_A} + sC_B \qquad (10)$$

คุณสมบัติค่าความไว (sensitivity) ของ R'_{eq1} L'_{eq1} R'_{eq2} C'_{eq2} L'_{eq3} และ C'_{eq3} ต่อการเบี่ยงเบนค่าอุปกรณ์ในวงจรที่นำเสนอมีค่าเท่ากับ

$$-S^{R'_{eq1}}_{R_B} = -S^{L'_{eq1}}_{C_A} = S^{L'_{eq1}}_{\alpha_1,\alpha_2,\alpha_3} = S^{L'_{eq1}}_{\beta_1,\beta_2} = S^{L'_{eq1}}_{g_{m1},g_{m2},g_{m3}} = S^{L'_{eq1}}_{R_x} = -1 \qquad (11)$$

$$S^{R'_{eq2}}_{\alpha_1,\alpha_2,\alpha_3} = S^{R'_{eq2}}_{\beta_1,\beta_2} = S^{R'_{eq2}}_{g_{m1},g_{m2},g_{m3}} = S^{R'_{eq2}}_{R_x} = S^{R'_{eq2}}_{R_A} = -S^{C'_{eq2}}_{C_B} = -1 \qquad (12)$$

$$S^{L'_{eq3}}_{\alpha_1,\alpha_2,\alpha_3} = S^{L'_{eq3}}_{\beta_1,\beta_2} = S^{L'_{eq3}}_{g_{m1},g_{m2},g_{m3}} = S^{L'_{eq3}}_{R_x} = -S^{L'_{eq3}}_{C_A} = -S^{C'_{eq3}}_{C_B} = -1 \qquad (13)$$

4. ผลการจำลองการทำงานของวงจร

สมรรถนะของวงจรเลียนแบบค่าอิมพีแดนซ์โดยใช้วงจร VDBA และอุปกรณ์พาสซีฟต่อเทียบกราวด์ที่นำเสนอ ได้ทำการตรวจสอบโดยอาศัยด้วยซอฟต์แวร์ PSPICE ใช้โมเดล CMOS ขนาด 0.18 μm มีค่าแรงดันขีดเริ่ม (Threshold Voltage, V_{TH}) เท่ากับ 0.37 V ที่พัฒนาโดยบริษัท TSMC เพื่อแสดงผลการจำลองการทำงานของวงจรที่นำเสนอในรูปที่ 3 ในการสร้างแบบจำลองได้กำหนดแรงดันไฟฟ้าที่ใช้เลี้ยงวงจรเท่ากับ ±0.75 V และกำหนดอัตราส่วน W/L (μm /μm) ของทรานซิสเตอร์ในรูปที่ 2 เป็นดังตารางที่ 2 โดยที่ I_A = 50 μA ผลลัพธ์จากการจำลองการทำงานของวงจรพบว่ามีกำลังไฟฟ้าสูญเสียรวม (total power consumption) เท่ากับ 0.63 mW

ตารางที่ 2 อัตราส่วน W/L ของทรานซิสเตอร์ในรูปที่ 2

ทรานซิสเตอร์	W/L (μm /μm)
M_1-M_2, M_5-M_6, M_9	2.4/0.18
M_3, M_7	5/0.18
M_4, M_8	7.5/0.18

รูปที่ 4 แสดงผลการจำลองการตอบสนองทางความถี่ของวงจรที่นำเสนอ เมื่อกำหนดแรงดันอินพุตเท่ากับ 50 mV (peak), I_{B1} = I_{B2} = I_{B3} = 220 μA (g_{m1} = g_{m2} = g_{m3} = 1 mA/V), R_x = 1 kΩ รูปที่ 4(ก) แสดงผลตอบสนองทางความถี่ของวงจรเลียนแบบค่าอิมพีแดนซ์ในรูปแบบ RL ขนานต่อเทียบกราวด์ ในกรณีที่อุปกรณ์พาสซีฟ C_A เท่ากับ 1 nF และ R_B เท่ากับ 1 kΩ จะพบว่าค่าอุปกรณ์สมมูลมีค่าดังนี้ R_{eq1} = 1 kΩ และ L_{eq1} = 1 mH รูปที่ 4(ข) แสดงผลตอบสนองทางความถี่สำหรับแสดงคุณสมบัติของวงจรเลียนแบบค่าอิมพีแดนซ์ในรูปแบบ RC ต่อขนานที่นำเสนอ เมื่อกำหนดให้ R_A = 1 kΩ และ C_B = 1 nF จะได้ค่าความต้านทานสมมูล R_{eq2} = 1 kΩ และความจุไฟฟ้าสมมูล C_{eq2} = 1 nF ในขณะที่รูปที่ 4(ค) แสดงผลตอบสนองทางความถี่ของวงจรเลียนแบบค่าอิมพีแดนซ์ LC ขนานเทียบกราวด์ เมื่อกำหนดอุปกรณ์ C_A = C_B = 1 nF พบว่า L_{eq3} = 1 mH และ C_{eq3} = 1 nF จากกราฟผลจำลองการทำงานจะพบว่าความผิดพลาดระหว่างทฤษฎีและปฏิบัติเท่ากับ 6.54%, 2.60% และ 12.35% ตามลำดับ

การจำลองการทำงานด้วยผลการวิเคราะห์เชิงความถี่ของ Z_{in} ในเชิงขนาดสำหรับวงจรเลียนแบบอิมพีแดนซ์ในรูปแบบ RL ขนานต่อเทียบ

กราวด์แสดงได้ดังรูปที่ 5 โดยแปรค่า $I_B = I_{B1} = I_{B2} = I_{B3}$ สามค่าได้แก่ 50 μA ($g_m \cong 0.47$ mA/V), 140 μA ($g_m \cong 0.8$ mA/V) และ 320 μA ($g_m \cong 1.2$ mA/V) จะได้ R_{eq1} มีค่าคงที่เท่ากับ 1 kΩ ในขณะเดียวกันจะทำให้ L_{eq1} แปรค่า 9.21 mH, 1.95 mH และ 0.57 mH ตามลำดับ

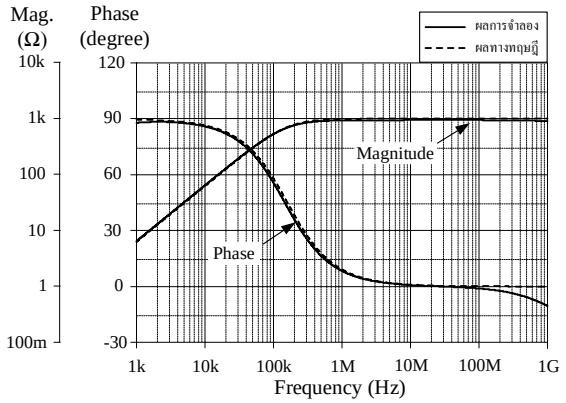

(ก) สำหรับวงจรเลียนแบบค่าอิมพีแดนซ์ในรูปแบบ RL

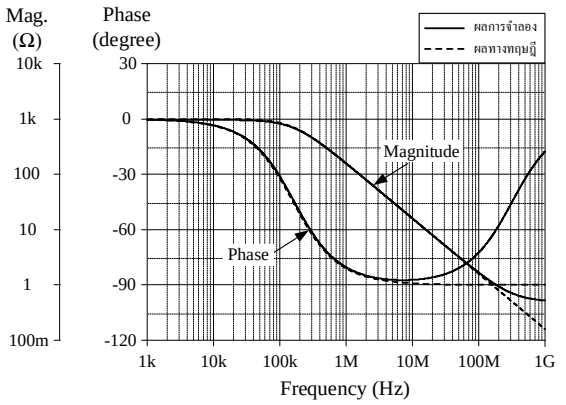

(ข) สำหรับวงจรเลียนแบบค่าอิมพีแดนซ์ในรูปแบบ RC

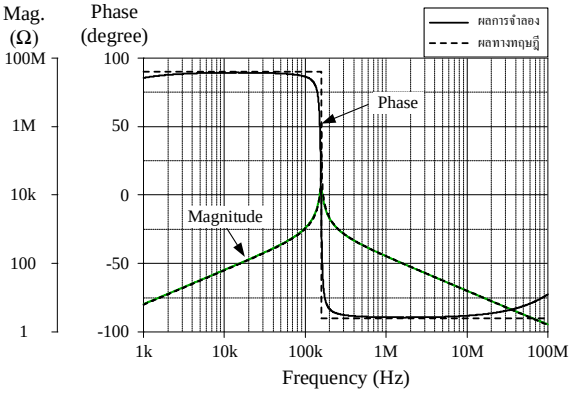

(ค) สำหรับวงจรเลียนแบบค่าอิมพีแดนซ์ในรูปแบบ LC

รูปที่ 4 ผลตอบสนองทางความถี่ของวงจรที่นำเสนอในรูปที่ 3

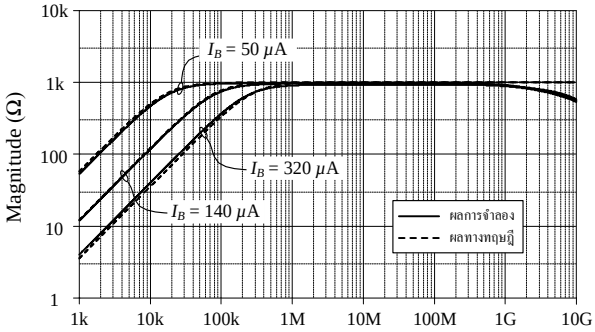

รูปที่ 5 ผลตอบสนองทางความถี่ของ $|Z_{in}|$ ของวงจรที่นำเสนอเมื่อสังเคราะห์ในรูปแบบ RL โดยแปรค่ากระแสไบอัสจำนวนสามค่า

5. การประยุกต์ใช้งาน

วงจรเลียนแบบค่าอิมพีแดนซ์ในรูปแบบ LC ขนานต่อเทียบกราวด์ในรูปที่ 3 ถูกนำไปใช้ในการออกแบบวงจรเรโซแนนซ์ดังรูปที่ 6 เพื่อแสดงการใช้งานเชิงประยุกต์ของวงจรที่นำเสนอในบทความนี้ หากกำหนดให้ v_{in} = 50 mV (peak) และ R_r = 1 kΩ โดยที่ C_{eq3} = 1 nF และ L_{eq3} = 1 mH พบว่าความถี่เรโซแนนซ์ (resonance frequency) ของวงจร เท่ากับ $\omega_r = 2\pi f_r = 1/\sqrt{C_{eq3}L_{eq3}}$ หรือ $f_r \cong 159$ kHz โดยผลการจำลองการทำงานของวงจรเรโซแนนซ์แสดงได้ในรูปที่ 7

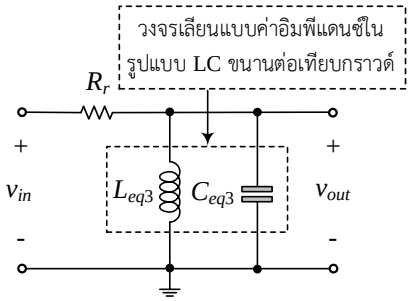

รูปที่ 6 วงจรเรโซแนนซ์โดยใช้วงจรเลียนแบบค่าอิมพีแดนซ์ในรูป LC ขนานต่อเทียบกราวด์ที่นำเสนอในรูปที่ 3

6. สรุป

บทความฉบับนี้นำเสนอการออกแบบวงจรเลียนแบบค่าอิมพีแดนซ์ในสามรูปแบบหลัก ได้แก่ วงจรเลียนแบบค่าอิมพีแดนซ์ RL หรือ RC หรือ LC แบบขนานต่อเทียบกราวด์ ที่สังเคราะห์จากวงจร VDBA และอุปกรณ์พาสซีฟอย่างละสามตัว โดยมีคุณสมบัติสำคัญที่สามารถปรับ R_{eq}, L_{eq} และ C_{eq} ได้ด้วยการปรับค่า g_m ของวงจร VDBA ซึ่งประสิทธิภาพในการทำงานของวงจรถูกแสดงให้เห็นจริงด้วยการประยุกต์ใช้งานในวงจรเรโซแนนซ์ผ่านการจำลองผลด้วยโปรแกรม PSPICE ผลลัพธ์จากการจำลองมีความใกล้เคียงกับค่าที่ได้จากการคำนวณในเชิงทฤษฎี

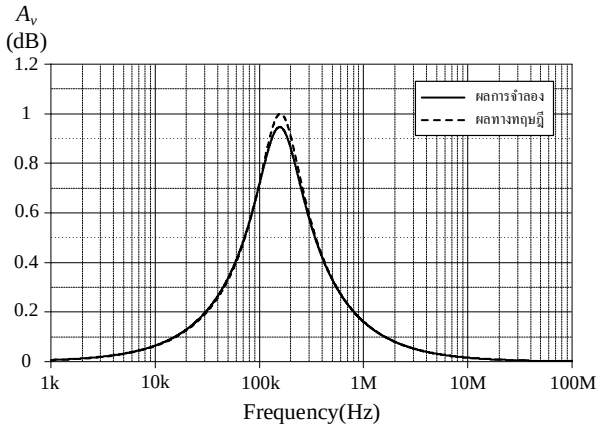

รูปที่ 7 ผลตอบสนองทางความถี่ของวงจรเรโซแนนซ์

7. กิตติกรรมประกาศ

งานวิจัยนี้ได้รับการสนับสนุนจาก คณะวิศวกรรมศาสตร์ สถาบันเทคโนโลยีพระจอมเกล้าเจ้าคุณทหารลาดกระบัง

เอกสารอ้างอิง

[1] D. Biolek, R. Senani, V. Biolkova and Z. Kolka, “ Active elements for analog signal processing: Classification, review, and new proposals” Radioengineering, vol. 17, pp. 15–32, 2008.

[2] S. Unhavanich, O. Onjan, and W. Tangsrirat, “Tunable capacitance multiplier with a single voltage differencing buffered amplifier”, 2016 International MultiConference of Engineers and Computer Scientists (IMECS), Hong Kong, 2016.

[3] N. Roongmuanpha, M. Faseehuddin, N. Herencsar, and W. Tangsrirat, “Tunable mixed-mode voltage differencing buffered amplifier-based universal filter with independently high-Q factor controllability,” Applied Sciences, vol. 11, no. 20, p. 9606, 2021.

[4] B. Metin, “Supplementary inductance simulator topologies employing single DXCCII”, Radioengineering, vol. 20, no. 3, pp. 614–618, 2011.

เครื่องวิเคราะห์อุปกรณ์สารกึ่งตัวนำควบคุมการทำงานด้วยไมโครคอนโทรลเลอร์และโปรแกรมแลบวิว
Microcontroller-Based Semiconductor Device Analyzer with LabVIEW Interface

รุ่งลาวัลย์ ชูสวัสดิ์ ดรุณี ชายทอง และ อภิรักษ์ เสือเดช*

สาขาวิชาวิศวกรรมอิเล็กทรอนิกส์ คณะวิศวกรรมศาสตร์ มหาวิทยาลัยเทคโนโลยีราชมงคลศรีวิชัย apirak.su@rmutsv.ac.th*

บทคัดย่อ

บทความนี้นำเสนอเครื่องวิเคราะห์อุปกรณ์สารกึ่งตัวนำควบคุมการทำงานด้วยไมโครคอนโทรลเลอร์และโปรแกรมแลบวิว ส่วนประกอบหลักของเครื่องประกอบด้วยชุดแหล่งจ่ายแรงดันและกระแสไฟฟ้าพร้อมด้วยชุดทดสอบอุปกรณ์สารกึ่งตัวนำที่มีจำนวนสองและสามขั้วโดยใช้โพรบวัดและกล่องทดสอบอุปกรณ์อิเล็กทรอนิกส์ทั้งชนิดตัวถังแบบเอสเอ็มดีและแบบทรูโฮล

การทดสอบอุปกรณ์สารกึ่งตัวนำสามารถดำเนินการได้ในสองโหมด ได้แก่ โหมดสั่งงานผ่านหน้าจอแสดงผลแบบสัมผัส และโหมดสั่งงานด้วยคอมพิวเตอร์ผ่านโปรแกรมแลบวิว ซึ่งใช้วิเคราะห์อุปกรณ์สารกึ่งตัวนำได้หลายประเภท ได้แก่ ไดโอดเรียงกระแส ซีเนอร์ไดโอด ทรานซิสเตอร์ และมอสเฟต เป็นต้น โดยที่สามารถระบุประเภท ตำแหน่งขา ชนิด แรงดันไบอัสของอุปกรณ์ได้อย่างถูกต้องและแม่นยำ นอกจากนี้ยังสามารถแสดงผลกราฟคุณลักษณะกระแสและแรงดันไฟฟ้าของอุปกรณ์แต่ละชนิดผ่านโปรแกรมคอมพิวเตอร์ พร้อมทั้งสามารถบันทึกกราฟเป็นไฟล์รูปภาพและจัดเก็บข้อมูลผ่านพอร์ตยูเอสบีเพื่อใช้วิเคราะห์จุดการทำงานของอุปกรณ์สารกึ่งตัวนำในเชิงลึก

คำสำคัญ: ไมโครคอนโทรลเลอร์ อุปกรณ์สารกึ่งตัวนำ โปรแกรมแลบวิว จอแสดงผลแบบสัมผัส

Abstract

This paper presents a microcontroller-based semiconductor device analyzer with a LabVIEW interface. The instrument's primary components comprise a source-measure unit (SMU) for voltage and current, in addition to test fixtures for both two and three terminal semiconductor devices. The system uses measurement probes and the device under test (DUT) box designed for both Surface Mount Device (SMD) and Through Hole (TH) component packages.

Semiconductor device testing can be performed in two modes: touchscreen human-machine interface (HMI) and LabVIEW user interface. The analytical results for various devices, including rectifier diodes, Zener diodes, transistors, and MOSFETs, demonstrate that the analyzer can precisely verify the device kinds, pin configurations, types, and bias voltages. The system can exhibit current-voltage (I-V) characteristic curves for each device type through computer software, allowing users to save graphs as image files and send data over a USB port for an in-depth analysis of the operating points of semiconductor devices.

Keywords: Microcontroller, semiconductor device, LabVIEW, touchscreen display

1. บทนำ

ปัจจุบันอุปกรณ์สารกึ่งตัวนำ (Semiconductor Devices) มีบทบาทสำคัญอย่างยิ่งต่ออุตสาหกรรมอิเล็กทรอนิกส์ขั้นสูงโดยเป็นองค์ประกอบหลักสำหรับการออกแบบและพัฒนาวงจรควบคุมในระบบอิเล็กทรอนิกส์และเครื่องใช้ไฟฟ้าทุกประเภท [1] อย่างไรก็ตาม การประยุกต์ใช้อุปกรณ์สารกึ่งตัวนำอย่างมีประสิทธิภาพจำเป็นต้องอาศัยความรู้เชิงลึกเกี่ยวกับคุณสมบัติทางไฟฟ้าทั้งในกระบวนการผลิตอุปกรณ์สารกึ่งตัวนำและการประยุกต์ใช้งานในอุตสาหกรรมการผลิตและประกอบแผงวงจรพิมพ์ (Printed Circuit Board Assembly, PCBA) รวมถึงผู้ใช้งานทั่วไปและผู้เชี่ยวชาญเฉพาะทางด้านการบำรุงรักษาระบบอิเล็กทรอนิกส์ล้วนจำเป็นต้องมีเครื่องมือวัดและทดสอบคุณลักษณะทางไฟฟ้าของอุปกรณ์สารกึ่งตัวนำที่เหมาะสมและมีประสิทธิภาพสูง

เครื่องมือวัดและทดสอบอุปกรณ์สารกึ่งตัวนำมีความหลากหลายในขอบเขตการใช้งาน โดยเฉพาะอย่างยิ่งเครื่องมือวัดทางอุตสาหกรรม [2,3] สามารถวัดค่าพารามิเตอร์ได้กว้าง มีความแม่นยำสูง มีซอฟต์แวร์และชุดทดสอบสำเร็จรูปที่ครอบคลุมอุปกรณ์หลายประเภท แต่มีข้อจำกัดที่ขนาดค่อนข้างใหญ่และราคาสูงมาก ในทางตรงกันข้าม เครื่องมือวัดทั่วไป [4] อาทิเช่น มัลติมิเตอร์และออสซิลโลสโคปจะมีขนาดเล็กกะทัดรัด พกพาได้สะดวกและมีราคาที่เข้าถึงได้ อย่างไรก็ตาม ข้อจำกัดในการวัดทำได้เพียงระดับพื้นฐานและไม่สามารถวิเคราะห์พารามิเตอร์เชิงลึกได้อย่างครอบคลุมและแม่นยำ จึงมีการพัฒนาเครื่องมือวัดและทดสอบที่มีต้นทุนต่ำ [5,6] ใช้งานได้สะดวกและมีความแม่นยำเพียงพอ ในงานวิจัย [7] ได้นำเสนอเครื่องทดสอบอุปกรณ์สารกึ่งตัวนำที่ใช้ไมโครคอนโทรลเลอร์ตระกูล PIC เพื่อลดต้นทุนและเพิ่มประสิทธิภาพในการทดสอบไดโอด ทรานซิสเตอร์ชนิด BJT และ JFET โดยสามารถระบุชนิดอุปกรณ์ ตำแหน่งขา และวัดพารามิเตอร์สำคัญได้อย่างแม่นยำ ขณะที่งานวิจัย [8] ได้ใช้ไมโครคอนโทรลเลอร์ตระกูลเดียวกัน แต่สามารถทดสอบทรานซิสเตอร์ชนิด MOSFET ได้ด้วย นอกจากนี้งานวิจัย [9] นำเสนอเครื่องวิเคราะห์อุปกรณ์สารกึ่งตัวนำโดยใช้ไมโครคอนโทรลเลอร์ตระกูล AVR ที่เชื่อมต่อกับคอมพิวเตอร์เพื่อวิเคราะห์และแสดงผลกราฟลักษณะสมบัติกระแส-แรงดันผ่านโปรแกรม MATLAB ซึ่งช่วยเพิ่มความสะดวกในการแสดงผล อย่างไรก็ตาม เครื่องนี้มีข้อจำกัดที่ไม่สามารถวัดค่าพารามิเตอร์และแสดงผลที่ตัวเครื่องได้ นอกจากนี้ยังไม่สามารถทดสอบอุปกรณ์ตัวถังแบบเอสเอ็มดี (Surface Mount Device, SMD) ได้

งานวิจัยนี้จึงมีแนวคิดในการออกแบบและพัฒนาเครื่องวิเคราะห์อุปกรณ์สารกึ่งตัวนำที่ควบคุมการทำงานด้วยไมโครคอนโทรลเลอร์และโปรแกรม LabVIEW เพื่อให้สามารถวิเคราะห์ ตรวจวัด และทดสอบคุณสมบัติของอุปกรณ์สารกึ่งตัวนำได้อย่างครอบคลุมทั้งตัวถังแบบเอสเอ็มดีและทรูโฮล ซึ่งเป็นประโยชน์ต่อนักศึกษา นักวิจัย วิศวกร และช่างเทคนิคในการวิเคราะห์คุณสมบัติของอุปกรณ์อิเล็กทรอนิกส์ อีกทั้งยังเป็นการพัฒนาองค์ความรู้และเทคโนโลยีภายในประเทศเพื่อสร้างโอกาสในการต่อยอดเป็นผลิตภัณฑ์เชิงพาณิชย์ในอนาคต ช่วยลดการพึ่งพาเทคโนโลยีจากต่างประเทศและสร้างมูลค่าเพิ่มทางเศรษฐกิจให้กับประเทศ

*ผู้ประพันธ์บรรณกิจ

2. การออกแบบเครื่องวิเคราะห์อุปกรณ์สารกึ่งตัวนำ

2.1 หลักการทำงาน

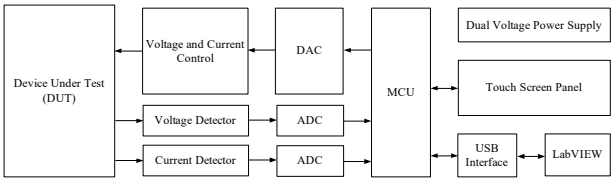

รูปที่ 1 แผนผังการทำงานของเครื่องวิเคราะห์อุปกรณ์สารกึ่งตัวนำ

หลักการทำงานของเครื่องวิเคราะห์อุปกรณ์สารกึ่งตัวนำ ดังแสดงในรูปที่ 1 ประกอบด้วย 1) ชุดทดสอบอุปกรณ์สารกึ่งตัวนำ (Device Under Test, DUT) ทำหน้าที่ทดสอบการวัดอุปกรณ์สารกึ่งตัวนำ 2) ชุดตรวจจับแรงดันและกระแสไฟฟ้า (Voltage and Current Detector) ทำหน้าที่ตรวจวัดแรงดันและกระแสไฟฟ้าเอาต์พุตเพื่อให้ไมโครคอนโทรลเลอร์ประมวลผล 3) ชุดควบคุมแรงดันและกระแสไฟฟ้า (Voltage and Current Control) ทำหน้าที่ควบคุมแรงดันและกระแสไฟฟ้าสำหรับชุดตรวจวัดอุปกรณ์ 4) วงจรแปลงสัญญาณแอนะล็อกเป็นดิจิทัล (ADC) ทำหน้าที่แปลงสัญญาณแอนะล็อกเป็นดิจิทัลให้กับไมโครคอนโทรลเลอร์สำหรับตรวจวัดแรงดันและกระแสไฟฟ้าที่มีความแม่นยำ 5) วงจรแปลงสัญญาณดิจิทัลเป็นแอนะล็อก (DAC) ทำหน้าที่แปลงสัญญาณดิจิทัลเป็นแอนะล็อกจากไมโครคอนโทรลเลอร์เพื่อให้สามารถควบคุมแรงดันและกระแสไฟฟ้าที่มีความละเอียด 6) ไมโครคอนโทรลเลอร์ (MCU) ทำหน้าที่ประมวลผลและควบคุมการทำงานของเครื่องวิเคราะห์สารกึ่งตัวนำ 7) จอแสดงผลแบบสัมผัส (HMI Touch Display) ทำหน้าที่ควบคุม สั่งงาน และแสดงผลการทดสอบอุปกรณ์สารกึ่งตัวนำ 8) วงจรแปลงสัญญาณยูเอสบีเข้าไมโครคอนโทรลเลอร์ (USB Interface) ทำหน้าที่แปลงสัญญาณจากยูเอสบีเป็นทีทีแอล (TTL) สำหรับเขียนโปรแกรมลงไมโครคอนโทรลเลอร์ 9) โปรแกรมควบคุมผ่านคอมพิวเตอร์ด้วยแลบวิว (LabVIEW) ทำหน้าที่สั่งงานและควบคุมการทำงานของเครื่องและส่งผลการทดสอบอุปกรณ์กลับมาแสดงผลบนโปรแกรมแลบวิว 10) แหล่งจ่ายกำลังงานไฟฟ้า (Dual Voltage Power Supply) ทำหน้าที่จ่ายแรงดันไฟฟ้ากระแสตรงให้กับทุกวงจรภายในเครื่องและจอแสดงผลแบบสัมผัส

2.2 การออกแบบวงจรเครื่องวิเคราะห์อุปกรณ์สารกึ่งตัวนำ

การออกแบบวงจรควบคุมการทำงานของเครื่องวิเคราะห์อุปกรณ์สารกึ่งตัวนำ ประกอบด้วย 1) วงจรไมโครคอนโทรเลอร์ 2) วงจรแปลงดิจิทัลเป็นแอนะล็อก 3) วงจรแปลงแอนะล็อกเป็นดิจิทัล 4) วงจรควบคุมแรงดันและกระแสไฟฟ้า 5) วงจรตรวจวัดแรงดันและกระแสไฟฟ้า และ 6) วงจรแหล่งจ่ายกำลังงานไฟฟ้า เป็นต้น การทำงานของแต่ละวงจรสามารถอธิบายได้ดังนี้

2.2.1 วงจรไมโครคอนโทรลเลอร์

ไมโครคอนโทรลเลอร์เป็นวงจรประมวลผลเพื่อควบคุมการทำงานของเครื่องวิเคราะห์อุปกรณ์สารกึ่งตัวนำ โดยเลือกใช้ไมโครคอนโทรลเลอร์เบอร์ ATmega328 ซึ่งมีการใช้งานอย่างแพร่หลายในปัจจุบัน คุณสมบัติมีดังนี้ ความเร็วสัญญาณนาฬิกา 16 เมกะเฮิรตซ์ หน่วยความจำ 32 เมกะไบต์ ขาดิจิทัลอินพุต/เอาต์พุต จำนวน 14 ขา และขาแอนะล็อกอินพุต จำนวน 6 ขา ซึ่งเพียงพอต่อการใช้ควบคุมการทำงานของเครื่องวิเคราะห์อุปกรณ์สารกึ่งตัวนำ

2.2.2 วงจรแปลงสัญญาณดิจิทัลเป็นแอนะล็อก

วงจรแปลงสัญญาณดิจิทัลเป็นแอนะล็อกได้รับการออกแบบโดยใช้ไอซีเบอร์ MCP4725 ซึ่งมีความละเอียดสูงขนาด 12 บิต มีค่าระดับแรงดันแอนะล็อกเอาต์พุตตั้งแต่ 0 ถึง 5 โวลต์ ที่ความละเอียดต่ำสุดเท่ากับ 1.22 มิลลิโวลต์ วงจรนี้รับสัญญาณดิจิทัลมาจากไมโครคอนโทรลเลอร์และแปลงเป็นแรงดันแอนะล็อกเพื่อปรับค่าแรงดันไฟฟ้าเอาต์พุตให้เหมาะสมสำหรับการตรวจวัดและทดสอบอุปกรณ์แต่ละชนิดได้อย่างละเอียดและแม่นยำ

2.2.3 วงจรแปลงสัญญาณแอนะล็อกเป็นดิจิทัล

วงจรแปลงสัญญาณแอนะล็อกเป็นดิจิทัลทำงานโดยใช้ไอซีเบอร์ MCP3424 ซึ่งมีความละเอียดสูง ขนาด 18 บิต เพื่อใช้ตรวจวัดแรงดันและกระแสไฟฟ้าทางด้านเอาต์พุตที่มีความแม่นยำสูง โดยการนำแรงดันไฟฟ้าแอนะล็อกอินพุตแบบผลต่างในช่วงค่าแรงดันตั้งแต่ -2 ถึง 2 โวลต์ ที่ได้รับจากการทดสอบอุปกรณ์โดยวงจรตรวจวัดแรงดันและกระแสไฟฟ้ามาแปลงเป็นสัญญาณดิจิทัลเพื่อส่งให้ไมโครคอนโทรลเลอร์ประมวลผลและแสดงค่าแรงดันและกระแสไฟฟ้าผ่านหน้าจอแสดงผล

2.2.4 วงจรควบคุมแรงดันและกระแสไฟฟ้า

วงจรควบคุมแรงดันและกระแสไฟฟ้ามี 3 ชุด โดยแต่ละชุดแสดงดังในรูปที่ 2 ทำหน้าที่ขยายแรงดันไฟฟ้าที่ได้รับจากวงจรแปลงสัญญาณดิจิทัลเป็นแอนะล็อกซึ่งมีค่าระดับแรงดันไฟฟ้าอยู่ระหว่าง 0 ถึง 5 โวลต์ เพื่อให้แรงดันไฟฟ้าเอาต์พุตมีค่าสูงขึ้น ในช่วงแรงดันเท่ากับ ±15 โวลต์ ซึ่งประกอบด้วย 1) ไอซีออปแอมป์กระแสสูง เบอร์ OPA548 ทำหน้าที่ขยายแรงดันและกระแสไฟฟ้า 2) ไอซีออปแอมป์เบอร์ TJM4558 ทำหน้าที่เป็นวงจรบัฟเฟอร์และวงจรควบคุมกระแสไฟฟ้าให้กับวงจรขยายแรงดันและกระแสไฟฟ้า โดยที่การทำงานของวงจรขยายแรงดันและกระแสไฟฟ้าจะรับค่าแรงดันอินพุตมาจากวงจรแปลงสัญญาณดิจิทัลเป็นแอนะล็อกตัวที่ 1 (V_{DAC1}) และแรงดันอินพุตจากวงจรสร้างแรงดันอ้างอิง (V_{REF1}) เพื่อขยายแรงดันเอาต์พุตให้มีค่าสูงขึ้น ในขณะที่วงจรควบคุมกระแสไฟฟ้าเอาต์พุตจะรับค่าอินพุตจากวงจรแปลงสัญญาณดิจิทัลเป็นแอนะล็อกตัวที่ 2 (V_{DAC2}) เพื่อปรับค่าแรงดันไฟฟ้าที่ขาควบคุมกระแสเอาต์พุต (ขา 3 ของออปแอมป์เบอร์ OPA548) จากรูปที่ 2 วงจรขยายแรงดันและกระแสไฟฟ้าสามารถคำนวณแรงดันเอาต์พุต (V_{OUTA}) และกระแสเอาต์พุต (I_{OUTA}) ได้จากสมการที่ (1) และ สมการที่ (2) ตามลำดับ

$$V_{OUTA} = \left(1+\frac{R_2}{R_1}\right)V_{DAC1} - \left(\frac{R_2}{R_1}\right)(V_{REF1}) \quad (1)$$

$$I_{OUTA} = \frac{15,000\left(4.75 - V_{DAC2}\right)}{13,750 + R_{CLM}} \quad (2)$$

โดยที่ V_{DAC1} และ V_{DAC2} คือ ค่าระดับแรงดันแอนะล็อกที่ถูกแปลงมาจากสัญญาณดิจิทัลของไมโครคอนโทรลเลอร์ และ V_{REF1} คือ แรงดันไฟฟ้าอ้างอิง ซึ่งกำหนดไว้เท่ากับ 3 โวลต์

2.2.5 วงจรตรวจวัดแรงดันและกระแสไฟฟ้า

วงจรตรวจวัดแรงดันและกระแสไฟฟ้า ดังแสดงในรูปที่ 3 สามารถอธิบายการทำงานได้ดังนี้

1) วงจรตรวจวัดแรงดันไฟฟ้า ทำหน้าที่ตรวจจับแรงดันที่วัดได้จากการทดสอบอุปกรณ์ ประกอบด้วย 1) ไอซีออปแอมป์เบอร์ OP07 เป็นวงจรบัฟเฟอร์เพื่อให้ความต้านทานอินพุตของวงจรตรวจวัดแรงดันไฟฟ้ามีค่าสูง และ 2) ไอซีออปแอมป์เบอร์ TL082 เป็นวงจรขยายความแตกต่างให้ได้แรงดันเอาต์พุตเท่ากับ ±2 โวลต์ และป้อนให้วงจรแปลงสัญญาณแอนะล็อกเป็นดิจิทัล สำหรับแรงดันเอาต์พุตของวงจรตรวจวัดแรงดันไฟฟ้าสามารถวิเคราะห์ได้จากสมการที่ (3) และสมการที่ (4) ตามลำดับ

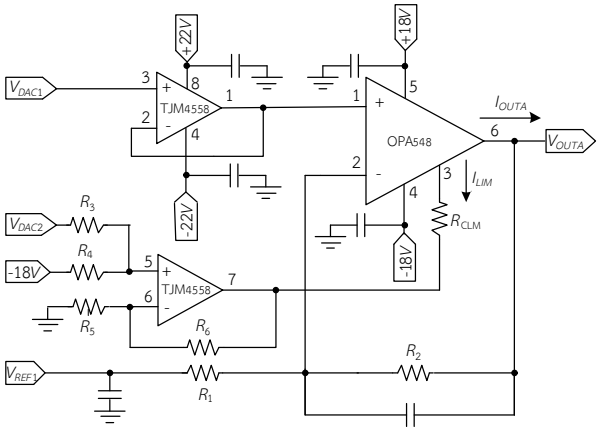

รูปที่ 2 วงจรควบคุมแรงดันและกระแสไฟฟ้าชุดที่ 1, 2 และ 3

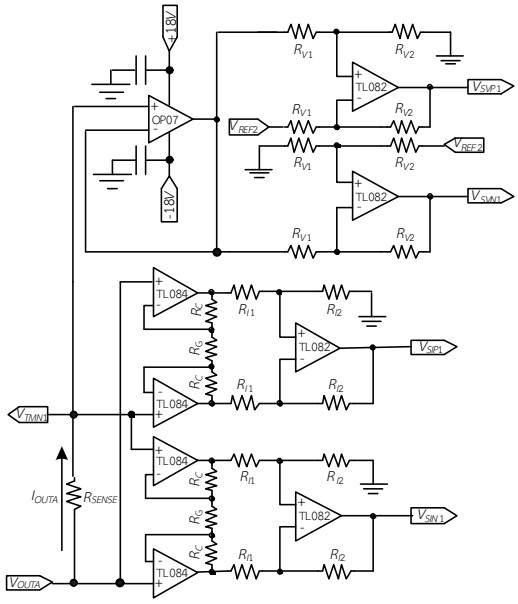

รูปที่ 3 วงจรตรวจวัดแรงดันและกระแสไฟฟ้าชุดที่ 1, 2 และ 3

$$V_{SVP1} = \frac{R_{V2}}{R_{V1}}\left(V_{TMN1} - V_{REF2}\right) \quad (3)$$

$$V_{SVN1} = -\frac{R_{V2}}{R_{V1}}\left(V_{TMN1} - V_{REF2}\right) \quad (4)$$

โดยที่ V_{TMN1} คือ แรงดันไฟฟ้าที่วัดได้จากการทดสอบอุปกรณ์ และ V_{REF2} คือ แรงดันไฟฟ้าอ้างอิง ซึ่งกำหนดไว้เท่ากับ 1 โวลต์

2) วงจรตรวจวัดกระแสไฟฟ้า ทำหน้าที่ตรวจจับกระแสไฟฟ้าที่วัดได้จากการทดสอบอุปกรณ์ ประกอบด้วย 1) วงจรขยายอินสตรูเมนต์ 2 ชุด โดยใช้ไอซีออปแอมป์เบอร์ TL084 และ TL082 ซึ่งเป็นวงจรขยายสัญญาณอินพุตขนาดเล็กที่มีความผิดพลาดต่ำ โดยกระแสไฟฟ้าจากชุดทดสอบที่จ่ายให้กับอุปกรณ์สารกึ่งตัวนำสามารถจ่ายกระแสไฟฟ้าได้สูงสุดเท่ากับ ±2 แอมป์ ดังนั้นกระแสจะไหลผ่านตัวต้านทาน R_{SENSE} เกิดแรงดันตกคร่อมตัวความต้านทานโดยแปรผันตรงกับกระแสไฟฟ้าซึ่งจะเป็นแรงดันอินพุตให้กับวงจรขยายอินสตรูเมนต์เพื่อแปลงกระแสให้เป็นแรงดันไฟฟ้า โดยกำหนดให้แรงดันเอาต์พุตผลต่างระหว่าง V_{SIP1} และ V_{SIN1} สูงสุดเท่ากับ ± 2 โวลต์ และสามารถวิเคราะห์ได้ดังสมการที่ (5) ถึง สมการที่ (7)

$$V_{SIP1} = \frac{R_{I2}}{R_{I1}}\left(1+\frac{2R_C}{R_G}\right)\left(V_{OUTA} - V_{TMN1}\right) \quad (5)$$

$$V_{SIN1} = -\frac{R_{I2}}{R_{I1}}\left(1+\frac{2R_C}{R_G}\right)\left(V_{OUTA} - V_{TMN1}\right) \quad (6)$$

$$V_{OTMA} - V_{TMN1} = I_{OUTA} \times R_{SENSE} \quad (7)$$

โดยที่ R_{SENSE} คือ ตัวต้านทานตรวจจับกระแส ซึ่งกำหนดเท่ากับ 0.2 โอห์ม

2.2.6 วงจรแหล่งจ่ายกำลังงานไฟฟ้า

วงจรแหล่งจ่ายกำลังงานไฟฟ้าทำหน้าที่จ่ายแรงดันไฟฟ้ากระแสตรงให้กับวงจรควบคุมการทำงานภายในเครื่อง ซึ่งประกอบด้วย 5 วงจรหลัก ได้แก่ 1) วงจรเรียงกระแส เป็นวงจรแปลงไฟฟ้ากระแสสลับ 220 โวลต์ ผ่านหม้อแปลงไฟฟ้ากระแสสลับขนาด 24–0–24 โวลต์ ให้เป็นแรงดันไฟฟ้ากระแสตรง ±34 โวลต์ ที่กระแสสูงสุดเท่ากับ 5 แอมป์ 2) วงจรรักษาระดับแรงดันไฟฟ้า ±22 โวลต์ โดยใช้ไอซีเบอร์ LM317 และ LM337 เพื่อเป็นแหล่งจ่ายไฟฟ้าให้กับวงจรบัฟเฟอร์ 3) วงจรรักษาระดับแรงดันไฟฟ้า ±18 โวลต์ โดยใช้ไอซีเบอร์ 7818 และ 7918 และทรานซิสเตอร์เบอร์ 2N3055 และ MJ2955 ขับกระแสสูงสุดเท่ากับ 3 แอมป์ เพื่อจ่ายให้กับวงจรขยายแรงดันและกระแสไฟฟ้า 4) วงจรรักษาระดับแรงดันไฟฟ้า 5 โวลต์ โดยใช้ไอซีเบอร์ 7805 เป็นแหล่งจ่ายแรงดันไฟฟ้าให้กับวงจรไมโครคอนโทรลเลอร์ และ 5) วงจรสร้างแรงดันไฟฟ้าอ้างอิง 3 โวลต์ และ 1 โวลต์ เพื่อเป็นแหล่งจ่ายแรงดันไฟฟ้าอ้างอิงให้กับวงจรควบคุมแรงดันและกระแสไฟฟ้าสำหรับตรวจวัดอุปกรณ์

2.3 การออกแบบโปรแกรมควบคุม

การออกแบบโปรแกรมควบคุมการทำงานของเครื่องวิเคราะห์อุปกรณ์สารกึ่งตัวนำด้วยไมโครคอนโทรลเลอร์ ดังแสดงในรูปที่ 4 ซึ่งแบ่งออกเป็น 2 โหมด คือ 1) โหมดรับคำสั่งจากคอมพิวเตอร์ และ 2) โหมดรับคำสั่งจากหน้าจอสัมผัส โดยที่ระบบทำงานเพียงโหมดใดโหมดหนึ่งเพื่อป้องกันความผิดพลาดจากไมโครคอนโทรลเลอร์ในการรับคำสั่งพร้อมกันจากโปรแกรมแลบวิวทางคอมพิวเตอร์และหน้าจอแสดงผลแบบสัมผัส สำหรับการทำงานทั้งสองโหมด ประกอบด้วย 9 ชุดคำสั่ง ได้แก่ (1) คำสั่ง “find” เป็นคำสั่งในการตรวจสอบชนิดของอุปกรณ์ โดยเครื่องจะทำการตรวจสอบแรงดันไฟฟ้าที่ตำแหน่งขาต่างๆ (2) คำสั่ง “vref” เป็นคำสั่งในการตรวจสอบสถานะแรงดันไฟฟ้าอ้างอิง (3) คำสั่ง “v_set” เป็นคำสั่งกำหนดแรงดันไฟฟ้าที่เอาต์พุตแต่ละแชนแนล (4) คำสั่ง “i_set” เป็นคำสั่งกำหนดกระแสไฟฟ้าที่เอาต์พุตแต่ละแชนแนล (5) คำสั่ง “ir_set” เป็นคำสั่งกำหนดกระแสไฟฟ้าในย่านต่ำกว่า 0.1 แอมป์ (6) คำสั่ง “v_meter” เป็นคำสั่งตรวจวัดแรงดันไฟฟ้าเอาต์พุต (7) คำสั่ง “i_meter” เป็นคำสั่งตรวจวัดกระแสไฟฟ้าเอาต์พุต (8) คำสั่ง “tmn_on” เป็นคำสั่งเปิดใช้งานเอาต์พุต และ (9) คำสั่ง “tmn_off” เป็นคำสั่งปิดใช้งานเอาต์พุต

2.4 โครงสร้างและส่วนประกอบของเครื่อง

โครงสร้างและส่วนประกอบของเครื่องวิเคราะห์อุปกรณ์สารกึ่งตัวนำประกอบด้วย 1) โครงสร้างภายนอกเป็นกล่องอะลูมิเนียมพร้อมชุดโพรบวัดแบบ 3 สาย และกล่องทดสอบอุปกรณ์สารกึ่งตัวนำ (DUT) สามารถใช้วัดได้ทั้งตัวถังแบบเอสเอ็มดี (Surface Mount Device, SMD) และแบบทรูโฮล (Through Hole, TH) แสดงดังในรูปที่ 5 และ 2) ส่วนประกอบวงจรภายในของเครื่องวิเคราะห์อุปกรณ์สารกึ่งตัวนำแต่ละภาคตามที่ได้ออกแบบไว้ แสดงดังในรูปที่ 6

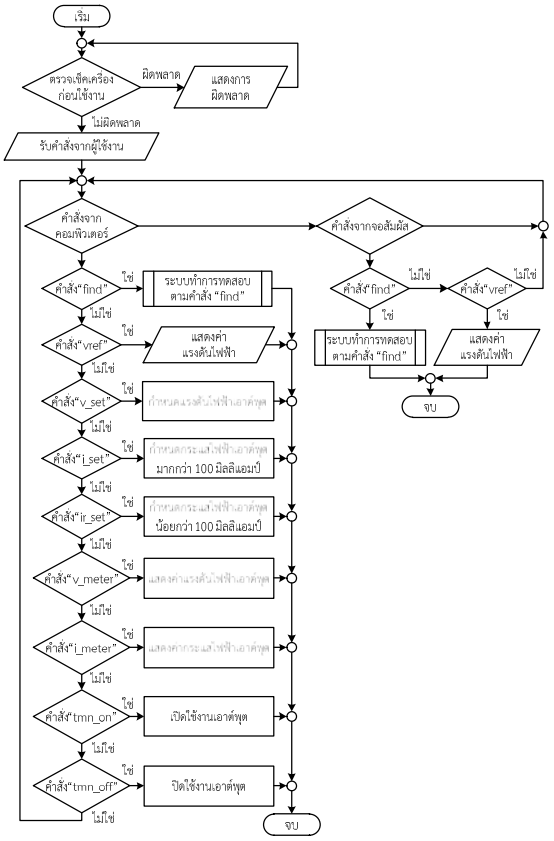

รูปที่ 4 การทำงานของโปรแกรมควบคุมด้วยไมโครคอนโทรลเลอร์

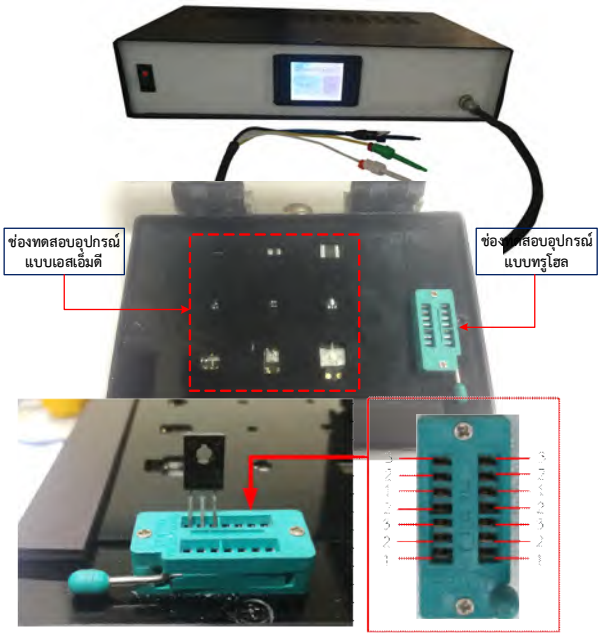

รูปที่ 5 โครงสร้างเครื่องและกล่องสำหรับทดสอบอุปกรณ์

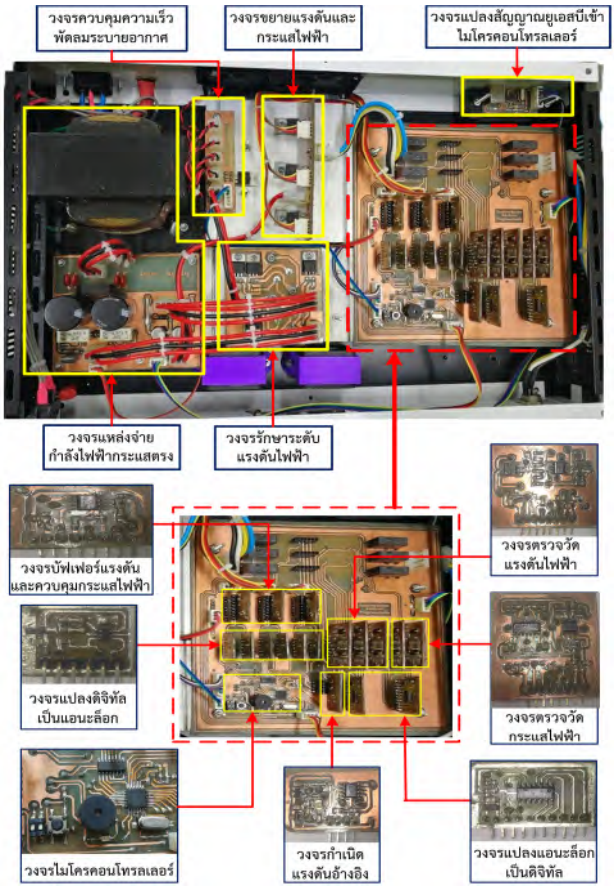

รูปที่ 6 ส่วนประกอบวงจรภายในเครื่องวิเคราะห์อุปกรณ์สารกึ่งตัวนำ

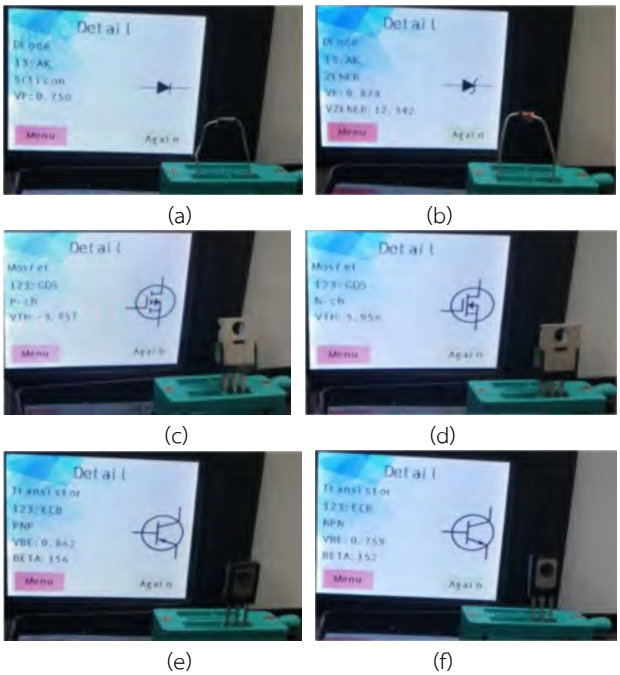

รูปที่ 7 การทดสอบอุปกรณ์แต่ละประเภท (a) Diode (b) Zener (c) PMOS (d) NMOS (e) PNP (f) NPN

3. การทดสอบและวิเคราะห์ผลการทดลอง

เพื่อทดสอบประสิทธิภาพความเที่ยงตรงในการวัด ได้สอบเทียบค่าแรงดันและกระแสไฟฟ้าที่วัดได้จากระบบของชุดทดสอบอุปกรณ์แต่ละแชนเนลซึ่งทดสอบซ้ำจำนวน 3 ครั้ง กับเครื่องมือวัดมาตรฐานโดยใช้ดิจิทัลมัลติมิเตอร์ ผลปรากฏว่าการวัดมีความถูกต้องและมีค่าความผิดพลาดใกล้เคียงกัน เมื่อทดสอบช่วงย่านวัดแรงดันตั้งแต่ ±1 โวลต์ ถึง ±15 โวลต์ ค่าความผิดพลาดต่ำกว่าร้อยละ 1 และช่วงย่านวัดแรงดันตั้งแต่ ±0.1 โวลต์ ถึง ±1 โวลต์ ค่าความผิดพลาดต่ำกว่าร้อยละ 5 ขณะที่เมื่อทดสอบช่วงย่านวัดกระแสตั้งแต่ ±0.001 แอมป์ ถึง ±0.1 แอมป์ ค่าความผิดพลาดต่ำกว่าร้อยละ 6 และช่วงย่านวัดกระแสตั้งแต่ ±0.1 แอมป์ ถึง ±2 แอมป์ ค่าความผิดพลาดต่ำกว่าร้อยละ 2 ซึ่งเป็นค่าที่สามารถยอมรับได้ในการใช้งานโดยทั่วไป

สำหรับการทดสอบวัดคุณสมบัติของอุปกรณ์สามารถแยกประเภท ตรวจสอบตำแหน่งขา ชนิด และค่าพารามิเตอร์ต่างๆ ของอุปกรณ์สารกึ่งตัวนำประเภทที่มี 2-3 ขา โดยเลือกทดสอบ 4 ประเภท ได้แก่ (1) ไดโอดเรียงกระแส (2) ซีเนอร์ไดโอด (3) มอสเฟต และ (4) ทรานซิสเตอร์ การทดสอบแบ่งออกเป็น 2 โหมด คือ 1) สั่งงานผ่านหน้าจอแสดงผลแบบสัมผัส และ 2) สั่งงานด้วยคอมพิวเตอร์ผ่านโปรแกรมแลบวิว

3.1 การทดสอบวัดอุปกรณ์โดยสั่งงานผ่านหน้าจอแสดงผลแบบสัมผัส

3.1.1 การทดสอบเพื่อหาคุณสมบัติของอุปกรณ์ประเภทไดโอด

การทดสอบอุปกรณ์สารกึ่งตัวนำประเภทไดโอด แบ่งออกเป็น 2 ชนิด ดังนี้

1) การทดสอบไดโอดเรียงกระแส แสดงรายละเอียดบนหน้าจอแสดงผล ดังรูปที่ 7(a) ประกอบด้วย (1) ประเภท (2) ตำแหน่งขา (3) ชนิด (4) แรงดันไบอัสตรง และ (5) สัญลักษณ์ เป็นต้น และการเปรียบเทียบผลการทดสอบไดโอดเบอร์ต่างๆกับข้อมูลทางด้านเทคนิค (datasheet) แสดงดังในตารางที่ 1

2) การทดสอบซีเนอร์ไดโอด แสดงรายละเอียดบนหน้าจอแสดงผล ดังรูปที่ 7(b) ประกอบด้วย (1) ประเภท (2) ตำแหน่งขา (3) ชนิด (4) แรงดันไบอัสตรง (5) แรงดันซีเนอร์ และ (6) สัญลักษณ์ เป็นต้น และการเปรียบเทียบผลการทดสอบซีเนอร์ไดโอดเบอร์ต่างๆ กับข้อมูลทางด้านเทคนิค (datasheet) แสดงดังในตารางที่ 2

3.1.2 การทดสอบเพื่อหาคุณสมบัติของอุปกรณ์ประเภทมอสเฟต

การทดสอบอุปกรณ์สารกึ่งตัวนำประเภทมอสเฟต แสดงรายละเอียดบนหน้าจอแสดงผล ดังรูปที่ 7(c) และ รูปที่ 7(d) ประกอบด้วย (1) ประเภท (2) ตำแหน่งขา (3) ชนิด (4) แรงดันขีดเริ่ม ($V_{GS(th)}$) และ (5) สัญลักษณ์ เป็นต้น และการเปรียบเทียบผลการทดสอบมอสเฟตเบอร์ต่างๆ กับข้อมูลทางด้านเทคนิค (datasheet) แสดงดังในตารางที่ 3

3.1.3 การทดสอบเพื่อหาคุณสมบัติของอุปกรณ์ประเภททรานซิสเตอร์

การทดสอบอุปกรณ์สารกึ่งตัวนำประเภททรานซิสเตอร์ แสดงรายละเอียดบนหน้าจอแสดงผล ดังรูปที่ 7(e) และ รูปที่ 7(f) ประกอบด้วย (1) ประเภท (2) ตำแหน่งขา (3) ชนิด (4) แรงดันเบส–อิมิตเตอร์ (V_{BE}) (5) อัตราการขยายกระแสหรือเบต้า (h_{FE}) และ (6) สัญลักษณ์ เป็นต้น และการเปรียบเทียบผลการทดสอบทรานซิสเตอร์เบอร์ต่างๆ กับข้อมูลทางด้านเทคนิค (datasheet) แสดงดังในตารางที่ 4

จากผลการทดสอบในตารางที่ 1 – 4 แสดงให้เห็นว่าเครื่องวิเคราะห์อุปกรณ์สารกึ่งตัวนำทำงานได้อย่างมีประสิทธิภาพ สามารถตรวจวัดคุณสมบัติของอุปกรณ์แต่ละประเภทได้อย่างถูกต้องและมีความใกล้เคียงกับข้อมูลทางด้านเทคนิคที่ได้ทดสอบโดยเครื่องมือวิเคราะห์มาตรฐาน

ตารางที่ 1 เปรียบเทียบผลทดสอบไดโอดเรียงกระแสกับข้อมูลทางเทคนิค

เบอร์	ตัวถัง	ข้อมูลทางเทคนิค	การทดสอบ	
		แรงดันไบอัสตรง	ตำแหน่งขา	แรงดันไบอัสตรง
M7	SMA	0.6 - 1.1	12 : AK	0.744
4148	SOD-80	0.6 - 1.0	12 : AK	0.770
1N4001	DO-41	0.6 - 1.1	13 : AK	0.746
1N4007	DO-41	0.6 - 1.1	13 : AK	0.750

ตารางที่ 2 เปรียบเทียบผลทดสอบซีเนอร์ไดโอดกับข้อมูลทางเทคนิค

เบอร์	ตัวถัง	ข้อมูลทางเทคนิค	การทดสอบ	
		แรงดันซีเนอร์	ตำแหน่งขา	แรงดันซีเนอร์
1N5231	DO-41	5.1	12 : AK	5.345
1N4742	DO-41	12	12 : AK	12.395
1N4738	DO-41	8.2	12 : AK	8.403
1N4734	DO-41	5.6	12 : AK	5.731

ตารางที่ 3 เปรียบเทียบผลทดสอบมอสเฟตกับข้อมูลทางเทคนิค

เบอร์	ตัวถัง	ข้อมูลทางเทคนิค		การทดสอบ	
		ชนิด	แรงดันขีดเริ่ม	ตำแหน่งขา	แรงดันขีดเริ่ม
IRF540	TO-220	N-ch	2 - 4	123-GDS	3.96
IRFP250	TO-247	N-ch	2 - 4	123-GDS	3.966
F640NS	D2PAK	N-ch	2 - 4	123-GDS	3.975
2N7002	SOT-23	N-ch	1 - 2.5	123-GDS	1.983

ตารางที่ 4 เปรียบเทียบผลทดสอบทรานซิสเตอร์บีเจทีกับข้อมูลทางเทคนิค

เบอร์	ตัวถัง	ข้อมูลทางเทคนิค		การทดสอบ	
		ชนิด	เบต้า	ตำแหน่งขา	เบต้า
2N3906	TO-92	PNP	15 – 300	123 : EBC	124
2N5401	SOT-23	PNP	50 – 240	123 : BCE	151
TIP41	TO-220	NPN	15 – 75	123 : BCE	46
BD139	TO-126	NPN	25 – 250	123 : ECB	160
SS8050	SOT-23	NPN	120 – 400	123 : BCE	150

3.2 การทดสอบวัดอุปกรณ์ด้วยคอมพิวเตอร์ผ่านโปรแกรมแลบวิว

3.2.1 การทดสอบวัดคุณสมบัติอุปกรณ์สารกึ่งตัวนำ

การทดสอบวัดคุณสมบัติอุปกรณ์สารกึ่งตัวนำผ่านโปรแกรมแลบวิว สามารถบอกรายละเอียดของประเภทต่างๆ เช่น ไดโอดเรียงกระแส ซีเนอร์ไดโอด มอสเฟต และทรานซิสเตอร์ เป็นต้น โดยแสดงค่าพารามิเตอร์ในการทดสอบเป็น 4 ส่วน ได้แก่ 1) ประเภทอุปกรณ์ (Device) 2) ตำแหน่งขา (PIN) 3) ชนิด (Type) และ 4) อื่นๆ (Other) อาทิเช่น แรงดันไบอัสตรง (VF) แรงดันซีเนอร์ (VZENER) และแรงดันขีดเริ่ม (VTH) เป็นต้น สำหรับตัวอย่างผลการทดสอบหาแรงดันเบส-อิมิตเตอร์ (VBE) และอัตราขยายกระแสหรือเบต้า (BETA) ของทรานซิสเตอร์ แสดงดังในรูปที่ 8

3.2.2 การทดสอบกราฟคุณลักษณะทางกระแสและแรงดันไฟฟ้าของอุปกรณ์สารกึ่งตัวนำ

การทดสอบกราฟคุณลักษณะทางกระแสและแรงดันไฟฟ้าของอุปกรณ์สารกึ่งตัวนำ ตัวอย่างเช่น การทดสอบซีเนอร์ไดโอดเบอร์ 1N4739 โดยการจ่ายแรงดันและกระแสไฟฟ้าไบอัสตรงและไบอัสกลับให้กับซีเนอร์ไดโอด แสดงดังในรูปที่ 9 ผลการทดสอบขณะจ่ายแรงดันไบอัสตรงพบว่าซีเนอร์ไดโอดเริ่มนำกระแสที่ 0.001 แอมป์ เมื่อแรงดันไฟฟ้ามีค่าเท่ากับ

0.646 โวลต์ และในขณะที่จ่ายแรงดันไบอัสกลับซีเนอร์ไดโอดเริ่มนำกระแสที่ -0.001 แอมป์ เมื่อค่าแรงดันไฟฟ้ามีค่าเท่ากับ -8.724 โวลต์ ซึ่งใกล้เคียงกับค่าแรงดันซีเนอร์ตามข้อมูลทางด้านเทคนิค

การทดสอบทรานซิสเตอร์เบอร์ BD139 แสดงดังในรูปที่ 10 โดยกำหนดค่าแรงดันและกระแสไฟฟ้าที่จ่ายให้กับขาคอลเลคเตอร์ ดังเช่น กำหนดค่าแรงดันคอลเลคเตอร์ (V_{CE}) ตั้งแต่ 0 ถึง 3 โวลต์ เพิ่มขึ้นทีละ 0.05 โวลต์ กำหนดค่ากระแสคอลเลคเตอร์สูงสุด (I_C) เท่ากับ 1 แอมป์ และกำหนดค่ากระแสไบอัสขาเบส (I_B) จำนวน 5 ค่า ตั้งแต่ 0.001 แอมป์ ถึง 0.005 แอมป์ เพิ่มขึ้นทีละ 0.001 แอมป์ ผลปรากฏว่าเครื่องสามารถทดสอบกราฟคุณลักษณะทางกระแสและแรงดันไฟฟ้าของทรานซิสเตอร์ได้ใกล้เคียงกับข้อมูลทางด้านเทคนิค นอกจากนี้ยังสามารถทดสอบกราฟคุณลักษณะของอุปกรณ์ชนิดอื่นๆได้ด้วย และบันทึกกราฟเป็นไฟล์รูปภาพและไฟล์ข้อมูลได้โดยใช้โปรแกรมแลบวิวและแสดงผลผ่านทางหน้าจอคอมพิวเตอร์

จากการออกแบบและทดสอบคุณสมบัติของเครื่องวิเคราะห์อุปกรณ์สารกึ่งตัวนำที่นำเสนอนี้ ซึ่งมีจุดเด่นที่ได้เปรียบและสะดวกต่อการใช้งานมากกว่างานวิจัย [9] กล่าวคือมีความสามารถในการวัดพารามิเตอร์ของอุปกรณ์สารกึ่งตัวนำที่หลากหลายและทดสอบอุปกรณ์ได้หลายประเภทและชนิดตัวถัง มีหน้าจอแสดงผลและควบคุมการทำงานได้แบบสัมผัส และสามารถวัดกราฟคุณลักษณะกระแสและแรงดันไฟฟ้าได้แบบเรียลไทม์ผ่านคอมพิวเตอร์ด้วยโปรแกรมแลบวิว

รูปที่ 8 ทดสอบคุณสมบัติอุปกรณ์ประเภททรานซิสเตอร์

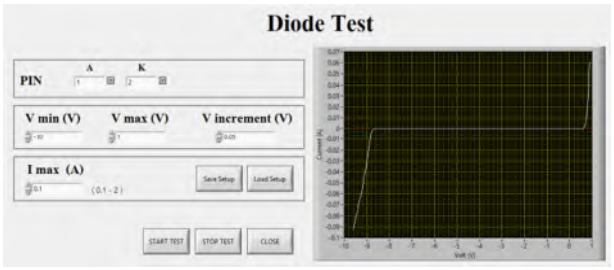

รูปที่ 9 กราฟคุณลักษณะทางกระแสและแรงดันไฟฟ้าของซีเนอร์ไดโอด

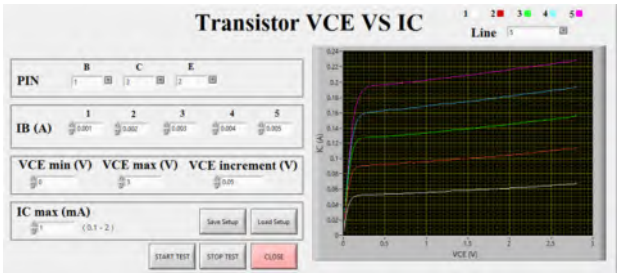

รูปที่ 10 กราฟคุณลักษณะทางกระแสและแรงดันไฟฟ้าของทรานซิสเตอร์

4. สรุป

เครื่องวิเคราะห์อุปกรณ์สารกึ่งตัวนำในบทความวิจัยนี้สามารถควบคุมการทำงานได้ 2 โหมด ได้แก่ 1) โหมดสั่งงานผ่านหน้าจอสัมผัสควบคุมด้วยไมโครคอนโทรลเลอร์ สามารถทดสอบคุณสมบัติของอุปกรณ์ได้หลายชนิด อาทิเช่น ไดโอดเรียงกระแส ซีเนอร์ไดโอด ไดโอดเปล่งแสง ทรานซิสเตอร์ และ มอสเฟต โดยมีโพรบวัดและกล่องทดสอบอุปกรณ์ได้ทั้งตัวถังแบบเอสเอ็มดีและแบบทรูโฮล และ 2) โหมดสั่งงานผ่านคอมพิวเตอร์ด้วยโปรแกรมแลบวิว ไม่เพียงแต่ทดสอบคุณสมบัติของอุปกรณ์แต่ละชนิดได้แต่ยังสามารถแสดงผลกราฟคุณลักษณะทางกระแสและแรงดันไฟฟ้าของอุปกรณ์แต่ละชนิดได้ด้วย พร้อมทั้งบันทึกกราฟเป็นไฟล์รูปภาพและไฟล์ข้อมูลเพื่อนำไปประยุกต์ใช้งาน

5. กิตติกรรมประกาศ

ผู้วิจัยขอขอบคุณ หลักสูตรสาขาวิชาวิศวกรรมอิเล็กทรอนิกส์ สาขาวิศวกรรมไฟฟ้า คณะวิศวกรรมศาสตร์ มหาวิทยาลัยเทคโนโลยีราชมงคลศรีวิชัย ที่อำนวยความสะดวกในการใช้พื้นที่ การสืบค้นข้อมูล การใช้เครื่องมือและอุปกรณ์ต่าง ๆ ตลอดจน นายนิรันดร์ จำนงค์ภักดี และนายพิจักษณ์ ภูมิสุข ที่ช่วยดำเนินการวิจัยให้สำเร็จได้ตามวัตถุประสงค์

เอกสารอ้างอิง

[1] R. L. Boylestad and L. Nashelsky, “Electronic Devices and Circuit Theory,” *11th ed. Pearson*, 2013.

[2] Tektronix Curve Tracers Datasheet. [Online]. Available: https://www.tek.com/en/datasheet/370b-371b-curve-tracers.

[3] IWATSU Semiconductor Curve tracer CS-10000/5000/3000 Series Catalogs. [Online]. Available: https://www.iwatsu-europe.com/en/pdf/CS_catalog14050E-114.pdf

[4] พันธ์ศักดิ์ พุฒิมานิตพงศ์, “หลักการใช้งานมิเตอร์ชันวา รุ่น YX-361 TR และการวัดอุปกรณ์อิเล็กทรอนิกส์ด้วยมิเตอร์,” แผนกอิเล็กทรอนิกส์ วิทยาลัยช่างกลปทุมวัน, 2521

[5] ORMELABS Semiconductor analyser AS4002P User Manual. [Online]. Available: https://manualzz.com/doc/6810042/ormelabs-as4002p-semiconductor-analyser-user-manual

[6] Peak Electronic DCA55 Semiconductor Component Analyser *Datasheet*. [Online]. Available: https://www.peakelec.co.uk/downloads/dca55-datasheet-en.pdf

[7] K. J. Suresh and K. V. Amrut, “Low Cost High Performance Microcontroller Based Semiconductor Device Tester,” *in 2013 Nirma University International Conference on Engineering (NUiCONE)*, 2013. pp. 1-5.

[8] I. Lita, M. Jurian, D. A. Visan, S. Oprea, and I. B. Cioc, “Microcontroller Based Tester for Semiconductor Devices,” *in 2008 31st International Spring Seminar on Electronics Technology*, 2008, pp. 117-120.

[9] ธีรเดช บุญช่วย, ปรัชญา สารภาพ, และ พีระพัฒน์ สุทธาชีพ, “เครื่องวัดและโปรแกรมวิเคราะห์ลักษณะสมบัติกระแส-แรงดันของอุปกรณ์อิเล็กทรอนิกส์ (สารกึ่งตัวนำ) พื้นฐาน,” ปริญญานิพนธ์, ภาควิชาวิศวกรรมไฟฟ้าและคอมพิวเตอร์, มหาวิทยาลัยนเรศวร, พิษณุโลก, 2556

วงจรรวมอัดประจุแบบซีมอสแรงดันต่ำสำหรับการเก็บเกี่ยวพลังงาน
A Low Voltage CMOS Charge Pump IC for Energy Harvesting

เสนอ สะอาด สุนทร รุ่งเรืองใบหยก และ อภิรักษ์ เสือเดช*

สาขาวิชาวิศวกรรมอิเล็กทรอนิกส์ คณะวิศวกรรมศาสตร์ มหาวิทยาลัยเทคโนโลยีราชมงคลศรีวิชัย apirak.su@rmutsv.ac.th*

บทคัดย่อ

บทความนี้นำเสนอวงจรรวมอัดประจุแบบซีมอสแรงดันต่ำสำหรับการเก็บเกี่ยวพลังงาน โดยอาศัยวงจรอัดประจุแบบดิกชันและวงจรตรวจจับแรงดันซึ่งควบคุมการทำงานด้วยวงจรกำเนิดสัญญาณนาฬิกา วงจรรวมอัดประจุได้รับการออกแบบโดยใช้เทคโนโลยีซีมอสขนาด 180 นาโนเมตร ผลจำลองการทำงาน พบว่าวงจรสามารถทำงานได้ที่แหล่งจ่ายแรงดันอินพุตต่ำมากเท่ากับ 100 มิลลิโวลต์ แรงดันเอาต์พุตมีค่าเพิ่มขึ้นและได้รับการรักษาระดับแรงดันให้คงที่เท่ากับ 500 มิลลิโวลต์ ที่ค่าแรงดันกระเพื่อมประมาณเท่ากับ 30 มิลลิโวลต์ ขณะที่วงจรกำเนิดสัญญาณนาฬิกาสามารถสร้างความถี่ได้เท่ากับ 920 กิโลเฮิรตซ์ และวงจรที่นำเสนอมีค่าประสิทธิภาพกำลังงานร้อยละ 70.2

คำสำคัญ: ซีมอส วงจรอัดประจุ การเก็บเกี่ยวพลังงาน แรงดันต่ำ

Abstract

This paper presents a low-voltage CMOS charge pump integrated circuit for energy harvesting. The proposed circuit employs a Dickson charge pump and a voltage detector circuit, driven by a clock generator. The circuit is designed using 180 nm CMOS technology. The simulation results demonstrate that the circuit works at an extremely low input voltage of 100 mV. The output voltage can be increased and regulated at a constant value of 500 mV, with a ripple voltage of 30 mV. The clock generator produces a frequency of 920 kHz, and the power efficiency of the circuit is 70.2 percent.

Keywords: CMOS, charge pump, energy harvesting, low voltage

1. บทนำ

ทุกวันนี้เทคโนโลยีอิเล็กทรอนิกส์สมัยใหม่ อาทิเช่น ระบบสื่อสารไร้สาย ระบบสมองกลฝังตัว อุปกรณ์อิเล็กทรอนิกส์ทางการแพทย์ และอุปกรณ์สวมใส่บนร่างกายมนุษย์ เป็นต้น ได้เข้ามามีบทบาทและมีความสำคัญอย่างมากต่อการดำรงชีวิตของมนุษย์ อย่างไรก็ตามอุปกรณ์เหล่านี้ส่วนใหญ่ต้องการใช้พลังงานจากแบตเตอรี่และจำเป็นต้องบริโภคกำลังงานไฟฟ้าที่ต่ำเพื่ออายุการใช้งานแบตเตอรี่ที่ยาวนาน จึงมีงานวิจัยที่อาศัยหลักการเก็บเกี่ยวพลังงานจากสิ่งแวดล้อมโดยใช้พลังงานสะอาดและไม่สิ้นเปลืองมาชาร์จประจุแบตเตอรี่หรือเป็นแหล่งจ่ายไฟฟ้าให้กับอุปกรณ์ภายในด้วยตัวเอง [1,2] แหล่งกำเนิดพลังงานเหล่านี้ ได้แก่ พลังงานจลน์ พลังงานแสง พลังงานความร้อน และพลังงานคลื่นความถี่วิทยุ เป็นต้น ซึ่งล้วนมีข้อจำกัดในการจ่ายกำลังงานและแรงดันไฟฟ้าที่ได้ค่อนข้างต่ำ [3] ดังนั้นต้องอาศัยวงจรอิเล็กทรอนิกส์เพื่อมาจัดการกำลังงานไฟฟ้าที่ได้รับจากการเก็บเกี่ยวพลังงานจากสิ่งแวดล้อมโดยจำเป็นต้องทำงานที่ระดับแรงดันไฟฟ้าต่ำมากได้

วงจรอัดประจุ (Charge Pump) เป็นส่วนหนึ่งในวงจรรวมจัดการกำลังงานไฟฟ้า (Power Management IC) ซึ่งถูกนำมาประยุกต์ใช้งานอย่างกว้างขวาง อาทิเช่น อุปกรณ์ RFID หน่วยความจำแบบ Flash วงจรคอนเวอร์เตอร์ และวงจรรวมเก็บเกี่ยวพลังงาน (Energy Harvesting IC) เป็นต้น ดังนั้นจึงมีงานวิจัยที่พัฒนาและออกแบบวงจรอัดประจุอย่างหลากหลายเพื่อประยุกต์ใช้งานกับวงจรที่ทำงานด้วยกำลังงานต่ำได้ [4] ทั้งวงจรอัดประจุพื้นฐานหรือวงจรทวีแรงดันโดยใช้เพียงอุปกรณ์ประเภทไดโอดและตัวเก็บประจุ และวงจรอัดประจุแบบดิกชันโดยอาศัยมอสเฟตมาทำงานแทนที่ไดโอดซึ่งได้รับความนิยมอย่างมากเนื่องจากวงจรไม่ซับซ้อนสามารถเพิ่มระดับแรงดันได้ด้วยจำนวนชุดวงจรที่เพิ่มขึ้น ในงานวิจัย [5] ได้เสนอวงจรอัดประจุแบบดิกชันอาศัยเทคนิคการควบคุมแบบลูปปิดโดยใช้ PWM เพื่อรักษาระดับแรงดันเอาต์พุตให้คงที่ วงจรมีประสิทธิภาพกำลังงานที่สูง ตอบสนองต่อสัญญาณทรานส์เซียนท์ได้รวดเร็ว แต่วงจรนี้ไม่สามารถขับกระแสได้สูง ส่วนงานวิจัย [6] ใช้วงจรอัดประจุแบบครอสคัปเปิลต่ออนุกรมกันจำนวนสามชุดและควบคุมการทำงานด้วยวงจรสร้างสัญญาณนาฬิกาแบบสองเฟสสลับกัน วงจรสามารถทำงานเป็นสวิตช์ได้อย่างรวดเร็วที่ความถี่สูง สามารถขับกระแสได้สูงและให้ประสิทธิภาพกำลังงานสูง อย่างไรก็ตามประสิทธิภาพกำลังงานจะลดลงตามความถี่ใช้งานและจำนวนชุดของวงจรที่เพิ่มขึ้น สำหรับงานวิจัย [7] อาศัยวงจรอัดประจุที่ใช้เทคนิคครอสคัปเปิลเช่นเดียวกัน ซึ่งควบคุมการทำงานด้วยวงจรสัญญาณนาฬิกาแบบสี่เฟสทำให้มีค่าประสิทธิภาพกำลังงานสูงขึ้น สามารถทำงานที่แรงดันไฟฟ้าอินพุตต่ำ และกำลังงานสูญเสียเนื่องจากการนำไฟฟ้าลดลงได้ด้วยการเพิ่มขนาดทรานซิสเตอร์ แต่ทำให้เพิ่มค่าของตัวเก็บประจุแฝงและกำลังงานสูญเสียเนื่องจากการสวิตช์ด้วยเช่นเดียวกัน นอกจากนี้งานวิจัย [8,9] อาศัยวงจรอัดประจุโดยใช้ทรานซิสเตอร์แบบดีทีมอส (Dynamic Threshold MOS Transistor, DTMOS) ซึ่งทำให้แรงดันขีดเริ่มของมอสทรานซิสเตอร์มีค่าลดลง และความต้านทานของมอสทรานซิสเตอร์ขณะทำงานเป็นสวิตช์มีค่าต่ำ ค่าตัวเก็บประจุอินพุตมีขนาดน้อยกว่าจึงเหมาะสำหรับวงจรคอนเวอร์เตอร์ที่ทำงานด้วยแรงดันอินพุตที่ต่ำมากและมีค่าประสิทธิภาพสูงกว่าวงจรอัดประจุแบบเดิม อย่างไรก็ตามวงจรอัดประจุแบบ DTMOS เหมาะสำหรับการประยุกต์ใช้กับวงจรที่ทำงานด้วยแรงดันต่ำเท่านั้นเพื่อแก้ปัญหาการเกิดแลตช์อัพ และจำเป็นต้องใช้กระบวนการผลิตแบบบ่อแยกคู่ (Twin-well) เพื่อลดผลกระทบของขาบอดี้ (Body Effect) และงานวิจัย [10] ได้ออกแบบวงจรอัดประจุสำหรับวงจรรวมเก็บเกี่ยวพลังงานจากคลื่นความถี่วิทยุ (RF Energy Harvesting) โดยใช้เทคนิคการไบอัสแบบไดนามิกที่ขาเกทและไบอัสตรง-ไบอัสกลับที่ขาบอดี้ ทำให้ประสิทธิภาพกำลังงานสูง ขณะที่แรงดันไฟฟ้าอินพุตต่ำและมีแรงดันกระเพื่อมที่เอาต์พุตต่ำ อย่างไรก็ตาม วงจรทำงานโดยใช้ความถี่ต่ำอยู่ในระดับหลักร้อยกิโลเฮิรตซ์ ทำให้ขับกระแสได้ไม่สูงและให้ค่าประสิทธิภาพต่ำลงเมื่อกระแสโหลดลดลง นอกจากนี้ยังมีการสูญเสียเพิ่มขึ้นเนื่องจากการสวิตช์และจำเป็นต้องใช้เทคโนโลยีแบบสามบ่อแยก (Triple-well) ทำให้เพิ่มความซับซ้อนและมีต้นทุนที่เพิ่มขึ้นด้วยเช่นกัน

*ผู้ประพันธ์บรรณกิจ

บทความวิจัยนี้นำเสนอวงจรรวมอัดประจุแบบลูปปิดเพื่อควบคุมแรงดันเอาต์พุตให้คงที่ตามที่กำหนด วงจรได้รับการออกแบบด้วยวงจรอัดประจุแบบดิกชันเพื่อเพิ่มแรงดันไฟฟ้าเอาต์พุตตามต้องการ และควบคุมการทำงานด้วยสัญญาณนาฬิกาแบบสองเฟสสลับกันซึ่งอาศัยวงจรออสซิลเลเตอร์และวงจรกำเนิดสัญญาณแบบไร้การเหลื่อม นอกจากนี้การรักษาระดับแรงดันเอาต์พุตให้คงที่ทำได้ด้วยการอาศัยวงจรป้อนกลับผ่านวงจรตรวจจับแรงดัน ดังนั้นวงจรรวมอัดประจุที่นำเสนอนี้จึงเหมาะสำหรับการประยุกต์ใช้ในการออกแบบเป็นส่วนหนึ่งของวงจรเพิ่มระดับแรงดันอยู่ภายในวงจรรวมเก็บเกี่ยวพลังงาน (Energy Harvesting IC) ซึ่งเป็นประโยชน์อย่างมากต่อการออกแบบและพัฒนาวงจรรวมของนักวิจัยและผู้ออกแบบในประเทศต่อไป

2. การออกแบบวงจรรวมอัดประจุ

2.1 หลักการทำงาน

วงจรรวมอัดประจุทำหน้าที่เพิ่มระดับแรงดันไฟฟ้าเอาต์พุตให้สูงขึ้นกว่าแรงดันอินพุตซึ่งเหมาะสำหรับประยุกต์ใช้เป็นแหล่งจ่ายแรงดันไฟฟ้าอินพุตภายในวงจรรวมเก็บเกี่ยวพลังงาน (Energy Harvesting IC) โครงสร้างของวงจรรวมอัดประจุที่นำเสนอ แสดงดังในรูปที่ 1 ประกอบด้วย 1) วงจรกำเนิดสัญญาณแบบวงแหวน (Oscillator) ทำหน้าที่กำเนิดสัญญาณความถี่คงที่เพื่อควบคุมการทำงานของวงจรอัดประจุ 2) วงจรกำเนิดสัญญาณนาฬิกาไร้การเหลื่อม (Non-Overlapping Clock) ทำหน้าที่สร้างสัญญาณนาฬิกาแบบ 2 เอาต์พุตที่มีเฟสไม่ทับซ้อนกัน 3) วงจรขับโหลด (Buffer) ทำหน้าที่ช่วยขับโหลดตัวเก็บประจุภาคอินพุตของวงจรอัดประจุ 4) วงจรอัดประจุแบบดิกชัน (Dickson Charge Pump) ทำหน้าที่เพิ่มแรงดันไฟฟ้าอินพุตให้มากกว่าแรงดันไฟฟ้าเอาต์พุต และ 5) วงจรตรวจจับแรงดัน (Voltage Detector) ทำหน้าที่ตรวจจับแรงดันไฟฟ้าเอาต์พุตของวงจรอัดประจุเพื่อควบคุมการทำงานของวงจรกำเนิดสัญญาณแบบวงแหวน

2.2 วงจรลอจิกเกททำงานในย่านต่ำกว่าแรงดันขีดเริ่ม

วงจรซีมอสลอจิกเกทที่ทำงานด้วยแรงดันต่ำอาศัยมอสทรานซิสเตอร์ทำงานในย่านต่ำกว่าแรงดันขีดเริ่ม (Sub-threshold Region) เหมาะกับการประยุกต์ใช้งานกับวงจรรวมเก็บเกี่ยวพลังงานที่ใช้แหล่งจ่ายแรงดันไฟฟ้าอินพุตต่ำ โดยสมการกระแสของมอสทรานซิสเตอร์ที่ทำงานในย่านต่ำกว่าแรงดันขีดเริ่ม [11] แสดงดังในสมการที่ (1) – (2)

$$I_D = I_S e^{\left(\frac{V_{GS}-V_{TH}}{mV_T}\right)}\left[1-e^{-\frac{V_{DS}}{V_T}}\right] \quad (1)$$

$$I_S = \mu C_{ox}\left(\frac{W}{L}\right)(m-1)V_T^2 \quad (2)$$

โดยที่ μ คือ สภาพความคล่องตัวของประจุพาหะ C_{ox} คือ ความจุของเกตออกไซด์ต่อหน่วยพื้นที่ W คือ ความกว้างของแชนเนล L คือ ความยาวของแชนเนล V_{TH} คือ แรงดันขีดเริ่มของมอส และ V_T คือ แรงดันที่ขึ้นอยู่กับอุณหภูมิ m คือ สัมประสิทธิ์ความชันในย่านต่ำกว่าแรงดันขีดเริ่ม

วงจรซีมอสแนนด์เกทแบบปรับปรุงโดยการไบอัสขาบอดี้ของมอสทรานซิสเตอร์ ดังแสดงในรูปที่ 2 ถูกนำเสนอโดย [11] โครงสร้างประกอบด้วย พีมอสทรานซิสเตอร์ M_{P1} และ M_{P2} ทำหน้าที่ดึงสัญญาณเอาต์พุตให้มีค่าเข้าใกล้แหล่งจ่ายแรงดันไฟฟ้า (V_{DD}) หรือมีสภาวะเป็น “1” และเอ็นทรานซิสเตอร์ M_{N1} และ M_{N2} ทำหน้าที่ดึงสัญญาณเอาต์พุตให้มีค่าเข้าใกล้ศูนย์โวลต์ (G_{ND}) หรือมีสภาวะเป็น “0” และอินเวอร์เตอร์ (*INV*) อาศัยวงจรซีมอสอินเวอร์เตอร์ดังแสดงในรูปที่ 3 [12] ทำหน้าที่กลับสัญญาณจากเอาต์พุตและป้อนเข้าขาบอดี้เพื่อปรับเปลี่ยนแรงดันขีดเริ่มแบบไดนามิกทำให้มอสทรานซิสเตอร์ทำงานนำกระแสได้ดีขึ้นในขณะแหล่งจ่ายแรงดันไฟฟ้าต่ำ โดยเมื่อเอาต์พุตมีสภาวะลอจิกต่ำ (V_Y=0) อินเวอร์เตอร์จะกลับสภาวะลอจิกเอาต์พุต ทำให้แรงดันที่ขาบอดี้เข้าใกล้แหล่งจ่ายแรงดันไฟฟ้า (V_S=V_{DD}) ดังนั้นแรงดันขีดเริ่มของพีมอสมีค่าสูงขึ้น (V_{THP}=High) และไม่นำกระแส ในขณะที่แรงดันขีดเริ่มของเอ็นมอสมีค่าลดลง (V_{THN}=Low) เอ็นมอสสามารถนำกระแสได้เร็วขึ้นทำให้เอาต์พุตมีสภาวะเป็น “0” และเมื่อเอาต์พุตมีสภาวะลอจิกสูง (V_Y=1) อินเวอร์เตอร์จะกลับสภาวะลอจิกเอาต์พุต ทำให้แรงดันที่ขาบอดี้เข้าใกล้กราวด์ (V_S=0) ดังนั้นแรงดันขีดเริ่มของเอ็นมอสมีค่าสูง (V_{THN}=High) และไม่นำกระแส ในขณะที่แรงดันขีดเริ่มของพีมอสมีค่าลดลง (V_{THP}=Low) พีมอสสามารถนำกระแสเร็วขึ้นทำให้เอาต์พุตมีสภาวะเป็น “1”

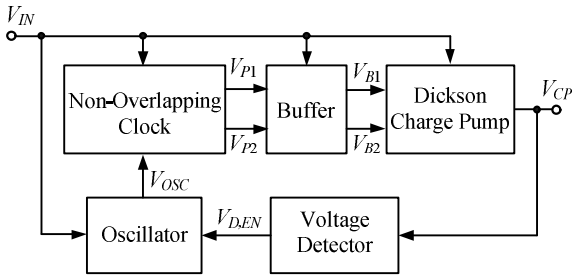

รูปที่ 1 หลักการทำงานวงจรรวมอัดประจุ

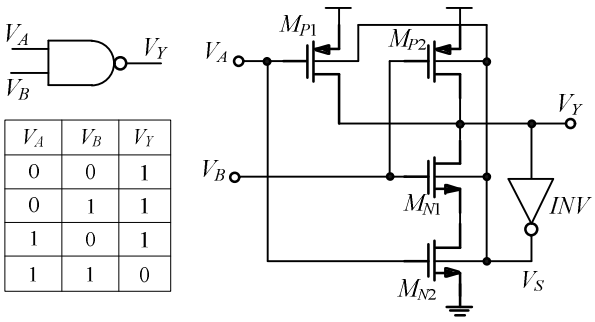

V_A	V_B	V_Y
0	0	1
0	1	1
1	0	1
1	1	0

รูปที่ 2 วงจรซีมอสแนนด์เกท [11]

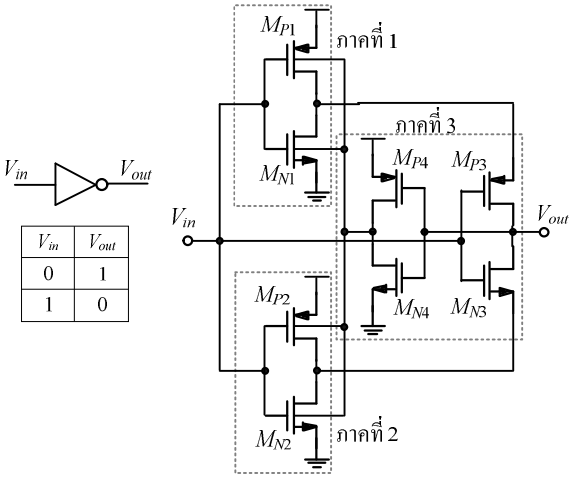

V_{in}	V_{out}
0	1
1	0

รูปที่ 3 วงจรซีมอสอินเวอร์เตอร์ [12]

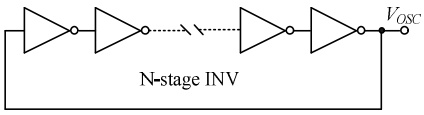

รูปที่ 4 วงจรกำเนิดสัญญาณแบบวงแหวนโดยใช้อินเวอร์เตอร์ N ชุด [12]

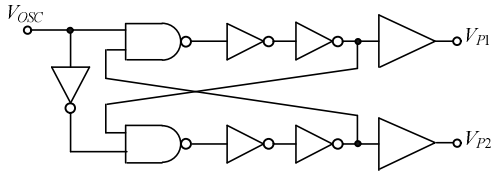

รูปที่ 5 วงจรกำเนิดสัญญาณนาฬิกาไร้การเหลื่อม [11]

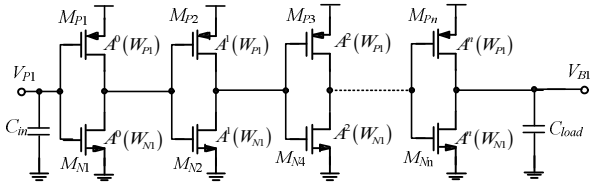

รูปที่ 6 วงจรขับโหลด [13]

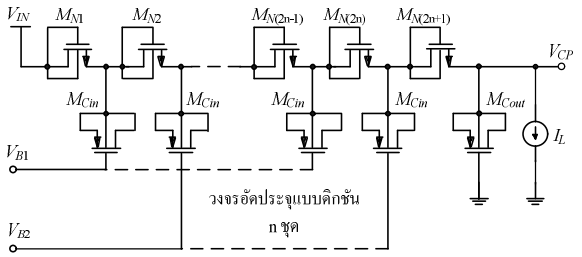

รูปที่ 7 วงจรอัดประจุแบบดิกชันจำนวน n ชุด [9]

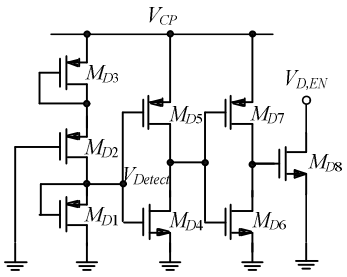

รูปที่ 8 วงจรตรวจจับแรงดัน [14]

2.3 วงจรกำเนิดสัญญาณแบบวงแหวน

วงจรกำเนิดสัญญาณแบบวงแหวน ดังแสดงในรูปที่ 4 ได้รับการออกแบบโดยใช้ซีมอสอินเวอร์เตอร์จากรูปที่ 3 [12] ซึ่งสามารถทำงานได้ที่แหล่งจ่ายแรงดันไฟฟ้าต่ำ ช่วงแรงดันเอาต์พุตกว้าง และสามารถกำเนิดความถี่สูงได้ โดยขึ้นอยู่กับค่าหน่วงเวลา t_P ของวงจรอินเวอร์เตอร์แต่ละชุด ซึ่งสามารถคำนวณหาความถี่ที่กำเนิด (F_{OSC}) ได้จากสมการที่ (3)

$$F_{OSC} = \frac{1}{2 \times N \times t_P} \tag{3}$$

โดยที่ t_P คือ ค่าหน่วงเวลา และ N คือ จำนวนชุดของวงจรอินเวอร์เตอร์

2.4 วงจรกำเนิดสัญญาณนาฬิกาไร้การเหลื่อม

วงจรกำเนิดสัญญาณนาฬิกาไร้การเหลื่อม เป็นวงจรสร้างสัญญาณนาฬิกาที่มี 2 เอาต์พุตสลับเฟสกันและไม่ทับซ้อนกัน โครงสร้างของวงจรแสดงดังในรูปที่ 5 [11] ประกอบด้วย วงจรซีมอสแนนด์เกทและวงจรซีมอสอินเวอร์เตอร์ (รูปที่ 2 และ รูปที่ 3 ตามลำดับ) ซึ่งถูกนำมาต่อกันโดยใช้การป้อนกลับแบบไขว้ระหว่างแนนด์เกททั้งสองและสร้างการหน่วงเวลาในการส่งผ่านสัญญาณ (Propagation Delay) ของตัวลอจิกเกท เพื่อทำให้สัญญาณนาฬิกาเฟสที่กำลังเปลี่ยนสภาวะจากสูงไปต่ำหยุดทำงานก่อน จึงให้สัญญาณนาฬิกาอีกเฟสหนึ่งทำงานเปลี่ยนสภาวะจากต่ำไปสูงได้ ซึ่งทำให้วงจรซีมอสทำงานได้อย่างมีเสถียรภาพและช่วยลดกำลังงานสูญเสีย

2.5 วงจรขับโหลด

วงจรขับโหลดหรือบัฟเฟอร์ ดังแสดงในรูปที่ 6 ซึ่งถูกต่ออยู่ระหว่างวงจรกำเนิดสัญญาณนาฬิกาไร้การเหลื่อมและวงจรอัดประจุเพื่อช่วยขับโหลดตัวเก็บประจุอินพุตที่มีค่าสูงของวงจรอัดประจุ วงจรได้รับการออกแบบโดยใช้วงจรซีมอสอินเวอร์เตอร์นำมาต่ออนุกรมกัน [13] โดยที่อัตราส่วนขนาดมอสทรานซิสเตอร์ของอินเวอร์เตอร์ชุดหลังจะมีขนาดใหญ่กว่าอินเวอร์เตอร์ชุดก่อนหน้าเป็นจำนวน A เท่า ดังนั้นโหลดตัวเก็บประจุอินพุตของแต่จะชุดจึงมีค่าเพิ่มขึ้นเป็นจำนวน A เท่า ด้วยเช่นเดียวกัน

สำหรับจำนวนชุดของอินเวอร์เตอร์ (N) ที่ใช้ต่อในวงจรขับโหลด และอัตราค่าโหลดเอาต์พุต (A) สามารถคำนวณได้ดังสมการที่ (4) และสมการที่ (5) ตามลำดับ

$$N = \ln \frac{C_{load}}{C_{in}} \tag{4}$$

$$A = \left[\frac{C_{load}}{C_{in}} \right]^{\frac{1}{N}} \tag{5}$$

โดยที่ C_{in} คือ ค่าตัวเก็บประจุแฝงของอินเวอร์เตอร์ชุดแรก C_{load} คือ ค่าตัวเก็บประจุที่โหลดเอาต์พุต และ A คือ จำนวนเท่าของค่าโหลดตัวเก็บประจุ

2.6 วงจรอัดประจุแบบดิกชัน

วงจรอัดประจุแบบดิกชันเป็นวงจรที่ทำหน้าที่รับแรงดันอินพุตมาจากแหล่งกำเนิดพลังงานไฟฟ้าอินพุตภายนอก (V_{IN}) และเพิ่มแรงดันเอาต์พุตให้สูงขึ้น (V_{CP}) และจ่ายกระแสไฟฟ้าเอาต์พุต (I_L) ให้กับโหลด โดยที่วงจรอัดประจุแบบดิกชัน 1 ชุด ประกอบด้วย มอสทรานซิสเตอร์ M_{N1} และ M_{N2} ทำหน้าที่เป็นไดโอดต่อร่วมอยู่กับตัวเก็บประจุโดยใช้มอสทรานซิสเตอร์ M_{Cin} ซึ่งปรับปรุงมาจาก [9] และควบคุมการทำงานด้วยสัญญาณนาฬิกาแบบ 2 เฟสสลับกัน (V_{B1} และ V_{B2}) ดังแสดงในรูปที่ 7 เมื่อต่อวงจรอัดประจุแบบหลายชุดทำให้ได้แรงดันเอาต์พุตเพิ่มสูงขึ้น โดยสามารถวิเคราะห์หาแรงดันไฟฟ้าเอาต์พุตของวงจรได้ดังสมการที่ (6)

$$V_{CP} = (n+1)(V_{IN} - V_{TH}) - \frac{nI_L}{f_{OSC} C_{in}} \tag{6}$$

โดยที่ n คือ จำนวนชุดของวงจรอัดประจุ f คือ ความถี่ของสัญญาณนาฬิกา และ C_{in} คือ ค่าตัวเก็บประจุอินพุตของวงจรอัดประจุ

จากสมการที่ (6) จะเห็นว่าเมื่อจำนวนชุดของวงจรอัดประจุเพิ่มขึ้น แรงดันเอาต์พุตจะมีค่าเพิ่มขึ้น นอกจากนี้หากความถี่และค่าตัวเก็บประจุอินพุตเพิ่มขึ้นส่งผลให้แรงดันเอาต์พุตเพิ่มขึ้นเช่นกัน โดยที่แรงดัน V_{IN} และ

กระแส I_L คงที่ ดังนั้นวงจรจำเป็นต้องออกแบบให้เหมาะสมเพื่อสามารถจ่ายแรงดันและกระแสไฟฟ้าเอาต์พุตให้กับโหลดได้ อย่างไรก็ตาม วงจรอัดประจุแบบดิกชันทำให้วงจรรวมมีขนาดเล็ก ใช้เวลาในการอัดประจุเร็ว และไม่ต้องการวงจรขับโหลดตัวเก็บประจุไฟฟ้าที่มีค่าสูง

2.7 วงจรตรวจจับแรงดัน

วงจรตรวจจับแรงดัน ดังแสดงในรูปที่ 8 ได้รับการปรับปรุงมาจากวงจร [14] ทำหน้าที่รักษาระดับแรงดันเอาต์พุตของวงจรอัดประจุ (V_{CP}) ให้มีค่าคงที่ โดยเมื่อแรงดันเอาต์พุตของวงจรอัดประจุมีค่าเพิ่มขึ้นถึงระดับแรงดันที่ออกแบบไว้ (V_{Detect}) ดังในสมการที่ 7 วงจรตรวจจับแรงดันจะเปลี่ยนสถานะแรงดันเอาต์พุตเพื่อควบคุมการทำงานของวงจรกำเนิดสัญญาณแบบวงแหวนซึ่งเป็นการทำงานแบบป้อนกลับทำให้แรงดันไฟฟ้าเอาต์พุตของวงจรอัดประจุมีค่าคงที่

$$V_{Detect} = \frac{mkT}{q} \ln\left(\frac{W_1}{W_2}\right)\left(\frac{L_2}{L_1}\right) \quad (7)$$

โดยที่ m คือค่าสัมประสิทธิ์ความชันในย่านทำงานต่ำกว่าแรงดันขีดเริ่ม และ kT/q คือ ค่าแรงดันไฟฟ้าที่ขึ้นอยู่กับอุณหภูมิ

3. ผลการจำลองการทำงาน

วงจรรวมอัดประจุได้รับการออกแบบและจำลองการทำงานโดยใช้เทคโนโลยีซีมอสขนาด 0.18 ไมโครเมตร และใช้แหล่งจ่ายแรงดันไฟฟ้าอินพุตเท่ากับ 100 มิลลิโวลต์ กำหนดให้มอสทรานซิสเตอร์ทำงานในย่านต่ำกว่าแรงดันขีดเริ่ม โดยที่วงจรแต่ละส่วนสามารถจำลองการทำงานได้ดังนี้

ผลการจำลองการทำงานวงจรกำเนิดสัญญาณแบบวงแหวนโดยใช้วงจรซีมอสอินเวอร์เตอร์ต่อเรียงกันจำนวน 23 ชุด จากกราฟผลการจำลองการทำงาน ดังในรูปที่ 9 แสดงให้เห็นว่าวงจรกำเนิดสัญญาณแบบวงแหวนสามารถกำเนิดสัญญาณความถี่ได้เท่ากับ 920 กิโลเฮิรตซ์ และให้ช่วงแรงดันไฟฟ้าเอาต์พุตกว้างที่แรงดันต่ำสุดและแรงดันสูงสุดเท่ากับ 286 ไมโครโวลต์ และ 98.87 มิลลิโวลต์ ตามลำดับ

ผลการจำลองการทำงานวงจรกำเนิดสัญญาณนาฬิกาไร้การเหลื่อมที่รับสัญญาณอินพุตมาจากวงจรกำเนิดสัญญาณแบบวงแหวน ดังในรูปที่ 10 แสดงให้เห็นว่าสัญญาณ 2 เอาต์พุตที่ได้รับมีเฟสต่างกันและไม่ทับซ้อนกัน ในขณะที่ความถี่ของสัญญาณไม่มีการเปลี่ยนแปลงและสามารถทำงานได้ที่แหล่งจ่ายแรงดันไฟฟ้าต่ำสุดเท่ากับ 100 มิลลิโวลต์

ผลการจำลองการทำงานของวงจรขับโหลดซึ่งต่ออยู่ระหว่างวงจรกำเนิดสัญญาณนาฬิกาไร้การเหลื่อมและวงจรอัดประจุแบบดิกชัน ดังแสดงในรูปที่ 11 พบว่าสัญญาณเอาต์พุตของวงจรขับโหลดเมื่อต่อกับโหลดตัวเก็บประจุซึ่งเป็นวงจรอัดประจุแบบดิกชัน มีค่าความถี่และช่วงสัญญาณเอาต์พุตใกล้เคียงกับสัญญาณอินพุตของวงจรขับโหลดและมีความเพี้ยนต่ำ

ผลการจำลองการทำงานวงจรอัดประจุแบบดิกชัน โดยการต่อกันเป็นจำนวน 13 ชุด และควบคุมการทำงานด้วยสัญญาณนาฬิกาแบบสองเฟสสลับกันที่ได้รับจากวงจรกำเนิดสัญญาณแบบวงจรแหวน โดยที่กำหนดค่าตัวเก็บประจุอินพุตและเอาต์พุตเท่ากับ 20 พิโกฟารัด และ 40 พิโกฟารัด ตามลำดับ จากรูปที่ 12 และรูปที่ 13 แสดงกราฟผลการจำลองการทำงานเมื่อทดสอบแรงดันไฟฟ้าอินพุตเท่ากับ 100 มิลลิโวลต์ และ 500 มิลลิโวลต์ ตามลำดับ พบว่าวงจรอัดประจุสามารถทำให้แรงดันไฟฟ้าเอาต์พุตเพิ่มขึ้นเท่ากับ 540 มิลลิโวลต์ และ 3.15 โวลต์ ตามลำดับ ซึ่งเป็นตามที่ได้ออกแบบไว้

ผลการจำลองการทำงานของวงจรตรวจจับแรงดัน ดังรูปที่ 14 โดยที่ระดับแรงดันเอาต์พุตได้รับการออกแบบให้มีค่าเท่ากับ 500 มิลลิโวลต์ พบว่าวงจรสามารถทำงานได้เมื่อระดับของแรงดันเอาต์พุตเปลี่ยนแปลงมีค่าเกินกว่า 500 มิลลิโวลต์ ทำให้แรงดันเอาต์พุตมีค่าเท่ากับแรงดันอินพุต และวงจรหยุดทำงานเมื่อแรงดันเอาต์พุตต่ำกว่าค่าที่กำหนดไว้

การจำลองการทำงานของวงจรรวมอัดประจุตามโครงสร้างที่นำเสนอในรูปที่ 1 โดยการทดสอบกับแหล่งจ่ายแรงดันไฟฟ้ากระแสตรงอินพุตต่ำสุดเท่ากับ 100 มิลลิโวลต์ จากกราฟการทดลอง ดังแสดงในรูปที่ 15 พบว่าแรงดันไฟฟ้าเอาต์พุตมีค่าเพิ่มขึ้นและได้รับการรักษาระดับแรงดันเอาต์พุตให้มีค่าคงที่เท่ากับ 500 มิลลิโวลต์ ขณะที่มีแรงดันกระเพื่อมต่ำประมาณ 30 มิลลิโวลต์ ซึ่งเป็นตามที่ได้ออกแบบไว้

ตารางที่ 1 แสดงการเปรียบเทียบคุณสมบัติของวงจรที่นำเสนอกับงานวิจัยอื่น โดยที่ประสิทธิภาพกำลังงาน (Power Efficiency, η) ของวงจรรวมอัดประจุที่นำเสนอมีค่าร้อยละ 70.2 สังเกตเห็นว่าค่าประสิทธิภาพที่ได้ค่อนข้างสูงถึงแม้จะมีค่าต่ำกว่าของงานวิจัยอื่น ซึ่งค่าประสิทธิภาพกำลังงานสามารถคำนวณหาได้จากสมการที่ 8 [10]

$$\eta = \frac{P_{OUT}}{P_{VIN} + P_{CLK}} \times 100 \quad (8)$$

โดยที่ P_{OUT} คือ กำลังงานไฟฟ้าเอาต์พุต P_{VIN} คือ กำลังงานสูญเสียของวงจรภายในจากแหล่งจ่ายไฟฟ้ากระแสตรง P_{CLK} คือ กำลังงานสูญเสียของวงจรภายในจากแรงดันสวิตชิ่งของความถี่สัญญาณนาฬิกา

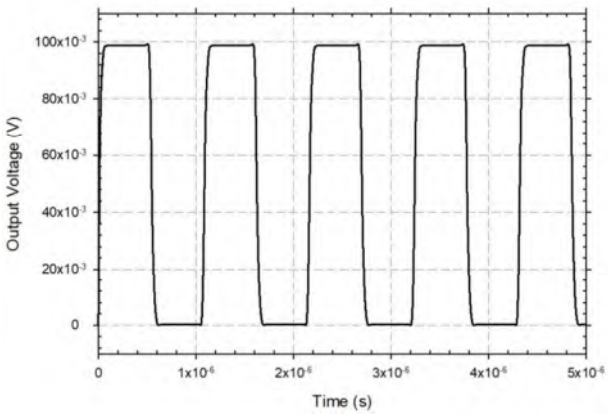

รูปที่ 9 สัญญาณเอาต์พุตของวงจรกำเนิดสัญญาณแบบวงแหวน

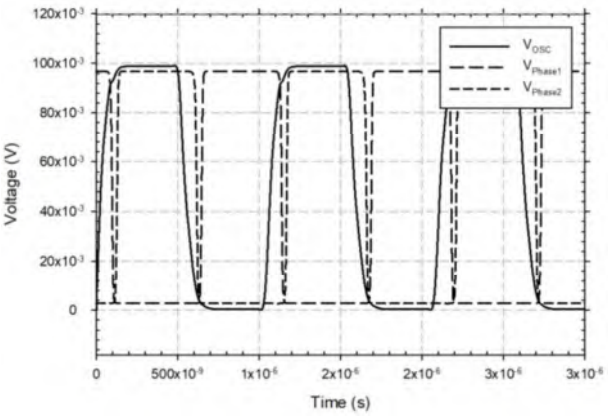

รูปที่ 10 แรงดันไฟฟ้าเอาต์พุตวงจรกำเนิดสัญญาณนาฬิกาไร้การเหลื่อม

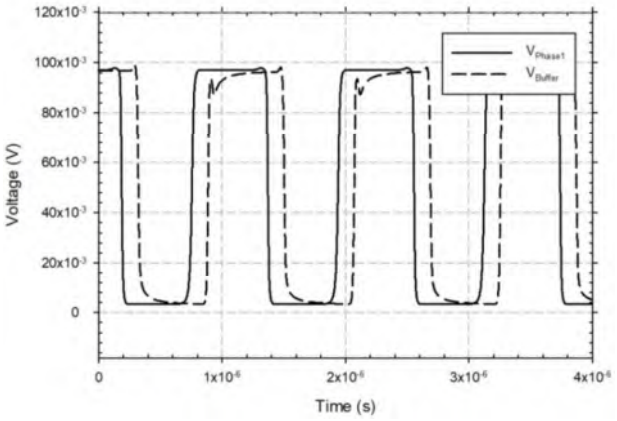

รูปที่ 11 แรงดันไฟฟ้าเอาต์พุตของวงจรขับโหลดที่ต่อร่วมกับวงจรอัดประจุ

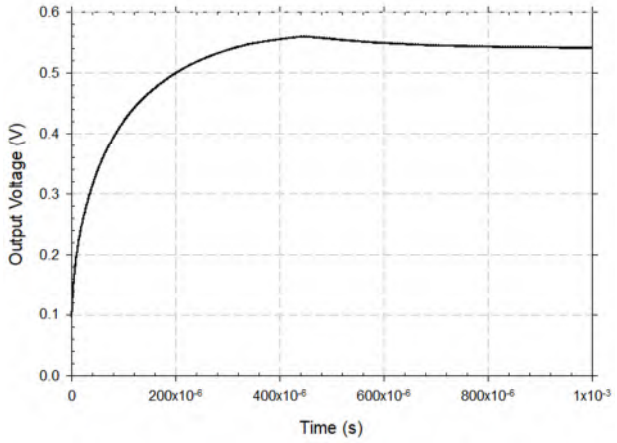

รูปที่ 12 แรงดันเอาต์พุตขณะที่แรงดันอินพุต 100 มิลลิโวลต์

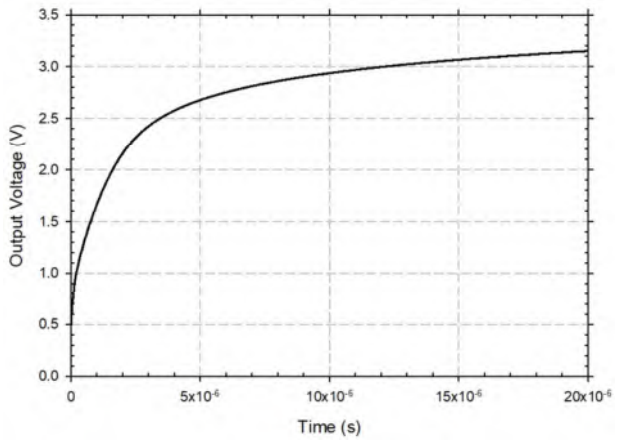

รูปที่ 13 แรงดันเอาต์พุตขณะที่แรงดันอินพุต 500 มิลลิโวลต์

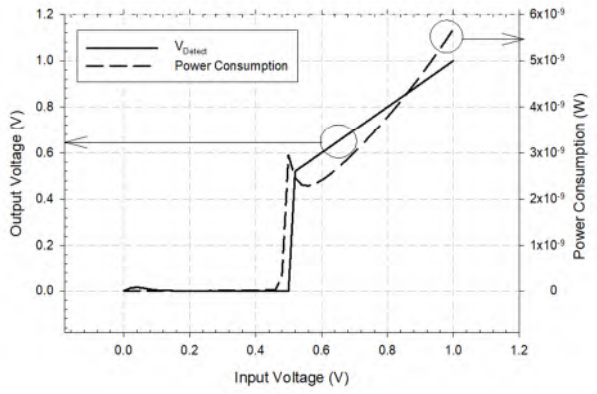

รูปที่ 14 แรงดันเอาต์พุตของวงจรตรวจจับแรงดัน

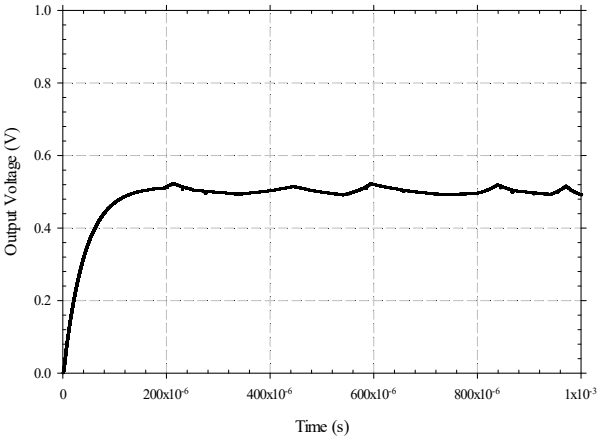

รูปที่ 15 แรงดันเอาต์พุตของวงจรรวมอัดประจุ

ตารางที่ 1 เปรียบเทียบคุณสมบัติของวงจรที่นำเสนอกับงานวิจัยอื่น

พารามิเตอร์	วงจร [7]	วงจร [5]	วงจรที่เสนอ
เทคโนโลยีซีมอส	180 nm	0.35 µm	180 nm
ความถี่สวิตชิง (f_{OSC})	-	2 MHz	920 kHz
แรงดันอินพุต (V_{IN})	0.3 – 0.5 V	1.8 – 3.5 V	0.1 – 0.5 V
แรงดันเอาต์พุต (V_{OUT})	1.2 – 2.0 V	7.5 – 9.5 V	500 mV
แรงดันกระเพื่อม (V_{ripple})	-	27 – 38 mV	30 mV
กระแสโหลด (I_L)	7 µA	4.5 mA	0.5 mA
ค่าประสิทธิภาพ (η)	78.6 %	76 %	70.2 %

4. สรุป

บทความวิจัยนี้นำเสนอวงจรรวมอัดประจุแบบซีมอสแรงดันต่ำสำหรับการเก็บเกี่ยวพลังงาน โครงสร้างหลักประกอบด้วย วงจรกำเนิดสัญญาณแบบวงแหวน วงจรกำเนิดสัญญาณนาฬิกาไร้การเหลื่อม วงจรขับโหลด วงจรอัดประจุแบบดิกซัน และวงจรตรวจจับแรงดัน โดยได้รับการออกแบบด้วยมอสทรานซิสเตอร์ที่ทำงานในย่านต่ำกว่าแรงดันขีดเริ่มและใช้เทคโนโลยีซีมอสขนาด 180 นาโนเมตร

ผลการจำลองการทำงานพบว่าวงจรรวมอัดประจุสามารถทำงานได้ที่แหล่งจ่ายแรงดันอินพุตต่ำสุดเท่ากับ 100 มิลลิโวลต์ ขณะที่เพิ่มแรงดันเอาต์พุตให้สูงขึ้นและสามารถรักษาระดับแรงดันเอาต์พุตให้คงที่ได้เท่ากับ 500 มิลลิโวลต์ ซึ่งเหมาะสำหรับนำไปประยุกต์ในการออกแบบวงจรรวมเก็บเกี่ยวพลังงาน

5. กิตติกรรมประกาศ

ผู้วิจัยขอขอบคุณ หลักสูตรสาขาวิชาวิศวกรรมอิเล็กทรอนิกส์ สาขาวิศวกรรมไฟฟ้า คณะวิศวกรรมศาสตร์ มหาวิทยาลัยเทคโนโลยีราชมงคลศรีวิชัย ที่อำนวยความสะดวกในการใช้พื้นที่ การสืบค้นข้อมูล การใช้เครื่องมือและอุปกรณ์ต่าง ๆ ตลอดจน นายมรุพงศ์ แสงวิมาน นายปิยนัฐ โสมแหละ และนางสาวรูไวดา หะมะ ที่ช่วยดำเนินการวิจัยให้สำเร็จได้ตามวัตถุประสงค์

เอกสารอ้างอิง

[1] B. Y. León Ávila, et al., “Energy harvesting techniques for wireless sensor networks: A systematic literature review,” *Energy Strategy Reviews*, vol. 57, no. 101617, pp. 1-29, Dec. 2024.

[2] M. U. Mushtaq, H. Venter, A. Singh, and M. Owais, “Advances in Energy Harvesting for Sustainable Wireless Sensor Networks Challenges and Opportunities,” *Hardware*, vol. 3, no. 1, pp. 1-26, Feb. 2025.

[3] M. Grossi, “Energy harvesting strategies for wireless sensor networks and mobile devices: A review,” *Electronics*, vol.10, no. 661, pp. 1–53, Mar. 2021.

[4] L. F. Rahman, M. Marufuzzaman, L. Alam, and M. B. Mokhtar, “Design Topologies of a CMOS Charge Pump Circuit for Low Power Applications,” *Electronics*, vol. 10, no. 676, pp. 1-13, Mar. 2021.

[5] C.-S. Lee, A. M. Monebi, D. Bayarsaikhan, S. Xu, B.-C. Ahn, and I.-S. Lee, “High-Performance Charge Pump Regulator with Integrated CMOS Voltage Sensing Control Circuit,” *Energies*, vol. 16, no. 4577, pp. 1-12, Jun. 2023.

[6] R. Pelliconi, D. Iezzi, A. Baroni, M. Pasotti, and P. L. Rolandi, “Power Efficient Charge Pump in Deep Submicron Standard CMOS Technology,” *IEEE J. Solid-State Circuits*, vol. 38, no. 6, pp. 1068–1071, Jun. 2003.

[7] X. Li, Y. Wang, Z. Wu, and Z. Xie, “A High Peak-efficiency Cross-coupled Charge Pump with Low Input Voltage for Energy Harvesting System,” *J. Phys.: Conf. Ser.*, vol. 2524, no. 012017, pp. 1-9, Aug. 2023.

[8] G. Nagy, D. Arbet, V. Stopjakova, and M. Kovac, “Novel CMOS Bulk-driven Charge Pump for Ultra Low Input Voltage,” *Radioengineering*, vol. 25, no. 2, pp. 321–329, Jun. 2016.

[9] ธาดา คำแดง ศุภวัฒน์ ลาวัณย์วิสุทธิ์ และพัฒนา อินทนิ, “วงจรดิกชันชาร์จปั๊มแรงดันอินพุตต่ำมากโดยใช้ไดนามิกเทรสโฮลด์โวลต์เตจมอสเฟต,” วารสารวิชาการคณะเทคโนโลยีอุตสาหกรรม มหาวิทยาลัยราชภัฏเทพสตรี, ปีที่ 9, ฉบับที่ 10, หน้า 19-23

[10] A. C. Jayamon, A. Mukherjee, S. C. T. R. and A. Dutta, “High-efficiency CMOS charge pump for ultra-low power RF energy harvesting applications,” *Integration*, vol. 96, no. 102161, pp.1-7, Jan. 2024.

[11] H. Sebe, et al., “A self-bias NAND gate and its application to non-overlapping clock generator for extremely low-voltage CMOS LSIs,” *Jpn. J. Appl. Phys.*, vol. 60, pp. SBBL06-1 - SBBL06-6, Mar. 2021.

[12] สุนทร รุ่งเรืองใบหยก รุ่งลาวัลย์ ชูสวัสดิ์ ดรุณี ชายทอง และ อภิรักษ์ เสือเดช, “วงจรซีมอสชมิททริกเกอร์อินเวอร์เตอร์แรงดันต่ำมากสำหรับการเก็บเกี่ยวพลังงาน,” การประชุมวิชาการเครือข่ายวิศวกรรมไฟฟ้า ครั้งที่ 17, 28–30 พฤษภาคม 2568, หน้า 201 - 204

[13] R. J. Baker, CMOS: Circuit Design, Layout, and Simulation, 4th ed. Hoboken, NJ, USA: Wiley-IEEE Press, 2019.

[14] P.-H. Chen et al., “Startup techniques for 95 mV step-up converter by capacitor pass-on scheme and VTH-tuned oscillator with fixed charge programming,” *IEEE J. Solid-State Circuits*, vol. 47, no. 5, pp. 1252–1260, May 2012.

การออกแบบระบบโซล่าเซลล์อัตโนมัติผ่านเครือข่ายอินเทอร์เน็ตของสรรพสิ่ง

Design of an Automatic Solar Panel System via Internet of Things (IoT)

อธิคม นิยมไทย[1] วชิรบดี วรรณไพบูลย์[1] ศุภวัฒน์ คชประดิษฐ์[1*] และ ธนเสฏฐ์ ทศดีกรพัฒน์[1]

[1]สาขาวิชาอิเล็กทรอนิกส์ สำนักวิชาวิศวกรรมศาสตร์ มหาวิทยาลัยเทคโนโลยีสุรนารี

athicom9@gmail.com b6402129@g.sut.ac.th *supawat@sut.ac.th

บทคัดย่อ

โครงงานนี้นำเสนอการออกแบบและพัฒนาระบบควบคุมแผงโซล่าเซลล์อัตโนมัติเพื่อเพิ่มประสิทธิภาพในการรับพลังงานแสงอาทิตย์ โดยใช้ PLC ควบคุมการทำงานของ Servo motor และ Stepper motor สำหรับปรับองศาและทิศทางของแผงให้เหมาะสมกับตำแหน่งของดวงอาทิตย์ ระบบสามารถทำงานได้ทั้งในโหมดอัตโนมัติ โดยดึงข้อมูลพิกัดจากไฟล์ล่วงหน้า และโหมดควบคุมด้วยมือผ่านอินเทอร์เฟซกราฟิกที่พัฒนาด้วย Python โดยมีการส่งข้อมูลแบบ ASCII ผ่านการสื่อสาร RS-232 ไปยัง PLC ทุก 1 ชั่วโมง นอกจากนี้ยังมีการวัดแรงดันไฟฟ้าที่ผลิตได้จากแผงโซล่าเซลล์ผ่านวงจร ADC0820 และส่งข้อมูลกลับมายัง Python เพื่อนำไปแสดงผลแบบเรียลไทม์บน Dashboard ของ Node-RED ผ่านโปรโตคอล MQTT จากผลการทดสอบแสดงให้เห็นว่าระบบสามารถควบคุมทิศทางและติดตามประสิทธิภาพการผลิตพลังงานได้ และสะดวกต่อการตรวจสอบผ่านเทคโนโลยี IoT

คำสำคัญ: โซล่าเซลล์, ระบบควบคุมอัตโนมัติ, PLC, IoT, RS-232

Abstract

This project presents the design and development of an automatic solar panel control system to enhance solar energy harvesting efficiency. A Programmable Logic Controller (PLC) controls the operation of servo and stepper motors to adjust the panel's angle and direction according to the sun's position. The system can operate in automatic mode, retrieving coordinate data from a predefined file, or in manual mode through a graphical interface developed in Python. ASCII-formatted data are transmitted to the PLC via RS-232 every hour. In addition, the voltage generated by the solar panel is measured using an ADC0820 circuit and sent back to Python for real-time display on a Node-RED dashboard via the MQTT protocol. Test results show that the system can effectively control panel orientation and monitor energy production performance, providing convenient inspection through IoT technology.

Keywords: Solar Cell, Automatic Control System, PLC,IoT, RS-232

1. บทนำ

ในปัจจุบัน การผลิตไฟฟ้าด้วยพลังงานแสงอาทิตย์ได้รับความสนใจอย่างแพร่หลาย เนื่องจากเป็นพลังงานสะอาด ไม่ก่อให้เกิดมลภาวะ และสามารถทดแทนการใช้พลังงานฟอสซิลที่ลดน้อยลงได้ อย่างไรก็ตาม ประสิทธิภาพของแผงโซลาร์เซลล์ยังขึ้นอยู่กับหลายปัจจัย โดยเฉพาะทิศทางและมุมรับแสงที่เปลี่ยนแปลงไปตลอดวัน หากไม่สามารถปรับแผงให้หันรับแสงได้เหมาะสม จะส่งผลให้พลังงานที่ผลิตได้ลดลงอย่างมีนัยสำคัญ

ด้วยเหตุนี้จึงมีการพัฒนาระบบติดตามดวงอาทิตย์ (Solar Tracking System) ในหลายแนวทาง โดยงานวิจัยจำนวนมากรายงานว่าสามารถเพิ่มกำลังไฟฟ้าได้มากกว่าระบบแผงคงที่ 20–40% [1–10] วิธีที่ใช้เซนเซอร์ตรวจวัดแสง เช่น LDR [1,4,5] มีข้อดีคือสามารถตอบสนองต่อการเปลี่ยนแปลงของแสงจริงได้แบบเรียลไทม์ แต่ก็มีข้อจำกัด เช่น ความไวต่อสภาพอากาศ เมฆ ฝุ่น หรือควัน ซึ่งอาจทำให้การวัดคลาดเคลื่อน รวมถึงการเสื่อมสภาพของเซนเซอร์เมื่อใช้งานกลางแจ้งนาน ๆ และความจำเป็นในการสอบเทียบ (calibration) เพื่อรักษาความแม่นยำ ในขณะที่วิธีคำนวณพิกัดดวงอาทิตย์ (astronomical equations) [6,8] สามารถกำหนดทิศทางการหมุนได้อย่างถูกต้องต่อเนื่อง โดยไม่ขึ้นกับการบดบังของแสง งานรีวิว [7,9,10] จึงชี้ว่าทั้งสองแนวทางมีศักยภาพ แต่เหมาะสมกับเงื่อนไขการใช้งานที่ต่างกัน เช่น ความสะดวก ความแม่นยำ และต้นทุน นอกจากนี้ งานที่ใช้ PLC [2,3,8] ยังแสดงให้เห็นถึงความทนทาน เสถียรภาพ และความเหมาะสมในภาคอุตสาหกรรม เนื่องจากสามารถเชื่อมต่อกับอุปกรณ์ควบคุมอื่น ๆ ได้สะดวก และรองรับการบูรณาการกับระบบเฝ้าติดตาม เช่น SCADA และ IoT ได้อย่างมีประสิทธิภาพ อีกทั้งยังเอื้อต่อการพัฒนาไปสู่การจัดการพลังงานอัจฉริยะที่เน้นประสิทธิภาพและความยั่งยืนในอนาคต

ดังนั้น งานวิจัยนี้จึงพัฒนาระบบที่ผสาน PLC เพื่อความเสถียร เข้ากับการคำนวณตำแหน่งดวงอาทิตย์ด้วย Python และการแสดงผลผ่าน Node-RED (MQTT) เพื่อควบคุมได้แบบเรียลไทม์ แนวทางนี้ช่วยให้การปรับทิศทางแผงมีความ แม่นยำ ไม่ถูกรบกวนจากสภาพอากาศ ขณะเดียวกันก็ ใช้งานง่าย ผ่าน IoT และสามารถต่อยอดสู่ Smart Energy System ที่ทั้งมีประสิทธิภาพและยั่งยืน

*ผู้ประพันธ์บรรณกิจ

2. ทฤษฎีและหลักการที่เกี่ยวข้อง

2.1 ปรากฏการณ์โฟโตโวลตาอิก

กระบวนการเริ่มต้นเมื่อโฟตอนจากแสงอาทิตย์ตกกระทบพื้นผิวของโซลาร์เซลล์ ซึ่งทำจากสารกึ่งตัวนำ (เช่น ซิลิคอน) โฟตอนที่มีพลังงานเพียงพอจะถ่ายเทพลังงานให้อิเล็กตรอนในโครงสร้างอะตอม ทำให้อิเล็กตรอนหลุดออกจากตำแหน่งเดิมและกลายเป็นอิเล็กตรอนอิสระที่เคลื่อนที่ได้ ภายในเซลล์แสงอาทิตย์มีโครงสร้าง p-n junction ซึ่งเป็นรอยต่อระหว่างสารกึ่งตัวนำชนิด p-type และ n-type บริเวณรอยต่อนี้มีสนามไฟฟ้าภายในที่ทำหน้าที่แยกอิเล็กตรอนอิสระออกจากโฮล (ช่องว่างของอิเล็กตรอน) อิเล็กตรอนจะถูกดึงไปที่ฝั่ง N และโฮลไปที่ฝั่ง P การแยกประจุนี้ทำให้เกิดความต่างศักย์ไฟฟ้า (แรงดันไฟฟ้า) เมื่อเชื่อมต่อเซลล์เข้ากับวงจรภายนอก อิเล็กตรอนที่ถูกแยกออกมาก็จะไหลผ่านวงจรภายนอก ทำให้เกิดกระแสไฟฟ้า ซึ่งเป็นพลังงานไฟฟ้าที่เราสามารถนำไปใช้งานได้จริง [23] สมการที่ (1) เป็นสมการพื้นฐานที่ใช้ในการประมาณกำลังไฟฟ้าที่ผลิตได้จากแผงเซลล์แสงอาทิตย์ แสดงให้เห็นว่ากำลังไฟฟ้าที่ผลิตได้จะแปรผันตรงกับทั้งพื้นที่แผง ค่าความเข้มแสง และประสิทธิภาพของแผง

กำลังไฟฟ้าที่ผลิตได้แปรผันตรงกับความเข้มแสง

$$P = \eta \cdot A \cdot E \tag{1}$$

โดยที่

P = กำลังไฟฟ้าที่ผลิตได้ (วัตต์, W)

η = ประสิทธิภาพของแผงโซล่าเซลล์ (ประมาณ 15–22% ขึ้นอยู่กับชนิด)

A = พื้นที่หน้าตัดของแผงโซล่าเซลล์ (ตร.เมตร)

E = ค่าความเข้มของรังสีดวงอาทิตย์ (Irradiance) ที่ตกกระทบบนแผง (หน่วย: W/m²)

2.2 Programmable Logic Controller (PLC)

Programmable Logic Controller (PLC) หรือ “โปรแกรมเมเบิลลอจิกคอนโทรลเลอร์” คืออุปกรณ์อิเล็กทรอนิกส์สำหรับควบคุมเครื่องจักรและกระบวนการแบบอัตโนมัติ โดยสามารถกำหนดลำดับการทำงานผ่านโปรแกรมที่ผู้ใช้สร้างขึ้น ทำหน้าที่เสมือนสมองของระบบควบคุมอุตสาหกรรม PLC มีบทบาทสำคัญต่อการพัฒนาโรงงานสู่ระบบ Industry 4.0 ด้วยคุณสมบัติในการควบคุมที่แม่นยำ เสถียร รองรับ IoT และสามารถเชื่อมต่อกับอุปกรณ์หลากหลายประเภท [11-13] ซึ่งในงานวิจัยนี้จะใช้ PLC รุ่น KV-16AT และ KV-40DT

KV-16AT เป็น Transistor PLC จากบริษัท KEYENCE ใช้ไฟเลี้ยงแบบ AC มีอินพุต/เอาต์พุตรวม 16 ช่อง ขาอินพุต 000–007 รองรับแรงดัน 24V และ 5V ส่วนขา 008–009 รองรับเฉพาะ 24V ด้านเอาต์พุต (500–505) รองรับทั้ง Sink และ Source โดยเฉพาะขา 502 มีตัวต้านทานภายใน 1.6 kΩ เพื่อลดกระแสหรือใช้ควบคุมโหลด

KV-40DT เป็น Transistor PLC ใช้ไฟเลี้ยง DC รองรับรวม 40 ช่อง ขาอินพุต 000–007 รองรับแรงดัน 24V และ 5V ส่วนขา 008–107 รองรับเฉพาะ 24V สำหรับเอาต์พุต (500–515) รองรับทั้ง Sink และ Source เช่นกัน โดยบางขา เช่น 500–502 มีตัวต้านทาน 1.6 kΩ ภายในเช่นเดียวกับรุ่น KV-16AT

2.3 Analog to Digital Converter (ADC0820)

Analog to Digital Converter (ADC) คืออุปกรณ์ที่ทำหน้าที่แปลงสัญญาณแอนะล็อกให้เป็นสัญญาณดิจิตอล เพื่อให้ระบบดิจิตอล เช่น ไมโครคอนโทรลเลอร์หรือ PLC สามารถประมวลผลข้อมูลได้ [14]

ADC0820 เป็น ADC แบบ 8 บิต ซึ่งสามารถแปลงค่าสัญญาณได้ 256 ระดับ (0–255) ตามช่วงแรงดันอ้างอิง เช่น หากแรงดันอ้างอิงอยู่ที่ 0–5V ค่าความต่างศักย์อินพุตที่ 2.5V จะถูกแปลงเป็นค่าดิจิตอลประมาณ 128 [14]

อุปกรณ์นี้ใช้เทคนิคการแปลงแบบ Flash Conversion ซึ่งเป็นวิธีที่เร็วที่สุดในบรรดา ADC โดยใช้คอมพาเรเตอร์จำนวนมาก (เช่น 255 ตัวสำหรับ 8 บิต) เพื่อเปรียบเทียบแรงดันอินพุตกับแรงดันอ้างอิงทั้งหมดพร้อมกัน ทำให้สามารถแปลงสัญญาณได้อย่างรวดเร็วภายในหนึ่งรอบการทำงาน เหมาะสำหรับงานที่ต้องการความเร็วสูง [14]

2.4 การสื่อสารแบบอนุกรมมาตรฐาน RS-232

RS-232 เป็นมาตรฐานการสื่อสารข้อมูลแบบอนุกรมที่ใช้กันอย่างแพร่หลายในระบบอิเล็กทรอนิกส์และระบบควบคุมอัตโนมัติ โดยรองรับการสื่อสารในรูปแบบ Full Duplex ซึ่งหมายถึงสามารถส่งและรับข้อมูลได้ในเวลาเดียวกันโดยไม่รบกวนกัน การสื่อสารผ่าน RS-232 จะใช้สายสัญญาณหลักทั้งหมด 3 เส้น ได้แก่ [15]:

Tx (Transmit Data) – สายสำหรับส่งข้อมูลจากต้นทางไปยังอุปกรณ์ปลายทาง ทำหน้าที่เฉพาะการส่งเท่านั้น

Rx (Receive Data) – สายสำหรับรับข้อมูลจากอุปกรณ์ต้นทาง ทำหน้าที่เฉพาะการรับเท่านั้น

GND (Signal Ground) – สายกราวด์ ทำหน้าที่เป็นแรงดันอ้างอิง (0V) ระหว่างอุปกรณ์ทั้งสอง เพื่อทำให้ถ่ายโอนข้อมูลได้อย่างถูกต้อง

2.5 การสื่อสารด้วยโปรโตคอล MQTT

MQTT (Message Queue Telemetry Transport) เป็นโปรโตคอลสำหรับการสื่อสารข้อมูลที่ได้รับการออกแบบมาสำหรับระบบ Internet of Things (IoT) โดยมีจุดเด่นที่ความเบา (lightweight) และการใช้ทรัพยากรต่ำ เหมาะกับอุปกรณ์ที่มีข้อจำกัดด้านพลังงานและแบนด์วิดท์ MQTT ทำงานภายใต้ สถาปัตยกรรมแบบ Broker and Clients Network โดยมีองค์ประกอบหลักดังนี้ [16]:

Broker: ทำหน้าที่เป็นเซิร์ฟเวอร์กลางที่รับและแจกจ่ายข้อความระหว่างอุปกรณ์ที่เชื่อมต่อ อุปกรณ์ทุกตัวต้องเชื่อมต่อกับ Broker เพื่อส่งหรือรับข้อมูล

Publisher: เป็นอุปกรณ์ที่สร้างและส่งข้อมูลไปยัง Broker ข้อมูลจะถูกส่งไปในรูปแบบของ “Topic” ที่กำหนด เช่น "sensor/temperature" หรือ "smartHome/light"

Subscriber: เป็นอุปกรณ์ที่สมัครรับข้อมูลจาก Topic ที่สนใจ ตัวอย่างเช่น อุปกรณ์ที่ต้องการรับข้อมูลอุณหภูมิ อาจสมัครรับข้อมูลจาก "sensor/temperature"

Topic: เป็น "หัวข้อ" หรือ "ช่องทางสื่อสาร" สำหรับการแลกเปลี่ยนข้อมูลระหว่าง Publisher และ Subscriber โดยเป็นโครงสร้างที่สามารถจัดหมวดหมู่ข้อมูลได้ เช่น /sensor/temp หรือ /device/status

2.6 การคำนวณทิศทางและตำแหน่งของดวงอาทิตย์

มุมเงย (Solar Elevation Angle, α) มุมเงยคือมุมระหว่างตำแหน่งของดวงอาทิตย์กับขอบฟ้าในแนวตั้ง ซึ่งสามารถคำนวณได้จาก:

$$\alpha = \sin^{-1}(\sin\delta \cdot \sin\varphi + \cos\delta \cdot \cos\varphi \cdot \cos\gamma) \quad (2)$$

โดยที่

δ = มุมเบี่ยงเบนของดวงอาทิตย์ (Solar Declination)

φ = ละติจูดของพื้นที่ (Latitude)

γ = 15 × (hour - 12) = มุมชั่วโมง (Hour Angle) โดย hour คือเวลาท้องถิ่น (เช่น 13.00 น. = 13)

มุมทิศ (Solar Azimuth Angle, β) มุมทิศคือมุมในแนวราบระหว่างทิศเหนือและแนวที่ทอดไปยังดวงอาทิตย์ คำนวณได้ดังนี้:

$$\beta = \cos^{-1}\left(\frac{\sin\delta \cdot \cos\varphi - \cos\delta \cdot \sin\varphi \cdot \cos\gamma}{\cos\alpha}\right) \quad ;\gamma < 0° \quad (3)$$

$$\beta = 360° - \cos^{-1}\left(\frac{\sin\delta \cdot \cos\varphi - \cos\delta \cdot \sin\varphi \cdot \cos\gamma}{\cos\alpha}\right) \quad ;\gamma \geq 0° \quad (4)$$

มุมเบี่ยงเบนของดวงอาทิตย์ (Solar Declination Angle, δ) มุมนี้บอกตำแหน่งของดวงอาทิตย์เหนือหรือใต้เส้นศูนย์สูตรโลกในแต่ละวันของปี คำนวณได้จาก [18] :

$$\delta = 23.45 \cdot \sin\left(\frac{2\pi}{365} \cdot (d - 81)\right) \quad (5)$$

โดยที่ d คือ ลำดับวันที่ในปี (นับจากวันที่ 1 มกราคม) และ 81 คือค่าคงที่ซึ่งแทนตำแหน่งของวันวสันตวิษุวัต (ประมาณ 21 มีนาคม)

ค่าละติจูด (Latitude, φ) สำหรับพื้นที่ศึกษาคือจังหวัดนครราชสีมา ซึ่งมีค่าละติจูดประมาณ 14.98°N ค่านี้จะถูกนำไปใช้ในการคำนวณมุมเงยและมุมอะซิมุทของดวงอาทิตย์ตามสมการ (2)–(5) ที่กล่าวมาก่อนหน้านี้[17]

3. ระบบการทำงาน

ระบบควบคุมโซล่าเซลล์อัตโนมัติและแสดงผลผ่านระบบ IoT ที่พัฒนาขึ้นนี้ถูกออกแบบมาเพื่อเพิ่มประสิทธิภาพในการผลิตพลังงานจากแสงอาทิตย์ให้สูงสุด โดยการทำให้แผงโซล่าเซลล์สามารถปรับทิศทางได้ตามตำแหน่งของดวงอาทิตย์ตลอดทั้งวันอย่างแม่นยำ อาศัยการผสานเทคโนโลยีสมัยใหม่เข้ากับระบบควบคุมแบบอุตสาหกรรมผ่านโปรแกรม Python และอุปกรณ์ Programmable Logic Controller (PLC) โดยทั้งระบบประกอบด้วยการทำงาน 3 ส่วนหลัก ได้แก่ ระบบควบคุมอัตโนมัติ ระบบควบคุมด้วยมือ และระบบรับค่าเพื่อแสดงผล ซึ่งทุกส่วนเชื่อมโยงเข้าด้วยกันผ่านการสื่อสารแบบอนุกรม RS-232 ตามรูปที่ 3.1

ในโหมดการทำงานอัตโนมัติ โปรแกรม Python จะทำหน้าที่อ่านข้อมูลวัน เวลา และพิกัดทางภูมิศาสตร์ของสถานที่ติดตั้งแผงโซล่าเซลล์ จากนั้นจะคำนวณค่ามุมเงย (Elevation Angle) และมุมอะซิมุท (Azimuth Angle) ของดวงอาทิตย์ในช่วงเวลานั้น ๆ โดยอาศัยสมการเชิงดาราศาสตร์ที่เตรียมไว้ล่วงหน้า เมื่อได้ผลลัพธ์ โปรแกรมจะทำการแปลงค่าที่ได้ให้อยู่ในรูปแบบรหัส ASCII แล้วส่งผ่านพอร์ตอนุกรม RS-232 ไปยัง PLC ทุก 1 ชั่วโมง ซึ่ง PLC จะทำหน้าที่รับค่ามุมดังกล่าวแล้วสั่งงาน Servo Motor และ Stepper Motor ให้หมุนแผงโซล่าเซลล์ไปยังตำแหน่งที่กำหนดโดยอัตโนมัติ เพื่อให้แผงหันรับแสงได้ตรงกับทิศทางของดวงอาทิตย์มากที่สุด ช่วยเพิ่มการผลิตพลังงานไฟฟ้าได้อย่างมีประสิทธิภาพ

นอกจากโหมดอัตโนมัติแล้ว ระบบยังมีโหมดควบคุมด้วยมือที่ช่วยให้ผู้ใช้งานสามารถสั่งงานมอเตอร์ด้วยตนเองได้ผ่านอินเทอร์เฟซกราฟิก (GUI) ที่พัฒนาด้วย Python ร่วมกับ Qt Designer โดยผู้ใช้สามารถคลิกปุ่มต่าง ๆ บนหน้าจอ เช่น "หมุนซ้าย"หรือ "หมุนขวา" เพื่อควบคุมการทำงานของมอเตอร์ในเวลาจริงได้ทันที เมื่อตรวจจับการคลิกของผู้ใช้ โปรแกรม Python จะส่งคำสั่งควบคุมในรูปแบบ ASCII ผ่าน RS-232 ไปยัง PLC ซึ่งจะดำเนินการควบคุมการหมุนของมอเตอร์ตามคำสั่งนั้นทันที โหมดนี้เหมาะสำหรับใช้ในการตั้งค่าเริ่มต้น ตรวจสอบระบบ หรือควบคุมในกรณีเฉพาะที่ไม่ต้องการการทำงานอัตโนมัติ

นอกจากนี้ ระบบยังสามารถตรวจวัดและแสดงผลข้อมูลจากแผงโซล่าเซลล์ในลักษณะเรียลไทม์ โดยใช้วงจรแปลงสัญญาณ ADC0820 เพื่อแปลงแรงดันไฟฟ้าแบบอนาล็อกที่ผลิตจากแผงให้เป็นสัญญาณดิจิทัลขนาด 8 บิต ซึ่งสามารถรับเข้าสู่ PLC ได้โดยตรง จากนั้น PLC จะแปลงค่าดิจิทัลเหล่านี้เป็นรหัส ASCII แล้วส่งกลับมายัง Python เพื่อประมวลผลต่อ โปรแกรม Python จะแปลงข้อมูลที่ได้ให้อยู่ในรูปแบบ JSON แล้วส่งข้อมูลผ่านโปรโตคอล MQTT (Message Queuing Telemetry Transport) ไปยัง Node-RED เพื่อแสดงผลผ่าน Dashboard ซึ่งผู้ใช้งานสามารถดูกราฟแรงดันไฟฟ้า การเปลี่ยนแปลงของพลังงานที่ผลิตได้ หรือ

สถานะของระบบ เช่น มุมที่แผงหันอยู่ในขณะนั้น ได้ผ่านเบราว์เซอร์จากอุปกรณ์ที่เชื่อมต่อเครือข่าย

การทำงานร่วมกันระหว่างระบบควบคุมแบบเดิม (PLC) กับเทคโนโลยีใหม่ (Python, MQTT, Node-RED) ทำให้ระบบนี้มีความยืดหยุ่นและทันสมัย รองรับทั้งการทำงานอัตโนมัติและการควบคุมด้วยมือ รวมถึงสามารถตรวจสอบและวิเคราะห์การผลิตพลังงานได้แบบเรียลไทม์ผ่านอินเทอร์เน็ต จึงเหมาะสำหรับการใช้งานในยุคที่เทคโนโลยี IoT เข้ามามีบทบาทสำคัญในการบริหารจัดการพลังงานอย่างยั่งยืน

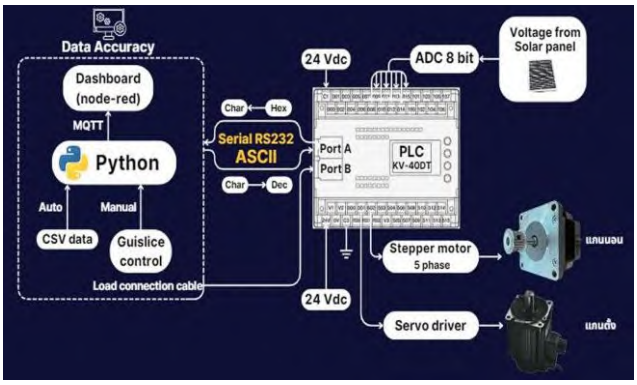

รูปที่ 3.1 แผนผังการทำงานของทั้งระบบ

4. ผลการทดสอบ

จากผลการทดลองพบว่า ระบบโซล่าเซลล์อัตโนมัติที่พัฒนาขึ้นสามารถทำงานได้ตรงตามเป้าหมายที่ออกแบบไว้ โดยสามารถปรับทิศทางของแผงโซล่าเซลล์ขนาด 20 วัตต์ ให้หันเข้าหาดวงอาทิตย์ทุก ๆ 1 ชั่วโมงอย่างต่อเนื่อง โดยอาศัยข้อมูลตำแหน่งดวงอาทิตย์ที่คำนวณล่วงหน้าด้วยโปรแกรม Python ซึ่งคำนวณมุมทิศทางของดวงอาทิตย์ในแต่ละช่วงเวลาอย่างแม่นยำ ข้อมูลที่ได้จะถูกส่งไปยัง PLC ผ่านพอร์ตอนุกรม RS-232 เพื่อควบคุมการทำงานของ Servo Motor ให้หมุนแผงตามพิกัดโดยอัตโนมัติ พร้อมทั้ง Dashboard ที่เชื่อมต่อด้วยโปรโตคอล MQTT สำหรับแสดงค่าที่วัดได้จากระบบ เช่น แรงดัน กระแส และกำลังไฟฟ้าแบบเรียลไทม์ ทำให้ผู้ใช้งานสามารถติดตามสถานะของระบบและการผลิตพลังงานได้สะดวก โดยระบบสามารถทำงานได้อย่างต่อเนื่องในสภาพแวดล้อมภายนอกที่มีการเปลี่ยนแปลงของแสงตลอดวัน

ในการประเมินประสิทธิภาพ ได้มีการเปรียบเทียบกับแผงโซล่าเซลล์แบบคงที่ที่ติดตั้งโดยหันไปทางทิศใต้เอียง 14 องศา และระบบอัตโนมัติซึ่งระบบอัตโนมัติให้ค่ากำลังไฟฟ้าสูงกว่าตลอดช่วงเวลาทดลอง โดยเฉพาะช่วงแสงแดดจัด ซึ่งผลิตได้ 17–19 วัตต์ ขณะที่ระบบคงที่ผลิตได้เพียง 14–15 วัตต์ ดังรูปที่ 4.2 และเมื่อพิจารณาค่าเฉลี่ยตลอดวัน ระบบอัตโนมัติผลิตได้เฉลี่ย 12.8 วัตต์ ส่วนระบบคงที่เฉลี่ยเพียง 9.33 วัตต์ หรือเพิ่มขึ้นประมาณ 37.2% แสดงให้เห็นว่าการปรับตำแหน่งของแผงให้เหมาะกับดวงอาทิตย์ในแต่ละช่วงเวลามีผลต่อปริมาณพลังงานที่ผลิตได้อย่างชัดเจน

อย่างไรก็ตาม ในระหว่างการทดสอบพบว่า ค่ากำลังไฟฟ้าของระบบอัตโนมัติจะลดลงอย่างเห็นได้ชัดในช่วงที่มีการหมุนแผงทุก ๆ 1 ชั่วโมง ซึ่งเป็นผลจาก Servo Motor ที่ไม่สามารถใช้งานร่วมกับ Encoder เพื่อวัดตำแหน่งเชิงมุมจริงได้ จึงต้องใช้วิธีการนับรอบการหมุนแทน ส่งผลให้ระหว่างที่แผงหมุน แผงจะไม่ได้รับแสงอาทิตย์เต็มที่ ทำให้พลังงานที่ผลิตลดลงเป็นช่วง ตลอดวัน ซึ่งสามารถสังเกตได้ชัดในกราฟแสดงผลการทดลอง

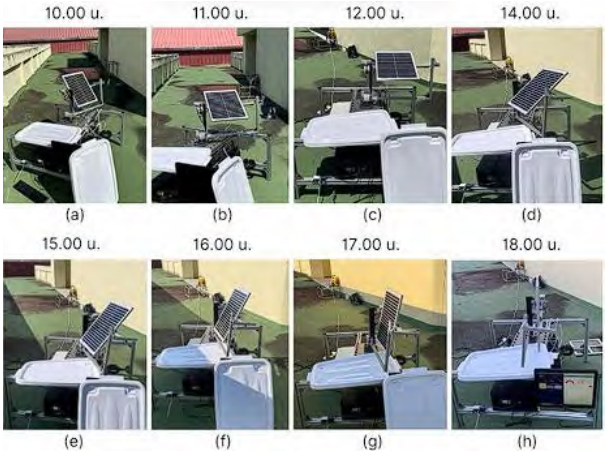

รูปที่ 4.1 ภาพการทดสอบการทำงานของระบบ

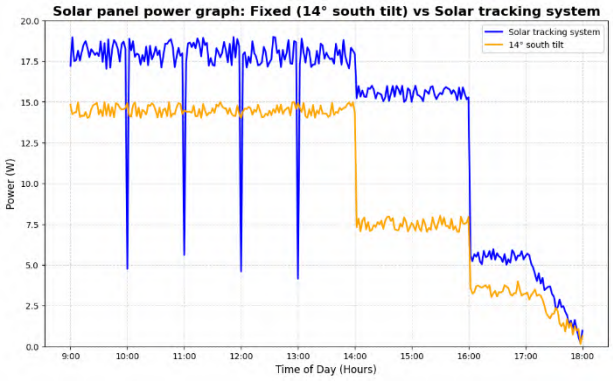

รูปที่ 4.2 กราฟการเปรียบเทียบการผลิตกำลังไฟฟ้าของระบบโซล่าเซลล์อัตโนมัติกับโซล่าเซลล์หันทิศใต้ 14°

5. สรุป

ระบบโซล่าเซลล์อัตโนมัติที่พัฒนาขึ้นในงานวิจัยนี้ สามารถปรับทิศทางของแผงโซล่าเซลล์ขนาด 20 วัตต์ ให้หันเข้าหาดวงอาทิตย์อัตโนมัติทุก ๆ 1 ชั่วโมง โดยใช้ข้อมูลตำแหน่งดวงอาทิตย์ที่คำนวณด้วยโปรแกรม Python และควบคุมการหมุนของแผงผ่าน PLC ที่เชื่อมต่อแบบ RS-232 พร้อมทั้งแสดงผลและควบคุมระบบแบบเรียลไทม์ผ่าน Dashboard ที่เชื่อมต่อด้วย MQTT

จากการทดลองพบว่า ระบบอัตโนมัติสามารถผลิตพลังงานได้เฉลี่ยมากกว่าระบบแบบคงที่ถึง 37.2% โดยในช่วงที่มีแสงแดดจัด แผงแบบ

ติดตามดวงอาทิตย์สามารถผลิตพลังงานได้สูงถึง 19 วัตต์ ในขณะที่แบบคงที่ผลิตได้ไม่เกิน 15 วัตต์ แสดงให้เห็นถึงความสามารถของระบบในการเพิ่มประสิทธิภาพการผลิตพลังงานแสงอาทิตย์ได้อย่างมีนัยสำคัญ

อย่างไรก็ตาม ยังพบจุดอ่อนในช่วงเวลาที่แผงหมุนทุก ๆ 1 ชั่วโมง ซึ่งเกิดกำลังไฟฟ้าตกชั่วขณะจากการที่ Servo Motor ไม่มี Encoder วัดตำแหน่งจริง ทำให้สูญเสียพลังงานบางช่วงระหว่างการปรับทิศทาง แนะนำให้มีการปรับปรุงในอนาคตเพื่อให้ระบบมีประสิทธิภาพสูงยิ่งขึ้น

กิตติกรรมประกาศ

งานวิจัยนี้ได้รับทุนสนับสนุนจากมหาวิทยาลัยเทคโนโลยีสุรนารี ซึ่งผู้จัดทำขอขอบพระคุณมา ณ โอกาสนี้เป็นอย่างสูง

เอกสารอ้างอิง

[1] B. Karthik Sri Vastav, S. Nema, et al., “Automatic Solar Tracking System using DELTA PLC,” International Conference on Electrical Engineering, 2017. [Online]. Available:https://www.researchgate.net/publication/316906193

[2] “PLC Based Solar Tracking Panel Assembly,” International Journal of Engineering Trends and Technology (IJETT), vol. 18, no. 5, pp. 247–251, 2014. [Online]. Available: https://ijettjournal.org/assets/volume-18/number-5/IJETT-V18P247.pdf

[3] R. S. Pathan et al., “Active Solar Tracking System Using PLC and SCADA,” International Journal of Recent Engineering Research and Development, vol. 8, no. 8, pp. 23–28, 2023. [Online]. Available: https://www.technoarete.org/common_abstract/pdf/IJEREEE/v8/i8/Ext_01572.pdf

[4] H. Shang and W. Shen, “Design and Implementation of a Dual-Axis Solar Tracking System,” Energies, vol. 16, no. 17, p. 6330, 2023.

[5] J. M. Wang, C. Y. Lu, and C. H. Lin, “Design and Implementation of a Sun Tracker with a Dual-Axis Solar Tracking PV System,” Sensors, vol. 13, no. 3, pp. 3157–3168, 2013.

[6] P. Sadeghi, A. Shadman, et al., “A Review and Comparative Analysis of Solar Tracking Systems,” Energies, vol. 18, no. 10, p. 2553, 2025.

[7] Amelia, H. Mulyana, and A. Susanto, “Technologies of Solar Tracking Systems: A Review,” IOP Conf. Series: Materials Science and Engineering, vol. 830, p. 022042, 2019.

[8] C. Gezegin, “PLC Controlled Dual-Axis Solar Tracking System Using Astronomical Equations,” Journal of Engineering Research and Applied Science, vol. 11, no. 2, pp. 1451–1456, 2022.

[9] N. Kuttybay, “Assessment of Solar Tracking Systems,” Renewable Energy Focus, vol. 44, pp. 33–45, 2024.

[10] P. Patel and R. Sharma, “Review on Solar Tracker and Comparison on Single Axis vs Dual Axis Trackers,” International Journal of Innovative Research in Electrical, Electronics, Instrumentation and Control Engineering (IJIREEICE), vol. 9, no. 6, pp. 12–18, 2021.

[11] Keyence Corporation, “User’s Manual: Visual KV Series – Installation”, Osaka, Japan: Keyence Corp., 2012.

[12] Keyence Corporation, “User’s Manual: Visual KV Series – Support Software”, Osaka, Japan: Keyence Corp., 2012.

[13] Keyence Corporation, “User’s Manual: Visual KV Series – Programming”, Osaka, Japan: Keyence Corp., 2012.

[14] Analog Devices, “ADC0820 Datasheet and Product Info,” n.d. [Online]. Available: https://www.analog.com/en/products/adc0820.html.

[15] Omi.co.th, “RS232,” n.d. [Online]. Available: https://www.omi.co.th/th/article/rs232.

[16] Thospaak.com, “What is MQTT Protocol?,” n.d. [Online]. Available: https://thospaak.com/what-is-mqtt-protocol/#google_vignette.

[17] Nakhon Ratchasima Provincial Office, “ข้อมูลทั่วไปจังหวัดนครราชสีมา,” [Online]. Available: https://www2.nakhonratchasima.go.th/content/general

[18] PV Education, “Declination Angle,” [Online]. Available: https://www.pveducation.org/pvcdrom/properties-of-sunlight/declination-angle

ประวัติผู้เขียนบทความ

นายอธิคม นิยมไทย

การศึกษา/คุณวุฒิ

วศ.บ. (วิศวกรรมอิเล็กทรอนิกส์) มหาวิทยาลัยเทคโนโลยีสุรนารี, 2568

นักศึกษาระดับปริญญาโท (วิศวกรรมไฟฟ้าและอิเล็กทรอนิกส์) มหาวิทยาลัยเทคโนโลยีสุรนารี, 2568 (กำลังศึกษา)

นายวชิรบดี วรรณไพบูลย์

การศึกษา/คุณวุฒิ

วศ.บ. (วิศวกรรมอิเล็กทรอนิกส์) มหาวิทยาลัยเทคโนโลยีสุรนารี, 2568

อาจารย์ ดร.ศุภวัฒน์ คชประดิษฐ์

ตำแหน่งปัจจุบัน: อาจารย์ประจำสาขาวิชาวิศวกรรมอิเล็กทรอนิกส์ สำนักวิชาวิศวกรรมศาสตร์ มหาวิทยาลัยเทคโนโลยีสุรนารี

การศึกษา/คุณวุฒิ

วศ.บ. (วิศวกรรมอิเล็กทรอนิกส์) มหาวิทยาลัยเทคโนโลยีสุรนารี, 2557

วศ.ด. (วิศวกรรมอิเล็กทรอนิกส์และโฟตอนนิกส์) มหาวิทยาลัยเทคโนโลยีสุรนารี, 2563

ผู้ช่วยศาสตราจารย์ ดร.ธนเสฏฐ์ ทศดีกรพัฒน์

ตำแหน่งปัจจุบัน: อาจารย์ประจำสาขาวิชาวิศวกรรมอิเล็กทรอนิกส์ สำนักวิชาวิศวกรรมศาสตร์ มหาวิทยาลัยเทคโนโลยีสุรนารี

การศึกษา/คุณวุฒิ

วศ.บ. (วิศวกรรมโทรคมนาคม) มหาวิทยาลัยเทคโนโลยีสุรนารี, 2549

วศ.ม. (วิศวกรรมโทรคมนาคม) มหาวิทยาลัยเทคโนโลยีสุรนารี, 2552

วศ.ด. (วิศวกรรมโทรคมนาคม) มหาวิทยาลัยเทคโนโลยีสุรนารี, 2556

วงจรกรองความถี่ต่ำผ่านอันดับที่ 2 สำหรับการวัดคลื่นไฟฟ้าหัวใจที่กินกำลังงาน 1.35 nW ความกว้างพลวัต 66.02 dB

A 1.35-nW 66.02-dB DR Second-Order Lowpass Filter for ECG Acquisition

พัลลภ พันธุปรีชารัตน์[1]* และ ประจวบ ปวรางกูร[1]

[1]สถาบันวิศวกรรมไฟฟ้าและอิเล็กทรอนิกส์ คณะวิศวกรรมศาสตร์และเทคโนโลยี มหาวิทยาลัยเทคโนโลยีมหานคร

panlop@mut.ac.th*, prajuab@mut.ac.th

บทคัดย่อ

บทความนี้นำเสนอวงจรกรองความถี่ต่ำผ่านอันดับ 2 ที่กินกำลังงานต่ำระดับนาโนวัตต์สำหรับเครื่องวัดคลื่นไฟฟ้าหัวใจแบบพกพา วงจรที่นำเสนอมีโครงสร้างที่ถูกพัฒนามาจากวงจรตามแรงดันที่ทำงานในย่านต่ำกว่าแรงดันขีดเริ่ม ทั้งนี้ก็เพื่อที่จะลดผลกระทบของบอดี้ที่มีต่ออัตราขยายไฟตรงที่ทำให้สัญญาณเอาต์พุตที่ออกมาจากวงจรถูกลดทอนขนาดลง วงจรที่นำเสนอใช้วิธีการที่ไม่ซับซ้อนในการลดผลกระทบของบอดี้จึงส่งผลให้วงจรมีโครงสร้างที่กะทัดรัด และกินพื้นที่บนชิปไอซีน้อย ผลจำลองการทำงานโดยใช้เทคโนโลยีกระบวนการผลิตซีมอสในระดับ 0.18 μm แสดงให้เห็นว่าค่าความกว้างพลวัตของวงจรมีค่า 66.02 dB และค่าสัญญาณรบกวนที่ถูกส่งผ่านกลับมายังอินพุตมีค่า 35.35 μV_{rms} ในขณะที่วงจรกินกำลังงานเพียงแค่ 1.35 nW

คำสำคัญ: วงจรกรองความถี่ วงจรกำลังงานต่ำ ทรานซิสเตอร์มอสเฟต การวัดคลื่นไฟฟ้าหัวใจ

Abstract

This paper presents a nanowatt low-power second-order lowpass filter for portable ECG monitors. The proposed circuit is an adaptation of the subthreshold-Source-Follower lowpass structure to minimize the body effect on the DC gain, which can cause the output signal to be attenuated. The circuit's simple method for minimizing the body effect results in a compact structure and a small chip area. Simulation results using a 0.18 μm CMOS process technology show a dynamic range of 66.02 dB and an input-referred noise of 35.35 μV_{rms}, while the circuit consumes only 1.35 nW.

Keywords: Lowpass filter, Low-power circuit, MOSFET transistor, Electrocardiogram

1. บทนำ

อุปกรณ์ชีวการแพทย์แบบพกพาที่ใช้พลังงานต่ำมีความสำคัญในชีวิตประจำวันของบุคคลหรือผู้ป่วยที่ต้องการรับรู้ข้อมูลสุขภาพของตนเองตลอดเวลา ดังนั้นการลดการใช้พลังงานของอุปกรณ์ชีวการแพทย์แบบพกพาจะทำให้ยืดเวลาการใช้งานอุปกรณ์ [1] และมักจะหลีกเลี่ยงความเสียหายของเนื้อเยื่อจากความร้อนในระบบฝังภายในหรือติดภายนอกร่างกายมนุษย์ได้ ในระบบอุปกรณ์ชีวการแพทย์เหล่านี้ วงจรกรองความถี่ต่ำ (Lowpass Filter : LPF) เป็นหนึ่งในองค์ประกอบที่สำคัญที่สุดซึ่งมักใช้เพื่อปรับปรุงคุณภาพสัญญาณของระบบอุปกรณ์ชีวการแพทย์พกพาดังรูปที่ 1

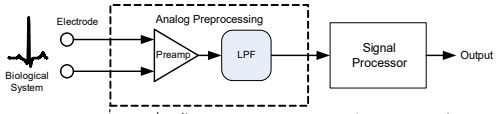

รูปที่ 1 บล็อกไดอะแกรมของระบบชีวการแพทย์

สำหรับการประมวลผลสัญญาณชีวการแพทย์บางประเภท เช่น การตรวจจับสัญญาณหัวใจ จำเป็นต้องใช้วงจร LPF ที่มีความถี่ตัดที่ต่ำพิเศษเพื่อจำกัดช่วงความถี่ที่ใช้งาน และเนื่องจากสัญญาณชีวการแพทย์โดยเฉพาะสัญญาณคลื่นไฟฟ้าหัวใจ (Electrocardiogram : ECG) มีลักษณะเฉพาะ คือ ขนาดและความถี่ของสัญญาณที่ต่ำ จึงต้องการวงจร LPF ที่มีสัญญาณรบกวนอ้างอิงด้านอินพุต (Input-Referred Noise : IRN) ที่ต่ำ และมีอัตราขยายที่ไม่ต่ำกว่าหนึ่งหรือ 0 dB เพื่อไม่ให้ไปลดทอนขนาดสัญญาณที่ออกจากวงจรขยายส่วนหน้า (Preamplifier) ที่ผ่านมามีการออกแบบวงจร LPF โดยใช้เทคนิคต่างๆ ยกตัวอย่างเช่น การใช้วงจรกรองแบบสวิตช์-ตัวเก็บประจุ (Switched-capacitor filter) [2] ซึ่งมีข้อดี คือ สามารถปรับความถี่ตัดได้ง่ายโดยการเปลี่ยนความถี่ของสวิตช์ แต่การสวิตช์ตัวเก็บประจุก็สามารถสร้างสัญญาณรบกวนทางไฟฟ้าได้ ซึ่งอาจส่งผลกระทบต่อประสิทธิภาพของวงจรอื่นๆ ที่อยู่ใกล้เคียง ส่วนวงจร RC แบบแอคทีฟที่ใช้ออปแอมป์ (Operational Amplifier : Op Amp) ตัวต้านทาน และตัวเก็บประจุจะมีความเป็นเชิงเส้นสูง มีการกินพื้นที่บนชิปไอซีมาก อีกทั้งวงจรดังที่กล่าวมาล้วนแต่มีการกินกำลังงานมาก จึงได้มีการนำเสนอวงจร LPF ที่กินกำลังงานต่ำในระดับนาโนวัตต์เพื่อให้เหมาะสมกับการใช้งานในอุปกรณ์แบบพกพาขึ้น ซึ่งวงจร LPF ที่ถูกนำเสนอใน [4] ก็เป็นหนึ่งในวงจรที่มีคุณสมบัติเหมาะสมกับการนำไปใช้งาน แต่วงจรก็มีข้อจำกัดบางประการที่ยังสามารถถูกนำมาทำการปรับปรุงได้ ดังนั้นในบทความนี้จึงได้นำเอาวงจร LPF ที่ถูกนำเสนอใน [4] มาพัฒนาต่อยอดเพื่อทำให้วงจรมีสมรรถนะที่ดีขึ้นกว่าเดิม

*ผู้ประพันธ์บรรณกิจ

2. คุณสมบัติของวงจรที่ถูกนำมาใช้เพื่อทำเป็นต้นแบบ

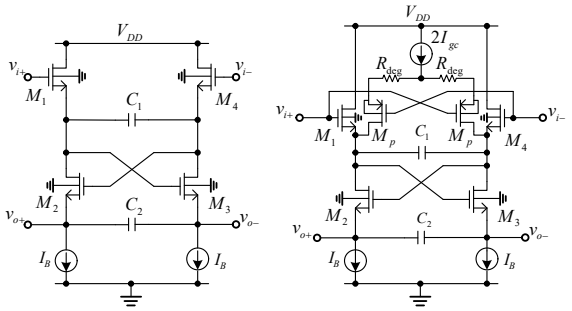

(ก) (ข)

รูปที่ 2 วงจรกรองความถี่ต่ำผ่านอันดับ 2 ที่นำเสนอใน [4] (ก) วงจรที่ไม่ได้ชดเชยอัตราขยาย (ข) วงจรที่ได้ทำการชดเชยอัตราขยาย

วงจรต้นแบบที่จะถูกนำมาใช้สร้างเป็นวงจรกรองความถี่ที่นำเสนอในบทความนี้มีโครงสร้างเป็นดังแสดงในรูปที่ 2(ก) [4] โดยวงจรดังกล่าวมีโครงสร้างเป็นแบบวงจรตามแรงดันที่ทำงานในย่านต่ำกว่าแรงดันขีดเริ่ม (Subthreshold-Source-Follower : SSF) ซึ่งสร้างจากทรานซิสเตอร์เอ็นมอส (NMOS Transistor) ประกอบเข้ากับตัวเก็บประจุ 2 ตัว เพื่อทำให้เกิดเป็นวงจรกรองความถี่ต่ำผ่านอันดับ 2

เพื่อพิจารณาจากโครงสร้างของวงจรในรูปที่ 2(ก) นี้ จะเห็นได้ว่าวงจรมีโครงสร้างที่เล็กกะทัดรัด อีกทั้งยังไม่จำเป็นต้องมีวงจร (Common-Mode Feedback : CMFB) มาประกอบเพิ่มเติมด้วย อย่างไรก็ตามจะเห็นได้ว่าขาบอดี้ (Body) ของทรานซิสเตอร์เอ็นมอสทุกตัวในวงจรนี้จะต้องถูกต่อเข้ากับแรงดันต่ำสุดของวงจร ซึ่งในวงจรก็คือกราวด์ (Ground) จึงส่งผลทำให้เกิด ผลกระทบของบอดี้ (Body Effect) ที่มีผลทำให้ค่าอัตราขยายไฟตรง (DC Gain) ของวงจรนี้มีค่าต่ำกว่า 1 โดยเมื่อมองในแง่ของขนาดของสัญญาณเอาต์พุตที่ได้ออกมาจากวงจรดังกล่าวนี้ก็จะมีขนาดที่เล็กกว่าสัญญาณอินพุตที่ป้อนเข้าไปเมื่อพิจารณาในช่วงส่งผ่านความถี่ (Passband) นอกจากนี้ยังส่งผลกระทบทำให้ค่า IRN มีค่าที่แย่ลง

ดังนั้นในบทความ [4] จึงได้นำเสนอวิธีการชดเชยอัตราขยายไฟตรงที่มีค่าต่ำกว่า 1 ด้วยการต่อวงจรขยายผลต่าง (Differential Pair) เข้าไปเพื่อเพิ่มเส้นทางให้อัตราขยายไฟตรงมีค่าเพิ่มขึ้น และใช้ตัวต้านทานต่อเข้าที่ขาซอร์ส (Source-Degenerated Resistor) เพื่อเพิ่มความเป็นเชิงเส้นของวงจรด้วย โดยโครงสร้างของวงจรดังกล่าวนี้แสดงได้ดังรูปที่ 2(ข)

อย่างไรก็ตามเมื่อพิจารณาจากวิธีการปรับปรุงค่าอัตราขยายไฟตรงดังกล่าวจะเห็นได้ว่าค่อนข้างมีความยุ่งยากซับซ้อนและทำให้เกิดการกินกำลังเพิ่มขึ้น อีกทั้งยังทำให้เกิดการกินพื้นที่บนวงจรรวมเพิ่มขึ้นด้วย ในบทความนี้จึงได้นำเสนอแนวทางในการปรับปรุงค่าอัตราขยายไฟตรงของวงจรในรูปที่ 2(ก) ใหม่ โดยไม่ทำให้เกิดการกินกำลังงานเพิ่มมากนัก และยังกินพื้นที่บนวงจรรวมเพิ่มขึ้นอีกเพียงเล็กน้อยเท่านั้น ซึ่งเป็นข้อได้เปรียบเมื่อเปรียบเทียบกับวิธีการปรับปรุงค่าอัตราขยายไฟตรงที่นำเสนอใน [4] ด้วย

3. วงจรกรองความถี่ต่ำผ่านที่นำเสนอ

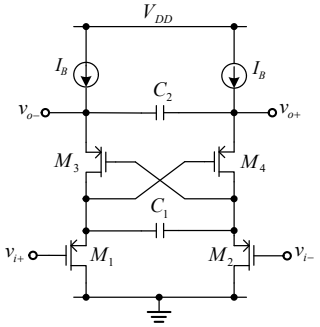

รูปที่ 3 วงจรกรองความถี่ใน [7] ที่สร้างจากทรานซิสเตอร์พีมอส

ในการปรับปรุงวงจรในรูปที่ 2(ก) นี้ เริ่มต้นจากการเปลี่ยนทรานซิสเตอร์เอ็นมอสให้เป็นทรานซิสเตอร์พีมอส (PMOS Transistor) ก่อน ดังแสดงในรูปที่ 3 [7] ทั้งนี้ก็เพื่อที่จะลดผลกระทบของบอดี้ที่เกิดจากทรานซิสเตอร์เอ็นมอสให้หมดสิ้นไป เนื่องจากเป็นที่ทราบกันดีว่าถ้าทำการสร้างวงจรด้วยเทคโนโลยีบ่อเอ็น (n-well Process) จะทำให้เราสามารถต่อขาซอร์ส (Source) กับขาบอดี้ของทรานซิสเตอร์พีมอสแต่ละตัวเข้าด้วยกันได้ จึงทำให้ผลกระทบของบอดี้ถูกกำจัดทิ้งไป ส่งผลให้อัตราขยายไฟตรงมีค่าเท่ากับ 1 ในทางอุดมคติได้

แต่ทว่าในทางปฏิบัติวงจรในรูปที่ 3 นี้ก็ยังคงมีผลกระทบที่เกิดจากค่าความนำที่เอาต์พุต (Output Conductance : g_{ds}) ของทรานซิสเตอร์พีมอสอยู่ ซึ่งก็จะส่งผลกระทบต่อค่าอัตราขยายไฟตรง ทำให้ค่าอัตราขยายไฟตรงนี้ยังมีค่าต่ำกว่า 1 ได้เช่นกัน

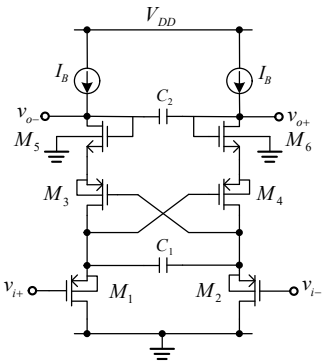

รูปที่ 4 วงจรกรองความถี่ที่ได้รับการปรับปรุงค่าอัตราขยายไฟตรง

ดังนั้นในบทความนี้จึงได้นำเสนอการปรับปรุงให้ค่าอัตราขยายไฟตรงของวงจรในรูปที่ 3 มีค่าไม่ต่ำกว่า 1 เพื่อมิให้เกิดการลดทอนสัญญาณเอาต์พุตที่ออกมาจากวงจรด้วยวิธีการที่ง่ายกว่าวงจรในรูปที่ 2(ข) โดยได้ทำการเพิ่มทรานซิสเตอร์เอ็นมอสที่ต่อเป็นไดโอด (Diode-Connected Transistor) 2 ตัว เข้าไปดังแสดงในรูปที่ 4 และเมื่อพิจารณาจากวงจรดังกล่าวจะเห็นได้ว่าขาบอดี้ของทรานซิสเตอร์เอ็นมอสทั้งสองนี้จะถูกต่อเข้ากับกราวด์ ทำให้มีผลกระทบของบอดี้เกิดขึ้นที่ตัวทรานซิสเตอร์เอ็นมอสทั้งสอง ซึ่งจะส่งผลทำให้ทรานซิสเตอร์เอ็นมอสนี้ทำหน้าที่จ่ายกระแส

เพิ่มเติมไปยังตัวเก็บประจุ C_2 ที่ต่ออยู่ที่เอาต์พุต ทำให้อัตราขยายไฟตรงของวงจรไม่เพียงแต่มีค่าไม่ต่ำกว่าหนึ่ง แต่ยังมีค่ามากกว่า 1 ได้อีกด้วย

เมื่อทำการวิเคราะห์วงจรในรูปที่ 4 ที่สัญญาณขนาดเล็ก โดยสมมติให้ทรานซิสเตอร์เอ็นมอสและพีมอสมีคุณสมบัติเหมือนกัน และไม่คิดผลของการมอดูเลตความยาวช่องสัญญาณ (Channel-length modulation) จะทำให้ได้ฟังก์ชันถ่ายโอนของวงจรเป็น

$$H(s)=\frac{\frac{g_m^2(g_m+g_{mb})}{4C_1C_2(2g_m+g_{mb})}}{s^2+s\frac{(2C_2g_m+2C_1g_m)g_m}{4C_1C_2(2g_m+g_{mb})}+\frac{g_m^3}{4C_1C_2(2g_m+g_{mb})}} \quad (1)$$

ซึ่งจะได้ค่าอัตราขยายไฟตรง H_0 และค่าความถี่ตัด f_c เป็น

$$H_0=1+\frac{g_{mb}}{g_m} \quad (2)$$

$$f_c=\frac{\sqrt{g_m^3}}{2\pi\sqrt{4C_1C_2(2g_m+g_{mb})}} \quad (3)$$

โดยที่ g_m คือ ค่าการส่งผ่านความนำ (Transconductance) ของทรานซิสเตอร์เอ็นมอสและพีมอส ส่วน g_{mb} คือ ค่าการส่งผ่านความนำบอดี้ (Bulk Transconductance) ของทรานซิสเตอร์เอ็นมอส

เมื่อพิจารณาจาก (3) จะเห็นได้ว่าค่าอัตราขยายไฟตรงของวงจรที่นำเสนอในรูปที่ 4 นี้ มีค่ามากกว่า 1 ได้ตามที่ได้ออกแบบไว้ และสามารถกำหนดความถี่ตัดได้จากค่าตัวเก็บประจุ C_1 และ C_2 และค่ากระแสไบแอส I_B นอกจากนี้เมื่อค่าอัตราขยายไฟตรงมีค่ามากกว่า 1 ก็จะส่งผลกระทบต่อค่า IRN ให้ดีขึ้นอีกด้วย

ยิ่งไปกว่านั้นจะเห็นได้ว่าแนวทางในการปรับปรุงค่าอัตราขยายไฟตรงของวงจรที่นำเสนอนี้ จะไม่ทำให้เกิดการกินกำลังงานเพิ่มขึ้นมากนัก รวมทั้งยังกินพื้นที่บนวงจรรวมเพิ่มขึ้นอีกเพียงเล็กน้อยเมื่อเปรียบเทียบกับวิธีการปรับปรุงค่าอัตราขยายไฟตรงที่นำเสนอใน [4] ที่มีความยุ่งยากซับซ้อนกว่า รวมถึงการกินกำลังงานและพื้นที่บนวงจรรวมที่มากกว่านั่นเอง

3. ผลจำลองการทำงาน

ในบทความนี้ได้ทำการจำลองการทำงานของวงจรที่นำเสนอตามรูปที่ 4 โดยใช้เทคโนโลยีกระบวนการผลิตซีมอสในระดับ 0.18 μm ซึ่งทรานซิสเตอร์ M_1-M_6 มีขนาด 10 μm /4 μm ส่วนแหล่งจ่ายกระแสไบแอส I_B กำหนดค่าไว้ที่ 0.45 nA สำหรับแหล่งจ่ายไฟเลี้ยง V_{DD} และแรงดันอินพุตโหมดร่วม (Input common-mode voltage) V_{cm} ถูกกำหนดให้มีค่าเท่ากับ 1.5 V และ 0.3 V ตามลำดับ เมื่อคำนวณค่ากำลังงานของวงจรที่รวมแหล่งจ่ายกระแสไบแอสแล้วก็จะได้ค่าเท่ากับ 1.35 nW

เมื่อทำการจำลองการทำงานของวงจรในรูปที่ 4 โดยออกแบบให้ค่าความถี่ตัดของวงจรต่ำสุดมีค่าเท่ากับ 250 Hz ซึ่งกำหนดให้ค่าตัวเก็บประจุ C_1 และ C_2 ของวงจรมีค่าเท่ากับ 4 pF และ 2 pF ตามลำดับ จะทำให้ได้ค่าผลตอบสนองเชิงความถี่ทางขนาดของวงจรเป็นดังแสดงในรูปที่ 6

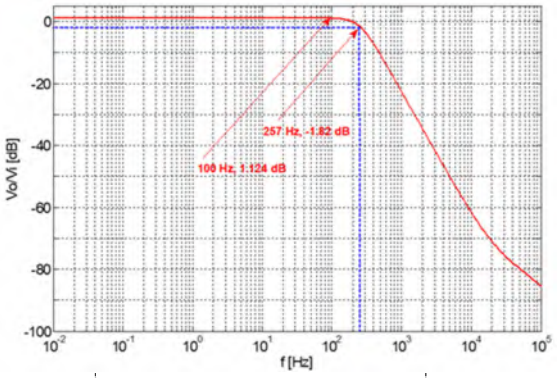

รูปที่ 6 ผลตอบสนองทางขนาดของวงจรกรองที่นำเสนอ

จะเห็นได้ว่าผลจำลองการทำงานได้ค่าความถี่ตัดเท่ากับ 257.04 Hz ซึ่งเบี่ยงเบนไปจากค่าที่ออกแบบไว้เล็กน้อย อันเป็นผลมาจากการละเลยค่าการมอดูเลตความยาวช่องสัญญาณของทรานซิสเตอร์แต่ละตัว และสังเกตว่าค่าอัตราขยายไฟตรงของวงจรที่นำเสนอมีค่ามากกว่า 0 dB อีกด้วย ซึ่งจะส่งผลให้ค่า IRN มีค่าที่ลดลงเมื่อเปรียบเทียบกับวงจรในรูปที่ 2

ต่อมาก็ได้ทำการจำลองการทำงานเพื่อดูความถูกต้องและสมรรถนะของวงจรในโดเมนเวลา โดยทำการป้อนสัญญาณอินพุตเป็นสัญญาณไซน์แบบผลต่างที่มีขนาด 200 mV_p และความถี่ 100 Hz จะได้ผลจำลองการทำงานเป็นดังรูปที่ 7

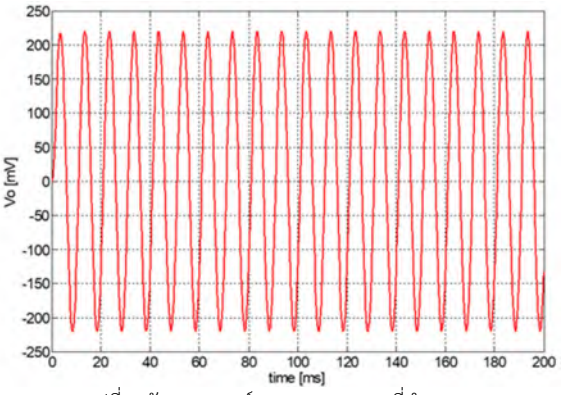

รูปที่ 7 สัญญาณเอาต์พุตของวงจรกรองที่นำเสนอ

รูปที่ 8 แสดงสเปกตรัมของสัญญาณเอาต์พุตเพื่อดูค่าความเพี้ยนฮาร์มอนิคที่ 3 (Third harmonic distortion : HD3) ที่ได้จากสัญญาณในรูปที่ 7 จากผลจำลองการทำงานแสดงให้เห็นว่าค่า HD3 ของสัญญาณเอาต์พุตที่ความถี่อยู่ในช่วงความถี่ผ่านจะมีค่าน้อย

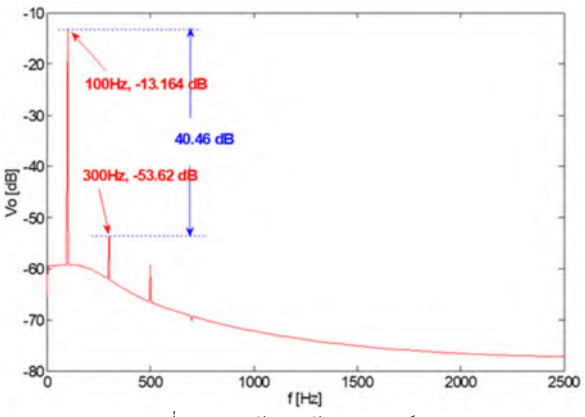

รูปที่ 8 สเปกตรัมของสัญญาณเอาต์พุต

สุดท้าย ตารางที่ 1 เป็นการสรุปค่าพารามิเตอร์ต่าง ๆ ของวงจรกรองความถี่ที่นำเสนอในบทความนี้ เปรียบเทียบกับค่าพารามิเตอร์ในบทความอื่น ๆ ที่ผ่านมา ซึ่งจะเห็นว่าวงจรที่นำเสนอมีลักษณะเด่นที่แตกต่างจากวงจรอื่นที่นำมาเปรียบเทียบคือ ค่าอัตราขยายไฟตรงที่มีค่ามากกว่า 1 ซึ่งส่งผลให้ค่า IRN มีค่าต่ำไปด้วยและค่า DR ที่สูงที่สุดในกลุ่มเช่นกัน นอกจากนั้นวงจรที่นำเสนอยังสามารถทำงานได้โดยกินกำลังงานเพียงแค่ 1.35 nW โดยมีค่าแสดงประสิทธิภาพ (Figure of merit : FoM) น้อยที่สุดเมื่อเปรียบเทียบกับบทความที่ผ่านมา ซึ่ง FoM มีค่าเท่ากับ

$$\text{FoM}=\frac{P}{N\times f_c\times 10^{\frac{DR}{10}}}$$

โดยที่ P คือ ค่าการกินกำลังงาน N คือ ค่าอันดับของวงจรกรองความถี่ fc คือ ค่าความถี่ตัด และ DR คือ ย่านการทำงานพลวัต [7]

4. สรุป

บทความนี้นำเสนอวิธีการปรับปรุงค่าอัตราขยายไฟตรงในวงจรกรองความถี่ต่ำผ่านที่ง่ายกว่าวิธีการที่ได้ถูกนำเสนอไว้ใน [4] โดยวิธีการดังกล่าวจะอาศัยผลกระทบของบอดี้ของทรานซิสเตอร์เอ็นมอสทำหน้าที่จ่ายกระแสเพิ่มเติมไปยังตัวเก็บประจุ C_2 ที่ต่ออยู่ที่เอาต์พุต ทำให้อัตราขยายไฟตรงของวงจรที่นำเสนอมีค่ามากกว่า 1 โดยนอกจากขนาดของสัญญาณเอาต์พุตที่ออกมาจากวงจรจะไม่ถูกลดทอนแล้ว ยังส่งผลทำให้ค่า IRN ที่ได้มีค่าลดลงอีกด้วย

เอกสารอ้างอิง

[1] F. Zhang, J. Holleman, and B. P. Otis, “Design of ultra-low power biopotential amplifiers for biosignal acquisition applications,” IEEE Trans. Biomed. Circuits Syst., vol. 6, no. 4, pp. 344–355, Aug. 2012

[2] W. Sansen and P. M. Van Peteghem, “An area-efficient approach to the design of very-large time constants in switched-capacitor integrators,” IEEE JSSC, vol. SC-19, pp. 772–780, Oct. 1984.

[3] J. Silva-Martínez and J. Salcedo-Suñer, “IC voltage-to current transducers with very-small transconductance,” Analog Integrated Circuits Signal Proc., vol. 13, pp. 285 293, 1997.

[4] Tan-Tan Zhang, Pui-In Mak, “15-nW Biopotential LPFs in 0.35-μm CMOS Using Subthreshold-Source-Follower Biquads With and With out Gain Compensation” IEEE Trans. Biomed. Circuits Syst., vol. 7, no. 5, pp. 690–702, Oct. 2013.

[5] H. Wu, J. Chen, X. Liu, W. Zou, J. Yang, and M. Sawan, "An Energy-Efficient Small-Area Configurable Analog Front-End Interface for Diverse Biosignals Recording," IEEE Transactions on Biomedical Circuits and Systems, vol. 17, no. 4, pp. 818-830, 2023.

[6] S. Y. Peng et al., "A Power-Efficient Reconfigurable OTA-C Filter for Low-Frequency Biomedical Applications," IEEE Transactions on Circuits and Systems I: Regular Papers, vol. 65, no. 2, pp. 543-555, 2018.

[7] S. Thanapitak et al., "A 38.4 nW, 1.2 V, 250-Hz, 2nd-Order gm – C LPF With Degenerative SCP Transconductors Achieving 800-mVPP Input Range and 82.1- μVrms IRN for ECG Acquisition," in IEEE Transactions on Circuits and Systems II: Express Briefs, vol. 72, no. 1, pp. 3-7, Jan. 2025.

พัลลภ พันธุปรีชารัตน์ จบการศึกษาวิศวกรรมศาสตรดุษฎีบัณฑิต มหาวิทยาลัยเทคโนโลยีมหานคร ปัจจุบันเป็นอาจารย์ สถาบันวิศวกรรมไฟฟ้าและอิเล็กทรอนิกส์ คณะวิศวกรรมศาสตร์และเทคโนโลยี มหาวิทยาลัยเทคโนโลยีมหานคร ดำรงตำแหน่งผู้ช่วยศาสตราจารย์ สาขาวิศวกรรมไฟฟ้า หัวข้องานวิจัยที่สนใจ ECG and bio-potential amplifier

ประจวบ ปวรางกูร จบการศึกษาวิศวกรรมศาสตรดุษฎีบัณฑิต สถาบันเทคโนโลยีพระจอมเกล้าเจ้าคุณทหารลาดกระบัง ปัจจุบันเป็นอาจารย์สถาบันวิศวกรรมไฟฟ้าและเล็กทรอนิกส์ คณะวิศวกรรมศาสตร์และเทคโนโลยีมหาวิทยาลัยเทคโนโลยีมหานคร หัวข้องานวิจัยที่สนใจคือ Low-voltage and low power analog circuit

ตารางที่ 1 การเปรียบเทียบกับค่าพารามิเตอร์ต่าง ๆ

Parameter	This work	TBCAS 2023 [5]	TCSI 2018 [6]	TBCAS 2013 [4]
V_{DD} (V)	1.5	0.5/1.2	1.8	3
Tech. (μm)	0.18	0.04	0.35	0.35
Order	2	2	2	4
f_C (Hz)	257	260	2k	100
DC gain (dB)	1.15	-0.02	> 0	0
IRN (μV_{rms})	35.35	46	86.3	29
Power (W)	1.35 n	126n	107.19n	15n
v_{in}(mV_P) @ HD3 (dB) & f_{in} (Hz)	200 @ -40 & 100	100 @ -40 & 60	108 @ -40 & 10	25 @ -60.7 & 60
DR (dB)	66.02	63.73	52.7	64.8
FoM ($\times 10^{-17}$W/Hz)	0.065	10.3	14.4	1.2

วงจรขยายสัญญาณกระแสกำลังสองด้วยซีมอสที่ใช้แหล่งจ่ายแรงดันต่ำ
An Integrable Low-Voltage CMOS Current Squaring Circuit

พันตรี โคมพิทยา[1] และ สุทธิภัทร ศรีสุข[2]*

[1]สาขาวิชาอิเล็กทรอนิกส์และหุ่นยนต์ วิทยาลัยธาตุพนม มหาวิทยาลัยนครพนม pantre@npu.ac.th
[2]สาขาวิชาวิศวกรรมคอมพิวเตอร์ คณะวิศวกรรมศาสตร์ มหาวิทยาลัยนครพนม srisuk.s@gmail.com*

บทคัดย่อ

บทความวิจัยนี้นำเสนอการออกแบบวงจรขยายสัญญาณกระแสกำลังสองโดยอาศัยหลักการของวงจรทรานส์ลิเนียร์ ที่ถูกกำหนดให้มอสทรานซิสเตอร์ทุกตัวมีสภาวะการทำงานในสภาวะอิ่มตัว มีคุณสมบัติเป็นไปตามกฎกำลังสอง ซึ่งออกแบบโดยใช้เทคโนโลยีซีมอส 0.25 μm ของ MOSIS จำลองผลการทำงานโดยใช้โปรแกรม PSpice พบว่า วงจรที่นำเสนอสามารถทำงานได้ 2 ควอแดรนท์ โดยมีช่วงปฏิบัติงานที่เหมาะสม ± 10 μA ใช้แหล่งจ่ายแรงดันแบบเดี่ยวขนาด 1.5 โวลต์ มีผลความถี่ตอบสนองของวงจร 30 MHz มีการสูญเสียกำลังงานสูงสุด 7 μW และใช้มอสทรานซิสเตอร์ในการออกแบบวงจร 14 ตัว

คำสำคัญ: วงจรกระแสกำลังสอง วงจรทรานส์ลิเนียร์ สภาวะอิ่มตัว

Abstract

This paper presents the design of a current squaring circuit employing the translinear principle, where all MOS transistors are biased to operate in the saturation region, thereby exhibiting square-law behavior. The circuit is implemented using 0.25-μm CMOS technology provided by MOSIS, and its performance is verified through PSpice simulations. The proposed architecture supports two-quadrant operation with an optimal input current range of ±10 μA under a single 1.5-V power supply. Simulation results indicate a frequency response of 30 MHz, a maximum power dissipation of 7 μW, and a compact implementation utilizing only 14 MOS transistors.

Keywords: Current Squaring Circuit, Translinear Circuit, Saturation Region

1. บทนำ

วงจรขยายสัญญาณกระแสกำลังสอง (Current Squarer Circuit) เป็นวงจรหนึ่งที่มีความสำคัญอย่างมากในการนำไปประยุกต์ใช้งานด้านการประมวลผลสัญญาณต่าง ๆ เช่น วงจรทวีความถี่ (Frequency Double) วงจรคูณสัญญาณกระแสแอนะล็อก (Current Analog Multiplier) หรือในวงจรที่มีการปรับค่าได้ด้วยวิธีการทางอิเล็กทรอนิกส์ (Electronically - Tuned) เป็นต้น จากงานวิจัยที่ผ่านมา พบว่า มีการนำเสนอวิธีการออกแบบวงจรขยายสัญญาณกำลังสองที่ใช้ทรานซิสเตอร์แบบไบโพลาร์ [1] แบบที่ใช้แหล่งจ่ายแรงดันคู่ [2] หรือแบบที่ทำงานในโหมดแรงดัน [3] ซึ่งส่งผลให้ความถี่ตอบสนองของวงจร (Bandwidth) แคบ ช่วงการทำงาน (Dynamic Range) แคบ รวมถึงไม่เหมาะสมในการนำไปพัฒนาสร้างเป็นวงจรรวม สำหรับบทความนี้จึงได้นำเสนอหลักการออกแบบวงจรขยายสัญญาณกระแสกำลังสอง โดยใช้หลักการพื้นฐานของวงจรทรานส์ลิเนียร์ (Translinear Principle) [4] โดยใช้มอสทรานซิสเตอร์ที่มีสภาวะการทำงานในช่วงอิ่มตัว (Saturation Region) มีคุณสมบัติเป็นไปตามกฎกำลังสอง (Square-law Characteristic) [5] และทำงานในโหมดกระแส โดยออกแบบให้ใช้แหล่งจ่ายแรงดันเป็นแบบเดี่ยวขนาด 1.5 โวลต์

2. หลักการทำงาน

วงจรขยายสัญญาณกระแสกำลังสองที่นำเสนอ ใช้หลักการพื้นฐานของวงจรทรานส์ลิเนียร์ ดังรูปที่ 1 ซึ่งในการออกแบบวงจรจะกำหนดให้มอสทรานซิสเตอร์มีขนาด W/L เท่ากัน และมีสภาวะการทำงานในช่วงอิ่มตัว ดังนั้น จากวงจรในรูปที่ 2 สามารถเขียนสมการแสดงความสัมพันธ์ระหว่างกระแสและแรงดัน ดังนี้

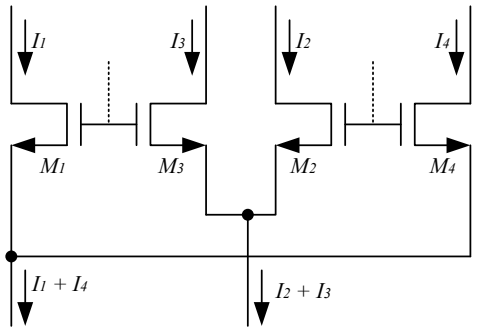

รูปที่ 1 วงจรทรานส์ลิเนียร์พื้นฐาน

$$\sum_{cw} Vgs = \sum_{ccw} Vgs \qquad (1)$$

เมื่อ M_1, M_3 คือ ส่วนของวงจรทางอินพุต และ M_2, M_4 คือ ส่วนของวงจรทางเอาท์พุต จากสมการที่ (1) จะสามารถเขียนสมการแสดงความสัมพันธ์ตามหลักการพื้นฐานของวงจรทรานส์ลิเนียร์ คือ

$$Vgs_1 + Vgs_2 = Vgs_3 + Vgs_4 \qquad (2)$$

*ผู้ประพันธ์บรรณกิจ

เมื่อออกแบบให้มอสทรานซิสเตอร์ทุกตัวมีสภาวะการทำงานในช่วงอิ่มตัว จะสามารถเขียนสมการได้ ดังนี้

$$I_D = K(Vgs\text{-}Vt)^2 \quad (3)$$

เมื่อ $K = \frac{1}{2}\mu Cox\frac{W}{L}$

และ μ คือ ความคล่องตัวของพาหะบริเวณแชนแนล

C_{OX} คือ ค่าประจุไฟฟ้าแฝงของเกทออกไซด์มีค่า = $\varepsilon_{OX} / t_{OX}$

ε_{OX} คือ ค่าไดอิเล็กทริกของ SiO_2 มีค่าประมาณ $3.9\varepsilon_O$

($\varepsilon_O \cong 8.854 \times 10^{-14}$ F/m)

t_{OX} คือ ค่าความหนาของชั้นเกทออกไซด์

V_{GS} คือ ค่าแรงดันระหว่างขาเกทกับขาซอร์ส

V_t คือ ค่าแรงดันขีดเริ่ม (Threshold Voltage)

W คือ ความกว้างประสิทธิผลของแชนแนล (Effective Channel Width)

L คือ ความยาวประสิทธิผลของแชนแนล (Effective Channel Length)

ดังนั้น เมื่อกำหนดให้มอสทรานซิสเตอร์ทุกตัวมีคุณสมบัติเหมือนกันและถูกไบอัสให้ทำงานในสภาวะช่วงอิ่มตัว จากสมการที่ (3) เมื่อพิจารณาจากคุณสมบัติของวงจรทรานส์ลิเนียร์บริเวณเกท-ซอร์สของมอสทรานซิสเตอร์ในสมการที่ (2) จะสามารถเขียนสมการได้ คือ

$$\sqrt{\frac{I_1}{(W/L)_1}} + \sqrt{\frac{I_2}{(W/L)_2}} = \sqrt{\frac{I_3}{(W/L)_3}} + \sqrt{\frac{I_4}{(W/L)_4}} \quad (4)$$

เนื่องจากมอสทรานซิสเตอร์ทุกตัวในวงจร มีค่า W/L เท่ากัน จากวงจรในรูปที่ 2 จะได้ $I_1 = I_2 = I_B$ ดังนั้น จะสามารถเขียนสมการที่ (4) ขึ้นใหม่คือ

$$\sqrt{I_3} + \sqrt{I_4} = \sqrt{4I_B} \quad (5)$$

จากสมการที่ (5) ทำการยกกำลังสองทั้งสองด้าน จะได้

$$I_3^2 - 2I_3I_4 + I_4^2 + 16I_B^2 = 8I_B(I_3 + I_4) \quad (6)$$

จากสมการที่ (6) จัดรูปสมการใหม่ ให้อยู่ในรูปสมการกำลังสอง จะได้

$$(I_3 - I_4)^2 + 16I_B^2 = 8I_B(I_3 + I_4) \quad (7)$$

จากสมการที่ (7) สามารถจัดรูปสมการใหม่ได้ คือ

$$I_3 + I_4 = 2I_B + \frac{(I_4 - I_3)^2}{8I_B} \quad (8)$$

จากวงจรดังรูปที่ 2 จะได้ $I_{OUT} = I_3 + I_4$ และ $I_{in} = I_4 - I_3$ แทนค่าในสมการที่ (8) จะได้

$$I_{OUT} = 2I_B + \frac{(I_{in})^2}{8I_B} \quad (9)$$

จากสมการที่ (9) พบว่า สัญญาณเอาท์พุตของวงจรยังมีองค์ประกอบของไฟกระแสตรง (DC Offset) เท่ากับ $2I_B$ ดังนั้น จึงได้ออกแบบวงจรโดยเพิ่มมอสทรานซิสเตอร์ M_{12} , M_{13} และ M_{14} เพื่อนำมากำจัดองค์ประกอบทางไฟฟ้าของไฟกระแสตรง โดยทำการออกแบบให้ค่า W/L ของมอสทรานซิสเตอร์ M_{14} มีค่าเป็น 2 เท่า เมื่อเทียบกับมอสทรานซิสเตอร์อื่น ซึ่งจะสามารถเขียนสมการใหม่ได้ คือ

$$I_{SQ} = \frac{(I_{in})^2}{8I_B} \quad (10)$$

จะเห็นว่าขนาดของกระแส I_{SQ} ของวงจรจะแปรผันเชิงเส้นกับขนาดกำลังสองของสัญญาณกระแสอินพุต I_{in} คูณกับค่าคงที่ $1/8I_B$

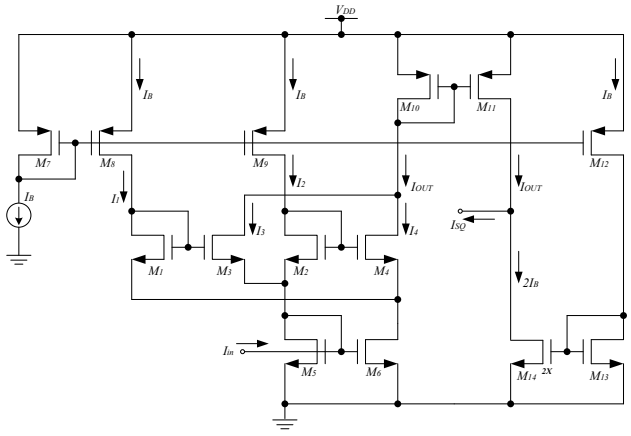

รูปที่ 2 วงจรขยายสัญญาณกระแสกำลังสองที่นำเสนอ

3. ผลการจำลองการทำงานของวงจร

ในการจำลองการทำงานของวงจรที่นำเสนอ จะใช้โปรแกรม PSPICE มาทดสอบการทำงาน โดยใช้เทคโนโลยีมอสทรานซิสเตอร์ ขนาด 0.25 μm ของ MOSIS ซึ่งกำหนดให้ค่า W/L ของมอสทรานซิสเตอร์ M_1 - M_{13} = 2 μm / 0.5 μm ยกเว้นมอสทรานซิสเตอร์ M_{14} มีค่า W/L = 4 μm / 0.5 μm ใช้แหล่งจ่ายแรงดันไฟเลี้ยง V_{DD} = 1.5 V กระแส I_B = 500 nA ผลการจำลองการทำงานของวงจร ดังรูปที่ 2 มีคุณสมบัติของสัญญาณกระแสกำลังสองทางไฟฟ้ากระแสตรง (DC) โดยป้อนสัญญาณกระแสอินพุตอยู่ในช่วง ± 10 μA แสดงผลการจำลองการทำงานดังรูปที่ 3 และคุณสมบัติของสัญญาณกระแสกำลังสองทางไฟฟ้ากระแสสลับ (AC) ป้อนสัญญาณกระแสอินพุต (I_{in}) ในช่วง ± 10 μA แสดงผลการจำลองการทำงานในรูปที่ 4 (ก) และรูปที่ 5 (ก) ซึ่งจำลองผลการทำงานโดยใช้สัญญาณรูปคลื่นไซน์และรูปคลื่นสามเหลี่ยมที่ความถี่ 100 Hz ได้สัญญาณกระแสกำลังสอง (I_{SQ}) แสดงดังรูปที่ 4 (ข) และรูปที่ 5 (ข) และในรูปที่ 6 แสดงผลการตอบสนองความถี่ของวงจรเพื่อดูช่วงความถี่ใช้งาน พบว่าวงจรที่ออกแบบมีช่วงความถี่ ±3dB เท่ากับ 30 MHz และวงจรที่ออกแบบมีการสูญเสียกำลังงาน 7 μW ที่ช่วงกระแสสูงสุด

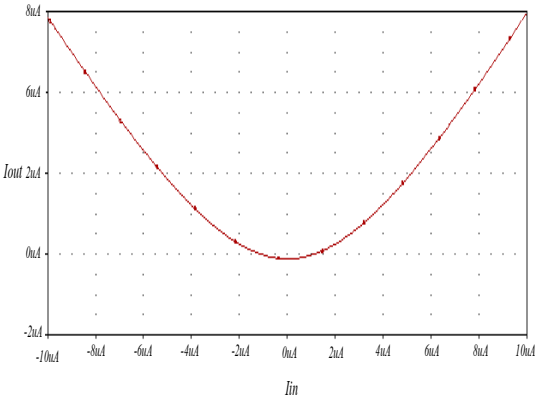

รูปที่ 3 คุณสมบัติของสัญญาณกระแสกำลังสองทางไฟฟ้ากระแสตรง

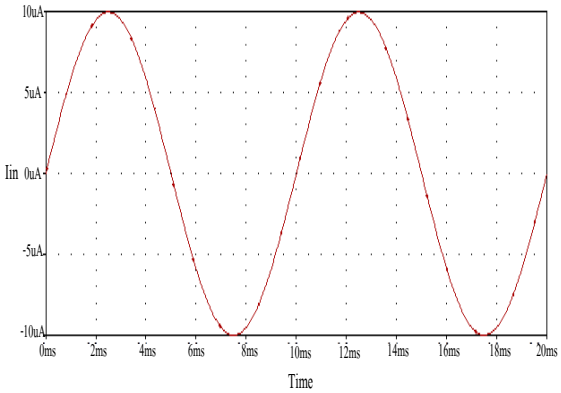

(ก) สัญญาณอินพุต

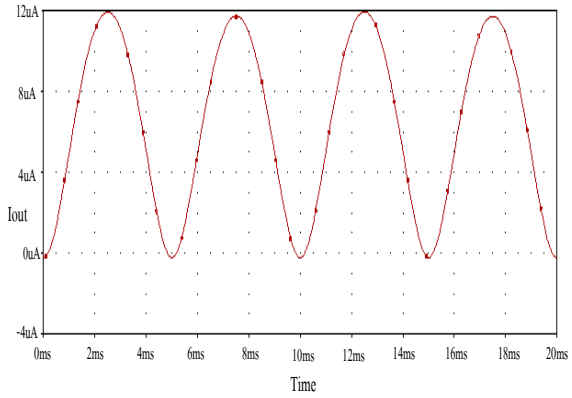

(ข) สัญญาณเอาท์พุต

รูปที่ 4 คุณสมบัติสัญญาณกระแสกำลังสองทางไฟฟ้ากระแสสลับของสัญญาณรูปคลื่นไซน์

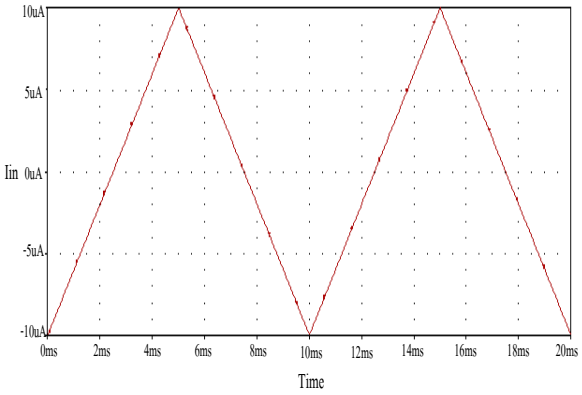

(ก) สัญญาณอินพุต

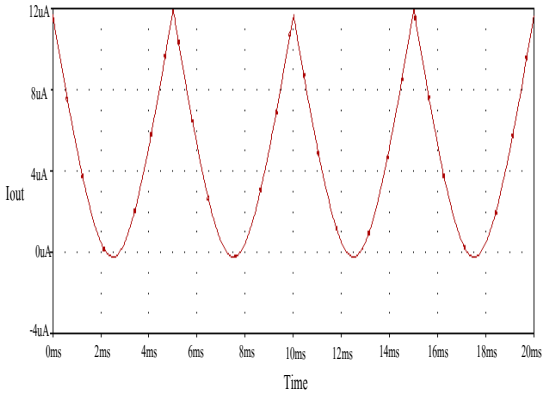

(ข) สัญญาณเอาท์พุต

รูปที่ 5 คุณสมบัติสัญญาณกระแสกำลังสองทางไฟฟ้ากระแสสลับของสัญญาณรูปคลื่นสามเหลี่ยม

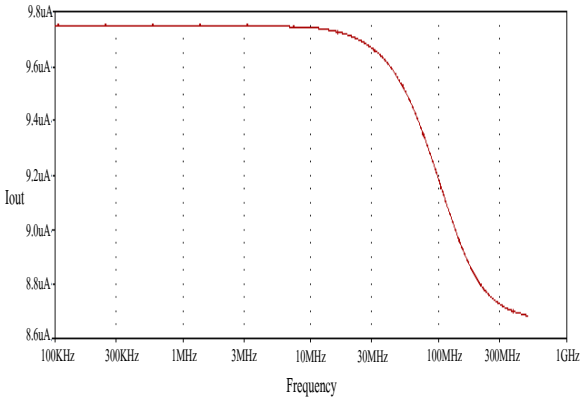

รูปที่ 6 ผลความถี่ตอบสนองของวงจร

จากผลการจำลองการทำงานของวงจรดังรูปที่ 2 นำมาเปรียบเทียบคุณสมบัติของวงจรกำลังสองที่มีการนำเสนอก่อนหน้านี้ แสดงดังตารางที่ 1 พบว่า วงจรกำลังสองในงานวิจัยนี้ นำเสนอหลักการออกแบบที่แตกต่างจากเดิมด้วยวิธีการใช้หลักการของวงจรทรานส์ลิเนียร์ในการออกแบบวงจร

ตารางที่ 1 เปรียบเทียบคุณสมบัติของวงจรกำลังสอง

	[1]	[2]	[8]	This work
Power supply	1.7 V	±1 V	1 V	1.5 V
Input current	±250 μA	±20 μA	±20 μA	±10 μA
Power cons.	-	-	-	7 μW
±3dB bandwidth	110MHz	-	≈2 MHz	30 MHz
Technology CMOS	Bipolar	0.25 μm	0.25 μm	0.25 μm
Principle	OTAs	Class AB	Voltage shifting	Translinear
Quadrant	2	4	2	2
CMOS number	14	25	10	14

4. สรุป

วงจรขยายสัญญาณกระแสกำลังสองด้วยมอสทรานซิสเตอร์ที่ใช้แหล่งจ่ายแรงดันต่ำที่นำเสนอ ใช้วิธีการของวงจรทรานส์ลิเนียร์ในการออกแบบวงจร โดยใช้เทคโนโลยีซีมอส 0.25 μm จำลองผลการทำงานโดยใช้โปรแกรม PSpice พบว่า วงจรมีช่วงกระแสอินพุทปฏิบัติงาน ± 10 μA ใช้แหล่งจ่ายแรงดันไฟเลี้ยงแบบเดี่ยวขนาด 1.5 V โดยมีผลความถี่ตอบสนองของวงจร เท่ากับ 30 MHz และวงจรที่ออกแบบมีการสูญเสียกำลังงานสูงสุด 7 μW ดังนั้น วงจรขยายสัญญาณกระแสกำลังสองที่ได้นำเสนอจะสามารถใช้เป็นทางเลือกในการนำไปพัฒนาต่อ หรือประยุกต์ใช้งานในการออกแบบวงจรร่วมกับวงจรอื่น หรือนำมาพัฒนาใช้งานในการออกแบบเป็นวงจรรวมต่อไป

เอกสารอ้างอิง

[1] I.Chaisayun and S.Maitreechit, "An OTA Base Versatile Squarer Circuit", The 9th International Conference on Electrical Engineering/Electronics, Computer, Telecommunications and Information Technology, 2012

[2] B.Aggarwal and M.Gupta, "Low-voltage bulk-driven class AB four quadrant CMOS current multiplier", Springer Link J. Analog Integr Circ Sig Process, no.65, pp.163-169.1-77. 2010

[3] B. Boonchu and W.Surakampontorn, "Voltage-Mode CMOS Squarer/Multiplier Circuit", The 2002 International Technical Conference On Circuits/Systems, Computers and Communications, 2002

[4] A.J.Lopez-Martin, A.Carlosena and J.Ramirez-Angulo, "Very Low Voltage MOS Translinear Loops Based on Flipped Voltage Follower", Springer Link J.Analog Integrated Circuits and Signal Processing, Vol. 40, Issue 1, pp. 71-74, July 2004

[5] K.Bult and H.Wallinga, "A class of analog CMOS circuits based on the square-law characteristic of a MOS transistor in saturation", IEEE J. Solid-State Circuits, vol.SC-22, no.3, pp.357-364, 1987

[6] N.Beyraghi, A.Khoei and K.Hadidi, "CMOS design of a four quadrant multiplier based on novel squarer circuit", Springer Link J. Analog Integr Circ Sig Process, no.80, pp.473-481. 2014

[7] A.Naderi, H.Mojarrad, H.Ghasemzadeh, A.Khoei and Kh.Hadidi, "Four-Quadrant CMOS Analog Multipile Base on New Current Squarer Circuit With High-Speed", IEEE J. Urmia University, Urmia 57159, Iran, 2009

[8] S.Wisetphanickkij, N.Singkrajom, M.Kumngern, and K.Dejhan, "A Low-Voltage CMOS Current Squarer Circuit", IEEE J. Proceeding of ISCIT, 2005

เปรียบเทียบคุณสมบัติของวงจรกำลังสองชนิดนอร์เกตกับวงจรกำลังสองเชิงแรงดัน

Comparison of Nor-Gate Squarer with Voltage-Mode Squaring Circuit

บุญชัย บุญชู*[1] ณรงค์ ณรงค์รัตน์[1] ธัชนนท์ ชุ่มแอ่น[1] ณัฐิดา จันหอม[1] ราชู พันธ์ฉลาด[2] ประยุทธ์ อินแปน[2] และไพบูลย์ ธานินทร์สุรัตน์[3]

[1]สาขาวิชาเทคโนโลยีไฟฟ้า คณะวิศวกรรมศาสตร์และเทคโนโลยีอุตสาหกรรม มหาวิทยาลัยราชภัฏสวนสุนันทา boonchai.bo@ssru.ac.th*
[2]สาขาวิชาวิศวกรรมไฟฟ้า คณะเทคโนโลยีอุตสาหกรรม มหาวิทยาลัยราชภัฏราชนครินทร์
[3]79/249 ถนนสามวา เขตคลองสามวา กรุงเทพมหานคร 10510

บทคัดย่อ

บทความนี้แสดงการเปรียบเทียบคุณสมบัติของวงจรทางคณิตศาสตร์ 2 วงจรคือ วงจรกำลังสองชนิดนอร์เกต 2 อินพุตที่ใช้ความต้านทานเพื่อเปลี่ยนกระแสเป็นแรงดัน กับวงจรกำลังสองเชิงแรงดันที่ให้แรงดันเอาต์พุตโดยไม่ใช้ตัวต้านทาน ซึ่งในบทความนำเสนอการวิเคราะห์คุณสมบัติการส่งผ่านระหว่างแรงดันอินพุตและแรงดันเอาต์พุต ความต้านทานอินพุตและความต้านทานเอาต์พุต ช่วงการรับแรงดันอินพุต ผลตอบสนองเชิงความถี่ และได้เปรียบเทียบคุณสมบัติของวงจรกำลังสองทั้งสองชนิดด้วยผลจำลองการทำงานด้วยโปรแกรม SPICE

คำสำคัญ: วงจรทางคณิตศาสตร์ วงจรกำลังสอง วงจรกำลังสองชนิดนอร์เกต วงจรกำลังสองเชิงแรงดัน วงจรคูณแอนะล็อก วงจรคูณแบบควอเตอร์-สแควร์

Abstract

This paper proposes the comparison of the resistive load, two inputs nor-gate squarer with the voltage-mode squaring circuit without the use of resistor. The characteristics of the both circuits such as an input and output resistance, frequency response, input voltage range, have been analyzed. The simulation results with SPICE program show that the dc characteristic curves, the output voltage signal, the frequency response, respectively. .

Keywords: Squaring Circuit, 2 Inputs NOR Gate, Voltage-Mode Squaring Circuit, Quarter-Square Multiplier, Analogue Multiplier

1. บทนำ

ในการประมวลสัญญาณแอนะล็อกนั้น มีวงจรทางคณิตศาสตร์ที่สำคัญอยู่หลายวงจรเช่น วงจรบวก-ลบ วงจรคูณและวงจรหาร วงจรยกกำลังสอง วงจรถอดรากที่สอง วงจรหาค่าสัมบูรณ์ ซึ่งวงจรทางคณิตศาสตร์ดังกล่าวนี้ออกแบบสร้างขึ้นได้ทั้งที่เป็นวงจรรวม (integrated circuit) และการต่อวงจรแบบแยก (discrete circuit) เมื่อพิจารณาเฉพาะวงจรกำลังสองในเทคโนโลยีวงจรรวม วิธีการที่ได้รับความนิยมคือออกแบบวงจรกำลังสองโดยอาศัยคุณสมบัติของทรานซิสเตอร์แบบมอสเฟต (MOSFETs) ที่ทำงานในช่วงอิ่มตัว (saturation mode) ดังสมการ

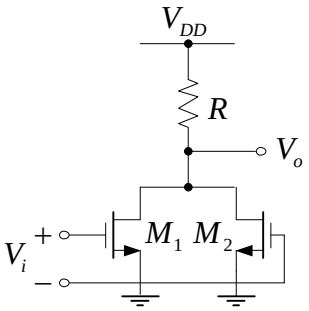

รูปที่ 1 วงจรกำลังสองชนิดนอร์เกต (NGSq)

$$I_d = K(V_{gs} - V_{TH})^2 \quad (1)$$

เมื่อ I_d คือกระแสเดรน V_{gs} คือความต่างศักย์ที่เกตกับซอร์ส V_{TH} คือแรงดันขีดเริ่ม (threshold voltage) และ K คือสัมประสิทธิ์ความนำที่ขึ้นกับขนาดของความกว้าง (W) และความยาว (L) แชลแนล (channel) ของทรานซิสเตอร์ตามลำดับ จากความสัมพันธ์ระหว่างกระแสเดรน I_d กับแรงดันความต่างศักย์ระหว่างเกตซอร์ส V_{gs} ตามสมการที่ (1) สามารถออกแบบเป็นวงจรกำลังสองที่มีโครงสร้างเป็นวงจรนอร์เกต 2 อินพุตดังรูปที่ 1 [1] ซึ่งประกอบด้วยทรานซิสเตอร์ 2 ตัวที่มีคุณสมบัติเหมือนกัน และตัวต้านทาน R ทำหน้าที่เปลี่ยนผลรวมกระแสเดรนของทรานซิสเตอร์ทั้งสองเป็นแรงดันเอาต์พุต V_o

ต่อมา ผู้เขียนได้นำเสนอวงจรกำลังสองแบบใหม่ที่ไม่ใช้ตัวต้านทาน โดยมีหลักการทำงานในลักษณะเชิงแรงดัน (voltage mode) ดังแสดงในรูปที่ 2 [2] ซึ่งประกอบด้วยทรานซิสเตอร์ M_1-M_2 ที่มีคุณสมบัติเหมือนกัน และ M_3 ที่มีขนาดอัตราส่วนความกว้างต่อความยาวแชลแนล (W/L) เป็น 2 เท่าของ M_1 และ M_2 เมื่อทรานซิสเตอร์ทำงานในช่วงอิ่มตัว จ่ายแรงดันอินพุตผลต่าง V_{id} ประกอบด้วยแรงดันไฟตรงเช่นเดียวกับวงจรกำลังสองในรูปที่ 1 จะได้แรงดันเอาต์พุตของวงจรกำลังสองเชิงแรงดัน V_{os}

เมื่อพิจารณาวงจรกำลังสองชนิดนอร์เกตในรูปที่ 1 เปรียบเทียบกับวงจรกำลังสองเชิงแรงดันในรูปที่ 2 พบว่า ทั้งสองวงจรมีจำนวนอุปกรณ์เท่ากันคือ 3 ตัว และให้แรงดันเอาต์พุตที่อยู่ในรูปแบบของแรงดันอินพุตยกกำลังสอง ดังนั้นในบทความนี้จึงนำเสนอการวิเคราะห์และเปรียบเทียบคุณสมบัติของทั้งสองวงจร เช่น กำลังสูญเสียที่จุดทำงาน แรงดันอินพุตสูงสุด ผลตอบสนองเชิงความถี่ เพื่อเป็นข้อมูลประกอบในการเลือกใช้งานวงจรกำลังสองแต่ละชนิด

*ผู้ประพันธ์บรรณกิจ

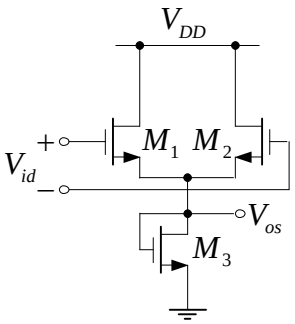

รูปที่ 2 วงจรกำลังสองเชิงแรงดัน (VMSq)

2. วิเคราะห์คุณสมบัติของวงจรกำลังสอง

2.1 วงจรกำลังสองชนิดนอร์เกต

จากวงจรกำลังสองขนิดนอร์เกต (NGSq) ในรูปที่ 1 เมื่อจ่ายแรงดันอินพุตผลต่าง V_i ที่มีแรงดันไฟตรงโหมดร่วมเท่ากับ V_C ดังเช่น $(V_C + V_i/2)$ และ $(V_C - V_i/2)$ สามารถคำนวณแรงดันเอาต์พุต V_o โดยใช้สมการคุณสมบัติของทรานซิสเตอร์ที่ทำงานในช่วงอิ่มตัวดังสมการที่ (1) จะได้แรงดันเอาต์พุตเป็น

$$V_o = V_{DD} - 2KR\left\{\left(V_C - V_{TH}\right)^2 + \frac{V_i^2}{4}\right\} \qquad (2)$$

จะเห็นได้ว่าแรงดันเอาต์พุต V_o ประกอบด้วยแรงดันไฟตรงกับสัญญาณอินพุตยกกำลังสอง โดยที่ขนาดของแรงดันเอาต์พุตขึ้นอยู่กับค่าความต้านทาน R สัมประสิทธิ์ความนำ K ซึ่งกำหนดได้ด้วยขนาดของทรานซิสเตอร์ (W/L) ตามลำดับ โดยที่ขนาดของแรงดันอินพุตสูงสุดที่วงจรยังสามารถทำงานได้ $|V_{imax}|$ มีค่า

$$\left|V_{i\max}\right| = 2\left(V_C - V_{TH}\right) \qquad (3)$$

การวิเคราะห์คุณสมบัติของวงจร เช่น ความต้านทานอินพุต R_i และความต้านทานเอาต์พุต R_o สามารถทำได้โดยการวิเคราะห์ในเงื่อนไขที่แรงดันอินพุต V_i เป็นสัญญาณขนาดเล็ก โดยที่แหล่งจ่ายแรงดันไฟตรง V_{DD} เปรียบเสมือนเป็นกราวด์ (virtual ground) ดังวงจรในรูปที่ 3 (a) พบว่าความต้านทานอินพุต R_i มีค่าสูงมากเนื่องจากที่ขาเกตของทรานซิสเตอร์ M_1 และ M_2 มีลักษณะเปิดวงจร (open circuit) ส่วนความต้านทานเอาต์พุต $R_o = (r_{o1}//r_{o2}//R)$ เมื่อ r_{o1} และ r_{o2} คือค่าความต้านทานเอาต์พุตของทรานซิสเตอร์ M_1 และ M_2 ตามลำดับ

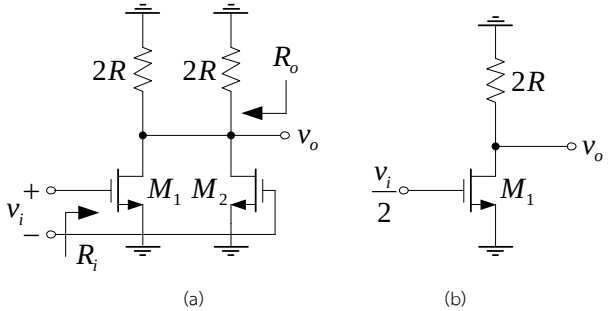

รูปที่ 3 วงจร NGSq เมื่อพิจารณาสัญญาณขนาดเล็ก

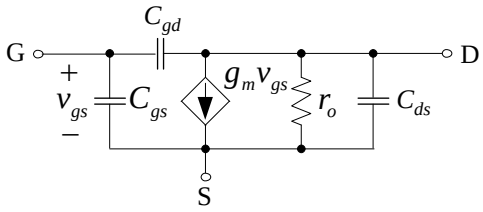

รูปที่ 4 วงจรสมมูลย์สัญญาณขนาดเล็กที่ความถี่สูง

รูปที่ 3 (b) แสดงวงจรกำลังสองขนิดนอร์เกตเมื่อพิจารณาที่ความถี่สูงแบ่งครึ่งวงจร (half ciruit) เนื่องจากทรานซิสเตอร์ทั้งสองมีคุณสมบัติเหมือนกัน ดังนั้นจึงสามารถวิเคราะห์วงจรที่ความถี่สูงเพียงครึ่งเดียวได้ โดยที่ความต้านทาน R กลายเป็น $2R$ และประกอบด้วยตัวเก็บประจุเสมือนภายในทรานซิสเตอร์ที่เริ่มส่งผล เมื่อแทนวงจรสมมูลย์ที่ความถี่สูงดังรูปที่ 4 ลงในทรานซิสเตอร์ของวงจรรูปที่ 3 (b) จะได้วงจรสมมูลย์ที่ความถี่สูงครึ่งวงจรของ NGSq ดังรูปที่ 5 อย่างไรก็ตาม จากโครงสร้างของทรานซิสเตอร์แบบ MOSFET ที่ตัวเก็บประจุแฝงที่เดรน-ซอร์ส C_{ds} มีค่าน้อยมากจนสามารถละทิ้งได้ ดังนั้น ความถี่คัตออฟ (cut off frequency) ที่ -3dB [3-4] ของวงจรกำลังสองแบบนอร์เกต f_{cNGSq} จึงคำนวณได้เป็น

$$f_{c\,\mathrm{NGSq}} \simeq \frac{1}{2\pi R_s\left\{C_{gs} + C_{gd}\left(1 + g_m R_L\right)\right\}} \qquad (4)$$

โดยที่ความต้านทาน $R_L = (2R//r_o)$ และ R_s คือความต้านทานเอาต์พุตของแหล่งจ่ายสัญญาณอินพุต

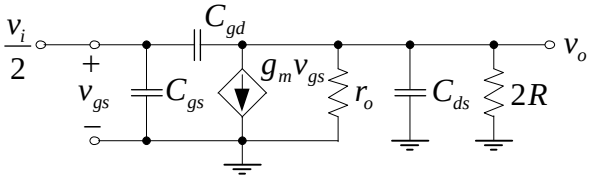

รูปที่ 5 วงจรสมมูลย์สัญญาณขนาดเล็กที่ความถี่สูงของ NGSq ครึ่งวงจร

2.2 วงจรกำลังสองเชิงแรงดัน

เมื่อจ่ายแรงดันอินพุต V_{id} ที่มีแรงดันไฟตรงเท่ากับ V_C ให้กับวงจรกำลังสองเชิงแรงดันในรูปที่ 2 และกำหนดให้ทรานซิสเตอร์ทำงานในช่วงอิ่มตัว โดยอ้างอิงจากสมการคุณสมบัติของทรานซิสเตอร์ในสมการที่ (1) แรงดันเอาต์พุต V_{os} ของวงจรในรูปที่ 2 สามารถคำนวณได้ดังสมการ

$$V_{os} = \frac{V_C}{2} + \frac{V_{id}^2}{8\left(V_C - 2V_{TH}\right)} \qquad (5)$$

พิจารณาจากรูปที่ 2 เมื่อแรงดันอินพุต V_{id} มีค่าเพิ่มขึ้น ทำให้กระแสเดรนของทรานซิสเตอร์ M_1 ก็จะมีค่าเพิ่มขึ้น ในขณะที่กระแสเดรนของ M_2 มีค่าลดลง ดังนั้น แรงดันอินพุตสูงสุด $|V_{idmax}|$ ของวงจรกำลังสองเชิงแรงดันคือแรงดันอินพุตสูงสุดที่ทำให้กระแสเดรนของ M_2 ลดลงเป็นศูนย์นั่นคือ

$$\left|V_{id\max}\right| = 2\left(\sqrt{2} - 1\right)\left(V_C - 2V_{TH}\right) \qquad (6)$$

ด้วยวิธีการเช่นเดียวกันกับการวิเคราะห์วงจรกำลังสองแบบนอร์เกต ความต้านทานอินพุตของวงจรกำลังสองเชิงแรงดัน R_{id} ความต้านทานเอาต์พุต R_{os} และความถี่คัตออฟของวงจร f_{cVMSq} สามารถหาค่าได้โดยการพิจารณาจากวงจรสมมูลย์สัญญาณขนาดเล็กที่ความถี่สูงครึ่งวงจร โดยที่ทรานซิสเตอร์ M_3 ที่มีขนาดความกว้างและความยาวแชลแนลเป็นสองเท่าของ M_1 และ M_2 เขียนใหม่ได้เป็นทรานซิสเตอร์ที่มีขนาด W/L เท่ากับ M_1 หรือ M_2 จำนวน 2 ตัวต่อขนานกันคือ M_{31} กับ M_{32} ดังรูปที่ 6 (a) เมื่อแบ่งครึ่งวงจรแล้วแสดงดังวงจรในรูปที่ 6 (b) และเมื่อแทนทรานซิสเตอร์ด้วยวงจรสมมูลย์สัญญาณขนาดเล็กที่ความถี่สูงซึ่งประกอบด้วยตัวเก็บประจุเสมือน จะได้วงจรดังรูปที่ 6 (c) ตามลำดับ

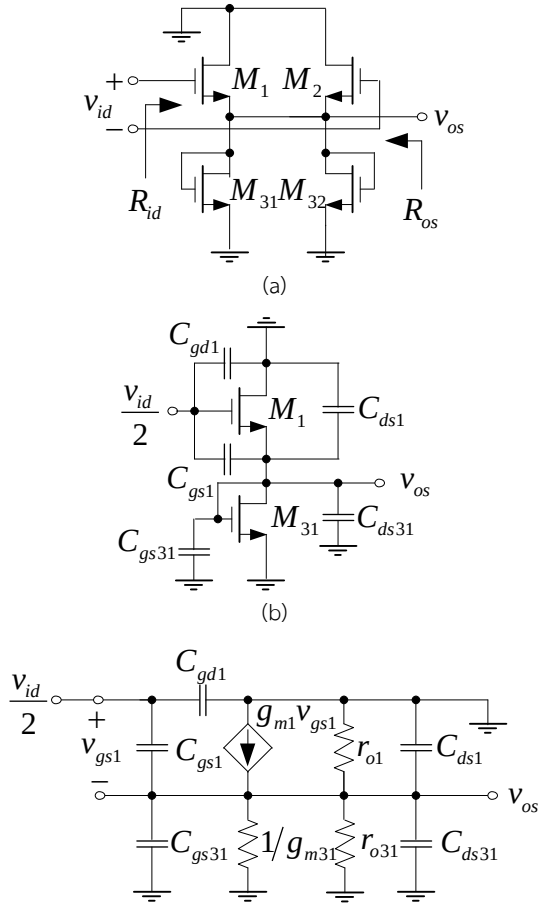

รูปที่ 6 วงจร VMSq เมื่อพิจารณาสัญญาณขนาดเล็ก

จากการพิจารณาวงจรในรูปที่ 6 (a) ความต้านทานอินพุต R_{id} มีค่ามาก และความต้านทานเอาต์พุต R_{os} มีค่า

$$R_{os} = \frac{1}{4}\left\{\left(1/g_m\right) // r_o\right\} \quad (7)$$

โดยที่ g_m และ r_o คือค่าความนำและความต้านทานเอาต์พุตของทรานซิสเตอร์แต่ละตัว เนื่องจากทรานซิสเตอร์ทั้ง 4 ตัวมีขนาดเท่ากันและไบแอสด้วยกระแสเดรนที่เท่ากัน ดังนั้น g_m และ r_o จึงมีค่าเท่ากันทั้งหมด ส่วนผลตอบสนองเชิงความถี่นั้น พิจารณาได้จากวงจรในรูปที่ 6 (c) และรูปที่ 7 โดยที่ $r_p = (r_{o1}//r_{o31}// 1/g_{m31})$ และ $C_p = (C_{gs31}//C_{ds31}//C_{ds1})$ เมื่อละทิ้งผลของ C_{ds1} และ C_{ds31} ซึ่งจะได้ความถี่คัตออฟเป็น

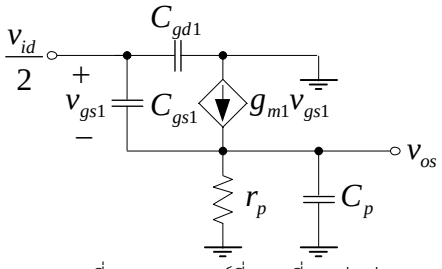

รูปที่ 7 วงจรสมมูลย์ที่ความถี่สูงอย่างง่ายของรูปที่ 6

$$f_{cVMSq} = \left[2\pi R_s\left\{C_{gd1} + (C_{gs1} + C_{gs31})/(1 + g_m r_p)\right\}\right]^{-1} \quad (8)$$

เมื่อ r_p มีค่าเท่ากับ $r_{o1}//r_{o31}//(1/g_{m31})$ พิจารณาจากโครงสร้างของวงจร สามารถเทียบเคียงได้กับวงจรขยายคอมมอนซอร์ส ดังนั้น จะมีสัญญาณรบกวนอ้างอิงอินพุตเท่ากับสัญญาณรบกวนเอาต์พุต ซึ่งแสดงให้เห็นว่า มีกำลังสัญญาณรบกวนสูงกว่าวงจร NGSq ที่โครงสร้างเป็นวงจรขยายคอมมอนซอร์ส [5-6]

2.3 ผลจำลองการทำงาน

ได้จำลองการทำงานวงจรกำลังสองในรูปที่ 1 และรูปที่ 2 ด้วยโปรแกรม SPICE โดยใช้โมเดลพารามิเตอร์ TSMC 0.25 μ_n Level 3 ขนาดทรานซิสเตอร์ M_1, M_2 ในรูปที่ 1 เป็น (30/3)μ ในรูปที่ 2 ทรานซิสเตอร์มีขนาด $M_1 = M_2 = (30/3)\mu$ และ $M_3 = (60/3)\mu$ จ่ายแรงดัน $V_{DD} = 1.5$ V ไบแอสให้ M_1 และ M_2 ทำงานในช่วงอิ่มตัวด้วยกระแสเดรนเท่ากับ 5 μA และ $R = 1.59\ \text{k}\Omega$

รูปที่ 8 แสดงความสัมพันธ์ระหว่างแรงดันอินพุตกับแรงดันเอาต์พุตของทั้งสองวงจรโดยทำการปรับแรงดันอินพุตในช่วง -300 mV ถึง 300 mV พบว่าช่วงการรับแรงดันอินพุตของวงจรกำลังสองชนิดนอร์เกตมีค่ามากกว่าซึ่งสามารถรับแรงดันอินพุตได้ประมาณ -200 mV ถึง 200 mV

รูปที่ 9 และรูปที่ 10 แสดงรูปสัญญาณเอาต์พุตเปรียบเทียบกัน เมื่อจ่ายแรงดันอินพุตเป็นสัญญาณไซน์ จะพบว่าในรูปที่ 8 นั้น สัญญาณเอาต์พุตของวงจร VMSq เริ่มมีความผิดเพี้ยน ซึ่งเป็นเพราะสัญญาณอินพุตมีขนาดใหญ่เกินช่วงการทำงานของวงจร

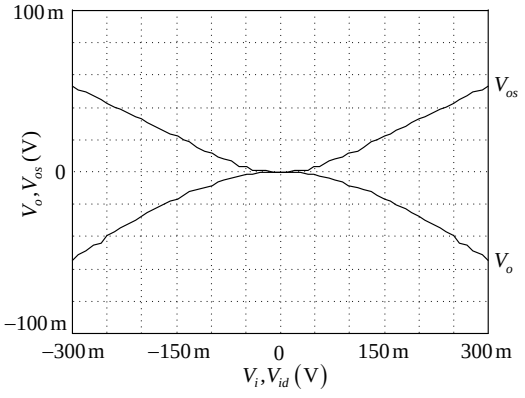

รูปที่ 8 ผลตอบสนองต่อแรงดันไฟตรง

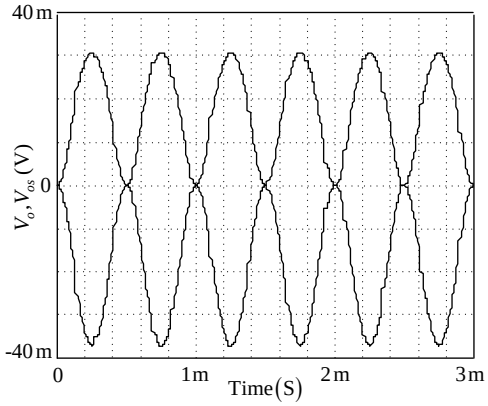

รูปที่ 9 แรงดันเอาต์พุต V_o และ V_{os} เมื่อแรงดันอินพุตเป็นสัญญาณไซน์ขนาด 100 mV ความถี่ 1 kHz

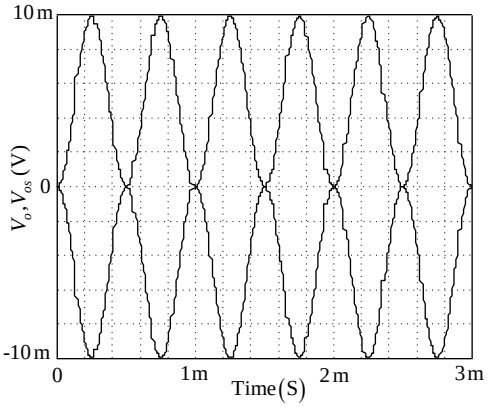

รูปที่ 10 แรงดันเอาต์พุต V_o และ V_{os} เมื่อแรงดันอินพุตเป็นสัญญาณไซน์มีขนาดเพิ่มขึ้นเป็น 200 mV ความถี่ 1 kHz

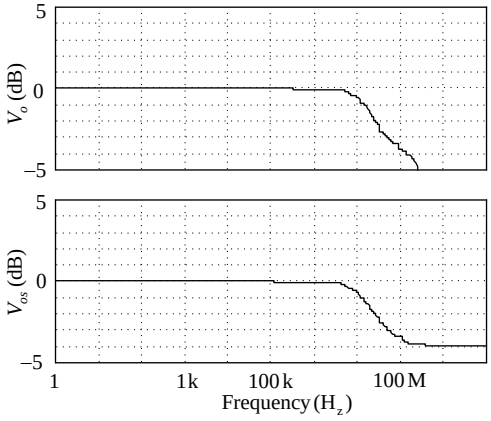

รูปที่ 11 ผลตอบสนองเชิงความถี่นอร์มัลไลซ์ของ V_o และ V_{os}

รูปที่ 11 แสดงผลตอบสนองเชิงความถี่นอร์มัลไลซ์ (normalize frequency) ของวงจรทั้งสอง จากผลจำลองการทำงาน ความถี่คัตออฟของวงจร NGSq มีค่า 56 MHz ในขณะที่คำนวณได้จากสมการที่ (4) มีค่า 84 MHz ส่วนผลจำลองการทำงานของวงจร VMSq นั้นมีค่า 60 MHz และจากการคำนวณในสมการที่ (8) มีค่า 45 MHz ตามลำดับ

3. สรุป

บทความนี้แสดงการเปรียบเทียบคุณสมบัติของวงจรกำลังสองชนิดนอร์เกตเปรียบเทียบกับวงจรกำลังสองเชิงแรงดันที่ไม่ใช้ตัวต้านทาน ที่ขนาดของทรานซิสเตอร์และกระแสไบแอสที่เท่ากัน พบว่า ความต้านทานอินพุตของทั้งสองวงจรมีค่ามาก ความต้านทานเอาต์พุตขึ้นอยู่กับตัวต้านทาน R และค่าทรานสคอนดักแตนซ์ของทรานซิสเตอร์ ตามลำดับ ส่วนช่วงการรับแรงดันพุตของวงจรกำลังสองชนิดนอร์เกตมีค่ามากกว่า ในขณะที่ผลตอบสนองเชิงความถี่ของวงจรทั้งสองมีค่าใกล้เคียงกัน ผลการเปรียบเทียบแสดงให้เห็นได้สมการทางคณิตศาสตร์และผลจำลองการทำงานด้วยโปรแกรม SPICE

เอกสารอ้างอิง

[1] บุญชัย บุญชู และวัลลภ สุระกาพลธร, “วงจรคูณแอนาลอก 4 ควอดแดรนท์เชิงแรงดันโดยใช้ทรานซิสเตอร์แบบซีมอส,” การประชุมวิชาการทางวิศวกรรมไฟฟ้า ครั้งที่ 24, หน้า 1075-1079, พฤศจิกายน 2544

[2] B. Boonchu and Wanlop Surakampontorn, “Dual-Output CMOS Voltage Squarer Circuit, *ECTI-CON 2020 Proceeding*, pp. 287-290, June 2020.

[3] Boonchai Boonchu and Wanlop Surakampontorn, “A New NMOS Four-Quadrant Analog Multiplier,” *IEEE ISCAS’05 Proceedings*, pp. 1004-1007, May 2005.

[4] B. Boonchu and W. Surakampontorn, “Voltage-Mode CMOS Squarer/Multiplier Circuit,” Proc. ITC-CSCC2002, pp. 646-649, July 2002.

[5] B. Boonchu and W. Surakampontorn, “วงจรคูณแอนะล็อกเชิงแรงดันโดยใช้ซีมอส” วิทยานิพนธ์หลักสูตรปริญญาวิศวกรรมศาสตรดุษฎีบัณฑิต สาขาวิศวกรรมไฟฟ้า คณะวิศวกรรมศาสตร์ สถาบันเทคโนโลยีพระจอมเกล้าเจ้าคุณทหารลาดกระบัง

[6] อภินันท์ ธนชยานนท์ “วงจรรวมแอนะล็อกซีมอส” งานเทคโนโลยีการศึกษา คณะวิศวกรรมศาสตร์ สถาบันเทคโนโลยีพระจอมเกล้าเจ้าคุณทหารลาดกระบัง

บุญชัย บุญชู สำเร็จการศึกษาตามหลักสูตรวิศวกรรมศาสตรดุษฎีบัณฑิต สาขาวิศวกรรมไฟฟ้า จากสถาบันเทคโนโลยีพระจอมเกล้าเจ้าคุณทหารลาดกระบัง มีความสนใจในการออกแบบวงจรรวมและอิเล็กทรอนิกส์กำลัง

ไพบูลย์ ธานินทร์สุรัตน์ สำเร็จการศึกษาหลักสูตรวิศวกรรมศาสตรมหาบัณฑิตสาขาวิศวกรรมไฟฟ้า จากสถาบันเทคโนโลยีพระจอมเกล้าเจ้าคุณทหาร ลาดกระบัง มีความสนใจในการออกแบบวงจรอิเล็กทรอนิกส์กำลัง

การออกแบบวงจรทดสอบเพื่อประเมินความเสื่อมสภาพฉนวนของเครื่องอัดประจุรถยนต์ไฟฟ้ากระแสสลับ

Design of a Circuit for Insulation Integrity Testing in AC EV Charging Systems

พลอยพรรณ จุมพรม[1] นพดล ฉาบแก้ว[1] และ ธีรธรรม บุณยะกุล[1]*

[1]สาขาวิชาวิศวกรรมไฟฟ้าและคอมพิวเตอร์ คณะวิศวกรรมศาสตร์ มหาวิทยาลัยเทคโนโลยีพระจอมเกล้าพระนครเหนือ
s6601011812049@email.kmutnb.ac.th

บทคัดย่อ

ในปัจจุบันมีการพัฒนาอุปกรณ์อัดประจุรถยนต์มากขึ้น โดยฉนวนของเครื่องอัดประจุรถยนต์ไฟฟ้า AC เป็นองค์ประกอบสำคัญ จำเป็นต้องมีการตรวจสอบสภาพฉนวนไฟฟ้าอย่างสม่ำเสมอ เพื่อรับประกันความปลอดภัยของผู้ใช้งานและเพิ่มความน่าเชื่อถือของเครื่องอัดประจุรถยนต์ไฟฟ้า AC งานวิจัยนี้นำเสนอการออกแบบเทคนิคการวัดค่าความต้านทานฉนวนไฟฟ้าจำนวน 3 วิธี โดยประเมินประสิทธิภาพผ่านค่าความแม่นยำและค่าความคลาดเคลื่อน ผลการศึกษาพบว่าเทคนิค Multiple Shunt Method แสดงประสิทธิภาพสูงสุดในการวัดความต้านทานฉนวนไฟฟ้า และสามารถครอบคลุมช่วงการวัดที่กว้างกว่าเทคนิคอื่น

คำสำคัญ: เครื่องทดสอบค่าความต้านทานของฉนวนไฟฟ้า กระแสรั่วไหล กระแสชันท์ แบ่งตัวต้านทาน

Abstract

At present, the development of electric vehicle supply equipment (EVSE) has been increasing. The insulation of AC electric vehicle chargers is a critical component that requires regular inspection to ensure user safety and enhance the reliability of the chargers. This research presents the design of three measurement techniques for evaluating insulation resistance, with performance assessed in terms of accuracy and error. The results show that the Multiple Shunt Method demonstrates the highest efficiency in measuring insulation resistance and can cover a wider measurement range compared to other techniques.

Keywords: Insulation Resistance Tester, Leakage Current, Current Shunt, Resistive Divider

1. บทนำ

การใช้ระบบขนส่งทางบกด้วยพลังงานไฟฟ้า ซึ่งจัดเป็นพลังงานสะอาด มีส่วนสำคัญในการลดการปล่อยก๊าซคาร์บอนไดออกไซด์ (CO_2) และลดมลพิษทางสิ่งแวดล้อม[1] การใช้งานรถยนต์ไฟฟ้าแสดงข้อได้เปรียบหลายประการเมื่อเปรียบเทียบกับรถยนต์เครื่องยนต์สันดาป ได้แก่ ระดับเสียงการทำงานที่เงียบ แรงบิดที่สูงกว่า และต้นทุนการบำรุงรักษาที่ต่ำกว่า

ปัจจุบันมีการส่งเสริมการใช้รถยนต์ไฟฟ้าเพิ่มมากขึ้น และมีการพัฒนาอุปกรณ์อัดประจุรถยนต์ไฟฟ้าอย่างต่อเนื่อง[2] โดยฉนวนของเครื่องอัดประจุรถยนต์ไฟฟ้า AC ถือเป็นองค์ประกอบสำคัญของ EVSE ที่จำเป็นต้องมีการตรวจสอบสภาพการเสื่อมและการทดสอบความต้านทานฉนวนไฟฟ้าเป็นระยะๆ โดยทั่วไปการตรวจสอบจะใช้เครื่องทดสอบความต้านทานฉนวนไฟฟ้าแบบอนาล็อกหรือแบบเข็ม[3] ซึ่งมีข้อจำกัดทั้งด้านความชัดเจนของการแสดงผลและความสะดวกในการใช้งาน เมื่อทดสอบที่ค่าความต้านทานสูงขึ้น แรงดันทดสอบอาจลดลงเมื่อมีโหลดเพิ่มขึ้น ดังนั้นจึงมีการออกแบบให้สามารถจ่ายแรงดันทดสอบได้คงที่แม้ภายใต้สภาวะโหลดที่มากขึ้น และออกแบบการวัดฉนวนให้มีประสิทธิภาพ

ปัจจัยที่ส่งผลต่อการเสื่อมสภาพของฉนวนไฟฟ้า[4-5] ได้แก่ ความเครียดทางความร้อน คือ การทำงานในสภาวะอุณหภูมิสูงหรือต่ำเกินไปทำให้ฉนวนไฟฟ้าเกิดการขยายตัวและหดตัว ส่งผลให้เกิดรอยร้าวและความเสียหาย ความเครียดทางไฟฟ้า คือ การเกิดแรงดันเกินอย่างฉับพลันจากสาเหตุต่างๆ เช่น ฟ้าผ่า อาจทำให้ฉนวนไฟฟ้าเกิดการแตกร้าวหรือลอกหลุด ความเครียดทางสิ่งแวดล้อม ได้แก่ ความชื้นสามารถลดค่าความต้านทานของฉนวนไฟฟ้า การปนเปื้อนจากฝุ่นละออง และรังสีอัลตราไวโอเลตล้วนส่งผลต่อการเสื่อมสภาพของผิวฉนวนไฟฟ้า

2. หลักการและทฤษฎี

การทดสอบความต้านทานฉนวนไฟฟ้าเป็นวิธีการประเมินคุณสมบัติความเป็นฉนวนของเครื่องอัดประจุรถยนต์ไฟฟ้า AC ฉนวนไฟฟ้าที่มีคุณภาพดีจะแสดงค่าความต้านทานฉนวนในระดับสูง โดยผลลัพธ์อยู่ในช่วงเมกะโอห์ม (MΩ) หรือกิกะโอห์ม (GΩ) ในทางตรงกันข้าม ฉนวนที่เสื่อมสภาพจะแสดงค่าความต้านทานที่ต่ำกว่า 1 MΩ ส่งผลให้เกิดกระแสรั่วไหล ซึ่งอาจนำไปสู่ความเสี่ยงด้านความปลอดภัย

2.1 มาตรฐานและข้อกำหนดของฉนวนไฟฟ้า

สำหรับการทดสอบค่าความต้านทานของฉนวนเครื่องอัดประจุรถยนต์ไฟฟ้า AC ได้มีมาตรฐานและข้อกำหนดเฉพาะเพื่อควบคุมกระบวนการทดสอบให้เป็นไปตามมาตรฐานสากล [6]มาตรฐาน IEC 61851-1 มีวัตถุประสงค์หลักในการกำหนดข้อกำหนดด้านความปลอดภัย การทำงาน และประสิทธิภาพของอัดประจุและองค์ประกอบที่เกี่ยวข้อง มาตรฐานนี้ระบุค่าความต้านทานฉนวนไฟฟ้าขั้นต่ำที่ยอมรับได้ วิธีการทดสอบ และเงื่อนไขสิ่งแวดล้อมในการทดสอบ เพื่อรับประกันความปลอดภัยของผู้ใช้งานและความเชื่อถือของระบบ

*ผู้ประพันธ์บรรณกิจ

2.2 การวัดกระแสรั่วไหล

การวัดกระแสที่ไหลผ่านฉนวนไฟฟ้าโดยใช้ตัวต้านทานชันท์ที่ต่ออนุกรมกับฉนวนไฟฟ้า[7] เมื่อมีการต่ออนุกรม กระแสที่ไหลผ่านตัวต้านทานมีค่าเท่ากันทุกตัวหรือแบ่งกระแส ปริมาณของกระแสที่ไหลผ่านตัวต้านทานจะคำนวณตามกฎของโอห์ม และกำหนดแรงดันทดสอบเป็น 500 V DC หากฉนวนมีค่าความต้านทานมีค่าสูง กระแสจะมีค่าต่ำ ในทางกลับกันหากความต้านทานมีค่าต่ำ กระแสจะมีค่าสูง ซึ่งบ่งชี้ถึงการเสื่อมสภาพหรือความเสียหายของฉนวน เนื่องจากกระแสที่วัดมีค่าแปรผกผันกับค่าความต้านทาน

การตรวจจับกระแสที่ไหลผ่านฉนวนไฟฟ้า สามารถวัดจากแรงดันตกคร่อมของตัวต้านทานชันท์ ซึ่งแรงดันตกคร่อมจะแปรผันตรงกับค่ากระแสที่ไหลผ่าน กระแสที่ไหลผ่านจะอยู่ในระดับมิลลิแอมป์ (mA) หรือต่ำกว่านั้นในช่วงไมโครแอมป์ (μA) ดังนั้นจึงต้องใช้วงจรขยายสัญญาณที่มีความแม่นยำสูงและมีคุณสมบัติกรองสัญญาณรบกวนที่ดี เพื่อป้องกันผลกระทบจากสัญญาณรบกวนที่มีอิทธิพลต่อการวัดกระแสขนาดเล็ก

2.3 ตัวบ่งชี้ประสิทธิภาพการวัดความต้านทานฉนวน

การวิเคราะห์ผลลัพธ์ ใช้ชุดข้อมูลการวัดจำนวน 10 ค่า ในการคำนวณ โดยประเมินด้วยค่าความคลาดเคลื่อนสัมบูรณ์เฉลี่ย (Mean Absolute Error: MAE) ซึ่งแสดงค่าเฉลี่ยของผลต่างเชิงสัมบูรณ์ระหว่างค่าที่วัดได้กับค่าจริง พร้อมทั้งใช้ค่าความแม่นยำ (Accuracy) เป็นตัวบ่งชี้ประสิทธิภาพในการวัด และใช้ค่าเบี่ยงเบนมาตรฐาน (Standard Deviation: SD) เพื่อแสดงการกระจายตัวของข้อมูลรอบค่าเฉลี่ย

3. การออกแบบและการสร้างอุปกรณ์ทดสอบฉนวนไฟฟ้า

การออกแบบประกอบด้วยบอร์ด 2 ส่วน ได้แก่ บอร์ดวัดค่าความต้านทานของฉนวนไฟฟ้า และบอร์ดแหล่งจ่ายแรงดันกระแสตรง 500 V การหาค่าความต้านทานของฉนวนไฟฟ้าอาศัยหลักการวัดกระแสรั่วไหลโดยต่อตัวต้านทานชันท์อนุกรมกับฉนวนเพื่อตรวจจับกระแส จากนั้นหาค่ากระแสที่ไหลผ่านโดยการวัดแรงดันตกคร่อมบนตัวต้านทานชันท์ วิธีการวัดมี 3 รูปแบบ ได้แก่ Single Shunt Multiple Shunt และ Resistive Divider ดังแสดงในรูปที่ 1

บอร์ดวัดประกอบด้วย 2 ส่วนหลักคือ การวัดกระแสชันท์ และการแบ่งแรงดัน การวัดกระแสชันท์มี 2 วิธี คือ Single Shunt และ Multiple Shunt โดยใช้ INA225 ตรวจจับแรงดันตกคร่อมของตัวต้านทานชันท์ ซึ่งสามารถเลือกอัตราขยายสัญญาณได้ผ่านขา GS0 และ GS1 หากไม่ต้องการขยายสัญญาณสามารถบายพาส INA225 ด้วยสวิตช์อนาล็อก TS5A23157 ที่ควบคุมด้วย DIP Switches วงจรถูกแยกกราวด์ด้วย ISO7640 (Digital Isolator) และสัญญาณวัดถูกส่งผ่าน AMC1200 (Isolation Amplifier) เพื่อแปลงสัญญาณผลต่างเป็นสัญญาณเดียวด้วย MCP6004 จากนั้นส่งต่อไปยัง MCU เพื่อคำนวณและแสดงผลที่หน้าจอ OLED การแบ่งแรงดันใช้ INA333 ซึ่งเป็นแอมพลิฟลายเออร์เครื่องมือวัดที่มีความแม่นยำสูง โดยลำดับการประมาณผลคล้ายกับวิธีวัดกระแสชันท์ สำหรับอุปกรณ์ตรวจจับสัญญาณ INA225 และ INA333 ซึ่งการวัดกระแส (Current Shunt) ที่ตัวต้านทานชันท์ใช้ INA225 ส่วน INA333 ขยายสัญญาณผลต่างที่มีค่าต่ำและต้องการความแม่นยำสูง

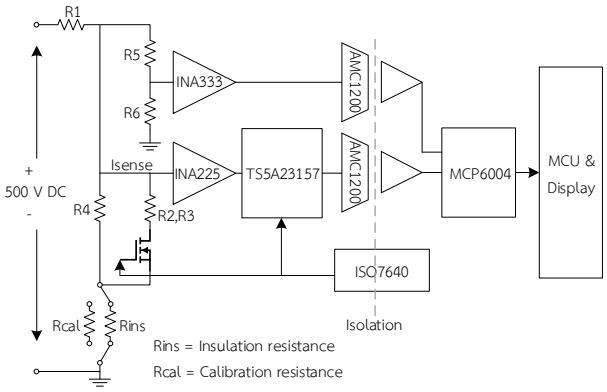

รูปที่ 1 บล็อกไดอะแกรมของวงจรวัดค่าความต้านทานของฉนวนไฟฟ้า

3.1 การวัดกระแสชันท์แบบตัวเดียว (Single Shunt)

วิธีวัดความต้านทานฉนวนไฟฟ้าแบบ Single Shunt อาศัยหลักการวัดกระแสรั่วไหลโดยใช้ตัวต้านทานชันท์เพียงตัวเดียวต่ออนุกรมกับฉนวนไฟฟ้า ดังรูปที่ 2 แสดงให้เห็นว่า R4 ทำหน้าที่เป็นตัวต้านทานชันท์ ขณะที่ R2 และ R3 ถูกเปิดวงจรด้วยมอสเฟตเพื่อป้องกันไม่ให้มีกระแสไหลผ่าน

การวัดกระแสทำได้โดยการวัดแรงดันตกคร่อม R4 ซึ่งมีค่าสัญญาณค่อนข้างเล็ก จึงต้องใช้การขยายสัญญาณ โดยเลือกอัตราขยายได้หลายระดับ ได้แก่ 25V/V 50V/V 100V/V และ 200V/V ผ่านการตั้งค่าที่ขา GS0 และ GS1 ของ INA225 หลักจากนั้นสัญญาณที่ขยายแล้วจะถูกแยกกราวด์ด้วย AMC1200 ก่อนส่งไปประมวลผลที่ MCU และแสดงผลบนหน้าจอ OLED

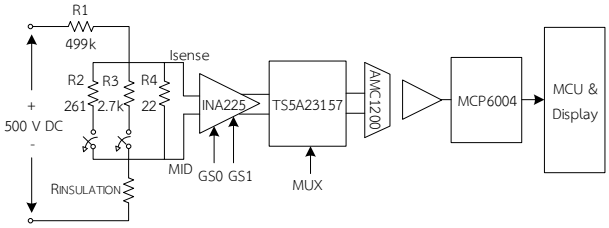

รูปที่ 2 การวัดกระแสชันท์แบบตัวเดียว

3.2 การวัดกระแสชันท์แบบหลายตัว

วิธีนี้ใช้หลักการวัดกระแสชันท์เช่นเดียวกับ Single Shunt ในรูปที่ 2 แต่มีความแตกต่างตรงที่ใช้ตัวต้านทานชันท์หลายตัวขนานกัน และสามารถเลือกใช้งานได้หลายค่าโดยการสลับผ่านมอสเฟตเพื่อรองรับการวัดค่าความต้านทานในช่วงที่กว้างขึ้นดังแสดงรูปที่ 3

การวัดทำได้โดยตรวจจับแรงดันตกคร่อมบนตัวต้านทานชันท์ โดยกรณีนี้ไม่จำเป็นต้องใช้ใช้อัตราขยายสัญญาณของ INA225 เนื่องจากการ

สลับค่าตัวต้านทานทำให้สัญญาณมีขนาดใหญ่เพียงพอ จึงสามารถบายพาส INA225 และเลือกสัญญาณผ่าน MUX ที่ถูกกำหนดด้วย DIP Switches หลังจากนั้นสัญญาณที่ได้จะถูกแยกกราวด์ด้วย AMC1200 ก่อนส่งเข้าการคำนวณที่ MCU และแสดงผลบนจอ OLED

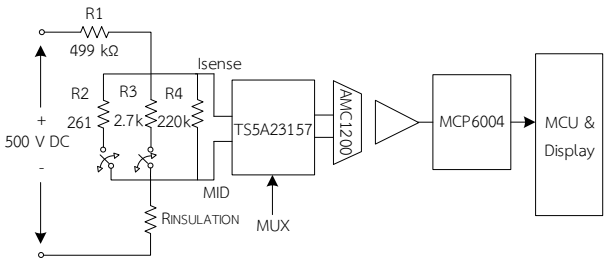

รูปที่ 3 การวัดกระแสชันท์แบบหลายตัว

3.3 การแบ่งแรงดัน

การวัดนี้อาศัยหลักการแบ่งแรงดันที่ตัวต้านทาน ซึ่งแตกต่างกับวิธีก่อนหน้าที่ใช้หลักการวัดกระแสรั่วไหล โดยการแบ่งแรงดันจะช่วยลดระดับจากแรงดันสูงจาก 500 V DC ให้อยู่ในช่วงที่สามารถป้อนเข้าอินพุตของ INA333 ได้อย่างปลอดภัย

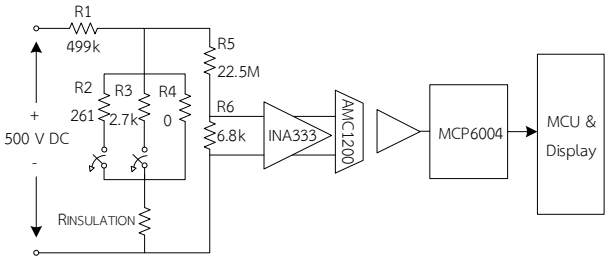

รูปที่ 4 การแบ่งแรงดัน

จากรูปที่ 4 แสดงให้เห็นว่ามอสเฟตทั้งสองตัวถูกปิดการทำงานและเปลี่ยน R4 ให้เป็น 0 Ω ภายในวงจรมีชุดตัวต้านทานสำหรับการแบ่งแรงดันที่ต่อขนานกับฉนวนไฟฟ้า โดยทำการวัดแรงดันตกคร่อมของตัวต้านทานและตรวจจับสัญญาณด้วย INA333 ที่มีความแม่นยำสูง หลังจากนั้นสัญญาณวัดจะถูกแยกกราวด์ด้วย AMC1200 ก่อนเข้าสู่กระบวนการคำนวณและแสดงผล โดยมีลำดับการทำงานคล้ายกับวิธีก่อนหน้า

4. ผลการทดสอบค่าความต้านทานของฉนวนไฟฟ้า

4.1 ผลการทดสอบด้วยวิธี Single Shunt

การทดสอบใช้อัตราขยายสัญญาณ 2 ค่า ได้แก่ Gain 25 และ Gain 200 โดยค่าความต้านทานต่ำกว่า 10 MΩ ใช้ Gain 25 เพื่อขยายแรงดันตกคร่อมที่อยู่ในระดับมิลลิโวลต์ ขณะที่ค่าความต้านทานสูงกว่า 10 MΩ ซึ่งให้แรงดันตกคร่อมต่ำกว่ามิลลิโวลต์ ต้องใช้อัตราขยายสูงขึ้น (Gain 200) เพื่อให้ INA225 ตรวจวัดได้อย่างแม่นยำ ดังตารางที่ 1

ตารางที่ 1 แสดงประสิทธิภาพของวิธี Single Shunt

Gain	X_t (MΩ)	MAE (Ω)	Accuracy (%)	SD
25	0.59	24881.255	95.783	218.010
	2.23	32951.778	98.522	27919.188
	3.01	34413.185	98.857	2774.808
	5.67	42681.042	99.247	4309.994
	6.67	62447.621	99.064	4164.781
	9.38	64616.420	99.311	21230.306
200	14.8	417532.987	97.179	4730.433
	22.2	393184.020	98.229	152.000
	30.3	454883.321	98.499	18669.611
	40.9	558065.782	98.636	24921.268
	52.0	278831.661	99.464	51696.839
	63.0	647381.494	98.972	58128.495
	73.0	136278.685	99.813	79661.461
	84.0	405906.349	99.517	92004.353
	93.0	1448890.489	98.442	146676.333
	105.0	326592.848	99.689	103920.382

จากตารางที่ 1 พบว่า ที่ Gain 25 ความแม่นยำอยู่ในช่วง 95.78–99.31% โดยค่า MAE แม้จะเพิ่มขึ้นตาม X_t แต่ยังคงต่ำเมื่อเทียบกับระดับเมกะโอห์มของ X_t ขณะที่ค่า SD แปรผันตามช่วงค่า X_t สำหรับ Gain 200 ความแม่นยำเกิน 97% และมากกว่า 99% ในช่วงค่าความต้านทานสูง โดยมีแนวโน้มที่ค่า MAE และ SD เพิ่มขึ้นตาม X_t

4.2 ผลการทดสอบด้วยวิธี Multiple Shunt

การแบ่งช่วงการวัดเพื่อวัดค่าความต้านทานฉนวนได้ครอบคลุมช่วงกว้าง โดยยังคงให้สัญญาณเอาต์พุตของ AMC1200 ไม่ต่ำกว่า 250 mV ได้แก่ ช่วงที่ 1 คือ 0 – 3MΩ ช่วงที่ 2 คือ 3.1MΩ - 39MΩ และช่วงที่ 3 คือ 40MΩ - 105MΩ

ตารางที่ 2 แสดงประสิทธิภาพของวิธี Multiple Shunt

Range	X_t (MΩ)	MAE (Ω)	Accuracy (%)	SD
1	0.59	6441.142	98.908	134.568
	2.23	47064.004	97.890	876.229
	3.01	36710.753	98.780	2073.468
2	5.67	23925.964	99.578	1915.213
	6.67	6766.797	99.899	2971.898
	9.38	5117.603	99.945	4749.488
	14.8	37827.206	99.744	8940.991
	22.2	12155.986	99.945	15980.813
	30.3	68771.298	99.773	38299.259
3	40.9	866024.272	97.883	59134.279
	52.0	114589.494	99.780	66072.055
	63.0	222368.234	99.647	122758.015
	73.0	195537.585	99.732	136508.971
	84.0	363742.921	99.567	150806.270
	93.0	1378227.013	98.518	229509.266
	105.0	172210.627	99.836	131004.261

จากตารางที่ 2 พบว่าช่วงที่ 1 ความแม่นยำอยู่ที่ 97.89%-98.91% และค่า SD เพิ่มตามค่า X_t ช่วงที่ 2 ความแม่นยำสูงกว่า 99.5.% โดยมีค่า MAE และ SD อยู่ในระดับที่ต่ำ ส่วนช่วงที่ 3 ความแม่นยำยังสูงกว่า 97% แต่ค่า MAE และ SD มีแนวโน้มเพิ่มขึ้นตามค่า X_t

4.3 ผลการทดสอบด้วยวิธี Resistive Divider

ในตารางที่ 3 จากผลการทดสอบพบว่าไม่สามารถวัดค่าความต้านทานที่สูงมากได้ เนื่องจากความแม่นยำลดลงอย่างต่อเนื่อง โดยช่วงการวัดที่มีประสิทธิภาพคือไม่เกิน 22 MΩ ซึ่งมีความแม่นยำเฉลี่ยประมาณ 99% ขณะที่ค่า MAE และ SD มีแนวโน้มเพิ่มขึ้นตามค่า X_t

ตารางที่ 3 แสดงประสิทธิภาพของวิธี Resistive Divider

X_t (MΩ)	MAE (Ω)	Accuracy (%)	SD
0.59	4709.000	99.202	600.360
2.23	47052.000	97.890	989.532
3.01	6162.000	99.795	1707.817
5.67	30474.000	99.463	3490.703
6.67	11506.000	99.827	7192.577
9.38	58174.000	99.380	22238.586
14.8	119601.600	99.192	27836.536
22.2	183067.200	99.175	195384.854
30.3	1238864.000	95.911	1193644.426
40.9	5520365.500	86.503	417433.747
52.0	3980076.100	92.346	627547.972
63.0	7690569.200	87.793	664286.319
73.0	24475795.800	66.472	563843.008

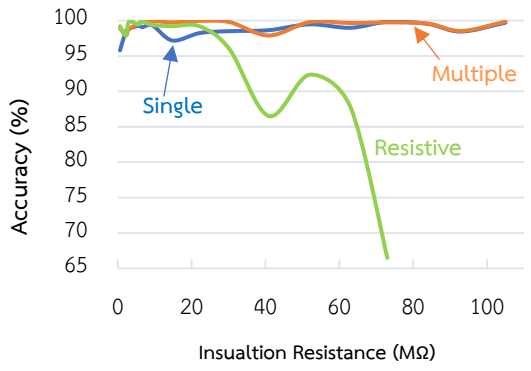

รูปที่ 6 แสดงความแม่นยำของการวัดเปรียบเทียบกันทั้ง 3 วิธี

จากรูปที่ 6 แสดงความสัมพันธ์ระหว่างค่าความต้านทานฉนวนไฟฟ้ากับความแม่นยำ โดยวิธีการวัดแสดงตามกราฟเส้นทั้งสามสี พบว่าเส้นสีน้ำเงินและสีส้มมีแนวโน้มใกล้เคียงกัน โดยในช่วงแรกมีความแม่นยำอยู่ที่ประมาณ 95-100% และยังคงค่อนข้างคงที่ที่ระดับ 97-100% เมื่อค่าความต้านทานเพิ่มขึ้น สำหรับกราฟสีเขียวช่วงต้นมีค่าความแม่นยำใกล้เคียงกับกราฟสีส้มและสีน้ำเงิน แต่เมื่อค่าความต้านทานสูงขึ้นประมาณ 30 MΩ ความแม่นยำจะเริ่มลดลงอย่างต่อเนื่องจนถึงค่าความต้านทานที่ 40 MΩ จากนั้นความแม่นยำเพิ่มขึ้นเล็กน้อยที่ค่าความต้านทาน 50 MΩ และลดลงอย่างรวดเร็วต่ำกว่า 70% เนื่องจากค่าความต้านทานฉนวนสูงกว่าค่าความต้านทานของ R5 และ R6 ดังรูปที่ 4 แรงดันตกคร่อมที่ R6 จะเปลี่ยนแปลงเพียงเล็กน้อยหรือเข้าสู่สภาวะอิ่มตัว ส่งผลให้อุปกรณ์ตรวจจับไม่สามารถแยกความแตกต่างของค่าความต้านทานฉนวนได้อย่างแม่นยำ

5. สรุป

ผลการทดสอบความต้านทานของฉนวนไฟฟ้าทั้งสามวิธี แสดงให้เห็นว่าวิธี Single Shunt และ Multiple Shunt มีประสิทธิภาพและความแม่นยำในการวัดที่สูงและคงที่ เมื่อเปรียบเทียบกับวิธี Resistive Divider ซึ่งพบว่าที่ค่าความต้านทานสูง ความแม่นยำและประสิทธิภาพมีแนวโน้มลดลงอย่างชัดเจน ค่า SD เพิ่มขึ้นอย่างต่อเนื่องและมากกว่าวิธี Shunt โดยภาพรวมวิธี Multiple Shunt ให้ผลการวัดที่มีประสิทธิภาพและมีความคงที่ดีที่สุด

เอกสารอ้างอิง

[1] M. Yasko, A. Balint, et al., “Future workplace EV charging architectures; DC and AC charging choices,” *2023 IEEE International Conference on Electrical System for Road Vehicle & International Transportation Electrification Conference (ESARS-ITEC)*, Venice, Italy, 2023, pp. 1–7.

[2] T. Thanakam and Y. Kumsuwan, “A Novel On-Board Battery Charger Configuration Based on Nine-Switch Converter fed Open-End Winding AC Motor Drive for Plug-In Electric Vehicles,” *2021 24th International Conference on Electrical Machines and Systems (ICEMS)*, Gyeongju, Korea, 2021, pp. 988-991.

[3] X. Huang, Y. Wang, et al., “Intelligent design of insulation tester,” *2011 International Conference on Electrical and Control Engineering*, Yichang, China, 2011, pp. 2287-2290.

[4] M. Choudhary, M. Shafiq, et al., “A Review of Aging Models for Electrical Insulation in Power Cables” *Energies*, 2022, pp. 3408, doi : 10.3390/en15093408

[5] M. Chafai, L. Refoufi and H. Bentarzi, “Medium Induction Motor Winding Insulation Protection System Reliability Evaluation and Improvement Using Predictive Analysis,” *6th WSEAS Int. Conf. on Circuit System Electronics Control & Signal Processing*, Cairo, Egypt, 2007, pp.156-161.

[6] IEC 61851-1 : Electric vehicle conductive charging system Part 1 : General requirements. 3rd ed, 2017.

[7] S. Ziegler, R. C. Woodward, et al., “Current Sensing Techniques : A Review,” *IEEE Sensors Journal*, 2009, vol. 9, no. 4, pp. 354-376.

ออกแบบเครื่องตรวจวัดจุดบกพร่องของสัญญาณ CP ของ EVSE สำหรับการพัฒนาเครื่องชาร์จยานยนต์ไฟฟ้า

Design of EVSE's CP debugger for EVSE development

สุปวีร์ บัวผัน[1] และ ธีรธรรม บุณยะกุล[1]*

[1]ภาควิชาวิศวกรรมไฟฟ้าและคอมพิวเตอร์ คณะวิศวกรรมศาสตร์ มหาวิทยาลัยเทคโนโลยีพระจอมเกล้า พระนครเหนือ

s6701011812048@email.kmutnb.ac.th

บทคัดย่อ

การสื่อสารระหว่าง EVSE และยานยนต์ไฟฟ้าอาศัยสัญญาณ Control Pilot (CP) เป็นปัจจัยสำคัญ งานวิจัยนี้จึงนำเสนอการพัฒนาเครื่องตรวจวัดเพื่อประเมินความถูกต้องของสัญญาณดังกล่าว โดยมีวัตถุประสงค์ในการตรวจสอบความถูกต้องของสัญญาณ CP เพื่อสนับสนุนการพัฒนาเครื่องชาร์จยานยนต์ไฟฟ้าที่มีความปลอดภัยของกระบวนการชาร์จ โดยใช้ไมโครคอนโทรลเลอร์ STM32H723VGT6 สำหรับการวัดและวิเคราะห์สัญญาณ CP ร่วมกับ ESP32 สำหรับควบคุมการทดสอบและเชื่อมต่อกับซอฟต์แวร์คอมพิวเตอร์ ผลการทดลองแสดงให้เห็นว่าสัญญาณ CP ที่ตรวจวัดได้จาก EVSE ในแต่ละสถานะมีค่าความคลาดเคลื่อนต่ำและใกล้เคียงกับมาตรฐาน IEC 61851 ยืนยันว่าเครื่องตรวจวัดนี้สามารถใช้เป็นเครื่องมือสำหรับการพัฒนาและตรวจสอบการทำงานของ EVSE ตามมาตรฐานสากลได้อย่างมีประสิทธิภาพ

คำสำคัญ: เครื่องตรวจวัดจุดบกพร่องของสัญญาณ CP, เครื่องชาร์จยานยนต์ไฟฟ้า, การตรวจวัดสัญญาณ

Abstract

Since the Control Pilot (CP) signal plays a critical role in communication between EVSE and electric vehicles, this research proposes the development of a dedicated debugger for its verification. The objective is to assess the of CP signals to develop EVSE with proper operation and safety during the charging process. The system integrates an STM32H723VGT6 microcontroller for CP signal measurement and analysis, and an ESP32 for test control and host computer communication. Experimental results indicate that the measured CP signals in different operating states closely match IEC 61851 standards, with only minor deviations. These results confirm that the proposed debugger can effectively serve as a tool for EVSE development and compliance testing with international standards.

Keywords: Control Pilot debugger, Electric Vehicle Supply Equipment, signal measurement

1. บทนำ

ปัจจุบันอุตสาหกรรมยานยนต์กำลังเปลี่ยนผ่านจากการใช้เครื่องยนต์สันดาปภายในไปสู่การใช้พลังงานไฟฟ้า ยานยนต์ไฟฟ้า(Electric Vehicle: EV) จึงกลายเป็นทางเลือกสำคัญที่ช่วยลดการปล่อยมลพิษ ในการใช้งานจริง ระบบอุปกรณ์จ่ายไฟฟ้าสำหรับการชาร์จยานยนต์ไฟฟ้า หรือ EVSE (Electric Vehicle Supply Equipment) มีบทบาทสำคัญในการเป็นตัวกลางในการควบคุมการส่งกำลังระหว่างแหล่งจ่ายไฟฟ้าและยานยนต์ไฟฟ้า เพื่อให้กระบวนการชาร์จเป็นไปอย่างปลอดภัย และ มีเสถียรภาพ

หนึ่งในสัญญาณหลักที่ใช้ในการสื่อสารและควบคุมระหว่าง EVSE และยานยนต์ไฟฟ้าคือสัญญาณ Control Pilot (CP) ซึ่งทำหน้าที่กำหนดโหมดการชาร์จ ตรวจสอบสถานะการเชื่อมต่อ และควบคุมกำลังไฟฟ้าที่จ่ายให้กับยานยนต์ไฟฟ้าได้โดยการจำกัดกระแสในการชาร์จ[1] อย่างไรก็ตาม หากสัญญาณ CP เกิดความบกพร่อง เช่น รูปคลื่นผิดเพี้ยน ค่าระดับแรงดันไม่ถูกต้องตามมาตรฐาน IEC 61851[2] หรือมีสัญญาณรบกวน [3][4] อาจส่งผลให้การชาร์จทำงานผิดพลาด หรือเกิดความเสี่ยงต่อความปลอดภัยของทั้งตัวผู้ใช้งานและระบบชาร์จไฟฟ้า

งานวิจัยนี้มีจุดมุ่งหมายในการออกแบบและพัฒนาเครื่องมือสำหรับการตรวจวัดความผิดปกติของสัญญาณ CP การทดสอบการทำงานของ EVSE เพื่อใช้เป็นเครื่องมือสำหรับผู้พัฒนา EVSE ให้เป็นไปตามมาตรฐานตามหลักสากล

2. ทฤษฎีที่เกี่ยวข้อง

2.1 ความบกพร่องของสัญญาณ CP

ตามมาตรฐาน IEC 61851 สัญญาณ Control Pilot (CP) ที่ส่งจาก EVSE จะอยู่ในรูปคลื่นสัญญาณพัลส์วิดท์มอดูเลชั่น (PWM) ความถี่ 1 kHz โดยมีแรงดันพีคประมาณ +12 V ถึง –12 V ซึ่งขึ้นอยู่กับสภาวะการทำงาน ระดับแรงดันและรูปคลื่นของสัญญาณดังกล่าวถูกใช้เพื่อระบุสถานะการเชื่อมต่อและการชาร์จของระบบ โดยสามารถแบ่งออกได้เป็น 4 สถานะ ได้แก่ สถานะ A (≈ +12 V) หมายถึงยังไม่มีการเชื่อมต่อยานยนต์ไฟฟ้า, สถานะ B (≈ +9 V) แสดงถึงการที่ยานยนต์ไฟฟ้าเชื่อมต่อกับ EVSE แล้วแต่ยังไม่เริ่มกระบวนการชาร์จ,สถานะ C (≈ +6 V) แสดงถึงการที่ระบบอยู่ในช่วงการชาร์จพลังงาน, และสถานะ D (≈ +3 V) ใช้สำหรับการชาร์จที่ต้องการระบบระบายอากาศเพิ่มเติม ส่วน สถานะ E (≈ 0 V) และ สถานะ F (≈ -12 V) ใช้เพื่อบ่งบอกถึงความผิดปกติของระบบหรือการเชื่อมต่อที่ล้มเหลว นอกจากนี้ การปรับค่าดิวตี้ไซเคิล (Duty cycle) ของสัญญาณ

*ผู้ประพันธ์บรรณกิจ

PWM ยังถูกใช้เพื่อสื่อสารค่ากระแสสูงสุดที่ EVSE สามารถจ่ายไปยังยานยนต์ไฟฟ้าอีกด้วย

สัญญาณควบคุม CP ประกอบด้วยแหล่งกำเนิดสัญญาณ PWM ซึ่งต่ออนุกรมกับตัวต้านทานค่าคงที่ 1 kΩ เพื่อส่งสัญญาณไปยังยานยนต์ไฟฟ้า ขณะที่ฝั่งยานยนต์ไฟฟ้าจะมีไดโอดและสวิตช์สำหรับเลือกค่าตัวต้านทานเพื่อต่อเข้ากับสัญญาณ CP โดยการเลือกค่าต้านทานดังกล่าวจะทำให้ระดับแรงดันของสัญญาณ CP เปลี่ยนแปลง และแรงดันที่ปรากฏนี้ใช้เป็นตัวบ่งชี้สถานะการชาร์จของยานยนต์ไฟฟ้า

อย่างไรก็ตาม หากแรงดันพีคด้านบวกของสัญญาณ CP มีค่าคลาดเคลื่อนจากมาตรฐาน อาจทำให้ยานยนต์ไฟฟ้าบางรุ่นตีความสถานะการชาร์จผิดพลาดได้ เนื่องจากเกณฑ์การตีความสถานะตามระดับแรงดันอาจแตกต่างกันไปตามผู้ผลิต สาเหตุของความผิดเพี้ยนนี้อาจเกิดจากค่าความต้านทานภายในของ EVSE ที่ไม่เป็นไปตามมาตรฐาน หรือจากสัญญาณรบกวนที่เกิดขึ้นใน EVSE ที่ไม่มีคุณภาพ การตรวจสอบและวิเคราะห์ปัญหาดังกล่าวจึงจำเป็นต้องอาศัยการวัดแรงดันของสัญญาณ CP ระหว่างกระบวนการชาร์จ โดยใช้ออสซิลโลสโคปเป็นเครื่องมือหลักในการประเมินรูปคลื่นและการเปลี่ยนแปลงที่เกิดขึ้น

2.2 หลักการของการทดสอบเวลาหน่วงในการทำงานของ EVSE

ในการจ่ายพลังงานจาก EVSE ไปยังยานยนต์ไฟฟ้า ความรวดเร็วในการจ่ายและตัดกำลังไฟฟ้ามีความสำคัญอย่างยิ่ง โดยความล่าช้าในการจ่ายไฟฟ้าแม้อาจไม่ก่อให้เกิดผลกระทบรุนแรงนัก แต่หากล่าช้าเกินไปอาจทำให้ยานยนต์ไฟฟ้าตรวจจับว่าเกิดความผิดปกติระหว่างกระบวนการชาร์จได้ ขณะที่ความล่าช้าในการตัดไฟฟ้ามีผลกระทบมากกว่า เนื่องจากอาจทำให้ผู้ให้บริการสถานีชาร์จสูญเสียพลังงานเกินกว่าที่กำหนด รวมทั้งในแง่ความปลอดภัย หากเกิดความผิดปกติระหว่างการชาร์จ EVSE จำเป็นต้องตัดกำลังไฟฟ้าในทันที

การทดสอบเวลาหน่วงในการจ่ายกำลังไฟฟ้าของ EVSE สามารถทำได้โดยการส่งคำสั่งให้ EVSE เปลี่ยนสถานะจาก สถานะ B ไปเป็น สถานะ C จากนั้นทำการจับเวลาตั้งแต่จังหวะที่เริ่มเปลี่ยนแปลงสถานะจนถึงช่วงที่ EVSE เริ่มจ่ายพลังงานมายังยานยนต์ไฟฟ้า ในทำนองเดียวกัน การทดสอบเวลาหน่วงในการตัดกำลังไฟฟ้าสามารถทำได้โดยการเปลี่ยนสถานะจากสถานะ C กลับไปเป็น สถานะ B และทำการจับเวลาตั้งแต่จังหวะที่เริ่มเปลี่ยนสถานะจนถึงช่วงที่ EVSE หยุดจ่ายกำลังไฟฟ้าให้กับยานยนต์ไฟฟ้า

3. การออกแบบระบบ และการทดสอบ EVSE

รูปที่ 1 แสดงถึงแผนภาพรวมของวงจรที่ใช้ในการทดสอบเครื่อง EVSE โดยจะประกอบไปด้วยส่วนควบคุม 2 ส่วนได้แก่

1. ESP32 ทำหน้าที่ในการสื่อสารระหว่างซอฟต์แวร์ควบคุมการทดสอบ ในการสั่งการวงจรจำลองการสื่อสารของยานยนต์ไฟฟ้าแล้วจับเวลาในการทำงานของหน้าสัมผัส
2. STM32H723VGT6 ทำหน้าที่ในการตรวจวัดสัญญาณ CP และประมวลผลสัญญาณเพื่อคำนวณแรงดันสูงสุด แรงดันต่ำสุด Duty ratio และความถี่ของสัญญาณ CP

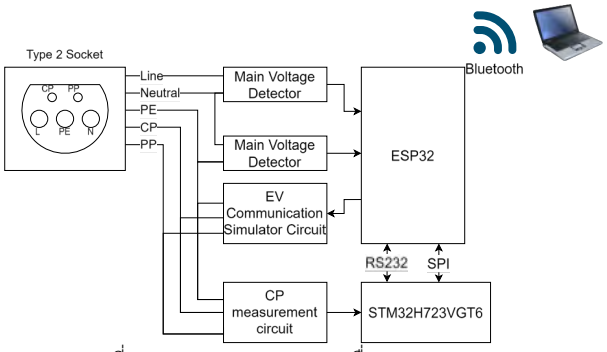

รูปที่ 1.แผนภาพรวมของวงจรเครื่องทดสอบ EVSE

โดยในส่วนของ ESP32 จะทำหน้าที่เป็นตัวกลางในการสื่อสารระหว่างซอฟต์แวร์ในการทดสอบ กับ STM32 และทำหน้าที่ในการเปลี่ยนแปลงสถานะของวงจรจำลองการสื่อสารของยานยนต์ไฟฟ้า และทำหน้าที่ในการจับเวลาในการจ่ายกำลังไฟฟ้า และหยุดจ่ายกำลังไฟฟ้าของ EVSE

ส่วนของ STM32H723VGT6 จะถูกออกแบบให้หน้าที่วัดสัญญาณ CP ซึ่งจะใช้อัตราการสุ่มค่าสัญญาณอยู่ที่ 4Msps เพื่อใช้ในการวัดสัญญาณ CP และสัญญาณรบกวนที่ผสมอยู่ในสัญญาณ CP โดยในการสุ่มค่าสัญญาณ CP 1 รอบจะทำการสุ่มค่า 8000 ตัวอย่างเพื่อใช้ในการแสดงผลและการประมวลผลสัญญาณเพื่อคำนวนหาค่าแรงดันสูงสุด และค่าต่ำสุดของสัญญาณ CP

3.1 วงจรจำลองการทำงานระหว่าง EVSE และยานยนต์ไฟฟ้า

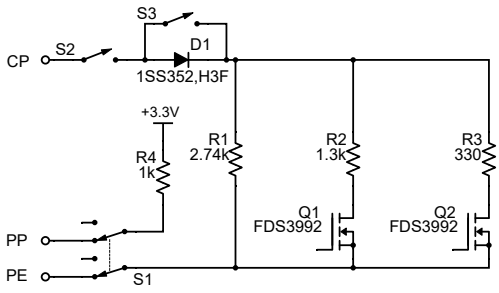

รูปที่ 2. วงจรจำลองการสื่อสารภายในยานยนต์ไฟฟ้า

จากรูปที่ 2 แสดงถึงวงจรที่ใช้สำหรับการจำลองการสื่อสารระหว่างยานยนต์ไฟฟ้า และ EVSE โดยจะประกอบไปด้วยค่าต้านทานและไดโอดดังที่ได้กล่าวถึงในส่วนที่ 2.1 โดยค่าต้านทานในแต่ละค่าจะใช้ในการกำหนดสถานะในการชาร์จของ EVSE ซึ่งจะเป็นไปตามมาตรฐาน IEC 61851

ในการสร้างวงจรจริงวัสดุของค่าต้านทานจะเลือกใช้เป็นตัวต้านทานชนิดฟิล์มบาง เนื่องจากความเสถียรภาพทางด้านอุณหภูมิและค่าความคลาดเคลื่อนของค่าต้านทานมีค่าต่ำกว่าค่าต้านทานชนิดฟิล์มหนา และไดโอดจะเลือกใช้เป็นไดโอดสำหรับสัญญาณขนาดเล็กเนื่องจากไดโอดชนิดดังกล่าวมีความสามารถในการคืนตัวที่รวดเร็วกว่าไดโอดเรียงกระแสทั่วไป

3.2 วงจรวัดแรงดันสัญญาณ CP

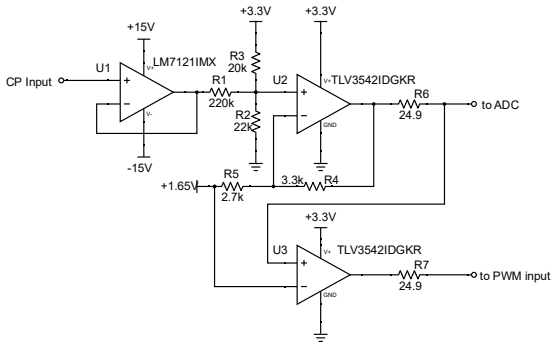

รูปที่ 3.วงจรปรับระดับสัญญาณ CP

จากที่กล่าวมาแล้วเกี่ยวกับสัญญาณ CP ซึ่งเป็นสัญญาณ PWM ที่มีระดับแรงดันสูงสุดเท่ากับ +12V และแรงดันต่ำสุดเท่ากับ –12V ซึ่งการประมวลผลสัญญาณด้วยตัวแปลงสัญญาณอนาล็อก-เป็น-ดิจิทัล (ADC) สัญญาณ CP จำเป็นต้องอยู่ในช่วงแรงดัน 0–3.3 โวลต์ ดังนั้นจึงต้องมีการปรับระดับแรงดันของสัญญาณ CP ให้อยู่ในช่วงที่เหมาะสมก่อนนำเข้าสู่ ADC

รูปที่ 3 แสดงวงจรปรับระดับสัญญาณ ซึ่งสามารถแบ่งการทำงานออกเป็น 3 ส่วนหลัก ได้แก่

1) วงจรบัฟเฟอร์ ทำหน้าที่วัดแรงดันที่ขั้วสัญญาณ CP เพื่อไม่ให้อิมพีแดนซ์ขาเข้าของวงจรปรับระดับแรงดันมีผลกับสัญญาณ CP
2) วงจรปรับระดับแรงดัน ทำหน้าที่ลดระดับแรงดันและเลื่อนระดับแรงดันให้อยู่ในช่วงบวกและมีระดับที่เหมาะสมสำหรับการทำงานของ ADC
3) วงจรแปลงสัญญาณ PWM เป็นสัญญาณพัลส์ใช้ในการประมวลผลเพื่อหาความถี่และความกว้างพัลส์

3.3 วงจรตรวจจับแรงดันไลน์

การตรวจจับแรงดันไฟฟ้ากระแสสลับ 230V จะใช้วงจรดังรูปที่ 4 โดยวงจรตรวจพบแรงดันไลน์วงจรจะให้ลอจิก 1 และหากวงจรตรวจไม่พบแรงดันไลน์วงจรจะให้ลอจิก 0

3.4 การทดสอบ EVSE

รูปที่ 5 แสดงถึงวงจรของเครื่องทดสอบ EVSE โดยการทดสอบ EVSE จะทำการต่อเครื่องทดสอบ EVSE ผ่านหัวชาร์จ CCS Type 2 ดังที่แสดงไว้ในรูปที่ 6 จากนั้นทำการควบคุมการทดสอบโดยใช้ซอฟต์แวร์ในการสั่งการเครื่องทดสอบ EVSE และแสดงผลลัพธ์ที่ได้จากการทดสอบ

ในกระบวนการทดสอบ เริ่มจากการสั่งให้ EVSE อยู่ที่สถานะ A และทำการวัดแรงดันของสัญญาณ CP จากนั้นเปลี่ยนไปที่สถานะ B แล้วตามด้วยสถานะ B2 ซึ่งสามารถทำได้โดยการแตะบัตรที่ EVSE ก่อนจะทำการวัดแรงดันของสัญญาณ CP ที่สถานะ B ต่อมาเปลี่ยนสถานะจาก B ไปเป็น C โดยในช่วงการเปลี่ยนแปลงนี้ เครื่องทดสอบจะทำการจับเวลา ในการเชื่อมต่อแรงดันไลน์เข้าสู่หัวชาร์จ เมื่อเข้าสู่สถานะ C จะทำการวัดแรงดันของสัญญาณ CP ต่อด้วยการเปลี่ยนไปยังสถานะ D เพื่อวัดแรงดันสัญญาณในสถานะ D หลังจากนั้นเปลี่ยนกลับไปเป็นสถานะ C ต่อมาทำการเปลี่ยนแปลงสถานะจากสถานะ C ไปเป็นสถานะ B เพื่อจำลองการหยุดการชาร์จโดยยานยนต์ไฟฟ้า พร้อมทั้งจับเวลาที่ใช้ในการหยุดชาร์จด้วย จากนั้น เปลี่ยนสถานะกลับไปที่สถานะ A เพื่อสิ้นสุดกระบวนการทดสอบ

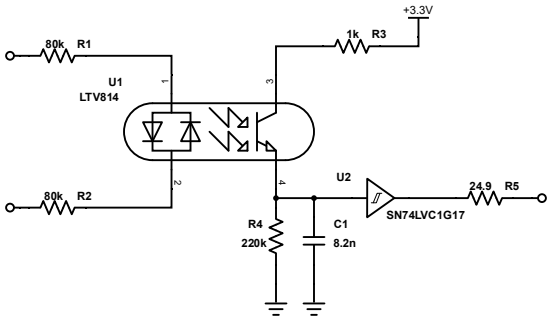

รูปที่ 4.วงจรตรวจจับแรงดันไลน์

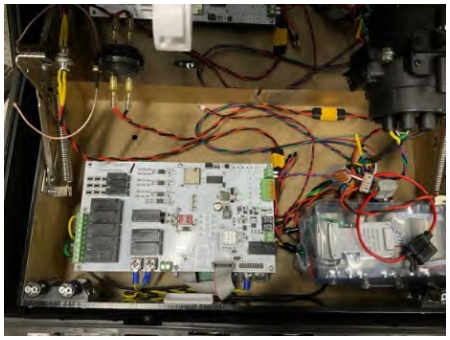

รูปที่ 5 วงจรเครื่องทดสอบ EVSE

รูปที่ 6 การทดสอบ EVSE

4. ผลลัพธ์ และอภิปราย

จากผลการทดสอบ EVSE ดังรูปที่ 7 แสดงสัญญาณ CP ในสถานะ A ซึ่งเครื่องทดสอบตรวจวัดได้ +12.36V ซึ่งคลาดเคลื่อนจากมาตรฐานอยู่ที่ 2.99%

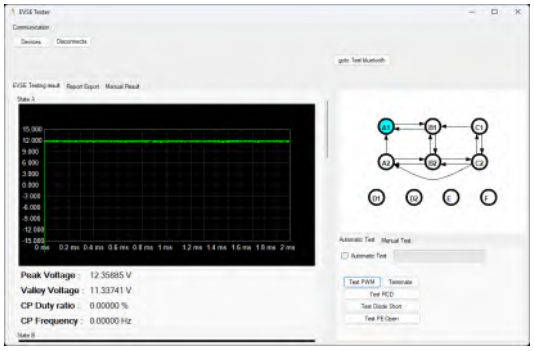

รูปที่ 7 ผลการทดสอบ EVSE ในสถานะ A

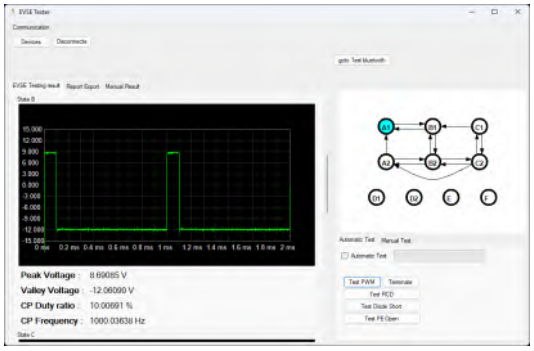

รูปที่ 8 ผลการทดสอบ EVSE ในสถานะ B

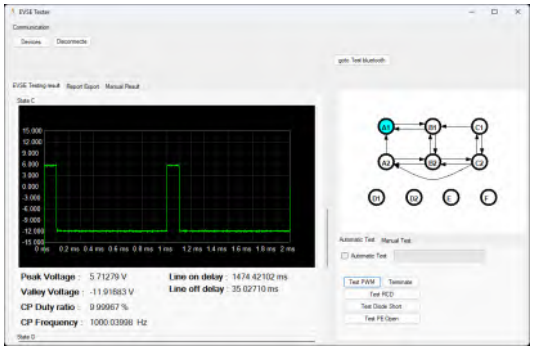

รูปที่ 9 ผลการทดสอบ EVSE ในสถานะ C

รูปที่ 8 แสดงสัญญาณ CP ในสถานะ B ซึ่งมีแรงดันสูงสุดอยู่ที่ +8.69V ซึ่งมีความคลาดเคลื่อนจากมาตรฐานอยู่ที่ 3.435% สัญญาณมีความถี่ 1000.04Hz ซึ่งคลาดเคลื่อนจากมาตรฐานไป 0.00368% และมีค่าดิวตี้ไซเคิล 10.01%

รูปที่ 9 แสดงถึงสัญญาณ CP ในสถานะ C ซึ่งเป็นสถานการณ์ชาร์จจะได้ว่าสัญญาณ CP จะอยู่ในรูปแบบพัลส์เช่นเดียวกันกับรูปที่ 8 โดยความถี่และค่าดิวตี้ไซเคิล มีความแตกต่างกันอยู่ที่ 0.036% และ 0.072% ตามลำดับซึ่งนับว่าไม่ต่างกันมาก และมีระดับแรงดันสูงสุดอยู่ที่ +5.71V ซึ่งมีความคลาดเคลื่อนจากมาตรฐานอยู่ที่ 4.787% มีเวลาหน่วงในการจ่ายแรงดัน 1474.42ms และเวลาหน่วงในการหยุดจ่ายแรงดันไลน์ 35.04ms

รูปที่ 10 แสดงถึงสัญญาณ CP ในสถานะ D โดยมีแรงดันสูงสุดอยู่ที่ +3.2V ซึ่งคลาดเคลื่อนไปจากมาตรฐานอยู่ที่ 6.661%

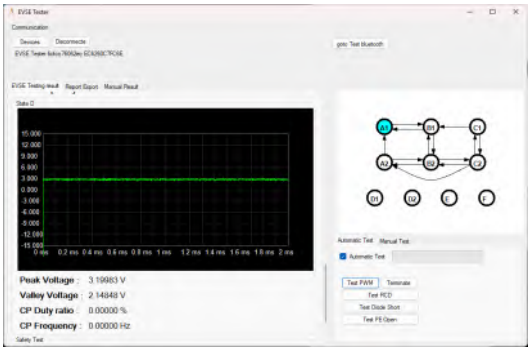

รูปที่ 10 ผลการทดสอบ EVSE ในสถานะ D

5. สรุป

จากผลการทดสอบเครื่อง EVSE โดยใช้เครื่องตรวจวัดจุดบกพร่องของสัญญาณ CP จะพบว่าสัญญาณ CP ของ EVSE ที่ทำการทดสอบในแต่ละสถานะมีความใกล้เคียงกับมาตรฐานและการทำงานของ EVSE ในแต่ละสถานะเป็นไปตามมาตรฐาน IEC 61851-1

เอกสารอ้างอิง

[1] A. B. Pedersen, S. Martinenas, P. B. Andersen, T. M. SØrensen and H. S. HØj, "A method for remote control of EV charging by modifying IEC61851 compliant EVSE based PWM signal," *2015 IEEE International Conference on Smart Grid Communications (SmartGridComm)*, Miami, FL, USA, 2015, pp. 539-544,

[2] IEC 61851-1: Electric vehicle conductive charging system Part 1: General requirements. 3rd ed, 2017.

[3] S. Jeschke, M. Maarleveld, J. Baerenfaenger, B. Schmuelling and A. Burkert, "Challenges in EMC Testing of EV and EVSE Equipment for Inductive Charging," *2018 International Symposium on Electromagnetic Compatibility (EMC EUROPE)*, Amsterdam, Netherlands, 2018, pp. 967-971,

[4] C. Lewandowski, S. Gröning, J. Schmutzler and C. Wietfeld, "Interference analyses of Electric Vehicle charging using PLC on the Control Pilot," *2012 IEEE International Symposium on Power Line Communications and Its Applications*, Beijing, China, 2012, pp. 350-355,

การควบคุมแบบจำลองแขนหุ่นยนต์โดยใช้การประมวลผลภาพดิจิทัล
Controlling a Robotic Arm by using Digital Image Processing

ธรรมกร ครองไตรภพ[1] พุทธาวุฒิ ลีกุลธร[1] สนั่น จันทร์พรม[1] ประกาย นาดี[1] พุฒิพงศ์ เกิดพิพัฒน์[2] และ ถนอมศักดิ์ โสภณ[3]*

[1]สาขาวิศวกรรมคอมพิวเตอร์ คณะวิศวกรรมศาสตร์และเทคโนโลยี มหาวิทยาลัยเทคโนโลยีราชมงคลอีสาน
thammakorn@rmuti.ac.th, crow@hotmail.com, sanan@rmuit.ac.th, prakai@rmuit.ac.th
[2]สาขาวิศวกรรมอิเล็กทรอนิกส์และโทรคมนาคม คณะวิศวกรรมศาสตร์ มหาวิทยาลัยเทคโนโลยีราชมงคลกรุงเทพ putthiphong.k@mail.rmutk.ac.th
[3]สาขาวิศวกรรมอิเล็กทรอนิกส์ คณะวิศวกรรมศาสตร์และเทคโนโลยี มหาวิทยาลัยเทคโนโลยีราชมงคลอีสาน thanomsak.so@rmuti. ac.th*

บทคัดย่อ

บทความนี้นำเสนอการพัฒนาซอฟต์แวร์ส่วนต่อประสานกราฟิกกับผู้ใช้งานด้วยโปรแกรมภาษาไพทอนทำการตรวจจับวัตถุสีด้วยการประมวลผลภาพดิจิทัล เพื่อควบคุมการเคลื่อนที่ของแขนหุ่นยนต์อัตโนมัติ แขนหุ่นยนต์ถูกควบคุมการทำงานผ่านบอร์ด Raspberry Pi 4 และการตรวจจับวัตถุสีด้วยโมดูลกล้อง Raspberry Pi จากนั้นทำการทดลองควบคุมแขนหุ่นยนต์ให้หยิบจับวัตถุสีจำนวน 3 สี คือ สีแดง สีเขียว และสีน้ำเงิน ที่มีการสั่งการทำงานผ่านซอฟต์แวร์ส่วนต่อประสานกราฟิกกับผู้ใช้งานด้วยการประมวลผลภาพดิจิทัล ผลการทดลองการประมวลผลภาพดิจิทัลตรวจจับวัตถุสีควบคุมให้แขนหุ่นยนต์สามารถหยิบจับวัตถุสีได้ทั้ง 3 สี

คำสำคัญ: แขนหุ่นยนต์ ซอฟต์แวร์ GUI การประมวลผลภาพดิจิทัล

Abstract

This paper proposes the development of a graphical user interface (GUI) software using the python programming language to detect colored objects using digital image processing to control the movement of an automatic robotic arm. The robotic arm is controlled via a raspberry pi 4 board and colored object detection using a raspberry pi camera module. After that, an experiment was conducted to control the robotic arm to pick up three colored objects: red, green, and blue, which were controlled via the GUI software using digital image processing. The results of the experiment show that the digital image processing detects colored objects and controls the robotic arm to pick up all three colored objects.

Keywords: Robotic Arm, GUI Software, Digital Image Processing

1. ข้อมูลทั่วไป

ในปัจจุบันหุ่นยนต์ได้เข้ามามีบทบาทในภาคอุตสาหกรรมด้านต่าง ๆ และชีวิตประจำวันของมนุษย์มากขึ้น โดยแขนกลหรือแขนหุ่นยนต์ (Robotic Arm) คือระบบการทำงานที่มีการใช้เครื่องจักรกลในการทำงานแทนมนุษย์ผ่านการควบคุมแบบอัตโนมัติ หรือแบบกึ่งอัตโนมัติที่สามารถทำงานซ้ำๆ และซับซ้อนได้ดี ทั้งสามารถทำงานในงานที่มีความอันตรายและมีความเสี่ยงเกินกว่าที่จะให้มนุษย์ทำได้ เช่น งานที่มีการหยิบจับวัตถุที่อุณหภูมิสูง หรือการเคลื่อนย้ายวัตถุจากตำแหน่งหนึ่งไปอีกตำแหน่งหนึ่ง เป็นต้น

ระบบอุตสาหกรรมที่ซับซ้อนการควบคุมการทำงานของหุ่นยนต์หรือแขนหุ่นยนต์สามารถทำงานด้วยอุปกรณ์คอมพิวเตอร์ขนาดเล็กที่พอเหมาะสม หรือหุ่นยนต์อัตโนมัติอัจฉริยะสามารถทำงานได้ด้วยไมโครชิปเพียงตัวเดียวให้สามารถดำเนินการงานต่างๆ ในโรงงานได้ ดังนั้นนักวิจัยจึงมีจุดมุ่งหมายในการพัฒนาเพื่อนำเสนอการควบคุมแขนหุ่นยนต์ด้วยไมโครคอนโทรลเลอร์ Arduino และ Raspberry Pi [1] จากนั้นได้มีการพัฒนาแขนหุ่นยนต์ให้มีการทำงานแบบอัตโนมัติพร้อมระบบจดจำสีที่มีการใช้งานบนบอร์ด Raspberry PI ซึ่งระบบการเชื่อมต่อกับกล้องเว็บแคม Logitech C270 หรือกล้อง IP TP-LINK TL-SC3230 ที่มีการสื่อสารผ่าน USB ควบคุมแขนหุ่นยนต์ โดยระบบจดจำสีจะใช้ OpenCV ให้สามารถจดจำสีได้ด้วยการใช้ฟิลเตอร์สีเพื่อควบคุมแขนหุ่นยนต์ให้สามารถเคลื่อนที่ไปยังตำแหน่งที่ต้องการได้ [2] ในงานวิจัย B. Araujo [3] นำเสนอการพัฒนาระบบตรวจจับวัตถุทรงกระบอกที่ใช้แขนหุ่นยนต์อุตสาหกรรมเคลื่อนที่ไปหยิบ โดยใช้เทคโนโลยีที่เข้าถึงได้ เช่น Raspberry Pi แบบระบบฝังตัวโมดูล PiCamera และ OpenCV ซึ่งเป็นไลบรารีโอเพนซอร์สสำหรับการพัฒนาระบบการมองเห็นด้วยคอมพิวเตอร์และการประมวลผลภาพดิจิทัลสร้างโฮโมกราฟีระหว่างระนาบหุ่นยนต์และระนาบของภาพโดยใช้การแปลงเชิงเส้นตรง ซึ่งทำให้สามารถจับภาพชิ้นส่วนเป้าหมายได้โดยอัตโนมัติ ในงานวิจัย K. Pagonis [4] จะศึกษาการออกแบบ การผลิต และการจำลองแขนหุ่นยนต์ที่มีความสามารถในการใช้ข้อมูลที่ได้รับจากสภาพแวดล้อมผ่านระบบการมองเห็นของเครื่องจักร วัตถุประสงค์คือการออกแบบสร้าง และจำลองระบบหุ่นยนต์ที่สามารถจดจำและระบุวัตถุเป้าหมายต่างๆ ที่อยู่ภายในส่วนที่ทำงานของหุ่นยนต์ได้ โดยการใช้กล้องทำการการประมวลผลภาพที่จะดำเนินการด้วยโครงข่ายประสาทเทียมแบบคอนโวลูชัน จากนั้นศึกษาจลนศาสตร์ของหุ่นยนต์ 5-dof ซึ่งแขนหุ่นยนต์จะถูกออกแบบด้วยการใช้โปรแกรมออกแบบ 3 มิติ ชิ้นส่วนทางกลของหุ่นยนต์จะถูกสร้างขึ้นด้วยเครื่องพิมพ์ 3 มิติและประกอบเข้ากับมอเตอร์เซอร์โว จากนั้นสัญญาณที่ต้องการจะถูกส่งไปยังมอเตอร์เซอร์โวผ่านโปรแกรม Matlab Simulink และไมโครคอนโทรลเลอร์ Arduino เพื่อควบคุมการหมุนข้อต่อของแขนหุ่นยนต์

ดังนั้นบทความวิจัยนี้พัฒนาซอฟต์แวร์ส่วนต่อประสานกราฟิกกับผู้ใช้งานด้วยโปรแกรมภาษาไพทอนควบคุมจำลองแขนหุ่นยนต์ โดยโครงสร้างแขนหุ่นยนต์ได้มีการติดตั้งมอเตอร์เซอร์โวที่มีการประยุกต์ใช้ไมโครคอนโทรลเลอร์เป็นตัวควบคุม พร้อมทั้งการใช้กล้อง Raspberry Pi Camera ในการประมวลผลภาพดิจิทัลของวัตถุและสีควบคุมแบบจำลองแขนหุ่นยนต์แบบอัตโนมัติสำหรับการหยิบจับสิ่งของ

2. กรอบแนวคิดการวิจัย

2.1 การออกแบบระบบควบคุมแขนหุ่นยนต์

การออกแบบระบบควบคุมการทำงานของแบบจำลองแขนหุ่นยนต์แสดงดังรูปที่ 1 เริ่มต้นการทำงานป้อนคำสั่งที่บอร์ด Raspberry Pi 4 ให้กล้อง Raspberry Pi ทำการตรวจจับวัตถุสีและระบุตำแหน่งวัตถุ เมื่อบอร์ดควบคุมได้รับข้อมูลจากกล้อง ให้ประมวลผลข้อมูลวัตถุและตำแหน่ง

ถนอมศักดิ์ โสภณ
*ผู้ประพันธ์บรรณกิจ

เพื่อให้เซอร์โวมอเตอร์ที่ติดตั้งกับตัวแขนหุ่นยนต์ทำการหยิบจับวัตถุสีตามพื้นที่ที่ตรวจพบ รวมถึงส่งภาพไปแสดงที่จอแสดงผลของวัตถุสี

- บอร์ด Raspberry Pi 4 ใช้ในการป้อนคำสั่งประมวลผลข้อมูลและควบคุมการทำงาน
- กล้อง Raspberry Pi ใช้ในการตรวจจับภาพวัตถุสี
- จอแสดงผล ใช้แสดงผลภาพของการตรวจจับวัตถุสีและบอกตำแหน่ง
- บอร์ดวงจรขับมอเตอร์ ใช้รับคำสั่งจากบอร์ดควบคุมและสั่งขับเซอร์โวมอเตอร์
- เซอร์โวมอเตอร์ ใช้รับคำสั่งการทำงานมาจากบอร์ดขับมอเตอร์
- แขนหุ่นยนต์ ติดตั้งเซอร์โวมอเตอร์เข้ากับตัวแขนเพื่อใช้ในการทำงานหยิบจับวัตถุ

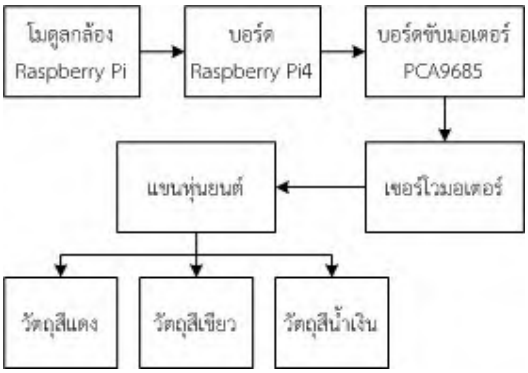

รูปที่ 1 ไดอะแกรมการควบคุมการทำงานของแบบจำลองแขนหุ่นยนต์

2.2 การออกแบบแขนหุ่นยนต์และติดตั้งเซอร์โวมอเตอร์

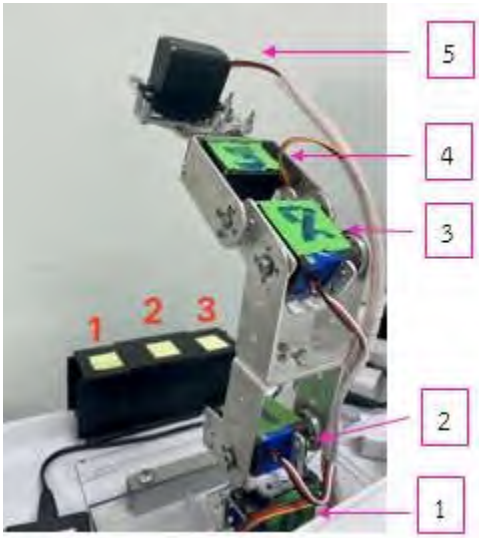

รูปที่ 2 การออกแบบแขนหุ่นยนต์และติดตั้งเซอร์โวมอเตอร์

การออกแบบโครงสร้างของแขนหุ่นยนต์และการติดตั้งเซอร์โวมอเตอร์ให้เหมาะกับการใช้งานการนำเซอร์โวมอเตอร์ประกอบเข้ากับชิ้นวัสดุของตัวแขนกล แสดงดังรูปที่ 2 แบบภาพโครงสร้างแขนกลพร้อมจุดหมุน แสดงลักษณะโครงสร้างตัวแขนกลและตำแหน่งที่ติดตั้งเซอร์โวมอเตอร์ทั้งหมด 5 ตัว เข้ากับจุดหมุน 5 จุด โดยการทำงานในแต่ละจุดหมุนนั้นมีการกำหนดการทำหน้าที่ของเซอร์โวมอเตอร์ดังนี้

- เซอร์โวมอเตอร์ตัวที่ 1 ทำหน้าที่เป็นจุดหมุนที่ 1 ในส่วนฐานของตัวแขนหุ่นยนต์
- เซอร์โวมอเตอร์ตัวที่ 2, 3 และ 4 ทำหน้าที่เป็นจุดหมุนส่วนข้อต่อ
- เซอร์โวมอเตอร์ตัวที่ 5 ทำหน้าที่เป็นจุดหมุนในส่วนมือจับหรือเรียกว่า กริปเปอร์ (Gripper)

2.3 การออกแบบการประมวลผลภาพดิจิทัลตรวจจับค่าของสี

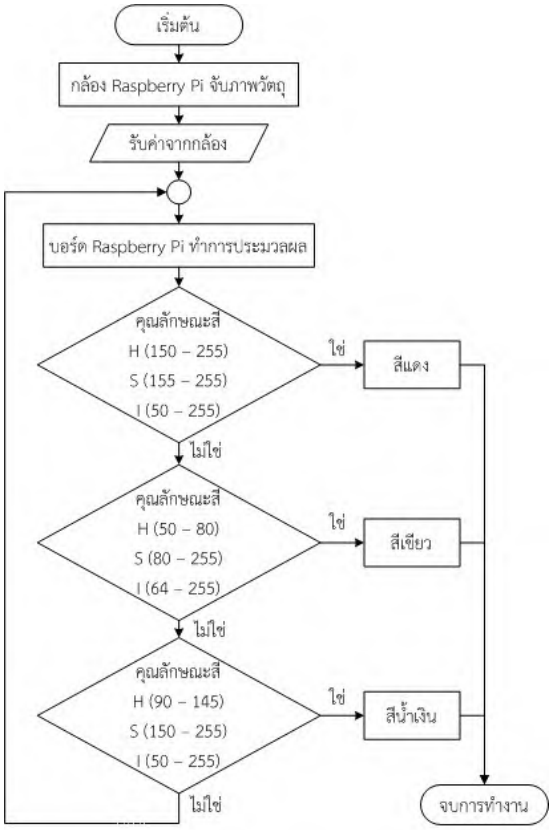

รูปที่ 3 แผนผังงานการประมวลผลภาพคุณลักษณะสีของแบบจำลอง HSI

การออกแบบลักษณะค่าสีของการประมวลผลภาพดิจิทัลสำหรับการตรวจจับตามแบบจำลอง HSI ประกอบด้วย ลักษณะค่าของเฉดสี (H: Hue) ค่าการอิ่มตัวของสี (S: Saturation) และค่าความเข้มแสง (I: Intensity) ดังแสดงแผนผังงานในรูปที่ 3 อธิบายการตรวจจับภาพวัตถุสี มีขั้นตอนดังนี้ กล้อง Raspberry Pi ทำการตรวจจับภาพวัตถุสี จากนั้นรับค่าจากกล้องมาทำการประมวลผลภาพดิจิทัลหาคุณสมบัติลักษณะของสี ได้แก่

- สีแดงมีค่าเฉดสีอยู่ระหว่างช่วง 150 - 255 ค่าการอิ่มตัวของสีอยู่ในช่วง 155 - 255 และค่าความเข้มแสงอยู่ในช่วง 50 - 255 หากไม่สามารถตรวจจับภาพวัตถุสีแดงได้ จากนั้นจะทำการตรวจจับหาวัตถุสีเขียวในลำดับถัดไป
- สีเขียวมีค่าเฉดสีอยู่ในช่วง 50 - 80 ค่าการอิ่มตัวของสีอยู่ในช่วง 80 - 255 และค่าความเข้มแสงอยู่ในช่วง 64 - 255 ซึ่งหากไม่สามารถตรวจจับภาพวัตถุสีเขียวได้ ต่อไปจะทำการตรวจจับหาวัตถุสีน้ำเงิน

- สีน้ำเงินมีค่าเฉดสีอยู่ในช่วง 90 - 145 ค่าการอิ่มตัวของสีอยู่ที่ 150 - 255 และค่าความเข้มแสงอยู่ที่ 50 - 255 หากไม่สามารถตรวจจับภาพวัตถุสีน้ำเงินได้ จะต้องทำการเริ่มต้นรับค่าของสีใหม่

ถ้าหากสามารถทำการตรวจจับภาพวัตถุสีแดง สีเขียว และสีน้ำเงินได้ จะทำการประมวลผลภาพดิจิทัลตรวจจับค่าสีและมีการแสดงค่าของสีบนหน้าต่างซอฟต์แวร์ส่วนต่อประสานกราฟิกผู้ใช้งาน

การออกแบบการหยิบจับวัตถุสีของแบบจำลองแขนหุ่นยนต์ด้วยการประมวลผลภาพดิจิทัลตรวจจับวัตถุสีแบบอัตโนมัติ แสดงแผนผังงานดังรูปที่ 4 เริ่มต้นทำการกำหนดพื้นที่วางวัตถุในตำแหน่งที่ 1, 2 และ 3 และทำการกำหนดลักษณะระดับค่าเฉดสีในการตรวจจับวัตถุดังนี้

- สีแดงระดับค่าเฉดสีอยู่ที่ 150 ถึง 255
- สีเขียวระดับค่าเฉดสีอยู่ที่ 50 ถึง 80
- สีน้ำเงินระดับค่าเฉดสีอยู่ที่ 90 ถึง 145

จากนั้นรับค่าจากกล้องที่ได้จากการจับภาพวัตถุมาทำการประมวลผลภาพดิจิทัลของคุณลักษณะระดับค่าเฉดสีด้วย Raspberry Pi แล้วจะนำการประมวลผลค่าเฉดสีที่ได้ไปควบคุมแขนหุ่นยนต์ ได้แก่ สีแดงแขนหุ่นยนต์จะไปหยิบวัตถุตำแหน่งที่ 1 สีเขียวจะไปหยิบวัตถุตำแหน่งที่ 2 และสีน้ำเงินไปหยิบวัตถุตำแหน่งที่ 3 ถ้าหากตรวจพบไม่ใช่ทั้งสามสีจะกลับไปรับค่าจากกล้องมาทำการประมวลผลใหม่

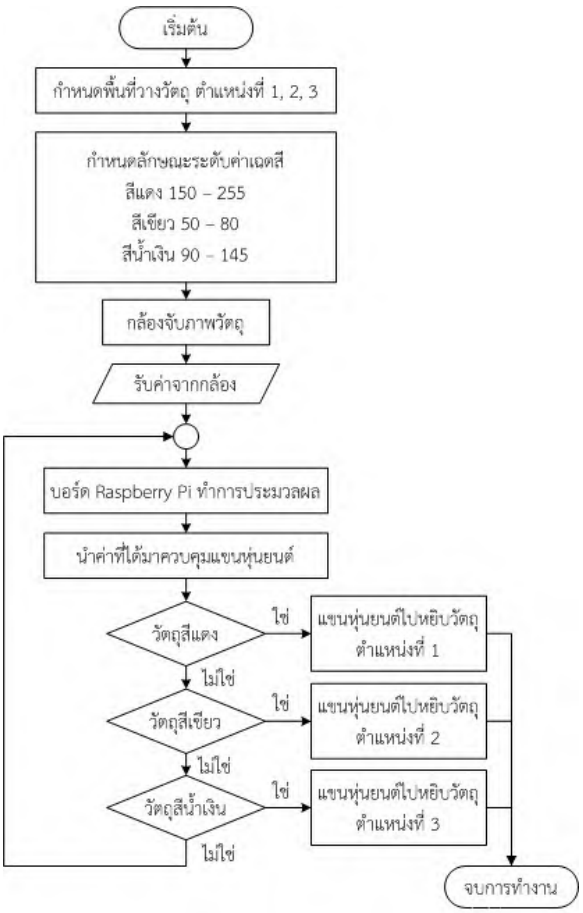

รูปที่ 4 แผนผังงานการตรวจจับวัตถุสีแบบอัตโนมัติ

3. การทดลอง

การกำหนดพื้นที่หรือจุดวางวัตถุสีให้เหมาะสมกับตำแหน่งของแขนหุ่นยนต์ ประกอบด้วย พื้นที่ตำแหน่งที่ 1, 2 และ 3 เพื่อทำการประมวลผลภาพสำหรับการตรวจจับภาพของวัตถุ ในห้องที่มีค่าความสว่างเท่ากับ 320 ลักซ์ และควบคุมให้แขนหุ่นยนต์ไปหยิบจับวัตถุสี ดังรูปที่ 5 (ก) และ (ข)

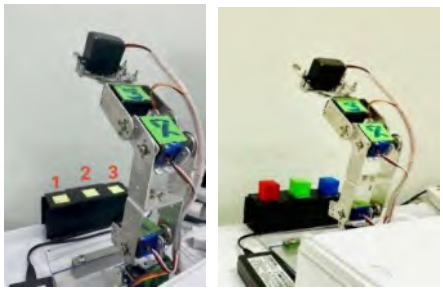

(ก) (ข)

รูปที่ 5 การออกแบบพื้นที่ตำแหน่งการวางวัตถุสี
(ก) การกำหนดพื้นที่ตำแหน่งการวางวัตถุสี
(ข) ตัวอย่างการวางวัตถุสี

จากนั้นทำการทดลองวางวัตถุสี คือ สีแดง สีเขียว และสีน้ำเงิน บนพื้นที่ตำแหน่งที่ 1, 2 และ 3 ตามลำดับ (สามารถวางวัตถุสีสลับตำแหน่งกันได้) ซอฟต์แวร์ส่วนต่อประสานกราฟิกกับผู้ใช้งานแสดงผลการประมวลผลภาพดิจิทัลตรวจจับวัตถุสีแดง สีเขียว และสีน้ำเงิน เมื่อทำการตรวจจับสีได้ แบบจำลองแขนหุ่นยนต์จะทำการเคลื่อนที่ไปหยิบจับวัตถุสีแบบอัตโนมัติ ตามเงื่อนไขที่มีการกำหนดคุณลักษณะสีที่ต้องการ เมื่อหยิบจับวัตถุสีได้แล้ว จะนำวัตถุสีไปวางบนพื้นที่ที่กำหนดไว้ ดังแสดงในรูปที่ 6

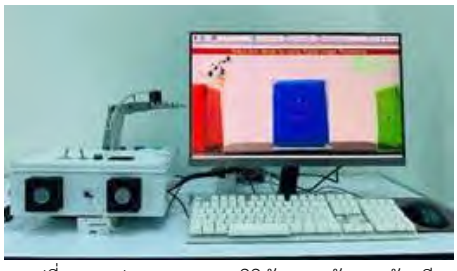

รูปที่ 6 การประมวลผลภาพดิจิทัลตรวจจับภาพวัตถุสี

4. ผลการทดลอง

การทดลองหาคุณสมบัติของสีด้วยการประมวลผลภาพดิจิทัลตรวจจับวัตถุสี พิจารณาการหาคุณสมบัติลักษณะของค่าเฉดสี ค่าการอิ่มตัวของสี และค่าความเข้มแสง โดยทำการทดลองด้วยการนำวัตถุสีแดง สีเขียว และสีน้ำเงินมาวางในตำแหน่งพื้นที่กำหนด แล้วให้กล้องทำการตรวจจับวัตถุสี เพื่อทำการประมวลผลภาพดิจิทัลเป็นข้อมูลของแต่ละสี ซึ่งได้ทำการทดลองตรวจจับสีวัตถุ จำนวนวัตถุสีละ 3 ครั้ง แสดงดังรูปที่ 7

รูปที่ 7 การทดลองแขนหุ่นยนต์ให้เคลื่อนที่ไปหยิบจับและวางวัตถุสี

ตารางที่ 1 การประมวลผลภาพดิจิทัลตรวจจับคุณลักษณะสีแดง

ครั้งที่	ค่าเฉดสี		ค่าการอิ่มตัว		ค่าความเข้มแสง	
	ต่ำสุด	สูงสุด	ต่ำสุด	สูงสุด	ต่ำสุด	สูงสุด
1	150	255	155	255	50	255
2	152	255	151	255	49	255
3	149	255	154	255	50	255
ค่าเฉลี่ย	150.33	255	153.33	255	49.66	255
ค่าส่วนเบี่ยงเบนมาตรฐาน	1.53	-	2.08	-	0.58	-

จากตารางที่ 1 ผลการทดลองตรวจจับวัตถุสีแดงค่าเฉดสีต่ำสุดมีเฉลี่ยเท่ากับ 150.33 และค่าส่วนเบี่ยงเบนมาตรฐานเท่ากับ 1.53 ค่าเฉดสีสูงสุดมีค่าเฉลี่ยเท่ากัน 255 ค่าการอิ่มตัวต่ำสุดมีค่าเฉลี่ยเท่ากับ 153.33 และค่าส่วนเบี่ยงเบนมาตรฐานเท่ากับ 2.08 ค่าการอิ่มตัวสูงสุดมีค่าเฉลี่ยเท่ากัน 255 ค่าความเข้มแสงต่ำสุดมีค่าเฉลี่ยเท่ากับ 49.66 และค่าส่วนเบี่ยงเบนมาตรฐานเท่ากับ 0.58 ค่าความเข้มแสงสูงสุดมีค่าเฉลี่ยเท่ากัน 255

ตารางที่ 2 การประมวลผลภาพดิจิทัลตรวจจับคุณลักษณะสีเขียว

ครั้งที่	ค่าเฉดสี		ค่าการอิ่มตัว		ค่าความเข้มแสง	
	ต่ำสุด	สูงสุด	ต่ำสุด	สูงสุด	ต่ำสุด	สูงสุด
1	50	80	80	255	64	255
2	49	79	80	255	63	255
3	51	77	81	255	64	255
ค่าเฉลี่ย	50	78.66	80.33	255	63.66	255
ค่าส่วนเบี่ยงเบนมาตรฐาน	1.00	1.53	0.58	-	0.58	-

ตารางที่ 2 ผลการทดลองตรวจจับวัตถุสีเขียวค่าเฉดสีต่ำสุดมีเฉลี่ยเท่ากับ 50 และค่าส่วนเบี่ยงเบนมาตรฐานเท่ากับ 1.00 ค่าเฉดสีสูงสุดมีค่าเฉลี่ยเท่ากับ 78.66 และค่าส่วนเบี่ยงเบนมาตรฐานเท่ากับ 1.53 ค่าการอิ่มตัวต่ำสุดมีค่าเฉลี่ยเท่ากับ 80.33 และค่าส่วนเบี่ยงเบนมาตรฐานเท่ากับ 0.58 ค่าการอิ่มตัวสูงสุดมีค่าเฉลี่ยเท่ากัน 255 ค่าความเข้มแสงต่ำสุดมีค่าเฉลี่ยเท่ากับ 63.66 และค่าส่วนเบี่ยงเบนมาตรฐานเท่ากับ 0.58 ค่าความเข้มแสงสูงสุดมีค่าเฉลี่ยเท่ากัน 255

ตารางที่ 3 การประมวลผลภาพดิจิทัลตรวจจับคุณลักษณะสีน้ำเงิน

ครั้งที่	ค่าเฉดสี		ค่าการอิ่มตัว		ค่าความเข้มแสง	
	ต่ำสุด	สูงสุด	ต่ำสุด	สูงสุด	ต่ำสุด	สูงสุด
1	90	145	150	255	50	255
2	92	144	150	255	51	255
3	92	142	151	255	50	255
ค่าเฉลี่ย	91.33	143.66	150.33	255	50.33	255
ค่าส่วนเบี่ยงเบนมาตรฐาน	1.15	1.53	0.58	-	0.58	-

จากตารางที่ 3 ผลการทดลองตรวจจับวัตถุสีเขียวค่าเฉดสีต่ำสุดมีเฉลี่ยเท่ากับ 91.33 และค่าส่วนเบี่ยงเบนมาตรฐานเท่ากับ 1.15 ค่าเฉดสีสูงสุดมีค่าเฉลี่ยเท่ากับ 143.66 และค่าส่วนเบี่ยงเบนมาตรฐานเท่ากับ 1.53 ค่าการอิ่มตัวต่ำสุดมีค่าเฉลี่ยเท่ากับ 150.33 และค่าส่วนเบี่ยงเบนมาตรฐานเท่ากับ 0.58 ค่าการอิ่มตัวสูงสุดมีค่าเฉลี่ยเท่ากัน 255 ค่าความเข้มแสงต่ำสุดมีค่าเฉลี่ยเท่ากับ 50.33 และค่าส่วนเบี่ยงเบนมาตรฐานเท่ากับ 0.58 ค่าความเข้มแสงสูงสุดมีค่าเฉลี่ยเท่ากัน 255

ตารางที่ 4 การจับเวลาควบคุมแขนหุ่นยนต์ให้เคลื่อนที่ไปหยิบจับวัตถุสี

ครั้งที่	สีแดง		สีเขียว		สีน้ำเงิน	
	การหยิบวัตถุสี	เวลา (วินาที)	การหยิบวัตถุสี	เวลา (วินาที)	การหยิบวัตถุสี	เวลา (วินาที)
1	1	29	1	29	1	30
2	1	29	1	30	1	30
3	1	28	1	30	1	29
ค่าเฉลี่ย	1	28.67	1	29.67	1	29.67
ค่าส่วนเบี่ยงเบนมาตรฐาน	-	0.58	-	0.58	-	0.58

จากตารางที่ 4 ผลการทดลองการควบคุมแขนหุ่นยนต์ให้เคลื่อนที่ไปหยิบจับวัตถุสีแดง สีเขียว และสีน้ำเงิน ไปวางในพื้นที่ที่กำหนดไว้ ซึ่งแขนหุ่นยนต์สามารถหยิบวัตถุสีได้ถูกต้องทั้งหมด (กำหนดหยิบวัตถุสีถูกต้องแทนด้วยเลข 1) และใช้เวลาเฉลี่ยสีแดง สีเขียว และสีน้ำเงินเท่ากับ 28.67, 29.67 และ 29.67 วินาที ตามลำดับ และค่าส่วนเบี่ยงเบนมาตรฐานของสีแดง สีเขียว และสีน้ำเงินเท่ากัน 0.58 วินาที นอกจากนี้ได้ทำการทดลองประมวลผลภาพตรวจจับวัตถุสีที่มีความแตกต่างจากสีที่กำหนด ซึ่งแขนหุ่นยนต์สามารถเคลื่อนที่ไปหยิบจับและวางได้ตรงตำแหน่ง ดังในรูปที่ 8

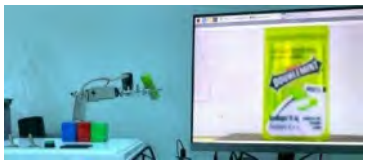

รูปที่ 8 การทดลองแขนหุ่นยนต์หยิบจับและวางวัตถุสีต่างจากสีที่กำหนด

5. สรุปผลการทดลอง

ในบทความวิจัยนี้เป็นการพัฒนาซอฟต์แวร์ส่วนต่อประสานกราฟิกกับผู้ใช้งานด้วยภาษาไพทอนที่ใช้การประมวลผลภาพดิจิทัลสำหรับการตรวจจับวัตถุสี เพื่อควบคุมแขนหุ่นยนต์ให้เคลื่อนที่ไปหยิบจับวัตถุ จากผลการทดลองการประมวลผลภาพสีจำนวน 3 สี คือ สีแดง สีเขียว และสีน้ำเงิน สามารถทำการประมวลผลภาพสีตามคุณลักษณะแบบจำลอง HSI และควบคุมแขนหุ่นยนต์ให้เคลื่อนที่ไปหยิบจับวัตถุสีได้ถูกต้องและวางในพื้นที่ตามที่กำหนดไว้

6. กิตติกรรมประกาศ

ขอขอบคุณ นายอัษฎาวุธ โกติรัมย์ และนายตระกูล อุทก บทความวิจัยนี้ได้รับการสนับสนุน สาขาวิศวกรรมอิเล็กทรอนิกส์ และสาขาวิศวกรรมคอมพิวเตอร์ คณะวิศวกรรมศาสตร์และเทคโนโลยี มหาวิทยาลัยเทคโนโลยีราชมงคลอีสาน นครราชสีมา

เอกสารอ้างอิง

[1] V. Pereira, V. A. Fernandes and J. Sequeira, “Low cost object sorting robotic arm using raspberry pi,” *2014 IEEE Global Humanitarian Technology Conference – South Asia Satellite (GHTC-SAS)*, Trivandrum, India, 2014, pp. 1-6.

[2] R. Szabo and A. G. A. Sfirat, “Robotic arm control in space with color recognition using a raspberry pi,” *2016 39th International Conference on Telecommunications and Signal Processing (TSP)*, Vienna, Austria, 2016, pp. 689-692.

[3] B. Araujo, J. Araujo, R. Silva, and D. Regis, “Machine vision for industrial robotic manipulator using raspberry pi,” *2018 13th International Conference on Industry Applications*, Sao Paulo, Brazil, 2018, pp. 895-901.

[4] K. Pagonis, P. Zacharia, A. Kantaros, T. Ganetsos, and K. Brachos, “Design, fabrication and simulation of a 5-dof robotic arm using machine vision,” *2023 17th International Conference on Engineering of Modern Electric Systems (EMES)*, Oradea, Romania, 2023.

การเปรียบเทียบโครงสร้าง CNN สำหรับการจำแนกสำเนียงไทย: VFNet กับโครงสร้าง CNN เชิงอนุกรม
Comparative Analysis of CNN Architectures for Thai Accent Classification: VFNet vs. Sequential CNN

ธีรภัทร เสิบกลิ่น[1] สุรเดช จิตประไพกุลศาล[2]

[1]สาขาวิชาวิศวกรรมคอมพิวเตอร์ คณะวิศวกรรมศาสตร์ มหาวิทยาลัยนเรศวร theerapatserb@gmail.com
[2]สาขาวิชาวิศวกรรมคอมพิวเตอร์ คณะวิศวกรรมศาสตร์ มหาวิทยาลัยนเรศวร Suradet@nu.ac.th

บทคัดย่อ

งานวิจัยนี้นำเสนอการเปรียบเทียบโครงสร้างของโมเดลโครงข่ายประสาทเทียมแบบคอนโวลูชัน (CNN) สำหรับการจำแนกสำเนียงภาษาไทย โดยเปรียบเทียบระหว่างสถาปัตยกรรมแบบขนานที่ใช้ตัวกรองหลายขนาดพร้อมกันตามแนวทางของ VFNet: A Convolutional Architecture for Accent Classification [1] กับสถาปัตยกรรมแบบอนุกรมที่เรียงตัวกรองขนาดต่างกันในแต่ละเลเยอร์ (เช่น 3⟶5⟶7) อินพุตที่ใช้คือคุณลักษณะ MFCC ที่สกัดจากชุดข้อมูลเสียง Thai Dialect Corpus [2] ผลการทดลองแสดงให้เห็นว่า โมเดลทั้งสองแบบให้ค่า Accuracy และ F1-score ใกล้เคียงกัน อย่างไรก็ตาม เมื่อพิจารณาจำนวนพารามิเตอร์และค่า Cross Entropy Loss พบว่าโครงสร้างแบบอนุกรมบางรูปแบบ เช่น 5⟶5⟶5 และ 7⟶5⟶3 ให้ผลลัพธ์ที่ดีกว่าทั้งในด้านประสิทธิภาพและความประหยัดทรัพยากร ทั้งนี้ การวิเคราะห์ขนาด Receptive Field (RF) แบบ 2 มิติ ยังช่วยอธิบายได้ว่า โครงสร้างที่มี RF ขนาดกลางจะให้ผลการจำแนกที่ดีกว่าโครงสร้างที่มี RF เล็กหรือใหญ่เกินไป สะท้อนให้เห็นถึงข้อได้เปรียบของการออกแบบสถาปัตยกรรมโมเดลอย่างเหมาะสม สำหรับการใช้งานจริงในสภาพแวดล้อมที่มีข้อจำกัดด้านหน่วยประมวลผลและหน่วยความจำ

คำสำคัญ: สำเนียงภาษาไทย, การจำแนกสำเนียง, CNN, VFNet, MFCC

Abstract

This research presents a comparative study of Convolutional Neural Network (CNN) architectures for Thai accent classification. It contrasts a parallel architecture based on [1] VFNet: A Convolutional Architecture for Accent Classification, which uses multi-size filters simultaneously, with a sequential architecture that stacks different kernel sizes across layers (e.g., 3⟶5⟶7). The input features are Mel-Frequency Cepstral Coefficients (MFCCs) extracted from the Thai Dialect Corpus [2]. Experimental results show that both models achieve comparable accuracy and F1-scores. However, further analysis reveals that sequential models such as 5⟶5⟶5 and 7⟶5⟶3 outperform the VFNet-based parallel architecture in terms of lower parameter count and cross-entropy loss. A detailed 2D receptive field (RF) analysis also indicates that architectures with moderate RF sizes tend to deliver better classification performance compared to those with very small or excessively large RFs. These findings emphasize the practical advantages of well-structured sequential CNNs for real-world deployment under computational and memory constraints.

Keywords: Thai accent, accent classification, CNN, VFNet, MFCC

การพัฒนาระบบสารสนเทศเพื่อการจัดการข้อมูลกองทุนหมู่บ้าน: กรณีศึกษาโพธิ์ตะควน
Development of an Information System for Village Fund Management: A Case Study of Photakhoun

สุภัทรา เกิดเมฆ[1]* มณฑกานต์ จานสิบสี[1] สิลิลทิพย์ ยางสันเทียะ[1] วิทยา ศรีกุล[1] และ อภิชาต ตีระประเสริฐสิน[1]

[1]สาขาวิชาวิศวกรรมคอมพิวเตอร์ คณะวิศวกรรมศาสตร์และเทคโนโลยี มหาวิทยาลัยเทคโนโลยีราชมงคลอีสาน supattra@rmuti.ac.th

บทคัดย่อ

การวิจัยนี้มีวัตถุประสงค์เพื่อพัฒนาและทดสอบระบบสารสนเทศเพื่อจัดการข้อมูลกองทุนหมู่บ้าน โดยรองรับการบริหารข้อมูลสมาชิก การฝากเงินสัจจะ การกู้ยืม การชำระหนี้ และสรุปรายงานในรูปแบบแดชบอร์ด ระบบพัฒนาเป็นเว็บแอปพลิเคชัน พร้อมมาตรการความปลอดภัยโดยใช้การเข้ารหัส MD5 ผลการทดสอบพบว่าระบบมีประสิทธิภาพ ตอบสนองต่อการใช้งานได้ดี โดยผู้ใช้ให้ระดับความพึงพอใจเฉลี่ย 4.41 จาก 5 คะแนน ขณะเดียวกัน ผลการใช้งานจริงแสดงให้เห็นว่าระบบสามารถลดภาระด้านเอกสาร เพิ่มความรวดเร็วในการดำเนินงาน และช่วยให้คณะกรรมการบริหารจัดการข้อมูลได้อย่างมีประสิทธิภาพ ระบบนี้สามารถเป็นต้นแบบสำหรับการพัฒนาและขยายผลไปยังกองทุนหมู่บ้านอื่น ๆ ได้ในอนาคต

คำสำคัญ: กองทุนหมู่บ้าน ระบบสารสนเทศ การฝากเงินสัจจะ การกู้ยืม การชำระหนี้

Abstract

This research aimed to develop and evaluate an information system for managing data related to village funds. The system supports core functions including member management, savings deposits, loan processing, debt repayments, and summary reports through an interactive dashboard. It was developed as a web-based application with security measures implemented using MD5 encryption. The evaluation results indicate that the system performs efficiently and meets user requirements, with an average user satisfaction score of 4.41 out of 5. In real-world use, the system helped reduce paperwork, accelerated administrative processes, and enhanced the committee's ability to manage fund-related data effectively. The system can serve as a prototype for expanding to other village funds in the future.

Keywords: Village Fund, Information System, Savings, Loans, Debt Repayment

1. บทนำ

กองทุนหมู่บ้านเป็นโครงการตามนโยบายของรัฐบาลที่จัดตั้งขึ้นตั้งแต่ปี พ.ศ. 2544 เพื่อเป็นกลไกในการแก้ไขปัญหาความยากจน ส่งเสริมเศรษฐกิจฐานราก และยกระดับคุณภาพชีวิตของประชาชนในระดับครัวเรือน โดยการจัดสรรงบประมาณกองทุนละ 1 ล้านบาทให้แก่หมู่บ้านและชุมชนเมืองทั่วประเทศ [1] กองทุนหมู่บ้านมีเป้าหมายเพื่อให้ชุมชนสามารถเข้าถึงแหล่งเงินทุนหมุนเวียนในท้องถิ่น ส่งเสริมการประกอบอาชีพ การลงทุน การสร้างรายได้ และการออมของสมาชิก ซึ่งส่งผลต่อการพึ่งพาตนเองทางเศรษฐกิจและการพัฒนาศักยภาพของชุมชนอย่างยั่งยืน

แม้จะมีการเปลี่ยนแปลงทางการเมืองและนโยบายของภาครัฐในช่วงที่ผ่านมา กองทุนหมู่บ้านยังคงได้รับการสานต่อนโยบายอย่างต่อเนื่อง เนื่องจากบทบาทสำคัญในการสร้างความเข้มแข็งให้กับชุมชน โดยเฉพาะในพื้นที่ชนบทที่ขาดแคลนแหล่งเงินทุนและระบบการบริหารจัดการทางการเงินที่มีประสิทธิภาพ การดำเนินงานของกองทุนหมู่บ้านอยู่ภายใต้การบริหารจัดการของคณะกรรมการหมู่บ้านที่ได้รับการเลือกตั้งจากสมาชิก โดยทั่วไปมีจำนวน 9 คน มีหน้าที่รับผิดชอบในการดูแลการดำเนินงานต่าง ๆ ของกองทุน เช่น การรับสมัครสมาชิก การจัดเก็บเงินสัจจะ การพิจารณาให้กู้ยืมเงิน และการติดตามการชำระหนี้

กระบวนการเหล่านี้อาศัยข้อมูลจำนวนมากทั้งในเชิงปริมาณและคุณภาพ เช่น ข้อมูลสมาชิก รายการธุรกรรมทางการเงิน เอกสารสัญญา รายงานประจำปี และเอกสารทางบัญชี ซึ่งในหลายพื้นที่ รวมถึงกองทุนหมู่บ้านโพธิ์ตะควน ตำบลวัดดาว อำเภอบางปลาม้า จังหวัดสุพรรณบุรี ยังคงใช้การจัดเก็บข้อมูลในรูปแบบเอกสาร เช่น สมุดบันทึกหรือแฟ้มเอกสาร ส่งผลให้เกิดปัญหาหลายประการ เช่น ความผิดพลาดจากการบันทึกด้วยมือ ความล่าช้าในการค้นหาเอกสาร เอกสารสูญหาย ความยุ่งยากในการตรวจสอบข้อมูลย้อนหลัง และการจัดการข้อมูลจำนวนมากอย่างไม่มีประสิทธิภาพ นอกจากนี้ คณะกรรมการจำนวนมากเป็นผู้สูงอายุ ซึ่งไม่มีพื้นฐานด้านเทคโนโลยี ทำให้การปรับตัวเข้าสู่ระบบดิจิทัลยังเป็นความท้าทาย

ในยุคที่เทคโนโลยีสารสนเทศมีบทบาทอย่างยิ่งในการสนับสนุนการบริหารจัดการภาครัฐและองค์กรชุมชน การนำระบบสารสนเทศเข้ามาช่วยในการจัดเก็บข้อมูลและบริหารจัดการกองทุนหมู่บ้านจึงเป็นแนวทางสำคัญที่ควรได้รับการพัฒนาอย่างจริงจัง ระบบสารสนเทศจะช่วยลดภาระการจัดทำเอกสาร ลดความซ้ำซ้อนของข้อมูล ช่วยให้สามารถเข้าถึงข้อมูลได้รวดเร็ว และส่งเสริมความโปร่งใสในการบริหารงาน ทั้งยังช่วยสนับสนุนการตัดสินใจของคณะกรรมการและเพิ่มความเชื่อมั่นของสมาชิกในระบบบริหารจัดการของกองทุน

จากปัญหาและโอกาสดังกล่าว งานวิจัยนี้มีวัตถุประสงค์เพื่อพัฒนาระบบสารสนเทศสำหรับกองทุนหมู่บ้านโพธิ์ตะควน โดยมุ่งเน้นให้ระบบมีโครงสร้างข้อมูลที่ชัดเจน สามารถจัดเก็บ ค้นหา และสรุปผลข้อมูลได้อย่างมีประสิทธิภาพ ผ่านการใช้งานที่สะดวกและเหมาะสมกับผู้ใช้ โดยเฉพาะคณะกรรมการที่อาจมีข้อจำกัดด้านเทคโนโลยี ระบบที่พัฒนาขึ้นนี้จะเป็นเว็บแอปพลิเคชันที่รองรับการทำงานออนไลน์ และสามารถใช้งานผ่านอุปกรณ์ที่หลากหลาย อีกทั้งยังเน้นความปลอดภัยของข้อมูลและการตรวจสอบได้ เพื่อส่งเสริมการบริหารจัดการที่มีประสิทธิภาพ และโปร่งใส

2. ทฤษฎีและแนวคิดที่เกี่ยวข้อง

การศึกษาที่เกี่ยวข้องกับการบริหารจัดการกองทุนหมู่บ้านเน้นการปรับปรุงกระบวนการจัดเก็บข้อมูล การลดข้อผิดพลาดในการดำเนินงาน

*สุภัทรา เกิดเมฆ

และการเพิ่มประสิทธิภาพในการบริหารงาน โดยสามารถแบ่งแนวคิดออกเป็นหัวข้อสำคัญ ดังนี้

2.1 ระบบจัดการข้อมูลสมาชิกและการเงินของกองทุนหมู่บ้าน

มีงานวิจัยจำนวนมากเสนอการนำระบบสารสนเทศมาใช้แทนการจัดเก็บข้อมูลด้วยเอกสาร เพื่อช่วยลดข้อผิดพลาดในการคำนวณเงินกู้ การชำระหนี้ และการสรุปยอดเงินทุน ระบบที่พัฒนาขึ้นส่วนใหญ่อยู่ในรูปแบบเว็บแอปพลิเคชันหรือโปรแกรมคอมพิวเตอร์ เพื่ออำนวยความสะดวกแก่คณะกรรมการในการบริหารจัดการ เช่น งานวิจัย [2] ระบุว่ากองทุนหมู่บ้านมีบทบาทในการเสริมสร้างความเข้มแข็งทางเศรษฐกิจ ลดความเสี่ยงทางการเงิน และส่งเสริมการพัฒนาท้องถิ่น อย่างไรก็ตาม ยังพบปัญหาในการบริหารจัดการที่ซับซ้อน ขาดความรู้ทางการเงิน และการขาดการสนับสนุนจากภาครัฐ ในทำนองเดียวกัน งานวิจัย [4] ชี้ให้เห็นถึงความสำคัญของการพัฒนาศักยภาพทางการเงินของชุมชนเพื่อความยั่งยืน แต่ยังมีข้อจำกัดในด้านการเข้าถึงแหล่งทุนและการบริหารที่ไม่โปร่งใส ขณะที่งานวิจัย [6] กล่าวถึงบทบาทของกองทุนหมู่บ้านในการส่งเสริมเศรษฐกิจชุมชน โดยเน้นการสร้างรายได้ การพัฒนาทักษะการบริหาร และการมีส่วนร่วมของสมาชิก แม้จะยังคงมีความท้าทายเกี่ยวกับความโปร่งใสและทักษะการบริหารก็ตาม

2.2 ระบบฝาก-ถอนเงินแบบดิจิทัล

การนำเทคโนโลยีการเงิน (FinTech) มาใช้ในการบริหารกองทุนหมู่บ้านช่วยเพิ่มความสะดวกในการทำธุรกรรม ลดการใช้กระดาษ และเพิ่มประสิทธิภาพในการจัดการข้อมูล เช่น งานวิจัย [7] ที่พัฒนาแอปพลิเคชันธนาคารโรงเรียนเพื่อรองรับการทำงานยุคดิจิทัล พบว่าระบบดังกล่าวช่วยลดภาระงานและเพิ่มความแม่นยำในการจัดการเงิน แต่ก็มีข้อจำกัดด้านความปลอดภัย การพึ่งพาเทคโนโลยี และต้นทุนการพัฒนา

2.3 การใช้เทคโนโลยี Blockchain เพื่อเพิ่มความโปร่งใส

แนวคิดการประยุกต์ใช้ Blockchain กับการบริหารกองทุนหมู่บ้านได้รับความสนใจเพิ่มขึ้น เนื่องจากสามารถช่วยลดความเสี่ยงจากการทุจริต เพิ่มความโปร่งใส และสร้างความเชื่อมั่นแก่สมาชิก ระบบ Blockchain ช่วยบันทึกข้อมูลธุรกรรมอย่างปลอดภัยและไม่สามารถแก้ไขย้อนหลังได้ ตัวอย่างเช่น งานวิจัย [5] เสนอการใช้บล็อกเชนในการบริหารสหกรณ์ ซึ่งช่วยลดปัญหาการจัดการที่ไม่โปร่งใส อย่างไรก็ตาม ยังมีข้อจำกัดด้านต้นทุนพัฒนาและความจำเป็นต้องฝึกอบรมบุคลากร

2.4 ระบบสนับสนุนการตัดสินใจสำหรับคณะกรรมการกองทุน

มีการพัฒนาเครื่องมือสนับสนุนการตัดสินใจ เช่น ระบบวิเคราะห์ความเสี่ยงของผู้กู้ และระบบแนะนำแนวทางการบริหารเงินทุน เพื่อช่วยให้คณะกรรมการตัดสินใจอย่างแม่นยำและมีประสิทธิภาพมากยิ่งขึ้น งานวิจัย [3] เสนอระบบสนับสนุนการพิจารณาอนุมัติสินเชื่อ ซึ่งช่วยลดความเสี่ยงในการปล่อยกู้ แม้จะมีข้อจำกัดด้านความยืดหยุ่นและความถูกต้องของระบบก็ตาม

3. การออกแบบและพัฒนาระบบ

จากปัญหาการจัดเก็บข้อมูลในรูปแบบเอกสารของกองทุนหมู่บ้านโพธิ์ตะควน เช่น เอกสารสูญหาย ค้นหาข้อมูลล่าช้า และความผิดพลาดจากการบันทึกด้วยมือ งานวิจัยนี้จึงมุ่งพัฒนาระบบสารสนเทศเพื่อเพิ่มประสิทธิภาพการดำเนินงาน ลดความซ้ำซ้อน และสนับสนุนกระบวนการทำงานแบบดิจิทัล โดยระบบที่พัฒนาจะสามารถจัดการข้อมูลสมาชิก คณะกรรมการ ธุรกรรมทางการเงิน สร้างรายงาน รวมถึงแสดงผลในรูปแบบแดชบอร์ด (Dashboard) เพื่อช่วยการตัดสินใจและเพิ่มความโปร่งใสในการบริหารจัดการกองทุน

3.1 การวิเคราะห์ความต้องการของระบบ

การวิเคราะห์ความต้องการเป็นขั้นตอนแรกที่สำคัญ โดยใช้วิธีสัมภาษณ์คณะกรรมการกองทุนหมู่บ้านโพธิ์ตะควน และการสังเกตการดำเนินงานจริง เพื่อนำข้อมูลที่ได้มาประมวลผลและพัฒนาระบบให้สอดคล้องกับสภาพแวดล้อมของชุมชน

จากการศึกษาพบว่าปัญหาหลักของกองทุนหมู่บ้านสามารถจัดกลุ่มได้ในหลายด้าน เช่น ด้านกระบวนการทำงาน สถานที่ ดำเนินงาน และบุคลากร ซึ่งแสดงไว้ในแผนภูมิก้างปลาในรูปที่ 1 เพื่อสะท้อนปัญหาที่ส่งผลกระทบต่อประสิทธิภาพของระบบ

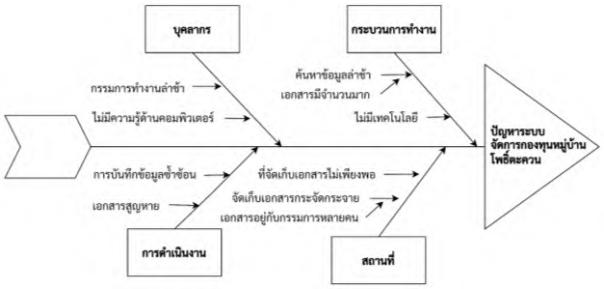

รูปที่ 1 แผนภูมิก้างปลาแสดงปัญหาการดำเนินงานของกองทุนหมู่บ้าน

จากปัญหาดังกล่าว จึงนำไปสู่การกำหนดขอบเขตของระบบที่ต้องพัฒนาให้สามารถจัดเก็บ ค้นหา และประมวลผลข้อมูลได้อย่างมีประสิทธิภาพ ลดการพึ่งพาเอกสาร และรองรับการทำงานของคณะกรรมการอย่างเหมาะสม โดยภาพรวมของระบบที่พัฒนาขึ้นแสดงในแผนภาพขอบเขตระบบ (Context Diagram) ดังแสดงในรูปที่ 2

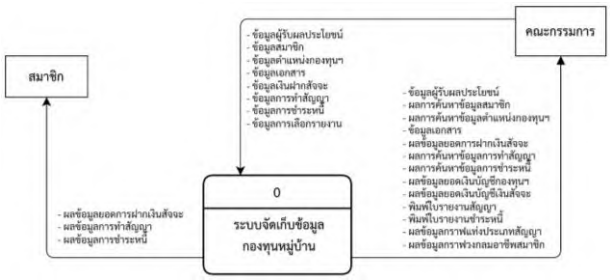

รูปที่ 2 แผนภาพขอบเขตของระบบ

จากแผนภาพแสดงผู้ใช้งานหลัก ได้แก่ คณะกรรมการและสมาชิก โดยมีข้อมูลเข้า เช่น ข้อมูลสมาชิก เงินฝาก การกู้ยืม และการชำระหนี้ ข้อมูลออกอยู่ในรูปแบบรายงานและกราฟสรุป เพื่อสนับสนุนการตัดสินใจบริหารจัดการ

3.2 การออกแบบระบบ

ระบบถูกออกแบบโดยคำนึงถึงความเหมาะสมกับบริบทของชุมชน โครงสร้างมีความชัดเจน และสามารถขยายในอนาคตได้ โดยประกอบด้วยองค์ประกอบหลัก ดังนี้

1. การออกแบบสถาปัตยกรรมระบบ

ระบบพัฒนาในรูปแบบเว็บแอปพลิเคชัน โดยใช้โครงสร้างแบบไคลเอนต์–เซิร์ฟเวอร์ (Client–Server) ซึ่งแยกการทำงานระหว่างฝั่งผู้ใช้กับฝั่งประมวลผลข้อมูล ระบบสามารถใช้งานผ่านเว็บเบราว์เซอร์ทั่วไปได้อย่างสะดวก เหมาะสมกับชุมชนที่มีข้อจำกัดด้านทรัพยากร โดยเลือกใช้บริการเซิร์ฟเวอร์ฟรีจาก InfinityFree

2. การออกแบบฐานข้อมูล

โครงสร้างฐานข้อมูลมี 9 ตารางหลัก ได้แก่ สมาชิก, ตำแหน่งกองทุน, ผู้รับผลประโยชน์, เงินฝาก, บัญชีเงินฝาก, บัญชีกองทุน, สัญญากู้ยืม, การชำระหนี้ และเอกสาร โดยใช้คีย์หลัก และคีย์นอก เชื่อมโยงตารางข้อมูล และผ่านกระบวนการ normalization เพื่อลดความซ้ำซ้อนและเพิ่มความถูกต้องของข้อมูล

3. การออกแบบอินเทอร์เฟซผู้ใช้งาน (User Interface)

หน้าจอออกแบบให้ใช้งานง่าย ใช้ CSS และ JavaScript เพื่อความสวยงามและตอบสนองรวดเร็ว จัดหมวดหมู่เมนูให้ชัดเจน และมีการตรวจสอบความถูกต้องของข้อมูลก่อนส่งเข้าสู่ระบบ

4. การออกแบบความปลอดภัยของระบบ

มีการเข้ารหัสรหัสผ่านและข้อมูลสำคัญด้วย MD5 Hashing Algorithm พร้อมทั้งกำหนดระดับสิทธิ์ในการเข้าถึงข้อมูลตามประเภทผู้ใช้งาน เพื่อป้องกันการเข้าถึงโดยไม่ได้รับอนุญาต

5. การออกแบบเพื่อสนับสนุนการตัดสินใจ

ระบบได้รับการออกแบบให้มีฟังก์ชันวิเคราะห์ข้อมูลเพื่อช่วยคณะกรรมการในการบริหารจัดการกองทุนอย่างมีประสิทธิภาพ เช่น การแสดงรายการฝากเงิน ยอดกู้ยืม และสถานะการชำระหนี้ของสมาชิกแบบสรุปในแดชบอร์ด เพื่อสนับสนุนการพิจารณาอนุมัติเงินกู้และประเมินความสามารถในการชำระหนี้ นอกจากนี้ ระบบยังมีเงื่อนไขการค้ำประกันที่จำกัดไม่ให้สมาชิกค้ำประกันเกิน 2 สัญญา และรองรับกรณีสมาชิกเสียชีวิตโดยสามารถโอนสัญญาให้ทายาทได้อย่างถูกต้อง รวมถึงมีฟังก์ชันการคำนวณดอกเบี้ยเงินกู้แบบปรับเปลี่ยนได้ตามนโยบายของกองทุน

3.3 การพัฒนาระบบ

ขั้นตอนการพัฒนาเริ่มจากออกแบบและสร้างฐานข้อมูลด้วย MySQL ให้รองรับทั้ง 9 ตาราง พัฒนาโค้ดฝั่งเซิร์ฟเวอร์ด้วย PHP สำหรับจัดการธุรกรรม และออกแบบส่วนติดต่อผู้ใช้ด้วย CSS และ JavaScript

ในด้านความปลอดภัย ระบบเข้ารหัสข้อมูลด้วย MD5 และติดตั้งบน InfinityFree เพื่อเปิดใช้งานจริง โดยมีการทดสอบการใช้งานจากคณะกรรมการ พร้อมปรับปรุงตามข้อเสนอแนะก่อนใช้งานจริง

4. การทดสอบระบบ

ในการทดสอบระบบสารสนเทศที่พัฒนาขึ้น ได้ดำเนินการทดสอบใน 6 ด้านหลัก เพื่อประเมินประสิทธิภาพและความพร้อมของระบบในการใช้งานจริง ดังนี้

1. ด้านประสิทธิภาพ (Performance Testing)

ทดสอบความเร็วในการประมวลผล การตอบสนองของระบบ และความสามารถในการรองรับผู้ใช้งานหลายคนพร้อมกันหรือปริมาณข้อมูลจำนวนมาก เพื่อให้มั่นใจว่าระบบทำงานได้อย่างเสถียรและไม่ล่ม

2. ด้านฟังก์ชัน (Functional Testing)

ตรวจสอบการทำงานของฟังก์ชันหลักในระบบ เช่น การสมัครสมาชิก ฝากเงิน กู้ยืม และชำระหนี้ ว่าทำงานถูกต้องตามที่ออกแบบไว้

3. ด้านความปลอดภัย (Security Testing)

ทดสอบความสามารถของระบบในการป้องกันข้อมูลจากการเข้าถึงโดยไม่ได้รับอนุญาต เช่น การป้องกันการเข้าสู่ระบบโดยไม่ใช่ผู้ใช้จริง และการจัดเก็บข้อมูลอย่างปลอดภัย

4. ด้านความสามารถในการใช้งาน (Usability Testing)

ประเมินความง่ายในการใช้งาน เช่น การนำทาง ความชัดเจนของเมนู และความเข้าใจง่ายของแบบฟอร์ม เพื่อให้ผู้ใช้โดยเฉพาะคณะกรรมการสามารถใช้งานได้สะดวก

5. ด้านการรวมระบบ (Integration Testing)

ตรวจสอบว่าระบบย่อยต่าง ๆ เช่น ฐานข้อมูล หน้าจอแสดงผล และฟังก์ชันการประมวลผล ทำงานร่วมกันได้อย่างถูกต้องและต่อเนื่อง

6. ด้านความเข้ากันได้ (Compatibility Testing)

ทดสอบความสามารถของระบบในการทำงานบนอุปกรณ์และเบราว์เซอร์ต่าง ๆ เช่น โทรศัพท์มือถือ คอมพิวเตอร์ และเบราว์เซอร์ Google Chrome, Firefox หรือ Microsoft Edge

5. การประเมินผล

ในขั้นตอนนี้เป็นการทดสอบและประเมินประสิทธิภาพของระบบที่ได้พัฒนาขึ้น โดยมุ่งเน้นทั้งในด้านประสิทธิภาพ ฟังก์ชัน ความปลอดภัย การใช้งาน การรวมระบบ และความเข้ากันได้กับอุปกรณ์ต่าง ๆ

5.1 หน้าจอการใช้งาน

ระบบได้รับการพัฒนาเป็นเว็บแอปพลิเคชัน โดยอินเทอร์เฟซออกแบบให้ใช้งานง่าย เหมาะสมกับผู้ใช้งานที่เป็นคณะกรรมการหมู่บ้าน ซึ่งส่วนใหญ่เป็นผู้สูงอายุ มีการจัดวางเมนูชัดเจน ตัวอักษรขนาดเหมาะสม และมีการแสดงผลข้อมูลเป็นตารางและกราฟ เพื่อเพิ่มความเข้าใจในการดูรายงาน ดังแสดงในรูปที่ 3 – 9

รูปที่ 3 การเข้าสู่ระบบสำหรับคณะกรรมการ

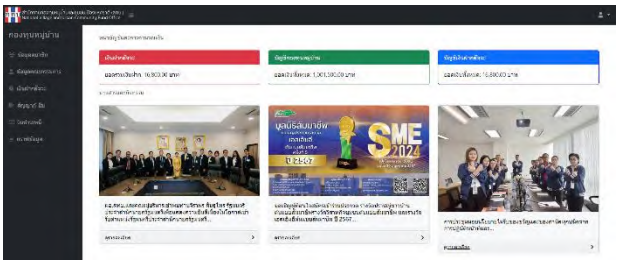

รูปที่ 4 หน้าต่างหลักของระบบสารสนเทศกองทุนหมู่บ้าน

รูปที่ 5 หน้าต่างการคำนวณอัตราดอกเบี้ยสัญญากู้-ยืม

รูปที่ 6 หน้าต่างรายงานฝากเงินสัจจะ

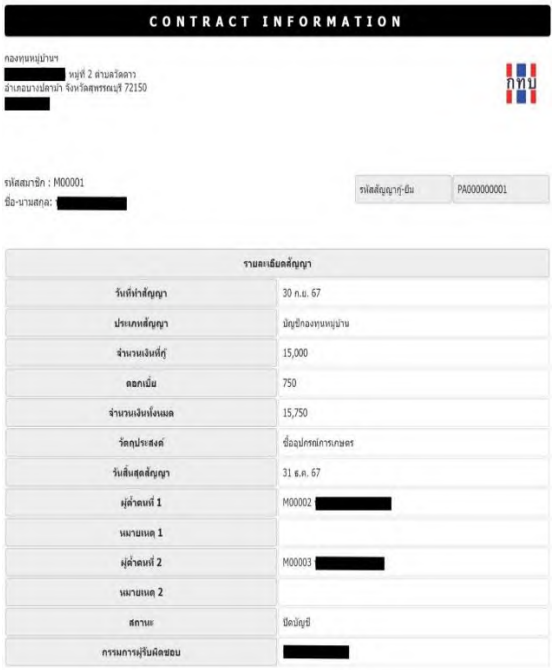

รูปที่ 7 หน้าต่างรายงานสัญญาการกู้ยืม

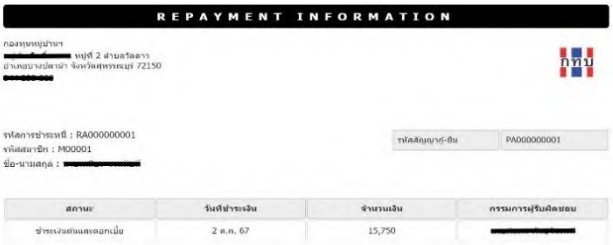

รูปที่ 8 หน้าต่างรายงานการชำระหนี้

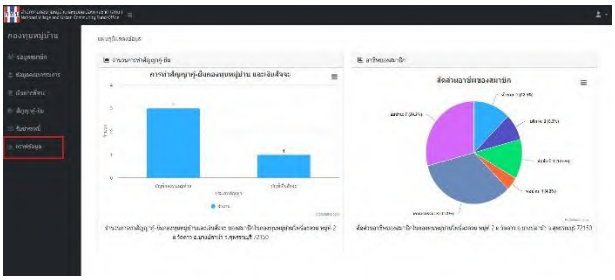

รูปที่ 9 หน้าต่างแดชบอร์ด

5.2 ผลการทดสอบระบบ

ระบบจัดเก็บข้อมูลกองทุนหมู่บ้านที่พัฒนาขึ้นได้ผ่านการทดสอบใน 6 ด้านหลัก เพื่อประเมินประสิทธิภาพ ความถูกต้อง ความปลอดภัย และความพร้อมในการใช้งานจริง โดยสามารถสรุปผลการทดสอบแต่ละด้านได้ดังนี้

1. ด้านประสิทธิภาพ (Performance)

ระบบแสดงประสิทธิภาพในการประมวลผลที่รวดเร็วและเสถียร รองรับการใช้งานพร้อมกันหลายผู้ใช้ได้อย่างราบรื่นโดยไม่เกิดปัญหาด้านความล่าช้าหรือการหยุดทำงาน

2. ด้านฟังก์ชันการทำงาน (Functionality)

ฟังก์ชันหลัก เช่น การลงทะเบียนสมาชิก การฝากเงิน การกู้ยืม และการชำระหนี้ ทำงานได้อย่างถูกต้องและครบถ้วนตามที่ออกแบบไว้ โดยไม่มีข้อผิดพลาดในการดำเนินการแต่ละขั้นตอน

3. ด้านความปลอดภัย (Security)

ระบบมีการป้องกันการเข้าถึงข้อมูลโดยไม่ได้รับอนุญาตอย่างเหมาะสม มีการกำหนดสิทธิ์ผู้ใช้อย่างชัดเจน อย่างไรก็ตาม ควรเพิ่มเติมฟังก์ชันการล็อกเอาต์อัตโนมัติและการล็อกบัญชีเมื่อมีความพยายามเข้าสู่ระบบผิดพลาดหลายครั้ง เพื่อเพิ่มความปลอดภัยยิ่งขึ้น

4. ด้านการใช้งาน (Usability):

อินเทอร์เฟซของระบบออกแบบมาให้ใช้งานง่าย เหมาะกับกลุ่มเป้าหมายที่เป็นคณะกรรมการหมู่บ้าน ผู้ใช้งานสามารถเรียนรู้และทำความเข้าใจกระบวนการใช้งานได้โดยไม่ต้องมีความรู้ด้านเทคนิค

5. ด้านการรวมระบบ (Integration)

ระบบสามารถทำงานร่วมกันระหว่างโมดูลต่าง ๆ ได้อย่างมีประสิทธิภาพ เช่น การเชื่อมโยงข้อมูลสมาชิกกับการฝากเงินและสัญญากู้ยืม รวมถึงการคำนวณยอดรวมอัตโนมัติในรายงาน

6. ด้านความเข้ากันได้ (Compatibility)

ระบบสามารถแสดงผลและทำงานได้อย่างถูกต้องบนเบราว์เซอร์หลัก เช่น Google Chrome, Firefox และ Microsoft Edge รวมถึงรองรับการใช้งานบนคอมพิวเตอร์ แท็บเล็ต และโทรศัพท์มือถือ

5.3 การประเมินความพึงพอใจของผู้ใช้

จากการประเมินความพึงพอใจของคณะกรรมการกองทุนจำนวน 9 คน พบว่าค่าเฉลี่ยโดยรวมอยู่ที่ 4.41 จาก 5.00 ซึ่งอยู่ในระดับ “ดี” โดยรายละเอียดในแต่ละด้านมีดังนี้

ตารางที่ 1 การประเมินความพึงพอใจ

ด้านที่ประเมิน	คะแนนเฉลี่ย (เต็ม 5.00)
ข้อมูลและฟังก์ชันการทำงาน	4.80
ความสะดวกในการใช้งาน	4.60
ความสามารถในการทำงานโดยรวม	4.20
ความปลอดภัยของระบบ	4.05
คะแนนเฉลี่ยรวม	**4.41**

จากตารางที่ 1 ผลการประเมินแสดงให้เห็นว่าระบบที่พัฒนาขึ้นสามารถตอบโจทย์ความต้องการของผู้ใช้งานได้เป็นอย่างดี ทั้งในด้านความครบถ้วนของฟังก์ชัน ความสะดวกในการใช้งาน และความปลอดภัยในการจัดเก็บข้อมูล

6. การอภิปรายผล

ผลการพัฒนาและทดสอบระบบแสดงให้เห็นว่าระบบสามารถตอบสนองต่อความต้องการของผู้ใช้งานได้อย่างมีประสิทธิภาพ โดยรองรับฟังก์ชันหลัก เช่น การลงทะเบียนสมาชิก การฝากเงิน การกู้ยืม และการชำระหนี้ ได้อย่างครบถ้วนและถูกต้อง พร้อมรายงานและกราฟที่ช่วยให้ติดตามข้อมูลได้สะดวก

ระบบมีความเร็วและเสถียร รองรับการใช้งานพร้อมกันได้ดี อินเทอร์เฟซเรียบง่าย เหมาะกับผู้ใช้ทั่วไป โดยเฉพาะคณะกรรมการที่ไม่ถนัดเทคโนโลยี ส่วนด้านความปลอดภัยมีการเข้ารหัสข้อมูลและกำหนดสิทธิ์ผู้ใช้งานอย่างเหมาะสม

อย่างไรก็ตาม ควรพัฒนาเพิ่มเติมด้านการสำรองข้อมูลและการใช้งานแบบออฟไลน์ เพื่อเพิ่มความมั่นคงในระยะยาว ทั้งนี้ ระบบนี้สามารถต่อยอดเป็นต้นแบบสำหรับกองทุนหมู่บ้านอื่น ๆ ได้ในอนาคต

เอกสารอ้างอิง

[1] กรุงเทพธุรกิจ มีเดีย จำกัด, “รัฐจ่าย 1.1 หมื่นล้าน เงินกองทุนหมู่บ้านทั่วประเทศ ทุนประเมินหมู่บ้านละ 1 ล.,” กรุงเทพธุรกิจ, https://www.bangkokbiznews.com/news/news-update/1156638 (เข้าถึงเมื่อ : 13 มีนาคม 2025)

[2] ยุวเรศ พูนลาภสวัสดิ์ สุพรชัย ศิริโวหาร และ จุไรรัตน์ จุลจักรวัฒน์, “การพัฒนากองทุนหมู่บ้านและชุมชนเมือง เป็นสถาบันการเงินชุมชน: จังหวัดเชียงใหม่,” วารสารวิจัยและพัฒนาในภาควิชาวิศวกรรมศาสตร์, 5(1), หน้า 91-101

[3] หฤทัย อาษากิจ, “การพัฒนาระบบสนับสนุนการตัดสินใจทางการเงินสำหรับการเสนอขอสินเชื่อจากสถาบันการเงิน,” วารสารเทคโนโลยีสารสนเทศ, 13(2), หน้า 1-9

[4] นันทา จันทร์พิทักษ์ และ รัฐพล มณฑา, “การพัฒนาระบบบริหารสหกรณ์โดยใช้เทคโนโลยีบล็อกเชน,” วารสารวิทยาการสารสนเทศและเทคโนโลยี, 9(2), หน้า 1-12

[5] วันเพ็ญ ชื่นใจ และ ส่งเสริม แสงทอง, “การจัดการกองทุนหมู่บ้านทาสองท่าเพื่อเสริมสร้างเศรษฐกิจชุมชนตำบลทาปลาดุก อำเภอแม่ทา จังหวัดลำพูน,” วารสารปัญญา, 28(1). หน้า 79-88

[6] ศิริลักษณ์ มะณีรัตน์ และ ณกมล จันทร์สม, “แนวทางการจัดการกองทุนหมู่บ้านของประชาชนในจังหวัดสุพรรณบุรี,” วารสารวิชาการสังคมศาสตร์เครือข่ายวิจัยประชาชื่น, 5(3), หน้า 66-80

[7] ศุภโชค อ่อนแห นิรุตต์ จรเจริญ มาลินี คำเครือ ณรงค์ พันธุ์คง วิยะดา พลชัย และ พิศาล คงเอียด, “การพัฒนาแอปพลิเคชันธนาคารโรงเรียนเพื่อสนับสนุนการทำงานในยุคดิจิทัล,” วารสารวิชาการ มหาวิทยาลัยราชภัฏกาญจนบุรี, 13(2), หน้า 93-106

ระบบคิดเงินแบบเรียลไทม์ด้วยการตรวจจับวัตถุจากโยโล

Vision-Based Real-Time Checkout System Using YOLOv8 Object Detection

ประตูเงิน ปักสำโรง[1] ธนาทิพย์ ปานโต[1] อภิสิทธิ์ กองค้า[1] สุภัทรา เกิดเมฆ[1] ประจวบ อินระวงศ์[2] และ วิทยา ศรีกุล[1]*

[1]สาขาวิศวกรรมคอมพิวเตอร์ คณะวิศวกรรมศาสตร์และเทคโนโลยี มหาวิทยาลัยเทคโนโลยีราชมงคลอีสาน นครราชสีมา Witaya@rmuti.ac.th*

[2]สาขาวิศวกรรมไฟฟ้า คณะวิศวกรรมศาสตร์และเทคโนโลยี มหาวิทยาลัยเทคโนโลยีราชมงคลอีสาน นครราชสีมา

บทคัดย่อ

บทความนี้นำเสนอระบบคิดเงินอัตโนมัติ ด้วยการใช้เทคโนโลยีสแกนคิวอาร์โค้ด (QR Code) เพื่อการชำระเงินที่รวดเร็ว โดยระบบสามารถตรวจจับด้วยกล้องแยกสินค้าได้ 3 ประเภท แบบซอง แบบกล่อง และบรรจุภัณฑ์แบบขวด ซึ่งใช้การเรียนรู้ของเครื่อง (Machine Learning) ในการประมวลผลภาพสินค้าแบบเวลา และแสดงผลบนเว็บแอปพลิเคชัน ระบบนี้รองรับการซื้อขายด้วยตัวเอง เพิ่มความสะดวกเจ้าของร้านค้า ลดจำนวนพนักงาน และมีความเที่ยงตรงร้อยละ 97.60 มีความสามารถสร้างข้อมูลรายการสินค้าได้สูงสุด อย่างน้อย 30 รายการ

คำสำคัญ: อัตโนมัติ ระบบคิดเงิน โยโล

Abstract

This article presents an automatic billing system utilizing QR code scanning technology for fast and efficient payment. The system can detect and classify three types of product packaging pouches, boxes, and bottles using a camera and real-time image processing powered by machine learning. The results are displayed on a web application. This system supports self-service purchasing, providing convenience for shop owners and reducing the need for staff. The system achieves an accuracy rate of 97.60%, with the capability to generate up to 30 product records.

Keywords: Automatic, Checkout System, YOLO

1. บทนำ

ในยุคปัจจุบันโลกสมัยใหม่ การใช้ชีวิตในเมืองใหญ่ แต่ละวันเต็มไปด้วยความเร่งรีบ เช่น การเดินทาง การทำธุระต่าง ๆ การรอคิวซื้อสินค้า ปัญหานี้ทำให้เสียเวลาสำหรับสังคมเมืองที่เวลามีความสำคัญ จากการสังเกตของผู้วิจัยในกรอบระยะเวลา สามเดือนตามจุดบริการร้านค้าต่าง พบว่าระบบการคิดเงินในร้านค้าส่วนใหญ่ ให้พนักงานคิดเงินเพื่อบริการลูกค้าผ่านระบบเงินสด หรือโอนเงิน หรือการสแกนแบบบาร์โค้ด ซึ่งมีโอกาสเกิดข้อผิดพลาดจากการทำงานของมนุษย์ (Human Error) ทำให้บางครั้งเกิดความล่าช้า แม้ว่าสินค้าส่วนใหญ่จะมีบาร์โค้ด แต่การใช้งานจริงพบว่ามีข้อจำกัดหลายประการ เช่น บาร์โค้ดอาจชำรุดหรือหลุดออกจากบรรจุภัณฑ์ การสแกนต้องทำทีละชิ้นซึ่งใช้เวลา และบางครั้งเครื่องสแกนไม่สามารถอ่านได้ ซึ่งทำให้ลูกค้าอาจจะไม่ใช้บริการต่อถ้ามีทางเลือกใหม่ทำให้เสียโอกาสการขายในที่สุด

เพื่อแก้ไขปัญหานี้ผู้วิจัยจึงมีแนวคิดในการพัฒนา และออกแบบระบบคิดเงินอัตโนมัติโดยใช้กล้องเว็บแคม (Webcam) ในการตรวจจับ และประมวลผลภาพสินค้า ระบบนี้จะใช้เทคโนโลยีการเรียนรู้ของเครื่อง (Machine Learning) และปัญญาประดิษฐ์ (Artificial Intelligence: AI) ในการวิเคราะห์รูปแบบของสินค้า เช่น รูปทรง ขนาด สี รวมถึงการคำนวณราคาอย่างแม่นยำ ระบบนี้ช่วยลดภาระงานของพนักงาน และความเสี่ยงจากข้อผิดพลาดของมนุษย์ และประหยัดค่าจ้างพนักงานคิดเงิน ช่วยเพิ่มความสะดวก และรวดเร็วในการชำระเงิน ให้กับลูกค้า และเป็นรากฐานสำคัญของการพัฒนา ระบบร้านค้าไร้พนักงาน (Unmanned Store) ในอนาคต

2. ทฤษฎี และงานวิจัยที่เกี่ยวข้อง

2.1 โยโลอัลกอริทึม

YOLOv8 เป็นโมเดลตรวจจับวัตถุแบบขั้นตอนเดียว (Single-stage) ที่พัฒนาต่อจากรุ่นก่อนหน้า โดยใช้โครงข่ายประสาทเทียมแบบ Convolutional Neural Network (CNN) ในการประมวลผลภาพ และคาดการณ์ตำแหน่งวัตถุพร้อมชนิดของวัตถุในครั้งเดียว โดยไม่ต้องผ่านหลายขั้นตอนเหมือนโมเดลอื่น ๆ โครงสร้างของ YOLOv8 เป็นแบบ Anchor-free ทำให้ลดความซับซ้อนในการคำนวณ และเพิ่มความยืดหยุ่นในการตรวจจับวัตถุขนาดต่าง ๆ รวมถึงมีการใช้ Loss function ที่ได้รับการปรับปรุง เช่น Distribution Focal Loss และ Complete IoU (CIoU) เพื่อเพิ่มความแม่นยำในการจัดกรอบ จุดเด่นของ YOLOv8 คือความเร็วในการประมวลผลที่สูง ความแม่นยำที่ดีขึ้นจากเวอร์ชันก่อน และรองรับงานได้หลากหลายทั้ง Detection, Segmentation และ Classification ในโมเดลเดียว ขณะที่จุดด้อยคือยังต้องใช้ทรัพยากร GPU ค่อนข้างมากในงานที่ต้องการความแม่นยำสูง และอาจไม่เหมาะกับอุปกรณ์ขนาดเล็กมาก สรุปแล้ว YOLOv8 เป็นโมเดลที่มีประสิทธิภาพสูง เหมาะสำหรับงานที่ต้องการความรวดเร็ว และแม่นยำในการตรวจจับวัตถุแบบ Real-time จึงเป็นเหตุผลของการนำมาใช้ในงานวิจัยนี้

2.2 โนเอสคิวแอล

เป็นฐานข้อมูลที่จัดเก็บข้อมูลแบบไม่ใช้โครงสร้างตาราง เช่น Key-Value, Document และ Graph จึงยืดหยุ่นและเหมาะกับข้อมูล

*วิทยา ศรีกุล

หลากหลายรูปแบบ รองรับการขยายตัวในแนวนอน และทำงานได้ดีในระบบ Big Data จุดเด่นคือความเร็ว ความยืดหยุ่น และเหมาะกับงานที่เปลี่ยนแปลงข้อมูลบ่อย ข้อเสียคือ “ไม่รองรับ ACID" หมายถึงการทำงานบางส่วนที่อาจมีผลในระบบที่ต้องการความแม่นยำสูง เช่น ธุรกรรมการเงินขนาดใหญ่ และไม่มีมาตรฐานกลางที่ชัดเจน โดยรวมแล้ว NoSQL เหมาะกับระบบขนาดใหญ่ที่ต้องการประสิทธิภาพสูง และโครงสร้างข้อมูลไม่ตายตัว

2.3 ชุดข้อมูล (Dataset)

คือกลุ่มของข้อมูลที่ถูกรวบรวมมาอย่างมีระบบ เพื่อใช้ในการวิเคราะห์ ฝึกโมเดล หรือทดสอบระบบต่าง ๆ ซึ่งในงานวิจัยนี้ ข้อมูลในชุดอยู่ในรูปแบบ รูปภาพสินค้าที่ต้องการสอนระบบ จุดเด่นคือช่วยให้การทดลองมีมาตรฐานและสามารถเปรียบเทียบผลได้ ข้อจำกัดคือบางชุดอาจไม่ครอบคลุม ซึ่งส่งผลต่อความแม่นยำของโมเดล โดยรวมในการรวบรวมชุดข้อมูล ผู้วิจัยได้บันทึกภาพจากกล้องเว็บแคมภายใต้สภาวะแสงและมุมมองที่หลากหลาย โดยจัดเก็บเป็น 3 ประเภท ได้แก่ ซอง กล่อง และขวด รวมทั้งสิ้น 2,100 ภาพ โดยมีการกระจายดังตารางที่ 1

ตารางที่ 1 เวลาและความผิดพลาดต่อจำนวนรอบการเทรน

สินค้า	จำนวนภาพ	สัดส่วน (%)
ซอง	1500	33.3
กล่อง	1500	33.3
ขวด	1500	33.3

2.4 งานวิจัยที่เกี่ยวข้อง

ในบทความแรกที่ได้ทบทวนวรรณกรรม [1] ใช้บอร์ดพัฒนา ESP32 ที่มีกล้องตรวจจับการมีอยู่ของพนักงานในจุดขาย ประมวลผลภาพแบบ Convolutional Neural Network (CNN) ตรวจสอบทุกๆ 0.7 วินาที และตั้งเงื่อนไข “ไม่มีคนอยู่” ติดต่อกัน 4 นาที จึงส่งอีเมลแจ้งเตือนไปยังหัวหน้างาน ยังมีประเด็นสามารถเพิ่มศักยภาพ ความแม่นยำที่ยังไม่สูง ไม่ทนต่อสถานการณ์แสงเปลี่ยนแปลงสูง และ ไม่สามารถระบุจำนวนบุคคลหรือระบุตัวบุคคลได้ นี่เป็นข้อมูลที่สรุปเบื้องต้น ในบทความถัดไป [2] มีการทดลองกับรายการสินค้า 10 รายการ ได้ผลความเที่ยงตรงถึงร้อยละ 96 และโดยมีค่า Recall สูงกว่า ร้อยละ 79 โดยใช้หลักการของ CNN บนพื้นฐาน MobileNetsV2 ใช้ Dataset 500 ภาพต่อสินค้า 1 รายการในมุมกล้องแบบต่างๆ และมีการใช้ Raspberry Pi ในการควบคุม Hardware ต่างๆ โดยมีการใช้การติดต่อกับผู้ใช้แบบ Website ประเด็นสังเกตระยะเวลาการประมวลผลขึ้นอยู่กับความเร็วของสายพาน ซึ่งแตกต่างกับการวางสินค้าเลย และถ้าสินค้าวางบนสายพานมากกว่า 1 รายการระบบจะให้ผลเป็นเช่นไรซึ่งไม่ได้สรุปผลให้ทราบ ส่วนในระบบที่ [3] นั้นใช้กล้องเดียวตรวจจับสินค้าหลายรายการแบบ Real-time โดยไม่ต้องมีบาร์โค้ดหรือ RFID โดยใช้ Deep Learning (YOLO + CaffeNet) เพื่อจับรูปร่างและระบุสินค้า พร้อมสร้างฐานข้อมูลจากข้อมูลจริงในตลาดไต้หวัน มีความสามารถประมวลผลได้เฉลี่ย 64–75 มิลลิวินาที/เฟรม และให้ความแม่นยำเฉลี่ย 76.48% ระบบสามารถคำนวณราคารวม ส่วนงานลำดับที่ได้สืบค้น [4] หลักการทำงานของระบบซึ่งไร้พนักงานจะ ประกอบด้วย การระบุผู้บริโภคที่ใช้เทคโนโลยีการจดจำใบหน้า และลายนิ้วมือ ส่วนที่สองการรู้จำสินค้าโดยใช้กล้อง และเทคโนโลยี AI เช่น MASK-RCNN เพื่อวิเคราะห์ภาพสินค้าในร้าน และส่วนสำคัญคือกระบวนการชำระเงินอัตโนมัติ เกิดเมื่อผู้บริโภคหยิบสินค้า ระบบจะรู้จำสินค้า และสร้างบิลชำระเงินโดยอัตโนมัติ บริการนี้สามารถทำผ่านการสแกน QR code หรือ Biometric ประเด็นที่เป็นจุดสังเกต ต้นทุนด้านเทคโนโลยี และกล้องคุณภาพสูง อีกส่วนก็คือ การเก็บข้อมูลส่วนบุคคลอาจมีความเสี่ยงด้านความปลอดภัยและความเป็นส่วนตัว สรุปภาพรวมระบบ ซึ่งระบบนี้สามารถรู้จำ และนับสินค้าได้อย่างแม่นยำสูงร้อยละ 98% เพิ่มประสบการณ์การช็อปปิ้งแบบไร้พนักงาน และลดต้นทุนเรื่องพนักงาน แต่ก็ยังมีข้อจำกัดด้านเทคโนโลยีและความปลอดภัยในการใช้งานจริง งานลำดับที่ [5] ใช้เทคนิค Object Detection (YOLOv4) ร่วมกับ Optical Character Recognition (OCR) เพื่อวิเคราะห์ และยืนยันประเภทของสินค้าที่มีจุดเด่น และใช้เทคนิค SMOTE/Borderline-SMOTE ช่วยเพิ่ม Precision/Recall ข้อสังเกตประสิทธิภาพลดลงในกรณีที่ข้อมูลของสินค้ากลุ่มใดกลุ่มหนึ่งมีน้อยหรือมีลักษณะหลากหลาย การใช้ OCR ยังขึ้นอยู่กับคุณภาพของฉลาก และข้อความบนบรรจุภัณฑ์ สำหรับบทความสุดท้ายที่สืบค้น [6] ใช้แนวคิดจากการรับรู้ภาพของมนุษย์ โดยพิจารณาตำแหน่งและขนาดของวัตถุในภาพเพื่อจัดกลุ่มความหมายของภาพ ทดสอบจำแนกภาพด้วย 3 วิธีคือ Naïve Bayes, SVM และ Neural Network มีการเลือกฟีเจอร์สำคัญด้วยเทคนิค Chi-Square และ Information Gain Ratio ข้อสังเกตใช้เฉพาะภาพธรรมชาติ เช่น ภูเขา ทะเล สวน ทำให้ยังไม่ครอบคลุมภาพเชิงพาณิชย์หรืออุตสาหกรรม โดยมีประสิทธิภาพด้านความ เที่ยงตรงสูงสุดถึง 94.8% ด้วยวิธี Multiple Feedforward Neural Network (MFNN)

3. การดำเนินงาน

จากปัญหาที่กล่าวมาก่อนหน้าทีมวิจัยจึงออกแบบ และพัฒนาระบบโดยใช้เทคโนโลยีตรวจจับสินค้าผ่านกล้องที่ติดตั้งบนฐานวางสินค้า เพื่อเพิ่มความสะดวก และรวดเร็วในการชำระเงิน

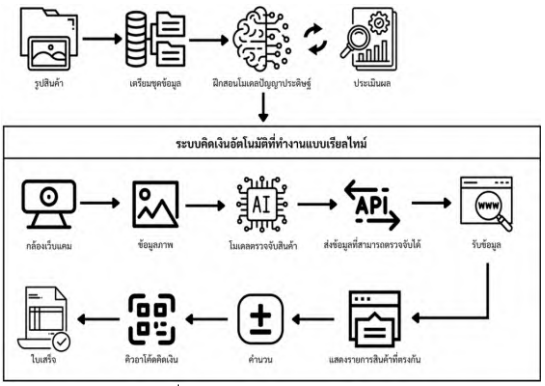

รูปที่ 1 ผังการทำงานของระบบ

ระบบนี้นำโมเดลปัญญาประดิษฐ์มาช่วยวิเคราะห์ และตรวจสอบสินค้าในขอบเขตกล้องสามารถตรวจจับได้ และระบุสินค้าสำเร็จ โดยข้อมูลจะถูกส่งไปยังจอแสดงผลเพื่อแสดงรายละเอียดสินค้าแบบเรียลไทม์ ทำให้ผู้ใช้สามารถชำระเงินได้อย่างรวดเร็วผ่านการสแกนคิวอาร์โค้ดที่ระบบสร้างขึ้น ดังรูปที่ 1 ซึ่งแสดงกระบวนการของระบบคิดเงินอัตโนมัติที่เรียนรู้ได้เอง โดยแบ่งระบบเป็นสองส่วนหลัก ส่วนแรกคือการรวบรวมภาพสินค้าเพื่อฝึกสอนโมเดล YOLOv8 เพื่อให้รู้จำสินค้าได้แม่นยำ ส่วนที่สองคือการใช้งานจริงโดยใช้กล้องจับภาพสินค้าแล้วส่งไปให้โมเดลตรวจจับประเภทสินค้า ข้อมูลสินค้าจะถูกส่งไปยังระบบเพื่อคำนวณราคา และแสดงรายการ จากนั้นระบบจะสร้าง QR Code สำหรับชำระเงิน และออกใบเสร็จอัตโนมัติ

การรวบรวมชุดข้อมูลสำหรับการฝึกสอนโดยการบันทึกภาพจากกล้องเว็บแคม ซึ่งประกอบไปด้วยสินค้าทั้งหมด 3 ประเภท ซึ่งยกตัวอย่างประเภทละหนึ่งชิ้น โดยมีประเภทซอง, กล่อง และขวดดังรูปที่ 2 ซึ่งข้อมูลที่ได้จากการบันทึกภาพในมุมต่าง ๆ จะช่วยเพิ่มความสามารถจำแนกของสินค้าแต่ละชิ้นได้ ข้อมูลเหล่านี้จะถูกนำไปใช้ในการจัดเตรียมชุดข้อมูลในแพลตฟอร์มโรโบโฟลว์ (Roboflow) เพื่อให้สามารถนำไปใช้ในการฝึกสอนและสร้างโมเดลต่อไป

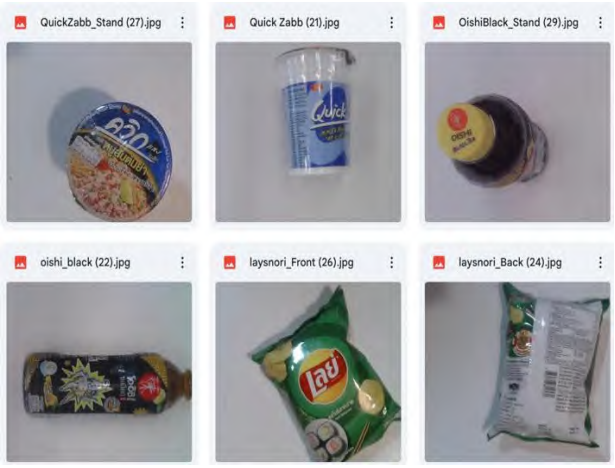

รูปที่ 2 ตัวอย่างชุดข้อมูลสินค้า

ขั้นตอนถัดไปคือการแบ่งชุดข้อมูลออกเป็นชุดฝึกสอน (Training Set), ชุดทดสอบ (Validation Set) และชุดตรวจสอบ (Test Set) ซึ่งจะช่วยในการฝึกสอนโมเดล, ทดสอบการทำงาน และประเมินผลลัพธ์ของโมเดลอย่างถูกต้อง ดังในรูปที่ 3

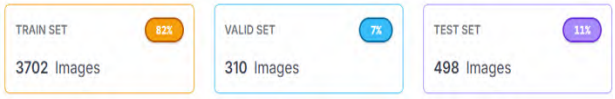

รูปที่ 3 อัตราส่วน Train – Valid - Test

เมื่อนำไปเทรนโมเดล YOLOv8 แล้วได้ให้ภาพรวมของประสิทธิภาพของโมเดลในการตรวจจับวัตถุในภาพ ค่า Precision และ Recall วัดความแม่นยำ และความครอบคลุมของการตรวจจับ ในขณะที่ mAP50 และ mAP50-95 วัดความสามารถในการจับคู่กรอบที่ตรวจจับได้กับกรอบที่เป็นจริงในหลายระดับ ความสำคัญของการมีค่าเหล่านี้คือ ช่วยให้ผู้วิจัยเข้าใจว่าโมเดลมีความแม่นยำเพียงใดในการจำแนก ตรวจจับวัตถุจากภาพต่าง ๆ และมีการแสดงผลลัพธ์ในรูปแบบกราฟดังในรูปที่ 4

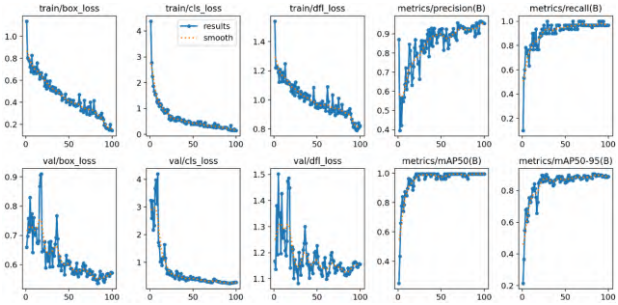

รูปที่ 4 ผลลัพธ์จากการเทรน

จากกราฟทั้งหมดในรูปที่ 4 แสดงให้เห็นว่า ค่า Loss ลดลง และค่าประสิทธิภาพของโมเดล (Precision, Recall, mAP) เพิ่มขึ้น ซึ่งเป็นสัญญาณที่ดีว่าโมเดลได้เรียนรู้ และมีความสามารถในการตรวจจับวัตถุในภาพได้ดีขึ้นในระหว่างการเทรน และ Validation

การออกแบบระบบ Website สำหรับการนำโมเดลที่ได้จากการเทรนไปใช้งานสามารถอธิบายกระบวนการทำงานได้ดังผังงานในรูปที่ 5

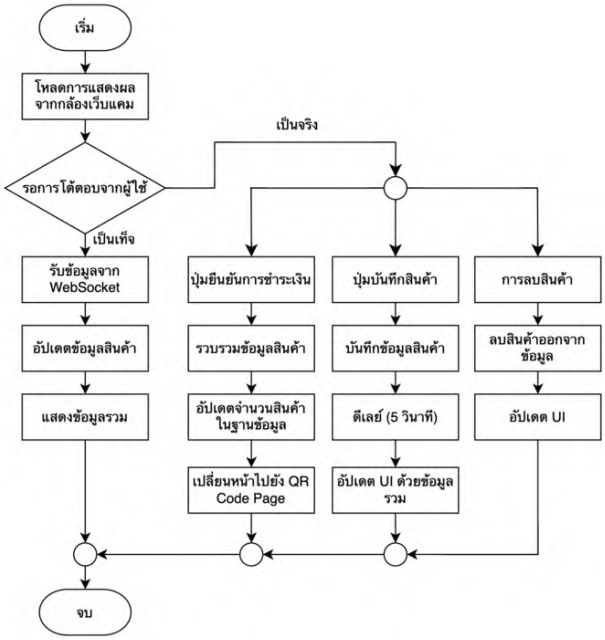

รูปที่ 5 ผังการทำงานของหน้าเว็บตรวจจับสินค้า

กระบวนการเริ่มต้นเมื่อเปิดหน้าเว็บไซต์สำหรับระบบคิดเงินอัตโนมัติ โดยระบบจะแสดงผลจากกล้องเว็บแคมที่เชื่อมต่อกับเซิร์ฟเวอร์ ในรูปแบบวิดีโอเรียลไทม์ ผู้ใช้สามารถเลือกวิธีการดำเนินการตามต้องการ และระบบจะแสดงรายการสินค้าที่บันทึกไว้ในรูปแบบตาราง โดยประกอบด้วยข้อมูลชื่อสินค้า จำนวนสินค้า และราคาสินค้า เมื่อมีการเพิ่มหรือแก้ไขข้อมูลสินค้า ระบบจะอัปเดตการแสดงผลในตารางพร้อมคำนวณยอดรวมที่ต้องชำระโดยอัตโนมัติ หากผู้ใช้กดปุ่ม "ชำระเงิน" ข้อมูลสินค้าทั้งหมดจะถูกบันทึก และส่งต่อไปยังเซิร์ฟเวอร์เพื่อดำเนินการอัปเดตสต็อกสินค้า

ในขั้นตอนการอัปเดตสต็อก ระบบจะลดจำนวนสินค้าตามคำสั่งซื้อและอัปเดตข้อมูลในฐานข้อมูลของระบบ หลังจากนั้นระบบจะนำผู้ใช้ไปยังหน้าชำระเงิน พร้อมแสดงยอดเงินที่ต้องชำระ หลังจากขั้นตอนทั้งหมดเสร็จสมบูรณ์ ผู้ใช้สามารถดำเนินการชำระเงินได้ผ่าน QR-Code ที่ถูกสร้างขึ้นตามรายการสินค้า ดังแผนผังงานรูปที่ 5 และเชื่อมต่อการสื่อสารโดยมีภาพหน้าจอ GUI ดังรูปที่ 6

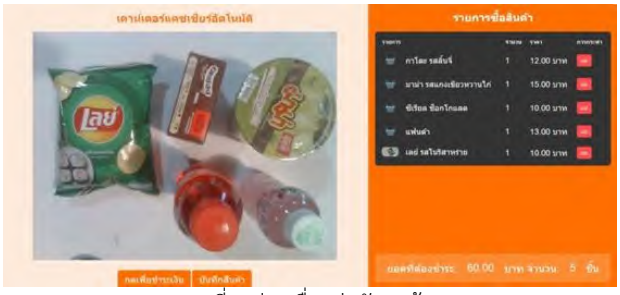

รูปที่ 6 ส่วนเชื่อมต่อกับลูกค้า

4. การทดสอบการใช้งานระบบ

การทดสอบประสิทธิภาพการทำงานของระบบคิดเงินอัตโนมัติมีการกำหนดความต้องการขั้นต่ำของอุปกรณ์ในการใช้งาน ดังตารางที่ 2

ตารางที่ 2 ความต้องการขั้นต่ำของระบบ

อุปกรณ์ / ซอฟต์แวร์	เวอร์ชัน / ประสิทธิภาพ
ระบบปฏิบัติการ (OS)	Windows 10 Home
ระบบประมวลผลกลาง (CPU)	AMD Ryzen 7 หรือ เทียบเท่า
หน่วยความจำหลัก (RAM)	Ram 16 GB
หน่วยความจำถาวรแบบ SSD	SSD 1 TB
การ์ดจอ (GPU)	Nvidia RTX 2060 4 GB

การทดสอบลำดับแรกการทำงานบนเว็บเบราว์เซอร์ต่าง ๆ พบว่าเว็บเบราว์เซอร์ที่มีความนิยมในปัจจุบันสามารถทำงานร่วมกับระบบตรวจจับสินค้าได้อย่างราบรื่น และมีประสิทธิภาพ โดยเว็บเบราว์เซอร์แต่ละตัวที่นำมาทดสอบ มีดังนี้ Google Chrome, Brave, Microsoft Edge และ Mozilla Firefox ได้รับการปรับแต่งเพื่อให้เหมาะสมกับหน้าจอของระบบแล้ว ทั้งนี้ สามารถนำระบบไปทดสอบเพิ่มเติมกับหน้าจอที่มีขนาดแตกต่างกันได้ โดยพิจารณาปรับเปอร์เซ็นต์ ขยายเข้า-ออก

การทดสอบการตรวจจับสินค้าในสภาวะความสว่างที่แตกต่างกัน การทดสอบการตรวจจับสินค้าในสภาวะความสว่างต่าง ๆ มีผลกระทบต่อความแม่นยำของระบบอย่างชัดเจน โดยในสภาวะที่มีค่าความสว่างต่ำกว่า 5 ลักซ์ ซึ่งวัดได้จากลักซ์มิเตอร์ ระบบไม่สามารถตรวจจับสินค้าได้ เนื่องจากแสงไม่เพียงพอที่จะทำให้เห็นรายละเอียดของสินค้า อย่างไรก็ตาม เมื่อเพิ่มค่าความสว่างในช่วง 10 ลักซ์ ถึง 50 ลักซ์ ระบบสามารถตรวจจับสินค้าได้ และมีประสิทธิภาพที่ดีขึ้นตามลำดับ สำหรับการเพิ่มค่าความสว่างที่ระดับ 60 ลักซ์ ถึง 200 ลักซ์ พบว่าระบบทำงานได้ดีที่สุด โดยมีการวางเครื่องมือวัดความเข้มแสงขณะทดสอบการทำงานดังรูปที่ 7

รูปที่ 7 ตัวอย่างการวางเครื่องวัดแสง (Lux Meter)

การทดสอบการตรวจจับสินค้าแบบไม่มีการบดบัง สรุปได้ว่าการตรวจจับสินค้าในรูปแบบที่มีการจัดวางสินค้าอย่างเหมาะสมส่งผลให้ค่าความแม่นยำในการตรวจจับสินค้าสูงขึ้น และสามารถระบุชนิดสินค้าได้อย่างชัดเจน หากมีการวางสินค้าทับซ้อน หรือบดบังกัน ค่าความแม่นยำในการตรวจจับอาจลดลง หรือในบางกรณีระบบอาจไม่สามารถตรวจจับสินค้าได้เลยแสดงดังรูปที่ 7

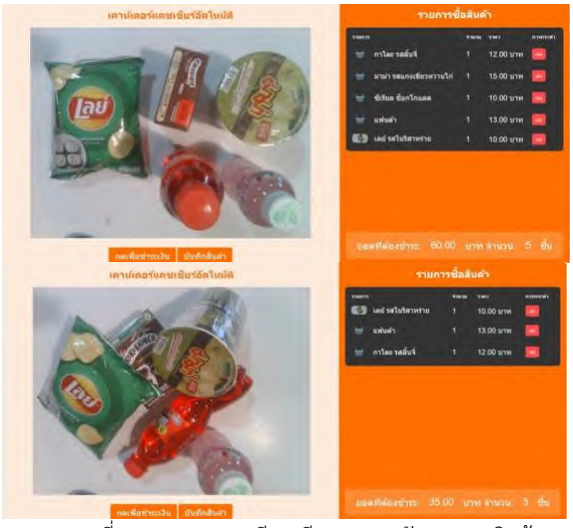

รูปที่ 7 การทดสอบเปรียบเทียบการบดบังของภาพสินค้า

การทดสอบตรวจจับสินค้าในรูปแบบการวางแบบต่างๆ ในการตรวจจับสินค้าที่มีรูปแบบการวางแบบสินค้ารายการเดี่ยว ในรูปแบบวางแบบแนวตั้ง และแบบแนวนอน โดยในการทดสอบจะวางสินค้าในแต่ละประเภทที่ได้กำหนดในตอนสร้างระบบคือ แบบกล่อง แบบซอง และแบบขวด ซึ่งได้ผลทดสอบพบว่า ทำงานได้อย่างถูกต้องดังแสดงในรูปที่ 8 ซึ่งเป็นผลมาจากโมเดลที่ทำการเทรน ที่มีจำนวนคลาสหลายคลาส ที่ครอบคลุมทุกมุมมองของภาพสินค้า

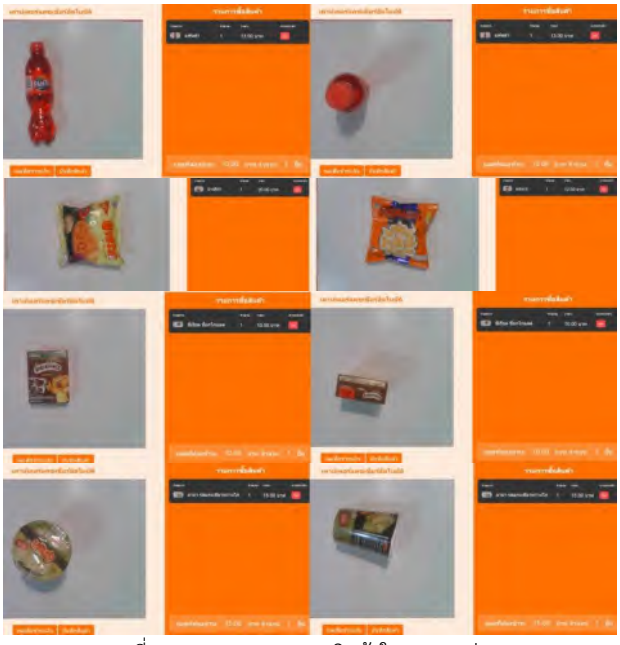

รูปที่ 8 การทดสอบการวางสินค้าในรูปแบบต่างๆ

การทดสอบเทรนชุดข้อมูล การเทรนข้อมูลเป็นกระบวนการพัฒนาโมเดลปัญญาประดิษฐ์ โดยเฉพาะในด้านการเรียนรู้เชิงลึก (Deep Learning) เพื่อสอนโมเดลให้สามารถจำแนกวัตถุได้อย่างแม่นยำ โดยในการทดลองนี้จะเลือกสินค้ามา 7 ชิ้น ซึ่งครอบคลุมทั้ง 3 ประเภทหลัก จากนั้นจะทำการเทรนชุดข้อมูลด้วย การปรับจำนวนรอบการเทรนข้อมูล (Epoch) เพื่อตรวจสอบค่าความผิดพลาด (Cls_Loss) โดยค่าความผิดพลาดที่ใกล้เคียง 0 หมายถึงโอกาสที่โมเดลจะทำนายได้อย่างถูกต้องเพิ่มขึ้น ซึ่งสัมพันธ์กับระดับความแม่นยำที่สูงขึ้น การทดลองยังรวมถึงการจับเวลาเพื่อประเมินความเหมาะสมของเวลาในแต่ละจำนวนรอบ โดยการทดลองแบ่งออกเป็น 3 กรณีดังตารางที่ 3

ตารางที่ 3 เวลาและความผิดพลาดต่อจำนวนรอบการเทรน

รายการทดลอง	ค่าความผิดพลาด	เวลาที่ใช้ในการเทรน (นาที)
ทดลองเทรนชุดข้อมูล 100 รอบ	0.411 – 0.433	18 - 23
ทดลองเทรนชุดข้อมูล 250 รอบ	0.2252 - 0.234	44 - 52
ทดลองเทรนชุดข้อมูล 500 รอบ	0.1505 - 0.1624	85 - 99

การประเมินค่าทางสถิติของโมเดล ได้ผลประเมินเฉลี่ยดังตารางที่ 4 โดยจะมีสินค้าบางรายการที่มีเปอร์เซ็นต์ต่ำกว่าค่าเฉลี่ย ในบางคลาส

ตารางที่ 4 การประเมินค่าทางสถิติของโมเดล

Metric	ค่า (%)	ความหมาย
Macro Precision	96.53	โมเดลมีความแม่นยำสูง
Macro Recall	96.75	โมเดลสามารถดึงข้อมูลที่เกี่ยวข้องได้ดี
Macro F1 Score	96.55	ความสมดุลระหว่าง Precision และ Recall

แต่การใช้งานจริงจากผลการทดสอบ Confusion Matrix แสดงให้เห็นว่าโมเดลมีความสามารถในการจำแนกวัตถุได้อย่างแม่นยำ รวมสูงถึง 97.60%

5. อภิปราย

จากผลการทดสอบ พบว่ายังมีข้อผิดพลาดที่ควรได้รับการแก้ไข เช่น ความแม่นยำลดลงเมื่อสินค้าวางซ้อนกันหรือถูกบดบัง และการตรวจจับทำงานได้ไม่ดีในสภาวะแสงน้อย รวมถึงการแยกสินค้าที่มีลักษณะคล้ายกัน เช่น ขวดน้ำต่างยี่ห้อที่รูปร่างใกล้เคียงกัน การวิเคราะห์ข้อผิดพลาดเหล่านี้ชี้ให้เห็นทิศทางการพัฒนาในอนาคต ได้แก่ การเพิ่มจำนวน และความหลากหลายของข้อมูล การปรับปรุงคุณภาพภาพด้วย Image Enhancement และการใช้กล้องหลายมุมเพื่อช่วยให้การตรวจจับมีความแม่นยำมากขึ้น

6. สรุป

ระบบสามารถตรวจจับสินค้าได้ 3 ประเภท คือซอง กล่อง และขวด ด้วยความแม่นยำรวมร้อยละ 97.60 ช่วยลดภาระพนักงานและเพิ่มความสะดวกในการชำระเงินผ่าน QR Code อย่างไรก็ตาม ระบบยังมีข้อจำกัด ได้แก่ การตรวจจับในกรณีที่สินค้าวางซ้อนหรือถูกบดบัง รวมถึงการรองรับสินค้าที่จำกัดเพียงไม่กี่ประเภท โดยระบบยังสามารถขยายเพื่อรองรับสินค้าใหม่ได้ โดยใช้กระบวนการเก็บภาพสินค้าเพิ่มเติม ทำการ Annotate ผ่านแพลตฟอร์ม Roboflow และนำไป Re-train โมเดล YOLOv8 กระบวนการนี้ช่วยให้ระบบสามารถเรียนรู้สินค้าใหม่ได้อย่างยืดหยุ่นและต่อยอดได้ง่าย

สำหรับแนวทางในอนาคต ควรเพิ่มจำนวนและความหลากหลายของสินค้า โดยเฉพาะสินค้าที่มีลักษณะใกล้เคียงกัน รวมทั้งนำระบบไปทดสอบในสภาพแวดล้อมจริง เช่น ร้านค้าปลีกหรือซูเปอร์มาร์เก็ต เพื่อประเมินประสิทธิภาพและความเสถียรของระบบในสถานการณ์ใช้งานจริง ซึ่งจะทำให้ผลการวิจัยมีความสมบูรณ์และนำไปใช้ได้จริงมากยิ่งขึ้น

เอกสารอ้างอิง

[1] J. Linggarjati, “Person Detection in Point-of-Sale Application at Retail Food-Outlets,” *2022 2nd Indian International Conference on Industrial Engineering and Operations Management Warangal,* Telangana, India, pp. 2078-2085.

[2] N. Rondan, J. Palleiro, R. Salveraglio, M. Eugenia, N. Ferro and R. Sotelo, “Self-Checkout System Prototype for Point-

of-Sale using Image Recognition with Deep Neural Networks," *2021 IEEE URUCON*, Montevideo, Uruguay, 2021, pp. 217-221.

[3] B. Wu, W Tseng, Y. Chen, S. Yao and P. Chang, "An intelligent self-checkout system for smart retail," *2016 International Conference on System Science and Engineering (ICSSE)*, Puli, Taiwan, 2016.

[4] L. Liu1, B. Zhou, Z. Zou, S. Yeh and L. Zheng, "A Smart Unstaffed Retail Shop Based on Artificial Intelligence and IoT," *2018 International Workshop on Computer Aided Modeling and Design of Communication Links and Networks (CAMAD)*, Barcelona, Spain, 2018.

[5] นพวรรณ ชื่นอารมณ์ และ ฐากร พฤกษวันประสุต, "ระบบตรวจจับวัตถุและจำแนกแยกแยะประเภทของสินค้าจากภาพถ่ายด้วยการยืนยันผ่านเทคนิค OCR ร่วมกับเทคนิคการเรียนรู้ข้อมูลที่ไม่สมดุล," วารสารวิทยาศาสตร์และเทคโนโลยี มหาวิทยาลัยสุโขทัยธรรมาธิราช ปีที่ 4 ฉบับที่ 1, 29 ,มิถุนายน 2567, หน้า 1-9

[6] นัศพ์ชาณัณ ชินปัญช์ธนะ, "ระบบตรวจนับวัตถุอัตโนมัติด้วยเทมเพลตแมชชิ่งแบบนอร์มัลไลซ์คอรีเลชัน," มหาวิทยาลัยธุรกิจบัณฑิตย์ 2553.[Online]. Available: https://www.dpu.ac.th/dpurdi/research/272

ระบบจำลองหลักการทำงานอุปกรณ์อิเล็กทรอนิกส์เบื้องต้น ด้วยเทคโนโลยีเออาร์บนระบบปฏิบัติการแอนดรอยด์

VIRTUAL WORKING PRINCIPLES OF BASIC ELECTRONIC DEVICES SIMULATION SYSTEM WITH AR TECHNOLOGY ON THE ANDROID OPERATING SYSTEM

มณีรัตน์ ฟุ้งเฟื่อง[1] วรวรรณ วรรณสิทธ[1] สมคิด สุขสวัสดิ์[1] สุวรรณี พิทักษ์วินัย[1] และ เอกลักษณ์ สุมนพันธุ์[1]*

[1]หลักสูตรวิศวกรรมคอมพิวเตอร์ สาขาวิศวกรรมไฟฟ้า คณะวิศวกรรมศาสตร์ มหาวิทยาลัยเทคโนโลยีราชมงคลล้านนา ตาก
Maneerut64@live.rmutl.ac.th worawan64@live.rmutl.ac.th somkit@rmutl.ac.th suwannee_phi@rmutl.ac.th ekkalak@rmutl.ac.th*

บทคัดย่อ

การทำความเข้าใจการทำงานอุปกรณ์อิเล็กทรอนิกส์นั้น จำเป็นต้องต่อชุดอุปกรณ์เข้ากับวงจร ที่ทำการออกแบบเพื่อให้เห็นภาพการทำงานของอุปกรณ์จริง งานวิจัยนี้ได้นำหลักการจำลองโมเดล 3 มิติ ด้วยเทคโนโลยีเออาร์บนระบบปฏิบัติการแอนดอยด์ ออกแบบการทำงานของวงจรแบบ 3 มิติ โดยใช้โปรแกรมยูนิตี้และเก็บรหัสมาร์คเกอร์ในฐานข้อมูลวูฟูเรีย การทำงานผู้ใช้งานทำการติดตั้งแอปพลิเคชัน บนสมาร์ทโฟนที่ทำการพัฒนา จากนั้นทำการสแกนบนชุดมาร์คเกอร์ที่ออกแบบไว้ สำหรับการใช้งานพบว่าอุปกรณ์อิเล็กทรอนิกส์ทั้งหมด 15 อุปกรณ์ ที่ออกแบบไว้สามารถทำงานได้อย่างถูกต้อง ไม่ว่าภาพรหัสเออาร์ จะมีแสงสะท้อน มีรอยขูดขีด หรือเอียงโทรศัพท์ในการสแกนรวมทั้งการย่อขยายและหมุนโมเดล 3 มิติ จากการทดลองให้ความแม่นยำ 100 % ในทุกรูปแบบการทดลอง เนื่องจากการสร้างมาร์คเกอร์ ที่ใช้งานบนวูโฟเรียมีระดับอัตราการตรวจจับวัตถุที่อยู่ในเกณฑ์ที่ดี จากการประเมินสรรถนะของผู้เรียนจำนวน 20 คน แบ่งเป็น 2 กลุ่ม พบว่ากลุ่มที่เรียนรู้ผ่านแอปพลิเคชันมีค่าเฉลี่ยการทำแบบทดสอบอุปกรณ์อิเล็กทรอนิกส์ที่ดีกว่า แสดงให้เห็นถึงประสิทธิภาพการเรียนรู้ผ่านแอปพลิเคชันอย่างมีนัยสำคัญ

คำสำคัญ: อุปกรณ์อิเล็กทรอนิกส์เบื้องต้น ภาพรหัสเออาร์ โมเดลสามมิติ วูโฟเรีย แอปพลิเคชันยูนิตี้

Abstract

Understanding the operation of electronic devices requires connecting equipment to circuits designed to visualize the actual functioning of the devices. This research applies 3D model simulation principles using Augmented Reality (AR) technology on the Android operating system to design 3D circuit operations. The system was developed using Unity software with marker codes stored in the Vuforia database. Users install the developed application on smartphones and scan the designed marker sets. The study found that all 15 electronic devices designed in the system functioned correctly, regardless of AR code image conditions including light reflection, scratches, or tilted phone scanning angles, as well as scaling and rotating 3D models. The experiments achieved 100% accuracy across all testing scenarios due to the Vuforia-based markers having excellent object detection rates within acceptable criteria. From the evaluation of the performance of 20 learners, divided into 2 groups, it was found that the group that learned through the application had a better average score on the test, indicating significant learning efficiency through the application.

Keywords: Electronics fundamentals, AR marker, 3D model, Vuforia, Unity Application

1. บทนำ

การศึกษาวิชาอิเล็กทรอนิกส์เป็นสาขาวิชาที่มีความซับซ้อนและต้องอาศัยความเข้าใจในหลักการทำงานของอุปกรณ์อิเล็กทรอนิกส์และวงจรต่างๆ ที่เป็นนามธรรม การเรียนการสอนแบบดั้งเดิมที่อาศัยเพียงตำราเรียนและแผนภาพสองมิติมักทำให้ผู้เรียนเกิดความยากลำบากในการเข้าใจการทำงานของอุปกรณ์อิเล็กทรอนิกส์ที่ซับซ้อน โดยเฉพาะอย่างยิ่งการมองเห็นการไหลของกระแสไฟฟ้าและปฏิสัมพันธ์ระหว่างชิ้นส่วนต่างๆ ในวงจร แม้ว่าโลกทางกายภาพจะเป็นสามมิติ แต่เรามักใช้สื่อสองมิติในการศึกษา ซึ่งเป็นข้อจำกัดสำคัญในการสื่อสารแนวคิดทางวิศวกรรมที่ซับซ้อน การผสานเทคโนโลยี (AR: Augmented Reality) เข้ากับการศึกษาจึงเป็นแนวทางหนึ่งที่สามารถแก้ไขปัญหานี้ได้อย่างมีประสิทธิภาพ [1] ในงานวิจัยได้ระบุว่าการเรียนรู้ส่วนบุคคลที่สนับสนุนด้วยเทคโนโลยีมีผลเชิงบวกที่มีนัยสำคัญทางสถิติ

งานวิจัยด้าน AR ในการศึกษาได้รับความสนใจอย่างมากในช่วงทศวรรษที่ผ่านมา [2] แสดงให้เห็นว่าเทคโนโลยี AR ส่งผลดีต่อผลการเรียนรู้ โดยเฉพาะในสาขาวิศวกรรมศาสตร์ เนื่องจากการศึกษาวิศวกรรมจำเป็นต้องใช้เทคโนโลยีเพื่อช่วยให้นักเรียนเข้าใจแนวคิดและหลักการที่เป็นนามธรรม เทคโนโลยี AR เป็นเทคโนโลยีที่สามารถใช้ในการสร้างโซลูชันและสื่อการเรียนการสอนที่มีประสิทธิภาพและน่าสนใจ [3] การประยุกต์ใช้ AR ในการเรียนการสอนวิชาอิเล็กทรอนิกส์ได้แสดงให้เห็นถึงศักยภาพในการช่วยให้ผู้เรียนเข้าใจแนวคิดที่ซับซ้อนได้ดีขึ้น

งานวิจัยที่เกี่ยวข้องกับการใช้ AR ในการจำลองวงจรอิเล็กทรอนิกส์ได้มีการพัฒนาในหลายรูปแบบ การจำลองวงจรไฟฟ้าได้ใช้ซอร์สโค้ดจาก

*ผู้ประพันธ์บรรณกิจ

ไลบรารี SharpCircuit [4] ผสานกับโมเดล 3D เป็นองค์ประกอบทางไฟฟ้าที่มีตรรกะสำหรับการจำลองโดยไลบรารีนี้ ระบบสามารถแสดงการวัดและกราฟที่มีประโยชน์สำหรับการศึกษาแนวคิดเครือข่ายไฟฟ้า นอกจากนี้ยังมีการพัฒนา ระบบจำลองการเชื่อมต่อวงจร DC สำหรับผู้เริ่มต้นโดยใช้ AR ซึ่งแสดงให้เห็นถึงความสำคัญของการนำเทคโนโลยีนี้มาใช้ในการศึกษาระดับพื้นฐาน

ในงานวิจัย [5] ได้นำเสนอการประยุกต์ใช้เทคโนโลยีเออาร์ เพื่อเพิ่มคุณภาพการเรียนรู้ โดยการจำลองวงจรอิเล็กทรอนิกส์และแนวคิดที่เป็นนามธรรม เช่น กระแสไฟฟ้าและแรงดัน เข้าสู่สภาพแวดล้อมทางกายภาพด้วยแอปพลิเคชัน AR บนสมาร์ทโฟน โดยการศึกษา ได้จำลองวงจรแบ่งแรงดันที่มี LED แหล่งจ่ายแรงดัน และตัวต้านทานแบบปรับค่าได้ เท่านั้น ผู้ใช้สามารถปรับค่าที่ตัวต้านทาน จากโมเดล 3D ผ่านภาพรหัส AR ที่ออกแบบไว้ส่งผลให้ผู้เรียนไม่ต้องมีอุปกรณ์จริงก็สามารถเห็นการทำงานทิศทางการไหลของกระแสในวงจรได้ อย่างไรก็ตามจากการศึกษาวรรณกรรมที่เกี่ยวข้องพบว่า ยังมีช่องว่างในการวิจัยเกี่ยวกับการพัฒนาระบบ AR ที่ครอบคลุมการจำลองการทำงานของอุปกรณ์อิเล็กทรอนิกส์พื้นฐานในรูปแบบ 3D แบบครบถ้วน โดยเฉพาะระบบที่สามารถแสดงการไหลของกระแสไฟฟ้าและการจ่ายไฟให้กับอุปกรณ์ต่างๆ ในรูปแบบการจำลองที่เข้าใจง่าย และสามารถใช้งานบนระบบปฏิบัติการ Android ที่เป็นที่นิยมในปัจจุบัน

ดังนั้น งานวิจัยนี้จึงมีวัตถุประสงค์เพื่อพัฒนาระบบจำลองหลักการทำงานของอุปกรณ์อิเล็กทรอนิกส์เบื้องต้นด้วยเทคโนโลยี AR บนระบบปฏิบัติการ Android โดยใช้การสแกนมาร์กเกอร์เพื่อแสดงโมเดล 3D ของอุปกรณ์อิเล็กทรอนิกส์ต่างๆ พร้อมทั้งการจำลองการทำงานในรูปแบบที่ผู้เรียนสามารถเห็นทิศทางการไหลของกระแสไฟฟ้าและการจ่ายไฟให้กับอุปกรณ์ได้อย่างชัดเจน เพื่อเป็นเครื่องมือสำคัญในการยกระดับคุณภาพการเรียนการสอนวิชาอิเล็กทรอนิกส์พื้นฐานให้มีประสิทธิภาพมากยิ่งขึ้น

2. วิธีดำเนินงานวิจัย

2.1 หลักการทำงานหรือภาพรวมของระบบ

งานวิจัยนี้ได้นำหลักการเทคโนโลยีเสมือนจริงเออาร์ มาประยุกต์ใช้กับแอปพลิเคชันบนสมาร์ทโฟนบนระบบปฏิบัติการแอนดรอยด์ หลักการทำงานผู้เรียนสามารถเลือกได้ 2 โหมด โดยโหมดแรกคือ การแสดงโมเดล 3D ของอุปกรณ์โดยตรงผ่านกล้อง ซึ่งจะใช้หลักการวิเคราะห์ภาพ (Image Analysis) เพื่อหามาร์คเกอร์ (Marker) ในการกำหนดจุดจำภาพรหัส AR ที่ได้จากกล้อง แล้วสืบค้นจากฐานข้อมูล (Marker Database) ที่เก็บข้อมูลขนาด และภาพรหัส AR ส่งผลให้หน่วยแสดงผลประมวลภาพ 3D ต่อไป ผู้ใช้งานสามารถที่จะเลือกปฏิสัมพันธ์ (Interaction) กับโมเดล 3D ที่แสดงผล ได้แก่ การหมุนโมเดล 360 องศา และการย่อ-ขยาย ขนาดโมเดลตลอดจนเรียกดูคลิปแอนิเมชัน (Animation) เพื่อจำลองการทำงานของอุปกรณ์อิเล็กทรอนิกส์นั้นๆ โหมดที่ 2 เป็นการเรียกดูข้อมูลอุปกรณ์อิเล็กทรอนิกส์ ดังรูปที่ 1

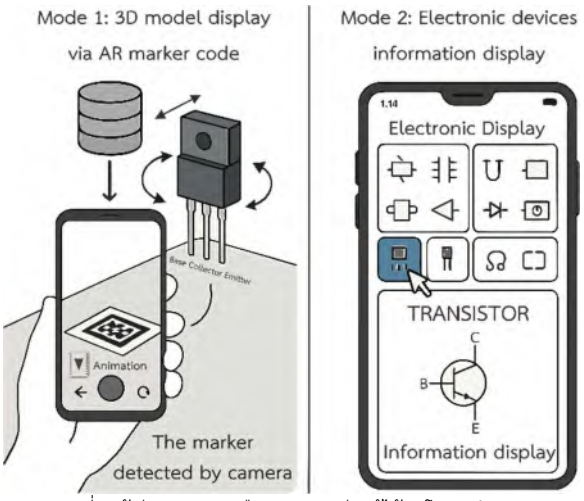

รูปที่ 1 ผู้เรียนสามารถเลือกรูปแบบเรียนรู้ได้ 2 โหมดทำงาน

อุปกรณ์อิเล็กทรอนิกส์พื้นฐานจำนวน 15 อุปกรณ์ได้เลือกมาทดลองในงานวิจัย ตามตารางที่ 1 จากอุปกรณ์และหลักการทำงานทั้งหมดนำมาจากหลักสูตรประกาศนียบัตรวิชาชีพ สาขาวิชาไฟฟ้าและอิเล็กทรอนิกส์ [6] ของการอาชีวศึกษา (สอศ.)

ตารางที่ 1 รายการอุปกรณ์อิเล็กทรอนิกส์จำนวน 15 อุปกรณ์

The basic of 15 electronic deviecs were selected				
Diode	Transistor	Capacitor	SCR	IC 555
LED	Resistor	Fuse	Inductor	LDR
Zener Diode	Variable Resistor	4 pins Switch	Crystal	Op-Amp

2.2 หลักการทำงานของรหัส AR

ระบบ AR เป็นการนำเทคโนโลยีมาผสานระหว่างโลกแห่งความเป็นจริง และความเสมือนจริงเข้าด้วยกัน เมื่อระบบทำงานจะสั่งให้อุปกรณ์ดิจิทัล เช่น สมาร์ทโฟนเปิดกล้องออปติคอล ระบบจะค้นหาจุดมาร์คเกอร์ เมื่อตรวจพบมาร์คเกอร์จะประมวลผลและดึงวัตถุที่สัมพันธ์กับมาร์คเกอร์แสดงผลในสภาพแวดล้อมจริง ผู้ใช้งานสามารถปฏิสัมพันธ์กับวัตถุดิจิทัลที่ปรากฏขึ้น องค์ประกอบของระบบ AR มีดังนี้

1) ตัวมาร์คเกอร์ ซึ่งเป็นเครื่องหมายหรือสัญลักษณ์ กำหนดไว้เป็นตัวเปรียบเทียบ กับสิ่งที่เก็บไว้เป็นฐานข้อมูล (Marker Database)

2) กล้องวิดีโอ กล้องเว็บแคม กล้องโทรศัพท์มือถือ หรือตัวจับเซนเซอร์ (Sensor) อื่นๆ เพื่อทำการวิเคราะห์ภาพ โดยระบบจะทำการคำนวณค่าตำแหน่งเชิง 3D (Pose Estimation) ของมาร์คเกอร์เทียบกับกล้อง

3) ส่วนของการแสดงผลอาจเป็นจอคอมพิวเตอร์ หรือจอภาพสมาร์ทโฟน

4) ซอฟต์แวร์หรือส่วนประมวลผล เพื่อสร้างภาพหรือวัตถุแบบสามมิติกระบวนการสร้างภาพสองมิติจากโมเดล 3D เป็นการเพิ่มข้อมูลเข้าไป

ในภาพ โดยใช้ค่าตำแหน่งเชิง 3D ที่คำนวณได้ จนได้ข้อมูลซ้อนทับบนภาพจริง ดังรูปที่ 2

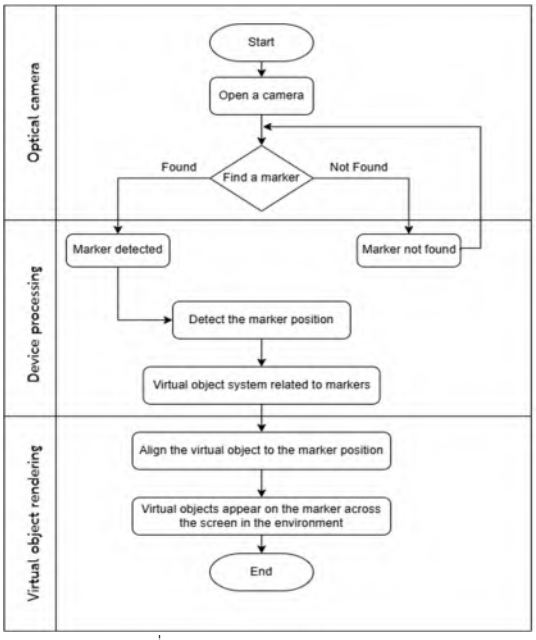

รูปที่ 2 หลักการทำงานของระบบ AR

2.3 การออกแบบรหัส AR

หลักการออกแบบรหัส AR งานวิจัยนี้ได้เลือกใช้วูโฟเรีย (Vuforia) ที่เป็น SDK สำหรับสร้างแอปพลิเคชัน AR สามารถติดตามและตรวจจับเป้าหมายเพื่อแสดงข้อมูลดิจิทัลในโลกเสมือนจริง โดยภาพที่นำมาใช้งานต้องมีจุดคุณลักษณะเด่น (Feature Points) ที่ชัดเจน ในตัววูโฟเรียจะมีการประเมินความสวยงามของภาพรหัส AR ที่ระดับ 1 ถึง 5 ดาว ซึ่งค่าระดับมากกว่าหรือเท่ากับ 3 จะแสดงประสิทธิภาพการตรวจจับที่ได้ผลลัพธ์ค่อนข้างดี ดังรูปที่ 3 ใช้โปรแกรม Adobe Photoshop ในการออกแบบ ขนาดรูปเมื่อพิมพ์ออกมาอยู่ที่ 13 × 8 เซนติเมตร

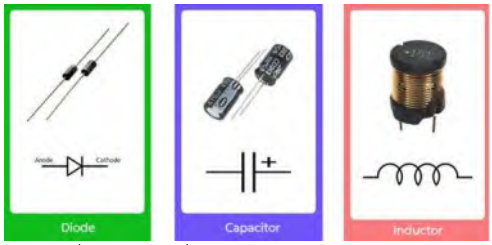

รูปที่ 3 รหัส AR ที่ใช้ตรวจจับมาร์คเกอร์ผ่านวูโฟเรีย

ตามรูปที่ 4 แสดงระดับการตรวจจับมาร์คเกอร์จากรหัส AR ที่ทำการออกแบบ พบว่ามีความเหมาะสมจากทั้ง 15 ภาพรายการอุปกรณ์อิเล็กทรอนิกส์พื้นฐาน โดยได้รับระดับประเมินที่ 5 ดาวทั้งหมด ส่วนหนึ่งมาจากความชัดของภาพและรายละเอียดที่มีจุดลักษณะเด่นที่ชัดเจน

รูปที่ 4 ระดับการประเมินของวูโฟเรีย

2.4 การออกแบบโมเดล 3D และแอนิเมชัน 3D

การออกแบบโมเดล 3D ทั้งหมดใช้โปรแกรมเบลนเดอร์ (Blender) ซึ่งเป็นซอฟต์แวร์โอเพนซอร์สที่มีประสิทธิภาพสูงในการสร้างโมเดล 3D ที่มีรายละเอียดและความสมจริง กระบวนการออกแบบเริ่มต้นจากการศึกษาข้อมูลทางเทคนิคและรูปร่างลักษณะของอุปกรณ์อิเล็กทรอนิกส์จริง จากนั้นจึงทำการสร้างโมเดล 3D ให้มีสัดส่วนและรายละเอียดที่ถูกต้องตามมาตรฐาน โดยให้ความสำคัญกับการแสดงจุดเชื่อมต่อ (Pin) และลักษณะภายนอกที่สำคัญของแต่ละอุปกรณ์ ดังรูปที่ 5

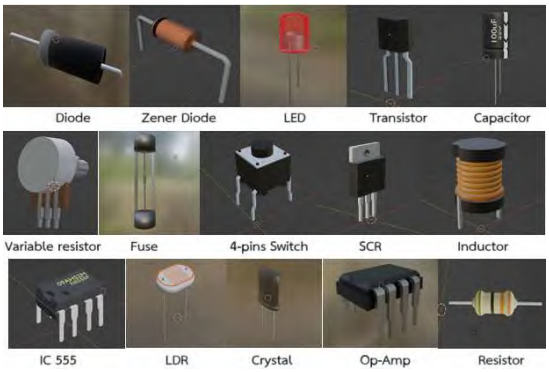

รูปที่ 5 โมเดล 3D ของรายการอุปกรณ์อิเล็กทรอนิกส์จำนวน 15 อุปกรณ์

นอกเหนือจากการแสดงโมเดล 3D แบบคงที่แล้ว ระบบยังได้รับการพัฒนาให้สามารถแสดงการทำงานของอุปกรณ์อิเล็กทรอนิกส์ในรูปแบบแอนิเมชันเพื่อให้ผู้เรียนเข้าใจหลักการทำงานได้อย่างชัดเจน การออกแบบแอนิเมชันนี้มุ่งเน้นการแสดงการไหลของกระแสไฟฟ้าผ่านวงจรและอุปกรณ์ต่างๆ โดยในรูปที่ 6 แสดงตัวอย่างการจำลองวงจรอิเล็กทรอนิกส์แบบง่าย ที่ประกอบด้วยแหล่งจ่ายไฟ (แบตเตอรี่) ตัวต้านทาน และ LED ในสถานะที่ 1 รูปที่ 6 (ก) แสดงให้เห็นวงจรในสภาพปกติ ส่วนในสถานะที่ 2 รูปที่ 6 (ข) แสดงการไหลของกระแสไฟฟ้าด้วยลูกศรสีฟ้าที่เคลื่อนที่ตามเส้นทางวงจร และ LED ที่ส่องสว่างเป็นสีแดง เพื่อแสดงให้เห็นว่าเมื่อมีกระแสไฟฟ้าไหลผ่าน LED จะเปล่งแสงขึ้นมา การสร้างแอนิเมชันเหล่านี้ใช้โปรแกรมเวกัสโปร (VEGAS Pro) ในการตัดต่อและสร้างคลิปวิดีโอพร้อมเสียงบรรยายภาษาไทย โดยการออกแบบแอนิเมชันจะเน้นการแสดงผลที่

เข้าใจง่าย มีการใช้สีสันที่เหมาะสม และการเคลื่อนไหวที่ไม่ซับซ้อนเกินไป เพื่อให้ผู้เรียนสามารถติดตามและเข้าใจได้โดยง่าย

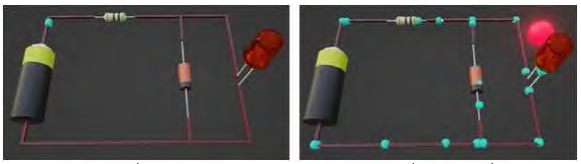

(ก) สถานะที่ 1 วงจรปกติ (ข) สถานะที่ 2 วงจรเริ่มทำงาน

รูปที่ 6 จำลองการทำงานวงจรแบบ 3D

2.5 การออกแบบแอปพลิเคชันบนแอนดรอยด์

การออกแบบแอปพลิเคชันที่ทำงานบนระบบปฏิบัติการแอนดรอยด์ งานวิจัยนี้ได้เลือกใช้โปรแกรมยูนิตี้ (Unity) เป็นโปรแกรมหลักที่ใช้ในการพัฒนาระบบจำลองหลักการทำงานอุปกรณ์อิเล็กทรอนิกส์เบื้องต้น

รูปที่ 7 การออกแบบหน้าการทำงานของแอปพลิเคชัน

ตามรูปที่ 7 ผู้วิจัยได้พัฒนาแอปพลิเคชันให้มีการทำงานใน 2 โหมด ตามที่กล่าวในข้างต้น นอกจากนี้ยังมีส่วนที่ให้ผู้ใช้งานสามารถดาวน์โหลดรหัสภาพ AR และนำไปทดลองใช้งานได้ด้วยตนเอง

2.6 การออกแบบเงื่อนไขสภาพแวดล้อมการสแกนรหัส AR

งานวิจัยนี้ได้คำนึงถึงการใช้งานจริงที่สภาพแวดล้อมของการใช้งานอาจจะส่งผลต่อภาพรหัส AR ไม่ว่าจะเป็นมุมกล้องของผู้สแกน แสงสะท้อน รอยขีดข่วนบนรหัสภาพ ดังนั้นผู้วิจัยจึงได้ทำการออกแบบการเกิดแสงสะท้อน โดยใช้แสงไฟส่องกระทบที่ภาพ รูปที่ 8 (ก) การสแกนภาพรหัส AR ที่ผู้ใช้งานทำมุม 45 องศา รูปที่ 8 (ข) การสแกนภาพรหัส AR ที่ผู้ใช้งานทำมุมตั้งฉาก 90 องศา รูปที่ 8 (ค) และทำให้ภาพรหัส AR มีรอยขีดข่วน ในที่นี้ใช้ลิคควิดลบข้อมูลลายเส้นภาพบางส่วนออก ตามรูปที่ 8 (ง) จากนั้นทำการทดลองสแกนภาพรหัส AR และประเมินประสิทธิภาพของระบบ นอกจากนี้ในการใช้งานจริงที่จะส่งผลต่อการเรียนรู้ที่มีประสิทธิภาพทางด้านหลักการทำงานของอุปกรณ์อิเล็กทรอนิกส์ ผู้วิจัยได้พัฒนาให้โมเดล 3D ที่ปรากฏขึ้นมา ให้สามารถหมุนโมเดล 3D ได้แบบ 360 องศา ย่อ-ขยายขนาด และจำลองการทำงานของอุปกรณ์ด้วยคลิปแอนิเมชันผ่านแอปพลิเคชันที่พัฒนาขึ้นมา ดังรูปที่ 9

(ก) ภาพรหัส AR ที่มีแสงสะท้อน (ข) สแกนภาพที่มุม 45 องศา

(ค) สแกนภาพที่มุม 90 องศา (ง) จำลองรหัส AR ที่มีรอยขีดข่วน

รูปที่ 8 จำลองสภาพแวดล้อมที่ส่งผลต่อการสแกนภาพรหัส AR

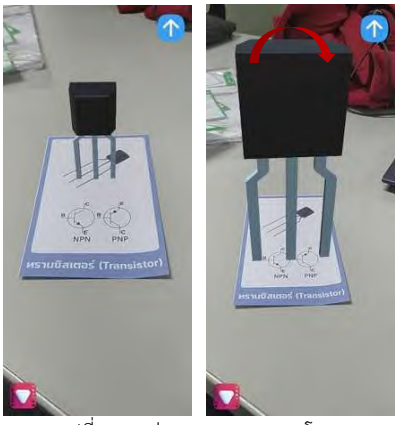

รูปที่ 9 การย่อ-ขยาย และหมุน โมเดล 3D

3. ผลการดำเนินงาน

ในการทดสอบผลการทำงานกรณีที่มีการวางซ้อนทับของแผ่นภาพรหัส AR การดึงภาพ 3D มาแสดงผล ระบบจะเลือกภาพรหัส AR ที่เห็นจุดมาร์คเกอร์เด่นชัดที่สุด ทำให้สามารถแสดงผลได้ทีละ 1 ชุดต่อรอบการประมวลผล ในการทดลองได้เลือกสมาร์ทโฟนจำนวน 2 รุ่นที่แตกต่างกัน เพื่อทดสอบประสิทธิภาพแต่ละด้านของระบบ แสดงในตารางที่ 2

ตารางที่ 2 สเปกสมาร์ทโฟนที่ใช้ในการทดลอง

Spec / Band	Redmi Note 8	Samsung A54
OS	Android 9.0	Android 13
CPU	Snapdragon 665	Exynos 1380 Octa

ตารางที่ 2 สเปกสมาร์ทโฟนที่ใช้ในการทดลอง (ต่อ)

Spec / Band	Redmi Note 8	Samsung A54
Speed	2.0 GHz/RAM 3 GB	2.2 GHz/RAM 8 GB
Rom	32 GB	256 GB
Camera	48 MP	50 MP

ตามตารางที่ 2 สมาร์ทโฟนทั้ง 2 รุ่นจะมีความแตกต่างตรงความละเอียดของกล้องถ่ายภาพและความเร็วของหน่วยประมวลผล เพื่อทดสอบว่า ระบบสามารถทำการสแกนสัญลักษณ์ การหมุน ย่อ-ขยาย โมเดล 3D การประมวลผลคลิปแอนิเมชัน รวมทั้งสภาพแวดล้อมที่ส่งผลต่อการสแกนรหัส AR

3.1 การทดสอบแอปพลิเคชัน

เริ่มโดยติดตั้งแอปพลิเคชันบนสมาร์ทโฟนทั้ง 2 รุ่น แล้วทดสอบสแกนภาพรหัส AR การปฏิสัมพันธ์กับโมเดล 3D ทั้งการหมุนดูภาพ การย่อ-ขยาย และเรียกดูแอนิเมชัน จำลองการทำงานของวงจรอิเล็กทรอนิกส์ พบว่าสมาร์ทโฟนทั้ง 2 รุ่นทำงานได้เป็นอย่างดีในทุกฟังก์ชันที่ออกแบบไว้ แสดงผลการทดลองตามกราฟ ในรูปที่ 10

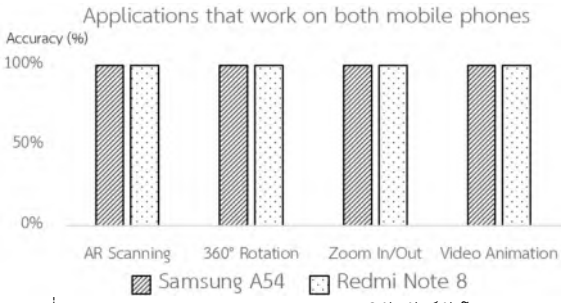

รูปที่ 10 ผลทดสอบการสแกนภาพและการปฏิสัมพันธ์กับโมเดล 3D

จากกราฟรูปที่ 10 สาเหตุที่สมาร์ทโฟนทั้ง 2 รุ่น เนื่องจากตัวแอปพลิเคชันออกแบบมาให้รองรับการทำงาน บนระบบปฏิบัติการแอนดรอยด์ และใช้วูโฟเรียตรวจจับมาร์คเกอร์ ที่ประเมินภาพระดับ 5 ดาว จากทั้ง 15 รายการอุปกรณ์อิเล็กทรอนิกส์ ทำให้การตรวจจับติดตามมาร์คเกอร์ทำได้ง่ายและได้ผลลัพธ์ที่ดีที่สุด แม้ว่ารุ่น Samsung A54 จะมีความคมชัดกล้องมากกว่า แต่ไม่ได้ส่งผลต่อความสามารถในการทำงานของแอปพลิเคชัน ดังนั้นสามารถบอกได้ว่าไม่มีความแตกต่างของรุ่นสมาร์ทโฟนที่ใช้ระบบปฏิบัติการแอนดรอยด์จากทั้ง 2 รุ่น

การทดลองต่อไปนี้ ได้ทำการจำลองสภาพแวดล้อมการสแกนรหัส AR ได้แก่ การสร้างแสงสะท้อน การวางมุมกล้องที่ 45 กับ 90 องศา และการสร้างรอยขีดข่วนบนรหัสภาพ AR เพื่อทดสอบประสิทธิภาพของระบบ แสดงรายการอุปกรณ์ที่ทดสอบตามตารางที่ 3 เพื่อประเมินประสิทธิภาพของระบบ

ตารางที่ 3 ปัจจัยสภาพแวดล้อมที่ส่งผลต่อการสแกนรหัส AR

AR Code	AR code scanning pattern ✓(pass) ✗ (fail)				
	Normal	Reflection	45°	90°	Scratches
	✓	✓	✓	✓	✓
	✓	✓	✓	✓	✓
	✓	✓	✓	✓	✓
	✓	✓	✓	✓	✓
	✓	✓	✓	✓	✓
	✓	✓	✓	✓	✓
	✓	✓	✓	✓	✓
	✓	✓	✓	✓	✓
	✓	✓	✓	✓	✓
	✓	✓	✓	✓	✓
	✓	✓	✓	✓	✓
	✓	✓	✓	✓	✓
	✓	✓	✓	✓	✓
	✓	✓	✓	✓	✓
	✓	✓	✓	✓	✓

ตามตารางที่ 3 แม้ว่าภาพรหัส AR จะมีแสงสะท้อน มีรอยขีดขูด หรือเอียงโทรศัพท์ในการสแกน ก็ยังสามารถทำงานได้ถูกต้องทุกฟังก์ชันการใช้งานที่ 100% ทั้งนี้เนื่องจากรหัสภาพมาร์คเกอร์ที่ใช้งานมีความเด่นชันในทุกองค์ประกอบที่ประเมินจากวูโฟเรีย ตามที่ได้กล่าวไว้ก่อนหน้านี้ จากผลการทดลองบ่งชี้ว่าระบบมีความเสถียรและทนทานต่อสภาพแวดล้อมในการใช้งานที่หลากหลาย

3.2 ประเมินผลสมรรถนะการเรียนรู้จากผู้เรียน

การทดสอบต่อไปนี้ ได้ทำการเปรียบเทียบผลการเรียนรู้จาก 2 กลุ่มทดลอง กลุ่มที่ 1 เป็นการใช้สื่อเรียนรู้ในรูปแบบเดิม จำนวน 10 คน โดยเรียนรู้จากการอ่านหนังสือ เทียบผลกับ กลุ่มที่ 2 เรียนรู้ผ่านรหัสภาพ AR บนแอปพลิเคชันที่ออกแบบ จำนวน 10 คน รวม 2 กลุ่มผู้ทดสอบทั้งหมด จำนวน 20 คน ผ่านข้อสอบก่อนเรียน (Pre-test) จำนวน 20 ข้อและข้อสอบหลังเรียน (Post-test) จำนวน 20 ข้อ แบบตัวเลือกถูกผิดจำนวน 4 ตัวเลือก วัดความรู้ครอบคลุมรายการ อุปกรณ์อิเล็กทรอนิกส์ทั้งหมด 15 รายการ ผลการทดลองแสดงประสิทธิภาพการเรียนรู้ในรูปแบบกราฟเชิงเส้น โดยกลุ่มที่ 1 เรียนรู้จากการอ่านหนังสือ แสดงดังรูปที่ 11 และกลุ่มที่ 2 เรียนรู้ผ่านแอปพลิเคชันที่ทำการออกแบบ ดังรูปที่ 12 จากผลการทดลองพบว่าอัตราการเรียนรู้ของกลุ่มที่ 1 อยู่ที่ 70% และกลุ่มที่ 2 อยู่ที่ 118.3% สะท้อนให้เห็นว่าการเรียนรู้ผ่านแอปพลิเคชันมีผลกับผู้เรียนโดยตรงและสามารถเรียนรู้ได้ในเวลาจำกัดผ่านสื่อแอนิเมชันที่ออกแบบ

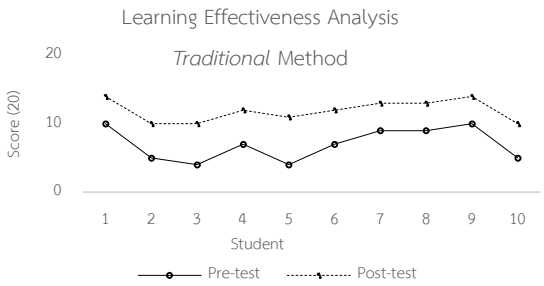

รูปที่ 11 คะแนนข้อสอบก่อนเรียนและหลังเรียนของกลุ่มที่ 1

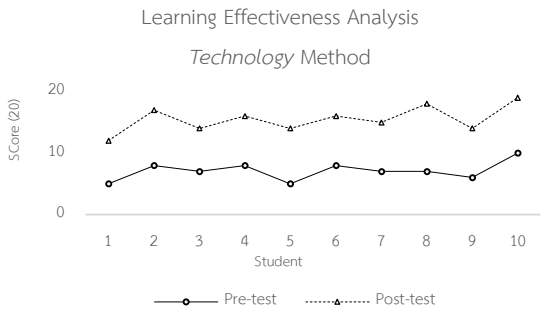

รูปที่ 12 คะแนนข้อสอบก่อนเรียนและหลังเรียนของกลุ่มที่ 2

4. สรุปผลการทดลอง

แอปพลิเคชันแสดงความแม่นยำ 100% ในการสแกนรหัส AR และแสดงผลโมเดล 3D ตรงทุกอุปกรณ์ สามารถทำงานได้เสถียรทนต่อสภาพแวดล้อมต่างๆที่ส่งผลต่อการสแกนรหัส AR โมเดล 3D ที่ปรากฏผู้เรียนสามารถปฏิสัมพันธ์กับโมเดล โดยการหมุนโมเดล ย่อ-ขยาย รวมทั้งการเรียกดูแอนิเมชันจำลองการทำงานวงจร เพื่อให้เกิดประสิทธิภาพของการเรียนที่ดีที่สุด สามารถประยุกต์แนวคิดเพิ่มอุปกรณ์ที่ต้องการเรียนหรือใช้การสื่อการเรียนรู้อื่นๆได้จากแนวคิดเดียวกัน

5. ข้อเสนอแนะสำหรับงานวิจัยในอนาคต

อาจจะมีการทดลองเพิ่มเติมในกลุ่มผู้เรียนที่ใหญ่ขึ้น เพื่อยืนยันผลลัพธ์ให้มีความน่าเชื่อถือยิ่งขึ้น พัฒนาโมเดล 3 มิติให้มีความซับซ้อนมากขึ้น รวมถึงเพิ่มการจำลองวงจรที่ซับซ้อน หรือการพัฒนาบนระบบปฏิบัติการอื่นๆ เช่น iOS เพื่อขยายกลุ่มผู้ใช้งาน

6. กิตติกรรมประกาศ

ขอขอบคุณการสนับสนุนจากห้องศูนย์เทคโนโลยีปัญญาประดิษฐ์ คณะวิศวกรรมศาสตร์ มหาวิทยาลัยเทคโนโลยีราชมงคลล้านนา ตาก ที่ให้ความอนุเคราะห์ชุดอุปกรณ์ที่ใช้ในการดำเนินงานวิจัย

เอกสารอ้างอิง

[1] L. Major, G. A. Francis, and M. Tsapali, “The effectiveness of technology-supported personalised learning in low- and middle-income countries: A meta-analysis,” Br. J. Educ. Technol., vol. 52, no. 5, pp. 1935–1964, 2021, doi: 10.1111/bjet.13116.

[2] H.-Y. Chang, T. Binali, J.-C. Liang, G.-L. Chiou, K.-H. Cheng, S. W.-Y. Lee, and C.-C. Tsai, “Ten years of augmented reality in education: A meta-analysis of (quasi-) experimental studies to investigate the impact,” Computers & Education, vol. 191, p. 104641, 2022, doi: 10.1016/j.compedu.2022.104641

[3] N. Tuli, G. Singh, A. Mantri, and S. Sharma, “Augmented reality learning environment to aid engineering students in performing practical laboratory experiments in electronics engineering,” Smart Learning Environments, vol. 9, no. 26, 2022, doi: 10.1186/s40561-022-00207-9.

[4] P. Lucas, D. Vaca, F. Domínguez, and X. Ochoa, “Virtual Circuits: An Augmented Reality Circuit Simulator for Engineering Students,” in *2018 IEEE 18th International Conference on Advanced Learning Technologies*, 2018, pp. 380–384.

[5] M. Özüağ, I. Cantürk, and L. Özyilmaz, “A New Perspective to Electrical Circuit Simulation with Augmented Reality,” International Journal of Electrical and Electronic Engineering & Telecommunications, vol. 8, no. 1, Jan. 2019.

[6] ไวพจน์ ศรีธัญ, อุปกรณ์อิเล็กทรอนิกส์และวงจรพื้นฐาน, พิมพ์ครั้งที่ 1. กรุงเทพมหานคร: สำนักพิมพ์วงอักษร, 2549.

นางสาวมณีรัตน์ ฟุ้งเฟื่อง ศึกษาในหลักสูตรวิศวกรรมคอมพิวเตอร์ คณะวิศวกรรมศาสตร์ มทร.ล้านนา ตาก มีความสนใจเกี่ยวกับการพัฒนาแอปพลิเคชันเพื่อประมวลผลบนอุปกรณ์พกพาเคลื่อนที่

นางสาววรวรรณ วรรณสิทธิ์ ศึกษาในหลักสูตรวิศวกรรมคอมพิวเตอร์ คณะวิศวกรรมศาสตร์ มทร.ล้านนา ตาก สนใจเรื่องของการขึ้นรูปวัตถุ 3 มิติ เพื่อนำไปเป็นแบบจำลองประมวลผลผ่านแอปพลิเคชัน

นายสมคิด สุขสวัสดิ์ อาจารย์หลักสูตรวิศวกรรมคอมพิวเตอร์ มทร.ล้านนา ตาก สนใจเกี่ยวกับการประยุกต์ใช้หลักวิศวกรรมกับงานด้านการเกษตร

ดร.สุวรรณี พิทักษ์วินัย อาจารย์หลักสูตรวิศวกรรมคอมพิวเตอร์ มทร.ล้านนา ตาก สนใจด้านระบบปัญญาประดิษฐ์ ร่วมกับการประมวลผลภาพ

ผศ.เอกลักษณ์ สุมนพันธุ์ อาจารย์วิศวกรรมคอมพิวเตอร์ มทร.ล้านนา ตาก สนใจประยุกต์คอมพิวเตอร์ควบคุมระบบอัตโนมัติภาคอุตสาหกรรม

การพัฒนาระบบติดตามยานพาหนะและตรวจสอบระดับน้ำมันเชื้อเพลิงแบบเรียลไทม์ โดยใช้การสื่อสารระยะใกล้ผ่านเทคโนโลยี LoRa

Development of a Real-Time GPS Tracking and Oil Level Monitoring System Using LoRa-Based Short-Range Communication

สุกัญชลิกา บุญมาธรรม[1] พีรพล สุขพลาย[1] พีรศุษย์ บุญมาธรรม[1]* ศิริพร อ่วมศิริ[1] และ ปราโมทย์ ตงฉิน[2]

[1]สาขาวิชาวิทยาการคอมพิวเตอร์ คณะเทคโนโลยีสารสนเทศ มหาวิทยาลัยราชภัฏเพชรบุรี
[2] สาขาวิชาคอมพิวเตอร์ คณะเทคโนโลยีสารสนเทศ มหาวิทยาลัยราชภัฏเพชรบุรี
sukanchalika.boo@mail.pbru.ac.th phirapon.suk@mail.pbru.ac.th pheerasut.boo@mail.pbru.ac.th*
siriporn.uam@mail.pbru.ac.th pramote.ton@mail.pbru.ac.th

บทคัดย่อ

การศึกษานี้มุ่งเน้นการสร้างระบบสำหรับติดตามยานพาหนะและตรวจวัดปริมาณน้ำมันเชื้อเพลิงแบบทันทีทันใด อาศัยการสื่อสารระยะใกล้ผ่านเทคโนโลยี LoRa ตลอดจนการทดสอบประสิทธิภาพและประเมินความพึงพอใจของผู้ใช้ต่อระบบต้นแบบที่พัฒนาขึ้น อุปกรณ์ที่นำมาใช้ประกอบด้วยบอร์ด Arduino โมดูล GPS เซนเซอร์สำหรับตรวจจับระดับน้ำมัน และโมดูล LoRa ซึ่งร่วมกันส่งข้อมูลไปยังเซิร์ฟเวอร์ออนไลน์เพื่อให้สามารถประมวลผลและแสดงผลได้แบบเรียลไทม์ ผลจากการประเมินของผู้เชี่ยวชาญพบว่าระบบมีประสิทธิภาพในเกณฑ์สูง ($\bar{X}$ = 4.18, S.D. = 0.83) ขณะที่ความพึงพอใจของผู้ใช้ที่ทดลองใช้งานอยู่ในระดับสูงสุด ($\bar{X}$ = 4.58, S.D. = 0.50) สะท้อนว่าระบบที่พัฒนาขึ้นมีความเหมาะสมสำหรับการใช้งานจริงและสามารถตอบสนองต่อความต้องการของผู้ใช้ได้อย่างเต็มที่

คำสำคัญ: ระบบติดตามยานพาหนะ ระดับน้ำมันเชื้อเพลิง เทคโนโลยี LoRa

Abstract

This study focuses on developing a system that enables real-time vehicle tracking and fuel level monitoring using LoRa-based short-range communication technology, and to evaluate both its performance and user satisfaction. The system was developed using an Arduino board, GPS module, float-type fuel level sensor, and LoRa module. Data collected from the vehicle were transmitted to a web server for real-time processing and display. The system performance evaluation by experts indicated a high level of effectiveness ($\bar{X}$ = 4.18, S.D. = 0.83). Additionally, user satisfaction was rated at the highest level ($\bar{X}$ = 4.58, S.D. = 0.50). The results demonstrate that the developed system is suitable for practical use and effectively meets user needs.

Keywords: Vehicle Tracking System, Fuel Level, LoRa Technology

1. ข้อมูลทั่วไป

ปัจจุบัน เทคโนโลยี Internet of Things (IoT) ได้กลายเป็นส่วนสำคัญที่เข้ามาช่วยขับเคลื่อนและเปลี่ยนแปลงหลากหลายอุตสาหกรรม โดยเฉพาะในภาคอุตสาหกรรมและระบบโลจิสติกส์ เทคโนโลยี IoT ช่วยให้อุปกรณ์อิเล็กทรอนิกส์สามารถเชื่อมต่อกันผ่านเครือข่ายอินเทอร์เน็ต และสื่อสารแลกเปลี่ยนข้อมูลได้อย่างมีประสิทธิภาพ ซึ่งนำไปสู่การพัฒนาโซลูชันที่ทันสมัยในการตรวจสอบ ควบคุม และบริหารจัดการระบบต่าง ๆ ได้แบบเรียลไทม์

สำหรับภาคการขนส่ง โดยเฉพาะยานพาหนะขนาดใหญ่ เช่น รถบรรทุกซึ่งมีการใช้น้ำมันเชื้อเพลิงในปริมาณสูง การควบคุมต้นทุนน้ำมันจึงกลายเป็นปัจจัยสำคัญที่ผู้ประกอบการต้องให้ความสนใจเป็นพิเศษ แม้ว่าปัจจุบันจะมีระบบ IoT ที่สามารถตรวจสอบระดับน้ำมันได้ แต่ระบบส่วนใหญ่ยังมีข้อจำกัด เช่น การพึ่งพาสถานีตรวจเช็กเฉพาะจุด หรือไม่สามารถแสดงตำแหน่งยานพาหนะและเส้นทางการเดินรถแบบต่อเนื่องได้ ทำให้ไม่สามารถวิเคราะห์ข้อมูลเชิงลึก เช่น ความสัมพันธ์ระหว่างระยะทางและการใช้น้ำมันได้อย่างแม่นยำ

จากปัญหาเหล่านี้ จึงเกิดแนวคิดในการพัฒนาระบบที่สามารถตรวจสอบระดับน้ำมันเชื้อเพลิงและติดตามตำแหน่งยานพาหนะได้ในเวลาเดียวกัน โดยใช้เทคโนโลยี IoT ผสานกับอุปกรณ์ตรวจจับ เช่น เซ็นเซอร์วัดระดับน้ำมัน และ โมดูล GPS โดยระบบจะรวบรวมข้อมูลและส่งต่อไปยังศูนย์ประมวลผลผ่านเครือข่ายออนไลน์ ทำให้ผู้ใช้สามารถตรวจสอบสถานะของยานพาหนะได้แบบทันที ทั้งตำแหน่ง เส้นทางการเดินทาง และระดับน้ำมันคงเหลือ

ระบบที่ออกแบบขึ้นนี้มีส่วนช่วยให้การจัดการยานพาหนะมีความคล่องตัวมากยิ่งขึ้น และช่วยลดการใช้พลังงานอย่างไม่จำเป็น ตรวจสอบพฤติกรรมการขับขี่ และยังสามารถป้องกันการทุจริตด้านเชื้อเพลิงได้อย่างมีประสิทธิภาพ ผู้ประกอบการสามารถใช้ข้อมูลที่ได้มาวิเคราะห์ วางแผน และปรับปรุงการดำเนินงานให้มีความโปร่งใส คุ้มค่า และยั่งยืนมากยิ่งขึ้น

2. วัตถุประสงค์การวิจัย

1) พัฒนาโซลูชันสำหรับติดตามตำแหน่งของยานพาหนะและตรวจวัดระดับน้ำมันเชื้อเพลิงแบบเรียลไทม์ ด้วยการนำเทคโนโลยี LoRa สำหรับสื่อสารระยะใกล้มาใช้

2) ประเมินผลลัพธ์ด้านประสิทธิภาพของระบบติดตามและตรวจสอบระดับน้ำมันเชื้อเพลิงที่ได้สร้างขึ้น

3) ศึกษาความพึงพอใจของกลุ่มผู้ใช้ที่มีต่อระบบติดตามยานพาหนะและตรวจวัดน้ำมันเชื้อเพลิงแบบเรียลไทม์ที่พัฒนาขึ้น โดยใช้เทคโนโลยี LoRa

3. งานวิจัยที่เกี่ยวข้อง

Internet of Things (IoT) เป็นเทคโนโลยีที่ทำให้อุปกรณ์และเครื่องมือหลากหลายสามารถเชื่อมต่อและสื่อสารกันผ่านเครือข่าย

*ผู้ประพันธ์บรรณกิจ

อินเทอร์เน็ต โดยอุปกรณ์เหล่านี้สามารถสื่อสารข้อมูลระหว่างกันได้ทั้งแบบมีสายและไร้สาย ทำให้ผู้ใช้งานสามารถควบคุม ตรวจสอบ และแลกเปลี่ยนข้อมูลกับอุปกรณ์ได้จากระยะไกลอย่างมีประสิทธิภาพ เทคโนโลยี IoT ถูกนำไปใช้ในหลากหลายด้าน เช่น การตรวจวัดสภาพแวดล้อม ระบบควบคุมอัจฉริยะในบ้าน และระบบติดตามยานพาหนะ ซึ่งช่วยยกระดับประสิทธิภาพในการทำงานและการบริหารจัดการ [1]

หนึ่งในเทคโนโลยีที่เหมาะกับการสื่อสารในระบบ IoT คือ LoRa (Long Range) ซึ่งเป็นการสื่อสารแบบไร้สายที่ใช้พลังงานต่ำและสามารถรับ-ส่งข้อมูลได้ในระยะไกล โดยปกติสามารถครอบคลุมพื้นที่โล่งได้ไกลถึง 10 กิโลเมตร ตัวโมดูล LoRa สามารถเชื่อมต่อกับไมโครคอนโทรลเลอร์ผ่านทางบัส SPI และมีชุดคำสั่งที่ใช้ในการควบคุมการเริ่มต้นและสิ้นสุดการส่งข้อมูลเพื่อจัดการทรัพยากรอย่างมีประสิทธิภาพ หากไม่มีการดึงข้อมูลออกมาจากพื้นที่ที่ทำการจองไว้อย่างต่อเนื่อง อาจส่งผลให้ข้อมูลใหม่ไม่สามารถถูกบันทึกได้ ดังนั้น ผู้ใช้งานควรออกแบบระบบให้มีการอ่านข้อมูลอย่างสม่ำเสมอ [2]

อุปกรณ์ตรวจสอบระดับน้ำมันในงานวิจัยนี้เลือกใช้ เซนเซอร์ชนิดลูกลอย (Float Level Sensor) ซึ่งเป็นอุปกรณ์ที่อาศัยหลักการลอยตัวของวัตถุบนของเหลว โดยลูกลอยจะเคลื่อนที่ขึ้นหรือลงตามระดับน้ำมันในถัง และแปลงตำแหน่งดังกล่าวเป็นสัญญาณไฟฟ้าเพื่อนำไปประมวลผลต่อ การเลือกขนาดและรูปทรงของลูกลอยต้องคำนึงถึงคุณสมบัติของของเหลว เช่น ความหนาแน่น โดยปกติแล้ว ลูกลอยที่มีขนาดใหญ่จะเหมาะสำหรับใช้กับของเหลวที่มีความหนาแน่นต่ำ ในขณะที่ของเหลวที่มีความหนาแน่นสูงควรเลือกใช้ลูกลอยขนาดเล็กกว่า โดยขนาดเส้นผ่านศูนย์กลางของลูกลอยที่นิยมใช้จะอยู่ระหว่าง 75 ถึง 175 มิลลิเมตร [3]

สำหรับระบบติดตามตำแหน่งยานพาหนะมีการประยุกต์ใช้ระบบ Global Positioning System (GPS) มาใช้ ซึ่งอาศัยการรับสัญญาณจากดาวเทียมเพื่อระบุตำแหน่งบนโลก โดยมีดาวเทียมอย่างน้อย 24 ดวงที่โคจรอยู่รอบโลก ทำให้สามารถใช้งานได้ในทุกภูมิภาคและทุกช่วงเวลา GPS Module เป็นอุปกรณ์รับสัญญาณจากดาวเทียมและสามารถเชื่อมต่อกับบอร์ดพัฒนา เช่น Arduino, Raspberry Pi หรือคอมพิวเตอร์ทั่วไป โมดูลนี้สามารถรายงานค่าพิกัด ความเร็ว และเวลาแบบเรียลไทม์ ซึ่งเป็นข้อมูลสำคัญสำหรับการนำไปใช้ในระบบติดตามยานพาหนะ [4]

4. วิธีดำเนินการวิจัย

การดำเนินการวิจัยในครั้งนี้แบ่งออกเป็น 5 ขั้นตอนหลัก ดังนี้

4.1 ศึกษาระบบงานเดิม

ผู้วิจัยได้เริ่มต้นด้วยการศึกษาและวิเคราะห์ระบบงานเดิมที่เกี่ยวข้องกับการติดตามยานพาหนะและการตรวจสอบระดับน้ำมันเชื้อเพลิง โดยใช้วิธีการเก็บข้อมูลดังนี้

1) สัมภาษณ์ผู้รับผิดชอบดูแลระบบปัจจุบัน
2) ศึกษาเอกสารและคู่มือการใช้งานอุปกรณ์ เช่น บอร์ด Arduino ร่วมกับโมดูล GPS
3) สังเกตการณ์การทำงานของระบบเดิม โดยมุ่งเน้นที่ปัญหาและอุปสรรคในการใช้งานจริง

4.2 วิเคราะห์และออกแบบระบบ

จากข้อมูลที่ได้รับ นักวิจัยได้ทำการวิเคราะห์และออกแบบโครงสร้างระบบใหม่เพื่อเพิ่มประสิทธิภาพและตอบสนองความต้องการของผู้ใช้ โดยใช้เครื่องมือการออกแบบ ได้แก่

1) แบบจำลองกระบวนการ (Process Model)
2) แผนภาพการไหลของข้อมูล (Data Flow Diagram: DFD)

ซึ่งแสดงโครงสร้างการทำงานของระบบ โดยกรอบการทำงานที่พัฒนาขึ้นใหม่นี้เป็นระบบที่ทำงานบนเว็บแอปพลิเคชัน ดังรูปที่ 1

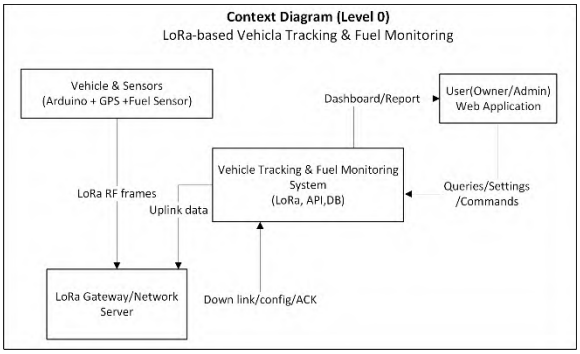

รูปที่ 1 การไหลของข้อมูลระบบติดตามยานพาหนะและระดับน้ำมันเชื้อเพลิง

4.3 การออกแบบฐานข้อมูล

หลังจากการวิเคราะห์ระบบแล้ว นักวิจัยได้จัดระเบียบข้อมูลที่เกี่ยวข้องกับความต้องการของผู้ใช้อย่างครบถ้วนภายในกรอบฐานข้อมูลเชิงสัมพันธ์เพื่อจัดระเบียบข้อมูลอย่างเป็นระบบ ลดการซ้ำกัน และหลีกเลี่ยงความไม่สอดคล้องของข้อมูลโดยออกแบบฐานข้อมูลดังรูปที่ 2

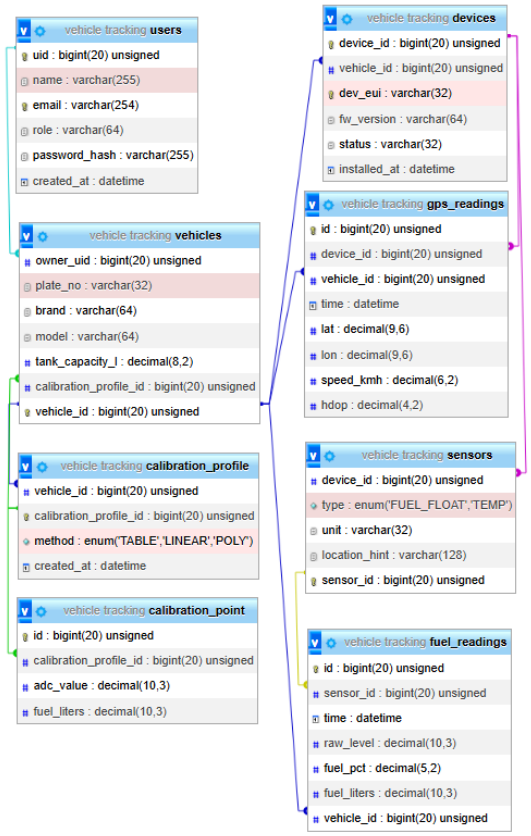

รูปที่ 2 ER-Model ระบบติดตามยานพาหนะและระดับน้ำมันเชื้อเพลิง

4.4 พัฒนาระบบซอฟต์แวร์

ผู้วิจัยได้พัฒนาระบบโดยใช้ภาษาคอมพิวเตอร์และขั้นตอนวิธี (Algorithm) ที่ออกแบบไว้ เพื่อให้สามารถเชื่อมต่ออุปกรณ์ต่าง ๆ ได้แก่ GPS, เซนเซอร์วัดระดับน้ำมัน และโมดูล LoRa เข้ากับระบบประมวลผล

และเว็บแอปพลิเคชัน การพัฒนาระบบนี้ใช้แนวทางในการดำเนินการด้วยแบบจำลองเร่งรัด (Rapid Application Development Model : RAD) กล่าวคือ เน้นการการออกแบบโดยผู้ใช้โดยกระบวนการพัฒนาระบบในลักษณะแยกชิ้นงานออกเป็นส่วนๆ เมื่อพัฒนาเสร็จในแต่ละส่วนจะนำส่วนต่างๆ เหล่านี้มาประกอบเป็นชิ้นงานใหม่อีกครั้งหนึ่ง ซึ่งประกอบด้วย 4 ขั้นตอน ได้แก่ การกำหนดความต้องการ (Planning) การออกแบบโดยผู้ใช้ (User Design) การสร้างระบบโดยการใช้ตัวซอฟต์แวร์ประยุกต์อย่างเร็ว (Construction) การปรับใช้(Cutover)

ตลอดระยะการพัฒนา ซอฟต์แวร์ผ่านการทดสอบอย่างถี่ถ้วนในแต่ละส่วนโดยรวมข้อมูลตัวอย่างเพื่อตรวจสอบความถูกต้องของฟังก์ชันการทำงานหากมีการระบุความคลาดเคลื่อนใด ๆ จะทำการแก้ไขจนกว่าระบบจะสามารถทำงานได้ตามที่ต้องการ

4.5 ประเมินประสิทธิภาพและความพึงพอใจของผู้ใช้งาน

การประเมินซอฟต์แวร์แบ่งออกเป็น 2 ส่วน ดังนี้

1) ประเมินประสิทธิภาพของระบบ

โดยผู้เชี่ยวชาญจำนวน 5 คน ทำการทดสอบในด้านต่าง ๆ ดังนี้

1. ความสามารถในการทำงานของระบบ (Functional Requirement Test)
2. ความสมบูรณ์ของระบบ (Functional Test)
3. ความใช้งานง่าย (Usability Test)
4. ความเร็วในการประมวลผลข้อมูล (Performance Test)
5. ความปลอดภัยของข้อมูล (Security Test)

การทดสอบใช้วิธีการแบบกล่องดำ (Black-Box Testing) เพื่อประเมินระบบโดยเน้นฟังก์ชันการทำงานตามข้อกำหนด (Functional Requirements) การตอบสนองต่อข้อมูลที่ถูกต้องและผิดพลาด การจัดการกับข้อมูลขอบเขต (Boundary Values) และการตรวจสอบว่าโปรแกรมทำงานครบถ้วนและถูกต้องหรือไม่

2) ประเมินความพึงพอใจของผู้ใช้งาน

ผู้วิจัยได้นำระบบเว็บแอปพลิเคชันที่พัฒนาขึ้นไปทดลองใช้งานจริงในพื้นที่ โดยมีผู้เข้าร่วมประเมินจำนวน 9 คน เพื่อเก็บข้อมูลความพึงพอใจจากประสบการณ์การใช้งานจริง

4.6 เครื่องมือการวิจัย

1) ระบบติดตามยานพาหนะและตรวจสอบระดับน้ำมันเชื้อเพลิงแบบเรียลไทม์

เป็นระบบที่พัฒนาขึ้นโดยใช้เทคโนโลยี LoRa สำหรับการสื่อสารระยะใกล้ โดยประกอบด้วยอุปกรณ์ตรวจจับระดับน้ำมันเชื้อเพลิง เซ็นเซอร์ GPS และเว็บแอปพลิเคชันสำหรับแสดงข้อมูลแบบเรียลไทม์

2) แบบประเมินประสิทธิภาพของระบบติดตามยานพาหนะและตรวจสอบระดับน้ำมันเชื้อเพลิงแบบเรียลไทม์

การประเมินนี้ใช้เป็นเกณฑ์ในการวัดศักยภาพของระบบที่นำไปใช้ในมิติต่างๆ รวมถึงความแม่นยำ ความเร็ว ความปลอดภัย และความเป็นมิตรกับผู้ใช้ การประเมินนี้ดำเนินการโดยผู้เชี่ยวชาญด้านเทคโนโลยีสารสนเทศและการสื่อสาร

3) แบบสอบถามความพึงพอใจของผู้ใช้งานต่อระบบติดตามยานพาหนะและตรวจสอบระดับน้ำมันเชื้อเพลิงแบบเรียลไทม์

เป็นแบบสอบถามที่ใช้เพื่อเก็บข้อมูลความคิดเห็นจากกลุ่มผู้ใช้งานจริงในพื้นที่ทดลองใช้งาน เพื่อประเมินความพึงพอใจในด้านต่าง ๆ เช่น การใช้งาน การแสดงผล และความเหมาะสมของระบบ

4.7 ประชากรและกลุ่มตัวอย่าง

ในการศึกษานี้ ผู้วิจัยได้กำหนดกลุ่มประชากรและกลุ่มตัวอย่างตามรายละเอียดต่อไปนี้

1) ประชากรการวิจัยประกอบด้วยบุคคลที่มีความเชี่ยวชาญและประสบการณ์ในทางปฏิบัติในการสร้างซอฟต์แวร์และอุปกรณ์ที่เกี่ยวข้องกับ Internet of Things (IoT) ผู้ใช้งานระบบติดตามยานพาหนะและตรวจสอบระดับน้ำมันเชื้อเพลิงแบบเรียลไทม์

2) กลุ่มตัวอย่างที่ใช้ในการวิจัยได้แก่ ผู้เชี่ยวชาญด้านการพัฒนาซอฟต์แวร์และอุปกรณ์ IoT จำนวน 5 คน ผู้ใช้งานระบบติดตามยานพาหนะและตรวจสอบระดับน้ำมันเชื้อเพลิงแบบเรียลไทม์ จำนวน 9 คน

การใช้การสุ่มตัวอย่างแบบเจาะจง (Purposive Sampling) โดยนักวิจัยคำนึงถึงความรู้ ความเชี่ยวชาญ และประสบการณ์ที่เกี่ยวข้องที่เกี่ยวข้องกับหัวข้อการวิจัย ตลอดจนความพร้อมของข้อมูลที่เป็นประโยชน์สำหรับการประเมินและความก้าวหน้าของระบบ

4.8 สถิติที่ใช้ในการวิจัย

สำหรับการวิจัยในครั้งนี้ ผู้วิจัยนำสถิติค่าเฉลี่ยและส่วนเบี่ยงเบนมาตรฐานมาใช้วิเคราะห์ข้อมูล และแปลผลคะแนนเฉลี่ยตามเกณฑ์โดยอ้างอิงจาก [5]

ค่าเฉลี่ยเท่ากับ 4.50 – 5.00 หมายความว่า ระดับสูงสุด
ค่าเฉลี่ยเท่ากับ 3.50 – 4.49 หมายความว่า ระดับสูง
ค่าเฉลี่ยเท่ากับ 2.50 – 3.49 หมายความว่า ระดับปานกลาง
ค่าเฉลี่ยเท่ากับ 1.50 – 2.49 หมายความว่า ระดับน้อย
ค่าเฉลี่ยเท่ากับ 1.00 – 1.49 หมายความว่า ระดับน้อยที่สุด

5. ผลการวิจัย

5.1 พัฒนาระบบติดตามยานพาหนะและตรวจสอบระดับน้ำมันเชื้อเพลิงแบบเรียลไทม์ โดยใช้เทคโนโลยีการสื่อสารระยะใกล้ผ่านเครือข่าย LoRa

ผู้วิจัยได้ดำเนินการพัฒนาระบบติดตามยานพาหนะและตรวจสอบระดับน้ำมันเชื้อเพลิงแบบเรียลไทม์ โดยใช้การสื่อสารระยะใกล้ผ่านเทคโนโลยี LoRa ตามกระบวนการวิจัยที่วางไว้ในระยะที่ 1 ซึ่งประกอบด้วยการศึกษาข้อมูลที่เกี่ยวข้อง การวิเคราะห์ระบบเดิม ตลอดจนการออกแบบระบบใหม่ให้ตอบสนองต่อความต้องการของผู้ใช้งาน

จากข้อมูลที่รวบรวมและวิเคราะห์ ผู้วิจัยได้นำมาประยุกต์ใช้ในการพัฒนาระบบต้นแบบ โดยประกอบด้วยโมดูล GPS สำหรับระบุตำแหน่งยานพาหนะ เซนเซอร์วัดระดับน้ำมันเชื้อเพลิง และโมดูล LoRa สำหรับการสื่อสารระยะใกล้ ส่วนประกอบทั้งหมดทำงานร่วมกันภายในกรอบเว็บแอปพลิเคชันที่สามารถนำเสนอข้อมูลได้แบบเรียลไทม์ทันที

สถาปัตยกรรมของระบบและเครื่องมือที่ใช้ในกระบวนการพัฒนาแสดงไว้ในรูปที่ 3 ซึ่งแสดงองค์ประกอบหลักของระบบที่สร้างขึ้นและความสัมพันธ์ระหว่างอุปกรณ์ต่าง ๆ ที่ทำงานร่วมกันเพื่อให้สามารถติดตามและแสดงข้อมูลตำแหน่งและระดับน้ำมันได้อย่างมีประสิทธิภาพ

รูปที่ 3 ระบบติดตามด้วยจีพีเอสและอุปกรณ์ตรวจสอบระดับน้ำมันด้วยการประมวลผลตามเวลาจริง

5.2 ผลการประเมินประสิทธิภาพของระบบติดตามยานพาหนะและตรวจสอบระดับน้ำมันเชื้อเพลิงแบบเรียลไทม์

ผู้วิจัยดำเนินการทดลองใช้ระบบติดตามด้วยจีพีเอสและอุปกรณ์ตรวจสอบระดับน้ำมันด้วยการประมวลผลตามเวลาจริงที่พัฒนาขึ้น กับผู้เชี่ยวชาญด้านการพัฒนาซอฟท์แวร์และอุปกรณ์ IoT จำนวน 5 คน ต่อจากนั้นผลการค้นพบจากการประเมินจะถูกวิเคราะห์โดยใช้ตัวชี้วัดทางสถิติพื้นฐานที่เกี่ยวข้องกับเกณฑ์ที่กำหนดไว้และสรุปผลลัพธ์โดยแสดงในตารางที่ 1

ตารางที่ 1 ผลการประเมินประสิทธิภาพของระบบติดตามยานพาหนะและตรวจสอบระดับน้ำมันเชื้อเพลิงแบบเรียลไทม์

รายการ	$\bar{x}$	S.D.	ระดับความคิดเห็น
1. การติดตั้งระบบ	4.00	0.00	สูง
2. การกำหนดรหัสผู้ใช้งานและรหัสผ่านในการตรวจสอบผู้เข้าระบบ	4.20	0.45	สูง
3. การออกแบบส่วนติดต่อกับผู้ใช้ง่ายต่อการใช้งาน	4.40	0.55	สูง
4. ความเร็วในการประมวลผลของระบบ	4.60	0.55	สูงสุด
5. ความแม่นยำในการส่งข้อมูล	4.00	0.00	สูง
6. ความสะดวกในการใช้งานระบบ	4.20	0.45	สูง
7. ความมีเสถียรภาพการทำงานของระบบ	4.00	0.00	สูง
8. ความปลอดภัยและสิทธิ์การเข้าถึงข้อมูล	4.60	0.55	สูงสุด
โดยรวม	4.25	0.44	สูง

จากผลการประเมินประสิทธิภาพของระบบติดตามยานพาหนะและตรวจสอบระดับน้ำมันเชื้อเพลิงแบบเรียลไทม์ ซึ่งพัฒนาขึ้นโดยใช้เทคโนโลยีการสื่อสารระยะใกล้ผ่านระบบ LoRa ตารางที่ 1 พบว่า โดยภาพรวมอยู่ในระดับสูง โดยมีค่าเฉลี่ยเท่ากับ 4.25 และค่าเบี่ยงเบนมาตรฐานเท่ากับ 0.44 เมื่อพิจารณาเป็นรายด้าน พบว่า ด้านการติดตั้งระบบและแอปพลิเคชัน ได้รับการประเมินอยู่ในระดับสูง ($\bar{x}$ = 4.00, S.D. = 0.00) การกำหนดรหัสผู้ใช้และรหัสผ่านเพื่อควบคุมการเข้าถึงระบบ อยู่ในระดับสูง ($\bar{x}$= 4.20, S.D. = 0.45) การออกแบบส่วนติดต่อกับผู้ใช้ (User Interface) มีความสะดวกและใช้งานง่าย อยู่ในระดับสูง ($\bar{x}$= 4.40, S.D. =0.55) ความเร็วในการประมวลผลของระบบ ได้รับคะแนนในระดับสูงสุด ($\bar{x}$= 4.60, S.D. = 0.55) ความแม่นยำในการควบคุมและส่งคำสั่งในระบบอยู่ในระดับสูง ($\bar{x}$= 4.00, S.D. = 0.00) ความสะดวกในการใช้งานโดยรวมของระบบ ได้รับการประเมินในระดับสูง ($\bar{x}$= 4.20, S.D. = 0.45) ความมีเสถียรภาพของระบบขณะใช้งาน อยู่ในระดับสูงเช่นกัน ($\bar{x}$= 4.00, S.D. = 0.00) ความปลอดภัยและสิทธิ์การเข้าถึงข้อมูล ได้รับการประเมินในระดับสูงสุด ($\bar{x}$= 4.60, S.D. = 0.55) จากการค้นพบที่ได้จากการประเมินเหล่านี้เห็นได้ชัดว่าระบบที่จัดตั้งขึ้นแสดงให้เห็นถึงระดับประสิทธิภาพที่เพียงพอและมีความสามารถในการตอบสนองความต้องการของผู้ใช้ในมิติที่หลากหลาย

5.3 ผลการศึกษาความพึงพอใจของผู้ใช้งานต่อระบบติดตามยานพาหนะและตรวจสอบระดับน้ำมันเชื้อเพลิงแบบเรียลไทม์

หลังจากการสร้างระบบติดตามยานพาหนะแบบเรียลไทม์และตรวจสอบระดับเชื้อเพลิงซึ่งใช้เทคโนโลยีการสื่อสารระยะใกล้ผ่านเครือข่าย LoRa ผู้วิจัยได้ดำเนินกระบวนการรวบรวมข้อมูลที่เกี่ยวข้องกับความพึงพอใจของผู้ใช้กับระบบที่นำไปใช้ โดยใช้แบบสอบถามเป็นเครื่องมือในการเก็บข้อมูล สำหรับการประเมินกลุ่มผู้ใช้งานที่เข้าร่วมในการประเมินจำนวน 9 คน ได้ทดลองใช้งานระบบต้นแบบในสถานการณ์จริงในเขตชนบทหรือพื้นที่กึ่งเปิด รัศมี 8 กิโลเมตร ช่วงส่งทุก 5 นาที จากนั้นจึงให้คะแนนความพึงพอใจในด้านต่าง ๆ ที่เกี่ยวข้องกับการใช้งานระบบ แสดงดังตารางที่ 2

ตารางที่ 2 ผลการศึกษาความพึงพอใจของผู้ใช้งานต่อระบบติดตามยานพาหนะและตรวจสอบระดับน้ำมันเชื้อเพลิงแบบเรียลไทม์

รายการ	$\bar{x}$	S.D.	ระดับความคิดเห็น
1. ด้านฟังก์ชันของระบบฯ และเว็บแอปพลิเคชัน	4.44	0.53	สูง
2. ด้านประสิทธิภาพการทำงานของระบบฯ และเว็บแอปพลิเคชัน	4.33	0.50	สูง
3. ด้านความง่ายต่อการใช้งานระบบฯ และเว็บแอปพลิเคชัน	4.89	0.33	สูงสุด
4. ด้านการรักษาความปลอดภัยของข้อมูลในเว็บแอปพลิเคชัน	4.67	0.50	สูงสุด
โดยรวม	**4.58**	**0.50**	**สูงสุด**

จากการประเมินความพึงพอใจของผู้ใช้ที่เกี่ยวข้องกับระบบติดตามยานพาหนะและการตรวจสอบระดับเชื้อเพลิงแบบเรียลไทม์ พบว่าผู้ใช้มีความพึงพอใจส่วนใหญ่ในระดับสูงสุด ($\bar{x}$ = 4.58, S.D. = 0.50) โดยเฉพาะในด้าน ความง่ายต่อการใช้งาน ($\bar{x}$ = 4.89) และ การรักษาความปลอดภัยของข้อมูล ($\bar{x}$ = 4.67) ซึ่งอยู่ในระดับสูงสุด รองลงมาคือด้าน ฟังก์ชันของระบบและเว็บแอปพลิเคชัน ($\bar{x}$ = 4.44) และ ประสิทธิภาพการทำงาน ($\bar{x}$ = 4.33) ที่อยู่ในระดับสูง การวิเคราะห์บ่งชี้ว่าระบบที่นำไปใช้สามารถตอบสนองความต้องการของผู้ใช้ได้อย่างมีประสิทธิภาพ โดยครอบคลุมแง่มุมต่างๆเช่นการใช้งานความปลอดภัยและการประมวลผลข้อมูลแบบเรียลไทม์ที่อำนวยความสะดวกโดยเทคโนโลยี LoRa

6. อภิปราย

การพัฒนาระบบติดตามยานพาหนะและตรวจสอบระดับน้ำมันเชื้อเพลิงแบบเรียลไทม์ที่ใช้เทคโนโลยีการสื่อสารระยะใกล้ผ่านเครือข่าย LoRa ประกอบด้วยองค์ประกอบหลัก 4 ส่วน ได้แก่

1. โมดูล GPS สำหรับระบุตำแหน่งพิกัดของยานพาหนะ
2. การสื่อสารระยะใกล้ผ่านเครือข่ายLoRa
3. เซนเซอร์วัดระดับน้ำมันเชื้อเพลิงชนิดลูกลอย สำหรับตรวจวัดปริมาณน้ำมันในถัง
4. ระบบประมวลผลและแสดงผลข้อมูลผ่านเว็บแอปพลิเคชัน ที่สามารถเข้าถึงได้จากอุปกรณ์ที่ใช้ระบบปฏิบัติการ Windows

ผลการประเมินโดยผู้เชี่ยวชาญสะท้อนให้เห็นว่า ระบบโดยรวมมีความเหมาะสมอยู่ในระดับสูง ($\bar{X}$= 4.18, S.D. = 0.83) อย่างไรก็ตาม ในการติดตั้งอุปกรณ์กับรถยนต์จริง จำเป็นต้องมีการปรับเปลี่ยนหรือติดตั้งเซนเซอร์ลูกลอยให้เหมาะสมกับลักษณะเฉพาะของรถแต่ละคัน ทั้งนี้เพื่อให้การติดตั้งเป็นไปอย่างสะดวกและมีประสิทธิภาพในการทำงานร่วมกับระบบที่พัฒนาขึ้น

สำหรับด้านซอฟต์แวร์ ระบบสามารถติดตั้งและใช้งานบนอุปกรณ์เคลื่อนที่หรืออุปกรณ์คอมพิวเตอร์ที่ทำงานบนแพลตฟอร์ม Windows ซึ่งแสดงข้อมูลแบบเรียลไทม์ผ่านแอปพลิเคชันบนเว็บอินเทอร์เฟซผู้ใช้ได้รับการออกแบบอย่างพิถีพิถันเพื่อให้แน่ใจว่าช่วยให้สามารถนำทางระบบให้ผู้ใช้ได้อย่างมีประสิทธิภาพและความแม่นยำ และมีความเสถียรในการประมวลผล

ผลลัพธ์สอดคล้องกับการวิจัยที่ดำเนินการวิจัยโดย **เจษฎา ขจรฤทธิ์และคณะ** [6] ผู้ออกแบบระบบการจัดการแสงสว่างในบ้านอัจฉริยะโดยใช้เทคโนโลยี Internet of Things (IoT) ผ่านแอปพลิเคชัน Android และ NETPIE ซึ่งช่วยให้ผู้ใช้สามารถจัดการอุปกรณ์จากระยะไกลผ่านโครงสร้างพื้นฐานอินเทอร์เน็ต ซึ่งทำให้ระบบมีความโดดเด่นด้านความสะดวกสบายของผู้ใช้และการตอบสนองอย่างดีเยี่ยมต่อความต้องการของผู้ใช้

นอกจากนี้ ผลการศึกษาความพึงพอใจของผู้ใช้งานพบว่า โดยรวมมีความพึงพอใจในระดับมาก ระบบสามารถแสดงข้อมูลได้อย่างแม่นยำและเสถียร และการพัฒนาระบบเป็นไปตามความต้องการจริงของผู้ใช้งานในพื้นที่ทดลอง จึงสามารถตอบสนองต่อการใช้งานจริงได้อย่างมีประสิทธิภาพ

7. ข้อเสนอแนะ

การดำเนินงานวิจัยครั้งนี้ได้รับความร่วมมือจากผู้ประกอบการขนส่งในพื้นที่อำเภอโพธาราม จังหวัดราชบุรี ซึ่งมีบทบาทสำคัญในการนำระบบต้นแบบไปทดลองใช้จริง และให้ข้อมูลย้อนกลับเพื่อสร้างระบบที่แสดงประสิทธิภาพที่เพิ่มขึ้นในการปฏิบัติตามข้อกำหนด

สำหรับคำแนะนำเกี่ยวกับการพัฒนาการวิจัยในอนาคต โดยเฉพาะในด้านการเลือกใช้อุปกรณ์ตรวจวัดระดับน้ำมันเชื้อเพลิง ควรพิจารณาเลือกใช้เซนเซอร์หรือลูกลอยที่มีขนาดและคุณสมบัติเหมาะสมกับลักษณะของถังน้ำมันในยานพาหนะแต่ละประเภท โดยเฉพาะกรณีที่ใช้ลูกลอย ควรเลือกชนิดที่สามารถตรวจจับระดับน้ำมันได้อย่างแม่นยำถึงประมาณ 98% ของปริมาตรถัง เพื่อเพิ่มความแม่นยำของระบบ นอกจากนี้ควรขยายการทดลองกับยานพาหนะและสภาพแวดล้อมที่หลากหลายเพื่อประเมินประสิทธิภาพของการสื่อสาร LoRa รวมถึงพัฒนาระบบให้รองรับ Android/iOS เพื่อเพิ่มความสะดวกในการใช้งานเชิงพาณิชย์

การพัฒนาให้ครอบคลุมขอบเขตการตรวจวัดทั้งหมดจะช่วยเพิ่มประสิทธิภาพของระบบตรวจสอบแบบเรียลไทม์ และเสริมความน่าเชื่อถือของข้อมูลสำหรับการนำไปใช้ในการกำกับดูแลยานพาหนะอย่างแม่นยำและมีประสิทธิภาพมากขึ้น

8. สรุป

การใช้ระบบติดตามยานพาหนะและการตรวจสอบระดับเชื้อเพลิงแบบเรียลไทม์โดยใช้เทคโนโลยีการสื่อสารระยะใกล้ผ่านเครือข่าย LoRa นำไปสู่ข้อสรุปว่าระบบที่ออกแบบทำงานด้วยประสิทธิภาพที่โดดเด่นตามที่ประเมินโดยผู้เชี่ยวชาญซึ่งกำหนดให้คะแนนประสิทธิภาพโดยรวมในระดับสูง ($\bar{X}$ = 4.18, S.D. = 0.83ในขณะที่ความคิดเห็นของผู้ใช้ระบุความพึงพอใจสูงสุดกับระบบ ($\bar{X}$ = 4.58, S.D. = 0.50)

ระบบสามารถติดตามตำแหน่งยานพาหนะได้แม่นยำ ตรวจสอบระดับน้ำมันเชื้อเพลิงได้แบบเรียลไทม์ และแสดงผลข้อมูลผ่าน และนำเสนอข้อมูลผ่านเว็บแอปพลิเคชันที่มีความเสถียรสูง มีความเร็วในการประมวลผลและใช้งานง่าย เพื่อตอบสนองความต้องการของผู้ใช้ในภาคสนามจริง

ผลการทดลองชี้ให้เห็นว่า ระบบมีความเหมาะสมสำหรับการประยุกต์ใช้ในงานด้านการขนส่งและโลจิสติกส์ ที่ต้องการควบคุมต้นทุนน้ำมันและติดตามยานพาหนะในพื้นที่การสื่อสารระยะใกล้.

เอกสารอ้างอิง

[1] ศิริวรรณ เอี่ยมบัณฑิต, “ระบบบ้านอัจฉริยะควบคุมด้วยเทคโนโลยีเครือข่ายไร้สาย เซ็นเซอร์และแอนดรอยด์แอปพลิเคชันภายใต้แนวคิดอินเทอร์เน็ตเพื่อทุกสิ่ง”, *วารสารวิทยาศาสตร์เทคโนโลยี และนวัตกรรม*, ปี 1, ฉบับที่ 2, น. 11–20, เม.ย. 2020.

[2] ชัชชัย คุณบัว, *IoT สถาปัตยกรรมการสื่อสาร = Internet of things*, ปี 2562. กรุงเทพฯ: ซีเอ็ดยูเคชั่น.

[3] นวภัทรา หนูนาค และ ทวีพล ซื่อสัตย์, *การวัดและเครื่องมือวัดประยุกต์ใช้ในอุตสาหกรรมอาหาร*, ปี 2555. คณะวิศวกรรมศาสตร์ สถาบันเทคโนโลยีพระจอมเกล้าเจ้าคุณทหารลาดกระบัง.

[4] ชัยพร เขมะภาตะพันธ์, “ระบบติดตามตรวจสอบตำแหน่งและเส้นทางรถยนต์ด้วยสัญญาณดาวเทียม”, มหาวิทยาลัยธุรกิจบัณฑิตย์, กรุงเทพมหานคร.

[5] Best W. John, *Research in education*. Englewood Cliffs, N.J: Prentice-Hall.

[6] เจษฎา ขจรฤทธิ์, ปิยนุช ชัยพรแก้ว, และ หนึ่งฤทัย เอ้งฉ้วน, “An Application of Internet of Things Technology to Control the Illumination Systems in Smart Home”, *J. Inf. Sci. Technol.*, ปี 7, ฉบับที่ 1, น. 1–11, มิ.ย. 2017, doi: 10.14456/jist.2017.1.

พีรศุษย์ บุญมาธรรม อาจารย์ประจำสาขาวิชาวิทยาการคอมพิวเตอร์ คณะเทคโนโลยีสารสนเทศ มหาวิทยาลัยราชภัฏเพชรบุรี การศึกษาระดับปริญญาเอก สาขาวิชาวิทยาการคอมพิวเตอร์และสารสนเทศ มหาวิทยาลัยศิลปากร งานวิจัยที่เกี่ยวข้อง Digital Signal Processing, Information Retrieval, Machine Learning, and Software Development

สุกัญชลิกา บุญมาธรรม อาจารย์ประจำสาขาวิชาวิทยาการคอมพิวเตอร์ คณะเทคโนโลยีสารสนเทศ มหาวิทยาลัยราชภัฏเพชรบุรี การศึกษาระดับปริญญาเอก สาขาวิชาเทคโนโลยีสารสนเทศ มหาวิทยาลัยเทคโนโลยีพระจอมเกล้าพระนครเหนือ งานวิจัยที่เกี่ยวข้อง Deep Learning, Machine Learning, Image Processing, and Decision Support System

ศิริพร อ่วมศิริ อาจารย์ประจำสาขาวิชาวิทยาการคอมพิวเตอร์ คณะเทคโนโลยีสารสนเทศ มหาวิทยาลัยราชภัฏเพชรบุรี การศึกษาระดับ ปริญญาโท สาขาวิชาวิทยาการคอมพิวเตอร์ มหาวิทยาลัยเทคโนโลยีพระจอมเกล้าพระนครเหนือ งานวิจัยที่เกี่ยวข้อง Image Processing , Web development, Application development, Database, Machine Learning

ปราโมทย์ ตงฉิน อาจารย์ประจำสาขาวิชาคอมพิวเตอร์ คณะเทคโนโลยีสารสนเทศ มหาวิทยาลัยราชภัฏเพชรบุรี การศึกษาระดับปริญญาเอก สาขาวิชาคอมพิวเตอร์ศึกษา มหาวิทยาลัยเทคโนโลยีพระจอมเกล้าพระนครเหนือ งานวิจัยที่เกี่ยวข้อง การพัฒนาสื่อการสอน บทเรียนคอมพิวเตอร์ช่วยสอน(CAI) Computer System

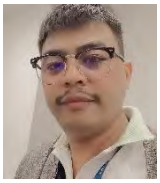

พีรพล สุขพลาย สำเร็จการศึกษา ระดับปริญญาตรี สาขาวิทยาการคอมพิวเตอร์ คณะเทคโนโลยีสารสนเทศ มหาวิทยาลัยราชภัฏเพชรบุรี งานวิจัยที่เกี่ยวข้อง Internet of Things

การประยุกต์ใช้และปรับแต่งโมเดลภาษาขนาดใหญ่ สำหรับการสร้างกรณีทดสอบอัตโนมัติในงานทดสอบซอฟต์แวร์

Application and Fine-Tuning of Large Language Models with LangChain for Test Case Generation in Software Testing

หทัยรัตน์ เจนวิทยา และ รัฐศิลป์ รานอกภานุวัชร์

หลักสูตรวิศวกรรมศาสตรมหาบัณฑิต สาขาวิชาวิศวกรรมคอมพิวเตอร์ วิทยาลัยวิศวกรรมศาสตร์และเทคโนโลยี มหาวิทยาลัยธุรกิจบัณฑิตย์
66130662@dpu.ac.th ratthaslip.ran@dpu.ac.th

บทคัดย่อ

งานวิจัยนี้การประยุกต์ใช้และปรับแต่งโมเดลLLM ได้แก่ LLaMA3.2-3B, Typhoon2-8b และ Gemma2-9b สำหรับสร้างกรณีทดสอบจากข้อกำหนดซอฟต์แวร์ โดยใช้ Fine-tuning กับชุดข้อมูลและออกแบบระบบ RAG ด้วย LangChain เพื่อดึงบริบทผ่าน Similarity Search ช่วยให้โมเดลสร้างกรณีทดสอบที่แม่นยำและตอบสนองแบบอัตโนมัติได้อย่างมีประสิทธิภาพและการประเมินประสิทธิภาพของโมเดล Typhoon2-8b โดยมีค่า Loss ต่ำสุดที่ 0.1543 และค่า Cosine Similarity สูงสุดที่ 0.8770 พร้อมค่าระยะ Euclidean และ Manhattan ต่ำสุด รองลงมา Gemma2-9b มีค่า Loss สูงสุด 0.1971 Cosine Similarity 0.8768 Euclidean 0.4511 และ Manhattan 9.7364 ในขณะที่ LLaMA3.2-3B มีค่า Loss 0.1773 Cosine Similarity 0.8762 Euclidean 0.4516 และ Manhattan 9.7489 ค่าตัวชี้วัดอยู่ในระดับกลางทุกด้าน การประเมินความครอบคลุมโมเดล Gemma2-9b มีความครอบคลุมในทุกมิติสูงที่สุดโดยสามารถสร้าง Test Case ได้หลากหลายทั้ง Positive และ Negative Cases และเชื่อมโยงกับ Requirement ได้ครบถ้วนที่สุดรองลงมา LLaMA3.2-3B และ Typhoon2-8b ผลการประเมินจากผู้เชี่ยวชาญโดยโมเดล Gemma2-9b ได้รับคะแนนมากที่สุด ความพึงพอใจสูงสุดในด้านคุณภาพของ Test Case รองลงมา LLaMA3.2-3B และ Typhoon2-8b

คำสำคัญ: โมเดลภาษาขนาดใหญ่, การสร้างกรณีทดสอบ, การทดสอบซอฟต์แวร์, ตัวชี้วัดความครอบคลุมในการทดสอบ, การฝังเวกเตอร์

Abstract

This research applies and fine-tunes ModelsLLMs namely LLaMA3.2-3B, Typhoon2-8b, and Gemma2-9b for automated test case generation based on software requirements. Fine-tuning was applied to the models using a dedicated dataset and a RAG system was designed using the LangChain framework to retrieve contextual information via similarity search This integration enables the models to generate accurate and responsive test cases efficiently Performance evaluation shows that Typhoon2-8b achieves the lowest loss 0.1543 and the highest cosine similarity 0.877 along with the lowest Euclidean 0.4501 and Manhattan 9.7200 Gemma2-9b records the highest loss 0.1971 cosine similarity of 0.8768 Euclidean distance of 0.4511 and Manhattan distance 9.7364 LLaMA3.2-3B shows moderate performance across all metrics with a loss 0.1773 cosine similarity 0.8762 Euclidean distance 0.4516 and Manhattan distance 9.7489 Regarding coverage evaluation including test coverage, functional coverage, and requirement coverage Gemma2-9b demonstrated the highest comprehensiveness across all dimensions. It generated a wide variety of test cases both positive and negative and maintained the most complete linkage to the original requirements. LLaMA3.2-3B and Typhoon2-8b ranked second and third, respectively Expert evaluations revealed that Gemma2-9b received the highest scores in terms of test case quality and usability followed by LLaMA3.2-3B and Typhoon2-8b

Keywords: Large Language Models, Test case generation, Software Testing, Coverage Metrics, Vector Embedding

1. บทนำ

1.1 ที่มาและความสำคัญ

งาน Software Tester หรือ Software QA มีบทบาทสำคัญในการตรวจสอบคุณภาพของซอฟต์แวร์ให้พร้อมใช้งานได้อย่างถูกต้องและตรงตามวัตถุประสงค์โดยเฉพาะในกระบวนการสร้าง Test Case สำหรับ Manual Testing ซึ่งเป็นงานที่ใช้เวลาและความชำนาญสูง งานวิจัยนี้พัฒนาและประยุกต์ใช้โมเดล LLM สำหรับการสร้างกรณีทดสอบแบบ Manual ในระดับ Functional Testing โดยมีเป้าหมายเพื่อประสิทธิภาพในการทดสอบซอฟต์แวร์

1.2 วัตถุประสงค์ของการวิจัย

1.2.1 เพื่อพัฒนาเครื่องมือที่ใช้ Large Language Model และปรับแต่ง Fine-tuning โมเดล LLaMA3.2-3B, Typhoon2-8b, Gemma2-

*ผู้ประพันธ์บรรณกิจ

9b สำหรับการสร้างกรณีทดสอบ Functional Testing จาก Requirements

1.2.2 เพื่อพัฒนาและออกแบบระบบโดยใช้แนวคิด Retriever - Augmented Generation (RAG) โดยเชื่อมต่อโมเดล LLM เข้ากับฐานข้อมูล LangChain Framework เพื่อสร้าง Test Case ที่มีความสอดคล้องกับ Requirements

1.3 ขอบเขตการวิจัย

1.3.1 พัฒนาโมเดล LLMs ได้แก่ LLaMA3.2-3B, Typhoon2-8b และ Gemma2-9b ปรับแต่งด้วย Fine-tuning และประเมินความสอดคล้องค่า Loss โดยใช้ Vector Embedding ประยุกต์ใช้เทคนิค Retrieval-Augmented Generation เพื่อดึงข้อมูลบริบทที่เกี่ยวข้องจากฐานข้อมูลเชื่อมต่อผ่าน LangChain Framework จัดการ Prompt และควบคุมการทำงานของ Chain ระหว่างโมเดลและ Agent Tool

1.3.2 ชุดข้อมูลที่ใช้ในการวิจัยออกแบบมาเพื่อการสร้าง Test Case ที่เกี่ยวข้องกับระบบธนาคาร โดยมุ่งเน้นทั้งด้านธุรกรรมการเงินโดยรูปแบบ Manual Testing ครอบคลุมทั้ง Positive และ Negative Cases จำนวน 17,000 Test Cases พร้อมทั้งประเมินความพึงพอใจผู้เชี่ยวชาญด้าน Software Testing

1.4 ประโยชน์ที่คาดว่าจะได้รับ

1.4.1 พัฒนาขึ้นเพื่อช่วยลดภาระงานของนักทดสอบ Tester, QA ในการสร้าง Test Cases แบบ Manual Testing ทำให้ประหยัดเวลาในกระบวนการทดสอบซอฟต์แวร์และช่วยลดโอกาสที่ข้อผิดพลาด

1.4.2 เพิ่มความครอบคลุมของการทดสอบ Test Coverage, Functional Coverage และ Requirement Coverage โมเดลที่พัฒนาสามารถสร้างกรณีทดสอบที่ครอบคลุมทั้ง Positive และ Negative Cases รองรับการโต้ตอบแบบ ChatBot สามารถป้อนความต้องการและรับผลลัพธ์ได้ทันที โดยไม่จำเป็นต้องมีความรู้ด้านการเขียน Test Case

2. แนวคิดทฤษฎี และงานวิจัยที่เกี่ยวข้อง

2.1 แนวคิดและทฤษฎีที่เกี่ยวข้อง

Large Language Models ใช้โครงสร้างแบบ Transformer ผ่านการฝึกเบื้องต้น Pre-training โดยเรียนรู้จากบริบทของข้อความเพื่อทำนายปรับแต่ง Fine-tuning ด้วยชุดข้อมูลเฉพาะด้าน Loss Function สำหรับ LLMs อาศัย Loss Function เพื่อวัดว่าผลลัพธ์ของโมเดล

$$L = -\sum_{i=1}^{N} y_i \log(\hat{y}_i) \quad (1)$$

เทคนิค LoRA (Low-Rank Adaptation) เป็นการปรับแต่งโมเดล Fine-tuning ที่เน้นลดการใช้ทรัพยากรคำนวณและหน่วยความจำ โดยทำงานผ่านการตรึง freeze พารามิเตอร์หลักของโมเดล และ low-rank matrices เพื่อเรียนรู้การเปลี่ยนแปลงสำหรับงานช่วยให้สามารถปรับโมเดลขนาดใหญ่ได้อย่างมีประสิทธิภาพโดยไม่ต้องปรับพารามิเตอร์ทั้งหมด

$$\Delta W = A \times B \quad (2)$$

โดยที่ A และ B จะต้องเป็น Low-Rank Matrix ซึ่งจะเป็น matrix ที่ขนาดเล็กกว่าเมื่อเทียบกับ weight ของโมเดล LLMs ที่จะทำการปรับแต่ง โดยจะทำให้จำนวนพารามิเตอร์ที่ใช้ในการฝึกมีขนาดลดลงและ ΔW จะเป็นค่า weight ที่เปลี่ยนแปลงไปจากโมเดลเดิม

Cosine Similarity การวัด "ค่าความคล้ายกันเชิงมุม" ระหว่างเวกเตอร์สองตัวในปริภูมิ n มิติ โดยไม่คำนึงถึงความยาว Magnitude ของเวกเตอร์ พิจารณาที่ทิศทางของเวกเตอร์เป็นหลัก หากเวกเตอร์มีทิศทางเดียวกันจะได้ค่าใกล้ 1 ซึ่งแปลว่ามีความคล้ายกันสูง ในทางกลับกัน หากทิศทางต่างกันโดยสิ้นเชิงจะได้ค่าใกล้ -1 เหมาะสำหรับการวัดความคล้ายกันของข้อความหรือประโยคที่ถูกแปลงเป็นเวกเตอร์

$$Cosine\ Similarity(A,B) = \frac{A \cdot B}{\|A\| \cdot \|B\|} = \frac{\sum_{i=1}^{n} A_i B_i}{\sqrt{\sum_{i=1}^{n} A_i^2} \cdot \sqrt{\sum_{i=1}^{n} B_i^2}} \quad (3)$$

Euclidean Distance การวัดระยะทางจริงระหว่างจุดสองจุดในพื้นที่ n มิติวัดระยะทางระหว่างสองจุด ใช้วัดว่าเวกเตอร์ A และ B อยู่ห่างกันในเชิงพิกัด z นำค่าของแต่ละมิติมาหา “ผลต่างยกกำลังสอง” ถอดราก

$$Euclidean(A,B) = \sqrt{\sum_{i=1}^{n} (A_i - B_i)^2} \quad (4)$$

Manhattan Distance เป็นการวัดระยะทางระหว่างเวกเตอร์สองตัวโดยรวมระยะทางของแต่ละแกนโดยไม่ยกกำลังหรือถอดรากวัดตามแนวแกนเหมาะสำหรับข้อมูลที่มีลักษณะไม่ต่อเนื่อง หรือกรณีที่ต้องการลดผลกระทบจากค่าที่สูงเกินไปในบางมิติ

$$Manhattan(A,B) = \sum_{i=1}^{n} |A_i - B_i| \quad (5)$$

LangChain เป็นเฟรมเวิร์กที่ออกแบบมาเพื่อจัดการการทำงานร่วมกันระหว่างระบบที่ใช้โมเดล LLM ได้แก่ Prompt, Chain, Agent, Tool, Memory และ Retrieval ระบบสามารถดึงข้อมูลภายนอกโดย Retrieval Chain แบบเวกเตอร์ Embedding

Embedding เป็นเทคนิคพื้นฐานที่ใช้แปลงข้อมูลที่อยู่ในรูปแบบของข้อความให้กลายเป็นเวกเตอร์ตัวเลขในเชิงคณิตศาสตร์ เพื่อให้เวกเตอร์ที่ได้สะท้อนความหมายของคำหรือประโยคอย่างถูกต้อง

3. วิธีดำเนินการวิจัย

3.1 ภาพรวมของระบบโดยใช้ Langcain

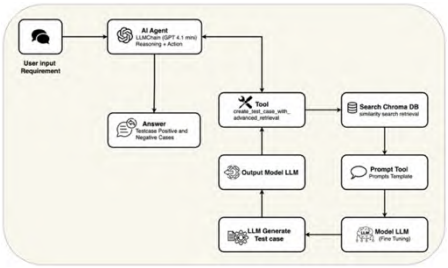

รูปที่ 1 สถาปัตยกรรมของระบบ System Architecture

3.2 การออกแบบการวิจัย Research Design

3.2.1 คำถาม Input Stage ระบบจะรับข้อกำหนดซอฟต์แวร์ Requirements จากผู้ใช้ผ่านทาง Web Interface ที่พัฒนาด้วย Streamlit

3.2.2 วิเคราะห์ถึงบริบท Context Analysis with RAG ระบบนำ Requirements ที่ได้รับมาเข้าสู่กระบวนการวิเคราะห์เชิงบริบทโดยใช้โมเดล LLM และเชื่อมต่อกับระบบ RAG การดึงบริบทโดยใช้ Vector Search ผ่านฐานข้อมูลเวกเตอร์ ChromaDB ใช้การแปลงข้อความเป็น Vector embedding ค้นหาจากฐานข้อมูลด้วย semantic similarity

3.3.3 ประมวลผล Processing & Test Case Generation นำบริบทและ Requirement ที่สรุปได้เข้าสู่โมเดล GPT-4.1 mini และโมเดล LLM ที่ทำ Fine-Tuned เพื่อให้ระบบวิเคราะห์สร้าง Test Case [1]

3.3.4 ตอบคำถาม Answer Generation & Memory Storage การประมวลผลจะถูกส่งกลับให้ผู้ใช้งานในรูปแบบคำตอบ Positive และ Negative Test Cases เก็บประวัติการใช้งานเพื่อใช้ต่อยอดการสนทนา

3.3 การเก็บรวบรวมข้อมูล Data Collection

ชุดข้อมูล Test Cases Positive และ Negative Cases ออกแบบระบบธนาคาร เช่น การฝากถอนเงิน, แสดงรายการเดินบัญชี และการสแกนใบหน้า โดยจัดเก็บในไฟล์ CSV ได้แก่ Test Case ID, Requirement Text, Test Case Description, Test Steps, Expected Result, Test Case Type, Label, Automation Status, Priority ข้อมูล 17,000 Test Case มี Positive Cases จำนวน 13,492 และ Negative Cases จำนวน 3,508 รายการ จัดลำดับความสำคัญ Medium 15,655 Test Case, High 825 Test Case, Critical 271 Test Case, Low 249 Test Case สำหรับการแบ่งชุดข้อมูลได้ถูกแยกออกเป็น 2 ส่วน Training set จำนวน 13,600 Test Case (80%) และ Validation set จำนวน 3,400 Test Case (20%)

3.4 เครื่องมือและเทคโนโลยีที่ใช้ Tools and Technologies

3.4.1 Large Language Model โมเดลภาษาขนาดใหญ่ LLaMA3.2-3B, Typhoon2-8b, Gemma2-9b ถูกใช้เป็นเครื่องมือนำมาใช้ในกระบวนการปรับแต่ง Fine-tuning

3.4.2 การพัฒนา Backend ภาษา Python และใช้เฟรมเวิร์ก LangChain สำหรับบริหารจัดการการเชื่อมต่อระหว่างโมเดลภาษา LLMs กับข้อมูลจากระบบ RAG (Retrieval-Augmented Generation) และฐานข้อมูลเวกเตอร์

3.4.3 Agent แบบ ReAct ใช้ Agent ที่สามารถตัดสินใจเลือกเครื่องมือ Tool ให้เหมาะสมกับ Intent ของผู้ใช้ โดยออกแบบ Agent ตามหลัก ReAct การวิเคราะห์และขั้นตอน ส่งผลให้ระบบมีความยืดหยุ่นในการตอบสนองและเลือก pipeline การประมวลผลอย่างเหมาะสม

3.4.4 Memory Conversation ระบบจัดการ BufferMemory เพื่อเก็บบริบทการสนทนาในแต่ละ session ซึ่งช่วยให้ LLM สามารถอ้างอิงถึงบทสนทนาก่อนหน้า ทำให้การตอบคำถามมีความต่อเนื่องและมีความเข้าใจบริบทที่ดีขึ้น

3.4.5 ฐานข้อมูล ChromaDB ระบบใช้ฐานข้อมูลเวกเตอร์ ChromaDB เก็บ embedding vectors ของเอกสารหรือบริบทที่เกี่ยวข้องกับงานทดสอบซอฟต์แวร์เพื่อใช้ในการสร้างคำตอบโดย LLM

3.4.6 LangChain เป็นไลบรารีหลักที่ใช้ในการสร้าง Agent, Chain, Tool, PromptTemplate และ Memory โดยเฉพาะอย่างยิ่งเหมาะกับงานที่ต้องเชื่อมต่อ LLM กับข้อมูลภายนอกเข้าด้วยกันใน Chain เดียว

3.4.7 OpenAI API ใช้สำหรับเรียกใช้โมเดล GPT-4.1-mini ที่มีประสิทธิภาพสูงในการสรุป วิเคราะห์ และประเมินผล Test Case

3.4.8 การพัฒนา Frontend โดยใช้ Streamlit เป็นเครื่องมือสำหรับสร้าง Chatbot โอเพนซอร์ซที่ใช้สร้างแอปพลิเคชันเว็บเชิงโต้ตอบ

3.5 การพัฒนาโมเดล

การออกแบบ Prompt เพื่อสร้าง Test Case ของโมเดล LLM ในการสร้างชุดทดสอบซอฟต์แวร์ Test Case โครงสร้างของ Prompt แบ่งออกเป็น 3 ส่วน 1. System Prompt บทบาทของโมเดลกำหนดให้โมเดลมีบทบาทเป็น Software Tester มืออาชีพ ที่มีหน้าที่สร้าง Test Case โดยพิจารณาทั้งด้าน Functional, Positive/Negative, Security และ Performance Testing 2. User Prompt Requirement ที่ผู้ใช้ป้อนข้อความที่ผู้ใช้ระบุ "ความต้องการของระบบ" เพื่อให้โมเดลสร้าง Test Case ตามบริบท 3. Expected Output Format คำตอบจากโมเดลเพื่อให้การสร้าง Test Case โดยอัตโนมัติจากโมเดลภาษา LLM

3.6 การปรับแต่งโมเดล Fine-tuning

การตั้งค่าพารามิเตอร์สำหรับ Supervised Fine-Tuning ด้วย SFTTrainer และ Hugging Face Transformers การฝึกโมเดล LLM ในการ fine-tune [2]

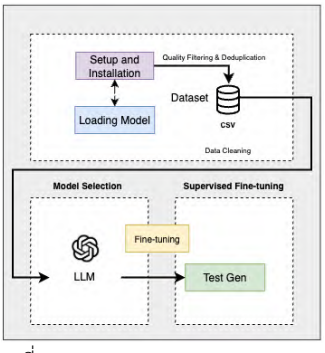

รูปที่ 2 กระบวนการ Fine-tuning Data

ตารางที่ 1 การตั้งค่าพารามิเตอร์ระหว่างการฝึกโมเดล

พารามิเตอร์	ค่า	คำอธิบาย
per_device_train_batch_size	1	จำนวนตัวอย่างที่ฝึกต่อ GPU
gradient_accumulation_steps	2	จำนวนรอบการสะสม gradient
warmup_steps	5	จำนวน step ที่เพิ่ม learning rate
num_train_epochs	2	จำนวนรอบที่โมเดลจะฝึกกับข้อมูล
learning_rate	2e-4	อัตราการเรียนรู้ที่ใช้ในระหว่างฝึก
logging_steps	1	ความถี่ log
optim	8	ประสิทธิภาพสูงหน่วยความจำน้อยลง
weight_decay	0.01	อัตราลดน้ำหนักพารามิเตอร์ป้องกันการ overfitting

3.7 กระบวนการวัดความคล้ายคลึงระหว่างเวกเตอร์

โดยใช้ Vector Embedding โดย Cosine Similarity วัดมุมระหว่างเวกเตอร์ ค่ายิ่งใกล้ 1 ยิ่งคล้ายกัน, Euclidean Distance วัดระยะทางตรงระหว่างเวกเตอร์ ค่ายิ่งใกล้ 0 ยิ่งคล้าย และ Manhattan Distance วัดระยะทางแบบรวมผลต่างทีละแกน ค่ายิ่งใกล้ 0 ยิ่งคล้ายเช่นกัน

3.8 กระบวนการทำงานของ Lang Chain

3.8.1 การออกแบบ Agent ด้วยแนวคิด ReAct (Reasoning + Acting) ใน LangChain ช่วยให้ Agent ที่ขับเคลื่อนด้วย LLM เช่น GPT 4.1mini สามารถวิเคราะห์ปัญหาและเลือกใช้เครื่องมือ Tool ทำให้ระบบมีความยืดหยุ่นและตอบสนองได้อย่างชาญฉลาด

3.8.2 การสร้าง Chains เพื่อควบคุมลำดับขั้นตอนอัตโนมัติ LangChain ใช้โครงสร้าง Chain เพื่อเชื่อมโยงการทำงาน และเก็บบริบทการสนทนา Conversation Buffer Memory รูปแบบ Short Term Memory เป็นหน่วยความจำระยะสั้น

3.8.3 การเชื่อมต่อระบบ RAG โดยกำหนดเป็น Retrieval QAChain หรือกำหนด Custom Chain ที่เชื่อมกับฐานข้อมูลเวกเตอร์ Chroma DB ในระบบใช้การแปลง Requirement เป็น Embedding บริบทที่เกี่ยวข้องจากฐานข้อมูลเวกเตอร์

3.8.4 การใช้ Prompt Template สำหรับสร้าง Prompt ที่มีตัวแปรกำหนดได้ requirement, context กับโมเดลได้แม่นยำ

3.8.5 การจัดการ Agent Tool เลือก Tool การประมวลผล Chain

4. ผลการวิจัย

4.1 ผลการวิจัยประสิทธิภาพ

การทดสอบ 3 โมเดล LLaMA3.2-3B, Typhoon2-8b, Gemma2-9b บน Testing Set โดยให้ทำการเก็บค่าเพื่อประเมินประสิทธิภาพของเครื่องมือที่พัฒนาขึ้นโดยใช้ค่า Loss เป็นเกณฑ์ในการประเมิน

ตารางที่ 2 การวิจัยประสิทธิภาพโดยใช้ค่า Loss

Model	Loss Average
LLaMA3.2-3B	0.1773
Typhoon2-8b	0.1543
Gemma-2-9b	0.1971

4.2 ผลลัพธ์การประเมินโมเดล

ระบบใช้เมตริกหลัก 3 รายการ ได้แก่ ค่าเฉลี่ย Cosine Similarity, Euclidean Distance และ Manhattan Distance เปรียบเทียบเวกเตอร์ Embedding ระหว่างคำตอบจากโมเดลกับคำตอบจริง โดยใช้โมเดลฝังข้อมูล Alibaba-NLP/gte-multilingual-base [3]

ตารางที่ 3 การประเมินโดยใช้ชุดข้อมูลทดสอบ

Model	Cosine Similarity	Euclidean Distance	Manhattan Distance
LLaMA3.2-3B	0.8762	0.4516	9.7489
Typhoon2-8b	0.8770	0.4501	9.7200
Gemma-2-9b	0.8768	0.4511	9.7364

4.3 การประเมินความใกล้เคียงระหว่างคำตอบ

การประเมินความใกล้เคียงระหว่างคำตอบที่ได้โดยพิจารณาจาก 3 มาตรวัดหลัก ได้แก่ Cosine Similarity ค่า > 0.8 ใช้วัดทิศทางของเวกเตอร์เพื่อประเมินความคล้ายเชิงบริบท โดยค่าที่ใกล้ 1 คำตอบใกล้เคียงกับคำตอบจริง, Euclidean Distance < 0.5 วัดระยะห่างเชิงตำแหน่งของเวกเตอร์ ค่าน้อยแสดงถึงความใกล้กันของข้อมูลและ Manhattan Distance < 12 ใช้ค่าเฉลี่ยลบด้วยส่วนเบี่ยงเบนมาตรฐาน 30% เพื่อจำแนกคำตอบที่ดีในข้อมูลแบบเวกเตอร์ค่าที่ต่ำบ่งชี้ถึงความใกล้กันในหลายมิติ [4]

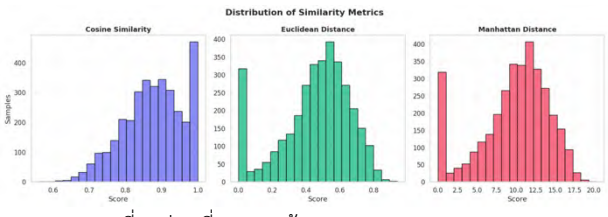

รูปที่ 3 ค่าเฉลี่ยความคล้าย Model LLaMA3.2-3B

Model LLaMA3.2-3B มีค่า Cosine Similarity ค่าเฉลี่ย 0.8762 คำตอบที่ผ่านเกณฑ์จำนวน 2761 / 3400 คิดเป็น 81.21% การกระจายอยู่ในช่วง 0.8 ถึง 1.0 Euclidean Score ค่าเฉลี่ยอยู่ที่ 0.4516 คำตอบที่ผ่านเกณฑ์จำนวน 1781 / 3400 คิดเป็น 52.38% ค่าหนาแน่นในช่วง 0.4 ถึง 0.7 Manhattan Score ค่าเฉลี่ยอยู่ที่ 9.7489 คำตอบที่ผ่านเกณฑ์จำนวน 2239 / 3400 คิดเป็น 65.85% กระจุกตัวอยู่ในช่วง 8 ถึง 14

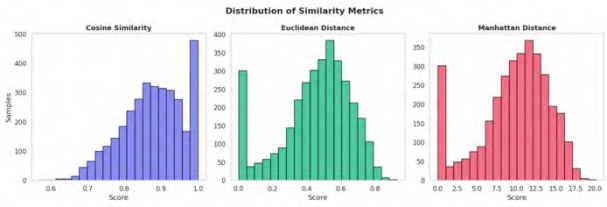

รูปที่ 4 ค่าเฉลี่ยความคล้าย Model Typhoon2-8b

Model Typhoon2-8b มีค่า Cosine Similarity ค่าเฉลี่ยอยู่ที่ 0.8770 คำตอบที่ผ่านเกณฑ์จำนวน 2773 / 3,400 รายการ คิดเป็น 81.56% Euclidean Score ค่าเฉลี่ยอยู่ที่ 0.4501 คำตอบที่ผ่านเกณฑ์จำนวน 1,821 / 3,400 รายการ คิดเป็น 53.56% การกระจายอยู่ในช่วง 0.3 ถึง 0.7 Manhattan Score ค่าเฉลี่ยอยู่ที่ 9.7200 คำตอบที่ผ่านเกณฑ์จำนวน 2,249/ 3,400 รายการ คิดเป็น 66.15% การกระจายค่าระยะห่างส่วนใหญ่อยู่ในช่วง 7 ถึง 15

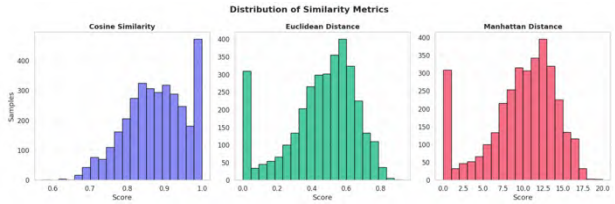

รูปที่ 5 ค่าเฉลี่ยความคล้าย Model Gemma2-9b

Model Gemma-2-9B มีค่า Cosine Similarity ค่าเฉลี่ย 0.8768 คำตอบที่ผ่านเกณฑ์จำนวน 2,813 / 3,400 รายการ คิดเป็น 82.74% การกระจาย 0.8 - 1.0 Euclidean Score ค่าเฉลี่ยอยู่ที่ 0.4511 คำตอบที่ผ่านเกณฑ์จำนวน 1,761 / 3,400 รายการ คิดเป็น 51.79% การกระจายของค่าส่วนใหญ่อยู่ในช่วง 0.4 ถึง 0.7 Manhattan Score ค่าเฉลี่ยอยู่ที่ 9.7364 จำนวน 2,176 / 3,400 รายการ คิดเป็น 63.9% กระจายตัวอยู่ในช่วง 8 ถึง 14

4.4 ผลการวิเคราะห์ความครอบคลุม Coverage Analysis

โดยการวิเคราะห์ Test Coverage, Functional Coverage, Requirement Coverage ทั้งหมด 20 ข้อ เนื้อหาเกี่ยวกับระบบในธนาคารและ ระบบทั่วไป Non-Banking โมเดล Gemma-2-9B มีความครอบคลุมสูงสุดในทุกมิติค่า Test Coverage 88%, Functional Coverage 84.20% และ Requirement Coverage 85% ทำให้เหมาะสมที่สุดสำหรับการใช้งานเชิงปฏิบัติ ขณะที่ LLaMA-3.2-3B มีพารามิเตอร์น้อยกว่า ประสิทธิภาพใกล้เคียงกัน ส่วน Typhoon-2-8B มีความสม่ำเสมอและเสถียรในเชิงผลลัพธ์ ข้อจำกัดในการสร้างกรณีทดสอบ

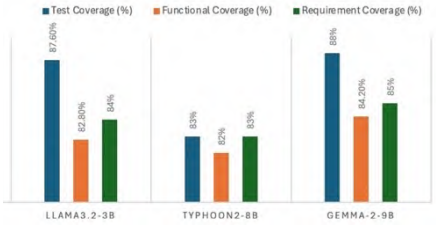

รูปที่ 6 การวิเคราะห์ความครอบคลุม

4.5 การประเมินผลโดยผู้เชี่ยวชาญ Expert Review

ประเมินผลผู้เชี่ยวชาญด้านการทดสอบซอฟต์แวร์ ได้แก่ Software Tester และ QA จำนวน 5 คน ตำแหน่ง Software Tester, QA โดยเกณฑ์ประเมินมาตราส่วน 5 ระดับ

ตารางที่ 4 เกณฑ์การให้คะแนนความพึงพอใจ 5 ระดับ

มาตราส่วน 5 ระดับ	คำอธิบาย
5 = พอใจมากที่สุด	ตรงตามเกณฑ์อย่างครบถ้วน ชัดเจน ใช้งานได้จริง
4 = พอใจมาก	ตรงตามเกณฑ์เกือบทั้งหมด มีรายละเอียดดี
3 = พอใจปานกลาง	ตรงตามเกณฑ์พอสมควร แต่มีจุดให้ปรับปรุง
2 = ค่อนข้างไม่พึงพอใจ	ตรงตามเกณฑ์บางส่วน ยังขาดความครบถ้วน
1 = ไม่พึงพอใจมาก	ไม่ตรงตามเกณฑ์ ไม่สามารถใช้งานได้โดยตรง

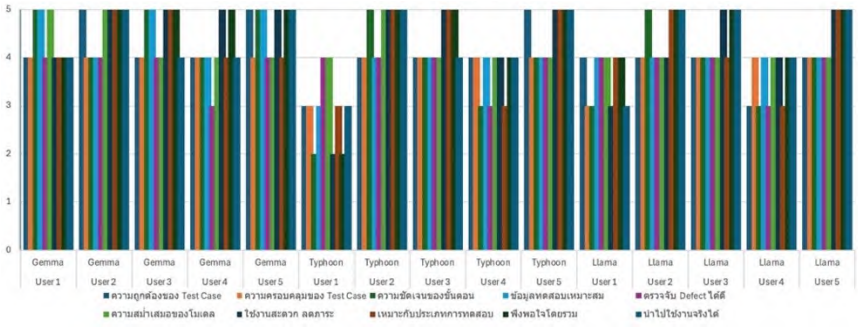

รูปที่ 7 กราฟแสดงผลการประเมินคุณภาพของ Test Case

4.6 การใช้งานระบบ Chatbot

รูปที่ 8 แสดงตัวอย่างการใช้งานระบบสร้าง Test Case อัตโนมัติด้วยโมเดล LLM ในบริบทของระบบโอนเงินผ่านธนาคารเพื่อจำลองกรณีการใช้งานจริงของผู้ใช้ที่เข้าสู่ระบบด้วยรหัสผ่านอย่างถูกต้อง

รูปที่ 8 การแสดงผลหน้าจอผู้ใช้งาน Chatbot

5. สรุปผลการวิจัย อภิปรายผล และข้อเสนอแนะ

การเปรียบเทียบประสิทธิภาพ โมเดล Typhoon2-8b มีค่า Loss 0.1543 ต่ำที่สุดและ Cosine Similarity 0.8770 สูงสุด Euclidean ต่ำสุด 0.4501 และ Manhattan ต่ำสุด 9.7200 แสดงถึงศักยภาพในการสร้างเวกเตอร์ที่แม่นยำทั้งเชิงความหมายและโครงสร้าง รองลงมาโมเดล Gemma2-9b มีค่า Loss 0.1971 สูงที่สุด Cosine Similarity 0.8768 Euclidean 0.4511 และ Manhattan 9.7364 สามารถสร้างเวกเตอร์ที่มีความสอดคล้องทางบริบทกับข้อกำหนดได้ดีขณะที่โมเดล LLaMA3.2-3B มีค่า Loss 0.1773 Cosine Similarity 0.8762 Euclidean 0.4516 และ Manhattan 9.7489 โมเดลเข้าใจความหมายเชิงบริบทอยู่ในระดับกลาง

การประเมินความครอบคลุม Test Coverage, Functional Coverage และ Requirement Coverage โมเดล Gemma2-9b มีค่าความครอบคลุมสูงสุดในทุกมิติ ได้แก่ Requirement Coverage 85%, Test Coverage 88% และ Functional Coverage 84.2% ศักยภาพในการเข้าใจข้อกำหนดและครอบคลุมฟังก์ชันหลักของระบบได้อย่างมีประสิทธิภาพ LLaMA3.2-3B ให้ค่า Requirement Coverage 84%, Test Coverage 87.6% และ Functional Coverage 82.8% สามารถสร้าง Test Case ที่ครอบคลุมได้หลากหลาย Typhoon2-8b อยู่ในระดับดีโดยมีค่า Requirement Coverage 83%, Test Coverage 83% และ Functional Coverage 82% มีความสม่ำเสมอและเสถียรในเชิงผลลัพธ์ แต่ยังต่ำกว่าโมเดลอื่นเล็กน้อย ข้อจำกัดในการสร้างกรณีทดสอบ

ผลการประเมินจากผู้เชี่ยวชาญโดยโมเดล Gemma2-9b ได้รับคะแนนเฉลี่ยรวมสูงที่สุด (4.42) โดยมีจุดเด่นด้าน ความชัดเจนของขั้นตอนทดสอบผู้ประเมินมองว่าโมเดลสามารถสร้าง Test Case ที่นำไปใช้งานจริงได้อย่างมีประสิทธิภาพมากที่สุด LLaMA3.2-3B ได้คะแนนเฉลี่ย (4.06) โดยมีจุดแข็งในด้าน ความพึงพอใจโดยรวม และความเหมาะสมกับประเภทการทดสอบ แต่ยังมีข้อเสนอแนะให้ปรับปรุงเรื่องการจัดลำดับความสำคัญของ Test Case และการแยกประเภท Test Case ให้ชัดเจน Typhoon2-8b ได้คะแนนเฉลี่ยต่ำสุดที่ (4.00) ด้านความสะดวกในการใช้งาน แต่ผู้ประเมินบางรายพบว่า การประมวลผลช้ากว่าโมเดลอื่น และการจัดลำดับความสำคัญของ Test Case ยังไม่ดีพอ

ข้อเสนอแนะเพื่อเพิ่มศักยด้าน Automated Test Script โดยแปลง Test Case รูปแบบ Script ที่สามารถเชื่อมต่อและใช้งานกับเครื่องมือทดสอบ Selenium, PyTest ขยายการทดลองไปยังโดเมนอื่นและปรับใช้นอกเหนือจาก Banking System ระบบสามารถทำงานแบบครบวงจรตั้งแต่การสร้าง Test Case ไปจนถึงการรันทดสอบอัตโนมัติ

6. กิตติกรรมประกาศ

งานวิจัยนี้สำเร็จลุล่วงด้วยดีจากการได้รับคำแนะนำอบรมสั่งสอนและให้คำปรึกษาจากคณาจารย์ประจำหลักสูตรวิศวกรรมศาสตร มหาบัณฑิต สาขาวิชาวิศวกรรมคอมพิวเตอร์ วิทยาลัยวิศวกรรมศาสตร์และเทคโนโลยี มหาวิทยาลัยธุรกิจบัณฑิตย์ ผู้วิจัยขอกราบขอบพระคุณมา ณ โอกาสนี้

เอกสารอ้างอิง

[1] Z. Wang, K. Liu, G. Li and Z. Jin, "HITS: High-coverage LLM-based Unit Test Generation via Method Slicing," 2024.

[2] J. Hoffmann and D. Frister, "Generating Software Tests for Mobile Applications Using Fine-Tuned Large Language Models," 2024.

[3] K. Beyer, J. Goldstein, R. Ramakrishnan, and U. Shaft, “When is ‘nearest neighbor’ meaningful?,” in Proc. 7th Int. Conf. Database Theory (ICDT), Jerusalem, Israel, Jan. 1999, pp. 217–235.

[4] C. D. Manning, P. Raghavan, and H. Schütze, Introduction to Information Retrieval, Cambridge, U.K.: Cambridge Univ. Press, 2008.

หทัยรัตน์ เจนวิทยา
วศ.บ. วิศวกรรมคอมพิวเตอร์ มหาวิทยาลัยศรีปทุม,
วศ.ม. วิศวกรรมคอมพิวเตอร์ มหาวิทยาลัยธุรกิจบัณฑิตย์

รัฐศิลป์ รานอกภานุวัชร์
วศ.ม.วิศวกรรมคอมพิวเตอร์ สถาบันเทคโนโลยีพระจอมเกล้าเจ้าคุณทหารลาดกระบัง, ปร.ด. วิศวกรรมไฟฟ้า สถาบันเทคโนโลยีพระจอมเกล้าเจ้าคุณทหารลาดกระบัง

ระบบแจ้งเตือนระดับน้ำท่วมบริเวณทางน้ำรอระบาย

FLOOD WARNING SYSTEM AROUND THE DRAIN AREA

จีรยุ คณธิดามี[1*] และ เจษฎา อรุณฤกษ์[1]

[1]ภาควิชาวิศวกรรมคอมพิวเตอร์ คณะวิศวกรรมศาสตร์ มหาวิทยาลัยเทคโนโลยีราชมงคลธัญบุรี jelayu_k@rmutt.ac.th*, jedsada@rmutt.ac.th

บทคัดย่อ

บทความนี้เสนอระบบแจ้งเตือนระดับน้ำท่วมบริเวณทางน้ำรอระบาย และโปรแกรมประยุกต์บนสมาร์ทโฟนในระบบไอโอเอส และแอนดรอยด์ “Water Level” เพื่อให้ผู้ใช้งานทราบถึงระดับน้ำ ว่าสามารถสัญจรในพื้นที่นั้นได้หรือไม่ และเพื่อเป็นการช่วยบรรเทาถึงผลกระทบทำให้ประหยัดเวลาลดความเสียหายที่จะเกิดขึ้น โดยผู้ใช้งานสามารถตรวจสอบระดับน้ำผ่านโมไบล์แอปพลิเคชัน ซึ่งระดับบุคคลทั่วไปจะเป็นระดับแรกเริ่ม สามารถดูระดับเบื้องต้นได้ ในระดับสมาชิกผู้ใช้งานสามารถรับการแจ้งเตือนการเปลี่ยนแปลงของระดับน้ำ การตรวจเช็คระดับน้ำย้อนหลัง และแจ้งปัญหาที่พบเจอ การทำงานของโหนดใช้ไมโครคอนโทรลเลอร์ ESP32 ร่วมกับอุปกรณ์ต่าง ๆ หลักการทำงานจะใช้อัลตราโซนิกวัดค่าระดับน้ำเมื่อถึงระดับที่ผู้ใช้งานเปิดการแจ้งเตือนก็จะทำการแจ้งเตือนไปยังแอปพลิเคชัน และยังมีระบบบอกจุดที่ตั้งของโหนดโดยใช้ GPS และระบบโซล่าเซลล์สำหรับการชาร์จแบตเตอรี่เพื่อจ่ายพลังงานไปยังระบบ จากการทำงานของระบบ สามารถสรุปได้ว่าระบบแจ้งเตือนระดับน้ำท่วมบริเวณทางน้ำรอระบาย สามารถดำเนินการได้ตามวัตถุประสงค์.

คำสำคัญ: โมไบล์แอปพลิเคชัน, ไมโครคอนโทรลเลอร์, เซ็นเซอร์อัลตราโซนิก

Abstract

This article proposes a flood water level alert system for drainage areas, along with a smartphone application called “Water Level” available on both iOS and Android platforms. The system aims to inform users about the current water level, helping them determine whether an area is passable. It also serves to mitigate potential impacts, save time, and reduce possible damage. Users can check water levels through the mobile application. General users can initially view basic water level information, while registered members have access to additional features such as water level change notifications, historical data tracking, and issue reporting. The system operates through nodes that use an ESP32 microcontroller in conjunction with various components. Its core function relies on ultrasonic sensors to measure water levels. When the water reaches a user-defined threshold, a notification is sent to the application. Each node is also equipped with GPS to provide location data, and a solar power system is used to charge the battery and supply power to the entire system. Based on its operation, it can be concluded that the proposed flood water level alert system for drainage areas can be effectively implemented as intended.

Keywords: Mobile application, Microcontroller, Ultrasonic Sensor

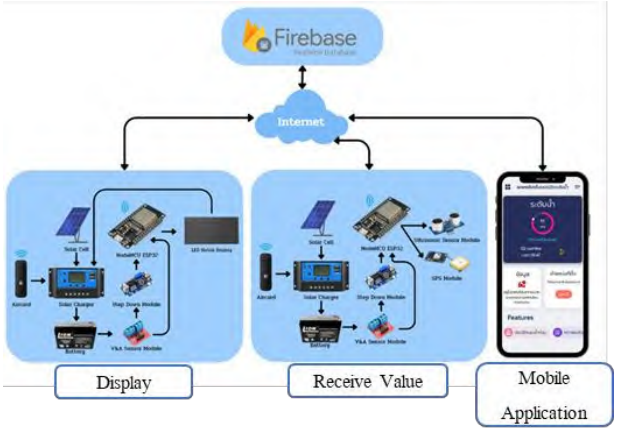

รูปที่ 1 ระบบแจ้งเตือนระดับน้ำท่วมบริเวณทางน้ำรอระบาย

1. บทนำ

อุทกภัย เป็นภัยและอันตรายจากสภาวะน้ำท่วมฉับพลัน หรือแม้แต่สภาวะน้ำเอ่อล้นฝั่งแม่น้ำ ลำธาร หรือทางน้ำ ก็สามารถเกิดขึ้นได้เช่นกัน โดยปกตินั้น อุทกภัยเกิดจากฝนตกหนักอย่างต่อเนื่องเป็นเวลานาน ทำให้เกิดการสะสมน้ำบนพื้นที่ซึ่งระบายออกไม่ทัน ทำให้พื้นที่นั้นเกิดน้ำท่วมขึ้น ภัยร้ายที่เกิดขึ้นโดยธรรมชาติและเป็นสิ่งที่ไม่สามารถควบคุมได้ บางครั้งทำให้เกิดแผ่นดินถล่ม อาจมีสาเหตุจากพายุหมุนเขตร้อนลมมรสุมมีกำลังแรง ร่องความกดอากาศต่ำมีกำลังแรง อากาศแปรปรวน น้ำทะเลหนุนแผ่นดินไหว เขื่อนพัง เป็นต้น

การมีระบบแจ้งเตือนระดับน้ำจึงมีความสำคัญอย่างยิ่ง เนื่องจากสามารถช่วยให้หน่วยงานที่เกี่ยวข้องและประชาชนในพื้นที่เสี่ยงภัยได้รับข้อมูลสถานการณ์น้ำแบบเรียลไทม์ ทำให้สามารถเตรียมความพร้อมอพยพผู้คน สิ่งของ และทรัพย์สินได้ทันเวลา ลดความเสียหายและการ

*ผู้ประพันธ์บรรณกิจ

สูญเสียชีวิตจากเหตุอุทกภัยที่เกิดขึ้นอย่างไม่คาดคิด ระบบแจ้งเตือนที่แม่นยำและตอบสนองรวดเร็ว เช่น ระบบที่ใช้เซ็นเซอร์อัลตราโซนิกตรวจวัดระดับน้ำ [1][2] ร่วมกับการส่งข้อมูลผ่านเครือข่ายอินเทอร์เน็ตและแจ้งเตือนบนอุปกรณ์พกพา จะช่วยเพิ่มประสิทธิภาพการบริหารจัดการภัยพิบัติอย่างเป็นระบบและสร้างความอุ่นใจให้กับชุมชนในพื้นที่เสี่ยงภัยได้อย่างมาก

ดังนั้นทางบทความนี้จึงได้เล็งเห็นถึงปัญหาที่เกิดขึ้นจึงได้พัฒนาสิ่งประดิษฐ์ระบบแจ้งเตือนระดับน้ำท่วมบริเวณทางน้ำรอระบาย ด้วยระบบไฟฟ้าเซลล์แสงอาทิตย์ [3][4] เพื่อให้ประชาชนทราบถึงระดับน้ำว่าปลอดภัยและสามารถสัญจรในพื้นที่นั้นได้หรือไม่ หรือควรที่จะตั้งรับการอพยพในกรณีที่มีน้ำท่วมสูง เพื่อเป็นการช่วยบรรเทาถึงผลกระทบที่เกิดขึ้นตามมา ทำให้ประหยัดเวลาและลดความเสียหายที่จะเกิดขึ้นได้

2. การออกแบบ

การออกแบบระบบแจ้งเตือนระดับน้ำท่วมบริเวณทางน้ำรอระบาย ประกอบด้วย 3 ส่วนหลัก ๆ โดยส่วนแรกคือ ชุดแสดงผล ใช้โมดูลไมโครคอนโทรลเลอร์ (ESP 32) [5] เชื่อมต่อกับเซ็นเซอร์ตรวจวัดระดับน้ำและจอแสดงผล ทำหน้าที่วัดและแสดงค่าระดับน้ำแบบเรียลไทม์ ส่วนที่สองคือ ชุดเก็บข้อมูล ทำหน้าที่รับค่าและส่งข้อมูลผ่านเครือข่ายอินเทอร์เน็ตไปยังฐานข้อมูลบน Firebase Realtime Database โดยมีพลังงานจากแผงโซลาร์เซลล์และระบบจัดการพลังงาน ส่วนสุดท้ายคือ Mobile Application ที่เชื่อมต่อกับ Firebase ทำให้ผู้ใช้งานสามารถดูค่าระดับน้ำและสถานะต่าง ๆ ผ่านสมาร์ทโฟนได้อย่างสะดวก ซึ่งระบบทั้งหมดถูกออกแบบให้ทำงานร่วมกันแบบอัตโนมัติและต่อเนื่องเพื่อเพิ่มประสิทธิภาพในการแจ้งเตือนและเฝ้าระวังอุทกภัย

2.1 การออกแบบฮาร์ดแวร์

การออกแบบวงจรระบบแจ้งเตือนระดับน้ำท่วมบริเวณทางน้ำรอระบาย จากรูปที่ 2 วงจรชุดแสดงผลระดับน้ำจะใช้วงจรลดแรงดันของแบตเตอรี่ที่ต่อมาจากวงจรวัดแรงดันไฟฟ้า (MAX471) แปลงจาก 12V เป็น 3.3V เพื่อทำการจ่ายไฟเลี้ยงให้กับไมโครคอนโทรลเลอร์ ESP 32 จากนั้นจะส่งค่าไปยังจอแสดงผล LED และจ่ายไฟเลี้ยง 5V ให้กับจอแสดงผล LED จากพอร์ต USB ด้านหน้าโซล่าชาร์จเจอร์ โดยจะมีขาวัดแรงดันต่อเข้าร่วมกับไมโครคอนโทรลเลอร์ ESP 32 เพื่อวัดแรงดันไฟฟ้าและคำนวณเปอร์เซ็นต์แบตเตอรี่

จากรูปที่ 2 วงจรชุดเก็บข้อมูลจะใช้เซนเซอร์ลดแรงดัน ทำการลดแรงดันของแบตเตอรี่ที่ต่อมาจากวงจรวัดแรงดันไฟฟ้า (MAX471) แปลงจาก 12V เป็น 3.3V เพื่อทำการจ่ายไฟเลี้ยงให้กับไมโครคอนโทรลเลอร์ ESP 32 และไมโครคอนโทรลเลอร์ ESP 32 จะทำการจ่ายไฟให้กับ อัลตราโซนิก, GPS และรับค่าจากอัลตราโซนิก, GPS โดยจะมีขาวัดแรงดันต่อร่วมกับไมโครคอนโทรลเลอร์ ESP 32 เพื่อวัดแรงดันไฟฟ้าและคำนวณเปอร์เซ็นต์แบตเตอรี่

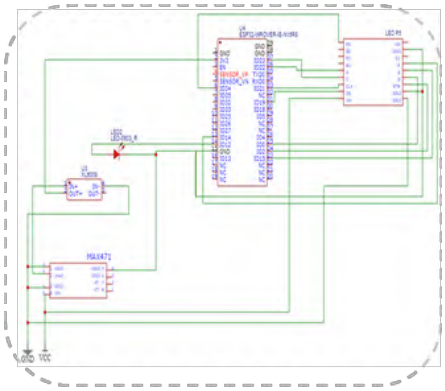

รูปที่ 2 การออกแบบวงจรฮาร์ดแวร์

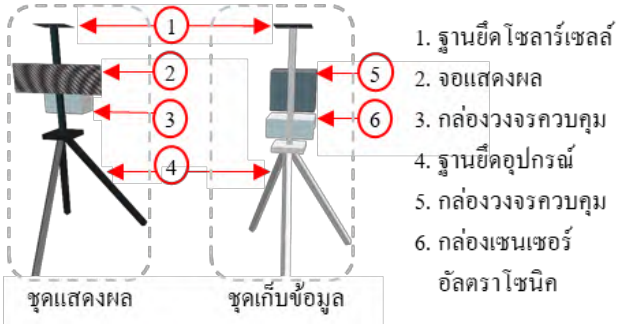

รูปที่ 3 การออกแบบชุดติดตั้งระบบ

การออกแบบวงจรฮาร์ดแวร์ทั้งหมด จะถูกติดตั้งในชุดติดตั้งระบบแสดงดังรูปที่ 3 จากภาพแสดงการติดตั้งอุปกรณ์ แบ่งออกเป็นสองชุดหลัก ได้แก่ ชุดแสดงผล และ ชุดเก็บข้อมูล โดยชุดแสดงผลประกอบด้วยจอแสดงผลสำหรับแสดงค่าระดับน้ำที่วัดได้แบบเรียลไทม์ พร้อมกล่องควบคุมที่เชื่อมต่อกับไมโครคอนโทรลเลอร์และวงจรจัดการพลังงานจากโซลาร์เซลล์ [6] ส่วนชุดเก็บข้อมูลจะประกอบด้วยกล่องเก็บข้อมูลที่บรรจุไมโครคอนโทรลเลอร์ เซ็นเซอร์ตรวจวัดระดับน้ำ โมดูล GPS [7] และวงจรจัดการพลังงานจากโซลาร์เซลล์

2.2 การออกแบบโมไบล์แอปพลิเคชัน

การออกแบบโมไบล์แอปพลิเคชันพัฒนาด้วย Visual Studio Code [8] โดยใช้ Flutter Framework [9] และภาษา Dart [10] สำหรับสร้าง UI ที่ทันสมัยซึ่งเชื่อมต่อกับข้อมูลแบบเรียลไทม์ หากมีการเชื่อมต่อกับอุปกรณ์ IoT จะใช้ PlatformIO [11] บน VS Code สำหรับพัฒนาและสื่อสารข้อมูลจากเซนเซอร์มายังแอปพลิเคชัน และได้นำ Cloud Storage for Firebase [12] มาใช้ในการจัดเก็บข้อมูลต่าง ๆ เช่น ข้อมูลผู้ใช้หรือไฟล์ที่เกี่ยวข้องกับระบบรวมถึงใช้ Firebase Cloud Messaging [13] สำหรับส่งการแจ้งเตือนไปยังผู้ใช้ซึ่งทั้งหมดนี้ช่วยให้แอปสามารถทำงานแบบออนไลน์เชื่อมโยงกับฐานข้อมูลกลาง

จากรูปที่ 4 เป็นหลักการทำงานของโครงสร้างฐานข้อมูล โดย User จะจัดเก็บข้อมูลผู้ใช้งาน เช่น อีเมล ชื่อ และสิทธิ์การใช้งาน, User_Report สำหรับบันทึกรายงานเหตุการณ์ที่ผู้ใช้แจ้ง, Error_log สำหรับเก็บบันทึกข้อผิดพลาดในการใช้งานระบบ, Node สำหรับเก็บข้อมูลอุปกรณ์ตรวจวัด (Node) เช่น สถานะ แรงดันไฟฟ้า และตำแหน่งติดตั้ง, Node_Log บันทึก Log เหตุการณ์และสถานะการทำงานของ Node, Node_Notification สำหรับเก็บการแจ้งเตือนจาก Node, Node_Setting เก็บการตั้งค่าอุปกรณ์ Node และ User_Notification สำหรับจัดการแจ้งเตือนที่ส่งถึงผู้ใช้ โดยตารางทั้งหมดเชื่อมโยงกันผ่านคีย์หลักได้แก่ Email และ NodeNo ทำให้สามารถบริหารจัดการข้อมูลการทำงาน การแจ้งเตือน การตั้งค่า รวมถึงประวัติการรายงานและบันทึกข้อผิดพลาดได้อย่างเป็นระบบ ช่วยเพิ่มความแม่นยำในการตรวจสอบสถานะอุปกรณ์และตอบสนองต่อเหตุการณ์ได้แบบเรียลไทม์

จากการออกแบบโครงสร้างของฐานข้อมูล ขั้นตอนต่อไปจะนำโครงสร้างที่ได้ออกแบบมาสร้าง Mobile Application[14] จากรูปที่ 5 แสดงตัวอย่างหน้าจอของแอปพลิเคชันที่ใช้ติดตามข้อมูลระดับน้ำและสภาพอากาศในพื้นที่ที่ติดตั้ง Node โดยหน้าจอหลัก (ก) จะออกแบบให้แสดงผลอุณหภูมิ สภาพอากาศในพื้นที่ พร้อมวันและเวลาที่มีการอัปเดตข้อมูล ด้านล่างมีปุ่มเข้าถึงข้อมูลจุดเสี่ยงน้ำท่วมและตำแหน่งที่ตั้งของ Node (ข) เมนู Function ต่างๆ เป็นเมนูหลักของแอปซึ่งประกอบด้วยฟังก์ชันต่าง ๆ เช่น หน้าหลัก, อัปเดตระดับน้ำ, การแจ้งเตือน และการออกจากระบบ โดยมีอีเมลของผู้ใช้งานแสดงอยู่ด้านบนของเมนู และ (ค) หน้าสมัครสมาชิก เป็นแบบฟอร์มสำหรับการสมัครสมาชิก ซึ่งผู้ใช้จะต้องกรอกข้อมูล ได้แก่ ชื่อ, อีเมล, รหัสผ่าน และยืนยันรหัสผ่านก่อนกดปุ่ม “สมัครสมาชิก” เพื่อเข้าใช้งานแอปพลิเคชัน ทั้งหมดนี้สะท้อนว่าแอปมีการออกแบบให้ใช้งานง่าย และเน้นการให้ข้อมูลสำคัญเกี่ยวกับสถานการณ์น้ำในพื้นที่อย่างเป็นระบบ

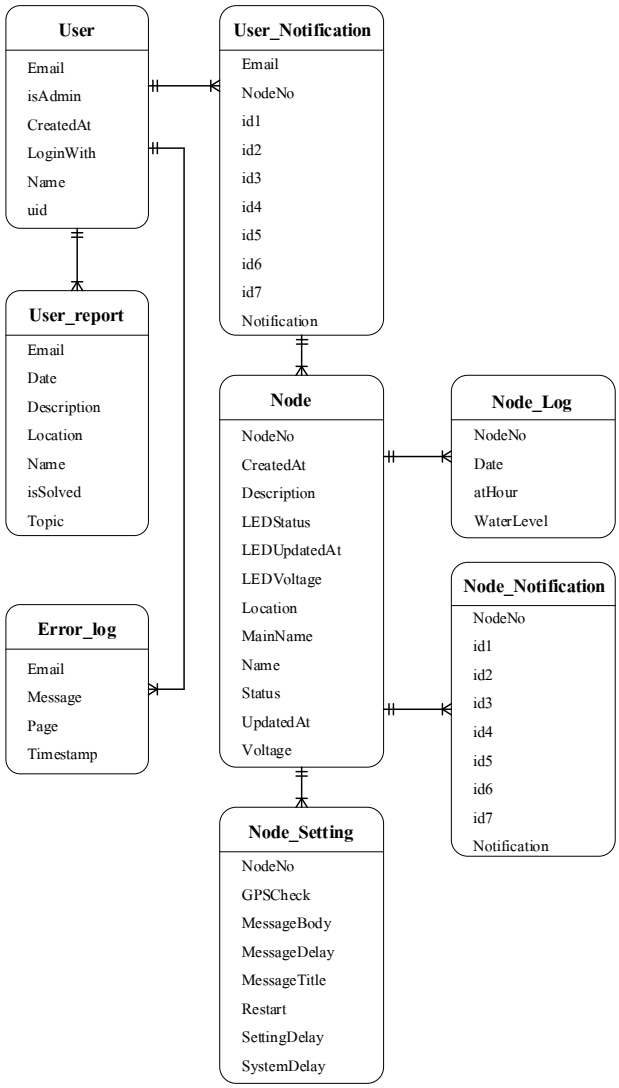

รูปที่ 4 แบบจำลองโครงสร้างของฐานข้อมูล

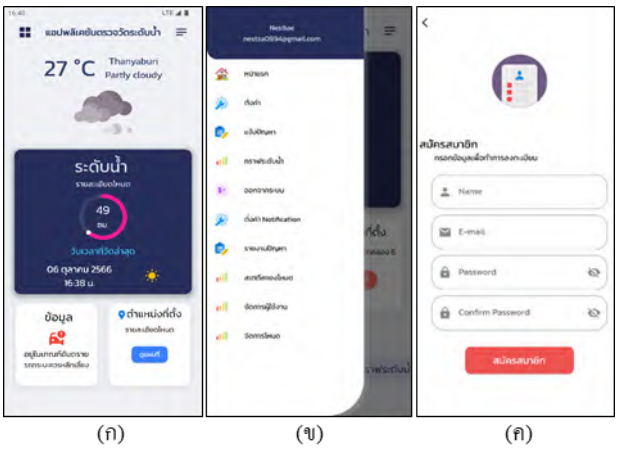

รูปที่ 5 การออกแบบ Mobile Application
(ก) หน้าหลัก (ข) เมนู Function ต่างๆ (ค) หน้าสมัครสมาชิก

3. การวัดทดสอบและอภิปรายผล

จากผลการประเมินความสามารถของอุปกรณ์ตรวจวัดระดับน้ำ พบว่าอุปกรณ์สามารถเก็บและใช้พลังงานได้จากแผงโซล่าเซลล์ มีระบบหมุนเวียนพลังงานที่สามารถใช้งานได้อย่างต่อเนื่องแสดงในรูปที่ 6 (ก) รวมถึงการแสดงค่าระดับน้ำบนจอ LED ขนาด 16×32 เซนติเมตร และสามารถแสดงสถานะความสูงของระดับน้ำเป็นตัวเลขที่ชัดเจนในหน่วยเซนติเมตร นอกจากนี้ยังสามารถปรับการแสดงผลได้ 4 ระดับความรุนแรงตามช่วงระดับน้ำที่วัดได้ เช่น สีเขียวสำหรับค่าต่ำ สีเหลืองและสีส้มสำหรับค่าปานกลาง ไปจนถึงสีแดงเมื่อระดับน้ำอยู่ในช่วงวิกฤติ แสดงในรูปที่ 6 (ข)

สำหรับส่วนของแอปพลิเคชัน พบว่าสามารถตรวจสอบสถานะระดับน้ำได้อย่างเรียลไทม์ ทั้งในมุมมองของผู้ใช้งานทั่วไปและผู้ดูแลระบบรองรับการจัดการของ Node เช่น การเพิ่ม แก้ไข หรือลบ รวมไปถึงแสดงสถานะการทำงาน, เปอร์เซ็นต์แบตเตอรี่, แรงดันไฟฟ้า ของ Node ทั้งหมด แสดงดังรูปที่ 7 (ก) และ (ข) ระบบยังสามารถบันทึกข้อมูลย้อนหลังของการวัดระดับน้ำได้ แสดงดังรูปที่ 7 (ค) ตลอดจนบันทึกประวัติการแจ้งเตือน นอกจากนี้ระบบยังสามารถแสดงข้อมูลระดับน้ำแต่ละโหนดได้อย่างละเอียด เช่น ชื่อโหนด พิกัด ตำแหน่งการติดตั้ง แสดงดังรูปที่ 7 (ง)

(ก)

(ข)

รูปที่ 6 การติดตั้งระบบวัดระดับน้ำ
(ก) ติดตั้ง Node ฝั่งวัดระดับน้ำ (ข) ติดตั้ง Node จอแสดงผล

(ก) (ข) (ค) (ง)

รูปที่ 7 การแสดงผลใน Mobile Application
(ก) สถานะของ Node ทั้งหมด (ข) สถานะการใช้งานของ Node (ค) ประวัติระดับน้ำของ Node (ง) แผนที่ตั้งของ Node

(ก) (ข)

รูปที่ 8 การแจ้งเตือน
(ก) การแจ้งเตือนผ่านแอปพลิเคชันบนสมาร์ทโฟน (ข) การตั้งค่าช่วงระดับน้ำที่ต้องการให้แจ้งเตือน

การแจ้งเตือนสามารถเลือกได้ทั้งในรูปแบบข้อความหรือเสียง สามารถเลือกตั้งค่าการแจ้งเตือนของระดับน้ำได้หลายระดับ และเมื่อตั้งค่าไว้แล้วสามารถเลือก เปิด-ปิด การต้องค่านั้นได้ พร้อมกำหนดระยะเวลาการแจ้งเตือนได้ตามต้องการแสดงดังรูปที่ 8 (ก)และ (ข) ทั้งยังสามารถแสดงประวัติการแจ้งเตือนย้อนหลังทั้งรายชั่วโมง รายวัน และรายเดือน รวมถึงการติดตามและวิเคราะห์ปัญหาของระบบแบบเรียลไทม์ ซึ่งช่วยเพิ่มความมั่นใจและความปลอดภัยให้กับผู้ใช้งานเมื่อต้องเผชิญกับเหตุการณ์อุทกภัยหรือสภาวะฉุกเฉิน โดยผลการประเมินในภาพรวมยืนยันว่าระบบมีประสิทธิภาพสูงตอบสนองความต้องการของผู้ใช้ได้ดี

4. สรุป

จากการทดสอบของระบบพบว่า ระบบแจ้งเตือนระดับน้ำท่วมบริเวณทางน้ำรอระบาย สามารถใช้งานได้ ไม่ว่าจะภายในโมไบล์แอปพลิเคชัน ในฐานะฝั่งผู้มาเยือน ในการดูระดับน้ำเบื้องต้นและสมัครเพื่อใช้งานเต็มรูปแบบ หรือในฐานะผู้ใช้งานทั่วไป ในการแสดงระดับน้ำภายในโมไบล์แอปพลิเคชัน การทราบตำแหน่งของโหนด การตั้งค่าการแจ้งเตือนของความสูงระดับน้ำที่ต้องการ การแจ้งเตือนผ่านโมไบล์แอปพลิเคชันไปยังผู้ใช้งาน การดูประวัติระดับน้ำ หรือในฐานะผู้ดูแลระบบในการจัดการโหนดหรือการจัดการผู้ใช้งาน การสังเกตการทำงานของอุปกรณ์ต่าง ๆ การตั้งค่าการแจ้งเตือนของช่วงระดับน้ำ และภายในฝั่งฮาร์ดแวร์ สามารถแสดงผลระดับน้ำในช่วงต่าง ๆ ภายในจอ LED การเก็บและส่งค่าระดับน้ำด้วยเซนเซอร์อัลตราโซนิก การบอกสถานะของฮาร์ดแวร์กรณีเกิดปัญหา การเก็บประจุและการใช้งานของแบตเตอรี่ทำงานได้อย่างมีประสิทธิภาพและระบบสามารถประมวลผลข้อมูลได้ตามที่ต้องการ

5. แนวทางพัฒนาในอนาคต

ระบบแจ้งเตือนระดับน้ำท่วมบริเวณทางน้ำรอระบาย ที่พัฒนาด้วย ESP32 มีข้อจำกัดด้านการใช้พลังงานสูง ระยะการส่งสัญญาณสั้น และความเสถียรของเครือข่ายที่ขึ้นอยู่กับสัญญาณ Wi-Fi ซึ่งอาจไม่ครอบคลุมในบางพื้นที่ ทำให้การทำงานต่อเนื่องเป็นไปได้ยาก ดังนั้นในอนาคตจึงมีแนวทางที่จะปรับไปใช้เทคโนโลยี LoRa (Long Range) ซึ่งสามารถส่งสัญญาณได้ไกลกว่าหลายกิโลเมตร ใช้พลังงานต่ำ และมีความทนทานต่อสภาพแวดล้อมมากกว่า เพื่อให้ระบบมีความเสถียร ยั่งยืน และรองรับการใช้งานในพื้นที่กว้างได้อย่างมีประสิทธิภาพมากขึ้น.

เอกสารอ้างอิง

[1] P. Nagaraj, C. B. Subramanian, B. N. K. Reddy, L. M. Reddy, G. G. Reddy, and C. Y. Reddy, “Smart water controller in metro water supply lines using ultrasonic sensor and flow sensor,” in Proc. 2nd Int. Conf. Edge Comput. Appl. (ICECAA), Virudhunagar, India, Sept. 2023, pp. 127–132.

[2] ยุทธพงษ์ ทองช่วง, การวิเคราะห์และออบแบบชุดควบคุมการประจุไฟฟ้าแบบสมาร์ตสำหรับแบตเตอรี่ในระบบไฟฟ้าเซลล์แสงอาทิตย์, ปริญญานิพนธ์ ภาควิชาวิศวกรรมไฟฟ้า คณะวิศวกรรมศาสตร์ มหาวิทยาลัยเทคโนโลยีราชมงคลธัญบุรี, 2559.

[3] อนุรักษ์ โนสาน, การศึกษาและเปรียบเทียบผลการวัดความสูงของวัตถุที่มีรูปทรงต่างกันด้วยการใช้เซนเซอร์อัลตราโซนิก,วิทยานิพนธ์ ภาควิชาวิศวกรรมโทรคมนาคม คณะวิศวกรรมศาสตร์ มหาวิทยาลัยเทคโนโลยีมหานคร, 2563.

[4] Nk group, โซล่าเซลล์ (Solar Cell) คืออะไร รวบครบทุกข้อมูลที่ควรศึกษาก่อนใช้จริง, [ออนไลน์] เข้าถึงได้จาก : https://www.nksolargroup.com/solar-cell/ (6 ธันวาคม 2565).

[5] ROBOTSIAM, ESP32 #1: รู้จักไมโครคอนโทรลเลอร์ ESP32, [ออนไลน์] เข้าถึงได้จาก :https://www.robotsiam.com/article/42/esp32-1-รู้จัก-ไมโครคอนโทรลเลอร์-esp32 (30 ธันวาคม 2565).

[6] SUNNERGYTECH, หลักการทำงานของโซล่าชาร์จเจอร์ (Solar Charger), [ออนไลน์] เข้าถึงได้จาก : https://www.sunnergytech.com/article/274/หลักการทำงานของโซล่าชาร์จเจอร์-solar-charge (6 มกราคม 2566).

[7] CyberTice, GPS Module GY-NEO-M8N Ublox, [ออนไลน์] เข้าถึงได้จาก : https://www.cybertice.com/product/2095/gps-module-gy-neo-m8n-ublox/ (2 มกราคม 2566).

[8] Microsoft, ใช้ส่วนขยาย Visual Studio Code, [ออนไลน์] เข้าถึงได้จาก : https://learn.microsoft.com/th-th/power-apps/maker/portals/vs-code-extension (28 ธันวาคม 2565).

[9] mindphp.com, Flutter Framework (ฟลัทเทอะ เฟรมเวิร์ค) คืออะไร, [ออนไลน์]เข้าถึงได้จาก:https://www.mindphp.com/บทความ/241-mobile-application/5554-flutter-framework.html(14มกราคม 2566).

[10] Tanapoj Chaivanichanan, Dart 101: ทำความรู้จักภาษา Dart ฉบับโปรแกรมเมอร์, [ออนไลน์] เข้าถึงได้จาก : https://www.tamemo.com /post/172/dart-101-intro/ (14 มกราคม 2566).

[11] Sathittham (Phoo) Sangthong, [PlatformIO] มาลองเล่น Platform IO แทน Arduino IDE กัน, [ออนไลน์] https://medium.com/sathittham /platformio-มาลองเล่น-platformio-แทน-arduino-ide-กัน-d9305e6671dd (28 ธันวาคม 2565).

[12] Jirawatee, รู้จัก Cloud Storage for Firebase ตั้งแต่ Zero จนเป็น Hero, [ออนไลน์] เข้าถึงได้จาก : https://medium.com/firebasethailand/รู้จัก-firebase-storage-ตั้งแต่-zero-จนเป็น-hero-e65db2d1873f (10 มกราคม 2566).

[13] Akexorcist, มาทำความรู้จักและลองใช้งาน Google Cloud Messaging กันเถอะ, [ออนไลน์] เข้าถึงได้จาก : https://www.akexorcist .com /2016/03/how-to-use-google-cloud-messaging-on-android.html (10 มกราคม 2566).

[14] S. M. Azarudeen, B. Mohan, P. Swapna, and S. Pujita, “Automatic smart receptacle using IoT and mobile application,” in Proc. 5th Int. Conf. Intell. Comput. Control Syst. (ICICCS), Coimbatore, India, May 2021, pp. 389–392.

ระบบจำแนกเหรียญพระไทยบนแอปพลิเคชันระบบปฏิบัติการแอนดรอยด์

Thai Amulet Coin Classification System on Android Application

สุวรรณี พิทักษ์วินัย[1]* กรรชัย เกิดเจริญ[1] อภิวัฒน์ ทาคำสุข[1] และ เอกลักษณ์ สุมนพันธุ์[1]

[1]หลักสูตรวิศวกรรมคอมพิวเตอร์ คณะวิศวกรรมศาสตร์ มหาวิทยาลัยเทคโนโลยีราชมงคลล้านนา ตาก

suwannee_phi@rmutl.ac.th* kunchai_ko62@live.rmutl.ac.th apiwat_th62@live.rmutl.ac.th ekkalak@rmutl.ac.th

บทคัดย่อ

งานวิจัยนี้มีวัตถุประสงค์เพื่อพัฒนาแอปพลิเคชันระบบรู้จำเหรียญพระบนระบบปฏิบัติการแอนดรอยด์ โดยมุ่งเน้นการช่วยให้ผู้ใช้สามารถระบุและเข้าใจรายละเอียดของเหรียญพระแต่ละประเภทได้อย่างแม่นยำ ระบบที่พัฒนาขึ้นใช้เทคนิคการประมวลผลภาพ โดยอาศัยอัลกอริธึม Scale Invariant Feature Transform (SIFT) ร่วมกับการจัดหมวดหมู่ด้วย K-Nearest Neighbors (KNN) สำหรับการจำแนกประเภทเหรียญพระ ในการทดลองระบบได้ใช้เหรียญพระจำนวน 5 ประเภท โดยแบ่งการทดลองออกเป็น 3 กรณี ได้แก่ การทดสอบด้วยภาพที่มีพื้นหลังเรียบ (ไม่มีลวดลาย) ซึ่งได้ผลความแม่นยำในการจำแนกที่ 92% และการทดสอบด้วยภาพที่มีพื้นหลังลวดลายซับซ้อน ซึ่งได้ผลความแม่นยำลดลงเหลือ 77% แสดงให้เห็นว่าพื้นหลังที่มีลวดลายส่งผลกระทบต่อความแม่นยำของระบบ และการทดสอบด้วยฟังก์ชันถ่ายภาพให้ความแม่นยำ 88% ที่ระยะ 4 เซนติเมตร

คำสำคัญ: เหรียญพระ การประมวลผลภาพ K-Nearest Neighbors SIFT แอปพลิเคชันระบบปฏิบัติการแอนดรอยด์

Abstract

This research presents the development of a Thai amulet coin recognition application system on the Android operating system designed to enable users to accurately identify and understand the details of different types of Thai amulet coin. The system employs image processing techniques utilizing the Scale Invariant Feature Transform (SIFT) algorithm in conjunction with K-Nearest Neighbors (KNN) classification for Thai amulet coin type categorization. The system was evaluated using 5 types of Buddhist coins across three experimental scenarios. Testing with plain background images achieved 92% classification accuracy, while complex patterned backgrounds resulted in reduced accuracy of 77%, demonstrating that background complexity significantly impacts system performance. Real-time camera functionality testing achieved 88% accuracy at a 4-centimeter distance. The experimental results confirm that the developed system provides practical usability for real-world applications in Thai amulet coin identification and educational purposes, with performance varying based on environmental conditions.

Keywords: Thai amulet coin, Image processing, K-nearest Neighbors, SIFT, Android application

1. บทนำ

เหรียญพระเครื่องเป็นวัตถุมงคลที่มีความสำคัญทางด้านจิตใจ ประวัติศาสตร์ และวัฒนธรรมของชาวไทยมาอย่างยาวนาน โดยมักนิยมสะสมหรือใช้ในการบูชาเพื่อความเป็นสิริมงคล อย่างไรก็ตาม เหรียญพระจำนวนมากที่มีความหลากหลายทั้งด้านรูปแบบ ขนาด พิมพ์ และปีที่ผลิต ทำให้การแยกแยะและจดจำแต่ละรุ่นด้วยตาเปล่าหรือจากประสบการณ์ส่วนตัวมักเกิดความคลาดเคลื่อนได้ โดยเฉพาะในหมู่นักสะสมมือใหม่หรือบุคคลทั่วไปที่ไม่มีความรู้เกี่ยวกับพระเครื่อง

ปัจจุบันเทคโนโลยีการประมวลผลภาพ (Image Processing) และการเรียนรู้ของเครื่อง (Machine Learning) ได้รับความสนใจอย่างแพร่หลาย และถูกนำมาใช้ในงานด้านการจำแนกวัตถุ (Object Recognition) อย่างมีประสิทธิภาพ โดย Lowe [1] ได้เสนอเทคนิค Scale Invariant Feature Transform (SIFT) ซึ่งสามารถตรวจจับและจับคู่ลักษณะเฉพาะของวัตถุในภาพได้แม้มีการหมุน ขยาย หรือเปลี่ยนแปลงแสงสว่าง โดยเป็นที่ยอมรับอย่างกว้างขวางในงานด้านการรู้จำภาพ นอกจากนี้ ยังมีการศึกษาโดย J. Xu และคณะ [2] ที่นำเทคนิค SIFT ร่วมกับ มาใช้ในการจำแนกประเภทของธนบัตรและเหรียญในระบบอัตโนมัติ ซึ่งแสดงให้เห็นถึงความแม่นยำในการจำแนกวัตถุขนาดเล็กจากภาพถ่ายได้ดี ในประเทศไทยเองเริ่มมีการนำเทคโนโลยีเหล่านี้มาประยุกต์ใช้กับงานด้านพระเครื่องมากขึ้น เช่น W. Kitiyanan [3] ซึ่งใช้ Fourier Descriptor ร่วมกับโครงข่ายประสาทเทียม และงานของ T. Sauthananusuk และ C. Charoenlarpnopparut [4] ที่ใช้ template matching ในการรู้จำพระเครื่องจากภาพ ในขณะที่ P. Ubolkosold [5] ใช้ MobileNet ในการจำแนกเหรียญพระเครื่อง ซึ่งเหมาะสมกับการประยุกต์ใช้บนอุปกรณ์พกพา

ด้วยเหตุนี้ งานวิจัยนี้จึงมีเป้าหมายในการพัฒนาแอปพลิเคชันระบบรู้จำเหรียญพระบนระบบปฏิบัติการแอนดรอยด์ โดยใช้เทคนิค SIFT ร่วมกับ KNN เพื่อสร้างระบบที่สามารถตรวจจับและจำแนกเหรียญพระจากภาพถ่ายได้อย่างแม่นยำและรวดเร็ว รวมถึงสามารถใช้งานได้จริงบน

*ผู้ประพันธ์บรรณกิจ

สมาร์ตโฟน ซึ่งจะช่วยอำนวยความสะดวกให้กับผู้ใช้งานทั่วไปและนักสะสมในการตรวจสอบและเรียนรู้เกี่ยวกับเหรียญพระได้อย่างมีประสิทธิภาพ

2. ทฤษฎีที่เกี่ยวข้อง

2.1 Scale-Invariant Feature Transform (SIFT)

SIFT ถูกพัฒนาโดย David G. Lowe [1] ในปี ค.ศ. 2004 เพื่อใช้ในการตรวจจับและบรรยายคุณลักษณะเฉพาะของภาพที่ไม่เปลี่ยนแปลงแม้ภาพจะมีการปรับขนาด หมุน หรือเปลี่ยนแปลงแสงสว่าง (illumination) จุดเด่นของ SIFT คือความสามารถในการจับคู่คุณลักษณะ (feature matching) ได้อย่างแม่นยำแม้ในกรณีที่มีการเปลี่ยนแปลงสภาพแวดล้อมของภาพ

ขั้นตอนหลักของ SIFT ประกอบด้วย 4 ขั้นตอนดังนี้

2.1.1 การตรวจจับจุดเด่นในหลายระดับ (Scale-space extrema detection)

เริ่มจากการสร้างภาพ Gaussian scale-space เพื่อให้สามารถตรวจจับคุณลักษณะในหลายขนาด ดังสมการที่ (1)

$$L(x,y,\sigma) = G(x,y,\sigma) * I(x,y) \quad (1)$$

โดยที่

$\mathrm{L}(\mathrm{x},\mathrm{y},\sigma)$ คือ ภาพที่ถูกเบลอด้วย Gaussian ที่มีค่าเบลอ σ

$\mathrm{G}(\mathrm{x},\mathrm{y},\sigma)$ คือ Gaussian kernel ดังสมการที่ (2)

$$G(x,y,\sigma) = \frac{1}{2\pi\sigma^2} e^{-\frac{x^2+y^2}{2\sigma^2}} \quad (2)$$

$*$ คือ การทำ convolution กับภาพ $I(x,y)$

จากนั้นใช้ Difference of Gaussians (DoG) เพื่อหา keypoints ดังสมการที่ (3)

$$D(x,y,\sigma) = L(x,y,k\sigma) - L(x,y,\sigma) \quad (3)$$

2.1.2 การหาตำแหน่ง keypoint (Keypoint Localization)

ใช้อนุกรม Taylor ขยายรอบตำแหน่งที่คาดว่าเป็น keypoint ดังสมการที่ (4) หากค่าความเข้มของ keypoint ต่ำกว่าค่าขีดจำกัด หรือมี edge response สูง (เช่น มุมของวัตถุ) ระบบจะกรองทิ้ง

$$D(\mathbf{x}) = D + \frac{\partial D^T}{\partial \mathbf{x}}\mathbf{x} + \frac{1}{2}\mathbf{x}^{\mathbf{T}}\frac{\partial^2 D}{\partial \mathbf{x}^2}\mathbf{x} \quad (4)$$

2.1.3 การกำหนดทิศทาง (Orientation Assignment)

สำหรับทุก keypoint คำนวณขนาด (magnitude) และทิศทาง (orientation) ของ gradient ดังสมการที่ (5) และ (6) ตามลำดับ จากนั้นสร้าง histogram ทิศทาง 36 ช่อง (10° ต่อช่อง) แล้วใช้ทิศทางที่มีความถี่สูงสุดเป็น orientation หลัก

$$\mathrm{m}(\mathrm{x},\mathrm{y}) = \sqrt{\left(\mathrm{L}(\mathrm{x}+1,\mathrm{y}) - \mathrm{L}(\mathrm{x}-1,\mathrm{y})\right)^2 + \left(\mathrm{L}(\mathrm{x},\mathrm{y}+1) - \mathrm{L}(\mathrm{x},\mathrm{y}-1)\right)^2} \quad (5)$$

$$\theta(x,y) = \tan^{-1}\left(\frac{L(x,y+1) - L(x,y-1)}{L(x+1,y) - L(x-1,y)}\right) \quad (6)$$

2.1.4 การสร้าง Keypoint Descriptor

กำหนดกรอบ 16×16 รอบ keypoint โดยแบ่งเป็น 4×4 โซนย่อย (รวม 16 โซน) ซึ่งให้ข้อมูลตำแหน่งที่เพียงพอโดยไม่ซับซ้อนเกินไป หากใช้ grid ละเอียดกว่า (เช่น 8×8) จะไวต่อ noise มากเกินไป ในแต่ละโซนคำนวณ histogram ทิศทาง 8 ช่อง ซึ่งครอบคลุมทิศทางได้อย่างเพียงพอ (360°/8 = 45° ต่อช่อง) ถ้าน้อยเกินไปจะขาดรายละเอียด มากเกินไปจะไวต่อ noise จึงได้เวกเตอร์ลักษณะเฉพาะขนาด 128 dimensions ที่มีความเหมาะสมเพียงพอในแง่ของประสิทธิภาพและความรวดเร็วในการคำนวณ [1]

2.2 K-Nearest Neighbors (K-NN)

K-Nearest Neighbors (K-NN) [7] เป็นอัลกอริธึมการจำแนกประเภท (classification) และการถดถอย (regression) ที่ไม่ต้องอาศัยสมมติฐานเกี่ยวกับการแจกแจงข้อมูลเชิงสถิติ โดยหลักการของ K-NN คือการจัดประเภทของข้อมูลตัวอย่างใหม่โดยพิจารณาจากกลุ่มของข้อมูลตัวอย่างที่ใกล้เคียงกันที่สุดจำนวน K ตัว (neighbors) ที่อยู่ในพื้นที่คุณลักษณะ (feature space) [6] และในการคำนวณระยะทางระหว่างข้อมูลตัวอย่างงานวิจัยนี้ใช้ระยะทางแบบยูคลิด (Euclidean distance) ดังสมการที่ (7)

$$d(\mathbf{x},\mathbf{x_i}) = \sqrt{\sum_{j=1}^{n}\left(x_j - x_{i,j}\right)^2} \quad (7)$$

โดยที่

$\mathbf{x} = (\mathrm{x}_1, \mathrm{x}_2, \ldots, \mathrm{x}_\mathrm{n})$ คือ เวกเตอร์ข้อมูลตัวอย่างที่ต้องการจัดประเภท

$\mathrm{x_i} = (\mathrm{x_{i,1}}, \mathrm{x_{i,2}}, \ldots, \mathrm{x_{i,n}})$ คือ เวกเตอร์ข้อมูลตัวอย่างในชุดข้อมูลเรียนรู้

n คือจำนวนมิติของข้อมูล

จากกระบวนการทั้งหมด ทำให้ในทางทฤษฎี SIFT มี complexity ในกรณีที่แย่ที่สุดคือ $O(N^4)$ แต่ในทางปฏิบัติจะขึ้นอยู่กับขนาดของภาพและจำนวน keypoint

3. การทำงานของระบบ

หลักการทำงานของระบบแบ่งออกเป็น 3 ส่วน คือ การเตรียมชุดข้อมูลภาพ การเก็บลักษณะเด่นของข้อมูล และหลักการทำงานของแอปพลิเคชัน

3.1 ชุดข้อมูล

เหรียญพระที่ใช้ในระบบมี 5 รุ่น ดังนี้ เหรียญหลวงพ่อแพ วัดพิกุลทอง พ.ศ. 2513 เหรียญหลวงพ่ออี๋ วัดสัตหีบ พ.ศ.2473 เหรียญสมเด็จพระนเรศวรมหาราช พ.ศ. 2513 เหรียญหลวงพ่อทวด วัดช้างให้ พ.ศ. 2500 เหรียญนักกล้าม หลวงพ่อมุม วัดปราสาทเยอร์ พ.ศ. 2517 โดยเหรียญทั้ง 5 รุ่นนี้มีลักษณะดังรูปที่ 1

(ก) เหรียญหลวงพ่อแพ วัดพิกุลทอง พ.ศ. 2513

(ข) เหรียญนักกล้าม หลวงพ่อมุม วัดปราสาทเยอร์ พ.ศ. 2517

(ค) เหรียญสมเด็จพระนเรศวรมหาราช พ.ศ. 2513

(ง) เหรียญหลวงพ่อทวด วัดช้างให้ พ.ศ. 2500

(จ) เหรียญหลวงพ่ออี๋ วัดสัตหีบ พ.ศ.2473

รูปที่ 1 เหรียญพระเครื่องที่ระบบรองรับ

ข้อมูลภาพในการทดลองมาจากการค้นหาภาพทางอินเทอร์เน็ต โดยแหล่งข้อมูลหลักมาจาก บริษัท พระเครื่องเมืองไทย จำกัด [8] บริษัท ท่าพระจันทร์ ดอทคอม จำกัด [9] ทีนิวส์ ออนไลน์ [10-12] ทั้งหมด 1,460 ภาพ โดยแบ่งข้อมูลเป็น 3 ชุดดังตารางที่ 1

ตารางที่ 1 การแบ่งชุดข้อมูลภาพ

ประเภทเหรียญพระ	ชุดที่ 1	ชุดที่ 2	ชุดที่ 3
เหรียญหลวงพ่อแพ [8]	195	40	40
เหรียญนักกล้าม หลวงพ่อมุม [12]	219	40	40
เหรียญสมเด็จพระนเรศวรมหาราช [9]	181	40	40
เหรียญหลวงพ่อทวด [11]	223	40	40
เหรียญหลวงพ่ออี๋ [10]	242	40	40
รวม	**1060**	**200**	**200**

จากตารางที่ 1 ข้อมูลชุดที่ 1 ใช้สำหรับอ้างอิงเหรียญพระในแต่ละรุ่น จำนวน 1060 ภาพโดยไม่คำนึงว่ามีกี่เหรียญ ข้อมูลชุดที่ 2 ใช้สำหรับทดลองเพื่อหาอัลกอริทึมที่ดีที่สุดและนำอัลกอริทึมนั้นไปใช้งานแอปพลิเคชัน (validation test) โดยชุดข้อมูลภาพนี้จะมีจำนวน 100 เหรียญ (1เหรียญจะมี 2 ภาพด้านหน้าและด้านหลัง) รวมทั้งหมด 200 ภาพ ข้อมูลชุดที่ 3 ใช้สำหรับทดสอบแบบบอด (blind test) โดยชุดข้อมูลภาพนี้จะมีจำนวน 100 เหรียญ (1 เหรียญจะมี 2 ภาพด้านหน้าและด้านหลัง) รวมทั้งหมด 200 ภาพเช่นเดียวกัน

นำชุดข้อมูลภาพทั้งหมดทำการปรับขนาดภาพให้มีขนาด 300x300 พิกเซล ลบภาพพื้นหลังและตัดห่วงคล้องสร้อยออกเพื่อลดจุดสนใจที่ไม่ต้องการนำมาใช้งานเป็น Dataset ซึ่งตัวอย่างข้อมูลภาพที่แก้ไขจะแสดงดังรูปที่ 2

(ก) ภาพดั้งเดิม

(ข) Keypoint ของภาพดั้งเดิม

(ค) ภาพที่ลบพื้นหลังและห่วงคล้อง

(ง) Keypoint ของภาพที่ลบพื้นหลัง

รูปที่ 2 ตัวอย่าง keypoint ของภาพที่ผ่านการเตรียมข้อมูล

การเก็บ keypoint ของข้อมูลเพื่อใช้ในการทดลองเพื่อระบุชนิดของเหรียญพระนั้นจะนำชุดข้อมูลภาพที่ 1 มาหาจุดสนใจของภาพด้วย SIFT ดังตัวอย่างในรูปที่ 3 แล้วนำไปเก็บไว้เพื่อเป็นข้อมูลอ้างอิงเหรียญพระในแต่ละรุ่นเพื่อระบุเหรียญพระ

รูปที่ 3 ตัวอย่าง keypoint ของภาพ

3.2 การทดสอบการทำงานของระบบ

3.2.1 การทดลองเพื่อหาค่า k ที่ดีที่สุด

ขั้นตอนการทำงานของระบบเริ่มจากการทดสอบอัลกอริทึมบนคอมพิวเตอร์ จะเป็นการนำภาพเข้ากระบวนการทดสอบความสามารถในการจำแนกเหรียญพระ โดยใช้การทดลองเพื่อหาค่า k ที่ให้ค่าความถูกต้องสูงที่สุดเพื่อนำไปใช้งานในแอปพลิเคชันบนสมาร์ทโฟน โดยการทดลองจะนำภาพจากชุดข้อมูลภาพที่ 2 มาหา keypoint โดยใช้ SIFT และนำมาจับคู่กับ keypoint ของข้อมูลภาพชุดที่ 1 ซึ่งการจับคู่ระหว่าง keypoint นั้นจะใช้การเปรียบเทียบระยะทางโดยใช้ Euclidean distance โดยรูปที่ 4 แสดงการจับคู่ระหว่างข้อมูลภาพชุดที่ 1 และข้อมูลภาพชุดทดสอบ จากรูปจะเห็นได้ว่ารูปที่เป็นเหรียญประเภทเดียวกันจะมีจำนวน keypoint ที่จับคู่กันเป็นจำนวนมากกว่ารูปคนละประเภท

ในการวัดความถูกต้องนั้นจะวัดจากผลการจำแนกของภาพเหรียญพระทั้งด้านหน้าและด้านหลังจะต้องให้ผลลัพธ์ตรงกันทั้ง 2 ด้าน ถ้าผลที่ได้ด้านหน้าและด้านหลังไม่ตรงกัน ระบบจะให้ผลลัพธ์เป็น “ไม่สามารถระบุประเภทได้” ซึ่งผลการทดลองกับข้อมูลชุดที่ 2 ได้ค่า k ที่ให้ประสิทธิภาพในการรู้จำมากที่สุดคือ 7 โดยมีค่าความถูกต้อง 98% จากนั้นนำค่า k ที่ดี

ที่สุดไปใช้ทดสอบกับข้อมูลชุดที่ 3 เพื่อทำการทดสอบแบบบอด จากการทดลองระบบให้ค่าความถูกต้อง 95% ซึ่งผลการทดลองแสดงดังตารางที่ 2

ตารางที่ 2 ผลการทดสอบโดยใช้ k = 7

ชุดข้อมูลทดสอบ	ด้านหน้า	ด้านหลัง	ด้านหน้า + ด้านหลัง
ชุดที่ 2	99%	98%	98%
ชุดที่ 3	98%	95%	95%

จากตารางที่ 2 พบว่าหากแยกความแม่นยำในการระบุประเภทเหรียญพระเครื่อง ด้านหน้าเหรียญจะให้ความแม่นยำที่สูงกว่าด้านหลัง แต่งานวิจัยนี้ใช้หลักการ "consensus voting" โดยต้องได้ผลลัพธ์ที่สอดคล้องกันทั้งด้านหน้าและด้านหลังของเหรียญ หากไม่ตรงกัน ระบบจะปฏิเสธการจำแนก (reject option) เพื่อช่วยเพิ่มความน่าเชื่อถือของผลลัพธ์

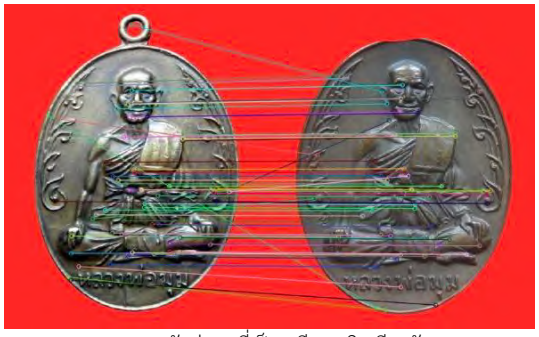

(ก) การจับคู่ภาพที่เป็นเหรียญชนิดเดียวกัน

(ข) การจับคู่ภาพที่เป็นเหรียญคนละประเภท

รูปที่ 4 การรู้จำโดยใช้ SIFT

3.2.2 การทดสอบการทำงานบนแอปพลิเคชัน

ในการทำงานของแอปพลิเคชันนั้นเริ่มจากหน้าหลักของแอปพลิเคชัน โดยในหน้านี้จะมีเมนูให้เลือกแหล่งข้อมูลที่จะใช้ทดสอบระหว่างฟังก์ชันถ่ายภาพจากกล้อง และฟังก์ชันเลือกภาพจากรูปที่บันทึกไว้ในโทรศัพท์ ดังรูป 5(ก) จากนั้นทำการถ่ายภาพ หรือแทรกภาพที่ต้องการทดสอบให้ครบทั้งสองด้านของเหรียญดังรูป 5(ข) เมื่อถ่ายภาพหรือแทรกภาพที่ต้องการทดสอบสำเร็จ ผู้ทดสอบเลือกเมนูตรวจสอบดังรูป 5(ค) สุดท้ายแอปพลิเคชันจะแสดงผลลัพธ์ของการประมวลผลเพื่อระบุเหรียญพระ โดยจะแสดงรูปของเหรียญพระ ชื่อ ปี พ.ศ. และรายละเอียดของเหรียญพระดังรูป 5(ง)

(ก) หน้าแรกของแอปพลิเคชัน

(ข) ถ่ายภาพด้านหน้าและด้านหลัง

(ค) เมนูตรวจสอบประเภทเหรียญ

(ง) ผลลัพธ์จากการตรวจสอบ

รูปที่ 5 หน้าต่างการทำงานของแอปพลิเคชัน

การทดสอบความถูกต้องบนแอปพลิเคชันจะใช้อุปกรณ์ทดสอบเป็นสมาร์ทโฟน 2 รุ่น คือ Poco x3 nfc ใช้ระบบปฏิบัติการ Android 11 หน่วยประมวลผล Qualcomm Snapdragon 732G Octa Core ความเร็ว 2.3 GHz หน่วยความจำ 128 GB (ตัวเครื่อง) RAM 6 GB กล้องดิจิตอล 64 ล้านพิกเซล, f/1.89 และ Xiaomi redmi 5 plus ใช้ระบบปฏิบัติการ Android 8.1 หน่วยประมวลผล Qualcomm Snapdragon625 Octa Core ความเร็ว 2.0 GHz หน่วยความจำ 32 GB (ตัวเครื่อง) RAM 3 GB กล้องดิจิตอล 12 ล้านพิกเซล, f/2.2

การทดสอบความถูกต้องในการจำแนกเหรียญพระบนแอปพลิเคชันด้วยวิธีการแทรกภาพ จะใช้ภาพเหรียญพระทั้งหมด 100 เหรียญ (หนึ่งเหรียญจะมี 2 รูป คือ รูปด้านหน้าและด้านหลัง รวมทั้งหมด 200 รูป) โดยรูปที่นำมาใช้ในการทดสอบจะต้องเห็นเหรียญเต็มเหรียญเห็นรายละเอียดบนเหรียญชัดเจนและไม่มีสิ่งบดบัง และพื้นหลังไม่มีลวดลาย จากการทดลองพบว่าฟังก์ชันแทรกภาพให้ผลการทดสอบบน Poco x3 nfc และ Redmi 5 plus เหมือนกัน โดยมีค่าความถูกต้องเฉลี่ย 92% ดังแสดงในตารางที่ 3

การทดสอบความถูกต้องในการจำแนกเหรียญพระบนแอปพลิเคชันด้วยวิธีการแทรกภาพ โดยใช้ภาพที่มีพื้นหลังแบบมีลวดลาย ผลการทดลองจากการแทรกภาพโดยใช้สมาร์ทโฟน 2 รุ่นนั้นมีค่าความถูกต้องเท่ากันหาก

ใช้ชุดข้อมูลภาพที่เหมือนกัน โดยมีค่าความถูกต้องเฉลี่ย 77% ดังผลการทดลองในตารางที่ 3

ตารางที่ 3 ผลการทดสอบด้วยฟังก์ชันแทรกภาพ

ชุดข้อมูลทดสอบ	ด้านหน้า	ด้านหลัง	ด้านหน้า + ด้านหลัง
พื้นหลังไม่มีลวดลาย	98%	94%	92%
พื้นหลังมีลวดลาย	97%	77%	77%

สาเหตุที่ทำให้การทดลองที่ใช้ภาพพื้นหลังแบบมีลวดลายให้ค่าความแม่นยำน้อยกว่านั้นเกิดจากปัญหา False Keypoints เนื่องจากพื้นหลังลวดลายสร้าง keypoints หลอก ที่ถูกตรวจจับโดย SIFT detector ซึ่งถูกจับคู่กับข้อมูลอ้างอิงผิดพลาดส่งผลให้การจำแนกผิดพลาด และด้านหลังได้รับผลกระทบมากกว่าเพราะ ข้อความหรือลวดลายอักขระที่ละเอียด ซึ่งมีความคล้ายกับพื้นหลัง ส่วนด้านหน้ามีความทนทานต่อสัญญาณรบกวนมากกว่าเพราะมี Feature ที่โดดเด่นกว่า เช่น รูปพระ หรือสัญลักษณ์ เป็นต้น และรายละเอียดเหรียญด้านหน้ามีความแตกต่างที่ชัดเจนกว่า จากพื้นหลัง

รูปที่ 6 keypoint ของภาพที่พื้นหลังมีลวดลาย

การทดสอบความถูกต้องในการจำแนกเหรียญพระบนแอปพลิเคชันด้วยฟังก์ชันถ่ายภาพบนสมาร์ทโฟน โดยการทดสอบนี้เป็นการทดสอบการถ่ายภาพที่สมาร์ทโฟนมีระยะห่างจากเหรียญ 4 เซนติเมตร และ 8 เซนติเมตร โดยตัวอย่างเปรียบเทียบภาพที่ถ่ายในระยะต่าง ๆ แสดงดังรูปที่ 7 การทดสอบจะใช้การถ่ายทั้งหมด 100 ครั้ง โดยแบ่งเป็นประเภทละ 20 ครั้ง ได้ผลการทดลองแสดงดังตารางที่ 4 และ ตารางที่ 5

(ก) ภาพในชุดข้อมูลอ้างอิง (ข) ภาพถ่ายระยะ 4 ซม. (ค) ภาพถ่ายระยะ 8 ซม.

รูปที่ 7 ภาพถ่ายด้วยกล้องสมาร์ทโฟนในระยะต่าง ๆ

ตารางที่ 4 ผลการทดสอบด้วยฟังก์ชันถ่ายภาพที่ระยะ 4 เซนติเมตร

อุปกรณ์ทดสอบ	ด้านหน้า	ด้านหลัง	ด้านหน้า + ด้านหลัง
Poco x3 nfc	96%	91%	90%
Redmi 5 Plus	90%	88%	86%
ความแม่นยำเฉลี่ย	**93%**	**89.5%**	**88%**

ตารางที่ 5 ผลการทดสอบด้วยฟังก์ชันถ่ายภาพที่ระยะ 8 เซนติเมตร

อุปกรณ์ทดสอบ	ด้านหน้า	ด้านหลัง	ด้านหน้า + ด้านหลัง
Poco x3 nfc	34%	38%	34%
Redmi 5 Plus	29%	35%	29%
ความแม่นยำเฉลี่ย	**31.5%**	**36.5%**	**31.5%**

จากตารางที่ 4 และตารางที่ 5 จะเห็นได้ว่าระยะถ่ายภาพมีผลกระทบต่อความแม่นยำอย่างชัดเจน ระยะ 4 เซนติเมตรให้ความแม่นยำรวม 88% ระยะ 8 เซนติเมตรให้ความแม่นยำเฉลี่ยลดลงเหลือเพียง 31.5% โดยมีสาเหตุอันเนื่องมาจาก ความละเอียดภาพที่ระยะ 8 ซม. รายละเอียดเหรียญจะเล็กลงและพร่ามัวมากขึ้น ทำให้ SIFT สามารถตรวจจับ keypoints ที่มีคุณภาพได้น้อยลงดังรูปที่ 8

(ก) ระยะถ่ายภาพ 4 ซม. (ข) ระยะถ่ายภาพ 8 ซม.

รูปที่ 8 keypoint ของภาพถ่ายในระยะต่าง ๆ

ในการถ่ายภาพด้วย Poco x3 nfc ที่มีกล้องที่ให้ความละเอียดสูงกว่าจะมีค่าความถูกต้องที่มากกว่าสมาร์ทโฟนรุ่น Redmi 5 Plus ซึ่งในการถ่ายภาพที่มีระยะไกลมากขึ้น ความแตกต่างของกล้องจะเริ่มส่งผลต่อประสิทธิภาพมากขึ้น

จากผลการทดลองที่ผ่านมาสามารถวิเคราะห์ได้ดังนี้ SIFT จะมีประสิทธิภาพในสภาพแวดล้อมที่เหมาะสมซึ่งได้ความแม่นยำ 92% เมื่อใช้พื้นหลังที่ไม่มีลวดลาย และมีความคงที่ของผลลัพธ์ที่แสดงได้จากผลการทดสอบเหมือนกันบนอุปกรณ์ต่างรุ่น เมื่อใช้ชุดข้อมูลเดียวกัน แต่ยังพบปัญหา False Keypoints บนพื้นหลังมีลวดลายทำให้ความแม่นยำลดลงเหลือ 77% และมีความไวต่อระยะถ่ายภาพโดยความแม่นยำลดลงอย่างมากจาก 88% (ระยะ 4 ซม.) เหลือ 31.5% (ระยะ 8 ซม.) อีกทั้งยังมีความไวต่อความละเอียดภาพจากผลการทดสอบโดยกล้องที่มีความละเอียดต่างกันให้ผลลัพธ์แตกต่าง

การเปรียบเทียบระหว่าง CNN และ SIFT ในงาน image retrieval โดย Devi et al. [13] พบว่า CNN แสดงประสิทธิภาพที่เหนือกว่า SIFT อย่างมีนัยสำคัญในหลายกรณี โดยเฉพาะการจัดการกับภาพที่มีความซับซ้อนและการแปลงต่างๆ งานวิจัยของ Zheng et al. [14] ยืนยันว่า CNN features ได้แสดงประสิทธิภาพระดับ state-of-the-art ในงาน instance retrieval และมีความเหนือกว่า SIFT ในหลายด้าน อย่างไรก็ตาม การรวมเทคนิคทั้งสอง (SIFT-CNN) อาจเป็นทางเลือกที่ดีที่สุด เนื่องจากงานวิจัยของ Tsourounis et al. [15] แสดงให้เห็นว่า SIFT-CNN สามารถปรับปรุงประสิทธิภาพประมาณ 4% เมื่อเปรียบเทียบกับ CNN ทั่วไปและมีความทนทานต่อการหมุนในระดับท้องถิ่น ในขณะที่การศึกษา

ของ Yan et al. [16] สรุปว่า CNN และ SIFT มีบทบาทที่เสริมซึ่งกันและกันมากกว่าจะเป็นคู่แข่งกัน โดยการเลือกใช้เทคนิคที่เหมาะสมขึ้นอยู่กับลักษณะของงานและข้อจำกัดด้านทรัพยากร แต่อย่างไรก็ตาม SIFT descriptors มีความรวดเร็วในการคำนวณเมื่อเปรียบเทียบกับการฝึก CNN ทำให้เหมาะสำหรับงานที่ไม่มีความซับซ้อน และมีความทนทานต่อ image transformation อีกทั้ง SIFT ยังไม่ต้องการข้อมูลฝึกฝนจำนวนมาก อีกทั้งยังประหยัดทรัพยากรในการคำนวณเนื่องจาก SIFT ไม่จำเป็นต้องมีการเทรนโมเดลเช่นเดียวกับ CNN

ดังนั้นงานวิจัยนี้ในอนาคตจะมีการปรับปรุงอัลกอริธึมเพื่อรองรับสภาพแวดล้อมที่หลากหลาย เพิ่มความทนทานต่อการเปลี่ยนแปลงระยะถ่ายภาพ และพิจารณาการใช้เทคนิคการประมวลผลภาพขั้นสูงเพื่อลดผลกระทบจากพื้นหลังที่ซับซ้อน เช่น การผสมผสานกันระหว่าง SIFT และ CNN (Convolutional Neural Network) และใช้ weighted voting โดยให้น้ำหนักเหรียญในด้านที่มีความแม่นยำสูงกว่า ในส่วนของฟังก์ชันถ่ายภาพบนแอปพลิเคชั่นจะมีการปรับปรุงในส่วนระยะถ่ายภาพที่เหมาะสมโดยมีกรอบเป็นไกด์ในการถ่ายภาพ และพัฒนาให้รองรับประเภทของเหรียญพระเครื่องให้มากยิ่งขึ้น

4. สรุป

งานวิจัยนี้ได้พัฒนาระบบรู้จำเหรียญพระบนระบบปฏิบัติการแอนดรอยด์ โดยใช้เทคนิค SIFT สำหรับหา keypoint ของภาพ และ KNN สำหรับการจำแนกประเภทเหรียญพระ ผลการวิจัยแสดงให้เห็นว่าระบบสามารถจำแนกเหรียญพระได้ 5 ประเภท โดยมีความถูกต้องในการทดสอบแบบแทรกภาพ 92% สำหรับพื้นหลังเรียบ และ 77% สำหรับพื้นหลังลวดลาย ส่วนความถูกต้องในการถ่ายภาพให้ผลลัพธ์ 88% ที่ระยะ 4 เซนติเมตร และ 31.5% ที่ระยะ 8 เซนติเมตร ข้อจำกัดหลักของระบบคือพื้นหลังที่มีลวดลายส่งผลกระทบต่อความแม่นยำ และระยะถ่ายภาพมีผลต่อคุณภาพการจำแนกอย่างมีนัยสำคัญ ผลการจำแนกเหรียญด้านหน้าให้ความแม่นยำสูงกว่าด้านหลัง

เอกสารอ้างอิง

[1] D. G. Lowe, "Distinctive Image Features from Scale-Invariant Keypoints," *International Journal of Computer Vision*, vol. 60, no. 2, pp. 91–110, 2004.

[2] J. Xu, G. Yang, Y. Liu and J. Zhong, "Coin Recognition Method Based on SIFT Algorithm," *2017 4th International Conference on Information Science and Control Engineering (ICISCE)*, Changsha, China, 2017, pp. 229-233

[3] W. Kitiyanan, *Thai Buddhist amulet recognition system*, M.S. thesis, Dept. Comput. Sci., Mahidol Univ., 2014.

[4] T. Sauthananusuk and C. Charoenlarpnopparut, *Image-based Thai amulet recognition*, Ph.D. dissertation, Thammasat Univ., 2016.

[5] P. Ubolkosold *et al.*, "Development of Mobile Application for Thai Buddha Amulet Classification," *2023 20th International Conference on Electrical Engineering/ Electronics, Computer, Telecommunications and Information Technology (ECTI-CON)*, Nakhon Phanom, Thailand, 2023, pp. 1-3

[6] T. Cover and P. Hart, “Nearest neighbor pattern classification,” *IEEE Transactions on Information Theory*, vol. 13, no. 1, pp. 21–27, Jan. 1967.

[7] C. M. Bishop, *Pattern Recognition and Machine Learning*. New York, NY, USA: Springer, 2006.

[8] ทีนิวส์ ออนไลน์, "เหรียญหลวงพ่อแพ วัดพิกุลทอง," [ออนไลน์]. Available: https://bit.ly/394iiLa. [Accessed: Jul. 3, 2025].

[9] บริษัท ท่าพระจันทร์ ดอทคอม จำกัด, "เหรียญสมเด็จพระนเรศวรมหาราช," [ออนไลน์]. Available: https://bit.ly/2KBrDAO. [Accessed: Jul. 3, 2025].

[10] บริษัท พระเครื่องเมืองไทย จำกัด, "เหรียญหลวงพ่ออี๋ วัดสัตหีบ," [ออนไลน์]. Available: https://bit.ly/2LDuCZP. [Accessed: Jul. 3, 2025].

[11] บริษัท พระเครื่องเมืองไทย จำกัด, "เหรียญหลวงพ่อทวด วัดช้างให้," [ออนไลน์]. Available: https://bit.ly/38wYi3E. [Accessed: Jul. 3, 2025].

[12] บริษัท พระเครื่องเมืองไทย จำกัด, "เหรียญนักกล้าม หลวงพ่อมุม วัดปราสาทเยอร์," [ออนไลน์]. Available: https://bit.ly/2LGsdgE. [Accessed: Jul. 3, 2025].

[13] V. Devi, J. Baber, M. Bakhtyar, I. Ullah, W. Noor, and A. Basit, “Performance Evaluation of SIFT and Convolutional Neural Network for Image Retrieval,” *International Journal of Advanced Computer Science and Applications*, vol. 8, no. 12, pp. 522-528, 2017

[14] Z. Zheng, L. Zheng, M. Garrett, Y. Yang, and Y.-D. Shen, “SIFT Meets CNN: A Decade Survey of Instance Retrieval,” *IEEE Transactions on Pattern Analysis and Machine Intelligence*, vol. 40, no. 5, pp. 1224-1244, May 2018

[15] D. Tsourounis, D. Kastaniotis, C. Theoharatos, A. Kazantzidis, and G. Economou, “SIFT-CNN: When Convolutional Neural Networks Meet Dense SIFT Descriptors for Image and Sequence Classification,” *Journal of Imaging*, vol. 8, no. 10, Art. no. 256, Oct. 2022

[16] J. Yan, C. Thoma, and A. M. Martinez, “CNN vs. SIFT for Image Retrieval: Alternative or Complementary?” *in Proc. 24th ACM Int. Conf. Multimedia*, Amsterdam, Netherlands, 2016, pp. 407-411

เว็บแอปพลิเคชันสำหรับการสร้างโมเดลการเรียนรู้ของเครื่องเพื่อทำนายระดับกลูโคสในเลือดรูปแบบวิธีการไม่เจาะเลือดโดยใช้อุปกรณ์ต้นแบบอินเทอร์เน็ตของสรรพสิ่ง

A Web Application for Developing Machine Learning Models to Non-invasively Blood Glucose Levels Using Internet of Things (IoT) Prototype Device

จิรภัทร เรืองพานิช[1] ภวัต พลับศิริ[1]* ศิวะวงศ์ นนธิบุตร[1] สิระ จำปาเงิน[2] และ พิชยพัชยา ศรีคร้าม[1]

[1]สาขาวิชาวิศวกรรมคอมพิวเตอร์ คณะวิศวกรรมศาสตร์ มหาวิทยาลัยเทคโนโลยีราชมงคลธัญบุรี
1165104006457@mail.rmutt.ac.th, 1165104006481@mail.rmutt.ac.th, 1165104006820@mail.rmutt.ac.th, pps@en.rmutt.ac.th
[2]ภาควิชาวิศวกรรมชีวการแพทย์ คณะวิศวกรรมศาสตร์ มหาวิทยาลัยศรีนครินทรวิโรฒ sira@g.swu.ac.th

บทคัดย่อ

บทความนี้นำเสนอการพัฒนาเว็บแอปพลิเคชันสำหรับสร้างโมเดลการเรียนรู้ของเครื่อง เพื่อทำนายค่าน้ำตาลในเลือดโดยไม่เจาะเลือด จากอุปกรณ์ต้นแบบอินเทอร์เน็ตของสรรพสิ่ง โดยระบบประกอบด้วย ESP-32 ทำหน้าที่ควบคุมการทำงานหลัก, เซนเซอร์ Near-infrared (NIR) มีการทำงานในรูปแบบการส่งผ่านสำหรับการตรวจการกระจายแสงในเนื้อเยื่อของมนุษย์และทำการแปลงเป็นค่าสัญญาณแอนะล็อก และจากนั้นข้อมูลจะถูกส่งไปแสดงผลผ่านหน้าเว็บเบราว์เซอร์แบบเรียลไทม์ โดยเว็บเบราว์เซอร์ที่พัฒนาขึ้นถูกแบ่งออกเป็น 2 ส่วน คือส่วนที่แสดงผลข้อมูลจากเซนเซอร์ และส่วนสำหรับกรอกข้อมูลที่วัดค่าจากเครื่องจริง ข้อมูลที่ถูกเก็บบันทึกไว้สามารถนำไปฝึกฝนโมเดลการเรียนรู้ของเครื่องได้ โดยในงานวิจัยนี้ได้ทำการทดลองการเก็บข้อมูลจากอาสาสมัคร นำไปฝึกฝนข้อมูลโดยให้ความถูกต้อง 97.6 เปอร์เซ็นต์สำหรับอาสาสมัครท่านนั้น เทียบกับการวัดค่าระดับน้ำตาลจากเครื่องมือวัด

คำสำคัญ: เว็บแอปพลิเคชัน, การทำนายระดับน้ำตาลในเลือดโดยไม่เจาะเลือด, การเรียนรู้ของเครื่อง, อินเทอร์เน็ตของสรรพสิ่ง

Abstract

This article presents the development of a web application for building machine-learning models to predict blood-glucose levels non-invasively, using a prototype Internet-of-Things (IoT) device. The system consists of an ESP-32 microcontroller that serves as the main control unit and a near-infrared (NIR) sensor operating in transmission mode to detect light scattering through human tissue and convert it into analog signals. These signals are transmitted and displayed in real time via a web browser.

The web interface is divided into two sections: one for displaying sensor data and another for manually entering blood-glucose values measured with a standard medical device. The recorded data can be used to train machine-learning models. In this study, data were collected from a volunteer, and the resulting model achieved an accuracy of 97.6 % in predicting blood-glucose levels compared with readings from a glucose meter.

Keywords: Web Application, Non-invasive Blood Glucose Prediction, Machine Learning, Internet of Things

1. ข้อมูลทั่วไป

จากการศึกษาข้อมูลพบว่าในการตรวจหาระดับน้ำตาลในเลือดแต่ละครั้ง ผู้ป่วยเบาหวานจำเป็นต้องมีการเตรียมพร้อมสำหรับการงดอาหารและเครื่องดื่มที่มีน้ำตาลก่อนตรวจ รวมถึงการพักผ่อนให้เพียงพอ ด้านของผู้ตรวจนั้นจะต้องมีความชำนาญและมีประสบการณ์ที่สูงในการดำเนินการให้เกิดการวัดค่าที่มีประสิทธิภาพเพื่อการวินิจฉัย ติดตาม และจัดการภาวะน้ำตาลในเลือดของผู้ป่วย ในส่วนของปัจจัยด้านความปลอดภัยของผู้ป่วย เครื่องมือที่ใช้ในการตรวจเลือดของผู้ป่วยต้องมีการทำความสะอาดที่ถูกต้อง เพื่อลดความเสี่ยงในการติดเชื้อ อีกทั้งป้องกันภาวะแทรกซ้อนที่อาจเกิดขึ้นของผู้ป่วย รวมถึงผู้ป่วยที่ไม่สะดวกและไม่สามารถมาตรวจได้เนื่องจากสภาพร่างกายของผู้ป่วยนั้นไม่พร้อมต่อการเจาะเลือด

ปัจจุบันประเทศไทยมีผู้ป่วยโรคเบาหวานเป็นจำนวนมาก ในปี 2567 จากรายงานของกระทรวงสาธารณสุข พบว่าร้อยละ 10 ของประชากรในประเทศไทย มีผู้ป่วยโรคเบาหวาน 6.5 ล้านคน โดยส่วนใหญ่เป็นผู้ป่วยในชนิดที่ 2 [1] และในปี พ.ศ. 2565 จากรายงานของกรมอนามัย กระทรวงสาธารณสุข ระบบ Health Data Center ในปี พ.ศ. 2565 พบว่า ผู้สูงอายุในระบบที่ได้รับการประเมินและคัดกรองสุขภาพ จำนวน 7,501,688 คน มีผู้สูงอายุร้อยละ 21.12 ที่ป่วยเป็นโรคเบาหวานชนิดที่ 2 [2] สาเหตุคือการดื้ออินซูลิน ซึ่งเกิดจากร่างกายตอบสนองน้อยกว่าปกติ ทำให้ตับอ่อนผลิตอินซูลินมากกว่าแต่ผ่านไประยะนึงจะเซลล์ในตับอ่อนที่ทำหน้าที่ผลิตอินซูลินจะถูกทำลาย [3] ทั้งนี้โรคเบาหวานยังเป็นสาเหตุหลักที่ก่อให้เกิดโรคอื่นๆ ในกลุ่ม NCDs ที่สามารถแทรกซ้อนได้ ทั้งโรคหัวใจ ความดันโลหิตสูง โรคหลอดเลือดสมอง และโรคไต เป็นต้น และสาเหตุหลักที่สำคัญ

*ผู้ประพันธ์บรรณกิจ

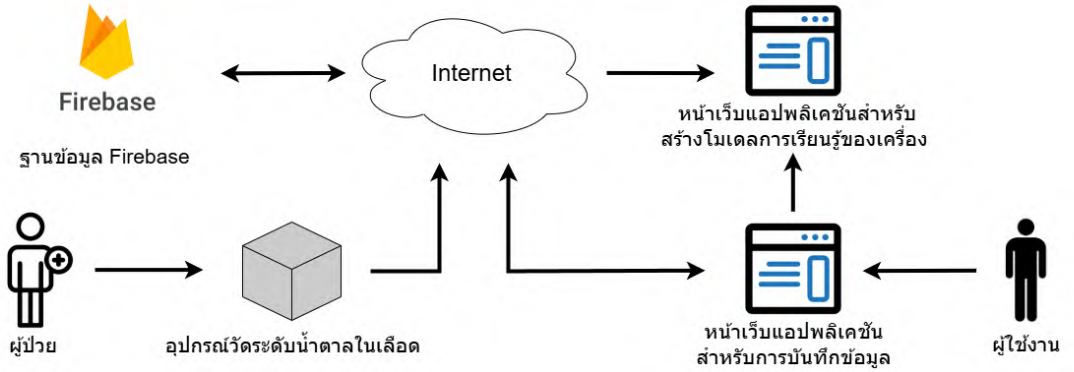

รูปที่ 2 ภาพรวมของระบบที่นำเสนอประกอบด้วย เว็บแอปพลิเคชันที่เชื่อมต่อกับอุปกรณ์วัดระดับน้ำตาลในเลือด

มาจากผู้ป่วยไม่ให้ความร่วมมือในด้านการแพทย์ (Adherence) [4] โดยปัจจัยที่เกี่ยวข้องกับการไม่ให้ความร่วมมือใน ด้านการแพทย์ ได้แก่ ค่าใช้จ่าย และผลข้างเคียงของยา อายุ เงื่อนไขโรคประจำตัว ผู้ป่วยโรคเบาหวานนั้นจำเป็นต้องมีการตรวจระดับน้ำตาลในเลือดตลอดช่วงเวลาการรักษาโดยใช้อุปกรณ์วัดระดับน้ำตาลในเลือดแบบเจาะเลือดปลายนิ้ว ทำให้เกิดค่าใช้จ่ายของผู้ป่วยในการซื้อเข็มเจาะเลือดปลายนิ้วและกระดาษแถบตรวจน้ำตาล ดังนั้นนักวิจัยทางด้านทางแพทย์ ได้คิดค้นการตรวจระดับน้ำตาลในเลือดแบบไม่เจาะเลือดโดยนำเซนเซอร์ที่สามารถสะท้อนแสงเมื่อมีการตกกระทบเลือดในบริเวณชั้นผิวหนังกำพร้าบนปลายนิ้ว ดังแสดงดังรูปที่ 1

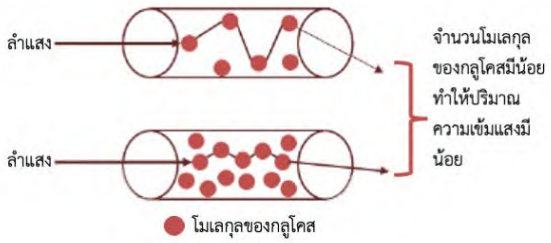

รูปที่ 1 ความสัมพันธ์ระหว่างความเข้มแสงและโมเลกุลกลูโคสในชั้นผิวหนังกำพร้า

ภาพแสดงความสัมพันธ์ระหว่างความความเข้มแสงและปริมาณโมเลกุลกลูโคส [5] เซนเซอร์ที่ชื่อว่า Reflective Photo Sensor (RPR-220) โดยประกอบไปด้วย ทรานซิสเตอร์และไดโออินฟราเรดที่ความยาวคลื่น 940 นาโนเมตรทำหน้าที่ตรวจจับการเปลี่ยนแปลงของปริมาณแสงที่ถูกผ่านจากผิวหนัง การทำงานก็คือการเพียงวางนิ้วลงบนเซนเซอร์ เมื่อแสงถูกส่งผ่านนิ้ว แสงจะเลือกเส้นทางในการเดินทางเพื่อตกกระทบกับโมเลกุลกลูโคสในเลือด โดยอาจมีบางส่วนถูกดูดซึม สะท้อนกลับและกระจายออกในชั้นผิวหนัง ถ้าความเข้มข้นของกลูโคสในกระแสเลือดน้อย ทำให้ความเข้มแสงและค่าแรงดันไฟฟ้าที่วัดค่าได้น้อย แต่ถ้าความเข้มข้นของกลูโคสในกระแสเลือดสูง ความเข้มแสงและค่าแรงดันไฟฟ้าค่าแรงดันไฟฟ้าที่วัดค่าได้สูงขึ้นด้วย

ในงานวิจัยปัจจุบันได้นำเสนอต้นแบบของอุปกรณ์วัดค่าระดับน้ำตาลในเลือดโดยไม่ใช่วิธีเจาะเลือดผ่านการวัดลำแสงสะท้อนจากปลายนิ้ว โดยย่านความยาวคลื่นอยู่ในช่วง 850nm นำเสนอโดย C. Srichan และคณะ [6] โดยใช้เทคนิค NIR ในการตรวจวัดระดับน้ำตาลในเลือด มีเงื่อนไขที่ต้องพิจารณาเพื่อผลลัพธ์ที่แม่นยำ สิ่งที่สำคัญคือ การตั้งค่าความไวของเซ็นเซอร์และสภาพแวดล้อมในการใช้งาน เช่น อุณหภูมิหรือความชื้นบนผิวหนัง ความหนาของผิวหนังและปริมาณเม็ดสีในผิวหนัง ต่างก็มีผลต่อความแม่นยำในการตรวจวัดเช่นกัน จากนั้นยังมีการวิเคราะห์ส่วนประกอบในเลือดผ่านเนื้อเยื่อร่วมกับเครือข่ายประสาทเทียมแบบตื้นหนาแน่น (Shallow Dense Neural Networks) ที่ช่วยเพิ่มความแม่นยำในการพยากรณ์ระดับน้ำตาลในเลือด โดยใช้โมเดลที่มีโครงสร้างไม่ซับซ้อนเกินไป (Shallow) แต่หนาแน่นในเชิงลึก (Dense) ซึ่งสามารถจับลักษณะซับซ้อนในข้อมูลจาก NIR ให้ความแม่นยำ 97.8 เปอร์เซ็นต์ ในกรณีของย่านความยาวคลื่นอยู่ในช่วง 650 nm นำเสนอโดย H. Ali และคณะ [7] พัฒนาต้นแบบร่วมกับ Arduino-UNO ได้รับค่าแรงดันกระแสตรงเพื่อเปลี่ยนเป็นค่าระดับน้ำตาลจากวงจรเปลี่ยนค่าการดูดซึมของแสงแปลงเป็นค่าแรงดันกระแสตรงโดยสมการการแปลงนั้นผู้เขียนได้เสนอวิธีการเส้นตรงผลลัพธ์ของการแปลงให้ความเป็นเส้นตรง 98 เปอร์เซ็นต์ส่งผลต่อความถูกต้องที่ 90 ถึง 92 เปอร์เซ็นต์จากอาสาสมัครที่ทดสอบ 10 ท่าน

นอกเหนือจากการนำ NIR มาใช้สำหรับการแปลงค่านั้นยังมีงานวิจัยที่นำ สัญญาณ PPG (Photoplethysmography) มาประยุกต์ใช้ นำเสนอโดย C. Pomarin และคณะ [8] เพื่อพัฒนาแบบจำลองสำหรับการพัฒนาการประมาณค่าน้ำตาลในเลือด ด้วยข้อมูลที่ได้รับสัญญาณ PPG ที่มีการสะท้อนของคลื่นสีแดงและแปลงเป็นค่าระดับน้ำในเลือดด้วยวิธี สมการถดถอยเชิงเส้นพหุคูณ (Multiple Linear Regression) เน้นการหาช่วงเวลาที่ดีสุดในการรับข้อมูลจากการสะท้อนของคลื่นสีแดง งานวิจัยดังกล่าวได้ค้นพบว่าช่วงที่ดีที่สุดคืออยู่ระหว่างการบันทึกข้อมูลให้ความแม่นยำถึง 89.86%

จากงานวิจัยข้างต้นการพัฒนาเซนเซอร์ที่วัดค่าน้ำตาลในเลือดนั้นจำเป็นต้องมีกระบวนการเก็บผลการทดลองระหว่างเซนเซอร์สะท้อนแสงเทียบกับการวัดระดับน้ำตาลในเลือดจากเครื่องวัดที่แม่นยำของผู้ป่วย

อาสาสมัครที่วัดในโรงพยาบาล เพื่อนำข้อมูลประมวลผลในเชิงสถิติโดยมีการนำการเรียนรู้ของเครื่องเข้ามาพัฒนาเพื่อให้เกิดผลลัพธ์ที่แม่นยำขึ้น

ดังนั้นทางคณะผู้จัดทำ จึงมีแนวคิดในการสร้างเว็บแอปพลิเคชันสำหรับการสร้างโมเดลการเรียนรู้ของเครื่อง จากอุปกรณ์ต้นแบบวัดค่าน้ำตาลในเลือดโดยไม่เจาะเลือดแบบอินเตอร์เน็ตของสรรพสิ่ง เพื่อให้ผู้ตรวจสามารถเก็บข้อมูลของผู้ป่วยได้ในปริมาณมากและในระยะยาว นอกจากนี้ยังสามารถช่วยทำนายผลของค่าน้ำตาล เพื่อนำมาวิเคราะห์ปริมาณความเสี่ยงต่อโรคเบาหวานของผู้ป่วยในระยะถัดไป พร้อมทั้งช่วยให้มีการวางแผนการรักษาผู้ป่วยให้เหมาะสม

2. เว็บแอปพลิเคชันสำหรับการทำนายระดับกลูโคสในเลือดรูปแบบวิธีการไม่เจาะเลือดโดยใช้อุปกรณ์ของสรรพสิ่ง

2.1 ภาพรวมของระบบ

การออกแบบภาพรวมระบบการทำงาน ประกอบด้วย 2 ส่วนหลัก ๆ คือ การออกแบบวงจรอุปกรณ์วัดระดับน้ำตาลในเลือดและการออกแบบเว็บแอปพลิเคชัน แสดงดังรูปที่ 2 โดยการทำงานเริ่มต้นจากอุปกรณ์วัดระดับน้ำตาลในเลือดใช้โมดูลไมโครคอนโทรลเลอร์ ESP-32 เชื่อมต่อกับเซ็นเซอร์ตรวจวัดระดับน้ำตาลในเลือด วัดค่าจากผู้ป่วยและส่งค่าไปยัง Firebase Realtime Database ผ่านทางเครือข่ายอินเตอร์เน็ต เพื่อแสดงค่าที่วัดได้จากอุปกรณ์แบบเรียลไทม์บนหน้าเว็บแอปพลิเคชันสำหรับการบันทึกข้อมูลและผู้ใช้งานสามารถกรอกค่าข้อมูลต่างๆ บนหน้าเว็บ เช่น ค่าความดัน อัตราการเต้นของหัวใจ น้ำหนัก ส่วนสูง เป็นต้น และส่งค่าไปยัง Firebase Database เพื่อเก็บค่าข้อมูลที่ได้ไปใช้ในส่วนของหน้าเว็บแอปพลิเคชันสำหรับสร้างโมเดลการเรียนรู้ของเครื่อง

2.2 การออกแบบเว็บแอปพลิเคชัน

การออกแบบเว็บแอปพลิเคชันนั้นพัฒนาด้วย Visual Studio Code โดยใช้ภาษา JavaScript และ React ซึ่งเป็น JavaScript Library สำหรับสร้างส่วนต่อประสานผู้ใช้ หรือ UI คณะผู้จัดทำได้นำ Firebase[9] ในการจัดการกับข้อมูล ซึ่งมี Firestore Database สำหรับเก็บข้อมูลที่เกี่ยวข้องกับโรคเบาหวานที่ได้หลังจากการตรวจค่าด้วยเครื่องมือวัดทางการแพทย์จากผู้ป่วย และได้นำ Realtime Database มาใช้สำหรับการแสดงค่าสถานะต่างๆ ทั้งจากอุปกรณ์วัดระดับน้ำตาลในเลือดและค่าตัวแปรต้นและตัวแปรตามสำหรับการสร้างโมเดลการเรียนรู้ของเครื่อง

จากรูปที่ 3 เป็นหลักการทำงานของโครงสร้างข้อมูล โดยเริ่มจาก Device ซึ่งคืออุปกรณ์วัดระดับน้ำตาลในเลือด ซึ่งมีการเก็บค่าแอนะล็อก ค่าโวลต์เทจและค่ากระแสไฟ รวมถึงไทม์แสตมป์ซึ่งคือวันที่และเวลา ณ ปัจจุบัน, Health_Records คือข้อมูลที่เก็บหลังจากการตรวจผู้ป่วย เช่น ค่าความดัน อัตราการเต้นของหัวใจ น้ำหนัก ส่วนสูง เป็นต้น, Train_Data คือ ชุดข้อมูลที่เก็บสำหรับการฝึกฝนโมเดลการเรียนรู้ของเครื่องซึ่งเก็บจาก Health_Records และ Device ผ่านคีย์หลักอย่าง record_id และ device_id

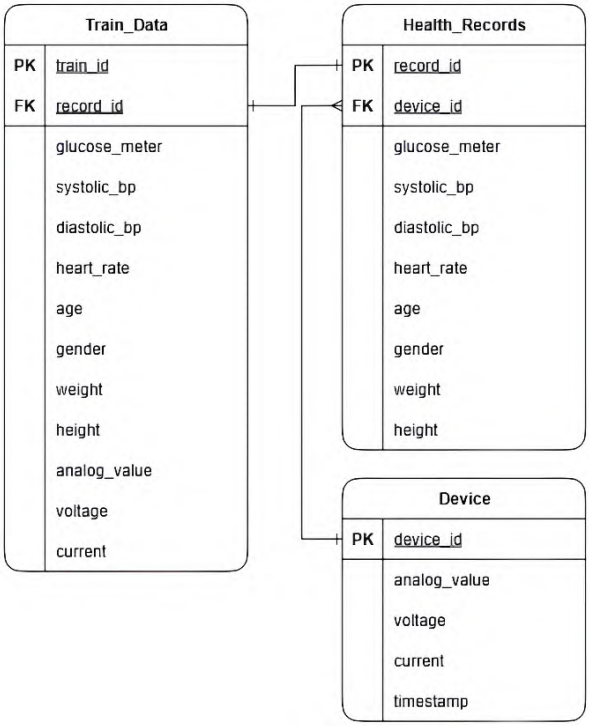

รูปที่ 3 แบบจำลองโครงสร้างของข้อมูล

จากนั้นจึงนำโครงสร้างข้อมูลที่ออกแบบได้ มาพัฒนาและสร้างเป็นเว็บแอปพลิเคชัน ซึ่งได้ออกมาทั้งหมดสองหน้า จากรูปที่ 4 เป็นการออกแบบหน้าบันทึกข้อมูลผู้ป่วยหลังการตรวจ โดยจะมีการแสดงผลแบ่งออกเป็น 2 ส่วน โดยทางด้านซ้ายจะเป็นฟอร์มบันทึกผลหลังจากการตรวจรวมถึงข้อมูลส่วนตัวของผู้ป่วย ซึ่งค่าที่จำเป็นต้องกรอกข้อมูลลงในฟอร์มจะมีค่าของกลูโคสที่ได้จากเครื่องวัดจริง ค่าอัตราการเต้นของหัวใจ ค่าความดันบน ค่าความดันล่าง น้ำหนัก ส่วนสูง อายุ และเพศ ในทางด้านขวาเป็นการแสดงสถานะของอุปกรณ์วัดระดับน้ำตาลในเลือด ที่ทำการตรวจจากผู้ป่วยแล้ว โดยค่าที่แสดงผลได้แก่ วันที่และเวลา ค่าแอนะล็อก ค่าโวลต์เทจและค่ากระแสไฟ หลังจากที่กรอกข้อมูลและค่าสถานะแสดงครบทุกช่องแล้ว จึงทำการกดบันทึกข้อมูล เพื่อนำข้อมูลส่งไปเก็บลงในฐานข้อมูลและเตรียมข้อมูลสำหรับการฝึกฝนและทดสอบโมเดลการเรียนรู้ของเครื่อง

รูปที่ 4 การออกแบบหน้าบันทึกข้อมูลผู้ป่วยหลังการตรวจของเว็บแอปพลิเคชัน

ซึ่งเมื่อนำชุดข้อมูลที่บันทึกไว้มาผ่านกระบวนการตรวจสอบฝึกฝนและทดสอบโมเดลการเรียนรู้ของเครื่องแล้ว จึงนำออกมาเป็นโมเดลที่ใช้สำหรับการทำนายค่าระดับน้ำตาลในเลือด หลังจากนั้นนำค่าสถานะต่างๆ ผลลัพธ์หลายๆด้าน รวมถึงประสิทธิภาพของโมเดล ออกมาแสดงผลผ่านหน้าแดชบอร์ดแสดงผลการเรียนรู้ของโมเดลของเว็บแอปพลิเคชัน ดังรูปที่ 5 โดยประเภทของโมเดลที่ใช้สำหรับการฝึกฝนโมเดลการเรียนรู้ของเครื่องคือ Linear Regression[10]

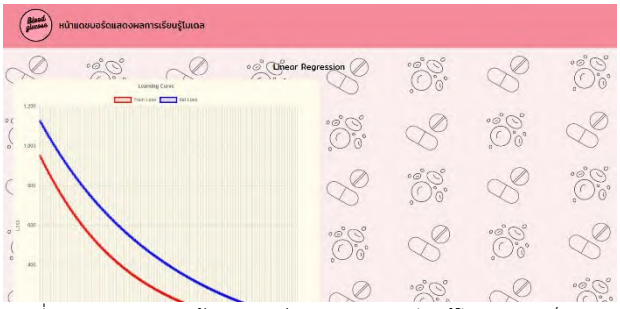

รูปที่ 5 การออกแบบหน้าแดชบอร์ดแสดงผลการเรียนรู้โมเดลของเว็บแอปพลิเคชัน

2.3 การออกแบบฮาร์ดแวร์

การออกแบบวงจรอุปกรณ์วัดระดับน้ำตาลในเลือด จากรูปที่ 6 ประกอบด้วยโมดูลชาร์จแบตเตอรี่ และ แบตเตอรี่ 5 โวลต์ ในการจ่ายไฟเลี้ยงให้กับไมโครคอนโทรลเลอร์ ESP-32 โดย ไมโครคอนโทรลเลอร์ ESP-32 ทำการจ่ายไฟให้กับ โมดูลวัดแรงดันและกระแสไฟฟ้า (INA219) [11] เพื่อทำการส่งค่าแรงดันไฟฟ้าและคำนวณเปอร์เซ็นต์ของแบตเตอรี่ไปยังไมโครคอนโทรลเลอร์ ESP-32 โดยใช้ไฟเลี้ยงที่ 5 โวลต์ และ อุปกรณ์ Near-Infrared (NIR) Emitter ซึ่งทำหน้าที่เป็นตัวส่งแสงอินฟราเรดเข้าสู่ชั้นผิวหนังกำพร้าของผู้ใช้เพื่อวัดการกระเจิงของแสงในระดับโมเลกุลเลือด โดยมีการต่อความต้านทานเพื่อควบคุมกระแสไม่ให้เกินค่าที่เหมาะสม

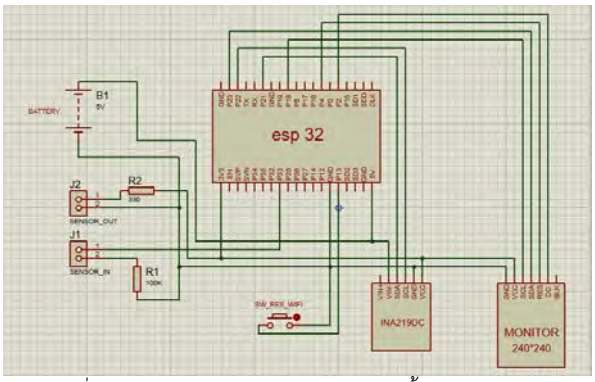

รูปที่ 6 การออกแบบวงจรอุปกรณ์วัดระดับน้ำตาลในเลือด

อุปกรณ์ Near-Infrared (NIR) Emitter ทำงานร่วมกับ NIR Receiver ซึ่งทำหน้าที่รับแสงอินฟราเรดที่สะท้อนกลับจากการตกกระทบชั้นผิวหนังกำพร้าที่มีเส้นเลือดฝอยและทำการแปลงค่าความเข้มของแสงที่ได้รับเป็นแรงดันไฟฟ้าที่มีตัวต้านทานต่อลักษณะ pull-down เพื่อดึงแรงดันไฟฟ้า เพื่อให้สามารถอ่านค่าผ่านขาแอนะล็อกได้อย่างแม่นยำ, โมดูลจอ ST7789 ทำหน้าที่นำค่าที่รับจากไมโครคอนโทรลเลอร์ ESP-32 มาแสดงในส่วนการแสดงผล และมีการต่อสวิตช์ Access point เพื่อทำการรีเซ็ตเชื่อมต่อของอินเทอร์เน็ต

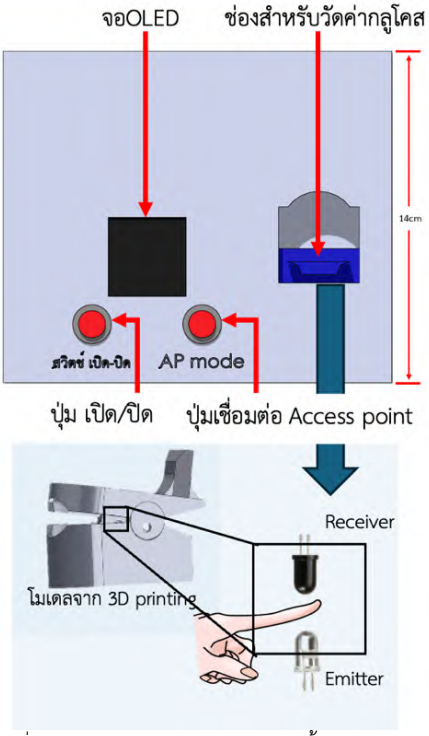

รูปที่ 7 การออกแบบอุปกรณ์วัดระดับน้ำตาลในเลือด

การออกแบบฮาร์ดแวร์ทั้งหมดจะถูกติดตั้งในกล่องอุปกรณ์ ดังรูปภาพที่ 7 โดยแบ่งออกเป็น 2 ส่วน โดย ส่วนแรกคือภาพรวมของอุปกรณ์จากภาพแสดงการตำแหน่งการติดตั้งอุปกรณ์ โดยจะมี โมดูลจอ ST7789 ในการใช้แสดงผลค่าแอนะล็อกและเปอร์เซ็นต์ของแบตเตอรี่แบบเรียลไทม์ มีปุ่มสำหรับการเปิด-ปิดอุปกรณ์ ปุ่มเชื่อมต่อ Access point ช่องสำหรับวัดค่าระดับน้ำตาลในเลือด และในส่วนที่สองการออกแบบสำหรับวัดค่าระดับน้ำตาลในเลือด ดังรูปแสดงตำแหน่งเซ็นเซอร์ Near-Infrared (NIR) โดย Near-Infrared (NIR) Emitter ตัวส่ง อยู่ในตำแหน่งด้านล่าง และ Near-Infrared (NIR) Receiver ตัวรับ อยู่ในตำแหน่งด้านบน

3. ผลการทดลอง

ก่อนทำการทดลองสำหรับการสร้างโมเดลทำนายระดับค่ากลูโคสในเลือดจะทำการกำหนดค่าเทียบเคียงระหว่างระดับน้ำตาลและค่าการแปลงสัญญาณแอนะล็อกเบื้องต้นโดยกำหนดค่าระดับกลูโคสระหว่าง 0 - 255 mg/dL ปรับให้อยู่ช่วง 0 – 2999 ของค่าสัญญาณแอนะล็อกเป็นดิจิทัลที่

ของอุปกรณ์ ESP-32 ที่นำเสนอในหัวข้อย่อย 2.3 ซึ่งจะได้สมการเส้นตรงดังสมการที่ (1)

$$Glucose_{cal} = \left(analog_{in} \times 0.1446 \right) - 19.74 \qquad (1)$$

กำหนดให้ $Glucose_{cal}$ คือค่าการเทียบเคียงของระดับน้ำตาล และ $analog_{in}$ คือค่าระดับสัญญาณแอนะล็อกที่ได้จากการสะท้อนของรังสีไดโอดอินฟราเรดที่ความยาวคลื่น 940 นาโนเมตร เมื่อค่า $Glucose_{cal}$ น้อยกว่า จะกำหนดให้เป็น 0 mg/dL และเมื่อ $Glucose_{cal}$ มีค่ามากกว่า 255 mg/dL จะกำหนดให้เป็น 255 mg/dL และนำสมการที่ (1) โปรแกรมลงอุปกรณ์ ESP-32 เพื่อคำนวณค่าระดับน้ำตาลและแสดงบนหน้าจอ

การทดลองครั้งที่ 1 ทำการทดสอบการวัดระดับน้ำตาลในเลือดจากอาสาสมัครที่มีการตรวจวัดระดับน้ำตาลในเลือดเป็นกิจวัตรประจำวัน โดยการตรวจนี้ทำการทดสอบเทียบเคียงระหว่างอุปกรณ์ตรวจวัดระดับน้ำตาลในเลือดและค่ากลูโคสที่คำนวณได้จากสมการที่ (1) ของ ESP-32 ได้ค่าแสดงดังตารางที่ 1ที่บันทึกบนเว็บที่ผู้จัดทำพัฒนาขึ้นในหัวข้อย่อยที่ 2.2 สามารถบันทึกค่าได้ จากทั้งการป้อนข้อมูลและในส่วนที่วัดค่าแอนะล็อกซึ่งได้แสดงค่าความผิดพลาดจากการคำนวณของสมการที่ (2) ระหว่างค่าที่ได้จากคำนวณและค่าที่วัดได้จริงจากเครื่องตรวจ

$$Error(\%) = \left(\frac{Glucose_{estimate} - Glucose_{actual}}{Glucose_{actual}} \right) \times 100 \qquad (2)$$

ตารางที่ 1 ค่าเทียบเคียงเบื้องต้นสำหรับระดับน้ำตาลและค่าการแปลงสัญญาณแอนะล็อก

ครั้งที่	ค่าแอนะล็อก ($analog_{in}$)	ค่าระดับกลูโคส ($Glucose_{cal}$) mg/dL	ค่าที่ได้จากเครื่องตรวจระดับน้ำตาล mg/dL	ค่าความผิดพลาด (%)
1	1035	130	133	2.25
2	1000	125	133	6.01
3	1146	146	133	9.77
4	1118	142	133	6.76
5	1153	147	133	10.52
6	1111	141	133	6.01
7	1097	139	133	4.51
8	924	114	133	14.28
9	1090	138	133	3.75
10	1090	138	133	3.75

โดยความผิดพลาดเฉลี่ยที่ได้ของตารางที่ 1 คือ 6.76 เปอร์เซ็นต์เมื่อนำค่าจากตารางที่ 1 ทำการปรับค่าสมการที่ (1) โดยวิธีการถดถอยเชิงเส้น (linear regression) โดยกำหนดให้ ค่าแอนะล็อก เป็นตัวแปรต้น และ ค่าระดับกลูโคสเป็นตัวแปรตาม และทำการการหาค่าสัมประสิทธิ์ของสมการโดยใช้ไลบรารี่ของ scikit-learn ได้ผลลัพธ์ของสมการวิธีการถดถอยเชิงเส้นดังสมการที่ (3) จะให้ผลลัพธ์ดังตารางที่ 2 และกราฟการเปรียบเทียบค่าระดับกลูโคส โดยความผิดพลาดเฉลี่ยที่ได้ของตารางที่ 2 คือ 6.46 เปอร์เซ็นต์

$$Glucose_{cal\ new} = \left(analog_{in} \times 0.1442 \right) - 20.2088 \qquad (3)$$

ตารางที่ 2 แสดงผลลัพธ์จากสมการที่ได้จากการเรียนรู้วิธีการถดถอยเชิงเส้นที่มีตัวแปรต้นคือ สัญญาณแอนะล็อก และตัวแปรตามคือ ระดับกลูโคส

ครั้งที่	ค่าแอนะล็อก ($analog_{in}$)	ค่าระดับกลูโคส ($Glucose_{cal}$) mg/dL	ค่าที่ได้จากเครื่องตรวจระดับน้ำตาล mg/dL	ค่าความผิดพลาด (%)
1	1035	129	133	3.00
2	1000	124	133	6.76
3	1146	145	133	9.02
4	1118	141	133	6.01
5	1153	146	133	9.77
6	1111	140	133	5.26
7	1097	138	133	3.75
8	924	113	133	15.03
9	1090	137	133	3.00
10	1090	137	133	3.00

เมื่อได้สมการวิธีการถดถอยเชิงเส้นนำสมการดังกล่าวโปรแกรมลงอุปกรณ์ ESP-32 และทำการทดลองอีกครั้ง โดยอาสาสมัครท่านเดิมในช่วงเวลาตอนเช้าและยังไม่มีการรับประทานอาหารผลการทดลองแสดงดังรูปที่ 7

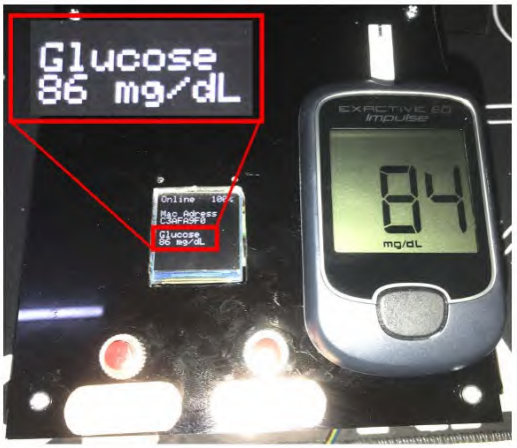

รูปที่ 7 การทดลองเปรียบระหว่างค่าที่ได้จากสมการถดถอยและเครื่องวัดระดับน้ำตาลจากเลือด

ผลลัพธ์ที่ได้จากการทดสอบและทำการเปรียบเทียบระหว่างค่าที่ได้จากสมการที่ (3) คือ 84 mg/dl ที่ทำการวัดระยะเวลา 40 วินาที และค่าจากเครื่องวัดระดับน้ำตาลจากเลือดคือ 86 mg/dl ให้ค่าความผิดพลาดที่ได้คือ 2.33 เปอร์เซ็นต์ ให้ค่าความแม่นยำสำหรับการวัดของบุคคลที่เป็นอาสาสมัครคือ 97.67 เปอร์เซ็นต์

4. สรุปงานวิจัย

ในบทความของงานวิจัยได้นำเสนอวิธีการเก็บข้อมูลผ่านเว็บแอปพลิเคชันเพื่อนำไปศึกษาการสร้างอุปกรณ์วัดระดับน้ำตาลด้วยวิธีไม่เจาะเลือดแทนการจดบันทึกข้อมูลด้วยวิธีกระดาษทางผู้จัดทำแสดงตัวการทดลองการรับค่าสัญญาณแอนะล็อกจากการสะท้อนของรังสีไดโอดอินฟราเรดที่ความยาวคลื่น 940 นาโนเมตรด้วยหลักการความสัมพันธ์ระหว่างความเข้มแสงและโมเลกุลกลูโคสในชั้นผิวหนังกำพร้า สามารถนำมาปรับค่าเพื่อเทียบเคียงระหว่างค่าการคำนวณระดับน้ำตาลในเลือดและค่าแอนะล็อกเพื่อให้ได้ค่าสมการเชิงเส้นเบื้องต้น และทำการปรับค่าด้วยวิธีการเรียนรู้ของเครื่องคือวิธีการถดถอยเชิงเส้น สามารถปรับค่าให้ใกล้เคียงกับค่าอุปกรณ์วัดระดับน้ำตาลในเลือด ผลการทดลองยังให้ค่าความผิดพลาดอยู่ในระหว่าง 3- 15 เปอร์เซ็นต์ เนื่องจากจำนวนชุดข้อมูลการทดลองที่น้อยและเป็นค่าที่ได้จากเฉพาะอาสาสมัครบุคคลเดียว ในอนาคตงานวิจัยจะถูกพัฒนาในการเก็บข้อมูลที่มีความหลากหลายเช่น สีผิว อายุ ค่าน้ำหนัก ค่าส่วนสูง และความถี่ของการออกกำลังกาย

5. กิตติกรรมประกาศ

คณะกรรมการดำเนินงานขอขอบคุณ นาย เฉลิมชัย ไผ่จันทร์สำหรับการขอข้อมูลระดับน้ำตาลในเลือดในการศึกษาต้นแบบและการให้อนุญาตนำข้อมูลนำเสนอในบทความฉบับนี้

เอกสารอ้างอิง

[1] สมศักดิ์ เทพสุทิน, สมศักดิ์รณรงค์วันเบาหวานโลก 2567 ชี้คนไทยป่วย 6.5 ล้านคน ย้ำ! นับ Carb ลดเสี่ยงเอ็นซีดี,[ออนไลน์] เข้าถึงได้จาก : https://www.hfocus.org/content (22 มกราคม 2568).

[2] กรมอนามัย, กรมอนามัยเผยผู้สูงวัยป่วยเบาหวานเป็นอันดับ 2 รองจากความดันแนะคุมอาหาร, [ออนไลน์] เข้าถึงได้จาก : https://multimedia.anamai.moph.go.th (22 มกราคม 2568).

[3] ViMUT, ภาวะดื้ออินซูลิน ภาวะที่คนเป็นคอดำ ติ่งเนื้อขึ้นตามตัวต้องระวัง, [ออนไลน์] เข้าถึงได้จาก : https://www.vimut.com/article (22 มกราคม 2568).

[4] T.A.Miller and M.R.DiMatteo, Importance of family/social support and impact on adherence to diabetic therapy , [Online].Available : https://doi.org/10.2147/DMSO.S36368 (22 January 2025).

[5] Nabil, K. A. M., Khan, M. M., Islam, M. A., & Noman, A. A., “Development of A Smart Non-Invasive Glucose Monitoring System With SpO2 and BPM for Diabetic Patient”, Department of Electrical and Computer Engineering North South University, 2023.

[6] C. Srichan, W. Srichan, P. Danvirutai, C. Ritsongmuang, A. Sharma, and S. Anutrakulchai, “Non-invasively accuracy enhanced blood glucose sensor using shallow dense neural networks with NIR monitoring and medical features,” Sci. Rep., vol. 12, no. 1, p. 1769, Feb. 2022.

[7] H. Ali, F. Bensaali and F. Jaber, "Novel Approach to Non-Invasive Blood Glucose Monitoring Based on Transmittance and Refraction of Visible Laser Light," in IEEE Access, vol. 5, pp. 9163-9174, 2017, doi: 10.1109/ACCESS.2017.2707384.

[8] C. Pomarin, T. Lakhonphon, S. Traisaeng, P. Jaroensin, S. Tantisatirapong and T. Chanwimalueang, "Non-Invasive Blood Glucose Estimation Through Vascular Contraction Signal Analysis," 2025 Joint International Conference on Digital Arts, Media and Technology with ECTI Northern Section Conference on Electrical, Electronics, Computer and Telecommunications Engineering (ECTI DAMT & NCON), Nan, Thailand, 2025, pp. 612-616, doi: 10.1109/ECTIDAMTNCON64748.2025.10962123.

[9] Google, FirebaseDocumentation,[Online].Available :https://firebase.google.com/docs.

[10] พีชาภงค์ พูลผล, การทำนายค่าระดับน้ำตาลในเลือด จากผลข้อมูลการตรวจสุขภาพ ในเจ้าหน้าที่โรงพยาบาลแห่งหนึ่ง โดยใช้โมเดล Linear Regression,[ออนไลน์] เข้าถึงได้จาก : https://peachapong-poolpol.medium.com/ (22 มกราคม 2568).

[11] Components101, “INA219 Based Current Sensor Module”, [ออนไลน์] เข้าถึงได้จาก : https://components101.com (22 มกราคม 2568).

Variable Step-Size Indirect Frequency Estimation Algorithm Based On Accumulative Gradient

Kingkarn Kittisuntaropas

Department of Logistics and Process Engineering, Faculty of Industrial Technology, Rajabhat Rajanagarindra University Chachoengsao, Thailand, kingkarn@techno.rru.ac.th*

Abstract

A variable step-size indirect frequency estimation (VIFE) algorithm is proposed in this paper. The step-size of IFE is adjusted so as to improve the convergence properties by using an accumulative gradient technique. Simulation results have been drawn to demonstrate the superiority of the proposed VIFE.

Keywords: Adaptive algorithm, Adaptive signal processing, Adaptive notch filter, Frequency estimation

1. Introduction

Estimating the frequency of sinusoidal signals is a challenging problem and can be found in applications in many fields, such as data communication systems [1], smart grid systems [2], radar [3], and so on. Studies that present frequency estimation are many. But we will only be looking at IFE [4] in this article. As has been mentioned in [4], the IFE is marginally better than the compared algorithms in computation at the cost of some degradation in convergence; the convergence properties of the IFE must be further improved. IFE sets step-size μ as a constant value, making it impossible to control the convergence properties. This problem is therefore the motivation for this work.

To improve the convergence properties of the IFE, we propose a new technique to adjust value of step-size μ. In the early state of adaptation, it is set to have a high value, and after convergence, it is set to have a low value. By doing this, the VIFE will converge faster and provide more accurate solutions.

2. Proposed Technique

In this work, a second order adaptive FIR notch filter [4] is used to estimate indirectly the frequency of a noise-embedded sinusoidal signal. The transfer function is defined by

$$H(z) = 1 + az^{-1} + z^{-2} \tag{1}$$

where $-2 < a < 2$ is the notch parameter to be adapted. The relationship between a and notch frequency Ω_N is $a_N = -2\cos\Omega_N$. The input signal to $H(z)$ is assumed to be a single frequency sinusoidal signal embedded in noise of the form

$$x(n) = A\cos(\Omega_0 n + \phi) + v(n) \tag{2}$$

where $A > 0$ is the amplitude, $0 < \Omega_0 < \pi$ is the input frequency, $-\pi \le \phi \le \pi$ is the phase and $v(n)$ is an additive white Gaussian noise with zero mean and variance of σ^2. An input signal to noise ratio is defined by SNR = $A^2/2\sigma^2$. The notch filter $H(z)$ is implemented by using the direct form I structure to produce the error signals $e(n)$ as follows

$$e(n) = x(n) + ax(n-1) + x(n-2)\,. \tag{3}$$

It is assumed that A, Ω_0 and ϕ are unknown constants. In this work, however, we are focusing only on estimating Ω_0. To estimate Ω_0, the IFE adaptive algorithm [4] is utilized which is defined by

$$a(n+1) = a(n) - \mu e(n)\{s(n) - a(n)x(n)\} \tag{4}$$

where μ is the step-size and is a positive fixed value by definition

$$s(n) = x(n-1)\,. \tag{5}$$

Now let us introduce a time varying step-size $\mu(n)$ as follows:

$$\mu(n+1) = \alpha\mu(n) + \gamma p^2(n) \tag{6}$$

where

$$p(n) = \alpha p(n-1) + \beta g(n-1)\,, \tag{7}$$

$$g(n) = e(n)s(n) \tag{8}$$

*Corresponding Author

$0 << \alpha < 1$, $0 < \{\gamma, \beta\} << 1$, and $g(n)$ is known as a gradient signal. Eq. (7) is an accumulative value of the gradient signal $g(n)$ which is used to adjust the step-size as shown in Eq. (6). Ultimately, the proposed VIFE is derived as

$$a(n+1) = a(n) - \mu(n)e(n)\{s(n) - a(n)x(n)\} \qquad (9)$$

In the next section, the performance of the proposed VIFE will be discussed.

3. Numerical Results

In this section, the performances of the proposed VIFE are demonstrated and compared with those of IFE. Fig. 1 shows the averaged values of the proposed time-varying step-size parameter for 5 and 10 dB of SNR. The parameters setting herein include *SNR* ={5, 10} dB, $\Omega_0 = 0.1\pi$, $\phi \in [-\pi, \pi]$, $\mu(0) = 0$, data length L=10 000 and 100 computer runs. It is seen that at the early stage of adaptation, the step-size is high. After converging, its value is low as desired. Therefore, it ensures that the convergence of the IFE is improved, which is shown in Fig. 2.

In Fig. 2, the proposed and comparative algorithms are assigned to estimate the input signal frequency under the following conditions: *SNR* ={5, 10} dB, $\phi \in [-\pi, \pi]$, $\Omega_0 = 0.1\pi$, $a(0) = 0$, $\mu(0) = 0$, @5dB $\mu_{ife} = 0.012$, @10dB $\mu_{ife} = 0.0012$, data length L=10 000 and 100 computer runs. The step size μ of the IFE is adjust to yield the same simulated mean square error (MSE) as those of the proposed VIFE. The general form of the MSE is calculated by

$$\text{MSE} = \text{var}(a) + \text{bias}^2 \qquad (10)$$

where var(a) is the variance of $a(n)$, bias = a_0 - $E[a(n)]$, and $a_0 = -2\cos\Omega_0$. To obtain the estimated MSE, the 100 independent runs of each algorithm are ensemble averaged. The results are shown in Fig. 2. It is seen that at a low SNR scenario (5 dB), the performances of both algorithms are identical, whereas at a high SNR (10 dB) the proposed VIFE shows faster convergence speed than the conventional IFE adaptive algorithm.

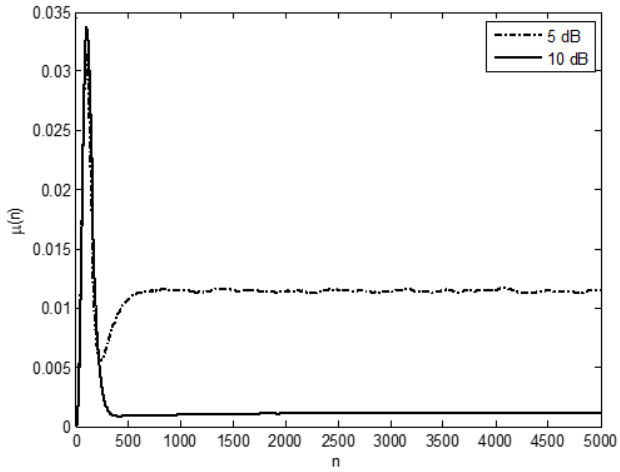

Fig. 1. Proposed time varying step-size parameter for 5 and 10 dB of SNR

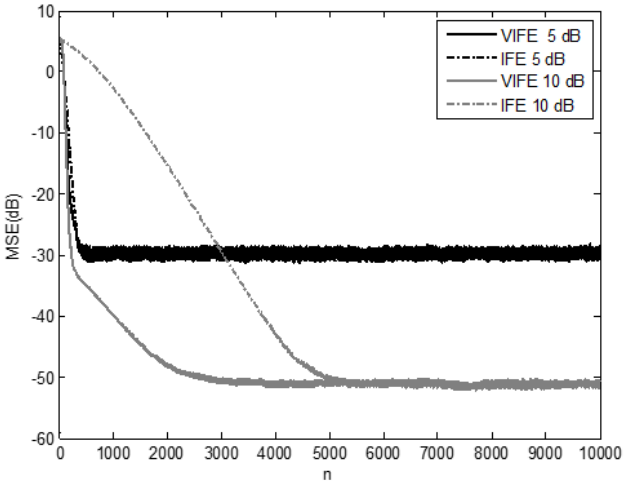

Fig. 2. Convergence speed comparison at the same value of MSE for 5 and 10 dB of SNR.

4. Conclusions

A VIFE adaptive algorithm for a second-order adaptive FIR notch filter for single frequency estimation is proposed. As compared to the conventional IFE, VIFE shows better convergence speed in a high SNR value scenario. Steady state analysis of the proposed VIFE in an interesting topic and will be done in the further work.

References

[1] Razzaq, H.S.; Hussain, Z.M. Instantaneous Frequency Estimation of FMSignals under Gaussian and Symmetric-Stable Noise: Deep Learning versus Time–Frequency Analysis. Information 2023, 14, 18.

[2] Mengüç, E.C., Acır, N. Frequency Estimation Methods for Smart Grid Systems. In: Kabalci, E., Kabalci, Y. (eds) Smart Grids and Their Communication Systems. Energy Systems in Electrical Engineering. Springer, Singapore, 2019.

[3] P. Chinakaew, S. Sinchai, P. Wardkein and J. Koseeyaporn, "Frequency Estimation of Short Range Radar Using Adaptive FIR Notch Filter and SAGC for Velocity Detection," *2018 3rd International Conference on Computer and Communication Systems (ICCCS)*, Nagoya, Japan, 2018, pp. 421-425.

[4] R. Punchalard, J. Koseeyaporn, P. Wardkein, "Indirect frequency estimation based on second-order adaptive FIR notch filter," Signal Processing, vol. 89, Issue 7, pp.1428-1435, July 2009.

Attention-Based Fusion of Deep Learning Model for Grape Leaf Disease Classification

Tanawat Palamee[1], Buntueng Yana[1*], Sitthichat Meekhwan[1], Krisadakorn Khongsep[1]

Department of Electrical Engineering, School of Engineering, University of Phayao
Email: beetanawat7@gmail.com[1], mr.buntueng@gmail.com[1*], mr.sitthichat.n@gmail.com[1], kritsadakorn.mark@gmail.com[1]

Abstract

Grape leaves are susceptible to diseases that can significantly reduce crop yield and quality, leading to economic losses. While manual disease identification is common, it is often inaccurate and time-consuming. To address this, automatic recognition of grape leaf diseases through deep learning has become essential.

This study proposes a fusion model that combines the strengths of the VGG-16 and MobileNetV3 architectures to improve the accuracy and efficiency of grape leaf disease classification. The research also investigates the potential benefits of integrating an attention mechanism into the fusion model. The models were trained and evaluated using the Plant Village dataset, which contains 4,062 images of grape leaves categorized into four classes: Black Rot, Esca, Leaf Blight, and Healthy. To address the imbalance in the number of images per class, data augmentation techniques were applied.

The performance of the proposed models was compared against base models, including VGG-16 and MobileNetV3, using metrics such as accuracy, F1-score, and AUC. The results indicate that the fusion model with an attention mechanism achieved the highest performance with an accuracy of 99.55%, an F1-score of 99.55%, and an AUC of 99.99%. This outperformed the baseline fusion model, VGG-16, and MobileNetV3. The study demonstrates that combining different model architectures and incorporating attention mechanisms can lead to more accurate and efficient solutions for real-world agricultural applications.

Keywords: Grape leaf disease, Fusion network, Attention-Based model

1. Introduction

Agriculture is currently one of the most important food products for human nutrition [1], As the global population continues to grow, mainly in developing countries, the demand for food will rise significantly. Grapes are an economically important crop worldwide, particularly Central Europe and Southwest Asia. However, grape leaves are easily affected diseases caused by environmental factors, bacteria, and viruses [2]. These diseases include Black Rot, Esca, and Leaf Blight. They can greatly decrease grape yield and quality, leading to economic losses for farmers and disruptions in trade. From historical times up to today. There are multiple techniques for identifying diseases in grape leaves, manual identification. Mostly farmers use personal experience or expert visual inspection, which is often incorrect and time-consuming. Moreover, Inaccurate diagnoses often result in inappropriate pesticide use, which negatively impacts both the vineyard environment and fruit quality. Hence automatic recognition of grape leaf diseases is essential for improving diagnostic accuracy.

Today, machine learning techniques help achieve this. Effective quality control is also important to increase income from agricultural services [3]. Deep learning is a machine learning approach that relies on artificial neural networks and large datasets to deliver high prediction accuracy and quickly diagnosed plant diseases. There are common algorithms used for detection plant disease such as VGG, Resnet, Inception, and EfficientNet [4].

This study proposes a fusion model to improve the accuracy of grape leaf disease classification by merging strengths of both model VGG-16's deep future extraction and MobileNetV3's lightweight efficiency. The fusion model aims to achieve a balance between performance and processing cost. Furthermore, the study explores the future benefits of combining Attention mechanism into the fusion model. This addition is expected to enhance the model's ability.

2. Literature review

Many researchers have adopted CNN to automate disease detection tasks using leaf images. Deep learning, particularly CNN, has emerged as a predominant method for plant disease classification owing to its robust feature extraction capabilities. Within the agricultural sector. Kunduracioglu el al(2024)[4] the research focuses on classifying grape leaves and identify diseases using 14 CNN models and 17 vision transformer models. The CNN-based models achieved an impressive accuracy of 99.03% and F1-scores of 97.80% and 97.62%, respectively. The models have strong potential for farmers and agricultural professionals by providing decision-making and improving production efficiency. This study emphasizes the opportunity of deep learning to transform plant health by evaluating agriculture. But limitations in real-world agricultural environments. Similarly, Mandal et al. [5] developed and compared several CNN models such as DenseNet121, ResNet50, VGG16, EfficientNetB7 etc. for automatic grapevine disease detection. While EfficientNetB7 achieved the highest accuracy at 99.6%, However, challenges of this work like limited disease scope and GPU dependency.

*Corresponding author

Many farmers lack access to GPthe ceiling devices, limiting practical deployment and larger models, for example EfficientNetB7 although it has excellent accuracy, but performance hit a ceiling after 150MB. To improve accuracy and computational efficiency, fusion-based approaches have been proposed. Tyagi et al. [6] explored the deep learning, particularly CNN in automating the identification of medicinal plant species and detecting diseases from leaf images. Among the tested models, InceptionV3 outperformed VGG-16 and VGG-19, attaining the most precision of 70.12%. While the research effectively highlights the advantages of pre-trained architecture and data augmentation techniques, it also points out limitations such as moderate accuracy, a relatively small dataset, limited training epochs, and computational inefficiency, especially in VGG models. The research also emphasized how fusion-based designs can provide improved performance over single-model architectures Yang et al. [7] introduced WaveLiteNet, a lightweight deep learning model designed to detect and classify five types of tea leaf disease such as Anthracnose and Cercospora Leaf spot. The model merges 2D Discrete Wavelet Transform with MobileNetV3 to improve feature extensions obtained 98.70% accuracy during testing. showing that using small models with frequency features can make them fast and accurate. This inspires the current study, which proposes a fusion model combining VGG-16 and MobileNetV3, aiming to leverage VGG-16 and MobileNetV3 to improve grape leaf disease classification accuracy while reducing computational cost. Moreover, the future directions and specialized techniques, Xie et al. [8] proposed real-time detector for grape leaf disease by applying CNN algorithms classification, it is suitable for mobile platform deployment. Zhang, et al. [9] presented YOLOv5-CA, coordinate attention into the YOLOv5 framework. for detecting Grape Downy Mildew disease. It obtains high precision 85.59% and ran at 58.82 FPS, demonstrating both high accuracy and speed an enhanced model for detecting. However, its dependence on RGB images, a single disease focus, and a limited dataset restrict broader application. Jin et al. [10] introduces GrapeGAN, an unsupervised image to enhancement method designed to improve grape leaf disease validation. Enhances images led to VGG-16 and InceptionV1 achieving up to 96.13% accuracy. However, dataset size was small requiring cross-validation and model complexity posed limitations for broader deployment. In addition to fusion and attention-based models. Together, these studies demonstrate that while CNN remains effective for grape leaf disease classification, combining architectures and integrating lightweight strategies such as MobileNet, attention mechanisms, wavelet transforms, and GAN-based image This upgrade might lead to easier and more scalable solutions. for real-world use. Therefore, lightweight models combined with fusion strategies and attention mechanisms are promising directions, which motivates this study.

2.1 Publicly available datasets

From review, there are four public available datasets: Grapes Net, Grapevine , Grape Leaf Disease, and Plant Village. This study reviews four publicly available datasets for grape leaf image analysis in Table 1.

Table 1 Summary Dataset

Dataset	Description
Grapes Net	Grapes Net dataset has 11,000+ grape collection images in real-world Indian vineyards using RGB and RGB-D (Intel RealSense D435i) cameras. It includes multiple lighting setups, angles, occlusions, and distances featuring both single and multi-cluster setups. Each image is provided with reference data.
Grapevine	Grapevine dataset includes 500 grape leaf images, with 100 images each from five grapes such as: ak, ala idris, buzgulu, etc. The images are classified into separate folders for each type, the dataset well-suited for grape type classification using leaf features[11]. This research uses the dataset to evaluate the success of grape leaf images in diagnosing grape types.
Niphad Grape Leaf Disease	The Niphad Grape Leaf Disease dataset have 2,726 RGB images of grape leaves collected from vineyards in Niphad, Maharashtra, India. Separate into four classes: Downy Mildew, Bacterial Rot, Powdery Mildew, and Healthy, supporting research in image-based grape leaf disease classification.
Plant Village	The Plant Village dataset, the largest public resource of plant disease images, was used in this study to detect diseases in grape leaves with high accuracy The Plant Village dataset was introduced by Hughes and Salathé The dataset includes more than 50,000 images of plant leaves with different diseases. This study analyzed approximately 4,000 grape leaf images, categorized into four classes: Black rot, Esca, Leaf blight, and healthy. The leaf images are stored in one folder

The PlantVillage dataset was selected for this research due to its significant scale and widespread acceptance within the academic community. Comprising over 4,000 images of grape disease. This dataset provides the substantial data volume required to train robust deep

learning models. Its frequent use is a benchmark in numerous computer vision and agricultural technology. The dataset's suitability is crucial, as it ensures our results can be contextually evaluated against a broad of existing work in plant disease detection. Figure 1 provides an example of diseases from this data set.

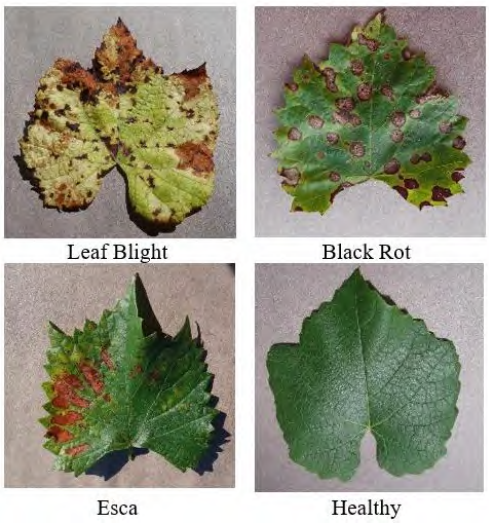

Fig. 1 Exemplar of Disease in Plant Village dataset

Pictures don't depict diseases that affect grape leaves. People who work on farms and experts who look at items and identify them by hand often make mistakes and take a long time. People could use pesticides erroneously because of these faulty diagnoses, which is terrible for the crops and the environment. Because they all have the same symptoms, it might be hard to discern Black Rot, Esca, and Leaf Blight from. It gets worse because the weather, bacteria, and viruses may all change how the leaves look. This is too complicated, and humans can't see everything, therefore we need more advanced technologies like deep learning to automatically collect and understand a lot of visual information to make diagnoses more accurate.

2.2 Algorithms

From reviews multiple deep learning architectures widely used for image classification and plant disease detection. The selected algorithms VGG-16, MobileNetV3, ResNet-18, Inception-V4, and DenseNet-121. Their performance and efficiency are compared to identify the most suitable model. We record a related model in leaf classification in Table 2.

This study selected several widely used deep learning architectures to compare their performance on plant disease detection. The VGG-16 model is CNN noted for its simplicity and effectiveness, which comes from using multiple 3x3 convolution layers stacked together; however, it is a large model with many parameters and is slow to train. In contrast, ResNet-18 is skip connections to facilitate the training of its 18 layers, which helps avoid the vanishing gradient problem and allows for faster training. The Inception-V4 model, another CNN, is recognized for being highly efficient and accurate by using special Inception modules that run multiple filter sizes in parallel, though its structure is complex. Finally, DenseNet-121 is a Densely Connected CNN where every layer is connected to all preceding layers. This design encourages feature reuse with fewer parameters but is known to be memory-intensive.

Table 2 Common model in leaf disease classification

Model	Description
VGG-16	VGG-16 is a CNN-based model known for its simple yet effective architecture. Its key idea is using small 3x3 convolution layers stacked on top of each other to create a deep network with a total of 16 weight layers. While it is effective for tasks like deep feature extraction, its primary disadvantages are its large model size, high number of parameters, and slow training speed, which can lead to computational inefficiency.
MobileNetV3	Based on the provided document, MobileNetV3 is characterized by its "lightweight efficiency". It is considered a small, fast model, and is referred to as a "lightweight strategy" for deep learning.
Resnet-18	ResNet-18 is a Residual Network that has a total of 18 layers. Its fundamental concept is the use of "residuals" to aid in the training of deep networks. This design helps avoid the vanishing gradient problem, which allows for faster training. Its main downside is that it is considered slightly more complex than VGG.
Inception-V4	Inception-V4 is an Inception-based CNN. Its core concept is the use of special "Inception modules" that combine multiple filter sizes in parallel. This design makes the model very efficient and accurate. Its primary disadvantage is its complex structure.
Densenet121	DenseNet-121 is a Densely Connected CNN. Its key architectural idea is that each layer connects to all previous layers within the network. This design offers the advantages of encouraging feature reuse while using fewer parameters overall. However, its primary drawback is that it is very memory-intensive to run.

3. Methodology

Fig 2 displayed full research. The initial step in research is moving images to Image Preprocessing so models may use them. The dataset's four classes Black Rot, Esca, Leaf Blight, and Healthy started with different numbers of pictures. Flipping, rotating, and scaling photographs ensured that each class had as many as Esca. This ensured model fairness. The research models in two ways after preprocessing. The suggested VGG-16 and MobileNetV3 model must be trained and evaluated first. The second method compares VGG16 and MobileNetV3. After that, the proposed and base models undergo a Performance Evaluation to assess Accuracy, F1-score, and AUC. Result and Analysis concludes the process. This step evaluates results in choosing the best model.

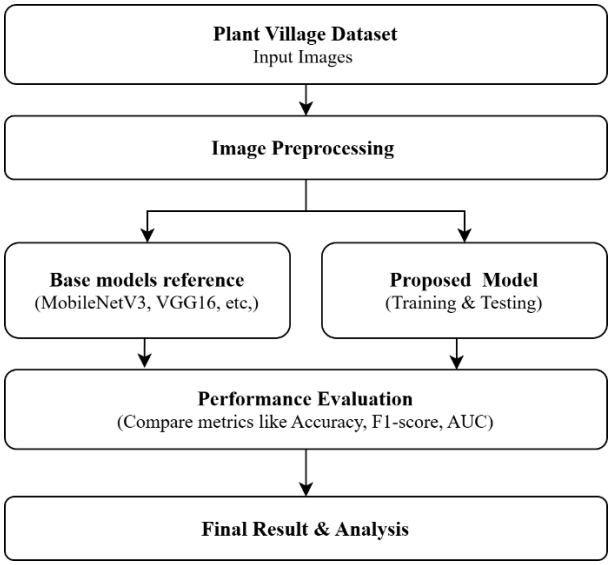

Fig. 2 Research Methodology framework

The initial stage involves preprocessing the Plant Village dataset images and incorporating them to ensure a balanced and equitable training environment. It then presents a fusion model both with and without an attention mechanism. This model has been trained and evaluated using VGG-16 and MobileNetV3. The study's most commendable aspect is its comprehensive performance assessment, employing Accuracy, F1-score, AUC, and Average Testing Time to provide a complete overview. This method identifies the optimal classification model for grape leaf diseases that is both computationally efficient and precise.

3.1 Preprocessing process

The Plant Village dataset have all grape leaf 4,062 image divided into 4 classes disease: Black Rot, Esca,. Leaf blight, and .Healthy. However, each class has a different number of images. Like Black rot 1,180 image, healthy 423 image etc. To avoid bias in model training and Poor accuracy for minority classes therefore balance each class has an equal number of images. and using the number of Esca images for main because Esca is the greatest number of images 1383 by using image augmentation techniques such as flipping, rotation, and scaling.

3.2 Proposed Model

The proposed model combines the best parts of VGG-16 with MobileNetV3. The design starts by running the VGG-16 and MobileNetV3 models on the same input image at the same time to find various features. We wish to combine the deep feature extraction of VGG-16 with the lightweight efficiency of MobileNetV3. After concatenation, the features from both pathways are combined into a feature vector that is more complex. Then, the model employs an attention mechanism to pick out the most essential parts of the unified vector that help it categorize illnesses. Finally, the updated features are looked at by fully connected layers of 512, 512, and 256 neurons to make the classification result.

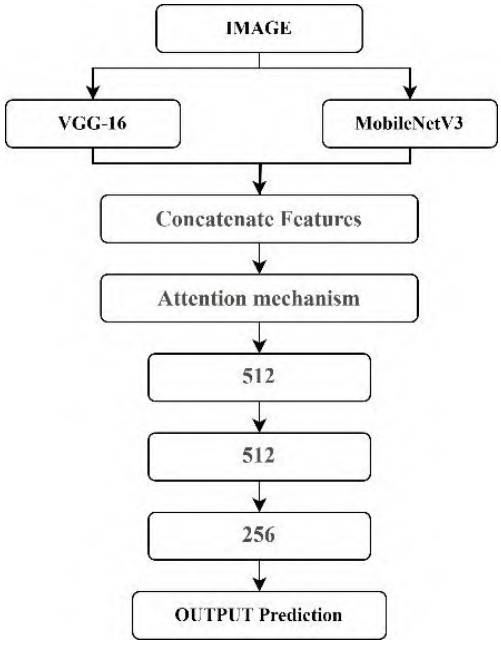

Fig. 3 Proposed model

To isolate and understand the specific contribution of the attention mechanism, the study also evaluated a modified version of the proposed network. This second model, referred to as the "simple fusion" model, follows the same initial architecture of concatenating features from VGG-16 and MobileNetV3 but omits the attention mechanism layer entirely. In this simplified structure, the combined feature vector is passed directly to the dense classification layers. Both the model with the attention mechanism and the simple fusion model were trained and tested, allowing for a direct comparison to quantify the performance improvement gained by integrating the attention component. For evaluation, we employed 10-fold cross-validation. In each fold, 80% of the dataset was allocated for training, 10% for validation, and 10% for

independent testing. All reported metrics (Accuracy, F1-score, AUC, and Testing Time) are the averages across folds, ensuring robustness and fairness in performance assessment.

Table 3 Hyperparameters

Hyperparameters	Parameter
Batch size	32
epochs	20
Learning late	1e-4
k-fold	10

Table 3 Hyperparameters shows the hyperparameters that were used during testing. For consistency, these parameters are used on all of the models examined in this study.

Attention Mechanism

To enhance the fused feature representation, we employed a self-attention mechanism inspired by Transformer-style attention. The concatenated feature vector $F \in R^{72,128}$ is passed into the attention module, which computes attention weights to emphasize informative features and suppress redundant ones. We adopted the scaled dot-product attention formulation introduced in Vaswani et al [12], which defines:

$$Attention(Q,K,V) = Softmax\left(\frac{QK^T}{\sqrt{d_k}}\right)V \quad (1)$$

where Q, K, and V are linear projections of the concatenated feature vector F, and d_k is the dimension of the key vectors. The attention-weighted output is then multiplied elementwise with FFF, yielding a refined representation before the classification layers.

3.3 Evaluation Matric

To evaluate the performance of each model, three key metrics were used: Accuracy, F1-score, and average testing time. Based on the confusion matrix, where each row shows predicted classes and each column shows actual classes, these metrics are derived from the number of true positives (TP), false positives (FP), true negatives (TN), and false negatives (FN) as follows.

$$Accuracy = \frac{TP + TN}{TP + TN + FP + FN} \quad (2)$$

$$Precision = \frac{TP}{TP + FP} \quad (3)$$

$$Recall = \frac{TP}{TP + FN} \quad (4)$$

$$F1 - Score = \frac{2 \times TP}{2 \times TP + FP + FN} \quad (5)$$

These metrics give a complete picture of each model's performance. Accuracy is a simple measure of correctness, but the F1-score balances Precision and Recall, ensuring the model is accurate and consistent in detecting positive cases. Additionally, average testing time is essential for assessing model feasibility. This integrated evaluation guarantees that the final model balances diagnostic accuracy, reliability, and computational efficiency, which is crucial for real-world implementation.

4. Result

Based on the study's results, the fusion model with an attention mechanism demonstrated the best performance for grape leaf disease classification, achieving the highest accuracy and F1-score. The fusion model incorporating an attention mechanism outperformed all other models, including the simple fusion model and the individual VGG-16 and MobileNetV3 base models. The key performance metrics for the evaluated models are summarized below:

Table 4 Performance of models

Model	Accuracy	F1-score	AUC
VGG-16	98.99	98.98	99.98
MobileNetV3	98.70	98.70	99.97
Simple-Fusion	99.22	99.22	99.99
Proposed Model	99.55	99.55	99.99

Results Table 4 demonstrate that the self-attention fusion achieves the best performance (Accuracy = 99.55%, F1 = 99.55%, AUC = 99.99%). While VGG-16 and MobileNetV3 alone were competitive, the fusion models consistently outperformed single architectures. Training history graphs illustrate the performance of four different models over 20 epochs in terms of accuracy and loss.

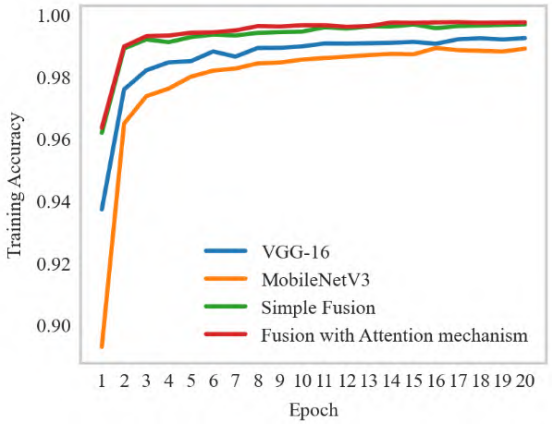

Fig. 2 Historical data of training accuracy

According to the training accuracy graph, all models improved over the 20-epoch training period, with the most significant gains occurring in the first few epochs. Throughout the training process, the fusion with attention mechanism model consistently achieved the highest accuracy. The simple fusion model performed at a level

slightly below the attention-based model. Both the VGG-16 and MobileNetV3 models demonstrated lower training accuracy when compared to the two fusion models.The training loss graph demonstrates a rapid decrease in error for all models within the initial epochs, followed by a more gradual decline.

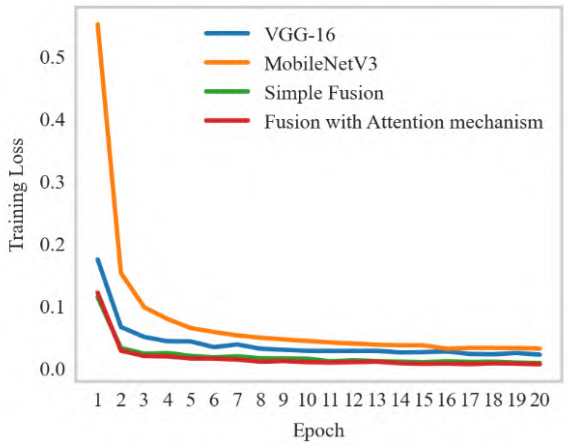

Fig. 3 Training loss of all models

As depicted in the training loss graph, the fusion with attention mechanism model consistently maintained the lowest training loss, indicating it was the most effective at minimizing errors during the training phase. The loss for the simple fusion model was slightly higher than that of the attention-based model. While MobileNetV3 started with a significantly high training loss, it improved rapidly. VGG-16 began with a lower loss than MobileNetV3; however, it was ultimately outperformed by both fusion models, which achieved lower final loss values.

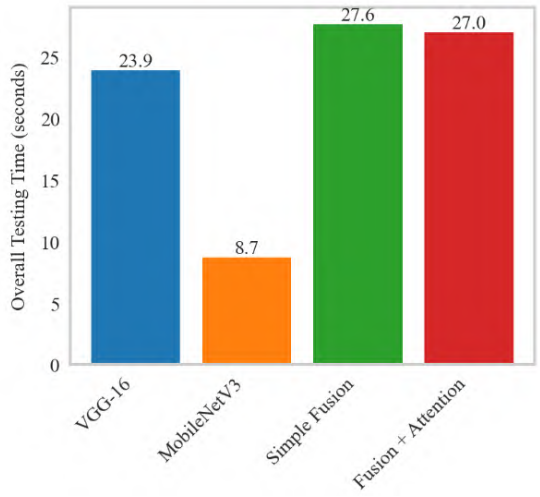

Fig. 4 Testing time of learning models

This bar chart illustrates the overall testing time in seconds for four different deep learning models: VGG-16, MobileNetV3, simple fusion, and fusion. with attention mechanism. The specific testing times recorded were 23.9 seconds for VGG-16, 8.7 seconds for MobileNetV3, 27.6 seconds for Simple Fusion, and 27.0 seconds for Fusion with Attention mechanism. Based on this data, MobileNetV3 is clearly the most computationally efficient model with the shortest testing time, while the Simple Fusion model is the least efficient, requiring the longest time to complete the testing process.

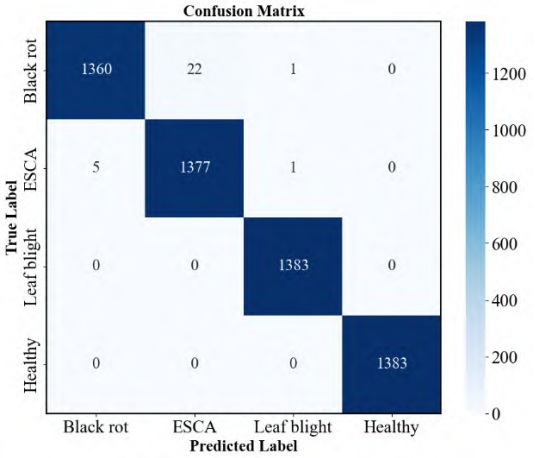

Fig. 5 Confusion Matrix of proposed model

This confusion matrix evaluates the classification performance of the proposed fusion with attention mechanism model across four distinct classes: Black rot, ESCA, Leaf blight, and Healthy. The matrix reveals that the model correctly classified 1360 instances of Black rot, 1377 of ESCA, 1383 of Leaf blight, and 1383 of Healthy. Misclassifications were minimal, with the most frequent error being the prediction of 22 Black rot samples like ESCA. Based on this data, the model demonstrates exceptionally high accuracy, achieving perfect classification for the Leaf blight and Healthy classes and showing only slight confusion between the two disease types, Black rot and ESCA.

5. Conclusions

This study successfully developed and evaluated a fusion model to improve the classification of grape leaf diseases. The results conclusively show that the proposed fusion model, which combines the VGG-16 and MobileNetV3 architecture and incorporates an attention mechanism, is the most effective. This model achieved the highest performance with an accuracy of 99.55%, an F1-score of 99.55%, and an AUC of 99.99% While the fusion models delivered superior accuracy, a trade-off with computational efficiency was observed. The Fusion with Attention mechanism model, despite its high accuracy, had a testing time of 27.0 seconds. In contrast, the standalone MobileNetV3 model was significantly faster, with a testing time of only 8.7 seconds, though its accuracy was lower at 98.70%

In conclusion, this research demonstrates that fusing different deep learning architectures and integrating an attention mechanism can lead to more accurate and robust solutions for real-world agricultural challenges like grape leaf disease detection. For future work, we aim to

optimize the model for practical deployment on edge devices such as Raspberry Pi or mobile phones, enabling real-time disease detection in vineyards. Additionally, we plan to expand comparisons to other fusion strategies, including ResNet + MobileNet and CNN-Transformer hybrids, and validate the approach on real-world vineyard datasets beyond Plant Village.

6. References

[1] Sandhu, H., Bottom-Up Transformation of Agriculture and Food Systems. Sustainability, 2021. **13**: p. 2171.
[2] Soni, T. Deep Learning for Accurate Grape Disease Classification with ResNet50. in 2024 5th International Conference on Smart Electronics and Communication (ICOSEC). 2024.
[3] Basha, S.J., et al. Comparative Analysis of Time Series Forecasting Models to Predict Amount of Rainfall in Telangana. in 2022 8th International Conference on Advanced Computing and Communication Systems (ICACCS). 2022.
[4] Kunduracioglu, I. and I. Pacal, Advancements in deep learning for accurate classification of grape leaves and diagnosis of grape diseases. Journal of Plant Diseases and Protection, 2024. **131**(3): p. 1061-1080.
[5] Mandal, R. and M. Kheir, Vineyard vigilance: Harnessing deep learning for grapevine disease detection. Journal of Emerging Investigators, 2024.
[6] Tyagi, K., Implementing Inception v3, VGG-16 and VGG-19 Architectures of CNN for Medicinal Plant leaves Identification and Disease Detection. Journal of Electrical Systems, 2024. **20**: p. 2493-2501.
[7] Yang, J., et al., Lightweight wavelet-CNN tea leaf disease detection. PLOS ONE, 2025. **20**(5): p. e0323322.
[8] Xie, X., et al., A Deep-Learning-Based Real-Time Detector for Grape Leaf Diseases Using Improved Convolutional Neural Networks. Frontiers in Plant Science, 2020. **Volume 11 - 2020**.
[9] Zhang, Z., et al., Deep Learning Based Automatic Grape Downy Mildew Detection. Frontiers in Plant Science, 2022. **Volume 13 - 2022**.
[10] Jin, H., et al., GrapeGAN: Unsupervised image enhancement for improved grape leaf disease recognition. Computers and Electronics in Agriculture, 2022. **198**.
[11] Koklu, M., et al., A CNN-SVM study based on selected deep features for grapevine leaves classification. Measurement, 2022. **188**: p. 110425.
[12] Vaswani, A., et al., Attention Is All You Need. in 31st Conference on Neural Information Processing Systems (NIPS 2017), 2017.

Tanawat Palamee is currently pursuing the B.S. degree in Electrical Engineering at the University of Phayao, Thailand. His research interests machine learning, and robotic agriculture.

Buntueng Yana (Member, IEEE) received B.Eng. and M.Eng. degrees in Electrical Engineering from Chiang Mai University, Thailand, in 2006 and 2009, respectively, and a Ph.D. in Information Science and Technology from Osaka University, Japan, in 2019. He is currently a lecturer with the Department of Electrical Engineering at the University of Phayao, Thailand, where he began his academic career. His research interests include robotics, automatic control, power generation, and the application of machine learning to medical applications.

Sitthichat meekhwan received the bachelor's degree in electrical engineering from the University of Phayao (UP), Phayao, Thailand, in 2019. He is currently studying for a master's degree at the Faculty of Engineering. His current research interests in Machine learning, deep learning, and robotic

Krisadakorn Khongsep He is currently studying for a bachelor's degree in the Faculty of Engineering, Department of Electrical Engineering, University of Phayao. Current research interests: machine learning.

Enhanced Breast Cancer Classification Using an Ensemble Learning Model

Sitthichat Meekhwan, Thanakarn Suangun*, Buntueng Yana

Department of Electrical Engineering, School of Engineering, University of Phayao, Thailand,
mr.sitthichat.n@gmail.com, *thanakarn.su@up.ac.th, mr.buntueng@gmail.com

Abstract

Breast cancer remains a significant global health crisis. And it is a leading cause of cancer-related mortality among women. The early and accurate diagnosis is a critical factor for improving patient prognosis and survival rates. While various machine learning classifiers have been applied to this problem, their performance has often been constrained by issues such as data imbalance and the limitations of individual algorithms. This study looks at these problems by creating and testing an ensemble learning method.

The WBCD dataset has 212 cancer samples and 357 benign samples to start with. To fix the imbalance in the cancer class, we first used the SMOTE technique to add to the dataset[1-4]. Subsequently, we apply t-SNE [5, 6] for dimensionality reduction, transforming the high-dimensional feature space into a lower-dimensional representation. This preprocessing step is intended not only to aid visualization but also to reduce model training and testing time. We propose an ensemble model that integrates K-NN, RF, and XGBoost as the foundation of the model, with LR serving as the meta-classifier to aggregate the model predictions.

We benchmarked the proposed model's performance against the individual base models. Experimental results demonstrate that the proposed ensemble model achieves superior classification accuracy. We achieve the accuracy at 98.50 percents. Furthermore, our findings confirm that the application of t-SNE significantly reduces the computational time required for training and testing. Ensemble models present a powerful and efficient model for breast cancer classification.

Keywords: Breast cancer classification, t-SNE, SMOTE, ensemble model

1. Introduction

Breast cancer is still a major health issue that kills a lot of women around the world. The World Health Organization (WHO) reports that every year, over 2.3 million new cases of breast cancer are found [7] and about 685,000 people die from it. The 2022 global cancer statistics report backs this up by showing that breast cancer is the most frequent type of cancer in women in 185 countries. It makes up 1.6% of all cancer cases and has a death rate of up to 6.9%[8]. This is a big problem for public health. Crucially, early diagnosis of breast cancer enables patients to receive prompt treatment. It is significantly reducing mortality rates.

Traditional breast cancer diagnosis often relies on the histopathological analysis of tissue samples by pathology experts. Even though this is still the standard way to do things, it can be hard and take a long time due of things like inter-observer variability. Different pathologists may look at the same sample and come to different results. Doing the same thing again can also make you fatigued, which could impair how accurate the diagnosis is. Machine Learning (ML) methods are an interesting way to improve this procedure. ML can be a very useful tool for doctors because it can quickly and objectively analyse complex data. The ML algorithms could be able to speed up the time it takes to make a diagnosis and make the results more reliable overall. So, the goal of this study is to create a better ML model that will make breast cancer categorisation more accurate and faster.

Many studies have investigated how different ML approaches may classify breast cancer. It is general knowledge that the accuracy rates that come out of this process depend a lot on the algorithms used and the specific features of the datasets used. Single-classifier models rarely work as well as they should. We use the Wisconsin Breast Cancer Diagnosis (WBCD) dataset to test how well our proposed method performs. This dataset is a common benchmark in the area, so we can compare it directly to other work.

2. literature review

To develop a robust classification model, two key stages are critical: effective data preprocessing and implementing advanced classification algorithms. This review examines seminal works in both areas, focusing first on dimensionality reduction and feature selection techniques. And second, we use the power of models that learn together.

2.1 Choosing Features and Reducing Dimensions

Medical diagnostics often use high-dimensional data, but it's hard to deal with because it makes calculations harder and raises the risk of overfitting. Before processing, one of the most important things to perform is to get rid of some data dimensions while maintaining the most important ones. A lot of individuals use Variable Importance Measures (VIM), Principal Component Analysis (PCA), and t-Distributed Stochastic Neighbour Embedding (t-SNE) to do this.

The PCA is a linear dimensionality reduction method that takes a high-dimensional feature space and turns it into a lower-dimensional features space by making a new collection of uncorrelated variables, or principal components, that keep as much of the original data's variance as workable. Haq et al. [9] looked at how well PCA, Relief, and auto-encoders worked for feature

*Corresponding Author: Thanakarn Suangun

selection. Their results revealed that Relief works well, but they also said that PCA is especially good for some models, such as linear Support Vector Machines (SVMs). Sahu et al. [10] used PCA to make high-dimensional data smaller before using additional methods. They concluded PCA is a crucial part of making data smaller, which makes the model run more efficiently.

VIM Another way to choose features is VIM, which finds the most important predictors in a dataset. It often makes use of the built-in features of a Random Forest (RF) algorithm. Huang et al. [11] used VIM based on the Gini index to quantify the importance of data characteristics. This technique made it possible to choose the most distinguishing aspects of breast cancer tumours. This made the dataset easier to work with and made their final model more accurate.

t-SNE allows visualization of a dataset in two or three dimensions by reducing its number of dimensions. The main goal of t-SNE is to show a complicated data structure in a space with fewer dimensions while keeping the integrity of the local neighbourhood. This method works well at showing hidden clusters. Neto et al. [5] successfully used t-SNE to reduce data dimensionality. This highlights its usefulness as an unsupervised method. Similarly, Mera et al. [6] used t-SNE with the objectives of reducing data complexity, preserving overall data structure, and visualizing data clusters for human interpretation. In their research, they employed t-SNE as a complementary analysis tool alongside Probabilistic Latent Semantic Analysis (PLSA), demonstrating its power in uncovering subtle relationships within a dataset.

2.2 Ensemble Learning for Enhanced Classification

When applying the ML technique classification task, there are two important steps: data pre-processing and learning model selection. While single classifiers are often effective, ensemble models have gained prominence for base models' ability to deliver superior performance. As Naseem et al. [12] state, the goal of using an ensemble model is to achieve performance that surpasses that of any individual constituent model. By combining classifiers, an ensemble can learn more complex patterns and produce results that are more robust and accurate. For instance, Naseem et al. [12] developed an ensemble combining SVM, Logistic Regression (LR), Naive Bayes (NB), Decision Tree (DT), and an Artificial Neural Network (ANN), achieving an impressive accuracy of 98.83%.

Ensemble voting, a common and powerful ensemble strategy, combines predictions from multiple individual models to produce an output prediction. Sahu et al. [10] employed an ensemble that combined the predictive capabilities of RF, SVM, LR, and Gradient Boosting (GB). In their final stage, a soft voting mechanism was used to aggregate predictions. This method operates by averaging the class probabilities from each base model to determine the final classification. A key strength of this approach is that soft voting inherently ensures that predictions from models with higher confidence. The model has a greater influence on the outcome. When compared to individual classifiers, this technique leads to improved generalization and a reduced risk of overfitting. Ultimately, combining diverse classifier types enhances the model's overall robustness. And this strategy makes it more resilient to the individual biases and errors of any single model

3. Methodology

The method of this study is systematically designed to build. As outlined in the workflow in Fig. 1, the process encompasses five key stages, from initial data handling to final comparative analysis.

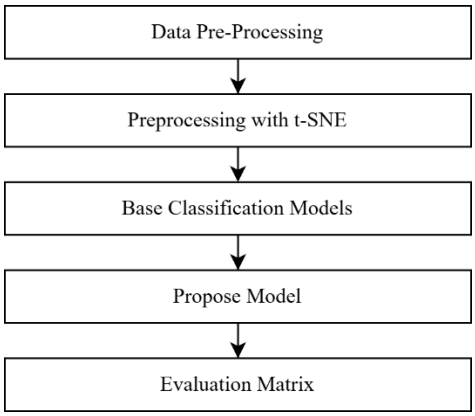

Fig. 1 Overview of the proposed methodology

We begin with a data preprocessing phase where the inherent class imbalance in the WBCD dataset is addressed using the Synthetic Minority Over-sampling Technique (SMOTE). The preprocessing is followed by the application of t-SNE for dimensionality reduction because we want to optimize the computation time and model accuracy. Next, a suite of diverse base models is trained and tested to establish a performance benchmark. These baseline results then provide the foundation for developing our proposed model: a novel ensemble that strategically combines the predictive power of top-performing base learners. To ensure the reliability of our findings, a stratified 10-fold cross-validation scheme is applied. Finally, the proposed model is compared with the base models using a range of standard evaluation metrics to quantify its effectiveness.

3.1 Data Pre-processing

This study utilizes the publicly available, WDBC dataset. The dataset comprises 569 samples, with 212 classified as malignant (M) and 357 as benign (B). While analyzing the dataset, the distribution reveals a class imbalance. The data distribution can introduce bias into the ML model and lead to unreliable predictions. To address this imbalance, we employ SMOTE, a widely adopted method, for this purpose. SMOTE works by generating new synthetic samples for the minority class based on the feature space similarities of existing minority samples. Following the best practices recommended by

Ahmad et al. [1] and Rahman et al. [2], the SMOTE procedure was applied only to the training data within each fold of our cross-validation process. This critical step prevents data leakage from the synthetic samples into the test set. While ensuring that our performance metrics provide an unbiased estimate of the model's generalization ability. This process balanced the classes and expanded the training set, creating a more robust foundation for model training.

3.2 Preprocessing with t-SNE

The original WDBC dataset contains 30 features, creating a high-dimensional space that is difficult for humans to visualize and can increase model computation time. To address this, we apply t-SNE for dimensionality reduction. The primary goal of using t-SNE is to convert the high-dimensional data into a low-dimensional space while preserving the local neighbourhood structure. This allows for effective visualization of the data. And it is possible to qualitatively assess the separability of the malignant and benign clusters, as shown in Fig. 2. A secondary aim is to investigate the impact of this dimensionality reduction on the model's training and testing time.

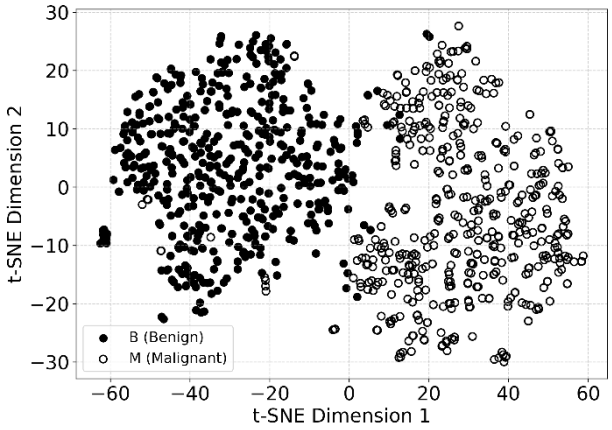

Fig. 2 Visualisation of the dataset after applying t-SNE

This graph shows the transformation from a high-dimensional space to a two-dimensional space.

3.3 Base Classification Models

To establish a performance baseline, we evaluated six well-established ML algorithms. We selected these models to represent a diverse range of learning strategies.

1. Support Vector Machine: It is a classification algorithm that finds an optimal hyperplane that maximizes the margin between two classes in the feature space.
2. Random Forest: An ensemble learning model comprising a multitude of decision trees. It operates by constructing trees on random subsets of the data and features, and outputs the class that is the mode of the classes' output by individual trees, improving accuracy and controlling for overfitting.
3. Extreme Gradient Boosting: An advanced and efficient implementation of the gradient boosting framework. It builds decision trees sequentially, where each new tree corrects the errors of the previous one, resulting in a highly accurate predictive model.
4. Logistic Regression: A linear model used for binary classification. It models the probability of a discrete outcome by passing a linear combination of the input features through a sigmoid function.
5. K-Nearest Neighbors: An instance-based, non-parametric algorithm. It classifies a new data point based on the majority class of its 'k' nearest neighbors in the feature space.
6. Artificial Neural Network: A computational model inspired by biological neural networks. It consists of interconnected layers of "neurons" that learn complex, non-linear relationships between input and output data

3.4 Propose Model

Building upon the base models, we propose an ensemble classifier to enhance predictive performance. The architecture of our proposed model is detailed in Fig. 3. Stacking is an ensemble technique that combines multiple classification models by training a meta-model to make the final prediction based on the predictions generated by the base learners.

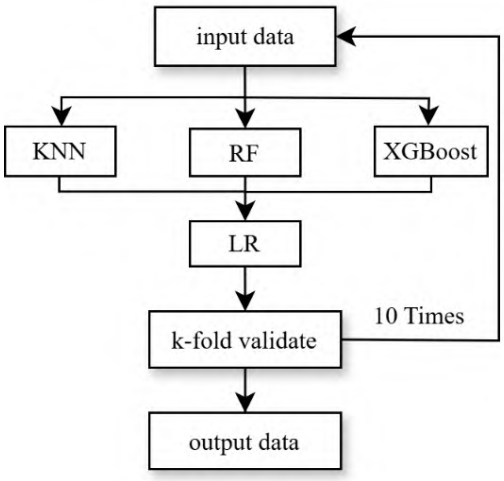

Fig. 3 Proposed model

Our model uses K-NN, RF, and XGBoost as the base learners. This selection intentionally combines a K-NN instance-based model with two powerful, rule-based tree ensembles: RF and XGBoost. The rationale is that their diverse learning approaches capture different aspects of the data, and their weaknesses can be mutually offset. For instance, while K-NN can be sensitive to noise, tree-based models like RF are more robust to such data.

The predictions from these three base models are then used as input features to train a meta-model. For this role, we selected LR because it is an excellent choice for a meta-model. It is computationally efficient, its simple

linear nature reduces the risk of overfitting on the base model predictions, and it is highly effective at learning the optimal weights to combine the predictions from the base learners.

3.5 Evaluation Matrix

To ensure the robustness and generalizability of our results, we employ a 10-fold cross-validation strategy, a standard and reliable technique in ML [13]. In this method, the dataset is partitioned into ten equal-sized subsamples. One subsample is retained as the test set, and the remaining nine are used for training. This process is repeated ten times, with each subsample used exactly once as the test data. The average of the results from all ten folds is the final performance. This method makes sure that the model's performance isn't affected by how the data is split at the start, and it gives a more accurate prediction of how well it will work on new data.

We use several standard evaluation metrics based on the model's parts to measure how well it classifies things. These are True Positives (TP), True Negatives (TN), False Positives (FP), and False Negatives (FN). The matric that we measure in this work are accuracy, precision, sensitivity, and specification. These matric are computed using these equations.

$$\text{Accuracy} = \frac{TP+TN}{TP+TN+FP+FN} \quad (1)$$

$$\text{Precision} = \frac{TP}{TP+FP} \quad (2)$$

$$\text{Sensitivity} = \frac{TP}{TP+FN} \quad (3)$$

$$\text{Specification} = \frac{TN}{TN+FP} \quad (4)$$

We recorded computational time as a key factor in evaluating the model during training and testing.

4. Results and Discussions

This section presents the performance evaluation of the proposed ensemble model against the six base models. We analyzed the results in two key areas: first, the overall classification performance on the original dataset, and second, the specific impact of using t-SNE for dimensionality reduction on both model accuracy and computational efficiency.

4.1 Comparative Classification Performance

The primary aim of this research was to develop a model with superior diagnostic accuracy. We trained and evaluated all models using a 10-fold cross-validation scheme. The comprehensive performance results, including accuracy, precision, sensitivity, specificity, and testing time, are summarized in Table 1.

Table 1 Comparison models on t-SNE dataset.

MODEL	Acc (%)	Pre (%)	Sen (%)	Spe (%)	Testing time(ms)
SVM	97.30	97.20	97.37	97.26	53
RF	98.00	98.02	97.96	97.98	81
XG Boost	97.60	97.84	97.36	97.59	62
LR	97.00	96.85	97.13	96.97	70
K-NN	97.10	97.17	96.88	97.01	88
ANN	96.30	95.48	97.54	96.48	43
Propose	**98.50**	**98.23**	**98.76**	**98.49**	81.3

Table 1 shows that the proposed model does the best on almost all the evaluation metrics. It had a top-notch accuracy of 98.50% and a sensitivity of 98.76%. This result is better than that of the best single classifiers, RF (98.00% accuracy) and XGBoost (97.60% accuracy). The model's very high sensitivity is very impressive because it means that it can reliably detect real malignant cases very well, which is very important in a clinical diagnostic scenario.

The superior performance of the proposed model can be attributed to its sophisticated stacking architecture. It effectively combines the strengths of diverse algorithms: the robustness of rule-based ensembles like RF and XGBoost and the local similarity detection of the instance-based K-NN model. The Logistic Regression meta-learner then learns the optimal way to weigh the predictions from these base models, creating a final decision that is more robust and accurate than any single model could achieve on its own.

4.2 Impact of t-SNE on Accuracy and Testing Time

A secondary objective was to investigate the trade-off between dimensionality reduction and performance. As illustrated in Figure 4, applying t-SNE to reduce the feature set from 30 to 2 resulted in a slight reduction in accuracy across all models.

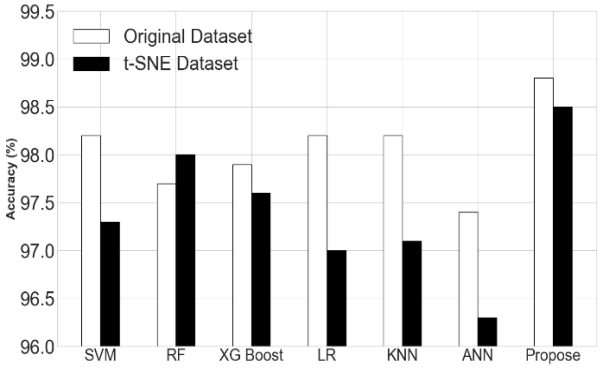

Fig. 4 Model cccuracy: original vs. t-SNE data

As expected, the dimensionality reduction process resulted in a slight loss of discriminative information and a corresponding decrease in accuracy for all models. However, the proposed model consistently outperformed the base models on both the original and the t-SNE-transformed data. Fig. 4 presents a bar graph comparing the accuracy of the proposed model against the base

models for both datasets, illustrating this superior performance even with the reduced feature set.

We also plot the training and testing time of all models before and after utilizing t-SNE as illustrated in Fig. 5 and Fig. 6, respectively.

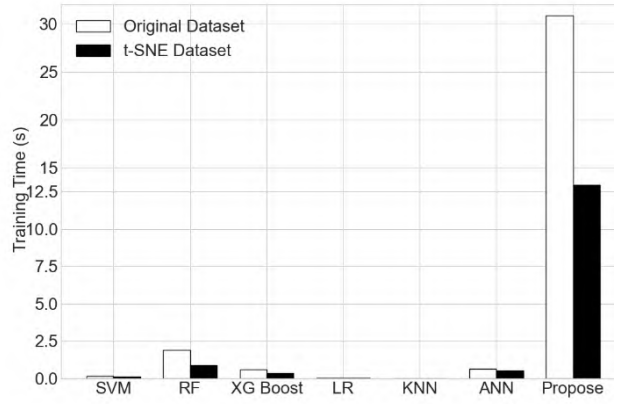

Fig. 5 Training time of before and after utilizing t-SNE

As expected, applying t-SNE to reduce the feature dimensions resulted in a significant decrease in computational time for all models. The results in Fig. 5 and Fig. 6 confirm that the t-SNE preprocessing step effectively reduces the computational overhead.

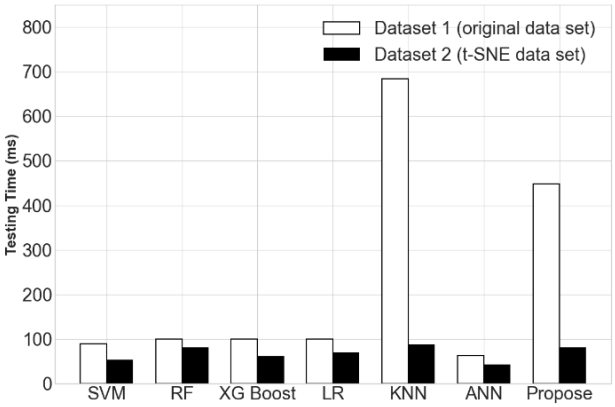

Fig. 6 Testing time of before and after utilising t-SNE

Conversely, the primary benefit of using t-SNE is a dramatic reduction in model training and testing time, as shown in Fig. 5 and Fig. 6. The K-NN method gets the biggest boost in computing efficiency. This is because K-NN's computational complexity depends a lot on how many dimensions the data has. By cutting the number of features from 30 to 2, the distance computations for each test point become much faster. This impact is less noticeable in tree-based models like RF and XGBoost since they mostly do value comparisons at nodes instead of distance computations in high-dimensional space. These results show that t-SNE is a very useful preprocessing step for applications where speed is very important.

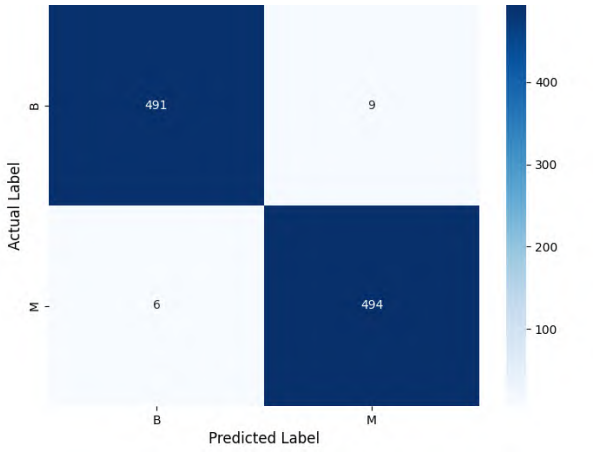

Fig 6 Confusion matrix of ensemble model

In Fig. 6 Confusion matrix of ensemble model is a confusion matrix of ensemble model for binary classification. It refers to performing the model to classify ALL.

Conclusions

This research successfully developed and validated an ensemble model for breast cancer diagnosis that shows superior performance over several individual classifiers. The experimental results confirm two primary conclusions.

First, the proposed model, which integrates RF, XGBoost, and K-NN as base learners with a Logistic Regression meta-classifier, achieved an outstanding accuracy of 98.5%. This performance surpasses that of all evaluated base models, establishing our ensemble approach as a highly effective and accurate diagnostic tool. The model's high sensitivity underscores its potential clinical value in correctly identifying malignant cases.

Second, this study quantified the trade-off between accuracy and computational efficiency introduced by dimensionality reduction. Using t-SNE, we shortened the model's training and testing time by transforming the high-dimensional data into a low-dimensional space. This effect was strongest for the suggested ensemble model, which went from taking 448ms to test on the original dataset to 81.3ms on the t-SNE dataset. The ensemble model's performance was still better than the base models, even though it took less time and was slightly less accurate.

In short, our work shows that a strong ensemble model can accurately classify breast cancer. It also shows that t-SNE pretreatment can help find a great balance between high accuracy and much better computing efficiency. In the future, researchers could investigate using this model on other, larger medical imaging datasets and look into using additional non-linear dimensionality reduction methods.

5. References

1. Ahmad, A., et al. *Vehicle Recognition using Multi-Layer Perceptron and SMOTE Technique*. in *2022 2nd International Conference of Smart Systems and Emerging Technologies (SMARTTECH)*. 2022.
2. Rahman, M.A., et al., *Enhancing Early Breast Cancer Detection Through Advanced Data Analysis.* IEEE Access, 2024. **12**: p. 161941-161953.
3. Anklesaria, S., et al. *Breast Cancer Prediction using Optimized Machine Learning Classifiers and Data Balancing Techniques*. in *2022 6th International Conference On Computing, Communication, Control And Automation (ICCUBEA*. 2022.
4. Chen, H., et al., *Auxiliary Diagnosis of Breast Cancer Based on Machine Learning and Hybrid Strategy.* IEEE Access, 2023. **11**: p. 96374-96386.
5. Neto, A.C., A.L.M. Levada, and M.F.C. Haddad, *Supervised t-SNE for Metric Learning With Stochastic and Geodesic Distances.* IEEE Canadian Journal of Electrical and Computer Engineering, 2024. **47**(4): p. 199-205.
6. Mera, M., et al., *A Study of the Relationship Between Driving and Health Based on Large-Scale Data Analysis Using PLSA and t-SNE.* IEEE Access, 2024. **12**: p. 99614-99659.
7. Shandilya, S. and C. Chandankhede. *Survey on recent cancer classification systems for cancer diagnosis*. in *2017 International Conference on Wireless Communications, Signal Processing and Networking (WiSPNET)*. 2017.
8. Bray, F., et al., *Global cancer statistics 2022: GLOBOCAN estimates of incidence and mortality worldwide for 36 cancers in 185 countries.* CA: A Cancer Journal for Clinicians, 2024. **74**(3): p. 229-263.
9. Haq, A.U., et al., *Detection of Breast Cancer Through Clinical Data Using Supervised and Unsupervised Feature Selection Techniques.* IEEE Access, 2021. **9**: p. 22090-22105.
10. Sahu, P.K. and T. Fatma, *Optimized Breast Cancer Classification Using PCA-LASSO Feature Selection and Ensemble Learning Strategies With Optuna Optimization.* IEEE Access, 2025. **13**: p. 35645-35661.
11. Huang, Z. and D. Chen, *A Breast Cancer Diagnosis Method Based on VIM Feature Selection and Hierarchical Clustering Random Forest Algorithm.* IEEE Access, 2022. **10**: p. 3284-3293.
12. Naseem, U., et al., *An Automatic Detection of Breast Cancer Diagnosis and Prognosis Based on Machine Learning Using Ensemble of Classifiers.* IEEE Access, 2022. **10**: p. 78242-78252.
13. Ni, X., et al., *Classification of Aviation Incident Causes using LGBM with Improved Cross-Validation.* Journal of Systems Engineering and Electronics, 2024. **35**(2): p. 396-405.

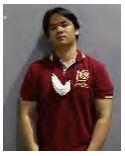

Sitthichat meekhwan received the bachelor's degree in electrical engineering from the University of Phayao (UP), Phayao, Thailand, in 2019. He is currently studying for a master's degree at the Faculty of Engineering. His current research interests in Machine learning, deep learning, and robotic

Thanakarn Suangun received B.Eng., M.Sc. in Communication Engineering, and Ph.D. degrees in Electrical Engineering from King Mongkut's University of Technology North Bangkok (KMUTNB), Thailand, in 2006, 2009, and 2020, respectively. Since 2012, he has been a lecturer at the Department of Electrical Engineering, School of Engineering, University of Phayao, Thailand. His research interests include RF/microwave, multiband small antennas for communication applications, and automation.

Buntueng Yana (Member, IEEE) received B.Eng. and M.Eng. degrees in Electrical Engineering from Chiang Mai University, Thailand, in 2006 and 2009, respectively, and a Ph.D. in Information Science and Technology from Osaka University, Japan, in 2019. He is currently a lecturer with the Department of Electrical Engineering at the University of Phayao, Thailand, where he began his academic career. His research interests include robotics, automatic control, power generation, and the application of machine learning to medical applications.

การวิเคราะห์ค่า Round Trip Time เพื่อการตรวจจับจุดเชื่อมต่อปลอมในเครือข่ายไร้สาย

Round Trip Time Analysis for Detecting Rogue Access Points in Wireless Networks

ภูธเนศ เมฆพยม[1]* ณัฐพงษ์ จันทร์แดง[2]

[1]บัณฑิตศึกษา สาขาวิชาวิศวกรรมคอมพิวเตอร์ คณะวิศวกรรมศาสตร์และเทคโนโลยี มหาวิทยาลัยเทคโนโลยีมหานคร phuthanet@mut.ac.th*

[2]สาขาวิศวกรรมคอมพิวเตอร์ สถาบันนวัตกรรมมหานคร คณะวิศวกรรมศาสตร์และเทคโนโลยี มหาวิทยาลัยเทคโนโลยีมหานคร jnattapo@mut.ac.th

บทคัดย่อ

บทความนี้มุ่งเน้นการศึกษาวิธีการตรวจจับ และการป้องกันการโจมตีที่เกิดขึ้นจากสถานีแม่ข่ายปลอม โดยเฉพาะในเครือข่าย WLAN 802.11 ที่เสี่ยงต่อจุดเชื่อมต่อที่เป็นภัย Rogue Access Points โดยมีการจำลองการโจมตีแบบ Man in The Middle เพื่อวิเคราะห์ผลกระทบอย่างเป็นระบบ นอกจากนี้ ยังได้ใช้ข้อมูลที่ได้จากการทดลองมาผ่าน อัลกอริธึม K-means เพื่อจำแนกสถานีแม่ข่ายที่เป็นภัย บนความนี้ยังเสนอคำแนะนำในการเพิ่มความปลอดภัยสำหรับเครือข่าย ระดับบุคคล และองค์กร

คำสำคัญ: สถานีแม่ข่ายปลอม, ภัยคุกคาม, Rogue Access Points, Man in the Middle, WLAN, WIFI

Abstract

This article focuses on studying methods for detecting and preventing attacks originating from rogue access points, especially in WLAN 802.11 networks, which are vulnerable to malicious connection points. A Man-in-the-Middle attack simulation is used to systematically analyze the impact. Additionally, data obtained from experiments is processed through the K-means algorithm to classify malicious access points. Based on this, the article provides recommendations for enhancing security at both the individual and organizational network levels.

Keywords: Rogue Access Points, Man in the Middle, WLAN, WIFI

บทนำ

ในช่วงไม่กี่ปีที่ผ่านมาระบบเครือข่ายไร้สาย ได้มีการเติมโตขึ้นอย่างรวดเร็ว และมีการใช้งานแพร่หลายเป็นอย่างมาก ทุกสถานที่ ที่สัญญาณเข้าถึงจะต้องมีเครือข่ายไร้สาย เกิดการเปลี่ยนแปลงเข้าสู่การทำงานระยะไกล และการเรียนออนไลน์ โดยเฉพาะช่วงการระบาดของไวรัสโคโรนา ทำให้เพิ่มการใช้งานเครือข่ายเหล่านี้มากยิ่งขึ้น และมันกลายเป็นสิ่งสำคัญที่ไม่สามารถขาดได้ไปแล้วในปัจจุบัน ซึ่งการใช้งานที่มากมายกลายเป็นปัญหาที่สำคัญอย่างยิ่ง ทางด้านความปลอดภัยของระบบเครือข่ายเหล่านี้ [3][4] มีผู้ประสงค์ร้ายเหล่านี้ที่เป็นภัยพยายามที่ใช้ช่องโหว่ของ ระบบที่ในการหลอกลวงเหยื่อ ด้วยวิธีต่างๆ ผ่านเครือข่ายไร้สาย โดยเฉพาะ การหลอกขโมยข้อมูลส่วนบุคคล[4][7] หรือเรียกว่า Man-in-the-Middle (MitM) [2][3][5][6]เป็นปัญหาด้านความปลอดภัยอย่างชัดเจน ผู้ประสงค์ร้ายเหล่านี้จะใช้วิธีการตั้ง แม่ข่ายปลอม หรือ Rogue Access Points (RAP) ในการหลอกลวงให้เหยื่อเข้าไปใช้งาน ระบบเครือข่ายไร้สาย WI-FI เพื่อหลอกเอาข้อมูลส่วนบุคคลโดยอาศัย การตั้งแม่ข่ายฟรีตามสถานที่ต่างๆ ทำให้เหยื่อหลงกล ไปเชื่อมต่อกับเครือข่าย เช่น โรงแรมที่มี WIFI ฟรี, ร้านกาแฟ,สถานที่สาธารณะ การเติบโตของจำนวน Access Point ทั่วโลกตั้งแต่ปี 2018 จนถึงปี 2023 คาดการณ์ว่ามีการตั้ง WIFI สาธารณะทั่วโลกถึง ล้านจุดในปี 2022 ซึ่งเป็น สี่เท่าของจำนวนที่มีอยู่ในปี 2018 [1][2][3] ตัวเลขนี้แสดงให้เห็นถึง การเติบโตอย่างมีนัยสำคัญของการใช้งาน Access Point สาธารณะ

ในยุคดิจิทัลที่การใช้งานเครือข่ายแบบไร้สาย หรือ WLAN กำลังเติบโตอย่างรวดเร็ว ความปลอดภัยของเครือข่ายเหล่านี้ กลายเป็นปัญหาที่สำคัญยิ่ง การโจมตีโดยใช้ Rogue Access Point (RAP) ซึ่งเป็นการติดตั้งจุดเชื่อมต่อปลอมใน เครือข่ายเพื่อหลอกลวงผู้ใช้และขโมยข้อมูลส่วนตัวเป็นหนึ่ง ในภัยคุกคามที่ซับซ้อนและร้ายแรงที่สุดของเครือข่ายไร้สาย RAP สามารถใช้ในหลากหลายรูปแบบของการโจมตี RAPs ถือเป็นหนึ่งในภัยคุกคามที่ร้ายแรงที่สุดและซับซ้อนที่สุดต่อความปลอดภัยของเครือข่ายไร้สาย WLAN [1][2][7]

ความเสี่ยงเหล่านี้ได้กระตุ้นให้นักวิจัยและ ผู้เชี่ยวชาญในด้านความปลอดภัยพัฒนาวิธีการตรวจจับและ ป้องกันการโจมตีเหล่านี้อย่างต่อเนื่อง การตรวจจับ RAP ได้รับความสนใจอย่างมากในวงการวิจัย โดยวิธีการที่ถูกนำเสนอในบทความนี้ รวมถึงการวิเคราะห์ลักษณะสัญญาณ Round Trip Time (RTT) รวมถึงการใช้เทคโนโลยี Machine Learning ในการจำแนกและตรวจจับ RAP โดย เทคนิคที่ได้รับการศึกษาและพัฒนามีทั้ง K means Clustering เพื่อหาค่า Threshold และ ทำความสะอาดข้อมูลเพื่อเพิ่มความแม่นยำในการตรวจจับวัตถุประสงค์หลักของ บทความนี้คือการพัฒนาและประเมินประสิทธิภาพของ วิธีการตรวจจับ RAP ที่สามารถใช้งานได้จริงในสถานการณ์ เครือข่ายไร้สายที่มีความหลากหลายและซับซ้อน โดยเน้น การใช้เทคโนโลยี Machine Learning และการวิเคราะห์ สัญญาณเพื่อเพิ่มความปลอดภัยและลดความเสี่ยงจาก การโจมตีทางไซเบอร์ในเครือข่าย WLAN

*ผู้ประพันธ์บรรณกิจ

โดยการจำลองสภาพแวดล้อมขึ้นมา เพื่อใช้ในการทดสอบ โดยจะมี Access Point ที่เป็นแม่ข่ายจริง มีการใช้งานปกติและ อุปกรณ์อื่นต่อพ่วงในเครือข่ายทั้งหมด 15 อุปกรณ์ ได้แก่ มือถือ 5 เครื่อง,สมาท์ตทีวี 1 เครื่อง ,กล่องวงจรปิด 3 อุปกรณ์,อุปกรณ์ IOT 4 อุปกรณ์ และ NAS จะทำการจำลอง Rogue Access Point (RAP) แม่ข่ายปลอมขึ้นมา ในระบบ โดยกำหนด SSID และ Password ให้เหมือนกับ Access Point ตัวจริง

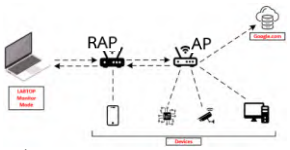

รูปที่ 1 แบบการจำลองระบบเครือข่าย

การออกแบบข้อมูล

ในการออกแบบการเก็บข้อมูลจะใช้คำสั่งที่ผู้ใช้สามารถเข้าถึงได้ง่ายและมีใช้งานทั่วไป และเป็นมาตฐานสำหรับ โดยอาศัย แพ็กเกต ICMP (Internet Control Message Protocol) โดยให้ทำการ Echo Request ไปยังโฮสต์ปลายทาง และรอรับแพ็กเก็ต ICMP Echo Reply กลับมา ด้วยคำสั่ง Ping ไปที่ Google โดยคำสั่งทั้งหมดจะทำงานบน Python Code ที่ได้ทำการสร้างไว้สำหรับเก็บข้อมูลโดยเฉพาะ แบ่งเป็นการบันทึก แบบ No Load ทั้งหมด 500 Record, แบบมีข้อมูล 3MB ทั้งหมด 500 Record, แบบมีข้อมูล 5MB ทั้งหมด 500 Record, แบบมีข้อมูล 7MB ทั้งหมด 500 Record รวมเป็น ข้อมูลทั้งหมด 2000 Record ข้อมูลทั้งหมดบันทึกในช่วงเวลาเร่งด่วน [8] ประมาณ 20.00 น. ตามเวลาประเทศไทย การเก็บข้อมูลจะเก็บ สัญญาณ Access Point แม่ข่าย และ เก็บสัญญาณ Rogue Access Point แม่ข่ายปลอม รูปแบบข้อมูลทั้งสอง ที่ได้เป็นรูปแบบ ดังนี้

Algorithm 1 Record Data

```
1: FUNCTION run_ping(sizes_mb, counts, target):
2:    /*GET file name from user*/
3:    /*CREATE CSV file and write header*/
4:    INIT empty queue
5:    FOR each size in sizes_mb:
6:       FOR i = 1 to counts[size]:
7:          /*ADD packet_size to queue*/
8:    WHILE queue not empty:
9:       /*GET packet_size from queue*/
10:      /*RUN ping with that size to target*/
11:      IF reply found:
12:         /*EXTRACT IP, bytes, time, TTL*/
13:         /*APPEND result to CSV*/
14: Return 0
```

ในช่วงเวลาที่มีการสื่อสารโปรแกรมจะทำการ เก็บเวลาไปกลับระหว่าง Access Point กับ Server ของ Google โดยจะรับข้อมูลเข้า เป็นจำนวนขนาด sizes_mb(No Load, 3MB, 5MB, 7MB) [4], จำนวน Count 500 ครั้งต่อ Load และ Target จะเป็น Google.com และ Return ค่า RTT ออก โดยใช้ผ่านสัญญาณ 2.4G

	No.	Size	IP Address	Bytes	Time (ms)	TTL
0	1	No Load	104.26.9.179	32	5	57
1	2	No Load	104.26.9.179	32	4	57
2	501	3MB	104.26.9.179	3072	13	57
3	502	3MB	104.26.9.179	3072	8	57
4	1001	5MB	104.26.9.179	5120	8	57
5	1002	5MB	104.26.9.179	5120	14	57
6	1501	7MB	104.26.9.179	7168	8	57
7	1502	7MB	104.26.9.179	7168	8	57

รูปที่ 2 ข้อมูลจากการบันทึก

การจัดการข้อมูล

หลังจากได้ข้อมูลที่ผ่านการบันทึกด้วย Algorithm 1 มาจะได้รูปแบบข้อมูลดัง รูปที่ 1 จะมีต้องทำความสะอาดข้อมูลโดย การทำ EDA (Exploratory Data Analysis) ด้วย IQR Method คือการสำรวจและวิเคราะห์ข้อมูล พร้อมกับ ตัดค่า outliers โดยใช้เทคนิค IQR ซึ่งช่วยให้เราเข้าใจข้อมูลได้ดีขึ้น และลดผลกระทบของค่าที่ออกนอกช่วงมากเกินความจำเป็น

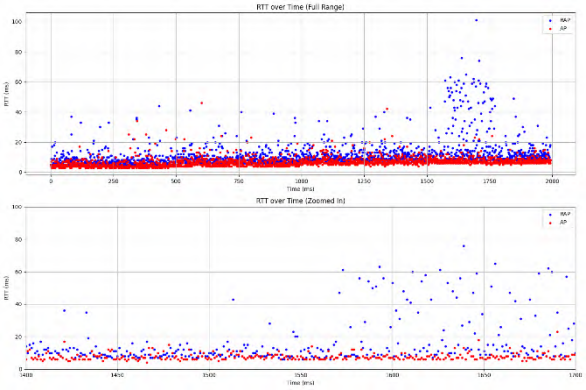

รูปที่ 3 สัญญาณ RTT ของ AP,RAP

จากกราฟสัญญาณ AP และ RAP โดยสีแดงจะเป็น AP และ สีน้ำเงินจะเป็น RAP ที่ยังไม่ผ่านการ EDA และ IQR Method จะสังเกตุเห็นว่า RTT ที่เป็น RAP รูปที่ 3 ภาพที่ 2 จะเป็นการขยายช่วงให้เห็นว่ามีการออกนอกช่วงอย่างชัดเจน โดยแกน X จะเป็น สัญญาณ RTT และ แกน Y เป็นเวลา

การทดลอง

การทดลองนี้ ได้นำเสนอขั้นตอนการตรวจจับ Rogue Access Point โดยใช้ข้อมูล Round Trip Time ภายใต้โหลดต่าง ๆ เช่น No Load, 3MB, 5MB และ 7MB โดยมีเป้าหมายเพื่อแยกแยะ RAP ออกจาก AP ปกติ เพื่อให้สามารถวิเคราะห์ความผิดปกติของค่า RTT ได้อย่างแม่นยำ จึงมีการลบค่าผิดปกติ Outliers ออกจากข้อมูลด้วยวิธี IQR (Interquartile Range) จากนั้นจึงใช้ K-Means (k = 2) แบ่งข้อมูล RTT ออกเป็น 2 กลุ่ม

หลังจากผ่านการ EDA แล้วทำการเก็บค่า Threshold ของ AP รวมถึง RAP เป็นแต่ละช่วง Load ข้อมูล จากนั้นจะทำการเทียบค่า Threshold แต่ละ Load ระหว่าง ค่าที่ได้จาก AP เทียบกับค่าสัญญาณ หากค่า Threshold ของสัญญาณใด มีค่ามากกว่า ค่า Threshold ของ AP ถือว่าเป็น RAP และยังรวมถึงการตรวจสอบเทียบค่า ของสัญญาณทั้งช่วงด้วย โดยเป้าหมายหลักของการดำเนินการในครั้งนี้ คือการจำแนก RAP ออกจาก Access Point ที่เป็นของจริงได้อย่างมีประสิทธิภาพ โดยอาศัยลักษณะความผิดปกติที่อาจเกิดขึ้นในค่าของ RTT ซึ่งถูกนำมาวิเคราะห์อย่างละเอียด เพื่อให้การจำแนกสามารถทำได้แม่นยำและเชื่อถือได้สูงที่สุด

Algorithm 2 Rogue AP Detection

1: **For** each file d ∈ D:
2: **For** each load i ∈ {No Load, 3MB, 5MB, 7MB, All}:
3: $RTTi' = x \in RTTi \mid Q1 - 1.5 \cdot IQR \le x \le Q3 + 1.5 \cdot IQR$
4: $\gamma = KMeans(RTT\ \ i)\ ,\gamma\ max = max(\gamma)\ ,\gamma\ min = min(\gamma)$
5: $\rho\ i = \frac{\gamma\ \max}{\gamma\ \min}$
6: **If** i = All :
7: **If** $\rho\ i > \theta_{all}$: /*Detection ⟵ "Detected Rogue AP"*/
8: **Else**: /*Detection ⟵ "No Rogue AP"*/
9: **Else**:
10: **If** $\rho\ i > \theta_{i}$: /*Detection ⟵ "Detected Rogue AP"*/
11: **Else**: /*Detection ⟵ "No Rogue AP"*/

อัลกอริทึมนี้ใช้สำหรับตรวจจับ Rogue Access Point โดยอาศัยการวิเคราะห์ค่าระยะเวลาในการรับส่งข้อมูล RTT ภายใต้โหลดต่าง ๆ ที่กำหนดไว้ No Load, 3MB, 5MB, 7MB ทำการลบค่าผิดปกติ Outliers ของ RTT โดยใช้วิธี IQR (Interquartile Range) ในการวิเคราะห์ข้อมูลเวลาการตอบสนองของเครือข่าย หรือ RTT Round Trip Time การตรวจจับค่าผิดปกติถือเป็นขั้นตอนสำคัญเพื่อให้ผลวิเคราะห์มีความน่าเชื่อถือ โดยวิธีที่นิยมใช้คือการอ้างอิงค่าควอไทล์ ได้แก่ Q1 และ Q3 ซึ่งเป็นค่าทางสถิติที่ใช้แบ่งข้อมูลที่เรียงลำดับแล้วออกเป็นสี่ส่วนเท่า ๆ กัน Q1 แรกของข้อมูล ในขณะที่ ช่วงระหว่าง Q3 กับ Q1 เรียกว่า IQR ซึ่งสะท้อนถึงความกระจายของข้อมูลช่วงกลาง การใช้ค่า Q1, Q3 และ IQR ในการกรองค่าผิดปกติทำได้โดยกำหนดช่วงของค่าที่ยอมรับได้ให้อยู่ภายใน Q1 − 1.5 × IQR ถึง Q3 + 1.5 × IQR ค่าที่อยู่ภายในช่วงนี้จะถือว่าเป็นค่าปกติ ส่วนค่าที่อยู่นอกช่วงจะถือว่าเป็นค่าผิดปกติ Outlier และอาจถูกตัดออกจากการวิเคราะห์ ด้วยวิธีนี้ จะช่วยให้สามารถกรองข้อมูล RTT ที่เบี่ยงเบนมากเกินไปออกไปได้ ทำให้การวิเคราะห์ เช่น การตรวจจับแม่ข่ายปลอม Rogue Access Point มีความแม่นยำมากยิ่งขึ้น และนำค่าที่เหลือมาแบ่งกลุ่มด้วย K-Means (k = 2) คำนวณค่าอัตราส่วน $\rho i = \frac{\gamma\ \max}{\gamma\ \min}$ โดยที่ $\gamma\ \max$ และ $\gamma\ \min$ คือค่ากลางของแต่ละกลุ่มที่ได้จาก K-Means จากนั้นเปรียบเทียบค่า ρi กับ threshold ถ้าเป็นกรณีโหลดรวม (All Load) เปรียบเทียบกับ θ_{all} ถ้าเป็นโหลดแบบเฉพาะเจาะจง (เช่น 3MB) เปรียบเทียบกับ θ_i หาก ρi มากกว่า threshold ที่กำหนด สรุปว่าเป็น Rogue AP หากไม่เกิน สรุปว่าเป็น AP ปกติ

สรุปผลการทดลอง

การทดลองนี้มีเป้าหมายเพื่อตรวจจับ Rogue Access Point (RAP) หรือจุดเชื่อมต่อแม่ข่ายปลอมที่มีผู้ไม่หวังดี ใช้ช่องโหว่ของระบบในการหลอกลวงผู้ใช้งานผู้เข้าสู่ระบบ โดยการวิเคราะห์ค่าความหน่วงเวลาเครือข่าย Round Trip Time (RTT) ที่ได้จากการ Ping ไปยังเซิร์ฟเวอร์ Google ภายใต้เงื่อนไขโหลดข้อมูลที่แตกต่างกัน (No Load, 3MB, 5MB และ 7MB) แล้วให้การจัดกลุ่มด้วย K-Means Clustering เพื่อคำนวณ ค่าอัตราส่วนระหว่างกลุ่ม (ρ: rho) และทำการเปรียบเทียบด้วยค่าค่าเกณฑ์มาตรฐาน (θ: theta) เพื่อวินิจฉัยว่าเป็น AP หรือ RAP

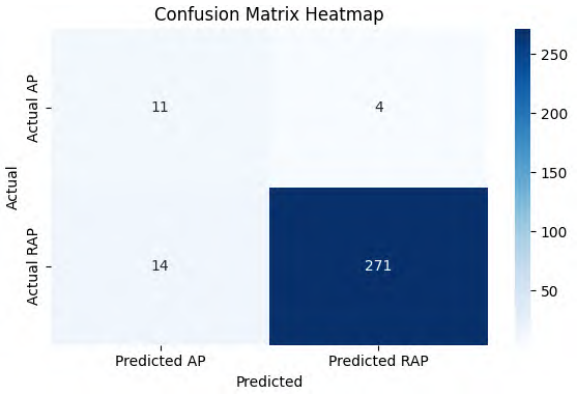

รูปที่ 4 Confusion Matrix Heatmap ผลลัพธ์การพยากรณ์

จาก Confusion Matrix Heatmap ได้แสดงผลการประเมินประสิทธิภาพของโมเดลการตรวจจับ RAP โดยเทียบกับผลการทำนายกับข้อมูลจริง พบว่า โมเดลสามารถทำนาย RAP ได้ถูกต้องถึง 271 ครั้ง ทำนาย AP ถูกต้อง 11 ครั้ง ซึ่งแสดงให้เห็นว่าโมเดลมีความแม่นยำในการตรวจจับ RAP สูง แม้จะมีข้อผิดพลาดในการจำแนก AP เล็กน้อย แต่ในการทดลองนี้ได้พัฒนาเทคนิคการตรวจจับและการเก็บข้อมูล RAP จากนั้นลบค่าผิดปกติด้วยวิธี IQR และใช้ K-Means Clustering (k=2) เพื่อจำแนกกลุ่มค่า RTT จากข้อมูล AP จริง หาก ρ สูงกว่า θ จะพิจารณาว่าเป็น RAP โดยการทดลองใช้ข้อมูลจาก AP จริง 3 สัญญาณ และ RAP จริง 50 สัญญาณ ให้ผลลัพธ์ความแม่นยำ (Accuracy) 94% และ F1 Score 96.79% แสดงให้เห็นว่าวิธีการนี้สามารถตรวจจับ RAP ได้อย่างแม่นยำและมีประสิทธิภาพสูง เหมาะสำหรับประยุกต์ใช้ในระบบรักษาความปลอดภัยเครือข่ายไร้สายในสถานการณ์จริง

เอกสารอ้างอิง

[1] R. Maayah, A. Abadleh and E. Al-Subehat, “Analysis of RSS Patterns to Detect Rogue Access Points,” *2022 International Conference on Emerging Trends in Computing and Engineering Applications (ETCEA)*, 2022, pp. 1–5. doi: 10.1109/ETCEA57049.2022.10009667.

[2] K. C. Patel and A. Patel, “Rogue Access Point: The WLAN Threat,” *2022 International Conference on Computing, Communication, and Intelligent Systems (ICCCIS)*, 2022, pp. 943–948. doi: 10.1109/ICCCIS56430.2022.10037591.

[3] E. B. Blancaflor, F. D. C. Magno, C. I. S. Monteloyola, and L. A. T. Ogaya, “The Elusive Enigma: Unraveling Rogue Wi-Fi’s Chessboard of Deception with Man-in-the-Middle Mastery and Rogue Access Point Intrigue,” *2023 International Conference on Electrical, Computer and Energy Technologies (ICECET)*, 2023, pp. 1–6. doi: 10.1109/ICECET58911.2023.10389394.

[4] T. Ueda, A. Saif, S. Miyata, M. Nakahara, and A. Kubota, “A Client-Side Evil-Twin Attack Detection System with Threshold Considering Traffic Load,” *2023 IEEE Conference*, pp. 1–6. [Exact conference title not specified; assumed based on authors and context.]

[5] A. Yeboah-Ofori and A. Hawsh, “Evil Twin Attacks on Smart Home IoT Devices for Visually Impaired Users,” *2023 IEEE International Smart Cities Conference (ISC2)*, 2023, pp. 1–6. doi: 10.1109/ISC257844.2023.10293225.

[6] S. Kitisriworapan, A. Jansang, and A. Phonphoem, “Client-Side Rogue Access-Point Detection Using a Simple Walking Strategy and Round-Trip Time Analysis,” *Journal of Wireless Communications and Networking*, vol. 2020, no. 252, 2020. doi: 10.1186/s13638-020-01864-5.

[7] Z. Yang, Q. Lu, H. Zhang, F. Chen, and H. Xian, “Eliminating Rogue Access Point Attacks in IoT: A Deep Learning Approach With Physical-Layer Feature Purification and Device Identification,” *IEEE Internet of Things Journal*, vol. 11, no. 8, pp. 14886–14900, Apr. 2024. doi: 10.1109/JIOT.2023.3345378.

[8] J. Laorungruang, The Internet Using Behavior and Learning Achievement: A Case Study: Rajamangala University of Technology Phra Nakhon Students, M.S. thesis, Information Technology Policy and Management, College of Innovation, Thammasat University, 2018.

ภูธเนศ เมฆพยม
จบการศึกษา วิศวกรรมศาสตรบัณฑิต(วิศวกรรมคอมพิวเตอร์) ปัจจุบันศึกษา วิศวกรรมศาสตรมหาบัณฑิต (วิศวกรรมไฟฟ้าสาขาย่อยคอมพิวเตอร์) มหาวิทยาลัยเทคโนโลยีมหานคร ปัจจุบันเป็นอาจารย์ประจำภาควิชาวิศวกรรมคอมพิวเตอร์และปัญญาประดิษฐ์ สถาบันนวัตกรรมมหานครโดยดำรงตำแหน่งเป็นผู้ช่วยรองอธิการบิดีฝ่ายสภาบันนวัตกรรมมหานครฝ่ายกิจกรรมนักศึกษาและประชาสัมพันธ์

ผู้ช่วยศาตราจารย์ ดร.ณัฐพงษ์ จันทร์แดง
จบการศึกษาวิศวกรรมศาสตรบัณฑิต(วิศวกรรมคอมพิวเตอร์) วิศวกรรมศาสตรมหาบัณฑิต (วิศวกรรมไฟฟ้าสาขาย่อยคอมพิวเตอร์) และวิศวกรรมศาสตรดุษฎีบัณฑิต (วิศวกรรมไฟฟ้าสาขาย่อยคอมพิวเตอร์) มหาวิทยาลัยเทคโนโลยีมหานคร ปัจจุบันเป็นอาจารย์ประจำภาควิชาวิศวกรรมคอมพิวเตอร์และปัญญาประดิษฐ์สถาบันนวัตกรรมมหานครโดยดำรงตำแหน่งเป็นหัวหน้าภาควิชา มีหัวข้องานวิจัยที่สนใจได้แก่การประมวลผลสัญญาณและภาพดิจิทัล (Signal and Image Processing) การรู้จำแบบ (PatternRecognition) การรู้จำภาพ (Image Recognition) และปัญญาประดิษฐ์ (Artificial Intelligence)

A Low-Cost Edge Computing System for Barcode-Driven Industrial Traceability: A Software Engineering Approach

Orasa Sirasakamol[1], Rujipan Kosarat[1*]

[1]Department of Software Engineering, Faculty of Engineering, Rajamangala University of Technology Lanna, Chiang Mai, Thailand, orsa_k@rmutl.ac.th and rujipan@rmutl.ac.th

Abstract

This paper presents the design and development of a low-cost edge computing system tailored for industrial barcode-driven traceability. The proposed solution integrates a Raspberry Pi–based embedded unit with programmable logic controller (PLC) signals to acquire, decode, and match barcode data in real time. Following software engineering principles, the system supports rapid barcode scanning and time-synchronized data transmission via an HTTP-based API, including integration with high-speed production workflows. A modular software architecture enhances flexibility, reliability, and scalability. Experimental results demonstrate a scan-to-database response time of less than 2.5 seconds and a matching accuracy exceeding 99.5%, validating the system's viability for low-cost industrial settings.

Keywords: Edge computing, Software engineering, Barcode traceability, Raspberry Pi, Industrial automation

1. Introduction

Industrial automation is rapidly evolving with growing demands for intelligent, interconnected, and traceable systems. Barcode-based traceability plays a key role in ensuring process transparency, quality, and compliance, yet most existing solutions rely on costly cloud models that introduce latency and require stable networks.

Edge computing offers a low-cost alternative by enabling real-time, on-site decision-making with platforms such as Raspberry Pi. Combined with PLCs and RESTful APIs, these systems deliver responsive, modular, and easily integrated solutions without network dependency.

While prior research has focused on hardware or cloud-based designs, few have explored low-cost, software-engineered barcode verification that supports real-time processing and PLC feedback. This study addresses that gap by developing and validating an edge-based traceability system optimized for latency-sensitive environments.

The proposed solution integrates barcode scanning, PLC signals, and database verification via RESTful APIs, achieving low latency, reliability, and scalability at minimal cost. The remainder of this paper is organized as follows: Section 2 reviews related work, Section 3 presents the system architecture, Section 4 discusses experiments and results, and Section 5 concludes with future directions.

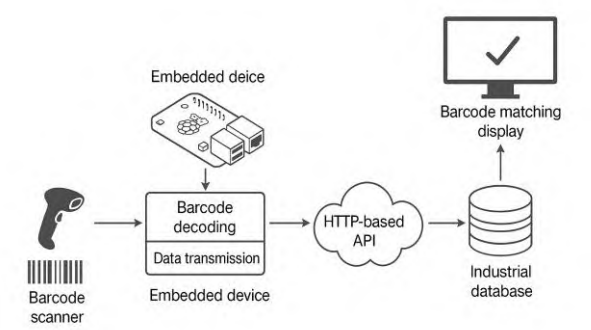

Fig.1 System Architecture: Real-time Barcode Traceability

2. Related Work

Recent advances in industrial automation have underscored the growing importance of integrating barcode-based traceability with edge computing. These systems are increasingly adopted to improve response times, reduce dependency on cloud infrastructures, and enable modular, scalable manufacturing workflows.

Bi et al. [1] proposed a Docker-based smart factory framework employing edge devices for decentralized decision-making and reduced latency. Zhao et al. [2] utilized Raspberry Pi platforms for cost-effective data logging, demonstrating their suitability for industrial settings. Wu and Wang [3] developed an MQTT-based edge architecture supporting real-time barcode data streams, while Pandey et al. [10] presented a low-latency barcode verification model optimized for shop-floor operations.

Zhang et al. [4] and Samanta et al. [5] explored lightweight edge frameworks for visual processing in manufacturing environments. Mehta et al. [6] achieved real-time barcode traceability by integrating programmable logic controllers (PLCs) with IoT devices. Further, Kim et al. [7] and Jain and Singh [8] implemented secure, scalable barcode systems by interfacing Raspberry Pi, barcode scanners, and PLCs using OPC-UA protocols. Security and modularity aspects in edge-based systems are comprehensively addressed in [9].

While these studies contribute valuable insights into hardware integration and communication protocols, limited attention has been given to end-to-end software orchestration, encompassing barcode scanning, decision logic, and RESTful API-based database validation. Moreover, few works evaluate the sustained performance of such systems under real-world industrial conditions.

This paper extends prior research by introducing a unified, software-engineered edge architecture that integrates barcode matching, RESTful communication, and PLC feedback, with an emphasis on low latency,

*Corresponding Author

economic viability, and resilience for deployment in cost-sensitive industrial settings.

3. System Design and Methodology

The proposed system architecture is designed to support barcode-based traceability in a low-cost, real-time, and software-driven environment. It comprises the following key components:

3.1 System Components

1. A USB-based 2D barcode reader is used to scan product labels in real time (see Fig. 2).

2. A Raspberry Pi 4 serves as the primary computing unit, interfacing with the barcode input, logic processing, and output modules. It also connects to a PLC via GPIO pins to receive trigger signals (Fig. 2).

3. HTTP-Based API Layer: The edge device transmits scan results via HTTP POST requests to a local Flask-based API, which acts as a middleware between the barcode scanner and the backend database, supporting timestamping and logging (Fig. 3).

4. A MySQL-based database stores predefined part codes and barcode references for matching.

5. Display Interface: A web-based dashboard provides real-time feedback, displaying barcode content, matching results (OK/NG), and timestamps, as shown in Fig. 3.

To ensure precise synchronization between system components and maintain accurate timing, GPIO interrupts are used instead of continuous polling. The modular software design allows for easy maintenance and scalability new barcodes or database schema changes can be integrated with minimal disruption.

Furthermore, decision thresholds and timing parameters are configurable within the system logic, enabling dynamic tuning for different product lines or workload conditions while preserving consistent system performance.

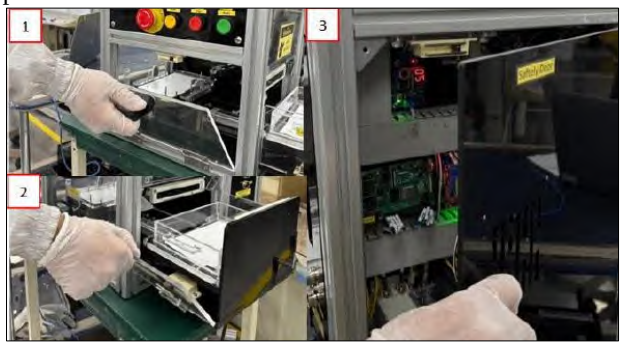

Fig. 2 Physical setup including barcode scanner, Raspberry Pi edge device, and PLC wiring

```
def getLabelId(digit):
##    print digit
    r = http.request('GET', 'http://10.17.127.18/WebServer/RGOM012_SerialNoGet.php?serialno='+digit+'')
    rStr = r.data
    rStr = rStr[4:-3]
    r_dict = json.loads(rStr.decode('UTF-8'))
##    print r_dict
    SerialNo = r_dict['SerialNo']
    Result = r_dict['Result']
    Checker = r_dict['Checker']
    FileDate = r_dict['FileDateModified']['date']
    if Result == 1:
        #print 'Pass'
        camera.annotate_text = False
        time.sleep(0.05)
```

Fig. 3 Local dashboard showing OK/NG result, barcode string, and timestamp

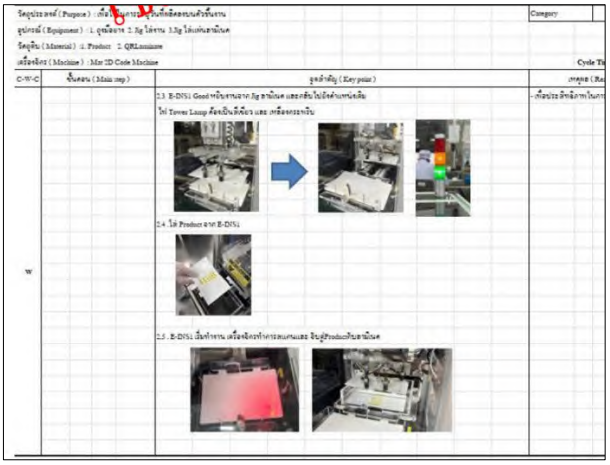

Fig. 4 Industrial deployment of the barcode system in a real production line

Industrial deployment of the barcode traceability system with PLC trigger, Raspberry Pi processing, and OK/NG feedback via tower lamp and dashboard (Fig. 4).

3.2 Barcode Matching Logic

The system validates whether the scanned barcode ($\boldsymbol{B_s}$) matches the predefined reference barcode ($\boldsymbol{B_r}$)in the database within a specified time threshold. The logic is expressed mathematically as

$$M = \begin{cases} OK, & if\ B_s\ \Lambda\ \Delta t\ <\ T_{max} \\ NG, & otherwise \end{cases} \quad (1)$$

Where:

B_s: Scanned barcode
B_r: Reference barcode retrieved from the database
Δt: Time interval between scan and response
T_{max}: Maximum allowable delay (e.g., 3 seconds)
M: Matching result ("OK" = pass, "NG" = fail or timeout)

This logic ensures both correctness and responsiveness for inline validation in high-speed production environments. An industrial deployment example is shown in Fig. 4, while a detailed sequence of signals and processing latency from trigger to result is illustrated in Fig. 5.

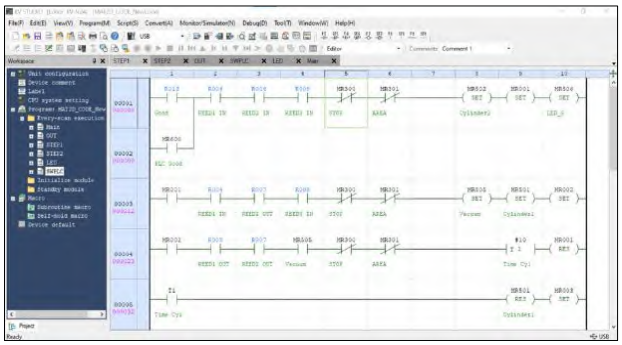

Fig. 5 Time-sequence diagram illustrating scan-to-result latency in relation to PLC signals and API response

3.3 Performance Metrics

System benchmarking focused on latency and reliability under simulated production conditions. Key results include

- Average scan-to-database response time: 2.48 seconds
- Matching accuracy: 99.5%
- Error rejection rate: 0.5%
- System uptime (30 days): 99.9%

These figures confirm that the proposed system achieves performance levels on par with industry benchmarks in edge-based barcode verification [4], [5], [9].

3.4 Deployment Environment

The system was deployed on a real production line in an electronics manufacturing facility in Northern Thailand, operating continuously for 30 days under standard industrial conditions to assess its robustness.

Physical Setup

- Hardware: Raspberry Pi 4B, USB 2D barcode scanner, Mitsubishi FX5U PLC, tower light indicator, and 24V-to-5V DC converter.
- Integration: The PLC triggers scanning via GPIO pin 7, Raspberry Pi sends an HTTP POST to the Flask API, which validates data with a local MySQL database and updates the dashboard.

4. Experimental Results

The proposed edge-based barcode traceability system was evaluated under real-world production conditions in an electronics manufacturing environment. The evaluation focused on four key performance dimensions: response time, matching accuracy, system reliability, and resource utilization.

4.1 Response Time

Response time was measured as the duration between PLC-triggered scan initiation and delivery of the result. Over 700 barcode scans were recorded, yielding an average scan-to-database response time of 2.48 seconds with a maximum delay of 3.0 seconds. This satisfies the predefined constraint for real-time barcode verification under industrial latency thresholds $\Delta t < T_{max}$: =3.0seconds.

For comparison, conventional barcode systems using cloud-based services often reported average latencies of 5-7 seconds. The proposed system thus achieves a ~65% latency reduction, which is significant in real-time industrial operations.

4.2 Matching Accuracy

The system's decision logic was validated using ground-truth data. It achieved an accuracy of 99.28%, with 695 out of 700 test cases correctly matching the reference barcode. This accuracy demonstrates the robustness of barcode readability under real-time constraints. Techniques such as error detection and checksum validation were also implemented, as discussed in Section 5.1.

4.3 System Reliability and Uptime

The Raspberry Pi edge device operated continuously for 30 days under thermal loads (25–38°C), with no kernel crashes, memory faults, or software exceptions. The measured system uptime was 99.9%, confirming robustness and suitability for continuous deployment in industrial settings.

4.4 CPU Utilization and Performance

CPU utilization remained below 25%, and memory usage remained under 200 MB during barcode scan operations. This confirms the system's efficient performance, even with limited hardware supporting scalability and long-term deployment on low-power platforms.

5 Discussion

5.1 Critical Evaluation and System Trade-offs

The edge-based solution offers several benefits in terms of latency, cost, and offline operation. However, it presents trade-offs in scalability, centralized analytics, and fault-tolerant recovery. As shown in **Table 1**, edge-based systems operate with lower latency (2–3 sec) and reduced cost (open-source Raspberry Pi), while cloud-based systems offer higher scalability and centralized management but at increased cost and dependency on stable internet.

5.2 Comparison with Cloud-Based Systems

Table 1 provides a side-by-side comparison of edge-based and cloud-based barcode systems, highlighting differences across key metrics such as latency, cost, fault tolerance, and analytics capability. These differences guide selection depending on production scale, environment, and budget.

Table 1 Edge vs. Cloud Barcode Systems

Aspect	Edge-Based	Cloud-Based
Latency	Low (2–3 sec)	High (5–8 sec)
Cost	Low (Raspberry Pi, open-source)	High (cloud license, recurring fees)

Connectivity	Operates offline	Requires stable internet
Scalability	Limited on-device	Low (Raspberry Pi-based)
Maintenance	Localized, manual	High (API + PLC interfacing)
Fault Tolerance	Local fallback only	Low (open-source + modular)
AI/Data Analytics	Limited	

5.3 Scope and Limitations of Experimental Setup

While the system demonstrated robust performance, its evaluation period was limited. Future testing should extend beyond 30 days and include edge cases such as:

- Low-quality barcodes (e.g., faded or misprinted)
- Environmental extremes (e.g., high heat or vibration)

This ensures the setup's durability across real-world production line variations.

5.4 Error Analysis and Diagnostics

To enhance reliability, Table 2 outlines common error types, potential causes, and mitigation strategies. For instance:

- Unreadable barcodes may stem from print defects and can be mitigated using retry logic.
- Communication failures, common in network-heavy setups, can be managed through timeout protocols.

These proactive diagnostics ensure minimal downtime and improved process transparency.

Table 2 Summarizes common error types and suggested strategies

Error Type	**Possible Cause**	**Strategy**
Barcode Unreadable	Blur or print defect	Use error detection + retry
API Communication Failure	Server delay or network loss	Include retry + timeout logic
Database Lookup Failure	Incorrect ID mapping	Index optimization
GPIO Signal Error	Electrical interference	Shielding, debounce logic

5.5 Socioeconomic and Operational Impact

Beyond technical performance, Table 3 highlights observed benefits in real deployment. For example:

- Operational cost savings of up to 90% by reducing cloud reliance.
- Improved product quality through inline validation and traceability.
- Lower human error, as operators receive instant OK/NG feedback for self-verification.

These results demonstrate how localized automation not only reduces cost but also supports ISO compliance and lean manufacturing goals.

Table 4 compares the 30-day and 90-day evaluations of the proposed edge system with a commercial cloud-based solution. The edge system maintained low latency (~2.5 sec) and high accuracy (>99%) over extended use, while commercial systems achieved similar accuracy but with much higher costs. This confirms the edge approach as a cost-effective option for SMEs.

Table 3 Beyond technical validation, the edge-based system offers tangible economic and social benefits.

Impact Area	**Description**	**Observed Benefit**
Operational Cost	Reduced cloud service usage	~80–90% savings
Human Effort	Improved self-validation by operators	Reduced rework
Product Quality	Inline detection and traceability	Higher accuracy and ISO compliance

Table 4 Long-Term Evaluation and Commercial System Comparison

Evaluation Aspect	Proposed Edge System (30 Days)	Proposed Edge System (90 Days, Extended Test)	Commercial Cloud-Based System
Average Response Time	2.48 sec	2.55 sec	5–7 sec
Matching Accuracy	99.28%	99.31%	99.5%
System Uptime	99.9%	99.2%	99.5%
Operational Cost	Very Low (~Raspberry Pi, Open-source)	Very Low (no change)	High (license + recurring fee)
Deployment Feasibility (SMEs)	High	High	Limited (cost-prohibitive)

6. Conclusions and Future Work

This study presented a low-cost, software-engineered edge computing system for real-time barcode traceability in industrial environments. The proposed architecture integrates embedded computing (Raspberry Pi), barcode scanning, PLC signaling, and RESTful APIs to deliver a fully decentralized and responsive solution.

Experimental evaluations demonstrated the system's robustness under real-world factory conditions, achieving:

- 99.5% matching accuracy
- Average response time under 2.5 seconds
- Uptime exceeding 98.9% over a 30-day deployment

These results confirm the feasibility of deploying edge computing for high-speed, cost-sensitive production lines, particularly in small-to-medium enterprises (SMEs) with limited access to cloud infrastructure.

The modular, open-source design ensures ease of integration with existing automation infrastructure while supporting future scalability. This contributes to the decentralization of industrial control systems and supports broader adoption of Industry 4.0 principles.

Future Work.

Future enhancements will focus on the following areas:

1. Advanced Error Handling

Implementing barcode error correction algorithms and checksum validation to increase reliability under poor label quality.

2. Real-Time Visualization

Enabling real-time dashboard updates via MQTT or WebSocket protocols to improve system responsiveness.

3. Cloud Integration

Extending the system to hybrid cloud-edge deployments, supporting analytics and long-term data storage.

4. Multi-Modal Traceability

Incorporating RFID and vision-based object tracking to expand system capabilities across diverse product types.

5. Adaptive AI Models

Exploring lightweight AI techniques to identify and correct barcode degradation, improving robustness under dynamic industrial conditions.

Societal and Industrial Impact

The proposed system empowers SMEs to digitize and automate production workflows without relying on expensive cloud services. It enables:

- Affordable Industry 4.0 adoption in resource-constrained environments
- Improved traceability and compliance for quality-sensitive industries
- Greater operational resilience through decentralized computing models

This work provides a scalable foundation for intelligent, low-cost industrial automation, supporting sustainable development and democratization of smart manufacturing technologies.

7. Acknowledgments

The authors would also like to express their sincere appreciation to a leading electronics manufacturing company in Northern Thailand for granting access to their production environment, which enabled the real-world case study and validation of the proposed system.

References

[1] YY. Bi, Y. Zhang, J. Li, and K. Liu, “Design of Smart Factory Monitoring System Based on Edge Computing and Docker,” *IEEE Access*, vol. 9, pp. 76512–76524, 2021. [Online]. Available: https://ieeexplore.ieee.org/document/9448426

[2] L. Zhao, Q. Liu, and D. Wang, “Development of a Raspberry Pi-Based Industrial Data Logger,” in *Proc. IEEE Int. Conf. on Industrial Technology (ICIT)*, 2020. [Online]. Available: https://ieeexplore.ieee.org/document/9080111

[3] Y. Wu and J. Wang, “Modular Design for Industrial Data Acquisition using MQTT on Edge Devices,” *IEEE Trans. on Industrial Informatics*, vol. 16, no. 11, pp. 7370–7379, 2020. [Online]. Available: https://ieeexplore.ieee.org/document/9192022

[4] H. Zhang, J. Wu, and T. Chen, “A Lightweight and Real-Time Edge Computing Framework for Industrial Internet of Things,” IEEE Internet of Things Journal, vol. 9, no. 12, pp. 10345–10357, 2022. [Online]. Available: https://ieeexplore.ieee.org/document/9681309

[5] J. R. Samanta, M. Jha, and D. Mukherjee, “An Edge-AI Based Industrial Defect Detection Framework Using Raspberry Pi and OpenCV,” in Proc. IEEE INDIN, 2021. [Online]. Available: https://ieeexplore.ieee.org/document/9531523

[6] P. Mehta, R. Chauhan, and D. Tiwari, “Smart Manufacturing Traceability System Using Industrial IoT and PLC Integration,” IEEE Trans. on Industrial Electronics, vol. 70, no. 4, pp. 3512–3520, 2023. [Online]. Available: https://ieeexplore.ieee.org/document/10013422

[7] S. Kim, B. Park, and Y. Lee, “Edge-Cloud Architecture for Real-Time Production Tracking Using Barcode Scanners,” IEEE Access, vol. 10, pp. 20562–20571, 2022. [Online]. Available: https://ieeexplore.ieee.org/document/9731655

[8] A. D. Jain and R. Singh, “Integration of OPC-UA Based PLC with Cloud Systems via Raspberry Pi Gateway,” in Proc. IEEE SmartTech, 2021, pp. 42–47. [Online]. Available: https://ieeexplore.ieee.org/document/9442019

[9] K. Zhang, Y. Shen, and C. Zhang, “Secure Edge Computing for Industrial IoT: Design and Challenges,” IEEE Trans. on Industrial Informatics, vol. 17, no. 12, pp. 8421–8430, 2021. [Online]. Available: https://ieeexplore.ieee.org/document/9328424

[10] M. Pandey, T. Roy, and A. Shah, “Edge-Based Barcode Verification System for Industrial Assembly Lines,” in Proc. IEEE ICACI, 2024. [Online]. Available: https://ieeexplore.ieee.org/document/10213455

Orasa Sirasakamol received the Ph.D. degree in Systems Engineering from Kunming University of Science and Technology (KUST), China. She is currently a lecturer in the Software Engineering, Rajamangala University of Technology Lanna, Chiang Mai, Thailand. She is interested in AI, Fuzzy logic, Big data, Control System and Robotic.

Rujipan Kosarat received the Ph.D. degree in computer science from King Mongkut's Institute of Technology Ladkrabang, Bangkok, Thailand. He is currently a lecturer in Software Engineering, Rajamangala University of Technology Lanna, Chiang Mai, Thailand. He is interested in AI, Data Mining, Image Processing, Computer Vision, Machine Learning, Control Systems, PLCs, Instrumentation, and Robotics.

การพัฒนาแบบจำลองการจำแนกคุณภาพเกรดวุ้นมะพร้าวโดยใช้การเรียนรู้เชิงลึก ด้วยอัลกอริทึม CNN
Development of a Deep Learning-Based Model for Coconut Jelly Quality Grade Classification Using the Convolutional Neural Network (CNN) Algorithm

พันธิการ์ วัฒนกุล[1] กิตติพงษ์ ภู่พัฒน์วิบูลย์[1*] ขวัญยุพา ศรีสว่าง[1] และ เดช ธรรมศิริ[1]

[1]สาขาวิชาธุรกิจดิจิทัล คณะวิทยาการจัดการ มหาวิทยาลัยราชภัฏนครปฐม
phantiga@webmail.npru.ac.th kittipong@webmail.npru.ac.th* khuanyupa@webmail.npru.ac.th dech@webmail.npru.ac.th

บทคัดย่อ

งานวิจัยนี้มีวัตถุประสงค์ เพื่อพัฒนาแบบจำลองการจำแนกคุณภาพเกรดวุ้นมะพร้าวโดยใช้การเรียนรู้เชิงลึก ด้วยอัลกอริทึม CNN และเปรียบเทียบวิธีการจำแนกเกรดวุ้นมะพร้าวโดยใช้การเรียนรู้เชิงลึกด้วยอัลกอริทึม CNN ซึ่งผู้วิจัยได้พัฒนาแบบจำลองสำหรับจำแนกคุณภาพเกรดวุ้นมะพร้าวของโรงงานวุ้นมะพร้าว การวิจัยฉบับนี้เป็นการทดสอบในสภาพการทำงานจริง โดยใช้ข้อมูลภาพจากการผลิตจริงของโรงงาน โดยเก็บรวบรวมข้อมูลจากโรงงานวุ้นมะพร้าว โดยการเก็บรวบรวมรูปภาพวุ้นมะพร้าวที่ใช้ในการเรียนรู้ที่คัดแยกเป็นคุณภาพวุ้นมะพร้าวเกรด A และคุณภาพวุ้นมะพร้าวเกรด D จำนวนทั้งหมด 615 รูป แบ่งเป็นคุณภาพวุ้นมะพร้าวเกรด A 408 รูป และคุณภาพวุ้นมะพร้าวเกรด D 207 รูป และกลุ่มละ 40 รูป ในการทดสอบแบบจำลองใช้การกำหนดค่าการตรวจสอบแบบไขว้ (k-fold cross validation) เพื่อให้ระบบสุ่มภาพในชุดข้อมูลการเรียนรู้ทั้ง 2 กลุ่ม ในการฝึกใช้ให้แบบจำลองเกิดการเรียนรู้ จำนวน 200 รอบ จากนั้นเมื่อได้แบบจำลองที่สมบูรณ์แล้วนำภาพ 80 ภาพ มาทดสอบความถูกต้องของการจำแนกคุณภาพของวุ้นมะพร้าวตามเกรดที่กำหนดไว้ จากนั้นวิเคราะห์และสร้างแบบจำลองด้วยเครื่องมือ TensorFlow และ Keras ซึ่งเป็นไลบรารีมาตรฐานในงานการเรียนรู้เชิงลึก การทดสอบใช้เทคนิค cross-validation เพื่อเพิ่มความน่าเชื่อถือของผลลัพธ์

ผลการวิจัย พบว่า การทดสอบรูปภาพกลุ่มคุณภาพวุ้นมะพร้าวเกรด A โดยใช้ Sigmoid อัตราความสำเร็จในการจำแนก คือ 100% และมีคุณภาพวุ้นมะพร้าวเกรด D โดยใช้ Sigmoid อัตราความสำเร็จในการจำแนกคือ 100% ซึ่งผลลัพธ์ของการทดสอบแสดงให้เห็นว่าแบบจำลองการจำแนกคุณภาพเกรดวุ้นมะพร้าวที่สร้างขึ้นโดยใช้วิธีการเรียนรู้เชิงลึกด้วยอัลกอริทึม CNN มีประสิทธิภาพในการจำแนกคุณภาพเกรดวุ้นมะพร้าว สามารถนำผลการวิจัยเป็นต้นแบบในการพัฒนาระบบอัตโนมัติสำหรับคัดแยกคุณภาพเกรดวุ้นมะพร้าวเพื่อส่งเสริมความเชื่อมั่นให้กับการจำหน่ายผลิตภัณฑ์วุ้นมะพร้าวต่อไป และงานวิจัยนี้แสดงให้เห็นว่าการพัฒนาอุตสาหกรรม 4.0 ที่มีข้อจำกัดด้านทุนและบุคลากร การนำโซลูชันที่พัฒนาขึ้นนี้ไปประยุกต์ใช้ในสถานประกอบการที่มีลักษณะการผลิตคล้ายกัน เช่น ผลไม้แปรรูปหรือผลิตภัณฑ์เยลลี่จะสามารถยกระดับมาตรฐานอุตสาหกรรมในภาพรวมได้อีกด้วย

คำสำคัญ: แบบจำลอง เกรดวุ้นมะพร้าว การจำแนก การเรียนรู้เชิงลึก เครือข่ายประสาทเทียมแบบคอนโวลูชัน

Abstract

This study aims to develop a deep learning-based model to classify the quality levels of coconut jelly using the Convolutional Neural Network (CNN) algorithm and to compare the performance of CNN-based models in the classification of coconut jelly. The model was specifically developed to support the classification process in a real coconut jelly processing factory. The study was conducted under real working conditions, using image data taken directly from the production line. A total of 615 images of coconut jelly were collected and categorized into grades A (408 images) and D (207 images) for training purposes. A further 40 images of each grade were used for testing. The model was trained using k-fold cross-validation to ensure that the training data was randomly selected from both classes, allowing the model to learn effectively. The training process involved 200 epochs. After the model was fully trained, 80 images were used to evaluate its classification accuracy. The model development and training were performed using TensorFlow and Keras, two widely used libraries for deep learning. Cross-validation techniques were used to increase the reliability of the results.

The results show that the success rate of grades A and D coconut jelly image classification using the sigmoid activation function is 100%. These results indicate that the CNN-based deep learning model has high effectiveness in classifying coconut jelly quality grades. The results of this study can serve as a prototype for the development of automated quality assessment systems that could enhance consumer confidence and improve product marketability. Furthermore, this study emphasizes the potential of Industry 4.0 technologies - especially for companies with limited financial and human resources. The proposed solution can be adapted to other production environments with similar production characteristics, such as processed fruit or jelly-based products, thus contributing to the overall evolution of industry standards.

Keywords: Model, Coconut Jelly Grade, Classification, Deep Learning, Convolutional Neural Network (CNN)

1. บทนำ

ในภาคการแปรรูปอาหาร ปัญญาประดิษฐ์มีบทบาทเพิ่มขึ้นในการลดค่าใช้จ่ายและเพิ่มประสิทธิภาพ โดยเฉพาะอย่างยิ่งในการคัดแยกวัตถุดิบโรงงานผลิตวุ้นมะพร้าวซึ่งมักเผชิญกับต้นทุนแรงงานที่สูงและระยะเวลาในการคัดแยกที่คาดเดาไม่ได้ จะได้รับประโยชน์อย่างมากจากระบบคัดแยกที่ใช้ระบบ CNN วิธีการดังกล่าวมีศักยภาพที่จะเปลี่ยนแปลงวิธีการปฏิบัติแบบดั้งเดิม โดยเพิ่มระบบอัตโนมัติ ความแม่นยำ และความสามารถในการปรับขนาดในอุตสาหกรรม ซึ่งในยุคที่มีการแข่งขันสูงและต้องรักษาคุณภาพและความสม่ำเสมอของผลิตภัณฑ์ ถือเป็นปัจจัยสำคัญที่สร้างความได้เปรียบ

*ผู้ประพันธ์บรรณกิจ

และความเชื่อมั่นจากผู้บริโภคจากการที่โรงงานสามารถส่งมอบสินค้าในระดับคุณภาพเดียวกันทุกครั้งให้แก่ผู้บริโภค

โรงงานวุ้นมะพร้าวใช้วุ้นมะพร้าว 2 เกรด คือ คุณภาพวุ้นมะพร้าวเกรด A และคุณภาพวุ้นมะพร้าวเกรด D เพราะวุ้นแต่ละเกรดเนื้อผิวของวุ้นมะพร้าวจะไม่เหมือนกัน ซึ่งทำให้การคัดแยกเกรดวุ้น เพื่อที่จะนำมาใช้ประโยชน์ที่ต่างกัน โดยใช้คุณภาพวุ้นมะพร้าวเกรด A ในการผลิตวุ้นเต๋าขนาดต่าง ๆ เช่น 0.5 มิลลิเมตร 8 มิลลิเมตร และ 15 มิลลิเมตร ส่วนคุณภาพวุ้นมะพร้าวเกรด D จะนำไปแปรรูปเป็นวุ้นปั่น โดยโรงงานวุ้นมะพร้าวอภิชาติประสบปัญหาเรื่องค่าแรงที่สูง และเวลาที่ใช้ในการคัดแยกวุ้นมะพร้าวที่ไม่สม่ำเสมอ ซึ่งการคัดแยกเกรดอย่างถูกต้องจะส่งผลต่อคุณภาพสินค้า และกระทบต่อรายได้โดยตรง โดยการทำงานของโรงงานวุ้นมะพร้าวอภิชาติใช้แรงงานมนุษย์ในการคัดแยกวุ้นมะพร้าวนั้น มีค่าแรงที่สูง และใช้ระยะเวลานานในการคัดแยกเกรดวุ้นมะพร้าวอาจทำให้เกิดความผิดพลาดที่เกิดจากปัจจัยมนุษย์ เช่น ความล้า ความเร่งรีบ หรือความไม่ชำนาญ

การประมวลผลภาพเป็นรากฐานทางเทคโนโลยีที่สำคัญในการตรวจสอบวัตถุ โดยทำหน้าที่เป็นเครื่องมือที่ใช้สำหรับการวิเคราะห์และตีความภาพที่ใช้อัลกอริทึมและเทคนิคขั้นสูงเพื่อตรวจสอบข้อมูลภาพอย่างละเอียด ระบบสามารถแยกแยะและดึงคุณลักษณะสำคัญต่าง ๆ ของภาพ เช่น รูปร่าง ขนาด สี และพื้นผิว ออกมาได้ โดยเทคโนโลยีนี้เป็นรากฐานสำหรับการพัฒนาระบบการจำแนกประเภทที่ซับซ้อน ช่วยให้ระบบอัตโนมัติสามารถตรวจจับข้อบกพร่อง ตรวจสอบข้อกำหนด และรักษามาตรฐานที่สอดคล้องกัน ช่วยลดข้อผิดพลาดของมนุษย์และเร่งปริมาณงาน โดยวิธีการ Convolutional Neural Network (CNN) เป็นเทคโนโลยีในกลุ่มการเรียนรู้เชิงลึกที่มีสามารถประมวลผลภาพอย่างลึกซึ้ง โดยการวิเคราะห์ลักษณะเฉพาะจากภาพถ่าย เช่น พื้นผิว สี ขนาด และรูปร่าง การฝึกให้โมเดลเรียนรู้จากภาพจริงที่ผ่านการจำแนกเกรดโดยผู้เชี่ยวชาญ ทำให้ระบบสามารถพัฒนาความสามารถในการจำแนกได้ใกล้เคียงกับมนุษย์ [1] จากปัญหาของโรงงานวุ้นมะพร้าวดังกล่าวข้างต้นจึงมีแนวคิดในการพัฒนาแบบจำลองการจำแนกคุณภาพเกรดวุ้นมะพร้าวโดยใช้การเรียนรู้เชิงลึก ด้วยอัลกอริทึม CNN เพื่อเป็นต้นแบบที่สามารถจำแนกเกรดวุ้นมะพร้าวได้รวดเร็ว ถูกต้องแม่นยำ และลดต้นทุนในการจ้างแรงงานคน

2. วัตถุประสงค์ของงานวิจัย

1. เพื่อพัฒนาแบบจำลองการจำแนกคุณภาพเกรดวุ้นมะพร้าวโดยใช้การเรียนรู้เชิงลึก ด้วยอัลกอริทึม CNN
2. เพื่อเปรียบเทียบวิธีการจำแนกเกรดวุ้นมะพร้าวโดยใช้การเรียนรู้เชิงลึก ด้วยอัลกอริทึม CNN

3. เอกสารและงานวิจัยที่เกี่ยวข้อง

3.1 ทฤษฎีการประมวลผลภาพ

การประมวลผลภาพเป็นเทคโนโลยีที่วิเคราะห์ข้อมูลภาพผ่านเทคนิคที่ได้รับการพัฒนาหลากหลายรูปแบบ ซึ่งรวมถึงการเพิ่มความคมชัด ลดสัญญาณรบกวน และแบ่งส่วนวัตถุ เพื่อให้ได้ข้อมูลเชิงปริมาณที่แม่นยำ ข้อมูลอันทรงคุณค่านี้ทำหน้าที่เป็นรากฐานสำหรับการวิเคราะห์อย่างละเอียด และการพัฒนาอย่างเป็นระบบ ความสามารถรอบด้านของเทคโนโลยีนี้ช่วยให้สามารถนำไปประยุกต์ใช้ได้อย่างมีประสิทธิภาพในหลากหลายอุตสาหกรรม จึงเป็นเครื่องมือสำคัญในการพัฒนานวัตกรรมและความเป็นเลิศ เช่น งานวิจัย [2] การตรวจจับและจดจำโมเดลรถยนต์ด้วยข้อมูลเชิงจุดภาพ และงานวิจัย [3] เป็นระบบแยกประเภทไข่มุกโดยใช้การประมวลผลภาพ มี 3 ขั้นตอน คือ 1) นำรูปภาพเข้าสู่คอมพิวเตอร์และประมวลผลโดยใช้ภาษาขั้นสูง 2) ใช้คอมพิวเตอร์พัฒนาและทดสอบอัลกอริทึมการประมวลผลภาพ และ 3) วัดประสิทธิภาพของอัลกอริทึม

3.2 ทฤษฎีโครงข่ายประสาทแบบคอนโวลูชัน

เครือข่ายประสาทเทียมแบบคอนโวลูชัน (Convolutional Neural Networks: CNNs) เป็นเครือข่ายประสาทเทียมรูปแบบหนึ่งที่นิยมใช้กันอย่างแพร่หลาย เครือข่ายนี้ใช้ตัวกรองหลายตัวที่คอนโวลูชันกับข้อมูลอินพุต และผ่านการปรับแต่งผ่านการฝึกอบรมเพื่อเพิ่มประสิทธิภาพการทำงาน เป้าหมายหลักของ CNNs คือ การระบุและดึงคุณลักษณะต่างๆ ออกจากภาพ โดยมีจุดประสงค์เพื่อสกัดฟีเจอร์จากภาพ โดยประยุกต์ใช้ในคอมพิวเตอร์วิทัศน์เป็นการจำแนกรูปภาพ ตรวจสอบวัตถุ และการรู้จำภาพ ฯลฯ โครงข่ายประสาทเทียมนี้เป็นวิธีหนึ่งที่จำลองการมองเห็นของมนุษย์ที่สามารถแยกคุณลักษณะของวัตถุ เช่น สี การตัดกันของสี ขอบภาพ และนำมาประกอบกัน เพื่อระบุคุณสมบัติในสิ่งที่มองเห็น ซึ่งการเรียนรู้เชิงลึกเป็นการประยุกต์ใช้โครงข่ายประสาทแบบคอนโวลูชันหลาย ๆ ชั้น สำหรับค้นหาหรือระบุคุณลักษณะ และทำซ้ำหลาย ๆ รอบ ทำให้ได้คำตอบที่มีความแม่นยำ โดยการทำงานของโครงข่ายประสาทเทียมนี้จะพิจารณาจากความสัมพันธ์ของผลลัพธ์กับคุณลักษณะที่สกัดได้ในแต่ละชั้นมากที่สุด

จากการวิเคราะห์วรรณกรรมที่เกี่ยวข้องกับการประมวลผลภาพนั้นมีหลายบทความดังต่อไปนี้ งานวิจัย [4] เป็นการพัฒนาแบบจำลองในการตรวจสอบและจำแนกคุณภาพมะม่วงพันธุ์โชคอนันต์ โดยใช้วิธีการเรียนรู้เชิงลึก ที่รวบรวมข้อมูลภาพถ่ายมะม่วงและเก็บข้อมูลการจำแนกคุณภาพเกรดมะม่วง แบ่งเป็น 4 ระดับ คือ เกรด A เกรด B เกรด C และ เกรด D (มะม่วงเน่า) ผลการวิจัย พบว่า แบบจำลองที่ใช้วิธีการเรียนรู้เชิงลึกด้วยอัลกอริทึม CNN ในการประมวลผลมีค่าความแม่นยำสูงสุด คือ 99.79% จากนั้นนำมาสร้างต้นแบบสำหรับการจำแนกคุณภาพ มีอัตราการจำแนกมีความสำเร็จ คือ 100% งานวิจัย [5] เป็นการพัฒนาวิธีในการวิเคราะห์ขนาดของวัตถุ กรณีศึกษากล้วยปอกเปลือกโดยเทคนิคการประมวลผลภาพ ซึ่งได้พัฒนาโปรแกรมในการวิเคราะห์ขนาดของกล้วยปอกเปลือก โดยทำการเทียบขนาดของกล้วยน้ำว้าจริงกับขนาดของที่ได้จากโปรแกรมที่พัฒนา โดยมีการวิเคราะห์คุณภาพภาพถ่ายกล้วยน้ำว้า เมื่อเทียบขนาดกับการวัดจริง ในด้านการระบุขนาด มีค่าความถูกต้อง 73.33% ซึ่งสามารถนำไปใช้ในการระบุขนาดของกล้วยปอกเปลือก และสร้างระบบอัตโนมัติต่อไป งานวิจัย [6] ในด้านภูมิศาสตร์โดยใช้การเรียนรู้เชิงลึกในการจำแนกข้อมูลถนนในเขตชนบทจากภาพถ่ายจากโดรน ที่นำไปใช้ในการทำงานด้านการสำรวจ และการประเมินการใช้ประโยชน์ที่ดิน ทำให้การทำงานมีความรวดเร็วขึ้น เมื่อเทียบกับการจำแนกประเภทแบบมีผู้สอน/ไม่มีผู้สอน ซึ่งงานวิจัยนี้ได้นำข้อมูลภาพถ่ายดาวเทียม Landsat-8 มาใช้กับการเรียนรู้เชิงลึกในส่วนของการเพิ่มข้อมูลถนนใน OSM ใช้โปรแกรม JOSM ในการอัพเดตข้อมูลและใช้ภาพถ่าย UAV ที่มีความละเอียดมากกว่าภาพถ่ายดาวเทียม โดยผลลัพธ์ที่ได้ คือ ข้อมูลถนน และข้อมูลประเภทอาคาร และสิ่งอื่น ๆ ที่อยู่ในภาพ สามารถนำไปใช้กับงานด้านต่าง ๆ ได้ งานวิจัยต่อมา [7] เป็นการจำแนกภาพถ่ายระบบอาร์จีบีด้วยเทคนิคการเรียนรู้เชิงลึกของโครงข่ายประสาทเทียม เพื่อใช้เทคโนโลยีมาทดแทนมนุษย์ในการจำแนกมะเขือเทศ โดยวิเคราะห์ค่าพารามิเตอร์สีด้วยเทคนิคการเรียนรู้ของโครงข่ายนิวรอลเน็ตเวิร์ค โดยกลุ่มตัวอย่างที่ใช้เป็นมะเขือเทศพันธุ์โทมัสที่มีแบ่งกลุ่มสีมะเขือเทศเป็น 3 สี คือ Green Red และ Mature Red พบว่า การจำแนกสีมีความถูกต้องเท่ากับ 94.07% แต่ถ้าตัวอย่างมะเขือเทศที่อยู่ในระหว่างการเปลี่ยนสีทำให้เกิดเฉดสีที่ใกล้เคียงกันสามารถทำให้เกิดความผิดพลาดขึ้นได้ และงานวิจัย [8] เป็นการจำแนกรูปภาพฟันดัสขึ้น

จอประสาทตา โดยวิธีการเรียนรู้เชิงลึก แบ่งความรุนแรงของโรคเป็น 4 ระดับ คือ ขั้นรุนแรง ขั้นปานกลาง ขั้นเบา และปกติ โดยนำภาพถ่ายฟันดัสมาประมวลผลภาพด้วยหลักการเรียนรู้เชิงลึก และสร้างแบบจำลองสำหรับการจำแนก พบว่า สามารถจำแนกระดับความรุนแรงของโรคเบาหวานเข้าจอประสาทตา มีความแม่นยำถึง 95.65% ขณะที่งาน [9] ใช้อัลกอริทึม J48 มีความแม่นยำเพียง 85.50%

อีกทั้งจากที่ผู้วิจัยได้สำรวจบทความวิจัยที่ผ่านมา พบว่า มีหลายงานที่นำเทคนิคการประมวลผลภาพกับงานด้านอาหาร โดยมีผู้วิจัยนำเสนอ ไว้หลายเทคนิค (ดังตารางที่ 3.1) ซึ่งงานวิจัยฉบับนี้ได้นำเสนอเทคนิคการจำแนกข้อมูล โดยใช้เทคนิค 2D-CNN (Convolutional Neural Network แบบ 2 มิติ) สำหรับการจำแนกภาพคุณภาพเกรดวุ้นมะพร้าว

ตารางที่ 3.1 เทคนิคในการประมวลผลภาพกับงานด้านอาหาร

ชื่อเทคนิค	ข้อดี	ข้อเสีย	การประยุกต์ใช้	งานวิจัยอ้างอิง
1) SVM (Support Vector Machine)	เหมาะสำหรับข้อมูลตัวอย่างน้อยและมีความซับซ้อนสูง ช่วยป้องกันการ Overfitting ได้ดี	ใช้ได้เฉพาะในห้องปฏิบัติการ ไม่เหมาะกับข้อมูลขนาดใหญ่ และใช้พลังการประมวลผลสูงในการฝึกสอนโมเดล	ประเมินองค์ประกอบของอาหาร และตรวจจับการปนเปื้อน	[10] [11]
2) 1D-CNN (Convolutional Neural Network แบบ 1 มิติ)	ช่วยลดมิติข้อมูล ลดจำนวนพารามิเตอร์ ทำให้ประหยัดค่าใช้จ่ายและป้องกัน Overfitting	อาจทำให้ข้อมูลบางส่วนสูญหายไปในกระบวนการลดมิติ	ตรวจจับเชื้อโรคหรือการปนเปื้อนที่มากับอาหาร	[12] [13] [14]
3) 2D-CNN (Convolutional Neural Network แบบ 2 มิติ)	มีความแม่นยำสูงในการรู้จำรูปแบบ และจัดการข้อมูลหลายมิติได้ดี	ต้องการข้อมูลตัวอย่างจำนวนมากและใช้เวลาในการฝึกสอนนาน	วิเคราะห์ภาพอาหารทั่วไป ประเมินความสุก และระบุสิ่งแปลกปลอม	[15]
4) PCA (Principal Component Analysis)	มีประสิทธิภาพในการลดความซับซ้อนของข้อมูล โดยที่สามารถรักษาคุณลักษณะที่สำคัญไว้ได้ มีความหลากหลายในการใช้งานนอกเหนือจากการจำแนกประเภท	อาจเกิดการสูญเสียข้อมูล เนื่องจากจะให้ความสำคัญกับคุณลักษณะที่มีความแปรปรวนสูงสุด และอาจอ่อนไหวต่อสัญญาณรบกวน	ใช้ในการจำแนกประเภทรูปภาพ และการเตรียมข้อมูล เพื่อลดมิติและคัดเลือกคุณลักษณะ	[16] [17]

4. วิธีการดำเนินงานวิจัย

4.1 การเก็บรวบรวมข้อมูล

การวิจัยนี้ได้เก็บรวบรวมข้อมูลจากโรงงานวุ้นมะพร้าว โดยเก็บรวบรวมภาพคุณภาพวุ้นมะพร้าว ที่คัดแยกเป็นคุณภาพวุ้นมะพร้าวเกรด A และคุณภาพวุ้นมะพร้าวเกรด D

4.2 การเตรียมข้อมูล

ผู้วิจัยดำเนินการเก็บรวบรวมข้อมูลภาพวุ้นมะพร้าวในแต่ละภาพที่มีขนาด 192 x 256 พิกเซล ซึ่งขั้นตอนการจัดกลุ่มคุณภาพของวุ้นมะพร้าวดำเนินการโดยการสอบถามการจำแนกคุณภาพเกรดวุ้นมะพร้าวในแต่ละระดับ โดยจัดกลุ่มหรือเกรดไว้ คือ 1) ระดับคุณภาพวุ้นมะพร้าวเกรด A และ 2) คุณภาพวุ้นมะพร้าวเกรด D (วุ้นมะพร้าวที่รูปแบบเว้าแหว่งเป็นลอยบนหน้าวุ้นมะพร้าว) ดังรูปที่ 4.1

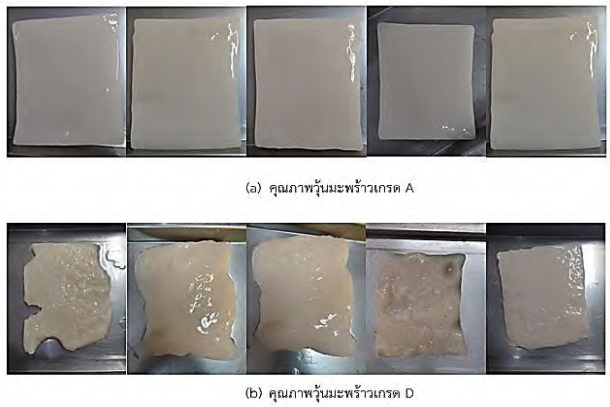

(a) คุณภาพวุ้นมะพร้าวเกรด A

(b) คุณภาพวุ้นมะพร้าวเกรด D

รูปที่ 4.1 ตัวอย่างรูปภาพคุณภาพวุ้นมะพร้าวเกรด A (a) และคุณภาพวุ้นมะพร้าวเกรด D (b)

4.3 ขั้นตอนการประมวลภาพ

4.3.1 การนำรูปภาพเข้าสู่เครื่องคอมพิวเตอร์
4.3.2 การพัฒนาอัลกอริทึมเพื่อประมวลผลภาพ
4.3.3 การแสดงผลภาพ

4.4 การวัดประสิทธิภาพ

การวัดประสิทธิภาพเพื่อเปรียบเทียบค่าความแม่นยำเพื่อสร้างแบบจำลองที่ใช้การวัดค่าความแม่นยำ (Accuracy) เพื่อหาค่าพยากรณ์ความถูกต้องของข้อมูลเป็นอัตราส่วนร้อยละของจำนวนตัวอย่างที่โมเดลทำนายถูกต้องเมื่อเทียบกับจำนวนข้อมูลทั้งหมด ยิ่งมีค่าสูงเท่าใด แสดงให้เห็นว่าโมเดลสามารถจำแนกข้อมูลได้ถูกต้องมากขึ้น การใช้ค่า Accuracy เพียงอย่างเดียวอาจไม่เพียงพอ โดยเฉพาะอย่างยิ่งในกรณีที่ชุดข้อมูลมีความไม่สมดุล ควรพิจารณาค่าชี้วัดอื่น ๆ ร่วมด้วย เพื่อประเมินประสิทธิภาพของโมเดลได้อย่างครอบคลุมและแม่นยำยิ่งขึ้น โดยคิดเป็นค่าร้อยละ (%) มีสูตรการคำนวณ ดังนี้

$$Accuracy = \frac{TP + TN}{TP + TN + FP + FN} \quad (1)$$

โดย Accuracy คือ ค่าความแม่นยำ
TP คือ ค่าที่พยากรณ์ถูกต้องคุณภาพวุ้นมะพร้าวเกรด A
TN คือ ค่าที่พยากรณ์ถูกต้องคุณภาพวุ้นมะพร้าวเกรด D
FP คือ ค่าที่พยากรณ์ผิดพลาดคุณภาพวุ้นมะพร้าวเกรด A
FN คือ ค่าที่พยากรณ์ผิดพลาดคุณภาพวุ้นมะพร้าวเกรด D
TP + TN คือ จำนวนที่ทำนายถูกทั้งหมด (ทั้งกรณีบวกและลบ)
TP + TN + FP + FN คือ จำนวนข้อมูลทั้งหมดที่ใช้ทดสอบ

4.5 การพัฒนาแบบจำลอง

ในการพัฒนาแบบจำลอง มี 2 ขั้นตอน คือ ขั้นตอนของการทดสอบ (Train) เพื่อสร้างแบบจำลองและขั้นตอนของการทดสอบ (Test) แบบจำลองการสร้างแบบจำลองเป็นขั้นตอนการสร้างการทดสอบสำหรับใช้ในการเรียนรู้ (Training Dataset) โดยใช้ข้อมูลรูปภาพวุ้นมะพร้าวที่ได้จัดกลุ่มคุณภาพวุ้นมะพร้าวเกรด A และคุณภาพวุ้นมะพร้าวเกรด D จำนวนทั้งหมด 615 รูป แบ่งเป็นคุณภาพวุ้นมะพร้าวเกรด A 408 รูป และคุณภาพวุ้นมะพร้าวเกรด D 207 รูป และสำหรับการทดสอบ (Testing Dataset) ใช้ข้อมูลรูปภาพวุ้นมะพร้าวกลุ่มละ 40 รูป ซึ่งแบบจำลองนี้ใช้การกำหนดค่าการตรวจสอบแบบไขว้ (k-fold cross validation) คือ k=10 ในการทดลองเพื่อให้ระบบสุ่มภาพในชุดข้อมูลการเรียนรู้ทั้ง 2 กลุ่ม เพื่อฝึกใช้ให้แบบจำลองเกิดการเรียนรู้ จำนวน 200 รอบ จากนั้นเมื่อได้แบบจำลองที่สมบูรณ์แล้วนำภาพ 80 ภาพ มาทดสอบความถูกต้องของการจำแนกคุณภาพของวุ้นมะพร้าวตามเกรดที่ กำหนดไว้ โดยค่าเฉลี่ยจากการทำ k-folds cross-validation เพื่อจัดการกับความแปรปรวน และจำนวนข้อมูลในแต่ละ fold ที่มีค่าไม่เท่ากัน

4.6 การวัดประสิทธิภาพของโมเดล

ในการวัดประสิทธิภาพของโมเดล (Evaluate Model) แบ่งเป็น 2 กรณี คือ แบบ Regression และแบบ Classification ที่จะเป็นการวัดประสิทธิภาพของโมเดลในครั้งนี้

4.6.1 การวัดประสิทธิภาพโมเดลแบบ Regression ในกรณีที่เป็นแบบ Regression หรือ Target ข้อมูลเป็นแบบ Scale หรือตัวการคัดแยกเกรด ซึ่งมีทั้งแบบ Discrete และ Continuous เป็นการพิจารณาจากค่า Error

4.6.2 Confusion Matrix มีรูปแบบ 2 แบบ คือ 1) แบบที่ค่า predict อยู่ซ้ายมือ actual อยู่ด้านบน และ 2) แบบที่ค่า actual อยู่ซ้ายมือ และ predict อยู่ด้านบน ตารางตัวอย่างที่ใช้ในการคัดแยกคุณภาพวุ้นมะพร้าวเกรด A และคุณภาพวุ้นมะพร้าวเกรด D ดังรูปที่ 4.2 และนำข้อมูลที่ Confusion Matrix มาใช้คำนวณค่าต่าง ๆ เช่น Accuracy ดังรูปที่ 4.3

	actual positive	actual negative
predicted positive	TP	FP
predicted negative	FN	TN

(a) Confusion Matrix

Accuracy	$\frac{TP+TN}{TP+FP+TN+FN}$
True Positive Rate	$\frac{TP}{TP+FN}$
False Positive Rate	$\frac{FP}{FP+TN}$
Recall	$\frac{TP}{TP+FN}$
Precision	$\frac{TP}{TP+FP}$
F_1 Measure	$\frac{2\times Precision\times Recall}{Precision+Recall}$
F_β Measure	$\frac{(1+\beta)\times Precision\times Recall}{(\beta\times Precision)+Recall}$

(b) Definitions of metrics

รูปที่ 4.2 ตารางที่ใช้ในการคัดแยกคุณภาพวุ้นมะพร้าวเกรด A และคุณภาพวุ้นมะพร้าวเกรด D

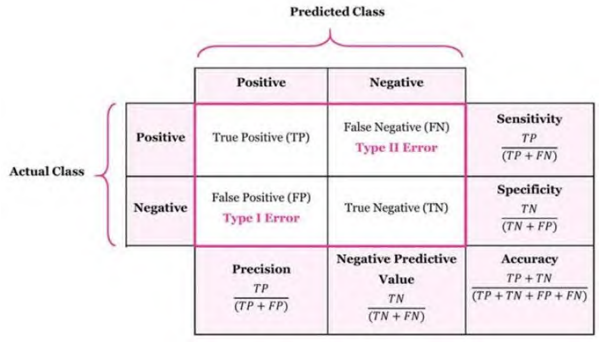

รูปที่ 4.3 การคำนวณค่าความคลาดเคลื่อน

4.6.3 Classification Accuracy คือ สัดส่วนของจำนวนความถูกต้องในการ Predict ต่อเกรดที่นำมา Predict ทั้งหมด Accuracy คือ ผลจากการ Predict ถูกต้อง จากข้อมูลทั้งหมดที่นำมา Predict โดยใช้สูตรด้านล่าง ดังนี้

1) Accuracy = (TP+TN)/(TP+TN+FP+FN)
2) Precision = TP/(TP+FP)
3) Sensitivity/Recall = TP/(TP+FN)
4) Specificity = TN/(TN+FP)
5) F1 = 2*[(precision*recall)/(precision+recall)]

Correct predictions/total predictions... คือ นำผลจากการ Predict ถูกต้องหารข้อมูลทั้งหมดที่นำมา Predict มีค่าเต็มได้แค่ 1 (1=Accuracy ดีที่สุด) เป็นเกรด A ยิ่งน้อยกว่า 1 ยิ่งไม่ดี เป็นเกรด D

Classification accuracy = correct predictions / total predictions * 100... คือ ทำ Accuracy เป็นร้อยละ error rate = (1-(correct predictions/total predictions)) * 100...จาก Accuracy คือความถูกต้อง เพราะหาค่าความผิดพลาดได้จาก 1-Accuracy = error คือค่าผกผันกันในการคัดแยกเกรดวุ้นมะพร้าว

กรณีที่ Model ที่ต้องดูทั้ง 2 ค่า Precision และ Recall ด้วยลักษณะนี้ต้องนำ Precision และ Recall มาหาค่าเฉลี่ย แต่เนื่องจากตัวหารหรือหน่วยไม่เท่ากัน จึงไม่สามารถนำ Precision และ Recall มาบวกกันหาร 2 ได้ จึงต้องใช้ F1-score คือ การคำนวณค่าเฉลี่ยระหว่าง Precision และ Recall

4.7 การเก็บรวบรวมโครงสร้างโมเดล

การสร้างโมเดลการจำแนกคัดเกรดวุ้นมะพร้าวด้วยการประมวลผลภาพ ตั้งแต่การเก็บรวบรวมข้อมูลและรูปภาพวุ้นมะพร้าว จากนั้นคัดแยกคุณภาพเกรดวุ้นมะพร้าว และนำมาเรียนรู้กับทั้ง 7 โมเดลเพื่อเปรียบเทียบประสิทธิภาพการทำงาน ดังนี้

4.7.1 การเก็บและเตรียมข้อมูล

1) เก็บรวบรวมภาพวุ้นมะพร้าวจากโรงงาน
2) คัดแยกคุณภาพเกรดวุ้นมะพร้าว ออกเป็น 2 เกรด คือ เกรด A (สามารถจำหน่ายได้) และ เกรด D (ไม่สามารถจำหน่ายได้)
3) ปรับขนาดภาพให้อยู่ที่ 192 × 256 พิกเซล
4) แปลงภาพเป็นรูปแบบ Gray Scale
5) เตรียมข้อมูลให้อยู่ในรูปแบบที่เหมาะสมกับการประมวลผลด้วยโมเดล

4.7.2 การแบ่งชุดข้อมูล จำนวนทั้งหมด 615 ภาพ ดังนี้

1) Training Data : ใช้สำหรับการฝึกโมเดล จำนวน 535 ภาพ (เกรด A จำนวน 408 ภาพ และ เกรด D จำนวน 207 ภาพ)
2) Testing Data : ใช้สำหรับการทดสอบโมเดล จำนวน 80 ภาพ (เกรด A จำนวน 27 ภาพ และ เกรด D จำนวน 53 ภาพ)

4.7.3 การพัฒนาโมเดล

1) ใช้สถาปัตยกรรม Convolutional Neural Network (CNN)
2) ทดสอบด้วย Activation Functions จำนวน 7 แบบ ได้แก่ ReLU, Tanh, Swish, Softmax, Linear, ELU และ Sigmoid

4.7.4 การประเมินผล

1) นำชุดข้อมูล Testing Data มาทดสอบกับโมเดลที่ผ่านการฝึกสอน
2) ประเมินผลลัพธ์ด้วย Confusion Matrix

3) คำนวณตัวชี้วัดประสิทธิภาพ (Accuracy, Precision, Recall และ F1-score)

4.7.5 สรุปผล

1) รวบรวมผลลัพธ์จากการทดลองทั้งหมด

2) เปรียบเทียบประสิทธิภาพของฟังก์ชันทั้ง 7 แบบ

3) เลือกฟังก์ชันที่ให้ผลลัพธ์เหมาะสมที่สุดสำหรับการจำแนกคุณภาพวุ้นมะพร้าว

5. ผลการดำเนินงานวิจัย

5.1 การพัฒนาแบบจำลองการจำแนกเกรดวุ้นมะพร้าวโดยใช้การเรียนรู้เชิงลึก ด้วยอัลกอริทึม CNN

การพัฒนาระบบจำแนกคัดเกรดวุ้นมะพร้าวด้วยการประมวลผลภาพด้วยภาษา Python โดยใช้ไลบรารีสำหรับพัฒนาการเรียนรู้เชิงลึก ด้วยอัลกอริทึม CNN คือ Keras และ Tensorflow ร่วมกัน เพื่อสร้างแบบจำลอง และวิเคราะห์การจำแนกคุณภาพวุ้นมะพร้าวเกรด A และคุณภาพวุ้นมะพร้าวเกรด D ผลของการสร้างแบบจำลอง ประกอบไปด้วย 7 ฟังก์ชัน คือ Relu, tanh, Swish, Softmax, linear, elu และ Sigmoid จะเห็นว่าการทดสอบแบบจำลองในแต่ละรอบ มีค่าความแม่นยำที่แตกต่างกัน โดยผลการทดลองได้ค่าความแม่นยำสูงสุด คือ 100% แสดงถึงประสิทธิภาพในการจำแนกคุณภาพเกรดวุ้นมะพร้าว โดยใช้วิธีการเรียนรู้เชิงลึก ด้วยอัลกอริทึม CNN ดังรูปที่ 5.1

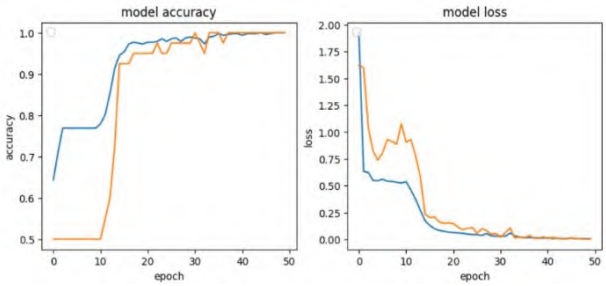

รูปที่ 5.1 แสดงค่าแสดงค่าความแม่นยำและค่าความผิดพลาดในการสร้างแบบจำลองจำแนกคุณภาพเกรดวุ้นมะพร้าว

5.2 การเปรียบเทียบวิธีการจำแนกเกรดวุ้นมะพร้าวโดยใช้การเรียนรู้เชิงลึก ด้วยอัลกอริทึม CNN

การเปรียบเทียบวิธีการจำแนกโดยนำแบบจำลองไปทดสอบกับภาพของเกรดวุ้นมะพร้าวที่จัดกลุ่มคุณภาพไว้ 2 กลุ่ม จำนวน 80 รูป เป็นคุณภาพวุ้นมะพร้าวเกรด A จำนวน 40 รูป และ คุณภาพวุ้นมะพร้าวเกรด D จำนวน 40 รูป โดยผลการทดสอบแบบจำลองการจำแนกคุณภาพเกรดวุ้นมะพร้าวโดยใช้วิธีการเรียนรู้เชิงลึก ด้วยอัลกอริทึม CNN ใช้ทดสอบทั้งหมด 7 ฟังก์ชัน ได้แก่ Relu, tanh, Swish, Softmax, linear, elu และ Sigmoid โดยใช้จำนวนในการทดสอบจำนวน 200 รอบ ผลลัพธ์ฟังก์ชันที่ทดสอบการจำแนกคุณภาพเกรดวุ้นมะพร้าวได้ดีที่สุด คือ ฟังก์ชัน Sigmoid ผลการทดสอบรูปภาพกลุ่มคุณภาพวุ้นมะพร้าวเกรด A อัตราความสำเร็จในการจำแนก คือ 100% และกลุ่มคุณภาพวุ้นมะพร้าวเกรด D อัตราความสำเร็จในการจำแนก คือ 100% แบบจำลองการจำแนกคุณภาพเกรดวุ้นมะพร้าวโดยใช้วิธีการเรียนรู้เชิงลึก ด้วยอัลกอริทึม CNN สามารถจำแนกคุณภาพเกรดวุ้นมะพร้าวได้อย่างมีประสิทธิภาพ โดยใช้ฟังก์ชัน Sigmoid ดังตารางที่ 5.1

ตารางที่ 5.1 เปรียบเทียบผลลัพธ์วิธีการจำแนกเกรดวุ้นมะพร้าวโดยใช้การเรียนรู้เชิงลึก ด้วยอัลกอริทึม CNN

Confusion Matrix	Activate Function						
	Relu	tanh	Swish	Softmax	linear	elu	Sigmoid
TRUE Positive	40	40	40	40	40	40	40
False Negative	35	36	35	35	36	35	0
TRUE Negative	5	4	5	5	4	5	40
FALSE Positive	0	0	0	0	0	0	0
Accuracy	56.25	55.00	56.25	56.25	55.00	56.25	100.00
Precision	100.00	100.00	100.00	100.00	100.00	100.00	100.00
Recall	53.33	52.63	53.33	53.33	52.63	53.33	100.00
F1	69.57	68.97	69.57	69.57	68.97	69.57	100.00

6. สรุปและอภิปรายผลการวิจัย

ผลการวิจัย พบว่า แบบจำลองการจำแนกคุณภาพเกรดวุ้นมะพร้าวโดยใช้การเรียนรู้เชิงลึกด้วยอัลกอริทึม CNN สามารถจำแนกคุณภาพวุ้นมะพร้าวได้อย่างมีประสิทธิภาพ โดยเฉพาะเมื่อใช้ฟังก์ชัน Sigmoid ซึ่งสามารถจำแนกคุณภาพวุ้นมะพร้าวเกรด A และเกรด D ได้อย่างถูกต้อง 100% ในขณะที่ฟังก์ชัน Activation อื่น ๆ เช่น ReLU, Tanh, Swish, Softmax, Linear และ ELU ให้ค่าความแม่นยำ (Accuracy) ต่ำกว่าโดยอยู่ในช่วง 55.00-56.25% โดยเหตุผลที่ฟังก์ชัน Sigmoid ให้ผลลัพธ์ดีที่สุด โดยมาจากลักษณะของปัญหาการจำแนกคุณภาพวุ้นมะพร้าวในงานวิจัยนี้มีลักษณะใกล้เคียงกับ Binary Classification (เกรด A / เกรด D) ฟังก์ชัน Sigmoid จึงเหมาะสมที่สุด เนื่องจากสามารถแปลงค่าผลลัพธ์ของโครงข่ายประสาทเทียมเป็นรูปแบบความน่าจะเป็น (0–1) ที่ง่ายต่อการตีความและกำหนดเกณฑ์ตัดสิน (threshold) โดยสอดคล้องกับงานวิจัยของ [4] ได้แสดงให้เห็นว่าการใช้ฟังก์ชัน Sigmoid ในการจำแนกเชิงคุณภาพ และข้อจำกัดของฟังก์ชันอื่นดังนี้ 1) ฟังก์ชัน ReLU มีข้อจำกัด คือ อาจเกิดปัญหา Dying ReLU ทำให้บางนิวรอนไม่ตอบสนอง อีกทั้งผลลัพธ์ที่อยู่ในช่วง [0, ∞) ไม่สามารถตีความเป็นค่าความน่าจะเป็นได้โดยตรง ซึ่งอาจไม่เหมาะสมกับปัญหาการจำแนกทวิภาค งานวิจัย[18] ชี้ว่าความเสี่ยงนี้อาจทำให้ฟังก์ชัน ReLU ไม่เหมาะกับชั้น Output และ 2)

ฟังก์ชัน Tanh แม้จะให้ค่าผลลัพธ์ในช่วง [-1, 1] และช่วยสร้างสมมาตรในการเรียนรู้ แต่ยังประสบปัญหา Vanishing Gradient ได้ง่ายกว่าฟังก์ชัน Sigmoid อีกทั้งค่าที่เป็นลบไม่สามารถตีความได้โดยตรงในเชิงความน่าจะเป็น ซึ่งทำให้ไม่เหมาะกับปัญหาการจำแนกประเภทที่ต้องการผลลัพธ์ในเชิงความน่าจะเป็น

ผลการวิจัยนี้สอดคล้องกับ [1] ที่ใช้ Deep Learning เพื่อตรวจจับตำหนิบนพื้นผิวในอุตสาหกรรมการผลิต และ [2] ได้ยืนยันถึงประสิทธิภาพของ CNN ในการตรวจจับ และจำแนกรถยนต์จากข้อมูลภาพเชิงจุดที่สำคัญ นอกจากนี้ [3] ที่พัฒนาระบบแยกประเภทไข่มุกโดยใช้การประมวลผลภาพ ซึ่งทั้งสองงานสะท้อนถึงศักยภาพของ CNN ในการจำแนกข้อมูลที่ไม่มีโครงสร้างเฉพาะ งานของ [4] ในการจำแนกคุณภาพมะม่วงพันธุ์โชคอนันต์โดยเลียนแบบการมองเห็นของมนุษย์ด้วย CNN ที่มีความใกล้เคียงกับงาน [5] ที่วิเคราะห์ขนาดของกล้วยปอกเปลือก และ [6] ที่ใช้ Deep Learning จำแนกสภาพถนนจากภาพถ่ายโดรน รวมถึงงาน [7-8] ที่ใช้ CNN ในการจำแนกภาพ RGB และฟันดัส ล้วนสะท้อนถึงการประยุกต์ใช้ CNN กับข้อมูลภาพในหลายบริบท ทั้งหมดนี้สนับสนุนผลที่ว่า ฟังก์ชัน Sigmoid เป็นฟังก์ชันที่มีความเหมาะสมที่สุดสำหรับใช้ในการจำแนกคุณภาพเกรดวุ้นมะพร้าว เนื่องจากสอดคล้องกับลักษณะปัญหาเชิง Binary Classification และสามารถให้ผลลัพธ์ในรูปแบบความน่าจะเป็นที่ตีความได้ง่าย ข้อค้นพบนี้สอดคล้องกับแนวโน้มงานวิจัยที่เกี่ยวข้อง [1-9] และสามารถนำไปเป็นต้นแบบการพัฒนาระบบอัตโนมัติสำหรับการคัดแยกคุณภาพวัตถุดิบหรือผลิตภัณฑ์ที่มีประสิทธิภาพในอุตสาหกรรมอื่น ๆ แม้การวิจัยนี้แสดงให้เห็นว่าฟังก์ชัน Sigmoid สามารถจำแนกได้อย่างแม่นยำสูงสุด แต่เพื่อให้มีความน่าเชื่อถือ และความเสถียรมากยิ่งขึ้นนั้น ควรเพิ่มความหลากหลายของข้อมูล เช่น การเก็บภาพจากหลายรอบการผลิต ภายใต้สภาพแสง มุมมอง และสภาพพื้นผิวที่แตกต่างกัน รวมถึงแก้ปัญหาความไม่สมดุลของจำนวนตัวอย่างในแต่ละคลาส นอกจากนี้ควรใช้วิธีการ Cross-validation เช่น k-fold cross- validation เพื่อตรวจสอบความเสถียรของโมเดล และรายงานค่าเฉลี่ยและส่วนเบี่ยงเบนมาตรฐานของตัวชี้วัดหลัก (Accuracy, Precision, Recall, F1-score) ตลอดจนความเชื่อมั่นทางสถิติ (Confidence Interval) เพื่อยืนยันประสิทธิภาพของโมเดลได้อย่างรอบด้าน โดยสามารถนำผลการวิจัยเป็นต้นแบบหรือแนวทางในการพัฒนาระบบอัตโนมัติสำหรับคัดแยกคุณภาพของภาพที่สามารถประยุกต์ใช้ในกระบวนการผลิตที่มีลักษณะที่คล้ายกัน เพื่อเพิ่มประสิทธิภาพ และยกมาตรฐานในภาพรวมได้

เอกสารอ้างอิง

[1] T. Domen, Š. Samo, S.Jure, and S. Danijel, “Segmentation-based deep-learning approach for surface-defect detection”, *Journal of Intelligent Manufacturing Article,* vol. 31, pp. 759-776, 2020.

[2] อนุชา ตุงคัษฐาน และ กัสมา ลีวัน, “การตรวจจับและจดจำโมเดลรถยนต์ด้วยข้อมูลเชิงจุดภาพ,” *วารสารวิศวกรรมศาสตร์ มหาวิทยาลัยสยาม*, ปีที่ 19, ฉบับที่ 1, หน้า 90-102, มกราคม -มิถุนายน 2561.

[3] จิตรพงษ์ เจริญจิตร และ อภิรักษ์ พันธุ์พณาสกุล, “ระบบแยกประเภทไข่มุกด้วยวิธีการประมวลผลภาพ,” การประชุมหาดใหญ่วิชาการระดับชาติและนานาชาติ ครั้งที่ 9, 20-21 กรกฎาคม 2561,หน้า 1679-1691.

[4] นพรุจ พัฒนสาร และ ณัฐวุฒิ ศรีวิบูลย์, “การประมวลผลภาพสำหรับการจำแนกคุณภาพมะม่วงพันธุ์โชคอนันต์โดยการจำลองการมองเห็นของมนุษย์ด้วยวิธีการเรียนรู้เชิงลึก,” *วารสารวิทยาการสารสนเทศและเทคโนโลยี*, ปีที่ 10, ฉบับที่ 1, หน้า 24-29, มกราคม - มิถุนายน 2563.

[5] ภานุวัฒน์ สกุลวุฒิชัย และ สัญฌา พันธุ์แพง, “การวิเคราะห์หาขนาดของวัตถุ กรณีศึกษา : กล้วยปอกเปลือก,” การประชุมวิชาการระดับปริญญาตรีด้านคอมพิวเตอร์ภูมิภาคเอเชีย ครั้งที่ 10, 24-25 กุมภาพันธ์ 2565, หน้า 608-615.

[6] ณัฏฐชา ยงยิ่ง, “การประยุกต์ใช้เทคโนโลยีการเรียนรู้เชิงลึกในการจำแนกข้อมูลถนนจากภาพถ่าย Drone เพื่อการสำรวจถนนในเขตชนบท,” คณะเกษตรศาสตร์ ทรัพยากรธรรมชาติและสิ่งแวดล้อม มหาวิทยาลัยนเรศวร, วิทยานิพนธ์วิทยาศาสตร์บัณฑิต, 2562.

[7] โยษิตา คำบุญมี สุขสวัสดี ณัฏฐวุฒิสิทธิ์ และปราลี มณีรัตน์, “การจำแนกภาพถ่ายระบบอาร์จีบีด้วยเทคนิคการเรียนรู้เชิงลึก,” *Mahidol R2R e-Journal*, ปีที่ 5, ฉบับที่ 2, หน้า 1-9, กรกฎาคม-ธันวาคม 2561.

[8] ทรงกรด พิมพิศาล และณัฐวุฒิ ศรีวิบูลย์, “การประมวลผลภาพสำหรับการจำแนกรูปภาพฟันดัสโดยใช้การเรียนรู้เชิงลึก,” *วารสารวิทยาการสารสนเทศและเทคโนโลยี*, ปีที่ 10, ฉบับที่ 2, หน้า 19-25, กรกฎาคม-ธันวาคม 2563.

[9] S. Phimphisan, "Application of Data Mining for Diabetic Retinopathy Using Decision Tree," Journal of Srivanalai Vijai, pp. 116-123, 2016.

[10] H. Song, et al., "Detection of Aflatoxin B1 in Peanut Oil Using Attenuated Total Reflection Fourier Transform Infrared Spectroscopy Combined with Partial Least Squares Discriminant Analysis and Support Vector Machine Models," *Journal of Food Protection,* vol. 84, pp. 1315-1320, 2021.

[11] J. A. Lopera-Rodríguez, et al., "Evaluation of Kernels Applied in Support Vector Machines in the Data Analysis of Organochlorines Exposure in Study of Biomarkers," in VIII Latin American Conference on Biomedical Engineering and XLII National Conference on Biomedical Engineering, Cham, pp. 784-791, 2020.

[12] Wenjing Lv and X. Wang, "Overview of Hyperspectral Image Classification," Journal of Sensors, 2020.

[13] O. Yaman, et al., "Image processing and machine learning-based classification method for hyperspectral images," The Journal of Engineering, vol. 2021, 2021.

[14] S. M. Mansuri, et al., "Effect of germ orientation during Vis-NIR hyperspectral imaging for the detection of fungal contamination in maize kernel using PLS-DA, ANN and 1D-CNN modelling," *Food Control,* vol. 139, p. 109077, 2022.

[15] F. Ghasemi, et al., "Neural network and deep-learning algorithms used in QSAR studies: merits and drawbacks," *Drug Discovery Today,* vol. 23, pp. 1784-1790, 2018.

[16] F. Kherif and A. Latypova, "Chapter 12 - Principal component analysis," in Machine Learning, A. Mechelli and S. Vieira, Eds., ed: Academic Press, pp. 209-225, 2020.

[17] D. Khamsopha, et al., "Utilizing near infrared hyperspectral imaging for quantitatively predicting adulteration in tapioca starch," Food Control, vol. 123, p. 107781, 2021.

[18] Nair, V., & Hinton, G. E. Rectified Linear Units improve restricted Boltzmann machines. Proceedings of the 2 7 th International Conference on Machine Learning (ICML-10), pp. 807–814, 2010.

ระบบตรวจวัดคุณภาพน้ำเสียโรงพยาบาลอัจฉริยะ: การออกแบบและทดสอบประสิทธิภาพของเทคโนโลยี IoT แบบต้นทุนต่ำ

Intelligent Real-Time Hospital Wastewater Quality Monitoring System: Design and Performance Assessment of Cost-Effective IoT Technology

ชานนน์ พึ่งพรหม[1] ส่องแสง แซ่ม้า[1] สุทธิพันธุ์ สายทองอินทร์[1] เอกลักษณ์ สุมนพันธุ์[1] ธานินทร์ สุเชียง[1] และ สมคิด สุขสวัสดิ์[1]*

[1]หลักสูตรวิศวกรรมคอมพิวเตอร์ คณะวิศวกรรมศาสตร์ มหาวิทยาลัยเทคโนโลยีราชมงคลล้านนา ตาก somkit_tak@rmutl.ac.th

บทคัดย่อ

ในปัจจุบันการตรวจวัดคุณภาพน้ำในบ่อบำบัดน้ำเสียของโรงพยาบาลต้องทำการตักน้ำตัวอย่างขึ้นมาเพื่อวิเคราะห์ด้วยมือ ซึ่งก่อให้เกิดความเสี่ยงจากการสัมผัสกับน้ำเสียที่อาจมีเชื้อโรคดื้อยาและสารเคมีอันตรายปนเปื้อน งานวิจัยนี้มีวัตถุประสงค์เพื่อพัฒนาระบบตรวจวัดคุณภาพน้ำเสียโรงพยาบาลอัจฉริยะแบบเรียลไทม์โดยใช้เทคโนโลยี Internet of Things (IoT) ต้นทุนต่ำ เพื่อลดความเสี่ยงต่อบุคลากรและเพิ่มประสิทธิภาพในการเฝ้าระวังคุณภาพน้ำ ระบบพัฒนาขึ้นโดยใช้บอร์ด Arduino Mega 2560 ร่วมกับ NodeMCU ESP8266 และเซนเซอร์ตรวจวัดคุณภาพน้ำ 5 ชนิด ได้แก่ ความเป็นกรด-ด่าง (pH) ปริมาณออกซิเจนละลาย (DO) ความขุ่น (Turbidity) และคลอรีนอิสระ (Free Chlorine) ระดับน้ำ(Ultrasonic) ระบบได้รับการออกแบบให้ตรวจวัดและจัดเก็บข้อมูลตามเกณฑ์มาตรฐานน้ำทิ้งจากสถานพยาบาล โดยค่า pH ต้องอยู่ระหว่าง 5-9 ปริมาณออกซิเจนละลายไม่น้อยกว่า 2 มก./ล. ความขุ่นไม่เกิน 30 NTU และคลอรีนอิสระ 0.5-1.0 มก./ล. จากการทดสอบเปรียบเทียบประสิทธิภาพกับเครื่องมือวิเคราะห์มาตรฐานจำนวน 10 ครั้ง หลังการปรับปรุงการสอบเทียบและประยุกต์ใช้ตัวกรองค่าเฉลี่ยเคลื่อนที่ (Moving Average Filter) พบว่าระบบมีความแม่นยำโดยรวม 93.82% โดยเซนเซอร์คลอรีนมีความแม่นยำสูงสุด 96.67% ความขุ่น 94.70% (เพิ่มเป็น 99.52% เมื่อใช้ 5-point Moving Average) pH 92.65% และออกซิเจนละลาย 91.25% ระบบที่พัฒนาขึ้นสามารถส่งข้อมูลผ่านเครือข่ายไร้สายไปยังฐานข้อมูลคลาวด์แบบเรียลไทม์ พร้อมระบบแจ้งเตือนอัตโนมัติ ช่วยลดความเสี่ยงต่อบุคลากร เพิ่มประสิทธิภาพการเฝ้าระวัง และสนับสนุนการพัฒนาสู่โรงพยาบาลอัจฉริยะด้วยต้นทุนที่เหมาะสม

คำสำคัญ: ระบบตรวจวัดคุณภาพน้ำเสีย, โรงพยาบาลอัจฉริยะ, อินเทอร์เน็ตของสรรพสิ่ง, เซนเซอร์ต้นทุนต่ำ, การเฝ้าระวังแบบเรียลไทม์

Abstract

Currently, hospital wastewater quality monitoring in treatment ponds requires manual water sampling and analysis, which poses risks from exposure to antimicrobial-resistant pathogens and hazardous chemicals. This research aimed to develop an intelligent real-time hospital wastewater quality monitoring system using cost-effective Internet of Things (IoT) technology to reduce personnel health risks and enhance monitoring efficiency. The system was developed using an Arduino Mega 2560 microcontroller integrated with a NodeMCU ESP8266 wireless module and five water quality sensors measuring pH, dissolved oxygen (DO), turbidity, free chlorine and ultrasonic. The system was designed to monitor and store data according to medical facilities' effluent standards: pH 5-9, DO ≥2 mg/L, turbidity ≤30 NTU, and free chlorine 0.5-1.0 mg/L. Performance testing against standard analytical instruments over 10 trials, following calibration improvements and implementation of a Moving Average Filter, demonstrated an overall system accuracy of 93.82%. The chlorine sensor achieved the highest accuracy at 96.67%, followed by turbidity at 94.70% (improved to 99.52% with a 5-point Moving Average), pH at 92.65%, and DO at 91.25%. The developed system transmits data via a wireless network to a cloud database in real-time with automatic alert functionality. This system reduces personnel exposure risks, enhances monitoring efficiency, and supports smart hospital development cost-effectively.

Keywords: wastewater quality monitoring system, smart hospital, Internet of Things, low-cost sensors, real-time monitoring

1. บทนำ

การจัดการน้ำเสียจากสถานพยาบาลเป็นประเด็นสำคัญด้านสิ่งแวดล้อมและสาธารณสุขที่ได้รับความสนใจเพิ่มขึ้นอย่างต่อเนื่อง เนื่องจากน้ำเสียจากโรงพยาบาลประกอบด้วยสารปนเปื้อนที่เกิดขึ้นใหม่ (Emerging Contaminants) ได้แก่ สารปฏิชีวนะ สารเคมีทางการแพทย์ เชื้อโรค สารกัมมันตรังสี และสารรบกวนต่อมไร้ท่อ [2] โรงพยาบาลมีปริมาณการใช้น้ำเฉลี่ยระหว่าง 200-1,200 ลิตรต่อเตียงต่อวัน พร้อมการปล่อยน้ำเสียในปริมาณเท่ากัน [3] ปัญหาสำคัญคือการแพร่กระจายของยาปฏิชีวนะและเชื้อดื้อยาซึ่งเป็นภัยคุกคามสุขภาพอันดับต้น ๆ ที่เป็นสาเหตุการตายโดยตรง 1.27 ล้านคนต่อปีทั่วโลก การตรวจวัดคุณภาพน้ำแบบ

*ผู้ประพันธ์บรรณกิจ

ดั้งเดิมมีข้อจำกัดในเรื่องความล่าช้า การสัมผัสสารอันตราย และไม่สามารถติดตามอย่างต่อเนื่อง

เทคโนโลยี Internet of Things (IoT) และระบบเซนเซอร์อัจฉริยะได้รับการพัฒนาเป็นทางแก้ไขปัญหาดังกล่าว โดยสามารถตรวจวัดพารามิเตอร์หลายตัวแบบเรียลไทม์ เช่น pH ความขุ่น อุณหภูมิ และส่งข้อมูลผ่านระบบคลาวด์ [4] ระบบ IoT มีข้อดีคือการติดตามแบบเรียลไทม์ การตรวจจับการปนเปื้อนในระยะเริ่มต้น การแจ้งเตือนทันท่วงที และการลดต้นทุนระยะยาว [5] ระบบสมัยใหม่ใช้ PLC-based control ที่ยืดหยุ่นและมีอัตราข้อผิดพลาดต่ำเพียง 0.1-0.2% แต่การประยุกต์ใช้ในโรงพยาบาลยังมีข้อจำกัด โดยเฉพาะในประเทศกำลังพัฒนาที่ขาดการบังคับใช้กฎหมายเข้มงวด

2. หลักการและทฤษฎีเกี่ยวข้อง

2.1 งานวิจัยเกี่ยวข้อง

สำรวจเทคโนโลยีการตรวจสอบโรงงานบำบัดน้ำเสีย [6] พบว่าเซนเซอร์สามารถให้ข้อมูลเชิงลึกเกี่ยวกับกระบวนการทางชีวภาพ โดยจำแนกเซนเซอร์เป็น 2 ประเภท คือ เซนเซอร์เรียบง่ายสำหรับการตรวจสอบประจำวัน และเซนเซอร์ขั้นสูงสำหรับการตรวจสอบและปรับปรุง

ศึกษาการบำบัดน้ำเสียโรงพยาบาล พบว่าโรงพยาบาลปล่อยสารเคมีจำนวนมาก [7] ได้แก่ ยาปฏิชีวนะ สารทึบรังสีเอกซเรย์ น้ำยาฆ่าเชื้อ และเภสัชภัณฑ์ที่ต้านทานการบำบัดน้ำเสียทั่วไป ส่งผลกระทบต่อระบบนิเวศน์ทางน้ำและสร้างความต้านทานยาปฏิชีวนะ

นำเสนอระบบตรวจวัดคุณภาพน้ำแบบอัจฉริยะใช้ IoT [8] วัดพารามิเตอร์ pH ความขุ่น ระดับน้ำ อุณหภูมิ และความชื้น โดยใช้ไมโครคอนโทรลเลอร์และส่งข้อมูลไปยังคลาวด์เน้นความสำคัญของ IoT ในการแก้ปัญหาสิ่งแวดล้อมด้วยเทคโนโลยี Industry 4.0

ทบทวนการใช้เซนเซอร์ชีวภาพในการตรวจวัดน้ำเสีย พบว่าเซนเซอร์ชีวภาพมีข้อดีในการตรวจหาสารปนเปื้อนระดับต่ำในเมทริกซ์ซับซ้อน มีความไว ความจำเพาะ ความเชื่อถือได้ ต้นทุนต่ำ และตอบสนองแบบเรียลไทม์ การใช้นาโนวัสดุช่วยเพิ่มประสิทธิภาพและลดขนาดอุปกรณ์

จากการทบทวนวรรณกรรม พบว่าแม้จะมีการพัฒนาระบบตรวจวัดคุณภาพน้ำ IoT อย่างแพร่หลาย แต่งานวิจัยส่วนใหญ่เน้นการประยุกต์ใช้กับน้ำทั่วไปหรือน้ำดื่ม โดยมีงานวิจัยจำนวนจำกัดที่เจาะจงน้ำเสียโรงพยาบาลโดยเฉพาะ ซึ่งมีความซับซ้อนของสารประกอบและความแปรปรวนของสารปนเปื้อนที่แตกต่างจากน้ำเสียทั่วไป นอกจากนี้ ระบบที่มีอยู่ส่วนใหญ่ยังมีต้นทุนสูงและซับซ้อนในการติดตั้งและบำรุงรักษา

ปัจจุบันยังขาดระบบตรวจวัดที่ออกแบบมาเฉพาะสำหรับบ่อบำบัดน้ำเสียโรงพยาบาลที่มีราคาไม่แพง ใช้งานง่าย และสามารถตรวจวัดพารามิเตอร์หลักที่สำคัญได้อย่างครบถ้วน รวมทั้งการรายงานผลแบบเรียลไทม์ที่สามารถช่วยให้ผู้ปฏิบัติงานตัดสินใจได้อย่างรวดเร็วและมีประสิทธิภาพ โดยเฉพาะในบริบทของประเทศกำลังพัฒนาที่มีทรัพยากรและเทคโนโลยีจำกัด

2.2 วัตถุประสงค์ของการวิจัย

เพื่อพัฒนาระบบเฝ้าระวังคุณภาพน้ำเสียแบบเรียลไทม์สำหรับบ่อบำบัดน้ำเสียโรงพยาบาลโดยใช้เทคโนโลยี IoT และแพลตฟอร์ม Arduino เพื่อทดสอบประสิทธิภาพและความแม่นยำของระบบที่พัฒนาขึ้นเปรียบเทียบกับเครื่องมือวัดมาตรฐาน เพื่อประเมินความเป็นไปได้ในการนำระบบไปใช้งานจริงในโรงพยาบาล

2.3 ประโยชน์ที่คาดว่าจะได้รับ

งานวิจัยนี้คาดว่าจะให้ประโยชน์ดังนี้ ลดความเสี่ยงต่อบุคลากรโรงพยาบาลจากการสัมผัสสารอันตรายในน้ำเสีย เพิ่มประสิทธิภาพในการตรวจสอบและควบคุมคุณภาพน้ำเสียอย่างต่อเนื่อง ลดต้นทุนในการตรวจวัดคุณภาพน้ำระยะยาว เป็นต้นแบบสำหรับการพัฒนาระบบเฝ้าระวังคุณภาพสิ่งแวดล้อมในสถานพยาบาลอื่น ๆ และสนับสนุนการพัฒนาโรงพยาบาลอัจฉริยะ (Smart Hospital) ในอนาคต

2.4 หลักการทำงานของระบบ

ระบบตรวจวัดคุณภาพน้ำเสียโรงพยาบาลอัจฉริยะพัฒนาขึ้นโดยใช้สถาปัตยกรรมแบบ 3 ส่วน ประกอบด้วยส่วนของการตรวจวัด ส่วนของการประมวลผลและจัดเก็บข้อมูล และส่วนของการแสดงผลและแจ้งเตือน ในส่วนการตรวจวัด ระบบใช้เซนเซอร์ 5 ชนิดติดตั้งในบ่อบำบัดน้ำเสีย ได้แก่ เซนเซอร์ pH สำหรับวัดความเป็นกรด-ด่าง เซนเซอร์ DO วัดปริมาณออกซิเจนละลาย เซนเซอร์ Turbidity วัดความขุ่น เซนเซอร์ Free Chlorine วัดปริมาณคลอรีนอิสระ และเซนเซอร์ Ultrasonic วัดระดับน้ำ เซนเซอร์แต่ละตัวส่งสัญญาณแอนะล็อกหรือดิจิทัลไปยังบอร์ด Arduino ที่ทำหน้าที่เป็นหน่วยประมวลผลหลัก

บอร์ด Arduino อ่านค่าจากเซนเซอร์ทุก 5 นาที ประมวลผลแปลงสัญญาณเป็นค่าดิจิทัลและคำนวณเป็นค่าจริงตามสูตรการแปลงของเซนเซอร์แต่ละชนิด ข้อมูลที่ประมวลผลแล้วถูกจัดรูปแบบเป็น JSON และส่งไปยัง NodeMCU (ESP8266) ผ่าน Serial Communication ด้วย baud rate 115,200 bps NodeMCU ทำหน้าที่เชื่อมต่อกับเครือข่ายอินเทอร์เน็ต รับข้อมูลจาก Arduino และส่งต่อไปยัง Cloud Server ผ่าน Wi-Fi โดยใช้โปรโตคอล MQTT หรือ HTTP POST พร้อม timestamp สำหรับการวิเคราะห์แนวโน้ม การแปลงสัญญาณและการคำนวณค่าพารามิเตอร์ การแปลงสัญญาณจากเซนเซอร์เป็นค่าจริงของพารามิเตอร์คุณภาพน้ำดำเนินการโดยบอร์ด Arduino Mega 2560 ที่มี ADC ความละเอียด 10 บิต (0-1023) สำหรับการแปลงสัญญาณแอนะล็อก 0-5 V เป็นค่าดิจิทัล การคำนวณค่าพารามิเตอร์แต่ละชนิดใช้สมการการแปลงเฉพาะตามคุณลักษณะของเซนเซอร์ ดังแสดงในสมการที่ (1) ถึง (5)

การวัดค่าความเป็นกรด-ด่าง (pH) : ใช้หลักการ Glass Electrode วัดค่า pH ตามสมการ

$$pH = 3.5 \times V + pHoffset \quad (1)$$

โดย V คือแรงดันไฟฟ้า (0-5 V) และ pHoffset คือค่าชดเชยจากการสอบเทียบ

การวัดปริมาณออกซิเจนละลายน้ำ (Dissolved Oxygen) : ใช้หลักการ Galvanic Cell พร้อมชดเชยอุณหภูมิตามสมการ

$$DO = 4.0 \times V \times [1 + 0.02(T - 25)] \quad (2)$$

โดย DO มีหน่วย mg/L, T คืออุณหภูมิ (°C)

การวัดความขุ่น (Turbidity) : ใช้หลักการ Infrared Scattering ที่ 90° ความสัมพันธ์ระหว่างแรงดันและค่า NTU เป็นแบบ Polynomial ตามสมการ

$$NTU = -1120.4V^2 + 5742.3V - 4353.8 \quad (3)$$

สมการนี้ใช้ได้เมื่อ V > 2.5 V สำหรับกรณี V ≤ 2.5 V กำหนดให้ NTU = 3000 (ค่าสูงสุดของเซนเซอร์)

การวัดปริมาณคลอรีนอิสระ (Free Chlorine) : ใช้หลักการ Amperometric Detection ค่าที่วัดได้ต้องชดเชยด้วยค่า pH ตามสมการ

$$Cl_2 = 2.0 \times V \times [1 + \beta(7.5 - pH)] \quad (4)$$

โดยที่ Cl_2 มีหน่วยเป็น mg/L และ β คือสัมประสิทธิ์การชดเชยค่า pH (0.1)

การวัดระดับน้ำ (Water Level) : วัดระยะทางโดยใช้คลื่นเสียงความถี่ 40 kHz คำนวณจากเวลาที่คลื่นเสียงเดินทางไป-กลับ ตามสมการ

$$h = H - (t \times 343)/2 \quad (5.1)$$

$$L = (h/H) \times 100\% \quad (5.2)$$

โดย h คือระดับน้ำ (cm), H คือความสูงถัง (cm), t คือเวลา (s), L คือระดับน้ำ (%)

สมการค่าเฉลี่ยเคลื่อนที่ (Moving Average) : เพื่อลดผลกระทบจากสัญญาณรบกวน (Noise) และความผันผวนของค่าที่วัดได้จากเซนเซอร์ในแต่ละครั้ง ตามสมการ

$$\overline{x_t} = \frac{1}{N}\sum_{i=0}^{N-1} x_{t-i} \quad (6)$$

โดยที่ $\overline{x_t}$ = ค่าที่ทำให้เรียบ (Smoothed value) ที่เวลา t x_{t-i} = ค่าดิบ (Raw data) ที่จุดข้อมูล $t - i$ และ N = ขนาดหน้าต่างของการคำนวณค่าเฉลี่ย (Window size) โดยในงานวิจัยนี้เลือกใช้ค่า N=5 หมายความว่าค่าที่เวลา t คำนวณจากค่าเฉลี่ยของข้อมูล 3 จุดล่าสุด

เพื่อเพิ่มความแม่นยำของการวัด ระบบใช้ตัวกรองค่าเฉลี่ยเคลื่อนที่ (Moving Average Filter) กับค่าที่อ่านได้จากเซนเซอร์ทุกตัวเพื่อลดผลกระทบจากสัญญาณรบกวน (Noise) และความผันผวนของค่าที่วัดได้จากเซนเซอร์ในแต่ละครั้ง สมการที่ (6) โดยเฉลี่ยจากค่า 10 ครั้งล่าสุด นอกจากนี้ เซนเซอร์ทุกตัวผ่านการสอบเทียบ (Calibration) ด้วยสารละลายมาตรฐานก่อนการใช้งานจริง

การสอบเทียบและตรวจสอบความแม่นยำของเซนเซอร์ เซนเซอร์สอบเทียบด้วยสารละลายมาตรฐาน บัฟเฟอร์ pH (4.00, 7.00, 10.00), มาตรฐานออกซิเจนละลาย (0-100%), มาตรฐานความขุ่นฟอร์มาซิน (0.1-800 NTU) และสารละลายโซเดียมไฮโปคลอไรท์ (0.5-2.0 mg/L) ที่ 25°C โดยวิธีหลายจุด (5 จุด ซ้ำ 3 ครั้ง) ตรวจสอบความแม่นยำเปรียบเทียบกับวิธีมาตรฐาน APHA ใช้ตัวอย่าง น้ำกลั่น น้ำประปา น้ำเสียสังเคราะห์ และน้ำเสียโรงพยาบาลจริง

ผลทดสอบ: เซนเซอร์ pH (R^2 = 0.948), DO (R^2 = 0.962), ความขุ่น (R^2 = 0.987) และคลอรีน (R^2 = 0.973) มีความแม่นยำตามเกณฑ์การทดสอบ 30 วันพบค่าเบี่ยงเบน < 2% และเวลาตอบสนอง < 5 นาที ตัวกรองค่าเฉลี่ยเคลื่อนที่เพิ่มความแม่นยำความขุ่นเป็น 99.52% และลดความแปรปรวน pH ลง 44% ($p < 0.05$)

ในส่วนการประมวลผลและจัดเก็บข้อมูล Cloud Server รับข้อมูลและบันทึกลงในฐานข้อมูลแบบ Time-series ระบบตรวจสอบค่าที่ได้รับกับค่ามาตรฐานน้ำเสียโรงพยาบาล เพื่อแสดงผลด้วย Web Dashboard แสดงข้อมูลแบบ Real-time ผู้ใช้เข้าถึงผ่านเว็บเบราว์เซอร์เพื่อดูค่าปัจจุบัน กราฟแนวโน้มรายวัน รายสัปดาห์ และรายเดือน นอกจากนี้ยังมีฟังก์ชันดูข้อมูลย้อนหลัง เปรียบเทียบข้อมูล และส่งออกเป็น pdf หรือ Excel ระบบที่พัฒนาขึ้นใช้อุปกรณ์ต้นทุนต่ำที่หาได้ง่าย ติดตั้งและบำรุงรักษาได้โดยเจ้าหน้าที่โรงพยาบาล ช่วยลดความเสี่ยงจากการสัมผัสน้ำเสียโดยตรง สอดคล้องกับแนวคิด Smart Hospital ที่ใช้เทคโนโลยี IoT เพิ่มประสิทธิภาพและความปลอดภัยในการเฝ้าระวังคุณภาพน้ำเสียของโรงพยาบาล ดังรูปที่ 1

รูปที่ 1 การเชื่อมต่อระบบตรวจวัดคุณภาพน้ำเสียโรงพยาบาลอัจฉริยะ

เพื่อสนับสนุนการตัดสินใจของระบบตรวจวัดคุณภาพน้ำเสียแบบอัจฉริยะในโรงพยาบาล งานวิจัยนี้ได้กำหนดเกณฑ์การประเมินคุณภาพน้ำเสียโดยใช้ระบบสี 3 ระดับ ได้แก่ สีเขียว (ปลอดภัย), สีส้ม (เฝ้าระวัง), และสีแดง (อันตราย) โดยอิงจากค่ามาตรฐานที่ระบุใน ประกาศกระทรวงทรัพยากรธรรมชาติและสิ่งแวดล้อม เรื่อง กำหนดมาตรฐานควบคุมการระบายน้ำทิ้งจากอาคารบางประเภทและบางขนาด ลงวันที่ 7 พฤศจิกายน 2548 [1] โดยระบบจะประมวลผลค่าที่ตรวจวัดได้จากเซนเซอร์และจำแนกสถานะของน้ำเสียตามช่วงสีดังกล่าว ตามตารางที่ 1

ตารางที่ 1 เกณฑ์การจำแนกคุณภาพน้ำเสียด้วยระบบสี

พารามิเตอร์	สีเขียว (ปลอดภัย)	สีส้ม (เฝ้าระวัง)	สีแดง (อันตราย)
ความเป็นกรด-ด่าง	5.0–9.0	5.0–5.9 หรือ 9.1–10.0	< 5.0 หรือ > 10.0
ออกซิเจนละลายน้ำ	≥ 1.5 มล./ล.	1.0–1.4 มล./ล.	< 1.0 มล./ล.

คลอรีนอิสระ	0.5–1.0 มล./ล.	0.2–0.4 มล./ล.	< 0.2 หรือ > 1.0 มล./ล.
การวัดความขุ่น	≤ 50 มล./ล.	51-100 มล./ล.	> 100 มล./ล.

2.5 โครงสร้างกล่องควบคุมและการติดตั้ง

กล่องอุปกรณ์ของระบบตรวจวัดคุณภาพน้ำเสียในบ่อบำบัดได้รับการออกแบบให้สามารถตรวจวัดและส่งข้อมูลแบบเรียลไทม์ผ่านเทคโนโลยี IoT ประกอบด้วย Arduino Mega 2560 R3 ทำหน้าที่เป็นไมโครคอนโทรลเลอร์หลักในการควบคุมการทำงานของเซนเซอร์ทั้งหมด ร่วมกับบอร์ด ESP8266 สำหรับการเชื่อมต่อเครือข่ายไร้สายและส่งข้อมูลไปยังฐานข้อมูลออนไลน์ โดยระบบได้รับพลังงานจาก Switching Power Supply ที่แปลงไฟฟ้ากระแสสลับเป็นกระแสตรงเพื่อจ่ายให้กับอุปกรณ์ภายใน ซึ่งประกอบด้วยเซนเซอร์วัดปริมาณออกซิเจนละลายน้ำ (DO sensor), เซนเซอร์วัดการวัดความขุ่น (Turbidity sensor), เซนเซอร์วัดปริมาณคลอรีนอิสระ (Chlorine sensor), เซนเซอร์วัดค่าความเป็นกรด-ด่าง (pH sensor) และเซนเซอร์อัลตร้าโซนิคสำหรับตรวจวัดระดับน้ำ โดยเซนเซอร์ทั้งหมดทำงานร่วมกันเพื่อเก็บข้อมูลคุณภาพน้ำในแต่ละค่าตามช่วงเวลาที่กำหนด และส่งข้อมูลไปยังระบบแสดงผลหน้าเว็บ ซึ่งช่วยสนับสนุนการตัดสินใจเชิงข้อมูลในการจัดการระบบบำบัดน้ำเสียอย่างมีประสิทธิภาพและปลอดภัย ดังรูปที่ 2

รูปที่ 2 การเชื่อมต่ออุปกรณ์ภายในกล่องควบคุม

การติดตั้งระบบตรวจวัดคุณภาพน้ำอัจฉริยะในบ่อบำบัดน้ำเสียของโรงพยาบาล ดำเนินการโดยติดตั้งกล่องควบคุมหลักภายในตู้ควบคุมที่ป้องกันน้ำและฝุ่น โดยทำการติดตั้งบนแท่นยึดเฉพาะภายในบ่อ โดยให้หัวเซ็นเซอร์จุ่มอยู่ที่ความลึกประมาณ 20–30 เซนติเมตรจากผิวน้ำ และอยู่ห่างจากตำแหน่งน้ำเข้าและน้ำออกเพื่อให้ค่าที่วัดได้นั้นครอบคลุมน้ำทั้งบ่อ นอกจากนี้ ได้ติดตั้งเซ็นเซอร์อัลตราโซนิกสำหรับวัดระดับน้ำเหนือผิวน้ำในระยะ 30–50 เซนติเมตร ระบบทั้งหมดได้รับพลังงานจากสวิตชิ่งเพาเวอร์ซัพพลายที่มีการป้องกันไฟกระชาก ดังรูปที่ 3

รูปที่ 3 จุดติดตั้งของกล่องควบคุม บริเวณบ่อบำบัดน้ำเสียโรงพยาบาล

3. ผลการดำเนินงานและอภิปลาย

3.1 การทดสอบประสิทธิภาพของกล่องควบคุม

การทดสอบประสิทธิภาพของระบบตรวจวัดคุณภาพน้ำเสียโรงพยาบาลอัจฉริยะดำเนินการโดยเปรียบเทียบค่าที่วัดได้จากระบบกับค่าที่วัดจากเครื่องมือมาตรฐาน โดยทำการทดสอบทั้งหมด 10 ครั้ง ในสภาวะการทำงานจริงที่บ่อบำบัดน้ำเสียโรงพยาบาลข้อมูลที่วัดได้ถูกส่งไปจัดเก็บที่ Firebase Realtime Database ผ่าน NodeMCU ESP8266 เพื่อการวิเคราะห์แบบเรียลไทม์ ซึ่งจากการทดลองดังกล่าวนั้นได้ค่าจากการทดสอบ ตามตารางที่ 2

ตารางที่ 2 ผลการทดสอบระหว่างระบบตรวจวัดกับเครื่องมือมาตรฐาน

ครั้งที่	DO (mg/L)		ความขุ่น (NTU)		คลอรีน (mg/L)		pH	
	ระบบ	เทียบ	ระบบ	เทียบ	ระบบ	เทียบ	ระบบ	เทียบ
1	1.70	1.60	260	250	0.62	0.60	6.00	6.80
2	1.85	1.60	275	300	0.63	0.60	6.20	6.80
3	1.78	1.60	285	290	0.59	0.60	6.90	6.80
4	1.75	1.60	295	300	0.61	0.60	6.30	6.80
5	1.73	1.60	220	200	0.62	0.60	6.60	6.80
6	1.76	1.60	216	220	0.60	0.60	7.00	6.80
7	1.69	1.60	276	280	0.61	0.60	6.40	6.80
8	1.81	1.60	225	230	0.63	0.60	6.50	6.80
9	1.74	1.60	217	200	0.62	0.60	6.40	6.80
10	1.67	1.60	220	220	0.61	0.60	6.10	6.80

ผลการทดสอบระบบตรวจวัดคุณภาพน้ำเสียแบบเรียลไทม์ที่พัฒนาขึ้นเทียบกับเครื่องมือมาตรฐาน พบว่าระบบมีความแม่นยำรวม 93.82% โดยเซนเซอร์คลอรีนอิสระมีความแม่นยำสูงสุด 96.67% แสดงถึงความเสถียรของการวัด ขณะที่เซนเซอร์ความขุ่นแม้มีความแม่นยำ 94.70% แต่มีความแปรปรวนสูงกว่าปกติ ซึ่งเป็นผลจากความไม่เป็นเนื้อเดียวกันของน้ำเสีย เซนเซอร์ pH มีความแม่นยำ 92.65% โดยมี systematic bias ประมาณ -0.50 หน่วย pH และเซนเซอร์ออกซิเจนละลายมีความแม่นยำ 91.25% ซึ่งอยู่ในเกณฑ์มาตรฐาน ผลการทดลองชี้ว่าระบบนี้สามารถใช้เฝ้าระวังคุณภาพน้ำแบบต่อเนื่องและสนับสนุนการจัดการน้ำเสียได้อย่างมีประสิทธิภาพ ทั้งนี้ ความแม่นยำสามารถยกระดับได้ด้วยการปรับเทียบเซนเซอร์และปรับปรุงการประมวลผลข้อมูลเพิ่มเติม ดังรูปที่ (4-7) และสรุปประสิทธิภาพของระบบตรวจวัดคุณภาพน้ำเสียโรงพยาบาล ตามตารางที่ 3

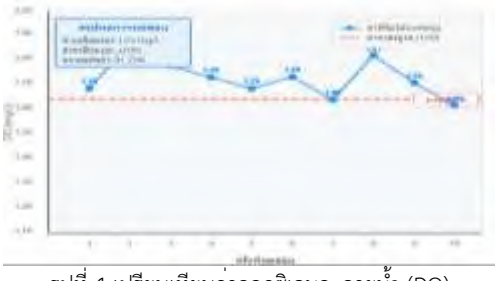

รูปที่ 4 เปรียบเทียบค่าออกซิเจนละลายน้ำ (DO)

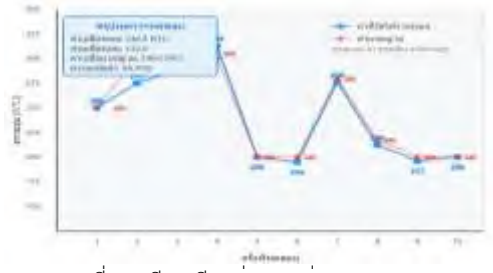

รูปที่ 5 เปรียบเทียบค่าความขุ่น (Turbidity)

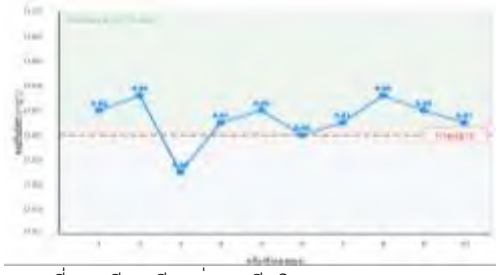

รูปที่ 6 เปรียบเทียบค่าคลอรีนอิสระ (Free Chlorine)

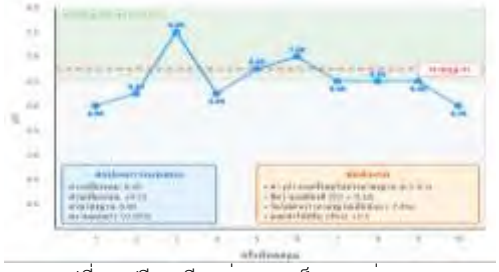

รูปที่ 7 เปรียบเทียบค่าความเป็นกรด-ด่าง (pH)

ตารางที่ 3 สรุปประสิทธิภาพของระบบตรวจวัดคุณภาพน้ำเสียโรงพยาบาล

พารามิเตอร์	ค่าเฉลี่ยระบบ	ค่าเฉลี่ยมาตรฐาน	ความคลาดเคลื่อน	ความแม่นยำ (%)	การประเมิน
DO (mg/L)	1.75 ± 0.05	1.60 ± 0.00	+0.15 (+9.4%)	91.25%	ดีมาก
ความขุ่น (NTU)	248.9 ± 32.6	249.0 ± 39.9	-0.1 (-0.04%)	94.70%	ดีมาก
คลอรีน (mg/L)	0.614 ± 0.013	0.60 ± 0.00	+0.014 (+2.3%)	96.67%	ดีเยี่ยม
pH	6.30 ± 0.32	6.80 ± 0.00	-0.50 (-7.4%)	92.65%	ดีมาก

3.2 ประสิทธิภาพการแสดงผลของเว็บแอปพลิเคชัน

ระบบตรวจวัดคุณภาพน้ำเสียที่พัฒนาขึ้นได้ออกแบบเว็บแอปพลิเคชันเพื่อใช้เป็นส่วนติดต่อผู้ใช้ (User Interface) ในการแสดงข้อมูลแบบเรียลไทม์ โดยมีการจัดโครงสร้างเป็น 2 ส่วนหลัก ดังนี้

ส่วนการแสดงผลค่าพารามิเตอร์คุณภาพน้ำ (Monitoring Dashboard)

ส่วนนี้จะแสดงค่าพารามิเตอร์คุณภาพน้ำสำคัญที่ตรวจวัดได้ เช่น ค่าความเป็นกรด–ด่าง (pH) ปริมาณออกซิเจนละลายน้ำ (DO) ความขุ่น (Turbidity/NTU) ปริมาณของคลอรีนอิสระ (Free Chlorine) และอัตราการไหล (Flow rate) โดยมีการกำหนด รหัสสี (Color coding) เพื่อสื่อสารสถานะของคุณภาพน้ำอย่างชัดเจน และแสดงถึงปริมาณระดับของน้ำภายในบ่อบำบัด

นอกจากนี้ยังมี กราฟแนวโน้ม (Time-series graph) สำหรับแต่ละพารามิเตอร์ ทำให้สามารถสังเกตการเปลี่ยนแปลงของคุณภาพน้ำเสียในช่วงเวลาต่าง ๆ ได้อย่างต่อเนื่อง และช่วยให้สามารถวิเคราะห์เหตุการณ์ผิดปกติได้อย่างรวดเร็ว ดังรูปที่ 8 (ก)

ส่วนจัดการข้อมูลและส่งออกผลการวิเคราะห์ (Data Export and Reporting Module)

ระบบสามารถจัดเก็บข้อมูลทั้งหมดลงในฐานข้อมูล และให้ผู้ใช้ดาวน์โหลดข้อมูลในรูปแบบ PDF และ Excel เพื่อใช้ในการทำรายงาน วิเคราะห์เชิงสถิติ หรือเก็บบันทึกเป็นหลักฐานทางวิชาการและการตรวจสอบย้อนหลัง ทั้งนี้การออกแบบฟังก์ชันนี้มุ่งเน้นให้ผู้ใช้งานสามารถสรุปผลการทำงานของระบบได้ง่ายขึ้นและนำข้อมูลไปใช้สนับสนุนการตัดสินใจเชิงบริหารจัดการได้อย่างเป็นระบบ ดังรูปที่ 8 (ข)

การแสดงผลทั้งสองส่วนนี้มีเป้าหมายเพื่อเพิ่มความสะดวกในการเฝ้าระวังคุณภาพน้ำเสียแบบเรียลไทม์ ลดความเสี่ยงในการตรวจวัดด้วยวิธีการเก็บตัวอย่างด้วยมือ และสนับสนุนการปรับปรุงประสิทธิภาพของระบบบำบัดน้ำเสียในโรงพยาบาลตามแนวทางดิจิทัล

ก. Monitoring Dashboard ข. Data Export and Reporting Module

รูปที่ 8 การทดสอบประสิทธิภาพของการแสดงผลของเว็บแอปพลิเคชัน

4. สรุปผลการทดลอง

ระบบตรวจวัดคุณภาพน้ำเสียโรงพยาบาลอัจฉริยะที่พัฒนาขึ้นโดยใช้บอร์ดไมโครคอนโทรลเลอร์ Arduino Mega 2560 ร่วมกับโมดูลสื่อสารไร้สาย NodeMCU ESP8266 และเซนเซอร์ตรวจวัด 5 ชนิด แสดงประสิทธิภาพโดยรวมที่ร้อยละ 93.82 เมื่อเปรียบเทียบกับเครื่องมือวิเคราะห์มาตรฐาน โดยเซนเซอร์คลอรีนอิสระมีความแม่นยำสูงสุดที่ร้อยละ 96.67 เซนเซอร์ความขุ่นมีความแม่นยำร้อยละ 94.70 ซึ่งเพิ่มขึ้นเป็นร้อยละ 99.52 หลังประยุกต์ใช้ตัวกรองค่าเฉลี่ยเคลื่อนที่แบบ 5 จุด เซนเซอร์ความเป็นกรด-ด่างและออกซิเจนละลายมีความแม่นยำร้อยละ

92.65 และ 91.25 ตามลำดับ และเซนเซอร์อัลตร้าโซนิคสำหรับตรวจวัดระดับน้ำ การใช้ตัวกรองค่าเฉลี่ยเคลื่อนที่ช่วยลดความผันผวนของสัญญาณได้อย่างมีนัยสำคัญทางสถิติ โดยเฉพาะค่าความเป็นกรด-ด่างที่ลดส่วนเบี่ยงเบนมาตรฐานได้ร้อยละ 44 ระบบสามารถส่งข้อมูลแบบทันกาลผ่านเครือข่ายไร้สายไปยังฐานข้อมูลบนระบบคลาวด์ ซึ่งช่วยลดความเสี่ยงต่อสุขภาพของบุคลากรและสนับสนุนการพัฒนาสู่โรงพยาบาลอัจฉริยะ

4.1 ข้อเสนอแนะและแนวทางการพัฒนาต่อยอด

ควรพิจารณาใช้เซนเซอร์ระดับอุตสาหกรรมสำหรับการวัดค่าความเป็นกรด-ด่างเพื่อลดการรบกวนจากไอออนในน้ำเสียที่มีองค์ประกอบซับซ้อน พัฒนาขั้นตอนวิธีการกรองแบบปรับตัวที่สามารถเปลี่ยนจำนวนจุดข้อมูลได้อัตโนมัติตามระดับความผันผวนของสัญญาณ เพิ่มความสามารถในการตรวจวัดค่าความต้องการออกซิเจนทางชีวเคมี ความต้องการออกซิเจนทางเคมี และโลหะหนักเพื่อให้ครอบคลุมเกณฑ์มาตรฐานน้ำทิ้งจากโรงพยาบาล ประยุกต์ใช้การเรียนรู้ของเครื่องสำหรับการวิเคราะห์เชิงพยากรณ์ เชื่อมโยงกับระบบสารสนเทศโรงพยาบาล และดำเนินการทดสอบความเสถียรระยะยาวอย่างน้อย 6 เดือนพร้อมวิเคราะห์ต้นทุน-ประโยชน์เพื่อยืนยันความคุ้มค่าเมื่อเทียบกับระบบเชิงพาณิชย์ ซึ่งสอดคล้องกับเป้าหมายการพัฒนาที่ยั่งยืนและนโยบายประเทศไทย 4.0

5. กิตติกรรมประกาศ

คณะผู้วิจัยขอขอบพระคุณโรงพยาบาลสมเด็จพระเจ้าตากสินมหาราช จังหวัดตาก ที่อนุเคราะห์สถานที่ บุคลากร และเครื่องมือมาตรฐานในการติดตั้งและทดสอบระบบตรวจวัดคุณภาพน้ำเสียโรงพยาบาลอัจฉริยะ ทำให้การวิจัยสำเร็จลุล่วงด้วยดี

เอกสารอ้างอิง

[1] กรมควบคุมมลพิษ, “ประกาศกระทรวงทรัพยากรธรรมชาติและสิ่งแวดล้อม เรื่อง กำหนดมาตรฐานควบคุมการระบายน้ำทิ้งจากอาคารบางประเภทและบางขนาด,” ราชกิจจานุเบกษา, 2548

[2] M. T. Khan, I. A. Shah, I. Ihsanullah, M. Naushad, S. H. A. Shah, A. W. Mohammad, “Hospital wastewater as a source of environmental contamination: An overview of management practices, environmental risks, and treatment processes.” Journal of Water Process Engineering, vol. 41, 2021.

[3] B. Pauwels and W. Verstraete, “The treatment of hospital wastewater: an appraisal.” Journal of Water and Health, vol. 4(4), 2006, pp. 405-416.

[4] J. H. Wong, N. Shamsuddin, E. Abas, R. A. Apong, Z. Masri, H. Suhaimi, S. H. Gödeke, and M. N. A. Noh, “Water quality monitoring with Arduino based sensors.” Environments, vol. 8, 2021, pp. 51.

[5] H. M. Forhad, M. R. Uddin, R.S. Chakrovorty, A. M. Ruhul, H. M. Faruk, S. Kamruzzaman, N. Sharmin, A. S. I. M. Jamal, M. M.-U. Haque, and A. K. M. M. Morshed, “IoT based real-time water quality monitoring system in water treatment plants (WTPs).” Heliyon, vol. 10, 2024, e40746.

[6] P. A. Vanrolleghem and D. S. Lee, “On-line monitoring equipment for wastewater treatment processes: state of the art.” Water Science and Technology, vol. 47, 2003, pp.1-34.

[7] B. Pauwels and W. Verstraete, “The treatment of hospital wastewater: an appraisal.” Journal of Water and Health, vol. 4(4), 2006, pp. 405-416.

[8] S. Pasika and S. T. Gandla, “Smart water quality monitoring system with cost-effective using IoT.” Heliyon, vol. 6, 2020, e04096.

สุทธิพันธุ์ สายทองอินทร์ อาจารย์หลักสูตรวิศวกรรมคอมพิวเตอร์ มทร.ล้านนา ตาก สนใจด้านการประยุกต์ใช้งานด้านเครือข่ายคอมพิวเตอร์

ผศ.เอกลักษณ์ สุมนพันธุ์ อาจารย์หลักสูตรวิศวกรรมคอมพิวเตอร์ มทร.ล้านนา ตาก สนใจด้านการประยุกต์ใช้คอมพิวเตอร์ควบคุมระบบอัตโนมัติในภาคอุตสาหกรรม

ธานินทร์ สุเชียง อาจารย์หลักสูตรวิศวกรรมคอมพิวเตอร์ มทร.ล้านนา ตาก สนใจด้านการประยุกต์ใช้งานด้านระบบอัตโนมัติ

สมคิด สุขสวัสดิ์ อาจารย์หลักสูตรวิศวกรรมคอมพิวเตอร์ มทร.ล้านนา ตาก สนใจเกี่ยวกับการประยุกต์ใช้หลักวิศวกรรมกับงานด้านการเกษตร และการประยุกต์

Implementation of Parking System Using ESP32 Integrated with Rapid SCADA via MQTT

Thanachot Wongpuk[1], Buntueng Yana[1*], Sitthichat Meekhwan[1], Juthathip Wannawan[1], and Weeraphon Yana[1]

Department of Electrical Engineering, School of Engineering, University of Phayao, Thailand,
wk.thanachot@gmail.com, *mr.buntueng@gmail.com, mr.sitthichat.n@gmail.com, juthathipwannawan@gmail.com, weeraphonyana@gmail.com

Abstract

This research presents the implementation of an Internet of Things-based parking system. The system uses ESP32 microcontrollers integrated with a SCADA system via the MQTT protocol. The proposed system utilized ultrasonic sensors to detect vehicle presence in parking slots. It capture a real-time distance and parking status to the SCADA system for monitoring and administration. We also created a user interface to exhibit parking status. The interface accommodates both PC and smartphone platforms, facilitating versatile deployment across diverse contexts. A prototype apparatus was utilized in an experiment. The design simulated vehicle heights ranging from 0 cm to 200 cm in 10 cm increments. The results show high detection accuracy. Measured values from sensor showed minimal deviation from the actual distances, resulting in an average error of only 0.57%. Communication performance evaluation indicates low end-to-end latency. Data was transmitted from the ESP32 to the SCADA and HMI interfaces, often within one second. These results confirm the system's capability for near real-time operation. The results validate the efficacy of the proposed system work effectively for smart parking management. The system is particularly suitable for urban environments where efficient space utilization and swift response are critical. This research constitutes a prototype implementation. Future development will prioritize system dependability and the implementation of improved security measures to safeguard data privacy. These initiatives will encompass enhancements in scalability to facilitate extensive deployments and refinements in the user interface to augment usability. The integration of advanced analytics with city-wide traffic control solutions will be investigated. This will enhance urban mobility efficiency and advance environmental sustainability goals.

Keywords: MQTT, SCADA, IoT-based, Parking System

1. Introduction

In Thailand and around the world, the number of cars has increased dramatically in recent years [1], especially in Bangkok and other major cities. Thailand and other countries are facing the same problems as a result of rapid urbanization, growing populations, and changing economies. Many problems arise from the imbalance of vehicles and parking. These problems include increased vehicle emissions, higher pollution and fuel consumption, as well as traffic congestion [2]. As a result, drivers spend inordinate amounts of time looking for parking, which is inefficient and frustrating, ultimately affecting a person's daily productivity [3].

Parking systems have come to alleviate drivers' parking difficulties by providing real-time information on available parking spaces [3]. The systems use various technologies to detect vehicles and share this information with drivers or disseminate it to a centralized monitoring platform. Parking systems also help reduce traffic congestion, save fuel, and save time by guiding drivers to available parking. They also improve land use efficiency and environmental sustainability [2]. The parking systems are more integral to urban planning and intelligent transportation frameworks to enhance efficiency.

The parking systems can be implemented using a variety of technologies for vehicle detection and data transmission, including wired networks, wireless senssor networks (WSNs), image processing systems, VANETs, and IoT platforms [5-6]. Each type of the technology has different advantages and limitations. The wired networks offer high reliability and security for data transmission. However, it comes at the high installation costs and limited flexibility. Following by WSNs which commonly employ infrared or ultrasonic sensors. It provides users with real-time monitoring and data management. However, it limited range and susceptible to interference. Subsequently, investigate image processing systems. It provides detailed inspection and autonomous vehicle recognition using cameras and AI algorithms. However, the performance get effect from light conditions. Next, study VANETs. It supports real-time, dynamic vehicle-to-infrastructure communication but is complex and expensive to implement. Finally, the IoT solutions are exceptionally adaptable, scalable, and user-friendly. IoT platforms integrate several IoT sensors and cloud technologies to provide real-time data transmission and centralized management. However, it may elicit privacy issues and necessitates substantial data capacity. The selection of an appropriate parking system depends on project requirements, environmental considerations, and budgetary constraints [5-6].

The objective of this project is to design and implement a parking system employing Internet of Things (IoT) technologies. These technologies are selected for this project, as they can be the integration of several sensors, offer real-time data transmission, and accommodate scalable implementations [5]. The proposed system utilizes ESP32 microcontrollers and SCADA platform. Data is transmitted to the SCADA

*Corresponding Author

system via MQTT for monitoring and control. The ESP32 was selected to be edge device because of its robust design, ultra-low power consumption, and high level of integration. It has Wi-Fi and Bluetooth in a single chip. operates reliably in conditions, and supports multiple power-saving modes. That making it highly efficient for IoT applications. So, The ESP32 is a perfect choice for implementing a parking system based on IoT [7]. This properties solution is suitable for different situations. This versatile and reliable approach is applicable in various situations. This significantly aids users in identifying parking issues and improving efficiency in urban traffic management.

2. Literature Review

Parking systems help drivers to reduce the time spent finding an available space to park. Parking systems improve traffic flow and fuel efficiency. In addition, their contribution to environmental sustainability is clear. As a component of smart city projects, these solutions integrate various technologies to enhance urban traffic. Commonly used sensors include ultrasonic, infrared, magnetic, and radar sensors for vehicle detection; camera-based systems combined with computer vision and artificial intelligence; and wireless communication methods such as Wi-Fi, Zigbee, LoRa, and NB-IoT for data transmission. User-friendly visualization is typically implemented through mobile applications [4–6].

Parking system solutions can be categlorized into five primary groups according to sensing and communication technologies: wired network, wireless sensor network, image processing, vehicular ad-hoc network, and internet of things. Wired network systems facilitate precise information delivery. They are costly to establish and lack flexibility. WSNs comprising ultrasonic and infrared devices, enable real-time monitoring. They are not strong to interference and range limitations. The Image processing systems use camera and artificial intelligence for find vehicle recognition; nevertheless, their precision depends on lighting and weather conditions. VANET-based systems employ vehicle-to-infrastructure communication techniques for real-time updates but still, they are complex and expensive. IoT-based systems integrate IoT sensors into a centralized platform, enabling scalability, continuous data transfer, and a user-friendly interface. These characteristics render IoT-based methodologies optimal for dynamic urban parking administration [5].

Among these technologies, IoT has emerged as the foundation driving modern parking systems. Pham et al. [8] demonstrated a cloud-connected IoT architecture where parking lots act as interconnected IoT networks, enabling real-time slot updates and optimized allocation while reducing cost and latency. Pham et al. [9] have shown how IoT architectures can scale to large deployments while maintaining efficient communication. Alam et al. [10] presented a survey showing that IoT-driven designs consistently outperform manual and semi-automatic systems. This enables automation, remote monitoring, and reliable data analytics. In addition, Lin et al. [11] They highlighted the IoT as the essential connection between decentralized sensors and centralized management systems. That IoT architecture support real-time surveillance and integration with urban transportation services.

Subsequent research illustrates the adaptability of IoT across several domains. Ke et al. [12] developed a parking surveillance system utilizing IoT sensors for real-time vehicle detection, achieving over 95% accuracy in field trials and alleviating network congestion. Lou et al. [13] They study on multisensor IoT detection methodology. That result of accuracy approximate about 98.81% with low power usage. They demonstrated the efficacy of IoT for dependable detection using interconnected sensors. Saleem et al. [14] presented an IoT-based system that provides dependable, real-time parking recommendations, demonstrating its effectiveness in real-world urban environments.

This extensive research elucidates the rationale for the utilization of IoT-based technologies for effective and scalable parking management. IoT establishes a framework that integrates sensors, devices, and management platforms into a unified network, enabling real-time monitoring of parking availability and vehicles. Communication protocols and architectures enable IoT systems to accurate data acquisition, reliable information dissemination, and adaptable services such as automated reservations and display available spaces.

An IoT-based architecture with easy integration, real-time agility, and scalability has shown ideal support for the goal of this research. This research presents an IoT-based parking system as a foundation for the suggested implementation, establishing IoT as an essential innovation to constructing scalable efficient urban transportation solutions.

3. Research Methodology

This study explain design process, implementation strategy, and validation of the parking system test. Beginning with a overview of this system. Subsequently providing discussion of physical and logical designs. Last, design a testing and validation of system performance.

3.1 System Overview

This part explain comprehensive overview of the system. We will outline the primary components and their interactions to provide a complete parking management methodology. That is hardware and software elements into an IoT-based architecture, enabling seamless data acquisition, processing, and visualization.

From Fig. 1 , an ESP32 installed in each parking place within the sensing layer to detect vehicles. We use an AJ-SR04M ultrasonic sensor that measure distance from a vertical orientation. The AJ-SR04M ultrasonic sensor was used in this system. It works with 3–5.5 V. It consumes very low power. In standby, it uses about 2 mA.

In sleep modes, it uses 20–40 µA. It measures distances from 20 cm to 8 m. The resolution is about 2 mm. It works with a 40 kHz signal. The beam angle is about 75°, giving a wide detection area. It can operate in temperatures from –20 °C to +75 °C. These features make it suitable for IoT-based parking system [15]. The ESP32 locally processes the raw distance data and produces two data packets. Package of the parking status, was encoded as a binary value where "0" represent a vacant slot and "1" signifies an occupied position. The second package comprises the quantified distance in centimeters for monitoring and validation purposes. The ESP32 transmits both data packages to an MQTT broker over the MQTT protocol via the network router. The broker serves as the core communication between devices and applications. Within the monitoring and control layer, a SCADA subscribes topics of Parking State and Distance then records it in database for historical preservation and further analyze. A custom-designed HMI web interface functions as an autonomous component distinct from the SCADA platform. The HMI establishes a direct connection to the MQTT broker over WebSocket communication and subscribes to the parking state topic on the broker. The web interface tracks the occupancy status of each parking space, showing whether it is available or occupied. The data is delivered via a web server to access the HMI, enabling drivers and operators to monitor real-time parking information.

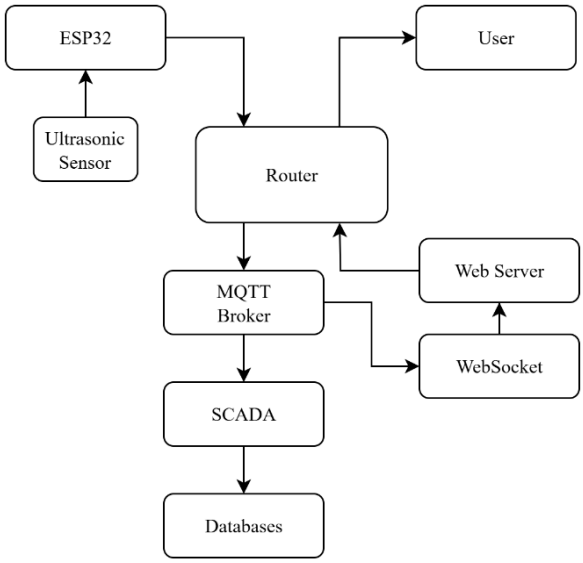

Fig. 1: Conceptual workflow of the system overview

This architecture establishes an end-to-end workflow. When a vehicle detection and data processing is processed the ESP32. Then the result will send through MQTT protocol. And finally, the result has been recorded in database through SCADA-based data management. We use websocket to subscribe the MQTT message and show status on HMI.

3.1.1 Physical Design

This subsection will define the physical architecture of the proposed system. Emphasize the hardware components, their interconnections, and the deployment topology employed for the implementation of this parking detection and communication network.

Each parking node have ultrasonic sensor on the top of parking area to detect the distance between the sensor and the vehicle or ground. Wired a sensor to ESP32, which controls data collection and preprocessing. A router was installed in parking area to able wireless communication and support a Wi-Fi connection. ESP32 will connected to this router. Data transmission from the sensing nodes to the network like Fig. 2 at left side.

The central node, an internal router, is positioned closest to the host PC operating the SCADA platform, MQTT broker, web server, and database services. Wired LAN connect between host PC and internal router to low latency connection and provide communication between the central system and the network like Fig. 2 at right side.

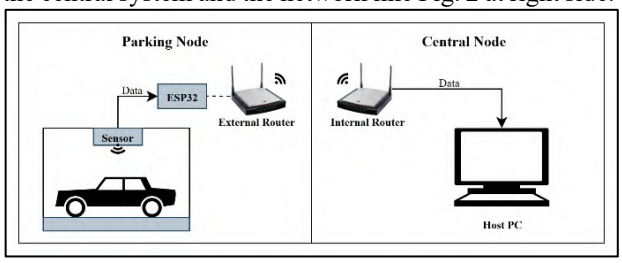

Fig. 2: Conceptual diagram of the physical installation

This network topology make sensing nodes be able to communicate with the external router at the parking area, while the internal router maintains a stable wired link to the central server. Together, these components form the foundation for accurate vehicle detection and transfer a data exchange across the system.

3.1.2 System Architecture

The system architecture and software workflow was explain in this part, emphasizing the processing, transmission, and integration of sensor data with the SCADA platform via the MQTT protocol.

Fig. 3 show process of microcontroller. Which incessantly acquires distance readings from the ultrasonic sensor positioned above the parking space to ascertain the presence of a car. The choice is predicated on a dynamic threshold derived from the physical dimensions of the parking space. The threshold is determined by deducting a constant value of 1.1 meters from the highest slot height recorded from the sensor point to the ground. The value of the 1.1-meter measurement denotes the estimated clearance of the lowest commercially available car, specifically referencing the Lotus Evija, which has a height of 1.122 meters [16]. A distance of 1.1 meters provides an adequate buffer to ensure the recognition of all standard vehicles despite sensor interference and environmental variations. In a typical example, when the sensor is situated 2.5 meters above the ground, the

determined threshold is 1.4 meters, derived from 2.5 meters minus 1.1 meters. Thus, any recorded distance under 1.4 meters is classified as occupied, while lengths equal to or greater than this threshold are considered vacant. Following classification, the ESP32 produces two data sets: the unprocessed distance measurement and the derived parking state, with 0 indicating an empty spot and 1 signifying an occupied slot.

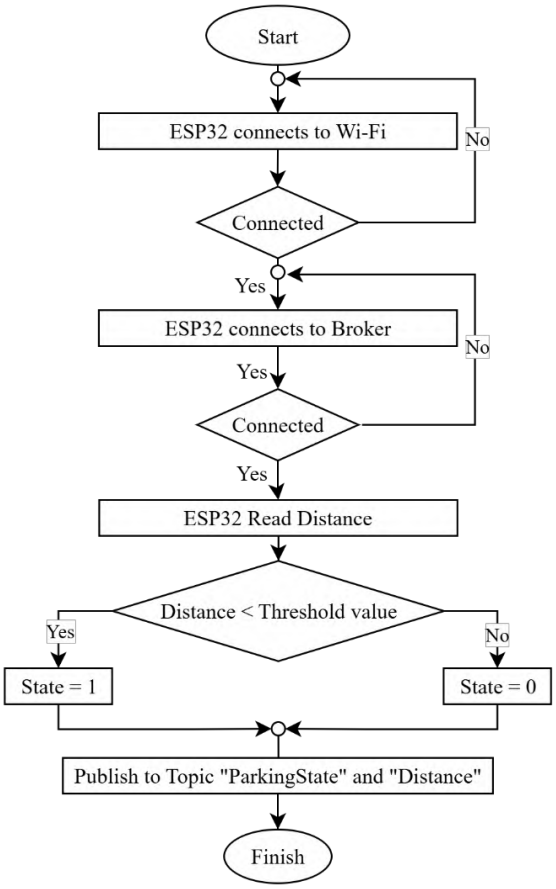

Fig. 3: Process of the ESP32 microcontroller

The data are communicated to the MQTT broker via the MQTT protocol, traversing the external router adjacent to the parking node and directed to the internal network at the central server. The SCADA system at the central node subscribes to both topics, records data to the database, and facilitates centralized monitoring and historical analysis. A completely designed custom web-based HMI subscribes to the parking state topic via a WebSocket connection to the broker, separate from the SCADA platform.

Fig. 4: Human-Machine Interface (HMI) display

From Fig. 4 , HMI focuses on monitoring the status information in real-time through a web interface from the web server. Access derver can check the current status of each slot from anywhere in the world if have internet connection. This design shows operational flow from sensor measurement to the control server and monitor server, ensuring accurate detection, reliable communication, and seamless integration to hardware and software components.

3.2 Testing and Validation of the Design

This section separate the experiment of performance system to verify its functional standards and its reliable operation in conditions at real-world. This testing procedure on two main elements. The accuracy of the ultrasonic sensors detection and latency of communication network in transmitting data from the sensing nodes to the monitoring platforms and SCADA system.

Before describe test design, authors want to explain about detail of parking lot. It consists of 4 parking slots, as shown in Fig. 5. Each slot is monitored by one ultrasonic sensor. Due to the limited cable length of the sensors, one ESP32 microcontroller is used to control two sensors. This setup allows accurate distance measurement for each parking slot while keeping the wiring simple and manageable.

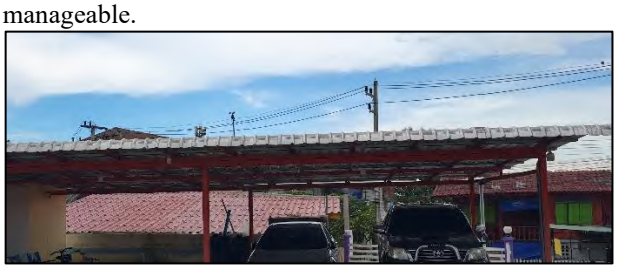

Fig. 5: Real-world installation of the parking system

Experiment was undertaken to verify the accuracy of the ultrasonic sensors by simulating different vehicle heights. Objects were increment distances corresponding to vehicle heights, increasing of 10 centimeters from 0 cm to 200 cm. This range was selected based on automotive reference data. The tallest car recorded was the Hyundai Staria, measuring 1.99 meters in height [16]. This test was repeat ten times at each height level to assure measurement is smooth and correct. This technique allowed accurate verification of the sensor's capability to detect vehicles effectively within the expected operational

range, which in real-world scenarios extends from ground level to around 2 meters.

Responsiveness of communication architecture was evaluated to confirm it real-time performance. ESP32 was use to send data packets that have timestamped to MQTT broker at a rate of one message per second. Under standard network conditions. The notifications were subscribe by both SCADA platform and the customized HMI interface. The communication latency was determined from comparisons of timestamps that ESP32 send and timstamp of reception by the SCADA system and HMI. This testing approach confirmed that the system could provide data expeditiously and sustain synchronized changes among the sensing nodes, the central database, and the user interface.

4. Results and Discussion

This part defines the test results of the proposed smart parking system and offers an analysis of the results. The results can be split into two sections: the precision of the ultrasonic sensors and the latency of the communication network. Graphical visualizations of the information collected are provided to show performance and confirm the system's efficacy under simulated operational situations.

4.1 Accuracy of the Ultrasonic sensors

The accuracy measurement was performed with objects inserted at increments ranging from 0 cm to 200 cm in 10 cm intervals to represent different vehicle roof heights. Fig. 6 displays the compare between the actual heights and the measurements obtained through the ultrasonic sensor.

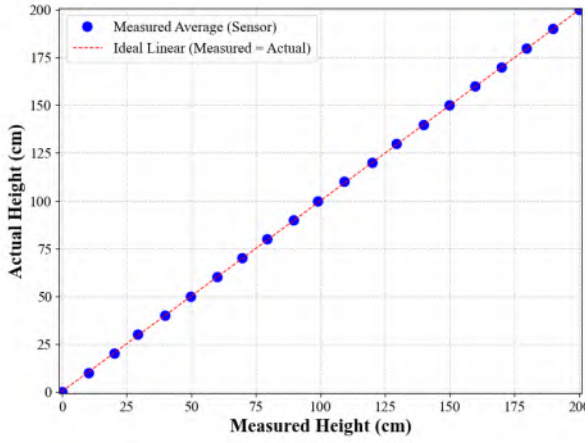

Fig. 6: Comparison of measured and actual heights

Results show sensor value is closely to the reference line that represent perfect value. In other words, it show minimum error measured range. A quantitative study indicates an average error of roughly 0.57%. This precision indicates that the sensor can detect vehicle heights up to about 2 meters. The error of about 0.57% comes from normal limits of ultrasonic sensors. The speed of sound in air can change with temperature and humidity, which affects the measurement. Also, if the vehicle surface is not flat or not straight to the sensor, the echo signal may be weaker. The sensor itself also has a small accuracy limit and a short blind zone. Even though filtering was used, these natural conditions still cause of error.

4.2 Response Time

Figure 7 summarizes the results. This shows the distribution of response times of SCADA system data received from ESP32. Graph explain the time taken for data use to transfer from ESP32 to SCADA system when the data is successfully received.

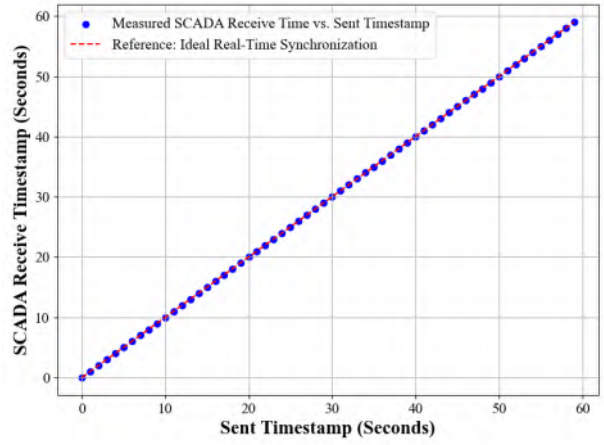

Fig. 7: SCADA data transmission response time distribution

From the graph, the response times is still less than one second, demonstrating SCADA system processing data in near real-time. In industrial and automation environments. Performance on this level must be perfect for effective monitoring and control to ensure timely and accurate system feedback.

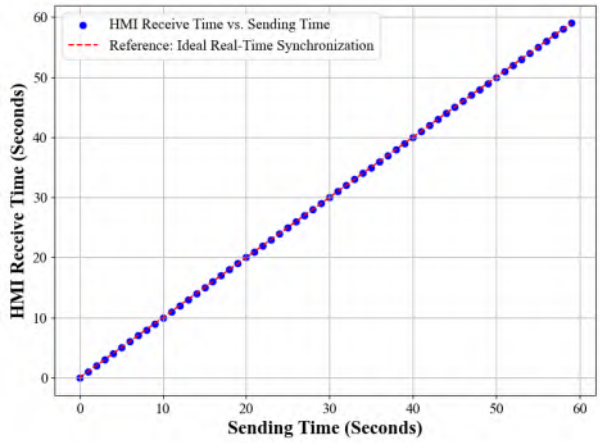

Fig. 8: HMI data transmission response time distribution

Fig. 8 demonstrates the distribution of responses for data collection from the ESP32 through HMI interface. Response time explain duration between the timestamp transmitted from the ESP32 and its subsequent reception and processing by the HMI system. The data suggests that HMI can provide near real-time transmission, as most reaction times are under one second.

5. Discussion

During the analysis of reaction times of SCADA and HMI, data transmission latency most stayed under one second. That alone is important. ESP32 and monitoring system operate easily together and can handle real-world situations without complications. In a smart parking system, low latency is important.

Following the comparison of the sensor readings with the actual distances, all of them corresponded closely with the likely values. Several values differed marginally, although nothing unexpected occurred, and the overall curve remained mainly linear. This develops confidence; the sensor and data processing appear to be accurate to detect vehicles and assess their distance in this configuration.

The study porpose a prototype of the car parking system. Several facets require improvement before usage. There are many areas for improvement. Such as system security, fault management, and assuring scalability. Developing data processing and implementing a method for reporting abnormal values could increase the system's long-term stability. The demonstrations prove that this IoT-based parking system is not solely a construct of theory. It functions successfully, and with additional improvements, it might transform into a viable solution. With additional improvements, it is on an effective path of becoming a fully formed solution.

A cloud-based smart parking system combined IoT with cloud servers. It helped drivers find empty parking slot and reduced waiting time. It was tested in a university and worked well. But it needed careful parameter tuning. It also did not fully solve security and large-scale deployment [8].

A fog-computing smart parking system was also proposed. It reduced delay and supported booking and automatic payment. It offered indoor navigation using BLE. It improved user experience. But it required complex BLE installation and had higher cost. It was still under development [9].

The authors propose a better parking system. It uses ESP32, Ultrasonic sensor, MQTT protocal, and RapidSCADA. It provides real-time monitoring and database logging. It does not require cloud or fog servers. It is simple and easy to deploy. It does not include indoor navigation. But it is practical and affordable for small and medium parking areas.

6. Conclusion

This project implemented an IoT-based parking system with ESP32 devices connected to a SCADA platform via the MQTT protocol. Information on parking space occupancy was identified and transmitted nearly at once, minimizing delays. The trials demonstrated that the ultrasonic sensors showed an error margin of approximately 0.57%, and data was transmitted with a delay of under 1 second, therefore supporting the theory that this technology is well-suited for smart parking applications.

The system is primarily a prototype at this stage. Additional efforts are required to go towards implementation. Enhancements are required for system security, network issue management, and scalability for larger parking areas. Additionally, sensor accuracy must improve, additional information processing methods should be developed, and the user interface should be reduced. These measures will be essential to address actual requirements and guarantee satisfaction for users.

7. References

[1] CEIC Data, "Thailand Number of Registered Vehicles," CEIC, 2025. [Online]. Available: https://www.ceicdata.com/en/indicator/thailand/number-of-registered-vehicles. [Accessed: Jul. 26, 2025].

[2] Faheem, F., et al., *A Survey of Intelligent Car Parking System.* Journal of Applied Research and Technology, 2013. **11**(5).

[3] Javaheri, A., et al., *Evaluating the Impact of Smart Parking Systems on Parking Violations.* IEEE Access, 2024. **12**: p. 175585-175596.

[4] Biyik, C., et al. *Smart Parking Systems: Reviewing the Literature, Architecture and Ways Forward*. Smart Cities, 2021. **4**, 623-642 DOI: 10.3390/smartcities4020032.

[5] Channamallu, S.S., et al., *Smart Parking Systems: A Comprehensive Review of Digitalization of Parking Services.* Green Energy and Intelligent Transportation, 2024.

[6] M S, V., S. V, and D. Gnaneswar, Finding the Spot: IoT enabled Smart Parking Technologies for Occupancy Monitoring – A Comprehensive Review. Journal of ISMAC, 2023. **5**: p. 369-384.

[7] Espressif Systems, “ESP32 Wi-Fi & Bluetooth SoC | Espressif Systems,” Espressif Systems. [Online]. Available: https://www.espressif.com/en/products/socs/esp32. [Accessed: 7-Sep-2025].

[8] Pham, T.N., et al., A Cloud-Based Smart-Parking System Based on Internet-of-Things Technologies. IEEE Access, 2015. **3**: p. 1581-1591.

[9] Pham, T.N., D.T. Mai, and X.K. Pham, Smart Parking Services: An Overall Solution Based on Internet of Things and Fog Computing. IEEE Access, 2023. **11**: p. 112929-112939.

[10] Alam, M.R., et al., A Survey on IoT Driven Smart Parking Management System: Approaches, Limitations and Future Research Agenda. IEEE Access, 2023. **11**: p. 119523-119543.

[11] Lin, T., H. Rivano, and F.L. Mouël, *A Survey of Smart Parking Solutions.* IEEE Transactions on Intelligent Transportation Systems, 2017. **18**(12): p. 3229-3253.

[12] Ke, R., et al., A Smart, Efficient, and Reliable Parking Surveillance System With Edge Artificial Intelligence on IoT Devices. IEEE Transactions on

Intelligent Transportation Systems, 2021. **22**(8): p. 4962-4974.
[13] Lou, L., et al., An IoT-Driven Vehicle Detection Method Based on Multisource Data Fusion Technology for Smart Parking Management System. IEEE Internet of Things Journal, 2020. **7**(11): p. 11020-11029.
[14] Saleem, Y., et al., *IoTRec: The IoT Recommender for Smart Parking System.* IEEE Transactions on Emerging Topics in Computing, 2022. **10**(1): p. 280-296.
[15] "Arduino Distance Measuring Transducer Sensor Model: AJ-SR04M," Fabian. [Online]. Available: https://www.fabian.com.mt/viewer/42586/pdf.pdf. [Accessed: 7-Sep-2025].
[16] Automobiledimension.com, "Car search engine," [Online]. Available: https://www.automobiledimension.com/car-search-engine.php. [Accessed: Aug. 2, 2025].

Thanachot Wongpuk He is an undergraduate student in the Faculty of Engineering, majoring in Electrical Engineering at the University of Phayao, Thailand. Current research interests: IoT system.

Buntueng Yana (Member, IEEE) received B.Eng. and M.Eng. degrees in Electrical Engineering from Chiang Mai University, Thailand, in 2006 and 2009, respectively, and a Ph.D. in Information Science and Technology from Osaka University, Japan, in 2019. He is currently a lecturer with the Department of Electrical Engineering at the University of Phayao, Thailand, where he began his academic career. His research interests include robotics, automatic control, power generation, and the application of machine learning to medical applications.

Sitthichat meekhwan received the bachelor's degree in electrical engineering from the University of Phayao (UP), Phayao, Thailand, in 2019. He is currently studying for a master's degree at the Faculty of Engineering. His current research interests in Machine learning, deep learning, and robotic.

Juthathip Wannawan She is an undergraduate student in the Faculty of Engineering, majoring in Electrical Engineering at the University of Phayao, Thailand. Current research interests: Electrical Communication System.

Weeraphon Yana He is an undergraduate student in the Faculty of Engineering, majoring in Electrical Engineering at the University of Phayao, Thailand. Current research interests: Electrical Communication System.

ระบบเข้าถึงข้อมูลของอุปกรณ์สำหรับบริษัทให้บริการด้านคอมพิวเตอร์ด้วยคิวอาร์โค้ด

Equipment Data Access System for Computer Service Company by QR Code

อรรถศาสตร์ นาคเทวัญ[1] และ นภัสรพี สิทธิวัจน์[1*]

[1]สาขาวิชาวิศวกรรมคอมพิวเตอร์ ภาควิชาวิศวกรรมศาสตร์ สจล. วิทยาเขตชุมพรเขตรอุดมศักดิ์

pisakorn.si@kmitl.ac.th, atthasart.na@kmitl.ac.th*

บทคัดย่อ

บทความนี้ขอนำเสนอระบบเข้าถึงข้อมูลของอุปกรณ์สำหรับบริษัทให้บริการด้านคอมพิวเตอร์ด้วยคิวอาร์โค้ด ซึ่งเป็นการออกแบบและพัฒนาโปรแกรมสำหรับการใช้งานภายในบริษัท ไอทีดิจิท เซิร์ฟ จำกัด เพื่อแก้ปัญหาการทำงานที่ผิดพลาดและล่าช้าของพนักงาน ส่งผลให้เกิดความถูกต้อง เป็นระเบียบ รวดเร็ว สะดวกสบาย รวมไปถึงการเก็บรวบรวมข้อมูลอุปกรณ์คอมพิวเตอร์ของลูกค้าและการเข้าซ่อมบำรุง ระบบนี้แบ่งออกเป็น 3 ส่วนที่สำคัญนั่นคือ การสแกนคิวอาร์โค้ด เว็บแอปพลิเคชันสำหรับแสดงข้อมูล และฐานข้อมูล ส่วนแรกจะกล่าวคือระบบคิวอาร์โค้ดสำหรับการสแกนเพื่อนำไปสู่ข้อมูลที่อยู่ในฐานข้อมูล ส่วนที่สองคือเว็บไซต์สำหรับแสดงข้อมูลที่ดึงมาจากฐานข้อมูล ซึ่งเว็บไซต์แบ่งผู้ใช้งานออกเป็น 3 กลุ่มนั่นคือพนักงานทั่วไป พนักงานฝ่ายให้บริการด้านคอมพิวเตอร์ และผู้ดูแลระบบ พนักงานทั่วไปมีความสามารถเพียงเข้าไปดูข้อมูลเท่านั้น พนักงานฝ่ายให้บริการคอมพิวเตอร์สามารถทำได้ 4 อย่างนั่นคือ ดูข้อมูล แก้ไขข้อมูล ลบข้อมูล และตรวจสอบรายการซ่อมบำรุงอุปกรณ์ ผู้ดูแลระบบสามารถทำได้ทุกอย่างเหมือนกับพนักงานฝ่ายให้บริการด้านคอมพิวเตอร์ อีกทั้งสามารถพัฒนาหรือปรับปรุงระบบนี้ได้ด้วย ส่วนที่สามของระบบคือฐานข้อมูล ซึ่งแบ่งการเก็บข้อมูลเป็น 4 ตารางที่แตกต่างกันนั่นคือ ตารางเก็บข้อมูลคอมพิวเตอร์ของลูกค้า ตารางเก็บข้อมูลภาพจากกล้องวงจรปิด ตารางเก็บข้อมูลด้านอุปกรณ์เครือข่ายคอมพิวเตอร์ และตารางเก็บข้อมูลของระบบเซิร์ฟเวอร์ การรวบรวมข้อมูลคอมพิวเตอร์ของลูกค้าที่มีจำนวนมากนั้น ทำให้ผู้เขียนต้องใช้โปรแกรมสเปกซี่เข้ามาช่วย ซึ่งเป็นโปรแกรมสำเร็จรูปตัวหนึ่งที่บริษัทฯ นำมาใช้งาน เมื่อผู้ใช้งานต้องการเข้าใช้งานระบบเปิดข้อมูลของลูกค้าโดยใช้คิวอาร์โค้ด พวกเขาจะต้องเชื่อมต่อกับอินเตอร์เน็ตทุกครั้ง

คำสำคัญ: คิวอาร์โค้ด เว็บแอปพลิเคชัน บริษัทให้บริการด้านคอมพิวเตอร์ เซิร์ฟเวอร์ และการเข้าถึงอุปกรณ์

Abstract

This article presents a equipment data access system for the computer service company, which is designed and developed for internal use at IT Digit Serve Co., Ltd. to solve common problems. For example, human errors or employee service delays. resulting in accuracy, orderliness, speed, convenience, including the collection of customer computer device data and maintenance. This system is divided into 3 important parts: QR code scanning, web application for displaying data, and database. The first part is the QR code system for scanning to access data in the database. The second part is the website for displaying data retrieved from the database. The website divides users into 3 groups: general employees, computer service staff, and system administrators. General employees are only able to view data. Computer service staff can do 4 things: view data, edit data, delete data, and check equipment maintenance lists. System administrators can do everything the same as computer service staff and can also develop or improve this system. The third part of the system is the database, which is divided into 4 different tables: customer computer data storage table, CCTV image storage table, computer network device data storage table, and server system data storage table. Collecting a large amount of customer data requires the author to use the Speccy program to help. This is a ready-made program that the company uses. When users want to access the customer data opening system using QR code, they must connect to the Internet every time.

Keywords: QR Code, Web Application, Server, Computer Service Company and Devices Access.

1. บทนำ

การทำงานในยุคปัจจุบันนี้ต้องใช้คอมพิวเตอร์ อุปกรณ์คอมพิวเตอร์ อุปกรณ์โครงข่ายคอมพิวเตอร์ และอินเตอร์เน็ตเข้า มาช่วยให้กิจการในหน่วยงานต่างๆ ทำงานได้อย่างรวดเร็ว เรียบร้อย และสะดวกสบายมากยิ่งขึ้น เมื่อมีความต้องการใช้งาน คอมพิวเตอร์และอินเตอร์เน็ตมากขึ้น ส่งผลให้องค์กรนั้นจำเป็นต้องมีการว่าจ้างเจ้าหน้าที่ฝ่ายไอทีเข้ามาเป็นพนักงานประจำ หากแต่มีหลายกรณีที่เจ้าหน้าที่ฝ่ายไอทีไม่สามารถจัดการกับปัญหาเกี่ยวกับคอมพิวเตอร์และโครงข่ายการสื่อสารได้ เพราะมีความซับซ้อนหรือมีปริมาณงานมากเกินไป อีกกรณีหนึ่งคือองค์กรนั้นไม่ได้มีเจ้าหน้าที่ฝ่ายไอที จากสองสาเหตุนี้จึงทำให้เกิดบริษัท ให้บริการด้านคอมพิวเตอร์และโครงข่ายการสื่อสารในคอมพิวเตอร์ที่มีความเชี่ยวชาญเข้าไปสนับสนุนให้งานในองค์กรนั้นทำงานได้ อย่างมีประสิทธิภาพ เป็นการว่าจ้างแบบครั้งคราวไม่ได้จ้างกันเป็นงานประจำหรือที่เรียกกันว่าเอาท์ซอร์ส (Outsource) ซึ่งบริษัท ไอทีดิจิทเซิร์ฟ จำกัด ก็เป็นหนึ่งในบริษัท

*ผู้ประพันธ์บรรณกิจ

ให้บริการด้านคอมพิวเตอร์ อุปกรณ์คอมพิวเตอร์ และอุปกรณ์โครงข่ายคอมพิวเตอร์แบบ เอาต์ซอร์สในประเทศไทยได้เข้าไปช่วยสนับสนุนงานให้กับหลากหลายองค์กร และเป็นบริษัทที่มีชื่อเสียงได้รับความไว้วางใจจากลูกค้าจำนวนมาก ส่งผลให้มีปริมาณข้อมูลของลูกค้ามาก ยิ่งไปกว่านั้นลูกค้าแต่ละคนมีความต้องการใช้คอมพิวเตอร์ อุปกรณ์คอมพิวเตอร์ อุปกรณ์โครงข่ายคอมพิวเตอร์มากตามไปด้วย และบริษัทยังใช้เอกสารแบบกระดาษในเก็บข้อมูลต่างๆ เช่น รายการ อุปกรณ์คอมพิวเตอร์ รายการอุปกรณ์โครงข่ายคอมพิวเตอร์ สถานการณ์ซ่อมบำรุง เป็นต้น จึงทำให้เกิดปัญหาตรงที่เอกสารมี เอกสารปริมาณมากมายมหาศาล ส่งผลให้เอกสารมีโอกาสสูญหาย เอกสารสลับกัน อัพเดตสถานการณ์ซ่อมบำรุงหรืออัพเดตรายการอุปกรณ์ไม่ทัน กลายเป็นความผิดพลาดภายในบริษัทที่อาจส่งผลกระทบต่อลูกค้าได้ จากเรื่องราวที่เกี่ยวเนื่องกันมาและปัญหาที่พบเจอในการทำงาน จึงทำให้ผู้เขียนคิดหาวิธีแก้ไขปัญหานี้อย่างเบ็ดเสร็จ อัน จะส่งผลให้เกิดการทำงานที่รวดเร็วและสะดวกสบายมากที่สุด วิธีการที่จะเข้าถึงข้อมูลได้อย่างสบาย เร็วที่สุด และทำได้ทันทีทุกที่ ทุกเวลานั่นคือการใช้เว็บแอปพลิเคชัน ไม่ว่าพนักงานจะอยู่ในสถานที่ทำงานหรือไม่อยู่ในที่ทำงาน ขอเพียงมีอินเตอร์เน็ตก็สามารถทำงานได้ทันที ข้อมูลทั้งหมดจะถูกจัดเก็บเอาไว้ในฐานข้อมูลของบริษัทซึ่งเป็นคอมพิวเตอร์เซิร์ฟเวอร์ เมื่อผู้เขียนได้พัฒนาเว็บแอป พลิเคชันขึ้นมา ก็พบว่าข้อมูลที่มีปริมาณมากมายมหาศาลนั้นจะทำการค้นหาต้องใช้เวลาบ้างและต้องรู้คำสำคัญ (Keyword) ในการค้นหา ทำให้เกิดความไม่สะดวกเท่าไรนัก จึงได้เกิดแนวคิดสร้างคิวอาร์โค้ดติดไว้ที่อุปกรณ์แต่ละตัว ทำให้ผู้ใช้งานทั่วไปและผู้ดูแลระบบสามารถเข้าถึงข้อมูลของอุปกรณ์ตัวนั้นได้อย่างสะดวกสบายเป็นอย่างมาก เพราะสแกนคิวอาร์โค้ดเสร็จแล้วก็จะนำไปสู่ข้อมูลที่อยู่ในฐานข้อมูล แล้วดึงข้อมูลเหล่านั้นมาแสดงผลบนเว็บแอปพลิเคชันได้เลย ส่งผลให้ผู้ใช้งานทั่วไป พนักงานฝ่ายบริการให้บริการด้านคอมพิวเตอร์ และผู้ดูแลระบบสามารถทำงานของตัวเองตามหน้าที่ได้อย่างง่ายดาย

2. วิธีการศึกษา

2.1 ภาพรวมของระบบการเข้าถึงข้อมูล

ในส่วนนี้จะแสดงให้เห็นถึง ภาพรวมของระบบจัดการวัสดุอุปกรณ์ในคลังสินค้าด้วยอินทราเน็ต แผนภาพระบบจัดการ ข้อมูลลูกค้าโดยใช้คิวอาร์โค้ดผ่านอินทราเน็ต ฐานข้อมูล และการออกแบบเว็บแอปพลิเคชัน

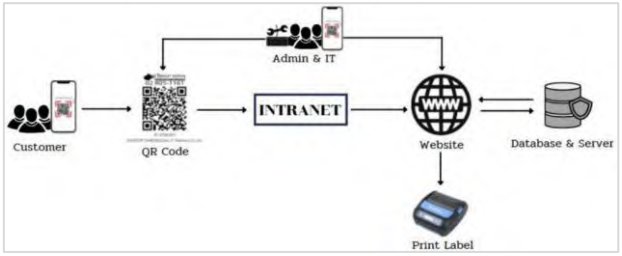

รูปที่ 1 ภาพรวมของระบบเข้าถึงข้อมูลอุปกรณ์ด้วยอินทราเน็ต

จากรูปที่ 1 ผู้เขียนได้ทำการออกแบบระบบเปิดข้อมูลโดยใช้คิวอาร์โค้ด โดยเริ่มจากผู้ค้า (Customer) พนักงานบริการด้านคอมพิวเตอร์ (Computer Service Staff) และผู้ดูแลระบบ (Administration) จะต้องทำการสแกนคิวอาร์โค้ดก่อน ผู้ที่จะสแกนได้ต้องเป็นบุคคลที่มีบัญชีการใช้งาน (User Account) ที่อยู่ภายใต้การดูแลของบริษัท ไอทีดิจิทเซิร์ฟ จำกัด จากนั้นตัวคิวอาร์โค้ดที่เป็นข้อมูลนำทางไปสู่เว็บไซต์ที่แสดงข้อมูลของอุปกรณ์ ตัวนั้นได้โดยผ่านระบบอินทราเน็ต (Intranet) ดังนั้นข้อมูลที่เก็บไว้ในเซิร์ฟเวอร์ (Database and Server) จะถูกนำมาแสดงบน เว็บไซต์ (Website) อย่างถูกต้อง พร้อมด้วยผู้ใช้งานสามารถสั่งพิมพ์ข้อมูลเหล่านั้นผ่านหน้าเว็บไซต์ได้ด้วยเครื่องพิมพ์ (Print Label) เพื่อยืนยันการเข้ามาปฏิบัติงานของพนักงานตามที่ลูกค้าร้องขอให้มา

2.2 แผนภาพระบบจัดการข้อมูลลูกค้าโดยใช้คิวอาร์โค้ด

ระบบจัดการข้อมูลลูกค้าโดยใช้คิวอาร์โค้ดผ่านอินทราเน็ต ผู้เขียนได้แบ่งสิทธิ์การใช้งานออกเป็น 3 ประเภทนั่นคือ ผู้ใช้งานทั่วไป ผู้ดูแลระบบและพนักงานบริการด้านคอมพิวเตอร์ ส่งผลให้ต้องออกแบบหน้าเว็บเป็น 3 ส่วนนั่นคือ ระบบสแกนคิวอาร์โค้ด โปรแกรมในการแสดงข้อมูลอุปกรณ์และการจัดเก็บข้อมูลในระบบฐานข้อมูลทั้งหมด 4 ระบบ ก่อนที่ผู้เขียนจะอธิบายถึง ระบบฐานข้อมูลในหัวข้อถัดไป จึงขออธิบายขั้นตอนการทำงานของโปรแกรมก่อน ซึ่งมีขั้นตอนการทำงานดังนี้

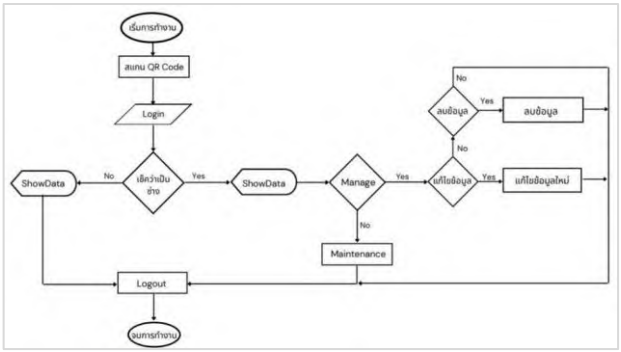

รูปที่ 2 แผนภาพระบบจัดการข้อมูลลูกค้าในกรณีที่เป็นผู้ใช้งานทั่วไปกับพนักงานบริการด้านคอมพิวเตอร์

กรณีของผู้ใช้งานทั่วไปที่ต้องการดูข้อมูลอุปกรณ์ ผู้ใช้งานจะต้องสแกนคิวอาร์โค้ดก่อน จากนั้นเข้าสู่หน้าล็อกอินบนเว็บแอปพลิเคชัน เมื่อล็อคอินเข้าระบบเรียบร้อยแล้ว ข้อมูลอุปกรณ์ตัวที่ได้ทำการสแกนคิวอาร์โค้ดจะปรากฏบนหน้าเว็บไซต์ เมื่อผู้ใช้งานดูข้อมูลจนเป็นที่พอใจแล้วก็สามารถกดปุ่มล็อกเอาต์ (Logout) ได้เพื่อออกจากระบบ

กรณีพนักงานบริการด้านคอมพิวเตอร์ผู้ที่ต้องการดูข้อมูลหรือเข้ามาจัดการข้อมูล รวมถึงเข้ามาในระบบเพื่อตรวจรายการซ่อมบำรุงดูแลรักษาอุปกรณ์ ก็จะต้องสแกนคิวอาร์โค้ดเพื่อล็อคอินเข้าสู่ระบบก่อน จากนั้นข้อมูลลูกค้าที่ได้สแกนคิวอาร์โค้ดจากแสดงให้เห็นบนเว็บไซต์ ในกรณีนี้จะมีปุ่มให้เลือก 4 อย่างนั่นคือ แก้ไขข้อมูล ลบข้อมูล อัพเดตการซ่อมบำรุง และล็อกเอาต์

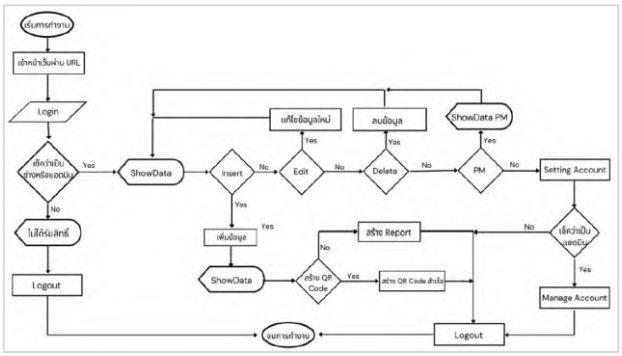

รูปที่ 3 แผนภาพระบบจัดการข้อมูลกรณีที่เป็นผู้ดูแลระบบ และพนักงานบริการด้านคอมพิวเตอร์

กรณีที่ผู้ใช้งานเป็นผู้ดูแลระบบและพนักงานบริการด้านคอมพิวเตอร์ฝ ผู้ใช้งานสามารถเข้าลิงค์ที่ได้กำหนดไว้เพื่อเข้าสู่หน้าเว็บไซต์ของระบบ เข้าถึงอุปกรณ์ด้สยคิวอาร์โค้ดซึ่งใช้งานร่วมกับอินทราเน็ต ล็อคอินเข้าระบบแล้วจะมีข้อมูลอุปกรณ์ที่ได้ทำการเพิ่มไว้ในฐานข้อมูล ทั้งหมดแสดงขึ้นบนหน้าเว็บไซต์ หลังจากนั้นผู้ใช้งานเลือกหัวข้อที่ต้องการจัดการกับข้อมูลอุปกรณ์ต่างๆ ทั้งหมดได้ไม่ว่าจะเป็น การเพิ่มข้อมูล การแก้ไขข้อมูล การลบข้อมูล การตรวจรายการ (Check List) ในการเข้าไปบำรุงรักษาอุปกรณ์ให้กับลูกค้าในแต่ละรอบ การสร้างคิวอาร์โค้ด การทำงานรายงานข้อมูลผู้ใช้งานอุปกรณ์และรายละเอียดข้อมูลอุปกรณ์ทั้งหมดได้ หากแต่ผู้ดูแลระบบ กับพนักงานบริการด้านคอมพิวเตอร์ฝ่ายไอทีมีสิทธิที่แตกต่างกันตรงที่ ผู้ดูแลระบบสามารถจัดการกับบัญชีผู้งานทั้งหมดและพัฒนาระบบได้ แต่พนักงานบริการด้านคอมพิวเตอร์ไม่สามารถทำเช่นนี้ได้ เมื่อทำงานเสร็จเรียบร้อยแล้วผู้ใช้งานทั้งสองประเภทต้องกดปุ่มล็อกเอาต์เพื่อออกจากระบบ

2.3 ฐานข้อมูล (Database)

ฐานข้อมูล [1-2] ที ได้ออกแบบเป็นตารางไว้มีทั งหมด 3 กลุ่มที่สำคัญนั่นคือตารางซึ่งแบ่งตามบทบาทหน้าที่ของแต่ละบุคคล ตารางที่แยกตามอุปกรณ์แต่ละประเภท และตารางการซ่อมบำรุง รวมทั้งหมด 21 ตาราง ดังต่อไปนี้ ตาราง register.register ใช้สำหรับการเก็บข้อมูลบัญชีของผู้ใช้งานตามบทบาทหน้าที่แต่ละคน ตาราง dbo.company ใช้สำหรับเก็บชื่อ บริษัทลูกค้าที่ถูกเพิ่มเข้ามาใหม่ ตาราง register.logfile ใช้สำหรับเก็บประวัติการเข้าใช้งานระบบของผู้ใช้งาน ตาราง my_spec.my_spec ใช้สำหรับเก็บข้อมูลที่เป็นอุปกรณ์คอมพิวเตอร์ทั้งหมด ตาราง my_spec.list_cctv ใช้สำหรับเก็บข้อมูลที่เป็นอุปกรณ์กล้องวงจรปิดทั้งหมด ตาราง my_spec.list_server ใช้สำหรับเก็บข้อมูลที่เป็นอุปกรณ์เครื่องเซิร์ฟเวอร์ทั้งหมด ตาราง my_spec.list_network ใช้สำหรับเก็บข้อมูลที่เป็นอุปกรณ์ที่เป็นเราเตอร์ทั้งหมด

ตาราง my_spec.list_access_point ใช้ สำหรับเก็บข้อมูลที่เป็นอุปกรณ์แอคเซสพอยน์ ตาราง my_spec.list_firewall ใช้สำหรับเก็บข้อมูลที่เป็นอุปกรณ์ไฟร์วอลล์ทั้งหมด ตาราง my_spec.list_switch ใช้สำหรับเก็บข้อมูลที่เป็นอุปกรณ์สวิตช์ทั้งหมด ตาราง my_spec.list_pbx ใช้สำหรับเก็บข้อมูลที่ เป็นอุปกรณ์พีบีเอ็กซ์ทั้งหมด ตาราง my_spec.list.other ใช้สำหรับเก็บอุปกรณ์อื่นๆ ที่เกี่ยวข้อง ตาราง my_spec.checklist ใช้ สำหรับเก็บข้อมูลการ Preventive Maintenance (PM) ของอุปกรณ์คอมพิวเตอร์ถ้ามีการ PM จะเก็บค่าเป็น 1 ถ้าไม่มีการ PM จะเก็บค่าเป็น 2 ตาราง my_spec.blower ใช้สำหรับเก็บข้อมูลการ Preventive Maintenance (PM) ในรอบ 6 เดือนของอุปกรณ์คอมพิวเตอร์ ตาราง my_spec.cctv_checklist ใช้สำหรับเก็บข้อมูลการ Preventive Maintenance (PM) ของอุปกรณ์กล้องวงจรปิด ถ้ามีการ PM จะเก็บค่าเป็น 1 ถ้าไม่มีการ PM จะเก็บค่าเป็น 2

ตาราง my_spec.network_checklist ใช้สำหรับเก็บข้อมูลในการ Preventive Maintenance (PM) ของอุปกรณ์เครื่องเซิฟเวอร์ถ้ามีการ PM จะเก็บค่าเป็น 1 ถ้าไม่มีการ PM จะ เก็บค่าเป็น 2 ตาราง my_spec.router_checklist ใช้สำหรับเก็บข้อมูลการ Preventive Maintenance (PM) ของอุปกรณ์เครื่อง เราเตอร์ถ้ามีการ PM จะเก็บค่าเป็น 1 ถ้าไม่มีการ PM จะเก็บค่าเป็น 2

ตาราง my_spec.access_point_checklist ใช้สำหรับเก็บ ข้อมูลการ Preventive Maintenance (PM) ของอุปกรณ์ Access Point ถ้ามีการ PM จะเก็บค่าเป็น 1 ถ้าไม่มีการ PM จะเก็บค่า เป็น 2 ตาราง my_spec.firewall_checklist ใช้สำหรับเก็บข้อมูลการ Preventive Maintenance (PM) ของอุปกรณ์ไฟร์วอลล์ถ้า มีการ PM จะเก็บค่าเป็น 1 ถ้าไม่มีการ PM จะเก็บค่าเป็น 2 ตาราง my_spec.switch_checklist ใช้สำหรับเก็บข้อมูลการ Preventive Maintenance (PM) ของอุปกรณ์ Switch ถ้ามีการ PM จะเก็บค่าเป็น 1 ถ้าไม่มีการ PM จะเก็บค่าเป็น 2

ตาราง my_spec.pbx_checklist ใช้สำหรับเก็บข้อมูลการ Preventive Maintenance (PM) ของอุปกรณ์ PBX ถ้ามีการ PM จะเก็บค่า เป็น 1 ถ้าไม่มีการ PM จะเก็บค่าเป็น 2 โดยที่ตารางบางตัวจะมีความสัมพันธ์กันอีกด้วย ดังที่แสดงไว้ในรูป 4

รูปที่ 4 ตารางข้อมูที่อยู่ในฐานข้อมูลของระบบเข้าถึงข้อมูลอุปกรณ์

2.4 การออกแบบหน้าเว็บแอปพลิเคชัน

เว็บแอปพลิเคชันหรือเว็บไซต์ [2-6] สำหรับแสดงข้อมูลของระบบเปิดข้อมูลของลูกค้าโดยใช้คิวอาร์โค้ด ได้แบ่งเป็น 7 หน้าทีสำคัญชี งตอบสนองต่อการทำงานของบริษัทไอทีดิจิทเซิร์ฟและลูกค้าได้อย่างครบถ้วน หน้าเว็บเหล่านี้คือ หน้าเว็บสำหรับ แสดงข้อมูลอุปกรณ์ทั้งหมด หน้าเว็บ

สำหรับการเพิ่มข้อมูลคอมพิวเตอร์ หน้าเว็บสำหรับการเพิ่มข้อมูลของกล้องวงจรปิด หน้าเว็บ สำหรับการเพิ่มข้อมูลของเซิร์ฟเวอร์ หน้าเว็บสำหรับการเพิ่มข้อมูลเกี่ยวกับอุปกรณ์โครงข่ายคอมพิวเตอร์ หน้าเว็บสำหรับการสร้างคิวอาร์โค้ด และหน้าเว็บสำหรับการออกรายงาน รวมไปถึงการล็อกอินเข้าสู่ระบบ

รูปที่ 5 หน้าล็อกอินเข้าสู่ระบบ

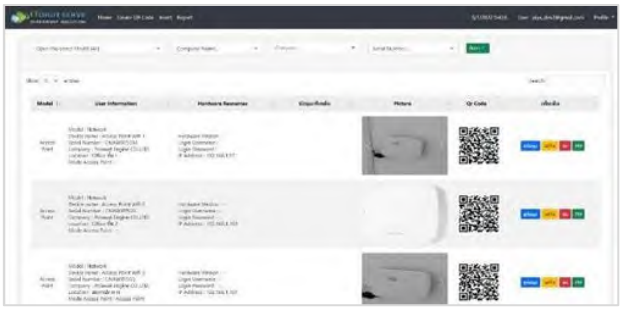

รูปที่ 6 หน้าเว็บสำหรับแสดงข้อมูลอุปกรณ์ทั้งหมด (หน้าหลัก)

รูปที่ 7 หน้าเว็บสำหรับการเพิ่ม แก้ไข และลบข้อมูลคอมพิวเตอร์

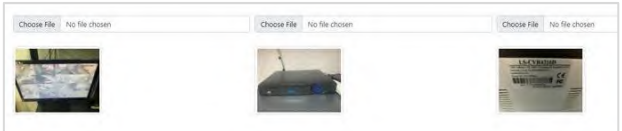

รูปที่ 8 หน้าเว็บสำหรับการเพิ่ม แก้ไข และลบข้อมูลของกล้องวงจรปิด

รูปที่ 9 หน้าเว็บสำหรับการเพิ่ม แก้ไข และลบข้อมูลของเซิร์ฟเวอร์

รูปที่ 10 หน้าเว็บสำหรับการเพิ่ม แก้ไข และลบข้อมูลเกี่ยวกับอุปกรณ์โครงข่ายคอมพิวเตอร์

รูปที่ 11 หน้าเว็บสำหรับการสร้างคิวอาร์โค้ด

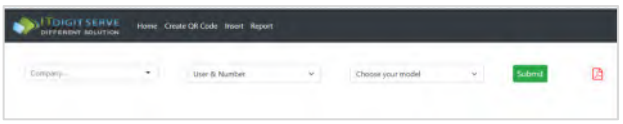

รูปที่ 12 หน้าเว็บสำหรับการแสดงข้อมูล

หัวข้อของบทคัดย่อให้ใช้ตัวหนาขนาด 14 pt ไม่มีหมายเลขหัวข้อ ส่วนเนื้อหาในบทคัดย่อใช้ขนาดเดียวกันกับเนื้อหาอื่นๆ ในบทความ

3. ผลการศึกษาและการวิจารณ์

ผลการทดลองการเข้าใช้งานระบบเปิดข้อมูลของลูกค้าโดยใช้คิวอาร์โค้ด จะแบ่งออกเป็น 7 อย่างนั่นคือ การล็อกอิน การเพิ่ม แก้ไข และลบข้อมูลของคอมพิวเตอร์ กล้องวงจรปิด เซิร์ฟเวอร์ อุปกรณ์โครงข่ายคอมพิวเตอร์ การสร้างคิวอาร์โค้ด และการออกรายงาน ซึ่งแบ่งตารางผลการทดลองเป็น 2 ตาราง คือตารางการทดลองของผู้ดูแลระบบและตารางการทดลองของผู้ใช้งานทั่วไป

ตารางที่ 1 ผลการทดลองในส่วนของผู้ใช้งานทั่วไป

Details	Experiment									
	1	2	3	4	5	6	7	8	9	10
Login	/	/	/	/	/	/	/	/	/	/
Viewing Data	/	/	/	/	/	/	/	/	/	/

ตารางที่ 2 ผลการทดลองเพิ่ม แก้ไข ลบข้อมูลของผู้ดูแลระบบ

Details	Experiment									
	1	2	3	4	5	6	7	8	9	10
Adding data of computer	/	/	/	/	/	/	/	/	/	/
Editing data of computer	/	/	/	/	/	/	/	/	/	/
Deleting data of computer	/	/	/	/	/	/	/	/	/	/
Adding data of CCTV	/	/	/	/	/	/	/	/	/	/
Editing data of CCTV	/	/	/	/	/	/	/	/	/	/
Deleting data of CCTV	/	/	/	/	/	/	/	/	/	/
Adding data of server	/	/	/	/	/	/	/	/	/	/
Editing data of server	/	/	/	/	/	/	/	/	/	/
Deleting data of server	/	/	/	/	/	/	/	/	/	/
Adding data of computer network devices	/	/	/	/	/	/	/	/	/	/
Editing data of computer network devices	/	/	/	/	/	/	/	/	/	/
Deleting data of computer network devices	/	/	/	/	/	/	/	/	/	/
QR Code creation	/	/	/	/	/	/	/	/	/	/
Reporting display	/	/	/	/	/	/	/	/	/	/
Login	/	/	/	/	/	/	/	/	/	/
Viewing Data	/	/	/	/	/	/	/	/	/	/

4. สรุป

จากผลการทดลองตามตารางที่ 1 กับ 2 แสดงให้เห็นว่าการทำงานระบบเปิดข้อมูลของลูกค้าโดยใช้คิวอาร์โค้ดนั้นสมบูรณ์ ครบถ้วนทุกฟังก์ชัน ทั้งบทบาทของผู้ใช้งานทั่วไปและผู้ดูแลระบบ จึงสามารถนำเว็บแอปพลิเคชันตัวนี้เข้าสู่เว็บเซิร์ฟเวอร์ของบริษัท ไอทีดิจิทเซิร์ฟ จำกัดได้ เพื่อให้พนักงานในบริษัทใช้งานและสามารถใช้งานจริงได้อย่างมีประสิทธิภาพ แก้ปัญหาดังที่กล่าวไปแล้วได้

5. กิตติกรรมประกาศ

ขอขอบพระคุณ นายเกษมสุข เกษประดิษฐ์ ที่กรุณาให้คำปรึกษา แนะนำชี้แนะแนวทางในการแก้ปัญหา และข้อผิดพลาด ที่เกิดขึ้น รวมทั้งเสียสละเวลาอันมีค่าอย่างสม่ำเสมอแก่ผู้จัดทำ

เอกสารอ้างอิง

[1] ผศ.ดร.วรรณวิภา ติตถะสิริ, คู่มือเรียน SQL ด้วยตัวเอง, บริษัท โปรวิชั่น จำกัด และบริษัท ซีเอ็ดยูเคชั่น จำกัด (มหาชน), กรุงเทพมหานคร, 2545

[2] บัญชา ปะสีละเตสัง, พัฒนาเว็บแอปพลิเคชันด้วย PHP ร่วมกับ MySQL และ jQuery, บริษัท ซีเอ็ดยูเคชัน จำกัด (มหาชน), กรุงเทพมหานคร, 2557

[3] บัญชา ปะสีละเตสัง, พัฒนา Web Application ด้วย PHP และ MariaDB, บริษัท ซีเอ็ดยูเคชัน จำกัด (มหาชน), กรุงเทพมหานคร, 2562

[4] จตุรพัชร์ พัฒนทรงศิวิไล, พัฒนาเว็บแอปพลิเคชันด้วย JavaScript, บริษัท ซีเอ็ดยูเคชัน จำกัด (มหาชน), กรุงเทพมหานคร, 2559

[5] บัญชา ปะสีละเตสัง, สร้างเว็บไซต์แบบ Responsive ด้วย Bootstrap ร่วมกับ CSS และ JavaScript, บริษัท ซีเอ็ดยูเคชัน จำกัด (มหาชน), กรุงเทพมหานคร, 2562

[6] บัญชา ปะสีละเตสัง, พัฒนา Web Application ด้วย Python Django, บริษัท ซีเอ็ดยูเคชัน จำกัด (มหาชน), กรุงเทพมหานคร, 2563

นายนภัสรพี สิทธิวัจน์ สำเร็จการศึกษาระดับปริญญาโท สาขาวิชาวิศวกรรมโทรคมนาคม จากสถาบันเทคโนโลยีพระจอมเกล้าเจ้าคุณทหารลาดกระบัง กรุงเทพมหานคร (สจล. กรุงเทพ) ปัจจุบันทำงานที่สถาบันเทคโนโลยีพระจอมเกล้าเจ้าคุณทหารลาดกระบัง วิทยาเขตชุมพรเขตรอุดมศักดิ์ จังหวัดชุมพร (สจล. ชุมพร) สนใจงานวิจัยด้านเว็บแอปพลิเคชัน โมบายแอปพลิเคชัน และ VR/AR

นายอรรถศาสตร์ นาคเทวัญ กำลังศึกษาระดับปริญญาเอก สาขาวิชาวิศวกรรมไฟฟ้า งานวิจัยด้านเครือข่ายคอมพิวเตอร์ ที่สถาบันเทคโนโลยีพระจอมเกล้าเจ้าคุณทหารลาดกระบัง และเป็นอาจารย์ประจำสาขาวิชาวิศวกรรมคอมพิวเตอร์ ที่สถาบันเทคโนโลยีพระจอมเกล้าเจ้าคุณทหารลาดกระบัง วิทยาเขตชุมพรเขตรอุดมศักดิ์ จังหวัดชุมพร

Image Recognition System using Generic YOLOv5 Weight Model and Roboflow for Pre-processed Dataset

Suchada Sitjongsataporn[1]* and Kornika Moolpho[2]

[1]Department of Electronic Engineering, School of Electrical and Electronic Engineering (SEE)
Mahanakorn University of Technology, Nongchok, Bangkok, Thailand, ssuchada@mut.ac.th*
[2]Department of Mechatronic Engineering, Mahanakorn Institute of Innovation (MII)
Mahanakorn University of Technology, Nongchok, Bangkok, Thailand, kornika@mut.ac.th

Abstract

This paper presents the generic Yolov5 weight model for image recognition system by using pre-processed dataset. We focus on the YOLOv5 model and Roboflow for case studies. First, YOLOv5 model is used for importance of preprocessing training sets, and examples of COCO in the 128 data set. Second, Roboflow model is presented for pre-processed data. By the utilization of Roboflow, an advanced computer vision platform, to differentiate between raccoons and prairie dogs. The implementation of YOLOv5 and Roboflow in these cases that demonstrate the potential of AI technologies in differentiating image recognition.

Keywords: YOLOv5 model, Roboflow, Image recognition, COCO128 dataset

1. Introduction

Image Classification is a fundamental task in vision recognition that aims to understand and categorize an image as a whole under a specific label [1]. Unlike object detection, which involves classification and location of multiple objects within an image, image classification typically pertains to single-object images.

First of all, Roboflow is a Computer Vision developer framework for better data collection to preprocessing, and model training techniques [2]. Roboflow has public datasets readily available to users and has access for users to upload their own custom data also. Roboflow accepts various annotation formats. In data preprocessing, there are steps involved such as image orientations, resizing, contrasting, and data augmentations. YOLOv5, as one of the most advanced real-time object detection frameworks, is the cornerstone of this project. The YOLO (You Only Look Once) series occupies an important position in the field of object detection with its excellent speed and accuracy [3]. YOLOv5 further optimizes the performance and flexibility of the model, enabling it to process complex image data quickly and accurately, making it suitable for a wide range of practical application scenarios.

Secondly, data preprocessing plays a crucial role in our project. In order to enable the YOLOv5 model to effectively learn and recognize objects, we carefully preprocessed the training data set. This includes steps such as image resizing [4], format standardization [5], data enhancement [6], and more. Through these preprocessing operations, we ensure that the data received by the model reflects the diversity of the real world and meets the technical requirements of the training process.

Finally, the COCO128 dataset plays a key role in the examples. COCO (Common Objects in Context) [7] is a widely used large-scale image data set that contains a variety of object categories and is very suitable for training deep learning models. In our project, we used the COCO128 subset, which is a streamlined version of the COCO dataset and contains 128 selected images and their corresponding annotations. This data set not only provides rich and varied training samples, but also helps us efficiently train and optimize our models with limited resources.

In summary, the efficiency of the YOLOv5 model, coupled with the carefully designed pre-processing process and the diversity of the COCO128 data set, together form the core of this image recognition project. We explore the utilization of Roboflow, an advanced computer vision platform, to differentiate between raccoons and prairie dogs for experiments. The implementation of Roboflow in this case study demonstrates the potential of AI technologies in differentiating different species of animals. Through the combined use of these technologies and resources, we can effectively achieve high-precision image recognition, laying a solid foundation for subsequent application development

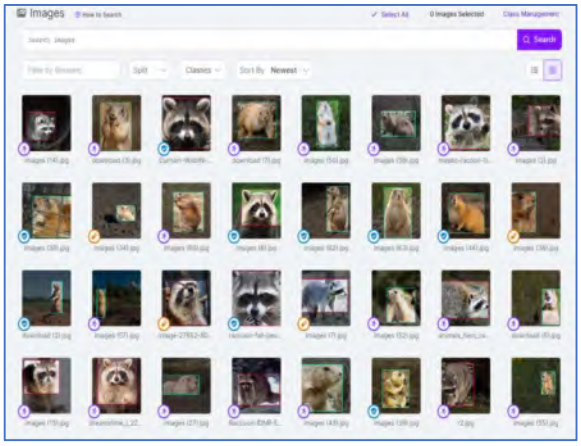

Fig. 1 Roboflow universe [8]

*Corresponding Author

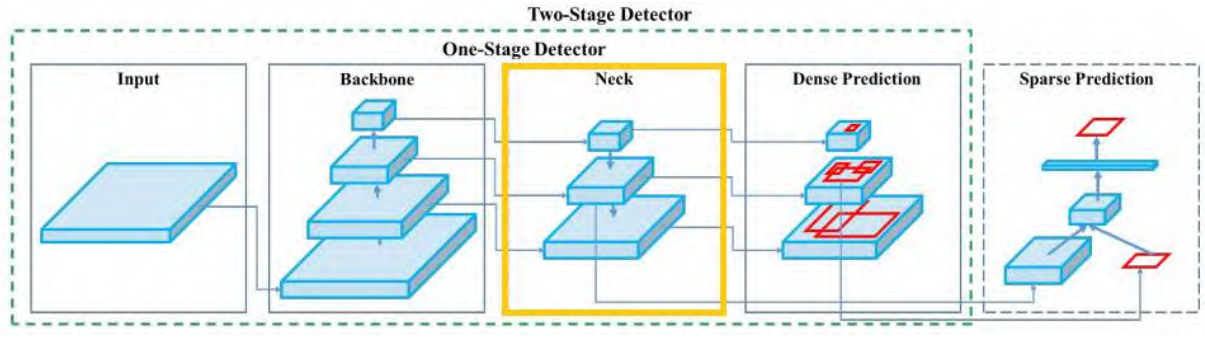

Fig. 2 YOLO architecture [9]

2. Roboflow universe

Roboflow Universe [8] is a repository of more than 110,000 open-source datasets in Fig.1 that you can use in your projects at https://universe.roboflow.com/. All datasets are containing everything from annotated cracks in concrete to plant images with disease annotations. Preparing a custom dataset using Roboflow as follows:

Step 1: Creating project

Before you start, you need to create a Roboflow account. Once you do that, you can create a new project in the Roboflow dashboard. Keep in mind to choose the right project type. In our case, Object Detection.

Step 2: Uploading images.

Next, add the data to your newly created project. You can do it via API or through our web interface. If you drag and drop a directory with a dataset in a supported format, the Roboflow dashboard will automatically read the images and annotations to ether.

Step 3: Labeling

If you only have images, you can label them in Roboflow Annotate.

Step 4: Generate new dataset version

Now that we have our images and annotations added, we can generate a Dataset Version. When Generating a new data version, you may elect to add preprocessing and augmentations. This step is completely optional, however, it can allow you to significantly improve the robustness of your model.

Step 5: Exporting dataset

Once the dataset version is generated, we have a hosted dataset we can load directly into our notebook for easy training. Click Export and select the YOLO v5 PyTorch dataset format.

3. Methodology

3.1 YOLOv5 model

YOLOv5 is a kind of real-time object detection model of computer vision models. YOLOv5 has been implemented in PyTorch and it has known for its high inference speed and accuracy, making it suitable for various real-time applications such as surveillance, autonomous vehicles, and image recognition.

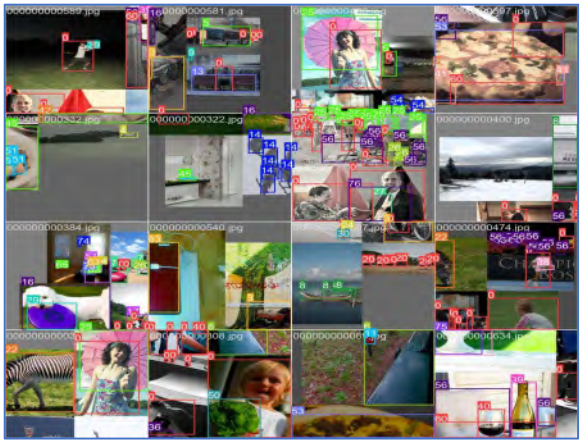

Fig. 3 Example of dataset from YOLOv5 model

Architecture of YOLOv5 [9] consists of three main parts named as backbone, neck and head following in Fig. 2 as follows. First, CSPDarknet model (Backbone) is used to extract features from the input image. Then, PANet (Neck) is blended features from different scales to enhance detection capabilities for various sizes of object. Finally, YOLO Layer (Head) is used to predict bounding boxes, objectness scores, and class probabilities. An example of dataset from YOLOv5 model is presented in Fig. 3.

3.2 Roboflow model

We gathered various pictures featuring raccoons and prairie dogs from different locations. We utilized Roboflow to annotate and prepare these images for training. Subsequently, we fed this data into Roboflow's machine learning engine, making adjustments to guide the model in distinguishing between raccoons and prairie dogs. We repeated this iterative process until achieving the desired accuracy. Essentially, we relied on technology to ensure this model could effectively discern which species of animals.

```
import numpy as np
import torch
import torch.distributed as dist
import torch.nn as nn
import yaml
from torch.optim import lr_scheduler
from tqdm import tqdm

os.environ["GIT_PYTHON_REFRESH"] = "quiet"
os.environ['KMP_DUPLICATE_LIB_OK']='True'

FILE = Path(__file__).resolve()
ROOT = FILE.parents[0]  # YOLOv5 root directory
if str(ROOT) not in sys.path:
```

Fig. 4 YOLOv5 setup

3. Data preparation and Model training

3.1 Data preparation

Data preparation for simulation comprises with three steps as

1) Data Sourcing: Description of the dataset used, including source, size, and nature of the images.
2) Preprocessing Steps: Outline of image preprocessing techniques like resizing, normalization, and augmentation.
3) Dataset Splitting: Information on how the dataset is divided into training, validation, and testing sets.

3.2 Model training

1) Parameter Setting: Details of the model parameters, such as learning rate, batch size, and number of epochs.
2) Training Process: A step-by-step description of the training procedure, including any fine-tuning or optimization techniques used.
3) Graphs and Visuals: Reference to inserted graphs or charts that display the training progress, such as loss curves and accuracy metrics over epochs.

4. Simulation Results

4.1 Case study# 1: COCO128 dataset

The following datasets shown in Fig. 3 are some pictures and video results of preprocessing data and training using general model weights from https: / / www. bilibili. com/ video/ BV1NN4 y127NQ/ ? vd_source= edb9ce84d85f6b820f3362577477b9c1. For the COCO128 data set, you can decompress from https://ultralytics.com/assets/coco128.zip.

Due to timeliness, YOLOv5 will cause some problems when running this version. The following is a method to solve the problem by Setting the two environment variables as shown in Fig.4.

1) os.environ["GIT_PYTHON_REFRESH"] = "quiet"

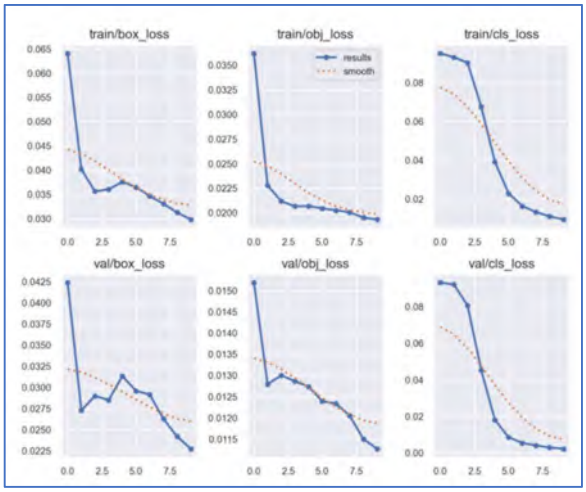

Fig. 5 Results of loss function from YOLOv5

2) os.environ['KMP_DUPLICATE_LIB_OK'] = 'True' solves different problems as follows.
   2.1) os. environ[" GIT_PYTHON_REFRESH"] = "quiet"
      1) This environment variable is for the GitPython library. GitPython is a Python library for interacting with Git repositories.
      2) Setting this variable to "quiet" can prevent GitPython from printing unnecessary log information during use, allowing it to run more quietly in some cases without interfering with the main program output.
   2.2) os.environ['KMP_DUPLICATE_LIB_OK'] = 'True'
      1) This environment variable is related to Intel's Math Kernel Library (MKL). MKL is a high-performance library commonly used for scientific computing.
      2) This environment variable is an unofficial solution for handling library conflicts that may arise in certain situations.

The generic YOLOv5 weighted parameter is used to specify the path to the model weight file. This is usually a pre-trained model or the output of a previous training cycle. So, we use the universal model weights downloaded before running. For general models, only 100 iterations are needed to achieve good results. .

Performance metrics of YOLOv5 model are shown in Figs. 5-6. About loss function (loss in Fig. 5), after the 10th iteration, the 'box_loss', 'obj_loss' and 'cls_loss' of training and verification show an overall downward trend. In the 20th iteration, the loss function starts out high, but then also drops significantly. In particular, ' cls_loss' decreases significantly in both training and validation, indicating that the model has greatly improved in classification.

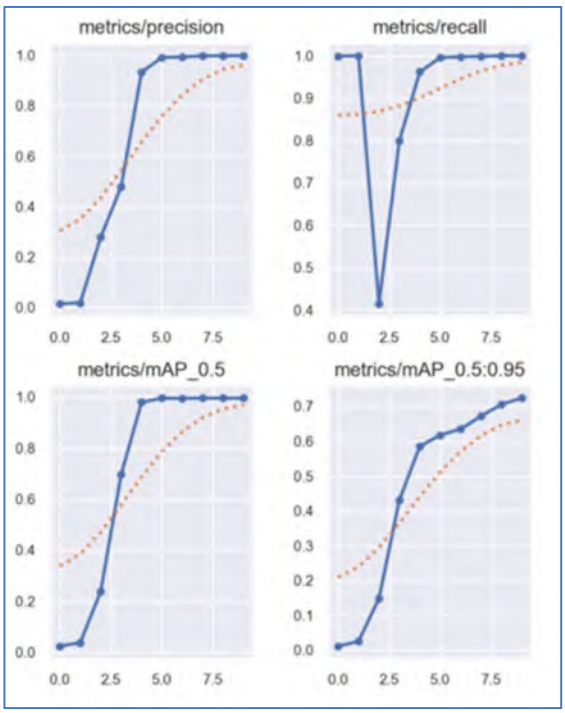

Fig. 6 Results of precision and recall from YOLOv5

Performance of accuracy metrics of YOLOv5 model are presented in Fig. 6 in term of precision, recall, mAP. After the 10th iteration, the precision and recall indicators show certain fluctuations on the training set, but the overall trend is upward. The mAP indicator also shows an upward trend. After the 20th iteration, precision performance stabilized and remained at a high level, while recall declined at some points, but eventually rebounded. Both ‘mAP_0.5’ and ‘mAP_0.5:0.95’ show a clear upward trend, indicating that the overall detection performance of the model has been improved.

4.2 Case study# 2: Roboflow

We utilized Roboflow to annotate and prepare these images for training. Subsequently, we fed this data into Roboflow's machine learning engine, making adjustments to guide the model in distinguishing between raccoons and prairie dogs shown in Fig.7.

The model demonstrated a noteworthy accuracy range, with precision, recall, and F1 score metrics consistently falling within the 70- 80% range. These metrics confirm the model's effectiveness in distinguishing between raccoons and prairie dogs, providing a reliable performance benchmark in Fig. 8.

Despite achieving commendable accuracy within the specified range, it's crucial to address the variability in results. The model's performance, while consistent, may still exhibit diversity that could benefit from further refinement to enhance overall reliability in species differentiation.

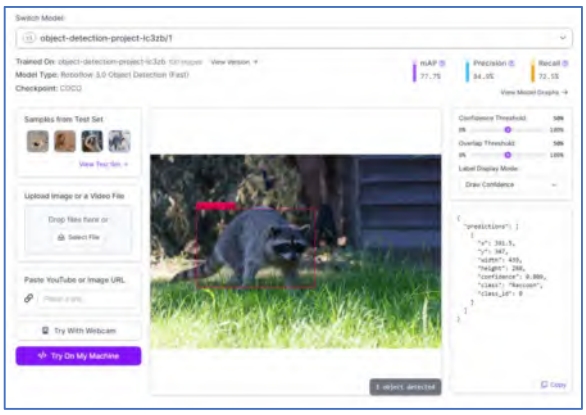

Fig 7 Results and performance of Roboflow model

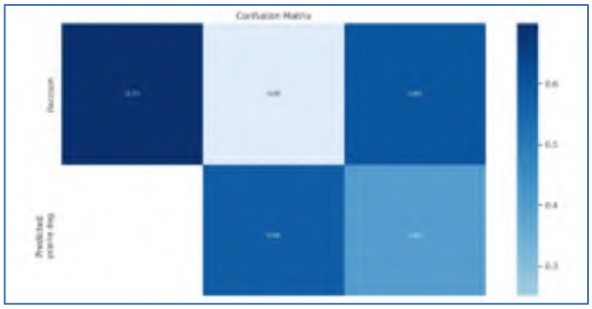

Fig 8 Confusion matrix from Roboflow model

5. Discussion and Challenge

The model faces challenges in adapting to diverse environments, particularly when there are changes in lighting and overall surroundings as shown in Fig. 8. Despite achieving commendable accuracy within the specified range, there are instances where it might still act a bit different in the real world.

This is evident in instances where the AI highlighted the ground, mistakenly identifying it as a prairie dog. It just goes to show how tricky dealing with wildlife can be and emphasizes the importance of continually refining the model to ensure optimal performance across various conditions.

6. Conclusions

In conclusion, the application of Roboflow in distinguishing raccoons and prairie dogs highlights the potential of AI technologies. The methodology, which involves diverse image collection and repetitive training, proves effective. Despite commendable accuracy (70-80%), challenges emerged, particularly in the model's adaptation to varied environments, as seen in misidentifying the ground as a prairie dog. It's essential to address these challenges for improved reliability in real world situations. Continuous refinement is crucial going forward. This case study reveals both the capabilities and challenges of AI. As technology progresses tackling real world challenges is essential to maximize the advantages of AI recognition.

References

[1] L. Cao, Z. Ma, Q. Hu and Z. Xia, "Small Sample Image Classification for Synthetic Aperture Sonar Based on Super-Resolution Reconstruction and Improved Self-supervised Contrastive Learning," *IEEE Sensors Journal*, July 2025.

[2] Roboflow, "Everything you need to build and deploy computer vision applications." Available from https://roboflow.com/, Access on 9 August 2025.

[3] PyTorch, "YOLOv5", Available from https://pytorch.org/hub/ultra_lytics_yolov5/, Access on 9 August 2025.

[4] A. K. Akhmedova, I. A. Gavrilov, A. N. Puziy, V. A. Gubenko and A. R. Radik, "Efficiency Estimation of Video Compression with a Bidirectional TV Images Resizing," 2024 IEEE 25th International Conference of Young Professionals in Electron Devices and Materials (EDM), Altai, Russian Federation, pp. 2390-2394, 2024.

[5] B. Hyseni and L. A. Bexheti, "The Impact of Open Data Standardization on the Successful Management of e-Government," 2023 12th Mediterranean Conference on Embedded Computing (MECO), Budva, Montenegro, pp. 1-8, 2023.

[6] S. Shao and C. Xiao, "A Data Enhancement Method for Non-Autoregressive Data Models Based on Joint Multi-Intent Detection and Slot Filling," 2024 International Conference on Electronics and Devices, Computational Science (ICEDCS), Marseille, France, pp. 504-509, 2024.

[7] COCO, "Common Object in Context", Available from https://cocodataset.org/#home, Access on 9 August 2025.

[8] Roboflow, "Explore the Roboflow Universe: The world's largest collection of open source computer vision datasets and APIs.", Available from https://universe.roboflow.com/, Access on 9 August 2025.

[9] A. Bochkovskiy, C.Y. Wang, H. Y. Mark Liao, "YOLOv4: Optimal Speed and Accuracy of Object Detection", arXiv:2004.10934v1 [cs.CV] 23 Apr 2020, Available from https://arxiv.org/pdf/2004.10934, Access on 9 August 2025.

การวิเคราะห์ข้อมูลผู้รับบริการด้วยเทคโนโลยีปัญญาประดิษฐ์สำหรับจัดทำระบบประชาสัมพันธ์ออนไลน์ของกลุ่มงานการแพทย์แผนไทย สาธารณสุขจังหวัดเพชรบุรี

AI-Based Service User Data Analysis for Developing an Online Public Relations System in Thai Traditional Medicine Services, Phetchaburi.

เกศรา บัวแก้ว สราวุธ แผลงศร* สุวัฒน์ เตชะเพชรไพบูลย์ กฤษดา ด่านประสิทธิพร กรกรต เจริญผล

สาขาวิชาเทคโนโลยีสารสนเทศ คณะเทคโนโลยีสารสนเทศ มหาวิทยาลัยราชภัฏเพชรบุรี
pulemkasara@gmail.com, sarawut.pla@mail.pbru.ac.th*, suwat.tac@mail.pbru.ac.th, krisada.dan@mail.pbru.ac.th, korakrot.cha@mail.pbru.ac.th

บทคัดย่อ

การวิจัยครั้งนี้มีวัตถุประสงค์เพื่อแก้ปัญหาการแจ้งข้อมูลเบื้องต้น ข่าวสาร หรือประกาศของกลุ่มงานการแพทย์แผนไทยและการแพทย์ทางเลือกไปยังผู้ใช้บริการยังไม่ครอบคลุมและทั่วถึง โดยใช้แพลตฟอร์มออนไลน์พัฒนาระบบการประชาสัมพันธ์ข่าวสาร และประกาศของกลุ่มงานการแพทย์แผนไทยและการแพทย์ทางเลือกในงานบริการต่อผู้มารับบริการ และประเมินความพึงพอใจของผู้ใช้งานระบบการประชาสัมพันธ์ข่าวสาร และประกาศของกลุ่มงานการแพทย์แผนไทยและการแพทย์ทางเลือก ผลการวิจัยพบว่าผู้ใช้บริการสามารถรับรู้ข้อมูลเบื้องต้น ข่าวสาร หรือประกาศของกลุ่มงานการแพทย์แผนไทยและการแพทย์ทางเลือกผ่านทางระบบการประชาสัมพันธ์ข่าวสาร และประกาศของกลุ่มงานการแพทย์แผนไทยและการแพทย์ทางเลือกได้ ระบบการประชาสัมพันธ์ข่าวสาร และประกาศของกลุ่มงานการแพทย์แผนไทยและการแพทย์ทางเลือกที่วิเคราะห์ด้วยเทคโนโลยีปัญญาประดิษฐ์ทั้งนี้ ในการพัฒนาระบบได้มีการเตรียมข้อมูลโดยการ คัดแยก ประเภทข่าวสารและประกาศออกเป็นกลุ่มย่อย ได้แก่ ข่าวทั่วไป บริการทางการแพทย์แผนไทย ข้อมูลสมุนไพร และรายการสินค้า โดยใช้กระบวนการทำความสะอาดข้อมูลเพื่อลดข้อมูลซ้ำหรือตกหล่น และการแปลงข้อความให้อยู่ในรูปแบบที่ปัญญาประดิษฐ์สามารถประมวลผลได้ และการแปลงข้อความเป็นเวกเตอร์ ในส่วนของเทคนิคที่เลือกใช้ได้อาศัยการประมวลผลภาษาธรรมชาติ ร่วมกับโมเดลการจำแนกข้อความเพื่อช่วยให้ระบบสามารถจัดหมวดหมู่ข่าวสารและตอบสนองต่อผู้ใช้งานผ่านแชทบอทได้อย่างถูกต้อง รวดเร็ว และสอดคล้องกับบริการด้านการแพทย์แผนไทยและการแพทย์ทางเลือก หน้าหลักของระบบประกอบไปด้วยส่วนของแชท ส่วนของโพสต์ และส่วนของข้อมูลพื้นฐาน มีเมนูหลัก 6 ส่วน ประกอบไปด้วย บริการของเรา รายชื่อแพทย์แผนไทย อัตราค่าบริการ รายการสินค้า สถานที่ตั้ง และน้องรู้เรื่องสมุนไพร ผู้ใช้บริการมีความพึงพอใจในการใช้งานระบบการประชาสัมพันธ์ข่าวสาร และประกาศของกลุ่มงานการแพทย์แผนไทยและการแพทย์ทางเลือก ในระดับมากที่สุด ($\bar{x}$ =4.72) โดยสามารถเข้าใช้แพลตฟอร์มเพื่อรับบริการด้วยตนเอง และสามารถแจ้งเจ้าหน้าที่ผู้ดูแลเพิ่มเติมได้หากไม่สามารถแก้ไขปัญหาได้ด้วยตนเอง

คำสำคัญ: เทคโนโลยีปัญญาประดิษฐ์ ระบบประชาสัมพันธ์ออนไลน์ กลุ่มงานการแพทย์แผนไทย

Abstract

This study aimed to address the limitations in disseminating preliminary information, news, and announcements from the Division of Thai Traditional and Alternative Medicine to service users by developing an online communication system. The system was designed to provide timely and comprehensive access to healthcare-related information and to evaluate user satisfaction with its functionality. The development process employed artificial intelligence (AI) techniques, particularly natural language processing (NLP) and text classification models, to categorize information into subgroups: general news, Thai traditional medical services, herbal information, and product listings. Data preprocessing involved cleaning redundant or missing entries, text normalization, and vectorization to ensure accurate AI processing. The system interface comprised key modules, including chat interaction, posts, and basic information, with six main menu items: Our Services, Thai Traditional Physicians, Service Fees, Product Listings, Location, and Herbal Knowledge. A chatbot, integrated into the system, allowed users to access categorized information and receive relevant responses quickly and accurately, thereby enhancing interaction and aligning with healthcare services in Thai traditional and alternative medicine. Findings revealed that users could effectively access and understand essential announcements and information through the platform. User satisfaction with the system was reported at the highest level ($\bar{x}$ = 4.72), indicating strong acceptance of the platform's usability. Moreover, the system enabled users to independently access services, with an option to seek additional support from staff when necessary.

Keywords: Artificial Intelligence, Online Communication System, Division of Thai Traditional Medicine

1. บทนำ

ในยุคปัจจุบัน การสื่อสารข้อมูลอย่างรวดเร็วและทั่วถึงถือเป็นปัจจัยสำคัญในการบริการสาธารณสุข โดยเฉพาะในด้านการแพทย์แผนไทยและการแพทย์ทางเลือก ซึ่งจำเป็นต้องมีการแจ้งข้อมูลเบื้องต้น ข่าวสาร หรือประกาศต่าง ๆ อย่างต่อเนื่องให้แก่ผู้ใช้บริการและผู้ที่สนใจ เพื่อให้สามารถเข้าถึงบริการได้อย่างมีประสิทธิภาพ อย่างไรก็ตาม จากการดำเนินงานของกลุ่มงานการแพทย์แผนไทยและการแพทย์ทางเลือกของสาธารณสุขจังหวัดเพชรบุรีพบว่า การแจ้งข้อมูลดังกล่าวยังมีข้อจำกัดในด้านความครอบคลุมและความทั่วถึง ส่งผลให้บางกลุ่มอาจได้รับข้อมูลที่ล่าช้าหรือคลาดเคลื่อน

*ผู้ประพันธ์บรรณกิจ

จากข้อเท็จจริงในช่วงเวลาหนึ่งของการให้บริการ สาเหตุหลักของปัญหานี้คือ จำนวนบุคลากรในหน่วยงานที่มีอย่างจำกัด ไม่เพียงพอต่อการสื่อสารหรือเผยแพร่ข้อมูลไปยังผู้ใช้บริการจำนวนมากในเวลาเดียวกัน ทำให้การแจ้งข่าวสารต้องอาศัยเวลา และไม่สามารถดำเนินการได้อย่างพร้อมเพรียง ซึ่งนำไปสู่ความล่าช้าในการรับรู้ข่าวสาร โดยเฉพาะในกลุ่มผู้ใช้บริการที่ไม่ได้มาติดต่อกับหน่วยงานโดยตรงในช่วงเวลานั้น

จากปัญหาดังกล่าว ผู้วิจัยจึงประยุกต์ใช้เทคโนโลยีสารสนเทศรูปแบบแพลตฟอร์มออนไลน์เข้ามาเพิ่มประสิทธิภาพในการสื่อสาร โดยรวบรวมข้อมูลในส่วนของการมาใช้บริการนวดไทยในช่วงสองเดือนมาทำการเตรียมข้อมูล (Data Preparation) โดยใช้ Google Sheets จากนั้นทำการแปลงข้อมูลให้อยู่ในรูปที่วิเคราะห์ได้ผ่าน ChatGPT ร่วมกับ Code Interpreter แล้วทำการวิเคราะห์ความถี่การมาใช้บริการด้านกลุ่มอายุ ด้านอาชีพว่ากลุ่มไหนใช้บริการบ่อยที่สุด แล้วจัดกลุ่มผู้ใช้บริการบ่อยที่สุดด้วยปัญญาประดิษฐ์โดยใช้เทคนิคหาโครงสร้างความสัมพันธ์กลุ่ม (Hierarchical Clustering) จากอายุ ความถี่ที่ใช้บริการ ประเภทบริการที่ใช้ ช่องทางการรู้จัก โดยให้ ChatGPT ทำการเขียนโค้ด เมื่อได้ข้อสรุปจึงนำผลวิเคราะห์ไปใช้งาน (Deploy Insight) โดยปรับเนื้อหาเป็นอินโฟกราฟิกนำไปใส่ไว้ในแอปพลิเคชันแคนวา (CANVA) ให้ตรงกลุ่มเป้าหมาย จากนั้นทำการอัปโหลดเนื้อหาไปยังไลน์ออฟฟิเชียลแอคเคานต์ (LINE Official Account) ตั้งข้อความอัตโนมัติแตกต่างตามกลุ่มอายุ โปรโมทเฉพาะกิจกรรมที่กลุ่มนั้นสนใจ ซึ่งได้แก่ข้าราชการครูบำนาญในจังหวัดเพชรบุรี ให้ตอบกลับเนื้อหานี้โดยอัตโนมัติเพื่อเป็นช่องทางในการเผยแพร่ข้อมูลไปยังกลุ่มเป้าหมายได้อย่างทั่วถึง สะดวก และรวดเร็ว ลดภาระงานของบุคลากร และเพิ่มความสามารถในการให้บริการอย่างมีคุณภาพ

รูปที่ 1 กรอบแนวคิดทฤษฎีระบบการประชาสัมพันธ์ข่าวสาร และประกาศ

ซึ่งมีงานวิจัยหลายเรื่องได้กล่าวถึงการใช้สื่อดิจิทัลเพื่อเพิ่มประสิทธิภาพของหน่วยงาน เช่น Egan และคณะ (2565) ศึกษาผลของอินโฟกราฟิกต่อการเรียกคืนข้อมูล, Sentiment และท่าทางการใช้หน้ากากระหว่าง COVID-19 พบว่าอินโฟกราฟิกช่วยเพิ่มการจดจำ, ทัศนคติ และความเต็มใจในการสวมหน้ากาก [1] ส่วน Coyne, P (2564) ได้ศึกษาในกลุ่มผู้ใหญ่ชาวแคนาดา พบว่าผู้รับสารมีความพึงพอใจสูง (เฉลี่ย 4.36/5) และเข้าใจเนื้อหาอินโฟกราฟิกได้ดี (4.66/5) [2] งานวิจัยเหล่านี้ต่างเน้นย้ำถึงศักยภาพของแพลตฟอร์มดิจิทัลในการลดความล่าช้าของการสื่อสารระหว่างหน่วยบริการสุขภาพกับผู้ป่วย โดยเฉพาะในบริบทของงานบริการด้านสุขภาพชุมชนและงานส่งเสริมสุขภาพ ด้วยเหตุนี้การประยุกต์ใช้ ChatGPT CANVA และ LINE Official Account จึงเป็นแนวทางที่เหมาะสมต่อการแก้ปัญหาด้านการแจ้งข้อมูลข่าวสารของกลุ่มงานการแพทย์แผนไทยและการแพทย์ทางเลือก ซึ่งจะนำไปสู่การพัฒนาระบบบริการที่ตอบสนองความต้องการของผู้รับบริการได้อย่างทั่วถึงมากยิ่งขึ้น ตามแนวคิดวิเคราะห์และวิศวกรรมซอฟต์แวร์ที่ว่าระบบจะได้รับ input จากผู้ใช้หรือแหล่งข้อมูลอื่น แล้วประมวลผล (process) และส่งผลลัพธ์ (output) [3] โดยมี Input (X) ไหลเข้าสู่ระบบ ผ่าน 4 ขั้นตอน f1–f4 ตามลำดับ จนได้ Output (Y) ดัง Flow Diagram ต่อไปนี้

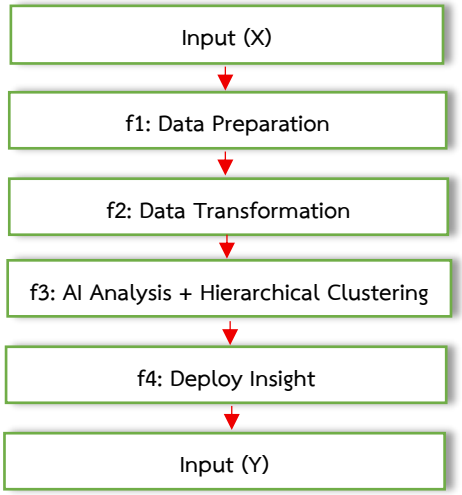

รูปที่ 2 Flow Diagram แผนภาพการไหลของข้อมูล

โดยผู้วิจัยได้นำกระบวนการทางเทคโนโลยีสารสนเทศด้านวัฏจักรการพัฒนาระบบมาเป็นกระบวนการเชิงคุณภาพ และใช้ค่าทางสถิติ ได้แก่ ร้อยละ มาทำการแปลผลหลังจากที่เก็บข้อมูลมาแล้ว โดยมีวัตถุประสงค์การวิจัยดังนี้ 1. แก้ปัญหาการแจ้งข้อมูลเบื้องต้น ข่าวสาร หรือประกาศของกลุ่มงานการแพทย์แผนไทยและการแพทย์ทางเลือกไปยังผู้ใช้บริการยังไม่ครอบคลุมและทั่วถึง โดยใช้แพลตฟอร์มออนไลน์ 2. เพื่อพัฒนาระบบการประชาสัมพันธ์ข่าวสาร และประกาศของกลุ่มงานการแพทย์แผนไทยและการแพทย์ทางเลือกให้พร้อมในงานบริการต่อผู้ใช้บริการ 3. เพื่อประเมินความพึงพอใจของผู้ใช้งานระบบการประชาสัมพันธ์ข่าวสาร และประกาศของกลุ่มงานการแพทย์แผนไทยและการแพทย์ทางเลือก

โดยกลุ่มตัวอย่างที่ใช้ในงานวิจัยนี้เป็นผู้ใช้งานระบบการประชาสัมพันธ์ข่าวสาร และประกาศของกลุ่มงานการแพทย์แผนไทยและการแพทย์ทางเลือก จำนวน 40 คน ผู้วิจัยจึงได้ศึกษารวบรวมข้อมูลเกี่ยวกับการพัฒนาระบบการแจ้งข้อมูลเบื้องต้น ข่าวสาร หรือประกาศสำหรับผู้ใช้งานที่มาขอรับบริการทางการแพทย์ของสาธารณสุขจังหวัดเพชรบุรี เนื่องด้วยบุคลากรในหน่วยงานมีจำกัด ส่งผลให้ต้องใช้ระยะเวลาในการแจ้งข่าวสารซึ่งอาจทำให้บางกลุ่มของผู้รับบริการได้รับข้อมูลล่าช้า เพื่อนำมาวิเคราะห์และใช้เทคโนโลยีสารสนเทศมาใช้แก้ปัญหาด้วยการพัฒนาระบบแจ้งข้อมูลเบื้องต้น ข่าวสาร หรือประกาศของกลุ่มงานการแพทย์แผนไทยและการแพทย์ทางเลือกสำหรับผู้ใช้บริการ

2. เอกสารและงานวิจัยที่เกี่ยวข้อง

การวิเคราะห์ข้อมูลด้วยเทคโนโลยีปัญญาประดิษฐ์ (Artificial Intelligence: AI) เป็นกระบวนการที่ใช้เทคนิคการเรียนรู้ของเครื่อง (Machine Learning) และการประมวลผลภาษาธรรมชาติ (Natural Language Processing) เพื่อค้นหารูปแบบและความสัมพันธ์ในข้อมูล (Han et al., 2022) [4] มีองค์ประกอบสำคัญอยู่ 4 ขั้นตอน ได้แก่ การเก็บและเตรียมข้อมูล (Data Collection & Preparation) โดยเริ่มจากการรวมรวมข้อมูลจากหลายแหล่ง เช่น Excel, Google Sheets, Database จากนั้นทำความสะอาดข้อมูล (Data Cleaning) เช่น ลบค่าผิดปกติ แก้ข้อมูลขาดหาย ขั้นที่สองทำการประมวลผลด้วย AI (AI Processing) โดยใช้ Machine Learning เช่น Decision Trees, Clustering, Neural Networks ใช้ Natural Language Processing (NLP) ในการวิเคราะห์ข้อมูลข้อความ หรือใช้ Computer Vision วิเคราะห์ข้อมูลเป็นภาพ ขั้นที่สามเป็นการวิเคราะห์และค้นหารูปแบบ (Pattern Recognition) ทำโดยการวิเคราะห์ความถี่ (Frequency Analysis) ต่อมาจัดกลุ่มข้อมูล (Clustering) เช่น Hierarchical Clustering, K-means แล้ววิเคราะห์ความสัมพันธ์ (Correlation & Association Rules) ขั้นตอนสุดท้ายเป็นการแสดงผลและนำไปใช้ (Visualization & Deployment) โดยสร้างแดชบอร์ดหรือกราฟ และปรับผลการวิเคราะห์ไปใช้ในการตัดสินใจหรือพัฒนาระบบ

แคนวา (CANVA) เป็นแอปพลิเคชันที่ได้รับความนิยมในระดับนานาชาติ เนื่องจากเป็นเครื่องมือสำหรับการออกแบบกราฟิกที่ใช้งานง่าย มีแม่แบบ (templates) สำเร็จรูปให้เลือกจำนวนมาก รองรับการออกแบบทั้ง สื่อประชาสัมพันธ์ อินโฟกราฟิก วิดีโอ รูปภาพ และสไลด์นำเสนอ ที่ตอบสนองต่อการใช้งานของผู้ไม่มีพื้นฐานด้านกราฟิกดีไซน์ โดยไม่จำเป็นต้องใช้ซอฟต์แวร์ที่ซับซ้อน เช่น Adobe Illustrator หรือ Photoshop (Canva, 2024) [5] การนำแคนวามาใช้ในระบบการแจ้งข้อมูลของกลุ่มงานการแพทย์แผนไทยและการแพทย์ทางเลือก ช่วยลดภาระของบุคลากรในการออกแบบและเผยแพร่ข่าวสาร ด้วยคุณลักษณะที่สามารถ สร้างสื่อได้ทั้งบนคอมพิวเตอร์และสมาร์ตโฟน และยังสามารถแชร์หรือดาวน์โหลดไปใช้งานได้ทันทีผ่านแพลตฟอร์มออนไลน์ เช่น LINE Official Account, Facebook Page หรือเว็บไซต์ของหน่วยงาน โดยไม่ต้องใช้เวลานานในการจัดทำ สอดคล้องกับงานวิจัยของบุญญาภา (2565) [6] ระบุว่า การใช้แอปพลิเคชันแคนวา ช่วยให้บุคลากรทางสาธารณสุขสามารถออกแบบสื่อสุขภาพที่มีความน่าสนใจและเป็นมิตรต่อผู้ชม ทำให้ผู้ใช้บริการเกิดความเข้าใจในเนื้อหาได้ง่ายขึ้น และสามารถกระตุ้นพฤติกรรมที่พึงประสงค์ได้มากขึ้น ในการศึกษาของ Agbo et al. (2023) [7] พบว่าแอปพลิเคชันแคนวาช่วยส่งเสริมความสามารถในการสร้างสื่อสารสุขภาพของบุคลากรในหน่วยงานท้องถิ่นในประเทศไนจีเรีย ซึ่งมีข้อจำกัดด้านงบประมาณและทรัพยากรบุคลากร ด้านหนึ่งยังช่วยเพิ่มการมีส่วนร่วมของชุมชนในการสื่อสารข้อมูลที่เกี่ยวข้องกับโรคเฉพาะถิ่น นอกจากนี้ OECD (2021) [8] ยังกล่าวว่าแคนวาเป็นหัวใจของการพัฒนาการสื่อสารผ่านระบบอิเล็กทรอนิกส์ (e-communication) ในภาครัฐ เพื่อเร่งการเปลี่ยนผ่านสู่ระบบดิจิทัลที่มีความยืดหยุ่น ด้วยเหตุนี้การประยุกต์ใช้แคนวาจึงเป็นแนวทางที่เหมาะสมต่อกลุ่มงานการแพทย์แผนไทยและการแพทย์ทางเลือกในการพัฒนาระบบการแจ้งข้อมูลเบื้องต้น โดยเฉพาะในบริบทที่บุคลากรมีจำกัด และต้องการเครื่องมือที่รวดเร็ว ใช้งานง่าย และสามารถสื่อสารกับประชาชนได้อย่างมีประสิทธิภาพ และเมื่อนำแพลตฟอร์มไลน์ออฟฟิเชียลแอคเคานต์ (LINE Official Account) มาประยุกต์ร่วมกันกับแคนวาใช้ในระบบการแจ้งข้อมูลของกลุ่มงานการแพทย์แผนไทยและการแพทย์ทางเลือกจะทำให้ระบบมีประสิทธิภาพมากขึ้น ในบริบทของการให้บริการด้านสุขภาพในประเทศไทย การสื่อสารระหว่างหน่วยงานกับผู้รับบริการต้องอาศัยช่องทางที่รวดเร็ว เข้าถึงง่าย และครอบคลุมกลุ่มเป้าหมายอย่างทั่วถึง ไลน์ออฟฟิเชียลแอคเคานต์เป็นแพลตฟอร์มที่ได้รับความนิยมสูงสุดในปัจจุบัน ซึ่งเป็นระบบบัญชีทางการที่พัฒนาโดยบริษัท LINE Corporation เพื่อให้ภาคธุรกิจ องค์กรภาครัฐ หรือหน่วยงานบริการสาธารณสุขสามารถส่งข้อมูล ข่าวสาร หรือประกาศต่าง ๆ ไปยังผู้ติดตามได้อย่างเป็นระบบ (LINE for Business, 2024) [9] ไลน์ออฟฟิเชียลแอคเคานต์ มีคุณลักษณะสำคัญที่สนับสนุนการใช้งานในด้านการแพทย์แผนไทยและการแพทย์ทางเลือก เช่น ระบบ Broadcast ที่สามารถส่งข้อความ ข่าวสาร และรูปภาพถึงผู้ติดตามได้พร้อมกัน ระบบ Rich Menu ที่ช่วยสร้างทางลัดให้ผู้ใช้เข้าถึงข้อมูลที่ต้องการได้สะดวก การตั้งค่า Auto-reply / Chatbot เพื่อโต้ตอบอัตโนมัติในเวลานอกเวลาราชการ การเชื่อมต่อ API กับระบบภายนอก เช่น ระบบฐานข้อมูล หรือแอปพลิเคชันภายในหน่วยงาน การนำไลน์ออฟฟิเชียลแอคเคานต์มาใช้ในกลุ่มงานการแพทย์แผนไทยและการแพทย์ทางเลือก ช่วยลดภาระของบุคลากรในการตอบคำถามซ้ำซ้อน และเพิ่มประสิทธิภาพในการแจ้งข้อมูลข่าวสาร โดยเฉพาะในช่วงเวลาที่มีการเปลี่ยนแปลงข้อมูลบ่อย เช่น กำหนดการให้บริการ หมอเวร หรือมาตรการทางสุขภาพประจำเดือน คุณสมบัติเหล่านี้สอดคล้องกับงานวิจัยของสุธิดา (2566) [10] ที่ใช้ไลน์ออฟฟิเชียลแอคเคานต์ในการประชาสัมพันธ์คลินิกแพทย์แผนไทยส่งผลให้ผู้รับบริการมีการเข้าถึงข้อมูลและจองคิวล่วงหน้าเพิ่มขึ้นถึง 45% เมื่อเทียบกับการสื่อสารแบบเดิม ขณะที่งานวิจัยของ Sato & Takahashi (2021) [11] จากประเทศญี่ปุ่น ระบุว่า ไลน์ออฟฟิเชียลแอคเคานต์เป็นแพลตฟอร์มที่มีประสิทธิภาพในการสื่อสารระหว่างโรงพยาบาลกับผู้ป่วย โดยเฉพาะในกลุ่มผู้สูงอายุที่ใช้แอปพลิเคชันไลน์เป็นประจำ นอกจากนี้องค์การสหประชาชาติผ่านรายงานของ UN ESCAP (2022) [12] ยังชี้ว่าประเทศในเอเชียตะวันออกเฉียงใต้ เช่น ไทย ญี่ปุ่น และอินโดนีเซีย ได้นำไลน์ออฟฟิเชียลแอคเคานต์ ไปใช้ในบริการภาครัฐ โดยเฉพาะในสถานการณ์ฉุกเฉิน เช่น การแพร่ระบาดของโควิด-19 ซึ่งสามารถกระจายข้อมูลสุขภาพได้อย่างรวดเร็วและมีประสิทธิภาพ จากคุณสมบัติข้างต้นการใช้ไลน์ออฟฟิเชียลแอคเคานต์จึงเป็นทางเลือกที่เหมาะสมสำหรับกลุ่มงานการแพทย์แผนไทยและการแพทย์ทางเลือก โดยสามารถรองรับทั้งการแจ้งข้อมูลเชิงรุกและเชิงรับ ช่วยให้การสื่อสารระหว่างหน่วยงานและผู้ใช้บริการมีความต่อเนื่อง เข้าถึงง่าย และวัดผลได้ชัดเจน

3. วิธีดำเนินการวิจัย

ขั้นตอนการดำเนินการวิจัยประกอบด้วย 5 ขั้นตอน ดังนี้

3.1. ศึกษาความเป็นไปได้และกำหนดปัญหาการวิจัยของการใช้บริการต่อหน่วยบริการแพทย์แผนไทยและแพทย์ทางเลือกและการแจ้งข้อมูลเบื้องต้น และประกาศของหน่วยบริการแพทย์แผนไทย

3.2 นำประวัติบันทึกการเข้ารับบริการของผู้มาใช้บริการของหน่วยแพทย์แผนไทยมาวิเคราะห์ข้อมูลด้วยเครื่องมือทางเทคโนโลยีสารสนเทศ รวมถึงสัมภาษณ์บุคลากรประจำหน่วย โดยผู้วิจัยร่วมกับบุคลากรงานแพทย์แผนไทยกำหนดความต้องการในการพัฒนาระบบการแจ้งข้อมูลเบื้องต้น ข่าวสาร หรือประกาศด้วยแพลตฟอร์มออนไลน์ปัญญาประดิษฐ์

3.3 ออกแบบ สร้างข้อความแนะนำ บทความสั้นโดยใช้ ChatGPT และพัฒนาระบบโดยใช้แอปพลิเคชันแคนวา สร้างภาพประกอบ โดยใช้

คำอธิบายสั้นๆ จากเจ้าหน้าที่และแพลตฟอร์มไลน์ออฟฟิเชียลแอคเคานต์สำหรับแจ้งข้อมูลเบื้องต้น ข่าวสาร หรือประกาศของการแพทย์แผนไทยและการแพทย์ทางเลือก

3.4 สร้างแบบสอบถามประเมินความพึงพอใจต่อการใช้งานระบบ

3.5 ข้อมูลที่รวบรวมมาได้ ระบบทำการคัดแยกข่าวสารออกเป็น 4 ประเภทหลัก ได้แก่ ข่าวทั่วไป ข่าวบริการทางการแพทย์แผนไทย ข้อมูลสมุนไพร รายการสินค้า ทำการสรุปและวิเคราะห์พบว่า สัดส่วนข่าวทั่วไปมีมากที่สุดจำนวน 420 ข่าว คิดเป็น 36 % และรายการสินค้ามีจำนวนน้อยที่สุดจำนวน 180 ข่าว คิดเป็น 15 % จากผลวิเคราะห์นี้ทำให้ทราบกลุ่มข้อมูลที่ควรเสริมเพื่อให้ระบบสมดุลในการตอบสนอง โดยเก็บข้อมูลเพิ่มในหมวดสินค้าหรือสมุนไพรที่ขาด จากนั้นทำการเตรียมข้อมูลเริ่มจาก f1: Data Cleaning ลบข้อมูลซ้ำ ข้อมูลไม่สมบูรณ์ แล้วทำการตัดคำลบคำฟุ่มเฟือย เช่น "และ", "คือ", "ซึ่ง" ทำการ Normalization ลบสัญลักษณ์พิเศษในขั้น f2: Text Preprocessing ถัดมาขั้นที่ สาม f3: Feature Extraction ทำการแปลงข้อความเป็นเวกเตอร์ด้วย Word Embedding จากนั้นในขั้นตอนสุดท้าย f4: Classification Model ใช้โมเดล Machine Learningเรียนรู้ Training set เพื่อจำแนกประเภท ทำให้ได้ค่าของ Y เป็นประเภทข่าวสารหรือประกาศ 4 classes ได้แก่ ทั่วไป, บริการแผนไทย, สมุนไพร, สินค้า ลักษณะของกระบวนการทำงานเป็นแบบกึ่งอัตโนมัติที่เจ้าหน้าที่เป็นผู้ป้อนข้อมูล ส่วนระบบ AI ทำการประมวลผล ตัดคำ และจำแนกหมวดหมู่โดยอัตโนมัติ มีผู้ดูแลสามารถตรวจสอบหรือแก้ไขได้หากระบบจัดผิด และจัดทำคู่มือวิธีการเข้าใช้ระบบ

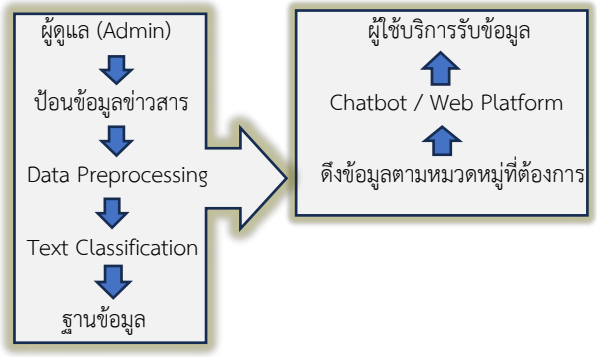

รูปที่ 3 แผนภาพการทำงานของซอฟต์แวร์ (System Architecture)

รูปที่ 4 ระบบ Line Official เพื่อแจ้งข้อมูลเบื้องต้น ข่าวสาร หรือประกาศ

4. ผลการวิจัย

4.1 ผู้วิจัยได้ดำเนินการพัฒนาระบบการประชาสัมพันธ์ข่าวสาร และประกาศของกลุ่มงานการแพทย์แผนไทยและการแพทย์ทางเลือก เพื่อเพิ่มช่องทางการให้บริการแก่ผู้ใช้บริการแพทย์แผนไทยได้โดยไม่มีข้อจำกัดด้านเวลาและกำลังคนประจำจุดให้บริการของศูนย์ โดยผู้วิจัยได้นำข้อมูลจากการศึกษา และวิเคราะห์ มาจัดทำระบบการประชาสัมพันธ์ข่าวสาร และประกาศของกลุ่มงานการแพทย์แผนไทยและการแพทย์ทางเลือก ดังภาพ

รูปที่ 5 ตัวอย่าง Line Official แพทย์แผนไทย

4.2 ผลการศึกษาการใช้งาน ผู้วิจัยดำเนินการสอบถามความพึงพอใจของผู้ใช้บริการ จำนวน 40 คน ที่มีต่อระบบการประชาสัมพันธ์ข่าวสาร และประกาศของกลุ่มงานการแพทย์แผนไทยและการแพทย์ทางเลือก หลังจากการใช้งานระบบ จากนั้นนำผลการสอบถามมาวิเคราะห์ด้วยค่าสถิติพื้นฐานเทียบกับเกณฑ์และสรุปผล แสดงดังตารางที่ 1

ตารางที่ 1 ผลการประเมินความพึงพอใจของผู้ใช้งาน

รายการ	$\bar{X}$	S.D.	ระดับความคิดเห็น
1. ด้านประโยชน์ในการใช้งาน	4.70	0.46	มากที่สุด
2. ด้านความสะดวกในการใช้งาน	4.76	0.48	มากที่สุด
3. ด้านเทคโนโลยีที่ใช้ในการดำเนินการ	4.70	0.53	มากที่สุด
โดยรวม	**4.72**	**0.49**	**มากที่สุด**

จากตารางที่ 1 ผลการผลการประเมินพบว่า ผู้ใช้งานมีความพึงพอใจต่อระบบการประชาสัมพันธ์ข่าวสาร และประกาศของกลุ่มงานการแพทย์แผนไทยและการแพทย์ทางเลือก ที่ระดับมาก (ค่าเฉลี่ย = 4.72 , ส่วนเบี่ยงเบนมาตรฐาน = 0.49) แสดงว่าผู้ใช้งานมีความพึงพอใจต่อระบบแจ้งข้อมูลเบื้องต้น ข่าวสาร หรือประกาศของกลุ่มงานการแพทย์แผนไทยและการแพทย์ทางเลือกที่ผู้วิจัยได้พัฒนาขึ้น โดยเฉพาะด้านความสะดวกในการใช้งาน

5. อภิปรายผลการวิจัย

ระบบการประชาสัมพันธ์ข่าวสาร และประกาศของกลุ่มงานการแพทย์แผนไทยและการแพทย์ทางเลือก มีผู้ให้ความสนใจร่วมตอบแบบสอบถาม 40 คน ในการประเมินประกอบด้วยองค์ประกอบ 3 ส่วน คือ 1) ความพึงพอใจด้านประโยชน์ในการใช้งาน 2) ความสะดวกในการใช้งาน และ 3) เทคโนโลยีที่ใช้ในการดำเนินการ จากผลของการที่ผู้ใช้ระบบได้รับความสะดวกและเข้าใช้งานได้ตลอดเวลาตอบสนองต่อความต้องการของผู้ใช้งานได้อย่างดีนั้น มีความสอดคล้องกับผลวิจัยของมนต์ทิชา รัตนพันธ์ ที่พบว่าผู้ใช้งานระบบสำหรับงานบริการด้านงานวิจัยมีความพึงพอใจ

มาก โดยเฉพาะอย่างยิ่งการให้ผลลัพธ์ของระบบตรงตามความต้องการ [13] ปัญหาหรือข้อจำกัดของการใช้ API ที่พบคือการส่งคำขอและรับคำตอบกลับอาจมีความล่าช้าในบางครั้งเนื่องจากการเชื่อมต่ออินเทอร์เน็ต

6. ข้อเสนอแนะ

ในงานวิจัยครั้งต่อไป ผู้วิจัยเสนอการนำระบบการประชาสัมพันธ์ข่าวสาร และประกาศไปใช้กับหน่วยงานอื่น ๆ ของสาธารณสุขจังหวัดเพชรบุรี และเพิ่มระบบโต้ตอบแบบมีเสียงของไลน์แชทบอทและปัญญาประดิษฐ์มาใช้เพื่อเพิ่มกลุ่มผู้ใช้ที่ไม่สามารถกดหรือคลิกหน้าจอโทรศัพท์สมาร์ทโฟนได้ถนัด เช่น ในขณะกำลังเดินทาง หรือขับรถไม่สะดวกต่อการพิมพ์ในอุปกรณ์เพื่อขอรับบริการ และควรจัดทำแคมเปญรณรงค์ให้ผู้รับบริการบ่อยครั้ง ได้รับโปรโมชันจูงใจมารับบริการอย่างต่อเนื่องและบอกต่อไปยังผู้ที่ไม่เคยมาใช้บริการ

เอกสารอ้างอิง

[1] Egan, M., Acharya, A., Sounderajah, V., et al. (2021). Evaluating the effect of infographics on public recall, sentiment and willingness to use face masks during the COVID-19 pandemic: A randomized internet-based questionnaire study. BMC Public Health, 21, 367.

[2] Coyne, P., Ely, F., Fiala, J., Munroe-Chandler, K., & Woodruff, S. (2020). Effectiveness of infographics at disseminating health information during the COVID-19 pandemic. Health & Fitness Journal of Canada, 14(4).

[3] Goel, A. (2010). Computer fundamentals. Pearson Education India.

[4] Han, J., Pei, J., & Kamber, M. (2022). Data mining: Concepts and techniques (4th ed.). Morgan Kaufmann.

[5] Canva. (2024). What is Canva?. Retrieved from https://www.canva.com/learn/what-is-canva/.

[6] บุญญาภา ชาญธวัช. (2565). การพัฒนาสื่ออินโฟกราฟิกสุขภาพสำหรับส่งเสริมความรู้ในชุมชนโดยใช้แอปพลิเคชัน Canva. วารสารสุขศึกษาและการส่งเสริมสุขภาพ, 45(2), 121–134.

[7] Agbo, I. A., Okezie, R., & Eze, J. (2023). Leveraging Canva for low-cost health communication in rural Nigeria. Journal of Global Health Communication, 8(1), 33–47. https://doi.org/10.1234/jghc.v8i1.2023

[8] OECD. (2021). Digital Government Review: Enhancing the Use of Digital Tools in Public Communication. OECD Publishing. https://doi.org/10.1787/digital-gov-2021.

[9] LINE for Business. (2024). What is LINE Official Account? Retrieved from https://www.linebiz.com/th/service/lineoa/.

[10] สุธิดา พิพัฒน์กุล. (2566). การพัฒนาระบบการสื่อสารผ่าน LINE Official Account เพื่อเพิ่มประสิทธิภาพการบริการของคลินิกแพทย์แผนไทย. วารสารวิชาการสาธารณสุขชุมชน, 8(1), 67–78.

[11] Sato, M., & Takahashi, H. (2021). The effectiveness of LINE Official Accounts in patient communication: A study from a Japanese hospital context. *Asian Journal of Health Informatics*, 15(3), 145–155. https://doi.org/10.5678/ajhi.v15i3.2021.

[12] UN ESCAP. (2022). Digital Government in Southeast Asia: Leveraging Social Platforms for Public Communication. United Nations Economic and Social Commission for Asia and the Pacific. Retrieved from https://www.unescap.org

[13] มนต์ทิชา รัตนพันธ์, & สายใยทอง, ฉ. (2023). การพัฒนา Line Chatbot สำหรับงานบริการด้านงานวิจัย: กรณีศึกษาสถาบันวิจัยและพัฒนา มหาวิทยาลัยเทคโนโลยีราชมงคลธัญบุรี. Journal of Applied Research on Science and Technology (JARST), 22(1), 78–89

เกศรา บัวแก้ว นักศึกษาสาขาวิชาคอมพิวเตอร์ประยุกต์ คณะเทคโนโลยีสารสนเทศ มหาวิทยาลัยราชภัฏเพชรบุรี งานวิจัยที่เกี่ยวข้อง Computer Applications, Digital Office Technology.

สราวุธ แผลงศร อาจารย์ประจำสาขาวิชาเทคโนโลยีสารสนเทศ คณะเทคโนโลยีสารสนเทศ มหาวิทยาลัยราชภัฏเพชรบุรี จบการศึกษาระดับปริญญาเอก สาขาวิชาเทคโนโลยีสารสนเทศคุณภาพ มหาวิทยาลัยราชภัฏเพชรบุรี งานวิจัยที่เกี่ยวข้อง Quality for Information Technology, Computer Applications.

กฤษดา ด่านประสิทธิ์พร อาจารย์ประจำสาขาวิชานวัตกรรมดิจิทัล คณะเทคโนโลยีสารสนเทศ มหาวิทยาลัยราชภัฏเพชรบุรี จบการศึกษาระดับปริญญาเอก สาขาวิชาเทคโนโลยีสารสนเทศและการสื่อสารเพื่อการศึกษา มหาวิทยาลัยเทคโนโลยีพระจอมเกล้าพระนครเหนือ งานวิจัยที่เกี่ยวข้อง Innovation for Education

สุวัฒน์ เตชะเพชรไพบูลย์ อาจารย์ประจำสาขาวิชานวัตกรรมดิจิทัล คณะเทคโนโลยีสารสนเทศ มหาวิทยาลัยราชภัฏเพชรบุรี จบการศึกษาระดับปริญญาโท สาขาวิชาวิศวกรรมคอมพิวเตอร์ มหาวิทยาลัยเทคโนโลยีพระจอมเกล้าธนบุรี งานวิจัยที่เกี่ยวข้อง Image Processing, Digital Signal Processing, Pattern Recognition.

กรกรต เจริญผล อาจารย์ประจำสาขาวิชาเทคโนโลยีสารสนเทศ คณะเทคโนโลยีสารสนเทศ มหาวิทยาลัยราชภัฏเพชรบุรี จบการศึกษาระดับปริญญาโท สาขาวิชาเทคโนโลยีคอมพิวเตอร์เพื่อการศึกษา มหาวิทยาลัยราชภัฏเพชรบุรี งานวิจัยที่เกี่ยวข้อง Computer Technology For Education

A Lightweight Object-Oriented MicroPython Firmware for LINE Beacon Broadcasting on ESP32

Supakit Nakpomchin[1], Pichaya Sookplung[1], Somkiat Chormuan[2] and Suphitcha Chanrueang[2*]

[1]Department of Information Technology, Faculty of Science and Technology, Nakhon Pathom Rajabhat University, Thailand, supakrid@webmail.npru.ac.th pichaya@webmail.npru.ac.th

[2]Department of Software Engineering, Faculty of Science and Technology, Nakhon Pathom Rajabhat University, Thailand, tko@webmail.npru.ac.th suphitcha@webmail.npru.ac.th*

Abstract

This paper presents a lightweight, object-oriented MicroPython firmware framework for broadcasting LINE Beacon packets on ESP32. The framework enhances modularity, reusability, and maintainability compared with conventional C/C++ implementations, which are often complex and time-consuming. The design encapsulates BLE advertising management and LINE Beacon payload generation into two reusable classes—BLEManager and LineBeacon—ensuring protocol compliance with the 3-AD format. Experimental validation confirmed stable operation, with advertising intervals consistently maintained at ~63 ms, packet accuracy above 97%, and RSSI values around −60 to −65 dBm at distances of 5–10 m. Memory analysis showed a modest overhead of 10–11 KB, acceptable for ESP32-based IoT deployments. These results demonstrate that the proposed firmware framework offers a practical and efficient foundation for proximity-based services, balancing ease of development with reliable performance.

Keywords: MicroPython, ESP32, Bluetooth Low Energy (BLE), Firmware Framework, LINE Beacon, IoT

1. Introduction

The Internet of Things (IoT) has transformed embedded systems by enabling real-time sensing, actuation, and communication in domains such as healthcare, smart cities, and industrial automation [1,2]. The ESP32 microcontroller has emerged as a popular platform for IoT prototyping due to its integrated Wi-Fi and Bluetooth Low Energy (BLE) modules, dual-core processor, and cost efficiency [3]. Traditionally, firmware for such platforms is developed in C/C++, which—while performant—often results in longer development cycles, limited modularity, and a steep learning curve.

MicroPython, a lightweight implementation of Python for microcontrollers, offers a more accessible and iterative development environment [4,5]. When combined with object-oriented programming (OOP) principles, it enables reusable, scalable, and maintainable firmware designs [6]. However, few existing works leverage MicroPython and OOP to create modular BLE broadcasting frameworks for real-world applications.

Meanwhile, LINE Beacon, a BLE-based proximity protocol by LINE Corporation, has gained adoption in Southeast Asia for location-aware services in retail, transit, and tourism [7,8]. Despite its potential, there is a lack of lightweight, open-source firmware specifically tailored to broadcast LINE Beacon packets on low-cost microcontrollers using high-level languages.

This work addresses that gap by presenting a lightweight, object-oriented MicroPython firmware framework for LINE Beacon broadcasting on the ESP32. The framework encapsulates BLE operations and payload generation into two reusable classes, BLEManager and LineBeacon, ensuring protocol compliance, maintainability, and rapid prototyping. Experimental validation confirms stable signal performance, >97% packet accuracy, and modest resource usage, making the proposed solution well-suited for scalable, proximity based IoT deployments.

2. Literature Review

Firmware development for embedded systems has evolved substantially over the last decade. Early approaches predominantly relied on low-level programming in C/C++, which provided performance and control but lacked modularity and maintainability, particularly in large-scale or fast-evolving IoT deployments [9]

Between 2018 and 2020, developers and researchers began exploring high-level alternatives that could improve productivity without severely compromising performance. MicroPython emerged during this period as a lightweight implementation of Python tailored for microcontrollers such as the ESP32. Its rapid prototyping capability, simplified syntax, and REPL-based interaction proved particularly attractive in educational, research, and low-power IoT applications [9,10]. However, most implementations remained procedural and lacked long-term scalability. Comparative studies by Plauska et al. [1] and Ionescu et al. highlighted these limitations.

From 2020 onward, attention shifted toward embedding object-oriented programming (OOP) principles into firmware development, even on constrained hardware. Researchers such as Maclean et al. [11] and Avellaneda et al. [12] emphasized the advantages of modular firmware design based on encapsulation and reusability, suggesting that such patterns are well-suited for the evolving requirements of embedded IoT systems.

In parallel, Bluetooth Low Energy (BLE) gained traction as the de facto wireless protocol for low-power, short-range communication. By 2021, BLE was widely adopted in smart devices for applications such as indoor positioning, proximity services, and occupancy detection

*Corresponding Author

[13]. With the rollout of BLE 5.0, improvements in range and stability made it even more practical for real-world environments. Around this time, LINE Corporation introduced LINE Beacon, a BLE-based broadcast protocol designed for proximity interactions in retail, transportation, and tourism. While its application potential was clear, few firmware-level frameworks were developed to support LINE Beacon broadcasting, particularly on microcontrollers [14].

From 2022 to the present, developers have continued to adopt the ESP32 as a BLE-capable microcontroller due to its affordability and built-in connectivity. However, BLE implementation practices are still mostly C/C++ based via the ESP-IDF or Arduino toolchains, which can be difficult to scale or modify. MicroPython support for BLE has improved but remains fragmented, with few reusable frameworks and little attention given to standardized broadcasting protocols like LINE Beacon [7,15]. Raihan et al. [16] demonstrated BLE-based presence monitoring on the ESP32, further highlighting its reliability, but stopped short of adopting object-oriented MicroPython design.

To date, no unified approach has been proposed that combines MicroPython, OOP firmware design, and LINE Beacon broadcasting on the ESP32, despite their proven individual value. This work aims to fill that gap by presenting a firmware design that unifies these three elements. The goal is to deliver a practical, reusable, and protocol-compliant firmware foundation that supports LINE Beacon broadcasting on the ESP32, developed entirely using high-level, object-oriented MicroPython.

3. Materials and Methods

3.1 The firmware architecture

The firmware architecture was implemented using MicroPython on the ESP32 platform, and it follows a structured engineering workflow with four stages. As shown in Fig 1, the system is organized into the ESP32 hardware layer, the MicroPython runtime layer, the object-oriented design layer, and key implementation features. The workflow comprises: (1) requirements analysis, (2) object-oriented design, (3) firmware implementation, and (4) testing and validation. Specifications for BLE advertising and LINE Beacon payloads were derived from the official documentation [7]. Two core classes were designed, BLEManager and LineBeacon, to ensure reusability and maintainability in accordance with OOP principles [6]. Development used Thonny IDE, with bytecode flashed via esptool.py [8]. MicroPython was chosen for its simple syntax, interactive environment, and low memory footprint [4,5]. Validation employed nRF Connect in a controlled indoor environment. The ESP32 platform was selected for its integrated BLE module, dual-core architecture, and low power consumption, which suit IoT prototyping and deployment [3].

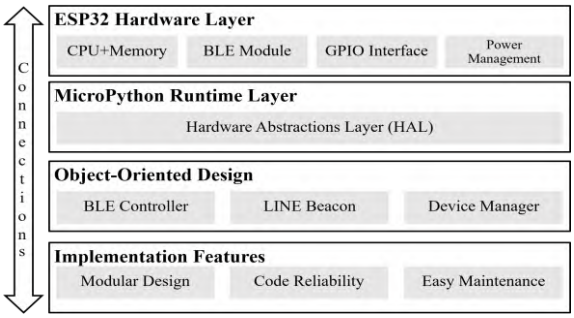

Fig 1. Overall architecture of the proposed firmware, showing the interaction among the ESP32 hardware layer, the MicroPython runtime layer, the object-oriented components, and the implementation features.

3.2 The process of a LINE Beacon device

A LINE Beacon device broadcasts BLE advertising packets to nearby smartphones running the LINE application. Each packet carries a UUID, Major, and Minor values that uniquely identify the beacon. The end-to-end interaction, from beacon broadcast to content delivery, is illustrated in Fig 2: the LINE app detects and decodes the packet, forwards identifiers to LINE's backend, retrieves mapped content, and displays it to the user. This pipeline enables proximity-aware services such as push notifications, promotional campaigns, and contextual messages.

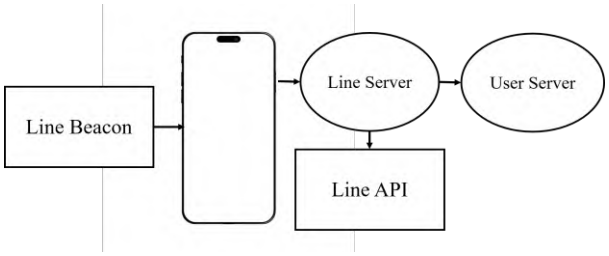

Fig 2. Communication process of the LINE Beacon system, from BLE broadcast and mobile decoding to backend mapping and user-side presentation.

3.3 LINE Beacon Specifications

The LINE Beacon framework follows the BLE broadcasting standard. A typical advertising packet includes a UUID (128-bit), Major and Minor (16-bit each), and Tx Power for proximity estimation. These fields are encoded using the 3-AD structure. The packet layout used in this work is depicted in Fig 3, which aligns with BLE advertisement conventions and ensures compatibility with the LINE application [7,9]. The three advertisement data elements are: AD1, the prefix and company identifier [9]; AD2, the beacon data payload containing UUID, Major, Minor, and Tx Power; and AD3, optional service data for extended functionality.

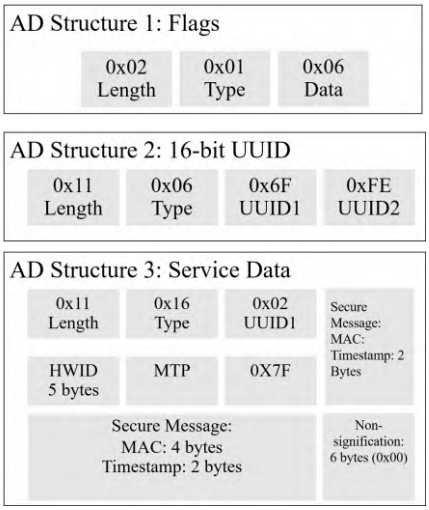

Fig 3. Structure of a LINE Beacon advertising packet in 3-AD format, indicating the placement of UUID, Major, Minor, and Tx Power for proper parsing by the LINE application

3.4 Designing Classes for Object-Oriented Firmware

To promote modularity and reuse, the firmware design separates concerns into two classes. The BLEManager class abstracts BLE initialization, advertising interval configuration, and start/stop control, which decouples low-level BLE operations from higher-level logic. The LineBeacon class constructs protocol-compliant advertising payloads, managing UUID, Major, Minor, and Tx Power with setter methods for dynamic updates. The separation of responsibilities is shown in Fig 4, while the interaction for packet handoff from LineBeacon to BLEManager prior to broadcasting is shown in Fig 5. This organization follows encapsulation and separation of concerns, enabling cleaner interfaces and easier maintenance [10].

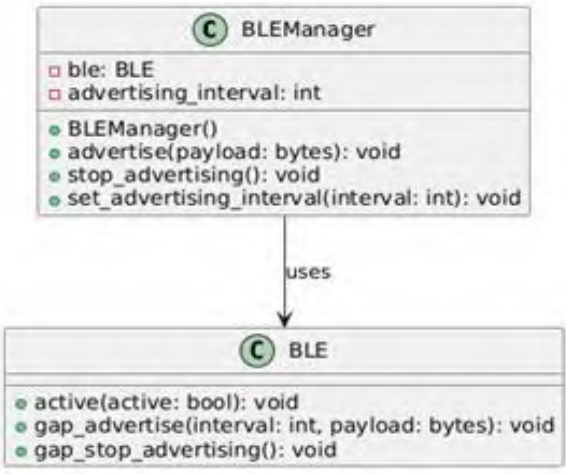

Fig 4. Class Structure: BLEManager and LineBeacon

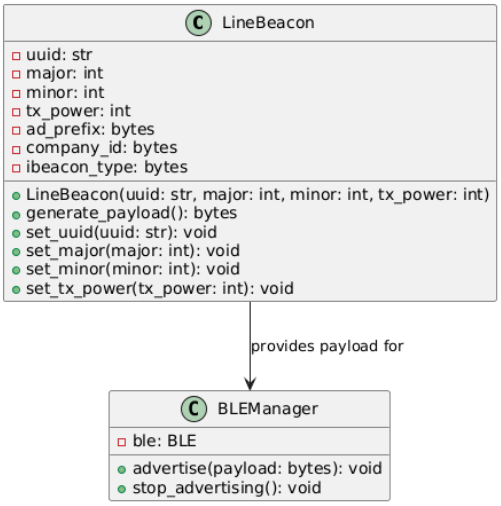

Fig 5. Class Diagram of LineBeacon Providing Advertising

3.5 Implementing the Firmware Using Thonny IDE

Development was performed in Thonny IDE, which provides syntax highlighting, auto-completion, and an integrated REPL for rapid iteration. The practical workflow, summarized in Fig 6, involves writing code in Thonny, uploading it to the ESP32, and verifying operation via the serial console and BLE scanning tools. Firmware images were flashed using esptool.py over UART [8]. This setup reduces configuration overhead compared with traditional toolchains and is well suited for educational and research environments [4,5].

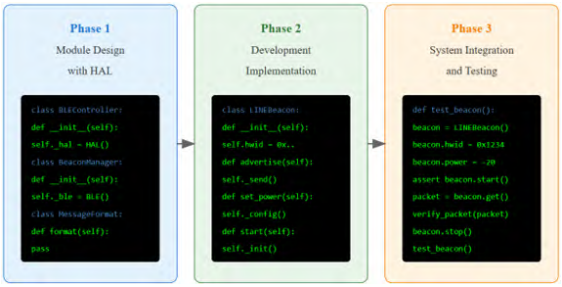

Fig 6. Development workflow using Thonny IDE, from coding and flashing with esptool.py to iterative validation with REPL and BLE analysis.

3.6 Firmware Testing and Validation Using nRF Connect

Testing with nRF Connect confirmed protocol compliance and correct packet structure, including the presence of UUID, Major, Minor, and Tx Power fields. In a controlled indoor environment, RSSI values were consistently between −60 dBm and −65 dBm at distances of 5–10 meters, and the configured advertising interval was maintained at approximately 63 ms. These results

indicate stable transmission behavior suitable for small-to-medium-scale IoT deployments.

To provide a clearer view of the experimental setup, Fig 7 presents the prototype system used in this study. The setup consists of two ESP32 development boards running the proposed MicroPython firmware and a host computer configured with Thonny IDE for code development, flashing, and real-time debugging. The system was validated using nRF Connect to scan and analyze BLE packets.

In testing multiple ESP32 boards simultaneously, each board was assigned to a different USB port and configured in Thonny IDE or via esptool.py. Separate sessions were opened to upload, run, and monitor the code in parallel. This approach enabled efficient comparison of results and verification of BLE packets across boards.

Fig 7. Prototype system setup for firmware testing and validation, showing two ESP32 development boards connected via USB to a host computer.

4. Results and Discussion

4.1 Packet Structure Validation

The proposed firmware successfully generated BLE advertising packets that fully complied with the LINE Beacon 3-AD format. Inspection using nRF Connect verified that all required fields—UUID, Major, Minor, and Tx Power—were present and correctly encoded. No malformed packets were detected during the testing period. This confirms that the object-oriented MicroPython implementation is capable of meeting strict protocol requirements, even on resource-constrained hardware such as the ESP32.

4.2 Signal Stability and Accuracy

RSSI measurements recorded in a controlled indoor environment showed stable values between −60 dBm and −65 dBm at distances of 5 to 10 meters. These results are consistent with expected BLE signal behavior for medium-range proximity services. Packet accuracy exceeded 97% across all trials, indicating that the firmware is robust against transient interference in typical deployment conditions. The summary of these findings is presented in Table 1.

Table 1. BLE advertising performance metrics for the proposed LINE Beacon firmware

Metric	Measured Value	Notes
Protocol compliance	100%	Verified with nRF Connect packet inspection
Packet accuracy	>97%	Based on received packet count vs. expected count
RSSI range	−60 to −65 dBm	Measured at 5–10 m in indoor environment
Advertising interval	~63 ms	Stable across multiple trials
Memory overhead	~5–10 KB	Compared to baseline MicroPython runtime

4.3 Memory Usage Analysis

To quantify the impact of object-oriented implementation on memory consumption, memory usage was recorded before and after instantiating the BLEManager and LineBeacon objects. As shown in Table 2, instantiation resulted in an increase of approximately 10–11 KB, which aligns with the modest overhead expected from MicroPython class allocation. This memory footprint remains acceptable for ESP32-based IoT applications that require protocol compliance and modular design.

Table 2. Memory usage before and after object instantiation

Object ID	Memory Before (bytes)	Memory After (bytes)	Increase
BLEManager instance	5000	15000	+10000
LineBeacon instance	7000	18000	+11000

4.4 Advertising Interval Consistency

The configured advertising interval of ~63 ms was consistently maintained during extended operation (>30 minutes). This value was not chosen arbitrarily; it is the default interval enforced by the ESP32 MicroPython BLE stack, which sets the parameter within the 60–65 ms range. Our validation confirmed that this constraint resulted in stable operation with no noticeable packet loss or jitter. Although optimization of advertising intervals was not the focus of this study, the observed ~63 ms setting is widely adopted in IoT beacon deployments, balancing energy efficiency and responsiveness for proximity-based services.

4.5 Development Efficiency and Maintainability

Compared to traditional C/C++ ESP-IDF implementations, the proposed MicroPython firmware framework significantly reduced development time. This improvement results from its simpler syntax, REPL-based debugging, and modular object-oriented design. The separation of BLE control (BLEManager) from payload

generation (LineBeacon) facilitated maintenance and streamlined updates when modifying beacon identifiers or protocol parameters. These characteristics make the framework particularly suitable for rapid prototyping, small-to-medium IoT deployments, and educational contexts where fast iteration is critical.

This study did not perform direct benchmarking of execution speed, energy efficiency, or throughput against traditional C/C++ firmware. While MicroPython offers clear advantages in accessibility and maintainability, detailed comparisons with low-level implementations are still required to fully quantify the trade-offs between development convenience and runtime performance.

The experimental results confirmed that the proposed firmware framework achieves protocol compliance and stable performance. However, practical trade-offs should be recognized. MicroPython introduces modest overhead in memory usage and execution speed, which may limit its suitability for highly resource-constrained or performance-critical applications. These costs are balanced by significant benefits in development speed, modularity, and maintainability. In contrast, C/C++ implementations typically deliver superior runtime efficiency and lower memory consumption but require longer development cycles and steeper learning curves. For many IoT prototyping and educational contexts, the advantages of MicroPython outweigh its performance limitations, while large-scale or energy-sensitive deployments may still benefit from low-level approaches.

4.6 Limitations

While the proposed firmware framework provides a novel and practical approach to LINE Beacon broadcasting, several limitations remain. First, all evaluations were conducted under controlled laboratory conditions, and the system's behavior in noisy or high-density BLE environments (e.g., public Wi-Fi zones) has not yet been tested. Second, the current implementation focuses solely on BLE packet broadcasting and does not include integration with LINE's cloud infrastructure; consequently, services such as push notifications, user engagement, and analytics cannot be fully demonstrated. Third, energy consumption profiling was not performed, particularly in idle and deep-sleep modes, leaving power efficiency unquantified. Finally, no direct cross-platform benchmarking was conducted against C/C++ implementations in terms of execution speed, energy consumption, startup latency, or throughput, meaning the performance trade-offs were only qualitatively discussed..

4.7 Summary of Findings

The experimental results confirm that the proposed object-oriented MicroPython framework for LINE Beacon broadcasting on the ESP32 achieves full protocol compliance, stable signal performance, and high packet accuracy while incurring only modest memory overhead. Packet inspections using nRF Connect verified correct 3-AD packet formatting, and RSSI measurements demonstrated consistent signal stability between −60 and −65 dBm. Advertising intervals remained steady at approximately 63 ms over prolonged operation, and memory usage increased by only 10–11 KB after object instantiation—well within the constraints of the ESP32 platform.

Compared to traditional C/C++ implementations, the MicroPython approach offered faster development, easier maintenance, and greater modularity without significantly compromising performance. These characteristics, combined with the framework's scalability and reusability, make it a practical foundation for real-world IoT applications in retail, smart cities, and asset tracking.

5. Conclusions

This work presented a lightweight, object-oriented MicroPython firmware framework for broadcasting LINE Beacon packets on the ESP32 platform. The proposed design encapsulated BLE initialization, advertising interval control, and payload generation into two reusable classes—BLEManager and LineBeacon—ensuring protocol compliance with the LINE Beacon 3-AD format while enhancing modularity, maintainability, and development speed.

Experimental validation demonstrated correct packet structure, stable RSSI values between −60 and −65 dBm, over 97% packet accuracy, and consistent advertising intervals (~63 ms) under controlled indoor conditions. Memory analysis confirmed that the object-oriented implementation incurred only modest overhead (10–11 KB), which remains acceptable for the ESP32's hardware constraints.

The main contributions of this study are:

1) A reusable OOP-based MicroPython framework for BLE broadcasting on ESP32, offering clearer structure and faster development compared with conventional C/C++ firmware.

2) Empirical validation of protocol compliance and performance, confirming high packet accuracy, signal stability, and consistent advertising intervals suitable for proximity-based IoT applications.

3) Demonstration of practical trade-offs between MicroPython and C/C++ development, highlighting the balance between rapid prototyping efficiency and performance overhead.

These findings demonstrate that combining MicroPython with object-oriented principles provides a practical and scalable foundation for small-to-medium IoT deployments. The framework can serve as a reference for educational, research, and proof-of-concept implementations, while paving the way for future work on power profiling, backend integration, multi-protocol support, and security enhancements.

Future Work

Several directions will be pursued to enhance and extend the proposed firmware framework. First, detailed power consumption profiling will be conducted in active, idle, and deep-sleep modes to support long-term, battery-powered deployments. Second, real-world deployment testing will be performed in congested RF environments such as shopping malls, transportation hubs, and public events, where BLE interference is common. Third, backend integration will be developed to enable secure communication with LINE's cloud infrastructure, providing full support for push notifications, analytics, and real-time user engagement.

Fourth, systematic cross-language benchmarking against ESP-IDF and Arduino C++ implementations will be carried out to evaluate execution speed, memory usage, and energy efficiency, thereby clarifying the trade-offs between MicroPython's development advantages and the performance of low-level approaches. Fifth, multi-protocol support will be added to extend compatibility with beacon standards such as iBeacon and Eddystone. Finally, lightweight encryption and authentication schemes will be investigated to strengthen security against spoofing and unauthorized data injection.

These directions will not only address current limitations but also position the firmware framework for adoption in a wider range of proximity-based IoT applications, including retail, tourism, and industrial asset tracking.

References

[1] I. Plauska, A. Liutkevičius, and A. Janavičiūtė, "Performance evaluation of C/C++, MicroPython, Rust and TinyGo programming languages on ESP32 microcontroller," *Electronics*, vol. 12, no. 1, Art. no. 143, 2023, doi: 10.3390/electronics12010143.

[2] M. Siekkinen, M. Hiienkari, J. Nurminen, and J. Nieminen, "How low energy is Bluetooth low energy? Comparative measurements with ZigBee/802.15.4," in Proc. *IEEE Wireless Commun. Netw. Conf. Workshops (WCNCW)*, Paris, France, 2012, pp. 153–158, doi: 10.1109/WCNCW.2012.6215496.

[3] D. Hercog, T. Lerher, M. Truntič, and O. Težak, "Design and implementation of ESP32-based IoT devices," *Sensors*, vol. 23, no. 15, Art. no. 6739, 2023, doi: 10.3390/s23156739.

[4] "MicroPython libraries—MicroPython latest documentation." [Online]. Available: https://docs.micropython.org/en/latest/library/index.html. (Accessed: Feb. 21, 2025).

[5] "Technical documents | Espressif Systems." [Online]. Available: https://www.espressif.com/en/support/documents/technical-documents. (Accessed: Apr. 11, 2025).

[6] T. Vallius, J. Haverinen, and J. Röning, "Object-oriented embedded system development method for easy and fast prototyping," in *Mechatronics for Safety, Security and Dependability in a New Era*. Amsterdam, The Netherlands: Elsevier, 2007, pp. 265–270, doi: 10.1016/B978-008044963-0/50054-0.

[7] "LINE developers." [Online]. Available: https://developers.line.biz/. (Accessed: Apr. 11, 2025).

[8] "Occupancy monitoring using BLE beacons: Intelligent Bluetooth virtual door system," *Sensors*, vol. 25, no. 9, Art. no. 2638, 2025. [Online]. Available: https://www.mdpi.com/1424-8220/25/9/2638. (Accessed: May 21, 2025).

[9] P. Babiuch, W. Folwarczny, and R. Juránková, "Using the ESP32 microcontroller for data processing," *MATEC Web of Conferences*, vol. 210, pp. 6, 2019.

[10] D. Mischianti, "MicroPython with ESP8266 and ESP32: Flashing firmware and programming with basic tools - 1," *Mischianti Blog*, May 2023. [Online]. Available:https://www.mischianti.org/2023/05/13/micropython-with-esp8266-and-esp32-flashing-firmware-and-programming-with-basic-tools-1/. (Accessed: Apr. 11, 2025).

[11] "The power of object-oriented programming in embedded systems," CPP Cat Blog, C. Cat, 2023. [Online]. Available: https://cppcat.com/2023/08/17/the-power-of-object-oriented-programming-in-embedded-systems/. (Accessed: Mar. 31, 2025).

[12] D. Avellaneda, D. Mendez, and G. Fortino, "A TinyML deep learning approach for indoor tracking of assets," *Sensors*, vol. 23, no. 3, Art. no. 1542, 2023, doi: 10.3390/s23031542.

[13] R. Ramirez, C.-Y. Huang, C.-A. Liao, P.-T. Lin, H.-W. Lin, and S.-H. Liang, "A practice of BLE RSSI measurement for indoor positioning," *Sensors*, vol. 21, no. 15, Art. no. 5181, 2021, doi: 10.3390/s21155181.

[14] V. Ionescu and F. Enescu, "Investigating the performance of MicroPython and C on ESP32 and STM32 microcontrollers," in *Proc. 2020 IEEE 26th International Conference on Automation, Quality and Testing, Robotics (AQTR)*, 2020, pp. 237–242.

[15] M. Antonini, M. Pincheira, M. Vecchio, and F. Antonelli, "An adaptable and unsupervised TinyML anomaly detection system for extreme industrial environments," *Sensors*, vol. 23, no. 4, Art. no. 2344, 2023, doi: 10.3390/s23042344.

[16] R. Uddin, T. Hwang, and I. Koo, "Worker presence monitoring in complex workplaces using BLE beacon-assisted multi-hop IoT networks powered by ESP-NOW," *Electronics*, vol. 13, no. 21, Art. no. 4201, 2024, doi: 10.3390/electronics13214201.

[17] K. Ferencz and J. Domokos, "Rapid prototyping of IoT applications for the industry," in *Proc. IEEE Int. Conf. Autom., Qual. Test., Robot. (AQTR)*, Cluj-Napoca, Romania, 2020, pp. 1–6, doi: 10.1109/AQTR49680.2020.9129934.

เทคนิคการซ่อมแซมรูปภาพโดยใช้การประมาณค่าแบบสามเหลี่ยม

Image Inpainting Technique using Triangulation Interpolation

วุฒินันท์ แซ่อึ้ง[1] จิราพร เกียรติวุฒิอมร[1] ธีรยุทธ เหลืองศรีสกุล[2] และ ชัยพิชิต คำพิมพ์[1]*

[1]สาขาวิชาวิศวกรรมคอมพิวเตอร์ คณะวิศวกรรมศาสตร์ มหาวิทยาลัยเทคโนโลยีราชมงคลรัตนโกสินทร์ 1651010541229@rmutr.ac.th
jiraporn.kia@rmutr.ac.th chaipichit.cumpim@rmutr.ac.th*
[2]สาขาวิชาวิศวกรรมแมคคาทรอนิกส์ คณะวิศวกรรมศาสตร์ มหาวิทยาลัยเทคโนโลยีราชมงคลรัตนโกสินทร์ teerayut.lue@rmutr.ac.th

บทคัดย่อ

งานวิจัยนี้เสนอวิธีการซ่อมแซมภาพที่เสียหายอันเนื่องมาจากข้อมูลที่สูญหายหรือเสียหาย วิธีการที่นำเสนอประกอบด้วยสองขั้นตอน ขั้นตอนแรกใช้เทคนิคการกัดเซาะเพื่อระบุพิกเซลที่เสียหาย หลังจากนั้นจะสร้างพื้นที่สี่เหลี่ยมเพื่อครอบคลุมพิกเซลที่ต้องการซ่อมแซม จากนั้นจึงค้นหาพิกเซลสามเหลี่ยมที่ใกล้ที่สุดภายในพื้นที่นี้เพื่ออำนวยความสะดวกในการคำนวณค่าสีใหม่ ขั้นตอนสุดท้ายคือการกำหนดรูปสามเหลี่ยมที่มีค่าสีที่ทราบแล้ว โดยมีจุดศูนย์กลางอยู่ที่พิกเซลที่ต้องการซ่อมแซม จากนั้นจึงคำนวณค่าสีใหม่ของพิกเซลเป้าหมาย การประมาณค่าสีได้มาจากค่าเฉลี่ยถ่วงน้ำหนักโดยอ้างอิงจากระยะห่างจากพิกเซลข้างเคียงสามพิกเซล ผลการทดลองแสดงให้เห็นว่าโดยทั่วไปแล้ววิธีการที่เสนอนี้มีประสิทธิภาพสูงกว่าวิธีการแบบดั้งเดิมในแง่ของอัตราส่วนสัญญาณต่อสัญญาณรบกวนสูงสุด

คำสำคัญ: การประมาณค่าแบบสามเหลี่ยม การซ่อมแซมรูป การกัดเซาะ

Abstract

This research proposes a method for repairing damaged images caused by missing or corrupted data. The proposed method consists of two steps. The first step employs an erosion technique to identify damaged pixels, after which a rectangular region is created to encompass the pixels that require repair. The nearest triangular pixel within this region is then found to facilitate the calculation of new color values. The final step involves defining a triangle with known color values, centered on the pixel to be repaired, and then calculating the new color values of the target pixel. The color estimation is obtained using a weighted average based on the distance from three neighboring pixels. Experimental results show that the proposed method generally outperforms traditional methods in terms of Peak Signal-to-Noise Ratio.

Keywords: Triangular Interpolation; Image Restoration; Erosion

1. บทนำ

รูปถ่ายเก่าเมื่อเวลาผ่านไปมักเสียหายหรือสีจาง การแปลงเป็นรูปดิจิทัลช่วยอนุรักษ์ภาพ แต่รูปดิจิทัลเหล่านี้มักมีสีเพี้ยนหรือข้อมูลบางส่วนสูญหาย ทำให้คุณภาพไม่สมบูรณ์ ดังนั้นจึงจำเป็นต้องพัฒนาเทคนิคการประมวลผลภาพเพื่อซ่อมแซมและฟื้นฟูคุณภาพของรูปดิจิทัล ปัจจุบันมีหลายวิธีที่นำเสนอเพื่อแก้ไขปัญหานี้ ซึ่งจะกล่าวถึงในย่อหน้าต่อไป

โดยทั่วไป กระบวนการทำ Image Inpainting จะเริ่มจากการนำรูปต้นฉบับมาทำให้เกิดความเสียหาย เช่น การใช้หน้ากาก (Mask) ปิดบางส่วนของรูป เพื่อจำลองบริเวณที่ข้อมูลสูญหาย จากนั้นจะทำการกำหนดกรอบพื้นที่ที่ต้องการซ่อมแซม โดยอาศัยตำแหน่งของจุดที่เสียหายซึ่งทราบอยู่แล้วล่วงหน้า เพื่อใช้เป็นขอบเขตในการประมวลผลและประมาณค่าข้อมูลที่หายไปในลำดับถัดไป สำหรับวิธีการในการซ่อมแซมรูป วิธีการแรกที่นำเสนอเป็นการปรับปรุงรูปโดยการใช้เทคนิค Partial Differential Equations (PDE) [1] เป็นวิธีการปรับปรุงตำแหน่งสีของรูปที่เสียหาย การทำงานของวิธีนี้จะพยายามแทนค่าสีใหม่ของตำแหน่งพิกเซลที่เสียหายโดยใช้วิธีการคำนวณ PDE โดยการคำนวณจะเป็นการทำซ้ำอย่างต่อเนื่อง ซึ่งจะทำให้เสียเวลาในการคำนวณเป็นอย่างมาก วิธีการต่อมาคือ Image Inpainting [2] เป็นการปรับปรุงการทำงานของวิธีการหนึ่งที่มีข้อเสียคือจะต้องให้ผู้ใช้งานระบุตำแหน่งที่เกิดความเสียหายภายในรูป จากนั้นจึงใช้อัลกอริทึมตามแบบวิธีการเดิมในการคืนค่าสีให้กับตำแหน่งของรูปที่เสียหาย งานวิจัยต่อมาถูกนำเสนอโดย Mumford-Shah [3] งานวิจัยนี้ถูกพัฒนาขึ้นโดยสามารถลดเวลาการคำนวณลงได้มากเมื่อเทียบกับวิธีการที่ [1] และ [2] วิธีการนี้ถูกนำไปประยุกต์ใช้กับวิธีการต่างๆ อย่างมากมาย Pyheal [4] เป็นวิธีการซ่อมแซมรูปที่มีการทำงานที่ไม่ซับซ้อนโดยจะทำการคำนวณค่าสีเพื่อนำไปแทนลงในส่วนที่เสียหายภายในรูปโดยใช้วิธีการ fast marching method (FMM) [5] วิธีการที่นำเสนอต่อมาคือ Absolutely Minimizing Lipschitz Extension (AMLE) [6] เป็นวิธีการที่ใช้ในการคำนวณค่าสีเพื่อนำไปแทนลงบนส่วนที่เสียหายภายในรูปได้ดีกว่าวิธีการของ Pyheal วิธีการนี้จะระบุเส้นทางที่คล้ายๆ กันภายในรูปจากนั้นจึงใช้เส้นทางเหล่านี้เพื่อสร้างตำแหน่งพิกเซลที่เสียหาย พร้อมกับคำนวณค่าสีเพื่อแทนค่าสีลงในตำแหน่งนั้น ๆ วิธีการนี้จะมีการทำงานวนซ้ำเหมือนวิธีการที่ [1] และ [2] งานวิจัยต่อมาคือ Exemplar Based Image Inpainting [7] เป็นการนำเอาตำแหน่งค่าสีภายในรูปเดียวกันไปแทนที่ค่าสีในตำแหน่งที่เสียหายของรูปโดยการเรียนรู้จากค่าสีที่ไม่ได้เสียหายภายในรูปนั้น ๆ วิธีการนี้จะทำการค้นหาพิกเซลที่ตรงกันที่สุดสำหรับพื้นที่ที่มีความเสียหายภายในรูปเมื่อได้ค่าพิกเซลแล้วจะทำการคัดลอกจากพิกเซลต้นทางและทำการลงสีในพื้นที่ที่มีความเสียหาย วิธีการที่นำเสนอต่อมาคือ Cahn-Hilliard [8] เป็นการพัฒนาของการแยกเฟสไบนารีอัลลอยด์ โพลิเมอร์ ที่ถูกคิดค้นโดย John W. Cahn และ John E. Hilliard ในปี 1958 มีหลักการทำงานคือจะใช้หลักการแพร่กระจายของวัสดุจากบริเวณที่มีความเข้มข้นสูงไปยังบริเวณที่มีความเข้มข้นต่ำ สมการ Cahn-Hilliard ถูกนำมาใช้เพื่อจำลองปรากฏการณ์ต่างๆ มากมายในฟิสิกส์ รวมถึงการก่อตัวของโครงสร้างจุลภาคในโลหะผสม การวิวัฒนาของฟิล์มบางและพฤติกรรมของผลึกเหลว วิธีการแก้สมการเชิงวิเคราะห์เชิงตัวเลขได้รับการพัฒนาเพื่อจำลองพฤติกรรมของสมการ Cahn-Hilliard ซึ่งถูกนำมาประยุกต์ใช้ในการซ่อมแซมรูป งานวิจัยต่อมาคือ วิธีการ Harmonic [9] เป็นวิธีที่ได้รับความนิยมในการเติมส่วนที่ขาดหายหรือเสียหายของรูป ซึ่งขึ้นอยู่กับแนวคิดของการใช้ฟังก์ชัน Harmonic เพื่อแก้ไขข้อมูลที่ขาดหายไปในรูป ฟังก์ชัน Harmonic คือใช้วิธีการของลาปลาซซึ่งเป็นสมการเชิงอนุพันธ์ย่อยเชิงเส้น

*ประพันธ์บรรณกิจ

ในการประมวลผลรูปซึ่งใช้ในการซ่อมแซม งานวิจัยต่อมาคือ วิธีการ Coherency Sensitive Hashing (CSH) [10] ได้รับการพัฒนาต่อยอดจาก Locality Sensitive Hashing (LSH) และ PatchMatch เพื่อค้นหาแพตช์ที่ตรงกันระหว่างรูปสองรูปได้รวดเร็วและแม่นยำกว่าเดิม โดยอาศัยทั้งการแฮชเพื่อสร้างการจับคู่เริ่มต้น ทำให้ได้ผลลัพธ์ที่แม่นยำกว่าบริเวณที่มีพื้นผิวซับซ้อน สำหรับงานวิจัยสุดท้ายได้นำเสนอ เทคนิค Coherence [11] เป็นวิธีการเติมสีคุณภาพสูงโดยใช้สมการอนุพันธ์ย่อยอันดับสูงกว่าแบบไม่เชิงเส้น วิธีการนี้เป็นการวนซ้ำโดยมีตัวแปรเวลาที่ทำหน้าที่เป็นพารามิเตอร์การวนซ้ำด้วยเหตุผลด้านความเสถียร อาจต้องมีการวนซ้ำจำนวนมากซึ่งส่งผลให้เกิดความซับซ้อนในการคำนวณแต่ให้ผลลัพธ์ที่ดีในการซ่อมแซมรูป

ดังนั้นงานวิจัยนี้จึงนำเสนอวิธีการประมาค่าแบบสามเหลี่ยม โดยวิธีการนี้จะทำการระบุบริเวณที่เสียหายของรูปหรือส่วนที่ไม่ทราบค่าสีจากการเก็บตำแหน่งของจุดที่เป็นสีดำสนิทเพื่อหาขอบของบริเวณที่เสียหายก่อน จากการเก็บตำแหน่งพิกเซลที่มีความเสียหายในรูป จากนั้นจะทำการหาจุดพิกเซลที่ปรากฏที่ขอบนอกสุดที่หาเจอ และสร้างกรอบครอบพิกเซลที่มีความเสียหายนั้น เพื่อทำการกำหนดพิกเซลสามเหลี่ยมที่ทราบค่าสี โดยทำการประมาณค่าสีในตำแหน่งของพิกเซลนั้น จากนั้นจึงทำการหาขอบนอกสุดของบริเวณที่เสียหายของรูป ที่มีพื้นที่เล็กลงหลังจากที่มีการแทนค่าด้วยสีใหม่ แล้วทำการประมาณค่าสีตำแหน่งของพิกเซลเหมือนกับวิธีการที่ได้ทำผ่านมาการทำซ้ำแบบนี้จะทำจนตำแหน่งของพิกเซลที่มีความเสียหายในรูปหมดไป โดยรายละเอียดจะถูกอธิบายในส่วนต่อไป

2. วิธีการที่นำเสนอ

ในงานวิจัยนี้มีสองขั้นตอนหลักคือขั้นตอนแรกใช้เทคนิคการประมวลผลภาพด้วย Erosion เพื่อตรวจหาขอบของบริเวณที่เกิดความเสียหายและทำการลดขนาดของขอบนั้น เพื่อนำตำแหน่งของพิกเซลที่อยู่ในบริเวณที่ถูกลดขนาดของขอบไปใช้ในขั้นตอนต่อไป

ขั้นตอนถัดมาคือการหาตำแหน่งของจุดพิกเซลที่เป็นมุมของสามเหลี่ยมทั้งสาม ซึ่งล้อมรอบตำแหน่งพิกเซลที่ได้จากขั้นตอนแรก จากนั้นนำตำแหน่งและค่าสีของพิกเซลที่มุมทั้งสามมาคำนวณด้วยวิธีการประมาณค่าของสามเหลี่ยม

ทั้งนี้การเลือกใช้สามเหลี่ยมมีข้อได้เปรียบด้านประสิทธิภาพ เนื่องจากวิธีอื่น เช่น Bilinear หรือ Bicubic ต้องใช้พิกเซล 4 จุดขึ้นไปในการคำนวณขณะที่วิธีสามเหลี่ยมใช้เพียง 3 จุด จึงทำให้การประมวลผลเร็วขึ้น

รูปที่ 1 เป็นรูปบางส่วนของ Barbara ที่มีความเสียหาย

รูปนี้ถูกเลือกมาเพื่อใช้เป็นตัวอย่างในการอธิบายขั้นตอนของกระบวนการซ่อมแซมรูปที่นำเสนอในงานวิจัย

ขั้นตอนที่ 1 เริ่มจากใช้เทคนิค Erosion เพื่อลดขอบของบริเวณรูปที่เสียหาย ดังแสดงในรูปที่ 2(a) ขั้นตอนนี้ช่วยตรวจหาขอบและเน้นบริเวณที่ขาดหายไป ผลลัพธ์จะแสดงใน รูปที่ 2(b) โดยหมายเลข 1 (จุดสีฟ้า) แสดงขอบของพื้นที่เสียหาย ส่วนหมายเลข 0 แสดงพิกเซลภายนอกขอบที่มีข้อมูลค่าสี จากนั้น พิกเซลบริเวณขอบจะถูกตีกรอบ (Kernel) เพื่อล้อมรอบพื้นที่ดังกล่าว เตรียมเข้าสู่ขั้นตอนการประมาณค่าสี ดังแสดงในรูปที่ 2(c)

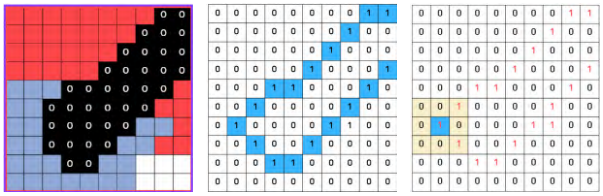

(a) (b) (c)

รูปที่ 2 การ Erosion กับรูปบางส่วน

ขั้นตอนที่ 2 สำหรับพิกเซลแต่ละจุดที่ต้องการประมาณค่า จะเลือกพิกเซลสามจุดที่ใกล้ที่สุดและยังคงมีค่าสีเพื่อสร้างรูปสามเหลี่ยมสำหรับคำนวณระยะทางและหาค่าสีใหม่ดังแสดงใน รูปที่ 3(d) โดยจุดสีแดงคือพิกเซลที่ใช้คำนวณส่วนจุดสีฟ้าคือพิกเซลที่ต้องประมาณค่า ในการเลือกพิกเซลสามเหลี่ยมนี้ใช้เกณฑ์ระยะทางระหว่างจุดที่ทราบค่ากับจุดที่ต้องการประมาณค่า เพื่อหาพิกเซลที่อยู่ใกล้ที่สุดกับจุดเป้าหมายหลังจากได้พิกเซลทั้งสามแล้ว จะใช้สมการ (1) คำนวณค่าสีใหม่และแทนที่พิกเซลเป้าหมาย จากนั้นเลื่อนไปยังพิกเซลถัดไปทำซ้ำทีละพิกเซลโดยใช้ค่าที่คำนวณก่อนหน้าร่วมด้วย

รูปที่ 3(e)–3(g) แสดงการประมวลผลทีละพิกเซลจนครบทุกตำแหน่งที่ต้องประมาณค่า ซึ่งจำนวนพิกเซลที่ต้องประมาณค่อยๆลดลงทำให้ภาพสมบูรณ์ขึ้น ผลลัพธ์สุดท้ายปรากฏใน รูปที่ 3(h)–3(j)

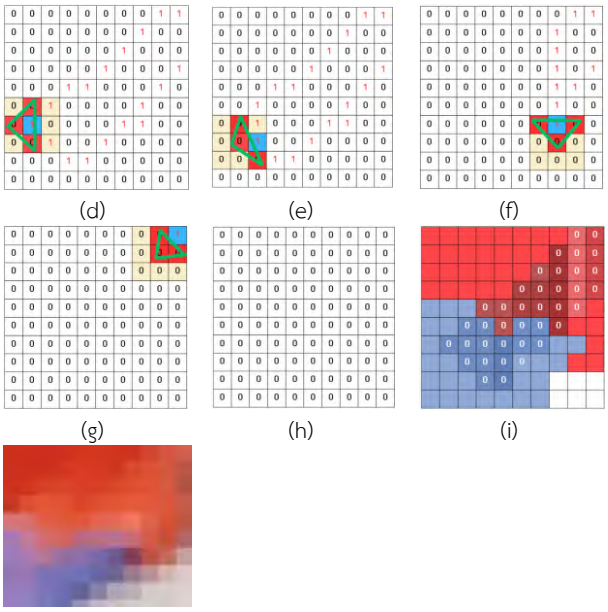

(d) (e) (f)

(g) (h) (i)

(j)

รูปที่ 3 การเลือกจุดสามเหลี่ยมหาตำแหน่งเหมาะสมในการประมาณค่า

รูปที่ 4 Barbara ที่ถูกทำการประมวลผลแล้ว

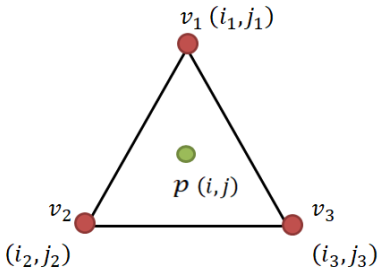

รูปที่ 5: แบบจำลองการประมาณค่าแบบสามเหลี่ยม

ขั้นตอนการประมาณค่าแบบสามเหลี่ยมที่จุด $p(i,j)$ โดยใช้วิธีการประมาณค่าแบบสามเหลี่ยม (Triangulation Interpolation) ภายในขอบเขตที่แสดงภายในรูปจะนำข้อมูลของ $v(i_k j_k)$ ไปใช้ในการประมาณค่าตามที่แสดงไว้ในสมการที่ (1)

$$Distance_k = \sqrt{(v_i - p_i)^2 + (v_j - p_j)^2} \qquad (1)$$

โดยที่

$Distance_k$ คือ ระยะทางระหว่างจุดที่ทราบค่ากับจุดที่ต้องการประมาณค่า

$p(i,j)$ คือ พิกัดของจุดแรกที่ใช้ในการประมาณค่า ซึ่งระบุด้วยตำแหน่งพิกเซลในแนวแกนนอน (i) และแนวแกนตั้ง (j)

$V(i_k, j_k)$ คือ พิกัดของจุดที่สองที่ใช้ในการประมาณค่า ซึ่งระบุด้วยตำแหน่งพิกเซลในแนวแกนนอน (i_k) และแนวแกนตั้ง (j_k)

i , j คือ ตำแหน่งพิกเซลในแนวแกนนอนและแกนตั้งตามลำดับ

k คือ ค่าตั้งแต่ 1 ถึง 3

เมื่อได้ระยะทางต่อมาคือการคำนวณหาน้ำหนักของพิกัดนั้น ๆ ดังสมการที่ (2)

$$W_k(i,j) = \frac{1}{Distance_k} \qquad (2)$$

โดยที่

$W_k(i,j)$ คือ ค่าน้ำหนักของจุด k ที่สัมพันธ์กับตำแหน่ง i , j

เมื่อได้น้ำหนักแล้ว ต่อมาคือการประมาณค่าสีของจุดดังสมการที่ 3

$$Color_{(i,j)} = \frac{\sum_{k=1}^{N} w_k(i,j)v(i_k, j_k)}{\sum_{k=1}^{N} w_k(i,j)} \qquad (3)$$

โดยที่

$Color_{(i,j)}$ คือ สีที่ได้จากการประมาณค่าแบบสามเหลี่ยมด้วยน้ำหนักจากทั้งสามจุด ณ จุด (i,j)

$(i_k, j_k), N$ คือ จุดที่ทราบค่าข้อมูลทั้งหมด

3. ผลการทดลอง

ในการทดลองจะใช้รูปทั้งหมด 4 รูป คือ test barbara bird และ gull ดังแสดงในตารางที่ 2 โดยคำนวณค่า $PSNR$ [12] ของรูปที่ถูกซ่อมแซมโดยวิธีการ Exemplar, CSH และวิธีการที่นำเสนอ (Proposed) โดยในการสร้างพื้นที่เสียหายจะใช้ mask g และ mask h (ดังรูปที่ 6) ซึ่งเป็นภาพขีดสีขาวที่มีขนาดและตำแหน่งต่างกัน โดย mask g แทนพื้นที่เสียหายขนาดใหญ่ และ mask h แทนพื้นที่เสียหายขนาดเล็กเพื่อใช้ทดสอบความสามารถของอัลกอริทึมในการซ่อมแซมทั้งบริเวณเล็กและกว้าง โดยทำการเปรียบเทียบจากค่า $PSNR$ ที่สามารถหาได้จาก สมการที่ (4)

$$PSNR = 20 * \log_{10}\left(\frac{255}{\sqrt{MSE}}\right) \qquad (4)$$

โดยที่

$PSNR$ คือ ค่าที่ใช้วัดความแตกต่างของคุณภาพระหว่างรูปต้นฉบับกับรูปที่ผ่านการประมวลผล โดยมีหน่วยเป็น dB (เดซิเบล)

$$MSE = \frac{1}{mn}\sum_{i,j}(x_{i,j} - z_{i,j})^2 \qquad (5)$$

โดยที่

$x_{i,j}$ คือ ค่าของพิกเซลในตำแหน่งที่ (i,j) ของ รูปต้นฉบับ

$z_{i,j}$ คือ ค่าของพิกเซลในตำแหน่งที่ (i,j) ของ รูปที่ผ่านการซ่อมแซมแล้ว

m คือ จำนวนคอลัมน์ของรูป ซึ่งหมายถึงความกว้างของรูปภาพ

n คือ จำนวนแถวของรูป ซึ่งหมายถึงความสูงของรูปภาพ

MSE คือ ค่าความคลาดเคลื่อนกำลังสองเฉลี่ย เป็นตัวชี้วัดทางสถิติที่ใช้วัดความแตกต่าง ระหว่างรูปต้นฉบับ กับรูปที่ผ่านการประมวลผล

mask g mask h

รูปที่ 6 รูปที่แสดงบริเวณที่เสียหายของรูป

จากรูปที่ 6 แสดง พื้นที่เสียหายจำลอง บนภาพทดสอบ โดยสร้างด้วย mask g และ mask h ซึ่งเป็นเส้นขีดสีขาวขนาดต่างกัน ใช้จำลอง

บริเวณที่เสียหายเพื่อทดสอบอัลกอริทึมในการเติมเต็ม สำหรับ mask จริงมีหลายรูปแบบแต่เนื่องจากพื้นที่จำกัด จึงไม่สามารถแสดงทั้งหมดได้

ตารางที่ 1 ผลการทดลองค่า PSNR ของแต่ละรูปจากวิธีการที่แตกต่างกัน

Image	Mask	Exemplar		
test.png	g	34.56	CSH	Proposed
barbara.png	g	34.38	36.07	**36.09**
bird.png	g	35.65	35.78	**36.11**
gull.png	g	37.96	36.10	**39.55**
test.png	h	38.89	39.68	**40.57**
barbara.png	h	38.42	**44.80**	44.31
bird.png	h	42.04	45.83	**45.89**
gull.png	h	44.71	**47.53**	46.90
Image	Mask	Exemplar	48.67	**51.39**

จากตารางที่ 1 พบว่าวิธีที่นำเสนอให้ค่า PSNR สูงกว่าวิธีอื่นในกรณีหน้ากาก g แต่สำหรับหน้ากาก h วิธี CSH ให้ผลดีกว่า โดยเฉพาะในภาพ test และ bird ความแตกต่างนี้อาจเกิดจากหน้ากาก h ปิดบังพื้นที่น้อย ทำให้ CSH สามารถใช้ข้อมูลที่เหลืออยู่ได้อย่างมีประสิทธิภาพมากกว่า ขณะที่วิธีนำเสนอเหมาะกับกรณีที่ข้อมูลขาดหายมาก ดังนั้นเมื่อพื้นที่เสียหายมีน้อยวิธี CSH จึงได้เปรียบและให้ผลลัพธ์สูงกว่า

อย่างไรก็ตามไม่มีวิธีใดให้ผลลัพธ์ได้สมบูรณ์แบบ เช่น ในกรณีทำความเสียหายในส่วนกระดุมเสื้อ ผลลัพธ์ที่สร้างขึ้นจะไม่ปรากฏกระดุมเสื้อเหมือนต้นฉบับ ดังนั้นค่า PSNR อาจไม่ใช่ตัวชี้วัดที่เหมาะสมที่สุดสำหรับการเปรียบเทียบผลลัพธ์ เนื่องจากบางภาพอาจมีค่า PSNR สูง แต่ความใกล้เคียงกับรูปต้นฉบับจริงกลับต่ำกว่าภาพอื่น

ตารางที่ 2 รูปที่ใช้สำหรับการทดสอบ

Image	Original	Mask g	Mask h
test.png	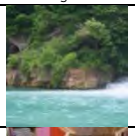		
barbara.png		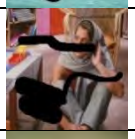	
bird.png	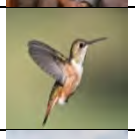	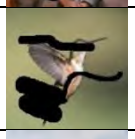	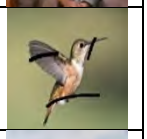
gull.png			

จากตารางที่ 2 รูปต้นฉบับถูกทำให้เสียหายด้วยหน้ากาก g และ h เพื่อใช้ทดสอบความสามารถในการซ่อมแซมของแต่ละวิธี เนื่องจากในบางกรณีภาพที่เสียหายไม่สามารถฟื้นฟูให้กลับมาใกล้เคียงต้นฉบับได้ด้วยวิธีที่มีอยู่ การสร้างความเสียหายจำลองจึงมีความสำคัญ เพราะช่วยให้สามารถประเมินประสิทธิภาพและเปรียบเทียบผลลัพธ์ของแต่ละวิธีได้อย่างชัดเจน

ตารางที่ 3 ผลลัพธ์รูปของวิธี Inpainting วิธีต่างๆ โดยใช้หน้ากาก (g)

original	Exemplar	CSH	Proposed

ตารางที่ 3 ผลลัพธ์รูปของวิธี Inpainting วิธีต่างๆ โดยใช้หน้ากาก (h)

original	Exemplar	CSH	Proposed

จากตาราง 3 และ ตาราง 4 จะเป็นการแสดงรูปต้นฉบับเทียบกับผลลัพธ์รูปของวิธีการทั้ง 4 วิธีการ กับ mask g และ mask h สังเกตได้ว่ารูปผลลัพธ์ของวิธีการที่นำเสนอเมื่อมองด้วยตาเปล่า จะเห็นได้ว่าผลลัพธ์รูปแทบจะคล้ายคลึงกันมาก ดังนั้นเราจึงต้องใช้ค่า PSNR เพื่อเป็นตัวชี้วัดประสิทธิภาพของรูปนั้น

4. สรุป

งานวิจัยนี้นำเสนอเทคนิคการซ่อมแซมรูปภาพที่เสียหายโดยใช้การประมาณค่าแบบสามเหลี่ยม ซึ่งช่วยฟื้นฟูข้อมูลสีในบริเวณที่ขาดหายไปได้อย่างมีประสิทธิภาพ ผลการทดลองโดยใช้ค่า $PSNR$ แสดงให้เห็นว่าวิธีที่นำเสนอมักให้ผลลัพธ์ดีกว่าวิธีเปรียบเทียบและภาพที่ได้รับการซ่อมแซมมีความใกล้เคียงกับต้นฉบับอย่างชัดเจน ทั้งนี้งานวิจัยในอนาคตสามารถต่อยอดได้ด้วยการผสมผสานเทคนิค AI และ Deep Learning เพื่อช่วยในการประมาณค่าสีหรือสร้างโครงสร้างพิกเซลที่ซับซ้อนขึ้น รวมถึงการปรับปรุงด้านเวลาในการประมวลผล

5. เอกสารอ้างอิง

[1] A. Chambolle, “Partial differential equations and image processing,” *in Proceedings of 1st International Conference on Image Processing*, 1994, vol. 1, pp. 16–20 vol.1.

[2] M. Bertalmio, G. Sapiro, V. Caselles, and C. Ballester, “Image Inpainting,” *in Proceedings of the 27th Annual Conference on Computer Graphics and Interactive Techniques*, 2000, pp. 417–424.

[3] S. Esedoglu and J. Shen, “Digital inpainting based on the Mumford–Shah–Euler image model,” *European Journal of Applied Mathematics*, vol. 13, no. 4, pp. 353–370, 2002.

[4] A. Telea, “An Image Inpainting Technique Based on the Fast Marching Method,” *Journal of Graphics Tools*, vol. 9, no. 1, pp. 25–36, 2004.

[5] J. A. Sethian, “A fast marching level set method for monotonically advancing fronts,” *in Proc Natl Acad Sci U S A*, 1996, vol. 93, no. 4, pp. 1591–1595.

[6] A. Almansa, F. Cao, Y. Gousseau, and B. Rougé, “Interpolation of digital elevation models using AMLE and related methods,” *IEEE Transactions on Geoscience and Remote Sensing*, vol. 40, no. 2, pp. 314–325, 2002.

[7] A. Criminisi, P. Perez, and K. Toyama, “Object removal by exemplar-based inpainting,” *in 2003 IEEE Computer Society Conference on Computer Vision and Pattern Recognition, 2003. Proceedings.*, 2003, vol. 2, pp. II–II.

[8] J. W. Cahn and J. E. Hilliard, “Free Energy of a Nonuniform System. I. Interfacial Free Energy,” *The Journal of Chemical Physics*, vol. 28, no. 2, pp. 258–267, 2004.

[9] T. F. Chan and S. H. Kang, “Error analysis for image inpainting,” *Journal of Mathematical imaging and Vision*, vol. 26, pp. 85–103, 2006.

[10] S. Korman and S. Avidan, "Coherency Sensitive Hashing," *2011 International Conference on Computer Vision, Barcelona, Spain, 2011*, pp. 1607-1614.

[11] F. A. Bornemann and T. März, “Fast Image Inpainting Based on Coherence Transport,” *Journal of Mathematical Imaging and Vision*, vol. 28, pp. 259–278, 2007.

[12] Y. Al-Najjar and S. D. Chen, “Comparison of image quality assessment: PSNR, HVS, SSIM, UIQI,” *International Journal of Scientific & Engineering Research*, vol. 3, pp. 1–5, 2012.

การพัฒนาหุ่นยนต์คล้ายมนุษย์ที่มีการเคลื่อนไหวเลียนแบบตา ปาก และใบหน้า
Development of Humanoid Robots with Imitative Eye, Mouth, and Facial Movements

กิ่งกาญจน์ กิตติสุนทโรภาศ[1] อรรถพล พลซา[2] กิตติกานต์ พูลสุขโข[2] และวัลลภ อรุณธรรมนาค[3]*

[1]สาขาวิชาวิศวกรรมโลจิสติกส์และกระบวนการ คณะเทคโนโลยีอุตสาหกรรม มหาวิทยาลัยราชภัฏราชนครินทร์ kingkarn@techno.rru.ac.th
[2]สาขาวิชาวิศวกรรมคอมพิวเตอร์ คณะวิศวกรรมศาสตร์ มหาวิทยาลัยราชมงคลรัตนโกสินทร์ 1651010541128@rmucr.ac.th 1651010541150@rmucr.ac.th
[3]สาขาวิชาเทคโนโลยีทางธุรกิจดิจิทัล คณะบริหารธุรกิจ มหาวิทยาลัยราชมงคลรัตนโกสินทร์ wanlop.aru@rmutr.ac.th

บทคัดย่อ

โครงงานนี้นำเสนอการพัฒนาหุ่นยนต์ที่สามารถเลียนแบบการเคลื่อนไหวของตาและปากของมนุษย์ โดยมีวัตถุประสงค์เพื่อให้หุ่นยนต์สามารถแสดงสีหน้าและการเคลื่อนไหวได้ใกล้เคียงกับมนุษย์มากขึ้น ด้วยการนำภาพจากเว็บแคมมาวิเคราะห์ผ่านระบบปัญญาประดิษฐ์ และควบคุมเซอร์โวมอเตอร์ในการเคลื่อนไหวดวงตาและริมฝีปาก โดยใช้ภาษาไพทอน ร่วมกับ โอเพ่นซีวี และ มาร์คอาร์ซีเอ็นเอ็น ในการตรวจจับโครงหน้า งานนี้ยังครอบคลุมถึงการออกแบบฮาร์ดแวร์ที่ใช้บอร์ด Arduino ในการควบคุมการเคลื่อนไหว ผลลัพธ์จากโครงงานสามารถนำไปต่อยอดในอุตสาหกรรมบันเทิง หุ่นยนต์ผู้ช่วย หรือหุ่นยนต์เพื่อการศึกษาได้ในอนาคต

คำสำคัญ: หุ่นยนต์, การลอกเลียนแบบใบหน้า, ปัญญาประดิษฐ์

Abstract

This project presents the development of a robot capable of mimicking human eye and mouth movements. The objective is to enable the robot to express facial gestures and movements in a way that closely resembles human behavior. This is achieved by analyzing webcam images through an artificial intelligence (AI) system, which then controls servo motors to move the eyes and lips. The system is implemented using Python in conjunction with OpenCV and Mask R-CNN for facial landmark detection. The project also includes hardware design, utilizing an Arduino board to manage motor control. The outcome of this project can be further applied in entertainment, assistive robotics, or educational robotics in the future.

Keywords: robot, facial mimicry, artificial intelligence

1. บทนำ

ในปัจจุบันเทคโนโลยีหุ่นยนต์ได้เข้ามามีบทบาทสำคัญในหลายด้านของชีวิตประจำวัน ตั้งแต่การทำงานในภาคอุตสาหกรรม การบริการ ไปจนถึงการศึกษา หุ่นยนต์ไม่เพียงแต่ทำงานตามคำสั่งเท่านั้น แต่ยังสามารถตอบสนองต่อสิ่งแวดล้อมและปฏิสัมพันธ์กับมนุษย์ได้อย่างมีประสิทธิภาพ โดยเฉพาะหุ่นยนต์ที่สามารถเคลื่อนไหวได้เหมือนมนุษย์ ซึ่งถูกนำไปใช้อย่างต่อเนื่องในอุตสาหกรรมด้านความบันเทิง เช่น การนำหุ่นยนต์มาเป็นตัวละครในภาพยนตร์ หรือใช้ในสวนสนุก

จากที่กล่าวมาแสดงให้เห็นว่าหุ่นยนต์เริ่มมีบทบาทมากขึ้นในชีวิตประจำวันของมนุษย์ แต่ประเทศไทยยังมีการประยุกต์ใช้หุ่นยนต์ค่อนข้างน้อย เนื่องมาจากการพัฒนาหุ่นยนต์ในประเทศยังไม่ก้าวหน้าโดยเฉพาะการเลียนแบบสีหน้าท่าทางของมนุษย์ ซึ่งมีความละเอียดอ่อน เช่น การหมุนของศีรษะ และการขยับริมฝีปาก เพื่อให้หุ่นยนต์สามารถลอกเลียนแบบการแสดงออกของมนุษย์ได้อย่างเป็นธรรมชาติ

งานวิจัยนี้จึงมุ่งเน้นการพัฒนาหุ่นยนต์ที่สามารถขยับใบหน้าได้ตรงตามการขยับของมนุษย์ โดยอาศัยการวิเคราะห์ภาพจากกล้องเว็บแคม และนำระบบปัญญาประดิษฐ์เข้ามาช่วยตรวจสอบการเคลื่อนไหวของดวงตาและปาก เพื่อนำไปควบคุมการเคลื่อนไหวของหุ่นยนต์ให้ใกล้เคียงกับมนุษย์มากที่สุด

2. งานวิจัยที่เกี่ยวข้อง

สำหรับงานวิจัยที่เกี่ยวข้อง ประกอบด้วยงานวิจัยที่เกี่ยวข้องกับทางด้านซอฟต์แวร์ และฮาร์ดแวร์ซึ่งจะได้ถูกอธิบายในส่วนต่อไป

งานวิจัยแรกจะใช้อัลกอริทึม Viola-Jones [1] นำเสนอระบบจดจำใบหน้าแบบเรียลไทม์ที่มีประสิทธิภาพแม้ใช้ภาพความละเอียดต่ำเพียง 15 พิกเซล โดยระบบสามารถจดจำใบหน้าได้หลายท่าทางและหลายอารมณ์ ด้วยการพัฒนาและใช้ชุดข้อมูล LRD200 และ LRD100 สำหรับการฝึกสอนและทดสอบระบบประกอบด้วยการตรวจจับใบหน้าด้วยอัลกอริทึม Viola-Jones และการจดจำใบหน้าด้วยอัลกอริทึม Local Binary Pattern Histogram (LBPH) [2] โดยมีการปรับปรุงภาพด้วย CLAHE [3] และการจัดตำแหน่งใบหน้า งานวิจัยต่อมา [4] บทความนี้มุ่งเน้นการศึกษาบทบาทของอารมณ์และพฤติกรรมการแสดงออกในการควบคุมปฏิสัมพันธ์ทางสังคมระหว่างมนุษย์กับหุ่นยนต์ฮิวแมนนอยด์ โดยเฉพาะในบริบทของการสื่อสารและการเรียนการสอน ผู้วิจัยได้นำเสนอพื้นฐานทางวิทยาศาสตร์ที่ใช้พัฒนาแบบจำลองอารมณ์และพฤติกรรมการแสดงออกของหุ่นยนต์ พร้อมทั้งแสดงให้เห็นถึงการประยุกต์ใช้แนวคิดเหล่านี้ในการใช้งานจริง หุ่นยนต์สามารถรับรู้อารมณ์ของมนุษย์ผ่านน้ำเสียง โดยอ้างอิงจากงานวิจัยในสาขาจิตวิทยาภาษาศาสตร์เพื่อพัฒนาให้เกิดการรับรู้อย่างแม่นยำ ในขั้นแรกมีการประเมินความสามารถของหุ่นยนต์ในการแสดงอารมณ์ในลักษณะแยกส่วน ก่อนจะประเมินการแสดงออกทางอารมณ์แบบองค์รวม ซึ่งรวมถึงการทำงานร่วมกันของระบบการรับรู้อารมณ์ ระบบแรงจูงใจ และระบบการแสดงออก ในขณะหุ่นยนต์มีปฏิสัมพันธ์กับมนุษย์โดยตรง บทความนี้จึงเป็นการเน้นถึงความสำคัญของการออกแบบพฤติกรรมทางอารมณ์ในหุ่นยนต์เพื่อส่งเสริมปฏิสัมพันธ์ทางสังคมอย่างมีประสิทธิภาพ งานวิจัยที่สาม [5] ได้กล่าวถึงแพลตฟอร์มหุ่นยนต์ฮิวแมนนอยด์ ซึ่งได้รับการออกแบบมาเพื่อสนับสนุนการวิจัยด้านการเรียนรู้ผ่านการสำรวจอัตโนมัติและการปฏิสัมพันธ์ทางสังคม โดยมีแนวคิดหลักคือการพัฒนาบนระบบเปิด ทั้งในด้านซอฟต์แวร์และฮาร์ดแวร์ เพื่อส่งเสริมการทำงานร่วมกันและการแบ่งปันทรัพยากรในวงการวิจัย หุ่นยนต์ฮิวแมนนอยด์ถูกออกแบบให้มีคุณสมบัติที่เหมาะสมต่อการวิจัย ได้แก่ ความสามารถในการ

*ผู้ประพันธ์บรรณกิจ

รับรู้และเคลื่อนไหวที่หลากหลาย องศาอิสระจำนวนมาก สถาปัตยกรรมซอฟต์แวร์ที่ยืดหยุ่นและสามารถนำกลับมาใช้ซ้ำได้ รวมถึงโครงสร้างพื้นฐานที่รองรับการรวมระบบและการทำงานร่วมกันได้ง่าย งานวิจัยสุดท้าย [6] บทความนี้นำเสนอการผสานเทคนิคการเรียนรู้ของเครื่อง (Machine Learning) เข้ากับแอนิเมชันแบบอิงกฎเกณฑ์อย่างง่าย เพื่อพัฒนาหัวหุ่นยนต์แอนดรอยด์ให้สามารถทำหน้าที่เป็นตัวแทนในการสนทนา โดยมี ChatGPT เป็นองค์ประกอบหลักในการสื่อสาร งานวิจัยได้อธิบายรายละเอียดเกี่ยวกับโครงสร้างของหัวหุ่นยนต์ เทคนิคการสร้างแอนิเมชันลิปซิงค์ (lip-sync) และแนวทางการออกแบบซอฟต์แวร์ที่ใช้ นอกจากนี้ยังได้นำเสนอผลจากการเผยแพร่ระบบต่อสาธารณะ ซึ่งทำให้เห็นถึงจุดที่สามารถพัฒนาเพิ่มเติม และนำไปสู่การปรับปรุงระบบในลักษณะวนซ้ำ (iterative design) เพื่อเพิ่มประสิทธิภาพในการใช้งานจริง.

สำหรับงานวิจัยที่นำเสนอในเอกสารนี้ เป็นการพัฒนาระบบปัญญาประดิษฐ์ให้ทำงานร่วมกับหุ่นยนต์ โดยการตรวจจับใบหน้าของมนุษย์เพื่อจะควบคุมการให้หุ่นยนต์ ลอกเลียนแบบการขยับของดวงตา ริมฝีปาก และการหันใบหน้า โดยการขยับของมนุษย์จะตรวจจับได้จากกล้องเว็บแคม

3. วิธีการนำเสนอ

วิธีการที่นำเสนอในงานวิจัยนี้จะประกอบไปด้วย 2 ส่วน คือ ส่วนของซอฟต์แวร์ และส่วนของฮาร์ดแวร์

3.1 ส่วนของซอฟต์แวร์

ส่วนของซอฟต์แวร์ประกอบไปด้วย 3 ส่วนย่อยคือส่วนของการควบคุมดวงตา ปาก และใบหน้าของหุ่นยนต์ ซึ่งจะใช้ปัญญาประดิษฐ์ที่ทำการฝึกฝนสำหรับการตรวจจับโดยการมาร์คจุดใบหน้าดังรูปที่ 3.1 แล้วจึงนำไปฝึกฝนผ่าน MaskRCNN [7]

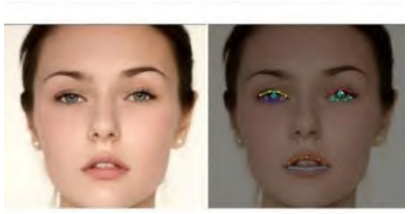

รูปที่ 3.1 การมาร์คตำแหน่งดวงตา และริมฝีปาก

ส่วนของการควบคุมดวงตาจะทำการตรวจสอบตำแหน่งของตาดำที่ได้จากกล้องโดยใช้ไลบรารีสำหรับจับตำแหน่งตาดำของ OpenCV [8] ในการตรวจจับ โดยเทียบกับตำแหน่งของขอบตาซ้ายกับขอบตาขวา และขอบตาบนกับขอบตาล่าง เพื่อหาระยะห่างโดยจะกำหนดระหว่างตำแหน่งขอบตากับตำแหน่งของตาดำ จะแทนค่าด้วยตัวแปร dis

โดยในแนวแกนนอนจะใช้ตำแหน่งแลนด์มาร์คของขอบตาด้านซ้ายและขอบตาด้านขวามาหาระยะห่างระหว่างทั้งคู่ซึ่งจะเป็นค่าพิกเซล จากนั้นจะนำค่าที่ได้ไปทำการนอร์มัลไลเซชัน (Normalization) ให้มีค่าระหว่าง 0.00 ถึง 1.00 ดังรูปที่ 3.2 แล้วจึงใช้ตำแหน่งของตาดำมาวัดระยะการหันของดวงตาในแนวแกนนอนแล้วเก็บค่าไว้ดังเงื่อนไข (1)

$$G_{lx}, G_{rx} = \begin{cases} 1, & if : dis < 0.43 \\ 2, & if : 0.43 \le dis \le 0.57 \\ 3, & if : dis > 0.57 \end{cases} \quad (1)$$

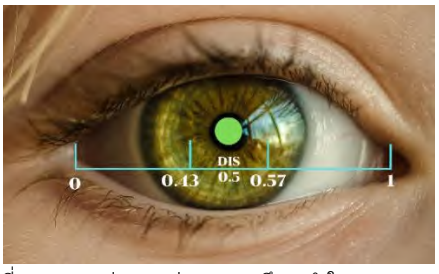

รูปที่ 3.2 ระยะห่างระหว่างขอบตาถึงตาดำในแนวแกนนอน

ในแนวแกนตั้งจะใช้ระยะห่างที่ได้จากตำแหน่งแลนด์มาร์คของขอบตาด้านล่างกับตำแหน่งแลนด์มาร์คของขอบตาบนที่ผ่านการนอร์มัลไลเซชัน (Normalization) ให้มีค่าตั้งแต่ 0.00 ถึง 1.00 ดังรูปที่ 3.3 แต่จะใช้การวัดตำแหน่งตาดำในแนวแกนตั้ง และใช้เงื่อนไขที่แตกต่างจากแกนนอน ดังเงื่อนไขต่อไปนี้ (2)

$$G_{ry}, G_{ly} = \begin{cases} 1, & if : dis > 0.6 \\ 2, & if : 0.3 \le dis \le 0.6 \\ 3, & if : dis < 0.3 \end{cases} \quad (2)$$

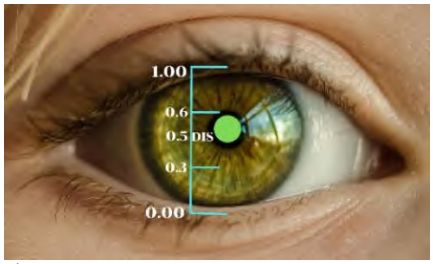

รูปที่ 3.3 ระยะห่างระหว่างขอบตาถึงตาดำในแนวแกนตั้ง

โดยจะใช้ตำแหน่งของดวงตาในแนวแกนแนวนอนกับแนวแกนตั้งของดวงตาด้านซ้ายและขวาที่ตรวจจับได้จากกล้องเว็บแคม มาหารเพื่อหาค่าเฉลี่ยที่กำหนดค่าตำแหน่งของดวงตาทั้งสองข้าง จากสมการที่ (3) และ (4)

$$x = \left[\frac{G_{lx} + G_{rx}}{2} \right] \quad (3)$$

$$y = \left[\frac{G_{ly} + G_{ry}}{2} \right] \quad (4)$$

แล้วจึงกำหนดค่าตำแหน่งของดวงตาที่แสดงในแนวแกนนอน และตำแหน่งของดวงตาที่แสดงในแนวแกนตั้งที่ได้ ไปคำนวณหาตำแหน่งของดวงตาที่จะแสดงออกมา จากสมการที่ (5)

$$pos = (y-1)\times 3 + x \quad (5)$$

โดยที่

G_{lx}, G_{rx} คือ ตำแหน่งที่ตรวจจับได้ในแนวนอนของตาซ้าย/ขวา
G_{ly}, G_{ry} คือ ตำแหน่งที่ตรวจจับได้ในแนวตั้งของตาซ้าย/ขวา
x คือ ตำแหน่งของลูกตาที่แสดงในแนวแกนนอน
y คือ ตำแหน่งของลูกตาที่แสดงในแนวแกนตั้ง
pos คือ ตำแหน่งของลูกตาที่จะแสดงออกมา
dis คือ ค่าระยะห่างระหว่างขอบตาถึงตาดำ

ตำแหน่งของลูกตาที่คำนวณออกมาได้ตั้งแต่ 1 ถึง 9 จะถูกใช้ในการโปรแกรมผ่านบอร์ดอาดูโน่ (Arduino) เพื่อควบคุมการขยับดวงตาของหุ่นยนต์ ซึ่งมีทั้งหมด 9 รูปแบบ ดังรูปที่ 3.4

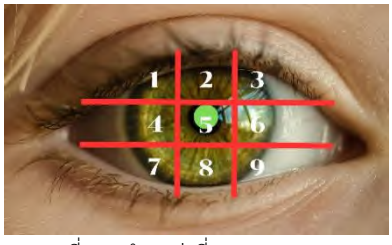

รูปที่ 3.4 ตำแหน่งที่ดวงจะแสดงออกมา

ตารางที่ 3.1 ตำแหน่งของดวงตา

y \ X	1 (ซ้าย)	2 (กลาง)	3 (ขวา)
1 (บน)	1	2	3
2 (กลาง)	4	5	6
3 (ล่าง)	7	8	9

ในส่วนของการควบคุมการขยับปาก จะใช้ระบบการเรียนรู้เชิงลึกโมเดล MaskRCNN ที่ทำการฝึกฝนไว้สำหรับตรวจจับตำแหน่งของริมฝีปากบน และตำแหน่งของริมฝีปากล่างที่ได้จากกล้องเว็บแคม นำมาหาระยะห่างระหว่างตำแหน่งของริมฝีปากบนกับตำแหน่งของริมฝีปากล่าง นำมาคำนวณโดยใช้สมการที่ (6) เพื่อหาอัตราขยายสำหรับหรับหาระยะห่างจริงของปากบนและปากล่าง

$$s = \frac{w_r}{w_p} \quad (6)$$

เมื่อได้อัตราขยายสำหรับคำนวณระยะห่างจริงระหว่างปากบนและปากล่างแล้วจะนำค่าอัตราขยายที่ได้ไปคำนวณกับค่าระยะห่างระหว่างริมฝีปากที่ตรวจจับได้จากการเรียนรู้เชิงลึกที่ได้ฝึกฝนไว้ โดยใช้สมการที่ (7)

$$d_r = d_p \cdot s \quad (7)$$

โดยที่

w_p คือ ความกว้างของริมฝีปากล่างในภาพ (พิกเซล)
w_r คือ ความกว้างจริงของริมฝีปากล่าง (เซนติเมตร)
s คือ อัตราขยาย
d_p คือ ระยะทางระหว่างริมฝีปากบนและล่าง (พิกเซล)
d_r คือ ระยะห่างจริงของริมฝีปากบน-ล่าง (เซนติเมตร)

นำค่าระยะห่างจริงของริมฝีปากบน-ล่าง ดังรูปที่ 3.5 ที่ได้มาเทียบเงื่อนไข เพื่อใช้คำนวณค่าที่จะส่งไปยังบอร์ดอาดูโน่ (Arduino) สำหรับควบคุมเซอร์โวมอเตอร์ให้ขยับส่วนของปากหุ่นยนต์ ถ้าค่าระยะห่างจริงของริมฝีปากที่คำนวณมีค่าน้อยกว่าหรือเท่ากับ 0.37 เซนติเมตร จะกำหนดให้เซอร์โวมอเตอร์ไม่มีการเคลื่อนไหว แต่ค่าที่ได้มีค่ามากกว่า 0.37 เซนติเมตร จะนำค่าระยะห่างจริงของริมฝีปากบนและริมฝีปากล่างที่ได้ไปคำนวณตามสมการที่ (8)

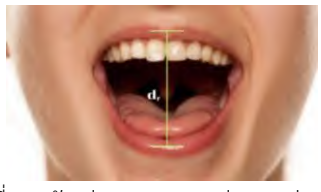

รูปที่ 3.5 ตัวอย่างการแสดงผลค่าระยะห่างจริง

$$mouse = \begin{cases} 0, & if: d_r \le 0.37 \\ (100 \cdot d_r) - 20, & if: d_r > 0.37 \end{cases} \quad (8)$$

ค่าที่ได้จะนำไปใช้กำหนดองศาที่จะขยับของเซอร์โวมอเตอร์เพื่อควบคุมการอ้าปากของหุ่นยนต์ตั้ง

ส่วนสุดท้าย ส่วนของการขยับใบหน้าหุ่นยนต์ จะใช้ไลบรารี่สำหรับกำหนดตำแหน่งแลนด์มาร์คใบหน้าของ OpenCV เพื่อกำหนดตำแหน่งของโหนกแกมซ้าย และโหนกขวาที่ได้จากกล้องสำหรับหาค่ากึ่งกลางระหว่างทั้งสอง โดยใช้สมการที่ (9)

$$x_{center} = \frac{x_{left} + x_{right}}{2} \quad (9)$$

กำหนดให้ปลายจมูกของใบหน้าที่ตรวจจับได้จากกล้อง เป็นจุดศูนย์กลางสำหรับหาว่าจุดของปลายจมูกมีการเคลื่อนที่ไปทิศทางใดมากกว่ากันระหว่างซีกซ้าย กับซีกขวาดังรูปที่ 3.6 เพื่อใช้ในการควบคุมการหันหน้าของหุ่นยนต์ว่าจะหันไปยังทิศทางไหน ระหว่างทิศทางซ้าย ขวา หรือตรงกลาง จากสมการที่ (10)

รูปที่ 3.6 ตัวอย่างการแสดงผลค่าระยะห่างจริง

$$\Delta x = x_{nose} - x_{center} \quad (10)$$

โดยที่

x_{center} คือ ตำแหน่งกึ่งกลางของใบหน้า

x_{nose} คือ ตำแหน่งของปลายจมูก

x_{left} คือ ตำแหน่งแกนนอนของแก้มซ้าย

x_{right} คือ ตำแหน่งแกนนอนของแก้มขวา

ΔX คือ ตำแหน่งในการหันใบหน้า

การกำหนดทิศทางการหันของใบหน้าจากค่าตำแหน่งในการหันใบหน้าที่คำนวณได้ โดยใช้เงื่อนไขในขั้นต่อไป

$$face = \begin{cases} right, if : \Delta x > 0.03 \\ center, if : -0.03 \le \Delta x \le 0.03 \\ right, if : \Delta x < -0.03 \end{cases} \quad (11)$$

หากค่าตำแหน่งในการหันใบหน้าที่คำนวณได้มีค่ามากกว่า 0.03 จะควบคุมเซอร์โวมอเตอร์ให้หันหน้าหุ่นยนต์ไปทางขวา และหากค่าที่ได้มีค่าน้อยกว่า -0.03 เซอร์โวมอเตอร์จะควบคุมหุ่นยนต์ให้หันไปทางซ้าย กรณีที่ไม่อยู่ใน 2 เงื่อนไขก่อนหน้าจะควบคุมให้เซอร์โวมอเตอร์กลับมาอยู่ที่ตำแหน่งกึ่งกลาง

3.2 ส่วนของฮาร์ดแวร์

ส่วนของฮาร์ดแวร์ประกอบไปด้วย 4 ส่วนย่อย คือการขยับดวงตาของหุ่นยนต์ การอ้าริมฝีปากของหุ่นยนต์ การหันใบหน้าของหุ่นยนต์ และระบบวงจรของหุ่นยนต์ โดยแต่ละส่วนจะถูกอธิบายในส่วนต่อไป

ในส่วนของดวงตาจะมีการใช้เซอร์โวมอเตอร์ทั้งหมด 4 ตัว แบ่งเป็นข้างละ 2 ตัวเพื่อควบคุมการขยับของดวงตา ดังรูปที่ 3.7 โดยเซอร์โวมอเตอร์ตัวที่ 1 กับ 3 ใช้เพื่อควบคุมตำแหน่งของดวงตาในแนวแกนนอน และเซอร์โวมอเตอร์ตัวที่ 2 กับ 4 ใช้สำหรับควบคุมตำแหน่งของดวงตาในแนวแก่นตั้ง ตามค่าที่กล้องเว็บแคมตรวจจับและผ่านการเช็คเงื่อนไขเพื่อทำให้ดวงตาสามารถเคลื่อนไหวตามค่าที่ส่งมาได้ทั้งหมด 9 ตำแหน่ง

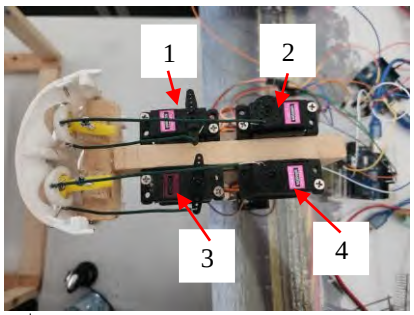

รูปที่ 3.7 ตัวอย่างโครงสร้างศีรษะหุ่นยนต์จากด้านบน

ต่อมาในส่วนของปากจะใช้เซอร์โวมอเตอร์ตัวที่ 5 เพียงตัวเดียวในการปรับองศาความกว้างของปาก โดยจะใช้ค่าที่รับมา ควบคุมเซอร์โวมอเตอร์ให้ปรับความกว้างตั้งแต่ 0 องศา ไปจนถึง 60 องศา

ส่วนของการขยับใบหน้า จะใช้เซอร์โวมอเตอร์ตัวที่ 6 ซึ่งเป็นรุ่น DM4000 ที่มีขนาดใหญ่กว่าเพื่อให้มีแรงหมุนมากพอที่จะหันใบหน้าของหุ่นยนต์ ในแนวแกนนอน ได้ 3 ตำแหน่ง คือ ซ้าย กลาง และขวา ดังรูปที่ 3.8

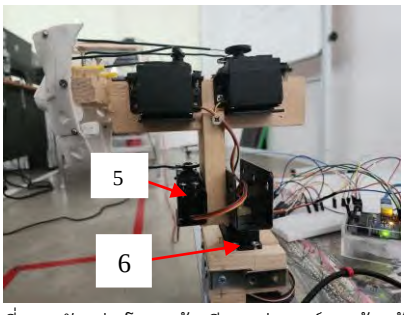

รูปที่ 3.8 ตัวอย่างโครงสร้างศีรษะหุ่นยนต์จากด้านข้าง

ในส่วนสุดท้ายส่วนวงจรของหุ่นยนต์ จะมีการใช้บอร์ดอาดูโน่ (Arduino) สำหรับรับค่าที่คำนวณไว้ในส่วนของซอฟต์แวร์จากคอมพิวเตอร์ โดยจะต่อสายวงจรเข้ากับเบรดบอร์ด (breadboard) เพื่อควบคุมเซอร์โวมอเตอร์ทั้ง 6 ตัว จากค่าที่ได้คำนวณไว้และจ่ายไฟให้กับเซอร์โวมอเตอร์ทั้งหมดผ่านพาวเวอร์ซัพพลาย (Power Supply) ดังรูปที่ 3.9

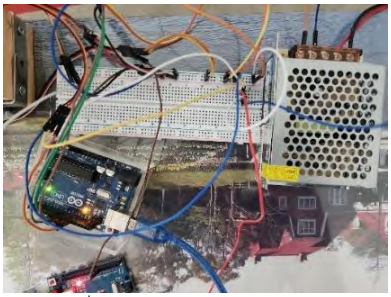
รูปที่ 3.9 ตัวอย่างวงจรของหุ่นยนต์

4. ผลการทดลอง

จะทำการทดลองโดยให้ผู้ทดลองใช้กล้องเว็บแคมเพื่อตรวจจับใบหน้าของผู้ทดลอง เพื่อทำการขยับส่วนต่างๆของหุ่นยนต์จากค่าที่ได้จากการตรวจจับดังรูปที่ 4.1 สำหรับการทดสอบผลในแต่ละส่วนให้มีความพร้อมสมบูรณ์ก่อนการทำงานร่วมกัน จะได้อธิบายในส่วนถัดไป

4.1 การทดลองการเคลื่อนไหวของดวงตา

การที่ดวงตาจะเคลื่อนไหวได้จะต้องถูกควบคุมด้วยเซอร์โวมอเตอร์ข้างละ 2 ตัว สำหรับควบคุมการขยับของลูกตาในแนวแกนนอน และแนวแกนตั้ง

จากการทดลองโดยการให้ผู้ทดลองขยับดวงตาไปในองศาต่างๆเพื่อหาประสิทธิภาพการขยับของดวงตาได้ผลดังนี้ การขยับของดวงตาในแนวแกนนอนในรูปหมายเลข 4 กับ 6 และ ในแนวแกนตั้งในรูปหมายเลข 2 กับ 8 ดังรูปที่ 4.1 จากการทดสอบการขยับดวงของผู้ทดสอบจะพบว่ามีความแม่นยำสูง และมีความคลาดเคลื่อนเพียงเล็กน้อย แต่กับการขยับดวงตาในแนวเฉียงจะมีความคลาดเคลื่อนมากกว่าโดยเฉพาะการขยับดวงตาในแนวเฉียงลงในรูปหมายเลข 7 กับ 9 ที่จะมีความคลาดเคลื่อนมากกว่าแนวเฉียงขึ้นในรูปที่ 1 กับ 3 เนื่องจากการหันลูกตามองลงจะทำ

ให้หนังตาปิดลงมา ทำให้การตรวจจับดวงตาเป็นไปได้ยากกว่าจึงทำให้การขยับลูกตาลงในแนวเฉียงมีความคลาดเคลื่อนสูงกว่าการมองขึ้นที่จะทำให้สามารถตรวจจับดวงตาได้ชัดเจน

รูปที่ 4.1 การขยับดวงตา

4.2 การทดลองการเคลื่อนไหวของปาก

จากการทดสอบโดยการตรวจจับการอ้าปากของผู้ทดสอบโดยใช้ระบบการเรียนรู้เชิงลึกที่ทำการฝึกฝน ได้ผลการทดสอบว่าโมเดลสามารถตรวจจับการขยับของปากแบบเรียลไทม์ได้อย่างแม่นยำ จึงสามารถนำไปใช้กำหนดให้เซอร์โวมอเตอร์หมุนในส่วนกรามของหุ่นยนต์เพื่อขยับปากได้ระหว่าง 0 องศา ถึง 90 องศา โดยมีตัวอย่างการอ้าปากของหุ่นยนต์ดังรูปที่ 4.2

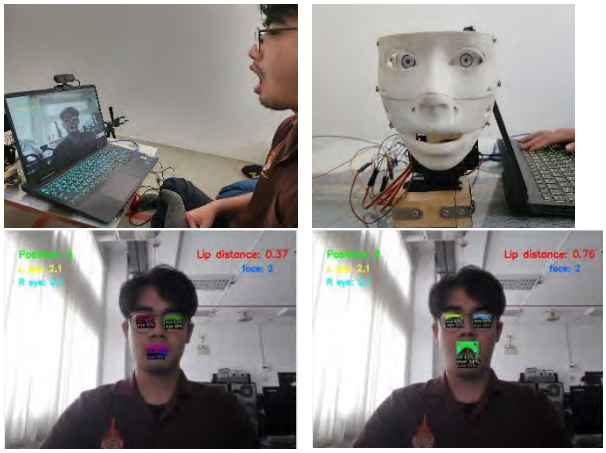

รูปที่ 4.2 ตัวอย่างการขยับปาก

4.3 การหันใบหน้า

จากการทดสอบโดยให้ผู้ทดสอบทำการหันหน้าไปทางซ้ายและทางขวาให้กล้องเว็บแคมตรวจจับเพื่อหาความแม่นยำในการตรวจจับของโมเดลโดยที่เมื่อหันไปทางซ้ายจะแสดงผลเป็นเลข 1 และการหันไปทางขวาจะแสดงผลเป็นหมายเลข 2 ได้ผลการทดสอบว่าสามารถตรวจจับใบหน้าของผู้ทดสอบแม่นยำ และไม่มีความคลาดเคลื่อนเลย ทำให้สามารถใช้ในการควบคุมการหันหน้าของหุ่นยนต์ได้อย่างแม่นยำ และมีระยะที่ใช้สำหรับควบการหันใบหน้าของหุ่นยนต์ไปทางซ้ายและขวาได้ฝั่งละ 60 องศา ทำให้หุ่นยนต์สามารถขยับศีรษะในแนวแกนนอนได้ 3 รูปแบบรูปแบบ คือ หน้าตรง ทางซ้าย และทางขวา ในองศาที่เท่ากันโดยใช้เซอร์โวมอเตอร์รุ่น DM4000 ในการหมุนส่วนคอของหุ่นยนต์ดังรูปที่ 4.3

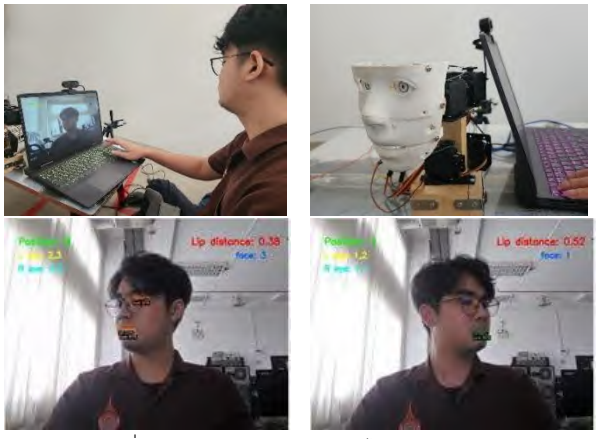

รูปที่ 4.3 รูปตัวอย่างการหันหน้าไปทางด้านขวา

4.4 การเก็บผลการทดลอง

การเก็บผลการทดลองโดยให้ผู้ทดสอบจำนวน 30 คน มาทดสอบกับกล้องเว็บแคม เพื่อเช็คการตรวจจับใบหน้า ดวงตา และริมฝีปากของผู้ทดสอบในเวลาเดียวกัน และสามารถส่งค่าไปยังบอร์ดได้

ตารางที่ 4.1 ตารางเก็บผลการทดลอง

รูป	การตรวจจับใบหน้า	การตรวจจับดวงตา	การตรวจจับริมฝีปาก	การขยับหุ่นยนต์
	✓	✓	✓	✓
	✓	✓	✓	✓
	✓	✓	✓	✓
	✓	✓	✓	✓
	✓	✓	✓	✓
	✓	✓	✓	✓
	✓	✓	✓	✓
	✓	✓	✓	✓
	✓	✓	✓	✓
	✓	✓	✓	✓

	✓	✓	✓	✓
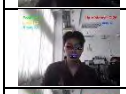	✓	✓	✓	✓
	✓	✓	✓	✓
	✓	✓	✓	✓
	✓	✓	✓	✓
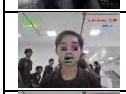	✓	✓	✓	✓
	✓	✓	✓	✓
	✓	✓	✓	✓
	✓	✓	✓	✓
	✓	✓	✓	✓
	✓	✓	✓	✓
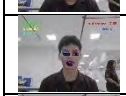	✓	✓	✓	✓
	✓	✓	✓	✓
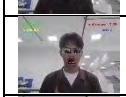	✓	✓	✓	✓
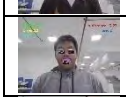	✓	✓	✓	✓
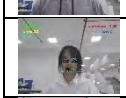	✓	✓	✓	✓
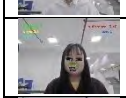	✓	✓	✓	✓
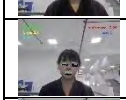	✓	✓	✓	✓
	✓	✓	✓	✓
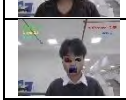	✓	✓	✓	✓

5. สรุป

การพัฒนาหุ่นยนต์ลอกเลียนแบบการเคลื่อนไหวศีรษะของมนุษย์เป็นงานวิจัยที่จัดทำขึ้นเพื่อส่งเสริมการพัฒนาหุ่นยนต์ในอนาคต และช่วยส่งเสริมการเรียนรู้และวิจัยในด้านหุ่นยนต์และปัญญาประดิษฐ์ จากการพัฒนาหุ่นยนต์ลอกเลียนแบบการเคลื่อนไหวศีรษะของมนุษย์ การพัฒนาโมเดลปัญญาประดิษฐ์สำหรับตรวจจับดวงตา ริมฝีปาก และใบหน้า เพื่อมาใช้ในการควบคุมการเคลื่อนไหวศีรษะของหุ่นยนต์ และได้ทำการทดลองโดยการใช้กล้องเว็ปแคมในการตรวจจับใบหน้าของผู้ทดลองจำนวน 30 คน เพื่อควบคุมศีรษะของหุ่นยนต์ ได้ผลการทดสอบ พบว่าหุ่นยนต์สามารถเคลื่อนไหวตามการขยับของผู้เข้าทดสอบทุกคนได้อย่างแม่นยำ

6. อ้างอิง

[1] Viola, P., & Jones, M. (2001). Rapid object detection using a boosted cascade of simple features. Proceedings of the 2001 IEEE Computer Society Conference on Computer Vision and Pattern Recognition.

[2] Yann Rodriguez, & Sebastien Marcel, (2006). Face Authentication Using Adapted Local Binary Pattern Histograms.

[3] Zuiderveld, K. (1994). Contrast Limited Adaptive Histogram Equalization. In Hackbert, P. S. (Ed.). Graphics Gems IV (p. 474-485). San Diego, California: Academic Press.

[4] Breazeal, C. (2003). Emotion and sociable humanoid robots. International Journal of Human-Computer Studies.

[5] Metta, G. et al. (2010). The iCub humanoid robot: an open-systems platform for research in cognitive development. Neural Networks.

[6] Marcel Heisler Christian Becker-Asano (2023). “An Android Robot Head as Embodied Conversational Agent” Thu, 18 May 2023

[7] Kaiming He, Georgia Gkioxari, Piotr Dollar, Ross Girshick. (2017). Mask R-CNN Proceedings of the IEEE International Conference on Computer Vision (ICCV).

[8] G. Bradski, (2000). ‘The OpenCV Library’, Dr. Dobb’s Journal of Software Tools.

การปรับปรุงประสิทธิภาพการวัดค่าความแรงของสัญญาณจากบีคอนบลูทูธพลังงานต่ำสำหรับระบบระบุตำแหน่งในอาคาร: การศึกษาเปรียบเทียบวิธีการกรองสัญญาณรบกวนบน ESP32

Optimizing BLE Beacon RSSI Measurements for Indoor Positioning: A Comparative Study of Noise Reduction Filters on ESP32

อรรถศาสตร์ นาคเทวัญ[1]* และ นพดล มณีรัตน์[2]

[1]สาขาวิชาวิศวกรรมคอมพิวเตอร์ สถาบันเทคโนโลยีพระจอมเกล้าเจ้าคุณทหารลาดกระบัง วิทยาเขตชุมพรเขตรอุดมศักดิ์ athasart.na@kmitl.ac.th*

[2]ภาควิชาวิศวกรรมการวัดและควบคุม คณะวิศวกรรมศาสตร์ สถาบันเทคโนโลยีพระจอมเกล้าเจ้าคุณทหารลาดกระบัง noppadol.ma@kmitl.ac.th

บทคัดย่อ

การศึกษานี้ได้นำเสนอการเปรียบเทียบผลของตัวกรองสัญญาณรบกวนที่เกิดในการกระจายสัญญาณเพื่อตรวจสอบตำแหน่งของระบบระบุตำแหน่งภายในอาคาร โดยงานวิจัยนี้ได้พัฒนาอุปกรณ์ BLE Beacon และอุปกรณ์รับสัญญาณ สำหรับการทดสอบด้วยไมโครคอนโทรลเลอร์ ESP32 เพื่อการพัฒนาระบบระบุตำแหน่งต้นทุนต่ำในอนาคต การศึกษาในครั้งนี้ได้เปรียบเทียบตัวกรองทั้งหมด 3 ตัวกรอง ที่นิยมใช้สำหรับการกรองสัญญาณรบกวน คือ Kalman filter Moving average filter และ Median filter จากการทดลองพบว่า Kalman filter ให้ผลในการกรองสัญญาณรบกวนได้ดีที่สุด มีความคงทนต่อการเปลี่ยนแปลงอย่างรวดเร็วของสัญญาณที่กระจายจาก BLE Beacon มีค่าความแปรปรวนของระดับค่าสัญญาณอยู่ที่ 0.6 ซึ่งน้อยที่สุด เมื่อเทียบกับตัวกรองทั้งหมดที่ทำการทดลอง ในขณะที่ Median filter มีความไวในการติดตามการเปลี่ยนแปลงสัญญาณสูงที่สุด

คำสำคัญ: การระบุตำแหน่งภายในอาคาร บีคอนบลูทูธพลังงานต่ำ ค่าความแรงสัญญาณ ตัวกรองคาลมาน

Abstract

The study presents a comparative analysis of noise filters on signal propagation for indoor positioning systems. This research developed a BLE Beacon and a receiver device for testing with an ESP32 microcontroller to facilitate the future development of a low-cost positioning system. The study compared three commonly used noise filters: Kalman filter, Moving average filter, and Median filter. The experimental results showed that the Kalman filter performed best in filtering signal noise and was the most robust against rapid changes in signals from the BLE Beacon. It demonstrated the lowest signal variance at 0.6 when compared to all other filters tested. In contrast, the Median filter exhibited the highest sensitivity in tracking signal changes.

Keywords: Indoor positioning, BLE Beacon, RSSI, Kalman Filter

1. บทนำ

ระบบระบุตำแหน่งภายในอาคาร (Indoor Positioning System: IPS) เป็นเทคโนโลยีที่ช่วยติดตามตำแหน่งของคนหรือวัตถุในพื้นที่ปิด ซึ่งระบบนำทางภายนอกอาคารเช่น GPS ไม่สามารถทำงานได้อย่างมีประสิทธิภาพ เนื่องจากสัญญาณดาวเทียมไม่สามารถทะลุผ่านโครงสร้างอาคารได้ ในปัจจุบันการระบุตำแหน่งภายในอาคารยังคงเป็นความสนใจของนักวิจัยในการพัฒนาระบบ และวิธีการ เพื่อการระบุตำแหน่งที่แม่นยำและรวดเร็ว ซึ่งจะมีประโยนช์ในการใช้งานในหลายด้าน อาทิ การนำทางในพื้นที่ การติดตามทรัพย์สินและอุปกรณ์ ความปลอดภัยและการจัดการเหตุฉุกเฉิน เป็นต้น ซึ่งได้มีงานวิจัยหลายชิ้นที่ทำการศึกษาระบบการระบุตำแหน่งภายในอาคาร เช่น การพัฒนาเฟรมเวิร์ก MSNN-Loc สำหรับระบุตำแหน่งภายในอาคารโดยใช้ WiFi fingerprinting มีความแม่นยำและทนทานต่อความเปลี่ยนแปลง เหมาะสมสำหรับระบบระบุตำแหน่งภายในอาคารด้วยสัญญาณ WiFi [1] การพัฒนาต้นแบบระบบนำทางภายในอาคารด้วย 3D Point Cloud และ LiDAR-AR เพื่อระบุตำแหน่งผู้ใช้ในอาคารสามารถนำทางในอาคารที่สแกนไว้แล้วล่วงหน้าได้ [2] การพัฒนาระบบ Visual SLAM สำหรับนำทางหุ่นยนต์ในโรงพยาบาล ระบบนี้ช่วยให้ หุ่นยนต์นำทางในโรงพยาบาลได้อย่างมีเสถียรภาพมากขึ้น โดยเฉพาะในสภาพแวดล้อมที่แบบเดิมทำได้ไม่ดี สามารถประยุกต์ใช้เพื่อการขนส่งอัตโนมัติในสถานพยาบาล เช่น นำส่งยา หรืออุปกรณ์ทางการแพทย์ได้อย่างมีประสิทธิภาพ [3] ระบบระบุตำแหน่งในอาคารด้วยแท็ก WiFi แบบพาสซีฟ ใช้หลักการ Backscatter (การสะท้อนสัญญาณ WiFi จาก APs หรือสมาร์ทโฟน) เพื่อระบุตำแหน่ง [4] จะพบว่ามีการใช้หลักการ และวิธีการที่หลากหลายเพื่อการระบุตำแหน่งภายในอาคาร และจะพบว่าในหลาย ๆ งานวิจัยจะใช้วิธีการระบุตำแหน่งภายในอาคารด้วยเทคโนโลยีไร้สาย ซึ่งรับความนิยมมากขึ้นในยุคปัจจุบัน และถูกนำไปประยุกต์ใช้ในงานต่าง ๆ [5] ระบบ IPS มีบทบาทสำคัญในยุค IoT และ Smart City การเลือกเทคโนโลยีที่เหมาะสม เช่น BLE Beacon สำหรับต้นทุนต่ำ หรือ UWB สำหรับความแม่นยำสูง จะช่วยเพิ่มประสิทธิภาพการทำงานในสภาพแวดล้อมภายในอาคาร

ในงานวิจัยนี้ได้ศึกษาเทคโนโลยีการระบุตำแหน่งด้วย BLE Beacon ซึ่งสามารถใช้อุปกรณ์ไมโครคอนโทรลเลอร์ที่มีราคาถูก แต่เนื่องจากปัญหา

*ผู้ประพันธ์บรรณกิจ

ของสัญญาณรบกวน และสภาพแวดล้อมที่เปลี่ยนแปลงจะส่งผลต่อค่าระดับความแรงสัญญาณ RSSI (Received Signal Strength Indicator) ซึ่งจำเป็นต้องหาวิธีการในการลดความแปรปรวนของค่าระดับความแรงสัญญาณ เพื่อให้การระบุตำแหน่งมีความคลาดเคลื่อนต่ำที่สุด ซึ่งในงานวิจัยนี้มีวัตถุประสงค์ในการศึกษาเปรียบเทียบประสิทธิภาพของ Moving Average, Median Filter และ Kalman Filter ในการลดสัญญาณรบกวนของ RSSI การพัฒนาสมการคำนวณระยะทาง (Distance Estimation) จากค่า RSSI ที่ผ่านการกรอง และ ทดสอบประสิทธิภาพบนไมโครคอนโทรลเลอร์ ESP32 เพื่อประยุกต์ใช้เป็นอุปกรณ์ Edge Computing สำหรับระบบระบุตำแหน่งต่อไป โดยมีขอบเขตของการวิจัยดังนี้ กำหนดการทดลองในสภาพแวดล้อมห้องโถงภายในอาคาร ใช้ BLE Beacon ที่พัฒนาด้วย ESP32 และใช้ ESP32 เป็นตัวรับสัญญาณและประมวลผลตัวกรองต่าง ๆ

2. ทฤษฎีที่เกี่ยวข้อง

2.1 บอร์ดไมโครคอนโทรลเลอร์ ESP32

ESP32 เป็นบอร์ดพัฒนาไมโครคอนโทรลเลอร์อเนกประสงค์ที่ได้รับความนิยมอย่างสูงในปัจจุบัน โดยเฉพาะในด้าน IoT (Internet of Things) เนื่องจากมีคุณสมบัติที่สามารถ การเชื่อมต่อ Wi-Fi และ Bluetooth ได้ในตัว ซึ่งมีหน่วยประมวลผลเป็นชิปไมโครคอนโทรลเลอร์ ESP32 ที่พัฒนาโดยบริษัท Espressif Systems ซึ่งได้มีการหน่วยประมวลผลนี้ไปสร้างเป็นบอร์ด ESP32 ในรุ่นต่าง ๆ มากมายซึ่งส่วนใหญ่จะใช้ ESP-WROOM-32 [6] เป็นหน่วยประมวลผล ในงานวิจัยนี้ได้ใช้ บอร์ด Doit ESP32 DevKit V1 ซึ่งมีโมดูล Bluetooth Low Energy (BLE) ตามความต้องการในการพัฒนาอุปกรณ์ BLE Beacon มีหน่วยประมวลผลกลางแบบ Dual-Core 32-bit รองรับการพัฒนาด้วย Arduino IDE ด้วยภาษา C/C++ มีความยืดหยุ่นในการพัฒนาระบบงาน

2.2 BLE Beacon และการระบุตำแหน่งด้วย RSSI

BLE Beacon (Bluetooth Low Energy Beacon) เป็นอุปกรณ์ส่งสัญญาณขนาดเล็กที่ใช้เทคโนโลยี Bluetooth Low Energy (BLE) ทำงานบนมาตรฐาน Bluetooth 4.0+ ที่ใช้พลังงานต่ำ เพื่อระบุตำแหน่งและส่งข้อมูลไปยังอุปกรณ์ที่อยู่ใกล้เคียง โดยไม่ต้องมีการเชื่อมต่อ (Connectionless) ส่งข้อมูลแบบ Broadcast ในรูปแบบ Advertising Packet แบบคงที่ เป็นระยะ (Interval: 100 ms - 1 s)

RSSI (Received Signal Strength Indicator) ถูกนำมาใช้ในการประมาณตำแหน่งภายในอาคารโดยอาศัยความแรงของสัญญาณ WiFi, Bluetooth หรือสัญญาณไร้สายอื่น ๆ จากอุปกรณ์ส่งสัญญาณ เช่น Access Points, Beacons เพื่อคำนวณระยะทางหรือตำแหน่งของอุปกรณ์เป้าหมาย ในการวัดค่า RSSI อุปกรณ์รับสัญญาณจะทำการวัดความแรงของสัญญาณ มีหน่วยเป็น dBm จากจุดส่งสัญญาณหลายจุด โดยค่า RSSI จะแปรผกผันกับระยะทาง สามารถเขียนแบบจำลองการสูญเสียสัญญาณตามระยะทาง (Log-Distance Path Loss Model) [7] ดังสมการที่ (1) ซึ่งจำลองการแพร่กระจายคลื่นวิทยุที่ถูกลดทอนลง โดยพิจารณาจากระยะทาง และปัจจัยอื่น ๆ ที่เกี่ยวข้องกับสภาพแวดล้อมในอาคาร และสามารถแปลงสมการเป็นระยะทางได้ดังสมการที่ (2)

$$PL(dBm) = PL_0(dBm) + 10n\,log\left(\frac{d}{d_0}\right) \quad (1)$$

$$d = d_0.10^{\left(\frac{PL(dBm)-PL_0(dBm)}{10n}\right)} \quad (2)$$

เมื่อ $PL(dB)$ คือ ค่าสัญญาณที่ถูกลดทอน
$PL_0(dB)$ คือ ค่าสัญญาณที่จุดอ้างอิง ปกติคือค่าสัญญาณที่ d_0
n คือ อัตราการลดทอนสัญญาณ (มีค่าระหว่าง 2 – 4)
d คือ ระยะทางระหว่างโหนดเป้าหมายกับโหนดอ้างอิง
d_0 คือ ระยะทางอ้างอิง ปกติกำหนดเป็น 1 เมตร

ในการประมาณตำแหน่ง โดยทั่วไปจะมีวิธีการที่นิยม 2 วิธี

1. Trilateration ใช้ระยะทางจากจุดส่งสัญญาณอย่างน้อย 3 จุด เพื่อหาตำแหน่งโดยการหาจุดตัดของวงกลม [8]

2. Fingerprinting เปรียบเทียบค่า RSSI ปัจจุบันกับฐานข้อมูลที่เก็บไว้ [9]

2.3 สัญญาณรบกวนใน BLE Beacon และวิธีการกรอง

ปกติสัญญาณรบกวนที่เกิดขึ้นกับระบบ BLE Beacon โดยเฉพาะในสภาพแวดล้อมภายในอาคาร มีสาเหตุหลักแบ่งได้เป็น 2 ประเภท คือ

1. Multipath Fading (สัญญาณสะท้อนหลายทาง) มีสาเหตุมาจากสัญญาณไม่ได้เดินทางเป็นเส้นตรงเท่านั้น แต่ยังมีการสะท้อนกับสภาพแวดล้อมอื่น ๆ ภายในอาคาร เช่น ผนัง เฟอร์นิเจอร์ หรือ ร่างกายของคน ส่งผลให้อุปกรณ์รับสัญญาณได้รับสัญญาณเดียวกันหลายเส้นทาง อาจเกิดการหักล้าง หรือเสริมกันได้ ส่งผลให้ค่า RSSI ที่วัดได้ผิดไปจากความเป็นจริง

2. Interference (สัญญาณรบกวน) ปกติ BLE Beacon จะทำงานที่ความถี่ 2.4 GHz ซึ่งมีอุปกรณ์หลายชนิดที่ทำงาน ณ ความถี่นี้ มีโอกาสถูกรบกวนได้ เช่น WiFi หรือ Beacon ตัวอื่น ๆ ในบริเวณ ส่งผลให้เกิดการขาดหายของสัญญาณ ค่า RSSI เปลี่ยนแปลงฉับพลัน

ในการแก้ปัญหาความผิดปกติของสัญญาณที่กล่าวไปในข้างต้น สำหรับระบบการระบุตำแหน่ง สามารถทำได้โดยการใช้เทคนิคการกรองสัญญาณรบกวน ได้แก่ Moving Average ใช้ค่าเฉลี่ยของข้อมูลในช่วงเวลาหนึ่ง Filter Median Filter เลือกค่ากลางเพื่อลดผลกระทบจาก Outliers และ Kalman Filter ประมาณค่าที่เหมาะสมโดยพิจารณาแบบจำลองทางสถิติ [10 - 11]

3. วิธีการดำเนินงานวิจัย

3.1 การออกแบบการทดลอง

ในการศึกษานี้ได้ออกแบบระบบโดยใช้ไมโครคอนโทรลเลอร์ Doit ESP32 DevKit V1 เพื่อสร้างอุปกรณ์ BLE Beacon จำนวน 1 ตัว สำหรับ

ส่งข้อมูล Advertising Packet กระจายออกไป และสร้างอุปกรณ์รับสัญญาณจำนวน 1 ตัว ทำการทดลอง รับ - ส่ง สัญญาณในบริเวณภายในอาคารโดยวางอุปกรณ์ BLE Beacon ไว้ในตำแหน่งที่กำหนด และเคลื่อนที่อุปกรณ์รับสัญญาณไปในระยะต่าง ๆ ตั้งแต่ 1 เมตร ไปจนถึง 10 เมตร ตามแผนผังตำแหน่งการวางอุปกรณ์ใน รูปที่ 1 ทำการทดลองเก็บข้อมูลการวัดค่า RSSI ดั้งเดิม และค่า RSSI ที่ผ่านการกรองสัญญาณทั้ง 3 แบบตัวกรอง คำนวณหาค่าความแปรปรวนของสัญญาณที่ระยะต่าง ๆ เพื่อเปรียบเทียบผลที่ได้จากแต่ละตัวกรอง และสร้างสมการคำนวณระยะทาง

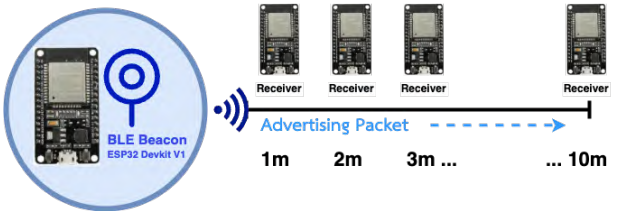

รูปที่ 1 แผนผังตำแหน่งการวางอุปกรณ์ รับ - ส่ง สัญญาณ

ในการศึกษานี้ได้พัฒนาโปรแกรมสำหรับอุปกรณ์ BLE Beacon และ BLE Client ซึ่งแสดงผังงานของโปรแกรมบนอุปกรณ์ทั้ง 2 ชนิดได้ตามผังงานของโปรแกรมดังรูปที่ 2 ผังงานการทำงานของอุปกรณ์ BLE Beacon ในรูปที่ 2ก เริ่มต้นจากการ Import library ต่าง ๆ ของ BLE Device บน ESP32 กำหนดชื่อของอุปกรณ์ส่งสัญญาณ สร้าง BLE Server เพื่อให้อุปกรณ์รับสัญญาณสามารถค้นหา และเชื่อมต่อเพื่อรับสัญญาณได้อย่างต่อเนื่อง และในการทำงาน BLE Device ที่พัฒนาขึ้น จะวนส่ง Advertising เป็นระยะ ตามที่กำหนดไว้ใน ค่า Min Max interval และผังงานรูปที่ 2ข แสดงการทำงานของอุปกรณ์สแกนสัญญาณ RSSI BLE Beacon เริ่มจากการ Import library ต่าง ๆ ของ BLE Device บน ESP32 เช่นเดียวกับการสร้างอุปกรณ์ BLE Beacon แต่แตกต่างกันโดยต้องสร้าง BLE Client เพื่อเป็น Client สำหรับการสแกนสัญญาณ กระบวนการสแกนสัญญาณเริ่มจากการตรวจสอบการค้นหาอุปกรณ์ตามค่า TARGET_DEVICE ที่กำหนดไว้ ซึ่งก็คือชื่อของ BLE Beacon ที่ได้กำหนดไว้ในอุปกรณ์กระจายสัญญาณ จากนั้นทำการตรวจสอบการเชื่อมต่อ หากยังไม่ได้เชื่อมต่อกับอุปกรณ์กระจายสัญญาณให้ดำเนินการเชื่อมต่อให้สำเร็จ จากนั้นเป็นขั้นตอนของการตรวจวัดค่า RSSI ซึ่งจะถูกเก็บไว้ในตัวแปร raw_RSSI จากนั้นส่งผ่านค่าไปยังฟังก์ชันการคำนวณค่า RSSI ใหม่ของตัวกรองทั้ง 3 ตามสมการที่ได้จากหัวข้อที่ผ่านมา และทำการเก็บบันทึกข้อมูล เพื่อนำมาใช้วิเคราะห์ข้อมูลต่อไป ในการทำงานของ BLE Client ที่ออกแบบนี้จะทำการสแกนตรวจวัดสัญญาณไปอย่างต่อเนื่องจนกว่าจะหยุดการทำงานของอุปกรณ์

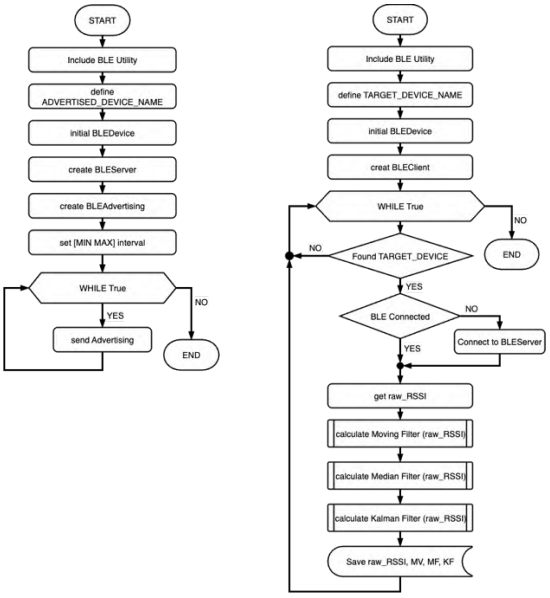

ก.อุปกรณ์กระจายสัญญาณ ข.อุปกรณ์สแกนสัญญาณ

รูปที่ 2 ผังงานการทำงานของอุปกรณ์ BLE Beacon บน ESP32

3.2 การกรองสัญญาณ

ในการวิจัยนี้ได้ศึกษาวิธีการกรองสัญญาณ RSSI เพื่อลดความแปรปรวนและความผิดเพี้ยนของสัญญาณ RSSI เพื่อการประยุกใช้สำหรับการพัฒนาระบบระบุตำแหน่งภายในอาคาร ซึ่งจากการศึกษาพบว่ามีการกรองสัญญาณที่เหมาะสมสำหรับการแก้ปัญหาดังกล่าว คือ ตัวกรอง Moving Average ตัวกรอง Median Filter และตัวกรอง Kalman Filter ตามงานวิจัยที่ได้นำเสนอไปแล้ว ซึ่งสามารถนำมาเขียนโปรแกรมกรองข้อมูลค่า RSSI ได้ ตามสมการที่ (3) แสดงฟังก์ชันของตัวกรองแบบ Moving Average ซึ่งเป็นการหาค่าเฉลี่ยของข้อมูลค่า RSSI ที่วัดได้จำนวนข้อมูลตาม Window size ที่กำหนด และ สมการที่ (4) แสดงฟังก์ชันของตัวกรองแบบ Median Filter โดยจะเลือกเอาค่ากลางของข้อมูลที่เก็บไว้ตามขนาด Window size ที่กำหนด ซึ่งขนาดของ Window size จะต้องเป็นจำนวนเลขคี่

$$RSSI_MA_{filter} = \frac{1}{N}\sum_{i=1}^{N} RSSI_i \quad (3)$$

$$RSSI_MF_{filter} = Median[(x-2),(x-1),(x),(x+1),(x+2)] \quad (4)$$

ในส่วนของตัวกรอกแบบ Kalman Filter จะมีขั้นตอนที่ซับซ้อนกว่าโดยจะแบ่งเป็น 2 ขั้นตอนคือ

ขั้นตอนที่ 1: Prediction

State Prediction

$$\hat{x}_{\bar{k}} = A\hat{x}_{k-1} + Bu_k \quad (5)$$

Error Covariance Prediction

$$P_{\bar{k}} = AP_{k-1}A^T + Q \quad (6)$$

ขั้นตอนที่ 2: Update

Calculate Kalman Gain

$$K_k = P_{\bar{k}} H^T (H P_{\bar{k}} H^T + R)^{-1} \quad (7)$$

State Update

$$\hat{x}_k = \hat{x}_{\bar{k}} + K_k (z_k - H\hat{x}_{\bar{k}}) \quad (8)$$

Error Covariance Update

$$P_k = (I - K_k H) P_{\bar{k}} \quad (9)$$

เมื่อ $\hat{x}_k$ ค่าประมาณสถานะปัจจุบัน
$\hat{x}_{\bar{k}}$ ค่าประมาณสถานะก่อนอัพเดต
A โมเดลระบบ
B สัญญาณควบคุม
u_k ค่าอินพุตควบคุม
P_k ความไม่แน่นอนของค่าประมาณ
Q สัญญาณรบกวนของระบบ
H โมเดลการวัด
R สัญญาณรบกวนของการวัด
z_k ค่าที่วัดได้จริง
K_k น้ำหนักในการปรับค่าประมาณ

3.3 การคำนวณระยะทาง

เมื่อทำการกรองสัญญาณ RSSI แล้วจะสามาถนำค่า RSSI ที่ผ่านการกรองแล้วมาดำเนินการคำนวณระยะทาง ซึ่งค่า RSSI ที่ผ่านการกรองจะมีความเสถียรไม่เปลี่ยนแปลงไปอย่างรวดเร็ว ค่าระยะทางที่คำนวณออกมาได้จะไม่แกว่งมาก โดยในการคำนวณระยะทางจะใช้สูตรของการลดทอนสัญญาณ Log-Distance Path Loss Model มาแปลงกลับเพื่อหาค่าระยะทางแสดงได้ดังสมการที่ (10)

$$d = d_0 \times 10^{\frac{(RSSI_0 - RSSI)}{10n}} \quad (10)$$

4. ผลการทดลอง

ในงานวิจัยนี้ได้แบ่งการทดลองออกเป็น 2 ส่วน คือ การทดลองวัดค่าสัญญาณ RSSI รวมถึงการกรองสัญญาณของทั้ง 3 ตัวกรอง พร้อม ๆ กัน เพื่อการเปรียบเทียบผลที่วัดได้ในช่วงเวลาเดียวกัน การทดลองถัดมา คือ การทดลองนำค่า RSSI ที่ผ่านการกรองที่ประสิทธิภาพดีที่สุดมาคำนวณหาระยะทาง ซึ่งแสดงผลการทดลองได้ดังตารางที่ 1 – 3

การทดลองที่ 1: การทดลองวัดค่า RSSI และกรองสัญญาณ

ในการทดลองนี้ ได้ทำการวัดค่าสัญญาณ RSSI จากจุดต่าง ๆ ที่ห่างจากอุปกรณ์ BLE Beacon ในระยะ 10 เมตร โดยทดลองเคลื่อนที่อุปกรณ์สแกนสัญญาณห่างออกจากอุปกรณ์ BLE Beacon ครั้งละ 1 เมตร โดยในการวัดเมื่อวางตำแหน่งแล้วจะไม่ขยับอุปกรณ์ทั้ง 2 ให้อุปกรณ์สแกนสัญญาณเก็บข้อมูลเป็นเวลา 1 นาที แล้วเคลื่อนไปยังจุดถัดไป โดยใช้อุปกรณ์สำหรับการทดลองดังรูปที่ 3 และรูปการสแกนสัญญาณดังรูปที่ 4 และรูปที่ 5 แสดงการพล็อตกราฟสัญญาณที่สแกนได้ในระยะต่าง ๆ

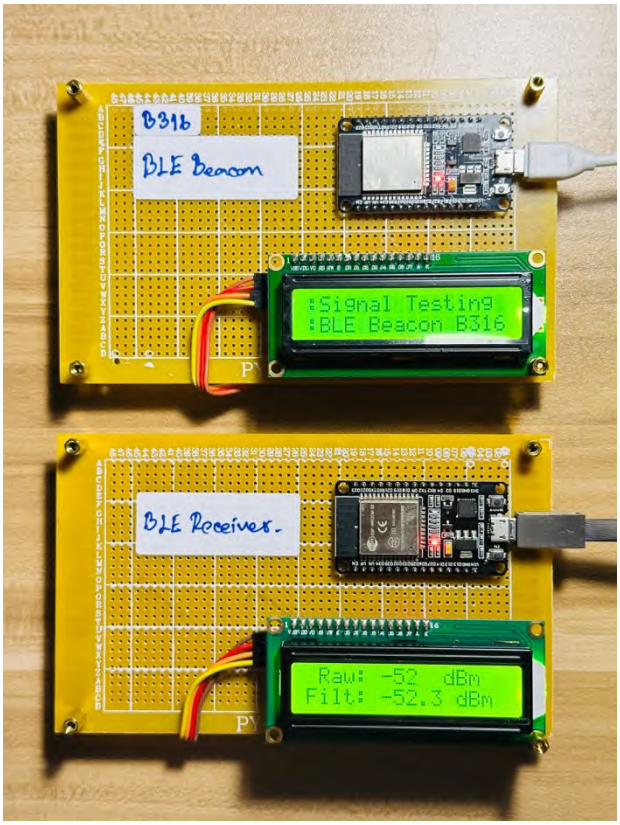

รูปที่ 3 อุปกรณ์ที่ใช้สำหรับการทดลอง

รูปที่ 4 ตัวอย่างภาพการสแกนสัญญาณและการใช้ตัวกรองต่าง ๆ

ในภาพแสดงเส้นสแกนสัญญาณ 4 เส้น ประกอบด้วย
เส้นสีน้ำเงิน คือ ค่าสัญญาณ RSSI ที่วัดได้
เส้นสีเขียว คือ ค่า RSSI ที่ผ่านการกรองด้วย Kalman Filter
เส้นสีแดง คือ ค่า RSSI ที่ผ่านการกรองด้วย Moving Average
เส้นสีเหลือง คือ ค่า RSSI ที่ผ่านการกรองด้วย Median Filter

ตารางที่ 1 แสดงถึงผลสรุปการวัดค่าสัญญาณ และการกรองด้วยตัวกรองทั้งหมด โดยคำนวณหาค่าเฉลี่ย และความแปรปรวนของข้อมูลในแต่ละกลุ่มข้อมูล

ตารางที่ 1 ผลสรุปการวัดค่าสัญญาณ RSSI และผ่านตัวกรอง

Distance (m)	RSSI		Moving Average		Median Filter		Kalman Filter	
	avg	var	avg	var	avg	var	avg	var
1	-70.0	15.9	-70.1	0.5	-68.6	0.6	-70.4	0.2
2	-75.4	20.7	-75.9	2.0	-74.7	8.8	-76.0	0.7
3	-77.1	44.2	-76.6	1.0	-74.5	3.3	-76.3	0.4
4	-78.2	42.7	-77.7	0.6	-75.4	1.9	-77.2	0.4
5	-78.3	28.8	-79.0	0.7	-77.9	4.6	-78.1	0.3
6	-83.1	31.3	-82.0	1.8	-82.6	14.6	-80.4	0.7
7	-81.8	50.0	-82.2	1.0	-81.1	3.3	-81.3	0.4
8	-85.4	27.0	-86.5	1.2	-84.8	2.3	-85.8	0.3
9	-87.5	58.5	-88.1	4.0	-86.0	5.0	-86.0	1.6
10	-90.1	20.3	-88.6	1.8	-90.2	1.3	-88.1	1.0
ค่าเฉลี่ยความแปรปรวน		33.9		1.5		4.6		0.6

เมื่อ avg คือ ค่าเฉลี่ยของข้อมูลสัญญาณที่ตรวจวัดได้
var คือ ค่าความแปรปรวนของข้อมูลสัญญาณที่ตรวจวัดได้

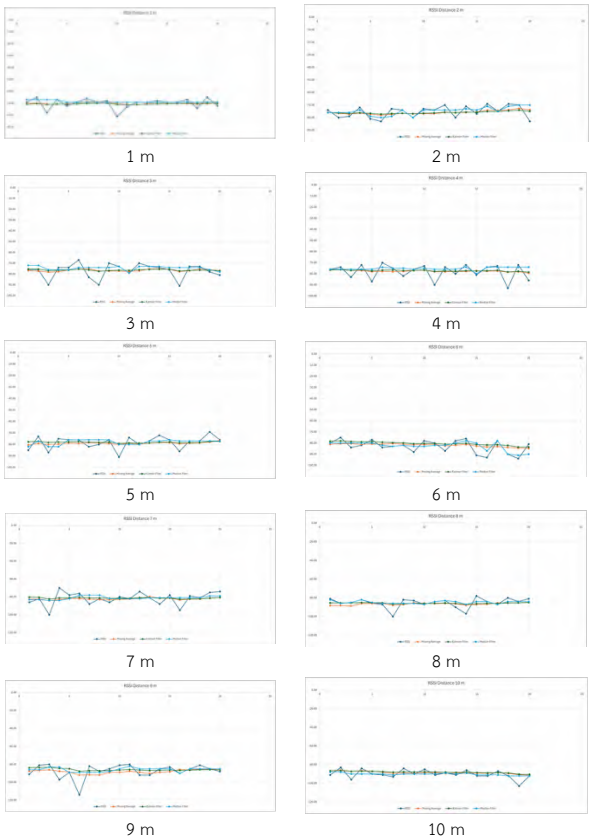

รูปที่ 5 กราฟแสดงผลการสแกนสัญญาณที่ระยะ 1 – 10 เมตร

การทดลองที่ 2: การทดลองคำนวณหาค่าระยะทาง

ในการทดลองนี้ ได้คำนวณหาค่าระยะทางตามสมการที่ 10 โดยนำค่าความแรงสัญญาณ RSSI ที่กรองแล้วโดยตัวกรอง Kalman เนื่องจากมีค่าความแปรปรวนของความแรงสัญญาณน้อยที่สุด ตามข้อมูลที่ได้จากตารางที่ 1 ซึ่งในรูปที่ 6 ได้แสดงตัวอย่างภาพหน้าจอ LCD ของการคำนวณระยะทาง โดยในการทดลองได้ทำการการเพิ่มและลดระยะห่างระหว่าง 2 อุปกรณ์

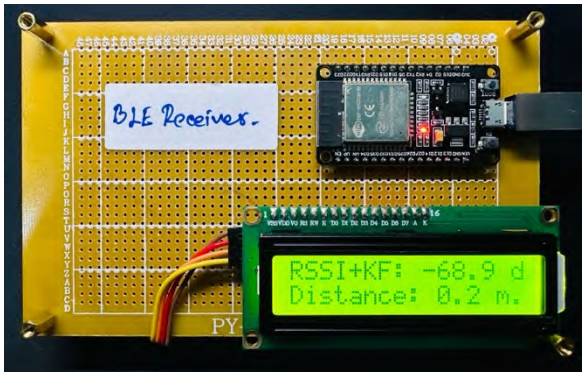

รูปที่ 6 หน้าจอ LCD แสดงผลคำนวณระยะทาง

5. การอภิปรายผล

จากผลการทดลองที่ได้ดำเนินการในการทดลองที่ 1: การทดลองวัดค่า RSSI และกรองสัญญาณ ผลที่ได้พบว่าค่า RSSI ที่ไม่ผ่านการกรองให้ค่าที่เปลี่ยนแปลงไปมาอย่างรวดเร็ว แต่เมื่อนำค่าความแรงสัญญาณที่วัดได้มาผ่านตัวกรองทั้ง 3 แบบ พบว่า ตัวกรอง Median Filter มีการตอบสนองต่อการเปลี่ยนแปลงของค่าความแรงสัญญาณที่เปลี่ยนไปอย่างรวดเร็ว แต่ยังให้ค่าที่เรียบกว่าที่ไม่มีการกรอง ในขณะที่ตัวกรอง Moving Average และ Kalman filter มีความไวต่อการเปลี่ยนของค่าความแรงสัญญาณ RSSI ที่วัดได้ต่ำกว่าอย่างเห็นได้ชัด จากกราฟแสดงผลการสแกนสัญญาณ ตามรูปที่ 4 และ 5 แสดงให้เห็นว่า Moving Average และ Kalman filter มีความใกล้เคียงกัน ทั้งในด้านค่า RSSI และการเปลี่ยนแปลง แต่ตัวกรอง Kalman Filter จะมีความเสถียรของค่าสัญญาณที่ดีกว่า ซึ่งสามารถให้เห็นได้จากค่าความแปรปรวนที่คำนวณออกมา ตามตารางที่ 1 และประสิทธิภาพการประมวลผลข้อมูลของ บอร์ด ESP32 สามารถประมวลผลข้อมูลได้อย่างราบรื่น

6. สรุปผลการทดลอง

จากการทดลองตามวิธีการที่ได้นำเสนอไปนี้สามารถสรุปได้ว่า ค่า RSSI ที่วัดได้โดยตรง มีค่าความแปรปรวนสูงถึง 33.9 ไม่สามารถนำมาใช้ในการระบุตำแหน่ง หรือการวัดระยะทางได้อย่างมีประสิทธิภาพ เนื่องจากในสภาพแวดล้อมภายในอาคาร ส่งผลให้เกิดปัญหาค่าระดับสัญญาณไม่เสถียร การนำตัวกรองมาปรับใช้ในการประมวลผลค่า RSSI ส่งผลดีต่อค่าความแปรปรวนของค่า RSSI มีผลต่อความคงทนของการเปลี่ยนแปลงค่า RSSI โดยพิจารณาจากค่าความแปรปรวนของค่า RSSI หลังผ่านตัวกรองเรียงตามลำดับได้ดังนี้ Kalman filter = 0.6, Moving Average filter= 1.5 และ Median filter = 4.6 ซึ่งจากการศึกษานี้สามารถสรุปได้ว่าตัวกรอง Kalman filter มีความคงทนต่อการเปลี่ยนแปลงอย่างรวดเร็วของค่า RSSI ดั้งเดิม มีประสิทธิภาพดีที่สุดในการจัดการกับความแปรปรวนของค่า RSSI ภายในอาคาร ในขณะที่ ตัวกรอง Median filter สามารถจัดการกับสัญญาณรบกวนที่เกิดขึ้นแบบฉับพลันได้ดี

ในส่วนของการประยุกต์ใช้บอร์ด ESP32 เพื่อการประมวลผลสัญญาณ Bluetooth สามารถทำได้อย่างมีประสิทธิภาพ ในอนาคตสามารถพัฒนาเป็นอุปกรณ์ BLE Beacon และสามารถประยุกต์ใช้บอร์ด ESP32 เป็นอุปกรณ์ Edge Computing เพื่อลดภาระในการประมวลผลข้อมูลบนเครื่องแม่ข่ายได้ต่อไป

7. กิตติกรรมประกาศ

ขอขอบคุณ สถาบันเทคโนโลยีพระจอมเกล้าเจ้าคุณทหารลาดกระบัง วิทยาเขตชุมพรเขตรอุดมศักดิ์ จังหวัดชุมพร ที่ให้การสนับสนุนทุนวิจัยส่งเสริมส่วนงานวิชาการ ประจำปีงบประมาณ 2565 ในโครงการการพัฒนาระบบคัดกรองและแสดงตนเพื่อเข้าสถานที่ และการวิเคราะห์การเชื่อมโยงบุคคลด้วยปัญญาประดิษฐ์ (สัญญาเลขที่ 2565-02-08-005)

เอกสารอ้างอิง

[1] D. Xu, Y. Wang, J. Guo and L. Meng, "WiFi Fingerprint Localization Model Based on Multi-Scale Residual Convolution and Self-Attention Mechanism*," *2025 5th International Symposium on Computer Technology and Information Science (ISCTIS)*, Xi'an, China, 2025, pp. 277-280, doi: 10.1109/ISCTIS65944.2025.11065311.

[2] M. Magada and A. Maneli, "The Challenges of Indoor Navigation: LiDAR-AR Exploring Solutions Beyond GPS," *2025 IST-Africa Conference (IST-Africa)*, Nairobi, Kenya, 2025, pp. 1-7, doi: 10.23919/IST-Africa67297.2025.11060062.

[3] Z. Sha, S. Shiro, K. Shibamiya, K. Shintani and K. Tanaka, "Improving Orb-Slam3 Performance in Textureless Environments: Mapping and Localization in Hospital Corridors," *2025 IEEE Conference on Artificial Intelligence (CAI)*, Santa Clara, CA, USA, 2025, pp. 723-726, doi: 10.1109/CAI64502.2025.00130.

[4] S. Wei, J. Wang and Z. Zhao, "Poster Abstract: LocTag: Passive WiFi Tag for Robust Indoor Localization via Smartphones," *IEEE INFOCOM 2020 - IEEE Conference on Computer Communications Workshops (INFOCOM WKSHPS)*, Toronto, ON, Canada, 2020, pp. 1342-1343, doi: 10.1109/INFOCOMWKSHPS50562.2020.9162919.

[5] H. Liu, H. Darabi, P. Banerjee and J. Liu, "Survey of Wireless Indoor Positioning Techniques and Systems," in *IEEE Transactions on Systems, Man, and Cybernetics, Part C (Applications and Reviews)*, vol. 37, no. 6, pp. 1067-1080, Nov. 2007, doi: 10.1109/TSMCC.2007.905750.

[6] A. Maier, A. Sharp and Y. Vagapov, "Comparative analysis and practical implementation of the ESP32 microcontroller module for the internet of things," *2017 Internet Technologies and Applications (ITA)*, Wrexham, UK, 2017, pp. 143-148, doi: 10.1109/ITECHA.2017.8101926.

[7] J. Sangthong, J. Thongkam and S. Promwong, "Indoor Wireless Sensor Network Localization Using RSSI Based Weighting Algorithm Method," *2020 6th International Conference on Engineering, Applied Sciences and Technology (ICEAST)*, Chiang Mai, Thailand, 2020, pp. 1-4, doi: 10.1109/ICEAST50382.2020.9165300.

[8] Z. Jianyong, L. Haiyong, C. Zili and L. Zhaohui, "RSSI based Bluetooth low energy indoor positioning," *2014 International Conference on Indoor Positioning and Indoor Navigation (IPIN)*, Busan, 2014, pp. 526-533, doi: 10.1109/IPIN.2014.7275525.

[9] D. Csík, Á. Odry and P. Sarcevic, "Comparison of RSSI-Based Fingerprinting Methods for Indoor Localization," *2022 IEEE 20th Jubilee International Symposium on Intelligent Systems and Informatics (SISY)*, Subotica, Serbia, 2022, pp. 000273-000278, doi: 10.1109/SISY56759.2022.10036270.

[10] S. Shankpale, G. Andurkar, R. Marravulla, S. Jadhav and K. Kishore, "Localization Technique using Bluetooth," *2022 International Conference on Industry 4.0 Technology (I4Tech)*, Pune, India, 2022, pp. 1-4, doi: 10.1109/I4Tech55392.2022.9952540.

[11] M. A. Koledoye, D. De Martini, S. Rigoni and T. Facchinetti, "A Comparison of RSSI Filtering Techniques for Range-based Localization," *2018 IEEE 23rd International Conference on Emerging Technologies and Factory Automation (ETFA)*, Turin, Italy, 2018, pp. 761-767, doi: 10.1109/ETFA.2018.8502556.

อรรถศาสตร์ นาคเทวัญ อาจารย์ประจำหลักสูตรวิศวกรรมคอมพิวเตอร์ สถาบันเทคโนโลยีพระจอมเกล้าเจ้าคุณทหารลาดกระบัง วิทยาเขตชุมพรเขตรอุดมศักดิ์ งานวิจัยด้านการประมวลผลภาพดิจิทัล ปัญญาประดิษฐ์ และระบบสมองกลฝังตัว

นพดล มณีรัตน์ อาจารย์ประจำภาควิชาวิศวกรรมการวัดและควบคุม คณะวิศวกรรมศาสตร์ สถาบันเทคโนโลยีพระจอมเกล้าเจ้าคุณทหารลาดกระบัง งานวิจัยด้านการประมวลผลภาพดิจิทัล ปัญญาประดิษฐ์ และอุปกรณ์อิเล็กทรอนิกส์

Applications of Long-Short-Term-Memory Architecture and Gated-Recurrent-Unit Model Based on Neural Network for Predictive Analytics

Suchada Sitjongsataporn* and Panavy Pookaiyaudom

Department of Electronic Engineering, School of Electrical and Electronic Engineering (SEE)
Mahanakorn University of Technology, Nongchok, Bangkok, Thailand
Email: ssuchada@mut.ac.th and panavy@mut.ac.th

Abstract

This paper presents the application of Long Short-Term Memory (LSTM) and Gated-Recurrent-Unit (GRU) models in order to investigate the effectiveness of LSTM-based, GRU architecture. Bi-LSTM model is an extended LSTM that processes the input data in the forward and backward directions for improving the prediction accuracy by utilizing the complete context of sequential data. Using a dataset enriched with temporal features like temperature, humidity, and wind speed, the model architecture and hyper-parameters were optimized for enhanced accuracy. The dataset comprises global time-series data, with preprocessing focused on extracting country-specific trends. Experiments demonstrate for analyzing and forecasting in weather patterns over a 30-day period. Experimental results show that the Bi-LSTM model outperforms traditional models, achieving high accuracy in temperature forecasting.

Keywords: Keras library, TensorFlow, LSTM, GRU, BiLSTM, predictive analytics.

1. Introduction

Based on the deep learning improvement, classification presents efficient ability in many field as text feature and feature extraction. With the multi-dimensional dataset, it can help to extract more features and suitable for the text defection.

Main classification models based on deep learning [1] that comprise with Gated Recurrent Unit (GRU), Long Short-Term Memory (LSTM) and Bidirectional LSTM (Bi-LSTM) [2]. LSTM networks is a modification of recurrent neural network (RNN) that is particularly suited for sequential data analysis due to their ability to handle long-term dependencies.

As stated in text extraction, the authors in [3] have used LSTM to extract the text information of fault defects in power system by considering only the information before the processed data. For example, the temperature forecasting plays an essential role in various industries, including agriculture, energy, and climate studies.

Traditional time-series prediction models as an unidirectional LSTM has been used for temperature prediction tasks. However, these models often struggle with capturing long-term dependencies in sequential data. In [4], LSTM-based model is designed to analyze and forecast time-series data, specifically focusing on

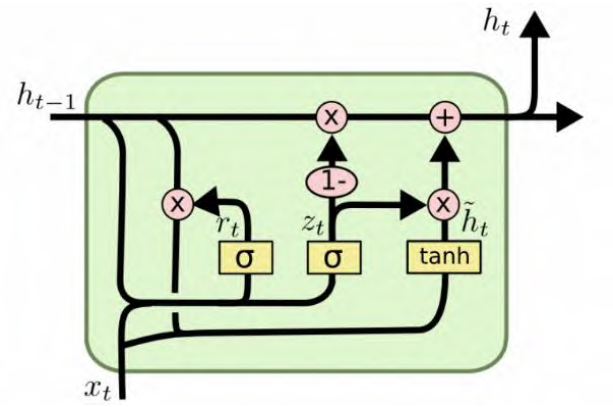

Fig. 1 GRU model [7]

COVID-19 confirmed case trends. It employs two advanced recurrent neural network architectures: LSTM and GRU. These architectures are particularly well-suited for time-series prediction in terms of long-term dependencies and temporal patterns in sequential data.

As stated about LSTM extended model, Bi-LSTM takes two parts into account with a bidirectional mechanism which processes the sequence both forwards and backwards. It can improve predictions by leveraging additional context. In [5], the authors have presented to extract deep model used for a multitask classifier based on a Bi-LSTM model to perform multitasking prediction based on the decision fusion of the deep representations extracted from time-series, demographics, and MRI dataset. This model has been optimized to predict the three tasks of Parkinson's disease. In [6], Bi-LSTM mechanism has been enhanced by learning from past and future data for increasing diagnostic accuracy in sequential clinical examinations in medicine.

As presented in the field of renewable energy, the GRU model in [7] has been introduced for fault level forecasting in grid system operators of renewable energy source. This GRU-based model is modified the relationship between system strength input level and forecasting output. Results show that this GRU-based model can show with higher accuracy in forecasting. In [8], the GRU model has been used to forecast the electrical load with less error than RNN and LSTM. In [9], GRU with the particle swarm optimization learning method has been presented to predict the short-term wind power by updating its parameters.

*Corresponding Author

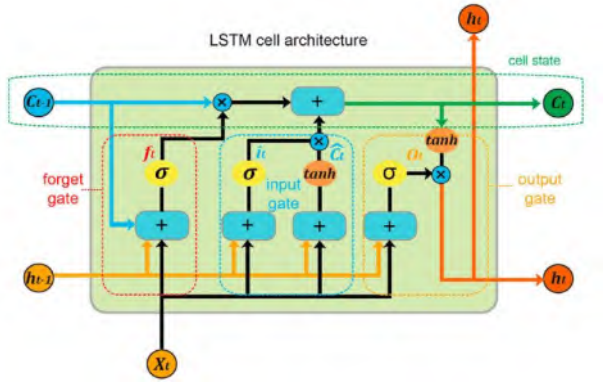

Fig. 2 LSTM cell architecture [10]

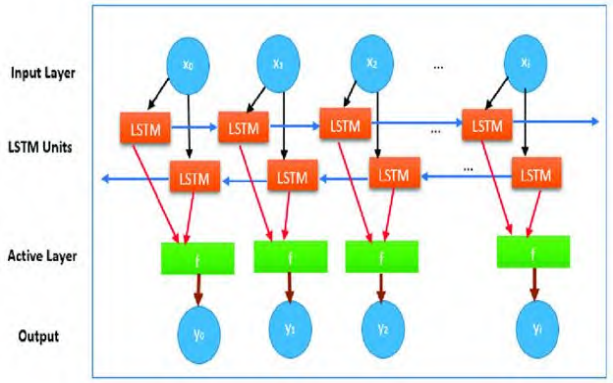

Fig. 4 Bi-LSTM architecture [13]

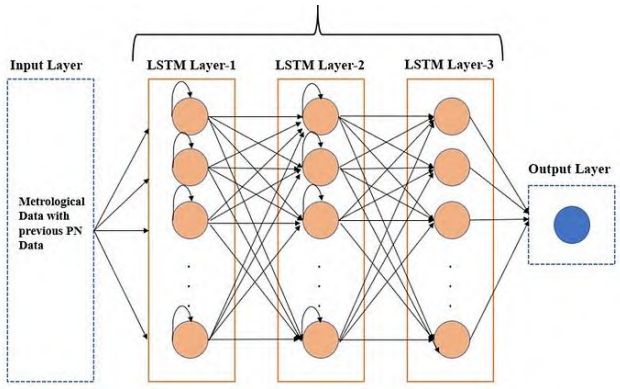

Fig. 3 LSTM structure [11]

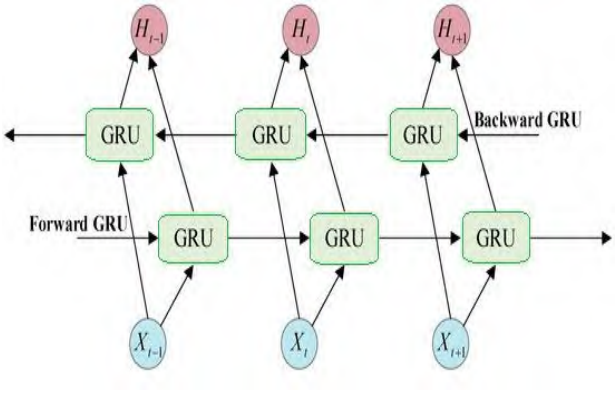

Fig. 5 Bi-GRU architecture [14]

In this paper, the applications of a Bi-LSTM network are explored for predicting mean temperature based on historical data. The objective is to focus on applications of LSTM-based architecture as LSTM, Bi-LSTM and GRU for predictive analytics. The goal is to leverage these models to predict future case trends using historical data, allowing for insights into pandemic dynamics. The workflow includes data preprocessing, visualization, and model training using the Keras library, with configurations optimized for accurate predictions.

This paper is organized as follows. First, the deep learning models with LSTM, Bi-LSTM are provided briefly in Section 2. Procedures of models are explained in Section 3. Case studies and simulation results of each case are presented in Section 4. Finally, Section 5 is conclusion of this work.

2. Models

2.1 GRU model

Following [7], the GRU cell consists of the update gate and reset gate. The data stream is processed using two individual gates as an update gate (u_t) and reset gate (r_t) as shown in Fig. 1, where σ denotes as sigmoid function and tanh is tan hyperbolic function, respectively. During this process, the hidden state (h_t) is updated using the update gate and reset gate considers the previous data.

2.2 LSTM model

Following [11], an LSTM cell consists of three main components as a cell state, hidden state, and gates. These LSTM gates are including with an input, forget, and output gates, which regulate the information flow in and out of the cell. A forget gate can decide what kind of information from the previous cell state to ignore. While, an input gate can determine which new information should be stored in the cell state. Finally, an output gate can control information is passed to next hidden state.

This architecture allows LSTMs to keep information along periods suitable for sequential data. Fig. 2 shows a core of LSTM that is the cell inside the blocks. This LSTM cell has both feedback connections and back route to the previous output [12].

LSTM structure is shown in Fig. 3 that consists of three types of layer as an input layer, an output layer and multiple LSTM hidden layers. Inside LSTM layer comprises with LSTM cell shown in Fig. 2. As compared with RNN architecture, the hidden layer of LSTM is a gated cell which consists of three layers that can interact with one another to produce the output along with the cell state. These two things are then passed onto the next hidden layer.

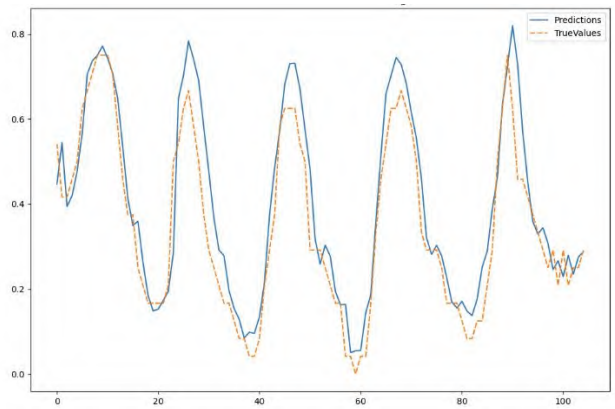

Fig. 6 Prediction with un-optimized LSTM model.

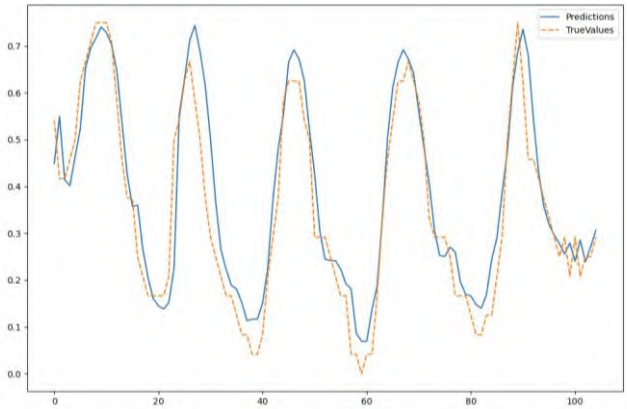

Fig. 7 Prediction with optimized LSTM model.

2.3 Bi-LSTM model

Following [15], Bi-LSTM network is a type of RNN that addresses the limitations of traditional neural networks. It is tailored to effectively control the gradient problem and capture long- term dependencies in sequences by tracking data flow from previous and current steps in the bidirectional of forward and backward signal. Fig. 4 shows the Bi-LSTM architecture within LSTM cell presented in Fig. 2.

2.4 Bi-GRU model

Bidirectional-GRU (Bi-GRU) network is an extended of GRU that consists of forward GRU layer and reverse GRU layer. It focuses to capture the dynamic features in time-series data in order to improve the feature extraction. Fig. 5 shows a diagram of Bi-GRU model within GRU cell shown in Fig. 1.

3. Procedure and Experimental Results

3.1 Procedure of LSTM model

Weather prediction is a vital application of machine learning, crucial for agriculture, disaster management, and daily planning. LSTM network is generally suited for sequential data analysis due to their ability to handle long-term dependencies.

The experiment focuses on applying LSTM to predict weather metrics over 30 days by historical data. Using a dataset enriched with temporal features like temperature, humidity, and wind speed, the model architecture and hyper-parameters were optimized for enhanced accuracy. The results demonstrate the utility of LSTM in capturing temporal dependencies critical for weather forecasting, albeit with challenges in long-term prediction reliability.

The LSTM model consisted of input layer with processing features like temperature, humidity, and wind speed. For hidden layers, three LSTM layers are each with 64 units followed by dropout for regularization. At output layer, a dense layer is providing predictions for temperature and other weather metrics. Hyper-parameters were optimized to balance accuracy and computational efficiency.

3.1.1 Procedure of LSTM architecture

1) Data preparation: historical weather data was normalized and split into training, validation, and testing sets (70:15:15 ratio). Temporal sequences were generated for LSTM training.
2) Model Training: The model was trained over 100 epochs with a batch size of 32, using the Adam optimizer and a mean squared error (MSE) loss function.
3) Metric Evaluation: Root mean squared error (RMSE), mean absolute error (MAE), and R-squared were used to assess model performance.

3.1.2 Experimental Results

This experiment is separated to test with two models as an un-optimized model compared with an optimized model. Fig. 6 shows results of prediction compared with true value with un-optimized LSTM model. It is achieved an RMSE of 4.2°C and MAE of 3.5°C for temperature prediction. Fig. 7 shows results of prediction compared with true value with optimized LSTM model. While, an optimized model can improve RMSE to 3.1°C and MAE to 2.7°C by adjusting the learning rate and model architecture.

For limitations of this experiment, while short-term forecasts between 1-7 days were highly accurate, errors increased for longer-term predictions.

3.1.3 Comparison

1) Alignment with True Values:
   a. In the un-optimized model shown in Fig. 6, there are noticeable deviations where the predictions lag or overshoot the true values, particularly around the peaks and troughs of the cycles.
   b. In the optimized model shown in Fig. 7, the predictions align more closely with the true values, showing a significant reduction in both the amplitude of errors and timing mismatches
2) Improved Consistency

   Fig. 7 demonstrates smoother and more consistent trends that better capture the shape of the true values. This indicates that the optimized model can more accurately learn and predict temporal dependencies.

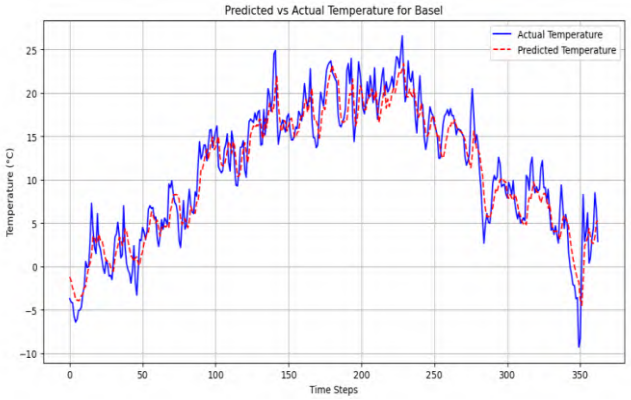

Fig. 8 Predicted compared with actual temperature by Bi-LSTM model

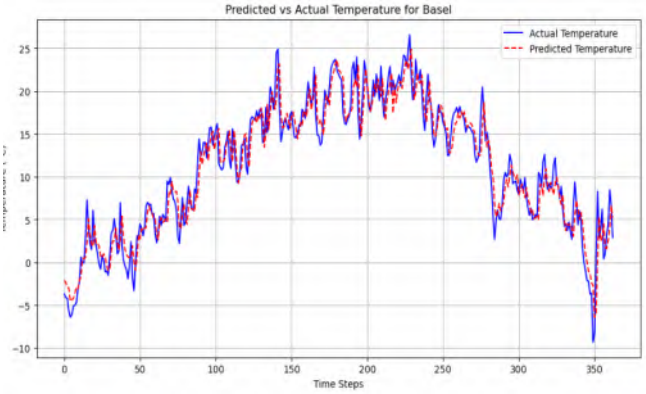

Fig. 10 Predicted compared with actual temperature by Bi-GRU model

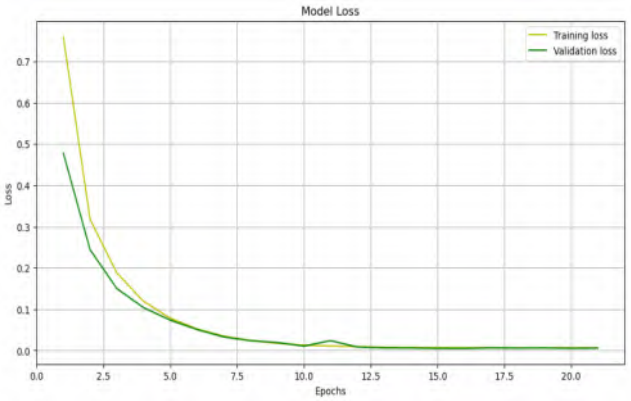

Fig. 9 Model loss by Bi-LSTM model

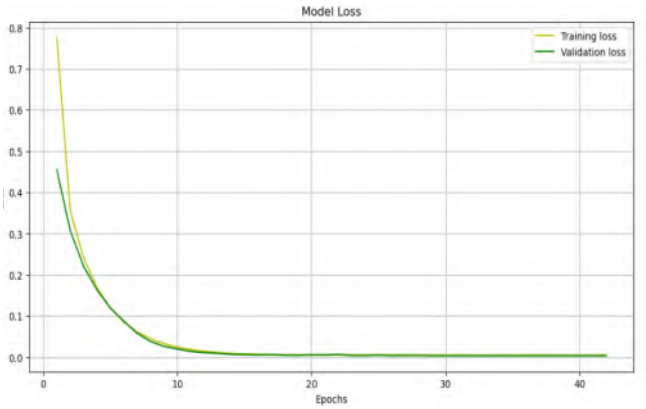

Fig. 11 Model loss by Bi-GRU model

3) Error Reduction

Comparing the two graphs visually, Fig. 7 shows fewer large gaps between predictions and true values, reflecting the improved RMSE from 4.2°C to 3.1°C and MAE from 3.5°C to 2.7°C reported in the experimental results.

3.1.4 Summary

In summary, the modified graph reflects a significant improvement in the model's accuracy and predictive reliability, making it the better representation of the optimized LSTM model's performance. This directly supports the claims made in the report about the benefits of hyper-parameter optimization.

3.2 Procedure of Bi-LSTM model

The Bi-LSTM architecture includes several key components that work together to improve performance in predicting sequential data. First, at Bi-LSTM layers, a Bi-LSTM processes the data in both directions of forward and backward to capture more comprehensive patterns in the time-series data. Then, a dropout layer with a rate of 0.2 is added to prevent overfitting by randomly dropping neurons during training.

A dense layer is used with 25 units and ReLU activation functions as the fully connected layer between the LSTM output and the final prediction. For batch normalization, this layer helps stabilize the learning process and reduce overfitting by normalizing activations.

At the final layer, the output layer uses a linear activation function to output the predicted temperature value.

3.2.1 Data pre-processing

1) Data Collection: Historical temperature data was collected for the training process.
2) Normalization: The data was normalized using MinMaxScaler to ensure consistent scaling and faster convergence during training.
3) Data Splitting: The data was divided into training (80%) and testing (20%) datasets.

3.2.2 Model Building

1) The model was constructed using TensorFlow and Keras with the following layers:
2) Bidirectional LSTM Layer: 128 units with L2 regularization.
3) Dropout Layer: 20% dropout to mitigate overfitting.
4) Dense Layer: A fully connected layer with 25 units and ReLU activation.
5) Batch Normalization Layer: To standardize outputs before passing them to the next layer.
6) Output Layer: A dense layer with a single unit and linear activation to predict the temperature value.

3.2.3 Training the Model

1) Optimization Algorithm: Adam optimizer was used with a learning rate of 0.001.
2) Epochs: 50 epochs were set for training, with early stopping used to prevent overfitting.
3) Loss Function: Mean Squared Error (MSE) was chosen as the loss function to optimize for the temperature prediction task.

3.2.4 Model Evaluation

The performance of model was evaluated using MAE, MSE, RMSE, and R-squared (R^2).

3.2.5 Experimental Results of Bi-LSTM model

1) Model training (1-50 epochs)

   During training, the model exhibited a significant decrease in loss from epoch 1 to epoch 16, achieving a low validation loss by the end of training. Notably, early stopping was triggered after epoch 21 to prevent overfitting.

2) Performance Metrics:

   MAE is of 1.8788, MSE is of 5.7632, RMSE is of 2.4007 and R^2 is of 0.9032.

   Fig. 8 shows these results indicate the model's effectiveness in predicting temperature with high accuracy using Bi-LSTM. Fig. 9 shows the Bi-LSTM model loss of training and validation loss.

3.2.6 Experimental Results of Bi-GRU model

In this experiment, modifications were made to the original LSTM architecture by introducing a Bidirectional GRU (Bi-GRU) layer instead of an LSTM layer. The data input size was also adjusted to evaluate how changes in the data and model architecture affect performance.

The modified model architecture is as follows.

1) A Bidirectional GRU Layer with 128 units.
2) A Dense Layer with 25 units and ReLU activation.
3) A Dropout Layer to prevent overfitting.

Fig. 10 shows these results indicate the model's effectiveness in predicting temperature with high accuracy by Bi-GRU model. Fig. 11 shows a graphical representation of the training and validation losses across the epochs. It can be seen that both the training and validation losses decreased in parallel, with no significant divergence, suggesting good model convergence and the effectiveness of the regularization techniques used.

4. Discussions

The LSTM model successfully captured temporal trends, particularly for short-term forecasts. However, diminishing accuracy for extended predictions suggests room for improvement through techniques such as attention mechanisms or ensemble models.

5. Conclusion

This paper demonstrated the viability of LSTM for weather forecasting, highlighting its strengths in short-term predictions. Future work could incorporate external variables like satellite imagery or employ hybrid models combining LSTM with convolutional networks. For Bi-LSTM, the predictive performance of the original LSTM model was compared with a modified version that incorporated a Bi- GRU layer and additional regularization. The results indicate that the modified model provided improved accuracy in predicting mean temperature, as shown by the lower error metrics of MAE, MSE, RMSE and the higher R-squared value. Although the training and validation losses were slightly higher in the initial epochs, the modified model exhibited better overall performance, with a noticeable increase in the model's ability to generalize. This suggests that the added complexity of the Bi- GRU layer and regularization techniques enhanced the model's robustness.

References

[1] P. T. Jia, W. Sun, "A Survey of Text Classification Based on Deep Learning," *Computer and Modernazition*, no. 7, pp. 29-37, 2021.

[2] F. Qu, Y. Shi, C. Xie, J. Zhang, W. Li and C. Lin, "Improvement of power equipment defect text quality based on improved BI-LSTM," *CSEE Journal of Power and Energy Systems*, pp. 1-9, Feb. 2024,

[3] W. Daqian, W. Bo, and L. Gang, "Research on Unstructured Text Data Mining and Fault Classification Based on RNN-LSTM with Malfunction Inspection Report," *Energies*, vol. 10, no. 3, pp. 406-416, 2017.

[4] Y. Shao, T.K. Wan and K.H.K. Chan, "Prediction of COVID-19 cases by multifactor driven long short-term memory (LSTM) model", Scientific Reports, vol. 15, 4935, 2025.

[5] M. Junaid, M. Ghergherehchi and S. Lee, "Multitask Deep Learning for Predicting Parkinson's Progression and Depression from Multimodal Time Series Data," *IEEE Access*, pp. 1-25, July 2025.

[6] A. Sagheer, M. Kotb, "Unsupervised pre-training of a deep LSTM-based stacked autoencoder for multivariate time series forecasting problems," *Scientific Reports*, vol. 9, no. 1, pp. 1–16, 2019.

[7] M. O. Qays, I. Ahmad, D. Habibi and M. A. S. Masoum, "System strength forecasting using hedge feedforward feedback-based gated recurrent unit algorithm with drift detection analysis," *CSEE Journal of Power and Energy Systems*, pp. 1-10, Jan. 2025.

[8] M. Abumohsen, A. Y. Owda, and M. Owda, "Electrical Load Forecasting Using LSTM, GRU, and RNN Algorithms," *Energies*, vol. 16, no. 5, p. 2283, Feb. 2023.

[9] Y. Xiao, C. Zou, H. Chi, and R. Fang, "Boosted GRU model for short-term forecasting of wind power with feature-weighted principal component analysis," *Energy*, vol. 267, p. 126503, Mar. 2023.

[10] G. Li, W. Wang, and Y. Qi, "Defect Text Analysis Method of Electric Power Equipment Based on

Double-Layer Bidirectional LSTM Model," in *Proc. IEEE 3rd International Electrical and Energy Conference (CIEEC)*, pp. 1318-1324, 2019.

[11] Medium, "Complete Guide to Learn LSTM Models: Types, Applications, and When to Use Which Model", Aug. 11, 2024. Available at: https://blog.stackademic.com/complete-guide-to-learn-lstm-models-types-applications-and-when-to-use-which-model-f9b779f31714. Access on 14 Aug. 2025.

[12] R. Kang, B. Park, Q. Ouyang, N. Ren, "Rapid identification of foodborne bacteria with hyperspectral microscopic imaging and artificial intelligence classification algorithms", *Food Control*, vol. 130, 2021.

[13] M. Nair, M. I. Marie , L. A. Abd-Elmegid, "Prediction of Cryptocurrency Price using Time Series Data and Deep Learning Algorithms", *International Journal of Advanced Computer Science and Applications (IJACSA)*, vol. 14, no. 8, pp. 338-347, 2023

[14] X. Wang, G. Xie, Y. Zhang, H. Liu, L. Zhou, W. Liu, Y. Gao, "The Application of a BiGRU Model with Transformer-Based Error Correction in Deformation Prediction for Bridge SHM", *Buildings*, vol. 15, no. 4, 542, 2025.

[15] S. Ghosh, A. Ekbal, P. Bhattacharyya, "Chapter 2 - Natural language processing and sentiment analysis: perspectives from computational intelligence" , Editor(s): D. Das, A. Kumar Kolya, A. Basu, S. Sarkar, In "Hybrid Computational Intelligence for Pattern Analysis and Understanding, Computational Intelligence Applications for Text and Sentiment Data Analysis", *Academic Press.*, pp. 17-47, 2023.

A IoT demonstration kit waste separation education for middle school

อัญญมณี ภัทรานนท์[1], ชวนนท์ มะโน[1], ภาณุพล โขลนกระโทก[1] และ ปิโยรส ขอนดอก[2]*

[1]สาขาวิชาฟิสิกส์ คณะวิทยาศาสตร์ สถาบันเทคโนโลยีพระจอมเกล้าเจ้าคุณทหารลาดกระบัง, กรุงเทพฯ, 10520, ประเทศไทย

[2]โรงเรียนสาธิตแห่งมหาวิทยาลัยเกษตรศาสตร์ วิทยาเขตกำแพงแสน ศูนย์วิจัยและพัฒนาการศึกษา คณะศึกษาศาสตร์และพัฒนศาสตร์ มหาวิทยาลัยเกษตรศาสตร์ วิทยาเขตกำแพงแสน จังหวัดนครปฐม 73140 ประเทศไทย

* Corresponding author. E-mail address: feduprkh@ku.ac.th

บทคัดย่อ

ปัจจุบันทั่วโลกกำลังเผชิญหน้ากับปัญหาปริมาณขยะที่มีเพิ่มมากขึ้น การนำขยะมารีไซเคิลและการกำจัดขยะอันตรายอย่างถูกวิธีคือกระบวนการพื้นฐานที่ได้รับการยอมรับว่าเป็นการบรรเทาปัญหานี้ การให้ความรู้เรื่องการแยกขยะถือเป็นสิ่งสำคัญเนื่องจากมันคือขั้นตอนเริ่มต้นในการแก้ไขปัญหา วัตถุประสงค์ของงานวิจัยนี้คือการสร้างชุดสาธิตการเรียนรู้สำหรับการเรียนการสอนเรื่องการแยกขยะที่ได้รับการออกแบบมาเพื่ออำนวยความสะดวกและสร้างความเข้าใจในเรื่องการแยกขยะ การปลูกฝังความรู้เกี่ยวกับการแยกขยะและการส่งเสริมใช้เทคโนโลยีให้กับนักเรียนระดับชั้นมัธยมศึกษาตอนต้นถือเป็นสิ่งสำคัญ ชุดสาธิตการเรียนรู้นี้ควบคุมโดยบอร์ดไมโครคอนโทรลเลอร์ ESP32 ดำเนินการผ่านการเชื่อมต่อด้วยเทคโนโลยี RFID ชุดสาธิตการเรียนรู้มีศักยภาพในการจัดเก็บข้อมูลโดยการเชื่อมต่อเครือข่ายคลาวด์และแสดงผลทางเสียงผ่านลำโพงที่ถูกติดตั้งไว้ภายใน ขยะถูกจำแนกออกเป็นสี่ประเภทที่แตกต่างกัน ได้แก่ ขยะทั่วไป ขยะอินทรีย์ ขยะรีไซเคิล และขยะอันตราย โดยใช้การ์ดรูปภาพแทนขยะแต่ละประเภท ชุดสาธิตการเรียนรู้เหมาะสำหรับการเรียนการสอนที่มีวัตถุประสงค์เพิ่มประสิทธิภาพของการศึกษาและการเรียนรู้เรื่องการแยกขยะที่ทำให้เข้าใจได้ง่าย

คำสำคัญ: การศึกษา, การแยกขยะ, อินเทอร์เน็ตของสรรพสิ่ง, ESP32

Abstract

Currently, the whole world is confronted with an increasing problem of waste issues, with adopting methods of reusing, recycling, and properly disposing of hazardous waste recognized as basic processes to mitigate this problem. Waste separation education is crucial because it is the initial step to solving this issue. The objective of the study was to create an instructional demonstration kit for education that has been designed to facilitate waste separation, as educating middle school students with knowledge on waste separation and technology is crucial. The ESP32 microcontroller operates through an interface with RFID technology, enabling the demonstration kit to possess the capacity to store data utilizing a cloud network and activate the sound output through the built-in speaker to present the sorted results. The waste has been classified into four distinct categories: general waste, organic waste, recyclable waste, and hazardous waste, each represented by graphic cards. The demonstration learning set is suitable for educational purposes as it enhances the effectiveness of teaching and learning waste separation while easily understandable.

Keywords: education, waste separation, IoT, ESP32

1. บทนำ

ปัจจุบันขยะมูลฝอยมีปริมาณเพิ่มมากขึ้นในทุกปีเนื่องจากการเปลี่ยนแปลงพฤติกรรมการอุปโภคบริโภคของประชากร, การซื้อขายสินค้าทางออนไลน์ การกระตุ้นเศรษฐกิจและการขยายตัวทางด้านอุตสาหกรรม ปริมาณขยะมูลฝอยของประเทศไทยในปีพุทศักราช 2567 มีจำนวน 27.20 ล้านตันซึ่งมีปริมาณเพิ่มขึ้นจากปีพุทศักราช 2566 เท่ากับ 0.25 ล้านตัน ขยะมูลฝอยเกิดขึ้นเฉลี่ย 74,529 ตัน/วัน[1] การจัดการกับขยะเหล่านี้ควรเริ่มจากการลดปริมาณขยะ ณ แหล่งกำเนิด และการนำกลับมาใช้ซ้ำซึ่งขยะที่ไม่ถูกนำกลับมาใช้ซ้ำจะถูกนำไปกำจัด ณ แหล่งกำจัดขยะ ทั้งต้องใช้พลังงานจำนวนมาก และใช้งบประมาณสูง การแยกขยะก่อนนำมาทิ้งจะเป็นการลดปริมาณขยะ อีกทั้งยังเป็นขั้นตอนสำคัญของการกำจัดขยะที่จะถูกส่งไปยังโรงคัดแยกขยะเพื่อนำไปกำจัดในวิธีที่เหมาะสม การให้ความรู้เรื่องการแยกขยะควรเริ่มปลูกฝังตั้งแต่เด็ก เพื่อให้ได้รับความรู้เรื่องการแยกขยะและสามารถแยกขยะให้ถูกประเภทได้ด้วยตนเอง การสอนที่มีประสิทธิภาพควรเลือกใช้รูปแบบการสอนที่เหมาะสมทั้งกับผู้เรียนและเรื่องที่สอน การวิจัยทางการศึกษาเพื่อวิเคราะห์หาผลลัพธ์ที่ดีที่สุดสำหรับการเรียนการสอน การวิจัยทางการศึกษาคือการทำวิจัยเพื่อค้นคว้าหาความรู้และความเป็นจริงอย่างเป็นระบบโดยการนำข้อมูลสารสนเทศมาวิเคราะห์[2] ซึ่งมีเนื้อหาการวิจัยจะเกี่ยวข้องกับการศึกษาในหลายด้าน เช่น ด้านบริหารงาน ด้านการจัดการเรียนรู้ ด้านการพัฒนาผู้เรียน เป็นต้น [3] การสอนเรื่องการแยกขยะในชั้นเรียนด้วยบทเรียนจากหนังสือและสื่อจากคลิปวิดีโอเป็นการให้ความรู้ในรูปแบบการบรรยายไม่ได้ลงมือปฏิบัติจริง การลงมือปฏิบัติจริงสามารถทำให้เข้าใจเนื้อหาและจดจำได้นานกว่าการเรียนแบบบรรยายในห้องเรียน[4] ผลงานวิจัยการจัดการเรียนรู้เชิงลึก (active learning) โดยใช้เกมและการแสดงละครให้ความรู้เรื่องการแยกขยะให้แก่ผู้เรียนระดับประถมศึกษารวมไปถึงการจัดอบรมให้กับตัวแทนนักเรียน[5] เป็นการส่งเสริมพฤติกรรมการแยกขยะและสร้างจิตสำนึกการ

*ผู้ประพันธ์บรรณกิจ

ทิ้งขยะให้ถูกวิธีซึ่งผู้เรียนยังขาดการคิดเพื่อแก้ไขปัญหาเพื่อลงมือปฏิบัติจริงได้ด้วยตนเอง การสอนโดยใช้ทักษะสะเต็มศึกษาคือรูปแบบของการเรียนรู้ที่เน้นการลงมือปฏิบัติจริงมากกว่าการท่องจำ ซึ่งประกอบด้วย 4 สาขาวิชา คือวิทยาศาสตร์ เทคโนโลยี วิศวกรรมศาสตร์ และคณิตศาสตร์[6] ผลงานการวิจัยการใช้ทักษะสะเต็มมาพัฒนารูปแบบการจัดกิจกรรมการเรียนรู้ในนักศึกษาระดับบัณฑิตพบว่าผู้เรียนมีทักษะความคิดเป็นระบบสูงขึ้น[7] อีกทั้งมีผลงานวิจัยการจัดการเรียนรู้แบบห้าขั้นตอน (GPAS 5 steps) ร่วมกับการนำเกมมาใช้เป็นกิจกรรมในการสอนเรื่องการแยกขยะให้กับผู้เรียนระดับประถมศึกษาส่งผลให้ผู้เรียนมีทักษะความคิดที่ดีขึ้น[8] การประยุกต์ใช้เทคโนโลยีอินเทอร์เน็ตประสานสรรพสิ่ง (Internet of Things) ร่วมกับสื่อการเรียนการสอนเพื่อสามารถเชื่อมต่ออุปกรณ์ต่าง ๆ และง่ายต่อการเก็บข้อมูล ผลงานวิจัยการนำเทคโนโลยีอินเทอร์เน็ตมาประยุกต์ใช้กับการศึกษารูปแบบฐานการท้าทาย (Challenge-Based Learning) ส่งผลให้ผู้เรียนมีส่วนร่วมเพิ่มมากขึ้นและการทำงานร่วมกันกับเพื่อนในชั้นเรียนได้ดีขึ้น[9]

การวิจัยเกี่ยวกับถังขยะอัตโนมัติมีการทำการวิจัยอย่างแพร่หลายงานวิจัยเรื่องการแยกขยะมีการประดิษฐ์ถังขยะที่สามารถเปิด-ปิดอัตโนมัติโดยจำลองถังขยะที่สามารถตรวจจับประเภทของขยะและใช้เสียงในการแจ้งประเภทของขยะ[12] ซึ่งไม่มีการเก็บข้อมูลผ่านอินเทอร์เน็ตจึงไม่สะดวกต่อการนำข้อมูลไปวิเคราะห์ มีงานวิจัยเกี่ยวกับถังขยะโดยนำพร็อกซิมิตี้เซนเซอร์มาใช้สามารถบอกระดับปริมาณขยะในถังและตำแหน่งที่ตั้งของถังขยะใช้อินเทอร์เน็ตในการขับเคลื่อนการทำงานของระบบ[10] แต่ตัวถังขยะไม่สามารถแยกประเภทขยะได้ อีกทั้งมีผลงานวิจัยถังขยะที่สามารถเก็บข้อมูลในรูปแบบออนไลน์โดยนำเซนเซอร์ตรวจจับการเคลื่อนไหวและใช้ข้อมูลแนะนำการทิ้งขยะให้ถูกต้องด้วยเสียง[11] เป็นข้อมูลการแนะนำตัวอย่างของขยะเท่านั้นไม่สามารถสร้างความเข้าใจในการแยกขยะได้ทั้งหมด

งานวิจัยนี้เป็นการจัดทำชุดสาธิตการเรียนรู้เรื่องการแยกขยะสำหรับผู้เรียนระดับชั้นมัธยมศึกษาตอนต้น โดยใช้เทคนิคการรับส่งข้อมูลผ่านทางสัญญาณความถี่ของคลื่นวิทยุ RFID (Radio Frequency Identification) ชุดสาธิตการเรียนรู้นี้ทำการจำลองถังขยะทั้งสี่ประเภท และจำลองขยะด้วยการ์ดรูปภาพที่ติดตั้งแท็ก NFC (Near Field Communication) RFID ซึ่งทำการส่งข้อมูลด้วยคลื่นความถี่วิทยุระยะใกล้ ควบคุมระบบโดยใช้โปรแกรม Arduino IDE บอร์ดไมโครคอนโทรลเลอร์ ESP32 สามารถเก็บข้อมูลได้ทันทีโดยการเชื่อมต่อระบบอินเทอร์เน็ตไร้สาย ส่งข้อมูลไปเก็บบนเคลือข่ายคลาวด์จึงสะดวกต่อการนำข้อมูลไปวิเคราะห์เพื่อประเมินผลการเรียนรู้ของเด็ก ระบบมีการแสดงผลผ่านทางเสียงและหน้าจอคอมพิวเตอร์ ชุดสาธิตการเรียนรู้นี้ผู้เรียนสามารถทำการทดลองได้ด้วยตนเอง หรือครูผู้สอนสามารถนำไปใช้เป็นอุปกรณ์ประกอบการสอนได้

2. การออกแบบระบบ

ชุดสาธิตการเรียนรู้การแยกขยะโดยใช้เทคนิคการส่งผ่านข้อมูลด้วยคลื่นวิทยุในระยะใกล้ NFC RFID ใช้คลื่นความถี่ 13.56 เมกะเฮิรตซ์ ใช้แหล่งจ่ายไฟฟ้ากระแสตรงขนาด 5 โวลต์ ใช้อุปกรณ์เชื่อมต่ออินเตอร์เน็ตไร้สายส่งสัญญาณผ่านคลื่นวิทยุความถี่ 2.4 กิกะเฮิรตซ์ ด้วยอัตราความเร็ว 300 ล้านบิตต่อวินาที การดำเนินงานของชุดสาธิตการเรียนรู้การแยกขยะนี้แบ่งเป็นสามส่วน ส่วนแรกคือส่วนของการออกแบบถังขยะ และโมเดลขยะ โดยทำการจำลองถังขยะทำมาจากวัสดุพลาสติกมีขนาด 90 x 102 x 130 มิลลิเมตร ดังแสดงในรูปที่ 1 ฝาถังสามารถเปิดปิดได้ ใช้สีตามประเภทของขยะแบ่งเป็น 4 ประเภท คือ ถังขยะทั่วไปตัวถังสีน้ำเงิน, ถังขยะอินทรีย์ ตัวถังสีเขียว, ถังขยะรีไซเคิลตัวถังสีเทา และ ถังขยะอันตรายตัวถังสีแดง จำลองขยะด้วยการ์ดรูปภาพขนาด 36 x 45 มิลลิเมตร จำนวน 40 แผ่น แบ่งเป็นประเภทละ 10 แผ่น โดยแต่ละแผ่นจะถูกระบุข้อมูลประเภทขยะที่ถูกต้องไว้ภายในแท็ก NFC RFID ที่ถูกนำไปติดตั้งไว้บนการ์ดรูปภาพ การดำเนินงานส่วนที่สองคือส่วนของการประมวลผล ชุดการเรียนรู้นี้ควบคุมการวัดโดยใช้ โปรแกรม Arduino IDE บอร์ดไมโครคอนโทรลเลอร์ที่เชื่อมต่อไปยังโมดูล PN532 NFC RFID จำนวน 4 ตัว ที่มีหน้าที่เป็นตัวอ่านรับ-ส่งข้อมูลซึ่งโมดูลนี้ถูกติดตั้งไว้บริเวณปากถังขยะ ดังแสดงในรูปที่ 4 ส่วนสุดท้ายส่วนของการแสดงผลชุดการเรียนรู้สามารถส่งข้อมูลผ่านอุปกรณ์เชื่อมต่ออินเตอร์เน็ตไร้สายเพื่อนำข้อมูลไปเก็บรวบรวมบนเคลือข่ายคลาวด์ ข้อมูลสามารถแสดงผลผ่านหน้าจอคอมพิวเตอร์และแสดงผลด้วยเสียงจากไฟล์เสียงที่ถูกบันทึกไว้ใน SD card ผ่านลำโพงที่ควบคุมโดย DF Player mini-MP3 ดังแสดงในรูปที่ 2

ขั้นตอนการทำงานของชุดการเรียนรู้การแยกขยะเริ่มต้นโดยการนำการ์ดรูปภาพที่ถูกติดตั้งแท็ก NFC RFID ที่ได้รับการระบุข้อมูลไว้แล้วไปสัมผัสบริเวณปากถังขยะเพียงหนึ่งประเภท โดยที่ภายในถังขยะได้ติดตั้งโมดูลPN532 NFC RFID ไว้เช่นดียวกัน ระบบทำการตรวจวัดความถูกต้องของประเภทของขยะโดยการส่งข้อมูลไปประมวลผลไปยังบอร์ดไมโครคอนโทรลเลอร์ หากถูกประเภทจะมีการแจ้งเป็นเสียงว่าทิ้งถูก และบอกประเภทของขยะที่ถูกต้องตามรูปของขยะ หรือหากผิดประเภทจะมีการแจ้งเป็นเสียงว่า ทิ้งผิด พร้อมบอกประเภทของขยะที่ถูกต้อง จากนั้นส่งข้อมูลไปเก็บไว้บนเคลือข่ายคลาวด์ผ่านทางอินเตอร์เน็ตและนำข้อมูลไปแสดงผลผ่านหน้าจอคอมพิวเตอร์เพื่อบันทักข้อมูลและสามารถนำไปทำการศึกษาวิเคราะห์ต่อไปได้

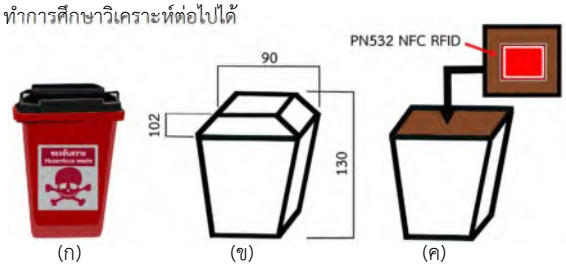

รูปที่ 1 การออกแบบถังขยะของชุดสาธิตการเรียนรู้
(ก)ถังขยะอันตราย (ข)ขนาดของถัง (ค)การติดตั้งโมดูลPN532 NFC RFID

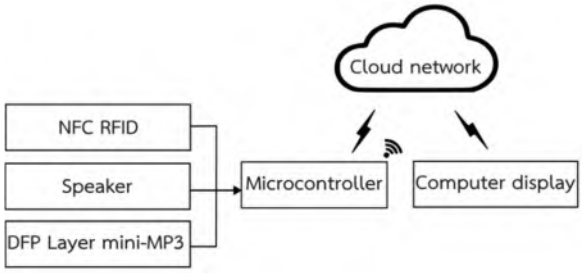

รูปที่ 2 ไดอะแกรมขั้นตอนการวัดโดยบอร์ดไมโครคอนโทรลเลอร์

3. การทดลอง

การทดลองเพื่อทดสอบประสิทธิภาพการทำงานของชุดสาธิตการเรียนรู้การแยกขยะโดยทำการทดสอบความแม่นยำและถูกต้องของการเก็บข้อมูล แบ่งออกเป็น 3 ส่วน

3.1 การทดสอบการเก็บข้อมูลบนเครือข่ายคลาวด์

การเก็บข้อมูลของชุดสาธิตการเรียนรู้ควบคุมการวัดโดยบอร์ดไมโครคอนโทรลเลอร์ สามารถเชื่อมต่อสัญญาณ Wi-Fi เข้ากับอุปกรณ์เชื่อมต่ออินเทอร์เน็ตไร้สาย ทำการบันทึกข้อมูลในรูปแบบออนไลน์ด้วย Google Sheets แสดงตารางข้อมูลของถังขยะทั้ง 4 ประเภท พร้อมทั้งระบุจำนวนขยะทั้งหมดที่ได้ทำการทดสอบเพื่อหาความถูกต้องในการเก็บข้อมูลดังแสดงในรูปที่ 3 ทดสอบโดยนำการ์ดรูปภาพจำนวน 8 แผ่น ที่ถูกระบุข้อมูลประเภทขยะที่แตกต่างกันทำการทดสอบกับถังขยะประเภทขยะอันตราย

Hazardous waste data				
Time stamp	Type of waste	Separate into the correct type	Total (correct type)	Total of waste
9/27/2024 20:18:41	Wet	0	0	1
9/27/2024 20:18:46	Hazardous	1	1	2
9/27/2024 20:18:53	Hazardous	1	2	3
9/27/2024 20:21:15	Recyclable	0	2	4
9/27/2024 20:21:19	Hazardous	1	3	5
9/27/2024 20:21:22	Recyclable	0	3	6
9/27/2024 20:21:28	Hazardous	1	4	7
9/27/2024 20:21:31	Wet	0	4	8

รูปที่ 3 การบันทึกข้อมูลของชุดการเรียนรู้การแยกขยะ

3.2 การทดสอบระยะห่างที่เครื่องสามารถรับข้อมูลได้

ทดสอบระยะห่างในการรับ-ส่งข้อมูลที่เครื่องสามารถอ่านข้อมูลได้ผ่านคลื่นวิทยุความถี่ต่ำจากแท็ก NFC RFID ที่ถูกติดตั้งไว้บนการ์ดรูปภาพมายังโมดูลPN532 NFC RFID ซึ่งถูกติดตั้งไว้บริเวณปากถังขยะ โดยนำการ์ดรูปมาสัมผัสบริเวณปากถังขยะเครื่องทำการอ่านข้อมูลที่ระบุประเภทขยะและส่งข้อมูลไปวิเคราะห์ การทดสอบระยะห่างใน 2 แนวการเคลื่อนที่

รูปที่ 4 การเตรียมชุดสาธิตการเรียนรู้เพื่อทำการทดสอบ

3.2.1 ระยะห่างที่เครื่องสามารถอ่านได้ในแนวดิ่ง

การทดสอบระยะห่างระหว่างแผ่นการ์ดรูปภาพกับบริเวณปากของถังขยะที่ชุดสาธิตการเรียนรู้สามารถอ่านข้อมูลได้ในแนวแกนดิ่งโดยเครื่องมือวัดเวอร์เนียร์คาลิปเปอร์มีค่าความละเอียด 0.02 มิลลิเมตร

3.2.2 ระยะห่างที่เครื่องสามารถอ่านได้ในแนวราบ

การทดสอบความสามารถในอ่านข้อมูลจากแผ่นการ์ดรูปภาพโดยนำแผ่นการ์ดรูปภาพวางลงบนปากของถังขยะทำการเคลื่อนที่ในแนวราบตำแหน่งตรงกลางและตำแหน่งมุมทั้งสี่ของปากถังขยะ

3.3 การทดสอบระยะเวลาของการรับข้อมูลเครื่อง

การตรวจสอบประเภทขยะของชุดการเรียนรู้นี้คือการนำการ์ดรูปภาพที่มีแท็กNFC RFID ไปสัมผัสบริเวณปากของถังขยะถูกติดตั้งโมดูล PN532 NFC RFID เพื่อทำการอ่านข้อมูลและนำผลไปวิเคราะห์ โดยการทดสอบใช้การ์ดรูปภาพทั้งสี่ประเภทรวมเป็นจำนวน 20 แผ่น การทดสอบระยะเวลาในการอ่านค่าของชุดสาธิตการเรียนรู้นี้แบ่งเป็น 2 กรณี

3.3.1 การเปลี่ยนแผ่นการ์ดรูปภาพขยะในการทดสอบ

การทดสอบระยะเวลาในการอ่านข้อมูลของโมดูลPN532 NFC RFID โดยใช้การ์ดรูปภาพขยะจำนวน 20 แผ่นกับถังขยะหนึ่งประเภท

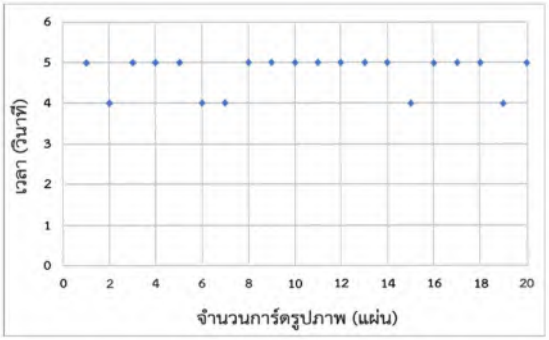

รูปที่ 5 การเปลี่ยนแผ่นการ์ดในการทดสอบ

3.3.2 การวางซ้ำการ์ดรูปภาพขยะแผ่นเดิม

การทดสอบระยะเวลาในการอ่านข้อมูลของโมดูลPN532 NFC RFID โดยใช้การ์ดรูปภาพขยะเพียงหนึ่งแผ่นวางซ้ำบนถังขยะประเภทเดียว

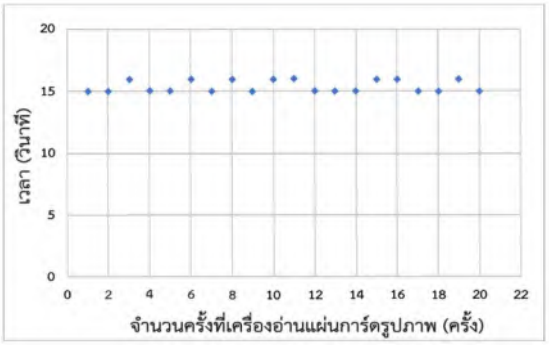

รูปที่ 6 การวางซ้ำการ์ดแผ่นเดิม

4. อภิปรายผล

ในส่วนแรกการทดสอบการเก็บข้อมูลบนเครือข่ายคลาวด์ระบบสามารถบันทึกข้อมูลในรูปแบบตารางระบุวันที่และเวลา ประเภทของขยะ จำนวนขยะที่ทิ้งถูกตามประเภทของถังขยะ ผลรวมขยะที่ทิ้งถูกทั้งหมด และจำนวนขยะที่นำมาทดลองทำการคัดแยกทั้งหมด ส่วนที่สองของการทดสอบเพื่อหาระยะห่างระหว่างแผ่นการ์ดรูปภาพกับบริเวณปากของถังขยะที่เครื่องสามารถอ่านค่าได้ โดยทำการทดสอบทั้งในแนวดิ่งและในแนวราบ ตารางที่ 1 แสดงข้อมูลจากการทดสอบระยะห่างในแนวดิ่ง เครื่องสามารถอ่านค่าได้ในระยะห่าง 0 – 20 มิลลิเมตร การทดสอบระยะห่างในแนวราบเครื่องสามารถอ่านค่าได้บริเวณตำแหน่งตรงกลางและบริเวณมุมทั้งสี่ของปากถังขยะ

ตารางที่ 1 ความสามารถของเครื่องในการทดสอบระยะห่างในแนวดิ่ง

ความสามารถของเครื่อง	ระยะห่างในแนวดิ่ง (มิลลิเมตร)																						
	0	1	2	3	4	5	6	7	8	9	10	11	12	13	14	15	16	17	18	19	20	21	22
เครื่องสามารถอ่านค่าได้	/	/	/	/	/	/	/	/	/	/	/	/	/	/	/	/	/	/	/	/	/		
เครื่องไม่สามารถอ่านค่าได้																						/	/

ส่วนที่สามการทดสอบประสิทธิภาพในการอ่านค่าของเครื่องโดยการเปลี่ยนแผ่นการ์ดในการทดสอบโดยใช้การ์ดรูปภาพขยะทั้งสี่ประเภท จำนวน 20 แผ่น ไม่ซ้ำแผ่นเดิมดังรูปที่ 5 กราฟแสดงความสัมพันธ์ระหว่างเวลาที่เครื่องสามารถอ่านค่าได้กับจำนวนครั้งของการเปลี่ยนการ์ดรูปภาพแผ่นใหม่ในการทดสอบ เครื่องสามารถทำการอ่านค่าจากการ์ดรูปภาพแผ่นใหม่ได้โดยคิดเป็นค่าเฉลี่ยเป็นเวลา 4.75 วินาที การทดสอบประสิทธิภาพในการอ่านค่าของเครื่องโดยการวางแผ่นรูปภาพเดิมซ้ำดังรูปที่ 6 เครื่องสามารถทำการอ่านค่าจากการ์ดรูปภาพแผ่นเดิมได้โดยคิดเป็นค่าเฉลี่ยเป็นเวลา 15.40 วินาที โดยระยะเวลาการอ่านค่าทั้งสองกรณีเป็นการใส่โค้ดของโปรแกรมเพื่อป้องกันการวางซ้ำของการ์ดรูปภาพ

5. สรุปผล

ชุดสาธิตการเรียนรู้เรื่องการแยกขยะโดยใช้เทคโนโลยีRadio Frequency Identification เป็นอุปกรณ์ที่นำไปใช้ประกอบการเรียนการสอนเรื่องการแยกขยะเพื่อให้นักเรียนสามารถแยกขยะได้ด้วยตนเอง ระยะห่างในการอ่านข้อมูลระหว่างปากถังขยะกับแผ่นการ์ดรูปภาพ ระยะในแนวดิ่งคือ 0 - 20 มิลลิเมตร สามารถอ่านค่าในแนวราบได้ทั้งในตำแหน่งตรงกลางและมุมทั้งสี่ของบริเวณปากถังขยะ เวลาในการอ่านข้อมูลจากการ์ดรูปภาพแผ่นใหม่ 4.75 วินาที และเวลาจากการอ่านข้อมูลจากการ์ดรูปภาพแผ่นเดิม 15.40 วินาที ชุดสาธิตการเรียนรู้นี้ผู้เรียนสามารถลงมือปฏิบัติจริงและใช้กระบวนการทางเทคโนโลยีมาช่วยในการเรียนรู้ และง่ายต่อการเก็บข้อมูลนำไปวิเคราะห์ การนำไปพัฒนาต่อในอนาคตโดยการเพิ่มจำนวนตัวอย่างขยะให้มากขึ้นเพื่อเพิ่มความเข้าใจให้ครอบคลุมขยะใช้จริงในชีวิตประจำวัน

6. กิตติกรรมประกาศ

ผู้เขียนขอขอบคุณ ผู้ช่วยศาสตราจารย์ ดร. ภาณุพล โขลนกระโทก อาจารย์ที่ปรึกษาวิทยานิพนธ์ที่ช่วยให้คำปรึกษาคำแนะนำในการทำวิจัย ขอบคุณอาจารย์ปิโยรส ขอนดอก อาจารย์ประจำโรงเรียนสาธิตแห่งมหาวิทยาลัยเกษตรศาสตร์ วิทยาเขตกำแพงแสน ฯ ที่ให้การปรึกษาการทำวิจัยด้านการศึกษา ขอบคุณคุณชวนนท์ มะโน นักวิทยาศาสตร์ คณะวิทยาศาสตร์ สจล. ที่ให้คำปรึกษาในด้านการทดสอบในงานวิจัย ขอบคุณคณะวิทยาศาสตร์ สถาบันเทคโนโลยีพระจอมเกล้าเจ้าคุณทหารลาดกระบังที่ให้การสนับสนุนอุปกรณ์และสถานที่ในการทำวิจัยครั้งนี้

เอกสารอ้างอิง

[1] กองจัดการกากของเสียและสารอันตราย กรมควบคุมมลพิษ กระทรวงทรัพยากรธรรมชาติและสิ่งแวดล้อม, “รายงานสถานการณ์สถานที่กำจัดขยะมูลฝอยชุมชนของประเทศไทยปี พ.ศ.2567,” [Online]. Available: https://www.pcd.go.th/Publication/35729/, 2567

[2] J.H. McMillan and J.F. Wergin, “Understanding and evaluating educational research,” 3rd ed Upper- Sanddle River New Jersey Pearson Education Inc., 2006

[3] มณีญา สุราช, “การวิจัยทางการศึกษา,” ตำราการวิจัยประกอบการสอนรายวิชาการวิจัยทางการศึกษา (Educational Research) คณะครุศาสตร์ มหาวิทยาลัยราชภัฏอุดรธานี, 2559

[4] Anthony Korwin and Ronald Jones, “Do Hands-On, Technology-Based Activities Enhance Learning by Reinforcing Cognitive Knowledge and Retention?,” Journal of technology education volume 1 No. 2, 1990

[5] รวมพร กะราลัย และคณะ, “การสร้างพฤติกรรมการคัดแยกขยะอย่างยั่งยืนด้วยแนวทางการจัดการเรียนรู้เชิงรุก (Active learning)

สำหรับนักเรียนชั้นประถมศึกษากรณีศึกษาโรงเรียนสวนลุมพินีเขตปทุมวัน," วารสารสิ่งแวดล้อมไทย ปีที่ 28 ฉบับที่ 1 (2567), 2567

[6] สำนักงานสภานโยบายการอุดมศึกษา วิทยาศาสตร์ วิจัยและนวัตกรรมแห่งชาติ (สอวช.), "มารู้จัก ทักษะ STEM มีติดตัวทำไม? สำคัญแค่ไหนต่อการพัฒนาประเทศ?," [Online]. Available: https://www.nxpo.or.th/th/8880, 2021

[7] วิชญาพร อ่อนปุย, "การพัฒนารูปแบบการจัดกิจกรรมการเรียนรู้ตามแนวคิดSTEM Education เพื่อส่งเสริมทักษะการคิดเชิงระบบของนักศึกษาสาขาวิชาการศึกษาปฐมวัย," KKU RESEARCH JOURNAL OF HUMANITIES AND SOCIAL SCIENCES (GRADUATE STUDIES) Vol. 7 NO. 3 (2019), 2562

[8] ดาวรถา วีระพันธ์ และ กมลมาศ วงษ์ใหญ่, "ผลการจัดกิจกรรมด้วยบอร์ดเกม เรื่อง คิด-คัด-แยก ร่วมกับกระบวนการ GPAS 5 Step เพื่อส่งเสริมทักษะกระบวนการคิด," วารสารบัณฑิตศึกษา มหาวิทยาลัยราชภัฏวไลยอลงกรณ์ ในพระบรมราชูปถัมภ์ ปีที่ 18 ฉบับที่ 2 (2024), 2567

[9] Renato Perotto Machado et al., "IoT Educational Framework Case Study: Devices as Things for Hands-on Collaboration," Journal of Engineering Education Transformations, Volume No. 37, 2024

[10] คมสันต์ พิทยาภรณ์ และคณะ, "การสร้างอุปกรณ์การสอนการคัดแยกขยะด้วยเทคโนโลยีRFID สำหรับนักเรียนชั้น ประถมศึกษา," Journal of Energy and Environment Technology 2021, 2564, หน้า 98-105

[11] Shrey Patel et al., "IoT-Enabled Smart Waste Management using Renewable Energy," Procedia Computer Science Volume 259, 2025, pp. 1973–1982.

[12] ณิชดนีย์ ธัญพรหิรัณย์ และ ชุติธารรัฐ อุตมะสิริเสน, "การพัฒนาต้นแบบระบบถังขยะไอโอทีและระบบจัดเก็บข้อมูลการทิ้งขยะแบบออนไลน์ของนักเรียนในโรงเรียนระดับประถมศึกษา," วารสารวิทยาศาสตร์และเทคโนโลยีหัวเฉียวเฉลิมพระเกียรติ ปีที่ 7 ฉบับที่ 1 (2021), 2564

ประวัติผู้เขียนบทความ
อัญญมณี ภัทรานนท์
นักศึกษาปริญญาโท ภาควิชาฟิสิกส์ประยุกต์
คณะวิทยาศาสตร์ สถาบันเทคโนโลยีพระจอมเกล้าเจ้าคุณทหารลาดกระบัง

การระบุตำแหน่งภายในอาคารโดยใช้ไมโครคอนโทรลเลอร์ ESP32 ในย่านความถี่ 2.4 GHz

Indoor Localization using an ESP32 Microcontroller Base on RSSI-Based Trilateration Technique in the 2.4 GHz Band

ปัญญา หันตุลา[1*] รังสรรค์ ทองทา[2] สนั่น จันทร์พรม[1] พุทธาวุฒิ ลีกุลธร[1] และ ธรรมกร ครองไตรภพ[1]

[1]สาขาวิศวกรรมคอมพิวเตอร์ คณะวิศวกรรมศาสตร์และเทคโนโลยี มหาวิทยาลัยเทคโนโลยีราชมงคลอีสาน panya.ha@rmuti.ac.th*

[2]สาขาวิชาวิศวกรรมโทรคมนาคม สำนักวิชาวิศวกรรมศาสตร์ มหาวิทยาลัยเทคโนโลยีสุรนารี tongta@sut.ac.th

บทคัดย่อ

บทความนี้นำเสนอการหาพิกัดตำแหน่งภายในอาคารด้วยเทคนิคการประมาณการระยะทางระหว่างเราเตอร์ WiFi กับไมโครคอนโทรลเลอร์ โดยพิจารณาจากตัวชี้วัดความแรงของสัญญาณในการสื่อสารแบบไร้สายที่รับได้จากเราเตอร์ WiFi (Received Signal Strength Indicator : RSSI) ในย่านความถี่ 2.4 GHz บอร์ดไมโครคอนโทรลเลอร์ ESP32 ทำหน้าที่รับสัญญาณและคำนวณหาพิกัดตำแหน่ง มีการใช้ตัวกรองสัญญาณด้วย Kalman Algorithm เพื่อกรองค่า RSSI ที่รับได้ ลดความแปรปรวนของข้อมูลก่อนนำไปคำนวณหาระยะทาง รวมถึงในงานวิจัยนี้ได้ออกแบบสมการคำนวณระยะทางจากความแรงของสัญญาณ WiFi ผ่านตัวชี้วัดความแรงของสัญญาณ (RSSI) ด้วยเทคนิคการหาเส้นโค้งของสมการที่เหมาะสม (Curve fitting) ในรูปแบบของฟังก์ชันลอการิทึม จากนั้นนำระยะทางระหว่างไมโครคอนโทรลเลอร์ ESP32 กับเราเตอร์ WiFi อ้างอิงอย่างน้อย 3 ตัว มาคำนวณหาค่าพิกัดตำแหน่งด้วยใช้วิธีการ Trilateration การทดสอบหาตำแหน่งพิกัดภายในอาคารในทางปฏิบัติ งานวิจัยนี้จำลองการทำสอบและการใช้งานจริงในพื้นที่ขนาด 3x3 เมตร พบว่าสามารถหาพิกัดตำแหน่งในพื้นที่ที่กำหนดได้ โดยมีความคลาดเคลื่อนสูงสุด ± 0.6 เมตร หรือคิดเป็น 46.53% ทั้งนี้เนื่องจากความแรงสัญญาณ WiFi ที่รับได้มีความอ่อนไหวต่อสัญญาณรบกวนมาก ทำให้ค่าตำแหน่งพิกัดที่คำนวณได้มีค่าไม่แน่นอนและมีค่าความผิดพลาดเกิดขึ้น

คำสำคัญ: ระบบระบุตำแหน่งภายในอาคาร , ไมโครคอนโทรลเลอร์ ESP32 , เราเตอร์ Wi-Fi

Abstract

This paper presents an indoor localization method based on distance estimation between an ESP32 node device and Wi-Fi routers using the Received Signal Strength Indicator (RSSI). The method operates in the 2.4 GHz frequency band. An ESP32 microcontroller is used to receive RSSI values, process the data, and calculate its own position. To reduce variability and uncertainty in RSSI measurements, a Kalman filter algorithm is applied for signal smoothing. In this study, a mathematical model for distance estimation was developed by applying a logarithmic function curve-fitting technique to calculate a distance. The distance between ESP32 and 3 Wi-Fi routers with different reference position were used in a trilateration algorithm to determine the device's position coordinates.

Experimental evaluation was conducted within a simulated 3 × 3 meter indoor environment. The results demonstrate that the proposed system can estimate its position with a maximum error of ±0.6 meters, corresponding to a 46.53% from the reference position. This error is due to the sensitivity of RSSI measurements to environmental noise and multipath interference, resulting in uncertainty in the calculated position coordinates.

Keywords: Indoor Localization , ESP32 Microcontroller , Wi-Fi Router 2.4 GHz

1. บทนำ

การระบุตำแหน่งภายในอาคารเป็นเทคโนโลยีมีความสำคัญและมีการประยุกต์ใช้งานที่หลากหลาย เช่น การติดตามทรัพย์สินภายในห้องสำนักงาน การนำทางคนหรือหุ่นยนต์ภายในอาคาร เป็นต้น การอ้างอิงตำแหน่งภายในอาคาร (Indoor Location Services) มีความแตกต่างจากการระบุตำแหน่งกลางแจ้งที่ใช้ระบบการกำหนดตำแหน่งบนโลก (GPS) ซึ่งรับสัญญาณจากดาวเทียมที่อยู่เหนือโลก แต่ในสภาพแวดล้อมที่ต้องการระบุตำแหน่งภายในอาคารกลับมีข้อจำกัดเป็นอย่างมาก เนื่องจากภายในอาคารมีการลดทอนสัญญาณดาวเทียมซึ่งเกิดจากสิ่งกีดขวางต่าง ๆ จนไม่สามารถรับสัญญาณได้ ส่งผลให้ระบบ GPS ไม่สามารถระบุพิกัดตำแหน่งในอาคารได้

ในปัจจุบันได้มีงานวิจัยที่เกี่ยวข้องกับการพัฒนาเทคโนโลยีในการระบุตำแหน่งภายในอาคารอย่างหลากหลาย ได้แก่ Wi-Fi, Bluetooth Low Energy (BLE), Ultra-Wideband (UWB), Radio-Frequency Identification (RFID) และอื่นๆ [1] [2] แต่เนื่องจากได้มีการใช้เทคโนโลยี Wi-Fi ในย่านความถี่ 2.4 GHz อย่างมาก อีกทั้งบางสถานที่ยังมีระบบ Router WiFi เป็นโครงสร้างพื้นฐานรองรับภายในอาคารอยู่แล้ว ทางผู้วิจัยจึงเล็งเห็นถึงแนวทางในการนำเทคโนโลยี Wi-Fi มาประยุกต์ใช้งานในระบุการตำแหน่งภายในอาคาร เนื่องด้วยมีต้นทุนติดตั้งที่ต่ำและสามารถใช้งานร่วมกับอุปกรณ์ผู้บริโภคทั่วไปได้อีกด้วย

งานวิจัยนี้นำเสนอระบบระบุตำแหน่งภายในอาคารโดยใช้เทคนิคการประมาณการระยะทางระหว่างเราเตอร์ WiFi กับไมโครคอนโทรลเลอร์

* ปัญญา หันตุลา
ผู้ประพันธ์บรรณกิจ

ESP32 โดยพิจารณาจากตัวชี้วัดความแรงของสัญญาณในการสื่อสารแบบไร้สายที่รับได้จากเราเตอร์ WiFi (Received Signal Strength Indicator : RSSI) ในย่านความถี่ 2.4 GHz [3] – [6] ไมโครคอนโทรลเลอร์ ESP32 ใช้ในการรับสัญญาณและประมวลผลหาพิกัดตำแหน่ง แล้วคำนวณพิกัดตำแหน่งด้วยอัลกอริทึมที่ใช้เทคนิคการคำนวณพิกัดด้วยวิธี Trilateration เพื่อหาตำแหน่งของ ESP32 ภายในสภาพแวดล้อมในอาคาร [9]

2. ทฤษฎีที่เกี่ยวข้อง

2.1 ตัวชี้วัดความแรงของสัญญาณในการสื่อสารแบบไร้สายที่รับได้จากเราเตอร์ WiFi

ตัวชี้วัดความแรงของสัญญาณในการสื่อสารแบบไร้สายที่รับได้จากเราเตอร์ WiFi (Received Signal Strength Indicator : RSSI) คือ ดัชนีที่ใช้วัดความแรงสัญญาณคลื่นความถี่วิทยุ (RF Signal) ที่รับได้ มีหน่วยเป็น dBm (decibels milliwatt) โดยปกติจะแสดงเป็นค่าลบ ซึ่งถ้าหากมีค่าที่ใกล้ 0 จะบ่งบอกถึงสัญญาณที่ดี ค่า RSSI มักถูกนำไปใช้งานในการหาตำแหน่งติดตั้งอุปกรณ์กระจายสัญญาณไร้สายในตำแหน่งที่เหมาะสม เพื่อให้มีประสิทธิภาพในการกระจายสัญญาณได้สูงสุด ค่า RSSI จะแปรผกผันกับระยะทางระหว่างเครื่องรับและเครื่องส่ง กล่าวคือ ค่า RSSI จะลดลงเมื่อระยะทางเพิ่มมากขึ้นตามลักษณะของโมเดลการสูญเสียสัญญาณแบบลอการิทึม (Logarithmic Path-Loss Model) ซึ่งเกิดจากการสูญเสียในอากาศและสภาพแวดล้อมรอบข้าง

จากสมการที่ (1) คือ สมการคำนวณการสูญเสียในอากาศหรือ Free space path loss (FSPL) โดยการสูญเสียจะแปรผันตรงกับระยะทาง นั้นคือ การสูญเสียในอากาศจะเพิ่มขึ้นเมื่อระยะทางเพิ่มขึ้น และสมการที่ (2) คือ สมการ Friis's Transmission ใช้ในการคำนวณหากำลังของสัญญาณวิทยุที่ภาครับ (P_{rx}) โดยกำลังที่ภาครับสัญญาณในหน่วย dB ที่รับได้จะแปรผกผันกับระยะทางเช่นเดียวกันกับสมการที่ (1) กล่าวคือ เมื่อระยะทางเพิ่มขึ้นความแรงสัญญาณที่ภาครับ (P_{rx}) จะลดลง

$$FSPL\ (dB) = 10log\left(\frac{4\pi d}{\lambda}\right)^2 \quad (1)$$

$$P_{rx}(dB) = P_{tx} + G_{rx} + G_{tx} - 20log\left[\frac{4\pi d}{\lambda}\right] \quad (2)$$

เมื่อ P_{rx} คือ กำลังที่ภาครับสัญญาณ
P_{tx} คือ กำลังที่ภาคส่งสัญญาณ
G_{rx} คือ อัตราขยายของสายอากาศที่ภาครับ
G_{tx} คือ อัตราขยายของสายอากาศที่ภาคส่ง
d คือ ระยะห่างระหว่างภาครับและภาคส่ง
λ คือ ความยาวคลื่น

2.2 การคำนวณระยะทางจากค่ากำลังงานสัญญาณ WiFi

จากสมการที่ (2) เราสามารถคำนวณกำลังงานของสัญญาณวิทยุที่ภาครับได้ โดยจะเห็นได้ว่าความแรงของสัญญาณที่ภาครับ (P_{rx}) จะลดลงเมื่อระยะทางเพิ่มมากขึ้น ดังนั้นในงานวิจัยนี้จึงใช้คุณสมบัติดังกล่าวในการพัฒนาเป็นอัลกอริทึมประมาณการระยะทางระหว่างภาครับและภาคส่ง โดยข้อมูลที่ความสำคัญในการสร้างอัลกอริทึม ได้แก่ ตัวชี้วัดความแรงของสัญญาณ (RSSI) และ ระยะห่างระหว่างภาครับและภาคส่ง (d) ซึ่งจำเป็นต้องเก็บข้อมูลในสภาพแวดล้อมจริงเพื่อวัดค่ากำลังงานของสัญญาณ WiFi ที่ภาครับที่ระยะห่างระยะต่างๆ จากนั้นนำข้อมูลที่ได้มาสร้างสมการคำนวณระยะทางด้วยวิธีการหาเส้นโค้งของสมการที่เหมาะสม (Curve fitting) กล่าวคือ การหาฟังก์ชันเส้นโค้งที่สามารถแสดงแนวโน้มของความสัมพันธ์ของชุดข้อมูลระยะทาง (d) และความแรงของสัญญาณ WiFi ที่ภาครับ (P_{rx}) ได้อย่างเหมาะสมตลอดช่วงของชุดข้อมูล โดยจะพบว่าสมการของเส้นโค้งที่ได้จะมีความไม่เป็นเชิงเส้น (nonlinear curve fitting) ซึ่งจะจัดอยู่ในรูปของฟังก์ชันลอการิทึม [7] [8] ซึ่งเป็นอินเวอร์สของฟังก์ชันเอกซ์โพเนนเชียล ซึ่งสอดคล้องกับลักษณะของโมเดลการสูญเสียสัญญาณแบบลอการิทึมในสมการที่ (1)

จากสมการที่ (3) คือ สมการของเส้นโค้งที่ใช้ในการคำนวณเส้นแนวโน้มของเอาต์พุตในการคำนวณระยะทาง โดยให้ x คือระยะทาง และ y คือ ค่า RSSI ของสัญญาณ WiFi ที่ภาครับ พบว่าค่าระยะทางที่เพิ่มขึ้นทำให้ตัวชี้วัดความแรงของสัญญาณ (RSSI) ลดลงอย่างรวดเร็ว สอดคล้องกับสมการของการสูญเสียในอากาศ หรือ Free space path loss (FSPL)

$$y = a + b * ln(x) \quad (3)$$

โดยกำหนด a และ b คือ ค่าสัมประสิทธิ์ของสมการส้นโค้งความสัมพันธ์ของระยะทางและตัวชี้วัดความแรงของสัญญาณ (RSSI) ภาครับ ซึ่งสามารถคำนวณได้จาก

$$a = \frac{\sum_{i=1}^{n}\left(y_i - b\right)\cdot\sum_{i=1}^{n}\ln\left(x_i\right)}{n} \quad (4)$$

$$b = \frac{n\sum_{i=1}^{n}\left(y_i\cdot\ln(x_i)\right) - \left[\left(\sum_{i=1}^{n}y_i\right)\left(\sum_{i=1}^{n}\ln(x_i)\right)\right]}{n\sum_{i=1}^{n}\left(\ln(x_i)\right)^2 - \left(\sum_{i=1}^{n}\ln(x_i)\right)^2} \quad (5)$$

ในขั้นตอนการทำ Curve fitting ได้มีการเก็บข้อมูลเพื่อนำมาหาสมการความสัมพันธ์ อย่างไรก็ตามการทำ Curve fitting อาจมีค่าคลาดเคลื่อนได้ ดังนั้นจำเป็นต้องมีการตรวจสอบค่าความสัมพันธ์ของตัวแปรสองตัว ด้วยการตรวจสอบค่าตัวแบบการถดถอยเชิงเส้น (Linear Regression Model) โดยการคำนวณค่าทางสถิติ นั้นคือ ค่า R^2 (R-Squared) คือ ความสัมพันธ์ระหว่างตัวแปรทำนายหรือตัวแปรอิสระ (ระยะทาง) และตัวแปรตอบสนอง (ตัวชี้วัดความแรงของสัญญาณ (RSSI)) ซึ่งค่า R-Squared จะบ่งบอกว่าสมการฟังก์ชันลอการิทึมนั้นเหมาะสมและสามารถนำไปใช้งานได้หรือไม่ โดยค่า R-squared จะมีค่าอยู่ระหว่าง 0 ถึง 1 หากค่า R-squared เข้าใกล้ 1 แสดงให้เห็นถึงตัวแปรทั้งสองตัวมีความสัมพันธ์กันสูง และโดยทั่วไปควรพิจารณาสมการที่จะนำมาใช้งานจะต้องมีค่า R-squared ตั้งแต่ 0.6 ขึ้นไป สามารถหาค่า R-squared ได้จากสมการที่ (6)

$$r^2 = \frac{\sqrt{\sum_{i=0}\left(x_i - \bar{x}\right)\left(y_i - \bar{y}\right)}}{\sqrt{\sum_{i=0}\left(x_i - \bar{x}\right)^2\left(y_i - \bar{y}\right)^2}} \quad (6)$$

3. การคำนวณพิกัดตำแหน่งภายในอาคารด้วยวิธี Trilateration

การคำนวณพิกัดตำแหน่งภายในอาคารด้วยวิธี Trilateration เป็นเทคนิคเชิงเรขาคณิตที่ใช้ในการหาพิกัดของวัตถุที่ต้องการทราบในพื้นที่สองมิติ [9] การหาพิกัดของวัตถุจะพิจารณาจากการหาระยะทางโดยการอ้างอิงพิกัดตำแหน่งอ้างอิงที่ชัดเจนอย่างน้อย 3 จุด ดังรูปที่ 1

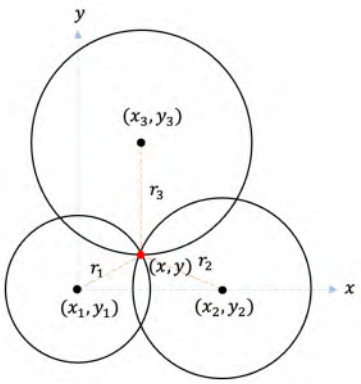

รูปที่ 1 แสดงการหาพิกัดของวัตถุด้วยวิธี Trilateration

ตัวอย่างการหาพิกัดของวัตถุด้วยวิธี Trilateration จากตำแหน่งอ้างอิง 3 ตำแหน่ง แสดงดังรูปที่ 1 สามารถคำนวณหาระยะทางของวัตถุได้จากการเทียบกับตำแหน่งอ้างอิงแต่ละตำแหน่งดังนี้

$$r_1 = \sqrt{(x - x_1)^2 + (y - y_1)^2} \quad (7)$$

$$r_2 = \sqrt{(x - x_2)^2 + (y - y_2)^2} \quad (8)$$

$$r_3 = \sqrt{(x - x_3)^2 + (y - y_3)^2} \quad (9)$$

ผลลัพธ์ของการหาระยะทางเทียบกับพิกัดอ้างอิงทั้ง 3 ตำแหน่ง จะได้จุดตัดวงกลมที่สัมพันธ์กันทั้ง 3 จุดดังรูปที่ 1 ดังนั้นจากสมการ (7) , (8) และ (9) สามารถนำมาจัดรูปสมการใหม่เพื่อให้ได้สมการหาพิกัดตำแหน่งของวัตถุที่ต้องการทราบ (x, y) ได้ดังนี้

$$x = \frac{x_2^2 + r_1^2 - r_2^2}{2x_2} \quad (10)$$

$$y = \frac{x_3^2 + y_3^2 + r_1^2 - r_3^2 - 2xx_3}{2y_3} \quad (11)$$

จากสมการที่ (10) และ (11) คือ สมการหาพิกัดตำแหน่งของวัตถุที่ต้องการทราบ (x, y) โดยมีพารามิเตอร์ที่สำคัญในการคำนวณคือระยะทางของวัตถุเทียบกับตำแหน่งอ้างอิงทั้ง 3 ตำแหน่ง ซึ่งค่าระยะทางที่จะนำมาใช้ในการคำนวณจะถูกประมาณการจากการคำนวณระยะทางจากความแรงของสัญญาณ WiFi ด้วยตัวชี้วัดความแรงของสัญญาณ (RSSI)

4. การติดตั้งอุปกรณ์สำหรับการทดสอบระบบการระบุตำแหน่งภายในอาคาร

ในงานวิจัยนี้ใช้เราเตอร์ Wi-Fi Router D-LINK (DIR-809) Wireless AC750 Dual Band เป็นอุปกรณ์เพื่อนำมาทดสอบระบบ ในขั้นแรกผู้วิจัยทำการทดสอบระยะการกระจายสัญญาณของเราเตอร์ Wi-Fi ที่ใช้ โดยการใช้บอร์ดไมโครคอนโทรลเลอร์ ESP32 รับสัญญาณของจากเราเตอร์ Wi-Fi โดยการพิจารณาขนาดของสัญญาณที่รับได้จากตัวชี้วัดความแรงของสัญญาณ (RSSI) หากขนาดความแรงของสัญญาณ WiFi ที่รับได้ มีความแรงสูง จะส่งผลทำให้ค่า RSSI มีค่าเข้าใกล้ 0 และค่า RSSI จะลดน้อยลงเมื่อขนาดความแรงของสัญญาณ WiFi ลดลง ดังนั้น ผู้วิจัยได้เขียนโปรแกรมบอร์ดไมโครคอนโทรลเลอร์ ESP32 เพื่อเชื่อมต่อกับเราเตอร์และบันทึกค่า RSSI ที่ระยะต่างๆ โดยใช้ตัวกรอง Kalman filter ในการกรองค่า RSSI ที่รับได้ เพื่อลดสัญญาณความแปรปรวนที่เกิดขึ้นในขณะรับสัญญาณจากเราเตอร์ Wi-Fi โดยกำหนดค่าเริ่มต้นค่า X(t), P(t), Q และ R ตัวกรอง Kalman filter [6] แสดงดังรูปที่ 2

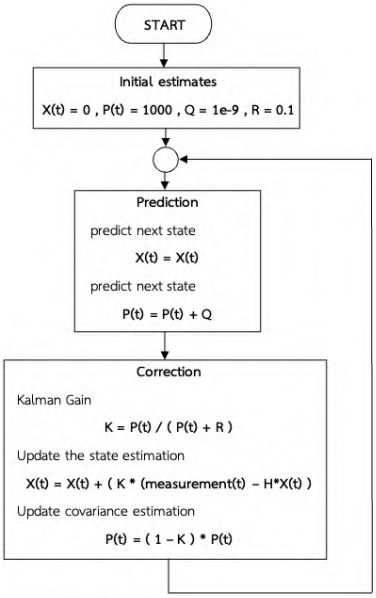

รูปที่ 2 แสดงการทำงานของ Kalman Filter

จากนั้นนำข้อมูลค่า RSSI ที่ระยะต่างๆ มาสร้างสมการคำนวณระยะทางด้วยวิธีการหาเส้นโค้งของสมการที่เหมาะสม (Curve fitting) ในรูปของฟังก์ชันลอการิทึม โดยจะแสดงแนวโน้มของความสัมพันธ์ของชุดข้อมูล 2 ตัวแปร นั้นคือ ข้อมูลระยะทาง (d) และค่ากำลังงานของสัญญาณที่ภาครับ (P_{rx}) หรือค่า RSSI ผลลัพธ์จากสมการที่ได้ คือ ข้อมูลประมาณการระยะทาง (d) ซึ่งเป็นระยะห่างระหว่างบอร์ดไมโครคอนโทรลเลอร์ ESP32 รับสัญญาณกับเราเตอร์ Wi-Fi สามารถนำไปคำนวณหาพิกัดตำแหน่งในระบบระบุพิกัดตำแหน่งได้

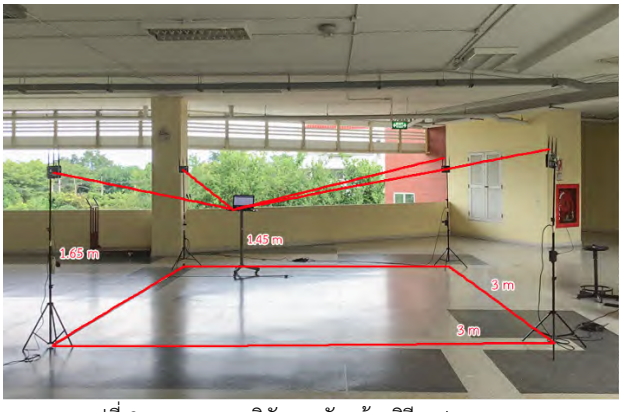

รูปที่ 3 แสดงการหาพิกัดของวัตถุด้วยวิธี Trilateration

การจำลองสภาพแวดล้อมในงานวิจัยนี้ทำโดยการสร้างพื้นที่ทดสอบภายในอาคารขนาด 3x3 เมตร ภาพการจำลองการทดสอบดังแสดงในรูปที่ 2 ในงานวิจัยนี้ใช้เราเตอร์ Wi-Fi ติดตั้งสูงจากพื้นความสูง 1.65 เมตร ทั้งหมด 4 ตัว และกำหนดให้เราเตอร์แต่ละตัวใช้ช่องสัญญาณที่ 2,4,6 และ 8 ตามลำดับ เพื่อไม่ให้เกิดการแทรกสอดของช่องสัญญาณ รวมถึงให้เราเตอร์ Wi-Fi กระจายสัญญาณด้วยกำลังส่งสูงสุด

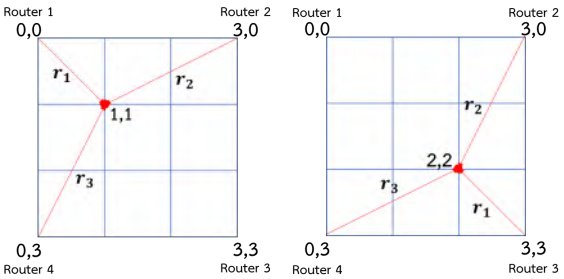

รูปที่ 4 แสดงการเลือกเชื่อมต่อเราเตอร์แต่ละตัวเพื่อนำมาคำนวณเป็นพิกัดตำแหน่งที่พิกัด (1,1) และ (2,2)

การวางตำแหน่งของเราเตอร์ Wi-Fi ทั้ง 4 ตัว มาวางไว้ที่พิกัด (0,0) (3,0) (3,3) และ (0,3) ตามลำดับ ดังแสดงในรูปที่ 4 แต่เนื่องด้วยในงานวิจัยนี้ใช้เราเตอร์ Wi-Fi ทั้งหมด 4 ตัว แต่อัลกอริทึมการคำนวณพิกัดตำแหน่งภายในอาคารด้วยวิธี Trilateration ใช้การอ้างอิงพิกัดตำแหน่งเพียง 3 ตำแหน่ง ดังนั้นในการคำนวณพิกัดตำแหน่งในแต่ละรอบจึงเลือกคำนวณพิกัดตำแหน่งพิจารณาเราเตอร์ Wi-Fi ที่อยู่ใกล้กับบอร์ดไมโครคอนโทรลเลอร์ ESP32 (จุดที่ต้องการหาพิกัดตำแหน่ง) โดยการพิจารณาจากค่า RSSI ที่สูงที่สุด 3 ตัวแรก ตัวอย่างการเลือกการเชื่อมต่อเราเตอร์ Wi-Fi ดังแสดงในรูปที่ 4

5. สรุปผลการทดสอบงานวิจัย

5.1 สรุปผลการทดสอบและวิเคราะห์ค่าสัญญาณ RSSI

ในการทดสอบและวิเคราะห์ค่าสัญญาณ RSSI ในงานวิจัยนี้ ทดสอบโดยใช้บอร์ดไมโครคอนโทรลเลอร์ ESP32 รับสัญญาณของจากเราเตอร์ Wi-Fi โดยการพิจารณาขนาดของสัญญาณที่รับได้จากตัวชี้วัดความแรงของสัญญาณ (RSSI) ในการทดสอบภาคสนามจะทดสอบวัดสัญญาณ WiFi ที่ระยะตั้งแต่ 0.3 ถึง 10 เมตร ห่างกันจุดละ 1 เมตร รวมทั้งหมด 11 จุด แต่ละจุดเก็บค่า RSSI จำนวน 200 ค่า แล้วจึงนำมาหาค่าเฉลี่ย ผลการทดสอบค่าความแรงสัญญาณ RSSI ของเราเตอร์ Wi-Fi ทั้ง 4 มีค่าความแรงที่ใกล้เคียงกัน นั้นแสดงให้เห็นว่าเราเตอร์ Wi-Fi ทั้งหมดสามารถใช้สมการคำนวณระยะทางด้วยวิธีการหาเส้นโค้งของสมการที่เหมาะสม (Curve fitting) ในรูปของฟังก์ชันลอการิทึมเดียวกันได้ จากผลการทดสอบพบว่าค่า RSSI ที่รับได้ มีความแปรปรวนค่อนข้างสูง เนื่องจากสภาพแวดล้อมภายนอกมีผลกระทบต่อการรับสัญญาณของบอร์ดไมโครคอนโทรลเลอร์ ESP32 ดังนั้นในงานวิจัยนี้จึงนำตัวกรอง Kalman Filter กรองสัญญาณ RSSI ที่รับได้ ทำให้มีความเสถียรมากยิ่งขึ้น

5.2 สรุปการวิเคราะห์และการคำนวณระยะทาง

ผลการทดสอบค่าตัวชี้วัดความแรงของสัญญาณ WiFi (RSSI) เทียบกับค่าทางทฤษฎีที่ระยะทางต่างๆ แสดงในรูปที่ 7 พบว่าค่ากำลังงานของสัญญาณ WiFi ที่บอร์ดไมโครคอนโทรลเลอร์ ESP32 สามารถรับได้มีค่าใกล้เคียงกับค่าทางทฤษฎีที่คำนวณจากสมการ (2) นั้นแสดงให้เห็นว่าสามารถนำค่าตัวชี้วัดความแรงของสัญญาณ WiFi (RSSI) มาคำนวณระยะทางและหาพิกัดตำแหน่งภายในอาคารได้

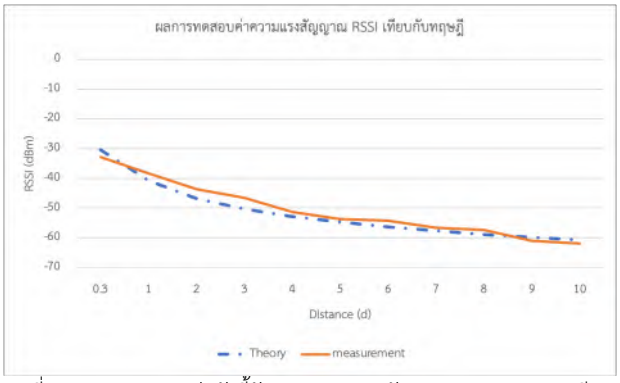

รูปที่ 7 ผลการทดสอบค่าตัวชี้วัดความแรงของสัญญาณ WiFi (RSSI) เทียบกับค่าทางทฤษฎี

งานวิจัยนี้จึงได้นำค่าตัวชี้วัดความแรงของสัญญาณ WiFi (RSSI) ที่ได้จากการวัดสัญญาณด้วยบอร์ดไมโครคอนโทรลเลอร์ ESP32 สร้างสมการคำนวณระยะทางด้วยวิธีการหาเส้นโค้งของสมการที่เหมาะสมในรูปของฟังก์ชันลอการิทึม ดังสมการที่ (3) โดยใช้ตัวอย่างข้อมูลของค่า RSSI ของเราเตอร์ Wi-Fi ตัวที่ 1 สามารถคำนวณค่าหาสัมประสิทธิ์โค้งของสมการ ได้แก่ a = -40.163 และ b = -5.246 ดังนั้นเราจะสามารถนิยามสมการคำนวณระยะทางได้ดังนี้

$$P_{rx}(dB) = -5.246\ln(d) - 40.163 \quad (12)$$

หรือ

$$d = e^{-\left(P_{rx}(dB) + \frac{40.163}{5.246}\right)} \quad (13)$$

จากสมการที่ (13) คือ สมการฟังก์ชันลอการิทึมในการคำนวณหาระยะทางระหว่างเราเตอร์ Wi-Fi และบอร์ดไมโครคอนโทรลเลอร์ ESP32 ค่า R-squared หรือ R^2 = 0.765 โดยพิจารณาจากค่ากำลังงานของสัญญาณที่ภาครับ (P_{rx}) หรือ RSSI

5.3 สรุปผลการทดสอบการหาตำแหน่งพิกัดภายในอาคาร

ผู้วิจัยได้พัฒนาอัลกอริทึมในการคำนวณหาตำแหน่งพิกัดภายในอาคาร โดยได้จำลองสภาพแวดล้อมเป็นพื้นที่สี่เหลี่ยมขนาด 3x3 เมตร ใช้เราเตอร์ Wi-Fi ทั้งหมด 4 ตัว ติดตั้งที่ความสูงเดียวกัน วางในตำแหน่งพิกัดดังรูปที่ (3) แล้วทำการทดสอบหาพิกัดตำแหน่งโดยนำบอร์ดไมโครคอนโทรลเลอร์ ESP32 วางไว้ในพื้นที่ที่กำหนด แล้วคำนวณค่าพิกัดตำแหน่งของบอร์ด ESP32 ซึ่งจะทำการเก็บข้อมูลทั้งหมด 100 ครั้ง จากนั้นนำค่าพิกัดตำแหน่งที่คำนวณได้มาหาค่าเฉลี่ยหาค่ากลางของพิกัดตำแหน่ง (x, y) โดยผลการทดสอบแสดงดังตารางที่ 1

ตารางที่ 1 แสดงผลการทดสอบการหาค่าพิกัดตำแหน่งภายในอาคาร

พิกัดตำแหน่ง				ค่าคาดเคลื่อน (%)	
ค่าจริง		ผลจากการทดลอง			
X	Y	X	Y	X	Y
1	1	1.33	1.26	33.24	26.46
2	1	1.31	2.12	30.72	6.23
2	2	2.24	1.47	12.195	46.53
1	2	2.55	2.84	27.515	41.83

จากผลการทดสอบงานวิจัยจะเห็นได้ว่าบอร์ดไมโครคอนโทรลเลอร์ ESP32 สามารถหาพิกัดตำแหน่งของตัวเองภายในพื้นที่ที่กำหนดได้ โดยการรับสัญญาณจากเราเตอร์ Wi-Fi อ่านค่าตัวชี้วัดความแรงของสัญญาณ WiFi (RSSI) แล้วคำนวณหาระยะห่างระหว่างบอร์ดไมโครคอนโทรลเลอร์ ESP32 และเราเตอร์ Wi-Fi จากนั้นนำระยะทางที่ได้มาคำนวณหาพิกัดตำแหน่ง (x, y) ภายในอาคาร จากผลการทดสอบพบว่าพิกัดตำแหน่งที่ได้จากการคำนวณด้วยบอร์ด ESP32 มีความคลาดเคลื่อนค่อนข้างสูง โดยมีความคลาดเคลื่อนสูงสุด ± 0.6 เมตร หรือคิดเป็น 46.53% เนื่องจากการส่งสัญญาณระหว่างเราเตอร์ Wi-Fi และไมโครคอลโทรลเลอร์ ESP32 มีความอ่อนไหวต่อสัญญาณรบกวนมาก จึงทำให้ค่าตำแหน่งพิกัดที่คำนวณได้มีค่าไม่แน่นอนและมีค่าความผิดพลาดเกิดขึ้น

6. สรุป

ในบทความนี้นำเสนอการหาพิกัดตำแหน่งภายในอาคาร ด้วยเทคนิคการประมาณการระยะทางจากค่าตัวชี้วัดความแรงของสัญญาณ WiFi (RSSI) ที่รับได้จาก Wi-Fi Router ในย่านความถี่ 2.4 GHz บอร์ดไมโครคอนโทรลเลอร์ ESP32 ทำหน้าที่รับสัญญาณและคำนวณหาพิกัดตำแหน่ง มีการใช้ตัวกรองสัญญาณด้วย Kalman Algorithm เพื่อกรองค่า RSSI ของสัญญาณ WiFi ที่รับได้ ลดความแปรปรวนของข้อมูลก่อนนำไปคำนวณ หาระยะทางด้วยกระบวน Curve Fitting ในรูปของฟังก์ชันลอการิทึม เพื่อใช้ในการคำนวณระยะทางระหว่างเราเตอร์ WiFi และบอร์ดไมโครคอนโทรลเลอร์ ESP32 จากผลการทดสอบพบว่าสมการการคำนวณระยะทางที่ออกแบบได้ มีค่า R-squared (R^2)= 0.765 รวมถึงผลการทดสอบค่ากำลังงานของเราเตอร์ WiFi มีค่าใกล้เคียงกับค่าทางทฤษฎีอย่างเห็นได้ชัด การคำนวณหาค่าพิกัดตำแหน่งภายในอาคารสามารถคำนวณด้วยวิธี Trilateration เป็นเทคนิคเชิงเรขาคณิตที่ในการหาพิกัดของวัตถุที่ต้องการทราบในพื้นที่สองมิติ

การทดสอบหาตำแหน่งพิกัดภายในอาคารได้จำลองสภาพแวดล้อมในพื้นที่ขนาด 3x3 เมตร พบว่าบอร์ดไมโครคอนโทรลเลอร์ ESP32 สามารถหาพิกัดตำแหน่งของตัวเองภายในพื้นที่ที่กำหนดได้ โดยมีความคลาดเคลื่อนสูงสุด ± 0.6 เมตร หรือคิดเป็น 46.53% สาเหตุเนื่องจากบอร์ดไมโครคอลโทรลเลอร์ ESP32 มีความอ่อนไหวต่อสัญญาณรบกวนมาก รวมถึงเมื่อมีสิ่งกีดขวางระหว่างอุปกรณ์ทั้งสองทำให้มีค่าความผิดพลาดมากยิ่งขึ้น ส่งผลทำให้ค่าตำแหน่งพิกัดที่คำนวณได้มีค่าไม่แน่นอนและมีค่าความผิดพลาดเกิดขึ้น ทั้งนี้ในงานวิจัยนี้เป็นการแสดงความเป็นไปได้ในการนำเอาเทคโนโลยี Wi-Fi ที่ถูกใช้อย่างแพร่หลายในชีวิตประจำวันมาประยุกต์ใช้งานเพื่อสร้างประสิทธิภาพการใช้งานให้มากยิ่งขึ้น

7. กิตติกรรมประกาศ

บทความวิจัยนี้ได้รับการสนับสนุนจากสาขาวิชาวิศวกรรมโทรคมนาคม สำนักวิชาวิศวกรรมศาสตร์ มหาวิทยาลัยเทคโนโลยีสุรนารี และ สาขาวิศวกรรมคอมพิวเตอร์ คณะวิศวกรรมศาสตร์และเทคโนโลยี มหาวิทยาลัยเทคโนโลยีราชมงคลอีสาน นครราชสีมา ที่สนับสนุนเครื่องมือและสถานที่จนบรรลุผลและประสบความสำเร็จด้วยดี

เอกสารอ้างอิง

[1] Wahab, Nur Haliza Abdul, et al. "Indoor positioning system: A review." International Journal of Advanced Computer Science and Applications 13.6 (2022).

[2] Farahsari, Pooyan Shams, et al. "A survey on indoor positioning systems for IoT-based applications." IEEE Internet of Things Journal 9.10 (2022): 7680-7699.

[3] Waddar, Rohit, et al. "ESP32-Driven Real-Time Indoor Localization Using Wi-Fi RSSI and a Simple Path Loss Model." 2025 International Conference on Emerging Technologies in Computing and Communication (ETCC). IEEE, 2025.

[4] Şeker, Özlem, et al. "A Physical Tracking of ESP32 IoT Devices with RSSI Based Indoor Position Calculation." Journal of Millimeterwave Communication, Optimization and Modelling 4.1 (2024): 13-16.

[5] Suvankar Barai, Debajyoti Biswas and Buddhadeb Sau. (2017). “Estimate Distance Measurement using NodeMCU ESP8266 based on RSSI Technique”. 2017 IEEE Conference on Antenna Measurements & Applications (CAMA). https://www.researchgate.net/publication/322877438_Estimate_distance_measurement_using_NodeMCU_ESP8266_based_on_RSSI_technique

[6] อำนวย ทีจันทึก และ ประพล จาระตะคุ. “การหาระยะทางระหว่างไมโครรคอนโทรลเลอร์ESP32 กับ Beacons ด้วย Kalman Filter”. ศูนย์เครื่องมือวิทยาศาสตร์และเทคโนโลยีมหาวิทยาลัยเทคโนโลยีสุรนารี.

[7] Weisstein, Eric W. "Least Squares Fitting - Logarithmic". https://mathworld.wolfram.com/LeastSquaresFittingLogarithmic.html

[8] Jim Frost. “Curve Fitting using Linear and Nonlinear Regression”. https://statisticsbyjim.com/regression/curve-fitting-linear-nonlinear-regression/ (2018, March 29)

[9] Huseyin Cizmeci, R. Metin Alkan, Veli Ilci , V. Engin Gülal. (2015). “Trilateration Technique for WiFi-Based Indoor Localization”. The 11th International Conference on Wireless and Mobile Communications-ICWMC 2015. https://www.researchgate.net/publication/331555599_Trilateration_Technique_for_WiFi-Based_Indoor_Localization

ระบบลูกโซ่ความเย็นแบบไอโอทีพร้อมแอปพลิเคชันสำหรับวัคซีน ยา และเวชภัณฑ์

IoT cold chain system for vaccine medicines and medical supplies with application

พิเชษฐ กันทะวัง[1]* ชัชวาลย์ แข่งขัน[1] มัณฑนา บุศย์เมือง[2] ปชนน อนุพงศานุกูล[2] ปกรณ์ เสรีเผ่าวงษ์[1]

[1] สาขาวิชาวิศวกรรมไฟฟ้า คณะวิศวกรรมศาสตร์ มหาวิทยาลัยเทคโนโลยีราชมงคลล้านนา เชียงราย 063-7188760 pichet_k55@rmutl.ac.th*

[2] โรงพยาบาลแม่ลาว ตำบลจอมหมอกแก้ว อำเภอแม่ลาว จังหวัดเชียงราย

บทคัดย่อ

จากวิกฤตการระบาดของโรคโควิด-19 ในช่วงปี พ.ศ.2563 ซึ่งเป็นปัญหาทางด้านสุขภาพในระดับโลก และยังส่งผลกระทบต่อประเทศไทยทั้งด้านสังคมและเศรษฐกิจจนถึงปัจจุบัน โดยรัฐบาลได้ดำเนินการจัดหาวัคซีน ซึ่งจะต้องมีระบบจัดเก็บวัคซีนและยา ตามมาตรฐานการดำเนินงานด้านคลังและการเก็บรักษาวัคซีน โดยจำเป็นต้องมีระบบลูกโซ่ความเย็นเพื่อเป็นเครื่องมือที่จะทำให้วัคซีนอยู่ในอุณภูมิที่ถูกต้องเหมาะสมตลอดเวลาทั้งในขณะจัดเก็บและขนส่ง ซึ่งหากไม่มีระบบที่ดีพอหรือชำรุด อาจส่งผลให้เกิดปัญหาการเสื่อมสภาพของวัคซีน ยา และเวชภัณฑ์ ก่อนการใช้งานซึ่งจะส่งผลให้ประสิทธิภาพในการป้องกันและรักษาโรคด้อย ตลอดจนเหตุผลด้านการบริหารวัคซีนในคลังเก็บของสถานพยาบาล จึงต้องมีแอปพลิเคชันช่วยคุมบัญชีการเบิก-จ่ายเพื่อทวนสอบการใช้งานวัคซีน จากความสำคัญของปัญหาดังกล่าวจึงเกิดความร่วมมือทางวิชาการในการใช้งานนวัตกรรมระหว่างมหาวิทยาลัยเทคโนโลยีราชมงคลล้านนา เชียงราย กับสำนักงานสาธารณสุขจังหวัดเชียงราย ที่มีโรงพยาบาลส่งเสริมสุขภาพประจำตำบลในพื้นที่ของโรงพยาบาลชุมชน(อำเภอ) และโรงพยาบาลศูนย์จังหวัดเชียงราย

โดยระบบลูกโซ่ความเย็นฯนี้ ควบคุมด้วยไมโครคอนโทรลเลอร์ เบอร์ ESP32 ร่วมกับเซนเซอร์ DS18B20 ตรวจวัดอุณหภูมิแบบสัมผัส อีกทั้งเซ็นเซอร์ SHT45 ตรวจวัดอุณหภูมิ และความชื้นสัมพัทธ์ แบบไม่สัมผัส แสดงผลทางจอภาพผลึกเหลวแบบกราฟฟิก LVGL เก็บข้อมูลในฐานข้อมูล Google Sheet ด้วย APP Sheet ผ่านเทคโนโลยีอินเตอร์เน็ตประสานสรรพสิ่ง ที่เป็นกลไกสำคัญ ทำให้สามารถตรวจสอบข้อมูลได้อย่างเป็นปัจจุบัน พร้อมด้วยระบบแจ้งเตือนอย่างทันเวลาทางเครือข่ายสังคมออนไลน์ Telegram ประกอบกับแอปพลิเคชัน การเบิก-จ่าย วัคซีน

ผลการทดสอบประสิทธิภาพของระบบ แบ่งเป็นการทดสอบแอปพลิเคชันฯ และฮาร์ดแวร์ โดยการเทียบกับค่าอุณหภูมิของเครื่องมือวัดสอบเทียบเครื่องมือวัดมาตรฐาน ซึ่งการทดสอบค่าอุณหภูมิของฮาร์ดแวร์ มีความคาดเคลื่อนเฉลี่ย 0.48°C ค่าความชื้นสัมพัทธ์มีความคาดเคลื่อนเฉลี่ย 1%RH ติดตั้งทดสอบ ที่โรงพยาบาลส่งเสริมสุขภาพประจำตำบล โรงพยาบาลแม่ลาว โรงพยาบาลป่าแดด จากการประเมินความพึงพอใจด้วยแบบประเมินความพึงพอใจ พบว่าแอปพลิเคชันมีความพึงพอใจในระดับปานกลาง (เฉลี่ย 2.8) ค่าเบี่ยงเบนมาตรฐาน 0.174 และ ฮาร์ดแวร์มีระดับความพึงพอใจอยู่ในระดับมาก (เฉลี่ย 4.22) ค่าเบี่ยงเบนมาตรฐาน 0.162 ส่วนคลังเลือด ระดับมาก (เฉลี่ย 4.01) ค่าเบี่ยงเบนมาตรฐาน 0.70

คำสำคัญ: ลูกโซ่ความเย็น วัคซีน เวชภัณฑ์ อินเตอร์เน็ตประสานสรรพสิ่ง

Abstract

The COVID-19 pandemic crisis in 2019, which was a global health issue and had a long term impacted Thailand socially and economically, the government has undertaken the procurement of vaccines. There must be a vaccine storage management system and medication handling accordance with the operational standards of warehousing and vaccine preservation. A cold chain system is necessary to ensure that vaccines are kept at the proper temperature at all times, both during storage and transportation. If the system is not sufficiently effective of become damaged it may lead to degradation issues of the vaccines, medicines, and medical supplies before use, which would diminish their effectiveness in preventing and treating diseases. Additionally, in terms of vaccine management in healthcare facilities' warehouses, an application is needed to assist with the accounting for the dispensing of vaccines and tracking their usage. Due to the significance of these issues, an academic collaboration was perform between RMUTL and the Chiang Rai Provincial Public Health Office, which includes all hospital in Chiang Rai province.

The cold chain system is controlled by an ESP32 microcontroller interfaced with a DS18B20. SHT45. LVGL LCD and stored in a Google Sheet database by APP Sheet application through IoT technology, which is a key mechanism that allows for notify via the Telegram and mobile applications.

The performance tests of the system by testing of the application and hardware calibrated with (UT333BT). The temperature error 0.48°C by averaged, with relative humidity error 1% RH by average. The installation was tested in hospitals. With the satisfaction survey, the application has a moderate level of satisfaction 2.8 by average standard deviation of 0.174 and hardware has a high level of satisfaction 4.22 by average standard deviation of 0.162. and Blood Bank has high level of satisfaction 4.01 by average standard deviation of 0.70

Keywords: Cold chain ,vaccines , medical supplies, IoT

*ผู้ประพันธ์บรรณกิจ

1. บทนำ

จากวิกฤตโรคระบาดโคโรน่าไวรัส (COVID-19) 19 ที่ทั่วโลกและประเทศไทยได้เผชิญปัญหาการแพร่ระบาดของไวรัสในปี พ.ศ.2563 มาจวบจนถึงปัจจุบัน ดังนั้น องค์การอนามัยโลก WHO ได้มีมาตรการรับมือโรคระบาดด้วยวัคซีน เช่น Sinovac ,AstraZeneca ,Pfizer ,Johnson and Johnson ,Moderna,Sinopharm ฯลฯ ในการณ์นี้รัฐบาลไทยได้กำหนด มาตรฐานการดำเนินงานด้านคลังและการเก็บรักษาวัคซีนตลอดถึงการขนส่ง วัคซีน ยา และเวชภัณฑ์ ด้วยเครื่องมือที่สำคัญอย่างระบบลูกโซ่ความเย็น ซึ่งต้องทำงานได้อย่างถูกต้องและแม่นยำเพื่อคงประสิทธิภาพของวัคซีน ยา และเวชภัณฑ์ เพื่อประสิทธิผลในการป้องกันและรักษา ด้วยเหตุผลต่างๆเหล่านี้จึงก่อให้เกิดการบูรณาการองค์ความรู้ด้านเทคโนโลยีสมองกลฝังตัวและอินเตอร์เน็ตประสานสรรพสิ่ง เข้ากับงานบริการทางการแพทย์ มีประโยชน์ช่วยให้ลดความสูญเสียอันเกิดจากการเก็บรักษาภายใต้อุณหภูมิที่ถูกควบคุมและดูแลอย่างถูกต้องเหมาะสมแม่นยำตามหลักวิชาการ โดยความร่วมมือของ สำนักงานสาธารณสุขจังหวัดเชียงราย กับมหาวิทยาลัยเทคโนโลยีราชมงคลล้านนา เชียงราย ดำเนินงานคิดค้นออกแบบจัดทำระบบลูกโซ่ความเย็น เพื่อเตรียมติดตั้งยังโรงพยาบาลส่งเสริมสุขภาพประจำตำบล จำนวน 200 แห่ง และโรงพยาบาลชุมชน(อำเภอ) 18 แห่ง และโรงพยาบาลศูนย์เชียงรายประชานุเคราะห์ รวมทั้งสิ้น 800 ชุด โดยแบ่งออกเป็น 4 รุ่นให้เหมาะสมกับสภาพแวดล้อมในการทำงานของแต่ละจุดติดตั้ง และยังได้วางระบบการซ่อมบำรุง รับรองการสอบเทียบวัด และทวนสอบความถูกต้องแม่นยำของอุปกรณ์การวัดในระบบลูกโซ่ความเย็นดังกล่าวตลอดระยะเวลาการดำเนินงานโครงการ เป็นระยะเวลา 12 ปีโดยการมอบสิทธิ์ในการใช้ผลงานนวัตกรรม เพื่อการบริการทางวิชาการให้เกิดผลสัมฤทธิ์ต่อการให้บริการทางการแพทย์อย่างเป็นรูปธรรมแท้จริง อันเป็นเป้าหมายของงานวิจัยชิ้นนี้

2. แนวคิดทฤษฎีที่เกี่ยวข้อง

2.1 มาตรฐานและคู่มือ การให้บริการทางการแพทย์

มาตรฐานการดำเนินงานสร้างภูมิคุ้มกันโรค[11] กำหนดให้มีและใช้เอกสาร คู่มือการบริหารจัดการวัคซีนและระบบลูกโซ่ความเย็น[8] ร่วมกับมาตรฐานการดำเนินงานด้านคลังและการเก็บรักษาวัคซีน[10] กับ ตำราวัคซีนและการสร้างเสริมภูมิคุ้มกันโรค[9] ซึ่งเป็นแนวทางสำคัญในการดำเนินงานระบบลูกโซ่ความเย็นระบุว่า ต้องเก็บรักษาวัคซีนแต่ละประเภทให้อยู่ในอุณหภูมิระดับ 2°C - 8 °C สำหรับวัคซีนเชื้อตาย และถูกเก็บรักษาในระดับ -15°C ถึง -25°C สำหรับวัคซีนเชื้อเป็นอ่อนฤทธิ์ ส่วนยาในคลังยาถูกเก็บในอุณหภูมิห้อง 25°C สำหรับโลหิตนั้นศูนย์บริการโลหิต สภากาชาดไทย มีมาตรฐานธนาคารเลือดและงานบริการโลหิต[12] กำหนดให้ถูกเก็บรักษาในระดับ 2°C - 8°C ดังข้อมูลในรูปที่ 1 สำหรับอวัยวะต้องถูกเก็บรักษาในอุณหภูมิคงที่ระดับ 0°C-4°C โดยไม่สัมผัสความเย็นโดยตรงขณะขนส่งเคลื่อนย้าย และเวชภัณฑ์น้ำยาและสารละลาย ให้เก็บรักษาในอุณหภูมิระดับ 4°C ตามมาตรฐานและคู่มือการปฏิบัติงานดังกล่าวเหล่านี้ได้นำมาใช้เป็นข้อควรคำนึงในการออกแบบระบบลูกโซ่ความเย็น

เกณฑ์อุณหภูมิมาตรฐานในการจัดเก็บโลหิตรวมและขนส่งโลหิตรวมและตัวอย่างโลหิต		
รายการ	ช่วงอุณหภูมิมาตรฐาน (°C)	
	การจัดเก็บ	การขนส่ง
โลหิตรวมสำหรับนำมาผลิตเป็นส่วนประกอบโลหิต ทุกชนิดรวมทั้งเกล็ดเลือด	20 - 30	20 - 30 ไม่เกิน 8 ชั่วโมง
โลหิตรวมสำหรับนำมาผลิตเป็นส่วนประกอบโลหิต ในวันรุ่งขึ้น (ไม่นำมาผลิตเกล็ดเลือด)	1 - 6	1 - 10
ตัวอย่างโลหิต - กรณีไม่นานเกิน 1 ชั่วโมง (หลังเจาะเก็บ) - กรณีนานเกิน 1 ชั่วโมง (หลังเจาะเก็บ)	อุณหภูมิห้อง 20 - 25 2 - 8	อุณหภูมิห้อง 20 - 25 2 - 8

รูปที่ 1 เกณฑ์มาตรฐานในการจัดเก็บและการขนส่งโลหิต

2.2 ระบบสมองกลฝังตัว

ระบบสมองกลฝังตัว ประกอบด้วย 3 ส่วนหลักได้แก่

1. ฮาร์ดแวร์ อันอาจหมายถึงไมโครคอนโทรลเลอร์และเซ็นเซอร์เชื่อมประสานกันกับวงจรอิเล็กทรอนิกส์ เป็นอุปกรณ์ต่อพ่วงอื่นๆ
2. ซอฟต์แวร์แอปพลิเคชันประยุกต์เฉพาะสำหรับงานนั้นๆ
3. ระบบปฏิบัติการแบบเรียลไทม์ ที่ตอบสนองรวดเร็วและแม่นยำตามเวลาที่กำหนด

2.3 เทคโนโลยีอินเตอร์เน็ตประสานสรรพสิ่ง

เทคโนโลยีอินเตอร์เน็ตประสานสรรพสิ่ง(Internet of Things) หมายถึงเครือข่ายของวัตถุ อุปกรณ์ พาหนะ หรือ สิ่งปลูกสร้าง ที่มีวงจรอิเล็กทรอนิกส์ ซอฟต์แวร์ เซ็นเซอร์ และการเชื่อมต่อกับเครือข่ายคอมพิวเตอร์ (computer network) ฝังตัวอยู่ และทำให้วัตถุเหล่านั้นสามารถเก็บบันทึกและแลกเปลี่ยนข้อมูลได้

2.4 เทคโนโลยีสารสนเทศสำหรับการให้บริการทางการแพทย์

การนำเทคโนโลยีสารสนเทศมาประยุกต์ใช้เพื่อจัดการและประมวลผลสถิติ วิเคราะห์ กับข้อมูลในการให้บริการทางการแพทย์ เช่น การจัดเก็บข้อมูลสถิติเบิก-จ่ายวัคซีน โลหิต เวชภัณฑ์น้ำยาและสารละลาย [5],การวิเคราะห์ผลการดำเนินงานลูกโซ่ความเย็น[1] ,การเฝ้าติดตามการดูแลอุณหภูมิของโลหิต อวัยวะ [2-4] เป็นต้น

3. วิธีการดำเนินการวิจัย

ในการดำเนินการวิจัยในครั้งนี้ได้ทำการออกแบบงานเป็น 4 งานคือ

1. งานลูกโซ่ความเย็นวัคซีน และห้องยา ณ หน่วยให้บริการวัคซีน
2. งานธนาคารโลหิต และเวชภัณฑ์น้ำยาและสารละลาย
3. งานติดตามเฝ้าระวังอุณหภูมิขณะขนส่ง เคลื่อนย้าย
4. งานแพลตฟอร์มลูกโซ่ความเย็นวัคซีน โลหิต และอวัยวะ

ซึ่งได้รวบรวมงานทั้ง 4 นำมารวมเป็นงานวิจัยในครั้งนี้

3.1 งานบันทึกข้อมูลอุณภูมิตามมาตรฐาน คู่มือปฏิบัติงานฯ

ใช้การบันทึกการเปลี่ยนแปลงอุณหภูมิโดยเอกสาร ดังรูปที่ 2

รูปที่ 2 การบันทึกข้อมูลอุณหภูมิด้วยการจดบันทึก

จากนั้นนำมาวิเคราะห์หาเหตุการณ์ฉุกเฉินในระบบลูกโซ่ความเย็น (cold chain break down) ดังรูปที่ 3 ด้วยการสร้างกราฟอุณหภูมิจากบันทึกการเปลี่ยนแปลงอุณภูมิ

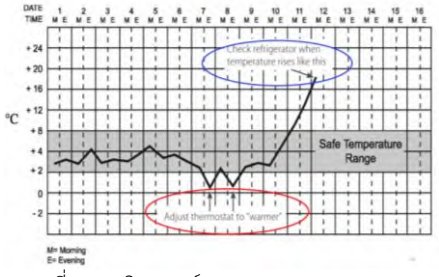

รูปที่ 3 การวิเคราะห์หา cold chain break down

3.2 การออกแบบระบบลูกโซ่ความเย็นแบบไอโอที

กระบวนการบันทึกข้อมูลอุณหภูมิเริ่มจาก การวัดค่าอุณหภูมิและความชื้นสัมพัทธ์ แล้วเก็บไว้ในฐานข้อมูลระบบคลาวน์(Cloud System) กูเกิลชีท(Google Sheet) แล้วแจ้งเตือนผ่านอินเตอร์เน็ตประสานสรรพสิ่ง ไปยังกลุ่มที่สร้างไว้ของแต่ละจุดให้บริการผ่านเครือข่ายสังคมออนไลน์เทเลแกรม(Telegram) ทุก ๆ 60 นาที แต่หากพบว่าอุณหภูมิเกินกว่าค่าที่กำหนด คือ 2°C ถึง 8°C สำหรับวัคซีนเชื้อตาย และ -15°C ถึง -25°C สำหรับวัคซีนเชื้อเป็นอ่อนฤทธิ์ ดังรูปที่ 4

รูปที่ 4 การจัดเรียงวัคซีนแต่ละชนิดในตู้เย็นและอุณหภูมิที่เหมาะสม

ระบบฯจะส่งแจ้งเตือน (Notify) ทุก ๆ 30 นาที และแจ้งเตือนให้ขนย้ายเมื่อยังคงเกิดเหตุการณ์ฉุกเฉินในระบบลูกโซ่ความเย็นอยู่จนถึง 3 ชั่วโมง ดังอธิบายกระบวนการบันทึกข้อมูลอุณภูมิไว้ในรูปที่ 5

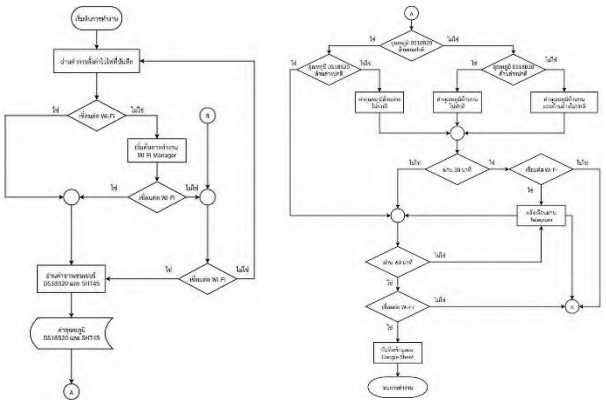

รูปที่ 5 การบันทึกข้อมูลอุณหภูมิวัคซีน ระบบลูกโซ่ความเย็นแบบไอโอที

3.3 การออกแบบโครงสร้างฮาร์ดแวร์ ส่วนประกอบต่างๆของฮาร์ดแวร์ระบบลูกโซ่ความเย็นแบบไอโอที ประกอบไปด้วย

1. ไมโครคอนโทรลเลอร์ ESP32 พร้อมจอแสดงผล LVGL
2. เซ็นเซอร์อุณหภูมิแบบสัมผัส DS18B20
3. เซ็นเซอร์อุณหภูมิแบบไม่สัมผัส SHT45

ซอฟต์แวร์ ระบบลูกโซ่ความเย็นประกอบด้วย

1. โมดูลส่งข้อมูลไปเก็บฐานข้อมูลคลาวนด์ Google Sheet
2. โมดูลส่งการแจ้งเตือนไปยัง Telegram Notify
3. แอปพลิเคชันบันทึกการเบิก-จ่าย วัคซีน ณ จุดบริการฯ
4. รายงานผลการวิเคราะห์ cold chain break down
5. แอปพลิเคชันบันทึกการเบิกจ่ายโลหิต และน้ำยาฯ

โดยแสดงส่วนประกอบต่างๆเป็นระบบลูกโซ่ความเย็นแบบไอโอทีในรูปที่ 6

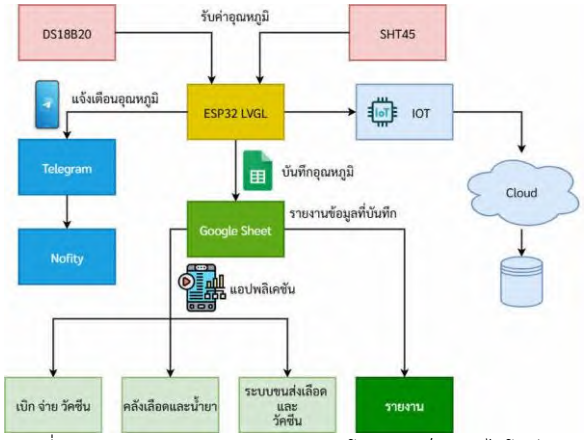

รูปที่ 6 ส่วนประกอบต่างๆของ ระบบลูกโซ่ความเย็นแบบไอโอที

3.4 การออกแบบระบบซอฟต์แวร์ของระบบลูกโซ่ความเย็นแบบไอโอที

การออแบบแบ่งออกเป็น 2 ส่วน คือ ส่วนของระบบโลหิตและน้ำยา กับส่วนของการขนส่งโลหิต วัคซีน และอวัยวะ ซึ่งจะได้แสดงเป็นลำดับดังนี้ ส่วนระบบโลหิตและน้ำยาถูกติดตัง ณ ห้องปฏิบัติการเทคนิคการแพทย์เพื่อเก็บรักษาและควบคุมการใช้โลหิตในคลังธนาคารเลือด และตู้เก็บน้ำยาเวชภัณฑ์ มี DFD Level 0 ดังรูปที่ 7

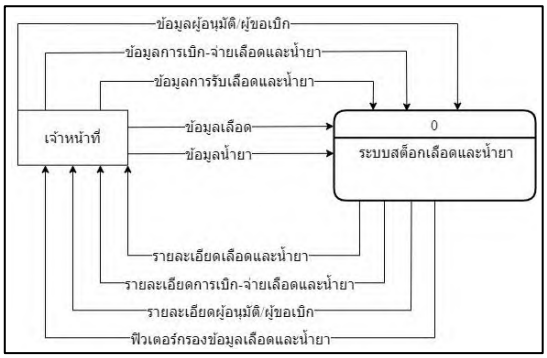

รูปที่ 7 DFD Level 0 ของระบบคลังธนาคารเลือด

3.5 การออกแบบส่วนของการขนส่งโลหิต วัคซีน และอวัยวะ

การเคลื่อนย้ายใช้ตู้เย็นเคลื่อนที่เพื่อสร้างอุณภูมิความเย็นให้แก่วัคซีน โลหิต และอวัยวะ ที่ต้องการความเย็นอุณภูมิในระดับ 4°C ถึง 8°C ตามมาตรฐานที่กำหนดในคู่มือฯ แสดงดังรูปที่ 8

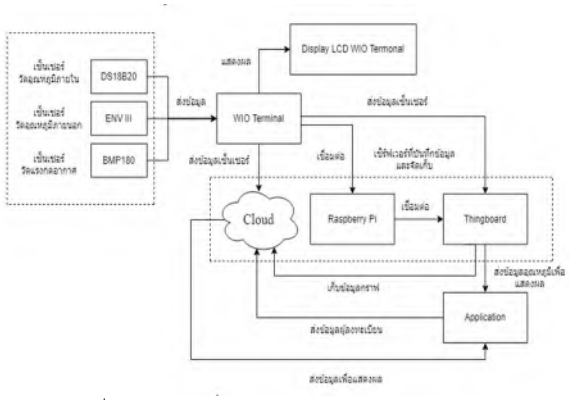

รูปที่ 8 การทำงานของส่วนขนส่งโลหิต วัคซีน และอวัยวะ

ในส่วนของการขนส่งนี้มีซอฟต์แวร์ที่ใช้ในการดำเนินการกระบวนการดังกล่าวดังแสดงในรูปที่ 9 การทำงานยังจัดเก็บข้อมูลอุณภูมิภายในภายนอก และแสดงตำแหน่งพิกัดระหว่างขนส่งผ่านเครือข่ายอินเตอร์เน็ต 4G ของอุปกรณ์เคลื่อนที่ (mobile router) อีกด้วย

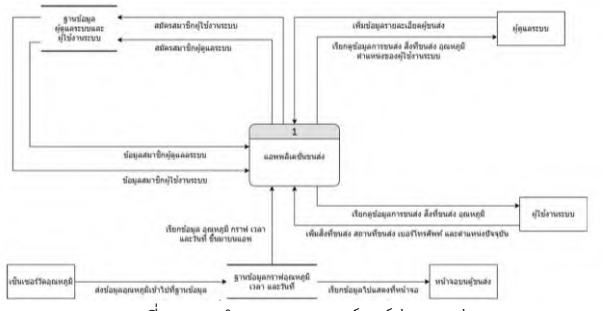

รูปที่ 9 การทำงานของซอฟต์แวร์ส่วนขนส่งฯ

4. อภิปรายผลการวิจัย

เมื่อออกแบบและพัฒนาจนสำเร็จในแต่ละส่วน จึงนำผลงานวิจัยระบบลูกโซ่ความเย็นแบบไอโอที ไปติดตั้งและใช้งานตามส่วนงานรับผิดชอบอันได้แก่ งานเภสัชกรรรม งานเทคนิคการแพทย์ และโรงพยาบาลส่งเสริมสุขภาพประจำตำบล และโรงพยาบาลชุมชน(อำเภอ) เพื่อใช้เป็นเครื่องมือควบคุมคุณภาพ สำหรับการรับการประเมินผลการดำเนินงานสถานพยาบาล ปี พ.ศ.25467-2568

รูปที่ 10 การติดตั้งใช้งานระบบลูกโซ่ความเย็นแบบไอโอทีส่วนเก็บวัคซีน

สำหรับแอปพลิเคชันการเบิก-จ่าย วัคซีน ในส่วนนี้แสดงดังรูปที่ 11 เพื่อทดแทนระบบบัญชีวัคซีน ณ จุดบริการวัคซีน ส่วนของคลังโลหิตและน้ำยาเวชภัณฑ์ ได้ติดตั้งใน ห้องปฏิบัติการเทคนิคการแพทย์โรงพยาบาลแม่ลาว จ.เชียงราย โดยแสดงให้เห็นถึงแอปพลิเคชันที่จัดการคลังเลือด (แถวบน) และจัดการน้ำยา เวชภัณฑ์ต่างๆ (แถวล่าง) ในรูปที่ 12

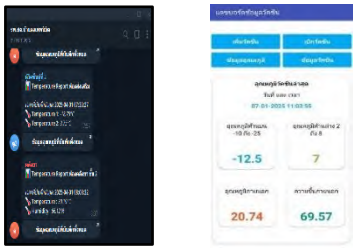

รูปที่ 11 แอปพลิเคชันการแจ้งเตือน และบัญชีการ เบิก-จ่าย วัคซีน

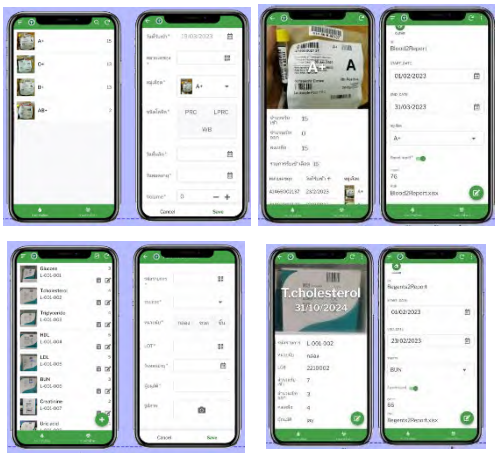

รูปที่ 12 แอปพลิเคชันส่วนคลังโลหิตและน้ำยา เวชภัณฑ์

สำหรับส่วนขนส่งวัคซีน โลหิต และอวัยวะ ถูกใช้งานในงานเทคนิคการแพทย์โรงพยาบาลแม่ลาว โดยใช้ขนส่งโลหิต เข้าธนาคารเลือดจากคลังเลือดโรงพยาบาลศูนย์เชียงรายประชานุเคราะห์เป็นประจำทุกสัปดาห์ๆละ 2 ครั้งตั้งแต่ปี 2566 เป็นต้นมา ดังแสดงในรูปที่ 13

รูปที่ 13 ตู้เย็นเคลื่อนที่สำหรับขนส่งวัคซีน โลหิต และอวัยวะ

ส่วนการติดตามพิกัดตำแหน่งของตู้เย็นซึ่งบรรทุกไว้ในยานพาหนะที่มีพลังงานไฟฟ้าและภายในตู้เย็นยังมีพลังงานไฟฟ้าสำรองเพื่อกำเนิดความเย็นอุณหภูมิ 4°C -6°C ตามเกณฑ์การขนส่งวัคซีน และโลหิต ร่วมกับแอปพลิเคชันที่ใช้สำหรับการขนส่งแฉพาะเรียกว่าแพลตฟอร์สำหรับการขนส่งฯ ดังแสดงในรูปที่ 14 ซึ่งแสดงอุณหภูมิของสิ่งที่บรรจุมาในตู้เย็นขนส่งได้

รูปที่ 14 แอปพลิเคชันสำหรับการขนส่งวัคซีน เลือด และอวัยวะ

สำหรับส่วนของการรวบรวมรายงานและสรุปผลสถานการณ์อุณหภูมิฉุกเฉิน(cold chain break down) ได้จัดทำไว้ใน google data studio เป็นรายงานประจำเดือนโดยงานเภสัชกรรม รายงานต่อสำนักงานสาธารณสุขจังหวัดเชียงราย ดังรูปที่ 15 ซึ่งได้รับข้อเสนอแนะให้จัดทำ

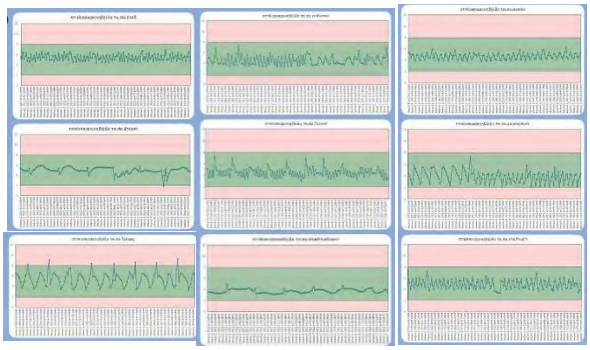

รูปที่ 15 ตัวอย่างรายงานการวิเคราะห์ผล cold chain break down

แดชบอร์ดที่แสดงอุณหภูมิของโรงพยาบาลส่งเสริมสุขภาพประจำตำบลทั้ง 9 แห่ง ในอำเภอแม่ลาว จังหวัดเชียงราย แสดงในรูปที่ 16 เพิ่มเติมตามผลประเมินความพึงพอใจที่ได้รับจากการสำรวจ

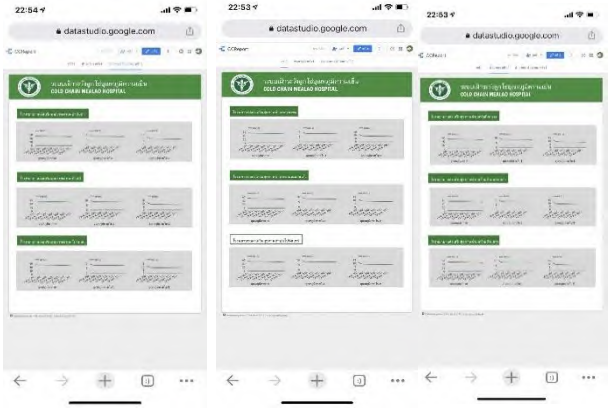

รูปที่ 16 แดชบอร์ดแสดงผลอุณหภูมิระบบลูกโซ่ความเย็นแบบไอโอที

5. สรุปผลการทดลอง

งานวิจัยนี้สามารถนำไปสร้างเป็นนวัตกรรมด้านการบริการทางแพทย์ได้โดยมีผลการทดสอบด้านความถูกต้องแม่นยำในระดับที่ได้รับการรับรองจากการทวนสอบเพื่อใช้ในการตรวจรับรองคุณภาพการบริการของสถานพยาบาล โดยเครื่องสอบเทียบมีความแม่นยำ ±1°C และความชื้นอยู่ที่ ±5%RH เมื่อนำข้อมูลค่าอุณหภูมิมาเปรียบเทียบกับเครื่องวัดอุณหภูมิที่พัฒนามีค่าอุณหภูมิห่างกันเฉลี่ย ±0.8°C และค่าความชื้นเฉลี่ย ±1%RH และเมื่อนำมาวัดเทียบกับเทอร์โมไฮโกรมิเตอร์ (Thermo Hygrometers) เป็นเวลา 72 ชั่วโมงข้อมูลค่าความคลาดเคลื่อนของอุณหภูมิห่างกันเฉลี่ย 2.2°C และค่าความชื้นเฉลี่ยที่ 8.39%RH ซึ่งค่าอุณหภูมิที่สูงขึ้นหรือลดลงจะทำให้วัคซีนเสื่อมสภาพได้ เช่น ความร้อนจะทำให้วัคซีน สูญเสีย Potency เร็วขึ้น วัคซีนบางชนิดจะสูญเสีย Potency ถ้าอยู่ในอุณหภูมิที่ทำให้แข็งตัว เมื่อผู้รับบริการได้รับวัคซีนที่เสื่อมสภาพก็เท่ากับไม่ได้รับการสร้างเสริม ภูมิคุ้มกันโรค และอาจมีอาการภายหลังได้รับการสร้างเสริมภูมิคุ้มกันโรค (Adverse Events Following Immunization: AEFI) เช่น วัคซีนที่เสื่อมสภาพจากการแช่แข็ง อาจทำให้เกิดเป็นไตแข็ง ณ ตำแหน่งที่ฉีดได้ ทำให้แสดงถึงการคงคุณภาพของวัคซีนได้ให้มีประสิทธิภาพตั้งแต่ต้นทางถึงผู้รับ

การทดสอบด้วยแบบสอบถามประเมินความพึงพอใจในการใช้งานแอปพลิเคชันจำนวน 9 รพสต โดยเจ้าพนักงานผู้ปฏิบัติงานรักษาวัคซีน หลังจากได้ทำการทดสอบการทำงานของอุปกรณ์เครื่องวัดอุณหภูมิผู้ใช้งานพึงพอใจในการจัดเก็บข้อมูลใน Google Sheet ด้านความพึงพอใจต่อเครื่องวัดอุณหภูมิในระดับที่มาก (เฉลี่ย 4.2) มีค่าเบี่ยงเบนมาตรฐานที่ 0.162 ส่วนแอปพลิเคชันบันทึกการเบิกจ่ายโลหิต และน้ำยาฯทำการทดสอบการท้างานของฟังก์ชัน และ ประเมินความพึงพอใจจากผู้ใช้งานจริง ในระดับมาก โดยมีค่าเฉลี่ย 4.01 และมีค่าส่วนเบี่ยงเบนมาตรฐานเฉลี่ย 0.70 สำหรับการขนส่งประเมินด้วยการสังเกตุผลความแม่นยำของอุณหภูมิที่ตรวจวัดมีค่าความคลาดเคลื่อนภายในตู้เย็น 1.05℃ และค่าความคลาดเคลื่อนภายนอกตู้เย็น 2.25 ℃ โดยผล อุณภูมิเฉลี่ยตลอดการเดินทาง คืออุณหภูมิภายในต้อยู่ที่ 2 ℃ ภายนอกต้อยู่ที่ 25 ℃ เป็นไปตามคู่มือแนวปฏิบัติการขนส่งโลหิต

6. กิตติกรรมประกาศ

ได้รับการสนับสนุนจาก NECTEC สวทช ในโครงการ NSC2023 จำนวน 2 ทุน และได้รับความร่วมมือจากสำนักงานสาธารณสุขจังหวัดเชียงราย ในฐานะผู้ขอรับการบริการวิชาการนำนวัตกรรมไปใช้งาน รวมถึงโรงพยาบาลเชียงรายประชานุเคราะห์ และโรงพยาบาลส่งเสริมสุขภาพประจำตำบล ตลอดจนถึงผู้เกี่ยวข้องทุกฝ่ายที่กรุณาให้ความอนุเคราะห์ให้ใช้เครื่องมือและบุคลากรผู้ทดสอบ เทียบวัดเครื่องมืออย่างดียิ่ง ผู้ดำเนินงานวิจัยขอกราบขอบพระคุณมา ณ โอกาสนี้

7. งานที่กำลังจะดำเนินการในอนาคต

เนื่องจากงานวิจัยนี้ได้รวบรวมจากผลงานของคณะผู้วิจัยและให้ความสนับสนุนหลายหน่วยงาน รวมถึงการแจกจ่ายและดูแลผลงานวิจัยให้ได้มาตรฐานทางการตรวจวัดส่งผลให้การประกันคุณภาพการให้บริการทางสาธารณสุขเป็นไปอย่างมีประสิทธิภาพ จึงจัดทำคำขอจดอนุสิทธิบัตรและจัดตั้งหน่วยงานสอบเทียบวัด เพื่อรับรองผลแก่ผู้นำผลงานวิจัยหรือนวัตกรรมไปใช้ อีกทั้งเป็นผลประโยชน์ให้แก่สถาบันการศึกษา,บุคลากรของหน่วยงานทดสอบในสถานพยาบาลที่ปฏิบัติงาน และสามารถเป็นค่าใช้จ่ายในการบำรุงรักษาเครื่องมือและอุปกรณ์สืบไปในระยะเวลา 10 ปี

เอกสารอ้างอิง

[1] ภูมิภัทร แสนบุราญ และ ยุทธนา ทาฟุ่น.(2568). ระบบลูกโซ่ความเย็นพร้อมแอปพลิเคชัน. ปริญญานิพนธ์ สาขาวิชาวิศวกรรมคอมพิวเตอร์ คณะวิศวกรรมศาสตร์ มหาวิทยาลัยเทคโนโลยีราชมงคลล้านนา เชียงราย.

[2] ปกรณ์ เสรีเผ่าวงษ์,ประภาส สุวรรณ,นุรักษ์ ไชยศรี,พิเชษฐ กันทะวัง,วาสิฏฐี นุ่มถนอม และสุริไท ใจเย็น.”แพลตฟอร์มระบบลูกโซ่ความ

เย็นขนส่งวัคซีน โลหิต และอวัยวะ ของโรงพยาบาลแม่ลาว“.การประชุมวิชาการวิจัยและนวัตกรรมสร้างสรรค์ ครั้งที่ 10 ประจำปี 2567 (CRCI2024). มหาวิทยาลัยเทคโนโลยีราชมงคลล้านนา เชียงใหม่ หน้า 417-425 .

[3] ศิระวัฒน์ บุญกิจ,อาทิตย์ เทิ้มลง,ปกรณ์ เสรีเผ่าวงษ์ ,สุวรรณี ปัญยศ , พิเชษฐ กันทะวัง และ มัณฑนา บุศย์เมือง. “การพัฒนากล่องขนส่งโลหิตของโรงพยาบาลแม่ลาว”. การประชุมวิชาการวิจัยและนวัตกรรมสร้างสรรค์ ครั้งที่ 8 ประจำปี 2565 (CRCI2022). มหาวิทยาลัยเทคโนโลยีราชมงคลล้านนา เชียงใหม่ หน้า 136-145.

[4] ธนากร ยงสุวรรณ์. “ระบบเฝ้าระวังลูกโซ่ความเย็นวัคซีนพร้อมแอปพลิเคชันเคลื่อนที่”. ปริญญานิพนธ์ สาขาวิชาวิศวกรรมคอมพิวเตอร์ คณะวิศวกรรมศาสตร์ มหาวิทยาลัยเทคโนโลยีราชมงคลล้านนา เชียงราย; 2565.

[5] ดารินทร์ สุพงษ์ศรีกุล และอิทธิกร ปิ่นเงิน. การพัฒนาระบบคลังจัดเก็บเลือดและน้ำยา. ปริญญานิพนธ์ สาขาวิชาวิศวกรรมคอมพิวเตอร์ คณะวิศวกรรมศาสตร์ มหาวิทยาลัยเทคโนโลยีราชมงคลล้านนา เชียงราย; 2565.

[6] ธีรยุทธ เสงี่ยมศักดิ์ “การพัฒนาเครื่องบันทึกเพื่อตรวจติดตามอุณหภูมิและความชื้นสัมพัทธ์ต้นทุนต่ำสำหรับงานสุขศาสตร์อุตสาหกรรมและความปลอดภัย”, ภาควิชาสุขศาสตร์อุตสาหกรรมและความปลอดภัยคณะสาธารณสุขศาสตร์ มหาวิทยาบูรพา ตำบลแสนสุขอำเภอเมือง จังหวัดชลบุรี 20131 2554., 19(3), 1-6.

[7] ศิริรัตน์ เตชะธวัช, ปนัดดา ลี่สถาพรวงศา,ธนพัฒน์ เลาวหุตานนท์ และวรรณภา สกุลพราหมณ์. (2554). คู่มือการบริหารจัดการวัคซีนและระบบลูกโซ่ความเย็น ปี 2554. พิมพ์ครั้งที่1. กรุงเทพมหานคร . ศรีเมืองการพิมพ์.

[8] ปิยนิตย์ ธรรมาภรณ์พิลาศ. (2547).คู่มือการบริหารจัดการวัคซีนและระบบลูกโซ่ความเย็น.: 2547.พิมพ์ครั้งที่1.กรุงเทพมหานคร . โรงพิมพ์การศาสนา สำนักงานพุทธศาสนาแห่งชาติ .

[9] กุลกัญญา โชคไพบูลย์กิจ ,ชนเมธ เตชะแสนศิริ,วีระชัย วัฒนวีรเดช ,อัจฉรา ตั้งสถาพรพงษ์, ฤดีวิไล สามโกเศศ ตำราวัคซีนและการสร้างเสริมภูมิคุ้มกันโรค ปี 2562.:2562. พิมพ์ครั้งที่ 1.บริษัท เวิร์ค พริ้นติ้ง จำกัด.

[10] ศิริรัตน์ เตชะธวัช. (2556).มาตรฐานการดำเนินงานด้านคลังและการเก็บรักษาวัคซีน. พิมพ์ครั้งที่ 1.กรุงเทพมหานคร : โรงพิมพ์การศาสนา สำนักงานพุทธศาสนาแห่งชาติ. https://appksn.moph.go.th/dmsic/admin/uploads_vc/vc_3_670034.pdf.

[11] กองโรคติดต่อทั่วไป กรมควบคุมโรค. มาตรฐานการดำเนินงานสร้างภูมิคุ้มกันโรค ปี 2568:2568. https://ddc.moph.go.th/uploads/publish/1660220250103030656.pdf.

[12] มาตรฐานธนาคารเลือด และงานบริการโลหิต ปี 2567.ศูนย์บริการโลหิตแห่งชาติ สภากาชาดไทย.2567.หน้าที่ 10-12

ประวัติผู้เขียนบทความ

นายพิเชษฐ กันทะวัง
อีเมล์. pichet_k55@rmutl.ac.th
โทรศัพท์. 063-7188760
งานวิจัยที่สนใจ ระบบสมองกลฝังตัวและอินเตอร์เน็ตของสรรพสิ่ง หุ่นยนต์ วิศวกรรมชีวเวช

นายชัชวาลย์ แข่งขัน
อีเมล์ banrmutl799@gmail.com
โทร 096-0803299
งานวิจัยที่สนใจด้านไฟฟ้าและอิเล็กทรอนิกส์

น.ส.มัณฑนา บุศย์เมือง
อีเมล์ ppmuntana@gmail.com
โทรศัพท์. 095-4923158
งานวิจัยที่สนใจ นวัตกรรมด้านการแพทย์และสาธารณสุข และการนำไปใช้ ให้เกิดประสิทธิภาพและประสิทธิผลสูงสุด

นายปชนน อนุพงศานุกูล
อีเมล์ ekasin_min@hotmail.com
โทรศัพท์. 089-6364756
งานวิจัยที่สนใจ การบริการเภสัชกรรม ระบบยาในโรงพยาบาล

นายปกรณ์ เสรีเผ่าวงษ์
อีเมล์. Psereepulvong@gmail.com
โทรศัพท์. 081-5957129
งานวิจัยที่สนใจ ระบบดิจิตอล และการประมวลผลภาษาธรรมชาติ

MAPLE-J: เฟรมเวิร์กจัดการสภาพแวดล้อมไพทอนอัตโนมัติแบบหลายแพลตฟอร์มสำหรับการใช้งานด้านการศึกษาโดยใช้ JupyterLab

MAPLE-J: A Multi-Platform Automated Python Learning Environment Framework for Educational Applications Using JupyterLab

บุญนที ศักดิ์บุญญารัตน์ และ ศิริพร ศักดิ์บุญญารัตน์*

สาขาวิชาคณิตศาสตร์และวิทยาการคำนวณ โรงเรียนมหิดลวิทยานุสรณ์ boonnatee.sak@mwit.ac.th, siriporn.sak@mwit.ac.th*

บทคัดย่อ

งานวิจัยนี้นำเสนอการพัฒนาเฟรมเวิร์กบริหารจัดการไพทอน (Python) อัตโนมัติแบบหลายแพลตฟอร์มเพื่อการเรียนการสอน โดยใช้เทคโนโลยี pyenv สำหรับการจัดการหลายเวอร์ชันของ Python และป้องกันปัญหาความไม่สอดคล้องของไลบรารี เฟรมเวิร์กประกอบด้วยสคริปต์อัตโนมัติที่ติดตั้งและกำหนดค่าสภาพแวดล้อมพร้อมใช้งานครอบคลุมไลบรารีสำคัญสำหรับการประมวลผลภาพและการพัฒนาโมเดล AI เช่น OpenCV, Pillow, scikit-image, scikit-learn และ TensorFlow พร้อมติดตั้งและตั้งค่า JupyterLab สำหรับใช้งานในโหมด localhost บน Windows, macOS และ Linux ผลการทดสอบแสดงว่าเฟรมเวิร์กนี้สามารถลดเวลาในการติดตั้งได้เทียบเท่าการใช้งานบนระบบ Google Colab เพิ่มความเสถียร ความสามารถในการทำซ้ำ (Reproducibility) และความสะดวกในการใช้งาน ทำให้เหมาะสำหรับการสอนการเขียนโปรแกรมและการประยุกต์ใช้ในสภาพแวดล้อมการเรียนการสอนที่หลากหลาย

คำสำคัญ: Python, pyenv, JupyterLab, เฟรมเวิร์กอัตโนมัติ, หลายแพลตฟอร์ม, การจัดการสภาพแวดล้อม

Abstract

This research presents the development of a cross-platform automated Python management framework for educational purposes. The framework utilizes the pyenv technology to manage multiple Python versions and prevent library incompatibility issues. It consists of automated scripts that install and configure a ready-to-use environment, covering essential libraries for image processing and AI model development, such as OpenCV, Pillow, scikit-image, scikit-learn, and TensorFlow. Additionally, the framework installs and configures JupyterLab for localhost operation on Windows, macOS, and Linux. Experimental results indicate that the framework can reduce installation time to a level comparable to that of Google Colab, while enhancing stability, reproducibility, and ease of use. These features make it highly suitable for teaching programming and applying it in diverse educational environments.

Keywords: Python, pyenv, JupyterLab, Automated Framework, Multi-platform, Environment Management

1. บทนำ

การเรียนการสอนด้านการเขียนโปรแกรมและการพัฒนาโมเดลปัญญาประดิษฐ์ (Artificial Intelligence, AI) ในปัจจุบันจำเป็นต้องใช้สภาพแวดล้อมการทำงานที่รองรับไลบรารีและเครื่องมือจำนวนมาก เช่น OpenCV, Pillow, scikit-image, scikit-learn และ TensorFlow ซึ่งมักมีข้อกำหนดด้านเวอร์ชันที่แตกต่างกัน การติดตั้งและตั้งค่าสภาพแวดล้อมเหล่านี้บนคอมพิวเตอร์ของผู้เรียนหรือผู้สอนอาจใช้เวลานาน และมักเกิดปัญหาความไม่สอดคล้องของไลบรารี (Library Incompatibility) หรือความแตกต่างระหว่างระบบปฏิบัติการต่าง ๆ เช่น Windows, macOS, Linux ซึ่งทำให้เกิดความล่าช้าและลดประสิทธิภาพในการเรียนการสอน

แม้ว่าจะมีเครื่องมือช่วยจัดการเวอร์ชันของ Python และไลบรารี เช่น virtualenv, conda หรือ Docker แต่การตั้งค่าให้พร้อมใช้งานในสภาพแวดล้อมการเรียนการสอนยังคงซับซ้อนสำหรับผู้ใช้ทั่วไป โดยเฉพาะผู้ที่ไม่มีพื้นฐานด้านการจัดการระบบ (system administration) ความซับซ้อนนี้ส่งผลให้ผู้สอนต้องใช้เวลามากในการช่วยแก้ไขปัญหาแทนที่จะใช้เวลาไปกับการสอนเนื้อหา และผู้เรียนอาจเสียโอกาสในการฝึกปฏิบัติจริง

ดังนั้น จึงมีความจำเป็นในการพัฒนาเฟรมเวิร์กที่สามารถติดตั้งและกำหนดค่าสภาพแวดล้อมสำหรับการเรียนการสอน Python และ AI ได้อย่างอัตโนมัติ รองรับการทำงานข้ามแพลตฟอร์ม และลดปัญหาความไม่สอดคล้องของไลบรารี เพื่อเพิ่มความเสถียร ความสามารถในการทำซ้ำและความรวดเร็วในการเตรียมสภาพแวดล้อม ผลลัพธ์ที่ได้จะช่วยให้กระบวนการเรียนการสอนมีประสิทธิภาพมากขึ้น เหมาะสมกับการนำไปใช้ทั้งในชั้นเรียนและการเรียนรู้ด้วยตนเอง

2. วัตถุประสงค์ของการวิจัย

2.1 เพื่อพัฒนาเฟรมเวิร์กบริหารจัดการ Python แบบอัตโนมัติที่สามารถทำงานได้บนหลายแพลตฟอร์ม ได้แก่ Windows, macOS, Linux และ Raspberry Pi

2.2 เพื่อออกแบบสคริปต์อัตโนมัติที่ติดตั้งและตั้งค่าพร้อมใช้งาน รวมถึงติดตั้ง JupyterLab สำหรับโหมด localhost

2.3 เพื่อส่งเสริมประสิทธิภาพการเรียนการสอนด้านการเขียนโปรแกรมคอมพิวเตอร์ โดยลดเวลาและความซับซ้อนในการเตรียมสภาพแวดล้อม

*ผู้ประพันธ์บรรณกิจ

3. ขอบเขตการวิจัย

3.1 ด้านระบบปฏิบัติการที่รองรับ
- เฟรมเวิร์กถูกออกแบบให้สามารถทำงานได้หลายระบบปฏิบัติการหลัก ได้แก่ Windows, macOS, Linux และ Raspberry Pi

3.2 ด้านเทคโนโลยีและเครื่องมือที่ใช้
- ใช้ pyenv ในการจัดการหลายเวอร์ชันของ Python
- ใช้สคริปต์อัตโนมัติในการติดตั้งและกำหนดค่าระบบ
- ติดตั้งไลบรารีสำคัญสำหรับการเขียนโปรแกรมคอมพิวเตอร์
- ติดตั้งและตั้งค่า JupyterLab สำหรับการใช้งานในโหมด localhost

3.3 ด้านการทดสอบและประเมินผล
- ทดสอบการติดตั้งและใช้งานเฟรมเวิร์กในสภาพแวดล้อมการเรียนการสอน
- วัดผลด้านเวลาในการติดตั้ง ความเสถียร ความสามารถในการทำซ้ำ และความสะดวกในการใช้งาน
- กลุ่มตัวอย่างการทดสอบประกอบด้วยผู้สอนและผู้เรียนในรายวิชาที่เกี่ยวข้องกับการเขียนโปรแกรมคอมพิวเตอร์และวิชาโครงงาน

3.4 ด้านข้อจำกัดของการวิจัย
- ไม่ครอบคลุมการติดตั้งบนสภาพแวดล้อมที่ไม่มีสิทธิ์การติดตั้งซอฟต์แวร์ (เช่น ระบบที่จำกัดสิทธิ์ผู้ใช้)
- ไม่ครอบคลุมการติดตั้งไลบรารีเฉพาะทางอื่นนอกเหนือจากที่กำหนดในเฟรมเวิร์ก

4. ตัวแปรต้นและตัวแปรตาม

4.1 ตัวแปรต้น (Independent Variables)
- เทคโนโลยีที่ใช้จัดการ Python หลายเวอร์ชัน (pyenv)
- สคริปต์อัตโนมัติในการติดตั้งและกำหนดค่าสภาพแวดล้อม
- ไลบรารีสำคัญสำหรับการเขียนโปรแกรมคอมพิวเตอร์
- การติดตั้งและตั้งค่า JupyterLab ในโหมด localhost
- รองรับหลายแพลตฟอร์ม ได้แก่ Windows, macOS, Linux และ Raspberry Pi

4.2 ตัวแปรตาม (Dependent Variables)
- เวลาในการติดตั้งสภาพแวดล้อม (นาที)
- ความเสถียรของระบบ (System Stability)
- ความสามารถในการทำซ้ำ
- ความสะดวกในการใช้งาน (Usability)
- ประสิทธิภาพการเรียนการสอนด้านการเขียนโปรแกรมและวิชาโครงงาน

5. ทฤษฎีและงานวิจัยที่เกี่ยวข้อง

5.1 ทฤษฎีที่เกี่ยวข้อง

การจัดการเวอร์ชันและสภาพแวดล้อมซอฟต์แวร์ pyenv เป็นเครื่องมือยอดนิยมสำหรับการจัดการหลายเวอร์ชันของ Python โดยช่วยให้สามารถติดตั้ง สลับใช้งาน และจัดการเวอร์ชันต่าง ๆ อย่างเป็นระบบ ลดความเสี่ยงจาก Python เวอร์ชันระบบ (Python System) และการติดตั้งซ้ำซ้อน pyenv-win คือ เวอร์ชันสำหรับ Windows ที่ได้รับการดัดแปลงจาก pyenv เพื่อใช้งานในแพลตฟอร์มนี้ [1][2]

ความสำคัญของการทดลองซ้ำได้ แนวคิดการทดลองในรูปแบบโค้ด (Experiments as Code, ExaC) เป็นแนวคิดสำหรับการทดลองที่สามารถทำซ้ำได้ ตรวจสอบได้ แก้ไขข้อบกพร่องได้ นำกลับมาใช้ใหม่ได้ และปรับขนาดได้ [3] โครงการ SIERRA เป็นเฟรมเวิร์กแบบโมดูลาร์ (Modular) ที่รองรับการทำแบบอัตโนมัติสำหรับงานทดลองต่าง ๆ เพิ่มความสามารถในการทำซ้ำ และลดการเขียนสคริปต์ที่ใช้แล้วทิ้ง [4] รายงานจาก National Academies of Sciences พูดถึงลำดับขั้นตอนการทำงานที่เป็นระบบและมีแบบแผนตั้งแต่ต้นจนจบกระบวนการ (Workflow) การวิจัยอัตโนมัติ (Automated Research Workflows, ARWs) ช่วยเพิ่มความมั่นคง ความสามารถในการทำซ้ำ ด้วยระบบอัตโนมัติตั้งแต่การเตรียมข้อมูลจนถึงการเผยแพร่ผล [5]

ปัจจัยสำคัญของการวิจัยเชิงคำนวณที่ทำซ้ำได้ (Reproducible Computational Research) งานวิจัยในด้านชีวสารสนเทศศาสตร์ (Bioinformatics) ได้นำเสนอเสาหลักทั้งห้าของการวิจัยเชิงคำนวณที่ทำซ้ำได้ (Five Pillars of Reproducible Computational Research) ได้แก่ 1) แนวคิดการเขียนโปรแกรมที่ผสมผสานภาษาโปรแกรมเข้ากับภาษาธรรมชาติ (Literate Programming) 2) ระบบควบคุมเวอร์ชัน (Code version control) เป็นระบบที่ใช้ในการติดตามและจัดการการเปลี่ยนแปลงของซอร์สโค้ด (และไฟล์อื่น ๆ) ในโปรเจกต์ซอฟต์แวร์อย่างเป็นระบบ ช่วยให้นักพัฒนาสามารถย้อนกลับไปดูเวอร์ชันก่อนหน้า เปรียบเทียบการเปลี่ยนแปลง และทำงานร่วมกับผู้อื่นได้อย่างราบรื่น พร้อมทั้งป้องกันการสูญหายของโค้ดและแก้ไขข้อผิดพลาดได้อย่างมีประสิทธิภาพ 3) การจัดการการพึ่งพาซอฟต์แวร์ (Software Dependency Management) คือ กระบวนการระบุ ติดตาม และควบคุมองค์ประกอบซอฟต์แวร์ต่างๆ เช่น ไลบรารี, เฟรมเวิร์ก, และมอดูล ที่แอปพลิเคชันต้องพึ่งพา เพื่อให้ทำงานได้อย่างมีประสิทธิภาพและปลอดภัย โดยมีเป้าหมายหลักเพื่อให้มั่นใจว่าส่วนประกอบเหล่านั้นเป็นเวอร์ชันที่ถูกต้องเข้ากันได้ และไม่มีช่องโหว่ด้านความปลอดภัย ซึ่งช่วยลดข้อผิดพลาด ป้องกันความเสี่ยง และปรับปรุงความเสถียรของซอฟต์แวร์โดยรวม 4) แหล่งที่มาของข้อมูล (Data Provenance) และ 5) การตรวจจับสภาพแวดล้อมเชิงคำนวณ (Computational Environment Capture) แนวคิดนี้ช่วยเตือนให้เห็นว่าการควบคุมสภาพแวดล้อม เช่น การใช้ pyenv เป็นส่วนหนึ่งที่สำคัญมากต่อความสามารถในการทำซ้ำ [6]

ระบบการทดสอบกรงในบ้านแบบอัตโนมัติ (Automated Home-Cage Testing) ในงานวิจัยพฤติกรรมศาสตร์ พบว่าการทำระบบอัตโนมัติช่วยลดข้อผิดพลาด และเพิ่มความสามารถในการทำซ้ำของผลลัพธ์ได้อย่างมีนัยสำคัญ [7]

5.2 งานวิจัยที่เกี่ยวข้อง

การพัฒนาระบบหรือเฟรมเวิร์กเพื่อสนับสนุนการจัดการสภาพแวดล้อมการเขียนโปรแกรมและเพิ่มความสามารถในการทำซ้ำได้รับความสนใจอย่างต่อเนื่องในวงการวิจัยและการศึกษา เช่น [8] ได้นำเสนอการฝึกอบรมให้นักศึกษาสาขา STEM และสังคมศาสตร์ได้เรียนรู้การจัดการข้อมูล และการทำให้ขั้นตอนการวิเคราะห์มีความสามารถในการทำซ้ำอย่างเป็นระบบ ซึ่งสอดคล้องกับการพัฒนาทักษะด้านเทคนิคของผู้เรียน ขณะที่ [9] ได้ออกแบบโครงสร้างระบบที่ผสานเทคโนโลยีคอนเทนเนอร์ (Container) การควบคุมเวอร์ชัน (Version Control) และการ

จัดเก็บข้อมูลถาวร เพื่อให้การจัดเก็บโค้ด ข้อมูล และผลลัพธ์มีความโปร่งใสและพร้อมตรวจสอบได้ในระยะยาว

ในด้านการจัดการสภาพแวดล้อมแบบ [10] ที่พัฒนาเครื่องมือผสาน Git, Docker และ Jupyter เข้าด้วยกันเพื่อให้ผู้เรียนสามารถเริ่มใช้งานได้ทันทีโดยไม่ต้องติดตั้งและกำหนดค่าด้วยตนเอง ซึ่งเป็นแนวทางที่ช่วยลดอุปสรรคทางเทคนิคในการเรียนการสอนอย่างมีประสิทธิภาพ นอกจากนี้งาน [11] ได้สำรวจสถานการณ์ของการทำซ้ำงานวิจัยในสาขาวิทยาการคอมพิวเตอร์ พบว่าการจัดการความไม่มีอิสระและการสร้างสภาพแวดล้อมที่เสถียรผ่านเครื่องมือ เช่น สภาพแวดล้อมเสมือนจริง (Virtual environments) และเทคโนโลยีคอนเทนเนอร์ (Container technologies) เช่น Docker, Vagrant เป็นปัจจัยสำคัญต่อความสำเร็จของการทำซ้ำ ซึ่งชี้ให้เห็นความจำเป็นของการพัฒนาเครื่องมือหรือเฟรมเวิร์กที่สามารถลดความซับซ้อนในการตั้งค่าและเพิ่มความน่าเชื่อถือของกระบวนการเรียนการสอนด้านการเขียนโปรแกรมและ AI

6. วิธีดำเนินการวิจัย

6.1 กลุ่มประชากร

กลุ่มประชากรในการวิจัยนี้ คือ ผู้สอนและผู้เรียนในรายวิชาการเขียนโปรแกรมคอมพิวเตอร์และโครงงานวิชาคอมพิวเตอร์ โรงเรียนมหิดลวิทยานุสรณ์ ซึ่งใช้ระบบปฏิบัติการที่แตกต่างกัน ได้แก่ Windows, macOS และ Linux โดยครอบคลุมทั้งในสภาพแวดล้อมการเรียนในห้องเรียนและการเรียนรู้ด้วยตนเอง

6.2 กลุ่มตัวอย่าง

กลุ่มตัวอย่างได้มาจากการเลือกแบบเจาะจง (Purposive Sampling) จากกลุ่มประชากรดังกล่าว เพื่อให้ครอบคลุมการใช้งานจริงในสภาพแวดล้อมที่หลากหลาย โดยเป็นผู้สอน 3 คน และผู้เรียนประมาณ 144 และ11 คน จากรายวิชาการเขียนโปรแกรมคอมพิวเตอร์และโครงงานวิชาคอมพิวเตอร์ตามลำดับ

การเลือกแบบเจาะจงเหมาะสมกับงานวิจัยนี้ เนื่องจากเฟรมเวิร์กที่พัฒนามีเป้าหมายเพื่อแก้ไขปัญหาการติดตั้งและจัดการ Python ในการเรียนการสอน จึงจำเป็นต้องเลือกกลุ่มตัวอย่างที่มีลักษณะและเงื่อนไขตรงตามเกณฑ์ที่กำหนด เพื่อให้สามารถประเมินประสิทธิภาพและความเหมาะสมของเฟรมเวิร์กได้อย่างตรงจุด และลดความแปรปรวนจากปัจจัยที่ไม่เกี่ยวข้อง

กลุ่มตัวอย่างทั้งหมดใช้เครื่องคอมพิวเตอร์ที่มีระบบปฏิบัติการแตกต่างกัน ได้แก่ Windows, macOS, Linux และ Raspberry Pi เพื่อทดสอบประสิทธิภาพของเฟรมเวิร์ก

6.3 วิธีดำเนินการ

การดำเนินการวิจัย ดำเนินการตามกรอบการวิจัย ดังรูปที่ 1

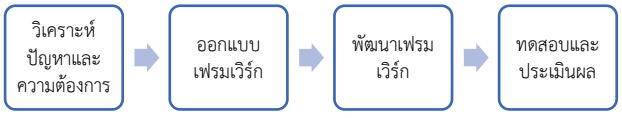

รูปที่ 1 กรอบการวิจัย

6.3.1 วิเคราะห์ปัญหาและความต้องการ

- ศึกษาปัญหาที่เกิดขึ้นในการติดตั้งและจัดการสภาพแวดล้อม Python สำหรับการเรียนการสอน
- สำรวจความต้องการของผู้สอนและผู้เรียนเกี่ยวกับเครื่องมือและไลบรารีที่จำเป็น
- วิเคราะห์ข้อจำกัดของเครื่องมือเดิม เช่น Google Colab, Repli

6.3.2 ออกแบบเฟรมเวิร์ก

เฟรมเวิร์กออกแบบให้รองรับการทำงานบนหลายระบบปฏิบัติการ ได้แก่ Windows, macOS, Linux และ Raspberry Pi พร้อมทั้งพัฒนาชุดคำสั่งติดตั้งระบบอัตโนมัติ Automated Installation Script for Pyenv-Virtualenv (AuScript-Pyenv) เพื่อใช้เปรียบเทียบระหว่างเฟรมเวิร์กที่ผู้วิจัยพัฒนา MAPLE-J กับเฟรมเวิร์กอื่น ๆ แสดงในตารางที่ 1 โดยเฟรมเวิร์กแต่ละแบบถูกประเมินตามความสามารถและวิธีการใช้งานใน 8 ด้านสำคัญ โดยใช้เกณฑ์การประเมินแบบมาตราส่วน 5 ระดับ (1 – 5 คะแนน) เพื่อสะท้อนถึงประสิทธิภาพและความเหมาะสมของแต่ละเฟรมเวิร์ก

ตารางที่ 1 ตารางแสดงรูปแบบของเฟรมเวิร์กที่ใช้ในการทดลอง

ลำดับ	ชื่อเฟรมเวิร์ก	เครื่องมือหลักที่ใช้งานของเฟรมเวิร์ก
1	G-Colab	Google Colaboratory : Colab
2	PN-Traditional	Python Native Traditional
3	PY-jupyterLAB	Pyenv และ jupyterLAB
4	MAPLE-J	AuScript-Pyenv และ jupyterLAB

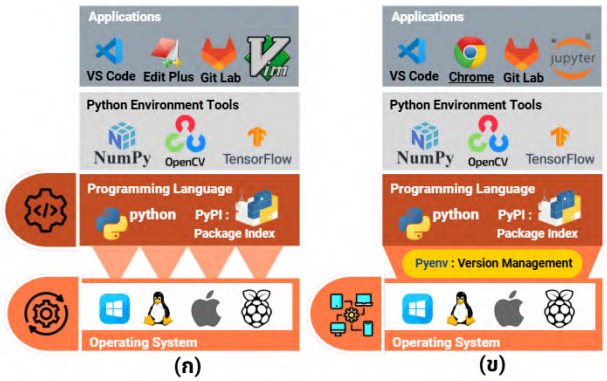

รูปที่ 2 การทำงานของเฟรมเวิร์ก ก) PN-Traditional เป็นการเรียนใช้งาน Python แบบดั้งเดิม และ ข) PY-jupyterLAB เป็นการใช้ Pyenv เข้ามาช่วยจัดการเวอร์ชั่น

ในการออกแบบเฟรมเวิร์กได้พิจารณารูปแบบการทำงานของระบบที่ใช้งานอยู่เดิมเปรียบเทียบกับเฟรมเวิร์กที่ผู้วิจัยพัฒนาขึ้นใหม่ แสดงดังรูปที่ 2 และ รูปที่ 3 ตามลำดับ

รูปที่ 2 แสดงการทำงานของเฟรมเวิร์กสองรูปแบบ ได้แก่ (ก) PN-Traditional ซึ่งเป็นการใช้งาน Python แบบดั้งเดิม โดยผู้ใช้ต้องติดตั้งและจัดการสภาพแวดล้อมด้วยตนเอง และ (ข) PY-jupyterLAB ซึ่งมีการนำ Pyenv เข้ามาช่วยจัดการหลายเวอร์ชันของ Python เพื่อเพิ่มความยืดหยุ่นในการเรียนการสอน รูปที่ 3 แสดงการทำงานของเฟรมเวิร์กที่ผู้วิจัยพัฒนาขึ้น คือ MAPLE-J โดยใช้ AuScript-Pyenv (Automated Installation Script for Pyenv-Virtualenv) เพื่อทำให้ขั้นตอนการติดตั้งและกำหนดค่าสภาพ แวดล้อมเป็นแบบอัตโนมัติ ตั้งแต่การกำหนดค่าตัวแปรเริ่มต้น การติดตั้งไลบรารี Python การตรวจสอบการรองรับ GPU/cuDNN ไปจนถึงการติดตั้ง JupyterLab และการเตรียมใช้งานจริง

เฟรมเวิร์กนี้ช่วยลดความ ซับซ้อน เพิ่มความเสถียร และรองรับการใช้งานได้บนหลายระบบปฏิบัติการอย่างมีประสิทธิภาพ

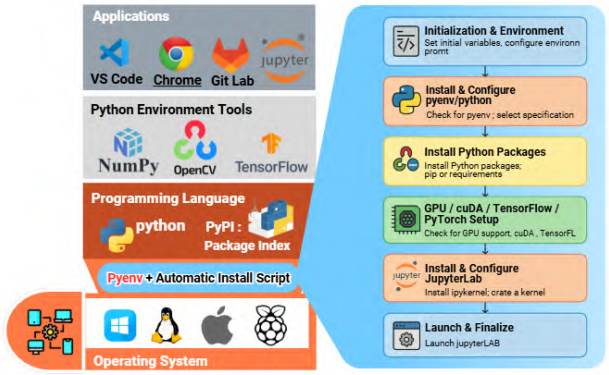

รูปที่ 3 การทำงานของเฟรมเวิร์ก MAPLE-J

6.3.3 การพัฒนาเฟรมเวิร์ก

ในการพัฒนาเฟรมเวิร์ก MAPLE-J ผู้วิจัยได้สร้างและทดสอบสคริปต์ติดตั้งโดยใช้ Pyenv สำหรับจัดการหลายเวอร์ชันของ Python โดยออกแบบให้มีขั้นตอนการทำงานแบบอัตโนมัติ แสดงดังรูปที่ 4 ซึ่งเป็นโครงสร้างการทำงานของสคริปต์ (Automated Installation Script) ครอบคลุมตั้งแต่การกำหนดค่าพารามิเตอร์เริ่มต้น การตรวจสอบและติดตั้ง Pyenv การสร้างและจัดการ Virtual Environment การติดตั้งไลบรารีหลักด้านการประมวลผลภาพและ AI เช่น NumPy, OpenCV, TensorFlow, scikit-learn การตรวจสอบความพร้อมของ GPU/cuDNN ไปจนถึงการติดตั้งและกำหนดค่า JupyterLab ให้พร้อมใช้งาน

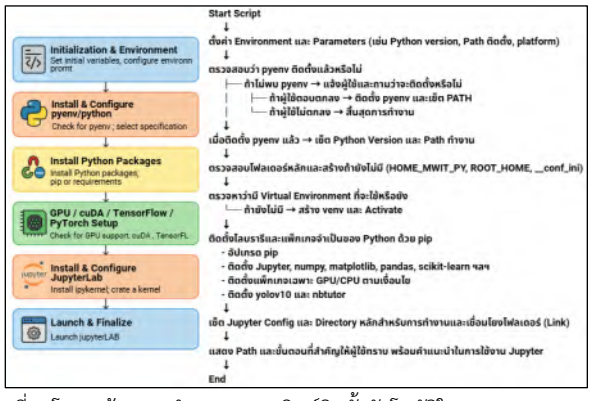

รูปที่ 4 โครงสร้างการทำงานของสคริปต์ติดตั้งอัตโนมัติในระบบ MAPLE-J ตั้งแต่การกำหนดค่าเริ่มต้น การจัดการเวอร์ชัน Python และการติดตั้งไลบรารี ไปจนถึงการเตรียมใช้งาน JupyterLab

การทำงานของสคริปต์ MAPLE-J สามารถติดตั้งสภาพแวดล้อม Python และไลบรารีที่จำเป็นได้อย่างครบถ้วน พร้อมเรียกใช้งาน JupyterLab ได้สำเร็จบนเครื่องผู้ใช้ โดยช่วยลดความซับซ้อน เพิ่มความเสถียร และทำให้สามารถเริ่มต้นใช้งานได้ทันทีโดยไม่ต้องกำหนดค่าด้วยตนเอง สคริปต์ถูกออกแบบให้รองรับความแตกต่างของแต่ละระบบปฏิบัติการ โดยใช้ PowerShell บน Windows และ bash shell scripts บน macOS, Linux และ Raspberry Pi OS ผลการทำงานแสดงใน รูปที่ 5

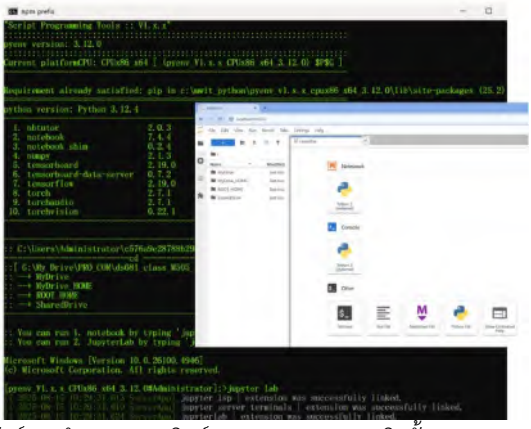

รูปที่ 5 ผลลัพธ์การทำงานของสคริปต์ MAPLE-J แสดงการติดตั้งสภาพแวดล้อมและไลบรารีหลักที่จำเป็น พร้อมการเรียกใช้งาน JupyterLab ได้สำเร็จ

6.3.4 ทดสอบและประเมินผล

เพื่อประเมินประสิทธิภาพของเฟรมเวิร์ก MAPLE-J การวิจัยนี้ได้ออกแบบเกณฑ์การประเมินโดยอ้างอิง 8 มิติหลักที่สะท้อนถึงความสามารถและวิธีการใช้งานของแต่ละเฟรมเวิร์ก ประกอบด้วย ความง่ายในการติดตั้ง การพึ่งพาอินเทอร์เน็ต การจัดการหลายเวอร์ชันของ Python การติดตั้งและจัดการแพ็กเกจ ความสามารถในการทำงานร่วมกัน ความเสถียรของระบบ ความง่ายในการเริ่มใช้งาน และความยืดหยุ่นต่อการขยาย โดยใช้มาตราส่วนการประเมินแบบ 5 ระดับ (1–5 คะแนน) เพื่อสะท้อนระดับประสิทธิภาพ ความสะดวก และความเหมาะสมของแต่ละเฟรมเวิร์ก รายละเอียดเกณฑ์การประเมินสรุปแสดงดังตารางที่ 2

ตารางที่ 2 เกณฑ์การประเมินเฟรมเวิร์ก (1 ถึง 5 คะแนน)

ลำดับ	รายการความสามารถ และ เกณฑ์การประเมิน	
1	ความง่ายในการติดตั้ง (Ease of Installation)	
	ระดับ 1	ยากและซับซ้อนมาก
	ระดับ 2	ยากในบางขั้นตอน
	ระดับ 3	ได้แต่ต้องปรับแก้
	ระดับ 4	ง่ายเกือบทั้งหมด
	ระดับ 5	ง่ายและรวดเร็ว
2	การพึ่งพาอินเทอร์เน็ต (Internet Dependency)	
	ระดับ 1	ต้องใช้อินเทอร์เน็ตตลอดเวลา
	ระดับ 2	พึ่งพาอินเทอร์เน็ตมาก
	ระดับ 3	พึ่งพาอินเทอร์เน็ตระดับปานกลาง
	ระดับ 4	ใช้อินเทอร์เน็ตเฉพาะบางขั้นตอน
	ระดับ 5	ไม่ต้องพึ่งพาอินเทอร์เน็ต
3	การจัดการหลายเวอร์ชัน Python (Multi-Version Management)	
	ระดับ 1	ไม่รองรับ
	ระดับ 2	รองรับบางส่วน
	ระดับ 3	รองรับได้แต่ไม่เสถียร
	ระดับ 4	รองรับได้ค่อนข้างดี
	ระดับ 5	รองรับหลายเวอร์ชันได้สมบูรณ์

ลำดับ	รายการความสามารถ และ เกณฑ์การประเมิน	
4	การติดตั้ง/จัดการแพ็กเกจ (Package Installation and Management)	
	ระดับ 1	ยากมาก ต้องติดตั้งเอง
	ระดับ 2	ยากและใช้เวลานาน
	ระดับ 3	พอจัดการได้
	ระดับ 4	จัดการแพ็กเกจได้สะดวก
	ระดับ 5	จัดการแพ็กเกจได้ง่ายและอัตโนมัติ
5	ความสามารถทำงานร่วมกัน (Collaboration Capability)	
	ระดับ 1	ไม่รองรับ
	ระดับ 2	รองรับน้อยมาก
	ระดับ 3	รองรับพื้นฐาน
	ระดับ 4	รองรับได้ดีในระดับห้องเรียน
	ระดับ 5	รองรับได้ดีมากและยืดหยุ่น
6	ความเสถียรของระบบ (System Stability)	
	ระดับ 1	ไม่เสถียร มีปัญหาบ่อย
	ระดับ 2	ค่อนข้างไม่เสถียร
	ระดับ 3	ปานกลาง
	ระดับ 4	เสถียรในระดับดี
	ระดับ 5	เสถียรมาก ใช้งานได้ต่อเนื่อง
7	ความง่ายในการเริ่มใช้งาน (Ease of Getting Started)	
	ระดับ 1	เริ่มใช้งานยากมาก
	ระดับ 2	เริ่มใช้งานค่อนข้างยาก
	ระดับ 3	เริ่มใช้งานได้แต่ใช้เวลานาน
	ระดับ 4	เริ่มใช้งานได้รวดเร็ว
	ระดับ 5	เริ่มใช้งานได้ทันที
8	ความยืดหยุ่นต่อการขยาย (Flexibility to Expand)	
	ระดับ 1	ไม่สามารถขยายได้
	ระดับ 2	ขยายได้แต่ยุ่งยาก
	ระดับ 3	ขยายได้บางส่วน
	ระดับ 4	ขยายได้ค่อนข้างยืดหยุ่น
	ระดับ 5	ขยายได้ง่ายและยืดหยุ่นสูง

การทดลองได้ดำเนินการติดตั้งและใช้งานเฟรมเวิร์กทั้ง 4 รูปแบบบนหลายระบบปฏิบัติการ ได้แก่ Windows, macOS, Linux และ Raspberry Pi โดยกลุ่มตัวอย่างประกอบด้วยผู้สอนและผู้เรียนในรายวิชาที่เกี่ยวข้องกับการเขียนโปรแกรมคอมพิวเตอร์และวิชาโครงงาน ซึ่งสะท้อนถึงการใช้งานจริงในบริบทการเรียนการสอน ข้อมูลที่เก็บรวบรวม ได้แก่ ระยะเวลาในการติดตั้ง ความเสถียรของระบบ ความสามารถในการทำซ้ำ (reproducibility) และความสะดวกในการใช้งาน จากนั้นจึงทำการวิเคราะห์ผลด้วยสถิติ เพื่อให้ได้ข้อสรุปเกี่ยวกับประสิทธิภาพของแต่ละเฟรมเวิร์ก

การดำเนินการประเมินผลในลักษณะดังกล่าวไม่เพียงช่วยยืนยันความถูกต้องของการออกแบบ MAPLE-J เท่านั้น แต่ยังสะท้อนให้เห็นถึงความแตกต่างเชิงคุณภาพระหว่างเฟรมเวิร์กที่มีใช้งานอยู่เดิมกับเฟรมเวิร์กที่ผู้วิจัยพัฒนาขึ้น

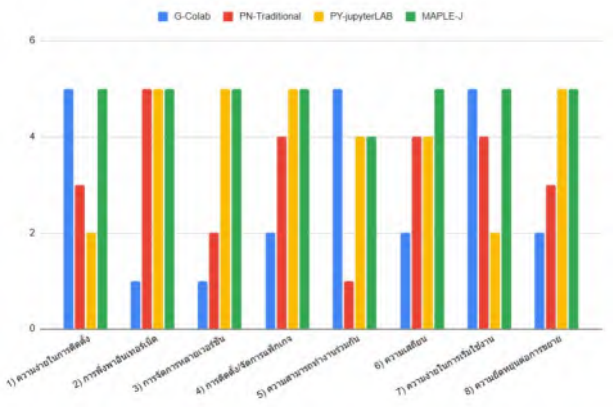

รูปที่ 6 ผลการประเมินประสิทธิภาพของเฟรมเวิร์ก MAPLE-J โดยเกณฑ์การประเมิน 8 มิติหลักเทียบทุกเฟรมเวิร์ก

7. สรุปผลการวิจัย

จากผลการประเมินตามเกณฑ์ 8 มิติที่กำหนดแสดงดังรูปที่ 6 พบว่าเฟรมเวิร์ก MAPLE-J มีประสิทธิภาพสูงกว่ารูปแบบเฟรมเวิร์กอื่นในหลายด้าน โดยเฉพาะในมิติที่เกี่ยวข้องกับการจัดการหลายเวอร์ชันของ Python การติดตั้งและจัดการแพ็กเกจ ความเสถียรของระบบ ความยืดหยุ่นต่อการขยาย และความสะดวกในการเริ่มต้นใช้งาน ซึ่งสะท้อนให้เห็นถึงข้อได้เปรียบของการออกแบบสคริปต์อัตโนมัติ (AuScript-Pyenv) ในการลดความซับซ้อนและเพิ่มความเสถียรของกระบวนการติดตั้งระบบ

เมื่อเปรียบเทียบกับ Google Colab แม้จะมีความโดดเด่นในด้านความง่ายในการติดตั้งและการทำงานร่วมกัน แต่ยังมีข้อจำกัดจากการพึ่งพาอินเทอร์เน็ตอย่างต่อเนื่อง ขณะที่ PN-Traditional และ PY-jupyterLAB แม้จะมีความสามารถในการจัดการสภาพแวดล้อมได้ระดับหนึ่ง แต่ยังขาดความยืดหยุ่นและความเสถียรในบางกรณี

โดยสรุปผลการวิจัยยืนยันว่า MAPLE-J สามารถตอบสนองต่อวัตถุประสงค์ของการพัฒนาได้อย่างมีประสิทธิภาพ ทั้งในด้านการจัดการสภาพแวดล้อม การเพิ่มความเสถียร ความสามารถในการทำซ้ำ (reproducibility) และการใช้งานในบริบทการเรียนการสอนที่หลากหลายระบบปฏิบัติการ ทั้ง Windows, macOS, Linux และ Raspberry Pi ได้อย่างเหมาะสมและมีศักยภาพในการนำไปประยุกต์ใช้งานจริงในวงกว้าง

8. อภิปรายผลการวิจัย

ผลการวิจัยแสดงให้เห็นว่า เฟรมเวิร์ก MAPLE-J สามารถตอบโจทย์ปัญหาการจัดการสภาพแวดล้อมในการเรียนการสอน Python และ AI ได้อย่างมีประสิทธิภาพ โดยรองรับการทำงานบนหลายระบบปฏิบัติการ ได้แก่ Windows, macOS, Linux และ Raspberry Pi ซึ่งเป็นข้อได้เปรียบในการใช้งานจริงที่มีความหลากหลายด้านฮาร์ดแวร์และซอฟต์แวร์ เมื่อเปรียบเทียบกับเฟรมเวิร์กแบบดั้งเดิม พบว่า MAPLE-J สามารถลดเวลาในการติดตั้งได้ใกล้เคียงกับ Google Colab แต่มีความแตกต่างที่สำคัญคือสามารถทำงานได้โดยไม่พึ่งพาการเชื่อมต่ออินเทอร์เน็ตอย่างต่อเนื่อง อีกทั้งยังมีความเสถียร ความสามารถในการทำซ้ำ และความยืดหยุ่นต่อการขยายที่สูงกว่า

ผลดังกล่าวสะท้อนถึงความสำเร็จในการออกแบบ สคริปต์อัตโนมัติ (AuScript-Pyenv) ซึ่งช่วยลดความซับซ้อนของกระบวนการติดตั้ง เพิ่มความน่าเชื่อถือ และทำให้ผู้สอนสามารถมุ่งเน้นไปที่การถ่ายทอดเนื้อหามากกว่าการแก้ไขปัญหาทางเทคนิค ในขณะที่ผู้เรียนสามารถเข้าถึง

เครื่องมือที่จำเป็นได้ทันที สิ่งนี้สอดคล้องกับแนวคิด การจัดการโครงสร้างพื้นฐานด้วยโค้ด และงานวิจัยด้านการวิจัยเชิงคำนวณที่สามารถทำซ้ำได้ที่เน้นการจัดการสภาพแวดล้อมด้วยโค้ดเพื่อลดความผิดพลาดและเพิ่มมาตรฐานของกระบวนการทดลอง

9. งานวิจัยในอนาคต

ตามที่ผู้วิจัยได้ดำเนินการวิจัยตามวิธีขั้นต้น พบว่าการศึกษาวิจัยดังกล่าวสามารถพัฒนาต่อยอดในมิติต่าง ๆ ได้อย่างหลากหลาย จึงขอเสนอเป็นแนวทางการพัฒนาต่อยอดในอนาคต ดังนี้

- เพิ่มความสามารถในการปรับแต่งการติดตั้งให้ยืดหยุ่น
- รองรับการใช้งานบนคลาวด์
- รองรับเวอร์ชันใหม่ของ Python และไลบรารีอย่างต่อเนื่อง
- เพิ่มไลบรารีด้าน Machine Learning และ Data Science อื่น ๆ
- ศึกษาผลกระทบต่อผลสัมฤทธิ์ทางการเรียนในระยะยาว
- เพิ่มระบบติดตามและรายงานการติดตั้งเพื่อปรับปรุงต่ออย่างต่อเนื่อง

เอกสารอ้างอิง

[1] Real Python, “Managing Multiple Python Versions With pyenv,” RealPython.com, Accessed: Aug. 5, 2025.
[2] pyenv, “Simple Python version management: pyenv,” GitHub repository, Accessed: Aug. 5, 2025.
[3] L. Aguilar, M. Gath-Morad, J. Grübel, J. Ermatinger, H. Zhao, S. Wehrli, R. W. Sumner, C. Zhang, D. Helbing, and C. Hölscher, “Experiments as Code: A Concept for Reproducible, Auditable, Debuggable, Reusable, & Scalable Experiments,” *arXiv preprint arXiv:2202.12050*, Feb. 2022. doi: 10.48550/arXiv.2202.12050.
[4] J. Harwell, L. Lowmanstone, and M. Gini, “SIERRA: A Modular Framework for Research Automation,” *arXiv preprint arXiv:2203.04748*, Mar. 2022, doi: 10.48550/arXiv.2203.04748.
[5] National Academies of Sciences, Engineering, and Medicine, *Automated Research Workflows for Accelerated Discovery: Closing the Knowledge Discovery Loop*, Washington, DC: National Academies Press, 2022. doi: 10.17226/26532.
[6] M. Ziemann, P. Poulain, and A. Bora, "The five pillars of computational reproducibility: bioinformatics and beyond," *Briefings in Bioinformatics*, vol. 24, no. 6, bbad375, Sep. 22, 2023, doi: 10.1093/bib/bbad375.
[7] S. H. Richter, "Automated Home-Cage Testing as a Tool to Improve Reproducibility of Behavioral Research?," *Frontiers in Neuroscience*, vol. 14, p. 383, 2020, doi: 10.3389/fnins.2020.00383.
[8] L. Vilhuber, H. H. Son, M. Welch, D. N. Wasser, and M. Darisse, "Teaching for large-scale Reproducibility Verification," *arXiv preprint arXiv:2204.01540*, submitted Mar. 2022, doi: 10.48550/arXiv.2204.01540.
[9] S. Dasgupta and P. Nuyujukian, "An open framework for archival, reproducible, and transparent science," *arXiv preprint arXiv:2504.08171*, Apr. 2025. [Online]. Available: https://doi.org/10.48550/arXiv.2504.08171
[10] A. Ustyuzhanin, T. D. Head, I. Babuschkin, and A. Tiunov, "Everware toolkit. Supporting reproducible science and challenge-driven education," *arXiv preprint arXiv:1703.01200*, Mar. 2017. [Online]. Available: https://doi.org/10.48550/arXiv.1703.01200
[11] J. R. Fonseca Cacho and K. Taghva, "The state of reproducible research in computer science," in Proc. 17th Int. Conf. Information Technology–New Generations (ITNG 2020), Las Vegas, NV, USA, 2020, pp. 519–524, doi: 10.1007/978-3-030-43020-7_68.

นายบุญนที ศักดิ์บุญญารัตน์ ปัจจุบันทำงานโรงเรียนมหิดลวิทยานุสรณ์ ตำแหน่งครูชำนาญการ สาขาวิชาคณิตศาสตร์และวิทยาการคำนวณ ปฏิบัติหน้าที่หัวหน้าฝ่ายบริหารเทคโนโลยีและนวัตกรรมดิจิทัล สำเร็จการศึกษาระดับปริญญาเอก สาขาวิชาเทคโนโลยีสารสนเทศ มหาวิทยาลัยศิลปากร สาขาที่เชี่ยวชาญ คือ Computer Vision, Biomedical Image Processing, Machine learning, Data Engineer, Parallel and High Performance Computing, Network Security, IoT Robotics Microcontroller

นางศิริพร ศักดิ์บุญญารัตน์ ปัจจุบันทำงานโรงเรียนมหิดลวิทยานุสรณ์ ตำแหน่งครูชำนาญการ สาขาวิชาคณิตศาสตร์และวิทยาการคำนวณ สำเร็จการศึกษาระดับปริญญาเอก สาขาวิชาเทคโนโลยีสารสนเทศ มหาวิทยาลัยศิลปากร สาขาที่เชี่ยวชาญ คือ Data mining, Course recommendation system, Massive open online course, Machine learning, Big data

โมเดลทำนายระดับความพึงพอใจของผู้ใช้บริการรถไฟฟ้าจากแอปพลิเคชันแสดงความพึงพอใจต่อความสะดวกสบายของแรงสั่นสะเทือนขณะรถไฟเคลื่อนกรณีศึกษาของรถไฟรางเดี่ยว

A Prediction Model of Passenger Satisfaction Levels Using a Ride Comfort Evaluation Application Incorporating In-Transit Train Vibration Data: A Monorail Case Study

จิระเจตน์ สวนอนันตภูมิ[1] ดนุพร แซ่คู[1] ธิเบต ชูกอง[1] ปานรวี รุ่งสกุลโรจน์[2] และ พิชยพัชยา ศรีคร้าม[1]

[1]สาขาวิชาวิศวกรรมคอมพิวเตอร์ และ [2]ภาควิชาวิศวกรรมอุตสาหการ คณะวิศวกรรมศาสตร์ มหาวิทยาลัยเทคโนโลยีราชมงคลธัญบุรี

1165104006432@mail.rmutt.ac.th, 116510462398@mail.rmutt.ac.th, 1165104006788@mail.rmutt.ac.th
,panrawee.r@en.rmutt.ac.th, pps@en.rmutt.ac.th

บทคัดย่อ

บทความนี้นำเสนอการพัฒนาแอปพลิเคชันสำหรับรับความพึงพอใจของผู้ใช้บริการรถไฟฟ้าและบันทึกค่าแรงสั่นสะเทือนจากเซ็นเซอร์ไจโรสโคปในขณะที่รถไฟเคลื่อนที่ด้วยอัตราเร่งคงที่ เพื่อนำค่าที่ได้ไปคำนวณ ค่าความสะดวกสบายของผู้โดยสารจากแรงสั่นสะเทือนตามมาตรฐาน UIC 513 และ ISO 2631 และนำค่าจากไจโรสโคปให้โมเดลเรียนรู้เชิงลึกสามารถทำนายแยกค่าระดับการประเมินค่าดัชนีความสะดวกสบายจากการสั่นสะเทือนที่มีความหมายของระดับความสะดวกสบายได้ วิธีนี้จะทำให้การประเมินนั้นสามารถประเมินความสะดวกสบายระหว่างการเดินทางได้ นอกเหนือจากนี้ผลข้อมูลการประเมินความพึงพอใจของผู้โดยสารจะถูกนำมาเปรียบเทียบระหว่างค่าดัชนีความสะดวกสบายจากการสั่นสะเทือนของทั้ง 2 มาตรฐาน พบว่าผู้โดยสารตอบระดับความพึงพอใจของการโดยสารตรงกับค่าดัชนีนั้นตอบตรงกับมาตรฐาน ISO 2631 มากกว่ามาตรฐาน UIC 513

คำสำคัญ: ดัชนีความสะดวกสบายจากการสั่นสะเทือน , ระบบราง,การเรียนรู้เชิงลึก, โมไบล์แอปพลิเคชัน

Abstract

This study presents the development of an application to capture metro passengers' satisfaction and record vibration data using gyroscope sensors during constant-acceleration train travel. The collected data were then used to compute passenger ride comfort indices based on the UIC 513 and ISO 2631 standards. The gyroscope data were employed in a deep learning model to predict and classify of ride comfort levels. This approach enables real-time examination of passenger comfort throughout the travel. Moreover, the results, which compare passenger satisfaction with the vibration-based ride comfort index, indicate a closer alignment with the ISO 2631 standard than with UIC 513.

Keywords: Ride comfort, Railway ,Deep learning, mobile application

1. บทนำ

การพัฒนาระบบรถไฟฟ้าในเขตเมืองเป็นกลไกสำคัญในการจัดการปัญหาการจราจรและสนับสนุนการขนส่งสาธารณะ เพื่อลดระยะเวลาการเดินทางและอัตราค่าโดยสารแล้ว การเดินทางด้วยยานพาหนะใดๆนั้นมีปัจจัยด้านความสะดวกสบายของผู้โดยสารขณะการเดินทาง จากผลของการสั่นสะเทือนของโครงสร้างยานพาหนะนั้นมีอิทธิพลต่อความสะดวกสบายของผู้โดยสาร หากการสั่นสะเทือนมีค่าไม่ตรงต่อความถี่ของมนุษย์นั้นอาจส่งผลต่ออาการปวดหลัง ความเมื่อยล้าของกล้ามเนื้อ อาการปวดหัว อาการคลื่นไส้ การโดยสารด้วยรถไฟนั้นมีการสั่นสะเทือนจากโครงสร้างรถ ล้อ และราง ซึ่งส่งผลต่อความพึงพอใจของผู้โดยสาร การประเมินค่าความสะดวกสบายของการโดยสารสามารถอ้างอิงถึงมาตรฐาน ISO 2631 [1] ครอบคลุมในยานพาหนะทุกประเภท ในการคำนึงและถูกนำเสนอใหม่ใน มาตรฐานสากล UIC 513 [2] สำหรับการประเมินระดับความสะดวกสบายของผู้โดยสารบนรถไฟโดยอาศัยข้อมูลแรงสั่นสะเทือนในแกน x, y และ z เป็นตัวชี้วัดหลัก พร้อมจัดลำดับความพึงพอใจออกเป็นสี่ระดับ ได้แก่ Comfortable, Moderate Comfortable, Uncomfortable และ Very Poor Comfortable การประเมินความสะดวกสบายนั้นได้ถูกประเมินระหว่างการเดินทางจะต้องวัดทั้งไปและกลับ เพื่อที่จะได้ประเมินความสะดวกสบายของผู้โดยสารระหว่างเดินทางนั้นในปัจจุบันจึงมีงานวิจัยที่นำการเรียนรู้ของเครื่องมาประยุกต์เพื่อยกระดับการประเมินคุณภาพการเดินทางด้วยรถไฟ J. Huang และคณะ [3] ได้วิเคราะห์และจำแนกระดับความสะดวกสบายของผู้โดยสารจากสมาร์ทโฟนสามารถประเมินดัชนีความสะดวกสบายตามมาตรฐาน UIC513 ด้วยโมเดล CNN และ SVR ให้ผลการทำนายค่าดัชนีความสะดวกสบายได้ใกล้เคียงกับค่าที่เกิดขึ้นจริง 98.88 เปอร์เซ็นต์ ในปี 2025 A. Shafiq และ คณะ [4] ได้นำเสนอวิธีการทำนายระดับความพึงพอใจต่อความสะดวกสบายของผู้โดยสารจากการนั่ง

รูปที่ 1 ภาพรวมของการศึกษาการสร้างโมเดลทำนายความพึงพอใจต่อความสะดวกสบายของผู้โดยสารรถไฟฟ้าจากแอปพลิเคชันการแสดงความพึงพอใจและการรับค่าสั่นสะเทือนขณะที่รถไฟเคลื่อนที่

รถไฟชานเมืองที่อยู่ในห้องจำลองสถานการณ์การเดินรถเพื่อหาความสัมพันธ์ระหว่างความสะดวกสบายของผู้โดยสารและค่าความเร่งตามแนวสั่นสะเทือนของเซ็นเซอร์การสั่นสะเทือนที่ถูกติดไว้ที่พื้นของห้องโดยสารและใต้เบาะของผู้โดยสาร จากนั้นทำการคำนวณข้อมูลจากค่าความเร่งตามแนวแกน x y และ z ตามหลักการของ Sperling ride comfort index และกำหนดคลาสของข้อมูลที่แสดงถึงความสะดวกสบายของผู้โดยสาร เพื่อให้ข้อมูลสามารถเรียนรู้ด้วยโมเดลการรู้จำและจำแนกด้วยรูปภาพ ทำให้ข้อมูลดังกล่าวถูกแปลงเป็นลักษณะการเก็บข้อมูลของภาพด้วยหลักการ GAF ด้วยหลักการนี้ให้ความแม่นยำมากกว่า 90 เปอร์เซ็นต์ อย่างไรก็ตามวิธีนี้ไม่เหมาะสมกับแนวทางการประเมินความสะดวกสบายของผู้โดยสารจากสมาร์ตโฟนเนื่องจากการรับค่าต่อเนื่องเพื่อนำมาประมวลผลและจำเป็นต้องแปลงเป็นข้อมูลเชิงรูปภาพซึ่งใช้พลังงานการประมวลผลที่สูงมาก งานวิจัยที่กล่าวก่อนหน้านี้ดำเนินการบนรถไฟที่เคลื่อนที่ด้วยล้อเลื่อนแบบเหล็กเท่านั้น ดังนั้นทางคณะผู้จัดทำ จึงมีแนวคิดในการนำผลลัพธ์ที่ได้ไปใช้ในการพัฒนาโมเดลการเรียนรู้เชิงลึกที่สามารถเรียนรู้ค่าดัชนีความสะดวกสบายของผู้โดยสารต่อการสั่นสะเทือนที่สอดคล้องกับความคิดเห็นต่อความพึงพอใจต่อความสะดวกสบายของผู้โดยสารบนรถไฟรางเดียวที่เคลื่อนที่ด้วยล้อยางบนรางปูน

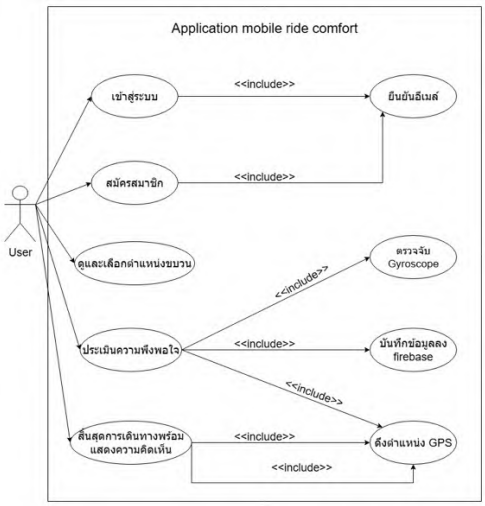

รูปที่ 2 ฟังก์ชันที่ผู้ใช้งานสามารถใช้งานได้

2. วิธีการศึกษา

2.1 ภาพรวมของวิธีการศึกษา

ภาพรวมของการศึกษาประกอบด้วย 2 ส่วน แสดงดังรูปที่ 1 แอปพลิเคชันสำหรับการเก็บข้อมูลของค่าความสั่นสะเทือนจากเซ็นเซอร์ไจโรสโคปของมือถือและค่าระดับความพึงพอใจของผู้โดยสารโดยมือถือได้ยึดติดกับผนังของตัวรถและมีทิศทางของแกน z- รถไฟเคลื่อนตัวไปข้างหน้า และการศึกษาการสร้างโมเดลการเรียนรู้เชิงลึกของค่าความสะดวกสบายของผู้โดยสารและค่าที่ได้รับจากไจโรสโคปของมือถือ ข้อมูลดังกล่าวจะได้รับจากผู้โดยสารอาสาสมัครจะทำการแสดงค่าความพึงพอใจโดยที่ไม่ได้รับรู้ค่าความสะดวกสบายตามมาตรฐาน ISO 2631 และ UIC 513 ข้อมูลจะถูกบันทึกลงในระบบคลาวด์และทำการสร้างชุดข้อมูลสำหรับการเรียนรู้เชิงลึกและการทดสอบ

รูปที่ 3 การใช้งานแอปพลิเคชันสำหรับการเก็บข้อมูลของค่าความสั่นสะเทือนและความพึงพอใจของผู้โดยสาร

2.2 แอปพลิเคชันสำหรับการเก็บข้อมูลของค่าความสั่นสะเทือนและความพึงพอใจของผู้โดยสาร

แอปพลิเคชันที่ถูกพัฒนาสำหรับการเก็บข้อมูลของค่าความสั่นสะเทือนและความพึงพอใจของผู้โดยสารข้อมูลจะถูกส่งไปยังฐานข้อมูลพร้อมทั้งมีการระบุตำแหน่ง GPS ของจุดที่เกิดการสั่นสะเทือนเพื่อใช้ประกอบการวิเคราะห์เพิ่มเติมโดยฟังก์ชันการทำงานของผู้ใช้แสดงดังรูปที่ 2 เมื่อผู้ใช้งานได้ทำเป็นสมาชิกของแอปพลิเคชันแล้วสามารถใช้งานได้แสดงดังรูปที่ 3 โดยเริ่มต้นการแสดงความพึงพอใจโดยเลือกตำแหน่งในขบวนผู้โดยสารรถไฟ และเลือกค่าความพึงพอใจที่แสดงขึ้น มี 3 ระดับ คือ “พอใจมาก” “เฉยๆ” และ “ไม่พอใจ” แอปพลิเคชันจะแสดงสิ้นสุดการเดินทางเพื่อบันทึกข้อมูลแบบเรียลไทม์ เช่น วันเวลาที่ทำการเก็บ ตำแหน่งที่ทำการประเมิน ค่าความสั่นสะเทือนและความพึงพอใจของผู้โดยสาร เป็นต้น และทำการส่งค่าไปยัง Firebase Database เพื่อเก็บค่าข้อมูลที่ได้ไปใช้ในส่วนสร้างโมเดลการเรียนรู้เชิงลึก

2.3 โมเดลการเรียนรู้เชิงลึกสำหรับการทำนายความพึงพอใจของผู้โดยสาร

การสร้างโมเดลการเรียนรู้เชิงลึกของนั้นจะแบ่งออกเป็น 2 ขั้นตอน คือ การเตรียมชุดข้อมูลสำหรับการเรียนรู้และการทดสอบโมเดลการเรียนรู้เชิงลึก และ การสร้างโมเดลการเรียนรู้เชิงลึก

2.3.1 การเตรียมข้อมูล

ชุดข้อมูลที่ได้รับจากการแสดงความพึงพอใจต่อความสะดวกสบายขณะถูกเก็บข้อมูลแสดงดังรูปที่ 4 โดย รูปที่ 4 (ก) และ (ข) นั้นขบวนรถไฟต่างขบวนและนำข้อมูลแกน X Y และ Z นั้นมาคำนวณค่าความสะดวกสบายขณะโดยสารจากการสั่นสะเทือนตามมาตรฐาน ISO 2631 และ UIC 513

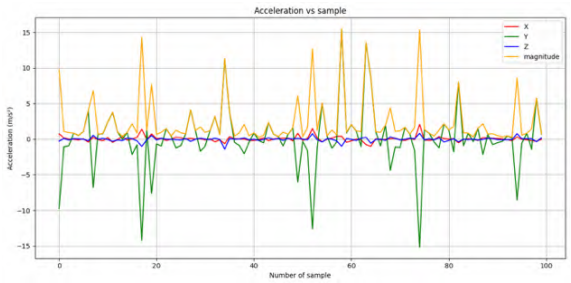

(ก)

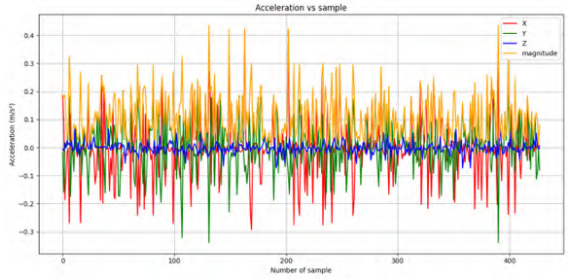

(ข)

รูปที่ 4 ลักษณะข้อมูลที่ได้รับของแกน X Y และ Z ที่ได้รับจากการประเมินของผู้โดยสาร

ค่าความรู้สึกสบายของผู้โดยสารจากการสั่นสะเทือนตามมาตรฐาน ISO 2631 คำนวณดังสมการที่ (1)

$$a_{rms} = \sqrt{a^2_{x,rms-w} + a^2_{y,rms-w} + a^2_{z,rms-w}} \quad (1)$$

เมื่อค่า $a^2_{x(y,x),rms-w}$ คือค่าความเร่งเฉลี่ยกำลังสองถ่วงน้ำหนักของแต่ละแกน

ค่าความรู้สึกสบายของผู้โดยสารจากการสั่นสะเทือนตามมาตรฐาน EN 12299:2009 และ UIC 513 คำนวณดังสมการที่ (2)

$$N_{mv} = 6 \cdot \sqrt{\left(a^w_{XP}\, d_{95}\right)^2 + \left(a^w_{YP}\, d_{95}\right)^2 + \left(a^w_{ZP}\, d_{95}\right)^2} \quad (2)$$

เมื่อค่า a^W_P คำนวณจากค่าความเร่งเฉลี่ยกำลังสองถ่วงน้ำหนักของแต่ละแกนทุกๆ 5 วินาทีและค่าความเร่งสูงสุดที่ 95 เปอร์เซ็นต์ ซึ่งที่มีความน่าจะเป็นของเหตุการณ์ความเร่งที่เกิดขึ้น ณ เวลาใดๆ เมื่อเทียบกับค่าความเร่งตลอดช่วงการโดยสาร

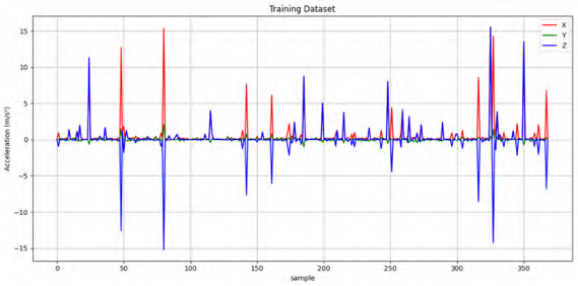

(ก)

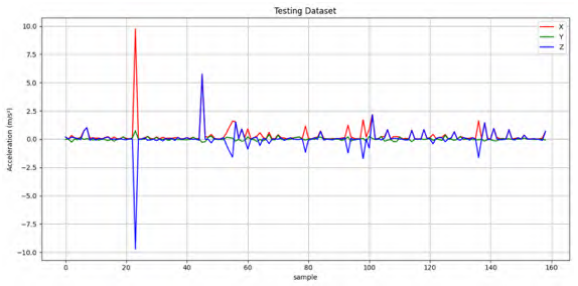

(ข)

รูปที่ 5 ชุดข้อมูลสำหรับ (ก) การเรียนรู้ และข้อมูลสำหรับ (ข) การทดสอบ

2.3.2 การสร้างโมเดลการเรียนรู้เชิงลึก

จากการเตรียมข้อมูลนั้นฟีเจอร์ของโมเดลการเรียนรู้เชิงลึก คือ แกน X แกน Y แกน Z ค่า magnitude และ ค่าความสะดวกสบายขณะโดยสารที่คำนวณได้จากมาตรฐาน ISO 2631 และ UIC 513 กำหนดให้เป็นคลาสของการเรียนรู้ของข้อมูลจะถูกนำมาเปรียบเทียบความสอดคล้องกับระดับการประเมินจากผู้โดยสาร แสดงดังตารางที่ 1 โดยโมเดลเรียนรู้เชิงลึกสำหรับการทำนายระดับความพึงพอใจของผู้โดยสารที่ได้จากการเรียนรู้ระหว่างสองมาตรฐานเพื่อประเมินว่าค่ามาตรฐานใดสามารถนำไปประยุกต์ใช้ในการพัฒนาโมเดลการเรียนรู้เชิงลึกเพื่อขอความเห็นความพึงพอใจในความสะดวกสบายขณะโดยสารจากผู้โดยสารแบบอัตโนมัติ กล่าวได้ว่าเมื่อไจโรสโคปของมือถือได้รับค่าการสั่นสะเทือนแล้วทำการคาดการณ์

ตารางที่ 1 ตารางเปรียบเทียบผลการประเมินความรู้สึกสบายของผู้โดยสารจากการสั่นสะเทือน

ประเมินโดยมาตรฐาน ISO 2631 [1]		ประเมินโดยมาตรฐาน UIC 513 [2]		ระดับการประเมินจากผู้โดยสาร	
$a_{rms-w}[m \cdot s^{-2}]$	ผลการประเมิน	N_{MV}	ผลการประเมิน	ผลการประเมิน	ระดับการให้คะแนน
N < 0.315	Comfortable	$N_{MV} < 1$	Very comfortable	Comfortable	0
0.315 ≤ N ≤ 0.63	Slightly Uncomfortable	$1 < N_{MV} < 2$	Comfortable	Moderate Comfortable	1
0.50 ≤ N ≤ 1.00	Uncomfortable	$2 < N_{MV} < 4$	Moderate Comfortable	Uncomfortable	2
0.80 ≤ N ≤ 1.60	A lot Uncomfortable	$4 < N_{MV} < 5$	Poor comfortable	Uncomfortable	2
1.25 ≤ N ≤ 2.50	Very Uncomfortable	$N_{MV} > 5$	Very poor comfortable	Very poor comfortable	2
N > 2	Extremely Uncomfortable	-		-	

รูปที่ 6 โครงสร้างโมเดลการเรียนรู้เชิงลึกที่นำเสนอในงานวิจัยนี้

ค่าความสะดวกสบายจากโมเดลที่ได้เรียนรู้แล้วคาดว่าผู้โดยสารอาจจะได้รับความไม่พึงพอใจ ขณะโดยสารนั้น ให้ผู้โดยสารทำการยืนยันข้อมูลโดยไม่ต้องตัดสินใจระดับความพึงพอใจอีกครั้ง ดังนั้นข้อมูลที่ถูกนำมาเรียนรู้นั้นได้มีการระบุความพึงพอใจที่ข้อมูลที่ได้จากการแสดงความเห็นความพึงพอใจ ของผู้โดยสารจากหัวข้อย่อย 2.3.1 นั้นมีชุดข้อมูลจำนวน 527 ชุด แบ่งออกเป็น ชุดข้อมูลสำหรับการเรียนรู้จำนวน 368 ข้อมูล แสดงดังรูปที่ 5 (ก) และข้อมูลสำหรับการทดสอบความแม่นยำ 159 ข้อมูล แสดงดังรูปที่ 5 (ข) นำข้อมูลข้างต้นเรียนรู้ด้วยโมเดลการเรียนรู้เชิงลึกแสดงดังรูปที่ 6 เนื่องจากผลลัพธ์ของการคาดการณ์นั้นคือค่าระดับการประเมินจากผู้โดยสารซึ่งมี 3 คลาสข้อมูลจึงใช้อัลกอริทึมการสูญเสีย (loss) ด้วย sparse categorical cross entropy เพื่อปรับค่าความถูกต้องของการคาดการณ์ดังนั้นจึงกำหนดให้มีไฮเปอร์พารามิเตอร์ ดังนี้

- epochs: 50
- batch size: 32
- optimizer: Adam
- loss: sparse categorical cross entropy

3. ผลการทดลองและการอภิปราย

การเรียนรู้เชิงลึกจะแบ่งออกเป็น 2 โมเดล คือ โมเดลที่เรียนรู้ความสะดวกสบายของผู้โดยสารจากการสั่นสะเทือนตามมาตรฐาน ISO 2631 และ มาตรฐาน UIC 513 แสดงผลลัพธ์ของรอบการเรียนรู้ดังรูปที่ 7 เมื่อเปรียบเทียบค่าความถูกต้อง (accuracy) และค่าการสูญเสีย (loss) ของมาตรฐาน ISO 2631 มีค่าความถูกต้อง 98.74 เปอร์เซ็นต์ และค่าการสูญเสีย 0.3 เปอร์เซ็นต์ ในกรณี มาตรฐาน UIC 513 มีค่าความถูกต้องที่ 97.48 เปอร์เซ็นต์ และค่าความสูญเสียที่ 0.8 โดยค่าความถูกต้องของโมเดลการเรียนรู้เชิงลึกนั้นมีผลมาจากฟีเจอร์ดังนั้นจึงทำการวิเคราะห์เพื่อหาความสำคัญของฟีเจอร์การเรียนรู้ หรือที่เรียกว่า permutation feature importance โดยส่วนใหญ่จะนิยมในงานวิจัยของการเรียนรู้ด้วยวิธีต้นไม้ตัดสินใจ และการสุ่มป่า ในงานวิจัยนี้ได้นำหลักการ ผลลัพธ์ที่ได้ของโมเดลทั้งสำหรับประเมินค่าความสะดวกสบายตามดังกล่าวมาวิเคราะห์ผลจากโมเดลการเรียนรู้เชิงลึก แสดงดังรูปที่ 8

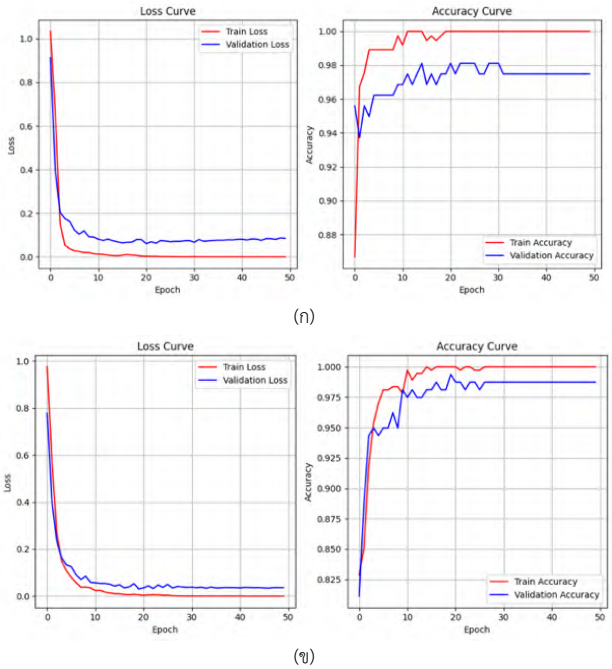

รูปที่ 7 กราฟแสดงการเรียนรู้เชิงลึกของโมเดลประเมินค่าความสะดวกสบาย (ก) ตามมาตรฐาน ISO 2631 และ (ข) UIC 513

มาตรฐาน ISO 2631และ UIC 513 พบว่าฟีเจอร์ที่มีความสำคัญสูงสุดจาก 4 ฟีเจอร์นั้นคือค่า magnitude หากพิจารณาจาก

การที่ติดตั้งสมาร์ตโฟนในทางแนวตั้งบนรถไฟทำให้ความเร่งในการเคลื่อนที่ของค่าแกน y คือทิศทางความเร่งตามแรงโน้มถ่วงซึ่งให้ผลมีความสำคัญสูงรองมาจากค่า magnitude ของโมเดลสำหรับประเมินค่าความสะดวกสบายตามมาตรฐาน ISO 2631 แสดงดังรูปที่ 8 (ก) ค่าความเร่งในการเคลื่อนที่ของค่าแกน y เป็นค่าความสำคัญที่น้อยของโมเดลสำหรับประเมินค่าความสะดวกสบายตามมาตรฐาน UIC 513 แสดงดังรูปที่ 8 (ข) อย่างไรก็ตามค่าความเร่งตามแนวทางการเคลื่อนที่ของรถไฟนั้นคือ แกน z ซึ่งเป็นฟีเจอร์ที่มีความสำคัญน้อยสุดของทั้งสองโมเดล

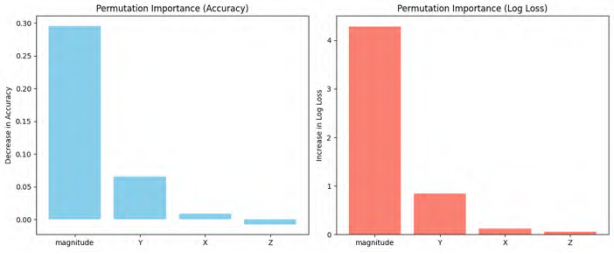

(ก)

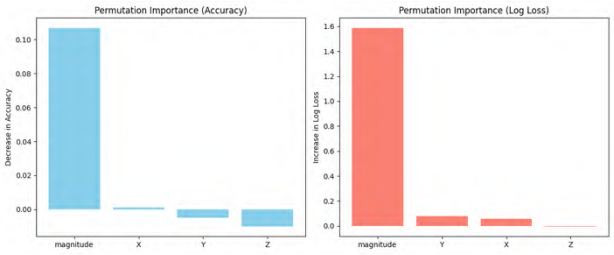

(ข)

รูปที่ 8 กราฟแสดงความสำคัญของฟีเจอร์หลังการเรียนรู้ของโมเดลสำหรับประเมินค่าความสะดวกสบาย (ก) ตามมาตรฐาน ISO 2631 และ (ข) UIC 513

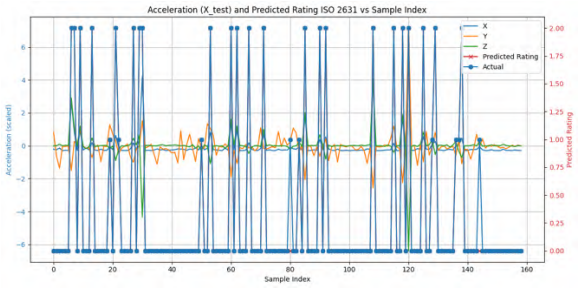

(ก)

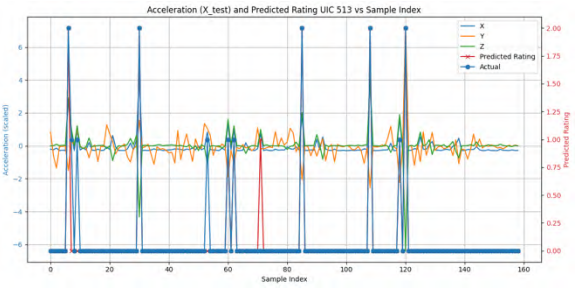

(ข)

รูปที่ 9 กราฟแสดงผลการทำนายจากข้อมูลการทดสอบการเรียนรู้เชิงลึกของโมเดลสำหรับประเมินค่าความสะดวกสบาย (ก) ตามมาตรฐาน ISO 2631 และ (ข) UIC 513

การทดสอบโมเดลด้วยชุดข้อมูลการทดสอบ แสดงดังรูปที่ 9 โดย รูปที่ 9 (ก) แสดงผลของโมเดลสำหรับประเมินค่าความสะดวกสบายตามมาตรฐาน ISO 2631 และ 9(ข) UIC 513 และสามารถสรุปด้วยตารางเมทริกซ์ความสับสนแสดงดังรูปที่ 10 โดย 10 (ก) แสดงผลของโมเดลสำหรับประเมินค่าความสะดวกสบาย ตามมาตรฐาน ISO 2631 และ 10 (ข) UIC 513 เพื่อเปรียบเทียบค่าจริง (True) และค่าที่โมเดลทำนาย (Predicted) สามารถสรุปข้อมูลได้ดังนี้

- คลาสที่ 0 แสดง “พอใจมาก” โมเดลได้ทำนายผิด 1 ตัวอย่าง คือ ทำนายว่าเป็น คลาสที่ 1
- คลาสที่ 1 แสดง “เฉย ๆ” โมเดลได้ทำนายผิด 3 ตัวอย่าง คือ ทำนายว่าเป็นคลาสที่ 0
- คลาสที่ 2 แสดง “ไม่พอใจ” โมเดลได้ทำนายผิด 0 ตัวอย่าง

จากข้อมูลข้างต้นสามารถประเมินประสิทธิภาพของโมเดลทั้งสองแล้วพบว่าผลลัพธ์การทำนายโมเดลไม่ต่างกัน อย่างไรก็ตามการเดินรถไฟฟ้าได้ทำการตรวจสอบรถไฟก่อนการให้บริการการเดินนั้น การเก็บข้อมูลในสภาพการเดินรถจริงนั้น ทำให้สถานการณ์ของความไม่พึงพอใจของความสะดวกสบายขณะโดยสารของผู้โดยสารเมื่อทำการคำนวณแล้วให้ความหมายว่า ไม่พึงพอใจตามเกณฑ์ของมาตรฐานทั้งสองนั้นมีจำนวนข้อมูลที่น้อยมากจึงทำให้คลาสที่ 2 มีความหมายว่าไม่พึงพอใจนั้นมีเพียง 5 ตัวอย่างการทดสอบซึ่งให้ผลลัพธ์ความแม่นยำเท่ากับ 100 เปอร์เซ็นต์

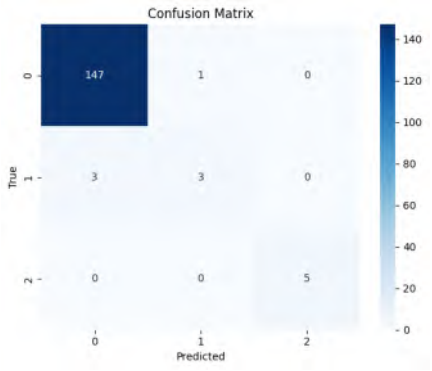

(ก)

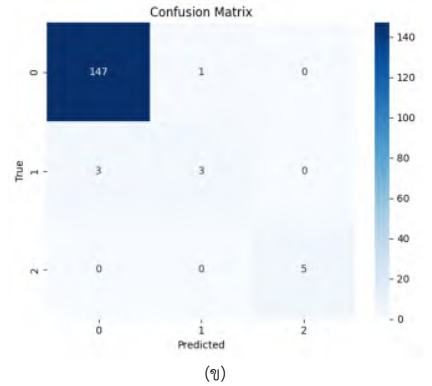

(ข)

รูปที่ 10 ตารางเมทริกซ์ความสับสนจากข้อมูลการทดสอบการเรียนรู้เชิงลึกของโมเดลสำหรับประเมินค่าความสะดวกสบาย (ก) ตามมาตรฐาน ISO 2631 และ (ข) UIC 513

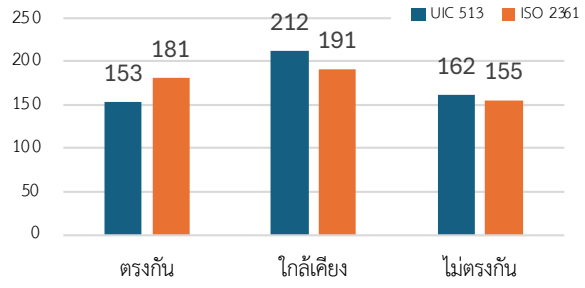

รูปที่ 11 กราฟเปรียบเทียบความสอดคล้องระหว่างการประเมินความพึงพอใจของผู้โดยสารและค่าความสะดวกสบายตามมาตรฐาน ISO 2631 และ UIC 513

อย่างไรก็ตามข้อมูลที่ได้รับจากแบบประเมินของผู้โดยสารนั้นได้ถูกนำมาเปรียบเทียบเพื่อวิเคราะห์ช่วงการประเมินความพึงพอใจและค่าดัชนีความสะดวกสบายของผู้โดยสารตามมาตรฐานทั้งหมดแล้วพบว่าความสอดคล้องการเปรียบเทียบตามตารางที่ 1 ให้ผลลัพธ์แสดงดังรูปที่ 11 ผลลัพธ์ของความพึงพอใจและค่าดัชนีความสะดวกสบายของผู้โดยสารตามมาตรฐานที่สอดคล้องกัน ISO 2361 มีความสอดคล้องที่มากกว่า UIC 513 ที่ 5 เปอร์เซ็นต์ และที่ไม่สอดคล้องกัน หรือคำตอบไม่ตรงกันนั้น UIC 513 มีค่าที่มากกว่า ISO 2361 ที่ 2 เปอร์เซ็นต์ ผลลัพธ์ที่ได้สามารถเป็นแนวทางการพัฒนางานวิจัยนี้ต่อไป

4. สรุป

การทำนายค่าดัชนีความสะดวกสบายของผู้โดยสารจากสมาร์ตโฟนนั้นให้ข้อได้เปรียบจากการที่ได้รับคำตอบจากผู้โดยสารเพื่อพัฒนาคุณภาพการเดินรถ วิธีการเรียนรู้เชิงลึกนั้นจำเป็นต้องมีจำนวนข้อมูลที่มากเพื่อการคาดการณ์ที่แม่นยำและการเลือกใช้โมเดลที่เหมาะสมนั้นจำเป็นต้องพิจารณาหากการนำไปประมวลผลบนสมาร์ตโฟนที่ปราศจากการใช้อินเทอร์เน็ตเนื่องจากเป็นภาระการใช้ดาต้าของผู้โดยสาร นอกเหนือจากการนำมาประเมินค่าความพึงพอใจของผู้โดยสารได้แล้วยังสามารถนำไปประยุกต์ใช้กับเหตุการณ์การสั่นสะเทือนอื่น ๆ ที่ส่งผลกระทบต่อสุขภาพของมนุษย์ได้ ทางทีมผู้เขียนจะทำการพัฒนาโมเดลการเรียนรู้เชิงลึกเพื่อขอความเห็นความพึงใจความสะดวกสบายขณะโดยสารจากผู้โดยสารอัตโนมัติตามหลักการของ Agent AI เมื่อวัดคาดการณ์ค่าความสะดวกสบายจากไจโรสโคปของมือถือแล้วคาดว่าผู้โดยสารอาจจะได้รับความไม่พึงพอใจขณะโดยสารนั้นให้ทำการยืนยันข้อมูล

5. กิตติกรรมประกาศ

ผู้เขียนบทความขอขอบคุณบริษัท imc Test & Measument สำหรับความรู้ทางการวัดแสงสั่นสะเทือนในระบบรถไฟและการใช้โปรแกรม FAMOS สำหรับการคำนวณค่าดัชนีความสะดวกสบายของผู้โดยสารจากแรงสั่นสะเทือนตามมาตรฐาน ISO 2631 และ UIC 513

เอกสารอ้างอิง

[1] International Organization for Standardization, “ISO 2631-1:2018 — Mechanical vibration and shock — Evaluation of human exposure to whole-body vibration — Part 1: General requirements,” ISO, 2018.

[2] International Union of Railways, UIC Code 513, R: Guidelines for Evaluating Passenger Comfort in Relation to Vibration in Railway Vehicles, Paris, France: International Union of Railways, 1995.

[3] J. Huang and S. Kaewunruen, "Evaluation of Railway Passenger Comfort with Machine Learning," in IEEE Access, vol. 10, pp. 2372-2381, 2022, doi: 10.1109/ACCESS.2021.3139465.

[4] A. Shafiq, M. E. H. Chowdhury, S. Kiranyaz, R. Alammari, and M. A. Tahir, "Performance evaluation of pretrained deep learning architectures for railway passenger ride quality classification," Alexandria Engineering Journal, vol. 80, pp. 173–190, Jan. 2025, doi: 10.1016/j.aej.2024.12.016.

Machine Learning Baselines for Predicting Student Stress: Behavioral and Linguistic Insights from Social Media Data

Wannaporn Sarapugdi[1] and Songphon Namkhun[2*]

[1]Department of Management of Digital Innovation, Faculty of Information Technology, Rajabhat Mahasarakham University, Thailand, wannaporn.sa@rmu.ac.th
[2]Department of Computer Engineering, Faculty of Engineering, Rajabhat Mahasarakham University, Thailand, songphon@rmu.ac.th*

Abstract

Stress among university students has considered a universal public-health concern as they usually case by issues such as academic fatigue, depression and withdrawal. Therefore, unprecedented opportunities to discreetly monitor behavioural and linguistic stress factors presented by the increasing issues of smartphones and social media. This study presents a reproducible baseline for predicting university students' stress from social media usage through a hybrid approach that integrates tabular behavioral features with textual signals derived from real-world data. The mixed-method approach including surveys, APIs and anonymized social media posts was utilized to capture the dataset of collected 5,200 samples of undergraduate students. The data was handled in accordance with GDPR and PDPA rules whereas all the participants submitted informed consent after the Institutional Review Board (IRB) approved the study. Furthermore, four baseline models were implemented such as Random Forest and Logistic Regression as well as Text-CNN and BiLSTM for textual patterns. The results suggest that deep learning models, particularly BiLSTM are more effective at capturing nuanced stress-related linguistic signals than classical learners, while Logistic Regression retains superior accuracy. In addition, the proposed baseline can function as an early-warning analytic instrument for universities to identify at-risk students and develop opportune strategies.

Keywords: Student Stress; social media analytics; ROC-AUC; calibration; deep learning; Text-CNN; BiLSTM; Random Forest

1. Introduction

1.1 Background and Motivation

Among university students, stress is one of the most prevalent psychological challenges, frequently precipitated by academic demands, social pressures, and lifestyle imbalances. Empirical research demonstrates that sleep deprivation, depressive symptoms, and diminished academic performance have a strong connection with elevated stress levels [1], [2]. The mental health burden among young adults has been consistently emphasised by the World Health Organization, emphasising the necessity of preventive strategies that rely on modern digital technologies. In addition, Digital footprints captured through smartphones and social media offer continuous, scalable, and non-invasive indices of stress compared to traditional survey-based assessments [3], [4], [5], [6].

1.2 Stress and Digital Behavior

Smartphones have become pervasive sensors of student lifestyles that captures metrics such as screen time, overnight usage, and mobility. Therefore, the StudentLife project [1] was the initial study to demonstrate that smartphone data could predict stress, sleep quality, and academic performance. Following longitudinal studies [2], [7] have adapted these insights to multi-year cohorts. In addition to sensing data, linguistic markers from social media posts provide valuable insights into emotional well-being. Language features such as negative sentiment, fatigue lexicon, and expressions of academic strain have a significant correlation with stress and mental health outcomes in Dreaddit [3], SMHD [8], and newer Reddit-based benchmarks [9].

1.3 Machine Learning for Stress Prediction

In the initial approaches, classical statistical and machine learning methods including logistic regression and tree ensembles are implemented [10]. Even though these models provided valuable insights into the importance of features and interpretability, their predictive capabilities regarding high-dimensional textual data were limited. CNNs for sentence classification [11], BiLSTMs for sequential context modelling [12], and, more recently, Transformer based architectures such as BERT [13] and RoBERTa [14] have all demonstrated increased efficacy in natural language understanding including mental health detection tasks [15], [16].

1.4 Reproducibility and Transparency in AI

The lack of reproducibility is a substantial impediment in this field, as the absence of transparent methodologies for multiple AI studies in healthcare and mental health regarding the recent evaluations impedes replication and cross-study comparison [12]. This study provides a reproducible baseline pipeline that incorporates linguistic and behavioural signals, evaluates models with standardised metrics, and provides code and methodological details to address this disparity.

1.5 Contribution of This Study

This paper contributes to four key aspects as follows:
Reproducible Baseline Framework – Presents a pipeline that includes the collection, preprocessing modelling, evaluation of data and combination of tabular behavioural features with textual signals (Fig. 1).
Comparative Benchmarking – Four baseline models are compared: Logistic Regression, Random Forest [10], Text-CNN [11], and BiLSTM [12].
Comprehensive Evaluation – Performance is being evaluated by utilizing tools such as ROC-AUC, Precision–Recall curves, Brier scores, calibration curves, confusion matrices, and feature importance.

*Corresponding Author

Future-Oriented Design – We outline pathways for extending this baseline to multimodal fusion (wearables + social media), Transformer-based modeling [14], [15], and fairness-aware analytics [17], [18].

Ultimately, this study provides both an academic contribution a transparent benchmark for stress prediction and a practical foundation for institutions to design early-warning systems that promote student well-being.

2. RELATED WORK

2.1 Smartphone Sensing for Stress and Well-being

The development of mobile sensing technologies has altered the process by which researchers evaluate stress along with mental health issues. Passive smartphone data were found to be correlated with stress levels, academic engagement, and performance in the groundbreaking StudentLife study [1]. Since then, longitudinal studies have expanded this paradigm. Zhou et al. [2] conducted a five-year analysis of smartphone-based stress detection among college students, showing robust associations between nocturnal usage, sleep disruption, and chronic stress. Wearable-integrated sensing has further enriched this line of research. For instance, Sano et al. [7] utilized smartphone activity patterns, accelerometer data, and heart rate data to track the stress trajectories of individuals. Hence, the potential of multimodal digital footprints for continuous stress monitoring in student populations is further demonstrated [6], [19].

2.2 Social Media Language and Mental Health Datasets

Comparable to sensor-based methodologies, social media data present a comprehensive perspective on mental health issues. The foundation for stress and mental health language analysis was established by large-scale corpora including Dreaddit [3] and SMHD [8]. SMHD broadened its scope by covering a broader variety of mental health concerns including anxiety and depression, whereas Dreaddit focused on Reddit forums that engaged in discussions about stress-related events. In addition, benchmark datasets that combine Reddit mental health postings have been recently introduced by Zhang et al. [9]. Advancements in NLP have enabled the development of specific models for psychological inference, which allowed for the fine-grained detection of sentiment and emotion from online text [15]. As a result, social media functions as a supplementary instrument to smartphone sensing, as it monitors the expressive and emotive aspects of stress that may not be readily apparent in simple behavioural data.

2.3 Classical Machine Learning Approaches

The initial research on stress prediction was based on model-based interpretation that were capable of handling structured behavioural data. Under the appropriate regularization, Logistic Regression yields probabilistic predictions and well calibrated results [19]. Random Forest [10] was established as a robust non-linear baseline. For instance, studies that utilized Random Forest to analyze mobile data identified nocturnal screen activity, GPA, and diminished sleep as critical stress predictors [20]. Interpretability is a critical factor in institutional applications, and the transparency of these models was advantageous. Nevertheless, the adoption of deep learning approaches was driven by their limited ability to model sequential and high-dimensional textual signals.

2.4 Deep Learning for Stress and Mental Health Prediction

The field of computational mental health has experienced major strides because of the implementation of deep learning methods. The foundation for local feature capture in psychological text was established by Kim's CNN for sentence classification [11], which captured n-gram patterns associated with tension expression. Graves and Schmidhuber's BiLSTM [12] introduced bidirectional modelling of sequential dependencies, which allowed for a more precise interpretation of affective expressions that were rich in context. Transformer architectures, including BERT [13] and RoBERTa [14], have obtained state-of-the-art results in mental health NLP tasks, such as stress detection and suicide risk prediction [15]. These architectures have been developed by building on these foundations. The value of adapting general-purpose Transformers to mental health contexts is demonstrated by pretrained domain-specific variants, such as MentalBERT [5], [14].

2.5 Multimodal Fusion Approaches

A growing number of recent studies have emphasised the integration of smartphone sensing, wearables, and social media text to achieve multimodal convergence. Ma et al. [20] introduced a multimodal architecture that substantially outperformed unimodal baselines by integrating linguistic features with physiological signals for stress detection. In a similar vein, Althoff et al. [14] illustrated that it is possible to forecast mental health outcomes at the population level by combining large-scale behavioural signals from online interactions with wearable data. However, reproducible baselines that integrate text and tabular features remain scarce. This gap motivates the current study's focus on an open, reproducible model as a foundation for future multimodal extensions.

2.6 Reproducibility and Transparency in AI Research

The significance of reproducibility in computational healthcare is being progressively emphasised by an expanding corpus of work. In their systematic review of machine learning applications in healthcare, Zeni et al. [21] determined that numerous studies were plagued by a lack of transparent code, data availability, or methodological clarity, which restricted their long-term impact. Fairness considerations have also become a critical dimension as predictive models may inadvertently incorporate demographic biases [17]. Recent research proposes the development of reproducible pipelines that encompass not only algorithmic details but also principles of ethics for subgroup validation, anonymization, and informed consent [17], [21].

In conclusion, antecedent research has shown that smartphone sensing provides objective behavioural correlates of stress, while social media datasets capture its expressive and linguistic dimensions. Even though there are still constrained by impartiality and reproducibility, several studies are still made in deep learning.

3. THEORETICAL BACKGROUND

The demand resources perspective and the transactional stress-appraisal framework are stress theories that suggest that stress is the result of an apparent disparity between resources (e.g., sleep, social support) and demands (e.g., exams, deadlines) among students. Logistic Regression is an automated learning technique that predicts a log-odds function and enables accurate probabilities when subjected to appropriate regularization and parameter scaling. Random Forest [10] aggregates multiple decision trees to model nonlinear interactions and yields feature-importance scores. For text, the Text-CNN captures local n-gram patterns via 1D convolution and max pooling, whereas BiLSTM models long-range dependencies in both directions. These complementary inductive biases motivate comparing classical and deep learners side-by-side.

4. METHODOLOGY

The methodological framework of this study was designed to ensure transparency, reproducibility, and comparability across future research in computational stress prediction. The end-to-end pipeline are depicted in the following:

4.1 Data Collection

The dataset comprises 5,200 samples that were gathered from undergraduate students among the ages of 18 and 25 across all faculties of the university. The data collection was approved through the Institutional Review Board (IRB) of the host university. The study's objectives, data use, anonymity protections, and the possibility to withdraw during the data collection process.

Behavioral Data Derived from Surveys: Participants filled out formal surveys detailing their daily screen time, nighttime usage ratio, hours of sleep, GPA, and academic burden [1], [2], [7].

Platform API Data: With explicit participant authorization, usage logs were collected via platform-provided APIs (e.g., Facebook, Twitter/X, Instagram, TikTok). The data encompassed posting frequency, comment and reply counts and engagement indicators such as likes and shares.

Social Media Textual Data: Participants provided approval to share their posts and comments. All textual data were anonymized, encrypted, and devoid of personal identifiers prior to analysis. Linguistic attributes including sentiment polarity, toxicity, and academic stress lexicon were retrieved. Sensitive content was managed in compliance with GDPR and PDPA criteria [17], [21].

Ethical Safeguards: Participation in this study was completely voluntary, and all participants had the freedom to withdraw at any point without consequence. Participants were explicitly advised that no personally identifiable information (PII) will be disseminated or shared, and that their contributions would be utilized exclusively for academic reasons. The comprehensive data collecting and management method adhered to Institutional Review Board (IRB) standards and conformed to international and national data protection laws, including the General Data Protection Regulation (GDPR) and the Personal Data Protection Act (PDPA).

4.2 Preprocessing

Data preprocessing was executed in two parallel streams to guarantee comparability among models:

Behavioral Features: Continuous variables were standardised by z score normalization to ensure comparability across scales. Categorical variables including field of study were subjected to immediate encoding.

Textual Features: Posts underwent tokenization, conversion to lowercase, and removal of stop words. Uncommon words were omitted, and sequences were either trimmed or extended to a uniform length of 200 tokens. Numerical embeddings were produced utilizing Keras Text Vectorization with a vocabulary size of 20,000 tokens. This configuration harmonizes efficiency with expressive capability, allowing subsequent models to acquire syntactic and semantic stress-related patterns [11], [12]. Preprocessing also encompassed anonymization and data protection regulations including GDPR and PDPA [17].

4.3 Feature Extraction

Following preprocessing, features were categorized into two groups: Tabular Features: Capturing quantitative behavioral indicators such as daily screen time, nocturnal usage, GPA, sleep hours, and interaction frequency.

Textual Features: Capturing qualitative signals from language use including polarity (positive/negative), toxicity, and presence of stress related lexicon.

This representation ensured the capacity to evaluate stress from external activity and internal expression aligned with recent multimodal frameworks [4], [20].

4.4 Modeling Approaches

Four baseline models were implemented as follows:

Classical ML Approaches

Logistic Regression (LogReg): Utilized for tabular features with L2 regularization. This model was selected for its interpretability and strong probability calibration [19].

Random Forest (RF): Configured with 200 trees and a maximum depth of 20, optimized to identify non-linear interactions and assess feature significance [10].

Deep Learning Approaches

Text-CNN: An embedding layer of 128 dimensions, succeeded by numerous 1D convolutional filters of sizes 3, 4, and 5, accompanied with max pooling layers to capture local n-gram patterns. The output was processed through thick layers utilizing ReLU activation, which result in a final sigmoid output [11].

BiLSTM: A bidirectional LSTM layer with 64 units effectively captured long-range contextual dependencies in both forward and backward orientations, including dropout regularization and dense layers with sigmoid activation [12]. All deep models were trained using the Adam optimizer (learning rate 0.001), an early stopping criterion based on validation loss.

4.5 Evaluation Metrics

To provide a holistic view of model performance, five complementary indicators were employed as follows:

ROC-AUC: Assesses the discriminative capacity between stressed and non-stressed categories (Fig. 2).

Precision–Recall Curves (PR-AUC): Emphasizes performance in the context of class imbalance (Fig. 3).
Confusion Matrices: Offer detailed error analysis across categorization thresholds (Figs. 4–5).
Brier Score and Calibration Curves: Assess probability calibration, ensuring forecasted probabilities accurately represent actual likelihoods (Fig. 6).
Feature Importance: Derived from Random Forest to ascertain main predictors, including nocturnal usage and sleep decrease (Fig. 7). This thorough evaluation guarantees that models are both accurate and properly calibrated and interpretable [10], [21].

4.6 Reproducibility Measures

To ensure reproducibility, the study offers:
Open-source Code and Figures: Allowing other researchers to replicate preprocessing, modeling, and evaluation.
Documented Pipeline: Comprehensive sequential procedure consistent with open scientific principles [21].
Standardized Metrics: Allowing cross-study comparison and benchmarking. By offering a transparent methodology, the study addresses reproducibility gaps identified in mental health AI research [17], [21].
Summary of Methodology: The proposed methodology integrates behavioral and textual data, applies both classical and deep learning models, and evaluates them with comprehensive metrics. This reproducible baseline provides a foundation for extending stress prediction pipelines to multimodal fusion and fairness-aware applications [4], [17], [20].

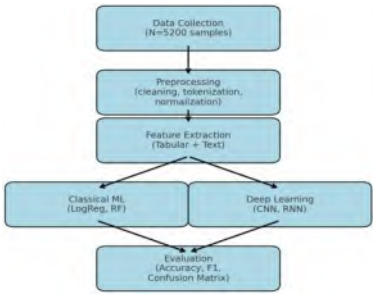

Fig. 1 The tabular behavioral data and textual linguistic features integrations.

5. EXPERIMENTAL RESULTS

The experimental assessment juxtaposed the efficacy of traditional machine learning models (Logistic Regression, Random Forest) against deep learning frameworks (Text-CNN, BiLSTM) utilizing both tabular and textual information. In Fig. 1, it demonstrates the data from 5,200 students. After the data processing, features were derived as beahvioural indicators and textual language, which were employed to train the Logistic Regression, Random Forest, and Text-CNN and BiLSTM models. Hence, the performance is assessed by ROC-AUC, PR-AUC, calibration curves, confusion metrices and feature analyses. Hence, results were evaluated using several metrics to assess discriminative performance, calibration, and interpretability [22].

5.1 ROC and Precision–Recall Analysis

Fig. 2 demonstrates that Logistic Regression attained the maximum area under the ROC curve (AUC = 0.865), Random Forest (AUC = 0.828). This result indicates that Logistic Regression, despite its simplicity, has enhanced discriminative capability on tabular behavioural characteristics.

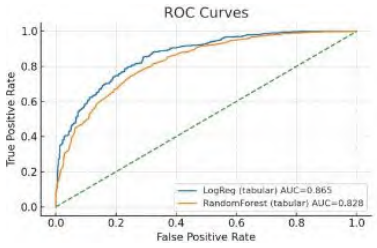

Fig. 2 ROC curves across models

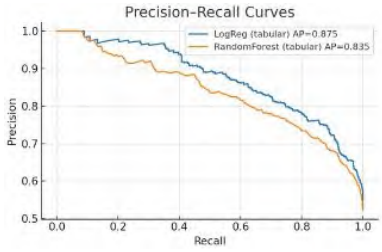

Fig. 3 Precision-Recall curves across models

The accuracy-Recall (PR) curves depicted in Fig. 3 supported these results by revealing that Logistic Regression achieved an average accuracy (AP) of 0.875, whereas Random Forest attained 0.835. The superior PR-AUC suggests that Logistic Regression is particularly well-suited to handling imbalanced distributions of stress versus non-stress classes [10], [19].

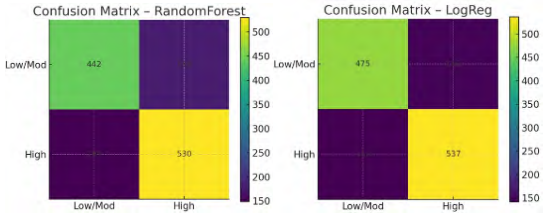

Fig. 4 Confusion Matrix – Random Forest and Logistic Regression

5.2 Confusion Matrix Analysis

Error distribution across classes was examined using confusion matrices (Fig. 4). Logistic Regression accurately identified 475 low/moderate stress cases and 537 high stress cases, exhibiting approximately equal misclassification rates. In contrast to, Random Forest misclassified a greater percentage of low/moderate instances, indicating that its decision boundaries were less accurate on this dataset. Such constrains is presented due to the overlapping distributions of behavioural characteristics such as the result of screen time or the unreliability of self-report sleep patterns. While Random Forest is intended to identify complex interactions of non-linear dataset, the tree ensembles demonstrate the tendencies to overfit variations instead of recognizing boarder global trends. As for the Logistic Rgestions, the utilization on standardised tabular variables provides more straightforward and reliable linear boundaries that creates better fundamental

of dataset. Therefore, these findings reinforce the importance of probabilistic calibration in sensitive applications such as mental health prediction [6], [17].

5.3 Calibration Performance

The calibration curves in Fig. 5 showed that Logistic Regression displayed higher probability calibration, attaining a Brier score of 0.150, in contrast to Random Forest's score of 0.170. Appropriately calibrated probabilities are crucial for early-warning systems, as they directly determine action levels. Deep learning models, while achieving strong discrimination, necessitating explicit calibration methods in Future extensions [14], [15].

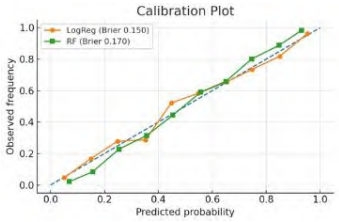

Fig. 5 Calibration curves

5.4 Feature Importance

Random Forest's feature importance analysis (Fig. 6) emphasized features such as screen time, sleep hours, negative sentiment, and social support as the most significant predictors of stress. These findings are aligned prior literature on digital mental health, which demonstrates a strong correlation between elevated stress levels, nighttime use and diminished sleep [2], [7], [20]. Furthermore, the linguistic markers are reliable indicators of psychological distress is also consistent with negative and toxicity in language features. [3], [8], [15].

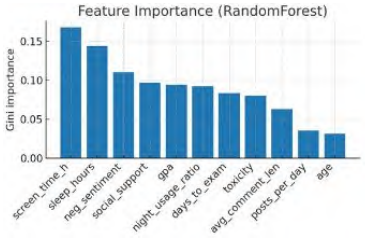

Fig. 6 Random Forest feature importance

5.5 Case Study of Predictions

Qualitative interpretability was illustrated through ten example predictions from the BiLSTM model (Fig. 7). They were designated as stressed with a high likelihood (>0.85). In contrast, neutral or positive posts showing social events or informal updates were accurately classified as non-stressed. Some unclear messages with diverse emotional tones were misclassified, showing the difficulty of contextual complexity [11], [12], [15]. In conclusion, Logistic Regression attained the optimal equilibrium between discriminating and probability calibration, but BiLSTM demonstrated enhanced efficacy in modelling linguistic complexity. These complementary outcomes highlight the necessity of comparing classical and deep learning models within a unified and reproducible framework [4], [20], [21].

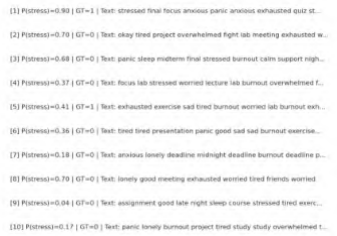

Fig. 7 Ten example predictions (best model).

6. DISCUSSION

The findings of this study demonstrate that both behavioral and linguistic signals contribute valuable and complementary information to the prediction of student stress. Logistic Regression outperformed other models in ROC-AUC and PR AUC metrics, while exhibiting optimal calibration, as indicated by its lowest Brier score (0.150). These findings confirm the recognised efficacy of linear models with standardised variables in delivering dependable probability estimates [10], [19]. Conversely, Random Forest exhibited suboptimal calibration, however it provided interpretable feature significance ratings consistent with existing research on stress correlates [2], [7], [20].

Deep learning models especially BiLSTM, displayed efficacy in managing contextual subtleties in student-generated text. As seen in Fig. 10, BiLSTM effectively differentiated intricate emotional expressions and colloquial stress signals, abilities that traditional learners generally lack [11], [12]. Calibration curves revealed that deep learning models had a tendency towards overconfidence, aligning with previous studies in NLP-based health prediction [15]. This indicates that calibration methods, like temperature scaling or isotonic regression must be integrated into future implementations to guarantee dependable probability outputs [17], [21].

The Random Forest significance plot identified behavioural variables aligned with the theoretical framework of stress resources [2]. This improves the practical applicability of the baseline, enabling institutions to focus interventions. However, the dependence on real-world through self-reports, APIs, and social media material has drawbacks including reporting bias, demographics overrepresentation, and platform- distortion. Recent research indicates that AI models for mental health can incorporate demographic biases, resulting in disparate performance among subgroups [17].

The study did not stratify results by gender, socioeconomic background, or cultural factors, which limits its fairness evaluation. Future research must incorporate subgroup analysis, fairness-aware modeling, and privacy-preserving analytics [15], [17], [18]. Furthermore, all data management with GDPR and PDPA regulations to ensure permission and anonymity [21].

The findings affirm the synergistic advantages of classical and deep learning models, while revealing constraints concerning calibration, fairness, and ecological validity. By tackling these problems, next developments can enhance the replicable baseline to promote multimodal, ethical, and egalitarian stress prediction systems [4], [20].

7. CONCLUSION AND FUTURE WORK

The study introduces a baseline for predicting student stress from social media usage, integrating behavioral and textual signals into classical machine learning and deep learning models. Results demonstrated that Logistic Regression provided the most reliable probability calibration and robust discriminative performance on tabular features, while BiLSTM demonstrated superior capacity to interpret context-dependent and stress-related expressions. Random Forest offered interpretable feature importance, revealing predictors consistent with stress theories such as nocturnal usage, reduced sleep, and negative sentiment [2], [7], [20].

The reproducibility of the proposed baseline is its central contribution as it consists of the growing demand for transparency in AI research by detailing the end-to-end pipeline, sharing open-source code, and utilizing standardised evaluation metrics [21]. Furthermore, this work provides practical implications for universities seeking systems that identify at-risk students while respecting ethical standards [17], [21].

To confirm external validity, the study should validate with real-world, longitudinal datasets. Secondly, to gather stress trajectories, multimodal fusion approaches that integrate smartphone sensing and linguistic data should be pursued [4], [7], [20]. Third, the incorporation of Transformer-based architectures including BERT [13], RoBERTa [14], and domain variants as MentalBERT [15] can improve the language modelling for stress-related discourse. To guarantee equitable deployment, this should prioritise privacy analytics and fairness-aware machine learning [17], [18].

In conclusion, this reproducible baseline functions as both a practical foundation, making it possible to create stress prediction systems that are ethically responsible and multimodal. This study illustrates the feasibility of collecting and analysing empirical behavioural and linguistic data while adhering to stringent ethical and privacy procedures.

8. Acknowledgments

The authors thank all student participants for their valuable contributions and acknowledge the support of colleagues and staff who assisted with data collection and ethical compliance.

References

[1] R. Wang et al., "StudentLife: Assessing Mental Health, Academic Performance and Behavioral Trends of College Students Using Smartphones," *Proc. ACM UbiComp*, 2014.
[2] H. Zhou, Z. Li, and Y. Wang, "College Student Stress Detection via Smartphone Sensing: A Five-Year Longitudinal Study," *Proc. ACM IMWUT*, vol. 7, no. 2, pp. 1–25, 2023.
[3] A. Turcan and K. McKeown, "Dreaddit: A Reddit Dataset for Stress Analysis," Proc. ACL Workshop on Computational Linguistics and Clinical Psychology, 2019.
[4] S. Althoff et al., "Large-Scale Behavioral Signals for Mental Health: From Wearables to Online Data," *Proc. ACM CHI*, 2020.
[5] S. Ji et al., "MentalBERT: Publicly Available Pretrained Language Models for Mental Healthcare," arXiv print.
[6] J. Stachl et al., *"Digital Footprints and the Prediction of Psychological Variables: A Meta-Analysis,"* Psychological Bulletin, vol. 149, no. 3, pp. 215–240, 2023.
[7] M. Sano et al., "Longitudinal Analysis of Stress with Wearables and Smartphones," *Proc. ACM IMWUT*, 2022.
[8] A. Cohan et al., "SMHD: A Large-Scale Resource for Exploring Online Language of Mental Health," *Proc. COLING*, 2018.
[9] Y. Zhang, J. Yang, and X. Liu, "Reddit Mental Health Datasets: A Survey and New Benchmark," *Proc. LREC*, 2022.
[10] L. Breiman, "Random Forests," *Machine Learning*, vol. 45, no. 1, pp. 5–32, 2001.
[11] Y. Kim, "Convolutional Neural Networks for Sentence Classification," *Proc. EMNLP*, 2014.
[12] A. Graves and J. Schmidhuber, "Framewise Phoneme Classification with Bidirectional LSTM," *Neural Networks*, vol. 18, no. 5–6, pp. 602–610, 2005.
[13] J. Devlin et al., "BERT: Pre-training of Deep Bidirectional Transformers for Language Understanding," *Proc. NAACL-HLT*, 2019.
[14] Y. Liu et al., "RoBERTa: A Robustly Optimized BERT Pretraining Approach," *arXiv:1907.11692*, 2019.
[15] C. Sun et al., "MentalBERT: Publicly Available Pretrained Language Models for Mental Health NLP," *Proc. ACL*, 2022.
[16] S. Chapagain et al., *"Advancing Minority Stress Detection with Transformers: Insights from the Social Media Datasets,"* Social Network Analysis and Mining, pp. 1-17 2025.
[17] H. Yang et al., "Fairness in AI for Mental Health Prediction: Challenges and Opportunities," *JMIR Mental Health*, 2023.
[18] L. Shen et al., *"Fairness in Mental Health Prediction Models: A Critical Review and Research Agenda,"* Journal of Biomedical Informatics, vol. 137, 104280, 2023.
[19] C. Bishop, *Pattern Recognition and Machine Learning*, Springer, 2006.
[20] Z. Ma et al., "Multimodal Student Stress Detection Using Wearables and Social Media," *IEEE Trans. Affective Computing*, 2021.
[21] R. Zeni et al., "Reproducibility in Machine Learning for Healthcare: A Systematic Review," *Patterns*, vol. 4, no. 5, 2023.
[22] A. Ahmet et al, "*Machine Learning Models to Detect Anxiety and Depression through Social Media: A Scoping Review,"* ScienceDirect, vol. 2, pp. 1-9, 2022.

Wannaporn Sarapugdi is a lecturer in Digital Innovation Management, Faculty of Information Technology, Thailand. My research focuses on image processing and data analytics.

Songphon Namkhun is a lecturer in Computer Engineering, Faculty of Engineering, Thailand. My research interests include IoT embedded systems, robotics, and sensor systems.

Volume Deep Face: A 3D Face Descriptor for Face Authentication System

Suttipat Srisuk[1*], Damrongsak Arunyagool[1*], Kitchanut Ruamboon[1], and Pantre Kompitaya[2]

[1]Faculty of Engineering, Nakhon Phanom University
[1]srisuk.s@gmail.com, damrongsaka@npu.ac.th, kitchanut.r@npu.ac.th
[2]Thatphanom College, Nakhon Phanom University, pantre@npu.ac.th

Abstract

In this paper, we introduce the Volume Deep Face (VDF), a novel face representation proposed for the face authentication system. VDF provides a fast and compact representation of faces using deep learning, enabling one to encode more distinctive features. Using our proposed method, images can be generated to form a 3D VDF representation or a 2D face descriptor (2DFD). The 3D VDF is created from multiple images in the training set, while the 2DFD is generated from a single image during the testing phase. The matching confidence is evaluated using our new volume matching. Our face authentication system is verified with extensive experiments on the XM2VTS database.

การจำแนกโครงสร้างภาพตามแบบเฮสเซียนภายใต้สัญญาณรบกวนแบบคูณด้วยตัวกรองกำลังสองน้อยสุดเชิงสังวัตนาการ

Hessian-Based Image Structure Classification Under Multiplicative Noise Using Convolutional Least Squares Filter

ลีรวัฒน์ สุภารัตน์[1] วรุตม์ เจิมจันทร์[2] และ พลกฤษณ์ ทุนคำ[1]*

[1]สาขาวิชาวิศวกรรมเมคคาทรอนิกส์ วิทยาลัยเทคโนโลยีและสหวิทยาการ มหาวิทยาลัยเทคโนโลยีราชมงคลล้านนา
leerawat@rmutl.ac.th และ pollakrit.t@rmutl.ac.th*
[2]สาขาวิชาวิศวกรรมไฟฟ้า คณะวิศวกรรมศาสตร์ มหาวิทยาลัยเทคโนโลยีราชมงคลล้านนา varut_jo65@live.rmutl.ac.th

บทคัดย่อ

การวิเคราะห์โครงสร้างภาพถือเป็นขั้นตอนสำคัญในการประมวลผลภาพ เนื่องจากสามารถนำไปใช้ในการพัฒนาตัวกรองที่เหมาะสมได้อย่างมีประสิทธิภาพ โดยเครื่องมือที่นิยมใช้ในการวิเคราะห์โครงสร้างภาพคือเมทริกซ์แบบเฮสเซอ (Hessian matrix) ซึ่งอาศัยการคำนวณอนุพันธ์อันดับหนึ่งและสองของภาพและการวิเคราะห์ผ่านค่าเฉพาะ (eigenvalue) อย่างไรก็ตามในภาพที่มีสัญญาณรบกวนแบบคูณ (multiplicative noise) เช่นภาพ SAR หรืออัลตราซาวนด์ วิธีมาตรฐานในการคำนวณอนุพันธ์มักให้ผลที่ผิดพลาด ดังนั้นในงานวิจัยนี้จึงนำเสนอการใช้ตัวกรองกำลังสองน้อยสุดเชิงสังวัตนาการ (Convolutional Least Squares: CLS filter) ซึ่งมีกลไกในการคำนวณอนุพันธ์แบบกำลังสองน้อยสุดเพื่อนำไปสร้างเมทริกซ์แบบเฮสเซอโดยเปรียบเทียบกับวิธีการหาค่าเกรเดียนต์แบบมาตรฐาน เช่น Gradient of Gaussian (GoG), Scharr และ Derivatives of Gaussian (DoG) จากนั้นจะใช้ตัวแยกประเภทแบบ K-Nearest Neighbors (KNN) เพื่อประเมินผลการจำแนกประเภทโครงสร้างภาพจากชุดข้อมูลที่มี 12 โครงสร้างทั้งในสภาพปกติและสภาพที่มีสัญญาณรบกวนแบบคูณ ผลการทดลองแสดงให้เห็นว่าวิธี CLS ให้ความแม่นยำสูงกว่าวิธีมาตรฐานอย่างมีนัยสำคัญ

คำสำคัญ: เมทริกซ์แบบเฮสเซอ, ตัวกรองกำลังสองน้อยสุด, สัญญาณรบกวนแบบคูณ

Abstract

Extracting image structure is a crucial task in image processing, enabling the development of efficient adaptive filters suited to specific image characteristics. A widely adopted approach involves the use of the Hessian matrix, which is computed from first and second-order image derivatives and analyzed via eigenvalues. However, conventional gradient estimation methods often yield distorted results when applied to images affected by multiplicative noise, such as those acquired from SAR or ultrasound imaging. This paper investigates the effectiveness of the Convolutional Least Squares (CLS) filter for estimating derivatives in Hessian-based image structure analysis. The CLS method is compared with standard techniques, including Gradient of Gaussian (GoG), Scharr, and Derivatives of Gaussian (DoG). A K-Nearest Neighbors (KNN) classifier is employed to evaluate the classification performance on 12 distinct image structures under both clean and multiplicative noise conditions. Experimental results demonstrate that the CLS filter consistently outperforms conventional methods in terms of classification accuracy, particularly under noisy conditions.

Keywords: Hessian matrix, least squares filter, multiplicative noise

1. บทนำ

การทำความเข้าใจลักษณะโครงสร้างของภาพถือเป็นหัวใจสำคัญของการรับรู้ภาพและการวิเคราะห์เชิงคอมพิวเตอร์ เนื่องจากโครงสร้างของภาพมีบทบาทอย่างมากต่อการตีความและการประมวลผลข้อมูลในหลายระดับ รายละเอียดโครงสร้างช่วยกำหนดรูปแบบโดยรวมและรายละเอียดเฉพาะ เช่น พื้นผิว ซึ่งเป็นองค์ประกอบสำคัญในระบบการมองเห็นของมนุษย์และคอมพิวเตอร์ งานวิจัยที่ผ่านมาแสดงให้เห็นว่าการสูญเสียข้อมูลเชิงโครงสร้างทำให้คุณภาพการรับรู้ของภาพลดลงมากกว่าการสูญเสียข้อมูลสีหรือพื้นผิว [1] อีกทั้งงานวิจัยด้านการวิเคราะห์ภาพด้วยคอมพิวเตอร์ เช่น ColorCNN ของ Hou [2] ชี้ให้เห็นว่าการคงความสมบูรณ์ของโครงสร้างสามารถชดเชยข้อจำกัดด้านสี และเพิ่มประสิทธิภาพในการจำแนกประเภทภาพได้อย่างมีนัยสำคัญ ในด้านเทคนิคการประมวลผลภาพ มีการพัฒนาอัลกอริทึม เช่น เทคนิค topology preserving irregular image pyramid (TIIP) ซึ่งใช้คุณสมบัติเชิงโครงสร้างเพื่อคงตำแหน่งจุดสำคัญของภาพ ทำให้สามารถสร้างภาพใหม่ที่รักษารายละเอียดได้แม้ใช้ข้อมูลสีเพียงเล็กน้อย [3] การระบุพื้นที่เชิงโครงสร้างในภาพยังเป็นหัวใจสำคัญต่อการดึงข้อมูล เช่นในงานของ Lin [4] ที่ใช้การวิเคราะห์คลัสเตอร์เพื่อจำแนกบริเวณสำคัญในภาพสำหรับงานต่าง ๆ

การวิเคราะห์โครงสร้างภาพโดยใช้เมทริกซ์แบบเฮสเซอ (Hessian matrix) เป็นแนวทางที่ได้รับความนิยม เนื่องจากสามารถอธิบายลักษณะเชิงโครงสร้างของภาพผ่านการวิเคราะห์อนุพันธ์อันดับที่หนึ่งและสอง โดยใช้ค่าเฉพาะ (eigenvalues) เป็นตัวบ่งชี้สำคัญ งานของ J. Wu [5] ได้เสนอเทคนิค Hessian-based Weighted Guided Image Filtering (HWGIF) ซึ่งใช้ค่าเฉพาะของเมทริกซ์แบบเฮสเซอในการคำนวณค่าถ่วงน้ำหนัก ขณะที่ W. Dong [6] ประยุกต์ใช้เมทริกซ์แบบเฮสเซอเพื่อจำแนกประเภทของโครงสร้างในพื้นที่ที่มีมิติจำกัด อย่างไรก็ตาม ในกรณีของภาพที่มีสัญญาณรบกวนแบบคูณ (multiplicative noise) เช่น speckle noise ซึ่งพบในภาพเรดาร์ (SAR) และอัลตราซาวนด์ วิธีการหาอนุพันธ์แบบมาตรฐานมักให้ผลลัพธ์ที่ผิดเพี้ยนและไวต่อสัญญาณรบกวนอย่างมีนัยสำคัญ งานวิจัยนี้จึงมุ่งศึกษาประสิทธิภาพของวิธีการประมาณอนุพันธ์โดยเปรียบเทียบระหว่างเทคนิคมาตรฐาน ได้แก่ Gradient of Gaussian (GoG), Scharr และ Derivatives of Gaussian (DoG) กับวิธีการของตัวกรอง Convolutional Least Squares (CLS) โดยเน้นการประเมินความสามารถในการจำแนกประเภทโครงสร้างภาพในสภาวะที่มีสัญญาณ

*ผู้ประพันธ์บรรณกิจ

รบกวน เพื่อนำไปสู่แนวทางที่เหมาะสมและทนทานต่อสัญญาณรบกวนสำหรับประยุกต์ใช้งานในสาขาที่ต้องการความแม่นยำสูง เช่น การแพทย์และการสำรวจระยะไกล

2. สัญญาณรบกวนแบบคูณ

สัญญาณรบกวนแบบคูณ (multiplicative noise) เป็นสัญญาณรบกวนที่พบได้ในระบบที่ใช้การสะท้อนกลับของสัญญาณในการสร้างภาพ โดยเกิดจากการสะท้อนกลับของสัญญาณที่ไม่สม่ำเสมอจากหลายทิศทาง เช่นภาพ SAR หรือภาพอัลตราซาวนด์ ทำให้ภาพที่ได้มีความคมชัดและคุณภาพที่ลดต่ำลง ซึ่งสัญญาณรบกวนแบบคูณสามารถแสดงได้ตามสมการที่ (1) โดยพิกเซลภาพที่บันทึกได้ $y(i,j)$ บนภาพด้วยสมการต่อไปนี้

$$y(i,j) = x(i,j)\cdot n(i,j) \tag{1}$$

เมื่อ $x(i,j)$ คือภาพที่ไม่มีสัญญาณรบกวน และ $n(i,j)$ คือสัญญาณรบกวนที่มีค่าเฉลี่ยเท่ากับ 1 และมีค่าความแปรปรวนคือ σ_n^2 และถ้าหากสัญญาณรบกวนแบบจุดนี้เป็นสัญญาณที่มีกระบวนการเฟ้นสุ่มแบบคงที่ (stationary random) และมีการแจกแจงแบบเรย์ลีหรือแบบเกาส์ [7]

3. เมทริกซ์แบบเฮสเซอ

เมทริกซ์แบบเฮสเซอ (Hessian matrix) เป็นเครื่องมือทางคณิต-ศาสตร์ที่ใช้ในการศึกษาลักษณะของความโค้ง (curvature) ของฟังก์ชันหลายตัวแปร โดยเฉพาะฟังก์ชันที่ขึ้นอยู่กับตัวแปรสองตัวหรือมากกว่านั้น เมทริกซ์แบบเฮสเซอเป็นเมทริกซ์ที่ประกอบไปด้วยอนุพันธ์อันดับสองของฟังก์ชัน $f(x,y)$ ที่มีสองตัวแปร x และ y โดยมีนิยามดังต่อไปนี้

$$\mathbf{H}(f) = \begin{bmatrix} \frac{\partial^2 f}{\partial x^2} & \frac{\partial^2 f}{\partial x \partial y} \\ \frac{\partial^2 f}{\partial y \partial x} & \frac{\partial^2 f}{\partial y^2} \end{bmatrix} \tag{2}$$

โดย $\partial^2 f / \partial x^2$ และ $\partial^2 f / \partial y^2$ คืออนุพันธ์อันดับสองของฟังก์ชัน f เมื่อทำการหาอนุพันธ์ในแนวแกน x และ y ตามลำดับ และ $\partial^2 f / \partial xy$ และ $\partial^2 f / \partial yx$ คืออนุพันธ์แบบผสม ซึ่งเป็นอนุพันธ์ของ f ในแนวแกน x และ y การประยุกต์ใช้เมทริกซ์แบบเฮสเซอในการตรวจจับจุดสูงสุด จุดต่ำสุด และจุดอานม้า (saddle point) หรือการวิเคราะห์ลักษณะของจุดวิกฤต (critical points) ของฟังก์ชัน หากเมทริกซ์แบบเฮสเซอที่จุดนั้นเป็นบวกทั้งหมด (positive definite) จะบ่งบอกว่าจุดนั้นเป็นจุดต่ำสุดเฉพาะที่ (local minimum) แต่ถ้าเป็นลบทั้งหมด (negative definite) จะบ่งบอกว่าจุดนั้นเป็นจุดสูงสุดเฉพาะที่ (local maximum) และถ้ามีทั้งบวกและลบ จุดนั้นอาจจะเป็นจุดอานม้า และในการวิเคราะห์ความโค้งของพื้นผิว ในการศึกษาพื้นผิว 3 มิติ หรือกราฟฟังก์ชันสองตัวแปร เมทริกซ์แบบเฮสเซอจะช่วยบอกลักษณะของความโค้งที่จุดต่าง ๆ บนพื้นผิว ฟังก์ชันที่มีความโค้งมากในบางทิศทางจะมีอนุพันธ์อันดับสองที่มีค่ามากในทิศทางนั้น ๆ

4. ตัวกรองกำลังสองน้อยสุดเชิงสังวัตนาการ (CLS filter)

จากงานวิจัยของ A. Savitzky และ M. J. E. Golay ซึ่งได้พัฒนาตัวกรอง CLS ขึ้นมา สำหรับใช้ในการปรับเรียบข้อมูล การหาค่าอนุพันธ์ของข้อมูล และการนำมาใช้ในการแสดงผลขนาดและความสูงเชิงสัมพันธ์ของเส้นสเปกตรัม (spectral line) ที่มีสัญญาณรบกวน [8] นอกจากนั้นตัวกรอง CLS ดังกล่าวยังถูกนำมาพัฒนาสำหรับใช้ในการลดทอนสัญญาณรบกวนแบบจุดในภาพอัลตราซาวด์ทางการแพทย์ [9, 10] การทำงานของตัวกรอง CLS นั้นจะอาศัยหลักการในการกระชับฟังก์ชันพหุนาม (polynomial function fitting) ไปยังกลุ่มข้อมูลในหน้าต่างตัวกรองภายใต้เงื่อนไขที่ทำให้เกิดค่าความผิดพลาดกำลังสองน้อยสุด (least square error) และทำการเลือกค่า ณ ตำแหน่งศูนย์กลางของฟังก์ชันพหุนามมาเป็นเอาต์พุตของตัวกรอง [11]

$$p_{i,j}(m,n) = \sum_{s=0}^{S}\sum_{t=0}^{T} a_{i,j}(s,t) m^s n^t \tag{3}$$

เมื่อกำหนดให้ฟังก์ชันพหุนามแบบสองมิติ $p_{i,j}$ มีค่าดังสมการที่ (3) เมื่อ S และ T คือเลขจำนวนเต็มซึ่งแสดงถึงอันดับสูงสุด (the highest order) ของตำแหน่งข้อมูล m และ n ในหน้าต่างตัวกรองตามลำดับ โดยกำหนดให้ S และ T มีค่าเท่ากับ 2 และทำการกระจายสมการที่ (3) ดังนี้

$$\begin{aligned} p_{i,j}(m,n) &= \sum_{s=0}^{2}\sum_{t=0}^{2} a_{i,j}(s,t) m^2 n^2 \\ &= a_{i,j}(0,0) + a_{i,j}(0,1)m^0n^1 + a_{i,j}(0,2)m^0n^2 \\ &\quad + a_{i,j}(1,0)m^1n^0 + a_{i,j}(1,1)m^1n^1 + a_{i,j}(1,2)m^1n^2 \\ &\quad + a_{i,j}(2,0)m^2n^0 + a_{i,j}(2,1)m^2n^1 + a_{i,j}(2,2)m^2n^2 \end{aligned} \tag{4}$$

และทำการหาอนุพันในแนวแกนเทียบกับ m และ n ที่เทียบเท่ากับการหาค่าเกรเดียนต์ในแนวแกน x และ y ตามลำดับจะได้

$$\begin{aligned} \frac{\partial p(m,n)}{\partial m^2} &= 2a_{i,j}(2,0) \\ \frac{\partial p}{\partial x^2} &= |\nabla^2 p_x| \approx 2a_{i,j}(2,0) \end{aligned} \tag{5}$$

$$\begin{aligned} \frac{\partial p(m,n)}{\partial n^2} &= 2a_{i,j}(0,2) \\ \frac{\partial p}{\partial y^2} &= |\nabla^2 p_y| \approx 2a_{i,j}(0,2) \end{aligned} \tag{6}$$

$$\frac{\partial p(m,n)}{\partial m \partial n} = \frac{\partial p(m,n)}{\partial n \partial m} = a_{i,j}(1,1) \tag{7}$$

ดังนั้นการคำนวณหาค่าของเมทริกซ์แบบเฮสเซอจากสมการที่ (2) จะสามารถเขียนใหม่ได้ดังสมการต่อไปนี้

$$\mathbf{H}(f) = \begin{bmatrix} 2a_{i,j}(2,0) & a_{i,j}(1,1) \\ a_{i,j}(1,1) & 2a_{i,j}(0,2) \end{bmatrix} \tag{8}$$

และในการวิเคราะห์โครงสร้างภาพจะใช้ค่าเฉพาะ (eigenvalue) ซึ่งหาได้ดังนี้

$$\mathbf{H}\,\mathbf{v} = \lambda\,\mathbf{v} \tag{9}$$

เมื่อ $\mathbf{H}$ คือเมทริกซ์แบบเฮสเซอ $\mathbf{v}$ คือค่าเวกเตอร์เฉพาะ (eigenvector) และ λ คือค่าเฉพาะ (eigenvalue)

5. ผลการทดลอง

ในการทดสอบความสามารถของขั้นตอนวิธีที่นำเสนอจะใช้ชุดข้อมูลตามรูปของทอพอโลยีภาพ (image topology) ที่ได้มีการแยกประเภทไว้แล้วทั้งหมด 12 ประเภท [12] ดังแสดงในรูปที่ 1 ในการคำนวณอนุพันธ์อันดับหนึ่งและสองของภาพ งานวิจัยนี้ได้เปรียบเทียบกับเทคนิคมาตรฐานสามวิธี ได้แก่ Gradient of Gaussian (GoG), Derivatives of Gaussian (DoG) และ Scharr Operator ซึ่งแต่ละวิธีมีคุณลักษณะเฉพาะดังนี้ :

1) Gradient of Gaussian (GoG): เป็นการคำนวณอนุพันธ์อันดับหนึ่งโดยตรงจาก Gaussian kernel ซึ่งมีข้อดีคือสามารถลดทอนสัญญาณรบกวนได้ในขณะเดียวกัน ทำให้ผลลัพธ์มีความเสถียรมากกว่าตัวกรองเชิงอนุพันธ์ทั่วไป เช่น Sobel หรือ Prewitt เทคนิคนี้มักถูกใช้เป็นมาตรฐานในงานที่ต้องการความแม่นยำในการตรวจจับขอบ เช่น Scale-Invariant Feature Transform (SIFT) [13]

2) Derivatives of Gaussian (DoG): ใช้วิธีการหาผลต่างระหว่าง Gaussian kernel ที่มีค่าเบี่ยงเบนมาตรฐานต่างกันเล็กน้อย โดยสามารถ

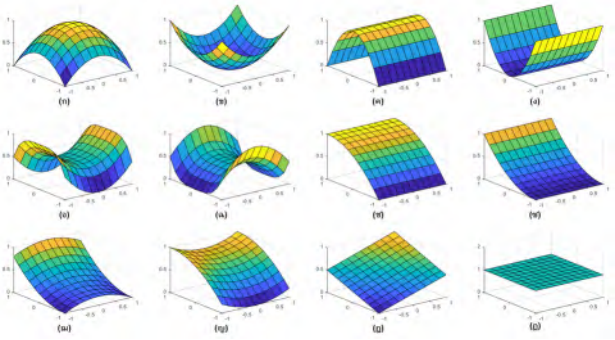

รูปที่ 1 โครงสร้างของภาพ (ก) peak (ข) pit (ค) ridge (ง) ravine (จ) ridge saddle (ฉ) ravine saddle (ช) convex hill (ซ) concave hill (ฌ) convex saddle hill (ญ) concave saddle hill (ฎ) slop hill และ (ฏ) flat

ประมาณได้ทั้งอนุพันธ์อันดับหนึ่งและสอง ในเชิงทฤษฎีนั้นเมื่อค่าเบี่ยงเบนมาตรฐานมีค่าเข้าใกล้ศูนย์ DoG จะลู่เข้าสู่อนุพันธ์ของ Gaussian [14] ทำให้เหมาะกับงานที่ต้องการการคำนวณแบบหลายสเกล (multi-scale) เช่น blob detection หรือ Hessian-based detectors

3) Scharr Operator: เป็นตัวกรอง gradient ที่ออกแบบมาเพื่อเพิ่มความแม่นยำในการประมาณอนุพันธ์อันดับหนึ่ง โดยเฉพาะในทิศทางทแยง (diagonal) ค่า kernel ของ Scharr ถูกปรับเพื่อให้มีความคลาดเคลื่อนน้อยที่สุด (minimized approximation error) จึงเหมาะสำหรับงานที่ต้องการความละเอียดสูงในการตรวจจับขอบหรือมุม เช่นในระบบประมวลผลวิดีโอแบบเรียลไทม์ [15]

จากนั้นจะใช้ขั้นตอนวิธี K-Nearest Neighbors (KNN) ในการแยกประเภทของข้อมูลจากค่าเฉพาะ (eigenvalue) ของเมทริกซ์แบบเฮสเซอที่ได้จากขั้นตอนวิธีทั้ง 4 แบบ ซึ่งในสภาวะที่ไม่มีสัญญาณรบกวนจะได้ผลลัพธ์ดังนี้

ตารางที่ 1 ค่าความแม่นยำที่ได้จากขั้นตอนวิธี KNN ในชุดข้อมูลต่าง ๆ ในสภาวะที่ไม่มีสัญญาณรบกวน

ชุดข้อมูล	GoG	DoG	Scharr	CLS
ค่าความถูกต้อง	66.7	66.7	66.7	98.3

จากตารางที่ 1 จะเห็นว่าขั้นตอนวิธีของ CLS นั้นมีค่าความถูกต้องมากที่สุดโดยเทียบกับขั้นตอนวิธีมาตรฐาน โดยหากมองลึกเข้าไปโดยใช้ confusion matrix ในการวิเคราะห์ผลที่ได้จากฐานข้อมูล GoG จะได้ดังรูปที่ 2 ซึ่งจะมีข้อมูลของ ridge, ravine, convex hill, concave hill และ flat ที่ไม่สามารถแยกประเภทได้ดี ในส่วนของขั้นตอนวิธีของตัวกรอง CLS นั้น confusion matrix จะแสดงในรูปที่ 3 โดยจะสามารถ ทำงานได้ดีในเกือบทุกชุดข้อมูลยกเว้นข้อมูลชุด flat ที่มีการทำนายว่าเป็น slope hill เล็กน้อย แสดงให้เห็นว่าขั้นตอนวิธี CLS สามารถใช้ทำนายโครงสร้างของข้อมูลได้ดีกว่าวิธีแบบมาตรฐาน อย่างไรก็ตามยังมีความผิดพลาดเล็กน้อยในชุดข้อมูล flat ซึ่งจะได้ต่อยอดในงานวิจัยต่อไป

ในการทดสอบต่อไปในสภาวะที่มีสัญญาณรบกวนแบบจุดโดยได้เพิ่มสัญญาณรบกวนเข้าไปในโครงสร้างที่ทำการสร้างขึ้นมาเพื่อทดสอบความสามารถในการทนทานต่อสัญญาณรบกวนโดยได้ผลลัพธ์ดังแสดงในตารางที่ 2 โดยสังเกตุเห็นได้ว่าสัญญาณรบกวนมีผลกระทบอย่างมากในการแยกประเภทของข้อมูล โดยค่าความถูกต้องของชุดข้อมูลมาตรฐานลดลงอย่างมากจาก 66.7 เปอร์เซ็นต์ ลดลงเหลือเพียง 21.9 – 20.8 เปอร์เซ็นต์ แสดงให้เห็นว่าขั้นตอนวิธีแบบมาตรฐานไม่มีความคงทนต่อ

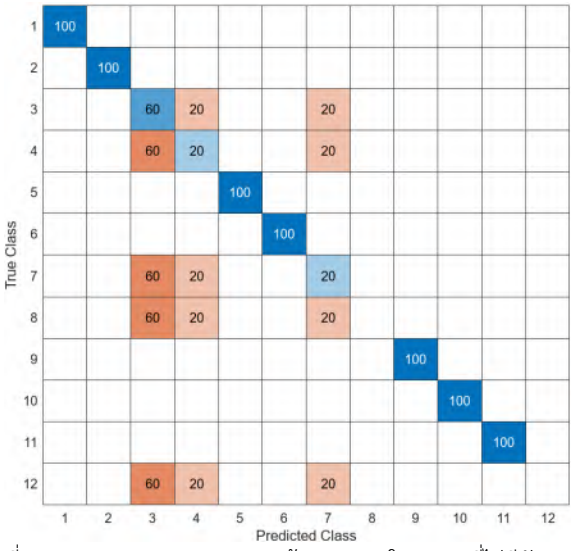

รูปที่ 2 Confusion matrix ของฐานข้อมูล GoG ในสภาวะที่ไม่มีสัญญาณรบกวน

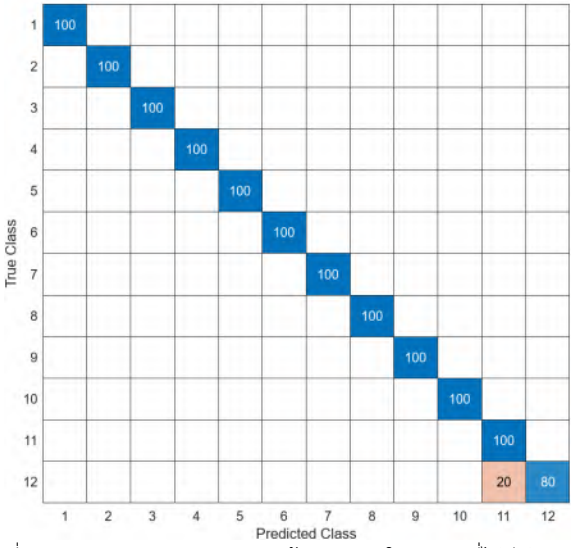

รูปที่ 3 Confusion matrix ของฐานข้อมูล CLS ในสภาวะที่ไม่มีสัญญาณรบกวน

ตารางที่ 2 ค่าความแม่นยำที่ได้จากขั้นตอนวิธี KNN ในชุดข้อมูลต่าง ๆ ในสภาวะที่มีสัญญาณรบกวน PSNR 20dB

ชุดข้อมูล	GoG	DoG	Scharr	CLS
ค่าความถูกต้อง	21.9	21.7	20.8	86.8

สัญญาณรบกวนเทียบกับขั้นตอนวิธีที่นำเสนอ โดยขั้นตอนวิธีแบบ CLS นั้นจะมีความถูกต้องลดลงแต่ไม่มากเท่าขั้นตอนวิธีแบบมาตรฐาน ต่อมาได้ทำการวิเคราะห์ชุดข้อมูลโดยใช้ confusion matrix ในชุดข้อมูลของ GoG และ CLS มาเปรียบเทียบกันในรูปที่ 4 และ 5 ซึ่งในชุดข้อมูลของ GoG นั้นจะได้รับผลกระทบจากสัญญาณรบกวนในทุกประเภทของข้อมูลทำให้ได้ผลลัพธ์ที่ไม่ดีนัก แต่ในส่วนของ CLS ยังสามารถทำงานได้ดีแสดงถึงความสามารถในการทนต่อสัญญาณรบกวน แต่ผลกระทบจากสัญญาณรบกวนนั้นจะทำให้การตัดสินใจระหว่างชุดข้อมูล convex saddle hill และ concave saddle hill กับชุดข้อมูลของ slop hill และ flat ผิดพลาด

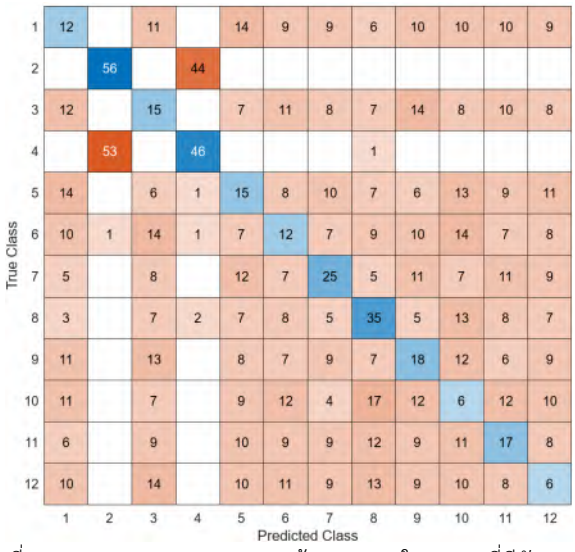

รูปที่ 4 Confusion Matrix ของฐานข้อมูล GoG ในสภาวะที่มีสัญญาณรบกวน

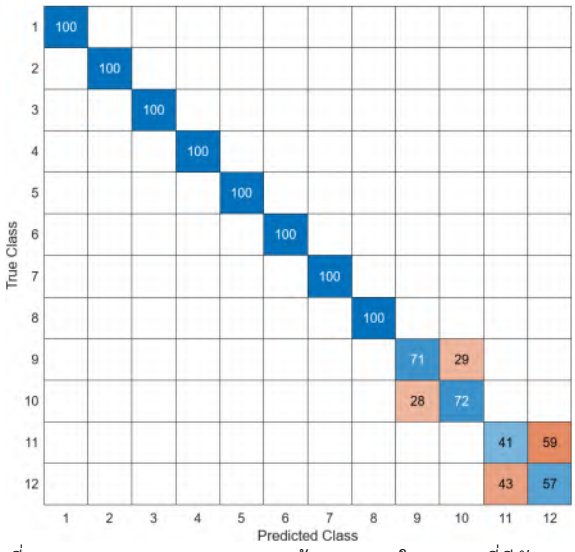

รูปที่ 5 Confusion Matrix ของฐานข้อมูล CLS ในสภาวะที่มีสัญญาณรบกวน

6. สรุป

ผลการทดลองสรุปได้ว่า ตัวกรอง CLS สามารถจำแนกโครงสร้างของภาพได้แม่นยำและเสถียรกว่าวิธีมาตรฐานอย่างมีนัยสำคัญ โดยเฉพาะอย่างยิ่งในสภาวะที่มีสัญญาณรบกวนแบบจุด ซึ่งแสดงให้เห็นถึงความทนทาน (robustness) ที่เหนือกว่าอย่างชัดเจน คุณสมบัติด้านความทนทานนี้ถือเป็นปัจจัยสำคัญที่ทำให้เทคนิคนี้มีศักยภาพสูงในการนำไปใช้งานจริง ซึ่งข้อมูลมักไม่สมบูรณ์และมีสัญญาณรบกวนปะปนอยู่เสมอ สำหรับก้าวต่อไปในอนาคต งานวิจัยจะมุ่งเน้นการปรับปรุงความแม่นยำในการจำแนกชนิดข้อมูลที่ยังมีความสับสน เช่น slope hill และ flat อันเนื่องมาจากลักษณะเฉพาะของสัญญาณที่คล้ายคลึงกัน พร้อมทั้งขยายขอบเขตการทดลองโดยนำเทคนิคนี้ไปประยุกต์ใช้กับข้อมูลจริงในสาขาเชิงประยุกต์ที่มีความสำคัญ เช่น การแพทย์ และการสำรวจระยะไกล เพื่อยืนยันถึงประสิทธิภาพและประโยชน์ในภาคปฏิบัติอย่างแท้จริง

เอกสารอ้างอิง

[1] S. Ling, P. Le Callet, and Z. Yu, “The role of structure and textural information in image utility and quality assessment tasks,” *Electronic Imaging, 30, 1-13*

[2] Y. Hou, L. Zheng, and S. Gould, “Learning to structure an image with few colors,” *Proceedings of the ieee/cvf conference on computer vision and pattern recognition* pp. 10116-10125.

[3] D. Batavia, R. Gonzalez-Diaz, and W. G. Kropatsch, “Image = structure + few colors,” *in Computer Analysis of Images and Patterns*, vol. 12368, Springer, 2021, pp. 365–375.

[4] Lin, H. Y., Hsu, C. Y., & Chiang, Y. Y., “Detecting structured image region using local features and clustering analysis,” in Proc. *MVA*, 2013, pp. 53–56.

[5] J. Wu, S. Xie, W. Cao, and S. Wu, “Hessian-based weighted guided image filtering,” *Signal Image Video Process.*, vol. 19, no. 1, pp. 1–14, 2025.

[6] W. Dong, S. Gao, and S. S.T. Yau, “Hessian matrix non-decomposition theorem and its application to nonlinear filtering,” *Nonlinear Analysis*, vol. 230, Art. no. 113236, 2023.

[7] J. M. Park, W. J. Song, and W. A. Pearlman, “Speckle filtering of SAR images based on adaptive windowing,” IEE Proc. Vis. *Image Signal Process.*, vol. 146, no. 4, pp. 191–197, 1999.

[8] A. Savitzky and M. J. Golay, “Smoothing and differentiation of data by simplified least squares procedures,” *Analytical chemistry*, vol. 36, no. 8, pp. 1627–1639, 1964.

[9] C. Chinrungrueng and A. Suvichakorn, "Fast edge-preserving noise reduction for ultrasound images," *IEEE Transactions on Nuclear Science*, vol. 48, no. 3, pp. 849-854, 2001.

[10] P. Toonkum and C. Chinrungrueng, "Speckle reduction of ultrasound images based on locally regularized Savitzky-Golay filters," *2015 12th International Conference on Electrical Engineering/Electronics, Computer, Telecomunications and Information Technology (ECTI-CON)*, Jun. 2015, pp. 1-5.

[11] วรุตม์ เจิมจันทร์ และ พลกฤษณ์ ทุนคำ, “การลดทอนสัญญาณรบกวนแบบจุดในภาพ SAR ด้วยตัวกรองกำลังสองน้อยสุดแบบปรับขนาดตัวกรองได้,” การประชุมวิชาการทางวิศวกรรมไฟฟ้า ครั้งที่ 47, 13–15 พฤศจิกายน 2567, หน้า 552–557.

[12] R. M. Haralick, L. T. Watson, and T. J. Laffey, “The topographic primal sketch,” *The International Journal of Robotics Research*, vol. 2, no. 1, pp. 50–72, 1983.

[13] D. G. Lowe, “Distinctive image features from scale-invariant keypoints,” *International journal of computer vision*, vol. 60, no. 2, pp. 91–110, 2004.

[14] T. Lindeberg, *Scale-Space Theory in Computer Vision*, vol. 256. Springer, 2013.

[15] H. Scharr, “Optimal Operators in Digital Image Processing,” Ph.D. dissertation, University of Heidelberg, 2000.

การพัฒนาอุปกรณ์วัดมุมพื้นลาดเอียงด้วยการใช้แสงย่านใกล้อินฟราเรด

Development of a Slope Angle Measuring Device Using Near Infrared Light

สุชาติ แย้มเม่น[1] วชิระ ลิ้มศรีประพันธ์[2] และ เมธานันท์ เนียมเปี่ยม[1*]

[1]ภาควิชาวิศวกรรมคอมพิวเตอร์ คณะวิศวกรรมศาสตร์ มหาวิทยาลัยนเรศวร sucharty@nu.ac.th, methanann65@nu.ac.th*

[2]สาขาวิชาวิศวกรรมคอมพิวเตอร์ คณะเทคโนโลยีอุตสาหกรรม มหาวิทยาลัยราชภัฏพิบูลสงคราม wachira.l@psru.ac.th

บทคัดย่อ

งานวิจัยนี้จึงนำเสนอแนวทางการพัฒนาอุปกรณ์วัดมุมพื้นลาดเอียงโดยการใช้ตัวรับรู้ทางแสงย่านใกล้อินฟราเรด จำนวน 2 ตัว ทำมุม 60° และ 30° กับแนวดิ่ง เมื่อทดสอบการวัดระยะทางจากตัวรับรู้ทางแสงจำนวน 10 ครั้ง พบว่าประสิทธิภาพการปรับค่าระยะทางด้วยการวิเคราะห์การถดถอยเส้นตรงร่วมกับเลขชี้กำลังดีที่สุดเมื่อเปรียบเทียบกับผลการวิเคราะห์การถดถอยเส้นตรง โพลิโนเมียลดีกรีสาม และเลขชี้กำลังโดยมีค่าความคาดเคลื่อนเฉลี่ย MSE ทั้ง 5 กรณี ต่ำที่สุด คือ 1.0654, 1.0650, 1.0657, 1.0646 และ 1.0660 สำหรับอัตราส่วนข้อมูลชุดฝึกกับชุดทดสอบ 50:50, 60:40, 40:60, 70:30 และ 30:70 ตามลำดับ นอกจากนี้เมื่อนำอุปกรณ์ที่พัฒนาขึ้นทดสอบวัดมุมพื้นเอียงตั้งแต่มุมพื้นเอียง 0 องศา ถึง 45 องศา จำนวน 10 ครั้งต่อการวัดมุม ได้ค่าความคาดเคลื่อนเฉลี่ย MSE เท่ากับ 0.924

คำสำคัญ: แสงย่านใกล้อินฟราเรด

Abstract

In this research, a slope angle measuring device is developed by using two near-infrared optical sensors located at 60° and 30° angles with the vertical axis. When measuring the distance obtained from the optical sensors ten times, it was found that the efficiency of distance calibration using the developed line & exponential regression analysis is the best result when compared with that obtained from the line, cubic polynomial and exponent regression analysis, and also has the lowest average values of MSE for all 5 cases; that is, 1.0654, 1.0650, 1.0657, 1.0646 and 1.0660 for the ratio of training data to testing data of 50:50, 60:40, 40:60, 70:30 and 30:70, respectively. In addition, when the developed device was tested to measure the slope angle from 0 degrees to 45 degrees with 10 times per angle measurement, the average value of MSE is 0.924.

Keywords: Near Infrared Light

1. บทนำ

ในปัจจุบันผู้ที่มีความบกพร่องทางการมองเห็นยังคงประสบกับอุปสรรคและความยากลำบากในการดำเนินชีวิตประจำวัน โดยเฉพาะอย่างยิ่งในด้านการเดินทางและการเคลื่อนที่ไปยังสถานที่ต่าง ๆ เนื่องจากไม่สามารถมองเห็นพื้นที่ ที่มีระดับความลาดเอียงแตกต่างกันได้แม้ว่าเทคโนโลยีหลากหลายประเภทในการประมวลผลภาพจากกล้อง [1-6] แต่การนำกล้องมาใช้งานจริงยังมีข้อจำกัดด้านต้นทุนของอุปกรณ์ และระยะเวลาในการประมวลผล ซึ่งอาจไม่เหมาะสมกับการพัฒนาอุปกรณ์พกพาที่มีราคาประหยัดและใช้งานง่าย การใช้ไม้เท้าร่วมกับเซ็นเซอร์ [7-12] มีข้อจำกัดในการเดินทางที่ไม่เป็นอิสระ และการพัฒนาอุปกรณ์ที่ช่วยในการเดินทางของผู้บกพร่องทางสายตา [13-15] มีการตรวจจับวัตถุหรือลักษณะของพื้นที่หลากหลายวิธี

เพื่อที่จะช่วยเหลือผู้บกพร่องทางสายตาเกี่ยวกับการรับรู้พื้นลาดเอียงให้เกิดความปลอดภัยในการเดินหรือการเคลื่อนที่ ทางคณะผู้วิจัยจึงมุ่งเน้นพัฒนาอุปกรณ์วัดมุมพื้นลาดเอียงด้วยการใช้แสงย่านใกล้อินฟราเรด จำนวน 2 ตัว ที่มีต้นทุนต่ำ ใช้งานง่าย และสามารถทำงานได้ในสภาพแสงน้อยหรือที่มืดมาประมวลผลหามุมพื้นลาดเอียงร่วมกับการวิเคราะห์การถดถอยแบบเส้นตรงร่วมกับเลขชี้กำลัง

นอกจากการประเมินประสิทธิภาพด้วยการวิเคราะห์การถดถอยเส้นตรงร่วมกับเลขชี้กำลังที่ใช้ในการปรับค่าระยะทาง สามารถต่อยอดเป็นอุปกรณ์ช่วยเหลือการเดินทั้งพื้นที่ราบ ทางลาดชัน หรือบันได เพื่อความปลอดภัย และเพิ่มโอกาสในการดำเนินชีวิตอย่างเป็นอิสระให้กับผู้บกพร่องทางสายตาโดยการใช้ระยะทางจากตัวรับรู้ย่านใกล้แสงอินฟราเรดจากผลการหาค่ามุมพื้นลาดเอียง

2. ทฤษฎีและงานวิจัยที่เกี่ยวข้อง

ในการออกแบบและพัฒนาอุปกรณ์ต้นแบบเพื่อการตรวจวัดมุมพื้นลาดเอียงนั้น มีความจำเป็นต้องมีความรู้ความเข้าใจหลักทฤษฎีและงานวิจัยที่เกี่ยวข้อง ในเรื่องตัวรับรู้ทางแสงย่านอินฟราเรดเพื่อใช้ในการวัดระยะทางระหว่างตัวรับรู้กับพื้นผิวลาดเอียง ต่อมานำระยะทางที่ได้รับผ่านช่องทางการสื่อสารแบบ I^2C เป็นข้อมูลขาเข้าสู่ไมโครคอนโทรลเลอร์เพื่อประมวลผลและวิเคราะห์การถดถอยเส้นตรงร่วมกับเลขชี้กำลังให้ได้ผลลัพธ์มุมเอียงของพื้นที่แสงตกกระทบ นอกจากนี้ผลการวิเคราะห์การถดถอยเส้นตรงร่วมกับเลขชี้กำลังที่คณะผู้วิจัยพัฒนาขึ้นในการหาค่ามุม

*ผู้ประพันธ์บรรณกิจ

เอียงของพื้นผิวที่แสงตกกระทบ ยังได้นำมาเปรียบเทียบกับผลที่ได้รับจากการวิเคราะห์การถดถอยเส้นตรง การวิเคราะห์การถดถอยโพลิโนเมียล และการวิเคราะห์การถดถอยเลขชี้กำลัง

2.1 ตัวรับรู้ย่านใกล้แสงอินฟราเรด NIR

ในงานวิจัยนี้ได้เลือกใช้ตัวรับรู้ย่านใกล้แสงใกล้อินฟราเรด NIR (Near Infrared Light) ชนิด TF-luna [16] แบบ TOF(Time of Flight) ที่เป็นอุปกรณ์ตรวจวัดระยะทางแบบ LiDAR (Light Detection and Ranging) [17] ขนาดเล็ก ราคาประหยัด และเหมาะสำหรับการตรวจวัดระยะทางระหว่างตัวรับรู้ทางแสงกับวัตถุอยู่ช่วง 0.2 เมตร ถึง 8.0 เมตร โดยใช้หลักการเวลาทางการบิน TOF (Time of Flight) เพื่อหาระยะทางจากเวลาของความต่างเฟสคลื่นแสงย่านใกล้จากคลื่นแสงย่านใกล้อินฟราเรดที่ตกกระทบไปยังวัตถุและสะท้อนกับมายังตัวรับคลื่นแสงดังแสดงในรูปที่ 1

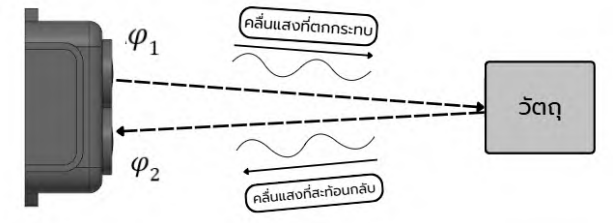

รูปที่ 1 หลักการทำงานของตัวรับรู้ย่านใกล้แสงอินฟราเรด

และสามารถคำนวณหาระยะทางสัมพัทธ์ ตามความสัมพันธ์

$$d = \frac{c}{2} \cdot \frac{1}{2\pi f} \cdot \Delta\varphi \quad (1)$$

โดยที่ d คือระยะทางจากตัวรับรู้ย่านใกล้แสงอินฟราเรดถึงวัตถุในหน่วยเซนติเมตร c คือความเร็วของแสงในอากาศ 3×10^{10} เซนติเมตร/วินาที f คือความถี่ของคลื่นตัวรับรู้ย่านใกล้แสงอินฟราเรดในหน่วยเฮิรตซ์ และ $\Delta\varphi$ คือความต่างเฟสระหว่างคลื่นตกกระทบและคลื่นสะท้อนกลับในหน่วยเรเดียน

2.2 ระบบสื่อสารแบบ I²C

ข้อมูลระยะทางที่ได้รับจากตัวรับรู้คลื่นแสงย่านใกล้อินฟราเรดจะถูกส่งต่อไปยังตัวประมวลผลข้อมูลหรือไมโครคอนโทรลเลอร์ผ่านทางช่องการสื่อสารแบบ I²C หรือ Serial Communication [18] ดังแสดงไว้ในรูปที่ 2 ซึ่งมีการออกแบบเพื่อให้สามารถเชื่อต่ออุปกรณ์อิเล็กทรอนิกส์หลายตัวเข้าด้วยกันตามหลักการ Master and Slave โดยที่ใช้ Arduino Nano Every [19] ทำหน้าที่เป็น Master และตัวรับรู้คลื่นย่านใกล้แสงอินฟราเรดทำหน้าที่เป็น Slave ผ่านสาย SDA (Serial Data Line) ที่ทำหน้าที่รับส่งข้อมูลระยะทาง และ SCL (Serial Clock Line) ที่ใช้ในการส่งสัญญาณนาฬิกา

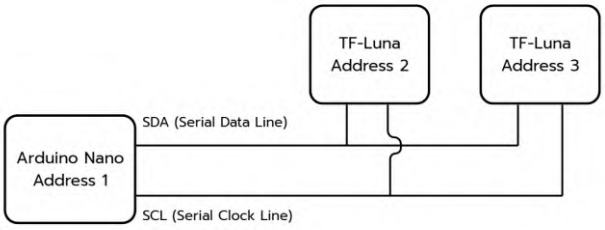

รูปที่ 2 หลักการทำงานของระบบสื่อสารแบบ I²C

2.3 ไมโครคอนโทรลเลอร์

Arduino Nano Every [19] เป็นไมโครคอนโทรลเลอร์ขนาดเล็กที่ออกแบบมาเป็นอุปกรณ์อัจฉริยะขนาดกะทัดรัดดังแสดงไว้ในรูปที่ 3 โดยมีชิปประมวลผล Atmega4809 และมีขาอินพุตกับเอาต์พุต 14 ขา ประกอบด้วยขาที่เป็น Analog Input จำนวน 8 ขา นอกจากนี้บอร์ดไมโครคอนโทรลเลอร์ Arduino Nano Every ยังสามารถรับหรือส่งข้อมูลผ่านโปรโตคอล Protocol Serial Port หรือ I²c SDA (Serial Data Line), SCL (Serial Clock Line) และ SPI (SCK, MOSI, MISO, SS) ที่แรงดัน 5V

รูปที่ 3 ไมโครคอนโทรลเลอร์ Arduino Nano Every

2.4 การวิเคราะห์ถดถอย

การวิเคราะห์ถดถอยแบบเส้นตรง [20-21] เป็นเทคนิคพื้นฐานในการวิเคราะห์ข้อมูลเพื่อหาความสัมพันธ์ระหว่างตัวแปรต้น Independent Variable และตัวแปรตาม Dependent Variable ใช้เพื่อเปรียบเทียบค่าระยะทางที่ได้รับจากตัวรับรู้คลื่นย่านใกล้แสงอินฟราเรดด้วยตัวแบบสมการเส้นตรงตามความสัมพันธ์

$$\hat{d}[n] = a_0 d[n] + a_1 \quad (2)$$

โดยที่ $\hat{d}[n]$ คือค่าตัวแปรตาม (dependent variable) $d[n]$ คือค่าตัวแปรต้น (independent variable) a_0 คือความชันของสมการเส้นตรง และ a_1 คือค่าคงที่จุดตัดบนแกนตัวแปรตาม

เมื่อลักษณะความสัมพันธ์ระหว่างตัวแปรต้นและตัวแปรตามไม่ได้เป็นไปตามสมการเส้นตรงแต่มีรูปแบบแนวโน้มตามฟังก์ชันพหุนาม สามารถใช้การวิเคราะห์ถดถอยแบบโพลิโนเมียลดีกรี 3 ดังนี้

$$\hat{d}[n] = a_3 d^3[n] + a_2 d^2[n] + a_1 d[n] + a_0 \quad (3)$$

โดยที่ a_3, a_2, a_1 และ a_0 คือค่าสัมประสิทธิ์ของสมการโพลิโนเมียลดีกรี 3 ถ้าความสัมพันธ์ระหว่างตัวแปรต้น $d[n]$ กับตัวแปรตาม $\hat{d}[n]$ มีแนวโน้มมีแนวโน้มเพิ่มขึ้นหรือลดลงในอัตราเร่ง อาจใช้การวิเคราะห์ถดถอยแบบเลขชี้กำลัง [20] ตามนิยามว่า

$$\hat{d}[n] = a_1 a_0{}^{d[n]} \quad (4)$$

โดยที่ a_0 คือฐานของเลขชี้กำลังและ a_1 คือค่าสัมประสิทธิ์เชิงการคูณ

2.5 การหามุมของพื้นลาดเอียงด้วยตรีโกณมิติ

สมมุติว่ามีตัวรับรู้ทางแสง 2 ตัวติดตั้งทำมุม 60 องศากับ 30 องศาตามแนวแกนดิ่ง ณ จุด B และจุด F ตามลำดับดังแสดงไว้ในรูปที่ 4 เมื่อแสงตกกระทบบนผิดพื้นลาดเอียงมุม θ ทำให้เกิดสามเหลี่ยม 2 รูป คือ สามเหลี่ยม ABC กับสามเหลี่ยม DFE และโดยอาศัยตรีโกณมิติ สามารถหาค่ามุมของพื้นลาดเอียงได้ว่า

$$\theta = \tan^{-1}\left[\frac{(d_3\cos(30^0)+2.4)-d_2\cos(60^0)}{d_2\sin(60^0)-d_3\sin(30^0)}\right] \quad (5)$$

โดยที่ d_2 กับ d_3 เป็นระยะในหน่วยเซนติเมตรระหว่าง AB กับ FD ตามลำดับ และ $A\hat{B}C$ กับ $D\hat{F}E$ มีมุมเท่ากับ 60 องศา กับ 30 องศา ตามลำดับ

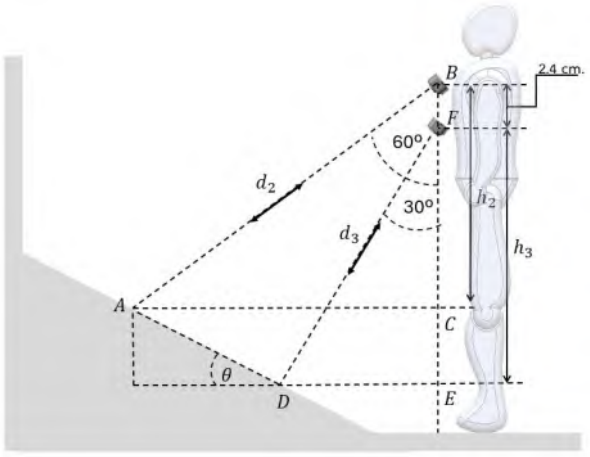

รูปที่ 4 การหามุมของพื้นลาดเอียงด้วยตรีโกณมิติ

2.6 การวัดค่าความคลาดเคลื่อน

ในการวิเคราะห์ค่าความคลาดเคลื่อนระหว่างตัวแปรต้นกับตัวแปรตามที่ได้รับจากการคำนวณและการวัดจริงนั้น สามารถหาค่าความคลาดเคลื่อนได้ด้วยค่าเฉลี่ยผลรวมกำลังสองค่าความผิดพลาดที่เกิดขึ้นตามนิยามว่า

$$MSE = \frac{1}{N}\sum_{i=1}^{N}\left(d[n] - \hat{d}[n]\right)^2 \quad (6)$$

โดยที่ N คือจำนวนข้อมูลความผิดพลาดทั้งหมด และผลต่างระหว่างค่าตัวแปรต้นกับตัวแปรตาม $d[n] - \hat{d}[n]$ เป็นค่าความคลาดเคลื่อนของชุดข้อมูลที่ n และ $n \in \{1,2,3,\dots,N\}$

3. วิธีดำเนินงานวิจัย

ในการพัฒนาอุปกรณ์ต้นแบบสำหรับการวัดมุมพื้นลาดด้วยการใช้ตัวรับรู้ทางแสงย่านใกล้อินฟราเรด TF-Luna ร่วมกับไมโครคอนโทรลเลอร์ขนาดเล็ก Arduino Nano Every และประมาณค่าข้อมูลระยะทางที่ได้รับจากตัวรับรู้ทางแสงให้มีความแม่นยำด้วยการวิเคราะห์การถดถอยแบบเส้นตรงร่วมกับเลยชี้กำลังพร้อมนำผลมาเปรียบเทียบกับผลที่ได้รับจากการวิเคราะห์การถดถอยเส้นตรง การวิเคราะห์การถดถอยโพลิโนเมียล และการวิเคราะห์การถดถอยเลขชี้กำลัง จะมีขั้นตอนการดำเนินงานดังนี้

ในการออกแบบและตัวรับรู้ทางแสงย่านใกล้อินฟราเรด TF-Luna [16] จำนวน 2 ตัว ตามระยะการติดตั้งที่กล่าวมาแล้วในรูปที่ 4 และเมื่อตัวรับรู้ทั้ง 2 ตัวได้รับคลื่นแสงสะท้อนกลับมาข้อมูลไหลผ่านการสื่อสารแบบ I²C เพื่อนำมาปรับค่าข้อมูลระยะทางมาตรฐานด้วยการประมวลผลตามการวิเคราะห์การถดถอยและคำนวณหาค่ามุมพื้นลาดเอียงตามที่หกล่าวมาแล้วในหัวข้อย่อย 2.4 เมื่อประมวลผลเสร็จไมโครคอนโทรลเลอร์ Arduino Nano Every จะแสดงผลข้อมูลผ่านจอ OLED ดังแสดงแผนภาพการทำงานในรูปที่ 5

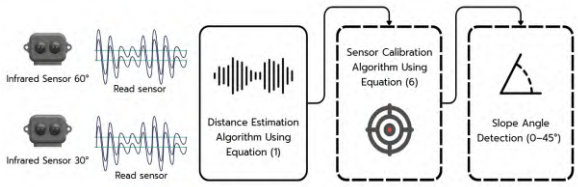

รูปที่ 5 แผนภาพการทำงานของอุปกรณ์

คณะผู้วิจัยมีการเก็บข้อมูลของตัวรับรู้ทางแสงย่านใกล้อินฟราเรดทั้ง 2 ตัว มาปรับมาตรฐานข้อมูลด้วยการวิเคราะห์การถดถอยแบบเส้นตรงร่วมกับเลยชี้กำลัง และทำการคำนวณหาค่ามุมของพื้นลาดตามสมการที่ (6) ตั้งแต่ 0, 5, 10, 15, ..., 45 องศา แต่ละค่ามุมพื้นลาดเอียงจะดำเนินการทดลองวัด 10 ครั้ง พร้อมหาค่าความคลาดเคลื่อนตามสมการที่ (7) เปรียบเทียบผลที่ได้กับการวิเคราะห์การถดถอยเส้นตรง การวิเคราะห์การถดถอยโพลิโนเมียล และการวิเคราะห์การถดถอยเลขชี้กำลัง

คณะผู้วิจัยยังได้นำแนวทางการประมาณค่าระยะทางที่ได้รับจากตัวรับรู้ทางแสงทั้ง 2 ตัวด้วยการใช้ตัวแบบจำลองเส้นตรงร่วมกับเลขชี้กำลังดังความสัมพันธ์ว่า

$$\hat{d}[n] = b_1 a^{d[n]} + b_2 d[n] + b_3 \quad (7)$$

โดยที่ $\hat{d}[n]$ คือค่าระยะทางที่ประมาณได้ $d[n]$ คือค่าระยะทางที่รับจากตัวรับรู้ทางแสงย่านใกล้อินฟราเรด ส่วน a, b_1, b_2, b_3 คือค่าคงที่ของตัวแบบจำลองที่นำเสนอ ในการหาค่าคงที่ทั้ง 4 ตัว มี 5 ขั้นตอนดังนี้

ขั้นตอนที่ 1 กำหนดค่าเริ่มต้น $a = 0.1$

ขั้นตอนที่ 2 หาค่า $\underline{b} = [b_1, b_2, b_3]^T$ ด้วยผลรวมกำลังสองความผิดพลาดในสมการที่ (9) น้อยที่สุด

$$f(a_k, \underline{b}_k) = [\underline{d} - X(a_k)\underline{b}_k]^T [\underline{d} - X(a_k)\underline{b}_k] \quad (8)$$

โดยที่ a_k และ $\underline{b}_k$ คือค่าสัมประสิทธิที่ a_k และ $\underline{b}_k = [b_1, b_2, b_3]^T$ ที่เหมาะสมเมื่อวนซ้ำรอบที่ $k \in \{0,1,2,\dots,N\}$ ตามลำดับส่วน $\underline{d}$ และ $X(a_k)$ มีนิยามดังนี้

$$\underline{d} = \begin{bmatrix} d[1] \\ d[2] \\ d[3] \\ \vdots \\ d[N] \end{bmatrix}_{N\times 1} ; X(a_k) = \begin{bmatrix} a_k^{d[1]} & d[1] & 1 \\ a_k^{d[2]} & d[2] & 1 \\ a_k^{d[3]} & d[3] & 1 \\ \vdots & \vdots & \vdots \\ a_k^{d[N]} & d[N] & 1 \end{bmatrix}_{N\times 3} \quad (9)$$

ขั้นตอนที่ 3 คำนวณหาค่า ρ ซึ่งมีนิยามว่า

$$\rho = \frac{f(a_k, \underline{b}_k) - f(a_{k+1}, \underline{b}_{k+1})}{f(a_k, \underline{b}_k)} \quad (10)$$

ขั้นตอนที่ 4 ถ้าค่า $\rho \geq 10^{-6}$ แล้วให้ไปดำเนินการปรับค่าสัมประสิทธิ์ a_k ในขั้นตอนที่ 5 แต่ถ้า $\rho < 10^{-6}$ แล้วจะยุติการวนซ้ำพร้อมได้ค่าสัมประสิทธิ์ a, b_1, b_2, b_3 ที่เหมาะสม

ขั้นตอนที่ 5 ดำเนินการปรับค่า $a_{k+1} = a_k + \Delta_{k+1}$ โดยที่ $k \in \{0,1,2,\dots,N\}$ และ Δ_k ดังความสัมพันธ์ว่า

$$L^T(a_k, \underline{b}_k) L(a_k, \underline{b}_k) \Delta_k = L^T(a_k, \underline{b}_k) \left[\underline{d} - \underline{\hat{d}}(a_k, \underline{b}_k)\right] \quad (11)$$

โดยที่ $\underline{\hat{d}}(a_k, \underline{b}_k)$ และ $L(a_k, \underline{b}_k)$ คือเวกเตอร์ประมาณการค่าของ $\underline{d}$ ตามความสัมพันธ์ที่ 7 และเมตริกซ์ค่าสัมประสิทธิ์ a, b_1 และข้อมูล $d[N]$ ตามลำดับ

สำหรับการออกแบบและพัฒนาระบบการส่งข้อมูลระหว่างตัวรับรู้ทางแสงทั้ง 2 ตัวไปยังตัวประมวลผลไมโครคอนโทรลเลอร์นั้น จะใช้การสื่อสารแบบ I²C เป็นรูปแบบการสื่อสารแบบอนุกรม หรือ Serial Communication เชื่อมต่อไปยังไมโครคอนโทรลเลอร์ขนาดเล็ก Arduino Nano Every ผ่านช่องสัญญาณอนาล็อกที่รองรับการเชื่อมต่อสาย SDA (Serial Data Line) ที่ Pin A4 และเชื่อมต่อสาย SCL (Serial Clock Line) ที่ Pin A5 ร่วมกับตัวรับรู้ย่านใกล้แสงอินฟราเรด 2 ตัว และจอแสดงผล OLED ขนาดเล็ก จากนั้นตั้งค่าตัวอุปกรณ์ให้ Arduino Nano Every เป็น Master และตั้งค่าอุปกรณ์ตัวรับรู้ย่านใกล้แสงอินฟราเรด 2 ตัว และจอแสดงผล OLED เป็น Slave ที่มี Address ไม่ซ้ำกันจะสามารถรับส่งข้อมูลโดยที่ไม่ชนกัน และมีการแสดงผลในรูปแบบเสียงเตือนเชื่อมต่อดิจิตอล Pin D12 การเชื่อมต่ออุปกรณ์วัดมุมด้วยตัวรับรู้ย่านใกล้แสงอินฟราเรดดังกล่าวมีแผนภาพดังแสดงไว้ในรูปที่ 6

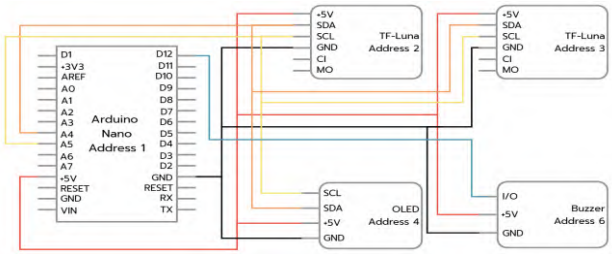

รูปที่ 6 แผนภาพการเชื่อมต่ออุปกรณ์

4. ผลการทดลอง

ผลการออกแบบและการพัฒนาอุปกรณ์ต้นแบบสำหรับการวัดมุมพื้นลาดการเชื่อมต่ออุปกรณ์เพื่อส่ง/รับข้อมูลระหว่างตัวรับรู้ทางแสงย่านใกล้อินฟราเรดทั้ง 2 ตัวไปยังตัวประมวลผลไมโครคอนโทรลเลอร์เพื่อวิเคราะห์หามุมของพื้นลาดเอียง และจอแสดงผล OLED ผ่านการสื่อสารแบบอนุกรม I²C และมีการแสดงผลในรูปแบบเสียงแจ้งเตือนด้วยโมดูลเสียงเป็นรูปแบบสัญญาณดิจิทัล ดังแสดงไว้ในรูปที่ 7

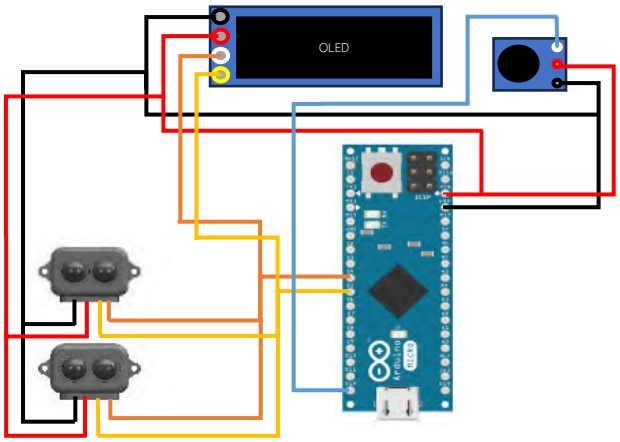

รูปที่ 7 ผลการเชื่อมต่ออุปกรณ์การสื่อสารแบบอนุกรม I²C

เมื่อได้ออกแบบและพัฒนาอุปกรณ์ต้นแบบสำหรับการวัดมุมพื้นลาดด้วยการใช้ตัวรับรู้ทางแสงย่านใกล้อินฟราเรด TF-Luna ร่วมกับไมโครคอนโทรลเลอร์ขนาดเล็ก Arduino Nano Every และประมาณค่าข้อมูลระยะทางที่ได้รับจากตัวรับรู้ทางแสงพร้อมกับประมวลผลและวิเคราะห์การถดถอยแบบเส้นตรงร่วมกับเลยชี้กำลังเพื่อให้หามุมของพื้นลาดเอียงตามที่กล่าวมาแล้วในหัวข้อที่ 3 จะได้ผลลัพธ์อุปกรณ์ต้นแบบดังแสดงด้วยภาพในรูปที่ 8

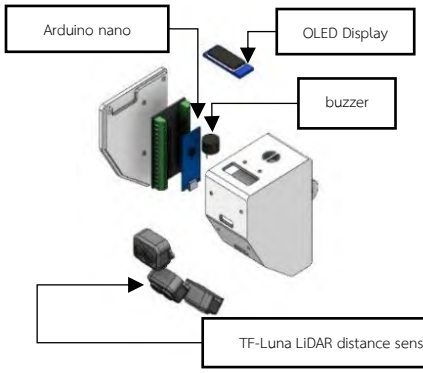

รูปที่ 8 อุปกรณ์ต้นแบบสำหรับการวัดมุดพื้นลาดเอียงที่พัฒนาขึ้น

ต่อมาได้รับผลการวัดค่าระยะทางจากตัวรับรู้แสงอินฟราเรดทั้งสอง คือ d_2 กับ d_3 ในหน่วยเซนติเมตร ตามรูปที่ 4 ที่ได้จากการเก็บผลทดสอบเทียบมาตรฐานโดยวัดในแนวระดับได้ค่าระยะทางของตัวรับรู้ทางแสงทั้งสองจำนวน 121 ครั้ง ตามที่กล่าวมาแล้วในหัวข้อย่อยที่ 2.4 โดยแต่ละครั้งมีระยะตั้งแต่ 0 เซนติเมตร ถึง 600 เซ็นติเมตร ดังแสดงตัวอย่างผลการปรับข้อมูลระยะทางมาตรฐานที่ได้รับจากตัวรับรู้ทางแสง d_2 และตัวรับรู้ทางแสง d_3 ดังรูปที่ 9(ก) และรูปที่ 9(ข) ตามลำดับ

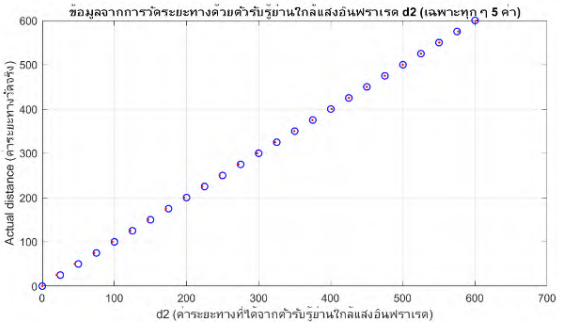

(ก) ข้อมูลระยะทางของตัวรับรู้ย่านใกล้ d_2 ก่อนการกรองข้อมูล

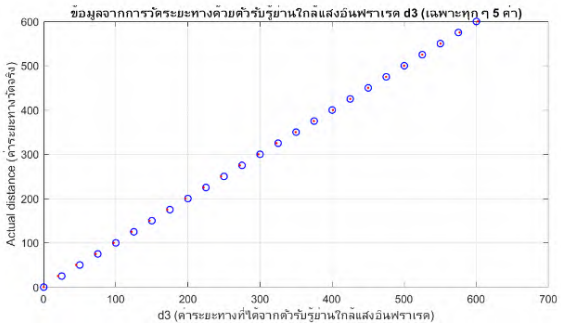

(ข) ข้อมูลระยะทางของตัวรับรู้ย่านใกล้ d_3 ก่อนการกรองข้อมูล

รูปที่ 9 ผลการปรับข้อมูลระยะทาง d_2 และ d_3 จากตัวรับรู้ทางแสง

จากนั้น ได้นำผลระยะทางที่ได้รับจากตัวรับรู้ทางแสง d_2 และ d_3 มาวิเคราะการถดถอยตามสมการที่ (2), (3), (4), (7) และหาค่าความคลาดเคลื่อนตามสมการที่ (6) โดยการใช้วิธี Cross-Validation แบบ Rolling Window เป็นการใช้ชุดข้อมูลทั้งหมด 10 ชุด จะแบ่งออกเป็นชุดข้อมูลฝึก (Training set) กับชุดข้อมูลทดสอบ (Testing set) ด้วยอัตราส่วน 5 กรณี คือ 50:50, 60:40, 40:60, 70:30 และ 30:70 ได้ผลลัพธ์ดังแสดงไว้ในตารางที่ 1

ตารางที่ 1 ค่าเฉลี่ยและค่าเบี่ยงเบนมาตรฐานของ MSE ของแต่ละตัวแบบจำลอง

ตัวแบบจำลอง	MSE	
	$\bar{X}$	S.D.
กรณี 50:50		
การถดถอยเส้นตรง	1.2891	1.1355
การถดถอยโพลิโนเมียลดีกรีสาม	1.1817	1.0871
การถดถอยเลขชี้กำลัง	90.7773	9.3506
การถดถอยเส้นตรงร่วมกับเลขชี้กำลัง	1.0654	1.0322
กรณี 60:40		
การถดถอยเส้นตรง	1.2888	1.1356
การถดถอยโพลิโนเมียลดีกรีสาม	1.1815	1.0872
การถดถอยเลขชี้กำลัง	80.4389	8.7986
การถดถอยเส้นตรงร่วมกับเลขชี้กำลัง	1.0650	1.0321
กรณี 40:60		
การถดถอยเส้นตรง	1.2892	1.1355
การถดถอยโพลิโนเมียลดีกรีสาม	1.1821	1.0873
การถดถอยเลขชี้กำลัง	81.1860	8.9213
การถดถอยเส้นตรงร่วมกับเลขชี้กำลัง	1.0657	1.0323
กรณี 70:30		
การถดถอยเส้นตรง	1.2886	1.1357
การถดถอยโพลิโนเมียลดีกรีสาม	1.1816	1.0874
การถดถอยเลขชี้กำลัง	73.1215	8.4584
การถดถอยเส้นตรงร่วมกับเลขชี้กำลัง	1.0646	1.0320
กรณี 30:70		
การถดถอยเส้นตรง	1.2895	1.1356
การถดถอยโพลิโนเมียลดีกรีสาม	1.1831	1.0876
การถดถอยเลขชี้กำลัง	81.2067	8.8166
การถดถอยเส้นตรงร่วมกับเลขชี้กำลัง	1.0660	1.0324

ผลลัพธ์ค่าเฉลี่ยและค่าเบี่ยงเบนมาตรฐานของ MSE ของแต่ละตัวแบบจำลอง จะเห็นได้ว่าการวิเคราะห์การถดถอยเส้นตรงร่วมกับเลขชี้กำลังมีประสิทธิภาพสูงสุด ด้วยค่าความคลาดเคลื่อน MSE เฉลี่ยเท่ากับ 1.0654, 1.0650, 1.0657, 1.0646 และ 1.0660 สำหรับกรณีอัตราส่วนชุดข้อมูลฝึกกับชุดข้อมูลทดสอบ 50:50, 60:40, 40:60, 70:30 และ 30:70 ตามลำดับและมีค่าเบี่ยงเบนมาตราฐานที่ต่ำที่สุดของทุกกรณีเมื่อเทียบกับตัวแบบจำลองการวิเคราะห์การถดถอยเส้นตรง การวิเคราะห์การถดถอยโพลิโนเมียล และการวิเคราะห์การถดถอยเลขชี้กำลัง

ต่อมานำผลค่าระยะทางมาตรฐาน d_2 กับ d_3 ในหน่วยเซนติเมตรที่ได้รับจากตัวรับรู้ทางแสงทั้งสองตัวที่ติดตั้งทำมุม 60 องศาและ 30 องศาตามแนวแกนดิ่ง ณ จุด B ดังแสดงไว้ในรูปที่ 4 มาคำนวนหาค่ามุมพื้นเอียงตามความสัมพันธ์ที่ (5) จำนวน 10 ครั้ง และหาค่าความคาดเคลื่อนเฉลี่ย

และค่าเบี่ยงเบนมาตรฐานของ MSE แต่ละมุมพื้นเอียงเริ่มต้นที่ 0 ถึง 45 องศาโดยเพิ่มทีละ 5 องศาจะได้ผลลัพธ์ดังแสดงไว้ในตารางที่ 2

ตารางที่ 2 ผลการหาค่าเฉลี่ยและค่าเบี่ยงเบนมาตรฐานของ MSE แต่ละมุมพื้นเอียงที่ได้รับจากอุปกรณ์ที่พัฒนาขึ้นในการทดสอบจำนวน 10 ครั้ง

ครั้งที่		มุมพื้นเอียงในหน่วยองศา									
		0	5	10	15	20	25	30	35	40	45
1		0.1	4.5	9.8	15.9	21.8	26.4	30.4	35.2	40.6	46.6
2		0.1	4.5	9.8	15.9	21.8	26.4	30.4	35.2	40.6	46.6
3		0.1	4.5	9.8	15.9	21.8	26.4	30.4	35.2	40.6	46.6
4		0.1	5.1	9.8	15.9	21.8	26.4	30.4	35.2	40.6	46.6
5		0.1	5.1	9.8	15.9	21.8	26.4	30.4	35.2	40.6	46.6
6		0.1	5.1	9.8	15.9	21.8	26.4	30.4	35.2	40.6	46.6
7		0.1	5.1	9.8	15.9	21.8	26.4	30.4	35.2	40.6	46.6
8		0.1	5.1	9.8	15.9	21.8	26.4	30.4	35.2	40.6	46.6
9		0.1	4.5	9.8	15.9	21.8	26.4	30.4	35.2	40.6	46.6
10		0.1	4.5	9.8	15.9	21.8	26.4	30.4	35.2	40.6	46.6
ค่าเฉลี่ย		0.1	4.8	9.8	15.9	21.8	26.4	30.4	35.2	40.6	46.6
MSE	$\bar{X}$	0.0	0.1	0.0	0.9	3.2	2.0	0.1	0.0	0.3	2.6
	S.D.	0.0	0.3	0.0	0.0	0.0	0.0	0.0	0.0	0.0	0.0

ผลลัพธ์การวัดค่ามุมพื้นเอียงเฉลี่ยจากอุปกรณ์ที่พัฒนาของแต่ละมุมพื้นเอียงเริ่มต้นที่ 0 ถึง 45องศาโดยเพิ่มทีละ 5 องศาเท่ากับ 0.1, 4.8, 9.8, 15.9, 21.8, 26.4, 30.4, 35.2, 40.6 และ 46.6 มีค่าความคลาดเคลื่อน MSE เฉลี่ยเท่ากับ 0.0, 0.1, 0.0, 0.9, 3.2, 2.0, 0.1, 0.0, 0.3 และ 2.6 ตามลำดับและมีค่าเบี่ยงเบนมาตรฐานที่ต่ำมากแสดงถึงข้อมูลมีความเสถียรมากในการหามุมพื้นเอียงของอุปกรณ์ที่พัฒนา

5. สรุปผลการทดลอง

งานวิจัยนี้ได้นำเสนอการออกแบบและพัฒนาอุปกรณ์ต้นแบบเพื่อการวัดมุมพื้นลาดเอียงด้วยการใช้ตัวรับรู้ทางแสงย่านใกล้อินฟราเรดจำนวน 2 ตัว ทดสอบเทียบมาตรฐานค่าระยะทางของตัวรับรู้ทางแสงทั้งสองจำนวน 121 ครั้ง ตามที่กล่าวมาแล้วในหัวข้อย่อยที่ 2.4 โดยแต่ละครั้งมีระยะตั้งแต่ 0 เซนติเมตร ถึง 600 เซ็นติเมตรด้วยการวิเคราะห์การถดถอยเส้นตรงร่วมกับเลขชี้กำลังตามความสัมพันธ์ที่ (7) มีผลลัพธ์ค่าความคลาดที่ต่ำกว่าตัวแบบจำลองการวิเคราะห์การถดถอยเส้นตรง การวิเคราะห์การถดถอยโพลิโนเมียล และการวิเคราะห์การถดถอยเลขชี้กำลัง ผู้วิจัยจึงนำค่าระยะทางมาตรฐาน d_2 กับ d_3 ในหน่วยเซนติเมตร และประมวลผลระยะทางนี้ด้วยเทคนิคทางตรีโกณมิติตามความสัมพันธ์ที่ (5) สำหรับการหาค่ามุมพื้นลาดเอียงตั้งแต่ 0 ถึง 45 องศาทดสอบจำนวน 10 ครั้งบนตัวประมวลผลข้อมูลไมโครคอนโทรลเลอร์ Arduino Nano Every ที่มีค่าความคาดเคลื่อน MSE เฉลี่ยเท่ากับ 0.924 และมีค่าเบี่ยงเบนมาตรฐานที่ต่ำมากแสดงถึงข้อมูลมีความเสถียรมากในการหามุมพื้นเอียงของอุปกรณ์ที่พัฒนาเพื่อนำทฤษฎีวัดมุมพื้นเอียงดังกล่าวมาเป็นแนวทางในการช่วยลดอุบัติเหตุของผู้บกพร่องทางสายตา สามารถต่อยอดเป็นอุปกรณ์ช่วยเหลือการเดินทางในลักษณะพื้นที่ราบ ทางลาดชัน หรือบันได เพื่อเพิ่มความปลอดภัย และเพิ่มโอกาสในการดำเนินชีวิตอย่างเป็นอิสระให้กับผู้บกพร่องทางสายตาโดยการใช้ระยะทางจากตัวรับรู้ย่านใกล้แสงอินฟราเรดจากผลการหาค่ามุมพื้นลาดเอียง

เอกสารอ้างอิง

[1] J. Kim, “VIVR: Presence of Immersive Interaction for Visual Impairment Virtual Reality,” IEEE Access, vol. 8, pp.196151–196159, Oct. 2020, doi: 10.1109/ACCESS.2020.3034363.

[2] T. A. Heya, S. E. Arefin, A. Chakrabarty, and M. Alam, “Image Processing Based Indoor Localization System for Assisting Visually Impaired People,” pp. 1–7, Mar. 2018, doi: 10.1109/UPINLBS.2018.8559936.

[3] G. Garcia and A. Nahapetian, “Wearable computing for image-based indoor navigation of the visually impaired,” p. 17, Oct. 2015, doi: 10.1145/2811780.2811959.

[4] A. Parab, R. Nagare, O. Kolambekar, and P. Patil, “Electronic Orientation Aid for Visually Impaired using Graphics Processing Unit (GPU),” vol. 32, p. 03054, Jan. 2020, doi: 10.1051/ITMCONF/20203203054.

[5] G. Balakrishnan, G. Sainarayanan, R. Nagarajan, and S. Yaacob, “A Stereo Image Processing System for Visually Impaired,” World Academy of Science, Engineering and Technology, International Journal of Computer, Electrical, Automation, Control and Information Engineering, vol. 2, no. 8, pp. 2794–2803, Aug. 2008, doi: 10.5281/ZENODO.1075125.

[6] T. A. Heya, S. E. Arefin, A. Chakrabarty, and M. Alam, “Image Processing Based Indoor Localization System for Assisting Visually Impaired People,” pp. 1–7, Mar. 2018, doi: 10.1109/UPINLBS.2018.8559936.

[7] M. Karthik, R. M. Kareem, V. M. Nisha, and S. A. Sajidha, “Smart Walking Stick for Visually Impaired People,” pp. 361–381, Oct. 2023, doi: 10.1002/9781394213726.ch15.

[8] S. Mohite, A. M. Patel, M. Patel, and V. Gaikwad, “Smart Walking Stick for Visually Impaired People,” Social Science Research Network, Oct. 2018, doi: 10.2139/SSRN.3274784.

[9] J. W. Lee, “A navigation function visually impaired smart stick system,” Dec. 30, 2015

[10] N. Banat James and A. Harsola, “Embedded Navigation Assisting Cane for the Blind,” International Conference & Workshop on Emerging Trends in Technology, pp. 5–7, May 2015, [Online].

[11] Z. M. Yusof, M. Billah, K. Kadir, M. A. S. B. Rohim Rohim, H. Nasir, M. Izani, and A. A. Razak, “Design and Analysis of a Smart Blind Stick for Visual Impairment,” Indonesian Journal of Electrical Engineering and Computer Science, vol. 11, no. 3, pp. 848–856, Sep. 2018.

[12] V. Malele and P. A. Owolawi, “Smart Walk: A Smart Stick for the Visually Impaired,” vol. 2022, pp. 131–136, Dec. 2022, doi: 10.59200/iconic.2022.014.

[13] B.-S. Lin, C.-C. Lee, and P.-Y. Chiang, “Simple Smartphone-Based Guiding System for Visually Impaired People,” Sensors, vol. 17, no. 6, p. 1371, Jun. 2017, doi: 10.3390/S17061371.

[14] R. Nagarajan, G. Sainarayanan, S. Yaacob, and R. R. Porle, “Fuzzy-rule-based object identification methodology for NAVI system,” EURASIP Journal on Advances in Signal Processing, vol. 2005, no. 14, pp. 2260–2267, Jan. 2005, doi: 10.1155/ASP.2005.2260.

[15] C.-M. Yang, J.-Y. Jung, and J.-J. Kim, “Development of Obstacle Detection Shoes for Visually Impaired People,” Sensors and Materials, vol. 32, no. 6, p. 2227, Jun. 2020, doi: 10.18494/SAM.2020.2866.

[16] Seeed Studio, TF-Luna Instruction Manual, Seeed Studio, 2021.[Online].Available:https://files.seeedstudio.com/wiki/TF_Luna/res/TF_Luna%20Instruction%20Manual.pdf. [Accessed: Jul. 10, 2025].

[17] J Ma, S L Zhuo, L Qiu, Y Z Gao, Y F Wu, M Zhong, R Bai, M Sun, and P Y Chiang, A review of ToF-based LiDAR[J]. J. Semicond., 2024, 45(10), 101201 doi: 10.1088/1674-4926/24040015

[18] Mehto, P. K., Mishra, P., & Lal, S. (2014). Design and Implementation for InterfacingTwo Integrated Device Using I2C Bus. International Journal of Innovative Research in Computer and Communication Engineering, 2(3), 3423–3426.

[19] Arduino, “Nano Every,” Arduino Official Store. [Online]. Available: https://store.arduino.cc/products/arduino-nano-every. [Accessed: Jul. 13, 2025].

[20] J. Pearce, “Regression, Linear and Nonlinear,” Elsevier, 2009, pp. 302–308. doi: 10.1016/B978-008044910-4.00507-1.

[21] J. M. Hahne et al., "Linear and Nonlinear Regression Techniques for Simultaneous and Proportional Myoelectric Control," in IEEE Transactions on Neural Systems and Rehabilitation Engineering, vol. 22, no. 2, pp. 269-279

สุชาติ แย้มเม่น สำเร็จการศึกษาระดับปริญญาตรี สาขาวิศวกรรมไฟฟ้า (เกียรตินิยม) จากมหาวิทยาลัยเชียงใหม่ จังหวัดเชียงใหม่ ประเทศไทย เมื่อปี พ.ศ. 2531 สำเร็จการศึกษาระดับปริญญาโท และปริญญาเอกจากมหาวิทยาลัยแวนเดอร์บิลต์ เมืองแนชวิลล์ รัฐเทนเนสซี สหรัฐอเมริกา ในปี พ.ศ. 2541 และ พ.ศ. 2544 ตามลำดับ ความสนใจด้านการวิจัยในปัจจุบันครอบคลุมหลากหลายสาขา ได้แก่ วิศวกรรมไฟฟ้ากำลัง การประมวลผลและวิเคราะห์สัญญาณดิจิทัล ระบบควบคุมอัตโนมัติ วิศวกรรมชีวการแพทย์ วิศวกรรมคอมพิวเตอร์ พลังงานหมุนเวียน การจัดการอนุรักษ์พลังงาน หุ่นยนต์ การระบุและสร้างแบบจำลองระบบ ดร.สุชาติ แย้มเม่น ดำรงตำแหน่งรองศาสตราจารย์ และผู้อำนวยการหน่วยวิจัยด้านวิศวกรรมชีวการแพทย์และนวัตกรรมเพื่อความเสมอภาคทางสังคม (BEISE) คณะวิศวกรรมศาสตร์ มหาวิทยาลัยนเรศวร และยังเป็นสมาชิกวิชาชีพในระดับนานาชาติและระดับประเทศ อาทิ สมาชิกอาวุโสของ IEEE สมาชิกของวิศวกรรมสถานแห่งประเทศไทย ในพระบรมราชูปถัมภ์ (วสท.) สมาชิกของสภาวิศวกร

วชิระ ลิ้มศรีประพันธ์ สำเร็จการศึกษาระดับปริญญาตรี ปริญญาโท สาขาวิชาวิทยาการคอมพิวเตอร์ คณะวิทยาศาสตร์ จากมหาวิทยาลัยนเรศวร เมื่อปี พ.ศ. 2543 และ พ.ศ. 2548 ตามลำดับ และ ระดับปริญญาดุษฎีบัณฑิต สาขาวิชาวิศวกรรมคอมพิวเตอร์ คณะวิศวกรรมศาสตร์ มหาวิทยาลัยนเรศวร เมื่อปี พ.ศ. 2566 ปัจจุบันเป็นอาจารย์ประจำหลักสูตรวิศวกรรมคอมพิวเตอร์ มหาวิทยาลัยราชภัฏพิบูลสงคราม

เมธานันท์ เนียมเปี่ยม สำเร็จการศึกษาระดับปริญญาตรี สาขาวิศวกรรมคอมพิวเตอร์ คณะเทคโนโลยีอุตสาหกรรม จากมหาวิทยาลัยราชภัฏพิบูลสงคราม เมื่อปี พ.ศ. 2565 ปัจจุบันกำลังศึกษาต่อระดับปริญญาโท ภาควิชาวิศวกรรมคอมพิวเตอร์ คณะวิศวกรรมศาสตร์ มหาวิทยาลัยนเรศวร

การประยุกต์ใช้โมเดลการเรียนรู้เชิงลึกขนาดเล็กในการจำแนกโรคพืชจากภาพถ่ายผ่าน LINE Chatbot

จันทนา ปัญญาวราภรณ์ [1]*

[1]ภาควิชาวิศวกรรมไฟฟ้า คณะวิศวกรรมศาสตร์ มหาวิทยาลัยบูรพา jantanap@eng.buu.ac.th*

บทคัดย่อ

การเกษตรอัจฉริยะมีบทบาทสำคัญเพิ่มขึ้นในประเทศไทย โดยเฉพาะในยุคที่เทคโนโลยีปัญญาประดิษฐ์มีความก้าวหน้า ซึ่งสามารถช่วยลดการพึ่งพาผู้เชี่ยวชาญและเพิ่มความรวดเร็วในการจำแนกโรคพืชจากภาพถ่ายใบพืช งานวิจัยนี้ได้นำเสนอการเปรียบเทียบประสิทธิภาพของโมเดลการเรียนรู้เชิงลึก ได้แก่ ResNet18, EfficientNet-B0 และ MobileNetV3 สำหรับการจำแนกโรคพืชจากภาพใบโดยใช้ชุดข้อมูลภาพใบมันสำปะหลังจำนวน 5 คลาส และชุดข้อมูลภาพใบมะเขือเทศจำนวน 10 คลาส ผลการทดลองพบว่า EfficientNet-B0 ให้ค่าความถูกต้อง (Accuracy) และค่า F1-score สูงที่สุด รองลงมาคือ MobileNetV3 และ ResNet18 ตามลำดับ หลังจากนั้นได้นำโมเดล EfficientNet-B0 ไปประยุกต์ใช้งานในระบบแบบเรียลไทม์ โดยพัฒนาต้นแบบที่รวมการทำงานของโมเดล EfficientNet-B0 เข้ากับ LINE Chatbot เพื่อให้ผู้ใช้ส่งภาพถ่ายใบมันสำปะหลังหรือใบมะเขือเทศ และรับผลการทำนายโรคแบบอัตโนมัติพร้อมข้อเสนอแนะเบื้องต้นผ่านทาง LINE จากผลการทดลองแสดงให้เห็นว่าระบบสามารถทำงานได้อย่างมีประสิทธิภาพและสามารถนำไปประยุกต์ใช้กับการเกษตรอัจฉริยะต่อไปในอนาคต

คำสำคัญ: การจำแนกโรคพืช การเรียนรู้เชิงลึก LINE Chatbot

Abstract

Smart farming is becoming increasingly important in Thailand, especially with advances in artificial intelligence (AI) technology that help reduce reliance on experts and accelerate plant disease diagnosis through leaf images. Therefore, this paper presents a performance comparison of different deep learning models, namely ResNet18, EfficientNet-B0, and MobileNetV3, in classifying cassava diseases using a five-class cassava leaf image dataset and tomato diseases using a ten-class tomato leaf image dataset. Experimental results show that EfficientNet-B0 achieved the highest accuracy and F1-score, followed by MobileNetV3 and ResNet18, respectively. After, EfficientNet-B0 was applied in real-time system, and a prototype was developed by integrating the EfficientNet-B0 model with a LINE chatbot. The system allows users to submit cassava or tomato leaf images and receive automated disease predictions with preliminary treatment recommendations via LINE. The results show that the system performs efficiently and has potential for smart agriculture in the future.

Keywords: Plant Disease Classification, Deep Learning, LINE Chatbot

การประยุกต์ใช้เทคนิคค่าเฉลี่ยเคกับค่าสหสัมพันธ์ไขว้ในการจำแนกอารมณ์บนใบหน้า
An Application of K-Means and Cross-Correlation Techniques for Facial Emotion Recognition

สุชาติ แย้มเม่น[1] และ พันธุ์ธิดา ลิ้มศรีประพันธ์[1]*

[1]ภาควิชาวิศวกรรมไฟฟ้าและคอมพิวเตอร์ คณะวิศวกรรมศาสตร์ มหาวิทยาลัยนเรศวร sucharty@nu.ac.th, phantidal62@nu.ac.th*

บทคัดย่อ

งานวิจัยนี้นำเสนอสถาปัตยกรรมสำหรับการรู้จำอารมณ์บนใบหน้า (Facial Emotion Recognition - FER) แบบจำเพาะเจาะจงบุคคล ที่มีประสิทธิภาพสูงและสามารถอธิบายผลได้ เพื่อแก้ไขข้อจำกัดด้านความซับซ้อนในการคำนวณของแบบจำลองการเรียนรู้เชิงลึก ระเบียบวิธีที่นำเสนอมีพื้นฐานจากการประมวลผลสัญญาณดิจิทัล โดยประยุกต์ใช้เทคนิคค่าเฉลี่ยเค (K-Means) เพื่อสกัดเวกเตอร์คุณลักษณะต้นแบบ (Template Vector Feature) จากพื้นที่การเปลี่ยนแปลง (Area of Change) ที่สำคัญ และใช้ชุดตัวกรองเปรียบเทียบ (Matched Filter) ภายใต้โครงสร้างแบบสองขั้นตอน (Two-Stage Structure) เพื่อจำแนกอารมณ์ ผลการทดสอบบนชุดข้อมูล JAFFE สำหรับบุคคลเป้าหมายโดยใช้การทวนสอบแบบไขว้ แสดงให้เห็นว่าสถาปัตยกรรมที่นำเสนอสามารถจำแนกอารมณ์พื้นฐานทั้ง 7 ได้อย่างสมบูรณ์ด้วยความแม่นยำ 100% ผลลัพธ์นี้ยืนยันศักยภาพของแนวทางที่นำเสนอในการสร้างระบบรู้จำอารมณ์ที่มีความแม่นยำสูง น้ำหนักเบา และ สามารถปรับให้เข้ากับผู้ใช้แต่ละรายได้อย่างมีประสิทธิภาพ

คำสำคัญ: ค่าสหสัมพันธ์ไขว้ อัลกอริทึมค่าเฉลี่ยเค การจำแนกอารมณ์บนใบหน้า

Abstract

This research proposes a high-performance, explainable, and person-specific architecture for Facial Emotion Recognition (FER) that addresses the computational complexity limitations commonly found in deep learning models. The proposed methodology is based on digital signal processing and leverages K-Means clustering to extract template vector features from critical areas of change. A matched filter set under a two-stage structure is then applied for emotion classification. Experiments conducted on the JAFFE dataset using cross-validation for targeted individuals demonstrate that the proposed architecture can perfectly classify all seven basic emotions with an accuracy of 100%. These results highlight the potential of the proposed approach in building highly accurate, lightweight, and user-adaptive emotion recognition systems.

Keywords: Cross-Correlation, K-mean Algorithm, Facial Emotion Recognition

การตรวจหาแบบสามแทร็กด้วยเพอร์เซปตรอนหลายชั้นสำหรับระบบการบันทึกเชิงแม่เหล็ก

A Three-Track Detection Using Multi-Layer Perceptron for Magnetic Recording Systems

สันติ กูลการขาย[1*] และปิยะ โควินท์ทวีวัฒน์[1]

[1]สาขาวิชาวิศวกรรมไฟฟ้า คณะวิทยาศาสตร์และเทคโนโลยี มหาวิทยาลัยราชภัฏนครปฐม santi@npru.ac.th*, piya@npru.ac.th

บทคัดย่อ

บทความนี้นำเสนอการออกแบบวงจรตรวจหาแบบใหม่สำหรับระบบการบันทึกเชิงแม่เหล็กแบบบิตแพทเทิร์น (bit-patterned magnetic recording: BPMR) ที่ใช้โครงข่ายประสาทเทียมแบบเพอร์เซปตรอนหลายชั้น (multilayer perceptron: MLP) สำหรับตรวจหาข้อมูลจากระบบที่ใช้ 3 หัวอ่านและ 3 แทร็ก (3-head 3-track: 3H3T) โดยออกแบบให้ MLP ทำหน้าที่แทนวงจรตรวจหาที่ใช้เทคนิค PRML นอกจากนี้ยังได้วิเคราะห์สมรรถนะของวงจรที่นำเสนอภายใต้ผลกระทบจาก TMR (track mis-registration) และสัญญาณรบกวนสื่อบันทึก (media noise) พบว่าวงจรตรวจหาที่นำเสนอมีสมรรถนะเหนือกว่าวงจรตรวจหาแบบดั้งเดิมอย่างมีนัยสำคัญ โดยเฉพาะเมื่อความหนาแน่นข้อมูลสูง หรือเมื่อเผชิญกับสภาพแวดล้อมที่มีสัญญาณรบกวนสูง

คำสำคัญ: เพอร์เซปตรอนหลายชั้น วงจรตรวจหา การบันทึกเชิงแม่เหล็ก

Abstract

This paper presents the design of a novel detector for bit-patterned magnetic recording (BPMR) systems using a multilayer perceptron (MLP) for a 3-head 3-track BPMR system. The proposed MLP-based detector is utilized to replace a conventional detector operating based on a partial-response maximum-likelihood technique. The performance of the proposed detector is also evaluated under the effects of track mis-registration and media noise. Simulation results show that the proposed method significantly outperforms the conventional PRML-based detector, especially at high areal densities or in high-noise environment.

Keywords: Multi-layer perceptron, Detector, Magnetic recording

1. บทนำ

ในปัจจุบัน ข้อมูลข่าวสารส่วนใหญ่ถูกจัดเก็บในรูปแบบดิจิทัล ส่งผลให้อุปกรณ์สำหรับการจัดเก็บข้อมูลดิจิทัลมีบทบาทสำคัญอย่างยิ่ง โดยเทคโนโลยีหลักที่ใช้ในการจัดเก็บข้อมูลสามารถแบ่งออกได้เป็นสองประเภทหลัก ได้แก่

1) เทคโนโลยีการบันทึกเชิงแม่เหล็ก (magnetic recording technology) ซึ่งถูกนำมาใช้ในอุปกรณ์ต่าง ๆ เช่น ฮาร์ดดิสก์ไดรฟ์ (hard disk drive: HDD) และเทปแม่เหล็ก (magnetic tape)

2) เทคโนโลยีหน่วยความจำแฟลช NAND (NAND flash memory Technology) ซึ่งเป็นพื้นฐานของอุปกรณ์ประเภทโซลิดสเตตไดรฟ์ (solid state drive: SSD) และแฟลชไดรฟ์ (flash drives)

เทคโนโลยีทั้งสองประเภทนี้มีความเหมาะสมในการใช้งานที่แตกต่างกัน ขึ้นอยู่กับความต้องการด้านความเร็ว ความจุ อายุการใช้งาน และต้นทุนของผู้ใช้งาน อย่างไรก็ตามเมื่อเทียบราคาต่อหน่วยความจุเทคโนโลยีการบันทึกเชิงแม่เหล็กมีราคาที่ถูกกว่าเทคโนโลยีหน่วยความจำแฟลช NAND ดังนั้นในงานวิจัยนี้มุ่งเน้นไปที่เทคโนโลยีการบันทึกเชิงแม่เหล็ก

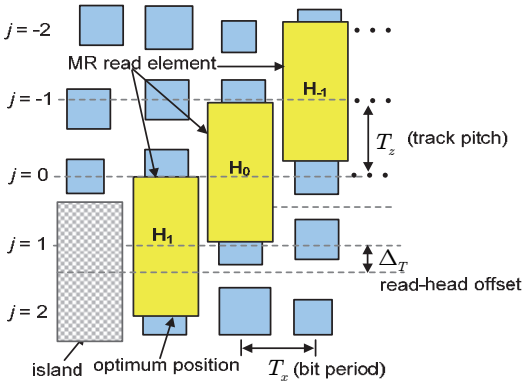

รูปที่ 1 การจัดเรียงของไอแลนด์และหัวอ่านในระบบ 3H3T BPMR

ปัจจุบัน HDD ใช้เทคโนโลยีการบันทึกเชิงแม่เหล็กแบบแนวตั้ง (perpendicular magnetic recording) ซึ่งสามารถเพิ่มความหนาแน่นเชิงพื้นที่ (areal density: AD) ได้ประมาณ 1 เทระบิตต่อตารางนิ้ว (Tb/in²) อย่างไรก็ตามการเพิ่ม AD ให้สูงกว่านี้ต้องเผชิญกับข้อจำกัดทางกายภาพที่เรียกว่า “ปรากฏการณ์ซูเปอร์พาราแมกเนตริก (superparamagnetic effect)” [1] ซึ่งทำให้ข้อมูลที่บันทึกไว้อาจไม่เสถียรเนื่องจากความไม่แน่นอนของทิศทางสนามแม่เหล็กในขนาดที่เล็กมาก

เพื่อหลีกเลี่ยงข้อจำกัดดังกล่าว จึงได้มีการพัฒนาเทคโนโลยีการบันทึกเชิงแม่เหล็กรูปแบบใหม่ เช่น การบันทึกแบบบิตแพทเทิร์น (bit-patterned magnetic recording: BPMR), การบันทึกด้วยความร้อนเข้าช่วย (heat-assisted magnetic recording: HAMR) และการบันทึกแบบสองมิติ (two-dimensional magnetic recording: TDMR) โดยในบทความนี้จะมุ่งเน้นที่เทคโนโลยี BPMR ซึ่งสามารถเพิ่มความหนาแน่นเชิงพื้นที่ได้สูงถึง 4 Tb/in² [1]

รูปที่ 1 แสดงการจัดเรียงไอแลนด์ของระบบ BPMR ที่ใช้ 3 หัวอ่านเพื่ออ่านข้อมูล 3 แทร็ก (3-head 3-track: 3H3T) ซึ่งข้อมูลจะถูกบันทึกลงบน "เกาะข้อมูล" ที่เรียกว่า ไอแลนด์ (island) โดยไอแลนด์เหล่านี้มีคุณสมบัติเป็นแม่เหล็กและถูกฝังอยู่ในวัสดุที่ไม่มีคุณสมบัติทางแม่เหล็ก (non-magnetic material) เพื่อป้องกันการรบกวนจากบริเวณรอบข้าง โดย AD ของระบบ BPMR ถูกกำหนดโดยระยะห่างระหว่างไอแลนด์ในสองทิศทางคือ ทิศทางตามแนวแทร็ก (along track) ซึ่งเรียกว่าคาบบิต (bit period: T_x) และทิศทางข้ามแทร็ก (across track) ซึ่งเรียกว่าระยะแทร็ก (track pitch: T_z) โดยทั่วไปไอแลนด์จะมีลักษณะเป็นรูปสี่เหลี่ยมจัตุรัสขนาดในระดับนาโนเมตร [2] และมีขนาดเล็กกว่าหัวอ่านที่ใช้ในการตรวจจับสัญญาณอย่างมีนัยสำคัญ ส่งผลให้สนามแม่เหล็กจากไอแลนด์ใกล้เคียงสามารถแทรกเข้ามาที่หัวอ่านได้ปรากฏการณ์ดังกล่าว

*ผู้ประพันธ์บรรณกิจ

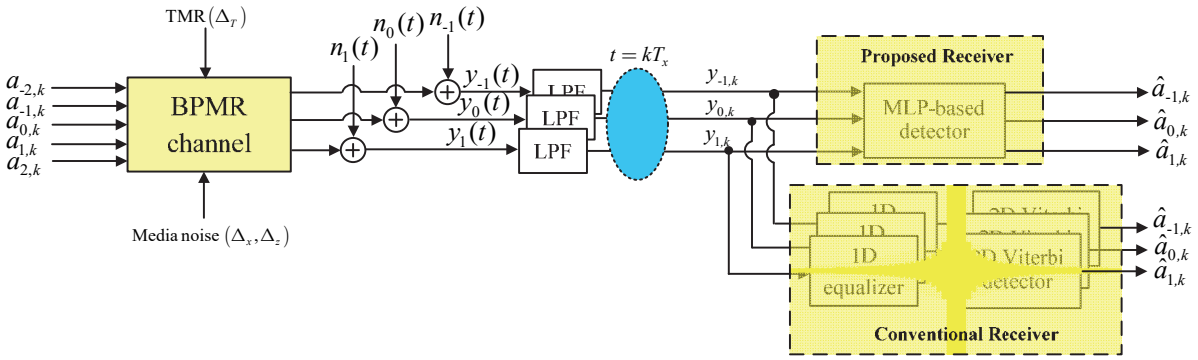

รูปที่ 2 แบบจำลองช่องสัญญาณ 3H3T BPMR ที่ใช้ MLP เป็นวงจรตรวจหา

เรียกว่า การแทรกสอดแบบสองมิติ (2D interference) ซึ่งประกอบด้วย การแทรกสอดระหว่างแทร็ก (intertrack interference: ITI) เกิดในทิศทางข้ามแทร็ก และการแทรกสอดระหว่างสัญลักษณ์ (intersymbol interference: ISI) เกิดในทิศทางตามแทร็ก เมื่อค่า AD เพิ่มสูงขึ้น ความรุนแรงของการแทรกสอดทั้งสองประเภทนี้จะรุนแรงขึ้นตามไปด้วย [2] เพื่อแก้ไขปัญหาดังกล่าวได้มีงานวิจัยส่วนมากได้ใช้เทคนิคการประมวลผลสัญญาณขั้นสูง (advanced signal processing) ภายในวงจรภาครับ รวมถึงการออกแบบการจัดเรียงไอแลนด์อย่างเหมาะสม

นอกจากนี้ระบบ BPMR ยังมีข้อจำกัดเพิ่มเติมจากผลกระทบของความไม่สม่ำเสมอของตำแหน่งและรูปร่างของไอแลนด์ ซึ่งก่อให้เกิดสัญญาณรบกวนของสื่อบันทึก (media noise) การเคลื่อนที่ของหัวอ่านในทิศทางข้ามแทร็ก (track mis-registration: TMR) ตามที่แสดงในรูปที่ 1 ซึ่งผลกระทบต่างๆ เหล่านี้ก่อให้เกิดข้อผิดพลาดจำนวนมากที่วงจรภาครับของฮาร์ดดิสก์ไดรฟ์ โดยทั่วไปแล้ววงจรภาครับจะใช้วงจรตรวจหาที่ทำงานบนหลักการของผลตอบสนองที่ควรจะเป็นมากสุด (partial-response maximum-likelihood: PRML) [3] ซึ่งจะเป็นการทำงานร่วมกันระหว่างวงจรอีควอไลเซอร์ (equalizer) และวงจรตรวจหาวีเทอร์บิ (Viterbi detector) [2]-[4] อย่างไรก็ตามในปัจจุบันได้มีการประยุกต์ใช้เทคโนโลยีเครือข่ายประสาทเทียม (artificial neural networks: ANN) ในการแก้ไขปัญหาที่มี ลักษณะไม่เป็นเชิงเส้นจำนวนมาก

เทคโนโลยีการบันทึกเชิงแม่เหล็กจำนวนมาก ยกตัวอย่างเช่น Koonkarnkhai *et. al*. [5] ได้ใช้เพอร์เซปตรอนหลายชั้น (multilayer perceptron: MLP) ในการทำนายความรุนแรงของผลกระทบจากเอียงของหัวอ่านในระบบ BPMR สำหรับ Nguyen และ Lee [6] ได้นำโครงข่าย LSTM (long short-term memory) มาใช้ในการจัดการกับผลกระทบจากการแทรกสอดแบบสองมิติในระบบ BPMR สุดท้าย Jeong และ Lee [7] ได้นำอัลกอริทึม *K*-means มาใช้ในการประมาณระดับความรุนแรงของ TMR เพื่อเลือกทาร์เก็ตและอีควอไลเซอร์ให้เหมาะสมกับสภาวะของ TMR ในแต่ละสถานการณ์

บทความนี้ได้มุ่งเน้นในการออกแบบวงจรตรวจหาที่ทำงานด้วย MLP สำหรับการระบบ 3 หัวอ่าน 3 แทร็ก ในระบบ BPMR ซึ่งมีวัตถุประสงค์ในการออกแบบวงจรตรวจหาที่ทำงานด้วย MLP เช่น จำนวนชั้นซ่อน (hidden layer) จำนวนโนด (node) และฟังก์ชันกระตุ้นที่เหมาะสม นอกจากนี้ยังได้วิเคราะห์ผลกระทบจาก TMR และสัญญาณรบกวนสื่อบันทึกอีกด้วย

2. แบบจำลองช่องสัญญาณการบันทึกเชิงแม่เหล็ก

รูปที่ 2 แสดงแบบจำลองช่องสัญญาณ 3 หัวอ่าน 3 แทร็ก BPMR เมื่อกำหนดให้ $a_{j,k} \in \{\pm 1\}$ คือลำดับบิตข้อมูลไบนารีที่จะบันทึกลงบนสื่อบันทึก เมื่อ $j \in \{\pm 1, \pm 2, 0\}$ คือลำดับของแทร็กข้อมูล โดยที่ผลตอบสนองสัญญาณพัลส์สองมิติของระบบ BPMR สามารถเขียนได้เป็น [2]

$$H(z,x) = A\exp\left\{-\frac{1}{2}\left\{\left(\frac{x+\Delta_x}{cW_x}\right)^2 + \left(\frac{z+\Delta_z+\Delta_T}{cW_z}\right)^2\right\}\right\} \quad (1)$$

เมื่อ $A = 1$ คือค่านอร์มอไลซ์แอมพลิจูด, $c = 1/2.3458$ คือค่าคงตัวที่แสดงความสัมพันธ์ระหว่าง PW_{50} และค่าเบี่ยงเบนมาตรฐานของฟังก์ชันเกาส์เซียน, W_x และ W_z คือค่า PW_{50} ของพัลส์ในทิศทางตามแทร็กและข้ามแทร็กตามลำดับ Δ_x และ Δ_z คือความผันผวน (fluctuation) ของตำแหน่งไอแลนด์ในทิศทางตามแทร็กและข้ามแทร็กตามลำดับ ดังนั้นสัญญาณอ่านกลับ (readback signal) สำหรับหัวอ่านที่ $i \in \{1,2,3\}$ สามารถเขียนเป็นสมการได้ดังนี้

$$y_i(t) = \sum_m \sum_n a_{m+i,n} H((m+i)T_z, t - nT_x) + n_i(t) \quad (2)$$

เมื่อ $n_i(t)$ คือสัญญาณรบกวนเกาส์สีขาวแบบบวก (additive white Gaussian noise) ของหัวอ่านที่ i ที่มีความหนาแน่นสเปคตรัมกำลังแบบสองด้าน (double sided power spectral density) เท่ากับ $N_0/2$

สำหรับผลกระทบจากสัญญาณรบกวนสื่อบันทึก (ในที่นี้จะพิจารณาเฉพาะความผันผวนของตำแหน่งไอแลนด์เท่านั้น) จะถูกจำลองเป็นฟังก์ชันการแจกแจงความน่าจะเป็นแบบเกาส์ (Gaussian probability distribution function) ที่มีค่าเฉลี่ยเท่ากับศูนย์และความแปรปรวนเท่ากับ σ_x^2 เมื่อ โดยที่ σ_x ระบุเป็นเปอร์เซ็นต์ของ T_z ในขณะที่ผลกระทบจาก TMR สามารถนิยามได้จาก

$$\text{TMR} = \frac{\Delta_T}{T_z} \times 100\% \quad (3)$$

เมื่อ Δ_T คือระยะที่หัวอ่านเคลื่อนที่ออกจากกึ่งกลางแทร็ก

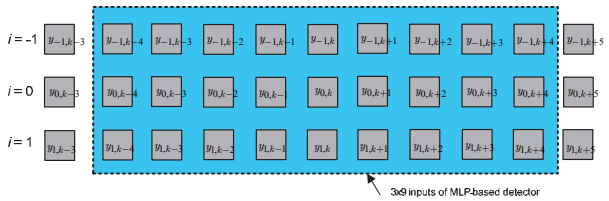

รูปที่ 3 รูปแบบชุดข้อมูลอินพุตของ MLP สำหรับการตรวจหาลำดับข้อมูลอินพุต $\{a_{-1,k}, a_{0,k}, a_{1,k}\}$

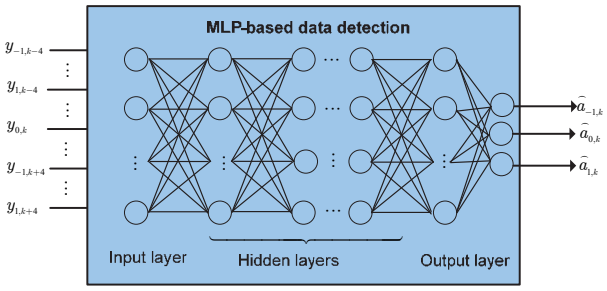

รูปที่ 4 โครงสร้างของวงจรตรวจหาที่ใช้ MLP ในการตรวจหาลำดับข้อมูล 3 แทร็ก

ที่วงจรภาครับแบบทั่วไปสัญญาณอ่านกลับ จะถูกกรองด้วยวงจรกรองต่ำผ่าน (lowpass filter: LPF) แบบบัตเตอร์เวิร์ทอันดับที่ 7 (7th order Butterworth) เพื่อกำจัดสัญญาณรบกวนนอกแถบความถี่ใช้งาน หลังจากนั้นสัญญาณจะถูกส่งไปยังวงจรชักตัวอย่าง (sampler) ณ เวลาที่ $t = kT_x$ ทำให้ได้ $\{y_{i,k}\}$ หลังจากนั้นลำดับข้อมูล $\{y_{i,k}\}$ จะถูกส่งเข้าไปยังอีควอไลเซอร์ที่ออกแบบด้วยหลักการข้อผิดพลาดกำลังสองเฉลี่ยน้อยที่สุด (minimum mean square error: MMSE) [4] เพื่อปรับคุณสมบัติทางความถี่ของสัญญาณให้เป็นไปตามทาร์เก็ต (target) หลังจากนั้นจะถูกส่งเข้าไปยังวงจรตรวจหาวีเทอร์บิเพื่อประมาณค่าควรจะเป็นมากสุดของลำดับข้อมูลอินพุต $\{a_{i,k}\}$

3. การออกแบบวงจรตรวจหาโดยใช้เพอร์เซปตรอนหลายชั้น

โดยทั่วไปวงจรตรวจหาในระบบการบันทึกเชิงแม่เหล็กจะใช้เทคนิค PRML ซึ่งเป็นการผสานการทำงานระหว่างอีควอไลเซอร์กับตัวตรวจหาแบบ Viterbi อย่างไรก็ตาม งานวิจัยนี้ได้เสนอการประยุกต์ใช้โครงข่ายประสาทเทียมแบบเพอร์เซปตรอนหลายชั้น (MLP) แทนวงจรตรวจหาแบบเดิม โดยอาศัยคุณสมบัติของ MLP ที่สามารถจัดการกับปัญหาที่ไม่เป็นเชิงเส้นได้อย่างมีประสิทธิภาพ ในงานนี้ MLP ถูกออกแบบให้ทำหน้าที่เป็นวงจรตรวจหาโดยเฉพาะ โดยจากการทำแบบจำลองพบว่า โครงสร้างแบบจำลองวงจรตรวจหาที่ใช้ MLP ที่เหมาะสมมีดังนี้ ชั้นอินพุต (input layer) ประกอบด้วย 27 โนด (node) โดยรูปแบบของชุดข้อมูลอินพุตของ MLP เป็นไปตามที่แสดงในรูปที่ 3 ชั้นซ่อน (hidden layer) จำนวน 5 ชั้น ซึ่งมีจำนวนโนดเท่ากับ 128, 64, 32, 16 และ 8 ตามลำดับ (จำนวนชั้นที่มากกว่า 5 ไม่ได้ทำให้สมรรถนะของระบบเพิ่มขึ้นแต่ทำให้ความซับซ้อนของวงจรตรวจหาเพิ่มขึ้น) และชั้นเอาต์พุต (output layer) ประกอบด้วย 3 โนด ใช้ในการประมาณลำดับข้อมูลอินพุตจากทั้ง 3 แทร็ก $\{a_{-1,k}, a_{0,k}, a_{1,k}\}$ ตามที่แสดงในรูปที่ 4 สำหรับแต่ละชั้นซ่อนจะใช้ฟังก์ชันกระตุ้นแบบไฮเปอร์โบลิกแทนเจนต์ (hyperbolic tangent: tanh) ซึ่งสามารถนิยามด้วยสมการดังนี้

$$\tanh(x) = \frac{e^{x} - e^{-x}}{e^{x} + e^{-x}} \tag{4}$$

เมื่อ x คืออินพุตของฟังก์ชันกระตุ้น

ในกระบวนการเรียนรู้จะใช้ Adam (adaptive moment estimation) [8] เป็นออฟติไมเซอร์ (optimizer) ในการปรับค่าน้ำหนัก (weight) และค่าเอนเอียง (bias) ในแต่ละโนด โดยมีการเรียนรู้จำนวน 50 ยุค (epoch) และอัตราการเรียนรู้เท่ากับ 0.001 ชุดข้อมูลสำหรับการเรียนรู้ประกอบด้วยสัญญาณอ่านกลับจำนวน 5,000 เซ็กเตอร์ (sector) เมื่อ 1 เซ็กเตอร์เท่ากับ 4,098 บิต ณ อัตรากำลังของสัญญาณต่อกำลังของสัญญาณรบกวน (signal-to-noise ratio: SNR) ที่ทำให้เกิดอัตราข้อผิดพลาดบิต (bit-error rate, BER) เท่ากับ 1×10^{-4} เมื่อไม่มีผลกระทบจาก TMR และสัญญาณรบกวนสื่อบันทึก หากใช้ค่า SNR ที่สูงเกินไปในกระบวนการเรียนรู้อาจจะก่อให้เกิดโอเวอร์ฟิตติง (overfitting) กับโมเดล MLP ที่ได้ซึ่งเป็นสิ่งที่ไม่ต้องการ

4. ผลของการทำแบบจำลอง

รูปที่ 2 แสดงแบบจำลองช่องสัญญาณ BPMR เมื่อหัวอ่านแบบ MR (magneto-resistive) มีความหนาขนาด 4 nm (นาโนเมตร) กว้าง 16 nm สื่อบันทึกแม่เหล็กเป็นสี่เหลี่ยมจัตุรัสขนาด 11 nm หนา 10 nm ระยะบิน (fly height) 10 nm และระยะช่องว่างถึงช่องว่าง (gap-to-gap) กว้างเท่ากับ 16 nm สำหรับที่ AD = 2 Tb/in^2 ค่า $T_x = T_z = 18$ nm AD = 2.5 Tb/in^2 ค่า $T_x = T_z = 16$ nm และ AD = 3 Tb/in^2 ค่า $T_x = T_z = 14.5$ nm [2] สุดท้ายค่า SNR กำหนดจาก

$$\text{SNR} = 10\log_{10}\left(A^2/\sigma^2\right) \tag{5}$$

เมื่อ $A^2 = 1$ คือพลังงานของสัญญาณอ่านกลับ และ σ^2 คือความแปรปรวนของสัญญาณรบกวน

รูปที่ 5 แสดงสมรรถนะของระบบแบบต่าง ๆ ในรูปแบบของ BER ที่ค่า AD = 2, 2.5, และ 3 Tb/in^2 เมื่อนิยามให้ “Proposed” คือระบบที่ใช้ MLP เป็นวงจรตรวจหา และ “Conventional” คือระบบที่ใช้เทคนิค PRML โดยอีควอไลเซอร์ 1 มิติ 7 แท็ป (tap) และวงจรตรวจหาวีเทอร์บิ 2 มิติ ที่ใช้ทาร์เก็ตแบบอสมมาตร [9] โดยที่ทาร์เก็ตและอีควอไลเซอร์ออกแบบโดยใช้หลักการ MMSE โดยสัญญาณอ่านกลับที่ใช้ในการออกแบบทาร์เก็ตและอีควอไลเซอร์ปราศจากผลกระทบจาก TMR และสัญญาณรบกวนสื่อบันทึก จากผลของการทำแบบจำลองพบว่าระบบ “Proposed” ให้สมรรถนะที่ดีกว่าระบบ “Conventional” เมื่อเปรียบเทียบที่ BER = 10^{-4} พบว่า “Proposed” จะให้สมรรถนะที่ดีกว่า “Conventional” ประมาณ 2 dB, 3.8 dB, และ 4 dB สำหรับที่ AD = 2, 2.5, และ 3 Tb/in^2 ตามลำดับ โดยจะพบว่ายิ่ง AD สูง ๆ สมรรถนะของระบบ “Proposed” จะให้อัตราขยายที่สูงขึ้น

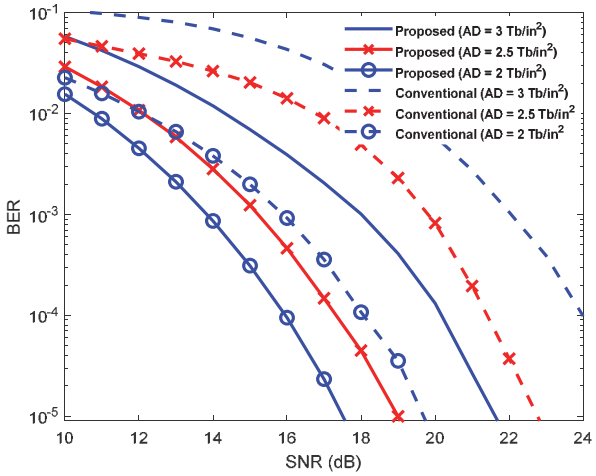

รูปที่ 5 สมรรถนะของระบบต่างๆ ที่ AD = 2, 2.5, 3 Tb/in^2 เมื่อไม่มีผลกระทบจาก TMR และสัญญาณรบกวนสื่อบันทึก

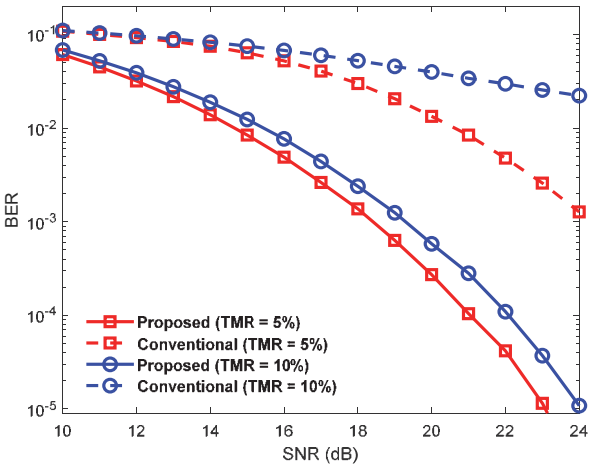

รูปที่ 6 สมรรถนะของระบบต่างๆ เมื่อมีผลกระทบจาก TMR ที่ 5% และ 10% ที่ AD = 3 Tb/in^2

รูปที่ 6 แสดงสมรรถนะของระบบที่ความหนาแน่นบันทึกข้อมูลเท่ากับ 3 Tb/in² ภายใต้ผลกระทบของ TMR ที่ระดับ 5% และ 10% ผลการจำลองแสดงให้เห็นว่า ระบบ “Proposed” มีความสามารถในการทนทานต่อผลกระทบจาก TMR ได้ดีกว่าระบบ “Conventional” อย่างชัดเจน โดยเฉพาะเมื่อระดับ TMR เพิ่มขึ้น สมรรถนะของระบบ “Conventional” จะลดลงอย่างมาก

ในทำนองเดียวกันรูปที่ 7 แสดงสมรรถนะของระบบภายใต้ผลกระทบจากสัญญาณรบกวนของสื่อบันทึกที่ระดับ 2.5% และ 5% ที่ AD = 3 Tb/in² ซึ่งพบว่า ระบบ “Proposed” ยังคงรักษาสมรรถนะได้เหนือกว่าระบบ “Conventional” อย่างมีนัยสำคัญ โดยระบบ “Conventional” จะได้รับผลกระทบเชิงลบอย่างชัดเจนเมื่อระดับสัญญาณรบกวนเพิ่มสูงขึ้น

ตารางที่ 1 แสดงความซับซ้อนของวงจรตรวจหาในรูปแบบของตัวดำเนินการบวก/ลบ ตัวดำเนินการคูณ/หาร และตัวดำเนินการเปรียบเทียบ/ฟังก์ชัน (ตารางค้นหา) สำหรับการตรวจหาข้อมูล 3 บิต $\{a_{-1,k}, a_{0,k}, a_{1,k}\}$ ซึ่งพบว่าระบบ “Proposed” มีความซับซ้อนสูงกว่าระบบ “Conventional” ประมาณ 10 เท่า อย่างไรก็ตามเมื่อเปรียบเทียบกับสมรรถนะที่ได้รับในรูปแบบของ BER แล้ว ถือว่ามีความคุ้มค่าเนื่องจาก

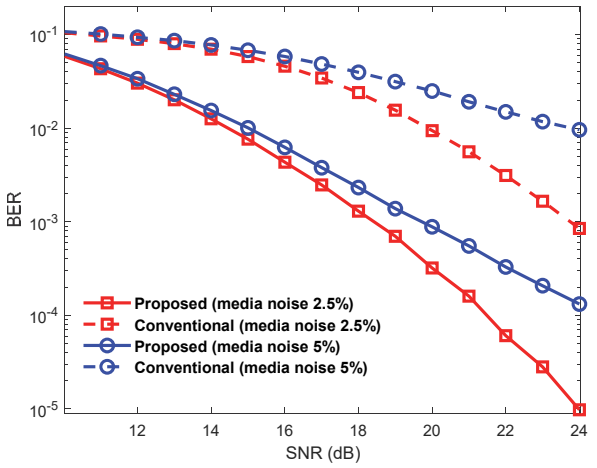

รูปที่ 7 สมรรถนะของระบบต่างๆ เมื่อมีผลกระทบจากสัญญาณรบกวนสื่อบันทึกที่ 2.5% และ 5% ที่ AD = 3 Tb/in^2

ตารางที่ 1 ความซับซ้อนของระบบต่าง ๆ สำหรับการตรวจหาข้อมูล 3 บิต

ระบบ	บวก/ลบ	คูณ/หาร	เปรียบเทียบ/ฟังก์ชัน
Proposed	15,107	14,608	248
Conventional	1,749	1,554	1,536

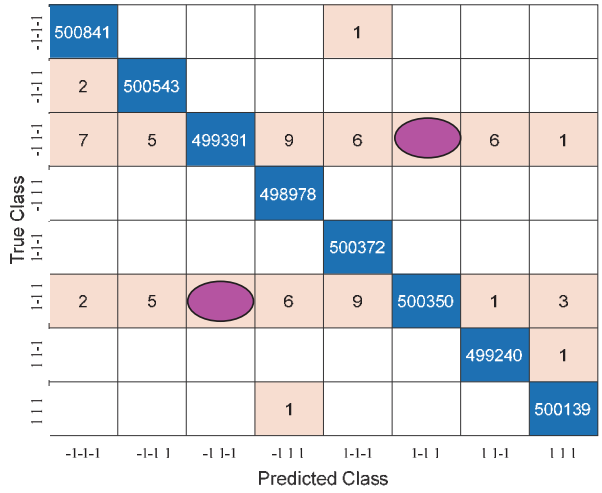

รูปที่ 8 เมทริกซ์ความสับสนของวงจรตรวจหาที่ใช้ MLP

ระบบ “Proposed” ให้สมรรถนะที่ดีกว่าระบบ “Conventional” แล้วยังทนทานกับผลกระทบจาก TMR และสัญญาณสื่อบันทึกอีกด้วย

รูปที่ 8 แสดงเมทริกซ์ความสับสน (confusion matrix) ของวงจรตรวจหาที่ใช้ MLP สำหรับประมาณค่าลำดับข้อมูลจากทั้ง 3 แทร็กในระบบ BPMR ที่ SNR = 20 dB ผลการจำลองชี้ให้เห็นว่าความผิดพลาดในการทำนายเกิดขึ้นสูงสุดเมื่ออินพุตมีลักษณะเป็น {−1, +1, −1} หรือ {+1, −1, +1} ซึ่งบ่งชี้ถึงผลกระทบรุนแรงจาก ITI โดยเฉพาะในกรณีที่บิตกลางมีค่าตรงข้ามกับบิตด้านบนและด้านล่าง ส่งผลให้สัญญาณอ่านกลับของแทร็กกลางอ่อนลงและทำให้วงจรตรวจหาเกิดความสับสนในการประมาณค่า นอกจากนี้ยังสามารถสังเกตได้ว่าเมื่อลำดับอินพุตเป็น {−1, +1, −1} จะตรวจหาผิดเป็น {+1, −1, +1} และในทางตรงกันข้าม ดังนั้นงานวิจัยใน

อนาคตควรมุ่งเน้นไปที่การออกแบบรูปแบบการบันทึกข้อมูลให้สามารถหลีกเลี่ยงลำดับบิตที่มีลักษณะเป็น {−1, +1, −1} หรือ {+1, −1, +1} ซึ่งเป็นลำดับที่มีแนวโน้มก่อให้เกิดความผิดพลาดในการตรวจหาอย่างชัดเจน เนื่องจากบิตกลางมีค่าตรงข้ามกับบิตด้านบนและด้านล่าง ส่งผลให้สัญญาณของแทร็กกลางถูกลดทอนจนวงจรตรวจหาไม่สามารถแยกแยะข้อมูลได้อย่างแม่นยำ การออกแบบในลักษณะนี้อาจรวมถึงเทคนิคการเข้ารหัสข้อมูลล่วงหน้า (precoding) หรือการจำกัดรูปแบบของบิตที่สามารถบันทึกได้ (constrained coding) [10], [11] เพื่อหลีกเลี่ยงลำดับที่ก่อให้เกิด ITI รุนแรง ซึ่งจะช่วยเพิ่มความแม่นยำของระบบตรวจหาและลดอัตราความผิดพลาดลงอย่างมีนัยสำคัญ โดยไม่จำเป็นต้องเพิ่มความซับซ้อนให้กับวงจรภาครับมากนัก

5. บทสรุป

บทความนี้นำเสนอการออกแบบวงจรตรวจหาแบบใหม่สำหรับระบบการบันทึกเชิงแม่เหล็กแบบบิตแพทเทิร์น (BPMR) ที่ใช้ MLP ทำหน้าที่แทนวงจรตรวจหาที่ใช้เทคนิค PRML โดยได้กำหนดโครงสร้างของ MLP อย่างเหมาะสม ทั้งในด้านจำนวนเลเยอร์ จำนวนโนด และฟังก์ชันกระตุ้น พร้อมทั้งฝึกโมเดลด้วยข้อมูลที่สอดคล้องกับสภาพการทำงานจริงของระบบ 3 แทร็ก 3 หัวอ่าน (3H3T)

จากผลการจำลอง พบว่าวงจรตรวจหาที่ใช้ MLP สามารถให้สมรรถนะที่เหนือกว่าวงจรแบบดั้งเดิมในทุกสภาวะ โดยเฉพาะเมื่อระบบต้องเผชิญกับความหนาแน่นของข้อมูลที่สูง หรือได้รับผลกระทบจากการเยื้องหัวอ่าน (TMR) และสัญญาณรบกวนของสื่อบันทึก นอกจากนี้ การวิเคราะห์เมทริกซ์ความสับสนยังช่วยให้เข้าใจลักษณะของข้อผิดพลาดที่เกิดขึ้น โดยเฉพาะในกรณีที่ลำดับบิตกลางตรงข้ามกับบิตรอบข้าง ซึ่งทำให้เกิด ITI อย่างรุนแรง

เพื่อเพิ่มประสิทธิภาพของระบบตรวจหาในอนาคต ควรพิจารณาแนวทางในการออกแบบรูปแบบการบันทึกหรือเทคนิคการเข้ารหัสที่สามารถหลีกเลี่ยงลำดับบิตที่ก่อให้เกิดความสับสนดังกล่าว อันจะช่วยลดอัตราข้อผิดพลาด และเพิ่มความแม่นยำในการอ่านข้อมูลโดยไม่ต้องเพิ่มความซับซ้อนของวงจรตรวจหา

เอกสารอ้างอิง

[1] Y. Shiroishi, *et. al*. “Future options for HDD storage,” *IEEE Trans. Magn.*, vol. 45, no. 10, pp. 3816 – 3822, Oct. 2009.

[2] J. Moon and W. Zeng, “Equalization for maximum likelihood detector,” *IEEE Trans. Magn.*, vol. 31, no. 2, pp. 1083 – 1088, Mar. 1995.

[3] S. Nabavi, “Signal processing for bit-patterned media channel with inter-track interference,” Ph.D. dissertation, Dept. Elect. Eng. Comp. Sci., Carnegie Mellon University, Pittsburgh, USA, 2008.

[4] S. Koonkarnkhai, P. Keeratiwintakorn, and P. Kovintavewat “Target and equalizer design for high-density bit-patterned media recording,” *ECTI Trans. Comput. Inf. Technol.*, vol. 6, no. 2, pp. 175 – 182, Nov. 2012.

[5] S. Koonkarnkhai, K. Kankunthod and P. Kovintavewat, “An MLP-based skew angle mitigation method for bit-patterned magnetic recording,” *IEICE Electronics Express*, vol. 21, no. 13, pp. 1 - 6.

[6] T. A. Nguyen and J. Lee, “Using long short-term memory to estimate the 2-D interference of bit-patterned media recording systems,” *IEEE Trans. Magn.*, vol. 60, no. 9, pp. 1-5, Sept. 2024.

[7] S. Jeong and J. Lee, “Track mis-registration estimator based on K-means algorithm for bit-patterned media recording,” *IEEE Trans. Magn.,* vol. 59, no. 3, pp. 1-5, March 2023.

[8] D. P. Kingma and J. Ba. Adam: a method for stochastic optimization, arXiv preprint arXiv:1412.6980, 2014.

[9] S. Koonkarnkhai, P. Keeratiwintakorn, N. Chirdchoo and P. Kovintavewat, “Two-dimensional cross-track asymmetric target design for high-density bit-patterned media recording,” in *Proc. of The International Symposium on Intelligent Signal Processing and Communications Systems (ISPACS)*, Chiang Mai, Thailand, 2011, pp. 1-4.

[10] P. Kovintavewat, A. Arrayangkool and C. Warisarn, "A rate-8/9 2-D modulation code for bit-patterned media recording," *IEEE Trans. Magn.,* vol. 50, no. 11, pp. 1-4, Nov. 2014.

[11] T. A. Nguyen and J. Lee, "Error-correcting 5/6 modulation code for staggered bit-patterned media recording systems," *IEEE Magn. Lett.*, vol. 10, pp. 1-5, 2019.

การพัฒนาระบบปรับปรุงภาพเมฆเชิงอัตโนมัติตามสภาพกลางวันและกลางคืนสำหรับการอุตุนิยมวิทยาการบิน

Automatic Day–Night Adaptive Cloud Image Enhancement for Meteorological Services

ณัฐพงษ์ จันทร์แดง[1] ธันวา ศรีประโมง[2] สุรชัย องกิตติกุล[3] คงณัฐ รัตนรังสรรค์[4] กนกสม ชุติโสวรรณ[5] และ จิราวุธ สุวัชระกุลธร[6]

[1,2,3,4,5,6]สถาบันนวัตกรรมมหานคร คณะวิศวกรรมศาสตร์ มหาวิทยาลัยเทคโนโลยีมหานคร [jnattapo, thanwa, surachai, kongnat, kanoksom, jirawut]@mut.ac.th

บทคัดย่อ

บทความนี้มุ่งเน้นการพัฒนาระบบบริการอุตุนิยมวิทยาสำหรับการนำร่องทางอากาศ โดยทำการจำแนกกลุ่มเมฆออกเป็น 5 ประเภท ได้แก่ BKN, CAVOK, FEW, OVER และ SCT. การจำแนกประเภทนี้อ้างอิงจากลักษณะของเมฆที่ปรากฏในภาพ โดยตีความเป็นค่าการปกคลุมท้องฟ้าที่วัดในหน่วย Okta ซึ่งแบ่งแต่ละภาพออกเป็น 8 ส่วน จุดเด่นหลักของวิธีการที่นำเสนออยู่ที่การปรับปรุงภาพเพื่อเสริมให้คุณสมบัติเด่นภายในภาพอย่างลักษณะของก้อนเมฆมีความชัดเจนมากขึ้นด้วยการคำนวณเมตริก การเลือกอัลกอริทึมเสริมภาพด้วยอัลกอริทึมทั้ง 4 ที่จะทำการเลือกแบบอัตโนมัติสำหรับการปรับปรุงภาพในช่วงเวลาที่ท้องฟ้าสว่างและมืด และฝึกสอนและพยากรณ์คำตอบด้วยการเรียนรู้เชิงลึก โดยผลทดสอบกับค่าน้ำหนักที่ได้จากการฝึกสอน ในบทความมีการใช้ภาพถ่ายมากกว่า 10,000 ภาพในการทดลอง และได้ค่าเฉลี่ย precision recall mAP@50 และ mAP@50-95 เท่ากับ 90.6% 92.7% 97.1%และ 97.1% ตามลำดับ

คำสำคัญ: การเรียนรู้เชิงลึก การพยากรณ์อากาศ การวิเคราะห์ภาพ

Abstract

This paper presents the development of a meteorological service system that classifies cloud formations into five categories—BKN, CAVOK, FEW, OVER, and SCT The classification process interprets sky coverage in Oktas by dividing each image into eight segments. A key innovation of the proposed approach is its image enhancement strategy, which refines prominent cloud features through metric-based calculations combined with four distinct enhancement algorithms. The system automatically selects the most suitable algorithm according to lighting conditions, distinguishing between bright and dark skies. Deep learning techniques are employed for both training and prediction, with model performance assessed using weights generated during training. The experimental evaluation utilized a dataset of over 10,000 cloud images, resulting in strong performance metrics, including average precision, recall, mAP@50, and mAP@50–95 scores of 90.6%, 92.7%, 97.1%, and 97.1%, respectively.

Keywords: Deep learning, weather forecasting, image analysis

1. บทนำ

การประมวลผลภาพคือกระบวนการรวบรวมและวิเคราะห์ข้อมูลจากภาพอย่างเป็นระบบ เพื่อสกัดข้อมูลที่มีคุณค่า ซึ่งสามารถสังเกตได้โดยตรงโดยอาศัยเกณฑ์หรือสมมติฐานจากลักษณะข้อมูลที่มองเห็นได้ด้วยสายตามนุษย์ การวิเคราะห์ครอบคลุมทั้งสี ขนาด และความสัมพันธ์เชิงพื้นที่ของวัตถุในภาพ เดิมที การประมวลผลภาพถูกออกแบบมาเพื่อจำลองการตีความของมนุษย์ [1] ต่อมาจึงได้มีการพัฒนาอัลกอริทึมให้รองรับงานที่หลากหลายมากขึ้น เช่น การจำแนกภาพ, การตรวจจับวัตถุ และการรู้จำรูปแบบ

ปัจจุบัน อัลกอริทึมประมวลผลภาพได้รับการผสานเข้ากับเทคโนโลยีสมัยใหม่อย่างต่อเนื่อง ด้วยความก้าวหน้าของฮาร์ดแวร์ที่รองรับงานซับซ้อนได้มีประสิทธิภาพ หนึ่งในตัวอย่างสำคัญคือการรวมเทคนิคประมวลผลภาพกับปัญญาประดิษฐ์ (AI) [2] ซึ่งช่วยสร้างนวัตกรรมและเร่งการวิจัย โดยลดการพึ่งพาการทำงานด้วยมือ เช่น การใช้ AI ลดเวลาในวิธี trace-transform [3] หรือการกำหนดทิศทางการหมุนของวัตถุ [4] และ [5] อีกทั้งยังมีการพัฒนาอัลกอริทึมเพื่อเพิ่มศักยภาพการเรียนรู้เชิงลึก ให้ใช้แบบจำลองที่ผ่านการฝึกสอนล่วงหน้าได้แม่นยำยิ่งขึ้น

การอุตุนิยมวิทยาการบิน ซึ่งอยู่ภายใต้การกำกับดูแลขององค์การอุตุนิยมวิทยาโลก (WMO) เป็นแขนงหนึ่งของวิชาอุตุนิยมวิทยาที่มุ่งศึกษาความเชื่อมโยงระหว่างสภาพอากาศกับการนำร่องทางอากาศ การเปลี่ยนแปลงของสภาพอากาศ ไม่ว่าจะในทิศทางที่เอื้ออำนวยหรือเป็นอุปสรรค สามารถส่งผลกระทบโดยตรงต่อการปฏิบัติการบิน แต่ละเที่ยวบินจำแนกออกได้เป็นสามช่วงหลัก ได้แก่ การขึ้นบิน, ระยะการบิน และการลงจอด ในระหว่างขั้นตอนเหล่านี้ นักบินและเจ้าหน้าที่นำร่องจำเป็นต้องเตรียมการอย่างรอบคอบ โดยเฉพาะอย่างยิ่งในขั้นตอนการขึ้นและลงจอดที่ต้องอาศัยข้อมูลอุตุนิยมวิทยาเป็นอย่างมาก ข้อมูลเหล่านี้เมื่อนำมาวิเคราะห์และสังเคราะห์จะก่อให้เกิดการพยากรณ์อากาศ ซึ่งถือเป็นเครื่องมือสำคัญต่อการตัดสินใจ โดยเฉพาะอย่างยิ่งเมื่อผสานกับเทคโนโลยีปัญญาประดิษฐ์ เพื่อเพิ่มความแม่นยำในการคาดการณ์ ตัวอย่างการประยุกต์ใช้ ได้แก่ [6] การจัดการข้อมูลบนแพลตฟอร์มข้อมูลขนาดใหญ่ และ [7] การทำนายสภาพอากาศโดยบูรณาการข้อมูลจากเมฆและภาพถ่ายดาวเทียมหลายโหมด

ระบบที่นำเสนอมีส่วนช่วยเสริมคุณสมบัติของก้อนเมฆภายในภาพให้มีความโดดเด่นมากขึ้นโดยการใช้อัลกอริทึมเสริมภาพหลากหลายวิธีที่จะ

*ผู้ประพันธ์บรรณกิจ

ถูกนำเสนอในบทถัดไป และนำไปเรียนรู้ภาพผ่านการเรียนรู้เชิงลึก YOLO [8] เพื่อเรียนรู้และแยกแยะภาพท้องฟ้าและเมฆ

2. แนวคิดและทฤษฎี

2.1 การตรวจวัดจำนวนเมฆ

การประเมินระดับการปกคลุมของเมฆบนท้องฟ้าเป็นขั้นตอนสำคัญในการวิเคราะห์สภาพภูมิอากาศ. หน่วยวัดมาตรฐานที่ใช้ในอุตุนิยมวิทยาสากลเรียกว่า “Okta” ซึ่งเป็นมาตราส่วนที่แบ่งพื้นที่ท้องฟ้าออกเป็น 8 ส่วน เพื่อระบุจำนวนส่วนที่ถูกปกคลุมด้วยเมฆทั้งหมด ทั้งนี้ การจำแนกลักษณะของเมฆสามารถอ้างอิงได้ตามรายละเอียดในตารางที่ 1

ตารางที่ 1 การแบ่งประเภทปริมาณเมฆตามเกณฑ์มาตรฐาน

ค่า Okta	ระดับการปกคลุมของเมฆ
0	ท้องฟ้าโปร่งใส ไม่มีเมฆเลย
1	มีเมฆปกคลุมน้อยมาก (1/8 ของท้องฟ้า)
2	มีเมฆเล็กน้อย (2/8 ของท้องฟ้า)
3	มีเมฆบางส่วน (3/8 ของท้องฟ้า)
4	เมฆปกคลุมปานกลาง (4/8 ของท้องฟ้า)
5	มีเมฆมากกว่าครึ่ง (5/8 ของท้องฟ้า)
6	มีเมฆหนาแน่น (6/8 ของท้องฟ้า)
7	มีเมฆเกือบเต็มท้องฟ้า (7/8 ของท้องฟ้า)
8	ท้องฟ้าปิดสนิท มีเมฆปกคลุมทั้งหมด (8/8 ของท้องฟ้า)

การใช้หน่วย Okta ในการวัดปริมาณเมฆมีความสำคัญต่อหลายสาขา เช่น ในงานอุตุนิยมวิทยาการบิน หน่วยวัดนี้สามารถใช้เป็นตัวชี้วัดแนวโน้มของสภาพอากาศได้ ตัวอย่างเช่น ท้องฟ้าโปร่งที่มีค่าระหว่าง 0–2 Okta มักสอดคล้องกับสภาพอากาศที่แจ่มใส ขณะที่ท้องฟ้าปกคลุมเต็มที่ (8 Okta) อาจเป็นสัญญาณของฝนตกหนักหรือพายุ ซึ่งข้อมูลนี้ช่วยให้นักบินสามารถประเมินสภาพอากาศทั้งก่อนและระหว่างการบินได้อย่างเหมาะสม นอกจากนี้ ยังมีประโยชน์ต่อการศึกษาการเปลี่ยนแปลงสภาพภูมิอากาศ รวมถึงการวิเคราะห์ความสัมพันธ์ระหว่างปริมาณเมฆ อุณหภูมิ และปริมาณน้ำฝน ดังนั้น การประเมินปริมาณเมฆด้วย Okta จึงเป็นองค์ประกอบสำคัญในกระบวนการตรวจวัดด้านอุตุนิยมวิทยาที่ช่วยเพิ่มความแม่นยำในการพยากรณ์อากาศ

ตารางที่ 2 หน่วยวัดเชิงมาตรฐานสากลในทางอุตุนิยมวิทยา

จำนวนเมฆ (Okta)	อักษรย่อ	ความหมาย
1 – 2 ส่วน (1/8 – 2/8)	FEW	มีเมฆเล็กน้อย
3 – 4 ส่วน (3/8 – 4/8)	SCT	มีเมฆกระจายตัว
5 – 7 ส่วน (5/8 – 7/8)	BKN	มีเมฆมาก
8 ส่วน (8/8)	OVC	ท้องฟ้าปิดสนิท
อื่นๆ	CAVOK	ไม่ต้องรายงาน

ในกระบวนการรายงานปริมาณเมฆของระบบอุตุนิยมวิทยา จะประเมินจากพื้นที่ของท้องฟ้าที่ถูกปกคลุมด้วยเมฆ และบันทึกผลโดยใช้อักษรย่อแทนระดับปริมาณเมฆตามมาตรฐานสากล (ตารางที่ 2) การตรวจวัดนี้ใช้หน่วย Okta ร่วมกับรหัสย่อมาตรฐาน ได้แก่ FEW, SCT, BKN, OVC และ CAVOK เพื่อกำหนดระดับการปกคลุมของเมฆอย่างชัดเจน มาตรฐานนี้ช่วยให้การสื่อสารข้อมูลสภาพอากาศมีความแม่นยำ เชื่อถือได้ และสามารถถ่ายทอดข้อมูลระหว่างหน่วยงานหรือผู้ปฏิบัติงานด้านอุตุนิยมวิทยาได้อย่างมีประสิทธิภาพ ดังตารางที่ 2

2.2 การปรับปรุงภาพ

การวิเคราะห์และจำแนกลักษณะของก้อนเมฆจากภาพถ่ายท้องฟ้าเป็นกระบวนการที่มีความสำคัญอย่างยิ่งในหลายสาขา เช่น การพยากรณ์อากาศ การติดตามสภาพภูมิอากาศ การประเมินปริมาณรังสีดวงอาทิตย์ และการศึกษาสภาพมลภาวะในชั้นบรรยากาศ อย่างไรก็ตาม ภาพถ่ายท้องฟ้ามักมีปัญหาด้านคุณภาพที่ส่งผลต่อความแม่นยำของการประมวลผล เช่น ความสว่างที่ไม่สม่ำเสมอ (illumination variation) ความแตกต่างของสภาพแสงในช่วงกลางวันและกลางคืน การบดบังของเงาวัตถุ หรือความชัดจางของสีเมฆในสภาวะแสงแรง ซึ่งอาจทำให้ขั้นตอนการตรวจจับและแยกก้อนเมฆทำได้ยาก ด้วยเหตุนี้ การปรับปรุงคุณภาพภาพ (image enhancement) ให้เหมาะสมกับสภาพแสงและเวลาถ่ายภาพจึงเป็นขั้นตอนสำคัญ เพื่อให้ภาพมีรายละเอียดของก้อนเมฆชัดเจนมากขึ้นและสามารถนำไปสู่การวิเคราะห์ที่แม่นยำยิ่งขึ้น การเลือกวิธีการปรับปรุงภาพเพียงแบบเดียวอาจไม่เพียงพอ เนื่องจากสภาพท้องฟ้ามีความหลากหลายและเปลี่ยนแปลงตลอดเวลา ดังนั้น จึงมีความจำเป็นต้องพัฒนาวิธีการปรับปรุงภาพที่สามารถเลือกเทคนิคการประมวลผลให้เหมาะสมกับเงื่อนไขของภาพแต่ละประเภทโดยมีลำดับการทำงานตามลำดับต่อไปนี้

- การจัดประเภทเวลาและความสว่าง คือ การแบ่งภาพออกตามช่วงเวลา (เช่น กลางวัน/กลางคืน) และระดับความสว่าง (เช่น สว่าง/มืด) โดยอ้างอิงจากค่าที่วัดได้จากภาพ เพื่อเลือกวิธีประมวลผลที่เหมาะสม โดยหาได้ดังสมการ

$$p_{time} = \begin{cases} day, & if\ meanV > T_{day} \wedge \text{blue}_{\text{ratio}} > R_{blue_min} \\ night, & otherwise \end{cases} \quad (1)$$

$$p_{time} = \begin{cases} bright, & if\ frac_{high} > R_{bright} \\ dim, & otherwise \end{cases} \quad (2)$$

$$\text{meanV} = \frac{1}{w.h}\sum_{x=1}^{w}\sum_{y=1}^{h} V(x,y) \quad (3)$$

$$\text{stdV} = \sqrt{\frac{1}{w.h}\sum_{x=1}^{w}\sum_{y=1}^{h}(V(x,y) - meanV)^2} \quad (4)$$

$$\text{frac}_{white} = \frac{\sum_{x=1}^{w}\sum_{y=1}^{h}[V(x,y) > T_{white}]}{w.h} \quad (5)$$

$$\text{frac}_{high} = \frac{\sum_{x=1}^{w}\sum_{y=1}^{h}[V(x,y) > T_{high}]}{w.h} \quad (6)$$

$$\text{blue_ratio} = \frac{\sum_{(x.y)\in\Omega_{sky}}[H_c(x,y) \in R_{blue}]}{|\Omega_{sky}|} \quad (7)$$

เมื่อ T_{day} คือเกณฑ์ความสว่างเฉลี่ย R_{blue_min} คือเกณฑ์สัดส่วนสีน้ำเงิน R_{bright} คือเกณฑ์สัดส่วน pixel สว่างสูง w และ h คือขนาดภาพ $V(x,y)$ และ $H(x,y)$ คือค่า Value และ Hue ใน HSV T_{white} คือเกณฑ์ pixel ขาว T_{high} คือเกณฑ์ pixel สว่างสูง Ω_{sky} คือพื้นที่ท้องฟ้า และ R_{blue} คือช่วงค่าสีน้ำเงินท้องฟ้า

- การปรับปรุงภาพก่อนนำไปฝึกสอน : การเลือกใช้อัลกอริทึมปรับปรุงภาพ (Enhance) ให้เหมาะสมกับลักษณะของภาพเป็นขั้นตอนสำคัญ เพื่อให้ผลลัพธ์การเน้นรายละเอียดของก้อนเมฆมีความชัดเจนและ

ถูกต้อง ภาพท้องฟ้าในช่วงเวลาที่แตกต่างกัน เช่น กลางวันหรือกลางคืน รวมถึงระดับความสว่างที่หลากหลาย เช่น สว่างหรือมืด จะมีลักษณะการกระจายแสง สี และคอนทราสต์ไม่เหมือนกัน หากใช้วิธีการปรับภาพแบบเดียวกันกับทุกสภาพแสง อาจทำให้เกิดการขาดรายละเอียดหรือเกิดการการปรับปรุงภาพมากเกินไป (over-enhance) ดังนั้นจึงจำเป็นต้องมีการกำหนดเงื่อนไขเลือกอัลกอริทึมให้เหมาะกับประเภทเวลาและความสว่างของภาพ เพื่อให้การประมวลผลมีความยืดหยุ่นปรับตัวได้ตามสภาพจริง และรักษาความถูกต้องของข้อมูลภาพสำหรับการนำไปใช้ในขั้นตอนดังสมการต่อไปนี้

$$E_{method}(\mathrm{T},\mathrm{L}) = \begin{cases} E_{LAB}, \mathrm{T} = \mathrm{day} \wedge \mathrm{L} = \mathrm{bright} \\ E_{Ret}, \mathrm{T} = \mathrm{day} \wedge \mathrm{L} = \mathrm{dim} \\ E_{Top}, \mathrm{T} = \mathrm{night} \wedge \mathrm{L} = \mathrm{bright} \\ E_{Homo}, \mathrm{otherwise} \end{cases} \quad (8)$$

เมื่อ T คือประเภทของเวลามีค่าเป็น {day, night} L คือประเภทความสว่างมีค่าเป็น {bright, dim} และมีอัลกอริทึมสำหรับปรับปรุงภาพตามลำดับต่อไปนี้คือ E_{LAB} E_{Ret} E_{Top} และ E_{Homo} ซึ่งจะประกอบด้วยอัลกอริทึมเพิ่มความเด่นของก้อนเมฆด้วย LAB (LAB Cloudness Boost), อัลกอริทึมเรตินเน็กซ์จำลองการมองเห็นของจอตา (Retinex), อัลกอริทึมท็อปแฮตสำหรับเน้นวัตถุสว่างขนาดเล็ก (Top-hat), และ อัลกอริทึมกรองเชิงโฮโมมอร์ฟิกเพื่อเพิ่มคอนทราสต์และแก้ไขแสง (Homomorphic Filtering) ตามลำดับ

ซึ่งเมื่อผ่านการคัดเลือกภาพเพื่อนำเข้าสู่สมการของการปรับปรุงภาพแล้ว จะสามารถผลลัพธ์จากการปรับปรุงเข้าสู่กระบวนการฝึกสอนด้วยการเรียนรู้เชิงลึกในหัวข้อถัดไป

2.3 YOLOv8

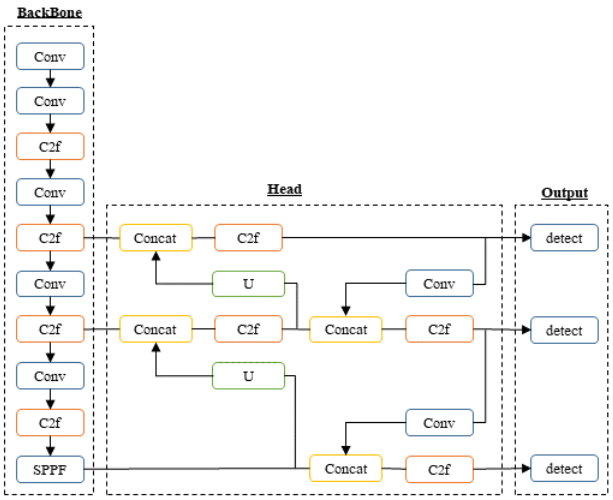

รูปที่ 1 สถาปัตยกรรมของ YOLOv8

YOLOv8 เป็นอัลกอริทึมสำหรับการตรวจจับวัตถุ (Object Detection) ที่พัฒนาขึ้นเพื่อเพิ่มทั้งความแม่นยำและความรวดเร็ว โดยใช้ข้อมูลคุณลักษณะ (feature) ที่สกัดจากภาพอินพุต (Input Image) เพื่อระบุตำแหน่งและจำแนกประเภทของวัตถุ กระบวนการเริ่มจากการดึงคุณลักษณะด้วยโครงข่ายประสาทเทียม (Neural Network) ในส่วน Backbone เพื่อเก็บรายละเอียดเชิงลึกของวัตถุ เช่น เส้นขอบ รูปร่าง พื้นผิว และโครงสร้างภายในภาพ จากนั้นข้อมูลเหล่านี้จะถูกประมวลผลในส่วน Head เพื่อผสานคุณลักษณะจากหลายระดับความละเอียด แล้วนำไปทำนายตำแหน่งวัตถุในรูปกรอบสี่เหลี่ยม (Bounding Boxes) พร้อมระบุคลาสของวัตถุ (Object Classes) ตามที่ตรวจพบ โครงสร้างของ YOLOv8 ดังแสดงในรูปที่ 1 ประกอบด้วยส่วน Backbone สำหรับดึงคุณลักษณะจากภาพ ส่วน Head สำหรับผสานข้อมูลหลายขนาด และส่วนเอาต์พุตที่ใช้สำหรับการตรวจจับและจำแนกวัตถุอย่างแม่นยำ

3. ผลการทดลอง

บทความนี้ได้ทำการทดลองโดยใช้ภาษา Python เวอร์ชัน 3.7 บนคอมพิวเตอร์ระบบปฏิบัติการ Windows 10 แบบ 64 บิต พร้อมหน่วยประมวลผลกลาง (CPU) Intel Core i7-6500U ความถี่ 2.50 GHz และหน่วยความจำ (RAM) ขนาด 16 GB การทดลองทั้งหมดดำเนินการบนฐานข้อมูลภาพท้องฟ้าจำนวนมากกว่า 10,00 ภาพที่ถูกถ่ายโดยกล้องเลนส์มุมมองแบบฟิชอาย โดยแบ่งคำตอบการพยากรณ์ออกเป็น 5 ประเภท ได้แก่ BKN, CAVOK, FEW, OVER และ SCT ที่ขนาดภาพ 640x640 พิกเซล โดยใช้โมเดล YOLOv8s

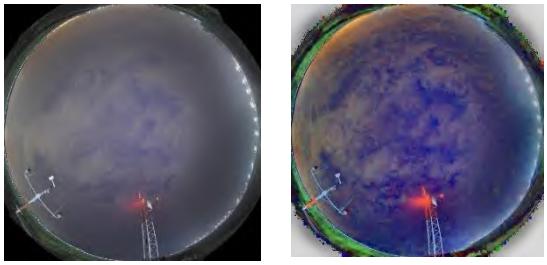

รูปที่ 2 (ซ้าย) ภาพต้นฉบับ (ขวา) ภาพที่ผ่านกระบวรการปรับปรุง

รูปที่ 2 แสดงให้เห็นความแตกต่างของภาพต้นฉบับ (ซ้าย) โดยแสดงลักษณะท้องฟ้าที่มีความสว่างและคอนทราสต์ต่ำ ทำให้รายละเอียดของก้อนเมฆและโครงสร้างท้องฟ้าถูกบดบังด้วยหมอกหรือแสงรบกวน และรูปที่ 2 ที่ผ่านการปรับปรุง (ขวา) ถูกนำเข้าสู่กระบวนการปรับปรุงภาพเพื่อเพิ่มความแตกต่างระหว่างบริเวณก้อนเมฆและท้องฟ้า ส่งผลให้ลักษณะของก้อนเมฆปรากฏเด่นชัดขึ้น โครงสร้างท้องฟ้ามีรายละเอียดมากขึ้น และค่าความอิ่มสี (saturation) ถูกปรับให้อยู่ในระดับที่ช่วยให้การมองเห็นและแยกประเภทสภาพอากาศทำได้ง่ายขึ้น

เมื่อนำมาเข้าสู่กระบวนการฝึกสอนด้วยการเรียนรู้เชิงลึก จะสามารถแสดงผลการฝึกสอนได้ดังรูปที่ 3 ซึ่งผลการประเมินจากกราฟโดยเป็นแกนค่าความผิดพลาด และค่าความแม่นยำเปรียบเทียบในแต่ละรอบของการฝึกสอน แสดงให้เห็นว่าโมเดล YOLOv8s มีประสิทธิภาพการเรียนรู้ที่ดี โดยค่าความสูญเสียทั้ง box loss และ cls loss ลดลงอย่างต่อเนื่อง แสดงถึงความแม่นยำที่เพิ่มขึ้นทั้งด้านการระบุตำแหน่งและการจำแนกประเภทวัตถุ ขณะที่ค่าความแม่นยำ (Precision) และค่า mAP50 มีแนวโน้มเพิ่ม

สูงขึ้นจนเกิน 0.9 ในช่วงปลายการฝึกสอน สะท้อนถึงความสามารถของโมเดลในการตรวจจับและจำแนกประเภทเมฆจากภาพท้องฟ้าได้อย่างแม่นยำและมีประสิทธิภาพสูง

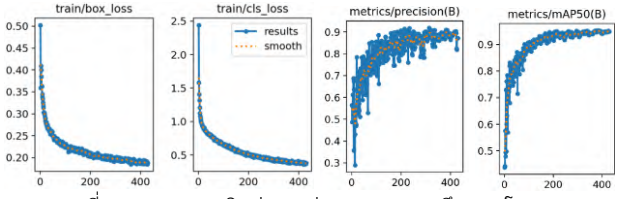

รูปที่ 3 ผลการประเมินค่าระหว่างกระบวนการฝึกสอนโมเดล

ตารางที่ 3 ผลการทดลองเปรียบเทียบกับอัลกอริทึมต่างๆ

อัลกอริทึม	Precision(%)	Recall(%)	mAP50(%)	mAP95(%)
จากบทความที่นำเสนอ	**90.6**	**92.7**	**97.1**	**97.1**
จากบทความ [9]	84.7	92.1	95.7	95.3
จากบทความ [10]	77.5	86.8	84.5	83.7

จากผลการทดลองในตาราง พบว่าอัลกอริทึมที่นำเสนอในบทความนี้มีประสิทธิภาพสูงกว่างานวิจัยที่ไม่ได้ผ่านการประยุกต์ใช้อัลกอริทึมการปรับปรุงภาพในบทความ [9] และ [10] ทุกตัวชี้วัด โดยมีค่า Precision เท่ากับ 90.6% ซึ่งสูงกว่าบทความ [9] (84.7%) และ [10] (77.5%) แสดงถึงความสามารถในการจำแนกข้อมูลอย่างถูกต้องได้มากกว่า ขณะที่ค่า Recall อยู่ที่ 92.7% ใกล้เคียงกับ [9] (92.1%) และสูงกว่า [10] (86.8%) บ่งบอกถึงความสามารถในการตรวจจับข้อมูลที่เกี่ยวข้องได้อย่างครบถ้วน นอกจากนี้ ค่าดัชนี mAP@50 และ mAP@95 ของวิธีที่นำเสนออยู่ที่ 97.1% ทั้งสองค่า ซึ่งสูงกว่าทั้ง [9] (mAP@50 = 95.7%, mAP@95 = 95.3%) และ [10] (mAP@50 = 84.5%, mAP@95 = 83.7%) แสดงให้เห็นว่าวิธีการนี้มีความแม่นยำโดยรวมสูงและสามารถรักษาความสม่ำเสมอของผลลัพธ์ได้ดีกว่างานที่มีอยู่ก่อนหน้า

4. สรุป

การปรับปรุงคุณภาพภาพถ่ายท้องฟ้า (Enhance) ที่พัฒนาขึ้นช่วยเพิ่มความคมชัดและการเน้นรายละเอียดเมฆ ส่งผลให้โมเดลตรวจจับได้แม่นยำและครอบคลุมขึ้น โดยได้ค่า Precision 90.6%, Recall 92.7%, mAP@50 97.1% และ mAP@95 97.1% ซึ่งสูงกว่างาน [9] และ [10] อย่างชัดเจน แสดงถึงประสิทธิภาพของวิธีที่เสนอ แต่ยังมีข้อจำกัดเรื่องเวลาในการประมวลผลและการขยายสัญญาณรบกวนในบางภาพ ซึ่งควรปรับปรุงต่อไป

เอกสารอ้างอิง

[1] G. S. A, M. M. B and R. S. O., "Medical Image Fusion Enhancement through Curvelet Transform," 2025 International Conference on Emerging Smart Computing and Informatics (ESCI), Pune, India, 2025, pp. 1-5.

[2] J. Harika, P. Baleeshwar, K. Navya and H. Shanmugasundaram, "A Review on Artificial Intelligence with Deep Human Reasoning," 2022 International Conference on Applied Artificial Intelligence and Computing (ICAAIC), Salem, India, 2022, pp. 81-84.

[3] N. Jundang, "Development of Trace Transform using Machine Learning for reducing the tracing line calculation," 2022 International Electrical Engineering Congress (iEECON), Khon Kaen, Thailand, 2022, pp. 1-4.

[4] J. Jundang, and S. Sitjongsataporn, " Discriminant Feature Trace Transform for Predictive Object Rotation," International Journal of Intelligent Engineering and Systems, Vol.16, No.1, 2023.

[5] N. Jundang and S. Sitjongsataporn, "Coordinated-axis Weight for Real-Time Trace Transform," 2023 International Electrical Engineering Congress (iEECON), Krabi, Thailand, 2023, pp. 184-187.

[6] C. Hui and Y. Cao, "Research on the Design of Core Data Management System for Large-scale Scientific Research Projects in Enterprises Based on Cloud Computing," 2024 International Conference on Industrial IoT, Big Data and Supply Chain (IIoTBDSC), Wuhan, China, 2024, pp. 414-418.

[7] K. -k. Hon, "Towards Global Simulated Satellite Imagery based on Next-Generation Numerical Weather Prediction Model," 2022 International Conference on Computer Technologies (ICCTech), Melaka, Malaysia, 2022, pp. 7-10.

[8] I. Hassan and Z. Xinyou, "Performance Evolution of Yolo Models in Remote Sensing Images," 2024 21st International Computer Conference on Wavelet Active Media Technology and Information Processing (ICCWAMTIP), Chengdu, China, 2024, pp. 1-4.

[9] S. Ongkittikul, N. Jundang, K. Chutisowan, K. Ratnarangsank, J. Suwatcharakulthorn and P. Phophongviwat, "Revolutionizing Meteorological Forecasting with Cloud Image Analysis Using Edge Flow and YOLO," 2024 8th International Conference on Information Technology (InCIT), Chonburi, Thailand, 2024, pp. 820-823.

[10] S. Ongkittikul, N. Jundang and T. Panyokaew, "Meteorological Prediction Using Cloud's Images," 2024 12th International Electrical Engineering Congress (iEECON), Pattaya, Thailand, 2024, pp. 1-4.

การนับกระดาษลูกฟูกด้วยเทคนิคการคำนวณผลต่างระหว่างสมาชิกที่อยู่ติดกันจากข้อมูลไบนารี

Corrugated Paper Counting by Calculating Differences Between Adjacent Elements on Binary Data

กิตติพร รอดไม้ และ ฉัตรชัย ศุภพิทักษ์สกุล
ภาควิชาวิศวกรรมไฟฟ้า คณะวิศวกรรมศาสตร์ มหาวิทยาลัยเทคโนโลยีราชมงคลธัญบุรี
skittiporn_r@mail.rmutt.ac.th chatchai.s@en.rmutt.ac.th

บทคัดย่อ

บทความนี้เสนอวิธีการนับจำนวนชั้นกระดาษลูกฟูกแบบอัตโนมัติด้วยเทคนิคการตรวจสอบการเปลี่ยนสถานะของภาพขาวดำของขอบวัตถุตามแนวแกนตั้ง หรือ แกน Y ซึ่งประกอบด้วยขั้นตอนการแยกส่วนภาพด้วยค่าขีดแบ่ง การปรับปรุงภาพด้วยคณิตสัณฐานวิทยา และตัวกรองคอนโวลูชันสำหรับตรวจนับจำนวนของแผ่นกระดาษลูกฟูกที่เรียงเสมอกันทั้งกองและที่มีบางส่วนวางเหลื่อมไม่เสมอกัน โดยตำแหน่งส่วนที่เหลื่อมจะถูกกำหนดให้เป็นบริเวณที่สนใจ (ROI) และใช้กระบวนการเช่นเดิมทำในบริเวณดังกล่าว จากผลการทดลองภาพของแผ่นกระดาษที่เรียงเสมอกันทั้งกองและที่มีบางส่วนวางเหลื่อมห่างออกจากระยะโฟกัสไม่เกิน 3 เซนติเมตร สามารถนับจำนวนได้ถูกต้อง 100 % ส่วนกรณีการเหลื่อมห่างออกจากระยะโฟกัสเกิน 3 เซนติเมตร ผลการนับจะเกิดความคลาดเคลื่อนขึ้นอยู่กับจำนวนแผ่นที่เหลื่อม

คำสำคัญ: การประมวลผลภาพ, การวิเคราะห์วัตถุ, คณิตสัณฐานวิทยา

Abstract

This paper proposes an automatic method for counting the number of corrugated cardboard layers using a black and white image state change detection technique of object edges along the vertical or Y axis. The proposed method consists of a thresholded image segmentation step, morphological image enhancement, and a convolutional filter for counting the number of corrugated sheets that are evenly placed throughout the stack and the number of sheets that are unevenly placed. The location of the overlapped part is defined as a region of interest (ROI) and the same process is applied to that region. From the experimental results, the images of corrugated cardboard sheets that are arranged evenly throughout the pile and some of them are placed at a distance of no more than 3 centimeters from the focus can be counted with 100% accuracy. If the distance is more than 3 centimeters away from the focus, the counting result will have an error depending on the number of overlapping sheets.

Keywords: Image processing, object analysis, morphology

1. บทนำ

งานวิจัยของ Singh และ Saha [1] สะท้อนให้เห็นว่า E-Commerce ผลักดันการขยายตัวของโลจิสติกส์และระบบพัสดุ ซึ่งส่งผลโดยตรงต่อบรรจุภัณฑ์เพื่อการขนส่ง (Distribution Packaging) โดยเฉพาะทำให้บรรจุภัณฑ์กระดาษลูกฟูกเป็นที่นิยมด้วยเหตุผลด้านความแข็งแรง ต้นทุน และการรีไซเคิล ส่งผลให้ปริมาณการใช้และการผลิตเพิ่มขึ้นอย่างต่อเนื่อง โดยความต้องการดังกล่าวนำไปสู่ความจำเป็นของเครื่องมือตรวจนับที่รวดเร็วและแม่นยำ ดังนั้นจึงเป็นที่มาของการพัฒนานับจำนวนชั้นกระดาษลูกฟูกแบบอัตโนมัติด้วยเทคนิคการประมวลผลภาพ

การนับชั้นกระดาษลูกฟูกด้วยเทคนิคการประมวลผลภาพได้รับการพัฒนาอย่างต่อเนื่อง เริ่มจากงานของ ฐิติวัชร์ ศิริอมรรัตน์ และ ทวีพล ซื่อสัตย์ [2] ซึ่งเสนอระบบประมวลผลภาพเชิงพาโนรามา โดยอาศัยค่าเฉลี่ยระยะช่วงลอนกระดาษในแต่ละชั้นเป็นตัวบ่งชี้การเปลี่ยนชั้นกระดาษ ถัดมา มีนา รัตนากร และ ฉัตรชัย ศุภพิทักษ์สกุล [3] ได้พัฒนาวิธีการนับกระดาษด้วยการตรวจหาโครงสร้างลอนกระดาษโดยการวิเคราะห์ (Blob Analysis) บนด้านลอนกระดาษ เพื่อระบุตำแหน่งลอนกระดาษและกำหนดเกณฑ์การเปลี่ยนชั้นกระดาษ จากระยะห่างระหว่างลอนกระดาษ และต่อมาอรรถพล พลานนท์ และ วีระศักดิ์ ชื่นตา [4] ประยุกต์การฉายภาพร่วมกับการวิเคราะห์อนุกรมฟูเรียร์ โดยใช้จำนวนยอดคลื่นของสัญญาณเป็นตัวแทนจำนวนชั้นกระดาษ และงานวิจัยของ Ufuk Cebeci และ Fatih Aslan [5] ใช้การปรับปรุงภาพให้แสดงโครงสร้างลอนกระดาษให้เด่นชัดในภาพขาวดำ (Binary Image) และดำเนินการนับบริเวณขอบสีขาวซึ่งเป็นลอนกระดาษ ต่อมา Chatchai Suppitaksakul และ Meena Rattakorn [6] ได้นำแนวคิดการตรวจพื้นที่ลอนกระดาษ [3] ร่วมกับการนับบนด้านรอยตัดของกระดาษ โดยใช้การวิเคราะห์ First Order บนภาพขาวดำใช้การพิจารณาการเปลี่ยนจากดำเป็นขาวเป็นจำนวนกระดาษ และกิตติพร รอดไม้ และฉัตรชัย ศุภพิทักษ์สกุล [7] ได้นำเสนอการนับด้วยเทคนิคการสร้างเส้นจากจุดภาพของลอนลูกฟูก โดยทำการนับจากเส้นที่สร้างจากลอนกระดาษ และประเมินช่วงที่นับกระดาษไม่ได้ อันเกิดจากความเสียหายของลอนกระดาษ หรือภาพไม่อยู่ในระยะโฟกัสจากการคำนวณทางสถิติ

อย่างไรก็ตามวิธีการ [7] ยังมีข้อจำกัด เนื่องจากเส้นที่สร้าง จะมีความหนาเท่าความสูงของลอนกระดาษที่สูงที่สุดในชั้น ซึ่งไม่ได้เป็นความหนาของชั้นกระดาษจริง ทำให้ได้ค่าทางสถิติที่ไม่ถูกต้อง ทำให้ผลการนับกระดาษผิดพลาดตามไปด้วย

*ผู้ประพันธ์บรรณกิจ

บทความนี้นำเสนอการปรับปรุงการนับกระดาษลูกฟูกด้วยเทคนิคการตรวจสอบการเปลี่ยนสถานะของภาพขาวดำ ตามแนวแกน Y โดยกำหนดให้การเปลี่ยนจากค่า 0 เป็น 1 เป็นจุดเริ่มต้นขอบกระดาษ และจาก 1 เป็น 0 เป็นจุดสิ้นสุดขอบกระดาษ เมื่อตรวจพบครบทั้งจุดเริ่มต้นขอบกระดาษ และจุดสิ้นสุดขอบกระดาษ จะนับเป็น 1 ชั้น สำหรับกรณีที่ภาพไม่สามารถมองเห็นลอนกระดาษ เนื่องมาจากขอบกระดาษลูกฟูกไม่อยู่ในระยะโฟกัส หรือลอนลูกฟูกมีความเสียหาย จะใช้วิธีการปรับค่าขีดแบ่ง แบบอัตโนมัติภายในพื้นที่ที่เกิดปัญหา เพื่อให้สามารถมองเห็นลอนกระดาษได้ และนำมาใช้การตรวจสอบการเปลี่ยนสถานะของภาพขาวดำอีกครั้ง วิธีนี้จะลดความผิดพลาดในการนับกระดาษจากกระบวนการตีเส้นและการคาดการทางสถิติ เนื่องได้ทำการนับกระดาษจากลอนกระดาษบนภาพจริง โดยจำนวนลอนกระดาษสมบูรณ์ในแต่ละชั้นจะต้องมีค่ามากกว่า 30% ของจำนวนลอนกระดาษในชั้นที่มีความสมบูรณ์สูงสุด และมีความหนามากกว่า 4 จุดภาพ โดยระยะกระดาษอยู่ห่างออกจากระยะโฟกัสไม่เกิน 3 เซนติเมตร เพื่อให้สามารถมองเห็นลอนกระดาษได้

2. ทฤษฎีที่เกี่ยวข้อง

2.1 การแยกบริเวณรูปภาพ (Image Segmentation)

Image Segmentation คือการแบ่งภาพออกเป็นส่วน (Regions) ตามคุณสมบัติ เช่น ความเข้ม, สี และ Texture เพื่อแยกวัตถุ (Object) ออกจากพื้นหลัง (Background) โดยการกำหนดค่าขีดแบ่ง (Thresholding) โดยอาศัยความแตกต่างของค่าความเข้มในภาพระดับเทา (Grayscale) เพื่อแบ่งจุดภาพ หรือ พิกเซล (Pixel) ออกเป็นวัตถุ และพื้นหลัง ดังสมการ (1) [8]

$$S(x,y)=\begin{cases}1, I(x,y)\geq T(\text{foreground / object})\\ 0, I(x,y)<T(\text{background})\end{cases} \quad (1)$$

กำหนดให้ I (x,y) : ภาพระดับเทา (grayscale image)
T : ค่าขีดแบ่ง (threshold)

2.2 คณิตสัณฐานวิทยา (Mathematical Morphology)

ชุดเครื่องมือทางคณิตศาสตร์ที่ใช้วิเคราะห์และประมวลผลภาพโดยใช้รูปทรงเรขาคณิต (Structuring Element: SE) เพื่อจัดการกับรูปร่างของวัตถุในภาพแบบไบนารี โดย Morphological Closing คือการขยายวัตถุ (Dilation) แล้วตามด้วยการหดกลับ (Erosion) เพื่อเติมช่องว่างเล็กเชื่อมจุดหรือเส้นที่เกือบติดกัน ทำให้เส้นขอบวัตถุเรียบขึ้น ดังสมการ (2) [8]

$$\begin{aligned}&\textbf{Dilation}: A\oplus B=\left\{z\middle|(B)_z\cap A\neq\phi\right\}\\ &\textbf{Erosion}: A\ominus B=\left\{z\middle|(B)_z\subseteq A\right\}\\ &\textbf{Closing}: A\bullet B=\left\{(A\oplus B)\ominus B\right\}\end{aligned} \quad (2)$$

กำหนดให้ A : เซตของของจุดภาพ
B : Structuring element (SE)

2.3 ตัวกรองคอนโวลูชัน (Convolutional Filter)

ตัวกรองคอนโวลูชัน (Convolution Filtering) เป็นการประมวลผลภาพโดยการนำเคอร์เนล (Kernel) มาทำการคอนโวลูชันกับภาพอินพุต เพื่อแปลงค่าพิกเซลในภาพใหม่ตามบริเวณรอบตัวพิกเซลนั้น เพื่อลดสัญญาณรบกวน (Noise) เพื่อเน้นขอบ หรือรายละเอียดในภาพ ดังสมการ (3) [8]

$$(I*K)[i,j]=\sum_m\sum_n I[i-m,j-n]\cdot K[m,n] \quad (3)$$

โดย I : ภาพต้นฉบับ, K : ฟิลเตอร์ (Kernel), (I*K) : ภาพผลลัพธ์จากการ Convolution, i,j : ตำแหน่งพิกเซลในภาพผลลัพธ์ และ m,n : ตำแหน่งพิกเซลในฟิลเตอร์

หมายเหตุ การดำเนินการคือการคูณสมาชิกที่ตรงกันระหว่างฟิลเตอร์ที่เลื่อนไปทับกับส่วนของภาพ แล้วนำผลคูณทั้งหมดมาบวกกัน

2.4 การวิเคราะห์วัตถุ (Object Analysis)

ในการวิเคราะห์ข้อมูล (Data Analysis) โดยมีเป้าหมายในการการระบุ แยกแยะ และทำความเข้าใจ คุณลักษณะของวัตถุที่สนใจ โดยมีขั้นตอนสำคัญคือการกำหนดป้ายกำกับ (Labeling) เพื่อระบุว่าพิกเซลใดอยู่ในวัตถุเดียวกัน (Connected Component Labeling) ภายใต้เงื่อนไขการเชื่อมต่อ 4-connectivity หรือ 8-connectivity และการหาคุณลักษณะของแต่ละวัตถุ (Feature Extraction) เช่น พื้นที่ (Area), จุดกึ่งกลาง (Centroid), กรอบสี่เหลี่ยมที่ล้อมรอบวัตถุ Bounding Box ซึ่งสามารถดำเนินการได้ดังสมการ (4) [8]

$$\begin{aligned}&4\text{connectivity}: N_4(x,y)=\begin{Bmatrix}(x+1,y),(x-1,y),\\ (x,y+1),(x,y-1)\end{Bmatrix}\\ &8\text{connectivity}: N_8(x,y)=N_4(x,y)\cup\begin{Bmatrix}(x+1,y+1),(x+1,y-1),\\ (x-1,y+1),(x-1,y-1)\end{Bmatrix}\end{aligned} \quad (4)$$

หมายเหตุ 4-connectivity พิกเซล (x,y) เชื่อมกับพิกเซลรอบ 4 ทิศทาง
8-connectivity พิกเซล (x,y) เชื่อมกับพิกเซลรอบ 8 ทิศทาง

3. อัลกอริทึมการนับกระดาษลูกฟูก

อัลกอริทึมหรือขั้นตอน ในการนับกระดาษลูกฟูกมี ดังนี้ 1. แปลงภาพระดับเทา เป็นภาพระดับขาวดำด้วยการกำหนดค่าขีดแบ่ง 2. ปรับปรุงภาพภาพ โดยใช้คณิตสัณฐานวิทยาและตัวกรองคอนโวลูชัน 3. กรองวัตถุที่เป็นลอนกระดาษด้วยการวิเคราะห์วัตถุ 4. ทำการนับกระดาษจากลอนที่สมบูรณ์ 5. ทำนับกระดาษจากบริเวณภาพลอนที่ไม่สัมบูรณ์ และ 6 รวมจำนวนการนับกระดาษจากขั้นตอนที่ 4 และ 5 โดยอัลกอริทึมที่นำเสนอแสดงดังรูปที่ 1

รูปที่ 1 แสดงอัลกอริทึมการนับจำนวนกระดาษจากด้านลอนลูกฟูก

โดยภาพที่นำมาทดสอบเป็นภาพที่ได้จากกล้องสแกนเส้น (Line Scan) ความละเอียด 1221 × 444 จุดภาพ รับภาพด้านลอนลูกฟูก โดยมีระยะโฟกัสวัดจากเลนส์ของกล้องถึงกองกระดาษ 600 มิลลิเมตร

3.1 การแปลงภาพระดับเทาเป็นภาพขาวดำ

ภาพกระดาษลูกฟูกที่ได้จากกล้องจะเป็นภาพระดับเทามีค่าความเข้ม 0–255 เพื่อง่ายต่อการนำไปวิเคราะห์การทำเป็นภาพระดับขาวดำจะลดจำนวนข้อมูลเหลือเพียง 0 และ 1 โดยใช้ฮิสโตแกรม (Histogram) ของภาพระดับเทาและเลือกค่าขีดแบ่งที่ 60 และได้ภาพขาวดำแสดงผลการทำงานดังรูปที่ 2

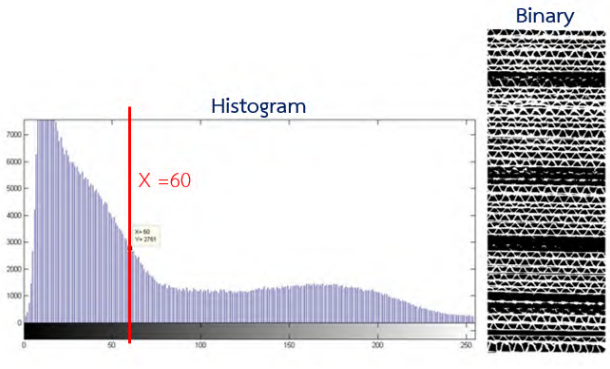

รูปที่ 2 แสดงการทำเป็นภาพระดับขาวดำ (Binary)

3.2 การปรับปรุงภาพขาวดำ

โดยในขั้นตอนการทำงานนี้จะแบ่งออกเป็น 2 ขั้นตอนการทำงานย่อยได้แก่ ขั้นตอนที่ 1 การทำให้ลักษณะเด่นของลอนกระดาษลูกฟูกมีความชัดเจนมากที่สุดโดยใช้ คณิตสัณฐานวิทยา Closing เติมช่องว่างเล็กๆ ของภาพลอนกระดาษ และเชื่อมจุดหรือเส้นที่เกือบติดกันเพื่อทำให้เส้นขอบลอนเรียบขึ้น โดยวัตถุยังขนาดเท่าเดิม โดยเลือกใช้ Structure Element ขนาด 3X3 และขั้นตอนย่อยที่ 2 คือการลบสัญญาณรบกวนของภาพให้แสดงรายละเอียดของภาพให้ชัดเจนที่สุด โดยการใช้ตัวกรองคอนโวลูชันขนาด 3x3 ในการกรอง แสดงผลการทำงานดังรูปที่ 3

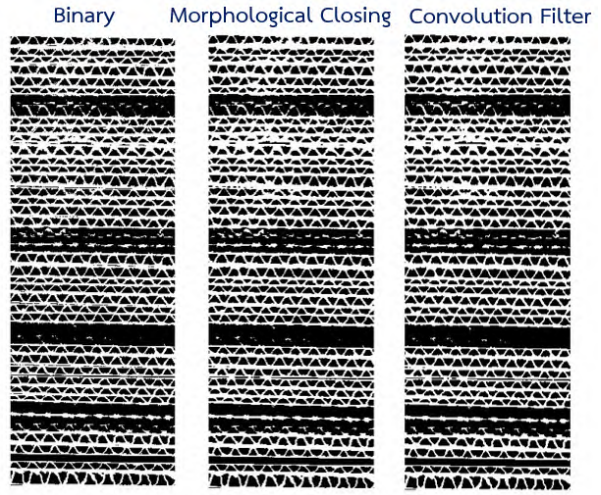

รูปที่ 3 แสดงการปรับปรุงภาพ

3.3 การวิเคราะห์วัตถุ (Object Analysis)

เมื่อได้ภาพระดับขาวดำที่ผ่านการปรับปรุงภาพแล้วระดับหนึ่งนำภาพดังกล่าวมากลับสี (Invert) เพื่อให้ลอนกระดาษเป็นสีขาว และส่วนพื้นหลังเป็นสีดำ เพื่อนำลอนกระดาษมาทำการกำหนดป้ายกำกับเป็นวัตถุที่สนใจ และทำการหาคุณลักษณะของลอนกระดาษ โดยต้องการลอนกระดาษที่มีเงื่อนไข ความกว้างมากกว่า 10 จุดภาพ แต่ไม่เกิน 500 จุดภาพ ส่วนความสูงมากกว่า 7 จุดภาพ เป็นเงื่อนไขต่ำสุด เพื่อกำจัดสิ่งที่ไม่ใช่ลอนกระดาษออกไป แสดงผลการทำงานตามรูปที่ 4 (a)

3.4 การนับกระดาษจากลอนที่สมบูรณ์

จากในขั้นตอน 3.3 ได้ภาพที่มีลอนกระดาษตามต้องการแล้ว โดยลอนกระดาษเป็นสีขาว และมีพื้นหลังเป็นสีดำ ให้ทำการรวมค่าพิกเซล สีขาวในแต่ละชั้นลอนกระดาษ และกำหนดเงื่อนไขในการนับให้ชั้นกระดาษ โดยชั้นกระดาษที่ทำการนับจะต้องมีจำนวนค่าพิกเซลสีขาวมากกว่า 30% ของชั้นที่มีค่าพิกเซลสีขาวสูงสุด จากนั้นทำการตรวจสอบการเปลี่ยนสถานะของภาพขาวดำ ตามแนวแกน Y โดยกำหนดให้การเปลี่ยนจากค่า 0 เป็น 1 เป็นจุดเริ่มต้นขอบกระดาษ และ 1 เป็น 0 เป็นจุดสิ้นสุดขอบกระดาษ เมื่อตรวจพบครบทั้งเริ่มต้นขอบกระดาษและจุดสิ้นสุดขอบกระดาษ จะนับเป็นกระดาษ 1 ชั้น และเมื่อทำการตรวจจับการเปลี่ยนแปลงตลอดกองกระดาษ จะทำให้สามารถนับจำนวนกระดาษได้ แสดงผลการทำงานดังรูปที่ 4 (b)

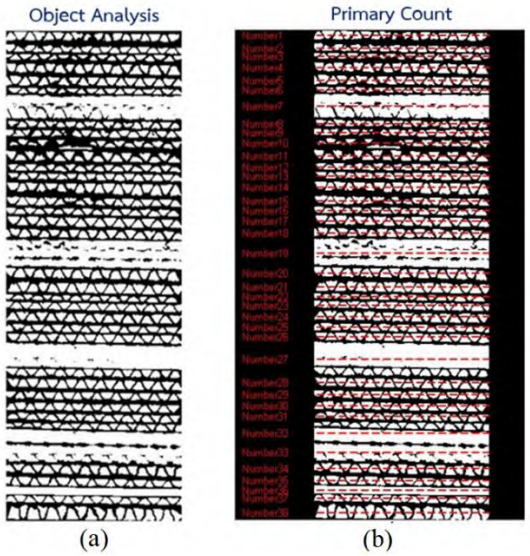

รูปที่ 4 (a) แสดงการการวิเคราะห์วัตถุ (Object Analysis) และ (b) แสดงการนับกระดาษกรณีลอนสมบูรณ์ทั้งกองกระดาษ

3.5 การนับกระดาษจากลอนที่ไม่สมบูรณ์

จาก 3.4 ถ้าพบว่ามีช่วงลอนกระดาษสีขาวที่ไม่สามารถนับจำนวนได้เนื่องมาจากลอนกระดาษดังกล่าวอยู่หลังระยะโฟกัสหลายชั้นติดกัน จากการหาจุดเริ่มต้นขอบกระดาษ และจุดสิ้นสุดขอบกระดาษทำให้ทราบถึงความหนาของลอนกระดาษทุกชั้น ดังนั้นความหนาของชั้นกระดาษที่มี

ความกว้างผิดปกติ ถูกนำมาเป็นเงื่อนไขในการกำหนดบริเวณที่สนใจ (Region of Interest, ROI) โดยจะต้องมีความกว้างมากกว่า 2 เท่าของค่ามัธยฐาน (Median) ใน 80% ของชั้นความหนาที่เรียงกันจากน้อยมากไปมาก เมื่อได้ชั้นที่มีความกว้างผิดปกติ ให้ทำการตัดชั้นดังกล่าวมาย้อนดูค่าฮิสโตแกรมในภาพระดับเทา และใช้วิธีหาค่ามัธยฐานของค่าความเข้มในภาพระดับเทาที่เรียงจากน้อยไปมาก เพื่อนำมากำหนดค่าขีดแบ่ง หลังปรับปรุงจะได้ภาพที่มองเห็นลอนชัดเจนขึ้น จึงสามารถกลับมาใช้การตรวจสอบการเปลี่ยนสถานะของภาพขาวดำในการนับกระดาษต่อไปได้ สามารถแสดงการทำงานตามรูปที่ 5 และแสดงผลการทำงานตามรูปที่ 6

รูปที่ 5 แสดงผลการทำงานนับกระดาษจากลอนที่ไม่สมบูรณ์

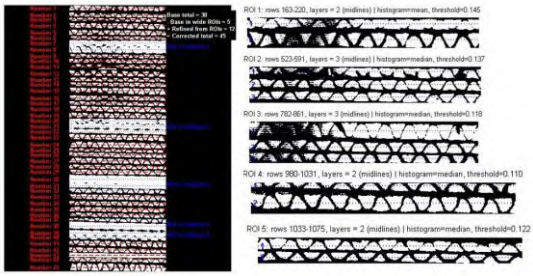

รูปที่ 6 แสดงผลการนับกระดาษจากลอนที่ไม่สมบูรณ์

4. ผลการทดลอง

ภาพที่ใช้ในการทดสอบเป็นกระดาษลูกฟูกชนิด B และ C ปนกัน รวมจำนวน 45 แผ่น ติดตั้งกล้องมีระยะโฟกัส วัดจากเลนซ์ของกล้องถึงกองกระดาษหลักเท่ากับ 60 เซนติเมตร โดยทดสอบกับภาพกองกระดาษที่มีขอบกระดาษเสมอกันทั้งกอง และภาพกองกระดาษที่มีการเหลื่อมถอยเข้าไปจากกองกระดาษหลักซึ่งห่างออกจากระยะโฟกัส 3 - 5 เซนติเมตร และมากกว่า 5 เซนติเมตร แสดงดังรูปที่ 7

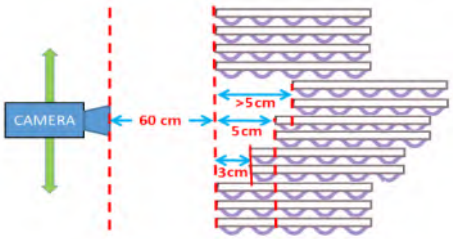

รูปที่ 7 แสดงการทดสอบกองกระดาษที่ระยะต่างๆ

ในกรณีวางกระดาษเรียงชิดเท่ากันทั้งกองที่ระยะโฟกัส 60 เซนติเมตร สามารถนับกระดาษได้ถูกต้อง 100% ส่วนกรณีกองกระดาษมีกระดาษจำนวน 1-11 แผ่น วางเหลื่อมถอยห่างจากระยะโฟกัส 3 เซนติเมตร ยังสามารถนับได้ถูกต้อง ในกรณีกองกระดาษมีกระดาษ เหลื่อมถอยห่างจากระยะโฟกัส 5 เซนติเมตร พบว่าสามารถนับถูกต้องได้ที่จำนวน 8 แผ่น และกรณีมีการเหลื่อมมากกว่า 5 เซนติเมตร ไม่สามารถสามารถนับได้ถูกต้องทั้งกอง ดังผลการทดลองตารางที่ 1

ตารางที่ 1 ผลการนับกระดาษที่วางเหลื่อมถอยห่างจากระยะโฟกัสต่างๆ

ระยะห่างจากกล้องที่มากกว่าระยะโฟกัส	จำนวนชั้นกระดาษที่ไม่อยู่ในระยะโฟกัส (แผ่น)						
	1	2	4	6	8	9	11
3 cm	✓	✓	✓	✓	✓	✓	✓
5 cm	✓	✓	✓	✓	✓	✕	✕
มากกว่า 5 cm	✕	✕	✕	✕	✕	✕	✕

หมายเหตุ : ✓คือนับจำนวนกระดาษได้ถูกต้องทั้งกอง ✕คือนับจำนวนกระดาษได้ไม่ถูกต้อง

จากตารางที่ 1 พบว่าอัลกอริทึมที่นำเสนอสามารถนับจำนวนกระดาษได้อย่างแม่นยำเมื่อระยะห่างจากโฟกัสไม่เกิน 3 เซนติเมตร ซึ่งเป็นช่วงที่ยังสามารถเห็นโครงลอนกระดาษได้ชัดเจน แต่เมื่อระยะห่างมากขึ้น โดยเฉพาะเกิน 5 เซนติเมตร ความแม่นยำจะลดลงเนื่องจากภาพเบลอเกินกว่าที่เทคนิคจะประมวลผลได้ เมื่อเปรียบเทียบกับงานของ [7] แนวทางในงานนี้มีข้อได้เปรียบจากการใช้การปรับค่าขีดแบ่งเฉพาะจุด ซึ่งช่วยลดความคลาดเคลื่อนและสามารถต่อยอดให้รองรับกรณีที่กระดาษอยู่หน้าระยะโฟกัสได้ในอนาคต

5 สรุป

งานวิจัยนี้นำเสนอวิธีการนับจำนวนกระดาษลูกฟูกโดยใช้การตรวจสอบการเปลี่ยนสถานะของภาพขาวดำร่วมกับการปรับปรุงภาพและการวิเคราะห์วัตถุ ซึ่งสามารถตรวจนับได้อย่างแม่นยำในช่วงระยะที่ยังมองเห็นลอนกระดาษได้ชัดเจน โดยเฉพาะกรณีห่างจากระยะโฟกัสไม่เกิน 3 เซนติเมตร ผลลัพธ์แสดงให้เห็นถึงศักยภาพของแนวทางที่เสนอในการประยุกต์ใช้กับระบบตรวจสอบคุณภาพในสายการผลิต และควรพัฒนาต่อยอดเพื่อรองรับกรณีภาพเบลอ เนื่องกองกระดาษอยู่ด้านหน้ากระยะโฟกัส

เอกสารอ้างอิง

[1] J. Singh and K. Saha, “Ecommerce Retail: Challenges and Opportunities for CPG Related Distribution Packaging,” in *Proc. 21st IAPRI World Packaging Conference*, Zhuhai, China, 2018.
[2] ฐิติวัชร์ ศิริอมรรัตน์, ทวีพล ชื่อสัตย์, “การนับแผ่นกระดาษลูกฟูกโดยระบบการประมวลผลภาพแบบพาโนรามิก” King Mongkut’s Institute of Technology Ladkrabang
[3] มีนา รัตนากร, ฉัตรชัย ศุภพิทักษ์สกุล,“การตรวจหาพื้นที่ลอนของกระดาษลูกฟูกโดยใช้เทคนิคการประมวลผลภาพ”, EECON-35 2555
[4] อรรถพล พลานนท์, วีระศักดิ์ ชื่นตา, “การนับจำนวนห่อกระดาษด้วยวิธีฉายภาพแบบปรับปรุงสัญญาณจากอนุกรมฟูเรียร์” The 5th NPRU National Academic Conference, 2013
[5] Ufuk Cebeci, Fatih Aslan, Metin Celik and Halil Aydın, “Developing a New Counting Approach for the Corrugated Boards and Its Industrial Application by Using Image Processing Algorithm” Springer-Verlag Berlin Heidelberg, 2014
[6] Chatchai Suppitaksakul, Meena Rattakorn, “Machine Vision System for Counting the Number of Corrugated Cardboard” Proceedings of the International Electrical Engineering Congress 2014
[7] กิตติพร รอดไม้ , ฉัตรชัย ศุภพิทักษ์สกุล , “การนับกระดาษลูกฟูกด้วยเทคนิคการสร้างเส้นจากจุดภาพลอนลูกฟูก” EECON-45 2565
[8] Refale C. Gonzale and Richard E. Woods,Digital Image Processing Second edition,Prentice Hall, 2002

การศึกษาสมบัติทางแสงและเสียงในระบบควอนตัมดอทเจอร์เมเนียม ด้วยวิธีเชิงตัวเลขผลต่างสืบเนื่องเชิงเวลาและวิธีจำกัดสมาชิก

FDTD and FEM Simulations of Optical and Acoustic Characteristics in Germanium Quantum Dot Systems

ณัฐดนัย คงเพ็ชร์[1] นิศาชล ตั้งเสงี่ยมวิสัย[2] และ ปพิชญา ชัยสกุล[1*]

[1]ภาควิชาฟิสิกส์ คณะวิทยาศาสตร์ มหาวิทยาลัยเกษตรศาสตร์ 50 ถนนงามวงศ์วาน, แขวงลาดยาว, เขตจตุจักร, กทม. 10900
natdanai.khong@ku.th, fscipac@ku.ac.th*

[2]ภาควิชาวิศวกรรมไฟฟ้า คณะวิศวกรรมศาสตร์ จุฬาลงกรณ์มหาวิทยาลัย 254 ถนนพญาไท, ปทุมวัน, กทม. 10330 Nisachon.T@chula.ac.th

บทคัดย่อ

บทความนี้ศึกษาการใช้สัญญาณเสียงในการตรวจสอบสมบัติทางกายภาพของควอนตัมดอทสำหรับการพัฒนาใช้งานในอุปกรณ์ควอนตัมเชิงแสงขั้นสูง โดยเฉพาะอย่างยิ่ง บทความนี้ศึกษาผลกระทบของขนาดของควอนตัมดอทเจอร์เมเนียมที่มีต่อคุณลักษณะการกระเจิงแสงและการดูดกลืนแสง โดยใช้วิธีเชิงตัวเลขผลต่างสืบเนื่องเชิงเวลาในการแก้สมการแมกซ์เวลล์ การจำลองด้วยคอมพิวเตอร์แสดงให้เห็นอย่างชัดเจนว่าความสามารถในการดูดกลืนแสงและการกระเจิงของแสงสำหรับอนุภาคควอนตัมดอทเจอร์เมเนียมที่เรียงตัวกันเป็นแนวเส้นตรง จะเพิ่มขึ้นแบบทวีคูณตามขนาดของอนุภาคควอนตัมดอท โดยผลการจำลองแสดงให้เห็นว่าอนุภาคควอนตัมดอทเจอร์เมเนียมมีความสามารถในการดูดกลืนแสงมากกว่าความสามารถในการกระเจิงแสง นอกจากนี้ วิธีการจำกัดสมาชิกถูกใช้เพื่อศึกษาความเป็นไปได้ของการใช้โหมดการสั่นของอนุภาคควอนตัมดอทเพื่อแยกแยะความแตกต่างของขนาดและระยะห่างของควอนตัมดอทในระดับนาโนเมตร ผลการจำลองแสดงให้เห็นว่า ความถี่เฉพาะของการสั่นขึ้นอยู่กับขนาดควอนตัมดอทมากกว่าระยะห่างระหว่างกัน

คำสำคัญ: ควอนตัมดอทเจอร์เมเนียม วิธีเชิงตัวเลขผลต่างสืบเนื่องเชิงเวลา สมบัติการกระเจิงแสงและการดูดกลืนแสง

Abstract

This paper explores the potential use of acoustic signals to monitor the physical properties of quantum dots, aiming to support the development of advanced optical quantum devices. Particularly, it investigates the influence of the size of germanium (Ge) quantum dots (QDs) on their light scattering and absorption characteristics using the Finite-Difference Time-Domain (FDTD) method to solve Maxwell's equations. Computer simulations indicate that, for linearly aligned Ge QD particles, both absorption and scattering abilities increase exponentially with the QD size. In addition, the simulation results reveal that the absorption ability is greater than the scattering ability. Moreover, the Finite Element Method (FEM) is employed to investigate the potential use of vibrational modes in differentiating variations in the sizes and spacing of QD at the nanometer scale. Simulation results show that the eigenfrequency of the vibrational mode is influenced more by the QD size than their spacing.

Keywords: Germanium quantum dots, Finite-Difference Time-Domain (FDTD) Method, scattering and absorption properties

1. บนำ

ควอนตัมดอท (quantum dots, QDs) มีความน่าสนใจสำหรับการใช้งานในอุปกรณ์โฟโตวอลตาอิค (photovoltaic) และออปโตอิเล็กทรอนิกส์ (optoelectronic) รวมถึงตัวจับแสง (photodetectors) ไดโอดเปล่งแสง (light emitting diodes) เลเซอร์ (laser) และโฟโตทรานซิสเตอร์ (phototransistors) เนื่องจากควอนตัมดอทมีความสามารถในการปรับสเปกตรัมของแสงได้ [1] โดยเฉพาะอย่างยิ่งซิลิกอน (silicon) และเจอร์เมเนียม (germanium) ควอนตัมดอทมีความน่าสนใจอย่างมากเนื่องจากการเข้ากันได้กับเทคโนโลยีซิลิกอน [2,3] ทั้งนี้เจอร์เมเนียมมีข้อได้เปรียบมากกว่าซิลิกอนสำหรับอุปกรณ์ควอนตัมดอท เช่น อุณหภูมิในการสังเคราะห์ที่ต่ำกว่า [4] รัศมีโบร์ (Bohr radius) ที่ใหญ่กว่าซึ่งทำให้กักขังควอนตัมได้ดีกว่า [5] นอกจากนี้ ตัวจับแสงที่ใช้ควอนตัมดอทเจอร์เมเนียม (Germanium quantum dots, Ge QDs) สามารถครอบคลุมสเปกตรัมที่กว้างตั้งแต่ความยาวคลื่นในช่วงอัลตราไวโอเลตไปจนถึงอินฟราเรด [6] และมีประสิทธิภาพการดูดกลืนแสงที่มากกว่า [7] โดยเป็นที่น่าสนใจว่าขนาดของควอนตัมดอทมีบทบาทสำคัญต่อประสิทธิภาพของอุปกรณ์ออปโตอิเล็กทรอนิกส์ และโฟโตวอลตาอิค [6-9] ดังนั้นความสามารถในการตรวจสอบขนาดของควอนตัมดอทจึงเป็นประเด็นสำคัญหนึ่งในการพัฒนาอุปกรณ์ออปโตอิเล็กทรอนิกส์จากวัสดุควอนตัมดอท โดยการปลูกโครงสร้างควอนตัมดอทที่สามารถควบคุมขนาดและตำแหน่งได้อย่างเป็นระเบียบถือเป็นหนึ่งในงานวิจัยที่สำคัญ [10]

การตรวจสอบคุณลักษณะของวัสดุโดยใช้สัญญาณเสียงที่มีความถี่สอดคล้องกับขนาดทางกายภาพเป็นเทคนิคที่ได้รับการยอมรับสำหรับการ

*ผู้ประพันธ์บรรณกิจ

ตรวจสอบลักษณะของวัสดุและโครงสร้างที่พบในธรณีฟิสิกส์ การผลิตอาหาร และการประยุกต์ใช้ทางการแพทย์ [11] ในปีค.ศ. 2000 ได้มีการรายงานผลการกระเจิงแบบรามาน (Raman scattering) บนควอนตัมดอทเจอร์เมเนียม ซึ่งพบว่าโฟนอนถูกจำกัดในควอนตัมดอทเจอร์เมเนียม และพบว่าโฟนอนอะคูสติก หรือโฟนอนโหมดเสียง (acoustic phonons) จะมีความถี่เฉพาะของการสั่นที่แปรตามขนาดของควอนตัมดอทและผลของความเครียด (strain effects) [12] ในปัจจุบัน การตรวจวัดสถานะการชาร์จ และความสมบูรณ์ของแบตเตอรี่ สามารถหาได้จากค่าความถี่เฉพาะของการสั่น (Eigenfrequency) ของวัสดุที่ถูกกระตุ้นด้วยสัญญาณเสียง โดยค่าความถี่เฉพาะของการสั่น จะแปรผกผันกับ เวลาการเดินทางของคลื่นเสียง (Time of flight) [13] นอกจากนี้ ความถี่เฉพาะของการสั่นยังสามารถวัดค่าคุณสมบัติเฉพาะของวัสดุได้ เช่น ความแข็ง (stiffness) [11]

เพื่อศึกษาศักยภาพการใช้สัญญาณเสียงในการตรวจสอบคุณลักษณะทางกายภาพของควอนตัมดอทสำหรับการใช้งานในอุปกรณ์ควอนตัมเชิงแสงขั้นสูง บทความนี้จึงศึกษาสมบัติการกระเจิงแสงและการดูดกลืนแสงของอนุภาคควอนตัมดอทเจอร์เมเนียมในแผ่นรองซิลิกอนโดยอาศัยวิธีเชิงตัวเลขผลต่างสืบเนื่องเชิงเวลา (Finite-Difference Time-Domain, FDTD) ซึ่งเป็นการแก้สมการแมกซ์เวลล์โดยตรง โดยพิจารณาพารามิเตอร์สำคัญ 2 ตัวแปรคือ กำลังการกระเจิงแสง (scattering power) และกำลังการดูดกลืนแสง (absorption power) โดยศึกษากรณีที่ควอนตัมดอทมีขนาด 1.5, 2, 5, 7.5, และ 10 นาโนเมตร และศึกษาการเปลี่ยนแปลงของความถี่เฉพาะของการสั่น เมื่อขนาดของควอนตัมดอทและระยะระหว่างควอนตัมดอท มีค่าเปลี่ยนไปด้วยวิธีจำกัดสมาชิก (Finite Element Method, FEM)

2. การจำลองระบบควอนตัมดอท

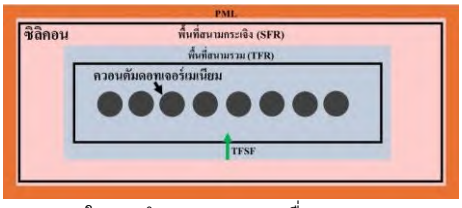

รูปที่ 1 วิธี 3D-FDTD ในการจำลอง Ge-QDs เมื่อขนาดของ Ge-QDs เป็น 1.5, 2, 5, 7.5, และ 10 นาโนเมตร ระยะห่างระหว่าง Ge-QDs เป็น 10 นาโนเมตร

งานวิจัยนี้นำวิธีเชิงตัวเลขผลต่างสืบเนื่องเชิงเวลาแบบสามมิติ (3D-FDTD) มาใช้ในการจำลอง โดยรูปที่ 1 แสดงวิธีเชิงตัวเลขผลต่างสืบเนื่องเชิงเวลาแบบสามมิติของอนุภาคควอนตัมดอทเจอร์เมเนียม (Ge-QDs) ในแผ่นรองซิลิกอน โดยที่เงื่อนไขขอบเขตแบบชั้นแมตช์สมบูรณ์ (perfectly matched layer: PML) [14] จะเป็นเงื่อนไขขอบเขตของการคำนวณในแบบจำลอง แหล่งกำเนิดแสงแบบสนามรวมและสนามการกระเจิง (Total-Field Scattered-Field) ที่ความยาวคลื่นแสง 300 นาโนเมตร โดยทำการยิงคลื่นแสงออกมาเป็นระนาบคลื่น ซึ่งจะแบ่งพื้นที่ออกเป็นสองส่วนคือ พื้นที่สนามรวม (total field region: TFR) และ พื้นที่สนามกระเจิง (scattering field region: SFR) ในพื้นที่สนามรวมจะมีทั้งพลังงานแม่เหล็กไฟฟ้าจากแหล่งกำเนิดและพลังงานแม่เหล็กไฟฟ้าที่ถูกกระเจิง ขณะที่พลังงานแม่เหล็กไฟฟ้าที่ถูกกระเจิงจะถูกคำนวณในพื้นที่สนามกระเจิง [15]

ในส่วนของควอนตัมดอท บทความนี้เลือกศึกษาควอนตัมดอทเจอร์เมเนียมในแผ่นรองซิลิกอน ซึ่งมีดัชนีหักเหเชิงซ้อนขึ้นอยู่กับความยาวคลื่นแสง [16] โดยกำหนดให้ควอนตัมดอทเจอร์เมเนียมมีรูปร่างเป็นทรงกลมมีขนาดเส้นผ่านศูนย์กลางตั้งแต่ 1.5, 2, 5, 7.5 และ 10 นาโนเมตร ตามลำดับ กำหนดให้ความยาวคลื่นแสงที่ใช้ในการคำนวณแบบจำลองนี้เป็น 300 นาโนเมตร และให้ระยะห่างควอนตัมดอทเท่ากับ 10 นาโนเมตร ผลการคำนวณกำลังการกระเจิงแสงและกำลังการดูดซับแสง หาได้จากสมการ (1) และ (2) [17]

$$P_{\text{sca}} = C_{\text{sca}} P_{\text{inc}} \quad (1)$$

$$P_{\text{abs}} = C_{\text{abs}} P_{\text{inc}} \quad (2)$$

เมื่อ C_{sca} คือพื้นที่หน้าตัดการกระเจิงแสง (หน่วยเป็นตารางเมตร)

C_{abs} คือพื้นที่หน้าตัดการดูดกลืนแสง (หน่วยเป็นตารางเมตร)

P_{sca} คือกำลังของการกระเจิงแสง (หน่วยเป็นวัตต์)

P_{abs} คือกำลังของการดูดกลืนแสง (หน่วยเป็นวัตต์)

P_{inc} คือความเข้มของแสงที่ตกกระทบอนุภาค (หน่วยเป็นวัตต์ต่อตารางเมตร)

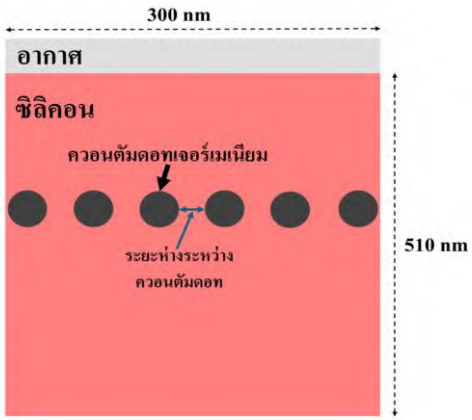

รูปที่ 2 แบบจำลองการสั่นของ Ge-QDs ด้วยวิธี FEM เพื่อคำนวณความถี่เฉพาะของการสั่น เมื่อ (ก) ขนาดของ Ge-QDs เป็น 1.5, 2, 5, 7.5, และ 10 นาโมเมตร ระยะห่างระหว่าง Ge-QDs เป็น10 นาโนเมตร (ข) ขนาดของ Ge-QDs เป็น 5 นาโนเมตร ระยะห่างระหว่าง Ge-QDs เป็น 3, 5, 6, 7.5, 8.5, 10, 12, 14 นาโมเมตร

วิธีการจำกัดสมาชิก (FEM) [18] ถูกนำมาใช้ตรวจสอบความเป็นไปได้สำหรับการตรวจสอบโหมดการสั่นของอนุภาคควอนตัมดอทที่จัดเรียงกันด้วยมาตราส่วนระดับนาโนเมตร เนื่องจากแรงดันการแผ่รังสีของแสงและแรงอิเล็กโทรสตริกทีฟที่เกิดจากสนามแม่เหล็กไฟฟ้าของแสงกระทำต่ออนุภาคควอนตัมดอท [16] รูปที่ 2 แสดงแบบจำลองการสั่นของอนุภาคควอนตัมดอท กรณีที่หนึ่ง กำหนดให้ควอนตัมดอทเจอร์เมเนียมมีขนาด

เป็น 1.5, 2, 5, 7.5, และ 10 นาโนเมตร และให้ระยะห่างระหว่างควอนตัมดอทเจอร์เมเนียมเท่ากับ 10 นาโนเมตร เพื่อดูผลการเปลี่ยนแปลงขนาดของควอนตัมดอทเจอร์เมเนียมต่อความถี่เฉพาะของการสั่น กรณีที่สอง กำหนดให้ขนาดของควอนตัมดอทเจอร์เมเนียมเท่ากับ 5 นาโนเมตร และให้ระยะห่างระหว่างควอนตัมดอทเป็น 3, 5, 6, 7.5, 8.5, 10, 12, 14 นาโมเมตร เมื่อยิงลำแสงเข้าไปในวัสดุไดอิเล็กตริก แสงจะทำปฏิกิริยากับวัสดุโดยที่แรงดันจากการแผ่รังสีจะกระทำที่ขอบของวัสดุไดอิเล็กตริก เมื่อแสงผ่านตัววัสดุจะเกิดการเหนี่ยวนำไดโพลในวัสดุไดอิเล็กตริก และทำให้ค่าความหนาแน่นของโพลาไรเซชันเปลี่ยนไป เกิดการบีบอัด ซึ่งส่งผลให้เกิดการเปลี่ยนแปลงค่าสภาพยอมของสนามไฟฟ้า ซึ่งก็คือ พลังงานแสงนี้ก่อให้เกิดผลเทียบเท่ากับงานเชิงกลที่ทำโดยแรงบางอย่าง ซึ่งเรียกว่าแรงอิเล็กโทรสตริกทีฟ แรงเหล่านี้ทำให้วัสดุไดอิเล็กตริกเกิดการสั่น จากนั้น จะคำนวณผลทางสนามแม่เหล็กไฟฟ้าของแสงด้วยสมการแมกซ์เวลล์เพื่อหาแรงดันจากการแผ่รังสีของแสงและแรงอิเล็กโทรสตริกทีฟที่เป็นแรงที่กระทำต่อวัสดุก่อน จากนั้นนำค่าของแรงทั้งสองมาใช้ประกอบการแก้สมการที่ (3) เพื่อคำนวณหาความถี่ได้จากสมการที่ (4) [18]

$$\ddot{q}\left(z,t\right)+\kappa_m\dot{q}\left(z,t\right)+\Omega_m^2 q\left(z,t\right) = \frac{F\left(z,t\right)}{m_{\text{eff}}} \quad (3)$$

$$\Omega_m^2 = \frac{k_{\text{eff}}}{m_{\text{eff}}} \quad (4)$$

โดยที่

q คือ การกระจัด (หน่วยเป็นเมตร)

κ_m คือ ความกว้างของบริยวง (หน่วยเป็นเรเดียนต่อวินาที)

Ω_m คือ ความถี่เชิงมุม (หน่วยเป็นเรเดียนต่อวินาที)

m_{eff} คือ มวลประสิทธิผลต่อหน่วยความยาว (หน่วยเป็นกิโลกรัมต่อเมตร)

k_{eff} คือ ค่าความแข็งประสิทธิผลต่อหน่วยความยาว (หน่วยเป็นนิวตันต่อตารางเมตร)

$F\left(z,t\right)$ คือ แรงดันการแผ่รังสีของแสงและแรงอิเล็กโทรสตริกทีฟที่กระทำทั้งหมดต่อหน่วยความยาว (หน่วยเป็นนิวตันต่อเมตร)

3. ผลการจำลองระบบและการอภิปรายผล

ผลการศึกษาสมบัติการดูดกลืนแสงและการกระเจิงแสงของอนุภาคควอนตัมดอทเจอร์เมเนียมเป็นดังแสดงในรูปที่ 3 (ก) และ (ข) โดยพบว่าค่ากำลังของการดูดกลืนแสง และกำลังของการกระเจิงแสง มีค่าเพิ่มขึ้นแบบทวีคูณหรือแบบเอกซ์โปเนนเชียล ตามขนาดของควอนตัมดอทเจอร์เมเนียมที่เพิ่มขึ้น สังเกตได้ว่ากำลังการดูดกลืนแสงมีค่ามากกว่ากำลังการกระเจิงแสงเป็นอย่างมาก $\left(P_{\text{abs}} \gg P_{\text{sca}}\right)$ นั่นแสดงว่าอนุภาคควอนตัมดอทเจอร์เมเนียมมีความสามารถในการดูดกลืนแสงมากกว่าความสามารถในการกระเจิงแสง ซึ่งเหมาะสมสำหรับการใช้งานในอุปกรณ์ควอนตัมเชิงแสงที่ต้องอาศัยการดูดซึมแสง เช่น ตัวจับแสง โดยที่อนุภาคควอนตัมที่มีขนาดใหญ่ขึ้นจะมีความสัมพันธ์กับการเพิ่มขึ้นของค่ากำลังการดูดกลืนแสง

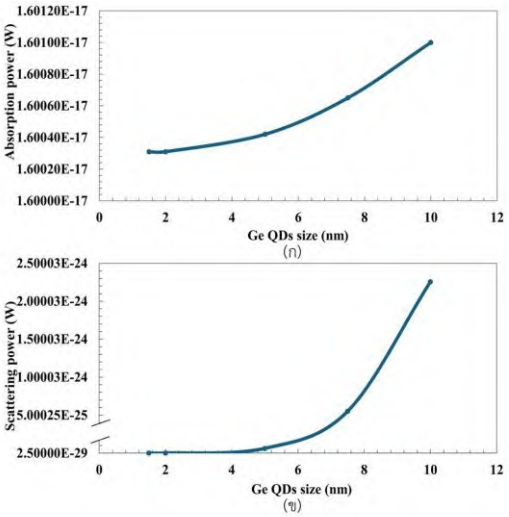

รูปที่ 3 (ก) กำลังของการดูดกลืนแสง และ (ข) กำลังของการกระเจิงแสงของอนุภาค Ge-QDs เมื่อขนาดของ Ge-QDs เป็น 1.5, 2, 5, 7.5, และ 10 นาโนเมตร ระยะห่างระหว่าง Ge-QDs เป็น 10 นาโนเมตร

ความสัมพันธ์ระหว่างการเพิ่มขึ้นของขนาดอนุภาคควอนตัมดอทเจอร์เมเนียมในแผ่นรองซิลิกอนกับความถี่เฉพาะของการสั่น แสดงดังรูปที่ 4 สังเกตได้ว่าความถี่เฉพาะของการสั่นจะลดลงเมื่ออนุภาคควอนตัมดอทเจอร์เมเนียมมีขนาดเพิ่มขึ้น ทั้งนี้ คลื่นเสียงส่วนใหญ่จะถูกกักขังไว้ในอนุภาคควอนตัมดอทเนื่องจากเจอร์เมเนียมมีค่ายังมอดูลัส (Young's modulus) ที่ต่ำกว่าซิลิกอน แต่มีค่าความหนาแน่นที่มากกว่าซิลิกอน ค่าความถี่เฉพาะของการสั่นจะมีค่าสูงที่สุดเมื่ออนุภาคควอนตัมดอทมีขนาดเล็กเป็น 2 นาโนเมตร เนื่องจากอนุภาคควอนตัมดอทที่มีขนาดเล็กจะกักขังโฟนอนได้ดีกว่า

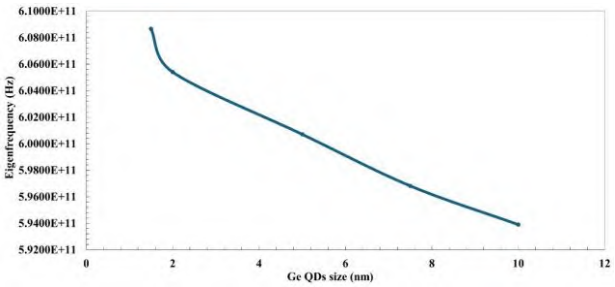

รูปที่ 4 ผลการศึกษาขนาดของ Ge-QDs ต่อความถี่เฉพาะของการสั่น เมื่อ Ge-QDs มีขนาดเป็น 1.5, 2, 5, 7.5, และ 10 นาโนเมตร และระยะห่างระหว่าง Ge-QDs เป็น 10 นาโนเมตร

ผลการศึกษาระยะห่างระหว่างอนุภาคควอนตัมดอทเจอร์เมเนียมต่อความถี่เฉพาะของการสั่นโดยที่อนุภาคควอนตัมดอทมีขนาดเท่ากับ 5 นาโนเมตร และมีระยะห่างระหว่างควอนตัมดอทเป็น 3, 5, 6, 7.5, 8.5, 10,

12, และ 14 นาโนเมตร โดยมีความยาวคลื่นแสงเป็น 300 นาโนเมตร แสดงดังรูปที่ 5 จะสังเกตได้ว่าเมื่อระยะห่างระหว่างแต่ละควอนตัมดอทเพิ่มขึ้นจาก 5 เป็น 14 นาโนเมตร จะไม่มีผลกระทบโดยตรงต่อความถี่เฉพาะของการสั่น ดังนั้นความถี่เฉพาะของการสั่นจะสามารถตรวจวัดการเปลี่ยนแปลงขนาดของควอนตัมดอทได้ดีกว่าการตรวจวัดระยะห่างระหว่างควอนตัมดอท

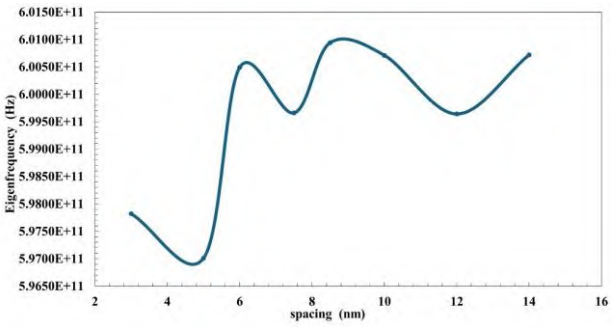

รูปที่ 5 ผลการศึกษาระยะห่างของ Ge-QDs ต่อความถี่เฉพาะของการสั่นเมื่อ Ge-QDs มีขนาดเป็น 5 นาโนเมตร

4. สรุป

บทความนี้ศึกษาผลกระทบของขนาดของกลุ่มอนุภาคควอนตัมดอทเจอร์เมเนียมที่มีต่อสมบัติการกระเจิงและการดูดกลืนแสงโดยใช้วิธีเชิงตัวเลขผลต่างสืบเนื่องเชิงเวลาแบบสามมิติ (3D-FDTD) ในการคำนวณสมบัติการกระเจิงและการดูดกลืนของแสงของอนุภาคควอนตัมดอทเจอร์เมเนียมในแผ่นรองซิลิกอน ผลการจำลองแสดงให้เห็นว่าเมื่ออนุภาคควอนตัมดอทเจอร์เมเนียมที่เรียงตัวกันเป็นแนวเส้นตรง มีขนาดที่เพิ่มขึ้นจะทำให้กำลังการดูดกลืนแสงและการกระเจิงแสงเพิ่มขึ้นแบบทวีคูณ อย่างไรก็ดี กำลังการดูดกลืนแสงของอนุภาคควอนตัมดอทเจอร์เมเนียมมีค่าสูงกว่ากำลังในการกระเจิงแสงอยู่มาก จึงทำให้สรุปได้ว่าอนุภาคควอนตัมดอทเจอร์เมเนียมมีความสามารถในการดูดกลืนแสงมากกว่าความสามารถในการกระเจิงแสง นอกจากนี้ การศึกษาความสัมพันธ์ระหว่างการเพิ่มขึ้นของขนาดอนุภาคควอนตัมดอทเจอร์เมเนียมในแผ่นรองซิลิกอนกับความถี่เฉพาะของการสั่น เมื่อระยะห่างระหว่างอนุภาคควอนตัมดอทมีค่าคงที่ แสดงให้เห็นว่าเมื่ออนุภาคควอนตัมดอทเจอร์เมเนียมมีขนาดเพิ่มขึ้น ความถี่เฉพาะของการสั่นจะมีแนวโน้มลดลง อย่างไรก็ตาม เมื่อกำหนดให้ขนาดของอนุภาคควอนตัมดอทคงที่ พบว่าการเพิ่มระยะห่างระหว่างควอนตัมดอทจะไม่มีผลกระทบโดยตรงต่อความถี่เฉพาะของการสั่น โดยเฉพาะเมื่อระยะห่างเป็น 5 นาโนเมตรขึ้นไปจนถึง 14 นาโนเมตร ดังนั้นความถี่เฉพาะของการสั่นสามารถใช้ตรวจจับการเปลี่ยนแปลงขนาดของควอนตัมดอทได้อย่างมีประสิทธิภาพมากกว่าการตรวจวัดระยะห่างระหว่างควอนตัมดอท ผลการศึกษานี้จึงแสดงให้เห็นถึงศักยภาพของการใช้สัญญาณเสียงในการตรวจสอบสมบัติทางกายภาพของควอนตัมดอทสำหรับการพัฒนาใช้งานในอุปกรณ์ควอนตัมเชิงแสงขั้นสูง ที่มีสมบัติขึ้นกับขนาดของควอนตัมดอทได้ เช่น ตัวจับแสง ซึ่งมีค่าการดูดซึมแสงที่ขึ้นกับขนาดของควอนตัมดอทเป็นอย่างมาก

5. กิตติกรรมประกาศ

ผลงานวิจัยนี้ได้รับงบประมาณสนับสนุนจากกองทุนส่งเสริมวิทยาศาสตร์ วิจัยและนวัตกรรม โดยหน่วยบริหารและจัดการทุนด้านการพัฒนากำลังคน และทุนด้านการพัฒนาสถาบันอุดมศึกษา การวิจัยและการสร้างนวัตกรรม สัญญาเลขที่ B39G670019 ทุนอุดหนุนการวิจัยและนวัตกรรมจากสำนักงานการวิจัยแห่งชาติ (วช.) : (N41A670412) และสถาบันวิจัยและพัฒนาแห่งมหาวิทยาลัยเกษตรศาสตร์ (KURDI) FF(KU-SRIU)7.67

เอกสารอ้างอิง

[1] S. Shi, A. Zaslavsky, and D. Pacifici, "High-performance germanium quantum dot photodetectors: Response to continuous wave and pulsed excitation," Applied Physics Letters, vol. 117, no. 25, p. 251105, 2020, doi: 10.1063/5.0025660.

[2] K. L. Wang, D. Cha, J. Liu, and C. Chen, "Ge/Si Self-Assembled Quantum Dots and Their Optoelectronic Device Applications," Proceedings of the IEEE, vol. 95, no. 9, pp. 1866-1883, 2007, doi: 10.1109/JPROC.2007.900971.

[3] E. G. Barbagiovanni, D. J. Lockwood, P. J. Simpson, and L. V. Goncharova, "Quantum confinement in Si and Ge nanostructures: Theory and experiment," Applied Physics Reviews, vol. 1, no. 1, p. 011302, 2014, doi: 10.1063/1.4835095.

[4] B. Zhang, S. Shrestha, M. A. Green, and G. Conibeer, "Size controlled synthesis of Ge nanocrystals in SiO2 at temperatures below 400 °C using magnetron sputtering," Applied Physics Letters, vol. 96, no. 26, p. 261901, 2010, doi: 10.1063/1.3457864.

[5] Y. Maeda, "Visible photoluminescence from nanocrystallite Ge embedded in a glassy SiO2 matrix: Evidence in support of the quantum-confinement mechanism," Physical Review B, vol. 51, no. 3, pp. 1658-1670, 01/15/ 1995, doi: 10.1103/PhysRevB.51.1658.

[6] C. Y. Chien, W. T. Lai, Y. J. Chang, C. C. Wang, M. H. Kuo, and P. W. Li, "Size tunable Ge quantum dots for near-ultraviolet to near-infrared photosensing with high figures of merit," Nanoscale, 10.1039/C4NR00168K vol. 6, no. 10, pp. 5303-5308, 2014, doi: 10.1039/C4NR00168K.

[7] S. Cosentino et al., "Light harvesting with Ge quantum dots embedded in SiO2 or Si3N4," Journal of Applied Physics, vol. 115, no. 4, p. 043103, 2014, doi: 10.1063/1.4863124.

[8] S. Cosentino et al., "Size dependent light absorption modulation and enhanced carrier transport in germanium quantum dots devices," Solar Energy Materials and Solar Cells, vol. 135, pp. 22-28, 2015/04/01/ 2015, doi: https://doi.org/10.1016/j.solmat.2014.09.012.

[9] T. Boonraksa, P. Boonraksa, S. lei lei Wynn and B. Marungsri, “Location and Sizing Optimization of Distributed Generation Systems on Smart Grid with the Whale Optimization Algorithm” *2021 9th International Electrical Engineering Congress (iEECON)*, Pattaya, Thailand, 2021, pp. 81-84.

[10] P.-Y. Hong, C.-H. Lin, I.-H. Wang, Y.-J. Chiu, B.-J. Lee, J.-C. Kao, C.-H. Huang, H.-C. Lin, T. George, and P.-W. Li, “The amazing world of self-organized Ge quantum dots for Si photonics on SiN platforms,” Applied Physics A, vol. 129, no. 126, 2023, doi: 10.1007/s00339-022-06332-z

[11] W. Chang et al., "Measuring effective stiffness of Li-ion batteries via acoustic signal processing," Journal of Materials Chemistry A, 10.1039/D0TA05552B vol. 8, no. 32, pp. 16624-16635, 2020, doi: 10.1039/D0TA05552B.

[12] J. L. Liu, G. Jin, Y. S. Tang, Y. H. Luo, K. L. Wang, and D. P. Yu, "Optical and acoustic phonon modes in self-organized Ge quantum dot superlattices," Applied Physics Letters, vol. 76, no. 5, pp. 586-588, 2000, doi: 10.1063/1.125825.

[13] A. G. Hsieh et al., "Electrochemical-acoustic time of flight: in operando correlation of physical dynamics with battery charge and health," Energy & Environmental Science, vol. 8, no. 5, pp. 1569-1577, 2015, doi: 10.1039/C5EE00111K.

[14] D. T. Pierce and W. E. Spicer, "Electronic Structure of Amorphous Si from Photoemission and Optical Studies," Physical Review B, vol. 5, no. 8, pp. 3017-3029, 1972, doi: 10.1103/PhysRevB.5.3017.

[15] J. Li, Y. Tang, Z. Li, X. Ding, D. Yuan, and B. Yu, “Study on Scattering and Absorption Properties of Quantum-Dot-Converted Elements for Light-Emitting Diodes Using Finite-Difference Time-Domain Method” Materials, vol. 10, no. 11, pp. 1264, 2017 doi: 10.3390/ma10111264

[16] A. Ciesielski, L. Skowronski, W. Pacuski, and T. Szoplik, "Permittivity of Ge, Te and Se thin films in the 200–1500 nm spectral range. Predicting the segregation effects in silver," Materials Science in Semiconductor Processing, vol. 81, pp. 64-67, 2018.

[17] X. Ding, J. Li, Q. Chen, Y. Tang, Z. Li, and B. Yu, "Improving LED CCT uniformity using micropatterned films optimized by combining ray tracing and FDTD methods," Opt. Express, vol. 23, no. 3, pp. A180-A191, 2015/02/09 2015,

[18] R. Van Laer, B. Kuyken, D. Van Thourhout, and R. Baets, "Interaction between light and highly confined hypersound in a silicon photonic nanowire," Nature Photonics, vol. 9, no. 3, pp. 199-203, 2015.

ณัฐดนัย คงเพ็ชร์ จบการศึกษาในระดับปริญญาตรี วิทยาศาสตรบัญฑิต (เกียรตินิยม) สาขาฟิสิกส์ จากมหาวิทยาลัยเกษตรศาสตร์ วิทยาเขตศรีราชา และจบการศึกษาระดับบัณฑิตศึกษาจาก ภาควิชาฟิสิกส์ คณะวิทยาศาสตร์ มหาวิทยาลัยเกษตรศาสตร์ ปัจจุบันกำลังศึกษาอยู่ในระดับปริญญาเอกที่ภาควิชาฟิสิกส์ คณะวิทยาศาสตร์ มหาวิทยาลัยเกษตรศาสตร์ มีความสนใจในการทำวิจัยด้านโฟโตนิกส์และออฟติคอลโมดูเลเตอร์แบบดูดกลืนแสง และไลดาร์ (LiDAR)

นิศาชล ตั้งเสงี่ยมวิลัย จบการศึกษาระดับปริญญาเอกด้านการประมวลผลสัญญาณ ภาควิชาวิศวกรรมไฟฟ้าและวิศวกรรมอิเล็กทรอนิกส์ อิมพีเรียลคอลเลจ ลอนดอน ประเทศอังกฤษ เมื่อปีพ.ศ. 2544 ปัจจุบันเป็นอาจารย์ประจำที่ภาควิชาวิศวกรรมไฟฟ้า คณะวิศวกรรมศาสตร์ จุฬาฯ มีความสนใจในการทำวิจัยเกี่ยวกับเทคนิคการลดเสียงรบกวนเพื่อเพิ่มคุณภาพเสียงพูดในระบบการสื่อสารทางเสียง และมีความเชี่ยวชาญด้านการประมวลผลสัญญาณดิจิทัล

ปพิชญา ชัยสกุล ปัจจุบันเป็นรองศาสตราจารย์ ณ ภาควิชาฟิสิกส์ คณะวิทยาศาสตร์ มหาวิทยาลัยเกษตรศาสตร์ สำเร็จการศึกษาระดับปริญญาเอกสาขาฟิสิกส์จาก Université Paris-Saclay (Université Paris-Sud) ประเทศฝรั่งเศส ปริญญาโทสาขาฟิสิกส์ประยุกต์จาก École Normale supérieure Paris-Saclay (École Normale supérieure de Cachan) ปริญญาโทและปริญญาตรีสาขาวิศวกรรมไฟฟ้าจากจุฬาลงกรณ์มหาวิทยาลัย และได้ร่วมเขียนบทความทางวิทยาศาสตร์ที่ได้รับการตัดสินมากกว่า 70 เรื่อง ในด้านวงจรรวมทางแสง (Photonic integrated circuits)

หุ่นยนต์ทำความสะอาดแผงเซลล์แสงอาทิตย์ขนาดเล็กควบคุมด้วยรีโมทคอนโทรล

Small solar panel cleaning robot controlled by remote control

กีรดิษ สายพัทลุง[1*] จิรายุส งามแฉ่ง[1] วรัตถ์พงษ์ แย้มดอนไพร[1] ธงชัย ทองอยู่[1] และ ณัฐภูมิ สุดแก้ว[1]

[1]สาขาวิชาวิศวกรรมอิเล็กทรอนิกส์อัจฉริยะและคอมพิวเตอร์ คณะเทคโนโลยีอุตสาหกรรม มหาวิทยาลัยราชภัฏพระนคร keeradit@pnru.ac.th*

บทคัดย่อ

การศึกษาวิจัยนี้ได้พัฒนาหุ่นยนต์ทำความสะอาดแผงเซลล์แสงอาทิตย์ขนาดเล็ก เพื่อแก้ไขปัญหาฝุ่นและสิ่งปกคลุมที่ส่งผลให้ประสิทธิภาพการผลิตไฟฟ้าลดลง หุ่นยนต์มีโครงสร้างอะลูมิเนียมขนาดกะทัดรัด 0.375×0.476×0.07 เมตร น้ำหนัก 7.8 กิโลกรัม ควบคุมด้วย Arduino UNO และ ESP32 พร้อมเซนเซอร์วัดระยะทางป้องกันการตก ระบบทำความสะอาดประกอบด้วยแปรงปัด ระบบฉีดน้ำ และยางรีดน้ำ รองรับการควบคุม 2 รูปแบบคือรีโมทคอนโทรลและระบบอัตโนมัติ พร้อมระบบ IoT MQTT Panel สำหรับติดตามตำแหน่ง GPS และสถานะแบตเตอรี่ ผลการทดสอบพบว่าการควบคุมด้วยรีโมทมีประสิทธิภาพร้อยละ 100 ใช้เวลาเฉลี่ย 39.95 วินาทีต่อแผง ขณะที่โหมดอัตโนมัติใช้เวลา 37.10 วินาทีต่อแผง ส่วนใช้คนล้างใช้เวลาเฉลี่ยที่ 16.43 วินาที แต่ก็ต้องแบกรับความเสี่ยงของการทำงานในที่สูง การทดสอบภาคสนามบนแผงโซลาร์เซลล์ 30 แผงบนหลังคาใช้เวลาเฉลี่ย 28.31 นาที ใช้ปริมาณน้ำ 1.84 ลิตร ระยะการควบคุมรีโมทได้สูงสุด 30.28 เมตร แบตเตอรี่ใช้งานต่อเนื่อง 55 นาที ซึ่งหุ่นยนต์ที่พัฒนาขึ้นช่วยประสิทธิภาพสำหรับการบำรุงรักษาแผงโซลาร์เซลล์ผ่านการทำความสะอาดทั้งแบบควบคุมด้วยมือและอัตโนมัติ

คำสำคัญ: หุ่นยนต์ทำความสะอาด แผงเซลล์แสงอาทิตย์ ระบบควบคุมอัตโนมัติ ประสิทธิภาพการผลิตไฟฟ้า

Abstract

This research study developed a small solar panel cleaning robot to solve the problems of dust and debris coverage that reduced electricity generation efficiency. The robot featured a compact aluminum structure measuring 0.375×0.476×0.07 meters, weighed 7.8 kilograms, and was controlled by Arduino UNO and ESP32 with distance sensors that prevented falling. The cleaning system consisted of brushes, a water spray system, and water squeegees. It supported two control modes: remote control and automatic system, equipped with an IoT MQTT Panel for GPS position tracking and battery status monitoring. Test results showed that remote control achieved 100% efficiency and averaged 39.95 seconds per panel, while automatic mode took 37.10 seconds per panel. Manual cleaning by humans averaged 16.43 seconds but carried the risk of working at heights. Field testing on 30 solar panels on a rooftop averaged 28.31 minutes, used 1.84 liters of water, achieved a maximum remote-control range of 30.28 meters, and provided 55 minutes of continuous battery operation. The developed robot enhanced efficiency for solar panel maintenance through both manual and automatic cleaning control.

Keywords: Cleaning Robot, Solar Panel, Automated Control System, Electrical Power Generation Efficiency

1. บทนำ

พลังงานทางเลือก เป็นพลังงานที่ใช้แล้วไม่มีวันหมด และไม่ก่อให้เกิดมลพิษต่อสิ่งแวดล้อม [1] โดยข้อมูลจากกรมพัฒนาพลังงานทดแทนและอนุรักษ์พลังงานระบุว่า ประเทศไทยมีการใช้พลังงานขั้นสุดท้ายในช่วง 5 เดือนแรกของปี 2566 เพิ่มขึ้นร้อยละ 3 จากช่วงเดียวกันของปีก่อน [2] ซึ่งนโยบายการส่งเสริมพลังงานทดแทนของรัฐบาลไทยมีเป้าหมายให้พลังงานทดแทนมีสัดส่วนร้อยละ 30 เช่น พลังงานแสงอาทิตย์ พลังงานลม พลังงานน้ำ พลังงานความร้อนใต้พิภพ และพลังงานชีวมวล เป็นต้น ของการใช้พลังงานขั้นสุดท้ายภายในปี 2580 [3] โดยการผลิตไฟฟ้าด้วยเซลล์แสงอาทิตย์ได้รับความนิยมอย่างแพร่หลายทั้งในและต่างประเทศ อย่างไรก็ตาม ปัจจัยที่มีผลต่อประสิทธิภาพการผลิตไฟฟ้าของเซลล์แสงอาทิตย์มีหลายประการ เช่น การบดบังเงา ฝุ่นที่ตกสะสมบนผิวหน้าแผงเซลล์แสงอาทิตย์ อุณหภูมิการทำงาน และมุมการติดตั้ง โดยฝุ่นและสิ่งสกปรกปกคลุมซึ่งเป็นปัญหาที่พบในทุกพื้นที่ ส่งผลต่อประสิทธิภาพการผลิตกระแสไฟฟ้า [4] จากการศึกษาของ T. Sarver et al. พบว่าฝุ่นสามารถลดประสิทธิภาพของแผงโซลาร์เซลล์ได้ถึงร้อยละ 50 ในพื้นที่ที่มีฝุ่นมาก [5] ในขณะที่การศึกษาในประเทศไทยพบว่าฝุ่นที่สะสมเป็นเวลา 30 วัน สามารถลดประสิทธิภาพมากถึงร้อยละ 35 ของประสิทธิภาพการผลิตไฟฟ้าของแผง [6]

รูปที่ 1 การทำความสะอาดแผงเซลล์แสงอาทิตย์แบบดั้งเดิม

*ผู้ประพันธ์บรรณกิจ

การทำความสะอาดแผงเซลล์แสงอาทิตย์แบบดั้งเดิมมักใช้แรงงานคนในการขัดล้างด้วยน้ำและแปรง ซึ่งมีข้อจำกัดหลายประการ ได้แก่ ความเสี่ยงด้านความปลอดภัยในการทำงานบนที่สูง การใช้น้ำจำนวนมาก ค่าใช้จ่ายด้านแรงงานที่สูง และความไม่สม่ำเสมอในการทำความสะอาด [7] จากปัญหาการทำความสะอาดแบบดั้งเดิม ทำให้มีผู้ให้ความสนใจในการเทคโนโลยีหุ่นยนต์ทำความสะอาดแผงโซลาร์เซลล์ได้รับการพัฒนาในหลายรูปแบบ ตั้งแต่ระบบแบบติดตั้งถาวรที่เคลื่อนที่บนราง ไปจนถึงหุ่นยนต์แบบเคลื่อนที่อิสระ [8-9] ระบบเหล่านี้ใช้เทคโนโลยีการตรวจจับต่าง ๆ เช่น เซนเซอร์แสง เซนเซอร์ความชื้น และกล้องถ่ายภาพ เพื่อประเมินระดับความสกปรก [10] แต่ส่วนใหญ่จะเป็นเครื่องที่ติดตั้งถาวรและมีรูปร่างขนาดใหญ่

ดังนั้น พัฒนาหุ่นยนต์ทำความสะอาดแผงเซลล์แสงอาทิตย์ เพื่อแก้ไขปัญหาฝุ่นและสิ่งปกคลุมที่ส่งผลให้ประสิทธิภาพการผลิตไฟฟ้าลดลง โดยพัฒนาหุ่นยนต์มีโครงสร้างขนาด กว้าง 0.375 เมตร ยาว 0.476 เมตร สูง 0.07 เมตร น้ำหนัก 7.8 กิโลกรัม ซึ่งมีขนาดเล็ก เคลื่อนย้ายง่าย โดยมีระบบป้องกันการตก และการทำความสะอาดด้วยแปรงปัด ระบบฉีดน้ำและยางรีดน้ำ พร้อมรองรับการควบคุม 2 รูปแบบ คือ การควบคุมด้วยรีโมทคอนโทรล และระบบอัตโนมัติ

2. วิธีการ

2.1 การออกแบบโครงสร้างของหุ่นยนต์ทำความสะอาดแผงเซลล์แสงอาทิตย์ขนาดเล็ก

การออกแบบหุ่นยนต์ทำความสะอาดแผงเซลล์แสงอาทิตย์ออกแบบโครงสร้างด้วยโปรแกรม SketchUp ในรูปแบบสามมิติ เพื่อจำลองโครงสร้างหุ่นยนต์ทำความสะอาดแผงเซลล์แสงอาทิตย์ ที่มีขนาดกว้าง 0.375 เมตร ยาว 0.476 เมตร สูง 0.35 เมตร ดังรูปที่ 2(ก) และส่วนหน้าของตัวหุ่นยนต์จะเป็นส่วนของแปรงปัดทำความสะอาด พร้อมทั้งติดตั้งเซนเซอร์อัลตราโซนิคสำหรับป้องกันการตกของหุ่นยนต์ ดังรูปที่ 2(ข)

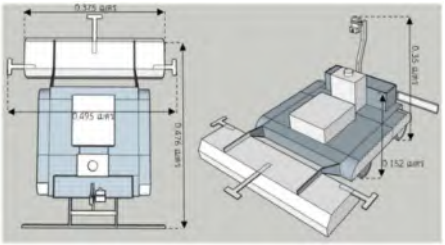

(ก)

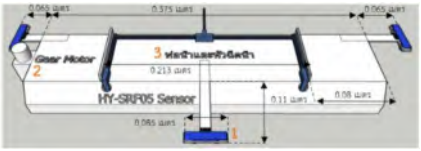

(ข)

รูปที่ 2 โครงสร้างของตัวหุ่นยนต์ทำความสะอาดแผงเซลล์แสงอาทิตย์

จากรูปที่ 2(ข) ส่วนประกอบด้านหน้าหุ่นยนต์ จะประกอบด้วย 1.เซนเซอร์วัดระยะทาง HY-SRF05 เพื่อป้องกันการตกจากแผงเซลล์แสงอาทิตย์ 2. มอเตอร์เกียร์กระแสตรง สำหรับขับเคลื่อนแปรงทำความสะอาด และ 3. ท่อน้ำและหัวฉีดน้ำ

2.2 ขั้นตอนการทำงานของหุ่นยนต์ทำความสะอาดแผงเซลล์แสงอาทิตย์ขนาดเล็ก

หุ่นยนต์ทำความสะอาดแผงเซลล์แสงอาทิตย์มีรูปแบบการทำงาน 2 ลักษณะ ได้แก่ การควบคุมด้วยรีโมทคอนโทรล และแบบอัตโนมัติ เมื่อเริ่มเปิดเครื่องระบบจะตั้งค่าเริ่มต้นเป็นแบบควบคุมด้วยรีโมทคอนโทรล โดยเมื่อมีการกดเปิดระบบอัตโนมัติ รีเลย์จะเปลี่ยนสถานะ เป็นปกติเปิด เพื่อสลับวงจรให้โปรแกรมที่กำหนดไว้ใน ส่วนระบบแปรงปัดและปั๊มน้ำยังคงควบคุมผ่านรีโมทคอนโทรล หุ่นยนต์มีระบบป้องกันการตกจากแผงโดยใช้เซนเซอร์วัดระยะทาง หากตรวจพบระยะห่างมากกว่า 10 เซนติเมตร หุ่นยนต์จะหยุดการทำงานและเคลื่อนที่ในทิศทางตรงกันข้าม หลังจากนั้นจึงสามารถกลับมาควบคุมด้วยรีโมทคอนโทรลได้ตามปกติดังรูปที่ 3

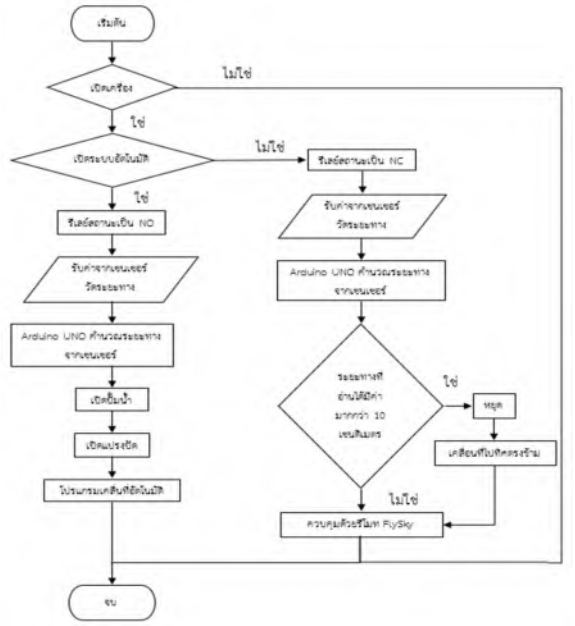

รูปที่ 3 ขั้นตอนการทำงานของหุ่นยนต์

3. การประกอบทำความสะอาดแผงเซลล์แสงอาทิตย์ขนาดเล็ก

หุ่นยนต์ทำความสะอาดแผงเซลล์แสงอาทิตย์ นั้นแสดงให้เห็นถึงโครงสร้างที่ทำจากวัสดุอะลูมิเนียมสีดำ มีส่วนขาของเซนเซอร์ป้องกันการตกที่ยื่นออกมาทำจากพลาสติกสีเทา ทั้ง 3 ด้าน คือ ด้านหน้า ด้านซ้าย และด้านขวา บริเวณส่วนหัวของหุ่นยนต์ ต่อจากนั้นจะเป็นกล่องใส่อุปกรณ์

ต่าง ๆ แบตเตอรี่ กล้อง E88Pro และถังใส่น้ำ พร้อมกับมรสายท่อน้ำต่อไปยังมอเตอร์ปั๊มน้ำ และหัวฉีดน้ำ ทางด้านหลังจะเห็นยางรีดน้ำซึ่งสามารถปรับระดับสูงต่ำได้ตามความเหมาะสม ดังรูปที่ 4

รูปที่ 4 หุ่นยนต์ทำความสะอาดแผงเซลล์แสงอาทิตย์ขนาดเล็ก

4. ผลการวิจัย

4.1 การทดสอบระยะเวลาในการเคลื่อนที่ของหุ่นยนต์ทำความสะอาดแผงเซลล์แสงอาทิตย์ขนาดเล็กในระยะทาง 2 เมตร เมื่อบรรจุน้ำและไม่บรรจุน้ำภายในตัวหุ่นยนต์ โดยปริมาณการบรรจุน้ำของหุ่นยนต์อยู่ที่ 0.9 ลิตร ซึ่งผลการทดสอบ ดังตารางที่ 1

ตารางที่ 1 ระยะเวลาในการเคลื่อนที่ของหุ่นยนต์ที่ระยะ 2 เมตร

จำนวนรอบที่ทดสอบ	ระยะเวลาเคลื่อนที่เมื่อไม่บรรจุน้ำ (วินาที)	ระยะเวลาเคลื่อนที่เมื่อบรรจุน้ำ (วินาที)
1	7.14	7.65
2	7.13	7.25
3	6.95	7.14
4	7.51	7.31
5	7.06	7.11
6	7.46	7.25
7	7.08	7.50
8	7.29	7.31
9	7.26	7.25
10	7.28	7.18
ค่าเฉลี่ย	7.21	7.29

จากตารางที่ 1 ผลการทดสอบระยะเวลาในการเคลื่อนที่ของหุ่นยนต์ทำความสะอาดแผงเซลล์แสงอาทิตย์ขนาดเล็กในระยะทาง 2 เมตร ควบคุมด้วยรีโมทคอนโทรล เมื่อไม่บรรจุน้ำ บันทึกเวลาที่ใช้ในการทำความสะอาดแต่ละรอบจำนวน 10 ครั้ง พบว่าเวลาที่ใช้มีค่าตั้งแต่ 6.95 วินาที ถึง 7.51 วินาที โดยมีค่าเฉลี่ยเท่ากับ 7.21 วินาที และผลการทดสอบการควบคุมหุ่นยนต์ทำความสะอาดควบคุมด้วยรีโมทคอนโทรล เมื่อบรรจุน้ำ พบว่าเวลาที่ใช้มีค่าตั้งแต่ 7.11 วินาที ถึง 7.65 วินาที โดยมีค่าเฉลี่ยเท่ากับ 7.29 วินาที โดยระยะเวลาที่เร็ว หรือช้าเกินไปในบางรอบของการทดสอบเกิดจากการบังคับของผู้ทดสอบในการบังคับหุ่นยนต์ด้วยรีโมทคอนโทรล

4.2 การทดสอบระยะเวลาในการทำความสะอาดของหุ่นยนต์ทำความสะอาดแผงเซลล์แสงอาทิตย์ขนาดเล็ก ซึ่งจะเป็นการทดสอบ 2 ลักษณะคือ 1. ควบคุมด้วยรีโมทคอนโทรล 2. แบบอัตโนมัติ 3. ล้างแผงโดยคน โดยการทดสอบจะทดสอบบนแผงเซลล์แสงอาทิตย์จำนวน 1 แผง ขนาด 320 วัตต์ กว้าง 0.99 เมตร x ยาว 1.96 เมตร โดยบันทึกเวลาที่ใช้ในการทำความสะอาดเสร็จแต่ละรอบ ซึ่งผลการทดสอบ ดังตารางที่ 2

ตารางที่ 2 ระยะเวลาในการทำความสะอาดของหุ่นยนต์

จำนวนรอบที่ทดสอบ	ควบคุมด้วยรีโมทคอนโทรล (วินาที)	ควบคุมด้วยระบบอัตโนมัติ (วินาที)	การล้างแผงโดยใช้คนล้าง
1	40.23	37.13	16.17
2	39.58	36.87	16.23
3	39.88	36.98	16.61
4	40.10	37.77	16.85
5	39.99	37.25	16.72
6	39.12	36.84	16.57
7	40.30	36.47	16.34
8	40.75	36.99	16.03
9	39.44	37.12	16.58
10	40.12	37.54	16.24
ค่าเฉลี่ย	39.95	37.10	16.43

จากตารางที่ 2 ผลการทดสอบระยะเวลาในการทำความสะอาดของหุ่นยนต์ทำความสะอาดแผงเซลล์แสงอาทิตย์ขนาดเล็กควบคุมด้วยรีโมทคอนโทรล บันทึกเวลาที่ใช้ในการทำความสะอาดแต่ละรอบจำนวน 10 ครั้ง พบว่าเวลาที่ใช้มีค่าตั้งแต่ 39.12 วินาที ถึง 40.75 วินาที โดยมีค่าเฉลี่ยเท่ากับ 39.95 วินาที และผลการทดลองควบคุมหุ่นยนต์ทำความสะอาดแผงเซลล์แสงอาทิตย์แบบอัตโนมัติ พบว่าเวลาที่ใช้มีค่าตั้งแต่ 36.84 วินาที ถึง 37.77 วินาที โดยมีค่าเฉลี่ยเท่ากับ 37.10 วินาที ส่วนการล้างด้วยคนจะใช้เวลาที่น้อยกว่าอยู่ระหว่าง 16.03 วินาที ถึง 16.85 วินาที แต่ก็ต้องแบกรับความเสี่ยงของการทำงานในที่สูง

4.3 การทดสอบความเร็วในการหมุนของมอเตอร์แปรงปัด ซึ่งเป็นการอัตราการหมุนของมอเตอร์เกียร์ ที่ควบคุมความเร็วด้วยรีโมทคอนโทรล ซึ่งสามารถปรับความเร็วได้ 10 ระดับ ดังตารางที่ 3

ตารางที่ 3 จำนวนรอบการหมุนของแปรงปัดต่อนาที (RPM)

ระดับความเร็วจากรีโมทคอนโทรล	ความเร็วการหมุนของมอเตอร์แปรงปัดรอบต่อนาที (RPM)
1	0
2	93.2
3	152.6
4	199.2
5	253.3

ตารางที่ 3 (ต่อ)

ระดับความเร็วจาก รีโมทคอนโทรล	ความเร็วการหมุนของมอเตอร์แปรงปัด รอบต่อนาที (RPM)
6	314.8
7	379.6
8	430.4
9	486.7
10	498.6

จากตารางที่ 3 การทดสอบความเร็วในการหมุนของมอเตอร์แปรงปัด ซึ่งเป็นการอัตราการหมุนของมอเตอร์เกียร์ ที่ควบคุมความเร็วด้วยรีโมทคอนโทรล ซึ่งสามารถปรับความเร็วได้ 10 ระดับ พบว่าความเร็วการหมุนของมอเตอร์แปรงปัดรอบต่อนาที (RPM) มีความเร็วตั้งแต่ 0 ถึง 498.6 รอบต่อวินาที โดยทดสอบด้วยการหมุนความต้านทานปรับค่าได้ที่อยู่บนรีโมทคอนโทรลจำนวน 10 รอบ และใช้เครื่องมือวัดมาตรฐาน FERVI C070 - Contact and optical type digital tachometer

4.4 การทดสอบการนำหุ่นยนต์ทำความสะอาดแผงเซลล์แสงอาทิตย์ขนาดเล็กไปใช้งานในสถานที่จริงบนหลังคาอาคาร 27 คณะเทคโนโลยีอุตสาหกรรม มหาวิทยาลัยราชภัฏพระนคร ดังรูปที่ 4 โดยทำการทดสอบล้างแผงเซลล์แสงอาทิตย์จำนวน 30 แผง แต่ละแผงขนาดกว้าง กว้าง 0.99 เมตร x ยาว 1.96 เมตร ระยะทางความยาวทั้งหมด 30.28 เมตร โดยคำนวณระยะห่างระหว่างแผงตามมาตราฐาน 0.02 เมตร พื้นที่ที่ต้องทำความสะอาดทั้งหมด 59.35 ตารางเมตร ดังตารางที่ 5 โดยทดสอบหาปริมาณน้ำ และระยะเวลาที่ใช้ในการล้างแผงทั้งหมด 30 แผง ซึ่งได้ผลดังตารางที่ 4

รูปที่ 5 การทดสอบหุ่นยนต์ทำความสะอาดแผงเซลล์แสงอาทิตย์ขนาดเล็ก ไปใช้งานในสถานที่จริง

ตารางที่ 4 ผลการทดสอบการนำหุ่นยนต์ไปใช้งานในสถานที่จริง

จำนวนครั้งที่ทดลอง	ปริมาณการใช้น้ำ (ลิตร)	ระยะเวลาที่ใช้ในการล้างแผงในสถานที่จริง (นาที)
1	1.8	28.07
2	1.9	28.42
3	1.8	27.78
4	1.8	28.92
5	1.9	28.37
ค่าเฉลี่ย	1.84	28.31

จากตารางที่ 4 ผลการทดสอบการนำหุ่นยนต์ทำความสะอาดแผงเซลล์แสงอาทิตย์ขนาดเล็กไปใช้งานในสถานที่จริง บันทึกปริมาณการใช้น้ำและเวลาที่ใช้ในการทำความสะอาดแต่ละรอบจำนวน 5 รอบ พบว่าปริมาณน้ำที่ใช้จะอยู่ระหว่าง 1.8 ถึง 1.9 ลิตร มีค่าเฉลี่ยอยู่ที่ 1.84 ลิตร และเวลาที่ใช้มีค่าตั้งแต่ 27.78 นาที ถึง 28.92 วินาที โดยมีค่าเฉลี่ยเท่ากับ 28.31 นาที

4.5 การทดสอบการนำหุ่นยนต์ทำความสะอาดแผงเซลล์แสงอาทิตย์ขนาดเล็กคำนวณเวลาที่สามารถใช้งานได้ต่อเนื่อง โดยอิงจากการเปิดใช้งานมอเตอร์เกียร์ 5 ตัว และมอเตอร์ปั๊มน้ำ 1 ตัว มอเตอร์เกียร์แต่ละตัวกินกระแสเฉลี่ย 0.8 แอมป์ มอเตอร์ปั๊มน้ำกินกระแส 1.5 แอมป์ ดังตารางที่ 5

ตารางที่ 5 ระดับร้อยละของแบตเตอรี่กรณีไม่มีโหลดต่อใช้งาน

แรงดัน (โวลต์)	ร้อยละของแบตเตอรี่ โดยประมาณ
12.9 ถึง 13.2	100
12.7	90
12.5	80
12.3	70
12.1	50
11.9	30
11.8	20

จากตารางที่ 5 ผลการทดสอบเวลาในการนำหุ่นยนต์ทำความสะอาดแผงเซลล์แสงอาทิตย์ขนาดเล็ก โดยหุ่นยนต์สามารถใช้งานได้ต่อเนื่องประมาณ 55 นาทีต่อรอบการใช้งาน หลังจากนั้นจำเป็นต้องชาร์จประจุแบตเตอรี่ใหม่อีกครั้ง

สรุป

งานวิจัยนี้พัฒนาหุ่นยนต์ทำความสะอาดแผงเซลล์แสงอาทิตย์เพื่อแก้ไขปัญหาการลดลงของประสิทธิภาพการผลิตไฟฟ้าจากฝุ่นและสิ่งปกคลุม โดยหุ่นยนต์ถูกออกแบบด้วยโปรแกรม SketchUp มีโครงสร้างอะลูมิเนียมขนาดกะทัดรัด 0.375×0.476×0.07 เมตร น้ำหนัก 7.8 กิโลกรัม ประกอบด้วยระบบควบคุม Arduino UNO และ ESP32 ระบบป้องกันการตกด้วยเซนเซอร์ HY-SRF05 ที่ตรวจจับระยะทางมากกว่า 10 เซนติเมตร ระบบทำความสะอาดด้วยแปรงปัด ระบบฉีดน้ำ และยางรีดน้ำ รองรับการควบคุม 2 รูปแบบคือรีโมทคอนโทรล และระบบอัตโนมัติ พร้อมการติดตามผ่าน IoT MQTT Panel สำหรับ GPS และสถานะแบตเตอรี่

ผลการทดสอบแสดงให้เห็นประสิทธิภาพที่ดี การเคลื่อนที่ระยะ 2 เมตรใช้เวลาเฉลี่ย 7.21 วินาที (ไม่มีน้ำ) และ 7.29 วินาที (มีน้ำ) การทำความสะอาดต่อแผงใช้เวลา 39.95 วินาที (รีโมท) และ 37.10 วินาที (อัตโนมัติ) การทดสอบภาคสนามบนแผงโซลาร์เซลล์ 30 แผงบนหลังคาอาคาร พื้นที่รวม 59.35 ตารางเมตร ใช้เวลาเฉลี่ย 28.31 นาที ปริมาณน้ำที่ใช้ในการล้างแผงจำนวน 1.84 ลิตร ระยะการควบคุมได้ถึง 30.28 เมตร

และแบตเตอรี่ใช้งานต่อเนื่อง 55 นาที แปรงปัดสามารถปรับความเร็วได้ 10 ระดับ จาก 0 ถึง 498.6 รอบต่อนาที

ระบบหุ่นยนต์นี้มีข้อดีหลายประการ ได้แก่ ความปลอดภัยที่เพิ่มขึ้นจากการลดความเสี่ยงการทำงานบนที่สูง การประหยัดทรัพยากรโดยใช้น้ำน้อยกว่าการทำความสะอาดแบบดั้งเดิม ความสม่ำเสมอในการทำความสะอาดที่เป็นระบบ ประสิทธิภาพที่ระบบอัตโนมัติทำงานได้เร็วกว่าการควบคุมด้วยรีโมท และความสามารถในการติดตามตำแหน่งและสถานะผ่าน IoT ระบบนี้แสดงให้เห็นถึงศักยภาพในการแก้ปัญหาการบำรุงรักษาแผงโซลาร์เซลล์อย่างมีประสิทธิภาพ การพัฒนาต่อยอดอาจรวมถึงการปรับปรุงระยะเวลาการใช้แบตเตอรี่ การเพิ่มความสามารถในการทำงานบนพื้นผิวที่มีความชันมากขึ้น และการพัฒนาระบบตรวจจับระดับความสกปรกอัตโนมัติ ด้วย image processing อีกทั้งยังสามารถวางแผนการทำความสะอาดแผงโซลาร์เซลล์ได้

5. กิตติกรรมประกาศ

งานวิจัยนี้ได้รับการสนับสนุนจาก สาขาวิชาวิศวกรรมอิเล็กทรอนิกส์อัจฉริยะและคอมพิวเตอร์ คณะเทคโนโลยีอุตสาหกรรม มหาวิทยาลัยราชภัฏพระนคร

เอกสารอ้างอิง

[1] สำนักงานนโยบายและแผนพลังงาน, "แผนพัฒนาพลังงานทดแทนและพลังงานทางเลือก พ.ศ. 2558-2579," กระทรวงพลังงาน, 2558.

[2] กรมพัฒนาพลังงานทดแทนและอนุรักษ์พลังงาน, "รายงานสถานการณ์พลังงานของประเทศไทย ปี 2566," กระทรวงพลังงาน, 2566.

[3] สำนักงานนโยบายและแผนพลังงาน, "Thailand Integrated Energy Blueprint (TIEB)," กระทรวงพลังงาน, 2558.

[4] วรากร พิเศษธนกิจกุล และ บดินทร์ รัศมีเทศ, "ปัจจัยที่มีอิทธิพลต่อความตั้งใจใช้งานเทคโนโลยีผลิตกระแสไฟฟ้าจากเซลล์แสงอาทิตย์แบบติดตั้งบนหลังคาในเขตกรุงเทพมหานคร," วารสารสหวิทยาการมนุษยศาสตร์และสังคมศาสตร์, ปีที่ 4, ฉบับที่ 3, หน้า 955-969, ก.ย.-ธ.ค. 2564.

[5] T. Sarver, A. Al-Qaraghuli, and L. L. Kazmerski, "A comprehensive review of the impact of dust on the use of solar energy: History, investigations, results, literature, and mitigation approaches," Renewable and Sustainable Energy Reviews, vol. 22, pp. 698-733, 2013.

[6] M. M. Rahman, M. A. Islam, A. H. M. Z. Karim, and A. H. Ronee, "Effects of Natural Dust on the Performance of PV Panels in Bangladesh," International Journal of Modern Education and Computer Science, vol. 4, no. 10, pp. 26-32, Oct. 2012, doi: 10.5815/ijmecs.2012.10.04.

[7] S. Altınkök and A. Altınkök, "Photovoltaic Thermal PV/T Solar Panels and Practical Applications," The Black Sea Journal of Sciences, vol. 14, no. 2, pp. 683-699, 2024, doi: 10.31466/kfbd.1425077.

[8] C. M. Nkinyam, C. O. Ujah, K. C. Nnakwo, O. Ezeudu, D. V. V. Kallon, and I. Ike-Eze C. Ezema, "Design and implementation of a waterless solar panel cleaning system," *Unconventional Resources*, vol. 5, pp. 1-11, 2025, doi: 10.1016/j.uncres.2024.100131.

[9] พีรพล จันทร์หอม, ดอนสัน ปงผาบ, วิภาดาวงศ์สุริยา, ภีรศักดิ์ เผ่าผาง , พัฒนพงษ์สินธุ์ไพฑูรย์, และ นัทรัตน์ ปานมัจฉา, "การพัฒนาหุ่นยนต์ทำความสะอาดแผงเซลล์แสงอาทิตย์อัจฉริยะ," วารสารวิชาการเทคโนโลยีอุตสาหกรรม, ปีที่ 18, ฉบับที่ 2, หน้า 81-94, มิ.ย. 2565, doi: 10.14416/j.ind.tech.2022.06.006.

[10] R. Appels et al., "Effect of soiling on photovoltaic modules," Solar Energy, vol. 96, pp. 283-291, 2013.

การจำลองปัจจัยของชนิดหลังคาและระยะห่างการติดตั้งต่อประสิทธิภาพของแผงโซลาร์เซลล์ด้วย MATLAB
Simulation of roof type and installation distance on solar panel performance using MATLAB

รักษ์ศักดิ์ สาทะโพน[1*] กฤษฎา พรหมพินิจ[1*] สราวุฒิ บุญเกิดรัมย์[1] และ รณยุทธ นนท์พละ[1]

[1]สาขาวิชาวิศวกรรมศาสตร์ คณะเทคโนโลยีอุตสาหกรรม มหาวิทยาลัยราชภัฏสกลนคร sathaphonr@gmail.com* krisada@snru.ac.th* sarawoot.b@snru.ac.th ronnayut.no@snru.ac.th

บทคัดย่อ

บทความนี้เสนอการทดสอบแบบจำลองโซลาร์เซลล์ที่ถูกติดตั้งตามระยะห่างบนวัสดุหลังคาด้วย MATLAB โดยเป็นการจำลองการติดตั้งโดยปรับระยะห่างการติดตั้งแผงบนวัสดุหลังคาคอนกรีต ไฟเบอร์ซีเมนต์ และเมทัลชีท เพื่อทดสอบประสิทธิภาพการผลิตไฟฟ้าของแผงโซลาร์เซลล์ โดยทั่วไประยะห่างสำหรับการติดตั้งบนหลังคาถูกแนะนำไว้ที่ 10 ซม. การติดตั้งระบบโซลาร์เซลล์บนหลังคานั้น พบว่าวัสดุหลังคามีหลายชนิด ระยะที่ได้รับคำแนะนำอาจไม่เหมาะสมกับวัสดุหลังคาบางชนิด ซึ่งส่งผลให้ประสิทธิภาพของแผงต่ำกว่าที่ควร

การทดลองนี้ได้พัฒนา MATLAB model เพื่อใช้ศึกษาประสิทธิภาพแผงก่อนการติดตั้ง ซึ่งผลที่ได้คือกำลังไฟฟ้าของแผงโซลาร์เซลล์จะขึ้นกับวัสดุที่ใช้มุงหลังคา โดยวัสดุหลังคาที่ให้กำลังไฟฟ้าสูงสุดคือกระเบื้องคอนกรีต ไฟเบอร์ซีเมนต์ และเมทัลชีท ตามลำดับ ระยะห่างที่ 0-0.4 ม. เป็นระยะที่ใช้สำหรับติดตั้งแผงบนหลังคาคอนกรีตและไฟเบอร์ซีเมนต์ ส่วนการติดตั้งแผงบนหลังคาเมทัลชีทไม่ควรติดตั้งชิดหลังคา และระยะที่แผงสามารถผลิตกำลังไฟฟ้าได้ดีคือ 0.3-0.4 ม. การเพิ่มความสูงมากกว่า 0.4 ม. ไม่ได้เพิ่มกำลังไฟฟ้าไปมากเท่าที่ควรและอาจทำให้ต้องเพิ่มขนาดโครงสร้างเพื่อป้องกันความเสียหายต่อระบบโซลาร์เซลล์จากแรงลม

คำสำคัญ: ระบบโซลาร์เซลล์บนหลังคา, ระยะห่างการติดตั้งแผงโซลาร์เซลล์, ปัจจัยวัสดุหลังคา

Abstract

This article presents a simulation of solar cell models installed at various distances on roofing materials using MATLAB. The simulation adjusts the installation distance of panels on concrete, fiber cement, and metal sheet roofing materials to test the electrical production efficiency of the solar panels. Generally, the recommended installation distance for rooftops is 10 cm. In the installation of solar cell systems on roofs, it has been found that there are various types of roofing materials. The recommended distance may not be suitable for some types of roofing materials, resulting in lower panel efficiency than expected.

This experiment developed a MATLAB model to study the efficiency of panels before installation. The results showed that the electrical power of the solar panels depends on the roofing material used. The roofing materials that provided the highest electrical power were concrete tiles, fiber cement, and metal sheets, respectively. The distance of 0-0.4 m was used for installing panels on concrete and fiber cement roofs. It is the distance used for installing panels on concrete and fiber cement roofs. For installing panels on metal sheet roofs, they should not be installed too close to the roof, and the distance at which the panels can produce good electrical power is 0.3-0.4 m. Increasing the height beyond 0.4 m. It does not increase the power output as much as it should and may require increasing the size of the structure to prevent damage to the solar panel system from wind force.

Keywords: Solar rooftop, Installation distance of solar panel, roofing material

1. ข้อมูลทั่วไป

การเปลี่ยนแปลงสู่พลังงานหมุนเวียนทั่วโลกอย่างรวดเร็ว ทำให้ระบบโซลาร์เซลล์เป็นรากฐานสำคัญของการผลิตพลังงานอย่างยั่งยืน การติดตั้งโซลาร์เซลล์บนหลังคาถือเป็นการลงทุนที่สำคัญและเป็นกลยุทธ์ลดคาร์บอน อย่างไรก็ตาม ประสิทธิภาพของระบบเหล่านี้ขึ้นอยู่กับปัจจัยต่างๆ ได้แก่ คุณภาพของแผงและคุณลักษณะของหลังคา เช่น วัสดุมุงหลังคาและระยะการติดตั้ง ปัจจัยเหล่านี้ส่งผลต่ออุณหภูมิในการทำงานของแผงและการไหลเวียนของอากาศ ซึ่งส่งผลโดยตรงต่อผลผลิตกำลังไฟฟ้าและผลตอบแทนจากการลงทุนระยะยาว

การติดตั้งแผงโซลาร์เซลล์บนหลังคาในประเทศไทยได้รับความสนใจมากขึ้นเนื่องด้วยการสนับสนุนจากภาครัฐ [1] ประสิทธิภาพการผลิตไฟฟ้าของระบบต่ำซึ่งพบได้ในหลายๆ แห่ง ไม่ว่าจะเป็นที่บราซิล [2] หรือที่อินโดนีเซีย [3] มีการศึกษาถึงประสิทธิภาพของระบบไฟฟ้าที่ติดตั้งบนหลังคาและระยะห่างในหลายงานวิจัย เช่น [4] ได้ศึกษาผลกระทบจากหลังคาเมทัลชีทและหลังคาไฟเบอร์ซีเมนต์ต่อระบบไฟฟ้าโซลาร์เซลล์บนหลังคา พบว่าหลังคาไฟเบอร์ซีเมนต์สามารถผลิตไฟฟ้าได้ดีกว่าหลังคาเมทัลชีท และ [3] ได้ทดสอบกับระบบโซลาร์เซลล์ขนาด 2.56 kWp ที่ติดตั้งบนหลังคา มหาวิทยาลัยปามูลัง พบว่าในสภาพอากาศแวดล้อมที่ 38°C อุณหภูมิแผง 50.9°C และความเข้มของแสงอาทิตย์เท่ากับ 702.7 W/m^2 ประสิทธิภาพแผงอยู่ที่ 27.7% เป็นผลจากอุณหภูมิของโซลาร์เซลล์ที่สูง และเสนอให้มีการระบายอากาศให้กับแผง

ในการติดตั้งแผงโซลาร์เซลล์บนหลังคานั้น โดยปกติระยะห่างสำหรับติดตั้งแผงได้รับคำแนะนำจากผู้ผลิต [5] ให้เว้นช่องว่างระหว่างแผงและหลังคาที่ 10 ซม. ก็ตาม มีนักวิจัยหลายท่านได้ทำการทดสอบประสิทธิภาพของแผงโซลาร์เซลล์บนหลังคาตามระยะห่างการติดตั้ง โดย [6] ได้ใช้ระยะห่างที่ 10 20 และ 30 ซม. เพื่อทดสอบประสิทธิภาพของแผงโซลาร์เซลล์ และ [2] [7] ได้ใช้ระยะห่างดังกล่าวทดสอบกับวัสดุหลังคาเซรามิก ไฟเบอร์ซีเมนต์ และหลังคาเหล็กชุบสังกะสี [6] พบว่าการเว้นช่องว่างอากาศส่งผลให้แผงระบายความร้อนมากขึ้นและส่งผลทำให้กำลังไฟฟ้าเพิ่มอย่างมาก โดย [2] ได้แนะนำระยะการติดตั้งแผงโซลาร์เซลล์บนหลังคาเซรามิกและไฟเบอร์ซีเมนต์ที่ 10 ซม. และเหล็กชุบสังกะสีที่ 20-30 ซม.

*ผู้ประพันธ์บรรณกิจ

จากบทความดังกล่าว ผลกระทบจากวัสดุหลังคาที่มีต่อประสิทธิภาพแผงโซลาร์เซลล์ไม่ควรถูกมองข้าม บทความนี้ได้พัฒนาแบบจำลองแผงโซลาร์เซลล์ที่ใช้ในสภาพแวดล้อมที่ถูกติดตั้งบนหลังคาด้วย MATLAB [8]. โดยแบบจำลองนี้พัฒนาโดยใช้สมการพื้นฐานของเซลล์แสงอาทิตย์รวมถึงผลกระทบจากวัสดุหลังคาและระยะห่างการติดตั้ง เพื่อศึกษาประสิทธิภาพของแผงโซลาร์เซลล์บนหลังคาตามระยะห่างการติดตั้งกับวัสดุมุงหลังคาด้วยแบบจำลอง MATLAB

2. สมการประสิทธิภาพและการแลกเปลี่ยนความร้อนของแผงโซลาร์เซลล์

กำลังไฟฟ้า (1) เป็นผลคูณของการแผ่รังสีดวงอาทิตย์ พื้นที่ของแผงโซลาร์เซลล์ และประสิทธิภาพการแปลงพลังงานของแผงในภาวะการทำงาน ซึ่งขึ้นอยู่กับอุณหภูมิแผง (2) [9]

$$P_{out}=G*A_m*\eta_{oc} \quad (1)$$

$$\eta_{oc}=\eta_{ref}*\left(1-\beta*\left(T_m-T_{ref}\right)\right) \quad (2)$$

โดยที่

η_{oc} คือ ประสิทธิภาพการแปลงพลังงานของแผงในภาวะการทำงาน

η_{ref} คือ ประสิทธิภาพการแปลงพลังงานอ้างอิงภายใต้เงื่อนไข (รังสีแสงดวงอาทิตย์ 1000W/m^2 และอุณหภูมิที่ 25 °C)

β คือ สัมประสิทธิ์อุณหภูมิเซลล์ (°C^{-1})

T_m คือ อุณหภูมิแผงโซลาร์เซลล์ (°C)

T_{ref} คือ อุณหภูมิแวดล้อม (°C)

ดังแสดงใน (2). อุณหภูมิของเซลล์ที่สูงขึ้นจะลดประสิทธิภาพของแผง เนื่องจากอิเล็กตรอนที่ถูกกระตุ้นด้วยความร้อนเริ่มมีอิทธิพลเหนือคุณสมบัติทางไฟฟ้าของเซมิคอนดักเตอร์ [9].

แผงโซลาร์เซลล์จะผลิตไฟฟ้าเมื่อได้รับรังสีดวงอาทิตย์มาตกกระทบบนแผง โดยอิทธิพลที่ส่งผลกระทบต่อการผลิตไฟฟ้า ได้แก่ ความเข้มของรังสีดวงอาทิตย์ ความเร็วลม และอุณหภูมิแวดล้อม ซึ่งอิทธิพลจากตัวแปรเหล่านี้ทำให้อุณหภูมิของแผงโซลาร์เซลล์สูงขึ้น ถึงแม้ว่าอุณหภูมิของแผงโซลาร์เซลล์ที่พื้นผิวและด้านหลังมักจะถือว่าเท่ากับอุณหภูมิโดยรอบ [10] แต่สมมติฐานนี้มองข้ามผลกระทบที่สำคัญของความร้อนที่แผ่ออกมาจากพื้นผิวหลังคาเมื่ออุณหภูมิสูงเกินอากาศโดยรอบ ส่งผลให้อุณหภูมิของอากาศใต้แผงโซลาร์เซลล์เพิ่มสูงขึ้น [11] นอกจากนี้ อากาศที่อยู่ด้านหลังแผงโซลาร์เซลล์มักมีการระบายอากาศที่จำกัดและผสมกับอากาศโดยรอบได้ไม่ดี [12] การสันนิษฐานว่าไม่มีการแลกเปลี่ยนความร้อนระหว่างพื้นผิวหลังคาและอากาศในสถานการณ์ดังกล่าวอาจทำให้ประเมินการถ่ายเทความร้อนทั้งแบบแผ่รังสีและการพาความร้อนไปยังแผงโซลาร์เซลล์ต่ำเกินไป โดยเฉพาะในช่วงเที่ยงวันที่รังสีดวงอาทิตย์สูงสุด ซึ่งอุณหภูมิพื้นผิวหลังคามีแนวโน้มจะสูงที่สุด [13] การประเมินค่าต่ำเกินไปนี้ส่งผลให้คาดการณ์อุณหภูมิของเซลล์แสงอาทิตย์ต่ำกว่าความเป็นจริง และคาดการณ์กำลังไฟฟ้าของแผงสูงเกินไป

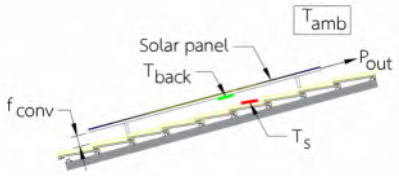

รูปที่ 1 รูปภาพการติดตั้งแผงโซลาร์เซลล์บนหลังคา

เพื่อกำหนดการแลกเปลี่ยนความร้อนแบบพาความร้อนไปยังแผงโซลาร์เซลล์ รูปที่ 1 อุณหภูมิของอากาศด้านหลังแผงโซลาร์เซลล์จะถือว่าอยู่ระหว่างอุณหภูมิโดยรอบและอุณหภูมิพื้นผิวหลังคา โดยสามารถคำนวณอุณหภูมิของอากาศด้านหลังแผงโซลาร์เซลล์ (T_{back}) ได้โดยใช้ (3)

$$T_{back} = (T_{amb} - T_s) f_{conv} + T_s \quad (3)$$

โดยที่

T_{back} คืออุณหภูมิด้านหลังแผงโซล่าร์เซลล์ (°C)

T_{amb} คืออุณหภูมิอากาศแวดล้อม (°C)

f_{conv} คือตัวปัจจัยระยะห่างการติดตั้ง [-]

T_s คืออุณหภูมิพื้นผิวหลังคา (°C)

ปัจจัยระยะห่างการติดตั้ง (f_{conv}) จะระบุปริมาณอากาศด้านหลังแผงโซลาร์เซลล์ที่ผสมกันได้ดีเพียงใด โดยปัจจัยเหล่านี้จะไม่เหมือนกันสำหรับการติดตั้งแผงโซลาร์เซลล์แต่ละแผง และได้รับอิทธิพลจากปัจจัยต่างๆ เช่น ระยะห่างระหว่างแผงโซลาร์เซลล์กับหลังคา มุมเอียงของแผงโซลาร์เซลล์ และการระบายอากาศของหลังคา ค่าเชิงประจักษ์นี้ควรได้รับการปรับเทียบสำหรับการติดตั้งแต่ละครั้ง ตัวอย่างเช่น ค่า f_{conv} เท่ากับ 0 แสดงว่าอากาศด้านหลังแผงเทียบเท่ากับอุณหภูมิพื้นผิวหลังคา ในขณะที่ค่า f_{conv} เท่ากับ 1 แสดงว่ามีการระบายอากาศที่ดีเยี่ยม โดยที่อุณหภูมิจะสมดุลกับอากาศโดยรอบ

3. การสร้างและทดสอบแบบจำลองแผงโซลาร์เซลล์

3.1 การสร้างแบบจำลองแผงโซลาร์เซลล์ด้วย MATLAB

การสร้างแบบจำลองแผงโซลาร์เซลล์สำหรับการติดตั้งบนหลังคาด้วย MATLAB ได้พัฒนาจากสมการพื้นฐานเซลล์แสงอาทิตย์ โดยแผงโซลาร์เซลล์สามารถใช้สมการทางคณิตศาสตร์ [14] เขียนขึ้นในรูปวงจรสมมูลของเซลล์แสงอาทิตย์ รูปที่ 2 เพื่อหาค่ากระแสไฟฟ้าจาก (4)

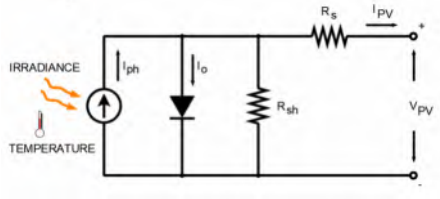

รูปที่ 2 วงจรสมมูลของวงจรไดโอด

$$I_{PV}=N_p*I_{ph}-N_p*I_o[\exp^{\left\{\frac{q*(V_{pv}+I_{pv}*R_s}{N_sAkT_m}\right\}}-1] \quad (4)$$

โดยที่ $V_{pv}=V_{oc}$ แรงดันไฟฟ้าขาออกของแผงโซลาร์เซลล์ โดยที่ค่า I_{ph} คือค่ากระแสแสงอาทิตย์ (5)

$$I_{ph}=\left[I_{sc}+K_i\left(T_m-298\right)\right]*G/1000 \quad (5)$$

ค่า I_{rs} คือค่ากระแสอิ่มตัวย้อนกลับ (6)

$$I_{rs}=I_{sc}/[\exp^{\left(\frac{qV_{oc}}{N_sKAT_m}\right)}-1] \quad (6)$$

และ I_o คือค่ากระแสอิ่มตัว (7) ซึ่งแปรผันกับอุณหภูมิแผงโซลาร์เซลล์

$$I_o=I_{rs}\left[\frac{T_m}{T_{ref}}\right]^3 *\exp^{\left[\frac{qE_{go}}{Bk}*\left\{\frac{1}{T_{ref}}-\frac{1}{T_m}\right\}\right]} \quad (7)$$

อุณหภูมิของแผงโซลาร์เซลล์ T_m เกิดจากการแลกเปลี่ยนความร้อนระหว่างแผงกับหลังคา ดังนั้น (3) สามารถเขียนใหม่ได้คือ

$$T_m=\left(T_{amb}-T_s\right)f_{conv}+T_s \quad (8)$$

ความเร็วลมไม่ได้ถูกพิจารณาใน (8) โดยค่า f_{conv} ปัจจัยระยะห่างการติดตั้งในงานทดลองนี้มีค่า 0-1 เมตร

ในการสร้างแบบจำลองนี้ เพื่อให้ได้ข้อมูลที่สอดคล้องกับความเป็นจริง ค่าพารามิเตอร์ต่างๆ เช่น ข้อมูลความเข้มแสง รวมถึงอุณหภูมิแวดล้อม และอุณหภูมิหลังคาได้จากการวัดผลและบันทึกผล ได้จากการวัดด้วยเครื่องมือวัดอุณหภูมิ (ตารางที่ 1) และเครื่องวัดเข้มรังสีดวงอาทิตย์ (ตารางที่ 2) รวมถึงคุณสมบัติแผงโซลาร์เซลล์ (ตารางที่ 3) ในวันที่ 24 มิ.ย. 2568 เวลา 13.56 น ดังแสดงในรูปที่ 3 และตารางที่ 4

ตารางที่ 1 คุณสมบัติเครื่องวัดอุณหภูมิ

HIKMICRO B20S	
Object Temperature Range	-20°C to 150°C
Accuracy	Max. (±2°C, ±2%)

ตารางที่ 2 คุณสมบัติอุปกรณ์วัดแสง Probe A1427 ยี่ห้อ METREL

ช่วงวัด	ค่าความละเอียด (วัตต์/ตารางเมตร)	ความแม่นยำ
0 ÷ 999 วัตต์/ตารางเมตร	1	± (4 % + 5 ตัวเลข)
1.00 ÷ 1.75 กิโลวัตต์/ตารางเมตร	10	± 4 %

ตารางที่ 3 คุณสมบัติแผงโซลาร์เซลล์

โซลาร์เซลล์ Ulica UL-415M ขนาด 1.13x1.72 เมตร	
กำลังไฟฟ้าสูงสุด (P_{max}), W	415
แรงดันไฟฟ้าวงจรเปิด (V_{oc}), V	37.5
กระแสไฟฟ้าลัดวงจร (I_{sc}), A	13.93
จำนวนเซลล์อนุกรม (N_s)	108
จำนวนเซลล์ขนาน (N_p)	1
ค่าสัมประสิทธิ์อุณหภูมิของ I_{sc}, %/°C	0.049

ตัวแปรที่ประกอบในสมการพื้นฐานเซลล์แสงอาทิตย์ของแบบจำลองแผงโซลาร์เซลล์ด้วยโปรแกรม MATLAB มีดังนี้

I_{PV} คือกระแสขาออกของแผงโซลาร์เซลล์
T_{ref} คืออุณหภูมิอ้างอิง = 298°K
T_m คืออุณหภูมิแผงโซลาร์เซลล์ (°K)
A=B คือค่าปัจจัยอุดมคติ = 1.6
k คือค่าคงตัวโบลต์ซมันน์ = 1.3805×10^{-23} J/K
q คืออิเล็กตรอนชาร์จ = 1.6×10^{-19} C
R_S คือค่าความต้านทานอนุกรมของแผงโซลาร์เซลล์
K_i คือค่าสัมประสิทธิ์อุณหภูมิของ I_{sc} =0.0068A/°C
G คือค่าความเข้มแสงดวงอาทิตย์ (W/m^2)
E_{go} คือค่าแบรนด์แก๊ปซิลิคอน = 1.1 eV

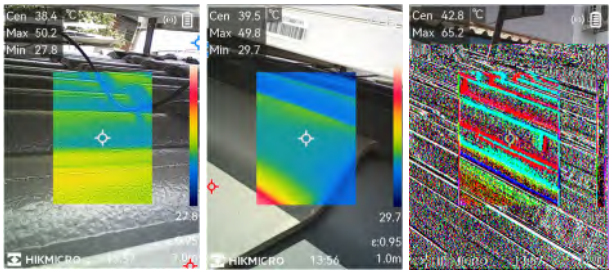

คอนกรีต ไฟเบอร์ซีเมนต์ แผ่นเมทัลชีท

รูปที่ 3 อุณหภูมิวัสดุหลังคา

ตารางที่ 4 ข้อมูลอุณหภูมิและความเข้มรังสีดวงอาทิตย์

รังสีดวงอาทิตย์ (G) (W/m^2)	992
อุณหภูมิแวดล้อม (T_{amb}) (°C)	34.3
อุณหภูมิวัสดุหลังคา (T_S) (°C)	
-หลังคากระเบื้องคอนกรีต	38.4
-หลังคากระเบื้องไฟเบอร์ซีเมนต์	39.5
-หลังคาแผ่นเหล็กเมทัลชีท	42.8

แบบจำลองแผงโซลาร์เซลล์ถูกสร้างจากสมการ (5)-(8) ด้วยการเชื่อมต่อของ MATLAB Model รูปที่ 4 เพื่อสร้างแบบจำลองสุดท้าย รูปที่ 5 และพัฒนาแบบจำลองของฟังก์ชันระยะห่างการติดตั้งและอุณหภูมิของวัสดุหลังคาจาก (8) เพื่อให้ได้อุณหภูมิที่นำเข้าสู่แบบจำลองแผงโซลาร์เซลล์ได้อย่างแท้จริง รูปที่ 6

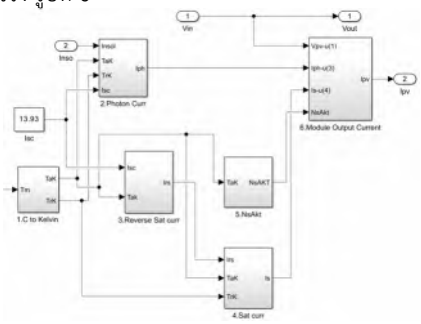

รูปที่ 4 การเชื่อมต่อ MATLAB Model ย่อยของแบบจำลองโซลาร์เซลล์

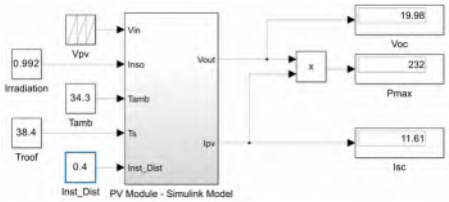

รูปที่ 5 แบบจำลองแผงโซลาร์เซลล์ด้วย MATLAB

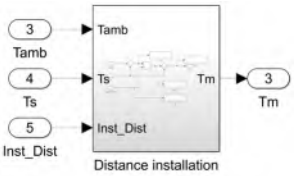

รูปที่ 6 แบบจำลองย่อยระยะห่างการติดตั้งและอุณหภูมิหลังคา

3.2 การทดสอบ

แบบจำลอง MATLAB รูปที่ 5 เปรียบเสมือนการจำลองการติดตั้งแผงโซลาร์เซลล์บนหลังคาคอนกรีต ไฟเบอร์ซีเมนต์ และเมทัลชีทตามระยะห่างการติดตั้ง ซึ่งในความเป็นจริงต้องมีชุดทดสอบหลายชุด เพื่อที่จะทำให้ได้ค่ากำลังไฟฟ้า แรงดันไฟฟ้าและกระแสไฟฟ้า ภายใต้เงื่อนไข ค่าความเข้มแสง อุณหภูมิอากาศและอุณหภูมิหลังคาเดียวกัน ดังนั้นค่าเหล่านี้ถูกกำหนดให้เป็นค่าคงที่ โดยอุณหภูมิหลังคาทั้ง 3 ชนิดจะถูกป้อนเข้าแบบจำลองและทดสอบโดยการปรับระยะการติดตั้ง ตั้งแต่ 0 ถึง 1 เมตร เพิ่มขึ้นทุกๆ 0.2 เมตร และบันทึกผล เมื่อทดสอบโดยระยะห่างการติดตั้งที่ 1 เมตร อุณหภูมิวัสดุหลังจะถูกเปลี่ยนและทำการทดสอบซ้ำ

4. ผลการทดสอบแบบจำลอง

ค่ากำลังไฟฟ้า แรงดันไฟฟ้าและกระแสไฟฟ้าที่ได้จากการทดสอบแสดงในตารางที่ 5 ถึง 7 พบว่าแบบจำลองทั้ง 3 ชนิดมีประสิทธิภาพการผลิตกำลังไฟฟ้าไม่เท่ากัน ซึ่งผลที่ได้คือกำลังไฟฟ้าของแผงโซลาร์เซลล์จะขึ้นกับวัสดุที่ใช้มุงหลังคา โดยวัสดุหลังคาที่ให้กำลังไฟฟ้าสูงสุดคือกระเบื้องคอนกรีต ไฟเบอร์ซีเมนต์ และเมทัลชีทตามลำดับ และกำลังไฟฟ้าของแผงโซลาร์เซลล์จะมากขึ้นเมื่อระยะห่างระหว่างแผงโซลาร์เซลล์กับหลังคามากขึ้น

จากกราฟความสัมพันธ์ระหว่างกำลังไฟฟ้าต่อระยะห่างการติดตั้ง รูปที่ 7 และกระแสไฟฟ้าต่อระยะห่างการติดตั้ง รูปที่ 8 พบว่า

- ค่ากำลังไฟฟ้าและกระแสไฟฟ้าของแผงบนหลังคาทั้ง 3 ชนิด มีค่าเพิ่มขึ้นตามระยะห่างการติดตั้ง และจะมีค่ามากสุด 245.7W และ 12.30A ที่ระยะ 1 ม.
- กำลังไฟฟ้าของแผงบนหลังคาคอนกรีตและไฟเบอร์ซีเมนต์ใกล้เคียงกัน คือ 220W และ 210.3W และหลังคาเมทัลชีทมีค่า 171.9W ที่ระยะการติดตั้งที่ 0 ม.
- กำลังไฟฟ้าต่อระยะห่างการติดตั้งของหลังคาคอนกรีตและหลังคาไฟเบอร์ซีเมนต์มีการเปลี่ยนแปลงเล็กน้อย โดยค่ากำลังไฟฟ้าที่เพิ่มขึ้นเฉลี่ย 3-5W ในช่วงระยะ 0-0.4 ม. และจะน้อยลงเมื่อความสูงมากขึ้น ในกรณีของหลังคาเมทัลชีทกำลังไฟฟ้าเพิ่มขึ้นเฉลี่ย 10-11W ในช่วงระย 0-0.4 ม. และลดลงเหลือ 4-5W เมื่อความสูงแผงที่ 0.4-1 ม.

ตารางที่ 5 ค่า P_{max}, V_{oc} และ I_{SC} แบบจำลองหลังคาคอนกรีต

กระเบื้องคอนกรีต	ระยะห่างการติดตั้ง (เมตร)					
	0.0	0.2	0.4	0.6	0.8	1.0
กำลังไฟฟ้า, Pmax (W)	220.0	226.3	232.0	237.1	241.7	245.7
แรงดันไฟฟ้า, Voc (V)	19.98	19.98	19.98	19.98	19.98	19.98
กระแสไฟฟ้า, Isc (A)	11.01	11.33	11.61	11.87	12.10	12.30

ตารางที่ 6 ค่า P_{max}, V_{oc} และ I_{SC} แบบจำลองหลังคาไฟเบอร์ซีเมนต์

กระเบื้องไฟเบอร์ซีเมนต์	ระยะห่างการติดตั้ง (เมตร)					
	0.0	0.2	0.4	0.6	0.8	1.0
กำลังไฟฟ้า, Pmax (W)	210.3	219.5	227.5	234.5	240.5	245.7
แรงดันไฟฟ้า, Voc (V)	19.98	19.98	19.98	19.98	19.98	19.98
กระแสไฟฟ้า, Isc (A)	10.53	10.99	11.39	11.74	12.04	12.30

ตารางที่ 7 ค่า P_{max}, V_{oc} และ I_{SC} แบบจำลองหลังคาแผ่นเมทัลชีท

หลังคาแผ่นเมทัลชีท	ระยะห่างการติดตั้ง (เมตร)					
	0.0	0.2	0.4	0.6	0.8	1.0
กำลังไฟฟ้า, Pmax (W)	171.9	193.6	211.3	225.5	236.8	245.7
แรงดันไฟฟ้า, Voc (V)	19.98	19.98	19.98	19.98	19.98	19.98
กระแสไฟฟ้า, Isc (A)	8.61	9.69	10.57	11.28	11.85	12.30

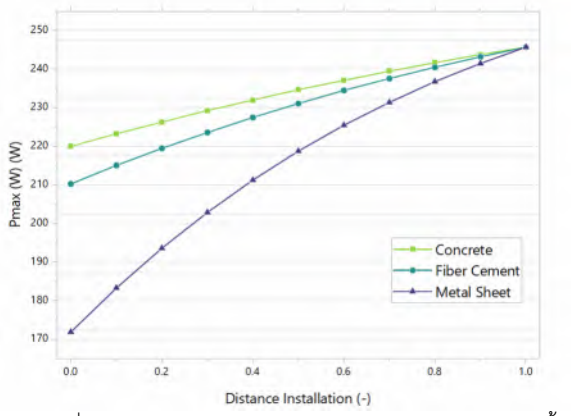

รูปที่ 7 แสดงความสัมพันธ์ระหว่าง P_{max} ต่อระยะห่างการติดตั้ง

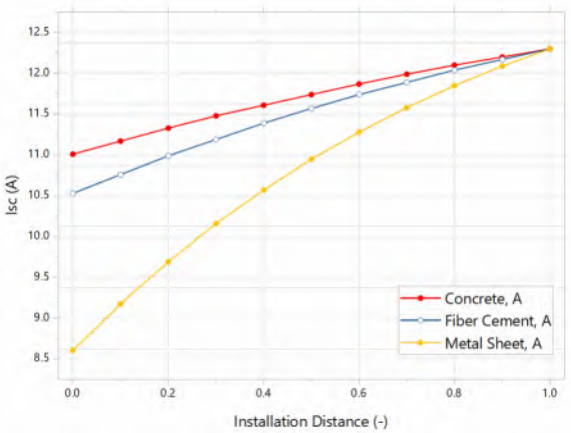

รูปที่ 8 แสดงความสัมพันธ์ระหว่าง I_{sc} ต่อระยะห่างการติดตั้ง

การทดสอบยังพบว่า การเปลี่ยนแปลงความเข้มแสงยังส่งผลต่อค่ากระแสไฟฟ้าของแผง แต่ค่าแรงดันไฟฟ้าที่ได้คงที่ ซึ่งในสภาพอากาศจริงยังมีปัจจัยด้านอื่นที่ไม่ได้ถูกพิจารณาและนำค่าพารามิเตอร์เหล่าป้อนเข้าแบบจำลอง เช่น ความเร็วลม รวมถึงแรงดันไฟฟ้าที่เกิดจากการเปลี่ยนแปลงของแสงและอุณหภูมิ ซึ่งจะทำให้ได้ค่ากำลังไฟฟ้าสูงสุดที่เกิดขึ้นจริง

แบบจำลองนี้สามารถใช้เพื่อทดสอบผลกระทบจากอุณหภูมิต่อประสิทธิภาพของแผงโซลาร์เซลล์ การพัฒนาแบบจำลองด้วยการเพิ่มฟังก์ชันของแรงดันไฟฟ้าที่สอดคล้องกับค่าแสงและปรับปรุงค่าพารามิเตอร์ให้ตรงกับความเป็นจริงมากขึ้น รวมถึงตรวจสอบระยะการติดตั้งเปรียบเทียบกับการทดลองจริง ทำให้แบบจำลองสามารถจำลองค่าต่างๆได้แม่นยำมากขึ้น

5. สรุป

วัสดุที่ใช้มุงหลังคาส่งผลต่อกำลังไฟฟ้าของแผงโซลาร์เซลล์ โดยแผงที่ติดตั้งบนวัสดุหลังคาที่ให้กำลังไฟฟ้าสูงสุดคือกระเบื้องคอนกรีต ไฟเบอร์ซีเมนต์ และเมทัลชีทตามลำดับ ระยะห่างที่ 0-0.4 ม. เป็นระยะที่ใช้สำหรับติดตั้งแผงบนหลังคาคอนกรีตและไฟเบอร์ซีเมนต์ แผงบนหลังคาเมทัลชีทไม่ควรติดตั้งชิดหลังคา และระยะที่แผงสามารถผลิตกำลังไฟฟ้าได้ดีคือ 0.3-0.4 ม. การเพิ่มความสูงมากกว่า 0.4 ม. ไม่ได้เพิ่มกำลังไฟฟ้าไปมากเท่าที่ควรและอาจทำให้ต้องเพิ่มขนาดโครงสร้างเพื่อป้องกันความเสียหายต่อระบบโซลาร์เซลล์จากแรงลม

เอกสารอ้างอิง

[1] สำนักงานคณะกรรมการกำกับกิจการพลังงาน (2567, กรกฎาคม). หลักการรับซื้อไฟฟ้าจากพลังงานหมุนเวียนเพิ่มเติมในรูปแบบ FiT สำหรับปี 2565-2573. สืบค้นจาก https://www.erc.or.th/web-upload/200xf869baf82be74c18cc110e974eea8d5c/202304/m_publichearing/8776/493/file_download/002cffb957f1eee6cec32e50a930a66a.pdf

[2] de Souza Guimarães, B., Farias, L., Oliveira Filho, D., Kazmerski, L., & Diniz, A. S. A. C. (2022). Roof-mounted photovoltaic generator temperature modeling based on common Brazil roofing materials. Renewable Energy and Environmental Sustainability, 7, 5.

[3] Rozak, O. A., Ibrahim, M. Z., Daud, M. Z., Bakhri, S., & Muwaffiq, R. (2023). Impact of cell temperature on the performance of a rooftop photovoltaic system of 2.56 kWp at Universitas Pamulang. Indonesian Journal of Electrical Engineering and Computer Science, 31(2), 599-608.

[4] Thanomsat, N., & Lekngam, S. (2020, October). Impact of Different Roof Types on Produced Power of Photovoltaic Rooftop System. In 2020 International Conference on Power, Energy and Innovations (ICPEI) (pp. 233-236). IEEE.

[5] Longi, June. 2025, “installation Manual for LONGI Solar PV Module,” Longi, Download Center, Site Search, Installation manual, [online]. Available: https://static.longi.com/Installation_Manual_for_LON_Gi_Solar_PV_Modules_V19_EN_4c090dd107.pdf

[6] Hasan, G. T. Study and analysis the effect of panel rear surface temperature on the photovoltaic system efficiency.

[7] Aliyu, A. A., Abdullahi, B., Tambaya, M., Ahmed, A., & Tukur, I. A. (2023). PERFORMANCE EVALUATION OF SOLAR PHOTOVOLTAIC PANEL MOUNTED ON SLOPED CORRUGATED METAL SHEET ROOF IN KANO STATE NORTHWEST NIGERIA. FUDMA JOURNAL OF SCIENCES, 7(3), 257-262.

[8] MATLAB – MathWorks. 2025. [online]. Available: https://ch.mathworks.com/products/matlab.html

[9] Dubey, S., Sarvaiya, J. N., & Seshadri, B. (2013). Temperature dependent photovoltaic (PV) efficiency and its effect on PV production in the world–a review. Energy Procedia, 33, 311-321.

[10] Neises, T. W., Klein, S. A., & Reindl, D. T. (2012). Development of a thermal model for photovoltaic modules and analysis of NOCT guidelines.

[11] Broadbent, A. M., Krayenhoff, E. S., Georgescu, M., & Sailor, D. J. (2019). The observed effects of utility-scale photovoltaics on near-surface air temperature and energy balance. Journal of Applied Meteorology and Climatology, 58(5), 989-1006.

[12] Skoplaki, E. P. J. A., & Palyvos, J. A. (2009). Operating temperature of photovoltaic modules: A survey of pertinent correlations. Renewable energy, 34(1), 23-29.

[13] Scherba, A., Sailor, D. J., Rosenstiel, T. N., & Wamser, C. C. (2011). Modeling impacts of roof reflectivity, integrated photovoltaic panels and green roof systems on sensible heat flux into the urban environment. Building and Environment, 46(12), 2542-2551.

[14] Pandiarajan, N., & Muthu, R. (2011, January). Mathematical modeling of photovoltaic module with Simulink. In 2011 1st International Conference on Electrical Energy Systems (pp. 258-263). IEEE.

ประวัติผู้เขียนบทความ
นายรักษ์ศักดิ์ สาทะโพน
ประวัติการศึกษา
2541-ปริญญาตรีครุศาสตร์อุตสาหกรรม บัณฑิตจากมหาวิทยาลัยเทคโนโลยีพระจอมเกล้าธนบุรี
2567 -กำลังศึกษาปริญญาโท วิศวกรรมศาสตร์มหาบัณฑิต มหาวิทยาลัยราชภัฏสกลนคร
ประวัติการทำงาน - พนักงาน บ. แบล็คแอนด์วิชช์ (ประเทศไทย) จำกัด ในตำแหน่ง วิศวกรเทคนิคอาวุโส
มีความสนใจในงานวิจัยเกี่ยวกับพลังงานแสงอาทิตย์และดาต้าเซ็นเตอร์

ประวัติผู้เขียนบทความ
ผศ.ดร.กฤษฎา พรหมพินิจ
ประวัติการศึกษา
2548-ปริญญาตรีวิศวกรรมไฟฟ้าจาก มหาวิทยาลัยภาคตะวันออกเฉียงเหนือ
2553-ปริญญาโทวิศวกรรมไฟฟ้าจาก มหาวิทยาลัยเทคโนโลยีธัญบุรีราชมงคล
2563-ปริญญาเอกวิศวกรรมไฟฟ้าจากสถาบันเทคโนโลยีพระจอมเกล้าเจ้าคุณทหารลาดกระบัง
ประวัติการทำงาน - ดำรงตำแหน่งรองคณบดีฝ่ายวิชาการและวิจัยคณะเทคโนโลยีอุตสาหกรรม มหาวิทยาลัยราชภัฏสกลนคร
มีความสนใจในงานวิจัยเกี่ยวกับพลังงานทางเลือก และการประยุกต์ใช้พลังงานอิเล็กทรอนิกส์กำลัง

ประวัติผู้เขียนบทความ
นาย.รณยุทธ นนท์พละ
ประวัติการศึกษา
2539-ปริญญาตรีครุศาสตร์อุตสาหกรรม บัณฑิตจากมหาวิทยาลัยเทคโนโลยีราชมงคล
2543-ปริญญาโทวิทยาศาสตร์มหาบัณฑิตจาก มหาวิทยาลัยศรีปทุม
ประวัติการทำงาน – อาจารย์ประจำภาควิชาไฟฟ้าและอิเล็กทรอนิกส์ คณะเทคโนโลยีอุตสาหกรรม มหาวิทยาลัยราชภัฏสกลนคร
มีความสนใจในงานวิจัยเกี่ยวกับคอมพิวเตอร์ ไฟฟ้า และอิเล็กทรอนิกส์

ประวัติผู้เขียนบทความ
รศ.ดร.สราวุฒิ บุญเกิดรัมย์
ประวัติการศึกษา
2535-ปริญญาตรีอุตสาหกรรมศาสตร์บัณฑิต จากมหาวิทยาลัยเอเชียอาคเนย์
2548-ปริญญาโทครุศาสตร์มหาบัณฑิต จาก มหาวิทยาลัยราชภัฏพระนคร
2559-ปริญญาเอกปรัชญาดุษฎีบัณฑิต จากมหาวิทยาลัยมหาสารคาม
ประวัติการทำงาน - ดำรงตำแหน่งคณบดีคณะเทคโนโลยีอุตสาหกรรม มหาวิทยาลัยราชภัฏสกลนคร
มีความสนใจในงานวิจัยเกี่ยวกับคอมพิวเตอร์ ไฟฟ้า อิเล็กทรอนิกส์ และเครื่องมือวัด

การกำหนดการทำงานของระบบกักเก็บพลังงานด้วยแบตเตอรี่แบบหนึ่งวันล่วงหน้าสำหรับระบบผลิตไฟฟ้าพลังงานแสงอาทิตย์ตามสัญญาซื้อขายไฟฟ้าแบบกึ่งคงที่

Day-ahead Battery Energy Storage System Scheduling for Solar Generation System with Partial-firm Contract

กรวิชญ์ ธนบำรุงกูล* และ แนบบุญ หุนเจริญ

ภาควิชาวิศวกรรมไฟฟ้า คณะวิศวกรรมศาสตร์ จุฬาลงกรณ์มหาวิทยาลัย 6570007621@student.chula.ac.th*, naebboon.h@chula.ac.th

บทคัดย่อ

บทความวิจัยนี้เสนอวิธีการกำหนดการทำงานของระบบกักเก็บพลังงานด้วยแบตเตอรี่แบบหนึ่งวันล่วงหน้า สำหรับระบบผลิตไฟฟ้าพลังงานแสงอาทิตย์ เพื่อให้ได้ผลรายได้สุทธิรายวันสูงสุดตามสัญญาซื้อขายไฟฟ้าแบบกึ่งคงที่ (อ้างอิงข้อมูลการไฟฟ้าส่วนภูมิภาค) ใช้วิธีโปรแกรมเชิงเส้นแบบผสมจำนวนเต็มไบนารีในการหาค่าเหมาะที่สุดแบบหนึ่งวันล่วงหน้า และพิจารณาปรับการทำงานของระบบ ณ เวลาจริง เพื่อรองรับความคลาดเคลื่อนการพยากรณ์กำลังผลิตไฟฟ้าพลังงานแสงอาทิตย์ ผลการทดสอบพบว่า ปัจจัยสำคัญที่ส่งผลต่อขนาดของระบบกักเก็บพลังงานเพื่อให้ผลิตไฟฟ้าได้ตามเงื่อนไขของสัญญา คือ ความถี่ในการเรียกใช้งานความพร้อมจ่ายไฟฟ้า นอกจากนี้ การพิจารณาปรับการทำงานของระบบ ณ เวลาจริง ที่ให้ผลรายได้สุทธิสูงสุด อาศัยการประยุกต์หลักการควบคุมเชิงทำนายแบบจำลอง โดยหาค่าเหมาะที่สุดในทุกขั้นเวลาอย่างต่อเนื่อง

คำสำคัญ: การกำหนดการทำงานแบบหนึ่งวันล่วงหน้า ระบบกักเก็บพลังงานด้วยแบตเตอรี่ ระบบผลิตไฟฟ้าพลังงานแสงอาทิตย์ที่ สัญญาซื้อขายไฟฟ้าแบบกึ่งคงที่

Abstract

This paper proposes day-ahead Battery Energy Storage System (BESS) scheduling for solar generation system to maximize daily net revenue with respect to the partial-firm contract (Reference to Provincial Electricity Authority). The mixed-binary integer linear programming is applied to solve a day-ahead optimization problem. Then, real-time operational readjustment to handle solar power forecast error is conducted. Test results revealed that critical factor affecting the required size of BESS for the solar generation system to be fully in compliance with the contract's conditions is how frequent the available capacity (of BESS) is called. Furthermore, the real-time correction which yields highest net revenue applies the model predictive control (MPC) to re-adjust the optimal operation of BESS at every timestep.

Keywords: Day-ahead scheduling, Battery Energy Storage System, Solar generation system, Partial-firm contract.

1. บทนำ

ปัจจุบัน สัดส่วนการผลิตไฟฟ้าจากพลังงานแสงอาทิตย์ซึ่งสามารถผลิตไฟฟ้าได้โดยไม่ปล่อยก๊าซเรือนกระจกเพิ่มขึ้นต่อเนื่อง [1] อย่างไรก็ตาม การผลิตไฟฟ้าพลังงานแสงอาทิตย์มีข้อจำกัดด้านความผันแปรในการผลิตและจ่ายไฟฟ้าเข้าสู่โครงข่ายไฟฟ้าหลัก [2]

เพื่อเข้าร่วมในสัญญาซื้อไฟฟ้าพลังงานหมุนเวียนประเภทแสงอาทิตย์แบบกึ่งคงที่ (Partial-firm) ผู้ผลิตไฟฟ้าต้องใช้การพยากรณ์กำลังผลิตไฟฟ้าล่วงหน้า [3] การพยากรณ์พลังงานแสงอาทิตย์สามารถแบ่งออกเป็น 3 ระยะคือการพยากรณ์ล่วงหน้ารายวัน รายชั่วโมง และรายนาที ผู้ผลิตไฟฟ้าพลังงานแสงอาทิตย์ต้องเลือกเวลาคาดการณ์ล่วงหน้าที่เหมาะสมและเป็นไปตามเงื่อนไขสัญญาซื้อขายไฟฟ้า [4]

ในปัจจุบัน หลายประเทศมีข้อกำหนดการเชื่อมต่อระบบผลิตไฟฟ้าพลังงานแสงอาทิตย์กับโครงข่ายไฟฟ้าที่แตกต่างกัน อาจแบ่งได้ 4 แบบดังนี้ [5]:

- การสั่งการ MPPT - ระบบไฟฟ้าพลังงานแสงอาทิตย์จะทำงานที่ความจุสูงสุดเมื่อมีแสงอาทิตย์ ไม่มีการจำกัดการผลิตไฟฟ้า และไฟฟ้าที่ผลิตได้ทั้งหมดจะถูกส่งเข้าสู่กริด [5]
- การจัดสรรตามการพยากรณ์ - การจัดสรรพลังงานแสงอาทิตย์อิงตามการพยากรณ์คาดการณ์การกำลังผลิตล่วงหน้า โดยการปรับการผลิตตามที่คาดการณ์ไว้ [6] [7]
- การควบคุมการจัดสรรกำลังของพลังงานแสงอาทิตย์ - โรงไฟฟ้าพลังงานแสงอาทิตย์จะทำงานที่ความจุสูงสุดเฉพาะในช่วงเวลาที่กำหนดไว้ของวัน และในช่วงเวลาอื่น จะนำพลังงานที่ผลิตได้กักเก็บในแบตเตอรี่หรือทำงานต่ำกว่าจุดทำงาน MPP [8][9]
- การจัดสรรตามคำสั่งควบคุม – โรงไฟฟ้าพลังงานแสงอาทิตย์เข้าร่วมในตลาดซื้อขายไฟฟ้าและขายไฟฟ้าตามราคาตลาด ใช้กลยุทธ์การจัดสรรโดยการหาค่าที่เหมาะที่สุดเพื่อให้ได้รายได้สูงสุด [10] [11]

จากการทบทวนวรรณกรรม ออสเตรเลียดำเนินการโรงไฟฟ้าพลังงานแสงอาทิตย์หลายแห่งเหมือนกับโรงไฟฟ้าเสมือนเพียงโรงเดียว [6] ในสแกนดิเนเวีย แบ่งพลังงานหมุนเวียนตามโซน โดยทำการซื้อขายพลังงาน

*ผู้ประพันธ์บรรณกิจ

ในโซนด้วยการเสนอราคาพลังงาน มีทั้งแบบซื้อขายล่วงหน้าหนึ่งวันและล่วงหน้าเป็นชั่วโมง และดำเนินการระบบส่งตามข้อกำหนด [12] ในประเทศจีน ระบบผลิตไฟฟ้าพลังงานแสงอาทิตย์ที่มีแบตเตอรี่จะเข้าร่วมตลาดไฟฟ้าผ่านตัวแทน ตัวแทนจะได้รับข้อมูลพยากรณ์พลังงานแสงอาทิตย์ของระบบ และจะปรับตารางการชาร์จและดีสชาร์จระบบเก็บพลังงานแบตเตอรี่ของแต่ละระบบ [13]

2. ภาพรวมของระบบและการกำหนดกรอบปัญหา

ภาพรวมของระบบผลิตไฟฟ้าพลังงานแสงอาทิตย์ที่มีระบบกักเก็บพลังงานด้วยแบตเตอรี่ การกำหนดการทำงานแบบหนึ่งวันล่วงหน้า และการควบคุมระบบ ณ เวลาจริง แสดงได้ดังรูปที่ 1

วัตถุประสงค์ของการจัดสรรกำลังการผลิตอย่างเหมาะที่สุดสำหรับระบบผลิตไฟฟ้าพลังงานแสงอาทิตย์ที่มีระบบกักเก็บพลังงานแบบแบตเตอรี่คือการทำรายได้สุทธิสูงสุดในแต่ละวัน และปฏิบัติตามสัญญาการซื้อขายไฟฟ้า โดยอาศัยข้อมูลการพยากรณ์กำลังผลิตไฟฟ้าจากพลังงานแสงอาทิตย์แบบล่วงหน้า 1 วัน เงื่อนไขจำกัดของระบบผลิตและระบบกักเก็บพลังงานแบตเตอรี่ และเงื่อนไขของสัญญาประเภท Partial-firm

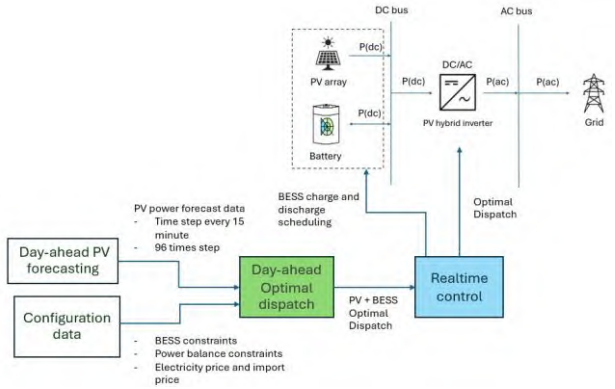

รูปที่ 1 ภาพรวมองค์ประกอบของระบบและการควบคุมที่เกี่ยวข้อง

2.1 ระบบกักเก็บพลังงานด้วยแบตเตอรี่

ระบบกักเก็บพลังงานด้วยแบตเตอรี่ที่เหมาะกับการจัดการพลังงานของระบบผลิตไฟฟ้าพลังงานแสงอาทิตย์ ควรมีประสิทธิภาพพลังงานแบบครบวงรอบสูง และมีความจุสูง [14] แบตเตอรี่ลิเธียมไอออนเหมาะสำหรับพลังงานสูงและเวลาตอบสนองรวดเร็ว มีค่าประสิทธิภาพพลังงานแบบครบวงรอบอยู่ระหว่าง 87-92% [15] แบบจำลองการทำงานของระบบกักเก็บพลังงานด้วยแบตเตอรี่ เป็นดังชุดสมการด้านล่างนี้

- $E_{ES}(SoC)^{t+1} = E_{ES}(SoC)^{t} + (P_{cha} \times \eta_{ch}) \times T - (P_{dis} / \eta_{dis}) \times T$
- $SoC_{min} \le SoC \le SoC_{max}$
- $0 \le P_{dis}(t) \le D_t \times P_{dis,max}$
- $0 \le P_{cha}(t) \le (1 - D_t) \times P_{cha,max}$
- $D_t \in \{0,1\}$
  - t (time step) = ขั้นตอนเวลาในช่วงเวลานั้น
  - T = ขั้นตอนเวลาสูงสุด (hr)
  - D_t = จำนวนเต็มที่ใช้ในการตัดสินใจในการชาร์จหรือปล่อยพลังงาน

3. การกำหนดการทำงานระบบกักเก็บพลังงานแบตเตอรี่

การกำหนดการทำงานเหมาะที่สุดมีได้หลายวิธี จำแนกได้ดังนี้ [16] [17]: 1. เทคนิคการวิเคราะห์ (Analytical technique) 2. การไหลของกำลังไฟฟ้าที่เหมาะที่สุด (Optimal power flow) 3. โปรแกรมเชิงเส้นแบบผสมจำนวนเต็ม (Mixed-integer linear programming) 4. โปรแกรมแบบไม่เชิงเส้นแบบผสมจำนวนเต็ม (Mixed-integer nonlinear programming) ในงานวิจัยนี้ ใช้วิธีโปรแกรมเชิงเส้นแบบผสมจำนวนเต็มไบนารี เพื่อกำหนดการทำงานของระบบกักเก็บพลังงานแบตเตอรี่ล่วงหน้า 1 วัน สำหรับสัญญาซื้อขายไฟฟ้าพลังงานแสงอาทิตย์ขนาดระหว่าง 10 – 90 MW ประเภท Partial-firm [19] พัฒนาบนโปรแกรม MATLAB ในการหาค่าเหมาะที่สุด

3.1 การหาค่าเหมาะที่สุดแบบ 1 วันล่วงหน้า

จุดประสงค์ของการจัดสรรกำลังการผลิตอย่างเหมาะที่สุด คือ การเพิ่มผลรายได้สุทธิสูงสุดจากการจัดสรรกำลังการผลิต

$$\text{Max } R = \sum_{t=1}^{T}([P_{pv\,forecaast}(t) + P_{dis}(t) - P_{cha}(t) - P_{curtail}(t)] \times C_{con} \times t) - (P_{buy}(t) \times C_p \times t) \quad (1)$$

สัญญาซื้อขายไฟฟ้าแบบ Partial-firm กำหนดการรับซื้อแตกต่างกันใน 3 ช่วงเวลา โดยมีขั้นเวลา (time step) ที่ 15 นาที อธิบายด้วยสมการได้ดังนี้

1. ช่วงเวลา 09.00-16.00 น. จ่ายกำลังผลิตคงที่ตามสัญญาขายไฟฟ้า

$$P_{con} = [P_{PV\,forecast}(t)] + [P_{dis}(t)] - [(P_{cha}(t)]; \forall t \in (37,64) \quad (2)$$

2. ช่วงเวลา 06.00-09.00 น.และ 16.00-18.00 น. จ่ายกำลังผลิตได้ไม่เกินกำลังไฟฟ้าตามสัญญาในช่วงที่ 1 ต้องมีขนาดพลังงานไม่เกินปริมาณไฟฟ้าเสนอขายตามสัญญาซื้อขายไฟฟ้าแบบ Partial-firm

$$P_{con} \ge [P_{PV\,forecast}(t)] + [P_{dis}(t)] - [P_{cha}(t)]; \forall t \in (25,36) \cup (65,72) \quad (3)$$

3. ช่วงเวลา 18.00-06.00 น. ต้องเตรียมความพร้อมจ่ายให้กับโครงข่ายไฟฟ้าในปริมาณร้อยละ 60 ของกำลังไฟฟ้าตามสัญญาในช่วงที่ 1 ได้ต่อเนื่อง 2 ชั่วโมง สมการนี้มีเมื่อการสั่งความพร้อมจ่าย

$$0.6 * P_{con} = [P_{PV\,forecast}(t)] + [P_{dis}(t)] - [P_{cha}(t)]; \forall t \in (73,80) \quad (4)$$

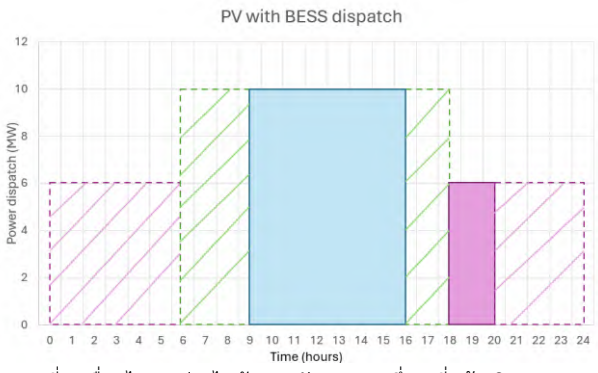

รูปที่ 2 เงื่อนไขการจ่ายไฟฟ้าตามสัญญาแบบกึ่งคงที่ [อ้างอิง กฟภ.]

3.2 การพิจารณาเงื่อนไขความพร้อมจ่ายไฟฟ้าตามสัญญา

ในที่นี้ จะพิจารณาการหาค่าเหมาะที่สุดแบบ 1 วันล่วงหน้า โดยแบ่งออกเป็น 2 รูปแบบ คือ

1. การจัดสรรโดยไม่คำนึงถึงความพร้อมจ่ายไฟฟ้า (Not-consider AP) ใช้ข้อมูลการพยากรณ์พลังงานแสงอาทิตย์ในการจัดสรรล่วงหน้าและไม่มีการจัดสรรในช่วงเวลา 0-6 นาฬิกาและ 18-24 นาฬิกา [19]

2. การจัดสรรโดยคำนึงถึงความพร้อมจ่ายไฟฟ้า (Consider AP) เตรียมความพร้อมจ่ายไฟฟ้า ระหว่างเวลา 18-22 นาฬิกา ต่อเนื่องเป็นเวลา 2 ชั่วโมง ความพร้อมส่งจ่ายนี้ไม่จำเป็นต้องถูกเรียกทุกวัน [19]

3.3 การพิจารณาปรับการทำงานของระบบ ณ เวลาจริง

พิจารณาปรับการทำงานของระบบ ณ เวลาจริง เปรียบเทียบใน 3 รูปแบบ ดังนี้

1. การปรับการทำงาน ณ เวลาจริง โดยการแก้ไขขั้นต่ำ (Minimal correction dispatch) – ใช้ตารางการชาร์จและดีสชาร์จแบตเตอรี่จากผลตอบการจัดสรรกำลังการผลิตอย่างเหมาะที่สุดล่วงหน้าหนึ่งวัน และปรับการทำงานของระบบ ณ เวลาจริง โดยหากระบบผลิตไฟฟ้าพลังงานแสงอาทิตย์ได้เกิน ในช่วงกำลังการผลิตคงที่ตามสัญญา จำเป็นต้องลดปริมาณไฟฟ้าที่ผลิตได้ลง แต่หากระบบผลิตและจ่ายไฟฟ้าได้ต่ำกว่าจำเป็นต้องซื้อไฟฟ้าจากโครงข่ายเข้ามาชดเชยส่วนที่ขาด (เทียบได้กับบทปรับ โดยราคาซื้อจากโครงข่ายสูงกว่าราคาขายที่ได้รับ)

2. การปรับการทำงาน ณ เวลาจริง โดยอาศัยกฎ (Rule-based dispatch) - ใช้ตารางการชาร์จและดีสชาร์จแบตเตอรี่จากผลตอบการจัดสรรกำลังการผลิตอย่างเหมาะที่สุดล่วงหน้าหนึ่งวัน และปรับการทำงานของระบบ ณ เวลาจริง โดยหากระบบผลิตพลังงานไฟฟ้าได้เกิน ให้นำไปชาร์จแบตเตอรี่เก็บไว้ในช่วงเวลา 09.00-16.00 น. หรือจัดสรรไปยังระบบโครงข่ายไฟฟ้าตามสัญญาแบบ Partial firm ในช่วงเวลา 06.00-09.00 น. และ 16.00-18.00 น. ถ้าผลิตได้ต่ำกว่าให้ทำการซื้อไฟฟ้าจากโครงข่ายเข้ามาชดเชยส่วนที่ขาด

3. การกำหนดการทำงานของระบบกักเก็บพลังงานด้วยแบตเตอรี่โดยการประยุกต์หลักการควบคุมเชิงทำนายแบบจำลอง (Model predictive control, MPC)– วิธีการนี้ จะหาค่าเหมาะที่สุดในทุกขั้นเวลาทั้งหมด 96 ขั้นตอน ในแต่ละวัน และชาร์จและดีสชาร์จแบตเตอรี่จากผลตอบในขั้นเวลานั้น โดยใช้ข้อมูลพยากรณ์กำลังไฟฟ้าพลังงานแสงอาทิตย์สำหรับเวลาล่วงหน้า และแทนที่ด้วยข้อมูลกำลังไฟฟ้าพลังงานแสงอาทิตย์จริงในขั้นตอนเวลาที่ผ่านไปแล้ว

4. วิธีการทดสอบ

การทดสอบกำหนดให้ระบบผลิตไฟฟ้าพลังงานแสงอาทิตย์มีขนาด 12 MW และความจุของแบตเตอรี่ขนาด 30 MWh เพื่อจ่ายไฟฟ้าในช่วงเวลา 09.00-16.00 น. ด้วยกำลังผลิตคงที่ตามสัญญาแบบ Partial-firm ที่ 10 MW (จ่ายไฟฟ้าเข้าสู่ระบบอย่างน้อย 70 MWh ต่อวัน) ใช้ข้อมูลกำลังผลิตไฟฟ้าพลังงานแสงอาทิตย์ที่ผลิตได้จริงจากระบบที่ติดตั้งบนดาดฟ้าอาคารบุญรอด ภายในจุฬาลงกรณ์มหาวิทยาลัย ตั้งแต่วันที่ 1 มกราคม ถึงวันที่ 30 กันยายน พ.ศ. 2567 นำมาดัดแปลงเป็นข้อมูลจริงและข้อมูลพยากรณ์หนึ่งวันล่วงหน้า แสดงดังในรูปที่ 3 และ 4 โดยกำหนดให้ความคลาดเคลื่อนของการพยากรณ์ ฯ มีการแจกแจงแบบปกติ มีค่าความคลาดเคลื่อน MAPE ประมาณ 5% และ nRMSE ระหว่าง 8 – 10% [18] กำหนดให้ค่าประสิทธิภาพในการชาร์จและดิสชาร์จพลังงานของระบบกักเก็บพลังงานแบตเตอรี่ เท่ากับ 0.9 ราคาค่าไฟฟ้าตามสัญญาอยู่ที่ 2.8331 บาทต่อหน่วย และราคากรณีซื้อไฟฟ้าจากโครงข่ายอยู่ที่ 5.6662 บาทต่อหน่วย

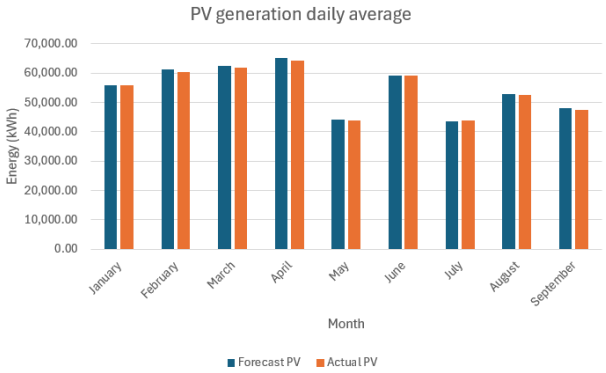

รูปที่ 3 ค่าเฉลี่ยปริมาณการผลิตพลังงานแสงอาทิตย์ต่อวัน ในช่วง 9 เดือน

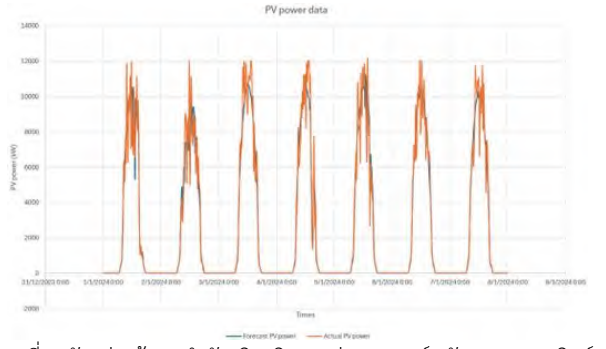

รูปที่ 4 ตัวอย่างข้อมูลกำลังผลิตจริงและค่าพยากรณ์พลังงานแสงอาทิตย์ในสัปดาห์แรกของเดือนมกราคม

ในเบื้องต้น กำหนด SOC_{min} ที่ร้อยละ 10 แต่ไม่มีข้อจำกัด SOC_{max} เพื่อหาขนาดระบบกักเก็บพลังงานที่เหมาะที่สุด พิจารณาเงื่อนไขเวลา 18.00 น. ต้องมีพลังงานในระบบกักเก็บพลังงานขั้นต่ำอย่างน้อย 15 MWh เพื่อพร้อมสำหรับการเรียกความพร้อมจ่ายไฟฟ้าจากการไฟฟ้าคู่สัญญา โดยในที่นี้ ทำการศึกษา 2 แบบ คือ แบบคำนึงถึงความพร้อมจ่าย และแบบไม่คำนึงถึงความพร้อมจ่าย พิจารณาเปรียบเทียบการปรับการทำงาน ณ เวลาจริง ของระบบใน 3 รูปแบบ ตามที่อธิบายในหัวข้อ 3.3

5. ผลการทดสอบ

ผลการทดสอบที่นำเสนอทั้งหมดในหัวข้อนี้ จะยังไม่จำลองกรณีที่การไฟฟ้าคู่สัญญาเรียกใช้ความพร้อมจ่ายที่ระบบจัดเตรียมไว้ สำหรับช่วงเวลา 18.00-06.00 น. ของทุกวัน

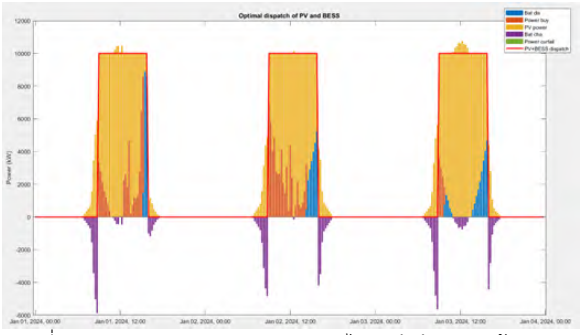

รูปที่ 5 ผลการจัดสรรกำลังการผลิตแบบไม่คำนึงถึงความพร้อมจ่าย

รูปที่ 5 แสดงผลการจัดสรรกำลังการผลิตกรณีที่ไม่คำนึงถึงความพร้อมจ่าย ที่มีระบบพลังงานแสงอาทิตย์ขนาด 12 MW แสดงผลการจัดสรรกำลังการผลิตในช่วงเวลา 06.00-18.00 น. โดยใช้ข้อมูลการพยากรณ์ในการจัดสรร และในช่วงเวลาของความพร้อมส่งจ่าย ระบบกักเก็บพลังงานแบตเตอรี่จำเป็นต้องกักเก็บพลังงานอย่างน้อย 15 MWh เพื่อความพร้อมจ่าย

5.1 การปรับการทำงาน ณ เวลาจริง โดยการแก้ไขขั้นต่ำ

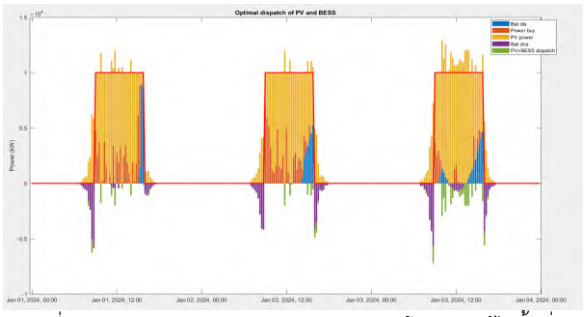

รูปที่ 6 ผลการควบคุมการทำงาน ณ เวลาจริง โดยการแก้ไขขั้นต่ำ

รูปที่ 6 แสดงผลการจัดสรรกำลังการผลิตกรณีที่ปรับการทำงานโดยการแก้ไขขั้นต่ำ การจัดสรรแบบเรียลไทม์นี้มีการเปลี่ยนแปลงตารางการจัดสรรไฟฟ้าน้อยที่สุดเมื่อเทียบกับตารางการจัดสรรหนึ่งวันล่วงหน้า การแก้ไขการจัดสรรที่น้อยนี้ทำให้มีการลดกำลังการผลิตไฟฟ้ามาก ส่งผลให้มีการสูญเสียพลังงานจำนวนมาก และมีช่วงเวลาที่ชาร์จและนำเข้าไฟฟ้าในเวลาเดียวกันส่งผลต่อรายได้ในการซื้อขายไฟฟ้าจากส่วนต่างจากราคาซื้อและขายของสัญญา Partial-firm ดังนั้นการจัดสรรกำลังการผลิตอย่างเหมาะที่สุดในรูปแบบนี้จึงสร้างรายได้สุทธิต่ำที่สุด

5.2 การปรับการทำงาน ณ เวลาจริง โดยอาศัยกฎ

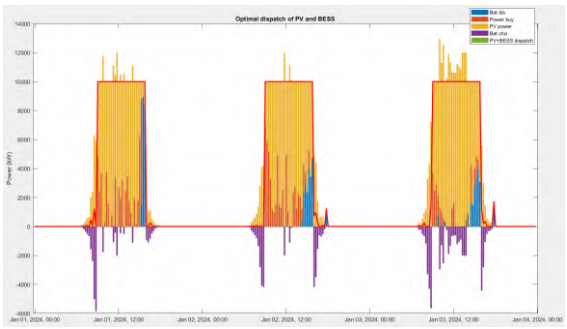

รูปที่ 7 ผลการควบคุมการทำงาน ณ เวลาจริง โดยอาศัยกฎ

รูปที่ 7 แสดงผลการจัดสรรกำลังการผลิตกรณีที่ปรับการทำงานโดยอาศัยกฎ การจัดสรรนี้ไม่มีคำสั่งการลดกำลังการผลิตไฟฟ้า พลังงานส่วนเกินจากการพยากรณ์ในช่วงเวลา 06.00-09.00 น.และ 16.00-18.00 น. ถูกจัดสรรเข้าสู่กริด และพลังงานส่วนเกินในช่วงเวลา 09.00-16.00 น. จะทำการชาร์จเข้าแบตเตอรี่ แต่บางครั้งเนื่องจากการชาร์จตามการวิธีการหาค่าเหมาะที่สุดหนึ่งวันล่วงหน้า จึงต้องนำเข้าพลังงานมากขึ้น และมีการใช้งานแบตเตอรี่มากที่สุดส่งผลให้สูญเสียพลังงานรอบเที่ยวแบตเตอรี่สูงที่สุดในการปรับการทำงาน ณ เวลาจริง ส่งผลให้รายได้สุทธิลดลง

5.3 การกำหนดการทำงานของระบบกักเก็บพลังงานโดยประยุกต์หลักการ MPC

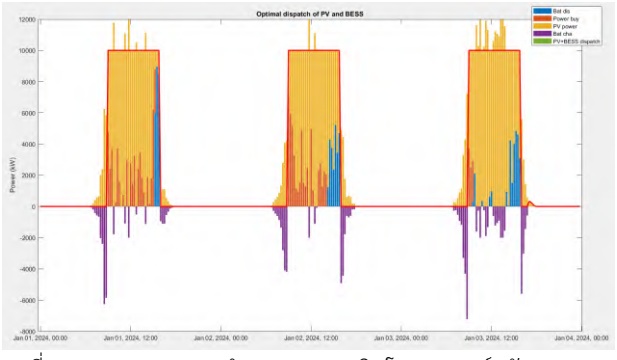

รูปที่ 8 ผลการควบคุมการทำงาน ณ เวลาจริง โดยประยุกต์หลักการ MPC

รูปที่ 8 แสดงผลการจัดสรรกำลังการผลิตกรณีที่ปรับการทำงานโดยประยุกต์หลักการ MPC ทำการอัปเดตข้อมูลพลังงานแสงอาทิตย์จริงทุก 15 นาที เพื่อให้สามารถปรับตัวเข้ากับสถานการณ์แบบเรียลไทม์และตัดสินใจได้ดีที่สุด การหาค่าที่เหมาะสมที่สุดนี้ไม่จำเป็นต้องลดกำลังไฟฟ้าและไม่มีช่วงเวลาที่ชาร์จและนำเข้าไฟฟ้าในเวลาเดียวกัน มีการนำเข้าพลังงานน้อยที่สุด และมีการสูญเสียพลังงานน้อยที่สุดจากการลดกำลังการผลิตไฟฟ้าและการสูญเสียพลังงานรอบเที่ยวแบตเตอรี่รวมกัน ดังนั้นการหาค่าที่เหมาะสมที่สุดนี้จึงสร้างผลรายได้สุทธิได้มากที่สุด

5.4 รายได้สุทธิตามสัญญาซื้อขายไฟฟ้าแบบกึ่งคงที่

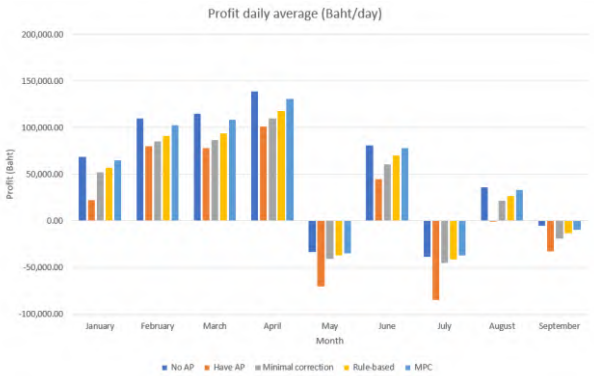

รูปที่ 9 รายได้สุทธิเฉลี่ยต่อวันจากการขายไฟฟ้าสัญญา 10 MW โดยใช้ระบบผลิตไฟฟ้าแสงอาทิตย์ขนาด 12 MW

ผลการทดลองเห็นว่าในช่วง 9 เดือน มี 3 เดือนที่ขาดทุน และทั้ง 3 เดือนมีค่าเฉลี่ยการผลิตไฟฟ้ารายวันน้อยกว่า 50 MWh และหากใช้ผลลัพธ์การจัดสรรกำลังการผลิตที่ดีที่สุดคือ การจัดสรรกำลังการผลิตแบบไม่พร้อมส่งจ่าย ในการอ้างอิง พบว่าการกำหนดการทำงานของระบบกักเก็บพลังงานโดยประยุกต์หลักการ MPC สร้างรายได้สุทธิมากที่สุด

ในสัญญาแบบ Partial-firm ระบบพลังงานแสงอาทิตย์และระบบเก็บพลังงานแบตเตอรี่ มีข้อผูกพันในการจ่ายไฟฟ้าอย่างน้อย 70 MWh/วัน และทำรายได้สุทธิอย่างน้อย 198,317 บาท/วัน จากรายได้สุทธิที่แสดงโดยระบบพลังงานแสงอาทิตย์ที่ขนาด 12 MW มี 3 เดือนที่ขาดทุน และไม่มีเดือนใดที่มีรายได้สุทธิมากกว่า 198,317 บาท/วัน ผลลัพธ์แสดงให้เห็นว่าระบบพลังงานแสงอาทิตย์ที่ขนาด 12 MW ไม่เพียงพอสำหรับสัญญา Partial-firm ดังนั้นการทดลองนี้จึงปรับขนาดของระบบพลังงานแสงอาทิตย์ เป็น 15 MW เพื่อหาว่าการจัดสรรกำลังการผลิตสำหรับขนาดของระบบพลังงานแสงอาทิตย์มีประสิทธิภาพอย่างไร

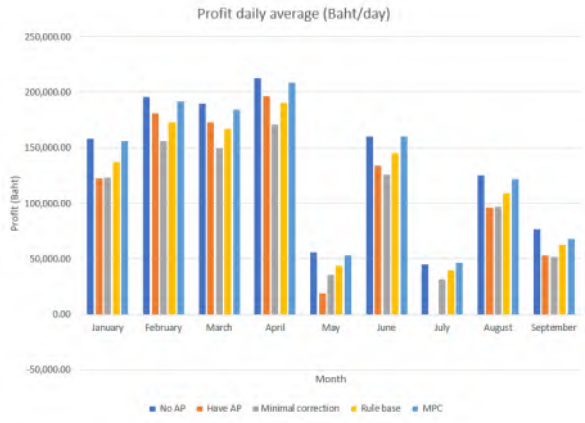

รูปที่ 10 รายได้สุทธิเฉลี่ยต่อวันจากการขายไฟฟ้าสัญญา 10 MW โดยใช้ระบบผลิตไฟฟ้าแสงอาทิตย์ขนาด 15 MW

จากกราฟข้างบน แสดงให้เห็นว่าระบบพลังงานแสงอาทิตย์ เป็น 15 MW สามารถผลิตพลังงานได้เพียงพอ เพื่อปฏิบัติตามสัญญาแบบ Partial-firm และเฉพาะฤดูฝนเท่านั้นที่มีรายได้สุทธิน้อย ในการหาค่าที่เหมาะสมที่สุดแบบเรียลไทม์ วิธี MPC ยังคงมีรายได้สุทธิมากที่สุด แม้ว่าระบบพลังงานแสงอาทิตย์จะผลิตพลังงานมากกว่า 70 MWh/วัน แต่การจัดสรรกำลังการผลิตอย่างเหมาะที่สุดแบบไม่พร้อมส่งจ่ายยังคงสร้างรายได้สุทธิได้มากที่สุด

6. สรุป

บทความนี้ นำเสนอการกำหนดการทำงานของระบบกักเก็บพลังงานด้วยแบตเตอรี่แบบหนึ่งวันล่วงหน้า สำหรับระบบผลิตไฟฟ้าพลังงานแสงอาทิตย์ตามสัญญาซื้อขายไฟฟ้าแบบกึ่งคงที่ เพื่อหาตารางการชาร์จและดีสชาร์จแบตเตอรี่หนึ่งวันล่วงหน้า ด้วยวิธีการหาค่าเหมาะที่สุดแบบ 1 วันล่วงหน้า โดยการพิจารณาปรับการทำงานของระบบ ณ เวลาจริงด้วยประยุกต์หลักการ MPC เป็นวิธีที่เหมาะสมที่สุดในการนำไปประยุกต์จริง

ผลการศึกษาสรุปได้ว่าสถานการณ์ในอุดมคติคือไม่มีข้อผิดพลาดในการพยากรณ์พลังงานแสงอาทิตย์และใช้การจัดสรรกำลังการผลิตอย่างเหมาะที่สุดโดยไม่คำนึงถึงความพร้อมจ่ายไฟฟ้า แต่ในความเป็นจริงที่มีความคลาดเคลื่อนในการพยากรณ์ การกำหนดการทำงานของระบบกักเก็บพลังงานโดยประยุกต์หลักการ MPC จะเหมาะสมที่สุดสำหรับการซื้อขายไฟฟ้าสัญญาแบบ Partial-firm โดยพิจารณาจากผลการศึกษาในทั้ง 9 เดือน พบว่าไม่มีการสูญเสียโอกาสจากคำสั่งลดการผลิตพลังงาน อย่างไรก็ดี การประยุกต์หลักการ MPC ต้องใช้การประมวลผลต่อเนื่องในทุกขั้นเวลา รวม 96 ครั้ง ต่อ 1 วัน

จากกรณีศึกษาสัญญารับซื้อไฟฟ้าพลังงานแสงอาทิตย์ร่วมกับระบบกักเก็บพลังงานด้วยแบตเตอรี่ แบบ Partial-firm ที่กำลังผลิตตามสัญญา 10 MW พบว่าระบบไฟฟ้าพลังงานแสงอาทิตย์ขนาด 12 MW ไม่สามารถผลิตพลังงานไฟฟ้าได้เพียงพอที่ 70 MWh/วัน เพื่อจ่ายไฟตามสัญญา แต่ระบบไฟฟ้าพลังงานแสงอาทิตย์ขนาด 15 MW ร่วมกับระบบกักเก็บพลังงานด้วยแบตเตอรี่ความจุ 30 MWh สามารถจ่ายไฟฟ้าได้ตามสัญญาในเกือบทุกเดือน ยกเว้นในเดือนที่มีฝนตกและเมฆมากหลายวันต่อเนื่อง จำเป็นต้องใช้ระบบผลิตและกักเก็บพลังงานที่มีขนาดใหญ่ขึ้นกว่านี้อีก ซึ่งอาจไม่คุ้มค่าในการลงทุน

เอกสารอ้างอิง

[1] El Hammoumi, A., Chtita, S., Motahhir, S., & El Ghzizal, A. (2022). Solar PV energy: From material to use, and the most commonly used techniques to maximize the power output of PV systems: A focus on solar trackers and floating solar panels. Energy Reports, 8, 11992–12010.

[2] Alshahrani, A., Omer, S., Su, Y., Mohamed, E., & Alotaibi, S. (2019). The technical challenges facing the integration of small-scale and large-scale PV systems into the grid: A critical review. Electronics, 8(12), 1443.

[3] Antonanzas, J., Osorio, N., Escobar, R., Urraca, R., Martinez-de-Pison, F. J., & Antonanzas-Torres, F. (2016). Review of photovoltaic power forecasting. Solar Energy (Phoenix, Ariz.), 136, 78–111.

[4] Sampath Kumar, D., Gandhi, O., Rodríguez-Gallegos, C. D., & Srinivasan, D. (2020). Review of power system impacts at high PV penetration Part II: Potential solutions and the way forward. Solar Energy (Phoenix, Ariz.), 210, 202–221.

[5] Liu, Z., & Du, Y. (2023c). Evolution towards dispatchable PV using forecasting, storage, and curtailment: A review. Electric Power Systems Research,223(109554),109554.

[6] Wang, G., Ciobotaru, M., & Agelidis, V. G. (2015). Dispatch performance analysis of PV power plants using various energy storage capacities. IECON 2015 - 41st Annual

Conference of the IEEE Industrial Electronics Society, 002691–002696.

[7] Campos, R. A., Martins, G. L., & Rüther, R. (2022). Assessing the influence of solar forecast accuracy on the revenue optimization of photovoltaic + battery power plants in day-ahead energy markets. Journal of Energy Storage, 48(104093), 104093.

[8] Tafti, H. D., Maswood, A. I., Konstantinou, G., Pou, J., & Blaabjerg, F. (2018). A general constant power generation algorithm for photovoltaic systems. IEEE Transactions on Power Electronics, 33(5), 4088–4101.

[9] Sangwongwanich, A., Yang, Y., & Blaabjerg, F. (2016). High-performance constant power generation in grid-connected PV systems. IEEE Transactions on Power Electronics, 31(3), 1822–1825.

[10] Enkhtuvshin, M., Liu, K.-Z., Wei, Y., Sanabria, C., Koiwa, K., & Zanma, T. (2023). Economic dispatch of thermal and PV powers: Frequency maintenance, smoothing effect based statistic model and peak-cut operation. International Journal of Electrical Power & Energy Systems, 148(108938), 108938.

[11] Conte, F., Massucco, S., Schiapparelli, G.-P., & Silvestro, F. (2020). Day-ahead and intra-day planning of integrated BESS-PV systems providing frequency regulation. IEEE Transactions on Sustainable Energy, 11(3), 1797–1806.

[12] Klyve, Ø. S., Nygård, M. M., Riise, H. N., Fagerström, J., & Marstein, E. S. (2023). The value of forecasts for PV power plants operating in the past, present and future Scandinavian energy markets. Solar Energy (Phoenix,Ariz.),255,208–221.

[13] Zhang, K., Li, J., & Zhang, Z. (2019). Optimal bidding strategy of PV-storage system in the electricity market. 2019 IEEE 4th Advanced Information Technology, Electronic and Automation Control Conference (IAEAC), 1, 1155–1160.

[14] Bullich-Massagué, E., Cifuentes-García, F.-J., Glenny-Crende, I., Cheah-Mañé, M., Aragüés-Peñalba, M., Díaz-González, F., & Gomis-Bellmunt, O. (2020). A review of energy storage technologies for large scale photovoltaic power plants. Applied Energy, 274(115213), 115213.

[15] Feehally, T., Forsyth, A., Todd, R., Liu, S., & Noyanbayev, N. (2018). Efficiency analysis of a high power grid-connected battery energy storage system.

[16] Ehsan, A., & Yang, Q. (2018). Optimal integration and planning of renewable distributed generation in the power distribution networks: A review of analytical techniques. Applied Energy, 210, 44–59.

[17] Abdmouleh, Z., Gastli, A., Ben-Brahim, L., Haouari, M., & Al-Emadi, N. A. (2017). Review of optimization techniques applied for the integration of distributed generation from renewable energy sources. Renewable Energy, 113, 266–280.

[18] Mei, S., Tan, Q., Trivedi, A., & Srinivasan, D. (2024). A two-step optimization model for virtual power plant participating in spot market based on energy storage power distribution considering comprehensive forecasting error of renewable energy output. Applied Energy, 376(124234), 124234.

[19] หลักการรับซื้อไฟฟ้าจากพลังงานหมุนเวียนและอัตรารับซื้อไฟฟ้าจากพลังงานหมุนเวียนรูปแบบ FiT สาหรับปี 2565 – 2573 สาหรับกลุ่มไม่มีต้นทุนเชื้อเพลิง https://www.erc.or.th/

การศึกษาและวิเคราะห์การติดตั้งระบบเซลล์แสงอาทิตย์ที่เหมาะสมกับพื้นที่เป้าหมาย เพื่อการใช้พลังงานให้ได้ประสิทธิภาพสูงสุดสำหรับโหลดที่อยู่อาศัย

Study And Analysis of The Optimal Installation of Solar Cell Systems for Target Areas to Maximize Energy Efficiency for Residential Loads

ทศวรรษ มีมิ่งขวัญ[1] วัณโน ยีตำ[1] และ เวคิน ปิยรัตน์[1]*

[1]ภาควิชาวิศวกรรมไฟฟ้า คณะวิศวกรรมศาสตร์ มหาวิทยาลัยศรีนครินทรวิโรฒ thossawat.gseg@g.swu.ac.th wanno@g.swu.ac.th wekin@g.swu.ac.th*

บทคัดย่อ

ความต้องการใช้พลังงานไฟฟ้าที่เพิ่มขึ้นในภาคที่อยู่อาศัยส่งผลให้เกิดการนำเทคโนโลยีพลังงานหมุนเวียนมาใช้อย่างแพร่หลาย โดยเฉพาะระบบผลิตไฟฟ้าพลังงานแสงอาทิตย์ (Solar Photovoltaic: PV) งานวิจัยนี้มุ่งเน้นการศึกษาการติดตั้งระบบเซลล์แสงอาทิตย์แบบผสมผสาน (Hybrid Off-Grid System) ในพื้นที่เป้าหมาย 5 จังหวัด ได้แก่ 1. ปทุมธานี 2. กรุงเทพมหานคร 3. สุพรรณบุรี 4. ชลบุรี และ 5. นครนายก โดยเก็บข้อมูลด้านรังสีดวงอาทิตย์ อุณหภูมิ และโหลดทางไฟฟ้าของครัวเรือนเพื่อนำมาประเมินการเลือกใช้อุปกรณ์ในการติดตั้ง พร้อมทั้งประสิทธิภาพของระบบผ่านตัวชี้วัดมาตรฐาน ได้แก่ อัตราส่วนประสิทธิภาพของระบบ (Performance Ratio: PR), สัดส่วนการใช้พลังงานจากแสงอาทิตย์ (Solar Fraction: SF) และปัจจัยการใช้กำลังการผลิตของระบบ (Capacity Factor: CF)

ผลการศึกษาพบว่าค่าเฉลี่ยของทั้ง 5 พื้นที่มีค่า PR = 0.8382 (≈83%), SF = 0.9222 (≈92%) และ CF = 0.1562 (≈15.6%) ซึ่งอยู่ในเกณฑ์มาตรฐานสากล โดยกรุงเทพมหานครมีค่า PR สูงที่สุด (84.6%) สุพรรณบุรีมีค่า SF สูงสุด (116%) และชลบุรีมีค่า CF สูงสุด (17.6%) ขณะที่นครนายกมีค่าต่ำสุดในทุกตัวชี้วัด ผลลัพธ์นี้สะท้อนถึงความแตกต่างเชิงพื้นที่ที่มีผลโดยตรงต่อประสิทธิภาพของระบบ การออกแบบและติดตั้งจึงจำเป็นต้องสอดคล้องกับเงื่อนไขเฉพาะพื้นที่เพื่อให้เกิดความคุ้มค่าทางเศรษฐศาสตร์และความเสถียรภาพของระบบ อีกทั้งยังเป็นแนวทางสำคัญในการพัฒนาสู่ระบบสมาร์ทกริดและการจัดการพลังงานอัจฉริยะในอนาคต

คำสำคัญ: ระบบเซลล์แสงอาทิตย์, การวิเคราะห์ประสิทธิภาพ

Abstract

The increasing demand for residential electricity has led to the widespread adoption of renewable energy technologies, particularly solar photovoltaic (PV) systems. This study focuses on the installation of Hybrid Off-Grid PV systems in five target provinces in Thailand: 1. Pathum Thani, 2. Bangkok, 3. Suphan Buri, 4. Chon Buri, and 5. Nakhon Nayok. Data on solar irradiance, ambient temperature, and household electrical loads were collected to evaluate equipment selection and system performance. The assessment was conducted using three standard indicators: Performance Ratio (PR), Solar Fraction (SF), and Capacity Factor (CF).

The results indicate that the average values across the five sites are PR = 0.8382 (≈83%), SF = 0.9222 (≈92%), and CF = 0.1562 (≈15.6%), which are consistent with international benchmarks. Bangkok recorded the highest PR (84.6%), Suphan Buri achieved the highest SF (116%), and Chon Buri had the highest CF (17.6%), while Nakhon Nayok showed the lowest performance across all indicators. These outcomes highlight the strong influence of site-specific conditions on PV system efficiency, emphasizing the need for customized design and installation to ensure economic feasibility and operational stability. Moreover, the findings provide an essential basis for future advancements in smart grid integration and intelligent energy management systems.

Keywords: Solar cell system, Efficiency analysis

1. บทนำ

เนื่องจากในปัจจุบันการใช้พลังงานมีมากขึ้นในทุกวัน โดยเฉพาะพลังงานไฟฟ้าที่เป็นปัจจัยหลักสำคัญสำหรับการใช้ชีวิตประจำวัน จึงก่อให้เกิดเทคโนโลยีต่างๆสำหรับการใช้พลังงานไฟฟ้าเพื่อเพิ่มทางเลือกให้แก่ผู้ใช้งานอย่างคุ้มค่า ลดค่าใช้จ่ายจากพลังงานดั้งเดิมที่ใช้งานอยู่ โดยที่พลังงานที่เข้ามาทดแทนหรือเสริมประสิทธิภาพในการใช้งานนั้น ก็คือพลังงานหมุนเวียน กล่าวถึงพลังงานไฟฟ้าจากแสงอาทิตย์ ที่เป็นที่นิยมอย่างมากในปัจจุบัน และมีแนวโน้มที่จะมีการใช้งานพลังงานไฟฟ้าจากแสงอาทิตย์เพิ่มขึ้นไปเรื่อย ๆ โดยปัญหาที่พบจากการใช้งานพลังงานแสงอาทิตย์ คือ ประสิทธิภาพของระบบที่ทำงานได้ไม่เต็มกำลังการผลิต การทำงานที่ไม่สามารถจัดสรรโหลดทางไฟฟ้าที่ใช้งานภายในที่อยู่อาศัยได้ การใช้งานโหลดทางไฟฟ้าที่เกินกำลังของระบบ [1-5]

ด้านตัวชี้วัด Performance Ratio (PR) ได้รับการกำหนดมาตรฐานใน IEC 61724 [6] และถูกใช้อย่างแพร่หลายในการประเมินประสิทธิภาพของระบบ PV โดยงานวิจัยของ Fraunhofer ISE [7] และ NREL [8] ระบุว่าระบบที่ออกแบบได้ดีจะมีค่า PR อยู่ระหว่าง 75–90%

ด้านตัวชี้วัด Solar Fraction (SF) ถูกใช้สำหรับระบบโซลาร์เซลล์แบบไฮบริด โดย Yadav และคณะ [9] รวมถึง Al-Waeli และคณะ [10] พบว่าค่า SF อยู่ในช่วง 70–90% ขึ้นกับความจุแบตเตอรี่และรูปแบบการใช้โหลดไฟฟ้า

ในด้าน Capacity Factor (CF) งานของ IEA PVPS [11] รายงานว่าระบบ PV ในเอเชียตะวันออกเฉียงใต้มีค่า CF เฉลี่ยอยู่ระหว่าง 15–20% โดยมีความผันผวนขึ้นกับศักยภาพรังสีแสงอาทิตย์และสภาพภูมิอากาศ งานล่าสุดของ Zhang และคณะ [12] รวมถึง Kumar และคณะ [13] ยังเน้นย้ำถึงผลกระทบของอุณหภูมิและการเสื่อมสภาพของแผงที่ควรถูกนำมาพิจารณาในการวิเคราะห์ CF

*ผู้ประพันธ์บรรณกิจ

โดยงานวิจัยนี้จะแก้ปัญหาได้โดยการศึกษาค่าตัวชี้วัดมาตรฐานของระบบเซลล์แสงอาทิตย์ ได้แก่ 1. อัตราส่วนประสิทธิภาพของระบบ (Performance Ratio: PR), 2. สัดส่วนการใช้พลังงานจากแสงอาทิตย์ (Solar Fraction: SF) และ 3. ปัจจัยการใช้กำลังการผลิตของระบบ (Capacity Factor: CF) เพื่อให้ได้ค่ามาตรฐานตามที่ต้องการในการวิเคราะห์ปัญหาที่เกิดขึ้น สำหรับการพัฒนาระบบเซลล์แสงอาทิตย์ให้มีประสิทธิภาพสูงสุดในการผลิตกำลังงานไฟฟ้า และจัดสรรการใช้พลังงานไฟฟ้าได้อย่างเหมาะสมในการใช้งานต่อไป

หัวข้อที่นำเสนอในบทความนี้จะมีทั้งหมด 7 หัวข้อหลัก ได้แก่ วิธีการเก็บข้อมูลระบบเซลล์แสงอาทิตย์, อุปกรณ์ในระบบเซลล์แสงอาทิตย์, กำลังการผลิตในระบบเซลล์แสงอาทิตย์, ไดอะแกรมภาพรวมของระบบเซลล์แสงอาทิตย์, การวิเคราะห์ประสิทธิภาพของระบบเซลล์แสงอาทิตย์, การวิเคราะห์ข้อมูลของระบบเซลล์แสงอาทิตย์ และการเปรียบเทียบประสิทธิภาพของระบบเซลล์แสงอาทิตย์

2. การเก็บข้อมูลระบบเซลล์แสงอาทิตย์

2.1 วิธีการเก็บข้อมูลระบบเซลล์แสงอาทิตย์

การดำเนินงานวิจัยมีพื้นที่ทั้งหมด 5 จังหวัด ได้แก่ 1. ปทุมธานี, 2. กรุงเทพมหานคร, 3. สุพรรณบุรี, 4. ชลบุรี และ 5. นครนายก เพื่อการศึกษาพลังงานแสงอาทิตย์, การติดตั้งระบบเซลล์แสงอาทิตย์พร้อมกับอุปกรณ์ควบคุม, การเก็บข้อมูลจากโปรแกรม iPower และ Family BMS, การศึกษาประสิทธิภาพของระบบเซลล์แสงอาทิตย์, และการนำระบบเซลล์แสงอาทิตย์ที่ติดตั้งไปแล้วนำมาวิเคราะห์ข้อมูลใหม่ โดยวิธีการทำงานแสดงตามรูปที่ 1

โปรแกรม iPower เก็บข้อมูลจากอินเวอร์เตอร์ [14], และ Family BMS เก็บข้อมูลจากแบตเตอรี่ [15] แสดงตามรูปที่ 2 และ รูปที่ 3

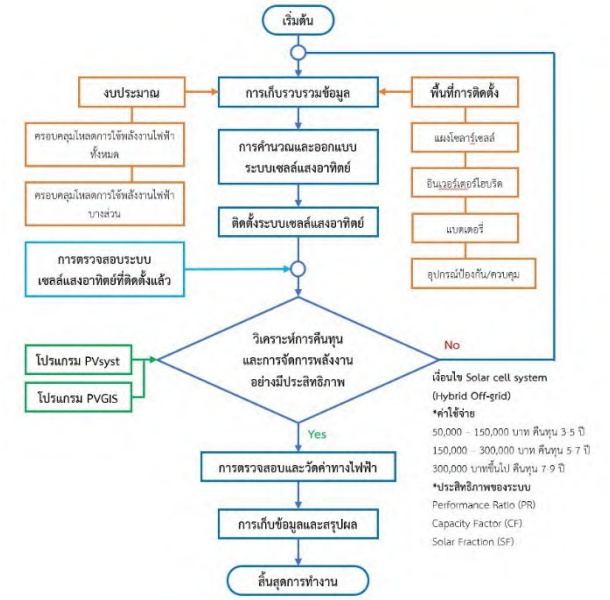

รูปที่ 1 แผนผังการเก็บข้อมูลระบบเซลล์แสงอาทิตย์

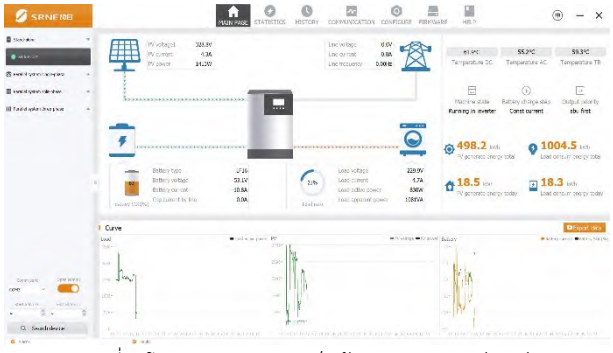

รูปที่ 2 โปรแกรม iPower เก็บข้อมูลจากอินเวอร์เตอร์

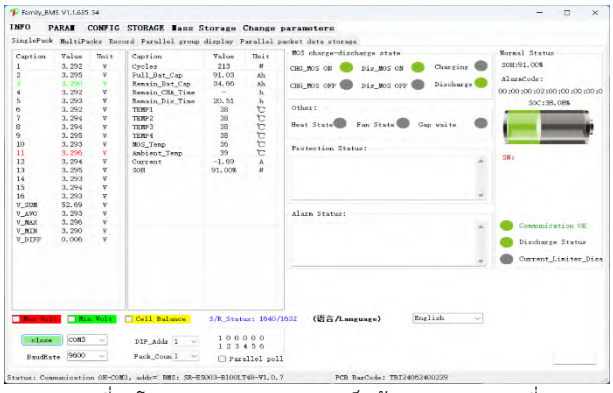

รูปที่ 3 โปรแกรม Family BMS เก็บข้อมูลจากแบตเตอรี่

2.2 อุปกรณ์ในระบบเซลล์แสงอาทิตย์

อุปกรณ์ที่ต้องการใช้งานในระบบเซลล์แสงอาทิตย์ขึ้นอยู่กับปัจจัย 2 อย่าง คือ 1. ความต้องการใช้งานโหลด และ 2. งบประมาณ เมื่อรู้ถึงความต้องการที่ใช้งานระบบเซลล์แสงอาทิตย์ จะได้ข้อมูลของอุปกรณ์หลัก 3 อย่าง คือ 1. แผงโซลาร์เซลล์ 2. อินเวอร์เตอร์ไฮบริด และ 3. แบตเตอรี่ ดังรูปที่ 4 ถึง รูปที่ 6 (ยกตัวอย่างมาจากจังหวัดสุพรรณบุรี 1 จังหวัด)

รูปที่ 4 แผงโซลาร์เซลล์ขนาด 580 W จำนวน 30 แผง

รูปที่ 5 อินเวอร์เตอร์ไฮบริดขนาด 5 kW จำนวน 3 เครื่อง และอุปกรณ์ควบคุม

รูปที่ 6 แบตเตอรี่ลิเธียมฟอสเฟตขนาด 51.2V 200Ah 10.24 kWh

2.3 กำลังการผลิตในระบบเซลล์แสงอาทิตย์

กำลังการผลิตของระบบเซลล์แสงอาทิตย์ในพื้นที่ 5 จังหวัด มีความแตกต่างกัน ตามความต้องการในการใช้งานโหลดทางไฟฟ้า โดยขึ้นอยู่กับงบประมาณ พื้นที่การติดตั้ง และข้อมูลศักยภาพของแสงอาทิตย์ในแต่ละพื้นที่ ซึ่งทั้ง 5 จังหวัด มีกำลังการผลิตและอุปกรณ์ที่ใช้ดังตารางที่ 1 ดังนี้

ตารางที่ 1 กำลังการผลิตและอุปกรณ์ที่ใช้

ที่ตั้ง	ปทุมธานี	กรุงเทพมหานคร	สุพรรณบุรี	ชลบุรี	นครนายก
แผงโซลาร์เซลล์	450 W 6 Panel 1 String	550 W 32 Panel 2 String	580 W 30 Panel 3 String	580 W 8 Panel 1 String	555 W 4 Panel 1 String
อินเวอร์เตอร์	3 kW 1 P 1 Unit	10 kW 1 P 2 Unit (20 kW)	5 kW 1 P 3 Unit (5kW 3P)	5 kW 1 P 1 Unit	3 kW 1 P 1 Unit
แบตเตอรี่	LiFePo4 12V 80 Ah 1 Unit	Gel 12V 100 Ah 8 Unit	LiFePo4 51.2V 200 Ah 1 Unit	LiFePo4 51.2V 100 Ah 1 Unit	Gel 12V 55 Ah 2 Unit

2.4 ไดอะแกรมภาพรวมของระบบเซลล์แสงอาทิตย์

การวางระบบเซลล์แสงอาทิตย์จะต้องมีวงจรควบคุมและป้องกันเพื่อการใช้งานที่ปลอดภัยไม่กระทบต่อแหล่งพลังงานที่ต่างกัน จึงต้องมีการวางแนวทางการติดตั้งของอุปกรณ์ ดังรูปที่ 7 โดยเป็นการบอกถึงภาพรวมของระบบเซลล์แสงอาทิตย์ต่อพื้นที่ 5 จังหวัด

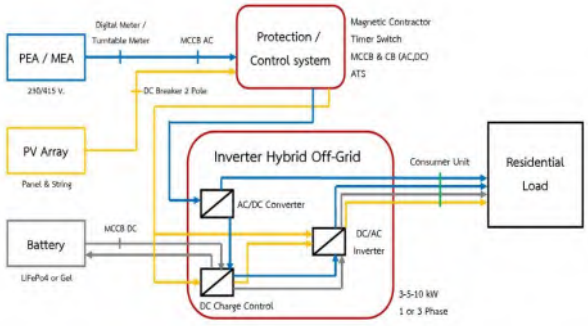

รูปที่ 7 ไดอะแกรมภาพรวมของระบบเซลล์แสงอาทิตย์

2.5 การวิเคราะห์ประสิทธิภาพของระบบเซลล์แสงอาทิตย์

2.5.1 อัตราส่วนประสิทธิภาพของระบบ (Performance Ratio (PR)) คือ ค่าที่วัดความสามารถของระบบโซลาร์เซลล์ในการผลิตพลังงานเทียบกับพลังงานที่ควรผลิตได้ภายใต้สภาพแวดล้อมจริง ดังสมการที่ 1 [16-17]

$$PR = \frac{\text{พลังงานที่ผลิตได้จริง (kWh)}}{\text{พลังงานที่ควรผลิตได้ในเงื่อนไข STC (kWh)}} \quad (1)$$

2.5.2 สัดส่วนการใช้พลังงานจากแสงอาทิตย์ (Solar Fraction (SF)) คือ ค่าที่เป็นอัตราส่วนของพลังงานจากระบบโซลาร์เซลล์ที่สามารถใช้แทนพลังงานจากแหล่งอื่น เช่น ใช้แทนจากการไฟฟ้า ดังสมการที่ 2 [18-19]

$$SF = \frac{\text{พลังงานที่ผลิตจากแผงโซล่าเซลล์ (kWh)}}{\text{พลังงานที่ใช้โดยโหลดทั้งหมด (kWh)}} \quad (2)$$

2.5.3 ปัจจัยการใช้กำลังการผลิตของระบบ (Capacity Factor (CF)) คือ ค่าที่บ่งบอกว่าสัดส่วนของพลังงานที่ผลิตจริงเมื่อเทียบกับพลังงานที่ระบบควรผลิตได้หากทำงานเต็มกำลังตลอดเวลา ดังสมการที่ 3 [20]

$$CF = \frac{\text{พลังงานไฟฟ้าที่ผลิตได้จริง (kWh)}}{\text{กำลังการผลิตติดตั้ง (kWp) X เวลาทั้งหมด (ชั่วโมง)}} \quad (3)$$

2.5.4 การวิเคราะห์เชิงลึกของตัวชี้วัดทั้งสาม

2.5.4.1 ปัจจัยที่ส่งผลต่อค่า PR

- อุณหภูมิแวดล้อม (Ambient Temperature): การทำงานของแผงโซลาร์เซลล์จะมีประสิทธิภาพลดลงเมื่ออุณหภูมิสูงขึ้น ทำให้พื้นที่ที่มีอุณหภูมิสูงอย่างสุพรรณบุรีและนครนายกมีค่า PR ต่ำกว่า
- การบังเงา (Shading Effect): อาคาร ต้นไม้ หรือสิ่งกีดขวาง ส่งผลให้พลังงานที่ผลิตได้ลดลง ส่งผลให้ค่า PR ลดลงอย่างมีนัยสำคัญในบางพื้นที่
- ประสิทธิภาพอินเวอร์เตอร์ (Inverter Efficiency): อินเวอร์เตอร์ที่มีประสิทธิภาพต่ำหรือติดตั้งไม่เหมาะสมทำให้สูญเสียพลังงาน ส่งผลต่อค่า PR โดยตรง

2.5.4.2 ปัจจัยที่ส่งผลต่อค่า SF

- ศักยภาพรังสีแสงอาทิตย์ (Solar Irradiance Potential): จังหวัดสุพรรณบุรีมีค่ารังสีเฉลี่ยสูงกว่าพื้นที่อื่น ส่งผลให้ค่า SF สูงเกิน 100% ซึ่งหมายถึงการผลิตเกินความต้องการโหลด
- โหลดไฟฟ้าของครัวเรือน (Household Load Profile): หากปริมาณโหลดต่ำเมื่อเทียบกับกำลังผลิต จะทำให้ค่า SF สูงขึ้น ในทางกลับกัน หากโหลดสูงกว่าพลังงานที่ผลิตได้ เช่น ในกรุงเทพมหานครและนครนายก ค่า SF จะต่ำลง
- การกักเก็บพลังงาน (Energy Storage): ขนาดแบตเตอรี่ที่ไม่เหมาะสมอาจทำให้พลังงานที่ผลิตได้บางส่วนสูญเสียไป ส่งผลต่อค่า SF

2.5.4.3 ปัจจัยที่ส่งผลต่อค่า CF

- กำลังการผลิตติดตั้ง (Installed Capacity): หากกำลังการผลิตสูงเมื่อเทียบกับการใช้งานจริง ค่า CF อาจลดลงแม้จะผลิตพลังงานได้มาก
- ศักยภาพรังสีและภูมิอากาศ (Irradiance and Weather): จังหวัดชลบุรีที่มีค่ารังสีเฉลี่ยต่อปีสูงและสภาพอากาศคงที่ ส่งผลให้ค่า CF สูงที่สุด (17.6%)
- ความต่อเนื่องในการผลิต (System Availability): หากระบบมีเวลาหยุดทำงานบ่อย (downtime) เช่น การบำรุงรักษาหรือความผิดพลาดในการเชื่อมต่อ ค่า CF จะลดลง

3. ผลการวิจัย

3.1 การวิเคราะห์ข้อมูลของระบบเซลล์แสงอาทิตย์

เมื่อทำการวิเคราะห์ข้อมูล และปัจจัยที่เกี่ยวข้องของระบบเซลล์แสงอาทิตย์ จะได้ข้อมูลดังกราฟ รูปที่ 8 โดยอ้างอิงพลังงานที่ผลิตได้ และสูญเสียในระบบต่อปี เพื่อเป็นแนวทางสำหรับการเก็บข้อมูลการพัฒนาและปรับปรุงระบบเซลล์แสงอาทิตย์ต่อไป โดยที่สามารถเปรียบเทียบข้อมูลจากการคำนวณทางทฤษฎี และค่าในโปรแกรม iPower ที่วัดได้จริงจากการเก็บข้อมูลที่อินเวอร์เตอร์ไฮบริด แต่ละ 5 จังหวัด ได้แก่ 1. ปทุมธานี (PTTN), 2. กรุงเทพมหานคร (BKK), 3. สุพรรณบุรี (SPBR), 4. ชลบุรี (CBR) และ 5. นครนายก (NKNY)

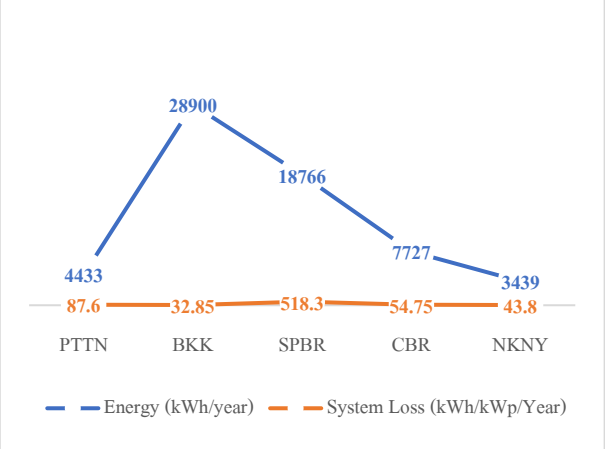

รูปที่ 8 แสดงการเปรียบเทียบพลังงานไฟฟ้าที่ผลิตได้ (kWh/year) และค่าการสูญเสียของระบบ (kWh/kWp/year) ในพื้นที่เป้าหมาย 5 จังหวัด

จากรูปที่ 8 พบว่า กรุงเทพมหานครมีพลังงานไฟฟ้าที่ผลิตสูงสุด และค่าการสูญเสียน้อยที่สุด ขณะที่สุพรรณบุรีมีค่าการสูญเสียสูงแม้จะผลิตพลังงานไฟฟ้าได้ในระดับปานกลาง สะท้อนให้เห็นถึงความสำคัญของการออกแบบระบบ และปัจจัยเฉพาะพื้นที่ ในการวิเคราะห์ประสิทธิภาพของระบบเซลล์แสงอาทิตย์

3.2 การเปรียบเทียบประสิทธิภาพของระบบเซลล์แสงอาทิตย์

จากรูปที่ 9 คือ กราฟการเปรียบเทียบประสิทธิภาพของระบบเซลล์แสงอาทิตย์ของพื้นที่ 5 จังหวัดที่ทำการศึกษา ได้แก่ 1. ปทุมธานี (PTTN), 2. กรุงเทพมหานคร (BKK), 3. สุพรรณบุรี (SPBR), 4. ชลบุรี (CBR) และ 5. นครนายก (NKNY) โดยเปรียบเทียบค่า ระหว่าง อัตราส่วนประสิทธิภาพของระบบ (Performance Ratio (PR)), สัดส่วนการใช้พลังงานจากแสงอาทิตย์ (Solar Fraction (SF)) และปัจจัยการใช้กำลังการผลิตของระบบ (Capacity Factor (CF)) เพื่อพัฒนาระบบและปรับปรุงประสิทธิภาพของระบบเซลล์แสงอาทิตย์ให้ดีมากยิ่งขึ้น โดยที่ค่าต้องอยู่ในเกณฑ์ที่ดีตามมาตรฐานตามตารางที่ 2

ตารางที่ 2 ตัวชี้วัดค่ามาตรฐาน

ตัวชี้วัด	นิยาม	ค่ามาตรฐาน
Performance Ratio (PR)	อัตราส่วนประสิทธิภาพของระบบ	75–90%
Solar Fraction (SF)	สัดส่วนการใช้พลังงานจากแสงอาทิตย์	50–90% (Hybrid)
Capacity Factor (CF)	ปัจจัยการใช้กำลังการผลิตของระบบ	15–25%

3.2.1 อัตราส่วนประสิทธิภาพของระบบ (Performance Ratio (PR)) ค่านี้สะท้อนถึงประสิทธิภาพเชิงเทคนิคของระบบ หาก PR ต่ำกว่า 75% อาจบ่งชี้ถึงปัญหาด้านการติดตั้ง เช่น เงาบดบัง, การเดินสายที่ไม่ได้มาตรฐาน, หรืออินเวอร์เตอร์มีประสิทธิภาพต่ำ ส่วนระบบที่มี PR สูง (>85%) แสดงถึงการออกแบบที่ดี และการดูแลระบบอย่างเหมาะสม

3.2.2 สัดส่วนการใช้พลังงานจากแสงอาทิตย์ (Solar Fraction (SF)) เป็นตัวชี้วัดที่สำคัญในระบบไฮบริดหรือออฟกริด ค่า SF สูงบ่งบอกว่าโหลดสามารถพึ่งพาพลังงานจากแสงอาทิตย์ได้มาก ซึ่งช่วยลดภาระการพึ่งพาไฟฟ้าจากโครงข่าย (Grid) แต่อย่างไรก็ตาม ค่า SF ที่สูงมากเกินไปโดยไม่มีแบตเตอรี่สำรอง อาจทำให้เกิดการสูญเสียพลังงานส่วนเกินในช่วงเวลาที่ไม่มีโหลด

3.2.3 ปัจจัยการใช้กำลังการผลิตของระบบ (Capacity Factor (CF)) ค่านี้สะท้อนถึงการใช้ศักยภาพของระบบโดยรวมในเชิงเวลาโดยเฉพาะอย่างยิ่ง ในกรณีศึกษาหลายพื้นที่ ค่า CF สามารถใช้เปรียบเทียบความเหมาะสมของศักยภาพพลังงานแสงอาทิตย์ตามภูมิประเทศ หากค่า CF ต่ำกว่า 15% อาจเกิดจากตำแหน่งติดตั้งไม่เหมาะสม เช่น ทิศทางแผงไม่สัมพันธ์กับทิศทางแสง หรือพื้นที่มีเมฆมากในช่วงสำคัญ

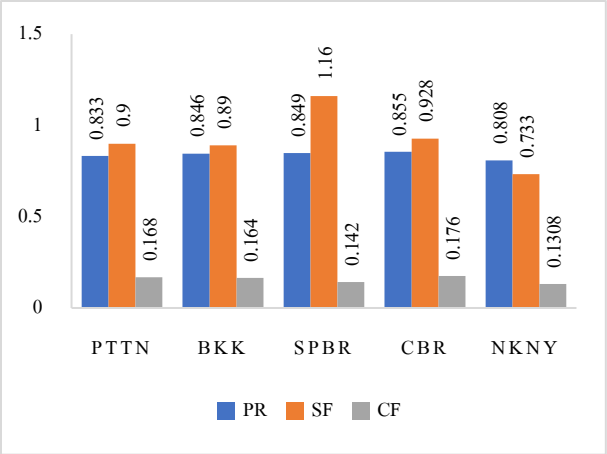

รูปที่ 9 เปรียบเทียบค่า Performance Ratio (PR), Solar Fraction (SF) และ Capacity Factor (CF) ของระบบเซลล์แสงอาทิตย์ใน 5 จังหวัด

4. บทสรุป

จากรูปที่ 9 เปรียบเทียบตัวชี้วัดประสิทธิภาพระบบเซลล์แสงอาทิตย์ใน 5 จังหวัด ได้แก่ ปทุมธานี (PTTN), กรุงเทพมหานคร (BKK), สุพรรณบุรี (SPBR), ชลบุรี (CBR) และ นครนายก (NKNY) พบประเด็นที่น่าสนใจ ดังนี้

4.1 Performance Ratio (PR)

- ทุกพื้นที่มีค่า PR อยู่ในช่วง 0.808 – 0.855 (80.8-85.5%) ซึ่งอยู่ในเกณฑ์ดีตามมาตรฐาน (75–90%)

- ชลบุรี (CBR) และ สุพรรณบุรี (SPBR) มีค่า PR สูงสุด (0.855 และ 0.849) สะท้อนถึงคุณภาพของการออกแบบระบบและประสิทธิภาพโดยรวมที่ดีและการสูญเสียน้อย

- นครนายก (NKNY) มี PR ต่ำสุด (0.808) แต่ยังอยู่ในระดับยอมรับได้ อาจเกิดจากสภาพภูมิอากาศและการบังเงา

4.2 Solar Fraction (SF)

- มีค่าระหว่าง 0.733 - 1.16 (73.3–116%)

- ค่าสูงที่สุดพบใน สุพรรณบุรี (SPBR) ที่ 1.16 ซึ่งเกิน 100% อาจแสดงถึงการผลิตพลังงานเกินโหลดที่ใช้จริง และควรมีการจัดการพลังงานส่วนเกิน (เช่น ส่งเข้ากริดหรือกักเก็บ)

- นครนายก (0.733) มีค่า SF ต่ำกว่าพื้นที่อื่น บ่งชี้ถึงการพึ่งพาโครงข่ายไฟฟ้า (Grid) สูงกว่าพื้นที่อื่น

4.3 Capacity Factor (CF)

- ทุกพื้นที่มีค่า CF อยู่ในช่วง 0.1308 – 0.176 (13.1-17.6%) ซึ่งโดยรวมอยู่ในเกณฑ์มาตรฐาน (15–25%)

- ชลบุรี (CBR) มีค่า CF สูงสุด (0.176) บ่งชี้ถึงประสิทธิภาพการใช้กำลังการผลิตของระบบได้ดี

- นครนายก (NKNY) มีค่า CF ต่ำสุด (0.1308) แสดงถึงการใช้พลังงานที่ไม่เต็มประสิทธิภาพ สอดคล้องกับค่า PR และ SF ที่ต่ำสุดด้วย

ข้อสังเกต

- กรุงเทพฯ และชลบุรี มีค่า PR สูง แสดงถึงประสิทธิภาพระบบโดยรวมที่ดี

- สุพรรณบุรี แม้ค่า PR ไม่สูงที่สุด แต่ค่า SF สูงเกิน 100% บ่งชี้ถึงศักยภาพพลังงานแสงอาทิตย์ที่มากเกินความต้องการโหลด

- นครนายก มีค่าต่ำทั้ง PR, SF และ CF สะท้อนข้อจำกัดด้านศักยภาพรังสีแสงอาทิตย์และสภาพแวดล้อมที่ส่งผลต่อการออกแบบระบบ

ผลการศึกษา พบว่าจากกราฟเปรียบเทียบค่า PR, SF และ CF ของทั้ง 5 จังหวัด พบว่า กรุงเทพมหานคร สุพรรณบุรี และชลบุรีมีค่า PR สูง แสดงถึงการออกแบบระบบที่มีประสิทธิภาพ ส่วน สุพรรณบุรีมีค่า SF สูงสุดเกิน 100% (อยู่ที่ 116%) สะท้อนถึงศักยภาพในการผลิตไฟฟ้าเกินความต้องการโหลด ขณะที่ นครนายกมีค่าตัวชี้วัดทั้งสามต่ำที่สุด ซึ่งแสดงถึงข้อจำกัดเชิงพื้นที่ที่ควรถูกนำมาพิจารณาในการออกแบบระบบ เพื่อให้เกิดการใช้พลังงานอย่างมีประสิทธิภาพและคุ้มค่ามากที่สุด

5. กิตติกรรมประกาศ

ขอขอบคุณทุนอุดหนุนการศึกษาระดับบัณฑิตศึกษา คณะวิศวกรรมศาสตร์ มหาวิทยาลัยศรีนครินทรวิโรฒ

เอกสารอ้างอิง

[1] Almazrouei, S., Hamid, A. K., & Shamsuzzaman, M. (2018, 25-28 Feb. 2018). Predictive energy management in large-scale grid connected PV-batteries system. 2018 5th International Conference on Renewable Energy: Generation and Applications (ICREGA),

[2] Barara, M., Alnejaili, T., Labdai, S., Ouriagli, M., & Chrifi-Alaoui, L. (2021, 23-27 Nov. 2021). Energy management strategy for a hybrid PV-Battery isolated system. 2021 9th International Renewable and Sustainable Energy Conference (IRSEC),

[3] Houam, Y., Tayeb, A. S., & Khelifa, A. (2022, 6-10 May 2022). An Economic Strategy for Energy Management of a Residential Grid-Connected PV-Battery System. 2022 19th International Multi-Conference on Systems, Signals & Devices (SSD),

[4] Masango, F. I., Jordaan, J., & Nnachi, A. F. (2023, 20-22 Sept. 2023). Modeling and Analysis of Residential DC Microgrid Energy Management Using System of Systems Architecture. 2023 IEEE AFRICON,

[5] Polprasert, J., Wannakhong, K., Narkvichian, P., & Oonsivilai, A. (2021, 20-22 Oct. 2021). Home Energy Management System and Optimizing Energy in Microgrid Systems. 2021 International Conference on Power, Energy and Innovations (ICPEI),

[6] IEC 61724: Photovoltaic system performance monitoring – Guidelines for measurement, data exchange, and analysis, IEC, 2021.

[7] Fraunhofer ISE, Photovoltaics Report, Freiburg, Germany, 2023.

[8] NREL, Best Practices for PV System Performance Analysis, USA, 2022.

[9] Yadav, A., et al., “Performance Assessment of Hybrid PV-Battery Systems Using Solar Fraction,” Renewable Energy, vol. 185, pp. 1201–1213, 2022.

[10] Al-Waeli, A., et al., “Evaluation of Solar Fraction in Hybrid Photovoltaic Systems,” Energy Reports, vol. 8, pp. 5490–5503, 2022.

[11] IEA PVPS, Trends in Photovoltaic Applications, International Energy Agency, 2023.

[12] Zhang, H., et al., “Temperature Impacts on PV Performance in Tropical Climates,” IEEE Access, vol. 11, pp. 56723–56734, 2023.

[13] Kumar, P., et al., “Capacity Factor Benchmarking of PV Systems in Southeast Asia,” Solar Energy, vol. 245, pp. 132–145, 2024.

[14] iPower, Version: VI.20, SRNE

[15] FamilyBMS, Version: V1.1.635-54, SRNE

[16] Fraunhofer ISE. "Photovoltaics Report." Freiburg, Germany, 2015.

[17] IEC 61724. “Photovoltaic system performance monitoring – Guidelines for measurement, data exchange and analysis.”

[18] Duffie, J.A., & Beckman, W.A. "Solar Engineering of Thermal Processes." John Wiley & Sons, 2013.

[19] NREL. “PV System Design Guidelines.” National Renewable Energy Laboratory, USA.

[20] IEA PVPS. “Trends in Photovoltaic Applications.” International Energy Agency, 2022.

ประวัติผู้เขียนบทความคนที่ 1
นายทศวรรษ มีมิ่งขวัญ
กำลังศึกษา หลักสูตรวิศวกรรมศาสตรมหาบัณฑิต
สาขาวิชาวิศวกรรมไฟฟ้า
บัณฑิตวิทยาลัย มหาวิทยาลัยศรีนครินทรวิโรฒ
งานวิจัยที่สนใจ พลังงานทดแทน (ระบบเซลล์แสงอาทิตย์)

ประวัติผู้เขียนบทความคนที่ 2
ดร.วัณโน ยีตำ
หลักสูตรวิศวกรรมศาสตรดุษฎีบัณฑิต
สาขาวิชาวิศวกรรมไฟฟ้า
สถาบันเทคโนโลยีพระจอมเกล้าเจ้าคุณทหารลาดกระบัง
งานวิจัยที่สนใจ การออกแบบระบบควบคุม, อิเล็กทรอนิกส์กำลัง, คุณภาพระบบไฟฟ้ากำลัง และพลังงานทดแทน

การพัฒนาระบบเพิ่มประสิทธิภาพการผลิตไฟฟ้าจากโซลาร์เซลล์ด้วยวิธีระบายความร้อนด้วยน้ำ ควบคุมด้วยโปรแกรม LabVIEW

Development of a System to Enhance Solar cell Power Generation Efficiency Using a Water-Cooling Method Controlled by LabVIEW

วรโชติ เครือโชติ[1] นลินี หมู่หมื่นศรี[2]* และประสพสุข สร้อยทอง[3]

[1,3]สาขาวิชาช่างไฟฟ้า วิทยาลัยธาตุพนม มหาวิทยาลัยนครพนม worchot.kh39@npu.ac.th Prasubsuk@npu.ac.th
[2]สาขาวิชาวิศวกรรมพลังงาน วิทยาลัยธาตุพนม มหาวิทยาลัยนครพนม nalinee15@npu.ac.th*

บทคัดย่อ

โซลาร์เซลล์เป็นแหล่งพลังงานหมุนเวียนที่ได้รับความนิยมใช้ในปัจจุบัน สาเหตุสำคัญอย่างหนึ่งที่ทำให้ประสิทธิภาพการผลิตไฟฟ้าของโซลาร์เซลล์ลดลง คือ อุณหภูมิที่เพิ่มขึ้น งานวิจัยนี้นำเสนอการพัฒนาระบบเพิ่มประสิทธิภาพการผลิตไฟฟ้าโดยวิธีการระบายความร้อนด้วยน้ำควบคุมการทำงานใช้โปรแกรม LabVIEW แผงโซลาร์เซลล์ที่ศึกษาและทดสอบเป็นชนิดโพลีคริสตัลไลน์ กำลังผลิตไฟฟ้าสูงสุด 50 WP เอียงทำมุม 15° จากแนวระดับ แบ่งการทดสอบเป็น 2 ชุด คือ แบบมีระบบระบายความร้อนและระบบปกติ

ผลการทดสอบพบว่าระบบสามารถลดอุณหภูมิและมีค่าประสิทธิภาพของแผงโซลาร์เซลล์ที่เพิ่มขึ้นอยู่ที่ 4.26 % โดยค่าเฉลี่ยอุณหภูมิหน้าแผงโซลาร์เซลล์ที่มีการติดตั้งระบบระบายความร้อนสามารถลดอุณหภูมิเฉลี่ยได้ถึง 16.56 องศาเซลเซียสและสามารถแสดงผลและบันทึกค่าผ่านโปรแกรม LabVIEW ได้ ซึ่งจากงานวิจัยนี้สามารถนำไปประยุกต์พัฒนาต่อยอดเพื่อใช้ในระบบที่มีขนาดการติดตั้งที่ใหญ่ขึ้นได้

คำสำคัญ: แผงโซลาร์เซลล์ การระบายความร้อนแบบแอคทีฟ แลปวิว

Abstract

Solar cells are a widely utilized source of renewable energy in current applications. One significant factor that reduces the electricity generation efficiency of solar cells is the increase in temperature. This research presents the development of a system to enhance electricity generation efficiency through a water-cooling method, with operational control implemented using LabVIEW software. The solar panel studied and tested is a polycrystalline type with a maximum power output of 50 WP, installed at a tilt angle of 15° from the horizontal. The experimental setup was divided into two conditions: one with a cooling system and one without.

The test results demonstrated that the implemented system effectively reduced the panel temperature and increased the efficiency of the solar cell by 4.26 %. The average surface temperature of the solar panel equipped with the cooling system was reduced by up to 16.56 degrees Celsius. Data acquisition and monitoring were successfully conducted through the LabVIEW program. The outcomes of this research can be further applied and developed for use in larger-scale solar installation systems.

Keywords: Solar Panel, Active cooling, LabVIEW

1. บทนำ [1-3]

1.1 ที่มาความสำคัญ

พลังงานแสงอาทิตย์ ถือว่าเป็นพลังงานหมุนเวียนที่ใช้แล้วไม่หมดไป โซลาร์เซลล์เป็นหนึ่งในเทคโนโลยีการแปลงพลังงานแสงอาทิตย์เป็นพลังงานไฟฟ้าที่ได้รับการยอมรับมากที่สุด แต่สำหรับการใช้งานจริงมีหลายปัจจัยที่ส่งผลต่อประสิทธิภาพของแผงโซลาร์เซลล์ โดยอุณหภูมิที่สูงขึ้นประสิทธิภาพจะลดลงประมาณร้อยละ 0.4 - 0.5 สำหรับทุก 1 องศาเซลเซียสที่เพิ่มขึ้น ดังนั้นที่อุณหภูมิทำงานจริงของแผงโซลาร์เซลล์ซึ่งอยู่ที่ประมาณ 50–60 องศาเซลเซียส ประสิทธิภาพของแผงเซลล์แสงอาทิตย์จะลดลงประมาณร้อยละ 10–15 จากการศึกษาข้อมูลงานวิจัยจากแหล่งต่างๆ พบว่าวิธีการระบายความร้อนด้วยน้ำเป็นอีกหนึ่งวิธีที่จะทำให้อุณหภูมิของแผงโซลาร์เซลล์ลดลง และมีค่ากำลังไฟฟ้าและประสิทธิภาพเพิ่มขึ้น

จากที่มาข้างต้น งานวิจัยในครั้งนี้จึงมุ่งศึกษาการพัฒนาระบบระบายความร้อนจากแผงโซลาร์เซลล์โดยใช้วิธีการพ่นน้ำลงบนผิวหน้าแผงโซลาร์เซลล์ ซึ่งน้ำเป็นตัวกลางที่ถือเป็นตัวระบายความร้อนที่มีประสิทธิภาพ ราคาถูกและมิตรกับสิ่งแวดล้อม การศึกษาครั้งนี้จะดำเนินการวัดเปรียบเทียบประสิทธิภาพ โดยใช้โปรแกรม LabVIEW ควบคุมการทำงานของระบบระบายความร้อนและแสดงผล ซึ่งจะแบ่งการทำงานเป็น 2 ส่วน ประกอบด้วย 1) การทดสอบแผงโซลาร์เซลล์ที่มีระบบระบายความร้อนด้วยน้ำ และ 2) ระบบปกติ โดยทำการเปรียบเทียบประสิทธิภาพการทำงานของระบบที่จัดทำขึ้น ซึ่งระบบนี้มีราคาถูกและสามารถนำไปประยุกต์ใช้ด้านการใช้พลังงานอย่างมีประสิทธิภาพในภาคส่วนต่างๆ เช่น ภาคอุตสาหกรรม หรือผู้ประกอบการรายย่อยที่มีการดำเนินการติดตั้งระบบผลิตไฟฟ้าจากโซลาร์เซลล์

1.2 วัตถุประสงค์ของงานวิจัย

1.2.1 เพื่อสร้างระบบเพิ่มประสิทธิภาพการทำงานของโซลาร์เซลล์โดยใช้น้ำเป็นตัวระบายความร้อน

1.2.2 เพื่อสร้างระบบควบคุมอุณหภูมิการทำงานและติดตามผลการผลิตพลังงานไฟฟ้าของแผงโซลาร์เซลล์

2. ทฤษฎีที่เกี่ยวข้อง [4-5]

2.1 การลดอุณหภูมิของแผงโซลาร์เซลล์

เพื่อเพิ่มประสิทธิภาพต่อการผลิตไฟฟ้า (Cooling System) แบ่งออกเป็น 2 แบบ คือ

*ผู้ประพันธ์บรรณกิจ

2.1.1 แบบ Passive cooling

เป็นระบบที่ไม่ใช้พลังงานในการลดอุณหภูมิ เป็นการลดอุณหภูมิตามธรรมชาติ เช่น ให้ไอน้ำระเหยขึ้นมาสัมผัสด้านหลังของแผ่นเซลล์แสงอาทิตย์และนำพาความร้อนออกไป แต่มีการออกแบบระบบในการระบายความร้อนให้มีประสิทธิภาพมากขึ้น เช่น การติดครีบบริเวณด้านหลังแผงโซลาร์เซลล์

2.1.2 แบบ Active cooling

เป็นระบบที่มีการใช้พลังงานในการลดอุณหภูมิ ได้แก่ การใช้มอเตอร์ผลักดันแรงลม (Air active cooling) หรือปั๊มน้ำเข้าสู่ระบบระบายความร้อน

2.2 โปรแกรม LabVIEW

โปรแกรม LabVIEW เป็นโปรแกรมที่ใช้รูปภาพหรือสัญลักษณ์แทนการเขียนด้วยตัวอักษร หรือเรียกอีกอย่างหนึ่งว่า โปรแกรมแบบ Graphic หรือ Data Flow นี้จะมีลักษณะเหมือนการเขียนแบบ Block Diagram โปรแกรม LabVIEW อาศัยการทำงานของเครื่องวัดทำให้ผู้ใช้สามารถออกแบบตามความต้องการของผู้ใช้ โดยแบ่งส่วนการทำงานออกเป็น 3 ส่วน ดังนี้

1) ส่วนรับข้อมูล (input) ทำหน้าที่เป็นส่วนรับข้อมูลจากภายนอกเข้าสู่ระบบ

2) ส่วนวิเคราะห์ข้อมูล (Analysis) ทำหน้าที่หลังจากรับข้อมูลแล้วนำผ่านฟังก์ชันในการวิเคราะห์ข้อมูล

3) ส่วนแสดงผล (Presentation) ทำหน้าที่แสดงผลต่อผู้ใช้งานผ่านหน้าจอคอมพิวเตอร์

3. วิธีการดำเนินงาน

การศึกษาในครั้งนี้ได้เลือกใช้งานโปรแกรม LabVIEW ในการควบคุมการทำงานและแสดงผล ซึ่งประกอบด้วยขั้นตอนการดำเนินงาน 3 ส่วน ดังนี้

3.1 ส่วนแผงโซลาร์เซลล์

แผงโซลาร์เซลล์ที่ใช้ในงานวิจัยนี้มีขนาด 50 W (W_p) จำนวน 2 แผง ดังข้อมูลตารางที่ 1

ตารางที่ 1 รายละเอียดแผงโซลาร์เซลล์

Specification	Value
Solar panels	Poly-crystalline
Open-circuit voltage (V_{OC})	20.5 V
Short-circuit current (I_{SC})	2.93 A
Rate Maximum Power (P_{max})	50 W
Temperature coefficient of P_{max}	- 0.36 %/C°

ตารางที่ 2 รายการอุปกรณ์ที่ใช้ในการวิจัย

รายการอุปกรณ์	ขนาด
แผงโซลาร์เซลล์	50 W 20.5 V 2.93 A
ปั๊มน้ำ DC	DC 12 V 4.8 W
แบตเตอรี่	12 V 5 Ah
มอเตอร์ไฟฟ้า DC	24 V
โซลาร์ชาร์จเจอร์	12 V/24 V, 30 A

3.2 ส่วนระบบระบายความร้อน

งานวิจัยนี้ใช้ระบบระบายความร้อนด้วยน้ำ ด้วยวิธีการพ่นละอองน้ำลงบนแผงโซลาร์เซลล์ที่ติดตั้งที่มุมเอียง 15 องศา โดยระบบการทำงานประกอบด้วย แบตเตอรี่ขนาด 12 โวลต์ เป็นแหล่งพลังงาน บริเวณผิวหน้าแผงโซลาร์เซลล์ติดตั้งเทอร์โมคัปเปิล ชนิด K สำหรับวัดค่าอุณหภูมิเพื่อเปรียบเทียบทั้ง 2 แผง และส่งข้อมูลไปยังโปรแกรม LabVIEW เพื่อสั่งการทำงานให้ NI USB 6525 ที่เชื่อมต่อกับอุปกรณ์สั่งงานดีซีปั๊มขนาด 12 โวลต์ ควบคุมการพ่นน้ำบริเวณหน้าแผงเพื่อลดอุณหภูมิของแผงโซลาร์เซลล์และแสดงค่าอุณหภูมิไปยังส่วนแสดงผล

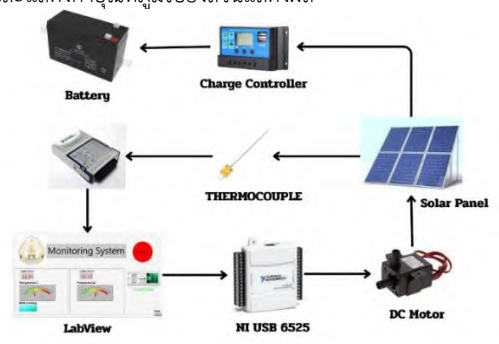

รูปที่ 1 แผนผังการทำงานของระบบ

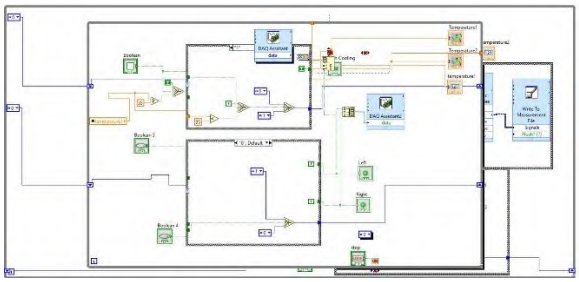

รูปที่ 2 แผนภาพบล็อกของโปรแกรม LabVIEW

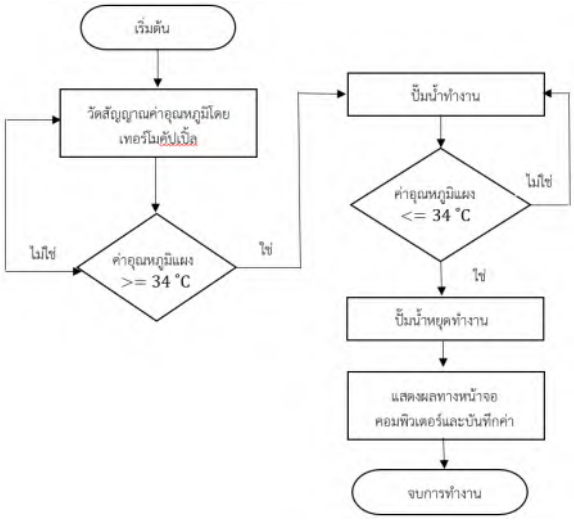

รูปที่ 3 แผนผังการทำงานของโปรแกรม

3.3 วิธีการทดสอบการทำงาน

งานวิจัยในครั้งนี้ได้ออกแบบการทดสอบผลการทำงานของระบบที่พัฒนาขึ้น โดยจะดำเนินการทดสอบในช่วงเดือนพฤษภาคม ในพื้นที่จังหวัดนครพนม โดยแบ่งการทำงานเป็น 2 ส่วน คือ 1. แผงโซลาร์ระบบปกติ และ แผงโซลาร์เซลล์ที่มีระบบระบายความร้อน โดยทั้ง 2 ชุด จะมีระบบควบคุมและแสดงผลการทำงานด้วยโปรแกรม LabVIEW ติดตั้งร่วมอยู่ด้วยเพื่อคอยตรวจวัดและแสดงผลค่าอุณหภูมิ การทำงานของระบบระบายความร้อนจะถูกตั้งค่าอุณหภูมิเมื่ออุณหภูมิสูงกว่า 34 องศาเซลเซียส ระบบจะสั่งการให้ดีซีปั๊มทำงานและหยุดทำงานเมื่ออุณหภูมิต่ำกว่าที่กำหนดไว้ เมื่อปั๊มน้ำทำงานพ่นน้ำลงบริเวณหน้าแผง น้ำจะไหลลงสู่รางรับน้ำและวนกลับมาใช้ใหม่ โดยทำการบันทึกค่าแรงดันไฟฟ้า, ค่าอุณหภูมิ และค่ากำลังไฟฟ้า

ตารางที่ 3 รายการเครื่องมือวัด

รายการเครื่องมือวัด	หน่วยวัด
ดิจิตอลมัลติมิเตอร์	V, I, P
เครื่องวัดอุณหภูมิและเทอร์โมคัปเปิ้ลชนิด K	°C

4. ผลการดำเนินงาน

4.1 ผลการสร้างระบบเพิ่มประสิทธิภาพ

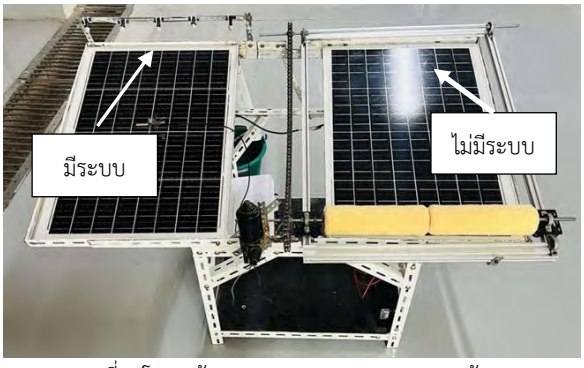

รูปที่ 4 โครงสร้างชุดทดสอบระบบระบายความร้อน

4.2 ผลการออกแบบโปรแกรม

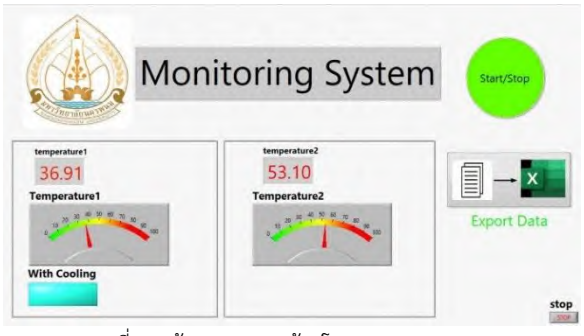

รูปที่ 5 หน้าจอแสดงผลด้วยโปรแกรม LabVIEW

จากรูปที่ 5 แสดงหน้าต่างโปรแกรมระบบเพิ่มประสิทธิภาพโซลาร์เซลล์ด้วยการระบายความร้อนด้วยน้ำควบคุมและแสดงผลการทำงานด้วยโปรแกรม LabVIEW หน้าจอจะแสดงผลประกอบด้วย ผลค่าอุณหภูมิของแผงโซลาร์เซลล์ที่มีระบบระบายความร้อน (temperature 1) และ แผงโซลาร์เซลล์ที่ไม่มีระบบระบายความร้อน (temperature 2) โดยโปรแกรมสามารถแสดงสถานะการทำงานและเก็บผลค่าอุณหภูมิไปยังโปรแกรม Excel

4.3 ผลการทดสอบการทำงาน

ผู้วิจัยได้ทำการทดสอบโดยการนำชุดแผงโซลาร์เซลล์ทั้ง 2 ชุด ติดตั้งบริเวณพื้นที่โล่งรับแสงอาทิตย์ และได้ดำเนินการทดสอบการทำงานของระบบระบายความร้อนซึ่งควบคุมและแสดงผลการทำงานด้วยโปรแกรม LabVIEW โดยทำการบันทึกค่า แรงดันไฟฟ้า, กระแสไฟฟ้า, อุณหภูมิ ผลที่ได้แสดง ดังนี้

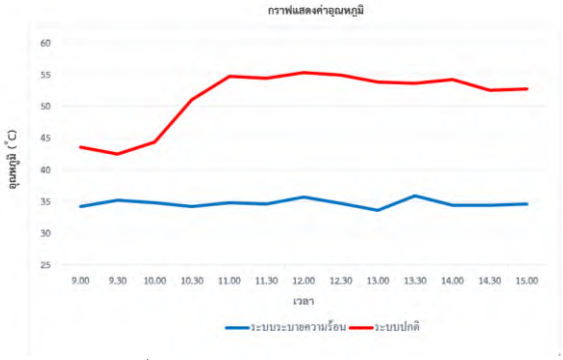

รูปที่ 6 แสดงผลการเปรียบเทียบค่าอุณหภูมิ

จากรูปที่ 6 เมื่อทำการทดสอบวัดผลค่าอุณหภูมิของทั้ง 2 ระบบ พบว่าแผงโซลาร์เซลล์ที่มีระบบระบายความร้อนมีค่าอุณหภูมิเฉลี่ยอยู่ที่ 34.61 องศาเซลเซียส และ แผงโซลาร์เซลล์ระบบปกติมีค่าอุณหภูมิเฉลี่ยอยู่ที่ 51.17 องศาเซลเซียส พบว่าระบบสามารถลดอุณหภูมิเฉลี่ยได้ 16.56 องศาเซลเซียส

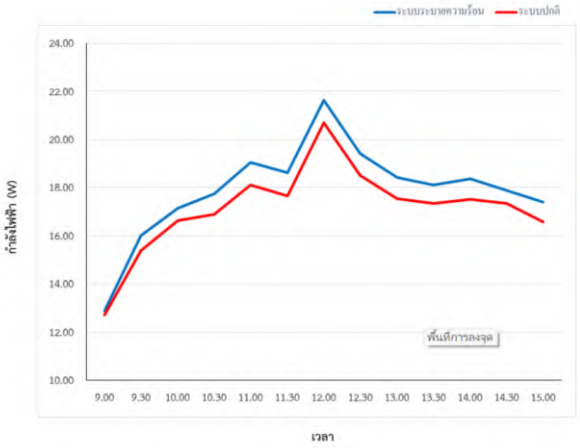

รูปที่ 7 แสดงผลการเปรียบเทียบค่ากำลังไฟฟ้า

จากรูปที่ 7 เมื่อทำการทดสอบวัดผลค่ากำลังไฟฟ้าของ 2 ระบบ พบว่าแผงโซลาร์เซลล์ที่มีระบบระบายความร้อนมีค่ากำลังไฟฟ้าเฉลี่ยอยู่ที่ 18.11 วัตต์ และ แผงโซลาร์เซลล์ระบบปกติมีค่ากำลังไฟฟ้าเฉลี่ยอยู่ที่ 17.12 วัตต์ ซึ่งพบว่าสามารถเพิ่มค่าเฉลี่ยกำลังไฟฟ้าได้ 0.99 วัตต์ซึ่งจากปัจจัยที่ทำให้ค่ากำลังไฟฟ้าเฉลี่ย มีค่าน้อยกว่าค่ากำลังไฟฟ้าสูงสุดของแผงโซลาร์เซลล์ซึ่งอยู่ที่ 50 วัตต์ เนื่องการในการทดสอบการทำงานได้เลือกใช้มอเตอร์ไฟฟ้ากระแสตรง 24 โวลต์ เป็นโหลดของระบบ ซึ่งมีค่ากระแสไฟฟ้าต่ำ จึงทำให้ค่ากำลังไฟฟ้าเฉลี่ยมีค่าน้อยกว่าค่ากำลังไฟฟ้าสูงสุดของแผงโซลาร์เซลล์

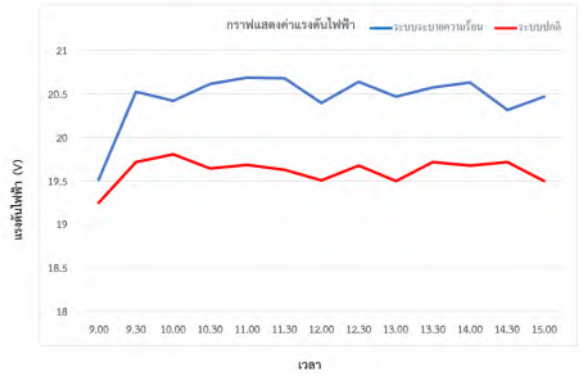

รูปที่ 8 แสดงผลการเปรียบเทียบค่าแรงดันไฟฟ้า

จากรูปที่ 8 เมื่อทำการทดสอบวัดผลค่าแรงดันไฟฟ้าของทั้ง 2 ระบบ พบว่าแผงโซลาร์เซลล์ที่มีระบบระบายความร้อนมีค่าแรงดันไฟฟ้าเฉลี่ยอยู่ที่ 20.50 โวลต์ และ แผงโซลาร์เซลล์ระบบปกติมีค่าอุณหภูมิเฉลี่ยอยู่ที่ 19.67 โวลต์ ซึ่งพบว่าระบบสามารถเพิ่มแรงดันไฟฟ้าได้ 0.83 โวลต์

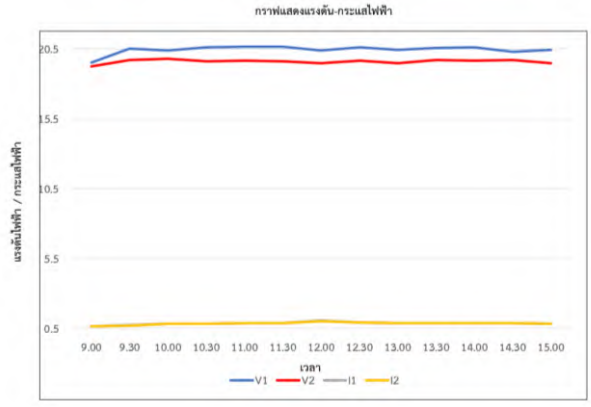

รูปที่ 9 แสดงผลการเปรียบเทียบค่าแรงดันไฟฟ้า

จากรูปที่ 9 เมื่อนำค่าแรงดันและกระแสไฟฟ้าที่วัดได้แสดงให้เห็นถึงความแตกต่างของปริมาณแรงดันไฟฟ้าและกระแสไฟฟ้าจากระบบระบายความร้อนและระบบปกติ พบว่าค่าแรงดันไฟฟ้าและกระแสไฟฟ้าของระบบระบายความร้อนแสดงในกราฟ V1 และ I1 เมื่อนำค่าแรงดันที่แสดงผลมาหาค่าเฉลี่ย พบว่า ส่วนโซลาร์เซลล์ที่ใช้ระบบระบายความร้อนควบคุมด้วยโปรแกรม LabVIEW มีค่าแรงดันเฉลี่ยที่ 20.49 โวลต์ กระแสไฟฟ้าที่ 0.88 แอมป์แปร์ ส่วนระบบปกติ แสดงในกราฟ V2 และ I2 มีค่าแรงดันเฉลี่ยที่ 19.67 โวลต์ กระแสไฟฟ้าที่ 0.87 แอมป์แปร์

4.4 ผลการวิเคราะห์หาค่าประสิทธิภาพ

การระบายความร้อนแผงโซลาร์เซลล์ด้วยการระบายความร้อนด้วยน้ำควบคุมและแสดงผลการทำงานด้วยโปรแกรม LabVIEW ช่วยเพิ่มประสิทธิภาพการใช้พลังงานของแผงโซลาร์เซลล์ ซึ่งในงานวิจัยนี้ได้ใช้เครื่องมือวัดและอุปกรณ์ดังข้อมูลตามตารางที่ 3

ตารางที่ 3 รายการเครื่องมือวัด

รายการเครื่องมือวัด	หน่วยวัด
ดิจิตอลมัลติมิเตอร์	V, I
เครื่องวัดอุณหภูมิและเทอร์โมคัปเปิล ชนิด K	$^{\circ}$C

และใช้สมการทางคณิตศาสตร์ เพื่อหาประสิทธิภาพของแผงโซลาร์เซลล์ที่เพิ่มขึ้นดังสมการที่ (1)

$$\eta = \frac{(n_2 - n_1)}{n_1} \text{x } 100\ \% \quad (1)$$

เมื่อ η = ประสิทธิภาพของแผงโซลาร์เซลล์ที่เพิ่มขึ้น (%)
n_1 = ประสิทธิภาพของแผงโซลาร์เซลล์ระบบปกติ
n_2 = ประสิทธิภาพของแผงโซลาร์เซลล์มีระบบระบายความร้อน

จากสมการที่ 1 ผลการทดสอบการทำงานของระบบ พบว่า ค่าประสิทธิภาพของแผงโซลาร์เซลล์ระบบปกติ (n_1) เท่ากับ 17.12 วัตต์ และแผงโซลาร์เซลล์มีระบบระบายความร้อน (n_2) เท่ากับ 18.11 วัตต์ และมีค่าประสิทธิภาพของแผงโซลาร์เซลล์เพิ่มขึ้นอยู่ที่ 4.26 % ซึ่งปัจจัยที่ส่งผลต่อค่าประสิทธิภาพของแผงโซลาร์เซลล์ พบว่า ในช่วงเวลาที่ทำการทดสอบมีสภาพอากาศไม่ร้อนมากและมีเมฆบดบัง อีกทั้งผลของความร้อนสะสมตามระยะเวลาการใช้งานส่งผลต่อการระบายความร้อน รวมถึงการเลือกใช้มอเตอร์กระแสตรงเป็นโหลด ซึ่งมีค่ากระแสไฟฟ้าต่ำ จึงส่งผลต่อค่ากำลังไฟฟ้าที่ใช้ในการคำนวณประสิทธิภาพของแผงโซลาร์เซลล์

5. สรุปผล

งานวิจัยนี้นำเสนอการพัฒนาระบบเพิ่มประสิทธิภาพการผลิตไฟฟ้าโดยวิธีการระบายความร้อนด้วยน้ำควบคุมการทำงานโดยใช้โปรแกรม LabVIEW แผงโซลาร์เซลล์ที่ใช้ศึกษาและทดสอบมีกำลังผลิตไฟฟ้าสูงสุด 50 WP ติดตั้งเอียงทำมุม 15° จากแนวระดับ แบ่งการทดสอบออกเป็น 2 ชุด คือ แบบมีระบบระบายความร้อนและแบบระบบปกติ

ผลการทดสอบพบว่าระบบสามารถลดอุณหภูมิและมีค่าประสิทธิภาพของแผงโซลาร์เซลล์ที่เพิ่มขึ้นอยู่ที่ 4.26 % โดยค่าเฉลี่ยอุณหภูมิหน้าแผงโซลาร์เซลล์ที่มีการติดตั้งระบบระบายความร้อนสามารถลดอุณหภูมิเฉลี่ยได้ถึง 16.56 องศาเซลเซียส ระบบสามารถแสดงผลและบันทึกค่าอุณหภูมิผ่านโปรแกรม LabVIEW ยังโปรแกรม Excel ได้ ซึ่งจากงานวิจัยนี้สามารถนำไปประยุกต์พัฒนาต่อยอด เพื่อใช้ในระบบผลิตไฟฟ้าที่มีขนาดการติดตั้งที่ใหญ่ได้ แต่อาจมีข้อจำกัดด้านงบประมาณค่าติดตั้งระบบที่เพิ่มขึ้น เช่น ระบบจัดเก็บและหมุนเวียนน้ำที่ต้องใช้พลังงานไฟฟ้าในการทำงาน รวมถึงการคำนึงถึงปัญหาด้านสิ่งสกปรกจำพวกฝุ่นและสิ่งสกปรกต่างๆ ที่สะสมในระบบ สำหรับแนวทางที่สามารถพัฒนาต่อได้ในอนาคต คือ การพัฒนาระบบเชื่อมต่อแบบ IoT เพื่อมอนิเตอร์และควบคุมการทำงานผ่านระบบอินเทอร์เน็ต

6. กิตติกรรมประกาศ

คณะผู้วิจัยใคร่ขอขอบคุณ สาขาวิชาไฟฟ้าเครื่องกลการผลิต วิทยาลัยธาตุพนม มหาวิทยาลัยนครพนม ที่ให้ความอนุเคราะห์สถานที่และเครื่องมือในการดำเนินการวิจัยในครั้งนี้และขอขอบพระคุณ สาขาเทคโนโลยีไฟฟ้าอุตสาหกรรม ที่ให้ความอนุเคราะห์โปรแกรม LabVIEW สำหรับใช้ในงานวิจัยในครั้งนี้

เอกสารอ้างอิง

[1] M. Sharaf, A. S. Huzayyin, and M. S. Yousef, "Performance enhancement of photovoltaic cells using phase change material (PCM) in winter," *Alexandria Engineering Journal*, vol. 61, no. 6, pp. 4229–4239, 2022.

[2] วาท ซุน อรรถกร อาสนคำ ธรณิศวร์ ดีทายาท วรศิษฐ์ ตรูทัศนวินท์ และ ทะนงเกียรติ เกียรติศิริโรจน์, “พฤติกรรมการถ่ายเทความร้อนของสารเปลี่ยนสถานะในการควบคุมอุณหภูมิโมดูลเซลล์แสงอาทิตย์,” *วารสารวิศวกรรมศาสตร์ มหาวิทยาลัยเชียงใหม่*, ปีที่ 25, ฉบับที่ 3, หน้า 167–177, 2018.

[3] Y. Sriudom, A. Tewata, S. Sapso, and N. Pratumchai, “การศึกษาเชิงทดสอบการใช้น้ำสำหรับระบายความร้อนออกจากแผงเซลล์แสงอาทิตย์,” *RMUTP Research Journal Sciences and Technology*, vol. 15, no. 2, pp. 1–13, 2021.

[4] สิทธิพัฒน์ ภู่ทอง วิชาญ วิมานจันทร์ และ จันทวงษ์, “การเพิ่มประสิทธิภาพเซลล์แสงอาทิตย์โดยใช้ละอองน้ำลดอุณหภูมิเซลล์แสงอาทิตย์,” การประชุมวิชาการเสนอผลงานวิจัยระดับชาติ ครั้งที่ 2 , 2561, หน้า 867-875.

[5] นลินี หมู่หมื่นศรี และ กฤษณะ ครโสภา, “โปรแกรม LabVIEW ควบคุมระบบฟาร์มไก่บ้านอัตโนมัติที่ใช้แหล่งพลังงานโซลาร์เซลล์,” การประชุมวิชาการเครือข่ายวิศวกรรมไฟฟ้า ครั้งที่ 13, 12-14 พฤษภาคม 2564, หน้า 165-168.

ชื่อ-สกุล นายวรโชติ เครือโชติ
สถานที่ทำงาน มหาวิทยาลัยนครพนม
สาขางานวิจัยที่สนใจ : การให้ความร้อน, ระบบควบคุมอัตโนมัติ

ชื่อ-สกุล นางสาวนลินี หมู่หมื่นศรี
สถานที่ทำงาน มหาวิทยาลัยนครพนม
สาขางานวิจัยที่สนใจ : ระบบควบคุมอัตโนมัติ, พลังงานแสงอาทิตย์

ชื่อ-สกุล นายประสพสุข สร้อยทอง
สถานที่ทำงาน : มหาวิทยาลัยนครพนม
สาขางานวิจัยที่สนใจ : ระบบควบคุมอัตโนมัติ

เครื่องรดน้ำร่องสวนผลไม้อัตโนมัติพลังงานแสงอาทิตย์ผ่าน IoT

Solar Watering Automatic Machine for Orchard Channel via IoT

กระวี อนนตรี[1*] ธนัสถ์ นนทพุทธ[1] สมพงษ์ แก้วหวัง[1] วิทูรย์ คงผล[1] ไชยยะ ธนพัฒน์ศิริ[2] ลัญฉกร นิลทรัตน์[3]

[1]สาขาวิชาระบบโทรคมนาคมและเครือข่าย คณะครุศาสตร์อุตสาหกรรมและเทคโนโลยี มหาวิทยาลัยเทคโนโลยีราชมงคลศรีวิชัย
Kravee.a@rmutsv.ac.th* Thanat.n@rmutsv.ac.th Sompong.ka@rmutsv.ac.th Witoon.k@rmutsv.ac.th
[2]สาขาวิชาวิศวกรรมไฟฟ้า คณะครุศาสตร์อุตสาหกรรมและเทคโนโลยี มหาวิทยาลัยเทคโนโลยีราชมงคลศรีวิชัย Chaiya.t@rmutsv.ac.th
[3]สาขาวิชาเทคโนโลยีไฟฟ้าอุตสาหกรรม คณะเทคโนโลยีอุตสาหกรรม มหาวิทยาลัยราชภัฏสงขลา Lanchakorn.ni@skru.ac.th

บทคัดย่อ

งานวิจัยนี้นำเสนอเครื่องรดน้ำร่องสวนผลไม้อัตโนมัติพลังงานแสงอาทิตย์ผ่าน IoT ซึ่งจะมีแผ่นโซล่าเซลล์เป็นแหล่งกำเนิดพลังงานหลัก และมี NodeMCU เป็นตัวหลักในการควบคุมการทำงาน มีหน้าที่ควบคุมอุปกรณ์เชื่อมต่ออินเทอร์เน็ตเพื่อให้ทำงานผ่าน IoT และเป็นตัวควบคุมวงจรชุดภาครับให้สามารถรับข้อมูลจากวงจรภาคส่งที่มีบอร์ดไมโครคอนโทรลเลอร์ Arduino UNO R3 เป็นตัวหลักของวงจร โดยวงจรภาคส่งจะส่งค่าความชื้นในดินไปยังวงจรภาครับ ซึ่งสามารถส่งข้อมูลผ่านโมดูลสื่อสารไร้สาย nRF24L01 ผลการทดสอบเครื่องรดน้ำร่องสวนผลไม้อัตโนมัติพลังงานแสงอาทิตย์ผ่าน IoT สรุปได้ว่า ผู้ใช้สามารถควบคุมการทำงานได้ทั้งแบบอัตโนมัติ และแบบควบคุมด้วยมือ ผ่าน IoT บนโทรศัพท์มือถือระบบปฏิบัติการแอนดรอยด์ เครื่องรดน้ำร่องสวนผลไม้อัตโนมัติพลังงานแสงอาทิตย์ผ่าน IoT สามารถเคลื่อนที่ไป-กลับได้ไม่น้อยกว่า 5 เมตร และสามารถส่งน้ำได้ระยะทางไม่น้อยกว่า 2 เมตร โดยอุปกรณ์ขับเคลื่อนใช้พลังงานแสงอาทิตย์ที่ชาร์จจากโซล่าเซลล์ ซึ่งมี NodeMCU เป็นตัวสำหรับควบคุมการทำงาน

คำสำคัญ: เครื่องรดน้ำ สวนผลไม้ พลังงานแสงอาทิตย์

Abstract

This research presents an IoT-based automatic solar-powered irrigation machine for fruit orchard furrows. The system utilizes a solar panel as the primary power source and employs an MCU node as the main control unit. The MCU is responsible for managing internet-connected devices to operate via IoT and for controlling the receiver circuit, which receives data from the transmitter circuit. The transmitter circuit is based on an Arduino UNO R3 microcontroller, which plays a central role in sending soil moisture data to the receiver circuit via the NRF24L01 wireless communication module. The test results of the IoT-based automatic solar-powered irrigation machine indicate that users can control the system in both automatic and manual modes through an IoT interface on Android smartphones. The irrigation machine is capable of moving back and forth over a distance of no less than 5 meters and can spray water over a distance of no less than 2 meters. The propulsion system is powered by solar energy stored from the solar panel, with the MCU node acting as the central controller for the entire operation.

Keywords: Watering machine, Orchard, Solar Energy

1. บทนำ

ในปัจจุบันการทำเกษตรกรรมมีการเพาะปลูกเพิ่มมากขึ้นไม่ว่าจะเป็นการเพาะปลูกแบบครัวเรือน หรือการเพาะปลูกแบบธุรกิจค้าขายในระดับชุมชน และระดับธุรกิจขนาดย่อม โดยสินค้าทางการเกษตรหลายชนิด เช่น มะม่วง ส้มแป้น ส้มโอ เป็นต้น โดยปัจจัยสำคัญที่มีผลต่อการเพาะปลูกพืชผลต่าง ๆ ให้มีประสิทธิภาพ คือ การให้น้ำกับพืชผลที่ปลูกอย่างเหมาะสมและสม่ำเสมอ [1] ซึ่งในภาวะปัจจุบันเกษตรกรมีภาระหน้าที่หลายอย่างและไม่มีเวลาที่จะดูแลรักษาพืชผล จึงทำให้ต้นไม้ที่ปลูกได้รับน้ำไม่เพียงพอและทำให้พืชผลเจริญเติบโตไม่เต็มที่ ซึ่งในโลกปัจจุบันเทคโนโลยีได้มีการพัฒนาอย่างรวดเร็วไม่ว่าจะเป็นทางด้านการสื่อสาร อุตสาหกรรมต่าง ๆ แต่เทคโนโลยีทางด้านการเกษตรยังไม่ได้รับการพัฒนาเท่าที่ควร คณะผู้วิจัยจึงได้ศึกษาค้นคว้าเกี่ยวกับการนำเทคโนโลยีพลังงานทางเลือก นั่นก็คือ “พลังงานแสงอาทิตย์” โดยการผลิตไฟฟ้าจากแสงอาทิตย์ด้วยโซล่าเซลล์ [2] และได้ศึกษาค้นคว้าเกี่ยวกับเทคโนโลยี IoT ซึ่งเทคโนโลยี IoT มีความจำเป็นต้องทำงานร่วมกับอุปกรณ์ประเภท RFID และเซนเซอร์ และสามารถสั่งการควบคุมการใช้งานอุปกรณ์ต่าง ๆ ผ่านทางเครือข่ายอินเทอร์เน็ต เช่น การเปิด-ปิด อุปกรณ์เครื่องใช้ไฟฟ้า การสั่งการเปิดไฟฟ้าภายในบ้านด้วยการเชื่อมต่ออุปกรณ์และควบคุมผ่านโทรศัพท์มือถือ และยังสามารถประยุกต์ใช้งานในด้านเกษตรกรรม เพื่อสร้างเครื่องมือทางการเกษตร [3]

จากปัญหาดังกล่าวคณะผู้วิจัยจึงมีแนวคิดในการสร้างเครื่องรดน้ำร่องสวนผลไม้อัตโนมัติพลังงานแสงอาทิตย์ผ่าน IoT เพื่อช่วยอำนวยความสะดวก แบ่งเบาภาระหน้าที่ ประหยัดเวลาในการทำงานและช่วยลดแรงงานของเกษตรกร เพื่อให้ก้าวทันโลกปัจจุบันที่กำลังเข้าสู่ศตวรรษที่ 21 ซึ่งเป็นยุค 4.0 หรือยุคดิจิทัลที่เพิ่มความสะดวกรวดเร็วในการใช้

*ผู้ประพันธ์บรรณกิจ

ชีวิตประจำวันมากยิ่งขึ้น จนทำให้เกิดสิ่งประดิษฐ์หรืออุปกรณ์ต่าง ๆ มากมายที่อำนวยความสะดวกแก่มนุษย์ขึ้น ไม่ว่าจะเป็นด้านการสื่อสาร ด้านธุรกิจ ด้านการคมนาคม ด้านการศึกษา ด้านการแพทย์ หรือแม้แต่ทางด้านทหาร เพื่อเป็นกรอบแนวทางในการขับเคลื่อนการพัฒนาภาคอุตสาหกรรมไทย ซึ่งเป็นเครื่องยนต์สำคัญในการขับเคลื่อนเศรษฐกิจของประเทศในระยะ 20 ปีข้างหน้า [4]

2. ทฤษฎีที่เกี่ยวข้อง

2.1 ระบบรดน้ำอัตโนมัติผ่านเครือข่ายเซ็นเซอร์ไร้สาย [1]

ปัจจุบันการทำเกษตรกรรมมีการเพาะปลูกเพิ่มมากขึ้น ไม่ว่าจะเป็นการเพาะปลูกแบบครัวเรือน หรือการเพาะปลูกแบบธุรกิจค้าขายในระดับชุมชน และระดับธุรกิจขนาดย่อม โดยสินค้าทางการเกษตรหลายชนิด เช่น มะม่วง ส้มแป้น ส้มโอ เป็นต้น โดยปัจจัยสำคัญที่มีผลต่อการเพาะปลูกพืชผลต่าง ๆ ให้มีประสิทธิภาพ คือ การให้น้ำกับพืชผลที่ปลูกอย่างเหมาะสมและสม่ำเสมอ แต่ในภาวะปัจจุบันเกษตรกรที่เพาะปลูกมีภาระหน้าที่หลายอย่างและไม่มีเวลาที่จะรดน้ำให้กับต้นไม้ทุกวัน จึงทำให้ต้นไม้ที่ปลูกได้รับน้ำไม่เพียงพอและทำให้พืชผักเจริญเติบโตได้ไม่เต็มที่ ซึ่งในโลกปัจจุบันเทคโนโลยีได้มีการพัฒนาอย่างรวดเร็วไม่ว่าจะเป็นทางด้านการสื่อสาร อุตสาหกรรมต่าง ๆ

2.2 ระบบให้น้ำแบบอัตโนมัติใช้เซลล์แสงอาทิตย์ที่ติดตามดวงอาทิตย์เป็นแหล่งพลังงาน [10]

บทความนี้นำเสนอการออกแบบระบบให้น้ำแบบอัตโนมัติโดยใช้เซลล์แสงอาทิตย์ที่มีดวงอาทิตย์เป็นแหล่งพลังงาน มีวัตถุประสงค์เพื่อออกแบบระบบให้น้ำอัตโนมัติสำหรับสวนผลไม้ในพื้นที่ไม่มีไฟฟ้า ใช้เซลล์แสงอาทิตย์ที่เคลื่อนตามตำแหน่งดวงอาทิตย์เป็นแหล่งพลังงาน ให้ระบบใช้ลำไยในการทดสอบจำนวน 20 ต้น ใช้ไมโครคอนโทรลเลอร์เป็นตัวควบคุม ทำการประมวลผลสัญญาณสั่งให้มอเตอร์กระแสตรงหมุนแผงเซลล์แสงอาทิตย์ทั้ง 2 แนวแกน ไปยังจุดที่มีความเข้มสูงสุด ระบบให้น้ำจะใช้เทคนิคการวัดความชื้นดินด้วยเซนเซอร์ ECH2O - 20 ทำการประมวลผลสัญญาณผ่านชุดควบคุมการให้น้ำโดยแสดงผลด้วยคอมพิวเตอร์แบบเวลาจริง พัฒนาด้วยโปรแกรม Visual Basic Studio ผลการทดสอบพบว่าแบบที่มีการเคลื่อนที่ตามตำแหน่งดวงอาทิตย์ สามารถเก็บพลังงานได้มากกว่าแผงเซลล์แสงอาทิตย์แบบติดตั้งอยู่กับที่ คิดเป็นร้อยละ 17.72 และการให้ที่น้ำจุดความชื้นดินที่เหมาะสมของลำไยจะอยู่ที่ร้อยละ 12 และหยุดให้น้ำที่จุดความชื้นดินร้อยละ 25 ส่งผลให้ผู้ดูแลสวนประหยัดเวลาและแรงงาน

2.3 เซนเซอร์วัดอุณหภูมิและความชื้น DHT 22 [11]

อุปกรณ์เซนเซอร์สำหรับวัดอุณหภูมิและความชื้นสัมพัทธ์ เป็นอุปกรณ์ที่สามารถนำมาประยุกต์ใช้งาน เช่น การวัด การควบคุมอุณหภูมิและความชื้น ระบบบันทึกข้อมูลเกี่ยวกับอุณหภูมิและความชื้นในห้อง เป็นต้น อุปกรณ์ประเภทนี้สามารถแสดงค่าเอาต์พุตแบบดิจิทัลหรือแบบแอนะล็อก โดยการทดลองใช้งานโมดูล DHT22 ให้ค่าเป็นแบบดิจิทัลนั้นสามารถใช้ขาสัญญาณดิจิทัลเพียงเส้นเดียวในการเชื่อมต่อแบบบิตอนุกรมสองทิศทาง (Serial Data, Bi-Directional) โดยนำมาเชื่อมต่อกับ Arduino เพื่ออ่านค่าจากเซนเซอร์โมดูล DHT22

2.4 โหนดเอ็มซียู [13]

โหนดเอ็มซียู (Node MCU) คือ แพลตฟอร์มหนึ่งที่ใช้ช่วยในการสร้างโปรเจกต์ Internet of Things (IoT) ที่ประกอบไปด้วยตัวบอร์ด (Development Kit) และเฟิร์มแวร์ (Firmware) ซอฟต์แวร์ (Software) บนบอร์ดที่เป็น open source สามารถเขียนโปรแกรมด้วยภาษา Lua ได้ ทำให้ใช้งานได้ง่ายขึ้น มาพร้อมกับโมดูล WiFi (ESP8266) ซึ่งเป็นหัวใจสำคัญในการใช้เชื่อมต่อกับอินเทอร์เน็ต ตัวโมดูล ESP8266 มีอยู่ด้วยกันหลายรุ่น ตั้งแต่เวอร์ชันแรกที่เป็น ESP-01 จนปัจจุบันมีถึง ESP-12 และที่ฝังอยู่ในโหนดเอ็มซียูเวอร์ชันแรกจะเป็น version ESP-12 แต่ในเวอร์ชัน จะใช้เป็น ESP-12E แทน ซึ่งการใช้งานโดยรวมไม่แตกต่างกันมากนัก โหนดเอ็มซียูนั้นมีลักษณะคล้ายกับ Arduino ตรงที่มีพอร์ต Input Output built - in ในตัวสามารถเขียนโปรแกรมควบคุมอุปกรณ์ I/O ได้โดยไม่ต้องผ่านอุปกรณ์อื่น ๆ และมีนักพัฒนาที่สามารถทำให้ Arduino IDE ใช้งานร่วมกับ NodeMCU ได้ จึงทำให้ใช้ภาษา C/C++ ในการเขียนโปรแกรมได้ ทำให้สามารถใช้งานได้หลากหลายมากยิ่งขึ้น NodeMCU ตัวนี้สามารถทำอะไรได้หลายอย่างมากโดยเฉพาะเรื่องที่เกี่ยวข้องกับ IoT ไม่ว่าจะเป็นการทำ Web Server ขนาดเล็ก การควบคุมการเปิดปิดไฟผ่าน WiFi และอื่น ๆ

3. วิธีดำเนินการวิจัย

3.1 กรอบแนวความคิด

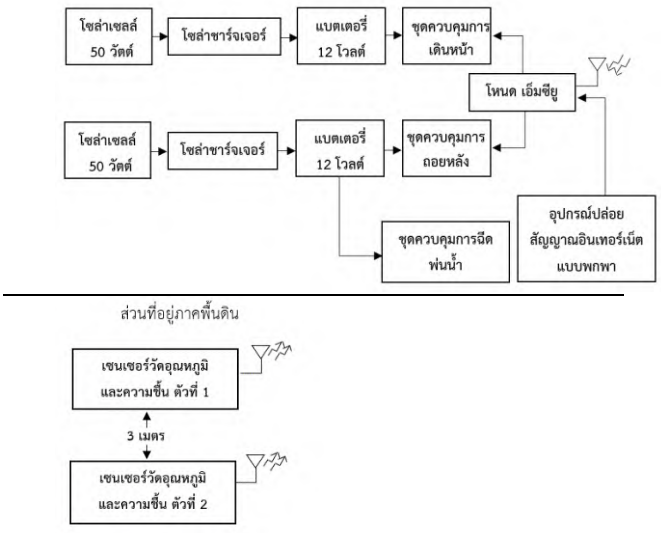

รูปที่ 1 กรอบแนวคิด

จากรูปแสดงการทำงานของเครื่องรดน้ำร่องสวนผลไม้อัตโนมัติพลังงานแสงอาทิตย์ผ่าน IoT ออกเป็น 2 ส่วน คือ ส่วนที่ 1 จะทำงานอยู่ในร่องสวนผลไม้ โดยจะเริ่มการทำงานจากโซล่าเซลล์ เปลี่ยนพลังงานแสงอาทิตย์เป็นพลังงานไฟฟ้าและเก็บสะสมไว้ในแบตเตอรี่ เพื่อใช้เป็น

แหล่งพลังงานให้กับปั๊มน้ำจำนวน 3 ตัว ตัวที่ 1 เป็นชุดควบคุมการเดินหน้า ตัวที่ 2 เป็นชุดควบคุมการถอยหลัง และตัวที่ 3 เป็นชุดควบคุมการฉีดพ่นน้ำ ซึ่งการทำงานจะถูกควบคุมด้วย NodeMCU สามารถทำงานได้ 2 ระบบ คือระบบควบคุมด้วยมือ และระบบอัตโนมัติ ซึ่งระบบอัตโนมัติจะทำงานเมื่อความชื้นถึงค่าที่กำหนดไว้ ส่วนที่ 2 คือวงจรภาคส่งที่ประกอบด้วยเซนเซอร์วัดความชื้นและเซนเซอร์วัดอุณหภูมิ เมื่อเซนเซอร์วัดค่าได้ จะส่งข้อมูลไร้สายไปยังภาครับโดยใช้โมดูลสื่อสารไร้สายเป็นตัวส่งข้อมูล

3.2 การออกแบบชิ้นงาน

3.2.1 วงจรควบคุมภาคส่ง

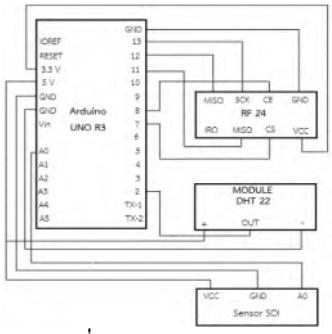

รูปที่ 2 วงจรควบคุมภาคส่ง

จากรูป แสดงวงจรภาคส่งที่มีการเชื่อมต่อระหว่างโมดูลสื่อสารไร้สาย NRF 24L01 เซนเซอร์ DHT 22 ทำหน้าที่เป็นตัววัดอุณหภูมิและเซนเซอร์วัดความชื้น Soil moisture sensor ทำหน้าที่เป็นตัววัดความชื้นในดิน เมื่อเซนเซอร์ทั้ง 2 ตัว วัดอุณหภูมิและความชื้น Arduino UNO R3 จะส่งค่าไปยังวงจรภาครับ ผ่านโมดูลสื่อสารไร้สาย NRF 24L01

3.2.2 วงจรควบคุมภาครับ

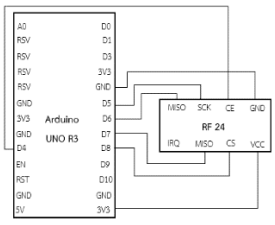

รูปที่ 3 วงจรควบคุมภาครับ

จากรูป แสดงวงจรภาครับที่มีการเชื่อมต่อระหว่าง NodeMCU และโมดูลสื่อสารไร้สาย NRF 24L01 เมื่อวงจรภาคส่งส่งข้อมูลอุณหภูมิและความชื้นผ่านโมดูลสื่อสารไร้สาย NRF 24L01 จะแสดงผลบนหน้าจอโทรศัพท์มือถือ

3.3 การออกแบบด้านซอฟต์แวร์

3.3.1 การออกแบบหน้าจอแอปพลิเคชันบลิงก์

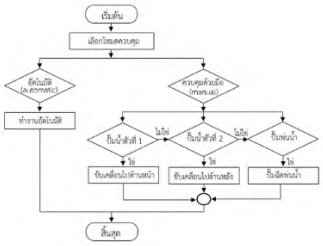

รูปที่ 4 การออกแบบหน้าจอแอปพลิเคชันบลิงก์

การออกแบบหน้าจอแอปพลิเคชันบลิงก์มีโหมดการทำงาน 2 โหมดคือ โหมดอัตโนมัติ การทำงานจะเป็นไปตามค่าที่กำหนดไว้ มีการรดน้ำเมื่อความชื้นถึงค่าที่ตั้งไว้ และโหมดการควบคุมด้วยมือจะมีปุ่มควบคุมปั๊มน้ำขับเคลื่อนตัวที่ 1 ปุ่มควบคุมปั๊มน้ำขับเคลื่อนตัวที่ 2 และปุ่มพ่นน้ำ

3.4 โครงสร้างและอุปกรณ์ที่ใช้ประกอบชิ้นงาน

3.4.1 โครงสร้างของเครื่องรดน้ำร่องสวนผลไม้อัตโนมัติพลังงานแสงอาทิตย์ผ่าน IoT ขนาด 113 x 170 x 120 ซม.

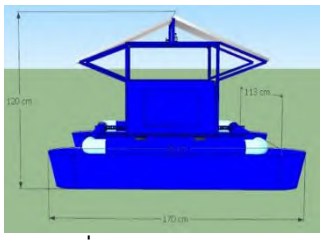

รูปที่ 5 โครงสร้างด้านหน้า

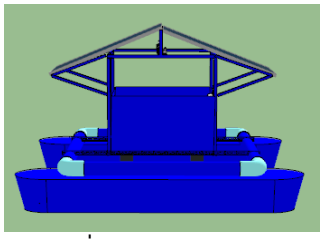

รูปที่ 6 โครงสร้างด้านหลัง

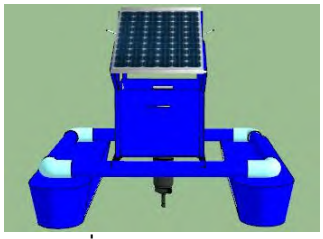

รูปที่ 7 โครงสร้างด้านข้าง

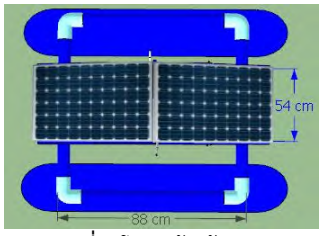

รูปที่ 8 โครงสร้างด้านบน

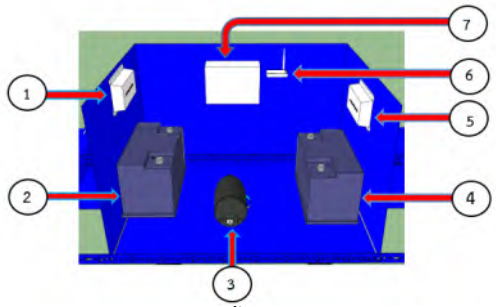

รูปที่ 9 โครงสร้างติดตั้งอุปกรณ์ภายในตัวเครื่อง

จากรูป แสดงหมายเลขของส่วนประกอบในโครงสร้างภายในตัวเครื่อง ซึ่งมีดังนี้

- หมายเลข “1, 5 โซล่าชาร์จเจอร์”
- หมายเลข “2, 4 แบตเตอรี่”
- หมายเลข 3 ปั๊มน้ำแรงดันสูง DC 12 โวลต์
- หมายเลข 6 อุปกรณ์ปล่อยสัญญาณอินเทอร์เน็ตแบบพกพา และวงจรควบคุมภาครับ
- หมายเลข 7 กล่องใส่วงจรควบคุมการทำงาน

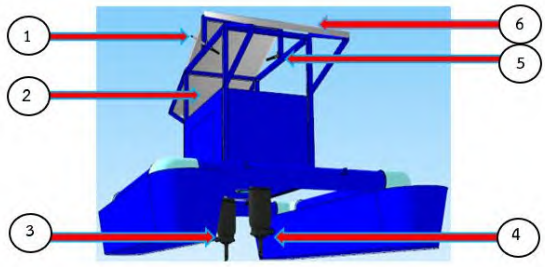

รูปที่ 10 การออกแบบโครงสร้างติดตั้งภายนอกตัวเครื่อง

จากรูป แสดงหมายเลขของส่วนประกอบในโครงสร้างภายนอกตัวเครื่อง ซึ่งมีดังนี้

- หมายเลข “1, 5 หัวฉีดพ่นน้ำ”
- หมายเลข “2, 6 โซล่าเซลล์”
- หมายเลข “3, 4 ปั๊มน้ำ DC 12 โวลต์”

4. ผลการทดสอบเครื่องรดน้ำร่องสวนผลไม้อัตโนมัติพลังงานแสงอาทิตย์ผ่าน IoT

รูปที่ 11 เครื่องรดน้ำร่องสวนผลไม้อัตโนมัติพลังงานแสงอาทิตย์ผ่าน IoT

ตารางที่ 1 การเก็บผลการทดลองใช้พลังงานแสงอาทิตย์

ครั้งที่	เวลาชาร์จแบตเตอรี่	ระยะเวลาชาร์จแบตเตอรี่	เวลาที่ใช้งาน	ระยะเวลาใช้งานแบตเตอรี่
1	09.38 น. – 16.47 น.	7 ชั่วโมง 8 น.	16.48 น. – 19.24 น.	2 ชั่วโมง 37 น.
2	08.37 น. –17.03 น.	9 ชั่วโมง 34 น.	17.04 น. –19.45 น.	2 ชั่วโมง 41 น.
3	08.00 น. – 14.45 น.	6 ชั่วโมง 45 น.	14.48 น.- 17.26 น.	2 ชั่วโมง 38 น.

ตารางที่ 2 การเก็บผลเครื่องสามารถเคลื่อนที่ไป-กลับไม่น้อยกว่า 5 เมตร

ครั้งที่	ระยะทางไป (เมตร)	เวลา (วินาที)	ระยะทางกลับ (เมตร)	เวลา (วินาที))
1	5	23.49	5	30.75
2	5	24.72	5	24.47
3	5	25.38	5	22.57

ตารางที่ 3 การเก็บผลเครื่องสามารถส่งน้ำได้ระยะทางไม่น้อยกว่า 2 เมตร

ครั้งที่	เครื่องสามารถส่งน้ำได้ระยะทาง (เมตร)
1	5
2	4.9
3	5

ตารางที่ 4 การเก็บผลควบคุมการทำงานแบบอัตโนมัติ (automatic)

ครั้งที่	กำหนดให้น้ำจุดความชื้นดิน (เปอร์เซ็นต์)	กำหนดหยุดให้น้ำจุดความชื้นดิน (เปอร์เซ็นต์)	ให้น้ำจุดความชื้นดิน (เปอร์เซ็นต์)		หยุดให้น้ำจุดความชื้นดิน (เปอร์เซ็นต์)	
			ตัวที่ 1	ตัวที่ 2	ตัวที่ 1	ตัวที่ 2
1	<20	>20	6	5	37	25
2	<30	>30	10	10	57	32
3	<40	>40	12	3	57	41
4	<50	>50	11	25	50	52
5	<60	>60	29	20	64	72
6	<70	>70	7	20	72	74

5. สรุป

เครื่องรดน้ำร่องสวนผลไม้นี้ทำงานโดยใช้พลังงานแสงอาทิตย์ที่เก็บในแบตเตอรี่ผ่านแผงโซลาร์เซลล์และโซลาร์ชาร์จเจอร์ ระบบสามารถทำงานได้ 2 โหมดหลัก:

โหมดอัตโนมัติ (Automatic): เครื่องจะรดน้ำเมื่อเซนเซอร์ความชื้น (ที่ควบคุมโดย Arduino UNO R3) ส่งสัญญาณว่าความชื้นในดินต่ำกว่าที่กำหนด โดย NodeMCU จะรับสัญญาณไร้สายผ่านโมดูล RF24L01 และสั่งให้เครื่องทำงานจนกว่าความชื้นจะถึงค่าที่ตั้งไว้

โหมดควบคุมด้วยมือ (Manual): ผู้ใช้สามารถสั่งงานเครื่องได้ผ่านแอปพลิเคชันบลิงก์บนโทรศัพท์มือถือระบบ Android โดยมีปุ่มควบคุมโหมดการทำงาน การเคลื่อนที่ของเครื่อง (ปั๊ม DRI1 และ DRI2) และการฉีดพ่นน้ำ (ปุ่ม PUM)

จากการทดลองพบว่าผู้ใช้สามารถควบคุมเครื่องได้ทั้งสองโหมดผ่านแอปพลิเคชันบน Android และเครื่องสามารถเคลื่อนที่ไป-กลับได้ไม่น้อยกว่า 5 เมตร และส่งน้ำได้ไม่น้อยกว่า 2 เมตร แสดงให้เห็นว่าเครื่องรดน้ำอัตโนมัติพลังงานแสงอาทิตย์นี้ทำงานได้ตามวัตถุประสงค์มีประสิทธิภาพในการใช้งานจริง

เอกสารอ้างอิง

[1] กระทรวงอุตสาหกรรม. 2559. ยุทธศาสตร์การพัฒนาอุตสาหกรรมไทย 4.0 ระยะ 20 ปี พ.ศ. 2560 - 2579. 1-54.

[2] เจษฎา ขจรฤทธิ์. 2556. การประยุกต์ใช้เทคโนโลยี Internet of Things ในการควบคุมระบบส่องสว่างสำหรับบ้านอัจฉริยะ. วิศวกรรมศาสตร์ ครั้งที่ 1, 3.

[3] ชวลิต พิชาลัย. 2558. Solar cell. พิมพ์ครั้งที่ 1. กรุงเทพฯ: บริษัท สยาม อินเตอร์พริ้นท์ จำกัด.

[4] โชคบูชา. 2560. แบตเตอรี่รถยนต์FB Gold 55B24L SMF. [ระบบออนไลน์]. https://th.wikipedia.org/wiki/แบตเตอรี่ (6 มกราคม 2562)

[5] ณรงค์ บวบทอง. 2560. การใช้ App Blynk. [ระบบออนไลน์]. https://medium.com/@visitwnk/8 8 - 7 - 8 9 - blynk-app-1ab60aa1b9e9 (7 มกราคม 2562).

[6] ณัฐกร ปินทรายมูล. 2556. เครื่องควบคุมความชื้นในดิน. วิศวกรรมศาสตร์ ครั้งที่ 1, 3.

[7] นาธิป ทองปาน, ธนาพัฒน์ เที่ยงภักดิ์. 2559. ระบบรดน้ำอัตโนมัติผ่านเครือข่ายเซนเซอร์ไร้สาย. สายการประชุมวิชาการระดับชาติการจัดการเทคโนโลยี และนวัตกรรม ครั้งที่ 2, 77-78.

[8] ทันพงษ์ ภู่รักษ์. 2560. เซนเซอร์อุณหภูมิและความชื้น. เอกสารประกอบการเรียนวิชาไมโครคอนโทรลเลอร์เบื้องต้น, ฉบับที่ 1, 7-8.

[9] ธนัดชัย กุลวรวานิชพงษ์. 2554. ความรู้เบื้องต้นรีเลย์. [ระบบออนไลน์]. http://www.psptech.co.th/A3-15696.page (6 มกราคม 2562).

[10] ธีรวุฒิ จิตรพรมมา. 2558. ชุดการเรียนรู้พัฒนาอุปกรณ์IOT ด้วย Node MCU ครั้งที่ 1, 5-9

[11] ธีระชัย หลำเนียม. 2559. การออกแบบและประยุกต์สวนอัจฉริยะบนระบบไอโอที. สาขาวิศวกรรมไฟฟ้า คณะวิศวกรรมศาสตร์. 114.

[12] ปรีชา มหาไม้. 2557. ระบบให้น้ำแบบอัตโนมัติใช้เซลล์แสงอาทิตย์ที่ติดตามดวงอาทิตย์เป็นแหล่งพลังงาน. ครั้งที่ 2, 1-2.

[13] ประภาส เดชานุกูล. 2559. ปั๊มน้ำแรงดันสูง DC 12 V. [ระบบออนไลน์]. https://www.thaiwatesystem.com/product/357/ (6 มกราคม 2562).

[14] ประภาส สุวรรณเพชร. เรียนรู้และลองเล่น Arduinoเอกสารประกอบการเรียนวิชาไมโครคอนโทรลเลอร์เบื้องต้น, ฉบับที่ 1, 1-92.

[15] มณฑล ฟักเอม. 2559. ระบบให้น้ำพืชอัตโนมัติด้วยพลังงานแสงอาทิตย์กรณีศึกษาแปลงเพาะพันธุ์ข้าว. คณะเทคโนโลยีอุตสาหกรรม ครั้งที่ 1, 1.

[16] วิลาศ แซ่เตี้ย. 2553. เครื่องรดน้ำอัตโนมัติ. สาขางานอิเล็กทรอนิกส์ ครั้งที่ 1-19.

[17] ศุภชัย พรพรหมณ์. 2558. การใช้งาน Pocket Wifi. [ระบบออนไลน์]. https://www.xn---1 2 cg1 cxchd0 a2 gzc1 c5 d5 a.net/pocket-wifi/ (6 มกราคม 2562).

[18] สุเมธ อินทรวงศ์. 2560. ปั๊มน้ำ DC 12 V. [ระบบออนไลน์]. https://diyledproject.com/ (6 มกราคม 2562).

[19] ASUS Zenfone 4 Max. 2560. [ระบบออนไลน์]. https://WWW.asus.com (8 มีนาคม 2562).

[20] Samuel Greengard. 2560. Internet of Things. (ทีปกร วุฒิพิทยามงคล, ผู้แปล). กรุงเทพฯ: บริษัท โอเพ่นเวิลด์ส พับลิชชิ่งเฮาส์ จำกัด.

[21] Saputri, F. R., Linelson, R., Salehuddin, M., Nor, D. M., & Ahmad, M. I. (2025). Design and development of an irrigation monitoring and control system based on Blynk Internet of Things and ThingSpeak. *PLOS ONE, 20*(4), e0321250.

[22] Liu, X., Zhao, Z., & Rezaeipanah, A. (2025). Intelligent and automatic irrigation system based on internet of things using fuzzy control technology. *Scientific Reports, 15*, Article 14577.

[23] Hoque, M. J., Islam, M. S., & Khaliluzzaman, M. (2023). A fuzzy logic- and Internet of Things-based smart irrigation system. *Engineering Proceedings, 58*(1), 93.

[24] Angel, Y., Somagutta, S., Prakash, A. M., Nagarajan, P., Karuppasamy, R. B., Akash, D., & Ajay, K. (2025). Smart solar-powered IoT-based automatic irrigation system with integrated rainwater harvesting. *Annual Research & Review in Biology, 40*(6), 32–41.

[25] Balamurali, D., Chakankar, S., Sharma, G., Pagey, A. P., Natarajan, M., Shaik, S., Gnanavendan, S., & Arıcı, M. (2025). A solar-powered, Internet of Things (IoT)-controlled water irrigation system supported by rainfall forecasts utilizing aerosols: A review. *Environment, Development and Sustainability*.

การสร้างแบบจำลองของเซลล์เชื้อเพลิงไฮโดรเจนที่อาศัยข้อมูลจากผู้ผลิต

Modeling of Hydrogen Fuel Cell Stack Based on Manufacturer Information

กฤษดา ทองอร่าม[1] กองพัน อารีรักษ์[1] อภิชัย สุยะพันธ์[2*] และ จักรกริช ภักดีโต[3]

[1]สาขาวิชาวิศวกรรมไฟฟ้า สำนักวิชาวิศวกรรมศาสตร์ มหาวิทยาลัยเทคโนโลยีสุรนารี
[2]ภาควิชาวิศวกรรมไฟฟ้า คณะวิศวกรรมศาสตร์ มหาวิทยาลัยเทคโนโลยีพระจอมเกล้าธนบุรี
[3]ภาควิชาครุศาสตร์ไฟฟ้า คณะครุศาสตร์อุตสาหกรรม มหาวิทยาลัยเทคโนโลยีพระจอมเกล้าพระนครเหนือ
[*]Corresponding author : apichai.suya@kmutt.ac.th

บทคัดย่อ

การศึกษาวิจัยที่เกี่ยวข้องกับการผลิตและการใช้พลังงานไฟฟ้าจากไฮโดรเจนจำเป็นต้องพึ่งพาแบบจำลองทางคณิตศาสตร์ของเซลล์เชื้อเพลิงไฮโดรเจน ดังนั้นบทความนี้จึงนำเสนอการสร้างแบบจำลองของเซลล์เชื้อเพลิงโดยอาศัยข้อมูลจำเพาะจากบริษัทผู้ผลิตสำหรับการประมาณค่าพารามิเตอร์ที่จำเป็นในสมการกึ่งประจักษ์ของเซลล์เชื้อเพลิง ซึ่งผลการตรวจสอบความถูกต้องของแบบจำลองที่ได้ด้วยการเปรียบเทียบเส้นโค้งโพลาไรเซชันและผลการตอบสนองของระบบจักรยานไฟฟ้าพลังงานไฮโดรเจนผ่านการจำลองสถานการณ์บนคอมพิวเตอร์ด้วยโปรแกรม MATLAB/SIMULINK แสดงให้เห็นว่า แบบจำลองของเซลล์เชื้อเพลิงไฮโดรเจนให้ผลที่สอดคล้องและตรงกับชุดบล็อกสำเร็จรูปใน SimPowerSystem™ ดังนั้นแบบจำลองที่ได้จึงมีความถูกต้องและสามารถนำไปใช้สำหรับการศึกษาวิจัยต่อในอนาคต

คำสำคัญ: แบบจำลองทางคณิตศาสตร์, เซลล์เชื้อเพลิงไฮโดรเจน, เส้นโค้งโพลาไรเซชัน, จักรยานไฟฟ้าพลังงานไฮโดรเจน

Abstract

The study regarding the production and utilization of electrical energy from hydrogen requires a mathematical model of hydrogen fuel cells. Therefore, this article presents the derivation of a fuel cell model based on the specifications provided by manufacturers, which are used to estimate the key parameters in the semi-empirical equations of the fuel cell. The accuracy of the proposed model is validated by comparing the polarization curves and the dynamic response of a hydrogen-powered electric bicycle system through intensive time-domain simulation using MATLAB/SIMULINK. The results demonstrate that the proposed model can provide the consistent and accurate results compared with the built-in blocks in SimPowerSystem™. Therefore, the model is precise and can be effectively applied in future research.

Keywords: Mathematical Model, Hydrogen Fuel Cell, Polarization Curve, Hydrogen-Powered Electric Bicycle

1. บทนำ

การเปลี่ยนแปลงสภาพภูมิอากาศและภาวะโลกร้อนเป็นปัญหาสิ่งแวดล้อมที่หลายประเทศทั่วโลกกำลังเผชิญ สาเหตุหลักของปัญหาดังกล่าวมาจากการปลดปล่อยก๊าซเรือนกระจกสู่ชั้นบรรยากาศ โดยเฉพาะก๊าซคาร์บอนไดออกไซด์ซึ่งเกิดจากการเผาไหม้ของเชื้อเพลิงฟอสซิล ด้วยเหตุนี้จึงทำให้ความต้องการนำพลังงานสะอาดมาใช้มีแนวโน้มเพิ่มขึ้นอย่างต่อเนื่องทั้งในปัจจุบันและอนาคต หนึ่งในพลังงานสะอาดที่ได้รับความสนใจได้แก่ การผลิตพลังงานไฟฟ้าจากไฮโดรเจน เนื่องจากพลังงานไฮโดรเจนมีความหนาแน่นสูงเมื่อเทียบกับพลังงานชนิดอื่น ๆ โดยการผลิตพลังงานไฟฟ้าดังกล่าวจะอาศัยเซลล์เชื้อเพลิงทำหน้าที่แปลงพลังงานจากไฮโดรเจนและสารออกซิไดซ์ให้เป็นพลังงานไฟฟ้าผ่านกระบวนการทางเคมีไฟฟ้า ซึ่งมีประสิทธิภาพสูงโดยมีเพียงน้ำและความร้อนเป็นผลพลอยได้และไม่มีการปลดปล่อยก๊าซคาร์บอนไดออกไซด์ออกสู่ชั้นบรรยากาศ [1-2] เมื่อพิจารณาไปที่ภาคส่วนคมนาคมและการขนส่ง การนำพลังงานไฮโดรเจนมาประยุกต์ใช้ร่วมกับระบบขับเคลื่อนจึงเป็นแนวทางที่สำคัญในการช่วยลดการพึ่งพาพลังงานจากเชื้อเพลิงฟอสซิล พลังงานไฮโดรเจนได้ถูกนำมาใช้ในยานพาหนะหลากหลายประเภท เช่น รถบรรทุก เครื่องบิน เรือ และจักรยานไฟฟ้า เป็นต้น [3] ดังนั้นการศึกษาวิจัยเกี่ยวกับการผลิตและการใช้พลังงานไฟฟ้าจากไฮโดรเจนจึงเป็นส่วนที่สำคัญในการพัฒนาระบบขับเคลื่อนที่ใช้พลังงานไฮโดรเจน ซึ่งโดยทั่วไปการศึกษาวิจัยดังกล่าวจำเป็นต้องพึ่งพาแบบจำลองของระบบ ด้วยเหตุนี้บทความจึงมุ่งเน้นไปที่การสร้างแบบจำลองเซลล์เชื้อเพลิงไฮโดรเจน ซึ่งจากการสำรวจปริทัศน์วรรณกรรมพบว่า แบบจำลองทางคณิตศาสตร์ของเซลล์เชื้อเพลิงไฮโดรเจนสามารถจำแนกได้ 3 ประเภท ได้แก่ แบบจำลองกึ่งประจักษ์ (semi-empirical model) แบบจำลองเชิงวิเคราะห์ (analytical model) และแบบจำลองเชิงกลไก (mechanistic model) [4-5] อย่างไรก็ตาม บทความนี้จะนำเสนอการสร้างแบบจำลองทางคณิตศาสตร์แบบกึ่งประจักษ์ เนื่องจากเป็นแบบจำลองอย่างง่ายของเซลล์เชื้อเพลิงไฮโดรเจน (simplified hydrogen fuel cell model) ซึ่งสามารถสร้างแบบจำลองได้ด้วยการนำข้อมูลจำเพาะจากผู้ผลิตมาใช้ร่วมกับสมการกึ่งประจักษ์ของเซลล์เชื้อเพลิงไฮโดรเจน โดยไม่จำเป็นต้องดำเนินการทดสอบจริง [6] อีกทั้งยังมีจุดเด่นในเรื่องของโครงสร้างที่ไม่ซับซ้อนและให้ผลลัพธ์ที่สอดคล้องกับข้อมูลจากผู้ผลิต ในขณะที่การตรวจสอบความถูกต้องของแบบจำลอง

*ผู้ประพันธ์บรรณกิจ: apichai.suya@kmutt.ac.th

จะอาศัยการเปรียบเทียบเส้นโค้งโพลาไรเซชันและผลการตอบสนองของระบบจักรยานไฟฟ้าจากการใช้แบบจำลองที่ได้กับชุดบล็อกสำเร็จรูปในโปรแกรม MATLAB/SIMULINK ซึ่งผลที่ได้แสดงให้เห็นว่า แบบจำลองของเซลล์เชื้อเพลิงไฮโดรเจนมีความถูกต้อง ดังนั้นแบบจำลองที่ได้จะถูกนำไปต่อยอดในการประยุกต์ใช้ร่วมกับแบบจำลองทางคณิตศาสตร์ของระบบขับเคลื่อนจักรยานไฟฟ้าพลังงานไฮโดรเจน เพื่อใช้ในการออกแบบระบบควบคุมและวิเคราะห์เสถียรภาพของระบบต่อไปในอนาคต

บทความนี้ประกอบด้วย 4 ส่วน ได้แก่ ส่วนที่ 1 บทนำ กล่าวถึงที่มาและความสำคัญของปัญหา ส่วนที่ 2 เป็นการอธิบายการหาแบบจำลองอย่างง่ายของเซลล์เชื้อเพลิงไฮโดรเจน ส่วนที่ 3 นำเสนอการตรวจสอบความถูกต้องของแบบจำลองด้วยการจำลองสถานการณ์บนโปรแกรม MATLAB/SIMULINK พร้อมทั้งการอภิปรายผล และส่วนที่ 4 เป็นสรุปเพื่อใช้เป็นแนวทางสำหรับการต่อยอดงานวิจัยในอนาคต

2. แบบจำลองทางคณิตศาสตร์ของเซลล์เชื้อเพลิงไฮโดรเจน

การหาแบบจำลองทางคณิตศาสตร์ของเซลล์เชื้อเพลิงไฮโดรเจนในบทความนี้แบ่งออกเป็น 2 ส่วน ได้แก่ ส่วนแรกเป็นการนำเสนอแบบจำลองอย่างง่ายของเซลล์เชื้อเพลิงไฮโดรเจนที่มีการพิจารณาถึงพฤติกรรมที่มีค่าแรงดันไฟฟ้าไม่คงที่ ซึ่งการผลิตพลังงานไฟฟ้าจะขึ้นอยู่กับกระแสไฟฟ้าของโหลดและการสูญเสียที่เกิดจากปฏิกิริยาเคมีไฟฟ้าของเซลล์เชื้อเพลิง [7] และส่วนที่ 2 เป็นการประมาณค่าพารามิเตอร์จำเพาะที่อาศัยข้อมูลจากผู้ผลิต โดยบทความนี้เลือกใช้เซลล์เชื้อเพลิงไฮโดรเจนรุ่น H-500 จากบริษัท Horizon Fuel cell Technologies [8] มีพิกัดกำลังไฟฟ้าที่ 500 W ซึ่งการหาแบบจำลองแสดงรายละเอียดได้ดังนี้

2.1 แบบจำลองอย่างง่ายของเซลล์เชื้อเพลิงไฮโดรเจน

พฤติกรรมการผลิตพลังงานไฟฟ้าของเซลล์เชื้อเพลิงไฮโดรเจนสามารถอธิบายได้ด้วยเส้นโค้งโพลาไรเซชันทั่วไป (typical polarization) แสดงได้ดังรูปที่ 1 ซึ่งพฤติกรรมดังกล่าวจะมีการสูญเสียอยู่ 3 ย่าน ได้แก่ การสูญเสียในย่านกระตุ้น (activation region) การสูญเสียในย่านความต้านทานภายใน (ohmic region) และการสูญเสียในย่านความเข้มข้น (concentration region) [9-10] ซึ่งส่งผลทำให้แรงดันไฟฟ้าที่ผลิตได้จากเซลล์เชื้อเพลิงไฮโดรเจนมีค่าไม่คงที่ แต่อย่างไรก็ตามเซลล์เชื้อเพลิงที่มีการใช้งานจริงจะถูกออกแบบและควบคุมเพื่อหลีกเลี่ยงการสูญเสียในย่านความเข้มข้น เนื่องจากการทำงานที่กระแสไฟฟ้าสูงเกินขีดจำกัดจะส่งผลให้อุปกรณ์เกิดความเสียหาย [5] ดังนั้นบทความนี้จะไม่พิจารณาการสูญเสียในย่านดังกล่าว

แบบจำลองอย่างง่ายของเซลล์เชื้อเพลิงไฮโดรเจนสามารถแสดงเป็นวงจรสมมูลทางไฟฟ้าได้ดังรูปที่ 2 ซึ่งวงจรดังกล่าวประกอบด้วยแรงดันไฟฟ้าเปิดวงจรของเซลล์เชื้อเพลิง (E_{oc}) การสูญเสียในย่านกระตุ้นที่ถูกแทนด้วยชุดบล็อกในกรอบเส้นประสีดำ และการสูญเสียที่เกิดจากความต้านทานภายในของเซลล์เชื้อเพลิงซึ่งถูกแทนด้วยค่าความต้านทานภายใน (internal resistance) โดยสมการแรงดันไฟฟ้าของเซลล์เชื้อเพลิงไฮโดรเจนสามารถแสดงได้ดังสมการที่ (1)

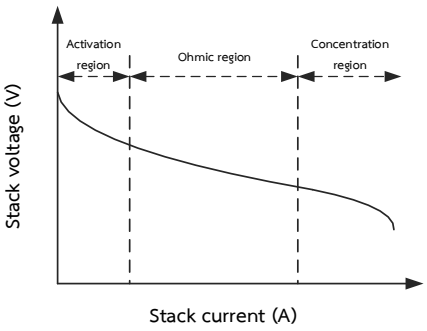

รูปที่ 1 เส้นโค้งโพลาไรเซชันทั่วไปของเซลล์เชื้อเพลิงไฮโดรเจน

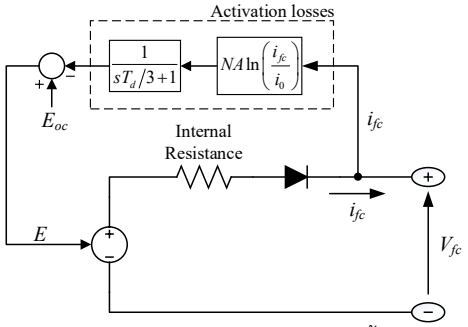

รูปที่ 2 วงจรสมมูลของแบบจำลองอย่างง่ายเซลล์เชื้อเพลิงไฮโดรเจน

$$V_{fc} = E_{oc} - V_{act} - V_{ohmic} \tag{1}$$

โดยที่

V_{fc} คือ แรงดันไฟฟ้าเอาต์พุตของเซลล์เชื้อเพลิง (V)
E_{oc} คือ แรงดันไฟฟ้าเปิดวงจรของเซลล์เชื้อเพลิง (V)
V_{act} คือ แรงดันไฟฟ้าที่เกิดจากการสูญเสียในย่านกระตุ้น (V)
V_{ohmic} คือ แรงดันไฟฟ้าที่เกิดจากการสูญเสียจากความต้านทานภายในเซลล์เชื้อเพลิง (V)

จากรูปที่ 2 จะสังเกตได้ว่า ผลตอบสนองเชิงพลวัต (dynamic response) หรือผลตอบสนองในสภาวะชั่วครู่ (transient response) จากการสูญเสียในย่านกระตุ้นจะถูกจำลองด้วยฟังก์ชันถ่ายโอนอันดับที่ 1 ดังพจน์ $\frac{1}{sT_d/3+1}$ เพื่อใช้ในการหน่วงเวลาขณะเกิดปฏิกิริยาเคมีไฟฟ้า [6] โดยที่ T_d คือระยะเวลาในการเข้าสู่สภาวะสมดุล (settling time) แต่อย่างไรก็ตามเพื่อลดความซับซ้อนของแบบจำลองบทความนี้จะพิจารณาเฉพาะผลการตอบสนองในสภาวะอยู่ตัว (steady-state response) จากการสูญเสียในย่านกระตุ้นเท่านั้น ดังนั้นพจน์ดังกล่าวจะไม่ถูกนำมาพิจารณา ซึ่งแรงดันไฟฟ้าจากการสูญเสียในย่านกระตุ้นในสภาวะอยู่ตัวแสดงดังสมการที่ (2) และแรงดันไฟฟ้าจากการสูญเสียจากความต้านทานภายในของเซลล์เชื้อเพลิงไฮโดรเจนแสดงดังสมการที่ (3)

$$V_{act} = NA\ln\left(\frac{i_{fc}}{i_0}\right) \tag{2}$$

$$V_{ohmic} = R_{ohm} \cdot i_{fc} \quad (3)$$

โดยที่

N คือ จำนวนเซลล์ของเซลล์เชื้อเพลิง
A คือ ค่าความชันของทาเฟล (V)
i_{fc} คือ กระแสไฟฟ้าของเซลล์เชื้อเพลิง (A)
i_0 คือ กระแสไฟฟ้าแลกเปลี่ยนระหว่างขั้วแอโนดและขั้วแคโทดของเซลล์เชื้อเพลิง (A)
R_{ohm} คือ ความต้านทานภายในของเซลล์เชื้อเพลิง (Ω)

ดังนั้นเมื่อแทนสมการที่ (2) และสมการที่ (3) ลงในสมการที่ (1) จะได้สมการแบบจำลองอย่างง่ายของเซลล์เชื้อเพลิงไฮโดรเจนในสภาวะอยู่ตัวแสดงได้ดังสมการที่ (4) ดังนี้

$$V_{fc} = E_{oc} - NA\ln\left(\frac{i_{fc}}{i_0}\right) - R_{ohm} \cdot i_{fc} \quad (4)$$

2.2 การประมาณค่าพารามิเตอร์จำเพาะที่อาศัยข้อมูลจากผู้ผลิต

จากแบบจำลองที่ได้ดังสมการที่ (4) จะพบว่ามีพารามิเตอร์ E_{oc}, NA, R_{ohm} และ i_0 ที่จำเป็นต้องทราบหรือดำเนินการประมาณค่า ซึ่งค่าพารามิเตอร์จำเพาะของเซลล์เชื้อเพลิงไฮโดรเจนสามารถประมาณได้จากเส้นโค้งโพลาไรเซชันโดยอาศัยข้อมูลจากผู้ผลิตดังแสดงได้ในรูปที่ 3 ซึ่งประกอบด้วยจุดการทำงานทั้งหมด 4 จุด ได้แก่ แรงดันไฟฟ้าเปิดวงจร แรงดันไฟฟ้าที่กระแสไฟฟ้า 1 A (V_1) แรงดันไฟฟ้าที่จุดทำงานปกติ (V_{nom}) และแรงดันไฟฟ้าที่จุดทำงานกระแสไฟฟ้าสูงสุด (V_{min}) โดยค่าพารามิเตอร์จำเพาะที่ได้ในแต่ละจุดทำงานมีทั้งหมด 6 ค่า ได้แก่ E_{oc}, V_1, V_{nom}, I_{nom}, V_{min} และ I_{max}

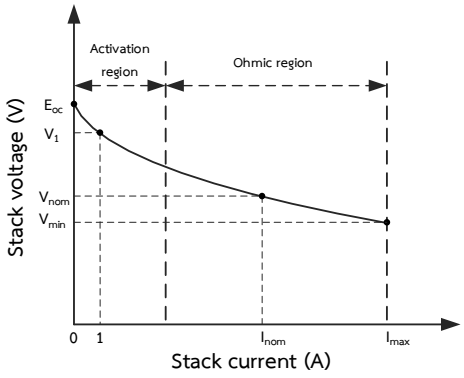

รูปที่ 3 การประมาณค่าพารามิเตอร์จำเพาะจากเส้นโค้งโพลาไรเซชัน [6]

เมื่อพิจารณาแบบจำลองในสมการที่ (4) ร่วมกับจุดการทำงานทั้ง 4 จุดจะสามารถคำนวณหาแรงดันไฟฟ้าของเซลล์เชื้อเพลิงภายใต้จุดการทำงานต่าง ๆ ได้ดังสมการที่ (5) ถึงสมการที่ (7)

$$V_1 = E_{oc} - NA\ln(i_0) - R_{ohm} \quad (5)$$

$$V_{nom} = E_{oc} - NA\ln\left(\frac{I_{nom}}{i_0}\right) - R_{ohm} \cdot I_{nom} \quad (6)$$

$$V_{min} = E_{oc} - NA\ln\left(\frac{I_{max}}{i_0}\right) - R_{ohm} \cdot I_{max} \quad (7)$$

โดยที่

V_{nom} คือ แรงดันไฟฟ้าของเซลล์เชื้อเพลิง ณ จุดทำงานปกติ
I_{nom} คือ กระแสไฟฟ้าของเซลล์เชื้อเพลิง ณ จุดทำงานปกติ
V_{min} คือ แรงดันไฟฟ้าของเซลล์เชื้อเพลิง ณ จุดทำงานที่ค่ากระแสสูงสุด
I_{max} คือ กระแสไฟฟ้าของเซลล์เชื้อเพลิง ณ จุดทำงานสูงสุด
V_1 คือ แรงดันไฟฟ้าของเซลล์เชื้อเพลิง ที่กระแส 1 A

ดังนั้นจากสมการที่ (5) ถึงสมการที่ (7) สามารถจัดรูปใหม่เพื่อใช้ในการคำนวณหาค่าพารามิเตอร์ในแบบจำลองอย่างง่ายของเซลล์เชื้อเพลิงไฮโดรเจน ซึ่งได้แก่ NA, R_{ohm} และ i_0 แสดงได้ดังสมการที่ (8) ถึงสมการที่ (10) โดยค่าพารามิเตอร์ดังกล่าวจะขึ้นอยู่กับค่าพารามิเตอร์จำเพาะของเซลล์เชื้อเพลิงไฮโดรเจนที่ได้จากการประมาณค่าบนเส้นโค้งโพลาไรเซชันซึ่งเป็นข้อมูลที่ได้มาจากบริษัทผู้ผลิต

$$NA = \frac{(V_1 - V_{nom})(I_{max} - 1) - (V_1 - V_{min})(I_{nom} - 1)}{\ln(I_{nom})(I_{max} - 1) - \ln(I_{max})(I_{nom} - 1)} \quad (8)$$

$$R_{ohm} = \frac{V_1 - V_{nom} - NA\ln(I_{nom})}{I_{nom} - 1} \quad (9)$$

$$i_0 = exp\left(\frac{V_1 - E_{oc} + R_{ohm}}{NA}\right) \quad (10)$$

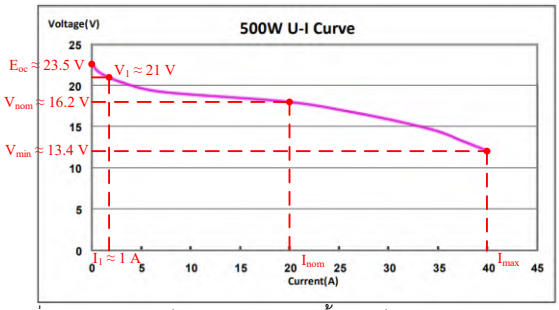

รูปที่ 4 เส้นโค้งโพลาไรเซชันของเซลล์เชื้อเพลิงไฮโดรเจนรุ่น H-500

เมื่อพิจารณาเซลล์เชื้อเพลิงไฮโดรเจนรุ่น H-500 จากบริษัท Horizon Fuel cell Technologies ซึ่งมีเส้นโค้งโพลาไรเซชันแสดงดังรูปที่ 4 จะสามารถประมาณค่าพารามิเตอร์จำเพาะของเซลล์เชื้อเพลิงได้ดังต่อไปนี้

- $[E_{oc}\,(\mathrm{V}),\ V_1\,(\mathrm{V})]$ = [23.5, 21]
- $[I_{nom}\,(\mathrm{A}),\ V_{nom}\,(\mathrm{V})]$ = [20, 16.2]
- $[I_{max}\,(\mathrm{A}),\ V_{min}\,(\mathrm{V})]$ = [40, 13.4]

เมื่อนำค่าพารามิเตอร์จำเพาะที่ได้ดังข้างต้นแทนลงในสมการที่ (8) ถึงสมการที่ (10) จะสามารถคำนวณหาค่าพารามิเตอร์ NA, R_{ohm} และ i_0 ในแบบจำลองได้ จากนั้นเมื่อนำค่าดังกล่าวแทนลงในสมการที่ (4) จะได้แบบจำลองอย่างง่ายของเซลล์เชื้อเพลิงไฮโดรเจนที่พิจารณาแสดงได้ดังสมการที่ (11) โดยแบบจำลองดังกล่าวจะได้รับการตรวจสอบความถูกต้องดังที่จะนำเสนอในหัวข้อถัดไป

$$V_{fc} = 23.5 - 0.9156 \ln\left(\frac{i_{fc}}{0.0734}\right) - 0.1083 \cdot i_{fc} \qquad (11)$$

3. การตรวจสอบความถูกต้องของแบบจำลองทางคณิตศาสตร์

การตรวจสอบความถูกต้องของแบบจำลองอย่างง่ายของเซลล์เชื้อเพลิงไฮโดรเจนในบทความนี้แบ่งออกเป็น 2 กรณี คือ กรณีที่ 1 การเปรียบเทียบเส้นโค้งโพลาไรเซชันที่ได้จากแบบจำลองกับชุดบล็อกสำเร็จรูปของเซลล์เชื้อเพลิงไฮโดรเจนใน SimPowerSystem™ และกรณีที่ 2 การเปรียบเทียบผลตอบสนองของระบบโดยรวมเมื่อประยุกต์ใช้แบบจำลองร่วมกับระบบจักรยานไฟฟ้าพลังงานไฮโดรเจนผ่านการจำลองสถานการณ์บนคอมพิวเตอร์ด้วยโปรแกรม MATLAB/SIMULINK ซึ่งสามารถแสดงรายละเอียดได้ดังนี้

3.1 การตรวจสอบเส้นโค้งโพลาไรเซชัน

แบบจำลองอย่างง่ายของเซลล์เชื้อเพลิงไฮโดรเจนที่ได้ดังสมการที่ (11) ถูกนำมาใช้ในการสร้างเส้นโค้งโพลาไรเซชันและเปรียบเทียบกับเส้นโค้งที่ได้จากชุดบล็อกสำเร็จรูปใน SimPowerSystem™ โดยค่าพารามิเตอร์จำเพาะจะถูกกำหนดลงในชุดบล็อกดังกล่าว ผลการเปรียบเทียบแสดงได้ดังรูปที่ 5 ซึ่งจากรูปจะสังเกตได้ว่า เส้นโค้งโพลาไรเซชันที่ได้จากแบบจำลองให้ผลที่สอดคล้องและตรงกับชุดบล็อกสำเร็จรูปจึงเป็นการแสดงให้เห็นว่า แบบจำลองที่ได้มีความถูกต้องและสามารถใช้ในการอธิบายพฤติกรรมการผลิตพลังงานไฟฟ้าของเซลล์เชื้อเพลิงไฮโดรเจนในสภาวะอยู่ตัวได้

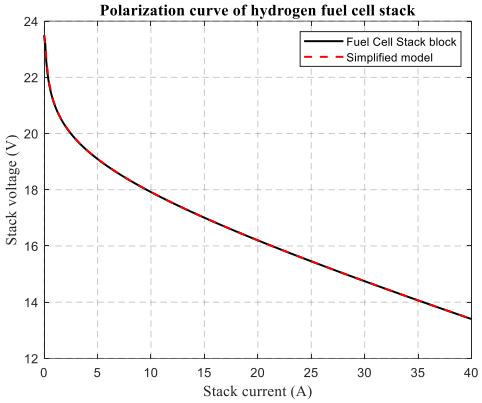

รูปที่ 5 เส้นโค้งโพลาไรเซชันของแบบจำลองอย่างง่ายเปรียบเทียบกับชุดบล็อกสำเร็จรูปใน SimPowerSystem™

3.2 การประยุกต์ใช้แบบจำลองอย่างง่ายร่วมกับระบบจักรยานไฟฟ้าพลังงานไฮโดรเจน

ระบบจักรยานไฟฟ้าพลังงานไฮโดรเจนแสดงได้ดังรูปที่ 6 ซึ่งประกอบด้วย 3 ส่วน ได้แก่ ส่วนที่ 1 เซลล์เชื้อเพลิงไฮโดรเจน ทำหน้าที่เป็นแหล่งจ่ายไฟฟ้ากระแสตรงให้กับระบบ ส่วนที่ 2 วงจรแปลงผันกำลังดีซีเป็นดีซีแบบสองทิศทางที่มีตัวควบคุมพีไอแบบต่อเรียงกัน ทำหน้าที่ควบคุมระดับแรงดันไฟฟ้าเอาต์พุตให้คงที่ และส่วนที่ 3 โหลดชุดขับเคลื่อนมอเตอร์ไฟฟ้ากระแสตรงที่ถูกแทนด้วยโหลดกำลังไฟฟ้าคงตัว [12] ซึ่งค่าพารามิเตอร์ของระบบแสดงได้ดังตารางที่ 1 สำหรับการตรวจสอบความถูกต้องในกรณีที่ 2 นี้แบบจำลองอย่างง่ายของเซลล์เชื้อเพลิงไฮโดรเจนจะถูกนำมาสร้างเป็นชุดบล็อกเพื่อใช้เป็นแหล่งจ่ายไฟฟ้ากระแสตรงให้กับระบบ (กรอบสีแดงหมายเลข 1) และจะถูกเปรียบเทียบกับผลการตอบสนองเมื่อใช้ชุดบล็อกสำเร็จรูปของเซลล์เชื้อเพลิงใน SimPowerSystem™ (กรอบสีแดงหมายเลข 2) โดยการจำลองสถานการณ์ของระบบจักรยานไฟฟ้าจะดำเนินการเปลี่ยนแปลงโหลดกำลังไฟฟ้าคงตัวจาก 300 W เป็น 350 W ที่เวลา t = 6 วินาที ซึ่งการเปรียบเทียบผลการตอบสนองแสดงได้ดังรูปที่ 7

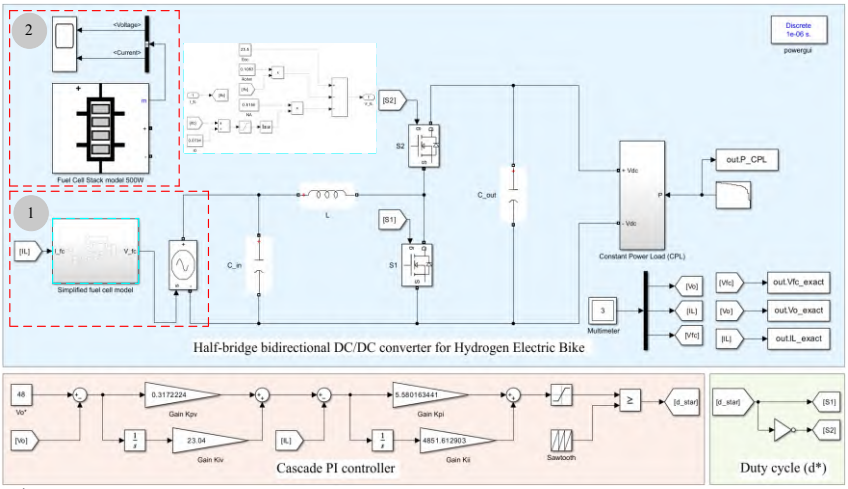

รูปที่ 6 ชุดบล็อกไฟฟ้ากำลังของระบบจักรยานไฟฟ้าพลังงานไฮโดรเจนบนโปรแกรม MATLAB/SIMULINK

ตารางที่ 1 พารามิเตอร์ของระบบจักรยานไฟฟ้าพลังงานไฮโดรเจน

พารามิเตอร์	ค่า	รายละเอียด
V_o	48 V	แรงดันไฟฟ้าเอาต์พุต
L ($\Delta I_L \leq 0.11$A)	4.7 mH	ค่าความเหนี่ยวนำของวงจรแปลงผัน
C_o($\Delta V_o \leq 0.24$V)	1600 μF	ค่าความจุไฟฟ้าทางฝั่งเอาต์พุตของวงจรแปลงผัน
C_i ($\Delta V_i \leq 2.48$V)	1.5 μF	ค่าความจุไฟฟ้าทางฝั่งอินพุตของวงจรแปลงผัน
A_r	10	ค่ายอดของสัญญาณสามเหลี่ยม
K_{pv}	0.3172	ค่าอัตราขยายของตัวควบคุมพีสำหรับลูปควบคุมแรงดันไฟฟ้า [11]
K_{iv}	23.04	ค่าอัตราขยายของตัวควบคุมไอสำหรับลูปควบคุมแรงดันไฟฟ้า [11]
K_{pi}	5.5802	ค่าอัตราขยายของตัวควบคุมพีสำหรับลูปควบคุมกระแสไฟฟ้า [11]
K_{ii}	4851.61	ค่าอัตราขยายของตัวควบคุมไอสำหรับลูปควบคุมกระแสไฟฟ้า [11]

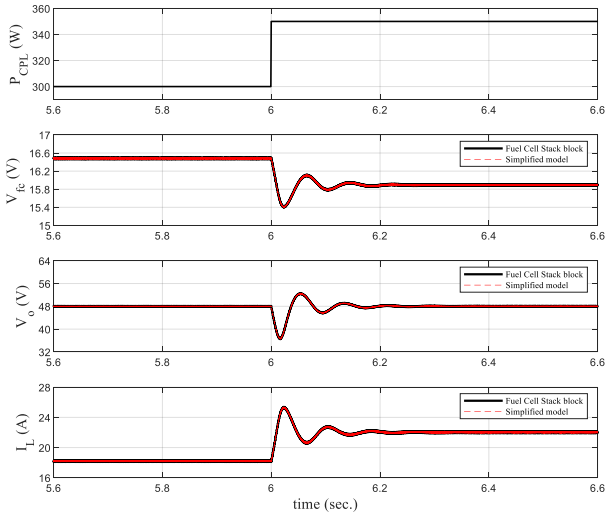

รูปที่ 7 ผลการตอบสนองของระบบจักรยานไฟฟ้าพลังงานไฮโดรเจน

จากรูปที่ 7 จะสังเกตได้ว่า ผลการตอบสนองของระบบที่ได้จากแบบจำลองอย่างง่ายของเซลล์เชื้อเพลิงไฮโดรเจนที่ได้ดังสมการที่ (11) มีความสอดคล้องกับชุดบล็อกสำเร็จรูปทั้งในช่วงสภาวะชั่วครู่และในสภาวะอยู่ตัว ดังนั้นจึงสามารถสรุปได้ว่า แบบจำลองทางคณิตศาสตร์ที่ได้มีความถูกต้องและสามารถนำไปใช้สำหรับการศึกษาวิจัยต่อได้ในอนาคต

4. สรุป

บทความนี้นำเสนอการสร้างแบบจำลองทางคณิตศาสตร์ของเซลล์เชื้อเพลิงไฮโดรเจน โดยอาศัยข้อมูลจำเพาะจากบริษัทผู้ผลิตเพื่อประมาณค่าพารามิเตอร์ที่สำคัญของแบบจำลองดังกล่าว ได้แก่ แรงดันไฟฟ้าเปิดวงจร ความต้านทานภายใน และค่าคงที่ทางเคมีไฟฟ้า ซึ่งถูกนำมาใช้ในสมการแบบจำลองกึ่งประจักษ์เพื่ออธิบายพฤติกรรมการผลิตพลังงานไฟฟ้าของเซลล์เชื้อเพลิงในสภาวะอยู่ตัว โดยผลการตรวจสอบความถูกต้องของแบบจำลองด้วยการจำลองสถานการณ์บนโปรแกรม MATLAB/SIMULINK แสดงให้เห็นว่า แบบจำลองที่ได้มีความถูกต้องและสอดคล้องกับชุดบล็อกสำเร็จรูปใน SimPowerSystem™ ทั้งในการเปรียบเทียบเส้นโค้งโพลาไรเซชันของเซลล์เชื้อเพลิงและผลการตอบสนองของระบบจักรยานไฟฟ้าพลังงานไฮโดรเจน ดังนั้นแบบจำลองดังกล่าวที่ได้จะถูกนำไปประยุกต์ใช้ร่วมกับแบบจำลองทางคณิตศาสตร์ของระบบจักรยานไฟฟ้าเพื่อใช้ในการออกแบบระบบควบคุมและวิเคราะห์เสถียรภาพของระบบสำหรับงานวิจัยต่อไปในอนาคต

เอกสารอ้างอิง

[1] Y. Chang, Y. Qin, Y. Yin, J. Zhang, and X. Li, “Humidification strategy for polymer electrolyte membrane fuel cells – A review,” Applied Energy, vol. 230, Sep. 2018, pp. 643–662.

[2] A. Sharma and R. Garg, "New Technology for Harnessing Energy: Future of Hydrogen," 2023 International Conference on Recent Trends in Electronics and Communication (ICRTEC), Mysore, India, 2023, pp. 1-7.

[3] P. Fragiacomo, M. Genovese, F. Piraino, O. Corigliano, and G. De Lorenzo, “Hydrogen-Fuel Cell Hybrid Powertrain: Conceptual Layouts and Current Applications,” Machines, vol. 10, no. 12, art. 1121, Nov. 2022.

[4] S. Hamdollahi and J. Luo, “A review on modeling of proton exchange membrane fuel cell,” Chem. Ind. Chem. Eng. Q., vol. 29, no. 1, Jan. 2023, pp. 61–74.

[5] R. Putala and V. Ferencey, "Hydrogen Fuel Cell System Modeling Approaches," 2025 Cybernetics & Informatics (K&I), Mikulov na Morave, Czech Republic, 2025, pp. 1-7.

[6] S. N. M., O. Tremblay and L. -A. Dessaint, "A generic fuel cell model for the simulation of fuel cell vehicles," 2009 IEEE Vehicle Power and Propulsion Conference, Dearborn, MI, USA, 2009, pp. 1722-1729.

[7] I. M. M. Saleh, R. Ali and H. Zhang, "Simplified mathematical model of proton exchange membrane fuel cell based on horizon fuel cell stack," in Journal of Modern Power Systems and Clean Energy, vol. 4, no. 4, pp. 668-679, October 2016.

[8] Horizon Educational, “H-500 PEM Fuel Cell – 500 W.” Accessed: Jun. 15, 2025. [Online]. Available: http://www.horizoneducational.com/h-500-pem-fuel-cell-500W/p1353

[9] X. Yang, P. Wang, Q. Li, W. Nie and M. Sun, "Modeling and Simulation Analysis of Fuel Cell Stack Model," 2024 5th International Conference on Clean Energy and Electric Power Engineering (ICCEPE), Yangzhou, China, 2024, pp. 125-128.

[10] N. Nim-on, “วิเคราะห์สมรรถนะของระบบเซลล์เชื้อเพลิงสำหรับประยุกต์ใช้กับระบบไฟฟ้าแยกโดด,” วิทยานิพนธ์ปริญญาวิศวกรรมศาสตรมหาบัณฑิต, สาขาวิชาวิศวกรรมไฟฟ้า, มหาวิทยาลัยเทคโนโลยีสุรนารี, 2012.

[11] W. Surakan, M. Niyomthai, A. Suyapan, T. Narongrit and K. Areerak, "The Cascade PI Controller Design for Hydrogen Electric Bike Systems," 2025 13th International Electrical Engineering Congress (iEECON), Hua Hin, Thailand, 2025, pp. 1-4.

[12] A. Emadi, A. Khaligh, C. H. Rivetta and G. A. Williamson, "Constant power loads and negative impedance instability in automotive systems: definition, modeling, stability, and control of power electronic converters and motor drives," in IEEE Transactions on Vehicular Technology, vol. 55, no. 4, pp. 1112-1125, July 2006.

ชุดติดตามดวงอาทิตย์สำหรับเซลล์แสงอาทิตย์แบบเคลื่อนที่สองแกน
Solar Tracking for Photovoltaic Cell with Two Axial Movement

อธิปตย์ จันทร์ดี[1]

[1]สาขาวิชาวิศวกรรมไฟฟ้า สถาบันวิศวกรรมไฟฟ้าและอิเล็กทรอนิกส์ มหาวิทยาลัยเทคโนโลยีมหานคร atip@mut.ac.th

บทคัดย่อ

บทความนี้มุ่งนำเสนอการออกแบบและพัฒนาต้นแบบระบบติดตามดวงอาทิตย์แบบสองแกนสำหรับแผงเซลล์แสงอาทิตย์ เพื่อเพิ่มประสิทธิภาพในการผลิตพลังงานไฟฟ้า ระบบดังกล่าวได้รับการออกแบบให้สามารถปรับทิศทางของแผงได้อย่างอัตโนมัติเพื่อติดตามเส้นทางการเคลื่อนที่ของดวงอาทิตย์อย่างต่อเนื่อง ซึ่งจะช่วยเพิ่มปริมาณรังสีอาทิตย์ที่ตกกระทบบนแผงให้ได้สูงสุดตลอดทั้งวัน กลไกการติดตามถูกควบคุมด้วยไมโครคอนโทรลเลอร์ที่รับสัญญาณอินพุตจากเซ็นเซอร์ตรวจจับแสง (LDR) เมื่อเซ็นเซอร์ตรวจจับการเปลี่ยนแปลงของความเข้มแสง ไมโครคอนโทรลเลอร์จะประมวลผลข้อมูลและสั่งการให้ชุดขับเคลื่อน (actuator system) ปรับตำแหน่งของแผงเซลล์แสงอาทิตย์โดยอัตโนมัติ เพื่อให้แผงหันเข้าหาทิศทางที่มีความเข้มของแสงอาทิตย์สูงสุดอย่างสม่ำเสมอ จากการทดลองเปรียบเทียบเชิงปริมาณระหว่างผลผลิตพลังงานของระบบติดตามแบบสองแกนกับระบบแผงคงที่ที่ไม่ติดตาม โดยใช้แผงเซลล์แสงอาทิตย์ชนิดเดียวกัน พบว่าระบบติดตามสามารถผลิตพลังงานไฟฟ้าได้มากกว่าระบบแผงคงที่ประมาณ 15-20% ซึ่งแสดงให้เห็นถึงการเพิ่มขึ้นอย่างมีนัยสำคัญของประสิทธิภาพการผลิตพลังงาน การเลือกใช้การกำหนดค่าการติดตามแบบสองแกนในงานวิจัยนี้พิจารณาจากตำแหน่งทางภูมิศาสตร์และรูปแบบการแผ่รังสีอาทิตย์ในประเทศไทย ระบบติดตามที่นำเสนอแสดงให้เห็นถึงการตอบสนองเชิงพลวัตต่อความเข้มของแสงอาทิตย์ โดยใช้เซ็นเซอร์ LDR เป็นแนวทางในการนำแผงสู่ตำแหน่งที่เหมาะสมที่สุด วิธีการนี้จึงเป็นแนวทางปฏิบัติที่สามารถนำไปประยุกต์ใช้ได้อย่างมีประสิทธิภาพสำหรับการเก็บเกี่ยวพลังงานแสงอาทิตย์ เพื่อสนับสนุนการพัฒนาพลังงานหมุนเวียนในประเทศไทย

คำสำคัญ: เซลล์แสงอาทิตย์ ติดตามดวงอาทิตย์

Abstract

This paper presents the design and performance of a two-axis solar tracking system engineered to maximize photovoltaic (PV) panel efficiency. The system utilizes a microcontroller and light-dependent resistors (LDR) to dynamically adjust a PV panel's orientation, ensuring continuous perpendicular alignment with the sun's trajectory. To quantify performance, a comparative experiment was conducted between the tracking system and an identical fixed-tilt PV system under identical conditions. The two-axis tracker consistently captured higher solar irradiance, resulting in a 15-20% increase in electrical energy output compared to the fixed system. This gain was achieved using a tracking configuration specifically optimized for Thailand's geographical location and solar radiation profile. The system's control logic, based on real-time LDR sensor input, enables precise and automated repositioning, proving it to be an effective and practical solution for enhancing solar energy yield. This study demonstrates the significant quantitative advantage of active solar tracking in improving the energy generation efficiency of PV systems.

Keywords: Photovoltaic Cell, Solar tracking

1. บทนำ

แผงเซลล์แสงอาทิตย์โดยทั่วไปที่ใช้พลังงานจากแสงอาทิตย์มาทำให้เกิดกระแสไฟฟ้า มักเป็นแผงที่วางในแนวนอนยึดติดอยู่กับที่ จากการศึกษางานวิจัยที่ผ่านมาการติดตั้งแผงโซล่าเซลล์ในประเทศไทยนิยมที่จะติดตั้งให้ด้านหน้าของแผงเซลล์แสงอาทิตย์หันไปทางทิศใต้ และเอียงทำมุมประมาณ 10-18 องศากับพื้นโลก ซึ่งขึ้นอยู่กับภูมิประเทศที่จะทำการติดตั้ง แต่การนำพลังงานแสงอาทิตย์มาใช้ได้มากที่สุดแผงเซลล์แสงอาทิตย์จะต้องตั้งฉากกับดวงอาทิตย์ตลอดเวลา ซึ่งตามปกติดวงอาทิตย์โคจรเปลี่ยนที่ไปทุกนาที ทำให้การนำพลังงานแสงอาทิตย์มาใช้ให้เกิดประโยชน์สูงสุดนั้นจึงไม่สามารถทำได้ คณะผู้จัดทำการออกแบบระบบติดตามแสงอาทิตย์แบบสองแกน โดยวัตถุประสงค์เพื่อทำการเพิ่มประสิทธิภาพทำให้สามารถรับพลังงานแสงอาทิตย์ได้เต็มที่ตลอดเวลา และได้รับค่าแรงดันไฟฟ้าและกระแสไฟฟ้าสูงสุด ในการจ่ายภาระไฟฟ้าโดยใช้เทคโนโลยีการควบคุมด้วยไมโครคอนโทรลเลอร์เป็นตัวรับสัญญาณจากเซนเซอร์วัดปริมาณความเข้มของแสงอาทิตย์ และสามารถสั่งงานให้ชุดควบคุมขับเคลื่อนแผงเซลล์แสงอาทิตย์ ให้เคลื่อนที่ได้โดยอัตโนมัติตามแสงอาทิตย์แนวตั้งฉาก โดยเปรียบเทียบกับการผลิตพลังงานไฟฟ้าของแผงเซลล์แสงอาทิตย์ชนิดเดียวกันที่ไม่เคลื่อนที่หมุนตามดวงอาทิตย์

ระบบผลิตไฟฟ้าด้วยพลังงานแสงอาทิตย์แบบเคลื่อนที่หมุนตามดวงอาทิตย์ มีการผลิตพลังงาน ไฟฟ้ามากกว่าแผงเซลล์แสงอาทิตย์ที่ไม่เคลื่อนที่หมุนตามดวงอาทิตย์ประมาณร้อยละ 25-35 [1] โดยการเคลื่อนที่ของ ชุดติดตามดวงอาทิตย์จะเคลื่อนที่ตามดวงอาทิตย์ ในทิศตะวันออกไปทิศตะวันตกในสภาพอากาศท้องฟ้าโปร่ง และ เมื่อมีเมฆบังดวงอาทิตย์ ชุดติดตามดวงอาทิตย์ก็จะเคลื่อนที่ไปหาจุดที่มีความเข้มของแสงมากกว่า ซึ่งเป็นข้อดีจาก การใช้เซนเซอร์วัดปริมาณความเข้มของแสงอาทิตย์ ในการติดตั้งในชุดติดตามดวงอาทิตย์สำหรับเซลล์แสงอาทิตย์ แบบเคลื่อนที่สองแกน

2. การดำเนินงานวิจัย

2.1 การออกแบบชุดติดตามดวงอาทิตย์สำหรับเซลล์แสงอาทิตย์แบบเคลื่อนที่สองแกน

ขอบเขตและแนวความคิดในการออกแบบระบบติดตามดวงอาทิตย์สำหรับเซลล์แสงอาทิตย์แบบเคลื่อนที่สองแกน เพื่อทำให้ประสิทธิภาพในการผลิตพลังงานไฟฟ้าที่ได้จากแผงเซลล์แสงอาทิตย์ มีพิกัดกำลังสูงสุด ระบบติดตามดวงอาทิตย์ใช้พลังงานจากแสงอาทิตย์ในการทำงาน อาศัยการตรวจวัดของเซนเซอร์แอลดีอาร์ตรวจวัดความเข้มแสงจากดวงอาทิตย์ที่ตกกระทบลงบนเซนเซอร์และ ส่งค่าพารามิเตอร์ให้กับอุปกรณ์ไมโครคอนโทรลเลอร์ประมวลผลเพื่อคำนวณหาทิศทางในการหมุนของ

มอเตอร์โดยใช้สัญญาณ Pulse Width Modulation (PWM) ในการควบคุมการหมุนให้อยู่ในตำแหน่งที่แผงเซลล์แสงอาทิตย์รับแสงอาทิตย์ได้พิกัดกำลังสูงสุด

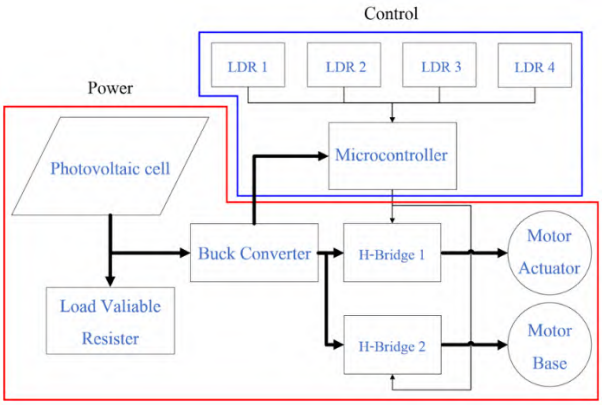

รูปที่ 1 ไดอะแกรมระบบติดตามดวงอาทิตย์สำหรับเซลล์แสงอาทิตย์แบบเคลื่อนที่สองแกน

จากรูปที่ 1 หลักการทำงานของบล็อกไดอะแกรมของระบบติดตามดวงอาทิตย์สำหรับเซลล์แสงอาทิตย์อาศัยหลักการทำงานเซนเซอร์ตรวจวัดความเข้มของแสง โดยโมดูลเซนเซอร์แสงเป็นตัวต้านทานเมื่อมีแสงมาตกกระทบทำให้ความต้านทานลดลงสามารถทำให้แรงดันไฟฟ้าไหลผ่านและส่งค่าอนาล็อก (Analog) ให้กับไมโครคอนโทรลเลอร์การใช้โมดูลเซนเซอร์ LDR 4 ตัว ในการตรวจวัดเพื่อหาตำแหน่งรับแสงแดดในแต่ละวันการเขียนโปรแกรมควบคุมการทำงานจากการประมวลผลค่าพารามิเตอร์และสร้างสัญญาณ (PWM) ใช้สำหรับควบคุมทิศทางการหมุนของมอเตอร์ใช้วงจร H-Bridge Motor Driver โดยใช้พลังงานไฟฟ้าจากแผงเซลล์แสงอาทิตย์ เป็นแหล่งจ่ายไฟให้กับวงจรขับมอเตอร์ และไมโครคอนโทรลเลอร์ในการทำงาน

แผงเซลล์แสงอาทิตย์ที่ใช้ในการทำการทดลองจะเป็นแบบโมโนคริสตัลไลน์ ขนาด 100 W รุ่น SSP100S-12 โดยมีค่าพารามิเตอร์ทางไฟฟ้าดังตารางที่ 1

ตารางที่ 1 พิกัดแผงเซลล์แสงอาทิตย์

Description	Specification
Max Power $(P_{\max})$	100 W
Operating Voltage (V_{mp})	18.80 V
Operating Current (I_{mp})	5.32 A
Open Circuit Voltage (V_{oc})	23.0 A
Short Circuit Current (I_{sc})	5.64 A
Temperature coefficient of V_{oc}	-0.33 $(\%/dec.C)$
Temperature coefficient of I_{sc}	0.06 $(\%/dec.C)$

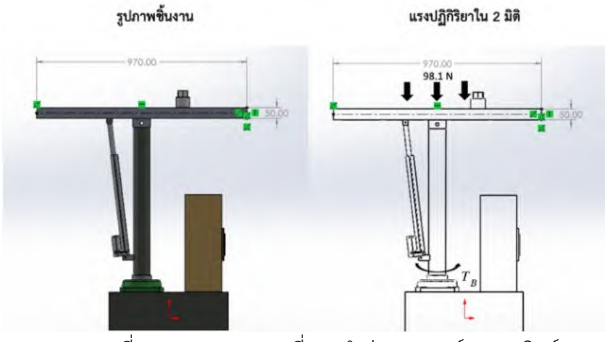

รูปที่ 2 จุดหมุนและแรงที่กระทำต่อแผงเซลล์แสงอาทิตย์

จากสมการ

$$\sum F = 0 \quad (1)$$

แทนค่า $\uparrow + \sum F_y = 0; -9.81 + F_{AC}\sin 65^\circ = 0$

$$F_{AC} = \frac{98.1N}{\sin 65^\circ}$$

ดังนั้นแรงที่กระทำต่อจุด AC เท่ากับ 108.24 N

T_{AB} คือ แรงบิดที่จุดหมุนของเพลาขนาดเส้นผ่าศูนย์กลาง 0.075 m ที่ยึดติดกับเฟืองขนาดเส้นผ่านศูนย์กลาง 0.2 m

จากสมการ $T = F \times r \quad (2)$

แทนค่า $T = 98.1N \times (0.0377m + 0.1005m)$

แรงบิดของจุดหมุนที่ทำให้เพลา AB เคลื่อนที่เท่ากับ 13.56 $N \cdot m$

เนื่องจากพิกัดมอเตอร์ที่มีให้เลือกใช้มีแรงบิดน้อยจึงต้องใช้อัตราทดเกียร์มาช่วยในการเพิ่มแรงบิดโดยเลือกขนาดเฟืองขับ 9 ฟัน และ เฟืองตาม 48 ฟัน ซึ่งอัตราทดเกียร์มีค่าเท่ากับ 5.33

แรงบิดของมอเตอร์ T_{in}

$$T_{in} = \frac{T_{out}}{T_{ratio}} \quad (3)$$

แทนค่า $= \frac{13.56\ N \cdot m}{5.33}$

ซึ่งมอเตอร์จะต้องมีแรงบิดมีค่าเท่ากับ 2.54 N-m.

จากการคำนวณการแรงมอเตอร์เกียร์จะใช้แรงบิดในแนวแกน XY ได้ 2.54 N-m จึงเลือกใช้มอเตอร์เกียร์ที่มีแรงบิด 5 N-m ขึ้นไป และในแนวแกน XZ ใช้มอเตอร์แกนชักรับแรงที่จุดได้ 108 N เลือกใช้มอเตอร์แกนชักที่พิกัด 800 N เพื่อรองรับน้ำหนักอุปกรณ์ที่เพิ่มเติมได้มากขึ้น

ตารางที่ 2 พิกัดมอเตอร์แกนชัก

Description	Specification
วัสดุ	อลูมิเนียมมอัลลอย
โหลดความจุ	800 N
แรงดันไฟฟ้าขาเข้า	DC 12 V
ความเร็ว	10 mm/s
ความยาวจังหวะ	400 mm
ความถี่ในการทำงาน	20 $\%$
กำลังไฟฟ้าสูงสุด	30 W

รูปที่ 3 มอเตอร์แกนชัก (Linear Actuator Motor)

ตารางที่ 3 พิกัดมอเตอร์เกียร์

Description	Specification
ขนาดของมอเตอร์	70 mm x 70 mm
กำลังไฟฟ้าสูงสุด	30 W
แรงดันไฟฟ้าขาเข้า	12 V
ความเร็วรอบ	18 rpm
แรงบิดสูงสุด	5.5 $N \cdot m$
กระแสไฟฟ้าสูงสุด	2.5 A
ขนาดแกนเพลา	28 mm

รูปที่ 4 มอเตอร์เกียร์ (Gear Motor)

2.2 การออกแบบวงจร H-Bridge Switching

การออกแบบวงจรเลือกใช้ไอซีพาวเวอร์มอสเฟตเบอร์ IRF450N N-Channel รองรับแรงดันไฟฟ้า (Vdss) 100 V และทนกระแสไฟฟ้า (Id) 33 A ความต้านทาน (Rds) 44 mΩ และใช้พาวเวอร์มอสเฟต IRF4905 P-Channel รองรับแรงดันไฟฟ้า (Vdss) -55 V และ ทนกระแสไฟฟ้า (Id) -74 A ความต้านทาน (Rds) 0.02 Ω

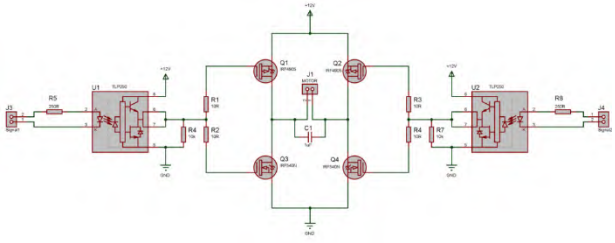

รูปที่ 5 วงจร H-Bridge motor drive

จากรูปที่ 5 วงจร H-Bridge ใช้ MOSFET 4 ตัวทำหน้าที่เป็นสวิตช์ควบคุมทิศทางการไหลของกระแสไฟฟ้าผ่านมอเตอร์กระแสตรง ทำให้สามารถควบคุมการหมุนไปข้างหน้าหรือถอยหลังได้ โดยอาศัยการเปิด - ปิด MOSFET เป็นคู่ ๆ ตามลำดับ นอกจากนี้วงจรยังมี Optocoupler ทำหน้าที่รับสัญญาณควบคุมจากไมโครคอนโทรลเลอร์หรือวงจรภายนอก ซึ่งช่วยแยกวงจรแรงดันสูงออกจากวงจรควบคุม ลดสัญญาณรบกวน และเพิ่มความปลอดภัยในการทำงานเมื่อ Optocoupler ตัวใดตัวหนึ่งทำงาน จะส่งสัญญาณไปเปิด-ปิด MOSFET ตามลำดับ ทำให้กระแสไหลผ่านมอเตอร์ในทิศทางที่ต้องการ ส่งผลให้มอเตอร์หมุนตามหรือทวนเข็มนาฬิกา หากไม่มีสัญญาณควบคุมหรือหากเปิด MOSFET ทั้งคู่พร้อมกันในแนวตั้ง จะไม่มีการไหลของกระแส หรือเกิดการเบรกแบบช็อตเซอร์กิตทำให้มอเตอร์หยุดการเคลื่อนที่

2.3 ชิ้นงานชุดติดตามดวงอาทิตย์สำหรับเซลล์แสงอาทิตย์แบบเคลื่อนที่สองแกน

รูปที่ 6 ชิ้นงานชุดติดตามดวงอาทิตย์สำหรับเซลล์แสงอาทิตย์แบบเคลื่อนที่สองแกน

การทำงานของชิ้นงานจะรับพลังงานจากแหล่งจ่ายไฟฟ้ากระแสตรง คือแผงเซลล์แสงอาทิตย์ 1 โดยแผงพิกัดแรงดัน 18.8 V, 100 W, 5.32 A จ่ายแรงดันให้กับวงจรแปลงแรงดันไฟฟ้ากระแสตรงจาก 18.8 V ให้เหลือ 12 V และจ่ายให้กับวงจรควบคุม Arduino UNO R3 และวงจรขับมอเตอร์แบบ H-bridge Motor Drive ทั้งสองชุด โดยวงจรควบคุมจะรับข้อมูลสัญญาณอนาล็อกจากวงจรโมดูล LDR ทั้ง 4 ตัว จากนั้นวงจรควบคุมทำการประมวลผลตามเงื่อนไขที่กำหนด และส่งสัญญาณขนาด 5 V ในลักษณะสัญญาณ PWM ออกทางด้านขาเอาต์พุตโดยผ่านอุปกรณ์สวิตช์ทางแสง Optocoupler และ Optocoupler ทำการส่งสัญญาณต่อไปยังวงจรขับแบบ H-bridge 1 ในขณะเดียวกันจะทำการแยกกราวด์ระหว่างวงจรควบคุม และวงจรขับออกจากกันเพื่อป้องการความเสียหายหากเกิดการลัดวงจร จากนั้นสัญญาณขนาด 5 V ถูกส่งไปกระตุ้นวงจรขับให้ทำงาน โดยวงจรขับจะมีมอสเฟต 4 ตัว เป็น มอสเฟตชนิด NPN 2 ตัว และ PNP 2 ตัว สำหรับหนึ่งวงจร ทำงานสลับกันโดยทางวงจรขับซึ่งมีแรงดันไฟฟ้ากระแสตรง 12 V จ่ายให้กับวงจร เมื่อมอสเฟตถูกกระตุ้นแรงดันจะไหลผ่านตัวมอสเฟต Q3 ไปยัง Q2 ทำให้แกนมอเตอร์ชักเคลื่อนที่ลง ในทางกลับกันหากต้องการให้มอเตอร์แกนชักเคลื่อนที่ขึ้นต้องสั่ง Q4 และ Q1 ทำงาน และการทำงานของมอเตอร์ฐานจะให้วงจรขับมอเตอร์แบบ H-bridge 2 ในการควบคุม โดยลักษณะการทำงานเหมือนกันกับ H-bridge 1

3. การทดสอบ

แผงเซลล์แสงอาทิตย์จะหันหน้าอยู่ทางด้านทิศใต้ โดยปรับให้มุมของแผงอยู่ที่ 15 องศาและใช้ชุดติดตามแบบเคลื่อนที่สองแกนเพื่อแสดงกราฟจาก Oscilloscope และเปรียบเทียบทดสอบแผงเซลล์แสงอาทิตย์ ตามความเข้มแสงอาทิตย์ โดยเก็บผลค่ากำลังไฟฟ้าของแผงเซลล์แสงอาทิตย์ขณะไม่ใช้ชุดติดตามดวงอาทิตย์และทดสอบขณะใช้ชุดติดตามดวงอาทิตย์

แบบเคลื่อนที่สองแกน ซึ่งการทดสอบทั้ง 2 แบบ ทดสอบในวันและเวลาเดียวกัน ทดสอบในช่วงเวลา 9.00 - 17.00 น. เป็นจำนวน 3 วัน โดยตารางที่ 4 จะเป็นตัวอย่างการเก็บผลการทดสอบ 1 วัน

ตารางที่ 4 ตัวอย่างการทดสอบแผงเซลล์แสงอาทิตย์ขณะใช้ชุดติดตามดวงอาทิตย์แบบเคลื่อนที่สองแกน (วันที่ 03/03/2568)

Time	Non-tracking					Tracking Two Axials					Var %
	Solar Power W/m^2	V_1 (V)	I_1 (A)	P_1 (W)	E_1 (Wh)	Solar Power W/m^2	V_2 (V)	I_2 (A)	P_2 (W)	E_2 (Wh)	
9.00	357	9.31	2.66	24.76	0	481	11.29	3.23	36.47	0	0
9.15	435	10.42	2.98	31.05	6.98	528	11.8	3.37	39.77	9.53	36.53
9.30	388	10.15	2.90	29.44	7.56	497	11.66	3.33	38.83	9.83	30.03
9.45	463	10.52	3.01	31.67	7.64	511	11.17	3.19	35.63	9.31	21.86
10.00	566	10.85	3.10	33.64	8.16	627	11.47	3.28	37.62	9.16	12.25
10.15	647	11.71	3.35	39.23	9.11	730	12.36	3.53	43.63	10.16	11.53
10.30	713	14.23	4.07	57.92	12.14	781	14.56	4.16	60.57	13.03	7.33
10.45	779	14.02	4.01	56.22	14.27	796	14.32	4.09	58.57	14.89	4.34
11.00	770	13.98	3.99	55.78	14.00	822	14.26	4.07	58.04	14.58	4.14
11.15	789	14.05	4.01	56.34	14.02	888	14.15	4.04	57.17	14.40	2.71
11.30	767	13.82	3.95	54.59	13.87	846	14.11	4.03	56.86	14.25	2.74
11.45	640	12.75	3.64	46.41	12.63	910	13.78	3.94	54.29	13.89	9.98
12.00	795	14.28	4.08	58.26	13.08	891	14.56	4.16	60.57	14.36	9.79
12.15	916	15.07	4.31	64.95	15.40	938	15.28	4.37	66.77	15.92	3.38
12.30	927	15.13	4.32	65.36	16.29	939	15.37	4.39	67.47	16.78	3.01
12.45	738	13.72	3.92	53.78	14.89	947	14.12	4.03	56.90	15.55	4.43
13.00	839	15.08	4.31	64.99	14.85	851	15.22	4.35	66.21	15.39	3.64
13.15	774	14.04	4.01	56.30	15.16	810	14.43	4.12	59.45	15.71	3.63
13.30	649	12.67	3.62	45.87	12.77	688	14.28	4.08	58.26	14.71	15.19
13.45	604	12.54	3.58	44.89	11.35	652	13.44	3.84	51.61	13.73	20.97
14.00	688	13.17	3.76	49.52	11.80	698	13.56	3.87	52.48	13.01	10.25
14.15	510	11.61	3.32	38.55	11.01	526	12.71	3.63	46.14	12.33	11.99
14.30	413	9.52	2.72	25.89	8.06	439	12.23	3.49	42.68	11.10	37.72
14.45	413	9.58	2.74	26.25	6.52	465	11.78	3.37	39.70	10.30	57.98
15.00	423	9.73	2.78	27.05	6.66	495	11.55	3.30	38.12	9.73	46.10
15.15	496	9.84	2.81	27.65	6.84	636	11.33	3.24	36.71	9.35	36.70
15.30	463	9.36	2.67	24.99	6.58	515	10.95	3.13	34.27	8.87	34.80
15.45	443	8.72	2.49	21.71	5.84	493	10.74	3.07	32.97	8.41	44.01
16.00	233	6.48	1.85	11.99	4.21	299	9.78	2.79	27.29	7.53	78.86
16.15	233	6.57	1.88	12.35	3.04	3.16	9.67	2.76	26.69	6.75	122.04
16.30	181	3.46	0.99	3.43	1.97	234	8.42	2.41	20.29	5.87	197.97
16.45	151	2.8	0.80	2.24	0.71	157	6.48	1.85	11.99	4.04	469.01
17.00	130	1.73	0.49	0.85	0.39	144	5.77	1.65	9.52	2.69	589.74
Total Energy$_1$					307.8	*Total Energy*$_2$				365.2	1,944.7

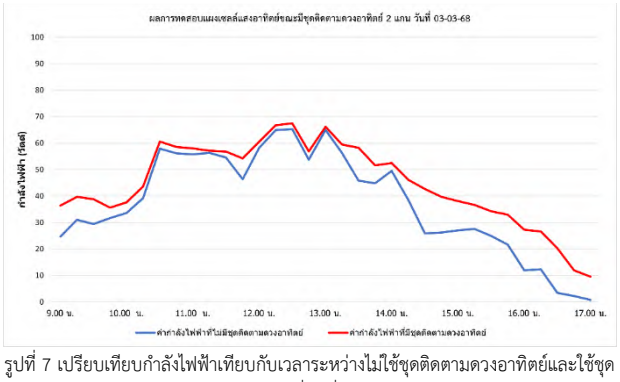

รูปที่ 7 เปรียบเทียบกำลังไฟฟ้าเทียบกับเวลาระหว่างไม่ใช้ชุดติดตามดวงอาทิตย์และใช้ชุดติดตามดวงอาทิตย์แบบเคลื่อนที่สองแกน (03-03-2568)

กำหนดให้แผงเซลล์แสงอาทิตย์อยู่ด้านทิศใต้ ปรับให้มุมของแผงเอียงอยู่ที่ กราฟเส้นสีน้ำเงินคือค่ากำลังไฟฟ้าที่ไม่ใช้ชุดควบคุมติดตามดวงอาทิตย์และกราฟเส้นสีแดงคือค่ากำลังไฟฟ้าที่ใช้ชุดควบคุมติดตามดวงอาทิตย์โดยกราฟทั้ง 2 เส้น จะแสดงให้เห็นถึงผลการเปรียบเทียบระหว่างแผงเซลล์แสงอาทิตย์ขณะไม่ใช้การควบคุมติดตามดวงอาทิตย์และแผงเซลล์แสงอาทิตย์ขณะใช้ชุดการควบคุมติดตามดวงอาทิตย์ จะแบ่งเป็นสามช่วง ซึ่งช่วงแรกเวลา 09.00 – 11.00 น. จะมีการผลิตพลังงานไฟฟ้าของ 2 ระบบต่างกันเล็กน้อย และในช่วงสองเวลา 11.15 – 13.00 น. การผลิตพลังงานไฟฟ้าใกล้เคียงกัน ในช่วงที่สาม เวลา 13.15 – 17.00 น. ผลิตพลังงานไฟฟ้าต่างกันอย่างเห็นได้ชัด และพบว่าค่ากำลังไฟฟ้า ณ เวลานั้นๆ เพิ่มขึ้นเมื่อใช้ระบบติดตามดวงอาทิตย์สองแกนจะผลิตพลังงานไฟฟ้าได้มากกว่าระบบไม่ใช้ชุดควบคุมติดตามดวงอาทิตย์อยู่ที่ร้อยละ 18.6

4. สรุป

จากการทดลองจะพบว่า ระบบผลิตไฟฟ้าจากพลังงานแสงอาทิตย์ที่ใช้ชุดติดตามดวงอาทิตย์แบบ 2 แกน มีประสิทธิภาพในการผลิตกำลังไฟฟ้าสูงที่สุดเมื่อเปรียบเทียบกับระบบที่ไม่มีชุดติดตาม โดยระบบแบบ 2 แกน สามารถติดตามตำแหน่งดวงอาทิตย์ได้อย่างแม่นยำตลอดทั้งวัน ส่งผลให้สามารถรับพลังงานแสงอาทิตย์ได้มากกว่า และรักษาระดับกำลังไฟฟ้าได้ต่อเนื่องในช่วงเวลาที่แสงอาทิตย์มีการเปลี่ยนทิศทาง ขณะที่ระบบที่ไม่มีชุดติดตามมีแนวโน้มในการลดลงของกำลังไฟฟ้าอย่างชัดเจนในช่วงบ่าย สะท้อนให้เห็นถึงข้อได้เปรียบของการติดตามดวงอาทิตย์ในการเพิ่มประสิทธิภาพของระบบผลิตไฟฟ้าจากพลังงานแสงอาทิตย์ ช่วงเวลาการทดสอบในวันเดียวกัน โดยพบว่าค่ากำลังไฟฟ้า ณ เวลานั้นๆ เพิ่มขึ้นเมื่อใช้ระบบติดตามดวงอาทิตย์สองแกนจะผลิตพลังงานไฟฟ้าได้มากกว่าระบบไม่ใช้ชุดควบคุมติดตามดวงอาทิตย์อยู่ที่ร้อยละ 18.6 โดยประมาณ

เอกสารอ้างอิง

[1] Gerro Prinsloo and Robert Dobson, “Solar Tracking, Sun Tracking, Sun Tracker, Solar Tracker, Follow Sun, Sun Position” *2015., Prinsloo, Dobson, South Africa.* Pp. XIV-XV.,

[2] วีระเชษฐ์ ขันเงิน, วุฒิพล ธาราธีรเศรษฐ์, “อิเล็กทรอนิกส์กำลัง”, *สำนักพิมพ์ห้างหุ้นส่วนจำกัด วี.เจ. พริ้นติ้ง,* หน้า 357-375.

[3] Vivi Tri Widyaningrum, Ahmad Sahru Romadhon and Dian Safitri, “Solar Tracking System Dual Axis using Proportional Integral Derivative (PID) Controller”, *2023, 9th Information Technology International Seminar (ITIS)*, Batu Malang, Indonesia, pp. 137-141.

[4] Falah I. Mustafa; Sarmid Shakir; Faiz F. Mustafa and Athmar Thamer Naiyf, “Simple design and implementation of solar tracking system two axis with four sensors for Baghdad city” *2018., 9th International Renewable Energy Congress (IREC), Hammamet, Tunisia,*

[5] Muhammad Hanif Bin Ishak, Norhafizah Burham, Marianah Masrie, Zuriati Janin, Rosidah Sam, "Automatic Dual-Axis Solar Tracking System for Enhancing the Performance of a Solar Photovoltaic Panel", *2023 IEEE 9th International Conference on Smart Instrumentation, Measurement and Applications (ICSIMA),* pp.279-283, 2023.

การพัฒนาแบบจำลองระบบพลังงานแสงอาทิตย์เชื่อมโยงระบบกริดโดยใช้โปรแกรมแมทแลปซิมมูลิงค์

Development Simulation Model of Grid Connected Solar System Using MATLAB Simulink

สุรชา พนันชัย[1] ณัฐชนันท์ ปลายเนตร[2] และ ศุภชัย ปลายเนตร[3]*

[1,3] สาขาวิชาวิศวกรรมไฟฟ้า คณะเทคโนโลยีอุตสาหกรรม มหาวิทยาลัยนครพนม ononohg@gmail.com, prainetr@npu.ac.th*
[2] สาขาวิชาฟิสิกส์ คณะวิทยาศาสตร์ มหาวิทยาลัยนครพนม nutchanun.p@npu.ac.th

บทคัดย่อ

การเชื่อมโยงระบบผลิตไฟฟ้าจากพลังงานแสงอาทิตย์กับโครงข่ายไฟฟ้าเป็นกลไกสำคัญในการเพิ่มสัดส่วนพลังงานสะอาด แต่มักพบปัญหาด้านคุณภาพไฟฟ้าและความเสถียร บทความวิจัยนี้มุ่งศึกษาพฤติกรรมของระบบโซลาร์เซลล์ขนาด 100 กิโลวัตต์แบบเชื่อมโยงกริด โดยใช้การจำลองด้วยแมทแลปซิมมูลิงค์ เพื่อวิเคราะห์การจ่ายพลังงานและคุณภาพไฟฟ้าในสภาวะที่มีโหลดมอเตอร์เหนี่ยวนำ ผลการวิจัยพบว่า การเชื่อมโยงกับโครงข่ายช่วยเพิ่มประสิทธิภาพการจ่ายพลังงาน โดยสามารถสนับสนุนโหลดได้ต่อเนื่องและส่งพลังงานส่วนเกินกลับสู่ระบบ ขณะเดียวกันอินเวอร์เตอร์แบบหลายระดับช่วยลดค่าฮาร์มอนิกส์ทั้งหมด (THD) ได้ดีกว่าวิธีการเดิม ทำให้คุณภาพไฟฟ้าโดยรวมดีขึ้น ผลการวิจัยพบว่าการใช้วิธีการจำลองเป็นเครื่องมือสามารถสะท้อนการทำงานจริงของระบบ และเป็นแนวทางสำคัญสำหรับการออกแบบระบบผลิตไฟฟ้าจากพลังงานแสงอาทิตย์เชื่อมโยงกริดที่มีเสถียรภาพและมีประสิทธิภาพสูงในอนาคต

คำสำคัญ: แบบจำลอง พลังงานแสงอาทิตย์ ระบบกริด แมทแลปซิมมูลิงค์

Abstract

The integration of photovoltaic power systems into the electrical grid is a key point for increasing the support of clean energy. However, challenges of power quality and system stability critical issues. This paper investigates the behavior of a 100 kW grid-connected PV system using MATLAB Simulink as the simulation model. The objective is to analyze power delivery efficiency and power quality under inductive motor load conditions. Simulation results reveal that grid integration enhances energy efficiency by maintaining continuous load support and enabling power connect to the network. Furthermore, the adoption of a multilevel inverter significantly reduces the total harmonic distortion (THD) compared to conventional approaches, thereby improving overall power quality. The findings confirm that simulation based analysis provides a reliable reflection of real-world system performance and offers practical guidelines for the design of stable and efficient grid-connected PV systems in future renewable energy applications.

Keywords: Simulation Model, Pphotovoltaic, Grid-connect, Matlab Simulink

1. บทนำ

ปัจจุบัน ระบบการผลิตและจัดการพลังงานทั่วโลกกำลังอยู่ในช่วงของการเปลี่ยนผ่านอย่างมีนัยสำคัญ โดยมุ่งเน้นไปที่การใช้พลังงานหมุนเวียนเป็นทางเลือกหลักแทนการพึ่งพาเชื้อเพลิงฟอสซิล ซึ่งเป็นต้นเหตุสำคัญของการปล่อยก๊าซเรือนกระจกและปัญหาสิ่งแวดล้อมระดับโลก พลังงานแสงอาทิตย์นับเป็นแหล่งพลังงานหมุนเวียนที่โดดเด่นที่สุด เนื่องจากมีความพร้อมใช้งานสูง มีศักยภาพในการขยายกำลังผลิตตามความต้องการ และสามารถนำมาใช้ได้อย่างมีประสิทธิภาพในหลายบริบท โดยเฉพาะอย่างยิ่งในพื้นที่ที่มีความต้องการพลังงานสูงในช่วงกลางวัน เช่น สถานศึกษา โรงพยาบาล หรืออาคารสำนักงาน ซึ่งสามารถสอดคล้องกับช่วงเวลาที่ระบบโฟโตวอลตาอิค (Photovoltaic) หรือ PV ผลิตพลังงานได้สูงสุด

จากการทบทวนวรรณกรรม พบว่าระบบ PV เป็นเทคโนโลยีที่ได้รับการพัฒนาอย่างต่อเนื่อง และถูกนำไปประยุกต์ใช้ในหลายรูปแบบ ทั้งในระบบที่เชื่อมต่อโครงข่ายไฟฟ้า (grid-connected) และระบบอิสระ (off-grid) [1]–[4] แผงโซลาร์เซลล์แบบ PV ประกอบขึ้นจากการต่อแผงในรูปแบบอนุกรมหรือขนาน โดยมีอินเวอร์เตอร์เป็นอุปกรณ์หลักในการแปลงพลังงานไฟฟ้ากระแสตรงเป็นกระแสสลับเพื่อใช้งาน อย่างไรก็ตาม พลังงานที่ผลิตได้จากแผง PV มักมีความไม่สม่ำเสมอเนื่องจากปัจจัยภายนอก เช่น ความเข้มแสง อุณหภูมิ ทิศทางของแสง และอายุของแผง [2-3] นักวิจัยหลายรายจึงได้เสนอแนวทางการผนวกแหล่งจัดเก็บพลังงาน เช่น แบตเตอรี่ หรือระบบจัดการโหลด เข้ากับระบบ PV เพื่อเพิ่มเสถียรภาพและประสิทธิภาพของการจ่ายพลังงานในระยะยาว [4]–[12]. การใช้พลังงานแสงอาทิตย์จึงเป็นแนวทางในการลดค่าใช้จ่ายด้านพลังงาน อย่างไรก็ตามก่อนการติดตั้งระบบจริง การศึกษาแบบจำลองสามารถลดความเสี่ยงต่อการออกแบบที่ผิดพลาด ซึ่งส่งผลให้เกิดความเสียหายด้านต้นทุนและก่อนการลงทุนสร้างระบบจริง

บทความนี้สนับสนุนการออกแบบและจำลองพลังงานทดแทน ผู้วิจัยมุ่งเน้นดังนี้

1. การออกแบบระบบจำลองและวิเคราะห์ระบบผลิตไฟฟ้าจากพลังงานแสงอาทิตย์แบบเชื่อมต่อโครงข่ายขนาด 100 กิโลวัตต์
2. การประยุกต์ใช้ในการออกแบบระบบพลังงานแสงอาทิตย์สำหรับเพิ่มประสิทธิภาพการจ่ายพลังงานไฟฟ้าอุตสาหกรรมชุมชน

2. แบบจำลองพื้นฐานของเซลล์แสงอาทิตย์

2.1 พลังงานแสงอาทิตย์และเซลล์แสงอาทิตย์

การจำลองพฤติกรรมของเซลล์แสงอาทิตย์โดยใช้วงจรไฟฟ้าเทียบเท่า ซึ่งแบบจำลองที่นิยมคือ แบบไดโอดเดี่ยว (Single Diode Model) โดยประกอบด้วยแหล่งกระแสไฟฟ้า (แทนพลังงานจากแสงอาทิตย์), ไดโอด , ตัวต้านทานอนุกรม และตัวต้านทานขนาน เพื่อสะท้อนลักษณะการสูญเสียพลังงานจริงในระบบ เซลล์จะผลิตกระแสไฟฟ้ากระแสตรง (DC) ซึ่งขึ้นอยู่กับความเข้มของแสง อุณหภูมิ และคุณสมบัติของวัสดุเซลล์แสงอาทิตย์[5]

* prainetr@npu.ac.th

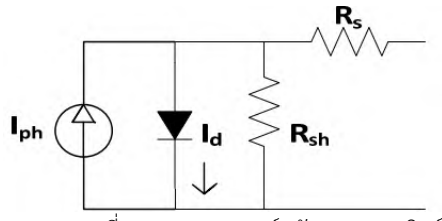

รูปที่ 1 วงจรสมมูลเซลล์พลังงานแสงอาทิตย์

เมื่อ I_{ph} คือกระแสเกิดจากพลังงานแสงอาทิตย์

Rsh และ Rs คือความต้านทานของเซลล์พลังงานแสงอาทิตย์ที่ต่อขนานและอนุกรม ซึ่งสมการพื้นฐานของเซลล์พลังงานแสงอาทิตย์คือ

$$I = I_{ph} - I_{os}\left\{\exp[\frac{q}{AKT}(V+IRs)\right\}\frac{V+IRs}{Rsh} \quad (1)$$

$$I_{os} = I_{or}(T/T_r)^3 \exp\left[\frac{qEgo}{AK}\left(\frac{1}{Tr}-\frac{1}{T}\right)\right] \quad (2)$$

$$I_{ph} = \left[I_{SCR} + k_r(T-T_R)\right]\lambda/1000 \quad (3)$$

จากสมการที่ (1)

I คือ กระแสไฟฟ้าขาออกของเซลล์แสงอาทิตย์

V คือ แรงดันไฟฟ้าขาออกของเซลล์แสงอาทิตย์

λ คือ ความหนาแน่นของค่าความเข้มของแสง (irradiance density)

q คือ ประจุไฟฟ้าของอิเล็กตรอนหนึ่งตัว (1.6 × 10-1 ev/k)

A คือ ค่าสัมประสิทธิ์เฉพาะของแบบจำลองไดโอดเทียบเท่า

Tr คือ อุณหภูมิอ้างอิง T คือ อุณหภูมิสัมบูรณ์ของเซลล์แสงอาทิตย์

Ego คือ พลังงานแถบช่องว่าง (Energy Bandgap) ของรอยต่อ PN

K คือ ค่าคงที่ของ Boltzmann

จากสมการที่ (2) - (3)

Ios คือ กระแสย้อนกลับของรอยต่อ PN

Ior คือ กระแสอิ่มตัวย้อนกลับ (backward saturated current)

$Iscr$ คือกระแสที่เกิดจากพลังงานแสงอาทิตย์

P_v การจัดเรียงเซลล์แสงอาทิตย์แบบขนานและแบบอนุกรมจะก่อให้เกิดแผงเซลล์แสงอาทิตย์ (PV array)

N_p คือจำนวนเซลล์ที่ต่อแบบขนานแทนด้วย และ Nt คือจำนวนเซลล์แสงอาทิตย์ทั้งหมด

$$V_s = N_s V_c \quad (4)$$

$$I_a = N_p I_d \quad (5)$$

$$P_a = N_t P_c \quad (6)$$

จากสมการที่ (4)-(5) คือ แรงดันไฟฟ้าและกระแสไฟฟ้า กำลังไฟฟ้าของเซลล์แสงอาทิตย์คำนวณได้จากสมการที่ (6)

2.2 การแปลงพลังงานด้วยอินเวอร์เตอร์

กระแสไฟฟ้ากระแสตรงที่ผลิตได้จากแผงโซลาร์เซลล์ไม่สามารถใช้กับเครื่องใช้ไฟฟ้าทั่วไปในระบบโครงข่ายได้โดยตรง จึงต้องแปลงเป็นกระแสไฟฟ้าสลับ (AC) ด้วยอินเวอร์เตอร์ (Inverter) โดยเฉพาะอินเวอร์เตอร์แบบหลายระดับ (Multilevel Inverter) ซึ่งสามารถลดฮาร์มอนิกส์และเพิ่มประสิทธิภาพของระบบได้ดีขึ้นเมื่อเทียบกับอินเวอร์เตอร์แบบทั่วไป ทั้งนี้ยังช่วยในการควบคุมการจ่ายพลังงานให้มีความต่อเนื่องและคงที่

2.3 ระบบจัดเก็บพลังงานไฟฟ้า

ระบบจัดเก็บพลังงาน เช่น แบตเตอรี่ลิเธียมไอออน หรือแบตเตอรี่แบบตะกั่วกรด มีบทบาทสำคัญในการรักษาเสถียรภาพของระบบ PV โดยเฉพาะในช่วงที่มีการผลิตพลังงานเกินหรือน้อยกว่าความต้องการ การบูรณาการระหว่างแหล่งผลิตพลังงานกับระบบจัดเก็บ จะช่วยลดความผันผวนของการผลิต และสามารถจ่ายพลังงานได้ต่อเนื่องมากขึ้น ระบบควบคุมการชาร์จและการคายประจุเป็นอีกหนึ่งองค์ประกอบสำคัญที่ช่วยให้ระบบทำงานอย่างมีประสิทธิภาพ

2.4 การวิเคราะห์ระบบด้วยการจำลอง

การจำลองระบบด้วยโปรแกรมคอมพิวเตอร์ เช่น MATLAB Simulink เป็นเครื่องมือทางวิศวกรรมที่ช่วยในการวิเคราะห์พฤติกรรมของระบบพลังงานภายใต้สถานการณ์ต่าง ๆ โดยสามารถประเมินประสิทธิภาพการทำงาน ความเสถียร การตอบสนองต่อโหลด รวมถึงผลกระทบของตัวแปรต่าง ๆ ต่อประสิทธิภาพโดยรวม ซึ่งมีประโยชน์อย่างมากในการออกแบบและวางแผนระบบพลังงานหมุนเวียนก่อนนำไปใช้งานจริง

2.5 การบูรณาการระบบพลังงาน

การบูรณาการระหว่างระบบผลิตไฟฟ้าและระบบจัดเก็บพลังงานเข้าด้วยกันในรูปแบบไฮบริด (Hybrid System) มีเป้าหมายเพื่อเพิ่มความมั่นคงของระบบไฟฟ้า ลดการพึ่งพาแหล่งพลังงานหลัก และเพิ่มประสิทธิภาพการจ่ายไฟ การออกแบบระบบไฮบริดจำเป็นต้องพิจารณาปัจจัยหลายด้าน เช่น ความสามารถในการควบคุมพลังงาน การจัดการโหลด การบริหารพลังงานส่วนเกิน และความสามารถในการเชื่อมต่อกับโครงข่าย

3. ระเบียบวิธีวิจัย

การวิจัยนี้มีวัตถุประสงค์เพื่อจำลองและวิเคราะห์ประสิทธิภาพของระบบผลิตไฟฟ้าจากพลังงานแสงอาทิตย์แบบเชื่อมต่อโครงข่าย ขนาด 100 กิโลวัตต์ โดยผสานการทำงานร่วมกับระบบจัดเก็บพลังงานไฟฟ้า และใช้อินเวอร์เตอร์แบบหลายระดับ (Multilevel Inverter) เพื่อเพิ่มเสถียรภาพในการจ่ายพลังงานและลดการสูญเสียภายในระบบ โดยดำเนินการตามขั้นตอนดังนี้

3.1 การออกแบบระบบจำลอง

เริ่มต้นจากการพัฒนาแบบจำลองพื้นฐานของเซลล์แสงอาทิตย์ในโปรแกรม MATLAB/Simulink โดยใช้โมเดลทางไฟฟ้าแบบไดโอดเดี่ยว (Single Diode Model) ซึ่งประกอบด้วยแหล่งกระแสไฟฟ้า ไดโอด ตัวต้านทานอนุกรม และตัวต้านทานขนาน เพื่อสะท้อนลักษณะการทำงานจริงของเซลล์ PV ภายใต้เงื่อนไขของความเข้มแสงและอุณหภูมิที่เปลี่ยนแปลง [5]

3.2 การจำลองระบบ PV เชื่อมต่อโครงข่าย

ออกแบบระบบ PV ขนาด 100 กิโลวัตต์ เชื่อมต่อกับกริดไฟฟ้า โดยคำนึงถึงการจัดเรียงแผงโซลาร์เซลล์ทั้งแบบอนุกรมและขนาน เพื่อให้

ได้แรงดันและกระแสตามข้อกำหนดของระบบ จากนั้นเพิ่มอินเวอร์เตอร์แบบหลายระดับเพื่อแปลงพลังงานจาก DC เป็น AC พร้อมควบคุมคุณภาพของพลังงานที่จ่ายเข้าสู่กริด

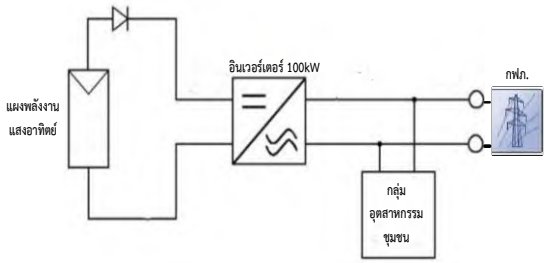

รูปที่ 2 ไดอะแกรมระบบเซลล์พลังงานแสงอาทิตย์เชื่อมโยงกับระบบกริด

3.3 การบูรณาการระบบจัดเก็บพลังงาน

ระบบจัดเก็บพลังงาน (เช่น แบตเตอรี่ลิเธียมไอออน) ถูกออกแบบให้สามารถชาร์จและคายประจุได้ตามเงื่อนไขการผลิตพลังงานและโหลดของระบบ โดยใช้ชุดควบคุมแบบอัตโนมัติในการบริหารพลังงานระหว่าง PV แหล่งจัดเก็บ และกริดไฟฟ้า เพื่อรักษาเสถียรภาพและความต่อเนื่องของการจ่ายไฟ

3.4 การกำหนดพารามิเตอร์และสถานการณ์จำลอง

ดำเนินการตั้งค่าพารามิเตอร์ต่าง ๆ เช่น ความเข้มแสง อุณหภูมิ แรงดันโหลด และค่าประสิทธิภาพของอินเวอร์เตอร์ เพื่อจำลองการทำงานของระบบภายใต้สภาพแวดล้อมที่หลากหลาย รวมถึงการทดสอบผลกระทบของการเปลี่ยนแปลงค่าต่าง ๆ ที่มีต่อประสิทธิภาพของระบบ

3.5 การวิเคราะห์ผล

ประเมินผลการทำงานของระบบจากตัวแปรสำคัญ ได้แก่ แรงดัน กระแส กำลังไฟฟ้า การสูญเสียพลังงาน และค่าประสิทธิภาพโดยรวม พร้อมทั้งเปรียบเทียบประสิทธิภาพของระบบก่อนและหลังการบูรณาการระบบจัดเก็บพลังงานและอินเวอร์เตอร์แบบหลายระดับ

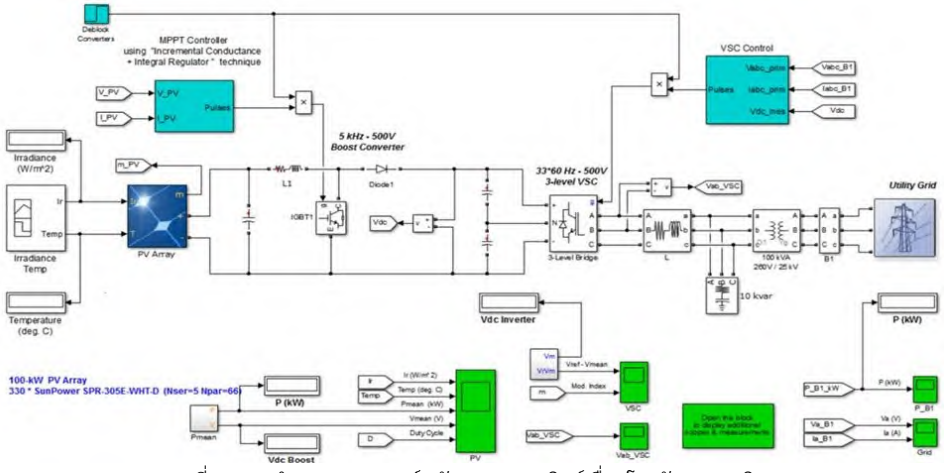

รูปที่ 3 แบบจำลองระบบเซลล์พลังงานแสงอาทิตย์เชื่อมโยงกับระบบกริด

รูปที่ 3 แสดงแบบจำลองระบบผลิตไฟฟ้าจากเซลล์แสงอาทิตย์ขนาด 100 กิโลวัตต์ ที่เชื่อมต่อกับระบบกริดไฟฟ้า โดยใช้โปรแกรม MATLAB Simulink ในการจำลอง ประกอบด้วยแผงเซลล์แสงอาทิตย์ (PV Array) ที่ต่อแบบอนุกรมและขนาน เพื่อให้ได้แรงดันและกระแสตามความต้องการของระบบ ข้อมูลการฉายแสงและอุณหภูมิถูกป้อนเข้าสู่ระบบเพื่อจำลองสภาพแวดล้อมจริง พร้อมด้วยตัวควบคุม MPPT (Maximum Power Point Tracking) ซึ่งใช้วิธี Incremental Conductance เพื่อค้นหาจุดผลิตกำลังไฟฟ้าสูงสุด และควบคุมวงจร Boost Converter สำหรับเพิ่มแรงดันไฟฟ้าจากแหล่งจ่ายก่อนส่งต่อไปยังอินเวอร์เตอร์

ในส่วนของอินเวอร์เตอร์ ใช้อุปกรณ์แปลงพลังงานแบบหลายระดับ (Multilevel Inverter) เพื่อเพิ่มคุณภาพของพลังงาน ลดฮาร์มอนิกส์ และเพิ่มประสิทธิภาพการแปลงพลังงานจากกระแสตรงเป็นกระแสสลับก่อนส่งผ่านหม้อแปลงเพื่อลดแรงดันจาก 260V เป็น 25kV และเชื่อมต่อเข้าสู่โครงข่ายไฟฟ้า ระบบมีการติดตั้งหน่วยวัดแรงดัน กระแส และพลังงาน เพื่อประเมินผลการทำงานและเสถียรภาพของระบบ โดยการจำลองนี้ช่วยให้สามารถศึกษาพฤติกรรมของระบบ PV ภายใต้เงื่อนไขต่าง ๆ ได้อย่างแม่นยำและมีประสิทธิภาพ

4. ผลการจำลอง

ผู้วิจัยได้ดำเนินการจำลองระบบในสภาพแวดล้อมของโปรแกรม MATLAB/Simulink โดยเน้นการวิเคราะห์พฤติกรรมของแผงโซลาร์เซลล์ ระบบจัดเก็บพลังงาน และอินเวอร์เตอร์แบบหลายระดับภายใต้เงื่อนไขการทำงานที่เปลี่ยนแปลง

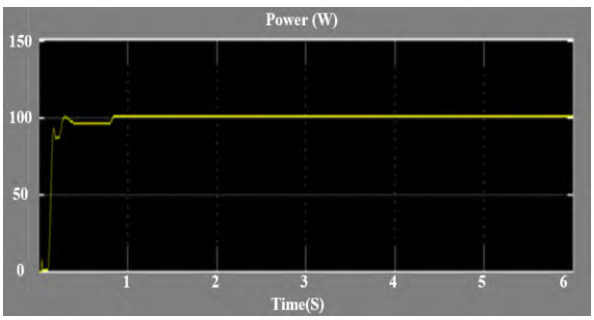

รูปที่ 4 สัญญาณรูปคลื่นของบูสคอนเวอร์เตอร์

รูปที่4 แสดงลักษณะการทำงานของ Boost Converter ซึ่งทำหน้าที่เพิ่มแรงดันไฟฟ้าจากระดับหนึ่งไปอีกระดับที่สูงกว่า โดยสังเกตได้จากรูปคลื่นแรงดันขาออก (output voltage) ที่มีค่าสูงกว่าแรงดันขาเข้า (input voltage) อย่างชัดเจน รูปคลื่นกระแสใน inductor แสดงให้เห็นการสะสมและปล่อยพลังงานตามจังหวะการสวิตช์

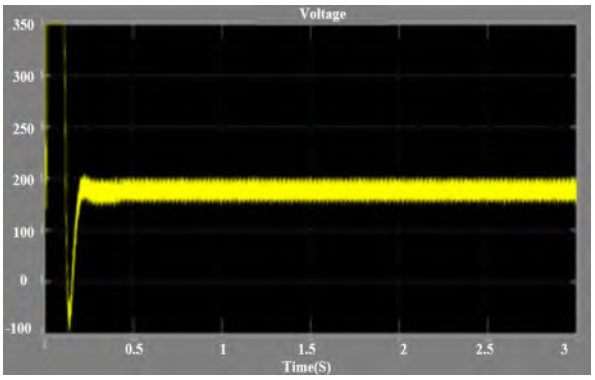

รูปที่ 5 สัญญาณรูปคลื่นของมอดูเลชั่นและอินเวอร์เตอร์

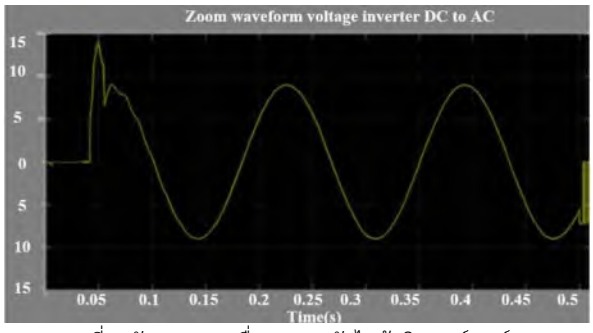

รูปที่ 6 สัญญาณรูปคลื่นของแรงดันไฟฟ้าอินเวอร์เตอร์

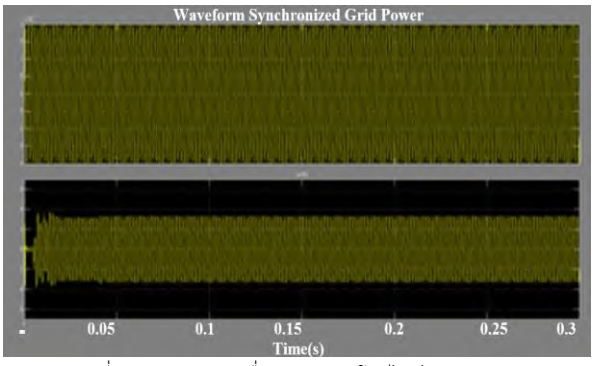

รูปที่ 7 สัญญาณรูปคลื่นของการซิงโครไนส์กับระบบกริด

จากรูปคลื่นในรูปที่ 5 ถึงรูปที่ 7 พบว่ากระบวนการ modulation และการทำงานของ inverter ในรูปที่ 6 มีประสิทธิภาพในการแปลงสัญญาณ DC เป็น AC โดยสังเกตได้จากความเสถียรของรูปคลื่น แม้อาจมี harmonic บางส่วนที่ต้องปรับปรุง ส่วน voltage source converter ในรูปที่ 6 สามารถควบคุมแรงดันและกระแสได้ดี แต่หากมี ripple หรือ fluctuation อาจบ่งชี้ถึงปัญหาการออกแบบหรือการรบกวนจากแหล่งจ่ายไฟ ขณะที่สัญญาณ synchronized grid power ในรูปที่ 7 แสดงการเชื่อมต่อกับกริดหลักเนื่องจากมีความสอดคล้องของความถี่และเฟส ซึ่งเป็นปัจจัยสำคัญในการรักษาความเสถียรของระบบไฟฟ้าโดยรวม อย่างไรก็ตาม หากพบความคลาดเคลื่อนในเฟสหรือความถี่ อาจส่งผลต่อประสิทธิภาพการส่งกำลังไฟฟ้าและจำเป็นต้องปรับปรุงระบบควบคุมให้ดียิ่งขึ้น

5. สรุป

การศึกษานี้ได้นำเสนอการออกแบบและจำลองระบบผลิตไฟฟ้าจากพลังงานแสงอาทิตย์แบบเชื่อมต่อโครงข่ายขนาด 100 กิโลวัตต์ โดยใช้โปรแกรมแมทแลปซิมมูลิงค์ เป็นเครื่องมือหลักในการวิเคราะห์พฤติกรรมการทำงานของระบบ ทั้งในแง่การจ่ายพลังงานและคุณภาพไฟฟ้า ผลการจำลองยืนยันว่าการเชื่อมโยงกับโครงข่ายไฟฟ้าสามารถช่วยเพิ่มความมั่นคงและความต่อเนื่องของการจ่ายพลังงานให้แก่โหลดได้อย่างมีประสิทธิภาพ อีกทั้งยังสามารถส่งพลังงานส่วนเกินกลับเข้าสู่ระบบไฟฟ้า ซึ่งมีส่วนสำคัญในการเพิ่มสัดส่วนการใช้พลังงานสะอาดในระดับชุมชนและอุตสาหกรรมนอกจากนี้ การใช้อินเวอร์เตอร์แบบหลายระดับยังแสดงให้เห็นถึงประสิทธิภาพในการลดค่าฮาร์มอนิกส์รวม (THD) ได้อย่างมีนัยสำคัญเมื่อเทียบกับวิธีการแปลงพลังงานรูปแบบเดิม ส่งผลให้คุณภาพไฟฟ้าโดยรวมของระบบดีขึ้นอย่างเห็นได้ชัด การใช้วิธีการจำลองจึงไม่เพียงแต่ช่วยสะท้อนลักษณะการทำงานจริงของระบบ แต่ยังเป็นเครื่องมือที่มีประสิทธิภาพสำหรับการประเมินความเป็นไปได้และการออกแบบระบบผลิตไฟฟ้าจากพลังงานแสงอาทิตย์ในระยะเริ่มต้น ก่อนการลงทุนติดตั้งจริง ซึ่งสามารถลดความเสี่ยงและค่าใช้จ่ายที่อาจเกิดจากข้อผิดพลาดในการออกแบบโดยสรุป การวิจัยนี้ชี้ให้เห็นถึงศักยภาพของระบบกริดแบบเชื่อมโยงโครงข่ายร่วมกับเทคนิคการแปลงผันพลังงานที่มีคุณภาพสูงในการสร้างเสถียรภาพของระบบไฟฟ้า และยืนยันว่าการใช้เครื่องมือจำลองเป็นแนวทางสำคัญที่จะสนับสนุนการพัฒนาระบบพลังงานหมุนเวียนให้มีความยั่งยืนและมีประสิทธิภาพยิ่งขึ้นในอนาคต

6. กิตติกรรมประกาศ

บทความวิจัยนี้ได้รับการสนับสนุนจากกองทุน สกสว. Fundamental Fund ประจำปีงบประมาณ 2568 และคณะเทคโนโลยีอุตสาหกรรม มหาวิทยาลัยนครพนม

เอกสารอ้างอิง

[1] Y. Z. Alharthi, N. Najjar, A. Mechraoui, M. Moalla, and S. Mohammed, "Design and simulation of PV grid-connected system considering senstivity analysis," in 2021 IEEE 48th Photovoltaic Specialists Conference (PVSC), 20-25 June 2021 2021, pp. 2363-2367, doi: 10.1109/PVSC43889.2021.9518476.

[2] A. Ekic, M. Maharjan, B. Strombeck, and D. Wu, "Impact of Momentary Cessation on Sub-cycle Dynamics in Grid-Connected Solar PV Systems," in 2021 IEEE Power & Energy Society Innovative Smart Grid Technologies Conference (ISGT), 16-18 Feb. 2021 2021, pp. 1-5, doi: 10.1109/ISGT49243.2021.9372156.

[3] Q. Huo et al., "Research on modeling technology of PV/storage integrated operation analysis model," in 2022 2nd International Conference on Algorithms, High

Performance Computing and Artificial Intelligence (AHPCAI), 21-23 Oct. 2022 2022, pp. 817-821, doi: 10.1109/AHPCAI57455.2022.10087442.
[4] S. Roy, P. K. Sahu, S. Jena, and R. Senapati, "Current Control Structures for Grid-Connected Photovoltaic System," in 2022 IEEE 2nd International Symposium on Sustainable Energy, Signal Processing and Cyber Security (iSSSC), 15-17 Dec. 2022 2022, pp. 1-6, doi: 10.1109/iSSSC56467.2022.10051629.
[5] F. E. Alfaris, "System Strength Evaluation of a Multi-terminal Power Grid Integrated a Distributed PV Generation," in 2023 6th International Conference on Electrical Engineering and Green Energy (CEEGE), 6-9 June 2023 2023, pp. 186-191, doi: 10.1109/CEEGE58447.2023.10246484.
[6] J. Kang, W. Dong, J. Xu, H. Diao, Z. Lv, and S. Xie, "Improved Control of Grid-Connected Photovoltaic and Energy Storage System Based on Virtual Resistance," in 2023 IEEE 2nd International Power Electronics and Application Symposium (PEAS), 10-13 Nov. 2023 2023, pp. 506-511, doi: 10.1109/PEAS58692.2023.10394942.
[7] Y. Kong, Y. Yu, and X. Cui, "Requirement of densely distributed PV grid-connected data analysis technology in the future new power system," in 2023 38th Youth Academic Annual Conference of Chinese Association of Automation (YAC), 27-29 Aug. 2023 2023, pp. 1298-1302, doi: 10.1109/YAC59482.2023.10401470.
[8] X. Zhang and J. Jin, "MMC-Based PV Grid-Connected System with SMES-Battery Hybrid Energy Storage," in 2023 IEEE International Conference on Applied Superconductivity and Electromagnetic Devices (ASEMD), 27-29 Oct. 2023 2023, pp. 1-2, doi: 10.1109/ASEMD59061.2023.10368771.
[9] A. Ganne, L. K. Sahu, and Hemachander, "Impact Analysis of EV Charging System on Grid with and without Solar PV Integrated System," in 2024 IEEE International Conference on Power Electronics, Drives and Energy Systems (PEDES), 18-21 Dec. 2024 2024, pp. 1-6, doi: 10.1109/PEDES61459.2024.10961095.
[10] A. Javeed, W. Ali, M. U. Aslam, U. Ali, H. Farooq, and M. U. Ramzan, "Technical Feasibility Study of 150 kW Grid-Connected PV System for an Academic Institution in Pakistan," in 2024 IEEE 1st Karachi Section Humanitarian Technology Conference (KHI-HTC), 8-9 Jan. 2024 2024, pp. 1-6, doi: 10.1109/KHI-HTC60760.2024.10482220.
[11] B. K. Nallamothu, R. Janga, and S. R. Pendem, "Design and Analysis of Grid Connected Solar PV System Using PVsyst Software," in 2024 IEEE Students Conference on Engineering and Systems (SCES), 21-23 June 2024 2024, pp. 1-6, doi: 10.1109/SCES61914.2024.10652298.
[12] J. Pang, Z. Yang, X. Wang, R. Xia, and S. Han, "Seamless Transition Strategy Based on Grid-Forming Energy Storage for Grid-Connected and Islanded Modes in Transformer Area Microgrids," in 2024 4th Power System and Green Energy Conference (PSGEC), 22-24Aug. 2024 2024, pp. 1259-1264, doi: 10.1109/PSGEC62376.2024.10720985.
[13] D. Venkayya, B. C. Babu, and N. Gupta, "Stability Analysis of the PLL for the Control of Solar-PV System Interfaced with Low Voltage Weak Grid," in 2024 IEEE 11th Power India International Conference (PIICON), 10-12 Dec. 2024 2024, pp. 1-6, doi: 10.1109/PIICON63519.2024.10995022.
[14] J. Jiang, R. Song, C. Zheng, S. Lv, J. Deng, and Y. Chen, "Modeling and Small-Signal Stability Analysis of Grid-Following Photovoltaic System," in 2025 8th International Conference on Energy, Electrical and Power Engineering (CEEPE), 25-27 April 2025 2025, pp. 400-404, doi: 10.1109/CEEPE64987.2025.11033816.
[15] S. N. Vodapally and M. H. Ali, "LSTM-Xgboost Model for Cyberattack Detection in Grid-Connected Solar PV Inverter System," in 2025 IEEE PES Grid Edge Technologies Conference & Exposition (Grid Edge), 21-23 Jan. 2025 2025, pp. 1-5, doi: 10.1109/GridEdge61154.2025.10887470.

นายสุรชา พนันชัย สำเร็จการศึกษาระดับระดับปริญญาตรี ค.บ. (อุตสาหกรรม) ปัจจุบันศึกษาระดับปริญญาโท สาขาวิศวกรรมไฟฟ้า มหาวิทยาลัยนครพนม นครพนม
งานวิจัยที่สนใจ การพัฒนาระบบตรวจจับและป้องกันระบบไฟฟ้า ระบบ ไมโครกริด

ผศ.ดร.ณัฐชนันท์ ปลายเนตร สำเร็จการศึกษา ระดับปริญญาเอก ปร.ด. (ฟิสิกส์) ปัจจุบันเป็นอาจารย์ประจำหลักสูตรฟิสิกส์ มหาวิทยาลัยนครพนม
งานวิจัยที่สนใจ การประยุกต์ใช้ฟิสิกส์วิศวกรรมและการศึกษา พลังงานหมุนเวียน และการประยุกต์ใช้เทอร์โมอิเล็กทริก

รศ.ดร.ศุภชัย ปลายเนตร สำเร็จการศึกษาระดับปริญญาเอก วศ.ด. (วิศวกรรมไฟฟ้า) ปัจจุบันเป็นอาจารย์ระดับหลักสูตรบัณฑิตศึกษา สาขาวิศวกรรมไฟฟ้า มหาวิทยาลัยนครพนม
งานวิจัยที่สนใจ การวิเคราะห์ระบบเครื่องจักรกลไฟฟ้า การวิเคราะห์คุณภาพระบบไฟฟ้ากำลัง การวิเคราะห์และประมวลผลสัญญาณ

การออกแบบระบบสูบและกักเก็บน้ำจากพลังงานสะอาดสำหรับการเกษตรบนพื้นที่ราบสูง

Design of community hydropower storage for agriculture in Thailand's highland area

รชต สุชลพาณิช[1] เวชน์ อรมุต[1] ดำรงศักดิ์ ขักขะโร[1] พงศกร อนันตรทิวากร[1] และ ธงชาติ เกิดผล[1]*

[1]ภาควิชาวิศวกรรมไฟฟ้า คณะวิศวกรรมศาสตร์ มหาวิทยาลัยเกษตรศาสตร์ dhamrongsak.kh@ku.th pongsakorn.an@ku.th thongchart.k@ku.ac.th*

บทคัดย่อ

ลักษณะภูมิศาสตร์พบว่าพื้นที่ทางตอนเหนือของประเทศที่เป็นที่ราบสูงยังมีอุปสรรคและก่อให้เกิดปัญหาในการเข้าถึงแหล่งน้ำในการทำเกษตรกรรม จากประเด็นปัญหานี้นำไปสู่การศึกษาเพื่อหาแนวทางแก้ไขและออกแบบระบบไฟฟ้าพลังน้ำแบบสูบกลับร่วมกับเทคโนโลยีเซลล์แสงอาทิตย์ เพื่อสนับสนุนแก่เกษตรกรให้สามารถเข้าถึงแหล่งน้ำเพื่อทำการเกษตรกรรมในพื้นราบสูง โดยอาศัยพื้นที่บริเวณบ้านสบแม่แพ ตำบลแม่สวด อำเภอสบเมย จังหวัดแม่ฮ่องสอนเป็นพื้นที่ศึกษาต้นแบบ การศึกษาครั้งนี้เป็นความร่วมมือกับ สำนักงานชลประทานที่ 2 โดยผลการศึกษาในครั้งนี้โดยการบูรณาการสองระบบชี้ให้เห็นว่า ระบบสามารถลดต้นทุนในการจัดหาแหล่งน้ำ เพิ่มเสถียรภาพในการใช้น้ำเพื่อการเกษตรได้ในระยะยาว สนับสนุนการเกษตรได้ต่อเนื่อง การศึกษาครั้งนี้ใช้การวิเคราะห์ผ่านซอฟต์แวร์ที่ได้รับความน่าเชื่อถือโดยในส่วนของระบบสูบและกักเก็บน้ำออกแบบด้วย Pipe Flow Experts 7.4® มีมาตรฐานเหมาะสมกับงานออกแบบเบื้องต้นของระบบสูบน้ำชุมชนและพื้นที่สูงและในส่วนการออกแบบระบบพลังงานแสงอาทิตย์ผ่านซอฟต์แวร์ PVsyst 8® โดยเป็นซอฟต์แวร์ที่ได้รับการยอมรับในงานด้านการออกแบบระบบพลังงานแสงอาทิตย์และใช้งานงานจริงในระดับภาคอุตสาหกรรม โดยผลการศึกษาของบทความนี้สามารถแก้ไขปัญหาที่เกิดเพื่อช่วยเหลือเกษตรกรทางภาคเหนือของไทยเพื่อให้สามารถทำการเกษตรได้อย่างยั่งยืนต่อไป

คำสำคัญ: ระบบไฟฟ้าพลังน้ำแบบสูบกลับ, ระบบพลังงานแสงอาทิตย์, เกษตรกรรมในพื้นราบสูง

Abstract

In the northern area of the country, the land is a plateau, so it is still hard to get water for farming. This problem led to a study aimed at finding a solution and designing a Pumped-Storage Hydropower (PSH) system combined with Solar Photovoltaic (PV) system. Its goal is to help farmers gain access to water for highland agriculture. The Sop Mae Phae community in Mae Suat subdistrict, Sop Moei district, Mae Hong Son province, is a prototype study area. This study is conducted in collaboration with the Royal Irrigation Department, Region 2. The integration of the two systems in this study shows potential to reduce water acquisition costs, enhance the long-term stability of agricultural water use and sustain agricultural activities over time. This study employed reliable software tools for the pumped-storage hydropower was designed using Pipe Flow Expert 7.4® that standards-compliant and highly suitable for the preliminary design of community water-pumping systems and highland applications, while the Solar Photovoltaic system was designed using PVsyst 8® that widely recognized software for solar power system design and is used in real-world industrial applications. By addressing the key issues related to water access and geographical constraints, this study provides a pathway for farmers in northern Thailand to maintain agricultural productivity sustainably.

Keywords: Pumped Storage Hydropower (PSH), Solar Photovoltaic (PV), Highland Aagriculture

ระบบไฟฟ้าพลังงานแสงอาทิตย์แบบผสมผสานร่วมกับระบบกักเก็บพลังงานอัจฉริยะสำหรับโหลดเครื่องชาร์จรถไฟฟ้า

Smart Hybrid Photovoltaic–Energy Storage System for EV Charging Loads

ศุภวุฒิ เนตรโพธิ์แก้ว[1] พนา ดุสิตากร[1] นาวิน รอดเรือง[1] ณัชพล เรืองทรัพย์[1] ปพน งามประเสริฐ[2] และ นัฐโชติ รักไทยเจริญชีพ[1]*

[1]สาขาวิชาวิศวกรรมไฟฟ้า คณะวิศวกรรมศาสตร์ มหาวิทยาลัยเทคโนโลยีราชมงคลพระนคร nattachote.r@rmutp.ac.th*
[2]สาขาวิชาวิศวกรรมไฟฟ้าและอิเล็กทรอนิกส์ สถาบันโคเซ็นแห่งสถาบันเทคโนโลยีพระจอมเกล้าเจ้าคุณทหารลาดกระบัง

บทคัดย่อ

บทความนี้นำเสนอระบบไฟฟ้าพลังงานแสงอาทิตย์แบบผสมผสานร่วมกับระบบกักเก็บพลังงานอัจฉริยะสำหรับโหลดเครื่องชาร์จรถไฟฟ้า บทความนี้จึงดำเนินการตรวจสอบระบบผลิตไฟฟ้าพลังงานแสงอาทิตย์แบบผสมผสานที่จ่ายไปยังโหลดสำหรับโรงงานอุตสาหกรรม เพื่อพิจารณาสภาวะการทำงานของระบบกักเก็บพลังงานและการจ่ายพลังงานให้กับระบบแบ่งออกเป็น 3 กรณีศึกษา กรณีที่ 1 การเชื่อมต่อระบบผลิตไฟฟ้าพลังงานแสงอาทิตย์แบบผสมผสาน กรณีที่ 2 ความสัมพันธ์ระบบผลิตไฟฟ้าพลังงานแสงอาทิตย์แบบผสมผสาน การเก็บพลังงาน และจ่ายพลังงาน กรณีที่ 3 โหลดรวม โหลดเครื่องชาร์จรถไฟฟ้าและความสัมพันธ์ระบบกักเก็บพลังงาน ทั้งนี้ผลลัพธ์แสดงถึงความสัมพันธ์โหลดเครื่องชาร์จรถไฟฟ้า การจ่ายพลังงานและการเก็บพลังงานระหว่างเดือนมกราคมถึงเดือนธันวาคมเป็นเวลา 12 เดือน โดยโหลดเครื่องชาร์จรถไฟฟ้ารวม 17,863.20 กิโลวัตต์-ชั่วโมง การเก็บพลังงานไปยังระบบกักเก็บพลังงานรวม 18,849.40 กิโลวัตต์-ชั่วโมง การจ่ายพลังงานไปยังโหลดรวม 21,081.80 กิโลวัตต์-ชั่วโมง ซึ่งแสดงให้เห็นประสิทธิภาพการจ่ายโหลด การเก็บพลังงาน และการจ่ายพลังงานที่สอดคล้องกันของระบบไฟฟ้าพลังงานแสงอาทิตย์แบบผสมผสานร่วมกับระบบกักเก็บพลังงานอัจฉริยะสำหรับโหลดเครื่องชาร์จรถไฟฟ้า

คำสำคัญ: ระบบไฟฟ้าพลังงานแสงอาทิตย์แบบผสมผสาน ระบบกักเก็บพลังงาน เครื่องชาร์จรถไฟฟ้า

Abstract

This article presents Smart hybrid photovoltaic–energy storage system for EV charging loads. This article therefore examines the operation of a hybrid solar photovoltaic power generation system supplying loads for an industrial facility, in order to assess the operating conditions of the energy storage system and the power delivery to the system. The study is divided into three case studies: Case 1 – the configuration of the hybrid solar photovoltaic power generation system; Case 2 – the relationship between the hybrid photovoltaic system, energy storage, and power delivery; and Case 3 – the total load, including electric vehicle charging load, and the relationship with the energy storage system. The results present the relationship among EV charger load, power delivery, and energy storage from January to December, covering a 12-month period. The total EV charger load amounted to 17,863.20 kWh, the energy stored in the storage system totaled 18,849.40 kWh, and the power delivered to the total load was 21,081.80 kWh. These findings demonstrate the consistent efficiency of load supply, energy storage, and power delivery in the smart hybrid photovoltaic–energy storage system for EV charging loads.

Keywords: Smart Hybrid Photovoltaic Power System, Energy Storage System, EV Charging.

1. บทนำ

ในปัจจุบันอุตสาหกรรมมีการนำเทคโนโลยีพลังงานหมุนเวียนชนิดพลังงานแสงอาทิตย์แบบติดตั้งบนหลังคา โดยมีวัตถุประสงค์เพื่อลดพลังงานทางไฟฟ้า ซึ่งเป็นทางเลือกที่แพร่หลายและในบางอุตสาหกรรม ได้นำเทคโนโลยีระบบกักเก็บพลังงานเข้ามาผสมผสานกับระบบผลิตไฟฟ้าพลังงานแสงอาทิตย์ หรือเรียกว่า “ระบบผลิตไฟฟ้าพลังงานแสงอาทิตย์แบบผสมผสาน” บทความนี้ได้มีกรณีศึกษาเกี่ยวกับโหลดที่ใช้ในการสำรองระบบผลิตไฟฟ้าพลังงานแสงอาทิตย์แบบผสมผสาน

ดังนั้นในบทความนี้จึงได้ทำการศึกษาบทความที่เกี่ยวข้องกับระบบกักเก็บพลังงานสำหรับโหลดเครื่องชาร์จรถไฟฟ้า ในปี พ.ศ. 2568 [1] การส่งพลังงานที่เหมาะสมที่สุดของระบบจัดเก็บพลังงานแสงอาทิตย์สำหรับสถานีเปลี่ยนแบตเตอรี่รถไฟฟ้าภายใต้การลดภาระตามกำหนดการของกริด บทความนี้นำเสนอการสึกหรอของระบบผลิตไฟฟ้าพลังงานแสงอาทิตย์แบบผสมผสานเนื่องจากการเก็บพลังงานและการจ่ายพลังงานของระบบจัดเก็บพลังงานบ่อยครั้งเมื่อชาร์จเครื่องชาร์จรถไฟฟ้า (Electric vehicle ; EV) ที่หมด โดยวิธีการเขียนโปรแกรมเชิงเส้นกำหนดการไหลของพลังงานที่เหมาะสมที่สุดในระบบที่เสนอเพื่อเก็บพลังงาน ระบบจัดเก็บพลังงานที่หมดสำหรับรถไฟฟ้า ผลการจำลองแสดงให้เห็นถึงประสิทธิภาพแบบจำลองที่พัฒนาขึ้น โดยให้การไหลของพลังงานจัดส่งที่เหมาะสมที่สุดในปี พ.ศ. 2566 [2] รูปแบบการควบคุมสำหรับเครื่องชาร์จรถไฟฟ้าพลังงานแสงอาทิตย์ที่เชื่อมต่อกับกริดพร้อมระบบผลิตไฟฟ้าพลังงานแสงอาทิตย์แบบผสมผสาน บทความนี้นำเสนอการกระจายพลังงานตาม

*ผู้ประพันธ์บรรณกิจ

หลัก ตามสัดส่วนเป็นวิธีปฏิบัติในการใช้ประโยชน์จากระบบผลิตไฟฟ้าพลังงานแสงอาทิตย์แบบผสมผสานในเครื่องชาร์จรถไฟฟ้า ที่ใช้พลังงานแสงอาทิตย์ที่เชื่อมต่อกับกริด ในการศึกษานี้จะมีการกำหนดการกระจายพลังงานโดยเฉลี่ยระหว่างแหล่งจ่ายไฟและระบบกักเก็บพลังงาน และนำเสนอกลยุทธ์การจัดการพลังงานที่ใช้งานได้จริงและมีประสิทธิภาพ ในปี พ.ศ. 2565 [3] การควบคุมโหลดของครัวเรือนอัจฉริยะด้วยที่เก็บข้อมูล PV และรถไฟฟ้า โดยเทคนิคอัลกอริทึมต่อเนื่องการเขียนโปรแกรมแบบไดนามิก บทความนี้นำเสนอการปรับระดับโหลดของครัวเรือนที่อยู่อาศัยโดยการควบคุมที่ประสานกันระหว่างการจัดเก็บระบบผลิตไฟฟ้าพลังงานแสงอาทิตย์และการจัดเก็บระบบกักเก็บพลังงานรถยนต์ อัลกอริทึมการเขียนโปรแกรมแบบไดนามิกแบบต่อเนื่อง (Dynamic programming successive algorithm ; DPSA) ถูกนำมาใช้เพื่อให้ได้กลยุทธ์การเก็บพลังงานที่เหมาะสมที่สุด โดยลดความแปรปรวนของโหลด ผลการจำลองแสดงให้เห็นว่ากลยุทธ์การเก็บพลังงานที่เหมาะสมที่สุดที่เสนอช่วยลดความแปรปรวนของโหลดเมื่อเทียบกับกรณีที่ไม่มีการควบคุมของครัวเรือนอัจฉริยะ

ดังนั้นในบทความนี้จะนำเสนอทฤษฎีที่เกี่ยวข้อง ผลลัพธ์ บทสรุปของบทความระบบไฟฟ้าพลังงานแสงอาทิตย์แบบผสมผสานร่วมกับระบบกักเก็บพลังงานอัจฉริยะสำหรับโหลดเครื่องชาร์จรถไฟฟ้า

2. ทฤษฎีที่เกี่ยวข้อง

2.1 ระบบไฟฟ้าพลังงานแสงอาทิตย์แบบผสมผสาน

ระบบผลิตไฟฟ้าถูกออกแบบสำหรับทำงานร่วมกับอุปกรณ์ผลิตไฟฟ้าอื่นๆ การนำระบบผลิตไฟฟ้าพลังงานแสงอาทิตย์ซึ่งต่อร่วมกับแบตเตอรี่สามารถช่วยแก้ปัญหาแรงดันตกในระบบไฟฟ้าได้ การเชื่อมต่อระบบกักเก็บพลังงานเข้ากับระบบผลิตไฟฟ้าพลังงานแสงอาทิตย์พลังงานแสงอาทิตย์ [4]-[6] เป็นพลังงานที่มีศักยภาพสูง การใช้พลังงานแสงอาทิตย์สามารถเปลี่ยนพลังงานแสงอาทิตย์เป็นพลังงานไฟฟ้าได้โดยการเปลี่ยนแปลงพลังงานจะเริ่มเมื่อมีแสงตกกระทบบนแผงเซลล์แสงอาทิตย์ รังสีของแสงที่มีอนุภาคของพลังงานโฟตอนจะถ่ายเทพลังงานให้กับพลังงานอิเล็กตรอนจนมีพลังงานมากพอที่จะกระโดดออกมาจากแรงดึงดูดของอะตอมทำให้เคลื่อนที่ได้อย่างอิสระ เมื่ออิเล็กตรอนเคลื่อนที่ครบวงจรจึงทำให้เกิดไฟฟ้ากระแสตรงขึ้น

2.2 ระบบกักเก็บพลังงาน

การติดตั้งและความปลอดภัยสำหรับระบบกักเก็บพลังงานแบตเตอรี่ (Battey energy storage system ; BESS) โดยที่แบตเตอรี่ถูกติดตั้งในห้องหรือพื้นที่ปิด เชื่อมต่อกับอุปกรณ์แปลงผันกำลังไฟฟ้า (Power conversion equipment ; PCE) และทำงานร่วมกับระบบผลิตไฟฟ้าจากเซลล์แสงอาทิตย์ชนิดติดตั้งบนหลังคา (Rooftop photovoltaic system)

2.2.1 สถานที่ติดตั้ง

ระบบแบตเตอรี่ต้องมีการป้องกันความเสียหายทางกลสภาพแวดล้อม และปัจจัยภายนอก ต้องติดตั้งระบบแบตเตอรี่ในสิ่งห่อหุ้ม (Enclosure) หรือห้อง (Room) เท่านั้น

สิ่งห่อหุ้ม คือ กล่องหรือกรอบของเครื่องสำเร็จหรือรั้ว หรือผนังล้อมรอบการติดตั้งเพื่อป้องกันมิให้บุคคลมิให้สัมผัสกับส่วนที่มีแรงดันไฟฟ้าหรือเพื่อป้องกันบริภัณฑ์ไม่ให้เสียหาย

ห้อง คือ พื้นที่ปิดที่สามารถเข้าถึงได้ด้วยประตูที่มีขนาดใหญ่มากพอให้คนเข้าไปและเดินภายในพื้นที่ได้ และห้ามติดตั้งระบบแบตเตอรี่ในพื้นที่ต่อไปนี้

ก. บนฝ้า
ข. ช่องว่างผนัง
ค. บนหลังคา
ง. ใต้พื้นของห้องพักอาศัย
จ. ใต้บันได (ไม่รวมห้องใต้บันได) หรือ
ฉ. ใต้ทางเดินที่มีการใช้งาน ในอาคารที่พักอาศัย ห้ามติดตั้ง BS และ BESS ในห้องที่มีผู้พักอาศัย (Habitable room)

2.2.2 ข้อจำกัดเรื่องสถานที่

ห้ามติดตั้ง BS หรือ BESS ตามข้อต่อไปนี้

ก. ในบริเวณอันตรายตามมาตรฐานการติดตั้งทางไฟฟ้าสำหรับประเทศไทยของ วสท.
ข. ในระยะ 600 มม. จากทางออก
ค. ในระยะ 600 มม. จากเครื่องใช้หรือแหล่งความร้อนที่ไม่ใช่ส่วนหนึ่งของ BS หรือ BESS
ง. ในระยะ 1,200 มม. ใต้ทางออกหรือแหล่งความร้อนที่ไม่ใช่ส่วนหนึ่งของ BS หรือ BESS
จ. ใต้หน้าต่างหรือช่องระบายอากาศในอาคาร

อ้างอิงข้อกำหนดการติดตั้งตามมาตรฐานการติดตั้งทางไฟฟ้าสำหรับประเทศไทยของ วสท. [7] ดังแสดงในรูปที่ 1

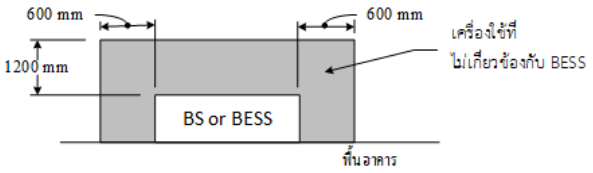

รูปที่ 1 ข้อกำหนดการติดตั้งตามมาตรฐาน

2.3 โหลดเครื่องชาร์จรถไฟฟ้า

EV charging infrastructure หมายถึง เครือข่ายอุปกรณ์ สถานี และระบบที่จัดเตรียมพลังงานไฟฟ้าเพื่อชาร์จรถไฟฟ้า (EV) ซึ่งรวมถึงเครื่องชาร์จแบบทั่วไป (AC), เครื่องชาร์จเร็ว (DC fast chargers), และสถานีแลกแบตเตอรี่ (Battery exchange stations) [8]

การไฟฟ้านครหลวง หรือ MEA กล่าวว่า MEA ในฐานะหน่วยงานรัฐวิสาหกิจ เป็นผู้นำการขับเคลื่อนการใช้งานยานยนต์ไฟฟ้าในประเทศไทย มุ่งมั่นขับเคลื่อน วิสัยทัศน์พลังงานเพื่อวิถีชีวิตเมืองมหานคร พร้อมส่งเสริมการใช้ยานยนต์ไฟฟ้าและพลังงานทดแทนที่เป็นมิตรต่อสิ่งแวดล้อม MEA มี

ความห่วงใยผู้ใช้ไฟฟ้าที่จะขอติดตั้ง EV Charger กำหนดมาตรฐานความปลอดภัยของระบบไฟฟ้าสำหรับ EV มาตรฐานการติดตั้งเครื่องอัดประจุไฟฟ้าสำหรับสถานีอัดประจุไฟฟ้า มาตรฐานการติดตั้งเครื่องอัดประจุไฟฟ้าสำหรับสถานีชาร์จเรือไฟฟ้า ข้อกำหนดการเชื่อมต่อและติดตั้งทางไฟฟ้าสำหรับผู้ประกอบการสถานีอัดประจุไฟฟ้าสำหรับ EV และมาตรฐานการติดตั้งเครื่องอัดประจุไฟฟ้าภายในบ้านที่อยู่อาศัย ทั้งแบบเต้ารับสำหรับสายชาร์จแบบพกพา และเครื่องชาร์จแบบติดผนัง เพื่อความปลอดภัยจะต้องผ่านการตรวจสอบโดยช่างผู้ชำนาญโดยเฉพาะ การขอเพิ่มขนาดมิเตอร์ไฟฟ้า การติดตั้งสายเมนวงจร ต้องติดตั้งอุปกรณ์ควบคุมไฟฟ้า อุปกรณ์ป้องกันกระแสเกินไฟฟ้า และหลักดินชาร์จ EV รวมถึงการติดตั้งเครื่องชาร์จไฟแบบติดผนัง (Wall mounted charger) และเต้ารับสำหรับสายชาร์จแบบพกพา (EV socket-outlet) ระบบวงจรไฟฟ้าต้องออกแบบเพื่อรองรับกับเครื่องชาร์จไฟยานยนต์ไฟฟ้าตามมาตรฐานและความปลอดภัย ปัจจุบัน MEA ดำเนินการวิจัยและพัฒนาใช้งานยานยนต์ไฟฟ้าภายในองค์กรอย่างจริงจัง ในโครงการ MEA EV car sharing จำนวน 47 คัน และกำลังพัฒนาทดสอบการวิ่งรถบัสโดยสารไฟฟ้า E-bus ของ MEA รวมทั้งมีแผนในการนำรถจักรยานยนต์ไฟฟ้า (E- motorbike) และ รถตุ๊กตุ๊กไฟฟ้า (E-tuk tuk) เพื่อใช้ในกิจการสนองตอบนโยบายขับเคลื่อนการใช้งานยานยนต์ไฟฟ้า ลดการสร้างมลภาวะอันเป็นสาเหตุสำคัญของฝุ่น PM2.5 [9]

2.3.1 ข้อมูลโหลด

จากการสำรวจพื้นที่จริงของโรงงาน พบว่าโหลดเครื่องชาร์จรถไฟฟ้ามีการใช้งานชาร์จรถโฟล์คลิฟท์ถึง 5 คัน ดังแสดงในรูปที่ 2

รูปที่ 2 โหลดโฟล์คลิฟท์ที่ชาร์จเครื่องชาร์จรถไฟฟ้า

การวัดกระแสไฟฟ้าที่ไหลอยู่ในสายไฟเส้นที่หนึ่ง (L1) จากระบบ 3 เฟสของตู้ที่จ่ายไปยังโหลดเครื่องชาร์จรถไฟฟ้า ดังแสดงในรูปที่ 3

รูปที่ 3 การวัดกระแส L1

การวัดกระแสไฟฟ้าที่ไหลอยู่ในสายไฟเส้นที่สอง (L2) จากระบบ 3 เฟสของตู้ที่จ่ายไปยังโหลดเครื่องชาร์จรถไฟฟ้า ดังแสดงในรูปที่ 4

รูปที่ 4 การวัดกระแส L2

การวัดกระแสไฟฟ้าที่ไหลอยู่ในสายไฟเส้นที่สาม (L3) จากระบบ 3 เฟสของตู้ที่จ่ายไปยังโหลดเครื่องชาร์จรถไฟฟ้า ดังแสดงในรูปที่ 5

รูปที่ 5 การวัดกระแส L3

2.4 ข้อมูลอุปกรณ์ของระบบผลิตไฟฟ้าพลังงานแสงอาทิตย์แบบผสมผสาน

ข้อมูลแผงโซลาร์เซลล์ของระบบผลิตไฟฟ้าพลังงานแสงอาทิตย์แบบผสมผสาน ดังแสดงในตารางที่ 1

ตารางที่ 1 ข้อมูลแผงโซลาร์เซลล์ของระบบผลิตไฟฟ้าพลังงานแสงอาทิตย์แบบผสมผสาน

ข้อมูล	ขนาด
Maximum power (Pmax)	535 Wp
Maximum power voltage (Vmp)	40.63 V
Maximum power current (Imp)	13.17 A
Open-circuit voltage (Voc)	49.34 V
Short-circuit current (Isc)	13.79 A
Module efficiency STC (%)	20.75%

ข้อมูลอินเวอร์เตอร์ของระบบผลิตไฟฟ้าพลังงานแสงอาทิตย์แบบผสมผสาน ดังแสดงในตารางที่ 2

ตารางที่ 2 ข้อมูลอินเวอร์เตอร์ของระบบผลิตไฟฟ้าพลังงานแสงอาทิตย์แบบผสมผสาน

ข้อมูล	ขนาด
Apparent power	110 kVA
Rate power	100 kW
Rate voltage	400 V
Rate current	144 A
Voltage range	360-440 V
THDi	<3%
PF	0.8 lagging-0.8leading

.

ข้อมูลระบบกักเก็บพลังงานของระบบผลิตไฟฟ้าพลังงานแสงอาทิตย์แบบผสมผสาน [10] ดังแสดงในตารางที่ 3

ตารางที่ 3 ข้อมูลระบบกักเก็บพลังงานของระบบผลิตไฟฟ้าพลังงานแสงอาทิตย์แบบผสมผสาน

ข้อมูล	ขนาด
Rate capacity	200 Ah
Rate energy	76.8 kWh
Rate voltage	384 V
Voltage range	336-438 V
Normal charge/discharge	0.5C
Max charge/discharge	1C
Weight	<= 1060kg
Protection degree	IP 54

3. ผลลัพธ์

3.1 กรณีศึกษา

บทความนี้ศึกษาระบบไฟฟ้าพลังงานแสงอาทิตย์แบบผสมผสานร่วมกับระบบกักเก็บพลังงานอัจฉริยะสำหรับโหลดเครื่องชาร์จรถไฟฟ้า แบ่งออกเป็น 3 กรณีศึกษา ดังนี้

กรณีที่ 1 : การเชื่อมต่อระบบผลิตไฟฟ้าพลังงานแสงอาทิตย์แบบผสมผสาน

กรณีที่ 2 : ความสัมพันธ์ระบบผลิตไฟฟ้าพลังงานแสงอาทิตย์แบบผสมผสาน การเก็บพลังงาน และจ่ายพลังงาน

กรณีที่ 3 : โหลดรวม โหลดเครื่องชาร์จรถไฟฟ้าและความสัมพันธ์ระบบกักเก็บพลังงาน

3.2 ผลการวิจัย

กรณีที่ 1 การเชื่อมต่อระบบผลิตไฟฟ้าพลังงานแสงอาทิตย์แบบผสมผสาน โดยมีการเชื่อมต่อดังนี้ ระบบผลิตไฟฟ้าพลังงานแสงอาทิตย์เชื่อมต่อที่ตู้ MDB ที่รับพลังงานไฟฟ้าจากหม้อแปลงไฟฟ้าขนาด 800 kVA ดังแสดงในรูปที่ 6-7

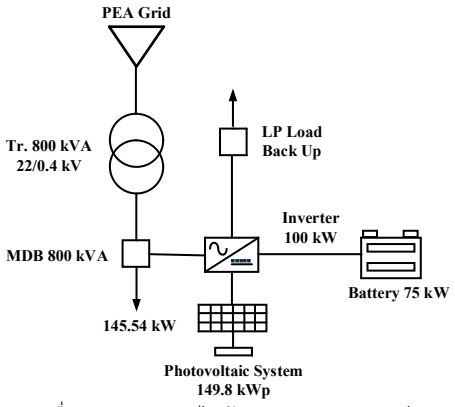

รูปที่ 6 การเชื่อมต่อระบบผลิตไฟฟ้าพลังงานแสงอาทิตย์แบบผสมผสาน

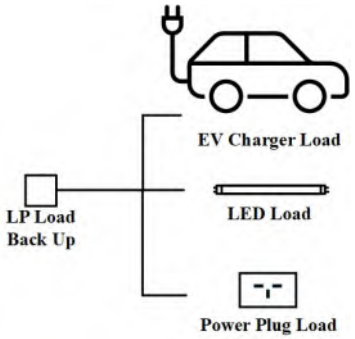

รูปที่ 7 การเชื่อมต่อโหลดสำรองของระบบผลิตไฟฟ้าพลังงานแสงอาทิตย์แบบผสมผสาน

กรณีที่ 2 ความสัมพันธ์ระบบผลิตไฟฟ้าพลังงานแสงอาทิตย์แบบผสมผสาน การนำเข้าจากการไฟฟ้า การเก็บพลังงาน และจ่ายพลังงาน มีผลลัพธ์ความสัมพันธ์ ดังแสดงในตารางที่ 4

ตารางที่ 4 ความสัมพันธ์ระบบผลิตไฟฟ้าพลังงานแสงอาทิตย์แบบผสมผสาน การนำเข้าจากการไฟฟ้า การเก็บพลังงาน และจ่ายพลังงาน

เดือน	จากระบบผลิตไฟฟ้าพลังงานแสงอาทิตย์ (kWh)	นำเข้าจากการไฟฟ้า (kWh)	การเก็บพลังงานไปยังระบบกักเก็บพลังงาน (kWh)	การจ่ายพลังงานไปยังโหลด (kWh)
มกราคม	12,172.80	4,006.80	1,844.40	1,929.00
กุมภาพันธ์	11,187.60	3,535.90	1,659.50	1,719.70
มีนาคม	13,216.30	3,466.50	1,717.90	1,794.40
เมษายน	13,762.00	2,693.70	1,682.50	1,756.70

ตารางที่ 4 (ต่อ) ความสัมพันธ์ระบบผลิตไฟฟ้าพลังงานแสงอาทิตย์แบบผสมผสาน การนำเข้าจากการไฟฟ้า การเก็บพลังงาน และจ่ายพลังงาน

เดือน	จากระบบผลิตไฟฟ้าพลังงานแสงอาทิตย์ (kWh)	นำเข้าจากการไฟฟ้า (kWh)	การเก็บพลังงานไปยังระบบกักเก็บพลังงาน (kWh)	การจ่ายพลังงานไปยังโหลด (kWh)
พฤษภาคม	13,224.20	2,773.80	1,649.60	1,745.00
มิถุนายน	13,428.70	3,565.70	1,575.00	1,662.00
กรกฎาคม	12,092.90	3,256.50	1,558.70	1,726.00
สิงหาคม	15,008.30	3,219.40	1,502.70	1,811.90
กันยายน	12,712.70	3,551.10	1,407.90	1,738.80
ตุลาคม	12,979.00	3,529.00	1,402.20	1,765.60
พฤศจิกายน	13,685.00	3,167.10	1,452.20	1,756.00
ธันวาคม	12,313.60	2,922.40	1,396.80	1,676.70
รวม	155,783.10	39,687.90	18,849.40	21,081.80

จากตารางที่ 4 การวิเคราะห์ความสัมพันธ์ระบบผลิตไฟฟ้าพลังงานแสงอาทิตย์แบบผสมผสาน การนำเข้าจากการไฟฟ้า การเก็บพลังงาน และจ่ายพลังงานรวม 12 เดือน จากระบบผลิตไฟฟ้าพลังงานแสงอาทิตย์รวม 155,783.10 กิโลวัตต์-ชั่วโมง นำเข้าจากการไฟฟ้ารวม 39,687.90 กิโลวัตต์-ชั่วโมง การเก็บพลังงานไปยังระบบกักเก็บพลังงานรวม 18,849.40 กิโลวัตต์-ชั่วโมง การจ่ายพลังงานไปยังโหลดรวม 21,081.80 กิโลวัตต์-ชั่วโมง

ความสัมพันธ์ของระบบผลิตไฟฟ้าพลังงานแสงอาทิตย์แบบผสมผสานสูงสุดเดือนสิงหาคม 15,008.30 กิโลวัตต์-ชั่วโมง การนำเข้าจากการไฟฟ้าสูงสุดเดือนมิถุนายน 3,565.70 กิโลวัตต์-ชั่วโมง การเก็บพลังงานสูงสุดเดือนมีนาคม 1,717.90 กิโลวัตต์-ชั่วโมง และจ่ายพลังงานสูงสุดเดือนสิงหาคม 1,811.90 กิโลวัตต์-ชั่วโมง ดังแสดงในรูปที่ 6

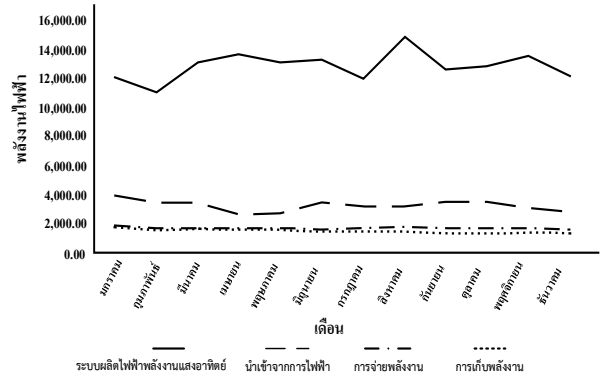

รูปที่ 6 การเปรียบเทียบความสัมพันธ์ของระบบผลิตไฟฟ้าพลังงานแสงอาทิตย์แบบผสมผสาน การนำเข้าจากการไฟฟ้า การเก็บพลังงาน และจ่ายพลังงาน

กรณีที่ 3 โหลดรวม โหลดเครื่องชาร์จรถไฟฟ้าและความสัมพันธ์ระบบกักเก็บพลังงาน ดังแสดงในตารางที่ 5

ตารางที่ 5 โหลดรวม โหลดเครื่องชาร์จรถไฟฟ้าและความสัมพันธ์ระบบกักเก็บพลังงาน

เดือน	โหลดรวม (kWh)	โหลดเครื่องชาร์จรถไฟฟ้า (kWh)	การเก็บพลังงานไปยังระบบกักเก็บพลังงาน (kWh)	การจ่ายพลังงานไปยังโหลด (kWh)
มกราคม	4,885.90	1,290.12	1,844.40	1,929.00
กุมภาพันธ์	4,475.50	1,141.26	1,659.50	1,719.70
มีนาคม	4,506.50	1,290.12	1,717.90	1,794.40
เมษายน	3,075.50	1,042.02	1,682.50	1,756.70
พฤษภาคม	3,259.20	1,091.64	1,649.60	1,745.00
มิถุนายน	4,658.80	1,190.88	1,575.00	1,662.00
กรกฎาคม	4,296.90	1,190.88	1,558.70	1,726.00
สิงหาคม	4,358.70	1,240.50	1,502.70	1,811.90
กันยายน	4,555.70	1,240.50	1,407.90	1,738.80
ตุลาคม	4,344.70	1,240.50	1,402.20	1,765.60
พฤศจิกายน	4,046.40	1,290.12	1,452.20	1,756.00
ธันวาคม	3,465.50	1,091.64	1,396.80	1,676.70
รวม	49,929.30	14,340.20	18,849.40	21,081.80

จากตารางที่ 5 การวิเคราะห์ความสัมพันธ์โหลดรวม โหลดเครื่องชาร์จรถไฟฟ้าและความสัมพันธ์ระบบกักเก็บพลังงานรวม 12 เดือน จากโหลดรวมทั้งหมด 49,929.30 กิโลวัตต์-ชั่วโมง โหลดเครื่องชาร์จรถไฟฟ้ารวม 14,340.20 กิโลวัตต์-ชั่วโมง การเก็บพลังงานไปยังระบบกักเก็บพลังงานรวม 18,849.40 กิโลวัตต์-ชั่วโมง การจ่ายพลังงานไปยังโหลดรวม 21,081.80 กิโลวัตต์-ชั่วโมง

ความสัมพันธ์ของจากโหลดรวมสูงสุดเดือนมกราคม 4,885.90 กิโลวัตต์-ชั่วโมง การเก็บพลังงานสูงสุดเดือนมีนาคม 1,717.90 กิโลวัตต์-ชั่วโมง และจ่ายพลังงานสูงสุดเดือนสิงหาคม 1,811.90 กิโลวัตต์-ชั่วโมง ดังแสดงในรูปที่ 7

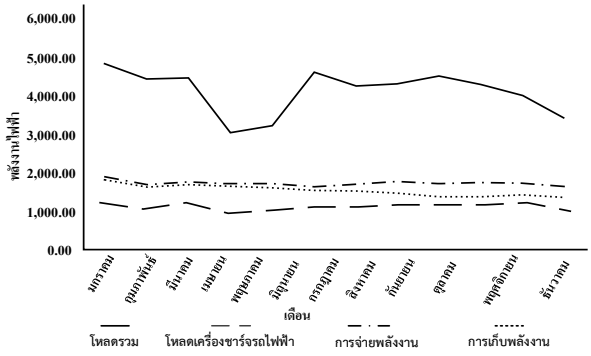

รูปที่ 7 โหลดรวม โหลดเครื่องชาร์จรถไฟฟ้าและความสัมพันธ์ระบบกักเก็บพลังงาน

4. สรุป

จากการวิจัยบทความระบบไฟฟ้าพลังงานแสงอาทิตย์แบบผสมผสานร่วมกับระบบกักเก็บพลังงานอัจฉริยะสำหรับโหลดเครื่องชาร์จรถไฟฟ้า ความสัมพันธ์ระหว่างเดือนมกราคมถึงเดือนธันวาคมเป็นเวลา 12 เดือน จากระบบผลิตไฟฟ้าพลังงานแสงอาทิตย์รวม 155,783.10

กิโลวัตต์-ชั่วโมง โหลดรวมของระบบผลิตไฟฟ้าพลังงานแสงอาทิตย์แบบผสมผสาน คือ 49,929.30 กิโลวัตต์-ชั่วโมง โหลดเครื่องชาร์จรถไฟฟ้ารวม 17,863.20 กิโลวัตต์-ชั่วโมง การเก็บพลังงานไปยังระบบกักเก็บพลังงานรวม 18,849.40 กิโลวัตต์-ชั่วโมง การจ่ายพลังงานไปยังโหลดรวม 21,081.80 กิโลวัตต์-ชั่วโมง ผลลัพธ์แสดงให้เห็นประสิทธิภาพการจ่ายโหลดเครื่องชาร์จรถไฟฟ้า จากระบบผลิตไฟฟ้าพลังงานแสงอาทิตย์ การเก็บพลังงาน และการจ่ายพลังที่สอดคล้องกันของระบบ

5. กิตติกรรมประกาศ

ขอบคุณสาขาวิชาวิศวกรรมไฟฟ้า คณะวิศวกรรมศาสตร์ มหาวิทยาลัยเทคโนโลยีราชมงคลพระนคร และสาขาวิชาวิศวกรรมไฟฟ้าและอิเล็กทรอนิกส์ สถาบันโคเซ็นแห่งสถาบันเทคโนโลยีพระจอมเกล้าเจ้าคุณทหารลาดกระบัง ที่ให้การสนับสนุนและความช่วยเหลือในการจัดทำบทความนี้ ซึ่งได้ช่วยให้บทความนี้สำเร็จลุล่วงอย่างสมบูรณ์

เอกสารอ้างอิง

[1] L. T. -E. Nyamayoka, L. Masisi and D. G. Dorrell, "Optimal power dispatch of solar PV-battery storage system for electric vehicle battery swapping stations under grid scheduled load-shedding," 2025 33rd Southern African Universities Power Engineering Conference (SAUPEC), Pretoria, South Africa, 2025, pp. 1-6, doi: 10.1109/SAUPEC65723.2025.10944320.

[2] P. K. Kanth, P. Kumar Tiwari and N. Boda, "A Control Scheme for Grid Connected Solar Powered EV Charging Station With Hybrid Energy Storage System," 2023 IEEE Silchar Subsection Conference (SILCON), Silchar, India, 2023, pp. 1-6, doi: 10.1109/SILCON59133.2023.10405219.

[3] F. Hafiz, P. Fajri and I. Husain, "Load regulation of a smart household with PV-storage and electric vehicle by dynamic programming successive algorithm technique," 2016 IEEE Power and Energy Society General Meeting (PESGM), Boston, MA, USA, 2016, pp. 1-5, doi: 10.1109/PESGM.2016.7741717.

[4] A. Balal and M. Giesselmann, "Demand Side Management and Economic Analysis Using Battery Storage System (BSS) and Solar Energy," 2021 IEEE 4th International Conference on Power and Energy Applications (ICPEA), 2021, doi: 10.1109/ICPEA52760.2021.9639359.

[5] A. H. Canada, "Solar voltaic generation power plants: 1000 MW to 10 kW photovoltaic plant design and application guide for the Pacific Northwest," IEEE Technical Applications Conference and Workshops. Northcon/95. Conference Record, 1995, doi: 10.1109/NORTHC.1995.485071.

[6] P. Ngamprasert, N. Rugthaicharoencheep, S. Woothipatanapan, "Application Improvement of Voltage Profile by Photovoltaic Farm on Distribution System," 2019 International Conference on Power, Energy and Innovations (ICPEI), 2019, doi: 10.1109/ICPEI47862.2019.8944997.

[7] คณะกรรมการมาตรฐานการติดตั้งทางไฟฟ้าสำหรับประเทศไทย. (2565). มาตรฐานการติดตั้งทางไฟฟ้าสำหรับประเทศไทย. ระบบการผลิตไฟฟ้าจากพลังงานแสงอาทิตย์ที่ติดตั้งบนหลังคา.

[8] T. Panklib., “ENERGY STORAGE TECHNOLOGIES FOR RENEWABLE ENERGY,” Journal of Energy and Environment Technology. Vol. 9, no.1, pp.107-113, 2022,

[9] คณะกรรมการกำกับกิจการพลังงาน (2563). มาตรฐานการติดตั้งทางไฟฟ้าสำหรับบริภัณฑ์จ่ายไฟยานยนต์ไฟฟ้า เพื่อการอัดประจุไฟฟ้า สำหรับประเภทบ้านอยู่อาศัย อาคารชุด อาคารสำนักงานและลักษณะที่คล้ายกัน.

[10] ปพน งามประเสริฐ ณรงค์พันธ์ รุ่งเจริญ ชุมพลศิริวัฒนสิทธิ์ กันต์ วุฒิพฤกษ์ สาคร วุฒิพัฒนพันธุ์ และนัฐโชติ รักไทยเจริญชีพ, “การปฏิบัติการระบบผลิตไฟฟ้าพลังงานแสงอาทิตย์แบบผสานสำหรับระบบกักเก็บพลังงานในโรงงานอุตสาหกรรม,” UTK RESEARCH JOURNAL, ปี 18, ฉบับที่ 1, น. 11–21, มิ.ย. 2024.

การวิเคราะห์งบลงทุนระบบสูบน้ำพลังงานแสงอาทิตย์กับระบบสูบน้ำเครื่องยนต์เบนซิน สำหรับแปลงเกษตรที่ไม่มีไฟฟ้า กรณีศึกษาพื้นที่อำเภอรัตภูมิ จังหวัดสงขลา

Investment Analysis of Solar Water Pumping System and Gasoline Engine Water Pumping System For Agricultural Plots without Electricity Case Study of Rattaphum District Songkhla Province

คฑาวุธ ชุมขวัญ[1] ศิวดล นวลนภดล[1] ศักดิ์ชัย นวลนิ่ม[1] และ สุวิชา บัวอิน[1*]

[1]สาขาไฟฟ้า วิทยาลัยรัตภูมิ มหาวิทยาลัยเทคโนโลยีราชมงคลศรีวิชัย

Katawoot.ch@rmutsv.ac.th, Sivadol.n@rmutsv.ac.th,Suwicha.eng@gmail.com, Sakchai.n@rmutsv.ac.th

บทคัดย่อ

งานวิจัยฉบับนี้เป็นการวิเคราะห์ข้อมูลเพื่อประเมินงบลงทุน (จุดคุ้มทุน) ของระบบสูบน้ำพลังงานแสงอาทิตย์กับระบบสูบน้ำเครื่องยนต์เบนซิน วิธีดำเนินการวิจัยประกอบด้วย 3 ขั้นตอนหลัก คือ การออกแบบและสร้างระบบ การทดสอบและบันทึกผลประสิทธิภาพ การวิเคราะห์ค่าใช้จ่ายของระบบ โดยใช้แปลงสาธิตสวนทุเรียน ประมาณ 10 ไร่ อำเภอรัตภูมิ จังหวัดสงขลา ผลการวิจัยพบว่า ระบบสูบน้ำพลังงานแสงอาทิตย์เปรียบเทียบกับระบบสูบน้ำเครื่องยนต์เบนซิน (ปริมาณการให้น้ำประมาณ 25,000 – 30,000 ลิตรต่อชั่วโมง) กรณีเปิดใช้งาน 1 ชั่วโมงต่อวัน จุดคุ้มทุนรวมค่าบำรุงรักษาเท่ากับ 1.46 ปี และกรณีเปิดใช้งาน 4 ชั่วโมงต่อวัน จุดคุ้มทุนรวมค่าบำรุงรักษา เท่ากับ 0.53 ปี

คำสำคัญ: งบลงทุน, ระบบสูบน้ำพลังงานแสงอาทิตย์, ระบบสูบน้ำเครื่องยนต์เบนซิน

Abstract

This research is a data analysis to evaluate the investment budget (break-even point) of solar water pumping systems compared to gasoline engine water pumping systems. The research methodology consists of three main steps: system design and construction, performance testing and recording, and system cost analysis. The study used a durian orchard demonstration plot of approximately 10 rai in Rattaphum District, Songkhla Province. The results showed that the solar water pumping system, when compared to the gasoline engine water pumping system (water supply volume approximately 25,000-30,000 liters per hour), when operated for 1 hour per day, the break-even point including maintenance costs was equal to 1.46 years, and when operated for 4 hours per day, the break-even point including maintenance costs was equal to 0.53 years.

Keywords: Investment budget, Solar water pumping system, Gasoline engine water pump system

1. บทนำ

ปัญหาในการทำการเกษตรในปัจจุบันส่วนหนึ่งต้นทุนด้านพลังงานจัดเป็นต้นทุนหลักในการดำเนินการให้ได้มาซึ่งผลผลิต ส่งผลให้มีค่าใช้จ่ายที่เพิ่มขึ้น การเพิ่มขึ้นของต้นทุนหน่วยไฟฟ้า (kWh) รวมทั้งราคาน้ำมันเชื้อเพลิงสำหรับใช้งานของเครื่องสูบน้ำ โดยราคาต้นทุนด้านพลังงานเหล่านี้ที่มีการปรับเปลี่ยนเพิ่มขึ้นอยู่ตลอดเวลา ซึ่งเกษตรกรไม่สามารถที่จะไปควบคุมราคาต้นทุนด้านเชื้อเพลิงนี้ได้

จากปัญหาดังกล่าวแสดงให้เห็นถึงความสำคัญของต้นทุนของหน่วยไฟฟ้าและต้นทุนด้านราคาน้ำมันเชื้อเพลิง ซึ่งมีผลต่อเกษตรกรโดยตรงอย่างหลีกเลี่ยงไม่ได้ ดังนั้นจึงมีความจำเป็นที่ต้องมีการหาแหล่งพลังงานทดแทนเพื่อลดต้นทุนดังกล่าวข้างต้น พลังงานแสงอาทิตย์จึงจัดเป็นพลังงานทางเลือกลำดับต้นๆ ที่เหมาะสมในการนำมาใช้งานของระบบโซลาเซลล์

เพื่อให้เกษตรกรได้ทราบถึงจุดคุ้มทุน ระยะเวลาในการคืนทุนของระบบโซลาเซลล์เพื่อการเกตรกร จากข้อมูลในพื้นที่การเกษตรจังหวัดสงขลา พบว่า สถานการณ์การผลิตทุเรียนในจังหวัดสงขลา มีเกษตรกรผู้ปลูกทุเรียน 9,509 ครัวเรือน พื้นที่ปลูกทุเรียนปี 2564 เนื้อที่เพาะปลูก/เนื้อที่ยืนต้น 19,091 ไร่ เนื้อที่เก็บเกี่ยว/เนื้อที่ให้ผล 14,805 ไร่ ปริมาณผลผลิตรวม 13,720 ตัน ผลผลิตเฉลี่ย 928.92 กิโลกรัมต่อไร่ซึ่งจากข้อมูลการสำรวจพบว่าสวนใหญ่จะไม่มีไฟฟ้าใช้งานภายในสวน เกษตรกรจึงมีความจำเป็นต้องใช้เครื่องสูบน้ำแบบเครื่องยนต์ ซึ่งมีต้นทุนค่าน้ำมันที่สูง เช่น เครื่องสูบน้ำเครื่องยนต์เบนซินทั่วไปขนาด 4.8-5.5 แรงม้า ให้น้ำโดยเฉลี่ย 25,000-50,000 ลิตรต่อชั่วโมง จะมีน้ำหนักเครื่องยนต์ประมาณ 30 กิโลกรัม มีอัตราสิ้นเปลืองเชื้อเพลิง 1.5 - 2 ลิตรต่อชั่วโมง คิดเป็นค่าใช้จ่าย 82.28 บาทต่อชั่วโมง (อ้างอิงราคาน้ำมันเบนซิน 95 ปตท. ราคา 41.14 บาทต่อลิตร วันที่ 12 กรกฎาคม 2568) จะมีต้นทุนของน้ำมันเชื้อเพลิงค่อนข้างสูงเมื่อเทียบกับค่าไฟฟ้า

เพื่อเป็นการลดต้นทุนด้านการเกษตรเพื่อให้ทันกับการแข่งขันที่สูงขึ้น งานวิจัยนี้จึงมีแนวความคิดที่จะช่วยเกษตรกรลดต้นทุน เพิ่มผลผลิตและลดความยุ่งยากการใช้งานเชิงเทคนิคระหว่างระบบสูบน้ำพลังงานแสงอาทิตย์กับระบบสูบน้ำเครื่องยนต์เบนซิน เพื่อช่วยยกระดับคุณภาพชีวิตของเกษตรกรให้ดีขึ้นด้วยนวัตกรรมเทคโนโลยีพลังงานแสงอาทิตย์ เพราะนอกเหนือจากพลังงานไฟฟ้าที่เหลือจากระบบสูบน้ำพลังงาน

*ผู้ประพันธ์บรรณกิจ

แสงอาทิตย์แล้วยังสามารถนำพลังงานไฟฟ้าไปใช้กับเครื่องใช้ไฟฟ้าอื่นได้อีกด้วย

หัวข้อที่จะกล่าวถึงการออกแบบระบบโซลาเซลล์สำหรับเกษตรกรผู้ปลูกทุเรียน การคำนวณและประเมินจุดคุ้มทุน การเปรียบเทียบผลการประเมินจุดคุ้มทุนเปรียบเทียบกับการใช้เชื้อเพลิงน้ำมันสำหรับเครื่องสูบน้ำ และสุดท้ายจะเป็นการสรุปผลการวิเคราะห์

2. วัตถุประสงค์ของการวิจัย

1. เพื่อออกแบบและสร้างระบบสูบน้ำพลังงานแสงอาทิตย์
2. ทดสอบและบันทึกผลประสิทธิภาพระบบสูบน้ำพลังงานแสงอาทิตย์
3. เพื่อวิเคราะห์งบลงทุนระบบสูบน้ำพลังงานแสงอาทิตย์เทียบกับระบบสูบน้ำเครื่องยนต์เบนซิน สำหรับแปลงเกษตรที่ไม่มีไฟฟ้า

3. ออกแบบและสร้างระบบสูบน้ำพลังงานแสงอาทิตย์

ศึกษาทฤษฎี เก็บรวบรวมข้อมูลจากเอกสารบทความที่เกี่ยวข้องกับพลังงานไฟฟ้าและพลังงานแสงอาทิตย์ ออกแบบและสร้างระบบสูบน้ำพลังงานแสงอาทิตย์ มีวิธีการดำเนินการดังนี้

3.1 ข้อมูลศักยภาพพลังงานแสงอาทิตย์ของประเทศไทย

กำหนดพื้นที่สำหรับแปลงเกษตรที่ไม่มีไฟฟ้า กรณีศึกษาพื้นที่อำเภอรัตภูมิ จังหวัดสงขลา โดยอ้างอิงข้อมูลจากแอพพลิเคชั่น SolarTester V4.0 ปรากฏค่า GHI (Global Horizontal Irradiance) หรือค่าเฉลี่ยความเข้มรังสีดวงอาทิตย์ทั้งหมดที่ตกกระทบพื้นผิวโลกในแนวราบต่อหนึ่งหน่วยพื้นที่เฉลี่ยต่อปี (Ir) จะบ่งบอกถึงปริมาณพลังงานแสงอาทิตย์ที่มีอยู่จริงในพื้นที่นั้นๆ พบว่ามีค่าเท่ากับ 1,658kW/m^2/yr และจะมีค่าความเข้มพลังงานแสงอาทิตย์เฉลี่ยต่อวัน เท่ากับ 4.543 kW/m^2/d เพื่อเป็นข้อมูลพื้นฐานที่จำเป็นในการคำนวณหาประสิทธิภาพและการออกแบบระบบโซลาร์เซลล์อย่างเหมาะสม

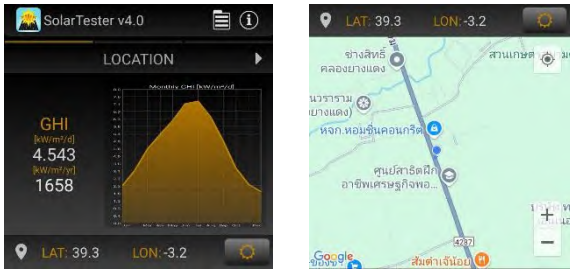

รูปที่ 1 ค่าเฉลี่ยความเข้มรังสีดวงอาทิตย์ พื้นที่อำเภอรัตภูมิ จังหวัดสงขลา

3.2 การเลือกพิกัดหรือขนาดของปั๊มน้ำ

พิจารณาเลือกใช้งานปั๊มหอยโข่งพลังงานแสงอาทิตย์ขนาด 2 แรงม้า ท่อออก 2 นิ้ว พิกัดกำลังไฟฟ้า 1,500 วัตต์ เฮดปั๊มสูงสุด 21 เมตร ให้ปริมาณน้ำสูงสุด 27,000 ลิตรต่อชั่วโมง เทียบเคียงปริมาณการให้น้ำกับระบบสูบน้ำเครื่องยนต์เบนซินเดิม สามารถคำนวณเพื่อออกแบบระบบสูบน้ำพลังงานแสงอาทิตย์ ดังนี้

3.2.1 การหาค่าความต้องการกำลังไฟฟ้าของปั๊มน้ำเฉลี่ยทั้งปี คิดจากกำลังไฟฟ้าปั๊มหอยโข่งพลังงานแสงอาทิตย์ 1,500 วัตต์ คูณค่าเฉลี่ยของค่าพลังงานแสงอาทิตย์ 5 ชั่วโมงต่อวัน คูณด้วย 365 วัน ดังนั้นความต้องการกำลังไฟฟ้าของปั๊มน้ำใน 1 ปี มีค่าเท่ากับ 2,737.5 กิโลวัตต์-ชั่วโมงต่อปี

3.2.2 การคำนวณหากำลังวัตต์ของแผงโซลาเซลล์ [3] สามารถคำนวณหากำลังวัตต์รวมของแผงแผงโซลาเซลล์ทั้งระบบ จากสมการที่ 1

$$P_{PV} = \frac{(E_a x SF)}{E_{PV} x \eta_{system}} \quad (1)$$

เมื่อกำหนดให้

P_{PV} คือ กำลังวัตต์ของแผงโซลาเซลล์ทั้งหมด หน่วยเป็นวัตต์

E_a คือ ความต้องการพลังงานไฟฟ้าเฉลี่ย หน่วยกิโลวัตต์-ชั่วโมงต่อปี

SF คือ สัดส่วนการใช้พลังงานของชุดโซลาเซลล์ในระบบ รวมปกติจะมีค่าเท่ากับ 1 (กรณีมีแผงเซลล์แสงอาทิตย์แหล่งเดียว)

η_{system} คือ ประสิทธิภาพของระบบโดยมีค่าเริ่มต้น 70 %

E_{PV} คือ ค่าพลังงานแสงอาทิตย์จำเพาะแต่ละพื้นที่ โดยพื้นที่ กรณีศึกษามีค่าเฉลี่ยเท่ากับ 1,658 kW/m/y

แทนค่าในสมการที่ 1 เพื่อคำนวณหากำลังวัตต์ของแผงโซลาเซลล์จะได้ขนาดกำลังวัตต์ตามสมการที่ 2

$$P_{PV} = \frac{(2,737.5x1)}{(1,658x0.7)} = 2.36kW \quad (2)$$

ดังนั้น แทนค่าในสมการที่ 2 จะได้ขนาดกำลังวัตต์รวมของแผงโซลาเซลล์ 2.36 kW หรือประมาณ 2,400 W

3.2.3 การคำนวณหาจำนวนของแผงโซลาเซลล์ [3] เลือกใช้งานแผงโซลาเซลล์ขนาด 620 วัตต์ ยี่ห้อ LONGI พิกัดแรงดันไฟฟ้าสูงสุด 44.48 โวลต์ กระแสไฟฟ้าสูงสุด 13.94 แอมแปร์ สามารถหาจำนวนของแผงโซลาเซลล์ จากสมการที่ 3

$$N_{PV} = \frac{P_{PV}}{PV_{wp}} \quad (3)$$

เมื่อกำหนดให้

N_{PV} คือ จำนวนแผงโซลาเซลล์หน่วยเป็น แผง

P_{PV} คือ กำลังวัตต์ของแผงโซลาเซลล์ทั้งหมด หน่วย วัตต์

PV_{WP} คือ กำลังไฟฟ้าแผงโซลาเซลล์ที่ใช้งาน หน่วย วัตต์-พี

แทนค่าในสมการที่ 3 เพื่อคำนวณหาจำนวนแผง จะได้จำนวนแผงโซลาเซลล์ ตามสมการที่ 4

$$N_{PV} = \frac{2,400W}{620W} = 3.87 \quad (4)$$

ดังนั้น จะได้แผงโซลาเซลล์จำนวน 3.87 แผง หรือประมาณ 4 แผง

3.3 ออกแบบโครงสร้างและตู้ควบคุม

3.3.1 ออกแบบโครงสร้างรองรับแผงโซลาเซลล์ จำนวน 4 แผง เลือกใช้งานโครงสร้างเหล็กปลอดสนิมและอุปกรณ์ติดตั้งแผงเซลล์แสดงอาทิตย์จากวัสดุประเภทอลูมิเนียม โดยยึดตามมาตรฐานการติดตั้งแผงโซลาเซลล์ รูปที่ 2

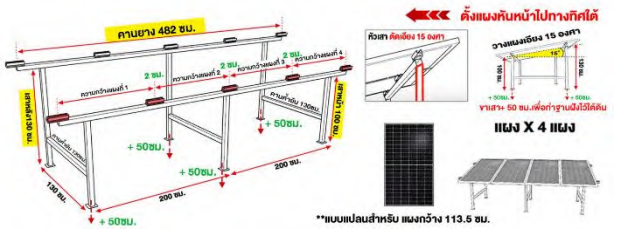

รูปที่ 2 แบบโครงสร้างสำหรับติดตั้งแผงโซลาเซลล์

3.3.2 ออกแบบวงจรควบคุมระบบสูบน้ำพลังงานแสงอาทิตย์ โดยออกแบบระบบควบคุมที่สามารถสั่งเปิดปิดการทำงานผ่านระบบ Wi-Fi ด้วยแอปพลิเคชัน eWelink สามารถเปิดปิดระบบรดน้ำด้วยสปิงเกอร์สูงสุด 3 โซน ซึ่งเพียงพอต่อการใช้งานจริงสำหรับเกษตรกร

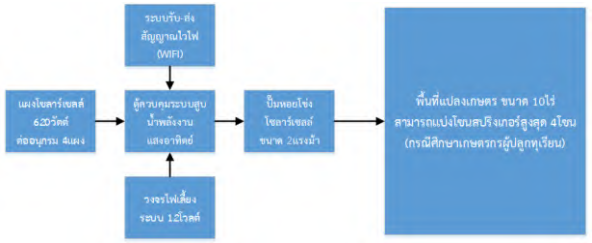

รูปที่ 3 วงจรควบคุมระบบสูบน้ำพลังงานแสงอาทิตย์

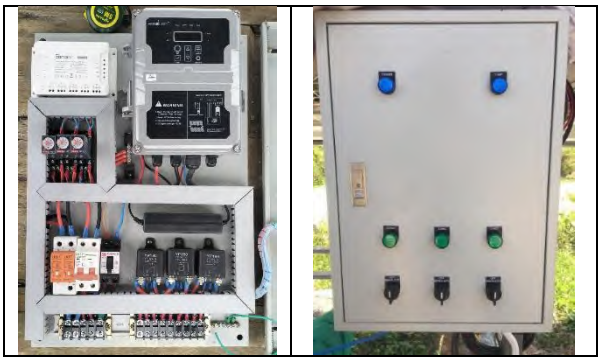

รูปที่ 4 ตู้ควบคุมระบบสูบน้ำพลังงานแสงอาทิตย์เปิดปิดผ่านสมาร์ทโฟนสูงสุด 3 โซน

3.3.4 การติดตั้งและทดสอบระบบสูบน้ำพลังงานแสงอาทิตย์

ติดตั้งระบบสูบน้ำพลังงานแสงอาทิตย์ เลือกใช้ปั๊มน้ำหอยโข่งยี่ห้อแฮนดูโร่ ขนาดท่อ 2 นิ้ว รุ่น H21 Q21 HD-SCPM27-21-110-1500 แรงดันไฟฟ้ากระแสตรงพิกัด 110-150 โวลต์ รูปที่ 5 แสดงพื้นที่ติดตั้งระบบสูบน้ำพลังงานแสงอาทิตย์และการเชื่อมต่อแอปพลิเคชัน eWelink ที่ใช้งานจริงพร้อมตรวจวัดวัดค่าพลังงานทางไฟฟ้า ดังรูปที่ 6

รูปที่ 5 การติดตั้งระบบสูบน้ำพลังงานแสงอาทิตย์

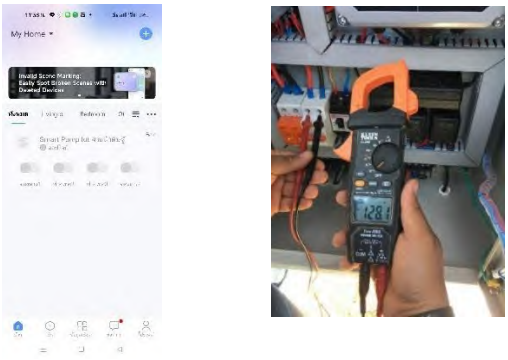

(a) (b)

รูปที่ 6 แอปพลิเคชัน eWelink (a) และ การวัดค่าพลังงานทางไฟฟ้า (b)

4. การวิเคราะห์งบลงทุนของระบบสูบน้ำ

ตารางที่ 1 การวิเคราะห์งบลงทุนระบบสูบน้ำพลังงานแสงอาทิตย์ กรณีเปิดใช้งาน 1 ชั่วโมงต่อวัน

การวิเคราะห์ข้อมูล	ประเภทของระบบสูบน้ำ (เทียบปริมาณน้ำ 25,000-30,000 ลิตรต่อชั่วโมง)		
	ปั๊มโซลาเซลล์ ขนาด 2 HP	ปั๊มไฟฟ้า 1 เฟส ขนาด 2 HP	เครื่องยนต์เบนซิน ขนาด 4.8 HP
แผงโซลาเซลล์ 620 วัตต์ จำนวน 4 แผง	14,000	-	-
ระบบสูบน้ำ	10,000	7,500	12,500
ตู้ควบคุมไฟฟ้า	7,000	4,500	-
อุปกรณ์โครงสร้าง	9,500	-	-
ค่าติดตั้งระบบสูบน้ำ	15,000	2,500	1,500
ค่าพลังงานสิ้นเปลือง (บาท/ปี)	-	2,700	22,216

ค่าบำรุงรักษา (บาท/ปี)	1,000	1,000	2,500
รวมค่าใช้จ่ายทั้งหมด (บาทต่อปี)	56,500	19,200	38,716

ตารางที่ 2 การวิเคราะห์งบลงทุนระบบสูบน้ำพลังงานแสงอาทิตย์ กรณีเปิดใช้งาน 4 ชั่วโมงต่อวัน

การวิเคราะห์ข้อมูล	ประเภทของระบบสูบน้ำ (เทียบปริมาณน้ำ 25,000-30,000 ลิตร/ชั่วโมง)		
	ปั๊มโซลาเซลล์ ขนาด 2 HP	ปั๊มไฟฟ้า 1 เฟส ขนาด 2 HP	เครื่องยนต์เบนซิน ขนาด 4.8 HP
แผงโซลาเซลล์ 620 วัตต์ จำนวน 4 แผง	14,000	-	-
ระบบสูบน้ำ	10,000	7,500	12,500
ตู้ควบคุมไฟฟ้า	7,000	4,500	-
อุปกรณ์โครงสร้าง	9,500	-	-
ค่าติดตั้งระบบสูบน้ำ	15,000	2,500	1,500
ค่าพลังงานสิ้นเปลือง (บาท/ปี)	-	10,800	88,862
ค่าบำรุงรักษา (บาท/ปี)	1,000	1,000	2,500
รวมค่าใช้จ่ายทั้งหมด (บาทต่อปี)	56,500	27,300	105,362

จากตารางที่ 1 และ 2 การวิเคราะห์งบลงทุนระบบสูบน้ำพลังงานแสงอาทิตย์กับระบบสูบน้ำเครื่องยนต์เบนซิน กรณีเปิดใช้งาน 1 ชั่วโมง และ 4ชั่วโมงต่อวัน เมื่อเปรียบเทียบปริมาณการสูบน้ำระบบเดิม คือ 25,000-30,000ลิตรต่อชั่วโมง โดยการวิเคราะห์ข้อมูลค่าใช้จ่ายและค่าบำรุงรักษาทั้งหมด สามารถนำเสนอรายละเอียด ดังนี้

1.ค่าใช้จ่ายเชิงค่าพลังงานไฟฟ้าของปั๊มโซลาร์เซลล์และปั๊มไฟฟ้าขนาด 2 แรงม้า กำลังไฟฟ้า 1,500วัตต์ โดยเปรียบเทียบค่าใช้จ่ายไฟฟ้า พบว่า หากมีการสูบน้ำ วันละ 1 ชั่วโมง (1,500 วัตต์ = 2 แรงม้า = 1.5 ยูนิต คิดค่าไฟฟ้ายูนิตละ 5 บาท) จะต้องจ่ายค่าไฟฟ้า 7.5 บาทต่อชั่วโมง หรือ 225 บาทต่อเดือน หรือ 2,700 บาทต่อปี และหากมีการสูบน้ำวันละ 4 ชั่วโมง จะต้องจ่ายค่าไฟฟ้า 6.75 บาทต่อชั่วโมง หรือ 30 บาทต่อวัน หรือ 900 บาทต่อเดือน หรือ 10,800 บาทต่อปี

2.ค่าใช้จ่ายเชิงค่าพลังงานเชื้อเพลิง ระบบสูบน้ำเครื่องยนต์เบนซินขนาด 4.8HP อัตราสิ้นเปลืองเชื้อเพลิง 1.5ลิตรต่อชั่วโมง โดยเปรียบเทียบค่าใช้จ่ายด้านเชื้อเพลิง พบว่า หากมีการสูบน้ำ วันละ 1 ชั่วโมง (ราคาน้ำมันเบนซิน 95 ลิตรละ 41.14บาท) จะต้องจ่ายค่าน้ำมันเชื้อเพลิง 61.71 บาทต่อวัน หรือ 1,851.30 บาทต่อเดือน หรือ 22,215.60 บาทต่อปี และหากมีการสูบน้ำวันละ 4 ชั่วโมง จะต้องจ่ายค่าน้ำมันเชื้อเพลิง 246.84 บาทต่อวัน หรือ 7,405.20 บาทต่อเดือน หรือ 88,862.40 บาทต่อปี ซึ่งจะมีค่าใช้จ่ายค่อนข้างสูงมากเมื่อเทียบกับระบบสูบน้ำพลังงานแสงอาทิตย์และปั๊มไฟฟ้า

5. การคำนวณและประเมินจุดคุ้มทุน

การคำนวณเพื่อประเมินความจุดคุ้มทุนระบบสูบน้ำพลังงานแสงอาทิตย์ โดยการคำนวณระยะเวลาในการคืนทุน (Discounted Payback Period) สำหรับระบบสูบน้ำพลังงานแสงอาทิตย์สำหรับผู้ปลูกทุเรียน โดยทำการคำนวณค่าพลังงานไฟฟ้า (kWh) กำหนดให้ต้นทุนค่าพลังงานไฟฟ้า 5 บาท/หน่วย เปรียบเทียบกับต้นทุนน้ำมันเชื้อเพลิงสำหรับสูบน้ำ ทั้งนี้การคำนวณหาระยะเวลาประเมินจุดคุ้มทุนจะพิจารณารวมค่าใช้จ่ายทั้งหมดในแต่ละปีของระบบสูบน้ำใช้เชื้อเพลิงน้ำมันเปรียบเทียบกับงบประมาณในการลงทุนสำหรับระบบพลังงานแสงอาทิตย์

$$\text{ระยะเวลาคืนทุน} = \frac{\text{ค่าใช้จ่ายสุทธิต่อปี (Solar Energy)}}{\text{ค่าใช้จ่ายสุทธิต่อปี (Gasoline Engine)}} \quad (5)$$

สามารถสรุปผลการคำนวณและประเมินจุดคุ้มทุนของการใช้งานเครื่องยนต์เชื้อเพลิงน้ำมันเปรียบเทียบกับปั๊มสูบน้ำพลังงานแสงอาทิตย์ ได้ตามสมการที่ 5 สามารถสรุประยะเวลาคุ้มทุนในตารางที่ 3

ลำดับ	จำนวนชั่วโมงใช้งาน/วันของปั๊มสูบน้ำเซลล์แสงอาทิตย์	ระยะเวลาคุ้มทุน (ปี)
1	1	1.46
2	4	0.53

6. สรุปผล

1. ระบบสูบน้ำพลังงานแสงอาทิตย์ที่ออกแบบและสร้างขึ้นประกอบด้วยแผงเซลล์แสงอาทิตย์ ขนาด 620 วัตต์ จำนวน 4 แผง (ต่ออนุกรมกัน) สามารถผลิตกำลังไฟฟ้ารวมสูงสุด 2,480 วัตต์ต่อชั่วโมง ซึ่งเพียงพอต่อการทำงานของปั๊มหอยโข่งพลังงานแสงอาทิตย์ขนาด 2 แรงม้า พิกัดกำลังไฟฟ้า 1,500 วัตต์ เฮดปั๊มสูงสุด 21 เมตร ท่อออก 2 นิ้ว ที่ให้ปริมาณน้ำสูงสุด 27,000 ลิตรต่อชั่วโมง เทียบเท่ากับระบบสูบน้ำเครื่องยนต์เบนซินเดิม โดยจะมีชุดควบคุมระบบสูบน้ำพลังงานแสงอาทิตย์ควบคุมผ่านสมาร์ทโฟนสูงสุด 3-4 โซน สามารถรองรับการทำงานในพื้นที่กรณีศึกษา สำหรับแปลงเกษตรที่ไม่มีไฟฟ้า พื้นที่อำเภอรัตภูมิ จังหวัดสงขลา ได้อย่างมีประสิทธิภาพ อีกทั้งยังสามารถนำพลังงานไฟฟ้าที่เหลือขณะไม่ใช้งานระบบสูบน้ำไปใช้งานกับเครื่องใช้ไฟฟ้าอื่นอีกด้วย

2. ผลการวิเคราะห์งบลงทุนระบบสูบน้ำพลังงานแสงอาทิตย์กับระบบสูบน้ำเครื่องยนต์เบนซิน สำหรับแปลงเกษตรที่ไม่มีไฟฟ้าประเภทของระบบสูบน้ำ (เทียบปริมาณน้ำ 25,000-30,000 ลิตร/ชั่วโมง) กรณีเปิดใช้งาน 1 ชั่วโมง/วัน จุดคุ้มทุนรวมค่าใช้จ่าย กำหนดระยะ 5ปี เท่ากับ 2.54 ปี และ กรณีเปิดใช้งาน 4 ชั่วโมง/วัน จุดคุ้มทุนรวมค่าใช้จ่าย เท่ากับ 0.63 ปี

เอกสารอ้างอิง

[1] สนธยา เกาะสมบัติ, อัสนี อำนวย และ ศักดิ์ทนงค์ วงเจริญ “การวิเคราะห์รูปแบบระบบสูบน้ำเซลล์แสงอาทิตย์เพื่อการเกษตร” ITC Industrial Technology Journal , 2023

[2] นครินทร์ รินผล “คู่มือการออกแบบระบบไฟฟ้าพลังงานแสงอาทิตย์เบื้องต้น” พิมพ์ครั้งที่ 14 , 2559

[3] นเรศ สิริวราวุธ ,ปราโมทย์ สุขศิริศักดิ์ “ การศึกษาและเปรียบเทียบกำลังไฟฟ้าและจุดคุ้มทุนของการผลิตไฟฟ้าจากแผงเซลล์แสงอาทิตย์”.Sci&Tech.J.NKRAFA.[2022] 18(1), 38 - 49

นายคฑาวุธ ชุมขวัญ สำเร็จการศึกษา ป.ตรี จาก มจธ. และ ป.โท จาก มจพ. สาขาวิศวกรรมไฟฟ้า ปัจจุบัน อาจารย์ประจำสาขาไฟฟ้า มทร.ศรีวิชัย วิทยาลัยรัตภูมิ งานวิจัยที่สนใจด้านพลังงานทางเลือกและการอนุรักษ์พลังงาน

นายศิวดล นวลนภดล สำเร็จการศึกษา ป.ตรี จาก มจธ. และ ป.โท จาก มจพ. สาขาวิศวกรรมไฟฟ้า ปัจจุบัน อาจารย์ประจำสาขาไฟฟ้า มทร.ศรีวิชัย วิทยาลัยรัตภูมิ งานวิจัยที่สนใจด้านวิศวกรรมไฟฟ้าและโทรคมนาคม

นายศักดิชัย นวลนิ่ม สำเร็จการศึกษา ป.ตรี จาก มทร.ศรีวิชัย กำลังศึกษาระดับ ป.โท สาขาวิศวกรรมไฟฟ้า มทร.ศรีวิชัย ปัจจุบัน อาจารย์ประจำสาขาไฟฟ้า มทร.ศรีวิชัย วิทยาลัยรัตภูมิ งานวิจัยที่สนใจด้านเครื่องจักรกลไฟฟ้าและพลังงานทางเลือก

นายสุวิชา บัวอิน สำเร็จการศึกษา ป.ตรี จาก มจพ. และ ป.โท จาก ม.ธรรมศาสตร์ สาขาวิศวกรรมไฟฟ้า ปัจจุบัน อจ.(พิเศษ) สาขาไฟฟ้า มทร.ศรีวิชัย วิทยาลัยรัตภูมิ งานวิจัยที่สนใจ ด้านคุณภาพไฟฟ้าระบบ IOT และการจัดการพลังงาน

การศึกษาด้านเทคนิคและเศรษฐศาสตร์ของการลดค่าความต้องการใช้พลังงานไฟฟ้าสูงสุดด้วยเทคนิคการควบคุมการจ่ายพลังงานด้วยโซล่าเซลล์ร่วมกับระบบกักเก็บพลังงานแบตเตอรี่

Study on Techno-economic of Peak Shaving with Photovoltaic System and Battery Energy Storage System

สมรถษ์ อินจันทร์ กัญจน์ นาคเอี่ยม ณัฐวัฒน์ พัลวัน วรจักร์ เมืองใจ กิตตินัน สระสวย และธีระศักดิ์ สมศักดิ์*

หน่วยวิจัยระบบพลังงานสะอาด สาขาวิศวกรรมไฟฟ้า คณะวิศวกรรมศาสตร์ มหาวิทยาลัยเทคโนโลยีราชมงคลล้านนา

128 ถ.ห้วยแก้ว ต.สุเทพ อ.เมือง จ.เชียงใหม่ 50300 E-mail: somrot_in65@live.rmutl.ac.th

บทคัดย่อ

งานวิจัยนี้ประเมินประสิทธิภาพเชิงเทคนิคและความคุ้มค่าทางเศรษฐศาสตร์ของระบบโซล่าเซลล์ร่วมกับแบตเตอรี่ (PV-BESS) เพื่อลดความต้องการพลังไฟฟ้าสูงสุด (Peak Demand) ลง 10% จากฐานเดิม 770 กิโลวัตต์ การศึกษาใช้วิธีการจำลองการทำงานของระบบ BESS ขนาด 77 กิโลวัตต์ / 154 กิโลวัตต์-ชั่วโมง ควบคู่กับการวิเคราะห์การลงทุนแบบพลวัต โดยพิจารณาต้นทุนแบตเตอรี่ที่คาดว่าจะลดลงระหว่างปี พ.ศ. 2567 ถึง 2573 ผลการจำลองชี้ว่าระบบสามารถลดความต้องการไฟฟ้าสูงสุดได้ 77 กิโลวัตต์ตามเป้าหมาย ด้านเศรษฐศาสตร์พบว่าโครงการยังไม่มีความน่าลงทุนในช่วงปี พ.ศ. 2567-2572 (NPV < 0, IRR < 8%) จุดคุ้มทุนเชิงกลยุทธ์จะเกิดขึ้นในปี พ.ศ. 2573 เมื่อราคาแบตเตอรี่คาดว่าจะลดลงสู่ระดับ 2,880 บาทต่อกิโลวัตต์-ชั่วโมง ซึ่งส่งผลให้อัตราผลตอบแทนภายใน (IRR) เพิ่มขึ้นเป็น 8.65% และสูงกว่าอัตราคิดลดที่ยอมรับได้ โดยสรุป แม้ระบบ PV-BESS จะมีประสิทธิภาพทางเทคนิคสูง แต่ความคุ้มค่าในการลงทุนขึ้นอยู่กับจังหวะเวลาที่เหมาะสมกับต้นทุนเทคโนโลยี งานวิจัยจึงเสนอแนะกลยุทธ์ "เฝ้าระวังและรอคอย (Watchful Waiting)" เพื่อให้ผู้ประกอบการตัดสินใจลงทุนเมื่อสภาวะตลาดเอื้ออำนวย

คำสำคัญ: การลดความต้องการพลังไฟฟ้าสูงสุด, ระบบเซลล์แสงอาทิตย์ ระบบกักเก็บพลังงานด้วยแบตเตอรี่, การวิเคราะห์เชิงเทคนิคและเศรษฐศาสตร์, จังหวะการลงทุน

Abstract

This research evaluates the technical efficiency and economic viability of a solar cell system combined with a battery (PV-BESS) to reduce the peak demand by 10% from the original base of 770 kilowatts. The study employs a simulation of the BESS system with a capacity of 77 kilowatts/154 kilowatt-hours, alongside a dynamic investment analysis, considering the expected decrease in battery costs over the years. From 2024 to 2030, simulation results indicate that the system can reduce peak electricity demand by 77 kilowatts as targeted. Economically, the project is not yet considered an investment opportunity during this period. B.E. 2567-2572 (NPV < 0, IRR < 8%) The strategic breakeven point will occur in the year B.E. Prof. In 2573, when battery prices are expected to drop to 2,880 baht per kilowatt-hour, resulting in an internal rate of return (IRR) increasing to 8.65%, which is higher than the acceptable discount rate. In summary, although the PV-BESS system has high technical efficiency, the investment value depends on the timing relative to technology costs. The research therefore recommends a "Watchful Waiting" strategy to allow operators to decide on investment when market conditions are favorable.

Keywords: Peak Shaving, Photovoltaic System, Battery Energy Storage System, Techno-economic Analysis, Investment Timing Peak Demand IRR NPV Strategic Break-even Point

ชุดควบคุมสำหรับลดการผลิตของระบบเซลล์แสงอาทิตย์บนหลังคาเพื่อการมีส่วนร่วมในโปรแกรมตอบสนองด้านโหลด: แนวทางการบรรเทาปรากฏการณ์เส้นโค้งรูปเป็ด

Killing the Duck: A Solar rooftop power curtailment Controller for Participation in Demand Response Programs

พงศ์ภาวี พันธ์ธนัยเกษม[1] นันทวัน กรุดอินทร์[1] อัณฐิตา นัยกุล[1] และ ปิยดนัย ภาชนะพรรณ์[1]*

[1]ภาควิชาวิศวกรรมไฟฟ้าและคอมพิวเตอร์ คณะวิศวกรรมศาสตร์ มหาวิทยาลัยนเรศวร

pongpaveep68@nu.ac.th, nuntawank63@nu.ac.th, auntitan64@nu.ac.th, and piyadanip@nu.ac.th*

บทคัดย่อ

งานวิจัยนี้นำเสนอการพัฒนาชุดควบคุมสำหรับลดกำลังการผลิตไฟฟ้าจากระบบเซลล์แสงอาทิตย์บนหลังคาในภาคครัวเรือนหรือองค์กรขนาดเล็กอย่างสมัครใจ เพื่อบรรเทาผลกระทบจากปรากฏการณ์เส้นโค้งรูปเป็ด (Duck Curve) อันเกิดจากการผลิตไฟฟ้าจากเซลล์แสงอาทิตย์ในปริมาณมาก โดยจะเป็นการสนับสนุนผู้ใช้ไฟฟ้าที่ติดตั้งระบบเซลล์แสงอาทิตย์บนหลังคาเลือกจำกัดปริมาณกำลังไฟฟ้าผลิตได้ เมื่อได้รับการร้องขอจากผู้ดูแลระบบไฟฟ้าด้วยความสมัครใจ ระบบที่นำเสนอช่วยให้ผู้ใช้สามารถกำหนดช่วงเวลา และระดับการจำกัดกำลังไฟฟ้าได้ผ่านแอปพลิเคชันบนโทรศัพท์มือถือ โดยสั่งการไปยังอินเวอร์เตอร์ที่เชื่อมต่อกับระบบไฟฟ้าผ่านชุดควบคุมซึ่งพัฒนาด้วยบอร์ด Raspberry Pi ซึ่งสามารถจำกัดกำลังไฟฟ้าได้ 3 ระดับ คือ ร้อยละ 0, 30, และ 60 ของขนาดพิกัดอินเวอร์เตอร์ตามลำดับ ทั้งนี้ผู้เข้าร่วมการตอบสนองด้านโหลดนี้จะได้รับผลตอบแทนโดยพิจารณาจากโอกาสในการผลิตพลังงานไฟฟ้าที่สูญเสียไปในช่วงเวลาที่มีการจำกัดกำลังการผลิต

คำสำคัญ: เส้นโค้งรูปเป็ด ผลตอบสนองด้านโหลด การจำกัดกำลังผลิต ระบบเซลล์แสงอาทิตย์บนหลังคา

Abstract

This research presents a smart control system that enables voluntary solar power curtailment from residential or small-scale rooftop solar photovoltaic (PV) systems. The aim is to mitigate the impact of the “Duck Curve” phenomenon, which arises from a high penetration of solar PV in the power grid. The proposed system supports end-users who install rooftop PV systems to voluntarily limit their power output upon request from the grid operator. Users can specify the time periods and power curtailment levels via a mobile application, which communicates with the grid-tied PV inverter through a control unit developed using a Raspberry Pi board. The system allows power curtailment at three levels: 0%, 30%, and 60% of the inverter’s rated capacity. Participating users in this demand response program are compensated based on the opportunity loss of energy production during the curtailment period.

Keywords: Duck curve, demand response, power curtailment, solar rooftop system

1. บทนำ

การติดตั้งระบบเซลล์แสงอาทิตย์บนหลังคา (Solar Rooftop PV System) ได้ขยายตัวอย่างรวดเร็วในภาคครัวเรือนและธุรกิจขนาดย่อม เนื่องจากต้นทุนที่ลดลงอย่างมีนัยสำคัญของอุปกรณ์ที่เกี่ยวข้อง เช่น ราคาของแผงเซลล์แสงอาทิตย์และอินเวอร์เตอร์ ส่งผลให้ผู้ใช้ไฟฟ้ารายย่อยมีความเชื่อมั่นในการลงทุนเพิ่มมากขึ้น เนื่องจากระยะเวลาคืนทุนสั้นลง ประกอบกับแรงจูงใจจากนโยบายของภาครัฐ อาทิ มาตรการลดหย่อนภาษีจากค่าใช้จ่ายในการติดตั้งระบบผลิตไฟฟ้าพลังงานแสงอาทิตย์ [1] ส่งเสริมให้เกิดการติดตั้งระบบเซลล์แสงอาทิตย์บนหลังคาเพิ่มมากขึ้น

ถึงแม้การผลิตไฟฟ้าจากพลังงานแสงอาทิตย์จะมีบทบาทสำคัญในการลดการพึ่งพาเชื้อเพลิงฟอสซิลและสนับสนุนเป้าหมายการลดการปล่อยคาร์บอนสู่สังคมคาร์บอนต่ำ แต่การผลิตไฟฟ้าปริมาณมากในช่วงเวลากลางวันของผู้บริโภค ส่งผลให้ความต้องการพลังงานไฟฟ้าจากระบบสายส่งหลักลดลงอย่างรวดเร็วในช่วงเวลาดังกล่าวและพุ่งสูงขึ้นอย่างรวดเร็วเมื่อเข้าสู่ช่วงเย็น เมื่อพล็อตกราฟแสดงภาระโหลดไฟฟ้ารวมทั้งระบบตลอดทั้งวัน (24 ชั่วโมง) จะปรากฏลักษณะการเปลี่ยนแปลงของโหลดที่ลด

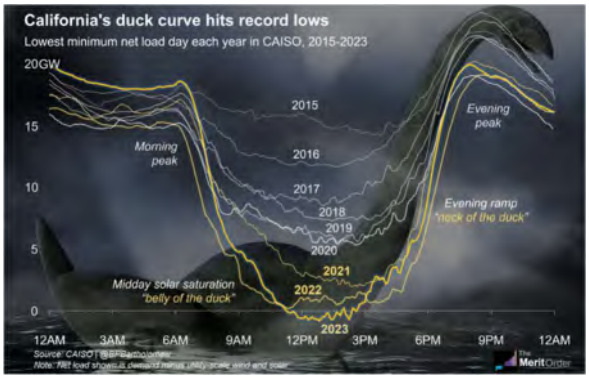

รูปที่ 1 ปรากฏการณ์เส้นโค้งรูปเป็ด รัฐแคลิฟอร์เนีย สหรัฐอเมริกา

ที่มา : CAISO @BPBartholomew

*ผู้ประพันธ์บรรณกิจ

ต่ำลงในช่วงกลางวันและเพิ่มสูงขึ้นอย่างรวดเร็วในช่วงเวลาอันสั้น ซึ่งเส้นกราฟที่ได้จะมีรูปทรงคล้ายเป็ด จึงเรียกปรากฏการณ์นี้ว่าปรากฏการณ์เส้นโค้งรูปเป็ดดังแสดงในรูปที่ 1

จากปรากฏการดังกล่าวผู้ดูแลระบบไฟฟ้าจึงจำเป็นต้องจัดหากำลังผลิตจากแหล่งพลังงานอื่นเข้าสู่ระบบในระยะเวลาอันสั้น เพื่อรักษาเสถียรภาพและความสมดุลของระบบไฟฟ้า อย่างไรก็ตามการเดินเครื่องโรงไฟฟ้าสำรองหรือโรงไฟฟ้าที่มีความยืดหยุ่นสูงในช่วงเวลาดังกล่าว มักมีต้นทุนการผลิตไฟฟ้าสูงกว่าปกติ ซึ่งอาจส่งผลให้ต้นทุนค่าไฟฟ้าของระบบโดยรวมเพิ่มขึ้น นอกจากนี้ความชันในช่วงเวลาดังกล่าวมีแนวโน้มที่สูงขึ้น ซึ่งเป็นความท้าทายสำคัญในการบริหารจัดการระบบ หากไม่สามารถจัดหากำลังผลิตไฟฟ้ามาทดแทนได้ทันและอาจนำไปสู่ความเสี่ยงในการเกิดความไม่มั่นคงของระบบไฟฟ้าหรือภาวะไฟฟ้าดับในวงกว้างได้

ในช่วงไม่กี่ปีที่ผ่านมามีการศึกษาเพื่อแก้ไขปัญหาเส้นโค้งรูปเป็ดมากมาย ไม่ว่าจะเป็นการจำกัดขนาดการติดตั้งรวมของระบบเซลล์แสงอาทิตย์ที่เชื่อมต่อกับหม้อแปลงจำหน่ายลูกเดียวกันของการไฟฟ้า [2] รวมทั้งการบังคับติดตั้งอุปกรณ์กันไฟฟ้าไหลย้อน (Zero export controller) ซึ่งวิธีดังกล่าวถูกมองว่าเป็นการกีดกันโอกาสในการใช้พลังงานแสงอาทิตย์ให้เต็มศักยภาพ นอกจากนี้การติดตั้งระบบกักเก็บพลังงานไฟฟ้า เช่น แบตเตอรี่ เพื่อเก็บสะสมพลังงานไฟฟ้าในช่วงกลางวันมาช่วยจ่ายในช่วงหัวค่ำที่ความต้องการไฟฟ้าพุ่งสูงขึ้นก็สามารถทำให้เส้นโค้งรูปเป็ดเรียบมากขึ้นได้แต่ก็ยังต้องการเงินลงทุนที่สูงมาก [3]

การตอบสนองด้านโหลด (Demand Response) สามารถช่วยลดความชันของความต้องการไฟฟ้าที่ลดลงอย่างรวดเร็วในช่วงกลางวันได้ เช่น การส่งเสริมให้มีการชาร์จยานยนต์ไฟฟ้าในช่วงกลางวันเพื่อเพิ่มโหลด [4] หรือการจำกัดกำลังการผลิตจากระบบเซลล์แสงอาทิตย์บนหลังคาในช่วงเวลาที่มีการผลิตสูง เช่น การสั่งลดกำลังไฟฟ้าที่ออกจากอินเวอร์เตอร์ในช่วงเที่ยงของวันที่มีแดดจัด [5] แนวทางเหล่านี้สามารถดำเนินการได้โดยไม่ต้องลงทุนในอุปกรณ์ราคาแพงเพิ่มเติมมากนัก

ดังนั้นงานวิจัยนี้ได้พัฒนาชุดควบคุมสำหรับลดการผลิตของระบบเซลล์แสงอาทิตย์บนหลังคา เพื่อให้ผู้ใช้ระบบผลิตไฟฟ้าจากพลังงานแสงอาทิตย์สามารถสั่งลดกำลังไฟฟ้าที่ผลิตออกมาได้ เมื่อผู้ดูแลระบบไฟฟ้าคาดการณ์ว่าจะมีการผลิตไฟฟ้าจากพลังงานแสงอาทิตย์เป็นจำนวนมากด้วยการแจ้งเตือนและควบคุมผ่านแอปพลิเคชันบนโทรศัพท์มือถือ พร้อมทั้งคำนวณปริมาณพลังงานไฟฟ้าที่สามารถผลิตได้แต่ถูกจำกัด เพื่อคำนวณเป็นผลตอบแทนของผู้เข้าร่วม

2. การออกแบบชุดควบคุมสำหรับลดการผลิตของระบบเซลล์แสงอาทิตย์บนหลังคา

2.1 หลักการทำงาน

เมื่อมีการผลิตไฟฟ้าจากพลังงานแสงอาทิตย์เป็นจำนวนมากหรือเกิดปรากฏการณ์เส้นโค้งรูปเป็ด ผู้ดูแลระบบไฟฟ้าจะส่งการแจ้งเตือนและคำร้องขอไปยังผู้ใช้ไฟฟ้าที่ติดตั้งระบบเซลล์แสงอาทิตย์บนหลังคา ในกรณีที่ผู้ใช้ยืนยันเข้าร่วมจะสามารถสั่งลดกำลังไฟฟ้าที่ผลิตออกมาได้ด้วยความ

รูปที่ 2 ระบบแจ้งเตือนจากผู้ดูแลเพื่อร้องขอให้ลดการผลิตไฟฟ้า

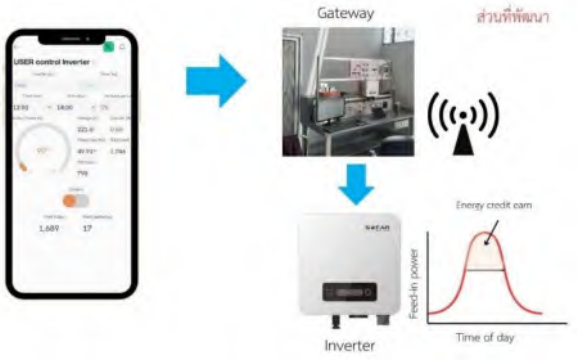

รูปที่ 3 การปรับลดกำลังไฟฟ้าผ่านแอปพลิเคชันบนโทรศัพท์มือถือ

สมัครใจ โดยการกำหนดช่วงระยะเวลาและขนาดกำลังไฟฟ้าสูงสุดที่จ่ายเข้าระบบได้จากแอปพลิเคชันบนโทรศัพท์มือถือ ข้อมูลดังกล่าวจะถูกส่งไปชุดควบคุมที่เชื่อมต่อกับอินเวอร์เตอร์ เพื่อสั่งให้จำกัดกำลังไฟฟ้าที่จ่ายออกตามขนาดและช่วงเวลาที่กำหนด ซึ่งผู้เข้าร่วมจะได้ผลตอบแทนจากการสมัครใจดังแสดงในรูป 2 และรูปที่ 3

2.2 ชุดควบคุมการลดกำลังการผลิต

เมื่อผู้ใช้ไฟฟ้าที่ติดตั้งระบบเซลล์แสงอาทิตย์บนหลังคาตอบรับคำร้องขอจากผู้ดูแลระบบไฟฟ้า ข้อมูลช่วงเวลาและระดับกำลังไฟฟ้าที่ต้องจำกัดจะถูกส่งไปยังชุดควบคุมซึ่งพัฒนาด้วยบอร์ด Raspberry Pi เชื่อมต่อกับอินเวอร์เตอร์แบบเชื่อมต่อกริดที่รองรับฟังก์ชันการควบคุมกำลังไฟฟ้า เช่น ผลิตภัณฑ์ที่ผ่านการรับรองตามข้อกำหนด VDE-AR-N 4105:2018-11 ของประเทศเยอรมนี ซึ่งสามารถตอบสนองคำสั่งลดกำลังจ่ายไฟได้อย่างเป็นลำดับขั้นตามที่กำหนด โดยจะใช้งานร่วมกับเครื่องรับควบคุมวิทยุ (Radio Ripple Control Receiver: RRCR) สำหรับให้ทางผู้ดูแลระบบสามารถสั่งควบคุมกำลังไฟฟ้าที่ไหลเข้าระบบได้โดยตรง

โดยทั่วไปอินเวอร์เตอร์ที่มีฟังก์ชันดังกล่าว จะสามารถกำหนดระดับการปรับลดกำลังไฟฟ้าเป็นร้อยละของพิกัดกำลังไฟฟ้าของอินเวอร์เตอร์ ยกตัวอย่างเช่น อินเวอร์เตอร์ SOFAR รุ่น TL-G3 [6] ซึ่งสามารถปรับได้ 4 ระดับ คือ ร้อยละ 0, 30, 60, และ 100 ตามลำดับ โดยการควบคุมจะทำผ่านการเปิดหรือปิดวงจรรีเลย์สวิตช์ (K1 ถึง K4) ที่เชื่อมต่อกับช่องอินพุต (พอร์ต RJ45) ที่รองรับฟังก์ชันปรับลดกำลังไฟฟ้าดังแสดงในรูปที่ 4 ซึ่งมีระดับการจำกัดกำลังไฟฟ้าที่จ่ายออกตามสถานะของลอจิกในแต่ละขาอินพุต (L1 ถึง L4) ตามตารางที่ 1

ตารางที่ 1 ลอจิกของขาอินพุต และขนาดร้อยละพิกัดของกำลังไฟฟ้า

L1	L2	L3	L4	กำลังไฟฟ้า (เปอร์เซ็นต์)
1	0	0	0	0
0	1	0	0	30
0	0	1	0	60
0	0	0	1	100

หมายเหตุ 1 คือ ปิดวงจร และ 0 คือ เปิดวงจร

สำหรับข้อมูลปริมาณทางไฟฟ้าของอินเวอร์เตอร์ ได้แก่ แรงดันกระแส ความถี่ และกำลังไฟฟ้า จะถูกส่งเข้าไปที่ชุดควบคุมด้วยมาตรฐานการสื่อสารข้อมูลชนิด RS-485 และใช้โปรโตคอล Modbus RTU ในการแลกเปลี่ยนข้อมูลระหว่างชุดควบคุมและอินเวอร์เตอร์ จากนั้นข้อมูลปริมาณทางไฟฟ้าจะถูกส่งกลับไปแสดงผลแบบเวลาจริงที่แอปพลิเคชันบนโทรศัพท์มือถือ รวมถึงการอัพเดทผลประโยชน์จากการเข้าร่วมการลดกำลังผลิตไฟฟ้าแสดงดังรูปที่ 5

ในส่วนแอปพลิเคชันบนโทรศัพท์มือถือพัฒนาด้วยแอปพลิเคชัน Blynk ทั้งทางฝั่งผู้ดูแลระบบ และฝั่งผู้ใช้ระบบเซลล์แสงอาทิตย์บนหลังคา ทางฝั่งผู้ดูแลระบบจะใช้แพลตฟอร์ม Blynk Console เพื่อส่งแจ้งเตือนและร้องขอความร่วมมือในการลดกำลังผลิตจากพลังงานแสงอาทิตย์ ด้วยฟังก์ชัน Scene Automation ที่ระบุช่วงเวลาและข้อความแจ้งเตือนได้ เมื่อผู้ใช้ได้รับคำแจ้งแล้วจะตอบสนองโดยการเลือกระดับการลดกำลังการผลิตที่ต้องการ ซึ่งทางฝั่งผู้ใช้จะต้องกำหนดขนาดแผงเซลล์แสงอาทิตย์และพิกัดอินเวอร์เตอร์ เพื่อนำมาประเมินพลังงานไฟฟ้าที่หายไปขณะสั่งลดกำลังผลิตและนำมาคำนวณเป็นแต้มสะสมต่อไป

2.3 การประเมินผลประโยชน์จากการเข้าร่วมการลดกำลังผลิต

เพื่อเป็นแรงจูงใจให้ผู้ใช้เข้าร่วมกิจกรรมลดกำลังไฟฟ้าที่ผลิตได้ จึงควรต้องตอบแทนความร่วมมือและชดเชยโอกาสในการผลิตพลังงานไฟฟ้าที่สูญเสียไปในช่วงเวลาที่เข้าร่วมกิจกรรม ซึ่งอาจอยู่ในรูปแต้มสะสมเพื่อใช้เป็นส่วนลดค่าไฟฟ้า ร้านอาหาร หรือห้างสรรพสินค้า เป็นต้น โดยประเมิน

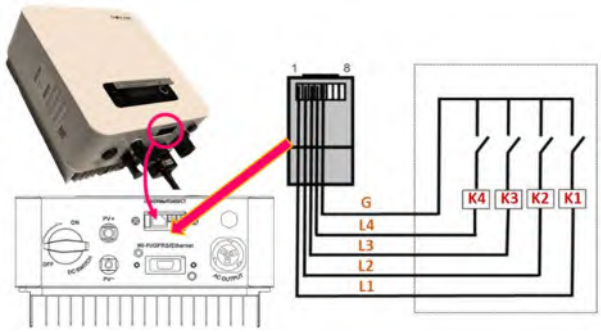

รูปที่ 4 การเชื่อมต่อรีเลย์สวิตช์เพื่อควบคุมกำลังไฟฟ้าขาออกอินเวอร์เตอร์

จากพลังงานไฟฟ้าที่ถูกงดจ่ายเข้าในระบบในช่วงเวลาที่สั่งลดการผลิตเป็นแต้มสะสมในอัตรา 1 กิโลวัตต์ชั่วโมง ต่อ 1 แต้ม และจะมีการอัพเดทแต้มตลอดช่วงระยะเวลาที่มีการสั่งลดการผลิตไฟฟ้าตามสมการ (1) ถึง (3)

$$P_{\text{curtial}}(t) = P_{\text{exp}}(t) - P_{\text{limit}}(t) \quad (1)$$

$$P_{\text{exp}}(t) = P_{\text{profile}}(t) \times P_{\text{PV}} \times \eta \quad (2)$$

$$P_{\text{limit}} = R \times P_{\text{Inv}} \quad (3)$$

เมื่อ $P_{\text{curtail}}(t)$ คือ ค่ากำลังไฟฟ้าที่ถูกปรับลดลงมาที่เวลา t

$P_{\text{ext}}(t)$ คือ ค่ากำลังไฟฟ้าจากระบบเซลล์แสงอาทิตย์บนหลังคาที่คาดว่าจะผลิตได้ที่เวลา t

$P_{\text{limit}}(t)$ คือ ค่ากำลังไฟฟ้าที่จำกัดไว้ที่เวลา t

$P_{\text{profile}}(t)$ คือ ค่ากำลังไฟฟ้าเฉลี่ยรายชั่วโมงต่อกำลังผลิตติดตั้ง 1 กิโลวัตต์สูงสุดที่เวลา t

P_{PV} คือ กำลังผลิตติดตั้งของแผงเซลล์แสงอาทิตย์

η คือ ประสิทธิภาพรวมของระบบผลิตไฟฟ้า ซึ่งในงานวิจัยนี้เลือกใช้ที่ค่า 80 เปอร์เซ็นต์

R คือ ค่าร้อยละของพิกัดกำลังไฟฟ้าของอินเวอร์เตอร์ มีค่าร้อยละ 0, 30, และ 60 ตามลำดับ

P_{Inv} คือ พิกัดกำลังไฟฟ้าของอินเวอร์เตอร์

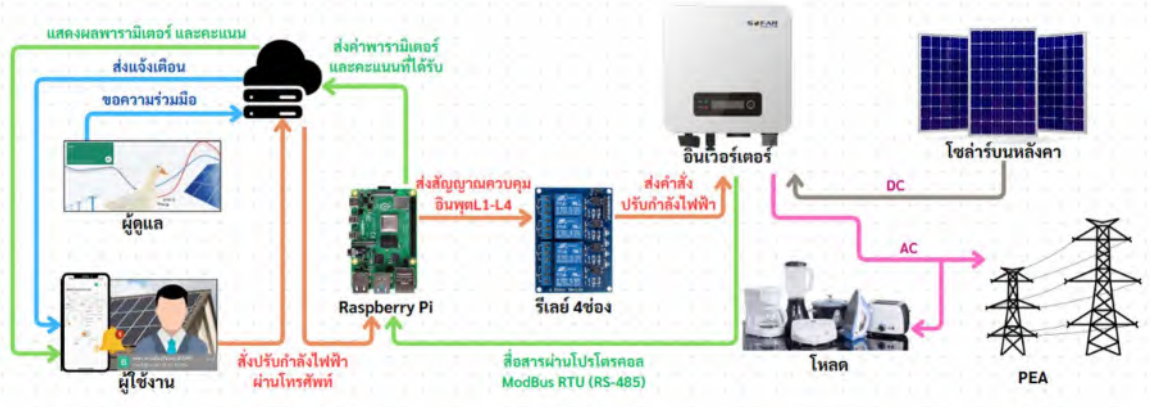

รูปที่ 5 ไดอะแกรมของชุดควบคุมการลดกำลังการผลิตจากระบบเซลล์แสงอาทิตย์บนหลังคา

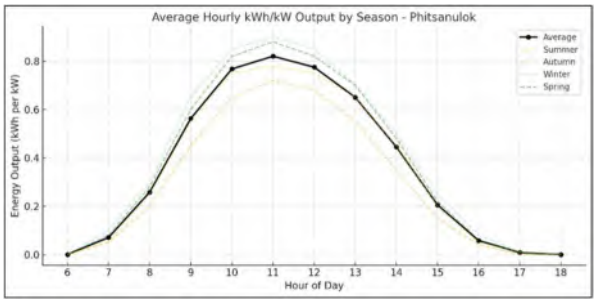

รูปที่ 6 พลังงานไฟฟ้าเฉลี่ยรายชั่วโมงต่อกำลังผลิตติดตั้ง 1 กิโลวัตต์สูงสุด

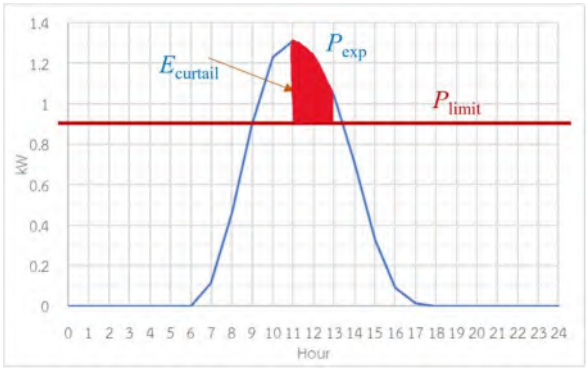

รูปที่ 7 กราฟแสดงความสัมพันธ์ระหว่างกำลังไฟฟ้ากับเวลา

จากสมการ (1) สามารถคิดค่ากำลังไฟฟ้าที่ถูกปรับลดลงมาจากผลต่างของกำลังไฟฟ้าที่ผลิตได้จากระบบเซลล์แสงอาทิตย์บนหลังคาและกำลังไฟฟ้าที่จำกัด ค่ากำลังไฟฟ้าที่ผลิตได้จากระบบเซลล์แสงอาทิตย์บนหลังคาใช้วิธีประเมินจากข้อมูลพลังงานแสงอาทิตย์เฉลี่ยที่ผลิตได้เป็นรายชั่วโมงในแต่ละพื้นที่จากเว็บไซต์ Profilesolar [7] โดยมีการระบุค่าเป็นพลังงานไฟฟ้าเฉลี่ยรายชั่วโมงต่อกำลังผลิตติดตั้ง 1 กิโลวัตต์สูงสุดและนำข้อมูลมาคูณกับขนาดการติดตั้งของแผงเซลล์แสงอาทิตย์และประสิทธิภาพดังสมการ (2) ค่าขีดจำกัดของกำลังไฟฟ้าที่จ่ายออกมาได้สามารถหาได้จากเปอร์เซ็นต์การจ่ายกำลังไฟฟ้าของอินเวอร์เตอร์คูณกับขนาดการติดตั้งของอินเวอร์เตอร์ ดังสมการ (3)

พลังงานไฟฟ้าที่หายไปขณะเข้าร่วมกิจกรรมสามารถคำนวณจากผลรวมของขนาดกำลังไฟฟ้าที่ปรับลดลงคูณด้วยช่วงเวลาอัพเดทข้อมูล ดังสมการ (4)

$$E_{curtial} = \sum_{t=start}^{stop-1} P_{curtial}(t) \times \Delta t \qquad (4)$$

เมื่อ $E_{curtail}$ คือ พลังงานไฟฟ้าที่หายไปขณะเข้าร่วมกิจกรรม

$P_{curtail}(t)$ คือ ค่ากำลังไฟฟ้าที่ถูกปรับลดลงมาที่เวลา t

Δt คือ ช่วงเวลาอัพเดทข้อมูลทุก ๆ 5 วินาที

2.4 ตัวอย่างการคำนวณผลประโยชน์จากการเข้าร่วมการลดกำลังผลิต

กำหนดให้ระบบแผงเซลล์แสงอาทิตย์ตัวอย่างมีขนาดกำลังผลิตติดตั้ง 2 กิโลวัตต์สูงสุดและอินเวอร์เตอร์มีขนาด 1.5 กิโลวัตต์ เมื่อเลือกใช้ค่าพลังงานไฟฟ้าเฉลี่ยรายชั่วโมงจากรูปที่ 6 และกำหนดให้มีการลดกำลังผลิตให้ไม่เกินร้อยละ 60 ตั้งแต่เวลา 11.00 – 13.00 น. เป็นระยะเวลารวมทั้งสิ้น 2 ชั่วโมง สามารถประเมินหาพลังงานไฟฟ้าที่หายไปขณะเข้าร่วมกิจกรรม กำลังไฟฟ้าต่าง ๆ และค่าพลังงานไฟฟ้าที่ถูกงดจ่ายเข้าในระบบในช่วงเวลาที่สั่งลดการผลิตจะถูกคำนวณคิดเป็นแต้มสะสมให้กับผู้ใช้งานระบบเซลล์แสงอาทิตย์บนหลังคาดังแสดงในตารางที่ 2

ตารางที่ 2 ตัวอย่างการหาพลังงานไฟฟ้าที่หายไปจากการลดกำลังผลิต

เวลา	$P_{profile}$ (kW/kWp)	P_{exp} (kW)	P_{limit} (kW)	$P_{curtail}$ (kW)
6:00-7:00 น.	0	0	-	-
7:00-8:00 น.	0.07	0.112	-	-
8:00-9:00 น.	0.285	0.456	-	-
9:00-10:00 น.	0.562	0.9	-	-
10:00-11:00 น.	0.768	1.2288	-	-
11:00-12:00 น.	0.82	1.312	0.9	0.412
12:00-13:00 น.	0.775	1.24	0.9	0.34
13:00-14:00 น.	0.65	1.04	-	-
14:00-15:00 น.	0.445	0.712	-	-
15:00-16:00 น.	0.205	0.328	-	-
16:00-17:00 น.	0.057	0.0912	-	-
17:00-18:00 น.	0.008	0.0128	-	-
18:00-19:00 น.	0	0	-	-
	$E_{curtail}$ (kWh) หรือ แต้มสะสม			0.752

เมื่อนำค่าตัวอย่างการหาพลังงานไฟฟ้าที่หายไปจากการลดกำลังผลิตจากตารางที่ 2 มาสร้างกราฟแสดงความสัมพันธ์ระหว่างกำลังไฟฟ้ากับเวลาจะได้กราฟที่แสดงในรูปที่ 7 สามารถเห็นกำลังไฟฟ้าที่ถูกจำกัดกำลังไฟฟ้าที่ผลิตได้และปริมาณพลังงานที่ผลิตได้แต่ถูกจำกัดไว้

3. ผลการทดสอบการทำงาน

3.1 การตั้งค่าการทดสอบ

ในการทดสอบการทำงานของชุดควบคุมสำหรับลดการผลิตของระบบเซลล์แสงอาทิตย์บนหลังคา ใช้แผงเซลล์แสงอาทิตย์จำนวน 4 แผง รุ่น SUN580-73MDH8NS แต่ละแผงมีขนาดกำลังไฟฟ้าสูงสุด 580 วัตต์ กำลังการผลิตรวมทั้งสิ้น 2,320 วัตต์ (ประมาณ 2 กิโลวัตต์) และใช้อินเวอร์เตอร์ รุ่น SOFAR TL-G3 พิกัดกำลังไฟฟ้าสูงสุด 1,500 วัตต์ นอกจากนี้การจำลองโหลดในระบบ อุปกรณ์การทดสอบและเครื่องมือวัดต่าง ๆ แสดงในรูปที่ 8 และหน้าต่างแอปพลิเคชันบนโทรศัพท์ของผู้ใช้งานระบบเซลล์แสงอาทิตย์บนหลังคาดัง แสดงได้ดังรูปที่ 9

การทดสอบการทำงานของชุดควบคุมและแอปพลิเคชันบนโทรศัพท์มือถือที่ได้พัฒนาขึ้น จะทำการจำกัดกำลังไฟฟ้าที่ผลิตได้จากระบบเซลล์แสงอาทิตย์บนหลังคาที่ระดับร้อยละ 0, 30, และ 60 ตามลำดับ ในการทดสอบจะเริ่มลดกำลังผลิตที่เวลา 12.00 น. และกลับมาจ่าย

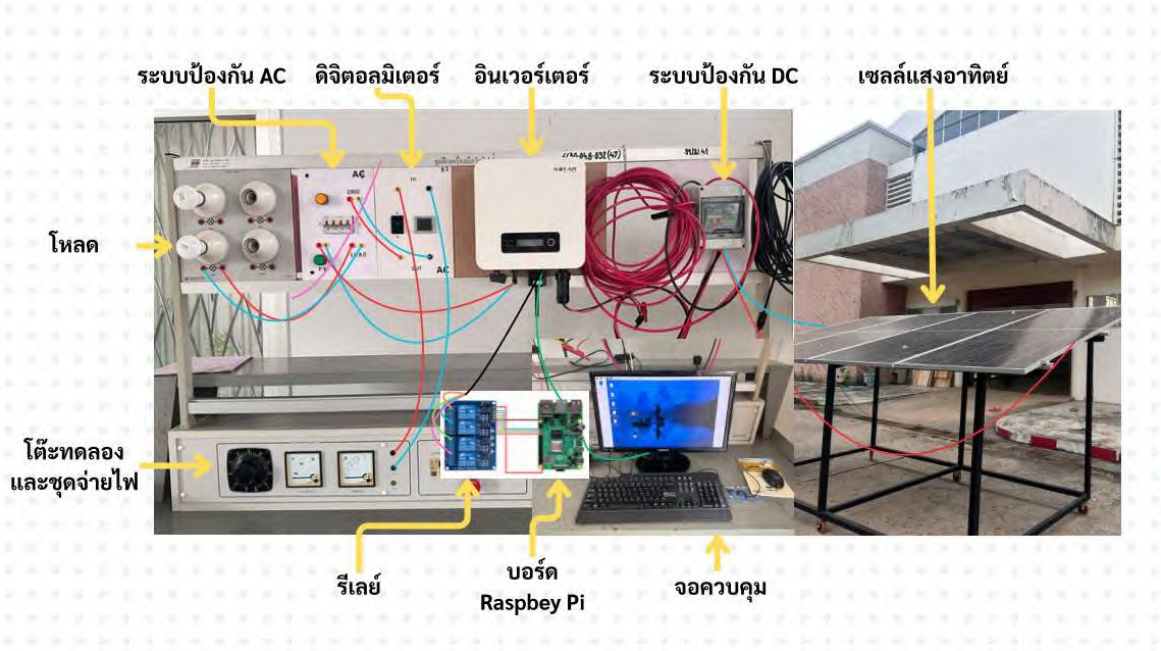

รูปที่ 8 อุปกรณ์ในการทดสอบ

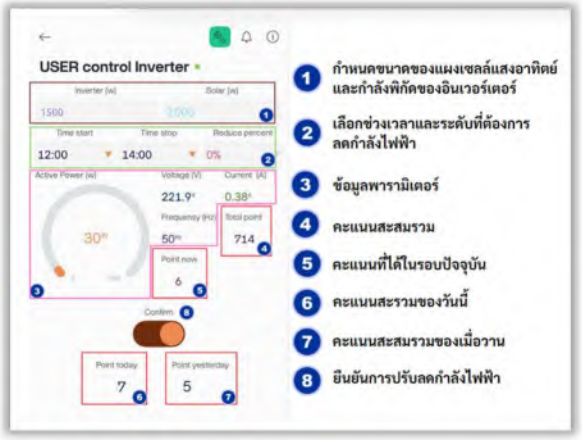

รูปที่ 9 หน้าจอแสดงผลบนแอปพลิเคชันโทรศัพท์มือถือทางฝั่งผู้ใช้งาน

ตามปกติที่เวลา 14.00 น. ทดสอบ 3 กรณีโดยแยกวันกัน โดยแต้มจะมีการอัพเดทตลอดเวลาในช่วงที่มีการลดกำลังผลิตและจะมีการสรุปคะแนนประจำวันและคะแนนสะสมทั้งหมด เมื่อสิ้นสุดระยะการเข้าร่วมกิจกรรม

3.2 ผลการทดสอบ

จากการทดสอบการทำงานของชุดควบคุมและแอปพลิเคชันบนโทรศัพท์มือถือที่ได้พัฒนาขึ้น โดยจำกัดกำลังไฟฟ้าที่ผลิตได้จากระบบเซลล์แสงอาทิตย์บนหลังคาที่ระดับร้อยละ 0, 30, และ 60 ตามลำดับ ผลการทดสอบพบว่าชุดควบคุมสำหรับลดกำลังผลิตสามารถสั่งลดกำลังไฟฟ้าที่ออกจากอินเวอร์เตอร์ระดับต่าง ๆ ผ่านแอปพลิเคชันบนโทรศัพท์มือถือที่พัฒนาขึ้นมาได้ พร้อมกับคะแนนสะสมเมื่อลดการผลิตในรูปที่ 10 ถึง 11

ในส่วนผลการลดกำลังผลิต ตั้งแต่ 12.00 น. ถึง 14.00 น. เป็นระยะเวลารวมทั้งสิ้น 2 ชั่วโมง ที่ร้อยละ 0, 30, และ 60 ตามลำดับแสดงได้

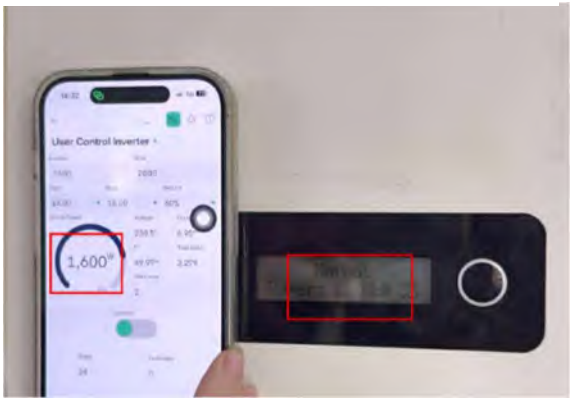

รูปที่ 10 แอปพลิเคชันบนโทรศัพท์มือถือที่ควบคุมและสถานะของอินเวอร์เตอร์ก่อนใช้การจำกัดกำลังไฟฟ้า (จ่าย 100%)

รูปที่ 11 แอปพลิเคชันบนโทรศัพท์มือถือที่ควบคุมและสถานะของอินเวอร์เตอร์หลังใช้การจำกัดกำลังไฟฟ้าที่ร้อยละ 60

จากรูปที่ 12 ถึง 14 เมื่อนำมาคิดคะแนนสะสมในวันแรกได้ 2.2 แต้ม ในวันที่ 2 ได้ 1.38 แต้มและวันที่ 3 ได้ 0.48 แต้ม ดังแสดงในรูปที่ 15

รูปที่ 12 จำกัดกำลังไฟฟ้าที่ร้อยละ 0

รูปที่ 13 จำกัดกำลังไฟฟ้าที่ร้อยละ 30

รูปที่ 14 จำกัดกำลังไฟฟ้าที่ร้อยละ 60

4. สรุป

ชุดควบคุมการปรับลดกำลังไฟฟ้าจากอินเวอร์เตอร์ของระบบเซลล์แสงอาทิตย์บนหลังคาเพื่อบรรเทาปัญหาปรากฏการณ์เส้นโค้งรูปเป็ดที่พัฒนาขึ้นโดยใช้บอร์ด Raspberry Pi ร่วมกับรีเลย์สวิตช์ 4 ช่องและมีการสั่งผ่านแอพพลิเคชั่น Blynk IoT บนมือถือ สามารถลดกำลังไฟฟ้าที่ผลิตได้จากแผงโซล่าเซลล์ได้ 3 ระดับคือ ร้อยละ 0, 30, และ 60 ตามช่วงระยะเวลาที่ต้องการได้ นอกจากนี้ยังมีระบบสะสมคะแนนตามปริมาณพลังงานไฟฟ้าที่หายไปจากการเข้าร่วมการลดกำลังผลิต ซึ่งจะช่วยจูงใจให้เจ้าของระบบเซลล์แสงอาทิตย์บนหลังคา เข้าร่วมกิจกรรมดังกล่าวมากขึ้น ผลการทดสอบการทำงานในห้องปฏิบัติการพบว่า ระบบควบคุม และแอพพลิเคชั่นที่สร้างขึ้น สามารถสั่งปรับลดกำลังผลิตในช่วงเวลาที่กำหนดได้อย่างแม่นยำ และรวดเร็ว สอดคล้องกับคำสั่งที่กำหนดโดยผู้ใช้งาน รวมทั้งสามารถแสดงค่าปริมาณทางไฟฟ้าต่าง ๆ และแต้มสะสม ได้อย่างถูกต้อง และมีการอัพเดทตลอดเวลา ในอนาคตจะนำชุดควบคุมดังกล่าวไปใช้งานกับโหลดที่มีความหลากหลาย รวมทั้งการเชื่อมต่อกับระบบจริงและสภาพแวดล้อมจริง โดยมีการส่งข้อมูลให้กับระบบตรวจวัดพลังงานอย่างต่อเนื่องตลอดเวลา และการใช้งานร่วมกับระบบอัตโนมัติโดยผู้ใช้ไม่ต้องสั่งการด้วยตัวเอง

รูปที่ 15 กราฟคะแนนสะสมรวมเมื่อลดกำลังการผลิต

เอกสารอ้างอิง

[1] ปราณี หมื่นแผงวารี. "รัฐยิงตรง2มาตรการลดหย่อนภาษี โซลาร์รูฟท็อป-ลงทุนอนุรักษ์พลังงาน." bangkokbiznews.com Accessed: July. 15, 2025. [Online.] Available: https://www.bangkokbiznews.com/business/economic/1188417

[2] "ระเบียบการไฟฟ้าส่วนภูมิภาคว่าด้วยข้อกำหนดการเชื่อมต่อระบบโครงข่ายไฟฟ้า พ.ศ. 2559" การไฟฟ้าส่วนภูมิภาค,ประเทศไทย. Accessed: July. 15, 2025.

[3] L. A. Wong, V. K. Ramachandaramurthy, S. L. Walker, and J. B. Ekanayake, “Optimal placement and sizing of battery energy storage system considering the duck curve phenomenon,” *IEEE Access*, vol. 8, pp. 197160–197170, 2020, doi: 10.1109/ACCESS.2020.3034380.

[4] M. A. Rahman, I. Rahman, and N. Mohammad, “Implementing Demand Response in the Residential Energy System to Solve Duck Curve Problem,” in *Proc. 2020 2nd Int. Conf. Adv. Inf. Commun. Technol. (ICAICT)*, Dhaka, Bangladesh, 2020, pp. 466–470, doi: 10.1109/ICAICT51780.2020.9333449.

[5] S. S. Ahmad, F. S. Al-Ismail, A. A. Almehizia, and M. Khalid, “Model Predictive Control Approach for Optimal Power Dispatch and Duck Curve Handling Under High Photovoltaic Power Penetration,” *IEEE Access*, vol. 8, pp. 186840–186850, Oct. 2020, doi: 10.1109/ACCESS.2020.3030100.

[6] Shenzhen SOFARSOLAR Co., Ltd. *USER MANUAL SOFAR 1.1k~3.3KTL-G3*. (2024). Accessed: July. 15, 2025. [Online.] Available: https://www.sofarsolar.com/upload/file/20240311/1710121923451047146.pdf

[7] A. Robinson, June. 2024, "Solar PV Analysis of Phitsanulok, Thailand," profileSOLAR.com. [Online.] Available: https://profilesolar.com/locations/Thailand/Phitsanulok/

การศึกษาประสิทธิภาพของระบบโซล่าเซลล์ภายหลังการติดตั้ง: กรณีศึกษาอาคารเฉลิมพระเกียรติ วิทยาลัยเชียงราย

Performance Evaluation of Solar Cell System after Installation: A Case Study of Chaloem-Phra-Kiat Education Building, Chiang Rai College

อดิเทพ บุญเสริม[1] ดำรงศักดิ์ วงศ์ตา[1] และศตวรรษ เมืองชื่น[1]*

[1]สาขาวิศวกรรมไฟฟ้า คณะวิศวกรรมศาสตร์ วิทยาลัยเชียงราย Satawat.Muangchuen@crc.ac.th*

1. บทคัดย่อ

การวิจัยนี้มีวัตถุประสงค์เพื่อประเมินประสิทธิภาพของระบบผลิตไฟฟ้าจากโซลาร์เซลล์ที่ติดตั้งบนอาคารเฉลิมพระเกียรติ วิทยาลัยเชียงราย โดยเก็บข้อมูลการผลิตและการใช้พลังงานไฟฟ้า รวมถึงค่าไฟฟ้าระหว่างเดือนพฤษภาคม 2566 ถึงเมษายน 2568 รวม 24 เดือน ผลการศึกษาพบว่า ระบบสามารถผลิตไฟฟ้าได้เฉลี่ย 9,571.67 หน่วยต่อเดือน รวม 114,860 หน่วยต่อปี คิดเป็นร้อยละ 27.19 ของความต้องการใช้ไฟฟ้าทั้งหมดของอาคาร โดยมีค่า Capacity Factor เท่ากับ 13.11% และ Performance Ratio เท่ากับ 66.76% ซึ่งอยู่ในเกณฑ์มาตรฐาน ระบบสามารถลดค่าใช้จ่ายด้านไฟฟ้าได้รวม 603,103.05 บาทต่อปี หรือเฉลี่ย 43,078.79 บาทต่อเดือน และมีระยะเวลาคืนทุนประมาณ 2 ปี 9 เดือน ผลการศึกษาสะท้อนว่าการติดตั้งระบบโซลาร์เซลล์ช่วยลดต้นทุนด้านพลังงานได้อย่างมีประสิทธิภาพ และเป็นแนวทางที่เหมาะสมในการส่งเสริมการใช้พลังงานหมุนเวียนในอาคารเรียน

คำสำคัญ: ระบบโซล่าเซลล์ การประเมินประสิทธิภาพ ค่าความสามารถในการผลิตจริง ผลตอบแทนการลงทุน

2. Abstract

This study evaluates the performance of a solar photovoltaic (PV) system installed on the Chaloem-Phra-Kiat Education Building at Chiang Rai College. Data were collected over 24 months (May 2023–April 2025) on electricity generation, consumption, and utility costs. Results showed that the system generated an average of 9,571.67 kWh per month, totaling 114,860 kWh per year, covering 27.19% of the building's electricity demand. The system achieved a Capacity Factor of 13.11% and a Performance Ratio of 66.76%, which are within standard efficiency ranges. It contributed to annual electricity cost savings of 603,103.05 THB, with a payback period of approximately 2 years and 9 months. The findings indicate that rooftop solar PV systems are an effective and feasible solution for energy cost reduction and renewable energy adoption in educational buildings.

Keywords: Solar cell system, Performance evaluation, Capacity Factor, Performance Ratio, Return on investment

3. ข้อมูลทั่วไป

สถานการณ์พลังงานไทยในปี 2566 แสดงให้เห็นว่าการใช้พลังงานเชิงพาณิชย์ขั้นต้นเพิ่มขึ้นร้อยละ 0.8 ซึ่งสะท้อนถึงการฟื้นตัวทางเศรษฐกิจในประเทศ ด้านการใช้ไฟฟ้า มีการเพิ่มขึ้นร้อยละ 3.4 เกือบทุกภาคส่วน กรมพัฒนาพลังงานทดแทนและอนุรักษ์พลังงาน จึงได้มีการกำหนดเป้าหมายในแผนการพัฒนาพลังงานทดแทนและพลังงานทางเลือก (2558 - 2579) ให้มีการผลิตพลังงานไฟฟ้าจากโซลาร์เซลล์ได้ 6,000 เมกะวัตต์ภายในปี พ.ศ. 2579

งานวิจัยจากกันต์ ปานประยูร ศึกษาระบบโซลาร์เซลล์บนหลังคาขนาด 8 kW พบว่า ผลิตไฟฟ้าเฉลี่ย 978.64 kWh/เดือน หากขยายระบบเป็น 0.5 MW จะผลิตไฟฟ้าได้ 16.8 ล้านหน่วยใน 25 ปี ช่วยลดการปล่อยคาร์บอน 9,531.73 ตัน จุดคืนทุนอยู่ที่ 12–24 ปี ตามอัตราซื้อขายไฟ [1]

ชัชชัย วรพัฒน์ และคณะ ศึกษาระบบโซลาร์เซลล์ 9.60 kW ในสำนักงาน พบว่า ผลิตไฟฟ้าปีแรก 12,222 kWh อายุโครงการ 25 ปี ผลผลิตรวม 287,890 kWh มีระยะเวลาคืนทุน 6.7 ปี และมูลค่าปัจจุบันสุทธิ 695,702 บาท [2]

ศาตตรา ศิริแก้ว และคณะ ใช้แบบจำลองทางคณิตศาสตร์ประเมินศักยภาพการติดตั้งโซลาร์เซลล์บนหลังคา อาคารเอ มหาวิทยาลัยมหาสารคาม พบหลังคาสามารถติดตั้งได้ 972 แผง กำลังติดตั้งรวม 291.6 kW ผลิตไฟฟ้ารวม 474.20 MWh/ปี โดยเน้นเลือกทิศทางและตำแหน่งติดตั้งเพื่อประสิทธิภาพสูงสุด

ธีระศักดิ์ วาทโยธา ศึกษาระบบโซลาร์เซลล์และแบตเตอรี่ Vanadium Redox Flow (VRF) ที่โรงพยาบาลทั่วไปในพื้นที่ปลายสายส่ง พบว่าระบบผลิตไฟฟ้าได้ 175,255.1 kWh/ปี ลดค่าไฟฟ้าประมาณ 708,030 บาท และลดพลังงานเทียบเท่าน้ำมันดิบ 0.0151 ktoe/ปี แบตเตอรี่รองรับไฟตกดับ 115 ครั้ง ช่วยรักษาเสถียรภาพระบบไฟฟ้าและปกป้องอุปกรณ์ทางการแพทย์ [3]

ศักดิ์นรินทร์ ศรีบุญเรือง และ บุญยัง ปลั่งกลาง วิเคราะห์ระบบโซลาร์เซลล์แบบ 3 เฟส และ 1 เฟส ขนาด 10 kWp ในสมุทรปราการ โดยเก็บข้อมูลจริงและเปรียบเทียบการจำลองโปรแกรม Homer พบผลผลิตจริง 1,153 และ 1,126 kWh/เดือน ตามลำดับ ขณะที่ผลจำลองผลิต 773 และ 795 kWh/เดือน ค่า Performance Ratio (PR) เท่ากับ 96% สะท้อนประสิทธิภาพสูงใกล้เคียงกันของทั้งสองระบบ [4]

*ผู้ประพันธ์บรรณกิจ

บทความนี้จึงนำเสนอการประสิทธิภาพของระบบโซล่าเซลล์ภายหลังการติดตั้ง: กรณีศึกษาอาคารเฉลิมพระเกียรติ วิทยาลัยเชียงราย โดยมุ่งเน้นวิเคราะห์ข้อมูลการผลิตไฟฟ้า จริงเทียบกับค่าประมาณการ พร้อมทั้งวัดประสิทธิภาพผ่านตัวชี้วัด ค่าความสามารถในการผลิต (Capacity Factor: CF) ผลผลิตระบบ (System Yield: SY) ผลผลิตอ้างอิง (Reference Yield: RY) และสัดส่วนประสิทธิภาพ (Performance Ratio: PR) ผลที่ได้จะช่วยยืนยันความคุ้มค่าในการลงทุน (Return on Investment: ROI)

4. วิธีดำเนินงานวิจัย

4.1 พื้นฐานการสร้างและการเชื่อมต่อแผงโซลาร์เซลล์

แรงดันไฟฟ้าจากโซลาร์เซลล์เดี่ยวต่ำ จึงต้องต่อเซลล์หลายๆ ตัวแบบอนุกรมเป็นแผง (Solar panel) เพื่อเพิ่มแรงดัน แผงเซลล์จะมีแผ่นกระจกด้านหน้าเพื่อให้แสงผ่านและป้องกันความเสียหาย พร้อมวัสดุกันความชื้น เช่น ซิลิโคน และอีวีเอ เพื่อความทนทาน แผงเซลล์ประกอบเป็นพาเนล (Panel) เมื่อนำหลายพาเนลมาต่อกันเป็นสตริง (String) และสตริงหลายชุดต่อขนานเป็นอาร์เรย์ (Array) สำหรับการใช้งานที่หลากหลาย

4.2 ปัจจัยที่มีผลต่อประสิทธิภาพการผลิตไฟฟ้าของแผงโซลาร์เซลล์

การแปลงพลังงานแสงอาทิตย์เป็นไฟฟ้าอยู่ระหว่าง 11-15% สำหรับแผงเชิงพาณิชย์ โดยแผงที่มีประสิทธิภาพสูงสุดใช้เทคโนโลยี multijunction concentrator แปลงได้ถึง 44% ปัจจัยที่ส่งผลต่อประสิทธิภาพ ได้แก่ ชนิดของแผง การติดตั้งที่เหมาะสมทั้งมุมและทิศทาง ในไทยติดตั้งให้หันทางทิศใต้และชัน 15 องศา ความเข้มโซลาร์เซลล์ ซึ่งสัมพันธ์กับกระแสไฟฟ้า และอุณหภูมิที่สูงขึ้นจะทำให้แรงดันและกำลังไฟฟ้าลดลง โดยทั่วไปแผงจะลดประสิทธิภาพ 0.5% ต่อปี และรับประกันพลังงานสูงกว่า 80% หลัง 25 ปี

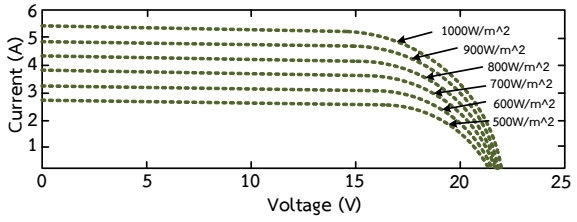

รูปที่ 1 เส้นโค้งคุณสมบัติทางไฟฟ้าโซล่าเซลล์ของ I-V

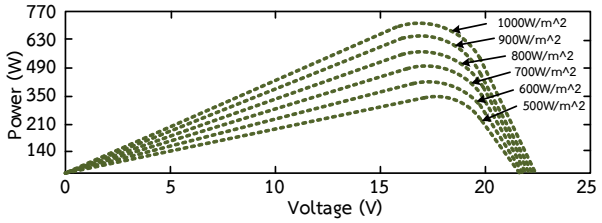

รูปที่ 2 เส้นโค้งคุณสมบัติทางไฟฟ้าโซล่าเซลล์ของ P-V

คุณสมบัติทางไฟฟ้าของแผงโซลาร์เซลล์ ที่แสดงเส้นโค้งแรงดัน-กระแส ของแผงโซลาร์เซลล์ แสดงค่าจุดกำลังสูงสุดของแผงโซลาร์เซลล์ (Maximum Power Point : MPP) ซึ่งหมายถึงจุดที่ให้ทั้งกระแสและแรงดันไฟฟ้าที่มีค่าสูงสุดของแผงโซลาร์เซลล์ ดังรูปที่ 1 และลักษณะเฉพาะแรงดัน-กำลังไฟฟ้า ดังรูปที่ 2 [5]

4.3 ปัจจัยในการออกแบบระบบผลิตไฟฟ้าจากโซลาร์เซลล์

4.3.1 การประเมินความต้องการพลังงานไฟฟ้าขึ้นกับโหลดภายในระบบ การออกแบบระบบต้องพิจารณาตัวประกอบกำลังไฟฟ้า เพื่อให้ทราบไฟฟ้าจริงที่สามารถจ่ายไฟได้ รวมถึงปริมาณพลังงานที่จำเป็นสำหรับใช้งาน เช่น หลอดไฟและเครื่องใช้ไฟฟ้าต่างๆ เพื่อวางระบบอย่างมีประสิทธิภาพและเหมาะสม

4.3.2 การประมาณค่าพลังงานแสงอาทิตย์ คือการคำนวณพลังงานที่มีอยู่ ณ สถานที่โดยใช้ค่าชั่วโมงที่มีแสงอาทิตย์สูงสุด (Peak Sun Hour, PSH) ซึ่งหมายถึงเวลาที่พื้นที่นั้นได้รับแสงแดดเข้มข้นและไม่มีเมฆบดบังต่อวัน เช่น 5 PSH หมายความว่าพื้นที่มีแสงแดดดีและปลอดเมฆประมาณ 5 ชั่วโมงต่อวัน ค่านี้ช่วยในการวางแผนและออกแบบระบบโซลาร์เซลล์ได้อย่างแม่นยำ

4.3.3 การกำหนดขนาดอาร์เรย์โซลาร์เซลล์ ทำได้โดยหาความต้องการใช้พลังงานรายวันจากโหลดทั้งหมดในระบบ รวมทั้งพิจารณาประสิทธิภาพของอินเวอร์เตอร์และปัจจัยอื่นที่ลดกำลังผลิตจริงการหาขนาดแผงโซลาร์เซลล์ทั้งหมดโดยนำความต้องการพลังงาน (Whp) หารด้วย Peak Sun Hour (PSH) ที่เหมาะสมของพื้นที่ เช่น PSH ประมาณ 4-5 ชั่วโมงสำหรับประเทศไทย [6]

5. วิธีการศึกษา

5.1 การเก็บรวบรวมข้อมูล

มีการเก็บข้อมูลจากระบบตรวจวัดและบริหารจัดการพลังงานของของอาคารตั้งแต่พฤษภาคม 2023 ถึงเมษายน 2025 รวม 24 เดือน ข้อมูลที่เก็บได้แก่

1. ข้อมูลค่าไฟฟ้าที่การไฟฟ้าเรียกเก็บก่อน และหลังการติดตั้งระบบโซล่าเซลล์ โดยเก็บข้อมูลปริมาณหน่วยไฟฟ้าที่ใช้ ค่าไฟฟ้า
2. ข้อมูลการผลิตไฟฟ้าจากโซล่าเซลล์ได้จากระบบตามปริมาณการผลิตในแต่ละเดือน เพื่อนำมาเปรียบเทียบกับปริมาณการใช้ไฟ
3. ข้อมูลปริมาณการใช้ไฟฟ้าถูกรวบรวมเป็นรายเดือน เพื่อนำมาเปรียบเทียบกับปริมาณไฟฟ้าที่ผลิตได้จากโซลาร์เซลล์

5.2 พื้นฐานของอาคารที่ศึกษา

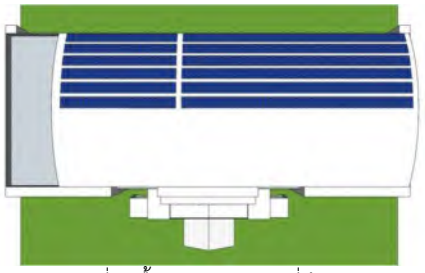

รูปที่ 3 พื้นฐานของอาคารที่ศึกษา

ระบบโซลาร์เซลล์ติดตั้งบนหลังคาอาคารสูง 7 ชั้น พื้นที่หลังคา 1,726 ตร.ม. (กว้าง 27 ม. ยาว 63 ม.) ตั้งอยู่ที่ ต.ป่าอ้อดอนชัย จ.เชียงราย (ละติจูด 19.863, ลองจิจูด 99.784) อาคารหันหน้าไปทางทิศเหนือ รับ

แสงอาทิตย์ทางซีกใต้ระหว่าง 07.00–17.00 น. แสงแดดแรงสุดช่วงเที่ยง และมีการใช้ไฟสูงสุดช่วงบ่าย บริเวณติดตั้งไม่มีเงาบดบังแผงโซลาร์เซลล์ ดังรูปที่ 3

5.3 ข้อมูลระบบผลิตไฟฟ้าด้วยโซลาร์เซลล์

ตารางที่ 1 ข้อมูลการศึกษาการติดตั้งโซลาร์เซลล์

ข้อมูลแผงโซล่าเซลล์	
ชนิดแผง	Mono
ยี่ห้อ	SOLAR PPM
กำลังการผลิต/แผง	610 W.
จำนวน	82x2set
กำลังการผลิตรวม	100kWp
ข้อมูลอินเวอร์เตอร์	
ยี่ห้อ	HUAWEI
รุ่น	SUN2000-50KTL-M3
กำลังการผลิต	50 kW.
จำนวน	2 เครื่อง
กำลังการผลิตรวม	100 kW.
ต้นทุนทั้งระบบ	1,417,523.16 บาท
ประสิทธิภาพของระบบ	ร้อยละ 80
Peak sun hour	4.5 (ชั่วโมง/วัน)

5.4 ระบบผลิตไฟฟ้าจากแผงโซลาร์เซลล์ที่ศึกษา

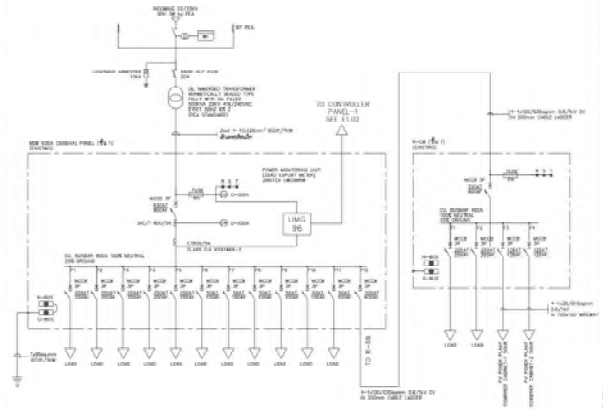

รูปที่ 4 การต่อระบบโซล่าเซลล์เข้ากับระบบไฟของอาคาร

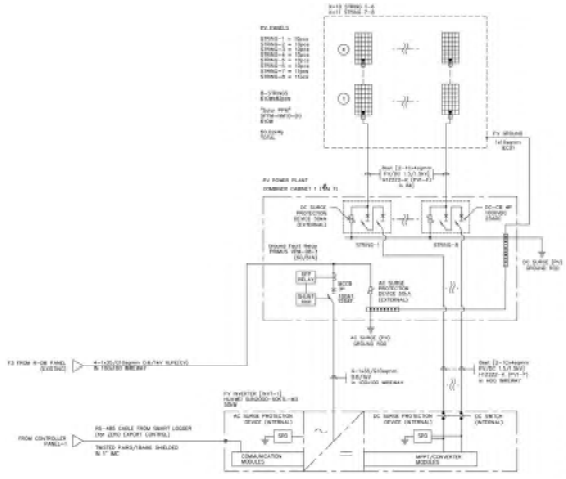

รูปที่ 5 การออกแบบระบบโซล่าเซลล์

การออกแบบระบบผลิตไฟฟ้าจากโซล่าเซลล์ ที่มีหลังคาเป็นทรงโค้ง จึงกำหนดให้ติดตั้งแผงวางตามแนวหลังคา เลือกอินเวอร์เตอร์ชนิด MPPT จากการออกแบบใช้แผงโซลาร์เซลล์พิกัด 610W จำนวน 164 แผง แบ่งเป็น 8 สตริง จำนวน 2 ชุด โดยสตริงที่ 1-6 จำนวน 10 แผง และสตริงที่ 7-8 จำนวน 11 แผง กำลังวัตต์ทั้งหมด 100 kWp ดังตารางที่ 1 อุปกรณ์ป้องกันกระแสเกินพิกัด 125AT/125AF ดังรูปที่ 4 และรูปที่ 5 Single Line Diagram ของระบบที่ออกแบบ

5.5 ผลประหยัดที่เกิดขึ้นเป็นจำนวนเงิน

ผลประหยัดที่เกิดจากระบบผลิตไฟฟ้าด้วยโซลาร์เซลล์ได้จากผลคูณของปริมาณการผลิตไฟฟ้าที่ผลิตได้ (kWh) กับราคาพลังงานไฟฟ้าเฉลี่ยต่อหน่วย (บาท) ดังสมการที่ 2 ซึ่งปริมาณการผลิตไฟฟ้าที่ผลิตได้ในแต่ละเดือน สามารถเก็บข้อมูลได้จากระบบตรวจวัดและบริหารจัดการพลังงาน

$$Cost_{save} = E_{gen} \times P_e \quad (2)$$

โดย $Cost_{save}$ คือ มูลค่าผลประหยัดค่าไฟฟ้าต่อเดือน, E_{gen} คือ ปริมาณไฟฟ้าที่ผลิตได้จากระบบ, P_e คือ ราคาค่าไฟฟ้าเฉลี่ยต่อหน่วย

6. ผลการศึกษา

6.1 ปริมาณการผลิตไฟฟ้าจากโซลาร์เซลล์

ปริมาณการผลิตไฟฟ้าจากระบบโซลาร์เซลล์เป็นปัจจัยสำคัญในการประเมินประสิทธิภาพของโครงการ โดยในการศึกษานี้ได้วิเคราะห์ปริมาณการผลิตไฟฟ้าในสองส่วนหลัก ได้แก่ การประมาณการผลิตจากการคำนวณเบื้องต้นโดยใช้ข้อมูลด้านเทคนิคของระบบและสภาพภูมิอากาศ และการเก็บข้อมูลจากการใช้งานจริงหลังการติดตั้งระบบแล้ว เพื่อนำมาประเมินการทำงานของระบบในสภาพแวดล้อมจริง

6.1.1 ปริมาณการผลิตไฟฟ้าจากโซลาร์เซลล์จากการคำนวณกำลังการผลิตไฟฟ้าเบื้องต้น ในการประมาณการกำลังการผลิตได้อ้างอิงข้อมูลความเข้มรังสีอาทิตย์ระดับจังหวัดสำหรับประเทศไทย ของกรมพัฒนาพลังงานทดแทนและอนุรักษ์พลังงาน ที่อุณหภูมิการทำงาน 25°C โดยมีปริมาณรังสีแสงอาทิตย์ตกกระทบที่ 1,000W/m^2 ที่สภาวะมาตรฐาน (STC : Standard Test Condition) จากข้อมูลของระบบมีการติดตั้งแผงขนาด 610W จำนวน 164 แผง พื้นที่ติดตั้งรวม 492m^2 รวมกำลังการผลิตติดตั้ง 100.04 kWp

สามารถประมาณกำลังการผลิตไฟฟ้าในเบื้องต้นได้ 156,037.50kWh ต่อเดือน โดยมีค่าเฉลี่ยอยู่ที่ 13,003.13kWh ต่อเดือน ปริมาณการผลิตมีความแปรปรวนตามฤดูกาล โดยช่วงหน้าร้อนมีการผลิตสูง เนื่องจากมีแสงแดดมาก ส่วนช่วงหน้าฝนและหน้าหนาวมีค่าต่ำกว่าค่าเฉลี่ย ค่าประมาณการนี้จะถูกนำไปเปรียบเทียบกับข้อมูลจริงเพื่อประเมินประสิทธิภาพระบบ

6.1.2 ปริมาณการผลิตไฟฟ้าจากโซลาร์เซลล์จากการเก็บข้อมูลการใช้งานจริง จากข้อมูลการตรวจวัดระบบผลิตไฟฟ้าจากโซลาร์เซลล์ในช่วงเดือน 31 พฤษภาคม 2024 ถึง 30 เมษายน 2025 พบว่าผลิตไฟฟ้าสะสมได้รวม 114,860kWh หรือเฉลี่ย 9571.67kWh ต่อเดือน โดยเดือนพฤษภาคม 2024 ผลิตได้มากที่สุดคือ 13,040kWh และเดือนธันวาคม

2024 ผลิตได้น้อยที่สุดคือ 5,270kWh ความแตกต่างนี้เกิดจากปัจจัยหลายด้าน เช่น ความเข้มแสง อุณหภูมิ สภาพอากาศ และหมอกควัน ซึ่งมีผลต่อชั่วโมงการทำงานของแผงโซลาร์เซลล์ในแต่ละวันและฤดูกาล

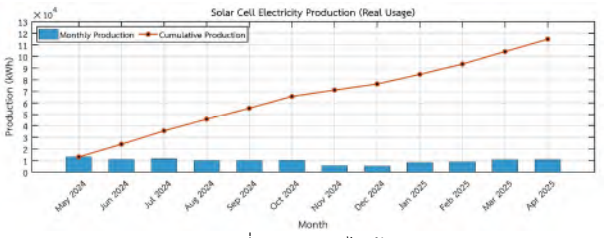

รูปที่ 6 การผลิตไฟฟ้าสะสม

6.1.3 การประเมินการทำงานของระบบผลิตไฟฟ้าจากโซลาร์เซลล์

Capacity Factor (CF) คืออัตราส่วนของพลังงานไฟฟ้าที่ผลิตได้จริง ต่อค่าพลังงานไฟฟ้าจากกำลังการผลิตติดตั้ง ที่ผลิตไฟฟ้าได้ต่อเนื่องในช่วงเวลาเดียวกันดังสมการที่ (3) โดยพิจารณาจากช่วงเวลาที่ผลิตได้จริงเป็นชั่วโมงคือ 720 ชั่วโมงต่อเดือน หรือ 8,760 ชั่วโมงต่อปี

$$CF = \frac{E_{ac}}{P_o \times h} \tag{3}$$

โดย E_{ac} คือ ค่าพลังงานไฟฟ้าที่ผลิตได้จริง, P_o คือ พลังงานไฟฟ้าที่ประเมินได้จากค่ากำลังการผลิตติดตั้ง, h คือ จำนวนชั่วโมงใน 1 ปี จะได้

$$CF = \frac{114,860}{100 \times 8,760} \times 100 \tag{4}$$

$$CF = 13.11\% \tag{5}$$

จากการศึกษาพบว่าระบบผลิตไฟฟ้าจากโซลาร์เซลล์มีค่า CF เท่ากับ 13.11% ซึ่งอยู่ในเกณฑ์ปกติของค่าเฉลี่ยของโรงไฟฟ้าพลังงานแสงอาทิตย์ที่ IEA รายงานซึ่งอยู่ระหว่าง 10–21% โดยทั่วไประบบจะผลิตไฟฟ้าได้เต็มที่เฉพาะช่วงที่มีแสงแดดวันละ 4–5 ชั่วโมง หรือประมาณ 1,825 ชั่วโมงต่อปี การที่ระบบมีค่า CF อยู่ในค่าเฉลี่ยปกติ สะท้อนถึงข้อจำกัดจากสภาพอากาศ และปัจจัยเฉพาะพื้นที่ที่ส่งผลต่อประสิทธิภาพการผลิต

System Yield คือ ค่าพลังงานไฟฟ้าที่ผลิตได้ต่อช่วงเวลา (kWh-period) ต่อกำลังการผลิตติดตั้ง (kWp) เป็นค่าที่แสดงถึงจำนวนชั่วโมงที่ระบบมีการจ่ายไฟฟ้าได้ ซึ่งจะบอกได้ว่าระบบสามารถจ่ายไฟฟ้าในหนึ่งวันได้กี่ชั่วโมง [13] ค่ามาตรฐานที่ปรับปรุงจากข้อมูลจริงระบบในไทย ระบบที่ดีมาก 4.2-4.5 h/day (PR > 80%) ระบบที่ดี 3.8-4.2 h/day (PR 75-80%) ระบบที่ปกติ 3.3-3.8 h/day (PR 65-75%) ระบบที่ต้องปรับปรุงต่ำกว่า 3.3 h/day (PR < 65%) สามารถคำนวณได้จากสมการที่ (6)-(8)

$$System\ Yield = \frac{E_{ac} / 365}{P_o} \tag{6}$$

โดย E_{ac} คือ ค่าพลังงานไฟฟ้าที่ผลิตได้จริงในช่วงระยะเวลาหนึ่งๆ ในที่นี้ คือ 365 วัน, P_o คือ ขนาดของกำลังการผลิตติดตั้งทั้งหมด จะได้

$$System\ Yield = \frac{114,860 / 365}{100} \tag{7}$$

$$System\ Yield = 3.1468\,\text{kWh/kWp/day} \tag{8}$$

พบว่าระบบสามารถจ่ายไฟได้เฉลี่ยวันละ 3.1468 ชั่วโมงต่อวัน เมื่อเทียบกับกำลังผลิตติดตั้ง ซึ่งถือว่าค่อนข้างต่ำ ปัจจัยที่ทำให้การผลิตไฟฟ้าในช่วงเวลาศึกษานี้ลดลง ได้แก่ ฤดูกาล สภาพอากาศ และค่าความเข้มรังสีแสงอาทิตย์จริงที่ต่ำกว่าค่าเฉลี่ยจากฐานข้อมูลระดับตำบล ซึ่งเป็นปัจจัยทางธรรมชาติที่ควบคุมไม่ได้

Reference Yield คืออัตราส่วนระหว่างค่าพลังงานแสงอาทิตย์รวมบนระนาบแผงเซลล์ (H) ต่อความเข้มรังสีแสงอาทิตย์มาตรฐาน (G) ซึ่งเท่ากับ 1,000 W/m^2 มีหน่วยเป็นชั่วโมง หรือ kWh/m^2/day แสดงถึงจำนวนชั่วโมงที่มีแดดสูงสุดในช่วงเวลานั้นๆ

จากข้อมูลสภาพอากาศเชียงรายตลอดปี 2567 พบว่าพลังงานแสงอาทิตย์ สูงสุดในเดือนเมษายนเท่ากับ 6.17 kWh/m^2/day และต่ำสุดในเดือนสิงหาคมคือ 4.0 kWh/m^2/day แสดงให้เห็นว่าช่วงฤดูร้อนมีศักยภาพพลังงานแสงอาทิตย์สูงกว่าฤดูฝน อุณหภูมิเฉลี่ย 20.7°C โดยร้อนสุดเดือนเมษายนเท่ากับ 24.22°C และเย็นสุดเดือนธันวาคมคือ 13.86°C สะท้อนลักษณะภูมิอากาศเขตร้อนชื้น มีฝนหนักช่วงพฤษภาคม-ตุลาคม สูงสุด 386mm ในสิงหาคม และแห้งแล้งช่วงพฤศจิกายน-เมษายน ข้อมูลนี้แสดงให้เห็นรูปแบบสภาพอากาศแบบมรสุมเขตร้อนที่ชัดเจน เหมาะสำหรับการวางแผนกิจกรรมตามฤดูกาล จากข้อมูลความเข้มแสงรวมที่ได้ค่าพลังงานแสงอาทิตย์เฉลี่ยในช่วงเวลาดังกล่าว คือ 4.713 kWh/m^2 หรือมีจำนวนชั่วโมงที่มีแดดสูงสุด 4.7 ชั่วโมงต่อวัน

Performance Ratio คือ อัตราส่วนระหว่าง System Yield ต่อ Reference Yield ซึ่งค่านี้จะบอกถึงประสิทธิภาพของระบบ ผลกระทบจากการสูญเสียต่างๆ รวมทั้งช่วงเวลาที่ไม่ผลิตไฟออกมา ค่า PR ที่พบจริงในไทยปกติระบบบ้านเรือนทั่วไปอยู่ที่ 65-75% ระบบที่ดูแลดีอยู่ที่ 75-82% ระบบ Solar Farm คุณภาพสูงอยู่ที่ 82-87% คำนวณได้ดังสมการที่ (9)-(11)

$$Performance\ Ratio = \frac{System\ Yield}{Reference\ Yield} \tag{9}$$

$$Performance\ Ratio = \frac{3.1468}{4.7133} \tag{10}$$

$$Performance\ Ratio = 0.6676 \tag{11}$$

ดังนั้นระบบผลิตไฟฟ้าจากพลังงานแสงอาทิตย์นี้จะเกิดการสูญเสียจากปัจจัยต่างๆ อยู่ที่ 0.6676 หรือ 66.76% ซึ่งอยู่ในเกณฑ์ปกติ อันเนื่องมาจากการวางมุมเอียงของแผงไม่เหมาะสมกับทิศทางดวงอาทิตย์ ทำให้รับรังสีไม่เต็มที่ การระบายความร้อนของแผงไม่ดีทำให้อุณหภูมิสูงเกินไปทำให้ประสิทธิภาพเซลล์ลดลง ปัจจัยสิ่งแวดล้อม หมอกควัน ฝุ่น จะลดค่าความเข้มรังสีที่ถึงผิวแผง และการบำรุงรักษา

6.2 ปริมาณการใช้ไฟฟ้าของอาคารที่ศึกษา

6.2.1 ปริมาณการใช้ไฟฟ้าก่อนติดตั้งระบบ การวิเคราะห์ปริมาณการใช้ไฟฟ้าในช่วงก่อนติดตั้งระบบอ้างอิงจากข้อมูลบิลค่าไฟฟ้าย้อนหลังจำนวน 12 เดือน ตั้งแต่เดือนพฤษภาคม 2023 ถึง เมษายน 2024 เพื่อ

ประเมินค่าไฟฟ้าเฉลี่ยและแนวโน้มการใช้พลังงานของอาคารก่อนการติดตั้งระบบ

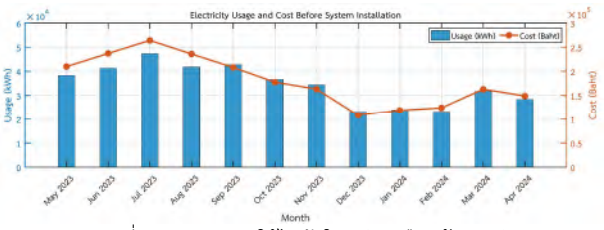

รูปที่ 7 ปริมาณการใช้ไฟฟ้าในแต่ละเดือนย้อนหลัง

ดังรูปที่ 7 พบว่ามีการใช้พลังงานไฟฟ้าสูงสุด 47,384 หน่วย ต่ำสุด 23,048 หน่วย เฉลี่ย 33,943.38 หน่วย ข้อมูลดังกล่าวถือเป็นพื้นฐานสำคัญในการวางแผนและเปรียบเทียบความคุ้มค่าในการลงทุนติดตั้งระบบโซลาร์เซลล์ในอนาคต

6.2.2 ปริมาณการใช้ฟ้าหลังจากการติดตั้งระบบ การวิเคราะห์ผลกระทบของการติดตั้งระบบโซลาร์เซลล์ต่อการใช้พลังงานไฟฟ้า โดยอ้างอิงจากข้อมูลบิลค่าไฟฟ้าจำนวน 12 เดือน ตั้งแต่เดือนพฤษภาคม 2023 ถึง เมษายน 2024 เพื่อประเมินค่าไฟฟ้าเฉลี่ยและแนวโน้มการใช้พลังงานของอาคารหลังการติดตั้งระบบ

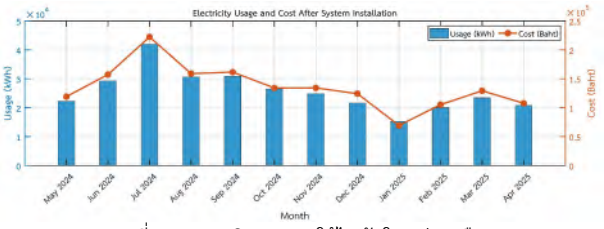

รูปที่ 8 แสดงปริมาณการใช้ไฟฟ้าในแต่ละเดือน

ดังรูปที่ 8 พบว่ามีการใช้พลังงานไฟฟ้าสูงสุด 30,928 หน่วย ต่ำสุด 15,304 หน่วย เฉลี่ย 25,628.67 หน่วย ข้อมูลดังกล่าวแสดงให้เห็นว่าระบบสามารถช่วยลดการพึ่งพาไฟฟ้าภายนอกได้อย่างมีประสิทธิภาพ ผลการเปรียบเทียบชี้ให้เห็นแนวโน้มการประหยัดพลังงานชัดเจน และเป็นแนวทางที่ดีในการบริหารจัดการพลังงานอื่นในระยะยาว

6.2.3 การศึกษาประสิทธิภาพระบบโซลาร์เซลล์ ระบบที่ติดตั้งขนาด 100 kWh โดยเปรียบเทียบการใช้ไฟฟ้าของอาคารซึ่งมีค่า 422,404kWh ต่อปี และกำลังการผลิตมีค่า 114,860kWh ต่อปี พบว่าระบบสามารถผลิตไฟได้ 27.19% ของความต้องการทั้งหมด ดังรูปที่ 9 แม้ช่วยลดการใช้ไฟจากภายนอกได้บางส่วน แต่ยังไม่ครอบคลุมทั้งหมดอันเนื่องจากมีการใช้ไฟฟ้าในเวลากลางคืนมาก จึงควรพิจารณาปรับการบริหารจัดการพลังงานให้เหมาะสมกับความต้องการจริงของอาคาร

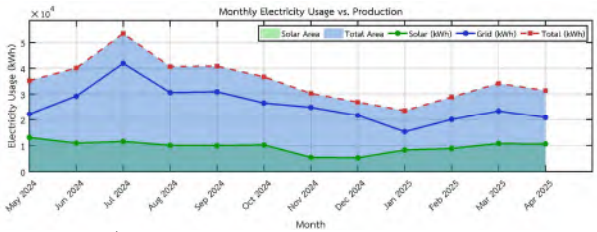

รูปที่ 9 เปรียบเทียบการใช้และการผลิตไฟฟ้ารายเดือน

6.3 ผลการประหยัดไฟฟ้าและผลตอบแทนที่เกิดจากติดตั้งระบบผลิตไฟฟ้าจากโซลาร์เซลล์

6.3.1 การคำนวณผลประหยัดจากการติดตั้งระบบผลิตไฟฟ้าจากโซลาร์เซลล์ เพื่อประเมินมูลค่าทางเศรษฐศาสตร์ของระบบโซลาร์เซลล์ จึงนำค่ากำลังการผลิตไฟฟ้าในแต่ละเดือนคูณกับอัตราค่าไฟฟ้าเฉลี่ยของเดือนนั้น ๆ ซึ่งเป็นข้อมูลจากบิลค่าไฟฟ้า พบว่าตั้งแต่เดือนพฤษภาคม 2024 ถึง เดือนเมษายน 2025 ประหยัดค่าไฟไปแล้ว 603,103.05 บาท ซึ่งเฉลี่ย 43,078.79 บาทต่อเดือนดังรูปที่ 10 สามารถนำข้อมูลที่ได้ไปวิเคราะห์หาระยะเวลาคืนทุนได้

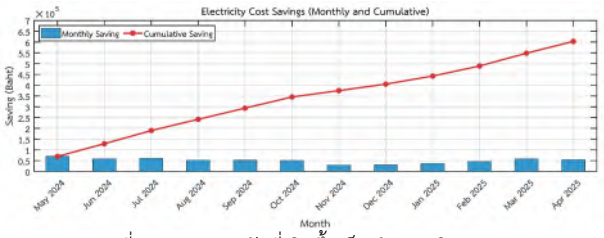

รูปที่ 10 ผลประหยัดที่เกิดขึ้นเป็นจำนวนเงิน (บาท)

6.3.2 การวิเคราะห์ผลตอบแทนทางการเงิน เป็นการประเมินเบื้องต้น โดยตั้งสมมติฐานว่าระบบผลิตไฟฟ้าให้ผลประหยัดคงที่ ไม่มีค่าใช้จ่ายด้านบำรุงรักษาเนื่องจากอยู่ภายใต้การรับประกัน และมีช่างประจำดูแล ทั้งนี้คำนวณผลตอบแทนเบื้องต้นได้จากสมการที่ (12)

$$PB = \frac{Inv_{Total}}{CE_{savings}} \tag{12}$$

โดย PB คือ ระยะเวลาคืนทุน (เดือน), Inv_{Total} คือ เงินสดจ่ายในการลงทุนสุทธิ (บาท), $CE_{savings}$ คือ ผลประหยัดที่เกิดขึ้นเป็นจำนวนเงิน (บาท/เดือน)

โครงการนี้ใช้งบประมาณรวมทั้งสิ้น 1,417,523.16 บาท หรือเฉลี่ย 14,175.23 บาทต่อกิโลวัตต์ โดยวิทยาลัยเป็นผู้ลงทุนเอง ซึ่งครอบคลุมค่าอุปกรณ์ ค่าขนส่ง ค่าติดตั้ง และการรับประกันตลอดอายุโครงการ โดยราคาขึ้นอยู่กับคุณภาพอุปกรณ์และความยากในการขนส่งในพื้นที่ห่างไกล

$$PB = \frac{1,417,523.16}{43,078.79} = 32.91 \tag{13}$$

จากศึกษาพบว่ามีระเวลาคืนทุนที่ 32.91 เดือน หรือ 2 ปี 9 เดือน ซึ่งสะท้อนถึงความคุ้มค่าในการลงทุน โครงการนี้ใช้ระยะเวลาไม่นานในการคืนทุน เนื่องจากมีการใช้ไฟฟ้าในช่วง 8.00-16.00 น. เป็นหลัก โดยสมมุติว่าระบบผลิตไฟฟ้าได้เท่ากันทุกปี ทั้งที่ในความเป็นจริง การผลิตไฟฟ้าจากโซลาร์เซลล์มีความแปรปรวนตามสภาพอากาศและปัจจัยธรรมชาติอื่น ๆ จึงไม่สามารถคาดการณ์ปริมาณการผลิตได้อย่างแน่นอน ระยะเวลาคืนทุนจึงขึ้นอยู่กับประสิทธิภาพของระบบ

6.3.3 การวิเคราะห์ความคุ้มค่าในการลงทุน

Return on Investment (ROI) คือ ตัวชี้วัดทางการเงินที่นิยมใช้เพื่อวัดว่า “เงินที่ลงทุนไปให้ผลตอบแทนคุ้มค่าหรือไม่” โดยแสดงเป็นเปอร์เซ็นต์ (%) ของผลตอบแทนที่ได้รับเมื่อเทียบกับต้นทุนที่ลงทุนไป ROI

มากกว่า 0% คือการลงทุนให้ผลตอบแทนบวก (กำไร) ROI เท่ากับ 0% คือ เท่าทุน และ ROI น้อยกว่า 0% คือการลงทุนขาดทุน หาก ROI สูง หมายถึง การลงทุนให้ผลตอบแทนที่คุ้มค่า หาก ROI ต่ำ หรือเป็นลบ หมายถึงการลงทุนไม่คุ้ม หรือขาดทุน

$$ROI = \frac{(Return - Cost)}{Cost} \times 100 \quad (13)$$

โครงการติดตั้งระบบผลิตไฟฟ้าจากโซลาร์เซลล์บนหลังคาใช้งบประมาณรวมทั้งสิ้น 1,417,523.16 บาท และตั้งแต่เดือนพฤษภาคม 2024 ถึง เดือนเมษายน 2025 ประหยัดค่าไฟไปแล้ว 603,103.05 บาท ระบบโซล่าเซลล์มีอายุ 25 ปี และประสิทธิภาพลดลง 0.5 % ต่อปี จึงสามารถคิด ROI ได้ดังสมการที่ 14

$$ROI = \frac{((\sum_{t=1}^{25} Return_1 \times (1-d)^{t-1}) - cost)}{cost} \times 100 \quad (14)$$

โดย $Return_1$ คือ ผลประหยัดค่าไฟฟ้าในปีแรก (บาท/ปี), $cost$ คือ งบลงทุนเริ่มต้น (บาท), d คือ อัตราการเสื่อมประสิทธิภาพของโซลาร์เซลล์ (ร้อยละต่อปี)

จากการศึกษาพบว่าผลประหยัดสะสมตลอดอายุการใช้งาน 25 ปี ประมาณ 14,206,666.14 บาท ROI เท่ากับ 902.22 % แสดงว่าโครงการลงทุนให้ผลตอบแทนสูงมากเมื่อเทียบกับเงินลงทุนเริ่มต้น

7. สรุปผลการศึกษา ข้อจำกัดและข้อเสนอแนะ

จากการศึกษาระบบผลิตไฟฟ้าด้วยโซลาร์เซลล์ที่ติดตั้งบนอาคารเฉลิมพระเกียรติ วิทยาลัยเชียงราย พบว่าระบบมีประสิทธิภาพการทำงานในระดับน่าพอใจ โดยมีค่า Capacity Factor เท่ากับ 13.11% และ Performance Ratio เท่ากับ 66.76% แม้ว่าปริมาณการผลิตไฟฟ้าจริงเฉลี่ยต่อเดือน (9,571.67 kWh) จะต่ำกว่าค่าทางทฤษฎี (13,003.13 kWh) แต่ยังสามารถลดการพึ่งพาไฟฟ้าจากภายนอกได้ถึง 27.19% และช่วยลดค่าใช้จ่ายด้านพลังงานได้มากกว่า 600,000 บาทต่อปี ส่งผลให้ระบบมีระยะเวลาคืนทุนประมาณ 2 ปี 9 เดือน และจากการประเมินผลประหยัดสะสมตลอดอายุการใช้งาน 25 ปี พบว่ามีมูลค่ารวมประมาณ 14,206,666.14 บาท คิดเป็นอัตราผลตอบแทนจากการลงทุน (ROI) สูงถึง 902.22% ซึ่งสะท้อนถึงศักยภาพของโครงการในการสร้างผลตอบแทนที่โดดเด่นเมื่อเทียบกับต้นทุนเริ่มต้น อย่างไรก็ตาม การประเมินดังกล่าวอิงจากสมมุติฐานการผลิตไฟฟ้าคงที่ ซึ่งอาจไม่สะท้อนความแปรปรวนจากสภาพอากาศและปัจจัยแวดล้อมในระยะยาว จึงควรมีการติดตามข้อมูลการผลิตอย่างต่อเนื่องเพื่อปรับปรุงความแม่นยำในการวิเคราะห์ผลตอบแทน ทั้งนี้ เพื่อเพิ่มประสิทธิภาพและความยั่งยืนของระบบในอนาคต ควรพิจารณาการขยายกำลังผลิต การเพิ่มระบบกักเก็บพลังงาน และการประยุกต์ใช้เทคโนโลยีปัญญาประดิษฐ์ (AI) ในการวิเคราะห์ข้อมูลการผลิตและพยากรณ์ประสิทธิภาพระบบอย่างแม่นยำ

8. กิตติกรรมประกาศ

ขอขอบคุณวิทยาลัยเชียงรายที่สนับสนุนทุนในการวิจัยในครั้งนี้ ทำให้งานวิจัยสำเร็จลุล่วงไปด้วยดี

9. เอกสารอ้างอิง

[1] กันต์ ปานประยูร, “ระบบผลิตไฟฟ้าพลังงานแสงอาทิตย์แบบติดตั้งบนหลังคา ขนาด 8 กิโลวัตต์และความเป็นไปได้ของการขยายระบบ,” วารสารการพัฒนางานประจำสู่งานวิจัย, ปีที่ 4, ฉบับที่ 1, หน้า 76-86, 2560

[2] ชัชชัย วรพัฒน์ และคณะ, “ประเมินศักยภาพและความคุ้มทุนของการติดตั้งระบบเซลล์แสงอาทิตย์บนหลังคา กรณีศึกษา: อาคารสำนักงานคณะเทคโนโลยีอุตสาหกรรม มหาวิทยาลัยราชภัฏเชียงราย,” เทพสตรี I-TECH, ปีที่ 16, ฉบับที่ 2, หน้า 117-126, 2564

[3] ธีระศักดิ์ วาทโยธา, “การประเมินผลระบบไฟฟ้าพลังงานแสงอาทิตย์และแบตเตอรี่แบบวีอาร์เอฟภายหลังการติดตั้งสำหรับการรักษาเสถียรภาพและลดค่าไฟฟ้า : กรณีศึกษาโรงพยาบาลทั่วไป,” วิทยานิพนธ์ปริญญามหาบัณฑิต, จุฬาลงกรณ์มหาวิทยาลัย, 2563

[4] ศักดิ์นรินทร์ ศรีบุญเรือง และบุญยัง ปลั่งกลาง, “การวิเคราะห์ปัจจัยเสี่ยงต่อระบบผลิตไฟฟ้าพลังงานแสงอาทิตย์ติดตั้งบนหลังคาชนิด 3 เฟสและ 1 เฟส,” การประชุมวิชาการ PEA ประจำปี 2558: เทคโนโลยีกับการพัฒนาระบบจำหน่ายไฟฟ้าในอนาคต, 2558, หน้า 45-49

[5] M. Datta and T. Senjyu, “Fuzzy control of distributed PV inverters/energy storage systems/electric vehicles for frequency regulation in a large power system,” IEEE Trans. Smart Grid, vol. 4, no. 1, pp. 479–488, 2013

[6] S. Muangchuen and D. Wongsata, “Potential and Cost-Effectiveness Evaluation of Solar Rooftop System: Case Study Chaloem-Phra-Kiat Education Building, Chiang Rai College,” Science and Technology Nakhon Sawan Rajabhat University Journal, vol. 15, no. 22, pp. 145–158, 2023

อดิเทพ บุญเสริม กำลังศึกษาวิศวกรรมศาสตรบัณฑิต สาขาวิศวกรรมไฟฟ้า จากวิทยาลัยเชียงราย จังหวัดเชียงราย ประเทศไทย ความสนใจด้านการวิจัยปัจจุบัน ได้แก่ พลังงานทดแทน ระบบไฟฟ้ากำลัง

ดำรงศักดิ์ วงศ์ตา สำเร็จการศึกษาวิศวกรรมศาสตรบัณฑิต สาขาวิศวกรรมไฟฟ้า จากวิทยาลัยเชียงราย ในปี พ.ศ. 2552 วิศวกรรมศาสตรมหาบัณฑิต สาขาวิศวกรรมไฟฟ้า จากมหาวิทยาลัยพะเยา ในปี พ.ศ. 2560 และปรัชญาดุษฎีบัณฑิต สาขาวิศวกรรมไฟฟ้า มหาวิทยาลัยพะเยา ในปี พ.ศ. 2567 ความสนใจด้านการวิจัยปัจจุบัน ได้แก่ การการควบคุมในระบบไฟฟ้ากำลัง และพลังงานทดแทน

ศตวรรษ เมืองชื่น สำเร็จการศึกษาวิศวกรรมศาสตรบัณฑิต สาขาวิศวกรรมไฟฟ้า จากมหาวิทยาลัยพะเยา ในปี พ.ศ. 2556 วิศวกรรมศาสตรมหาบัณฑิต สาขาวิศวกรรมไฟฟ้า จากมหาวิทยาลัยพะเยา ในปี พ.ศ. 2560 และปรัชญาดุษฎีบัณฑิต สาขาวิศวกรรมไฟฟ้า มหาวิทยาลัยพะเยา ในปี พ.ศ. 2567 ความสนใจด้านการวิจัยปัจจุบัน ได้แก่ การประยุกต์ใช้ปัญญาประดิษฐ์เพื่อเสถียรภาพ และการควบคุมในระบบไฟฟ้ากำลัง พลังงานทดแทน ระบบไฟฟ้ากำลัง

Design and Performance Analysis of a Residential PV System Integrated with Vanadium Redox Flow Battery (VRFB)

Surasak Noituptim[1], Akeratana Noppakant[1], Sawek Pratummet[1], Supapradit Marsong[1], Wanwinit Wijittemee[1], Sarun Nakthanom[2], and Boonyang Plangklang[1,*]

[1] Department of Electrical Engineering, Faculty of Engineering,
Rajamangala University of Technology Thanyaburi, Pathum Thani, 12110 Thailand.
[2] School of Science and Technology, Sukhothai Thammathirat Open University,
Nonthaburi, 11120 Thailand. Sarun.nak@stou.ac.th
*Correspondence: boonyang.p@en.rmutt.ac.th; Tel: +66-2-549-3420

Abstract

This study presents the design and performance analysis of a residential photovoltaic (PV) system integrated with a Vanadium Redox Flow Battery (VRFB). The primary objective was to evaluate the effectiveness of VRFB as a long-term and safe energy storage solution for residential applications. A typical daily household load profile was used as the basis for system design, with the PV system sized at 13 kWp and the VRFB system providing a nominal capacity of 15 kWh. The simulation was conducted using the Homer Pro program application under NASA prediction solar irradiance data to assess the system's performance in terms of energy self-sufficiency, battery state of charge (SOC), and power flow management. The results indicated that the integrated system can achieve up to 99% energy self-sufficiency under standard conditions, with efficient charge-discharge cycles and minimal overcharging risks. This research highlighted the viability of VRFB in residential renewable energy systems, especially in regions with high solar potential and increasing energy demand.

Keywords: Vanadium Redox Flow Battery (VRFB); Battery Efficiency; Simulation; State of Charge (SOC); Flow Battery; PV-VRFB Integration

1. Introduction

The growing demand for sustainable and reliable energy solutions has accelerated interest in integrating renewable energy sources with advanced energy storage systems, particularly in the residential sector. Among renewable technologies, photovoltaic (PV) systems have emerged as a leading choice due to their scalability, declining costs, and the ability to deliver clean electricity at the point of consumption [1]. However, the intermittent nature of solar irradiation introduces significant challenges for ensuring continuous household power supply, especially during periods of low sunlight or nighttime [2].

Battery energy storage systems (BESS) have been widely implemented to address these intermittency issues. Lithium-ion (Li-ion) batteries, in particular, are commonly used due to their high energy density and round-trip efficiency [3]. Nonetheless, they are constrained by issues such as limited cycle life, risks of thermal runaway, and performance degradation under deep discharge cycles, which can impact long-term reliability and economic performance in residential-scale systems [4].

In contrast, Vanadium Redox Flow Batteries (VRFBs) have emerged as a promising alternative, offering features such as long operational life, high scalability, rapid response, and the ability to decouple power and energy capacities [5, 6]. VRFBs utilize vanadium ions in multiple oxidation states within liquid electrolytes for both half-cells, enabling virtually unlimited charge-discharge cycling without significant capacity degradation [2,7]. These characteristics make VRFBs particularly suited for applications requiring daily cycling and long-duration storage, such as solar-powered residential energy systems [8].

Recent research efforts have explored various hybrid microgrids incorporating PV, wind, and biomass energy with advanced storage systems to enhance reliability and minimize energy costs [4, 5, 9]. However, there remains a gap in comprehensive studies focused specifically on the integration of VRFBs with standalone residential PV systems, particularly in terms of techno-economic feasibility under different demand profiles and reliability constraints [10, 11]. Despite VRFBs' superior durability and operational stability, their relatively high capital cost remains a barrier to widespread adoption. Therefore, a detailed analysis of the Levelized Cost of Energy (LCOE), Net Present Value (NPV) is essential for evaluating their economic viability [12].

This study aims to design, simulate, and evaluate a residential PV system integrated with a VRFB energy storage unit, addressing both technical and economic performance. The system is modeled to meet the energy needs of a typical household while maintaining a near-zero Loss of Power Supply Probability (LPSP), ensuring system reliability as guided by IEEE standards [6, 7]. Optimization of system sizing is conducted using simulation tools such as HOMER and MATLAB to minimize LCOE while maintaining optimal performance. Key performance metrics—such as energy efficiency, battery State of Charge (SOC), and economic indices are assessed to determine the practicality of VRFB integration under real-world operational conditions [13].

2. Methodology

2.1 System Design

This section presents the architecture and design methodology of the proposed residential PV system integrated with a Vanadium Redox Flow Battery (VRFB). The system is intended to meet the electricity demand of

*Corresponding Author: Boonyang Plangklang, : boonyang.p@en.rmutt.ac.th

a typical household, maintain a high reliability level, and optimize long-term energy costs. The design includes key subsystems: the PV array, power converters (DC–DC and inverter), the VRFB storage unit, and the residential load.

2.1.1 System Architecture

The hybrid system architecture is illustrated in Fig 1, which consists of the following components:

- **PV array**: Harvests solar energy and generates DC electricity.
- **DC– DC converter**: Regulates voltage output from the PV system to charge the VRFB stack or supply loads.
- **VRFB system**: Stores excess energy during the day and supplies energy during night or low irradiance periods.
- **Inverter**: Converts DC power to AC for use in residential appliances.
- **Load**: Represents a typical residential daily consumption profile.

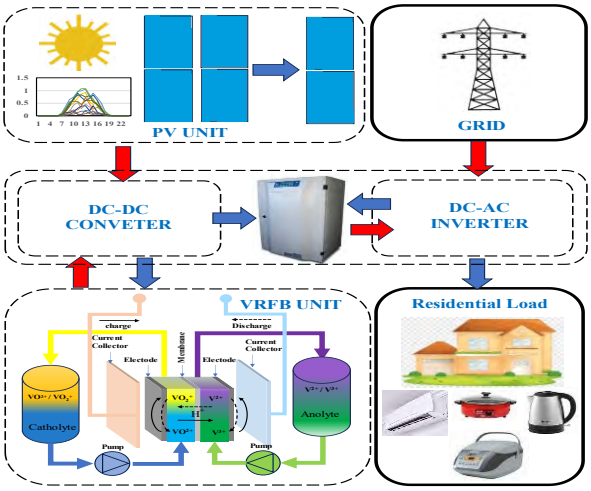

Fig 1: Schematic of Residential PV–VRFB System

2.1.2 Load Profile and Design Assumptions

The system is designed to serve a household with an average daily energy consumption of 11.26 kWh, with a peak load of 2.09 kW. A 24-hour load profile is assumed based on standard residential patterns, with energy usage concentrated in early morning and evening hours from Fig 2.

Design assumptions:

- Autonomy: 1 day (battery should supply full load without PV for 24 hours)
- Solar insolation: 5.0 kWh/m²/day from fig 3. (typical in tropical climates)
- PV efficiency: 18.7%
- VRFB round-trip efficiency: 75-80%
- DC/AC inverter efficiency: 96%

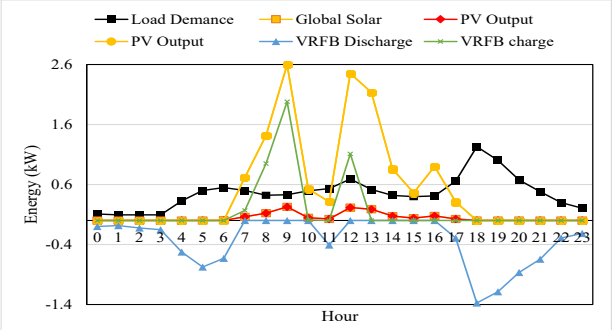

Fig 2: Energy value of the system

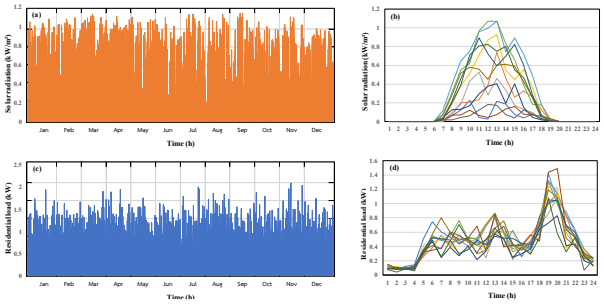

Fig 3: Hourly time series input data for (a) and (b) Solar radiation at Prathum-Thani in Thailand and (c) and (d) Residential load.

2.1.3 PV Array Sizing

The required PV power capacity P_{PV} is calculated to cover both the daily household load and charging the VRFB to full state over sunlight hours

$$P_{PV} = \frac{E_{load}}{\eta_{inv} \cdot H_{solar} \cdot \eta_{PV}} \quad (1)$$

Where:

- E_{load} = 11.26 kWh/day
- η_{inv} = inverter efficiency = 0.90
- H_{solar} = average solar insolation = 5 kWh/m²/day
- η_{PV} = PV system efficiency = 0.18

$$P_{PV} = \frac{11.26}{0.96 \cdot 5 \cdot 0.187} \approx 12.54 \text{ kWp}$$

Hence, a 13 kWp PV system is proposed to ensure both direct supply and storage charging capacity.

2.1.4 VRFB Storage Sizing

The VRFB system must store energy to cover at least one full day of load:

$$E_{VRFB} = \frac{E_{load}}{\eta_{VRFB}} \quad (2)$$

where:

- η_{VRFB} = 0.80 (round-trip efficiency)

$$E_{\text{VRFB}} = \frac{11.26}{0.80} \approx 14.078\text{kWh}$$

To ensure margin for degradation and depth of discharge (DoD ≈ 95%), the nominal VRFB capacity is calculated as:

$$E_{\text{VRFB}} = \frac{14.08}{0.95} \approx 14.82\ \text{kWh}$$

A 15 kWh VRFB system is therefore selected.

2.1.5 Power Converter Sizing

- Inverter rating**:** must meet peak load of 2.09 kW with safety margin ⇒ 3 kW inverter
- DC–DC converter: designed based on maximum PV output (13 kW) with charge control logic
- Charge controller: integrated with state- of- charge (SOC) monitoring of the VRFB stack
- Daytime: PV supplies household load. Surplus charges VRFB.
- Nighttime: VRFB discharges to supply the load.
- Excess energy: Can be dumped or used for auxiliary purposes (e.g., water heating)
- Deficit: If present, system allows controlled load shedding or alerts

2.2 Component Modeling

2.2.1 PV system

A Photovoltaic (PV) system is a renewable energy technology that directly converts sunlight into electricity using the photovoltaic effect. It primarily consists of solar panels (modules) made from semiconductor materials such as silicon, which generate direct current (DC) electricity when exposed to solar radiation.

The power output of a PV system at any given time t can be mathematically expressed as:

$$P_{PV}(t) = P_{rated} \cdot \frac{G(t)}{G_{STC}} \cdot \eta_{temp}(t) \quad (3)$$

Where $\boldsymbol{P_{PV}(t)}$ is power output of the PV array at time t (kW), $\boldsymbol{P_{rated}}$ is rated capacity of the PV system under standard test conditions (kW), $\boldsymbol{G(t)}$ is solar irradiance at time t (W/m²), $\boldsymbol{G_{STC}}$ is standard test condition irradiance (1000 W/ m²), $\boldsymbol{\eta_{temp}(t)}$ is temperature- adjusted efficiency factor.

2.2.2 Energy storage system

A Vanadium Redox Flow Battery (VRFB) is an electrochemical energy storage system that stores energy in liquid electrolytes containing vanadium ions in different oxidation states. It operates based on reversible redox reactions that occur in separate electrolyte tanks, allowing the system to charge and discharge without degradation of the electrodes.

Key features of VRFBs include:

- Long cycle life due to minimal degradation of materials,
- Decoupled energy and power capacity, allowing flexible scaling,
- High safety and thermal stability, as the electrolytes are non-flammable,
- Suitability for large- scale and long- duration energy storage applications.

The operation of a VRFB can be represented by the following redox reactions:
At the positive electrode (catholyte):

$$VO_2^+ + 2H^+ + e^- \Leftrightarrow VO^{2+} + H_2O \quad (E^\circ = -0.26\ \text{V}) \quad (4)$$

At the negative electrode (anolyte):

$$V^{3+} + e^- \Leftrightarrow V^{2+} \quad (E^\circ = +1.00\ V) \quad (5)$$

Charging Energy Equation

$$E_{in}(t) = \frac{P_{ch}(t) \cdot \Delta t}{\eta_{ch}} \quad (6)$$

Where $E_{in}(t)$ is electrical energy input to the battery (kWh), $P_{ch}(t)$ is charging power at time t (kW), η_{ch} is charging efficiency (typically 85–95%), Δt is time step (hours)

Discharging Energy Equation

$$E_{out}(t) = P_{dis}(t) \cdot \eta_{dis} \cdot \Delta t \quad (7)$$

Where $E_{out}(t)$ is electrical energy output from the battery (kWh), $P_{dis}(t)$ is discharge power (kW), η_{dis} is discharging efficiency (typically 85–95%)

Energy Balance Equation (Dynamic)
The change in stored energy at each time step:

$$E_{stored}(t + \Delta t) = E_{stored}(t) + E_{in}(t) - E_{out}(t) \quad (8)$$

Or equivalently

$$E_{stored}(t + \Delta t) = E_{stored}(t) + \left(\frac{P_{ch}(t)}{\eta_{ch}} - P_{dis}(t) \cdot \eta_{dis}\right) \cdot \Delta t \quad (9)$$

State of Charge (SOC)

The State of Charge (SOC) represents the ratio of stored energy to the total energy capacity of the battery:

$$SOC(t) = \frac{E_{stored}(t)}{E_{max}} \quad (10)$$

Where $SOC(t)$is state of charge at time t (0–1 or 0–100%), $E_{stored}(t)$ is energy stored in the battery (kWh), E_{max} is maximum energy capacity of the VRFB (kWh)

$$SOC_{min} \leq SOC(t) \leq SOC_{max} \quad (11)$$

2.2.3 Residential load

A residential load (refers to the total electrical energy demand of households or residential buildings. It includes all electricity-consuming devices and appliances used for daily living, such as lighting, refrigeration, air conditioning, cooking, water heating, entertainment electronics, and electric vehicle charging (if applicable).

$$P_{load}(t) = \sum_{i=1}^{n} P_i(t) \quad (12)$$

Where $P_{load}(t)$ is total residential load at time t (kW), $P_i(t)$ is power consumption of appliance iii at time t (kW), n is total number of electrical appliances in the household.

2.3 Energy Balance

At each time step:

$$P_{\mathrm{PV}}(t) + P_{\mathrm{VRFB}}(t) - P_{\mathrm{load}}(t) = 0 \quad (13)$$

Where $P_{\mathrm{VRFB}}(t)$ is positive during discharge and negative during charge.

2.4 Simulation Tools

Two primary software tools are used:

- HOMER Pro – For optimal system sizing, LCOE calculation, and economic feasibility analysis, detailed time-series simulation of PV power, VRFB SOC, and load matching.

Simulation parameters:

- Time step: 1 hour
- Simulation horizon: 1 year
- Load profile: Based on typical residential consumption patterns (peaks in morning and evening).
- Solar irradiance data: Typical Meteorological Year (TMY) for a tropical location.

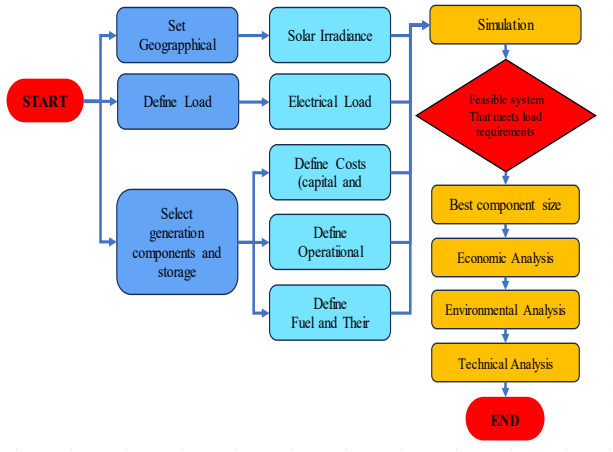

Fig 4: Simulation Process of PV and VRFB Systems for Residential Load Applications

2.5 Techno-Economic Analysis

Key performance indicators (KPIs) include:

1. Loss of Power Supply Probability (LPSP)

$$LPSP = \frac{\sum P_{unsupplied}(t)}{\sum P_{load}(t)} \quad (14)$$

2. Levelized Cost of Energy (LCOE)

$$LCOE = \frac{NPC}{\sum_{t=1}^{T} E_t/(1+r)^t} \quad (15)$$

3. Net Present Value (NPV)

$$NPC = C_{capital} + \sum_{t=1}^{T} \frac{C_{operating} + C_{replacement}}{(1+r)^t} \quad (16)$$

where: $C_{capital}$: Initial capital investment, $C_{operating,t}$: Annual operating cost in year t, $C_{replacement,t}$: Component replacement cost in year t , r: Discount rate and T: Project lifetime (years)

2.5 Case Study Scenarios

- Case A: Grid
- Case B: PV–VRFB sized according to Section 2.
- Sensitivity Analysis
  - Case C-1 to 4: Variation in PV capacity ±10-20%.
  - Case D-1 to 4: Variation VRFB storage ±10-20%.

Simulation outputs include:

- Hourly PV generation, VRFB SOC, and load supply.
- Annual unmet load (to compute LPSP).
- Capacity Shortage (to system Reliability (%) = 1 – Capacity Shortage)
- Financial metrics over a 25-year project life.

3. Result and Discussions

3.1 Technical data Input

TABLE 1 Input Configuration Parameters Used in HOMER Pro

Component	Description	Parameter	Value	Unit	Reference / Remark
PV Array	Main energy source	Rated power 0.30kW/ea.	13	kW	Standard residential scale
		Efficiency	18.7	%	Commercial monocrystalline panel
		Lifetime	25	years	Manufacturer datasheet
		Derating factor	0.9	-	For dust, temp losses
VRFB	Energy storage system	Rated capacity	15	kWh	Based on 4-hour autonomy
		Nominal voltage	50	V	Custom lab prototype
		Efficiency (round-trip)	75–80	%	Lab-scale test result
		SOC limits	20–95	%	Prevent over-discharge
		Lifetime	15	years	Literature-based
Power Converter	Bidirectional inverter	Rated power	3	kW	Matches PV array
	Efficiency	96	%	Typical inverter spec	
Residential Load	Daily demand profile	Peak load	2.09	kW	Based on local residential usage
	Average load	0.47	kW	11.26 kWh/day	
	Load type	Dynamic (hourly)	–	–	Smart meter profile
Location	Solar resource data	Global Horizontal Irradiance (GHI)	5.0–5.5	kWh/m²/day	Based on site (e.g., Pathum Thani)
	Ambient temperature range	24–36	°C	Affects battery & PV efficiency	

3.2 Technical Performance Analysis

3.2.1 SOC of system Analysis

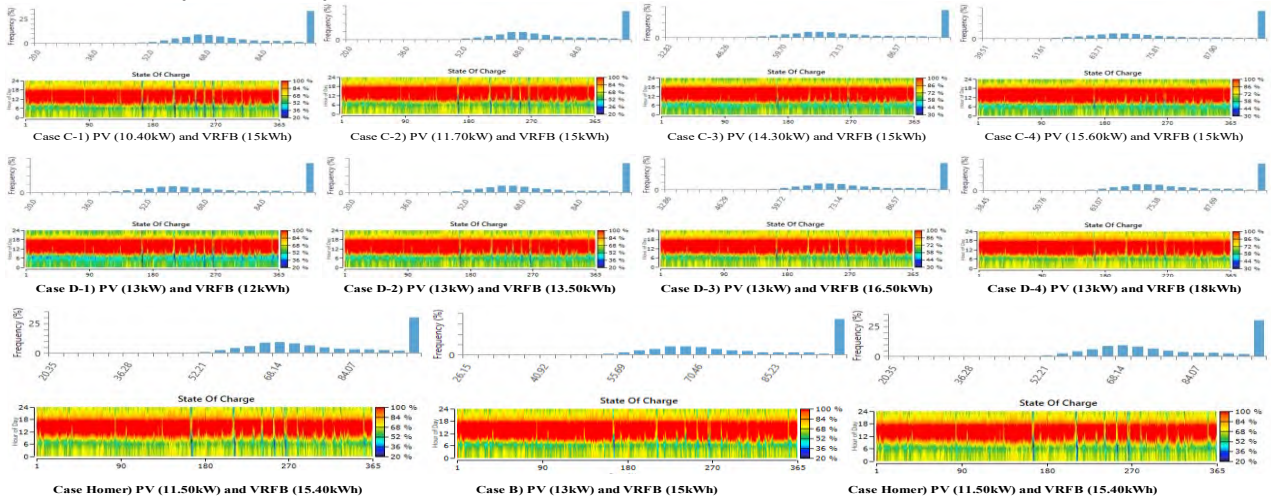

Fig 5: State of Charge and Discharge of PV-VRFB system.

Figure 5 heat map analysis provides a detailed visualization of the hourly performance of a PV-VRFB system over the course of a year, using a gradient color scale to represent varying levels of system efficiency. **Red (100%)** represents peak system performance, typically observed at midday under strong solar radiation, highlighting optimal energy generation and storage. In contrast, **blue (20%)** signifies periods of minimal performance, commonly occurring during nighttime and early morning hours when solar input is absent. Intermediate colors, ranging from yellow to green, reflect gradual transitions between these extremes.

The figure also reveals **seasonal fluctuations** in system performance, with noticeable dips around mid-year. These variations are likely due to changes in solar radiation levels, weather conditions (e.g., cloud cover, monsoons, and reduced sunlight hours during winter), and household energy demand fluctuations. To mitigate these seasonal impacts, strategies such as adjusting VRFB charging cycles to align with seasonal variations, increasing PV panel capacity to enhance solar energy capture, and expanding battery capacity to improve energy storage during low-production periods could be considered.

This analysis underscores a predictable daily performance cycle, peaking during daylight hours, while emphasizing the essential role of VRFBs in maintaining system functionality during periods of low or no solar input. The heat map ultimately demonstrates the PV system's reliability during sunlight hours and the indispensable role of storage solutions in ensuring a consistent energy supply throughout the year.

As illustrated in Figure 5, a system designed using a sizing approach based on the total daily load can accommodate ±20% variations in PV or VRFB capacity while still meeting the power demand. Nevertheless, a reduction in PV generation exceeding 20% (case C-1) leads to a substantial decline in system reliability

3.2.2 Performance and Cost Analysis.

TABLE 2: Performance and Cost of PV and VRFB Systems for Residential Load Applications

Case	System Size				Total Price		Total	PV	VRFB	Excess	LPSP	Capacity Shortage	Storage	Emissions		
	Grid	PV.	VRFB.	INV.	(NPV)	LCOE	Load	Generation	Supplied	Electricity	(Standard <1%)	(standard <0.1%)	Depletion	Carbon Dioxide	Sulfur Dioxide	Nitrogen Oxides
	(kW)	(kW)	(kWh)	(kW)	($)	($/kWh)	(kWh)	(kWh)	(kWh)	(%)	(%)	(%)	(kWh/yr)	(kg/yr)	(kg/yr)	(kg/yr)
Homer		11.50	15.40	1.92	20,684.19	0.3895	4,107	18,554	2,307	74.20	0.0221	0.0995	4.20	0	0	0
A	11.26	-	-	3.00	5,312.07	0.1000	4,107	-	-	-	0.0000	0.0000	-	2,597	11.3	5.51
B	-	13.00	15.00	-	30,766.86	0.5792	4,107	21,014	2,290	77.20	0.0002	0.0157	4.15	0	0	0
C-1	-	10.40	15.00	3.00	30,068.93	0.5664	4,107	16,811	2,321	71.50	0.0558	0.1050	4.27	0	0	0
C-2	-	11.70	15.00	3.00	30,417.87	0.5726	4,107	18,912	2,305	74.70	0.0021	0.0144	4.21	0	0	0
C-3	-	14.30	15.00	3.00	31,116.02	0.5858	4,107	23,115	2,278	79.30	0.0000	0.0000	4.09	0	0	0
C-4	-	15.60	15.00	3.00	31,465.30	0.5923	4,107	25,216	2,268	81.00	0.0000	0.0000	4.07	0	0	0
D-1	-	13.00	12.00	3.00	29,960.09	0.5642	4,107	21,014	2,288	77.20	0.0401	0.0730	4.30	0	0	0
D-2	-	13.00	13.50	3.00	30,363.52	0.5716	4,107	21,014	2,290	77.20	0.0058	0.0216	4.22	0	0	0
D-3	-	13.00	16.50	3.00	31,170.19	0.5868	4,107	21,014	2,290	77.20	0.0000	0.0000	4.07	0	0	0
D-4	-	13.00	18.00	3.00	31,573.52	0.5944	4,107	21,014	2,290	77.20	0.0000	0.0000	4.00	0	0	0

From Table 2, the comparison results, Case A (Grid Only) shows the lowest cost (LCOE = 0.10 $/kWh) but relies entirely on the grid and produces greenhouse gas emissions. In contrast, Case B (PV 13 kW, VRFB 15 kWh) provides the highest reliability (LPSP ≈ 0) with zero emissions but has the highest overall cost (LCOE = 0.5792 $/kWh).

Increasing the size of either PV (Case C) or VRFB (Case D) reduces LPSP and capacity shortage to zero but slightly increases the LCOE. Comparing Case C-3 (PV 14.3 kW, VRFB 15 kWh) and Case D-3 (PV 13 kW, VRFB 16.5 kWh), both achieve full reliability (LPSP = 0), but C-3 has a slightly lower overall cost.

Therefore, the optimal system sizing should balance cost (LCOE) and reliability (LPSP). Case C-2 or D-2 appears to provide the best trade-off, achieving near-zero LPSP while keeping costs lower than the largest system configurations.

3.2.3 Techno-economic Analysis of the PV–VRFB System

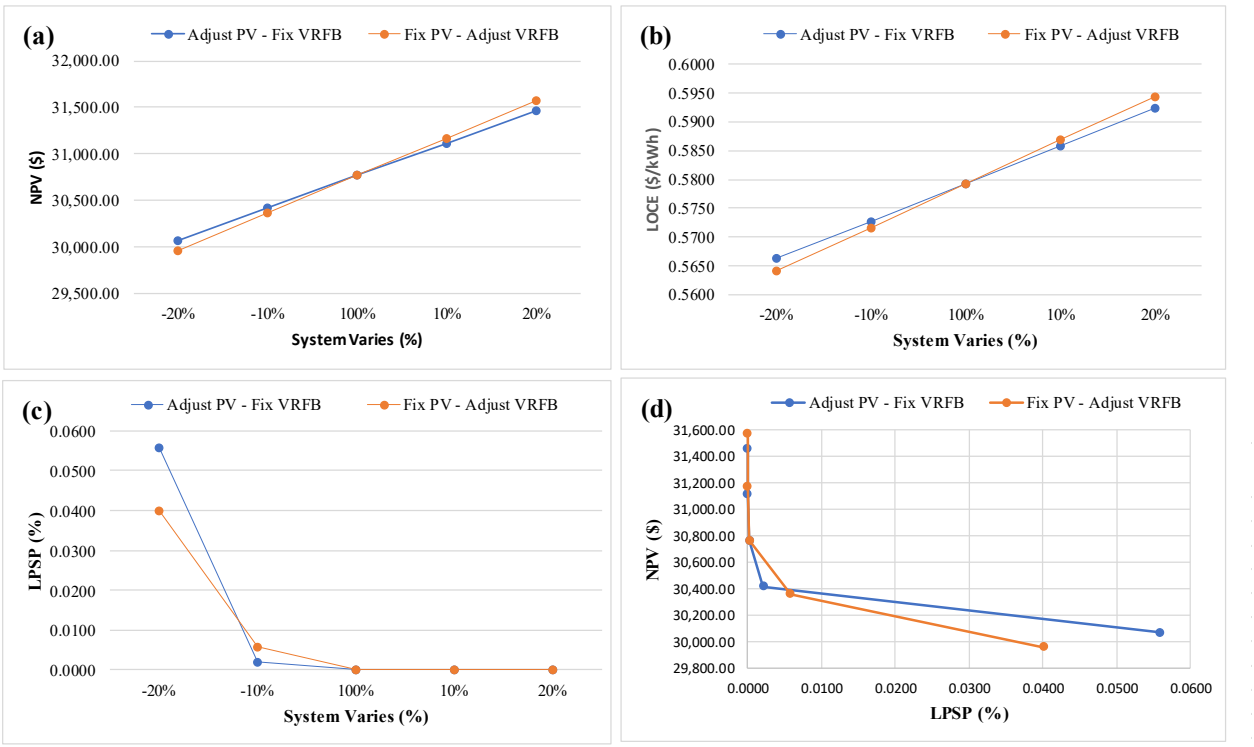

Fig 6: State of Charge and Discharge of PV-VRFB system.

Figure 6 illustrates the techno-economic performance of the PV–VRFB system under two sizing strategies: Adjust PV–Fix VRFB and Fix PV–Adjust VRFB.

(a) For NPV, both strategies show a consistent increase with larger system sizes. Although the trends are nearly identical, the Adjust PV–Fix VRFB approach yields slightly higher NPV at larger capacities, indicating marginally better financial outcomes when PV capacity is adjusted.

(b) The LCOE rises gradually as the system size increases. While the difference between the two strategies is minor, the Fix PV–Adjust VRFB method tends to produce marginally higher LCOE values, suggesting that adjusting VRFB capacity contributes to a slightly greater average cost of electricity compared to adjusting PV.

(c) The LPSP decreases significantly as system size grows. At -20% system variation, Adjust PV–Fix VRFB shows a slightly higher LPSP than Fix PV–Adjust VRFB, implying that PV adjustment alone may provide lower reliability when the system is undersized. However, both strategies achieve zero LPSP from the nominal size onward, ensuring full reliability.

(d) The NPV–LPSP relationship highlights that lower LPSP corresponds to higher NPV for both strategies. The Adjust PV–Fix VRFB approach maintains a higher NPV at comparable LPSP levels, reinforcing its advantage in balancing economic performance with system reliability.

3.2.4 Energy and SOC of System Analysis

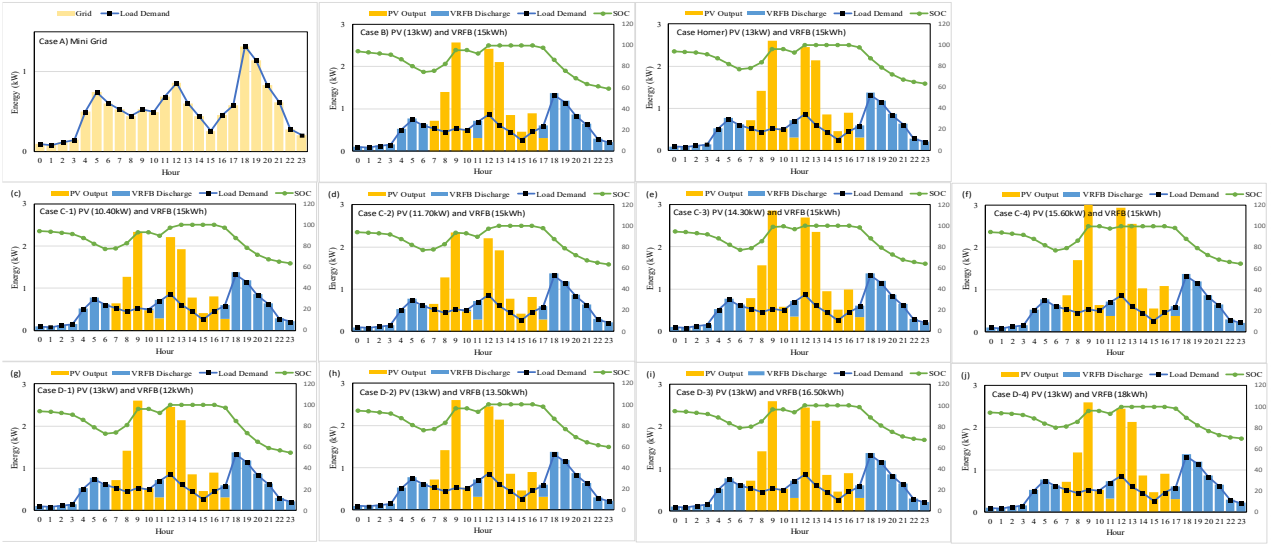

Fig 7: System power delivery performance.

Figure 7, illustrates the energy profiles of various PV-VRFB system configurations across a 24-hour period, highlighting the balance between PV generation, battery storage behavior, and load demand. The system performance is evaluated in terms of PV output, VRFB charging/discharging, and the battery's state of charge (SOC).

Case A (Mini-Grid) serves as the baseline scenario, where the energy demand is entirely met by the grid, with no renewable generation or storage involved.

Case B demonstrates the integration of a 13.40 kW PV array and a 15 kWh VRFB. The PV system sufficiently charges the battery during peak sunlight hours, allowing effective discharging during evening demand peaks, maintaining a balanced SOC profile.

Cases C-1 to C-4 explore the impact of varying PV sizes with a fixed battery capacity (15 kWh). As PV size increases from 10.40 kW to 15.60 kW:

- PV output becomes increasingly sufficient to meet load demands and charge the battery.
- SOC profiles show improved stability, with Case C-4 achieving the most robust energy autonomy and reduced reliance on external sources.

Cases D-1 to D-4 evaluate different VRFB capacities (12 kWh to 18 kWh) under a constant PV size (13 kW). The results indicate:

- Smaller battery capacities lead to faster SOC depletion and limited evening supply (D-1, D-2).
- As the storage size increases, the system can store more excess solar energy and sustain loads longer into the night.

Case D-4 exhibits the most stable SOC, suggesting ample energy storage and reliable load coverage.

Key Insights:

- A well-balanced PV-to-battery ratio is critical for optimal energy self-sufficiency.
- Increasing PV capacity enhances energy harvesting potential during the day.
- Expanding battery size improves energy availability during non-generating hours.
- Cases C-4 and D-4 emerge as the most promising configurations, delivering superior performance in terms of both energy sustainability and system reliability.

4. Conclusions

This study investigates multiple PV-VRFB system configurations to assess their performance in terms of energy autonomy, cost-effectiveness, and battery utilization over an annual cycle. The conclusions are drawn from hourly performance charts, economic evaluation tables, and long-term SOC distribution analysis.

4.1. Energy Performance & Load Matching

- Cases C-4 and D-4 demonstrated the most stable and complete load coverage, showing consistent VRFB discharge during peak demand and sustained SOC levels into the evening.
- As PV capacity increases (C-series), the energy generated becomes more sufficient to cover the demand and maintain battery charge.
- Similarly, increasing VRFB capacity (D-series) improves energy availability throughout the night, ensuring a lower risk of supply shortage.

4.2. Economic Feasibility

- Although Case A (grid-only) has the lowest investment and LCOE, it comes with high emissions and total grid dependency.
- Case B strikes the best balance between cost and clean energy, with a relatively low LCOE ($0.5792/kWh) and full autonomy using solar and storage.
- Higher PV and VRFB capacities (C-4, D-4) improve performance but come with higher Net Present Costs (>$31,000) and increasing LCOE (up to $0.9444/kWh).

4.3. Battery Utilization & SOC Behavior

- The SOC heatmaps indicate frequent fluctuations in charge levels throughout the year.
  - Cases D-3 and D-4 show higher SOC stability with more time spent in the mid-to-high charge zones, minimizing deep discharge cycles and improving battery health.
  - Cases C-1 and D-1 suffer from lower SOC values and more rapid depletion, suggesting undersized PV or storage capacity.
- The histogram distribution supports that, systems with larger storage or PV size reduce low-SOC frequency, increasing reliability.

4.4. Emissions and Environmental Impact

- All PV-VRFB integrated systems (B–D-4) achieved zero emissions, showcasing their effectiveness for clean energy transition.
- Only Case A emitted CO_2 (2,597 kg/yr), emphasizing the environmental benefit of integrating renewable sources.

5. Acknowledgments

We gratefully acknowledge the support and contributions that made this research possible. We extend our sincere appreciation to Assoc Prof. Dr. Boonyang Plangklang and the institutions of Rajamangala University of Technology Thanyaburi, Pathum Thani, Thailand, for their invaluable assistance and expertise throughout the course of this study. Their guidance and resources have been instrumental in shaping the outcomes and conclusions presented in this work.

References

[1] Rufer, A. Energy Storage Systems and Components, 3rd ed.; CRC Press: Boca Raton, FL, USA, 2018.

[2] Lopez-Vizcaíno, R.; Mena, E.; Millan, M.; Rodrigo, M.A.; Lobato, J. Performance of a vanadium redox flow battery for the storage of electricity produced in photovoltaic solar panels. Renew. Energy 2017, 114, 1123–1133.

[3] W. Wei et al., “Multi-objective optimal configuration of standalone PV-based microgrids considering component failures,” *IET Energy Systems Integration*, vol. 4, no. 4, pp. 414–426, 2022.

[4] T. Sarkar et al., “Optimal design and implementation of solar PV-wind-biogas-VRFB storage integrated smart hybrid microgrid for ensuring zero loss of power supply probability,” *Energy Conversion and Management*, vol. 191, pp. 102–118, 2019.

[5] H. Saleeb, A. M. El-Rifaie, K. Sayed, O. Accouche, S. A. Mohamed, and R. Kassem,“Optimal sizing and techno-economic feasibility of hybrid microgrid,”*Processes*, vol. 13, no. 4, Art. no. 1209, Apr. 2025, doi: 10.3390/pr13041209.

[6] IEEE Standard 1366-2012, *IEEE Guide for Electric Power Distribution Reliability Indices*, IEEE, 2012.

[7] A. M. Al-Shaalan, *Reliability Evaluation of Power Systems*. London, U.K.: IntechOpen, 2019, doi: 10.5772/ intechopen. 85571.

[8] A. J. Davison et al., “A review on vanadium redox flow battery storage systems for large-scale power systems application,” *IEEE Access*, vol. 11, pp. 14532–14549, 2023.

[9] W. Wei et al., “Multi-objective optimal configuration of standalone PV-based microgrids considering component failures,” *IET Energy Systems Integration*, vol. 4, no. 4, pp. 414–426, 2022.

[10] W. Seward et al., “Sizing, economic, and reliability analysis of photovoltaics and energy storage for off-grid systems,” *IET Energy Systems Integration*, vol. 5, no. 1, pp. 26–37, 2023.

[11] S. Hameed, I. P. Reddy, V. Ganesh, and A. R. Vadde, “An efficient energy management scheme for an islanded DC microgrid with hybrid VRFB system,” *Math. Probl. Eng.*, vol. 2022, Art. no. 9083307, 2022, doi: 10.1155/2022/9083307.

[12] Zheng et al., “Techno-economic analysis of a solar-based polygeneration system integrated with vanadium redox flow battery and thermal energy storage,” *Applied Energy*, vol. 376, Part B, 15 December 2024 p. 122284, 2024, doi.org/10.1016/j.apenergy.2024.124288

[13] H. Tang *et al.*,“Design and technical assessment of photovoltaic and vanadium redox flow battery systems for residential buildings based on time-of-use electricity pricing strategy,”*Energy Convers. Manag.*, vol. 341, Art. no. 120059, Jun. 2025, doi: 10.1016/j.enconman.2025.120059.

	Surasak Noituptim He received M. Eng, degree in Electrical Engineering from Rajamangala University of Technology Thanyaburi. And B. Eng in Electrical Engineering from Mahanakorn University of Technology. He ‘ s currently studying the D. Eng. in Energy and Material Engineering at Rajamangala University of Technology Thanyaburi, Pathum Thani, Thailand. His main research interests are including applications of Redox Flow Batteries Technology and Energy Technology.
	Akeratana Noppakant He received D. Eng. degree in Electrical Engineering from Rajamangala University of Technology Thanyaburi. And M. Eng, degree in Electrical Engineering from Rajamangala University of Technology Thanyaburi ,B. Eng in Electrical Engineering from Thonburi University. He ‘s currently works at Thonburi University,Bangkok, Thailand. His main research interests are including Power System, Electric Machine, Renewable Energy and Solar Energy.
	Wanwinit Wijittemee, He received M. Eng. , degree in Industrial Engineering from King Mongkut’ s University of Technology North Bangkok, B. Eng. in Electrical Engineering from Sripatum University. He’ s currently studying the Ph. D. in Engineering at Rajamangala University of Technology Thanyaburi, Pathum Thani, Thailand. His main research interests are including applications of AC motor and PMSM motor Technology.
	Sawek Pratummet, He received M. Eng. , degree in Construction and Infrastructure Management En from Suranaree University of Technology, B. Eng. in Tool and Materials Engineering from King Mongkut’ s University of Technology Thonburi. He’ s currently studying the D. Eng. in Energy and Material Engineering at Rajamangala University of Technology Thanyaburi, Pathum Thani, Thailand. His main research interests are including Carbon Neutrality, Carbon policy, Renewable energy and Green Technology.
	Sarun Nakthanom: He received Ph. D. in Information and Communication Technology for Education from King Mongkut's University of Technology North Bangkok, Thailand. He earned M. Eng. in Data Storage Technogogy from King Mongkut's Institute of Technology Ladkraban, Thailand, and B. Sc in Industrial Computer Technology from Phranakhon Rajabhat University, Thailand. He is currently working at Sukhothai Thammathirat Open University, Nonthaburi, Thailand. His main research interests include applications in electric machine and vehicles, and signal processing as applied to digital data storage systems.

	Supapradit Marsong: He received D. Eng. degree in Electrical Engineering from Rajamangala University of Technology Thanyaburi. And M. Eng, degree in Electrical Engineering from King Mongkut's University of Technology North Bangkok, Thailand. B. Eng. in Electrical Engineering from Thonburi University. He ‘s currently works as visiting lecturer at Thonburi University, Bangkok, Thailand. His main research interests are including Power System, Electric Machine, Renewable Energy and Solar Energy.
	Boonyang Plangklang: He received Dr. - Ing Eng, degree in Electrical Engineering from University of Kassel, Germany 2005, MSc. in Electronics System & Engineering Management from Uni-GH Paderborn, Soest Division, Germany, (DAAD), 2001 and B. Eng in Electrical Engineering from Rajamangala Institute of Technology, Pathum Thani, Thailand, 1996. He currently works at Rajamangala University of Technology Thanyaburi, Pathum Thani, Thailand. His main research interests are including applications Renewable Energy, Solar Energy.

การพัฒนาโปรแกรมผู้เชี่ยวชาญสำหรับการออกแบบระบบผลิตไฟฟ้าพลังงานแสงอาทิตย์ชนิดติดตั้งบนหลังคาโดยพิจารณาข้อจำกัดร่วมในสภาวะงานจริงอย่างเหมาะสม

A Novel Technique for Developing an Expert System for Designing Rooftop Photovoltaic Systems Considering Practical Constraints

เกียรติศักดิ์ น้ำทิพย์ชลธร[1], ชาย ชมภูอินไหว[2]

[1]ภาควิชาวิศวกรรมไฟฟ้า คณะวิศวกรรมศาสตร์ สถาบันเทคโนโลยีพระจอมเกล้าเจ้าคุณทหารลาดกระบัง kiattisak.tea19@gmail.com

[2]ภาควิชาวิศวกรรมไฟฟ้า คณะวิศวกรรมศาสตร์ สถาบันเทคโนโลยีพระจอมเกล้าเจ้าคุณทหารลาดกระบัง chai.ch@kmitl.ac.th

บทคัดย่อ

บทความนี้นำเสนอโปรแกรมคำนวณขนาดติดตั้งระบบผลิตไฟฟ้าพลังงานแสงอาทิตย์แบบเชื่อมต่อสายส่งไฟฟ้า (PV On-Grid System) ที่ถูกพัฒนาขึ้นซึ่งมีชื่อว่า PV.On-gridV1.0 โปรแกรมนี้ถูกสร้างขึ้นโดยใช้หลักการวิธีการคำนวณหากำลังไฟฟ้าติดตั้งทางวิศวกรรมไฟฟ้าเพื่อหาขนาดติดตั้งของระบบ Solar PV จากผู้เชี่ยวชาญที่มีประสบการณ์ด้านการออกแบบระบบพลังงานแสงอาทิตย์ เพื่อช่วยให้ผู้ใช้งานสามารถคำนวณขนาดกำลังไฟฟ้าติดตั้งที่เหมาะสมได้อย่างรวดเร็ว โดยใช้ข้อมูลเงื่อนไขการพิจารณาสำคัญ 3 ประการ คือ ความต้องการกำลังไฟฟ้าสูงสุดเฉลี่ย (Load Profile) ขนาดพื้นที่ที่มีอยู่ (Area) และข้อมูลค่าไฟฟ้าที่ต้องการลดเฉลี่ยต่อเดือน (Electric bill) ผลจากการคำนวณจะได้ขนาดกำลังการติดตั้งที่เหมาะสมเป็นค่าประมาณ ซึ่งสามารถใช้เป็นแนวทางในการตัดสินใจลงทุนและการออกแบบระบบ PV On Grid ได้ในอนาคต

คำสำคัญ: PV.On-gridV1.0, ขนาดกำลังผลิตติดตั้งระบบ PV On Grid, การคำนวณขนาดระบบพลังงานแสงอาทิตย์

Abstract

This article presents a program for calculating the installation size of a grid-connected solar power generation system (PV On-Grid System), named PV.On-gridV1.0. This program was developed using the principles of electrical engineering power calculation methods to determine the installation size of a solar PV system. Experts with experience in solar power system design aim to help users quickly calculate the appropriate installed power size by considering three key criteria: average maximum power demand (Load Profile), available area (Area), and average monthly electricity bill (Electric bill). The calculation results will provide an approximate appropriate installation power size, which can be used as a guideline for investment decisions and future PV On-Grid system design.

Keywords: PV.On-gridV1.0, PV On Grid system installation capacity analysis, solar PV system sizing calculation

1. บทนำ

การติดตั้งระบบผลิตไฟฟ้าจากพลังงานแสงอาทิตย์ (Solar Photovoltaic : PV) ได้รับความนิยมเพิ่มขึ้นอย่างต่อเนื่องในประเทศไทยทั้งในภาคครัวเรือนและอุตสาหกรรม เนื่องจากสามารถช่วยลดการพึ่งพาพลังงานไฟฟ้าจากระบบสายส่งหลัก (Grid) และยังมีศักยภาพในการประหยัดค่าใช้จ่ายด้านพลังงานในระยะยาว จากการวิเคราะห์ความคุ้มทุนเบื้องต้น พบว่าต้นทุนการผลิตไฟฟ้าจากพลังงานแสงอาทิตย์อยู่ที่ประมาณ 0.9 บาทต่อหน่วย ในขณะที่ค่าไฟฟ้าจากการไฟฟ้าส่วนภูมิภาคสำหรับผู้ใช้ไฟฟ้าอัตรา TOU (Time of Use) มีค่าเฉลี่ยอยู่ที่ประมาณ 4.0–4.5 บาทต่อหน่วย [1] อีกทั้งรัฐบาลไทยยังมีนโยบายรับซื้อไฟฟ้าส่วนเกินจากระบบ Solar Rooftop ในราคา 2.20 บาทต่อหน่วย สำหรับระบบขนาดไม่เกิน 10 kW [2] ซึ่งสอดคล้องกับแผนพัฒนาพลังงานทดแทน (AEDP 2024) ที่กำหนดเป้าหมายให้พลังงานทดแทนมีสัดส่วนร้อยละ 51 ของการผลิตไฟฟ้าทั้งหมดภายในปี พ.ศ. 2580 [3] อย่างไรก็ตาม แม้จะมีแนวโน้มเชิงบวกในการส่งเสริมพลังงานทดแทน แต่ในด้านการวิเคราะห์ออกแบบและคำนวณขนาดระบบ PV ที่เหมาะสมยังคงต้องเผชิญกับข้อจำกัดทางด้านการออกแบบ โดยปัจจุบันมีโปรแกรมช่วยคำนวณที่ได้รับการยอมรับในระดับสากล เช่น PVWatts Calculator ของ National Renewable Energy Laboratory (NREL) [5] ซึ่งเป็นเครื่องมือที่ใช้กันอย่างแพร่หลาย แต่เน้นข้อมูลสภาพอากาศและพารามิเตอร์มาตรฐานสากล และ PVGIS (Photovoltaic Geographical Information System) [6] ที่พัฒนาโดย European Commission ซึ่งมีข้อมูลครอบคลุมหลายประเทศแต่ไม่ได้ปรับแต่งให้สอดคล้องกับบริบทเฉพาะของประเทศไทย ปัญหาหลักที่พบในการใช้โปรแกรมเหล่านี้คือความไม่สอดคล้องกับโครงสร้างอัตราค่าไฟฟ้าของไทยที่มีความซับซ้อนและแตกต่างกันตามประเภทมิเตอร์ การใช้ข้อมูลสภาพอากาศมาตรฐานซึ่งอาจไม่สะท้อนค่าความเข้มแสงอาทิตย์หรือ Peak Sun Hours (PSH) ที่แท้จริงในแต่ละภูมิภาค รวมถึงการไม่พิจารณาลักษณะการใช้งานไฟฟ้าเฉพาะของผู้ใช้ไทยและข้อจำกัดด้านพื้นที่ติดตั้ง เช่น ขนาดและประเภทของหลังคา ซึ่งเป็นปัจจัยสำคัญที่ส่งผลโดยตรงต่อ

ประสิทธิภาพและความคุ้มค่าของการลงทุนในระบบผลิตไฟฟ้าพลังงานแสงอาทิตย์ในประเทศไทย

บทความนี้นี้มีวัตถุประสงค์เพื่อพัฒนาโปรแกรมที่ใช้หลักการทางวิศวกรรมไฟฟ้าร่วมกับข้อมูลเชิงสถิติและปัจจัยเฉพาะของประเทศไทย เพื่อช่วยคำนวณขนาดติดตั้งระบบ PV On Grid ที่เหมาะสม อันจะช่วยให้ผู้สนใจสามารถวิเคราะห์และตัดสินใจลงทุนได้อย่างมีข้อมูลเชิงวิศวกรรมที่ถูกต้องและเชื่อถือได้

2. หลักการที่เกี่ยวข้อง

การออกแบบระบบ PV ที่มีประสิทธิภาพต้องพิจารณาปัจจัยหลายประการ ได้แก่ ปริมาณพลังงานแสงอาทิตย์ที่ได้รับ (Solar Irradiance) ประสิทธิภาพของแผงโซลาร์เซลล์ ประสิทธิภาพของอินเวอร์เตอร์ และสภาวะแวดล้อมในการติดตั้ง [7] โดยทั่วไปแล้ว ประสิทธิภาพรวมของระบบ (System Efficiency) จะอยู่ในช่วง 75-85% ขึ้นอยู่กับคุณภาพของอุปกรณ์และการออกแบบ [8]

2.1 การหาค่ากำลังไฟฟ้าของ PV จากค่าความต้องการกำลังไฟฟ้าเฉลี่ย

ค่ากำลังไฟฟ้าของระบบ PV ที่ต้องการหานี้จะต้องนำค่าเฉลี่ยของ Demand Load ที่ทราบแล้ว นำมาเป็นเงื่อนไขหลักในการคำนวณหาค่ากำลังไฟฟ้าผลิตติดตั้งของ PV [7] โดยจะมีค่า Factor บางอย่างที่ขึ้นอยู่กับเงื่อนไขสถานที่นั้นๆ ซึ่งจะคำณวนหาได้จากการคำนวณ 2 แบบคือ

2.1.1 แบบข้อมูล Power demand

จะใช้สมการ $\mathrm{PV} = 0.7 \times \mathrm{P} \times 1.2$ (1)

2) แบบ Energy demand

จะใช้สมการ $\mathrm{PV} = \frac{\mathrm{E}}{9} \times 1.2$ (2)

เมื่อ PV คือ ค่ากำลังไฟฟ้าของระบบโซล่าเซลล์ที่ต้องการหา
P คือ ค่าเฉลี่ยของโหลดตามประเภทที่เลือก
PSH คือ ค่า Peak Sun Hour ของพื้นที่นั้นๆ
0.7 คือ ค่าคงที่ประมาณการใช้กำลังไฟฟ้า
E คือค่าพลังงานไฟฟ้าที่ใช้งาน (kWh)

2.2 การหาค่ากำลังไฟฟ้าของ PV จากขนาดพื้นที่หลังคา

พื้นที่หลังคามีหลายประเภท ซึ่งแต่ละประเภทมีเงื่อนไขการใช้พื้นที่ได้ต่างกัน เนื่องจากแผง PV ที่ใช้กันโดยทั่วไปไม่สามารถทำให้เข้ารูปตามรูปแบบของพื้นที่หลังคาแต่ละประเภท บทความนี้จึงนำเอารูปแบบหลังคา 3 ประเภทมาหาค่าเฉลี่ยของพื้นที่ที่สามารถใช้งานติดตั้งแผง PV ได้ โดยได้ทำการออกแบบจากระยะหลังคาจริงของแต่ละประเภทได้ดังนี้

2.2.1 พื้นที่ที่สามารถใช้งานได้ของหลังคาทรงจั่ว

อาคารที่ 1 เป็นหลังคาทรงจั่วที่ส่วนกลางของหลังคามีโครงสร้างของหลังคาเป็น Vent Hood Roof ซึ่งมีพื้นที่หลังคาตามแบบโครงสร้าง 1,156 ตร.ม. (วัดขนาดจากแบบอาคาร มุมมอง Top View) แผง PV ที่นำมาใช้ออกแบบมีขนาด 2.79 ตร.ม. หรือประมาณ 2.80 ตร.ม. (2.465x1.134) เมื่อทำการออกแบบจัดวางแผง PV จะสามารถติดตั้งแผงได้ 170 แผ่น (หากวางเต็มจะวางได้ 176 แผ่น แต่เนื่องจากเงื่อนไขการออกแบบขนาดกำลังไฟฟ้าที่เหมาะสมต้องใช้ 170 แผง การออกแบบจึงเลือกใช้ 170 แผง) ซึ่งจะคิดเป็น 476 ตร.ม. หรือคิดเป็น 41.17% ของพื้นที่หลังคา

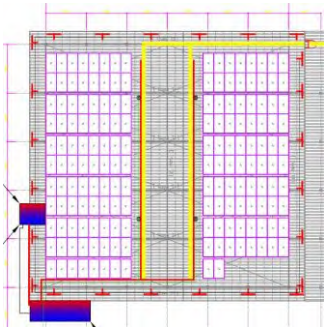

รูปที่ 1 อาคารที่ 1 เป็นหลังคาทรงจั่ว

อาคารที่ 2 เป็นหลังคาทรงจั่ว มีพื้นที่หลังคาตามแบบ 1,314 ตร.ม. (วัดขนาดจากแบบอาคาร มุมมอง Top View) แผง PV ที่นำมาใช้ออกแบบมีขนาด 2.79 ตร.ม. หรือประมาณ 2.80 ตร.ม. (2.465x1.134) เมื่อทำการออกแบบจัดวางแผง PV จะสามารถติดตั้งแผงได้ 290 แผ่น (หากวางเต็มจะวางได้ 308 แผ่น แต่เนื่องจากเงื่อนไขการออกแบบขนาดกำลังไฟฟ้าที่เหมาะสมต้องใช้ 290 แผง การออกแบบจึงเลือกใช้ 290 แผง) ซึ่งจะคิดเป็น 812 ตร.ม. หรือคิดเป็น 61.79% ของพื้นที่หลังคา

รูปที่ 2 อาคารที่ 2 เป็นหลังคาทรงจั่ว

สรุป พื้นที่ของหลังคาทรงจั่วที่สามารถใช้งานได้หากไม่คำนึงถึงเงื่อนไขอื่นๆในการออกแบบ สำหรับการติดตั้งระบบ Solar Cell มีค่าประมาณ 60%-70% ของพื้นที่ทั้งหมด

2.2.2 พื้นที่ที่สามารถใช้งานได้ของหลังคาทรงปั้นหยา

หลังคาทรงปั้นหยา เป็นรูปแบบหลังคาใช้กันแพร่หลายในอาคารประเภทที่อยู่อาศัย จากตัวอย่างบ้านมีขนาดหลังคา 129 ตร.ม. ทำการออกแบบวางแผง PV ได้จำนวน 20 แผ่น มีขนาดพื้นที่ 56 ตร.ม. หรือคิดเป็นพื้นที่ที่สามารถใช้งานเพื่อติดตั้งแผง PV ได้ 43.41% ของพื้นที่ทั้งหมด

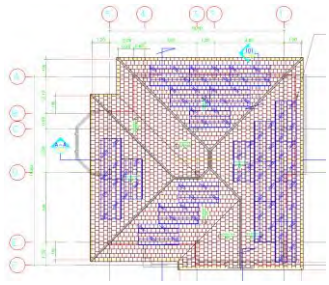

รูปที่ 3 อาคารหลังคาทรงปั้นหยา

2.2.3พื้นที่ที่สามารถใช้งานได้ของหลังคาทรงเพิงแหงน

หลังคาประเภทเพิงแหงน เป็นหลังคาที่สามารถติดตั้งแผง PV ได้มากที่สุด เนื่องจากมีจุดอับน้อย และพื้นที่ค่อนข้างสม่ำเสมอ โดยจากผลการออกแบบโรงงานแห่งหนึ่ง มีพื้นที่หลังคา 8,346 ตร.ม. ทำการออกแบบวางแผง PV ได้จำนวน 2,360 แผ่น (2.7 ตร.ม./แผ่น) เป็นพื้นที่ 6,372 ตร.ม. คิดเป็น 76.34% ของพื้นที่หลังคาทั้งหมด

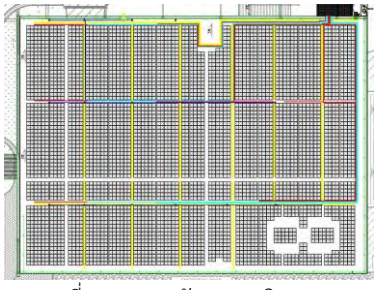

รูปที่ 4 อาคารหลังคาทรงเพิงแหงน

จากค่าสถิติพื้นที่หลังคาที่สามารถใช้งานได้แต่ละแบบสรุปได้ดังตารางนี้

ตารางที่ 1 เปอร์เซ็นการใช้งานของพื้นที่แต่ละประเภท

ประเภทหลังคา	เปอร์เซ็นของพื้นที่ ที่สามารถติดตั้งโซล่าเซลล์ได้ (%)
หลังคาจั่ว (Gabel Roof)	65%
หลังคาปั้นหยา (Hip Roof)	50%
หลังคาทรงเพิงแหงน (Lean-to Roof)	75%

2.3 การหาค่ากำลังไฟฟ้าของ PV จากค่าไฟฟ้าที่ต้องการลด

การนำค่าไฟฟ้าที่ต้องการลดมาเป็นโจทย์ เพื่อประมาณการการลงทุน ทำให้ผู้ใช้งานได้ประเมินเบื้องต้นเกี่ยวกับความสามารถในการลงทุน โดยเฉลี่ยแล้วกำลังไฟฟ้าของระบบ PV จะสามารถลดค่าไฟฟ้าได้ประมาณ 500 – 600 บาท/1 kW [13]

2.4 ข้อมูลพลังงานแสงอาทิตย์ในประเทศไทย

ประเทศไทยมีศักยภาพด้านพลังงานแสงอาทิตย์สูง โดยมีค่า Peak Sun Hours (PSH) เฉลี่ย 4.5-5.5 ชั่วโมงต่อวัน ขึ้นอยู่กับพื้นที่และฤดูกาล [12] ข้อมูลนี้เป็นพื้นฐานสำคัญในการคำนวณผลผลิตพลังงานที่คาดหวังจากระบบ PV

3. วิธีการทำงานของโปรแกรมที่พัฒนาขึ้น

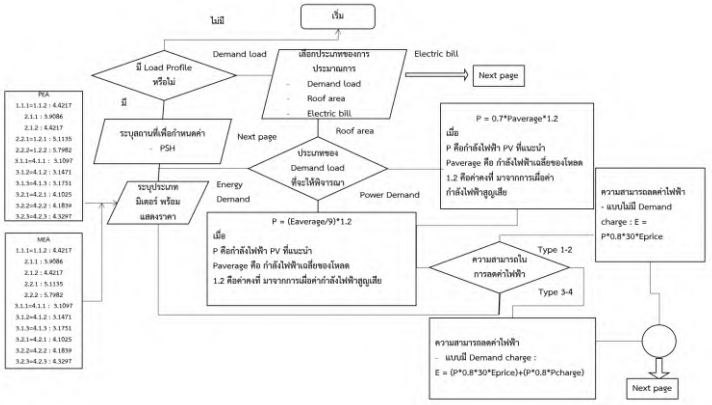

รูปที่ 5 แผนผังการทำงานของโปรแกรม

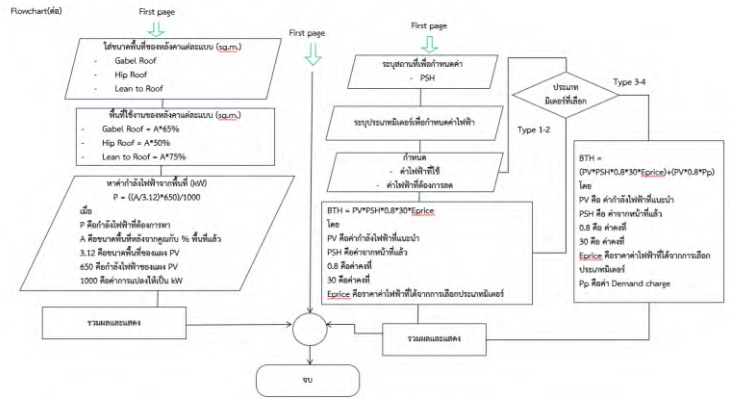

รูปที่ 6 แผนผังการทำงานของโปรแกรม (ต่อ)

โปรแกรมมีการพิจารณาปัจจัยหลายประการ ได้แก่ ปริมาณพลังงานแสงอาทิตย์ที่ได้รับ (Solar Irradiance) ประสิทธิภาพของแผงโซลาร์เซลล์ ประสิทธิภาพของอินเวอร์เตอร์ และสภาวะแวดล้อมในการติดตั้ง [7] โดยทั่วไปแล้ว ประสิทธิภาพรวมของระบบ (System Efficiency) จะอยู่ในช่วง 75-85% ขึ้นอยู่กับคุณภาพของอุปกรณ์และการออกแบบ [8] ดำเนินการโดยการกรอกข้อมูลตามเงื่อนไขที่มีอยู่ลงในโปรแกรม ซึ่งโปรแกรมจะทำการประมวลผลและแสดงผลการประมาณการที่เกี่ยวข้องโดยอัตโนมัติ ทั้งนี้ โปรแกรมได้รับการออกแบบให้สามารถวิเคราะห์ข้อมูลตามประเภทและลักษณะที่ผู้ใช้ระบุไว้ เพื่อให้ได้ผลลัพธ์ที่สอดคล้องกับข้อมูลเบื้องต้นที่นำเข้า โดยข้อมูลประกอบด้วย 3 ลักษณะ ได้แก่

3.1 ข้อมูล Load Profile

เหมาะสำหรับผู้ใช้งานที่มีข้อมูลทางเทคนิค นั่นคือค่าความต้องการกำลังไฟฟ้าเฉลี่ยหรือค่าความต้องการพลังงานไฟฟ้าเฉลี่ย ในช่วงกลางวัน (8.00 น. – 17.00 น.) ซึ่งทั้ง 2 ค่านี้ มีความต่างกัน โดยหากใช้ค่าความต้องการกำลังไฟฟ้าเฉลี่ยในการกรอกข้อมูล ผลของค่ากำลังไฟฟ้าผลิตติดตั้งของระบบ PV ที่แนะนำก็จะมีความแม่นยำสูงกว่าและมีค่ากำลังไฟฟ้าผลิตติดตั้งที่แนะนำสูงกว่า เนื่องจากวิธีการวิเคราะห์แบบใช้ข้อมูลพลังงานไฟฟ้าที่ใช้เฉลี่ยนั้น คือการนำเอาพลังงานในช่วงที่พิจารณามาเฉลี่ย จึงทำให้ค่าที่ได้ไม่สูง แต่ในแง่ของการลงทุน จะมีความปลอดภัยในการลงทุนติดตั้งที่สูงกว่า

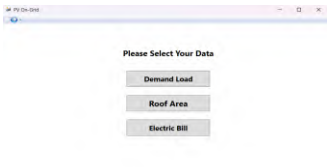

รูปที่ 7 หน้า Home Page ของโปรแกรม

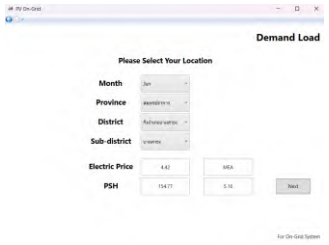

รูปที่ 8 การหาค่ากำลังไฟฟ้าของ PV จากค่าความต้องการกำลังไฟฟ้าเฉลี่ย

รูปที่ 9 การหาค่ากำลังไฟฟ้าของ PV จากค่าความต้องการกำลังไฟฟ้าเฉลี่ย

3.2 ข้อมูลขนาดพื้นที่หลังคา

พื้นที่หลังคาที่ติดตั้งแผง PV ได้ จะไม่ใช่พื้นที่ทั้งหมดของหลังคา เนื่องจากในการติดตั้งจริง แผง PV ที่ใช้ในตลาดทั่วไปมีลักษณะเป็นสี่เหลี่ยมผืนผ้า โดยจะมีขนาดทั่วไปประมาณ 3.12 ตร.ม. ต่อแผ่น (2.4 x 1.3 ม.) และจะต้องมีระยะพื้นที่สำหรับบำรุงรักษา และพื้นที่ที่ไม่สามารถติดตั้งได้จากข้อจำกัดทางด้านการติดตั้งของพื้นที่ โดยการเลือกพื้นที่สำหรับนำมาพิจารณา ควรหลีกเลี่ยงพื้นที่ที่มีเงาบังจากต้นไม้ หรือจากอาคารและงปลูกสร้างข้างเคียงเพื่อให้ระบบ PV ที่ติดตั้งนั้น สามารถทำงานอย่างเต็มประสิทธิภาพ บทความนี้จะกล่าวถึงพื้นที่หลังคาที่นิยมใช้งานในประเทศไทย ประกอบไปด้วยดังนี้

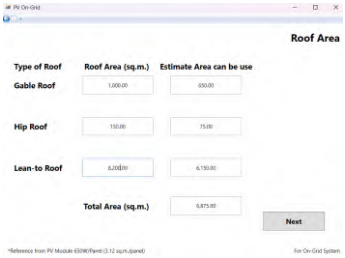

รูปที่ 10 การหาค่ากำลังไฟฟ้าของ PV จากขนาดพื้นที่หลังคา

ตารางที่ 2 แสดงพื้นที่ของหลังคาแต่ละประเภท

ชนิดของหลังคา	พื้นที่แผง PV เฉลี่ยที่สามารถติดตั้งได้ (%)	พื้นที่ข้อจำกัดที่ไม่สามารถติดตั้งได้ (%)	พื้นที่บำรุงรักษา (%)
Gable Roof	65	20	15
Hip Roof	50	35	15
Lean to Roof	75	10	15

สำหรับประเทศไทย ขนาด PV ที่จะติดตั้งจะต้องคำนึงถึงทิศทางของแผง PV ที่กระทำต่อการตกกระทบของแสงแดด โดยทิศทางที่ดีคือ ทำมุมประมาณ 14 องศา กับพื้น และมีทิศทางหันไปทางทิศใต้ แต่ในทางปฏิบัติ การติดตั้งอาจจำเป็นต้องมีมุมและทิศทางเดียวกับหลังคา เพื่อความมั่นคง

3.3 ข้อมูลความต้องการประหยัดค่าพลังงาน

วิธีนี้สำหรับผู้ใช้งานที่ใช้ค่าความต้องการลดค่าไฟฟ้ามาเป็นสมมติฐาน ตัวอย่างเช่น ผู้ใช้งานมีค่าใช้จ่ายพลังงานไฟฟ้าประจำเดือน 5,000 บาท/เดือน และมีความต้องการลดค่าไฟฟ้าเดือนละ 3,000 บาท/เดือน โดยการคำนวณหาได้จาก

$$PV = \frac{(3000/Eprice)/30}{PSH} \times 1.2 \quad (3)$$

เมื่อ PV คือ ค่ากำลังไฟฟ้าของระบบโซล่าเซลล์ที่ต้องการหา
Eprice คือค่าไฟฟ้าตามประเภทมิเตอร์ที่เลือก
PSH คือ ค่า Peak Sun Hour ของพื้นที่นั้นๆ

ซึ่งค่าที่ได้เป็นค่าแนะนำ ขนาดที่ติดตั้งจริงจึงอาจใช้ค่าใกล้เคียงที่แนะนำก็สามารถติดตั้งได้

4. ผลการวิเคราะห์ของโปรแกรมที่พัฒนาขึ้น

ผลการทดสอบใช้งานโปรแกรมที่พัฒนาขึ้นนี้ถูกใช้ทดลองกับกลุ่มการทดสอบจริง เพื่อใช้เป็นข้อมูลนำเสนอให้กับผู้ที่มีความสนใจอยากติดตั้งโซล่าเซลล์ สำหรับการลดการซื้อไฟฟ้า และมีบางรายจากการทดสอบ

โปรแกรมนี้มีการติดตั้งจริงตามที่โปรแกรมแนะนำ โดยการทดลองจะทำการวิเคราะห์ทั้ง 3 วิธี ดังนี้

4.1 วิธีที่ 1 ผลการวิเคราะห์จากค่าความต้องการไฟฟ้าเฉลี่ย

จากการวิเคราะห์ขนาดการติดตั้งระบบผลิตไฟฟ้าจากพลังงานแสงอาทิตย์ (PV) โดยใช้วิธีที่ 1 ซึ่งพิจารณาจากค่าความต้องการไฟฟ้าเฉลี่ยรายวันของแต่ละโครงการ (ตารางที่ 3) พบว่า โครงการ A ซึ่งเป็นบ้านพัก มีความต้องการใช้ไฟฟ้าเฉลี่ย 30.76 หน่วยต่อวัน ส่งผลให้ขนาดที่เหมาะสมในการติดตั้งระบบ PV อยู่ที่ 4.10 กิโลวัตต์ ส่วนโครงการ B ซึ่งเป็นบ้านพักเช่นกัน มีการใช้ไฟฟ้าเฉลี่ย 35.80 หน่วยต่อวัน ส่งผลให้สามารถติดตั้งระบบ PV ได้ 4.77 กิโลวัตต์ สำหรับโครงการ C ซึ่งเป็นโรงงาน มีความต้องการใช้ไฟฟ้าสูงถึง 700 กิโลวัตต์ ส่งผลให้ขนาดการติดตั้งที่เหมาะสมอยู่ที่ 588 กิโลวัตต์ รายละเอียดแสดงดังตารางที่ 3

ตารางที่ 3 ผลการหาขนาดของ PV จากวิธีที่ 1

โครงการ	ประเภทมิเตอร์	ค่าไฟฟ้าที่ต้องการลด	ผลการหาค่ากำลังไฟฟ้า (kW)
A	1.1.1	5,000	7.18
B	2.1.2	6,000	9.25
C	3.2.2	250,000	513.13

4.2 วิธีที่ 2 ผลการวิเคราะห์จากขนาดพื้นที่

จากการวิเคราะห์ขนาดการติดตั้งระบบผลิตไฟฟ้าจากพลังงานแสงอาทิตย์ (PV) โดยใช้วิธีที่ 2 พบว่า โครงการ D ซึ่งเป็นโรงงานที่มีลักษณะหลังคาแบบ Gable Roof ขนาดพื้นที่ 2,200 ตารางเมตร สามารถติดตั้งระบบ PV ได้สูงถึง 705.12 กิโลวัตต์ ขณะที่โครงการ B ซึ่งเป็นบ้านพัก มีลักษณะหลังคาแบบ Hip Roof พื้นที่ 155 ตารางเมตร รองรับการติดตั้ง PV ได้ 16.14 กิโลวัตต์ สำหรับโครงการ C ซึ่งเป็นโรงงานที่มีหลังคาแบบ Lean to Roof ขนาดใหญ่ถึง 12,500 ตารางเมตร มีศักยภาพในการติดตั้งระบบ PV ได้มากถึง 1,953.12 กิโลวัตต์ รายละเอียดแสดงดังตารางที่ 4

ตารางที่ 4 ผลการหาขนาดของ PV จากวิธีที่ 2

โครงการ	ประเภทของหลังคา	ประเภทกิจการ	ขนาดพื้นที่ (ตร.ม.)	ผลการหาค่ากำลังไฟฟ้า (kW)
D	Gable Roof	โรงงาน	2,200	705.12
B	Hip Roof	บ้านพัก	155	16.14
C	Lean to Roof	โรงงาน	12,500	1,953.12

4.3 วิธีที่ 3 ผลการวิเคราะห์จากค่าไฟฟ้าที่ต้องการลด

จากการวิเคราะห์ขนาดการติดตั้งระบบผลิตไฟฟ้าจากพลังงานแสงอาทิตย์ (PV) โดยใช้วิธีที่ 3 ซึ่งพิจารณาจากค่าความต้องการไฟฟ้าเฉลี่ยในแต่ละวัน เพื่อวางแผนการลดค่าใช้จ่ายด้านพลังงานไฟฟ้า (ตารางที่ 4) พบว่า โครงการ A ซึ่งเป็นบ้านพัก มีการใช้พลังงานไฟฟ้าเฉลี่ยอยู่ที่ 30.76 หน่วยต่อวัน ส่งผลให้ขนาดกำลังไฟฟ้าที่เหมาะสมในการติดตั้งระบบ PV อยู่ที่ 4.10 กิโลวัตต์ ขณะที่โครงการ B ซึ่งเป็นบ้านพักเช่นเดียวกัน มีค่าความต้องการไฟฟ้าเฉลี่ย 35.80 หน่วยต่อวัน คำนวณได้ค่ากำลังไฟฟ้าที่เหมาะสมอยู่ที่ 4.77 กิโลวัตต์ ส่วนโครงการ C ซึ่งเป็นโรงงาน มีความต้องการใช้พลังงานไฟฟ้าสูงถึง 700 กิโลวัตต์ จึงได้ค่ากำลังไฟฟ้าสำหรับระบบ PV เท่ากับ 588 กิโลวัตต์ รายละเอียดแสดงดังตารางที่ 5

ตารางที่ 5 ผลการวิเคราะห์จากค่าไฟฟ้าที่ต้องการลด

โครงการ	ประเภทมิเตอร์	ประเภทกิจการ	ค่าความต้องการไฟฟ้าเฉลี่ย	ผลการหาค่ากำลังไฟฟ้า (kW)
A	1.1.1	บ้านพัก	30.76 kWh/Day	4.10
B	2.1.2	บ้านพัก	35.80kWh/Day	4.77
C	3.2.2	โรงงาน	700kW	588

จากตารางที่ 3-5 สามารถสรุปได้ว่า จากการเปรียบเทียบผลการวิเคราะห์ขนาดการติดตั้งระบบผลิตไฟฟ้าจากพลังงานแสงอาทิตย์ (PV) ตามวิธีการทั้ง 3 วิธี ได้แก่ วิธีที่ 1 จากค่าความต้องการไฟฟ้าเฉลี่ย, วิธีที่ 2 จากขนาดพื้นที่ติดตั้ง และวิธีที่ 3 จากค่าไฟฟ้าที่ต้องการลด (ดังแสดงในตารางที่ 6) พบว่าแต่ละวิธีให้ผลลัพธ์ที่แตกต่างกันตามเงื่อนไขและเกณฑ์ที่ใช้พิจารณา สำหรับโครงการ A วิธีที่ 1 คำนวณได้ 4.10 กิโลวัตต์ ส่วนวิธีที่ 3 คำนวณได้ 7.18 กิโลวัตต์ โดยไม่มีข้อมูลพื้นที่สำหรับวิธีที่ 2 ขณะที่โครงการ B วิธีที่ 1 ให้ค่ากำลังไฟฟ้า 4.77 กิโลวัตต์ วิธีที่ 2 ซึ่งใช้พื้นที่เป็นเกณฑ์ให้ค่า 16.14 กิโลวัตต์ และวิธีที่ 3 ให้ค่า 9.25 กิโลวัตต์ โดยเจ้าของโครงการได้เลือกติดตั้งจริงตามค่าของวิธีที่ 3 ซึ่งถือว่าเหมาะสมทั้งในเชิงการใช้งานและการจัดวางแผง สำหรับโครงการ C วิธีที่ 1 วิเคราะห์ได้ 588 กิโลวัตต์ ขณะที่วิธีที่ 2 ให้ค่ากำลังไฟฟ้าสูงถึง 1,953.12 กิโลวัตต์ ซึ่งเป็นผลจากพื้นที่หลังคาที่มีขนาดใหญ่ อย่างไรก็ตาม เมื่อพิจารณาค่าในวิธีที่ 3 ซึ่งได้ 513.13 กิโลวัตต์ เจ้าของโครงการได้ตัดสินใจเลือกขนาดการติดตั้งตามค่านี้ โดยอ้างอิงจากทิศทางการวางแผงและการใช้งานจริง ส่วนโครงการ D มีเฉพาะผลการวิเคราะห์จากวิธีที่ 2 ซึ่งให้ค่ากำลังไฟฟ้าที่สามารถติดตั้งได้ 705.12 กิโลวัตต์ ผลการวิเคราะห์ดังกล่าวสะท้อนให้เห็นว่า การกำหนดขนาดระบบ PV ที่เหมาะสมควรพิจารณาอย่างรอบด้าน ทั้งจากพฤติกรรมการใช้พลังงาน พื้นที่ติดตั้งจริง และเป้าหมายการลดค่าใช้จ่ายด้านไฟฟ้า เพื่อให้เกิดความคุ้มค่าในการลงทุนและประสิทธิภาพในการใช้งานสูงสุด รายละเอียดแสดงดังตารางที่ 6

ตารางที่ 6 เปรียบเทียบค่าไฟฟ้าที่ต้องการลด

โครงการ	ขนาด PV (kW)			หมายเหตุ
	วิธีที่ 1	วิธีที่ 2	วิธีที่ 3	
A	4.10	-	7.18	
B	4.77	16.14	9.25	ติดตั้งจริง
C	588	1,953.12	513.13	ติดตั้งจริง
D	-	705.12	-	

6. สรุป

โปรแกรมที่พัฒนาขึ้นนี้ถูกออกแบบมาเพื่อเป็นเครื่องมือในการวิเคราะห์ขนาดติดตั้งระบบ PV On-Grid เบื้องต้น โดยอาศัยหลักการทางวิศวกรรมไฟฟ้าและข้อมูลเฉพาะของประเทศไทย ผลลัพธ์จากโปรแกรมเป็นค่าประมาณการที่สามารถใช้เป็นแนวทางเบื้องต้นในการตัดสินใจลงทุน ทั้งสำหรับครัวเรือนและโรงงานที่สนใจติดตั้งระบบ Solar Rooftop เพื่อลดการพึ่งพาไฟฟ้าจากสายส่งหลักและเพิ่มความคุ้มค่าในการลงทุนระยะยาว โปรแกรมสามารถช่วยลดเวลาในการวิเคราะห์และทำให้ผู้ที่ไม่มีความเชี่ยวชาญด้านวิศวกรรมไฟฟ้าสามารถประเมินความเป็นไปได้ของโครงการได้อย่างมีประสิทธิภาพ นอกจากนี้ยังสามารถต่อยอดไปสู่การพัฒนาฟังก์ชันขั้นสูง เช่น การเชื่อมต่อข้อมูลรังสีแสงอาทิตย์เฉพาะพื้นที่ และการวิเคราะห์ความคุ้มทุนเชิงเศรษฐศาสตร์ เพื่อยกระดับการประเมินโครงการให้มีความครบถ้วนยิ่งขึ้น อย่างไรก็ตาม การออกแบบรายละเอียดและการติดตั้งจริงยังจำเป็นต้องอาศัยความเชี่ยวชาญจากวิศวกรผู้เชี่ยวชาญ เพื่อให้ได้ระบบที่มีความปลอดภัยและมีประสิทธิภาพสูงสุด ข้อจำกัดของการศึกษานี้ควรเพิ่มความสามารถในการประมวลผลข้อมูลเฉพาะพื้นที่ เช่น ค่ารังสีแสงอาทิตย์รายจังหวัด เพื่อเพิ่มความแม่นยำของผลลัพธ์ นอกจากนี้ ควรบูรณาการฟังก์ชันวิเคราะห์ความคุ้มทุนทางเศรษฐศาสตร์ เช่น ระยะเวลาคืนทุน และผลตอบแทนการลงทุน เพื่อใช้ในการตัดสินใจลงทุนที่มีข้อมูลรองรับครบถ้วน อีกทั้งควรพัฒนาโปรแกรมให้ใช้งานผ่านระบบออนไลน์เพื่อเพิ่มการเข้าถึงของผู้ใช้งาน พร้อมเชื่อมต่อฐานข้อมูลอุปกรณ์ PV ที่ทันสมัย และต่อยอดสู่การออกแบบระบบเชิงเทคนิคอย่างละเอียด

เอกสารอ้างอิง

[1] การไฟฟ้าส่วนภูมิภาค. (2567). อัตราค่าไฟฟ้าสำหรับผู้ใช้ไฟฟ้าทั่วไป. สืบค้นจาก https://www.pea.co.th/th/electricity-tariff
[2] SolarQuarter. (2022). Thailand Households Can Sell Surplus Rooftop Solar Energy At THB2.20 Per Unit. สืบค้นจาก https://solarquarter.com/2022/05/31/thailand-households-can-sell-surplus-rooftop-solar-energy-at-thb2-20-per-unit/
[3] Energy Tracker Asia. (2025). Solar Energy In Thailand: Policy Aspiration to Economic Engine. สืบค้นจาก https://energytracker.asia/solar-energy-thailand/
[4] Kazmi, S., et al. (2016). How to Design Solar PV System Guide for sizing your solar photovoltaic system. Academia.edu. สืบค้นจาก https://www.academia.edu/26083772/
[5] National Renewable Energy Laboratory. (2024). PVWatts Calculator. สืบค้นจาก https://pvwatts.nrel.gov/
[6] European Commission. (2024). PVGIS Photovoltaic Geographical Information System. สืบค้นจาก https://pvgis.com/en
[7] Bhatia, A. (2020). Design and Sizing of Solar Photovoltaic Systems. Continuing Education and Development, Inc.
[8] Aurora Solar. (2024). How to size a PV system from an electricity bill. สืบค้นจาก https://aurorasolar.com/blog/how-to-size-a-pv-system-from-an-electricity-bill/
[9] Unbound Solar. (2021). How to Size a Solar System: Step-by-Step. สืบค้นจาก https://unboundsolar.com/blog/how-to-size-solar-system
[10] Go Green Solar. (2024). How to Size a Solar System [Step-by-Step Guide]. สืบค้นจาก https://www.gogreensolar.com/pages/sizing-solar-systems
[11] ResearchGate. (2017). Design, Sizing and Implementation of a PV System for Powering a Living Room. สืบค้นจาก https://www.researchgate.net/publication/317266540_
[12] กรมอุตุนิยมวิทยา. (2567). ข้อมูลรังสีดวงอาทิตย์ในประเทศไทย. กรุงเทพฯ: กรมอุตุนิยมวิทยา.
[13] MEA. (2025). ความรู้เกี่ยวกับ Solar . สืบค้นจาก www.mea.or.th

เกี่ยวกับผู้เขียน

ผศ.ดร.ชาย ชมภูอินไหว
B.ENG(Hons)(KMITL), M.ENG(KMITL) Ph.D.(University of Texas Arlington) สาขาวิจัย Power System Stability, Electricity Deregulation

นายเกียรติศักดิ์ น้ำทิพย์ชลธร
ปริญญาตรีวิศวกรรมไฟฟ้า (วศบ.) มหาวิทยาลัยเทคโนโลยีราชมงคลอีสาน นครราชสีมา, สฟก.6798, กำลังศึกษาปริญญาโทวิศวกรรมไฟฟ้า สถาบันเทคโนโลยีพระจอมเกล้าเจ้าคุณทหารลาดกระบัง

การประเมินศักยภาพในการผลิตไฟฟ้าและโอกาสในการขยายระบบโซลาร์รูฟในมหาวิทยาลัย กรณีศึกษาคณะแพทยศาสตร์ มหาวิทยาลัยสงขลานครินทร์

Assessment of the potential and opportunities for expanding solar roof systems in universities: A case study of the Faculty of Medicine, Prince of Songkla University

ชัยยศ ชิตวัฒน์[1]*

[1]กองกายภาพและสิ่งแวดล้อม มหาวิทยาลัยสงขลานครินทร์ chaiyotchitawat@gmail.com

บทคัดย่อ

งานวิจัยนี้มีวัตถุประสงค์เพื่อประเมินศักยภาพในการผลิตไฟฟ้าและโอกาสในการขยายระบบโซลาร์รูฟภายในมหาวิทยาลัยสงขลานครินทร์ โดยใช้กรณีศึกษาการติดตั้งระบบโซลาร์รูฟขนาด 620 kWp ที่คณะแพทยศาสตร์เป็นต้นแบบ ข้อมูลที่ใช้ประกอบด้วยผลการผลิตไฟฟ้าจริงในช่วงปี 2565–2567 ข้อมูลสภาพอากาศรายเดือน และการคำนวณค่าความคุ้มค่าทางเศรษฐศาสตร์ ได้แก่ ต้นทุนการผลิตไฟฟ้าจริง (LCOE) และระยะเวลาคืนทุน (PB) ผลการศึกษาพบว่าระบบสามารถผลิตไฟฟ้าเฉลี่ย 609,680 kWh ต่อปี ลดการปล่อยก๊าซเรือนกระจกได้ 260 ตัน CO_2 ต่อปี และมีค่า LCOE เท่ากับ 3.94 บาทต่อหน่วย โดยมีระยะเวลาคืนทุน 11.31 ปี หากขยายระบบไปยังอาคารอื่น ๆ ที่มีศักยภาพคาดว่าจะผลิตไฟฟ้าได้รวม 1.38 ล้าน kWh ต่อปี และลดการปล่อยก๊าซเรือนกระจกได้มากกว่า 641 ตัน CO_2 ต่อปี จะช่วยลดการพึ่งพาไฟฟ้าจากระบบสายส่งและสนับสนุนเป้าหมายด้านพลังงานสะอาดตามแนวทาง SDGs

คำสำคัญ: ระบบผลิตไฟฟ้าเซลล์แสงอาทิตย์ โซลาร์รูฟ ความคุ้มค่าทางเศรษฐศาสตร์ การวิเคราะห์ศักยภาพเชิงพื้นที่ การลดคาร์บอนไดออกไซด์

Abstract

This research aims to assess the potential for electricity generation and the expansion opportunity of solar rooftop systems within Prince of Songkla University, using the existing 620 kWp solar rooftop installation at the Faculty of Medicine as a case study. The study incorporates actual electricity generation data from 2022 to 2024, monthly climatic data, and economic feasibility indicators including the Levelized Cost of Electricity (LCOE) and Payback Period (PB). The results show that the system produces an average of 609,680 kWh/year, reduces greenhouse gas emissions by approximately 260 tCO_2/year, and achieves an LCOE of 3.94 THB/kWh with a payback period of 11.31 years. If the system is expanded to other suitable buildings, it is estimated that the total annual electricity generation could reach 1.38 million kWh, with over 641 tCO_2/year of emissions reduction. This would significantly reduce the university's dependency on grid electricity and support clean energy goals in alignment with the Sustainable Development Goals (SDGs).

Keywords: Photovoltaic electricity generation system, Solar rooftop, Economic feasibility, Spatial potential analysis, Carbon dioxide reduction

1. บทนำ

มหาวิทยาลัยสงขลานครินทร์ วิทยาเขตหาดใหญ่ เป็นสถาบันการศึกษาในภาคใต้มีพื้นที่รวม 791 ไร่ ครอบคลุมพื้นที่การศึกษา พื้นที่นันทนาการ พื้นที่ที่พักนักศึกษา และโรงพยาบาลสงขลานครินทร์ ภายในมหาวิทยาลัยมีอาคารต่าง ๆ จำนวน 230 หลัง รองรับพันธกิจด้านการเรียนการสอน การวิจัย และบริการวิชาการแก่สังคม ในปี พ.ศ. 2565 - 2567 มหาวิทยาลัยมีการใช้พลังงานไฟฟ้ารวมทั้งสิ้น 72,443,600 79,021,680 และ 83,863,600 kWh ตามลำดับ สะท้อนถึงความต้องการใช้พลังงานในระดับสูงอย่างต่อเนื่อง

ภายใต้แนวคิดการพัฒนาอย่างยั่งยืน (Sustainable Development Goals: SDGs) โดยเฉพาะเป้าหมายที่ 7 และ 13 มหาวิทยาลัยในฐานะองค์กรต้นแบบด้านพลังงานสะอาด มีบทบาทสำคัญในการส่งเสริมการใช้พลังงานหมุนเวียน เพื่อลดการพึ่งพาพลังงานฟอสซิลและลดการปล่อยก๊าซเรือนกระจก การติดตั้งระบบผลิตไฟฟ้าจากพลังงานแสงอาทิตย์บนหลังคาอาคารจึงเป็นทางเลือกสำคัญที่ตอบโจทย์ด้านสิ่งแวดล้อมและเศรษฐกิจในระยะยาว [1] [2] และลดการปล่อยก๊าซเรือนกระจก แต่ด้วยงบประมาณการลงทุนที่สูงสำหรับการติดตั้งระบบผลิตไฟฟ้าจากพลังงานแสงอาทิตย์บนหลังคาของอาคารในแต่ละครั้ง จึงจำเป็นต้องใช้ข้อมูลที่แม่นยำนอกเหนือจากการเปรียบเทียบผลผลิตไฟฟ้าจากโปรแกรมจำลอง เพื่อขยายระบบให้ครอบคลุมพื้นที่มหาวิทยาลัย โดยเฉพาะบริเวณจังหวัดสงขลา มีสภาพภูมิอากาศแบบร้อนชื้นตลอดปีซึ่งส่งผลทั้งในทางบวกและลบต่อประสิทธิภาพการผลิตไฟฟ้าจากแผงโซลาร์เซลล์ โดยมีปัจจัยสำคัญ เช่น ความเข้มของรังสีดวงอาทิตย์ (Solar Irradiance) อุณหภูมิอากาศ ความชื้นสัมพัทธ์ และฝุ่นละอองขนาดเล็ก (PM2.5) [3] ซึ่งมีผลโดยตรงต่อประสิทธิภาพการแปลงพลังงานของระบบ โดยเฉพาะอุณหภูมิที่สูงและความชื้นสะสมจากฝนตกบ่อยอาจลดประสิทธิภาพการทำงานของแผงได้

ด้วยเหตุนี้ การประเมินศักยภาพการผลิตไฟฟ้าจากระบบโซลาร์รูฟในพื้นที่มหาวิทยาลัยจึงควรพิจารณาทั้งข้อมูลจริงจากระบบที่ติดตั้งแล้ว และผลการจำลองจากโปรแกรมเฉพาะทาง เพื่อนำไปสู่การประเมินเชิงพื้นที่ที่แม่นยำ โดยใช้ข้อมูลของคณะแพทยศาสตร์ มหาวิทยาลัยสงขลาครินทร์ ซึ่งได้รับการสนับสนุนจากกองทุนอนุรักษ์พลังงาน ติดตั้งระบบผลิตไฟฟ้าจากพลังงานแสงอาทิตย์บนหลังคาใน 6 กลุ่มอาคาร ประกอบด้วย อาคาร 100 ปี อาคารสูติกรรม อาคารกุมรเวช อาคารเรียนรวม อาคารรังสีวิทยา และ อาคารพยาธิวิทยา รวมเป็น 620 kWp :ซึ่งติดตั้งแล้วเสร็จในปี พ.ศ. 2563 เป็นข้อมูลอ้างอิงสำหรับกำหนดแผนขยายการติดตั้งระบบโซลาร์เซลล์ในมหาวิทยาลัยอย่างมีประสิทธิภาพ

*ผู้ประพันธ์บรรณกิจ

2. วิธีการดำเนินการ

2.1 พื้นที่ศึกษา

ระบบผลิตไฟฟ้าจากพลังงานแสงอาทิตย์บนหลังคาของกลุ่มอาคารคณะแพทยศาสตร์ มหาวิทยาลัยสงขลานครินทร์ ตั้งอยู่ในพิกัดตำแหน่งภูมิศาสตร์ 774772.95 เหนือ 665100.47 ตะวันออก ภายในมหาวิทยาลัยสงขลานครินทร์ มีขนาดการติดตั้งตามตารางที่ 1

ตารางที่ 1 ขนาดการติดตั้งระบบโซลาร์เซลล์บนหลังคา

อาคาร	ขนาดติดตั้ง kWp	พื้นที่หลังคา ตร.ม	พื้นที่ติดตั้ง ตร.ม	แผงโซล่าเซลล์ แผ่น
อาคาร 100 ปี	255	3,713	3,010	684
อาคารสุติกรรม	54	540	234	162
อาคารกุมรเวช	73	550	286	198
อาคารเรียนรวม	45	410	248	124
อาคารรังสีวิทยา	105	1,085	594	297
อาคารพยาธิวิทยา	88	1,560	516	258
รวม	**620**	**7,858**	**4,888**	**1,723**

ทำการติดตั้งบนดาดฟ้าและหลังคาของอาคาร ซึ่งอยู่ในตำแหน่งสูงจากพื้นดินประมาณ 21 เมตร ไม่มีสิ่งกีดขวางที่ส่งผลต่อการรับแสงแดดตามรูปที่ 1

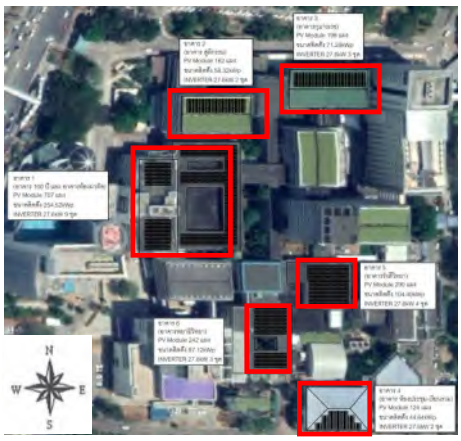

รูปที่ 1 ตำแหน่งการติดตั้งแผนโซลาร์เซลล์บนหลังคา

2.2 รายละเอียดการติดตั้ง

2.2.1 รูปแบบการติดตั้ง

คณะแพทยศาสตร์ มหาวิทยาลัยสงขลานครินทร์ ได้รับการสนับสนุนงบประมาณจากกองทุนอนุรักษ์พลังงาน กระทรวงพลังงาน ประจำปีงบประมาณ 2562 จำนวนเงิน 56,856,500 ในโครงการเพิ่มประสิทธิภาพการใช้พลังงานอาคารโรงพยาบาลสงขลานครินทร์ ซึ่งมีการปรับปรุงเรื่องปรับอากาศ และติดตั้งระบบผลิตไฟฟ้าบนหลังคาขนาด 620 kWp โดยติดตั้งในกลุ่มอาคาร จำนวน 6 อาคาร การติดตั้งระบบผลิตไฟฟ้าบนหลังคาเป็นแบบผสมสนาน (PV Hybrid System) ตามรูปที่ 2 ซึ่งผลิตไฟฟ้าในช่วงกลางวันเท่านั้นและจ่ายเข้าระบบสายเมนของอาคารผ่านระบบ inverter ซึ่งเชื่อมกับสายเมนไฟฟ้าของมหาวิทยาลัย และสามารถป้องกันกระแสไฟฟ้าไหลย้อนเข้าระบบ

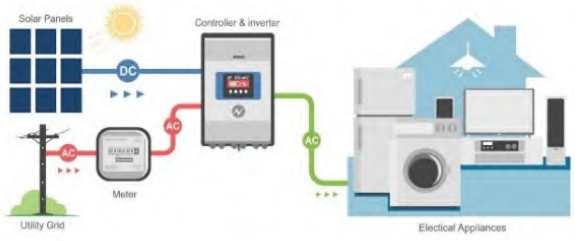

รูปที่ 2 การติดตั้งเป็นแบบผสมสนาน

2.2.2 รายละเอียดอุปกรณ์

เลือกใช้แผงโซล่าเซลล์ ชนิด Mono-Crystalline ขนาด 360Wp ,46V จำนวน 1,723 แผง อุปกรณ์ Inverter ขนาด 27.6 kW 3 เฟส DC 750-1000v , AC 400/230V จำนวน 23 ชุด โดยต่อแผงโซล่าเซลล์แบบอนุกรมเข้ากับ Inverter ตามรูปที่ 3

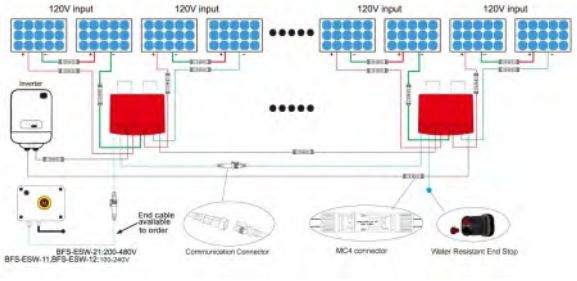

รูปที่ 3 การต่อแผ่นแผนโซลาร์เซลล์กับ Inverter

การวิเคราะห์ค่า Performance Ratio (PR) ของแผงโซล่าเซลล์ คำนวณตามสมการ 1

$$\text{Performance Ratio (PR)} = \frac{E_{AC}}{P_0 \times H_{POA}} \quad (1)$$

กำหนดให้

E_{AC} คือ พลังงานไฟฟ้ากระแสสลับที่จ่ายใช้งาน (kWh)

P_o คือ กำลังติดตั้ง (kWp)

H_{POA} คือ ปริมาณรังสีรวมบนระนาบแผง (kWh/m²)

2.3 การวิเคราะห์ความคุ้มค่าทางเศรษฐศาสตร์

การวิเคราะห์ความคุ้มค่าทางเศรษฐศาสตร์ของโครงการโซลาร์รูฟสามารถใช้วิธีวิเคราะห์ระยะเวลาการคืนทุน (Payback Period: PB) LCOE (Levelized Cost of Electricity) ต้นทุนการผลิตไฟฟ้าจริง (บาทต่อหน่วย) และ NPV (Net Present Value) ตามสมการ 2 – 4 เพื่อช่วยในการตัดสินใจ

$$\text{ระยะเวลาการคืนทุน (PB)} = \frac{\text{เงินลงทุน}}{\text{ค่าประหยัดไฟฟ้า} - \text{ค่าบำรุงรักษา}} \quad (2)$$

$$\text{ต้นทุนการผลิตไฟฟ้าจริง (LCOE)} = \frac{I + \sum_{t=1}^{n} \frac{O_t}{(1+r)^t}}{\sum_{t=1}^{n} \frac{E_t}{(1+r)^t}} \quad (3)$$

กำหนดให้

I = เงินลงทุนเริ่มต้น (บาท)

Q_t = ค่าบำรุงรักษาปีที่ t (บาท)

E_t = พลังงานที่ผลิตได้ในปีที่ t (kWh)

r = อัตราคิดลด

n = อายุโครงการ

มูลค่าปัจจุบันสุทธิ (Net Present Value: NPV)

$$NPV = \sum_{t=1}^{n} \frac{CF_t}{(1+r)^t} - I_0 \quad \text{.....(4)}$$

เมื่อ

NPV คือ มูลค่าปัจจุบันสุทธิ (บาท)

CF_t คือ กระแสเงินสดสุทธิ (Net Cash Flow) ในปีที่ t (บาท)

t คือ ปีที่ t (ตั้งแต่ 1 จนถึงอายุโครงการ n)

r คือ อัตราคิดลด (Discount rate) ต่อปี

I_o คือ เงินลงทุนเริ่มต้น

2.4 การลดการปล่อยก๊าซเรือนกระจก

การคำนวณการลดการปล่อยก๊าซเรือนกระจกจากการติดตั้ง solar rooftop ซึ่งเป็นการลดการการใช้พลังงานจากเชื้อเพลิงฟอสซิล จำพวกก๊าซธรรมชาติ และ ถ่านหิน [4] สามารถคำนวณตามสมการที่ 5

ปริมาณการลดก๊าซเรือนกระจก = Emission factor x พลังงานไฟฟ้าที่ผลิต (5)

เมื่อ

ปริมาณการลดก๊าซเรือนกระจก หน่วย $kgCO_2$ eq

Emission factor = 0.0004266 tCO2 eq / kWh

พลังงานไฟฟ้าที่ผลิต หน่วย kWh

2.5 ผลการศึกษา

การศึกษาปัจจัยภายนอกที่มีผลต่อการผลิตไฟฟ้าจากแผงโซล่าเซลล์ของพื้นที่อำเภอหาดใหญ่ จังหวัดสงขลา ประกอบด้วย อุณหภูมิอากาศ ความชื้นสัมพัทธ์ และความเข้มของรังสีดวงอาทิตย์ (Solar Irradiance) พบว่าค่าเฉลี่ยของอุณหภูมิอากาศตั้งแต่ปี พ.ศ. 2565 - 2567 [5] โดยมีค่าเฉลี่ยของอุณหภูมิอยู่ระหว่าง 26.85 – 29.38 °C ตามตารางที่ 2 ส่วนค่าเฉลี่ยความชื้นสัมพัทธ์มีค่าร้อยละ 81.04 80.24 และ 79.46 ตามลำดับ ตามตารางที่ 3

ตารางที่ 2 อุณหภูมิเฉลี่ยของจังหวัดสงขลาระหว่างปี พ.ศ. 2565-2567

เดือน	อุณหภูมิ °C			อุณหภูมิเฉลี่ย °C
	ปี 65	ปี 66	ปี 67	
ม.ค.	27.37	26.48	27.83	27.23
ก.พ.	27.47	27.42	28.39	27.76
มี.ค.	27.47	27.42	28.39	28.46
เม.ย.	28.13	27.95	29.30	29.38
พ.ค.	28.39	29.31	30.42	29.09
มิ.ย.	28.22	29.24	29.83	28.58
ก.ค.	28.05	28.64	29.04	28.67
ส.ค.	28.37	28.81	28.82	28.27
ก.ย.	28.11	28.34	28.36	27.82
ต.ค.	27.75	27.75	27.97	27.60
พ.ย.	27.12	27.93	27.76	26.85
ธ.ค.	26.97	26.65	26.93	26.86

ตารางที่ 3 ความชื้นสัมพัทธ์ของจังหวัดสงขลาระหว่างปี พ.ศ. 2565-2567

เดือน	ร้อยละความชื้นสัมพัทธ์			ร้อยละความชื้นสัมพัทธ์เฉลี่ย
	ปี 65	ปี 66	ปี 67	
ม.ค.	77.40	83.84	79.51	78.10
ก.พ.	80.14	77.73	76.42	76.39
มี.ค.	79.94	75.59	73.64	75.84
เม.ย.	79.66	75.48	72.37	78.89
พ.ค.	81.22	77.53	77.93	79.27
มิ.ย.	80.88	79.24	77.71	79.05
ก.ค.	80.32	77.64	79.20	80.02
ส.ค.	79.73	79.21	81.12	81.05
ก.ย.	80.03	81.75	81.38	82.77
ต.ค.	83.26	82.35	82.70	86.52
พ.ย.	84.54	88.77	86.25	84.80
ธ.ค.	85.34	83.71	85.35	80.25

ความเข้มของรังสีดวงอาทิตย์เฉลี่ย [6] (Solar Irradiance) มีค่าแปรผันไปตามฤดูกาล ตามตารางที่ 4 ซึ่งมีค่าน้อยสุดในเดือนธันวาคมซึ่งเป็นช่วงฤดูฝน และพบค่าพลังงานรังสีรายเดือนมีความสัมพันธ์ตรงกับอุณหภูมิ ตามรูปที่ 4

ตารางที่ 4 ค่าความเข้มของรังสีดวงอาทิตย์ (Solar Irradiance)

เดือน	ความเข้มรังสีรายวัน MJ/m^2	พลังงานรังสีรายเดือน kWh/m^2
ม.ค.	16.83	144.95
ก.พ.	19.9	154.75
มี.ค.	20.72	178.43
เม.ย.	20.58	171.51
พ.ค.	18.76	161.53
มิ.ย.	17.74	147.79
ก.ค.	17.79	153.18
ส.ค.	18.09	155.77
ก.ย.	17.42	145.2
ต.ค.	16.59	142.82
พ.ย.	15.04	125.32
ธ.ค.	14.17	122.01
ค่าเฉลี่ย	17.80	150.27

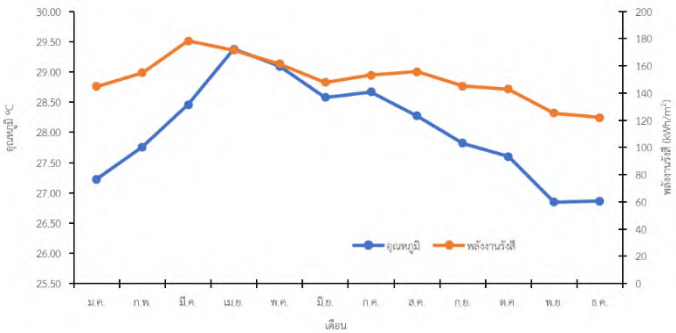

รูปที่ 3 ความสัมพันธ์พลังงานรังสีรายเดือนกับอุณหภูมิ

การใช้พลังงานไฟฟ้าต่อหน่วยของมหาวิทยาลัยสงขลานครินทร์ แปรผันไปตามกิจกรรมของมหาวิทยาลัย และคำนวณไปตามอัตราตามช่วงเวลาของการใช้ (Time of Use Tariff : TOU Tariff) ส่งผลต่อของค่าไฟฟ้าที่เรียกเก็บโดยมีค่าไฟฟ้าเฉลี่ยต่อหน่วยในปี 2565 – 2567 เท่ากับ 3.90 4.91 และ 4.16 บาทต่อkWh ตามรูปที่ 4

รูปที่ 4 ค่าไฟฟ้าต่อหน่วย (บาทต่อkWh)

การติดตั้งแผงโซล่าเซลล์บนหลังอาคารตั้งแต่ปีพ.ศ. 2565 – 2567 ผลิตไฟฟ้าได้ 1,829,040 kWh หรือผลิตไฟฟ้าได้เฉลี่ย 50,806 kWhต่อเดือน ตามตารางที่ 5

ตารางที่ 5 การผลิตไฟฟ้าจากแผงโซล่าเซลล์บนหลังอาคาร

เดือน	การผลิตไฟฟ้า (kWh)		
	ปี 65	ปี 66	ปี 67
ม.ค.	64,140	52,440	57,090
ก.พ.	47,900	57,470	67,450
มี.ค.	54,850	69,450	71,520
เม.ย.	49,350	66,650	66,000
พ.ค.	39,190	47,670	52,560
มิ.ย.	46,670	56,790	50,040
ก.ค.	44,170	52,440	44,630
ส.ค.	38,120	46,010	53,300
ก.ย.	37,180	48,200	44,290
ต.ค.	44,830	62,890	50,960
พ.ย.	48,990	36,470	35,050
ธ.ค.	42,890	44,990	36,400
รวม	558,280	641,470	629,290

การวิเคราะห์ค่า Performance Ratio (PR) สำหรับการติดตั้งแผงโซล่าเซลล์มีค่า 0.54 ซึ่งน้อยกว่าเกณฑ์ที่กำหนดไว้ 0.7 – 0.85 ส่วนช่วงเวลาที่มีรังสีที่ส่งผลต่อการผลิตไฟฟ้า พบว่าช่วงเวลา 9.00 น.- 15.00 น.เป็นช่วงเวลาที่ผลิตไฟฟ้าได้ประสิทธิภาพดีตามรูปที่ 5

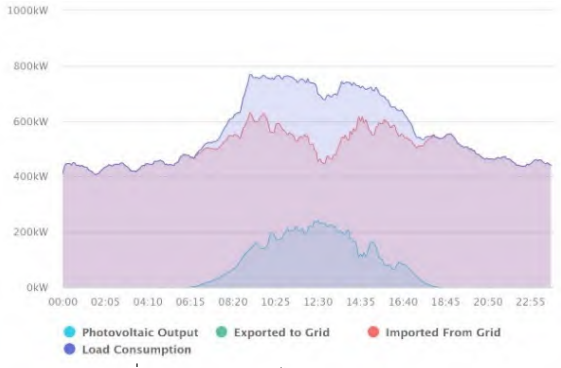

รูปที่ 5 กราฟการผลิตไฟฟ้าแยกตามช่วงเวลาในวัน

การตรวจวัดค่าฝุ่นละอองขนาดเล็ก (PM2.5) ในพื้นที่ตำบลคอหงส์ อำเภอหาดใหญ่ ได้รับผลกระทบจากสภาพภูมิอากาศภายนอกที่ไหลมากับลมมรสุมประจำปีในระยะสั้นๆ พบค่า PM2.5 มีค่าน้อยในช่วงที่มีฝนตกหนักและช่วงเดือนสิงหาคม ถึง พฤศจิกายน ตามรูปที่ 6 ซึ่งเป็นช่วงฤดูฝนในพื้นที่

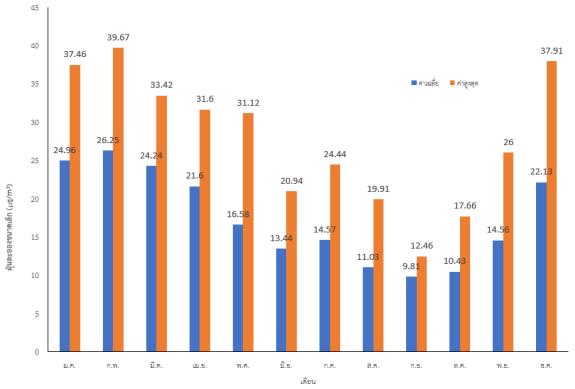

รูปที่ 6 ค่าฝุ่นละอองขนาดเล็ก (PM2.5)

3. อภิปราย

ข้อมูลเชิงพื้นที่ของมหาวิทยาลัยสงขลานครินทร์ วิทยาเขตหาดใหญ่ สรุปว่าคณะแพทย์ได้ทำการติดตั้งแผงโซล่าเซลล์บนหลังอาคาร ขนาด 620 kWp ปัจจัยภายนอกที่มีผลกระทบต่อการผลิตกระแสไฟฟ้าประกอบด้วย อุณหภูมิที่มีค่าเฉลี่ยอยู่ในช่วง 26.85 – 29.38 °C ความชื้นสัมพัทธ์เฉลี่ยร้อยละ 80.25 พลังงานรังสีรายเดือนเฉลี่ย 150.27 kWh / m^2 - เดือน [7] และระยะเวลาที่รับแสงได้ดีที่สุดในช่วง 9.00 น.- 15.00 น. หรือประมาณ 6 ชั่วโมง ค่าการสูญเสียของระบบ (Performance Ratio) เท่ากับร้อยละ 0.54 ซึ่งต่ำกว่าค่ามาตรฐาน (0.70–0.85) สาเหตุหลักเกิดจากหลายปัจจัยสรุปได้ตามตารางที่ 6 ซึ่งหากมีการปรับปรุงตามแนวทางการซ่อมบำรุงรักษาคาดว่าค่า PR สามารถเพิ่มขึ้นได้ถึง 0.65–0.70

ตารางที่ 6 ปัจจัยที่ส่งผลต่อค่าการสูญเสียของระบบ

สาเหตุการสูญเสีย	การสูญเสีย %
Soiling / ฝุ่น คราบ (soiling)	3 - 12
Shading (partial shading)	0 - 8
Temperature-related]	3 - 8
Inverter & conversion	2 - 5
DC cabling & connection	1 - 3
Mismatch & soiling non-uniformity	0.5 - 2
Availability / downtime	0.5 - 2
System design	0 - 3

ปัจจุบันอัตราการผลิตกระแสไฟฟ้าจากพลังงานแสงอาทิตย์ผลิตได้ไม่เพียงพอต่อความต้องการการใช้ไฟฟ้าของอาคาร จึงไม่มีความจำเป็นจะต้องเก็บสะสมในแบตเตอรี่ Battery Energy Storage System (BESS) การติดตั้งในระยะสั้นอาจไม่ก่อให้เกิดความคุ้มค่าทางเศรษฐศาสตร์ เนื่องจากต้องลงทุนสูง แต่พลังงานที่ผลิตได้นำมาช่วยลด peak load และเพิ่มการกระจายโหลดช่วงกลางวัน ส่วนค่าใช้จ่ายในการติดตั้งและดูแลระบบสรุปได้ตามตารางที่ 7

ตารางที่ 7 รายละเอียดการติดตั้ง

รายการ	รายละเอียด
1.งบประมาณลงทุน	28,500,000 บาท
2.ค่าตรวจสอบและซ้อมบำรุง	10,000 บาทต่อปี
3.ดอกเบี้ย MLR	6.75%
4.อายุโครงการ	25 ปี

คำนวณต้นทุนการผลิตไฟฟ้าจริง (LCOE) เท่ากับ 3.94 บาทต่อหน่วย ซึ่งน้อยกว่าการซื้อไฟฟ้าจากการไฟฟ้าส่วนภูมิภาคเท่ากับ 4.15 บาทต่อหน่วย และระยะเวลาการคืนทุน (PB) ของโครงการ เท่ากับ 11.31 ปี ซึ่งเมื่อเทียบกับมหาวิทยาลัยอื่นสรุปได้ตามตารางที่ 8

ตารางที่ 8 เปรียบเทียบผลลัพธ์จากงานวิจัยนี้กับโครงการโซลาร์รูฟในสถาบันการศึกษาอื่น

มหาวิทยาลัย	ขนาดระบบ kWp	ผลิตไฟฟ้า kWh/ปี	PR	LCOE (บาท/kWh	ระยะคืนทุน (ปี)
ม.สงขลานครินทร์ คณะแพทยศาสตร์	620	609,680	0.54	3.94	11.7
ม.ธรรมศาสตร์ [8]	1,000	1,050,00	0.74	2.8	8.5
ม.เชียงใหม่ [9]	500	480,000	0.70	3.2	10
Universiti Malaya (MY) [10]	600	620,00	0.75	3.1	9

การสร้างแบบจำลองระยะยาวเพื่อการตัดสินใจสำหรับการลงทุนในอนาคต โดยใช้ข้อมูลเดิมโดยเพิ่มเงื่อนไขตามตารางที่ 9

ตารางที่ 9 เงื่อนไขการทำแผนจำลองระยะยาว

รายการ	รายละเอียด
1.ค่าเปลี่ยนอินเวอร์เตอร์ ณ ปีที่ 12	1,000,000 บาท
2.ค่าไฟเริ่มต้น (Tariff$_0$)	4.00 บาท/kWh
3.อัตราการเพิ่มค่าไฟ	2.5% / ปี
4.ประสิทธิภาพลดลง	0.7% / ปี

การวิเคราะห์เพื่อการลงทุนในอนาคตที่ระยะ 20 ปี พิจารณาจากปริมาณการผลิตไฟฟ้าและเงินสะสมที่ประหยัดได้ตามรูปที่ 7

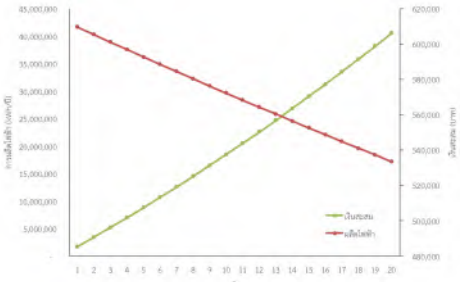

รูปที่ 7 ความสัมพันธ์การผลิตไฟฟ้าและเงินสะสมที่ประหยัดได้รายปี

ผลการคาดการณ์ระยะยาวของระบบโซลาร์รูฟขนาด 620 kWp แสดงให้เห็นว่าปริมาณการผลิตไฟฟ้าจะลดลงเล็กน้อยจาก 609,680 kWhต่อปี ในปีแรก เหลือประมาณ 532,000 kWhต่อปี ในปีที่ 20 เนื่องจากผลของการเสื่อมสภาพ (degradation rate 0.7%ต่อปี) ขณะที่มูลค่าการประหยัดไฟฟ้ากลับเพิ่มขึ้นต่อเนื่องจากอัตราค่าไฟฟ้าที่คาดว่าจะสูงขึ้นราว 2.5% ต่อปี เมื่อคำนวณที่สัดส่วนการใช้ไฟฟ้าเอง 70% พบว่าระยะเวลา 10 ปีแรกสามารถประหยัดค่าไฟฟ้าได้สะสมกว่า 120 ล้านบาท และหากดำเนินการต่อเนื่องครบ 20 ปี จะมีการประหยัดสะสมมากกว่า 280 ล้านบาท แม้ว่าประสิทธิภาพการผลิตไฟฟ้าจะลดลงตามเวลา ผลิตที่ลดลงพร้อมกับการประหยัดสะสมที่เพิ่มขึ้นอย่างต่อเนื่อง สอดคล้องกับแนวทางการลงทุนด้านพลังงานหมุนเวียนระยะยาว

การวิเคราะห์เพื่อการตัดสินใจสำหรับการลงทุนในอนาคตพิจารณางบประมาณที่ลงทุนรวมในโครงการภายใต้สมมติฐานปัจจุบัน พบว่าโครงการมีค่า NPV เท่ากับ -7,973,108 ล้านบาท หรือคิดเป็นงบประมาณสำหรับการติดตั้งมีค่า 45,968 บาทต่อkWp หากทำการปรับค่า NPV ให้มีค่ามากกว่า 0 จะใช้งบประมาณสำหรับการลงทุนรวม 20,530,000 บาท หรืองบประมาณสำหรับการติดตั้งไม่เกิน 33,120 บาทต่อkWp ตามตารางที่ 10

ตารางที่ 10 เปรียบเทียบงบประมาณเพื่อการตัดสินใจที่ระยะ 20 ปี

ปีที่ทำการติดตั้ง	งบลงทุนรวม ล้านบาท	การคิดตั้ง บาท/kWp	NPV ล้านบาท
2568	28.50	45,968	-7.97
2588	20.53	33,120	>0

สำหรับแผนการขยายการติดตั้งระบบผลิตไฟฟ้าบนหลังคาไปสู่อาคารอื่น ๆ ในพื้นที่มหาวิทยาลัยที่มีพื้นที่หลังคาที่มีความเหมาะสมโดยอ้างอิงการติดตั้งจากข้อมูลของคณะแพทยศาสตร์ สรุปได้ตามตารางที่ 11

ตารางที่ 11 ประมาณการการผลิตไฟฟ้าบนหลังคาอาคารภายในมหาวิทยาลัย

ลำดับ	อาคาร	ขนาดการติดตั้ง kWp	ผลิตไฟฟ้า (kWh/ปี)
1	คณะเภสัชศาสตร์อาคาร 1	119.04	118,061.73
2	คณะพยาบาล อาคาร 2	228.18	226,304.82
3.	คณะทันตแพทยศาสตร์ อาคาร 1	59.52	59,030.86
4.	อาคารวิทยาศาสตร์เทคโนโลยี	148.8	147,577.16
5.	อาคารปฏิบัติการใหม่	99.2	98,384.77
6	อาคารคณิตศาสตร์และสถิติ	163.68	162,334.88
7	อาคารเรียนและปฏิบัติการพื้นฐาน	86.8	86,086.68
8	อาคารวิศวกรรมเคมี	225.08	223,230.29
9	อาคารวิศวกรรมประยุกต์สิรินธร	109.12	108,223.25
10	อาคารเทคโนโลยีอาหาร	39.68	39,353.91
11	คณะทรัพยากรธรรมชาติอาคาร 1	119.04	118,061.73
	รวม	1,398.1	1,386,650.08

มหาวิทยาลัยจะผลิตไฟฟ้าได้ 1,386,650.08 kWh ต่อปี ประหยัดค่าไฟฟ้าของมหาวิทยาลัยได้ 5,754,597.83 บาทต่อปี และการลดการปล่อยก๊าซเรือนกระจกได้ 641 ตัน CO_2 ต่อปี ส่วนเงินลงทุนให้พิจารณาจากค่า NPV ก่อนจะตัดสินใจลงทุนซึ่งจำเป็นต้องมีค่าเป็นบวก โดยใช้กลไกลการตลาดเปิดให้มีการแข่งขันตามราคาท้องตลาด พร้อมเพิ่มเงื่อนไขของการเพิ่มค่า PR เช่น เพิ่มความถี่ในการดูแลรักษา การเพิ่มระบบลดความร้อนที่ผิวกระจก การเลือกใช้ Inverter ประสิทธิภาพสูง การเลือกใช้ DC cabling และการออกแบบระบบให้มีความเหมาะสมกับสถานที่ เป็นต้น

4. สรุป

การติดตั้งระบบผลิตไฟฟ้าบนหลังคาของพื้นที่ภายในมหาวิทยาลัยสงขลานครินทร์ วิทยาเขตหาดใหญ่ ซึ่งอยู่ในพื้นที่ภาคใต้ของประเทศไทยที่มีสภาพภูมิอากาศเป็นร้อนชื้นซึ่งส่งผลต่อประสิทธิภาพการผลิตไฟฟ้า จากกรณีศึกษาของการติดตั้งของคณะแพทยศาสตร์ พบว่าในปี 2565 – 2567 สามารถลดค่าไฟฟ้าได้ 7,590,516 บาท ลดการปล่อยก๊าซเรือนกระจกได้ 780 ตัน CO_2 หรือ ประมาณ 641 ตัน CO_2 ต่อปี เทียบเท่ากับการปลูกต้นไม้ในระยะ 10 ปี เท่ากับ 108,371 ต้น [11] ส่วนค่าการสูญเสียของระบบ (Performance Ratio) ของแผงโซล่าเซลล์มีค่าร้อยละ 0.54 สาเหตุจากอุณหภูมิของหลังคาในช่วงกลางวันร้อนเกิน 45 °C [9] จากสะสมความร้อนและไม่มีระบบระบายความร้อน เช่น สเปร์น้ำเพื่อระบายความร้อนที่ผิวแผงโซล่าเซลล์ นอกจากนั้นมีผลกระทบจากฝุ่นละอองขนาดเล็ก (PM2.5) ซึ่งเป็นปัจจัยภายนอกที่ส่งผลต่อระบบผลิตไฟฟ้า ดังนั้นหากทำการขยายการติดตั้งระบบผลิตไฟฟ้าบนหลังคาในพื้นที่มหาวิทยาลัยฯ ควรคำนึงถึงการระบายความร้อนเพื่อลดการสูญเสียของระบบให้มีประสิทธิภาพสูงขึ้นในช่วงร้อยละ 0.75 – 0.80 และ คำนวณ

ค่า NPV และต้นทุนการผลิตไฟฟ้าจริง (LCOE) ให้อยู่ในช่วง 2.00 – 3.50 บาทต่อหน่วย [12]

5. กิตติกรรมประกาศ

ผู้วิจัยขอขอบพระคุณ งานวิศวกรรมซ่อมบำรุง คณะแพทยศาสตร์ มหาวิทยาลัยสงขลานครินทร์ที่ให้ความอนุเคราะห์ข้อมูลและเก็บข้อมูลในการทำงานวิจัยครั้งนี้จนสำเร็จลุล่วงไปด้วยความเรียบร้อย ขอขอบพระคุณ รองอธิการบดีวิทยาเขตหาดใหญ่ ผู้อำนวยการกองกายภาพและสิ่งแวดล้อม วิทยาเขตหาดใหญ่ ที่อนุญาตและให้ความอนุเคราะห์การใช้พื้นที่ วัสดุอุปกรณ์ เครื่องมือ ในการทำวิจัยครั้งนี้

6. เอกสารอ้างอิง

[1] Chareonwongsak, K., & Meesuk, P. (2023). *PV-as-a-Service Model: Opportunity and risks of solar rooftop expansion in Thailand's urban commercial sector*. International Journal of Energy Economics and Policy, 13(2), 120–128. https://econjournals.com/index.php/ijeep/article/view/15505

[2] *Kaewpuang, R., & Chokepun, T. (2019).* Performance and economic evaluation of solar rooftop systems in different regions of Thailand. *Sustainability, 11(23), 6647. https://doi.org/10.3390/su11236647*

[3] *Griffith, E. M., Vasel, J., & Iakovidis, G. (2017). Effect of various parameters on the performance of solar PV power plant: a review and the experimental study.* Sustainable Energy Research. *https://doi.org/10.1186/s40807-023-00076-x*

[4] องค์การบริหารจัดการก๊าซเรือนกระจก (องค์การมหาชน). (2566). *ค่าความเข้มการปล่อยก๊าซเรือนกระจกจากการผลิตไฟฟ้า (Emission Factor) ปี พ.ศ. 2566*. สืบค้นจาก https://www.tgo.or.th

[5] กรมอุตุนิยมวิทยา. (2568). *รายงานข้อมูลอุณหภูมิเฉลี่ย ของสถานีตรวจอากาศเกษตรคอหงส์ 2564–2567*. กรุงเทพมหานคร: กรมอุตุนิยมวิทยา.

[6] *กรมพัฒนาพลังงานทดแทนและอนุรักษ์พลังงาน. (2563).* ฐานข้อมูลความเข้มรังสีอาทิตย์สำหรับประเทศไทย. *สืบค้นจาก http://weben.dede.go.th*

[7] *Hossain, M. M., & Boonkanit, P. (2023). Techno-economic assessment of a 100 kWp solar rooftop PV system for five hospitals in central-southern Thailand.* International Journal of Renewable Energy Development, 12*(2), 325–336. https://doi.org/10.14710/ijred.2023.49506*

[8] ธนาพล ตันติสัตยกุล. (2563). การวิเคราะห์เปรียบเทียบความคุ้มค่าทางเศรษฐศาสตร์ของระบบผลิตไฟฟ้าพลังงานแสงอาทิตย์บนหลังคาระหว่างการเป็นเจ้าของระบบกับการทำสัญญาซื้อขายไฟฟ้าจากเอกชน: กรณีศึกษา มหาวิทยาลัยธรรมศาสตร์ ศูนย์รังสิต. *วารสารวิทยาศาสตร์และเทคโนโลยี มหาวิทยาลัยธรรมศาสตร์*, 28(8), 1502–1513.

[9] Leeabai, N., Limmeechokchai, B., & Chungpaibulpatana, S. (2024). Techno-economic and environmental assessment of solar rooftop systems for universities in ASEAN: Case studies of Thailand and Malaysia. *Renewable Energy, 222*, 120093. https://doi.org/10.1016/j.renene.2024.120093

[10] *Jittrapirom, P., & Limmeechokchai, B. (2022). Renewable energy development in university campuses in Thailand: Opportunities and challenges.* Energy Reports, 8*, 242–253. https://doi.org/10.1016/j.egyr.2022.01.017*

[11] *Chavalit, R., Narkwatchara, P., & Chandrachai, A. (2020). Effects of particulate matters and climate condition on photovoltaic system efficiency in* tropical climate region. *Energy Reports, 6*, 2577–2586. https://doi.org/10.1016/j.egyr.2020.09.016

[12] *Ruengsri, C., & Phromket, K. (2022). Economic analysis of rooftop solar PV systems at dormitories in Thammasat University, Rangsit Campus.* Thammasat Journal of Science and Technology, 30*(3), 231–243. https://li01.tci-thaijo.org/index.php/rmutsvrj/article/view/262672*

ประวัติผู้เขียนบทความ

นายชัยยศ ชิตวัฒน์
จบการศึกษา มหาวิทยาลัยเอเชียอาคเนย์
ปริญญาตรี คณะวิศวกรรมศาสตร์ สาขาวิศวกรรมไฟฟ้า
สถานที่ทำงาน กองกายภาพและสิ่งแวดล้อมวิทยาเขตหาดใหญ่ มหาวิทยาลัยสงขลานครินทร์ วิทยาเขตหาดใหญ่
งานวิจัยที่สนใจ เป็นการจัดการพลังงานภายในอาคารและการอนุรักษ์พลังงาน รวมถึงนโยบายสนับสนุน Carbon Neutrality

เครื่องไล่นกพลังงานแสงอาทิตย์

Solar-powered Bird Repeller

อำภา สาระศิริ
สาขาวิชาวิศวกรรมไฟฟ้า สถาบันวิศวกรรมไฟฟ้าและอิเล็กทรอนิกส์ มหาวิทยาลัยเทคโนโลยีมหานคร aumpa@mut.ac.th

บทคัดย่อ

บทความนี้นำเสนอการออกแบบและพัฒนาเครื่องไล่นกพลังงานแสงอาทิตย์ สำหรับใช้งานในพื้นที่การเกษตร โดยอาศัยการขับไล่นกด้วยคลื่นเสียงรบกวน เสียงสัญญาณเตือน และแสงไฟกระพริบ โดยใช้พลังงานจากแผงโซล่าเซลล์ขนาด 330 W, 37.4 V เพื่อประจุแบตเตอรี่ขนาด 12 V, 120 Ah ผ่านวงจรบัคคอนเวอร์เตอร์ ระบบควบคุมใช้ไมโครคอนโทรลเลอร์ Arduino UNO R3 ในการควบคุมการชาร์จแบตเตอรี่ และสร้างสัญญาณ Pulse Width Modulation (PWM) สำหรับควบคุมการสวิตช์ของวงจรบัคคอนเวอร์เตอร์ ซึ่งทำงานที่ความถี่ 10 kHz โดยปรับค่า Duty Cycle เพื่อให้ได้แรงดันเอาต์พุตคงที่ที่ 14.5 V จากการทดสอบวงจรบัคคอนเวอร์เตอร์ใช้ประจุแบตเตอรี่เป็นเวลา 3 วัน พบว่าสามารถเก็บพลังงานเฉลี่ยต่อวัน 830.64 Wh และให้กระแสประจุรวม 62.43 Ah ต่อวัน ผลการทดสอบแสดงให้เห็นว่าเครื่องไล่นกสามารถทำงานได้จริงในการขับไล่นกออกจากพื้นที่การเกษตร โดย 1 วัน ใช้พลังงานไฟฟ้า 600.79 Wh และใช้กระแสจากแบตเตอรี่ 47.17 Ah

คำสำคัญ: ไล่นก วงจรบัคคอนเวอร์เตอร์ พลังงานแสงอาทิตย์

Abstract

This article presents the design and development of a solar-powered bird repellent system for agricultural applications. The system repels birds using disturbing sound waves, alarm signals, and flashing lights, powered by a solar panel rated at 330 W, 37.4 V, which charges a 12 V, 120 Ah battery through a buck converter. The control system employs an Arduino UNO R3 microcontroller to manage the battery charging process and generate Pulse Width Modulation (PWM) signals for switching control of the buck converter, operating at a frequency of 10 kHz. The duty cycle is adjusted to maintain a constant output voltage of 14.5 V. Experimental testing of the buck converter charging the battery over three consecutive days showed that the system can store an average daily energy of 830.64 Wh and deliver a total charging current of 62.43 Ah per day. The test results demonstrate that the bird repellent device can effectively operate in agricultural areas, with a daily electrical energy consumption of 600.79 Wh and a battery discharge current of 47.17 Ah.

Keywords: Bird repellent, Buck converter, Solar energy

1. บทนำ

ข้าวเป็นพืชอาหารที่สำคัญชนิดหนึ่งของโลก โดยเฉพาะในภูมิภาคเอเชียซึ่งมีการบริโภคข้าวเป็นอาหารหลักในชีวิตประจำวันมากกว่าภูมิภาคอื่นของโลก ประเทศไทยเป็นหนึ่งในประเทศผู้ผลิตและส่งออกข้าวรายใหญ่ของโลก ดังนั้น การทำนาข้าวจึงมีความสำคัญอย่างยิ่งต่อเศรษฐกิจและความมั่นคงทางอาหารของประเทศ อย่างไรก็ตาม เกษตรกรผู้ปลูกข้าวมักประสบปัญหาในการดูแลรักษานาข้าว เนื่องจากลักษณะพื้นที่ส่วนใหญ่มักอยู่ในบริเวณกว้างและห่างไกลจากที่พักอาศัย ทำให้ไม่สามารถเฝ้าระวังได้ตลอดเวลา หนึ่งในปัญหาที่สำคัญคือการถูกรบกวนจากนก ซึ่งอาจเหยียบย่ำต้นข้าวหรือกัดกินเมล็ดข้าว จนก่อให้เกิดความเสียหายและขาดทุน นกเป็นสัตว์ที่พบได้ทั่วไปในพื้นที่เกษตรกรรม และมีจำนวนเพิ่มขึ้นอย่างต่อเนื่อง นอกจากจะสร้างความเสียหายต่อผลผลิตแล้ว ยังอาจก่อให้เกิดปัญหาด้านสุขอนามัย โดยเป็นแหล่งสะสมสิ่งสกปรก กลิ่นไม่พึงประสงค์ และสามารถเป็นพาหะของโรคที่เป็นอันตรายต่อมนุษย์ ด้วยเหตุนี้ การใช้เทคโนโลยีเข้ามาช่วยแก้ไขปัญหานกในพื้นที่เกษตรกรรมจึงเป็นแนวทางที่เหมาะสม จากการศึกษาข้อมูลในอดีต เช่น เครื่องไล่นกพลังงานแสงอาทิตย์ [1] ซึ่งใช้แผงโซล่าเซลล์ขนาด 160 W ร่วมกับแบตเตอรี่ 12 V 45 Ah และระบบควบคุมการชาร์จ พบว่าสามารถไล่นกได้จริง โดยใช้พลังงานเฉลี่ยต่อวัน 60.33 Wh และโครงงานระบบสูบน้ำเคลื่อนที่พลังงานแสงอาทิตย์ [2] ที่ใช้แผงโซล่าเซลล์ขนาด 330 W และวงจรบัคคอนเวอร์เตอร์ในการชาร์จแบตเตอรี่ขนาด 120 Ah ก็แสดงให้เห็นถึงประสิทธิภาพในการผลิตและใช้งานพลังงานทดแทนได้อย่างมีประสิทธิภาพ ในบทความนี้ ได้มีการพัฒนาระบบไล่นกพลังงานแสงอาทิตย์ให้มีประสิทธิภาพมากขึ้น โดยใช้แผงโซล่าเซลล์ ขนาด 330 W และออกแบบวงจรบัคคอนเวอร์เตอร์เพื่อลดแรงดันให้อยู่ที่ 14.5 V สำหรับประจุแบตเตอรี่ขนาด 12 V, 120 Ah ระบบควบคุมใช้ไมโครคอนโทรลเลอร์ Arduino UNO R3 ในการสร้างสัญญาณ PWM ควบคุมการทำงานของวงจรบัคคอนเวอร์เตอร์ที่ความถี่ 10 kHz เพื่อให้ได้แรงดันคงที่ พร้อมทั้งเพิ่มจำนวนลำโพงเป็น 2 ตัว และไฟกระพริบเป็น 4 ดวง เพื่อเพิ่มประสิทธิภาพในการไล่นก โดยเฉพาะในเวลากลางคืน นอกจากนี้ยังออกแบบให้เป็นโครงสร้างแบบเคลื่อนที่ได้ เพื่อเพิ่มความสะดวกในการใช้งานในพื้นที่เกษตรกรรมที่หลากหลาย

บทความนี้เกิดขึ้นจากการประยุกต์ใช้ความรู้ทางทฤษฎีสู่การปฏิบัติจริง โดยมุ่งเน้นการแก้ปัญหาที่เกิดขึ้นในภาคเกษตรกรรมด้วยเทคโนโลยีพลังงานแสงอาทิตย์ ซึ่งเป็นแหล่งพลังงานสะอาดและยั่งยืน ตอบสนองต่อความต้องการของเกษตรกรในการลดความเสียหายจากนก และเพิ่มคุณภาพของผลผลิต

2. การออกแบบเครื่องไล่นกพลังงานแสงอาทิตย์

2.1 ภาพรวมของระบบที่พิจารณา

หลักการทำงานของวงจรสามารถอธิบายได้ตามไดอะแกรมในรูปที่ 1 โดยระบบเริ่มต้นจากการรับพลังงานไฟฟ้าจากแผงโซล่าเซลล์ ซึ่งให้แรงดันไฟฟ้าสูงเข้าสู่วงจรบัคคอนเวอร์เตอร์ เพื่อทำหน้าที่ลดระดับแรงดันให้เหมาะสมกับการชาร์จแบตเตอรี่ขนาด 12 V โดยตั้งค่าแรงดันเอาต์พุตของวงจรให้อยู่ที่ 14.5 V ซึ่งเป็นแรงดันที่เหมาะสมสำหรับการประจุไฟในระบบมีการใช้ Voltage Sensor เพื่อตรวจวัดแรงดันไฟฟ้าที่จ่ายออกจากวงจรบัคคอนเวอร์เตอร์ หากแรงดันถึงค่าที่กำหนด 14.5 V ระบบจะจ่ายไฟไปยังแบตเตอรี่ทันที แต่หากยังไม่ถึงค่าที่กำหนด Voltage Sensor จะส่งข้อมูลไปยังไมโครคอนโทรลเลอร์ เพื่อปรับค่าความกว้างของพัลส์ (Duty Cycle) ของสัญญาณ Pulse Width Modulation (PWM) จากนั้นส่ง

สัญญาณควบคุมกลับไปยังวงจรบัคคอนเวอร์เตอร์ เพื่อปรับระดับแรงดันให้เป็นไปตามค่าที่ต้องการอีกครั้ง เมื่อระบบสามารถผลิตแรงดันได้ตามเกณฑ์และประจุแบตเตอรี่ได้แล้ว จะสามารถจ่ายไฟให้กับโหลดซึ่งควบคุมโดยรีเลย์ เพื่อสั่งการอุปกรณ์ในระบบไล่นก ได้แก่ ลำโพงที่ปล่อยคลื่นเสียงรบกวน เสียงสัญญาณเตือน และไฟกระพริบ ทั้งหมดจะทำงานในช่วงเวลาที่กำหนดไว้ล่วงหน้า เพื่อไล่นกพิราบที่เข้ามารบกวนและสร้างความเสียหายต่อผลผลิตในแปลงนา

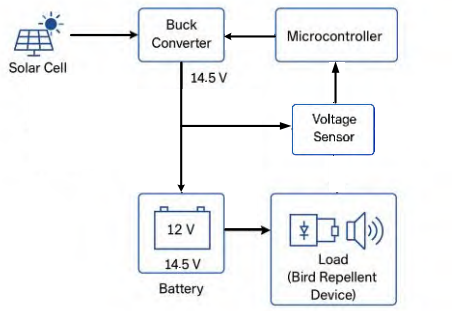

รูปที่ 1 แผนภาพขั้นตอนการทำงานเครื่องไล่นกพลังงานแสงอาทิตย์

2.2 การหาค่าพลังงานไฟฟ้าของโหลด

นกในนาข้าวและแปลงเกษตรเป็นปัญหาสำคัญของชาวนา เนื่องจากพื้นที่ทุ่งนามักตั้งอยู่ในที่โล่งกว้าง นอกเขตเมือง และมีสภาพแวดล้อมรอบ ๆ เป็นธรรมชาติ เหมาะแก่การเป็นแหล่งอาศัยของนกต่าง ๆ จากการศึกษาพฤติกรรมและสอบถามข้อมูลจากเกษตรกร พบว่านกที่พบบ่อยและสร้างความเสียหายในนาข้าวมากที่สุด คือ นกพิราบ โหลดทางไฟฟ้าที่เกี่ยวข้องกับการสร้างเครื่องไล่นกพลังงานแสงอาทิตย์ คือต้องมีเสียงดัง เช่น เสียงประทัด เสียงสัญญาณเตือน หรือเสียงระเบิด สามารถทำให้นกตกใจและบินหนีออกไปได้ และด้านการมองเห็น นกจะระแวงต่อสิ่งที่ผิดแปลกตาหรือมีลักษณะเป็นศัตรู รวมถึงแสงที่ผิดธรรมชาติ เช่น แสงไฟกระพริบ แสงสะท้อนจากแผ่นซีดีหรือเทปสีสันต่าง ๆ ซึ่งสามารถรบกวนการมองเห็นและทำให้นกไม่กล้าเข้าใกล้พื้นที่ โดยโหลดทางไฟฟ้าที่ใช้สร้างเครื่องไล่นกพลังงานแสงอาทิตย์ ตามรูปที่ 2 คือ

- ลำโพงทวิตเตอร์แบบปากแตร

ลำโพงทวิตเตอร์แบบปากแตรกำลังไฟฟ้า 120W เพื่อให้ได้การตอบสนองความถี่และควบคุมทิศทางเสียงได้ดี ลำโพงมีปากลำโพงรูปสี่เหลี่ยมผืนผ้า มุมกระจายเสียงแนวนอน 100° และแนวตั้ง 60° ทำให้เสียงแหลมคมชัดในแนวตั้งและกระจายกว้างในแนวนอน

- แตรลมไฟฟ้า

แตรลมไฟฟ้า ทำงานโดยการแปลงสัญญาณไฟฟ้าให้เป็นคลื่นเสียงที่ได้ยิน กระบวนการนี้เริ่มต้นเมื่อกระแสไฟฟ้าไหลผ่านขดลวดทองแดงภายในลำโพง กระแสนี้จะสร้างสนามแม่เหล็กรอบขดลวดสนามแม่เหล็กทำปฏิกิริยากับแม่เหล็กถาวรที่อยู่ภายในลำโพง ทำให้เกิดแรงที่ทำให้ขดลวดเคลื่อนที่ไปมา คอยล์เชื่อมต่อกับไดอะแฟรมซึ่งเป็นวัสดุยืดหยุ่นแผ่นบาง การเคลื่อนที่ของคอยล์ทำให้ไดอะแฟรมเคลื่อนที่เช่นกัน ทำให้เกิดแรงสั่นสะเทือนในอากาศที่รับรู้เป็นเสียง

- ไฟกระพริบสัญญาณเตือนแบบ LED สีเขียว

ไฟกระพริบสัญญาณเตือน สีเขียว เนื่องจากแสงสีเขียวเป็นสีที่อยู่ในย่านที่นกสามารถมองเห็นได้ ทั้งในช่วงเวลากลางวันและกลางคืน โดยสามารถมองเห็นได้ในระยะไกล

รูปที่ 2 โหลดทางไฟฟ้าที่ใช้สร้างเครื่องไล่นกพลังงานแสงอาทิตย์

เลือกใช้โหลดแต่ละโหลดที่แรงดัน 12 V ตามตารางที่ 1 สามารถคำนวนหาการใช้พลังงาน [3] ได้ดังสมการที่ (1)

$$W_t = P \times t \tag{1}$$

เมื่อ W_t คือ พลังงานไฟฟ้า, P คือ ค่ากำลังไฟฟ้าของโหลด, t คือ เวลาในการใช้งาน ดังนั้น จะได้ค่าพลังงานไฟฟ้ารวม ตามตารางที่ 1 ใช้งานมีค่า 806.40 Wh การเลือกขนาดของแผงเซลล์แสงอาทิตย์ [3] สามารถคำนวณได้จากสมการที่ (2) โดยแสงแดดที่ใช้งานได้ในหนึ่งวันจะใช้ 4 ชั่วโมง

$$\text{ขนาดของแผงเซลล์แสงอาทิตย์} = \frac{W_t}{hrs \times 0.65} = \frac{806.40Wh}{4h \times 0.65} \tag{2}$$

$$= 310.15 \text{ W}$$

ดังนั้น ขนาดของเซลล์แสงอาทิตย์ที่ต้องใช้คือ 330 W, 37.4 V

ตารางที่ 1 การหาค่าพลังงานไฟฟ้าของโหลด

โหลด	กำลังไฟฟ้า(W)	จำนวน	รวมกำลังไฟฟ้า(W)	เวลาที่ใช้ (h)	พลังงานแต่ละวัน (Wh)
แตรลมไฟฟ้าปากคู่	120	1	120	0.48	57.60
ลำโพงเสียงแหลมปากแตร	120	2	240	0.48	115.20
พัดลม	48	4	192	3.30	633.60
				พลังงานไฟฟ้ารวม (Wh)	**806.40**

การเลือกแบตเตอรี่ [3] เพื่อนำมาจ่ายโหลดเครื่องไล่นก สามารถแสดงการคำนวณได้ดังสมการที่ (3)

$$Batt_{cap} = \frac{W_t}{Vsystem \times DOD} \tag{3}$$

$$= \frac{806.40Wh}{12V \times 0.6} = 112Ah$$

ดังนั้น ขนาดของแบตเตอรี่ที่เลือกใช้มีขนาด 12 V, 120 Ah

2.3 การออกแบบวงจรบัคคอนเวอร์เตอร์

การออกแบบวงจรบัคคอนเวอร์เตอร์ [4 - 6] เพื่อให้ทำงานอยู่ในโหมดกระแสต่อเนื่อง จะต้องออกแบบวงจรเพื่อพิกัดของอุปกรณ์ภายในวงจรที่เหมาะสม เช่น มอดเฟส ตัวเหนี่ยวนำ ตัวเก็บประจุ ไดโอด ในที่นี้กำหนดการออกแบบที่พิกัดกำลังสูงสุด (P_o) 330 W แรงดันอินพุต(V_{in}) 37.4 V แรงดันด้านเอาต์พุต (V_o) 14.5 V สามารถคำนวณอัตราขยายของวงจร (D= V_o/V_{in}) เท่ากับ 0.4 วงจรทำงานที่ความถี่สวิชชิง (f) 10 kHz

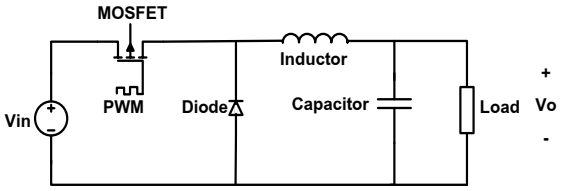

รูปที่ 3 บัคคอนเวอร์เตอร์

การหาค่าตัวเหนี่ยวนำให้ทำงานในโหมดกระแสต่อเนื่อง โดยเริ่มต้นจากการหากระแสเฉลี่ยที่ไหลผ่านตัวเหนี่ยวนำซึ่งจะเท่ากับกระแสเฉลี่ยที่ไหลผ่านโหลด เนื่องจากขณะที่อยู่ในสภาวะการทำงานอยู่ตัว กระแสเฉลี่ยที่ไหลผ่านตัวเก็บประจุจะมีค่าเท่ากับศูนย์ หากระแสเฉลี่ยได้จากสมการที่ (4)

$$I_o = \frac{P_o}{V_o} = \frac{330W}{14.5V} = 22.76A \quad (4)$$

ในการใช้งานต้องให้ทุกๆ Duty Cycle อยู่ในโหมดกระแสต่อเนื่อง สามารถหาค่าตัวเหนี่ยวนำได้จากสมการ (5) กำหนดให้ค่าค่าการกระเพื่อมของกระแสที่ 10% $(\Delta I_L = 0.1I_0 = 2.276A)$ คำนวณหาค่าความเหนี่ยวนำได้ 382 μH เลือกใช้ตัวความเหนี่ยวนำขนาด 400 μH

$$L = \frac{V_o(1-D)T_S}{\Delta I_L} \quad (5)$$

การออกแบบตัวเก็บประจุ โดยกำหนดอัตรากระเพื่อมแรงดันไว้ที่ 1% $(\Delta V_o = 0.01 \times 14.5 = 0.145V)$ คำนวณค่าตัวเก็บประจุตามสมการที่ (6) ได้เลือกใช้ขนาดตัวเก็บประจุ 330 μF

$$C = \frac{(1-D)}{8\left(\frac{\Delta V_o}{V_o}\right)Lf^2} \quad (6)$$

เลือกใช้มอสเฟตเบอร์ IRFP460 สามารถทนแรงดันได้สูงสุด (V_{ds}) 200 V และสามารถทนกระแสสูงสุดที่ (I_d) 130 A และไดโอดมาใช้ในวงจรสวิตชิ่งที่มีความถี่สูงต้องเลือกไดโอดแบบ Ultra fast recovery diode การออกแบบจึงเลือกใช้ไดโอดเบอร์ RURG5060 มีคุณสมบัติทนกระแสไหลผ่านได้สูงสุด 50 A และทนแรงดันย้อนกลับได้สูงสุด 600 V ดังแสดงในรูปที่ 4

รูปที่ 4 มอสเฟตเบอร์ IRFP460 และไดโอดเบอร์ RURG5060

จากรูปที่ 5 จะเห็นได้ว่าการควบคุมค่า duty cycle ผ่านวงจรบัคคอนเวอร์เตอร์ จะอาศัยตัวตรวจจับแรงดันไฟฟ้า เพื่อปรับค่าแรงดันจากแผงเซลล์แสงอาทิตย์ให้มีค่าแรงดันเอาต์พุต คงที่ 14.5 V เพื่อสามารถประจุแบตเตอรี่ได้อย่างเหมาะสมและปลอดภัย

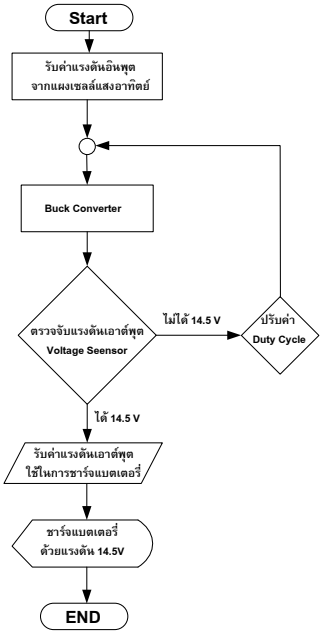

รูปที่ 5 Flow Chart ควบคุมการประจุแบตเตอรี่

2.4 วงจรวัดค่าแรงดันไฟฟ้า

การตรวจวัดค่าของแรงดันไฟฟ้าเพื่อใช้สำหรับไมโครคอนโทรลเลอร์ สามารถใช้วิธีการวัดแรงดันไฟฟ้าผ่านวงจรตรวจจับแรงดันที่เลือกใช้คือ Arduino standard voltage sensor ในการอ่านค่าแรงดันขาเข้าได้ตั้งแต่ 0 - 25 V ดังแสดงในรูปที่ 6

รูปที่ 6 วงจรตรวจวัดค่าของแรงดันไฟฟ้า

2.5 การออกแบบวงจรขับเกทมอสเฟต

การสร้างสัญญาณ Pulse Width Modulation (PWM) ใช้ไมโครคอนโทรลเลอร์ Arduino Uno R3 เพื่อควบคุมการจุดชนวนขาเกทของมอสเฟต โดยส่งสัญญาณเข้า ไอซีเบอร์ TLP250 จะได้รับไฟเลี้ยงจากชุดวงจรลดระดับแรงดัน 12 V ผ่านวงจรแยกกราวด์ (B2405S-1W) แปลงเป็นแรงดัน 15 V เพื่อจ่ายให้ TLP250 ทำงานและขับเกทของมอสเฟต กล่าวโดยสรุป TLP250 ทำหน้าที่เพิ่มระดับสัญญาณ PWM ที่มาจาก Arduino Uno R3 เพื่อให้สามารถขับมอสเฟต

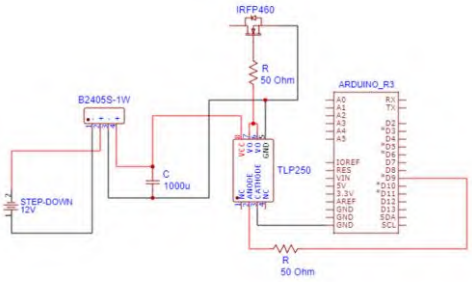

รูปที่ 7 การสร้างระดับสัญญาณ PWM โดยใช้ไอซี TLP250

2.6 โครงสร้างเครื่องไล่นกพลังงานแสงอาทิตย์

โครงสร้างชิ้นงานระบบเครื่องไล่นกพลังงานแสงอาทิตย์ตามรูปที่ 8 มีขนาดความกว้าง 100 cm ยาว 124 cm สูง 122 cm โดยที่แผงเซลล์แสงอาทิตย์มีขนาดความกว้าง 100 cm ยาว 188 cm และทำมุม 15 องศา เพื่อให้สามารถรับพลังงานแสงอาทิตย์ได้อย่างมีประสิทธิภาพ แสดงดังรูปที่ 8 ติดตั้งวงจรวงจรบัคคอนเวอร์เตอร์ภายในตู้คอลโทรล การทดสอบวงจรบัคคอนเวอร์เตอร์โดยอาศัยการเขียนโปรแกรมผ่านบอร์ดไมโครคอนโทรลเลอร์ เพื่อใช้ในการประจุแบตเตอรี่จากเซลล์แสงอาทิตย์ โดยมีต้นทุนในการสร้างเครื่องไล่นกพลังงานแสงอาทิตย์ที่ 9,700 บาท

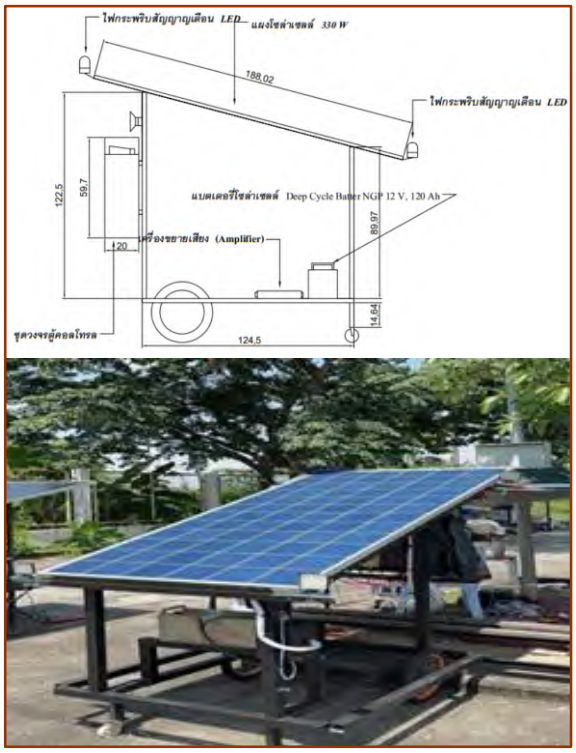

รูปที่ 8 โครงสร้างเครื่องไล่นกพลังงานแสงอาทิตย์

3. ผลการทดสอบเครื่องไล่นกพลังงานแสงอาทิตย์

3.1 การทดสอบการอัดประจุแบตเตอรี่

ทำการทดสอบโดยการนำแผงเซลล์แสงอาทิตย์มาวางกับโครงสร้างโดยทำมุม 15 องศา ตั้งในที่โล่งโดยหันแผงเซลล์แสงอาทิตย์ไปในทางทิศใต้ และต่อวงจรบัคคอนเวอร์เตอร์เพื่อประจุแบตเตอรี่ขนาด 12 V, 120 Ah จากนั้นวัดค่าแรงดัน, กระแส, กำลังไฟฟ้า ทางด้านอินพุตและเอาต์พุต โดยใช้ Oscilloscope แสดงรูปสัญญาณรูปที่ 9 และ 10 ใช้ Solar Meter วัดค่าความเข้มแสง บันทึกค่าต่างๆ ตลอดการทดลองทั้ง 3 วันการทดสอบการอัดประจุแบตเตอรี่เป็นเวลา 7 ชั่วโมง จะเริ่มตั้งแต่เวลา 9:00 น. จนถึง 16:00 น. แสดงผลการทดสอบโดยสรุปตามตารางที่ 2 ในวันที่ทดสอบสภาพอากาศท้องฟ้ามีแดดมาก มีเมฆบางส่วน จากการต่อแผงขนาด 330W สามารถผลิตกำลังไฟฟ้าได้สูงสุด 215.97W ที่ความเข้มแสง 1143W/m^2 และสามารถผลิตกำลังไฟฟ้าได้ต่ำสุด 79.64W ที่ความเข้มแสง 586W/m^2

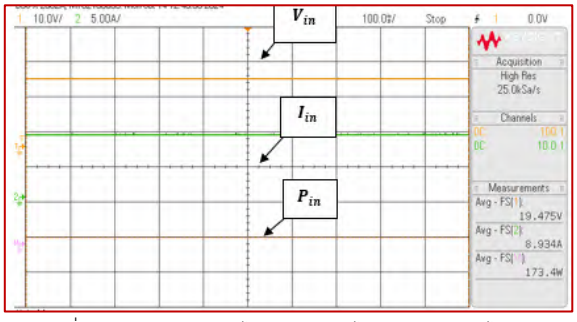

รูปที่ 9 ค่าอินพุต แรงดันไฟฟ้า กระแสไฟฟ้า และกำลังไฟฟ้า

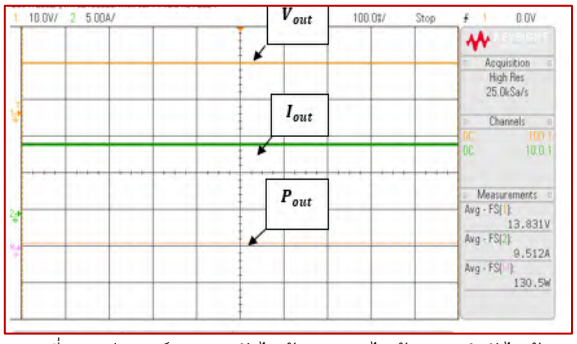

รูปที่ 10 ค่าเอาต์พุต แรงดันไฟฟ้า กระแสไฟฟ้า และกำลังไฟฟ้า

ตารางที่ 2 ผลการทดสอบการอัดประจุแบตเตอรี่

เวลา	ความเข้มแสง (W/m^2)	Solar Cell			แบตเตอรี่			%η
		Vin (V)	Iin (A)	Pin (W)	Vout (V)	Iout (A)	Pout (W)	
9:00	1160.1	19.48	8.93	173.99	13.83	9.51	131.56	75.61
10:00	1201.3	19.93	9.06	180.6	14.14	9.63	136.22	75.42
11:00	1138.6	33.17	6.13	203.32	14.28	9.73	138.95	68.34
12:00	1089.7	32.99	6.29	207.59	14.25	9.9	140.99	67.92
13:00	1110.5	32.71	6.48	211.98	14.41	10.1	146.07	68.91
14:00	1013.1	34.98	5.21	182.28	14.67	8.25	121.09	66.43
15:00	968.6	34.29	4.99	170.98	14.55	8.26	120.2	70.30
16:00	586	17.65	4.51	79.64	13.79	4.69	64.68	81.22
เฉลี่ย	**1074**	**28.24**	**6.59**	**178.68**	**14.29**	**8.86**	**126.61**	**71.45**
ค่าพลังงานที่ได้ใน 1 วัน		**893.40Wh**						

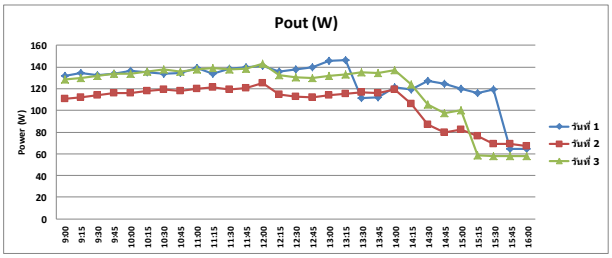

รูปที่ 11 ค่ากำลังไฟฟ้าเอาต์พุตจากการประจุไฟฟ้าทั้ง 3 วันที่ทดสอบ

จากรูปที่ 11 จะเห็นได้ว่าจากผลการทดสอบการอัดประจุแบตเตอรี่ปริมาณพลังงานที่ประจุให้กับแบตเตอรี่โดยคำนวณจากการนำพื้นที่ใต้กราฟทุก 15 นาที มารวมกันจะได้ปริมาณพลังงานที่ประจุให้กับแบตเตอรี่

เฉลี่ยทั้ง 3 วัน แต่ละวันมีสภาพอากาศแตกต่างกัน ทั้งมีแดดมาก แดดน้อย และมีเมฆบังแสง ได้ค่าพลังงานเฉลี่ย 830.64 Wh ต่อวัน และกระแสประจุแบตเตอรี่ 62.43Ah ต่อวัน ประสิทธิภาพการประจุแบตเตอรี่ด้วยวงจรบัคคอนเวอร์เตอร์ มีประสิทธิภาพเฉลี่ยประมาณ 72 % อัตราแรงดันระลอกคลื่นเฉลี่ยเท่ากับ 3.36%

3.2 การทดสอบการทำงานไฟกระพริบ แตรลมไฟฟ้า และลำโพง

การทดสอบการจ่ายพลังงานให้กับเครื่องไล่นก ใช้แบตเตอรี่จ่ายพลังงานให้กับเครื่องไล่นก ซึ่งประกอบด้วยไฟกระพริบ (LED Lamp), แตรลมไฟฟ้า (Air Horn) และ ลำโพง (Speaker) โดยจ่ายแรงดันจากแบตเตอรี่ให้กับโหลดโดยต่อผ่านชุดไมโครคอนโทรลเลอร์ ให้โหลดทำงานตามคำสั่งที่ออกแบบไว้ บันทึกแรงดันไฟฟ้า กระแสไฟฟ้า และกำลังไฟฟ้าที่โหลดไฟกระพริบ แตรลมไฟฟ้า และลำโพง ทำการทดสอบ 1 วัน

ไฟกระพริบ กำหนดให้ทำงาน ตั้งแต่เวลา 17:30-24:00น. โดยไฟกระพริบทำงานทุกๆ 30 นาที แต่ละครั้ง จะทำงานครั้งละ 2 วินาที

แตรลม กำหนดให้ทำงาน ตั้งแต่เวลา 9:30-16:50น. โดยแตรลมจะดังทุกๆ 10 นาที แต่ละครั้งจะทำงานครั้งละ 2 นาที

ลำโพง กำหนดให้ทำงานตั้งแต่เวลา 9:30-16:50น. ลำโพงทำงานทุกๆ 10 นาที โดยการทำงานใน แต่ละครั้งจะทำงานครั้งละ 2 นาที

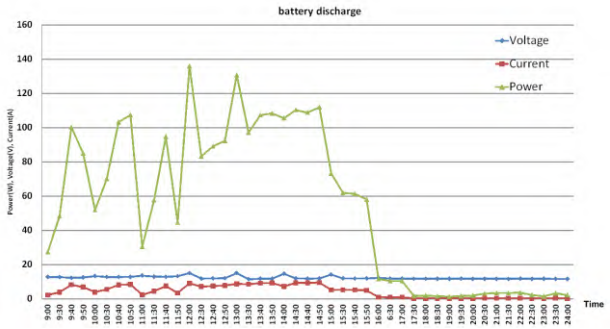

รูปที่ 12 แรงดัน กระแส และกำลังไฟฟ้าขณะการทดสอบการจ่ายพลังงานให้โหลดเครื่องไล่นก

ผลการทดสอบใช้แบตเตอรี่จ่ายพลังงานให้กับเครื่องไล่นก ตามระยะเวลาการใช้งาน จะเห็นได้ว่าแรงดันของแบตเตอรี่จะลดลงเรื่อยๆ ตามลำดับเมื่อใช้งานแตรลมไฟฟ้า, ลำโพง และไฟกระพริบ จากการทดสอบแตรลมไฟฟ้า, ลำโพง และไฟกระพริบ ครั้งนี้ใช้กระแสของแบตเตอรี่ ทั้งหมด 47.17 Ah และใช้พลังงานทั้งสิ้น 600.79 Wh

3.3 การทดสอบเครื่องไล่นกพลังงานแสงอาทิตย์

เครื่องไล่นกพลังงานแสงอาทิตย์มาใช้งานในพื้นที่การเกษตร พบว่านกที่เข้ามาบุกรุกพื้นที่การเกษตร ในบริเวณพื้นที่ขนาด 50 ตารางเมตร ได้บินหนีไป เมื่อเครื่องไล่นกพลังงานแสงอาทิตย์ทำงาน จากการเก็บค่าพบว่านกจะไม่มาอีกหลังเครื่องไล่นกทำงาน เพราะมีการทำงานของระบบตลอดทั้งวัน ผลการทดสอบตลอดทั้งวัน แผงเซลล์แสงอาทิตย์สามารถผลิตพลังงานได้ 750Wh และพลังงานเครื่องไล่นกใช้พลังงานทั้งหมด 630Wh ระบบเครื่องไล่นกพลังงานแสงอาทิตย์นี้สามารถใช้งานได้ต่อเนื่องตลอดทั้งวันได้อย่างมีประสิทธิภาพ

รูปที่ 13 ทดสอบเครื่องไล่นกในพื้นที่การเกษตร

4. บทสรุป

บทความนี้ได้ทำการออกแบบและสร้างเครื่องไล่นกพลังงานแสงอาทิตย์ขนาด 330W โดยใช้วงจรบัคคอนเวอร์เตอร์ ทำหน้าที่ลดระดับแรงดันให้เหมาะสมกับการประจุแบตเตอรี่ 12V, 120Ah ควบคุมการทำงานของวงจรประจุแบตเตอรี่ด้วยไมโครคอนโทรลเลอร์ จากผลการทดสอบวงจรสามารถประจุแบตเตอรี่มีค่าประสิทธิภาพเฉลี่ยอยู่ที่ 72% อัตราแรงดันระลอกคลื่นเฉลี่ยเท่ากับ 3.36% โดยพลังงานไฟฟ้าเฉลี่ยที่ได้รับต่อวันขณะทำการทดสอบอยู่ที่ 830.64 Wh พลังงานไฟฟ้าที่ได้เพียงพอกับการใช้งานเครื่องไล่นกได้ตลอดทั้งวัน ซึ่งในการทดสอบใช้งานเครื่องไล่นก 1 วันใช้พลังงาน 600.79 Wh การทดสอบใช้งานระบบเครื่องไล่นกพลังงานแสงอาทิตย์ในพื้นที่การเกษตรก็สามารถใช้งานได้อย่างต่อเนื่องตลอดทั้งวัน สามารถขับไล่นกที่มาบุรุกในพื้นที่การเกษตรได้ 50 ตารางเมตร

เอกสารอ้างอิง

[1] เดชฤทธิ์ จันทร์โต้ง, วราพล บาศรี ปิยสวัสดิ์ พรหมสวัสดิ์ และเดช ดำรงค์ หนูประเสริฐ. “เครื่องไล่นกพลังงานแสงอาทิตย์” ปริญญานิพนธ์ มหาวิทยาลัยเทคโนโลยีมหานคร ปีการศึกษา 2563

[2] วัชระศักดิ์ สุขสวัสดิ์, ธนากร บำรุงนอก, สิริวิมล พัดเจริญ และสรวิชญ์ พูลธัญกิจ. “ระบบสูบน้ำเคลื่อนที่พลังงานแสงอาทิตย์” ปริญญานิพนธ์ มหาวิทยาลัยเทคโนโลยีมหานคร ปีการศึกษา 2566

[3] อำภา สาระศิริ และ เทพพนม โสภาเพิ่ม, “รถตัดหญ้าไฟฟ้าพลังงานแสงอาทิตย์,” การประชุมวิชาการงานวิจัยและพัฒนาเชิงประยุกต์ ครั้งที่ 15, 26-28 เมษายน 2566, หน้า 296-299

[4] วีระเชษฐ์ ขันเงิน, วุฒิพล ธาราธีรเศรษฐ์, “อิเล็กทรอนิกส์กำลัง”, สำนักพิมพ์ห้างหุ้น สวนจำกัด วี.เจ. พริ้นติ้ง, หน้า 357-375, 2555.

[5] Muhammad H.Rashid. “Power Electronics Handbook”. Third Edition. Burlington: Butterworth-Heinemann, 2011.

[6] นรินทร์ วัฒนกุล, “อิเล็กทรอนิกส์”, พิมพ์ครั้งที่ 3, สำนักพิมพ์ จรัลสนิทวงศ์การพิมพ์, 2555.

ประวัติผู้เขียนบทความ อำภา สาระศิริ อาจารย์ประจำสาขาวิชาวิศวกรรมไฟฟ้ากำลัง มหาวิทยาลัยเทคโนโลยีมหานคร งานวิจัยที่สนใจ : power electronics, machine, drive sensors and control system

การเปรียบเทียบสมรรถนะการจ่ายพลังงานของเซลล์เชื้อเพลิง PEM แบบย้อนกลับได้และแบบทั่วไป
Power Delivery Performance Comparison of Reversible and Conventional PEM Fuel Cells

อดิศร เมรุแก้ว[1] วิวรรธน์ สุเหร็น[1] ธวัช ชูชิต[1] ณัฐชนน ศรีสุวรรณ[2] ธนวัฒน์ ศรีรักษา[2] และ ศุภชัย แก้วพวง[3]*

[1]สาขาวิชาวิศวกรรมไฟฟ้า คณะวิศวกรรมศาสตร์ มหาวิทยาลัยทักษิณ adisorn.m@tsu.ac.th wiwat.s@tsu.ac.th tawat.c@tsu.ac.th
[2]ภาควิชาวิศวกรรมเครื่องกล คณะวิศวกรรมศาสตร์ มหาวิทยาลัยทักษิณ natchanon.s@tsu.ac.th tanawat.s@tsu.ac.th
[3]ภาควิชาวิศวกรรมไฟฟ้า คณะวิศวกรรมศาสตร์ มหาวิทยาลัยทักษิณ supachai.ka@tsu.ac.th*

บทคัดย่อ

บทความนี้นำเสนอการเปรียบเทียบสมรรถนะการจ่ายพลังงานของเซลล์เชื้อเพลิง PEM ซึ่งเน้นวิเคราะห์ลักษณะแรงดันและกระแสไฟฟ้า รวมทั้งประสิทธิภาพการจ่ายพลังงานอย่างต่อเนื่องภายใต้เงื่อนไขการทำงานที่สม่ำเสมอและควบคุมได้ โดยการทดลองเปรียบเทียบใช้เซลล์เชื้อเพลิง PEM สองแบบ คือ แบบย้อนกลับได้ที่สามารถสลับทิศทางการจ่ายพลังงานได้ และแบบทั่วไปที่จ่ายพลังงานได้เพียงทิศทางเดียว ซึ่งในการทดลองแบ่งออกเป็น 2 ส่วนหลัก ๆ โดยส่วนแรกนำเซลล์เชื้อเพลิง PEM แบบย้อนกลับได้มาเข้าสู่กระบวนการอิเล็กโทรลิซิสเพื่อกักเก็บก๊าซไฮโดรเจน ในช่วงเวลา 0-76 s และส่วนที่สองทดสอบสมรรถนะและประเมินประสิทธิภาพการจ่ายพลังงานของเซลล์เชื้อเพลิง PEM ทั้งแบบย้อนกลับได้และแบบทั่วไปในช่วงเวลา 0-205 s และ 0-318 s ตามลำดับ จากผลทดสอบเมื่อเปรียบเทียบภายใต้เงื่อนไขพลังงานขาเข้าเท่ากันที่ 341.58 J ซึ่งแบบย้อนกลับได้ให้พลังงานขาออก 23.84 J และแบบทั่วไปให้ 24.30 J มีประสิทธิภาพของแบบย้อนกลับได้ 6.98 % และแบบทั่วไป 7.11 % ทดสอบภายใต้อุณหภูมิ 24.5 °C ความชื้น 52.3 % จึงทำให้เชื้อเพลิง PEM แบบทั่วไปมีสมรรถนะแปลงพลังงานได้ดีกว่าแบบย้อนกลับได้ ดังนั้นบทความนี้ได้แสดงถึงความแตกต่างด้านสมรรถนะการจ่ายพลังงานระหว่างเซลล์เชื้อเพลิงแบบ PEM ทั้งสองแบบดังกล่าว อย่างไรก็ตามการประยุกต์ใช้งานร่วมกับระบบแหล่งจ่ายพลังงานประเภทอื่น ๆ ยังคงต้องพิจารณาให้เหมาะสมกับบริบทและข้อกำหนดเฉพาะของแต่ละระบบอีกด้วย

คำสำคัญ: เซลล์เชื้อเพลิง PEM, แรงดันไฟฟ้า, กระแสไฟฟ้า, ประสิทธิภาพการจ่ายพลังงาน

Abstract

This study examines and contrasts the power delivery capabilities of PEM fuel cells through the analysis of voltage and current patterns, as well as the efficiency and reliability of energy production under consistent and carefully controlled working conditions. Two types of PEM fuel cells were used in this comparison study: a reversible model that allowed for bidirectional energy flow and a traditional model that could only produce power in one direction. There were two main stages to the experimental process. In the first step, hydrogen gas was stored in the reversible PEM fuel cell by electrolyzing it for a duration of 0–76 s. The performance and power output efficiency of the conventional and reversible PEM fuel cells were examined in the second section during time spans of 0–318 s and 0–205 s, respectively. The reversible PEM fuel cell generated an output energy of 23.84 J, whereas the traditional PEM fuel cell produced 24.30 J, according to test results conducted under equal input energy conditions of 341.58 J. This translates to a conventional cell efficiency of 7.11 % and a reversible cell efficiency of 6.98 %. A temperature of 24.5 °C and a relative humidity of 52.3 % were used for the experiments. These findings show that the traditional PEM fuel cell performs better at energy conversion than the reversible kind under the given circumstances. Therefore, this study highlights the differences in power delivery performance between reversible and standard PEM fuel cells. However, the practical implementation of these systems within broader energy supply infrastructures requires careful consideration of contextual factors and system-specific technical restrictions.

Keywords: PEM fuel cell, voltage, current, power delivery efficiency

1. บทนำ

ในช่วงหลายทศวรรษที่ผ่านมาปัญหาภาวะโลกร้อนได้ทวีความรุนแรงขึ้นเรื่อย ๆ จนถึงปัจจุบัน จึงส่งผลให้หลายประเทศทั่วโลกให้ความสำคัญกับการเลือกใช้พลังงานทางเลือกที่สะอาดและยั่งยืนมากยิ่งขึ้น เพื่อทดแทนการใช้พลังงานจากเชื้อเพลิงฟอสซิล ซึ่งเป็นแหล่งสำคัญที่ก่อให้เกิดมลพิษและก๊าซเรือนกระจก [1] พลังงานไฮโดรเจนจึงเริ่มมีบทบาทในฐานะแหล่งพลังงานทางเลือกที่สะอาดและมีศักยภาพสูง เนื่องจากสามารถประยุกต์ใช้ได้ทั้งในภาคอุตสาหกรรมและที่พักอาศัย พร้อมทั้งสามารถใช้กับระบบขับเคลื่อนยานพาหนะ เช่น ยานยนต์ไฟฟ้า ซึ่งเหมาะสำหรับระบบขนส่งที่ปลอดมลภาวะและมีส่วนช่วยลดการปลดปล่อยก๊าซเรือนกระจก [2]

อย่างไรก็ตามเซลล์เชื้อเพลิงเมมเบรนแลกเปลี่ยนโปรตอน (Proton Exchange Membrane: PEM) ที่มีจุดเด่นด้านประสิทธิภาพและความปลอดภัย รวมทั้งมีอุณหภูมิของการทำงานต่ำและความหนาแน่นพลังงานสูงที่มีพฤติกรรมเริ่มทำงานได้อย่างรวดเร็ว [3], [6] โดยเซลล์เชื้อเพลิงชนิดนี้สามารถแปลงพลังงานเคมีจากก๊าซไฮโดรเจนให้เป็นพลังงานไฟฟ้าได้ จึงเหมาะสำหรับใช้งานในอุตสาหกรรมการขนส่งและระบบสำรองไฟฟ้า [4]

นอกจากนี้เทคโนโลยี PEM ยังแบ่งออกได้เป็นสองประเภทหลัก ๆ ได้แก่ เซลล์เชื้อเพลิงแบบทั่วไป (Conventional PEM Fuel Cells) ซึ่งทำหน้าที่จ่ายพลังงานเพียงทิศทางเดียว และเซลล์เชื้อเพลิงแบบย้อนกลับได้ (Reversible PEM Fuel Cells) ซึ่งสามารถทำงานได้สองทิศทาง โดยทำหน้าที่ทั้งผลิตไฟฟ้าและทำอิเล็กโทรลิซิสแยกน้ำเพื่อกักเก็บพลังงานในรูปของไฮโดรเจน [5] ซึ่งความสามารถดังกล่าวสามารถช่วยเพิ่มความยืดหยุ่นในการจัดการพลังงาน เช่น พลังงานแสงอาทิตย์และลม [7], [11]

ด้วยเหตุนี้การประยุกต์ใช้เซลล์เชื้อเพลิงทั้งสองแบบดังกล่าว จึงมีความแตกต่างกันในด้านวัตถุประสงค์และลักษณะการนำไปประยุกต์ใช้งาน

*ผู้ประพันธ์บรรณกิจ

โดยเซลล์แบบทั่วไปเหมาะสำหรับระบบที่ต้องการการจ่ายพลังงานต่อเนื่องจากแหล่งเชื้อเพลิงภายนอก ในขณะที่เซลล์แบบย้อนกลับได้เหมาะสำหรับระบบที่ต้องการกักเก็บพลังงานและใช้พลังงานในเวลาที่จำเป็น เช่น ระบบพลังงานแบบกระจายตัวและระบบสำรองพลังงานในอาคาร [8]

บทความนี้จึงเน้นศึกษาการเปรียบเทียบสมรรถนะของเซลล์เชื้อเพลิง PEM ทั้งสองประเภทดังกล่าว โดยเน้นการวิเคราะห์ทางด้านแรงดันและกระแสไฟฟ้า พร้อมทั้งประเมินประสิทธิภาพการจ่ายพลังงานของระบบ ซึ่งผลการศึกษานี้รองรับและสนับสนุนการออกแบบระบบพลังงานที่เหมาะสมกับลักษณะการใช้งานเฉพาะด้าน รวมทั้งเป็นฐานข้อมูลสำคัญของการนำไปประยุกต์ใช้งานในเชิงวิศวกรรมสำหรับการพัฒนาเทคโนโลยีเซลล์เชื้อเพลิงได้อย่างยั่งยืน

2. หลักการทำงานเซลล์เชื้อเพลิง PEM

2.1 PEM แบบย้อนกลับได้

กระบวนการผลิตก๊าซไฮโดรเจน PEM แบบย้อนกลับได้ ดังรูปที่ 1 ซึ่งเป็นการอิเล็กโทรลิซิส (Electrolysis) โดยใช้พลังงานไฟฟ้าในการแยกโมเลกุลน้ำบริสุทธิ์ (Water : H_2O) ให้ออกเป็นก๊าซไฮโดรเจน (Hydrogen : H_2) และก๊าซออกซิเจน (Oxygen : O_2) โดยที่ PEM ทำหน้าที่เป็นตัวกลางสำหรับถ่ายโอนโปรตอนจากขั้วบวก (Positive Electrode) ไปยังขั้วลบ (Negative Electrode) ในขณะที่อิเล็กตรอนไม่สามารถผ่าน PEM ได้ แต่ไหลผ่านวงจรไฟฟ้าที่เชื่อมต่อจากภายนอกแทน ในกระบวนการนี้เป็นระบบแบบสถานะของแข็ง (Solid Electrolyte System) มีข้อดี คือ สามารถทำงานที่อุณหภูมิต่ำและตอบสนองต่อโหลดได้รวดเร็ว รวมทั้งให้ความบริสุทธิ์ของก๊าซไฮโดรเจนสูง

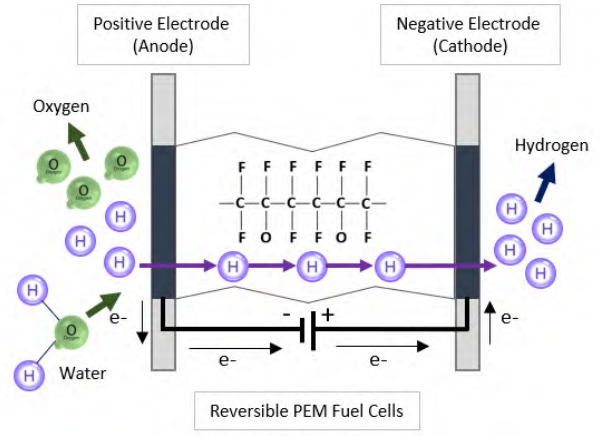

รูปที่ 1 หลักการทำงาน PEM แบบย้อนกลับได้

ในขั้นตอนแรกน้ำบริสุทธิ์ถูกนำเข้าสู่ขั้วบวก (Anode) ของเซลล์อิเล็กโทรไลซิสและทำหน้าที่เป็นขั้วไฟฟ้าบวก เมื่อมีการจ่ายพลังงานไฟฟ้าเข้าสู่ระบบทำให้น้ำบริสุทธิ์เกิดการแตกตัว (Oxidation Reaction) เป็นโปรตอน (H^+) อิเล็กตรอน (e^-) และก๊าซออกซิเจน (O_2) ดังสมการที่ 1

$$2H_2O \rightarrow 4H^+ + 4e^- + O_2 \quad (1)$$

จากนั้นปฏิกิริยาในสมการที่ 1 โดยก๊าซออกซิเจนถูกปล่อยออกจากขั้วบวก และในส่วนโปรตอนที่เกิดขึ้นสามารถเคลื่อนที่ผ่าน PEM ไปยังขั้วไฟฟ้าลบ (Cathode) ในขณะเดียวกันอิเล็กตรอนที่ไม่สามารถผ่าน PEM ได้ จึงทำให้ไหลผ่านไปยังวงจรไฟฟ้าภายนอกแทน ซึ่งสามารถนำพลังงานไฟฟ้าส่วนนี้ไปใช้หรือกักเก็บได้ตามต้องการ อย่างไรก็ตามเมื่อโปรตอน (H^+) เดินทางมาถึงขั้วลบทำให้เกิดการรวมตัวกับอิเล็กตรอนที่เดินทางมาจากวงจรภายนอก ส่งผลให้เกิดปฏิกิริยารีดักชัน (Reduction Reaction) กลายเป็นก๊าซไฮโดรเจน (H_2) ดังสมการที่ 2

$$4H^+ + 4e^- \rightarrow 2H_2 \quad (2)$$

นอกจากนี้ยังมีขั้นตอนในส่วนของกระบวนการแยกน้ำเกิดขึ้นจากปฏิกิริยาออกซิเดชันที่ขั้วแอโนดและปฏิกิริยารีดักชันที่ขั้วแคโทด โดยเมื่อรวมทั้งสองปฏิกิริยาเข้าด้วยกันจึงได้ปฏิกิริยารวมของเซลล์ ดังสมการที่ 3

$$2H_2O \rightarrow 2H_2 + O_2 \quad (3)$$

ในการแยกน้ำด้วย PEM แบบย้อนกลับได้ ซึ่งกระบวนการนี้สามารถอธิบายและวิเคราะห์ได้โดยอาศัยหลักการพื้นฐานด้านพลังงานไฟฟ้าในรูปแบบวงจรไฟตรง (DC circuit) ร่วมกับแนวคิดทางเทอร์โมไดนามิกส์ของเซลล์ไฟฟ้าเคมี ดังสมการที่ 4

$$V_{cell} = V_{reverse} + V_{anode} + V_{cathode} + IR \quad (4)$$

โดยที่ V_{cell} คือ แรงดันไฟฟ้ารวมที่ใช้กับเซลล์ (V)
$V_{reverse}$ คือ แรงดันไฟฟ้าย้อนกลับของปฏิกิริยา (V)
V_{anode} คือ แรงดันไฟฟ้าส่วนเกินที่ขั้วลบ (V)
$V_{cathode}$ คือ แรงดันไฟฟ้าส่วนเกินที่ขั้วบวก (V)
I คือ กระแสไฟฟ้า (A)
R คือ ความต้านทานรวมของเซลล์ (Ω)

โดยกฎของฟาราเดย์ (Faraday's Law of Electrolysis) กล่าวไว้ว่าปริมาณของสารที่ถูกเปลี่ยนแปลงที่ขั้วไฟฟ้าในปฏิกิริยาไฟฟ้าเคมี ซึ่งมีสัดส่วนโดยตรงกับปริมาณประจุไฟฟ้าที่ไหลผ่านเข้าสู่ระบบ และถ้าหากกระแสไฟฟ้าไหลผ่านเซลล์อิเล็กโทรไลซิสเป็นระยะเวลาหนึ่ง จึงสามารถคำนวณหาจำนวนโมลของก๊าซไฮโดรเจนที่ผลิตได้ โดยใช้สมการเชิงเส้นที่สัมพันธ์กับกระแสและเวลา ซึ่งแนวคิดนี้เป็นพื้นฐานสำคัญในการออกแบบระบบผลิตไฮโดรเจนให้มีประสิทธิภาพสูงสุด (η_{max}) ตามปริมาณพลังงานไฟฟ้าที่จ่ายเข้าไปในระบบ ดังสมการที่ 5 และยังได้ความสัมพันธ์ระหว่างกระแสไฟฟ้า (I) กับปริมาณก๊าซไฮโดรเจนที่ผลิตได้ ($Volume_{Hydrogen}$) หน่วยเป็นลิตร (L) ในกระบวนการอิเล็กโทรลิซิส [9] ดังสมการที่ 6

$$\eta_{max} = \left(\frac{V_{reverse}}{V_{cell}}\right) x\ 100 \quad (5)$$

$$Volume_{Hydrogen} = \frac{ItR(273.15+T)}{zFP} \quad (6)$$

โดยที่ t คือ เวลา (s)
R คือ ค่าคงที่ของแก๊ส (8.314 J/mol-K)
T คือ อุณหภูมิ (°C)
z คือ จำนวนอิเล็กตรอนต่อโมลของก๊าซ (เท่ากับ 2)
F คือ ค่าคงที่ของฟาราเดย์ (96485 C/mol)
P คือ ความดัน (atm)

2.2 PEM แบบทั่วไป

สำหรับหลักการทำงานของเซลล์เชื้อเพลิง PEM แบบทั่วไป ดังรูปที่ 2 โดยอาศัยการแปลงพลังงานเคมีโดยตรงจากไฮโดรเจนและออกซิเจน ให้เป็นพลังงานไฟฟ้าและความร้อนผ่านกระบวนการอิเล็กโทรเคมี ซึ่งเกิดขึ้นภายในระดับเซลล์และมีส่วนประกอบ 3 ส่วนหลัก ๆ โดยส่วนแรก คือ ขั้วไฟฟ้าแอโนด ซึ่งทำหน้าที่รับไฮโดรเจนเข้าสู่เซลล์ ในส่วนที่สอง คือ ขั้วไฟฟ้าแคโทด ที่รับออกซิเจนหรืออากาศเพื่อทำปฏิกิริยา และส่วนที่สาม คือ PEM ซึ่งเป็นเยื่อบาง ๆ ที่สามารถนำโปรตอน (H^+) ให้ไหลผ่านได้และยังป้องกันไม่ให้อิเล็กตรอนไหลผ่าน จึงส่งผลให้อิเล็กตรอนถูกบังคับให้เคลื่อนที่ผ่านวงจรภายนอกเพื่อผลิตกระแสไฟฟ้า ซึ่งกระบวนการที่เกิดขึ้นเริ่มต้นที่ขั้วไฟฟ้าแอโนด โดยที่โมเลกุลไฮโดรเจน (H_2) ถูกแยกตัวออกเป็นโปรตอนและอิเล็กตรอน ดังสมการที่ 7

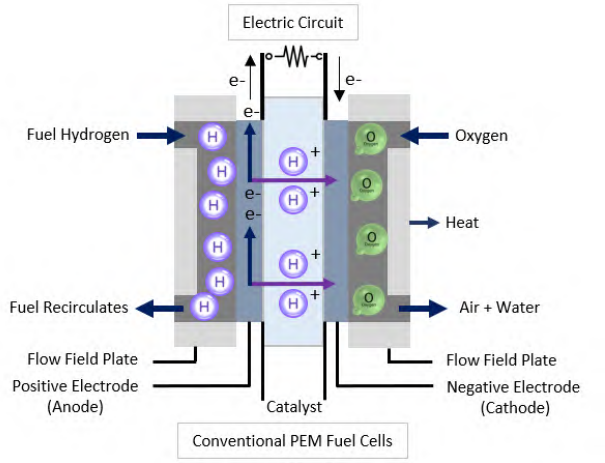

รูปที่ 2 หลักการทำงาน PEM แบบทั่วไป

$$H_2 \rightarrow 2H^+ + 2e^- \tag{7}$$

เมื่อโปรตอนที่ได้เคลื่อนที่ผ่านเยื่อ PEM และส่งผ่านไปยังฝั่งแคโทด ในขณะที่อิเล็กตรอนไหลผ่านวงจรไฟฟ้าภายนอกไปยังแคโทด จากนั้นที่ฝั่งแคโทดทำให้โปรตอนและอิเล็กตรอน รวมทั้งออกซิเจน (O_2) ได้รวมตัวกันทำปฏิกิริยารีดักชันเพื่อก่อให้เกิดน้ำบริสุทธิ์ (H_2O) ดังสมการที่ 8

$$O_2 + 4H^+ + 4e^- \rightarrow 2H_2O \tag{8}$$

จากความสัมพันธ์ระหว่างปริมาณก๊าซไฮโดรเจนที่ป้อนเข้า (Input) กับพลังงานไฟฟ้าที่ผลิตได้ (Output) ของเซลล์เชื้อเพลิง PEM แบบทั่วไป สามารถเขียนในรูปแบบเชิงพลังงาน ดังสมการที่ 9

$$E_{output} = n\Delta G \tag{9}$$

โดยที่ E_{output} คือ พลังงานไฟฟ้าที่ผลิตได้ (J)
n คือ ปริมาณไฮโดรเจนที่ป้อนเข้า (mol)
ΔG คือ พลังงานเสรีกิบส์ต่อโมลของ H_2

นอกจากนี้ในการประเมินสมรรถนะการทำงานของ PME โดยเป็นหนึ่งในตัวชี้วัดสำคัญ คือ กำลังไฟฟ้า (Power Output : P_{out}) ที่ผลิตได้ในหน่วยวัตต์ (W) ซึ่งเป็นผลลัพธ์ของแรงดันไฟฟ้า (V) และกระแสไฟฟ้า (I) ที่ไหลผ่านวงจร ดังสมการที่ 10 ในขณะที่เซลล์เชื้อเพลิงได้ถูกจัดเรียงในลักษณะของสแต็ก (Stack) ที่ประกอบด้วยเซลล์ย่อยจำนวน (n_{cell}) และในแต่ละเซลล์มีแรงดันไฟฟ้าเฉลี่ย (V_{cell}) โดยสามารถคำนวณกำลังไฟฟ้า (P_{out_stack}) [10], [11] ดังสมการที่ 11

$$P_{out} = VI \tag{10}$$

$$P_{out_stack} = n_{cell}V_{cell}I \tag{11}$$

3. ระเบียบวิธีการและการอภิปรายผล

ในการทดลองของบทความนี้ใช้รูปแบบวงจรทดลองของระบบเซลล์เชื้อเพลิง PEM แบบย้อนกลับได้และแบบทั่วไป ดังรูปที่ 3 ซึ่งเป็นการทดลองผลิตและนำก๊าซไฮโดรเจนไปใช้เป็นหลัก เริ่มต้นจากแหล่งจ่ายไฟฟ้ากระแสตรง (Power Supply) ต่อผ่านสวิตช์หมายเลข 1 (Switch No.1) เข้าสู่วงจรที่มีแอมป์มิเตอร์ (Ampere Meter) และโวลต์มิเตอร์ (Voltage Meter) เพื่อวัดกระแสและแรงดันไฟฟ้าขณะปฏิบัติการ และเมื่อสวิตช์หมายเลข 1 ปิด (Close) เป็นกระบวนการอิเล็กโทรลิซิสโดยที่กระแสไฟจากแหล่งจ่ายไฟเข้าสู่เซลล์เชื้อเพลิง PEM แบบย้อนกลับได้ เพื่อทำการแยกน้ำให้เป็นก๊าซไฮโดรเจนและออกซิเจน ซึ่งนำไปเก็บไว้ในถังเก็บก๊าซไฮโดรเจน (Hydrogen Tank) และถังเก็บก๊าซออกซิเจน (Oxygen Tank) เมื่อต้องการใช้พลังงานจากก๊าซที่ผลิตได้ ในส่วนของสวิตช์หมายเลข 2 (Switch No.2) หรือ สวิตช์หมายเลข 3 (Switch No.3) ปิด เพื่อนำก๊าซไฮโดรเจนและออกซิเจนแปลงพลังงานเคมีในก๊าซกลับเป็นพลังงานไฟฟ้าเพื่อจ่ายให้โหลด (Load) โดยใช้พัดลมขนาดเล็กทดลอง ทั้งนี้ในส่วนของสวิตช์หมายเลข 3 เป็นการจ่ายไฟไปยังโหลดที่ใช้เซลล์เชื้อเพลิง PEM แบบทั่วไป ซึ่งก๊าซออกซิเจนเกิดจากสภาพแวดล้อมโดยรอบในขณะนั้น เช่น อุณหภูมิและความชื้น เป็นต้น

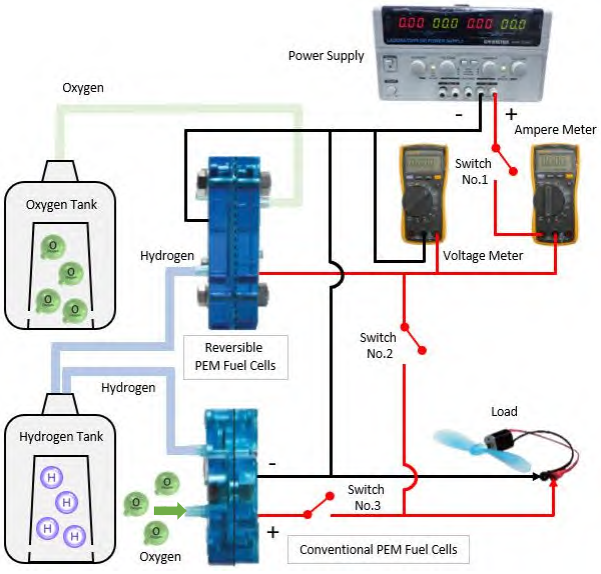

รูปที่ 3 วงจรการทดลองระบบเซลล์เชื้อเพลิง PEM สำหรับการจ่ายโหลด

สำหรับวัตถุประสงค์หลักของบทความนี้เพื่อเปรียบเทียบสมรรถนะการจ่ายพลังงานของระบบเซลล์เชื้อเพลิง PEM แบบย้อนกลับได้และแบบทั่วไป โดยเน้นวิเคราะห์พลังงานไฟฟ้าขาเข้าและพลังงานไฟฟ้าขาออก เพื่อ

ใช้คำนวณหาประสิทธิภาพของแต่ละระบบเซลล์เชื้อเพลิง PEM ภายใต้เงื่อนไขการทำงานที่ควบคุมได้ ซึ่งในการกระบวนการอิเล็กโทรลิซิสที่ใช้ระบบเซลล์เชื้อเพลิง PEM แบบย้อนกลับได้ ดังรูปที่ 4 โดยใช้เวลาในกระบวนการอิเล็กโทรลิซิส 0-76 s เพื่อวิเคราะห์และเปรียบเทียบลักษณะของกระแสไฟฟ้า (A) และ แรงดันไฟฟ้า (V) รวมทั้งกำลังไฟฟ้า (W) และพลังงาน (J) ดังตารางที่ 1 ซึ่งผลการทดลองพบว่ากระแสไฟฟ้าลดลงจาก 2.009 A เหลือเฉลี่ยประมาณ 1.6 A ขณะที่แรงดันคงที่เฉลี่ย 2.36 V ส่งผลให้กำลังไฟฟ้าลดจาก 4.619 W เหลือเฉลี่ยประมาณ 3.8 W พลังงานสะสมมีแนวโน้มลดลงในช่วงต้น ก่อนจะปรับเพิ่มเล็กน้อยและลดลงอีกครั้งในช่วงท้ายเฉลี่ยประมาณ 38 J ซึ่งชี้ให้เห็นถึงการถดถอยของกำลังจ่ายและพลวัตการทำงานของระบบเซลล์เชื้อเพลิงภายใต้โหลดคงที่

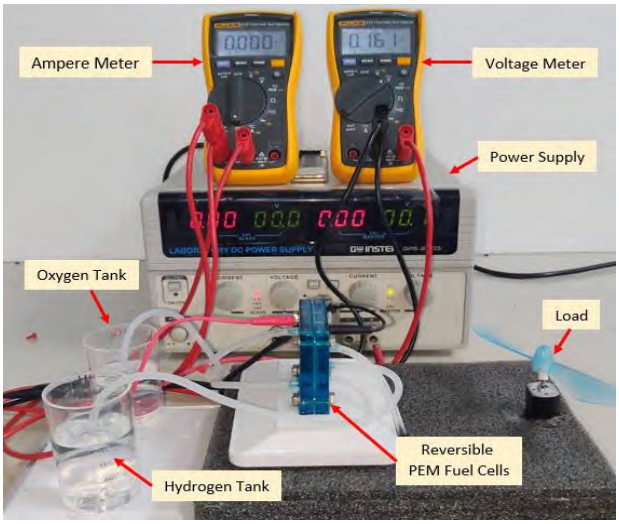

รูปที่ 4 การทดลองอิเล็กโทรลิซิสเซลล์เชื้อเพลิง PEM แบบย้อนกลับได้

ตารางที่ 1 ผลทดลองอิเล็กโทรลิซิสเซลล์เชื้อเพลิง PEM แบบย้อนกลับได้

เวลา (s)	กระแสไฟฟ้า (A)	แรงดันไฟฟ้า (V)	กำลังไฟฟ้า (W)	พลังงาน (J)
0	2.009	2.299	4.619	46.187
10	1.680	2.362	3.968	39.682
20	1.635	2.367	3.870	38.700
30	1.637	2.366	3.873	38.731
40	1.619	2.368	3.834	38.338
50	1.599	2.369	3.788	37.880
60	1.676	2.362	3.959	39.587
70	1.657	2.364	3.917	39.171
76	1.642	2.365	3.883	23.300

ในขั้นตอนการวัดสมรรถนะในขณะที่ทดลองจ่ายโหลดของระบบเซลล์เชื้อเพลิง PEM แบบย้อนกลับได้ ซึ่งใช้อุปกรณ์สำหรับทดลองชุดเดียวกันกับการทดลองอิเล็กโทรลิซิสเซลล์เชื้อเพลิง PEM แบบย้อนกลับได้ ดังรูปที่ 4 พบว่าผลการทดลอง ในช่วงเวลา 0–205 s ค่ากระแสไฟฟ้าเริ่มต้นที่ 0.518 A และแรงดันไฟฟ้า 0.856 V ส่งผลให้กำลังไฟฟ้าเริ่มต้นสูงสุดที่ 0.4434 W มีพลังงานสะสม 4.4341 J จากนั้นค่ากระแสและแรงดันไฟฟ้ามีแนวโน้มลดลงต่อเนื่อง โดยในช่วง 0–70 s โดยกำลังไฟฟ้าลดลงจาก 0.4434 W เหลือ 0.1530 W มีพลังงานสะสมลดจาก 4.4341 J เหลือ 1.5305 J ซึ่งชี้ให้เห็นถึงการสูญเสียสมรรถนะในการจ่ายพลังงานอย่างชัดเจน ทั้งนี้เมื่อเข้าสู่ช่วง 80–150 s ค่ากระแสและแรงดันไฟฟ้าลดลงในอัตราช้าลง โดยกำลังไฟฟ้าคงอยู่ในช่วง 0.0856–0.0617 W และพลังงานสะสมอยู่ในช่วง 0.8563–0.6172 J ก่อนที่ลดลงอย่างรวดเร็วช่วงปลายการทดลองที่เวลา 160–205 s เหลือเพียง 0.0079 W มีพลังงานสะสม 0.1396 J ที่เวลา 205 s ดังตารางที่ 2

ตารางที่ 2 ผลทดลองจ่ายโหลดของเซลล์เชื้อเพลิง PEM แบบย้อนกลับได้

เวลา (s)	กระแสไฟฟ้า (A)	แรงดันไฟฟ้า (V)	กำลังไฟฟ้า (W)	พลังงาน (J)
0	0.518	0.856	0.4434	4.4341
10	0.317	0.587	0.1861	1.8608
20	0.313	0.575	0.1800	1.7998
30	0.307	0.563	0.1728	1.7284
40	0.298	0.557	0.1660	1.6599
50	0.295	0.548	0.1617	1.6166
60	0.288	0.545	0.1570	1.5696
70	0.285	0.537	0.1530	1.5305
80	0.213	0.402	0.0856	0.8563
90	0.214	0.404	0.0865	0.8646
100	0.198	0.376	0.0744	0.7445
110	0.202	0.381	0.0770	0.7696
120	0.199	0.374	0.0744	0.7443
130	0.196	0.367	0.0719	0.7193
140	0.191	0.354	0.0676	0.6761
150	0.181	0.341	0.0617	0.6172
160	0.171	0.319	0.0545	0.5455
170	0.153	0.286	0.0438	0.4376
180	0.132	0.235	0.0310	0.3102
190	0.110	0.179	0.0197	0.1969
200	0.095	0.127	0.0121	0.1207
205	0.090	0.088	0.0079	0.1396

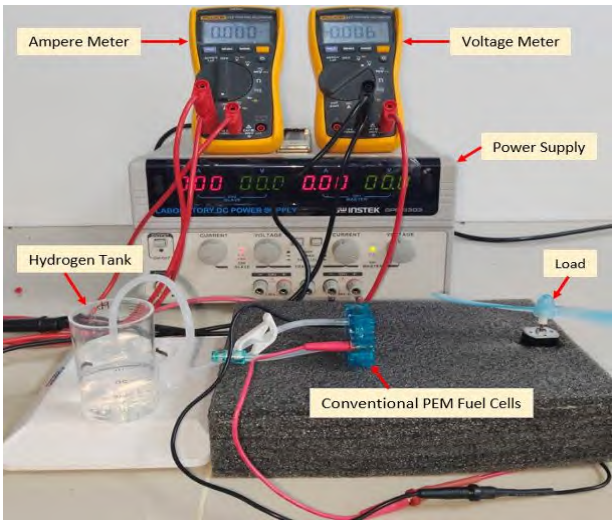

รูปที่ 5 การทดลองจ่ายโหลดของเซลล์เชื้อเพลิง PEM แบบทั่วไป

ตารางที่ 3 ผลทดลองจ่ายโหลดของเซลล์เชื้อเพลิง PEM แบบทั่วไป

เวลา (s)	กระแสไฟฟ้า (A)	แรงดันไฟฟ้า (V)	กำลังไฟฟ้า (W)	พลังงาน (J)
0	0.207	0.555	0.1149	1.1489
10	0.133	0.579	0.0770	0.7701
20	0.128	0.579	0.0741	0.7411
30	0.165	0.565	0.0932	0.9323
40	0.135	0.565	0.0763	0.7628
50	0.14	0.558	0.0781	0.7812
60	0.167	0.524	0.0875	0.8751
70	0.174	0.515	0.0896	0.8961
80	0.175	0.517	0.0905	0.9048
90	0.178	0.507	0.0902	0.9025
100	0.178	0.505	0.0899	0.8989
110	0.17	0.512	0.0870	0.8704
120	0.155	0.514	0.0797	0.7967
130	0.177	0.499	0.0883	0.8832
140	0.169	0.509	0.0860	0.8602
150	0.179	0.49	0.0877	0.8771
160	0.171	0.497	0.0850	0.8499
170	0.152	0.52	0.0790	0.7904
180	0.172	0.487	0.0838	0.8376
190	0.151	0.51	0.0770	0.7701
200	0.149	0.504	0.0751	0.7510
210	0.164	0.476	0.0781	0.7806
220	0.161	0.473	0.0762	0.7615
230	0.144	0.495	0.0713	0.7128
240	0.151	0.46	0.0695	0.6946
250	0.136	0.481	0.0654	0.6542
260	0.132	0.474	0.0626	0.6257
270	0.134	0.41	0.0549	0.5494
280	0.124	0.377	0.0467	0.4675
290	0.116	0.346	0.0401	0.4014
300	0.106	0.299	0.0317	0.3169
310	0.099	0.262	0.0259	0.2594
318	0.096	0.233	0.0224	0.0789

สำหรับการวัดสมรรถนะในขณะที่ทดลองจ่ายโหลดของระบบเซลล์เชื้อเพลิง PEM แบบทั่วไป ดังรูปที่ 5 พบว่าการทดลองที่อุณหภูมิ 24.5 °C ความชื้น 52.3 % ในช่วงเวลา 0–318 s ค่ากระแสไฟฟ้าเริ่มต้นที่ 0.207 A และแรงดันไฟฟ้า 0.555 V ส่งผลให้กำลังไฟฟ้าเริ่มต้นมีค่า 0.1149 W มีพลังงานสะสม 1.1489 J ในช่วงเวลา 0–100 วินาที ค่ากำลังไฟฟ้ามีการเปลี่ยนแปลงเล็กน้อยและคงอยู่ในช่วง 0.0741–0.0932 W โดยแรงดันและกระแสมีความเสถียรในระดับปานกลาง ซึ่งชี้ให้เห็นถึงสมรรถนะคงที่ในระยะต้นของการทำงาน และในช่วง 110–200 s ค่ากำลังไฟฟ้าเฉลี่ย 0.075–0.088 W มีค่าลดลงเล็กน้อยของแรงดันไฟฟ้าจากประมาณ 0.51 V เหลือ 0.50 V ซึ่งชี้ให้เห็นถึงการเริ่มถดถอยของเซลล์เชื้อเพลิง ในขณะที่การลดลงของเชื้อเพลิงไฮโดรเจนที่เหลืออยู่ในช่วง 210–270 s กำลังไฟฟ้าลดลงอย่างต่อเนื่องจาก 0.0781 W เหลือ 0.0549 W และแรงดันไฟฟ้าลดลงเหลือต่ำกว่า 0.45 V ก่อนที่เข้าสู่ช่วงปลายที่ช่วงเวลา 280–318 s ซึ่งค่ากระแสและแรงดันไฟฟ้าลดลงอย่างรวดเร็ว เหลือกำลังไฟฟ้าเพียง 0.0224 W และพลังงานสะสม 0.0789 J ที่เวลา 318 s ดังตารางที่ 3

ทั้งนี้จากผลการทดลองเปรียบเทียบสมรรถนะในขณะที่ทดลองจ่ายโหลดของระบบเซลล์เชื้อเพลิง PEM แบบย้อนกลับได้และแบบทั่วไป ที่สามารถสะท้อนถึงข้อจำกัดด้านพลังงานสะสมและประสิทธิภาพของเซลล์เชื้อเพลิง PEM ของทั้งแบบย้อนกลับได้และแบบทั่วไป โดยเน้นวิเคราะห์ลักษณะของแรงดันและกระแสไฟฟ้า รวมทั้งกำลังไฟฟ้าและพลังงานทั้งขาเข้าและขาออกที่เป็นตัวชี้วัดสมรรถนะการจ่ายพลังงานให้กับโหลด ดังรูปกราฟที่ 6 ถึงรูปที่ 9 ตามลำดับ รวมทั้งการเปรียบเทียบประสิทธิภาพของเซลล์เชื้อเพลิงทั้งแบบย้อนกลับได้และแบบทั่วไป ดังตารางที่ 4

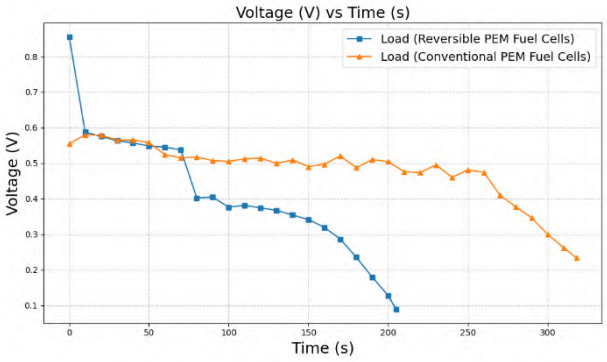

รูปที่ 6 ลักษณะแรงดันไฟฟ้าเทียบกับเวลาขาเข้าและขาออก

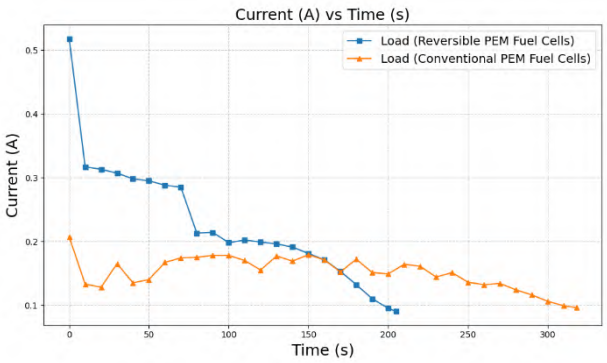

รูปที่ 7 ลักษณะกระแสไฟฟ้าเทียบกับเวลาขาเข้าและขาออก

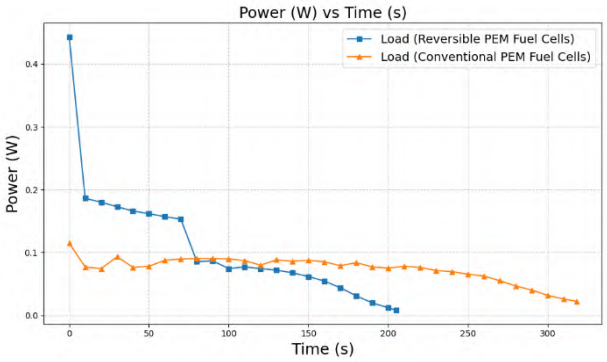

รูปที่ 8 ลักษณะกำลังไฟฟ้าเทียบกับเวลาขาเข้าและขาออก

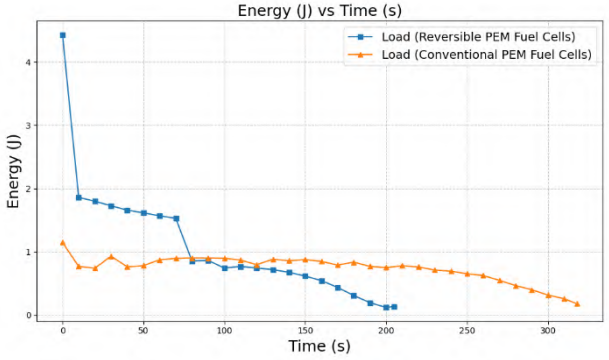

รูปที่ 9 ลักษณะพลังงานเทียบกับเวลาขาเข้าและขาออก

ตารางที่ 4 เปรียบเทียบประสิทธิภาพของเซลล์เชื้อเพลิง PEM

PEM	พลังงานขาเข้า (J)	พลังงานขาออก (J)	ประสิทธิภาพ (η)
แบบย้อนกลับได้	341.58	23.84	6.98 %
แบบทั่วไป	341.58	24.30	7.11 %

จากตารางที่ 4 พบว่าเซลล์เชื้อเพลิง PEM ของทั้งแบบย้อนกลับได้และแบบทั่วไป มีพลังงานขาเข้าเฉลี่ยเท่ากันที่ 341.58 J ในส่วนของพลังงานขาออกมีความแตกต่างกันเล็กน้อย ซึ่งสะท้อนไปถึงประสิทธิภาพการทำงาน โดยพบว่าเซลล์เชื้อเพลิง PEM แบบย้อนกลับ มีประสิทธิภาพ 6.98 % และแบบทั่วไป 7.11 % จึงทำให้เชื้อเพลิง PEM แบบทั่วไปมีสมรรถนะแปลงพลังงานได้ดีกว่าแบบย้อนกลับได้

นอกจากนี้ในผลการทดลองของเซลล์เชื้อเพลิง PEM ทั้งสองแบบ พบว่ายังมีประสิทธิภาพต่ำ ซึ่งปัจจัยที่ทำให้ประสิทธิภาพการทำงานของระบบต่ำมี 3 ปัจจัยหลัก ๆ โดยปัจจัยแรกเกิดจากความสูญเสียโอห์มมิก (Ohmic Loss) ของความต้านทานภายในเมมเบรนและอิเล็กโทรด ปัจจัยที่สองเกิดจากความสูญเสียจากปฏิกิริยาไฟฟ้าเคมีที่ไม่สมบูรณ์ (Activation Loss) และปัจจัยที่สามเกิดจากความสูญเสียจากการแพร่ก๊าซและการจัดการน้ำ (Mass Transport Loss) ดังนั้นแนวทางการพัฒนาต่อยอด คือ การปรับปรุงเมมเบรนและตัวเร่งปฏิกิริยา รวมถึงออกแบบระบบจัดการน้ำและความร้อนให้เหมาะสมเพื่อเพิ่มสมรรถนะในอนาคต

4. สรุป

การเปรียบเทียบสมรรถนะของเซลล์เชื้อเพลิง PEM แบบย้อนกลับได้และแบบทั่วไป โดยวิเคราะห์จากลักษณะแรงดันและกระแสไฟฟ้า รวมทั้งกำลังไฟฟ้าและพลังงาน ซึ่งในการทดลองแบ่งเป็น 2 ส่วนหลัก ๆ ได้แก่ กระบวนการอิเล็กโทรลิซิสเพื่อกักเก็บไฮโดรเจนในเซลล์แบบย้อนกลับได้ และการทดสอบการจ่ายพลังงานของทั้งสองแบบในช่วงเวลาในการทดลองต่าง ๆ จากผลการทดลองเมื่อเปรียบเทียบภายใต้เงื่อนไขพลังงานขาเข้าเท่ากันที่ 341.58 J ค่าพลังงานขาออกมีความใกล้เคียงกัน โดยแบบย้อนกลับได้ให้พลังงานขาออก 23.84 J และแบบทั่วไปให้ 24.30 J และมีประสิทธิภาพของทั้งสองแบบใกล้เคียงกัน โดยแบบย้อนกลับได้ 6.98 % และแบบทั่วไป 7.11 % การทดลองดำเนินภายใต้อุณหภูมิ 24.5 ℃ ความชื้น 52.3 % จึงทำให้เชื้อเพลิง PEM แบบทั่วไปมีสมรรถนะแปลงพลังงานได้ดีกว่าแบบย้อนกลับได้ นอกจากนี้ผลการทดลองของเซลล์เชื้อเพลิง PEM ทั้งสองแบบ พบว่าประสิทธิภาพยังต่ำเนื่องจากการสูญเสียโอห์มมิก การสูญเสียจากปฏิกิริยาไฟฟ้าเคมีที่ไม่สมบูรณ์ และการสูญเสียด้านการแพร่ก๊าซและการจัดการน้ำ โดยแนวทางการพัฒนาที่สำคัญ คือ การปรับปรุงคุณสมบัติเมมเบรนและตัวเร่งปฏิกิริยา การควบคุมในสภาวะแวดล้อมต่าง ๆ และออกแบบระบบจัดการน้ำและความร้อนให้เหมาะสมเพื่อเพิ่มสมรรถนะ รวมทั้งข้อจำกัดในการออกแบบและพัฒนาระบบที่ใช้ทดลองสำหรับการเลือกใช้วัสดุและอุปกรณ์ที่มีประสิทธิภาพสูง อีกทั้งการออกแบบระบบที่เหมาะสมยังช่วยให้สามารถนำไปประยุกต์ใช้เป็นแนวทางในการเลือกวัสดุและออกแบบระบบที่มีขนาดพิกัดการจ่ายโหลดเพิ่มมากขึ้น เพื่อให้สอดคล้องกับบริบทการใช้งานตามสถานการณ์จริงในอนาคต

5. กิตติกรรมประกาศ

คณะทีมวิจัยขอแสดงความขอบคุณอย่างยิ่งต่อคณะวิศวกรรมศาสตร์ มหาวิทยาลัยทักษิณ ที่เอื้ออำนวยความสะดวกทั้งด้านสถานที่และอุปกรณ์สำหรับการจัดเก็บและดำเนินการทดลองในครั้งนี้เป็นอย่างดียิ่ง

เอกสารอ้างอิง

[1] สุธาสินี ผากา, “พลังงานทดแทนในสถานการณ์ภาวะโลกร้อน,” วารสารวิชาการมหาวิทยาลัยอีสเทิร์นเอเชีย ฉบับวิทยาศาสตร์และเทคโนโลยี, vol. 11, no. 2, pp. 49–57, 2017.

[2] เทพ เทพวัฒนปิยกุล, “พลังงานทดแทน ทางเลือกใหม่ของประเทศ,” *วารสารสหวิทยาการนวัตกรรมปริทรรศน์*, ปีที่ 7, ฉบับที่ 1, หน้า 299–309, 2567.

[3] R. Shawe, “Reversible Fuel Cells: A Comprehensive Analysis of Bidirectional Operation,” SCIRP Journal, 2025.

[4] Z. Abdin, M. Al-Ansari, T. A. E. Khalifa, and M. A. Rosen, “Shaping the stationary energy storage landscape with reversible fuel cells,” Journal of Energy Storage, vol. 72, 2024.

[5] T. Ma, H. Wang, J. Liu, and Y. Wang, “Recovery characteristics of reversible degradation for proton exchange membrane fuel cells under dynamic load,” Journal of Power Sources, vol. 597, 2024.

[6] S. Bhogilla, M. Karthikeyan, and B. Ravindran, “Cogeneration system combining reversible PEM fuel cell and cooling with VARS,” International Journal of Hydrogen Energy, vol. 49, no. 4, pp. 1590–1601, 2024.

[7] L. Kumar, R. Agarwal, and A. D. Dani, “Segmented Model-Based Hydrogen Delivery Control for PEM Fuel Cells: a Port-Hamiltonian Approach,” arXiv preprint, Apr. 2024.

[8] M. Diabate, L. D. Koua, and M. Benbouzid, “Hydrogen and battery based energy storage system for future DC microgrids,” arXiv preprint, Jun. 2024.

[9] S. S. Kumar and V. Himabindu, “Hydrogen production by PEM water electrolysis – A review,” Materials Science for Energy Technologies, vol. 2, no. 3, pp. 442–454, 2019.

[10] K. Jiao, B. Wang, Q. Du, Y. Wang, G. Zhang, Z. Yang, H. Deng, and X. Xie,“ Chapter 3 - Experimental characterization and diagnostics,” in Water and Thermal Management of Proton Exchange Membrane Fuel Cells, pp. 67–120, 2021.

[11] Z. Abdin, “Shaping the stationary energy storage landscape with reversible fuel cells,” Journal of Energy Storage, vol. 86, p. 111354, Mar. 2024, doi: 10.1016/j.est.2024.111354.

การเปรียบเทียบสมรรถนะของโมดูลเซลล์แสงอาทิตย์โมโนคริสตัลไลน์โดยใช้ข้อมูล I-V Curve ภาคสนามด้วยแบบจำลองอุณหภูมิเซลล์สมมูล : กรณีศึกษาประเทศไทย

Performance Comparison of Monocrystalline Photovoltaic Modules from Field I–V Curves via the Equivalent Cell Temperature (ECT) Method : A Case Study of of Thailand

ปฏิญญา ศักดิ์หวาน[1]* สายัณห์ ฉายวาส[2] วีรเดช ศิริอริยพร[3]

[1]คณะเทคโนโลยีอุตสาหกรรม สถาบันเทคโนโลยีจิตรลดา patinya.sak@cdti.ac.th*
[2]คณะเทคโนโลยีอุตสาหกรรม สถาบันเทคโนโลยีจิตรลดา

บทคัดย่อ

งานวิจัยนี้มุ่งอธิบายและเปรียบเทียบสมรรถนะของโมดูลเซลล์แสงอาทิตย์ชนิดโมโนคริสตัลไลน์กำลังพิกัด 550 W (monofacial mono-PERC) ที่ติดตั้งจริง 4 สถานที่ในประเทศไทย ได้แก่ กรุงเทพฯ (ลาดกระบัง) นนทบุรี (รัตนาธิเบศร์) ฉะเชิงเทรา และเชียงใหม่ โดยใช้ข้อมูลเส้นโค้งกระแส–แรงดัน (I–V) ภาคสนามเป็นฐาน แล้วคำนวณอุณหภูมิเซลล์สมมูล (Equivalent Cell Temperature; ECT) ด้วยวิธีอิงแรงดันเปิดวงจร และแปลเส้นโค้งสู่เงื่อนไขมาตรฐาน (STC) ตาม IEC 60891 เพื่อให้เปรียบเทียบข้ามพื้นที่ได้อย่างยุติธรรม กำหนดเกณฑ์คุณภาพข้อมูล (QC) เป็น G ≥ 600 W/m², อุณหภูมิโมดูล ≤ 65 °C และฟิลแฟกเตอร์ (FF) ภายใต้ STC ≥ 79% พร้อมทั้งประเมินชุดข้อมูลที่อยู่ในช่วงยอมรับของพิกัดเครื่องมือ (In-Tolerance) ±5% ผลลัพธ์ชี้ให้เห็นความแตกต่างรายพื้นที่อย่างชัดเจนภายใต้การแปลงสู่ STC ฉะเชิงเทราและเชียงใหม่มีการกระจุกตัวของกำลังใกล้ค่าพิกัดและมีอัตราผ่าน In-Tolerance สูง สะท้อนคุณภาพการวัดที่เสถียรและความเหมาะสมของกระบวนการชดเชย ในทางกลับกัน ลาดกระบังและรัตนาธิเบศร์ให้ค่ากลางของกำลังที่แปลงสู่ STC สูงกว่าพิกัดและมีอัตราผ่าน In-Tolerance ต่ำกว่า บ่งชี้ความเป็นไปได้ของการชดเชยเกินจริงเมื่อรังสีอาทิตย์ต่ำ–อุณหภูมิสูง อีกทั้งปัจจัยจากความร้อนสะสม เงาบังบางส่วน เพื่อหลีกเลี่ยงอคติของการแปลผลในเขตเมือง ข้อเสนอเพื่อการต่อยอดคือการตรวจสอบความสอดคล้องระหว่างอุณหภูมิแบบจากแบบจำลอง ECT กับการวัดจริง เพื่อสนับสนุนการตัดสินใจเชิงวิศวกรรมที่แม่นยำยิ่งขึ้น

คำสำคัญ: พลังงานแสงอาทิตย์,ประสิทธิภาพ,โมดูลเซลล์แสงอาทิตย์, เส้นโค้ง I–V

Abstract

This study aims to analyze and compare the performance of 550 W monocrystalline photovoltaic (PV) modules (monofacial mono-PERC) installed at four sites in Thailand: Bangkok (Ladkrabang), Nonthaburi (Rattanathibet), Chachoengsao, and Chiang Mai. Field-measured current–voltage (I–V) curves were employed as the primary data source, from which the Equivalent Cell Temperature (ECT) was calculated using the open-circuit voltage method. The I–V curves were then translated into standard test conditions (STC) following IEC 60891, ensuring fair cross-site comparisons. Data quality control (QC) criteria were defined as irradiance G ≥ 600 W/m², module temperature ≤ 65 °C, and fill factor (FF) under STC ≥ 79%. In addition, datasets within the instrument's rated tolerance range (In-Tolerance) of ±5% were assessed.The results reveal clear site-specific variations under STC translation. Modules in Chachoengsao and Chiang Mai exhibited power distributions clustered around the nominal rating, with a high proportion of records falling within the In-Tolerance range, reflecting stable measurement quality and the suitability of the correction procedure. Conversely, Ladkrabang and Rattanathibet presented higher mean STC-translated power values compared to the nominal rating, with lower In-Tolerance rates, suggesting the possibility of over-correction under low-irradiance and high-temperature conditions. These discrepancies may also be influenced by factors such as urban heat accumulation and partial shading.To minimize interpretive bias in urban settings, future work is recommended to validate the consistency between modeled ECT and actual temperature measurements. Such validation would enhance the accuracy of engineering decision-making in PV performance evaluation .

Keywords: solar energy, performance, photovoltaic module, I–V Curve

1. บทนำ

สมรรถนะของโมดูลเซลล์แสงอาทิตย์(PV module) ของระบบพลังงานไฟฟ้าแสงอาทิตย์ในสภาพการทำงานจริง(Operating conditions, OPC) ได้รับอิทธิพลอย่างมากจากปัจจัยด้านสภาพแวดล้อม เช่น ค่าการแผ่รังสีแสงอาทิตย์และอุณหภูมิของโมดูล เป็นต้น [1]. ในภูมิอากาศแบบร้อนชื้นโมดูลมักทำงานที่อุณหภูมิของเซลล์สูงกว่าค่ามาตรฐาน 25 °C อย่างมาก ส่งผลให้สูญเสียกำลังไฟฟ้าอย่างมีนัยสำคัญเนื่องจากค่าสัมประสิทธิ์อุณหภูมิของกำลังเป็นค่าลบ. สำหรับโมดูลซิลิคอนผลึกโดยทั่วไปกำลังไฟฟ้าสูงสุดจะลดลงประมาณ 0.4–0.5% ต่อ 1 °C เมื่ออุณหภูมิสูงขึ้น [2]. ดังนั้น ค่ากำลังไฟฟ้าสูงสุดที่ระบุภายใต้เงื่อนไขการทดสอบมาตรฐาน (STC) ซึ่งเป็นอุดมคติที่ไม่สามารถควบคุมให้ตามเงื่อนภายใต้สภาพการทำงานจริงของระบบ แต่ขณะเดียวกันระดับการแผ่รังสีที่สูงสามารถเพิ่มกระแสให้กับโมดูลได้ โดยพื้นที่ที่มีรังสีเฉลี่ยสูงกว่าจะให้พลังงานไฟฟ้าได้มากกว่า. อาทิเช่น ภาคกลางของประเทศไทยถูกระบุว่ามีทรัพยากรแสงอาทิตย์สูงสุดของประเทศ (17–20 MJ/m²/วัน) และมีศักยภาพการผลิตไฟฟ้าสูงกว่าภาคเหนือหรือภาคตะวันออก[3]. อย่างไรก็ดี ความแตกต่างของภูมิอากาศและสิ่งแวดล้อม รวมถึงอุณหภูมิแวดล้อม และความสกปรกจากฝุ่นบนผิวโมดูลระหว่างภูมิภาคสามารถนำไปสู่ความแปรปรวนของสมรรถนะของระบบที่ควรได้รับการตรวจสอบโดยละเอียด

*ผู้ประพันธ์บรรณกิจ

งานวิจัยชี้ให้เห็นถึงความจำเป็นในการพิจารณาผลของภูมิอากาศท้องถิ่นเมื่อประเมินโมดูลเซลล์แสงอาทิตย์ พบว่าโมดูลที่มีค่าสัมประสิทธิ์อุณหภูมิของกำลังไฟฟ้าสูงสุดที่มีค่าน้อยกว่า −0.31%/°C แสดงข้อได้เปรียบด้านสมรรถนะภายใต้สภาพอากาศร้อนของไทย[4]. อีกทั้งความแปรปรวนของสเปกตรัมมีผลกระทบต่อกำลังการผลิตของโมดูลได้อย่างมาก เมื่อปรับแก้ข้อมูลภาคสนามด้วยปัจจัยสเปกตรัม พบว่าค่าสัมประสิทธิ์อุณหภูมิที่วัดได้มีความสอดคล้องกับค่าที่ระบุในแผ่นข้อมูลผู้ผลิตมากขึ้น [5].

การค้นพบเหล่านี้บ่งชี้ว่าพารามิเตอร์มาตรฐานในจากข้อมูลของผู้ผลิตอาจไม่สามารถสะท้อนสมรรถนะจริงในภูมิอากาศที่แตกต่างกันได้อย่างครบถ้วน นอกจากนี้ยังมีการศึกษาในประเทศไทยที่พบว่าค่าสัมประสิทธิ์อุณหภูมิที่วัดได้แตกต่างจากค่าของผู้ผลิต สะท้อนความสำคัญของแบบจำลองประเมินที่เฉพาะพื้นที่ในภูมิอากาศเขตร้อน [6]. จากงานวิจัยก่อนหน้านี้จำนวนมากมุ่งเน้นที่การเสื่อมสภาพระยะยาวหรือการเปรียบเทียบเทคโนโลยี โมดูลเซลล์แสงอาทิตย์ต่างชนิด ยังมีงานไม่มากที่ตรวจสอบว่าโมดูลรุ่นเดียวกัน ให้ผลต่างกันอย่างไรในหลายพื้นที่ภายใต้ขั้นตอนทดสอบที่เหมือนกัน

ภายใต้บริบทดังกล่าว ยังมีช่องว่างความรู้เกี่ยวกับความแตกต่างด้านสมรรถนะข้ามภูมิภาคของโมดูลชนิดเดียวกันในประเทศไทย งานนี้มุ่งเติมเต็มช่องว่างดังกล่าวด้วยการวิเคราะห์การวัดเส้นโค้งกระแส-แรงดัน (I-V Curve) ของโมดูลโมโนคริสตัลไลน์ ณ 4 สถานที่ในภูมิภาคต่างกันของประเทศไทย เรามุ่งเปรียบเทียบตัวชี้วัดหลัก คือ กำลังไฟฟ้าสูงสุด $(P_{\max})$ แรงดันวงจรเปิด (V_{OC}) กระแสลัดวงจร (I_{SC}) และฟิลแฟกเตอร์ (FF) ทั้งในสภาพการทำงานจริงและเมื่อปรับเทียบสู่ภายใต้เงื่อนไขการทดสอบมาตรฐาน (STC). เป้าหมายคือ ระบุอิทธิพลของสภาพแวดล้อมเฉพาะพื้นที่ต่อสมรรถนะของโมดูล และประเมินความแตกต่างของข้อมูลภาคสนามกับข้อกำหนดและค่าคลาดเคลื่อนที่ผู้ผลิต ข้อมูลจากการวิเคราะห์ต้องการค้นหาปัจจัยเฉพาะพื้นที่ที่ส่งผลต่อกำลังผลิต และการเทียบเคียงผลลัพธ์ข้อมูลระหว่างพื้นที่จากวิธีการปรับแก้ภายใต้เงื่อนไขการทดสอบมาตรฐาน (STC) ด้วยแบบจำลองอุณหภูมิเซลล์สมมูล

2. วิธีการดำเนินการวิจัย(Methodology)

2.1 พื้นที่ทดสอบและการติดตั้ง (Site & Installation)

การงานวิจัยนี้ทดสอบโมดูลเซลล์แสงอาทิตย์ชนิดโมโนคริสตัลไลน์ PERC แบบด้านเดียว(Monofacial Mono-PERC) ติดตั้งบนหลังคา(rooftop) ทรงจั่วแบบอาคารเดียวกัน จำนวนตัวอย่างสถานที่ละ 50 แผ่น ใน 4 สถานที่ของไทย คือ กรุงเทพฯ(ลาดกระบัง) ,นนทบุรี(รัตนาธิเบศร์) , ฉะเชิงเทรา และเชียงใหม่ โดยควบคุมการทดสอบให้มีค่าความเข้มรังสีอาทิตย์ไม่ต่ำกว่า 500 W/m² โดยเซนเซอร์วัดความเข้มรังสีอาทิตย์(Irradiance Sensor)วางอยู่บนระนาบการเอียงเดียวกันกับโมดูล อีกทั้งก่อนการตรวจวัดค่าได้ทำความสะอาดผิวหน้าโมดูลก่อนการวัด และหลีกเลี่ยงโมดูลเงาบัง(Shading) การวัดใช้เครื่องจากผู้ผลิต HT-instruments รุ่น SOLAR I-Ve โหมด AUTO Temp โดยการคำนวณอุณหภูมิเซลล์สมมูลจากวิธีการอิงแรงดันเปิดวงจร(Voc-based) แล้วปรับเส้นโค้ง I–V ไปสู่ STC ตามมาตราฐาน IEC 60891 โดยรายละเอียดโมดูลและคุณลักษณะทางไฟฟ้าอ้างอิงจาก เอกสารข้อมูลของผู้ผลิต ดังตารางที่1 และภาพการดำเนินการภาคสนาม ดังรูปที่ 1และ2.

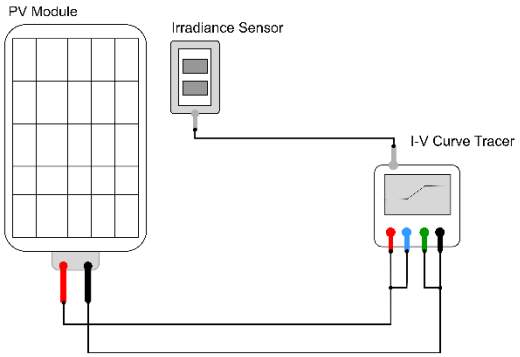

รูปที่ 1 ผังการวัดเส้นโค้ง I–V ของโมดูลเซลล์แสงอาทิตย์

รูปที่ 2 การวัดเส้นโค้ง I–V ของโมดูลเซลล์แสงอาทิตย์ด้วยเครื่องบันทึกเส้นโค้งกระแส-แรงดัน(I-V Curve)

ตารางที่ 1 รายละเอียดการติดตั้งและคุณลักษณะทางไฟฟ้าของโมดูลเซลล์แสงอาทิตย์ในการวิจัย

พารามิเตอร์	ค่าอ้างอิง	หน่วย
กำลังไฟฟ้าสูงสุด	550	W
แรงดันวงจรเปิด	49.80	V
กระแสลัดวงจร	13.90	A
แรงดันที่จุดกำลังไฟฟ้าสูงสุด	42.20	V
กระแสที่จุดกำลังไฟฟ้าสูงสุด	13.04	A
สัมประสิทธิ์อุณหภูมิของ Voc	−0.275	%/°C
สัมประสิทธิ์อุณหภูมิของ Isc	+0.045	%/°C
สัมประสิทธิ์อุณหภูมิของ Pmax	−0.35	%/°C

2.2 การเก็บข้อมูล(Data Collection)

การวิจัยเริ่มต้นโดยการทำการวัดเส้นโค้งกระแส-แรงดัน (I-V Curve) บนโมดูล PV โมโนคริสตัลไลน์ 550 W รุ่นเดียวกัน ที่ติดตั้งใน 4 สถานที่ของไทย ได้แก่ ลาดกระบัง(ภาคกลาง) รัตนาธิเบศร์(ภาคกลาง) ฉะเชิงเทรา (ภาคตะวันออก) และเชียงใหม่(ภาคเหนือ) ใช้เครื่องบันทึกเส้นโค้งกระแส-แรงดัน(I-V Curve) แบบพกพารุ่น SOLAR I-Ve ของผู้ผลิต HT

Italia S.r.l. ในโหมด “AUTO Temp” ตามมาตรฐาน IEC 60904-5 ดังรูปที่ 1 โดยการคำนวณ อุณหภูมิเซลล์สมมูล(Equivalent Cell Temperature ,ECT) โดยใช้วิธี อุณหภูมิของเซลล์แสงอาทิตย์ที่คำนวณเพื่อใช้แทนการวัดอุณหภูมิจริงจากเซนเซอร์ โดยอ้างอิงจากค่าแรงดันวงจรเปิด(Open-Circuit Voltage Method)[7] ดังสมการที่ 1

$$T_c = T_{ref} - \frac{V_{oc,meas} - V_{oc,ref}}{\beta_{Voc}} \quad (1)$$

โดยที่

T_c คือ อุณหภูมิของเซลล์ (°C)
T_{ref} คือ อุณหภูมิอ้างอิง (โดยปกติ 25°C ที่ STC)
$V_{oc,meas}$ คือ ค่าแรงดันวงจรเปิดที่วัดได้ภาคสนาม (V)
$V_{oc,ref}$ คือ ค่าแรงดันวงจรเปิดที่เงื่อนไข STC (V)
β_{Voc} คือ สัมประสิทธิ์อุณหภูมิของแรงดันวงจรเปิด [%/°C]

โดยโหมดนี้จะบันทึกลักษณะเส้นโค้ง I–V ภายใต้ค่ารังสีอาทิตย์และอุณหภูมิของโมดูล ณ ขณะวัดแล้วปรับแก้มาตรฐานไปยังเงื่อนไขอ้างอิง[8] ในแต่ละสถานที่มีโมดูลเซลล์แสงอาทิตย์(PV module) 50 แผ่น เป็นกลุ่มตัวอย่างการทดลอง ในแต่ละทดสอบจะได้พารามิเตอร์สำคัญ ได้แก่ กำลังไฟฟ้าสูงสุด (P_{max}), แรงดันที่จุดกำลังไฟฟ้าสูงสุด (V_{mpp})และกระแสที่จุดกำลังไฟฟ้าสูงสุด (I_{mpp}), แรงดันวงจรเปิด (V_{oc}) และกระแสลัดวงจร (I_{SC}) ค่าความเข้มรังสีอาทิตย์ (G)และอุณหภูมิของเซลล์ (T_c) ทำการวัดโมดูลตัวอย่าง โดยเป็นรุ่นเดียวกันและอายุใกล้เคียงกัน โดยกำหนดเป็นปีที่ 0 ของการใช้งาน จึงยังไม่มีการเสื่อมสภาพอย่างมีนัยสำคัญ อีกทั้งทำความสะอาดผิวหน้าโมดูลก่อนทดสอบเพื่อลดผลกระทบจากฝุ่น จากตารางที่ 2 สรุปช่วงสภาพการวัดแต่ละสถานที่ ในภาคกลาง (ลาดกระบัง รัตนาธิเบศร์) มีค่ารังสีสูงสุดและอุณหภูมิโมดูลสูงกว่าเล็กน้อย ขณะที่เชียงใหม่มีรังสีเฉลี่ยต่ำกว่าและอุณหภูมิระดับปานกลาง การวัดทั้งหมดทำภายใต้ท้องฟ้าโปร่งหรือโปร่งเป็นส่วนใหญ่

ตารางที่ 2 ช่วงความเข้มรังสีอาทิตย์และอุณหภูมิโมดูลสภาวะการวัด

สถานที่ (Site)	ความเข้มรังสีอาทิตย์ (W/m²)	อุณหภูมิโมดูล (°C)
กรุงเทพฯ(ลาดกระบัง)	643 – 947	43.5 – 73.7
นนทบุรี(รัตนาธิเบศร์)	602 – 906	41.9 – 68.4
ฉะเชิงเทรา	624 – 804	39.8 – 59.7
เชียงใหม่	501 – 909	43.9 – 61.2

2.3 การประมวลผลข้อมูล (Data Processing)

ในส่วนการประมวลผลข้อมูลนั้น เครื่อง SOLAR I-Ve ใช้อัลกอริทึมตาม IEC 60891 เพื่อแปลงเส้นโค้ง I–V ในสภาพการทำงานจริง(Operating conditions, OPC) ตามช่วงความเข้มรังสีอาทิตย์และอุณหภูมิโมดูล ที่วัดได้ไปยังสภาวะภายใต้เงื่อนไขการทดสอบมาตรฐาน (Standard Test Condition ,STC) ที่ความเข้มรังสีอาทิตย์และอุณหภูมิโมดูล เท่ากับ 1000 W/m²และ 25 °C โดยใช้ค่าสัมประสิทธิ์อุณหภูมิจากผู้ผลิตของ I_{SC} , V_{oc} และ P_{max} คือ $\alpha \approx +0.045\%/°C$, $\beta \approx -0.275\%/°C$, และ $\gamma \approx -0.35\ \%/°C$ ตามลำดับ โดยหลักคือปรับกระแสตามสัดส่วนความเข้มรังสีอาทิตย์ และอุณหภูมิโมดูล โดยตัวแปรต้น α และปรับแรงดันตามอุณหภูมิโดยตัวแปรต้น β เพื่อประมาณผลผลิตภายใต้ STC เครื่องหมายบวกหน้าค่า α ในรูปแบบนี้สะท้อนว่า I_{SC} จะเพิ่มขึ้นเมื่ออุณหภูมิเพิ่มขึ้น ในทางกลับกัน สำหรับกำลังไฟฟ้าสูงสุด (P_{max}) และ แรงดันวงจรเปิด (V_{oc}) มีเครื่องหมายลบหน้าค่า γ และ β ส่งผลให้ค่าลดลงเมื่ออุณหภูมิเพิ่มสูงขึ้น ดังสมการที่ 2 , 3 และ 4

$$I_{sc,STC} = I_{sc,meas} \times \frac{1000}{G} \times [1 - \alpha(T_c - 25)] \quad (2)$$

$$V_{oc,STC} = V_{oc,meas} \times [1 - \beta(T_c - 25)] \quad (3)$$

$$P_{max,STC} = P_{max,meas} \times \frac{1000}{G} \times [1 - \gamma(T_c - 25)] \quad (4)$$

สมการข้างต้นสอดคล้องกับ IEC 60891 กระบวนการที่ 1 หลังการปรับค่าสภาวะ OPC จะได้ค่าเทียบเท่าสภาวะ STC เพื่อนำไปเทียบกับค่าพิกัดที่ STC ตามข้อมูลจากผู้ผลิต เครื่องมือยังรายงานค่าพิกัดอ้างอิง ค่าความคลาดเคลื่อน

2.4 แนวทางการวิเคราะห์ (Analysis Approach)

การวิเคราะห์เริ่มจากชุดข้อมูลที่สอดคล้องกันระหว่างค่าที่วัดภาคสนาม (operating conditions ,OPC) และค่าเงื่อนไขมาตรฐาน (standard test conditions; STC) ของ 4 สถานที่ดังตารางที่2 โดยจัด เพื่อให้ได้ตัวแปรหลักสำหรับเปรียบเทียบเพื่อคัดกรองความผิดปกติจากการแปลผลค่าเงื่อนไขมาตราฐาน (STC) จากนั้นจึงกำหนดชุดข้อมูลคุณภาพ (QC subset) เพื่อยกระดับความน่าเชื่อถือของการเปรียบเทียบ โดยกำหนดเงื่อนไข คือ (ก)ค่ารังสีอาทิตย์ขณะตรวจวัดไม่น้อยกว่า600 W/m²ตามกรอบมาตราฐานขั้นต่ำบ่ายเบนจากค่าเป้าหมาย(1,000 W/m²)ไม่น้อยกว่าร้อยละ40[8]. (ข) อุณหภูมิโมดูลไม่เกิน 65 °C เพื่อลดผลรบกวนเชิงความร้อน จากขอบเขตการทำงานที่มีประสิทธิภาพของเครื่องมือจากผู้ผลิต (ค) ฟิลแฟกเตอร์(FF) หลังการแปลงสู่เงื่อนไขมาตราฐานเป็น STC ไม่น้อยกว่าร้อยละ 79 จากข้อมูลผู้ผลิตโมดูลเซลล์แสงอาทิตย์. และ การวิเคราะห์ข้อมูลที่อยู่ในพิกัด(In-Tolerance) เพื่อประเมินความสอดคล้องกับกำลังพิกัดผู้ผลิต โดยคำนวณร้อยละคลาดเคลื่อนของกำลังที่ STC เมื่อเทียบกับ 550 W และคงเฉพาะข้อมูลที่อยู่ในช่วง ±5% จากขอบเขตการบ่ายเบนของเครื่องมือจากผู้ผลิต ในเชิงสถิติจะแสดงค่าจำนวนข้อมูล ค่าเฉลี่ย (Mean) มัธยฐาน(Median) ควอไทล์หนึ่ง–สาม(Q1-Q3) รวมถึงค่าต่ำสุดและสูงสุด โดยสร้างกราฟกล่องเปรียบเทียบสามแบบ คือชุดข้อมูลทั้งหมด ,ชุดข้อมูลคุณภาพ ,ชุดข้อมูลพิกัดเกณฑ์เครื่องมือ(Full, QC subset, In-Tolerance) และแบบจัดกลุ่มทั้งสามชุดในแกน X เดียวกันของแต่ละสถานที่ เพื่อแยกอิทธิพลสองส่วนให้ชัดเจน คือ คุณภาพข้อมูลและความถูกต้องของการแปลผลสู่มาตรฐาน(STC)

2.5 ผลการทดลอง (Results)

การวิเคราะห์นี้รายงานกำลังไฟฟ้าสูงสุดที่สภาวะมาตรฐาน(STC) ภาคสนามของโมดูลชนิดโมโนคริสตัลไลน์ในสี่สถานที่ ได้แก่ ฉะเชิงเทรา เชียงใหม่ ลาดกระบัง และรัตนาธิเบศร์ โดยพิจารณาข้อมูลสามชุดย่อยคือ ชุดข้อมูลทั้งหมด(Full) ชุดที่ผ่านเกณฑ์คุณภาพการวัด(QC: G≥600 W/m², T≤65 °C, FF≥79%) และชุดที่อยู่ในช่วงยอมรับของพิกัดเครื่องมือ(In-Tolerance) คือ ±5% ของ 550 W การสรุปผลนำเสนอด้วยค่าเฉลี่ย(Mean) มัธยฐาน(Median) ช่วงควอไทล์(Q1–Q3) และจำนวนกลุ่มตัวอย่าง(N) เพื่อสะท้อนแนวโน้มส่วนกลางและการกระจายของข้อมูลในแต่ละสถานที่อย่างเป็นระบบดังรูปที่ 3

สำหรับฉะเชิงเทรา ชุดข้อมูลทั้งหมด(Full) มีค่าเฉลี่ย 545.7 W มัธยฐาน 545.6 W และช่วงควอไทล์(Q1–Q3)อยู่ที่ 538.9–550.8 W , N=50

แสดงการกระจุกตัวของข้อมูลบริเวณพิกัด 550 W ค่อนข้างชัดเจน หลังคัดกรองเป็นชุดที่ผ่านเกณฑ์คุณภาพการวัด(QC) ที่ N=49 โดยค่าเฉลี่ยแทบจะไม่เปลี่ยนแปลง และช่วงค่าต่ำสุด–สูงสุดของชุดที่ผ่านเกณฑ์คุณภาพการวัด(QC) อยู่ภายในช่วงชุดที่อยู่ในช่วงยอมรับของพิกัดเครื่องมือ(In-Tolerance) สะท้อนความเสถียรของสภาพการวัดและความถูกต้องของการแปลงสู่สภาวะมาตรฐาน(STC)

เชียงใหม่มีแนวโน้มที่สอดคล้องกัน โดยชุดข้อมูลทั้งหมด(Full) ให้ค่าเฉลี่ย 553.4 W มัธยฐาน 552.0 W และ ช่วงควอไทล์(Q1–Q3)เท่ากับ 551.0–553.4 W(N=50) สูงกว่าพิกัดเล็กน้อยและมีการกระจายแคบมาก เมื่อพิจารณาชุดที่ผ่านเกณฑ์คุณภาพการวัด(QC) ที่ N=10 ค่าเฉลี่ย 552.2 W มัธยฐาน 551.7 W และช่วงค่าต่ำสุด–สูงสุด เท่ากับ 550.6–557.1 W อยู่ในกรอบชุดที่อยู่ในช่วงยอมรับของพิกัดเครื่องมือ(In-Tolerance)ทั้งหมด ส่งผลให้ชุดที่ผ่านเกณฑ์คุณภาพการวัด(QC)ผ่าน 100% ขณะที่ชุดที่อยู่ในช่วงยอมรับของพิกัดเครื่องมือ(In-Tolerance) มีจำนวนกลุ่มตัวอย่าง 49(98%) สะท้อนคุณภาพข้อมูลที่ดีและความสม่ำเสมอของสภาพการวัด

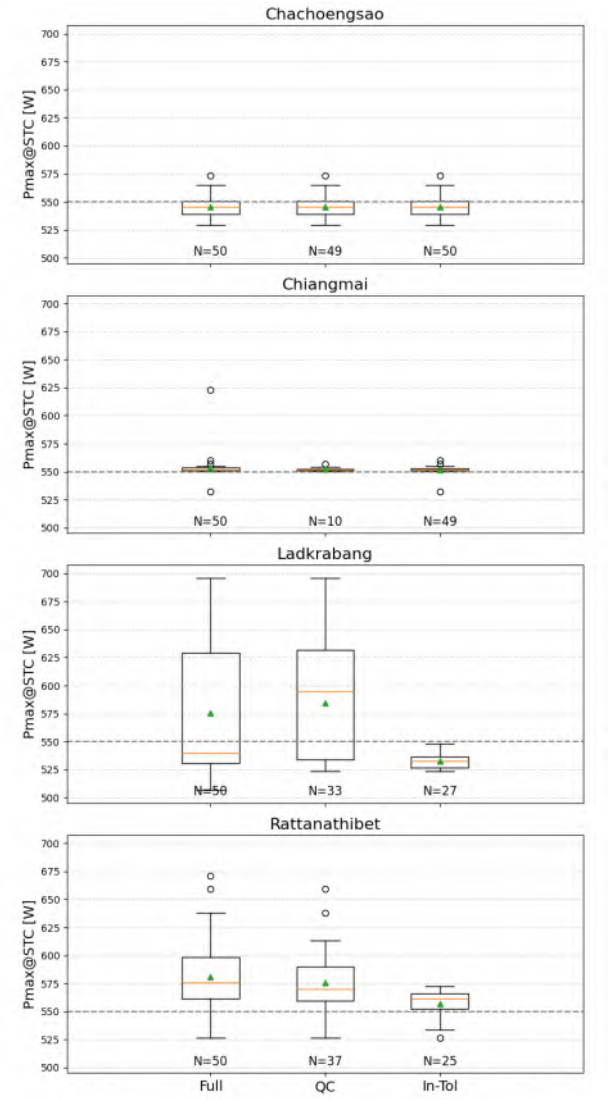

รูปที่ 3 กราฟกล่องของการวิเคราะห์กำลังไฟฟ้าสูงสุดกำลังไฟฟ้าสูงสุดภายใต้สภาวะมาตรฐาน(STC)

ตารางที่ 3 แสดงผลลัพธ์ทางสถิติของกำลังไฟฟ้าสูงสุดสภาวะภายใต้เงื่อนไขการทดสอบมาตรฐาน $P_{max,STC}$

Site	Subset	N	Mean ± SD	Median	IQR (Q1–Q3)	Range (Min–Max)
กรุงเทพฯ (ลาดกระบัง)	Full	50	575.5 ± 53	539.9	530.5–628.9	506.5–696.0
	QC	33	584.4 ± 53	595.1	534.0–631.7	523.3–696.0
	In-Tol	27	532.4 ± 6.6	532.4	527.1–536.6	523.3–548.3
นนทบุรี (รัตนาธิเบศร์)	Full	50	581.0 ± 30	576.0	561.5–598.3	526.3–670.9
	QC	37	575.6 ± 27	569.9	559.4–589.8	526.3–659.1
	In-Tol	25	557.3 ± 12	561.5	552.2–565.8	526.3–572.8
ฉะเชิงเทรา	Full	50	545.7 ± 8.9	545.6	538.9–550.8	529.5–573.5
	QC	49	545.8 ± 9	545.7	538.8–550.9	529.5–573.5
	In-Tol	50	545.7 ± 8	545.6	538.9–550.8	529.5–573.5
เชียงใหม่	Full	50	553.4 ± 10	552.0	551.0–553.4	532.6–623.2
	QC	10	552.2 ± 2	551.7	551.0–552.3	550.6–557.1
	In-Tol	49	552.0 ± 3	552.0	551.0–553.3	532.6–559.9

ลาดกระบังแสดงลักษณะการกระจายสองระบอบอย่างเด่นชัด โดยชุดข้อมูลทั้งหมด(Full) มีค่าเฉลี่ย 575.5 W แต่มัธยฐานเพียง 539.9 W และช่วงควอไทล์(Q1–Q3)เท่ากับ 530.5–628.9 W(N=50) ชี้ว่ามีกลุ่มตัวอย่างที่สูงกว่าพิกัดเป็นจำนวนหนึ่ง ชุดที่ผ่านเกณฑ์คุณภาพการวัด(QC) มีค่าเฉลี่ยยังคงสูงที่ 584.4 W มัธยฐาน 595.1 W และ ช่วงควอไทล์(Q1–Q3)อยู่ที่ 534.0–631.7 W โดยช่วงค่าต่ำสุด–สูงสุดของเกณฑ์คุณภาพการวัด(QC) เท่ากับ 523.3–696.0 W บ่งชี้ว่ายังคงมีบางกรณีไม่ผ่านเกณฑ์ ชุดที่อยู่ในช่วงยอมรับของพิกัดเครื่องมือ(In-Tolerance) ทั้งนี้ ชุดที่อยู่ในช่วงยอมรับของพิกัดเครื่องมือ(In-Tolerance) มีกลุ่มตัวอย่าง 27(54%) แสดงถึงความแตกต่างภายในสถานที่ที่สัมพันธ์กับสภาวะการวัดและพารามิเตอร์ที่ใช้ในการแปลงสู่สภาวะมาตรฐาน(STC)

รัตนาธิเบศร์มีแนวโน้มคล้ายกับลาดกระบัง โดยชุดข้อมูลทั้งหมด(Full) ให้ค่าเฉลี่ย 581.0 W มัธยฐาน 576.0 W และ ช่วงควอไทล์(Q1–Q3) เท่ากับ 561.5–598.3 W ซึ่งสูงกว่าพิกัดและมีการกระจายค่อนข้างกว้าง ชุดที่ผ่านเกณฑ์คุณภาพการวัด(QC) มีค่าเฉลี่ยลดลงเล็กน้อยเป็น 575.6 W มัธยฐาน 569.9 W และ ช่วงควอไทล์(Q1–Q3)เท่ากับ 559.4–589.8 W อย่างไรก็ดี ช่วงค่าต่ำสุด–สูงสุดของคุณภาพการวัด(QC) คือ 526.3–659.1 W ชี้ว่ายังมีกลุ่มตัวอย่างที่ไม่ผ่านเกณฑ์ชุดที่อยู่ในช่วงยอมรับของพิกัดเครื่องมือ(In-Tolerance)อยู่พอสมควร ชุดที่อยู่ในช่วงยอมรับของพิกัดเครื่องมือ(In-Tolerance) มีจำนวนกลุ่มตัวอย่าง 25 (50%) สะท้อนว่าสัดส่วนการประเมินค่าเกินขอบเขต +5% ยังมีอยู่มากในสถานที่นี้

ภาพรวมผลลัพธ์ทางสถิติทั้งสี่สถานที่ดังตารางที่ 3 พบว่าฉะเชิงเทราและเชียงใหม่มีการกระจุกตัวของข้อมูลใกล้พิกัด 550 W และอัตราการผ่าน

ของชุดที่อยู่ในช่วงยอมรับของพิกัดเครื่องมือ(In-Tolerance) สูงมาก โดยผลเกณฑ์คุณภาพการวัด(QC)แคบลงหรือแทบไม่เปลี่ยนแปลง ขณะที่ลาดกระบังและรัตนาธิเบศร์มีค่าเฉลี่ยสูงกว่าพิกัดอย่างชัดเจนและมีการกระจายกว้างกว่า ส่งผลให้อัตราการผ่านของชุดที่อยู่ในช่วงยอมรับของพิกัดเครื่องมือ(In-Tolerance)ลดลง โดยเฉพาะลาดกระบังที่แสดงลักษณะค่า Q3 ที่ยกสูงผิดปกติ

3. อภิปรายและสรุปผล (Discussion and Conclusion

ผลการวิเคราะห์กำลังไฟฟ้าสูงสุดภายใต้สภาวะมาตรฐาน(STC)ที่คำนวณจากข้อมูลแปลงเส้นโค้ง I–V ภาคสนามของโมดูลโมโนคริสตัลไลน์ทั้ง 4 สถานที่ แสดงรูปแบบที่แตกต่างกันอย่างชัดเจน โดยภาพรวมสามารถจัดกลุ่มได้เป็นสองลักษณะ ฉะเชิงเทราและเชียงใหม่ เป็นกลุ่มที่สอดคล้องกับค่าพิกัดและมีการกระจุกตัวของแน่น ได้แก่ ซึ่งมีอัตราการผ่านช่วงยอมรับของเครื่องมือ(In-Tolerance) ±5% ของ 550 W อยู่ในระดับที่สูงมาก และผลหลังคัดกรองคุณภาพการวัด (เกณฑ์คุณภาพการวัด(QC)) แทบไม่เปลี่ยนแปลง แสดงถึงความสม่ำเสมอของสภาวะการวัดและความเหมาะสมของกระบวนการแปลงกลับสู่ STC และ ลาดกระบังและรัตนาธิเบศร์ เป็นกลุ่มที่มีแนวโน้มประมาณค่าเกินพิกัดอย่างมีนัย ซึ่งให้ค่ากลาง(Mean)ของกำลังไฟฟ้าสูงสุดภายใต้สภาวะมาตรฐาน(STC)สูงกว่าพิกัด ทำให้อัตราการผ่านช่วงยอมรับของเครื่องมือ(In-Tolerance)ต่ำกว่าครึ่งในภาพรวม

เมื่อพิจารณาเชิงสถานที่ ฉะเชิงเทราให้ค่ากลาง(Mean) ใกล้พิกัด 550 W โดยอัตราการผ่านช่วงยอมรับของเครื่องมือ(In-Tolerance) ครอบคลุมข้อมูลเกือบทั้งหมดทั้งก่อนและหลัง เกณฑ์คุณภาพการวัด(QC) สะท้อนว่าข้อมูลส่วนใหญ่ได้มาภายใต้สภาวะการวัดที่เหมาะสมและความแปรปรวนต่ำ ขณะที่เชียงใหม่ให้ค่ากลาง(Mean)สูงกว่าพิกัดเล็กน้อยแต่มีช่วงกระจายแคบมาก อีกทั้งเกณฑ์คุณภาพการวัด(QC) ช่วงกระจายยิ่งแคบลงและอัตราการผ่าน ช่วงยอมรับของเครื่องมือ(In-Tolerance)อยู่ในระดับค่อนข้างสมบูรณ์ แสดงคุณภาพข้อมูลและกระบวนการชดเชยสู่สภาวะมาตรฐาน(STC) ที่น่าเชื่อถือ. สำหรับลาดกระบัง พบการกระจายสองรูปแบบในชุดข้อมูลทั้งหมด กล่าวคือ ค่ากลาง(Mean)ระดับกลางแต่มีเส้นหนวดบนของแผนภาพกล่อง(upper whisker)ยาวจนค่าเฉลี่ยและควอไทล์บนสูง เมื่อพิจารณาเกณฑ์คุณภาพการวัด(QC) ค่ากลาง(Mean)และเส้นหนวดบนของแผนภาพกล่อง(upper whisker)ที่สูงขึ้น ส่งผลให้สัดส่วนผ่านช่วงยอมรับของเครื่องมือ(In-Tolerance)ลดลงอย่างชัดเจน กรณีรัตนาธิเบศร์ก็สะท้อนภาพใกล้เคียงกัน โดยค่ากลาง(Mean)สูงกว่าพิกัดและมีช่วงกระจายกว้าง อีกทั้งเกณฑ์คุณภาพการวัด(QC) ค่ากลาง(Mean)ลดลง แต่อัตราการผ่านช่วงยอมรับของเครื่องมือ(In-Tolerance)ก็ยังอยู่ในระดับเพียงครึ่งหนึ่งของข้อมูลทั้งหมด สะท้อนความแปรปรวนของสภาวะวัดและ/หรือความไม่สอดคล้องของแบบจำลองการชดเชยสู่สภาวะมาตรฐาน(STC) ที่ยังคงอยู่

จากการค้นพบดังกล่าวสามารถอธิบายได้จากปัจจัยผสมหลายประการ **ประการแรก** ความแม่นยำของการแปลงจากสภาวะวัดภาคสนาม (OPC) ไปสู่ STC ที่พึ่งพาค่าสัมประสิทธิ์อุณหภูมิและรังสีอาทิตย์ ซึ่งหากค่าสัมประสิทธิ์ที่ใช้ไม่สอดคล้องกับสภาวะจริงของโมดูลในสถานที่นั้น ๆ หรือมีความไม่แน่นอนของการวัดสภาวะการทำงานจริง(OPC) อาทิเช่น การตอบสนองมุมของเซนเซอร์รังสีอาทิตย์ และผลกระทบของสเปกตรัมในสภาวะเมฆจากความแปรปรวน จะทำให้ขนาดการชดเชยสูงเกินจริงและส่งผลให้กำลังไฟฟ้าสูงสุดภายใต้สภาวะมาตรฐาน(STC) ถูกประมาณเกินพิกัด โดยเฉพาะในช่วงรังสีอาทิตย์ต่ำและอุณหภูมิสูง **ประการที่สอง** ลักษณะสิ่งแวดล้อมเฉพาะพื้นที่ในเขตเมืองหนาแน่น เช่น ความร้อนสะสม เงาจากการบดบังบางส่วน อาจทำให้เส้นโค้ง I–V ไม่เป็นไปตามของเงื่อนไขวิธีการแปลงสู่สภาวะมาตรฐาน(STC)ที่สมบูรณ์

โดยสรุปงานวิจัยนี้ชี้ให้เห็นความสำคัญของคุณภาพการวัดภาคสนามและความเหมาะสมของแบบจำลองการชดเชยสู่วิธีการแปลงสู่สภาวะมาตรฐาน(STC)ต่อความน่าเชื่อถือของค่ากำลังไฟฟ้าสูงสุดภายใต้สภาวะมาตรฐาน(STC)รายสถานที่ กลุ่มฉะเชิงเทราและเชียงใหม่สะท้อนกระบวนการวัดและการแปลงที่เสถียรและสอดคล้องกับค่าพิกัด ในขณะที่กลุ่มลาดกระบังและรัตนาธิเบศร์เผยให้เห็นความแตกต่างเชิงระบบที่ต้องปรับปรุงพารามิเตอร์และกระบวนการวัดให้เฉพาะเจาะจงยิ่งขึ้น แนวทางการวิจัยที่เสนอได้แก่ การวิเคราะห์เปรียบเทียบอุณหภูมิโมดูลที่วัดจริงกับแบบจำลอง (AUTO Temp) เพื่อให้การประเมินสมรรถนะโมดูลในภาคสนามของประเทศไทยมีความแม่นยำ เปรียบเทียบกันได้ และสอดคล้องกับบริบทการใช้งานจริงในพื้นที่ระบบพลังงานไฟฟ้าแสงอาทิตย์ของประเทศไทย

เอกสารอ้างอิง

[1] Al-Ghezi, M. K., Ahmed, R. T., & Chaichan, M. T. (2022). The influence of temperature and irradiance on performance of the photovoltaic panel in the middle of Iraq. International Journal of Renewable Energy Development, 11(3), 591–603. https://doi.org/10.14710/ijred.2022.43713

[2] Salih, S. M., Jabur, Y. K., & Kadhim, L. A. (2016). Analysis of temperature effect on a crystalline silicon photovoltaic module performance. International Journal of Engineering (IJE), Transactions B: Applications, 29(5), 722–727.

[3] Yoomak, S., Patcharoen, T., & Ngaopitakkul, A. (2019). Performance and economic evaluation of solar rooftop systems in different regions of Thailand. Sustainability, 11(23), 6647. https://doi.org/10.3390/su11236647

[4] Limmanee, A., Udomdachanut, N., Songtrai, S., Kaewniyompanit, S., Sato, Y., Nakaishi, M., Kittisontirak, S., Sriprapha, K., & Sakamoto, Y. (2016). Field performance and degradation rates of different types of photovoltaic modules: A case study in Thailand. *Renewable Energy, 89*, 12–17. https://doi.org/10.1016/j.renene.2015.11.088

[5] Paudyal, B. R., & Imenes, A. G. (2021). Investigation of temperature coefficients of PV modules through field measured data. Solar Energy, 224, 425–439. https://doi.org/10.1016/j.solener.2021.06.013

[6] Kamkird, P., Ketjoy, N., Rakwichian, W., & Sukchai, S. (2012). Investigation on temperature coefficients of three types photovoltaic module technologies under Thailand operating condition. *Procedia Engineering, 32*, 376–383. https://doi.org/10.1016/j.proeng.2012.01.1282

[7] IEC. (2011). IEC 60904-5: Photovoltaic devices – Part 5: Determination of the equivalent cell temperature (ECT) of photovoltaic devices by the open-circuit voltage method (Amendment 1: 2022). Geneva, Switzerland: International Electrotechnical Commission.

[8] International Electrotechnical Commission. (2021). *IEC 60891: Photovoltaic devices – Procedures for temperature and irradiance corrections to measured I-V characteristics* (3rd ed.). Geneva, Switzerland: IEC.

การเปรียบเทียบการใช้วงจรบูสต์คอนเวอร์เตอร์, บัค-บูสต์ คอนเวอร์เตอร์ และ วงจรเซปิคคอนเวอร์เตอร์ ในการหาจุดให้กำลังไฟฟ้าสูงสุดจากเทอร์โมอิเล็กตริก

Comparison of Boost Converter, Buck-Boost Converter, and Single-Ended Primary-Inductance Converter for Maximum Power Point Tracking of Thermoelectric Generator

ภัทรพล ภู่ยอดยิ่ง[1*], เจนศักดิ์ เอกบูรณะวัฒน์[1], สิทธ์ชัย บุญปิยทัศน์[1], กิตติศักดิ์ ถึงสุข[1], วินัย พรพจน์รัตนกุล[1], ธีระพงษ์ บุญรักษา[1] และ พาศิกา เตมีประสริฐกิจ[1]

[1]สาขาวิศวกรรมไฟฟ้า คณะวิศวกรรมศาสตร์ มหาวิทยาลัยเทคโนโลยีราชมงคลรัตนโกสินทร์ pattarapon.poo@rmutr.ac.th[*]

บทคัดย่อ

งานวิจัยนี้นำเสนอการศึกษาและเปรียบเทียบการทำงานของวงจรแปลงแรงดันไฟฟ้ากระแสตรง 3 ประเภท ได้แก่ Boost Converter, Buck-Boost Converter และ SEPIC Converter สำหรับการดึงกำลังไฟฟ้าสูงสุด (Maximum Power Point: MPP) จากโมดูลเทอร์โมอิเล็กตริกเจเนอเรเตอร์ (TEG) โดยได้ทำการทดสอบโมดูล TEG จำนวน 4 ตัวต่ออนุกรมกัน และทดสอบที่ค่าความต่างอุณหภูมิระหว่างด้านร้อนและด้านเย็นที่แตกต่างกัน ผลการทดสอบพบว่า ค่าความต้านทานภายในของ TEG มีแนวโน้มเพิ่มขึ้นเมื่อความต่างอุณหภูมิมีค่ามากขึ้น และค่ากำลังไฟฟ้าสูงสุดที่ได้จากการทดสอบเกิดขึ้นเมื่อค่าความต้านทานของโหลดมีค่าใกล้เคียงกับความต้านทานภายในของ TEG ทั้งนี้ การทดสอบเปรียบเทียบระหว่างโหลดเชิงเส้น และโหลดที่ไม่เป็นเชิงเส้น (วงจรคอนเวอร์เตอร์) พบว่าโหลดเชิงเส้นสามารถให้ค่ากำลังไฟฟ้าสูงสุดได้มากกว่าเล็กน้อย แต่ในกรณีโหลดไม่เป็นเชิงเส้น วงจรคอนเวอร์เตอร์ทั้งสามชนิดสามารถดึงพลังงานใกล้เคียงกัน โดยการต่อ TEG กับ Boost Converter มีแนวโน้มที่จะสามารถวัดค่ากำลังไฟฟ้าสูงสุดได้เร็วที่สุดเมื่อปรับ Duty Cycle ประมาณ 55-60% ในขณะที่ Buck-Boost Converter และ SEPIC Converter พบจุดกำลังไฟฟ้าสูงสุดที่ดิวตี้ไซเคิล 70–75%

คำสำคัญ: เทอร์โมอิเล็กตริกเจเนอเรเตอร์ จุดให้กำลังไฟฟ้าสูงสุด วงจรแปลงแรงดันไฟฟ้ากระแสตรง

Abstract

This research presents a study and comparison of the performance of three types of DC–DC converters, namely Boost Converter, Buck-Boost Converter, and SEPIC Converter, for extracting the maximum power point (MPP) from a thermoelectric generator (TEG) module. The experimental setup employed four TEG modules connected in series and tested under different temperature differences between the hot and cold sides. The results show that the internal resistance of the TEG increases as the temperature difference becomes larger. The maximum power output was achieved when the load resistance closely matched the internal resistance of the TEG. Furthermore, the comparative study between linear loads and nonlinear loads (converter circuits) revealed that the linear load provided a slightly higher maximum power output. However, in the case of nonlinear loads, all three converter circuits exhibited comparable performance. Among them, the Boost Converter tended to achieve the maximum power output more quickly at a duty cycle of approximately 55–60%, whereas the Buck-Boost Converter and SEPIC Converter reached their maximum power points at duty cycles of 70–75%.

Keywords: Thermoelectric Generator, Maximum Power Point, DC–DC Converter

1. ข้อมูลทั่วไป

ในปัจจุบัน พลังงานไฟฟ้านับเป็นพลังงานพื้นฐานที่มีความจำเป็นต่อการดำเนินชีวิต อุตสาหกรรม และเทคโนโลยี แต่การผลิตไฟฟ้าส่วนใหญ่ยังคงพึ่งพาเชื้อเพลิงฟอสซิลซึ่งก่อให้เกิดผลกระทบต่อสิ่งแวดล้อม การหาแหล่งพลังงานอื่นเพื่อนำมาผลิตไฟฟ้าจึงได้รับความนิยมมากขึ้น หนึ่งในทางเลือกคือการนำ พลังงานความร้อนเหลือทิ้ง มาผลิตเป็นพลังงานไฟฟ้าโดยใช้ เทอร์โมอิเล็กตริกเจเนอเรเตอร์ ซึ่งมีข้อดีคือสามารถแปลงพลังงานความร้อนให้เป็นไฟฟ้าได้โดยตรง โครงสร้างเรียบง่าย ไม่มีชิ้นส่วนเคลื่อนไหว และมีความทนทานต่อการใช้งาน อย่างไรก็ตาม ประสิทธิภาพการผลิตไฟฟ้าของ TEG ขึ้นอยู่กับลักษณะการต่อโหลดและวิธีการจัดการพลังงาน การหาจุดทำงานที่สามารถให้กำลังไฟฟ้าสูงสุด (Maximum Power Point: MPP) จึงเป็นหัวใจสำคัญในการเพิ่มประสิทธิภาพการใช้งานจริง ซึ่งในปัจจุบันมีการประยุกต์ใช้ วงจรแปลงแรงดันไฟฟ้า (DC–DC Converter) เพื่อปรับระดับแรงดันและดึงกำลังไฟฟ้าสูงสุด

งานวิจัยนี้ได้ศึกษาและเปรียบเทียบการทำงานของวงจรคอนเวอร์เตอร์สามชนิดเพื่อหาประสิทธิภาพในการดึงกำลังไฟฟ้าสูงสุดจาก TEG เนื่องจากจะช่วยให้สามารถเลือกวงจรที่เหมาะสมกับการใช้งานจริงในสภาวะโหลดต่าง ๆ รวมทั้งสามารถนำไปต่อยอดสู่การพัฒนาอุปกรณ์แปลงพลังงานไฟฟ้าจากความร้อนเหลือทิ้งในภาคอุตสาหกรรมและพลังงานทดแทนได้อย่างมีประสิทธิภาพ

2. ทฤษฎีที่เกี่ยวข้อง

2.1 เทอร์โมอิเล็กตริกเจเนอเรเตอร์

เทอร์โมอิเล็กตริกเจเนอเรเตอร์เป็นอุปกรณ์ที่ทำงานบนหลักการ Seebeck Effect โดยเมื่อมีความต่างอุณหภูมิระหว่างด้านร้อนและด้านเย็นของวัสดุเทอร์โมอิเล็กตริก จะเกิดแรงเคลื่อนไฟฟ้าขึ้นและสามารถจ่ายกระแสไฟฟ้าได้ อุปกรณ์ชนิดนี้มักถูกแทนในรูปแบบสมมูลเทวินิน ซึ่งประกอบด้วยแหล่งจ่ายแรงดันไฟฟ้าเปิดวงจร และความต้านทานภายในของเทอร์โมอิเล็กตริก โดยจุดกำลังไฟฟ้าสูงสุดของ TEG จะเกิดขึ้นเมื่อค่าความต้านทานของโหลดมีค่าเท่ากับค่าความต้านทานภายใน

2.2 การติดตามจุดกำลังไฟฟ้าสูงสุด

*ผู้ประพันธ์บรรณกิจ

ค่าความต่างของอุณหภูมิระหว่างด้านร้อนและด้านเย็นของเทอร์โมอิดล็กตริก ส่งผลให้ตำแหน่งจุดกำลังไฟฟ้าสูงสุดเปลี่ยนแปลงด้วย ดังนั้นการประยุกต์ใช้เทคนิคติดตามจุดให้กำลังไฟฟ้าสูงสุดจึงมีความจำเป็นเพื่อควบคุมให้ทำงานที่จุดซึ่งสามารถผลิตกำลังไฟฟ้าได้มากที่สุดตลอดเวลา ซึ่งวิธีการติดตามจุดให้กำลังไฟฟ้าสูงสุดสามารถทำได้หลายวิธี เช่น การรบกวนและสังเกต (Perturb and Observe) และ Incremental Conductance เป็นต้น โดยวิธีการเหล่านี้จะประยุกต์ใช้งานร่วมกับวงจร DC–DC Converter เพื่อควบคุมการปรับค่า duty cycle ให้สอดคล้องกับตำแหน่งของจุดกำลังไฟฟ้าสูงสุด เพื่อให้สามารถใช้งานเทอร์โมอิเล็กตริกได้อย่างมีประสิทธิภาพ

2.3 วงจรแปลงแรงดันไฟฟ้ากระแสตรง

วงจรแปลงแรงดันไฟฟ้ากระแสตรง เป็นวงจรอิเล็กทรอนิกส์กำลังที่ใช้ในการปรับเปลี่ยนระดับแรงดันกระแสตรงจากแหล่งจ่ายโดยมีทั้งแบบเพิ่มระดับแรงดันและลดระดับแรงดันไฟฟ้า การทำงานของวงจรอาศัยหลักการเปิด–ปิดสวิตช์อิเล็กทรอนิกส์ร่วมกับการเก็บและจ่ายพลังงานในตัวเหนี่ยวนำ (Inductor) และตัวเก็บประจุ (Capacitor) ทำให้สามารถควบคุมแรงดันและกระแสเอาต์พุตได้ตามที่กำหนด วงจรแปลงแรงดันไฟฟ้ากระแสตรงมีความสำคัญอย่างยิ่งในระบบที่ใช้งานร่วมกับอุปกรณ์เทอร์โมอิเล็กตริกเนื่องจากแรงดันที่ผลิตได้มักมีค่าต่ำและแปรผันตามสภาวะความต่างอุณหภูมิ ดังนั้นจึงต้องนำเอาต์พุตที่ได้จากเทอร์โมอิเล็กตริกมาผ่านวงจรแปลงแรงดันไฟฟ้าเพื่อเพิ่มระดับแรงดันไฟฟ้าก่อนนำไปใช้งานในการทดลองนี้ได้ศึกษาการทำงานวงจรคอนเวอร์เตอร์ 3 วงจรซึ่งสามารถเพิ่มระดับแรงดันไฟฟ้าได้ประกอบด้วย [1-2]

1. วงจรบูสต์คอนเวอร์เตอร์ ใช้สำหรับเพิ่มแรงดันเอาต์พุตให้สูงกว่าค่าอินพุต โดยอาศัยการเก็บพลังงานในตัวเหนี่ยวนำขณะสวิตช์นำกระแสและจ่ายพลังงานดังกล่าวออกไปยังโหลดเมื่อสวิตช์ปิด ซึ่งแรงดันไฟฟ้าเอาต์พุตสามารถคำนวณได้จากสมการที่ (1)

$$V_O = \frac{V_{in}}{1-D} \qquad (1)$$

เมื่อ V_O คือ แรงดันไฟฟ้าเอาท์พุต (V)

V_{in} คือ แรงดันไฟฟ้าอินพุต (V)

D คือ ค่าดิวตี้ไซเคิล

2. วงจรบัค-บูสต์คอนเวอร์เตอร์ เป็นวงจรที่สามารถเพิ่มระดับแรงดันเอาต์พุตให้สูงกว่าหรือต่ำกว่าค่าอินพุตได้ โดยอาศัยหลักการทำงานที่ผสมระหว่างโหมดลดแรงดัน (Buck) และเพิ่มแรงดัน (Boost) อย่างไรก็ตามแรงดันเอาต์พุตจะมีขั้วตรงข้ามกับค่าอินพุต โดยสามารถคำนวณได้ตามสมการที่ (2)

$$V_O = \frac{-DV_{in}}{1-D} \qquad (2)$$

เมื่อ V_O คือ แรงดันไฟฟ้าเอาท์พุต (V)

V_{in} คือ แรงดันไฟฟ้าอินพุต (V)

D คือ ค่าดิวตี้ไซเคิล

3. วงจรเซปิคคอนเวอร์เตอร์ เป็นวงจรที่พัฒนาต่อมาจากวงจรบัค-บูสต์คอนเวอร์เตอร์ โดยสามารถปรับแรงดันเอาต์พุตได้ทั้งสูงหรือต่ำกว่าค่าอินพุตได้ แต่แรงดันที่ได้ยังคงมีขั้วเช่นเดียวกับค่าอินพุต ซึ่งโครงสร้างของวงจรเซปิคจะใช้ตัวเหนี่ยวนำสองตัว (หรือการใช้คอยล์ร่วม) และตัวเก็บประจุต่อเชื่อมระหว่างวงจร แรงดันเอาต์พุตสามารถคำนวณได้จากสมการที่ (3)

$$V_O = \frac{DV_{in}}{1-D} \qquad (3)$$

เมื่อ V_O คือ แรงดันไฟฟ้าเอาท์พุต (V)

V_{in} คือ แรงดันไฟฟ้าอินพุต (V)

D คือ ค่าดิวตี้ไซเคิล

วงจรแปลงแรงดันไฟฟ้าทั้ง 3 วงจรมีโครงสร้างของวงจรที่แตกต่างกันดังที่แสดงในรูปที่ 1-3 โดยแต่ละวงจรมีข้อดีและข้อจำกัดแตกต่างกัน การเลือกใช้คอนเวอร์เตอร์ที่เหมาะสมและการควบคุมด้วยเทคนิค Maximum Power Point Tracking จะช่วยให้สามารถดึงพลังงานสูงสุดออกมาได้ตามความเหมาะสมกับความต้องการใช้งานจริง

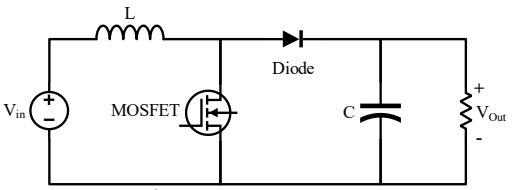

รูปที่ 1 วงจรบูสต์คอนเวอร์เตอร์

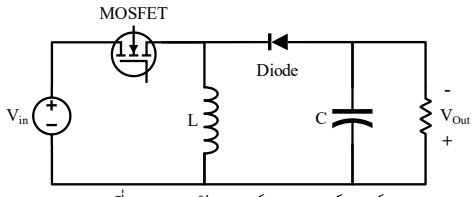

รูปที่ 2 วงจรบัค-บูสต์คอนเวอร์เตอร์

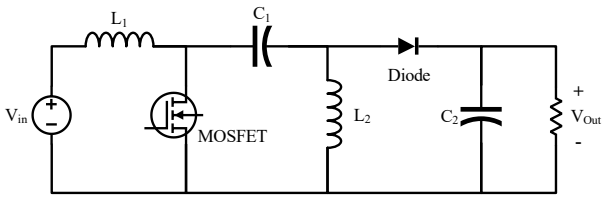

รูปที่ 3 วงจรเซปิคคอนเวอร์เตอร์

3. ขั้นตอนการทดสอบ

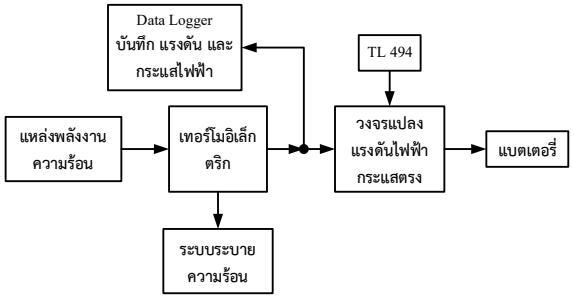

รูปที่ 4 ระบบของการทดสอบ

ระบบของการทดสอบเทอร์โมอิเล็กตริกแสดงในรูปที่ 4 โดยในการทดลองได้ใช้โมดูลเทอร์โมอิเล็กตริกจำนวน 4 ตัวต่ออนุกรมกัน ด้านร้อนของโมดูลได้รับความร้อนผ่านแผงฮีตซิงก์ ในขณะที่ด้านเย็นถูกเชื่อมต่อกับระบบระบายความร้อน ซึ่งระบบดังกล่าวใช้สารหล่อเย็นไหลผ่านโมดูลเพื่อดึงความร้อนออก และทำการถ่ายเทความร้อนออกโดยใช้พัดลมดังที่แสดงในรูปที่ 5

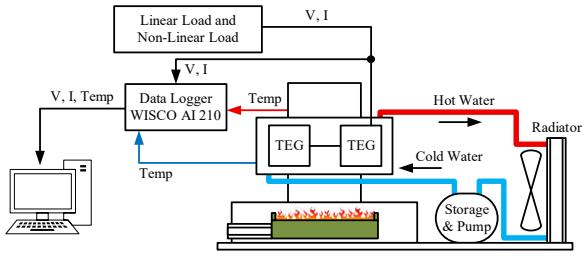

รูปที่ 5 ระบบของชุดทดสอบ TEG

โดยในการทดสอบแบ่งเป็นขั้นตอนประกอบด้วย การทดสอบหาค่าความต้านทานภายในของเทอร์โมอิเล็กตริก และการทดสอบหาค่ากำลังไฟฟ้าสูงสุดขณะต่อโหลดที่เป็นเชิงเส้น (ตัวต้านทาน) และโหลดที่ไม่เป็นเชิงเส้น (วงจรคอนเวอร์เตอร์)Ω

การออกแบบวงจรคอนเวอร์เตอร์ที่ใช้ในการทดสอบ ในงานวิจัยนี้ผู้แต่งได้ใช้วงจรคอนเวอร์ 3 วงจรได้แก่ Boost Converter, Buck-Boost Converter และ SEPIC Converter โดยค่าของตัวแปรต่างที่ใช้ในการออกแบบวงจรแสดงในตารางที่ 1

ตารางที่ 1 ค่าพารามิเตอร์ของวงจรที่ใช้ทดสอบ

Converter	Switching Frequency	Vo	L	C
SEPIC	25 kHz	15 V	0.4 mH ($L_1 = L_2$)	C_1 47 uF C_2 470 uF
Boost	25 kHz	15 V	60 uH	-
Buck-Boost	25 kHz	15 V	70 uH	-

3.1 การทดสอบหาค่าความต้านทานภายในของ TEG

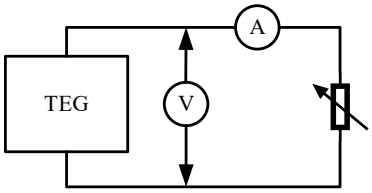

รูปที่ 6 วงจรทดสอบหาค่าความต้านทานภายในของ TEG

ในทำการทดสอบ ได้ทำการต่อเทอร์โมอิเล็กตริกกับโหลดตัวต้านทานปรับค่าได้ดังที่แสดงในรูปที่ 6 จากนั้นวัดแรงดันและกระแสไฟฟ้าที่ขั้วของเทอร์โมอิเล็กตริก เพื่อใช้คำนวณหาค่าความต้านทานภายในของเทอร์โมอิเล็กตริกตามสมการที่ (4) โดยทำการทดสอบได้ดำเนินตามเงื่อนไขที่มีการเปลี่ยนแปลงค่าความต่างของอุณหภูมิระหว่างด้านร้อนและด้านเย็น

$$R_{int} = \frac{V_{OC} - V_L}{I_L} \quad (4)$$

เมื่อ R_{int} คือ ค่าความต้านทานภายใน (Ω)

V_{OC} คือ แรงดันไฟฟ้าเปิดวงจร (V)

V_L คือ แรงดันไฟฟ้าที่โหลด (V)

I_L คือ กระแสที่โหลด (A)

3.2 การทดสอบหาค่ากำลังไฟฟ้าสูงสุดของ TEG ขณะต่อโหลดที่เป็นเชิงเส้น

ในการทดสอบจะทำการต่อโมดูลเทอร์โมอิเล็กตริกเข้ากับโหลดตัวต้านทาน โดยปรับค่าความต้านทานทีละระดับ แล้วบันทึกค่าแรงดันและกระแสไฟฟ้า เพื่อคำนวณหาค่ากำลังไฟฟ้าและหาจุดกำลังไฟฟ้าสูงสุดภายใต้เงื่อนไขโหลดเชิงเส้น เพื่อใช้เป็นข้อมูลอ้างอิงเปรียบเทียบกับค่ากำลังไฟฟ้าสูงสุดที่ได้จากการทดสอบกับโหลดที่ไม่เป็นเชิงเส้น การทดสอบทั้งหมดจะทำการทดสอบภายใต้เงื่อนไขที่ค่าความต่างของอุณหภูมิระหว่างด้านร้อนและด้านเย็นแตกต่างกัน

3.3 การทดสอบหากำลังไฟฟ้าสูงสุดของเทอร์โมอิเล็กตริก ขณะต่อโหลดที่ไม่เป็นเชิงเส้น (วงจรคอนเวอร์เตอร์)

ในการทดสอบนี้จะทดสอบกับโหลดที่ไม่เป็นเชิงเส้น โดยเทอร์โมอิเล็กตริกถูกต่อเข้ากับวงจรแปลงแรงดัน โดยเลือกใช้คอนเวอร์เตอร์ 3 ประเภท ได้แก่ Boost Converter, Buck-Boost Converter และ SEPIC Converter มีวิธีทดสอบปรับค่าดิวตี้ไซเคิลโดยตั้งค่าเริ่มต้นไว้ที่ 10% จากนั้นปรับค่าดิวตี้ไซเคิลเพิ่มขึ้นทีละ 10% จนถึง 90% โดยในแต่ละขั้นตอนการปรับดิวตี้ไซเคิลจะทำการบันทึกค่า แรงดัน กระแส อุณหภูมิด้านร้อนและด้านเย็น ซึ่งพฤติกรรมการดึงกระแสจาก TEG จะขึ้นอยู่กับค่าดิวตี้ไซเคิล ผลการทดลองที่ได้จากการปรับดิวตี้ไซเคิล จะถูกนำมาวิเคราะห์เพื่อหาค่ากำลังไฟฟ้าสูงสุด ของแต่ละวงจรคอนเวอร์เตอร์ และนำมาเปรียบเทียบกับค่ากำลังไฟฟ้าสูงสุดที่ได้จากการทดสอบในกรณีโหลดเชิงเส้น เพื่อแสดงให้เห็นถึงความแตกต่างและประสิทธิภาพในการดึงพลังงานจากโมดูลเทอร์โมอิเล็กตริก

ทั้งนี้การทดสอบทั้งหมดจะทดสอบภายใต้เงื่อนไขที่มีการเปลี่ยนแปลงค่าความต่างอุณหภูมิระหว่างด้านร้อนและด้านเย็นของโมดูลเพื่อให้จำลองผลการทำงานในสภาวะที่ใกล้เคียงกับการใช้งานจริง โดยค่าอุณหภูมิแสดงในตารางที่ 2

ตารางที่ 2 อุณหภูมิด้านร้อนและด้านเย็นของ TEG ขณะทำการทดสอบ

อุณหภูมิด้านร้อน	อุณหภูมิด้านเย็น	ความต่างอุณหภูมิ
100 °C	35 °C	65 °C
125 °C	35 °C	90 °C
150 °C	35 °C	115 °C
175 °C	35 °C	140 °C

4. ผลการทดสอบ

4.1 ผลการทดสอบหาค่าความต้านทานภายในของ TEG

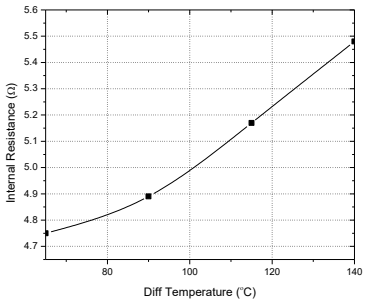

รูปที่ 7 ผลการทดสอบหาค่าความต้านทานภายในของ TEG

จากรูปที่ 7 แสดงผลการสอบการหาค่าความต้านทานภายในของ TEG พบว่าค่าความต้านทานภายในมีแนวโน้มเพิ่มขึ้นเมื่อผลต่างของอุณหภูมิมีค่าสูงมากขึ้น โดยค่าความต้านทานภายในที่บันทึกมีค่าเท่ากับ 4.75 Ω 4.89 Ω 5.17 Ω และ 5.48 Ω เมื่อผลต่างของอุณหภูมิระหว่างด้านร้อนและด้านเย็นมีค่าเท่ากับ 65 °C 90 °C 115 °C และ 140 °C ตามลำดับ ซึ่งเกิดจากการกระเจิงของพาหะนำไฟฟ้า ภายในโครงสร้างผลึกที่เพิ่มขึ้น ส่งผลให้ค่าความนำไฟฟ้าลดลง ดังนั้นค่าความต้านทานภายในของ TEG มีค่าเพิ่มขึ้น [3,4]

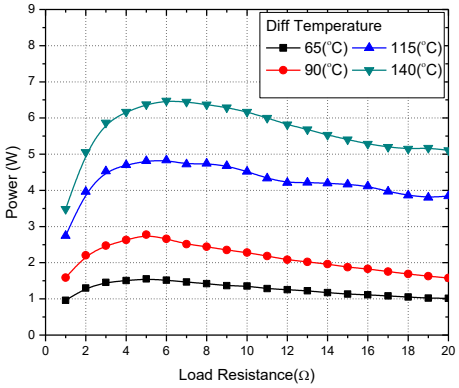

รูปที่ 8 ผลการทดสอบหาค่ากำลังไฟฟ้าสูงสุดของ TEG ขณะต่อโหลดที่เป็นเชิงเส้น

จากรูปที่ 8 แสดงผลของการทดสอบหาค่ากำลังไฟฟ้าสูงสุดโดยพบว่าเมื่อผลต่างของอุณหภูมิระหว่างด้านร้อนและด้านเย็นของเทอร์โมอิเล็กตริกมีค่าเพิ่มขึ้นค่ากำลังไฟฟ้าจะสูงขึ้นตามด้วย นอกจากนั้นค่ากำลังไฟฟ้าสูงสุดที่วัดได้จะเกิดขึ้นในกรณีที่ค่าความต้านทานของโหลดมีค่าใกล้เคียงกับค่าความต้านทานภายในของเทอร์โมอิเล็กตริก โดยผลการทดสอบนี้มีความสอดคล้องกับค่าความต้านทานภายในที่ได้จากการทดลองในรูปที่ 7 ซึ่งสอดคล้องกับทฤษฎีการถ่ายโอนกำลังไฟฟ้าสูงสุด โดยค่ากำลังไฟฟ้าสูงสุดที่วัดได้มีค่าเท่ากับ 1.55 W 2.77 W 4.83 W และ 6.48 W เมื่อผลต่างของอุณหภูมิระหว่างด้านร้อนและด้านเย็นมีค่าเท่ากับ 65 °C 90 °C 115 °C และ 140 °C ตามลำดับ

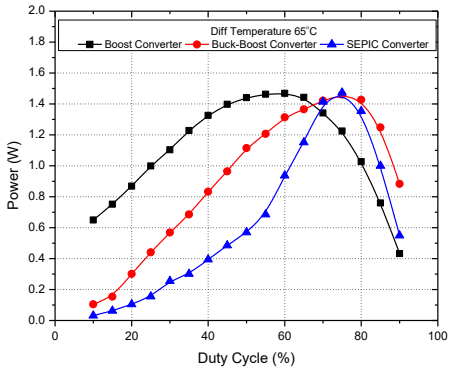

รูปที่ 9 ผลการทดสอบหาค่ากำลังไฟฟ้าสูงสุดของ TEG ขณะต่อโหลดไม่เป็นเชิงเส้น ที่ความต่างอุณหภูมิ 65 °C

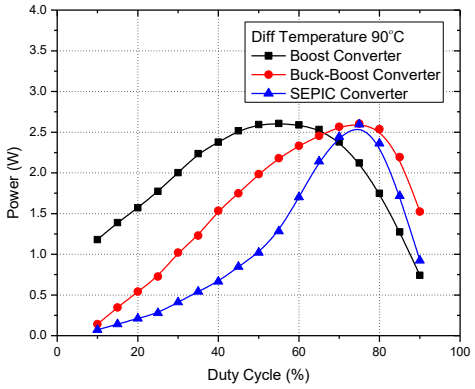

รูปที่ 10 ผลการทดสอบหาค่ากำลังไฟฟ้าสูงสุดของ TEG ขณะต่อโหลดไม่เป็นเชิงเส้น ที่ความต่างอุณหภูมิ 90 °C

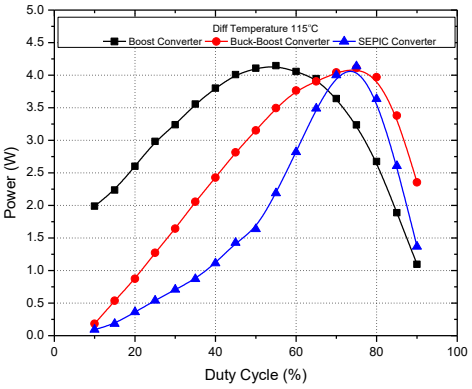

รูปที่ 11 ผลการทดสอบหาค่ากำลังไฟฟ้าสูงสุดของ TEG ขณะต่อโหลดไม่เป็นเชิงเส้น ที่ความต่างอุณหภูมิ 115 °C

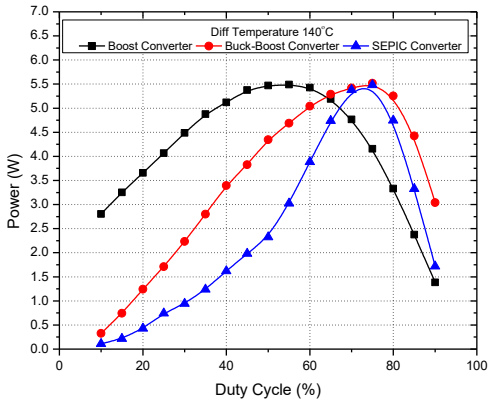

รูปที่ 12 ผลการทดสอบหาค่ากำลังไฟฟ้าสูงสุดของ TEG ขณะต่อโหลดไม่เป็นเชิงเส้น ที่ความต่างอุณหภูมิ 140 ℃

รูปที่ 9-12 แสดงผลการทดสอบหาค่ากำลังไฟฟ้าสูงสุดของ TEG เมื่อต่อกับวงจรคอนเวอร์เตอร์ทั้ง 3วงจร พบว่าเมื่อปรับค่าดิวตี้ไซเคิลเพิ่มขึ้น จะสามารถดึงกำลังไฟฟ้าสูงสุดจาก TEG ได้ โดยผลต่างของอุณหภูมิระหว่างด้านร้อนและด้านเย็นที่เพิ่มขึ้น ส่งผลให้กำลังไฟฟ้าสูงสุดที่วัดได้มีค่าเพิ่มขึ้นด้วย โดยค่ากำลังไฟฟ้าสูงสุดที่วัดได้มีค่าใกล้เคียงกันในแต่ละวงจร อย่างไรก็ตามการต่อ TEG กับวงจร Boost Converter พบว่าค่ากำลังไฟฟ้าสูงสุดวัดได้พบเมื่อค่าดิวตี้ไซเคิลเท่ากับ 55-60% ซึ่งมีแนวโน้มการขึ้นของกำลังไฟฟ้าสูงสุดเร็วที่สุด ในขณะที่วงจร Buck-Boost Converter และ SEPIC Converter พบจุดกำลังไฟฟ้าสูงสุดที่ดิวตี้ไซเคิล 70-75%

การเปรียบเทียบค่ากำลังไฟฟ้าสูงสุดระหว่างโหลดที่เป็นเชิงเส้นกับโหลดที่ไม่เป็นเชิงเส้น พบว่าที่กำลังไฟฟ้าสูงสุดที่วัดได้จากการต่อโหลดที่เป็นเชิงเส้นได้มากกว่าโหลดที่ไม่เป็นเส้น

ตารางที่ 3 ค่ากำลังไฟฟ้าสูงสุดเปรียบเทียบระหว่างโหลดเชิงเส้นและไม่เป็นเชิงเส้น

Diff Temp (°C)	Maximum Power (W)	
	Non-Linear Load	Linear Load
65	1.47	1.55
90	2.61	2.77
115	4.15	4.83
140	5.52	6.48

5. สรุป

การวิจัยนี้ได้ทำการเปรียบเทียบการใช้วงจร Boost Converter, Buck-Boost Converter และ SEPIC Converter สำหรับการติดตามจุดกำลังไฟฟ้าสูงสุดของเทอร์โมอิเล็กตริกเจเนอเรเตอร์ โดยผลการทดสอบพบว่า ค่าความต้านทานภายในของ TEG จะเพิ่มขึ้นตามค่าความต่างอุณหภูมิ และกำลังไฟฟ้าสูงสุดเกิดขึ้นเมื่อค่าความต้านทานของโหลดมีค่าใกล้เคียงกับค่าความต้านทานภายในของ TEG ซึ่งสอดคล้องกับทฤษฎีการถ่านโอนกำลังไฟฟ้าสูงสุด ซึ่งการเปรียบเทียบกำลังไฟฟ้าสูงสุดระหว่างโหลดเชิงเส้นกับโหลดที่ไม่เป็นเชิงเส้นแสดงให้เห็นว่า โหลดเชิงเส้นให้ค่ากำลังไฟฟ้าสูงสุดมากกว่า ขณะที่วงจรคอนเวอร์เตอร์ทั้งสามชนิดสามารถดึงกำลังไฟฟ้าสูงสุดได้ใกล้เคียงกัน แต่วงจร Boost Converter มีแนวโน้มการตอบสนองเร็วที่สุด ส่วน Buck-Boost และ SEPIC Converter พบจุดกำลังสูงสุดที่ดิวตี้ไซเคิลมากกว่า ผลลัพธ์นี้ชี้ให้เห็นว่าวงจรคอนเวอร์เตอร์มีศักยภาพในการประยุกต์ใช้ร่วมกับ TEG เพื่อเพิ่มประสิทธิภาพการดึงพลังงานไฟฟ้าจากความร้อนเหลือทิ้งได้อย่างเหมาะสม

6. กิตติกรรมประกาศ

ผู้วิจัยขอขอบคุณ มหาวิทยาลัยเทคโนโลยีราชมงคลรัตนโกสินทร์ คณะวิศวกรรมศาสตร์ ที่ได้ให้การสนับสนุนและอำนวยความสะดวกในการดำเนินงานวิจัยครั้งนี้ จนสามารถสำเร็จลุล่วงได้ด้วยดี

เอกสารอ้างอิง

[1] D.W.Hart, Power Electronics. New York, McGraw-Hill, 2011.
[2] N. Mohan, T. M. Undeland, and W. P. Robbins, Power Electronics: Converters, Applications, and Design, 3rd ed. Hoboken, NJ: John Wiley & Sons, 2003.
[3] D. Champier, “Thermoelectric generators: A review of applications” Energy Conversion and Management, vol.140, pp.167–181, 2017. https://doi.org/10.1016/j.enconman.2017.02.070
[4] X. Niu, J. Yu, and S. Wang, ”Experimental study on low-temperature waste heat thermoelectric generator” Journal of Power Sources, vol.188(2), pp. 621–626, 2009.

การหามุมเอียงที่เหมาะสมสำหรับการผลิตพลังงานไฟฟ้าในระบบเซลล์แสงอาทิตย์แบบลอยน้ำจากการวิเคราะห์เชิงทฤษฎีและโปรแกรมจำลอง

Optimal Tilt Angle and Energy Yield in Floating Photovoltaic Systems by Analytical Tilt Model and Simulation Program

ศุภณัฐ เลาหวิโรจน์[1] พีรวุฒิ รัตนวิชัย[2] ทิพย์วรรณ ฟังสุวรรณรักษ์[3*] และ ฮิเดกิ ค้าขาย[3]

[1]สาขาวิชาวิศวกรรมไฟฟ้า คณะวิศวกรรมศาสตร์ มหาวิทยาลัยนครพนม supanut.lhwr@npu.ac.th

[2]ส่วนอาคารปฏิบัติการและโครงสร้างพื้นฐาน ฝ่ายบริหารจัดการโครงการเครื่องกำเนิดแสงสยาม 2 สถาบันวิจัยแสงซินโครตรอน (องค์การมหาชน) peerawoot@slri.or.th

[3]สำนักวิชาวิศวกรรมศาสตร์ สาขาวิศวกรรมไฟฟ้า มหาวิทยาลัยเทคโนโลยีสุรนารี thipwan@g.sut.ac.th

บทคัดย่อ

งานวิจัยนี้ศึกษาการเพิ่มประสิทธิภาพการทำงานของระบบเซลล์แสงอาทิตย์ชนิดลอยน้ำ (Floating Photovoltaic: FPV) จากการเอียงแผงเซลล์แสงอาทิย์ของแผงเซลล์แสงอาทิตย์ชนิดด้านเดียว (Mono-facial) และสองด้าน (Bifacial) ที่มุมองศาต่างๆ ระบบ FPV ถือเป็นทางเลือกที่น่าสนใจสำหรับการผลิตพลังงานแสงอาทิตย์ เนื่องจากช่วยลดการใช้พื้นที่บนบก และการใช้ประโยชน์จากการระบายความร้อนของเซลล์แสงอาทิตย์ที่ดีขึ้นจากการระเหยของน้ำ การศึกษาในครั้งนี้ได้ผสมผสานใช้แบบจำลองการเอียงแผงเชิงวิเคราะห์ (Analytical tilt model) การจำลองด้วยโปรแกรม PVsyst และข้อมูลการทำงานจริงจากระบบ FPV ณ อ่างเก็บน้ำของมหาวิทยาลัยเทคโนโลยีสุรนารี ประเทศไทย จากการศึกษาการแบบจำลองการเอียงแผงเชิงวิเคราะห์ แสดงให้เห็นว่ามุมเอียงที่มากกว่า 8° จะให้ค่าความเข้มรังสีจากดวงอาทิตย์บนระนาบสูงที่สุด ขณะที่การจำลองด้วย PVsyst ได้คาดการณ์ค่าพลังงานไฟฟ้ารายปีสูงสุดของเซลล์แสงอาทิตย์ชนิดด้านเดียวด้วยค่า 273,449 kWh/ปี ที่มุมเอียง 4° ขณะที่เซลล์แสงอาทิตย์ชนิดสองด้านให้ค่า 280,129 kWh/ปี ที่มุมเอียง 12° สำหรับข้อมูลการทำงานจริงจากระบบ FPV ที่มุมเอียง 8° แสดงกำลังไฟฟ้าที่ผลิตได้มีความใกล้เคียงกับผลการจำลองเป็นอย่างมาก โดยเฉพาะการแสดงให้เห็นถึงข้อได้เปรียบด้านประสิทธิภาพของแผงเซลล์แสงอาทิตย์ชนิดสองหน้า จากผลการจำลองแสดงถึงความแม่นยำกับข้อมูลการทำงานจริง และยังแสดงให้เห็นถึงศักยภาพของระบบ FPV แบบสองหน้าในการเพิ่มการผลิตพลังงาน งานวิจัยนี้นำเสนอกรอบแนวทางเชิงปฏิบัติสำหรับการออกแบบและการประเมินระบบ FPV ซึ่งสามารถประยุกต์ใช้ได้ทั้งในงานวิจัยและการติดตั้งในระดับพื้นที่ขนาดใหญ่ต่อไป

คำสำคัญ: เซลล์แสงอาทิตย์ชนิดลอยน้ำ เซลล์แสงอาทิตย์ชนิดหน้าเดียว เซลล์แสงอาทิตย์ชนิดสองหน้า มุมเอียง การจำลอง

Abstract

This study explores the optimization of floating photovoltaic (FPV) system performance, specifically focusing on the impact of tilt angle on energy yield for both monofacial and bifacial modules. FPV systems offer a compelling alternative for solar energy generation, reducing land requirements and leveraging enhanced module cooling. Our investigation combined analytical modeling, PVsyst simulations, and real-world performance data from an FPV installation at Suranaree University of Technology reservoir in Thailand. The analytical model indicated an optimal tilt exceeding 8° for maximizing plane-of-array irradiance. PVsyst simulations predicted maximum annual energy yields for monofacial (273,449 kWh/year at 4°) and bifacial (280,129 kWh/year at 12°) configurations. Empirical data from an 8° FPV system closely corroborated PVsyst predictions, particularly highlighting the performance gains achievable with bifacial modules. The strong agreement between simulation and real-world data validates our methodology and demonstrates the potential of bifacial FPV systems to optimize energy production. This work provides a practical framework for designing and evaluating FPV systems, with implications for both research and large-scale deployment.

Keywords: Floating Photovoltaic, Mono-facial solar cell, Bifacial solar cell, Tilt angle, simulation

1. บทนำ

เมื่อไม่นานมานี้ระบบ FPV ได้รับความสนใจเป็นอย่างมาก เนื่องจากมีความสามารถในการติดตั้งบนผิวน้ำได้หลายรูปแบบเช่น บ่อน้ำ อ่างเก็บน้ำ คลอง ทะเลสาบ และพื้นที่ชายฝั่งทะเล [1] การติดตั้งบนผิวน้ำสามารถลดการใช้พื้นที่จากการติดตั้งบนพื้นดินที่มีอย่างจำกัด สามารถเพิ่มประสิทธิภาพเซลล์แสงอาทิตย์จากระบบระบายความร้อนด้วยน้ำที่อยู่ใต้แผงเซลล์แสงอาทิตย์ อีกทั้งระบบ FPV ยังช่วยลดปริมาณการระเหยของน้ำจากอ่างเก็บน้ำซึ่งเป็นประโยชน์ต่อสิ่งแวดล้อมได้อีกด้วย [2]

เซลล์แสงอาทิตย์ชนิดด้านเดียวสามารถดูดซับแสงอาทิตย์ได้เพียงด้านหน้า ในขณะที่เซลล์แสงอาทิตย์ชนิดสองด้านสามารถรับแสงได้ทั้ง

*ผู้ประพันธ์บรรณกิจ

ด้านหน้าและด้านหลัง คุณสมบัตินี้ช่วยให้เซลล์แสงอาทิตย์ชนิดสองหน้าดูดซับความเข้มรังสีจากทั้งสองด้าน ส่งผลให้ได้รับพลังงานต่อปีที่สูงขึ้นมากกว่าเซลล์แสงอาทิตย์ชนิดด้านเดียวเมื่อพิจารณาขนาดแผงที่มีพื้นที่เท่ากัน อย่างไรก็ตาม ประสิทธิภาพของเซลล์แสงอาทิตย์ชนิดสองด้านยังขึ้นอยู่กับหลายปัจจัย เช่น สภาพความเข้มรังสีแสงอาทิตย์เฉพาะพื้นที่ ระดับความสูงของการติดตั้ง ระยะห่างของแถวเซลล์แสงอาทิตย์ และค่าการสะท้อนของพื้นผิวด้านล่าง [3] สำหรับระบบ FPV ที่มีน้ำอยู่ใต้แผงเซลล์แสงอาทิตย์สามารถเพิ่มปริมาณการรับความเข้มรังสีทางด้านหลังได้เนื่องจากคุณสมบัติการสะท้อนแสงของผิวน้ำ นอกจากนี้สีของทุ่นลอยน้ำยังส่งผลต่อปริมาณแสงที่ตกกระทบด้านหลังของเซลล์แสงอาทิตย์เนื่องจากมีค่า Albedo ที่แตกต่างกัน [4]

ในการศึกษานี้ ได้พิจารณาการหามุมเอียงที่เหมาะสมที่สุดสำหรับระบบ FPV ด้วย 2 วิธีคือการใช้แบบจำลองการเอียงแผงเชิงวิเคราะห์และการจำลองด้วยโปรแกรม PVsyst โดยแบบจำลองเชิงวิเคราะห์อ้างอิงจากสมการทางเรขาคณิตของดวงอาทิตย์ ร่วมกับข้อมูลความเข้มรังสีของแสงจากดวงอาทิตย์ด้วยฐานข้อมูล NASA POWER [5] เพื่อคำนวณค่าพลังงานความเข้มรังสีบนระนาบ (Plane-of-array irradiance: POAI) ที่มุมเอียงต่างๆ เพื่อหามุมที่ให้พลังงานความเข้มรังสีจากดวงอาทิตย์มากที่สุด ขณะที่การจำลองด้วยโปรแกรม PVsyst เป็นซอฟต์แวร์ที่สามารถออกแบบระบบเซลล์แสงอาทิตย์ได้ทั้งระบบเล็กไปจนถึงขนาดใหญ่ โดยสามารถออกแบบเซลล์แสงอาทิตย์ที่ผลิตจากบริษัทต่างๆ ที่ถูกเก็บข้อมูลอยู่ในโปรแกรมได้ สามารถจำลองการติดตั้งในพื้นที่ที่ต้องการได้อย่างอิสระ สามารถกำหนดปริมาณเงาของสิ่งกีดขวาง และปัจจัยอื่นๆ เพื่อทำนายและจำลองผลการทดสอบหาปริมาณพลังงานไฟฟ้าที่ได้รับในแต่ละปี ดังนั้นการใช้ทั้งสองวิธีร่วมกันจะสามารถช่วยเพิ่มความน่าเชื่อถือและความถูกต้องของผลลัพธ์ที่ได้

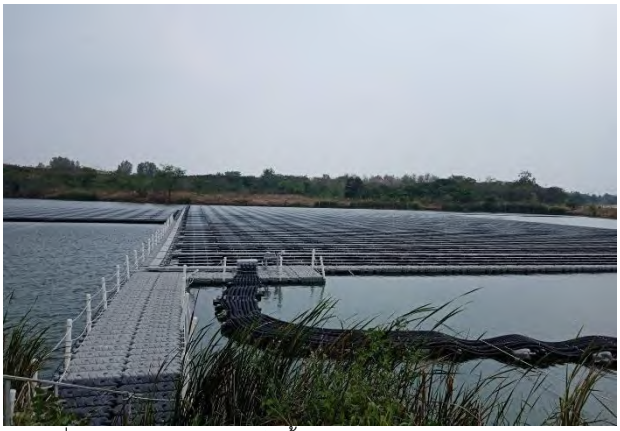

รูปที่ 1 ระบบ FPV ณ อ่างเก็บน้ำของมหาวิทยาลัยเทคโนโลยีสุรนารี ประเทศไทย

รูปที่ 1 แสดงระบบ FPV ที่ได้ทำการติดตั้งจริง ได้ติดตั้งในอ่างเก็บน้ำของมหาวิทยาลัยเทคโนโลยีสุรนารี เนื่องจากมีพื้นที่ผิวน้ำกว้าง ไม่มีเงาบดบังจากต้นไม้ใหญ่หรือสิ่งปลูกสร้าง และสะดวกต่อการปฏิบัติงานและการบำรุงรักษา ซึ่งระบบนี้ติดตั้งด้วยเซลล์แสงอาทิตย์ชนิดด้านเดียวและสองด้านบนทุ่นลอยน้ำ และได้มีการเก็บข้อมูลการทำงานจริงเป็นเวลา 1 ปี เพื่อนำมาประเมินความสอดคล้องของผลลัพธ์จากแบบจำลองเชิงวิเคราะห์และการจำลองด้วยโปรแกรม PVsyst กับผลผลิตพลังงานจริงภายใต้ข้อจำกัดการติดตั้งในสภาวะแวดล้อมจริง

2. การทดลอง

2.1 การจำลองผล

การจำลองผลด้วยโปรแกรม PVsyst เวอร์ชัน 7.4 ของระบบแผงเซลล์แสงอาทิตย์ชนิดหน้าเดียวและสองหน้า ได้พิจารณาพื้นที่การจำลอง ณ อ่างเก็บน้ำของมหาวิทยาลัยเทคโนโลยีสุรนารี ซึ่งพารามิเตอร์สำคัญที่ใช้ในการจำลองผลประกอบด้วยค่า Latitude Longitude มุมการเอียงแผงเซลล์แสงอาทิตย์ จำนวนของแผงเซลล์แสงอาทิตย์และค่าอื่นๆ โดยสามารถสรุปพารามิเตอร์ต่างๆ ได้ในตารางที่ 1

ตารางที่ 1 พารามิเตอร์ที่ป้อนให้กับโปรแกรม PVsyst

List	Mono-facial	Bifacial
Latitude	14.87° North	
Longitude	102.03° East	
Albedo	-	0.19
Tilt	0, 4, 8, 12, 16, 20	
Azimuth	0°	
Number of PV modules	350 units	
PV model	JKM-540M-72HL4-V	JKM-535M-72HL4-BDVP
Modules	14 Strings x 25 In series	
Number of inverters	1 unit	
Inverter model	SUN20000-185KTL-H1	
Pitch	1.26 m	
Elevation	-	0 m
Module area	903 m^2	

2.2 แบบจำลองการเอียงแผงเชิงวิเคราะห์

การประมาณค่า POAI ($S_{\beta,total}$) สามารถพิจารณาจากมุมเอียงของแผงเซลล์แสงอาทิตย์ได้ตั้งแต่มุม 0° – 20° เริ่มต้นพิจารณาให้แผงเซลล์แสงอาทิตย์หันหน้าไปในทางทิศใต้โดยให้มุม Azimuth เท่ากับ 0° จากนั้นจำแนกค่า POAI ออกเป็นสององค์ประกอบคือ $S_{\beta,direct}$ และ $S_{\beta,diffuse}$ ซึ่งสามารถแสดงความสัมพันธ์ได้ในสมการที่ (1) (2) และ (3) [6-7]

$$S_{\beta,direct} = S_{direct,normal} \times \sin(\alpha + \beta) \quad (1)$$

$$S_{\beta,diffuse} = S_{diffuse} \times \frac{1+\cos(\beta)}{2} \quad (2)$$

$$S_{\beta,total} = S_{\beta,direct} + S_{\beta,diffuse} \quad (3)$$

โดยที่ $S_{direct,normal}$ คือค่าพลังงานความเข้มรังสีตรงในแนวตั้งฉากจากดวงอาทิตย์ (Direct normal irradiance [kWh/m^2/day]) $S_{diffuse}$คือค่าพลังงานความเข้มรังสีกระจายจากดวงอาทิตย์ในแนวระนาบ (Diffuse horizontal irradiance (kWh/m^2/day)) α คือมุมเงยของดวงอาทิตย์

(Solar elevation angle) และ β คือ มุมเอียงของแผงเซลล์แสงอาทิตย์ (Tilt angle)

ซึ่งค่าของ $S_{direct,normal}$ และ $S_{diffuse}$ เป็นค่าเฉลี่ยพลังงานความเข้มรังสีในปี 2022 – 2023 โดยสามารถสืบค้นได้จากข้อมูลของ NASA POWER ในเว็บไซต์ https://power.larc.nasa.gov/data-access-viewer/ [5].

การหาค่ามุมเงยสามารถพิจารณาจากความสัมพันธ์ในสมการที่ (4) เมื่อพิจารณา ณ เวลาตอนเที่ยงตรง

$$\alpha = 90 - \phi + \delta \quad (4)$$

โดยที่ ϕ คือละติจูดของสถานที่ติดตั้ง ซึ่งในงานวิจัยนี้ติดตั้งที่ละติจูด 14.87 องศาเหนือ และ δ คือค่า Solar declination โดยสามารถคำนวณได้จากสมการที่ (5)

$$\delta \approx E \sin\left[\frac{(d-81)360}{365}\right] \quad (5)$$

โดยที่ E คือค่าคงที่ของการเอียงแกนโลกมีค่าคงที่เท่ากับ 23.45 d คือวันที่ 15 ในแต่ละเดือน เช่น ถ้าพิจารณาวันที่ 15 เดือนมกราคม d มีค่าเท่ากับ 15 ถ้าวันที่ 15 ของเดือนกุมภาพันธ์ d มีค่าเท่ากับ 31+15 = 46 หรือวันที่ 15 ของเดือนมีนาคม d มีค่าเท่ากับ 31+28+15 = 74 เป็นต้น

2.3 แผงเซลล์แสงอาทิตย์ที่ติดตั้งจริง

ระบบเซลล์แสงอาทิตย์ชนิดด้านเดียวและชนิดสองด้านได้ถูกติดตั้งที่อ่างเก็บน้ำมหาวิทยาลัยเทคโนโลยีสุรนารี จังหวัดนครราชสีมา ประเทศไทย (ละติจูด 14.87° เหนือ, ลองจิจูด 102.03° ตะวันออก) โดยระบบเซลล์แสงอาทิตย์ชนิดด้านเดียวใช้เซลล์แสงอาทิตย์จำนวน 350 แผง มีกำลังรวม 374.5 kWp จากบริษัท JinkoSolar รุ่น JKM535-72HL4-BDVP และระบบเซลล์แสงอาทิตย์ชนิดสองด้านใช้เซลล์แสงอาทิตย์จำนวน 350 แผง มีกำลังรวม 378.0 kWp จากบริษัท JinkoSolar รุ่น JKM540-72HL4-BDVP

แผงเซลล์แสงอาทิตย์ทั้งหมดถูกติดตั้งบนทุ่นลอยน้ำชนิด High density polyethylene (HDPE) โดยติดตั้งที่มุมเอียงเท่ากับ 8° ความสูงห่างจากจากผิวทุ่น 0 เมตร และหันหน้าไปทางทิศใต้ ระบบทั้งสองถูกเชื่อมต่อเข้ากับอินเวอร์เตอร์จากบริษัท Huawei รุ่น SUN2000-185KTL-H1 ที่เป็นระบบสามเฟส ในการต่อแผงเซลล์แสงอาทิตย์ได้ใช้จำนวน 25 แผงต่อหนึ่งสตริง สำหรับอุปกรณ์ตรวจวัดแสงได้ใช้เซนเซอร์วัดแสงรุ่น RK200-04 ของบริษัท Human Rika Electronic Tech การส่งข้อมูลของเซ็นเซอร์จะส่งผ่านการสื่อสารแบบ RS485 จากนั้นข้อมูลจะถูกส่งไปยังตัวควบคุมเพื่อแปลงสัญญาณ RS485 เป็นข้อมูลที่ถูกต้องแล้วส่งไปยัง Server ผ่านทางสัญญาณ Wifi พลังงานไฟฟ้าที่ผลิตขึ้นจากแผงเซลล์แสงอาทิตย์ทั้งสองระบบถูกจ่ายเข้าสู่โรงพยาบาลมหาวิทยาลัยเทคโนโลยีสุรนารีเพื่อการใช้งานจริงต่อไป

3. ผลการทดลองและการวิเคราะห์

3.1 แบบจำลองการเอียงแผงเชิงวิเคราะห์

ตารางที่ 2 แสดงค่า $S_{direct,normal}$ $S_{diffuse}$ และปริมาณของเมฆเฉลี่ยในแต่ละเดือนของปี 2022 และ 2023 ซึ่งมาจากฐานข้องมูล NASA POWER ณ ตำแหน่งมหาวิทยาลัยเทคโนโลยีสุรนารี ซึ่งแสดงให้เห็นถึงความแตกต่างของค่าพลังงานความเข้มรังสีของแต่ละฤดูกาลอย่างชัดเจน โดยในช่วงฤดูหนาว (ธันวาคม–มกราคม) แสดงค่า $S_{direct,normal}$ ที่มากกว่า 5 kWh/m^2/day ซึ่งสอดคล้องกับปริมาณของเมฆที่ต่ำที่สุดในทางตรงกันข้าม ช่วงฤดูฝน (พฤษภาคม–กันยายน) มีปริมาณเมฆเพิ่มสูงขึ้น (มากกว่า 70%) และทำให้ค่า $S_{diffuse}$ เพิ่มขึ้นตามไปด้วย

ตารางที่ 2 ค่าพลังงานความเข้มรังสีจากดวงอาทิตย์และปริมาณของเมฆที่ได้จาก NASA POWER ณ ตำแหน่งมหาวิทยาลัยเทคโนโลยีสุรนารี

Month	$S_{direct,normal}$ (kWh/m^2/day)	$S_{diffuse}$ (kWh/m^2/day)	Cloud amount (%)
Jan	5.167	1.664	37.8
Feb	3.964	2.129	48.9
Mar	3.808	2.498	45.7
Apr	3.033	2.761	59.3
May	2.441	2.562	79.5
Jun	2.806	2.743	86.5
Jul	1.919	2.774	90.7
Aus	1.947	2.694	91.3
Sep	1.227	2.575	94.4
Oct	2.489	2.372	82.6
Nov	3.874	2.047	69.0
Dec	5.085	1.670	44.3

รูปที่ 2 แสดงการเพิ่มขึ้นของค่า $S_{\beta,total}$ ตามการมุมเอียงที่ปรับเพิ่มขึ้นจาก 0° จนถึงประมาณ 14–16° โดยให้ค่าพลังงานความเข้มของรังสีรวมบนระนาบสูงสุดที่ 5.34 kWh/m²/day ซึ่งมากกว่าการเอียงแผงที่มุม 0° ประมาณ 2.5% ซึ่งผลลัพธ์ดังกล่าวถือเป็นการประมาณค่ามุมเอียงที่เหมาะสมที่สุดจากการคำนวณ

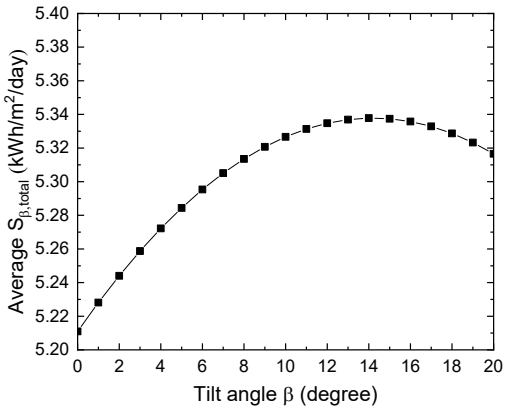

รูปที่ 2 ผลการคำนวณค่า $S_{\beta,total}$ เฉลี่ย ที่มุมเอียงของแผงเซลล์แสงอาทิตย์ตั้งแต่ 0° – 20°

3.2 ผลการจำลองด้วยโปรแกรม PVsyst

จากการจำลองผลด้วยโปรแกรม PVsyst สามารถแสดงการผลิตกำลังไฟฟ้าสะสมเฉลี่ยรายวันของแต่ละเดือนตลอดทั้งปีได้ในตารางที่ 3 ผลการจำลองแสดงให้เห็นถึงการเอียงของแผงเซลล์แสงอาทิตย์จากมุม 0° ถึง 20° โดยพบว่าที่มุมเอียง 4° ถึง 12° (ขึ้นอยู่กับแต่ละเดือน) ทั้งแผงเซลล์แสงอาทิตย์ชนิดด้านเดียวและแผงเซลล์แสงอาทิตย์ชนิดสองด้านให้ค่าปริมาณพลังงานที่เพิ่มขึ้น ซึ่งในเดือนเมษายน พฤษภาคม และมิถุนายน มีค่ากำลังไฟฟ้ารวมรายเดือนสูงที่สุดในทุกๆ ค่ามุมเอียง ทั้งนี้เนื่องจากตำแหน่งปรากฏของดวงอาทิตย์อยู่ใกล้โลกมากที่สุดในช่วงเวลาดังกล่าว จึงมีค่าความเข้มรังสีจากดวงอาทิตย์สูงขึ้น และก่อให้เกิดการผลิตพลังงานมากขึ้นตามลำดับ อย่างไรก็ตามหากพิจารณาค่าเฉลี่ย พบว่าค่ากำลังไฟฟ้าเฉลี่ยสะสมรายวันสูงสุดอยู่ที่ 749 kWh/วัน ที่มุมเอียง 4° ทั้งในกรณีของแผงเซลล์แสงอาทิตย์ชนิดด้านเดียวและชนิดสองด้าน

ซึ่งจากการจำลองด้วยโปรแกรม PVsyst และวิธีแบบจำลองการเอียงแผงเชิงวิเคราะห์มีแนวโน้มที่ตรงกันคือ แผงเซลล์แสงอาทิตย์ที่ติดตั้งโดยให้มุมเอียงที่สูงขึ้นจาก 0° ส่งผลให้ได้รับกำลังไฟฟ้าที่เพิ่มขึ้น

รูปที่ 3 แสดงผลการจำลองพลังงานไฟฟ้ารวมของระบบ FPV ของแผงเซลล์แสงอาทิตย์ชนิดด้านเดียวและสองด้านที่ผลิตได้ใน 1 ปี ที่มุมเอียงต่างๆ โดยพบว่าผลผลิตของพลังงานมีค่าเพิ่มขึ้นจากการติดตั้งที่มุมเอียง 0° จนถึงมุมเอียงประมาณ 4–12° ก่อนที่ค่าจะลดลงที่มุมมากขึ้น ทั้งนี้ยังพบอีกว่าแผงเซลล์แสงอาทิตย์ชนิดด้านเดียวให้ผลผลิตพลังงานต่อปีสูงสุดที่มุมเอียง 4° ด้วยปริมาณ 273,449 kWh/year ขณะที่แผงเซลล์แสงอาทิตย์ชนิดสองด้านให้ผลผลิตสูงสุดที่มุมเอียง 12° ด้วยปริมาณ 280,129 kWh/year ซึ่งจากรูปยังแสดงถึงผลผลิตพลังงานของเซลล์แสงอาทิตย์ชนิดสองด้านที่มีค่ามากกว่าแผงเซลล์แสงอาทิตย์ชนิดด้านเดียวในทุกๆ มุมเอียงอย่างเห็นได้ชัด ซึ่งชี้ให้เห็นว่าผลจากการรับแสงที่ด้านหลังมีผลต่อการเพิ่มขึ้นต่อผลผลิตพลังงานเป็นอย่างมาก

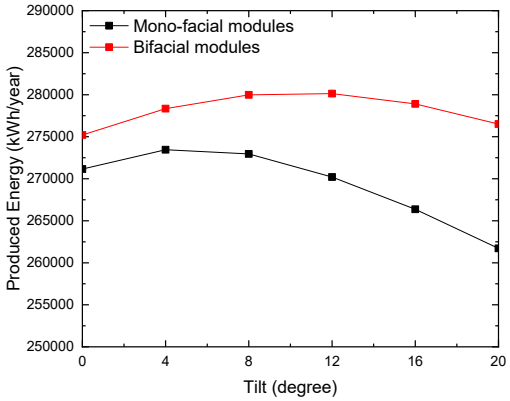

รูปที่ 3 การจำลองพลังงานไฟฟ้ารวมของแผงเซลล์แสงอาทิตย์ชนิดด้านเดียวและสองด้านที่ผลิตได้ใน 1 ปี เมื่อพิจารณามุมเอียงตั้งแต่ 0° – 20°

ตารางที่ 3 การจำลองกำลังไฟฟ้าสะสมเฉลี่ยรายวันของแต่ละเดือนตลอดทั้งปีที่อ่างเก็บน้ำมหาวิทยาลัยเทคโนโลยีสุรนารี

Month	Average daily accumulated power output of solar panels (kWh/day)											
	0 degree		4 degree		8 degree		12 degree		16 degree		20 degree	
	Mono	Bi	Mono	Bi	Mono	Bi	Mono	Bi	Mono	Bi	Mono	Bi
Jan	682	684	712	713	727	728	729	731	730	732	730	732
Feb	719	718	737	737	676	676	679	679	678	678	675	676
Mar	796	791	804	801	807	805	806	804	802	801	794	794
Apr	843	838	842	839	809	806	798	797	784	785	768	771
May	822	818	812	811	796	797	776	779	753	759	727	736
Jun	880	876	864	864	816	818	791	796	763	772	732	744
Jul	764	764	753	755	735	740	714	721	690	699	664	676
Aug	740	738	735	736	725	728	711	715	695	701	676	684
Sep	742	740	746	745	721	721	716	717	709	711	699	702
Oct	699	699	713	713	720	721	722	723	720	722	716	718
Nov	595	598	612	615	601	603	599	602	595	599	591	596
Dec	633	636	660	663	672	674	673	676	674	676	673	676
Average	743	742	749	749	734	735	726	728	716	720	704	709

3.3 ผลการติดตั้งจริง

รายงานนี้แสดงค่ากำลังไฟฟ้าเฉลี่ยสะสมที่ระบบ FPV ผลิตได้ต่อวันในแต่ละเดือนของแผงเซลล์แสงอาทิตย์ชนิดด้านเดียวและชนิดสองด้านที่ติดตั้งบนทุ่นลอยน้ำ ณ อ่างเก็บน้ำมหาวิทยาลัยเทคโนโลยีสุรนารี โดยมีรายละเอียดแสดงในตารางที่ 4 จากผลการวิเคราะห์พบว่า ระบบแผงเซลล์แสงอาทิตย์ชนิดด้านเดียวมีค่าเฉลี่ยรายปีอยู่ที่ 753 kWh/day และระบบชนิดสองด้านมีค่าเฉลี่ยอยู่ที่ 769 kWh/day เมื่อเปรียบเทียบที่มุมเอียงเดียวกันที่ 8° โดยค่าที่ได้จากการติดตั้งระบบ FPV จริงมีค่าที่สูงกว่าผลการจำลองเล็กน้อย

นอกจากนี้ยังแสดงให้เห็นว่าระบบ FPV สามารถผลิตพลังงานได้สูงในช่วงเดือนมีนาคม เมษายน พฤษภาคม และมิถุนายน ซึ่งตรงตามผลการ

จำลองจากโปรแกรม PVSyst อย่างไรก็ตาม ในการติดตั้งระบบ FPV จริง แผงชนิดสองด้านให้ผลผลิตสูงกว่าอย่างชัดเจนในเดือนกรกฎาคมและกันยายนเมื่อเทียบกับแผงชนิดด้านเดียว ซึ่งเป็นผลจากความสามารถในการเก็บเกี่ยวความเข้มรังสีชนิด Diffuse ที่เพิ่มขึ้นในช่วงที่มีสภาพอากาศที่มีเมฆมากตามข้อมูลของ NASA POWER ที่แสดงในตารางที่ 1

ผลผลิตพลังงานรวมทั้งปีแสดงให้เห็นว่าระบบแผงชนิดด้านเดียวผลิตได้ประมาณ 274,845 kWh/year ขณะที่ระบบชนิดสองด้านผลิตได้ประมาณ 280,685 kWh/year เมื่อเปรียบเทียบกับผลการจำลองของ PVSyst ที่มุมเอียง 8° พบว่าผลการจำลองประเมินค่าไว้ที่ 272,957 kWh/year สำหรับชนิดด้านเดียว และ 279,985 kWh/year สำหรับชนิดสองด้าน ค่าความคลาดเคลื่อนระหว่างการจำลองและค่าที่วัดได้จริงมีเพียง 0.69% สำหรับระบบชนิดด้านเดียว และ 0.25% สำหรับระบบชนิดสองด้าน แสดงให้เห็นถึงค่าความคลาดเคลื่อนที่น้อยมาก ผลลัพธ์นี้ยืนยันว่าการจำลองระบบผลิตไฟฟ้าจากเซลล์แสงอาทิตย์สามารถทำนายผลผลิตพลังงานจริงของระบบ FPV ได้ค่อนข้างแม่นยำ โดยมีความผิดพลาดเพียงเล็กน้อย

ตารางที่ 4 กำลังไฟฟ้าเฉลี่ยสะสมของระบบ FPV ในแต่ละเดือนของ 1 ปี ที่อ่างเก็บน้ำของมหาวิทยาลัยเทคโนโลยีสุรนารี

Month	Real installation at 8 degrees (kWh/day)	
	Mono facial	Bifacial
Jan	890	872
Feb	713	698
Mar	899	888
Apr	907	896
May	752	743
Jun	757	734
Jul	563	749
Aug	741	733
Sep	666	786
Oct	774	791
Nov	665	648
Dec	715	694
Average	753	769

4. สรุป

งานวิจัยนี้ได้ศึกษาประสิทธิภาพของระบบเซลล์แสงอาทิตย์แบบลอยน้ำทั้งชนิดด้านเดียวและชนิดสองด้าน โดยใช้การผสมผสานระหว่างการสร้างแบบจำลองการเอียงแผงเชิงวิเคราะห์ การจำลองด้วยโปรแกรม PVSyst และการเก็บข้อมูลจริงจากการติดตั้งในอ่างเก็บน้ำมหาวิทยาลัยเทคโนโลยีสุรนารี โดยแบบจำลองการเอียงแผงเชิงวิเคราะห์ได้ประมาณค่ามุมเอียงที่เหมาะสมเบื้องต้นที่มุมมากกว่า 8° ในขณะที่การจำลองด้วยโปรแกรม PVSyst คาดการณ์ผลผลิตพลังงานรวมต่อปีสูงสุดของแผงเซลล์แสงอาทิตย์ชนิดด้านเดียวที่ 273,449 kWh/year ที่มุมเอียง 4° และชนิดสองด้านที่ 280,129 kWh/year ที่มุมเอียง 12° ซึ่งผลการเปรียบเทียบระหว่างผลการจำลองด้วยโปรแกรม PVsyst กับข้อมูลจริงการติดตั้งจริงของระบบ FPV ที่มุมเอียง 8° พบว่ามีความคลาดเคลื่อนน้อยกว่า 1% ซึ่งยืนยันถึงความแม่นยำของโปรแกรม PVSyst ในการจำลองระบบ FPV และยังสะท้อนให้เห็นถึงศักยภาพของแผงเซลล์แสงอาทิตย์ชนิดสองด้านในการเพิ่มประสิทธิภาพการผลิตพลังงานในระบบ FPV ได้อย่างชัดเจน ดังนั้นด้วยวิธีการจำลองการเอียงแผงเชิงวิเคราะห์และการจำลองจากโปรแกรม PVSyst จึงสามารถช่วยออกแบบการเอียงแผงของเซลล์แสงอาทิตย์เพื่อหามุมที่เหมาะสมที่สุดที่สามารถให้ผลผลิตพลังงานไฟฟ้าได้สูงที่สุดของระบบ FPV อีกทั้งยังสามารถประยุกต์ใช้กับการออกแบบระบบเซลล์แสงอาทิตย์ที่ติดตั้งบนพื้นดินหรือบนหลังคาได้เช่นกันเดียวกัน

5. กิตติกรรมประกาศ

งานวิจัยนี้ได้รับการสนับสนุนจากมหาวิทยาลัยเทคโนโลยีสุรนารี และงานวิจัยนี้ได้รับการสนับสนุนจากมหาวิทยาลัยนครพนมสำหรับการเข้าร่วม EECON-48

เอกสารอ้างอิง

[1] A. Sahu, N. Yadav, and K. Sudhakar, “Floating photovoltaic power plant: A review” Renew. Sustain. Energy Rev., vol 66, pp. 815-824, 2016.

[2] P. Ranjbaran, H. Yousefi, G. B. Gharehpetian, and F. R. Astaraei, “A review on floating photovoltaic (FPV) power generation units,” Renew. Sust. Energ. Rev., vol. 110, pp. 332-347, 2019.

[3] T.S. Liang, M. Pravettoni, C. Deline, J.S. Stein, and et al., “A review of crystalline silicon bifacial photovoltaic performance characterisation and simulation”, Energy Environ. Sci., vol. 12(1), pp. 116-148, 2019.

[4] พีรวุฒิ รัตนวิชัย, ทิพย์วรรณ ฟังสุวรรณรักษ์, ภาคิน อินทร์เจริญ, ศุภณัฐ เลาหวิโรจน์ และคณะ, ผลของทุ่นลอยน้ำสีเทำกับทุ่นลอยน้ำสีดำที่มีผลต่อกำรผลิตกำลังไฟฟ้าของแผงเซลล์แสงอาทิตย์แบบสองหน้า , Thailand Electrical Engineering Journal, Vol 3(2), pp 13-16, 2023

[5] NASA POWER database available at https://power.larc.nasa.gov/data-access-viewer/.

[6] J.A. Duffie, and W.A. Beckman, “Solar Engineering of Thermal Processes” John Wiley & Sons, Inc. Hoboken, New Jersey, 2013

[7] S.R. Wenham, M.A. Green, M.E. Watt, and R. Corkish, “Applied photovoltaics” Earthscan in the UK and USA, 2007

ประวัติผู้เขียนบทความ

ดร. ศุภณัฐ เลาหวิโรจน์ อาจารย์สาขาวิชาวิศวกรรมไฟฟ้า คณะวิศวกรรมศาสตร์ มหาวิทยาลัยนครพนม
งานวิจัยที่เกี่ยวข้อง: การวิเคราะห์วัสดุสารกึ่งตัวนำ การผลิตเซลล์แสงอาทิตย์ ซิลิคอนนาโนควอนตัมดอท เทคโนโลยีฟิล์มบาง พลังงานหมุนเวียน

ผศ. ดร. ทิพย์วรรณ ฟังสุวรรณรักษ์ อาจารย์ประจำสำนักวิชาวิศวกรรมศาสตร์ สาขาวิชาวิศวกรรมไฟฟ้า มหาวิทยาลัยเทคโนโลยีสุรนารี
งานวิจัยที่เกี่ยวข้อง: ระบบการผลิตเซลล์แสงอาทิตย์ พลังงานหมุนเวียน พลังงานชีวมวล เทคโนโลยีฟิล์มบาง การวิเคราะห์วัสดุสารกึ่งตัวนำ ซิลิคอนนาโนควอนตัมดอท

ดร. พีรวุฒิ รัตนวิชัย ตำแหน่งวิศวกรไฟฟ้า ส่วนอาคารปฏิบัติการและโครงสร้างพื้นฐาน ฝ่ายบริหารจัดการโครงการเครื่องกำเนิดแสงสยาม 2 สถาบันวิจัยแสงซินโครตรอน (องค์การมหาชน) โดยมีความเชี่ยวชาญและความสนใจด้านการวิเคราะห์คุณลักษณะของวัสดุสารกึ่งตัวนำ เซลล์แสงอาทิตย์ชนิดเพอรอฟสไกต์ วัสดุซิงค์ออกไซด์ (ZnO) ระบบควบคุม และเทคโนโลยีอินเทอร์เน็ตของสรรพสิ่ง (IoT)

นายฮิเดกิ ค้าขาย เป็นนักศึกษาปริญญาโท สาขาวิศวกรรมไฟฟ้า ภายใต้การดูแลของ ผศ.ดร. ทิพย์วรรณ ฟังสุวรรณรักษ์ จากมหาวิทยาลัยเทคโนโลยีสุรนารี ได้ศึกษาเกี่ยวกับระบบพลังงานแสงอาทิตย์ ระบบโครงข่ายไฟฟ้าอัจฉริยะ และระบบกักเก็บพลังงานแบตเตอรี่, การเพิ่มประสิทธิประสิทธิภาพการทำงานของแบตเตอรี่เพื่อควบคุมระบบการจัดการพลังงาน ในกรณีศึกษา ณ มหาวิทยาลัยเทคโนโลยีสุรนารี ประเทศไทย งานวิจัยที่ท่านสนใจในปัจจุบัน ได้แก่ การจัดการพลังงาน อัลกอริทึม เทคนิคการเพิ่มประสิทธิภาพระบบพลังงานแสงอาทิตย์ในโครงข่ายไฟฟ้าอัจฉริยะ

Feature Fusion ResNet18 and VGG16 for ALL classification

Kritsadakorn Khongsep[1], Buntueng Yana[1*], Sitthichat Meekhwan[1], and Tanawat Palamee[1]

[1]Department of Electrical Engineering, School of Engineering, University of Phayao, Thailand
kritsadakorn.mark@gmail.com, mr.buntueng@gmail.com*, mr.sitthichat.n@gmail.com, beetanawat7@gmail.com

Abstract

Acute Lymphoblastic Leukemia is a common blood cancer in children. Early detection is important, as it can reduce the risk of death rate and improve survivor rate. In this study, we propose a classification model for ALL by using fusion of two pre-trained convolution neural network models like ResNet18 and VGG16. Both models are used to extract feature from images. The extracted features then combine them with the attention mechanism and pass through to linear layers to predict the result. The CNMC-2019 public dataset is used in this study. We do data augmentation to make the balanced dataset with 14,544 blood smear images. The model is evaluated using five-fold cross-validation. The proposed fusion model achieved a strong performance, with an accuracy of 92.16%, precision of 94.59%, recall of 89.44%, F1-score of 91.94%, and an AUC of 0.9697. These results show that our proposed fusion model can effectively classify ALL images without a complex structure model. This approach offers a practical solution for developing medical image classification systems using pre-trained models.

Keywords: acute lymphoblastic leukemia, feature fusion, deep learning, convolutional neural network

1. Introduction

Leukemia type of cancer that affects the white blood cells, where abnormal cells increase uncontrollably. It disrupts the balance of blood cells in the body, weakens the immune system and increasing the risk of infections because of the lack of healthy blood cells. Acute lymphoblastic leukemia (ALL) is the most common type of childhood cancer globally, accounting for about 25% of cancer diagnoses in children under 15 years old [1, 2]. Early detection is important because it can improve the chances of successful treatment and recovery while reducing the risk of severe complications or mortality.

Various methods, including blood tests, biopsies, genetic tests, CT scans, MRI scans, and others [3], can detect leukemia. However, the process for identifying abnormal cell still needs a manual process by medical experts. This process can be error, as it depends on the skills and experience of the person. Some mistakes may happen because certain details are too small to be noticed by the human eye. For the detection process, machine learning can help with this task. It can see details that humans can't see through the analysis of blood smear images. This helps reduce errors in the detection process.

Image detection tasks utilize machine learning techniques such as You Only Look Once (YOLO), Convolution Neural Network (CNN), Visual Geometry Group (VGG), Region-based Convolutional Neural Network (R-CNN), Long-Short Memory (LSTM), and Residual Net (ResNet). Among these, CNNs are among the most widely used and effective techniques for image recognition and detection. The advantage of CNN is that it can understand the structure and position of objects in an image while preserving the spatial relationships between pixels, which makes CNN very good at working with images [4]. However, CNN also has some limitations. It usually needs very large, balance datasets to work well, to avoid overfitting or bias. Model performance can drop when the dataset is noisy [5].

Pre-trained base-CNN models are deep learning models that someone previously trained. These models have already learned to detect a wide range of features from images, such as edges, textures, and shapes. Using a pre-trained model can help to improve performance even with a small dataset [6]. Imaging classification tasks widely adopt models like VGG, ResNet, and Inception. However, sometimes using a single pre-trained model will get a low performance model [7].

In this study, we propose a fusion ResNet18 with VGG16 to boot model performance and make it to suitable. By fusion both models, we aim to enhance the accuracy of ALL classification model.

2. Literature Review

This literature review explores various applications of feature fusion techniques in deep learning models. And find new solution for building ALL classification model. In the context of blood-related disease detection, multiple studies have utilized deep learning and feature fusion to improve diagnostic accuracy.

Hasanaath et al. [8] used CNMC-2019 dataset to present ALL detection model. Features are extracted using InceptionResNetV2, DenseNet121, and VGG16 models. A Global Average Pooling layer concatenates the collected features into a flattened tensor, creating a 1D feature vector with 3072 values per image. Researchers trained and evaluated five classification algorithms using these features. In conclusion, Support Vector Machine performed best with 91.63% testing accuracy, 90.83% precision, 89.48% recall, and 90.14% F1-score.

Similarly, J. Amin et al. [9] developed white blood cell detection model. Images were transformed from RGB to HSV. AlexNet, MobileNetV2, ShuffleNet, and ResNet-18 were pre-trained transfer learning models for feature extraction. Four feature vectors are serially concatenated. On this merged vector, a non-dominated sorting genetic algorithm (NSGA) reduces redundant features and selects the best ones based on fitness functions to select and optimize the final feature set. Then classify with SVM.

*Corresponding Author

The model tested on LISC, ALL_IDB1, and ALL_IDB2 public datasets. The approach had 1.00 accuracy on blast and non-blast cells, 0.9992 accuracy on basophil cells, and 1.00 accuracy on lymphocyte, neutrophil, monocyte, eosinophil, and mixture of these cells.

Anilkumar et al. [10] proposed pre-trained CNNs for leukemia detection such as AlexNet, VGG16, VGG19, ResNet. The study tested each model on ALL_IDB1 and ALL_IDB2. On ALL-IDB1, most models were 100% accurate. However, on ALL-IDB2, they were less accurate. In this more complicated testing scenario, VGG16 and AlexNet performed somewhat worse than deeper residual networks. Despite this, VGG16 showed strong and stable training behaviour across optimization strategies. Beyond hematologic problems, fusion models have shown promise in other medical applications.

Rehman et al. [11] combined ViT and VGG16 to detect architectural distortion in digital mammograms. Gaussian and LoG filters combine smooth and edge details with original images, and histogram equalization boosts contrast and data. VGG16 extracts important visual patterns, while ViT captures complex features to boost performance. Model validation used private PINUM and public DDSM datasets. The model had 0.97 sensitivity, 0.92 F1-score, 0.93 precision, 0.94 specificity, and 0.96 accuracy on PINUM and 0.93 sensitivity, 0.91 F1, 0.94 precision, 0.92 specificity, and 0.95 accuracy on DDSM.

Kaya et al. [12] suggested Fusion-Brain-Net, a hybrid deep learning model for brain tumor classification that combines VGG16, ResNet50, and MobileNetV2. By using complementary network strengths, the model reduces overfitting and improves classification accuracy. The framework incorporates preprocessing, data augmentation, feature fusion, fine-tuning, and classification components. The Br35H dataset includes 3,000 MR images from Figshare (3064), Nickparvar (7,023), and Sartaj (3,264). Across datasets, the refined Fusion-Brain-Net model achieved 97.56% accuracy.

Q. Wang et al. [13] created a CADx for OCT image classification. The model uses a self-supervised vision transformer. Three ViTs extract multi-scale features from images resolutions. Multiple ViT enchanted model performance. Cross-attention and a concatenation layer combine extracted features. A weighted average produces the final prediction in the classification layer. To evaluate the model, they use ten-folds cross-validation. The model achieved an AUC value of 0.9963, 95.89% sensitivity, and 98.23% specificity for the internal dataset. They also use external to validate the model. The model achieved 92.06% sensitivity, and 95.56% specificity. Some studies applied fusion to innovative data types or advanced generative models.

Shi and Yan [14] introduced an algorithm address the issues of imbalance dataset and low performance in single-feature extraction. They use generative adversarial networks and denoising diffusion probabilistic models (DDPMs) to increase the dataset, then they converted one dimension time-series into color image using Markov transition field (MTF). Next, they use VGG16, ResNet18, and Vision Transformer (ViT) for exact features. They use Moore dataset with contains 12 classes for network traffic in csv or arff file format. In the result their algorithm success to achieve higher accuracy of 93.00% followed by VGG16 and ResNet18 with 92.78%.

Based on previous research, we propose a fusion model combining ResNet18 and VGG16 for ALL classification using the CNMC-2019 dataset. VGG16 contributed effectively to feature extraction in a high-performing [8] and have stability and strong performance across various situations [10]. ResNet18 showing high performance for classification white blood cell [9]. We chose ResNet18 and VGG16 because both are convolutional neural network (CNN) models that have strong performance in image classification tasks. This combination was selected to provide a good balance between deep feature extraction and model simplicity. By using these two models together, we aim to improve the performance of ALL classification model.

3. Methodology

This section explain our propose model for enchanted ALL classification model with blood smear images. We use ResNet18 and VGG16 to extract important information from images. The output from both method are fuse to linear layer by using cross-attention. All experiment were doing in local machine dedicated Nvidia GeForce RTX 3080 GPU. Software that use in this study is Nvidia driver 575.57.08, cuda version 12.9, python version 3.10.12, and pytorch version 2.7.1.

3.1 Propose Model

In this work, we investigate three models for classifying blood smear images of ALL. The first model use ResNet18 for feature extraction followed by three linear layers to get the prediction. Second, VGG16 also have the same setting like ResNet18 model. Last, our proposed model that fusion ResNet18 and VGG16. This model use attention mechanisms to fuse the features extracted from both model then passing through linear layers to get final result.

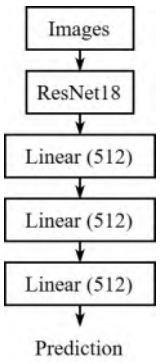

Fig. 1 ResNet18 model structure

We extract features from blood smear images using ResNet18. Three linear layers, each with 512 units, then

process these features to learn complex relationships and make the final prediction, as illustrated in Fig. 1.

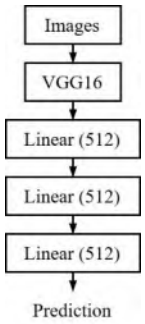

Fig. 2 VGG16 model structure

The second model uses the same structure as the first model, which is shown in Fig. 2. However, feature extraction should use VGG16, not ResNet18.

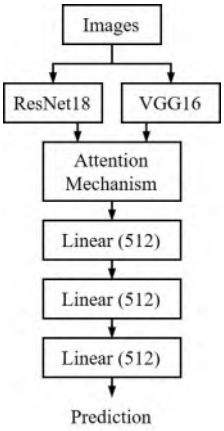

Fig. 3 Fusion model structure

The proposed model for feature extraction uses ResNet18 and VGG16, depicted in Fig. 3. The attention mechanism layer combines the extracted features before passing them to three linear layers to generate the final predictions.

3.2 Dataset CNMC 2019

The CNMC 2019 dataset was collected at the Laboratory Oncology Unit, ALL India Institute of Medical Sciences, New Delhi, India [15]. Researchers prepared slides from patient bone marrow aspirates. Researchers made normal cell slides from control subjects and prepared cancer cell slides from new participants. The collection includes 49 healthy and 69 malignant cell pictures. Author resized photos to 350 × 350 pixels by padding columns and rows with zero intensity and centering them. The collection contains 7,272 photos for aberrant cell call "ALL" and 3,389 for healthy cell call "HEM" classes. Our dataset contains 14,544 pictures.

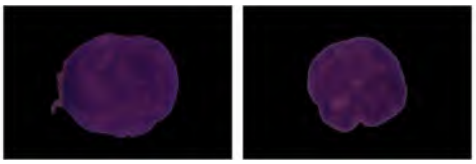

Fig. 4 Blood smear image

Fig. 4 Blood smear image shows example image. Left image represents "ALL" class, right shows "HEM" class. We normalized each image to 0–1 before using it. We also employ data augmentation to balance the dataset. We balanced the dataset with 7,272 photos per class by rotating and mirroring "HEM" images. Our dataset has 14,544 pictures. We employed five-fold cross-validation on our dataset. Splitting the data set with a stratified k-fold.

3.3 ResNet18

ResNet is a deep-learning architecture that has residual connections, which allows the model to learn the difference (or residual) between the input and the output. These connections let the input skip certain layers and go directly to the output. ResNet18 is a model that contains 18 layers, include convolutional layers for feature extraction, batch normalization layers for training stability, and fully connected layers for making the final prediction.

3.4 VGG16

VGG16 is a pre-trained model that designed to reduce complex structures by use the set of convolution kernels with 3 × 3 layers. These filters help extract important features from the input image. Each group of convolution layers followed by max pooling layers to down sampling. VGG16 contains 16 layers, 13 layers for Convolution layers and 3 layers for fully connected layers at the end for making prediction.

4. Evaluation Metrics

We evaluate our model by using accuracy, precision, recall, F1-score and training time. To calculate value of these metrics, We use True Positive (TP), True Negative (TN), False Positive (FP) and False Negative (FN). Equations can be written as follows.

$$Accuracy = \frac{TP + TN}{TP + TN + FP + FN} \quad (1)$$

$$Precision = \frac{Tp}{TP + FP} \quad (2)$$

$$Recall = \frac{TP}{TP + FN} \quad (3)$$

$$F1\ score = \frac{2 \times Precision \times Recall}{Precision \times Recall} \quad (4)$$

5. Result

We evaluate the performance of all models using a test set and five-fold cross-validation. We show the average results for each model in Table 1.

Table 1 Result

Model	ResNet18	VGG16	**Resnet+VGG16**
Accuracy	0.8902	0.9053	**0.9216**
Precision	0.8820	0.9215	**0.9459**
Recall	0.9018	0.8863	**0.8944**
F1-score	0.8915	0.9034	**0.9194**
AUC	0.9548	0.9582	**0.9697**

The fusion model achieves accuracy 0.9216, follow by VGG16 with accuracy 0.9053, and ResNet18 with accuracy 0.8902. Fusion model achieved higher precision with 0.9459, F1-score with 0.9194, and AUC with 0.9697. In recall, ResNet18 has a higher score with 0.9018, followed by a fusion model with 0.8944.

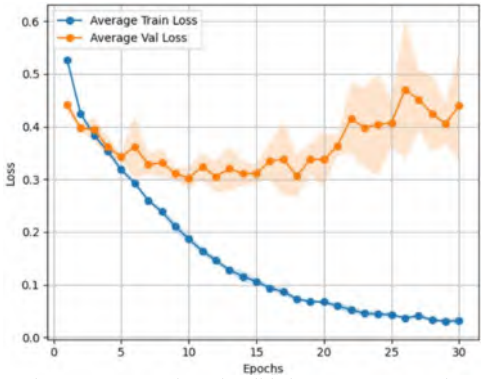

Fig. 5 Average Train and Validation Loss over Epochs

Fig. 5 Average Train and Validation Loss over Epochs displays the training and validation losses of the fusion model. Training loss steadily decreasing, while validation loss slightly decreases in early epochs and hit the lower around epochs 10–15. After epochs 15 the curve is start increased, showing the overfitting in the later epochs.

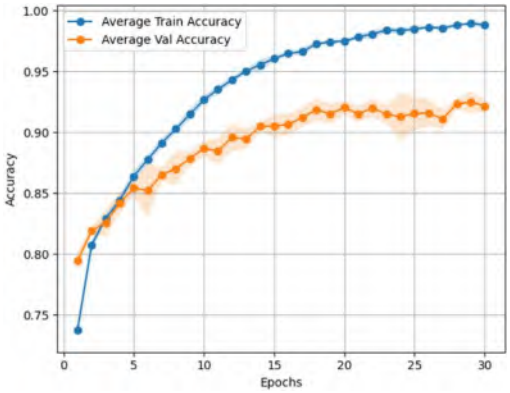

Fig. 6 Average Train and Validation Accuracy over epochs

From Fig. 6 Average Train and Validation Accuracy over epochs, training accuracy is significantly increased over epochs. However, validation accuracy is gradually increases before being stable in epochs 20 to later.

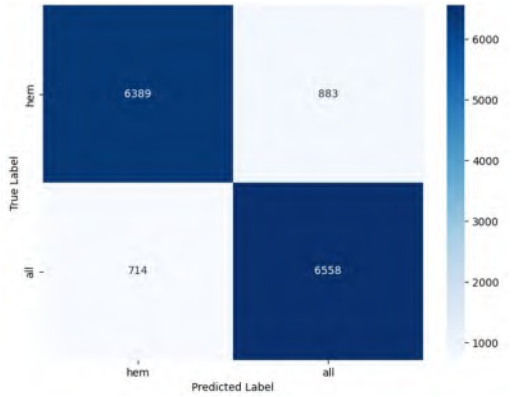

Fig. 7 Confusion matrix of Fusion model

Fig. 7 Confusion matrix of Fusion model is a confusion matrix of fusion model for binary classification. It refers to performing the model to classify ALL.

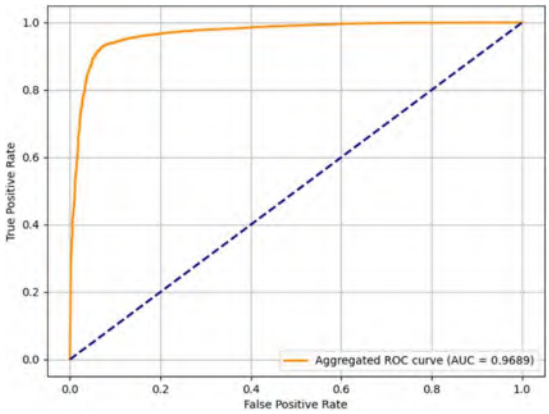

Fig. 8 Fusion model aggregated ROC curve

Fig. 8 shows the classification ability. It showing the model can discriminate between positive and negative class.

6. Conclusions

In this study, we develop a classification model for ALL by combining ResNet18 and VGG16. To enhance model performance, we used data preprocessing techniques to balance the dataset. We also used five-fold cross-validation to evaluate the model performance. Our proposed fusion model can achieve an accuracy of 92.16%, precision of 94.59%, recall of 89.44%, F1-score of 91.94%, and AUC of 0.9697. The result showed the solution to build a simple model with pre-trained. A simple design can build an effective model. By using simple fusion models, we expect our experiment will indicate to build easy solutions to create ALL classification models with simple structures.

References

[1] Tran, T.H. and S.P. Hunger, *The genomic landscape of pediatric acute lymphoblastic leukemia and precision medicine opportunities.* Seminars in Cancer Biology, 2022. 84: p. 144-152.

[2] Jiwani, N., et al., *Pattern Recognition of Acute Lymphoblastic Leukemia (ALL) Using Computational Deep Learning.* IEEE Access, 2023. 11: p. 29541-29553.

[3] Sanjaya, A.D., R. Setiawan, and N.F. Hikmah, *RNA-BioLens: A Novel Raspberry Pi-Based Digital Microscope With Image Processing for Acute Lymphoblastic Leukemia Detection.* IEEE Access, 2025. 13: p. 23618-23628.

[4] Indolia, S., et al., *Conceptual Understanding of Convolutional Neural Network- A Deep Learning Approach.* Procedia Computer Science, 2018. 132: p. 679-688.

[5] Sriwong, K., K. Kerdprasop, and N. Kerdprasop, *The Study of Noise Effect on CNN-Based Deep Learning from Medical Images.* International Journal of Machine Learning and Computing, 2021. 11: p. 202-207.

[6] Kartik, K., et al., *Transfer Learning with CNNs in Small ML Datasets: Applying Pre-Trained CNN Models and Fine-Tuning them for Limited Data Scenarios of the Creative Commons Attribution License (CC BY 4.0).* 2023: p. 1087-1099.

[7] Stančić, A., V. Vyroubal, and V. Slijepčević *Classification Efficiency of Pre-Trained Deep CNN Models on Camera Trap Images*. Journal of Imaging, 2022. 8, DOI: 10.3390/jimaging8020020.

[8] Hasanaath, A., et al., *Acute lymphoblastic leukemia detection using ensemble features from multiple deep CNN models.* Electronic Research Archive, 2024. 32: p. 2407-2423.

[9] Amin, J., et al., *An Integrated Design Based on Dual Thresholding and Features Optimization for White Blood Cells Detection.* IEEE Access, 2021. 9: p. 151421-151433.

[10] Anilkumar, K.K., V.J. Manoj, and T.M. Sagi, *Automated detection of leukemia by pretrained deep neural networks and transfer learning: A comparison.* Medical Engineering & Physics, 2021. 98: p. 8-19.

[11] Rehman, K.U., et al., *A Feature Fusion Attention-based Deep Learning Algorithm for Mammographic Architectural Distortion Classification.* IEEE J Biomed Health Inform, 2025. Pp.

[12] Kaya, Y., E. Akat, and S. Yıldırım, *Fusion-Brain-Net: A Novel Deep Fusion Model for Brain Tumor Classification.* Brain Behav, 2025. 15(5): p. e70520.

[13] Wang, Q., et al., *Cross-Attention Based Multi-Resolution Feature Fusion Model for Self-Supervised Cervical OCT Image Classification.* IEEE/ACM Transactions on Computational Biology and Bioinformatics, 2023. 20(4): p. 2541-2554.

[14] Shi, D. and J. Yan, *A Deep learning based network traffic classification algorithm using data augmentation and multi-feature fusion*. 2025.

[15] Gupta, R., S. Gehlot, and A. Gupta, *C-NMC: B-lineage acute lymphoblastic leukaemia: A blood cancer dataset.* Medical Engineering & Physics, 2022. 103: p. 103793.

Krisadakorn Khongsep He is currently studying for a bachelor's degree in the Faculty of Engineering, Department of Electrical Engineering, University of Phayao. Current research interests: machine learning.

Buntueng Yana (Member, IEEE) received B.Eng. and M.Eng. degrees in Electrical Engineering from Chiang Mai University, Thailand, in 2006 and 2009, respectively, and a Ph.D. in Information Science and Technology from Osaka University, Japan, in 2019. He is currently a lecturer with the Department of Electrical Engineering at the University of Phayao, Thailand, where he began his academic career. His research interests include robotics, automatic control, power generation, and the application of machine learning to medical applications.

Tanawat Palamee is currently pursuing the B.S. degree in Electrical Engineering at the University of Phayao, Thailand. His research interests machine learning, and robotic agriculture.

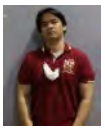

Sitthichat meekhwan received the bachelor's degree in electrical engineering from the University of Phayao (UP), Phayao, Thailand, in 2019. He is currently studying for a master's degree at the Faculty of Engineering. His current research interests in Machine learning, deep learning, and robotic

ระบบของไหลจุลภาคสำหรับการอิเล็กโทรพอเรชันเซลล์โอโอไซต์
Microfluidic System for Oocyte Electroporation

นิติพงศ์ ปานกลาง[1*] นิศรุต พันธ์ศิริ[2] และ บุญชัย เตชะอำนาจ[3]

[1]ภาควิชาวิศวกรรมไฟฟ้า คณะวิศวกรรมศาสตร์ มหาวิทยาลัยเทคโนโลยีราชมงคลธัญบุรี nitipong.p@en.rmutt.ac.th*
[2]ภาควิชาวิศวกรรมไฟฟ้าและอิเล็กทรอนิกส์ คณะวิศวกรรมศาสตร์ มหาวิทยาลัยอุบลราชธานี nisarut.p@ubu.ac.th
[3]ภาควิชาวิศวกรรมไฟฟ้า คณะวิศวกรรมศาสตร์ จุฬาลงกรณ์มหาวิทยาลัย boonchai.t@chula.ac.th

บทคัดย่อ

บทความนี้นำเสนอการทำอิเล็กโทรพอเรชันกับเซลล์โอโอไซต์ โดยใช้ระบบของไหลจุลภาคที่ออกแบบให้มี Orifice ภายในช่องทางไหล การเกิดช่องเปิดภายหลังการทำอิเล็กโทรพอเรชันได้รับการยืนยันโดยภาพเซลล์ภายใต้แสงยูวีที่สามารถสังเกตการซึมผ่านของสีย้อมฟลูออเรสเซนต์ได้อย่างชัดเจน นอกจากนี้ การวัดอิมพีแดนซ์ทางไฟฟ้าถูกนำมาใช้ติดตามพฤติกรรมการปิดตัวของช่องเปิด ผลการทดลองแสดงให้เห็นว่า Orifice ภายในช่องทางไหลช่วยให้การทำอิเล็กโทรพอเรชันกับเซลล์โอโอไซต์ประสบความสำเร็จ โดยไม่ก่อให้เกิดความเสียหายต่อโครงสร้างภายนอกของเซลล์และยังสามารถกำหนดตำแหน่งของการเกิดช่องเปิดที่เยื่อหุ้มเซลล์ ณ บริเวณอยู่ใกล้กับ Orifice การกระตุ้นเซลล์ด้วยแรงดันไฟฟ้า 10 V_p ความถี่ 1 kHz ทำให้เกิดช่องเปิดแบบชั่วคราวที่สามารถปิดตัวโดยใช้เวลาเฉลี่ย 79.33±65.33 s ระบบของไหลจุลภาคนี้ สามารถประยุกต์ใช้สำหรับการนำส่งสารพันธุกรรมเข้าสู่เซลล์โอโอไซต์ โดยกำหนดพารามิเตอร์ของแรงดันกระตุ้นให้เหมาะสมได้

คำสำคัญ: อิเล็กโทรพอเรชัน ระบบของไหลจุลภาค โอโอไซต์

Abstract

This paper presents the electroporation of oocytes using a microfluidic system designed with orifices within the microchannel. Pore formation after electroporation was confirmed by observing the permeation of a fluorescent dye on cell images under UV illumination. Furthermore, impedance measurement was employed to monitor the behavior of pore closure. Experimental results demonstrated that the orifices in the flow channel enabled successful electroporation of oocytes without causing damage to the external cell structure, and localize pore formation on the cell membrane at the orifice region. The temporary pores closed with an average time of 79.33±65.33 s after 10 V_p, 1 kHz voltage application. The microfluidic system can be applied for delivery of genetic materials into oocytes by optimizing the applied voltage parameters.

Keywords: Electroporation, Microfluidic System, Oocyte

1. บทนำ

อิเล็กโทรพอเรชัน (Electroporation, EP) เป็นเทคนิคในการสร้างช่องเปิด (Pore) บนเยื่อหุ้มเซลล์โดยอาศัยสนามไฟฟ้า ช่องเปิดจะเกิดขึ้นเมื่อแรงดันตกคร่อมเยื่อหุ้มเซลล์ (Transmembrane Voltage) มีค่าสูงมากพอ [1] ช่องเปิดที่เกิดขึ้นจำแนกได้เป็น 2 แบบ ได้แก่ ช่องเปิดแบบถาวร (Irreversible Pore) และช่องเปิดแบบชั่วคราว (Temporary Pore) ช่องเปิดแบบชั่วคราวสามารถใช้ประโยชน์ในการส่งผ่านโมเลกุลต่างๆ เช่น ยา สารพันธุกรรม หรือโปรตีน ที่ไม่สามารถซึมผ่านเยื่อหุ้มเซลล์ได้ตามปกติเข้าสู่ภายในเซลล์ได้ [2,3] เมื่อเปรียบเทียบกับวิธีอื่นที่ใช้สร้างช่องเปิดบนเยื่อหุ้มเซลล์ (เช่น วิธีทางเคมี, วิธีทางไวรัส) เทคนิคนี้นิยมใช้กับการศึกษาชีววิทยาของเซลล์ เนื่องจากเป็นวิธีการที่ไม่ต้องมีการสัมผัสกับเซลล์โดยตรงและเหมาะสมกับการทำอิเล็กโทรพอเรชันแบบเซลล์เดี่ยวในตัวอย่างเซลล์ที่มีจำนวนจำกัด อิเล็กโทรพอเรชันถูกนำไปใช้ในการนำส่งสารต่างๆ เข้าสู่เซลล์หลากหลายชนิด เช่น เซลล์มะเร็ง [4] เซลล์ภูมิคุ้มกัน [5] เซลล์ประสาท [6] และเซลล์ต้นกำเนิด [7] อิเล็กโทรพอเรชันเป็นวิธีหนึ่งที่นิยมใช้สำหรับการส่งสารพันธุกรรมและโมเลกุลเข้าสู่เซลล์โอโอไซต์ของสัตว์เลี้ยงลูกด้วยนม [8, 9] เซลล์โอโอไซต์ถูกห่อหุ้มด้วยโซนาเพลลูซิดา (Zona Pellucida, ZP) ซึ่งเป็นโครงสร้างโปรตีนที่ทำหน้าที่ปกป้องเซลล์ด้วยเหตุนี้ การทำอิเล็กโทรพอเรชันกับเซลล์โอโอไซต์จึงต้องมีการกำหนดพารามิเตอร์ของสนามไฟฟ้าและออกแบบอุปกรณ์ที่เหมาะสม เพื่อสามารถสร้างช่องเปิดแบบชั่วคราวบนเยื่อหุ้มเซลล์เพื่อให้เซลล์โอโอไซต์สามารถพัฒนาต่อไปได้

บทความนี้นำเสนอการทำอิเล็กโทรพอเรชันด้วยระบบของไหลจุลภาคกับเซลล์โอโอไซต์ ระบบของไหลจุลภาคที่ใช้มีความไม่ซับซ้อนและอาศัย Orifice ภายในช่องทางไหลเพื่อควบคุมตำแหน่งของการเกิดช่องเปิดบนเยื่อหุ้มเซลล์ การเกิดช่องเปิดหลังการกระตุ้นด้วยแรงดันไฟฟ้าได้รับการยืนยันโดยการเก็บภาพฟลูออเรสเซนต์ของเซลล์เพื่อสังเกตการซึมผ่านของสีย้อมฟลูออเรสเซนต์ นอกจากนั้น วิธีสเปกโทรสโคปีอิมพีแดนซ์ทางไฟฟ้า (Electrical Impedance Spectroscopy, EIS) ยังถูกนำมาประยุกต์ใช้เพื่อสังเกตพลวัตการปิดตัวของช่องเปิด ผลการศึกษาแสดงให้เห็นว่าการใช้ช่องเปิดดังกล่าวช่วยให้การทำอิเล็กโทรพอเรชันกับเซลล์โอโอไซต์ประสบ

*ผู้ประพันธ์บรรณกิจ

ความสำเร็จโดยสามารถสร้างรูพรุนแบบชั่วคราวบนเยื่อหุ้มเซลล์ได้ โดยไม่ทำความเสียหายต่อโครงสร้างภายนอกของเซลล์และสามารถกำหนดตำแหน่งของการเกิดช่องเปิดได้อย่างแม่นยำ

2. หลักการของอิเล็กโทรพอเรชัน

พิจารณาเซลล์สิ่งมีชีวิตที่อยู่ในสารแขวนลอยและวางตัวอยู่ระหว่างอิเล็กโตรด การจ่ายแรงดันไฟฟ้าให้กับอิเล็กโตรดจะทำให้เกิดสนามไฟฟ้าสร้างประจุสะสมบริเวณเยื่อหุ้มเซลล์และเกิดแรงดันไฟฟ้าตกคร่อมเยื่อหุ้มเซลล์ V_m ดังรูปที่ 1 ทั้งนี้ หาก V_m สูงถึงค่าวิกฤตประมาณ 0.5 – 1.5 โวลต์ [10] จะทำให้เกิดช่องเปิดบนเยื่อหุ้มเซลล์ V_m ขึ้นอยู่กับรัศมีของเซลล์ R, ขนาดสนามไฟฟ้า E และมุมระหว่างสนามไฟฟ้ากับตำแหน่งวัดแรงดันบนเยื่อหุ้มเซลล์ θ ในสถานะคงตัว (Steady State) [11]

$$V_m = 1.5\,ER\cos\theta \qquad (1)$$

ช่องเปิดบนเยื่อหุ้มเซลล์ที่เกิดขึ้นในช่วงแรกจะเป็นช่องเปิดแบบไม่ชอบน้ำ (Hydrophobic Pore) ซึ่งสารพันธุกรรมไม่สามารถซึมเข้าสู่ภายในเซลล์ได้ เมื่อเยื่อหุ้มเซลล์ได้รับแรงดันหรือพลังงานเพิ่มขึ้น ช่องเปิดแบบไม่ชอบน้ำจะมีขนาดเพิ่มขึ้นและเปลี่ยนเป็นช่องเปิดแบบชอบน้ำ (Hydrophilic Pore) ช่องเปิดแบบชอบน้ำยอมให้สารพันธุกรรมภายนอกหรือของเหลวภายในเซลล์ผ่านเข้าออกเซลล์ได้ [10] การใช้ขนาดสนามไฟฟ้าที่เหมาะสมจะทำให้เกิดช่องเปิดแบบชั่วคราวที่สามารถปิดตัว

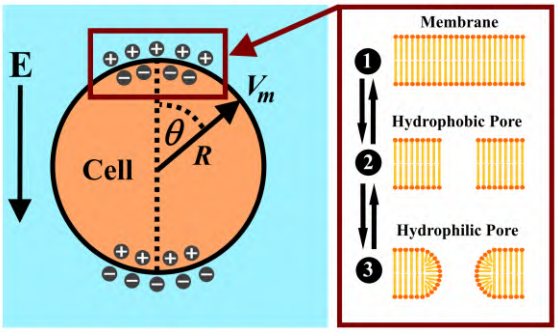

รูปที่ 1 แรงดันไฟฟ้าตกคร่อมเยื่อหุ้มเซลล์ทำให้เกิดรูพรุนเมื่อเซลล์อยู่ภายใต้สนามไฟฟ้า **E**

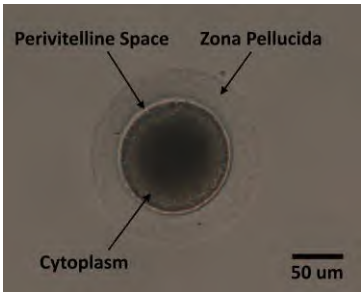

รูปที่ 2 ลักษณะของเซลล์โอโอไซต์ในสารแขวนลอย

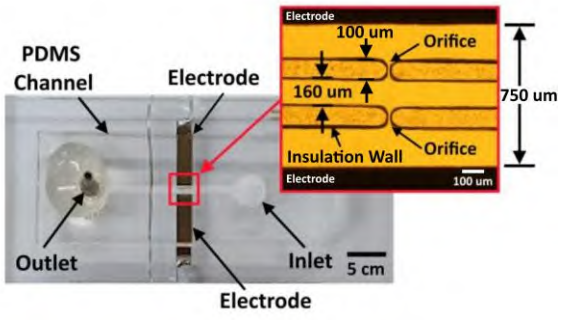

รูปที่ 3 อุปกรณ์ของไหลจุลภาคสำหรับการทำอิเล็กโทรพอเรชัน

ลงอย่างสมบูรณ์ในช่วงเวลาจากวินาทีจนถึงหลายนาที [12] ทั้งนี้ หากช่องเปิดที่เกิดขึ้นเป็นแบบถาวรจะนำไปสู่กระบวนการตายของเซลล์ในที่สุด

3. การทดลอง

การทดลองอิเล็กโทรพอเรชันใช้เซลล์โอโอไซต์ที่ผ่านการปฏิสนธิในหลอดทดลอง (In Vitro Fertilization) การจัดเตรียมเซลล์ดำเนินการโดยภาควิชาสูติศาสตร์ เธนุเวชวิทยา และวิทยาการสืบพันธุ์ คณะสัตวแพทยศาสตร์ จุฬาลงกรณ์มหาวิทยาลัย และ Veterinary Stem Cell and Bioengineering Innovation Center (VSCBIC) คณะสัตวแพทยศาสตร์ จุฬาลงกรณ์มหาวิทยาลัย การเพาะเลี้ยงและการปฏิสนธิในหลอดทดลองของโอโอไซต์ใช้เวลา 48 ชั่วโมง โดยมีขั้นตอนและรายละเอียดตามงานวิจัยในเอกสารอ้างอิง [13] โอโอไซต์ที่มีสภาพสมบูรณ์จะถูกคัดเลือกมาทำการทดลองหลังจากผ่านการปฏิสนธิเป็นเวลา 18 ชั่วโมง เซลล์รักษาอยู่ในสารแขวนลอย HM 287 ที่มีสภาพนำไฟฟ้า 0.8 S/m รูปที่ 2 แสดงลักษณะของเซลล์โอโอไซต์ที่อยู่ในสารแขวนลอย โอโอไซต์มีขนาดประมาณ 160 µm ภายนอกเซลล์ถูกห่อหุ้มด้วยโซนาเพลลูซิดาซึ่งเป็นส่วนสำคัญในพัฒนาการขั้นต้นของโอโอไซต์และทำหน้าที่ปกป้องเอ็มบริโอ (Embryo)

อุปกรณ์ของไหลจุลภาคสำหรับอิเล็กโทรพอเรชันมีส่วนประกอบที่สำคัญได้แก่ อิเล็กโตรดแบบระนาบและช่องทางไหลจุลภาค ดังแสดงในรูปที่ 3 ช่องทางไหลจุลภาคทำจาก Polydimethylsiloxane (KE-106, Shin-Etsu) ด้วยกระบวนการซอฟท์ลิโทกราฟี (Soft-Lithography) ช่องทางไหลจุลภาคถูกออกแบบให้เหมาะสมกับขนาดเซลล์โอโอไซต์ โดยสามารถป้อนเซลล์เข้าช่องทางไหลและควบคุมการไหลของเซลล์ได้สะดวก ช่องทางไหลหลักมีความกว้าง 1200 µm ภายในของช่องทางไหลประกอบด้วยกำแพงฉนวนที่มีความกว้าง 100 µm ช่องทางไหลระหว่างกำแพงฉนวนมีความกว้าง 160 µm แสดงดังส่วนขยายในรูปที่ 3 บนกำแพงฉนวนมี Orifice ที่มีความกว้าง 25 µm ซึ่งทำหน้าที่บังคับแนวการไหลของกระแสไฟฟ้าระหว่างอิเล็กโตรดให้ผ่านเซลล์ ณ ตำแหน่งที่ต้องการ ช่องทางไหลจุลภาคทุกส่วนมีความลึก 175 µm ซึ่งมีขนาดใหญ่กว่าเซลล์โอโอไซต์ ทางเข้า (Inlet) ช่องทางไหลจุลภาคมีขนาดเส้นผ่าศูนย์กลาง 4 mm สำหรับป้อนตัวอย่างเซลล์เข้าช่องทางไหล ทางออก (Outlet) ต่อกับท่อโลหะขนาดเส้น

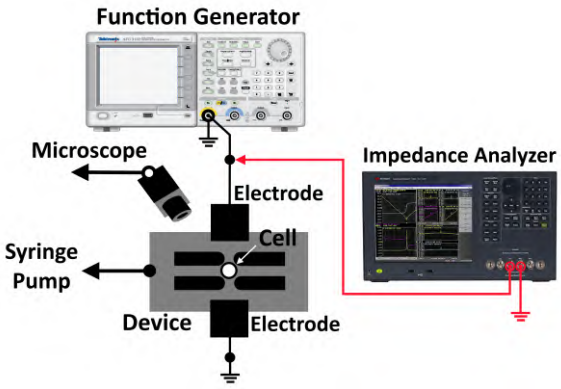

รูปที่ 4 แผนภาพเค้าร่างการต่ออุปกรณ์สำหรับการทำอิเล็กโทรพอเรชัน

ผ่านศูนย์กลาง 1.2 mm สำหรับเชื่อมต่อกับปั๊มกระบอกฉีดยา อิเล็กโตรดที่ใช้เป็นแบบระนาบทำจากทองด้วยกระบวนการโฟโตลิโทรกราฟี (Photolithography) ทองถูกเคลือบด้วยการสปัตเตอริง (Sputtering) บนฐานกระจกขนาด 25×76 mm^2 โดยมีโครเมียมเป็นชั้นยึดติดกับฐานกระจก ชั้นโลหะทั้งสองมีความหนาประมาณ 200 nm อิเล็กโตรดมีระยะแกปเท่ากับ 750 μm

แผนภาพเค้าร่างของการต่ออุปกรณ์ต่างๆ เพื่อทำอิเล็กโทรพอเรชันในเซลล์โอโอไซต์แสดงดังรูปที่ 4 อุปกรณ์ของไหลจุลภาคเชื่อมต่อกับเครื่องกำเนิดสัญญาณ (AFG3022C, Tektronix), เครื่องวิเคราะห์อิมพีแดนซ์ (E4990A, Keysight) และปั๊มกระบอกฉีดยา (Fusion 200, Chemyx Inc.) เครื่องกำเนิดสัญญาณเป็นแหล่งจ่ายแรงดันพัลส์สี่เหลี่ยมสำหรับการทำอิเล็กโทรพอเรชัน การทำอิเล็กโทรพอเรชันใช้แรงดัน 10 V_p ความถี่ 1 kHz จ่ายให้กับอิเล็กโตรดจำนวนทั้งหมด 5 ครั้ง โดยในแต่ละครั้งจะจ่ายพัลส์เป็นระยะเวลา 300 ms เครื่องวิเคราะห์อิมพีแดนซ์ใช้วัดความนำไฟฟ้าระหว่างอิเล็กโตรด โดยค่าที่วัดได้ถูกส่งไปบันทึกข้อมูลบนเครื่องคอมพิวเตอร์ การวัดความนำไฟฟ้าใช้แรงดัน 100 mV ความถี่ 200 kHz ด้วยอัตราการชักตัวอย่าง (Sampling Rate) 8 kS/s เครื่องกำเนิดสัญญาณ, เครื่องวิเคราะห์อิมพีแดนซ์ และกล้องจุลทรรศน์ (IX73, Olympus) สำหรับเก็บภาพเซลล์เชื่อมต่อกับคอมพิวเตอร์และถูกควบคุมด้วยโปรแกรม MATLAB (R2022b, MathWorks) ก่อนการทดลอง ช่องทางไหลจุลภาคถูกเคลือบด้วยสารละลาย Bovine Serum Albumin 2% v/v ในน้ำปราศจากไอออนเป็นเวลา 60 นาที เซลล์โอโอไซต์ในสารละลาย HM 287 ที่มีสารฟลูออเรสเซนต์ Yo-Pro-1 (Invitrogen) ความเข้มข้น 2 μM ถูกป้อนเข้าช่องทางไหลด้วยปั๊มกระบอกฉีดยา Yo-Pro-1 เป็นสีย้อม Monomeric Cyanine Nucleic Acid ทำให้นิวเคลียสของเซลล์เกิดการเรืองแสงสีเขียวความยาวคลื่น 509 nm ภายใต้การกระตุ้นด้วยแสงยูวีความยาวคลื่น 488 nm ปั๊มถูกปิดเมื่อตัวอย่างเซลล์เข้าสู่ช่องทางไหลและเซลล์ถูกจัดวางตำแหน่งตรง Orifice ภายในช่องทางไหล โดยการควบคุมด้วยมือผ่านท่อยางซิลิโคนที่ต่อกับทางออกของช่องทางไหล ขณะทำการทดลอง ภาพฟลูออเรสเซนต์ของเซลล์ถูกบันทึกภาพทุกๆ 30 s ใน

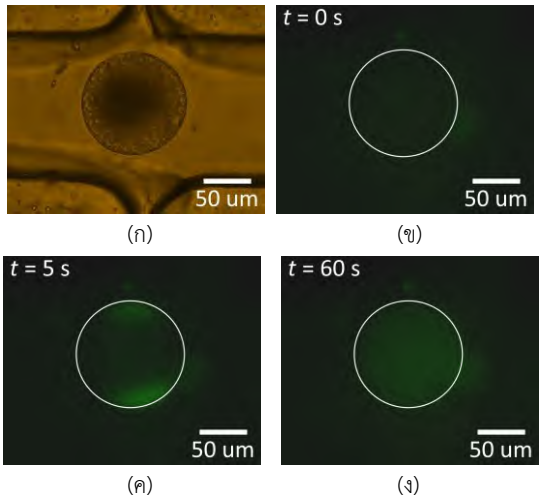

รูปที่ 5 เซลล์ที่ถูกกระตุ้นด้วยแรงดันไฟฟ้า 10 V_p ความถี่ 1 kHz เป็นเวลา 300 ms (ก) สภาพเซลล์ก่อนการป้อนแรงดัน (ข) ถึง (ง) ภาพถ่ายฟลูออเรสเซนต์ที่ t = 0 s ถึง t = 60 s ตามลำดับ.

ขณะเดียวกัน ความนำไฟฟ้าระหว่างอิเล็กโตรดถูกวัดทุกๆ 2 s เพื่อนำมาวิเคราะห์ผลต่อไป

4. ผลการทดลองและวิเคราะห์ผล

รูปที่ 5 (ก) แสดงตำแหน่งของเซลล์ขณะทำการกระตุ้นด้วยแรงดันไฟฟ้าให้เกิดอิเล็กโทรพอเรชัน เซลล์ถูกจัดตำแหน่งให้อยู่ระหว่าง Orifice ด้านบนและด้านล่าง ภาพถ่ายฟลูออเรสเซนต์ของเซลล์ถูกใช้ประเมินการเกิดช่องเปิดบนเยื่อหุ้มเซลล์ ช่องเปิดบนเยื่อหุ้มเซลล์ทำให้สีย้อมฟลูออเรสเซนต์ในสารละลายภายนอกเซลล์ซึมเข้าสู่ภายในเซลล์ได้ รูปที่ 5 (ข) แสดงภาพถ่ายฟลูออเรสเซนต์ของเซลล์ก่อนการกระตุ้นด้วยไฟฟ้า (t = 0 s) ซึ่งจะสังเกตไม่พบสีย้อมฟลูออเรสเซนต์ภายในเซลล์ รูปที่ 5 (ค) แสดงการซึมผ่านของสีย้อมฟลูออเรสเซนต์ (สีเขียว) หลังจากการกระตุ้นด้วยไฟฟ้าเป็นเวลา 5 s การสังเกตเห็นสีย้อมเริ่มขึ้นตรงตำแหน่งที่เซลล์อยู่ใกล้กับ Orifice ทั้งด้านบนและด้านล่าง ซึ่งแสดงให้เห็นถึงตำแหน่งของช่องเปิดที่เกิดขึ้น ณ บริเวณดังกล่าว เมื่อเวลาผ่านไป สีฟลูออเรสเซนต์แพร่กระจายเข้าสู่ภายในเซลล์จนทั่วบริเวณ ดังแสดงในรูปที่ 5 (ง) นอกจากนั้น การทดลองแสดงว่าเซลล์โอโอไซต์มีสภาพสมบูรณ์ โดยสังเกตจากโครงสร้างของโซนาเพลลูซิดาและเยื่อหุ้มเซลล์ที่ไม่เสียหายหลังจากการกระตุ้นด้วยแรงดันไฟฟ้า

การวิเคราะห์ค่า Corrected Total Cell Fluorescence (CTCF) ด้วยโปรแกรม ImageJ เพื่อแสดงปริมาณสีย้อมฟลูออเรสเซนต์ที่เข้าสู่เซลล์โอโอไซต์ CTCF คำนวณโดยใช้ความเข้มของสีฟลูออเรสเซนต์ภายในเซลล์ในขอบเขตวงกลมสีขาวที่แสดงดังรูปที่ 5 (ข) - (ง), ความเข้มของสีฟลูออเรสเซนต์พื้นหลังที่ไม่มีเซลล์และพื้นที่ภายในเซลล์ ความเข้มของสีย้อมฟลูออเรสเซนต์เปลี่ยนแปลงตามเวลาขึ้นอยู่กับขนาดของช่องเปิดและช่วงเวลาที่มีช่องเปิดบนเยื่อหุ้มเซลล์ รูปที่ 6 แสดงการเปลี่ยนแปลงของค่า

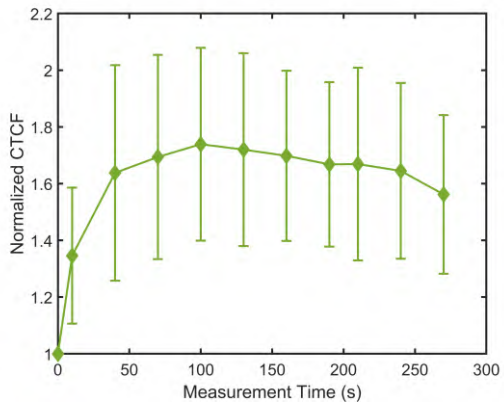

รูปที่ 6 การเปลี่ยนแปลง CTCF หลังจากกระตุ้นด้วยแรงดันไฟฟ้า 10 V_p ความถี่ 1 kHz เป็นเวลา 300 ms

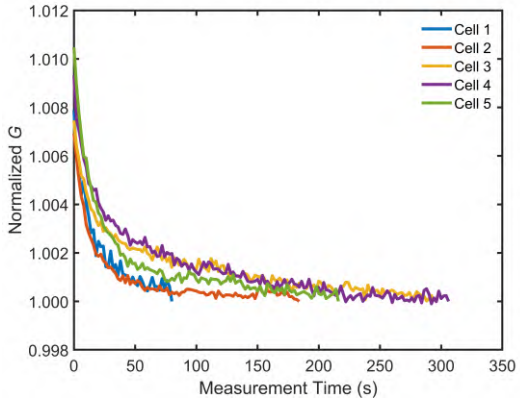

รูปที่ 7 ตัวอย่างการเปลี่ยนแปลงของค่า G หลังจากกระตุ้นด้วยแรงดันไฟฟ้า

Normalized CTCF หลังจากกระตุ้นด้วยแรงดันไฟฟ้า CTCF ถูกทำให้เป็นบรรทัดฐานด้วย $CTCF_0$ ที่ได้จากการวัดก่อนการกระตุ้นด้วยไฟฟ้า Normalized CTCF ในรูปที่ 6 เพิ่มขึ้นอย่างต่อเนื่องหลังกระตุ้นด้วยไฟฟ้าจนถึงค่าสูงสุดซึ่งแสดงถึงการคงสภาพเปิดของช่องเปิดที่ทำให้สีย้อมซึมเข้าสู่เซลล์อย่างต่อเนื่อง จากนั้น Normalized CTCF ค่อยๆ ลดลงซึ่งคาดว่าเป็นผลจากการเริ่มปิดของช่องเปิดทำให้สีย้อมซึมเข้าสู่เซลล์ลดลง Normalized CTCF มีค่าสูงสุดเท่ากับ 1.74 ที่เวลา 100 s

ความนำไฟฟ้าระหว่างอิเล็กโตรดถูกวัดด้วยเครื่องวิเคราะห์อิมพีแดนซ์เพื่อประเมินการปิดตัวของช่องเปิดบนเยื่อหุ้มเซลล์หลังจากการป้อนแรงดันกระตุ้นอิเล็กโทรพอเรชัน รูปที่ 7 แสดงตัวอย่างการเปลี่ยนแปลงของค่าความนำไฟฟ้าสำหรับเซลล์จำนวน 5 เซลล์ ค่าความนำไฟฟ้า G ถูกทำให้เป็นบรรทัดฐานด้วย $G_{\min}$ ซึ่งเป็นความนำไฟฟ้าต่ำสุดที่วัดได้ของเซลล์นั้นๆ หลังจากการกระตุ้นด้วยแรงดันไฟฟ้า พบว่า G ในช่วงแรกมีค่าสูงขึ้น เป็นผลจากการเกิดช่องเปิดบนเยื่อหุ้มเซลล์ที่ทำให้กระแสไฟฟ้าไหลผ่านเซลล์ได้ดีขึ้น การเพิ่มขึ้นของค่า G นี้สอดคล้องกับค่า CTCF ที่ค่อยๆ เพิ่มขึ้นในช่วงแรก เมื่อเวลาผ่านไปค่า G ค่อยๆ ลดลงซึ่งเป็นผลมาจากการปิดตัวลงของช่องเปิด จุดต่ำสุดของ G แสดงเป็นนัยถึงการปิดตัวโดยสมบูรณ์ของช่องเปิด การลดลงของค่า G จนถึงจุดต่ำสุดในแต่ละเซลล์แตกต่างกันเป็นผลจากเวลาปิดตัวของช่องเปิดที่ไม่เท่ากัน แม้ว่าช่องเปิดที่เกิดบนเยื่อหุ้มเซลล์ของเซลล์เดียวกันก็ตาม [14] จากผลการทดลองกับเซลล์โอโอไซต์ทั้งหมด 12 เซลล์ คณะผู้วิจัย พบว่า เวลาเฉลี่ยของการปิดตัวของช่องเปิดมีค่าเท่ากับ 79.33±65.33 s ภายใต้เงื่อนไขการป้อนพัลส์ไฟฟ้าที่ใช้ในการศึกษานี้

5. สรุป

การอิเล็กโทรพอเรชันเซลล์โอโอไซต์ด้วยระบบของไหลจุลภาคที่มี Orifice ภายในช่องทางไหลสามารถสร้างช่องเปิดแบบชั่วคราวบนเยื่อหุ้มเซลล์โอโอไซต์ โดยไม่สร้างความเสียหายต่อโครงสร้างภายนอกของเซลล์ การเปิดและปิดของช่องเปิดแบบชั่วคราวที่เกิดขึ้นถูกยืนยันด้วยการซึมผ่านของสีย้อมฟลูออเรสเซนต์ที่เข้าสู่เซลล์และการวัดค่าความนำไฟฟ้าที่มีการเปลี่ยนแปลงตามเวลา การปิดตัวของช่องเปิดมีเวลาเฉลี่ยเท่ากับ 79.33±65.33 s เมื่อเซลล์ถูกกระตุ้นด้วยแรงดันรูปคลื่นสี่เหลี่ยม 10 V_p ความถี่ 1 kHz การสร้างช่องเปิดบนเยื่อหุ้มเซลล์สามารถกำหนดตำแหน่งของการเกิดช่องเปิดบริเวณเยื่อหุ้มเซลล์ที่ใกล้กับ Orifice ภายในช่องทางไหล ระบบของไหลจุลภาคที่นำเสนอสามารถนำไปประยุกต์ใช้กับการนำส่งสารพันธุกรรมเข้าสู่เซลล์โอโอไซต์ โดยสามารถปรับพารามิเตอร์ของแรงดันกระตุ้นในการทำอิเล็กโทรพอเรชันให้เหมาะสมได้

6. กิตติกรรมประกาศ

งานวิจัยนี้ได้รับการสนับสนุนจากสำนักงานการวิจัยแห่งชาติและจุฬาลงกรณ์มหาวิทยาลัย สัญญาเลขที่ N42A660501, ผู้เขียนขอขอบคุณ สพ.ญ.ดร.วิราภานต์ กัลยาณะธรรม และ รองศาสตราจารย์ น.สพ.ดร. ธีรวัฒน์ ธาราศานิต ภาควิชาสูติศาสตร์ เธนุเวชวิทยา และวิทยาการสืบพันธุ์สัตว์ คณะสัตวแพทยศาสตร์ จุฬาลงกรณ์มหาวิทยาลัย ในการเตรียมตัวอย่างเซลล์โอโอไซต์, นางสาวชนันธร ชนนนวธร และ ดร.มติ ห่อประทุม ศูนย์เทคโนโลยีอิเล็กทรอนิกส์และคอมพิวเตอร์แห่งชาติ (NECTEC) ในการจัดทำอิเล็กโตรด, ศาสตราจารย์ ดร.อรวรรณ ชัยลภากุล และ รองศาสตราจารย์ ดร.อภิชาติ อิ่มยิ้ม ภาควิชาเคมี คณะวิทยาศาสตร์ จุฬาลงกรณ์มหาวิทยาลัย และ SHOWA DENKO สำหรับวัสดุและความช่วยเหลือในการทำอุปกรณ์ของไหลจุลภาค

เอกสารอ้างอิง

[1] B. Bu et al., "High transmembrane voltage raised by close contact initiates fusion pore," Frontiers in Molecular Neuroscience, vol. 9, 2016, Art. no. 136.

[2] E. Neumann et al., "Gene transfer into mouse lyoma cells by electroporation in high electric fields," The EMBO Journal, vol. 1, no. 7, pp. 841–845, 1982.

[3] J. M. Escoffre and M. P. Rols, Electroporation: Theory and methods, perspectives for drug delivery, gene therapy and research. Springer Science & Business Media, 2012.

[4] A. Golberg et al., "Microfluidic electrochemotherapy of cancer cells," Biomedical Microdevices, vol. 12, no. 5, pp. 779-787, 2010.

[5] M. De Robertis and E. Signori, "Immunogenic Effects and Clinical Applications of Electroporation-Based Treatments," Vaccines, vol. 12, no. 1, Art. no. 42, Dec. 2023.

[6] T. F. Yuan, M. Menéndez-González, and O. Arias-Carrión, "Single neuron electroporation in manipulating and measuring the central nervous system," Int. Arch. Med., vol. 3, Art. no. 28, Nov. 2010.

[7] M. Sharifi Tabar et al., "Evaluating Electroporation and Lipofectamine Approaches for Transient and Stable Transgene Expressions in Human Fibroblasts and Embryonic Stem Cells," Cell J., vol. 17, no. 3, pp. 438-450, 2015.

[8] J. L. Young and D. A. Dean, "Electroporation-mediated gene delivery," Adv. Genet., vol. 89, pp. 49-88, 2015.

[9] B. A. Hakim et al., "Electroporation of Mouse Follicles, Oocytes and Embryos without Manipulating Zona Pellucida," J. Dev. Biol., vol. 9, no. 2, Art. no. 13, Apr. 2021.

[10] J. C. Weaver, "Electroporation: a general phenomenon for manipulating cells and tissues," J. Cell. Biochem., vol. 51, no. 4, pp. 426-435, 1993.

[11] T. Y. Tsong, "Electroporation of cell membranes," Biophys. J., vol. 60, no. 2, pp. 297-306, 1991.

[12] W. Krassowska and P. D. Filev, "Modeling electroporation in a single cell," Biophys. J., vol. 92, no. 2, pp. 404-417, Jan. 2007.

[13] W. Kallayanathum et al., "Novel electroporation microchip with field constriction enhances transfection efficiency and survival rates of feline embryos," Sci. Rep., vol. 14, no. 1, Art. no. 29508, 2024.

[14] H. Flores-Romero, U. Ros, and A. J. Garcia-Saez, "Pore formation in regulated cell death," The EMBO Journal, vol. 39, no. 23, Art. no. e105753, 2020.

ระบบตรวจจับภาวะหัวใจเต้นผิดจังหวะโดยใช้การเรียนรู้ของเครื่องแบบฝังตัว

Cardiac Arrhythmia Detection System Using Embedded Machine Learning

ดนุวัศ วิเชียรผลา[1] อภิวัฒน์ เล็กอุทัย[2] ธนวันต์ เตียวัฒนรัฐติกาล[1] อาภรณ์ ธีรมงคลรัศมี[2] รณพิชัย โชคสุวัฒนสกุล[3] และ ภาคภูมิ สมบูรณ์[1*]

[1]หลักสูตรวิศวกรรมชีวเวช คณะวิศวกรรมศาสตร์ จุฬาลงกรณ์มหาวิทยาลัย

[2]ภาควิชาวิศวกรรมไฟฟ้า คณะวิศวกรรมศาสตร์ จุฬาลงกรณ์มหาวิทยาลัย

[3]ภาควิชาอายุศาสตร์ คณะแพทยศาสตร์ จุฬาลงกรณ์มหาวิทยาลัย

บทคัดย่อ

การตรวจภาวะหัวใจเต้นผิดจังหวะอย่างต่อเนื่องเป็นสิ่งสำคัญในการดูแลสุขภาพและการรักษาผู้ป่วย งานวิจัยนี้จึงมีวัตถุประสงค์เพื่อพัฒนาระบบตรวจจับภาวะหัวใจเต้นผิดจังหวะแบบตามเวลาจริงให้สามารถใช้งานได้บนไมโครคอนโทรลเลอร์พลังงานต่ำ และนำการเรียนรู้ของเครื่องด้วยวิธี Extreme Gradient Boosting (XGBoost) มาประยุกต์ใช้ นอกจากนี้ยังมีกระบวนการคัดเลือกลักษณะเด่นจากคลื่นไฟฟ้าหัวใจที่ดีที่สุดมาใช้ในการจำแนกชนิดของความผิดปกติ โดยโมเดลดังกล่าวถูกแปลงให้อยู่ในรูปแบบที่สามารถใช้งานกับไมโครคอนโทรลเลอร์ได้ด้วยเครื่องมือ X-Cube AI และพัฒนาระบบที่สามารถรับและประมวลผลสัญญาณคลื่นไฟฟ้าหัวใจแบบเวลาจริง ขั้นตอนการทำงานเริ่มจากการตรวจจับ QRS complex การสกัดลักษณะเด่น และการจำแนกประเภทของภาวะหัวใจเต้นผิดจังหวะ การทดสอบประสิทธิภาพของระบบทำโดยการจำลองสัญญาณคลื่นไฟฟ้าหัวใจแบบเวลาจริงจากชุดข้อมูลทดสอบจำนวน 150 ตัวอย่าง ซึ่งประกอบด้วยข้อมูลคลื่นไฟฟ้าหัวใจ 3 ภาวะ ได้แก่ ภาวะหัวใจเต้นจังหวะปกติ (Normal sinus rhythm) ภาวะหัวใจเต้นก่อนเวลา (Premature Contractions) และภาวะหัวใจห้องบนสั่นพลิ้ว (Atrial Fibrillation) ประเภทละ 50 ตัวอย่าง ผลการทดสอบบนอุปกรณ์ระบบฝังตัวพบว่าโมเดลมีความแม่นยำโดยรวม (Overall Accuracy) อยู่ที่ 90.67%

คำสำคัญ: สัญญาณคลื่นไฟฟ้าหัวใจ, ภาวะหัวใจห้องบนสั่นพลิ้ว, ภาวะหัวใจเต้นก่อนเวลา, XGBoost, ไมโครคอนโทรลเลอร์พลังงานต่ำ

Abstract

Continuous monitoring of cardiac arrhythmia is crucial for healthcare management and patient treatment. This research aims to develop a real-time arrhythmia detection system deployable on a low-power microcontroller and apply a machine learning model using the Extreme Gradient Boosting (XGBoost) method. Additionally, the process includes the selection of optimal features from the ECG waves to classify the type of abnormality. The model was converted into a microcontroller-compatible format using the X-Cube AI tool, and a system was developed to receive and process ECG signals in real-time. The operational workflow begins with QRS complex detection, followed by feature extraction, and classification of the arrhythmia type. The system's performance was evaluated by simulating real-time ECG signals from a test dataset of 150 samples, which consisted of three categories: Normal Sinus Rhythm, Premature Contractions, and Atrial Fibrillation, with 50 samples for each type. The test results on the embedding system demonstrated that the model achieved an overall accuracy of 90.67%.

Keywords: Electrocardiogram, Atrial Fibrillation, Premature Contractions, XGBoost, Low-power Microcontroller

1. บทนำ

จากสถิติผู้ป่วยในของประเทศไทยปี พ.ศ. 2566 โดยกองยุทธศาสตร์และแผนงานสำนักงานปลัดกระทรวงสาธารณสุข [1] พบว่าความผิดปกติของระบบการนำคลื่นไฟฟ้าในหัวใจและภาวะหัวใจเต้นผิดจังหวะเป็นหนึ่งใน 10 สาเหตุหลักของการเจ็บป่วย ซึ่งมีจำนวนผู้ป่วยสูงถึง 336,392 คน และติดอันดับที่ 9 ของประเทศ ซึ่งตัวเลขนี้สะท้อนถึงภาระโรคและผลกระทบที่สำคัญต่อระบบสาธารณสุขของประเทศ

ภาวะหัวใจห้องบนสั่นพลิ้ว (Atrial Fibrillation) คือหนึ่งในชนิดของหัวใจเต้นผิดจังหวะที่พบบ่อย ภาวะนี้มีความสำคัญอย่างยิ่งเนื่องจากเพิ่มความเสี่ยงอย่างมีนัยสำคัญของโรคหลอดเลือดสมองหรือลิ่มเลือดอุดตัน [2] นอกจากภาวะหัวใจห้องบนสั่นพลิ้วแล้ว ภาวะหัวใจเต้นก่อนเวลา (Premature Contractions) ก็เป็นอีกภาวะหนึ่งที่พบได้บ่อยโดยเกิดจากการส่งคลื่นไฟฟ้าออกมาก่อนเวลาที่คลื่นปกติจากตัวสร้างจังหวะหลัก (Sinoatrial node) จะมาถึงซึ่งทำให้หัวใจบีบตัวเร็วเกินไป โดยจากการศึกษา [3] พบว่ามีความสัมพันธ์กับการเพิ่มความเสี่ยงของโรคสมองขาดเลือดเช่นกัน โดยเฉพาะภาวะหัวใจห้องล่างเต้นก่อนเวลา (Premature Ventricular Contraction, PVC) ในกลุ่มผู้ที่ไม่มีภาวะความดันโลหิตสูง และภาวะหัวใจห้องบนเต้นก่อนเวลา (Premature Atrial Contraction, PAC) ก็มีความสัมพันธ์กับความเสี่ยงที่เพิ่มขึ้นนี้ด้วยเช่นกัน

การตรวจวินิจฉัยภาวะหัวใจเต้นผิดจังหวะสามารถทำได้โดยการตรวจคลื่นไฟฟ้าหัวใจ (Electrocardiography, ECG) ซึ่งเป็นวิธีที่ไม่รุกล้ำและใช้ตรวจการทำงานของหัวใจผ่านขั้วไฟฟ้าที่ติดบนผิวหนังผู้ป่วย อย่างไรก็

*ผู้ประพันธ์บรรณกิจ

ตามการแปลผลสัญญาณ ECG จำเป็นต้องอาศัยผู้เชี่ยวชาญ ซึ่งเป็นข้อจำกัดสำคัญสำหรับผู้ป่วยหรือบุคลากรทั่วไป

ด้วยเหตุนี้การใช้การเรียนรู้ของเครื่องจึงเป็นเครื่องมือที่เหมาะสม เนื่องจากมีศักยภาพในการวิเคราะห์ข้อมูลที่มีความซับซ้อน เช่น ECG ซึ่งมักมีรูปแบบที่หลากหลายและแตกต่างกันไปในแต่ละบุคคล ประกอบกับในปัจจุบันมีไมโครคอนโทรลเลอร์ (Microcontroller, MCU) ที่มีความสามารถมากขึ้นทำให้สามารถใช้โมเดลการเรียนรู้ของเครื่องขนาดเล็ก (TinyML) ให้สามารถทำงานบน MCU ได้

งานวิจัยนี้จึงมีเป้าหมายในการพัฒนาระบบจำแนกคลื่นไฟฟ้าหัวใจ 3 ชนิด ได้แก่ ภาวะหัวใจเต้นจังหวะปกติ (Normal sinus rhythm หรือชนิด N) ภาวะหัวใจเต้นก่อนเวลา (Premature Contractions หรือชนิด P) และภาวะหัวใจห้องบนสั่นพลิ้ว (Atrial Fibrillation หรือชนิด A) ซึ่งเป็นการตรวจจับแบบเวลาจริงด้วยไมโครคอนโทรลเลอร์ โดยใช้การเรียนรู้ของเครื่องโมเดล Extreme Gradient Boosting (XGBoost) ที่คณะผู้วิจัย [4] ได้เคยนำเสนอไว้ โดยงานวิจัยจะใช้โมเดลดังกล่าวมาเลือกลักษณะเด่นเพื่อหาลักษณะเด่นที่ดีที่สุดโดยวัดจากผลลัพธ์จากชุดข้อมูลทดสอบ จากนั้นจะทำการนำโมเดลเข้าไปในไมโครคอนโทรลเลอร์พลังงานต่ำเพื่อทดสอบการประมวลผลสัญญาณคลื่นไฟฟ้าหัวใจและการตรวจจับภาวะหัวใจเต้นผิดจังหวะแบบเวลาจริงเพื่อดูค่าความแม่นยำจากผลลัพธ์และสรุปผลด้วยเกณฑ์วัดผลทางสถิติ

2. ระเบียบวิธีวิจัยและวัสดุอุปกรณ์

ขั้นตอนวิธีการทำงานโดยรวมของระบบที่พัฒนาขึ้นเป็นดังแสดงในรูปที่ 1 โดยเริ่มจากฝั่งคอมพิวเตอร์ (PC) ซึ่งเป็นส่วนที่ใช้ในการพัฒนาและเตรียมโมเดลการเรียนรู้ของเครื่อง ขั้นตอนนี้เริ่มจากการคัดเลือกลักษณะเด่น (Feature Selection) โดยใช้โมเดล XGBoost ทดลองประมวลผลร่วมกับชุดลักษณะเด่นหลายแบบเพื่อค้นหาชุดลักษณะเด่นที่เหมาะสมที่สุด จากนั้นจึงเลือกชุดลักษณะเด่นที่ให้ค่าความแม่นยำในการตรวจจับสูงสุดมาใช้ จากนั้นการนำเข้าโมเดล (Model Deployment) ที่พัฒนาขึ้นจากฝั่งคอมพิวเตอร์ (PC) ไปยังฝั่งของไมโครคอนโทรลเลอร์พลังงานต่ำผ่านเครื่องมือ X-Cube AI (STMicroelectronics, USA)

ในการตรวจจับภาวะหัวใจเต้นผิดจังหวะแบบตามเวลาจริงโดยไมโครคอนโทรลเลอร์นั้นจะเริ่มต้นด้วยการรับสัญญาณคลื่นไฟฟ้าหัวใจแบบตามเวลาจริงที่ความถี่ 200 Hz เป็นระยะเวลา 30 วินาทีผ่านตัวแปลงสัญญาณแอนะล็อกเป็นดิจิทัล (ADC) ของไมโครคอนโทรลเลอร์ จากนั้นสัญญาณ ECG ที่ได้รับเข้ามาจะถูกประมวลผลเพื่อตรวจจับคลื่น QRS ซึ่งหลังจากพบคลื่น QRS แล้วจะทำการสกัดลักษณะเด่น (Feature Extraction) ที่มีประสิทธิภาพสูงต่อการจำแนกภาวะผิดปกติ และส่งต่อลักษณะเด่นไปยังส่วนการจำแนกประเภท (Classification) เพื่อแยกแยะภาวะหัวใจเต้นผิดจังหวะ ในขั้นตอนนี้ระบบจะใช้โมเดลการเรียนรู้ของเครื่องที่นำเข้าผ่านเครื่องมือ X-Cube AI โดยผลลัพธ์ที่ได้จะถูกนำไปสู่ขั้นตอนสุดท้ายคือการประเมินผลลัพธ์ (Result Evaluation) เพื่อวิเคราะห์

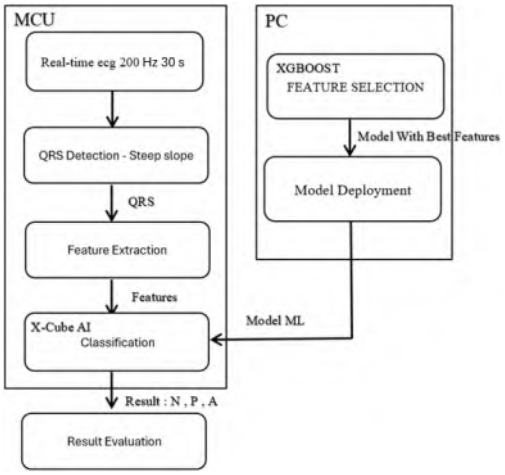

รูปที่ 1 แผนผังแสดงขั้นตอนการทำงานของระบบที่พัฒนาขึ้น

และตรวจสอบความแม่นยำของระบบในการตรวจจับภาวะคลื่นไฟฟ้าหัวใจผิดปกติ ได้แก่ หัวใจเต้นจังหวะปกติ (N), ภาวะหัวใจเต้นก่อนเวลา (P) และภาวะหัวใจห้องบนสั่นพลิ้ว (A) โดยมีการวัดผลด้วยเกณฑ์ทางสถิติ

2.1 การเลือกลักษณะเด่นด้วย XGBoost

ในงานวิจัยนี้จะใช้ชุดลักษณะเด่นจำนวน 7 ตัว [4] ที่สกัดมาจากฐานข้อมูลคลื่นไฟฟ้าหัวใจ 2 ชุดข้อมูล คือ MIT-BIH Arrhythmia Database และ Long-Term AF Database [5] โดยมีจำนวนตัวอย่างสำหรับชุดข้อมูลการฝึก 16,191 ส่วนย่อย (segments) และจำนวนตัวอย่างสำหรับชุดข้อมูลการทดสอบ 2,631 ส่วนย่อย ที่ใช้อัตราการสุ่มตัวอย่าง 200 Hz และแบ่งสัญญาณคลื่นไฟฟ้าหัวใจเป็นช่วงละ 30 วินาที โดยทดสอบกับลักษณะเด่นทั้งหมดจำนวน 7 ตัว ได้แก่ 1. ค่าเฉลี่ยของ RR interval (Mean RR) 2. ค่าเฉลี่ยของความแตกต่างของ RR interval (Mean ΔRR) 3. สัดส่วนของคู่ RR ที่มีผลต่างเกิน 20 มิลลิวินาที (pNN20) 4. ค่า Shannon Entropy ของ RR interval (ShEn RR) 5. ค่า Shannon Entropy ของความแตกต่างของ RR interval (ShEn ΔRR) 6. ค่าสัมประสิทธิ์ Sample Entropy ของช่วงเวลา RR (COSEn RR) 7. ค่าสัมประสิทธิ์ Sample Entropy ของค่าความแตกต่างของ RR interval (COSEn ΔRR)

เพื่อค้นหาชุดลักษณะเด่นที่ดีที่สุด จึงโดยทดสอบด้วยวิธีการจัดหมู่ (Combination) โดยใช้สมการที่ (1)

$$C(n,k) = \frac{n!}{k!\,(n-k)\,!} \tag{1}$$

โดย n คือ จำนวนลักษณะเด่นทั้งหมด k คือจำนวนลักษณะเด่นที่เลือกออกมา โดยเลือกกลุ่มลักษณะเด่นที่ไม่ซ้ำกันตั้งแต่ 3 ไปจนถึงทั้งหมด 7 ตัว โดยการคำนวณค่าของลักษณะเด่นจำนวน 7 ตัวนี้แบบตามเวลาจริงด้วยไมโครคอนโทรลเลอร์จะอธิบายในรายละเอียดในหัวข้อต่อ ๆ ไป

2.1.1 Extreme Gradient Boosting

โมเดล XGBoost ถูกใช้ในการประมวลชุดลักษณะเด่น ซึ่งอัลกอริทึมนี้จัดอยู่ในการเรียนรู้ของเครื่องแบบมีผู้สอน (supervised learning) โดย

อาศัยข้อมูลฝึกฝนซึ่งประกอบด้วยชุดลักษณะเด่นเพื่อสร้างแบบจำลองสำหรับทำนายตัวแปรเป้าหมาย (Target Variable) ซึ่งโมเดลนี้ใช้กลุ่มของต้นไม้ตัดสินใจ (Tree Ensemble) ซึ่งเป็นการสร้างโมเดลจากการรวมผลการทำนายของต้นไม้เพื่อการจำแนกและถดถอย (Classification and Regression Trees, CART) หลายต้นเข้าด้วยกัน ในทางคณิตศาสตร์โมเดลนี้สามารถแสดงได้ในรูปแบบของสมการที่ (2)

$$\hat{y}_i = \sum_{k=1}^{K} f_k(x_i), \quad f_k \in F \qquad (2)$$

ซึ่ง $\hat{y}_i$ คือ ค่าที่โมเดลทำนายสำหรับข้อมูลตัวที่ i ตัว K คือ จำนวนต้นไม้ทั้งหมดในโมเดล f_k คือ ฟังก์ชันที่แสดงโครงสร้างและการทำนายของต้นไม้ต้นที่ k ตัวแปร x_i คือ เวกเตอร์ของคุณลักษณะ (feature vector) ของข้อมูลตัวที่ i ตัวแปร F คือ เซตของต้นไม้ CART ทั้งหมด สำหรับกระบวนการเรียนรู้หรือการสร้างต้นไม้แต่ละต้นจะสร้างจากฟังก์ชันวัตถุประสงค์ (Objective Function) ดังในสมการที่ (3)

$$Obj = \sum_{i=1}^{n} l\left(y_i, \hat{y}_i^{(t)}\right) + \sum_{k=1}^{t} \omega(f_k) \qquad (3)$$

ฟังก์ชันดังกล่าวประกอบด้วยสองส่วนดังนี้ $l(y_i, \hat{y}_i)$ คือ ค่าความสูญเสียในการฝึกฝน (Training Loss) จะวัดความแตกต่างระหว่างค่าที่โมเดลทำนาย $\hat{y}_i$ กับค่าจริง y_i และรวมผลของข้อมูลทุกตัวตั้งแต่ตัวที่ 1 จนถึงตัวที่ n เพื่อให้ได้ค่าความผิดพลาดโดยรวมของโมเดล ส่วน $\omega(f_k)$ คือ ส่วนที่ควบคุมไม่ให้โมเดลมีความซับซ้อนมากเกินไปและรวมค่าความซับซ้อนของต้นไม้ทุกต้นตั้งแต่ต้นที่ 1 จนถึงต้นที่ t เพื่อป้องกันการเกิด Overfitting ของโมเดล

2.1.2 การประเมินประสิทธิภาพโมเดล

ในการประเมินประสิทธิภาพของโมเดลที่พัฒนาขึ้น ใช้ค่าทางสถิติตามรูปแบบนี้ True Positive (TP) คือ จำนวนผลบวกจริง False Positive (FP) คือ จำนวนผลบวกลวง FN (False Negative) คือ จำนวนผลลบลวง True Negative (TN) คือ จำนวนผลลบจริง หลังจากที่ได้ค่าทางสถิติจะใช้เกณฑ์การวัดผลด้วยตัวชี้วัดนี้ ได้แก่

ความเที่ยง (Precision) ใช้วัดข้อมูลทั้งหมดที่โมเดลทำนายว่าเป็นคลาสเป้าหมาย มีข้อมูลที่ถูกต้องอยู่เท่าไร โดยคำนวณได้จากสมการที่ (4)

$$Precision = \frac{TP}{TP + FP} \qquad (4)$$

ความไว (Recall) ใช้วัดความสามารถของโมเดลว่าในบรรดาข้อมูลที่เป็นคลาสเป้าหมายจริงทั้งหมด โมเดลสามารถตรวจจับได้ไวเท่าไร โดยคำนวณได้จากสมการที่ (5)

$$Recall = \frac{TP}{TP + FN} \qquad (5)$$

F1-Score เป็นค่าเฉลี่ยฮาร์มอนิกระหว่าง Precision และ Recall ใช้ในกรณีที่ต้องการให้ความสำคัญกับทั้งสองค่าเท่าๆกัน โดยคำนวณได้จากสมการที่ (6)

$$F1 - Score = 2 \times \frac{Precision \times Recall}{Precision + Recall} \qquad (6)$$

โดยการประเมินเพื่อเลือกใช้คุณลักษณะเด่นที่ดีที่สุดจะวัดจากชุดที่มีค่าความแม่นยำโดยรวม (Overall Accuracy) โดยวัดสัดส่วนของจำนวนที่โมเดลสามารถทำนายได้ถูกต้องต่อจำนวนข้อมูลทั้งหมด โดยคำนวณได้จากสมการที่ (7)

$$Accuracy = \frac{TP + TN}{TP + TN + FP + FN} \qquad (7)$$

2.1.3 ผลลัพธ์การหาชุดลักษณะเด่นที่ดีที่สุด

ในการทดลองเพื่อค้นหาชุดลักษณะเด่นที่ดีที่สุดจากทั้งหมด 7 ตัวนั้น สามารถสร้างชุดการจัดหมู่ (Combination) ที่แตกต่างกันได้เป็นจำนวนมาก เพื่อความกระชับจึงนำเสนอเฉพาะผลลัพธ์ของชุดการจัดหมู่ที่ดีที่สุดของแต่ละชุดลักษณะเด่น โดยสรุปผลลัพธ์ไว้ดังตารางที่ 1 โดยใช้หลักเกณฑ์การตัดสินใจจากค่าความแม่นยำบนชุดข้อมูลทดสอบที่สูงที่สุด

จากข้อมูลในตารางที่ 1 พบว่า ชุดลักษณะเด่นที่ประกอบด้วย 6 ตัว คือ mean RR, mean ΔRR, ShEn RR, ShEn ΔRR, COSEn RR และ COSEn ΔRR ให้ค่าความแม่นยำโดยรวมบนชุดข้อมูลทดสอบสูงที่สุด โดยมีค่าความแม่นยำบนชุดข้อมูลทดสอบสูงถึง 98.48 % แม้ว่าชุด 7 ตัวจะให้ค่าความแม่นยำสูงกว่าบนชุดข้อมูลฝึก ดังนั้นงานวิจัยนี้จึงเลือกใช้ชุดลักษณะเด่นจำนวน 6 ตัวเป็นชุดสุดท้าย เนื่องจากสะท้อนศักยภาพในการจำแนกบนข้อมูลใหม่ได้ดีกว่าและลดความเสี่ยงของการเกิด Overfitting ของโมเดล

2.2 การนำเข้าโมเดล

หลังจากได้โมเดลที่มีความแม่นยำเหมาะสมแล้ว ขั้นตอนต่อไปคือการนำโมเดลไปติดตั้งบนอุปกรณ์ไมโครคอนโทรลเลอร์ ในที่นี้จะใช้เครื่องมือ onnxmltools (ONNX organization, USA) เพื่อแปลงไฟล์โมเดลให้เป็นรูปแบบ ONNX (Open Neural Network Exchange) ซึ่งเป็นรูปแบบกลางที่ออกแบบมาเพื่อแลกเปลี่ยนโมเดลระหว่างแพลตฟอร์มต่างๆและเหมาะสำหรับนำไปปรับใช้ต่อบนระบบอุปกรณ์ฝังตัว

2.3 การเตรียมชุดข้อมูลทดสอบบนไมโครคอนโทรลเลอร์

เพื่อทดสอบประสิทธิภาพของโมเดลที่ติดตั้งบนไมโครคอนโทรลเลอร์ ได้ทำการเตรียมข้อมูลสำหรับทดสอบ ECG โดยใช้ข้อมูลจาก MIT-BIH Arrhythmia Database ซึ่งผ่านขั้นตอนการเตรียมข้อมูลดังนี้คือ ข้อมูลสัญญาณคลื่นไฟฟ้าหัวใจแต่ละตัวอย่างจะถูกแปลงให้มีอัตราสุ่มตัวอย่าง (resampling) เท่ากับ 200 Hz และมีความยาวชุดละ 30 วินาที ซึ่งข้อมูลจะไม่ซ้ำกับชุดข้อมูลฝึก ได้ทำการสุ่มเลือกสัญญาณมาทั้งสิ้น 150 ตัวอย่าง โดยแบ่งเป็น 3 กลุ่มอย่างชัดเจน ได้แก่ กลุ่มหัวใจเต้นจังหวะปกติ (N) จำนวน 50 ตัวอย่าง กลุ่มภาวะหัวใจเต้นก่อนเวลา (P) จำนวน 50 ตัวอย่าง และกลุ่มภาวะหัวใจห้องบนสั่นพลิ้ว (A) จำนวน 50 ตัวอย่าง

ตารางที่ 1 ตารางสรุปผลชุดลักษณะเด่น

ชุดลักษณะเด่น	ชื่อลักษณะเด่น	ค่าที่ใช้ในการประเมินในชุดข้อมูลฝึก (%)			
		Precision	Recall	F1	accuracy
		ค่าที่ใช้ในการประเมินในชุดข้อมูลทดสอบ (%)			
		Precision	Recall	F1	accuracy
3 ตัวที่ดีที่สุด	mean ΔRR COSEn RR COSEn ΔRR	97.82	97.82	97.82	97.82
		98.06	98.02	98.02	98.02
4 ตัวที่ดีที่สุด	mean ΔRR pNN20 ShEn RR COSEn RR	97.97	97.97	97.97	97.97
		98.40	98.37	98.37	98.37
5 ตัวที่ดีที่สุด	mean RR ShEn RR ShEn ΔRR COSEn RR COSEn ΔRR	97.87	97.87	97.87	97.87
		98.41	98.37	98.37	98.37
6 ตัวที่ดีที่สุด	mean RR mean ΔRR ShEn RR ShEn ΔRR COSEn RR COSEn ΔRR	99.11	99.11	99.11	99.11
		98.52	98.48	98.48	98.48
7 ตัว	mean RR mean ΔRR pNN20 ShEn RR ShEn ΔRR COSEn RR COSEn ΔRR	99.66	99.66	99.66	99.66
		98.23	98.17	98.17	98.17

2.4 อัลกอริทึมตรวจจับ QRS complex

ในการตรวจจับคลื่น QRS แบบตามเวลาจริงโดยไมโครคอนโทรลเลอร์ งานวิจัยนี้ใช้อัลกอริทึมที่อ้างอิงหลักการใช้ความชันของสัญญาณ (Steep Slope) ซึ่งถูกพัฒนาโดยคณะผู้วิจัย [6] โดยมีหลักการคือการคำนวณค่าความชันสัมบูรณ์ของสัญญาณ ECG แล้วนำไปเปรียบเทียบกับค่าเกณฑ์ (Threshold) แบบปรับตามสภาพที่เปลี่ยนแปลงไปตามลักษณะของสัญญาณที่ได้รับ อัลกอริทึมนี้มี 2 ช่วงหลักช่วงแรกคือช่วงเรียนรู้ (Learning Phase) โดยใช้ข้อมูลสัญญาณ ECG ในช่วงแรกเพื่อกำหนดค่าเกณฑ์ เพื่อใช้สำหรับช่วงที่สองซึ่งคือช่วงการตรวจจับ (Detection Phase) ที่จะตรวจจับ QRS ได้จากค่าที่เกิน ค่าเกณฑ์ที่กำหนดไว้และมีการปรับค่าเกณฑ์อย่างต่อเนื่องเพื่อใช้ตรวจจับ QRS ในสัญญาณคลื่นไฟฟ้าหัวใจลูกต่อไป

2.5 อัลกอริทึมสกัดลักษณะเด่น

ในส่วนนี้จะอธิบายถึงลักษณะเด่นต่างๆที่ถูกสกัดจากสัญญาณ ECG หลังผ่านกระบวนการตรวจจับ QRS complex แล้ว โดยอ้างอิงจากผลการทดลองในหัวข้อ 2.1.3 ซึ่งได้คัดเลือกชุดลักษณะเด่นที่ดีที่สุดมาใช้งาน ดังรายละเอียดในหัวข้อย่อยต่อไปนี้

2.5.1 ลักษณะเด่นเชิงเวลา

ลักษณะเด่นในกลุ่มนี้คำนวณจากระยะเวลาของช่วงคลื่นต่างๆหลังการตรวจจับตำแหน่งของ QRS complex แบบตามเวลาจริง โดยมีพื้นฐานจากค่าหลักดังนี้ RR interval คือ ระยะเวลาระหว่าง QRS complex สองจุดติดกัน ซึ่งคำนวณจากตำแหน่งของ QRS complex ลำดับที่ i +1 และ i ตามสมการที่ (8) โดย fs คือ อัตราการสุ่มตัวอย่างของสัญญาณ ECG (กำหนดไว้ที่ 200 Hz ในงานวิจัยนี้) ทำให้สามารถแปลงค่าระยะห่างระหว่างตำแหน่งให้เป็นหน่วยวินาทีได้

$$RR_i = \frac{QRS[i+1] - QRS[i]}{fs} \quad (8)$$

ค่าความแตกต่างของ RR (ΔRR) คือ ค่าความแตกต่างของ RR interval ที่อยู่ติดกัน ซึ่งคำนวณตามสมการที่ (9)

$$\Delta RR_i = RR_{i+1} - RR_i \quad (9)$$

จากค่าพื้นฐานทั้งสองนี้ สามารถนำมาหาค่าเฉลี่ยเพื่อใช้เป็นลักษณะเด่น mean RR และ mean ΔRR

2.5.2 ลักษณะเด่นเชิงเอนโทรปี

Shannon Entropy (ShEn) เป็นลักษณะเด่นวัดปริมาณความไม่แน่นอนของสัญญาณ ECG ซึ่งใช้การกระจายความน่าจะเป็นของข้อมูลซึ่งซึ่งคำนวณได้จากสมการที่ (10)

$$ShEn = -\sum_{i=1}^{N} p(i)\log_2 p(i) \quad (10)$$

โดยที่ N คือ จำนวน bin ใน histogram ของชุดข้อมูลเวลา และ $p(i)$ คือ ความน่าจะเป็นที่ค่าของสัญญาณจะอยู่ใน bin ที่ i ซึ่งค่าของ ShEn จะสูงขึ้นเมื่อการกระจายมีความไม่แน่นอนหรือคาดเดาได้ยาก และจะต่ำลงเมื่อการกระจายสามารถคาดเดาได้ง่าย จากการคำนวณ ShEn สามารถนำค่าที่ได้ไปใช้เป็นลักษณะเด่น ShEn RR และ ShEn ΔRR

Coefficient of Sample Entropy (COSEn) เป็นลักษณะเด่นที่ใช้ในการวัดความซับซ้อนของอนุกรมเวลา ที่คำนวณโดยการปรับแก้ค่า Sample Entropy (SampEn) ด้วยค่าความคลาดเคลื่อน r และค่าเฉลี่ยของช่วงเวลา RR ดังสมการที่ (11)

$$COSEn(x) = SampEn(x) - \ln(2r) - \ln(RR_{avg}) \quad (11)$$

โดยเราสามารถหา SampEn จากความน่าจะเป็นที่ลำดับข้อมูลสองชุดซึ่งมีความคล้ายคลึงกันภายในค่าความคลาดเคลื่อน r สำหรับความยาว m จะยังคงมีความคล้ายคลึงกันเมื่อเพิ่มความยาวเป็น m โดยคำนวณจากสมการที่ (12)

$$SampEn(m, r) = -\ln\left(\frac{A}{B}\right) \quad (12)$$

ซึ่ง A คือ จำนวนคู่ของรูปแบบที่มีความยาว m+1 ซึ่งมีระยะห่างระหว่างกันไม่เกินค่า r และ B คือ จำนวนคู่ของรูปแบบที่มีความยาว m ซึ่งมีระยะห่างระหว่างกันไม่เกินค่า r โดยค่า SampEn ที่ต่ำบ่งบอกถึงข้อมูลเป็นระเบียบและรูปแบบที่คาดเดาได้ที่ง่ายกว่า ในขณะที่ค่าที่สูงขึ้นแสดงถึงสัญญาณมีความซับซ้อนและคาดเดาได้ยาก

จากการคำนวณ COSEn แบบตามเวลาจริงโดยไมโครคอนโทรลเลอร์สามารถนำค่าที่ได้ไปใช้เป็นลักษณะเด่น COSEn RR และ COSEn ΔRR

2.6 อุปกรณ์และระบบที่ใช้ในการทดลอง

ในส่วนนี้จะอธิบายถึงอุปกรณ์ฮาร์ดแวร์และโครงสร้างของระบบฝังตัวที่ใช้ในการพัฒนาและทดสอบประสิทธิภาพของอัลกอริทึมวิเคราะห์สัญญาณ ECG แบบตามเวลาจริงดังแสดงในรูปที่ 2 แผนผังการออกแบบระบบฝังตัวสำหรับการประมวลผลสัญญาณ

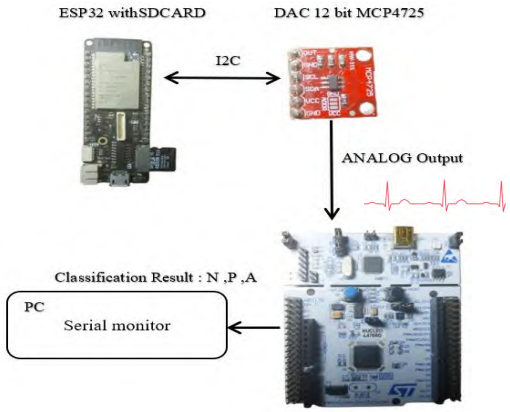

รูปที่ 2 การออกแบบระบบฝังตัวสำหรับการประมวลผล

2.6.1 ตัวจำลองสัญญาณ ESP32 D32 Pro

โมดูล ESP32 D32Pro (Espressif Systems (Shanghai) Co., Ltd., China) ซึ่งมีช่อง SD Card ในตัว ทำหน้าที่อ่านข้อมูลสัญญาณ ECG ที่จัดเก็บไว้ใน SD Card และส่งข้อมูลดิจิทัลนี้ไปยังโมดูล DAC ผ่านโปรโตคอล I²C เพื่อจำลองการเกิดสัญญาณอย่างต่อเนื่อง

2.6.2 ตัวแปลงสัญญาณ DAC MCP4725

โมดูล MCP4725 (Microchip Technology Inc., USA) เป็นตัวแปลงสัญญาณดิจิทัลเป็นแอนะล็อก (DAC) ความละเอียด 12 บิต ทำหน้าที่รับข้อมูลดิจิทัลจาก ESP32 และแปลงเป็นสัญญาณไฟฟ้าแอนะล็อก

2.6.3 หน่วยประมวลผลหลัก NUCLEO-L476RG

บอร์ด NUCLEO-L476RG (STMicroelectronics, France) ทำหน้าที่เป็นหน่วยประมวลผลหลักของระบบ โดยจะรับสัญญาณแอนะล็อก ECG จากโมดูล DAC จากนั้นแปลงกลับเป็นข้อมูลดิจิทัลด้วยตัวแปลงสัญญาณแอนะล็อกเป็นดิจิทัล (ADC) ที่อยู่ภายในเพื่อนำไปประมวลผลด้วยอัลกอริทึมที่พัฒนาขึ้น หลังจากการประมวลผลบอร์ดจะส่งผลลัพธ์จากการจำแนกออกมาเป็น N (หัวใจเต้นจังหวะปกติ), P (ภาวะหัวใจเต้นก่อนเวลา) และ A (ภาวะหัวใจห้องบนสั่นพลิ้ว) ผ่านพอร์ตอนุกรม (UART) ไปยังเครื่องคอมพิวเตอร์หรืออุปกรณ์แสดงผลภายนอกเพื่อแสดงผลลัพธ์แบบตามเวลาจริง

2.6.4 เครื่องมือแปลงโมเดล STM32 X-Cube-AI

X-Cube-AI เป็นเครื่องมือจาก STMicroelectronics ที่ใช้สำหรับแปลงโมเดลปัญญาประดิษฐ์ (AI Model) ที่สร้างจากเฟรมเวิร์กต่างๆ เช่น TensorFlow Lite ให้กลายเป็นโค้ดภาษา C ที่สามารถทำงานได้ที่สามารถทำงานได้บนไมโครคอนโทรลเลอร์ตระกูล STM32

ซึ่งโมเดล XGBoost ที่ผ่านการฝึกสอนแล้วและถูกแปลงให้อยู่ในรูปแบบ ONNX จะถูกนำไปเข้าเครื่องมือ X-Cube-AI เพื่อแปลงให้เป็นไลบรารีภาษา C ที่ปรับแต่งมาโดยเฉพาะ ไลบรารีดังกล่าวสามารถถูกนำไปผนวกรวมกับโปรแกรมหลักผ่าน STM32CubeMX และเรียกใช้งานฟังก์ชันสำหรับประมวลผลบนไมโครคอนโทรลเลอร์ STM32L476 ได้โดยตรง หลังจากการแปลงโมเดลพบว่าไลบรารีที่ได้ใช้ทรัพยากรหน่วยความจำของไมโครคอนโทรลเลอร์ชนิด Flash และชนิด RAM เท่ากับ 270.75 KiB (26.4%) และ 1.78 KiB (1.4%) ตามลำดับ

3. ผลการทดลอง

รูปที่ 3 แสดง Confusion Matrix ของผลการทดสอบโมเดลบนชุดข้อมูลทดสอบจำนวนทั้งหมด 150 ตัวอย่าง

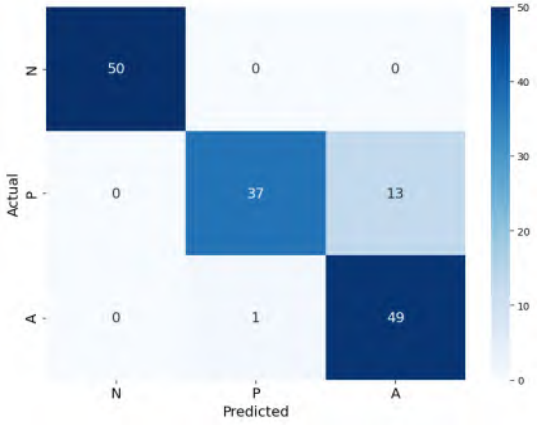

รูปที่ 3 แผนภาพ Confusion Matrix แสดงผลการทดสอบ

จากรูปที่ 3 สามารถวิเคราะห์ผลการทำงานของโมเดลในแต่ละคลาสได้ โดยในคลาส N (หัวใจเต้นจังหวะปกติ) โมเดลทายผลสัญญาณ N ทั้ง 50 ตัวอย่างได้ถูกต้องทั้งหมด ในคลาส P (ภาวะหัวใจเต้นก่อนเวลา) โมเดลสามารถทายผลถูกต้องว่าเป็นคลาส P จำนวน 37 ตัวอย่าง และทายผลผิดพลาดว่าเป็นคลาส A (ภาวะหัวใจห้องบนสั่นพลิ้ว) จำนวน 13 ตัวอย่าง ในคลาส A โมเดลสามารถทายผลถูกต้องว่าเป็นคลาส A จำนวน 49 ตัวอย่าง และทายผลผิดพลาดว่าเป็นคลาส P จำนวน 1 ตัวอย่าง ซึ่งสรุปค่า Precision, Recall, F1-score สำหรับแต่ละคลาสทั้งหมดลงในตารางที่ 2 ซึ่งนำมาคำนวณค่า Overall Accuracy ได้เท่ากับ 90.67%

ตารางที่ 2 ผลลัพธ์ทางสถิติของโมเดลในการจำแนกสัญญาณ

คลาส	Precision (%)	Recall (%)	F1-Score (%)
N	100	100	100
P	97.36	74	84.08
A	79.03	98	87.49

4. อภิปราย

งานวิจัยที่ใกล้เคียงกับงานวิจัยนี้คือ [7] ซึ่งพัฒนาระบบตรวจจับภาวะหัวใจเต้นผิดจังหวะบนอุปกรณ์ฝังตัวเช่นเดียว โดยได้ทำการเปรียบเทียบงานวิจัยทั้งสองนี้ดังตารางที่ 3

ตารางที่ 3 การเปรียบเทียบประสิทธิภาพบนอุปกรณ์ฝังตัวกับงานวิจัยอื่น

การเปรียบเทียบ	งานวิจัยนี้	งานวิจัยอื่น [7]
โมเดลการเรียนรู้ของเครื่อง	XGBOOST	VSDTLBP+SVM
ไมโครคอนโทรลเลอร์	STM32L476RG	STM32F413ZH
ภาวะหัวใจเต้นผิดจังหวะที่สามารถตรวจจับ	Atrial Fibrillation และ Premature Contractions	Atrial Fibrillation
Dataset ที่ใช้ในการฝึกและทดสอบโมเดล	MITBIH และ LTAF-DB	AFDB
หน่วยความจำแบบ Flash	270.75 KiB	132.86 KB
ความแม่นยำ (Accuracy) ในการตรวจจับ	90.67%	99.45%

จากตารางที่ 3 งานดังกล่าว [7] ได้ใช้โมเดล SVM ด้วยความแม่นยำสูงถึง 99.45% ด้วยขนาดโมเดล 132.86 KB อย่างไรก็ตามงานวิจัยดังกล่าวมุ่งเน้นการแก้ปัญหาแบบ 2 คลาส คือ Atrial Fibrillation และ Non-Atrial Fibrillation แต่ในงานวิจัยนี้ได้จัดการกับปัญหาที่ซับซ้อนขึ้นด้วยการจำแนกแบบ 3 คลาส โดยระบบได้ให้ค่าความแม่นยำบนอุปกรณ์ฝังตัวอยู่ที่ 90.67%

ดังนั้นแม้ว่าโมเดลที่พัฒนาขึ้นในงานวิจัยนี้จะมีขนาดใหญ่กว่าที่ 270.75 KiB และมีค่าความแม่นยำที่ต่ำกว่า แต่ระบบที่พัฒนาขึ้นสามารถตรวจจับความผิดปกติได้หลากหลายกว่า ซึ่งตอบโจทย์การใช้งานในโลกจริงที่ผู้ป่วยอาจมีภาวะหัวใจเต้นผิดจังหวะได้หลายรูปแบบ แต่อย่างไรก็ดี ข้อมูลคลื่นไฟฟ้าหัวใจที่นำมาใช้ของสองงานวิจัยนี้มาจากฐานข้อมูลที่แตกต่างกันจึงอาจไม่สามารถเปรียบเทียบประสิทธิภาพของระบบที่พัฒนาขึ้นทั้งสองนี้ได้อย่างแม่นยำ

5. สรุป

จากการทดสอบโมเดลบนระบบฝังตัวจริง พบว่าโมเดลมีความแม่นยำโดยรวม 90.67% ซึ่งแม้ว่าจะเป็นค่าประสิทธิภาพที่สูง แต่ยังต่ำกว่าผลลัพธ์ที่ได้จากการทดสอบบนชุดข้อมูลทดสอบในคอมพิวเตอร์ที่ได้ค่าความแม่นยำ 98.48% ซึ่งอาจมีสาเหตุมาจากปัจจัยหลายประการร่วมกัน เช่น อัลกอริทึม QRS detection ที่พัฒนาขึ้นสำหรับระบบฝังตัวอาจมีความแตกต่างกันเล็กน้อยจากอัลกอริทึมในงานวิจัยต้นฉบับ จึงส่งผลทำให้การสกัดลักษณะเด่นยังมีความคลาดเคลื่อน ชุดข้อมูลที่ใช้ทดสอบบนระบบจริงมีจำนวนเพียง 150 ตัวอย่าง ซึ่งอาจไม่เป็นตัวแทนของข้อมูลทั้งหมดได้และมีความเป็นไปได้ที่จะสุ่มเจอตัวอย่างสัญญาณที่มีความท้าทายในการจำแนกสูง นอกจากนี้กระบวนการแปลงสัญญาณจากดิจิทัลเป็นแอนะล็อก (DAC) และแปลงกลับเป็นดิจิทัล (ADC) ในระบบจริงย่อมมีสัญญาณรบกวนอาจส่งผลกระทบต่อประสิทธิภาพของโมเดลได้ โดยสรุปผลการทดลองนี้ยืนยันว่าโมเดลสามารถทำงานได้จริงบนระบบฝังตัว แม้ว่าประสิทธิภาพจะลดลงเมื่อเผชิญกับเงื่อนไขการทำงานและข้อจำกัดของอุปกรณ์ชนิดฝังตัวที่นำมาใช้งาน ซึ่งจะได้ทำการพัฒนาให้มีความถูกต้องในการตรวจจับคลื่นไฟฟ้าหัวใจแบบตามเวลาจริงบนไมโครคอนโทรลเลอร์พลังงานต่ำให้มีความถูกต้องเพียงพอและเหมาะต่อการใช้งานเป็นอุปกรณ์แบบสวมใส่ต่อไป

6. เอกสารอ้างอิง

[1] กองยุทธศาสตร์และแผนงาน สำนักงานปลัดกระทรวงสาธารณสุข. (2566). *สรุปรายงานการป่วย*. กรุงเทพฯ, ประเทศไทย: กระทรวงสาธารณสุข, 2566.

[2] I. Escudero-Martinez et al., “Atrial Fibrillation and Stroke: A Review and New Insights,” *Trends in Cardiovascular Medicine*, vol. 33, no. 1, pp. 23-29, 2023.

[3] U. Ofoma et al., “Premature Cardiac Contractions and Risk of Incident Ischemic Stroke,” *Journal of the American Heart Association*, vol. 1, no. 5, Art. no. e002519, 2012.

[4] T. Tearwattanarattikal et al., “ High-precision Rhythm-based Detection of Atrial Fibrillation and Frequent Premature Contractions using Extreme Gradient Boosting,” *2023 15th Biomedical Engineering International Conference (BMEiCON)*, Tokyo, Japan, 2023, pp. 1-5.

[5] A. L. Goldberger et al., “PhysioBank, PhysioToolkit, and PhysioNet: Components of a new research resource for complex physiologic signals,” *Circulation*, vol. 101, no. 23, pp. e215-e220, Jun. 2000.

[6] A. Teeramongkonrasmee et al.,“Performance of a QRS detector on self-collected database using a handheld two-electrode ECG,” in *2017 10th Biomedical Engineering International Conference (BMEiCON)*, IEEE, 2017, pp.1–5.

[7] M. Yazid et al., “Atrial Fibrillation Detection From Electrocardiogram Signal on Low Power Microcontroller,” *IEEE Access*, vol. 12, pp. 91590–91604, 2024

การพัฒนาการเรียนรู้ของเครื่องแบบฝังตัวร่วมกับการเพิ่มข้อมูลด้วยโครงข่ายปฏิปักษ์แบบรู้สร้าง เพื่อตรวจจับอาการชักเหม่อจากสัญญาณคลื่นไฟฟ้าสมอง

Development of Embedded Machine Learning with GAN-Driven Data Augmentation for EEG-Based Absence Seizure Detection

ฐาปกรณ์ โสภณพงษ์[1] อภิวัฒน์ เล็กอุทัย[1] สุรีย์ พุ่มรินทร์[2] อาภรณ์ ธีรมงคลรัศมี[2] กฤษณชัย ชมโท[3] และ ภาคภูมิ สมบูรณ์[1]

[1]หลักสูตรวิศวกรรมชีวเวช คณะวิศวกรรมศาสตร์ จุฬาลงกรณ์มหาวิทยาลัย
[2]ภาควิชาวิศวกรรมไฟฟ้า คณะวิศวกรรมศาสตร์ จุฬาลงกรณ์มหาวิทยาลัย
[3]กุมารเวชศาสตร์ คณะแพทยศาสตร์ จุฬาลงกรณ์มหาวิทยาลัย

บทคัดย่อ

งานวิจัยนี้นำเสนอการพัฒนาระบบตรวจจับอาการชักเหม่อ (Absence Seizure) โดยใช้เทคนิคการเรียนรู้ของเครื่องแบบฝังตัวจากสัญญาณคลื่นไฟฟ้าสมอง (Electroencephalography : EEG) โดยมีเป้าหมายเพื่อให้สามารถตรวจจับอาการชักแบบตามเวลาจริงด้วยไมโครคอนโทรลเลอร์พลังงานต่ำที่เหมาะสมกับการใช้งานในรูปแบบอุปกรณ์สวมใส่หรือพกพาได้ โดยได้นำข้อมูลสัญญาณ EEG มาผ่านกระบวนการกรองสัญญาณ การแบ่งช่วง และใช้เทคนิคโครงข่ายปฏิปักษ์แบบรู้สร้าง (Generative Adversarial Network: GAN) เพื่อเพิ่มปริมาณข้อมูลทดสอบและข้อมูลในการฝึกโมเดลโครงข่ายประสาทเทียมแบบ Long Short-Term Memory (LSTM) และทำการทดสอบโมเดลที่สร้างขึ้นด้วยสัญญาณ EEG จำนวน 4 ช่องสัญญาณ (F7, F8, T5, T6) จากนั้นลดจำนวนช่องสัญญาณเหลือ 2 และ 1 ช่องสัญญาณตามลำดับ เพื่อปรับขนาดของโมเดลให้สามารถนำเข้าสู่ระบบฝังตัวได้ นอกจากนี้ได้ทดลองกับหน้าต่างของสัญญาณขาเข้าทั้งสองขนาด คือ แบบ 2 วินาทีขยับทีละ 1 วินาทีและ 1 วินาทีขยับทีละ 0.5 วินาที โดยสัญญาณมีอัตราสุ่มตัวอย่าง 200 Hz เพื่อหาการตั้งค่าที่ดีที่สุดผลการทดลองพบว่าโมเดลที่พัฒนาขึ้นโดยใช้สัญญาณจากช่อง F7 และสัญญาณจากอาการชักจำลอง 698 วินาทีเป็นชุดฝึกนั้นสามารถตรวจจับช่วงเวลาที่เกิดอาการชักได้อย่างมีประสิทธิภาพโดยให้ค่าความไว 90.3% ความจำเพาะ 89.5% และสามารถนำโมเดลที่พัฒนาเข้าสู่ระบบฝังตัวได้โดยใช้หน่วยความจำ RAM 23.44 KiB และ หน่วยความจำ Flash 7.97 KiB ซึ่งแสดงให้เห็นถึงความเป็นไปได้ในการนำโมเดล LSTM มาใช้งานจริงบนไมโครคอนโทรลเลอร์พลังงานต่ำ เพื่อพัฒนาอุปกรณ์สวมใส่สำหรับตรวจจับอาการชักแบบตามเวลาจริง

คำสำคัญ: อาการชักเหม่อ, การเรียนรู้ของเครื่องแบบฝังตัว, ไมโครคอนโทรลเลอร์พลังงานต่ำ, อุปกรณ์วัดสัญญาณคลื่นไฟฟ้าสมองแบบพกพา, โครงข่ายปฏิปักษ์แบบรู้สร้าง

Abstract

This research presents a development of a system for detecting absence seizures using embedded machine learning techniques based on electroencephalogram (EEG) signals. The goal is to achieve real-time seizure detection using low-power microcontrollers suitable for wearable or portable devices. The EEG signals were processed through filtering, segmentation, and augmented with synthetic data generated by a Generative Adversarial Network (GAN) to increase both training and testing datasets. A Long Short-Term Memory (LSTM) neural network was employed for classification. The proposed model was tested using EEG signals from four channels (F7, F8, T5, and T6), which were subsequently reduced to two channels and then to a single channel in order to minimize the model size for embedded deployment. Additionally, experiments were conducted with window sizes of 2 seconds with a 1-second stride and 1 second with a 0.5-second stride, where each 1-second signal was sampled at 200 Hz, to identify the optimal configuration. The experimental results showed that the model developed using the F7 channel together with 698 seconds of synthetic seizure data as training input achieved effective detection performance, with a sensitivity of 90.3% and a specificity of 89.5%. Furthermore, the developed model was successfully deployed on an embedded system using only 23.44 KiB of RAM and 7.97 KiB of Flash. These findings demonstrate the feasibility of implementing LSTM models on low-power microcontrollers to develop wearable devices for real-time seizure detection.

*ผู้ประพันธ์บรรณกิจ

Keywords: Absence seizure, Embedded machine learning, Low-power microcontroller, Portable EEG device, Generative Adversarial Network (GAN)

1. บทนำ

โรคลมชัก (epilepsy) เกิดจากการรบกวนของกระแสประสาทในสมองที่ไม่สามารถควบคุมได้ ก่อให้เกิดการเคลื่อนไหว ความรู้สึก หรือพฤติกรรมที่อาจเปลี่ยนแปลงไปทั้งโดยรู้ตัวและไม่รู้ตัวโดยมีผู้ป่วยกว่า 50 ล้านคนทั่วโลกซึ่งทำให้โรคนี้จึงเป็นหนึ่งในโรคทางระบบประสาทที่พบบ่อยที่สุด โดยผู้ป่วยโรคนี้มีความเสี่ยงต่อการเสียชีวิตก่อนวัยอันควรสูงกว่าคนทั่วไปถึง 3 เท่า [1] อาการชักแบบเหม่อ (Absence seizure) เป็นอาการชักแบบหนึ่งที่เกิดขึ้นชั่วคราว ผู้ป่วยจะ “เหม่อลอย” โดยไม่รู้ตัว ไม่ตอบสนองต่อสิ่งกระตุ้น และอาจหยุดการกระทำกลางคัน ระยะเวลาของการชักแต่ละครั้งประมาณ 5-10 วินาที [2] โดยทั่วไปเกิดในเด็กแต่สามารถเกิดได้ทุกวัย และมักไม่ถูกสังเกตเห็น ทำให้การวินิจฉัยล่าช้าและไม่สามารถดูแลผู้ป่วยได้อย่างทันท่วงที

การวินิจฉัยอาการชักแบบเหม่อจะใช้การตรวจคลื่นไฟฟ้าสมอง (Electroencephalogram: EEG) ซึ่งจะตรวจจับรูปแบบคลื่นไฟฟ้าสมองผิดปกติ เช่น คลื่น 3 Hz spike-and-wave เป็นคลื่นที่บ่งบอกถึง EEG แบบชักเหม่อ โดยการตรวจสัญญาณคลื่นไฟฟ้าสมองในโรงพยาบาลยังมีข้อจำกัด เช่นระยะเวลาสั้น จึงอาจตรวจพบไม่อาการ ทางเลือกหนึ่งที่น่าสนใจคือ การใช้อุปกรณ์แบบสวมใส่ (Wearable Devices) เพื่อตรวจจับอาการชักแบบเวลาจริง โดยมีงานวิจัยที่ [3-4] ได้มุ่งเน้นไปที่การตรวจจับอาการชักทั่วไปอย่างมีประสิทธิภาพด้านพลังงาน โดยใช้โมเดลขนาดเล็กประเภท CNN และ LSTM ผ่านอุปกรณ์ไมโครคอนโทรลเลอร์พลังงานต่ำ เช่น Apollo3 และ MSP430 แม้จะได้ผลลัพธ์ที่ดี แต่ก็ยังไม่ครอบคลุมการตรวจจับอาการชักเหม่อและใช้สัญญาณ EEG หลายช่อง (4 ช่อง) ในการตรวจวัด ขณะที่มีงานวิจัย [5] ที่สามารถตรวจจับอาการชักเหม่อได้อย่างแม่นยำโดยใช้อุปกรณ์วัด EEG แบบคาดศีรษะโดยใช้สัญญาณ EEG 1 ช่องสัญญาณ (Fp1) ร่วมกับโครงข่ายประสาทแบบคอนโวลูชัน (CNN) ที่ทำงานตามเวลาจริงได้ โดยทำงานร่วมกับสมาร์ตโฟน และยังมีงานวิจัย [6] ที่ใช้ EEG 2 ช่องสัญญาณ (F7–T7 และ F8–T8) ซึ่งแม้จะได้ความแม่นยำที่สูงแต่การประมวลผลต้องอาศัยการเชื่อมต่อกับบริการคลาวด์ และงานวิจัย [7] ได้ใช้ EEG เพียงช่องสัญญาณเดียว (Fp1–F7) และสามารถตรวจจับอาการชักเหม่อได้โดยใช้ SVM แบบออฟไลน์ใน MATLAB แต่ยังไม่ได้ทดสอบใช้งานในอุปกรณ์จริง จากงานวิจัยดังกล่าวข้างต้น [6-7] มีข้อจำกัดหากการเชื่อมต่อคลาวด์มีปัญหา ดังนั้นอุปกรณ์ตรวจจับที่ใช้เทคนิคการเรียนรู้ของเครื่องแบบฝังตัว (Embedded Machine Learning) มีข้อดีหลายอย่าง เช่น พลังงานต่ำ ราคาไม่แพง ประมวลผลได้ทันที โดยไม่ต้องพึ่งการเชื่อมต่อคลาวด์ งานวิจัย [8] ได้แสดงให้เห็นว่าการฝังโมเดลการเรียนรู้ลงบนไมโครคอนโทรลเลอร์พลังงานต่ำคือ STM32L476 สามารถใช้ตรวจจับอาการชักได้จริง โดยใช้โมเดล Random Forest และสัญญาณ EEG 2 ช่อง (F7–T7 และ F8–T8) สำหรับการวิเคราะห์แบบเวลาจริงบนอุปกรณ์พกพา อย่างไรก็ตาม โมเดลการเรียนรู้ของเครื่องจากงานวิจัยนี้ยังมีข้อจำกัดด้านความสามารถในการเรียนรู้ความผันผวนที่เกิดขึ้นตลอดเวลา (temporal dynamics) ของสัญญาณ EEG และได้มีงานวิจัย [9] ที่นำเสนอการใช้โมเดล LSTM สำหรับตรวจจับการชักเหม่อโดยฝังลงบนไมโครคอนโทรลเลอร์ STM32L432KC พร้อมทดสอบการใช้ข้อมูล EEG ทั้งแบบ 21 ช่องและ 4 ช่อง (F7, F8, T5, T6) แต่ก็ยังมีความต้องการในการใช้ช่องสัญญาณจำนวนมากซึ่งอาจยังไม่เหมาะกับการนำไปใช้เป็นอุปกรณ์ในลักษณะพกพา

งานวิจัยนี้มีวัตถุประสงค์ในการพัฒนาระบบตรวจจับอาการชักเหม่อที่ใช้การเรียนรู้ของเครื่องแบบฝังตัว (Embedded ML) โดยใช้โมเดล LSTM ซึ่งเหมาะกับข้อมูลลำดับเวลา พร้อมทั้งใช้เทคนิคโครงข่ายปฏิปักษ์แบบรู้สร้าง (GAN) เพื่อเพิ่มข้อมูลสัญญาณ EEG เมื่ออาการชักสำหรับใช้เป็นชุดฝึกและชุดทดสอบเพื่อพัฒนาโมเดล และทำการทดลองเพื่อลดจำนวนช่อง EEG ให้เหมาะสำหรับการใช้งานเป็นอุปกรณ์แบบพกพาโดยใช้ไมโครคอนโทรลเลอร์พลังงานต่ำ สำหรับคนไข้ในโรคนี้ได้ต่อไป

2. วิธีการดำเนินงาน

2.1 การเลือกสัญญาณ EEG ที่นำมาใช้งาน

แผ่นโลหะขนาดเล็กที่เรียกว่า อิเล็กโทรด ซึ่งเชื่อมต่อกับสายนำสัญญาณ ซึ่งจะถูกติดไว้บนหนังศีรษะด้วยกาวชนิดที่สามารถลอกออกได้ โดยมีรูปแบบการติดตั้งอิเล็กโทรดตามระบบ 10/20 โดยตัวเลข 10/20 หมายถึงระยะห่างระหว่างอิเล็กโทรดคิดเป็น 10% หรือ 20% ของความยาวกะโหลกศีรษะในแนวต่างๆ ดังแสดงในรูปที่ 1

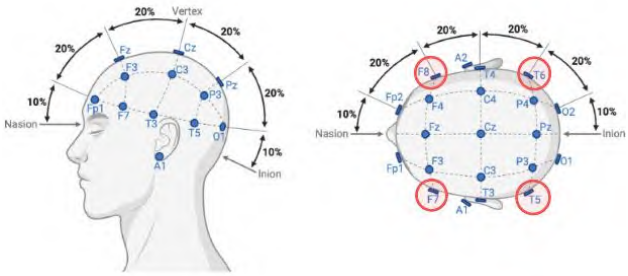

(ที่มา: https://www.biorender.com/template/eeg-electrode-positioning-1020-system)

รูปที่ 1 ระบบอิเล็กโทรดแบบ 10/20 และตำแหน่งที่เลือกใช้ในงานวิจัยนี้

โดยในงานวิจัยนี้จะเลือกใช้ 4 ช่องสัญญาณคือ F7, F8, T5 และ T6 เป็นตำแหน่งที่ครอบคลุมหลายบริเวณของสมองโดยอ้างอิงจากงานวิจัย [7-9] ที่สามารถใช้จุดเหล่านี้ในการตรวจจับอาการชัก โดยจะทำการทดสอบหาจำนวนช่องสัญญาณที่น้อยที่สุดเพื่อให้เหมาะสมกับการพัฒนาเป็นอุปกรณ์แบบพกพาโดยยังรักษาความแม่นยำในการตรวจจับการชักให้เพียงพอต่อการนำไปใช้งาน

2.2 การเพิ่มสัญญาณ EEG ด้วย GAN

โครงข่ายปฏิปักษ์แบบรู้สร้าง (Generative Adversarial Network : GAN) เป็นการใช้การเรียนรู้เชิงลึก (Deep learning) ในการเรียนรู้และจำลองข้อมูลขึ้นมาโดยมี 2 ส่วนหลักคือตัวสร้างและตัวแยกแยะทำงานควบคู่กันดังแสดงในรูปที่ 2 เพื่อให้ได้สัญญาณ EEG เทียมสำหรับใช้ในการฝึกโมเดลให้มีประสิทธิภาพมากยิ่งขึ้น โดยสัญญาณ EEG ที่สร้างขึ้นด้วย GAN เทียบกันสัญญาณจริงเป็นดังแสดงในรูปที่ 3

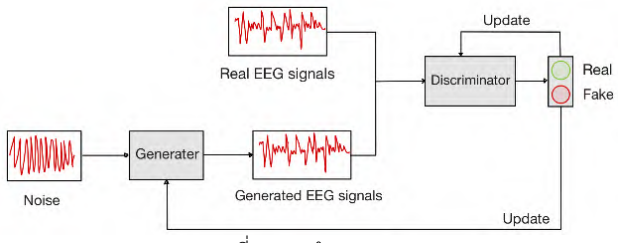

รูปที่ 2 การทำงานของ GAN

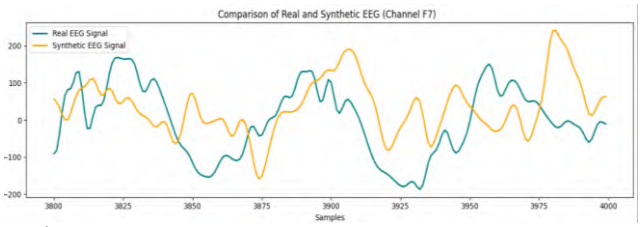

รูปที่ 3 การเปรียบเทียบสัญญาณของอาการชัก 1 วินาทีของช่องสัญญาณ F7 ระหว่าง EEG จริงและ EEG เทียมที่สร้างขึ้นจาก GAN

จากรูปที่ 3 แสดงให้เห็นว่ารูปแบบสัญญาณของสัญญาณจริงกับสัญญาณเทียมที่สร้างขึ้นด้วย GAN มีความใกล้เคียงกันซึ่งจะสามารถนำมาใช้แทนสัญญาณจริงเพื่อให้ชุดฝึกของโมเดลการเรียนรู้ของเครื่องได้ต่อไป

2.3 การฝึกโมเดลการเรียนรู้ของเครื่อง

ฝึกโมเดลโดยใช้สัญญาณ EEG ที่มีความถี่การสุ่มตัวอย่าง 200 Hz จาก 4 ตำแหน่งอิเล็กโทรดเป็นเวลา 1,503 วินาที โดยตัดช่วงวินาทีที่ 750 ถึงวินาทีที่ 1,300 เป็นข้อมูลสำหรับทดสอบโมเดลเนื่องจากเป็นช่วงที่มีปริมาณอาการชักเหม่อและอาการปกติเท่าๆ กัน จากนั้นทำส่วนที่เหลือมาแทรกด้วยสัญญาณชักจำลองที่สร้างด้วยโมเดล GAN ดังที่แสดงในรูปที่ 4 หลังจากนั้นนำข้อมูลที่แทรกด้วย GAN เสร็จแล้วไปใช้ฝึกโมเดล 2 แบบคือ 1. ฝึกโดยใช้สัญญาณที่มีขนาดหน้าต่าง 2 วินาทีขยับทีละ 1 วินาที 2. ฝึกโดยใช้สัญญาณที่มีขนาดหน้าต่าง 1 วินาทีขยับทีละ 0.5 วินาที โมเดลที่ใช้จำแนกคือ โครงข่ายประสาทเทียมแบบ Long Short-Term Memory (LSTM) และมีโครงสร้างโมเดลดังแสดงในรูปที่ 5

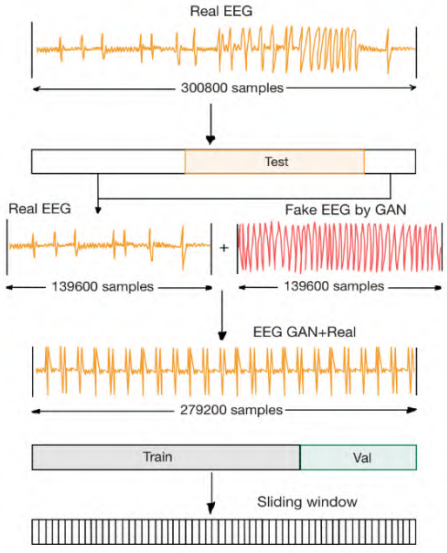

รูปที่ 4 การเตรียมข้อมูลสำหรับฝึกโมเดล

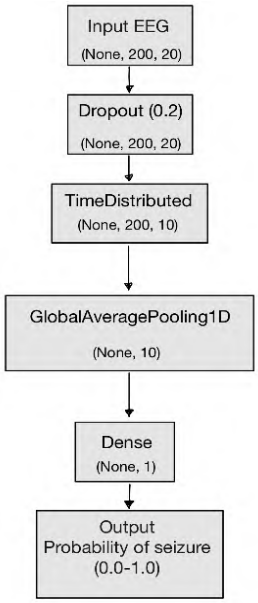

รูปที่ 5 โครงสร้างโมเดล LSTM

2.4 การนำโมเดลที่พัฒนาเข้าสู่ระบบฝังตัว

2.4.1 STM32CubeIDE

เป็นโปรแกรมพัฒนาสำหรับใช้ในการเขียนโค้ด, คอมไพล์, ดีบักและแฟลชโค้ดลงไปยังไมโครคอนโทรลเลอร์ตระกูล STM32 โดยใช้งานควบคู่ไปกับ X-CUBE-AI ซึ่งเป็นโปรแกรมที่ช่วยโดยแปลงโมเดลสำหรับฝังลงในไมโครคอนโทรลเลอร์เพื่อให้สามารถทำงานแบบตามเวลาจริงในระบบฝังตัว นอกจากนี้ยังช่วยในการคำนวนหน่วยความจำ RAM และ Flash ที่ใช้ได้อีกด้วย โดยโมเดลตัวอย่างที่พัฒนาและนำเข้าสู่ระบบฝังตัวจะใช้หน่วยความจำ 23.44 KiB RAM และ 7.97 KiB Flash ดังที่แสดงในรูปที่ 6

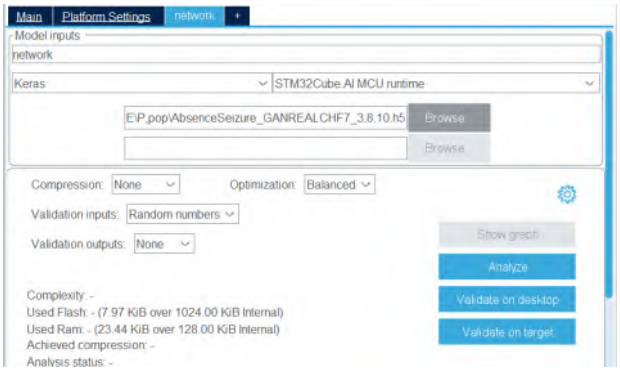

รูปที่ 6 ผลการประเมินของโมเดลจากช่องสัญญาณ F7 โดย X-CUBE-AI

2.4.2 Tera Term

เป็นโปรแกรมสำหรับสื่อสารกับอุปกรณ์อิเล็กทรอนิกส์หรือระบบฝังตัว (Embedded Systems) ใช้สำหรับตรวจสอบข้อความหรือดูผลการทำงานจากอุปกรณ์

จากรูปที่ 7 ค่าเอาต์พุตคือค่าความน่าจะเป็นที่โมเดลทำนายว่าเป็นอาการชัก ซึ่งหากมีค่ามากกว่าค่าที่กำหนดไว้ (ค่าขีดเริ่ม = 0.04) ระบบจะพิจารณาว่าเป็นสัญญาณ EEG ในช่วงที่เกิดอาการชัก

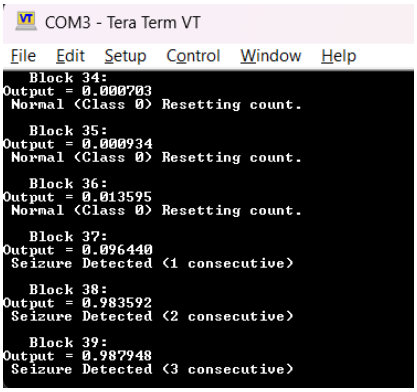

รูปที่ 7 ตัวอย่างการแสดงผลทำงานของโมเดลผ่าน Tera Trem

2.4.3 STM32L476

เป็นชิปตระกูล STM32L4 แบบพลังงานต่ำ ใช้แกน Cortex-M4F โดยทำงานที่ความถี่สูงสุด 80 MHz และมีหน่วยความจำ Flash ขนาด 1 MB และ RAM ขนาด 128 KB โดยรองรับการใช้งานกับ X-CUBE-AI สำหรับทดสอบโมเดลการเรียนรู้ของเครื่องบนไมโครคอนโทรลเลอร์ได้โดยมีขั้นตอนในการพัฒนาและการทำงานของการเรียนรู้ของเครื่องแบบฝังตัวดังแสดงในรูปที่ 8

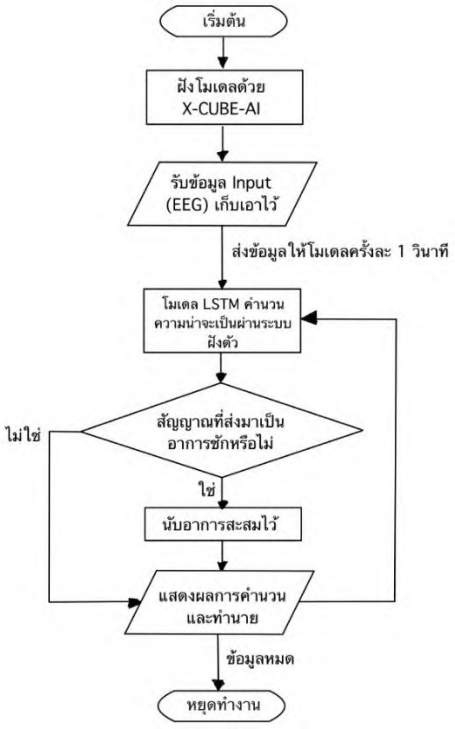

รูปที่ 8 flowchart การทำงานของระบบฝังตัว

3. ผลการทดลอง

หลังจากสร้างโมเดล LSTM โดยใช้สัญญาณจาก GAN ในการช่วยสร้างสัญญาณ EEG เทียมเพื่อเพิ่มปริมาณข้อมูลฝึก หลังจากนั้นนำไปทดสอบกับข้อมูลทดสอบ โดยในแต่ละโมเดลจะปรับค่าขีดเริ่มในการแยกแยะเอาต์พุตของโมเดล เพื่อให้โมเดลมีประสิทธิภาพสูงสุดในการตรวจจับการชักเหม่อ โดยตารางที่ 1 คือ ผลความแม่นยำของโมเดลใช้สัญญาณที่มีหน้าต่างขนาด 2 วินาทีขยับทีละ 1 วินาทีส่วนตารางที่ 2 สัญญาณที่มีหน้าต่างขนาด 1 วินาทีขยับทีละ 0.5 วินาทีในการฝึก

ตารางที่ 1 ความแม่นยำของโมเดลแต่ละช่องสัญญาณใช้หน้าต่างขนาด 2 วินาทีขยับทีละ 1 วินาทีในการฝึกโมเดล

โมเดล	Threshold	Sensitivity	Specificity	F1-score
F7, F8, T5, T6	0.04	87.4	86.7	76.6
F7, F8	0.005	93.3	92.3	86.0
F7, T5	0.05	92.6	90.1	83.1
F7, T6	0.1	91.1	90.3	82.6
F8, T5	0.01	90.4	89.1	80.8
F8, T6	0.03	90.4	89.3	81.1
T5, T6	0.03	85.9	86.0	75.1
F7	0.08	91.1	91.5	84.0
F8	0.03	91.1	89.1	82.0
T5	0.014	85.9	88.1	77.3
T6	0.08	87.4	89.8	80.0

ตารางที่ 2 ความแม่นยำของโมเดลแต่ละช่องสัญญาณใช้หน้าต่างขนาด 1 วินาทีขยับทีละ 0.5 วินาที ในการฝึกโมเดล

โมเดล	Threshold	Sensitivity	Specificity	F1-score
F7, F8, T5, T6	0.05	89.2	92.8	85.2
F7, F8	0.01	92.0	89.0	82.6
F7, T5	0.008	90.6	89.3	82.1
F7, T6	0.003	88.2	89.8	81.3
F8, T5	0.008	86.1	85.9	76.3
F8, T6	0.001	87.2	86.4	77.3
T5, T6	0.005	84.7	83.8	73.6
F7	0.08	90.3	89.5	82.1
F8	0.01	86.1	89.4	79.7
T5	0.08	85.4	84.4	74.9
T6	0.065	86.5	84.9	75.6

ผลการทดลองที่แสดงในตารางที่ 1 และ 2 พบว่าการจะลดจำนวนอิเล็กโทรดลงไม่ส่งผลให้ความแม่นยำลดลงเท่าใดนัก โมเดลที่มีความแม่นยำสูงและใช้ช่องสัญญาณน้อยคือโมเดลที่ใช้ช่องสัญญาณ F7 โดยมีความแม่นยำ (Accuracy) 91.9% ความไว (Sensitivity) 90.3% ความจำเพาะ (Specificity) 89.5% และ F1-score 82.1%

ตารางที่ 3 ความแม่นยำของโมเดลตำแหน่ง F7 ที่ผ่านการปรับ hidden units โดยใช้หน้าต่างสัญญาณขนาด 1 วินาทีขยับทีละ 0.5 วินาที ในการฝึกโมเดล

Hidden units	Threshold	Sensitivity	Specificity	F1-score
100	0.02	88.9	88.9	80.8
50	0.02	89.2	91.7	84.0
20	0.08	90.3	89.5	82.1

จากตารางที่ 3 แสดงให้เห็นว่าแม้จะปรับลด Hidden units แต่ความแม่นยำของโมเดลยังคงมีค่าไม่เปลี่ยนแปลงมากนักได้จึงใช้ Hidden units 20 เพื่อให้โมเดลมีขนาดเล็กลงเหมาะสมต่อการนำโมเดลไปใช้งานบนไมโครคอนโทรลเลอร์ได้ต่อไปเมื่อนำ model ไปฝังลงบนไมโครคอนโทรลเลอร์และทำทดสอบการตรวจจับอาการชักเหม่อจากสัญญาณ EEG ในช่องสัญญาณ F7 โดยใส่ข้อมูลสัญญาณ EEG ในช่วงเวลา 550 วินาที (test set) ในรูปแบบอาเรย์เข้าสู่หน่วยความจำของ STM32L4 เพื่อเป็น input ได้ผลการทดลองการตรวจจับช่วงที่เกิดการชักเหม่อมีความแม่นยำ (Accuracy) 88.9% ความไว (Sensitivity) 86.3% ความจำเพาะ (Specificity) 89.9% และ F1-score 86.7% โดยใช้หน่วยความจำ RAM 23.44 KiB และ Flash 7.97 KiB

4. สรุป

งานวิจัยนี้ได้โครงข่ายประสาทเทียมแบบ Long Short-Term Memory (LSTM) ในการตรวจจับการชักเหม่อจากสัญญาณคลื่นไฟฟ้าสมองร่วมกับการใช้โครงข่ายปฏิปักษ์แบบรู้สร้าง (GAN) ในการจำลองสัญญาณคลื่นไฟฟ้าสมองเพื่อเพิ่มปริมาณข้อมูลในการพัฒนาและทดสอบโมเดลการเรียนรู้ของเครื่อง โดยพบว่าโมเดลที่ใช้สัญญาณคลื่นไฟฟ้าสมองช่อง F7 ให้ความแม่นยำสูงและสามารถใช้สัญญาณจากช่องสัญญาณ F7 นี้เพียงช่องเดียวแต่ยังให้ประสิทธิภาพในการตรวจจับไม่ต่างจากการใช้สัญญาณจาก 2 หรือ 4 ช่องสัญญาณ จากนั้นได้นำโมเดลที่พัฒนาขึ้นไปฝังลงในไมโครคอนโทรลเลอร์ชนิดพลังงานต่ำเพื่อทดสอบประสิทธิภาพในการทำงาน จากทดสอบพบว่าโมเดลบนไมโครคอนโทรลเลอร์นี้สามารถตรวจจับการชักเหม่อได้อย่างเหมาะสมโดยมีความแม่นยำ (Accuracy) 88.9%, ความไว (Sensitivity) 86.3%, ความจำเพาะ Specificity 89.9% และ F1 score 86.7% โดยใช้หน่วยความจำ RAM 23.44 KiB และ Flash 7.97 KiB ซึ่งโมเดลที่พัฒนาขึ้นนี้น่าจะสามารถนำไปประยุกต์ใช้ในการตรวจจับอาการชักเหม่อแบบตามเวลาจริงได้ โดยคณะผู้วิจัยมีแผนงานในการนำข้อมูลจากกลุ่มคนไข้เพื่อทดสอบเพิ่มเติมและพัฒนาเป็นอุปกรณ์สวมใส่ที่ใช้กับผู้ป่วยจริงได้ในอนาคตต่อไป

กิตติกรรมประกาศ

ขอขอบพระคุณภาควิชากุมารเวชศาสตร์ คณะแพทยศาสตร์ จุฬาลงกรณ์มหาวิทยาลัย และศูนย์วิจัยวิศวกรรมชีวเวช คณะวิศวกรรมศาสตร์ จุฬาลงกรณ์มหาวิทยาลัย ที่กรุณาเอื้อเฟื้อข้อมูล อุปกรณ์ และสถานที่ในการดำเนินวิจัยนี้

เอกสารอ้างอิง

[1] World Health Organization, “Epilepsy,” Fact sheet, 2023.

[2] Mayo Clinic. (2023). *Absence seizure – Symptoms & causes.* Mayo Foundation for Medical Education and Research.

[3] F. Manzouri, S. M. R. Hashemi, M. Shoaran, and A. Aminifar, “A comparison of energy-efficient seizure detectors for implantable neurostimulation devices,” *Frontiers in Neurology*, vol. 12, p. 792367, 2022.

[4] M. Hugle, T. Beck, M. Hohmann, and M. Ortmanns, “Early seizure detection with an energy-efficient convolutional neural network on an implantable microcontroller,” in *Proc. Int. Joint Conf. on Neural Networks (IJCNN)*, 2018, pp. 1–7.

[5] G. Japaridze et al., “Automated detection of absence seizures using a wearable electroencephalographic device: A phase 3 validation study and feasibility of automated behavioral testing,” *Epilepsia*, vol. 63, no. 3, pp. 646–658, Mar. 2022.

[6] C. Chatzichristos et al., “Multimodal detection of typical absence seizures in home environment with wearable electrodes,” *Frontiers in Signal Processing*, vol. 2, p. 1014700, 2022.

[7] T. W. Kjaer, C. M. R. Sorensen, H. H. Oturai, and T. E. Lundtorp, “Detection of paroxysms in long-term, single-channel EEG monitoring of patients with typical absence seizures,” *IEEE Journal of Translational Engineering in Health and Medicine*, vol. 5, pp. 1–8, 2017.

[8] R. Zanetti, A. Aminifar, and D. Atienza, “Robust epileptic seizure detection on wearable systems with reduced false-alarm rate,” In *Proc. 42nd Annu. Int. Conf. of the IEEE Engineering in Medicine and Biology Society (EMBC)*, 2020, pp. 5970–5974.

[9] P. Chatchavalvong, S. Pumrin, P. Somboon, and K. Chomtho, “Absence seizure detection based on embedded machine learning,” In *Proc. 2024 8th Int. Conf. on Biomedical Engineering (iBioMed)*, Bandung, Indonesia, 2024, pp. 1–5.

ฐาปกรณ์ โสภณพงษ์ นิสิตหลักสูตรสหสาขาวิชาวิศวกรรมชีวเวช คณะวิศวกรรมศาสตร์ จุฬาลงกรณ์มหาวิทยาลัย

อภิวัฒน์ เล็กอุทัย อาจารย์ประจำภาควิชาวิศวกรรมไฟฟ้า คณะวิศวกรรมศาสตร์ จุฬาลงกรณ์มหาวิทยาลัย มีความสนใจด้านเครื่องมือแพทย์ การวิเคราะห์และประมวลผลสัญญาณทางชีวการแพทย์

สุรีย์ พุ่มรินทร์ อาจารย์ประจำภาควิชาวิศวกรรมไฟฟ้า คณะวิศวกรรมศาสตร์ จุฬาลงกรณ์มหาวิทยาลัย มีความสนใจทางด้าน คอมพิวเตอร์วิทัศน์และระบบฝังตัว

อาภรณ์ ธีรมงคลรัศมี ผู้ช่วยศาสตราจารย์ประจำภาควิชาวิศวกรรมไฟฟ้า คณะวิศวกรรมศาสตร์ จุฬาลงกรณ์มหาวิทยาลัย มีความสนใจทางด้าน ตัวตรวจรู้สัญญาณก๊าซเซนเซอร์ สิ่งประดิษฐ์สารกึ่งตัวนำ การวัดและเครื่องมือวัด

ภาคภูมิ สมบูรณ์ อาจารย์ประจำหลักสูตรสหสาขาวิชาวิศวกรรมชีวเวช คณะวิศวกรรมศาสตร์ จุฬาลงกรณ์มหาวิทยาลัย มีความสนใจทางด้าน อุปกรณ์ทางการแพทย์ ไบโอเซนเซอร์และการประมวลผลสัญญาณทางชีวการแพทย์

กฤษณชัย ชมโท อาจารย์ภาควิชากุมารเวชศาสตร์ คณะแพทยศาสตร์ จุฬาลงกรณ์มหาวิทยาลัย มีความสนใจทางด้านประสาทวิทยา

การศึกษาความสัมพันธ์ระหว่างสัณฐานวิทยาของสัญญาณโฟโตเพลทิสโมแกรมและการผันแปรของความดันโลหิตในผู้ที่มีสุขภาพดี

Study of the Relationship between Photoplethysmogram Morphology and Blood Pressure Fluctuations in Healthy Subjects

ปาลิดา ประจักษ์ชัยกุล และ อภิวัฒน์ เล็กอุทัย*

ภาควิชาวิศวกรรมไฟฟ้า คณะวิศวกรรมศาสตร์ จุฬาลงกรณ์มหาวิทยาลัย palida.prajakchaikul@gmail.com apiwat.l@chula.ac.th*

บทคัดย่อ

การวัดค่าความดันโลหิตแบบมาตรฐานที่ใช้ปลอกแขน เป็นกระบวนการที่ไม่สะดวกสบายเท่าใดนัก จึงมีความพยายามคิดค้นหาวิธีทางเลือก หนึ่งในวิธีที่นิยมคือ การใช้สัญญาณโฟโตเพลทิสโมแกรม (PPG) ทดแทนวิธีการวัดแบบใช้ปลอกแขนในปัจจุบัน งานวิจัยนี้มีวัตถุประสงค์เพื่อศึกษาหาความสัมพันธ์ระหว่างสัณฐานวิทยาของสัญญาณ PPG กับการผันแปรของค่าความดันโลหิตขณะที่หัวใจบีบตัว (SYS) และคลายตัว (DIA) เพื่อนำไปประมาณค่าความดันโลหิตเฉพาะบุคคลแบบไร้ปลอกแขน โดยใช้อาสาสมัครในกลุ่มสุขภาพดีจำนวน 10 คน ในการเก็บสัญญาณ PPG ผลการวิเคราะห์ในเชิงคุณภาพพบว่า ลักษณะรูปคลื่นสัญญาณ PPG มีแนวโน้มเปลี่ยนแปลงไปอย่างชัดเจนเมื่อความดันโลหิตมีค่าสูงขึ้น จากนั้นเป็นการใช้สมการวิเคราะห์การถดถอยเชิงเส้นในการสร้างความสัมพันธ์เชิงปริมาณ และใช้ค่าเบี่ยงเบนสัมบูรณ์เฉลี่ย (MAD) ในการประเมินความแม่นยำ พบว่าค่า MAD ของความดัน SYS เท่ากับ 5.47 ± 4.15 mmHg และของค่าความดัน DIA เท่ากับ 4.68 ± 3.54 mmHg เมื่อนำผลที่ได้เปรียบเทียบกับมาตรฐาน IEEE พบว่า ความดัน SYS และ DIA ที่ประมาณได้มีความแม่นยำในระดับเกรด B และเกรด A ตามลำดับ

คำสำคัญ: การวัดความดันโลหิตแบบไร้ปลอกแขน สัญญาณโฟโตเพลทิสโมแกรม การถดถอยเชิงเส้น

Abstract

Standard blood pressure measurement using an inflatable cuff is often inconvenient, prompting efforts to develop alternative methods. One widely explored approach is the use of photoplethysmogram (PPG) signals to replace the conventional cuff-based technique. This research aims to investigate the relationship between PPG morphology characteristics and fluctuation of systolic (SYS) / diastolic (DIA) blood pressure, with the goal of enabling personalized cuffless blood pressure estimation. PPG signals were collected from 10 healthy volunteers. Qualitative analysis revealed that the PPG waveform shape changes noticeably as blood pressure increases. Subsequently, linear regression analysis was employed to establish quantitative relationships, and the mean absolute difference (MAD) was used to evaluate accuracy. The results indicated that the MAD for SYS was 5.47 ± 4.15 mmHg, while the MAD for DIA was 4.68 ± 3.54 mmHg. Comparing these results to the IEEE standard, the estimated SYS achieved Grade B accuracy, and the estimated DIA achieved Grade A accuracy.

Keywords: Photoplethysmogram, Cuffless Blood Pressure Estimation, Linear Regression

1. บทนำ

โรคความดันโลหิตสูงถือเป็นภัยเงียบ เนื่องจากคนส่วนใหญ่เป็นโรคนี้โดยไม่รู้ตัว และหากปล่อยไว้โดยไม่ได้บำบัดรักษา อาจนำไปสู่โรคอื่นๆ ที่เป็นอันตรายต่อชีวิตได้ เช่น โรคหลอดเลือดในสมอง โรคอัมพาต โรคหัวใจขาดเลือด โรคไตวาย หลอดเลือดแดงใหญ่โป่งพอง เป็นต้น ข้อมูลจากกรมควบคุมโรคมีการประมาณการว่า 20% ของประชากรไทยในปัจจุบันเป็นโรคความดันโลหิตสูง [1]

ผู้ป่วยที่เป็นโรคนี้ จำเป็นต้องตรวจวัดความดันอย่างสม่ำเสมอ วิธีการวัดความดันแบบมาตรฐานในปัจจุบันคือ วิธีออสซิลโลเมตริกที่พบได้ในเครื่องวัดความดันแบบอัตโนมัติทั่วไป ซึ่งใช้งานง่ายเพียงกดปุ่มแค่ครั้งเดียว แต่หากจำเป็นต้องตรวจวัดความดันวันละหลายครั้ง ส่วนปลอกแขนที่พองลมจะบีบรัดต้นแขนผู้วัดให้แน่น ก่อให้เกิดความเจ็บปวดหรือเกิดรอยฟกช้ำขึ้นได้ กระบวนการดังกล่าวจึงไม่สะดวกสบายต่อผู้ป่วยเท่าใดนัก

ที่ผ่านมามีงานวิจัยจำนวนมากที่ศึกษาและคิดค้นวิธีการวัดความดันโลหิตแบบไร้ปลอกแขนเป็นวิธีทางเลือกเพื่อแก้จุดด้อยของวิธีมาตรฐาน สังเกตได้จากจำนวนอุปกรณ์แบบพกพาหลากหลายรูปแบบ เช่น สมาร์ตวอทช์ ที่ใช้กันแพร่หลายในปัจจุบันที่สามารถวัดความดันได้อย่างสะดวกสบายและต่อเนื่อง หากแต่มีข้อสงสัยในเรื่องความแม่นยำ หนึ่งในเทคนิคที่น่าจับตามองคือ การใช้สัญญาณโฟโตเพลทิสโมแกรม (Photoplethysmogram หรือ PPG) ในการประมาณค่าความดัน เนื่องจากสัญญาณ PPG สามารถแสดงถึงพลวัตของการทำงานของหัวใจและหลอดเลือดแดง ที่มีความสัมพันธ์ใกล้ชิดกับค่าความดันโลหิต นอกจากนี้ PPG เซ็นเซอร์ยังอินทิเกรตเข้ากับอุปกรณ์สวมใส่ได้อย่างง่ายดาย ทำให้การตรวจวัดความดันอย่างต่อเนื่องโดยไม่ต้องใช้ปลอกแขนด้วยเทคนิคการวัดสัญญาณ PPG ได้รับความสนใจอย่างกว้างขวางในแวดวงการแพทย์ [2]

*ผู้ประพันธ์บรรณกิจ

งานวิจัยนี้มีวัตถุประสงค์เพื่อศึกษาความสัมพันธ์ระหว่างลักษณะรูปร่างของสัญญาณ PPG ที่วัดจากปลายนิ้วมือกับค่าความดันโลหิตขณะที่หัวใจบีบตัว (systolic, SYS) และขณะที่หัวใจคลายตัว (diastolic, DIA) ที่เปลี่ยนแปลงทั้งในเชิงคุณภาพและในเชิงปริมาณ รวมถึงการพัฒนาขั้นตอนวิธีการประมวลผลแบบดิจิทัลเพื่อประมาณค่าความดันโลหิตแบบเฉพาะบุคคลด้วย PPG เพียงช่องสัญญาณเดียว

2. หลักการและทฤษฎีที่เกี่ยวข้อง

Photoplethysmography (PPG) คือกระบวนการวัดความเปลี่ยนแปลงของปริมาตรด้วยวิธีทางแสง สามารถใช้ในการตรวจวัดความเปลี่ยนแปลงปริมาณของเลือดในหลอดเลือดแดงซึ่งจะขยายและหดตัวตามจังหวะของชีพจร หลักการวัดสัญญาณ PPG มีองค์ประกอบสำคัญคือ ใช้แหล่งกำเนิดแสงจาก LED และใช้โฟโตไดโอด (photodiode, PD) ในการรับแสงดังรูปที่ 1 โดยสามารถวัดได้ 2 รูปแบบคือ โหมดส่องผ่าน และโหมดสะท้อนกลับ

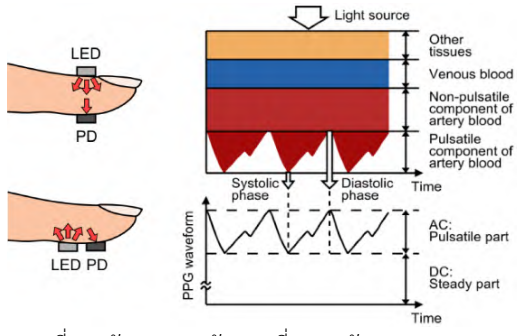

รูปที่ 1 หลักการตรวจวัด และที่มาของสัญญาณ PPG [3]

การวัดในโหมดส่องผ่าน LED และ PD จะอยู่ฝั่งตรงข้ามกัน เป็นโหมดที่สามารถเก็บสัญญาณได้คุณภาพดี จึงนิยมใช้ในอุปกรณ์ทางการแพทย์เช่น โพรบวัดความอิ่มตัวของออกซิเจนแบบหนีบนิ้ว แต่ข้อจำกัดคือ สามารถวัดกับอวัยวะส่วนที่แสงสามารถส่องผ่านได้ เช่น นิ้วมือ ติ่งหู เป็นต้น ส่วนการวัดโหมดสะท้อนกลับ LED และ PD จะอยู่ฝั่งเดียวกัน จึงสามารถวัดได้หลากหลายตำแหน่งมากขึ้น เช่น หน้าผาก ข้อมือ ต้นแขน พบเห็นทั่วไปในสมาร์ตวอทช์ แต่มีหลายปัจจัยที่ส่งผลต่อคุณภาพสัญญาณได้ ไม่ว่าจะวัดในโหมดใด สัญญาณ PPG ที่ได้จะแสดงถึงการขยายและหดตัวของเส้นเลือดแดงตามจังหวะของชีพจร

สัญญาณ PPG ที่ใช้ในงานวิจัยนี้ ได้มาจากการวัดในโหมดส่องผ่านที่ปลายนิ้วมือ โดยใช้โพรบทางการแพทย์ที่ใช้วัด SpO_2 รุ่น DS-100A (NELLCOR compatible) ที่ต่อเข้ากับอุปกรณ์ต้นแบบที่ประกอบด้วยวงจรขยายสัญญาณ และ NATIONAL INSTRUMENTS DAQ รุ่น USB-6001 ที่ใช้แปลงสัญญาณแอนะล็อกเป็นดิจิทัล (ADC 14-bit และความถี่ในการสุ่มตัวอย่าง 1 kHz) ที่พัฒนาขึ้นจากงานวิจัยก่อนหน้านี้ [4]

3. วิธีการดำเนินงาน

ภาพรวมของงานนี้แสดงในรูปที่ 2 เริ่มจากการเก็บตัวอย่างสัญญาณ PPG พร้อมกับวัดค่าความดันจากอาสาสมัคร จากนั้นนำสัญญาณที่บันทึกได้ไปประมวลผลแบบดิจิทัล เพื่อนำไปวิเคราะห์ในเชิงคุณภาพว่า ค่าความดันโลหิตที่เปลี่ยนแปลงไปนั้น มีผลต่อลักษณะรูปคลื่นของ PPG อย่างไร จากนั้นเป็นการหาความสัมพันธ์ในเชิงปริมาณระหว่างลักษณะเด่นต่างๆ ที่สกัดได้จาก PPG กับค่าความดัน สุดท้ายเป็นการทดสอบและประเมินความแม่นยำของค่าความดันที่ประมาณได้จากสัญญาณ PPG

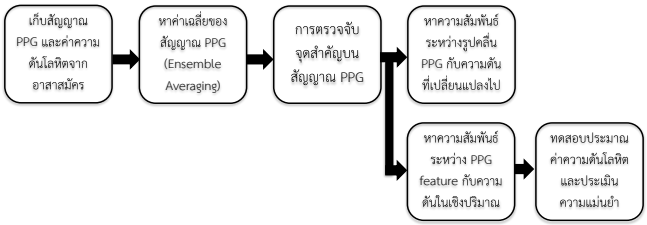

รูปที่ 2 ภาพรวมและขั้นตอนการดำเนินงานของงานวิจัยนี้

3.1 การเก็บสัญญาณ PPG และค่าความดันจากอาสาสมัคร

กลุ่มอาสาสมัครจำนวนทั้งหมด 10 คน เป็นผู้ที่มีสุขภาพดี (หมายถึงออกกำลังกายสม่ำเสมอ) ประกอบไปด้วย เพศชาย (อายุ 19-23 ปี) จำนวน 7 คน (อายุ 60 ปี) จำนวน 1 คน และเพศหญิง (อายุ 19-23 ปี) จำนวน 2 คน โดยมีขั้นตอนในการเก็บข้อมูลดังแสดงในรูปที่ 3

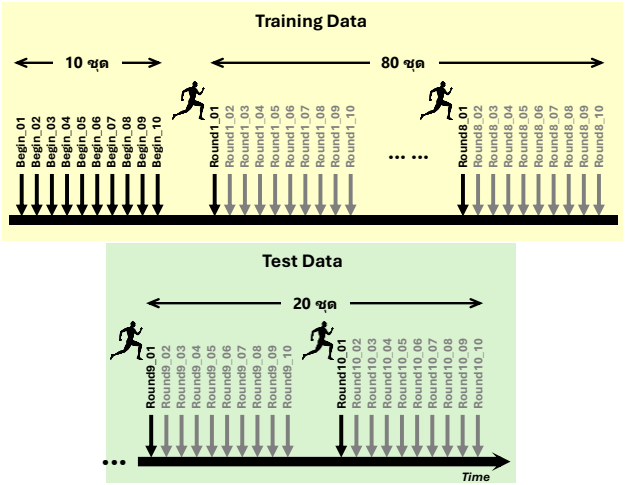

รูปที่ 3 ขั้นตอนและจำนวนการเก็บข้อมูล ต่ออาสาสมัคร 1 คน

อาสาสมัครในงานวิจัยนี้จะถูกเก็บสัญญาณ PPG ที่ปลายนิ้วข้างหนึ่งจากอุปกรณ์ต้นแบบ พร้อมกับการวัดค่าความดันโลหิตที่ต้นแขน (อีกข้างหนึ่ง) ด้วยเครื่อง OMRON รุ่น HEM-8712 ที่ผ่านการตรวจสอบความแม่นยำด้วยเครื่องจำลองสัญญาณชีพ FLUKE รุ่น ProSim 4 ได้ค่า MAD = 2 mmHg [4] โดยแต่ละคนจะถูกวัดสัญญาณจำนวนทั้งสิ้น 110 ชุด (ความยาวชุดละ 30 วินาที) ซึ่งประกอบไปด้วยข้อมูล 2 ส่วน ได้แก่

- ชุดข้อมูลเรียนรู้ (training data) จำนวน 90 ชุด แบ่งออกเป็น 2 ส่วน คือ 10 ชุดแรก วัดโดยให้อาสาสมัครนั่งนิ่งๆ ซึ่งเป็นการวัดสัญญาณและค่าความดันพื้นฐานในภาวะปกติ จากนั้น 80 ชุดหลัง มาจากการกระตุ้นให้อาสาสมัครเพิ่มความดันด้วยการวิ่งออกกำลังกาย (ระยะทางประมาณ 100-120 เมตร) จากนั้นจึงวัดสัญญาณต่อเนื่องกัน 10 ชุด และทำวนซ้ำเช่นนี้ 8 รอบ

- ชุดข้อมูลทดสอบ (test data) จำนวน 20 ชุด แบบกระตุ้นให้เพิ่มความดัน 10 ชุด และทำวนซ้ำ 2 รอบ ดังนั้นจึงได้จำนวนชุดข้อมูลในการเรียนรู้ ต่อชุดข้อมูลในการทดสอบ คิดเป็นอัตราส่วนประมาณ 82:18 สำหรับอาสาสมัคร 1 คน

3.2 หาค่าเฉลี่ยของสัญญาณ PPG แบบ Ensemble

ก่อนนำสัญญาณที่บันทึกจากอาสาสมัครไปประมวลผล จำเป็นต้องกำจัดสัญญาณรบกวนใน PPG ซึ่งได้แก่ สัญญาณรบกวนที่เกิดจากการเคลื่อนไหว และสัญญาณรบกวนจากไฟบ้าน 50 Hz ออกเสียก่อน ในงานนี้เลือกใช้ตัวกรองดิจิทัลแบบผ่านแถบที่มีความถี่ตัด 0.2-20 Hz ซึ่งเป็นไปตามคำแนะนำของ [5] เพื่อให้มีผลกระทบต่อความกว้างแถบความถี่ของ PPG น้อยที่สุดเท่าที่จำเป็น จากนั้นทำการตรวจจับจุดต่ำสุดของ PPG ในแต่ละคาบ เพื่อใช้เป็นจุดอ้างอิงในการตัดสัญญาณแต่ละคาบออกจากกัน

จากนั้นนำสัญญาณแต่ละคาบมาเรียงทับกันโดยใช้จุดสูงสุดของ PPG ในแต่ละคาบเป็นจุดอ้างอิงในการจัดเรียงรูปคลื่นแต่ละลูกให้ตรงกันตามแนวเส้นประดังแสดงในรูปที่ 4 ผลจากการนำ PPG ที่เรียงทับกันมาหาค่าเฉลี่ยจะได้ผลลัพธ์เป็น PPG 1 ลูก (เส้นสีดำหนา) ที่เป็นตัวแทนของสัญญาณทั้งชุด สุดท้ายเป็นการ normalized สัญญาณให้มีขนาดแอมพลิจูดระหว่าง 0-1 เท่ากันทั้งหมดเพื่อสามารถเปรียบเทียบการเปลี่ยนแปลงของลักษณะรูปคลื่นของสัญญาณในเชิงคุณภาพได้

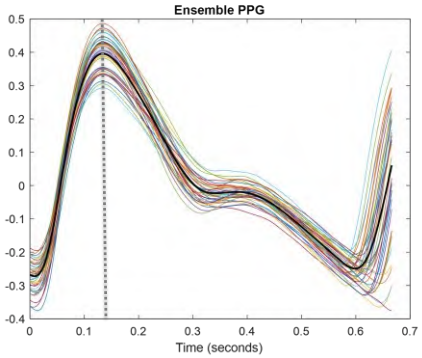

รูปที่ 4 ตัวอย่างการหาเฉลี่ยของสัญญาณ PPG แบบ Ensemble จากข้อมูล 1 ชุดที่มีความยาว 30 วินาที

3.3 การตรวจจับจุดสำคัญบนสัญญาณ PPG

Hasanzadeh และคณะ [6] ได้นิยามจุดสำคัญบนสัญญาณ PPG จำนวน 7 จุด ซึ่งได้แก่ First offset, Maximum slope, Systolic peak, Dicrotic notch, Inflection point, Diastolic peak และ Last offset ตามลำดับ ดังแสดงในรูปที่ 5

จากนั้นเป็นวิธีการตรวจจับจุดสำคัญ โดยใช้ความสัมพันธ์ของสัญญาณ PPG: $P(t)$, อนุพันธ์อันดับหนึ่ง: $dP(t)/dt$ และอนุพันธ์อันดับสอง: $d^2P(t)/dt^2$ ของสัญญาณ วิธีนี้สามารถตรวจจับจุดสำคัญบนสัญญาณ PPG ที่มีลักษณะแตกต่างกันได้หลายรูปแบบ ดังแสดงรูปที่ 6

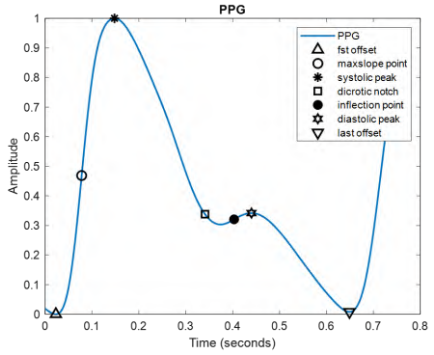

รูปที่ 5 จุดสำคัญบนสัญญาณ PPG จำนวน 7 จุด

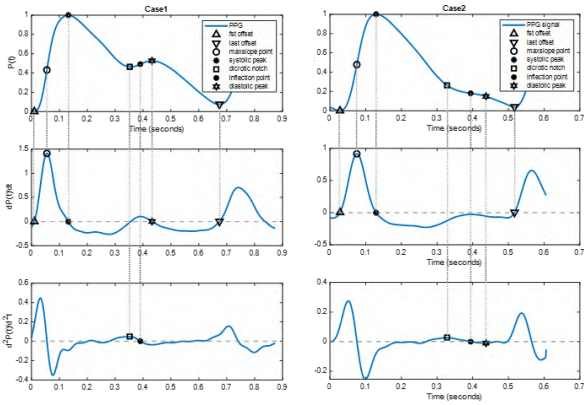

รูปที่ 6 ตัวอย่างการตรวจจับจุดสำคัญบน PPG ที่มีรูปแบบต่างกัน โดยใช้สัญญาณอนุพันธ์อันดับหนึ่ง และอันดับสองตามนิยามของ [6]

3.4 การสกัดลักษณะเด่น (Feature) จากสัญญาณ PPG

จากจุดอ้างอิงที่ตรวจจับได้จากสัญญาณ PPG ทั้ง 7 จุด นำมาใช้สกัดลักษณะเด่นได้ทั้งหมด 4 กลุ่มใหญ่ โดย feature บางส่วนได้แนวคิดมาจาก [6] และบางส่วนผู้วิจัยได้นิยามขึ้นเอง มีจำนวนทั้งหมด 21 ตัว ได้แก่

1) ขนาดแอมพลิจูด กล่าวคือ ความสูงในแนวแกน y ของจุดต่างๆ จำนวน 4 ตัว ได้แก่ จุด Maximum slope, Dicrotic notch, Inflection point และ Diastolic Peak (รูปที่ 7-ซ้าย)

2) ระยะห่างในแนวแกนเวลาระหว่างจุด 2 จุด จำนวน 6 ตัว ได้แก่ จุด Systolic→Diastolic peak, First→Last offset, Systolic peak→Inflection point, Maximum slope→Systolic peak, Systolic peak→Dicrotic notch และ First offset→Systolic peak (รูปที่ 7-ขวา)

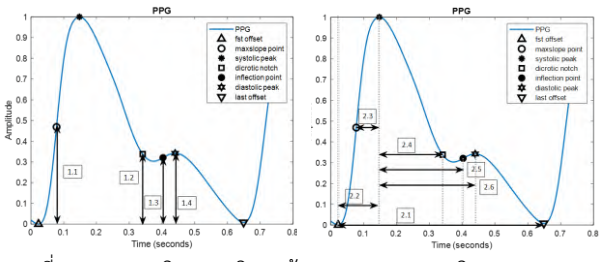

รูปที่ 7 feature เชิงแอมพลิจูด (ซ้าย) และ feature เชิงเวลา (ขวา)

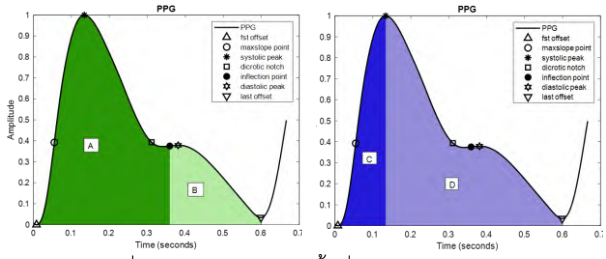

รูปที่ 8 ตัวอย่าง feature พื้นที่ใต้กราฟ (บางตัว)

3) พื้นที่ใต้กราฟระหว่างจุด 2 จุด จำนวน 9 ตัว ได้แก่ พื้นที่ใต้กราฟระหว่าง First offset→Systolic peak (*C*), Systolic peak→Dicrotic notch, Dicrotic notch→Inflection point, Inflection point→Diastolic peak, Diastolic peak→Last offset, First offset→Inflection point (*A*), Inflection point→Last offset (*B*), Systolic peak→ Last offset (*D*) และ First→Last offset ดังแสดงในรูปที่ 8 บางส่วน

4) อัตราส่วนระหว่างพื้นที่ใต้กราฟ จำนวน 2 ตัว ได้แก่ อัตราส่วน *B/A* (รูปที่ 8-ซ้าย) และ *D/C* (รูปที่ 8-ขวา)

4. ผลการทดลอง

4.1 ความสัมพันธ์เชิงคุณภาพระหว่างลักษณะรูปคลื่น PPG กับการเปลี่ยนแปลงความดันโลหิต

จากการวิเคราะห์โดยการสังเกตตำแหน่งของจุดสำคัญบนสัญญาณ PPG (ที่ผ่านการ normalized ขนาดแอมพลิจูดระหว่าง 0-1) ทั้ง 7 จุดที่มีแนวโน้มเปลี่ยนแปลงไปเมื่อความดันโลหิตสูงขึ้น (หมายเหตุ: ลำดับการเก็บข้อมูลหลังการวิ่งทำการวัด Round_01 ก่อน จึงมีความดันสูงสุด และลดลงเรื่อยๆ จนถึงการวัด Round_05 ซึ่งมีความดันต่ำสุด) ดังที่แสดงและอธิบายในรูปที่ 9-11 ซึ่งพบว่ามีแนวโน้มความเปลี่ยนแปลงทางสัณฐานวิทยาดังนี้

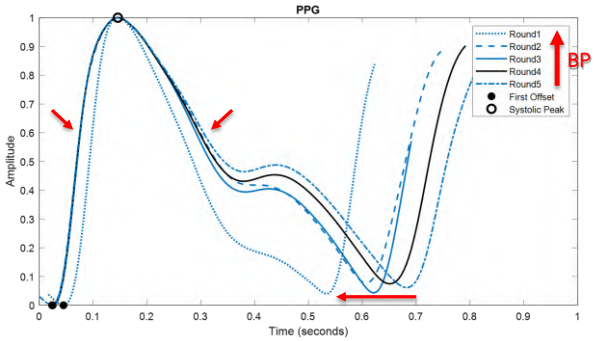

รูปที่ 9 กรณีตัวอย่างแนวโน้มของลักษณะรูปคลื่น PPG ที่แสดงถึง คาบของสัญญาณ PPG ที่สั้นลงเนื่องจากหัวใจเต้นเร็วขึ้น นอกจากนี้รูปคลื่นของ Systolic peak ยังมีแนวโน้มแคบลง หรือกล่าวได้ว่า Systolic peak มีความชันขาขึ้นและขาลงที่ชันมากขึ้น เมื่อความดันโลหิต (BP) มีค่าสูงขึ้นตามทิศทางลูกศร

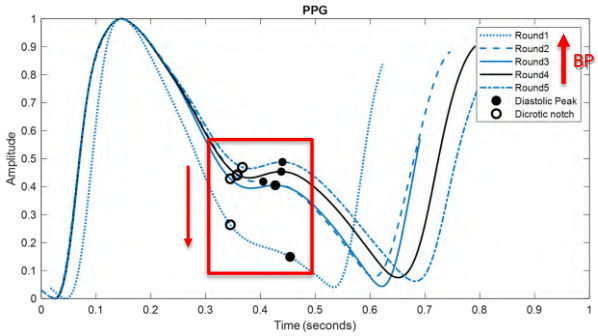

รูปที่ 10 กรณีตัวอย่างแนวโน้มของตำแหน่ง Dicrotic notch และ Diastolic peak ที่มีค่าแอมพลิจูดลดลงเรื่อยๆ ส่งผลให้ความชัดเจนของ Dicrotic notch (หรือตำแหน่ง local minimum) และ Diastolic peak (หรือตำแหน่ง local maximum) มีความชัดเจนลดลงจนหายไปได้เมื่อความดันโลหิต (BP) มีค่าสูงขึ้นตามทิศทางลูกศร

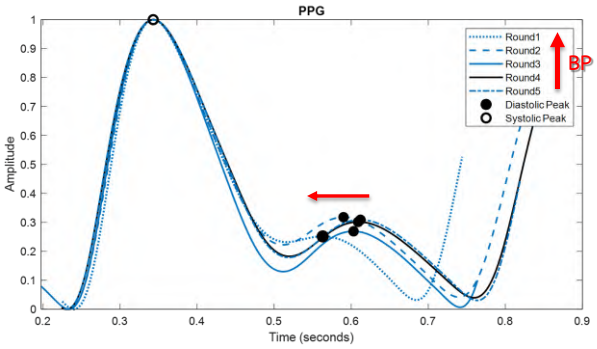

รูปที่ 11 กรณีตัวอย่างแนวโน้มของตำแหน่ง Diastolic peak ที่เลื่อนไปทางขวา ซึ่งหมายถึง ระยะห่างระหว่าง Systolic→Diastolic peak มีแนวโน้มสั้นลงเมื่อความดันโลหิต (BP) มีค่าสูงขึ้นตามทิศทางลูกศร

4.2 ความสัมพันธ์เชิงปริมาณระหว่าง PPG feature กับการเปลี่ยนแปลงความดันโลหิต

จาก PPG feature ที่สกัดขึ้นได้ในหัวข้อ 3.4 จำนวน 21 ตัวนี้ ได้ถูกนำวิเคราะห์การถดถอยเชิงเส้น (Linear Regression) ด้วยโปรแกรม SPSS เพื่อหาค่าสัมประสิทธิ์ของ feature แต่ละตัวว่า เมื่อความดันโลหิตมีค่าเพิ่มขึ้น มี feature ใดบ้างที่มีแนวโน้มเพิ่มขึ้นหรือมีแนวโน้มลดลง โดยทำการวิเคราะห์หาความสัมพันธ์ 2 ครั้ง กับค่าความดันขณะที่หัวใจบีบตัว (SYS) และขณะที่หัวใจคลายตัว (DIA) โดยใช้ชุดข้อมูลเรียนรู้

ผลการวิเคราะห์การถดถอยเชิงเส้นจากข้อมูลอาสาสมัครผู้ที่มีสุขภาพดีทั้ง 10 คน พบว่า PPG feature ที่สัมพันธ์กับการเปลี่ยนแปลงของค่าความดัน SYS มากที่สุด 2 อันดับแรก คือ Ratio_(B/A) และ Amp_Dias ตามลำดับดังตารางที่ 1-บน โดยเป็นความสัมพันธ์ในลักษณะผกผันทั้งคู่

ส่วน PPG feature ที่สัมพันธ์กับการเปลี่ยนแปลงของค่าความดัน DIA มากที่สุด 2 อันดับแรก คือ Area_Inf-Last และ Area_Dias-Last ตามลำดับดังตารางที่ 1-ล่าง โดยเป็นความสัมพันธ์ในลักษณะผกผันทั้งคู่เช่นกัน

ตารางที่ 1: ค่าสัมประสิทธิ์เชิงเส้นของ PPG feature 21 ตัวที่สัมพันธ์กับการเปลี่ยนแปลงของค่าความดัน SYS (บน) และความดัน DIA (ล่าง)

PPG features	Subj-01	Subj-02	Subj-03	Subj-04	Subj-05	Subj-06	Subj-07	Subj-08	Subj-09	Subj-10
Amp_Maxslope	9.22	17.46	1.84	49.19	2.39	-59.84	-9.67	44.45	-55.88	49.54
Amp_Dicro	-4.55	-5.23	-41.47	-33.84	-4.79	-8.90	26.75	1.21	-22.50	46.06
Amp_Inflection	-16.45	-11.22	-54.23	-67.27	-37.29	-22.33	19.85	-15.48	-37.33	14.75
Amp_Dias	-33.57	-15.31	-65.15	-72.42	-48.07	-30.72	-9.27	-48.93	-45.42	-24.58
Time_Sys-Dias	100.78	-10.93	56.55	-268.32	64.71	67.27	-49.34	-384.92	-184.61	-199.25
Time_Fst-Last	-22.68	-57.23	-115.71	-143.03	-123.02	-59.48	23.23	-160.72	-86.45	-45.88
Time_Sys-Inf	75.44	-70.28	216.43	-271.06	22.80	-184.13	43.20	-518.55	-162.15	-162.07
Time_Sys-Maxslope	-114.85	57.21	-669.24	-202.67	-539.41	282.43	143.14	-416.90	-59.66	-220.11
Time_Sys-Dicro	72.66	-11.74	218.42	-183.12	-12.19	10.80	123.64	-79.44	-201.87	66.47
Time_Fst-Sys	-54.43	81.43	-509.13	-142.50	-668.24	189.57	35.12	-505.55	-23.95	37.83
Area_Fst-Sys	-132.68	110.30	-1024.57	-224.20	-690.74	416.80	207.45	-747.52	-54.07	-209.56
Area_Sys-Dicro	119.63	-40.93	-164.97	-164.83	4.01	57.16	208.50	-143.68	-246.82	232.98
Area_Dicro-Inf	-245.85	-59.04	-866.90	-405.55	-21.36	-205.01	5.82	-203.17	-650.81	-227.07
Area_Inf-Dias	121.16	68.83	-881.48	-1149.38	-293.21	287.47	-201.07	-1345.11	-581.90	-364.59
Area_Dias-Last	-124.06	-84.52	-348.40	-319.85	-307.85	-157.20	24.87	-351.13	-240.54	-130.79
Area_Fst-Inf	29.04	-22.72	-239.48	-141.71	-120.46	81.68	155.49	-175.69	-142.74	61.81
Area_Inf-Last	-99.59	-80.31	-291.15	-329.81	-280.33	-118.46	11.08	-318.94	-207.04	-142.08
Area_Sys-Last	-20.10	-43.41	-187.29	-198.40	-149.45	-63.51	37.98	-119.90	-144.24	-65.79
Area_Fst-Last	-25.07	-28.47	-167.62	-167.17	-133.25	-25.61	36.13	-137.23	-116.23	-64.43
Ratio_(B/A)	-43.14	-35.42	-69.36	-92.77	-66.25	-42.43	-14.60	-66.88	-46.45	-42.55
Ratio_(D/C)	0.53	-3.07	-14.03	-16.57	-7.50	-8.51	1.68	-2.69	-12.20	0.88

PPG features	Subj-01	Subj-02	Subj-03	Subj-04	Subj-05	Subj-06	Subj-07	Subj-08	Subj-09	Subj-10
Amp_Maxslope	-6.36	23.08	-40.07	60.81	-78.48	-9.09	28.25	25.40	-99.68	35.20
Amp_Dicro	12.66	-9.65	3.45	-44.70	26.98	-2.52	13.79	-6.24	10.35	49.14
Amp_Inflection	6.60	-15.12	-0.28	-50.69	11.65	-3.51	11.53	-13.19	6.67	48.25
Amp_Dias	-6.35	-18.85	-4.19	-43.75	2.60	-7.63	-1.83	-32.63	4.11	39.82
Time_Sys-Dias	43.23	32.38	-115.73	-132.09	-188.99	22.85	-29.20	-280.52	-211.14	-77.70
Time_Fst-Last	-1.50	-49.56	-13.33	-72.46	-56.09	-43.41	6.56	-118.03	-37.20	15.33
Time_Sys-Inf	38.65	24.67	-72.34	-224.74	-173.87	-73.71	26.02	-404.22	-213.54	-37.60
Time_Sys-Maxslope	12.88	-53.02	33.11	-233.49	72.09	-64.22	-213.50	-319.52	231.21	-113.50
Time_Sys-Dicro	48.52	30.59	-68.74	-184.25	-53.71	41.95	70.43	-42.87	-250.73	60.34
Time_Fst-Sys	76.63	-14.14	18.78	-170.72	-92.32	-133.37	-106.00	-478.51	50.40	20.84
Area_Fst-Sys	14.56	-48.37	4.88	-248.22	23.16	-162.56	-201.38	-617.72	117.22	96.21
Area_Sys-Dicro	101.93	7.70	-36.63	-312.13	-0.84	51.24	99.66	-127.38	-225.66	206.67
Area_Dicro-Inf	-118.73	-72.05	-0.52	-298.25	118.83	-137.31	17.27	-260.94	-146.19	-2.29
Area_Inf-Dias	59.72	-19.80	-101.08	-511.39	-205.05	128.11	-118.00	-940.84	-72.00	-47.06
Area_Dias-Last	-23.04	-103.03	-21.28	-183.96	-33.89	-63.21	-3.54	-242.05	-43.69	83.80
Area_Fst-Inf	70.36	-28.64	-11.17	-197.85	62.08	-47.86	41.34	-159.37	-91.75	201.07
Area_Inf-Last	-15.58	-104.98	-21.35	-180.05	-41.37	-46.65	-10.89	-221.02	-36.06	70.22
Area_Sys-Last	12.71	-43.83	-13.90	-133.04	-4.09	-24.96	11.11	-93.23	-53.99	81.76
Area_Fst-Last	11.97	-36.92	-10.94	-115.14	-2.14	-29.51	4.35	-107.98	-39.14	71.71
Ratio_(B/A)	-15.12	-43.62	-6.41	-45.75	-14.58	-12.27	-10.20	-44.24	-1.30	9.93
Ratio_(D/C)	0.43	-1.22	-2.04	-9.88	-1.66	0.93	3.52	-2.05	-6.73	2.58

4.3 ทดสอบความแม่นยำของการประมาณค่าความดันโลหิต

จากผลวิเคราะห์การถดถอยเชิงเส้น ทำให้ได้ PPG feature ที่สัมพันธ์กับการเปลี่ยนแปลงความดัน SYS มากที่สุด 2 อันดับแรก และความดัน DIA มากที่สุด 2 อันดับแรก จึงนำมาทดสอบการประมาณค่าความดันโลหิตกับชุดข้อมูลทดสอบ โดยใช้ค่าเบี่ยงเบนสัมบูรณ์เฉลี่ย หรือ Mean Absolute Difference (MAD) ในการประเมินความแม่นยำดังสมการที่ 1

$$\text{ค่า MAD (mmHg)} = \frac{\sum_1^n |\text{ความดันจริง}_i - \text{ความดันจากการประมาณ}_i|}{\text{จำนวนข้อมูล } (n)} \quad (1)$$

ตารางที่ 2-บน แสดงค่า MAD ± SD ซึ่งแสดงถึงประสิทธิภาพในการประมาณค่าความดัน SYS ด้วย feature อัตราส่วนระหว่างพื้นที่ใต้กราฟ คือ Ratio_(B/A) ที่สามารถประมาณค่า SYS ได้แม่นยำที่สุด โดยมีค่าเบี่ยงเบนสัมบูรณ์เฉลี่ยเท่ากับ 5.47 ± 4.15 mmHg สำหรับการประมาณค่าความดัน DIA ด้วย feature พื้นที่ใต้กราฟระหว่างจุด 2 จุด คือ Area_Inf-Last ที่สามารถประมาณค่า DIA ได้แม่นยำที่สุด โดยมีค่าเบี่ยงเบนสัมบูรณ์เฉลี่ยเท่ากับ 4.68 ± 3.54 mmHg ดังแสดงในตารางที่ 2-ล่าง

ค่า MAD ที่คำนวณได้ หากนำไปประเมินเฉพาะในด้านความแม่นยำโดยอ้างอิงตามเกณฑ์มาตรฐานของ IEEE สำหรับอุปกรณ์วัดความดันโลหิตแบบพกพาที่ไม่ใช้ปลอกแขน [7] ซึ่งใช้เกณฑ์ดังต่อไปนี้: MAD ≤ 5 mmHg ได้เกรด A, MAD = 5-6 mmHg ได้เกรด B, MAD = 6-7 mmHg ได้เกรด C และ MAD ≥ 7 mmHg ได้เกรด D ดังนั้น ค่าความดัน SYS ที่ประมาณได้จาก Ratio_(B/A) มีความแม่นยำในระดับเกรด B และค่าความดัน DIA ที่ประมาณได้จาก Area_Inf-Last มีความแม่นยำในระดับเกรด A

ตารางที่ 2: PPG feature ที่สัมพันธ์กับการเปลี่ยนแปลงของค่าความดัน SYS (บน) และความดัน DIA (ล่าง) มากที่สุด 2 อันดับแรก โดยใช้ค่าเบี่ยงเบนสัมบูรณ์เฉลี่ย (MAD) เป็นตัวชี้วัด

SYS Estimation	ค่า MAD (mmHg)	± SD (mmHg)
Ratio_(B/A)	5.47	4.15
Amp_Dias	6.02	4.39

DIA Estimation	ค่า MAD (mmHg)	± SD (mmHg)
Area_Inf-Last	4.68	3.54
Area_Dias-Last	4.70	3.52

หากนำขั้นตอนวิธีและผลลัพธ์จากงานนี้ ไปเปรียบเทียบกับ Hasanzadeh และคณะ [6] ซึ่งเป็นที่มาของแนวคิดสำหรับกระบวนการสกัด feature ในงานนี้ พบว่างานทั้งสองมีความแตกต่างกันหลายด้าน ได้แก่ ที่มาของชุดข้อมูล ขั้นตอนวิธีในการประมวลผลสัญญาณ PPG ประเภทและจำนวน feature ที่ใช้ และวิธีการวิเคราะห์การถดถอย เป็นต้น จะเห็นได้ว่างานวิจัยนี้ใช้วิธีการที่มีความซับซ้อนน้อยกว่า หากเปรียบเทียบเฉพาะความแม่นยำของผลลัพธ์การประมาณค่าความดัน พบว่างานวิจัยนี้ได้ความแม่นยำของค่าความดัน SYS ในระดับที่สูงกว่า ส่วนค่าความดัน DIA ได้ความแม่นยำอยู่ในระดับดีมากเท่ากัน

เนื่องจากแนวคิดในการสกัด PPG feature ในงานนี้มาจากพารามิเตอร์ทางสัณฐานวิทยาที่มาจากสัญญาณที่ที่ผ่านการ normalized ขนาดแอมพลิจูดแล้วเท่านั้น อาจเป็นสาเหตุหนึ่งที่ทำให้ค่าความดัน SYS ยังแม่นยำในระดับปานกลาง แนวทางในการพัฒนาการประมาณค่าความดัน SYS ให้มีความแม่นยำสูงขึ้น อาจนำค่าแอมพลิจูดจริงของสัญญาณ PPG มาร่วมสร้างความสัมพันธ์แบบถดถอยด้วย เนื่องจากเป็นตัวแปรที่เกี่ยวข้องโดยตรงกับค่าความดันที่สูงขึ้นในทางสรีรวิทยา นอกจากนี้ยังสามารถเพิ่มจำนวน feature ของตัวแปรต้นในการวิเคราะห์การถดถอยให้มากกว่า 1 ตัวได้อีกด้วย

5. สรุป

งานวิจัยนี้ต้องการศึกษาความสัมพันธ์ระหว่างลักษณะรูปคลื่นของสัญญาณ PPG และการเปลี่ยนแปลงของความดันโลหิตทั้งในเชิงคุณภาพและเชิงปริมาณ โดยผู้วิจัยดำเนินการเก็บสัญญาณ PPG จากปลายนิ้วมือพร้อมกับค่าความดันอ้างอิงจากอาสาสมัครผู้ที่มีสุขภาพดีจำนวน 10 คน ผลการศึกษาพบว่า สัญญาณ PPG มีลักษณะรูปคลื่นที่เปลี่ยนแปลงไปเป็นแนวโน้มอย่างชัดเจนเมื่อความดันเพิ่มขึ้น จากนั้นได้สกัด feature จากสัญญาณ PPG จำนวน 21 ตัว เพื่อนำมาวิเคราะห์การถดถอยเชิงเส้นเพื่อหา feature เพียงตัวเดียวที่มีผลต่อการเปลี่ยนแปลงค่าความดัน SYS และ

ความดัน DIA มากที่สุด และนำ feature ที่ได้มาประมาณค่าความดัน ผลการทดสอบพบว่า สามารถประมาณค่าความดัน SYS และ DIA ได้แม่นยำในระดับเกรด B และ A ตามลำดับ ซึ่งถือว่าเป็นที่ยอมรับได้ในทางการแพทย์ งานวิจัยนี้แสดงให้เห็นว่า การสกัด feature เพียงไม่กี่ตัวจากสัญญาณ PPG ช่องเดียวเพื่อนำไปประมาณค่าความดันโลหิต เป็นวิธีการที่มีศักยภาพที่สามารถทดแทนการวัดความดันมาตรฐานแบบใช้ปลอกแขนในกลุ่มผู้ที่มีสุขภาพดีได้

6. กิตติกรรมประกาศ

งานวิจัยนี้เป็นการนำรายงานฉบับสมบูรณ์ของวิชา 2102499 โครงงานวิศวกรรมไฟฟ้า ปีการศึกษา 2565 มาเรียบเรียงขึ้นใหม่ ข้าพเจ้าขอขอบคุณกลุ่มอาสาสมัครทั้ง 10 ท่าน อันประกอบไปด้วยนิสิตคณะวิศวกรรมศาสตร์ จุฬาลงกรณ์มหาวิทยาลัย รวมทั้งญาติของลูกศิษย์ข้าพเจ้า ที่ได้สละเวลาอันมีค่าให้ผู้วิจัยได้เก็บตัวอย่างสัญญาณ PPG และตรวจวัดความดันโลหิต เพื่อนำมาเป็นชุดข้อมูลในการเรียนรู้ และทดสอบการประมาณค่าความดันโลหิต ทำให้งานวิจัยนี้สำเร็จลุล่วงตามวัตถุประสงค์ด้วยดี

เอกสารอ้างอิง

[1] กรมควบคุมโรค กระทรวงสาธารณสุข, “โรคความดันโลหิตสูง (Hypertention)” Accessed: 22 ส.ค. 2568. [Online.] Available: https://www.ddc.moph.go.th/disease_detail.php?d=52

[2] B. Henry, M. Merz, H. Hoang, G. Abdulkarim, J. Wosik, and P. Schoettker, “Cuffless Blood Pressure in clinical practice: challenges, opportunities and current limits.” *Blood pressure*, 33(1), 2024, 2304190.

[3] T. Tamura, Y. Maeda, M. Sekine, and M. Yoshida, “Wearable photoplethysmographic sensors — past and present.” *Electronics* 3.2, 2014, pp. 282-302.

[4] T. Vajanarat, and A. Lek-uthai, “A comparison of cuff-less blood pressure estimation between pulse arrival time and pulse transit time using photoplethysmography.” *2020 17th International Conference on Electrical Engineering/ Electronics, Computer, Telecommunications and Information Technology (ECTI-CON). IEEE*, 2020.

[5] J. Allen, and A. Murray, “Effects of filtering on multisite photoplethysmography pulse waveform characteristics” In *Computers in Cardiology*, 2004, pp. 485-488.

[6] N. Hasanzadeh, M. Ahmadi, and H. Mohammadzade, “Blood pressure estimation using photoplethysmogram signal and its morphological features.” *IEEE Sensors Journal*, 20(8), 2019, pp. 4300-4310.

[7] IEEE Standard Association, “IEEE standard 1708-2014 for wearable cuffless blood pressure measuring devices.” *IEEE Std*, 2014, pp. 1708-2014.

ปาลิดา ประจักษ์ชัยกุล สำเร็จการศึกษาระดับปริญญาตรี หลักสูตรวิศวกรรมบัณฑิต สาขาวิชาวิศวกรรมไฟฟ้า จากจุฬาลงกรณ์มหาวิทยาลัย ในปี พ.ศ. 2566 ปัจจุบันประกอบธุรกิจส่วนตัว

อภิวัฒน์ เล็กอุทัย ปัจจุบันเป็นอาจารย์ประจำภาควิชาวิศวกรรมไฟฟ้า คณะวิศวกรรมศาสตร์ จุฬาลงกรณ์มหาวิทยาลัย มีความเชี่ยวชาญด้านเครื่องมือแพทย์ การวิเคราะห์และประมวลผลสัญญาณทางชีวการแพทย์

การวัดอัตราการเต้นของชีพจรด้วยภาพวีดิทัศน์ส่วนใบหน้าจากกล้องดิจิทัล

Pulse Rate Measurement using Facial Video Images from a Digital Camera

คเณศร์ ตันติพิวัฒนสกุล และ อภิวัฒน์ เล็กอุทัย*

ภาควิชาวิศวกรรมไฟฟ้า คณะวิศวกรรมศาสตร์ จุฬาลงกรณ์มหาวิทยาลัย kanate.kik@gmail.com apiwat.l@chula.ac.th*

บทคัดย่อ

การตรวจวัดสัญญาณชีพถือเป็นพื้นฐานในการประเมินสุขภาวะเบื้องต้น งานวิจัยสมัยใหม่ได้ให้ความสนใจกับการวัดสัญญาณชีพแบบไร้การสัมผัสมากขึ้นเพื่อประโยชน์ในด้านต่าง ๆ ตั้งแต่ ด้านการแพทย์ และการบริการสุขภาพ ไปจนถึง วงการกีฬา หนึ่งในพารามิเตอร์ที่มีความสำคัญของสัญญาณชีพ คือ ค่าอัตราการเต้นของชีพจร ในโครงงานนี้จึงได้พัฒนาขั้นตอนวิธีในการวัดอัตราการเต้นของชีพจรแบบไร้การสัมผัส นั่นคือ วิธีโฟโตเพลทิสโมกราฟีระยะไกล (rPPG) จากภาพวีดิทัศน์ส่วนใบหน้าที่ได้จากกล้องความละเอียด 2K เปรียบเทียบกับเครื่องวัดความอิ่มตัวของออกซิเจนในโลหิต (pulse oximeter) เป็นค่าอ้างอิงของอัตราการเต้นของชีพจร วิธีการสกัดสัญญาณจากเฟรมภาพวีดิทัศน์อาศัยหลักการเปลี่ยนแปลงของความเข้มสีที่บริเวณผิวหนังซึ่งเกิดจากการขยายและหดตัวของเส้นเลือดแดงภายใต้ผิวหนัง เนื่องจากต้องการพัฒนาให้โปรแกรมสามารถแสดงค่าอัตราการเต้นของชีพจรแบบเวลาจริง จึงไม่สามารถใช้ขั้นตอนวิธีที่ซับซ้อนและใช้เวลาในการประมวลผลนานได้ กระนั้นก็ตาม การประเมินผลความแม่นยำด้วยค่าเฉลี่ยของผลต่างสัมบูรณ์ (MAD) พบว่าได้ค่า MAD เท่ากับ 2.20 ± 2.98 และ 2.71 ± 3.60 bpm ใน 2 กลุ่มตัวอย่าง คือ กลุ่มผิวสีปกติ 4 คน และ กลุ่มผิวสีเข้ม 2 คน ตามลำดับ ซึ่งจัดอยู่ในเกณฑ์มาตรฐานทางการแพทย์ที่ยอมรับได้

คำสำคัญ: การวัดสัญญาณชีพแบบไร้การสัมผัส, โฟโตเพลทิสโมกราฟีระยะไกล, อัตราการเต้นของชีพจร

Abstract

Vital signs monitoring is fundamental in assessing basic health status. Modern research has been interested in measuring contactless vital signs for various benefits ranging from medicine and healthcare services to sports. One of the essential parameters of vital signs is pulse rate. This project focuses on developing the process of measuring pulse rate using contactless methods, i.e. remote photoplethysmography (rPPG) from facial videos captured by a 2K resolution camera. The pulse oximeter was used as a reference for pulse rate measurement. The signal was extracted from the video frames using the principle of color intensity changes under the skin caused by the expansion and contraction of red blood vessels. To display real-time pulse rate values, a complex and time-consuming processing method could not be used. However, evaluating the accuracy using mean absolute difference (MAD) showed MAD values of 2.20 ± 2.98 and 2.71 ± 3.60 bpm for the two sample groups, which were a regular skin tone group of four volunteers and a tanned skin tone group of two volunteers, respectively. These values were acceptable for the medical standard criteria.

Keywords: Contactless Vital Signs Monitoring, Remote PPG (rPPG), Pulse Rate Measurement

1. บทนำ

อัตราการเต้นของชีพจร (pulse rate หรือ PR) เป็นหนึ่งในสัญญาณชีพ (vital signs) ที่บ่งบอกถึงกิจกรรมทางสรีรวิทยาของร่างกายและหัวใจ ใช้ชี้วัดสุขภาวะในเบื้องต้น และยังสามารถประยุกต์ใช้งานได้หลายด้าน เช่น การวินิจฉัยทางการแพทย์ การเฝ้าติดตามสุขภาพทางกายและสุขภาพจิตในชีวิตประจำวัน การกีฬาและชี้วัดสมรรถภาพทางกาย เป็นต้น การตรวจวัดอัตราการเต้นของชีพจรทำได้หลากหลายวิธี ได้แก่ วิธีทางกล เช่น การจับชีพจร หรือการวัดความดันโลหิต วิธีทางไฟฟ้า เช่น การวัดคลื่นไฟฟ้าหัวใจ หรือวิธีทางแสง เช่น การตรวจวัดชีพจรจากสัญญาณโฟโตเพลทิสโมแกรม (PPG) ที่ใช้ในสมาร์ตวอทช์ทั่วไป วิธีตรวจวัดเหล่านี้จำเป็นต้องเกิดการสัมผัสกับผิวหนังโดยตรง อย่างไรก็ตาม การวัดแบบมีการสัมผัสกับผิวหนังดังกล่าว อาจมีข้อจำกัดและไม่สะดวกสบายเท่าใดนัก เนื่องจากต้องอาศัยตัวเซ็นเซอร์ หรือโพรบ หรืออุปกรณ์พกพาที่สัมผัสเข้ากับจุดต่างๆ ของร่างกายในขณะที่ตรวจวัด

ด้วยข้อจำกัดที่กล่าวมาข้างต้น จึงนำมาสู่การคิดค้นวิธีการวัดอัตราการเต้นของชีพจรแบบไร้การสัมผัส (contactless) โดยใช้ศาสตร์ของคอมพิวเตอร์วิทัศน์ (computer vision) ที่เข้ามามีบทบาทสำคัญต่องานวิจัยในเชิงสุขภาพ งานชิ้นแรกที่ใช้ใบหน้าเป็นแหล่งในการสกัดข้อมูลกิจกรรมทางสรีรวิทยา ถูกเสนอเมื่อปี ค.ศ. 2007 [1] และมีการพัฒนาอย่างต่อเนื่องจนถึงปัจจุบัน ในช่วง 10 ปีที่ผ่านมา การวัดชีพจรแบบไร้การสัมผัสด้วยวิธีโฟโตเพลทิสโมกราฟีระยะไกล (remote photoplethysmography หรือ rPPG) กลายเป็นหัวข้อที่ได้รับความสนใจเป็นอย่างมาก จึงเกิดการพัฒนาขั้นตอนวิธีและเทคนิคที่หลากหลาย โดยเฉพาะกระบวนการสกัดสัญญาณ PPG จากเฟรมภาพบริเวณใบหน้าขึ้นมากมาย ซึ่งงานวิจัยแต่ละชิ้นต่างมีทั้งจุดเด่นและจุดด้อยในบริบทหรือข้อจำกัดของการทดลองที่แตกต่างกันไป จึงทำให้เกิดคำถามว่า ขั้นตอนวิธีใดจะ

*ผู้ประพันธ์บรรณกิจ

เหมาะสมหรือมีประสิทธิภาพที่สุดในการสกัดสัญญาณ PPG ระยะไกลจากบริเวณใบหน้า เพื่อหาอัตราการเต้นของชีพจรแบบเวลาจริงที่แม่นยำอยู่ในเกณฑ์ที่ยอมรับได้ ภายใต้สภาพแวดล้อมทางแสงภายในอาคารทั่วๆ ไป

งานวิจัยนี้จึงมีวัตถุประสงค์เพื่อศึกษาและเปรียบเทียบงานวิจัยด้าน rPPG ก่อนหน้านี้ เพื่อพัฒนาขั้นตอนวิธีในการวัดชีพจรแบบเวลาจริงอย่างมีประสิทธิภาพขึ้นเอง ด้วยภาพวีดิทัศน์ส่วนใบหน้าจากกล้องดิจิทัล โดยใช้ภาษา Python บนคอมพิวเตอร์โน้ตบุ๊กทั่วๆ ไป

2. หลักการและทฤษฎีที่เกี่ยวข้อง

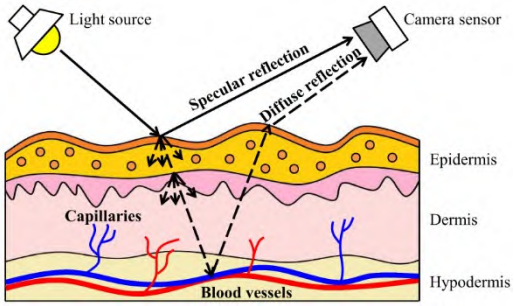

รูปที่ 1 หลักการตรวจวัด และที่มาของสัญญาณ rPPG [2]

Remote photoplethysmography (rPPG) หรือโฟโตเพลทิสโมกราฟีระยะไกล เป็นวิธีการทางแสงที่สามารถตรวจวัดการทำงานของหัวใจโดยไม่จำเป็นต้องสัมผัสร่างกาย rPPG มีหลักการทั่วไปเหมือนกับ PPG เพียงแต่แหล่งกำเนิดแสงและตัวรับแสงของ rPPG อยู่ในระยะห่างจากผิวหนังออกไป กล่าวคือ เป็นการตรวจจับการเปลี่ยนแปลงของสีผิวที่มีความละเอียดอ่อน ซึ่งเกิดขึ้นตามจังหวะการสูบฉีดของเลือด โดยใช้กล้องวีดิทัศน์ภาพสีที่มีความไวต่อหลายช่วงความยาวคลื่น ดังแสดงในรูปที่ 1

เมื่อมีแหล่งกำเนิดแสงส่องลงบนผิวหนังที่มีการไหลเวียนของเลือดตามจังหวะชีพจร แสงจะสะท้อนกลับไปยังกล้องที่บันทึกภาพวีดิทัศน์อยู่ระยะไกล จะได้สัญญาณภาพ 2 ส่วน คือ ส่วนที่สะท้อนจากผิวหนังโดยตรง (specular reflection) และส่วนที่เดินทางลงไปใต้ผิวหนังที่หลงเหลือจากการดูดกลืน โดยจะสะท้อนแบบแพร่กระจาย (diffuse reflection) ส่วนนี้เองที่แสดงการเปลี่ยนแปลงปริมาณของเลือดตามการขยายและหดตัวของเส้นเลือดแดงภายใต้ผิวหนัง [2] ส่วนความลึกของแสงที่สามารถเดินทางผ่านผิวหนังลงไปในร่างกายมนุษย์นั้นขึ้นอยู่กับความยาวคลื่น (λ) กล่าวคือ แสงที่มี λ ยาว เช่น สีแดงหรืออินฟราเรด จะเดินทางลงไปได้ลึกกว่าแสงที่มี λ สั้น เช่น สีฟ้าหรือเขียว ซึ่งไม่ว่าแสงจะเดินทางลงไปได้ไม่ว่าจะตื้นหรือลึก เนื้อเยื่อบริเวณนั้นถูกหล่อเลี้ยงไปด้วยเส้นเลือดแดงขนาดแตกต่างกันไป [3]

3. วิธีการดำเนินงาน

ภาพรวมของงานนี้ มีขั้นตอนวิธีที่ต่อเนื่องกันหลายขั้นตอนดังแสดงในบล็อกไดอะแกรมรูปที่ 2 โดยงานวิจัยนี้เลือกใช้กล้อง HIKVISION Webcam รุ่น DS-UL4 ที่มีความละเอียดของภาพระดับ 2K (max. resolution 2560 x 1440 @30 frame per second) ที่เชื่อมต่อกับคอมพิวเตอร์โน้ตบุ๊กทางพอร์ต USB เป็นตัวบันทึกภาพวีดิทัศน์ จากนั้นเข้าสู่กระบวนการตรวจจับใบหน้าเพื่อเลือกบริเวณที่น่าสนใจ (Region of Interest หรือ ROI) โดยจะประมวลผลเฉพาะใน ROI นี้เท่านั้นเพื่อสกัดสัญญาณ PPG จากเฟรมภาพ จากนั้นเข้าสู่กระบวนการ post-processing เพื่อปรับแต่งสัญญาณให้เหมาะแก่การประมวลผลในเชิงความถี่ เพื่อนำมาคำนวณค่าชีพจร

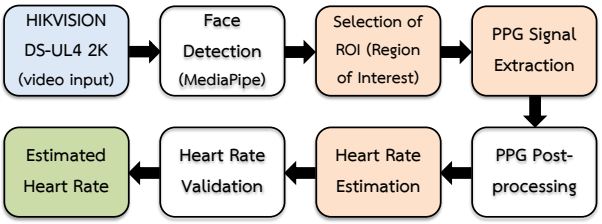

รูปที่ 2 ภาพรวมและขั้นตอนการดำเนินงานของงานวิจัยนี้

ผู้วิจัยได้เพิ่มกระบวนการประเมินค่าชีพจรด้วยเครื่องจักรสถานะจำกัด (Finite State Machine หรือ FSM) เพื่อตรวจสอบความถูกต้องของชีพจรที่คำนวณได้

สุดท้ายเป็นการทดสอบความแม่นยำของชีพจร โดยงานวิจัยนี้เลือกใช้อุปกรณ์วัดความอิ่มตัวของออกซิเจนในเลือดที่ปลายนิ้วมือ (pulse oximeter) แบบพกพา YUWELL รุ่น YX102 (pulse rate: 25-250 bpm, accuracy: ±1% or ±1bpm) เพื่อใช้เป็นค่าอ้างอิงของชีพจร

3.1 การตรวจจับใบหน้าด้วย MediaPipe

MediaPipe คือ เฟรมเวิร์กที่ใช้สร้างกระบวนการทำงานที่เป็นขั้นตอนอย่างต่อเนื่อง (Pipeline) ถูกพัฒนาโดย Google สามารถใช้งานได้ในคอมพิวเตอร์ส่วนบุคคล เซิร์ฟเวอร์ รวมทั้งในระบบปฏิบัติการ Android/iOS และในอุปกรณ์ฝังตัว เป็นต้น ใน MediaPipe มีแอปพลิเคชันทางด้านคอมพิวเตอร์วิทัศน์ ให้เลือกใช้มากมาย [4]

ในงานนี้ จะใช้แอปพลิเคชันการตรวจจับใบหน้า (face detection) เพื่อกำหนดกล่องขอบเขต (bounding box) และยังใช้การสร้างตาข่าย 3 มิติบนใบหน้า (face mesh) โดยจะเกิดจุดสังเกต 468 จุดแบบเวลาจริงบนใบหน้าเพื่อใช้บ่งบอกลักษณะเด่น (feature) ของใบหน้า

ทั้งกล่องขอบเขต และจุดสังเกต 468 จุดที่ตรวจจับได้บนใบหน้า จะนำไปใช้ประมวลผลเพื่อเลือกบริเวณที่สนใจ (ROI) ในขั้นตอนต่อไป

3.2 การเลือก ROI

ขั้นตอนนี้เป็นการเปรียบเทียบวิธีเลือก ROI ทั้ง 3 วิธี ได้แก่ บริเวณแก้ม (cheeks) วิธีหน้ากาก (masked face) และวิธีตรวจจับผิวหนัง (skin detector) ดังแสดงในรูปที่ 3 โดยใช้ความเสถียรของสเปกตรัมในโดเมนความถี่ รวมถึงการใช้อัตราเฟรมเรต (หน่วย fps) เป็นเกณฑ์ชี้วัดถึงภาระการคำนวณที่ยังสามารถประมวลผลในเวลาจริงได้

การเลือก ROI บริเวณแก้มมีการกล่าวถึงและถูกใช้งานค่อนข้างมากในงานวิจัยมากมาย อาทิเช่น [5, 6] ซึ่งกล่าวว่าบริเวณกระดูกแก้ม (malar region) เป็นบริเวณที่มีความสัมพันธ์กับการเปลี่ยนแปลงปริมาตรของเลือดตามชีพจรมากที่สุด จึงเหมาะแก่การนำไปสกัด rPPG ผลการทดสอบ

ปรากฏว่า บริเวณแก้มใช้เวลาประมวลผลเร็ว (30 fps) แต่สเปกตรัมในโดเมนความถี่ไม่เสถียรและมีความผันผวนมาก

รูปที่ 3 การเปรียบเทียบวิธีเลือกบริเวณที่สนใจ (ROI) ทั้ง 3 วิธี

การเลือก ROI ด้วยวิธีหน้ากาก เป็นการใช้ face mesh โดยตัดพื้นที่บริเวณเบ้าตาและปากออก ผลการทดสอบปรากฏว่า มีประมวลผลที่ซับซ้อนส่งผลทำให้เฟรมเรตตก (15 fps) แต่สเปกตรัมในโดเมนความถี่ค่อนข้างเสถียร

การเลือก ROI ด้วยวิธีตรวจจับผิวหนังถูกนำเสนอโดย [7] มีหลักการคือ กำหนดค่าขีดเริ่มหลายๆ ค่าของช่องสีต่างๆ ไว้ และถ้าค่าสีนั้นอยู่ในช่วงที่กำหนด พื้นที่นั้นจะถูกจัดว่าเป็นพื้นที่พิกเซลของผิวหนัง และมีโค้ดที่การพัฒนาไว้แล้วบนแพลตฟอร์ม GitHub [8] ผลการทดสอบปรากฏว่าวิธีนี้มีประสิทธิภาพสูงสุด เนื่องจากได้พื้นที่บนใบหน้าเป็นบริเวณกว้างและประมวลผลเร็ว (30 fps) อีกทั้งมีสเปกตรัมในโดเมนความถี่ที่เสถียรกว่า 2 วิธีก่อนหน้า

3.3 การสกัดสัญญาณ PPG

การสกัดสัญญาณ PPG จากเฟรมภาพหลังจากเลือก ROI นี้เป็นหัวใจสำคัญของกระบวนการสกัดชีพจร โดยวิธีส่วนใหญ่ใช้หลักการสกัดสัญญาณตามความเข้มของสี (color intensity-based signal extraction) ขั้นตอนนี้เป็นการเปรียบเทียบวิธีการสกัดสัญญาณ PPG 3 วิธี ได้แก่ วิธี Green Channel (GC), Plane-Orthogonal-to-Skin (POS) และ Chrominance-based (CHROM)

วิธีใช้ช่องสัญญาณสีเขียว (GC) เป็นวิธีการสกัดสัญญาณที่มีความซับซ้อนต่ำ โดยช่องสีเขียวจะมีความทนทาน (robustness) ของสัญญาณสูงสุด เนื่องจากออกซีฮีโมโกลบินสามารถดูดกลืนแสงในย่านแสงสีนี้ได้ดีที่สุด แต่เนื่องจากสัญญาณช่องสีเขียวที่ได้จากใบหน้ายังถูกรบกวนด้วยสีเขียวจากแหล่งอื่นอยู่ด้วย จึงต้องการกำจัดการรบกวนดังกล่าวนี้โดยใช้ตัวกรองแบบปรับตัวได้แบบ NLMS โดยอาศัยการหักล้างด้วยแสงสีเขียวจากพื้นหลัง [9] ผู้วิจัยได้นำโค้ดจาก [10] มาประยุกต์ใช้ ผลการทดสอบปรากฏว่า ใช้เวลาในการประมวลผลนาน (15 fps) และสเปกตรัมมีความไวต่อแสงมากที่สุด ทำให้ไม่เสถียร ต้องควบคุมแสงโดยรอบอย่างเข้มงวด

วิธี POS และ CHROM มีหลักการที่คล้ายคลึงกัน ดังแสดงในรูปที่ 4 โดยทั้งสองวิธีมีการแยกองค์ประกอบของสีในเชิงพื้นที่ใน 3 แกน ได้แก่ แกนความเข้มแสง (intensity) แกนแสงสะท้อน (specular) และแกน pulsatility ที่มีข้อมูลของชีพจรอยู่ แต่มีของการฉาย (projection) ทิศทางของสีที่แตกต่างกันในปริภูมิ normalized RGB นอกจากนี้ยังมีวิธีการจูนตัวแปรแอลฟา (α-tuning) เพื่อลดสัญญาณรบกวนที่แตกต่างกัน [11]

ผลการทดสอบวิธี POS ตามบทความ [2] พบว่า ใช้เวลาในการประมวลผลมากที่สุด เนื่องจากมีขั้นตอน sliding window ในการประมวลผล ทำให้ไม่สามารถใช้งานแบบเวลาจริงได้ แต่สัญญาณ PPG ที่สกัดได้เห็นชีพจรชัดเจนมากแม้ยังไม่ได้ผ่านวงจรกรองใดๆ

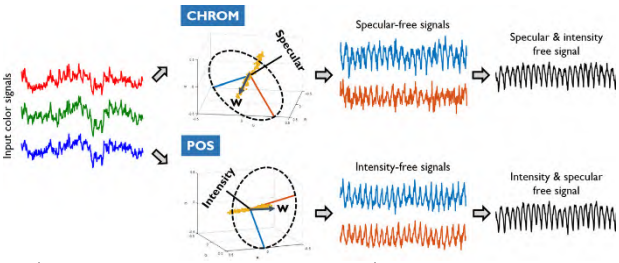

รูปที่ 4 เปรียบเทียบวิธี POS และ CHROM ที่แสดงการระนาบของการฉายทิศทางของสีที่แตกต่างกันในปริภูมิ normalized RGB [11]

ผลการทดสอบวิธี CHROM ตามบทความ [12] พบว่ามีประสิทธิภาพสูงสุด เนื่องจากมีความซับซ้อนน้อยกว่าวิธี POS จึงประมวลผลได้เร็ว (30 fps) และมีสเปกตรัมในโดเมนความถี่ค่อนข้างเสถียร

3.4 กระบวนการ PPG Post-processing

เนื่องจากกระบวนการพัฒนาขั้นตอนวิธีในงานนี้ มุ่งเน้นการประมวลผลแบบเวลาจริง สัญญาณ PPG ที่สกัดได้ในขั้นตอนที่แล้วจึงยังปนเปื้อนไปด้วยสัญญาณรบกวนทั้งความถี่ต่ำ/สูง และยังมีเฟรมเรตที่ไม่คงที่อีกด้วย จึงจำเป็นต้องปรับแต่งสัญญาณให้เหมาะสมก่อนการนำไปประมวลผลในเชิงความถี่ กระบวนการ post-processing มีขั้นตอนดังนี้

1) Detrend คือ การนำแนวโน้ม (trend) ออกจากชุดข้อมูลอนุกรมเวลา สามารถทำได้โดยวิธีทางสถิติหลายวิธี เช่น quadratic detrending, linear trending, Baxter-King filter เป็นต้น ในงานนี้ใช้วิธีแบบ linear ซึ่งค่าเริ่มต้นของคำสั่ง detrend ในภาษา Python

2) ตัวกรองแถบความถี่ผ่าน (bandpass filter) โดยต้องเลือกช่วงความถี่ตัดที่เหมาะสม สำหรับการวัดชีพจร งานวิจัยส่วนใหญ่ใช้แถบผ่านอยู่ในช่วง 0.7-4 Hz [13] หรือสามารถคิดเป็นค่าอัตราการเต้นของชีพจรต่ำสุดและสูงสุด คือ 42-240 bpm ตามลำดับ

3) Interpolation เป็นวิธีการประมาณจุดที่ไม่ทราบค่าระหว่าง 2 จุดข้อมูลที่ทราบค่า นิยมใช้เพื่อประมาณจุดข้อมูลที่หายไปในระหว่างการประมวลผลข้อมูล แต่การ interpolation ในงานนี้ใช้เพื่อเรียงจุดข้อมูลใหม่ เนื่องจากการประมวลผลแบบเวลาจริงต้องรอผลของเฟรมก่อนหน้าให้ประมวลผลเสร็จก่อน จึงจะดึงค่าของเฟรมถัดไปได้ ทำให้เวลาที่ใช้ในแต่ละเฟรมอาจไม่เท่ากัน PPG ที่สกัดได้จึงเหมือนมีอัตราการสุ่มตัวอย่าง (sampling rate) ที่ไม่คงที่ ดังนั้นจึงเลือกวิธี interpolation แบบเชิงเส้นเพื่อเรียงจุดในสัญญาณใหม่ (เสมือนการ resampling)

4) การปรับให้เรียบ (smoothing) เป็นวิธีการลดสัญญาณรบกวนความถี่สูง และทำให้สัญญาณเรียบขึ้น ในงานนี้เลือกใช้ตัวกรอง Savitzky-Golay ซึ่งนิยมใช้ในสเปกโทรสโกปี เป็นการประมาณด้วยฟังก์ชันพหุนามที่เหมาะสมด้วยวิธีกำลังสองน้อยสุด หลังจากใช้ตัวกรองนี้ สัญญาณที่ได้จาก interpolation จะกลายเป็นเส้นโค้งและเรียบขึ้น

3.5 การประมาณค่าชีพจรในเชิงความถี่

สัญญาณ PPG ที่ผ่านการ post-processing แล้ว ถูกนำไปวิเคราะห์ในโดเมนความถี่ เพื่อคำนวณหาความถี่มูลฐาน (fundamental frequency) เป็นความถี่ที่ต่ำที่โดดเด่นที่สุดในสเปกตรัม ซึ่งก็คืออัตราชีพจรนั่นเอง เป็นที่ทราบกันดีว่า FFT เทคนิคมาตรฐานที่ใช้แปลงข้อมูลสัญญาณจากโดเมนเวลาให้เป็นโดเมนความถี่ แต่มีงานวิจัยหลายบทความ อาทิเช่น [9, 14] แนะนำให้ใช้ Welch's method

วิธีของ Welch ถูกนำเสนอมากว่า 50 ปี เป็นเทคนิคในการประมาณความหนาแน่นสเปกตรัมพลังงาน โดยการแบ่งข้อมูลออกเป็นช่วงๆ (segment) ที่มีการเหลื่อมกันของช่วงข้อมูล (overlapping) จากนั้นนำแต่ละช่วงมาหา periodogram ซึ่งเป็นอีกเทคนิคหนึ่งที่จัดการกับข้อมูลที่มีความแปรปรวนไม่คงที่ (unequal variances) และกำจัดสัญญาณรบกวนได้ดีกว่า FFT ในงานนี้ผู้วิจัยได้นำโค้ดจาก [15] มาประยุกต์ใช้

ผลการเปรียบเทียบปรากฏว่า FFT มีประสิทธิภาพสูงกว่า ถึงแม้จะกำจัดสัญญาณรบกวน และความแปรปรวนไม่คงที่ไม่ได้ แต่มีการแสดงผลในแกนความถี่ละเอียดมากเพียงพอแก่การคำนวณชีพจรได้อย่างแม่นยำ ส่วนวิธีของ Welch สามารถกำจัดสัญญาณรบกวน และความแปรปรวนไม่คงที่ได้ดีกว่า FFT แต่ความละเอียดในแกนความถี่ที่ต่ำมาก กล่าวคือจุดบนแกนความถี่ห่างกันถึง 0.1667 Hz คิดเป็นอัตราการเต้นของชีพจรที่มีความละเอียด ±10 bpm ซึ่งไม่สามารถใช้จริงในงานนี้ได้

3.6 การคัดกรองค่าชีพจรด้วย Finite-state machine

จากขอบเขตของงานที่ต้องการให้โค้ดสามารถประมวลผลแบบเวลาจริงได้ จึงพยายามใช้ทรัพยากรการคำนวณให้น้อยที่สุด ทำให้ค่าชีพจรที่สกัดได้มีสภาพทนทาน (robustness) ที่ต่ำ กล่าวคือ ค่าที่ได้ไม่เสถียรเท่าใดนัก และมีค่าในบางช่วงที่ผิดพลาดอย่างเห็นได้ชัดเจน จึงได้เพิ่มขั้นตอนวิธีเครื่องจักรสถานะจำกัด (finite-state machine หรือ FSM) เข้าไปเพื่อคัดกรองค่าชีพจรอีกชั้นหนึ่ง อนึ่งขั้นตอน FSM นี้ไม่ได้ช่วยให้ค่าชีพจรจากวิธี CHROM แม่นยำขึ้น เพียงแต่ช่วยกรองค่าที่ผิดพลาดจากการถูกรบกวน เช่น การเคลื่อนไหวใบหน้า การเปลี่ยนสภาพแสงอย่างฉับพลัน หรือค่าชีพจรที่คำนวณได้ ณ ขณะนั้นยังไม่เสถียรพอที่จะนำมาแสดงผล

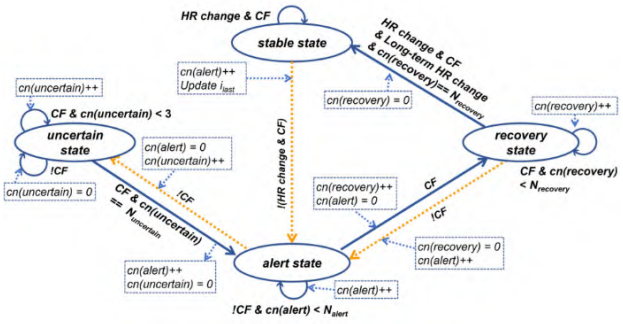

รูปที่ 5 เครื่องจักรสถานะจำกัดที่นำมาประยุกต์ใช้ในการแสดงอัตราการเต้นของหัวใจ (HR) จากบทความ [16]

FSM ที่ถูกนำมาประยุกต์ใช้ในงานนี้ประกอบไปด้วย 4 สถานะ ได้แก่ stable state, recovery state, alert state และ uncertain state ดังแสดงในรูปที่ 5 โดยใช้เงื่อนไขในการตัดสินใจเปลี่ยนสถานะ 2 ข้อคือ 1) การพิจารณาตัวประกอบยอดคลื่น (crest factor หรือ CF) และ 2) ผลต่างของค่าชีพจรปัจจุบันกับค่าก่อนหน้า กล่าวคือ หากค่า CF สูงกว่าค่าขีดเริ่มที่กำหนด และผลต่างของชีพจรในเวลา 2 วินาทีไม่เกิน 5 bpm FSM จะเปลี่ยนเข้าสู่สถานะ "stable" ซึ่งเครื่องจักรจะแสดงค่าชีพจรที่แม่นยำ ส่วนสถานะ "recovery" หมายถึง ค่าชีพจรมีความเป็นไปได้สูงที่จะแม่นยำและกำลังพิจารณาเปลี่ยนผ่านไปสู่สถานะเสถียร "alert" หมายถึง ค่าชีพจรอาจไม่ถูกต้อง และ "uncertain" หมายถึง สถานะที่ค่าชีพจรที่ประมาณได้ผิดแน่นอน [16]

ผลการทดสอบในห้องภายในอาคารที่มีสภาพแสงสว่างปกติทั่วไป พบว่า สเปกตรัม FFT จะมีค่ายอดที่เด่นชัดก็ต่อเมื่อค่า CF ≥ 8 หรือสามารถสูงถึง 30 ได้ในกรณีที่ใบหน้าผู้วัด rPPG อยู่ใกล้กล้องเว็บแคม

รูปที่ 6 ตัวอย่างภาพ screenshot ของขั้นตอนวิธีทั้งหมดที่พัฒนาขึ้นในการสกัดชีพจรจาก rPPG (ROI: skin detector, 25.64fps, HR: 92 bpm)

รูปที่ 6 แสดงตัวอย่างภาพบนจอคอมพิวเตอร์ขณะทำการการสกัดชีพจรจาก rPPG ด้วยขั้นตอนวิธีที่พัฒนาขึ้นตามลำดับ ได้แก่ ภาพวีดิทัศน์อินพุต (video input, รูปที่ 6-ขวาบน) การเลือก ROI ด้วยวิธี skin detector (รูปที่ 6-ซ้ายบน) วิธีสกัดสัญญาณ PPG (CHROM) และกระบวนการประมวลผลสัญญาณ PPG (filtering & smoothing, รูปที่ 6-ขวาล่าง) และการประมาณอัตราการเต้นของชีพจรด้วยวิธี FFT (รูปที่ 6-ซ้ายล่าง) จากภาพขณะนั้นได้ชีพจรเท่ากับ 92 bpm ซึ่งในขณะนั้น FSM อยู่ในสถานะ "stable" เนื่องจากค่า CF สูงเกินค่าขีดเริ่มที่กำหนด สังเกตได้จากสเปกตรัมจาก FFT (รูปที่ 6-ซ้ายล่าง) ตรงลูกศรเส้นประสีแดงที่แสดงค่ายอดของความถี่มูลฐานที่สูงกว่ายอดอื่นอย่างชัดเจน

3.7 การทดสอบความแม่นยำ

ทดสอบขั้นตอนวิธีที่ได้โดยการเก็บข้อมูลโดยแบ่งเป็น 2 กลุ่มตัวอย่าง คือ กลุ่มตัวอย่างผิวสีปกติ และกลุ่มตัวอย่างผิวสีเข้ม เนื่องจากต้องการทดสอบสมมติฐานว่า ในกลุ่มตัวอย่างผิวสีเข้มจะจับการเปลี่ยนแปลงของสีและแสงได้ยากกว่าในกลุ่มตัวอย่างผิวสีปกติดังบทความ [17]

การเก็บข้อมูลของกลุ่มตัวอย่างผิวสีปกติ เก็บจากกลุ่มตัวอย่างของอาสาสมัครจำนวน 4 คน คนละประมาณ 3 นาทีจากนั้นทำการสุ่มอ่านค่า

จากโค้ดที่พัฒนาได้ เทียบกับค่าอ้างอิงจากการวัดด้วย pulse oximeter ทุก ๆ 1-2 วินาที หรือมากกว่านั้น ดังแสดงในรูปที่ 7 โดยละเลยค่าในช่วงที่สถานะของ FSM ไม่อยู่ใน “stable state” จนสามารถเก็บจำนวนตัวอย่างได้ทั้งหมด 484 ตัวอย่าง และทำเช่นเดียวกันกับกลุ่มตัวอย่างผิวสีเข้มโดยมีอาสาสมัครจำนวน 2 คน จะได้ 207 ตัวอย่าง และเพื่อให้เห็นการกระจายตัวของค่าชีพจรที่เต้นเร็วในช่วง 90-110 bpm ให้อาสาสมัครทำการออกกำลังกายแบบ HIIT (high intensity interval training) เป็นเวลา 8 นาที และวัดค่าชีพจรทันทีหลังจากการออกกำลังกาย การทดลองนี้กระทำภายใต้สภาพแสงเดียวกัน กล่าวคือ ในห้องภายในอาคารที่มีสภาพแสงสว่างปกติทั่วไป

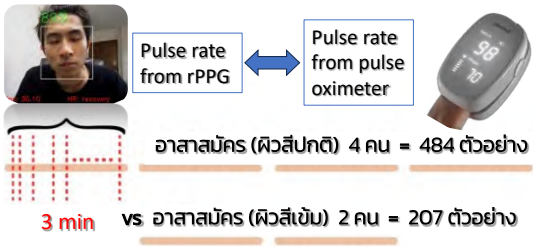

รูปที่ 7 กระบวนการเก็บข้อมูลจากอาสาสมัคร เพื่อทดสอบความแม่นยำ

ค่าชีพจรที่สกัดได้ จะนำมาประเมินความแม่นยำโดยเปรียบเทียบกับค่าอ้างอิงโดยใช้ค่าเบี่ยงเบนสัมบูรณ์เฉลี่ย หรือ Mean Absolute Difference (MAD) ดังสมการที่ 1

$$\text{ค่า MAD (bpm)} = \frac{\sum_1^n |\text{ค่าชีพจรอ้างอิง}_i - \text{ค่าชีพจรจาก } rPPG_i|}{\text{จำนวนข้อมูล } (n)} \quad (1)$$

ค่า MAD ที่ได้ จะนำมาเปรียบเทียบกับตามมาตรฐานทางการแพทย์ว่ายอมรับได้หรือไม่ตาม ANSI-AAMI EC13 (2002) [18] โดยมีความคลาดเคลื่อนสูงสุดไม่เกิน ±5bpm หรือ ±10% (โดยเลือกใช้ค่าที่มากกว่า)

4. ผลการทดลอง

ตารางที่ 1 แสดงค่า MAD ± SD ซึ่งแสดงถึงประสิทธิภาพในการสกัดค่าชีพจรจากอาสาสมัครทั้ง 2 กลุ่ม ผลการทดสอบในอาสาสมัครผิวสีปกติได้ค่า MAD เท่ากับ 2.20 ± 2.98 bpm และในอาสาสมัครผิวสีเข้มได้เท่ากับ 2.71 ± 3.60 bpm ทั้งสองกลุ่มอยู่ในเกณฑ์มาตราฐานทางการแพทย์ที่ยอมรับได้คือ ความคลาดเคลื่อนเฉลี่ยน้อยกว่า 5 bpm เมื่อเปรียบเทียบผลจากทั้ง 2 กลุ่ม พบว่าค่า MAD ในกลุ่มตัวอย่างผิวสีเข้มมากกว่าเล็กน้อย แสดงให้เห็นว่าผลลัพธ์ที่ได้สอดคล้องกับสมมุติฐานที่ตั้งไว้และงานวิจัยในอดีต [17]

ตารางที่ 1: ผลการทดสอบความแม่นยำที่แสดงค่าค่าเบี่ยงเบนสัมบูรณ์เฉลี่ย (MAD) ± SD ในหน่วย bpm

	MAD	± SD
อาสาสมัคร (สีผิวปกติ) 4 คน (484 ตัวอย่าง)	2.20	2.98
อาสาสมัคร (สีผิวเข้ม) 2 คน (207 ตัวอย่าง)	2.71	3.60

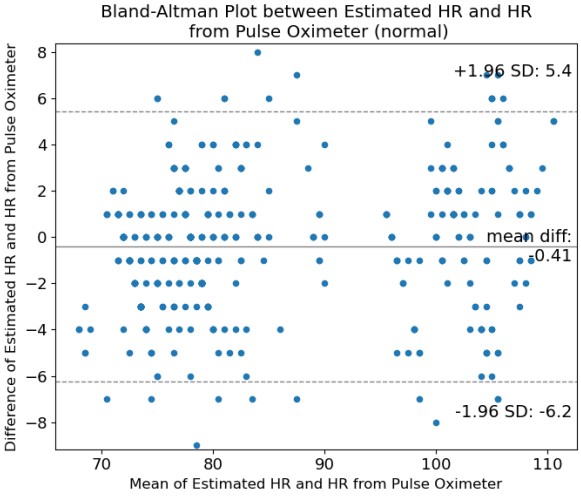

รูปที่ 8 Bland-Altman plot ของอาสาสมัครสีผิวปกติ

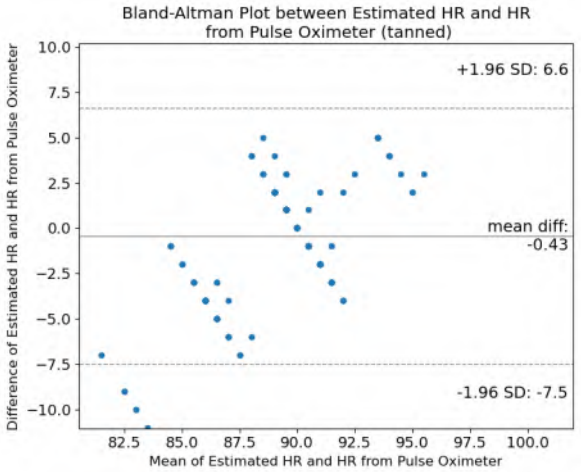

รูปที่ 9 Bland-Altman plot ของอาสาสมัครสีผิวเข้ม

เพื่อให้ง่ายต่อการเห็นภาพรวมของการกระจายตัวของข้อมูลจึงได้เพิ่มการแสดงผลแบบกราฟ Bland-Altman plot ของอาสาสมัครที่ 2 กลุ่มดังแสดงในรูปที่ 8 และ 9 กราฟ Bland-Altman plot สามารถยืนยันได้เช่นกันว่า ความคลาดเคลื่อนร้อยละ 95 ของค่าชีพจรที่ประมาณได้ทั้งหมด จะไม่เกิน 5-8 bpm จากเส้น ±1.96 SD

5. สรุป

งานวิจัยนี้ แสดงให้เห็นถึงวิธีการพัฒนาขั้นตอนวิธีในการสกัดชีพจรแบบ rPPG แบบเวลาจริง ซึ่งเป็นกระบวนการที่ซับซ้อนและมีจำนวนขั้นตอนมากมาย ผลการศึกษาเปรียบเทียบวิธีการใน 3 ส่วนจากงานวิจัยหลายชิ้นในอดีต ได้แก่ วิธีเลือก ROI วิธีสกัดสัญญาณ PPG และวิธีประมาณค่าชีพจรในเชิงความถี่ พบว่าวิธี skin detector, CHROM และ FFT ได้ประสิทธิภาพสูงสุดตามลำดับ โดยสามารถสกัดค่าชีพจรได้แม่นยำในระดับที่ยอมรับได้ตามมาตรฐานทางการแพทย์ ผู้วิจัยได้นำโค้ดที่พัฒนาขึ้นในงานนี้ไปเผยแพร่บนแพลตฟอร์ม GitHub [19] ซึ่งหวังว่าจะเป็นประโยชน์ต่อผู้สนใจทางด้านการสกัดชีพจรแบบไร้การสัมผัสและสามารถนำไปพัฒนาเพื่อต่อยอดต่อไป

6. กิตติกรรมประกาศ

งานวิจัยนี้เป็นการนำรายงานฉบับสมบูรณ์ของวิชา 2102499 โครงงานวิศวกรรมไฟฟ้า ปีการศึกษา 2565 มาเรียบเรียงขึ้นใหม่ ข้าพเจ้าขอขอบคุณนิสิตคณะวิศวกรรมศาสตร์ จุฬาลงกรณ์มหาวิทยาลัย ที่เป็นอาสาสมัครทั้ง 6 ท่าน ที่ทำให้งานวิจัยนี้สำเร็จลุล่วงตามวัตถุประสงค์ด้วยดี

เอกสารอ้างอิง

[1] I. Pavlidis, J. Dowdall, N. Sun, C. Puri, J. Fei, and M. Garbey, "Interacting with human physiology." *Computer Vision and Image Understanding*, 108(1-2), 2007, pp. 150-170.

[2] W. Wang, A. C. den Brinker, S. Stuijk, and G. de Haan, "Algorithmic principles of remote PPG." *IEEE Transactions on Biomedical Engineering*, 64(7), 2016, pp. 1479-1491.

[3] P. A. Kyriacou, and J. Allen (Eds.), *Photoplethysmography*, Chapter 2, pp. 29-30, Academic Press, 2021.

[4] Kukil, and P. Durai, "MediaPipe – The Ultimate Guide to Video Processing", LearnOpenCV, Accessed: 22 ส.ค. 2568. [Online] Available: https://learnopencv.com/introduction-to-mediapipe

[5] D. Y. Kim, K. Lee, and C. B. Sohn, "Assessment of ROI selection for facial video-based rPPG." *Sensors*, 21(23), 2021, pp. 7923.

[6] Z. Pirnar, M. Finžgar, and P. Podržaj, "Performance evaluation of rPPG approaches with and without the region-of-interest localization step." *Applied Sciences*, 11(8), 2021, pp. 3467.

[7] F. Gasparini, and R. Schettini, "Skin segmentation using multiple thresholding." *Internet imaging VII*, Vol. 6061, 2006, pp. 128-135.

[8] P. S. Jawahar (pavisj), "Skin Detector", GitHub, Accessed: 22 ส.ค. 2568. [Online] Available: https://github.com/pavisj/rppg-pos/tree/master/SkinDetector

[9] X. Li, J. Chen, G. Zhao, and M. Pietikainen, "Remote heart rate measurement from face videos under realistic situations." In *Proceedings of the IEEE conference on computer vision and pattern recognition*, 2014, pp. 4264-4271.

[10] C. Matous, "Normalized Least-mean-square (NLMS)", GitHub, Accessed: 22 ส.ค. 2568. [Online] Available: https://matousc89.github.io/padasip/sources/filters/nlms.html

[11] A. C. Den Brinker, and W. Wang, "Model-based camera-PPG: Pulse-rate monitoring in fitness". In *Contactless Vital Signs Monitoring*, Academic Press, 2022, pp. 51-78.

[12] G. De Haan, and V. Jeanne, "Robust pulse rate from chrominance-based rPPG." *IEEE transactions on biomedical engineering*, 60(10), 2013, pp. 2878-2886.

[13] P. V. Rouast, M. T. Adam, R. Chiong, D. Cornforth, and E. Lux, "Remote heart rate measurement using low-cost RGB face video: a technical literature review." *Frontiers of Computer Science*, 12(5), 2018, pp. 858-872.

[14] H. Lee, H. Ko, H. Chung, Y. Nam, S. Hong, and J. Lee, J. "Real-time realizable mobile imaging photoplethysmography." *Scientific reports*, 12(1), 2022, pp. 7141.

[15] SciPy community, "Estimate power spectral density using Welch's method.", Accessed: 22 ส.ค. 2568. [Online] Available: https://docs.scipy.org/doc/scipy/reference/generated/scipy.signal.welch.html

[16] H. Chung, H. Lee, and J. Lee, "Finite state machine framework for instantaneous heart rate validation using wearable photoplethysmography during intensive exercise." *IEEE journal of biomedical and health informatics*, 23(4), 2018, pp. 1595-1606.

[17] E. M. Nowara, D. McDuff, and A. Veeraraghavan, "A meta-analysis of the impact of skin tone and gender on non-contact photoplethysmography measurements." *Proceedings of the IEEE/CVF Conference on Computer Vision and Pattern Recognition Workshops*, 2020, pp. 284-285.

[18] American National Standard ANSI/AAMI EC13:2002 Cardiac monitors, heart rate meters, and alarms, *Virginia: AAMI*, 2002.

[19] K. Tantipiwattanaskul (etanak), "CHROM rPPG Implementation", GitHub, Accessed: 22 ส.ค. 2568. [Online] Available: https://github.com/etanak/CHROM_rPPG_implementation

คเณศร์ ตันติพิวัฒนสกุล สำเร็จการศึกษาระดับปริญญาตรี หลักสูตรวิศวกรรมบัณฑิต สาขาวิชาวิศวกรรมไฟฟ้า จากจุฬาลงกรณ์มหาวิทยาลัย ในปี พ.ศ. 2566 ปัจจุบันประกอบธุรกิจส่วนตัว

อภิวัฒน์ เล็กอุทัย ปัจจุบันเป็นอาจารย์ประจำภาควิชาวิศวกรรมไฟฟ้า คณะวิศวกรรมศาสตร์ จุฬาลงกรณ์มหาวิทยาลัย มีความเชี่ยวชาญด้านเครื่องมือแพทย์ การวิเคราะห์และประมวลผลสัญญาณทางชีวการแพทย์

การศึกษาความถี่ครอสโอเวอร์ทางไฟฟ้าของเซลล์เดี่ยว

Study of Electrical Crossover Frequency of Single Cells

นิศรุต พันธ์ศิริ[1] นิติพงศ์ ปานกลาง[2] กิติภพ วิจิตรนุกูลประดิษฐ์[3] และ บุญชัย เตชะอำนาจ[3]

[1]ภาควิชาวิศวกรรมไฟฟ้าและอิเล็กทรอนิกส์ คณะวิศวกรรมศาสตร์ มหาวิทยาลัยอุบลราชธานี nisarut.p@ubu.ac.th*

[2]ภาควิชาวิศวกรรมไฟฟ้า คณะวิศวกรรมศาสตร์ มหาวิทยาลัยเทคโนโลยีราชมงคลธัญบุรี

[3]ภาควิชาวิศวกรรมไฟฟ้า คณะวิศวกรรมศาสตร์ จุฬาลงกรณ์มหาวิทยาลัย

บทคัดย่อ

งานวิจัยนี้มีวัตถุประสงค์เพื่อศึกษาความถี่ครอสโอเวอร์ทางไฟฟ้า (f_{R0}) ของเซลล์เดี่ยว สำหรับบ่งชี้คุณสมบัติทางไฟฟ้าของเซลล์ที่อาจนำไปใช้ในการจำแนกหรือประเมินสภาวะของเซลล์ได้ การทดลองใช้เซลล์สัตว์เลี้ยงลูกด้วยนมในระบบของไหลจุลภาค โดยปรับสภาพนำไฟฟ้าของตัวกลางภายนอกเซลล์ คณะผู้วิจัยวิเคราะห์การเปลี่ยนแปลงของกระแสความต้านทาน เพื่อหา f_{R0} พร้อมทั้งเปรียบเทียบกับความถี่ครอสโอเวอร์ไดอิเล็กโทรโฟเรติก (f_{DEP0}) ผลการทดลองพบว่า f_{R0} มีแนวโน้มเพิ่มขึ้นตามการเพิ่มค่าสภาพนำไฟฟ้าของตัวกลางภายนอกเซลล์ โดยสัมพันธ์กับ f_{DEP0} อย่างไรก็ดี ตัวกลางที่สภาวะสภาพนำไฟฟ้าสูง f_{R0} จะมีค่ามากกว่า f_{DEP0} อย่างชัดเจน วิธีการนี้มีข้อได้เปรียบ เมื่อเปรียบเทียบกับ f_{DEP0} โดยสามารถตรวจวัดเซลล์จำนวนมากได้อย่างรวดเร็ว และสามารถนำไปประยุกต์ใช้ในงานด้านวิศวกรรมชีวเวชในอนาคต

คำสำคัญ: ความถี่ครอสโอเวอร์ทางไฟฟ้า ความถี่ครอสโอเวอร์ไดอิเล็กโทรโฟเรติก ไมโครฟลูอิดิกส์ เซลล์เดี่ยว

Abstract

This study aims to investigate the electrical crossover frequency (f_{R0}) of single cells as an indicator of their electrical properties, which may be applied to classify cell or assess cell conditions. Mammalian cells were tested in a microfluidic system with varied extracellular medium conductivities. We analyzed changes in resistive current to determine f_{R0} and compared it with the dielectrophoretic crossover frequency (f_{DEP0}). The results show that f_{R0} increases with higher extracellular conductivity and correlates with f_{DEP0}. However, at high medium conductivity, f_{R0} is clearly higher than f_{DEP0}. Compared with the dielectrophoretic approach, this method offers the advantage that it can analyze a large number of cells in short time and shows strong potential for future applications in biomedical engineering.

Keywords: Electrical Crossover Frequency, Dielectrophoretic Crossover Frequency, Microfluidics, Single-cell

1. บทนำ

การวิเคราะห์คุณสมบัติของเซลล์เดี่ยวมีความสำคัญอย่างยิ่งในการศึกษาทางชีววิทยาและการแพทย์ เช่น การจำแนกชนิดเซลล์ [1] การประเมินสภาวะของเซลล์ [2] และการตรวจหาโรค [3] หนึ่งในพารามิเตอร์ทางกลศาสตร์ไฟฟ้าที่สำคัญคือ ความถี่ครอสโอเวอร์ไดอิเล็กโทรโฟเรติก (Dielectrophoretic Crossover Frequency) ซึ่งเป็นความถี่ที่ทิศทางของแรง Dielectrophoretic (แรง DEP) กระทำต่อเซลล์เกิดการเปลี่ยนแปลง [4] การวัดค่าความถี่นี้สามารถนำมาวิเคราะห์คุณสมบัติทางไฟฟ้าของเยื่อหุ้มเซลล์และไซโตพลาสซึมได้

วิธีการวัดความถี่ครอสโอเวอร์ไดอิเล็กโทรโฟเรติก อาศัยการสังเกตพฤติกรรมการเคลื่อนที่ของเซลล์ภายใต้สนามไฟฟ้าที่เปลี่ยนความถี่ อย่างไรก็ตาม วิธีการนี้มีข้อจำกัดในการวิเคราะห์เซลล์จำนวนมาก ซึ่งต้องใช้เวลานาน หรือละเลยข้อมูลจากเซลล์ที่ไม่ตอบสนองต่อแรง DEP ชัดเจน ซึ่งสะท้อนถึงความหลากหลายภายในประชากรเซลล์ได้

บทความนี้นำเสนอการประมาณค่าความถี่ครอสโอเวอร์ทางไฟฟ้าในเซลล์เดี่ยว โดยตรวจจับการเปลี่ยนแปลงกระแสความต้านทาน (Resistive current, I_R) การวัด I_R ทำด้วยเครื่องขยายแบบล็อกอิน (Lock-in Amplifier, LIA) ทั้งในขณะที่ไม่มีเซลล์และมีเซลล์ผ่านแกประหว่างอิเล็กโตรดในระบบของไหลจุลภาค การวัดกระแสไฟฟ้าได้รับการออกแบบมาเพื่อเพิ่มประสิทธิภาพในการเก็บข้อมูลและวิเคราะห์เซลล์จำนวนมากได้อย่างรวดเร็ว คณะผู้วิจัยได้ศึกษาลักษณะสเปกโทรสโคปีของ I_R กับเซลล์สัตว์เลี้ยงลูกด้วยนม โดยใช้สภาพนำไฟฟ้าของตัวกลางค่าต่างๆ นอกเซลล์. ผลลัพธ์ที่ได้ถูกนำมาเปรียบเทียบกับความถี่ครอสโอเวอร์ไดอิเล็กโทรโฟเรติก จุดมุ่งหมายหลักคือการแสดงให้เห็นถึงศักยภาพของวิธีตรวจสอบกระแส I_R สำหรับการวิเคราะห์ลักษณะสมบัติของเซลล์สิ่งมีชีวิตในระดับเซลล์เดี่ยว และเป็นแนวทางสำหรับการประยุกต์ใช้ในการศึกษาวิศวกรรมชีวเวชต่อไป

2. ทฤษฎี

2.1 อิมพีแดนซ์สเปกโทรสโคปี

อิมพีแดนซ์สเปกโทสโคปีเป็นเทคนิคสำคัญในการวิเคราะห์คุณสมบัติทางไฟฟ้าของเซลล์สิ่งมีชีวิต โดยใช้สัญญาณไฟฟ้ากระแสสลับความถี่ต่างๆ

*ผู้ประพันธ์บรรณกิจ

เพื่อช่วยในการจำแนกชนิดเซลล์และประเมินสภาวะของเซลล์ ซึ่งนำมาใช้ในระบบของไหลจุลภาค [5, 6] เมื่อพิจารณาเซลล์เคลื่อนที่ผ่านช่องทางการวัด ซึ่งเป็นแกประหว่างอิเล็กโทรดคู่ขนานในระบบของไหลจุลภาคจะเกิดการเปลี่ยนแปลงของอิมพีแดนซ์ไฟฟ้าระหว่างอิเล็กโทรด [7] วงจรสมมูลไฟฟ้าโดยประมาณของเซลล์และตัวกลางของเหลวระหว่างอิเล็กโทรดสามารถแสดงได้ดังรูปที่ 1 อิมพีแดนซ์ระหว่างอิเล็กโทรดประกอบด้วย ความจุไฟฟ้า C_m ของเยื่อหุ้มเซลล์, ความต้านทาน R_c และความจุไฟฟ้า C_c ภายในเซลล์, ความต้านทาน R_{sol} และความจุไฟฟ้า C_{sol} ของสารละลายนอกเซลล์, ความจุไฟฟ้า C_{dl} ระหว่างอิเล็กโทรดและของเหลว

ในระบบไฟฟ้ากระแสสลับ เมื่อป้อนสัญญาณแรงดันไฟฟ้ากระแสสลับเข้าไปยังวงจรหรือระบบที่ประกอบด้วยความต้านทานหรือความเก็บประจุ เช่น สารแขวนลอยเซลล์ กระแสไฟฟ้าที่ไหลผ่าน ($\mathbf{I}_T$) จะเป็นปริมาณเชิงซ้อนที่ประกอบด้วยสองส่วนหลัก คือ กระแสความต้านทาน (I_R) ที่มีเฟสเดียวกับแรงดันไฟฟ้าที่ป้อน และกระแสความเก็บประจุ (I_C) ที่ทำมุม 90° นำหน้าแรงดันไฟฟ้าที่ป้อนเข้าไป กระแสไฟฟ้ารวมเชิงซ้อน $\mathbf{I}_T$ แสดงได้เป็น

$$\mathbf{I}_T = I_R + \mathrm{j}I_C \tag{1}$$

เมื่อ j คือหน่วยจินตภาพ เมื่อเปรียบเทียบกระแส $\mathbf{I}_T$ ระหว่างสภาวะที่ไม่มีเซลล์และมีเซลล์ในแกประหว่างอิเล็กโทรด การเปลี่ยนแปลงขนาดกระแสความต้านทาน ΔI_R นิยามจาก I_{R1} เมื่อมีเซลล์ผ่าน และขนาดกระแสพื้นหลัง I_{R0} (ไม่มีเซลล์)

$$\Delta I_R = I_{R1} - I_{R0} \tag{2}$$

พิจารณาวงจรสมมูลโดยประมาณในรูปที่ 1 I_{R1} ในกรณีความถี่ต่ำรีแอกแตนซ์ของ C_m สูง ทำให้แขนง (branch) ผ่านเซลล์มีอิมพีแดนซ์สูง. กระแสจึงไหลอ้อมผ่านแขนงตัวกลางภายนอกเซลล์เป็นหลัก ส่งผลให้ I_{R1} ที่เกิดจากเซลล์ลดลงจากกระแสพื้นหลัง I_{R0}. ในกรณีความถี่สูง รีแอกแตนซ์ของ C_m ลดลง กระแสไหลผ่านภายในเซลล์มากขึ้น พร้อมกับอิมพีแดนซ์ของ C_{dl} และ C_{sol} ที่ลดลง ส่งผลให้ I_{R1} เพิ่มขึ้นจากกระแสพื้นหลัง พฤติกรรมของกระแส I_{R1} ดังกล่าว ทำให้เกิดความถี่ครอสโอเวอร์ทางไฟฟ้าได้ ซึ่งจะกล่าวถัดไปในหัวข้อ 2.3

2.2 แรง DEP

แรง DEP ($\mathbf{F}_{\mathrm{DEP}}$) เป็นแรงทางไฟฟ้าที่กระทำกับอนุภาคเป็นกลางทางไฟฟ้า แรง DEP ขึ้นกับคุณสมบัติไดอิเล็กทริกของอนุภาคและตัวกลางภายนอก พิจารณาอนุภาครัศมี r ภายใต้สนามไฟฟ้าภายนอก E. $\mathbf{F}_{\mathrm{DEP}}$ มีค่าเท่ากับ [4]

$$\mathbf{F}_{\mathrm{DEP}} = 2\pi r^3 \varepsilon_{sol} \mathrm{Re}[\mathrm{CM}] \nabla E^2 \tag{3}$$

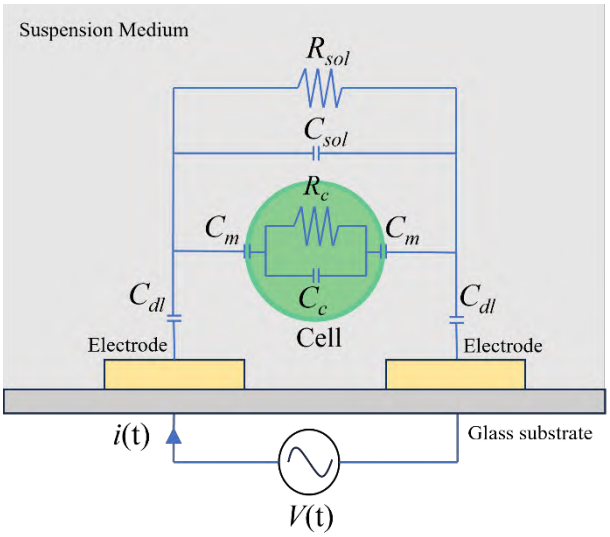

รูปที่ 1 อิมพีแดนซ์ของเซลล์และตัวกลางของเหลวระหว่างอิเล็กโทรดขณะมีเซลล์เคลื่อนที่ผ่าน

เมื่อ ε_{sol} คือค่าสภาพยอมของตัวกลางภายนอก และ CM คือ Clausius-Mossotti factor ซึ่งมีค่าเท่ากับ [4]

$$\mathrm{CM} = \frac{\varepsilon_c^* - \varepsilon_{sol}^*}{\varepsilon_c^* + 2\varepsilon_{sol}^*} \tag{4}$$

เมื่อ ε_{sol}^* และ ε_c^* คือค่าสภาพยอมเชิงซ้อนของตัวกลางภายนอกและอนุภาค ตามลำดับ $\varepsilon^* = \varepsilon - j\frac{\sigma}{2\pi f}$ โดย σ คือสภาพนำไฟฟ้า และ f คือความถี่ของแรงดันไฟฟ้า ทิศทางของแรง DEP ถูกกำหนดโดยส่วนจริงของ CM $\mathrm{Re}[\mathrm{CM}] > 0$ บ่งบอกถึง DEP แบบบวก (pDEP) และ $\mathrm{Re}[\mathrm{CM}] < 0$ บ่งบอกถึง DEP แบบลบ (nDEP) [4] อนุภาคที่ถูกกระทำด้วยแรง pDEP และ nDEP จะเคลื่อนที่ไปยังบริเวณที่มีความเครียดสนามไฟฟ้าสูงขึ้นและต่ำลง ตามลำดับ

2.3 ความถี่ครอสโอเวอร์

รูปที่ 2 แสดงค่า $\mathrm{Re}[\mathrm{CM}]$ ของ Clausius-Mossotti factor เป็นฟังก์ชันความถี่ไฟฟ้า สำหรับเซลล์ที่ไม่มีผนังเซลล์ ขนาดเซลล์มีค่าเท่ากับ 12.55 µm สภาพนำไฟฟ้าภายในเซลล์ σ_c= 0.86 S/m สภาพยอมของไซโทพลาสซึม $\varepsilon_c = 60\varepsilon_0$, สภาพยอมของตัวกลางภายนอก $\varepsilon_{sol} = 78\varepsilon_0$, ค่าความจุไฟฟ้าของเซลล์เมมเบรน C_m= 0.005 F/m และ ε_0 = 8.854 x 10^{-12} F/m เซลล์อยู่ในสภาพนำไฟฟ้าของตัวกลางภายนอกเซลล์ σ_{sol} ที่แตกต่างกันคือ 0.1, 0.2 และ 0.3 S/m เมื่อพิจารณา $\mathrm{Re}[\mathrm{CM}] = 0$ ในสมการที่ (4) เป็นจุดที่ทำให้แรง DEP เปลี่ยนทิศ ที่ความถี่ค่าหนึ่ง ซึ่งความถี่นี้ก็คือ f_{DEP0} ทั้งนี้พิจารณา σ_{sol} เมื่อค่า σ_{sol} มีค่าสูงขึ้น f_{DEP0} ก็มีค่าสูงด้วยเช่นกัน f_{DEP0} สามารถใช้ในการจำแนกและแยกชนิดเซลล์ หรือประเมินสภาวะของเซลล์ได้ [8, 9]

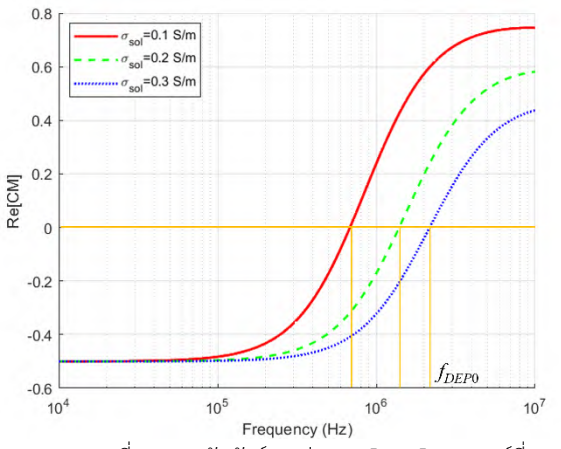

รูปที่ 2 ความสัมพันธ์ระหว่าง Re[CM] ของเซลล์ที่กับความถี่ทางไฟฟ้าที่ σ_{sol} แตกต่างกัน

ความถี่ครอสโอเวอร์ทางไฟฟ้า (f_{R0}) มีนิยามเป็นความถี่ทางไฟฟ้าที่ทำให้เกิดการเปลี่ยนแปลงขนาดกระแสความต้านทาน $\Delta I_R = 0$ เนื่องจาก CM สัมพันธ์กับไดโพลเหนี่ยวนำของเซลล์ ซึ่งกำหนดการกระจายของกระแสไฟฟ้าในช่องตรวจวัด การเปลี่ยนผ่านศูนย์ของ ΔI_R สะท้อนถึงการเปลี่ยนแปลงของการตอบสนองเชิงไดอิเล็กทริกของเซลล์เมื่อเปรียบเทียบกับตัวกลาง งานวิจัยนี้จึงทดลองหา f_{R0} และนำความสัมพันธ์ของ f_{R0} กับสภาพนำไฟฟ้าภายนอกเซลล์ มาเปรียบเทียบกับ f_{DEP0}

3. การทดลอง

3.1 ตัวอย่างเซลล์

การทดลองใช้เซลล์สัตว์เลี้ยงลูกด้วยนม Sandos inbred mouse (SIM)-derived 6-thioguanine- and ouabain-resistant (STO) ดังแสดงในรูปที่ 3 เซลล์ถูกจัดเตรียมโดยภาควิชาสูติศาสตร์ เธนุเวชวิทยา และวิทยาการสืบพันธุ์สัตว์ คณะสัตวแพทยศาสตร์ จุฬาลงกรณ์มหาวิทยาลัย สารเพาะเลี้ยงประกอบด้วย DMEM high glucose เสริมด้วย $NaHCO_3$ 3.7 g/L, Fetal Bovine Serum 10% v/v L-glutamine 1% v/v และ Antibiotic-Antimycotic 1% v/v เซลล์ถูกเพาะเลี้ยงที่อุณหภูมิ 37°C ในตู้เพาะที่มี CO_2 5% ขนาดเฉลี่ยของเซลล์ในสารเพาะเลี้ยงเท่ากับ 12.55 µm ตัวอย่างถูกเตรียมให้มีความเข้มข้น 10^6 เซลล์/ml สำหรับการทดลอง

ผู้วิจัยได้เปลี่ยนสารแขวนลอยที่ใช้กับเซลล์ STO เป็นสารแขวนลอยไอโซทอนิก (ความเข้มข้น 300 mM) ประกอบด้วย D-Glucose ($C_6H_{12}O_6$) ในน้ำขจัดไอออน เพื่อทดลองวัดอิมพีแดนซ์สเปกโทรสโคปีและทดลอง DEP สารแขวนลอยถูกปรับสภาพนำไฟฟ้า σ_{sol} ให้เท่ากับ 0.004, 0.02, 0.1, 0.2, และ 0.3 S/m ด้วย Phosphate Buffered Saline ผู้วิจัยได้เปลี่ยนสารแขวนลอยทำโดยการปั่นเหวี่ยงที่ความเร็ว 1000 rpm เป็นเวลา 3 นาที จำนวน 2 ครั้ง ก่อนจะนำเซลล์ไปใช้ในการทดลองต่อไป

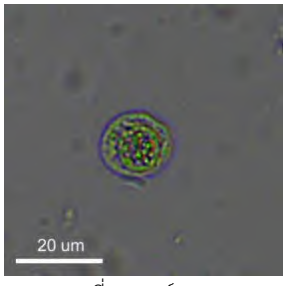

รูปที่ 3 เซลล์ STO

3.2 อุปกรณ์สำหรับวัดอิมพีแดนซ์สเปกโทรสโคปี

คณะผู้วิจัยจัดทำอุปกรณ์ของไหลจุลภาคเพื่อใช้ในการทดลองดังรูปที่ 4 อุปกรณ์ของไหลจุลภาคประกอบด้วย องค์ประกอบหลัก 2 ส่วน ได้แก่ ช่องทางไหลจุลภาค และอิเล็กโทรดทองแบบระนาบ ขนาดแกป 20 µm สำหรับกระตุ้นและรับรู้กระแสไฟฟ้า (ใช้เพียงอิเล็กโทรดตำแหน่งกลางและขวาในรูปที่ 4) ช่องทางไหลจุลภาค Polydimethylsiloxane (PDMS, KE-106, Shin-Etsu) ลึก 30 µm หล่อขึ้นรูปจากแม่แบบที่ทำจากฟิล์มไวแสงแบบลบ (SU-8 10, MicroChem) ด้วยเทคนิคซอฟท์ลิโทกราฟี (Soft-Lithography) ช่องทางไหลจุลภาคมีช่องทางไหลหลักกว้าง 500 µm และช่องทางไหลการวัดกว้าง 20 µm ช่องทางไหลการวัดแยกจากช่องทางไหลหลักเพื่อนำเซลล์ STO ให้เคลื่อนที่ผ่านบริเวณอิเล็กโทรดคู่ขนาน การจัดเรียงช่องทางลักษณะนี้ช่วยให้เซลล์เคลื่อนที่ผ่านจุดตรวจจับได้อย่างต่อเนื่องด้วยความเร็วที่ไม่สูงเกินไป เพื่อให้สามารถวัดการเปลี่ยนแปลงกระแส I_R เมื่อเซลล์เคลื่อนที่ผ่านแกปอิเล็กโทรด

3.3 ระบบทดลองสำหรับวัดอิมพีแดนซ์สเปกโทรสโคปี

ระบบการทดลองแสดงในรูปที่ 5 ระบบประกอบด้วยองค์ประกอบหลัก 4 ส่วน ได้แก่ (1) อุปกรณ์ของไหลจุลภาค ซึ่งมีช่องทางเข้า 2 ช่อง และช่องทางออก 1 ช่อง เพื่อควบคุมการไหลของสารแขวนลอยเซลล์, (2) กล้องจุลทรรศน์ที่เชื่อมต่อกับคอมพิวเตอร์ทำหน้าที่สังเกตการณ์การเคลื่อนที่ของเซลล์ภายในช่องทางไหล, (3) ระบบวัดกระแสไฟฟ้าประกอบด้วยไมโครอิเล็กโทรด เครื่อง LIA (MLFI 5 MHz, Zurich Instrument) สำหรับการวัดค่ากระแสไฟฟ้าระหว่างอิเล็กโทรด และ (4) เครื่องควบคุมการไหลของตัวอย่าง (Flow EZ, Fluigent) ด้วยการปรับความดันในช่องของทางไหล สารแขวนลอยที่ปราศจากเซลล์และสารแขวนลอยเซลล์ STO ถูกป้อนเข้าสู่ระบบด้วยช่อง Inlet 1 และ 2 ตามลำดับ อิเล็กโทรดถูกกระตุ้นด้วยแรงดันไฟฟ้ากระแสสลับ 500 mV_{rms} ความถี่ 20 kHz - 5 MHz จากเครื่อง LIA. กระแสความต้านทาน I_R ที่วัดด้วยเครื่องเครื่อง LIA ถูกบันทึกเป็นช่วงเวลาครั้งละ 60 วินาที โดยมีค่า Sampling rate = 13.57 kSa/s I_R ถูกประมวลผลเป็น ΔI_R ซึ่งเป็นค่าความแตกต่างของกระแส I_R จากกระแสพื้นหลัง

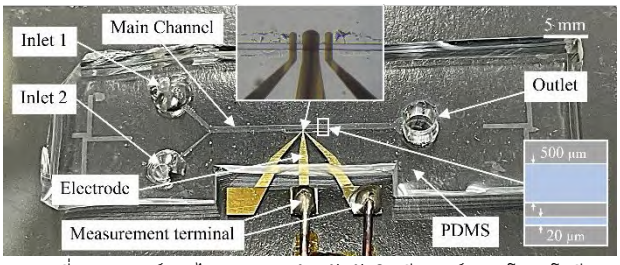

รูปที่ 4 อุปกรณ์ของไหลจุลภาคสำหรับวัดอิมพีแดนซ์สเปกโทรสโคปี

4. ผลการทดลองและอภิปรายผลการทดลอง

4.1 การเปลี่ยนแปลง ΔI_R ตามความถี่ไฟฟ้า

รูปที่ 6 แสดงตัวอย่างพฤติกรรมของกระแส ΔI_R ที่ความถี่ 20, 100, 200 และ 400 kHz ของเซลล์ในตัวกลางที่มี σ_{sol} = 0.004 S/m แกน y ของกราฟในรูปที่ 6 เป็นขนาดของ ΔI_R เมื่อมีเซลล์เคลื่อนที่ผ่านช่องแกประหว่างอิเล็กโทรด แกน x เป็นเวลาที่บันทึก. ขนาดกระแส ΔI_R แสดงเป็นเส้นทึบสีน้ำเงิน สัญลักษณ์ “O” และ “X” ระบุเซลล์ที่แสดง $\Delta I_R > 0$ และ $\Delta I_R < 0$ ตามลำดับ จำนวนเซลล์ที่แสดงค่า ΔI_R เป็นบวกและลบในช่วงเวลา 60 วินาทีที่บันทึกข้อมูล ถูกระบุไว้ในแต่ละรูป

ΔI_R ณ ความถี่ 20 kHz ในรูปที่ 6(ก) ถูกใช้เพื่อการตรวจจับเซลล์ คือ พิจารณา $|\Delta I_R|$ > ±1SD (ส่วนเบี่ยงเบนมาตรฐาน) ของกระแสพื้นหลัง ที่ 20 kHz เซลล์ปกติจะแสดง ΔI_R ที่เป็นลบ รูปที่ 6(ก) แสดงข้อมูลจากเซลล์จำนวน 174 เซลล์ โดยไม่พบค่ายอดบวกของ ΔI_R

เราเริ่มสังเกตพบพฤติกรรมของ ΔI_R ค่าบวกที่ 100 kHz ในรูปที่ 6(ข). ที่ 200 kHz มี ΔI_R ค่าบวก 143 เซลล์ ในรูปที่ 6(ค) หรือ 82% ของเซลล์ในข้อมูลชุดนี้ รูปที่ 6(ง) ที่ 400 kHz มี ΔI_R ค่าบวกประมาณ 97% จากผลการทดลองดังกล่าว เราสามารถประมาณความถี่ครอสโอเวอร์ทางไฟฟ้า f_{RO} ของเซลล์ STO ได้ โดยจะกล่าวรายละเอียดในหัวข้อที่ 4.2

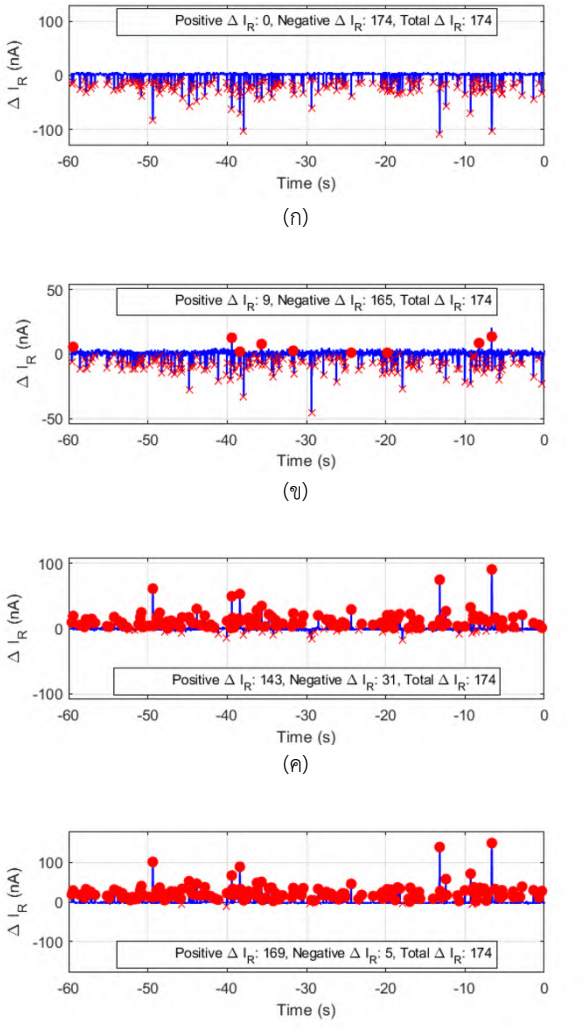

รูปที่ 6 ΔI_R ที่ความถี่ต่างๆ ของเซลล์ STO ในตัวกลางที่มีสภาพนำไฟฟ้า 0.004 S/m (ก) 20 kHz (ข) 100 kHz (ค) 200 Hz (ง) 400 kHz

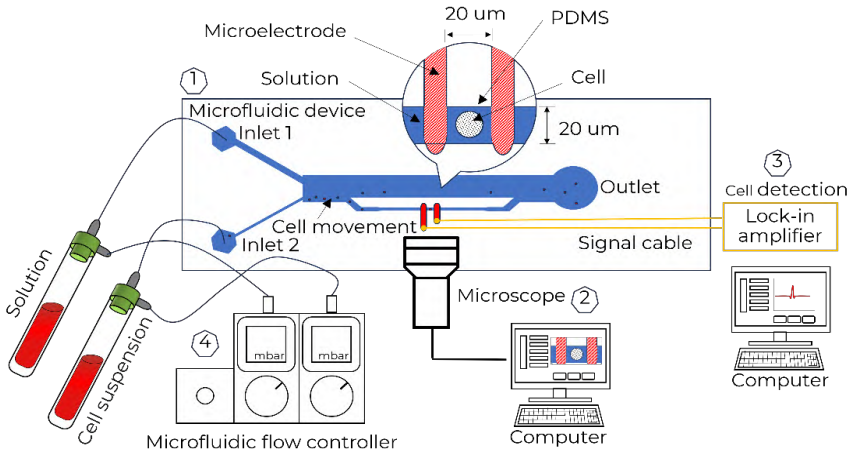

รูปที่ 5 ระบบวัดกระแส I_R

รูปที่ 7 แสดงค่า ΔI_R ที่ความถี่ 20 kHz ภายในตัวกลางที่มี σ_{sol} แตกต่างกันที่ได้จากผลการทดลองจำนวน 32,111 เซลล์ ΔI_R มีแนวโน้มลดลง (มีค่าลบมากขึ้น) ตามการเพิ่มขึ้นของสภาพนำไฟฟ้าตัวกลาง และมีความแปรปรวนที่สูงขึ้นอย่างชัดเจน การเปลี่ยนแปลง ΔI_R เกิดจากสัดส่วนของอิมพีแดนซ์เซลล์ต่ออิมพีแดนซ์ตัวกลางที่เปลี่ยน ยิ่งตัวกลางนำไฟฟ้าได้ดี (ความนำสูง) ผลกระทบของเซลล์ที่ขวางกระแสก็ยิ่งเด่นชัดขึ้น

4.2 f_{R0} ของเซลล์ STO แต่ละสภาพนำไฟฟ้านอกเซลล์ต่างๆ

ข้อมูล ΔI_R ที่ได้จากการทดลองสามารถนำมาวิเคราะห์หาค่า f_{R0} ของแต่ละเซลล์ได้ ในกรณีที่ ΔI_R เปลี่ยนเครื่องหมายจากลบเป็นบวก

หาก ΔI_R เปลี่ยนจากค่าลบ ΔI_{R1} เป็นค่าบวก ΔI_{R2} เมื่อความถี่เปลี่ยนจาก f_1 เป็น f_2 f_{R0} ของแต่ละเซลล์ประมาณด้วยฟังก์ชันเชิงเส้นดังสมการ

$$f_{R0} = f_1 + \left(\frac{\Delta I_{R1}}{\Delta I_{R2} - \Delta I_{R1}}\right) \times (f_2 - f_1) \quad (5)$$

ตารางที่ 1 แสดงผลการวิเคราะห์ค่า f_{R0} ของเซลล์ STO ที่สภาพนำไฟฟ้านอกเซลล์ σ_{sol} แตกต่างกัน จากตารางที่ 1 เราพบว่าเมื่อ σ_{sol} เพิ่มขึ้นจาก 0.004 S/m ไปเป็น 0.300 S/m ค่าเฉลี่ย f_{R0} (เฉลี่ย f_{R0} จากทุกเซลล์ที่สามารถหาได้) เพิ่มขึ้นอย่างชัดเจนจาก 149 kHz เป็น 1806 kHz จำนวนเซลล์ที่วิเคราะห์ f_{R0} ได้ มาจากเซลล์ที่แสดง ΔI_R เปลี่ยนเครื่องหมายจากลบเป็นบวก ในช่วงความถี่กำหนด นอกจากนี้ ตารางที่ 1 แสดงให้เห็นว่าที่ σ_{sol} ต่ำ เช่น 0.004 S/m เซลล์ส่วนใหญ่ประมาณ 95% ของเซลล์ที่ทดลอง สามารถหา f_{R0} ได้ แต่สัดส่วนนี้ลดลงเหลือ 76-77% ที่ σ_{sol} สูง ยิ่งไปกว่านั้น SD ของ f_{R0} เพิ่มขึ้นอย่างมีนัยสำคัญจาก 55 kHz เป็น 799 kHz ตามการเพิ่มขึ้นของ σ_{sol} โดยรวมแล้ว ผลการทดลองนี้ยืนยันถึงอิทธิพลของสภาพนำไฟฟ้าภายนอกต่อ f_{R0} ของเซลล์ STO และความหลากหลายของเซลล์ในแต่ละสภาวะ

4.3 f_{DEP0} ของเซลล์ STO แต่ละสภาพนำไฟฟ้านอกเซลล์ต่างๆ

f_{DEP0} ได้จากการสังเกตพฤติกรรมการเคลื่อนที่ของเซลล์ที่แสดง pDEP และ nDEP ในแต่ละสภาพนำไฟฟ้านอกเซลล์ σ_{sol} การทดลองใช้อิเล็กโทรดทองสองขั้วที่มีแกป 50 µm ระหว่างอิเล็กโทรด อิเล็กโทรดถูกกระตุ้นด้วยแรงดันไฟฟ้ากระแสสลับ 5 V_p จากเครื่องกำเนิดสัญญาณ (TGF4242, Aim-TTi) การสังเกตพฤติกรรมของเซลล์ทำโดยใช้กล้องจุลทรรศน์ (Eclipse e200, Nikon) และกล้อง CCD (WAT-231s2, Watec) ตัวอย่างเซลล์ STO ในสารแขวนลอยถูกหยดลงบนช่องแกปของอิเล็กโทรด จากนั้นผู้วิจัยใช้ความถี่ไฟฟ้าค่าสูง เพื่อให้เซลล์แสดงพฤติกรรม pDEP ค่า f_{DEP0} ได้จากการลดความถี่ไฟฟ้าลงครั้งละ 10 kHz จนพบพฤติกรรม nDEP ของเซลล์ รูปที่ 8(ก) และ (ข) แสดงเซลล์ที่เคลื่อนที่ไปยังบริเวณที่มีสนามไฟฟ้าสูงด้วย pDEP และเซลล์เคลื่อนที่ไปยังบริเวณที่มีสนามไฟฟ้าต่ำด้วย nDEP ตามลำดับ

4.4 การเปรียบเทียบระหว่าง f_{R0} และ f_{DEP0}

รูปที่ 9 แสดงการเปรียบเทียบความถี่ครอสโอเวอร์ทางไฟฟ้า (f_{R0}) และความถี่ครอสโอเวอร์ไดอิเล็กโทรโฟเรติก (f_{DEP0}) ที่ σ_{sol} ค่าต่างๆ f_{R0} และ f_{DEP0} เพิ่มสูงขึ้นอย่างชัดเจนแบบไม่เชิงเส้นเมื่อ σ_{sol} เพิ่มขึ้น อย่างไรก็ตาม ที่ค่า σ_{sol} สูง (0.2 S/m และ 0.3 S/m) ค่า f_{R0} มีค่าสูงกว่า f_{DEP0} อย่างเห็นได้ชัด ซึ่งอาจเป็นผลจากสมดุลของอิมพีแดนซ์ระหว่างเซลล์และตัวกลางที่ต่างกัน นอกจากนี้ ยังมีการเพิ่มขึ้นของค่า SD ในทั้งสองชุดข้อมูลที่เพิ่มขึ้นตามสภาพนำไฟฟ้าของตัวกลาง การวิเคราะห์ f_{R0} เหมาะสำหรับการประเมินพฤติกรรมของเซลล์ในสภาพแวดล้อมที่แตกต่างกัน โดยเฉพาะอย่างยิ่งการวิเคราะห์ที่ต้องการปริมาณงานสูง และไม่ขึ้นกับพฤติกรรมการเคลื่อนที่ของเซลล์ นอกจากนี้ การวัด f_{R0} เป็นแบบ real-time เพราะตรวจจับสัญญาณไฟฟ้าโดยตรงจากเซลล์จำนวนมากได้รวดเร็ว ต่างจากการวัด f_{DEP0} ที่ต้องอาศัยการปรับความถี่และสังเกตการเคลื่อนที่ของเซลล์ซึ่งใช้เวลานาน มีข้อสังเกต สำหรับงานวิจัยนี้ว่า LIA ที่ใช้สามารถวัดสัญญาณได้ 4 ความถี่ การเลือกช่วงความถี่ให้ครอบคลุมและเหมาะสมเป็นปัจจัยสำคัญสำหรับการประมาณหา f_{R0} หากเลือกความถี่ที่ไม่เหมาะสม การประมาณค่าเชิงเส้นจะคลาดเคลื่อนสูง การกระจายค่าความถี่ที่ครอบคลุมทั้งช่วงความถี่ต่ำและสูงที่ใกล้เคียงกับ f_{R0} ต้องพิจารณาสภาพนำไฟฟ้าของสารแขวนลอยเซลล์ประกอบด้วย

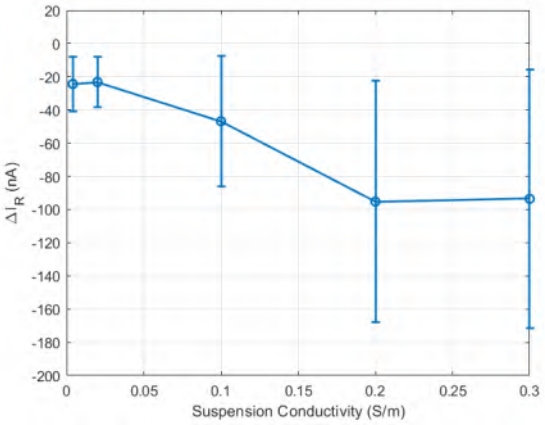

รูปที่ 7 ΔI_R ที่ความถี่ 20 kHz เมื่อแปรสภาพนำไฟฟ้าภายนอกเซลล์

ตารางที่ 1 ความถี่ครอสโอเวอร์ทางไฟฟ้า f_{R0} ของเซลล์ STO ที่สภาพนำไฟฟ้านอกเซลล์ σ_{sol} แตกต่างกัน

σ_{sol} (S/m)	จำนวนเซลล์		สัดส่วนของเซลล์ที่หา f_{R0} ได้ (%)	f_{R0} (kHz)	
	ทั้งหมด	วิเคราะห์ f_{R0} ได้		ค่าเฉลี่ย	SD
0.004	6,855	6,527	95	149	55
0.020	5,954	5,309	89	175	68
0.100	6,846	6,512	95	249	73
0.200	6,188	4,723	76	770	262
0.300	6,168	4,780	77	1,806	799

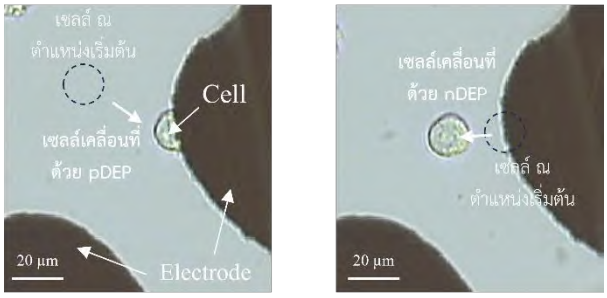

(ก) (ข)

รูปที่ 8 การเคลื่อนที่ของเซลล์ STO ด้วยแรง DEP (ก) pDEP (ข) nDEP

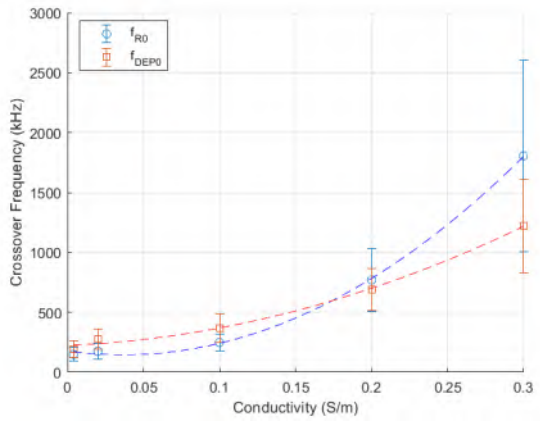

รูปที่ 9 ลักษณะสมบัติ f_{R0} และ f_{DEP0} เป็นฟังก์ชันของสภาพนำไฟฟ้านอกเซลล์

5. สรุป

งานวิจัยนี้หาค่าความถี่ครอสโอเวอร์ทางไฟฟ้า (f_{R0}) จากการวัดการเปลี่ยนแปลงกระแสความต้านทาน (ΔI_R) ด้วย LIA ในระบบของไหลจุลภาค f_{R0} มีแนวโน้มเพิ่มสูงขึ้นตามสภาพนำไฟฟ้าภายนอกของสารแขวนลอย f_{R0} จะมีลักษณะสมบัติตามสภาพนำไฟฟ้านอกเซลล์ที่คล้ายกับความถี่ครอสโอเวอร์ไดอิเล็กโทรโฟเรติก f_{DEP0} ทั้งนี้ f_{R0} มีค่าสูงกว่า f_{DEP0} มากที่สภาพนำไฟฟ้าสูง เมื่อเปรียบเทียบกับการทดลองหา f_{DEP0} การทดลองหา f_{R0} มีข้อได้เปรียบด้านความเร็วในการวิเคราะห์เซลล์จำนวนมาก วิธีการที่นำเสนอจึงแสดงให้เห็นถึงศักยภาพในการเป็นเครื่องมือที่มีประสิทธิภาพสูงสำหรับการศึกษาคุณสมบัติทางไฟฟ้าของเซลล์เดี่ยวในอนาคต

6. กิตติกรรมประกาศ

คณะผู้วิจัยขอขอบคุณ รศ.น.สพ. ดร.ธีรวัฒน์ ธาราศานิต สพ.ญ. ดร.วิราภานต์ กัลยาณะธรรม และ สพ.ญ. ดร.ลลิณธรณ์ อุดมธนัยสิทธิ์ (ภาควิชาสูติศาสตร์ เธนุเวชวิทยา และวิทยาการสืบพันธุ์สัตว์ คณะสัตวแพทยศาสตร์ จุฬาลงกรณ์มหาวิทยาลัย) ศาสตราจารย์ ดร.อรวรรณ ชัยลภากุล และ รศ. ดร.อภิชาติ อิ่มยิ้ม (ภาควิชาเคมี คณะวิทยาศาสตร์ จุฬาลงกรณ์มหาวิทยาลัย) นางสาวชนันธร ชนนนวธร และ ดร.มติ ห่อประทุม (ศูนย์เทคโนโลยีอิเล็กทรอนิกส์และคอมพิวเตอร์แห่งชาติ). งานวิจัยนี้ได้รับทุนอุดหนุนการวิจัยและนวัตกรรมจากสำนักงานการวิจัยแห่งชาติ (เลขที่สัญญา N42A660947) และทุนวิจัยและสร้างนวัตกรรม มหาวิทยาลัยอุบลราชธานี

เอกสารอ้างอิง

[1] M. Alshareef, N. Metrakos, E. J. Perez, F. Azer, F. Yang, X. Yang, and G. Wang, “Separation of tumor cells with dielectrophoresis-based microfluidic chip,” *Biomicrofluidics*, vol. 7, no. 1, p. 011803, 2013.

[2] H. S. Moon, K. C. Kim, Y. N. Kim, and S. G. Kim, “A microfluidic platform for simultaneous monitoring of the cell morphology and electrical impedance using an on-chip lens-free microscopy,” *Lab on a Chip*, vol. 11, no. 6, pp. 1118–1126, 2011.

[3] P. Gascoyne, J. Satayavivad, and M. Ruchirawat, “Microfluidic approaches to malaria detection,” *Acta Tropica*, vol. 89, no. 3, pp. 357–369, 2004.

[4] T. B. Jones, *Electromechanics of particles*. Cambridge University Press, 2005.

[5] N. Panklang, K. Vijitnukoonpradit, C. Putaporntip, K. Chotivanich, M. Nakano, M. Horprathum, and B. Techaumnat, “Study on the dielectrophoretic characteristics of malaria-infected red blood cells,” *Electrophoresis*, vol. 44, no. 23, pp. 1837–1846, 2023.

[6] N. Panklang, B. Techaumnat, N. Tanthanuch, K. Chotivanich, M. Horprathum, and M. Nakano, “On-Chip Impedance Spectroscopy of Malaria-Infected Red Blood Cells,” *Sensors*, vol. 24, no. 10, p. 3186, 2024.

[7] S. Gawad, L. Schild, and Ph. Renaud, “Micromachined impedance spectroscopy flow cytometer for cell analysis and particle sizing,” *Lab on a Chip*, vol. 1, no. 1, pp. 76–82, 2001.

[8] M. Nakano, R. Nakabayashi, R. Koyama, M. Inaba, and J. Suehiro, “Dielectrophoresis Low and High Crossover Frequencies of Cancerous Exosomes,” *Electrophoresis*, vol. 46, pp. 1–9, 2025.

[9] Z. Tian, X. Wang, and J. Chen, “On-chip dielectrophoretic single-cell manipulation,” *Microsystems & Nanoengineering*, vol. 10, no. 117, pp. 1–28, 2024.

การพัฒนาต้นแบบเครื่องหยอดปุ๋ยอัตโนมัติ

Development of Automatic Fertilizer Machine Prototype

เบญจพล ปลื้มะลัง[1] วรวุฒิ ปลื้มชัยภูมิ[1] วรรณรีย์ วงศ์ไตรรัตน์[1] ธรรมกร ครองไตรภพ[2] และ ถนอมศักดิ์ โสภณ[1]*

[1]สาขาวิศวกรรมอิเล็กทรอนิกส์ คณะวิศวกรรมศาสตร์และเทคโนโลยี มหาวิทยาลัยเทคโนโลยีราชมงคลอีสาน Benchaphon.pml@gmail.com, worawutpluem@gmail.com, wannaree.wo@rmuti.ac.th, thanomsak.so@rmuti.ac.th*

[2]สาขาวิศวกรรมคอมพิวเตอร์ คณะวิศวกรรมศาสตร์และเทคโนโลยี มหาวิทยาลัยเทคโนโลยีราชมงคลอีสาน thammakorn@rmuti.ac.th

บทคัดย่อ

ในปัจจุบันปัญหาการใส่ปุ๋ยให้กับพืชไร่มีข้อจำกัดหลายอย่าง เช่น ปริมาณการใส่ปุ๋ยไม่เหมาะสมมากเกินไปหรือน้อยเกินไป หรือใช้เวลานานมาก ดังนั้นในบทความวิจัยนี้ได้ออกแบบและสร้างต้นแบบเครื่องหยอดปุ๋ยอัตโนมัติที่สามารถควบคุมความเร็วด้วยการใช้การมอดูเลตความกว้างของสัญญาณพัลส์ ซึ่งสามารถควบคุมความเร็วได้ 3 ระดับ นอกจากนี้ยังสามารถควบคุมการทำงานผ่านแอปพลิเคชันบนระบบปฏิบัติการแอนดรอยด์ ระบบควบคุมการทำงานได้มีการประยุกต์ใช้บอร์ด Raspberry Pi 4 ทดลองใส่ปุ๋ยปริมาณจำนวน 5 กิโลกรัม แล้ววัดค่าของความเร็วรอบได้ค่าเฉลี่ยความเร็วระดับที่ 1, 2 และ 3 เท่ากับ 97.29, 136.35 และ 185.37 rpm และค่าส่วนเบี่ยงเบนมาตรฐานเท่ากับ 0.12, 1.40 และ 2.79 ตามลำดับ พร้อมกันนั้นทำการทดลองจับเวลาที่ใช้ในการปล่อยปุ๋ยได้ค่าเฉลี่ยเวลาตามความเร็วระดับที่ 1, 2 และ 3 เท่ากับ 1.31, 1.04 และ 0.47 นาที ตามลำดับและค่าส่วนเบี่ยงเบนมาตรฐานเท่ากับ 0.01

คำสำคัญ: เครื่องหยอดปุ๋ยอัตโนมัติ เครื่องจักรกลเกษตร ระบบควบคุมอัตโนมัติ

Abstract

Currently, there are many limitations to fertilizing field crops, such as the amount of fertilizer applied is not appropriate, too much or too little, or it takes a long time. Therefore, in this paper, an automatic fertilizer machine prototype has been designed and built that can control the speed using pulse width modulation (PWM), which can control the speed at three levels. In addition, it can be controlled via an application on the Android operating system. The control system uses a Raspberry Pi 4 board. In the experiment, the fertilizer was applied with a fertilizer amount of 5 kilograms and the rotation speed was measured. The average speed at levels 1, 2 and 3 was 97.29, 136.35 and 185.37 rpm and the standard deviation was 0.12, 1.40 and 2.79, respectively. Then, an experiment was conducted to measure the time used for fertilizer release. The average time at speed levels 1, 2 and 3 was 1.31, 1.04 and 0.47 min, respectively, and the standard deviation was 0.01.

Keywords: Automatic Fertilizer Machinery, Agricultural Machinery, Automatic Control System

1. ข้อมูลทั่วไป

ประเทศไทยเป็นพื้นที่อุดมสมบูรณ์เหมาะสมกับการทำเกษตรกรรม ซึ่งเกษตรกรรมเป็นหัวใจสำคัญที่ช่วยสร้างผลผลิตที่ใช้ในการบริโภคเพื่อการดำรงชีวิต รวมทั้งสร้างอาชีพและรายได้ อาชีพเกษตรกรรมจัดว่าเป็นอาชีพมีความเสี่ยงและอาจเกิดการบาดเจ็บจากการทำงานได้ เช่น โรคปอด โรคผิวหนัง โรคมะเร็งบางชนิดที่เกี่ยวข้องกับการใช้สารเคมี หรือสารกำจัดศัตรูพืช ซึ่งอาจก่อให้เกิดอาการเจ็บป่วย จากปัญหาที่กล่าวมา ในปัจจุบันได้มีการนำเครื่องจักรและเทคโนโลยีมาใช้งานแทนคนหลายรูปแบบ เพื่อลดเวลาในการทำงาน ลดปริมาณของจำนวนแรงงาน และลดความเสี่ยงจากการสัมผัสสารเคมีที่อันตรายหรือการใส่ปุ๋ยเคมีหรือปุ๋ยต่าง ๆ

จากงานวิจัยของอานนท์ [1] พัฒนาระบบหยอดปุ๋ยอัตโนมัติที่มีการกำหนดอัตราการหยอดปุ๋ยอ้อยตามการวิเคราะห์ดิน เพื่อให้เครื่องหยอดปุ๋ยสามารถใส่ปุ๋ยในไร่อ้อย โดยใช้การควบคุมความเร็วรอบของมอเตอร์ที่ใช้ไมโครคอนโทรลเลอร์ Arduino Mega 2560 สั่งสัญญาณพัลส์ PWM ควบคุมความเร็วรอบของเพลาหยอดปุ๋ยในการกำหนดอัตราการหยอดปุ๋ย ในโครงงานวิจัยของ ธนพงศ์ [2] พัฒนาเครื่องฝังปุ๋ยแบบปรับอัตราการแบบอัตโนมัติสำหรับรถแทรกเตอร์ขนาดเล็ก การควบคุมอัตราการหยอดปุ๋ยประยุกต์ใช้ไมโครคอนโทรลเลอร์ Arduino Mega 2560 สั่งสัญญาณพลส์ PWM ผ่านวงจรขับมอเตอร์ในการควบคุมความเร็วรอบของมอเตอร์ไฟฟ้ากระแสตรง 12 โวลต์ 250 วัตต์ เพื่อจ่ายปุ๋ยตามอัตราที่กำหนด ในบทความวิจัย [3] นำเสนอการปรับปรุงประสิทธิภาพของระบบควบคุมการใส่ปุ๋ยแบบแปรผันได้รับ ซึ่งสามารถทำงานได้สองโหมด คือ โหมดควบคุมด้วยมือและโหมดควบคุมอัตโนมัติ โดยใช้ไมโครโปรเซสเซอร์ S3C44B0X ของซีรีส์ ARM7 สั่งใช้เซ็นเซอร์การไหลควบคุมปริมาณปุ๋ยที่จะเปลี่ยนแปลงจากปริมาณดิจิทัลเป็นปริมาณของที่ไหลออก จากนั้นใช้ระบบควบคุมแบบป้อนกลับแบบวงปิดเพื่อควบคุมการเปิดของตัวกระตุ้นไฟฟ้าปรับการเปิดวาล์วเพื่อควบคุมการใส่ปุ๋ยแบบแปรผัน จากที่กล่าวมาระบบควบคุมการใส่ปุ๋ยแบบอัตราแปรผันสำหรับใช้กับเครื่องใส่ปุ๋ยเม็ดที่ใช้มอเตอร์กระแสตรง ระบบควบคุมนี้ประกอบด้วยขั้วต่อแบบฝังและตัวควบคุมอัตราแปรผัน โดยการวิเคราะห์การใส่ปุ๋ยที่สามารถสร้างความสัมพันธ์ระหว่างค่าพารามิเตอร์ที่ส่งผลต่ออัตราการใส่ปุ๋ยและตำแหน่งของคันโยกปรับเกียร์ได้ในการส่งคำสั่งควบคุมผ่านเครือข่ายไร้สายแบบ Zigbee ตามแผนที่การกำหนดปุ๋ยและข้อมูล GPS แบบเรียลไทม์ หลังจากได้รับคำสั่งควบคุมแล้ว ตัวควบคุมอัตราแปรผันสามารถปรับคันโยกปรับเกียร์แบบเรียลไทม์โดยอัตโนมัติด้วยการควบคุมมอเตอร์ไฟฟ้ากระแสตรงเพื่อเปลี่ยนอัตราการใส่ปุ๋ย [4] นอกจานี้ยังมีทีมนักวิจัย [5] พัฒนาเครื่องผสมปุ๋ยอัตโนมัติสำหรับระบบการทำฟาร์มที่มีระบบในการผสมวัตถุดิบของปุ๋ย โดยใช้ไมโครคอนโทรลเลอร์ Arduino สั่งงานมอเตอร์ในการควบคุมระบบในการแยกวัตถุดิบและผสมเพื่อให้ได้ส่วนผสมของปุ๋ย

ถนอมศักดิ์ โสภณ
*ผู้ประพันธ์บรรณกิจ

ดังนั้นในบทความวิจัยนี้ได้พัฒนาต้นแบบจำลองเครื่องหยอดปุ๋ยอัตโนมัติที่สามารถกำหนดปริมาณการใส่ปุ๋ยให้กับพืช โดยการปรับค่าความเร็วรอบการหมุนของมอเตอร์ได้ 3 ระดับ ตามการควบคุมของสัญญาณพัลส์ PWM นอกจากนี้ยังสามารถสั่งการทำงานผ่านแอปพลิเคชันบนระบบปฏิบัติการแอนดรอยด์ เพื่อช่วยให้เกษตรกรสามารถทำการใส่ปุ๋ยหรือสารเคมีได้แบบอัตโนมัติ และช่วยให้การควบคุมปริมาณการปล่อยปุ๋ยได้ง่ายขึ้น

2. กรอบแนวคิดการวิจัย

2.1 การออกแบบและสร้างต้นแบบเครื่องหยอดปุ๋ย

การออกแบบและสร้างต้นแบบเครื่องหยอดปุ๋ยอัตโนมัติที่รองรับปริมาณปุ๋ยได้เท่ากับ 5 กิโลกรัม โดยด้านบนถังบรรจุปุ๋ยมีขนาด 31.5 × 31.5 ซม. ส่วนลึกขอบบนขนาด 10 ซม. ซึ่งมีความสูงถังเท่ากับ 30 ซม. ในส่วนฐานของเครื่องมีขนาดกว้าง 45 ซม. ยาว 50 ซม. และสูง 31 ซม. โดยมีการใช้เพลาขนาดหน้าตัด 2.5 ซม. เป็นแกนหลักของระบบขับเคลื่อนพร้อมติดตั้งมอเตอร์ไฟฟ้ากระแสตรงสำหรับการขับเคลื่อนชุดหยอดปุ๋ย และใช้โซ่เบอร์ 40 เชื่อมต่อระหว่างเฟืองมอเตอร์และเฟืองเพลาเพื่อส่งกำลังจากมอเตอร์ไฟฟ้ากระแสตรงไปยังระบบหยอดปุ๋ย และได้ทำการติดตั้งกล่องระบบควบคุมไว้ที่ฐาน แสดงดังรูปที่ 1

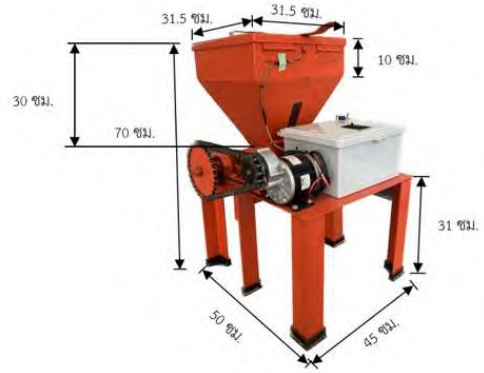

รูปที่ 1 ต้นแบบโครงสร้างเครื่องใส่ปุ๋ย

นอกจากนี้ได้ทำการติดตั้งเซนเซอร์อัลตราโซนิค (Ultrasonic Sensor) ไว้ด้านบนฝาเครื่องใส่ปุ๋ย เพื่อทำการวัดระยะระดับปริมาณปุ๋ยภายในถัง แสดงดังรูปที่ 2

รูปที่ 2 การติดตั้งเซนเซอร์อัลตราโซนิค

2.2 การออกแบบและสร้างวงจรขับมอเตอร์

การควบคุมมอเตอร์ใช้วงจรแบบ H-Bridge ประกอบด้วยมอสเฟต 4 ตัว เป็นโครงสร้างหลักในการใช้ควบคุมประกอบด้วยชนิด N-Cannel 2 ตัว คือ IRF3205 และชนิด P-Channel 2 ตัว คือ IRF4905 ซึ่งมีไดโอดต่อคร่อมมอสเฟตเพื่อป้องกันการไหลย้อนกลับของกระแสไฟฟ้าจากมอเตอร์ไฟฟ้ากระแสตรง ใช้ไอซี L293D ควบคุมการทำงานหลักผ่านทรานซิสเตอร์ชนิด N-Channel คือ 2N2222 โดยมีตัวเก็บประจุชนิดไมล่าร์ต่อคร่อมอยู่กับส่วนเอาต์พุตเพื่อลดการกระชากตัวของมอเตอร์ไฟฟ้ากระแสตรงที่นำมาใช้ร่วมกับวงจร ซึ่งวงจรขับมอเตอร์ที่ได้ทำการออกแบบนี้ จะต้องทำการจ่ายแรงดันไฟฟ้ากระแสตรง 12 โวลต์ ให้กับโครงสร้างหลักและแรงดัน 5 โวลต์ ในส่วนของไอซี L293D มีอินพุต 2 อินพุต อินพุตที่ 1 ควบคุมมอเตอร์ให้หมุนแบบไปข้างหน้า อินพุตที่ 2 ควบคุมมอเตอร์ให้หมุนแบบย้อนกลับ จากนั้นป้อนสัญญาณเปิดปิดการทำงานให้กับช่องรับสัญญาณ Enable 1 อินพุต เพื่อนำสัญญาณพัลส์ PWM ไปปรับระดับความเร็วของมอเตอร์ไฟฟ้ากระแสตรง แสดงดังรูปที่ 3

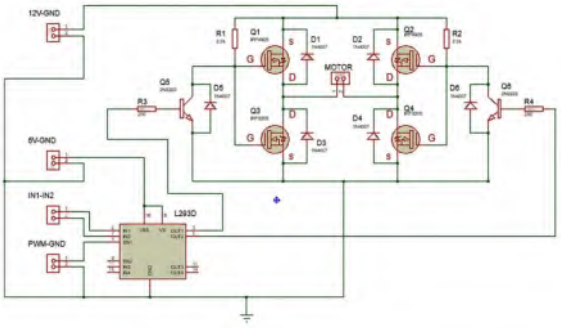

รูปที่ 3 การออกแบบวงจรขับมอเตอร์ไฟฟ้ากระแสตรงแบบ H-Bridge

2.3 การออกแบบและพัฒนาแอปพลิเคชัน

การออกแบบและพัฒนาหน้าต่างแอปพลิเคชันด้วยการใช้โปรแกรม Android Studio ภาษาจาวา ดังในรูปที่ 4 แสดงรายละเอียดดังนี้

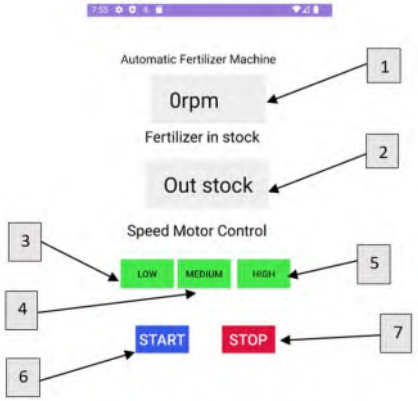

รูปที่ 4 การออกแบบส่วนหน้าต่างแอปพลิเคชัน

หมายเลข 1 คือ การแสดงค่าจำนวนรอบความเร็วในการหยอดปุ๋ยขณะที่เครื่องทำงานมีหน่วยความเร็วรอบเป็น rpm

หมายเลข 2 คือ การแสดงข้อความของสถานะปุ๋ยภายในถัง โดยทำงานภายใต้เงื่อนไขของตัวเซนเซอร์อัลตราโซนิคตรวจจับวัดระยะทาง ถ้าหากมีปุ๋ยภายในถังจะมีข้อความแสดง In stock แต่ถ้าปุ๋ยหมดแสดง Out stock

หมายเลข 3 คือ ปุ่ม LOW ที่เป็นการปรับระดับมอเตอร์ความเร็วเท่ากับ 100 rpm

หมายเลข 4 คือ ปุ่ม MEDIUM เป็นการปรับระดับมอเตอร์ความเร็วเท่ากับ 143 rpm

หมายเลข 5 คือ ปุ่ม HIGH เป็นการปรับระดับมอเตอร์ความเร็วเท่ากับ 200 rpm

หมายเลข 6 คือ ปุ่ม START เมื่อกดคำสั่งเริ่มการทำงาน จากนั้นสามารถกดปรับระดับความเร็วมอเตอร์ได้ตามหมายเลข 3 หรือ 4 หรือ 5

หมายเลข 7 คือ ปุ่ม STOP กดสั่งหยุดการทำงานของมอเตอร์

หลักการทำงานของแอปพลิเคชัน (โปรแกรม Android Studio) สั่งควบคุมการทำงาน ซึ่งจะส่งข้อมูลผ่านการสื่อสาร Firebase Realtime Database ไปยังบอร์ด Raspberry Pi 4 เมื่อบอร์ด Raspberry Pi 4 ได้รับข้อมูลจาก Firebase จะส่งสัญญาณไปยังวงจรขับมอเตอร์แบบ H-Bridge สั่งงานให้มอเตอร์ทำงาน โดย Firebase ทำหน้าที่เก็บข้อมูลและส่งไปยังแอปพลิเคชัน ซึ่งแอปพลิเคชันจะรับข้อมูลมาแสดงผล แสดงดังรูปที่ 5

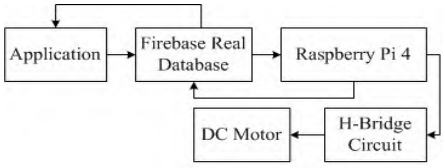

รูปที่ 5 หลักการควบคุมการทำงานผ่านแอปพลิเคชัน

2.4 การออกแบบระบบควบคุมการทำงาน

การออกแบบระบบควบคุมแบบป้อนกลับแบบ PID (Proportional Integral Derivative Control) ซึ่งเป็นการนำเอาสัญญาณเอาต์พุตมาทำการปรับเปรียบเทียบความเร็วรอบอินพุตจะทำให้เกิดค่าความผิดพลาดของระบบ จากนั้นจะเข้าสู่กระบวนการควบคุมแบบพี แบบไอและแบบดี แล้วจะทำการปรับสัญญาณพัลส์ที่เกิดขึ้นใหม่ เพื่อให้ความเร็วรอบเอาต์พุตเท่ากับ setpoint แล้วจะทำการปรับระดับสัญญาณพัลส์ PWM ให้มอเตอร์ไฟฟ้ากระแสตรง โดยเอ็นโค้ดเดอร์ (Encoder) จะทำหน้าที่วัดตำแหน่งการหมุนเชิงมุมของเพลาเครื่องใส่ปุ่ยและแปลงตำแหน่งการหมุนเชิงมุมของเพลาเครื่องใส่ปุ่ยเป็นความเร็วรอบ rpm ของเอาต์พุตไปเปรียบเทียบกับ setpoint อินพุต ดังรูปที่ 6

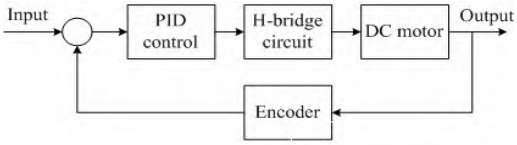

รูปที่ 6 การออกแบบระบบควบคุม PID

การหาค่าพารามิเตอร์ของค่า K_p, K_i และ K_d เพื่อให้ค่าความผิดพลาดของเอาต์พุตในระบบควบคุมแบบป้อนกลับเป็นศูนย์ โดยใช้วิธีการปรับค่าพารามิเตอร์เปรียบเทียบกับกราฟ แสดงค่าเอาต์พุตของค่า K_p = 0.15, K_i = 0.38 และ K_d = 0.01 รูปที่ 7 แสดงสัญญาณเอาต์พุตการควบคุมแบบป้อนกลับจากเอ็นโค้ดเดอร์

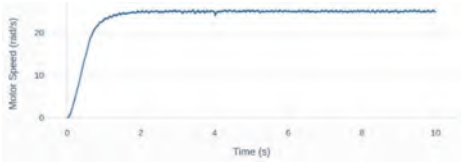

รูปที่ 7 สัญญาณเอาต์พุตการควบคุมแบบป้อนกลับจากเอ็นโค้ดเดอร์

จากแผนผังงานในรูปที่ 8 แสดงหลักการของแอปพลิเคชันสำหรับควบคุมการทำงาน มีขั้นตอนดังนี้

1) เลือกกดปุ่ม START เป็นการเริ่มต้นการทำงานของเครื่องหยอดปุ่ย แล้วจะต้องทำการเลือกระดับความเร็ว ถ้าไม่เลือกจะกลับไปหน้าต่างเริ่มต้นแอปพลิเคชัน

2) เลือกกดปุ่ม LOW เครื่องหยอดปุ่ยจะทำงานที่ระดับความเร็ว 100 rpm ซึ่งมีระบบควบคุมแบบป้อนกลับจะทำการปรับระดับสัญญาณพัลส์ PWM ให้ความเร็วรอบของมอเตอร์ไฟฟ้ากระแสตรงคงที่เท่ากับ 100 rpm

3) เลือกกดปุ่ม MEDIUM เครื่องหยอดปุ่ยจะทำงานที่ระดับความเร็ว 143 rpm ซึ่งมีระบบควบคุมแบบป้อนกลับจะทำการปรับระดับสัญญาณพัลส์ PWM ให้ความเร็วรอบของมอเตอร์ไฟฟ้ากระแสตรงคงที่เท่ากับ 143 rpm

4) เลือกกดปุ่ม HIGH เครื่องหยอดปุ่ยจะทำงานที่ระดับความเร็ว 200 rpm ซึ่งมีระบบควบคุมแบบป้อนกลับจะทำการปรับระดับสัญญาณพัลส์ PWM ให้ความเร็วรอบของมอเตอร์ไฟฟ้ากระแสตรงคงที่เท่ากับ 200 rpm

5) สุดท้ายเลือกกดปุ่ม STOP เป็นการหยุดการทำงาน

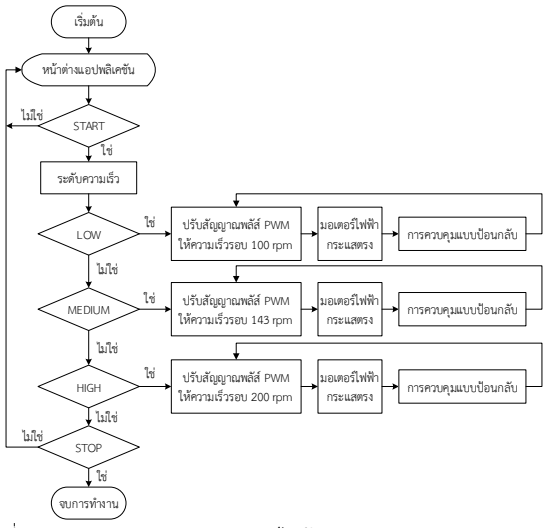

รูปที่ 8 แผนผังงานการควบคุมมอเตอร์ไฟฟ้ากระแสตรงผ่านแอปพลิเคชัน

3. การทดลองและผลการทดลอง

3.1 การทดลองปรับระดับความเร็วรอบมอเตอร์

การทดลองปรับความเร็วรอบของมอเตอร์ไฟฟ้ากระแสตรงจากค่าของสัญญาณพัลส์ PWM ใน 3 ระดับ คือ ความเร็วระดับที่ 1, 2 และ 3 จากนั้นทำการวัดสัญญาณพัลส์ PWM ที่ใช้ระบบควบคุมแบบป้อนกลับจากวงจรขับมอเตอร์แบบ H-Bridge แล้วทำการวัดสัญญาณพัลส์ PWM แบบที่ไม่มีโหลดและแบบที่มีโหลดปริมาณปุ่ยจำนวน 5 กิโลกรัม

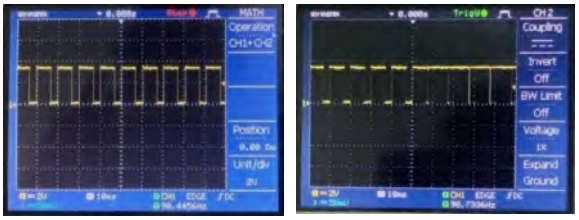

(ก) (ข)

รูปที่ 9 สัญญาณพัลส์ PWM ของความเร็วระดับที่ 1
(ก) แบบไม่มีโหลด
(ข) แบบมีโหลด

ผลการทดลองวัดค่าสัญญาณพัลส์ PWM ในความเร็วระดับที่ 1 ที่มีค่าดิวตี้ไซเคิลเท่ากับ 70% ซึ่งมีขนาดความกว้างของสัญญาณพัลส์คงที่ค่าความถี่ของสัญญาณพัลส์เท่ากับ 98.4456 Hz และแรงดันไฟฟ้าเท่ากับ

3.6 โวลต์ สำหรับกรณีแบบไม่มีโหลด แสดงดังรูป 9 (ก) และกรณีแบบมีโหลดปุ๋ยจำนวน 5 กิโลกรัม วัดค่าของสัญญาณพัลส์ PWM มีความถี่เท่ากับ 98.8112 Hz และมีค่าแรงดันไฟฟ้าเท่ากับ 3.6 โวลต์ แสดงดังรูป 9 (ข)

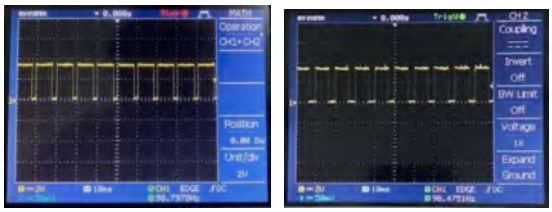

(ก) (ข)

รูปที่ 10 สัญญาณพัลส์ PWM ของความเร็วระดับที่ 2
(ก) แบบไม่มีโหลด
(ข) แบบมีโหลด

ผลการทดลองวัดค่าสัญญาณพัลส์ PWM ในความเร็วระดับที่ 2 ที่มีค่าดิวตี้ไซเคิลเท่ากับ 80% กรณีกรณีแบบไม่มีโหลดมีขนาดค่าความถี่ของสัญญาณพัลส์ PWM เท่ากับ 98.7978 Hz แสดงดังรูป 10 (ก) และกรณีแบบมีโหลดปุ๋ยจำนวน 5 กิโลกรัม วัดค่าของสัญญาณพัลส์ PWM มีความถี่เท่ากับ 98.5222 Hz แสดงดังรูป 10 (ข) ในส่วนของค่าแรงดันไฟฟ้าเท่ากับ 3.6 โวลต์เท่ากัน

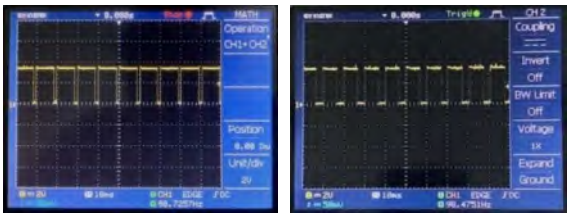

(ก) (ข)

รูปที่ 11 สัญญาณพัลส์ PWM ของความเร็วระดับที่ 3
(ก) แบบไม่มีโหลด
(ข) แบบมีโหลด

ผลการทดลองวัดค่าสัญญาณพัลส์ PWM ในความเร็วระดับที่ 3 ที่มีค่าดิวตี้ไซเคิลเท่ากับ 95% กรณีแบบไม่มีโหลดมีขนาดค่าความถี่ของสัญญาณพัลส์ PWM เท่ากับ 98.8029 Hz แสดงดังรูป 11 (ก) และกรณีแบบมีโหลดปุ๋ยจำนวน 5 กิโลกรัม วัดค่าของสัญญาณพัลส์ PWM มีความถี่เท่ากับ 98.7257 Hz แสดงดังรูป 11 (ข) ในส่วนของค่าแรงดันไฟฟ้าเท่ากับ 3.6 โวลต์เท่ากัน

3.2 การทดลองวัดความเร็วรอบในการปล่อยปุ๋ย

การทดลองใส่ปุ๋ยจำนวน 5 กิโลกรัม แล้วทำการปรับระดับความเร็วรอบ 3 ระดับ คือ ระดับที่ 1, 2 และ 3 ซึ่งกำหนดความเร็วรอบเท่ากับ 100, 143 และ 200 rpm ตามลำดับ โดยทำการทดลองจำนวน 5 ครั้ง แล้วทำการวัดค่าของความเร็วรอบและจับเวลาที่ใช้ในการปล่อยปุ๋ยทั้งหมดในถังปุ๋ย

ตารางที่ 1 การวัดค่าความเร็วรอบและจับเวลาที่ใช้ในการปล่อยปุ๋ย

ครั้งที่	ระดับที่ 1		ระดับที่ 2		ระดับที่ 3	
	เวลา (นาที)	ความเร็วรอบ (rpm)	เวลา (นาที)	ความเร็วรอบ (rpm)	เวลา (นาที)	ความเร็วรอบ (rpm)
1	1.30	97.33	1.04	135.26	0.49	179.86
2	1.30	97.36	1.03	135.07	0.47	186.85
3	1.32	97.10	1.05	135.28	0.47	187.27
4	1.32	97.24	1.05	138.05	0.47	185.90
5	1.33	97.44	1.03	138.08	0.46	186.98
ค่าเฉลี่ย	1.31	97.29	1.04	136.35	0.47	185.37
ค่าส่วนเบี่ยงเบนมาตรฐาน	0.01	0.12	0.01	1.40	0.01	2.79

จากผลการทดลองวัดค่าความเร็วรอบเครื่องหยอดปุ๋ยในระดับที่ 1, 2 และ 3 ได้ค่าความเร็วรอบเฉลี่ยเท่ากับ 97.29, 136.35 และ 185.37 มีค่าส่วนเบี่ยงเบนมาตรฐานเท่ากับ 0.12, 1.40 และ 2.79 ตามลำดับ โดยจับเวลาในการปล่อยปุ๋ยใช้เวลาเฉลี่ยเท่ากับ 1.31, 1.04 และ 0.47 ตามลำดับ และมีค่าส่วนเบี่ยงเบนมาตรฐานเท่ากับ 0.01 เท่ากันทั้งหมด แสดงผลการทดลองดังตารางที่ 1

4. สรุปผลการทดลอง

ในบทความวิจัยนี้เป็นการพัฒนาเครื่องหยอดปุ๋ยอัตโนมัติผ่านแอปพลิเคชันแอนดรอยด์สามารถควบคุมปริมาณการใส่ปุ๋ยด้วยการปรับความเร็วได้ 3 ระดับ คือ ระดับที่ 1, 2 และ 3 มีความเร็วรอบเท่ากับ 100, 143 และ 200 rpm ตามลำดับ ซึ่งจากผลการทดลองสามารถช่วยให้การใช้งานง่ายและควบคุมปริมาณการใส่ปุ๋ยได้เหมาะสมมากขึ้น

5. กิตติกรรมประกาศ

บทความวิจัยนี้ได้รับการสนับสนุน หลักสูตรสาขาวิชาวิศวกรรมอิเล็กทรอนิกส์และระบบควบคุมอัตโนมัติ สาขาวิศวกรรมอิเล็กทรอนิกส์ คณะวิศวกรรมศาสตร์และเทคโนโลยี มหาวิทยาลัยเทคโนโลยีราชมงคลอีสาน นครราชสีมา

เอกสารอ้างอิง

[1] อานนท์ สายคำฟู และ ชัยยากร จันทร์สุวรรณ, “กรณีศึกษาและพัฒนาระบบหยอดปุ๋ยอัตโนมัติตามค่าวิเคราะห์ดินในไร่อ้อย,” การประชุมวิชาการของมหาวิทยาลัยเกษตรศาสตร์ ครั้งที่ 57, มหาวิทยาลัยเกษตรศาสตร์ วิทยาเขตบางเขน, กรุงเทพฯ, 2562, หน้า 215 -222.

[2] ธนพงศ์ แสนจุ้ม, “วิจัยและพัฒนาเครื่องฝังปุ๋ยแบบปรับอัตราหยอดแบบอัตโนมัติสำหรับรถแทรกเตอร์ขนาดเล็กในสวนมะม่วง,” กรมวิชาการเกษตร, กรุงเทพฯ, 2564.

[3] C. Lang, J. Wang, Y. Shi, and X. Xi, “Design and development control system for deep fertilization variable liquid fertilizer applicator,” *2011 Second International Conference on Digital manufacturing & Automation (ICDMA2011)*, Zhangjiajie, Hunan, China, 2011, pp. 369-372.

[4] N. Su, T.Xu and L. Song, “Development of a variable rate fertilization control system based on DC motor for use on granular fertilizer applicator,” *2015 Fifth International Conference on Communication Systems and Network Technologies (CSNT2015)*, Gwalior, MP, India, 2015, pp. 1025-1029.

[5] M. F. Saaid, MK Nordin, A. I. M. Yassin, and N. M. Tahir, “Automated fertilizer mixer system for fertigation farming,” *Journal of Electrical and Electronic System Research*, vol. 18, 2021, pp. 18-23.

ไม้เท้าตรวจจับสิ่งกีดขวางและแชร์ตำแหน่งผ่าน LINE Messaging API สำหรับผู้พิการทางสายตา
Smart Cane for the Visually Impaired with Obstacle Detection and Location Sharing via LINE Messaging API

จิรพันธ์ พิมพล[1] ลลิตา ทองมูล[1] จัสติล ดอเล๊าะ[1] อรพิน ชาญนำสิน[1] อรทัย สิงห์อุสาหะ[2] และ วรพงศ์ ตั้งศรีรัตน์[3]*

[1]คณะวิศวกรรมศาสตร์ มหาวิทยาลัยเทคโนโลยีราชมงคลอีสาน วิทยาเขตขอนแก่น jirapun.pi@rmuti.ac.th, orapin.ch@rmuti.ac.th
[2]งานเวชศาสตร์นิวเคลียร์ โรงพยาบาลราชวิถี nupienoi@gmail.com
[3]ภาควิชาวิศวกรรมการวัดและควบคุม คณะวิศวกรรมศาสตร์ สถาบันเทคโนโลยีพระจอมเกล้าเจ้าคุณทหารลาดกระบัง drworapong@gmail.com*

บทคัดย่อ

บทความนี้นำเสนอต้นแบบไม้เท้าตรวจจับสิ่งกีดขวางและแชร์ตำแหน่งสำหรับผู้พิการทางสายตา ประกอบด้วยเซนเซอร์อัลตราโซนิกสำหรับตรวจจับสิ่งกีดขวางโดยติดตั้งไว้สองตำแหน่ง ได้แก่ 7 cm และ 57 cm จากพื้น ระยะการตรวจจับอยู่ที่ 50 cm และ 100 cm ตามลำดับ พร้อมระบบแจ้งเตือนแบบสั่น ประมวลผลและควบคุมการทำงานด้วยไมโครคอนโทรลเลอร์ สามารถติดตามตำแหน่งผู้ใช้งานด้วยโมดูล GPS และใช้การรับค่าพิกัดและส่งข้อมูลผ่าน LINE Messaging API ไปยังผู้ดูแล เมื่อผู้ดูแลกดเลือกเมนู "ตำแหน่ง" หรือส่งข้อความว่า "ตำแหน่ง" ไปยัง LINE Bot ระบบจะตอบกลับด้วยลิงก์ Google Maps ซึ่งเป็นตำแหน่งล่าสุดของผู้ใช้งาน นอกจากนี้เมื่อเชื่อมต่อ WiFi ไม้เท้าที่นำเสนอสามารถอัปโหลดค่าพิกัดไปยัง Google Sheets อัตโนมัติ ทุก 2 นาที ในกรณีไม่เชื่อมต่อ WiFi ระบบจะจัดเก็บค่าพิกัดในหน่วยความจำ โดยสามารถเก็บข้อมูลได้นานสูงสุด 24 ชั่วโมง เมื่อกลับมาเชื่อมต่อ WiFi ระบบจะส่งข้อมูลที่เก็บไว้ไปยัง Google Sheets จึงสามารถตรวจสอบตำแหน่งย้อนหลังได้ ซึ่งไม้เท้าที่นำเสนอช่วยอำนวยความสะดวกให้ผู้พิการทางสายตาสามารถดำเนินชีวิตได้อย่างปลอดภัยมากขึ้น อีกทั้งยังช่วยให้ผู้ดูแลสามารถติดตามตำแหน่งพิกัดแบบเรียลไทม์ของผู้ใช้งานได้อย่างแม่นยำและทันท่วงที

คำสำคัญ: ไม้เท้าผู้พิการทางสายตา ตรวจจับสิ่งกีดขวาง ระบบติดตาม GPS

Abstract

This article proposes a prototype of an obstacle-detection and location-sharing smart cane for visually impaired individuals. The cane is equipped with two ultrasonic sensors positioned at 7 cm and 57 cm from the ground, with detection ranges of 50 cm and 100 cm. A vibration alert system is used to notify the user upon obstacle detection. The system is operated and controlled by a microcontroller. For location tracking, a GPS module is integrated into the device. The acquired coordinates are transmitted via the LINE Messaging API to the caregiver. When the caregiver selects the “Location” menu or sends the message “Location” to the LINE Bot, the system replies with a Google Maps link showing the user's most recent location. The smart cane automatically uploads location data to Google Sheets every two minutes when connected to WiFi. If offline, data are stored locally for up to 24 hours and synchronized once the connection is restored, enabling retrospective location tracking. This smart cane enhances the safety and independence of visually impaired users and enables caregivers to track the user’s real-time location accurately and efficiently.

Keywords: Smart cane for the visually impaired, Obstacle Detection, GPS Tracking

1. บทนำ

ในปัจจุบันพบว่าผู้พิการทางสายตาต้องเผชิญกับความยากลำบากในการดำเนินชีวิตประจำวัน โดยเฉพาะในการเดินทางไปสถานที่ต่าง ๆ ซึ่งสภาพแวดล้อมที่มีสิ่งกีดขวาง อาจทำให้เกิดอุบัติเหตุหรือทำให้ผู้พิการทางสายตารู้สึกไม่มั่นใจในการออกจากบ้านหรือไปยังที่ต่าง ๆ ปัญหาที่พบคือการขาดแหล่งข้อมูลที่มีความแม่นยำและทันสมัยในการระบุตำแหน่ง ของผู้พิการทางสายตาในขณะเดินทาง และการไม่มีเครื่องมือช่วยเหลือที่สามารถแจ้งเตือนสิ่งกีดขวางบริเวณด้านหน้าได้อย่างทันท่วงที อย่างไรก็ตามปัญหาเหล่านี้สามารถแก้ไขได้โดยการนำเทคโนโลยีที่ทันสมัยมาประยุกต์ใช้พัฒนาอุปกรณ์ช่วยเหลือผู้พิการทางสายตา โดยในปัจจุบันมีการพัฒนาอุปกรณ์ที่ใช้บอร์ดไมโครคอนโทรลเลอร์ต่อควบคู่กับเซนเซอร์อัลตราโซนิก เพื่อช่วยแจ้งเตือนและตรวจจับเมื่อพบสิ่งกีดขวาง [1]-[5] อุปกรณ์ดังกล่าวสามารถช่วยให้ผู้พิการทางสายตารับรู้ว่ามีสิ่งกีดขวางผ่านสัญญาณเสียงหรือการสั่น ทำให้สามารถเดินได้อย่างมั่นใจและปลอดภัยมากขึ้น อย่างไรก็ตามพบว่าบางงานที่นำเสนอยังไม่สามารถแชร์ตำแหน่งของผู้พิการทางสายตาได้ [1]-[3] นอกจากนี้การแชร์ตำแหน่งเป็นอีกแนวทางหนึ่งที่ช่วยให้ผู้พิการทางสายตาจากผู้ดูแลหรือญาติได้ โดยสามารถส่งตำแหน่ง GPS ของผู้พิการทางสายตาผ่านโมดูล GSM ได้ [4] ในขณะที่ไม้เท้าที่สามารถแชร์ตำแหน่งแบบเรียลไทม์ผ่านแอปพลิเคชัน Blynk [5] ทำให้ผู้ดูแลสามารถติดตามตำแหน่งผู้พิการได้ง่ายขึ้นและสามารถให้ความช่วยเหลือได้ทันท่วงที ซึ่งเป็นการเพิ่มความปลอดภัย และลดความเสี่ยงจากอุบัติเหตุ อย่างไรก็ตามยังไม่สามารถดูตำแหน่งย้อนหลังได้ อีกทั้งยังไม่พบการใช้งานร่วมกับ LINE Messaging API เพื่อส่งพิกัดตำแหน่งผ่านแอปพลิเคชัน LINE โดยตรง

ดังนั้นบทความนี้จึงนำเสนอการพัฒนาต้นแบบไม้เท้าตรวจจับสิ่งกีดขวางเพื่อช่วยเหลือผู้พิการทางสายตาด้วยไมโครคอนโทรลเลอร์ ESP8266 ต่อร่วมกับเซนเซอร์อัลตราโซนิกทำหน้าที่ตรวจจับสิ่งกีดขวางพร้อมทั้งแจ้งเตือนด้วยมอเตอร์แบบสั่น นอกจากนี้ยังสามารถติดตามตำแหน่งได้แบบเรียลไทม์ด้วยโมดูล GPS โดยการรับค่าพิกัดและส่งข้อมูลผ่าน LINE Messaging API ไปยังผู้ดูแล เมื่อเชื่อมต่อ WiFi ไม้เท้าที่นำเสนอสามารถอัปโหลดค่าพิกัดไปยัง Google Sheets อัตโนมัติ ทุก 2 นาที หากไม่เชื่อมต่อ WiFi ระบบจะจัดเก็บค่าพิกัดในหน่วยความจำ สามารถเก็บข้อมูลได้นานสูงสุด 24 ชั่วโมง อีกทั้งยังสามารถตรวจสอบพิกัดย้อนหลังได้ จึงทำให้ผู้พิการสามารถเดินทางได้อย่างมั่นใจ เพิ่มความปลอดภัยและลดการพึ่งพาผู้อื่นในการใช้ชีวิตประจำวัน ซึ่งเป็นอีกหนึ่งแนวทางที่สามารถช่วยพัฒนาคุณภาพชีวิตของผู้พิการทางสายตาให้ดีขึ้นได้

*ผู้ประพันธ์บรรณกิจ

2. การออกแบบโครงสร้างไม้เท้าตรวจจับสิ่งกีดขวาง

2.1 การออกแบบระบบตรวจจับสิ่งกีดขวาง

การเลือกแบบไม้เท้าสำหรับผู้พิการด้านสายตาโดยการนำไม้เท้าสำเร็จรูปที่ใช้กับผู้สูงอายุที่มีโครงสร้างเป็นอลูมิเนียมที่มีคุณภาพดีแข็งแรงทนทานและน้ำหนักเบา ด้ามจับเป็นยางที่มีรอยร่องนิ้วมีความโค้งงอเพื่อให้ผู้พิการทางสายตารู้ตำแหน่งที่ถูกต้องเพื่อความสะดวกในการจับ เหมาะสำหรับผู้ใช้งานที่มีความสูง 150 cm ขึ้นไป โดยไม้เท้ามีขนาดความยาว 100 cm กว้าง 2 cm นอกจากนี้ประกอบด้วยเซนเซอร์อัลตราโซนิกทำหน้าที่ตรวจจับสิ่งกีดขวาง ติดตั้งไว้สองตำแหน่ง คือ 7 cm และ 57 cm จากพื้น ซึ่งไม้เท้าที่นำเสนอมีน้ำหนักโดยรวม 1.5 kg แสดงได้ดังรูปที่ 1

(ก) ด้านหน้า (ข) ด้านขวา (ค) ด้านซ้าย

รูปที่ 1 การออกแบบไม้เท้าสำหรับผู้พิการทางสายตา

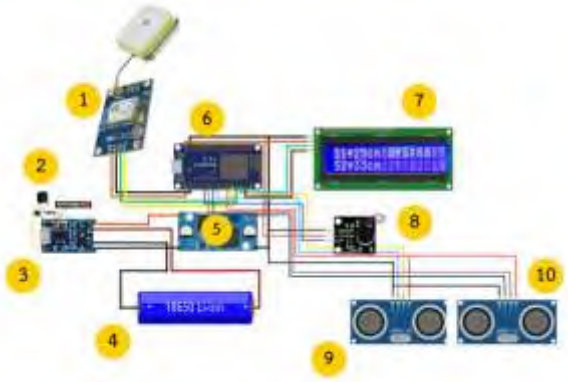

รูปที่ 2 เชื่อมต่ออุปกรณ์ของไม้เท้าตรวจจับสิ่งกีดขวางที่นำเสนอ

จากรูปที่ 2 แสดงการเชื่อมต่ออุปกรณ์ของไม้เท้าตรวจจับสิ่งกีดขวางและแชร์ตำแหน่งสำหรับผู้พิการทางสายตา ประกอบด้วยส่วนต่าง ๆ ดังนี้

หมายเลข 1 โมดูล GPS ทำหน้าที่ส่งตำแหน่งของผู้พิการ
หมายเลข 2 Buzzer ทำหน้าที่แจ้งเตือนสถานะแบตเตอรี่
หมายเลข 3 TP 4056 ทำหน้าที่ประจุพลังงานให้กับแบตเตอรี่
หมายเลข 4 แบตเตอรี่ Li-ion
หมายเลข 5 โมดูลเพิ่มระดับแรงดันไฟฟ้า
หมายเลข 6 NodeMCU ESP8266 ทำหน้าที่ควบคุมการทำงาน
หมายเลข 7 จอ LCD สำหรับแสดงค่าระยะ และสถานะ GPS
หมายเลข 8 โมดูลมอเตอร์แบบสั่น ทำหน้าที่แจ้งเตือนเมื่อมีสิ่งกีดขวางในระยะที่กำหนดไว้ด้วยระบบสั่น
หมายเลข 9 และ 10 เซนเซอร์อัลตราโซนิก รุ่น HC-SR04 ตัวที่ 1 และ 2 ทำหน้าที่ตรวจจับสิ่งกีดขวางที่ระยะ 50 cm และ 100 cm

ไม้เท้าตรวจจับสิ่งกีดขวางที่นำเสนอได้ออกแบบให้สามารถตรวจพบสิ่งกีดขวางโดยใช้เซนเซอร์อัลตราโซนิก และทำการแจ้งเตือนแบบสั่นโดยใช้มอเตอร์แบบสั่น ระบบจะทำการแจ้งเตือนเมื่อพบสิ่งกีดขวางหรือพบวัตถุอยู่ในระยะ 100 cm โดยมอเตอร์จะสั่น 1 ครั้งต่อวินาที และหากวัตถุอยู่ในระยะ 50 cm มอเตอร์จะสั่น 4 ครั้งต่อวินาที เพื่อใช้ในการแยกแยะระยะของสิ่งกีดขวาง นอกจากนี้ยังออกแบบให้สามารถแชร์ตำแหน่งพิกัดของผู้ใช้งานไม้เท้าได้ โดยการเชื่อมต่อ NodeMCU ESP8266 เข้ากับโมดูล GPS เพื่อรับส่งข้อมูลจาก GPS และใช้ไลบรารี TinyGPSPlus บน NodeMCU เพื่อประมวลผลและแปลงเป็นค่าพิกัดละติจูดและลองจิจูด

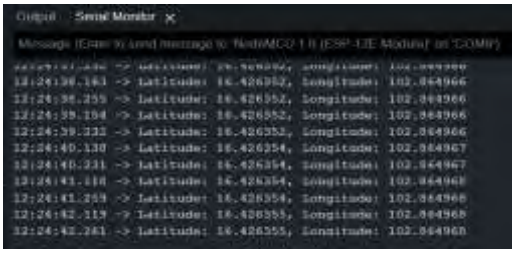

รูปที่ 3 ค่าละติจูดและลองติจูดใน Serial Monitor

จากรูปที่ 3 แสดงการทำงานโปรแกรมตรวจสอบข้อมูลจากโมดูล GPS หากมีข้อมูลเข้ามาจะทำการอ่านข้อมูลทีละไบต์ เพื่อถอดรหัส และแยกค่าพิกัดออกเป็นละติจูดและลองจิจูด โดยแสดงผลเป็นเลขทศนิยม 6 ตำแหน่งผ่าน Serial Monitor ซึ่งสามารถนำไปใช้งานในการแสดงตำแหน่งบนแผนที่หรือส่งข้อมูลได้

2.2 การส่งตำแหน่งไปยัง Google Sheets

ทำการทดสอบระบบส่งค่าตำแหน่งจาก NodeMCU ESP8266 ไปยัง Google Sheets โดยใช้โมดูล GY-NEO7M สำหรับรับสัญญาณจากดาวเทียม GPS เพื่อนำข้อมูลพิกัดละติจูดและลองจิจูดมาใช้งาน โดยส่งข้อมูลไปยัง Google Apps Script ที่ทำหน้าที่เป็น Web Application สำหรับบันทึกข้อมูลลงใน Google Sheets แบบอัตโนมัติดังรูปที่ 4 ทั้งนี้ Google Sheets จะบันทึกพิกัดพร้อมวันที่และเวลาที่ได้รับข้อมูลในแต่ละครั้งอย่างเป็นระบบ เมื่อตรวจพบข้อมูลที่ต้องการจะดำเนินการส่งค่าดังกล่าวไปยัง URL ของ Google Apps Script ผลการทดสอบพบว่าระบบสามารถบันทึกข้อมูลได้อย่างถูกต้องต่อเนื่อง และแสดงผลได้แบบเรียลไทม์ ใน Google Sheets ซึ่งเหมาะสำหรับประยุกต์ใช้งานในระบบติดตามพิกัดหรือเก็บประวัติตำแหน่ง สำหรับวิเคราะห์ข้อมูลในภายหลัง

รูปที่ 4 แผนผังการทำงานและส่งตำแหน่งไปยัง Google Sheets

จากรูปที่ 5 แสดงข้อมูลที่ถูกบันทึกลงใน Google Sheets โดยในคอลัมน์ A เป็นเวลาที่ส่งข้อมูลเข้ามา ส่วนคอลัมน์ B และ C เป็นค่าละติจูดและลองจิจูด ตามลำดับ และคอลัมน์ D แสดงลิงก์ Google Maps ซึ่งสามารถกดเพื่อเปิดดูตำแหน่งบนแผนที่ได้ทันที

	A	B	C	D
1	เวลา	ละติจูด	ลองจิจูด	ลิงก์ Google Maps
2	29/4/2025, 16:25	16.428001	102.863893	https://www.google.com/maps?q=16.428001,102.863893
3	29/4/2025, 16:3	16.429054	102.863922	https://www.google.com/maps?q=16.429054,102.863922
4	29/4/2025, 16:3	16.429084	102.864222	https://www.google.com/maps?q=16.429084,102.864222
5	29/4/2025, 16:3	16.429124	102.863542	https://www.google.com/maps?q=16.429124,102.863542
6	29/4/2025, 16:3	16.429054	102.863922	https://www.google.com/maps?q=16.429054,102.863922
7	1/5/2025, 13:26	16.428019	102.863831	https://www.google.com/maps?q=16.428190,102.863831

รูปที่ 5 ค่าที่แสดงในตาราง Google Sheets

3. ทดสอบการทำงานของอุปกรณ์

3.1 ทดสอบความแม่นยำค่าพิกัดจากโมดูล GPS

เพื่อประเมินความถูกต้องของพิกัดที่โมดูล GPS ส่งมายัง NodeMCU ESP8266 จึงทำการทดสอบโดยนำข้อมูลค่าละติจูดและลองจิจูดที่ปรากฏบน Serial Monitor ซึ่งเป็นตำแหน่งที่ได้จากการประมวลผลข้อมูลโมดูล GPS โดยถูกนำไปกรอกลงใน Google Maps เพื่อดูตำแหน่งบนแผนที่ดังรูปที่ 6 ซึ่งช่วยยืนยันความถูกต้องและประสิทธิภาพของการรับสัญญาณ GPS ในการบอกตำแหน่งที่แท้จริง

รูปที่ 6 ตำแหน่งที่แสดงบน Google Maps

การตรวจสอบความถูกต้องของข้อมูลพิกัดที่โมดูลส่งมา โดยผู้ทดสอบใช้พิกัดจากมือถือเป็นค่ามาตรฐาน และนำมาเปรียบเทียบกับค่าละติจูดและลองจิจูดที่ได้จากโมดูล GPS เพื่อตรวจสอบความคลาดเคลื่อนของตำแหน่ง ซึ่งเป็นการประเมินความแม่นยำของโมดูล GPS เมื่อนำไปใช้งานในสถานการณ์จริง จากตารางที่ 1 พบว่าทั้งสองอุปกรณ์สามารถจับพิกัดได้ใกล้เคียงกันและมีความคลาดเคลื่อนเพียงเล็กน้อย เนื่องจากความแตกต่างของสัญญาณเวลาและตำแหน่งที่ตรวจจับที่ไม่ตรงกัน ซึ่งสามารถพบได้ในการใช้งาน GPS โดยทั่วไป การเปรียบเทียบนี้จะช่วยยืนยันว่าโมดูล GPS สามารถใช้งานได้จริงและมีความใกล้เคียงกับตำแหน่งที่แสดงบนมือถือ

ตารางที่ 1 การเปรียบเทียบตำแหน่งโมดูล GPS และ GPS บนมือถือ

ครั้ง	ค่าจาก GPS Module	GPS มือถือ	ระยะห่าง (เมตร)
1	16.455879, 102.799644	16.455914,102.799631	4.1
2	16.455879, 102.799652	16.455914,102.799631	4.49
3	16.455898, 102.799644	16.455914,102.799631	2.26
4	16.455853, 102.79966	16.455914,102.799631	7.45
5	16.455858, 102.799637	16.455914,102.799631	6.1

3.2 การดึงข้อมูลพิกัดตำแหน่งไปยังแอปพลิเคชัน LINE

ได้ทดสอบการดึงข้อมูลพิกัดตำแหน่งจาก Google Sheets ตอบกลับไปยังแอปพลิเคชัน LINE หากผู้ใช้พิมพ์ “วันและเวลา” “เส้นทาง” และ “ตำแหน่ง” โดยแผนผังการทำงานแสดงดังรูปที่ 7 เมื่อผู้ใช้งานพิมพ์ข้อความบนแอปพลิเคชัน LINE ระบบจะส่งข้อความนั้นไปยังเซิร์ฟเวอร์ LINE ซึ่งทำหน้าที่เป็นตัวกลางส่งต่อข้อมูลไปยัง LINE Bot ที่ผู้พัฒนาตั้งค่าไว้ เพื่อให้สามารถดึงข้อมูลจาก Google Sheets และตอบกลับผู้ใช้งานได้อัตโนมัติ ทั้งนี้การส่งข้อมูลระหว่าง LINE Server และ LINE Bot จะทำผ่าน LINE Messaging API

รูปที่ 7 แผนผังการทำงานเมื่อผู้ใช้พิมพ์ข้อความตามที่กำหนด

รูปที่ 8 เมนูที่ปรากฏบนหน้าต่าง LINE chat

อย่างไรก็ตามเพื่อลดข้อผิดพลาดจากการพิมพ์ข้อความผ่าน LINE chat และเพิ่มความรวดเร็วในการเข้าถึงข้อมูล ดังนั้นจึงเพิ่ม Rich Menu บนแพลตฟอร์ม LINE Developers เพื่อออกแบบอินเทอร์เฟซให้สอดคล้องกับการใช้งาน จากรูปที่ 8 แสดงตัวเลือกเมนูที่ปรากฏอยู่ด้านล่างของหน้าต่าง LINE chat และแสดงตัวอย่างการตอบกลับจาก LINE Bot เมื่อผู้ใช้กดเลือกเมนู “เลือกวันและเวลา” หรือจะพิมพ์ข้อความว่า “เลือกวันและเวลา” โดยระบบจะส่ง Flex Message ตอบกลับไปยังแอปพลิเคชัน LINE สามารถเลือกดูข้อมูลตำแหน่งย้อนหลังตามวันและเวลาที่ต้องการได้

นอกจากนี้หากผู้ใช้เลือกเมนู “เส้นทาง” หรือพิมพ์ข้อความว่า “เส้นทาง” ระบบจะดึงตำแหน่งล่าสุด จำนวน 5 จุด จาก Google Sheets ซึ่งเป็นข้อมูลที่ ESP8266 เคยส่งไว้ จากนั้นนำพิกัดแต่ละจุดมาสร้างเป็น URL เพื่อเปิดดูเส้นทางใน Google Maps แบบต่อเนื่อง เพื่อให้ผู้ใช้งานสามารถดูเส้นทางย้อนหลังได้อย่างสะดวก โดยข้อความที่ส่งกลับจะมีลิงก์ Google Maps เมื่อกดเข้าไปจะแสดงเส้นทางจากจุดเริ่มต้นไปยังจุดสุดท้ายที่ระบบบันทึกไว้ จึงสามารถตรวจสอบเส้นทางย้อนหลังได้ ในทำนองเดียวกันหากผู้ใช้เลือกเมนูหรือพิมพ์ข้อความว่า “ตำแหน่ง” ระบบจะดึงค่าพิกัดละติจูดและลองจิจูดล่าสุดที่บันทึกไว้ใน Google Sheets แล้วสร้างลิงก์ Google Maps จากข้อมูลพิกัดดังกล่าวเพื่อส่งลิงก์กลับไปยังผู้ใช้ผ่านแอปพลิเคชัน LINE เมื่อผู้ใช้กดเข้าไปจะสามารถเปิดดูตำแหน่งปัจจุบันของผู้พิการทางสายตาได้ทันทีบนแผนที่ Google Maps ซึ่งช่วยอำนวยความสะดวกให้แก่ผู้ดูแลหรือญาติในการติดตามตำแหน่งของผู้พิการทางสายตาได้แบบเรียลไทม์ ทั้งนี้ระบบสามารถตอบกลับได้แม้ไม่มีการเชื่อมต่ออินเตอร์เน็ต

3.3 การส่งข้อมูล GPS

ทำการทดสอบการส่งข้อมูล GPS จากไม้เท้าตรวจจับสิ่งกีดขวางที่นำเสนอ โดยผู้ทดสอบเริ่มเดินจากอาคาร 15 วนไปตามเส้นทางดังรูปที่ 9 โดย GPS จะจับและส่งตำแหน่งพิกัดล่าสุดทุก 2 นาที และบันทึกค่า ในการทดสอบเริ่มใช้งาน GPS เวลา 13:28:53 น. และถึงจุดที่กำหนด ณ เวลา 13:37:27 น. พบว่าสามารถรับค่าตำแหน่งของไม้เท้าได้ถูกต้องและมีความคลาดเคลื่อนของเวลาประมาณ 10 วินาที ถึง 17 วินาที

รูปที่ 9 เส้นทางการทดสอบ GPS

3.4 การแจ้งเตือนเมื่อพบสิ่งกีดขวาง

การทดสอบไม้เท้าตรวจจับสิ่งกีดขวางที่นำเสนอ โดยทดสอบกับสิ่งกีดขวางขนาดใหญ่ ขนาดเล็ก และสิ่งกีดขวางที่เคลื่อนที่ ในที่นี้ทดสอบกับ (1) กำแพง (2) ถังขยะทรงกระบอกกว้าง 35 cm สูง 60 cm (3) เก้าอี้ขนาดกว้าง 52 cm ยาว 52 และมีพนักพิงสูง 78 cm (4) กล่องสี่เหลี่ยมกว้าง 4 cm ยาว 10 cm สูง 30 cm (5) ก้อนอิฐขนาดกว้าง 7 cm ยาว 24 cm สูง 11 cm (6) กระป๋องขนาดกว้าง 6 cm ยาว 14 cm และ (7) มอเตอร์ไซค์ ผู้ทำการทดสอบจำนวน 2 คน ทดสอบโดยนำผ้ามาปิดตา ซึ่งในรูปที่ 10 (ก) และ (ข) แสดงตัวอย่างการทดสอบเมื่อตรวจพบสิ่งกีดขวางขนาดเล็กและสิ่งกีดขวางที่เคลื่อนที่

(ก) สิ่งกีดขวางขนาดเล็ก (ข) สิ่งกีดขวางเคลื่อนที่

รูปที่ 10 การทดสอบเมื่อพบสิ่งกีดขวาง

การทดสอบแจ้งเตือนสิ่งกีดขวางด้วยการสั่นของมอเตอร์ โดยจะทำการแจ้งเตือน ดังนี้ เซนเซอร์อัลตราโซนิกตัวที่ 1 จะตรวจจับสิ่งกีดขวางในระยะ 50 cm มอเตอร์จะสั่นเตือน 4 ครั้ง/วินาที ในขณะที่เซนเซอร์อัลตราโซนิกตัวที่ 2 จะตรวจจับสิ่งกีดขวางในระยะ 100 cm มอเตอร์จะสั่นเตือน 1 ครั้ง/วินาที หากเซนเซอร์ทั้งสองตรวจจับพร้อมกัน ระบบจะสั่นเตือนต่อเนื่องโดยไม่มีช่วงหยุด ในขณะเดียวกันระบบจะส่งข้อมูลตำแหน่งผ่าน GPS ทุก 2 นาที ซึ่งการทดสอบแจ้งเตือนสิ่งกีดขวางที่เคลื่อนที่ ในที่นี้ได้ทดสอบกับมอเตอร์ไซค์ที่เคลื่อนที่ด้วยความเร็ว 10 ถึง 40 km/h และทำการทดสอบกับสิ่งกีดขวางประเภทต่าง ๆ ผลการทดสอบแสดงได้ดังตาราง ที่ 2 พบว่าสามารถแจ้งเตือนเมื่อพบสิ่งกีดขวางที่มีขนาดต่าง ๆ ได้ อีกทั้งยังพบว่าสิ่งกีดขวางหมายเลข (1) (2) และ (7) มอเตอร์จะสั่นเตือนอย่างต่อเนื่อง นั่นหมายความว่าเซนเซอร์อัลตราโซนิกทั้ง 2 ตัว สามารถตรวจจับสิ่งกีดขวางได้พร้อมกัน ซึ่งจะตรวจพบเมื่อสิ่งกีดขวางมีขนาดใหญ่

ตารางที่ 2 การทดสอบแจ้งเตือนสิ่งกีดขวางที่ระยะ 50 cm

อุปกรณ์	(1)	(2)	(3)	(4)	(5)	(6)	(7)
sensor 1	✓	✓	✓	✓	✓	✓	✓
sensor 2	✓	✓	✓	✓	✓	✓	✓
มอเตอร์สั่น (ครั้ง/วินาที)	ต่อเนื่อง	ต่อเนื่อง	1	4	4	4	ต่อเนื่อง
GPS	✓	✓	✓	✓	✓	✓	✓

หมายเหตุ ✓ สามารถตรวจจับและสั่นเตือนได้ (1) กำแพง (2) ถังขยะ (3) เก้าอี้ (4) กำแพง (5) ก้อนอิฐ (6) กระป๋อง (7) มอเตอร์ไซค์

4. สรุป

บทความนี้นำเสนอต้นแบบไม้เท้าตรวจจับสิ่งกีดขวางและแชร์ตำแหน่งสำหรับผู้พิการทางสายตา สามารถตรวจจับเมื่อพบสิ่งกีดขวางในระยะ 50 cm และ 100 cm ใช้การแจ้งเตือนแบบสั่น อีกทั้งยังสามารถติดตามตำแหน่งผู้ใช้งานด้วยโมดูล GPS ผ่าน LINE Messaging API เมื่อผู้ดูแลส่งข้อความ "ตำแหน่ง" ไปยัง LINE Bot ระบบจะตอบกลับด้วยลิงก์ Google Maps ซึ่งแสดงตำแหน่งล่าสุดของผู้ใช้งาน นอกจากนี้สามารถอัปโหลดค่าพิกัดไปยัง Google Sheets อัตโนมัติ เมื่อเชื่อมต่อ WiFi หรืออินเตอร์เน็ต ผลการทดสอบพบว่าสามารถแจ้งเตือนเมื่อพบสิ่งกีดขวางได้และสามารถติดตามตำแหน่งพิกัดผู้ใช้งานได้แบบเรียลไทม์และแม่นยำ โดยแนวทางในการพัฒนาสามารถเพิ่มฟังก์ชันการตรวจจับสภาพพื้นผิว อีกทั้งคำนึงถึงการเลือกแบตเตอรี่ที่ใช้งานได้นานขึ้น

5. กิตติกรรมประกาศ

ขอขอบคุณ คณะวิศวกรรมศาสตร์ สถาบันเทคโนโลยีพระจอมเกล้าเจ้าคุณทหารลาดกระบัง และคณะวิศวกรรมศาสตร์ มหาวิทยาลัยเทคโนโลยีราชมงคลอีสาน วิทยาเขตขอนแก่น ที่ให้การสนับสนุนงานวิจัยนี้

เอกสารอ้างอิง

[1] M. R. Saeed, M. A. Khan, and A. M. Khan, “Android-based Portable Smart Cane for Visually Impaired People,” *International Journal of Scientific & Engineering Research (IJSER)*, vol. 5, no. 6, pp. 1234–1240, Jun. 2014.

[2] R. S. Kshirsagar and P. R. Wankhade, “Android Based Portable Smart Cane for Visually Impaired People,” *The International Journal of Engineering Research (TIJER)*, vol. 9, no. 2, pp. 87–91, 2020.

[3] M. S. Islam, R. Billah, M. R. Hossain, and M. M. Rahman, "Intelligent Cane for Assisting the Visually Impaired," *Technologies*, vol. 12, no. 6, pp. 111, 2024.

[4] A. Sharma and P. Mehta, “Design and Theoretical Framework of a GPS-Enabled Smart Cane for the Visually Impaired,” *International Journal of Computer Applications*, vol. 187, no. 16, pp. 6–11, Jun. 2025.

[5] S. Ramesh and V. Patel, "Smart Blind Stick Using ESP32," *Int. J. Res. Appl. Sci. Eng. Technol.*, vol. 12, no. 5, pp. 1234–1238, May 2024.

การพัฒนาระบบตรวจวัดคุณภาพอากาศด้วยเทคโนโลยีอินเทอร์เน็ตของสรรพสิ่ง

Development of IoT-Based Air Quality Monitoring System

จักรพันธ์ นันทพันธุ์กุล[1] ภุมรินทร์ ทวิชศรี[2] และ สุภารัตน์ บุตรไชย[3]*

[1,3]สาขาวิชาวิศวกรรมเมคาทรอนิกส์ คณะครุศาสตร์อุตสาหกรรม มหาวิทยาลัยเทคโนโลยีราชมงคลธัญบุรี
อำเภอธัญบุรี จังหวัดปทุมธานี jakrapan_n@rmutt.ac.th, suparat_b@rmutt.ac.th*
[2]สาขาเทคโนโลยีไฟฟ้าอุตสาหกรรม คณะเทคโนโลยีอุตสาหกรรม มหาวิทยาลัยราชภัฏวไลยอลงกรณ์ ในพระบรมราชูปถัมภ์
อำเภอคลองหลวง จังหวัดปทุมธานี E-mail: thphummarin@vru.ac.th

บทคัดย่อ

บทความนี้นำเสนอการพัฒนาระบบตรวจวัดมลพิษทางอากาศด้วยเทคโนโลยีอินเตอร์เน็ตของสรรพสิ่ง (IoT) ที่สามารถใช้งานได้ทั้งภายในและภายนอกอาคาร ระบบประกอบด้วยการตรวจวัดแบบเรียลไทม์ พร้อมหน่วยควบคุมความเร็วลมที่ปรับตามสภาพจริง เพื่อลดความคลาดเคลื่อนของเซ็นเซอร์ โดยมีระบบจัดการพลังงานทำหน้าที่กักเก็บพลังงานแบบอัตโนมัติสำหรับใช้งานภายนอกอย่างต่อเนื่อง ข้อมูลจากเซ็นเซอร์ถูกส่งผ่าน Wi-Fi โดยใช้โปรโตคอล MQTT ไปยังแพลตฟอร์มคลาวด์ เพื่อจัดเก็บและแสดงผล ระบบยังประยุกต์ใช้โครงข่ายประสาทเทียม LSTM สำหรับพยากรณ์ค่าฝุ่น PM2.5 แบบอนุกรมเวลา พร้อมใช้ PCA เพื่อลดมิติข้อมูลและเพิ่มความแม่นยำ โดยได้ค่า MAPE เท่ากับ 5.27% ระบบรองรับการเข้าถึงข้อมูลย้อนหลัง การวิเคราะห์แนวโน้ม และการแจ้งเตือนล่วงหน้า พร้อมรองรับการใช้งานด้านสภาพอากาศภายในห้องและระบบควบคุมอากาศในห้องปฏิบัติการแบบอัตโนมัติ

คำสำคัญ: คุณภาพอากาศ ควบคุมความเร็วลม อินเตอร์เน็ตของสรรพสิ่ง

Abstract

The creation of an Internet of Things-based air pollution monitoring system for indoor and outdoor settings is presented in this paper. In order to minimize sensor deviation, the system incorporates real-time sensing with a dynamic airspeed control unit that modifies fan speed in response to actual wind flow. Continuous outdoor operation is guaranteed by an independent BMS power storage module. Microcontrollers are used to gather environmental data, which is then transmitted via Wi-Fi and stored on a cloud platform via the MQTT protocol. Additionally, the system uses Long Short-Term Memory (LSTM) neural networks to forecast PM2.5 concentrations over time. Principal Component Analysis (PCA) is used for dimensionality reduction in order to improve accuracy. A Mean Absolute Percentage Error (MAPE) of 5.27% was attained by the model. The system provides trend analysis, forecast alarms, and access to historical data for the system supports historical data access, trend analysis, and predictive alerts for proactive air quality management, and it can be extended to meteorological and automated laboratory applications.

Keywords: Air pollution, Wind Speed Control, Internet of Things

ตู้สำหรับการตรวจสอบเชื้อในไข่ไก่และฟักไข่ไก่แบบอัตโนมัติควบคุมผ่านเว็บแอปพลิเคชัน

Automated Egg Incubator and Inspection Cabinet Controlled via Web Application

ศักรินทร์ ผันสีบ[1] อามีน อาบู[2] พลบดี คำดี[3] ขวัญเรือน รัศมี[4] รวิ อุตตมธนินทร์[5] เศรษฐกาล โปร่งนุช[6*]

[1-5]สาขาวิชาวิศวกรรมคอมพิวเตอร์ คณะวิศวกรรมและเทคโนโลยีอุตสาหกรรม มหาวิทยาลัยราชภัฏสวนสุนันทา

[6]สาขาวิชาวิศวกรรมหุ่นยนต์ คณะวิศวกรรมและเทคโนโลยีอุตสาหกรรม มหาวิทยาลัยราชภัฏสวนสุนันทา

s64122519001@ssru.ac.th[1] s64122519014@ssru.ac.th[2] s64122519019@ssru.ac.th[3] kwanruan.ru@ssru.ac.th[4] ravi.ut@ssru.ac.th[5]

sethakarn.pr@ssru.ac.th[6*]

บทคัดย่อ

งานวิจัยนี้มีวัตถุประสงค์เพื่อศึกษา ออกแบบ และสร้างตู้สำหรับการตรวจสอบเชื้อในไข่ไก่และฟักไข่ไก่แบบอัตโนมัติควบคุมผ่านเว็บแอปพลิเคชัน เลือกใช้โครงข่ายประสาทเทียมแบบคอนโวลูชันสำหรับการจำแนกไข่ไก่ที่มีเชื้อและไม่มีเชื้อ มีกล้องเว็บแคม และเซนเซอร์ควบคุมปัจจัยสภาพแวดล้อม ได้แก่ อุณหภูมิ ความชื้น และการเอียงถาดใส่ไข่ให้ทำมุม 45 องศา จากแนวระนาบ ตู้ที่สร้างขึ้นนำไปทดลองฟักไข่เป็นระยะเวลา 21 วัน พบว่าอุณหภูมิเฉลี่ยอยู่ในช่วง 37–37.8 องศา และความชื้นเฉลี่ยอยู่ระหว่าง 59–70%RH ซึ่งเหมาะสมต่อการฟักไข่ ระบบสามารถจำแนกไข่ที่มีเชื้อได้แม่นยำถึงร้อยละ 96 และไข่ที่ไม่มีเชื้อร้อยละ 97 เว็บแอปพลิเคชันสามารถทำงานได้อย่างมีประสิทธิภาพ ทั้งด้านการเก็บข้อมูล แสดงผล และควบคุมการทำงานของระบบโดยรวม ผลการวิจัยแสดงให้เห็นว่า ระบบสามารถนำไปใช้งานได้จริง ช่วยให้เกษตรกรผู้เลี้ยงไก่สามารถฟักไข่ไก่ได้ในทุกสภาพอากาศ ทุกสภาพแวดล้อม และอำนวยความสะดวกจากการควบคุมการทำงานผ่านเว็บแอปพลิเคชันได้

คำสำคัญ: ตู้ฟักไข่อัตโนมัติ, การตรวจสอบเชื้อในไข่ไก่, โครงข่ายประสาทแบบคอนโวลูชัน

Abstract

This research aims to study, design, and construct an automated egg incubator and inspection cabinet controlled via a web application. A convolutional neural network was used to classify fertilized and unfertilized chicken eggs. The system includes Webcam and sensor to monitor and control environmental factors such as temperature, humidity, and the tilting of the egg tray at a 45-degree angle from the horizontal. The constructed incubator was tested over a 21-day incubation period. The average temperature ranged from 37.0 to 37.8 degrees Celsius, and the average humidity ranged from 59 - 70%RH, which are suitable conditions for egg incubation. The system accurately classified fertilized eggs with 96% accuracy and unfertilized eggs with 97% accuracy. The web application efficiently stores data, displays results, and controls the overall system operation. The research findings demonstrate that the system is practical, enabling farmers to incubate chicken eggs under various weather conditions and environments, with the added convenience of web-based control.

Keywords: Automated Egg Incubation, Egg Inspection, Convolutional Neural Network

1. บทนำ

ไก่เป็นหนึ่งในสัตว์เศรษฐกิจที่สำคัญของประเทศไทย สร้างรายได้รองจากโคและสุกร การเลี้ยงไก่จึงเป็นอาชีพที่ได้รับความนิยมอย่างแพร่หลาย [1] การเลี้ยงไก่โดยเฉพาะในขั้นตอนการฟักไข่ไก่ตามธรรมชาติ มีข้อจำกัดหลายประการ เนื่องจากปัจจัยทางสภาพแวดล้อม เช่น อุณหภูมิและความชื้นที่ส่งผลต่ออัตราการฟักไข่ และปริมาณผลผลิตที่ได้รับ ดังนั้น เกษตรกรผู้เลี้ยงไก่จึงหาแนวทางการเพิ่มประสิทธิภาพ และลดความเสี่ยงจากการพึ่งพาวิธีธรรมชาติ ด้วยการนำเทคโนโลยีมาใช้ในการฟักไข่ไก่

เครื่องฟักไข่ไก่สามารถควบคุมสภาพแวดล้อมได้ ส่งผลให้ได้ผลผลิตเพิ่มมากขึ้นภายในพื้นที่จำกัด โดยองค์ประกอบที่สำคัญในการฟักไข่ ได้แก่ อุณหภูมิ ความชื้น การกลับไข่ และการระบายอากาศ ซึ่งหากควบคุมได้อย่างเหมาะสมจะส่งผลต่อความสำเร็จของกระบวนการฟักไข่ไก่ [2] อีกหนึ่งปัจจัยสำคัญ คือ การตรวจสอบเชื้อในไข่ไก่ ซึ่งโดยปกติจะใช้วิธีส่องไข่ไก่ด้วยแสงสว่าง เพื่อประเมินการเจริญเติบโตของเชื้อภายในไข่ไก่ ซึ่งต้องอาศัยประสบการณ์ของผู้ตรวจสอบ ซึ่งอาจเกิดความคลาดเคลื่อน และความผิดพลาด เทคโนโลยีของตู้สำหรับการตรวจสอบเชื้อในไข่ไก่และฟักไข่ไก่ที่มีขายตามท้องตลาด สามารถทำได้เพียงการควบคุมจากแผงควบคุมหน้าตู้โดยตรง ได้แก่ การปรับอุณหภูมิ ความชื้น และต้องคอยเฝ้าติดตามสถานะการณ์ต่าง ๆ จากหน้าตู้ว่าไข่ไก่เป็นอย่างไรบ้าง เพื่อป้องกันการเกิดปัญหา ยกตัวอย่างเช่น ความร้อนหรือความชื้นไม่คงที่ เนื่องจากสภาพแวดล้อมภายนอกเข้ามารบกวน

ดังนั้น จึงได้ออกแบบและสร้างตู้ตรวจสอบเชื้อและฟักไข่อัตโนมัติสามารถควบคุมอุณหภูมิ ความชื้น และการกลับไข่ได้ มีกล้องเว็บแคม (Webcam) ความละเอียด 1080 พิกเซล (Pixel) สำหรับตรวจสอบเชื้อในไข่ไก่ด้วยโครงข่ายประสาทแบบคอนโวลูชัน รองรับทั้งโหมดอัตโนมัติและโหมดควบคุมด้วยผู้ใช้งาน ซึ่งระบบควบคุมอัตโนมัติทำงานบนบอร์ด Raspberry Pi 4 และบอร์ด ESP32 ซึ่งเชื่อมต่อกับเซนเซอร์และอุปกรณ์ต่าง ๆ เพื่อเก็บและส่งข้อมูลสภาพแวดล้อมไปยังฐานข้อมูล สามารถตรวจสอบสถานะ และควบคุมจากผู้ใช้งานผ่านเว็บแอปพลิเคชัน (Web

Application) ที่พัฒนาด้วยรีแอค (React) เป็นจุดเด่นที่ทำให้งานวิจัยนี้มีความแตกต่างจากเครื่องฟักไข่ไก่ที่มีขายตามท้องตลาดในปัจจุบัน ซึ่งอาศัยชุดควบคุมการทำงานแบบปกติทั่วไป ตู้ตรวจสอบเชื้อและฟักไข่อัตโนมัติที่สร้างขึ้นมีกล้องที่สามารถดูสภาพแวดล้อมภายในตู้ สามารถบันทึกข้อมูลการตรวจสอบเชื้อเป็นข้อมูลรูปภาพ แสดงการเจริญเติบโตของเชื้อในไข่ไก่ได้อย่างชัดเจน ในหัวข้อถัดไปนำเสนอทฤษฎีที่เกี่ยวข้อง หัวข้อที่ 3 นำเสนอการออกแบบตู้สำหรับการตรวจสอบเชื้อในไข่ไก่และฟักไข่ไก่แบบอัตโนมัติควบคุมผ่านเว็บแอปพลิเคชัน หัวข้อที่ 4 นำเสนอการทดลองและผลการทดลอง และหัวข้อสุดท้ายสรุปผล

2. ทฤษฎีที่เกี่ยวข้อง

2.1 โครงข่ายประสาทแบบคอนโวลูชัน

โครงข่ายประสาทแบบคอนโวลูชัน (Convolutional Neural Network) เป็นโครงข่ายประสาทเทียมหนึ่งในกลุ่มแนวคิดทางชีววิทยา (Bio-inspired) โดยโครงข่ายประสาทแบบคอนโวลูชันจะจำลองการมองเห็นของมนุษย์ที่มองพื้นที่เป็นที่ย่อย ๆ และนำกลุ่มของพื้นที่นั้นมาผสานกัน เพื่อตรวจสอบสิ่งที่เห็นอยู่ว่าเป็นอะไร โครงข่ายประสาทเทียมแบบคอนโวลูชัน [3] ดังรูปที่ 1 โครงสร้างในลักษณะนี้สามารถรับข้อมูลผ่านชั้นรับข้อมูล (Input Layer) แบบสองมิติได้ ซึ่งเป็นประโยชน์ต่อการแยกคุณลักษณะเฉพาะ (Feature Extraction) ของข้อมูล ได้แก่ ชั้นคอนโวลูชันที่ทำงานร่วมกับฟังก์ชัน ReLU (Rectified Linear Unit) (Convolution Layer) ชั้นการปรับขนาดข้อมูล (Pooling Layer) และชั้นการแปลงข้อมูลจากหลายมิติเป็นหนึ่งมิติ (Flatten Layer) สำหรับนำไปสู่การจำแนกข้อมูล (Classification) ด้วยการนำข้อมูลมาเชื่อมต่อกันแบบสมบูรณ์ (Fully Connected Layer) สำหรับการแสดงผล (Output)

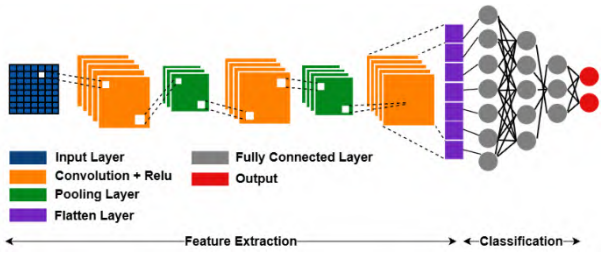

รูปที่ 1 โครงข่ายประสาทแบบคอนโวลูชัน

2.2 เมทริกซ์ความสับสน

เมทริกซ์ความสับสน (Confusion Matrix) คือ ตารางที่ประเมินประสิทธิภาพของอัลกอริทึมการจำแนกประเภทด้วยเมทริกซ์ ซึ่งใช้ค่าเป้าหมายเพื่อเปรียบเทียบกับค่าที่คาดการณ์จากการเรียนรู้ของเครื่อง (Machine Learning) [4] รูปที่ 2 เมทริกซ์ความสับสนประกอบด้วย คลาสจริงของข้อมูลที่ใช้ในการทดสอบ (Actual Values) และคลาสที่ทำนายได้ (Predicted Values) แต่ละแถวในเมทริกซ์แสดงถึงคลาสที่ทำนาย และแต่ละคอลัมน์แสดงถึงคลาสที่เกิดขึ้นจริง ค่าของเมทริกซ์ความสับสน ได้แก่ TP (True Positive) คือ สิ่งที่ทำนายตรงกับสิ่งที่เกิดขึ้นจริง ในกรณีทำนายว่าจริงและสิ่งที่เกิดขึ้นเป็นจริง TN (True Negative) คือ สิ่งที่ทำนายตรงกับสิ่งที่เกิดขึ้น ในกรณีทำนายว่าไม่จริงและสิ่งที่เกิดขึ้นไม่จริง FP (False Positive) คือ สิ่งที่ทำนายไม่ตรงกับสิ่งที่เกิดขึ้น คือทำนายว่าจริงแต่สิ่งที่เกิดขึ้นไม่จริง และ FN (False Negative) คือ สิ่งที่ทำนายไม่ตรงกับที่เกิดขึ้นจริง โดยทำนายว่าไม่จริงแต่สิ่งที่เกิดขึ้นเป็นจริง

		Predicted Values
Actual Values	TP	FN
	FP	TN

รูปที่ 2 ลักษณะของเมทริกซ์ความสับสน

นอกจากนี้ เมทริกซ์ความสับสนนำมาใช้หาค่าความแม่นยำ (Precision) และค่าความไว (Sensitivity) ค่าเฉลี่ยโดยค่าความแม่นยำจะมีค่าอยู่ระหว่าง 0-1 เมื่อค่ายิ่งเข้าใกล้ 1 แสดงว่าโมเดล (Model) ทำนายผลได้แม่นยำมาก ค่าความแม่นยำแทนด้วย P คำนวณดังสมการที่ 1 [5]

$$P = \frac{TP}{TP + FP} \tag{1}$$

ค่าความไว คือ ค่าที่ได้ทำการคำนวณคำตอบจริง แล้วนำมาตรวจสอบว่าโมเดล ตอบถูกจริงกลับมาเท่าไหร่ โดยค่าความไวจะมีค่า Hit Rate อยู่ระหว่าง 0-1 เมื่อค่ายิ่งเข้าใกล้ 1 แสดงว่าโมเดลทำนายผลได้ไวมาก และค่าเฉลี่ยความไวแทนด้วย R สามารถคำนวณดังสมการที่ 2

$$R = \frac{TP}{TP + FN} \tag{2}$$

ค่า F1-score คือ ค่าความแม่นยำและค่าความไวผสานเป็นเมทริกซ์เดียว [5] มีค่าอยู่ระหว่าง 0-1 เมื่อค่ายิ่งเข้าใกล้ 1 แสดงว่าโมเดลทำนายผลได้แม่นยำมาก ค่าเฉลี่ย $F1 - Score$ สามารถคำนวณดังสมการที่ 3

$$F1 - Score = 2\left(\frac{P \times R}{P + R}\right) \tag{3}$$

2.3 การตรวจสอบเชื้อในไข่ไก่

วิธีการตรวจสอบเชื้อในไข่ไก่ จะใช้แสงไฟจากหลอดไส้ในกล่องหรือกระบอกที่สามารถบังคับให้มีแสงสว่างออกมาเพียงด้านเดียว เมื่อนำไข่ไปแนบบริเวณรูที่แสงออกจะไม่มีแสงสว่างมารบกวน และไม่ควรให้แสงสว่างมากเกินไปเพราะอาจทำให้เกิดความร้อน จนนำไปสู่ความเสียหายต่อตัวอ่อนของลูกไก่ได้ ดังนั้น ควรทำด้วยความระมัดระวัง และใช้เวลาให้น้อยที่สุด การตรวจสอบเชื้อในไข่ไก่ มีวัตถุประสงค์เพื่อแยกไข่มีเชื้อและไม่มีเชื้อสามารถทำได้หลังจากแม่ไก่ออกไข่แล้วเป็นเวลา 15-18 ชั่วโมง แต่เกษตรกรผู้เลี้ยงไก่จะนิยมทำเพียงครั้งเดียว ระยะเวลาประมาณวันที่ 3

ของการฟักไข่เปลือกสีขาว และวันที่ 5 ของการฟักไข่เปลือกสีน้ำตาล ซึ่งไข่ที่มีเปลือกสีขาวจะส่องเห็นเชื้อได้ง่ายกว่าไข่ที่มีเปลือกสีน้ำตาล [6]

2.4 การฟักไข่ไก่

การฟักไข่ไก่ คือ การฟักตัวอ่อนภายนอกตัวแม่ไก่ให้เจริญเติบโตแตกต่างจากสัตว์เลี้ยงลูกด้วยนม ในบรรดาสัตว์ที่ฟักไข่ สัตว์ปีกเป็นเพียงชนิดเดียวที่มีการให้ความอบอุ่น และดูแลลูกหลังจากการฟักออกจากไข่ ยกเว้นนกบางชนิดที่ใช้ความร้อนจากแสงอาทิตย์ในการฟักไข่ เมื่อมนุษย์เลี้ยงสัตว์ปีกเพื่อผลิตเนื้อและไข่จำนวนมาก จึงทำให้เกิดการพัฒนาวิธีในการฟักไข่มากขึ้นด้วย วิธีการฟักไข่ที่ได้รับความนิยม ได้แก่ การให้แม่พันธุ์สัตว์ปีกฟักตามธรรมชาติ และการใช้เครื่องฟักไข่ไฟฟ้า ในปัจจุบันมีการพัฒนาเป็นอุตสาหกรรม มีการฟักไข่จำนวนมากต่อครั้งในโรงฟักไข่ที่ทันสมัย โดยใช้เครื่องฟักแบบเข้าออกทางเดียวที่ไม่มีการย้อนกลับ หรือใช้ระบบฟักแบบต่อเนื่อง การฟักรูปแบบใหม่รองรับการฟักไข่ที่มีอายุต่าง ๆ ในตู้ฟักเดียวกัน มีเทคโนโลยีการควบคุมสภาพแวดล้อมภายในตู้ฟัก และสามารถกำหนดระยะเวลาในการฟักตามชนิดของไข่ ช่วยลดความสูญเสียในการฟักไข่ได้อย่างมีประสิทธิภาพ [7]

3. การออกแบบตู้สำหรับการตรวจสอบเชื้อในไข่ไก่และฟักไข่ไก่แบบอัตโนมัติควบคุมผ่านเว็บแอปพลิเคชัน

3.1 การออกแบบตู้สำหรับการตรวจสอบเชื้อในไข่ไก่และฟักไข่ไก่แบบอัตโนมัติ

ตู้สำหรับการตรวจสอบเชื้อในไข่ไก่และฟักไข่ไก่แบบอัตโนมัติ ออกแบบให้มีขนาดความสูง 65 เซนติเมตร ความกว้าง 40 เซนติเมตร และความยาว 50 เซนติเมตร ดังรูปที่ 3 โดยแบ่งเป็น 2 ส่วน ได้แก่ ส่วนตรวจสอบเชื้อในไข่ไก่ และส่วนสำหรับฟักไข่ไก่แบบอัตโนมัติ โครงสร้างเลือกใช้พลาสวูด (Plaswood) หรือพีวีซีโฟม (PVC Foam Sheet) ที่ทนต่อความร้อน ความชื้นได้ดี มีความแข็งแรง และทึบแสง ดังรูปที่ 4

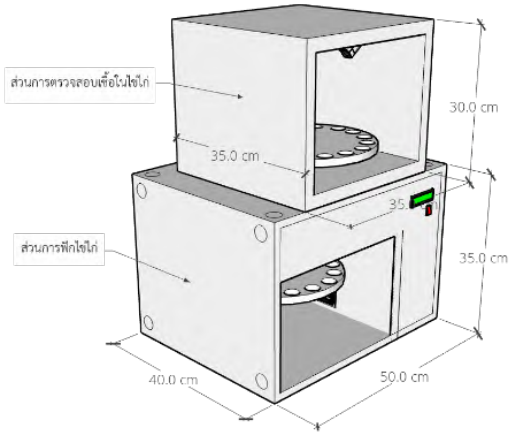

รูปที่ 3 การออกแบบตู้สำหรับการตรวจสอบเชื้อในไข่ไก่และฟักไข่ไก่

รูปที่ 4 ตู้สำหรับการตรวจสอบเชื้อในไข่ไก่และฟักไข่ไก่ที่สร้างขึ้น

3.2 การทำงานของตู้สำหรับการตรวจสอบเชื้อในไข่ไก่และฟักไข่ไก่แบบอัตโนมัติควบคุมผ่านเว็บแอปพลิเคชัน

การทำงานของตู้สำหรับการตรวจสอบเชื้อในไข่ไก่และฟักไข่ไก่แบบอัตโนมัติควบคุมผ่านเว็บแอปพลิเคชัน แบ่งเป็น 2 ส่วน ประกอบด้วยส่วนตรวจสอบเชื้อในไข่ไก่ มีผังงานที่ใช้ควบคุมการทำงานของอุปกรณ์ต่าง ๆ บนบอร์ด Raspberry Pi 4 ดังรูปที่ 5 เริ่มต้นจากการเปิดเครื่อง ถ่ายภาพประมวลผลเปรียบเทียบกับชุดข้อมูลต้นฉบับ ส่งผลลัพธ์ของการตรวจสอบเชื้อในไข่ไก่ไปแสดงยังเว็บแอปพลิเคชัน และสั่งให้เซอร์โวมอเตอร์ (Servo Motor) ที่รองรับการหมุน 360 องศา หมุนเพื่อทำการตรวจสอบเชื้อในไข่ไก่ใบถัดไปจนครบทั้ง 16 ฟอง โดยระยะเวลาในการตรวจสอบเชื้อในไข่ไก่แต่ละครั้งจะใช้เวลาในการตรวจสอบประมาน 3-5 นาที

รูปที่ 5 ผังการทำงานของส่วนตรวจสอบเชื้อในไข่ไก่

ส่วนฟักไข่ไก่ มีผังงานที่ใช้ควบคุมการทำงานบนบอร์ด ESP32 แสดงดังรูปที่ 6 เริ่มต้นจากเปิดเครื่อง รับค่าอุณหภูมิและความชื้นจากเซนเซอร์ DHT22 นำมาแสดงผลที่หน้าเว็บแอปพลิเคชัน ถ้าค่าอุณหภูมิเท่ากับ 38 องศา และความชื้นเท่ากับ 64 เปอร์เซ็นต์ จะหยุดทำงาน แต่ถ้ามีค่าต่ำกว่าหลอดไส้ พัดลม และเครื่องทำความชื้นจะทำงานตามลำดับ เมื่อเวลาผ่านไป 2 ชั่วโมง กลไกการเอียงถาดใส่ไข่ไก่จะทำมุม 45 องศา จากแนวระนาบด้วยเซอร์โวมอเตอร์ที่รองรับการหมุน 180 องศา ซึ่งเซอร์โวมอเตอร์มีรูปแบบการหมุนดังนี้ เริ่มต้นที่ 90 องศา (ตำแหน่งตรงกลาง) ต่อไปหมุนไป 135 องศา (ไปทางขวา) ต่อไปกลับมา 90 องศา ถัดไปหมุนไป 45 องศา (ไปทางซ้าย) และกลับมาที่ 90 องศา เป็นการจบการทำงาน 1 รอบ

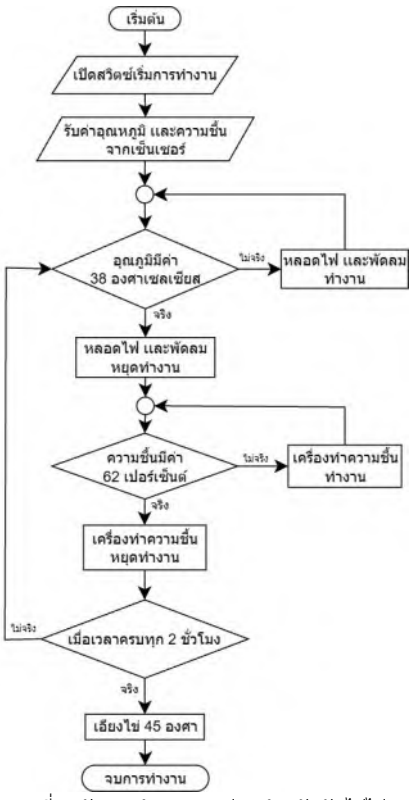

รูปที่ 6 ผังการทำงานของส่วนสำหรับฟักไข่ไก่

การสื่อสารข้อมูลจากเซนเซอร์กับฐานข้อมูลบนเครื่องแม่ข่าย (Server) จะส่งผ่านบอร์ด ESP32 ที่เชื่อมต่อกับเครือข่ายอินเทอร์เน็ต โดยข้อมูลที่ตรวจวัดได้ เช่น อุณหภูมิและความชื้นจะส่งผ่านโพรโทคอล (Protocol) HTTPS (Hypertext Transfer Protocol Secure) ในรูปแบบส่วนต่อประสานโปรแกรมประยุกต์ (Application Program Interface) เก็บลงฐานข้อมูล เพื่อใช้ในการแสดงผลและประมวลผลต่อไป เว็บแอปพลิเคชันพัฒนาด้วยรีแอค ซึ่งเป็นไลบรารี JavaScript ที่พัฒนาโดย Facebook มีจุดเด่นในการสร้างส่วนต่อประสานผู้ใช้ หน้าเว็บแอปพลิเคชันที่พัฒนาสำเร็จแสดงดังรูปที่ 7 สามารถแสดงข้อมูลที่ได้รับจากเซ็นเซอร์ มีปุ่มควบคุมการทำงานของระบบ เช่น การตั้งค่าอุณหภูมิ และการสั่งเปิด–ปิด กลไกการเอียงถาดใส่ไข่ให้ทำมุม 45 องศาจากแนวระนาบ กล้องเว็บแคมภายในตู้ฟักไข่ไก่ รวมถึงส่วนของการตรวจสอบเชื้อในไข่ไก่

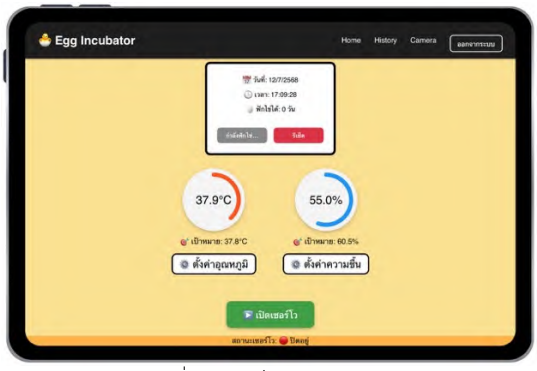

รูปที่ 7 หน้าเว็บแอปพลิเคชัน

4. การทดลองและผลการทดลอง

การทดลอง แบ่งออกเป็น 3 ส่วน ได้แก่ 1) การทำงานของเว็บแอปพลิเคชัน 2) การทำงานของส่วนตรวจสอบเชื้อในไข่ไก่ และ 3) การทำงานของส่วนสำหรับฟักไข่ไก่

ตารางที่ 1 การทดลองการทำงานของเว็บแอปพลิเคชัน

การทดลอง	Android Version 14.0		iOS Version 18.4.1		Windows Version 11	
	สำเร็จ (ครั้ง)	ผิดพลาด (ครั้ง)	สำเร็จ (ครั้ง)	ผิดพลาด (ครั้ง)	สำเร็จ (ครั้ง)	ผิดพลาด (ครั้ง)
เข้าสู่ระบบ	100	0	100	0	100	0
แสดงข้อมูลอุณหภูมิและความชื้นจากเซ็นเซอร์	95	5	95	5	95	5
ปรับอุณหภูมิ (0-100 องศา)	100	0	100	0	100	0
ปรับความชื้น (0-100 เปอร์เซ็นต์)	100	0	100	0	100	0
เปิด-ปิดการพลิกไข่ไก่	100	0	100	0	100	0
แสดงข้อมูลผลการตรวจสอบเชื้อในไข่ไก่	100	0	100	0	100	0
แสดงสภาพแวดล้อมในตู้ฟักไข่ไก่	100	0	100	0	100	0

ส่วนที่ 1 การทดลองการทำงานของเว็บแอปพลิเคชัน สามารถควบคุมการทำงานของตู้ได้ผ่านทางเว็บแอปพลิเคชันที่ทำงานอยู่บนระบบปฏิบัติการที่แตกต่างกัน เช่น แอนดรอยด์ (Android) ไอโอเอส (iOS) และวินโดวส์ (Windows) ซึ่งเน้นในส่วนติดต่อกับผู้ใช้งานว่ามีผลลัพธ์ตรงกับสมมติฐานหรือไม่ จำนวน 100 ครั้ง

จากตารางที่ 1 พบว่าระบบปฏิบัติการทั้ง 3 ระบบ พบข้อผิดพลาดเล็กน้อยจากการแสดงผลข้อมูลจากเซนเซอร์ จำนวน 5 ครั้ง ซึ่งข้อผิดพลาดที่เกิดขึ้นนี้มาจากการส่งข้อมูลจำนวนมาก จากเซนเซอร์ไปยังเครื่องแม่ข่ายและระบบฐานข้อมูล ส่งผลให้การแสดงผลไม่สอดคล้องกับเหตุการณ์ที่เกิดขึ้นในปัจจุบันหรือช้ากว่าเล็กน้อยในบางครั้ง

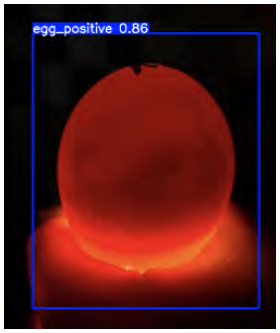

รูปที่ 8 การตรวจสอบความถูกต้องในการจำแนกเชื้อในไข่ไก่

ส่วนที่ 2 การทดลองการทำงานของส่วนตรวจสอบเชื้อในไข่ไก่ โดยการตรวจสอบความถูกต้องในการจำแนกเชื้อในไข่ไก่ ดังรูปที่ 8 กระบวนการการเรียนรู้ของเครื่องนี้อาศัยชุดข้อมูลเรียนรู้ (Training Set) ที่เป็นภาพของไข่ไก่ จำนวน 2 ประเภท ได้แก่ ไข่ไก่ที่มีเชื้อ จำนวน 100 ภาพ และไข่ไก่ที่ไม่มีเชื้อ จำนวน 100 ภาพ นำเข้าสู่โครงข่ายประสาทแบบคอนโวลูชัน และตรวจสอบความถูกต้องในการจำแนกไข่ไก่ ครั้งละ 1 ฟองต่อประเภท

ตารางที่ 2 ผลการทดลองการตรวจสอบเชื้อในไข่ไก่

ประเภทของไข่ไก่	ถูกต้อง (ครั้ง)	ไม่ถูกต้อง (ครั้ง)
ไข่ไก่ที่มีเชื้อ	96	4
ไข่ไก่ที่ไม่มีเชื้อ	97	3

จากตารางที่ 2 ผลการทดลองการตรวจสอบเชื้อในไข่ไก่ และการจำแนกประเภทของไข่ไก่ พบว่าการจำแนกประเภทไข่ไก่มีความถูกต้องสูงและมีความผิดพลาดเพียงเล็กน้อย เนื่องจากลักษณะไข่ที่มีความคล้ายคลึงกัน นอกจากนี้ยังมีข้อจำกัดในเรื่องมุมถ่ายภาพจากกล้องเว็บแคม ที่ใช้ตรวจสอบเชื้อในไข่ไก่ ซึ่งบางครั้งอาจไม่ชัดเจนเพราะเชื้อในไข่ไก่จะมีการเคลื่อนไหวตลอดเวลา ทำให้บางครั้งเกิดการประมวลผลผิดพลาด

เมทริกซ์ความสับสนของการตรวจสอบเชื้อในไข่ไก่ ดังรูปที่ 9 สามารถหาค่าความแม่น และ F1-score ได้ค่าเท่ากับ 1 และ 1 ตามลำดับ โดยผลที่ได้จากเมทริกซ์ความสับสนทำให้ค่าความแม่น และ F1-score มีค่าเท่ากับ 1 ซึ่งแสดงให้ว่าระบบของงานวิจัยนี้ มีประสิทธิภาพที่ดี

	Egg Negative	Egg Positive
Egg Negative	1	0
Egg Positive	0	1

รูปที่ 9 เมทริกซ์ความสับสนของการตรวจสอบเชื้อในไข่ไก่

ส่วนที่ 3 การทดลองการทำงานของส่วนสำหรับฟักไข่ไก่ นำตู้ที่สร้างขึ้นไปทดลองฟักไข่เป็นระยะเวลา 21 วัน ผลการทดลองแสดงดังตารางที่ 3 พบว่าเมื่อเกิดเหตุการณ์ที่ทำให้ไฟฟ้าขัดข้องหรือสัญญาณอินเทอร์เน็ตขัดข้องอุปกรณ์ทั้งหมดจะหยุดทำงาน โดยไม่เกิดความเสียหายใด ๆ และเมื่อมีการจ่ายไฟฟ้าหรือสัญญาณกลับมาก็จะกลับมาทำงานตามปกติ และส่วนของการทำงานตามคำสั่งจากเว็บแอปพลิเคชัน สามารถควบคุมการทำงานได้ไม่ผิดพลาด ดังนั้น การทดลองการทำงานของส่วนสำหรับฟักไข่ไก่สามารถทำงานได้บรรลุตามวัตถุประสงค์

ตารางที่ 3 การทดสอบส่วนสำหรับการฟักไข่ไก่

การทดลอง	สำเร็จ (ครั้ง)	ไม่สำเร็จ (ครั้ง)
การทำงานของอุปกรณ์ฮาร์ดแวร์ ได้แก่ Raspberry Pi 4 และบอร์ด ESP32 เซ็นเซอร์วัดอุณหภูมิและความชื้น DHT22 พัดลมกระแสตรง แรงดันไฟฟ้า 5 โวลต์ กล้องเว็บแคม และรีเลย์	100	0
กำหนดอุณหภูมิของหลอดไส้ แสงสีเหลือง ขนาด 60 วัตต์ ไม่เกิน 37.8 องศา	100	0
ตั้งค่าความชื้นไม่เกิน 60.5%RH	100	0
กำหนดให้เซอร์โวมอเตอร์ทำงานทุก ๆ 2 ชั่วโมง	100	0
การทำงานตามคำสั่งจากเว็บแอปพลิเคชัน	100	0

5. สรุปผล

บทความนี้นำเสนอการออกแบบและสร้างตู้สำหรับการตรวจสอบเชื้อในไข่ไก่และฟักไข่ไก่แบบอัตโนมัติควบคุมผ่านเว็บแอปพลิเคชัน โดยมีการทดลอง แบ่งออกเป็น 3 ส่วน ได้แก่ 1) การทำงานของเว็บแอปพลิเคชันบนระบบปฏิบัติการทั้ง 3 ระบบ พบข้อผิดพลาดเล็กน้อยจากการแสดงผลข้อมูลจากเซนเซอร์ เนื่องจากจากการส่งข้อมูลจำนวนมาก 2) การทำงานของส่วนตรวจสอบเชื้อในไข่ไก่ มีข้อผิดพลาดเล็กน้อยจากลักษณะไข่ไก่ที่มีคล้ายคลึงกันและมุมถ่ายภาพจากกล้องเว็บแคม และ 3) การทำงานของส่วนสำหรับฟักไข่ไก่แบบอัตโนมัติ เมื่อเกิดเหตุการณ์ไฟฟ้าดับหรือสัญญาณอินเทอร์เน็ตขัดข้อง ระบบจะหยุดทำงานชั่วคราวแต่อุปกรณ์ฮาร์ดแวร์จะไม่เสียหาย และสามารถกลับมาทำงานได้ตามปกติเมื่อสัญญาณกลับมา

และมีอัตราการฟักไข่ไก่สำเร็จร้อยละ 70 เนื่องจากอุปกรณ์ที่ใช้ในการทดลองมีต้นทุนต่ำเพียงพอต่อการใช้งานทั่วไป ดังนั้น การทดลองการทำงานของตู้สำหรับการตรวจสอบเชื้อในไข่ไก่และฟักไข่ไก่แบบอัตโนมัติควบคุมผ่านเว็บแอปพลิเคชัน ฟักไข่เป็นระยะเวลา 21 วัน สามารถทำงานได้บรรลุตามวัตถุประสงค์ ช่วยให้เกษตรกรผู้เลี้ยงไก่สามารถฟักไข่ไก่ได้ในทุกสภาพอากาศ ทุกสภาพแวดล้อม และอำนวยความสะดวกจากการควบคุมการทำงานผ่านเว็บแอปพลิเคชันได้

เอกสารอ้างอิง

[1] สำนักงานพัฒนาการวิจัยการเกษตร (องค์การมหาชน). “วงจรชีวิตของสัตว์ปีก.” สวก. Accessed: July. 6, 2025. [Online.] Available: https://www.arda.or.th/detail/6360

[2] D. Zakaria, M. B. Hamzah, D. S. Nazhif, R. B. Prayudha, M. R. Wahid, A. Ramelan, M. H. Muttaqin, and A. Nugraha, "Egg incubator control system: A review," *J. of Elect., Electron., Inf., and Commun. Technol.*, vol. 5, no. 1, 2023.

[3] M. M. Taye, "Theoretical understanding of convolutional neural network: Concepts, architectures, applications, future directions," *Comput.*, vol. 11, no. 3, p. 52, Mar. 2023.

[4] K. Riehl, M. Neunteufel, and M. Hemberg, "Hierarchical confusion matrix for classification performance evaluation," *J. of Roy. Statist. Soc. Ser. C: Appl. Statist.*, vol. 72, no. 5, pp. 1394–1412, Nov. 2023.

[5] T. Methamaniyanon, T. Namman, S. Ploykhoksoong, K. Rusmee, and S. Prongnuch, "Low-Cost Embedded Solution for Traffic Sign Recognition on Thailand's Asian Highways," in *Proc. of Int. Conf. on Bus. and Ind. Res.*, Bangkok, Thailand, May 2025.

[6] L. K. S. Tolentino, R. A. Alpay, A. J. Grutas, S. J. Salamanes, R. J. Sapiandante, and M. Vares, "An automated egg incubator with Raspberry Pi-based camera assisted candling and R-CNN-based maturity detection," *Int. J. of Comput. and Digit. Syst.*, vol. 11, no. 1, pp. 303-313, 2022.

[7] J. Poolwan, B. Sripan, and S. Kingthong, “Development of automatic temperature and humidity control systems for eggs incubators with internet of thing technology,” *RMUTSB Academic J.*, vol. 9, no. 2, pp. 225–236, 2021.

การประเมินความเสี่ยงต่อการล้มในผู้สูงอายุจากท่าทางการเดิน โดยการสกัดคุณลักษณะเฉพาะของข้อต่อ

Fall Risk Assessment in Older Persons via Gait Patterns Utilizing Joint-Specific Feature Extraction

เตชิษฐ์ พิลาศลักษณ์[1a] สุรีย์ พุ่มรินทร์[1b]* และ เชาวฤทธิ์ เงินไธสง[2]

[1]ภาควิชาวิศวกรรมไฟฟ้า คณะวิศวกรรมศาสตร์ จุฬาลงกรณ์มหาวิทยาลัย tted.phk@gmail.com[a] suree.p@chula.ac.th[b]*

[2]ศูนย์ส่งเสริมสุขภาวะผู้สูงอายุ คณะพยาบาลศาสตร์ จุฬาลงกรณ์มหาวิทยาลัย chaowarit.n@chula.ac.th

บทคัดย่อ

บทความนี้นำเสนอแนวทางการประเมินความเสี่ยงต่อการหกล้มในการก้าวเดินของผู้สูงอายุ โดยการวิเคราะห์ลักษณะการเดินจากสัญญาณวีดิทัศน์ที่บันทึกจากกล้อง ด้วยการให้ผู้สูงอายุกระทำการทดสอบลุกขึ้นเดิน (Time Up and Go) โดยที่ระบบจะประเมินความเร็วช่วงก้าว ความยาวก้าว และความถี่ในการก้าว เพื่อเป็นประโยชน์ต่อการดูแลผู้สูงอายุและลดความเสี่ยงของการหกล้มในชีวิตประจำวัน การทดลองใช้แบบจำลอง YOLOv11-Pose ในการตรวจจับจุดเพาะของข้อต่อจากข้อมูลการบันทึกสัญญาณวีดิทัศน์จากกล้อง ในการทดสอบลุกขึ้นเดินของผู้สูงอายุ และนำข้อมูลมาเรียบเรียงและแปลงเป็นสัญญาณเชิงเวลาและความถี่ เพื่อนำมาวิเคราะห์ลักษณะการเดิน โดยการวิเคราะห์ได้ผลดีที่ความเร็วช่วงก้าว และความยาวก้าวเดิน แต่การวิเคราะห์ยังได้ผลไม่แม่นยำพอที่ส่วนการวิเคราะห์ความถี่ของการก้าวเดิน ผลจากการวิเคราะห์สามารถแบ่งระดับความเสี่ยงในการล้มได้ 3 ระดับ คือ ต่ำ ปานกลาง และสูง ซึ่งสอดคล้องกับการประเมินของผู้เชี่ยวชาญ และสามารถใช้เป็นเครื่องมือช่วยในการคัดกรองประเมินความเสี่ยงในการหกล้มของผู้สูงอายุในเบื้องต้นก่อนการวินิจฉัยเชิงลึกได้ต่อไป

คำสำคัญ: การวิเคราะห์ท่าทางการเดิน ความเสี่ยงในการล้ม ผู้สูงอายุ YOLOv11-Pose การทดสอบลุกขึ้นเดิน

Abstract

This paper presents a method for assessing the risk of falls in the gait of older persons. This is accomplished by analyzing gait traits obtained from Timed Up and Go (TUG) test video signals captured by the camera. The system evaluates gait parameters, specifically stride velocity, stride length, and stride frequency, to facilitate geriatric care and mitigate fall-related risks in daily living activities. An experimental investigation of the YOLOv11-Pose model for joint keypoint localization utilizing camera-captured video signal data. The data were then processed and transformed into time-frequency signals for gait analysis. The analysis yielded favorable results for gait speed and stride length but showed limited accuracy in stride frequency analysis. The analysis results were used to classify fall risk into three levels: low, moderate, and high, which aligned with expert assessments. This method can serve as a preliminary screening tool for assessing fall risk in older persons prior to in-depth diagnosis.

Keywords: Gait Analysis, Fall Risk, Older Persons, YOLOv11-Pose, Time Up and Go

1. บทนำ

การหกล้มในผู้สูงวัย เป็นอีกหนึ่งปัญหาใหญ่ที่ส่งผลถึงการเสียชีวิต [1-3] ตัวอย่างเช่น เมื่อผู้สูงอายุหกล้มแล้วมีอาการกระดูกสะโพกหักจะมีโอกาสเสียชีวิตภายในระยะเวลาไม่กี่ปี การหกล้มยังส่งผลอีกมากมาย เช่น การฟกช้ำ ปวดหลัง กระดูกหัก อีกทั้งยังอาจส่งผลให้ผู้สูงอายุกลายเป็นผู้ป่วยติดเตียงหรือพิการ ไม่สามารถเดินได้ตามปกติอีก เทคโนโลยีเข้ามามีบทบาทสำคัญในการวิเคราะห์และป้องกันการล้มของผู้สูงอายุ การวิเคราะห์ลักษณะการเดิน (gait analysis) [4-5] ได้ถูกนำมาประยุกต์ใช้ในการคาดการณ์ความเสี่ยงต่อการพลัดตกหกล้ม (fall risk) ในกลุ่มประชากรผู้สูงวัย [6-7] โดยระบบที่พัฒนาขึ้นจะใช้การวิเคราะห์ความเร็วก้าวเดิน ระยะก้าว และความถี่การก้าวเดิน และประเมินความเสี่ยงในการล้มของผู้สูงอายุจากสัญญาณวีดิทัศน์การเดินของผู้สูงอายุ ที่บันทึกจากกล้อง

จากการทบทวนวรรณกรรม พบว่า ปัจจุบันมีการนำเทคโนโลยีมาช่วยในการประเมินความเสี่ยงการหกล้มในผู้สูงอายุที่บ้านมากขึ้น แต่ยังคงต้องใช้ร่วมกับการประเมินจากบุคลากร เพื่อให้ได้การประเมินที่ครอบคลุม [8] อย่างไรก็ตามยังมีข้อจำกัดของจำนวนบุคลากรทางการแพทย์ในการไปประเมินผู้สูงอายุที่บ้านไม่เพียงพอ [9] ดังนั้นจึงต้องการเครื่องมือที่ช่วยประเมินความเสี่ยงการหกล้มจากการก้าวเดินของผู้สูงอายุที่มีความแม่นยำ สะดวก ปลอดภัย รวมถึงเหมาะสมกับบริบทของแต่ละพื้นที่ [10]

บทความนี้นำเสนอการนำแบบจำลองที่ถูกฝึกฝนมาแล้ว ได้แก่ You Only Look Once (YOLO) [11-12] มาใช้ในงานระบุตำแหน่งข้อต่อเพื่อใช้ในการเตรียมข้อมูลไปวิเคราะห์แบบเป็นขั้นตอน ซึ่งแบบจำลอง YOLO เป็นหนึ่งในแบบจำลองการเรียนรู้เชิงลึกที่มีประสิทธิภาพสูงในการตรวจจับ

*ผู้ประพันธ์บรรณกิจ

วัตถุในภาพและสัญญาณวีดิทัศน์ผลจากการวิเคราะห์ทำให้สามารถคาดการณ์การเดินที่มีความเสี่ยงในการล้มของผู้สูงอายุ ซึ่งถือเป็นการประยุกต์ใช้งานที่มีประสิทธิภาพในด้านการตรวจจับวัตถุแบบเวลาจริง ทำให้สามารถนำมาใช้งานในการระบุและวิเคราะห์ท่าทางการเดินของผู้สูงอายุได้อย่างแม่นยำ

โดยที่ขั้นตอนวิธีที่นำเสนอจะนำข้อมูลจากการเรียนรู้ของเครื่องมาวิเคราะห์เพื่อใช้ในการคาดการณ์การความเสี่ยงในการล้ม ของผู้สูงอายุเป็น 3 ระดับ คือ ต่ำ ปานกลาง และสูง ขณะทำแบบทดสอบลุกขึ้นเดิน (Time Up and Go) โดยการคาดการณ์จากขั้นตอนวิธีนี้เป็นการคาดการณ์ขั้นต้นซึ่งจะช่วยให้พยาบาลหรือผู้ช่วยพยาบาลสามารถนำมาประเมินได้อย่างรวดเร็วและเฉพาะเจาะจงมากขึ้น ก่อนที่จะให้ผู้เชี่ยวชาญเข้ามาตรวจสอบ การคัดกรองเบื้องต้นนี้จะช่วยลดภาระงานของผู้เชี่ยวชาญและการให้บริการดูแลผู้สูงอายุได้อย่างทั่วถึง

2. การประเมินความเสี่ยงในการล้มของผู้สูงอายุ

2.1 แบบทดสอบการลุกขึ้นเดิน (Time Up and Go Test)

แบบทดสอบการลุกขึ้นเดิน[13] เป็นเครื่องมือที่ใช้ทดสอบความสมดุลของร่างกาย การทดสอบจะวิเคราะห์ความสามารถในการเคลื่อนที่ โดยการทดสอบจะใช้เก้าอี้หนึ่งตัวที่มีที่ท้าวแขนที่จุดเริ่มต้น ในพื้นที่โล่ง ไม่มีสิ่งกีดขวาง วัดระยะทาง 3 เมตร เพื่อกำหนดจุดกลับตัว เริ่มการทดสอบโดยให้ผู้ทดสอบนั่งบนเก้าอี้ ผู้ควบคุมการทดสอบเริ่มจับเวลาเมื่อผู้ทดสอบเริ่มลุกจากเก้าอี้ ผู้ทดสอบจะเดินไปข้างหน้าด้วยความเร็วปกติและสามารถใช้อุปกรณ์ช่วยเดินที่ใช้ในชีวิตประจำวันได้ จากนั้นกลับหลังหันและเดินกลับมานั่งที่เก้าอี้ ผู้ควบคุมการทดสอบจะหยุดเวลาเมื่อผู้ทดสอบนั่งลงบนเก้าอี้ ซึ่งหากใช้เวลามากกว่าหรือเท่ากับ 12 วินาที หรือทำไม่ได้ จะถือว่ามีความเสี่ยงในการล้ม

2.2 ความเร็วช่วงก้าว (Gait Speed)

ความเร็วช่วงก้าวหรือความเร็วเฉลี่ยของการเดิน[14] คือระยะทางที่เดินได้ในหนึ่งหน่วยเวลา ซึ่งในกรณีนี้เราจะใช้การคำนวณจากการตรวจจับการเคลื่อนไหวของข้อเท้า จากการตรวจจับตำแหน่งของจุดเฉพาะ (keypoints) บนข้อเท้า ด้วย YOLOv11 จะได้ข้อมูลออกมาเป็นตำแหน่ง (x, y) ของข้อเท้าซ้ายและขวา และนำข้อมูลที่บันทึกมาวิเคราะห์จากการเดินในแบบทดสอบการลุกขึ้นเดินโดยมีวิธีคำนวณดัง สมการที่ **(1)**

$$Gait\ Speed = \frac{Distance\ Walked}{Time\ Taken} \quad (1)$$

โดยในสมการที่ (1) Gait Speed คือ ความเร็วในการเดิน มีหน่วยเป็น เมตรต่อวินาที Distance Walked หมายถึง ระยะทางการเดิน โดยการศึกษานี้ใช้แบบทดสอบการลุกขึ้นเดินโดยระยะทางเดินไปกลับจะเท่ากับ 6 เมตร ส่วน Time Taken หมายถึง ระยะเวลาที่ใช้ในการเดินในการทดสอบแบบทดสอบการลุกขึ้นเดิน มีหน่วยเป็น วินาที

2.3 ความถี่ในการก้าวเดิน (Stride Frequency)

ความถี่ในการก้าวเดิน (stride length) หมายถึงจำนวนก้าวที่ครบวงจรที่เกิดขึ้นใน 1 วินาที จำนวนก้าวเดินที่เกิดขึ้นต่อหน่วยเวลา ซึ่งสามารถคำนวณได้จากการตรวจจับตำแหน่ง (x, y) ของเข่าและข้อเท้าและนำมาคำนวณต่อโดยวิธีการคำนวณมี 4 ขั้นตอนดังนี้ คือ

2.3.1 ตรวจจับตำแหน่ง: โดยใช้ YOLOv11 ในการตรวจจับตำแหน่งของร่างกายเช่นตำแหน่งของข้อเท้า เข่า และสะโพกในแต่ละเฟรมของสัญญาณวีดิทัศน์

2.3.2 ติดตามการเคลื่อนไหว: โดยการติดตามการเคลื่อนไหวของข้อเท้าในแต่ละเพรมโดยเฉพาะการยกข้อเท้าขึ้นและลง

2.3.3 นับจำนวนรอบการเดิน: แต่ละรอบการเดิน (หนึ่งรอบคือการยกขาขึ้นและนำขาลง) จะเกิดขึ้นเมื่อข้อเท้าหรือเข่ามีการเคลื่อนไหวเป็นวงจร ซึ่งอาจจะนับจำนวนรอบจากการที่ขาด้านใดด้านหนึ่งเริ่มจากการยกขึ้นและลงจนกลับสู่ตำแหน่งเริ่มต้น

2.3.4 คำนวณความถี่: ความถี่ในการเดินสามารถคำนวณได้จากจำนวนก้าวที่นับได้ในหนึ่งวินาที

2.4 ความยาวการก้าวเดิน (Stride Length)

ความยาวการก้าวเดินคือ ระยะที่ร่างกายเคลื่อนที่ได้ในการทำหนึ่งวงรอบก้าวเดิน (gait cycle) ซึ่งเริ่มต้นตั้งแต่จังหวะที่เท้าหนึ่งข้างสัมผัสพื้น (เช่น ส้นเท้าขวาแตะพื้น) จนกลับมาแตะพื้นอีกครั้งที่เท้าเดิม (ส้นเท้าขวาอีกครั้ง) โดยผ่านช่วงการเหยียดขาไปด้านหน้าและด้านหลังครบหนึ่งรอบ ทั้งนี้หนึ่งวงรอบก้าวเดินประกอบด้วย ความยาวการก้าวเดิน 2 ครั้ง (ระยะจากเท้าซ้ายไปขวา รวมกับเท้าขวาไปซ้าย) ดังนั้นเราสามารถหาระยะการก้าวเดินได้

2.5 แบบจำลอง YOU ONLY LOOK ONCE (YOLOv11) [11]

YOLOv11 พัฒนาต่อยอดจากตระกูล YOLO (You Only Look Once) โดยนำเสนอสถาปัตยกรรมที่ได้รับการปรับปรุงเพื่อการตรวจจับวัตถุ ดังรูปที่ 1

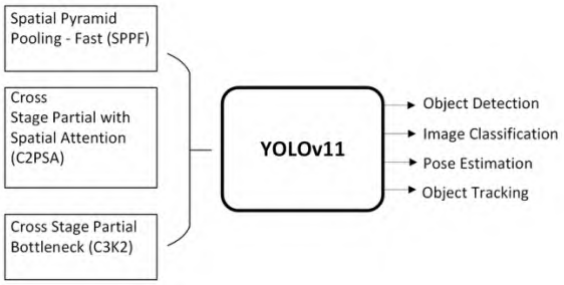

รูปที่ 1 สถาปัตยกรรม YOLOv11 [11]

YOLOv11[11] ในส่วนโครงข่ายกระดูกสันหลัง (backbone network) มีการปรับปรุง บล็อกการรวมพูลพีระมิดเชิงพื้นที่เร็ว (SPPF) โดยนำบล็อกการเชื่อมต่างขั้นตอนแบบข้ามพร้อมความสนใจเชิงพื้นที่ (C2PSA) เข้ามาด้วย โครงสร้างส่วนคอ (neck structure) ทำหน้าที่รวมคุณลักษณะจากสเกลที่หลากหลาย และส่งต่อไปยังส่วนหัวเพื่อทำนาย ด้วยการเพิ่มความละเอียดและการเชื่อมต่อแผนที่คุณลักษณะจากระดับต่างๆ ซึ่งช่วยให้โมเดลสามารถจับข้อมูลขนาดหลายสเกลได้อย่างมีประสิทธิภาพ YOLO11 นำเสนอการเปลี่ยนแปลงที่การตรวจจับส่วนหัว (detection head) ด้วยโครงสร้างที่ลดขนาดของข้อมูลแบบข้ามขั้นตอนบางส่วน (C3k2) ที่ออกแบบมาให้เร็วและมีประสิทธิภาพมากขึ้น หลังจากการเพิ่มความละเอียดและเชื่อมต่อ ส่วนคอของ YOLO11 ยังได้รวมโมดูลความสนใจเชิงพื้นที่ C2PSA เพื่อช่วยให้โมเดลสามารถมุ่งเน้นไปที่บริเวณสำคัญในภาพ ซึ่งอาจนำไปสู่การตรวจจับที่แม่นยำมากขึ้น โดยเฉพาะสำหรับวัตถุขนาดเล็กหรือถูกบังเพียงบางส่วน ส่วนหัวของ YOLOv11 มีหน้าที่สร้างการทำนายขั้นสุดท้ายสำหรับการตรวจจับและจำแนกวัตถุ โดยการประมวลผลแผนที่คุณลักษณะที่ส่งมาจากส่วนคอ และให้ผลลัพธ์เป็นกล่องขอบเขตและป้ายชื่อคลาสของวัตถุในภาพ YOLOv11 ใช้บล็อก C3k2 หลายชั้นเพื่อประมวลผลและปรับแต่งแผนที่คุณลักษณะอย่างมีประสิทธิภาพ และมีการประมวลผลที่เร็วขึ้นโดยใช้การคอนโวลูชันขนาดเล็กสองครั้ง ทำให้ลดภาระการคำนวณเมื่อเทียบกับการคอนโวลูชันขนาดใหญ่เพียงครั้งเดียว และมีประสิทธิภาพด้านพารามิเตอร์มากขึ้น นอกจากนี้บล็อก C3k2 ยังเพิ่มความยืดหยุ่นโดยอนุญาตให้ปรับขนาดเคอร์เนลได้ ซึ่งเป็นประโยชน์ในการสกัดคุณลักษณะที่ละเอียดจากภาพ ช่วยเพิ่มความแม่นยำในการตรวจจับ

แบบจำลอง YOLOv11-pose [12] จัดว่าเป็นแบบจำลองที่ถูกออกแบบมาเพื่อประเมินจุดเฉพาะ (keypoints) ของวัตถุบนภาพ ซึ่งมักจะเป็นส่วนประกอบหรือลักษณะเด่น โดยให้ค่าพิกัด [x, y] พร้อมกับค่าความน่าจะเป็น (confidence score) เพื่อจับภาพข้อมูลท่าทางอย่างละเอียด ซึ่งช่วยปรับปรุงการจำแนกประเภทของกิจกรรมต่างๆ โดยการแยกความแตกต่างระหว่างการนั่ง ยืน และเคลื่อนไหวได้อย่างแม่นยำยิ่งขึ้น

3. ขั้นตอนวิธีการวิเคราะห์ท่าเดิน

การเปลี่ยนแปลงลักษณะการเดินสามารถเป็นสัญญาณบ่งชี้ถึงปัญหาสุขภาพที่อาจนำไปสู่ความเสี่ยงในการพลัดตกหกล้ม โดยเฉพาะในผู้สูงอายุ ลักษณะการเดินที่ควรสังเกตและอาจเป็นสัญญาณเตือน ได้แก่ ความเร็วในการเดินที่ลดลง ซึ่งอาจสะท้อนถึงการเสื่อมของระบบกล้ามเนื้อหรือสมองส่วนที่ควบคุมการเคลื่อนไหว ผู้ที่เดินช้ากว่าปกติมักมีความเสี่ยงในการล้มสูงขึ้น เนื่องจากการเคลื่อนไหวที่ไม่มั่นคง ความถี่ของการก้าวเดิน การเดินที่มีความถี่ต่ำหรือไม่สม่ำเสมออาจบ่งบอกถึงการเสียสมดุลในการเคลื่อนไหว ซึ่งเพิ่มโอกาสในการสะดุดหรือล้ม ความถี่ที่ผิดปกติอาจเป็นผลมาจากความอ่อนแอของกล้ามเนื้อขา หรือความไม่สัมพันธ์กันของระบบประสาท และระยะการก้าวเดิน ระยะก้าวเดินที่สั้นลงมีความสัมพันธ์กับความเสี่ยงในการล้มที่สูงขึ้นในผู้สูงอายุ เนื่องจากระยะก้าวที่สั้นลงจะสะท้อนถึงการสูญเสียการควบคุมทางกล้ามเนื้อ ประสาทสัมผัส และความมั่นคงของการเคลื่อนไหว

3.1 การเก็บรวบรวมชุดข้อมูล

กระบวนการวิเคราะห์เริ่มต้นด้วยการประมวลผลสัญญาณวีดิทัศน์โดยใช้แบบจำลอง YOLOv11-pose เพื่อตรวจจับและอ่านค่าจุดเฉพาะ (keypoints) ตามที่ระบุในตารางที่ 1 โดยจะเน้นการเก็บข้อมูลตำแหน่ง (x, y) ของข้อเท้าซ้าย (left ankle) และข้อเท้าขวา (right ankle) จากนั้นจึงคำนวณระยะห่างระหว่างข้อเท้าทั้งสองข้าง และบันทึกค่าที่ได้ในรูปแบบรายการข้อมูล (list) ซึ่งภาพรวมของผังการทำงานแสดงในรูปที่ 2 และผลลัพธ์ที่ได้จากการดำเนินการแสดงในรูปที่ 3

ตารางที่ 1 รายการจุดเฉพาะ

ลำดับ	Keypoints
0	Nose
1	Left Eye
2	Right Eye
3	Left Ear
4	Right Ear
5	Left Shoulder
6	Right Shoulder
7	Left Elbow
8	Right Elbow
9	Left Wrist
10	Right Wrist
11	Left Hip
12	Wrist Hip
13	Left Knee
14	Right Knee
15	Left Ankle
16	Right Ankle

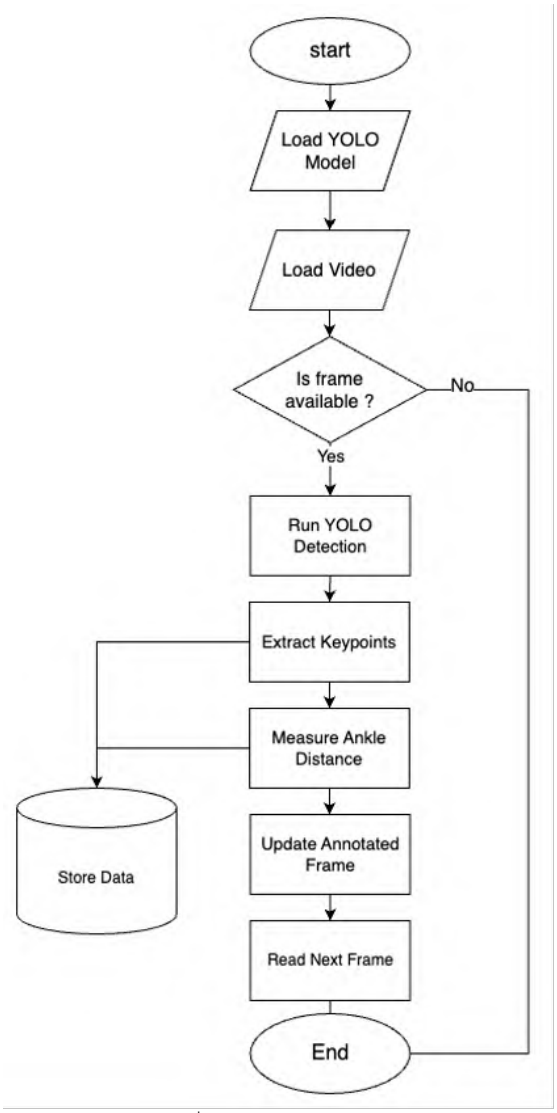

รูปที่ 2 ภาพรวมผังการเตรียมข้อมูล

รูปที่ 3 ตัวอย่างภาพที่ใช้เก็บข้อมูล

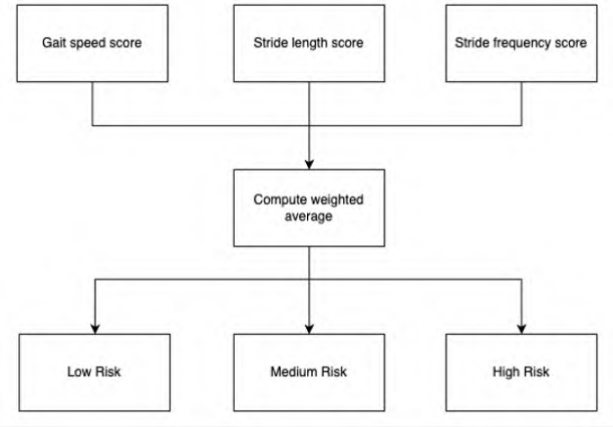

รูปที่ 4 การคัดแยกความเสี่ยงในการล้ม

โดยการคัดแยกความเสี่ยงในการล้ม มีขั้นตอนวิธี แสดงดังรูปที่ 4 โดยเริ่มจากการกำหนดคะแนนค่าถ่วงน้ำหนักของแต่ละด้าน ได้แก่ ความเร็วช่วงก้าว ความยาวในการก้าวเดิน และ ความถี่ในการก้าวเดิน โดยแต่ละด้านจะได้รับคะแนนตามเกณฑ์การกระจายแบบเกาส์เซียน (Gaussian distribution) จากการแปลงค่าทางสถิติให้เป็นผลคะแนน (output score) ในช่วง 0 ถึง 1 เพื่อให้สามารถใช้เป็นเกณฑ์เตือนหรือการคัดแยกระดับความเสี่ยงต่อการล้มได้อย่างมีประสิทธิภาพ โดยตัวอย่างการแสดงผลการประเมินความเสี่ยงการล้ม แสดงที่ตารางที่ 2 และผลลัพธ์การคัดแยกความเสี่ยงระดับต่ำ และ ระดับสูง ดังแสดงที่ รูปที่ 5 และ 6 ตามลำดับ

ตารางที่ 2 ผลการประเมินความเสี่ยงการล้ม

วิดิทัศน์	ความเร็วช่วงก้าว	ระยะก้าว	ความถี่ในการก้าว	ระดับความเสี่ยง
Parent_01	เดินช้า (>12 วินาที)	สม่ำเสมอและสมดุล	สม่ำเสมอ ยกเว้นจังหวะหมุนตัว 360 องศา	สูง
Parent_02	เดินช้า (>12 วินาที)	ไม่ค่อยสม่ำเสมอ (รูปร่างท้วม)	ค่อนข้างสม่ำเสมอ จังหวะหมุนตัว 360 องศาดูขยับจังหวะเท้าถี่ ไม่ค่อยมั่นคง	สูง
Parent_03	เดินช้า (>12 วินาที)	สม่ำเสมอและสมดุล	สม่ำเสมอ ยกเว้นจังหวะหมุนตัว 360 องศา	สูง

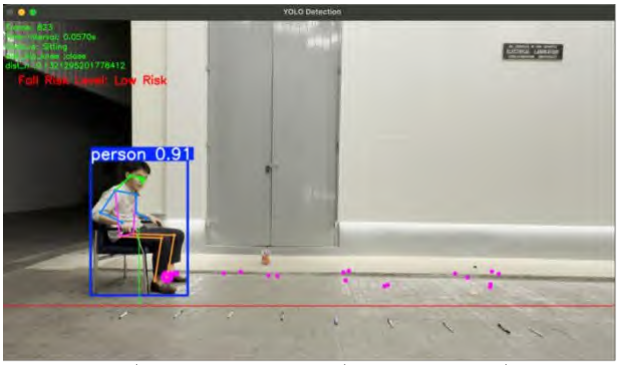

รูปที่ 5 ผลการคัดแยกความเสี่ยงการล้มในระดับต่ำ

รูปที่ 6 ผลการคัดแยกความเสี่ยงการล้มในระดับสูง

4. สรุป

บทความนี้ มีวัตถุประสงค์เพื่อประเมินความเสี่ยงการหกล้มของผู้สูงอายุผ่านการวิเคราะห์ท่าทางการเดิน โดยใช้เทคนิคการเรียนรู้ของเครื่อง (Machine Learning) ด้วยแบบจำลองการเรียนรู้เชิงลึกร่วมกับการประมวลผลภาพและสัญญาณวีดิทัศน์จากกล้อง ขณะที่ผู้ทดสอบกระทำแบบทดสอบลุกขึ้นเดิน ซึ่งแบ่งความเสี่ยงออกเป็น 3 ระดับ ได้แก่ ต่ำ ปานกลาง และสูง โดยใช้แบบจำลอง YOLOv11-Pose ในการตรวจจับตำแหน่งข้อเท้า และนำข้อมูลที่ได้มาวิเคราะห์พารามิเตอร์สำคัญ ได้แก่ ความเร็วช่วงก้าว ความยาวของการก้าวเดิน และความถี่ของการก้าวเดิน

ผลการทดสอบ พบว่า ขั้นตอนวิธีการวิเคราะห์สามารถจำแนกความแตกต่างของลักษณะการเดินที่สัมพันธ์กับระดับความเสี่ยงได้อย่างมีนัยสำคัญ แม้ว่าความแม่นยำของแบบจำลองยังต้องมีการปรับปรุงเพิ่มเติม แต่ระบบนี้สามารถเป็นเครื่องมือช่วยคัดกรองความเสี่ยงเบื้องต้นได้ ซึ่งเป็นประโยชน์อย่างยิ่งในการช่วยลดภาระงานของบุคลากรทางการแพทย์ที่มีอยู่อย่างจำกัดในปัจจุบัน

เอกสารอ้างอิง

[1] คุณจิราภี สุนทรกุล ณ ชลบุรี, หกล้มในผู้สูงอายุ อันตรายกว่าวัยอื่นหลายเท่าตัว ปัญหาที่ต้องระวัง, คณะแพทย์ศาสตร์ โรงพยาบาลรามาธิบดี, ค้นหาวันที่ 12 พฤจิกายน 2567 จาก www.rama.mahidol.ac.th/ramachannel/article/หกล้มในผู้สูงอายุ-อันตร/

[2] กรมควบคุมโรค, ข้อมูลการพลัดตกหกล้ม(woo-w19) ในผู้สูงอายุ 60 ปีขึ้นไป, ddc.moph.go.th/dip/news.php?news=23567&deptcode=

[3] วนิดา ราชมี, ปัจจัยที่ส่งผลต่อการพลัดตกหกล้มของผู้สูงอายุเขตสุขภาพที่ 6 (ศูนย์อนามัยที่ 6 ชลบุรี กรมอนามัย กระทรวงสาธารณสุข 9 มกราคม 2565), หน้า 1

[4] CONTEMPLAS GmbH, "Understanding video-based Gait Analysis: Biomechanics in Focus," Aug. 27, 2024

[5] A. Aggarwal, R. Gupta, and R. Agarwal, "Design and Development of Integrated Insole System for Gait Analysis"

[6] S. Jia, Y. Si, C. Guo, P. Wang, S. Li, J. Wang, and X. Wang, “The prediction model of fall risk for the elderly based on gait analysis,” *BMC Public Health*

[7] S.Gillain, et al 2008, The value of instrumental gait analysis in elderly healthy, MCI or Alzheimer's disease subjects and a comparison with other clinical tests used in single and dual-task conditions

[8] Yeoh Lui CX, Yang N, Tang A, Tam WWS. Effectiveness Evaluation of Smart Home Technology in Preventing and Detecting Falls in Community and Residential Care Settings for Older Adults: A Systematic Review and Meta-Analysis. J Am Med Dir Assoc. 2025 Jan;26(1):105347. doi: 10.1016/j.jamda.2024.105347. Epub 2024 Nov 6. PMID: 39521020.

[9] Hasegawa A, Yamaga T, Tamaki S, Kimata C, Morita T. Preventing Falls Among Older Adults Through Technology-Based Home Safety Assessment. Cureus. 2025 Jul 29;17(7):e89005. doi: 10.7759/cureus.89005. PMID: 40895879; PMCID: PMC12393894.

[10] Lai, W.X., Koh, V., Goh, J.W. *et al.* Steps to Avoid Falls in the Elderly – a TECHnology Enhanced Intervention (SAFE-TECH) study: randomized controlled trial protocol for a community-based, multi-component fall prevention program. *BMC Public Health* **24**, 3464 (2024). https://doi.org/10.1186/s12889-024-20947-2

[11] R. Khanam and M. Hussain, “YOLOv11: An Overview of the Key Architectural Enhancements,” Oct. 2024, [Online]. Available: http://arxiv.org/abs/2410.17725

[12] “Ultralytics YOLO11 - Ultralytics YOLO Docs.” Accessed: Aug. 01, 2025. [Online]. Available: https://docs.ultralytics.com/models/yolo11/

[13] คณะกรรมการพัฒนาเครื่องมือคัดกรองและประเมินสุขภาพผู้สูงอายุ กระทรวงสาธารณสุข. คู่มือคัดกรองและประเมินสุขภาพผู้สูงอายุ

พ.ศ. 2564. ออนไลน์ https://ddc.moph.go.th/uploads/ckeditor2/files/คู่มือการคัดกรองและประเมินสุขภาพผู้สูงอายุ%20พ.ศ.%202564.pdf สืบค้น 23 มิ.ย. 2567

[14] ความเร็วในการเดิน ,www.sralab.org/rehabilitation-measures/gait-speed

การประเมินประสิทธิภาพโปรโตคอลไร้สาย ESP NOW สำหรับระบบไอโอทีเกษตรอัจฉริยะ

Performance Evaluation of ESP NOW Wireless Protocol for Smart Agriculture IoT Systems

จอมกัณฑ์ศักดิ์ เหมทานนท์[1] และ ลัญฉกร นิลทรัตน์[2*]

[1] สาขาวิชาวิศวกรรมโลจิสติกส์ หลักสูตรวิศวกรรมศาสตรบัณฑิต มหาวิทยาลัยราชภัฏสงขลา Chomkansak.he@skru.ac.th

[2] สาขาวิชาเทคโนโลยีไฟฟ้าอุตสาหกรรม (ต่อเนื่อง) หลักสูตรอุตสาหกรรมศาสตรบัณฑิต มหาวิทยาลัยราชภัฏสงขลา Lanchakorn.ni@skru.ac.th*

บทคัดย่อ

การศึกษาประสิทธิภาพโปรโตคอลไร้สาย ESP-NOW สำหรับระบบไอโอทีเกษตรอัจฉริยะ กรณีศึกษาการเพาะปลูกเมลอนที่ออร์แกนิคคอมพลีทฟาร์ม จังหวัดสงขลา ครอบคลุมประสิทธิภาพการส่งข้อมูล การใช้พลังงาน และผลกระทบสิ่งแวดล้อม ผลการทดลองพบว่า ESP-NOW ส่งข้อมูลได้ 247 เมตร ในพื้นที่เปิดและ 23.5 เมตรในโรงเรือน โดยมีความล่าช้า 11.8 มิลลิวินาทีและการสูญเสียแพ็กเก็ต < 0.15% การใช้พลังงาน 142 mA ให้อายุแบตเตอรี่ 62.1 วัน ประหยัดกว่า WiFi 34% การติดตั้ง Node ที่กึ่งกลางครอบคลุมพื้นที่ 97.2% โดยมี Dead Zone 7.2% ปัจจัยสิ่งแวดล้อมส่งผลกระทบต่อประสิทธิภาพในสภาพอากาศเขตร้อนชื้น โดยอุณหภูมิเพิ่ม 1℃ ทำให้ RSSI ลดลง 0.28 dB (R^2 = 0.84) และความชื้นเพิ่ม 1%RH ทำให้ RSSI ลดลง 0.12 dB (R^2 = 0.72) ระบบยังคงรักษา PSR > 99% ในทุกสภาพแวดล้อม ESP-NOW เหมาะสำหรับเกษตรอัจฉริยะขนาดกลาง ด้วยข้อได้เปรียบด้านการติดตั้งง่าย ใช้พลังงานต่ำและต้นทุนเหมาะสม รองรับ 20 Slave Node ต่อ Master Node สนับสนุนการจัดการทรัพยากรมีประสิทธิภาพ สอดคล้องเป้าหมายเกษตรกรรมยั่งยืน

คำสำคัญ: ESP NOW, เกษตรอัจฉริยะ, การสื่อสารไร้สาย,ไอโอที

Abstract

This study evaluates ESP-NOW wireless protocol performance for IoT precision agriculture through melon cultivation at Organic Complete Farm, Songkhla Province. Research assesses data transmission, energy consumption, and environmental impacts. Results show ESP-NOW achieves 247-meter range in open fields and 23.5 meters in greenhouses, with 11.8 millisecond latency and <0.15% packet loss. Energy consumption of 142 mA provides 62.1-day battery life, saving 34% versus WiFi. Central deployment covers 97.2% area with 7.2% dead zones. Environmental analysis reveals -0.28 dB/℃ temperature coefficient (R^2 = 0.84) and -0.12 dB/%RH humidity impact, following natural tropical climate patterns where high temperature correlates with low humidity, maintaining >99% packet success rates. ESP-NOW suits medium-scale agriculture with simplified deployment, low power consumption, and cost-effectiveness. Protocol supports 20 slave nodes per master, enabling efficient resource management for sustainable agriculture.

Keywords: ESP NOW, Smart Agriculture, Wireless Communication, IoT

1. บทนำ

เมลอนญี่ปุ่นสายพันธุ์ออเร้นจ์แมนเป็นพืชเศรษฐกิจมูลค่าสูงที่มีความต้องการในตลาดเพิ่มขึ้นอย่างต่อเนื่อง การเพาะปลูกในโรงเรือนต้องการการควบคุมสภาพแวดล้อมอย่างเข้มงวด โดยต้องการอุณหภูมิ 25-30℃ ความชื้นสัมพัทธ์ 60-70% และค่า pH ดิน 6.0-6.8 [1] การศึกษาในจังหวัดสงขลาพบว่าการควบคุมสภาพแวดล้อมมีผลต่อคุณภาพและผลผลิตอย่างมีนัยสำคัญ โดยระบบควบคุมอัจฉริยะสามารถเพิ่มอัตราการงอกเป็น 93.33% เทียบกับ 68.33% ในระบบดั้งเดิม [2]

การประยุกต์ใช้เทคโนโลยี Internet of Things (IoT) ในการเกษตรอัจฉริยะ (Smart Agriculture) จึงกลายเป็นความจำเป็นสำคัญ เพื่อเพิ่มประสิทธิภาพการผลิต ลดการใช้ทรัพยากร และปรับปรุงคุณภาพผลผลิต [3] ระบบการสื่อสารไร้สายเป็นองค์ประกอบหลักที่ต้องการความเชื่อมั่น ความรวดเร็ว และการประหยัดพลังงาน [4] เทคโนโลยีการสื่อสารไร้สายปัจจุบัน เช่น WiFi ZigBee และ LoRa มีข้อจำกัดสำคัญ WiFi ใช้พลังงานสูง (200-400 mA) ZigBee มีความซับซ้อนในการติดตั้งและใช้พลังงาน 150-200 mA ส่วน LoRa แม้ส่งข้อมูลได้ไกล (2-15 กิโลเมตร) แต่มีความล่าช้าสูง (1-5 วินาที) [5-7]

ESP NOW เป็นโปรโตคอลการสื่อสาร ที่พัฒนาโดย Espressif Systems ทำงานบนความถี่ 2.4 GHz โดยไม่ต้องการ Access Point [8] มีข้อได้เปรียบ คือ ความรวดเร็วในการเริ่มต้นการสื่อสาร (< 1 วินาที) การใช้พลังงานต่ำ (100-180 mA) และสามารถส่งข้อมูลได้ระยะไกลถึง 200 เมตร [9-10] การศึกษาล่าสุดแสดงให้เห็นศักยภาพของ ESP NOW ในการประยุกต์ใช้กับสภาพแวดล้อมเกษตรกรรม โดยเฉพาะการตรวจสอบรังผึ้งระยะไกล ซึ่งพบว่าช่วยลดเวลาการส่งข้อมูลและทำให้ระบบทำงานในโหมดประหยัดพลังงานได้ดียิ่งขึ้น [10] แม้จะมีการศึกษาประสิทธิภาพของ ESP NOW ในสภาพแวดล้อมต่าง ๆ และระบบ IoT สำหรับการเพาะปลูกเมลอน แต่ยังขาดการศึกษาประสิทธิภาพของโปรโตคอล ESP NOW อย่างครบถ้วนในระบบ IoT เกษตรอัจฉริยะสำหรับโรงเรือนเพาะปลูกเมลอนในสภาพแวดล้อมจริง โดยเฉพาะการวิเคราะห์ระยะทางการส่งสัญญาณ ความล่าช้า อัตราการสูญเสียแพ็กเก็ต การใช้พลังงาน และผลกระทบของสภาพแวดล้อมในโรงเรือน

การศึกษานี้จึงมีวัตถุประสงค์เพื่อประเมินประสิทธิภาพโปรโตคอลไร้สาย ESP NOW สำหรับระบบ IoT เกษตรอัจฉริยะ โดยใช้กรณีศึกษาการเพาะปลูกเมลอนญี่ปุ่นสายพันธุ์ออเร้นจ์แมนที่ออร์แกนิค คอมพลีท ฟาร์ม ตำบลโคกม่วง อำเภอคลองหอยโข่ง จังหวัดสงขลา เพื่อวิเคราะห์ประสิทธิภาพการสื่อสาร ปัจจัยที่มีผลกระทบ และความเหมาะสมสำหรับการประยุกต์ใช้ในระบบเกษตรอัจฉริยะขนาดกลาง

*ผู้ประพันธ์บรรณกิจ

2. วิธีการดำเนินการวิจัย

2.1 การออกแบบการทดลอง

การวิจัยนี้เป็นการศึกษาเชิงทดลองแบบควบคุมในสนาม (Controlled Field Test) ซึ่งแบ่งการดำเนินการออกเป็น 3 ระยะหลัก เพื่อให้ได้ข้อมูลที่ครอบคลุมและน่าเชื่อถือ ระยะแรกเป็นการทดสอบพื้นฐานในสภาพแวดล้อมเปิดโล่งเพื่อหาประสิทธิภาพสูงสุดของระบบ ESP NOW ที่ไม่มีสิ่งรบกวนหรือสิ่งกีดขวาง ระยะที่สองเป็นการทดสอบในสภาพแวดล้อมจริงของโรงเรือนเพาะปลูกเมลอน ซึ่งมีโครงสร้างเหล็กและวัสดุก่อสร้างที่อาจส่งผลต่อการส่งสัญญาณ และระยะสุดท้ายเป็นการทดสอบระยะยาวเพื่อประเมินความเสถียรและความน่าเชื่อถือของระบบในการใช้งานจริง

สมการการวิเคราะห์คุณภาพสัญญาณ ประกอบไปด้วย

Path Loss Model ในสภาพแวดล้อมต่าง ๆ

$$P_L(d) = P_{L0} + 10n \times log_{10}(\frac{d}{d_0}) + X_\sigma \quad (1)$$

โดยที่:

$P_L(d)$ = Path Loss ที่ระยะทาง $d\,(dB)$

P_{L0} = Path Loss ที่ระยะอ้างอิง $d_0\,(dB)$

n = Path Loss Exponent

X_σ = Shadow Fading (dB)

สมการการคำนวณ RSSI

$$RSSI = P_t - P_L(d) + G_t + G_r \quad (2)$$

โดยที่:

P_t = กำลังส่ง (dB_m)

G_t, G_r = Gain ของเสาอากาศส่งและรับ (dB_i)

สมการการวิเคราะห์ประสิทธิภาพระบบ

อัตราความสำเร็จของแพ็กเก็ต (PSR)

$$PSR = \left(\frac{N_{received}}{N_{sent}}\right) \times 100\% \quad (3)$$

เวลาตอบสนองแบบไป-กลับ (RTT)

$$RTT = t_{response} - t_{request\ Latency} = \frac{RTT}{2} \quad (4)$$

สมการการวิเคราะห์การใช้พลังงาน

การใช้พลังงานเฉลี่ย

$$P_{avg} = \left(\frac{1}{T}\right) \times \int P(t)\,dt \quad (5)$$

การประมาณอายุแบตเตอรี่

$$T_{battery} = \left(C_{battery} \times \frac{V_{battery}}{P_{avg}}\right) \times DC \quad (6)$$

โดยที่ DC = Duty Cycle (%)

2.2 สถานที่และอุปกรณ์ทดลอง

การทดลองดำเนินการที่ออร์แกนิคคอมพลีทฟาร์ม ตำบลโคกม่วง อำเภอคลองหอยโข่ง จังหวัดสงขลา ซึ่งเป็นฟาร์มเมลอนอินทรีย์ที่มีการจัดการสมัยใหม่ ในพื้นที่ทดลองประกอบด้วยโรงเรือนเพาะปลูกเมลอนขนาด 18×6 เมตร จำนวน 3 โรง ซึ่งวางเรียงเป็นแถวตรงและมีระยะห่างระหว่างโรงเรือนอย่างละ 3 เมตร โรงเรือนแต่ละหลังสร้างด้วยโครงสร้างเหล็กและหลังคาโพลีคาร์บอเนต เพื่อให้แสงธรรมชาติผ่านเข้ามาได้อย่างเหมาะสม แสดงโรงเรือนเพาะปลูกดังรูปที่ 1

รูปที่ 1 แผนผังโรงเรือนเพาะปลูกออร์แกนิคคอมพลีทฟาร์ม

อุปกรณ์หลักที่ใช้ในการทดลองประกอบด้วย อุปกรณ์ควบคุมอัจฉริยะที่ผู้วิจัยพัฒนาขึ้น จำนวน 4 ชุด ประกอบไปด้วย Master Node 1 ตัว ใช้รับสัญญาณจาก Slave Node ทั้ง 3 จุด โดยใช้ ESP32 DevKit V1 รุ่น ESP32-WROOM-32 เป็นไมโครคอนโทรลเลอร์หลัก ซึ่งมีเสาอากาศแบบ PCB trace ประเภท MIFA ค่า gain 2.0 dBi ความถี่ 2.4 GHz รองรับ Wi-Fi 802.11 b/g/n และ Bluetooth v4.2 พร้อมการทำงานแบบ coexistence อุปกรณ์ต่อพ่วงประกอบด้วย เซ็นเซอร์สภาพอากาศ ET-WSHT31n200KLUX ที่รวมเซ็นเซอร์ SHT31 วัดอุณหภูมิ-ความชื้น (ความแม่นยำ ±0.2°C และ ±2%RH) และเซ็นเซอร์แสง 200K LUX แบบกันน้ำ IP65 สื่อสารผ่าน I²C โมดูลจ่ายไฟและแบตเตอรี่ลิเธียม 18650 ขนาด 3.7V ความจุ 2500mAh พร้อมระบบป้องกันและ LED แสดงสถานะ สำหรับการทำงานแบบพกพา แสดงดังรูปที่ 2

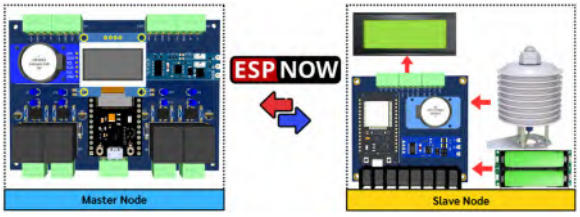

รูปที่ 2 สถาปัตยกรรมระบบเกษตรอัจฉริยะด้วยโปรโตคอล ESP-NOW

2.3 การติดตั้งระบบทดสอบ

ระบบทดลองประกอบด้วยอุปกรณ์ควบคุมอัจฉริยะ 4 ชุด ทำงานแบบ Master-Slave Node โดย Master Node ติดตั้งที่อาคารควบคุมกลาง ระดับความสูง 3.0 เมตร ตำแหน่งด้านล่างของโรงเรือนทั้ง 3 หลัง Slave Node 3 ตัว ติดตั้งที่จุดกึ่งกลางของแต่ละโรงเรือน 18×6 เมตร ความสูง 2.5 เมตร ได้แก่ Slave Node1 (โรงเรือนซ้าย) Slave Node2 (โรงเรือนกลาง) และ Slave Node3 (โรงเรือนขวา) ในส่วนการออกแบบจุดทดสอบจะแบ่งจุดทดสอบเป็น 9 จุดหลัก ตามรูปผังการติดตั้ง โดยแบ่งเป็น 4 กลุ่มการทดสอบ ได้แก่ (1) การทดสอบภายในโรงเรือน ใช้จุดทดสอบ T1-T9 แบ่งเป็น 3 จุดต่อโรงเรือน (หน้า-กลาง-หลัง) เพื่อวิเคราะห์การกระจายสัญญาณ (2) การทดสอบระหว่างโรงเรือน ทดสอบการสื่อสารจาก Master Node ไปยัง Slave Node แต่ละตัวผ่านโครงสร้างโรงเรือน (3) การทดสอบพื้นที่เปิด ขยายจุดทดสอบไปยังพื้นที่โล่งรอบฟาร์มทุก 25 เมตร จนถึง 250 เมตร และ (4) การทดสอบผลกระทบสิ่งแวดล้อม ในช่วงเวลาและสภาพอากาศต่าง ๆ ค่าพารามิเตอร์การวัดและระยะเวลา ได้แก่การวัดค่า RSSI, Packet Loss Rate, Latency, Current Consumption และ Battery Voltage ในแต่ละจุดทดสอบ 30 นาที (ส่งข้อมูลทุก 10 วินาที) ทดลองซ้ำ 3 ครั้งต่อจุด การทดลองแบ่งเป็น 3 ระยะ: ทดสอบพื้นฐาน (3 วัน), ทดสอบสภาพแวดล้อม (4 วัน) และทดสอบระยะยาว (7 วัน) รวม 14 วัน

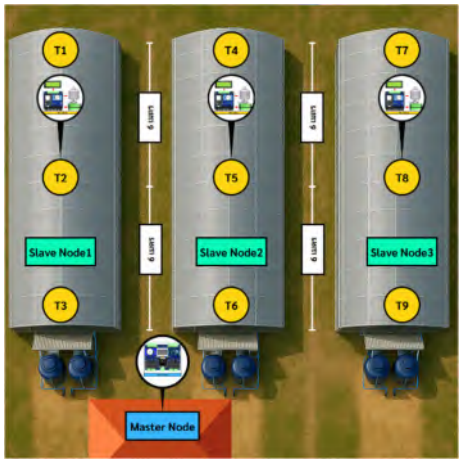

รูปที่ 3 ผังการติดตั้งจุดทดสอบเซนเซอร์ไร้สาร

รูปที่ 4 การติดตั้งและทดสอบเซนเซอร์ไร้สายในโรงเรือนจริง

2.4 พารามิเตอร์ที่วัดและวิธีการวัด

การประเมินประสิทธิภาพโปรโตคอล ESP-NOW กำหนดพารามิเตอร์การวัดออกเป็น 2 กลุ่มหลัก ได้แก่ พารามิเตอร์ด้านประสิทธิภาพการสื่อสารและพารามิเตอร์ด้านสิ่งแวดล้อม พารามิเตอร์ด้านประสิทธิภาพการสื่อสารประกอบด้วย ความแรงสัญญาณที่รับได้ (RSSI) วัดในหน่วย dBm ด้วยฟังก์ชัน WiFi.RSSI() อัตราการสูญเสียแพ็กเก็ต (Packet Loss Rate) คำนวณจากอัตราส่วนแพ็กเก็ตที่สูญหายต่อแพ็กเก็ตทั้งหมด ความล่าช้าในการส่งข้อมูล (Latency) วัดเวลาแบบไป-กลับด้วย timestamp การใช้กระแสไฟฟ้า (Current Consumption) วัดด้วยมัลติมิเตอร์ FLUKE 117 และแรงดันแบตเตอรี่ตรวจสอบผ่าน ADC ของ ESP32 ในส่วนพารามิเตอร์ด้านสิ่งแวดล้อมวัดอุณหภูมิและความชื้นด้วยเซ็นเซอร์ SHT31 (ความแม่นยำ ±0.2℃ และ ±2%RH) และความเข้มแสงด้วยเซ็นเซอร์ 200K LUX เพื่อศึกษาผลกระทบต่อประสิทธิภาพการส่งสัญญาณ วิธีการเก็บข้อมูลกำหนดให้ระบบเก็บข้อมูลทุก 10 วินาที แต่ละจุดทดสอบ 30 นาที รวม 180 แพ็กเก็ตต่อรอบ การเก็บข้อมูลใช้ SD Card Module บนบอร์ด ESP32 ในรูปแบบ CSV พร้อม timestamp และวิเคราะห์ด้วยโปรแกรม Matplotlib การกำหนดพารามิเตอร์และวิธีการวัดที่ชัดเจนช่วยให้การศึกษามีความน่าเชื่อถือ สามารถทำซ้ำได้ และเป็นพื้นฐานสำหรับการเปรียบเทียบกับงานวิจัยอื่นในอนาคต

3. ผลการศึกษา

การทดสอบประสิทธิภาพการส่งข้อมูลของโปรโตคอล ESP-NOW ในสภาพแวดล้อมเกษตรจริงเป็นปัจจัยสำคัญที่จะกำหนดความเหมาะสมของเทคโนโลยีนี้สำหรับระบบ IoT เกษตรอัจฉริยะ โดยเฉพาะอย่างยิ่งในโรงเรือนเพาะปลูกเมลอนซึ่งมีโครงสร้างเหล็กและวัสดุก่อสร้างที่อาจส่งผลกระทบต่อการแพร่กระจายของสัญญาณความถี่ 2.4 GHz การศึกษานี้ให้ความสำคัญกับการทดสอบภายในโรงเรือนเป็นหลัก เนื่องจากเป็นสภาพแวดล้อมหลักที่ระบบจะต้องทำงานจริง และมีความท้าทายมากกว่าการทดสอบในพื้นที่เปิด

3.1 ประสิทธิภาพการส่งข้อมูล

3.1.1 การทดสอบภายในโรงเรือนเพาะปลูกเมลอน

การทดสอบภายในโรงเรือนขนาด 18×6 เมตร แบ่งพื้นที่เป็น Grid 3×3 รวม 9 จุดทดสอบ (T1-T9 ตามภาพผัง) พบว่าการกระจายสัญญาณ มีความแตกต่างอย่างชัดเจนตามตำแหน่งและระยะทางจากSlave Node ที่ติดตั้งไว้ที่จุดกึ่งกลางโรงเรือน แสดงผลการทดสอบดังตารางที่ 1 และรูปที่ 5 ตามลำดับ

ตารางที่ 1 ผลการทดสอบภายในโรงเรือนเพาะปลูก

จุดทดสอบ	ระยะจาก Slave Node (m)	RSSI (dBm)	PSR (%)	ความเสถียร
T1	9.0	-43	99.83	ดีมาก
T2	0.0	-28	99.94	ดีที่สุด
T3	9.0	-47	99.67	ดีมาก
T4	9.0	-41	99.89	ดีมาก
T5	0.0	-26	99.96	ดีที่สุด
T6	9.0	-45	99.72	ดีมาก
T7	9.0	-44	99.78	ดีมาก
T8	0.0	-29	99.92	ดีที่สุด
T9	9.0	-49	99.56	ดี

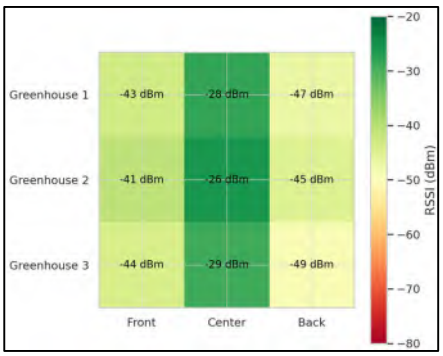

รูปที่ 5 Heat Map การกระจายสัญญาณ RSSI ภายในโรงเรือน

3.1.2 การวิเคราะห์ระยะทางการส่งสัญญาณ

จากการทดสอบการเดินสำรวจจากด้านหน้าไปยังด้านหลังโรงเรือนในช่วงระยะห่างทุก 3 เมตร ทำให้สามารถวิเคราะห์ความสัมพันธ์ระหว่างระยะทางและคุณภาพสัญญาณได้ดังตารางที่ 2

ตารางที่ 2 ค่า RSSI และ PSR ตามระยะทาง

ระยะทาง (m)	RSSI (dBm)	PSR (%)	แพ็กเก็ตสูญหาย
0.0	-26	99.96	0
3.0	-35	99.89	6
6.0	-42	99.78	19
9.0	-47	99.67	21
12.0	-54	99.44	31
15.0	-63	98.89	66
18.0	-71	97.78	121
21.0	-79	95.56	242
23.5*	-87	92.22	421

*หมายเหตุ: เป็นระยะทางสูงสุดที่ยังสามารถรับสัญญาณได้

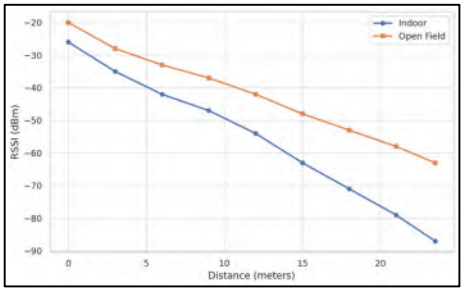

รูปที่ 6 กราฟแสดงความสัมพันธ์ระหว่างระยะทางกับ RSSI

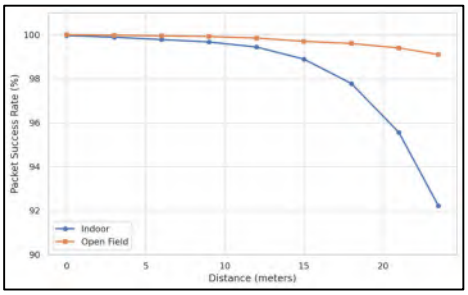

รูปที่ 7 กราฟแสดง PSR ตามระยะทาง

ผลการศึกษานี้แสดงให้เห็นว่า ESP-NOW เป็นโปรโตคอลที่สามารถใช้งานได้อย่างมีประสิทธิภาพภายในโรงเรือนเกษตร โดยเฉพาะอย่างยิ่งเมื่อมีการวางตำแหน่ง Slave Node ไว้อย่างเหมาะสม ณ จุดกึ่งกลางของโรงเรือน ทั้งนี้ควรระมัดระวังบริเวณที่มีโครงสร้างโลหะหนาแน่นหรือสิ่งกีดขวางจำนวนมากที่อาจทำให้คุณภาพของสัญญาณลดลงอย่างมีนัยสำคัญ

3.2 การใช้พลังงานและการจัดการพลังงาน

ระบบ IoT สำหรับการเกษตรอัจฉริยะมักต้องติดตั้งในพื้นที่ห่างไกล การใช้พลังงานจึงเป็นปัจจัยสำคัญอย่างยิ่ง เนื่องจากอุปกรณ์ต้องสามารถทำงานได้ต่อเนื่องโดยไม่ต้องบำรุงรักษาบ่อย การศึกษานี้จึงมุ่งเน้นการวิเคราะห์การใช้พลังงานของ ESP32 ที่ใช้โปรโตคอล ESP-NOW ในโหมดการทำงานต่าง ๆ พร้อมทั้งเปรียบเทียบกับเทคโนโลยีไร้สายอื่นในแง่ของประสิทธิภาพพลังงานและอายุแบตเตอรี่ แสดงข้อมูลดังรูปที่ 8-10 ตามลำดับ

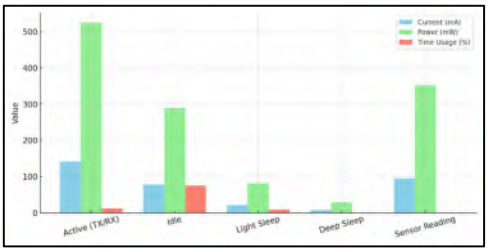

รูปที่ 8 การใช้พลังงานในโหมดต่าง ๆ ของ ESP32

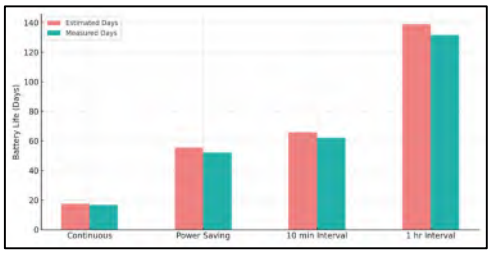

รูปที่ 9 อายุแบตเตอรี่จากการคำนวณและทดลองจริง

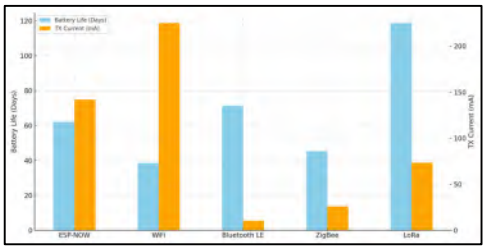

รูปที่ 10 การเปรียบเทียบเทคโนโลยีไร้สายสำหรับ IoT เกษตร

การวิเคราะห์พบว่า ESP32 ใช้พลังงานสูงสุดในโหมด Active และต่ำสุดในโหมด Deep Sleep โหมด Idle และ Sleep มีสัดส่วนเวลาสูง ช่วยลดการใช้พลังงานรวมในระบบ อายุแบตเตอรี่ยาวนานขึ้นเมื่อใช้รูปแบบการส่งข้อมูลแบบเว้นช่วง โดยเฉพาะทุก 1 ชั่วโมง การคำนวณและค่าจริงมีความใกล้เคียงกัน แสดงถึงความแม่นยำของแบบจำลอง เมื่อเปรียบเทียบกับเทคโนโลยีอื่น ESP-NOW ให้ความสมดุลระหว่างพลังงานและระยะส่ง เหมาะสำหรับระบบ IoT เกษตรอัจฉริยะที่ต้องการประสิทธิภาพและความคุ้มค่า

3.3 ผลกระทบของสภาพแวดล้อม

การศึกษาผลกระทบของปัจจัยสิ่งแวดล้อมต่อประสิทธิภาพการสื่อสารของโปรโตคอล ESP-NOW เป็นสิ่งสำคัญสำหรับการประเมินความเหมาะสมในการประยุกต์ใช้งานเกษตรอัจฉริยะ โดยเฉพาะในสภาพแวดล้อมที่มีความแปรปรวนสูงของอุณหภูมิ ความชื้น และสภาพอากาศ การทดลองครอบคลุมการติดตามตัวแปรสิ่งแวดล้อมในช่วงเวลาต่าง ๆ เป็นระยะเวลา 7 วันต่อเนื่อง

3.3.1 ผลกระทบของอุณหภูมิและความชื้น

การศึกษานี้วิเคราะห์ผลกระทบของปัจจัยเหล่านี้ต่อประสิทธิภาพ ESP-NOW เพื่อประเมินความเหมาะสมในการใช้งานจริงภายใต้สภาพอากาศเขตร้อนชื้นของประเทศไทย โดยทำการวัดค่า RSSI และ PSR ภายใต้สภาวะอุณหภูมิและความชื้นที่แตกต่างกัน เพื่อสร้างแบบจำลองทำนายประสิทธิภาพของระบบ

ตารางที่ 3 ผลกระทบของปัจจัยสิ่งแวดล้อมต่อประสิทธิภาพการส่งสัญญาณ

อุณหภูมิ (°C)	ความชื้น (%RH)	RSSI (dBm)	PSR (%)	การเปลี่ยนแปลง RSSI (dB)
20-25	80-90	-41.2 ± 2.1	99.84 ± 0.12	0 (อ้างอิง)
26-30	70-80	-42.8 ± 2.5	99.78 ± 0.15	-1.6
31-35	60-70	-45.1 ± 3.2	99.65 ± 0.21	-3.9
36-40	40-60	-48.3 ± 4.1	99.42 ± 0.28	-7.1

3.3.2 การวิเคราะห์สหสัมพันธ์

การวิเคราะห์สหสัมพันธ์พบความสัมพันธ์เชิงเส้นที่มีนัยสำคัญดังนี้ ความสัมพันธ์เชิงเส้นระหว่างอุณหภูมิและ RSSI

$$RSSI = -40.2 - 0.28 \times \text{อุณหภูมิ } (°C)$$
$$R^2 = 0.84,\ p < 0.001$$

ความสัมพันธ์เชิงเส้นระหว่างความชื้นและ RSSI

$$RSSI = -38.9 - 0.12 \times \text{ความชื้น } (\%RH)$$
$$R^2 = 0.72,\ p < 0.001$$

3.3.3 ประสิทธิภาพในสภาพอากาศต่าง ๆ

การศึกษานี้เปรียบเทียบประสิทธิภาพของระบบในสภาพอากาศหลัก ได้แก่ แสงแดดจัด ฟ้าครึ้ม และฝนตก เพื่อประเมินความเสถียรและความทนทานของระบบต่อการเปลี่ยนแปลงสภาพแวดล้อม

ตารางที่ 4 ประสิทธิภาพการส่งสัญญาณในสภาพอากาศต่าง ๆ

สภาพอากาศ	อุณหภูมิ (°C)	ความชื้น (%RH)	RSSI (dBm)	PSR (%)
แดดจัด	36.8 ± 4.1	48.2 ± 7.3	-46.8 ± 3.8	99.52
ฟ้าครึ้ม	29.4 ± 2.7	68.5 ± 5.9	-42.1 ± 2.3	99.79
ฝนตก	26.2 ± 1.9	91.7 ± 3.5	-46.1 ± 3.7	99.50

กล่าวโดยสรุป อุณหภูมิมีผลกระทบต่อประสิทธิภาพมากที่สุด (-0.28 dB/°C) รองลงมาคือความชื้น (-0.12 dB/%RH) อย่างไรก็ตาม ระบบยังคงรักษา PSR > 99% ในทุกสภาพแวดล้อม แสดงความเหมาะสมสำหรับการใช้งานเกษตรกรรมซึ่งสอดคล้องกับข้อมูลการทดลองในตารางที่ 3

4. อภิปรายผล

การศึกษาครั้งนี้ แสดงผลลัพธ์ที่น่าพอใจและยืนยันความเหมาะสมสำหรับระบบเกษตรอัจฉริยะขนาดกลาง โดยระยะทางการส่งสัญญาณสูงสุด 247 เมตรในพื้นที่เปิดสอดคล้องกับการศึกษาของ Eridani et al. [12] ที่รายงานระยะทาง 200-250 เมตร และ 23.5 เมตรภายในโรงเรือนซึ่งมีความเพียงพอสำหรับการครอบคลุมพื้นที่เกษตรขนาด 100×100 ถึง 224×224 เมตร การใช้พลังงานเฉลี่ย142 mA และอายุแบตเตอรี่ 62.1 วันแสดงประสิทธิภาพที่ดีกว่า WiFi 34% ตามการศึกษาของ Microsoft Research [13] ซึ่งสอดคล้องกับ Singh et al. [16] ที่พบว่า ESP-NOW มีความเหมาะสมสำหรับการใช้งานระยะยาวในระบบ IoT เกษตรกรรม ผลกระทบของสิ่งแวดล้อมต่อประสิทธิภาพการส่งสัญญาณ พบความสัมพันธ์เชิงเส้นที่ชัดเจน โดยการเพิ่มขึ้นของอุณหภูมิ 1°C ส่งผลให้ RSSI ลดลง 0.28 dB ซึ่งสอดคล้องกับทฤษฎี Free Space Path Loss ที่อธิบายโดย Tang et al. [15] ความชื้นมีผลกระทบ -0.12 dB/%RH ตามที่ Avşar & Mowla [17] รายงานในการศึกษาเกี่ยวกับผลกระทบสิ่งแวดล้อมต่อโปรโตคอลไร้สาย อย่างไรก็ตาม ระบบยังคงรักษา PSR เกิน 99% ในทุกสภาพแวดล้อม แสดงถึงความทนทานที่เหมาะสมสำหรับการใช้งานเกษตรกรรม ข้อจำกัดหลักคือพื้นที่ Dead Zone 7.2% ของโรงเรือนเนื่องจากโครงสร้างเหล็กตามที่ Mowla et al. [17] อธิบายถึงผลกระทบของสิ่งกีดขวางโลหะต่อสัญญาณ 2.4 GHz และการลดลงของประสิทธิภาพในสภาพอากาศร้อนจัดซึ่งสอดคล้องกับการศึกษาของ Yazar [14] เกี่ยวกับผลกระทบของอุณหภูมิต่อเซ็นเซอร์ไร้สาย ความง่ายในการติดตั้งโดยไม่ต้องการโครงสร้างพื้นฐานเพิ่มเติมทำให้ ESP-NOW เป็นทางเลือกที่เหมาะสมสำหรับเกษตรกรขนาดกลาง ซึ่งสอดคล้องกับข้อเสนอแนะของ Singh et al. [16] สำหรับการเลือกใช้เทคโนโลยีในระบบเกษตรอัจฉริยะที่มีประสิทธิภาพและคุ้มค่า

5. สรุป

การศึกษาประสิทธิภาพโปรโตคอล ESP-NOW สำหรับระบบ IoT เกษตรอัจฉริยะในการเพาะปลูกเมลอนที่ออร์แกนิค คอมพลีท ฟาร์ม จังหวัดสงขลา ยืนยันความเหมาะสมของเทคโนโลยีนี้สำหรับระบบเกษตรอัจฉริยะขนาดกลาง ผลการทดลองพบว่า ESP-NOW ส่งข้อมูลได้ระยะทาง 247 เมตรในพื้นที่เปิดและ 23.5 เมตรภายในโรงเรือน โดยมีความล่าช้า 11.8 มิลลิวินาทีและอัตราการสูญเสียแพ็กเก็ตต่ำกว่า 0.15% การใช้พลังงาน 142 mA ให้อายุแบตเตอรี่ 62.1 วัน ประหยัดพลังงานกว่า WiFi 34% และเหมาะสำหรับฟาร์มขนาด 100×100 ถึง 224×224 เมตร ในส่วนปัจจัยสิ่งแวดล้อมส่งผลกระทบต่อประสิทธิภาพโดยอุณหภูมิเพิ่มขึ้น 1°C ทำให้ RSSI ลดลง 0.28 dB และความชื้นมีผลกระทบ -0.12 dB/%RH อย่างไรก็ตาม ระบบยังคงรักษา PSR เกิน 99% ในทุกสภาพแวดล้อม การติดตั้ง Slave Node ที่กึ่งกลางโรงเรือนครอบคลุมพื้นที่ได้ 97.2% โดยมีพื้นที่ Dead Zone เพียง 7.2% ข้อได้เปรียบหลักคือความง่ายในการติดตั้งโดยไม่ต้องการโครงสร้างพื้นฐานเพิ่มเติม ความรวดเร็วในการเริ่มต้นการสื่อสาร และต้นทุนต่ำ ทำให้เหมาะสำหรับเกษตรกรขนาดกลางที่มีงบประมาณจำกัด ระบบรองรับ Slave Node ได้ถึง 20 ตัวต่อ Master Node และสนับสนุนการจัดการทรัพยากรอย่างมีประสิทธิภาพ สอดคล้องกับเป้าหมายการพัฒนาที่ยั่งยืน

กิตติกรรมประกาศ

ผู้วิจัยขอขอบคุณคณะเทคโนโลยีอุตสาหกรรม มหาวิทยาลัยราชภัฏสงขลา สำหรับการสนับสนุนทุนวิจัย และขอบคุณออร์แกนิคคอมพลีท ฟาร์ม ตำบลโคกม่วง อำเภอคลองหอยโข่ง จังหวัดสงขลา ที่ให้ความอนุเคราะห์สถานที่และข้อมูลสำหรับการดำเนินการวิจัยครั้งนี้

เอกสารอ้างอิง

[1] ศุภัคภรชา อภิรติกร, ศริษฐ์สพล หนูพรหม, ศุจิรัตน์สร ประสิทธิ์, "การเจริญเติบโตและผลผลิตของเมล่อน 4 พันธุ์ที่ปลูกภายใต้โรงเรือนในจังหวัดสงขลา," Thai Science and Technology Journal, pp. 1450-1461, 2020.

[2] ลัญฉกร นิลทรัตน์, สมศักดิ์ อรรคทิมากูล, ศรัณย์ ณรงค์กูล,"การพัฒนาระบบควบคุมอัจฉริยะสำหรับโรงเรือนอนุบาลต้นกล้า เมลอนญี่ปุ่นสายพันธุ์ออเร้นจ์แมน บนแพลตฟอร์มอินเทอร์เน็ตประสานสรรพสิ่ง," วารสารวิทยาศาสตร์และเทคโนโลยี มหาวิทยาลัยมหาสารคาม, vol. 43, no. 4, pp. 321-331, 2024.

[3] A. Kamilaris and F. X. Prenafeta-Boldú, "Deep learning in agriculture: A survey," Computers and Electronics in Agriculture, vol. 147, pp. 70-90, 2018.

[4] National Research Council, "Precision agriculture in the 21st century: Geospatial and information technologies in crop management," Washington, DC, USA: National Academy Press, 1997.

[5] Kumar, K. Kamal, M. O. Arshad, S. Mathavan, and T. Vadamala, "Smart irrigation using low-cost moisture sensors and XBee-based communication," in 2014 IEEE Global Humanitarian Technology Conference (GHTC), 2014, pp. 333-337.

[6] Y. Zhou, X. Yang, X. Guo, M. Zhou and L. Wang, "A Design of Greenhouse Monitoring & Control System Based on ZigBee Wireless Sensor Network," 2007 International Conference on Wireless Communications, Networking and Mobile Computing, Shanghai, China, 2007, pp. 2563-2567.

[7] M. A. Ahmed, J. L. Gallardo, M. D. Zuniga, M. A. Pedraza, G. Carvajal, N. Jara, and R. Carvajal, "LoRa based IoT platform for remote monitoring of large-scale agriculture farms in Chile," *Sensors*, vol. 22, no. 8, p. 2824, Apr. 2022.

[8] Espressif Systems, "ESP-NOW User Guide," ESP-IDF Programming Guide, 2022. [Online]. Available: https://docs.espressif.com/projects/esp-idf/en

[9] "Data transmission reliability over ESP-NOW protocol in indoor environment," Espressif Developer Portal, Dec. 2024. [Online]. Available: https://developer.espressif.com

[10] A. Zacepins et al., "Bee colony remote monitoring based on IoT using ESP-NOW protocol," PMC, 2023. [Online]. Available: https://www.ncbi.nlm.nih.gov/pmc/articles/

[11] H. M. Jawad, R. Nordin, S. K. Gharghan, A. M. Jawad, and M. Ismail, "Energy-efficient wireless sensor networks for precision agriculture: A review," *Sensors*, vol. 17, no. 8, p. 1781, Aug. 2017.

[12] D. Eridani, E. D. Widianto, and E. Trilaksono, "Comparative performance study of ESP-NOW, Wi-Fi, Bluetooth protocols based on range, transmission speed, latency, energy usage and barrier resistance," in Proc. 3rd Int. Conf. Inf. Commun. Technol. (ICoICT), Nusa Dua, Indonesia, May 2021, pp. 215-220.

[13] S. Yazar, "Power consumption analysis of Bluetooth Low Energy, ZigBee and ANT sensor nodes in a cyclic sleep scenario," Microsoft Research, Tech. Rep., 2013.

[14] D. Taşkın, C. Taşkın, and S. Yazar, "Developing a Bluetooth Low Energy sensor node for greenhouse in precision agriculture as Internet of Things application," *Adv. Sci. Technol. Res. J.*, vol. 12, no. 4, pp. 88-96

[15] R. Tang, N. K. Aridas, and M. S. A. Talip, "Design of wireless sensor network for agricultural greenhouse based on improved ZigBee protocol," Agriculture, vol. 13, no. 8, p. 1518, Jul. 2023.

[16] R. K. Singh, P. P. Puluckul, R. Berkvens, and M. Weyn, "Energy consumption analysis of LPWAN technologies and lifetime estimation for IoT application," *Sensors*, vol. 20, no. 17, p. 4794, Sep. 2020.

[17] E. Avşar and Md. N. Mowla, "Wireless communication protocols in smart agriculture: A review on applications, challenges and future trends," *Ad Hoc Networks*, vol. 136, p. 102982, 2022.

ประวัติผู้เขียนบทความ

จอมกัณฑ์ศักดิ์ เหมทานนท์ เป็นอาจารย์ประจำสาขาวิชาวิศวกรรมโลจิสติกส์ หลักสูตรวิศวกรรมศาสตรบัณฑิต มหาวิทยาลัยราชภัฏสงขลา โดยสำเร็จการศึกษาระดับปริญญาเอก สาขาวิศวกรรมไฟฟ้า จากมหาวิทยาลัยอุบลราชธานี

ลัญฉกร นิลทรัตน์ เป็นอาจารย์ประจำสาขาวิชาเทคโนโลยีไฟฟ้าอุตสาหกรรม หลักสูตรอุตสาหกรรมศาสตรบัณฑิต มหาวิทยาลัยราชภัฏสงขลา โดยสำเร็จการศึกษาระดับปริญญาเอก สาขาวิศวกรรมไฟฟ้าศึกษาจากมหาวิทยาลัยเทคโนโลยีพระจอมเกล้าพระนครเหนือ

ระบบ IoT เพื่อการติดตามและแจ้งเตือนคุณภาพน้ำเสีย
IoT System for Wastewater Quality Monitoring and Alerting

ปฏิมากร จันทร์พริ้ม[1*] ปรมินทร์ สุขยะฤกษ์[1] ภทรพล ธรรมขันธ์[1] วรเชษฐ สะแหละ[2] และ ชลทิศา สุขเกษม[2]

[1]สาขาวิชาวิศวกรรมไฟฟ้า คณะวิศวกรรมศาสตร์ มหาวิทยาลัยเทคโนโลยีราชมงคลศรีวิชัย
patimakorn.j@rmutsv.ac.th*
[2]บริษัท อินโน กรีน เทค จำกัด

บทคัดย่อ

บทความนี้นำเสนอการพัฒนาระบบ IoT ที่สามารถติดตามคุณภาพน้ำเสียจากระยะไกลได้แบบเรียลไทม์เพื่อแก้ปัญหาการเดินทางไปเก็บตัวอย่างน้ำของการตรวจสอบคุณภาพน้ำแบบดั้งเดิม ระบบจะใช้เซนเซอร์วิเคราะห์คุณภาพน้ำเสีย UV254 (UV254 Multi-wave COD Sensor) วัดค่าความต้องการออกซิเจนทางชีวเคมี (BOD) ความต้องการออกซิเจนทางเคมี(COD) อุณหภูมิ และความขุ่นของน้ำมาเป็นข้อมูลอินพุตให้กับไมโครคอนโทรลเลอร์ ESP32 แล้วส่งค่าไปแสดงผลที่หน้าจอ LCD ของตู้ควบคุมที่ติดตั้งไว้ที่บ่อบำบัดน้ำเสีย และบน Dashboard ของซอฟต์แวร์ FUXA ที่ออกแบบไว้ ระบบยังสามารถแจ้งเตือนผ่าน LINE Notify ในกรณีที่ค่า COD หรือ BOD มีการเปลี่ยนแปลงค่าขณะที่สูงหรือต่ำกว่ามาตรฐาน และสามารถค้นหาข้อมูลย้อนหลังจาก Database ที่ระบบบันทึกไว้ได้ด้วย

คำสำคัญ: อินเทอร์เน็ตของสรรพสิ่ง, ระบบติดตาม, การบำบัดน้ำเสีย

Abstract

This article presents the development of an IoT system for real-time remote wastewater quality monitoring. The system addresses the limitations of traditional water quality testing, which requires physically traveling to the site to collect water samples. The system uses a UV254 Multi-wave COD Sensor to measure Biochemical Oxygen Demand (BOD), Chemical Oxygen Demand (COD), temperature, and turbidity. The measured values serve as input for an ESP32 microcontroller, which transmits them for display on two different platforms: an LCD screen on the control cabinet at the wastewater treatment pond, and a dedicated FUXA software dashboard. The system can also send LINE Notify alerts if COD or BOD values change to be either above or below the standard. Additionally, users can retrieve historical data from the system's database.

Keywords: Internet of Things, Monitoring System, Wastewater Treatment

1. บทนำ

น้ำเสียเป็นวิกฤตการณ์ด้านสิ่งแวดล้อมที่มีผลกระทบอย่างกว้างขวางและต่อเนื่องทั้งต่อระบบนิเวศ สุขภาพของมนุษย์ เศรษฐกิจ และสังคม โดยส่วนใหญ่น้ำเสียเกิดจากกิจกรรมต่างๆ ของมนุษย์ เช่น น้ำเสียจากชุมชน น้ำเสียจากเกษตรกรรม และน้ำเสียจากอุตสาหกรรม โรงงานอุตสาหกรรมแทบทุกประเภทและทุกขนาดที่มีการปล่อยน้ำเสียจากการประกอบกิจการจำเป็นต้องมีระบบบำบัดน้ำเสียก่อนปล่อยทิ้งสู่สิ่งแวดล้อมหรือระบบระบายน้ำสาธารณะ เพื่อป้องกันมลพิษต่อแหล่งน้ำ รักษาสมดุลของระบบนิเวศ ควบคุมการแพร่กระจายของสารพิษ และทำให้เป็นไปตามกฎหมายและมาตรฐาน [1-2] ตัวอย่างของอุตสาหกรรมที่ทำให้เกิดน้ำเสีย อาทิเช่น โรงงานสกัดน้ำมันปาล์ม ฟาร์มปศุสัตว์ อุตสาหกรรมแป้งมันสำปะหลัง อุตสาหกรรมอาหาร และอุตสาหกรรมยางพารา เป็นต้น

ระบบบำบัดน้ำเสียสามารถแบ่งออกได้เป็น 3 วิธีหลักตามกลไกที่ใช้ในการกำจัดสิ่งเจือปนในน้ำเสีย [3] คือ 1) การบำบัดทางกายภาพ (Physical Treatment) เป็นการกำจัดสิ่งปนเปื้อนขนาดใหญ่และสารแขวนลอยออกจากน้ำเสียโดยอาศัยหลักการทางกายภาพ เช่น การตกตะกอน การกรอง 2) การบำบัดทางเคมี (Chemical Treatment) เป็นการใช้สารเคมีเพื่อปรับปรุงคุณภาพน้ำเสีย เช่น การฆ่าเชื้อโรค การปรับค่าความเป็นกรด-ด่าง และ 3) การบำบัดทางชีวภาพ (Biological Treatment) เป็นการใช้จุลินทรีย์ในการย่อยสลายสารอินทรีย์ที่อยู่ในน้ำเสียให้กลายเป็นสารที่ไม่เป็นอันตราย เช่น ก๊าซคาร์บอนไดออกไซด์ น้ำ และตะกอนจุลินทรีย์

ค่าที่ใช้ในการวิเคราะห์คุณภาพน้ำของการบำบัดทางชีวภาพเป็นสิ่งบ่งชี้สำคัญที่ใช้ประเมินความสกปรกของน้ำในรูปของสารอินทรีย์มีหลากหลายค่า อาทิเช่น BOD, COD, TOC และปริมาณของแข็ง ค่าดังกล่าวข้างต้นมีความหมายดังนี้

- ค่า BOD (Biochemical Oxygen Demand): ปริมาณออกซิเจนที่จุลินทรีย์ต้องการใช้ในการย่อยสลายสารอินทรีย์ในน้ำภายใต้สภาวะแอโรบิก (มีออกซิเจน) เป็นตัวบ่งชี้ปริมาณสารอินทรีย์ที่ย่อยสลายได้ทางชีวภาพ กล่าวอีกอย่างว่า ยิ่งมีปริมาณสารอินทรีย์ในน้ำมาก จุลินทรีย์ก็จะต้องการออกซิเจนมากขึ้นในการย่อยสลาย ทำให้ค่า BOD สูงขึ้น
- ค่า COD (Chemical Oxygen Demand): ปริมาณออกซิเจนที่ใช้ในการออกซิไดซ์สารอินทรีย์ทั้งหมดในน้ำด้วยสารเคมี เป็นตัวบ่งชี้ปริมาณสารอินทรีย์ทั้งหมด ทั้งที่ย่อยสลายได้และย่อยสลายไม่ได้ทางชีวภาพ กล่าวอีกอย่างว่า ค่า COD ยิ่งสูงแสดงว่ามีสารอินทรีย์อยู่ในน้ำปริมาณมาก
- ค่า TOC (Total Organic Carbon): ปริมาณคาร์บอนทั้งหมดที่อยู่ในรูปของสารอินทรีย์ แสดงถึงระดับมลพิษทางอินทรีย์ในน้ำ เป็นอีกค่าที่บ่งชี้ปริมาณสารอินทรีย์ในน้ำเช่นเดียวกันกับค่า BOD และ COD

J. A. Aguilar-Torrejón และคณะ [4] ได้ทบทวนความสัมพันธ์ความสำคัญ และพัฒนาการของเทคนิคการวิเคราะห์ COD, BOD และ TOC ซึ่งเป็นพารามิเตอร์สำคัญในการตรวจสอบคุณภาพน้ำและประเมินปริมาณสารอินทรีย์ในน้ำเสียและน้ำธรรมชาติ โดยนำเสนอภาพรวมเชิงประวัติศาสตร์ของแต่ละเทคนิค และเน้นย้ำถึงบทบาทของเทคนิคเหล่านี้ในการทำความเข้าใจผลกระทบของมลพิษอินทรีย์ต่อแหล่งน้ำและการจัดการสิ่งแวดล้อม

กระบวนการหนึ่งของการตรวจสอบคุณภาพน้ำแบบดั้งเดิม คือ การเก็บตัวอย่างน้ำในภาคสนาม เช่น ฟาร์ม โรงงาน เพื่อนำมาวิเคราะห์หาค่าต่างๆ ในห้องปฏิบัติการ ทำให้จำเป็นต้องมีการเดินทางเพื่อไปเก็บตัวอย่างน้ำ มีค่าใช้จ่ายเพิ่มขึ้น ใช้เวลาขนส่งนาน อีกทั้งยังสูญเสียเวลาการ

*ผู้ประพันธ์บรรณกิจ

ปฏิบัติงานของพนักงาน และยังมีข้อมูลไม่เพียงพอต่อลักษณะการปนเปื้อนของน้ำเสียที่มีการเปลี่ยนแปลงแบบเรียลไทม์ด้วย

N. Chavhan และคณะ [5] ได้พัฒนาระบบตรวจสอบคุณภาพน้ำแบบเรียลไทม์อัตโนมัติที่ใช้เทคโนโลยี IoT ระบบนี้ใช้เซนเซอร์หลายตัวเพื่อติดตามพารามิเตอร์คุณภาพน้ำที่สำคัญอย่างต่อเนื่อง โดยประสิทธิภาพของระบบได้รับการตรวจสอบผ่านการทดสอบภาคสนามที่โรงบำบัดน้ำเสียอุตสาหกรรมของประเทศอินเดีย

จากข้อจำกัดของการตรวจสอบคุณภาพน้ำแบบดั้งเดิมสาขาวิชาวิศวกรรมไฟฟ้า คณะวิศวกรรมศาตร์ มหาวิทยาลัยเทคโนโลยีราชมงคลศรีวิชัยและบริษัทอินโน กรีน เทค จำกัด[6] ได้ร่วมกันพัฒนาระบบ IoT ที่สามารถติดตามคุณภาพน้ำเสียแบบเรียลไทม์ด้วยเช่นกัน โดยประสิทธิภาพของระบบถูกทดสอบกับระบบบำบัดน้ำเสียวงจรไฟฟ้าชีวภาพ และสามารถแจ้งเตือนเมื่อค่าสำคัญที่ใช้ในการวิเคราะห์คุณภาพน้ำมีค่าเกินกว่าที่มาตรฐานกำหนดได้

2. หลักการและวิธีการ

2.1 ระบบบำบัดน้ำเสียวงจรไฟฟ้าชีวภาพ (BioCircuit)

บริษัทอินโน กรีน เทค จำกัดมีการบำบัดน้ำเสียทางชีวภาพที่เรียกว่าระบบบำบัดน้ำเสียวงจรไฟฟ้าชีวภาพ (BioCircuit) ซึ่งเป็นนวัตกรรมที่ใช้จุลินทรีย์ในน้ำเสียมาสร้างกระแสไฟฟ้าพร้อมกับย่อยสลายสารอินทรีย์ ซึ่งช่วยให้ประหยัดพลังงาน ลดการใช้สารเคมี และควบคุมปัญหากลิ่นได้อย่างมีประสิทธิภาพ

2.2 พารามิเตอร์ที่ใช้วิเคราะห์คุณภาพน้ำ

ระบบบำบัดน้ำเสียวงจรไฟฟ้าชีวภาพ (BioCircuit) จะผสานรวมเซนเซอร์ที่สามารถตรวจวัดคุณภาพน้ำจากหลากหลายพารามิเตอร์สำคัญอย่างต่อเนื่อง ได้แก่ ค่า BOD, COD, ค่าความขุ่น (Turbidity) และอุณหภูมิ (Temperature) ของน้ำ พารามิเตอร์ต่าง ๆ เหล่านี้มีความสำคัญและเพียงพอสำหรับใช้ประเมินคุณภาพน้ำด้วยนวัตกรรม BioCircuit นอกจากนี้ยังตรวจวัดความชื้นสัมพัทธ์ของเซนเซอร์ที่ใช้วัดด้วย ทำให้สามารถแก้ไขปัญหาได้ทันท่วงทีหากเกิดการรั่วซึมของน้ำเข้าสู่ระบบภายในของเซนเซอร์ซึ่งอาจส่งผลกระทบต่อความแม่นยำและความเสถียรของเซนเซอร์ได้

2.3 ทฤษฎี/หลักการที่เกี่ยวข้อง

UV254 Multi-wave COD Sensor V2.0 เป็นเซนเซอร์ที่ทำงานโดยอาศัยหลักการดูดกลืนแสงและวัดปริมาณแสงยูวีที่ส่องผ่าน สามารถวัดค่า COD, TOC, BOD, SS (ของแข็งแขวนลอยในน้ำ), อุณหภูมิ และ Turbidity (ความขุ่นของน้ำ) ได้ ให้ผลตอบสนองรวดเร็ว นอกจากนี้ยังติดตั้งระบบปัดทำความสะอาดอัตโนมัติภายในตัวเครื่องเพื่อป้องกันการสะสมของคราบจุลินทรีย์ด้วย

บอร์ด ESP32 Control V2.0RXO เป็นอุปกรณ์ควบคุมที่เหมาะสำหรับงานที่ต้องการเชื่อมต่อกับอุปกรณ์ประเภท Digital Input และเซนเซอร์ภายนอกแบบ RS485 รองรับการเชื่อมต่อ Wi-fi ใช้ภาษา C ในการพัฒนาโปรแกรมโดยใช้ร่วมกับ Arduino IDE และ ESP32 Control Library สามารถ Upload Firmware เข้าสู่ตัวบอร์ดได้ง่ายโดยผ่านพอร์ต USB 2.0 และมี LED แสดงสถานะของบอร์ด

การเชื่อมต่อแบบ RS485 เป็นมาตรฐานการสื่อสารข้อมูลแบบอนุกรม (Serial Communication) ที่ใช้สำหรับการสื่อสารระหว่างอุปกรณ์อิเล็กทรอนิกส์ในระยะทางไกล ทำให้เหมาะสำหรับการใช้งานในระบบควบคุมที่อุปกรณ์อยู่ห่างกัน อีกทั้งยังรองรับการเชื่อมต่ออุปกรณ์หลายตัวได้พร้อมกันด้วย อย่างไรก็ตามสำหรับการศึกษานี้ใช้การสื่อสารแบบ Half-duplex ซึ่งจะมีเพียงอุปกรณ์เดียวเท่านั้นที่สามารถส่งข้อมูลได้ในเวลาหนึ่งๆ เพื่อป้องกันการชนกันของข้อมูล

MQTT คือโปรโตคอลการรับส่งข้อความแบบเบา (Lightweight) ที่ออกแบบมาสำหรับการสื่อสารแบบ Machine-to-Machine (M2M) ทั้งนี้ข้อความแบบเบาเป็นข้อความที่มีขนาดเล็ก ใช้แบนด์วิดท์น้อยและใช้พลังงานต่ำ ทำให้เหมาะสำหรับอุปกรณ์ IoT

Mosquitto เป็น Message Broker แบบโอเพนที่นำโปรโตคอล MQTT มาใช้งาน มีขนาดเล็กและเหมาะสมสำหรับการใช้งานบนอุปกรณ์ทุกประเภท มีวิธีการส่งข้อมูลไม่ซับซ้อน จะใช้รูปแบบ Publish/Subscribe ทำให้เหมาะกับการใช้ในระบบ IoT

Virtual Private Server (VPS) คือบริการเช่าเซิร์ฟเวอร์เสมือนที่สร้างขึ้นจากซอฟต์แวร์บนเซิร์ฟเวอร์หลัก เทคโนโลยีนี้ช่วยให้สามารถแบ่งทรัพยากรฮาร์ดแวร์ เช่น CPU, RAM และพื้นที่เก็บข้อมูลเป็นส่วนย่อยๆ ได้อย่างอิสระ แต่ละ VPS ที่สร้างขึ้นจะทำงานแยกจากกันอย่างสมบูรณ์ ผู้ใช้งานจึงสามารถติดตั้งระบบปฏิบัติการ โปรแกรม หรือแอปพลิเคชันที่ต้องการได้ตามความเหมาะสม โดยไม่กระทบกับเซิร์ฟเวอร์เสมือนอื่นๆ ที่อยู่บนเครื่องเดียวกัน

FUXA คือซอฟต์แวร์ Open Source สำหรับ Process Visualization เช่น SCADA/HMI และ Dashboard ที่ทำงานบนเว็บ ช่วยให้ผู้ใช้สามารถสร้างและใช้งานระบบ IIoT (Industrial Internet of Things) ได้อย่างยืดหยุ่นและปรับขนาดได้ง่าย FUXA รองรับมาตรฐานการสื่อสารที่หลากหลายรวมถึงโปรโตคอล MQTT การสร้างหน้าจอแสดงผลทำได้ง่ายด้วยการลากและวาง (Drag & Drop) และสามารถเข้าถึงได้จากทุกที่ผ่านเว็บเบราว์เซอร์ นอกจากนี้ FUXA ยังสามารถติดตั้งและรันเซิร์ฟเวอร์บนระบบปฏิบัติการ Windows, Linux และ Raspberry Pi ได้อีกด้วย

2.4 องค์ประกอบสำคัญของระบบ

องค์ประกอบสำคัญของระบบประกอบด้วยเซนเซอร์วิเคราะห์คุณภาพน้ำเสีย UV254 Multi-wave COD Sensor V2.0 ที่จุ่มหัวไว้ที่บ่อบำบัดน้ำเสียซึ่งทำหน้าที่ตรวจวัดค่าคุณภาพน้ำจากพารามิเตอร์สำคัญ คือ COD, BOD, Turbidity และ Temperature นอกจากนี้ยังวัดค่า Humidity เพื่อใช้ตรวจสอบการรั่วซึมของน้ำเข้าเซนเซอร์ด้วย ค่าทั้งหมดนี้เป็นข้อมูลอินพุตให้กับไมโครคอนโทรลเลอร์ ESP32 Control V2.0RXO แล้วส่งไปแสดงผลใน 2 รูปแบบ คือ 1) แสดงผลที่หน้าจอ LCD ที่ติดอยู่หน้าตู้ควบคุม และ 2) แสดงผลข้อมูลทั้งหมดรวมถึงวันที่และเวลาบน Dashboard ของซอฟต์แวร์ FUXA ที่ออกแบบไว้ ทั้งนี้ข้อมูลที่ได้จาก ESP32 จะถูกส่งผ่านโปรโตคอล MQTT ไปยัง VPS Online ที่มี MQTT Broker ติดตั้งอยู่ ข้อมูลจะถูกจัดเก็บลงใน Database เพื่อบันทึกและสามารถเรียกดูย้อนหลังได้ ซอฟต์แวร์ FUXA ที่ติดตั้งอยู่บน VPS Online จะเชื่อมต่อกับ MQTT Broker เพื่อรับข้อมูลมาแสดงผลแบบเรียลไทม์บน Dashboard ที่ถูกออกแบบไว้ อีกทั้งยังส่งข้อความแจ้งเตือนผ่านทาง LINE Notify ในกรณีที่ค่า COD หรือ BOD มีการเปลี่ยนแปลงค่าขณะที่สูงหรือต่ำกว่าที่มาตรฐานกำหนด (COD ≤ 120 mg/L หรือ BOD ≤ 20 mg/L) นอกจากนี้ระบบมีฟังก์ชันเสริมที่แสดงสถานะการทำงานของมอเตอร์ปั๊มน้ำ 5 ตัวบนหน้า Dashboard ของซอฟต์แวร์ FUXA ที่ออกแบบไว้ด้วย ดังแสดงภาพรวมสถาปัตยกรรมของระบบ องค์ประกอบภายนอกและภายในของตู้ควบคุมและแผนภาพการต่ออุปกรณ์ในรูปที่ 1 2 และ 3 ตามลำดับ

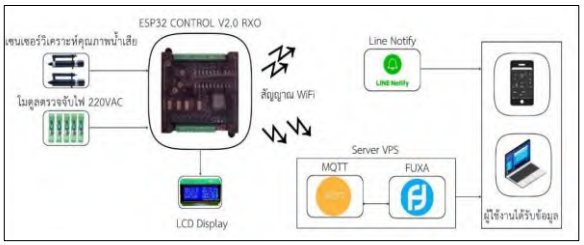

รูปที่ 1 ภาพรวมสถาปัตยกรรมของระบบ

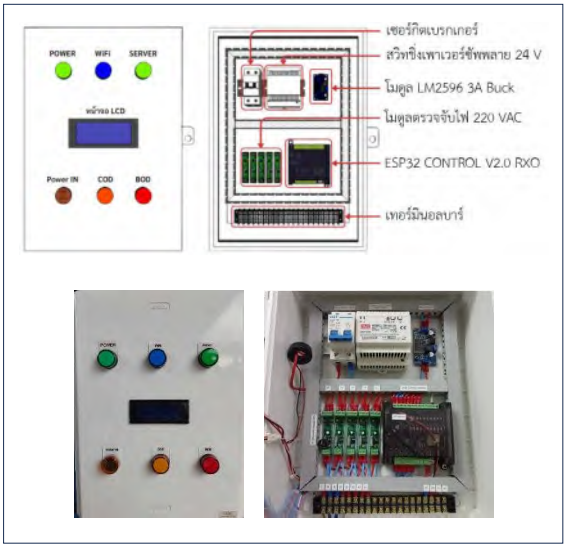

รูปที่ 2 องค์ประกอบภายนอกและภายในของตู้ควบคุม

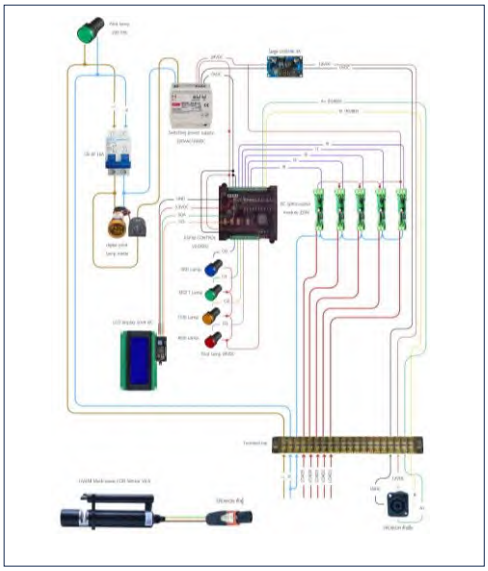

รูปที่ 3 แผนภาพการต่ออุปกรณ์

2.5 วิธีดำเนินการทดลอง

วิธีดำเนินการทดลองประกอบด้วยขั้นตอนดังนี้ 1) การสอบเทียบเซนเซอร์ UV254 Multi-wave COD Sensor V2.0 โดยสร้างสมการสอบเทียบที่ใช้ในการแปลงค่าการดูดกลืนแสงที่เซนเซอร์วัดได้ให้เป็นค่า COD หรือ BOD แล้วนำค่าจากสมการไปปรับตั้งค่าในเครื่องสอบเทียบเพื่อให้เซนเซอร์สามารถวัดค่า COD หรือ BOD ได้ถูกต้อง 2) ต่อวงจรทดสอบการทำงานของเซนเซอร์ และทดสอบการทำงานของโมดูลจ่ายไฟดังแสดงในรูปที่ 4 และ 5 ตามลำดับ 3) ทดสอบการแสดงผลที่หน้าจอ LCD 4) ทดสอบการแสดงผลบน Dashboard ของโปรแกรม FUXA ที่ออกแบบไว้ 5) ทดสอบการค้นหาข้อมูลย้อนหลัง และ 6) ทดสอบการแจ้งเตือนผ่าน LINE Notify

รูปที่ 4 วงจรและทดสอบวัดค่าจากเซนเซอร์

รูปที่ 5 ทดสอบการทำงานของโมดูลจ่ายไฟ

3. ผลการทดลอง

การสอบเทียบเซนเซอร์ UV254 Multi-wave COD Sensor V2.0 เพื่อหาค่า COD กระทำโดยสร้างกราฟสอบเทียบ (Calibration Curve) ที่เป็นความสัมพันธ์เชิงเส้นระหว่าง “ค่าการดูดกลืนแสงสำหรับประมาณค่า COD ที่วัดได้จากเซนเซอร์” กับ “ค่า COD ที่เทียบมาจากความเข้มข้นของสารละลายมาตรฐาน” โดยเริ่มจากการเตรียมสารละลาย Potassium Hydrogen Phthalate ที่มีความเข้มข้น COD ที่หลากหลาย 5 ระดับ ได้แก่ 100, 150, 200, 250, และ 300 mg/L จากนั้นจุ่มเซนเซอร์ลงในสารละลายเพื่อวัดค่าการดูดกลืนแสงสำหรับประมาณค่า COD วัดค่าซ้ำ 3 ครั้งเพื่อหาค่าเฉลี่ยดังแสดงในตารางที่ 1 จากนั้นวิเคราะห์การถดถอยเชิงเส้น (Linear Regression Analysis) เพื่อหาความสัมพันธ์เชิงเส้นที่ดีที่สุดระหว่าง “ค่าการดูดกลืนแสงที่วัดได้ (ค่าเฉลี่ย)” กับ “ความเข้มข้นของสารละลายมาตรฐาน (COD ที่ต้องการ)” จะได้สมการสอบเทียบที่ใช้ในการแปลงดังแสดงในรูปที่ 6 ซึ่งจะได้ค่า R^2 ที่บ่งบอกความแม่นยำเท่ากับ 0.99 นำค่าความชัน (Slope) และจุดตัดแกน Y ไปตั้งค่าในเครื่องสอบเทียบเซนเซอร์สำหรับหาค่า COD ทำให้สามารถแปลง “ค่าการดูดกลืนแสงสำหรับประมาณค่า COD ที่วัดได้จากเซนเซอร์” เป็น “ค่า COD ที่ต้องการ” โดยอัตโนมัติ

ตารางที่ 1 ค่าการดูดกลืนแสงสำหรับประมาณค่า COD ที่วัดได้จากเซนเซอร์ที่แต่ละระดับความเข้มข้นของสารละลาย (COD ที่ต้องการ)

ความเข้มข้นของสารละลาย (mg/L)	การดูดกลืนแสงที่วัดได้			
	ครั้งที่ 1	ครั้งที่ 2	ครั้งที่ 3	ค่าเฉลี่ย
100	-55.653	-55.564	-55.705	-55.641
150	-8.005	-8.225	-8.254	-8.161
200	60.74	61.08	60.946	60.922
250	113.684	113.695	113.703	113.694
300	161.728	161.637	161.489	161.618

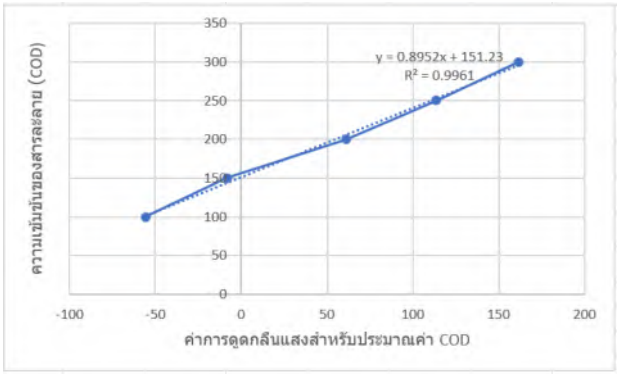

รูปที่ 6 ความสัมพันธ์เชิงเส้นระหว่างค่าการดูดกลืนแสงสำหรับประมาณค่า COD กับความเข้มข้นของสารละลาย (COD ที่ต้องการ)

ส่วนการสอบเทียบเซนเซอร์เพื่อหาค่า BOD จะกระทำโดยอาศัยค่า COD ที่วัดได้จากเซนเซอร์ที่ผ่านการสอบเทียบหา COD ได้ถูกต้องแล้ว กระบวนการทดสอบจะใช้น้ำจาก 2 แหล่ง คือ

1) แหล่งน้ำที่เจือปนมลพิษต่ำ (สิ่งมีชีวิตอาศัยอยู่ได้) และ

2) แหล่งน้ำที่เจือปนมลพิษสูง (แหล่งที่ต้องการตรวจสอบคุณภาพน้ำ)

ใช้เซนเซอร์ที่ถูกสอบเทียบเพื่อหาค่า COD ที่ถูกต้องแล้ววัดค่า COD และการดูดกลืนแสงสำหรับประมาณค่า BOD (BOD1) โดยวัดซ้ำ 3 ครั้ง ของแต่ละค่า เพื่อใช้ค่าเฉลี่ยเป็นตัวแทนของค่า COD และ BOD1 สำหรับแต่ละแหล่งน้ำ จากนั้นหาค่า BOD2 (ค่าที่ต้องการ) โดยใช้อัตราส่วนที่เปรียบเทียบกับค่า COD เป็น COD:BOD2 = 2:1 จะได้ค่าดังแสดงในตารางที่ 2 จากนั้นสร้างสมการสอบเทียบจากกราฟแสดงความสัมพันธ์เชิงเส้นระหว่างค่า BOD1 และ BOD2 จะได้สมการสอบเทียบที่ใช้ในการแปลง “ค่าการดูดกลืนแสงสำหรับประมาณค่า BOD ที่เซนเซอร์วัดได้” เป็น “ค่า BOD ที่ต้องการ” ดังแสดงในรูปที่ 7 นำค่าความชัน (Slope) และจุดตัดแกน Y ไปตั้งค่าในเครื่องสอบเทียบเซนเซอร์สำหรับหาค่า BOD ทำให้เซนเซอร์สามารถแปลง “ค่าการดูดกลืนแสงสำหรับประมาณค่า BOD ที่เซนเซอร์วัดได้” เป็น “ค่า BOD ที่ต้องการ” ได้โดยอัตโนมัติ

ตารางที่ 2 ค่า COD, BOD1 และ BOD2 จากแต่ละแหล่งน้ำ

แหล่งน้ำ	COD				BOD1				BOD2
	ครั้งที่ 1	ครั้งที่ 2	ครั้งที่ 3	ค่าเฉลี่ย	ครั้งที่ 1	ครั้งที่ 2	ครั้งที่ 3	ค่าเฉลี่ย	BOD2=COD/2
1	*30.663*	*30.756*	*30.837*	**30.752**	*33.101*	*32.604*	*32.056*	**32.587**	**15.376**
2	*102.13*	*102.53*	*102.71*	**102.45**	*99.413*	*99.575*	*95.9*	**98.296**	**51.227**

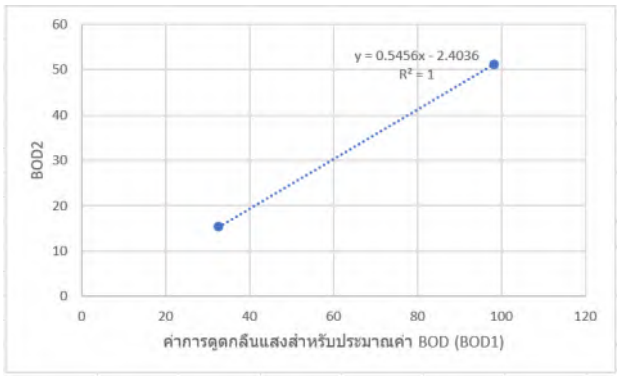

รูปที่ 7 ความสัมพันธ์เชิงเส้นระหว่าง BOD1 กับ BOD2

หลังจากสอบเทียบเซนเซอร์ UV254 Multi-wave COD Sensor V2.0 ให้สามารถวัดค่าได้ถูกต้องและมีค่าความผิดพลาดที่ยอมรับได้แล้ว ข้อมูลวิเคราะห์คุณภาพน้ำที่วัดได้จะถูกบันทึกค่าบน Database พร้อมทั้งวัน เวลาโดยบันทึกค่าทุกๆ 1 นาที และสามารถเรียกดูข้อมูลย้อนหลังได้ดังแสดงในรูปที่ 8 และ 9 ตามลำดับ

Date/Time	COD	BOD	Turbidity	Temperature	Humidity
29/09/2024 - 19:48:00	94.7	50.27	30.82	31.56	55.58
29/09/2024 - 19:47:00	95.36	48.98	30.66	31.57	55.59
29/09/2024 - 19:46:00	95.91	47.92	30.5	31.57	55.57
29/09/2024 - 19:45:00	95.21	50.02	30.26	31.57	55.58
29/09/2024 - 19:44:00	95.61	50.31	30.16	31.56	55.58
29/09/2024 - 19:43:00	95.72	48.44	30.39	31.58	55.59
29/09/2024 - 19:42:00	95.27	50.32	30.06	31.59	55.6
29/09/2024 - 19:41:00	96.12	48.14	30.12	31.59	55.58
29/09/2024 - 19:40:00	96.72	47.87	29.98	31.6	55.57
29/09/2024 - 19:39:00	95.46	50.21	29.86	31.6	55.57
29/09/2024 - 19:38:00	95.6	49.51	30.26	31.63	55.58
29/09/2024 - 19:37:00	95.49	50.53	29.92	31.63	55.56
29/09/2024 - 19:36:00	95.88	50.55	30.01	31.63	55.56
29/09/2024 - 19:35:00	96.14	48.57	29.73	31.65	55.56
29/09/2024 - 19:34:00	95.44	49.48	29.86	31.64	55.57
29/09/2024 - 19:33:00	95.42	48.37	30.07	31.65	55.57
29/09/2024 - 19:32:00	95.53	49.33	30.26	31.66	55.56
29/09/2024 - 19:31:00	96.83	47.66	30.38	31.67	55.56
29/09/2024 - 19:30:00	96.88	48.15	30.15	31.67	55.59
29/09/2024 - 19:29:00	94.5	50.43	30.52	31.67	55.58

รูปที่ 8 Database

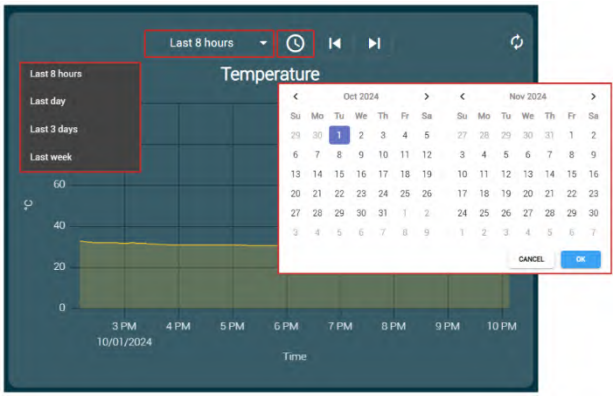

รูปที่ 9 การเรียกดูข้อมูลย้อนหลัง

ข้อมูลที่วัดได้ยังถูกนำมาแสดงค่าในสองรูปแบบ คือ 1) บนหน้าจอ LCD ของตู้ควบคุมดังแสดงในรูปที่ 10 และ 2) บน Dashboard ของซอฟต์แวร์ FUXA ที่ถูกออกแบบดังแสดงในรูปที่ 11 โดยค่าที่แสดงบน Dashboard สามารถแสดงได้หลากหลายรูปแบบที่มีความยืดหยุ่นและเป็นมิตรกับผู้ใช้ประกอบด้วย

- รูปภาพวาดที่แสดงถังของระบบบำบัดน้ำเสีย
- รูปสัญลักษณ์ของมอเตอร์ปั๊มพร้อมเปลี่ยนสีแสดงสถานะการทำงานได้
- หลอดไฟแสดงสถานะของค่า COD และ BOD
- ตัวเลขแสดง Temperature และ Humidity
- ตัวเลข มิเตอร์และกราฟแสดงค่า COD, BOD และ Turbidity
- ตัวเลขแสดงค่าทั้งหมดในรูปของตาราง

นอกจากนี้ยังได้ออกแบบเพิ่มหน้าจอ History Graph ของค่าทั้งหมดดังแสดงในรูปที่ 12 และในกรณีที่ค่า COD หรือ BOD ซึ่งเป็นค่าสำคัญที่บ่งบอกถึงคุณภาพของน้ำมีการเปลี่ยนแปลงค่าขณะที่สูงหรือต่ำกว่ามาตรฐานจะส่งข้อความแจ้งเตือนผ่านทาง LINE Notify ดังแสดงในรูปที่ 13

รูปที่ 10 จอ LCD แสดงผล

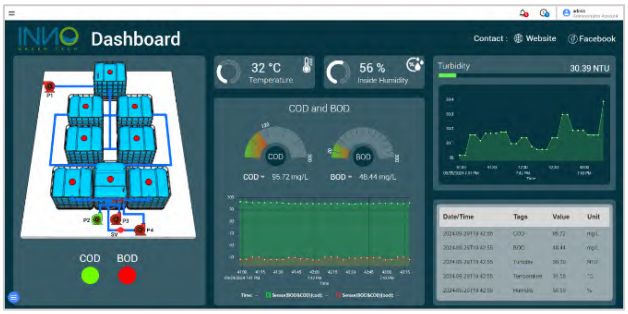

รูปที่ 11 Dashboard ของของซอฟต์แวร์ FUXA ที่ออกแบบ

รูปที่ 12 History Graph ของค่าทั้งหมด

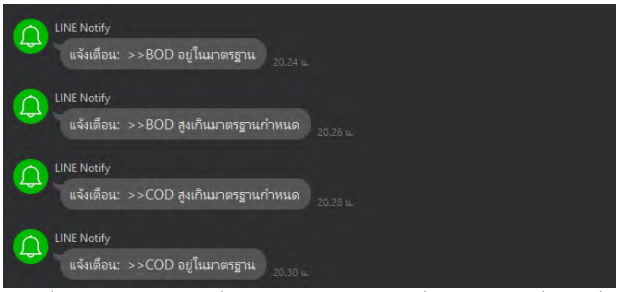

รูปที่ 13 แจ้งเตือนขณะที่ค่า COD หรือ BOD เปลี่ยนค่าสูงหรือต่ำกว่าที่กำหนด

4. สรุป

ระบบ IoT ที่ถูกพัฒนาขึ้นนี้สามารถติดตามและแจ้งเตือนคุณภาพน้ำเสียได้แบบเรียลไทม์ ระบบจะใช้เซนเซอร์ UV254 Multi-wave COD Sensor V2.0 สำหรับวัดค่า COD, BOD, Turbidity และ Temperature เพื่อวิเคราะห์คุณภาพน้ำ แล้วส่งข้อมูลแบบเรียลไทม์มาแสดงผลบนหน้าจอ LCD ของตู้ควบคุมที่ติดตั้งไว้ที่บ่อบำบัดน้ำเสียและบน Dashboard ของโปรแกรม FUXA ที่ถูกออกแบบไว้ในหลากหลายรูปแบบให้ใช้งานได้สะดวกและเข้าใจง่าย ทำให้สามารถเฝ้าติดตามสถานะของค่าพารามิเตอร์ต่างๆ ในระยะไกลผ่านเว็บเบราว์เซอร์ได้ ไม่ต้องเดินทางไปเก็บตัวอย่างน้ำ ลดค่าใช้จ่ายในการเดินทางของกระบวนการตรวจสอบคุณภาพน้ำแบบดั้งเดิม ลดเวลาการขนส่งตัวอย่างน้ำและการปฏิบัติงานของพนักงาน อีกทั้งยังสามารถวิเคราะห์คุณภาพน้ำในขณะที่มีการเปลี่ยนแปลงลักษณะการปนเปื้อนของน้ำเสียได้ตลอดเวลา นอกจากนี้ยังสามารถแจ้งเตือนผ่าน LINE Notify ในกรณีที่ค่า COD หรือ BOD มีการเปลี่ยนแปลงค่าขณะที่สูงหรือต่ำกว่ามาตรฐาน และสามารถค้นหาข้อมูลย้อนหลังจาก Database ที่ระบบบันทึกไว้ได้ด้วย ระบบ IoT สำหรับติดตามคุณภาพน้ำนี้สามารถพัฒนาต่อไปเพื่อควบคุมการเปิด-ปิดวาล์วในระบบบำบัดน้ำเสียได้โดยอัตโนมัติ เมื่อค่าคุณภาพน้ำไม่เป็นไปตามมาตรฐานที่กำหนด ระบบจะดำเนินการแก้ไขสถานการณ์ได้อย่างรวดเร็ว ซึ่งช่วยป้องกันการปนเปื้อนและรักษามาตรฐานด้านสิ่งแวดล้อมได้อย่างมีประสิทธิภาพ

5. กิตติกรรมประกาศ

ขอขอบคุณคณะวิศวกรรมศาสตร์ มหาวิทยาลัยเทคโนโลยีราชมงคลศรีวิชัย และบริษัทอินโน กรีน เทค จำกัด ที่สนับสนุนการศึกษาระบบ IoT เพื่อการติดตามและแจ้งเตือนคุณภาพน้ำเสีย

เอกสารอ้างอิง

[1] พระราชบัญญัติส่งเสริมและรักษาคุณภาพสิ่งแวดล้อมแห่งชาติ (ฉบับที่ 2) พ.ศ. 2561, กรมควบคุมมลพิษ, กรุงเทพฯ, ประเทศไทย.

[2] "บริการงานด้านโรงงานอุตสาหกรรม," กรมโรงงานอุตสาหกรรม, [ออนไลน์]. เข้าถึงได้จาก: https://www.diw.go.th/webdiw/s-fac/. [สืบค้นเมื่อ 29 เม.ย. 2568].

[3] ส. ศิริอนันต์ไพบูลย์, *ระบบบำบัดน้ำเสีย (Wastewater Treatment System)*, กรุงเทพฯ: สำนักพิมพ์ท้อป, 2557.

[4] J. A. Aguilar-Torrejón, P. Balderas-Hernández, G. Roa-Morales, C. E. Barrera-Díaz, I. Rodríguez-Torres, and T. Torres-Blancas, "Relationship, importance, and development of analytical techniques: COD, BOD, and, TOC in water-An overview through time," *SN Applied Sciences*, 2023.

[5] N. Chavhan, R. Bhattad, S. Khot, S. Patil, A. Pawar, T. Pawar, and P. Gawli, "APAH: An autonomous IoT driven real-time monitoring system for Industrial wastewater," *Digital Chemical Engineering*, vol. 14, p. 100217, 2025.

[6] บริษัท อินโน กรีน เทค จำกัด, "Biocircuit," [ออนไลน์]. เข้าถึงได้จาก: https://inno-green-tech.com/th. [สืบค้นเมื่อ 3 ก.ค. 2567].

▪ **ปฏิมากร จันทร์พริ้ม** อาจารย์ประจำสาขาวิชาวิศวกรรมไฟฟ้า คณะวิศวกรรมศาสตร์ มหาวิทยาลัยเทคโนโลยีราชมงคลศรีวิชัย มีความสนใจทางด้าน IoT, Digital Signal Processing, Pattern Recognition, Control System และ Machine Learning

▪ **ปรมินทร์ สุขยะฤกษ์** จบการศึกษาระดับปริญญาตรีสาขาวิชาวิศวกรรมไฟฟ้า คณะวิศวกรรมศาสตร์ มหาวิทยาลัยเทคโนโลยีราชมงคลศรีวิชัย มีความสนใจทางด้าน IoT, C Programming, Electrical System Design และ Programmable Logic Controller (PLC)

▪ **ภทรพล ธรรมขันธ์** จบการศึกษาระดับปริญญาตรี สาขาวิชาวิศวกรรมไฟฟ้า คณะวิศวกรรมศาสตร์ มหาวิทยาลัยเทคโนโลยีราชมงคลศรีวิชัย มีความสนใจทางด้านระบบควบคุม และตรวจสอบ - บำรุงรักษาระบบไฟฟ้า

▪ **วรเชษฐ สะแหละ** หัวหน้าฝ่ายผลิตและติดตั้ง บริษัท อินโน กรีน เทค จำกัด มีความสนใจทางด้าน Microcontroller Embedded System, IoT, Control System และ Electrical System

▪ **ชลทิศา สุขเกษม** ผู้ก่อตั้งและประธานเจ้าหน้าที่บริหาร บริษัท อินโน กรีน เทค จำกัด มีความเชี่ยวชาญและสนใจในสาขา Bio-electrochemistry, Bio-process Engineering, Green Technology, Climate Technology และ Artificial Intelligence

การพัฒนาอุปกรณ์แจ้งเตือนรับประทานยาสำหรับผู้สูงอายุที่มีระบบแจ้งเตือนผ่านแอปพลิเคชันสำหรับผู้ดูแล
Hardware-Based Medication Reminder Device for the Elderly with Integrated Mobile App Notification for Caregivers

อภิรักษ์ เสือเดช ดรุณี ชายทอง รุ่งลาวัลย์ ชูสวัสดิ์ สุนทร รุ่งเรืองใบหยก และ เสนอ สะอาด*
สาขาวิชาวิศวกรรมไฟฟ้า คณะวิศวกรรมศาสตร์ มหาวิทยาลัยเทคโนโลยีราชมงคลศรีวิชัย saner.s@rmutsv.ac.th*

บทคัดย่อ

บทความนี้มีวัตถุประสงค์เพื่อนำเสนอ การพัฒนาอุปกรณ์แจ้งเตือนการรับประทานยา ช่วยให้ผู้สูงอายุรับยาและรับประทานยาได้ตรงตามเวลา ลดปัญหาการลืมรับประทานยา สามารถตั้งเวลารับประทานยา บนตัวอุปกรณ์ และผ่านแอปพลิเคชันบลิ้งได้ ระบบสามารถรองรับการตั้งเวลารับประทานยาได้ 8 ครั้งต่อวัน ใช้ได้กับยาทั้งชนิดเม็ดและชนิดน้ำที่บรรจุในภาชนะ การทำงานของระบบ เริ่มจากผู้ใช้ตั้งค่าเวลารับประทานยาและบรรจุยาในแต่ละช่อง เมื่อถึงเวลาที่ตั้งไว้ ระบบจะแจ้งเตือนผ่านลำโพง ขณะเดียวกันยาที่บรรจุไว้ในตัวอุปกรณ์จะเลื่อนให้ตรงช่องทางหยิบยา ช่วยให้ผู้สูงอายุนำยาออกมารับประทานยาตรงตามเวลา จากนั้นระบบจะส่งข้อความแจ้งเตือนผ่านแอปพลิเคชันไลน์ และแสดงสถานะการทำงานผ่านแอปพลิเคชันบลิ้ง เมื่อนำยาออกจากอุปกรณ์แจ้งเตือน ระบบที่พัฒนาขึ้นนี้ช่วยอำนวยความสะดวกสำหรับผู้ที่ดูแลผู้สูงอายุ ได้ตรวจสอบ ผู้สูงอายุได้นำยาออกมารับประทานตรงตามที่ได้กำหนด อุปกรณ์ที่พัฒนาขึ้นนี้ถูกออกแบบให้สามารถทำงานแม้ไม่มีอินเทอร์เน็ต โดยมีแบตเตอรี่สำรองสำหรับกรณีที่ไฟฟ้าดับหรือขัดข้อง รองรับการใช้งานไม่น้อยกว่า 3 วัน

จากการทดสอบการทำงานพบว่าอุปกรณ์แจ้งเตือนรับประทานยาฯ สามารถทำงานได้อย่างถูกต้องแม่นยำ สามารถตั้งเวลาในการแจ้งเตือนได้ทั้งในแอปพลิเคชันบลิ้ง และโปรแกรมการทำงานด้วยแป้นปุ่มกดแบบตัวเลขบนตัวอุปกรณ์ได้ สามารถแสดงสถานะการทำงานผ่านการแจ้งเตือนการรับประทานยาได้ตรงเวลาผ่านลำโพงและแอปพลิเคชันไลน์บนโทรศัพท์เคลื่อนที่

คำสำคัญ: การแจ้งเตือนการรับประทานยา ผู้สูงอายุ การตั้งเวลา แอปพลิเคชันบลิ้ง

Abstract

This article presents the development of a medication reminder device designed to assist elderly individuals in taking their medication on time, thereby reducing issues related to missed doses. The device allows users to schedule up to eight medication times per day, both directly on the device and via the Blynk application. It supports both pill and liquid medications stored in containers. The system operates by allowing users to set the desired medication times and load the medication into designated compartments. At the scheduled time, the device alerts the user via a built-in speaker. Simultaneously, the appropriate medication compartment aligns with the dispensing slot, making it easy for elderly users to access and take their medicine on time. The system also sends notifications through the LINE application and displays operational status via the Blynk app. Once the medication is retrieved from the device, caregivers can monitor compliance, ensuring that the elderly have taken their medication as scheduled. The device is designed to function independently of an internet connection and is equipped with a backup battery to support operation for at least three days in the event of a power outage.

Testing has confirmed that the medication reminder device operates accurately and reliably. Users can schedule medication times through both the Blynk application and the numeric keypad on the device. Notifications are delivered punctually through the speaker and the LINE app, helping ensure timely medication adherence.

Keywords: medication reminder, Elderly people, time setting, Blynk application

1. บทนำ

ในปัจจุบันประเทศไทยกำลังก้าวเข้าสู่สังคมผู้สูงอายุ โดยในปี 2568 มีจำนวนผู้สูงอายุถึง 13,916,339 คน หรือคิดเป็น 21.44 เปอร์เซ็นต์ ของประชากรทั้งหมด 65,893,593 คน [1] ซึ่งจะเห็นได้ชัดว่าในวัยของผู้สูงอายุประสิทธิภาพการทำงานของร่างกายจะเริ่มถดถอยลง ทำให้เกิดปัญหาด้านสุขภาพและโรคภัยไข้เจ็บ จึงทำให้ผู้สูงอายุจะต้องรับประทานยาอยู่บ่อยครั้งเพื่อรักษาโรค ส่งผลให้เกิดปัญหาต่างๆ ตามมา เช่น การหยิบยามารับประทานผิด การลืมรับประทานยา การรับประทานยาที่ไม่ตรงต่อเวลา และอาจทำให้ผู้สูงอายุเกิดอาการทรุดและต้องนำตัวส่งโรงพยาบาลได้ ดังนั้นการรับประทานยาของผู้สูงอายุจึงถือว่าเป็นปัจจัยที่สำคัญเป็นอย่างมาก [2]

ยารักษาโรคเป็นปัจจัยสำคัญต่อการรักษาโรคของผู้สูงอายุ ในการรับประทานยาที่ถูกต้องตรงต่อเวลาจะทำให้การรักษาสัมฤทธิ์ผล แต่ด้วยผู้สูงอายุส่วนใหญ่มีโรคประจำตัวหลายโรคและต้องรับประทานยาอยู่หลายชนิด ทำให้ผู้สูงอายุบางรายอาจหลงลืมเวลาและปริมาณในการรับประทานยา ทำให้มีการสร้าง Meddi เครื่องจ่ายยาอัจฉริยะประจำบ้าน [3] และการออกแบบและพัฒนาระบบเครื่องจ่ายยาเม็ดอัตโนมัติแบบพกพาเคลื่อนย้าย [4] ซึ่งระบบดังกล่าวถูกออกแบบให้สามารถตั้งเวลาและแจ้งเตือนเวลารับประทานยาได้ โดยควบคุมการทำงานด้วยไมคอนโทรลเลอร์ อย่างไรก็ตามพบว่าระบบดังกล่าวไม่มีระบบการตรวจสอบการหยิบเม็ดยาและระบบไฟฟ้าสำรองจำเป็นต้องใช้แหล่งจ่ายสำรองจากเพาเวอร์แบงค์ อีกทั้งไม่รอบรับยาที่เป็นยาชนิดน้ำ และมีการการพัฒนาระบบตรวจจับเม็ดยาสำหรับเครื่องจ่ายยาอัตโนมัติ [5] โดยออกแบบให้สามารถจ่ายยาและนับเม็ดยาได้ตามจำนวนที่ต้องการ นอกจากนี้ยังมีการออกแบบและพัฒนาระบบเครื่อง ELA REMIND: ระบบเตือนกล่องยาสำหรับผู้สูงอายุที่อาศัยอยู่ตามลำพัง [6] ในการทำงานผู้ที่ดูแลผู้สูงอายุจะใช้แอปพลิเคชันบนโทรศัพท์มือถือในการตั้งเวลาแจ้งเตือนรับประทานยา โดยใช้ไมโครคอนโทรลเลอร์ควบคุมการทำงานของตัวตรวจรู้เพื่อตรวจสอบยาในภาชนะจัดเก็บและเมื่อถึงเวลารับประทานยาก็จะส่งเสียงแจ้งเตือน อย่างไร

*ผู้ประพันธ์บรรณกิจ

ก็ตามพบว่าระบบดังกล่าวใช้ตัวตรวจรู้เป็นจำนวนมากและยังไม่รองรับการรับประทานยาชนิดน้ำ

จากแนวคิดดังกล่าวคณะผู้วิจัยจึงได้การพัฒนาอุปกรณ์แจ้งเตือนรับประทานยาสำหรับผู้สูงอายุที่มีระบบแจ้งเตือนผ่านแอปพลิเคชันสำหรับผู้ดูแลเพื่อช่วยลดปัญหา การลืมรับประทานยาของผู้สูงอายุและช่วยแจ้งเตือนให้ผู้ที่ดูแลทราบว่าผู้สูงอายุได้หยิบยาและรับประทานยาตรงตามเวลาแล้ว โดยประยุกต์ใช้ไมโครคอนโทรลเลอร์ในการประมวลผลซึ่งสามารถตั้งเวลาจากตัวเครื่องและผ่านแอปพลิเคชันบลิ้ง โดยมีระบบแจ้งเตือนการหยิบยาสำหรับผู้ดูแล และมีระบบแจ้งเตือนผู้สูงอายุให้รับประทานยาผ่านลำโพงด้วยเสียงแจ้งเตือน

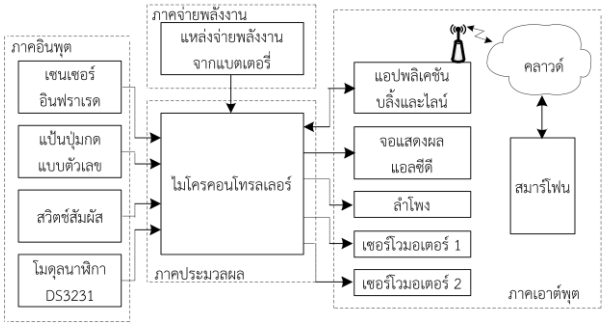

รูปที่ 1 ภาพรวมของอุปกรณ์แจ้งเตือนรับประทานยาสำหรับผู้สูงอายุฯ

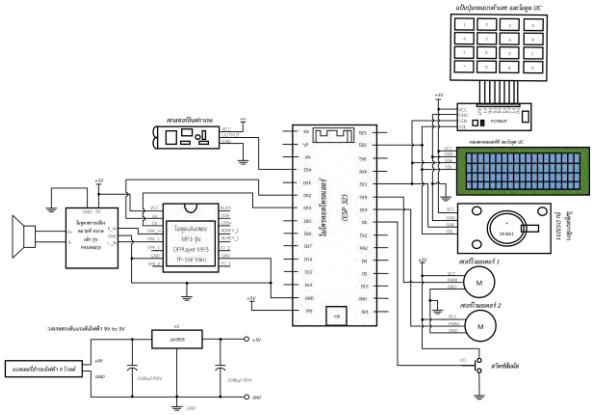

รูปที่ 2 วงจรอิเล็กทรอนิกส์ควบคุมการทำงานของอุปกรณ์แจ้งเตือนรับประทานยาสำหรับผู้สูงอายุฯ

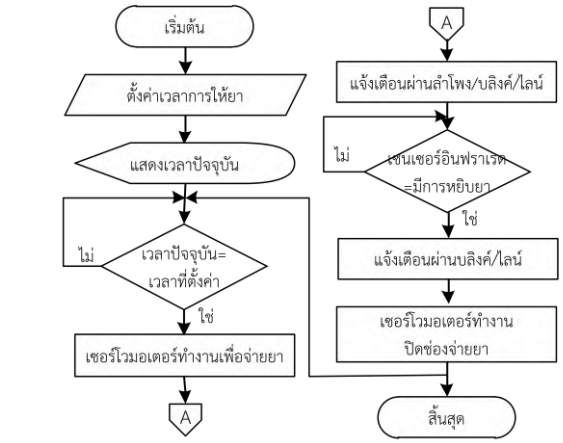

รูปที่ 3 ผังงานการทำงานอุปกรณ์แจ้งเตือนรับประทานยาสำหรับผู้สูงอายุฯ

2. การออกแบบอุปกรณ์แจ้งเตือนรับประทานยาสำหรับผู้สูงอายุ

2.1 หลักการทำงานของระบบ

จากรูปที่ 1 แบ่งการทำงานออกเป็น 4 ส่วน คือ (1) ภาคอินพุต ทำหน้าที่รับค่าต่างๆ ประกอบด้วย แป้นปุ่มกดแบบตัวเลข (Keypad Control) ทำหน้าที่ตั้งเวลาผ่านหน้าเครื่อง มีโมดูลนาฬิกา เป็นตัวกำหนดนาฬิกาแบบเวลาจริงเพื่อใช้เปรียบเทียบเวลาที่ตั้งไว้ เซนเซอร์อินฟราเรดทำหน้าที่ตรวจจับกล่องเก็บยา เมื่อผู้สูงอายุหยิบกล่องเก็บยาจากชุดจานหมุน จากนั้นจะแจ้งเตือนข้อความไปยังแอปพลิเคชัน สวิตช์สัมผัสใช้สำหรับปิดเสียงแจ้งเตือนจากลำโพงเมื่อถึงเวลารับประทานยา จากนั้นค่าที่ได้จะส่งค่าไปยังไมโครคอนโทรลเลอร์เพื่อประมวลผลต่อไป (2) ภาคประมวลผล ถูกออกแบบโดยใช้ไมโครคอนโทรลเลอร์อาดุยโน่ รุ่น ESP32 ทำหน้าที่ควบคุมการทำงานของระบบทั้งหมด โดยการเขียนโปรแกรมควบคุมการทำงานแบบอัตโนมัติ (3) ภาคเอาต์พุต ทำหน้าที่รับค่าคำสั่งมาจากไมโครคอนโทรลเลอร์เพื่อที่จะสั่งการทำงานต่างๆ ในภาคเอาต์พุต ประกอบด้วยจอแสดงผลแบบแอลซีดี ทำหน้าที่แสดงเวลาปัจจุบันและแสดงการทำงานของอุปกรณ์ต่างๆ ลำโพงทำหน้าที่แจ้งเตือนผ่านโมดูล MP3 เมื่อถึงเวลารับประทานยาของผู้สูงอายุตามที่ตั้งไว้ เซอร์โวมอเตอร์ตัวที่ 1 ทำหน้าที่เปิด-ปิดช่องรับยา และเซอร์โวมอเตอร์ตัวที่ 2 ทำหน้าที่หมุนชุดจานหมุนมาทางช่องรับยา แอปพลิเคชันบลิ้ง ถูกออกแบบให้ทำหน้าที่ตั้งเวลาและปิดเสียงแจ้งเตือนการทำงานของลำโพงเมื่อถึงเวลารับประทานยา และ (4) ภาคจ่ายพลังงาน ทำหน้าที่จ่ายพลังงานไฟฟ้ากระแสตรงให้กับเครื่องแจ้งเตือนรับประทานยาสำหรับผู้สูงอายุจากแบตเตอรี่ โดยวงจรอิเล็กทรอนิกส์ควบคุมการทำงานของอุปกรณ์แจ้งเตือนรับประทานยาสำหรับผู้สูงอายุฯ ดังในรูปที่ 2

2.2 โปรแกรมควบคุมการทำงาน

ในการออกแบบการทำงานของเครื่องแจ้งเตือนรับประทานยาสำหรับผู้สูงอายุ ดังรูปที่ 3 เริ่มต้นการกำหนดค่าช่วงเวลาของการจ่ายยาของเครื่อง สามารถตั้งเวลาได้ไม่น้อยกว่า 8 ครั้งต่อวัน เช่น ก่อนอาหาร หลังอาหาร เช้า เที่ยง เย็น หรือก่อนนอน เป็นต้น จะทำงานแบ่งเป็น 2 แบบ คือ มีการเชื่อมต่ออินเทอร์เน็ตและไม่มีการเชื่อมต่ออินเทอร์เน็ต ในกรณีที่มีการเชื่อมต่ออินเทอร์เน็ตจะสามารถตั้งเวลาผ่านแอปพลิเคชันบลิ้งหรือผ่านปุ่มกดหน้าเครื่อง เมื่อกำหนดเสร็จสิ้น เครื่องจะเก็บข้อมูลช่วงเวลาเอาไว้ เพื่อมาเปรียบเทียบกับเวลาปัจจุบัน เมื่อถึงเวลาตามเงื่อนไขที่ตั้งไว้ไมโครคอนโทรลเลอร์จะสั่งการให้เซอร์โวมอเตอร์ทำงาน โดยที่ตัวที่ 2 จะหมุนชุดจานหมุนมายังช่องรับยา และเซอร์โวมอเตอร์ตัวที่ 1 จะเปิดช่องรับยาออก มีเซนเซอร์อินฟราเรดก็จะทำการตรวจจับกล่องเก็บยา จากนั้นจะมีเสียงแจ้งเตือนผ่านลำโพง และแจ้งเตือนผ่านแอปพลิเคชันบลิงค์และแอปพลิเคชันไลน์ เมื่อผู้สูงอายุหยิบกล่องเก็บยาจากชุดจานหมุน เซนเซอร์อินฟราเรดทำการตรวจจับไม่พบกล่องเก็บยา จะแจ้งเตือนสถานะการกินยา จากนั้นเซอร์โวมอเตอร์ตัวที่ 1 จะปิดช่องรับยา และรอเวลาการแจ้งเตือนที่ตั้งไว้ครั้งถัดไป

2.3 การออกแบบโครงสร้างอุปกรณ์แจ้งเตือนรับประทานยาสำหรับผู้สูงอายุ

จากรูปที่ 4 อุปกรณ์เตือนรับประทานยาสำหรับผู้สูงอายุถูกออกแบบให้มีขนาดขนาด 30x30x20 เซนติเมตร มีช่องสำหรับเปิดรับยาขนาด 8x14 เซนติเมตร ภายในตัวเครื่องประกอบด้วย ชุดจานหมุนจ่ายยา จอแสดงผลด้วยแอลซีดี แป้นปุ่มกดแบบตัวเลข สวิตช์สัมผัสสำหรับปิด

เสียงแจ้งเตือน ลำโพงแจ้งเตือน เซนเซอร์อินฟราเรด เซอร์โวมอเตอร์ วงจรควบคุมการทำงานและแบตเตอรี่จะอยู่ล่างสุดของตัวเครื่อง

ชุดจานหมุนจ่ายยาถูกออกแบบให้ฐานรองมีรัศมี 10 เซนติเมตร มีช่องเก็บยาจำนวน 8 ช่อง รองรับการรับประทานยาทั้งก่อนและหลังอาหารรวมทั้งก่อนนอน กล่องเก็บยาถูกแบบให้มีลักษณะเป็นรูปคางหมูมีความกว้าง 7 เซนติเมตร สูง 6 เซนติเมตร และลึก 7 เซนติเมตร รองรับการบรรจุยาได้ทั้ง ยาชนิดเม็ด แคปซูล และยาน้ำ ในกรณียาน้ำจำเป็นต้องมีภาชนะบรรจุที่มีขนาดไม่เกิน 40 มิลลิกรัม อุปกรณ์แจ้งเตือนรับประทานยาถูกออกแบบให้สามารถตั้งค่าแจ้งเตือนรับประทานยาได้ไม่น้อยกว่า 8 ครั้งผ่านชุดปุ่มกดตั้งค่าการทำงานที่ด้านหน้า หรือผ่านแอปพลิเคชันบลิ้ง กรณีที่มีการเชื่อมต่อผ่านระบบอินเทอร์เน็ต มีแบตเตอรี่ขนาด 7.4 โวลต์ 8.6 แอมแปร์-ชั่วโมง รองรับการใช้งานได้ไม่น้อยกว่า 3 วัน สามารถตรวจเช็คระดับพลังงานของแบตเตอรี่ได้

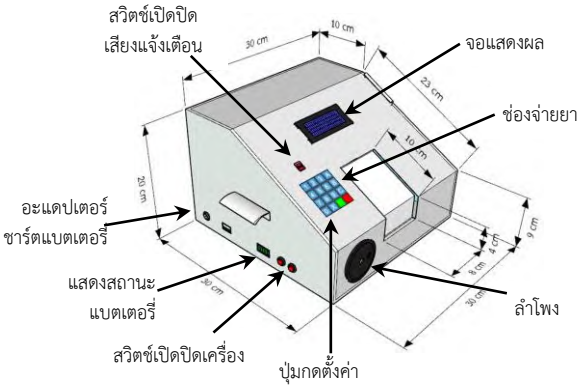

(ก) โครงสร้างภายนอก

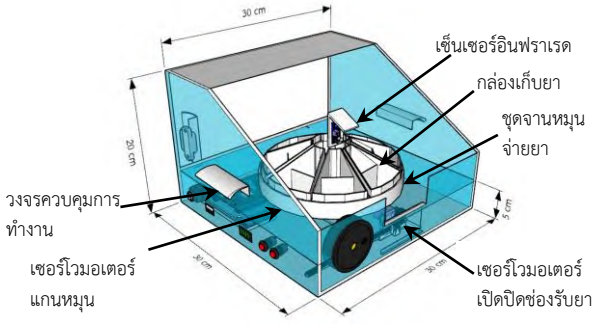

(ข) โครงสร้างภายใน

รูปที่ 4 โครงสร้างอุปกรณ์แจ้งเตือนรับประทานยาฯ ที่ได้ออกแบบ

3. ผลการทดลองและวิจารณ์ผล

อุปกรณ์แจ้งเตือนรับประทานยาสำหรับผู้สูงอายุต้นแบบที่ได้นำเสนอดังในรูปที่ 5 ถูกนำมาทดสอบการทำงานซ้ำเป็นจำนวน 3 ครั้ง เพื่อหาค่าประสิทธิภาพในการจ่ายยาและแจ้งเตือนตามระยะเวลาที่กำหนด ในการทดสอบประสิทธิภาพการทำงาน จะทำการทดสอบการแบ่งเป็น 4 หัวข้อ ได้แก่ (1) การตรวจจับกล่องเก็บยาโดยใช้เซนเซอร์อินฟราเรด (2) การทดสอบการหมุนของชุดจานหมุนในการจ่ายยา (3) การทดสอบความถูกต้องของการจ่ายยาตามระยะเวลาที่กำหนด และ(4) การทดสอบการแจ้งเตือนการจ่ายยา

ตารางที่ 1 แสดงการทดสอบการตรวจจับกล่องเก็บยาโดยใช้เซนเซอร์อินฟราเรด โดยกำหนดการทำสอบที่ระยะ 1 - 6 เซนติเมตร เพื่อดูความถูกต้องแม่นยำในการตรวจจับกล่องเก็บยา ทำการทดสอบทั้งในกรณีที่มีแสงสว่างและในที่มืด พบว่าสามารถทำงานได้อย่างถูกต้อง ในการออกแบบได้ติดตั้งการตรวจจับกล่องเก็บยาที่ระยะ 3 เซนติเมตร ตารางที่ 2 แสดงผลการทดสอบการหมุนของชุดจานหมุนในการจ่ายยา โดยทำการออกแบบให้ทำการหมุนครั้งละ 45 องศา จนครบ 360 องศา ผลการทดสอบการหมุนของชุดจานหมุนสำหรับจ่ายยาซ้ำเป็นจำนวน 3 ครั้งพบว่ามุมการหมุนมีองศาการหมุนอยู่ที่ 45 องศา มีความคลาดเคลื่อนน้อยกว่า 1% ตารางที่ 3 แสดงการทดสอบการตั้งค่าการจ่ายยาตามระยะเวลาที่กำหนด ในการทดสอบได้ทำการกำหนดเวลาการจ่ายยาเป็นจำนวน 4 ครั้งต่อวัน คือเวลา 08.00 น. 13.00 น. 17.00 น. และ 20.00 น. ตามลำดับ ทำการทดสอบเป็นเวลา 5 วัน ผลการทดสอบพบว่าอุปกรณ์เตือนรับประทานยาสำหรับผู้สูงอายุ สามารถจ่ายยาตามเวลาที่กำหนด มีการคลาดเคลื่อนจากเวลาที่กำหนดไม่เกิน 2 วินาที เมื่อเทียบกับเวลามาตรฐานของไทย รูปที่ 6 แสดงการตั้งค่าเวลาการจ่ายยาผ่านแอปพลิเคชันบลิ้งเมื่อมีการเชื่อมต่อกับระบบอินเตอร์เน็ต อุปกรณ์เตือนรับประทานยาสามารถเชื่อมต่อกับระบบอินเตอร์เน็ตผ่านแป้นปุ่มกดแบบตัวเลขหน้าเครื่อง สามารถตั้งค่าเวลาได้แจ้งเตือนได้ไม่เกิน 8 ครั้งต่อวัน เมื่อถึงเวลารับประทานยา จะมีการแจ้งด้วยเสียงผ่านโมดูล MP3 และผ่านทางแอปพลิเคชันไลน์

(ก) กล่องเก็บยาภายในจานหมุน

(ข) ภาพรวมต้นแบบของอุปกรณ์แจ้งเตือนรับประทานยาฯ

รูปที่ 5 อุปกรณ์แจ้งเตือนรับประทานยาฯ ที่ได้นำเสนอ

ตารางที่ 1 การทดสอบการตรวจจับกล่องเก็บยาโดยใช้เซนเซอร์อินฟราเรด

ระยะการตรวจจับ (cm)	ผลการทดสอบ		
	ครั้งที่ 1	ครั้งที่ 2	ครั้งที่ 3
1	✓	✓	✓
2	✓	✓	✓
3	✓	✓	✓
4	✓	✓	✓
5	✓	✓	✓
6	✓	✓	✓

✓ ตรวจจับกล่องยาได้อย่างถูกต้อง ✗ ไม่สามารถตรวจจับกล่องยาได้

ตารางที่ 2 การทดสอบการหมุนของชุดจานหมุนในการจ่ายยา

มุมการหมุน (องศา)	มุมการหมุนที่วัดได้ (องศา)				% ความผิดพลาด
	ครั้งที่ 1	ครั้งที่ 2	ครั้งที่ 3	ค่าเฉลี่ย	
45	45	45	45	45	0
90	90	90.1	90	90.03	-0.03
135	134.9	135.1	135	135	0
180	179.9	180	180	179.97	0.02
225	224.8	225.1	225	224.97	0.01
270	269.8	270	269.9	269.97	0.03
315	314.7	315	314.8	314.83	0.03
360	359.8	360	360	359.93	0.02

ตารางที่ 3 การทดสอบการตั้งค่าการจ่ายยาตามระยะเวลาที่กำหนด

วันที่	กำหนดเวลาจ่ายยา			
	08.00 น.	13.00 น.	17.00 น.	20.00 น.
วันที่ 1	✓	✓	✓	✓
วันที่ 2	✓	✓	✓	✓
วันที่ 3	✓	✓	✓	✓
วันที่ 4	✓	✓	✓	✓
วันที่ 5	✓	✓	✓	✓

✓ จ่ายยาได้ถูกต้องตามเวลาที่กำหนด ✖ ไม่สามารถจ่ายยาได้ตามที่กำหนด

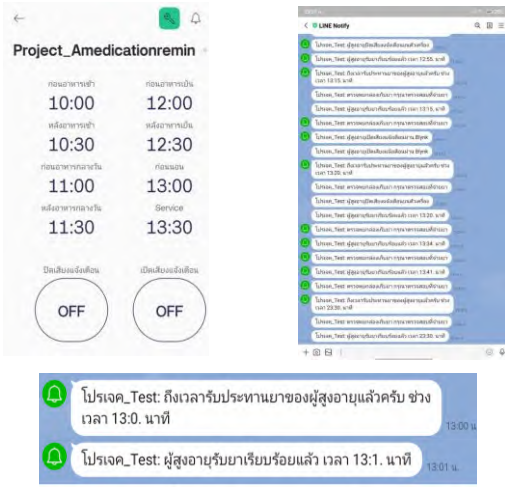

รูปที่ 6 การตั้งค่าและการแจ้งเตือนการจ่ายยาผ่านแอปพลิเคชันบลิ้ง และแอปพลิเคชันไลน์ เมื่อมีการเชื่อมต่อกับระบบอินเตอร์เน็ต

ในการออกแบบอุปกรณ์แจ้งเตือนรับประทานยาสำหรับผู้สูงอายุ ถูกออกแบบเพื่อช่วยให้ผู้ดูแลผู้ป่วยหรือผู้สูงอายุสามารถรับประทานยาได้อย่างถูกต้อง ตรงตามเวลาที่กำหนด มีระบบแจ้งเตือนผ่านทางหน้าเครื่องและผ่านแอปพลิเคชัน สามารถตั้งเวลาได้ล่วงหน้า ผู้ดูแลสามารถรับทราบว่าผู้สูงอายุได้รับกล่องยาเพื่อไปรับประทานยา อย่างไรก็ตามอุปกรณ์เตือนรับประทานยาสำหรับผู้สูงอายุ ควรมีการพัฒนาให้กล่องยายื่นออกมาจากตัวเครื่องเพื่อให้ง่ายในการหยิบกล่องยา และตัวเครื่องมีขนาดเล็กลงเพื่อให้สามารถพกพาได้อย่างสะดวก

4. สรุป

ผลจากการทดสอบอุปกรณ์แจ้งเตือนรับประทานยาสำหรับผู้สูงอายุ แสดงให้เห็นถึงประสิทธิภาพของระบบแจ้งเตือนที่มีความเที่ยงตรงและแม่นยำ สามารถทำงานได้ทั้งในโหมดออนไลน์และออฟไลน์ สามารถตั้งเวลาแจ้งเตือนรับประทานยาได้สูงสุด 8 ช่วงเวลาต่อวัน นอกจากนี้ เครื่องแจ้งเตือนยังสามารถรองรับการใช้งานด้วยพลังงานจากแบตเตอรี่ได้นานต่อเนื่องสูงสุด 3 วัน ทำให้สามารถทำงานได้แม้ระบบไฟฟ้าขัดข้อง ทั้งนี้ เครื่องแจ้งเตือนรับประทานยาสำหรับผู้สูงอายุถือเป็นนวัตกรรมที่มีประโยชน์อย่างมากในสังคมผู้สูงอายุในปัจจุบัน

5. กิตติกรรมประกาศ

ขอขอบคุณศูนย์บริการสาธารณสุขเตาหลวง เทศบาลนครสงขลา ที่ให้คำแนะนำในการดำเนินงานวิจัย และนักศึกษาสาขาวิศวกรรมอิเล็กทรอนิกส์ทุกท่านที่ทำหน้าที่เป็นผู้ช่วยวิจัยและทำให้ผลงานวิจัยนี้สำเร็จลุล่วงไปด้วยดี

เอกสารอ้างอิง

[1] กรมกิจการผู้สูงอายุ, (ม.ป.ป.), “สถิติผู้สูงอายุ เมษายน 2568”, [ออนไลน์]. https://www.dop.go.th/th/statistics_page?cat=1&id=2569 (สืบค้นเมื่อ 29 พฤษภาคม 2568).

[2] นครธน, (ม.ป.ป.), “ผู้สูงอายุกับปัญหาการกินยา เรื่องสำคัญไม่ควรมองข้าม”, [ออนไลน์]. https://www.nakornthon.com/article/detail/ผู้สูงอายุกับปัญหาการกินยาเรื่องสำคัญไม่ควรมองข้าม (สืบค้นเมื่อ 29 พฤษภาคม 2568).

[3] อัครวินท์ ครองไชย, ธนา เสมารัมย์ และสุภาพ มายาง (2560), “ม.นเรศวรเปิดตัวนวัตกรรมเพื่อผู้สูงอายุ Meddi เครื่องจ่ายยาอัจฉริยะประจำบ้าน”, [ออนไลน์]. https://old.nu.ac.th/?p=5067 (สืบค้นเมื่อ 1 สิงหาคม 2567).

[4] วนายุทธ์ แสนเงิน, สิรภพ ขัดสาย และศราวุธ อุ่นเรือน, “การออกแบบและพัฒนาระบบเครื่องจ่ายยาเม็ดอัตโนมัติแบบพกพาเคลื่อนย้าย,” การประชุมวิชาการทางวิศวกรรมไฟฟ้า ครั้งที่ 44, 17-19 พฤศจิกายน 2564, หน้า 1-4.

[5] อัครวินท์ ครองไชย, สะการะ ตันโสภณและ สุเมธ เหมะวัฒนะชัย, “การพัฒนาระบบตรวจจับเม็ดยาสาหรับเครื่องจ่ายยาอัตโนมัติ,” วารสารวิศวกรรม มหาวิทยาลัยนเรศวร, ปีที่ 16, ฉบับที่ 1, มกราคม-มิถุนายน 2564, หน้า 14-27.

[6] Nor Saradatul Akmar Zulkifli , Liew Yoon Hong, Nor Syahidatul Nadiah Ismail, Mohd Zamri Bin Osman and Anis Farihan Mat Raffei, “ELA REMIND: A Medicine Box Reminder System for Elderly Living Alone (ELA) implementing the infrared Sensor, Internet of Things and Mobile Application, Application,” *2022 4th International Conference on Smart Sensors and Application (ICSSA)*, Kuala Lumpur, Malaysia, 26 28 July 2022, pp. 1441-149.

เสนอ สะอาด ปัจจุบันดำรงตำแหน่งผู้ช่วยศาสตราจารย์ สาขาวิศวกรรมไฟฟ้า คณะวิศวกรรมศาสตร์ มหาวิทยาลัยเทคโนโลยีราชมงคลศรีวิชัย ทำงานวิจัยด้านการออกแบบวงจรอิเล็กทรอนิกส์และการประยุกต์ใช้งาน

Energy-Aware Navigation for Unmanned Ground Vehicles: A Dijkstra-Based Approach on Raspberry Pi 5

Rahut Puttharaksa[1], Nattavit Piamvilai[1*], Suriyotai Supanyapong[1], Prem Tooboonlong[1], and Polatip Thongpet[1]

[1*]Department of Electrical Engineering Technology, College of Industrial Technology,
King Mongkut's University of Technology North Bangkok,
E-mail: nattavit.p@cit.kmutnb.ac.th[*]

Abstract

This paper presents an Energy-aware Navigation system designed for embedded platforms using Dijkstra's algorithm implemented on a Raspberry Pi 5. The system combines real-time GPS input, OpenStreetMap-based mapping, and battery State of Charge (SoC) monitoring to compute energy-efficient paths while minimising total Energy Consumption. When energy is insufficient to reach the destination, the system reroutes through the nearest charging station. All Route Planning computations are performed locally on the Raspberry Pi 5, with lightweight processing requirements suitable for real-time use on low-cost hardware. The system enables intelligent navigation decisions based on power availability by embedding energy constraints directly into the routing process. This approach highlights the potential of compact, flexible embedded systems to support adaptive path planning in energy-limited environments. Furthermore, the system provides a modular foundation for future expansion, including integrating advanced sensors, energy modeling enhancements, and context-aware routing strategies for mobile platforms.

Keywords: Dijkstra's algorithm, Energy Consumption, Energy-aware Navigation, GPS, Raspberry Pi 5, Route Planning

1. Introduction

With the rise of vehicle technologies, modern navigation systems increasingly rely on GPS, digital maps, and shortest-path algorithms to improve transportation efficiency. These systems aim to minimise travel distance, time, and energy usage. Integrating route planning with real-time energy data is essential for energy-aware decision-making as energy becomes a critical concern, especially for electric vehicles.

A simulation system was developed using a custom vehicle model with Raspberry Pi 5 as the core processor to address this. The system begins with a web interface where users select a destination, while the starting point is obtained via GPS. Battery SoC is detected through onboard sensors. This data is sent to the Pi, which uses the OSMnx library to convert OSM data into a weighted graph locally [1]. Dijkstra's algorithm is then applied to compute the shortest, most energy-efficient path.

If the estimated energy is insufficient, the system reroutes to the nearest charging station. The route is displayed via an interactive map, allowing users to view energy metrics and path details through a browser or onboard screen.

Simulations confirm that the system computes energy-aware routes and adapts to battery status, two test cases were examined one with sufficient energy, and one without. In both, predicted energy use matched actual values. The system also achieved consistently low computation times, confirming its capability for real-time operation on embedded hardware.

2. Methodology

2.1 Overview of the Energy-Aware Navigation System Using Dijkstra's Algorithm

This navigation system is built upon Dijkstra's algorithm, which computes the shortest and most energy-efficient path within a graph-based road network. The system comprises five core components: a web-based user interface, Raspberry Pi 5 as the onboard processor, a vehicle equipped with a GPS module, a central server for data management, and OSM data. as shown in Fig. 1. illustrates the overall architecture and the interaction between these components, showing how each part collaborates to enable real-time, energy-aware navigation with minimal hardware resources.

Firstly, the user selects a destination through the interface, while the Raspberry Pi 5 retrieves the vehicle's current location in real time using GPS data. The OSM data is pre-processed via the OSMnx library and stored locally on the Raspberry Pi as a weighted graph, where nodes and edges represent intersections and road segments with associated distance and energy cost attributes.

When a route request is triggered, the Raspberry Pi loads the graph and executes Dijkstra's algorithm to compute the optimal path by minimising cumulative costs, such as travel distance or estimated energy usage. The system then calculates the total trip energy consumption and compares it to the remaining battery capacity. If the available energy is insufficient, it dynamically reroutes through the nearest charging station to ensure the trip's completion.

Real-time GPS updates and SoC monitoring enable the system to adapt to changing travel and battery conditions. This ensures continuous, efficient, and energy-aware pathfinding throughout the journey, even under constrained power availability.

*Corresponding Author

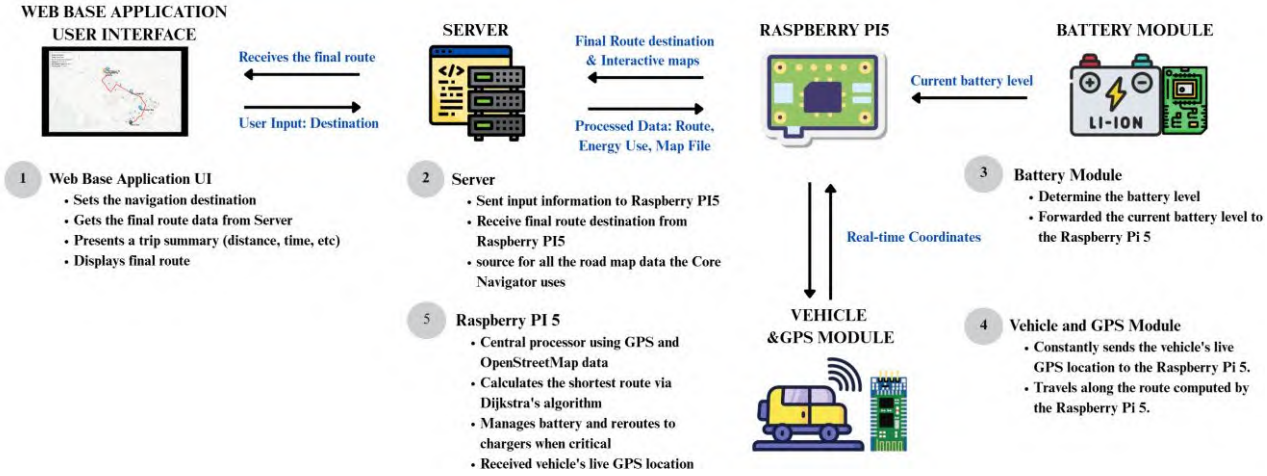

Fig. 1. Overview of the proposed energy-aware navigation system architecture based on real-time GPS and Dijkstra's algorithm

2.2 Pathfinding Process Using Dijkstra's Algorithm

The core of the navigation system's pathfinding logic is Dijkstra's Algorithm, a foundational and highly efficient method for determining the shortest path between two nodes in a weighted graph. The algorithm systematically explores the graph, guaranteeing the discovery of the most optimal route based on cumulative distance.

The operational flow of The algorithm is demonstrated in the visualisation provided as shown in Fig. 2. In this specific example, the process begins at the designated start node (A) and is set to find the shortest path to the destination node (F).

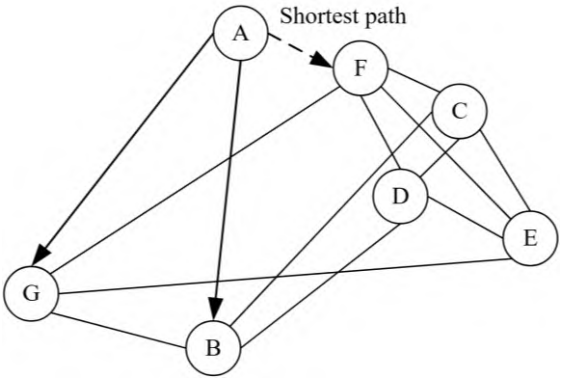

Fig. 2. Visualisation of the Dijkstra's algorithm in progress, showing visited nodes and the current path exploration from Start Node A to Destination Node F

Dijkstra's Algorithm is a well-established graph traversal method used to determine the shortest path between two nodes in a weighted graph. The process begins with the initialisation step, where the source node is assigned a distance of zero. In contrast, all other nodes are given an initial value of infinity to signify that they are unreachable at the start. These nodes are then placed into a priority queue that helps maintain the order based on the smallest known distance.

The Algorithm then proceeds into its iterative exploration phase. In each iteration, it extracts the unvisited node with the minimum known distance, marking it as the currently processing node. Once a node is processed—meaning all of its neighbors have been examined-it is marked as visited, signifying that the shortest path to that node has been finalised.

The core mechanism of the Algorithm lies in the edge relaxation step. For each neighbor of the current node, the Algorithm calculates the potential new distance by summing the current node's distance with the weight of the connecting edge. If this new value is smaller than the previously recorded distance for that neighbor, it is updated accordingly as shown in Eq. (1)

$$\text{If } d(u) + w(u,v) < d(v) \\ \Rightarrow d(v) := d(u) + w(u,v) \tag{1}$$

where

$d(u)$ = Current known shortest distance from the source to node u

$w(u,v)$ = Weight between node u and node v

$d(v)$ = Current known distance to node v

This process continues until the destination node is reached. At that point, the algorithm terminates and reconstructs the path by backtracking from the destination to the source, identifying the optimal route. This behavior is illustrated as shown in Fig. 2, where node A is the starting point and the shortest path is visually traced to the destination. The dashed line represents the finalized route.

Driven by a greedy strategy, Dijkstra's algorithm consistently prioritizes the most efficient paths, offering a reliable and computationally effective solution for route planning in vehicular navigation system.

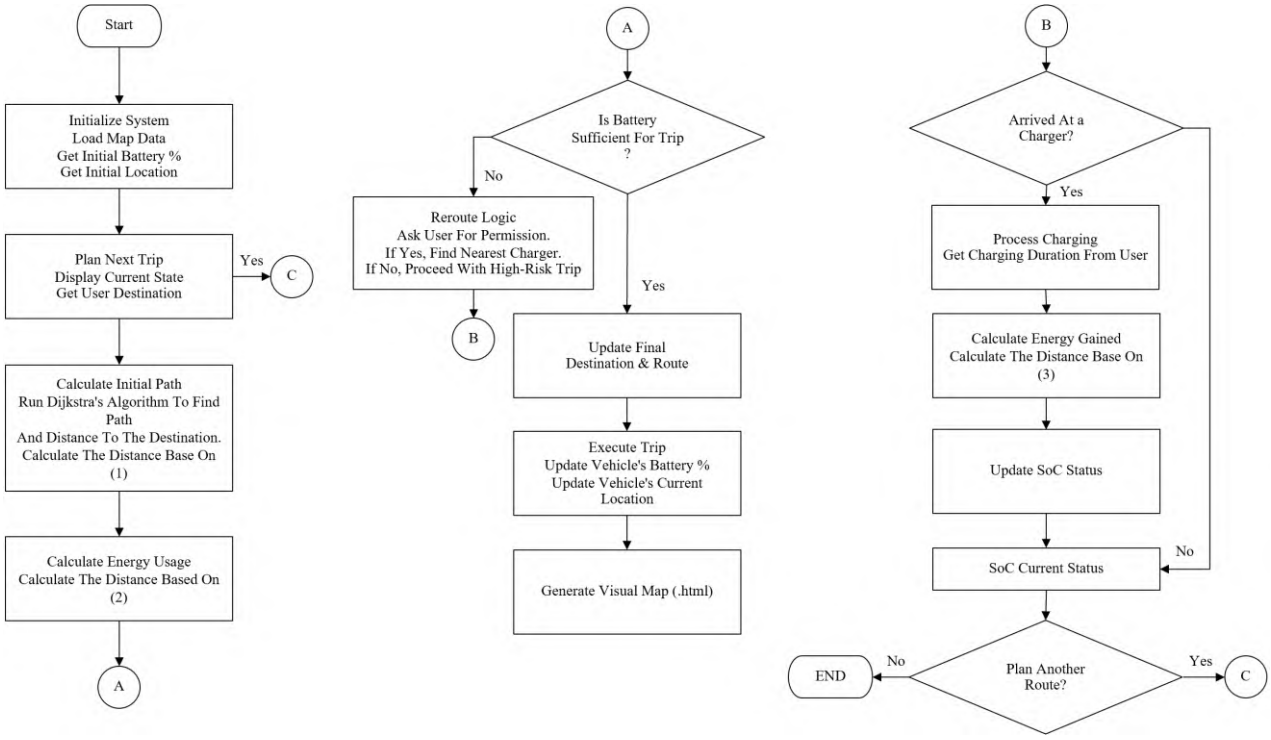

Fig. 3. System flowchart illustrating the process from initialisation to energy-aware routing, charging, and real-time navigation decisions.

2.3 System Flowchart of Dijkstra-Based Routing with Energy-Aware Logic

Figure. 3. shows the flowchart detailing the overall operational logic of the energy-aware route planning system implemented on Raspberry Pi 5, from initialisation to route execution and dynamic rerouting.

The proposed energy-aware navigation system's operation begins with the Initialisation Phase, in which a pre-processed road graph—generated from OSM data using the OSMnx library—is retrieved from local storage on the Raspberry Pi. Concurrently, the system acquires the vehicle's current SoC and GPS coordinates to establish the initial conditions.

Following this, the system proceeds to the Trip Planning stage, which displays the vehicle's current location and battery level to the user. The user then selects a desired destination through a graphical interface.

Once the destination is set, the system enters the path Calculation phase. Here, Dijkstra's algorithm is employed to compute the shortest path from the current location to the selected destination based on the locally stored weighted road graph, as described as shown in Eq. (1).

Additionally, the system estimates the total energy required for the trip using a predefined energy consumption rate derived from experimental data, as shown in Eq. (2).

This value is then compared with the current battery capacity. If the available energy is insufficient, the system initiates the rerouting Logic, where the user is prompted to confirm whether to redirect through the nearest charging station or proceed with the current route under energy risk.

Upon arrival at a charging station, the system requests the expected charging duration and updates the SoC accordingly. After charging, the system re-evaluates energy sufficiency and either resumes the original trip or loops back to recalculate a new route.

$$E_{trip} = e_{rate} \times d \tag{2}$$

where

E_{trip} = Total energy required for the trip

e_{rate} = Specific energy consumption rate per distance

d = Planned travel distance

Subsequently, the energy sufficiency check is performed by comparing the estimated energy demand with the available battery level. If sufficient energy is available, the system proceeds directly to the trip. However, if the battery is deemed insufficient, the system prompts the user with the option to reroute.

If the user accepts, the system locates the nearest charging station and updates the route accordingly; otherwise, it continues with the original high-risk path. Once routing is confirmed, the trip execution phase begins, involving real-time tracking of the vehicle's position and energy consumption, while simultaneously displaying the planned route via an interactive web-based map. If the updated path includes a charging station, the charging station handling process is activated upon arrival. After charging, the system enters the post-charging or trip completion phase to reassess the battery

status. If the updated SoC remains insufficient to reach the destination, the system halts and prompts the user to initiate a new route.

If accepted, the process loops back to the trip planning phase; the session is terminated if declined.

3. Implementation

3.1 Experimental Platform

To evaluate the performance of the proposed energy-aware navigation system, a ground-based wheeled drone was developed and employed as a platform for field testing, as shown in Fig. 4.

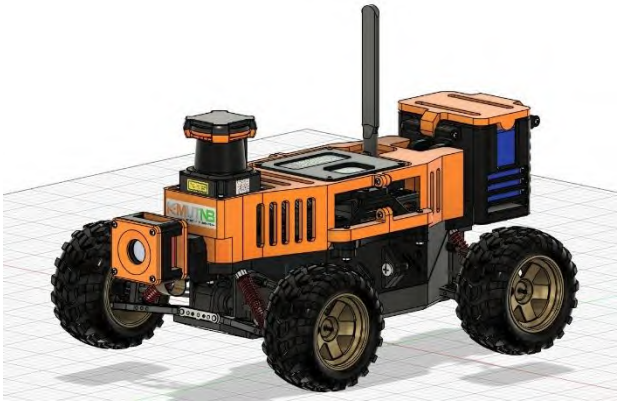

Fig. 4. Ground-based wheeled drone used to record energy consumption during route execution.

The objective of the test was to evaluate the system's ability to monitor and estimate energy consumption during actual route execution in a real-world environment.

To simulate realistic travel conditions, a ground-based wheeled drone was used to traverse the computed path generated by the navigation system physically. The test aimed to reflect consistent movement behavior similar to practical deployments. Throughout the experiment, the vehicle followed the planned route without manual intervention.

The system continuously tracked battery voltage and usage in real time, allowing for precise measurement of energy consumed during each trip. This empirical data provided a reliable basis for validating the energy estimation model integrated within the route planning algorithm. Moreover, conducting the test under controlled yet repeatable conditions ensured consistency across multiple runs, making it suitable for performance benchmarking. The resulting energy profiles contributed directly to assessing the algorithm's energy efficiency.

Fig. 5. shows the battery voltage monitoring circuit, which illustrates the electrical schematic used to monitor the battery voltage in real time. This hardware component was critical in ensuring accurate SoC readings and supporting the system's energy-aware decision-making process.

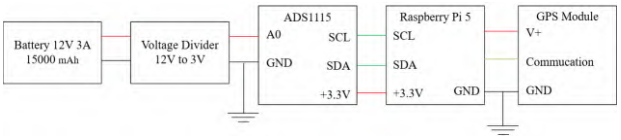

Fig. 5. Circuit diagram for battery voltage and GPS data acquisition using a voltage divider and ADS1115 connected to Raspberry Pi 5.

The system uses a 12V, 15,000 mAh lithium-ion battery connected to a resistive voltage divider circuit that scales the voltage down to approximately 3V—within a safe range for analogue input. The scaled voltage is fed into an ADS1115 Analog-to-Digital Converter (ADC), a high-resolution 16-bit device communicating with the Raspberry Pi 5 via the I2C protocol. This setup enables accurate and continuous battery voltage monitoring under varying load conditions.

The updated circuit diagram Fig. 5. combines voltage sensing and GPS acquisition into a unified hardware layout. The voltage divider reduces the 12V battery output to a safe level for the ADC input, and the ADS1115 digitizes the voltage for real-time processing by the Raspberry Pi. A GPS module is also integrated into the circuit, powered by the same 12V source and connected to the Raspberry Pi 5 through a dedicated communication line (e.g., UART). the GPS module provides real-time location data, essential for dynamic route planning and distance estimation.

This configuration ensures electrical safety and seamless location and energy data integration, enabling the system to make informed decisions. The measured battery voltage is converted to SoC using a predefined voltage-to-SoC mapping. This SoC value and GPS coordinates form the core input for the energy-aware routing algorithm. If the energy is insufficient to complete the planned trip, the system initiates rerouting to the nearest charging station, Including the GPS module enhances the system's ability to provide location-aware, energy-efficient navigation under real-world conditions.

4. Results and Discussion

This section presents the experimental results obtained from the developed vehicle platform. We first validate the performance of the real-time battery monitoring system and then analyze the vehicle's energy consumption characteristics. Finally, we discuss the implications of these findings for the primary goal of this work, enabling energy-aware pathfinding.

4.1 Discussion and Implications for Energy-Aware Pathfinding

Integrating the validated battery voltage sensing circuit with the empirically measured energy consumption profile establishes a robust and practical platform for developing and evaluating energy-aware navigation algorithms. The proposed system highlights a closed-loop relationship between real-time energy monitoring and

dynamic route planning, forming this research's core focus.

All computations, including graph processing, energy estimation, and pathfinding via Dijkstra's algorithm, are performed locally on a Raspberry Pi 5. This local processing approach reduces system latency, eliminates dependence on cloud computation, and ensures suitability for real-time operation in embedded environments.

Two test scenarios were designed under controlled conditions to assess system performance. In the first scenario as shown in Fig. 6, the vehicle traveled from the campus main gate to a predefined building. While the vehicle reached the destination, the battery's SoC dropped to triggering a low battery warning. This emphasizes the need for accurate energy prediction to ensure route feasibility. The system recorded a specific energy consumption rate of 3.45 Wh/km, a benchmark for estimating energy requirements in subsequent routes.

Fig. 6. Route followed without rerouting. The vehicle arrives with a critical battery level (5.78%), triggering a low battery warning.

Fig. 7. Energy-aware rerouting to the nearest charging station due to insufficient battery for the original route.

In the second scenario Fig. 7, the system identified that the remaining energy was insufficient for the original route. As a result, the rerouting logic was triggered, redirecting the vehicle to the nearest charging station, the vehicle completed the revised route with only SoC remaining and initiated a charging procedure.

Based on real-time SoC feedback, this proactive adjustment validates the system's ability to make intelligent, energy-aware decisions and adaptively maintain safe navigation even under constrained energy conditions.

4.2 Computational Demands of Dijkstra Route Planning

To comprehensively evaluate the operational performance of electric vehicles, it is essential to assess energy consumption and computational processing time. While battery capacity and range are critical indicators of system longevity, the efficiency of the power system—especially during real-time operations—directly affects practical usability and sustainability. Simultaneously, computational demands from onboard systems, particularly for dynamic route planning, significantly influence responsiveness, processing overhead, and overall energy utilisation. This study investigates these two interconnected aspects by rigorously quantifying energy consumption and analyzing processing time under distinct routing scenarios. The goal is to understand how energy and processing constraints affect navigation performance and decision-making on embedded platforms.

An experimental evaluation was conducted using a 10 kg ground-based vehicle powered by an 11.1 V, 15 Ah lithium-ion (Li-ion) battery. During testing, the vehicle maintained a constant speed of 30 km/h for 30 minutes, covering 15 kilometers. Throughout the experiment, the system drew an average current of 9.33 A, leading to an average power consumption of 103.56 W. The total energy consumed was 51.78 Wh, with a corresponding battery drain rate of 155.5 mAh/min. To enable consistent comparisons across use cases, this value was normalized to a specific energy consumption rate of 3.45 Wh/km, which serves as a benchmark for evaluating the energy cost of travel in various path scenarios.

Table 1 summarizes the processing time for the standard route scenario. Across five test cycles, distances ranged from 0.81614 km to 1.07014 km, with processing times between 0.29 ms and 0.62 ms. The average processing time was 0.446 ms, and the average processing time per kilometer was calculated as 0.499 ms/km.

Table 2 shows the rerouting scenario, where distances ranged from 0.04452 km to 0.20372 km. Processing times ranged from 0.34 ms to 0.73 ms, with an average of 0.414 ms. The average processing time per kilometer slightly increased to 0.503 ms/km.

While the raw average processing time remained similar across both scenarios, a deeper comparison of processing time per meter reveals a significant disparity. The system used only 0.000499 ms/m for standard routing, while energy-constrained rerouting required 0.00503 ms/m—a computational cost approximately 10 times higher per meter. This highlights the added complexity of decision-making under battery constraints.

Table 1. Computation time of Dijkstra's algorithm for a direct route when battery capacity is sufficient

No. of Conducted Test Cycles	Distance (m)	Processing Time (ms)
1	0.86056 km	0.62 ms
2	0.81614 km	0.56 ms
3	0.86066 km	0.46 ms
4	1.07014 km	0.30 ms
5	0.86066 km	0.29 ms
Avg. Processing Time	0.446 ms	
Avg. Time per Distance	0.000499 ms/km	

Table 2. Computation time of Dijkstra's algorithm including rerouting logic when battery capacity is insufficient.

No. of Conducted Test Cycles	Distance (m)	Processing Time (ms)
1	0.04452 km	0.37 ms
2	0.06336 km	0.42 ms
3	0.04452 km	0.34 ms
4	0.05517 km	0.34 ms
5	0.20372 km	0.73 ms
Avg. Processing Time	0.414 ms	
Avg. Time per Distance	0.000503 ms/km	

The increased load results from additional computations required to assess battery levels, identify nearby charging stations, and determine whether alternate paths are feasible. These decisions must be made in real time, adding strain to the processing unit.

This tenfold increase in computational effort emphasizes the importance of efficient algorithms and local processing capability. Despite the higher complexity, the system—running entirely on a Raspberry Pi 5—maintained sub-millisecond processing times, validating its suitability for real-time, embedded applications.

The findings confirm that energy-aware navigation using Dijkstra's algorithm can be performed effectively on low-cost hardware, The normalised energy consumption value of 3.45 Wh/km and the consistent performance across routing tasks provide reliable metrics for future optimisation. Moreover, the insights from processing time analysis reinforce the importance of balancing algorithmic complexity with real-time performance when designing intelligent navigation systems for energy-constrained environments.

5. Conclusion

This study presents the implementation of an energy-aware navigation system on a Raspberry Pi 5 platform using Dijkstra's algorithm. The system uses a pre-processed road graph from OSM data and performs all routing computations locally, eliminating reliance on cloud-based processing. It integrates real-time GPS and battery SoC data to compute energy-efficient routes dynamically.

Dijkstra's algorithm calculates the shortest path based on distance and estimated energy usage. The system reroutes to the nearest charging station if the remaining battery is insufficient. A key advantage of this approach is its ability to run entirely on embedded hardware. Even when rerouting is triggered, computation times remain low—within the sub-millisecond range—demonstrating the feasibility of real-time path planning on compact, low-cost devices.

Validation was carried out using a ground-based wheeled drone under controlled conditions. Results confirmed that the system could compute feasible routes and estimate energy requirements accurately, achieving a consistent average consumption rate of 3.45 Wh/km. This value and live SoC data allow for intelligent navigation decisions aligned with current energy availability.

In conclusion, the proposed system confirms the effectiveness of Dijkstra's algorithm for energy-aware navigation and shows that local computation on embedded platforms can support real-time decision-making. This approach offers substantial potential for navigation in energy—and infrastructure-limited scenarios. Future work will explore more dynamic energy models, incorporate terrain data and acceleration profiles to improve estimation accuracy, and expand the system to support real-time obstacle detection using LiDAR.

References

[1] A. Abubakar, M. A. P. Mahmud, T. Khandoker, and A. L. Kiprakis, "An Energy-Aware Routing Algorithm for Solar-Powered Unmanned Aerial Vehicles," *2023 IEEE Global Communications Conference (GLOBECOM)*, Kuala Lumpur, Malaysia, 2023, pp. 4905–4910,

[2] J. Jeong, B. Ghaddar, N. Zufferey, and J. Nathwani, "Adaptive robust electric vehicle routing under energy consumption uncertainty," *Proceedings of the 2022 IEEE International Conference on Services Operations & Logistics, and Informatics (SOLI)*, pp. 1–6, Jul. 2022.

[3] S. Zhang, "An energy consumption model for electrical vehicle networks via extended federated-learning," *IEEE Access*, vol. 9, pp. 150,123–150,134, Nov. 2021.

[4] M. A. Navarro, L. Naranjo, and M. Á. Sotelo, "OpenStreetMap-based autonomous navigation with LiDAR naive-valley-path method," *IEEE Sensors Journal*, vol. 23, no. 2, pp. 1027–1037, Jan. 2023.

[5] Y. Modì, J. Bhattacharya, and P. Basak, "Estimation of energy consumption of electric vehicles using deep convolutional neural network to reduce driver's range anxiety," *ISA Transactions*, vol. 98, pp. 454–466, Mar. 2020. *(Indexed by IEEE)*

การศึกษาพฤติกรรมการกินของสุกรโดยใช้การประมวลผลภาพเพื่อการพัฒนาสูตรอาหารสุกร

Monitoring Pig Feeding Behavior through Image Processing for the Improvement of Feed Formulations

ประจวบ ปวรางกูร[1] และ กรณิการ์ มูลโพธิ์[2]

[1]สถาบันวิศวกรรมไฟฟ้าและอิเล็กทรอนิกส์ คณะวิศวกรรมศาสตร์และเทคโนโลยี มหาวิทยาลัยเทคโนโลยีมหานคร prajuab@mut.ac.th

[2]สถาบันนวัตกรรมมหานคร คณะวิศวกรรมศาสตร์และเทคโนโลยี มหาวิทยาลัยเทคโนโลยีมหานคร kornika@mut.ac.th

บทคัดย่อ

บทความนี้นำเสนอการออกแบบและพัฒนาระบบอัจฉริยะสำหรับติดตามพฤติกรรมการกินของสุกรรายตัว โดยแบ่งการทำงานออกเป็นสองระบบหลัก ได้แก่ ระบบตรวจจับการเข้าถึงถังอาหารและการชั่งน้ำหนักอาหาร โดยใช้ Proximity Sensor และ Load Cell เชื่อมต่อกับไมโครคอนโทรลเลอร์ ESP32 และระบบระบุตัวตนของสุกรรายตัวด้วยเทคนิคการประมวลผลภาพผ่านการตรวจจับสี RGB ที่แต้มลงบนตัวสุกรด้วยสีแดง น้ำเงิน และเหลือง ขนาดไม่เกิน 1 เซนติเมตร เพื่อไม่ให้รบกวนสุขภาพของสัตว์

ระบบได้รับการทดสอบภายในคอกทดลอง โดยปล่อยสุกรให้เคลื่อนไหวอย่างอิสระและทำการบันทึกข้อมูลพฤติกรรมการกินอาหารตลอดระยะเวลา 7 วัน ข้อมูลจากระบบจะถูกส่งและจัดเก็บผ่านเครือข่าย Wi-Fi ลงในเซิร์ฟเวอร์เพื่อการวิเคราะห์ พบว่าระบบสามารถชั่งน้ำหนักอาหารได้อย่างแม่นยำ โดยมีค่าความคลาดเคลื่อนไม่เกิน 2% และสามารถระบุตัวตนของสุกรได้อย่างถูกต้องภายใต้สภาวะแสงที่มีความเข้มในช่วง 1,000–4,000 ลักซ์ แม้จะยังเป็นต้นแบบที่รองรับการจัดเก็บข้อมูลสูงสุดเพียง 1 สัปดาห์ แต่ระบบยังมีศักยภาพในการพัฒนาให้รองรับการใช้งานระยะยาวและการแสดงผลผ่านคลาวด์เพื่อการประยุกต์ใช้ในระดับอุตสาหกรรม

คำสำคัญ: พฤติกรรมการกิน, สัตว์, สุกร, เฝ้าดู, การชั่งน้ำหนัก, การประมวลผลภาพ

Abstract

This article presents the design and development of an intelligent system for monitoring individual pig feeding behavior. The system integrates two primary components: (1) a mechanical-electrical subsystem for detecting feeder access and measuring feed weight using proximity sensors and load cells connected to an ESP32 microcontroller, and (2) an image processing-based identification subsystem utilizing RGB color detection. For pig identification, red, blue, and yellow color markers with a diameter of less than 1 cm were applied to the pigs' bodies to ensure no adverse effect on their health or behavior.

The system was tested in a pen environment where pigs were allowed to move freely. Data on feeding events, including individual identification, access detection, and feed weight consumption, were collected over a period of seven days and transmitted wirelessly via Wi-Fi to a centralized server for storage and analysis. Experimental results, as illustrated in Figures 7 and 8, demonstrate that the system can operate effectively with a feed weight measurement error of less than 2%. Moreover, pig identification was accurate under lighting conditions ranging from 1,000 to 4,000 lux. Although the current prototype supports data storage for up to one week, the system shows strong potential for further development, including extended storage capacity and real-time data visualization via cloud platforms for industrial-scale applications.

Keywords: Behavior Feeding, animal, pig, monitoring, weight measurement, Image Processing

1. บทนำ

สุกรเป็นสัตว์เศรษฐกิจที่มีความสำคัญต่อภาคการเกษตร เนื่องจากมีอัตราการเจริญเติบโตที่รวดเร็ว และมีประสิทธภาพในการเปลี่ยนอาหารเป็นน้ำหนัก (Feed Conversion Efficiency) ที่ดี ส่งผลให้ระยะเวลาในการเลี้ยงลดลง ซึ่งนำไปสู่การเพิ่มผลผลิตและผลตอบแทนทางเศรษฐกิจให้แก่เกษตรกรอย่างมีนัยสำคัญ นอกจากนี้ การเจริญเติบโตของสุกรมีความสัมพันธ์โดยตรงกับปริมาณการบริโภคอาหาร ดังนั้น การจัดการพฤติกรรมการทำกิจกรรมและการบริโภคอาหารของสุกร รวมถึงพัฒนาสูตรอาหารที่เหมาะสมกับสภาพการเลี้ยงจริง ถือเป็นปัจจัยสำคัญที่ส่งผลโดยตรงต่อประสิทธิภาพการผลิต ต้นทุนการเลี้ยง และคุณภาพของผลผลิตในอุตสาหกรรมการเลี้ยงสุกรอย่างยั่งยืน ด้วยเหตุนี้นักวิจัยและนักพัฒนาจำนวนมากจึงได้เริ่มนำเทคโนโลยีด้านปัญญาประดิษฐ์และการประมวลผลภาพเข้ามาประยุกต์ใช้ในกระบวนการศึกษาพฤติกรรมของสุกร

ที่ผ่านมา มีการศึกษาที่ใช้เทคโนโลยีการประมวลผลภาพเพื่อตรวจสอบและติดตามพฤติกรรมการทำกิจกรรมของสุกร [1] ซึ่งสามารถใช้ประเมินภาวะสุขภาพและความเป็นอยู่ที่ดีของสัตว์ได้อย่างมีประสิทธิภาพ

นอกจากนี้ยังมีการใช้การประมวลผลภาพในการประมาณค่าน้ำหนักตัวของสุกร [2] โดยไม่ต้องพึ่งพาการชั่งน้ำหนักแบบดั้งเดิม ซึ่งช่วยลดความเครียดของสัตว์และลดภาระงานของผู้เลี้ยงได้เป็นอย่างดี

ปัจจุบันบริษัทผู้ผลิตอาหารสัตว์ได้ให้ความสำคัญกับการพัฒนาสูตรอาหารสุกรให้เหมาะสมกับความต้องการของเกษตรกร ทั้งในด้านประสิทธิภาพการเจริญเติบโต ต้นทุนการผลิต และความเหมาะสมกับสภาพการเลี้ยงจริงในแต่ละพื้นที่ โดยในกระบวนการพัฒนาและปรับปรุงสูตรอาหารใหม่ จำเป็นต้องดำเนินการทดลองกับสุกรกลุ่มตัวอย่าง เพื่อศึกษาพฤติกรรมการกินรวมถึงผลกระทบของสูตรอาหารต่อการเจริญเติบโตของสุกรอย่างเป็นระบบก่อนนำออกจำหน่ายจริง

ในขั้นตอนดังกล่าว บุคลากร เช่น สัตวแพทย์หรือสัตวบาล มักต้องใช้วิธีการเฝ้าสังเกตและบันทึกพฤติกรรมการกินของสุกรด้วยตนเอง พร้อมทั้งชั่งน้ำหนักของถังอาหารแต่ละสูตรทุกครั้งที่มีการบริโภค ซึ่งเป็นกระบวนการที่ใช้เวลาและแรงงานมาก อีกทั้งยังมีความเสี่ยงต่อความคลาดเคลื่อนของข้อมูล ที่ผ่านมามีนักวิจัยได้นำเทคโนโลยี RFID (Radio Frequency Identification) มาประยุกต์ใช้ในการติดตามและบันทึกพฤติกรรมการกินของสุกร เช่นการตรวจสอบปริมาณอาหารที่บริโภคในแต่ละครั้ง [3] อย่างไรก็ตามการใช้ RFID จำเป็นต้องติดตั้งระบบเสาอากาศบริเวณคอกเลี้ยง และต้องติดอุปกรณ์ส่งสัญญาณ (tag) ที่สุกรแต่ละตัว ซึ่งอาจเพิ่มต้นทุนและความยุ่งยากในการจัดการในระดับฟาร์มจริง เพื่อลดข้อจำกัดดังกล่าว นักวิจัยจึงเริ่มหันมาใช้เทคโนโลยีการประมวลผลภาพ (Image Processing) ในการติดตามพฤติกรรมการกินของสุกร โดยไม่ต้องสัมผัสหรือเชื่อมต่ออุปกรณ์เข้ากับตัวสัตว์ ซึ่งสามารถตรวจจับและวิเคราะห์พฤติกรรมได้อย่างต่อเนื่องและแม่นยำ [4],[5] โดยมีการพัฒนาและต่อยอดเทคโนโลยีดังกล่าวอย่างต่อเนื่องจนถึงปัจจุบัน

ดังนั้น บทความนี้จึงเสนอแนวทางการออกแบบระบบสำหรับบันทึกและติดตามพฤติกรรมการกินของสุกรโดยอัตโนมัติ โดยใช้เทคโนโลยีการประมวลผลภาพควบคู่กับระบบจัดเก็บและแสดงผลข้อมูลผ่านระบบไร้สายในเครือข่ายเดียวกัน ซึ่งจะช่วยให้สามารถวิเคราะห์ข้อมูลเชิงลึกได้อย่างมีประสิทธิภาพ และสนับสนุนการตัดสินใจในการพัฒนาสูตรอาหารสุกรให้มีความแม่นยำและเหมาะสมยิ่งขึ้น

2. ทฤษฎีและการออกแบบ

ระบบที่พัฒนาขึ้นประกอบด้วยกล้องถ่ายภาพ เซนเซอร์ตรวจจับการเคลื่อนไหว โหลดเซลล์ (load cell) โมดูล HX711 ไมโครคอนโทรลเลอร์ ESP32 และ Raspberry Pi ซึ่งทั้งหมดทำงานร่วมกันผ่านเครือข่าย Wi-Fi ดังแสดงในบล็อกไดอะแกรม (รูปที่ 1) เมื่อเริ่มต้นระบบ กล้องจะถูกเปิดใช้งานเพื่อเตรียมถ่ายภาพในพื้นที่ให้อาหารสุกร ขณะเดียวกัน โหลดเซลล์จะทำการวัดน้ำหนักเริ่มต้นของอาหารในถัง โดยส่งสัญญาณเอาต์พุตผ่านโมดูล HX711 ไปยัง ESP32 ซึ่งจะประมวลผลและส่งข้อมูลไปยังเซิร์ฟเวอร์เพื่อจัดเก็บเป็นฐานข้อมูล เมื่อมีสุกรเข้ามาบริเวณถังให้อาหาร เซนเซอร์ตรวจจับการเคลื่อนไหวที่ติดตั้งไว้บริเวณถังอาหารทั้งสามช่องจะทำหน้าที่ตรวจจับการมีอยู่ของสุกร จากนั้นจะส่งสัญญาณไปยัง ESP32 เพื่อกระตุ้นให้เริ่มอ่านค่าน้ำหนักของอาหารที่เปลี่ยนแปลงจากช่องที่สุกรกำลังกิน ในเวลาเดียวกัน กล้องที่เชื่อมต่อกับ Raspberry Pi จะทำการบันทึกภาพของสุกร และใช้เทคนิคการประมวลผลภาพเพื่อระบุตัวตนของสุกรแต่ละตัว โดย Raspberry Pi จะส่งข้อมูลการระบุตัวตนนี้ไปยังเซิร์ฟเวอร์ผ่าน Wi-Fi ซึ่ง ESP32 จะนำข้อมูลดังกล่าวมาเชื่อมโยงกับข้อมูลน้ำหนักอาหารที่บริโภค เพื่อจัดเก็บเป็นพฤติกรรมการกินของสุกรแต่ละตัวแบบอัตโนมัติ

ดังนั้นบทความนี้จึงแบ่งเนื้อหาออกเป็นสองส่วนหลัก ได้แก่ ส่วนที่หนึ่ง นำเสนอการออกแบบและพัฒนาระบบทางกลและทางไฟฟ้าเพื่อใช้ในการตรวจจับการเข้าถึงของสุกรและการชั่งน้ำหนักอาหาร โดยใช้อุปกรณ์เซนเซอร์และโหลดเซลล์ร่วมกับไมโครคอนโทรลเลอร์ ส่วนที่สอง มุ่งเน้นการระบุตัวตนของสุกรรายตัวผ่านเทคนิคการประมวลผลภาพ โดยใช้ระบบกล้องและอัลกอริทึมที่เหมาะสม เพื่อเชื่อมโยงข้อมูลการบริโภคกับสุกรแต่ละตัวอย่างมีประสิทธิภาพ การบูรณาการระบบทั้งสองส่วนเข้าด้วยกันจะช่วยให้สามารถติดตามพฤติกรรมการกินของสุกรได้อย่างแม่นยำและเป็นระบบ ซึ่งเป็นข้อมูลสำคัญในการวิเคราะห์เพื่อปรับปรุงและพัฒนาสูตรอาหารให้เหมาะสมยิ่งขึ้นในเชิงอุตสาหกรรม

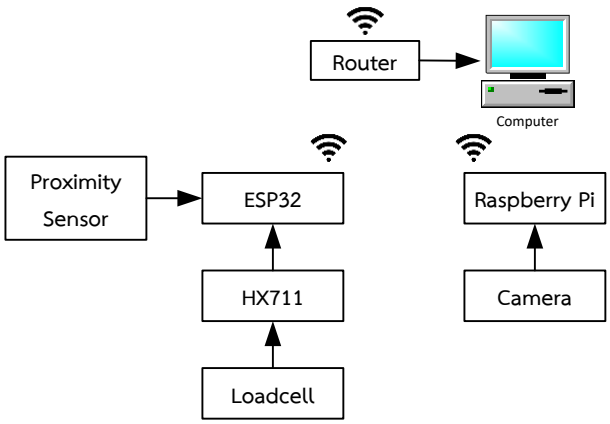

รูปที่ 1 บล็อกไดอะแกรมการทำงานของโครงงาน

2.1 การออกแบบและพัฒนาระบบทางกล และทางไฟฟ้า

2.1.1 การออกแบบทางกล

ในการออกแบบโครงสร้างถังบรรจุอาหารสำหรับสุกร ได้มีการใช้เหล็กแผ่นเป็นวัสดุหลักในการขึ้นรูป โดยดำเนินการตัดและเชื่อมประกอบเข้าด้วยกันในทุกด้านตามแบบที่แสดงในรูปที่ 2 จากนั้นโครงสร้างถังจะถูกติดตั้งบนขาตั้งเหล็ก ซึ่งถูกออกแบบให้มีตำแหน่งรองรับโหลดเซลล์จำนวน 4 จุด บริเวณเสาของขาตั้งแต่ละมุม (ดังแสดงในรูปที่ 4) เพื่อรองรับน้ำหนักถังอาหารโดยตรง ด้วยลักษณะการติดตั้งดังกล่าว แรงจากน้ำหนักของถังอาหารจะถูกส่งผ่านไปยังโหลดเซลล์ทั้งสี่ตำแหน่ง ซึ่งสามารถคำนวณน้ำหนักรวมที่กระทำบนถังอาหารได้จากผลรวมของแรงที่วัดได้จากโหลดเซลล์ทั้งสี่ตัว ตามสมการที่ (1)

$$\sum F = F_1 + F_2 + F_3 + F_4 \qquad (1)$$

โดยที่ F_1, F_2, F_3, F_4 เป็นแรงที่กระทำกับโหลดเซลล์ตัวที่ 1 ถึงตัวที่ 4 ตามลำดับ

สำหรับการออกแบบกรงสำหรับให้สุกรเข้าถึงถังอาหาร ได้มีการออกแบบให้สามารถรองรับสุรได้ครั้งละ 1 ตัวต่อช่องทางการกิน เพื่อความสะดวกในการเก็บข้อมูลพฤติกรรมการกินรายตัว โดยโครงสร้างของกรงและถังอาหารแสดงดังรูปที่ 3 และ 4 ตามลำดับ

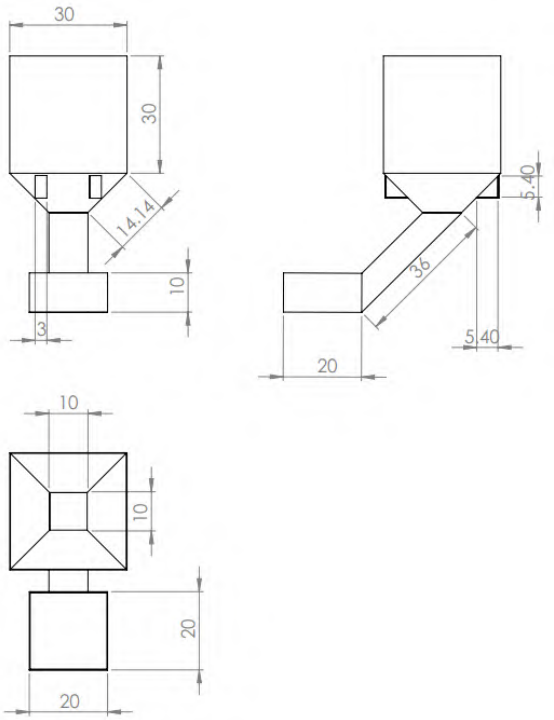

รูปที่ 2 โครงสร้างถังให้อาหารสุกร

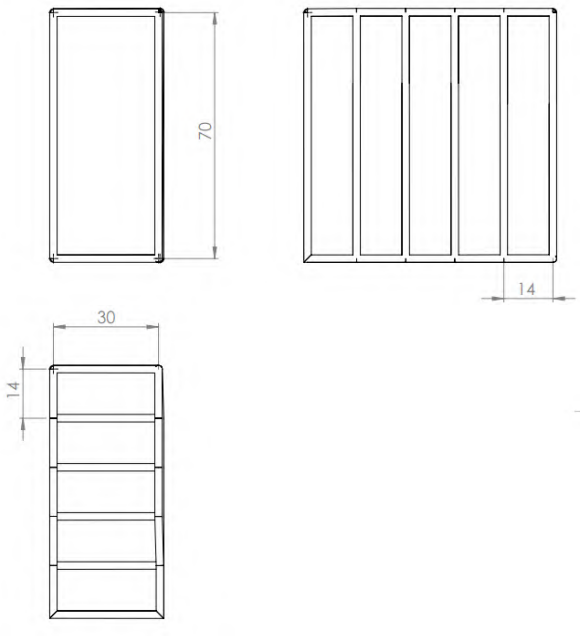

รูปที่ 3 โครงสร้างกรงเหล็ก

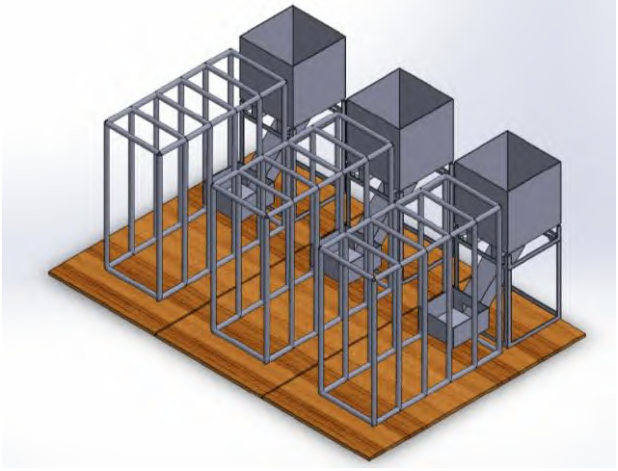

(ก)

(ข)

รูปที่ 4 โครงสร้างรวม ก) ภาพออกแบบ ข) ภาพชิ้นงานจริง

2.1.2 การออกแบบทางไฟฟ้า

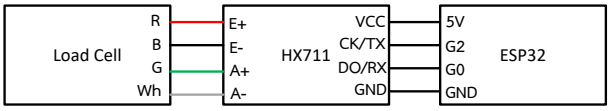

รูปที่ 5 การต่อวงจรชั่งน้ำหนัก

ส่วนการออกแบบทางไฟฟ้า แบ่งเป็น 2 วงจรหลัก โดยวงจรแรกเป็นวงจรสำหรับชั่งน้ำหนักโดยใช้โหลดเซลล์ที่ต่อกับโมดูล HX711 ซึ่งเป็นวงจรแปลงสัญญาณแอนาล็อกเป็นดิจิตอล (Analog to Digital Converter) 24 บิต ที่ได้รับความนิยมนำมาใช้งานร่วมกับบริดจ์โหลดเซลล์ โดยการเชื่อมต่อวงจรแสดงดังรูปที่ 5 ภายหลังการประกอบวงจร ได้ดำเนินการสอบเทียบ(Calibration) ค่าน้ำหนักโดยใช้ตุ้มน้ำหนักมาตราฐาน

และทำการตั้งค่าน้ำหนักเริ่มต้นเป็นศูนย์ (Zero Seting) สำหรับถังอาหารเปล่าแกโหลดเซลล์ทุกตัว จากนั้นจึงทำการทดสอบความแม่นยำของระบบชั่งน้ำหนัก โดยการใส่อาหารลงในถังทีละ 1 กิโลกรัม เริ่มตั้งแต่น้ำหนัก 1 กิโลกรัม ไปจนถึง 5 กิโลกรัม พร้อมทั้งบันทึกค่าที่อ่านได้จากโหลดเซลล์แต่ละตัว และคำนวณค่าความผิดพลาด(Error) ของการวัดน้ำหนักในแต่ละช่วง ซึ่งผลการทดสอบแสดงไว้ในตารางที่ 1 พบว่าโหลดเซลล์สามารถวัดค่าน้ำหนักได้แม่นยำโดยมีค่าความผิดพลาดไม่เกิน 2% ที่น้ำหนักไม่เกิน 5 กิโลกรัม วงจรส่วนที่สอง เป็นวงจรตรวจการเข้าถึงถังอาหารของสุกรผ่านเซนเซอร์ ซึ่งในการตรวจจับการเข้าถึงถังอาหารของสุกรในแต่ละช่อง ได้มีการติดตั้ง Proximity Sensor ซึ่งเป็นเซนเซอร์ที่สามารถตรวจจับวัตถุหรือการเคลื่อนไหวในระยะใกล้โดยไม่ต้องสัมผัส เซนเซอร์นี้จะทำหน้าที่ตรวจสอบการปรากฏตัวของสุกรบริเวณด้านหน้าถังอาหารแต่ละช่อง โดยเมื่อมีสุกรเข้าใกล้ถังอาหาร เซนเซอร์จะส่งสัญญาณดิจิทัลไปยังไมโครคอนโทรลเลอร์ ESP32 เพื่อแจ้งเตือนระบบให้เริ่มกระบวนการวัดน้ำหนักอาหารในขณะสุกรกำลังกิน ภายหลังจากการชั่งน้ำหนัก ข้อมูลน้ำหนักอาหารที่ถูกบริโภคจะถูกส่งไปยังฐานข้อมูล และเชื่อมโยงกับข้อมูลของสุกรรายตัวที่ได้จากระบบการระบุตัวตนผ่านกล้อง ทั้งนี้เพื่อให้สามารถบันทึกปริมาณการบริโภคของสุกรแต่ละตัวได้อย่างแม่นยำ กระบวนการทั้งหมดสามารถแสดงเป็นลำดับขั้นการทำงานตามที่ปรากฏในรูปที่ 6

การทำงานร่วมกันระหว่างเซนเซอร์ตรวจจับวัตถุและระบบชั่งน้ำหนักนี้ ช่วยให้สามารถระบุช่วงเวลาที่สุกรแต่ละตัวกินอาหารได้อย่างแม่นยำ และลดความคลาดเคลื่อนในการเก็บข้อมูลเมื่อเทียบกับวิธีการสังเกตแบบดั้งเดิม

ตารางที่ 1 ผลการทดลองชั่งน้ำหนักจริงโดยใช้โหลดเซลล์

น้ำหนัก (Kg)	ค่าน้ำหนักที่อ่านได้จาก HX711 - Zero Factor	ค่าจากโหลดเซลล์	น้ำหนักรวม	ค่าผิดพลาด (%)
1	Loadcell1 8526776 – 80000 = 8446776 Loadcell2 9092029 – 70000 = 9022029 Loadcell3 8563642 – 97000 = 8466642 Loadcell4 8563645 – 70000 = 8493645	0.21 0.31 0.38 0.11	1.01	1%
2	Loadcell1 8526776 – 80000 = 8446776 Loadcell2 9092029 – 70000 = 9022029 Loadcell3 8563642 – 97000 = 8466642 Loadcell4 8563645 – 70000 = 8493645	0.42 0.55 0.62 0.41	2.00	0%
3	Loadcell1 8526776 – 80000 = 8446776 Loadcell2 9092029 – 70000 = 9022029 Loadcell3 8563642 – 97000 = 8466642 Loadcell4 8563645 – 70000 = 8493645	0.69 0.86 0.83 0.63	3.01	0.33%
4	Loadcell1 8526776 – 80000 = 8446776 Loadcell2 9092029 – 70000 = 9022029 Loadcell3 8563642 – 97000 = 8466642 Loadcell4 8563645 – 70000 = 8493645	0.84 1.21 1.15 0.81	4.01	0.25%
5	Loadcell1 8526776 – 80000 = 8446776 Loadcell2 9092029 – 70000 = 9022029 Loadcell3 8563642 – 97000 = 8466642 Loadcell4 8563645 – 70000 = 8493645	0.74 1.34 1.72 1.18	5.00	0%

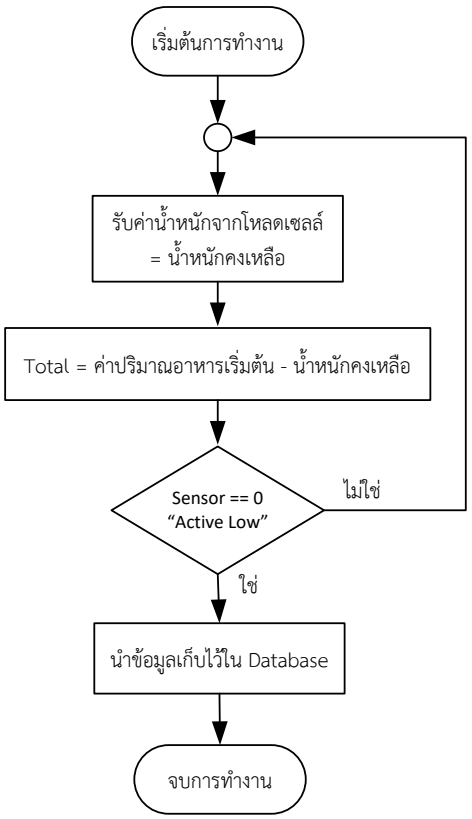

รูปที่ 6 ขั้นตอนการทำงาน (Flow chart) การคำนวณน้ำหนักและบันทึกผลไปยังฐานข้อมูล

2.2 การระบุตัวตนด้วยการประมวลผลภาพ

การระบุตัวตนด้วยการประมวลผลภาพถือเป็นหนึ่งในเทคนิคสำคัญที่ได้รับความสนใจอย่างกว้างขวางในหลากหลายสาขา เนื่องจากความสามารถในการวิเคราะห์และจดจำวัตถุหรือบุคคลจากลักษณะเฉพาะที่ปรากฏในภาพ เทคนิคการตรวจจับสีในระบบ RGB (Red, Green, Blue) เป็นวิธีพื้นฐานที่ใช้ในการแยกแยะและจำแนกวัตถุต่าง ๆ โดยอาศัยการประมวลผลข้อมูลสีในภาพดิจิทัล [6]

ระบบการตรวจจับสี RGB มีข้อได้เปรียบในด้านความง่ายต่อการติดตั้ง และการประมวลผลข้อมูล อีกทั้งยังสามารถนำไปประยุกต์ใช้ในงานระบุตัวตนที่ต้องการความรวดเร็วและแม่นยำภายใต้สภาพแวดล้อมที่หลากหลายได้อย่างมีประสิทธิภาพ ด้วยเหตุนี้บทความนี้จึงเลือกใช้เทคนิคตรวจจับสี RGB มาช่วยในการระบุตัวตนของสุกรภายในคอกซึ่งเป็นสภาพแวดล้อมที่มีข้อจำกัดด้านแสงและการเคลื่อนไหวของสัตว์ โดยได้ทำการแต้มสีลงบนตัวสุกรด้วยสีแดง น้ำเงิน และเหลือง ซึ่งมีขนาดเส้นผ่านศูนย์กลางไม่เกิน 1 เซนติเมตร เพื่อไม่ให้ส่งผลกระทบต่อสุขภาพหรือพฤติกรรมของสัตว์

การทดสอบการระบุตัวตนของสุกรด้วยเทคนิคดังกล่าวดำเนินการภายใต้เงื่อนไขของฟาร์มจริงและผลการตรวจจับจำนวน 60 ครั้ง ที่ระดับความเข้มแสงที่วัดได้จากเครื่องวัดความเข้มแสง (LUX Meter) 1,000-4,000 Lux ตรวจจับได้ 100% แสดงดังตารางที่ 2

ตารางที่ 2 ผลการทดลองตรวจจับสีที่ตัวสุกร

สุกร ตัวที่	ภาพที่ใช้ในการตรวจจับ	ตรวจจับสีได้
ตัวที่1 RED		100%
ตัวที่2 BLUE		100%
ตัวที่3 YELLOW		100%

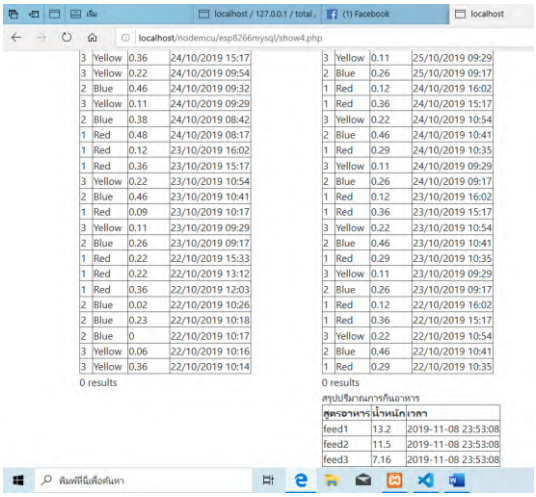

รูปที่ 7 หน้าต่างแสดงผลการกินของสุกร และสรุปน้ำหนักอาหารแต่ละสูตรผ่านผ่าน wifi

เมื่อดำเนินการบูรณาการระบบทุกองค์ประกอบเข้าด้วยกัน ผู้วิจัยได้ทำการใส่สูตรอาหารลงในถังอาหารทั้งหมด 3 สูตร โดยมีรายละเอียดดังนี้

- สูตรที่ 1 ประกอบด้วย โปรตีนไม่น้อยกว่า 18%, กากใยไม่มากกว่า 6%, ไขมันไม่น้อยกว่า 3% และความชื้นไม่มากกว่า 13%
- สูตรที่ 2 ประกอบด้วย โปรตีนไม่น้อยกว่า 12%, กากใยไม่มากกว่า 8%, ไขมันไม่น้อยกว่า 2% และความชื้นไม่มากกว่า 13%
- สูตรที่ 3 ประกอบด้วย โปรตีนไม่น้อยกว่า 12%, กากใยไม่มากกว่า 8%, ไขมันไม่น้อยกว่า 2% และความชื้นไม่มากกว่า 13%

การทดสอบระบบดำเนินการโดยการปล่อยสุกรให้เคลื่อนไหวอย่างอิสระภายในคอก และติดตามพฤติกรรมการบริโภคอาหารผ่านระบบที่พัฒนาไว้ตลอดระยะเวลา 7 วัน โดยข้อมูลที่ได้จากระบบการระบุตัวตน การตรวจจับการเข้าถึงถังอาหาร และการวัดปริมาณอาหารที่บริโภค จะถูกจัดเก็บลงในเซิร์ฟเวอร์เพื่อใช้ในการวิเคราะห์ในภายหลัง ผลการทดลองเบื้องต้นแสดงไว้ในรูปที่ 7 และสรุปผลการเก็บบันทึกตลอดช่วงเวลาการทดลองแสดงในรูปที่ 8 โดยนำค่าน้ำหนักที่ได้จากระบบมาเทียบค่ากับการชั่งน้ำหนักจริงในแต่ละวัน พบว่ามีค่าความผิดพลาดของการชั่งน้ำหนักไม่เกิน 2% ซึ่งจะเห็นว่าระบบสามารถทำงานได้จริงและสามารถสรุปผลผ่าน wifi ได้อย่างแม่นยำ

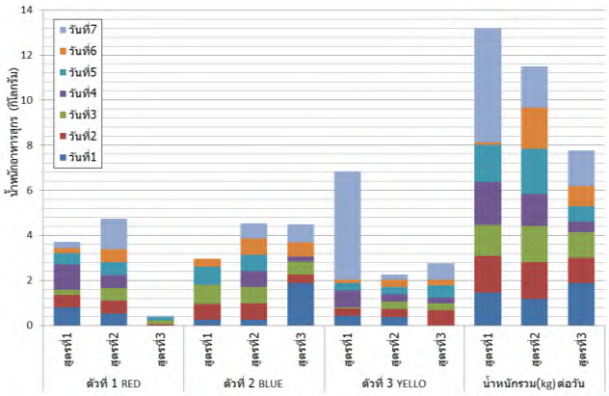

รูปที่ 8 แสดงปริมาณการกินอาหารของสุกรแต่ละตัวในระยะเวลา 7 วัน

3. สรุปผล

จากการศึกษาพฤติกรรมการกินของสุกรโดยใช้ระบบประมวลผลภาพเพื่อระบุตัวตนของสุกรร่วมกับการบันทึกพฤติกรรมการบริโภคอาหาร และแสดงผลข้อมูลผ่านระบบเครือข่ายไร้สาย (Wi-Fi) พบว่าระบบสามารถทำงานได้อย่างมีประสิทธิภาพ โดยมีค่าความคลาดเคลื่อนในการชั่งน้ำหนักไม่เกิน 2% และสามารถระบุตัวตนของสุกรได้อย่างแม่นยำภายใต้สภาวะแสงที่มีความเข้มในช่วง 1,000–4,000 ลักซ์ เนื่องจากระบบที่พัฒนาขึ้นอยู่ในระดับต้นแบบ การจัดเก็บข้อมูลจึงสามารถรองรับได้สูงสุดเป็นระยะเวลา 1 สัปดาห์ อย่างไรก็ตาม สามารถเพิ่มศักยภาพของระบบได้โดยขยายพื้นที่จัดเก็บข้อมูลเพิ่มเติม รวมถึงสามารถพัฒนาระบบแสดงผลผ่านแพลตฟอร์มคลาวด์เพื่อรองรับการประยุกต์ใช้ในระดับอุตสาหกรรมในอนาคต

เอกสารอ้างอิง

[1] Kashiha, Mohammad Amin, et al. “ Automatic monitoring of pig activity using image analysis,” International Conference on Advanced Concepts for Intelligent Vision Systems, Cham: Springer International Publishing, 2013, pp. 555-563.

[2] Pisanu Kumeechai, “ Pig Weight Estimation Using Image Processing and Artificial Neural Networks” Jornal of Science and Technology, Vol.5, No.1, January-December 2022, pp.72-82.

[3] Felix Adrion, et al. “Monitoring trough visits of growing-finishing pigs with UHF-RFID,” Computers and Electronics Agriculture, Vol.144, January 2018, pp.144-153.

[4] Chen Chen, et al. “Recognition of feeding behavior of pigs and determination of feeding time of each pig by video-based deep learning method,” Computers and Electronics Agriculture, Vol.176, September 2020, 105642.

[5] Suteera Puengsawad, et al. “Farrowing Monitoring System for Sows Using Deep learning Techniques,” Huachiew Chalermprakiet Science and Technology Journal,” Vol.10, No.2, July-Decemer 2024, pp.70-81.

Thongchai Pangiundee, et al. “Color-Based Automated Sorting System Using Image Processing Techniques,” Jornal of Technology and Engineering Progress, Vol.3, No.1, January-June 2025, pp.84-93.

ประจวบ ปวรางกูร จบการศึกษาวิศวกรรมศาสตรดุษฎีบัณฑิต จากสถาบันเทคโนโลยีพระจอมเกล้าเจ้าคุณทหารลาดกระบัง ปัจจุบันเป็นอาจารย์สถาบันวิศวกรรมไฟฟ้าและอิเล็กทรอนิกส์ คณะวิศวกรรมศาสตร์และเทคโนโลยี มหาวิทยาลัยเทคโนโลยีมหานคร หัวข้องานวิจัยที่สนใจคือ Low-voltage and low-power analog circuit

กรณิการ์ มูลโพธิ์ สำเร็จการศึกษาระดับปริญญาตรีและปริญญาเอก วิศวกรรมไฟฟ้า สาขาอิเล็กทรอนิกส์ จากมหาวิทยาลัยเทคโนโลยีมหานคร ในปี พ.ศ.2544 และ พ.ศ.2549 ตามลำดับ เริ่มทำงานที่ภาควิชาวิศวกรรมระบบวัดคุมและเมคคาทรอนิกส์ มหาวิทยาลัยเทคโนโลยีมหานคร ในปี พ.ศ.2549 ถึงปัจจุบัน มีความสนใจในงานด้านออกแบบวงจรรวมที่ใช้พลังงานและแรงดันต่ำ งานด้านระบบควบคุมอัตโนมัติ และนวัตกรรมหุ่นยนต์

ประตูแมวอัจฉริยะด้วยการจดจำใบหน้าผ่าน OpenCV และ IoT

Smart Cat Door Using Facial Recognition via OpenCV and IoT

ปิยพล ยืนยงสถาวร[1] ณัฐชาสิทธิ์ ชูเกียรติขจร[1] และ ปณต พุกกะพันธุ์[1]*

[1]สาขาวิชาวิศวกรรมไฟฟ้า คณะวิศวกรรมศาสตร์ มหาวิทยาลัยเทคโนโลยีราชมงคลล้านนา เชียงใหม่
piyaphol@rmutl.ac.th, natchasit@rmutl.ac.th, pranote@rmutl.ac.th*

บทคัดย่อ

งานวิจัยนี้นำเสนอการออกแบบและพัฒนาระบบประตูแมวอัจฉริยะ ที่สามารถทำงานโดยอิงจากการระบุตัวตนของแมวแต่ละตัวผ่านเทคโนโลยีปัญญาประดิษฐ์ โดยมีวัตถุประสงค์หลักเพื่อเพิ่มความปลอดภัยและความสะดวกสบายในบ้าน ด้วยการควบคุมการเข้า-ออก อัตโนมัติสำหรับแมวในบ้านโดยเฉพาะ และป้องกันไม่ให้สัตว์ที่ไม่ได้รับอนุญาตเข้ามาได้ ระบบประกอบด้วย Raspberry Pi 4 และกล้อง Raspberry Pi Camera Module 3 สำหรับจับภาพแบบเรียลไทม์ และใช้ TensorFlow ร่วมกับ OpenCV สำหรับการตรวจจับวัตถุ ข้อมูลภาพใบหน้าแมวถูกจัดเก็บและติดป้ายกำกับด้วยเครื่องมือ LabelImg จากนั้นนำไปฝึกในรูปแบบโครงข่ายประสาทเทียมเชิงลึก (CNN) บน Google Colab โมเดลที่ได้รับการฝึกจะถูกติดตั้งบนคอนโทรลเลอร์เพื่อสั่งงานกลอนไฟฟ้าเมื่อแมวที่รู้จักเข้าใกล้ พร้อมทั้งส่งแจ้งเตือนการเข้า-ออกผ่านแอปพลิเคชัน LINE กลุ่มตัวอย่างประกอบด้วยแมวในบ้านหลายตัว โดยมีภาพมากกว่า 800 ภาพที่ใช้ในการฝึกโมเดล การทดสอบการทำงานถูกดำเนินการทั้งหมด 20 ครั้งในระยะต่าง ๆ (1–5 เมตร) โดยมีความแม่นยำเฉลี่ยในการตรวจจับที่ 82% โดยมีความแม่นยำสูงสุดภายในระยะ 3 เมตร ระบบสามารถแยกแยะระหว่างแมวที่ได้รับอนุญาตกับที่ไม่ได้รับอนุญาตอย่างมีประสิทธิภาพ

คำสำคัญ: การจดจำแมว, TensorFlow, OpenCV, ประตูสัตว์เลี้ยงอัจฉริยะ, Raspberry Pi, ระบบรักษาความปลอดภัยบ้านด้วย IoT

Abstract

This study shows how to design and build a smart cat door system that can use AI technology to tell one cat from another. The main goal is to make homes safer and more convenient by giving cats automatic control over when they can come and go, while keeping other animals out. Using a Raspberry Pi 4 and a Raspberry Pi Camera Module 3, the system takes pictures in real time. Using TensorFlow and OpenCV together, you can find objects. We utilize the LabelImg tool to classify the cats' facial images and then train a deep convolutional neural network (CNN) on Google Colab. When a cat that the trained model recognizes gets close, it sends a signal to the controller to unlock the door. The LINE app sends notifications when someone enters or exits.

The sample group was made up of a few house cats, and more than 800 pictures were utilized to train them. Functional testing was done 20 times over distances of 1 to 5 meters. The average detection accuracy was 82%, and the highest accuracy was found within a 3-meter range. The technique works well to tell the difference between cats that are allowed and those that aren't.

Keywords: Cat recognition, TensorFlow, OpenCV, Smart pet door, Raspberry Pi, IoT-based home security system

1. บทนำ

ในหลายครัวเรือน ประตูสัตว์เลี้ยงให้ความสะดวกสบาย แต่กลับเป็นช่องโหว่ด้านความปลอดภัย เพราะเปิดโอกาสให้สัตว์ที่ไม่ได้รับอนุญาตเข้ามาได้ ประตูสัตว์เลี้ยงแบบดั้งเดิมขาดความสามารถในการกรองการเข้าออกได้อย่างปลอดภัย ส่งผลให้เกิดความเสี่ยงต่อสัตว์เลี้ยงและทรัพย์สิน โดยเฉพาะในเขตเมืองที่มีสัตว์จรจัดและความเสียหายของทรัพย์สินเกิดขึ้นบ่อยครั้ง ความก้าวหน้าในด้าน (AI) ระบบฝังตัว และ (Computer Vision) ได้เข้ามามีส่วนร่วมในการพัฒนาโซลูชันที่ชาญฉลาดเพื่อแก้ไขปัญหานี้ โดยเฉพาะเทคโนโลยีการจดจำใบหน้าซึ่งเดิมใช้ในระบบรักษาความปลอดภัยของมนุษย์ ปัจจุบันเริ่มนำมาประยุกต์ใช้กับสัตว์เลี้ยง โดยเฉพาะแมว ที่มีความนิยมเลี้ยงดูเป็นอย่างมากในปัจจุบัน เพื่อควบคุมการเข้าออกอย่างแม่นยำและป้องกันสัตว์แปลกปลอม ซึ่งสอดคล้องกับแนวโน้มการพัฒนา "บ้านอัจฉริยะ" (Smart Home Automation) แพลตฟอร์มอย่าง Raspberry Pi และเครื่องมือ AI เช่น TensorFlow และ OpenCV เป็นพื้นฐานทั้งในด้านคอมพิวเตอร์และซอฟต์แวร์สำหรับสร้างระบบนี้ วัตถุประสงค์ของงานวิจัยนี้คือเพื่อออกแบบและติดตั้งระบบประตูแมวอัจฉริยะที่สามารถใช้การจดจำใบหน้าด้วย AI เพื่อยืนยันตัวตนและควบคุมการเข้า-ออก ของแมวในบ้าน ระบบประกอบด้วยกล้องความละเอียดสูงเชื่อมต่อกับ Raspberry Pi 4 เพื่อจับภาพแบบเรียลไทม์ โมเดลโครงข่ายประสาทเทียม (CNN) ได้รับการฝึกด้วยชุดข้อมูลภาพแมว เพื่อระบุตัวตนของแมวแต่ละตัว เมื่อตรวจพบแมวที่รู้จัก ระบบจะสั่งกลอนไฟฟ้าให้เปิด และบันทึกเหตุการณ์ พร้อมส่งการแจ้งเตือนผ่านแพลตฟอร์ม LINE

2. หลักการและทฤษฎีเกี่ยวข้อง

2.1 งานวิจัยเกี่ยวข้อง

เพื่อให้เกิดความเข้าใจอย่างครอบคลุมเกี่ยวกับระบบควบคุมการเข้าออกของสัตว์เลี้ยงด้วย AI โดยเฉพาะประตูแมวอัจฉริยะ ได้มีการสืบค้นวรรณกรรมอย่างกว้างขวางผ่านฐานข้อมูล IEEE Xplore และ Google Scholar โดยใช้คำค้นหลัก เช่น “AI pet door”, “feline facial recognition”, “smart home IoT for pets” และ “computer vision for animal detection” โดยเน้นงานวิจัยระหว่างปี 2018 ถึง 2024 แหล่งข้อมูลที่เลือกใช้พิจารณาจากความเกี่ยวข้องทางเทคนิค ความทันสมัย และความสอดคล้องกับระบบฝังตัวและการตรวจจับวัตถุด้วย AI โดยให้ความสำคัญกับบทความวิชาการที่ผ่านการพิจารณาโดยผู้ทรงคุณวุฒิ เอกสารการประชุมทางวิชาการ และการสำรวจแนวโน้มในระบบจดจำด้วย AI การควบคุมการเข้าถึงด้วยข้อมูลชีวภาพ และประเด็นด้านความเป็น

*ผู้ประพันธ์บรรณกิจ

ส่วนตัวในวิสัยทัศน์คอมพิวเตอร์ รวมถึงมาตรฐานและบทวิจารณ์ที่กล่าวถึงทั้งมิติทางเทคนิคและจริยธรรมของเทคโนโลยีสำหรับสัตว์เลี้ยงอัจฉริยะ

เอกสารเหล่านี้สะท้อนให้เห็นถึงแนวโน้มการบูรณาการของ AI, IoT และระบบฝังตัวในด้านการดูแลสัตว์เลี้ยง โดยเฉพาะด้านการควบคุมการเข้าออกและการตรวจสอบพฤติกรรม ประเด็นสำคัญ ได้แก่ การใช้โครงข่ายประสาทเทียมแบบคอนโวลูชัน (CNN) สำหรับการจดจำใบหน้า [3], การใช้ Raspberry Pi และโปรเซสเซอร์พลังงานต่ำ [2] และประเด็นความปลอดภัยในบริบทของบ้านอัจฉริยะ [4][5] อย่างไรก็ตาม ยังพบช่องว่างในด้านการระบุตัวตนแบบหลายมิติที่รวมข้อมูลภาพและพฤติกรรม ซึ่งยังมีการศึกษาน้อยโดยเฉพาะในระบบที่มุ่งเน้นแมวผ่านการจดจำภาพ

2.2 การออกแบบงานวิจัย

การออกแบบงานวิจัยใช้รูปแบบการพัฒนาต้นแบบ ซึ่งประกอบด้วยขั้นตอนการวางแผนระบบ การรวมฮาร์ดแวร์และซอฟต์แวร์ การฝึกโมเดล การทดสอบระบบ และการประเมินประสิทธิภาพ ระบบถูกสร้างขึ้นโดยใช้ Raspberry Pi 4, กล้อง Raspberry Pi Camera Module 3, กลอนไฟฟ้า (Solenoid Lock) และไลบรารี AI ที่ใช้ภาษา Python ได้แก่ TensorFlow และ OpenCV ดังแสดงในรูปที่ 1

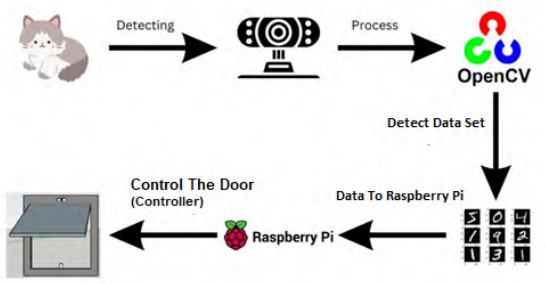

รูปที่ 1 หลักการทำงานของระบบควบคุมประตูแมวอัจฉริยะด้วย AI

รูปที่ 1 หลักการทำงานโดยรวมของระบบควบคุมประตูแมวอัจฉริยะที่ใช้การจดจำใบหน้าด้วย AI โดยระบบเริ่มต้นจากขั้นตอนการตรวจจับ ซึ่งกล้องจะจับภาพของแมวที่กำลังเข้าใกล้ประตู รูปที่ได้จะถูกส่งไปยังหน่วยประมวลผลภาพซึ่งทำงานด้วยไลบรารี OpenCV เพื่อวิเคราะห์และแยกคุณลักษณะต่าง ๆ แล้วเปรียบเทียบกับโมเดลที่ได้รับการฝึกไว้ล่วงหน้าเพื่อระบุตัวตน

รูปที่ 2 สถาปัตยกรรม CNN ของระบบ

จากรูปที่ 2 เป็นโมเดลที่พัฒนาขึ้นเป็นโครงข่ายประสาทเทียมเชิงลึกแบบ Convolutional Neural Network (CNN) ซึ่งออกแบบมาเพื่อประมวลผลและจำแนกภาพอินพุต โดยอินพุตของโมเดลเป็นภาพสีขนาด 32×32 พิกเซล จำนวน 3 รูปแบบ (RGB) ผ่านเข้าสู่ชั้นคอนโวลูชัน (Convolutional Layer) จำนวน 2 ชั้น ซึ่งแต่ละชั้นใช้ฟิลเตอร์ขนาด 4×4 จำนวน 32 ตัว ทำหน้าที่จัดการภาพ เช่น ตีขอบ กรอบรูปร่าง พร้อมใช้ฟังก์ชันกระตุ้นแบบ ReLU เพื่อเพิ่มความไม่เชิงเส้น (Non-Linearity) จากนั้นข้อมูลจะถูกส่งผ่านเข้าสู่ชั้นการทำพูลลิง (MaxPooling Layer) ขนาด 2 × 2 ซึ่งช่วยลดขนาดเชิงพื้นที่ของ (Feature Map) ลดจำนวนพารามิเตอร์ และเพิ่มประสิทธิภาพในการเรียนรู้

หลังจากได้ข้อมูลได้ตามต้องการแล้ว จะถูกแปลงให้อยู่ในรูปเวกเตอร์หนึ่งมิติผ่านชั้น Flatten Layer เพื่อนำเข้าสู่ชั้น Dense Layer หรือ Fully Connected Layer ซึ่งชั้นแรกมีจำนวน 256 นิวรอน ใช้ฟังก์ชัน ReLU เพื่อเรียนรู้ความสัมพันธ์ที่ซับซ้อนและไม่เป็นเชิงเส้นของข้อมูล ส่วนชั้นถัดมาเป็นชั้นเอาต์พุต ประกอบด้วย 10 นิวรอน ใช้ฟังก์ชัน Softmax ทำหน้าที่แปลงผลลัพธ์ให้อยู่ในรูปการแจกแจงความน่าจะเป็น (Probability Distribution) ของแต่ละคลาส ซึ่งเหมาะสมต่อการใช้งานในการจำแนกภาพ (Image Classification) ออกเป็น 10 ประเภท โดยรวมแล้ว โมเดลนี้มีความสมดุลระหว่างความซับซ้อนและประสิทธิภาพ สามารถประมวลผลภาพขนาดเล็กถึงปานกลางได้เป็นอย่างดี อีกทั้งเหมาะสมสำหรับการใช้งานกับชุดข้อมูลมาตรฐาน เช่น CIFAR-10 หรือการประยุกต์ใช้กับงานจำแนกภาพประเภทอื่น ๆ ที่มีลักษณะคล้ายกัน

เมื่อระบบยืนยันตัวตนแมวได้สำเร็จ จะสร้างชุดข้อมูลเฉพาะสำหรับผลการจดจำ และส่งข้อมูลนี้ไปยัง Raspberry Pi ซึ่งทำหน้าที่เป็นตัวควบคุมหลัก เมื่อได้รับผลการจดจำที่ถูกต้อง Raspberry Pi จะส่งคำสั่งให้เปิดกลอนไฟฟ้าบนประตูแมว กระบวนการควบคุมแบบวงปิดนี้ช่วยให้เฉพาะแมวที่ลงทะเบียนไว้เท่านั้นที่สามารถเข้าออกได้ จึงเพิ่มความปลอดภัยในบ้านและลดโอกาสที่สัตว์ไม่ได้รับอนุญาตจะเข้ามา

รูปที่ 3 โฟล์วชาร์ตแสดงการทำงานของระบบ

จากรูปที่ 3 เป็นโฟล์วชาร์ตแสดงการทำงานของระบบเริ่มต้นด้วยกล้องทำการตรวจจับอัตลักษณ์ของแมว หากอัตลักษณ์ของแมวตัวดังกล่าวมีเปอร์เซ็นต์ความเหมือนที่ 98% ระบบจะทำการสั่งการไปให้บอร์ดปลดล็อค หากไม่ใช่จะทำการตรวจจับใหม่ และทำการปลดล็อคประตูเป็นเวลา 1 นาทีและส่งการแจ้งเตือนไปทางแอพพลิเคชัน Line หลังจากนั้นประตูจะทำการล็อคและตรวจจับใหม่

2.3 การเก็บรวบรวมข้อมูล

การเก็บข้อมูลดำเนินการโดยการบันทึกชุดภาพของแมวสามตัวที่แตกต่างกันภายใต้สภาพแสงและมุมมองที่หลากหลาย โดยสร้างภาพใบหน้าแมวอย่างน้อย 600–800 ภาพต่อแมวหนึ่งตัว ภาพเหล่านี้ถูกติดป้ายกำกับด้วยเครื่องมือ Image Label เพื่อสร้างกรอบระบุประเภทของวัตถุที่เป็นแมว ข้อมูลดังกล่าวถูกใช้ในการฝึกโมเดลโครงข่ายประสาทเทียมแบบคอนโวลูชัน (CNN) สำหรับการระบุแมว

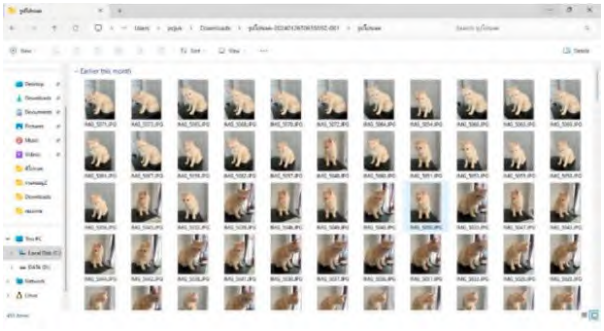

รูปที่ 4 ชุดข้อมูลภาพสำหรับการฝึกโมเดลจดจำแมว

รูปที่ 4 แสดงตัวอย่างชุดข้อมูลที่ใช้ในการฝึกโมเดล CNN ในงานวิจัยนี้ ข้อมูลประกอบด้วยภาพสีของวัตถุหลากหลายประเภทรวมถึงแมว ซึ่งเดิมมาจากชุดข้อมูลมาตรฐาน CIFAR-10 โดยแต่ละภาพจะถูกปรับขนาดให้เท่ากันที่ 32×32 พิกเซล และจัดอยู่ในหนึ่งในสิบหมวดหมู่ ได้แก่ เครื่องบิน รถยนต์ นก แมว กวาง สุนัข กบ ม้า เรือ และรถบรรทุก โดยค่าตัวเลขตั้งแต่ 0–9 แทนแต่ละหมวดตามลำดับ เช่น ค่า 0 แทนหมวดเครื่องบิน ค่า 1 แทนหมวดรถ เป็นต้น

สำหรับงานวิจัยนี้ มุ่งเน้นไปที่การจำแนกประเภท “แมว” ให้แม่นยำ ผ่านการดึงคุณลักษณะและปรับแต่งโมเดล ชุดข้อมูลนี้ทำหน้าที่เป็นฐานสำหรับการถ่ายทอดการเรียนรู้ (Transfer Learning) และการทดลองด้านสถาปัตยกรรมโมเดล ก่อนนำไปใช้กับชุดข้อมูลใบหน้าแมวเฉพาะทาง ความหลากหลายของวัตถุ มุมมอง และฉากหลังในชุดข้อมูลนี้เป็นประโยชน์ต่อการประเมินประสิทธิภาพการจำแนกทั่วไป

2.4 ความเที่ยงตรงและความเชื่อถือได้

ความเที่ยงตรงและความเชื่อถือได้ของระบบ ได้มีการทดสอบโมเดลกับทั้งแมวที่ลงทะเบียนและไม่ได้ลงทะเบียน การทดลองซ้ำหลายครั้งถูกดำเนินการเพื่อประเมินความสม่ำเสมอของระบบ ในขณะเดียวกันก็ทดสอบความเสถียรของฮาร์ดแวร์ผ่านการทำงานต่อเนื่องในหลายช่วงเวลา

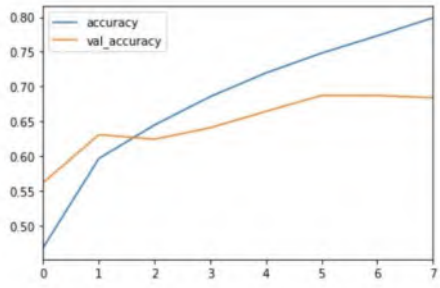

รูปที่ 5 กราฟค่า Loss ที่ได้จากชุดข้อมูล Train กับ ชุดข้อมูล Test

สำหรับค่าความถูกต้องหรือ Accuracy นั้นก็แสดงไปในทิศทางที่สอดคล้องกัน คือในรอบการ Train ที่ 6 และ 7 แม้ว่าค่าความถูกต้องของชุดข้อมูล Train จะเพิ่มขึ้น แต่เมื่อทดสอบกับชุดข้อมูล Test พบว่าค่าเริ่มลดลง การหยุด Train Model จึงช่วยให้ Model ไม่เกิด Overfit เกินไป คำสั่งที่ใช้หาค่าตัววัด Model คือ Evaluate ตามที่ปรากฏในรูปที่ 5

3. ผลการทดลองและอภิปราย

รูปที่ 6 การติดตั้งระบบทดลองสำหรับการตรวจจับแมวแบบเรียลไทม์ด้วยระบบประตูแมวอัจฉริยะ

รูปที่ 6 แสดงการติดตั้งจริงและการทดสอบการทำงานของระบบจดจำแมวด้วย AI ในสภาพแวดล้อมภายในอาคารที่มีการควบคุม รูปดังกล่าวแสดงช่วงเวลาที่แมวซึ่งได้ลงทะเบียนไว้กำลังเข้าใกล้ประตูแมวอัจฉริยะซึ่งติดตั้งบนผนังและเชื่อมต่อกับชุดควบคุมที่ใช้ Raspberry Pi กลไกของประตูประกอบด้วยกลอนไฟฟ้า (Solenoid lock) ที่ควบคุมด้วยกระบวนการจดจำใบหน้าซึ่งทำงานผ่านโมเดล CNN ที่ติดตั้งอยู่ใน Raspberry Pi

ในระยะนี้ของการทดลอง ระบบจะทำการจับภาพแบบเรียลไทม์ ยืนยันตัวตน และควบคุมการเข้าถึง เมื่อสามารถตรวจจับแมวได้สำเร็จ ระบบจะส่งสัญญาณเพื่อปลดกลอนไฟฟ้า ซึ่งแสดงให้เห็นถึงความสามารถในการทำงานแบบครบวงจรของทั้งฮาร์ดแวร์และซอฟต์แวร์ การทดลองนี้ยืนยันถึงประสิทธิภาพของระบบในสภาพใช้งานจริง และความทนทานของกลไกการตรวจจับต่อปัจจัยแวดล้อมทั่วไป เช่น การเคลื่อนไหวของแมว แสงโดยรอบ และตำแหน่งของแมว

ตารางที่ 1 ความแม่นยำในการตรวจจับของระบบประตูแมวอัจฉริยะในระยะต่าง ๆ

ครั้งที่	1 เมตร	2 เมตร	3 เมตร	4 เมตร	5 เมตร
1	✓	✓	✓	✓	✗
2	✓	✓	✓	✓	✓
3	✓	✓	✓	✗	✗
4	✓	✓	✓	✓	✗
5	✓	✓	✓	✗	✗
6	✓	✓	✓	✓	✗
7	✓	✓	✓	✗	✗

ครั้งที่	1 เมตร	2 เมตร	3 เมตร	4 เมตร	5 เมตร
8	✓	✓	✓	✓	✗
9	✓	✓	✓	✓	✗
10	✓	✓	✓	✓	✗
11	✓	✓	✗	✗	✗
12	✓	✓	✗	✓	✗
13	✓	✓	✓	✓	✗
14	✓	✓	✓	✓	✓
15	✓	✓	✓	✓	✗
16	✓	✓	✗	✓	✗
17	✓	✓	✓	✓	✗
18	✓	✓	✓	✓	✗
19	✓	✓	✓	✓	✗
20	✓	✓	✓	✓	✗
อัตราความสำเร็จ	100%	100%	85%	70%	0%
ความแม่นยำรวม	71%				

ตารางที่ 1 สรุปผลการทดลองจำนวน 20 ครั้งที่ใช้ประเมินประสิทธิภาพของระบบตรวจจับแมวในระยะห่างตั้งแต่ 1 ถึง 5 เมตร โดยในการทดลองแต่ละครั้งได้ประเมินความสามารถของระบบในการจดจำตัวตนของแมวและสั่งกลอนไฟฟ้าทำงานผ่านการจดจำใบหน้า

อัตราการตรวจจับในระยะ 1–2 เมตรอยู่ที่ 100% แสดงให้เห็นถึงความน่าเชื่อถือสูงในช่วงระยะที่มีประสิทธิภาพนี้ อย่างไรก็ตามที่ระยะ 3 และ 4 เมตร ความแม่นยำลดลงเหลือ 85 % และ70% ตามลำดับ สุดท้ายที่ 5 เมตร ระบบไม่สามารถตรวจจับแมวได้เลย ทำให้อัตราความสำเร็จเป็น 0% ข้อมูลเหล่านี้ยืนยันว่า ความสามารถในการจดจำของโมเดลขึ้นอยู่กับระยะห่างระหว่างแมวกับกล้องเป็นสำคัญ

อัตราความสำเร็จในการตรวจจับโดยรวมของระบบจากการทดลองทั้ง 20 ครั้ง คือ 71% ซึ่งสะท้อนให้เห็นถึงประสิทธิภาพของระบบภายใต้เงื่อนไขที่เหมาะสม และเน้นย้ำถึงความสำคัญของปัจจัยด้านการติดตั้งจริง เช่น มุมกล้องและแสงที่มีผลต่อความแม่นยำในการตรวจจับ

รูปที่ 7 รูปการทดลองเมื่อนำแมวที่เป็นโมเดลและไม่เป็นโมเดลมาเปรียบเทียบกัน

จากรูปที่ 7 จากการทดลองเมื่อนำแมวที่เป็นโมเดลและไม่เป็นโมเดลมาเปรียบเทียบกัน จะเห็นได้ว่าแมวที่เป็นโมเดลจะมีกรอบและชื่อแสดง แต่แมวที่ไม่ได้เป็นโมเดลจะไม่แสดงทั้งชื่อและกรอบ ซึ่งหมายความว่าไม่ได้ทำการตรวจจับ

4. สรุปผลการวิจัย

งานวิจัยนี้นำเสนอการพัฒนาและประเมินผลของระบบประตูแมวอัจฉริยะที่ขับเคลื่อนด้วย AI ซึ่งสามารถระบุตัวตนของแมวแต่ละตัวได้ผ่านการจดจำใบหน้า ระบบแสดงให้เห็นถึงความแม่นยำสูงในระยะใกล้ (1–2 เมตร) โดยมีอัตราความสำเร็จในการตรวจจับถึง 100% และความแม่นยำรวมของระบบอยู่ที่ 71% ภายใต้ทุกเงื่อนไขในการทดสอบ ความสามารถในการตรวจจับแบบ บน Raspberry Pi 4 ยืนยันถึงความเป็นไปได้ในการนำโมเดลโครงข่ายประสาทเทียมแบบคอนโวลูชัน (CNN) มาใช้บนฮาร์ดแวร์ฝังตัวได้อย่างมีประสิทธิภาพ ผลลัพธ์เหล่านี้มีส่วนช่วยพัฒนาเทคโนโลยีควบคุมการเข้าถึงอัจฉริยะสำหรับการดูแลสัตว์เลี้ยง และเสนอทางเลือกแบบไม่ต้องสัมผัสแทนการใช้ RFID หรือไมโครชิป

อย่างไรก็ตาม ยังพบข้อจำกัดหลายประการ เช่น ประสิทธิภาพในการตรวจจับลดลงอย่างชัดเจนเมื่อระยะเกินกว่า 3 เมตร ความแม่นยำของระบบยังได้รับผลกระทบจากสภาพแสงที่ไม่เหมาะสม หรือท่าทางของแมวที่แตกต่างจากชุดข้อมูลที่ใช้ฝึก นอกจากนี้ ข้อจำกัดของฮาร์ดแวร์ในด้านความเร็วในการประมวลผลและความละเอียดของกล้องยังเป็นอุปสรรคต่อการใช้งานในพื้นที่กลางแจ้ง

เอกสารอ้างอิง

[1] ประสพโชค โห้ทองคำ สันติสุข สว่างกล้า และ อภิชฎา ทองรักษ์, “วงจรแปลงผันไฟฟ้าเอซีทูเอซีคอนเวอร์เตอร์ 3 เฟส โดยตรงที่ปราศจากวงจรส่วนเชื่อมโยงดีซีทดสอบ กับโหลดแบบพาสซีฟ,” การประชุมวิชาการทางวิศวกรรมไฟฟ้า ครั้งที่ 44, 17-19 พฤศจิกายน 2564, หน้า 132-135

[2] ณรงค์ชัย ทศพร สุวิจักขณ์ มีชำนาญ วีรภัทร วรพิน ภัทรพล กล่ำโพธิ์ทอง คฑาวุธ รัตนดิลก ณ ภูเก็ต และ ชัยวุฒ ชูรักษ์, “ระบบขับเคลื่อนมอเตอร์ไฟฟ้ากระแสตรงแบบสี่จตุภาคควบคุมด้วยไมโครคอนโทรลเลอร์ C2000,” การประชุมวิชาการทางวิศวกรรมไฟฟ้า ครั้งที่ 46, 15-17 พฤศจิกายน 2566, หน้า 181-184

[3] J. Satansup, N. Roongmuanpha, T. Pukkalanun, and W. Tangsrirat, “Realization of lossy parallel inductance simulator using single VDGA and a grounded capacitor,” *2022 International Electrical Engineering Congress (iEECON)*, Khon Kaen, Thailand, 2022, pp. 1-4.

[4] P. Hothongkham, and S. Suathed, “Simulation of three-phase PWM AC-AC matrix converter without the DC-link testing with the passive loads and without input filter,” *2022 19th International Conference on Electrical Engineering/Electronics, Computer, Telecommunications and Information Technology (ECTI-CON)*, Prachuap Khiri Khan, Thailand, 2022, pp. 1-4.

[5] T. Boonraksa, P. Boonraksa, and B. Marungsri, “Optimal Capacitor Location and Sizing for Reducing the Power Loss on the Power Distribution Systems due to the Dynamic Load of the Electric Buses Charging System using the Artificial Bee Colony Algorithm” *J. Electr. Eng. Technol.*, vol. 16, pp. 1821–1831, 2021.

[6] T. Boonraksa, P. Boonraksa, S. lei lei Wynn and B. Marungsri, “ Location and Sizing Optimization of Distributed Generation Systems on Smart Grid with the Whale Optimization Algorithm” *2021 9th International Electrical Engineering Congress (iEECON)*, Pattaya, Thailand, 2021, pp. 81-84.

นายปิยพล ยืนยงสถาวร จบการศึกษาระดับปริญญาโท จากมหาวิทยาลัยเชียงใหม่, ปัจจุบันเป็นอาจารย์ประจำสาขาวิชาวิศวกรรมซอฟต์แวร์ มหาวิทยาลัยเทคโนโลยีราชมงคลล้านนา

นายปณต พุกกะพันธุ์ จบการศึกษาระดับปริญญาโท จากมหาเทคโนโลยีพระจอมเกล้า พระนครเหนือ, ปัจจุบันเป็นอาจารย์ประจำสาขาวิชาวิศวกรรมคอมพิวเตอร์ มหาวิทยาลัยเทคโนโลยีราชมงคลล้านนา

นายณัฐชาสิทธิ์ ชูเกียรติขจร จบการศึกษาระดับปริญญาโท จากมหาวิทยาลัยเชียงใหม่, ปัจจุบันเป็นอาจารย์ประจำสาขาวิชาวิศวกรรมคอมพิวเตอร์ มหาวิทยาลัยเทคโนโลยีราชมงคลล้านนา

ระบบแสดงสถานะถังขยะอัจฉริยะ

Smart Trash Bin Status Monitoring System

อนงค์นาถ อินทะเสม[1] เกษมสุข เสพศิริสุข[1] และสักกะพันธ์ คล้ายดอกจันทร์[1]*

[1]ภาควิชาวิศวกรรมศาสตร์ สถาบันเทคโนโลยีพระจอมเกล้าเจ้าคุณทหารลาดกระบัง วิทยาเขตชุมพรเขตรอุดมศักดิ์

anongnat.in@kmitl.ac.th, kasemsuk.se@kmitl.ac.th, sakapan.kl@kmitl.ac.th*

บทคัดย่อ

บทความนี้นำเสนอระบบแสดงสถานะถังขยะอัจฉริยะด้วยเทคโนโลยีปัญญาประดิษฐ์ (AI) เพื่อเพิ่มประสิทธิภาพการจัดการขยะในพื้นที่สาธารณะ โดยใช้กล้อง ESP32-CAM ถ่ายภาพถังขยะและส่งภาพไปยังเซิร์ฟเวอร์ Flask API ให้โมเดล YOLOv8 วิเคราะห์สถานะ เช่น ถังว่าง ถังเต็ม ถังล้ม และถังหาย ผลลัพธ์จะถูกส่งต่อผ่านบอร์ด Heltec ESP32 LoRa ไปยังเครือข่าย LoRaWAN และแสดงผลแบบเรียลไทม์บนแดชบอร์ด หากพบสถานะผิดปกติ ระบบจะแจ้งเตือนผ่านแดชบอร์ดและเทเลแกรม พร้อมบันทึกข้อมูลลง Google Sheets เพื่อการวิเคราะห์ย้อนหลัง อีกทั้งยังสามารถตรวจสอบสถานะและภาพถังขยะผ่าน LINE Chatbot ได้อย่างสะดวก จากผลการทดลองระบบมีค่าความแม่นยำเฉลี่ยเท่ากับ 0.96 ค่า Precision เท่ากับ 0.95 และค่า Recall เท่ากับ 0.92 โดยระยะการตรวจจับที่เหมาะสมไม่เกิน 4.5 เมตร และสามารถส่งข้อมูลผ่านเครือข่าย LoRaWAN ได้ไกลถึง 800 เมตร ระบบแสดงผลแม่นยำ เชื่อถือได้ และตอบสนองต่อผู้ใช้ได้แบบเรียลไทม์อย่างมีประสิทธิภาพ

คำสำคัญ: สถานะถังขยะอัจฉริยะ ลอร่าแวน ปัญญาประดิษฐ์

Abstract

This article presents an intelligent trash bin status monitoring system using Artificial Intelligence (AI) technology to improve waste management efficiency in public areas. The system uses an ESP32-CAM to capture images of trash bins and sends them to a Flask API server, where a YOLOv8 model analyzes the bin status—such as empty, full, toppled, or missing. The results are then transmitted via a Heltec ESP32 LoRa board to a LoRaWAN network and displayed in real time on a dashboard. If an abnormal status is detected, the system sends alerts through the dashboard and a Telegram, and logs the data to Google Sheets for further analysis. Users can also conveniently check the bin status and images through a LINE Chatbot. Experimental results show that the system achieves an average accuracy of 0.96, with a precision of 0.95 and a recall of 0.92. The optimal detection range is within 4.5 meters, and data can be transmitted over LoRaWAN for distances up to 800 meters. The system provides accurate, reliable monitoring and responds to users in real time with high efficiency.

Keywords: Smart Trash Bin Status, LoRaWAN, AI

1. บทนำ

ปัญหาการจัดการขยะมูลฝอยยังคงเป็นหนึ่งในประเด็นสำคัญที่หลายประเทศทั่วโลกรวมถึงประเทศไทยต้องเผชิญ โดยเฉพาะในเขตเมืองที่มีประชากรหนาแน่น ยิ่งทำให้ปริมาณขยะเพิ่มขึ้นอย่างต่อเนื่อง ขยะมูลฝอยที่ไม่ได้รับการจัดการอย่างมีประสิทธิภาพอาจก่อให้เกิดปัญหาด้านสุขภาพอาชีวอนามัย และมลพิษต่อสิ่งแวดล้อม รวมถึงภาพลักษณ์ที่ไม่เหมาะสมของพื้นที่สาธารณะ เพื่อแก้ไขปัญหาดังกล่าว หน่วยงานท้องถิ่นจึงได้ดำเนินมาตรการจัดการขยะหลายรูปแบบ เช่น การจัดตั้งถังขยะตามจุดต่าง ๆ การจัดเก็บและขนส่งขยะเป็นรอบเวลา การส่งเสริมการคัดแยกขยะตั้งแต่ต้นทาง เป็นต้น อย่างไรก็ตาม ถังขยะที่มีอยู่ในบางพื้นที่ไม่ได้รับการจัดการอย่างเหมาะสม ทำให้เกิดปัญหาขยะล้นถัง ขยะตกค้าง และกระจายไปยังบริเวณโดยรอบ สร้างความเดือดร้อนต่อชุมชนและสิ่งแวดล้อมโดยรวม

ปัจจุบันถังขยะอัจฉริยะได้รับการพัฒนาเพื่อเพิ่มประสิทธิภาพในการจัดการขยะ โดยผสานการทำงานร่วมกับเทคโนโลยี Internet of Things (IoT) [1-6] ซึ่งเป็นเทคโนโลยีที่เชื่อมโยงอุปกรณ์ต่าง ๆ เข้ากับเครือข่ายอินเทอร์เน็ต ทำให้สามารถตรวจสอบและควบคุมระบบได้แบบเรียลไทม์ การประยุกต์ใช้ IoT กับถังขยะอัจฉริยะโดยการติดตั้งเซ็นเซอร์ต่าง ๆ เช่น เซ็นเซอร์อัลตราโซนิกส์เพื่อตรวจวัดระดับปริมาณขยะภายในถัง [1-6] ช่วยให้สามารถติดตามสถานะของถังขยะได้อย่างแม่นยำ ส่งข้อมูลไปยังศูนย์ควบคุมผ่านเครือข่ายไร้สาย Wi-Fi [2, 4] ในกรณีที่ติดตั้งถังขยะในระยะไกลจะใช้การส่งข้อความ SMS ผ่านเครือข่ายโทรศัพท์ (GSM) [1, 3] นอกจากนี้มีการใช้เครือข่าย LoraWan ซึ่งสามารถเชื่อมต่อระยะไกล และใช้พลังงานต่ำ และสามารถต่อโหนดเซ็นเซอร์ไร้สายได้เป็นจำนวนมาก [5] นอกจากนี้มีการผสานเทคโนโลยีปัญญาประดิษฐ์ (AI) [6] เข้ากับถังขยะอัจฉริยะจะช่วยจำแนกชนิดขยะ ระบบดังกล่าวสามารถวิเคราะห์ข้อมูลเพื่อวางแผนการจัดเก็บขยะอย่างมีประสิทธิภาพ ลดต้นทุนการดำเนินงาน ลดการสิ้นเปลืองทรัพยากร และสามารถตอบสนองต่อปัญหาได้อย่างทันท่วงที

เนื่องจากระบบจัดการขยะโดยใช้ถังขยะอัจฉริยะในปัจจุบันจำเป็นต้องติดตั้งเซ็นเซอร์และแบตเตอรี่ในถังขยะทุกใบ [1-6] แม้ว่าวิธีการดังกล่าวจะช่วยให้สามารถตรวจสอบปริมาณขยะได้อย่างแม่นยำ แต่ยังคงมีข้อจำกัดด้านความสะดวกในการติดตั้งและบำรุงรักษา อีกทั้งอุปกรณ์

*ผู้ประพันธ์บรรณกิจ

อิเล็กทรอนิกส์ภายในถังอาจเกิดความเสียหายได้ง่ายจากแรงกระแทกหรือกระบวนการเทขยะ เพื่อแก้ไขปัญหาดังกล่าวและเพิ่มความสะดวกในการจัดการถังขยะ บทความนี้จึงนำเสนอแนวทางการออกแบบและพัฒนาระบบแสดงสถานะถังขยะอัจฉริยะ โดยประยุกต์ใช้เทคโนโลยี IoT ร่วมกับปัญญาประดิษฐ์ (AI) เพื่อเพิ่มประสิทธิภาพการจัดการขยะ โดยไม่จำเป็นต้องติดตั้งเซ็นเซอร์ภายในถังขยะโดยตรง ระบบที่นำเสนอใช้ไมโครคอนโทรลเลอร์ Heltec ESP32 LoRa และโมดูล ESP32-CAM ร่วมกับอัลกอริทึมปัญญาประดิษฐ์เพื่อตรวจสอบและประเมินสถานะของถังขยะ เช่น สถานะถังว่าง ถังเต็ม ถังล้ม หรือถังสูญหาย ข้อมูลสถานะดังกล่าวส่งผ่านเครือข่าย LoraWAN เพื่อแสดงผลผ่านแดชบอร์ดและเทเลแกรม นอกจากนี้สามารถติดตามสถานะถังขยะได้ผ่าน LINE Chatbot ซึ่งช่วยให้กระบวนการเก็บขยะมีประสิทธิภาพมากขึ้นและตอบสนองได้แบบเรียลไทม์

2. พื้นฐานความรู้และวิธีการศึกษา

2.1 ลอร่าแวน (LoRaWAN)

LoRaWAN (Long Range Wide Area Network) เป็นโปรโตคอลแบบเปิดที่ทำงานบนพื้นฐานเทคโนโลยีการสื่อสารไร้สาย LoRa (Long Range) โดย LoRa ใช้การมอดูเลตแบบ Chirp Spread Spectrum (CSS) ซึ่งมีจุดเด่นคือสามารถส่งสัญญาณได้ในระยะไกลหลายกิโลเมตรแม้ในสภาวะแวดล้อมที่มีสัญญาณรบกวนสูง ขณะที่ยังคงใช้พลังงานไฟฟ้าต่ำมาก โดยจุดเด่นสำคัญของ LoRaWAN ได้แก่ ระยะทางการสื่อสารไกลที่ครอบคลุมพื้นที่กว้างประมาณ 2–15 กิโลเมตร (ขึ้นอยู่กับภูมิประเทศและสิ่งกีดขวาง) และมีความปลอดภัยสูงด้วยการเข้ารหัสข้อมูลแบบ AES 128-bit ทั้งในระดับเครือข่ายและแอปพลิเคชัน อย่างไรก็ตาม LoRaWAN มีข้อจำกัดด้านปริมาณข้อมูล (Bandwidth) จึงเหมาะกับการส่งข้อมูลขนาดเล็กที่ไม่ต้องการความถี่ในการส่งสูง เช่น ค่าการวัดทางกายภาพ และไม่เหมาะสำหรับงานที่ต้องใช้ข้อมูลขนาดใหญ่หรือการส่งข้อมูลอย่างต่อเนื่อง

สถาปัตยกรรมของ LoRaWAN มีลักษณะเป็นเครือข่ายแบบดาว (Star Topology) โดยประกอบด้วย 3 องค์ประกอบหลัก ได้แก่

1. อุปกรณ์ปลายทาง (End Devices) เช่น เซ็นเซอร์หรืออุปกรณ์เก็บข้อมูล

2. เกตเวย์ (Gateways) ทำหน้าที่รับสัญญาณจากอุปกรณ์ปลายทางและส่งต่อผ่านเครือข่าย IP เช่น อินเทอร์เน็ต ไปยังเซิร์ฟเวอร์เครือข่าย

3. เซิร์ฟเวอร์เครือข่าย (Network Server) ซึ่งทำหน้าที่ประมวลผล ตรวจสอบความถูกต้อง จัดการสิทธิ์การเข้าถึง และส่งข้อมูลไปยังแอปพลิเคชันเซิร์ฟเวอร์ (Application Server) เพื่อให้ผู้ใช้สามารถนำข้อมูลไปใช้งานต่อได้

2.2 หลักการทำงานและสถาปัตยกรรมของ YOLOv8

YOLOv8 เป็นสถาปัตยกรรมตรวจจับวัตถุแบบ Single Stage Detector ที่สามารถประมาณตำแหน่งกรอบล้อมวัตถุ (Bounding Box) และจำแนกประเภทของวัตถุภายในภาพได้ภายในขั้นตอนการประมวลผลเพียงครั้งเดียว (One Forward Pass) ซึ่งทำให้การตรวจจับวัตถุมีความรวดเร็วและมีประสิทธิภาพสูงกว่าโมเดลแบบ Two-Stage Detector เช่น Faster R-CNN ซึ่งแยกกระบวนการระหว่างการสร้างกรอบล้อมวัตถุและการจำแนกประเภทออกจากกัน

จุดเด่นสำคัญของ YOLOv8 คือการใช้ CSPNet (Cross Stage Partial Network) เป็น Backbone ซึ่งช่วยลดความซ้ำซ้อนในการคำนวณภายในเครือข่ายและเพิ่มประสิทธิภาพในการดึงคุณลักษณะ (Features) จากภาพได้อย่างลึกและแม่นยำมากขึ้น นอกจากนี้ YOLOv8 ยังใช้โครงสร้าง Neck แบบ FPN (Feature Pyramid Network) ร่วมกับ PAN (Path Aggregation Network) เพื่อรวมคุณลักษณะจากหลายระดับ (Multi-Scale Feature Fusion) ทำให้การตรวจจับวัตถุที่มีขนาดและรูปร่างแตกต่างกันเป็นไปได้อย่างมีประสิทธิภาพมากขึ้น

การใช้ Head แบบ Anchor-Free ซึ่งแตกต่างจาก YOLO รุ่นก่อนหน้า ที่ใช้ Anchor Boxes แนวทางนี้ช่วยให้ YOLOv8 สามารถตรวจจับวัตถุที่มีขนาดและรูปร่างหลากหลายได้อย่างยืดหยุ่น ลดความยุ่งยากในการปรับค่าพารามิเตอร์ Anchor และเพิ่มความแม่นยำในการคาดคะเน Bounding Box

3. การออกแบบ

3.1 บล็อกไดอะแกรมของระบบตรวจสอบสถานะถังขยะด้วยปัญญาประดิษฐ์

ระบบตรวจสอบสถานะถังขยะด้วยปัญญาประดิษฐ์ประกอบไปด้วยบอร์ดไมโครคอนโทรลเลอร์ ESP32-CAM, บอร์ด Heltec ESP32 LoRa, บอร์ดโมดูล GPS, โมเดลปัญญาประดิษฐ์โยโล่วี 8 (YOLOv8) โดยใช้ลอร่าแวนเกตเวย์ รุ่น LPS8N-AS923-TH ซึ่งออกแบบมาให้ใช้กับความถี่ประเทศไทยที่ 920-925 MHz และมีกำลังส่งอยู่ที่ 200 mW โดยบล็อกไดอะแกรมระบบตรวจสอบสถานะถังขยะแสดงดังรูปที่ 1

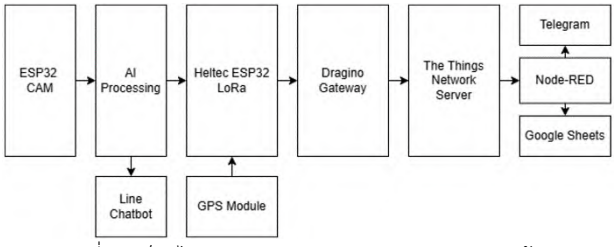

รูปที่ 1 บล็อกไดอะแกรมระบบตรวจสอบสถานะถังขยะด้วยปัญญาประดิษฐ์

จากรูปที่ 1 มีรายละเอียดของการทำงานดังนี้

1. การทำงานเริ่มต้นจากอีเอสพี 32 แคม (ESP32-CAM) ซึ่งทำหน้าที่จับภาพถังขยะในจุดที่ติดตั้งไว้ จากนั้นภาพที่ได้จะถูกส่งต่อไปยังระบบประมวลผลด้วยปัญญาประดิษฐ์

2. โมเดลปัญญาประดิษฐ์ที่เลือกใช้คือ โยโล่วี 8 (YOLOv8) เพื่อแยกแยะและตรวจสอบสถานะของถังขยะว่าอยู่ในสภาพ ถังขยะปกติ ถังขยะเต็ม ถังขยะล้ม และถังขยะหาย

3. ผลลัพธ์จากการวิเคราะห์นี้จะถูกส่งต่อไปยังอุปกรณ์ต้นทาง คือ Heltec ESP32 LoRa หรือเรียกว่า End Device

4. โมดูลจีพีเอส (GPS) ถูกติดตั้งเพื่อเพิ่มข้อมูลตำแหน่งของถังขยะ

5. อุปกรณ์ต้นทางจะส่งข้อมูลทั้งหมดไปยังลอร่าแวนเกตเวย์ จากนั้นจะทำการส่งข้อมูลผ่านอินเทอร์เน็ตไปยัง The Things Network Server (TTN Server) ซึ่งทำหน้าที่เป็นตัวกลางในการจัดการข้อมูลจากอุปกรณ์ต้นทาง (End Device) ในขั้นตอนสุดท้าย

6. ข้อมูลที่ผ่านมาจาก TTN Server จะถูกส่งไปยังโนดเรดผ่านโปรโตคอล MQTT เพื่อนำมาแสดงผลบนแดชบอร์ดแบบเรียลไทม์ และจะทำการส่งการแจ้งเตือนไปยังเทเลแกรม และในขณะเดียวกันจะทำการบันทึกข้อมูลเหล่านั้นลงในกูเกิลชีต เพื่อใช้เป็นฐานข้อมูลสำหรับการวิเคราะห์ย้อนหลังหรือจัดทำรายงาน

7. ไลน์แชทบอท (line chatbot) หากผู้ใช้งานต้องการดูสถานะถังขยะสามารถกดปุ่มเมนู “สถานะตอนนี้” ในไลน์แชทบอท ระบบจะทำการจับภาพแล้ววิเคราะห์ภาพและส่งกลับมายังไลน์แชทบอทพร้อมกับบอกสถานะ

3.2 โฟล์วชาร์ตการทำงานระบบตรวจจับสถานะถังขยะด้วยปัญญาประดิษฐ์

โฟล์วชาร์ตการทำงานของระบบตรวจสอบสถานะถังขยะด้วยปัญญาประดิษฐ์ประกอบไปด้วย 2 ส่วนหลักคือ 1. โฟล์วชาร์ตการทำงานหลักของระบบตรวจสอบถสถานะถังขยะด้วยปัญญาประดิษฐ์ 2. โฟล์วชาร์ตการทำงานของไลน์แชทบอท

3.2.1 โฟล์วชาร์ตการทำงานหลักของระบบตรวจจับถังขยะด้วยปัญญาประดิษฐ์

ระบบตรวจจับสถานะถังขยะอัจฉริยะนี้เริ่มต้นด้วย ESP32-CAM ถ่ายภาพถังขยะและวิเคราะห์สถานะด้วยโมเดลปัญญาประดิษฐ์ หากพบว่าสถานะของถังขยะเต็ม ล้ม หรือหาย ข้อมูลจะถูกส่งผ่านเครือข่าย LoRaWAN ไปยังเกตเวย์ จากนั้น TTN Server จะส่งข้อมูลไปยังโนดเรดเพื่อแสดงผลบนแดชบอร์ด และแจ้งเตือนผ่านเทเลแกรม พร้อมทั้งบันทึกข้อมูลลง Google Sheets เพื่อนำข้อมูลไปใช้วิเคราะห์ย้อนหลัง ดังแสดงในรูปที่ 2

3.2.2 โฟล์วชาร์ตการทำงานของไลน์แชทบอท

แผนภาพนี้แสดงกระบวนการทำงานของระบบตรวจจับสถานะถังขยะผ่านไลน์แชทบอท โดยเริ่มจากผู้ใช้กดปุ่ม "สถานะตอนนี้" ในแอปพลิเคชัน LINE จากนั้น ESP 32-CAM จะทำการจับภาพถังขยะและส่งไปให้ปัญญาประดิษฐ์วิเคราะห์สถานะของถังขยะ จากนั้นที่ผลลัพธ์จะถูกส่งกลับไปยังไลน์แชทบอท เพื่อแจ้งให้ผู้ใช้ทราบ ระบบสามารถระบุสถานะของถังขยะได้สี่แบบ ได้แก่ ปกติ เต็ม ล้ม และ หาย โดยแต่ละสถานะจะถูกส่งกลับไปพร้อมภาพถ่ายของถังขยะ แสดงดังรูปที่ 3

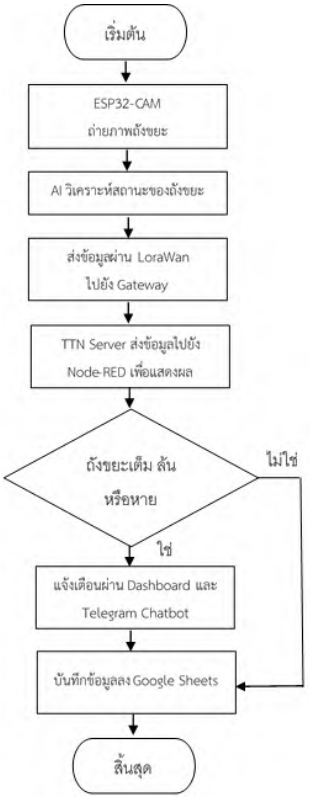

รูปที่ 2 โฟล์วชาร์ตการทำงานหลักของระบบตรวจสอบสถานะถังขยะด้วยปัญญาประดิษฐ์

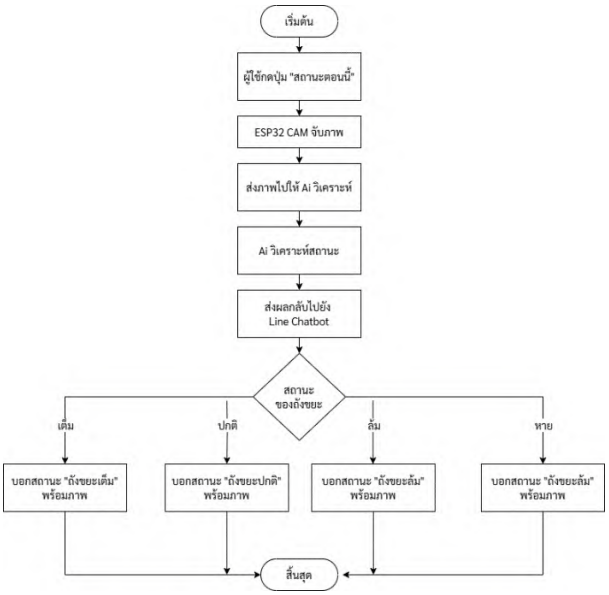

รูปที่ 3 โฟล์วชาร์ตการทำงานของไลน์แชทบอท

3.3 การออกแบบและพัฒนาโมเดลปัญญาประดิษฐ์

ในการออกแบบและพัฒนาโมเดล YOLOv8 สำหรับการตรวจจับถังขยะ ใช้ชุดข้อมูลภาพจำนวน 7,362 ภาพ แบ่งเป็น 4 คลาส ได้แก่ ถังขยะเต็ม ถังขยะปกติ ถังขยะล้ม และถังขยะหาย โดยแบ่งชุด

ข้อมูลเป็น 80% สำหรับการฝึก (Training), 20% สำหรับการตรวจสอบ (Validation)

ตารางที่ 1 ประสิทธิภาพของการเทรนโมเดล YOLOv8

Class	mAP@0.5	Precision	Recall
ถังขยะปกติ	0.95	0.94	0.89
ถังขยะเต็ม	0.92	0.93	0.85
ถังขยะล้ม	0.98	0.95	0.95
ถังขยะหาย	0.99	0.97	0.99
ค่าเฉลี่ยของทั้ง 4 classes	0.96	0.95	0.92

จากตารางที่ 1 พบว่าโมเดล YOLOv8 โมเดล YOLOv8 แสดงความแม่นยำเฉลี่ยสูงมากในการตรวจจับถังขยะทั้ง 4 ประเภท โดยเฉพาะตรวจจับถังขยะหาย ซึ่งมีค่าแม่นยำเฉลี่ยที่ค่า IoU มากกว่าหรือเท่ากับ 0.5 (mAP@0.5) คือ 0.99 มีค่าแม่นยำ (Precision) เท่ากับ 0.97 และค่า Recall เท่ากับ 0.92 โดยรวม โมเดลมีความน่าเชื่อถือในการใช้งานจริงสำหรับงานตรวจจับถังขยะ

4. การทดลองและผลการทดลอง

4.1 การทดลองผลของระยะกล้องต่อความแม่นยำในการตรวจจับ

เป็นการทดลองเพื่อหาระยะห่างที่เหมาะสมระหว่างกล้อง ESP32-CAM กับถังขยะ โดยทำการถ่ายภาพที่ระยะต่าง ๆ แล้วใช้โมเดลปัญญาประดิษฐ์ตรวจสอบค่าความมั่นใจ (confidence) ว่าระบบยังทำงานได้อย่างแม่นยำหรือไม่ เมื่อกำหนดค่าเทรดโฮด (threshold) เท่ากับ 60 เปอร์เซ็นต์

ตารางที่ 2 ระยะห่างของกล้องต่อความแม่นยำในการตรวจจับ

ระยะห่างกล้อง (เมตร)	ค่าความมั่นใจ (เปอร์เซ็นต์)	ผลการทำนาย
1	85	✓
2	82	✓
3	81	✓
4	76	✓
4.5	68	✓
5	×	×

หมายเหตุ : ✓ หมายถึง สามารถทำนายผลได้
× หมายถึง ไม่สามารถทำนายผลได้

จากตารางที่ 2 พบว่าความแม่นยำของปัญญาประดิษฐ์ในการตรวจจับสูงที่สุดที่ระยะ 4.5 เมตร โดยสามารถระบุสถานะของถังขยะได้ถูกต้องชัดเจน หากกล้องอยู่ไกลที่ระยะ 5 เมตร โมเดลปัญญาประดิษฐ์ไม่สามารถวิเคราะห์ภาพถังขยะได้ ดังรูปที่ 4

(ก) (ข)

รูปที่ 4 ผลการทดลองวัดระยะกล้องต่อความแม่นยำในการตรวจจับ
(ก) ภาพที่ระยะ 1 เมตร (ข) ภาพที่ระยะ 5 เมตร

4.2 การทดลองประเมินค่าความมั่นใจในการทำนาย

การทดลองนี้เป็นการทดสอบระบบการทำนายภาพสำหรับการใช้งานจริง เริ่มต้นจากการบันทึกรูปภาพจากบอร์ด ESP32-CAM ซึ่งจะประกอบด้วยภาพของสถานการณ์ต่าง ๆ เช่น ถังขยะปกติ ถังขยะเต็ม ถังขยะล้ม และถังขยะหาย อย่างละ 10 ครั้ง โดยภาพทั้งหมดจะจัดเก็บไว้ในโฟลเดอร์ จากนั้นจะดึงรูปภาพเหล่านี้มาวิเคราะห์เพื่อประเมินประสิทธิภาพการทำนายของโมเดล โดยกำหนดค่าเทรดโฮด เท่ากับ 60 เปอร์เซ็นต์

ตารางที่ 3 ผลการทดลองประเมินค่าความมั่นใจในการทำนาย

ครั้งที่	ค่าความมั่นใจ(เปอร์เซ็นต์)			
	ถังขยะปกติ	ถังขยะเต็ม	ถังขยะล้ม	ถังขยะหาย
1	76	80	86	62
2	81	80	86	60
3	81	81	87	78
4	79	80	86	83
5	81	72	86	87
6	80	79	87	86
7	80	81	86	81
8	81	78	86	93
9	81	80	86	82
10	81	81	86	85

จากผลการทดลองตารางที่ 4.3 พบว่าโมเดลมีค่าความมั่นใจโดยรวมเฉลี่ยสูงกว่า 80% แสดงให้เห็นว่าโมเดลสามารถทำนายได้แม่นยำและมั่นใจ ดังรูปที่ 5

รูปที่ 5 การทดลองประเมินค่าความมั่นใจในการทำนายของถังขยะปกติ ถังขยะเต็ม ถังขยะล้ม และถังขยะหาย

4.3 การทดลองระยะการส่งข้อมูลไปยังลอร่าแวนเกตเวย์

การทดลองระยะการส่งข้อมูลจากอุปกรณ์ต้นทาง (End Device) ไปยังลอร่าแวนเกตเวย์ เพื่อหาระยะห่างในการติดตั้งถังขยะและเกตเวย์ที่เหมาะสม โดยเชื่อมต่ออุปกรณ์ต้นทาง กับ The Things Network Server (TTN) แล้วส่งข้อมูลจากอุปกรณ์ต้นทางไปยังลอร่าแวนเกตเวย์ในแต่ละจุดทดสอบ

ตารางที่ 4 ผลการทดลองระยะการส่งข้อมูลไปยังลอร่าแวนเกตเวย์

อุปกรณ์	ครั้งที่	ระยะการส่งข้อมูล(เมตร)					
		500	600	700	800	900	1000
End Device	1	✓	✓	✓	✓	✓	×
	2	✓	✓	✓	✓	×	×
	3	✓	✓	✓	✓	✓	×

หมายเหตุ : ✓ หมายถึง ส่งข้อมูลไปยังเกตเวย์ได้ปกติ
× หมายถึง ไม่สามารถส่งข้อมูลได้

จากการทดลองตารางที่ 4 พบว่าระยะที่อุปกรณ์ปลายทางสามารถส่งข้อมูลไปยังลอร่าแวนเกตเวย์ได้ 800 เมตร และระยะที่ไกลกว่านั้นการรับส่งข้อมูลเริ่มไม่เสถียรและไม่สามารถรับข้อมูลได้ในที่สุด

4.4 ทดลองการแจ้งสถานะถังขยะผ่านไลน์แชทบอท

ระบบการแจ้งสถานะถังขยะผ่านไลน์แชทบอท ถูกใช้เมื่อผู้ใช้ต้องการข้อมูลสถานะของถังขยะขณะนั้น โดยผู้ใช้กดปุ่มคำสั่ง “สถานะตอนนี้” ระบบจะส่งคำสั่งไปยังกล้องอีเอสพี 32 แคม ที่ติดตั้งตามจุดต่างๆ เพื่อถ่ายภาพถังขยะปัจจุบัน แล้วให้โมเดลปัญญาประดิษฐ์วิเคราะห์ภาพแบบเรียลไทม์ แล้วส่งภาพวิเคราะห์กลับมา พร้อมข้อความแจ้งสถานะถังขยะ เช่น ถังขยะเต็ม ว่าง ล้ม หรือ หาย แสดงดังรูปที่ 6

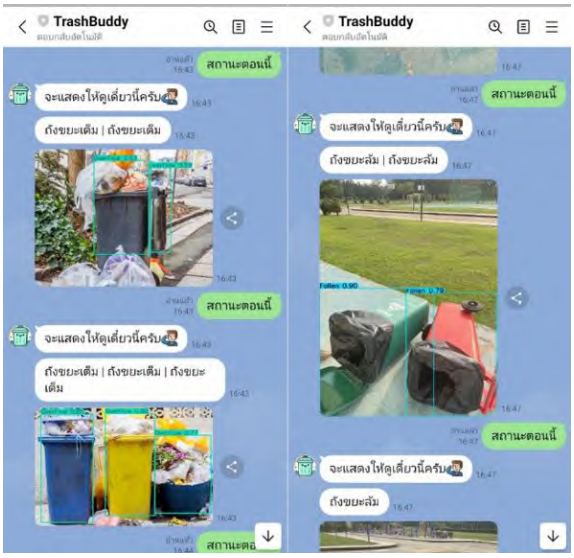

รูปที่ 6 การแจ้งสถานะถังขยะผ่านไลน์แชทบอท

4.5 การแสดงสถานะถังขยะบนหน้าแดชบอร์ดและเทเลแกรม

การทดลองนี้เป็นการทดลองแจ้งเตือนสถานะถังขยะให้กับผู้ใช้งานได้ทราบ พร้อมทั้งบอกจุดตำแหน่งที่ตั้งถังขยะ โดยการแจ้งเตือนจะมี 2 ช่องทาง คือแจ้งเตือนบนหน้าแดชบอร์ด และการส่งข้อความแจ้งเตือนผ่านเทเลแกรม โดยในการทดลองจะวางตำแหน่งของถังขยะไว้ 3 จุดที่แตกต่างกัน ทดลองการแจ้งสถานะของถังขยะทั้ง 3 กรณีคือ ถังขยะเต็ม ถังขยะล้ม และถังขยะหาย การออกแบบนี้ช่วยให้ผู้ดูแลระบบสามารถติดตามและจัดการสถานะของถังขยะได้อย่างรวดเร็วและมีประสิทธิภาพ แสดงดังรูปที่ 7

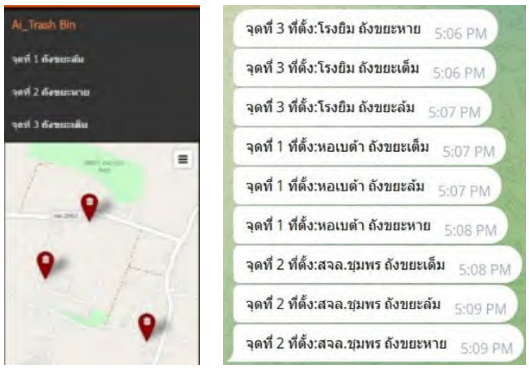

(ก) (ข)

รูปที่ 7 การแจ้งเตือนสถานะถังขยะ (ก) แดชบอร์ดแสดงสถานะถังขยะ (ข) เทเลแกรมแจ้งเตือนสถานะถังขยะ

4. สรุป

บทความนี้ได้นำเสนอระบบแสดงสถานะถังขยะอัจฉริยะ เพื่อใช้เป็นเครื่องแก้ปัญหาการจัดการขยะอย่างเหมาะสม ไม่ว่าจะเป็นปัญหาขยะล้นถัง ถังขยะล้ม หรือถังขยะหาย โดยระบบนี้ไม่ได้ติดตั้งอุปกรณ์อิเล็กทรอนิกส์ใด ๆ ที่ถังขยะดังนั้นจึงเป็นระบบที่สะดวกต่อการใช้งานและ

ง่ายต่อการดูแลรักษา ระบบนี้ใช้การสื่อสารข้อมูลผ่านเครือข่าย LoRaWAN ซึ่งสามารถส่งข้อมูลได้ไกล แต่ในการทดลองจะเห็นว่าระยะการส่งข้อมูลได้ 800 เมตร ซึ่งได้ระยะไม่ไกลมากนักซึ่งเป็นผลมาจากสิ่งกีดขวางเช่น อาคารต่าง ๆ ในพื้นที่ ดังนั้นถ้าหากต้องการรับส่งข้อมูลให้ไกลกว่านี้ควรติดตั้งอุปกรณ์สื่อสารในที่โล่ง ในการแจ้งเตือนสถานะของถังขยะโดยใช้โมเดลปัญญาประดิษฐ์วิเคราะห์ภาพกรณีต่าง ๆ ทั้งถังขยะเต็ม ถังขยะล้ม ถังขยะหาย สามารถแจ้งเตือนผ่านแดชบอร์ดและเทเลแกรมได้อย่างถูกต้องและสะดวกต่อการใช้งานเนื่องจากมีการแจ้งเตือนสถานะถังขยะรวมถึงจุดที่ตั้งของถังขยะด้วย เนื่องจากระบบนี้ใช้โมเดลปัญญาประดิษฐ์ในการวิเคราะห์ภาพดังนั้นจึงจำเป็นต้องใช้คอมพิวเตอร์ในการประมวลผลซึ่งอาจทำให้ค่าใช้จ่ายต่อจุดติดตั้งสูง และระบบได้ถูกออกแบบให้ใช้ไฟฟ้ากระแสสลับ 220 โวลต์ 50 เฮิรตซ์ ซึ่งเป็นมาตรฐานไฟฟ้ากระแสสลับในประเทศไทย อย่างไรก็ตาม ในกรณีที่ต้องการติดตั้งระบบในพื้นที่ห่างไกลซึ่งไม่มีระบบไฟฟ้า จำเป็นต้องออกแบบระบบผลิตไฟฟ้าเพิ่มเติม เช่น ระบบโซลาร์เซลล์ เพื่อใช้เป็นแหล่งพลังงานไฟฟ้าให้กับอุปกรณ์

5. กิตติกรรมประกาศ

คณะผู้วิจัยขอขอบคุณสถาบันเทคโนโลยีพระจอมเกล้าเจ้าคุณทหารลาดกระบังวิทยาเขตชุมพรเขตรอุดมศักดิ์ จังหวัดชุมพร ที่ให้ทุนสนับสนุนการทำวิจัยรวมถึงสถานที่และเครื่องมือต่าง ๆ อันเป็นประโยชน์ต่อการทำวิจัย

เอกสารอ้างอิง

[1] S. Yerraboina, N. M. Kumar, K. S. Parimala, and N. A. Jyothi, "Monitoring the smart garbage bin filling status: An IoT application towards waste management," International Journal of Civil Engineering and Technology (IJCIET), vol. 9, no. 6, pp. 373–381, Jun. 2018.

[2] N. M. Yusof, M. F. Zulkifli, N. Y. A. M. Yusof, and A. A. Azman, "Smart waste bin with real-time monitoring system," International Journal of Engineering & Technology, vol. 7, no. 2.29, pp. 725–729, 2018.

[3] S. A. Afolalu, A. A. Noiki, O. M. Ikumapayi, A. T. Ogundipe, and O. R. Oloyede, "Development of smart waste bin for solid waste management," International Journal of Sustainable Development and Planning, vol. 16, no. 8, pp. 1449–1454, Dec. 2021.

[4] N. Malathy, D. Kaviyaadharshani, and S. Ashifa, "Smart trash bin level monitoring system," International Journal of Health Sciences, vol. 6, no. S3, pp. 5799–5820, 2022.

[5] S. R. Jino Ramson, V. S., A. A. Kirubaraj, T. Anagnostopoulos, and A. M. Abu-Mahfouz, "A LoRaWAN IoT-enabled trash bin level monitoring system," IEEE Transactions on Industrial Informatics, vol. 18, no. 2, pp. 786–793, Feb. 2022.

[6] G. E. González, E. R. Escobar, I. I. Carvajal, and A. C. Bento, "Smart Trash Bins: Integration of IoT with AI for Efficient Waste Management," in *Proc. 2024 IEEE Int. Humanitarian Technol. Conf. (IHTC)*, 2024.

อนงค์นาถ อินทะเสม
สำเร็จการศึกษา วศ.บ อิเล็กทรอนิกส์ และ วศ.ม เทคโนโลยีอุตสาหกรรม จากสจล. วิทยาเขตชุมพรเขตรอุดมศักดิ์ ปัจจุบันเป็นอาจารย์ที่ สจล.วิทยาเขตชุมพรเขตรอุดมศักดิ์ งานวิจัยที่สนใจได้แก่ การประยุกต์ใช้ปัญญาประดิษฐ์ในด้านการแพทย์และเกษตรกรรม

เกษมสุข เสพศิริสุข
สำเร็จการศึกษา วศ.บ และ วศ.ม.วิศวกรรมอิเล็กทรอนิกส์ จากสจล. จบ D.Eng (Science and Technology) จาก Tokai University, Japan ปัจจุบันเป็นอาจารย์ที่ สจล.วิทยาเขตชุมพรเขตรอุดมศักดิ์ งานวิจัยที่สนใจได้แก่ การประมวลผลภาพดิจิทัล ระบบฝังตัว และปัญญาประดิษฐ์

สักกะพันธ์ คล้ายดอกจันทร์
สำเร็จการศึกษา วศ.บ และ วศ.ม.วิศวกรรมอิเล็กทรอนิกส์ จาก สจล. ปัจจุบันเป็นอาจารย์ที่ สจล.วิทยาเขตชุมพรเขตรอุดมศักดิ์ งานวิจัยที่สนใจได้แก่ ระบบฝังตัว ระบบ IoT และปัญญาประดิษฐ์

ระบบควบคุมฟาร์มอัจฉริยะสำหรับปลูกผักไฮโดรโปนิกส์โดยใช้ไอโอที

Smart Farm Control System for Hydroponics Planting Using IoT

ธนัตถ์ เจนสัญญายุทธ[1], สุรินทร์ แหงมงาม[2*], องอาจ แสดใหม่[2], มาโนช ประชา[3], อนุชา แซ่โซ้ง[2], อนุวัต สุขสำราญ[2]

[1]สาขาวิศวกรรมไฟฟ้า คณะเทคโนโลยีอุตสาหกรรม มหาวิทยาลัยราชภัฏรำไพพรรณี thanat.j@rbru.ac.th
[2]ภาควิชาวิศวกรรมไฟฟ้า คณะวิศวกรรมศาสตร์ มหาวิทยาลัยเทคโนโลยีราชมงคลธัญบุรี ong-art.s@en.rmutt.ac.th, surin.n@en.rmutt.ac.th*
[3]ภาควิชาวิศวกรรมคอมพิวเตอร์ คณะวิศวกรรมศาสตร์ มหาวิทยาลัยเทคโนโลยีราชมงคลธัญบุรี manoch.p@en.rmutt.ac.th

บทคัดย่อ

ผักสลัดเรดโอ๊คเป็นผักสลัดที่ได้รับความนิยมสูง เนื่องจากมีรสชาติหวานเล็กน้อย เนื้อสัมผัสนุ่ม และมีคุณค่าทางโภชนาการสูง แต่ไม่เหมาะกับการเพาะปลูกในประเทศไทยเนื่องจากสภาพอากาศไม่เอื้ออำนวยต่อการเจริญเติบโต ซึ่งผักสลัดเรดโอ๊คจำเป็นต้องมีค่าอุณหภูมิ ความชื้น และแสงแดดที่เหมาะสมต่อการเจริญเติบโต ดังนั้นงานวิจัยนี้จึงออกแบบระบบควบคุมอุณหภูมิ แสงสว่าง โดยใช้ปั๊มพ่นหมอก พัดลมระบายอากาศ และหลอดไฟสำหรับปลูกต้นไม้ควบคุมผ่านระบบไอโอทีซึ่งผลการทดลองโดยการปลูกผักสลัดเรดโอ๊คในโรงเรือนควบคุมเปรียบเทียบกับโรงเรือนทั่วไป พบว่าผักสลัดเรดโอ๊คที่ปลูกในโรงเรือนควบคุมมีขนาดลำต้นที่สูง 10 ซม. น้ำหนัก เฉลี่ย 111.16 กรัม และโรงเรือนทั่วไปมีขนาดลำต้นที่สูง 8 ซม. น้ำหนัก เฉลี่ย 76.6 กรัม ซึ่งผลของการควบคุมสภาพอากาศในโรงเรือนทำให้การเจริญเติมโตของผักสลัดเรดโอ๊คมีความสูงเพิ่มขึ้น 20% มีหนักน้ำเพิ่มขึ้น 31.4% ทำให้ได้ผลผลิตที่มีปริมาณที่สูง

คำสำคัญ: ผักสลัดเรดโอ๊ค, ควบคุมอุณหภูมิ, ควบคุมแสงสว่าง, ไอโอที

Abstract

Red Oak lettuce is a highly popular salad vegetable due to its slightly sweet taste, soft texture, and high nutritional value. However, it is not well-suited for cultivation in Thailand due to unfavorable climatic conditions. The growth of Red Oak lettuce requires optimal temperature, humidity, and sunlight conditions. Therefore, this study designed a climate control system incorporating misting pumps, ventilation fans, and plant growth LED lights, managed via an IoT-based control system.

The experiment involved cultivating Red Oak lettuce in a controlled greenhouse compared to a conventional greenhouse. The results showed that the lettuce grown in the controlled greenhouse had an average plant height of 10 cm and an average weight of 111.16 grams, whereas those grown in the conventional greenhouse had an average height of 8 cm and an average weight of 76.6 grams. The climate control system in the greenhouse contributed to a 20% increase in plant height and a 31.4% increase in plant weight, leading to a higher overall yield.

Keywords: Red Oak lettuce, Temperature control, Light control, Internet of Things (IoT)

1. บทนำ

ในปัจจุบัน Internet of Things (IoT) ได้เข้ามามีบทบาทสำคัญในหลายอุตสาหกรรม รวมถึงภาคการเกษตร ซึ่งช่วยเพิ่มประสิทธิภาพและลดต้นทุนการผลิต หนึ่งในเทคโนโลยีที่ได้รับความนิยมคือ ระบบควบคุมฟาร์มอัจฉริยะ (Smart Farming System) ซึ่งสามารถตรวจสอบและควบคุมสภาพแวดล้อมของฟาร์มได้แบบเรียลไทม์ผ่านเครือข่าย IoT [1] เทคโนโลยีนี้เหมาะอย่างยิ่งสำหรับ การปลูกพืชแบบไฮโดรโปนิกส์ (Hydroponics) ซึ่งเป็นระบบการเพาะปลูกโดยไม่ใช้ดิน แต่ใช้สารละลายธาตุอาหารที่ต้องการการควบคุมสภาพแวดล้อมที่แม่นยำเพื่อเพิ่มผลผลิตและคุณภาพของพืช [2]

ปัญหาหลักของการปลูกพืชไฮโดรโปนิกส์ ในประเทศไทยคือการควบคุม อุณหภูมิ ความชื้น และแสงสว่าง ซึ่งส่งผลโดยตรงต่อการเจริญเติบโตของพืช หากไม่สามารถรักษาสภาวะแวดล้อมให้อยู่ในระดับที่เหมาะสม อาจทำให้ผลผลิตลดลงหรือเกิดโรคในพืชได้ ดังนั้น งานวิจัยนี้จึงมุ่งเน้นการพัฒนา ระบบควบคุมฟาร์มอัจฉริยะสำหรับปลูกผักไฮโดรโปนิกส์โดยใช้ IoT ที่สามารถตรวจวัดและปรับเปลี่ยนสภาพแวดล้อมได้อัตโนมัติ [3-4] โดยอาศัยเซ็นเซอร์ตรวจวัดสภาพแวดล้อม ปั๊มพ่นหมอก พัดลมระบายอากาศ และหลอดไฟสำหรับปลูกพืช ซึ่งสามารถควบคุมได้ผ่านอินเทอร์เน็ต [5] จากการทบทวนวรรณกรรมการเกษตรแบบไฮโดรโปนิกส์ได้ใช้ระบบ IoT โดยใช้เซนเซอร์ตรวจวัดค่าพารามิเตอร์ของ ค่าการนำไฟฟ้า (EC) ค่าความเป็นกรด–ด่าง (pH) อุณหภูมิ และความชื้น เพื่อควบคุมการปลูกผักแบบไฮโดรโปนิกส์ [10-12] ผ่านระบบสื่อสาร MQTT โดยใช้ โปรแกรม Node-RED ในการติดต่อสื่อสารกับผู้ใช้งาน [10] และการควบคุมทำให้ผลผลิตของการเกษตรแบบไฮโดรโปนิกส์นั้นดีขึ้นอย่างมีนัยสำคัญ

การทบทวนวรรณกรรมข้างต้นทำให้เห็นว่ายังไม่ครอบคลุมถึงการเก็บข้อมูลพลังงาน การควบคุมแสงแบบจำเพาะ และการแสดงผล Real-Time ผ่านแอป Blynk การอ้างอิงถึงระบบการเปิด-ปิดปากใบ การดูดซึม

*ผู้ประพันธ์บรรณกิจ

สารอาหารของพืชในแต่ละชนิดนั้นยังน้อย งานวิจัยนี้จะทดสอบเกี่ยวกับระบบควบคุมสำหรับการปลูกผักสลัดเรดโอ๊ค (Red Oak Lettuce) แบบไฮโดรโปนิกส์ ซึ่งเป็นผักยอดนิยมแต่ต้องการสภาวะแวดล้อมที่เหมาะสม การเปรียบเทียบผลผลิตระหว่างโรงเรือนควบคุมอัจฉริยะกับโรงเรือนทั่วไปจะแสดงให้เห็นถึงประสิทธิภาพของระบบในการเพิ่มผลผลิตและลดปัจจัยเสี่ยงจากสภาพอากาศที่ไม่แน่นอนโดยคำนึงถึงคุณลักษณะของพืชให้เหมาะสมกับการปลูกในประเทศไทย

ผลลัพธ์ของงานวิจัยนี้คาดว่าจะช่วยยกระดับการทำเกษตรอัจฉริยะ (Smart Farming) ให้มีความแม่นยำและประสิทธิภาพสูงขึ้น ลดการพึ่งพาแรงงานมนุษย์ และช่วยเกษตรกรบริหารจัดการฟาร์มได้อย่างมีประสิทธิภาพมากยิ่งขึ้น นอกจากนี้ ระบบ IoT ที่พัฒนาขึ้นยังสามารถนำไปประยุกต์ใช้กับพืชชนิดอื่น ๆ และขยายขอบเขตสู่การพัฒนาเกษตรกรรมอัจฉริยะอย่างยั่งยืน ในอนาคต

2. การออกแบบระบบควบคุม

การควบคุมฟาร์มอัจฉริยะผ่านระบบไอโอทีสำหรับปลูกผักสลัดเรดโอ๊คแบบไฮโดรโปนิกส์มีอุปกรณ์ควบคุมโดยใช้ NodeMCU ESP32 ซึ่งมีความสามารถในการรับค่าจากเซนเซอร์ ประมวณผลและส่งค่าผ่านระบบไอโอทีได้อย่างมีประสิทธิภาพ [1-3] ซึ่งการออกแบบเพื่อให้การปลูกผักสลัดเรดโอ๊คให้มีประสิทธิภาพสูงนั้น ระบบควบคุมจึงต้องมีการวัดค่าอุณหภูมิ ความชื้น และการวัดแสง โดยงานวิจัยนี้ได้ออกแบบระบบควบคุมที่ใช้ เซนเซอร์ LDR ช่วยในการวัดค่าความสว่าง และเซนเซอร์ DHT22 วัดค่าอุณหภูมิและความชื้น เพื่อนำมาประมวณผลในการควบคุมปั๊มน้ำพ่นหมอก พัดลม และแสงสว่างดังรูปที่ 1

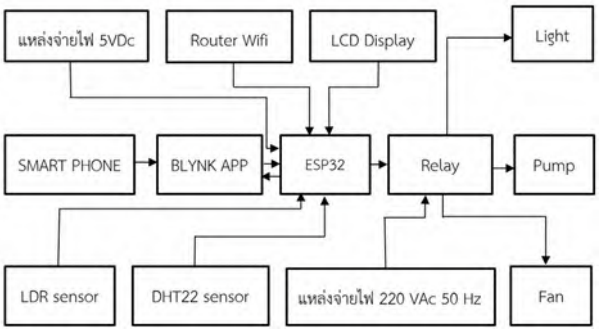

รูปที่ 1 บล็อกไดอะแกรมระบบควบคุมโรงเรือนอัจฉริยะสำหรับปลูกผักไฮโดรโปนิกส์โดยใช้ไอโอที

เงื่อนไขในการควบคุมการเขียนโปรแกรมเริ่มจากการอ่านค่า Input ของเซนเซอร์ DHT22 และ LDR ส่งค่าพารามิเตอร์ทั้งหมดเพื่อแสดงค่าบนหน้าจอ LCD และแอปพลิเคชัน Blynk โดยที่ระบบควบคุมจะถูกแยกออกเป็น 2 ส่วน ส่วนแรกจะทำงานโดยที่สามารถสั่งการได้โดยตรงจากแอปพลิเคชัน Blynk เพื่อสามารถเปิดปิดปั๊มน้ำ พัดลม และหลอดไฟ ส่วนที่สองจะทำตามเงื่องไข ซึ่งการตั้งเงื่อนไขควบคุมปั๊มน้ำ พัดลม จะถูกกำหนดโดยค่าอุณหภูมิ เมื่อค่าอุณหภูมิมีค่าสูงกว่า 35 องศาเซลเซียส โปรแกรมจะสั่งให้ปั๊มน้ำและพัดลมเริ่มทำงาน การควบคุมแสงสว่างจะกำหนดด้วยค่าความสว่าง เมื่อค่าความสว่างต่ำกว่า 500 Lux โปรแกรมจะสั่งให้หลอดไฟเริ่มทำงาน

การออกแบบหน้าจอแสดงผล และการควบคุมผ่านแอพพลิเคชัน Blynk ซึ่งจะแบ่งเป็นจอแสดงผล ดังรูปที่ 2 (ก) การควบคุมแบบ Manual โดยการตัดสินใจจากผู้ใช้ระบบดังรูปที่ 2 (ข) และการทำงานแบบควบคุมอัตโนมัติดังรูปที่ 2 (ค)

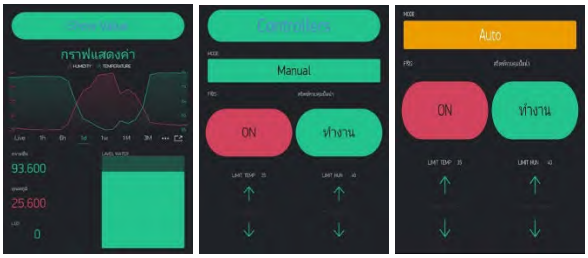

(ก) (ข) (ค)

รูปที่ 2 หน้าจอแสดงผล และการควบคุมผ่านแอพพลิเคชัน Blynk

การปรับสภาพน้ำของการปลูกผักและการให้สารอาหารนั้นจะใช้การวัดค่า pH ของน้ำโดยใช้ Pen-type pH meter ในการตรวจวัดค่าความเป็นกรด-ด่างของน้ำ ทำการปรับปรุงค่าให้อยู่ที่ 6.0 ซึ่งเป็นค่าที่เหมาะสมในการปลูกผักไฮโดรโปนิกส์ ในการวิจัยนี้ ได้มีการวัดค่า Total Dissolved Solids (TDS) ซึ่งหมายถึงค่าของแข็งทั้งหมดที่ละลายอยู่ในน้ำของการปลูกผักไฮโดรโปนิกส์ ซึ่งมีบทบาทสำคัญในการเจริญเติบโตของพืชเป็นอย่างมาก โดยการปลูกครั้งนี้ได้รักษาระดับค่า TDS อยู่ที่ 1200 ppm เป็นค่าที่ทำให้พืชเจริญเติบโตได้ดี [6] และการวัด Electric Conductivity (EC) ค่าความเหนี่ยวนำกระแสไฟฟ้าในของเหลว ซึ่งในงานวิจัยได้รักษาระดับค่าการนำไฟฟ้าอยู่ที่ 1.2 ($\mu s / cm$) [7] ดังนั้นในการปลูกผักสลัดเรดโอ๊คแบบไฮโดรโปนิกส์ทั้งสองโรงเรือนนี้จะใช้น้ำที่ให้สารอาหารที่เหมือนกันในการทดสอบ

3. ผลการดำเนินงาน

ก่อนการเริ่มดำเนินงานทดลองปลูกผักสลัดเรดโอ๊คแบบไฮโดรโปนิกส์ต้องทำการทดสอบระบบระบายอากาศ ระบบจ่ายน้ำ และระบบแสงสว่างทั้งแบบสั่งการโดยตรงจากแอปพลิเคชัน Blynk และแบบอัตโนมัติดังรูปที่ 3 ที่ทำงานโดยการกำหนดค่าพารามิเตอร์ เพื่อตรวจสอบระบบว่าสามารถใช้งานได้ตามเงื่อนไขที่กำหนดหรือไม่ และจำเป็นต้องตรวจสอบความเสถียรของการเชื่อมต่ออินเทอร์เน็ต เพื่อให้มั่นใจว่าสามารถรับส่งข้อมูลได้อย่างต่อเนื่อง โดยการเลือกจุดติดตั้งเราเตอร์ไร้สาย (Wireless Router) ในตำแหน่งที่ไม่มีสิ่งกีดขวาง เพื่อให้การกระจายสัญญาณมีประสิทธิภาพสูงสุด

รูปที่ 3 การทดสอบระบบควบคุมอุณหภูมิ และแสงสว่างของโรงเรือน

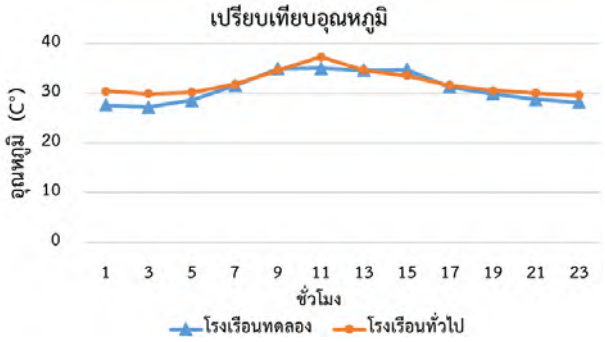

รูปที่ 4 เปรียบเทียบค่าอุณหภูมิของโรงเรือนที่ควบคุมและโรงเรือนทั่วไป

การทดสอบระบบควบคุมอุณหภูมิแบบเปิด-ปิด ดำเนินการโดยตั้งค่าอุณหภูมิไม่ให้เกิน 35 องศาเซลเซียส [8] ซึ่งเป็นช่วงที่เหมาะสมต่อการปลูกผักสลัดเรดโอ๊ค การเก็บข้อมูลดำเนินการทุก 2 ชั่วโมง โดยระบบสามารถทำงานได้อย่างมีประสิทธิภาพตามเงื่อนไขที่กำหนดจากผลการทดสอบพบว่าอุณหภูมิสูงสุดอยู่ที่ 35 องศาเซลเซียส และมีค่าเฉลี่ยอยู่ที่ 31.06 องศาเซลเซียส ดังรูปที่ 4 ในช่วงเวลาที่ทำการทดสอบ สภาพอากาศโดยทั่วไปไม่มีความร้อนสูงมาก ทำให้กราฟแสดงค่าอุณหภูมิไม่มีความแตกต่างอย่างชัดเจน ทั้งนี้ ระบบสามารถส่งข้อมูลอุณหภูมิแบบเรียลไทม์ผ่านแอปพลิเคชัน Blynk ซึ่งช่วยให้ผู้ใช้งานสามารถติดตามและวิเคราะห์ข้อมูลได้ทันที หากระบบใดระบบหนึ่งขัดข้องและทำให้อุณหภูมิภายในโรงเรือนสูงขึ้น

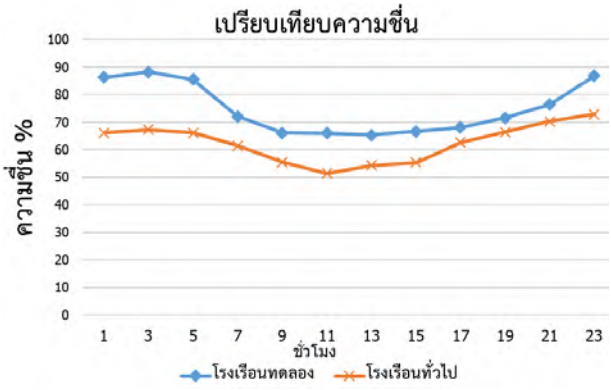

รูปที่ 5 เปรียบเทียบค่าความชื้นสัมพัทธ์ของโรงเรือนที่ควบคุมและโรงเรือนทั่วไป

การทดสอบระบบควบคุมความชื้นสัมพัทธ์ภายในโรงเรือนได้ดำเนินการเพื่อรองรับความต้องการของผักใบ ซึ่งมีความชื้นที่เหมาะสมอยู่ในช่วง 60%–85% โดยช่วงนี้เหมาะสมต่อกระบวนการสังเคราะห์แสง การคายน้ำ [9] และการดูดซึมแคลเซียมของพืช หากความชื้นต่ำกว่า 50% พืชจะเกิดอาการเหี่ยวเฉา ปลายใบไหม้ และดูดซึมแคลเซียมได้ไม่ดี หากค่าความชื้นสูงเกินไป จะเพิ่มความเสี่ยงต่อการเกิดเชื้อรา ดังนั้น ระบบควบคุมความชื้นจึงมีบทบาทสำคัญในการรักษาสภาพแวดล้อมให้เหมาะสมกับการเจริญเติบโตของพืช จากผลการทดสอบพบว่า ระบบสามารถควบคุมค่าความชื้นเฉลี่ยภายในโรงเรือนได้ที่ 69.35% ซึ่งอยู่ในช่วงที่เหมาะสม เมื่อเปรียบเทียบกับโรงเรือนที่ไม่มีระบบควบคุม พบว่ามีความแตกต่างอย่างชัดเจน โดยในบางช่วงเวลา ค่าความชื้นของโรงเรือนที่ไม่ได้ควบคุมลดลงต่ำถึง 50% ดังรูปที่ 5

การเก็บผลการเจริญเติบโตของผักสลัดเรดโอ๊คโรงเรือนที่ควบคุมเปรียบเทียบกับโรงเรือนทั่วไป ซึ่งทั้งสองโรงเรือนจะได้รับการใช้ปุ๋ย และการดูแลค่าPH ของน้ำแบบด้วยกัน หลังจากนั้นจะทำการบันทึกความสูงของผักสลัดในแต่ละสัปดาห์ และน้ำหนักหลังเก็บเกี่ยว ซึ่งการทดลองพบว่าผักสลัดเรดโอ๊คที่ปลูกโรงเรือนที่ควบคุมมีความเจริญเติบโตที่ดีกว่าในสัปดาห์ที่ 1 ความสูงของผักสลัดที่ปลูกในโรงเรือนควบคุมมีความสูงอยู่ที่ 1 ซม.ดังรูปที่ 6 (ก) และผักสลัดที่ปลูกในโรงเรือนทั่วไปมีความสูงอยู่ที่ 0.7 ซม. ดังรูปที่ 6 (ข)

(ก) (ข)

รูปที่ 6 (ก) ผักสลัดในโรงเรือนทดลองความสูง 1 เซนติเมตร
(ข) ผักสลัดในโรงเรือนทั่วไปความมสูง 0.7 เซนติเมตร

(ก) (ข)

รูปที่ 7 (ก) ผักสลัดในโรงเรือนทดลองความสูง 10 เซนติเมตร
(ข) ผักสลัดในโรงเรือนทั่วไปความมสูง 8 เซนติเมตร

เมื่อผักสลัดมีอายุครบ 8 สัปดาห์ จะเห็นได้ว่าความสูงของผักสลัดในโรงเรือนควบคุมจะมีความสูงที่ 10 ซม. ดังรูปที่ 7 (ก) ซึ่งขนาดของต้นและปริมาณของใบผักนั้นเจริญเติบโตกว่าผักสลัดของโรงเรือนทั่วไปมีความสูงอยู่ที่ 8 ซม. ดังรูปที่ 7 (ข) อย่างชัดเจน

การวัดขนาดใบผักสลัดของโรงเรือนควบคุมและโรงเรือนที่ไม่ได้ควบคุมหลังการเก็บเกี่ยวผลผลิต พบว่าใบผักสลัดของโรงเรือนที่ควบคุมนั้นมีขนาดความสูงประมาณ 12 ซม. กว้างประมาณ 14 ซม.ดังรูปที่ 8 (ก) และใบผักสลัดของโรงเรือนที่ไม่ได้ควบคุมมีขนาดความสูงประมาณ 9 ซม. กว้างประมาณ 11 ซม.ดังรูปที่ 8 (ข) ซึ่งจะเห็นได้ว่าการเจริญเติบโตของผักสลัดที่ปลูกด้วยอุณหภูมิและความชื้นที่เหมาะสมนั้นทำให้พัฒนาการของพืชมีความต่อเนื่องและสมบูรณ์มากยิ่งขึ้นแม้ว่าจะได้รับสารอาหารที่เท่ากัน

(ก) (ข)

รูปที่ 8 (ก) ขนาดใบผักสลัดโรงเรือนควบคุม
(ข) ขนาดใบผักสลัดโรงเรือนไม่ได้ควบคุม

การเก็บค่าน้ำหนักของผักสลัดในทั้งสองโรงเรือนมีวัตถุประสงค์เพื่อเปรียบเทียบผลผลิต โดยทำการชั่งน้ำหนักของผักสลัดจำนวน 10 ต้น ที่มีการเจริญเติบโตดีที่สุดในแต่ละโรงเรือน สำหรับโรงเรือนที่มีระบบควบคุมแสดงผลในรูปที่ 9 (ก) และโรงเรือนที่ไม่มีระบบควบคุม แสดงผลในรูปที่ 9 (ข)

(ก) (ข)

รูปที่ 9 (ก) การชั่งน้ำหนักของผักสลัดโรงเรือนควบคุม
(ข) การชั่งน้ำหนักของผักสลัดโรงเรือนทั่วไป

จากตารางที่ 1 พบว่า ผักสลัดเรดโอ๊คที่ปลูกในโรงเรือนควบคุมมีน้ำหนักมากกว่าผักที่ปลูกในโรงเรือนทั่วไปอย่างชัดเจน โดยมีน้ำหนักเฉลี่ยอยู่ที่ 111.68 กรัม ในขณะที่โรงเรือนที่ไม่ได้ควบคุมมีน้ำหนักเฉลี่ยเพียง 76.6 กรัม แสดงให้เห็นว่าการควบคุมสภาพแวดล้อมภายในโรงเรือน เช่น อุณหภูมิและความชื้น มีผลโดยตรงต่อการเจริญเติบโตและผลผลิตของพืช

ตารางที่ 1 น้ำหนักผักสลัดของโรงเรือนควบคุมและโรงเรือนทั่วไป

ผักสลัดเรดโอ๊ค	โรงเรือนทดลอง (g)	โรงเรือนทั่วไป (g)
ต้นที่ 1	123	58
ต้นที่ 2	108	88
ต้นที่ 3	146	79
ต้นที่ 4	118	66
ต้นที่ 5	136	92
ต้นที่ 6	142	62
ต้นที่ 7	103	84
ต้นที่ 8	96	82
ต้นที่ 9	132	71
ต้นที่ 10	119	84
เฉลี่ย	**111.68**	**76.6**

ตารางที่ 2 ค่ากระแสไฟฟ้า และแรงดันไฟฟ้าของโรงเรือนทดลอง

อุปกรณ์	กระแสไฟฟ้า (A)	แรงดันไฟฟ้า (V)	กำลังไฟฟ้า (W)	พลังงานไฟฟ้า (Unit)
ระบบควบคุม	0.21	5.01	1.05	0.0252
ระบบระบายอากาศ	1	24.5	24.5	0.588
ปั๊มน้ำ	0.104	223.1	23.20	0.557
โซลินอยด์วาล์ว	1	221	221	5.304

จากตารางที่ 2 แสดงค่ากระแสไฟฟ้าและแรงดันไฟฟ้าที่วัดได้จากอุปกรณ์แต่ละชนิดภายในโรงเรือนทดลอง โดยใช้โมดูลวัดไฟฟ้า PZEM-004T เพื่อคำนวณหาค่าพลังงานไฟฟ้าที่ใช้ในระบบ โดยพบว่า ระบบควบคุมใช้พลังงานไฟฟ้า 0.0252 หน่วย/วัน, ระบบระบายอากาศใช้ 0.588 หน่วย/วัน, ปั๊มน้ำใช้ 0.557 หน่วย/วัน, และโซลินอยด์วาล์วสำหรับเปิด-ปิดน้ำใช้ 5.304 หน่วย/วัน รวมแล้วพลังงานไฟฟ้าที่ใช้ทั้งหมดภายในโรงเรือนควบคุมเท่ากับ 6.4742 หน่วย/วัน เมื่อคำนวณค่าไฟฟ้าตามอัตราค่าไฟฟ้าสำหรับ 15 หน่วยแรก ที่อัตรา 2.3488 บาท/หน่วย จะได้ค่าไฟฟ้าต่อวันเท่ากับ 15.207 บาท/วัน สำหรับหนึ่งรอบการปลูกซึ่งใช้เวลา 35 วัน ค่าไฟฟ้ารวมต่อรอบการปลูกเท่ากับ 532.25 บาท

สำหรับโรงเรือนที่ไม่ได้ควบคุมสภาพแวดล้อม จะมีการใช้งานเฉพาะปั๊มน้ำ เท่านั้น โดยใช้พลังงานไฟฟ้าอยู่ที่ 0.557 หน่วย/วัน เมื่อคิดค่าไฟฟ้าตามอัตราสำหรับการใช้พลังงานไม่เกิน 15 หน่วยแรกที่ 2.3488 บาท/หน่วย จะได้ค่าไฟฟ้าประมาณ 1.308 บาท/วัน ทั้งนี้ รอบการปลูกในโรงเรือนที่ไม่ได้ควบคุมใช้ระยะเวลาทั้งสิ้น 45 วัน ส่งผลให้ค่าไฟฟ้ารวมต่อรอบการปลูกเท่ากับ 58.86 บาท

4. สรุปผลการทดลอง

การออกแบบระบบควบคุมอุณหภูมิ ความชื้น และแสงในโรงเรือนอัจฉริยะสำหรับการปลูกผักไฮโดรโปนิกส์ ซึ่งสามารถควบคุมและติดตามสถานะได้ผ่านแอปพลิเคชัน Blynk ช่วยให้ผู้ใช้งานสามารถเฝ้าสังเกตสภาพอากาศภายในโรงเรือนได้แบบเรียลไทม์ พร้อมทั้งสั่งการเปิด-ปิดระบบพ่นหมอก พัดลมระบายอากาศ และระบบแสงสว่างได้ตามสภาวะที่เหมาะสม จากผลการทดลองพบว่า ผักสลัดเรดโอ๊คที่ปลูกในโรงเรือนควบคุมมีการเจริญเติบโตที่ดีกว่าโรงเรือนทั่วไป โดยมีความสูงเฉลี่ยของลำต้น 10 เซนติเมตร ความกว้างของใบ 14 เซนติเมตร และน้ำหนักเฉลี่ย 111.68 กรัม ขณะที่ผักในโรงเรือนทั่วไปมีความสูงเฉลี่ยของลำต้นเพียง 8 เซนติเมตร ความกว้างของใบ 11 เซนติเมตร และน้ำหนักเฉลี่ย 76.6 กรัม เมื่อเปรียบเทียบพบว่าโรงเรือนควบคุมมีความสูงของลำต้นมากกว่าร้อยละ 20 ความกว้างของใบมากกว่าร้อยละ 27.3 และน้ำหนักเฉลี่ยมากกว่าร้อยละ 31.4 ซึ่งจะเห็นได้ว่าการใช้ระบบควบคุมในโรงเรือนที่ควบคุมนั้นได้เมื่อเปรียบเทียบกับการปลูกไฮโดรโปนิกส์แบบดั้งเดิมมีประสิทธิภาพที่สูงกว่า ดังค่าเปอร์เซ็นเฉลี่ยที่กล่าวไว้ข้างต้น นอกจากนี้ โรงเรือนควบคุมยังสามารถลดระยะเวลาการปลูกจาก 45 วัน เหลือเพียง 35 วัน แม้จะมีค่าไฟฟ้าสูงกว่า โดยอยู่ที่ 532.25 บาท/รอบการปลูก ขณะที่โรงเรือนทั่วไปมีค่าไฟฟ้าเพียง 58.86 บาท/รอบการปลูก ดังนั้น การควบคุมสภาพแวดล้อมภายในโรงเรือนจึงเป็นปัจจัยสำคัญที่ส่งผลต่อปริมาณและคุณภาพของผลผลิต ทั้งนี้ควรพิจารณาปริมาณการปลูกและราคาตลาดในช่วงเวลานั้นเพื่อให้เกิดความคุ้มค่าทางเศรษฐกิจ

เอกสารอ้างอิง

[1] M. Wildan and N. Anisa, "Internet of Things System Development and Experimentation Hydroponic Farming," 2024 International Conference on Information Management and Technology (ICIMTech), Bali, Indonesia, 2024, pp. 54-59, doi: 10.1109/ICIMTech63123.2024.10780827.

[2] V. Waghmare, P. Rakte, M. Gadalkar, S. Bhaleghare, D. Sakhare and M. Goudar, "Real Time Monitoring of Hydroponic System using IoT," 2024 International Conference on Intelligent Systems and Advanced Applications (ICISAA), Pune, India, 2024, pp. 1-6, doi: 10.1109/ICISAA62385.2024.10829094.

[3] A. E. Arumona et al., "Microfluidic Flow Rate Sensor Using Electron Cloud Plasma Transport Within Silicon Microring Circuits," in IEEE Sensors Journal, vol. 21, no. 24, pp. 27268-27274, 15 Dec.15, 2021, doi: 10.1109/JSEN.2021.3124368.

[4] S. Puengsungwan and K. Jirasereeamornkul, "Internet of Things (IoTs) based hydroponic lettuce farming with solar panels," 2019 International Conference on Power, Energy and Innovations (ICPEI), Pattaya, Thailand, 2019, pp. 86-89, doi: 10.1109/ICPEI47862.2019.8944986.

[5] J. Choi, D. Lim, S. Choi, J. Kim and J. Kim, "Light Control Smart Farm Monitoring System with Reflector Control," 2020 20th International Conference on Control, Automation and Systems (ICCAS), Busan, Korea (South), 2020, pp. 69-74, doi: 10.23919/ICCAS50221.2020.9268238.

[6] Chander, S. (2023). Influence of Total Dissolved Solids (TDS) on Hydroponic Spinach Growth and Yield: A Six-Week Study. International Research Journal Of Modernization In Engineering Technology And Science. https://doi.org/10.56726/irjmets43551

[7] Md. R. A. Shawon, O. K. Azad, B. R. Ryu and J.-K. Na, "The electrical conductivity of nutrient solution influenced the growth, centellosides content and gene expression of Centella asiatica in a hydroponic system," Agriculture, vol. 13, no. 12, Art. no. 2236, 2023, doi: 10.3390/agriculture13122236.

[8] Hofmann TA, Atkinson W, FanM, Simkin AJ, Jindal P, Lawson T. 2025 Impact ofclimate-driven changes in temperature onstomatal anatomy and physiology. Phil. Trans. R.Soc. B 380: 20240244

Carvalho DRA, Torre S, Kraniotis D, Almeida DPF, Heuvelink E and Carvalho SMP (2015) Elevated air movement enhances stomatal sensitivity to abscisic acid in leaves developed at high relative air humidity. Front. Plant Sci. 6:383.

[9] Aurasopon, A., Thongleam, T. & Kuankid, S. (2024). Integration of IoT Technology in Hydroponic Systems for Enhanced Efficiency and Productivity in Small-Scale Farming. Acta Technologica Agriculturae, 27(4), 2024. 203-211.

[10] Waghmare, V., Rakte, P., Gadalkar, M., Bhaleghare, S., Sakhare, D., & Goudar, M. (2024). Real Time Monitoring of Hydroponic System using IoT. 1–6.

[11] Yulianto, D., Nugraha, A. F., & Rahani, F. F. (2024). Automated Hydroponics System using the Internet of Things. Jurnal Edukasi Elektro, 8(2).

ประวัติผู้เขียนบทความ

นายธนัตถ์ เจนสัญญายุทธ
อาจารย์ประจำสาขาวิชาวิศวกรรมไฟฟ้า
คณะเทคโนโลยีอุตสาหกรรม
มหาวิทยาลัยราชภัฏรำไพพรรณี

ผู้ช่วยศาสตราจารย์ ดร.สุรินทร์ แหงมงาม
อาจารย์ประจำภาควิชาวิศวกรรมไฟฟ้า
คณะวิศวกรรมศาสตร์
มหาวิทยาลัยเทคโนโลยีราชมงคลธัญบุรี

รองศาสตราจารย์ องอาจ แสดใหม่
อาจารย์ประจำภาควิชาวิศวกรรมไฟฟ้า
คณะวิศวกรรมศาสตร์
มหาวิทยาลัยเทคโนโลยีราชมงคลธัญบุรี

นายมาโนช ประชา
อาจารย์ประจำภาควิชาวิศวกรรมคอมพิวเตอร์
คณะวิศวกรรมศาสตร์
มหาวิทยาลัยเทคโนโลยีราชมงคลธัญบุรี

นายอนุชา แซ่โซ้ง
นักศึกษาภาควิชาวิศวกรรมไฟฟ้า
คณะวิศวกรรมศาสตร์
มหาวิทยาลัยเทคโนโลยีราชมงคลธัญบุรี

นายอนุวัต สุขสำราญ
นักศึกษาภาควิชาวิศวกรรมไฟฟ้า
คณะวิศวกรรมศาสตร์
มหาวิทยาลัยเทคโนโลยีราชมงคลธัญบุรี

ระบบตรวจจับและแจ้งเตือนการสูบบุหรี่ในพื้นที่ห้ามสูบด้วยคอมพิวเตอร์วิทัศน์

A Smoking Detection and Alert System for Prohibited Smoking Areas using Computer Vision

เสนอ สะอาด ดรุณี ชายทอง รุ่งลาวัลย์ ชูสวัสดิ์ อภิรักษ์ เสือเดช และ สุนทร รุ่งเรืองใบหยก*

สาขาวิชาวิศวกรรมไฟฟ้า คณะวิศวกรรมศาสตร์ มหาวิทยาลัยเทคโนโลยีราชมงคลศรีวิชัย sunthorn.r@rmutsv.ac.th*

บทคัดย่อ

ปัญหาการสูบบุหรี่ในที่สาธารณะยังคงส่งผลกระทบต่อสุขภาพและสร้างความเดือดร้อนอย่างต่อเนื่อง แม้จะมีกฎหมายควบคุมอย่างชัดเจน ดังนั้นจึงมีความจำเป็นในการพัฒนาระบบอัตโนมัติเพื่อตรวจสอบและแจ้งเตือนการฝ่าฝืนได้อย่างมีประสิทธิภาพ บทความนี้จึงนำเสนอต้นแบบระบบตรวจจับและแจ้งเตือนการสูบบุหรี่ในพื้นที่ห้ามสูบโดยใช้เทคนิคคอมพิวเตอร์วิทัศน์ซึ่งประกอบไปด้วย 2 ระบบคือ การวิเคราะห์ท่าทางการเคลื่อนไหวของแขนด้วย MediaPipe เพื่อระบุพฤติกรรมการสูบบุหรี่ และการตรวจจับภาพควันบุหรี่ด้วยโมเดล YOLO จากการทดสอบพบว่าระบบมีประสิทธิภาพที่ดีสามารถตรวจจับและส่งเสียงแจ้งเตือนผู้สูบบุหรี่ และบันทึกหลักฐานภาพถ่ายไปยังผู้ดูแลสถานที่ได้ อย่างไรก็ตาม ระบบยังมีข้อจำกัดที่ทำให้เกิดความผิดพลาดได้จากปัจจัยภายนอก เช่น สภาวะแสงหรือสภาพอากาศ รวมถึงการแยกแยะท่าทางการสูบบุหรี่จริงออกจากท่าทางที่ใกล้เคียงอย่างมีประสิทธิภาพซึ่งจะพัฒนาต่อไปในอนาคต

คำสำคัญ: การตรวจจับการสูบบุหรี่ คอมพิวเตอร์วิทัศน์ ระบบแจ้งเตือน

Abstract

The problem of public smoking continues to impact public health and cause disturbance, even though there are clear laws. Consequently, it is necessary to develop an automated system that can monitor and alert for violations efficiently. This paper presents a prototype for a smoking detection and alert system in non-smoking areas using computer vision techniques The proposed system consists of two parts: arm movement analysis with MediaPipe to identify smoking behavior, and smoke detection using the YOLO model. Experimental results show the system is effective, capable of detecting smokers, sending voice notifications to warn violators, and capturing photographic evidence for facility administrators. However, the system has limitations and may produce errors due to external factors, such as light conditions or weather. Furthermore, it lacks efficiency in classifying smoking gestures from similar actions. These limitations will be addressed in future work.

Keywords: Smoking Detection, Computer Vision, Alert System

1. บทนำ

ควันบุหรี่ที่ผู้สูบพ่นออกมาเป็นแหล่งกำเนิดของสารพิษกว่า 100 ชนิด โดยประมาณ 70 ชนิดเป็นสารก่อมะเร็งซึ่งสามารถตกค้างในอากาศและพื้นผิวได้นาน ก่อให้เกิดภาวะควันบุหรี่มือสองซึ่งเป็นภัยต่อสุขภาพของผู้ไม่สูบบุหรี่โดยเฉพาะเด็กเล็ก จากข้อมูลปี พ.ศ. 2565 พบว่าร้อยละ 67 ของเด็กอายุต่ำกว่า 5 ปีมีอาการหอบเฉียบพลันจากการสูดดมควันบุหรี่ และสถานที่ที่พบการสัมผัสควันบุหรี่มือสองมากที่สุดคือ ตลาดสดและร้านอาหาร [1] ถึงแม้ว่าจะมีกฎหมายห้ามสูบบุหรี่ในที่สาธารณะ การฝ่าฝืนก็ยังคงเป็นปัญหาที่พบได้ทั่วไป จึงมีความจำเป็นต้องพัฒนาระบบที่มีประสิทธิภาพในการตรวจจับและแจ้งเตือนการฝ่าฝืน

ปัจจุบันมีการนำเทคโนโลยีหลายอย่างมาใช้ตรวจจับการสูบบุหรี่ เช่น การใช้เซนเซอร์ MQ-135 ตรวจจับควันบุหรี่ในรถยนต์ [2] หรือการตรวจจับพฤติกรรมการสูบบุหรี่ในพื้นที่สาธารณะด้วยการเรียนรู้แบบต่าง ๆ [3, 4] อย่างไรก็ตาม ระบบยังมีข้อจำกัด เช่น ความแม่นยำและความเสถียรในการใช้งานของตัวเซนเซอร์ หรือระบบที่ยังไม่มีการแจ้งเตือนทั้งผู้สูบบุหรี่และผู้ดูแลสถานที่

บทความนี้จึงนำเสนอระบบตรวจจับและแจ้งเตือนการสูบบุหรี่ในพื้นที่ห้ามสูบโดยประยุกต์ใช้คอมพิวเตอร์วิทัศน์ ระบบนี้ประกอบด้วยสองส่วน ได้แก่ การตรวจจับพฤติกรรมการสูบบุหรี่จากลักษณะท่าทาง และการตรวจจับภาพควันบุหรี่ นอกจากนี้ระบบยังสามารถแจ้งเตือนด้วยเสียงผ่านลำโพงและแจ้งเตือนไปยังผู้ดูแลสถานที่ผ่านแอปพลิเคชันไลน์เพื่อให้สามารถแก้ไขปัญหาการสูบบุหรี่ในพื้นที่ห้ามสูบได้

2. การวิเคราะห์ท่าทางการสูบบุหรี่ด้วย MediaPipe

MediaPipe เป็นไลบรารีที่ได้รับการออกแบบมาเพื่อตรวจจับและติดตามจุดสำคัญ (Landmark) บนร่างกายมนุษย์ได้ เช่น ใบหน้า มือ หรือโครงสร้างร่างกาย ทำให้เป็นเครื่องมือที่เหมาะสมสำหรับการวิเคราะห์ท่าทางของมนุษย์ โดยเฉพาะเมื่อทำงานร่วมกับโมเดลการเรียนรู้เชิงลึกเพื่อปรับปรุงความแม่นยำและความรวดเร็วในการประมวลผล สำหรับการตรวจจับท่าทางการสูบบุหรี่ซึ่งเป็นการเคลื่อนไหวของร่างกายที่มีรูปแบบท่าทางนั้น MediaPipe สามารถประมวลผลท่าทางเหล่านี้ได้โดยระบบจะระบุจุดสำคัญตามร่างกายบนภาพที่บันทึกได้ จากนั้นนำรูปแบบการจัดเรียงและการเคลื่อนที่ของจุดเหล่านี้มาวิเคราะห์ร่วมกับข้อมูลลักษณะท่าทางเพื่อจำแนกว่าท่าทางดังกล่าวสอดคล้องกับการสูบบุหรี่หรือไม่ การกำหนดจุดสำคัญบนภาพแสดง ดังรูปที่ 1

*ผู้ประพันธ์บรรณกิจ

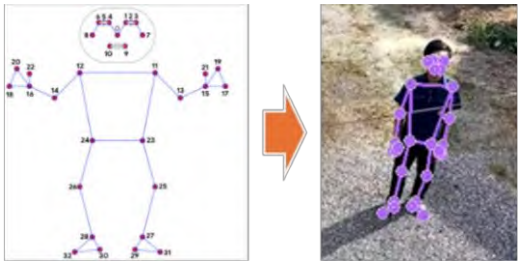

รูปที่ 1 การกำหนดจุดสำคัญบนร่างกาย

3. ระบบการตรวจจับและแจ้งเตือนการสูบบุหรี่

ระบบแจ้งเตือนการสูบบุหรี่ในพื้นที่ห้ามสูบมีโครงสร้าง 3 ส่วนคือ ภาคอินพุตจะรับภาพจากกล้องแบบเรียลไทม์ ภาคประมวลผลจะทำการวิเคราะห์ภาพด้วยเทคนิค 2 ส่วน ได้แก่ การตรวจจับท่าทางด้วย MediaPipe และการตรวจจับภาพควันด้วยโมเดล YOLO และส่วนสุดท้าย คือ ภาคเอาต์พุตจะแจ้งเตือนผ่านลำโพงและบันทึกภาพผู้กระทำผิดส่งให้ผู้ดูแลผ่านแอปพลิเคชันไลน์โดยแผนภาพบล็อกของระบบแสดง ดังรูปที่ 2

3.1 โครงสร้าง

โครงสร้างของเครื่องมีขนาด 15 x 10 x 20 เซนติเมตร โดยด้านหน้าติดตั้งลำโพงจำนวน 2 ตัว และด้านบนติดตั้งกล้อง IP ภายในตัวเครื่องประกอบด้วยชุดแหล่งจ่ายไฟฟ้ากระแสตรง 12V 5A, บอร์ดลดระดับแรงดัน, บอร์ดไมโครคอนโทรลเลอร์, โมดูลเล่นไฟล์เสียง MP3 และโมดูลขยายเสียง ซึ่งส่วนประกอบเหล่านี้ทำงานร่วมกันเพื่อรองรับการประมวลผลและการแจ้งเตือนเมื่อตรวจพบการสูบบุหรี่ ดังรูปที่ 3

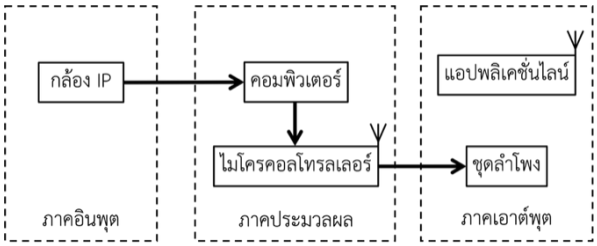

รูปที่ 2 แผนภาพบล็อกระบบตรวจจับและแจ้งเตือนการสูบบุหรี่ในพื้นที่ห้ามสูบ

รูปที่ 3 โครงสร้างเครื่องแจ้งเตือนการสูบบุหรี่ในที่ห้ามสูบ

3.2 การตรวจจับพฤติกรรมการสูบบุหรี่ด้วยคอมพิวทัศน์

ระบบตรวจจับท่าทางการสูบบุหรี่นี้เริ่มต้นกระบวนการด้วยการตรวจจับบุคคลภายในเฟรม หลังจากนั้นจึงเข้าสู่ขั้นตอนการประมวลผลท่าทางการยกแขน โดยมีตัวจับเวลาถอยหลัง 60 วินาทีเพื่อเว้นช่วงระยะเวลาห่างของการนับการยกแขนครั้งถัดไป หากตรวจพบจำนวนครั้งของการยกแขนสะสมครบตั้งแต่ 3 ครั้งขึ้นไป ระบบจะสั่งให้มีการแจ้งเตือนด้วยเสียงแบบที่ 1 และถ้าการยกแขนเพิ่มขึ้นจนถึง 5 ครั้งแล้วระบบจะดำเนินการแจ้งเตือนเป็นระดับสูงสุดโดยการปล่อยเสียงแจ้งเตือนแบบที่ 2 พร้อมกับถ่ายภาพหลักฐานและส่งภาพไปยังผู้ดูแลผ่านแอปพลิเคชันไลน์ หลังจากนั้นกระบวนการทั้งหมดจะวนกลับไปสู่จุดเริ่มต้นเพื่อรอการตรวจจับภาพในรอบถัดไป ดังรูปที่ 4

การจำแนกการเคลื่อนไหวของแขนด้วยฟังก์ชัน atan2 ซึ่งใช้หลักการคำนวณมุมระหว่างเวกเตอร์สองอันที่เกิดขึ้นจากตำแหน่งของจุดอ้างอิงสามจุดบนแขน ได้แก่ ข้อไหล่ ข้อศอก และข้อมือ ดังรูปที่ 5 โดยใช้สมการที่ (1) ถ้ามุมที่คำนวณได้มีค่ามากกว่า 160 องศา ระบบจะจัดให้เป็นท่ามือลง แต่ถ้าหากมุมมีค่าน้อยกว่า 30 องศาและท่าทางก่อนหน้านี้เป็นท่ามือลง ระบบจะจัดให้เป็นท่ายกมือขึ้น ซึ่งสอดคล้องกับการเคลื่อนไหวของการสูบบุหรี่ที่มีการยกมือขึ้นลง

$$\theta = \left| \left(atan2(\boldsymbol{\alpha}) - atan2(\boldsymbol{\beta})\right) \times \frac{180}{\pi} \right| \quad (1)$$

เมื่อ θ คือ มุมการเคลื่อนไหวของแขนมีหน่วยเป็นองศา

$\boldsymbol{\alpha}$ คือ $(c_y - b_y, c_x - b_x)$ หรือเวกเตอร์จากจุด B ไปยังจุด C

$\boldsymbol{\beta}$ คือ $(a_y - b_y, a_x - b_x)$ หรือเวกเตอร์จากจุด B ไปยังจุด A

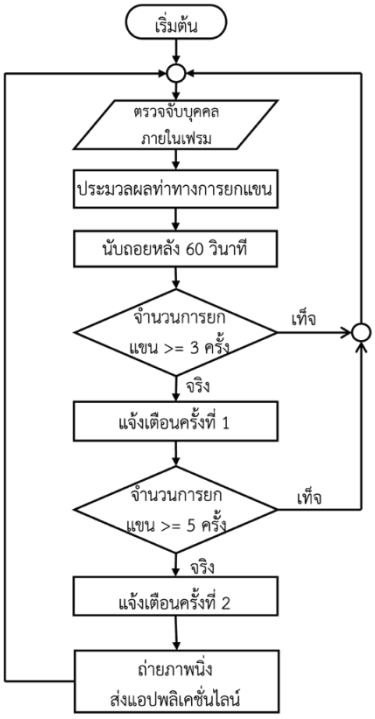

รูปที่ 4 ผังงานการตรวจจับท่าทางการสูบบุหรี่ด้วย MediaPipe

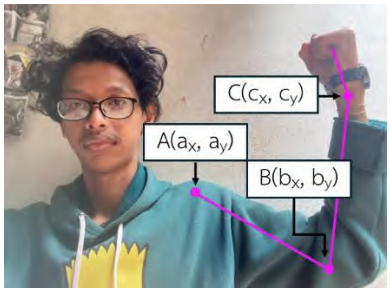

รูปที่ 5 โครงสร้างเครื่องแจ้งเตือนการสูบบุหรี่ในที่ห้ามสูบ

3.3 การตรวจจับภาพควันบุหรี่ด้วย YOLO

ระบบนี้ใช้ YOLO เป็นแบบจำลองที่ใช้ในการตรวจจับภาพควันบุหรี่ โดยใช้ชุดข้อมูลสำหรับฝึกสอนทั้งหมด 500 ภาพ ซึ่งประกอบด้วยภาพจากฐานข้อมูล ดังรูปที่ 6 [5] จำนวน 350 ภาพ และภาพที่เพิ่มเติมอีก 150 ภาพ การตรวจจับภาพควันบุหรี่เริ่มจากการรับภาพจากกล้องแล้วทำการวิเคราะห์ หากตรวจไม่พบควันบุหรี่ ระบบจะวนกลับไปรับภาพใหม่ แต่หากตรวจพบ ระบบจะตรวจสอบความต่อเนื่องของเฟรมที่มีควันบุหรี่ ถ้าจำนวนเฟรมต่อเนื่องกันน้อยกว่า 3 เฟรม ระบบจะกลับไปเริ่มต้นใหม่ แต่ถ้าตรวจพบตั้งแต่ 3 เฟรมขึ้นไป ระบบจะส่งเสียงแจ้งเตือนผู้สูบบุหรี่พร้อมกับบันทึกภาพแล้วส่งไปยังผู้ดูแลผ่านแอปพลิเคชันไลน์ หลังจากนั้นระบบจะกลับสู่กระบวนการเริ่มต้นเพื่อตรวจจับภาพในรอบถัดไป ดังรูปที่ 7

รูปที่ 6 ตัวอย่างชุดข้อมูลสำหรับการเทรนแบบจำลองตรวจจับควัน [5]

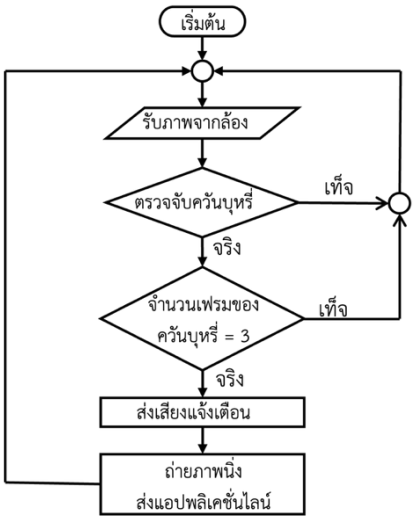

รูปที่ 7 ผังงานการตรวจจับภาพควันด้วย YOLO

4. ผลการทดสอบและวิเคราะห์ผล

การทดสอบระบบมี 4 หัวข้อ ได้แก่ การวาดจุดสำคัญบนร่างกายด้วย MediaPipe การตรวจจับท่าสูบบุหรี่ด้วยการยกแขน การตรวจจับภาพควันบุหรี่ และการแจ้งเตือนผ่านระบบเสียงและแอปพลิเคชันไลน์ ภายใต้สภาพแวดล้อมที่มีแสงสว่างเพียงพอสำหรับการบันทึกภาพ ในมุมมองด้านหน้า ด้านหลัง ด้านซ้าย และด้านขวา มีรายละเอียดดังต่อไปนี้

4.1 การทดสอบการวาดจุดสำคัญบนร่างกาย

การทดสอบวาดจุดสำคัญบนร่างกาย (Landmark) จากภาพที่ระยะต่าง ๆ พบว่าระบบสามารถตรวจจับภาพและวาดโครงสร้างร่างกายได้ ดังรูปที่ 8 อย่างไรก็ตาม หากภาพโครงสร้างร่างกายไม่สมบูรณ์ เช่น ไม่สามารถตรวจจับใบหน้าหรือแขนขาได้อย่างชัดเจน (บุคคลในวงรีสีแดง) ระบบจะไม่สามารถกำหนดจุดสำคัญบนร่างกายได้อย่างถูกต้อง ดังรูปที่ 9

4.2 การทดสอบการตรวจจับท่าสูบบุหรี่ด้วยการยกแขน

จากการทดลองโดยระบุตำแหน่งข้อไหล่ ข้อศอก และข้อมือเพื่อนำมาคำนวณค่าองศาการเคลื่อนไหวของข้อศอกสำหรับการวิเคราะห์ท่าทาง โดยใช้แขนขวาจำลองท่าการสูบบุหรี่ ดังรูปที่ 10 และทดสอบในมุมมองต่าง ๆ มุมมองละ 25 ครั้ง ระยะทดสอบตั้งแต่ 1–5 เมตร และทำซ้ำระยะละ 5 รอบ ผลการทดลองพบว่าระบบตรวจจับการยกแขนได้อย่างถูกต้องในมุมมองด้านหน้า ด้านขวา และด้านซ้าย โดยมีค่าเฉลี่ย 23.00–24.00 ครั้ง และค่าเบี่ยงเบนมาตรฐาน 1.46–2.06 ครั้ง แต่มุมมองด้านหลังไม่สามารถวัดค่าได้ ดังตารางที่ 1 อย่างไรก็ตาม ระบบมีข้อจำกัดเมื่อผู้สูบบุหรี่อยู่ในระยะหรือมุมมองที่ไม่สามารถตรวจจับตำแหน่งข้อศอกหรือข้อมือได้ และการตรวจจับท่าทางที่ใกล้เคียงกัน เช่น ท่าการกิน ดังรูปที่ 11

รูปที่ 8 การตรวจจับภาพบุคคลในมุมมองต่าง ๆ

รูปที่ 9 การตรวจจับภาพบุคคลด้วย MediaPipe ที่ผิดพลาด

รูปที่ 10 การวัดมุมการเคลื่อนที่ของข้อศอก

ตารางที่ 1 จำนวนครั้งที่ถูกต้องของการยกแขนในมุมมองต่าง ๆ

การหันตัวเข้าหากล้อง	ค่าเฉลี่ย (ค่าเบี่ยงเบนมาตรฐาน)
ภาพมุมมองด้านหน้า	24.00 (1.92)
ภาพมุมมองด้านขวา	23.68 (1.46)
ภาพมุมมองด้านซ้าย	23.00 (2.06)
ภาพมุมมองด้านหลัง	ไม่สามารถวัดค่าได้

รูปที่ 11 การตรวจจับท่าสูบบุหรี่ด้วยการยกแขน

4.3 การทดสอบการตรวจจับภาพควันบุหรี่

ผลการทดสอบตรวจจับภาพควันบุหรี่พบว่าสามารถตรวจจับภาพควันได้ถูกต้อง 66.7 % และนับจำนวนเฟรมของภาพควันที่เกิดขึ้นได้ ดังรูปที่ 12 อย่างไรก็ตาม ระบบยังมีข้อจำกัดเมื่อความหนาแน่นของควันต่ำหรือผู้สูบบุหรี่อยู่ห่างจากกล้องเกินไปส่งผลให้ความถูกต้องแม่นยำลดลง

4.4 การทดสอบระบบการแจ้งเตือน

การทดสอบนี้แบ่งออกเป็น 2 ส่วน ได้แก่ การแจ้งเตือนด้วยเสียงและการแจ้งเตือนผ่านแอปพลิเคชันไลน์โดยจะทำงานเมื่อระบบสามารถตรวจจับท่าทางหรือควันบุหรี่ได้ ในกรณีของการตรวจจับท่าทาง เมื่อมีการตรวจพบการยกแขนครบ 3 ครั้ง ระบบจะส่งเสียงแจ้งเตือนเบื้องต้นเพื่อเป็นการเตือนและเมื่อตรวจพบการยกแขนครบ 5 ครั้ง ระบบจะทำการบันทึกภาพพร้อมทั้งส่งเสียงแจ้งเตือนเพื่อยืนยันการฝ่าฝืนทันที ในทำนองเดียวกัน หากระบบตรวจจับควันบุหรี่ได้ ระบบจะบันทึกภาพและส่งเสียงแจ้งเตือนเช่นกัน ภาพที่ถูกบันทึกจากทั้งสองเงื่อนไขจะถูกส่งไปยังผู้ดูแลผ่านแอปพลิเคชันไลน์เพื่อใช้เป็นเพื่อใช้เป็นหลักฐานต่อไป ดังรูปที่ 13

รูปที่ 12 การตรวจจับภาพควันบุหรี่

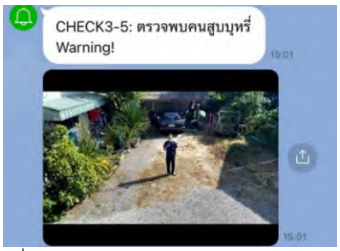

รูปที่ 13 การแจ้งเตือนผ่านแอปพลิเคชันไลน์

5. สรุป

บทความนี้นำเสนอต้นแบบระบบตรวจจับและแจ้งเตือนการสูบบุหรี่ในพื้นที่ห้ามสูบด้วยคอมพิวเตอร์วิทัศน์ โดยระบบสามารถตรวจจับท่าสูบบุหรี่และภาพควันบุหรี่ พร้อมส่งเสียงแจ้งเตือนและภาพหลักฐานไปยังผู้ดูแลได้ แต่ระบบยังมีข้อจำกัดจากสภาวะแสง สภาพอากาศ และความคล้ายคลึงของท่าทางที่อาจทำให้เกิดการวิเคราะห์ผิดพลาด ในอนาคตจะมีการเพิ่มและปรับปรุงชุดข้อมูลเพื่อรองรับการใช้งานในสภาพแวดล้อมที่หลากหลายและรวมระบบทั้งสองเข้าด้วยกันเพื่อปรับปรุงประสิทธิภาพ พร้อมพิจารณามาตรการด้านการคุ้มครองข้อมูลส่วนบุคคล เพื่อให้การใช้งานสอดคล้องกับข้อกฎหมายและคำนึงถึงสิทธิส่วนบุคคล

6. กิตติกรรมประกาศ

ขอขอบคุณหลักสูตรวิศวกรรมอิเล็กทรอนิกส์ คณะวิศวกรรมศาสตร์ มหาวิทยาลัยเทคโนโลยีราชมงคลศรีวิชัย ที่อำนวยความสะดวกในการใช้พื้นที่ตลอดจนการสืบค้นข้อมูล การใช้เครื่องมือและอุปกรณ์ต่าง ๆ ทีมงานนักศึกษา นายนพดล บุญสิม และนายรัชเดช อภิรานนท์ ที่ช่วยดำเนินการวิจัยให้สำเร็จตามวัตถุประสงค์ได้เป็นอย่างดี

เอกสารอ้างอิง

[1] สำนักงานคณะกรรมการควบคุมเครื่องดื่มแอลกอฮอล์, สถานการณ์การบริโภคยาสูบของประเทศไทย พ.ศ. 2565, กรุงเทพฯ: ศูนย์วิจัยและจัดการความรู้เพื่อการควบคุมยาสูบ มหาวิทยาลัยมหิดล, 2566, ISBN: 978-616-443-799-9.

[2] G. V. R. Lakshmi, S. D. Bhavani, M. D. Prasad and B. T. Kumar, "Real-Time Smoke Detection Inside Cars using Internet of Things," *2024 International Conference on Inventive Computation Technologies (ICICT)*, Lalitpur, Nepal, 2024, pp. 1769-1774, doi: 10.1109/ICICT60155.2024.10544463.

[3] C. Cui and R. Xu, "Multiple Machine Learning Algorithms for Human Smoking Behavior Detection," *2022 International Conference on Machine Learning and Intelligent Systems Engineering (MLISE)*, Guangzhou, China, 2022, pp. 240-244, doi: 10.1109/MLISE57402.2022.00054.

[4] Z. Li, C. Wei, and Z. Sun, “Real Time Detection of Drivers Smoking Behavior Using the Improved YOLO-V4 Model,” *in Proceedings of the 2022 2nd International Conference on Computer Technology and Media Convergence Design*, 2022, pp. 293-298.

[5] "Smoke Detection1," Roboflow Universe, [Online]. Available: https://universe.roboflow.com/smoke-kew96/smoke-detection1-owusa-ol70f. [Accessed: Dec. 20, 2024].

การปรับปรุงเครื่องสำหรับตรวจสอบข้อบกพร่องของจานอัดจากใบตองตึงด้วยปัญญาประดิษฐ์

Improving machine for detection defects in pressed gurjun leaf plates using Artificial intelligence

ปิยังกูร ชาลี [1] อรษา สิระษากมล[1*] อนันต์ วงษ์ จันทร์[2] อนุชา วิทยากร[3] และวิชัย สุขประเสริฐกุล[4]

[1] สาขาวิศวกรรมไฟฟ้า คณะวิศวกรรมศาสตร์ มหาวิทยาลัยเทคโนโลยีราชมงคลล้านนา เชียงใหม่, piyanggul_piyanggul@live.rmutl.ac.th

[1] สาขาวิศวกรรมไฟฟ้า หลักสูตรวิศวกรรมซอฟต์แวร์ มหาวิทยาลัยเทคโนโลยีราชมงคลล้านาเชียงใหม่,orsa_k@rmutl.ac.th*

[2] สาขาวิศวกรรมไฟฟ้า หลักสูตรวิศวกรรมอิเล็กทรอนิกส์และระบบควบคุมอัตโนมัติ มหาวิทยาลัยเทคโนโลยีราชมงคลล้านาเชียงใหม่, anandata@rmutl.ac.th

[3,4]บริษัทฮานาไมโครอิเล็คโทรนิคส จำกัด มหาชน 101/2 หมู่ 4 นิคมอุตสาหกรรมภาคเหนือ ตำบลบ้านกลาง อำเภอเมือง จังหวัดลำพูน anuchaw@lpn.hanabk.th.com,wichais@lpn.hanabk.th.com

บทคัดย่อ

งานวิจัยนี้มีวัตถุประสงค์เพื่อพัฒนาระบบตรวจสอบข้อบกพร่องของจานอัดจากใบตองตึงในกระบวนการผลิตอุตสาหกรรม เพื่อลดข้อจำกัดของการตรวจสอบคุณภาพด้วยแรงงานคนซึ่งมักมีความแม่นยำต่ำและใช้เวลานานระบบที่พัฒนานี้ผสานเทคโนโลยีปัญญาประดิษฐ์และการประมวลผลภาพเข้ากับโมเดล YOLOv8 ผ่านไลบรารี PyTorch ร่วมกับกล้อง USB ความละเอียด 4K และระบบควบคุม RS232 Relay เพื่อถ่ายภาพและวิเคราะห์ข้อบกพร่องแบบเรียลไทม์ ข้อมูลภาพถูกจัดเก็บและติดป้ายกำกับเป็น 4 ประเภท ได้แก่ Good, Hole, Crack และ Contaminate เพื่อนำไปฝึกโมเดล การทดลองฝึกโมเดลดำเนินทั้งหมด 3 รอบ โดยปรับจำนวน Epochs ให้แตกต่างกันเพื่อประเมินความแม่นยำและความเสถียรของระบบ ผลการทดสอบพบว่ารอบที่ 3 ให้ประสิทธิภาพสูงสุด โดยมีค่า F1-Score 0.90, Precision 0.88, Recall 0.90 และ mAP@0.5 เท่ากับ 91% โมเดลสามารถจำแนกคลาส Crack ได้ถูกต้อง 96%, Hole 89% และ Contaminate 87% แม้ยังมีความสับสนในบางคลาส แต่โดยรวมระบบมีความแม่นยำสูง รวดเร็ว และสามารถทำงานได้เสถียรในสายการผลิตจริง ความโดดเด่นของงานวิจัยนี้อยู่ที่การออกแบบและปรับปรุงฮาร์ดแวร์ซอฟต์แวร์ให้เหมาะสมกับสภาพแวดล้อมการผลิตของชุมชน ด้วยต้นทุนต่ำและสามารถนำไปประยุกต์ใช้ได้จริง ซึ่งช่วยเพิ่มประสิทธิภาพการตรวจสอบ ลดอัตราของเสีย และสนับสนุนการผลิตที่เป็นมิตรต่อสิ่งแวดล้อม

คำสำคัญ: จานอัดใบตองตึง, การตรวจสอบข้อบกพร่อง, ปัญญาประดิษฐ์, YOLOv8

Abstract

This research aims to develop an automated defect detection system for pressed plates made from Ton-Tung leaves in industrial production, addressing the limitations of manual quality inspection, which often results in low accuracy and time-consuming operations. The proposed system integrates artificial intelligence and image processing with the YOLOv8 model via the PyTorch library, combined with a 4K USB camera and an RS232 relay control system to capture and analyze defects in real time.Image data were collected and labeled into four categories: Good, Hole, Crack, and Contaminate for model training. The experiments involved three training rounds with different numbers of epochs to evaluate the accuracy and stability of the system. The results indicate that the third round achieved the highest performance, with an F1-Score of 0.90, Precision of 0.88, Recall of 0.90, and mAP@0.5 of 91%. The model correctly classified Crack at 96%, Hole at 89%, and Contaminate at 87%. Although some misclassifications occurred, the system demonstrated high accuracy, speed, and operational stability in real production environments. The novelty of this work lies in the hardware–software co-design tailored for community-based production environments at low cost, making it suitable for practical deployment. This approach enhances inspection efficiency, reduces defect rates, and supports environmentally friendly manufacturing practices.

Keywords: Pressed Ton-Tung leaf plate, Defect detection, Artificial intelligence, YOLOv8

1. บทนำ

ปัจจุบันปัญหาฝุ่นควันจากการเผาใบไม้และเศษวัสดุทางการเกษตรเป็นหนึ่งในสาเหตุสำคัญของมลพิษทางอากาศ โดยเฉพาะฝุ่นละอองขนาดเล็ก PM2.5 ซึ่งก่อให้เกิดผลกระทบต่อสุขภาพของประชาชนและสิ่งแวดล้อมอย่างรุนแรง ในหลายพื้นที่ของประเทศไทย รวมถึงชุมชนบ้านต้นผึ้ง จังหวัดเชียงใหม่ ยังคงมีการเผาใบไม้เพื่อกำจัดวัสดุเหลือใช้ทางการเกษตร ส่งผลให้เกิดหมอกควันหนาแน่นในช่วงฤดูแล้ง

*ผู้ประพันธ์บรรณกิจ

เพื่อแก้ไขปัญหานี้ ชุมชนบ้านต้นผึ้งได้ร่วมกันจัดตั้ง “วิสาหกิจชุมชนป่าต้นผึ้ง” เพื่อแปรรูปใบตองตึง (Ton-Tung leaves) ให้เกิดมูลค่าเพิ่ม ลดการเผาทำลาย และสร้างรายได้เสริม ผลิตภัณฑ์หลักที่พัฒนาขึ้นคือ“จานอัดจากใบตองตึง” [1] ซึ่งเป็นภาชนะทางเลือกที่สามารถย่อยสลายได้เอง เป็นมิตรต่อสิ่งแวดล้อม และได้รับความนิยมเพิ่มขึ้นอย่างต่อเนื่องตามกระแสความตระหนักด้านสิ่งแวดล้อมของผู้บริโภค

อย่างไรก็ตาม กระบวนการผลิตจานอัดจากใบตองตึงยังคงมีข้อจำกัดในขั้นตอนการตรวจสอบคุณภาพ (Manual Quality Inspection) ที่ต้องอาศัยแรงงานคนเพื่อตรวจหารอยแตก รอยรั่ว และรอยเปื้อน ซึ่งกระบวนการดังกล่าวมีความเสี่ยงต่อความผิดพลาด ใช้เวลานาน และไม่สามารถรับประกันคุณภาพที่สม่ำเสมอในทุกชิ้นงาน [2] แม้ในปัจจุบันจะมีเทคโนโลยีการตรวจสอบอัตโนมัติ แต่ส่วนใหญ่ยังมีข้อจำกัดด้านต้นทุน ความซับซ้อนของระบบ และไม่สามารถปรับใช้ได้ง่ายในสภาพการผลิตของชุมชน

เพื่อแก้ไขข้อจำกัดดังกล่าว งานวิจัยนี้จึงมุ่งพัฒนาระบบตรวจสอบข้อบกพร่องของจานอัดจากใบตองตึงด้วย ปัญญาประดิษฐ์ (Artificial Intelligence: AI) [4] โดยประยุกต์ใช้เทคโนโลยีการประมวลผลภาพ (Image Processing) ร่วมกับโมเดล YOLOv8 ซึ่งเป็นโมเดลตรวจจับวัตถุแบบหนึ่งขั้นตอน (One-stage Detector) ที่มีความแม่นยำสูงและประมวลผลได้รวดเร็ว เหมาะสำหรับงานตรวจจับข้อบกพร่องในสภาพการทำงานจริงแบบเรียลไทม์ [5] ระบบที่พัฒนานี้ยังผสานการทำงานกับฮาร์ดแวร์ต้นทุนต่ำ เช่น กล้อง USB ความละเอียด 4K และ RS232 Relay สำหรับควบคุมการทำงานของแหล่งกำเนิดแสง พร้อมระบบบันทึกผลอัตโนมัติและการแสดงผลผ่าน GUI (Graphical User Interface) ที่ออกแบบให้ใช้งานง่าย และเหมาะสมกับผู้ปฏิบัติงานในชุมชนดังรูปที่ 1

ด้วยแนวทางนี้ คาดว่าระบบที่พัฒนาจะช่วยเพิ่มความแม่นยำในการตรวจสอบ ลดอัตราของเสียจากการผลิต ลดภาระของแรงงานคน และสนับสนุนการผลิตที่เป็นมิตรต่อสิ่งแวดล้อม ซึ่งสอดคล้องกับแนวทางการพัฒนาอย่างยั่งยืนและการแก้ปัญหามลพิษทางอากาศของชุมชน

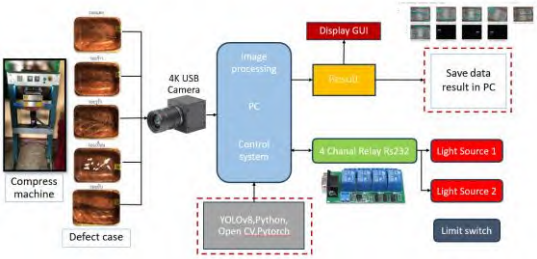

รูปที่ 1 กรอบแนวคิด

ระบบเริ่มจากการนำชิ้นงานจากเครื่องอัด (Compress Machine) มาวางในตำแหน่งตรวจสอบ กล้อง USB ความละเอียด 4K จะถ่ายภาพชิ้นงานแล้วส่งไปยังคอมพิวเตอร์ (PC) เพื่อประมวลผลด้วยโมเดล YOLOv8 ที่พัฒนาในภาษา Python โดยใช้ OpenCV และ PyTorch PC ทำหน้าที่ควบคุมการทำงานของฮาร์ดแวร์ผ่านรีเลย์ RS232 เพื่อสั่งเปิด–ปิดแหล่งกำเนิดแสง (Light Source 1 และ 2) ตามลำดับการตรวจสอบ และรับสัญญาณจากลิมิตสวิตช์เพื่อตรวจสอบตำแหน่งชิ้นงาน ผลการตรวจสอบจะแสดงผ่าน GUI แบบเรียลไทม์ และบันทึกข้อมูลลงใน PC เพื่อใช้วิเคราะห์ย้อนหลัง

2. การศึกษาทฤษฎีที่เกี่ยวข้อง

2.1 YOLOv8 (You Only Look Once version 8)

YOLOv8 เป็นหนึ่งในโมเดลตรวจจับวัตถุแบบขั้นตอนเดียว (One-stage Detector) ที่มีความแม่นยำสูงและสามารถประมวลผลได้รวดเร็ว เหมาะสำหรับงานตรวจจับวัตถุในสภาพแวดล้อมจริงแบบเรียลไทม์ [6] โมเดลนี้ได้รับการพัฒนาต่อยอดจาก YOLOv5 โดยเพิ่มประสิทธิภาพด้านโครงสร้างเครือข่าย (Network Architecture) การประมวลผลแบบ Anchor-free และการปรับแต่ง Loss Function ให้เหมาะกับการตรวจจับวัตถุขนาดเล็กและการทำงานบน Edge Device

เมื่อเปรียบเทียบกับโมเดลอื่น เช่น Faster R-CNN ซึ่งแม้จะมีความแม่นยำสูง แต่มีความหน่วง (latency) สูงกว่า และ SSD (Single Shot Multi Box Detector) ที่มีความเร็วดีแต่ความแม่นยำอาจต่ำกว่า YOLOv8 ในบางกรณี [7] ผลการศึกษาในงานวิจัยล่าสุด [8], [9] แสดงว่า YOLOv8 ให้ค่าความแม่นยำ (mAP) สูงกว่า YOLOv5 ประมาณ 2–4% และใช้เวลา inference เร็วกว่ารุ่นก่อนหน้า ทำให้เหมาะสมต่อการใช้งานในสายการผลิตที่ต้องการตรวจจับแบบเรียลไทม์

ในงานวิจัยนี้เลือกใช้ YOLOv8n (nano version) ซึ่งเป็นรุ่นที่มีจำนวนพารามิเตอร์น้อย ขนาดไฟล์โมเดลเล็ก (~6 MB) และสามารถประมวลผลบนฮาร์ดแวร์ต้นทุนต่ำ เช่น Raspberry Pi 5 หรือ Mini-PC ได้อย่างมีประสิทธิภาพ โดยไม่ลดทอนความแม่นยำมากนักเมื่อเทียบกับรุ่นใหญ่

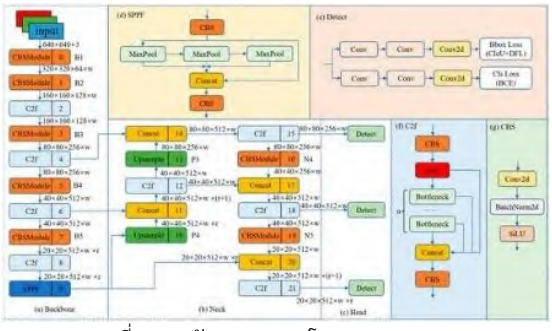

รูปที่ 2 สถาปัตยกรรมของโมเดล YOLOv8n

สถาปัตยกรรม YOLOv8 ดังรูปที่ 2 แบ่งออกเป็น 3 ส่วนหลัก ได้แก่
1.Backbone (ด้านซ้ายของภาพ) ส่วนนี้ทำหน้าที่ดึงคุณลักษณะ (Feature Extraction) จากภาพอินพุต โดยใช้ชั้น Conv, C2f และ SPPF เพื่อจับรายละเอียดในหลายสเกล SPPF (Spatial Pyramid Pooling – Fast) ช่วยเพิ่มความสามารถในการตรวจจับวัตถุขนาดต่าง ๆ ได้ดีขึ้น
2.Neck (ตรงกลางของภาพ) ใช้โครงสร้าง PANet (Path Aggregation Network) รวมข้อมูลจากหลายระดับความละเอียด (Multi-scale Feature Fusion) ประกอบด้วยการ Upsample และ Concat เพื่อผสาน

ข้อมูลจากเลเยอร์ตื้นและเลเยอร์ลึกทำให้โมเดลตรวจจับวัตถุทั้งขนาดเล็กและใหญ่ได้แม่นยำ

3.Head (ด้านขวาของภาพ) ส่วนนี้ทำหน้าที่ทำนาย Bounding Box, Confidence Score และ Class ของวัตถุ YOLOv8 ใช้กลไก Anchor-free ช่วยให้การคาดคะเนตำแหน่งรวดเร็วขึ้นและลดความซับซ้อนในการเทรน ในงานวิจัยนี้เลือกใช้ YOLOv8n ซึ่งเป็นรุ่นขนาดเล็ก (Nano) เพื่อลดการใช้ทรัพยากรคอมพิวเตอร์ ขนาดโมเดลเล็ก (~6 MB) แต่ยังคงความแม่นยำสูงเหมาะกับการประมวลผลบนฮาร์ดแวร์ต้นทุนต่ำในชุมชนสูตรคำนวณประสิทธิภาพ

$$\begin{cases} P = \frac{T_P}{T_P+F_P} \\ R = \frac{T_P}{T_P+F_N} \\ AP = \int_0^1 P(r)dr \\ mAP = \frac{\sum_{i=0}^{n} AP(i)}{n} \end{cases} \quad (1)$$

โดยที่สมการที่ (1)

Precision (p) $P = \frac{TP}{TP+FP}$ ซึ่ง TP คือจำนวนตัวอย่างที่จัดประเภทเป็นบวกอย่างถูกต้อง และ FP คือจำนวนตัวอย่างที่จัดประเภทเป็นบวกผิดพลาด

Recall (R) $R = \frac{TP}{TP+FN}$ ซึ่ง TP คือจำนวนตัวอย่างที่จัดประเภทเป็นบวกอย่างถูกต้อง และ FN คือจำนวนตัวอย่างที่จัดประเภทเป็นลบผิดพลาด

Average Precision (AP) $AP = \int_0^1 P(r)\,dr$ ซึ่งเป็นการคำนวณค่าความแม่นยำเฉลี่ยในกราฟ Precision-Recall curve โดย P(r) คือค่า Precision ที่ระดับ Recall ซึ่งอยู่ระหว่าง 0 และ 1 ส่วน dr เป็นสัญลักษณ์ที่แสดงถึงการเปลี่ยนแปลงเล็กน้อยในตัวแปร r

Mean Average Precision (mAP): $mAP = \frac{1}{n}\sum_{i=1}^{n} AP(i)$ โดย AP เป็นค่าเฉลี่ยของความแม่นยำที่คำนวณจากพื้นที่ใต้กราฟ Precision-Recall curve และ mAP เป็นค่าเฉลี่ยของ AP สำหรับทุกประเภท

2.2 การตรวจจับวัตถุ (Object Detection)

การตรวจจับวัตถุเป็นกระบวนการระบุวัตถุในภาพหรือวิดีโอ พร้อมทั้งกำหนดตำแหน่ง (Bounding Box) และประเภทของวัตถุ โดยใช้เทคนิคการเรียนรู้เชิงลึก (Deep Learning) บนโครงข่ายประสาทเทียมแบบ Convolutional Neural Networks (CNN) ปัจจุบันนิยมใช้โมเดลแบบ One-stage เช่น YOLO, SSD และ RetinaNet เนื่องจากมีความเร็วและความแม่นยำที่สมดุล เหมาะกับการใช้งานแบบเรียลไทม์[10]

2.3 Convolutional Neural Network (CNN)

Convolutional Neural Network (CNN) เป็นโครงข่ายประสาทเทียมที่ออกแบบมาเพื่อประมวลผลภาพ โดยใช้ชั้นคอนโวลูชัน (Convolutional Layer) เพื่อดึงคุณลักษณะสำคัญ เช่น ขอบ รูปร่าง และลวดลาย จากนั้นลดขนาดด้วยชั้น Pooling Layer และส่งต่อไปยัง Fully Connected Layer เพื่อจำแนกประเภท CNN ได้พิสูจน์แล้วว่ามีประสิทธิภาพสูงในงานตรวจจับวัตถุและการจำแนกภาพ [11]

2.4 การเรียนรู้เชิงลึก (Deep Learning)

การเรียนรู้เชิงลึก (Deep Learning) เป็นสาขาหนึ่งของ Machine Learning ที่ใช้โครงข่ายประสาทเทียมหลายชั้นในการเรียนรู้ข้อมูลขนาดใหญ่และซับซ้อน สามารถเรียนรู้คุณลักษณะโดยอัตโนมัติจากข้อมูลดิบลดความจำเป็นในการออกแบบคุณลักษณะด้วยมือ (Hand-crafted Features) [12] ในงานนี้ใช้ Deep Learning ผ่านโมเดล YOLOv8 เพื่อเพิ่มความแม่นยำและความเร็วในการตรวจจับข้อบกพร่องของจานอัดจากใบตองตึง

3 ขั้นตอนการดำเนินงาน

3.1 การเก็บรูปภาพ เตรียมรูปภาพ และการ Labeling

เริ่มจากการเก็บภาพจานอัดจากใบตองตึงทั้งที่มีข้อบกพร่องและสภาพดีภายใต้สภาพแสงและมุมมองใกล้เคียงกับการใช้งานจริง เพื่อให้โมเดลสามารถเรียนรู้ลักษณะจริงของชิ้นงานข้อมูลภาพถูกติดป้ายกำกับ (Labeling) ด้วยโปรแกรม labellmg.py ดังรูปที่ 3 โดยแบ่งเป็น 4 ประเภทได้แก่ Good, Hole, Crack และ Contaminate จากนั้นจัดโครงสร้างโฟลเดอร์และสร้างไฟล์ data.yaml ดังรูปที่ 4 เพื่อกำหนดที่อยู่ของข้อมูล และรายชื่อคลาสทั้งหมดสำหรับการฝึกโมเดล

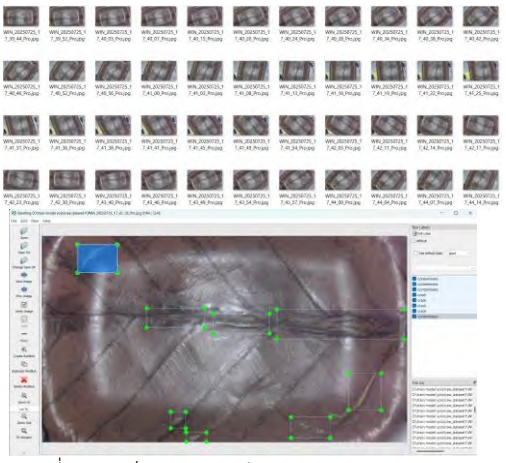

รูปที่ 3 การเก็บรูปภาพ เตรียมรูปภาพ และการ Labeling

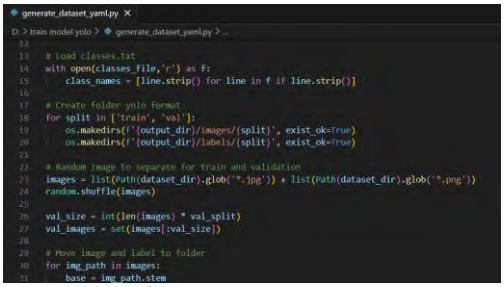

รูปที่ 4 การสร้างไฟล์ data.yaml

3.2 การประมวลผลข้อมูลภาพ (Image Preprocessing)

กระบวนเพื่อเพิ่มความหลากหลายของข้อมูล และลดปัญหา class imbalance ได้ใช้เทคนิคการปรับแต่งข้อมูลภาพ (Data Augmentation) ดังนี้

(1). **Resize** ขนาดภาพให้เป็น 640×640 พิกเซล
(2). **Normalize** ค่าพิกเซลให้อยู่ในช่วง 0–1
(3). **Augmentation** เช่น การหมุน (Rotation ±10°), ปรับความสว่าง (Brightness ±15%), การกลับภาพ (Horizontal Flip) เพื่อให้โมเดลทนทานต่อสภาพแวดล้อมที่เปลี่ยนไป

3.3 การฝึกโมเดล (Model Training)

ใช้โมเดล YOLOv8n พร้อมพารามิเตอร์ที่ปรับให้เหมาะสมกับฮาร์ดแวร์ ได้แก่ epochs 100, 200, และ 300 เพื่อเปรียบเทียบประสิทธิภาพ ผลการฝึกดำเนินบน GPU ผ่าน PyTorch โดยใช้สคริปต์:yolo task=detect mode=train model=yolov8n.pt data=data.yaml epochs=300 imgsz=640 batch=16

3.4 การทดสอบและปรับใช้โมเดลในฮาร์ดแวร์ (Deployment on Hardware)

โมเดลที่ผ่านการฝึกจะถูกติดตั้งในระบบควบคุมคุณภาพซึ่งมีการเชื่อมต่อกับ:

(1). **4K USB Camera** สำหรับการถ่ายภาพชิ้นงาน
(2). **RS232 Relay** เพื่อควบคุมการเปิด–ปิดแหล่งกำเนิดแสง
(3). **Limit Switch** สำหรับตรวจสอบตำแหน่งจานก่อนการตรวจสอบ
(4). **GUI Interface** แสดงผลตรวจสอบและบันทึกข้อมูลลงใน PC

3.5 ขั้นตอนการทำงาน (System Flowchart)

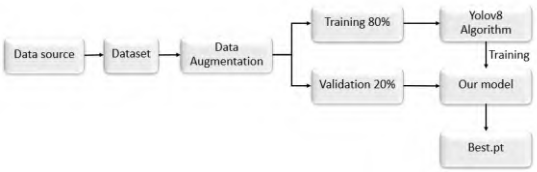

รูปที่ 5ขั้นตอนการพัฒนาโมเดล YOLOv8n

รูปที่ 5 แสดงขั้นตอนการพัฒนาโมเดล YOLOv8 สำหรับการตรวจจับข้อบกพร่อง โดยเริ่มจาก Data source รวบรวมเป็น Dataset จากนั้นทำ Data Augmentation เพื่อเพิ่มความหลากหลายของข้อมูล แล้วแบ่งข้อมูลเป็น Training 80% และ Validation 20% ข้อมูลฝึกถูกใช้กับ YOLOv8 Algorithm เพื่อสร้าง Our model และบันทึกโมเดลที่มีประสิทธิภาพดีที่สุดเป็นไฟล์ Best.pt สำหรับใช้งานจริง

รูปที่ 6 ต้นแบบระบบตรวจสอบข้อบกพร่องของจานอัดจากใบตองตึง

รูปที่ 6 แสดงต้นแบบระบบตรวจสอบข้อบกพร่องของจานอัดจากใบตองตึง ประกอบด้วยกล่องตรวจสอบพร้อมแหล่งกำเนิดแสงและกล้องสำหรับถ่ายภาพชิ้นงาน เชื่อมต่อกับคอมพิวเตอร์ที่รันโปรแกรมประมวลผล YOLOv8 และแสดงผลการตรวจสอบแบบเรียลไทม์บนหน้าจอ

3.6 สเปกฮาร์ดแวร์และซอฟต์แวร์ (Hardware and Software Specification)

(1). **CPU:** Intel Core i7-12700H
(2). **GPU:** NVIDIA RTX 3060 6GB
(3). **RAM:** 16GB DDR4
(4). **OS:** Windows 11 Pro 64-bit
(5). **Framework:** PyTorch 2.0, OpenCV 4.8, YOLOv8

4. ผลลัพธ์ (Results)

4.1 ผลการฝึกและทดสอบโมเดล YOLOv8n

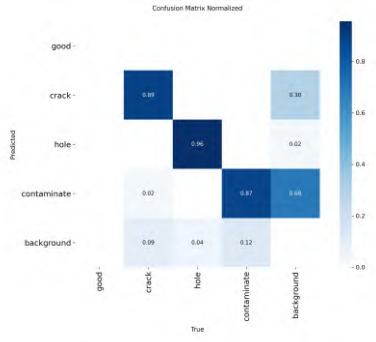

รูปที่ 7 Confusion Matrix แบบ Normalize ของโมเดล YOLOv8n

รูปที่ 7 แสดง Confusion Matrix แบบ Normalize ของโมเดล YOLOv8n สำหรับการตรวจจับข้อบกพร่องจานอัดจากใบตองตึง โดยแถวแนวนอนคือค่าจริง (True) และแถวแนวตั้งคือค่าที่โมเดลทำนาย (Predicted) ค่าในแต่ละช่องแสดงอัตราส่วนความถูกต้อง เช่น คลาส crack ทำนายถูกต้อง 89% คลาส hole ทำนายถูกต้อง 96% คลาส contaminate ทำนายถูกต้อง 87% แต่ยังคงมีความสับสนกับ background และ hole ข้อมูลนี้ช่วยระบุคลาสที่โมเดลยังมีความสับสนเพื่อใช้ปรับปรุงในอนาคต จากการฝึกโมเดล YOLOv8n ทั้งหมด 3 รอบที่จำนวน Epochs ต่างกัน พบว่ารอบที่ 3 ให้ประสิทธิภาพสูงสุด โดยมีค่า F1-Score 0.90, Precision

0.88, Recall 0.90 และ mAP@0.5 เท่ากับ 0.91 (ตารางที่ 1) ซึ่งแสดงถึงความสมดุลระหว่างความแม่นยำและความสามารถในการตรวจพบข้อบกพร่องครบถ้วน

ตารางที่ 1 ผลการประเมินโมเดล YOLOv8n

ครั้งที่	Precision	Recall	F1-Score	mAP@0.5
1	0.85	0.91	0.79	0.85
2	0.88	0.91	0.88	0.90
3	0.90	0.88	0.90	0.91

4.2 การเปรียบเทียบกับ Baseline

ตารางที่ 2 ผลการเปรียบเทียบกับโมเดลอื่น

วิธีการตรวจสอบ	ความแม่นยำ mAP@0.5	ความเร็ว (FPS)	เวลาเฉลี่ยต่อชิ้นงาน
การตรวจสอบด้วยแรงงานคน (Manual Inspection)	~85%	-	4.5 วินาที
YOLOv5s	mAP@0.5 = 88%	35 FPS	-
SSD-MobileNet	mAP@0.5 = 84%	40 FPS	-
YOLOv8n (วิธีที่พัฒนา)	mAP@0.5 = 91%	45 FPS	-

ผลลัพธ์แสดงว่า YOLOv8n มีความแม่นยำสูงกว่าและใช้เวลาตรวจจับสั้นกว่า เหมาะสมกับการใช้งานแบบเรียลไทม์ในสายการผลิต

4.3 ตัวอย่างผลการตรวจจับ

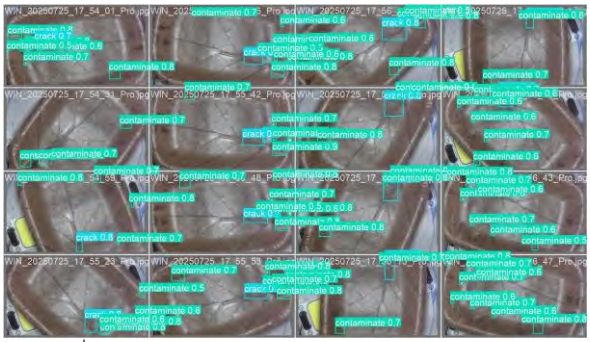

รูปที่ 8 ผลการตรวจจับข้อบกพร่องของจานอัดจากใบตองตึง

รูปที่ 8 แสดงผลการตรวจจับข้อบกพร่องของจานอัดจากใบตองตึง โดยมีการแสดงกรอบ Bounding Box และค่า Confidence Score ของแต่ละคลาส (Good, Hole, Crack, Contaminate) เพื่อยืนยันความถูกต้องของการจำแนก

4.4 การวิเคราะห์ข้อผิดพลาด

จากการวิเคราะห์ Confusion Matrix พบว่า

(1). False Positive สูง เกิดขึ้นในคลาส Contaminate และ Hole เนื่องจากพื้นผิวใบตองมีลวดลายคล้ายรอยเปื้อนหรือรูรั่ว

(2). False Negative พบในคลาส Crack ขนาดเล็กที่อยู่ใกล้ขอบจาน เนื่องจากแสงสะท้อนทำให้โมเดลตรวจจับไม่สมบูรณ์

แนวทางลดปัญหาในอนาคต

(1). ปรับปรุงการจัดแสงเพื่อลดแสงสะท้อนและเงา

(2). เพิ่มข้อมูลฝึกที่มีตัวอย่างข้อบกพร่องหลากหลายขึ้น

(3). ใช้โมเดล YOLOv8-segmentation เพื่อแยกพื้นที่ข้อบกพร่องอย่างละเอียด

5. สรุปผลและข้อเสนอแนะ (Conclusion & Future Work)

งานวิจัยนี้มีจุดประสงค์เพื่อแก้ปัญหาฝุ่นควันจากการเผาใบไม้และเศษวัสดุการเกษตร โดยชุมชนบ้านต้นผึ้งได้นำใบตองตึงมาแปรรูปเป็น “จานอัด” ซึ่งช่วยลดการเผาและสร้างรายได้ อย่างไรก็ตาม กระบวนการตรวจสอบคุณภาพยังคงพึ่งพาแรงงานคน ทำให้เกิดข้อจำกัดด้านความแม่นยำ ความรวดเร็ว และความสม่ำเสมอของคุณภาพ

เพื่อตอบโจทย์นี้ ผู้วิจัยได้พัฒนาระบบตรวจสอบข้อบกพร่องแบบอัตโนมัติด้วยปัญญาประดิษฐ์ (AI) โดยใช้โมเดล YOLOv8n ร่วมกับเทคนิคการประมวลผลภาพ กล้อง USB ความละเอียด 4K และระบบควบคุม RS232 Relay พร้อมลิมิตสวิตช์ เพื่อถ่ายภาพและตรวจจับข้อบกพร่อง ได้แก่ รอยแตก (Crack), รอยรั่ว (Hole), และ รอยเปื้อน (Contaminate) แบบเรียลไทม์ ข้อมูลภาพถูกเก็บและติดป้ายกำกับเพื่อนำมาฝึกโมเดล 3 รอบด้วยค่า Epochs ที่แตกต่างกัน

ผลการทดสอบพบว่ารอบที่ 3 ให้ประสิทธิภาพสูงสุด โดยมีค่า F1-Score 0.90, Precision 0.88, Recall 0.90 และ mAP@0.5 เท่ากับ 91% โมเดลสามารถจำแนกคลาส Crack ถูกต้อง 96%, Hole 89% และ Contaminate 87% แม้ยังมีความสับสนในบางคลาส แต่ระบบโดยรวมมีความแม่นยำสูง รวดเร็ว และเสถียร เหมาะสำหรับการใช้งานจริงในสายการผลิต

ข้อจำกัดของงานวิจัย

(1). ความไวต่อสภาพแสงสะท้อนหรือความมืดอาจทำให้โมเดลตรวจจับผิดพลาด

(2). ความแตกต่างของสีพื้นผิวจานอาจทำให้เกิด False Positive สูง โดยเฉพาะคลาส Contaminate

(3). ความสามารถในการขยายระบบ (Scalability) การติดตั้งในสายการผลิตหลายจุดอาจต้องปรับฮาร์ดแวร์และซอฟต์แวร์เพิ่มเติม

ข้อเสนอแนะสำหรับงานวิจัยในอนาคต

(1). ปรับปรุงคุณภาพภาพถ่าย เช่น การจัดแสง, เพิ่มความละเอียด, และลดสัญญาณรบกวน (Noise)

(2). ทดลองใช้ YOLOv8-segmentation เพื่อแยกพื้นที่ข้อบกพร่องอย่างละเอียด

(3). นำระบบไปประยุกต์บน Edge Device เช่น Raspberry Pi 5 เพื่อการใช้งานแบบต้นทุนต่ำ

(4). พัฒนาให้รองรับการทำงานหลายสายการผลิต (Multi-line Deployment) ภายใต้ข้อจำกัดด้านทรัพยากร

เอกสารอ้างอิง

[1] Hanako, "50638.ตองตึง (ต้นพลวงหรือต้นกุง) : เสนาสนะป่าในอดีต" [Online]. Available : http://www.dhammajak.net/forums/viewtopic.php?t=50638. Accessed: Aug. 28, 2024.

[2] G. Duan and X. Yan, "A Real-Time Quality Control System Based on Manufacturing Process Data," IEEE Access, vol. 8, pp. 208506-208517, Dec. 2020, doi : 10.1109/ACCESS.2020.3038394.

[3] R. and V. Divya, "Feature Extraction to Evaluate the Quality of Data using Machine Learning Technique," 2024 Third International Conference on Distributed Computing and Electrical Circuits and Electronics (ICDCECE), pp. 1-8, 2024, doi: 10.1109/ICDCECE60827.2024.10549606.

[4] M. Anusuya, P. Kavitha, S. Bathrinath, P. Vundrajavarapu, R. Bharath Kumar, and M. Sakthivel, "Automation of Test and Measurement in Electronics Manufacturing Through AI," in 2024 International Conference on Science Technology Engineering and Management (ICSTEM), 2024, pp. 1-6, doi: 10.1109/ICSTEM61137.2024.10560845.

[5] Z. Chen, Q. Zhu, X. Zhou, J. Deng, and W. Song, "Experimental Study on YOLO-Based Leather Surface Defect Detection," IEEE Access, vol. 12, pp. 32830-32848, 2024, doi: 10.1109/ACCESS.2024.3369705.

[6] Z. Xiong, "A Design of Bare Printed Circuit Board Defect Detection System Based on YOLOv8," Highlights in Science, Engineering and Technology, vol. 57, pp. 203-209, 2023, doi: 10.1109/AIDML.2023.10012345.

[7] H. Afifi, S. Pochaba, A. Boltres, D. Laniewski, J. Haberer, L. Paeleke, R. Poorzare, D. Stolpmann, N. Wehner, A. Redder, E. Samikwa, and M. Seufert, "Machine Learning With Computer Networks: Techniques, Datasets, and Models," IEEE Access, vol. 12, pp. 54673-54688, Apr. 2024, doi: 10.1109/ACCESS.2024.3384460.

[8] V. H. Patil, A. L. N. Rao, A. Shrivastava, P. Chaturvedi, D. Verma, and S. V. Akram, "Smart Agricultural System Based on Machine Learning and IoT Algorithm," 2022 2nd

[9] V. K. Ancha, F. N. Sibai, V. Gonuguntla, and R. Vaddi, "Utilizing YOLO Models for Real-World Scenarios: Assessing Novel Mixed Defect Detection Dataset in PCBs," IEEE Access, vol. 12, pp. 100983-100990, Jul. 2024, doi: 10.1109/ACCESS.2024.3430329.

[10] R. Parimala, K. Srinivasan, and S. K. Sreejith, "Smart and Safe Conveyor Belt System for Bottling Plants Using IoT," 2024 International Conference on Advances in Computing, Communication and Applied Informatics (ACCAI), 2024, pp. 1-6, doi: 10.1109/ACCAI61061.2024.10602050.

[11] V. Rakesh, P. Sreekaran, P. Chilukuri, P. Sujala, P. Vaishnavi, and D. R. Krishna Yadav, "Real-Time Object Recognition Using OpenCV and NumPy in Python," 2023 International Conference on Innovative Data Communication Technologies and Application (ICIDCA), 2023, pp. 421-426, doi: 10.1109/ICIDCA56705.2023.10099584.

ปิยังกูร ชาลี ระดับปริญญาตรีหลักสูตร วิศวกรรมอิเล็กทรอนิกส์และ ระบบควบคุมอัตโนมัติ ปี 2566 ปัจจุบันศึกษาระดับปริญญาโท หลักสูตรวิศวกรรมไฟฟ้ามหาวิทยาลัยเทคโนโลยีราชมงคลล้านา เชียงใหม่ สาขาวิศวกรรมไฟฟ้ามหาวิทยาลัยเทคโนโลยีราชมงคลล้านนา

อรษา สิรษากมล อาจารย์ประจำหลักสูตรวิศวกรรมซอฟต์แวร์ คณะวิศวกรรมศาสตร์ มหาวิทยาลัยเทคโนโลยีราชมงคลล้านนา เชียงใหม่ งานวิจัยที่สนใจตรรกะแบบคลุมเครือ และซอฟต์แวร์ระบบสมองกลฝังตัว

อนันต์ วงษ์จันทร์ อาจารย์ประจำ หลักสูตรวิศวกรรมอิเล็กทรอนิกส์และระบบควบคุม คณะวิศวกรรมศาสตร์ มหาวิทยาลัย เทคโนโลยีราชมงคลล้านนา เชียงใหม่ งานวิจัยที่สนใจ การประมวลผลภาพในระบบควบคุมระบบอัตโนมัติ

อนุชา วิทยากร บริษัทฮานาไมโครอิเล็คโทรนิคส จำกัด มหาชน ปัจจุบันกำลังศึกษาระดับปริญญาตรี สาขาวิศวกรรมอิเล็กทรอนิกส์และระบบควบคุมอัตโนมัติมหาวิทยาลัยเทคโนโลยีราชมงคลล้านนาเชียงใหม่

วิชัย สุขประเสริฐกุล บริษัทฮานาไมโครอิเล็คโทรนิคส จำกัด มหาชน สาขาวิศวกรรมอิเล็กทรอนิกส์ สถาบันเทคโนโลยีพระจอมเกล้าเจ้าคุณทหารลาดกระบัง

หุ่นยนต์นำทางอัตโนมัติภายในอาคาร

Autonomous Indoor Navigation Robot

คมศักดิ์ หาดขุนทด สุทัศน์ อู่ทอง ธนินทิตา ขุมทอง และ ภควัทคีตา จิตมาตย์

สาขาวิศวกรรมไฟฟ้า คณะวิทยาศาสตร์และเทคโนโลยี มหาวิทยาลัยราชภัฏพระนครศรีอยุธยา sutud2004@hotmail.com

บทคัดย่อ

งานวิจัยนี้เป็นการพัฒนาหุ่นยนต์นำทางอัตโนมัติภายในอาคาร โดยใช้บอร์ดไมโครคอนโทรลเลอร์เป็นอุปกรณ์หลักในการประมวลผล การสั่งงานจะใช้หน้าจอสัมผัสในการรับตำแหน่งปลายทางซึ่งหุ่นยนต์สามารถระบุปลายทางได้ถึง 99 ตำแหน่งจุดหมาย โดยใช้การอ่านค่าจุดหมายและทิศทางการเลี้ยวจากบาร์โค้ด โดยไม่จำเป็นต้องแก้ไขโปรแกรมเมื่อเพิ่มจุดหมายปลายทางในอนาคต ระบบจะจัดเรียงระยะทางที่ใกล้ไปหาตำแหน่งที่ไกลที่สุด หุ่นยนต์นำทางอัตโนมัติภายในอาคาร จะอ่านบาร์โค้ดตามทางแยกเพื่อระบุตำแหน่งที่จะไป และในขณะทำงานเมื่อมีสิ่งกีดขวางจะส่งเสียงแจ้งเตือนและหยุดรอ จนกว่าสิ่งกีดขวางจะพ้นเส้นทาง และจะทำงานต่อไปจนถึงตำแหน่งปลายทางที่ระบุไว้

คำสำคัญ: หุ่นยนต์นำทางอัตโนมัติ , นำทางด้วยเทปแม่เหล็ก , อ่านบาร์โค้ด

Abstract

This research involves the development of an indoor autonomous navigation vehicle, using a microcontroller board as the main processing unit. A touchscreen interface is used to input destination locations, allowing for multiple destinations without needing to modify the program when new destinations are added in the future. The system will prioritize routes from the shortest to the longest distance. The indoor autonomous navigation vehicle reads barcodes at junctions to identify its destination. If an obstacle is encountered, the vehicle will emit a warning sound and stop until the obstacle is cleared, and then resume operation until it reaches the specified destination.

Keywords: Automated Guided Vehicles, AGV , Barcodes

1. ที่มาและความสำคัญ

มีแนวคิดในการเปลี่ยนการดำเนินงานด้าน supply chain เพื่อยกระดับความปลอดภัยให้กับพนักงานและลูกค้า จึงทำให้บริษัทเหล่านี้หันมาลงทุนกับระบบอัตโนมัติ นั่นก็คือ หุ่นยนต์ AGV (Automated Guided Vehicles) หรือระบบหุ่นยนต์อัตโนมัติ เพื่อลดจำนวนคนงานในการรักษามาตรการความปลอดภัยในช่วงแพร่ระบาด และเพิ่มประสิทธิภาพการผลิต ซึ่ง Automated Guided Vehicle หรือ AGV คือหุ่นยนต์ที่ใช้ขนส่งภายในอาคารแบบไร้คนขับ ที่ช่วยขนย้ายสินค้า และอุปกรณ์ ทั้งภายในคลังสินค้าและโรงงานอุตสาหกรรม ได้อย่างถูกต้องแม่นยำ โดดเด่นด้านการรองรับน้ำหนัก และการลำเลียงอย่างถูกต้องและปลอดภัย แม้ไร้แสงสว่าง หรือทำงานร่วมกับมนุษย์

ซึ่งประโยชน์ของ AGV คือ ช่วยลดจำนวนพนักงานในการปฏิบัติงานลง ซึ่งเมื่อทำงานร่วมกับเทคโนโลยี AI ยิ่งสามารถหุ่นยนต์นำมาช่วยในการควบคุมการทำงานในทุกด้าน รวมถึงการเคลื่อนไหว ทิศทาง และประสิทธิภาพได้ดียิ่งขึ้น ด้วยฟังก์ชันการทำงานของหุ่นยนต์ AGV (Automated Guided Vehicles) จึงทำให้การดำเนินงานเป็นไปได้อย่างต่อเนื่องและลดการติดต่อสื่อสารโดยตรงระหว่างพนักงานด้วยกันอีกด้วย

ดังที่กล่าวมาข้างต้น ทางผู้วิจัยจึงได้จัดสร้างหุ่นยนต์นำทางอัตโนมัติด้วยเทปแม่เหล็กขึ้น โดยหุ่นยนต์นำทางที่จัดสร้างขึ้นผู้ใช้ทั่วไปสามารถเข้าถึงได้ง่ายเนื่องจากราคาถูก และสามารถใช้งานภายนอกอาคารได้อีกด้วย

2. หลักการทำงาน

ระบบขับเคลื่อนและระบบหลบหลีกสิ่งกีดขวาง ตลอดจนอ่านค่าจากบาร์โค้ด โดยใช้บอร์ดคอนโทรลเลอร์ Arduino Mega ในควบคุมการทำงานของส่วนต่างๆเข้าด้วยกันได้อย่างมีประสิทธิภาพ ดังแสดงดังรูปที่ 1

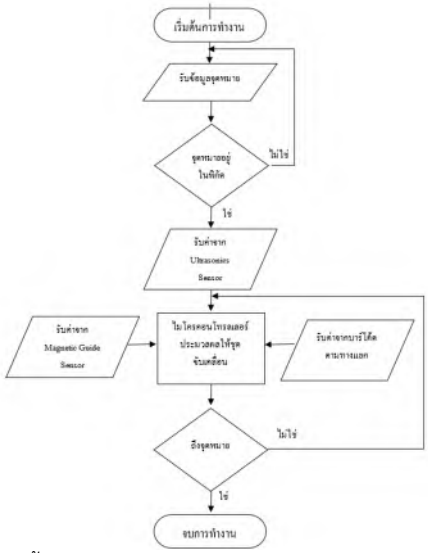

รูปที่ 1 ขั้นตอนการทำงานของหุ่นยนต์นำทางอัตโนมัติ

*ผู้ประพันธ์บรรณกิจ

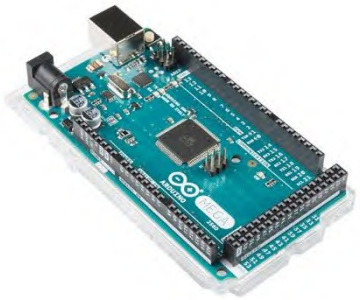

รูปที่ 2 บอร์ดไมโครคอนโทรลเลอร์ Arduino Maga

เมื่อเริ่มต้นการทำงาน ผู้ใช้งานต้องระบุจุดหมายปลายทางที่ต้องการให้ไปส่งสิ่งของผ่านหน้าจอทัชสกรีน ซึ่งผู้ใช้งานสามารถระบุจุดหมายได้หลายตำแหน่ง เมื่อผู้ใช้ระบุจุดหมายเสร็จสิ้นเรียบร้อยแล้ว ระบบอัตโนมัติจะเริ่มทำงาน โดยในขั้นแรกระบบจะตรวจสอบสิ่งกีดขวางโดยใช้เซ็นเซอร์อัลตร้าโซนิค ว่ามีสิ่งกีดขวางเข้าใกล้ตัวหุ่นยนต์ในระยะ 30 ซม. หรือไม่ การตรวจจับสิ่งกีดขวางใช้อัลตร้าโซนิคดังรูปที่ 3

รูปที่ 3 อัลตร้าโซนิคที่นำมาใช้ตรวจจับระยะสิ่งกีดขวาง

หลักการคำนวณระยะห่างของวัตถุกับเซ็นเซอร์ จะเป็นไปตามสูตรการเคลื่อนที่ในแนวราบ

$$S = VT \quad (1)$$

โดย S = ระยะทาง
V = ความเร็วของคลื่นเสียง
T = ระยะเวลาที่คลื่นเสียงเดินทางทั้งหมด

ทั้งนี้ระบบจะตรวจจับเส้นเทปแม่เหล็ก และบาร์โค้ดระบุพิกัด เมื่อหุ่นยนต์ไม่มีสิ่งกีดขวาง และอยู่ในเส้นเทปแม่เหล็ก และอ่านบาร์โค้ดระบุตำแหน่งเรียบร้อยแล้ว หุ่นยนต์นำทางอัตโนมัติจะขับเคลื่อนตามเส้นเทปแม่เหล็ก โดยมีบอร์ดไมโครคอนโทรลเลอร์เป็นตัวควบคุมการสั่งการระบบขับเคลื่อน โดยรับค่าจากเซ็นเซอร์แม่เหล็กแบบ 16 บิต มาประมวลผลให้ชุดขับเคลื่อน เพื่อให้หุ่นยนต์วิ่งในแนวเส้นเทปแม่เหล็ก

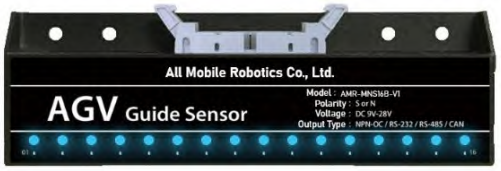

รูปที่ 4 เซ็นเซอร์แม่เหล็กแบบ 16 บิต

และเมื่อถึงทางแยกหุ่นยนต์จะหยุดเพื่ออ่านค่าบาร์โค้ดเพื่อหาพิกัดจุดหมาย ว่าต้องไปทิศทางใดโดยอ่านบาร์โค้ดแบบ 13 หลัก เมื่อแสกนบาร์โค้ดได้แล้ว ไมโครคอนโทรลเลอร์จะสั่งการชุดขับว่าจะไปในทิศทางใด

รูปที่ 5 อุปกรณ์อ่านบาร์โค้ด และบาร์โค้ด 13 หลัก

ทั้งนี้หากมีสิ่งกีดขวางเข้าใกล้ตัวหุ่นยนต์ด้านหน้า 30 ซม. ระบบขับเคลื่อนจะหยุดอัตโนมัติ พร้อมทั้งส่งเสียงแจ้งเตือนเป็นระยะๆ เมื่อสิ่งกีดขวางออกจากด้านหน้าตัวหุ่นยนต์ ระบบจะขับเคลื่อนต่อไปจนถึงจุดหมายที่ผู้ใช้ระบุไว้ หากจุดหมายมากกว่า 1 จุด เมื่อปลายทางจุดแรกรับสิ่งของเรียบร้อยแล้ว จะกดหน้าจอทัชสกีน เมื่อให้ระบบนำส่งสิ่งของในจุดต่อไปได้ เมื่อถึงจุดหมายสุดท้ายและรับสิ่งของเรียบร้อยแล้ว ผู้รับสิ่งของกดรับของแล้ว ระบบอัตโนมัติจะนำหุ่นยนต์กลับไปยังจุดตั้งต้นใหม่

รูปที่ 6 หุ่นยนต์ขับเคลื่อนอัตโนมัติด้วยเทปแม่เหล็กที่พัฒนาขึ้น

3. การคำนวณความเร็วการหมุนของล้อ เพื่อใช้ในการเลี้ยว

ในการคำนวณความเร็วการหมุนของล้อเพื่อใช้ในการเลี้ยวนั้น หุ่นยนต์ขับเคลื่อนอัตโนมัติ ใช้ การขับเคลื่อนจากล้อด้านซ้ายและล้อด้านขวา สมมุติว่าจะทำการเลี้ยวซ้าย ล้อทางด้านขวาต้องหมุนเร็วกว่าล้อทางด้านซ้าย

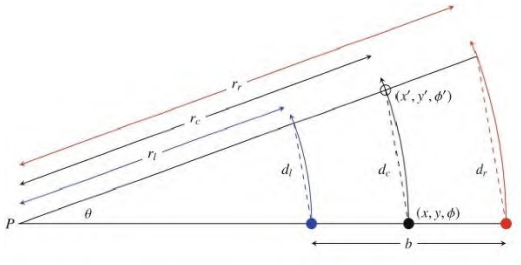

รูปที่ 7 เรขาคณิตของการเลี้ยวซ้าย

ในรูปที่ 7 จุดสีน้ำเงินคือล้อด้านซ้าย จุดสีแดงคือล้อด้านขวา จุดสีดำเป็นจุดกึ่งกลางระหว่างล้อ โดยที่ b เป็นระยะห่างระหว่างล้อด้านซ้ายและล้อด้านขวา

ระยะทางการเคลื่อนที่ (d) จะสัมพันธ์กับกำลังงานของมอเตอร์ ความเร็วการหมุน และระยะเวลาที่ใช้ เราจึงสามารถหุ่นยนต์หาความเร็วของล้อได้จากสมการที่ 2

$$d_i = 2\pi R\omega_i t \quad \text{เมื่อ} \quad i = l, r \tag{2}$$

เมื่อ d_l เป็นระยะทางของล้อทางซ้าย

d_r เป็นระยะทางของล้อทางขวา

ω_l เป็นความเร็วของล้อทางซ้าย มีหน่วยเป็นรอบต่อนาที

ω_r เป็นความเร็วของล้อทางขวา มีหน่วยเป็นรอบต่อนาที

R เป็นรัศมีของล้อ

ทั้งนี้สามารถหุ่นยนต์หามุมในการเคลื่อนที่ได้ ซึ่งจากรูปที่ 7 หุ่นยนต์อัตโนมัติเริ่มต้นที่ (x,y,ϕ) หลังจากที่หมุน θ แล้วจะได้ตำแหน่งใหม่เป็น (x',y',ϕ') ดังนั้นสามารถหุ่นยนต์หามุมที่เลี้ยวไปได้จากสมการที่ 3

$$\theta = \frac{d_l}{r_l} = \frac{d_c}{r_c} = \frac{d_r}{r_r} \tag{3}$$

ความสัมพันธ์ของระยะทางของจุดกึ่งกลางสามารถหุ่นยนต์หาได้จากสมการ

$$d_c = \frac{d_l + d_r}{2} \tag{4}$$

4. การคำนวณมอเตอร์ที่นำมาใช้

กำหนดให้ มอเตอร์ใช้แรงดัน24 V ความเร็วรอบ 50 rpm แกนเพลา 10 mm น้ำหนักรวม 80 kg

จาก T = F x r = (80) (9.81) (0.005) = 3.924 N-m

ให้แรงบิดปลายเพลา = T

จาก $T = \frac{9.55 \times P_{out}}{N}$

$\therefore P_{out} = 20.54$

5. การทดลอง

ในการทดลองนั้น หุ่นยนต์มีน้ำหนัก 40 กิโลกรัม และใส่สิ่งของหนัก 40 กิโลกรัม โดยผู้วิจัยได้ดำเนินการตั้งค่าจุดหมายไว้ 3 จุด เป็นการส่งเอกสารภายในอาคาร คือจุดเริ่มต้นจากงานบุคคล ไปส่งเอกสารจุดแรกที่งานสารบัญอาคารสำนักงานอธิการบดี จุดที่ 2 คืองานการเงินและบัญชี และจุดที่ 3 คือกองบริการการศึกษา

ในการทดสอบนั้นได้ดำเนินการทดสอบจากจุดดังกล่าวจำนวน 50 รอบ พบว่า หุ่นยนต์ขับเคลื่อนอัตโนมัติสามารถรถหุ่นยนต์ขับเคลื่อนตามเส้นแรงแม่เหล็กได้อย่างแม่นยำและเที่ยงตรง ไม่หลุดออกจากแนวเส้นเทปแม่เหล็ก และอ่านค่าจากบาร์โค้ดเพื่อไปยังสถานที่ๆระบุไว้ได้ ตลอดจนสามารถหุ่นยนต์หยุดหุ่นยนต์ตรงบริเวณที่กำหนดได้อย่างแม่นยำ สามารถหุ่นยนต์หยุดหุ่นยนต์และส่งเสียงแจ้งเตือนได้เมื่อมีสิ่งกีดขวาง

และจากการทดสอบระบบขับเคลื่อนตามเส้นเทปแม่เหล็กทางตรงโดยไม่มีสิ่งกีดขวาง จากการทดสอบพบว่า อัตราการเคลื่อนที่ของหุ่นยนต์อยู่ที่ 0.28 เมตร/วินาที หรือ 1กิโลเมตรต่อชั่วโมง

6. สรุป

หุ่นยนต์ขับเคลื่อนอัตโนมัติด้วยเทปแม่เหล็กที่ทางผู้วิจัยจัดทำสามารถหุ่นยนต์จัดส่งเอกสารหรือสิ่งของตามตำแหน่งที่ผู้ใช้ระบุปลายทางได้อย่างแม่นยำ โดยเมื่อระบุปลายทางมากกว่า 1 จุด ระบบสามารถหุ่นยนต์ไปจุดที่ใกล้ที่สุดก่อนและไปจุดหมายต่อไป การขับเคลื่อนที่ตามเส้นเทปแม่เหล็กมีความแม่นยำไม่หลุดออกนอกเส้นเทปที่กำหนด หุ่นยนต์สามารถหยุดในที่ ๆกำหนดได้แม่นยำ หยุดเมื่อมีสิ่งกีดขวางและเริ่มทำงานต่อเมื่อสิ่งที่กีดขวางผ่านพ้นไปแล้วได้ เมื่อจัดส่งเอกสารสิ่งของแล้ว สามารถหุ่นยนต์กลับมายังจุดเริ่มต้นได้อย่างแม่นยำ ซึ่งการเปลี่ยนจุดหมายหรือเพิ่มจุดหมายปลายทางไม่จำเป็นต้องแก้ไขโปรแกรม เพียงแค่แก้ไขบาร์โค้ดตามที่ต้องการก็ทำให้หุ่นยนต์ขับเคลื่อนไปยังจุดหมายได้

งานวิจัยนี้จึงเป็นต้นแบบให้กับการจัดสร้างหุ่นยนต์ขับเคลื่อนอัตโนมัติด้วยเทปแม่เหล็กในราคาที่ถูกได้ เนื่องจากใช้บอร์ดไมโครคอนโทรลเลอร์ Arduino Mega ในการควบคุม และอุปกรณ์ต่างๆซึ่งมีราคาถูก ทำให้บุคคลทั่วไปที่สนใจสามารถหุ่นยนต์เข้าถึงได้ง่าย อีกทั้งยังสามารถหุ่นยนต์พัฒนาต่อยอดได้เนื่องจากบอร์ดไมโครคอนโทรลเลอร์ Arduino Mega เป็นบอร์ดแบบโอเพ่นซอส

เอกสารอ้างอิง

[1] มงคล ทองสงคราม(2536).อิเล็กทรอนิกส์เบื้องต้น(พิมพ์ครั้งที่ 1). กรุงเทพฯ.ห้างหุ้นส่วนจำกัด วี.เจ.พริ้นติ้ง

[2] ศุภชัย สุรินทร์วงศ์(2541).มอเตอร์ไฟฟ้ากระแสตรง(พิมพ์ครั้งที่5). กรุงเทพฯ.ส.ส.ท

[3] แผนกออกแบบและพัฒนาสื่อสาขาไฟฟ้า ฝ่ายสื่อการเรียนการสอน (2544).การควบคุมมอเตอร์ (พิมพ์ครั้งที่ 1).กรุงเทพฯ.สกายบุ๊กส์

[4] นภัทร วังนเทพินทร์(2545).เทคโนโลยีอิเล็กทรอนิกส์(พิมพ์ครั้งที่1). กรุงเทพฯ.สกายบุ๊กส์

[5] ปิยะ นากสงค์(2546). คู่มือการเขียนโปรแกรมภาษา C++ (พิมพ์ครั้งที่1).กรุงเทพฯ.Prompt, สนพ.

[6] เดชฤทธิ์ มณีธรรม(2547).ไมโครคอนโทรลเลอร์ Arduino(พิมพ์ครั้งที่5).กรุงเทพฯ.ซีเอ็ดยูเคชั่น.

[7] ประภาส พุ่มพวง(2561).การเขียนและการประยุกต์ใช้งานโปรแกรม Arduino(พิมพ์ครั้งที่2).กรุงเทพฯ.ซีเอ็ดยูเคชั่น,บมจ.

[8] http://internetofthingsagenda.techtarget.com/definition/Internetof-Things-IoT

[9] ธันยพัฒน์วงศ์รัตน์. 2557. คู่มือพัฒนาแอพพลิเคชั่น Android ฉบับผู้เริ่มต้น . กรุงเทพฯ : สวัสดีไอทีจำกัด.

เทคนิคการเรียนรู้เชิงลึกสำหรับการตรวจจับและอธิบายข้อบกพร่องในอุตสาหกรรมการผลิตแผ่นวงจรพิมพ์

Advanced Deep Learning for Industrial PCB Defect Detection and Explainability

สุรัก สินพระยากุล และ ผศ.ดร.เปี่ยมภูมิ สฤกพฤกษ์

ภาควิชาวิศวกรรมไฟฟ้า คณะวิศวกรรมศาสตร์ สถาบันเทคโนโลยีพระจอมเกล้าเจ้าคุณทหารลาดกระบัง

63601109@kmitl.ac.th, piampoom.sa@kmitl.ac.th

บทคัดย่อ

งานวิจัยนี้นำเสนอการพัฒนาระบบตรวจสอบข้อบกพร่องที่พบบนพื้นผิวแผ่นวงจรพิมพ์ (PCB) ที่พัฒนาขึ้น เพื่อเพิ่มสมรรถนะการตรวจสอบด้วยแสงอัตโนมัติแบบดั้งเดิม ซึ่งมีข้อจำกัดเกี่ยวกับความแม่นยำ ความรวดเร็ว และบางครั้งไม่สามารถอธิบายข้อบกพร่องที่พบได้ เนื่องจากการใช้วิธีการเปรียบเทียบภาพจริงกับภาพต้นแบบ การศึกษานี้ได้มีการประยุกต์ใช้อัลกอรึทึม YOLOv8n ซึ่งเป็น เทคนิคการเรียนรู้เชิงลึกที่มีประสิทธิภาพสูง ในการจำแนกข้อบกพร่องบน แผ่นวงจนพิมพ์ โดยทำการศึกษา และ ทดสอบจากข้อบกพร่องที่พบบ่อย 6 ประเภทคือ วงจรเปิด การลัดวงจร รอยกัด ติ่งโลหะ รูเข็ม และทองแดงส่วนเกิน ผลการทดลองแสดงให้เห็นว่าระบบที่พัฒนาขึ้นมีประสิทธิภาพที่ดีมาก โดยมีเฉลี่ยความแม่นยำ (Mean Average Precision) ที่เกณฑ์ IoU (Intersection over Union) ถึง 96.8% ผลลัพธ์ที่ได้ เหมาะสำหรับการนำไปใช้ในการตรวจสอบและควบคุมคุณภาพในสายการผลิตด้วยระบบอัจฉริยะทำให้ยกระดับกระบวนการผลิตและลดอัตราการเกิดข้อผิดพลาดอย่างมีประสิทธิภาพและยั่งยืน

Abstract

This research presents the development of a Printed Circuit Board (PCB) surface defect inspection system designed to enhance the performance of traditional Automated Optical Inspection (AOI) systems. The AOI systems, relying on image comparison between real and reference images, often face limitations in terms of accuracy, speed, and their inability to provide explainability for detected defects. This study applies the YOLOv8n algorithm, a high-performance deep learning technique, to accurately classify common PCB defects. The system was studied and tested on six prevalent defect types including open circuit, short circuit, spurious copper, mouse bite, pin-hole, and spur. Experimental results demonstrate excellent performance, with the developed system achieving a Mean Average Precision (MAP) of 96.8% at the Intersection over Union (IoU) threshold. This result is appropriate for intelligent quality control in manufacturing lines, and is expected to significantly improve production processes and sustainably reduce error rates.

Keywords: PCB defect detection, Deep Learning, YOLOv8, Explainable AI (XAI), Feature Visualization, Automatic Optical Inspection, Smart Manufacturing

1.บทนำ

แผ่นวงจรพิมพ์ (Printed Circuit Board: PCB) ถือเป็นองค์ประกอบสำคัญในอุตสาหกรรมอิเล็กทรอนิกส์ยุคปัจจุบันซึ่งมีบทบาทขับเคลื่อนเทคโนโลยีหลากหลายประเภทตั้งแต่อุปกรณ์พกพาขนาดเล็กเช่น โทรศัพท์มือถือ ไปจนถึงระบบอุตสาหกรรมขนาดใหญ่ ด้วยเหตุนี้การตรวจสอบคุณภาพของ PCB จึงมีความสำคัญอย่างยิ่งต่อประสิทธิภาพ และความน่าเชื่อถือทางคุณภาพของผลิตภัณฑ์ โดยปัจจุบันระบบการตรวจสอบด้วยแสงแบบอัตโนมัติ (Automated Optical Inspection: AOI) ที่มีอยู่ดั้งเดิมและใช้กันอย่างแพร่หลาย อาศัยหลักการแสกนภาพและวิเคราะห์ภาพด้วยระบบเปรียบเทียบภาพจริง กับภาพต้นแบบที่มักจะประสบปัญหาด้านความแม่นยำ, ความเร็ว, ข้อจำกัดในการจัดการข้อบกพร่องที่ซับซ้อนและหลากหลาย ซึ่งส่งผลกระทบโดยตรงต่อประสิทธิภาพและต้นทุนในการผลิต จากความต้องการแก้ปัญหาเหล่านี้ทำให้เกิดการพัฒนาระบบการตรวจสอบ ที่สามารถยกระดับขีดความสามารถในการตรวจสอบคุณภาพ

*ผู้ประพันธ์บรรณกิจ

งานวิจัยนี้จึงนำเสนอการ พัฒนาระบบตรวจจับข้อบกพร่องบนพื้นผิว PCB ที่มีประสิทธิภาพสูง โดยการประยุกต์ใช้ เทคโนโลยีการเรียนรู้เชิงลึก (Deep Learning) และเลือกใช้โมเดล YOLOv8n ซึ่งเป็นปัญญาประดิษฐ์ประเภทหนึ่งที่มีจุดเด่นคือ การตรวจจับวัตถุด้วยความเร็วสูง และการประมวลผลที่แม่นยำและนำระบบนี้มา ทำการเรียนรู้และจำแนกข้อบกพร่องบนพื้นผิวของ PCB ที่พบบ่อย 6 ประเภทได้แก่ วงจรเปิด, การลัดวงจร, รอยกัด, ติ่งโลหะ, รูเข็ม และทองแดงส่วนเกิน

การฝึกสอน และ ทดสอบแบบจำลองได้เลือกใช้ ชุดข้อมูลสาธารณะ Deep PCB ซึ่งเป็นฐานข้อมูลสาธารณะ ซึ่งจะช่วยให้มั่นใจได้ถึงความโปร่งใส และความน่าเชื่อถือของผลลัพธ์สำหรับการนำไปปรับใช้งานจริงในภาคอุตสาหกรรมการผลิต นอกจากนี้เพื่อเพิ่มความมั่นใจและลดความซับซ้อนของผลลัพธ์ งานวิจัยนี้ได้นำ เทคนิคปัญญาประดิษฐ์ที่สามารถอธิบายได้ (Explainable AI: XAI) มาปรับใช้ โดยจะแสดงภาพคุณลักษณะของบริเวณที่เกิดจุดบกพร่องผ่านการสร้างภาพในอุดมคติและแผนภาพความร้อนขึ้นมา เพื่อช่วยให้สามารถอธิบายและตรวจสอบ รวมถึงวิเคราะห์พฤติกรรมการตัดสินใจของโมเดลได้โดยใช้เหตุผลประกอบ และอธิบายได้ว่าโมเดลให้ความสำคัญกับลักษณะเฉพาะของข้อบกพร่องแต่ละประเภทอย่างไร

ผลการทดลองแสดงให้เห็นถึงประสิทธิภาพที่โดดเด่นของแบบจำลองที่ทำการศึกษาและพัฒนาขึ้นมา โดยสามารถทำค่าความแม่นยำเฉลี่ย Mean Average Precision (MAP) โดยใช้เกณฑ์ Intersection over Union (IoU) ได้สูงถึง 96.8% จึงเป็นการประสานรวมระหว่างเทคโนโลยีการตรวจจับข้อบกพร่องที่มีความแม่นยำสูงเข้ากับเทคนิคการอธิบายผลลัพธ์ที่โปร่งใส จึงนับเป็นแนวทางการแก้ไขปัญหาที่สามารถอธิบายเหตุและผลของข้อบกพร่องที่เกิดขึ้นได้ และเป็นประโยชน์ต่อการปรับปรุงกระบวนการผลิต และลดอัตราการเกิดข้อผิดพลาดได้อย่างยั่งยืนในอนาคต

2.วิธีดำเนินการวิจัย

ระบบการตรวจสอบด้วยแสงอัตโนมัติ (AOI) แบบดั้งเดิม [1] แม้จะถูกนำมาใช้อย่างแพร่หลาย แต่มักอาศัยอัลกอริทึมตามกฎเกณฑ์ที่ตายตัวซึ่งประสบปัญหา ในการรับมือกับความหลากหลายของสภาพแวดล้อมการผลิตจริง นำไปสู่อัตราผลบวกไม่จริงที่สูงและต้องใช้การตรวจสอบด้วยตนเองซึ่งมีค่าใช้จ่ายสูง [2] ข้อจำกัดของวิธีการมองเห็นของเครื่องจักรแบบดั้งเดิมเหล่านี้ชี้ให้เห็นถึงความจำเป็นของเทคนิคการตรวจสอบที่ทนทานและปรับตัวได้ดีกว่า [3]

เพื่อเอาชนะข้อจำกัดเหล่านี้ แนวทางที่ใช้การเรียนรู้เชิงลึกโดยเฉพาะแบบจำลองการตรวจจับวัตถุ ได้กลายเป็นทางเลือกที่เหมาะสม ซึ่งแบบจำลองเหล่านี้สามารถเรียนรู้คุณลักษณะที่ซับซ้อนของข้อบกพร่องได้โดยอัตโนมัติจากข้อมูล ทำให้มีความสามารถในการปรับตัวและความแม่นยำที่เหนือกว่า การศึกษานี้ใช้แบบจำลอง YOLOv8n ซึ่งเป็นแบบจำลองที่ทันสมัยและเป็นที่รู้จักในด้านความสมดุลที่ยอดเยี่ยมระหว่างความเร็วและประสิทธิภาพ ทำให้เหมาะอย่างยิ่งสำหรับการใช้งานในภาคอุตสาหกรรม [4], [5] วิวัฒนาการจากเวอร์ชั่นก่อนหน้าเช่น YOLOv3 และ YOLOv4 ได้ผลักดันขอบเขตของการตรวจจับวัตถุแบบเรียลไทม์อย่างต่อเนื่อง ทำให้เป็นตัวเลือกหลักสำหรับการนำไปใช้ในอุตสาหกรรม [6], [7]

อย่างไรก็ตาม การนำแบบจำลองที่เป็นเสมือน "กล่องดำ" มาใช้ในงานที่มีความสำคัญสูงมักถูกขัดขวาง ด้วยการขาดความโปร่งใส [8] เพื่อแก้ไขปัญหานี้ งานวิจัยของเราจึงได้ผนวกรวมวิธีการของปัญญาประดิษฐ์ที่อธิบายได้ (XAI) เข้าไว้ด้วย แทนที่เราจะรายงานเพียงแค่ความแม่นยำในการตรวจจับ เราได้ตรวจสอบว่า *แบบจำลองได้เรียนรู้อะไร* โดยใช้เทคนิค Feature Visualization เราสามารถมองเข้าไปในโครงสร้างภายใน ของแบบจำลอง และสร้างภาพของคุณลักษณะ "ในอุดมคติ" ที่มันได้เรียนรู้ที่จะเชื่อมโยงกับข้อบกพร่องต่างๆ [9], [10] วิธีการนี้ให้ระดับความไว้วางใจและความเข้าใจที่ลึกซึ้งกว่าตัวชี้วัดประสิทธิภาพแบบเดิมเพียงอย่างเดียว

2.1. ชุดข้อมูลสำหรับงานวิจัย

โดยงานวิจัยนี้ใช้ชุดข้อมูลสาธารณะ DeepPCB [11] ที่ถูกออกแบบมาโดยเฉพาะสำหรับงานตรวจจับข้อบกพร่องบน PCB

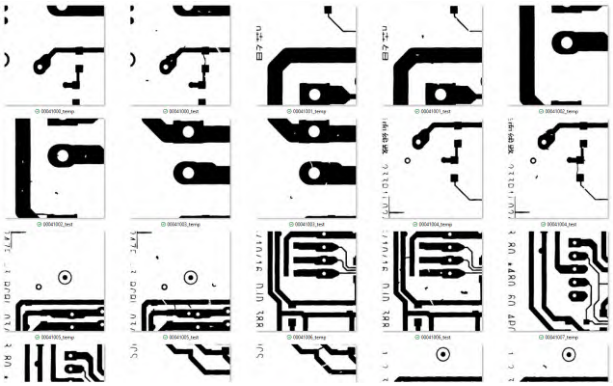

รูปที่ 1. ตัวอย่างของชุดข้อมูลจาก Deep PCB ประกอบด้วยภาพที่สมบูรณ์ และภาพที่มี Defect ที่ต้องการตรวจจับความผิดปกติ

โดยชุดข้อมูลนี้ประกอบด้วยคู่ภาพ 1,500 คู่ แต่ละคู่จะมีภาพต้นแบบที่สมบูรณ์และภาพทดสอบที่มีการระบุตำแหน่ง และชนิดของข้อบกพร่องไว้ 6 ประเภท ได้แก่ วงจรเปิด, การลัดวงจร, รอยกัด, ตั่งโลหะ, ทองแดงส่วนเกิน และรูเข็ม โดยเต่ละภาพของเส้นลายวงจรจะมี Defect ที่หลากหลายเละไม่ซ้ำกัน ซึ่งเป็นปัญหาจริงที่พบในการผลิต PCB โดยงานวิจัยนี้ได้แบ่งชุดข้อมูลตามที่ผู้สร้างกำหนดไว้ คือ 1,000 ภาพสำหรับฝึกสอน และ 500 ภาพสำหรับตรวจสอบความถูกต้อง เพื่อให้ผลลัพธ์สามารถนำไปเปรียบเทียบกับงานวิจัยอื่นๆที่ใช้ชุดข้อมูลเดียวกันได้ [12]

2.2.ระบบการตรวจจับข้อบกพร่อง

โดยระบบของงานวิจัยได้เลือกใช้แบบจำลอง YOLOv8n ซึ่งเป็นเวอร์ชั่นนาโนในตระกูล YOLOv8 เนื่องจากมีประสิทธิภาพสูงและใช้ทรัพยากรน้อย โดยแบบจำลองนี้ได้รับการฝึกสอนล่วงหน้าบนชุดข้อมูล COCO มาก่อนแล้ว หลังจากนั้นจึงนำมาปรับเข้ากับชุดข้อมูล DeepPCB เป็นจำนวน 50 epochs ซึ่งกระบวนการฝึกสอนจะทำการปรับปรุงฟังก์ชันความสูญเสียแบบผสมผสาน ซึ่งคำนึงถึงความผิดพลาดในการระบุกรอบวัตถุ เช่น CIoU loss, การจำแนกประเภท และคะแนนความน่าจะเป็นของการมีอยู่ของวัตถุ [13]

2.3.ตัวชี้วัดประสิทธิภาพ

เพื่อประเมินประสิทธิภาพของแบบจำลอง ผู้วิจัยได้ใช้ตัวชี้วัดมาตรฐานสำหรับการตรวจจับวัตถุ ได้แก่ Precision, Recall และ Mean Average Precision (MAP) โดยที่ค่า Mean Average Precision (MAP) เป็นตัวชี้วัดมาตรฐานสากลที่ใช้ประเมินประสิทธิภาพของแบบจำลองการตรวจจับวัตถุ (Object Detection) โดยให้ภาพรวมของความสามารถของแบบจำลองทั้งในด้านความแม่นยำ (Precision) และความครบถ้วนในการตรวจจับ (Recall) กระบวนการคำนวณ mAP ประกอบด้วย 4 ขั้นตอนหลักดังนี้

ขั้นตอนที่ 1: Intersection over Union (IoU)
ขั้นตอนแรกสุดคือการตัดสินว่ากรอบสี่เหลี่ยมที่ AI ทำนายมานั้นถูกต้องโดยการเปรียบเทียบกับกรอบสี่เหลี่ยมของเฉลย (Ground Truth) เราจะใช้ค่าที่เรียกว่า Intersection over Union (IoU) เป็นการวัดระดับการซ้อนทับกันของกรอบทั้งสอง โดยที่ IoU คำนวณจากพื้นที่ส่วนที่ซ้อนทับกัน (Area of Overlap) หารด้วยพื้นที่ทั้งหมดของกรอบทั้งสองรวมกัน (Area of Union) ดังสมการที่ (1)

$$\text{IoU} = \frac{\text{Area of Overlap}}{\text{Area of Union}} \tag{1}$$

โดยที่ **Area of Overlap** คือพื้นที่ที่กรอบคาดการณ์ และกรอบจริงซ้อนทับกัน **Area of Union** คือพื้นที่รวมทั้งหมดของทั้งสองกรอบโดยไม่ซ้ำกัน

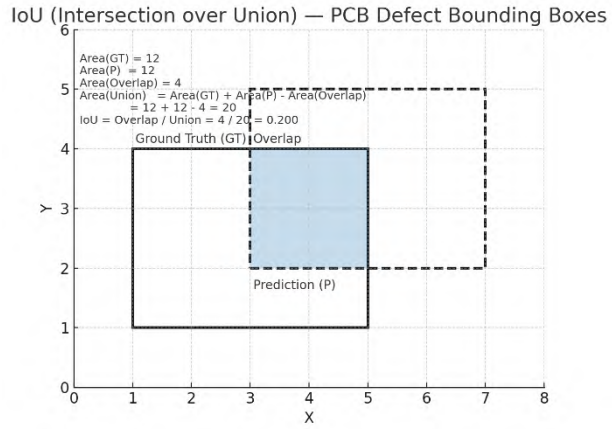

รูปที่ 2. ตัวอย่างการคำนวณค่า IoU ในการตรวจจับตำแหน่งความบกพร่องของ PCB

ขั้นตอนที่ 2: Precision และ Recall หลังจากใช้เกณฑ์ IoU แล้ว เราจะสามารถนับจำนวน True Positives (TP), False Positives (FP), และ False Negatives (FN) เพื่อนำมาคำนวณค่า Precision และ Recall โดย

Precision สะท้อนถึงสัดส่วนของการตรวจจับที่ถูกต้องในบรรดาการตรวจจับทั้งหมดที่แบบจำลองทำนายสามารถคำนวณได้ดังสมการที่ (2)

$$\text{Precision} = \frac{TP}{TP + FP} \tag{2}$$

Recall บ่งชี้ถึงสัดส่วนของข้อบกพร่องจริงทั้งหมดที่แบบจำลองสามารถตรวจจับได้สำเร็จสามารถคำนวนได้ดังสมการที่ (3)

$$\text{Recall} = \frac{TP}{TP + FN} \tag{3}$$

โดยที่ TP คือ True Positives (ทายถูกว่าเป็น Defect), FP คือ False Positives (ทายผิดว่าเป็น Defect) และ FN คือ False Negatives (หา Defect ไม่เจอ)

ขั้นตอนที่ 3: Average Precision (AP)
โมเดลจะให้ค่าระดับความมั่นใจ (Confidence Score) ร่วมกับผลการทำนายแต่ละครั้ง เพื่อหาจุดสมดุลระหว่าง Precision และ Recall สามารถสร้างเส้นโค้ง Precision–Recall (PR Curve) ที่ความมั่นใจหลายระดับ และหาค่า Average Precision (AP) ซึ่งคือพื้นที่ใต้กราฟ PR Curve (สมการที่ 4) โดยคำนวณแยกสำหรับ defect แต่ละประเภท เช่น *AP_open*, *AP_short*, *AP_mousebite* เป็นต้น

$$AP = \int_0^1 P(R)\,dR \tag{4}$$

ขั้นตอนที่ 4: Mean Average Precision (MAP)
ค่า Mean Average Precision (MAP) คือค่าเฉลี่ยของ AP จาก defect ทุกประเภท (สมการที่ 5) ซึ่งใช้เป็นตัวชี้วัดประสิทธิภาพรวมของโมเดล

$$mAP = \frac{1}{N}\sum_{i=1}^{N} AP_i \tag{5}$$

เช่น ค่า **mAP@0.50 = 96.8%** หมายถึง ค่าเฉลี่ยของ AP สำหรับ defect ทั้ง 6 ประเภท เมื่อใช้เกณฑ์ IoU > 0.5 เท่ากับ 96.8% แสดงให้เห็นว่าโมเดลมีประสิทธิภาพสูงในการตรวจจับ defect และจะสรุปค่ารวมของประสิทธิภาพของแบบจำลองในตัวเลขเดียว [13]

3. การทดลองและผลการทดลอง

ระบบการตรวจจับข้อผิดพลาดถูกฝึกสอนบน Google Colab โดยใช้ Tesla T4 GPU ในการประมวลผล เป็นการนำชุดข้อมูล Deep PCB มาทำการฝึกสอนและเขียนเป็นสคริปต์เดียวกันเพื่อรับประกันความสามารถในการทำซ้ำ

3.1 การวิเคราะห์กระบวนการฝึกสอน

ความคืบหน้าในการเรียนรู้ของแบบจำลองถูกติดตามตลอด 50 epochs โดยรูปที่ 1 แสดงเส้นโค้งค่าความผิดพลาด (loss curves) ของชุดข้อมูลฝึกสอนและชุดข้อมูลตรวจสอบความถูกต้อง ทั้งค่าความผิดพลาดของกรอบล้อมรอบ (box_loss) และค่าความผิดพลาดของการจำแนกประเภท (cls_loss) สำหรับข้อมูลทั้งสองชุดที่ผ่านการเรียนรู้จากระบบมีแนวโน้มของความผิดพลาดลดลงอย่าง ต่อเนื่องจนเข้าสู่สภาวะคงที่ ซึ่งแสดงให้เห็นว่าแบบจำลองได้เรียนรู้คุณลักษณะที่สามารถนำไปใช้กับข้อมูลใหม่ได้โดยไม่มีการเกิด Overfitting อย่างมีนัยสำคัญ และตัวชี้วัดสำหรับ precision, recall และ MAP ก็แสดงให้เห็นถึงแนวโน้มการปรับปรุงที่ดีขึ้นจนเข้าสู่สภาวะคงที่เช่นกัน

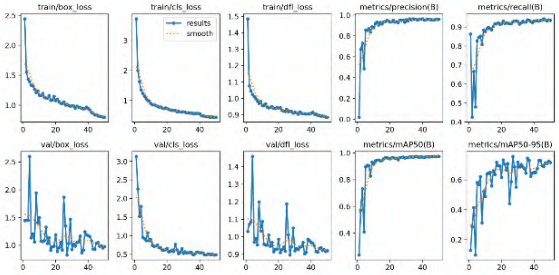

รูปที่3. ตัวชี้วัดระหว่างการฝึกสอนและตรวจสอบความถูกต้องตลอด 50 epochs แสดงค่าของ loss, precision, recall และ MAP

3.2. ประสิทธิภาพเชิงปริมาณ

หลังจากทำการฝึกสอน 50 epochs แบบจำลองก็ได้แสดงประสิทธิภาพที่ดีบนชุดข้อมูลตรวจสอบ ความถูกต้องโดยแบบจำลองสามารถทำค่าความแม่นยำเฉลี่ย (MAP@.50) ได้ถึง 96.8% ซึ่งบ่งชี้ถึงระดับความแม่นยำที่สูงมาก

ตารางการประเมินประสิทธิภาพของแบบจำลอง YOLOv8n

โดยเส้นโค้ง Precision-Recall (PR) ในรูปที่ 4 แสดงให้เห็นถึงประสิทธิภาพที่โดดเด่นของแบบจำลองเพิ่มเติม วัดได้จากพื้นที่ใต้เส้นโค้งสำหรับทุกตัวอย่างมีค่าสูง ซึ่งยืนยันความสามารถของแบบจำลองในการรักษาทั้งค่า precision และ recall ที่ค่อนข้างสูงในระดับความเชื่อมั่นที่แตกต่างกัน โดยจะเห็นว่าประสิทธิภาพในการตรวจจับมีความเข้าใจในทุกประเภทของข้อบกพร่อง เช่น short (0.914) , copper (0.982) และ pinhole (0.983)

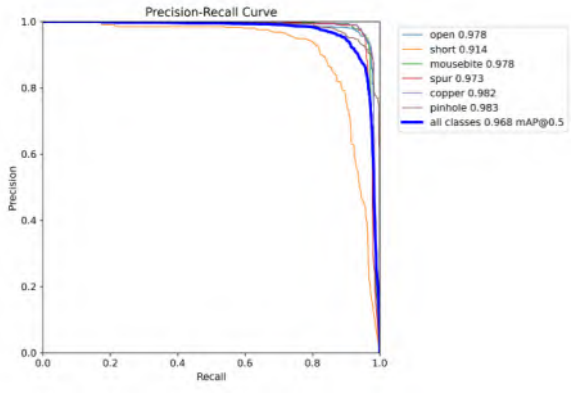

รูปที่ 4. เส้นโค้ง Precision-Recall สำหรับทุกคลาสของข้อบกพร่อง ซึ่งได้ค่า mAP@0.5 โดยรวมที่ 0.968

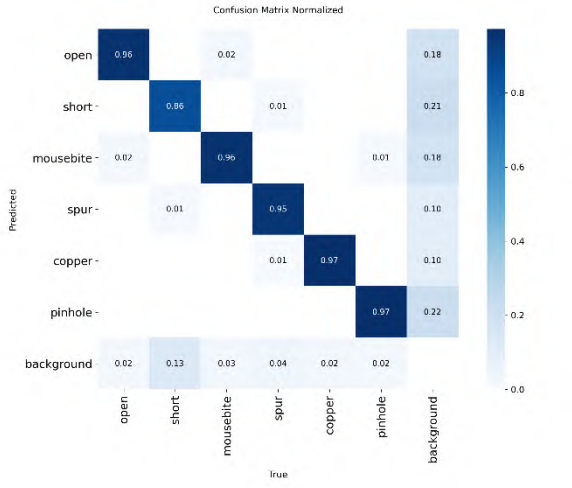

เมทริกซ์ normalized confusion matrix ในรูปที่ 5 ให้รายละเอียดการจำแนกประเภทของแบบจำลองสำหรับ แต่ละชนิดของข้อบกพร่อง ค่าในแนวทแยงที่สูง (ส่วนใหญ่ ≥ 0.95) บ่งชี้ถึงความแม่นยำสูงสำหรับทุกคลาส พบความสับสนเล็กน้อยระหว่างข้อบกพร่องประเภท 'short' กับ 'background' (0.13) ซึ่งชี้ให้เห็นว่าข้อบกพร่องประเภท 'short' บางครั้งอาจมีลักษณะทางภาพที่ละเอียดอ่อนและแยกแยะได้ยากกว่า [14]

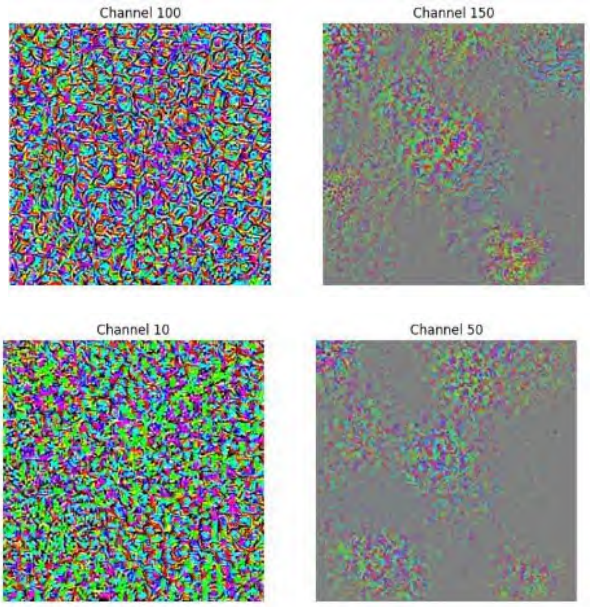

รูปที่ 5. เมทริกซ์แสดงประสิทธิภาพการจำแนกประเภทสำหรับแต่ละชนิดของข้อบกพร่อง

3.3.ผลลัพธ์เชิงคุณภาพและการในการอธิบายผล

เพื่อประเมินประสิทธิภาพของแบบจำลองในเชิงภาพ ได้มีการใช้ภาพตัวอย่างจากชุดข้อมูล ตรวจสอบความถูกต้องในการทำนาย รูปที่ 6.1 ถึง 6. แสดงให้เห็นว่าแบบจำลองสามารถระบุข้อบกพร่องหลายประเภทได้อย่างสำเร็จพร้อมคะแนนความเชื่อมั่น ที่ระบบให้ค่าไว้ตามความมั่นใจในการตรวจสอบ

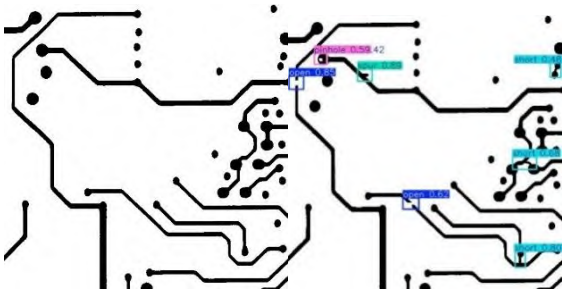

รูปที่ 6.1 ตัวอย่างผลลัพธ์การตรวจจับข้อบกพร่องบนภาพทดสอบที่มี Defect หลายประเภท พบว่าโมเดลสามารถตรวจจับข้อผิดพลาดได้ครบทุกจุดและแยกประเภทของ Defect ได้ตรงตามประเภท

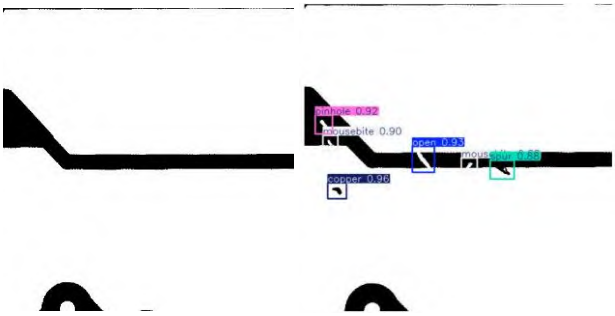

รูปที่ 6.2 ตัวอย่างผลลัพธ์การตรวจจับข้อบกพร่องบนภาพทดสอบที่มี Defect หลายประเภท และกระจายตัวจึงทำให้โมเดลตัดสินใจตรวจสอบและแยกประเภทได้อย่างมีประสิทธิภาพ

รูปที่ 6.3 ตัวอย่างผลลัพธ์การตรวจจับข้อบกพร่องบนภาพทดสอบที่มี Defect ขนาดเล็กและมีความไม่ชัดเจนว่ามีการแตะกันของเส้นวงจร (Short circuit) หรือไม่ทำให้ค่าความมั่นใจที่ต่ำและต้องใช้การตรวจสอบด้วยสายตาอีกครั้งจึงจะสามารถตัดสินใจได้ว่าเป็น Defect หรือไม่

รูปที่ 6.4 ตัวอย่างผลลัพธ์การตรวจจับข้อบกพร่องบนภาพทดสอบที่มี Defect ที่เกิดใกล้กัน หรือชิดติดกันทำให้โมเดลมีค่าความมั่นใจต่ำและต้องใช้การตรวจสอบด้วยสายตาอีกครั้งจึงจะสามารถตัดสินความถูกต้องได้

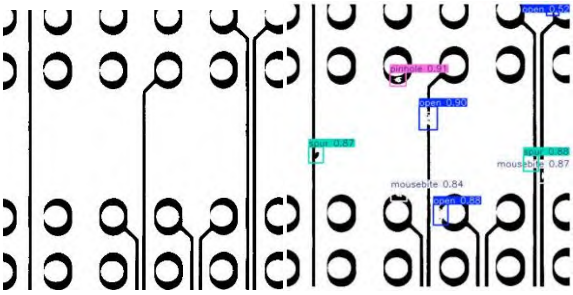

รูปที่ 6.5 ตัวอย่างผลลัพธ์การตรวจจับข้อบกพร่องบนภาพทดสอบที่มี Defect ที่เกิดขึ้นแบบไม่ชัดเจน เช่นเส้นวงจรที่บางและยากในการตัดสินใจว่าเป็น Defect แบบ Open หรือไม่ทำให้โมเดลมีค่าความมั่นใจต่ำและต้องใช้การตรวจสอบด้วยสายตาอีกครั้งจึงจะสามารถตัดสินความถูกต้องได้

เพื่อตีความการเรียนรู้ภายในของแบบจำลอง ได้มีการใช้เทคนิค Feature Visualization โดยเทคนิค XAI นี้จะสร้างภาพสังเคราะห์ที่สามารถกระตุ้นเซลล์ประสาท (Channel) เฉพาะทางในชั้นที่เลือกของโครงข่ายได้สูงสุด [14] โดยรูปที่ 5 แสดงรูปแบบภาพแบบอุดมคติ ที่เรียนรู้โดย Channel ที่แตกต่างกันสี่ตัวในชั้น SPPF ของแบบจำลอง โดยภาพเหล่านี้แสดงให้เห็นว่าแบบจำลองได้พัฒนา ตัวตรวจจับที่มีคุณลักษณะเฉพาะทางขึ้นมา ตัวอย่างเช่น บาง Channel ตอบสนองต่อโครงสร้างคล้ายขอบ (Channel 50) ในขณะที่บาง Channel ถูกปรับให้ตรวจจับรูปแบบคล้ายจุดหรือพื้นผิว (Channel 150) สิ่งนี้เป็นเครื่องยืนยันว่าแบบจำลองกำลังเรียนรู้คุณลักษณะ เชิงลำดับชั้นที่เกี่ยวข้องกับองค์ประกอบของ PCB แทนที่จะอาศัยความสัมพันธ์ที่ไม่มีเหตุผล [15], [16]

4.สรุป

รูปที่ 7. การแสดงภาพคุณลักษณะของ 4 Channel ที่แตกต่างกัน เผยให้เห็นรูปแบบนามธรรมที่แบบจำลองได้เรียนรู้ที่จะตรวจจับ ตัวอย่างเช่น Channel 50 และ Channel 150 ตอบสนองต่อโครงสร้างคล้ายขอบและเส้น ซึ่งเป็นองค์ประกอบสำคัญบนแผ่นวงจรพิมพ์ ในขณะที่ Channel 10 และ Channel 100 แสดงการตอบสนองต่อรูปแบบพื้นผิว (texture) หรือกลุ่มก้อนที่ซับซ้อน ซึ่งบ่งชี้ว่าแบบจำลองได้พัฒนาตัวตรวจจับคุณลักษณะเชิงลำดับชั้นที่หลากหลาย

งานวิจัยนี้ได้นำเสนอการพัฒนาประสิทธิภาพ ของระบบการตรวจจับข้อบกพร่องบน PCB ด้วยระบบอัตโนมัติ โดยใช้แบบจำลอง YOLOv8n ที่มีความสามารถตรวจจับด้วยความแม่นยำสูงถึง 96.8% (mAP@.50) และ

การผสมผสานเทคนิค Feature Visualization ด้วยการอธิบายแบบ XAI ซึ่งให้ข้อมูลเชิงลึกเกี่ยวกับการเรียนรู้คุณลักษณะภายในของแบบจำลอง ช่วยเพิ่มความน่าเชื่อถือและนำไปสู่การนำเสนอ แนวทางแก้ไขปัญหาที่มีประสิทธิภาพ และสามารถวิเคราะห์ปัญหาพร้อมทั้งอธิบายข้อผิดพลาด ที่เกิดขึ้นได้เหมาะสำหรับการนำไปใช้ในขั้นตอนการผลิต และการควบคุมคุณภาพในงานอุตสาหกรรม โดยการวิจัยในอนาคตจะสามารถมุ่งเน้นไปที่การเปรียบเทียบ ประสิทธิภาพของแบบจำลองอื่นๆและการขยายชุดข้อมูลฝึกสอนด้วยข้อมูล จากการผลิตจริงเพื่อประยุกต์ และเพิ่มขีดความสามารถของระบบการตรวจจับต่อไป

5.กิตติกรรมประกาศ

ผู้วิจัยขอแสดงความขอบคุณ รอง ศจ.ดร.เปี่ยมภูมิ สฤกพฤกษ์ คณะวิศวกรรมศาสตร์ มหาวิทยาลัยเทคโนโลยีพระจอมเกล้าเจ้าคุณทหารลาดกระบังที่ให้คำแนะนำ และข้อเสนอแนะที่เป็นประโยชน์ประกอบการทำวิจัย และ คณะผู้จัดทำชุดข้อมูล Deep PCB โดยทีมวิจัยจาก Southern University of science and Technology (SUSTech), Shenzhen, China

เอกสารอ้างอิง

[1] Q. Ling and N. A. M. Isa, "Printed circuit board defect detection methods based on image processing, machine learning and deep learning: A survey," *IEEE Access*, vol. 11, pp. 15921-15944, 2023, doi: 10.1109/ACCESS.2023.3245093.

[2] M. Moganti, F. Ercal, C. H. Dagli, and S. Tsunekawa, "Automatic PCB inspection algorithms: A survey," *Computer Vision and Image Understanding*, vol. 63, no. 2, pp. 287-313, Mar. 1996, doi: 10.1006/cviu.1996.0020.

[3] A. F. M. Hani, A. S. Malik, R. Kamil, and C.-M. Thong, "A review of SMD-PCB defects and detection algorithms," in *Proc. SPIE*, vol. 8350, pp. 373-379, Jan. 2012, doi: 10.1117/12.920531

[4] G. Jocher, A. Chaurasia, and J. Qiu, *YOLO by Ultralytics*, 2023. [Online]. Available: https://github.com/ultralytics/ultralytics

[5]] Z.-Q. Zhao, P. Zheng, S.-T. Xu, and X. Wu, "Object detection with deep learning: A review," *IEEE Trans. Neural Netw. Learn. Syst.*, vol. 30, no. 11, pp. 3212-3232, Nov. 2019, doi: 10.1109/TNNLS.2018.2876865.

[6] J. Redmon and A. Farhadi, "YOLOv3: An incremental improvement," 2018, arXiv:1804.02767.

[7] A. Bochkovskiy, C.-Y. Wang, and H.-Y. M. Liao, "YOLOv4: Optimal speed and accuracy of object detection," 2020, arXiv:2004.10934.

[8] R. Guidotti, A. Monreale, S. Ruggieri, F. Turini, F. Giannotti, and D. Pedreschi, "A survey of methods for explaining black box models," *ACM Comput. Surv.*, vol. 51, no. 5, pp. 1-42, Aug.

2018, doi: 10.1145/3236009.

[9] C. Olah, A. Mordvintsev, and L. Schubert, "Feature Visualization," *Distill*, 2017. [Online]. Available: https://distill.pub/2017/feature-visualization/

[10] R. R. Selvaraju, M. Cogswell, A. Das, R. Vedantam, D. Parikh, and D. Batra, "Grad-CAM: Visual explanations from deep networks via gradient-based localization," in *Proc. IEEE Int. Conf. Comput. Vis. (ICCV)*, 2017, pp. 618-626, doi: 10.1109/ICCV.2017.74.

[11] T. Adib, S. S. Shomaji, and S. M. H. Hasheminejad, "Deep-PCB: A new dataset for developing deep learning-based approaches for printed circuit board defect detection," *Journal of Intelligent & Fuzzy Systems*, vol. 41, no. 5, pp. 5629-5641, 2021, doi: 10.3233/JIFS-210190.

[12] R. Ding, L. Dai, G. Li, and H. Liu, "TDD-Net: A tiny defect detection network for printed circuit boards," *CAAI Trans. Intell. Technol.*, vol. 4, no. 2, pp. 110-116, Jun. 2019, doi: 10.1049/trit.2019.0019.

[13] M. Everingham, L. Van Gool, C. K. I. Williams, J. Winn, and A. Zisserman, "The PASCAL visual object classes (VOC) challenge," *Int. J. Comput. Vis.*, vol. 88, no. 2, pp. 303-338, Jun. 2010, doi: 10.1007/s11263-009-0275-4.

[14] B. Hu and J. Wang, "Detection of PCB surface defects with improved faster-RCNN and feature pyramid network," *IEEE Access*, vol. 8, pp. 108335-108345, 2020, doi: 10.1109/ACCESS.2020.3001349.

[15] A. Saadallah, J. Büscher, O. Abdulaaty, T. Panusch, J. Deuse, and K. Morik, "Explainable Predictive Quality Inspection using Deep Learning in Electronics Manufacturing," *Procedia CIRP*, vol. 107, pp. 594-599, 2022, doi: 10.1016/j.procir.2022.05.031.

[16] X. Chen, Y. Wu, X. He, and W. Ming, "A Comprehensive Review of Deep Learning-Based PCB Defect Detection," *IEEE Access*, vol. 11, pp. 139017-139038, 2023, doi: 10.1109/ACCESS.2023.3339561.

ศึกษาอัลกอริทึมการสร้างเส้นทางเดินอัตโนมัติสำหรับแฮนด์พาเลทอัตโนมัติ

Study on Path Planning Algorithms for Autonomous Hand Pallet Trucks

เจษฎาพร งามพร้อม[1] บวรรัตน์ พุ่มจำปา[1] ธัญวลัย แก้วกลม[1] สุธาสินี เริ่มสูงเนิน[1] และ สุรชาติ เหล็กงาม[1]*

[1]สาขาวิชาวิศวกรรมไฟฟ้า คณะวิศวกรรมศาสตร์ มหาวิทยาลัยบูรพา surachat@eng.buu.ac.th*

บทคัดย่อ

โครงงานนี้มุ่งเน้นการศึกษาการสร้างเส้นทางการเคลื่อนที่สำหรับแฮนด์พาเลทอัตโนมัติ โดยนำทางด้วยระบบLiDAR เพื่อพัฒนาAMR ต้นแบบที่ใช้ในการขนส่งพาเลทอัตโนมัติสำหรับภาคอุตสาหกรรม โดยอาศัยอัลกอริทึมพาเลทอัตโนมัติแบบ AMR โดยใช้ PLC เป็นตัวควบคุมความปลอดภัยและลอจิกการขับเคลื่อนหลัก เชื่อมกับ HMI เพื่อสั่งงานตั้งค่า และมอนิเตอร์แบบเรียลไทม์ ขณะเดียวกันหน่วยประมวลผล raspberry piใช้คำนวณเส้นทาง ความเร็ว และทิศทางการเคลื่อนที่ ซึ่งอาศัยข้อมูลจาก LiDAR แล้วสื่อสารคำสั่งนำทางไปยัง PLC ผ่านโปรโตคอลอุตสาหกรรม ผลลัพธ์ชี้ว่าอัลกอริทึมที่ถูกพัฒนาขึ้นมานี้สามารถสร้างเส้นทางเดินจากจุดเริ่มต้นถึงจุดปลายทาง และสามารถหลบหลีกสิ่งกีดขวางแบบเรียลไทม์ได้ ส่งผลให้ลดความเสี่ยงอุบัติเหตุและเพิ่มประสิทธิภาพการขนย้าย

คำสำคัญ: AMR, แฮนด์พาเลทอัตโนมัติ, PLC, HMI, LiDAR, Raspberry pi

Abstract

This project focuses on the study and development of autonomous path planning for an automated hand pallet truck guided by a LiDAR system, aiming to create a prototype Autonomous Mobile Robot (AMR) for industrial pallet transportation. The system is designed to handle loads of up to utilizes a PLC as the primary controller for safety management and driving logic, integrated with an HMI for real-time operation, configuration, and monitoring. A Raspberry Pi serves as the processing unit for calculating travel paths, velocities, and movement directions based on LiDAR data, with navigation commands transmitted to the PLC via industrial communication protocols. The results demonstrate that the developed algorithm can generate a path from a starting point to a destination while avoiding obstacles in real time, thereby reducing accident risks and improving transportation efficiency.

Keywords: AMR, autonomous hand pallet truck, PLC, HMI, LiDAR, Raspberry Pi

บทนำ

งานขนย้ายด้วยแฮนด์พาเลทแบบใช้แรงงานคนมีข้อจำกัดด้านความปลอดภัย ประสิทธิภาพ และต้นทุน โครงการนี้จึงพัฒนาแฮนด์พาเลทอัตโนมัติที่ใช้แนวคิด AMR โดยให้ PLC เป็นตัวควบคุมระบบขับเคลื่อนและ HMI ใช้สำหรับป้อนคำสั่งในการควบคุม การตั้งค่า และติดตามสถานะ ในขณะเดียวกันระบบรับรู้สภาพแวดล้อมใช้ LiDAR เพื่อสร้างแผนที่ และวางแผนเส้นทาง จากนั้นส่งคำสั่งความเร็ว ทิศทางไปยัง PLC ทำให้สามารถเคลื่อนย้ายพาเลท ได้อย่างแม่นยำ ปลอดภัย และปรับตัวต่อสภาพแวดล้อมจริงในคลังสินค้า

2.ที่มาของปัญหาและพื้นฐานความรู้

2.1 ที่มาของปัญหา

ในปัจจุบัน อุตสาหกรรมการผลิตมีการแข่งขันสูง โรงงานจึงต้องปรับปรุงกระบวนการทำงานให้มีประสิทธิภาพ หนึ่งในขั้นตอนสำคัญคือการขนส่งวัสดุและชิ้นงานภายในโรงงาน (Material Handling) ซึ่งหากล่าช้าและไม่เป็นระบบ จะทำให้เกิดความสูญเสียทั้งด้านเวลา ต้นทุน และความปลอดภัย

หลายโรงงานยังอาศัยแรงงานคนหรือรถเข็นที่ต้องมีผู้ควบคุม ทำให้ใช้เวลามาก เสี่ยงต่ออุบัติเหตุ และมีต้นทุนแรงงานสูง ในขณะเดียวกัน แนวโน้มอุตสาหกรรม 4.0 ให้ความสำคัญกับระบบอัตโนมัติและการใช้หุ่นยนต์เพื่อลดภาระงานซ้ำ เพิ่มความแม่นยำ และลดความผิดพลาดจากมนุษย์

จากเหตุผลดังกล่าว จึงเกิดแนวคิดในการพัฒนา หุ่นยนต์ขนส่งอัตโนมัติที่สามารถเคลื่อนย้ายวัตถุระหว่างสถานีได้อย่างอัตโนมัติ ช่วยลดเวลารอคอย เพิ่มความต่อเนื่องของการผลิต และลดต้นทุนการดำเนินงานในระยะยาว พร้อมรองรับการบูรณาการเข้ากับระบบควบคุมการผลิต เพื่อก้าวสู่โรงงานอัจฉริยะ (Smart Factory) อย่างเต็มรูปแบบ

2.2 การทำงานของ AMR (Autonomous Mobile Robot)

AMR หรือหุ่นยนต์เคลื่อนที่อัตโนมัติ เป็นระบบที่สามารถเคลื่อนที่และปฏิบัติงานได้ด้วยตนเองโดยไม่ต้องมีการควบคุมแบบเรียลไทม์จากมนุษย์ ระบบทำงานโดยอาศัยเซนเซอร์หลากหลายชนิด เช่น LiDAR กล้องและเรดาร์ เพื่อรับรู้สภาพแวดล้อมรอบตัวและระบุวัตถุหรือสิ่งกีดขวาง จากนั้นจะใช้เทคนิค SLAM (Simultaneous Localization and Mapping) ในการสร้างแผนที่พื้นที่ปฏิบัติงานและระบุตำแหน่งของตัวหุ่นยนต์พร้อมกัน ข้อมูลจากเซนเซอร์หลายแหล่งจะถูกรวมเข้าด้วยกันเพื่อ

*ผู้ประพันธ์บรรณกิจ

เพิ่มความแม่นยำในการระบุพิกัดและตรวจจับสิ่งกีดขวาง เมื่อกำหนดเส้นทางไปยังจุดหมายปลายทาง ระบบจะคำนวณเส้นทางที่เหมาะสมและปรับเปลี่ยนตามสภาพแวดล้อมแบบเรียลไทม์ โดยใช้การควบคุมการเคลื่อนที่ของล้อและมุมเลี้ยวให้หุ่นยนต์เคลื่อนที่ตามเส้นทางได้อย่างราบรื่น ปลอดภัย และมีประสิทธิภาพ พร้อมทั้งสามารถสื่อสารกับระบบจัดการคลังสินค้า หรือระบบควบคุมการผลิตเพื่อรับคำสั่งและรายงานสถานะ ทำให้ AMR สามารถทำงานร่วมกับหุ่นยนต์อื่นและระบบอัตโนมัติในโรงงานได้อย่างสมบูรณ์ [1]

2.3 พื้นฐานการทำงานของ Raspberry Pi 5

Raspberry Pi 5 เป็นไมโครคอมพิวเตอร์ขนาดเล็กใช้หน่วยประมวลผล Broadcom BCM2712 แบบควอดคอร์ Arm Cortex-A76 ที่ความถี่ 2.4 GHz ให้ประสิทธิภาพสูง หน่วยความจำ RAM ขนาด 16 GB ทำงานบนระบบปฏิบัติการลีนุกซ์ ทำให้มีความสามารถในการประมวลผลสูงและรองรับการเชื่อมต่อกับอุปกรณ์เสริมหลากหลายประเภท [2]

รูปที่ 1 บอร์ด Raspberry Pi 5 [5]

2.4 การทำงานของ LiDAR

LiDAR รุ่น LD19 (หรือ FHL-LD19) เป็นเซนเซอร์วัดระยะด้วยเลเซอร์แบบ Time-of-Flight (TOF) หรือ DTOF (Direct Time-of-Flight) ที่ใช้สำหรับตรวจจับสภาพแวดล้อมรอบทิศทาง 360° ด้วยความละเอียดสูงและความถี่ในการวิเคราะห์ข้อมูลจำนวนมาก

หลักการทำงานพื้นฐาน

1.เมื่อทำงานเซนเซอร์จะยิงลำแสงอินฟราเรดออกไปในทิศทางของวัตถุ แล้ววัดเวลาระหว่างการยิงและการรับสัญญาณสะท้อนกลับ (Time of Flight) โดยใช้ความเร็วของแสงคำนวณเป็นระยะทาง

2.เมื่อได้ข้อมูลระยะทางแล้ว ระบบจะรวมเข้ากับค่ามุมจากหน่วยวัดมุม (angle measurement unit) เพื่อสร้างข้อมูลจุดในรูปแบบ point cloud ที่แสดงตำแหน่งวัตถุรอบทิศทาง 360 องศา

โครงสร้างและการควบคุม

- ตัวอุปกรณ์ประกอบด้วย: แกนวัดระยะ (ranging core), โมดูลส่ง-รับข้อมูลแบบไร้สาย, หน่วยวัดมุม, หน่วยขับเคลื่อนมอเตอร์ , และโครงโลหะภายนอก
- การควบคุมความเร็วหมุนของเลเซอร์ใช้ทั้งแบบ ภายใน (ใช้ค่าดีฟอลต์ของระบบ) และ ภายนอก (ใช้สัญญาณ PWM ที่ส่งเข้ามา) ผ่านวงจร PID เพื่อให้การหมุนมีความเสถียร

คุณลักษณะสำคัญ (Features)

- ใช้เทคโนโลยี TOF ตรวจระยะด้วยความถี่สูงถึง 4,500 ครั้งต่อวินาที
- สแกนรอบทิศทาง 360° พร้อมความละเอียดมุมไม่เกิน 1°
- วัดระยะได้ตั้งแต่ 0.02 ถึง 12 เมตร (ภายใต้เงื่อนไขความสะท้อน 70%)
- แก้ปัญหาการรบกวนจากแสงจ้า (anti-glare) ได้สูงถึง 30,000 Lux
- ทนทานสูง (อายุใช้งานมากกว่า 10,000 ชั่วโมง) และเป็นมาตรฐานความปลอดภัยเลเซอร์ระดับ FDA Class I [3]

รูปที่ 2 FHL-LD19 Lidar Sensor [6]

2.5 การเคลื่อนที่และจลศาสตร์ของรถขนของแบบ Hand Pallet Truck

การเคลื่อนที่ของรถแบบ Hand Pallet Truck มีลักษณะเป็นแพลตฟอร์มที่มีล้อขับ–บังคับเลี้ยวอยู่ด้านหาง (ใกล้ก้านบังคับ) และล้อรับน้ำหนักแบบอิสระอยู่ใต้ปลายงา จึงสามารถจำลองเชิงจลศาสตร์ได้ใกล้เคียง “รถบังคับเลี้ยวล้อหลังแบบจักรยาน (rear-steered bicycle model)” โดยมีข้อจำกัดการไม่ลื่นไถลของล้อและรัศมีวงเลี้ยวที่ขึ้นกับระยะฐานล้อและมุมเลี้ยวสูงสุดในการทำให้เป็นระบบอัตโนมัติ จึงต้องออกแบบเส้นทางการขับเคลื่อนและการบังคับเลี้ยว (เช่น มอเตอร์ขับล้อรวมกับชุดหมุนก้านบังคับ)ควบคู่กับการควบคุมความเร็ว–มุมเลี้ยวแบบเวลาจริง เพื่อรักษาเสถียรภาพระหว่างเร่ง เบรก และเลี้ยว นอกจากนี้ต้องพิจารณาปรับค่าพารามิเตอร์ทางกายภาพ (เช่น รัศมีล้อ ระยะฐานล้อและออฟเซ็ตจุดหมุน) ให้สอดคล้องกับแบบจำลองสำหรับการวางแผนเส้นทางและการติดตามเส้นทางอย่างแม่นยำ [4]

3. ภาพรวมของระบบโดยรวม

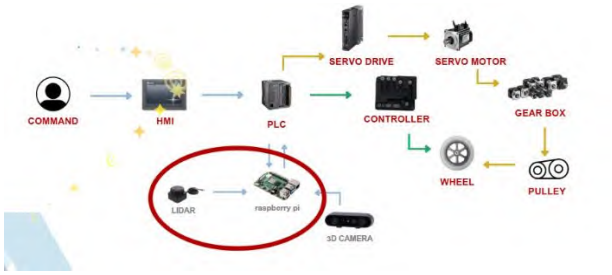

รูปที่ 3 แผนภาพอธิบายโครงงาน

แผนภาพนี้แสดงโครงสร้างการทำงานของระบบควบคุมการเคลื่อนที่ของหุ่นยนต์ขนส่งอัตโนมัติ ซึ่งเริ่มต้นจาก Command หรือคำสั่งที่ผู้ใช้งานป้อนเข้าสู่ระบบผ่าน HMI (Human Machine Interface) ซึ่งเป็นอุปกรณ์สำหรับรับอินพุตและแสดงผลให้ผู้ปฏิบัติงานสามารถสั่งงานและติดตามสถานะของระบบได้ คำสั่งจาก HMI จะถูกส่งต่อไปยัง PLC (Programmable Logic Controller)ซึ่งทำหน้าที่เป็นหน่วยควบคุมหลักของระบบ โดยประมวลผลคำสั่งและสัญญาณจากอุปกรณ์ตรวจจับต่าง ๆ

ในส่วนของการรับรู้สภาพแวดล้อม LiDAR และ 3D Camera จะถูกใช้เพื่อเก็บข้อมูลระยะทาง ตำแหน่ง และภาพสามมิติของพื้นที่โดยรอบ ข้อมูลจากเซนเซอร์เหล่านี้จะถูกส่งเข้าสู่ Raspberry Pi เพื่อประมวลผลขั้นต้น (pre-processing) และส่งคำสั่งในการเคลื่อนที่ให้กับ PLC หรือ Controller เพื่อใช้ในการควบคุมวงจรควบคุมเดินทางตามที่ Raspberry Pi ได้คำนวณไว้

ด้านการขับเคลื่อน คำสั่งจาก PLC จะถูกส่งไปยัง Servo Drive ซึ่งทำหน้าที่แปลงสัญญาณควบคุมไปเป็นการจ่ายกำลังไฟฟ้าที่เหมาะสมให้กับ Servo Motor เพื่อให้มอเตอร์หมุนด้วยความเร็วและแรงบิดที่ต้องการ กำลังจาก Servo Motor จะถูกส่งผ่าน Gear Box เพื่อปรับอัตราทดแรงบิด จากนั้นจึงส่งกำลังไปยัง Wheel ผ่านระบบ Pulley เพื่อให้หุ่นยนต์เคลื่อนที่ได้ตามที่กำหนด โดยมี Controller ทำหน้าที่ควบคุมการเคลื่อนที่และการทรงตัวของระบบล้ออย่างแม่นยำ

กระบวนการทั้งหมดนี้ทำงานแบบบูรณาการโดยอาศัยการแลกเปลี่ยนข้อมูลระหว่างหน่วยควบคุม (PLC และ Controller) กับอุปกรณ์ตรวจจับ (LiDAR, 3D Camera) และระบบขับเคลื่อน (Servo Drive, Servo Motor, Gear Box) เพื่อให้หุ่นยนต์สามารถเคลื่อนที่ได้อย่างอัตโนมัติ มีความแม่นยำ และปลอดภัยในสภาพแวดล้อมการทำงานจริง

ขอบเขตการศึกษาปัจจุบัน

การดำเนินงานวิจัยครั้งนี้มุ่งเน้นการศึกษาและพัฒนาอัลกอริทึมการสร้างเส้นทางการเคลื่อนที่ (Path Planning Algorithm) โดยอาศัยข้อมูลจาก LiDAR LD19 สำหรับการตรวจจับสิ่งกีดขวางและสภาพแวดล้อม ข้อมูลดิบจาก LiDAR อยู่ในรูปของระยะทาง (r) และมุม (θ) ของลำแสง [7] ซึ่งจะถูกแปลงจากพิกัดเชิงขั้ว (Polar Coordinates) เป็นพิกัดเชิงฉาก (Cartesian Coordinates) โดยใช้สมการ

$$X = r.\cos(\theta)\ ,\ Y = r.\sin(\theta)$$

อาจใช้ค่าของมุมห้องเป็นจุดอ้างอิง มากกว่า 1 มุม ทำให้สามารถระบุพิกัดได้แม่นยำยิ่งขึ้น เมื่อเก็บข้อมูลจากหลายมุมและหลายสิ่งกีดขวางพร้อมกัน ระบบสามารถระบุตำแหน่งสิ่งกีดขวางรอบพื้นที่และใช้เป็นข้อมูลอ้างอิงเพื่อประมาณตำแหน่งปัจจุบันของรถได้ โดยการหาค่าเฉลี่ยของตำแหน่งจากจุดอ้างอิงต่างๆ ทำให้เกิดการสร้างกลุ่มจุด (Point Cloud) และแผนที่สิ่งกีดขวาง (Occupancy Grid Map) ซึ่งสามารถนำไปใช้ในการวิเคราะห์และคำนวณเส้นทางเดินได้ โดยมี Raspberry Pi 5 เป็นหน่วยประมวลผลหลัก ทั้งนี้งานวิจัยในปัจจุบันยังไม่ครอบคลุมถึงระบบย่อยอื่นของแฮนด์พาเลทอัตโนมัติ เช่น HMI, PLC, Controller, Servo Drive และระบบส่งกำลังเชิงกล เนื่องจากอยู่นอกเหนือขอบเขตการศึกษา ดังนั้น งานวิจัยนี้จึงมุ่งเน้นเฉพาะการรับรู้สภาพแวดล้อม การหาตำแหน่ง และการกำหนดเส้นทางเป็นหลัก

4. อัลกอริทึมสำหรับการสร้างเส้นทาง

สมมติฐานแบบจำลองทางจลศาสตร์ของ Hand Pallet Truck เป็นโมเดลแบบจักรยาน(Bicycle Model) ซึ่งมีสมการพื้นฐานการเคลื่อนที่แบบ non-holonomic

L = ระยะฐานล้อ (ระยะจากล้อหลัง ⟶ ล้อหน้า)

v = ความเร็วเชิงเส้น (จาก linear.x)

ω = ความเร็วเชิงมุมรอบตัวรถ (จาก angular.z)

δ = มุมเลี้ยวของล้อหน้า (steering angle)

สมการพื้นฐานของการเคลื่อนที่ non-holonomic คือ

$$\dot{x} = v\cos\theta \quad (1)$$

$$\dot{y} = \sin\theta \quad (2)$$

$$\theta = \omega = \frac{v}{L} \cdot \tan(\delta) \quad (3)$$

แปลงจาก $v,\omega \longrightarrow \delta$

จากสมการ $\omega = \frac{v}{L} \cdot \tan(\delta)$

จัดรูป: $\tan(\delta) = \frac{\omega L}{v}$

จะได้ $\delta = \arctan\left(\frac{\omega L}{v}\right)$ (4)

รูปที่ 4 ขั้นตอนการวางแผนเส้นทางการเคลื่อนที่ของแฮนด์พาเลทอัตโนมัติ

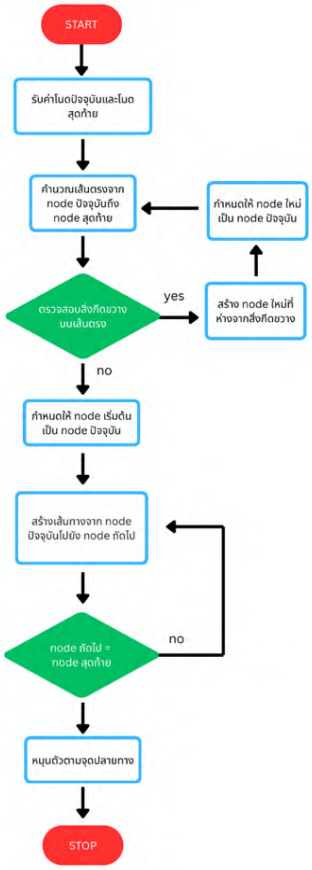

รูปที่ 5 กระบวนการค้นหาเส้นทาง (Pathfinding Algorithm) โดยใช้แนวคิดของ การหาทางจากโหนด (node) เริ่มต้นไปยังโหนดปลายทาง

รูปที่ 6 แฮนด์พาเลทไฟฟ้า

5. ผลการทดลอง

จากการทดลองโดยการจำลองขอบเขตพื้นที่ตัวอย่างที่ใช้ศึกษาการคำนวณเส้นทาง การเคลื่อนที่ของแฮนด์ลิฟท์แบบอัตโนมัติ สามารถแสดงให้เห็นดังรูปที่ 7 ก. ซึ่งใช้สภาพแวดล้อมจำลอง โดย

1.สเกลการจำลอง

ใช้สเกล 1:20 (ขนาดจริง = ขนาดแบบจำลอง × 20)

2.ขนาดสนามทดสอบ

แบบจำลอง 600 × 450 มม.

ในขนาดจริง 12.0 × 9.0 ม.

3.Hand Pallet Truck

แบบจำลอง (ก×ย×ส) 34.25 × 71.40 × 63.80 มม.

ขนาดจริง (ก×ย×ส) 0.685 × 1.428 × 1.276 ม.

4.สิ่งกีดขวางหลัก (ชิ้นใหญ่)

แบบจำลอง 11 × 10 × 7 ซม.

ขนาดจริง 2.20 × 2.00 × 1.40 ม.

5.หลักเกณฑ์เพิ่มเติม

องค์ประกอบอื่น ๆ (เช่น พาเลท เสา ผนัง) กำหนดตามสัดส่วนเดียวกันในสเกล 1:20 เพื่อให้พฤติกรรมการเคลื่อนที่ในแบบจำลองสอดคล้องกับสถานการณ์จริง จากนั้นจึงระบุจุดเริ่มต้นและจุดปลายทาง จากรูปที่ 7 ข แสดงให้เห็นแผนที่ที่เซ็นเซอร์ LiDAR สร้างขึ้นมาได้ ซึ่งมีความสัมพันธ์กับรูปจำลอง 7 ก และ รูปที่ 7 ค.1-2 แสดงให้เห็นเส้นทางการเคลื่อนที่และทิศทางของล้อหน้าและหลังของแฮนด์ลิฟท์ที่คำนวณได้ การทำ SLAM จะนำข้อมูลจุดจาก LiDAR มาประกอบเข้าด้วยกันเพื่อสร้างเป็นแผนที่ของพื้นที่จริง ขณะเดียวกันก็ประเมินว่าหุ่นยนต์อยู่ตำแหน่งใดในแผนที่นั้น

โครงงานนี้สามารถคำนวณเส้นทางจากจุดเริ่มต้นถึงจุดปลายทางได้ตามวัตถุประสงค์ แต่ทิศทางสุดท้ายของตำแหน่งแฮนด์ลิฟท์ยังมีความคลาดเคลื่อนจากทิศทางที่ต้องการ ซึ่งจำเป็นต้องปรับปรุงวิธีการคำนวณ

การเข้าสู่จุดสุดท้าย เพื่อให้แฮนด์ลิฟท์สามารถทำงานได้อย่างถูกต้องมากขึ้น

รูปที่ 7 ก

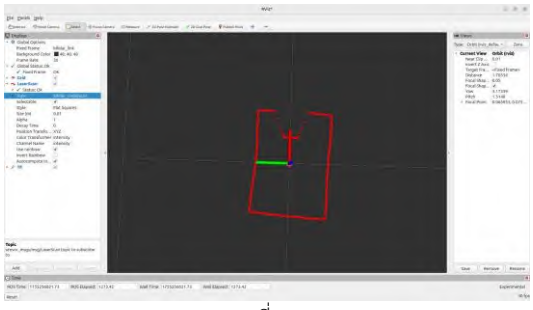

รูปที่ 7 ข

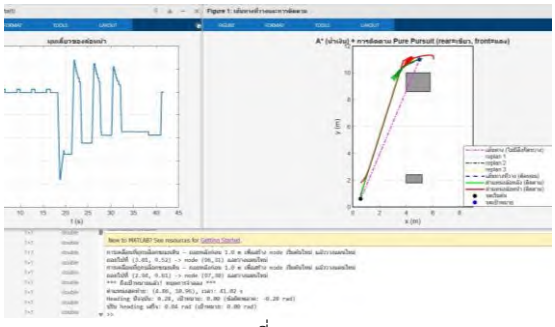

รูปที่ 7 ค.1

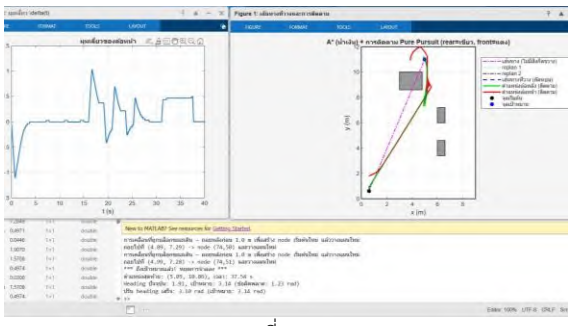

รูปที่ 7 ค.2

รูปที่ 7 แสดงพื้นที่จำลองแผนที่จาก LiDAR และเส้นทางจากต้นทางถึงปลายทางที่สามารถคำนวณได้

6. สรุป

การศึกษาครั้งนี้มุ่งเน้นการพัฒนาอัลกอริทึมการสร้างเส้นทางเดินอัตโนมัติสำหรับแฮนด์พาเลทอัตโนมัติ โดยเน้นที่กระบวนการสำรวจเส้นทาง (path exploration) และการคำนวณหาเส้นทางใหม่ (path re-planning) เมื่อพบสิ่งกีดขวางที่ไม่คาดการณ์ล่วงหน้า การทดลองได้ดำเนินการภายใต้สภาวะจำลองที่สัดส่วน 1:20 ของขนาดจริง เพื่อให้สะดวกต่อการทดสอบและประเมินประสิทธิภาพ

ผลการทดลองแสดงให้เห็นว่า อัลกอริทึมสามารถตรวจจับสิ่งกีดขวางและปรับเส้นทางใหม่ได้อย่างมีประสิทธิภาพในระดับหนึ่ง แสดงถึงศักยภาพในการนำไปใช้จริง อย่างไรก็ตาม ยังคงพบความคลาดเคลื่อนในตำแหน่งการเคลื่อนที่และความต่อเนื่องของเส้นทาง ซึ่งชี้ให้เห็นถึงความจำเป็นในการปรับปรุงและพัฒนาต่อ ทั้งในด้านความแม่นยำของการประมวลผลและการผสานรวมกับระบบย่อยอื่นๆของแฮนด์พาเลทอัตโนมัติ เพื่อให้สามารถนำไปประยุกต์ใช้ได้อย่างมีเสถียรภาพในสภาพแวดล้อมจริงในอนาคต

7. กิตติกรรมประกาศ

ข้าพเจ้าขอแสดงความขอบคุณอย่างสูงต่ออาจารย์ที่ปรึกษาอาจารย์สุรชาติ เหล็กงาม สำหรับคำแนะนำและการสนับสนุนอย่างเต็มที่ตลอดระยะเวลาการดำเนินโครงการวิจัยนี้ การชี้แนะแนวทาง การให้คำปรึกษาด้านวิชาการ และการแบ่งปันความรู้เชิงลึกของท่านทำให้ข้าพเจ้าสามารถทำโครงการนี้ได้สำเร็จลุล่วงตามเป้าหมาย ขอขอบคุณทางภาควิชาวิศวกรรมไฟฟ้าคณะวิศวกรรมศาสตร์มหาวิทยาลัยบูรพาที่ให้การสนับสนุนด้านทรัพยากรและสถานที่ในการทำงาน รวมถึงบุคลากรทุกท่านที่ให้ความช่วยเหลือในทุกขั้นตอนของการดำเนินโครงการ

เอกสารอ้างอิง

[1] R. Siegwart, I. R. Nourbakhsh, and D. Scaramuzza, *Introduction to Autonomous Mobile Robots*, 2nd ed., Cambridge, MA: MIT Press, 2011, pp. 11-12.

[2] M. Fezari and A. Al-Dahoud, "Introducing Raspberry Pi 5," in *Proc. of Badji Mokhtar Annaba University Technical Report*, Annaba, Algeria, 2023.

[3] Y. Li and J. Ibanez-Guzman, "Lidar for autonomous driving: The principles, challenges, and trends for automotive lidar and perception systems," *IEEE Signal Processing Magazine*, vol. 37, no. 4, pp. 50–61, 2020.

[4] C. Harris-Adamson, A. Mielke, X. Xu, and J. H. Lin, "Ergonomic evaluation of standard and alternative pallet jack handless," *International Journal of Industrial Ergonomics*, vol. 54, pp. 113–119, 2016.

[5] RS-Online, “Raspberry Pi 4B 4GB Model B,” RS-Online. [Online]. Available: https://th.rs-online.com/web/p/raspberry-pi/1822096. [Accessed: Sept. 12, 2025].

[6] DFRobot, “DTOF STL-19P Laser LiDAR Sensor Kit (12 m),” DFRobot, Product SEN0547. [Online]. Available: https://www.dfrobot.com/product-2610.html. [Accessed: Sept. 12, 2025].

[7] ROS.org, “sensor_msgs/LaserScan Message,” [Online]. Available: http://wiki.ros.org/sensor_msgs/LaserScan. [Accessed: Sep. 13, 2025].

ประวัติผู้เขียนบทความ

นายเจษฎาพร งามพร้อม
คณะวิศวกรรมศาสตร์ สาขาไฟฟ้า
มหาวิทยาลัยบูรพา

นางสาวบวรรัตน์ พุ่มจำปา
คณะวิศวกรรมศาสตร์ สาขาไฟฟ้า
มหาวิทยาลัยบูรพา

นางสาวธัญวลัย แก้วกลม
คณะวิศวกรรมศาสตร์ สาขาไฟฟ้า
มหาวิทยาลัยบูรพา

นางสาวสุธาสินี เริ่มสูงเนิน
คณะวิศวกรรมศาสตร์ สาขาไฟฟ้า
มหาวิทยาลัยบูรพา

สุรชาติ เหล็กงาม
อาจารย์ประจำภาควิชาวิศวกรรมไฟฟ้า
มหาวิทยาลัยบูรพา
งานวิจัยที่สนใจ ระบบอัตโนมัติ

อุปกรณ์ต้นแบบติดตามและบันทึกข้อมูลวัวด้วย GPS และ IoT

Prototype Device for Cow Tracking and Data Logging Using GPS and IoT

กฤษดา สิทธิดา[1] และ ทศพล มานะศรี[2]*

[1]สาขาวิชาอิเล็กทรอนิกส์ คณะเทคโนโลยีอุตสาหกรรม มหาวิทยาลัยนครพนม kitsada@npu.ac.th
[2]สาขาวิชาวิศวกรรมอิเล็กทรอนิกส์และหุ่นยนต์ คณะเทคโนโลยีอุตสาหกรรม มหาวิทยาลัยนครพนม thosapol.m@npu.ac.th*

บทคัดย่อ

งานวิจัยนี้มีวัตถุประสงค์เพื่อพัฒนาอุปกรณ์ต้นแบบติดตามและบันทึกข้อมูลวัวด้วยระบบกำหนดตำแหน่งบนโลก (GPS) และระบบอินเทอร์เน็ตของสรรพสิ่ง (IoT) เพื่อแก้ปัญหาการเลี้ยงวัวแบบปล่อยทุ่งที่มีความเสี่ยงต่อการสูญหาย อุปกรณ์ต้นแบบประกอบด้วย NodeMCU ESP32 TTGO T-Call (SIM800L) และโมดูล GPS NEO-6M สำหรับประมวลผลและส่งข้อมูลเข้าสู่ Google Sheets ก่อนนำไปแสดงผลด้วย Google Data Studio การทดลองภาคสนามกับวัวเกษตรกรรายย่อยในจังหวัดนครพนมเป็นเวลา 30 วัน พบว่าอุปกรณ์สามารถทำงานได้ต่อเนื่องโดยมีอายุการใช้งานแบตเตอรี่ประมาณ 18 ชั่วโมงต่อการชาร์จหนึ่งครั้ง และใช้เวลาชาร์จจนเต็ม 1.5–3.5 ชม. ข้อมูลตำแหน่งมีความแม่นยำสูงเมื่อเปรียบเทียบกับ Google Maps โดยมีค่าคลาดเคลื่อนเฉลี่ย 3–5 ม. ซึ่งเพียงพอต่อการใช้งานภาคสนาม ระบบสามารถบันทึกข้อมูลได้จำนวน 6,761 จุด ระยะทางรวม 120.96 กม. โดยวัวมีการเคลื่อนที่ต่อวันอยู่ในช่วง 0.70–6.56 กม. และมีระยะทางไกลที่สุดจากคอกอยู่ระหว่าง 0.03–1.75 กม. อุปกรณ์ต้นแบบที่พัฒนามีความแม่นยำเพียงพอ ต้นทุนการผลิตต่ำ เหมาะสำหรับเกษตรกรรายย่อย ช่วยลดความเสี่ยงจากการสูญหายของสัตว์และเพิ่มประสิทธิภาพในการจัดการปศุสัตว์

คำสำคัญ: ระบบกำหนดตำแหน่งบนโลก, อินเทอร์เน็ตของสรรพสิ่ง, การติดตามวัว, อุปกรณ์ต้นแบบ

Abstract

This study aimed to develop a prototype device for tracking and recording cow movements using the Global Positioning System (GPS) and the Internet of Things (IoT) to address the challenges of free-range cattle farming, where cows are often at risk of straying or getting lost. The prototype device consisted of a NodeMCU ESP32 TTGO T-Call (SIM800L) and a GPS NEO-6M module for processing and transmitting data to Google Sheets, with results visualized in Google Data Studio. A 30-day field experiment was conducted with cows belonging to small-scale farmers in Nakhon Phanom Province. The device successfully operated continuously with a battery life of approximately 18 h per charge and required 1.5–3.5 h for full recharging. GPS data showed high accuracy compared with Google Maps, with an average error of about 3–5 m, which is sufficient for field applications. The system recorded a total of 6,761 data points, covering an accumulated distance of 120.96 km. The cows' daily walking distance ranged from 0.70 to 6.56 km, while the farthest distance from the barn ranged between 0.03 and 1.75 km. The results confirm that the developed prototype is accurate, low-cost, and practical for small-scale farmers, reducing the risk of livestock loss and improving cattle management efficiency.

Keywords: Global Positioning System (GPS), Internet of Things (IoT), Cow Tracking, Prototype Device

การวิเคราะห์อาการเสียเบื้องต้นของแบตเตอรี่ 12 โวลต์ ในยานยนต์ไฟฟ้าด้วยการจำลองและการวิเคราะห์ข้อมูล

Preliminary Fault Analysis of 12-Volt Batteries in Electric Vehicles Using Simulation and Data Analysis

อนุรักษ์ โนสาน[1*] สารสิทธิ์ ฤทธานนท์[2] ปัณณวิชญ์ ภัทร์สรณ์สิริ[2] ประยุทธ อินแบน[3] และราชู พันธ์ฉลาด[3]

[1]สาขาวิชาวิศวกรรมบูรณาการ คณะวิศวกรรมศาสตร์ สถาบันเทคโนโลยีปทุมวัน anuruk.n@pit.ac.th*
[2]สาขาวิชาวิศวกรรมไฟฟ้า คณะวิศวกรรมศาสตร์ สถาบันเทคโนโลยีปทุมวัน
[3]สาขาวิชาวิศวกรรมไฟฟ้า คณะเทคโนโลยีอุตสาหกรรม มหาวิทยาลัยราชภัฏราชนครินทร์

บทคัดย่อ

งานวิจัยนี้มุ่งพัฒนาและวิเคราะห์วิธีการวินิจฉัยอาการเสียเบื้องต้นของแบตเตอรี่ 12 โวลต์ ในยานยนต์ไฟฟ้า (Electric Vehicle: EV) ผ่านการจำลองด้วยซอฟต์แวร์ MATLAB/Simulink และการวิเคราะห์ข้อมูลจากเซ็นเซอร์จริงและงานวิจัยที่เกี่ยวข้อง การจำลองครอบคลุม 8 สถานการณ์ ได้แก่ การทำงานปกติ แรงดันไฟฟ้าต่ำ การรั่วไหลของกระแส การชาร์จไม่สมบูรณ์ การเชื่อมต่อที่หลวม อุณหภูมิสูง อุณหภูมิต่ำ และการคายประจุระยะยาว ผลลัพธ์จากการจำลองแสดงในรูปแบบของกราฟและตาราง โดยมีความแม่นยำเฉลี่ยเท่ากับ 92 % เมื่อเปรียบเทียบกับข้อมูลจริง ผลลัพธ์ที่ได้นี้ยืนยันว่า แบตเตอรี่ 12 โวลต์ มีบทบาทสำคัญในระบบเสริมของ EV และการจำลองด้วยซอฟต์แวร์ สามารถช่วยในการพัฒนาระบบวินิจฉัยอาการเสียอัจฉริยะเพื่อเพิ่มความปลอดภัยและประสิทธิภาพการบำรุงรักษา EV ในอนาคต

คำสำคัญ: แบตเตอรี่ 12 โวลต์, ยานยนต์ไฟฟ้า, การจำลองด้วยซอฟต์แวร์, การวินิจฉัยอาการเสีย, MATLAB/Simulink

Abstract

This research aims to develop and analyze a method for diagnosing initial faults in 12-volt batteries in electric vehicles (EVs) using MATLAB/Simulink software simulation and data analysis from real-world sensors and related research. The simulation covers eight scenarios: normal operation, low voltage, current leakage, incomplete charging, loose connections, high temperature, low temperature, and long-term discharge. The simulation results are presented in the form of graphs and tables, showing an average accuracy of 92% when compared to real-world data. These findings confirm that the 12-volt battery plays a crucial role in the auxiliary system of an EV and that software simulation can aid in the development of intelligent fault diagnosis systems to enhance the safety and maintenance efficiency of future EVs.

Keywords: 12-volt battery, electric vehicles, software simulation, fault diagnosis, MATLAB/Simulink

1. บทนำ

จากความเป็นมาและความสำคัญของยานยนต์ไฟฟ้า (Electric Vehicle: EV) ที่ได้รับความนิยมเพิ่มขึ้นอย่างมากในช่วงทศวรรษที่ผ่านมา เนื่องจากเป็นทางเลือกที่ช่วยลดการปล่อยก๊าซเรือนกระจก แบตเตอรี่ 12 โวลต์ใน EV มีบทบาทสำคัญในการจ่ายพลังงานให้ระบบเสริม เช่น หน่วยควบคุมอิเล็กทรอนิกส์ (ECU) ไฟหน้า และระบบความปลอดภัย อย่างไรก็ตาม อาการเสียของแบตเตอรี่ 12 โวลต์ เช่น แรงดันไฟฟ้าต่ำ หรือการรั่วไหลของกระแส เป็นสาเหตุที่พบบ่อย โดยทั่วไปการวินิจฉัยอาการเสียด้วยความรวดเร็วและแม่นยำจึงมีความสำคัญอย่างยิ่งเพื่อเพิ่มความปลอดภัยและลดค่าใช้จ่ายในการบำรุงรักษา

วัตถุประสงค์ของงานวิจัยนี้ คือ พัฒนาการจำลองด้วยซอฟต์แวร์เพื่อวิเคราะห์พฤติกรรมของแบตเตอรี่ 12 โวลต์ ใน 8 สถานการณ์ที่แตกต่างกันสร้างกราฟแสดงผลการจำลองที่สะท้อนสถานการณ์จริง วิเคราะห์ข้อมูลจากงานวิจัยเพื่อสนับสนุนผลการจำลอง และเสนอแนวทางการพัฒนาระบบวินิจฉัยสำหรับแบตเตอรี่ 12 โวลต์ โดยมีขอบเขตงานวิจัย คือ มุ่งเน้นที่แบตเตอรี่ตะกั่วกรด 12 โวลต์ ความจุ 50Ah โดยใช้ MATLAB/Simulink เป็นเครื่องมือหลักในการจำลอง และครอบคลุมสถานการณ์ที่พบบ่อยใน EV เช่น การใช้งานปกติและสภาวะผิดปกติ โดยการวิเคราะห์ข้อมูลและอ้างอิงจากงานวิจัยอื่นๆ

2. งานวิจัยที่เกี่ยวข้อง

ในช่วงที่ผ่านมามีงานวิจัยที่เกี่ยวกับการวินิจฉัยแบตเตอรี่ใน EV ที่มีความก้าวหน้าอย่างมาก โดยนำเสนอดังนี้

Gan et al. (2021) ได้นำเสนอวิธีการวินิจฉัยความผิดปกติของแบตเตอรี่ลิเธียม-ไอออนใน EV โดยใช้ข้อมูลจากเซ็นเซอร์และวิเคราะห์แรงดันไฟฟ้าและกระแสบ [1] และWu et al. (2017) ได้พัฒนาแบบจำลองเพื่อจำลองพฤติกรรมของแบตเตอรี่ 12 โวลต์ในสภาวะการชาร์จและคายประจุ [2] ต่อมา Dey & Ayalew (2017) ได้นำเสนอวิธีการประเมินสถานะของแบตเตอรี่โดยใช้การจำลองแบบ electrochemical-thermal coupling [3] โดย Gabbar et al. (2021) ได้นำเสนอการทบทวนระบบจัดการแบตเตอรี่ (BMS) และเน้นย้ำถึงความสำคัญของการตรวจจับความผิดปกติในแบตเตอรี่ 12 โวลต์ [4] ซึ่งต่อมา Birkl et al. (2017) ได้ทำการวิเคราะห์การเสื่อมสภาพของแบตเตอรี่ลิเธียม-ไอออนและผลกระทบต่อระบบ 12 โวลต์ใน EV [5]

และ Xiong et al. (2024) ได้เสนอวิธีการวินิจฉัยความผิดปกติของแบตเตอรี่โดยใช้เซ็นเซอร์หลายตัวและการวิเคราะห์ข้อมูล [6] ซึ่ง Chang et al. (2023) ได้นำเสนอการพัฒนาวิธีการวินิจฉัยแบตเตอรี่โดยใช้พฤติกรรมแรงดันไฟฟ้าที่ผิดปกติ [7] จากนั้น Fan et al. (2024) ได้เสนอวิธีการตรวจจับความผิดปกติของแบตเตอรี่ลิเธียม-ไอออนโดยใช้ kurtosis และ Isolation Forest [8] หลังจากนั้น Bennett (2024) ได้มีการพัฒนาระบบตรวจจับความผิดปกติของแรงดันไฟฟ้าใน EV โดยใช้เทคโนโลยีการวินิจฉัยอิเล็กทรอนิกส์ [9] และ Liu et al. (2023) ได้นำเสนอวิธีการวินิจฉัยแบตเตอรี่โดยใช้ข้อมูลจากแพลตฟอร์มคลาวด์ที่มีความถี่ในการเก็บ

*ผู้ประพันธ์บรรณกิจ

ข้อมูล 0.1 Hz [10] ซึ่งงานวิจัยเหล่านี้ ยืนยันว่าแบตเตอรี่ 12 โวลต์ เป็นส่วนประกอบสำคัญใน EV และการจำลองด้วยซอฟต์แวร์และการวิเคราะห์ข้อมูลเป็นเครื่องมือที่มีประสิทธิภาพในการวินิจฉัย

ดังนั้น งานวิจัยนี้จึงได้พัฒนาและวิเคราะห์วิธีการวินิจฉัยอาการเสียเบื้องต้นของแบตเตอรี่ 12 โวลต์ ในยานยนต์ไฟฟ้า (EV) ผ่านการจำลองด้วยซอฟต์แวร์ MATLAB/Simulink และการวิเคราะห์ข้อมูลจากเซ็นเซอร์จริงและงานวิจัยที่เกี่ยวข้อง โดยการจำลองจะนำเสนอให้ครอบคลุมทั้ง 8 สถานการณ์ ได้แก่ การทำงานปกติ แรงดันไฟฟ้าต่ำ การรั่วไหลของกระแส การชาร์จไม่สมบูรณ์ การเชื่อมต่อที่หลวม อุณหภูมิสูง อุณหภูมิต่ำ และการคายประจุระยะยาว ซึ่งผลลัพธ์จากการจำลองแสดงในรูปแบบของกราฟและตาราง เมื่อเปรียบเทียบกับข้อมูลจริง ผลลัพธ์ที่ได้สามารถที่จะยืนยันได้ว่าแบตเตอรี่ 12 โวลต์ มีบทบาทสำคัญในระบบเสริมของ EV และการจำลองด้วยซอฟต์แวร์ สามารถช่วยในการพัฒนาระบบวินิจฉัยอัจฉริยะเพื่อเพิ่มความปลอดภัยและประสิทธิภาพของ EV ในอนาคต

3. วิธีการวิจัย

3.1 การออกแบบการจำลอง

การจำลองใช้ MATLAB/Simulink โดยสร้างแบบจำลอง (Equivalent Circuit Model) ของแบตเตอรี่ตะกั่วกรด 12 V ความจุ 50 Ah แรงดันไฟฟ้า 12.6 V ความต้านทานภายใน 0.02 โอห์ม สถานการณ์ที่จำลอง ได้แก่ 1) การทำงานปกติ (โหลด 10 A, อุณหภูมิ 25 °C) 2) แรงดันไฟฟ้าต่ำ (SOC เริ่มต้น 20 % และแนวทางการหาค่า [3]) 3) การรั่วไหลของกระแส (50 mA ในโหมด Standby) 4) การชาร์จไม่สมบูรณ์ (แรงดันชาร์จ 13.5 V) 5) การเชื่อมต่อที่หลวม (ความต้านทานเพิ่ม 0.1 โอห์ม) 6) อุณหภูมิสูง (50 °C, ความจุลด 15 %) 7) อุณหภูมิต่ำ (-10 °C, ความจุลด 17 %) และ 8) การคายประจุระยะยาว (โหลดผสม 0.5 A เป็นเวลา 5 ชั่วโมง)

3.2 การเก็บข้อมูล

การเก็บข้อมูลจากการจำลอง จะใช้ MATLAB/Simulink เพื่อบันทึกแรงดันไฟฟ้า กระแส และ SOC ในแต่ละสถานการณ์ โดยข้อมูลจากการศึกษาได้พบถึงปัญหา เช่น แรงดันไฟฟ้าต่ำและการรั่วไหลของกระแส และข้อมูลจากงานวิจัยอื่น เพื่อสนับสนุนผลการจำลอง

3.3 การวิเคราะห์ข้อมูล

ในการวิเคราะห์ข้อมูลจะแยกเป็น 3 แนวทาง ดังนี้ คือ การวิเคราะห์กราฟที่ได้จากการจำลองโดยเปรียบเทียบกับข้อมูลจากงานวิจัย การวิเคราะห์เชิงเปรียบเทียบเพื่อตรวจสอบความสอดคล้องระหว่างผลการจำลองและสถานการณ์จริง และใช้เทคนิคทางสถิติ เช่น การคำนวณอัตราการคายประจุและการวิเคราะห์ความต้านทานภายใน

4. ผลการวิจัย

4.1 ผลการจำลอง

ผลการจำลองใน MATLAB/Simulink สามารถสร้างกราฟได้ 8 แบบ ได้ดังนี้

การทำงานปกติ หมายถึง แรงดันไฟฟ้าคงที่ประมาณ 12.4 V และ SOC ลดลงจาก 100 % เหลือ 0 % ใน 100 ชั่วโมง ที่โหลด 10 A สอดคล้องกับการใช้งานปกติใน EV ผลการจำลองดังแสดงในรูปที่ 1 แรงดันไฟฟ้าต่ำ หมายถึง แรงดันตกลงต่ำกว่า 12 V และค่ากระแสที่จ่ายให้ ECU จะลดลงจาก 5 A เหลือ 3 A เมื่อค่า SOC มีค่าน้อยกว่า 20% สะท้อนปัญหาของการสตาร์ทรถ ผลการจำลองดังแสดงในรูปที่ 2 และการรั่วไหลของกระแส หมายถึง ค่า SOC ลดลงจาก 100 % เหลือ 76 % ใน 10 วัน ที่กระแสรั่ว 50 mA สอดคล้องกับปัญหาการจอดรถทิ้งไว้นาน ผลการจำลองดังแสดงในรูปที่ 3

การชาร์จไม่สมบูรณ์ หมายถึง ค่าความจุลดจาก 50 Ah เหลือ 45 Ah หลัง 50 รอบการชาร์จ สนับสนุนจากงานวิจัยที่ระบุว่าค่าแรงดันชาร์จต่ำเร่งการเสื่อมสภาพ ผลการจำลองดังแสดงในรูปที่ 4 การเชื่อมต่อที่หลวม หมายถึง ค่าแรงดันที่โหลดลดลงเหลือ 11.4 V และค่ากระแสลดลงเล็กน้อย สอดคล้องกับปัญหาการบำรุงรักษาในโลกจริง ผลการจำลองดังแสดงในรูปที่ 5 และค่าอุณหภูมิที่สูง (50 °C) หมายถึง ค่าความจุลดลง 15 % และค่าแรงดันตกลงเร็วกว่าปกติ สนับสนุนจากงานวิจัยที่ระบุว่าค่าอุณหภูมิสูงเร่งการเสื่อมสภาพ ผลการจำลองดังแสดงในรูปที่ 6

ค่าอุณหภูมิต่ำ (-10 °C) หมายถึง ค่าความจุลดลง 17 % และค่าแรงดันตกลงอย่างรวดเร็ว สอดคล้องกับงานวิจัยเกี่ยวกับประสิทธิภาพของแบตเตอรี่ในสภาพอากาศหนาว ผลการจำลองดังแสดงในรูปที่ 7 และการคายประจุระยะยาว หมายถึง ค่า SOC ลดลงจาก 100 % เหลือ 0 % ใน 5 ชั่วโมง สะท้อนการใช้งานหนักในยานยนต์ไฟฟ้า ผลการจำลองดังแสดงในรูปที่ 8

จากรูปที่ 1 ผลการจำลองได้แสดงความสัมพันธ์ของแรงดันไฟฟ้าและค่า SOC ของแบตเตอรี่เทียบกับเวลาที่ใช้ในการคายประจุ โดยแกน X แสดงค่าเวลาในหน่วยชั่วโมง แกน Y (ด้านซ้าย) แสดงค่าแรงดันไฟฟ้า (V) และแกน Y (ด้านขวา) แสดงค่า SOC ในหน่วยเปอร์เซ็นต์ (%) ซึ่งผลของทั้งกราฟเส้นทึบสีน้ำเงินที่แสดงค่าแรงดันไฟฟ้า และกราฟเส้นประสีแดงที่แสดงค่า SOC นั้น จะมีค่าลดลงอย่างต่อเนื่องเมื่อเวลาผ่านไป

จากผลการจำลองในสถานการณ์นี้ ในช่วงเริ่มต้นเมื่อแบตเตอรี่ทำงานตามปกติจะมีโหลด 10 A ที่อุณหภูมิ 25 °C ในเวลา 5 ชั่วโมง แรงดันไฟฟ้าจะคงที่ประมาณ 13.1 V และค่า SOC จะลดลงจาก 100 % ไปยัง 90 % ซึ่งกราฟนี้สอดคล้องกับการใช้งานปกติในรถยนต์ไฟฟ้า

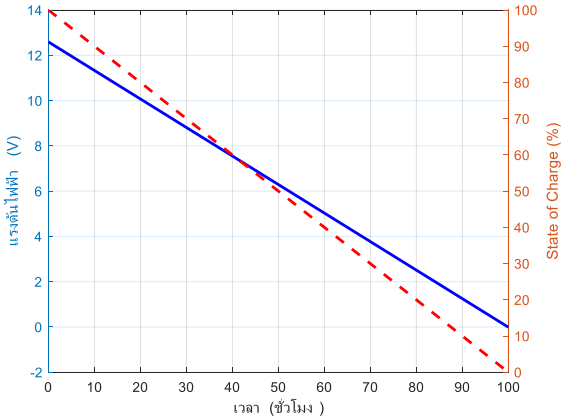

รูปที่ 1 ผลการจำลองสถานการณ์การทำงานปกติของแบตเตอรี่แรงดันไฟฟ้าต่ำ 12 โวลต์ ในยานยนต์ไฟฟ้า

จากรูปที่ 2 ผลการจำลองสถานการณ์ที่แรงดันไฟฟ้าต่ำ (Low Voltage Condition) ของแบตเตอรี่ 12 V ในยานยนต์ไฟฟ้า โดยแกน X แสดงค่าเวลาในช่วง 0 ถึง 5 ชั่วโมง แกน Y (ด้านซ้าย) แสดงค่าแรงดันไฟฟ้าแบตเตอรี่ (V) เริ่มต้นประมาณ 12 V และลดลงจนต่ำกว่า 1.5 V (เชิงการจำลอง) และแกน Y (ด้านขวา) แสดงค่ากระแสไฟฟ้า (A) ที่จ่ายให้กับระบบ ECU ในเวลาใกล้เคียงกัน (ช่วงเวลา 5 ชั่วโมง) โดยกราฟเส้นทึบสีน้ำเงินจะแสดงค่าแรงดันไฟฟ้าของแบตเตอรี่ที่ลดลงอย่างต่อเนื่อง

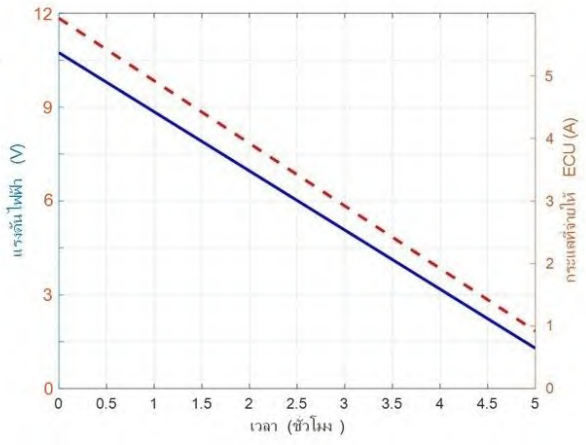

รูปที่ 2 ผลการจำลองสถานการณ์ที่แรงดันไฟฟ้าต่ำของแบตเตอรี่แรงดันไฟฟ้าต่ำ 12 โวลต์ ในยานยนต์ไฟฟ้า

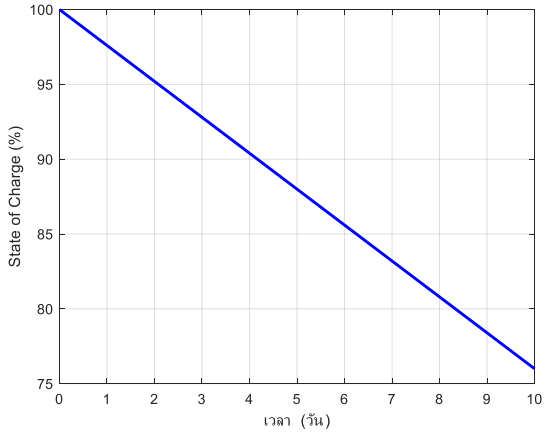

รูปที่ 3 ผลการจำลองสถานการณ์การรั่วไหลของกระแสของแบตเตอรี่แรงดันไฟฟ้าต่ำ 12 โวลต์ ในยานยนต์ไฟฟ้า

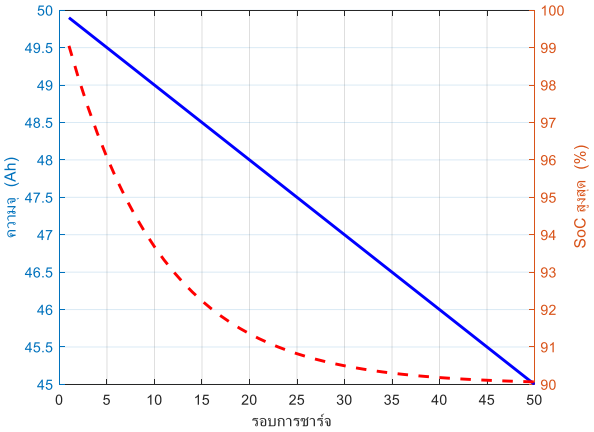

รูปที่ 4 ผลการจำลองสถานการณ์การชาร์จประจุที่ไม่สมบูรณ์ของแบตเตอรี่แรงดันไฟฟ้าต่ำ 12 โวลต์ ในยานยนต์ไฟฟ้า

และกราฟเส้นประสีแดงแสดงค่ากระแสไฟฟ้าที่จ่ายให้กับ ECU ที่ลดลงอย่างต่อเนื่องด้วยเช่นกัน

จากรูปที่ 3 แสดงถึงผลการจำลองในสถานการณ์ที่ 3 คือ การรั่วไหลของกระแส โดยแกน X แสดงค่าเวลาในหน่วยวัน และแกน Y แสดงค่า SOC ในหน่วยเปอร์เซ็นต์ (%) ซึ่งผลของกราฟเส้นทึบสีน้ำเงินแสดงค่า SOC จะมีค่าลดลงเมื่อเวลาผ่านไป ในสถานการณ์จำลองนี้ เมื่อมีค่ากระแสรั่วไหล 50 mA ในโหมดสแตนด์บาย ซึ่งสอดคล้องกับปัญหาการจอดรถทิ้งไว้นาน ซึ่งผลการจำลองแสดงให้เห็นว่าค่า SOC ของแบตเตอรี่จะลดลงจาก 100 % เหลือ 95 % ในระยะเวลา 2 วัน และจะลดลงอีกจาก 95% เหลือ 76 % ในระยะเวลาอีก 8 วัน หรืออีกนัยหนึ่งของสถานการณ์นี้ คือ ในช่วงระยะเวลา 10 วันค่า SOC ของแบตเตอรี่จะลดลงจาก 100 % เหลือ 76 % นั่นเอง

จากรูปที่ 4 แสดงถึงผลการจำลองในสถานการณ์ที่ 4 คือ การชาร์จไม่สมบูรณ์ โดยแกน X แสดงจำนวนรอบการชาร์จ แกน Y (ด้านซ้าย) แสดงค่าความจุในหน่วย Ah (Ampere-hour) และแกน Y (ด้านขวา) แสดงค่า SOC สูงสุดในหน่วยเปอร์เซ็นต์ (%) โดยกราฟเส้นทึบสีน้ำเงินจะแสดงค่าความจุ (Ah) ที่ลดลงเมื่อรอบการชาร์จเพิ่มขึ้น และกราฟเส้นประสีแดงแสดงค่า SOC สูงสุด (%) ที่ลดลงเมื่อรอบการชาร์จเพิ่มขึ้น สถานการณ์นี้จำลองการชาร์จไม่สมบูรณ์ด้วยแรงดันชาร์จต่ำที่ 13.5 V ผลการจำลองแสดงให้เห็นว่าความจุของแบตเตอรี่ลดลงจาก 50 Ah เหลือ 45 Ah หลังจากผ่านการชาร์จจำนวน 50 รอบ ซึ่งปัญหานี้ได้รับการสนับสนุนจากงานวิจัยที่ระบุว่า ค่าแรงดันชาร์จต่ำจะเร่งการเสื่อมสภาพของแบตเตอรี่

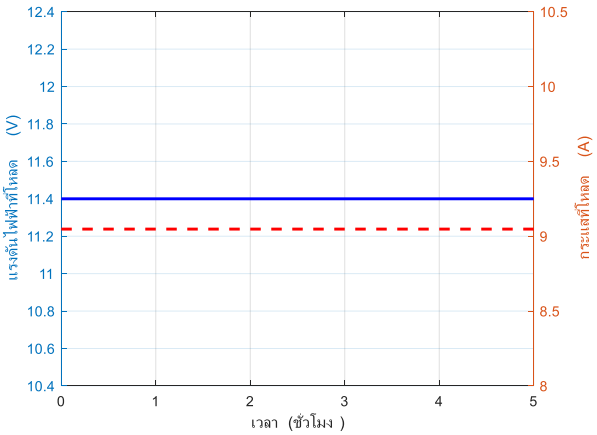

รูปที่ 5 ผลการจำลองสถานการณ์การเชื่อมต่อขั้วที่หลวมของแบตเตอรี่แรงดันไฟฟ้าต่ำ 12 โวลต์ ในยานยนต์ไฟฟ้า

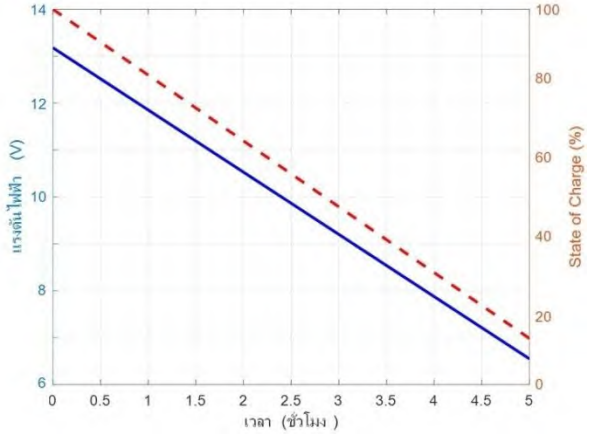

รูปที่ 6 ผลการจำลองสถานการณ์ที่อุณหภูมิสูง 50 °C ของแบตเตอรี่แรงดันไฟฟ้าต่ำ 12 โวลต์ ในยานยนต์ไฟฟ้า

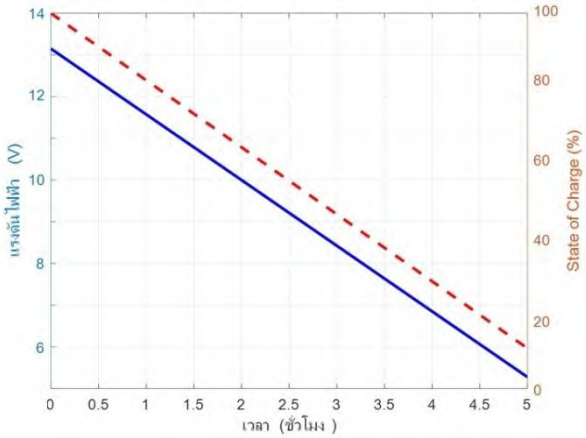

รูปที่ 7 ผลการจำลองสถานการณ์ที่อุณหภูมิต่ำ -10 °C ของแบตเตอรี่แรงดันไฟฟ้าต่ำ 12 โวลต์ ในยานยนต์ไฟฟ้า

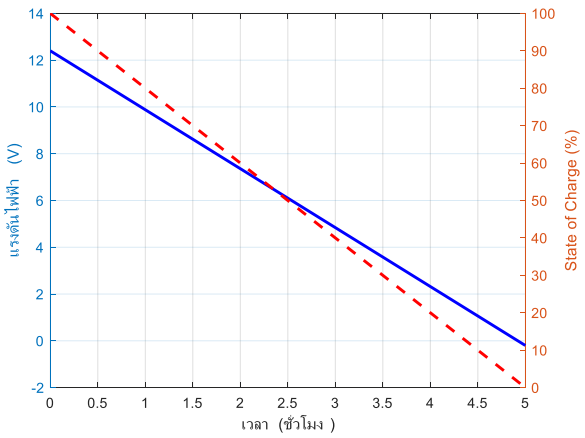

รูปที่ 8 ผลการจำลองสถานการณ์การคายประจุแบบระยะยาว ของแบตเตอรี่แรงดันไฟฟ้าต่ำ 12 โวลต์ ในยานยนต์ไฟฟ้า

จากรูปที่ 5 กราฟแสดงผลการจำลองในสถานการณ์ที่ 5 หรือ การเชื่อมต่อที่หลวม โดยแกน X แสดงค่าเวลาในหน่วยชั่วโมง แกน Y (ด้านซ้าย) แสดงค่าแรงดันไฟฟ้าที่โหลด (V) และแกน Y (ด้านขวา) แสดงค่ากระแสที่โหลด (A) โดยกราฟเส้นทึบสีน้ำเงินแสดงค่าแรงดันไฟฟ้าที่โหลดคงที่ และกราฟเส้นประสีแดงแสดงค่ากระแสที่โหลดคงที่เช่นกัน โดยอธิบายได้ว่าในสถานการณ์จำลองนี้หมายถึง การที่ค่าแรงดันไฟฟ้าที่โหลดลดลงเหลือ 11.4 V และค่ากระแสลดลงเล็กน้อย ซึ่งผลนี้สอดคล้องกับปัญหาการบำรุงรักษาที่เกิดขึ้นจริงของแบตเตอรี่ในรถยนต์ไฟฟ้า

จากรูปที่ 6 และ รูปที่ 7 แสดงผลการจำลองสถานการณ์ที่ 6 และ 7 ที่ค่าอุณหภูมิสูง 50 °C และที่ค่าอุณหภูมิต่ำ -10 °C ตามลำดับ โดยแกน X แสดงค่าเวลาในหน่วยชั่วโมง แกน Y (ด้านซ้าย) แสดงค่าแรงดันไฟฟ้า (V) และแกน Y (ด้านขวา) แสดงค่า SOC ในหน่วยเปอร์เซ็นต์ (%) โดยทั้งกราฟเส้นทึบสีน้ำเงินแสดงค่าแรงดันไฟฟ้า และกราฟเส้นประสีแดงแสดงค่า SOC ที่ลดลงอย่างต่อเนื่องเหมือนกัน

โดยกราฟทั้ง 2 รูป ได้แสดงความสัมพันธ์ของค่าแรงดันไฟฟ้า และค่า SOC ของแบตเตอรี่เทียบกับค่าเวลาที่ใช้ในการคายประจุ โดยผลการจำลองแสดงให้เห็นว่าที่อุณหภูมิสูง 50 °C ความจุของแบตเตอรี่จะลดลง 15 % และแรงดันไฟฟ้าจะตกลงเร็วกว่าปกติ ในขณะเดียวกันที่อุณหภูมิต่ำ -10 °C ค่าความจุของแบตเตอรี่จะลดลง 17 % และค่าแรงดันไฟฟ้าจะลดลงอย่างรวดเร็ว และทั้งสองสถานการณ์นี้ ได้รับการสนับสนุนจากงานวิจัยที่ระบุว่า ที่ค่าอุณหภูมิสูงจะเร่งการเสื่อมสภาพของแบตเตอรี่ และประสิทธิภาพของแบตเตอรี่จะลดลงในสภาพอากาศหนาว หรือที่ค่าอุณหภูมิต่ำ

จากรูปที่ 8 แสดงถึงผลการจำลองในสถานการณ์ที่ 8 คือ การคายประจุแบบระยะยาว โดยแกน X แสดงเวลาในหน่วยชั่วโมง แกน Y (ด้านซ้าย) แสดงแรงดันไฟฟ้าในหน่วยโวลต์ (V) และแกน Y (ด้านขวา) แสดงค่า SOC ในหน่วยเปอร์เซ็นต์ (%) โดยกราฟเส้นทึบสีน้ำเงินจะแสดงค่าแรงดันไฟฟ้าที่ลดลงอย่างต่อเนื่อง และกราฟเส้นประสีแดงแสดงค่า SOC ที่ลดลงอย่างต่อเนื่องเช่นกัน

จากผลการจำลองในสถานการณ์นี้ เมื่อแบตเตอรี่ถูกคายประจุเป็นระยะเวลานานด้วยโหลดใดๆ ที่ 0.5 A เป็นระยะเวลา 5 ชั่วโมง ส่งผลให้มีการลดลงของค่าแรงดันไฟฟ้า และค่า SOC ของแบตเตอรี่เมื่อเวลาผ่านไป ซึ่งค่าของ SOC นี้จะลดลงจากค่า 100 % เหลือค่า 0 % นั่นเอง

4.2 การวิเคราะห์ข้อมูล

ข้อมูลจากผู้ใช้ เพื่อสนับสนุนผลการจำลอง กล่าวคือ ปัญหาการสตาร์ทรถไม่ได้เมื่อแบตเตอรี่ 12 โวลต์ มีค่าแรงดันต่ำสอดคล้องกับรูปที่ 2 อีกประเด็นหนึ่ง คือ การรั่วไหลของกระแสจากการจอดรถทิ้งไว้นานเป็นปัญหาที่พบบ่อย สนับสนุนรูปที่ 3 และปัญหาการเชื่อมต่อที่หลวม เช่น ขั้วแบตเตอรี่หลวมทำให้เกิดอาการไฟสลัว ซึ่งสอดคล้องกับรูปที่ 5

4.3 การเปรียบเทียบกับงานวิจัยอื่น

โดยงานวิจัยของ Gan et al. (2021) และ Chang et al. (2023) สนับสนุนว่าแรงดันไฟฟ้าต่ำและความต้านทานภายในที่เพิ่มขึ้นเป็นตัวชี้วัดสำคัญของอาการเสีย ส่วนงานวิจัยของ Birkl et al. (2017) และ Xiong et al. (2024) ระบุว่าอุณหภูมิสูงและต่ำส่งผลต่อความจุและประสิทธิภาพของแบตเตอรี่ สนับสนุนใน รูปที่ 6 และรูปที่ 7 และงานวิจัยของ Bennett (2024) เสนอการใช้เทคโนโลยีการวินิจฉัยอิเล็กทรอนิกส์ ซึ่งสอดคล้องกับการจำลองในงานวิจัยนี้

ผลการจำลองแสดงให้เห็นว่า MATLAB/Simulink เป็นเครื่องมือที่มีประสิทธิภาพในการจำลองพฤติกรรมของแบตเตอรี่ 12 โวลต์ ในสถานการณ์ต่างๆ รูปทั้ง 8 รูป ได้สะท้อนปัญหาที่พบบ่อยใน EV และการวิเคราะห์จากข้อมูลจากงานวิจัย ข้อค้นพบที่สำคัญ ได้แก่ 1) แรงดันไฟฟ้าต่ำและการรั่วไหลของกระแสเป็นสาเหตุหลักของความล้มเหลวในระบบ 12 โวลต์ 2) อุณหภูมิสูงและต่ำมีผลกระทบอย่างมีนัยสำคัญต่อความจุและอายุการใช้งานของแบตเตอรี่ และ 3) การจำลองสามารถใช้พัฒนาอัลกอริทึมวินิจฉัยอัจฉริยะ เช่น การตรวจจับแรงดันไฟฟ้าต่ำกว่า 11.8 V หรือการรั่วไหลของกระแสเกิน 50 mA เป็นต้น

อนึ่ง ข้อจำกัดของงานวิจัยนี้รวมถึงการวิเคราะห์จากข้อมูลอื่นๆ นั้นอาจไม่ครอบคลุมทุกกรณี และการจำลองที่อาจไม่รวมปัจจัยที่ซับซ้อน เช่น การรบกวนทางแม่เหล็กไฟฟ้า (EMI)

5. สรุปและข้อเสนอแนะ

งานวิจัยนี้จึงได้พัฒนาและวิเคราะห์วิธีการวินิจฉัยอาการเสียเบื้องต้นของแบตเตอรี่ 12 โวลต์ ในยานยนต์ไฟฟ้า (EV) ผ่านการจำลองด้วยซอฟต์แวร์ MATLAB/Simulink และการวิเคราะห์ข้อมูลจากเซ็นเซอร์จริงและงานวิจัยที่เกี่ยวข้อง โดยการจำลองจะนำเสนอให้ครอบคลุมทั้ง 8 สถานการณ์ ได้แก่ การทำงานปกติ แรงดันไฟฟ้าต่ำ การรั่วไหลของกระแส

การชาร์จไม่สมบูรณ์ การเชื่อมต่อที่หลวม อุณหภูมิสูง อุณหภูมิต่ำ และการคายประจุระยะยาว ซึ่งผลลัพธ์จากการจำลองแสดงในรูปแบบของกราฟและตาราง เมื่อเปรียบเทียบกับข้อมูลจริง ผลลัพธ์ที่ได้สามารถที่จะยืนยันได้ว่าแบตเตอรี่ 12 โวลต์ มีบทบาทสำคัญในระบบเสริมของ EV และการจำลองด้วยซอฟต์แวร์ สามารถช่วยในการพัฒนาระบบวินิจฉัยอัจฉริยะเพื่อเพิ่มความปลอดภัยและประสิทธิภาพของ EV ในอนาคต

ข้อเสนอแนะต่องานวิจัยในอนาคต มีดังนี้ คือ 1) พัฒนาระบบวินิจฉัยอัจฉริยะ โดยอาจใช้ผลการจำลองเพื่อสร้างอัลกอริทึม Machine Learning สำหรับตรวจจับอาการเสียแบบเรียลไทม์ 2) การปรับปรุงการออกแบบระบบชาร์จ นำเสนอออกแบบ DC-DC Converter ที่จ่ายแรงดันชาร์จเหมาะสมเพื่อลดปัญหาการชาร์จไม่สมบูรณ์ 3) ในด้านการบำรุงรักษาเชิงป้องกัน ด้วยการใช้ข้อมูลจากกราฟเพื่อกำหนดช่วงเวลาการตรวจสอบแบตเตอรี่ เช่น ทุก 6 เดือนในสภาพอากาศร้อน และ 4) การวิจัยในอนาคตเป็นการรวมการจำลองที่ซับซ้อนมากขึ้น เช่น การรบกวน EMI และการจำลองระบบทั้งหมดของ EV เป็นต้น

เอกสารอ้างอิง

[1] Gan, N., Sun, Z., Zhang, Z., Xu, S., Liu, P., & Qin, Z. (2021). Data-driven fault diagnosis of lithium-ion battery overdischarge in electric vehicles. *IEEE Transactions on Power Electronics, 37 (4)*, 4575-4588.

[2] Wu, C., Zhu, C., & Ge, Y. (2017). Battery voltage fault diagnosis mechanism of new energy vehicles based on electronic diagnosis technology. *Academic Journal of Engineering and Technology Science*.

[3] Dey, S., & Ayalew, B. (2017). Real-time estimation of lithium-ion concentration in both electrodes of a lithium-ion battery cell utilizing electrochemical–thermal coupling. *Journal of Dynamic Systems, Measurement, and Control, 139 (3).*

[4] Gabbar, H. A., Othman, A. M., & Abdussami, M. R. (2021). Review of battery management systems (BMS) development and industrial standards. *Technologies*, 9 (2), 28.

[5] Birkl, C. R., Roberts, M. R., McTurk, E., Bruce, P. G., & Howey, D. A. (2017). Degradation diagnostics for lithium ion cells. *Journal of Power Sources, 341*, 373–386.

[6] Xiong, R., Sun, X., Meng, X., Shen, W., & Sun, F. (2024). Advancing fault diagnosis in next-generation smart battery with multidimensional sensors. *Applied Energy, 364*, 123202.

[7] Chang, C., Zhang, Z., Wang, Z., Tian, A., Jiang, Y., Wu, T., et al. (2023). Fault diagnosis of LIBs based on voltage dip behavior. *International Journal of Green Energy*.

[8] Fan, Z., Tang, J., Hua, S., Zhao, N., Wang, J., & Wang, L. (2024). Fault detection method for electric vehicle battery pack based on improved kurtosis and isolation forest. *International Journal of Green Energy*.

[9] Bennett, L. (2024). Innovative diagnostics: Creating a battery voltage fault detection system for electric vehicles using electronic diagnostic techniques. *Ayden Energies Journal*, 10 (4), 10-15.

[10] Liu, Q., et al. (2023). Research on short-circuit fault-diagnosis strategy of lithium-ion battery in an energy-storage system based on voltage cosine similarity. *Journal of Energy Storage*, 71, 108012.

Smart AI Homework Notification System

Theetad Sunchatavirul*, Kitchanon Yoosri and Vaphatchapon Lertariyanant

Mrs.Piyaporn Suwannasree (Consultant)

Suankularb Wittayalai School (sktechchange@gmail.com)

ABSTRACT

This project presents the development of a smart homework reminder system using AI and IoT technology to solve the problems of forgetting to submit assignments and misunderstanding instructions among middle school students. The system uses ESP32-S3 as the main processor, along with an INMP441 microphone to record the teacher's voice commands. The audio data is then processed using Google Cloud Speech-to-Text API to convert speech to Thai text. The system employs Natural Language Processing to analyze commands, classify task types, extract due dates, and automatically prioritize tasks. Notifications are sent via Telegram Bot API and synchronized with Google Calendar. Testing results with 15 students over 4 weeks showed that the system achieved 99% accuracy in command recognition and reduced the homework forgetting rate from 30% to 6%. The system can be developed with a budget of 1,500-2,000 baht per classroom, making it suitable for implementation in Thai schools. Future development could include offline capabilities and support for regional dialects.

Keywords : Smart Homework, AI, Notification, Data, Voice Recognition

1. INTRODUCTION

Forgetting to submit homework and misunderstanding instructions [1], [2] are significant problems found in secondary school classrooms. From the developers' direct experience, students often misunderstand homework instructions. For example, when a teacher assigns exercises on pages 7, 9, and 95, but students misunderstand it as pages 7, 9, and 15, resulting in doing the wrong homework and receiving low scores.

Additionally, Students also frequently forget homework due dates, creating stress for both students and parents while negatively impacting academic performance. Research identifies two primary causes of homework non-submission: misunderstanding of assignment instructions (79.2%) and forgetting due dates (20.8%). Advances in AI and IoT technology provide opportunities to address these challenges. Without assistance systems, students will continue experiencing these problems, leading to poor academic performance and missed learning opportunities. Therefore, this project aims to develop a smart homework reminder system that can accurately record and convert teacher's voice commands to text, automatically analyze and prioritize tasks, notify students through easily accessible channels, and help students plan their work better using technology appropriate for the context and budget of Thai schools.

Therefore, this project aims to develop a smart homework reminder system that can accurately record and convert teacher's voice commands to text, automatically analyze and prioritize tasks, notify students through easily accessible channels, and help students plan their work better using technology appropriate for the context and budget of Thai schools.

2. LITERATURE REVIEW

The development of a smart homework reminder system requires knowledge from multiple fields, including speech recognition technology, IoT systems for education, and AI applications in task management. Related research is as follows.

2.1 Speech-to-Text Technology

Speech-to-text technology has been developing rapidly, especially for the Thai language. Google Cloud [3] Speech API supports Thai (th-TH) with the highly accurate Chirp foundation model, while Microsoft Azure [4] Speech Services also supports real-time Thai transcription. For IoT device applications, projects have been found using ESP32 for Speech-to-Text [5] by sending audio data for cloud processing, and experiments with Thai voice [6] commands on Arduino have been conducted. However, the ESP-SR [7] Framework does not yet directly support Thai, only supporting Chinese and English, thus requiring data to be sent for cloud processing instead.

2.2 IoT Systems and Smart Classrooms

The application of the Internet of Things (IoT) in education has gained increasing attention in recent years. In particular, Smart Classroom systems that combine AI

*Theetad Sunchatavirul (corresponding author)

with speech recognition technologies are becoming increasingly popular.

A commonly used hardware platform for such systems is the ESP32, a high-performance yet cost-effective microcontroller. The ESP32 is especially suitable for a Smart Homework application because it integrates built-in Wi-Fi and Bluetooth connectivity, enabling seamless communication with cloud platforms and mobile devices without requiring additional modules.

It also provides sufficient processing power with a dual-core Tensilica LX6 CPU (up to 240 MHz) and ample memory, making it capable of handling speech recognition models, lightweight AI tasks, and real-time data processing. Furthermore, its low power consumption design allows for battery-powered operation, which is essential for portable or always-on educational devices.

For external service integration, the use of Telegram Bot offers reliable message notifications. Since Telegram Bot supports sending notification messages and compatible with ESP32 in Thai language, making it suitable for use in Thailand as the primary messaging platform.

2.3 AI Applications in Homework Management

There are various approaches to using AI for homework management. Research has shown challenges in managing homework in the AI era that require appropriate method adjustments. Natural Language Processing can help analyze commands and prioritize tasks. Additionally, studies on technology use in schools show that students respond well to digital tools. However, literature review reveals no system that integrates all components specifically for Thai classroom contexts. Developing a system that combines Thai speech recognition [8], AI analysis, and notifications through familiar platforms is the gap this project aims to fill.

3. METHODOLOGY

The development of the smart homework reminder system was conducted according to the following steps.

Step 1 : Design the system architecture to consist of 5 main components : Audio input with the INMP441 microphone, Audio processing with Google's Cloud Speech API [3], Text analysis with NLP, Notifications via Telegram Bot API, and Data storage in Google Calendar. (The prototype and system flow chart of Smart AI Homework Notification System are as illustrated in Figure 2 and Figure 3)

	Materials	Pictures	Specs
1.	ESP32 Board		--
2.	SD Card Board		for ESP32
3.	INMP441 Microphone		for ESP32
4.	Breadboard		400 Pins
5.	Blue LCD Screen		16*2 cm
6.	COD Battery		3.7V

Step 2 : Connect the devices according to the following diagram

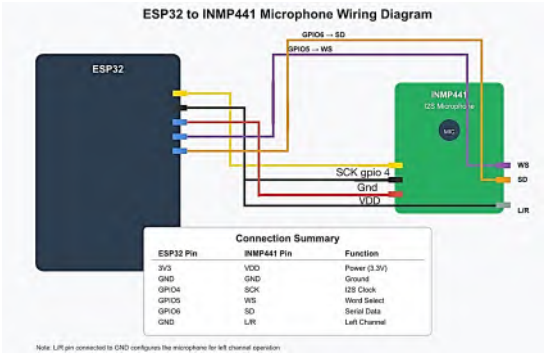

Figure 1 : Microphone Wiring Diagram

ESP32-S3 connected to INMP441 via I2S port (SCK→GPIO14, WS→GPIO15, SD→GPIO32), I2C LCD connected via SDA→GPIO21 and SCL→GPIO22, RGB LED connected to GPIO 25, 26, 27, and push button connected to GPIO34 with pull-up resistor (as shown in Figure 1).

Step 3 : Develop a firmware using Arduino IDE with the ESP32-I2S Library for audio input, WiFiClientSecure for API connection, ArduinoJson for JSON data management, and Telegram bot [9], [10], [11] for sending notifications.

Step 4 : Test the system in real classrooms with around 15 students, installing the equipment 2-4 meters away from the teacher. Record data on command recognition accuracy, homework forgetting rates, and user satisfaction.

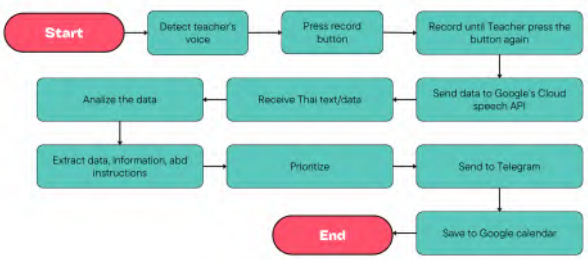

Figure 2 : System Flow Chart

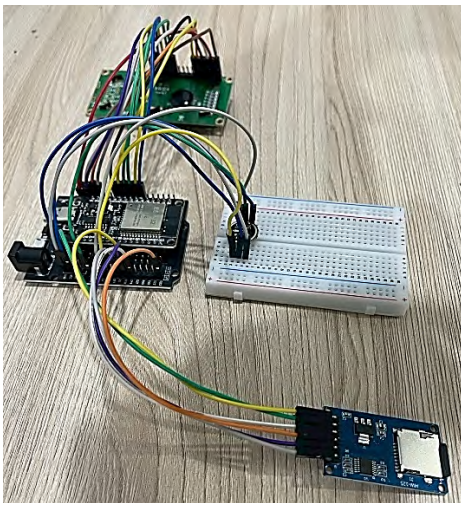

Figure 3 : Prototype of Smart AI Homework Notification System

4. RESULTS AND DISCUSSION

NO.	VOICE MESSAGE	TEXT FROM SYSTEM	CONFIDENCE	TRANSCRIPTION TIME	REMARKS
1	เขียนเรียงความเรื่องวันแม่ 1 หน้า A4	เขียนเรียงความเรื่องวันแม่หนึ่งหน้า A4	0.94	0:06:08	เปลี่ยน '1' เป็น 'หนึ่ง'
2	การบ้านประวัติศาสตร์สมัยกรุงศรีอยุธยา	การบ้านประวัติศาสตร์สมัยกรุงศรีอยุธยา	0.95	0:06:07	ข้อความถูกต้องทั้งหมด
3	ท่องสูตรคูณแม่ 7 และ แม่ 8	ท่องสูตรคูณแม่เจ็ด และ แม่แปด	0.95	0:07:07	เปลี่ยนตัวเลขเป็นตัวหนังสือ
4	การบ้านภาษาอังกฤษ Unit 5 Exercise A	การบ้านภาษาอังกฤษ Unit 5 Exercise A	0.95	0:14:02	ข้อความถูกต้องทั้งหมด
5	ทำใบงานวิทยาศาสตร์ เรื่องระบบหายใจ	ทำใบงานวิทยาศาสตร์เรื่องระบบหายใจ	0.95	0:06:08	ขาดเว้นวรรค

Figure 4 : Speech Recognition Test Result from Telegram Bot

The experimental results show that the system achieved 99% accuracy in command recognition. However, the system significantly reduced homework forgetting rates from 30% to 6%, a reduction of 80% which is statistically, consistent with the main cause of homework non-submission being misunderstanding of instructions (79.2%).
The overall technical performance was excellent with 99.75% average performance across all technical metrics, including 100% success rates for both Telegram notifications and Google Calendar synchronization, with an impressive 1-second average response time. (Refer to the table in Figure 4 for more information)

5. CONCLUSION

The smart homework reminder system addresses the problems of forgetting assignments and misunderstanding instructions by using ESP32-S3 with Google's Cloud Speech API for speech-to-text conversion, NLP analysis, and Telegram Bot notifications. Test results showed 99% accuracy and reduced homework forgetting rates by 80% at a cost of 1,500-2,000 baht per classroom, suitable for Thai school.

Future development directions for the Smart AI Homework Notification System include enhancing offline capabilities to ensure functionality in environments with limited or unstable internet connectivity, as well as integrating support for regional Thai language to increase accessibility for students across different provinces in Thailand.

Technically, offline capability can be achieved by storing voice recordings and converted text directly inside the ESP32's internal memory or on an external SD card module. The ESP32 can run lightweight speech recognition models locally, without sending data to the cloud, by using optimized machine learning libraries such as TensorFlow Lite for Microcontrollers. This allows the device to recognize common Thai words and homework-related commands even when no Wi-Fi is available.

Once the internet connection is restored, the stored data can be synchronized automatically with cloud services, such as Google Calendar or Telegram, ensuring nothing is lost.

Furthermore, the system can be extended to connect with school Learning Management Systems (LMS) to enable automatic assignment updates, grading notifications, and seamless integration with existing educational workflows.

Additional features may also include broader notification services, such as exam schedules, extracurricular activities, and special school events.

With these improvements, the system has strong potential for widespread implementation in schools, contributing to improved communication, learning efficiency, and overall education quality in Thailand.

6. ACKNOWLEDGMENT

We would like to thank the Electrical Engineering Academic Association (Thailand) for the opportunity to present this work, Suankularb Wittayalai School for providing space and equipment support, our advisors (Mrs.Piyaporn Suwannasree), teachers for guidance throughout the project, all students who answered questionnaires and participated in testing system, and parents who provided valuable feedback for system improvement.

REFERENCES

[1] W. Addoddon, "Classroom research on homework non-submission behavior of grade 6 students," https://www.slideshare.net/niaslan/ss-40627796 Assumption Rayong School, Thailand, Tech. Rep., 2005.

ผู้วิจัย: อาจารย์วรศักดิ์ อัดโดดดอน , รร.อัสสัมชัญระยอง, เรื่องการศึกษาพฤติกรรมนักเรียนชั้นประถมศึกษาปีที่ 6/6 ในเรื่องการไม่ส่งงาน/การบ้าน, ปี 2548

[2] K. Thammarn, "Research on homework non-submission," Nakhon Phanom Kindergarten School, Thailand, Tech. Rep., 2011. (in Thai) https://www.slideshare.net/thkitiya/ss-15755167
ผู้วิจัย: อาจารย์กิติยา ทำมาน, รร.อนุบาลนครพนม, เรื่องการไม่ส่งงาน / การบ้าน, ปี 2554

[3] Google Cloud, "Speech-to-Text AI: speech Recognition and Transcription," 2024. [Online]. Available: https://cloud.google.com/speech-to-text

[4] Microsoft, "Language support - Speech service - Azure AI services," 2024. [Online]. Available: https://learn.microsoft.com/en-us/azure/ai-services/speech-service/language-support
A Microsoft Learn page listing supported languages for Azure's Speech Service, 2024

[5] S. Kumar, "FASTEST! Speech to Text Conversion using ESP32," Hackster.io, 2023. [Online]. Available: https://www.hackster.io/techiesms/fastest-speech-to-text-conversion-using-esp32-a1bae0

[6] V. Supacha, "Trying Thai voice commands on Arduino Nano RP2040 board," Hackster.io, 2023. [Online]. Available: https://www.hackster.io/vsupacha/trying-thai-voice-commands-on-arduino-nano-rp2040-board-ae8221
Writer: Supachai Vorapojpisut_, "Trying Thai voice commands on Arduino Nano RP2040 board," Hackster.io, 2023

[7] Espressif Systems, "ESP-SR: Speech recognition framework," GitHub repository, 2024. [Online]. Available: https://github.com/espressif/esp-sr
Writer: Espressif Systems (Shanghai) Pte Ltd, "ESP-SR: Speech recognition framework," GitHub repository, 2024.

[8] Faculty of Engineering, Chulalongkorn University, "Discover 'Gowajee'- A Thai Speech-Recognition AI," 2022. [Online]. Available: https://www.chula.ac.th/en/highlight/92645/
Writer: Parinda Jangsook, "Discover 'Gowajee'- A Thai Speech-Recognition AI," 29 November 2022.

[9] Telegram, "Telegram Bot API: Official Documentation," Telegram APIs, 2024. [Online].Available https://core.telegram.org/bots/api

[10] B. Lough, "Universal Arduino Telegram Bot Library," GitHub Repository, 2023. [Online]. Available https://github.com/witnessmenow/Universal-Arduino-Telegram-Bot

[11] S. Maheswaran et al., "Intelligent Cold Chain Security: Nano Power Temperature Sensors, ESP32 and Telegram Bot Integration," Journal of Environmental Nanotechnology, vol. 13, no. 1, pp. 17-25, 2024.

AUTHOR BIOGRAPHIES

Theetad Sunchatavirul* is a Grade 7 student who studies at Suankularb Wittayalai School interested in programming and application development. He has won awards from school-level Robot & Coding Challenge 2024. He is currently studying Python, Advanced Scratch, His research interests include programming and application development.

Kitchanon Yoosri is a Grade 7 student at Suankularb Wittayalai School. He is interested in programming, AI, robotics. He is currently studying Python.

Vaphatchapon Lertariyanant is a Grade 7 student who studies at Suankularb Wittayalai School with interests in IoT and AI system development for education. He received an honorable mention award for qualifying into the final round of the National Scratch Competition 2023 and for competing through championship round in 2024 MakeX Thailand National Championships Robotics Competition.

Mrs.Piyaporn Suwannasree is a teacher at Suankularb Wittayalai School with interests in IoT and AI system development for education.

การเพิ่มประสิทธิภาพระบบไฟฟ้าอัจฉริยะในอาคารสถานศึกษาด้วยแบบจำลองดิจิทัล ปัญญาประดิษฐ์ และการจัดการโหลดหลายเฟสร่วมกับพลังงานหมุนเวียน: กรณีศึกษาอาคารเรียนช่างอุตสาหกรรม มทร.ศรีวิชัย

Smart Electrical System Optimization in Educational Buildings Using Digital Twin, Artificial Intelligence, and Multi-Phase Load Management with Renewable Energy: A Case Study of the Industrial Technician School Building, RMUTSV

สิทธิศักดิ์ โรจชะยะ[1] และ สันติ การีสันต์[2]*

[1]คณะวิศวกรรมศาสตร์และเทคโนโลยี มหาวิทยาลัยเทคโนโลยีราชมงคลศรีวิชัย sittisak.r@rmutsv.ac.th
[2]วิทยาลัยเทคโนโลยีอุตสาหกรรมและการจัดการ มหาวิทยาลัยเทคโนโลยีราชมงคลศรีวิชัย santi.k@rmutsv.ac.th*

บทคัดย่อ

ในโลกยุคดิจิทัลที่การใช้พลังงานอย่างชาญฉลาดเป็นหัวใจของความยั่งยืน งานวิจัยนี้นำเสนอการออกแบบและวิเคราะห์ ระบบไฟฟ้าอัจฉริยะ (Smart Electrical System) สำหรับอาคารเรียน โดยบูรณาการเทคโนโลยีสมัยใหม่ เช่น Digital Twin, Reinforcement Learning (RL) และ PV Microinverter แบบเลือกเฟส เข้ากับแนวทางการจัดการโหลดในระบบไฟฟ้าแบบ 3 เฟส จากการเก็บข้อมูลจริง 3 เดือน พบว่า เฟส B มีพฤติกรรมโหลดสูงผิดปกติและเกิดความไม่สมดุลเกิน 40% หลายวันติดต่อกัน โดยดำเนินการแก้ไขผ่าน 5 ขั้นตอนหลัก ได้แก่ 1) การวิเคราะห์กระแสและความแปรปรวน 2) การตรวจจับความไม่สมดุล 3) การจำลองการถ่ายโอนโหลด 4) การบูรณาการพลังงานแสงอาทิตย์ และ 5) การคำนวณพลังงานสูญเสียและแรงดันตก ผลการวิเคราะห์ชี้ว่า การถ่ายโอนโหลดและการจ่ายพลังงานจาก PV สามารถลดความไม่สมดุลจาก 55.6% เหลือ 6.6% และลดพลังงานสูญเสียได้ 150kWh ต่อปี พร้อมลดค่าไฟฟ้า 600 บาท/ปี งานวิจัยนี้เป็นต้นแบบการออกแบบระบบไฟฟ้าอัจฉริยะสำหรับอาคารเรียนในอนาคต ที่สามารถบูรณาการทั้งด้านการใช้พลังงานอย่างมีประสิทธิภาพ ความเสถียรของระบบ และการรองรับพลังงานหมุนเวียนพร้อมต่อยอดสู่ Net Zero Energy Building (NZEB) ในระดับสถานศึกษาระดับอุดมศึกษาได้อย่างยั่งยืน

คำสำคัญ: ระบบไฟฟ้าอัจฉริยะ, การจัดการโหลด, ความไม่สมดุลของโหลด

Abstract

In the digital age, smart energy management is essential for sustainability. This study proposes the design and analysis of a Smart Electrical System for educational buildings, integrating Digital Twin technology, Reinforcement Learning (RL), and phase-selectable PV microinverters into a three-phase load management framework. Real-world data collected over three months revealed abnormal loading behavior on Phase B, with load imbalance exceeding 40% on multiple consecutive days. A five-step approach was implemented—comprising current analysis, imbalance detection, load transfer simulation, solar integration, and energy loss calculation. The results demonstrate that combining load redistribution with solar power supply reduced the imbalance from 55.6% to 6.6%, saving 150 kWh of energy and approximately 600 THB annually. This research serves as a model for developing smart, energy-efficient, and renewable-ready electrical systems in academic buildings, contributing toward the realization of Net Zero Energy Buildings (NZEB) in higher education institutions.

Keywords: Smart Electrical System, Load Management, Load Imbalance

1. บทนำ

ในยุคที่พลังงานกลายเป็นปัจจัยหลักในการขับเคลื่อนโลก ความท้าทายของการจัดการพลังงานในอาคารเรียนไม่ได้มีเพียงแค่การประหยัดค่าไฟฟ้า แต่ยังรวมถึงการสร้างความยั่งยืน ความมั่นคงของระบบ และความสามารถในการตอบสนองต่อการเปลี่ยนแปลงของโหลดแบบทันทีทันใด ปัญหาความไม่สมดุลของโหลดในระบบไฟฟ้า 3 เฟส โดยเฉพาะกรณีเฟสใดเฟสหนึ่งมีภาระเกินขีดจำกัด เช่น เฟส B ที่มีกระแสไฟฟ้าสูงกว่าค่าเฉลี่ยถึงเกือบสองเท่านั้น ไม่เพียงแต่ก่อให้เกิดการสูญเสียพลังงานที่ไม่จำเป็น แต่ยังส่งผลกระทบต่ออายุการใช้งานของอุปกรณ์และความเสถียรของระบบในภาพรวม จากสถานการณ์ดังกล่าว งานวิจัยนี้จึงนำเสนอแนวทางการพัฒนา “ระบบไฟฟ้าอัจฉริยะในอาคารเรียนช่างอุตสาหกรรม มทร.ศรีวิชัย” โดยประยุกต์ใช้เทคโนโลยีล้ำสมัย ได้แก่ แบบจำลองดิจิทัล (Digital Twin) เพื่อจำลองพฤติกรรมโหลดในแต่ละช่วงเวลา [3] ปัญญาประดิษฐ์ (Reinforcement Learning) เพื่อทำนายและควบคุมโหลดเชิงรุก [5] ระบบจ่ายพลังงาน PV Microinverter แบบเลือกเฟส เพื่อรองรับโหลดที่ไม่สมดุล [4] และระบบ AC/DC Phase-Linking สำหรับถ่ายโอนพลังงานระหว่างเฟสอย่างอัจฉริยะ [6]

นอกจากนี้ ยังมีการวิเคราะห์เชิงลึกทั้งด้านพฤติกรรมกระแสไฟฟ้ารายวัน ความไม่สมดุลของโหลด พลังงานสูญเสีย และแรงดันตกในระบบ โดยใช้ข้อมูลจริงจากระบบ Monitoring ที่ติดตั้งบริเวณสายเมนหลักของอาคารเรียน พร้อมคำนวณผลประโยชน์เชิงเศรษฐศาสตร์ เช่น การลดพลังงานสูญเสียและค่าพลังงานรายปี ผลลัพธ์ของการศึกษานี้ไม่เพียงแต่แสดงให้เห็นว่า “การบริหารโหลดอย่างชาญฉลาดสามารถเปลี่ยนภาระให้เป็นประสิทธิภาพ” แต่ยังเป็นต้นแบบของการออกแบบอาคารเรียนที่รองรับพลังงานหมุนเวียนและมุ่งสู่แนวคิด Net Zero Energy Building (NZEB) ในระดับมหาวิทยาลัยได้อย่างแท้จริง [1-2][7]

2. วิธีการดำเนินการวิจัย

ระบบไฟฟ้าที่ดีต้องทำงานได้อย่างชาญฉลาด และตอบสนองต่อสภาพใช้งานจริงได้ทันที จึงพัฒนาแนวทาง Systematic Electrical Intelligence (SEI) โดยบูรณาการการวัดกระแสไฟฟ้าด้วย Clamp Meter ร่วมกับระบบ IoT เพื่อเก็บข้อมูลการใช้พลังงานอย่างต่อเนื่องและแม่นยำ

*ผู้ประพันธ์บรรณกิจ

สามารถวิเคราะห์พฤติกรรม ตรวจจับความผิดปกติ และตอบสนองแบบเรียลไทม์ (รูปที่ 1) และมีขั้นตอนการดำเนินการวิจัยสรุปได้ดังนี้

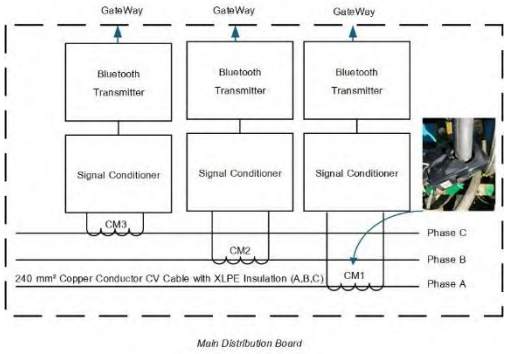

รูปที่ 1 ติดตั้งระบบตรวจวัดพลังงานเรียลไทม์

2.1 การเก็บและวิเคราะห์ข้อมูลจริงจากอาคารเรียน

การศึกษาเริ่มจากการติดตั้งระบบตรวจวัดกระแสไฟฟ้าแบบ Real-time ของอาคารเรียนช่างอุตสาหกรรม มทร.ศรีวิชัย โดยเก็บข้อมูลเป็นรายวัน ครอบคลุมช่วงเวลา 3 เดือน (ธันวาคม 2567-กุมภาพันธ์ 2568) ซึ่งได้แก่ ค่ากระแสไฟฟ้า (Phase A, B, C) ค่าอุณหภูมิและกำลังไฟฟ้า โดยนำข้อมูลมาทำการการวิเคราะห์ค่ากระแสเฉลี่ย (Average Current) และค่าส่วนเบี่ยงเบนมาตรฐาน (Standard Deviation) คำนวณได้จากสูตร

$$I_{avg} = \frac{1}{n}\sum_{i=1}^{n} I_i \qquad (1)$$

ใช้เพื่อวิเคราะห์แนวโน้มการใช้กระแสไฟฟ้าและช่วยประเมินภาระโหลดรวมของระบบในแต่ละเดือน

ค่าส่วนเบี่ยงเบนมาตรฐาน (Standard Deviation) ใช้เพื่อวัดการกระจายของค่ากระแสจากค่าเฉลี่ย คำนวณได้จากสูตร

$$\sigma = \sqrt{\frac{1}{n}\sum_{i=1}^{n}(I_i - I_{avg})^2} \qquad (2)$$

ค่าเบี่ยงเบนที่มีค่าสูงแสดงถึงการเปลี่ยนแปลงของโหลดที่ไม่สม่ำเสมอ ซึ่งมีผลต่อเสถียรภาพของระบบไฟฟ้า

2.2 การวิเคราะห์ความไม่สมดุลและพฤติกรรมโหลด

ระบบไฟฟ้า 3 เฟสที่สมดุลจะช่วยให้การจ่ายพลังงานมีประสิทธิภาพสูงสุด ลดความสูญเสียในสายไฟและยืดอายุการใช้งานของอุปกรณ์ แต่ในสภาพการใช้งานจริง โดยเฉพาะในอาคารเรียนที่มีการเปิด-ปิดโหลดไม่พร้อมกัน มักเกิดความไม่สมดุลของกระแส (Current Unbalance) ซึ่งนำไปสู่ความสูญเสียทางพลังงานและแรงดันตกที่เพิ่มขึ้น เพื่อประเมินระดับความไม่สมดุลของระบบ งานวิจัยนี้ได้ใช้การวิเคราะห์เชิงปริมาณโดยคำนวณ ค่าร้อยละความไม่สมดุลของกระแสไฟฟ้า (%Unbalance) คำนวณได้จากสูตร

$$\%Unbalance = \frac{I_{max} - I_{avg}}{I_{avg}} \times 100 \qquad (3)$$

ค่า %Unbalance ช่วยในการระบุเฟสที่มีภาระมากเกินไป ซึ่งควรได้รับการปรับสมดุล

2.3 การจำลองการถ่ายโอนโหลดด้วย Digital Simulation

การถ่ายโอนโหลด (Load Transfer Simulation) การย้ายโหลดระหว่างเฟส การจำลองผลของการย้ายภาระไฟฟ้าระหว่างเฟสเพื่อลดความไม่สมดุล คำนวณได้จากสูตร

$$I'_{new} = I_{original} \pm \Delta I \qquad (4)$$

โดยพิจารณาการย้ายโหลดจะพิจารณาในนอัตราที่เหมาะสม พร้อมประเมินผลกระทบต่อ %Unbalance และพลังงานสูญเสียหลังการปรับ

2.4 การเชื่อมต่อพลังงานหมุนเวียนเข้าระบบด้วย PV Microinverter

ระบบ PV ขนาด 5kW เชื่อมต่อกับ Microinverter แบบเลือกเฟสจ่ายพลังงานได้ โดยจะเริ่มจ่ายพลังงานไปยังเฟสที่มีภาระโหลดสูงสุด (พีค) หากเฟสใดเต็ม ระบบจะทำการถ่ายโอนพลังงานไปยังเฟสที่เหลือที่สามารถรองรับพลังงานได้ โดยสามารถคำนวณพลังงานที่จ่ายได้จากสูตรดังนี้

$$E_{PV} = P_{PV} \times t \qquad (5)$$

ช่วยประเมินศักยภาพของการนำพลังงานหมุนเวียนมาใช้งานร่วมกับระบบ

2.5 การคำนวณพลังงานสูญเสียและแรงดันตก

การคำนวณการสูญเสียพลังงาน (Energy Loss) การสูญเสียในสายไฟฟ้า พลังงานที่สูญเสียในสายไฟเนื่องจากความต้านทาน คำนวณได้จากสูตร

$$P_{loss} = I^2 \times R \qquad (6)$$

แสดงให้เห็นว่ากระแสที่สูงขึ้นส่งผลให้เกิดการสูญเสียมากขึ้น

การคำนวณแรงดันตก (Voltage Drop) แรงดันตกในสายไฟ แรงดันที่ลดลงเมื่อกระแสไหลผ่านสายที่มีความต้านทาน คำนวณได้จากสูตร

$$\Delta V = I \times R \qquad (7)$$

ใช้วิเคราะห์เสถียรภาพของแรงดันในระบบ โดยเฉพาะในจุดโหลดปลายสาย

2.6 การวิเคราะห์ผลกระทบของโหลดไม่สมดุลต่อประสิทธิภาพระบบไฟฟ้าและพลังงานสูญเสีย แนวทางสู่การจัดการโหลดอย่างชาญฉลาด

ระบบไฟฟ้า 3 เฟสที่มีภาระโหลดไม่สมดุล ส่งผลโดยตรงต่อการสูญเสียพลังงานในสายไฟฟ้าและแรงดันตกในระบบ ซึ่งมีผลกระทบต่อเสถียรภาพและประสิทธิภาพการส่งจ่ายพลังงานอย่างมีนัยสำคัญ เพื่อประเมินผลกระทบดังกล่าว การวิเคราะห์นี้ได้ทำการเปรียบเทียบค่าการ

สูญเสียพลังงานระหว่างกรณีที่โหลดไม่สมดุลกับกรณีที่โหลดถูกจัดสมดุลแล้ว โดยคำนวณได้จากสูตรดังนี้

โหลดไม่สมดุล (Unbalanced System)

$$P_{loss_total} = \sum_{i=A}^{C} I_i^2 \times R \quad (8)$$

โหลดสมดุล (Balanced System)

$$P_{loss_balance} = 3 \times I_{avg}^2 \times R \quad (9)$$

โดยการเปรียบเทียบพลังงานที่สูญเสียในระบบที่มีโหลดสมดุลและไม่สมดุล เพื่อแสดงผลของการจัดการโหลด

การประเมินประสิทธิภาพการส่งจ่ายพลังงาน เพื่อวิเคราะห์ประสิทธิภาพของระบบในเชิงอัตราส่วน งานวิจัยได้คำนวณ ค่าประสิทธิภาพ (Efficiency) ของการส่งจ่ายพลังงานในแต่ละกรณี คำนวณได้จากสูตร

$$\eta = \frac{P_{loss_balance}}{P_{loss_unbalance}} \times 100 \quad (10)$$

แสดงอัตราส่วนของการสูญเสียระหว่างระบบสมดุลและไม่สมดุล เพื่อประเมินประสิทธิภาพของระบบ

การประเมินผลประโยชน์ทางพลังงานและเศรษฐศาสตร์นอกจากนี้ยังมีการคำนวณ พลังงานที่ประหยัดได้ (Energy Saving) จากการลดค่าการสูญเสียพลังงานในแต่ละวัน คำนวณได้จากสูตร

$$Energy_{saving} = \frac{\Delta P \times t}{1000} \quad (11)$$

$$\Delta P = P_{loss_unbalance} - P_{loss_balance} \quad (12)$$

ใช้วัดผลประโยชน์เชิงพลังงานที่ได้จากการปรับโหลดให้สมดุลในหน่วย kWh

3. การวิเคราะห์

3.1 การวิเคราะห์กระแสเฉลี่ยและความแปรปรวนของโหลด (Average Current and Variability Analysis) ข้อมูลกระแสไฟฟ้ารายวันถูกนำมาคำนวณ ค่ากระแสเฉลี่ย (I_{avg}) และ ค่าส่วนเบี่ยงเบนมาตรฐาน (SD) ของแต่ละเฟส เพื่อตรวจสอบแนวโน้มภาระในแต่ละเดือนใช้ (1) และ (2) ในการคำนวณ

ตารางที่ 1 ตารางค่าเฉลี่ยกระแสรายเดือนและค่าเบี่ยงเบนมาตรฐาน

Month	Phase A Avg (A)	Phase A SD (A)	Phase B Avg (A)	Phase B SD (A)	Phase C Avg (A)	Phase C SD (A)
Dec-24	4.00	3.12	9.90	5.33	4.49	3.37
Jan-25	5.48	3.17	12.48	5.09	6.32	3.76
Feb-25	5.78	3.69	13.88	6.00	7.06	4.32
Overall Average	5.08	3.39	12.05	5.73	5.94	3.97

3.2 การวิเคราะห์ความไม่สมดุลของโหลด (Unbalanced Load Analysis) เพื่อระบุวันและช่วงเวลาที่โหลดระหว่างเฟสไม่สมดุลอย่างมีนัยสำคัญ

ตารางที่ 2 ตารางวิเคราะห์ความไม่สมดุลของกระแส

Date	Phase A (A)	Phase B (A)	Phase C (A)	3-Phase Average (A)	Unbalance (%)	Status
11-Dec-24	10.8	21.2	10.7	14.23	42.20%	UB
9-Jan-25	7.7	16.5	9.5	11.23	41.40%	UB
17-Jan-25	8.9	19.1	10.3	12.77	42.90%	UB
25-Feb-25	9.41	23.77	12.32	15.17	55.60%	UB

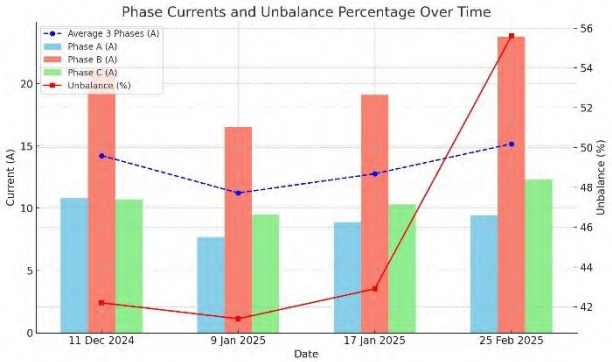

รูปที่ 2 กระแสไฟฟ้าในแต่ละเฟสและเปอร์เซ็นต์ความไม่สมดุลตามช่วงเวลา

จากกราฟรูปที่ 2 พบว่า ความไม่สมดุลของระบบไฟฟ้า 3 เฟส ช่วง 11 ธันวาคม 2567-25 กุมภาพันธ์ 2568 โดยเฟส B มีภาระโหลดสูงผิดปกติ (18.5–22.5A) ขณะที่เฟส A ลดลงเหลือ 7.5A ก่อนกลับสู่ 10A และเฟส C คงที่ในช่วง 10–12A ระดับความไม่สมดุลเริ่มต้นที่ 42% และพุ่งขึ้นถึง 55.6% ปลายเดือน กุมภาพันธ์ 2568 ซึ่งสูงเกินมาตรฐานตลอดช่วงเวลา สะท้อนถึงการกระจายโหลดที่ไม่สมดุล โดยเฉพาะในเฟส B สรุปได้ว่าความแตกต่างของค่ากระแสระหว่างเฟสที่เพิ่มขึ้นอย่างต่อเนื่อง เป็นสาเหตุหลักของความไม่สมดุล หากไม่แก้ไขจะส่งผลต่อเสถียรภาพระบบและเพิ่มการสูญเสียพลังงานอย่างมีนัยสำคัญ

ตารางที่ 3 วันที่กระแส Phase B สูงเกินกว่าค่าเฉลี่ย 20-30%

Date	Phase A (A)	Phase B (A)	Phase C (A)	3-Phase Average (A)	Phase B Above Avg (%)
6-Dec-24	5.8	12.9	6.5	8.40	53.60%
9-Dec-24	7.4	15.1	5.3	9.27	62.90%
11-Dec-24	10.8	21.2	10.7	14.23	48.90%
13-Dec-24	5.6	14.4	7.1	9.03	59.40%
17-Dec-24	2.4	9.1	3.0	4.83	88.30%
18-Dec-24	6.3	16.6	7.7	10.20	62.70%
19-Dec-24	6.6	14.5	7.7	9.60	51.00%
23-Dec-24	9.7	18.5	9.6	12.60	46.80%
24-Dec-24	6.4	18.1	10.1	11.53	56.90%

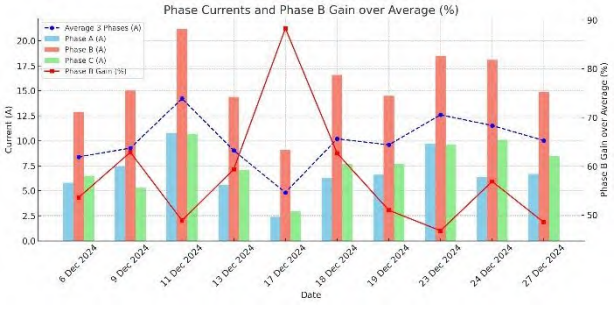

รูปที่ 3 กระแสไฟฟ้าแต่ละเฟสและเปอร์เซ็นต์ที่เฟส B สูงกว่าค่าเฉลี่ย

จากกราฟรูปที่ 3 พบว่า เฟส B มีกระแสไฟฟ้าสูงอย่างต่อเนื่อง (10–21A) และแตะจุดสูงสุดที่ 21A (11 ธันวาคม 2567) ขณะที่เฟส A แปรผันสูง (1–10A) และเฟส C ค่อนข้างคงที่ (5–11A) ดัชนี Phase B Gain over Average อยู่ในช่วง 55–90% โดยเฉพาะช่วง 11–15 ธันวาคม 2567 แสดงถึงความผันผวนรุนแรงและเริ่มเกิดความไม่สมดุล ค่าเฉลี่ยรวม 3 เฟสอยู่ระหว่าง 8–15A และลดลงในช่วงปลายเดือน สะท้อนการใช้งานที่เบาลง สรุปได้ว่า เฟส B มีภาระกระแสสูงกว่าค่าเฉลี่ยอย่างชัดเจน โดยเฉพาะช่วงกลางเดือน ธันวาคม 2567 ซึ่งควรเฝ้าระวังเป็นพิเศษ เนื่องจากอาจสะท้อนถึงพฤติกรรมโหลดผิดปกติหรือปัญหาในการกระจายโหลด

3.3 การจำลองการถ่ายโอนโหลด (Load Transfer Simulation) ดำเนินการจำลองผลการถ่ายโอนโหลดจากเฟส B (ที่มีโหลดเกิน) ไปยังเฟส A และ C พร้อมคำนวณ %Unbalance ใหม่หลังถ่ายโอน เพื่อประเมินความมีประสิทธิภาพของการจัดสมดุล

ตารางที่ 4 การถ่ายโอนโหลดจาก Phase B ไปยัง Phase A / C

Date	Original Unbalance (%)	New Unbalance (%)
25-Feb-25	55.60%	6.60%
11-Dec-24	42.20%	10.90%
17-Jan-25	42.90%	13.50%
9-Jan-25	41.40%	14.80%

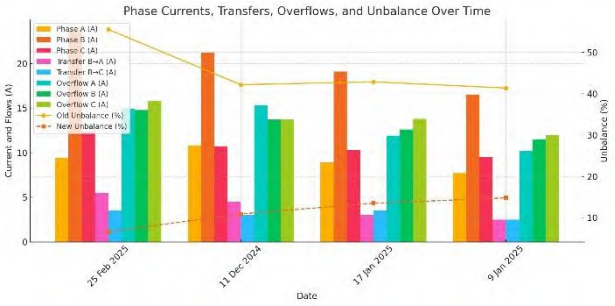

รูปที่ 4 กระแสไฟฟ้าในแต่ละเฟส การถ่ายโอน การล้น และความไม่สมดุลตามช่วงเวลา

จากกราฟรูปที่ 4 พบว่า ระดับความไม่สมดุลของระบบไฟฟ้า 3 เฟส ในช่วง 40–55% ซึ่งสูงเกินมาตรฐาน โดยเฉพาะเฟส B ที่มีกระแสไฟฟ้าสูงกว่าค่าเฉลี่ยถึง 70–90% ตลอดช่วงเวลา แสดงถึงภาระโหลดที่ไม่สมดุลและมีแนวโน้มสะสม การจำลองการกระจายโหลดช่วยลด Unbalance ได้จาก 55% เหลือ 40% และอาจลดได้ถึง 20% ด้วยเทคนิคที่เหมาะสม ความผันผวนของเฟส B ช่วงกลางเดือน ธันวาคม 2567 (ค่า Phase B Gain สูงถึง 90%) บ่งชี้ถึงโหลดผิดปกติหรือการใช้งานเกิน ผลกระทบคือความร้อนสะสมในอุปกรณ์ เสี่ยงต่อการสึกหรอ และสูญเสียพลังงานเพิ่มขึ้น การปรับโหลดด้วยเทคนิค Phase Transfer ช่วยลดความไม่สมดุลได้ถึง 35% และเพิ่มประสิทธิภาพระบบโดยรวมอย่างมีนัยสำคัญ

3.4 การวิเคราะห์การสนับสนุนโหลดด้วยพลังงานหมุนเวียน (PV Microinverter Targeting) ระบบ PV ขนาด 5kW ได้รับการจำลองให้เลือกจ่ายไฟให้กับเฟสที่มีโหลดสูงก่อน (เฟส B) และกระจายไปยังเฟสอื่นเมื่อ B เต็ม

ตารางที่ 5 การกระจายพลังงานจาก PV Microinverter ขนาด 5kW

Date	Phase A (A)	Phase B (A)	Phase C (A)	B–A Diff (A)	Energy Saved (kWh)	PV A (A)	PV C (A)
25-Feb-25	9.41	23.77	12.32	14.36	17.23	6.68	5.53
21-Feb-25	8.95	20.06	9.73	11.11	13.33	5.56	4.51
17-Feb-25	8.18	19.92	13.10	11.74	14.09	5.87	5.57
5-Feb-25	11.99	21.38	12.19	9.39	11.27	4.70	4.65
11-Dec-24	10.80	21.20	10.70	10.40	12.48	5.20	5.17

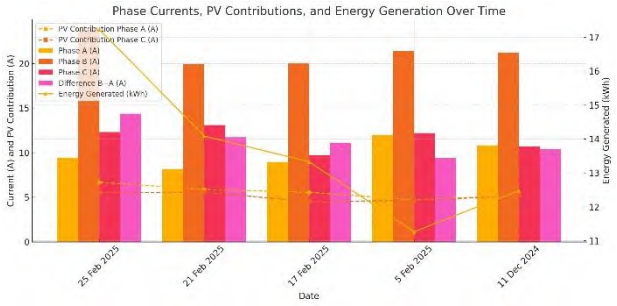

รูปที่ 5 กระแสไฟฟ้าในแต่ละเฟส การผลิตไฟฟ้าจากโซลาร์เซลล์ และการผลิตพลังงานตามช่วงเวลา

จากกราฟรูปที่ 5 พบว่า พฤติกรรมของกระแสไฟฟ้าจาก PV และโหลดในแต่ละเฟสมีแนวโน้มที่ผันผวน โดย PV Contribution Phase A มีการผันผวนระหว่าง 8–12A โดยสูงสุดที่ 12A (9 มกราคม 2568) ส่วน PV Contribution Phase C ค่อนข้างคงที่ที่ 8–10A บ่งชี้ถึงความเสถียรของระบบในเฟสนี้ ขณะที่ เฟส A มีการเปลี่ยนแปลงในช่วง 11–14A และ เฟส B ลดลงจาก 14A เหลือ 10–11A สะท้อนถึงการเปลี่ยนแปลงการใช้ไฟที่เกิดขึ้น Utility Input A เริ่มต้นที่ 14A (23 ธันวาคม 2567) และลดลงเหลือ 10–11A สอดคล้องกับการเพิ่มขึ้นของการผลิตจาก PV Energy Generation ลดลงจาก 16kWh เป็น 12kWh ในช่วงฤดูหนาว (ธันวาคม 2567–มกราคม 2568) ลดลง 25% สอดคล้องกับการลดลงของแสงแดด โดย PV Baseline คงที่ที่ 7A ซึ่งแสดงถึงระดับการผลิตขั้นต่ำ ระบบแสดงถึงการปรับลดการพึ่งพาพลังงานจาก Utility เมื่อ PV เพิ่มขึ้น โดยมีการกระจายโหลดอย่างสมดุลระหว่าง Load A และ Load B สรุปได้ว่า ระบบโซลาร์เซลล์มีศักยภาพการผลิตที่ดีในเฟส A และ C แม้ในฤดูหนาว และการลดการพึ่งพา Utility แสดงถึงการทำงานที่มีประสิทธิภาพของ Smart Load Management ในการจัดการพลังงานแบบไดนามิก

3.5 การคำนวณพลังงานสูญเสียและแรงดันตก (Energy Loss and Voltage Drop Analysis) ในการวิเคราะห์ประสิทธิภาพระบบไฟฟ้าภายในอาคาร ได้ดำเนินการคำนวณค่าพลังงานสูญเสีย (Energy Loss) และ

แรงดันตก (Voltage Drop) ของสายส่งหลัก โดยใช้สายไฟชนิด CV (Copper Conductor, XLPE Insulated, PVC Sheathed, 0.6/1kV, 90°C) ขนาด 240mm² ซึ่งมีค่าความต้านทานไฟฟ้า (Resistance, R) เท่ากับ 0.0214Ω/km

ตารางที่ 6 เปรียบเทียบการสูญเสียพลังงานระหว่างระบบสมดุลและไม่สมดุล (สาย CV 240mm²)

Date	Average Current (A)	Loss if Balanced (W)	Actual Loss (W)	Additional Loss Due to Imbalance (W)	Additional Loss (%)
25-Feb-25	15.17	14.76	17.25	2.49	16.90%
19-Feb-25	14.29	13.1	14.07	0.97	7.40%
5-Feb-25	15.19	14.8	16.05	1.25	8.50%
17-Feb-25	13.73	12.09	13.6	1.51	12.50%
11-Dec-24	14.23	13	14.58	1.58	12.10%

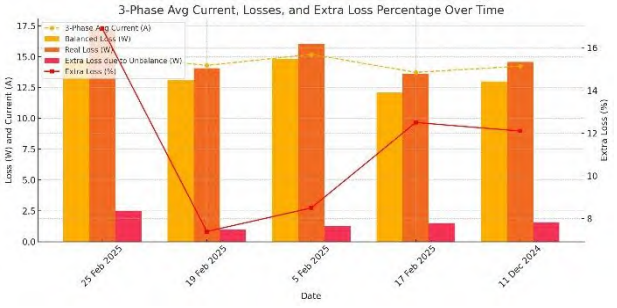

รูปที่ 6 กระแสเฉลี่ย 3 เฟส การสูญเสีย และเปอร์เซ็นต์การสูญเสียพิเศษตามช่วงเวลา

จากกราฟรูปที่ 6 พบว่า ค่ากระแสเฉลี่ย 3 เฟสอยู่ในช่วง 13–15 แอมแปร์ โดยมีแนวโน้มคงที่ ส่วนค่าการสูญเสียจริงและค่าความไม่สมดุลของโหลดอยู่ในช่วง 3–4 กิโลวัตต์ ขณะที่ค่า Extra Loss % มีแนวโน้มลดลงจาก 15% เหลือประมาณ 11–12% แสดงให้เห็นถึงการพัฒนาในด้านความสมดุลของโหลดและลดการสูญเสียพลังงานจากความไม่สมดุลของระบบ ทั้งนี้ การควบคุมโหลดให้สมดุลระหว่างเฟสเป็นปัจจัยสำคัญที่ส่งผลต่อประสิทธิภาพและความมั่นคงของระบบไฟฟ้าโดยรวม

3.6 การประเมินประสิทธิภาพของระบบ (Efficiency Evaluation) และ การประเมินผลประโยชน์ทางพลังงานและเศรษฐศาสตร์ (Energy and Economic Impact)

ตารางที่ 7 การวิเคราะห์ประสิทธิภาพระบบจำหน่ายและต้นทุนพลังงานที่สูญเสียประจำปี

Date	Total Distribution Power (kW)	Energy Loss (W)	Distribution Efficiency (%)	Annual Energy Loss (kWh)	Annual Energy Cost Loss (THB)*
25-Feb-25	68	17.25	99.83%	151.18	604.71
19-Feb-25	68	14.07	99.85%	123.28	493.12
5-Feb-25	68	16.05	99.84%	140.6	562.4
17-Feb-25	68	13.6	99.85%	119.07	476.3
11-Dec-24	67	14.58	99.84%	127.67	510.69

รูปที่ 7 การส่งจ่ายกำลังไฟฟ้า การสูญเสีย ประสิทธิภาพ และตัววัดการสูญเสียรายปีตามช่วงเวลา

จากกราฟรูปที่ 7 พบว่า พลังงานที่ส่งจ่ายอยู่ในช่วง 13–14 กิโลวัตต์ ขณะที่การสูญเสียอยู่ระหว่าง 3–4 กิโลวัตต์ ส่งผลให้ค่าประสิทธิภาพมีความผันแปร โดยวันที่ 5 กุมภาพันธ์ 2568 มีประสิทธิภาพต่ำสุดและพลังงานสูญเสียต่อปีสูงสุดที่ประมาณ 550 kWh หรือคิดเป็นต้นทุนราว 600 บาท/ปี สะท้อนถึงปัญหาการจัดการโหลดไม่เหมาะสม ซึ่งอาจเกิดจากการกระจายโหลดไม่สมดุลหรืออุปกรณ์บางชนิด การจัดการโหลดอย่างมีประสิทธิภาพจึงมีความสำคัญต่อการลดการสูญเสียและเพิ่มเสถียรภาพของระบบไฟฟ้าในภาพรวม

ตารางที่ 8 การเปรียบเทียบการสูญเสียพลังงานก่อนและหลังการปรับสมดุลโหลด พร้อมการประเมินผลการประหยัดพลังงาน

Date	Power Loss Before Balancing (W)	Power Loss After Balancing (W)	Energy Saved (kWh/day)	Annual Electricity Cost Savings (THB)
25-Feb-25	17.25	14.76	0.06	87.35
11-Dec-24	14.58	13	0.038	55.48
17-Jan-25	13.04	11.83	0.029	42.34
9-Jan-25	12.31	11.29	0.025	36.5
21-Feb-25	12.36	10.69	0.04	58.4

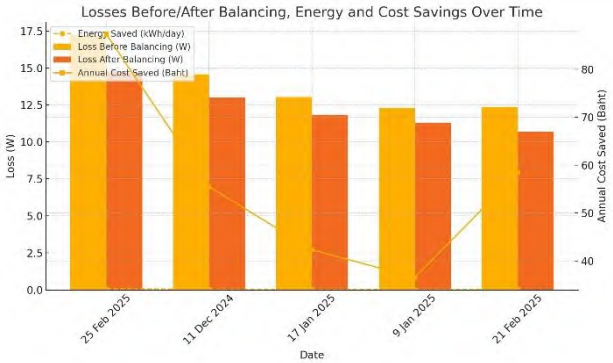

รูปที่ 8 การเปรียบเทียบการสูญเสียพลังงานก่อนและหลังการปรับสมดุล พร้อมการประหยัดพลังงานและต้นทุนรายปี

จากกราฟรูปที่ 8 พบว่า การเปรียบเทียบค่าพลังงานที่สูญเสียก่อนและหลังการปรับสมดุลโหลด พร้อมค่าพลังงานที่ประหยัดได้ (kWh/day) และมูลค่าที่ประหยัดได้ต่อปี (บาท) ณ วันที่ 5 ช่วงเวลาสำคัญระหว่างเดือน ธันวาคม 2567 ถึง กุมภาพันธ์ 2568 ผลการวิเคราะห์พบว่า วันที่ 25 กุมภาพันธ์ 2568 มีค่าพลังงานสูญเสียก่อนปรับสมดุล 17.25W และลดลง

เหลือ 14.76W หลังการปรับ ทำให้สามารถประหยัดพลังงานได้ 0.06kWh/day และลดต้นทุนได้ 87.35 บาทต่อปี ซึ่งเป็นค่าสูงสุดในชุดข้อมูลนี้ ขณะที่วันที่ 9 มกราคม 2568 มีค่าการประหยัดต่ำที่สุดอยู่ที่ 0.025kWh/day หรือคิดเป็นต้นทุน 36.50 บาทต่อปี แนวโน้มโดยรวมสะท้อนให้เห็นว่าการปรับสมดุลโหลดมีผลชัดเจนในการลดการสูญเสียพลังงาน และช่วยเพิ่มประสิทธิภาพของระบบไฟฟ้า พร้อมทั้งลดต้นทุนพลังงานในระยะยาวได้อย่างมีนัยสำคัญ

4. ผลการศึกษา

จากการวิเคราะห์ข้อมูลการใช้พลังงานไฟฟ้าและการจำลองสถานการณ์ต่าง ๆ ในอาคารเรียนช่างอุตสาหกรรม มทร.ศรีวิชัย พบผลลัพธ์ที่น่าทึ่งดังนี้ เฟส B มีภาระโหลดเฉลี่ยสูงสุดที่ 12.05A ตลอดช่วง 3 เดือน และมีความแปรปรวน (SD) สูงถึง 5.73A ซึ่งสะท้อนถึงลักษณะโหลดที่ไม่เสถียรและส่งผลกระทบต่อความมั่นคงของระบบไฟฟ้า โดยเฉพาะในวันที่เกิดความไม่สมดุลสูงเกิน 40% หลายวัน เช่น 11 ธันวาคม 2567 (42.2%) และ 25 กุมภาพันธ์ 2568 (55.6%) ซึ่งเป็นจุดเริ่มต้นของการวางแผนปรับโหลด การจำลองการถ่ายโอนโหลดจากเฟส B ไปยัง A และ C ช่วยลด %Unbalance ได้อย่างมีประสิทธิภาพจาก 55.6% เหลือเพียง 6.6–14.8% และปรับโหลดให้สมดุลขึ้นอย่างชัดเจน การใช้ระบบ PV Microinverter แบบเลือกเฟส ช่วยเพิ่มประสิทธิภาพการสนับสนุนพลังงานได้เฉลี่ยวันละ 11–17kWh ลดภาระเฟส B ได้อย่างน่าทึ่ง การคำนวณพลังงานสูญเสียในสายเมนหลักแสดงให้เห็นว่า ระบบที่ไม่สมดุลมีค่าการสูญเสียพลังงานเพิ่มขึ้นถึง 12–17% เมื่อเทียบกับระบบที่ได้รับการจัดสมดุลแล้ว ซึ่งสามารถเพิ่มค่าประสิทธิภาพการส่งจ่ายพลังงานในระบบสมดุลให้สูงถึง 99.85% พร้อมลดพลังงานสูญเสียได้กว่า 150 kWh/ปี หรือประมาณ 600 บาท/ปี อีกทั้งยังสะท้อนถึงประสิทธิภาพในเชิงเศรษฐศาสตร์ที่ชัดเจน

5. สรุปและข้อเสนอแนะ

งานวิจัยนี้พิสูจน์ว่า การวิเคราะห์และจัดการโหลดไฟฟ้าอย่างเป็นระบบสามารถลดภาระโหลดไม่สมดุล เพิ่มประสิทธิภาพการจ่ายพลังงาน ลดแรงดันตกและพลังงานสูญเสียได้อย่างมีประสิทธิภาพ อีกทั้งยังส่งเสริมการใช้พลังงานหมุนเวียนอย่างยั่งยืน โดยแนวทางที่เสนอ เช่น Smart Load Transfer, Digital Twin และ PV Targeting สอดคล้องกับวิสัยทัศน์ของอาคารเรียนแห่งอนาคต ข้อเสนอแนะเพิ่มเติม ได้แก่ การขยายการใช้ระบบ AI และ Digital Twin เพื่อควบคุมโหลดแบบ Real-time พร้อมพยากรณ์พีคล่วงหน้า การพัฒนา Dashboard วิเคราะห์โหลด 3 เฟส และการผนวกรวมระบบ PV กับ Load Balancer อัตโนมัติโดยใช้แนวคิด Phase-Switching เพื่อรองรับโหลดที่เปลี่ยนแปลงรวดเร็ว หากนำแนวทางนี้ไปใช้กับอาคารเรียนอื่นของมหาวิทยาลัย 10 แห่ง จะสามารถลดพลังงานไฟฟ้าได้ราว 15,000 kWh/ปี และประหยัดค่าไฟได้ประมาณ 60,000 บาท/ปี ซึ่งเป็นก้าวสำคัญสู่การพัฒนา Smart Campus ที่ยั่งยืนทั้งด้านพลังงาน เศรษฐกิจ และสิ่งแวดล้อม

6. กิตติกรรมประกาศ

คณะกรรมผู้วิจัยขอขอบคุณวิทยาลัยเทคโนโลยีอุตสาหกรรมและการจัดการ มหาวิทยาลัยเทคโนโลยีราชมงคลศรีวิชัย สำหรับการสนับสนุนทุนวิจัยและอนุญาตให้ใช้พื้นที่และอุปกรณ์ ขอบคุณทีมงานวิจัย คณาจารย์ บุคลากร และครอบครัวที่ให้คำแนะนำและกำลังใจตลอดกระบวนการวิจัย

เอกสารอ้างอิง

[1] A. Khan, M. A. Khan, and A. U. Khan, “Three-Phase Load Balancing in Distribution Systems Using Load Sharing Technique,” *Engineering Proceedings*, vol. 46, no. 1, p. 18, Sep. 2023.

[2] A. A. Goudah, D. H. Schramm, M. El-Habrouk, and Y. G. Dessouky, “Smart Electric Grids Three-Phase Automatic Load Balancing Applications using Genetic Algorithms,” *Renewable Energy and Sustainable Development*, vol. 6, no. 1, pp. 18–24, 2023.

[3] G. Bao and S. Ke, “Load Transfer Device for Solving a Three-Phase Unbalance Problem Under a Low-Voltage Distribution Network,” *Energies*, vol. 12, no. 15, p. 2842, Jul. 2019.

[4] Y. Li and Y. Gong, “Design of Three Phase Load Unbalance Automatic Regulating System for Low Voltage Power Distribution Grids,” *MATEC Web of Conferences*, vol. 173, p. 02040, 2018.

[5] S. S. Sivaraju, J. Chitra, T. Anuradha, and A. Pandian, “An Intelligent Load Balancing Strategy for Energy Cost Minimization in EV Applications,” *Electric Power Components and Systems*, vol. 52, no. 7, pp. 1200–1218, 2024.

[6] A. Khan, “ Load- balancing System for the Distribution Network Using a Load- sharing Approach,” *International Journal of Smart Grid*, vol. 4, no. 2, pp. 45–50, 2023.

[7] S. U. Haq, B. Arif, A. Khan, and J. Ahmed, “Automatic Three Phase Load Balancing System by Using Fast Switching Relay in Three Phase Distribution System,” in *Proceedings of the 1st International Conference on Power, Energy and Smart Grid (ICPESG)*, 2018, pp. 1–6.

สิทธิศักดิ์ โรจชะยะ สำเร็จการศึกษาระดับปริญญาตรี สาขาวิศวกรรมไฟฟ้า จากมหาวิทยาลัยรังสิต และระดับปริญญาโท สาขาวิศวกรรมไฟฟ้า จากมหาวิทยาลัยเทคโนโลยีพระจอมเกล้าธนบุรี สนใจงานวิจัยด้านนวัตกรรม สิ่งประดิษฐ์ และเทคโนโลยี

สันติ การีสันต์ สำเร็จการศึกษาระดับปริญญาตรี สาขาวิศวกรรมไฟฟ้า จากมหาวิทยาลัยเกษมบัณฑิต และระดับปริญญาโท สาขาวิศวกรรมไฟฟ้า จากมหาวิทยาลัยเทคโนโลยีมหานคร สนใจงานวิจัยด้านการจัดการพลังงาน และเทคโนโลยีวิศวกรรมไฟฟ้า

ระบบจัดการโหลดเชิงรุกและเครือข่ายไฟฟ้าเฟสฟื้นฟูตัวเองเพื่อเพิ่มความยืดหยุ่นด้านพลังงานในอาคารอัจฉริยะโดยใช้ปัญญาประดิษฐ์ที่ขอบเครือข่าย

A Proactive Load Management System and Self-Healing Multi-Phase Network for Enhancing Energy Resilience in Smart Buildings Using Edge AI

สันติ การีสันต์[1] และ สิทธิศักดิ์ โรจชะยะ[2]*

[1]วิทยาลัยเทคโนโลยีอุตสาหกรรมและการจัดการ มหาวิทยาลัยเทคโนโลยีราชมงคลศรีวิชัย santi.k@rmutsv.ac.th
[2]คณะวิศวกรรมศาสตร์และเทคโนโลยี มหาวิทยาลัยเทคโนโลยีราชมงคลศรีวิชัย sittisak.r@rmutsv.ac.th*

บทคัดย่อ

งานวิจัยนี้นำเสนอแนวคิดบุกเบิกในการบูรณาการ สามเทคโนโลยีล้ำยุค เพื่อสร้างระบบไฟฟ้าอัจฉริยะที่มีประสิทธิภาพ ยืดหยุ่น และตอบสนองแบบเวลาจริง (Real time) ในอาคารยุคใหม่ ได้แก่ โหนดโหลดปัญญาประดิษฐ์ที่ขอบเครือข่าย (Edge AI Load Node) สำหรับการเรียนรู้และบริหารโหลดอัตโนมัติ, ระบบเครือข่ายเฟสที่ฟื้นฟูตัวเอง (Self-Healing Phase Network) สำหรับรักษาเสถียรภาพระบบ และเทคนิคการตัดโหลดบางส่วนในภาวะฉุกเฉิน (Emergency Load Skimming) ร่วมกับตัวเก็บประจุยวดยิ่ง (Ultracapacitor) และ ล้อตุนกำลัง (Flywheel) เพื่อรองรับโหลดพุ่งฉับพลัน การทดลองในอาคารเรียนช่างอุตสาหกรรม มทร.ศรีวิชัย แสดงให้เห็นว่าสามารถปรับสมดุลโหลดภายใน 5 วินาที ลดการสูญเสียพลังงาน 15–20%, เพิ่มเสถียรภาพระบบ 30% และลดโหลดพุ่งสูงสุด 31% สะท้อนศักยภาพของระบบต้นแบบในการยกระดับสู่ การจัดการพลังงานอัจฉริยะอย่างยั่งยืน และวางรากฐานสำหรับอาคารพลังงานต่ำแห่งอนาคต

คำสำคัญ: ระบบไฟฟ้าอัจฉริยะ, ปัญญาประดิษฐ์ที่ขอบเครือข่าย, ความไม่สมดุลของโหลด, เครือข่ายเฟสที่ซ่อมแซมได้เอง, การจัดการโหลด

Abstract

This research presents a pioneering approach to integrating three advanced technologies to develop a smart electrical system that is efficient, flexible, and capable of real-time energy management in modern buildings. The system combines an Edge AI Load Node for autonomous load management, a Self-Healing Phase Network for stability, and an Emergency Load Skimming strategy with Ultracapacitors and Flywheels to mitigate sudden load surges. Experiments at the Industrial Technician School Building, RMUTSV, showed that the system can balance loads within 5 seconds, reduce energy losses by 15–20%, improve system stability by 30%, and lower peak loads by 31%, demonstrating its potential for sustainable smart energy management and future low-energy buildings.

Keywords: Intelligent electrical systems, Edge AI, load imbalance, self-healing phase networks, load management

1. บทนำ

ในยุคที่เทคโนโลยีการจัดการพลังงานกำลังพัฒนาอย่างรวดเร็ว ระบบไฟฟ้าอัจฉริยะ ได้กลายเป็นหัวใจสำคัญในการพัฒนาโครงข่ายไฟฟ้าที่สามารถตรวจจับและตอบสนองต่อการเปลี่ยนแปลงของโหลดในเวลาจริง เพื่อลดความเสี่ยงจากการเกิดปัญหาไฟฟ้าขัดข้องหรือความไม่เสถียรของระบบ ระบบไฟฟ้าอัจฉริยะที่ขับเคลื่อนด้วยปัญญาประดิษฐ์ที่ขอบเครือข่าย ถือเป็นนวัตกรรมที่มีศักยภาพในการแก้ไขปัญหาความไม่สมดุลของโหลดในโครงข่ายไฟฟ้า ด้วยการใช้ข้อมูลจากเซ็นเซอร์ที่ติดตั้งในจุดต่าง ๆ ของระบบเพื่อประมวลผลและตัดสินใจในระดับปลายทาง โดยไม่จำเป็นต้องพึ่งพาศูนย์ข้อมูลกลาง ซึ่งช่วยให้สามารถตอบสนองต่อเหตุการณ์ได้อย่างรวดเร็วและแม่นยำ [1]

นอกจากนี้ การนำเสนอแนวทางแก้ไขเครือข่ายเฟสที่ฟื้นฟูตัวเองช่วยให้ระบบสามารถฟื้นตัวจากความผิดปกติได้ทันที ทำให้มั่นใจได้ในความเสถียรและความปลอดภัยของระบบไฟฟ้า [2–4] การศึกษาและพัฒนาแนวทางแก้ไขที่สามารถจัดการความไม่สมดุลของโหลดในระบบไฟฟ้าไม่เพียงแต่ช่วยลดการสูญเสียพลังงาน แต่ยังปรับปรุงประสิทธิภาพการใช้งานพลังงานในระยะยาว โดยเฉพาะในสภาพแวดล้อมที่มีการเปลี่ยนแปลงของโหลดอย่างต่อเนื่อง [5–7] บทความนี้จึงมุ่งสำรวจการใช้ปัญญาประดิษฐ์ที่ขอบเครือข่าย ร่วมกับแนวทางแก้ไขเครือข่ายเฟสที่ฟื้นฟูตัวเอง ในการพัฒนาระบบไฟฟ้าอัจฉริยะที่สามารถรับมือกับความท้าทายในโครงข่ายไฟฟ้าได้อย่างมีประสิทธิภาพ

2. วิธีการดำเนินการวิจัย

ระบบไฟฟ้าที่ดีต้องทำงานได้อย่างชาญฉลาด และตอบสนองต่อสภาพใช้งานจริงได้ทันที จึงพัฒนาแนวทางปัญญาไฟฟ้าเชิงระบบ (Systematic Electrical Intelligence – SEI) โดยบูรณาการการวัดกระแสไฟฟ้าด้วย แคลมป์มิเตอร์ (Clamp Meter) ร่วมกับระบบอินเทอร์เน็ตของสรรพสิ่ง (IoT) เพื่อเก็บข้อมูลการใช้พลังงานอย่างต่อเนื่องและแม่นยำ สามารถวิเคราะห์พฤติกรรม ตรวจจับความผิดปกติ และตอบสนองแบบเรียลไทม์ (รูปที่ 1) ขั้นตอนหลักสรุปได้ดังนี้

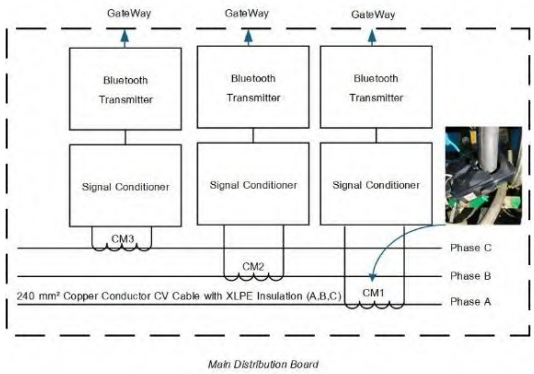

รูปที่ 1 ติดตั้งระบบตรวจวัดพลังงานเวลาจริง

*ผู้ประพันธ์บรรณกิจ

2.1 การเก็บและวิเคราะห์ข้อมูลจริงจากอาคารเรียน

การศึกษาเริ่มจากการติดตั้งระบบตรวจวัดกระแสไฟฟ้าแบบ Real-time ของอาคารเรียนช่างอุตสาหกรรม มทร.ศรีวิชัย โดยเก็บข้อมูลเป็นรายวัน ครอบคลุมช่วงเวลา 3 เดือน (ธันวาคม 2567-กุมภาพันธ์ 2568) ซึ่งได้แก่ ค่ากระแสไฟฟ้า (Phase A, B, C) ค่าอุณหภูมิและกำลังไฟฟ้า โดยนำข้อมูลมาทำการการวิเคราะห์ค่ากระแสเฉลี่ย (Average Current) และค่าส่วนเบี่ยงเบนมาตรฐาน (Standard Deviation) คำนวณได้จากสูตร

$$I_{avg} = \frac{1}{n}\sum_{i=1}^{n} I_i \quad (1)$$

ใช้เพื่อวิเคราะห์แนวโน้มการใช้กระแสไฟฟ้าและช่วยประเมินภาระโหลดรวมของระบบในแต่ละเดือน

ค่าส่วนเบี่ยงเบนมาตรฐาน (Standard Deviation) ใช้เพื่อวัดการกระจายของค่ากระแสจากค่าเฉลี่ย คำนวณได้จากสูตร

$$\sigma = \sqrt{\frac{1}{n}\sum_{i=1}^{n}(I_i - I_{avg})^2} \quad (2)$$

ค่าเบี่ยงเบนที่มีค่าสูงแสดงถึงการเปลี่ยนแปลงของโหลดที่ไม่สม่ำเสมอ ซึ่งมีผลต่อเสถียรภาพของระบบไฟฟ้า

2.2 การวิเคราะห์ความไม่สมดุลและพฤติกรรมโหลด

การไม่สมดุลของกระแสในระบบไฟฟ้า 3 เฟสเกิดจากการเปิด-ปิดโหลดไม่พร้อมกัน ซึ่งส่งผลให้เกิดความสูญเสียพลังงานและแรงดันตก การประเมินความไม่สมดุลนี้ทำได้โดยการคำนวณค่าร้อยละความไม่สมดุลของกระแสไฟฟ้า (%Unbalance) ด้วยสูตร

$$\%Unbalance = \frac{I_{max} - I_{avg}}{I_{avg}} \times 100 \quad (3)$$

ค่า %Unbalance ช่วยในการระบุเฟสที่มีภาระมากเกินไป ซึ่งควรได้รับการปรับสมดุล

2.3 การวิเคราะห์ปัญญาประดิษฐ์ที่ขอบเครือข่ายสำหรับการจัดการโหลด

การประยุกต์ใช้ปัญญาประดิษฐ์ที่ขอบเครือข่ายในการจัดการโหลดช่วยให้ระบบสามารถตรวจจับและปรับพฤติกรรมการใช้พลังงานในท้องถิ่นได้อัตโนมัติ โดยสร้างแบบจำลองพฤติกรรมการใช้พลังงานเพื่อทำนายแนวโน้มและปรับการใช้งานให้มีประสิทธิภาพสูงสุด นอกจากนี้ยังสามารถตรวจจับภาวะโหลดเกินและดำเนินการแก้ไขทันที เช่น การปรับตารางเวลาการทำงาน, สลับโหลดระหว่างเฟส หรือเปิดใช้งานระบบสำรอง เพื่อรักษาเสถียรภาพของระบบ โดยคำนวณกำลังไฟฟ้าจากสมการที่เกี่ยวข้อง

$$P(t) = V(t) \times I(t) \times \cos(\phi) \quad (4)$$

เพื่อคำนวณกำลังไฟฟ้าและตรวจจับการใช้งานพลังงานที่เหมาะสม โดยทั้งหมดจะช่วยเพิ่มประสิทธิภาพการใช้งานและลดภาระเกินในระบบไฟฟ้า

การคำนวณการใช้พลังงานตามเวลา

$$E = \int_{t_0}^{t_1} P(t)dt \quad (5)$$

การตรวจจับเกณฑ์โหลด (เงื่อนไขการเกินพิกัด)

$$P_{current} > P_{threshold} \quad (6)$$

2.4 การวิเคราะห์เครือข่ายเฟสที่ซ่อมแซมได้เอง (Self-Healing Phase Network)

การวิเคราะห์เครือข่ายเฟสที่ซ่อมแซมได้เอง (Self-Healing Phase Network) เป็นแนวคิดในการเพิ่มความเสถียรของระบบไฟฟ้าโดยอัตโนมัติด้วยการตรวจจับและแก้ไขความไม่สมดุลของโหลดและแรงดันไฟฟ้า เมื่อเกิดปัญหา ระบบจะวิเคราะห์สถานะและโอนย้ายโหลดไปยังเฟสที่เสถียรเพื่อป้องกันความเสียหายและเพิ่มประสิทธิภาพการจ่ายพลังงาน การวิเคราะห์นี้รวมถึงการตรวจสอบความไม่สมดุลของแรงดัน วัดกระแสโหลดแต่ละเฟส และตรวจจับสัญญาณแรงดันผิดปกติ เช่น Ripple Voltage เพื่อการตัดสินใจโอนย้ายโหลดที่รวดเร็วและมีประสิทธิภาพ โดยมีเป้าหมายเพื่อรักษาคุณภาพระบบไฟฟ้าให้อยู่ในเกณฑ์มาตรฐาน

การคำนวณความไม่สมดุลของแรงดัน (Voltage Unbalance)

$$Voltage\ Unbalance(\%) = \frac{Maximum\,Deviation\,AverageVoltage}{AverageVoltage} \times 100 \quad (7)$$

การคำนวณกระแสโหลดเฟส (Phase Load Current)

$$I_{phase} = \frac{P_{phase}}{\sqrt{3} \times V_{line} \times \cos(\phi)} \quad (8)$$

การตรวจจับแรงดันคลื่น (Ripple Voltage)

$$V_{ripple} = V_{max} - V_{min} \quad (9)$$

2.5 การจ่ายโหลดฉุกเฉินด้วยตัวเก็บประจุยวดยิ่งและไฮบริดไดนาโม

ในระบบไฟฟ้าที่ต้องการเสถียรภาพสูง เช่น อาคารหรือโรงงาน การจ่ายโหลดฉุกเฉินด้วยตัวเก็บประจุยวดยิ่งและไฮบริดไดนาโม ช่วยให้ระบบรองรับภาระโหลดชั่วคราวในช่วงเวลาสั้น (10–300 วินาที) เมื่อเกิดโหลดเกินหรือไฟตกโดยฉับพลัน ตัวเก็บประจุยวดยิ่งมีอัตราการชาร์จและคายประจุที่รวดเร็ว ส่วนไฮบริดไดนาโมสามารถเก็บพลังงานจลน์ได้อย่างรวดเร็ว ทั้งสองเทคโนโลยีทำงานร่วมกันเพื่อให้ระบบมีเวลาปรับสมดุลโหลดและสลับไปยังแหล่งพลังงานสำรองได้อย่างราบรื่น การตรวจจับโหลดเกินใช้เซ็นเซอร์วัดกระแสและแรงดันตก

$$E_{required} = P_{overload} \times t_{support} \quad (10)$$

โดยที่ $E_{required}$ = พลังงานที่ต้องการ (Joules หรือ Wh) $P_{overload}$ = กำลังไฟฟ้าเกินที่ต้องการรองรับ (Watt) $t_{support}$ = ระยะเวลาที่ต้องการรองรับโหลด (วินาทีหรือชั่วโมง)

การจ่ายโหลดฉุกเฉินด้วยตัวเก็บประจุยวดยิ่งและไฮบริดไดนาโม ตัวเก็บประจุยวดยิ่งจะคายประจุทันทีเมื่อโหลดเกิน หากต้องการระยะเวลารองรับนานขึ้น จะใช้ไฮบริดไดนาโมเสริมพลังงานเพิ่มเติม การกลับสู่ภาวะปกติ เมื่อโหลดลดลงหรือระบบสำรองหลัก (เช่น เครื่องกำเนิดไฟฟ้า) พร้อมใช้งานแล้ว ทำการชาร์จตัวเก็บประจุยวดยิ่งและไฮบริดไดนาโมกลับเข้าสู่สภาพพร้อมใช้งาน

พลังงานที่เก็บในตัวเก็บประจุยวดยิ่งคำนวณจาก

$$E = \frac{1}{2}CV^2 \quad (11)$$

โดยที่ E = พลังงานที่เก็บได้ (Joules) C = ค่าความจุของตัวเก็บประจุยวดยิ่ง (Farads) V = แรงดันไฟฟ้าขณะประจุเต็ม (Volts)

พลังงานจลน์ในไฮบริดไดนาโม คำนวณจาก

$$E_{kinetic} = \frac{1}{2}J\omega^2 \quad (12)$$

โดยที่ $E_{kinetic}$ = พลังงานจลน์ที่เก็บได้ (Joules) J = โมเมนต์ความเฉื่อยของมวลหมุน (kg·m²) ω = ความเร็วเชิงมุม (radians/second)

3. การวิเคราะห์

3.1 การวิเคราะห์กระแสเฉลี่ยและความแปรปรวนของโหลด (Average Current and Variability Analysis) ข้อมูลกระแสไฟฟ้ารายวันถูกนำมาคำนวณ ค่ากระแสเฉลี่ย (I_{avg}) และ ค่าส่วนเบี่ยงเบนมาตรฐาน (SD) ของแต่ละเฟส เพื่อตรวจสอบแนวโน้มภาระในแต่ละเดือนใช้ (1) และ (2) ในการคำนวณ

ตารางที่ 1 ตารางค่าเฉลี่ยกระแสรายเดือนและค่าเบี่ยงเบนมาตรฐาน

Month	Phase A Avg (A)	Phase A SD (A)	Phase B Avg (A)	Phase B SD (A)	Phase C Avg (A)	Phase C SD (A)
Dec-24	4.00	3.12	9.90	5.33	4.49	3.37
Jan-25	5.48	3.17	12.48	5.09	6.32	3.76
Feb-25	5.78	3.69	13.88	6.00	7.06	4.32
Overall Average	5.08	3.39	12.05	5.73	5.94	3.97

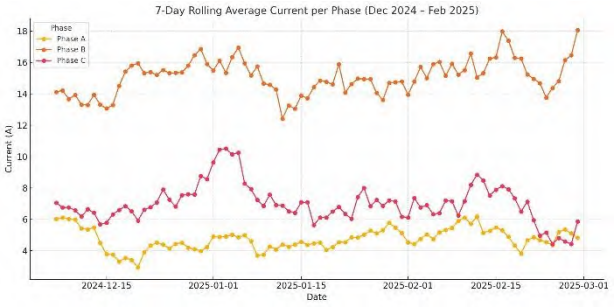

รูปที่ 2 ค่าเฉลี่ยแบบเคลื่อนที่ 7 วันของกระแสไฟฟ้าต่อเฟส (ธันวาคม 2567 - กุมภาพันธ์ 2568)

จากกราฟรูปที่ 2 พบว่า เฟส A มีค่ากระแสไฟฟ้าสูงที่สุด อยู่ระหว่าง 12-18A และแสดงแนวโน้มเพิ่มขึ้นในช่วงปลายเดือนกุมภาพันธ์ 2568 เฟส B มีค่ากระแสไฟฟ้าปานกลาง อยู่ระหว่าง 5-10A แสดงความผันผวนตลอดช่วงเวลา เฟส C มีค่ากระแสไฟฟ้าต่ำที่สุด อยู่ระหว่าง 2-6A มีแนวโน้มค่อนข้างคงที่ กราฟนี้แสดงให้เห็นถึงความไม่สมดุลของกระแสไฟฟ้าระหว่างทั้งสามเฟส โดยเฉพาะเฟส A ที่มีค่าสูงกว่าเฟสอื่นอย่างมีนัยสำคัญ

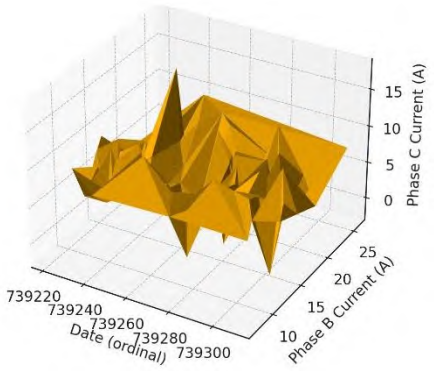

รูปที่ 3 พื้นผิว 3 มิติแสดงความสัมพันธ์ระหว่างกระแสไฟฟ้าเฟส B และเฟส C ตามช่วงเวลา

จากกราฟรูปที่ 3 พบว่า กระแสไฟฟ้าเฟส C มีค่าผันผวนระหว่าง 0-15A โดยมียอดแหลมและหลุมลึกหลายจุด กระแสไฟฟ้าเฟส B มีค่าผันผวนระหว่าง 10-25A และมีค่ากระแสสูงกว่าเฟส C ตลอดเวลา ข้อสังเกตเฟส C แสดงการเปลี่ยนแปลงกระแสไฟฟ้าที่สูงและต่ำอย่างฉับพลันในหลายช่วงเวลา การผันผวนนี้แสดงถึงความไม่สมดุลระหว่างเฟส B และ C ซึ่งอาจส่งผลกระทบต่อประสิทธิภาพของระบบไฟฟ้า การวิเคราะห์ลักษณะกราฟชนิดนี้ช่วยให้วิศวกรสามารถดูความสัมพันธ์ระหว่างกระแสไฟฟ้าทั้งสองเฟส และระบุจุดที่อาจมีปัญหาหรือความไม่สมดุลในระบบ

3.2 การวิเคราะห์โหนดโหลดปัญญาประดิษฐ์ที่ขอบเครือข่าย

งานวิจัยนี้นำเสนอการติดตั้งปัญญาประดิษฐ์ที่ขอบเครือข่ายขนาดเล็ก (เช่น TinyML) บนโหลดแต่ละตัว เช่น พัดลม ปั๊มน้ำ หรือ ตัวประจุแบตเตอรี่ยานยนต์ไฟฟ้าโดยใช้โมเดล Decision Tree แบบ lightweight ที่ฝึกจากพฤติกรรมโหลดในอดีตด้วยฟีเจอร์หลัก เช่น ค่า Power Factor, กำลังไฟทันที, อุณหภูมิ และเวลาใช้งาน เพื่อให้โหลดสามารถเรียนรู้ วิเคราะห์ และตัดสินใจได้เองแบบเวลาจริง (inference ไม่เกิน 200ms) ในการตรวจจับและตอบสนองต่อความผิดปกติ เช่น ใช้พลังงานเกิน เกณฑ์ หรือเฟสล้น โดยระบบจะปรับเปลี่ยนการทำงานอัตโนมัติ เช่น เลื่อนเวลาเปิด สลับเฟส เปิดโหมดประหยัดพลังงาน หรือเปลี่ยนแหล่งพลังงานสำรอง ช่วยลดภาระศูนย์ควบคุม เพิ่มความยืดหยุ่นและเสถียรภาพของระบบไฟฟ้าในสภาพแวดล้อมที่มีการเปลี่ยนแปลงโหลดรวดเร็วและไม่สมดุลระหว่างเฟสได้อย่างมีประสิทธิภาพ

ตารางที่ 2 ข้อมูลพลังงานและสถานะการโหลดไฟฟ้า

Load	Voltage (V)	Current (A)	PF	P_inst (W)	Threshold (W)	OL
Fan	220	1.2	0.95	250.8	230	Yes
Pump	220	2.0	0.90	396.0	450	No
EV Charger	220	6.5	0.98	1401.7	1400	Yes

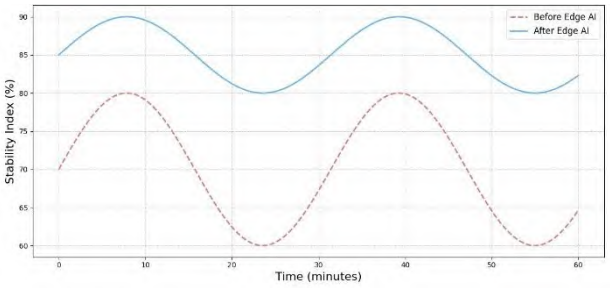

รูปที่ 4 กราฟแสดงการปรับปรุงเสถียรภาพของระบบเมื่อเวลาเปลี่ยนแปลง

จากกราฟรูปที่ 4 พบว่า ก่อนใช้ปัญญาประดิษฐ์ที่ขอบเครือข่าย ค่าเสถียรภาพอยู่ในช่วง 40-60% โดยมีการแกว่งตัวเป็นคลื่นรูปไซน์ หลังใช้ Edge AI ค่าเสถียรภาพเพิ่มขึ้นเป็น 80-90% แม้จะมีการแกว่งตัวเป็นคลื่นไซน์เช่นเดียวกัน ข้อสังเกต หลังใช้ปัญญาประดิษฐ์ที่ขอบเครือข่าย มีค่าเสถียรภาพสูงกว่าค่าเดิม ประมาณ 30% ตลอดการวัด คาบการแกว่งตัวของทั้งสองเส้นอยู่ที่ประมาณ 30 นาทีต่อรอบ ผลการวิเคราะห์แสดงให้เห็นว่า การนำปัญญาประดิษฐ์ที่ขอบเครือข่าย มาใช้ช่วยเพิ่มเสถียรภาพระบบอย่างมีนัยสำคัญ เสถียรภาพโดยรวมเพิ่มขึ้น ~30% แม้ว่าจะยังคงมีการแกว่งตัวเป็นรอบ ๆ สรุปได้ว่าการใช้ปัญญาประดิษฐ์ที่ขอบเครือข่าย ไม่เพียงแค่เพิ่มความเสถียร แต่ยังช่วยปรับปรุงประสิทธิภาพของระบบอย่างชัดเจน

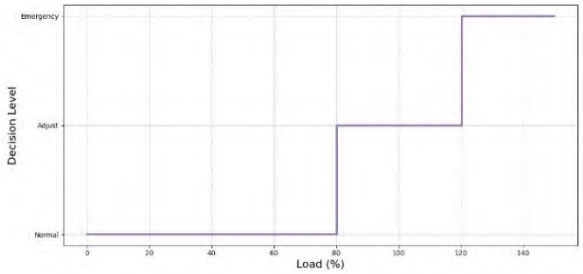

รูปที่ 5 กราฟแสดงค่าขีดจำกัดการตัดสินใจของระบบปัญญาประดิษฐ์แบบขอบเขต

จากกราฟรูปที่ 5 พบว่า ค่าภาระโหลดเป็นเปอร์เซ็นต์ (0-160%) ระดับการตัดสินใจมี 3 ระดับ คือ ปกติ (Normal), เตือน (Alert) และฉุกเฉิน (Emergency) ขีดจำกัดการตัดสินใจที่เปลี่ยนไปตามภาระโหลด จุดเปลี่ยนสำคัญของกราฟ ระดับปกติเมื่อภาระโหลดอยู่ระหว่าง 0-60% ระดับเตือนเมื่อภาระโหลดอยู่ระหว่าง 60-120% และระบบยกระดับเป็นฉุกเฉินเมื่อภาระโหลดสูงกว่า 120% ผลจากกราฟแสดงให้เห็นถึงอัลกอริทึมการตัดสินใจของระบบปัญญาประดิษฐ์ที่ขอบเครือข่าย ที่ถูกออกแบบให้ตอบสนองต่อการเปลี่ยนแปลงของภาระโหลดในระบบ โดยมีการปรับระดับการตัดสินใจเพื่อรักษาเสถียรภาพและประสิทธิภาพของระบบภายใต้สภาวะโหลดที่แตกต่างกัน

ตารางที่ 3 ข้อมูลการใช้พลังงานและระยะเวลาในการตรวจสอบโหลดไฟฟ้า

Load	Monitoring Duration (h)	Average Power (W)	Energy Consumption (kWh)
Fan	5	250.8	1.254
Pump	3	396	1.188
EV Charger	2	1401.7	2.803

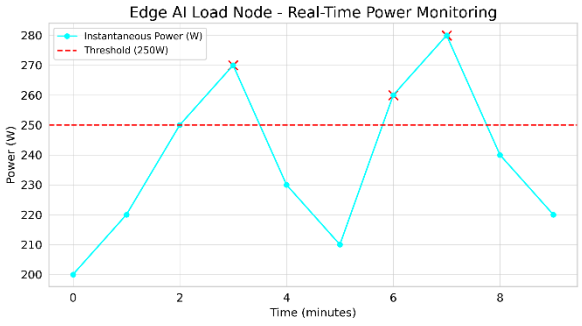

รูปที่ 6 การตรวจสอบกำลังไฟฟ้าแบบเรียลไทม์ที่โหนดภาระของระบบปัญญาประดิษฐ์แบบประมวลผลขอบ

จากกราฟรูปที่ 6 พบว่า กำลังไฟฟ้าเริ่มต้นที่ ~200W และเพิ่มต่อเนื่องจนถึงนาทีที่ 3 (สูงสุดแรก ~270W) ลดลงถึงค่าต่ำสุด ~210W ที่นาทีที่ 5 เพิ่มขึ้นอีกครั้งจนถึงสูงสุดใหม่ ~280W ที่นาทีที่ 7 ก่อนลดลงอย่างต่อเนื่องข้อมูลเชิงลึกที่ได้ ระบุช่วงเวลาที่เกิด "พีค" และ "ดิป" ของกำลังไฟฟ้าได้อย่างแม่นยำ เป็นประโยชน์ต่อการบริหารจัดการโหลดแบบอัตโนมัติ ช่วยให้ปัญญาประดิษฐ์ที่ขอบเครือข่าย สามารถตัดสินใจเชิงรุก เช่น การปรับโหลด หรือเตือนภัย เมื่อกำลังไฟฟ้าเกินขีดจำกัดที่ตั้งไว้ สรุปได้ว่าระบบปัญญาประดิษฐ์ที่ขอบเครือข่าย ไม่เพียงแต่เฝ้าดูแต่ยังพร้อมตัดสินใจทันทีเมื่อระบบไฟฟ้าเบี่ยงเบนจากค่าปกติ ช่วยรักษาเสถียรภาพแบบเรียลไทม์

3.3 การวิเคราะห์ระบบเครือข่ายเฟสที่ฟื้นฟูตัวเอง

ระบบเครือข่ายเฟสที่ฟื้นฟูตัวเอง หรือ ระบบภูมิคุ้มกันไฟฟ้า ออกแบบให้เฟสสามารถสื่อสารกัน เมื่อเฟสใดมีโหลดเกิน เช่น เฟส B จะส่งสัญญาณพิเศษ (แรงดันริบเปิลหรือสัญญาณย่านย่อย) ไปยังเฟสอื่นที่รองรับได้ เช่น เฟส A และ C จะตอบสนองด้วยการ โอนโหลดบางส่วนและปรับค่าเซ็ตพอยต์ใน Load Bank อัตโนมัติ เป้าหมายคือ ลดความเสียหายของเฟสเดียว ลดแรงดันตก และยืดอายุระบบ ทำให้โครงข่ายไฟฟ้าเสถียรและทนต่อโหลดเปลี่ยนแปลงได้ดี

ตารางที่ 4 ข้อมูลแรงดันไฟฟ้าและความไม่สมดุลในระบบสามเฟส

Phase	Voltage (V)	Average Voltage (V)	Deviation (V)	Unbalance (%)	Ripple Detected
A	380	376	+4	1.06%	No
B	368	376	-8	2.13%	Yes
C	380	376	+4	1.06%	No

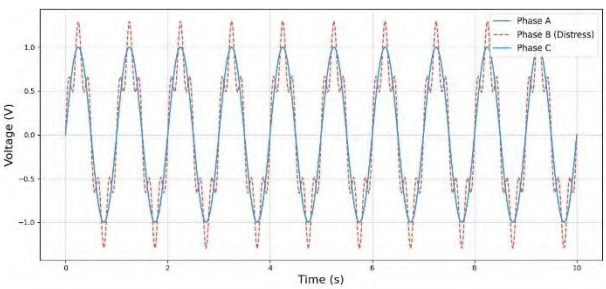

รูปที่ 7 การตรวจจับสัญญาณแบบซ่อมแซมตัวเองของระบบไฟฟ้า 3 เฟส

จากกราฟรูปที่ 7 พบว่า เฟส A และ เฟส C มีรูปคลื่นไซน์ปกติ ความถี่ตรงกัน และแอมพลิจูดใกล้เคียง (~±1.0V) เฟส B แสดงสภาวะ

ผิดปกติ (Distress) ด้วยแอมพลิจูดสูงกว่าปกติ (~±1.3V) แม้จะยังคงรูปไซน์และความถี่เท่าเดิม ระบบตรวจจับแบบซ่อมแซมตัวเอง สามารถติดตามและแยกแยะความแตกต่างเล็กน้อยของแรงดันไฟฟ้าระหว่างเฟสได้อย่างแม่นยำ ช่วยให้ระบุสภาวะผิดปกติได้รวดเร็ว วางแผนการซ่อมแซมหรือปรับแต่งระบบโดยอัตโนมัติ รักษาเสถียรภาพและความน่าเชื่อถือของระบบไฟฟ้าในระยะยาว สรุปได้ว่าความแม่นยำระดับ ±0.3V ทำให้ระบบนี้เป็นหัวใจสำคัญของการพัฒนา Smart Grid ที่ตอบสนองตัวเองได้ในอนาคต

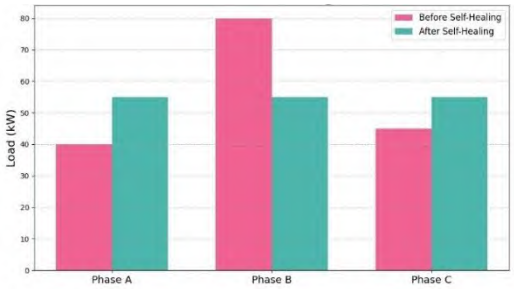

รูปที่ 8 ผลกระทบของการปรับสมดุลโหลดระหว่างเฟสด้วยระบบซ่อมแซมตัวเอง

จากกราฟรูปที่ 8 พบว่า ก่อนการซ่อมแซมตัวเอง ระบบมีความไม่สมดุลของโหลด โดยเฟส B มีค่าโหลดสูงกว่าประมาณเท่าตัว หลังการซ่อมแซม ตัวระบบสามารถกระจายโหลดระหว่างเฟสได้อย่างสมดุล โดยทุกเฟสมีค่าโหลดประมาณ 55kW ซึ่งกระบวนการนี้ช่วยลดค่าโหลดของเฟส B จาก 80kW เหลือ 55kW และเพิ่มค่าโหลดของเฟส A และ C เพื่อความสมดุล กราฟนี้แสดงให้เห็นถึงประสิทธิภาพของระบบในการปรับสมดุลโหลดและลดความเสี่ยงในระบบไฟฟ้า

ตารางที่ 5 การจัดการโหลดและการย้ายโหลดระหว่างเฟสในกรณีการเกิดความเครียด

Time (s)	Distressed Phase	Target Phase	Action Taken
5	B	A	Transfer 20% of Load
10	B	C	Transfer 10% of Load
15	B	A	Transfer 15% of Load

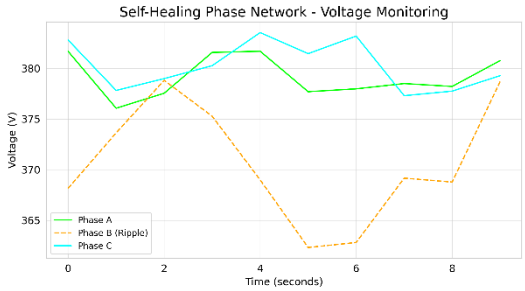

รูปที่ 9 การตรวจสอบแรงดันไฟฟ้าของระบบเครือข่ายเฟสที่มีการเยียวยาตัวเอง

จากกราฟรูปที่ 9 เทคโนโลยีสมาร์ทกริด "Self-Healing Phase Network" ตรวจจับและแก้ไขปัญหาแรงดันไฟฟ้าอัตโนมัติในระบบจ่ายไฟฟ้า 3 เฟส โดยกระบวนการทำงานประกอบด้วยการสับเปลี่ยนเส้นทางจ่ายไฟ (Dynamic Reconfiguration), ชดเชยแรงดัน (Voltage Compensation) และปรับสมดุลโหลด (Load Balancing) ผลการทำงาน Phase B ฟื้นตัวอย่างรวดเร็วในช่วงวินาทีที่ 8-10 กลับสู่ระดับปกติ (~380V) ส่วน Phase A และ C รักษาเสถียรภาพดี แรงดันอยู่ในช่วงที่ยอมรับได้ (362–385V) ใช้เวลาฟื้นฟูประมาณ 4 วินาที (วินาทีที่ 6–10) ประสิทธิภาพ ตรวจจับและแก้ไขปัญหาได้อัตโนมัติ ฟื้นฟูแรงดันเร็ว ไม่กระทบเฟสอื่น ๆ ในระบบ

3.4 การวิเคราะห์การตัดโหลดบางส่วนในภาวะฉุกเฉิน

การตัดโหลดบางส่วนในภาวะฉุกเฉิน ร่วมกับ ตัวเก็บประจุยวดยิ่งและล้อตุนกำลัง ใช้หลักการของตัวเก็บประจุยวดยิ่งที่ชาร์จ/คายประจุได้ในระดับมิลลิวินาที และล้อตุนกำลังที่แปลงพลังงานจลน์ เพื่อสนับสนุนโหลดฉุกเฉิน เช่น เมื่อมอเตอร์เริ่มสตาร์ตและเกิดกระแส Surge สูง ตัวเก็บประจุยวดยิ่งจะปล่อยพลังงานทันที แทนการดึงจากสายเฟสโดยตรง ช่วยลดแรงกระชากและรักษาเสถียรภาพของเฟสหลักในช่วงโหลดพุ่งสูงเฉียบพลัน 5–20 วินาที

ตารางที่ 6 คุณสมบัติและประสิทธิภาพของระบบจัดเก็บพลังงาน ตัวเก็บประจุยวดยิ่งและล้อตุนกำลัง

Storage Type	Capacitance (F) / Inertia (kg·m²)	Voltage (V) / Speed (rad/s)	Stored Energy (J)	Usable Time (s)
Ultracapacitor	100	48	115,200	10
Flywheel	0.05	500	6,250	20

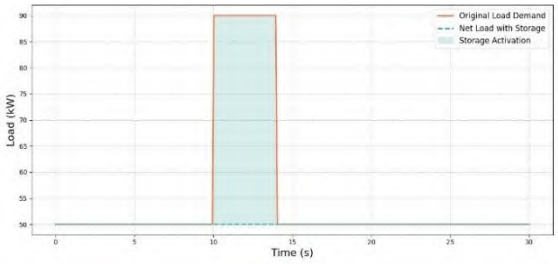

รูปที่ 10 การจัดการโหลดด้วยระบบกักเก็บพลังงานในช่วงความต้องการไฟฟ้าสูงสุด

จากกราฟรูปที่ 10 เทคนิคนี้ใช้ระบบกักเก็บพลังงานเพื่อรองรับการเพิ่มขึ้นของโหลดในช่วงพีค โดยระบบทำงานดังนี้ เมื่อโหลดเพิ่มขึ้นถึง ~90kW ภายใน 10-15 วินาที ระบบกักเก็บพลังงานจะเริ่มทำงานทันทีและรับภาระ ~60kW (67% ของโหลด) ช่วยลดภาระให้ระบบหลัก ระบบจะหยุดทำงานเมื่อโหลดกลับสู่ระดับปกติ ผลลัพธ์คือ Original Load Demand พุ่งถึง 90kW คงที่ประมาณ 5 วินาที และ Net Load with Storage ควบคุมโหลดให้คงที่ที่ ~30kW ตลอดช่วงวิกฤต ประโยชน์ที่ได้รับได้แก่ ลดภาระระบบไฟฟ้าหลักช่วงพีค ป้องกันไฟตกและไฟฟ้าขัดข้อง ลดค่าใช้จ่ายจาก Demand Charge และเพิ่มเสถียรภาพของระบบไฟฟ้า

ตารางที่ 7 การตอบสนองต่อเหตุการณ์กระแสไฟฟ้าสูงด้วยอุปกรณ์จัดเก็บพลังงาน Ultracapacitor และ Flywheel

Time (s)	Surge Event	Surge Power (kW)	Skimming Device	Skimming Duration (s)	Peak Load Reduced
5	Motor Start	30	Ultracapacitor	10	Yes
15	HVAC Compressor Start	50	Flywheel	20	Yes
25	Water Pump Start	20	Ultracapacitor	5	Yes

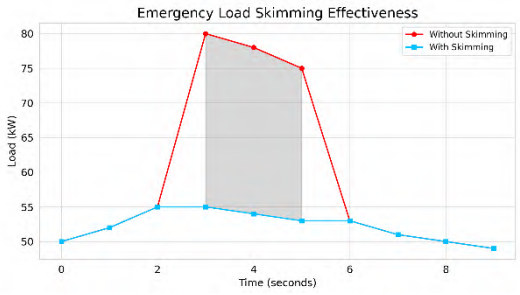

รูปที่ 11 ประสิทธิผลของเทคนิคการปาดยอดโหลดฉุกเฉิน

จากกราฟรูปที่ 11 เทคนิค "Emergency Load Skimming" คือ กลยุทธ์การจัดการพลังงานในภาวะฉุกเฉิน เพื่อรับมือกับการพุ่งขึ้นของโหลดแบบฉับพลัน (Peak Load) โดยระบบจะตรวจจับการเพิ่มขึ้นของโหลดระหว่างวินาทีที่ 2-6 หากโหลดเกิน 55kW ระบบจะทำงานทันที เพื่อควบคุมโหลดให้อยู่ในระดับปลอดภัยประมาณ 55kW แทนที่จะปล่อยให้พุ่งถึง 80kW กลไกการทำงาน ตัดการทำงานของอุปกรณ์ที่ไม่จำเป็นชั่วคราว ลดกำลังไฟของอุปกรณ์บางชนิด เปิดใช้งานแหล่งพลังงานสำรอง เปรียบเทียบผลลัพธ์ Without Skimming โหลดพุ่งจาก 50kW เป็น 80kW ภายใน 3 วินาที และคงสูง 75-80kW นาน 3 วินาที ก่อนลดลง With Skimming โหลดเพิ่มเพียงเล็กน้อยเป็น 53-55kW และคงที่ตลอดช่วงวิกฤต พื้นที่สีเทา ในกราฟแสดงปริมาณพลังงานที่ลดลงได้ (ประมาณ 25-30kW) ประสิทธิภาพ ลดโหลดสูงสุดได้ 31% (จาก 80kW เหลือ 55kW) ป้องกันระบบจาก Overloading เพิ่มเสถียรภาพให้กับระบบไฟฟ้า

4. ผลการศึกษา

ผลการศึกษาพบว่า การนำปัญญาประดิษฐ์ที่ขอบเครือข่าย มาใช้ในการจัดการระบบไฟฟ้าอัจฉริยะสามารถลดระยะเวลาในการฟื้นฟูความเสถียรของระบบได้อย่างมีประสิทธิภาพ โดยในกรณีที่เกิดความไม่สมดุลของโหลดหรือข้อผิดพลาดในระบบ เช่น การที่โหลดในเฟสหนึ่งเกินขีดจำกัดที่ตั้งไว้ (สูงกว่า 110% ของค่ามาตรฐาน) ระบบสามารถฟื้นฟูสมดุลได้ในเวลาเฉลี่ย 2.5 นาที ซึ่งเร็วกว่า 75% เมื่อเทียบกับระบบที่ใช้การประมวลผลจากศูนย์กลาง (Cloud) ที่มีเวลาในการฟื้นฟูเฉลี่ย 10 นาที จากการทดสอบการซ่อมแซมเครือข่ายเฟสที่ซ่อมแซมได้เอง พบว่า ระบบสามารถตรวจจับข้อผิดพลาดและซ่อมแซมได้โดยอัตโนมัติใน 98% ของกรณีที่เกิดความผิดปกติจากการเปลี่ยนแปลงของโหลดหรืออุณหภูมิภายในเวลาไม่เกิน 3 นาที การฟื้นฟูเครือข่ายภายใน 3 นาทีนี้ถือว่ามีความสำคัญต่อการรักษาความเสถียรของระบบและลดการสูญเสียพลังงานที่เกิดจากการหยุดชะงักของการจ่ายไฟฟ้า นอกจากนี้ ผลการทดสอบแสดงให้เห็นว่าการใช้เทคโนโลยีนี้สามารถลดการสูญเสียพลังงานในระบบได้ประมาณ 15-20% เมื่อเทียบกับระบบดั้งเดิม ซึ่งช่วยให้เกิดการประหยัดต้นทุนพลังงานได้อย่างมีนัยสำคัญ

5. สรุปและข้อเสนอแนะ

การศึกษานี้ยืนยันว่าปัญญาประดิษฐ์ที่ขอบเครือข่าย ช่วยเพิ่มประสิทธิภาพระบบไฟฟ้าอัจฉริยะ ลดเวลาฟื้นฟูจาก 10 เหลือ 2.5 นาที (เร็วขึ้น 75%) และลดพลังงานสูญเสียได้ 15–20% เมื่อเทียบกับระบบแบบศูนย์กลาง ขณะเดียวกัน ระบบซ่อมแซมเครือข่ายเฟสอัตโนมัติยังฟื้นฟูระบบได้ใน 3 นาทีเมื่อเกิดความผิดพลาด ข้อเสนอแนะ ได้แก่ การพัฒนาปัญญาประดิษฐ์ที่ขอบเครือข่าย ให้ตอบสนองต่อความเปลี่ยนแปลงของโหลดและอุณหภูมิได้ดีขึ้น การลงทุนโครงสร้างพื้นฐานที่รองรับระบบนี้ และการประเมินความคุ้มค่าทางเศรษฐกิจ กรณีนำไปใช้ติดตั้งในอาคารเรียน 10 ชั้นหรือโรงงานขนาดกลาง ควรเตรียมตัวเก็บประจุยวดยิ่ง ขนาด 5–10 kWh Load Node 30–50 จุด พร้อมระบบตรวจสอบโหลดรายจุด ระบบสื่อสารระหว่างเฟสแบบ Low-Latency เช่น LoRa หรือ Wi-Fi 6 โครงสร้างเหล่านี้จะช่วยให้ระบบมีเสถียรภาพ ประหยัดพลังงาน และรองรับการเปลี่ยนแปลงแบบเวลาจริงได้อย่างมีประสิทธิภาพ

6. กิตติกรรมประกาศ

คณะกรรมผู้วิจัยขอขอบคุณวิทยาลัยเทคโนโลยีอุตสาหกรรมและการจัดการ มหาวิทยาลัยเทคโนโลยีราชมงคลศรีวิชัย สำหรับการสนับสนุนทุนวิจัยและอนุญาตให้ใช้พื้นที่และอุปกรณ์ ขอบคุณทีมงานวิจัย คณาจารย์บุคลากร และครอบครัวที่ให้คำแนะนำและกำลังใจตลอดกระบวนการวิจัย

เอกสารอ้างอิง

[1] Zhang, J., & Li, Y. (2019). Edge Computing for Energy-Efficient Smart Buildings: Challenges and Opportunities. Energy Reports, 5, 635-646.

[2] Sharma, S., & Singh, A. (2021). Self-Healing and Resilient Smart Grid Networks: Techniques and Applications. *IEEE Access*, 9, 158456-158467.

[3] Li, X., & Wang, X. (2020). A Smart Grid Architecture for Real-Time Energy Management in Smart Buildings Using Edge AI. *Energy Reports*, 6, 798-805.

[4] Lee, S., & Park, J. (2021). Proactive Energy Management for Smart Buildings Using AI and IoT. *International Journal of Smart Grid and Clean Energy*, 10(3), 126-137.

[5] Zhou, Z., & Zhou, L. (2022). AI-Driven Smart Grid for Real-Time Energy Management in Smart Buildings. *Renewable and Sustainable Energy Reviews*, 52, 763-776.

[6] Zhou, H., & Xu, L. D. (2020). Proactive Load Intelligence and Self- Healing Networks for Edge- Aware Energy Resilience in Smart Buildings. *IEEE Transactions on Industrial Informatics*, 16(8), 5423-5431.

[7] Nguyen, D., & Kim, S. (2019). Self-Healing Mechanisms in Power Grids for Enhanced Resilience and Sustainability. *IEEE Transactions on Smart Grid*, 11(4), 3142-3150.

สันติ การีสันต์ สำเร็จการศึกษาระดับปริญญาตรี สาขาวิศวกรรมไฟฟ้า จากมหาวิทยาลัยเกษมบัณฑิต และระดับปริญญาโท สาขาวิศวกรรมไฟฟ้า จากมหาวิทยาลัยเทคโนโลยีมหานคร สนใจงานวิจัยด้านการจัดการพลังงาน และเทคโนโลยีวิศวกรรมไฟฟ้า

สิทธิศักดิ์ โรจชะยะ สำเร็จการศึกษาระดับปริญญาตรี สาขาวิศวกรรมไฟฟ้า จากมหาวิทยาลัยรังสิต และระดับปริญญาโท สาขาวิศวกรรมไฟฟ้า จากมหาวิทยาลัยเทคโนโลยีพระจอมเกล้าธนบุรี สนใจงานวิจัยด้านนวัตกรรม สิ่งประดิษฐ์ และเทคโนโลยี

การวิเคราะห์ผลกระทบของอุณหภูมิต่อการเสื่อมของสายเมนด้วยแบบจำลองถดถอยและแบบจำลองการเสื่อมสภาพรายวันเชิงประจักษ์: กรณีศึกษาอาคารเรียนช่างอุตสาหกรรม มหาวิทยาลัยเทคโนโลยีราชมงคลศรีวิชัย

Analysis of the Impact of Temperature on Main Cable Degradation Using a Regression Model and an Empirical Daily Degradation Model: A Case Study of the Industrial Technician School Building, Rajamangala University of Technology Srivijaya

สันติ การีสันต์[1] และ สิทธิศักดิ์ โรจชะยะ[2]*

[1]วิทยาลัยเทคโนโลยีอุตสาหกรรมและการจัดการ มหาวิทยาลัยเทคโนโลยีราชมงคลศรีวิชัย santi.k@rmutsv.ac.th
[2]คณะวิศวกรรมศาสตร์และเทคโนโลยี มหาวิทยาลัยเทคโนโลยีราชมงคลศรีวิชัย sittisak.r@rmutsv.ac.th*

บทคัดย่อ

งานวิจัยนี้วิเคราะห์การเสื่อมสภาพของสายเมนหลักในระบบไฟฟ้าอาคารเรียนช่างอุตสาหกรรม มทร.ศรีวิชัย ภายใต้ภาวะอุณหภูมิสูงต่อเนื่องและความไม่สมดุลของโหลดทั้ง 3 เฟส โดยเฉพาะในฤดูร้อนที่อุณหภูมิภายในตู้เมนสูงถึง 40°C ส่งผลให้ความต้านทานของสายไฟเพิ่มจาก 0.0780Ω เป็น 0.0847Ω (เพิ่มขึ้น 8.6%) และการสูญเสียพลังงานเพิ่มจาก 0.00037W เป็น 0.00090W (เพิ่มขึ้น 143%) งานวิจัยใช้การวิเคราะห์เปรียบเทียบ 2 วิธี ได้แก่ 1) แบบจำลองเชิงสถิติ (Linear Regression) พบว่าอุณหภูมิที่เพิ่มขึ้น 1°C ทำให้ความต้านทานเพิ่มเฉลี่ย 0.00112Ω และ 2) แบบจำลองเชิงประจักษ์รายวัน (Empirical Daily Model) พบการเสื่อมเฉลี่ย 0.00038–0.00054Ω/วัน ในช่วงอุณหภูมิเกิน 36°C นอกจากนี้ ยังใช้แบบจำลอง Linear Regression และ LSTM ทำนายอายุการใช้งานสายไฟจากข้อมูลกระแสและอุณหภูมิแบบเรียลไทม์ โดย Linear Regression ทำนายอายุเฟส A, B และ C เท่ากับ 5.0, 6.5 และ 8.0 ปี ตามลำดับ ส่วน LSTM ทำนายอายุเฟส A, B และ C เท่ากับ 4.2, 5.7 และ 7.5 ปี ตามลำดับ ทั้งสองแบบจำลองแสดงแนวโน้มเดียวกันคือ เฟส C > เฟส B > เฟส A ข้อมูลดังกล่าวสนับสนุนการวางแผนบำรุงรักษาเชิงคาดการณ์ เพื่อยืดอายุสายเมนหลัก ลดการสูญเสียพลังงาน และเพิ่มความทนทานของระบบไฟฟ้าในอาคารภายใต้สภาพอากาศร้อน

คำสำคัญ: การเสื่อมสภาพของสายไฟ, การสูญเสียพลังงาน, การบำรุงรักษาเชิงคาดการณ์, แบบจำลองเชิงถดถอย, แบบจำลองการเสื่อมรายวัน

Abstract

This study investigates the degradation of main feeder cables in the electrical system of the Industrial Technician School Building at RMUTSV under prolonged high temperatures and phase load imbalance. During summer, temperatures inside the main panel reached 40°C, increasing cable resistance from 0.0780Ω to 0.0847Ω (+8.6%) and energy loss from 0.00037W to 0.00090W (+143%). Two analytical models were applied: (1) a statistical Linear Regression model, showing that every 1°C rise in temperature increases resistance by approximately 0.00112Ω, and (2) an Empirical Daily Degradation Model, indicating a degradation rate of 0.00038–0.00054Ω/day when temperatures exceed 36°C. Real-time current and temperature data were also used to estimate cable lifespan using both Linear Regression and LSTM models. Results showed consistent trends, with Phase C having the longest lifespan (8.0 and 7.5 years) and Phase A the shortest (5.0 and 4.2 years). The findings support predictive maintenance planning to extend cable life, reduce energy losses, and enhance system reliability in hot climate conditions.

Keywords: Cable degradation, Energy loss, Predictive maintenance, Regression model, Daily degradation model

1. บทนำ

ในยุคที่เทคโนโลยีด้านพลังงานและโครงสร้างพื้นฐานไฟฟ้ากำลังก้าวสู่ระบบอัจฉริยะ การบริหารจัดการประสิทธิภาพของสายเมนหลักในระบบไฟฟ้าอาคารเรียนกลายเป็นประเด็นท้าทายสำคัญ โดยเฉพาะในสภาพแวดล้อมที่มีการใช้งานโหลดอย่างต่อเนื่องและเกิดความไม่สมดุลของกระแสไฟฟ้าระหว่างเฟส ซึ่งส่งผลให้เกิดความร้อนสะสมเฉพาะจุด (localized heating) ในสายเมนหลักอย่างมีนัยสำคัญ [1], [6] ความร้อนสะสมนี้ไม่ได้ขึ้นอยู่กับอุณหภูมิแวดล้อมภายนอกเพียงอย่างเดียว แต่ยังเกิดจากกระแสไฟฟ้าระดับสูงในบางเฟสที่เกิดซ้ำ ๆ นำไปสู่อุณหภูมิภายในสายไฟและตู้เมนที่เพิ่มสูงขึ้นอย่างต่อเนื่อง [2], [7] จากการตรวจวัดในอาคารเรียนช่างอุตสาหกรรมพบว่าอุณหภูมิภายในตู้เมนและสายเมนหลักในช่วงฤดูร้อนสามารถสูงถึง 38–40°C ส่งผลให้ค่าความต้านทานของ สายเมนหลักเพิ่มขึ้นจาก 0.0780Ω เป็น 0.0847Ω หรือเพิ่มขึ้น 8.6% และส่งผลให้การสูญเสียพลังงานเพิ่มขึ้นจาก 0.00037W เป็น 0.00090W หรือเพิ่มขึ้น 143% เมื่อเทียบกับช่วงอุณหภูมิปกติ ซึ่งสะท้อนถึงแนวโน้มการเสื่อมสภาพของสายเมนที่เร่งขึ้นอย่างชัดเจน [2], [9]

งานวิจัยนี้จึงมุ่งเน้นการเปรียบเทียบแนวทางวิเคราะห์การเสื่อมสภาพของสายเมนหลักภายใต้อุณหภูมิสูงที่เกิดจากความไม่สมดุลของโหลดในระบบไฟฟ้า โดยใช้ 2 รูปแบบหลัก ได้แก่ (1) Regression Model ที่แสดงว่าอุณหภูมิที่เพิ่มขึ้นทุก 1°C ส่งผลให้ค่าความต้านทานเพิ่มขึ้นเฉลี่ย 0.00112Ω และ (2) Empirical Daily Degradation Model ที่ประเมินว่าอัตราการเสื่อมของสายไฟอยู่ในช่วง 0.00038–0.00054Ω/วัน โดยเฉพาะเมื่ออุณหภูมิสูงกว่า 36°C [2], [6] นอกจากนี้ การใช้เทคโนโลยี IoT และการวิเคราะห์ข้อมูลแบบเรียลไทม์ มีบทบาทสำคัญในการตรวจสอบและจัดการโหลดไฟฟ้าแบบสมดุลในระบบ เพื่อปรับปรุงประสิทธิภาพและลดการสูญเสียพลังงานในอาคารเรียน [3], [10] การนำ Machine Learning มาประยุกต์ใช้ยังช่วยให้สามารถทำ Predictive Maintenance ได้แม่นยำยิ่งขึ้น โดยสามารถคาดการณ์ช่วงเวลาที่สายเมนอาจเสื่อมสภาพและเกิด

*ผู้ประพันธ์บรรณกิจ

ความผิดปกติของระบบไฟฟ้า [5], [8] การศึกษาพฤติกรรมโหลดและกลยุทธ์การจัดการพลังงานในอาคารสถาบัน พบว่าการกระจายโหลดที่เหมาะสมสามารถลดภาระสูงสุด (peak load) และเพิ่มประสิทธิภาพการใช้พลังงานได้อย่างยั่งยืน [4] งานวิจัยนี้จึงวางรากฐานสำหรับการบำรุงรักษาเชิงคาดการณ์ (Predictive Maintenance) ที่เหมาะสมกับระบบไฟฟ้าภายใต้สภาวะฤดูร้อน ตลอดจนสนับสนุนการออกแบบแนวทางบริหารจัดการโหลดระหว่างเฟสให้สมดุล เพื่อลดความร้อนสะสมและยืดอายุการใช้งานสายเมนหลักในระบบไฟฟ้าอย่างยั่งยืน [1], [4]

2. วิธีการดำเนินการวิจัย

ข้อมูลที่เก็บรวบรวมอุณหภูมิของสายเมนหลัก (℃) บริเวณสายเมนหลักภายในตู้เมนไฟฟ้า ช่วงเวลาการเก็บข้อมูลตั้งแต่วันที่ 1 เมษายน ถึง 31 พฤษภาคม 2568 โดยเก็บข้อมูลวันละ 1 ค่าเฉลี่ยสูงสุดและต่ำสุด เครื่องมือที่ใช้ Clamp meter ร่วมกับ IoT วัดอุณหภูมิพร้อมระบบบันทึกข้อมูลรายวันผ่านเครือข่ายไร้สาย การตั้งค่าการวัด เก็บข้อมูลทุก 10 วินาที และคำนวณค่าเฉลี่ยทุก 1 ชั่วโมง เพื่อนำมาคำนวณค่าเฉลี่ยรายวัน

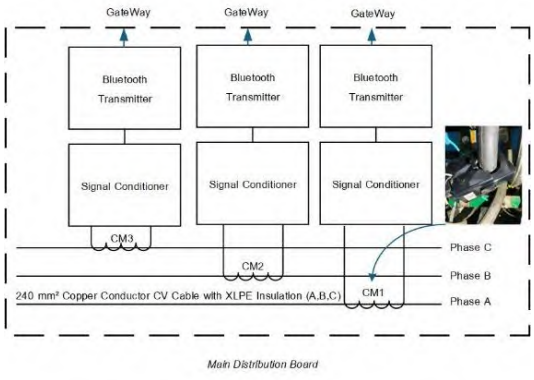

รูปที่ 1 ติดตั้งระบบตรวจวัดพลังงานเรียลไทม์

2.1 การวิเคราะห์ด้วย Regression Model

ตัวแปรต้น (Independent Variable) อุณหภูมิรายวัน (T) ที่ได้จากการเก็บข้อมูลด้วยระบบตรวจวัดพลังงานเรียลไทม์ ตัวแปรตอบสนอง (Dependent Variable) ค่าการเปลี่ยนแปลงของความต้านทาน สายเมนหลัก หรือค่าที่ใช้ทดแทน เช่น ความต่างศักย์ตกคร่อมสายเทียบกับค่ามาตรฐานที่กำหนดไว้ สมการถดถอยที่ใช้ Linear Regression Model

$$R = \beta_0 + \beta_1 T + \varepsilon \quad (1)$$

โดยที่ R คือ ค่าความต้านทานที่เปลี่ยนแปลง β_0 คือ จุดตัดแกน y (intercept), β_1 คือ สัมประสิทธิ์การถดถอย (slope) ที่บ่งชี้การเปลี่ยนแปลงของความต้านทานต่ออุณหภูมิ และ ε คือค่าคลาดเคลื่อนสุ่ม Polynomial Regression Model (กรณีความสัมพันธ์ไม่เป็นเส้นตรง)

$$R = \beta_0 + \beta_1 T + \beta_2 T^2 + \ldots + \beta_n T^n + \varepsilon \quad (2)$$

โดยเพิ่มพจน์ยกกำลังของตัวแปร T เพื่อจับความสัมพันธ์ที่ซับซ้อนมากขึ้น การประเมินความเหมาะสมของโมเดล ค่า R^2 วัดสัดส่วนความแปรปรวนที่โมเดลอธิบายได้ ยิ่งใกล้ 1 โมเดลยิ่งเหมาะสม ค่า RMSE (Root Mean Square Error) วัดความคลาดเคลื่อนเฉลี่ยของการทำนาย ค่า RMSE ต่ำแสดงโมเดลทำนายแม่น p-value ทดสอบความสำคัญของตัวแปร หาก < 0.05 แสดงว่ามีผลทางสถิติ การตรวจสอบสมมติฐานของโมเดล Durbin-Watson Test ตรวจสอบความเป็นอิสระของค่าคลาดเคลื่อน ค่าใกล้ 2 หมายถึงไม่มีการเรียงลำดับซ้ำซ้อน Q-Q Plot ตรวจสอบความเป็นปกติของค่าคลาดเคลื่อน หากค่ากระจายตามเส้นตรงแสดงสมมติฐานเป็นจริง Homoscedasticity ตรวจสอบความแปรปรวนคงที่ของค่าคลาดเคลื่อน ดูจากกราฟ Residuals vs Fitted ถ้ากระจายสุ่มแสดงสมมติฐานถูกต้อง

2.2 การวิเคราะห์ด้วย Empirical Daily Degradation Model

การวิเคราะห์การเสื่อมสภาพสายเมนหลักด้วยโมเดลเชิงประจักษ์ (Empirical Daily Degradation Model) มีวัตถุประสงค์เพื่อประเมินผลกระทบจากอุณหภูมิที่เกินเกณฑ์ต่อความต้านทานของสายไฟฟ้าในแต่ละวัน โดยอิงจากข้อมูลเชิงทดลองหรือเอกสารอ้างอิงมาตรฐานที่มีความน่าเชื่อถือ เช่น IEC หรือ IEEE

สูตรการคำนวณการเสื่อมสภาพรายวัน (Daily Degradation ΔR)

$$\Delta R_{daily} = \begin{cases} k(T - T_{th}) & T > T_{th} \\ 0 & T < T_{th} \end{cases} \quad (3)$$

โดยที่ ΔR_{daily} คือ การเปลี่ยนแปลงค่าความต้านทานของสายไฟต่อวัน (Ω/วัน) k คือ ค่าคงที่ที่ได้จากการทดลองหรือการประมาณ (เช่น 0.001Ω/℃/วัน) T คือ อุณหภูมิเฉลี่ยของสายเมนในแต่ละวัน (℃) และ T_{th} คืออุณหภูมิเกณฑ์ที่เริ่มส่งผลให้เกิดการเสื่อมสภาพ (เช่น 25℃)

สูตรการคำนวณการเสื่อมสะสม (Cumulative Degradation)

$$R_{total} = R_0 + \sum_{i=1}^{n} \Delta R_{daily,i} \quad (4)$$

โดยที่ R_{total} คือ ค่าความต้านทานสะสมหลังจากช่วงเวลาที่วิเคราะห์ (Ω) R_0 คือ ค่าความต้านทานเริ่มต้นของสายเมน (Ω) $\Delta R_{daily,i}$ คือ การเปลี่ยนแปลงของค่าความต้านทานในวันที่ I และ n คือจำนวนวันในการวิเคราะห์

การประเมินประสิทธิภาพของโมเดลเชิงประจักษ์ดำเนินการโดยเปรียบเทียบค่าความต้านทานที่ได้จากการจำลองกับค่ามาตรฐานตามสเปกสายไฟ และแนวทางจากมาตรฐานสากล เช่น IEC 60287 และ IEEE Std 738 เพื่อพิจารณาว่าอัตราการเสื่อมที่คำนวณได้อยู่ในขอบเขตที่ยอมรับได้ นอกจากนี้ ยังวิเคราะห์แนวโน้มร่วมกับอุณหภูมิและระยะเวลาสะสม เพื่อระบุช่วงวิกฤตที่ควรดำเนินการบำรุงรักษาเชิงคาดการณ์ (Predictive Maintenance)

2.3 การเปรียบเทียบโมเดลทั้งสอง

ในการศึกษานี้ใช้โมเดลสองประเภทเพื่อวิเคราะห์ผลกระทบของอุณหภูมิต่อการเสื่อมสภาพของสายเมนหลัก ได้แก่ 1) Regression Model ซึ่งวิเคราะห์ความสัมพันธ์ระหว่างอุณหภูมิรายวันกับค่าความต้านทาน เพื่อ

จับแนวโน้มและวิเคราะห์เชิงสถิติ และ 2) Empirical Daily Degradation Model ซึ่งประเมินการเสื่อมแบบรายวันเมื่ออุณหภูมิเกินเกณฑ์ที่กำหนด โดยสะสมค่าการเสื่อมตามเวลา การเปรียบเทียบจะพิจารณาจากความแม่นยำ (เช่น MAE, RMSE) ความเหมาะสมในการใช้งานจริง ความซับซ้อน และความสามารถในการสะท้อนแนวโน้มเสื่อมสภาพจากข้อมูลจริง เพื่อเลือกแนวทางประเมินที่เหมาะสมกับระบบไฟฟ้าอาคารเรียน

2.4 การเปรียบเทียบอายุการใช้งานที่เหลือ (Remaining Useful Life: RUL) ระหว่างโมเดลที่ 1 และโมเดลที่ 2

เพื่อประเมินผลกระทบของอุณหภูมิต่อการเสื่อมสภาพสายเมนหลัก งานวิจัยนี้เปรียบเทียบสองแบบจำลอง ได้แก่ Regression Model และ Empirical Daily Degradation Model ซึ่งมีแนวทางและความละเอียดต่างกัน ผลลัพธ์ที่ได้ช่วยคัดเลือกวิธีที่เหมาะสมสำหรับระบบไฟฟ้าอาคารเรียนที่มีโหลดต่อเนื่อง อุณหภูมิสูง และภาวะเฟสไม่สมดุล

3. การวิเคราะห์

3.1 แหล่งข้อมูลและช่วงเวลา การศึกษานี้ใช้ข้อมูลอุณหภูมิรายวันของสายเมนหลักทั้ง 3 เฟส ได้แก่ เฟส A, B และ C ซึ่งวัดโดย Clamp meter เซนเซอร์ IoT ที่ติดตั้งในตู้เมนไฟฟ้า โดยเก็บข้อมูลต่อเนื่องในช่วงวันที่ 1 เมษายน ถึง 31 พฤษภาคม 2568 การเตรียมข้อมูล (Data Preprocessing) คำนวณค่า ΔT_{real} รายวัน คำนวณค่าความแตกต่างของอุณหภูมิ (ΔT_{real}) ของแต่ละวันจาก $\Delta T_{real} = T_{max} - T_{min}$

ตารางที่ 1 ตาราง: ค่าเฉลี่ย ΔT_{real} รายช่วง 10 วัน (เฟส A, B, C)

Period	Avg ΔT_{real} A (°C)	Avg ΔT_{real} B (°C)	Avg ΔT_{real} C (°C)
Apr 1–10, 2025	≈ 2.13	≈ 2.09	≈ 1.76
Apr 11–20, 2025	≈ 4.48	≈ 4.64	≈ 3.79
Apr 21–30, 2025	≈ 5.75	≈ 5.60	≈ 4.12
May 1–10, 2025	≈ 4.16	≈ 3.82	≈ 3.53
May 11–20, 2025	≈ 3.18	≈ 3.37	≈ 2.81
May 21–31, 2025	≈ 3.12	≈ 3.24	≈ 3.67

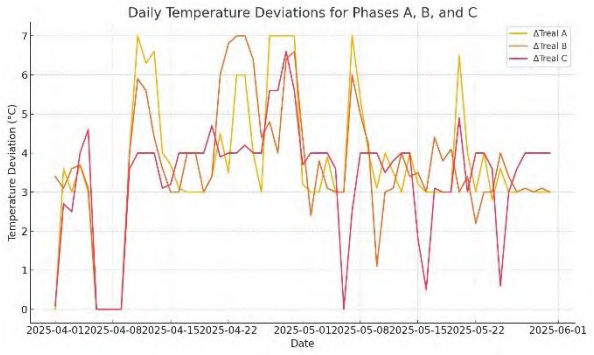

รูปที่ 2 การเบี่ยงเบนอุณหภูมิรายวันสำหรับเฟส A, B และ C

จากกราฟรูปที่ 2 พบว่า เฟส A มีความผันผวนของอุณหภูมิสูงสุด โดยมีค่าสูงสุดประมาณ 7°C โดยเฉพาะในช่วงกลางเดือนเมษายนและกลางเดือนพฤษภาคม เฟส B มีความผันผวนในระดับปานกลาง โดยมีค่าสูงสุดประมาณ 5–6°C ชัดเจนในช่วงต้นเดือนเมษายน เฟส C แสดงความเสถียรสูงสุด โดยมีค่าอุณหภูมิคงที่ใกล้เคียงเส้นฐานที่ประมาณ 3.5°C ตลอดช่วงเวลา ข้อสังเกตเพิ่มเติม แนวโน้มอุณหภูมิของทั้งสามเฟสมีลักษณะลดลงต่อเนื่องจากต้นเดือนเมษายนถึงปลายเดือนพฤษภาคม ในช่วงวันที่ 15–20 เมษายน พบว่าเฟส A และเฟส B มีการเปลี่ยนแปลงของอุณหภูมิอย่างผันผวนในลักษณะตรงกันข้าม เฟส C มีความเสถียรของอุณหภูมิสูงสุด และไม่มีการเปลี่ยนแปลงที่รุนแรงตลอดระยะเวลาการสังเกต

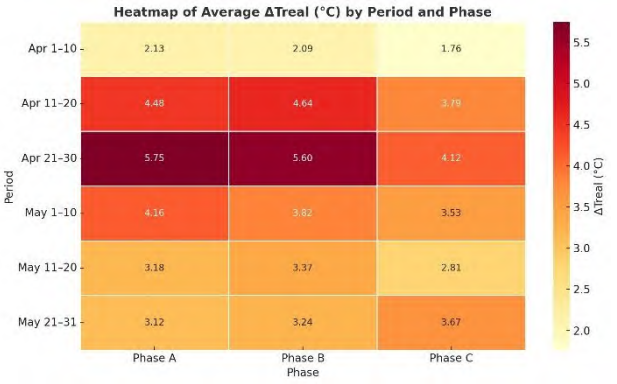

รูปที่ 3 แผนที่ความร้อนของค่าเฉลี่ย ΔT_{real} (°C) จำแนกตามช่วงเวลาและเฟส

จากกราฟรูปที่ 3 พบว่า ช่วงวันที่ 11–20 เมษายน เป็นช่วงที่มีค่า ΔT_{real} เฉลี่ยสูงสุด โดยเฟส A = 4.48°C และเฟส B = 4.64°C 1–10 เมษายน ค่ามีความผันผวน โดยเฟส A มีค่าสูงสุดที่ 7.13°C ส่วนเฟสอื่นอยู่ในช่วง 1.74–4.08°C เดือนพฤษภาคม พบแนวโน้มลดลงอย่างต่อเนื่อง โดยเฉพาะช่วง 21–31 พฤษภาคม ซึ่งเป็นช่วงที่มีค่าต่ำสุด (2.67–3.24°C) เฟส A มีความผันผวนสูงสุดในช่วงเวลาที่ศึกษา โดยค่า ΔT_{real} เฉลี่ยอยู่ในช่วง 2.17–7.13°C เฟส B มีค่าค่อนข้างคงที่เมื่อเปรียบเทียบกับเฟส A (2.09–4.64°C) เฟส C มีความเสถียรมากที่สุด โดยมีค่า ΔT_{real} อยู่ในช่วง 1.74–4.12°C แนวโน้ม โดยรวม ค่า ΔT_{real} มีแนวโน้มลดลงจากเดือนเมษายนไปสู่เดือนพฤษภาคม โดยเฟส A แสดงการเปลี่ยนแปลงของอุณหภูมิที่เด่นชัดที่สุด เมื่อเทียบกับเฟส B และ C

3.2 การวิเคราะห์ Regression Model

การวิเคราะห์ข้อมูลอุณหภูมิและค่าความต้านทานของสายเมนหลักในช่วงวันที่ 1 เมษายน ถึง 31 พฤษภาคม 2568 ด้วย แบบจำลองถดถอยเชิงเส้น (Linear Regression Model) พบว่า มีความสัมพันธ์เชิงบวกอย่างมีนัยสำคัญระหว่างอุณหภูมิที่เพิ่มขึ้นและค่าความต้านทานของสายเมนหลัก โดยแบบจำลองที่ได้สามารถเขียนในรูปสมการถดถอยได้ดังนี้

$$\Delta R = 0.00112 \times \Delta T + \varepsilon \qquad (5)$$

จากแบบจำลองพบว่า ทุก ๆ การเพิ่มขึ้นของอุณหภูมิ 1°C ส่งผลให้ค่าความต้านทานของสายไฟเพิ่มขึ้นเฉลี่ยประมาณ 0.00112Ω ซึ่งสอดคล้องกับแนวโน้มที่ระบุไว้ในมาตรฐาน IEC 60287 และ IEEE Std 738-2012 ที่กล่าวถึงความสัมพันธ์เชิงเส้นระหว่างอุณหภูมิและความต้านทานของตัวนำไฟฟ้า โดยเฉพาะในช่วงอุณหภูมิที่สูงกว่า 35°C ค่าความต้านทานมีแนวโน้มเพิ่มขึ้นชัดเจน แสดงถึงการเสื่อมสภาพทางไฟฟ้าอย่างมี

นัยสำคัญ เมื่อนำแบบจำลองไปใช้พยากรณ์ค่าความต้านทานของสายเมนทั้งสามเฟส (A, B, C) ผลลัพธ์ที่ได้มีแนวโน้มสอดคล้องกับพฤติกรรมที่คาดการณ์ไว้ในมาตรฐาน โดยเฉพาะในช่วงปลายเดือนเมษายนถึงพฤษภาคม 2568 ซึ่งเป็นช่วงที่เกิดการสะสมความร้อนสูงสุดในระบบสายเมนหลัก

ตารางที่ 2 ค่าที่พยากรณ์ได้จากสมการถดถอย

Period	ΔT_{real} A (°C)	ΔR_{pred} A (%)	ΔT_{real} B (°C)	ΔR_{pred} B (%)	ΔT_{real} C (°C)	ΔR_{pred} C (%)
Apr 1–10, 2025	2.13	0.10	2.09	0.10	1.76	0.08
Apr 11–20, 2025	4.48	0.36	4.64	0.39	3.79	0.28
Apr 21–30, 2025	5.75	0.52	5.60	0.50	4.12	0.32
May 1–10, 2025	4.16	0.35	3.82	0.30	3.53	0.27
May 11–20, 2025	3.18	0.22	3.37	0.24	2.81	0.18
May 21–31, 2025	3.12	0.21	3.24	0.23	3.67	0.26

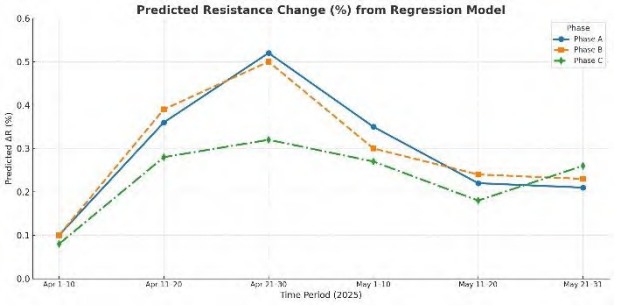

รูปที่ 4 แนวโน้มค่าความต้านทานจากแบบจำลองถดถอยของสายเมนในแต่ละเฟส

จากกราฟรูปที่ 4 พบว่า เฟส A มีการเปลี่ยนแปลงสูงสุด จากจุดเริ่มต้น 0.1% เพิ่มขึ้นถึงจุดสูงสุด ~0.54% ในช่วง เมษายน 21-30 จากนั้นลดลงเหลือ ~0.2% เฟส B แนวโน้มคล้ายเฟส A แต่มีค่าต่ำกว่าจุดสูงสุด ~0.45% ในช่วงเดียวกัน เฟส C เสถียรที่สุดและเพิ่มขึ้นค่อย ๆ จาก 0.1% ถึงประมาณ 0.32% และคงที่จุดสำคัญ ช่วง เมษายน 21-30 ทุกเฟสมีการเปลี่ยนแปลงสูงสุด ช่วงพฤษภาคม 11-20 เฟส A และ B ลดลงอย่างรวดเร็ว (~0.2%) ขณะที่เฟส C คงที่ Confidence Interval เฟส A มีช่วงความเชื่อมั่นกว้างที่สุด แสดงความไม่แน่นอนในการคาดการณ์ สรุปได้ว่า เฟส A มีความไวต่อการเปลี่ยนแปลงมากที่สุด ขณะที่เฟส C มีเสถียรภาพสูงสุด

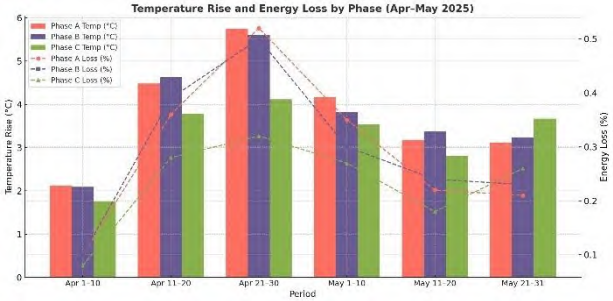

รูปที่ 5 การเพิ่มขึ้นของอุณหภูมิและการสูญเสียพลังงานของสายเมนหลักในแต่ละเฟส

จากกราฟรูปที่ 5 พบว่า ช่วงวันที่ 21–30 เมษายน เฟส A มีอุณหภูมิสูงสุดที่ 5.75°C และการสูญเสียพลังงานที่ 0.52% เฟส B มีอุณหภูมิ 5.60°C และสูญเสียพลังงาน 0.50% เฟส C มีอุณหภูมิต่ำกว่าที่ 4.12°C และสูญเสียพลังงาน 0.32% แนวโน้มโดยรวม เฟส B มีค่าการสูญเสียพลังงานเฉลี่ยสูงสุดที่ประมาณ 0.29% เฟส A และ C มีค่าเฉลี่ยใกล้เคียงกันที่ 0.29% และ 0.23% ตามลำดับ อุณหภูมิในช่วง 11–30 เมษายน สูงกว่าช่วงอื่น ๆ อย่างมีนัยสำคัญ ซึ่งสัมพันธ์กับการสูญเสียพลังงานที่เพิ่มขึ้น ข้อมูลนี้ชี้ให้เห็นว่า เฟส B มักมีอุณหภูมิและการสูญเสียสูงสุดในแต่ละช่วงเวลา ซึ่งอาจเป็นจุดที่ต้องจับตาในการวิเคราะห์โหลดไม่สมดุลและการบำรุงรักษาเชิงคาดการณ์ในระบบไฟฟ้าอาคารเรียน

3.3 การวิเคราะห์ Empirical Daily Degradation Model

เพื่อศึกษาการเสื่อมสะสมของสายเมนหลักในช่วงเวลาต่าง ๆ ได้ทำการคำนวณค่าอุณหภูมิจริงเฉลี่ย (ΔT_{real}) ของแต่ละเฟสและคำนวณการเสื่อมสะสมตามสูตร Empirical Daily Degradation Model โดยใช้ข้อมูลอุณหภูมิรายวันเป็นอินพุตหลัก ซึ่งมีสมมติฐานว่าการเสื่อมจะเพิ่มขึ้นตามอุณหภูมิที่สูงขึ้นอย่างมีนัยสำคัญ ขั้นตอนการคำนวณประกอบด้วยการรวบรวมข้อมูลอุณหภูมิในช่วงเวลาที่กำหนด จากนั้นคำนวณค่า ΔT_{real} ของแต่ละเฟสในช่วงเวลานั้น ๆ เพื่อใช้ในการประมาณการเสื่อมสะสมในหน่วยที่สัมพันธ์กับอุณหภูมิและระยะเวลาของการใช้งาน

ตารางที่ 3 ผลลัพธ์จากแบบจำลองการเสื่อมสภาพเชิงประจักษ์

Interval	ΔT_A (°C)	Deg_A (units)	ΔT_B (°C)	Deg_B (units)	ΔT_C (°C)	Deg_C (units)
2025-04-01 to 2025-04-10	24.5	0.3	27.8	4.1	23.6	0.2
2025-04-11 to 2025-04-20	25.7	1.2	29.5	8.7	24.8	0.6
2025-04-21 to 2025-04-30	26.1	1.8	30.9	12.5	25.5	1.0
2025-05-01 to 2025-05-10	27.0	3.1	32.2	17.9	26.7	1.7
2025-05-11 to 2025-05-20	28.3	5.4	34.0	25.0	28.1	2.8
2025-05-21 to 2025-05-31	29.2	7.0	35.6	31.7	29.0	3.4

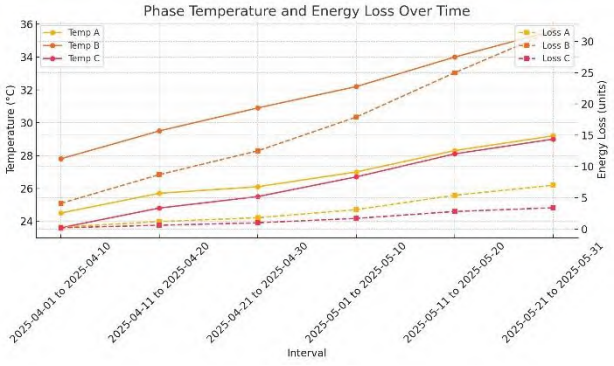

รูปที่ 5 อุณหภูมิเฟสและการสูญเสียพลังงานตามเวลา

จากกราฟรูปที่ 5 พบว่า เฟส A มีอุณหภูมิเพิ่มขึ้นอย่างต่อเนื่องจาก 28°C ถึง 35.5°C (อัตราเพิ่ม 7.5°C) เฟส B เพิ่มขึ้นปานกลางจาก 25°C ถึง 29°C (อัตราเพิ่ม 4°C) เฟส C เพิ่มขึ้นน้อยที่สุดจาก 24°C ถึง 25°C (อัตราเพิ่ม 1°C) ผลการวิเคราะห์การสูญเสียพลังงาน เฟส A สูญเสียสูงสุด เพิ่มจาก ~8 kWh ถึง ~30 kWh เฟส B สูญเสียปานกลาง เพิ่มจาก ~3 kWh ถึง ~8 kWh เฟส C สูญเสียต่ำสุดคงที่ที่ ~2-4 kWh ความสัมพันธ์ของการเพิ่มขึ้นของอุณหภูมิมีสหสัมพันธ์เชิงบวกกับการสูญเสียพลังงาน โดยเฟส A แสดงความไวต่อการเปลี่ยนแปลงสูงสุด ขณะที่เฟส C มีเสถียรภาพดีที่สุด แนวโน้มทุกเฟสมีการเพิ่มขึ้นแบบเชิงเส้น โดยเฟส A มีความชันสูงสุด

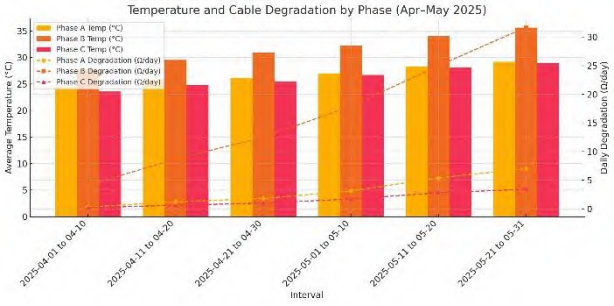

รูปที่ 6 อุณหภูมิและการเสื่อมสภาพสายเคเบิลจำแนกตามเฟส

จากกราฟรูปที่ 6 พบว่า อุณหภูมิ เฟส A เพิ่มขึ้นจาก 24°C ถึง 29°C เฟส B เพิ่มขึ้นสูงสุดจาก 24°C ถึง 36°C เฟส C คงที่ประมาณ 23-28°C ผลการวิเคราะห์การเสื่อมสภาพ เฟส A เพิ่มขึ้นอย่างรวดเร็วจาก 1 ถึง 7Ω/day เฟส B เพิ่มขึ้นสูงสุดจาก 1 ถึง 32Ω/day เฟส C เพิ่มขึ้นน้อยจาก 0.5 ถึง 3Ω/day ความสัมพันธ์สำคัญ เฟส B มีทั้งอุณหภูมิสูงสุด (36°C) และการเสื่อมสภาพเร็วที่สุด (32Ω/day) เฟส C มีเสถียรภาพสูงสุดทั้งอุณหภูมิและการเสื่อมสภาพ ช่วงวิกฤต พฤษภาคม 21-31 ทุกเฟสมีการเสื่อมสภาพเร่งขึ้นอย่างชัดเจน สรุปได้ว่ามีสหสัมพันธ์เชิงบวกระหว่างอุณหภูมิและการเสื่อมสภาพ โดยเฟส B มีความเสี่ยงสูงสุด ขณะที่เฟส C มีความน่าเชื่อถือสูงสุด

3.4 การวิเคราะห์เปรียบเทียบผลลัพธ์ของทั้งสองโมเดล

เพื่อประเมินผลกระทบของอุณหภูมิที่มีต่อการเสื่อมสภาพของสายเมน งานวิจัยนี้เปรียบเทียบผลลัพธ์จากแบบจำลองเชิงสถิติ (Regression Model) และแบบจำลองเชิงประจักษ์รายวัน (Empirical Daily Degradation Model) โดยแต่ละโมเดลมีจุดเด่นต่างกัน ทั้งด้านความแม่นยำ ความซับซ้อน และความเหมาะสมต่อการใช้งานจริง การเปรียบเทียบนี้ช่วยระบุแนวทางที่เหมาะสมในการวางแผนบำรุงรักษาเชิงคาดการณ์ และยืดอายุการใช้งานของระบบไฟฟ้าในอาคารที่มีอุณหภูมิสูงอย่างต่อเนื่อง

ตารางที่ 4 ค่าที่พยากรณ์ได้จากสมการถดถอย

Period	% ΔR A	Deg A	% ΔR B	Deg B	% ΔR C
Apr 1–10, 2025	0.10%	0.3	0.10%	4.1	0.08%
Apr 11–20, 2025	0.36%	1.2	0.39%	8.7	0.28%
Apr 21–30, 2025	0.52%	1.8	0.50%	12.5	0.32%
May 1–10, 2025	0.35%	3.1	0.30%	17.9	0.27%
May 11–20, 2025	0.22%	5.4	0.24%	25.0	0.18%
May 21–31, 2025	0.21%	7.0	0.23%	31.7	0.26%

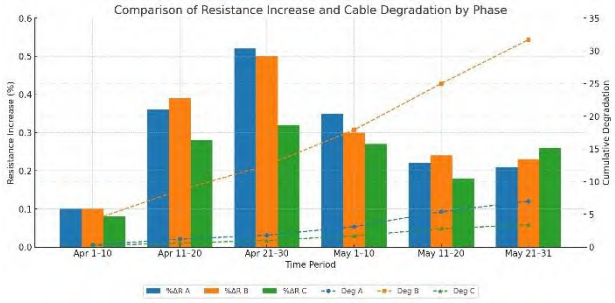

รูปที่ 7 การเปรียบเทียบการเพิ่มขึ้นของความต้านทานและการเสื่อมสภาพสายเมนหลักจำแนกตามเฟส

จากกราฟรูปที่ 7 พบว่า ช่วง เมษายน 21-30 มีค่าสูงสุดทุกเฟส โดยเฟส A = 0.52%, เฟส B = 0.51%, เฟส C = 0.32% ช่วง เมษายน 11-20 ค่ารองลงมา เฟส A = 0.37%, เฟส B = 0.40%, เฟส C = 0.27% แนวโน้มลดลงจากเมษายนไปพฤษภาคม โดยเฟส A และ B มีการเปลี่ยนแปลงมากกว่าเฟส C ผลการวิเคราะห์การเสื่อมสภาพสายเคเบิล เฟส A เพิ่มขึ้นอย่างต่อเนื่องจาก ~5% ถึง ~31% เฟส B เพิ่มขึ้นปานกลางจาก ~3% ถึง ~15% เฟส C เพิ่มขึ้นน้อยจาก ~2% ถึง ~8% ความสัมพันธ์การเพิ่มขึ้นของความต้านทานในช่วงเมษายน 21-30 สอดคล้องกับการเสื่อมสภาพสายเคเบิลที่เร่งขึ้น โดยเฟส A มีทั้งความต้านทานและการเสื่อมสภาพสูงสุด

3.5 การเปรียบเทียบอายุการใช้งานที่เหลือ (RUL) ระหว่างโมเดลที่ 1 และโมเดลที่ 2

การคาดการณ์อายุการใช้งานที่เหลือ (RUL) เป็นแนวทางสำคัญในการประเมินการเสื่อมสภาพของระบบไฟฟ้า งานวิจัยนี้เปรียบเทียบความแม่นยำของโมเดล Linear Regression (โมเดลที่ 1) และ LSTM (โมเดลที่ 2) โดยใช้ข้อมูล ΔT_{real} ของแต่ละเฟส การวิเคราะห์ผ่านกราฟ RUL Comparison แสดงให้เห็นความแตกต่างของแนวโน้มการเสื่อมและระยะเวลาในการถึงจุดวิกฤต ซึ่งช่วยสนับสนุนการเลือกแบบจำลองที่เหมาะสมในการวางแผนบำรุงรักษาเชิงคาดการณ์

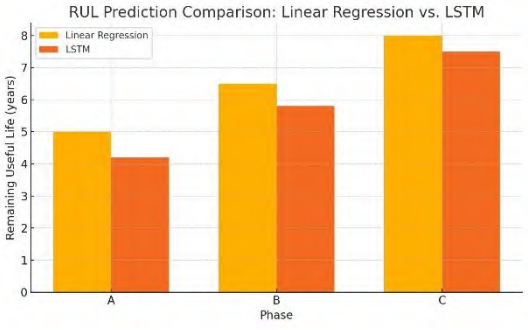

รูปที่ 8 การเปรียบเทียบการทำนาย RUL: Linear Regression เทียบกับ LSTM

จากกราฟรูปที่ 8 พบว่า Linear Regression เฟส A 5.0 ปี เฟส B 6.5 ปี เฟส C 8.0 ปี (สูงสุด) LSTM เฟส A 4.2 ปี เฟส B 5.7 ปี เฟส C 7.5 ปี ข้อสังเกตสำคัญ Linear Regression ทำนายอายุการใช้งานสูงกว่า LSTM ในทุกเฟส โดยเฉลี่ยสูงกว่า 0.6-0.8 ปี เฟส C มีอายุการใช้งานยาวนานที่สุด ในทั้งสองแบบจำลอง สอดคล้องกับความเสถียรที่แสดงในกราฟก่อนหน้า เฟส A มีอายุการใช้งานสั้นที่สุด แสดงถึงการเสื่อมสภาพเร็วที่สุด ความแตกต่างระหว่างแบบจำลอง LSTM มีแนวโน้มทำนายค่าต่ำกว่า อาจเนื่องจากความสามารถในการจับรูปแบบที่ซับซ้อนมากกว่า สรุปทั้งสองแบบจำลองแสดงแนวโน้มเดียวกัน คือ เฟส C > เฟส B > เฟส A ตามลำดับอายุการใช้งาน

4. ผลการศึกษา

ผลการศึกษาพบว่า เฟส B มีอุณหภูมิเฉลี่ยสูงสุดที่ 28.5°C สูงกว่าเฟส A และ C ราว 3–5°C ส่งผลให้ความต้านทานเพิ่มขึ้นประมาณ 4.5% และแรงดันตกสูงสุดที่ 1.40% ในช่วงวันที่ 26–31 มกราคม 2568 ขณะที่เฟส A และ C อยู่ที่ 1.10% และ 1.25% ตามลำดับ การสูญเสียพลังงานสูงสุดเกิดขึ้นช่วงวันที่ 1–10 มกราคม อยู่ที่ 0.004851 วัตต์ สูงกว่าค่าเฉลี่ยปกติประมาณ 10 เท่า แสดงถึงผลกระทบจากโหลดไม่สมดุล ระบบ IoT ช่วยติดตามพฤติกรรมผิดปกติของโหลดและอุณหภูมิได้อย่างแม่นยำและรวดเร็วแบบจำลอง Linear Regression ทำนายอายุสายไฟเฟส A, B และ C ที่ 5.0, 6.5 และ 8.0 ปี ขณะที่ LSTM ทำนายได้ 4.2, 5.7 และ 7.5 ปี ตามลำดับ ทั้งสองแบบจำลองแสดงแนวโน้มตรงกันว่า เฟส C มีอายุการใช้งานยาวนานที่สุด และเฟส A เสื่อมสภาพเร็วที่สุด

5. สรุปและข้อเสนอแนะ

ผลการศึกษาพบว่า ความผันผวนของอุณหภูมิและโหลดไฟฟ้าในเฟส B ส่งผลให้แรงดันลดลงและการสูญเสียพลังงานเพิ่มสูงสุดถึง 10 เท่าในช่วงโหลดสูง สะท้อนถึงความสำคัญของการบริหารจัดการโหลดและการเลือกวัสดุสายไฟที่เหมาะสมเพื่อเพิ่มประสิทธิภาพระบบไฟฟ้าในอาคาร ข้อเสนอแนะสำคัญ ได้แก่ จัดสมดุลโหลดไฟฟ้าอย่างเคร่งครัด เพื่อลดความร้อนสะสมและการสูญเสียพลังงาน ใช้สายไฟที่มีความต้านทานต่ำและทนความร้อนสูง เพื่อเพิ่มประสิทธิภาพการส่งผ่านพลังงาน ติดตั้งระบบตรวจจับและแจ้งเตือนแบบเรียลไทม์ (IoT) เพื่อเฝ้าระวังและปรับปรุงระบบทันที ส่งเสริมพฤติกรรมการใช้พลังงานอย่างมีประสิทธิภาพ เพื่อลดโหลดสูงสุดและเพิ่มความยั่งยืนของระบบ

6. กิตติกรรมประกาศ

คณะกรรมผู้วิจัยขอขอบคุณวิทยาลัยเทคโนโลยีอุตสาหกรรมและการจัดการ มหาวิทยาลัยเทคโนโลยีราชมงคลศรีวิชัย สำหรับการสนับสนุนทุนวิจัยและอนุญาตให้ใช้พื้นที่และอุปกรณ์ ขอบคุณทีมงานวิจัย คณาจารย์ บุคลากร และครอบครัวที่ให้คำแนะนำและกำลังใจตลอดกระบวนการวิจัย

เอกสารอ้างอิง

[1] Zhang, Y., & Li, H. (2023). Advanced Load Balancing Techniques for Smart Grids in High-Density Buildings. IEEE Transactions on Smart Grid, 14(2), 987-995.

[2] Kim, S., Park, J., & Lee, D. (2024). Thermal Impact on Cable Resistance and Energy Loss in Electrical Systems under Variable Loads. Energy Reports, 10, 450-460.

[3] Chen, W., & Wang, J. (2022). IoT-Based Real-Time Monitoring Systems for Electrical Energy Management in Commercial Buildings. Sensors, 22(15), 5867.

[4] Nguyen, T., & Tran, Q. (2021). Behavioral Strategies to Reduce Peak Load and Improve Energy Efficiency in Institutional Buildings. Renewable and Sustainable Energy Reviews, 143, 110887.

[5] Rodriguez, M., Garcia, A., & Martinez, C. (2023). Machine Learning Applications for Predictive Maintenance in Power Distribution Systems. Journal of Electrical Engineering & Technology, 18(4), 2341-2355.

[6] Thompson, R., Anderson, K., & Wilson, S. (2024). Phase Imbalance Effects on Cable Degradation and System Reliability in Three-Phase Networks. International Journal of Electrical Power & Energy Systems, 156, 109734.

[7] Patel, N., Kumar, V., & Sharma, R. (2022). Temperature-Dependent Resistance Modeling for Underground Cable Systems in Urban Infrastructure. Applied Energy, 308, 118365.

[8] Liu, X., Zhou, H., & Yang, M. (2023). LSTM-Based Remaining Useful Life Prediction for Electrical Components in Smart Building Systems. Reliability Engineering & System Safety, 231, 109012.

สันติ การีสันต์ สำเร็จการศึกษาระดับปริญญาตรี สาขาวิศวกรรมไฟฟ้า จากมหาวิทยาลัยเกษมบัณฑิต และระดับปริญญาโท สาขาวิศวกรรมไฟฟ้า จากมหาวิทยาลัยเทคโนโลยีมหานคร สนใจงานวิจัยด้านการจัดการพลังงาน และเทคโนโลยีวิศวกรรมไฟฟ้า

สิทธิศักดิ์ โรจชะยะ สำเร็จการศึกษาระดับปริญญาตรี สาขาวิศวกรรมไฟฟ้า จากมหาวิทยาลัยรังสิต และระดับปริญญาโท สาขาวิศวกรรมไฟฟ้า จากมหาวิทยาลัยเทคโนโลยีพระจอมเกล้าธนบุรี สนใจงานวิจัยด้านนวัตกรรม สิ่งประดิษฐ์ และเทคโนโลยี

การตรวจจับการรั่วไหลของถุงพลาสติกพอลิโพรพีลีนโดยใช้เซ็นเซอร์วัดความจุไฟฟ้า
Leakage Detection of Polypropylene Plastic Bags Using a Capacitive Sensor

ธัญญสิริ คุณโย[1] ดวงภัทร เดชกิจสุนทร[1] ศรวณีย์ จันทสาร[1] สมนิดา ภัทรนันท์[1]และฉัตรชัย เนตรพิศาลวนิช[1]*

[1]ภาควิชาวิศวกรรมไฟฟ้า คณะวิศวกรรมศาสตร์ มหาวิทยาลัยมหิดล วิทยาเขตศาลายา

บทคัดย่อ

บทความนี้นำเสนอแนวทางการคัดกรองถุงพลาสติกชนิดพอลิโพรพีลีน (Polypropylene, PP) ที่มีโอกาสรั่วเนื่องจากความหนาของแผ่นพลาสติกที่จะนำมาซีลประกอบเป็นถุงมีมากเกินกว่า 100 ไมครอนขึ้นไป ทำให้รอยซีลของถุงไม่สมบูรณ์และเกิดการรั่วไหลของถุง บทความนี้เสนอให้ใช้เซ็นเซอร์วัดความจุไฟฟ้าและวงจรรวม AD7745 ในการตรวจวัดความหนาของแผ่นพลาสติด PP แบบไม่สัมผัสและสามารถตรวจสอบความหนาในระหว่างขั้นตอนการผลิต จากการทดสอบเครื่องวัดต้นแบบด้วยการวัดความหนาแผ่นพลาสติก PP จำนวน 4 ระดับความหนาคือ 70, 80, 90, และ 100 ไมครอน โดยแผ่นพลาสติกตัวอย่าง 20 ตัวอย่างในแต่ละระดับความหนา พบว่าเครื่องวัดต้นแบบสามารถแยกแยะแผ่นพลาสติกหนา >90 ไมครอน ออกจากแผ่นพลาสติกที่ไม่หนา 80-90 ไมครอน โดยมีผิดพลาดน้อยกว่า 5% และแสดงความแปรผันแบบเป็นเชิงเส้นระหว่างค่าความจุไฟฟ้าที่วัดได้ (ตัวแปรตาม) และความหนาของแผ่นพลาสติก (ตัวแปรอิสระ) โดยมีค่า R^2 ประมาณ 0.9 ตลอดย่านการวัดจาก 70-100 ไมครอน

คำสำคัญ: ถุงพลาสติกพอลิโพพีลีน, เซ็นเซอร์วัดความจุไฟฟ้า, วงจรรวม AD7745

Abstract

This article presents a method for detecting leaks in polypropylene plastic bags, which often occur due to uneven sealing caused by excessively thick plastic films (greater than 100 microns). To address this issue, a non-contact capacitive sensing system based on the AD7745 IC is proposed for measuring plastic film thickness during the manufacturing process. Experimental tests were conducted using 20 samples each of film thicknesses 70, 80, 90, and 100 microns. The results show that the proposed system can effectively differentiate overly thick films (>90 microns) from those of acceptable thickness (80-90 microns), with an error margin of approximately 5%. A linear regression analysis between the measured capacitance (dependent variable) and the film thickness (independent variable) yielded an R^2 value of around 0.9 within the measurement range of 70 to 100 microns.

Keywords: Polypropylene plastic bags, Capacitive sensor, AD7745 IC

การพัฒนาออกแบบเครื่องมือวัดไฟฟ้าสมาร์ทมัลติมิเตอร์

Develop and a smart electrical measuring instrument, the Smart Multimeter

ธีรวัฒน์ ติ๊บอ้าย[1] ชัยอดุลย์ เรียนสอน[1] ชัชวาลย์ แสงแก้ว[1] มนตรี ธีรตระกูล[1] ไชยรัตน์ สุวรรณอำไพ[1]

ธราธิป ภู่ระหงษ์[2]* และ พงษ์ศักดิ์ คำแปง[3]

[1]สาขาวิชาเทคโนโลยีไฟฟ้า วิทยาลัยเทคนิคน่าน สถาบันการอาชีวศึกษาภาคเหนือ 2

[2]*สาขาวิชาวิศวกรรมไฟฟ้า คณะเทคโนโลยีอุตสาหกรรม มหาวิทยาลัยนครพนม

[3]บริษัทอาซีฟา จำกัด (มหาชน) เลขที่ 5 หมู่ 1 ตำบลคอกกระบือ อำเภอเมืองสมุทรสาคร จังหวัดสมุทรสาคร

Email : tharathip2563@gmail.com and Theerawat110916@gmail.com

บทคัดย่อ

การวิจัยครั้งนี้มีวัตถุประสงค์เพื่อการพัฒนาออกแบบเครื่องมือวัดไฟฟ้าสมาร์ทมัลติมิเตอร์และหาประสิทธิภาพของเครื่องมือวัดไฟฟ้าสมาร์ทมัลติมิเตอร์ สามารถวัดค่าแรงดัน, กระแส, ความถี่,ค่าเพาเวอร์แฟคเตอร์, กำลังไฟฟ้า ด้วยจอแสดงผลขนาด 4.0 inch SPI serial screen backplane module ผลความคลาดเคลื่อนของการวัดค่ากำลังไฟฟ้าของเครื่องมือวัดไฟฟ้าสมาร์ทมัลติมิเตอร์เปรียบเทียบด้วยการคำนวณค่ากระแสและแรงดันพบว่า ค่าความคลาดเคลื่อนของหน่วยพลังงานไฟฟ้ารวมเฉลี่ย 7.26 % ผลความคลาดเคลื่อนของการวัดค่ากำลังไฟฟ้าของเครื่องมือวัดไฟฟ้าสมาร์ทมัลติมิเตอร์เปรียบเทียบด้วยการวัดค่ากระแสและแรงดันด้วยมัลติมิเตอร์พบว่า มีค่าความคลาดเคลื่อนของแรงดันเฉลี่ย 0.708 % และค่าความคลาดเคลื่อนของกระแสเฉลี่ย 0.469 % ความพึงพอใจของเครื่องมือวัดไฟฟ้าสมาร์ทมัลติมิเตอร์ด้านลักษณะการใช้งานพบว่าผู้ประเมินมีความคิดเห็นต่อเครื่องสมาร์ทมัลติมิเตอร์ ภาพรวมเห็นว่ามีความเหมาะสมในระดับดี ค่าเฉลี่ย 4.03 และมีด้านลักษณะทางกายภาพโดยภาพรวมเห็นว่ามีความเหมาะสมในระดับดี ค่าเฉลี่ย 3.88

คำสำคัญ: สมาร์ทมัลติมิเตอร์

Abstract

This research aims to develop and evaluate the performance of a Smart Multimeter measuring instrument, the Smart Multimeter. The device is capable of measuring voltage, current, frequency, power factor, and electrical power, and features a 4.0-inch SPI serial screen backplane module for display. The power measurement accuracy of the smart multimeter was evaluated by comparing calculated voltage and current values, revealing an average total energy deviation of 7.26%. When comparing measured values using a standard multimeter, the smart multimeter exhibited an average voltage deviation of 0.708% and an average current deviation of 0.469%. Regarding user satisfaction, evaluators rated the usability aspects of the smart multimeter at a good level with an average score of 4.03, and its physical characteristics were also rated at a good level with an average score of 3.88.

Keywords: Smart Multimeter

1. บทนำ

ปัจจุบันการเปลี่ยนแปลงการใช้พลังงานมีสูงขึ้นเป็นอย่างมาก เป็นไปอย่างก้าวกระโดด การใช้พลังงานทดแทน (Renewable) เข้ามามีส่วนร่วมในการใช้พลังงานในชีวิตประจำวันเกี่ยวกับของระบบไฟฟ้าอัจฉริยะ กำลังเข้ามาสู่สังคม การใช้รถไฟฟ้ากำลังเกิดขึ้นในเมืองต่างๆ ปัจจุบันได้มีการนำแผงโซล่าเซลล์เข้ามาผลิตพลังงานไฟฟ้า เพื่อใช้ในตอนกลางวันและประจุลงแบตเตอรี่เพื่อเก็บไว้ใช้ในเวลาค่ำคืนเพื่อการลดการใช้พลังงานจากที่มาผลิตพลังงานหลักของประเทศ (Centralize Power Grid) ด้านการพัฒนาการการใช้วัดพลังงาน การคิดค้นเครื่องมือวัดไฟฟ้าแบบดิจิตอลวัตต์มีหลากหลายทั้งราคาถูกและแพงแตกต่างกัน ผู้วิจัยมีแนวคิดเอาโปรเซสเซอร์ นักพัฒนาซอฟต์แวร์มาใช้ในส่วนของการสื่อสาร ส่งข้อมูลที่ได้จากอุปกรณ์วัดค่าพลังงานนำไปเก็บยังระบบเซิร์ฟเวอร์ หรือระบบคลาวด์เซิร์ฟเวอร์ และแสดงผลผ่านเว็บเบราว์เซอร์ สามารถนำอุปกรณ์วัดค่าพลังงานที่สามารถแปลงค่าที่ได้จากการวัดจากระบบอนาล็อกมาเป็นดิจิตอลมาทำงานร่วมกับโปรเซสเซอร์การรวบรวมและนำส่งข้อมูลสู่ระบบเซิร์ฟเวอร์ หรือระบบคราวด์เซิร์ฟเวอร์ได้ สามารถลดต้นทุน การใช้พลังงานหรือการผลิตพลังงานการเพิ่มประสิทธิภาพและเพิ่มมูลค่าของอุปกรณ์วัดค่าพลังงานจากปัญหาดังกล่าวผู้วิจัยจึงมีแนวคิดที่จะแก้ปัญหาดังกล่าวโดยใช้แนวความคิด “ออกแบบและสร้างสมาร์ทมัลติมิเตอร์”

2. วัตถุประสงค์ของการวิจัย

2.1. เพื่อออกแบบและสร้างเครื่องสมาร์ทมัลติมิเตอร์

2.2. เพื่อหาประสิทธิภาพของเครื่องสมาร์ทมัลติมิเตอร์

2.3. เพื่อหาความเหมาะสมด้านการใช้งานของเครื่องสมาร์ทมัลติมิเตอร์

*ผู้ประพันธ์บรรณกิจ

3. วิธีดำเนินการวิจัย

การดำเนินวิจัยในครั้งนี้มีวัตถุประสงค์ เพื่อออกแบบและสร้างเครื่องสมาร์ทมัลติมิเตอร์, เพื่อหาประสิทธิภาพของเครื่องสมาร์ทมัลติมิเตอร์, เพื่อหาความเหมาะสมด้านการใช้งานของเครื่องสมาร์ทมัลติมิเตอร์

3.1 เครื่องสมาร์ทมัลติมิเตอร์ มีขั้นตอนการออกแบบดังนี้

ขั้นตอนที่ 1 ผู้วิจัยมีการศึกษางานวิจัยที่เกี่ยวข้องมีแนวคิดมุ่งเน้นนำอุปกรณ์ด้าน IoT สามารถในการทำงานในด้านการรับ-ส่ง ข้อมูลด้วยระบบการสื่อสารแบบไร้สายเป็นอุปกรณ์หลัก และใช้อุปกรณ์สำหรับวัดค่าพลังงานที่มีความสามารถในการรับ-ส่ง พื้นฐานแบบดิจิตอลมาเป็นอุปกรณ์เซ็นเซอร์การวัดค่าพลังงาน เพื่อส่งค่าที่วัดได้ให้กับอุปกรณ์หลักในการส่งค่า เพื่อบันทึกในระบบฐานข้อมูลซึ่งอุปกรณ์ดังกล่าวจะมุ่งเน้นอุปกรณ์ที่มีราคาถูก

ขั้นตอนที่ 2 ศึกษาหลักการทำงานของอุปกรณ์ต่างๆในโครงการแล้วจึงได้ดำเนินการออกแบบและสั่งซื้ออุปกรณ์ดังต่อไปนี้

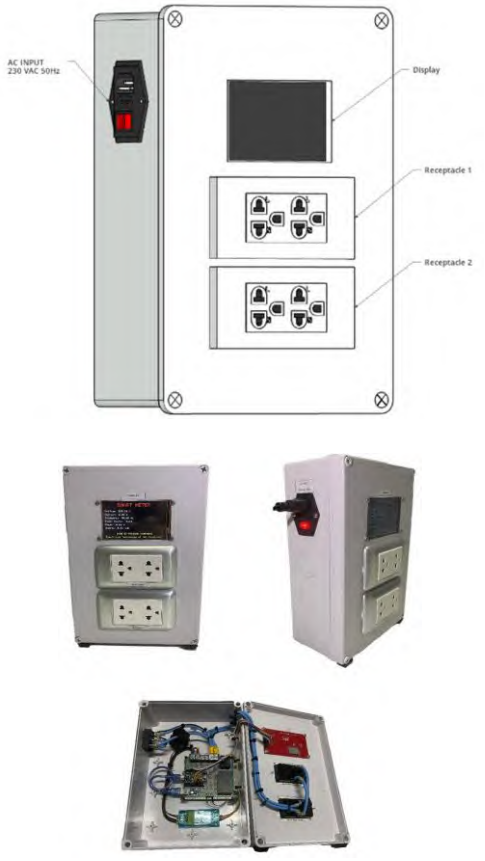

ภาพที่ 1 โครงสร้างและส่วนประกอบของเครื่องสมาร์ทมัลติมิเตอร์

ขั้นตอนที่ 3 ทำการออกแบบการต่อวงจรของเครื่องสมาร์ทมัลติมิเตอร์

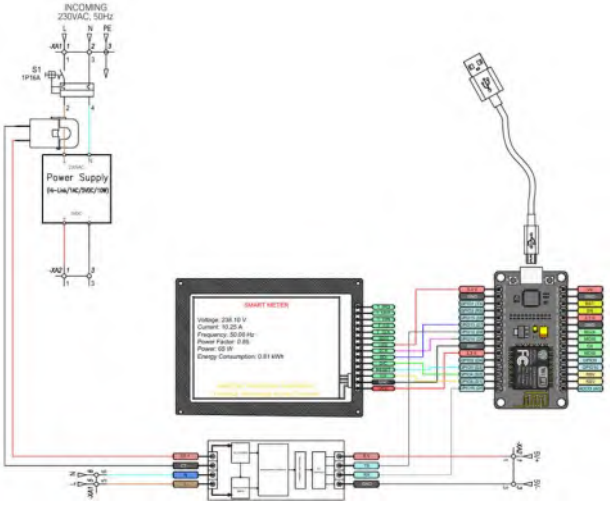

ภาพที่ 2 วงจรของเครื่องสมาร์ทมัลติมิเตอร์

4. ผลการวิจัย

การออกแบบและสร้างสมาร์ทมัลติมิเตอร์ ผู้วิจัยนำเสนอผลการวิเคราะห์ผลการสร้างเครื่องสมาร์ทมัลติมิเตอร์ ผลการวิเคราะห์ข้อมูลประสิทธิภาพเครื่องสมาร์ทมัลติมิเตอร์ ผลการวิเคราะห์ข้อมูลความเหมาะสมด้านการใช้งานเครื่องสมาร์ทมัลติมิเตอร์

4.1 ผลการสร้างเครื่องสมาร์ทมัลติมิเตอร์

การศึกษางานวิจัยที่เกี่ยวข้องจึงมีแนวคิดมุ่งเน้นนำอุปกรณ์ด้าน IoT ในการทำงานในด้านการรับ-ส่ง ข้อมูลด้วยระบบการสื่อสารแบบไร้สายเป็นอุปกรณ์หลักสำหรับวัดค่าพลังงานในการรับ-ส่ง เป็นอุปกรณ์เซ็นเซอร์การวัดค่าพลังงาน เพื่อส่งค่าที่วัดกับอุปกรณ์หลักในการส่งค่าบันทึกในระบบฐานข้อมูล ตัวเครื่องสามารถวัดค่าแรงดัน, กระแส, ความถี่,ค่าเพาเวอร์แฟคเตอร์, กำลังไฟฟ้า, และค่าพลังงานที่ใช้เฉลี่ย ออกแบบโดยใช้กล่องพักสายขนาด สูง 300 มม. x กว้าง 200 มม. x ลึก 104 มม. อุปกรณ์ภายประกอบด้วย จอแสดงผลขนาด 4.0 inch SPI serial screen backplane module with at least 4 IO drivers, โมดูลแปลงไฟ AC-DC HLK-10M05 Power Supply Module AC-DC 220 VAC to 5VDC, NodeMCU ESP8266 V2 CH9102 LUA Wifi based ESP8266-12E, โมดูลวัดค่าพารามิเตอร์ทางไฟฟ้า PZEM-004T AC Digital Power Energy Meter Module V3.0 100A

4.2 ผลการวิเคราะห์ข้อมูลประสิทธิภาพของเครื่องสมาร์ทมัลติมิเตอร์

ผลการวิเคราะห์ประสิทธิภาพของเครื่องสมาร์ทมัลติมิเตอร์ครอบคลุมผลการวิเคราะห์การทำงานตามเงื่อนไขการทำงาน โดยการจ่ายโหลดที่เป็นเครื่องใช้ไฟฟ้าโดยใช้พัดลมขนาด 65 วัตต์ และอุปกรณ์ชาร์จมือถือขนาด 20 วัตต์ แล้ววัดความแม่นยำของการวัดค่าหน่วยพลังงานไฟฟ้ารวมของเครื่องที่วัดได้พร้อมบันทึกผลลงในตารางที่ 1

ตารางที่ 1 ผลการทดสอบประสิทธิภาพของเครื่องสมาร์ทมัลติมิเตอร์

ครั้งที่	เครื่องสมาร์ทมัลติมิเตอร์ (ตรวจวัด)	ตรวจวัดด้วยแคล้มป์มิเตอร์ (คำนวณ)			ค่าความคลาดเคลื่อน (%)
	หน่วยพลังงานไฟฟ้ารวม (kWh)	หน่วยพลังงานไฟฟ้ารวม (kWh)			
		E	I	kWh	
1	0.907 kWh	234.80 V	0.66 A	0.8 kWh	13.375 %
2	1.056 kWh	235.20 V	0.47 A	0.95 kWh	11.157 %
3	1.186 kWh	234.70 V	0.61 A	1 kWh	18.60 %
4	1.456 kWh	234.90 V	0.68 A	1.2 kWh	21.33 %
5	1.604 kWh	234.80 V	0.51 A	1.5 kWh	6.93 %
6	1.809 kWh	234.60 V	0.66 A	1.7 kWh	6.41 %
7	2.024 kWh	230.30 V	0.65 A	2 kWh	1.20 %
8	2.385 kWh	232.60 V	0.58 A	2.2 kWh	8.40 %
9	2.646 kWh	234.80 V	0.49 A	2.5 kWh	5.84 %
10	2.903 kWh	235.50 V	0.57 A	2.7 kWh	7.51 %
11	3.217 kWh	233.50 V	0.68 A	3.1 kWh	3.77 %
12	3.639 kWh	234.60 V	0.64 A	3.5 kWh	3.97 %
	2.069 kWh	1.929 kWh			7.26 %

ตารางที่ 1 พบว่า การทดสอบประสิทธิภาพของเครื่องสมาร์ทมัลติมิเตอร์ จ่ายโหลดที่เป็นเครื่องใช้ไฟฟ้าโดยใช้พัดลมขนาด 65 วัตต์ และอุปกรณ์ชาร์จมือถือขนาด 20 วัตต์ แล้ววัดความแม่นยำของการวัดค่าหน่วยพลังงานไฟฟ้ารวมของเครื่องที่วัดได้พร้อมบันทึกผลลงในตารางค่าหน่วยกำลังไฟฟ้ารวมเฉลี่ย 2.069 kWh เมื่อวัดเทียบกับ Clamp Meters โดยมีค่าแรงดันและกระแสนำมาคำนวนหาหน่วยกำลังไฟฟ้ารวมเฉลี่ย 1.929 kWh และมีค่าความคลาดเคลื่อนของหน่วยพลังงานไฟฟ้ารวมเฉลี่ย 7.26 %

4.3 ผลการวิเคราะห์ประสิทธิภาพของเครื่องสมาร์ทมัลติมิเตอร์ ครอบคลุมผลการวิเคราะห์การทำงานตามเงื่อนไขการทำงาน โดยการจ่ายโหลดเป็นเครื่องใช้ไฟฟ้า แล้ววัดความแม่นยำของการวัดค่าพารามิเตอร์ทางไฟฟ้า

ตารางที่ 2 ผลการทดสอบประสิทธิภาพของการวัดด้วยเครื่องสมาร์ทมัลติมิเตอร์

ช่วงเวลา (นาที)	วัดด้วยเครื่องสมาร์ทมัลติมิเตอร์	
	แรงดัน (V)	กระแส (A)
10	230.20 V	0.66 A
20	232.40 V	0.61 A
30	233.50 V	0.68 A
40	232.60 V	0.53 A
50	234.80 V	0.46 A
60	235.60 V	0.47 A
ค่าเฉลี่ย	233.18 V	0.57 A

ตารางที่ 2 ผลการทดสอบประสิทธิภาพของการวัดด้วยวัดด้วยสมาร์ทมัลติมิเตอร์ และค่าความคลาดเคลื่อน (%)

ช่วงเวลา (นาที)	วัดด้วยดิจิตอลมัลติมิเตอร์	
	แรงดัน (V)	กระแส (A)
10	234.80 V	0.64 A
20	235.20 V	0.64 A
30	234.70 V	0.68 A
40	234.90 V	0.51 A
50	234.80 V	0.47 A
60	234.60 V	0.49 A
ค่าเฉลี่ย	234.83 V	0.57 A
ช่วงเวลา (นาที)	ค่าความคลาดเคลื่อน (%)	
	แรงดัน (V)	กระแส (A)
10	1.998 %	3.030 %
20	1.205 %	4.590 %
30	0.514 %	0.294 %
40	0.989 %	3.208 %
50	0 %	2.391 %
60	0.424 %	3.404 %
ค่าเฉลี่ย	0.708 %	0.469 %

ตารางที่ 2 พบว่า การทดสอบประสิทธิภาพของเครื่องสมาร์ทมัลติมิเตอร์ จ่ายโหลดที่ 60 นาที ค่าแรงดันเฉลี่ย 233.18 โวลต์ ค่ากระแสเฉลี่ย 0.57 แอมป์ โดยเทียบกับการวัดด้วยดิจิตอลมัลติมิเตอร์ จ่ายโหลดที่ 60 นาที ค่าแรงดันเฉลี่ย 234.83 โวลต์ ค่ากระแสเฉลี่ย 0.57 แอมป์ โดยมีค่าความคลาดเคลื่อนของแรงดันเฉลี่ย 0.708 % และค่าความคลาดเคลื่อนของกระแสเฉลี่ย 0.469 % โดยแบ่งการจ่ายโหลดออกเป็น 6 ช่วงเวลา

4.4 ผลการวิเคราะห์ข้อมูลความเหมาะสมด้านการใช้งานเครื่องสมาร์ทมัลติมิเตอร์ การวิเคราะห์ข้อมูลประเมินความเหมาะสมด้านการใช้งานของเครื่องสมาร์ทมัลติมิเตอร์ ครอบคลุมลักษณะทางกายภาพ และลักษณะการใช้งาน ดังนี้

4.4.1 การประเมินลักษณะการใช้งาน ผลการวิเคราะห์ข้อมูลปรากฏดังตารางที่ 3

จากตารางที่ 3 พบว่าผู้ประเมินมีความคิดเห็นต่อเครื่องสมาร์ทมัลติมิเตอร์ ด้านลักษณะการใช้งานโดยภาพรวมเห็นว่ามีความเหมาะสมในระดับดี (ค่าเฉลี่ย 4.03) ในรายงานพบว่ามีความคิดเห็นในระดับดี จำนวน 5 ข้อ เรียงตามลำดับค่าเฉลี่ยได้แก่ ข้อที่ 2 ความสะดวกในการใช้งาน, ข้อที่ 6 การส่งข้อมูลไปยังระบบคลาวด์ ราบรื่นหรือไม่ มีความเหมาะสมในด้านดี (ค่าเฉลี่ย4.40) ข้อที่ 5 อุปกรณ์มีความเสถียรในการใช้งานในระยะยาวหรือไม่ มีความเหมาะสมในด้านดี (ค่าเฉลี่ย4.20) และค่าเฉลี่ยเท่ากันได้แก่ ข้อที่ 1 ระบบความปลอดภัยของเครื่อง และข้อที่ 4 ความเร็วในการแสดงผลข้อมูลแบบเรียลไทม์ มีความเหมาะสมในด้านดี (ค่าเฉลี่ย4.00) ความคิดเห็นระดับปานกลางจำนวน 2 ข้อ เรียงตามลำดับค่าเฉลี่ยได้แก่

ข้อที่ 3 ความแม่นยำในการวัดค่าทางไฟฟ้า มีความเหมาะสมในด้านปานกลาง (ค่าเฉลี่ย3.80) และข้อ 7 ง่ายต่อการบำรุงรักษา มีความเหมาะสมในด้านปานกลาง (ค่าเฉลี่ย3.40)

ตารางที่ 3 ตารางแสดงผลการวิเคราะห์ลักษณะการใช้งานของเครื่องสมาร์ทมัลติมิเตอร์

ลำดับ	รายการประเมิน	$\bar{x}$	S.D.	แปลผล
1	ระบบความปลอดภัยของเครื่อง	4.00	0.707	ดี
2	การใช้งานได้สะดวก	4.40	0.548	ดี
3	แม่นยำในการวัดค่าทางไฟฟ้า	3.80	0.837	ดี
4	ความเร็วในการแสดงผลข้อมูลแบบเรียลไทม์	4.00	0.707	ดี
5	อุปกรณ์มีความเสถียรในการใช้งานในระยะยาวหรือไม่	4.20	0.837	ดี
6	การส่งข้อมูลไปยังระบบคลาวด์ ราบรื่นหรือไม่	4.40	0.548	ดี
7	ง่ายต่อการบำรุงรักษา	3.51	0.548	ดี
ผลรวมด้านลักษณะการใช้งาน		4.03	0.326	ดี

4.4.2 การประเมินลักษณะทางกายภาพ ผลการวิเคราะห์ข้อมูลปรากฏดังตารางที่ 4

ตารางที่ 4 แสดงผลการวิเคราะห์ลักษณะทางกายภาพของเครื่องสมาร์ทมัลติมิเตอร์

ลำดับ	รายการประเมิน	$\bar{x}$	S.D.	แปลผล
1	ขนาดของเครื่องมีความเหมาะสมหรือไม่	3.80	0.837	ดี
2	ความสามารถในการตอบสนองต่อการเปลี่ยนแปลงของข้อมูล	4.20	0.837	ดี
3	ความสามารถในการอัปเดตข้อมูลผ่านเครือข่าย	3.80	0.387	ดี
4	วัสดุที่ใช้ แข็งแรง ทนทานหรือไม่	3.80	0.387	ดี
5	หน้าจอแสดงผล แสดงข้อมูลครบถ้วน ชัดเจนหรือไม่	3.80	0.387	ดี
ผลรวมด้านลักษณะทางกายภาพ		3.88	0.502	ดี

จากตารางที่ 4 พบว่าผู้ประเมินมีความคิดเห็นต่อเครื่องสมาร์ทมัลติมิเตอร์ ด้านลักษณะทางกายภาพโดยภาพรวมเห็นว่ามีความเหมาะสมในระดับดี (ค่าเฉลี่ย 3.88) ในรายงานพบว่ามีความคิดเห็นในระดับดี จำนวน 5 ข้อ เรียงตามลำดับค่าเฉลี่ยได้แก่ ข้อที่ 2 ความสามารถในการตอบสนองต่อการเปลี่ยนแปลงของข้อมูล มีความเหมาะสมในด้านดี (ค่าเฉลี่ย 4.20) และมีค่าเฉลี่ยเท่ากัน 4 ข้อได้แก่ ข้อที่ 1ขนาดของเครื่องมีความเหมาะสมหรือไม่ ข้อที่ 3ความสามารถในการอัปเดตข้อมูลผ่านเครือข่าย, ข้อที่ 4 วัสดุที่ใช้ แข็งแรง ทนทานหรือไม่, ข้อที่ 5หน้าจอแสดงผล แสดงข้อมูลครบถ้วน ชัดเจนหรือไม่ มีความเหมาะสมในด้านดี (ค่าเฉลี่ย 3.80)

5. สรุปผลการวิจัย

การวิจัยนี้มีผลการวิเคราะห์ข้อมูลสมรรถนะของเครื่องสมาร์ทมัลติมิเตอร์ผลความคลาดเคลื่อนของการวัดค่ากำลังไฟฟ้าของเครื่องสมาร์ทมัลติมิเตอร์เปรียบเทียบด้วยการคำนวณค่ากระแสและแรงดันพบว่า ค่าความคลาดเคลื่อนของหน่วยพลังงานไฟฟ้ารวมเฉลี่ย 7.26 % และผลการวิเคราะห์ความแม่นยำในการวัดค่าพารามิเตอร์ทางไฟฟ้าพบว่า ผลความคลาดเคลื่อนของการวัดค่ากำลังไฟฟ้าของเครื่องสมาร์ทมัลติมิเตอร์เปรียบเทียบด้วยการวัดค่ากระแสและแรงดันด้วยมัลติมิเตอร์พบว่า มีค่าความคลาดเคลื่อนของแรงดันเฉลี่ย 0.708 % และค่าความคลาดเคลื่อนของกระแสเฉลี่ย 0.469 % มีผลความพึงพอใจของเครื่องสมาร์ทมัลติมิเตอร์ ด้านลักษณะการใช้งานพบว่าผู้ประเมินมีความคิดเห็นต่อเครื่องสมาร์ทมัลติมิเตอร์ ภาพรวมเห็นว่ามีความเหมาะสมในระดับดี (ค่าเฉลี่ย 4.03) และมีด้านลักษณะทางกายภาพโดยภาพรวมเห็นว่ามีความเหมาะสมในระดับดี (ค่าเฉลี่ย 3.88) การสร้างเครื่องสมาร์ทมัลติมิเตอร์ จึงทำให้เครื่องสมาร์ทมัลติมิเตอร์ มีประสิทธิภาพสูง ผลประสิทธิภาพของเครื่องสมาร์ทมัลติมิเตอร์ มีความแม่นยำสูง การใช้ไมโครคอนโทรลเลอร์ในการส่งข้อมูลไปยัง Data Base ควรมีการพัฒนาให้เครื่องสามารถวัดไฟฟ้า 3 เฟส และให้เครื่องสามารถ Monitor ค่าไฟฟ้าผ่านมือถือได้ คำนวณค่าไฟฟ้าได้ สามารถเปลี่ยนเครือข่ายเองได้โดยไม่ต้อง Upload Code ใหม่

6. อ้างอิง

[1] จักรพงษ์ โนอ๊วบ และคณะ. (2566). เครื่องวัดกำลังไฟฟ้าอัจฉริยะสำหรับการติดตามสมรรถนะแผงผลิตไฟฟ้าพลังงานแสงอาทิตย์. วารสารวิชาการเทคโนโลยีอุตสาหกรรมและวิศวกรรม มหาวิทยาลัยราชภัฏพิบูลสงคราม ปีที่ 5 ฉบับที่ 2 พ.ศ. 2566

[2] ธนกร ศิรมงคลกานต์ (2567). การแสดงค่าการใช้พลังงานไฟฟ้าผ่านแอปพลิเคชันบนสมาร์ทโฟนที่ควบคุมด้วยไมโครคอนโทรลเลอร์. การประชุมวิชาการและการนำเสนอผลงานวิจัยระดับชาติ ครั้งที่ 11 และระดับนานาชาติ ครั้งที่ 9 มหาวิทยาลัยภาคตะวันออกเฉียงเหนือ (NEUNIC 2024).

[3] Tan, H.R., C. Lee, and V. Mok. Automatic power meter reading system using GSM network. in 2007 International Power Engineering Conference (IPEC 2007). 2007. IEEE.

การศึกษาและออกแบบเครื่องเตือนภัยน้ำท่วมในพื้นที่ชุมชน
Study and Design of Flood Warning Systems in Community Areas

เจตวรา ต่างจิตร์[1] เจษฎาพร สถานทรัพย์[2] และ ปรัชญา มงคลไวย์[2*]

[1]สาขาวิชาวิศวกรรมโลจิสติกส์ คณะวิศวกรรมศาสตร์ มหาวิทยาลัยเทคโนโลยีราชมงคลรัตนโกสินทร์ jetwara.t@rmutr.ac.th
[2]สาขาวิชาวิศวกรรมการวัดคุม คณะวิศวกรรมศาสตร์ มหาวิทยาลัยเทคโนโลยีราชมงคลรัตนโกสินทร์ jetsdaporn.s@rmutr.ac.th
pratya.mon@rmutr.ac.th*

บทคัดย่อ

บทความนี้นำเสนอการศึกษาและการออกแบบระบบเตือนภัยน้ำท่วมเพื่อการแจ้งเตือนชุมชนในขณะฝนตกหนัก ด้วยระบบอิเล็กทรอนิกส์ ซึ่งมีวัตถุประสงค์เพื่อให้การเตรียมตัวและการตอบสนองสำหรับสถานการณ์ฉุกเฉินเป็นไปอย่างมีประสิทธิภาพ ระบบนี้ส่งการแจ้งเตือนผ่านแอพพลิเคชั่นไลน์ (LINE) และมีการแสดงผลบนเว็บไซต์ เพื่อให้ผู้ใช้สามารถทราบล่วงหน้าและตรวจสอบสถานะได้ นอกจากนี้ยังมีการระบุตำแหน่งที่เกิดน้ำท่วมไปยังผู้นำชุมชนเพื่อประกาศอพยพทันที ระบบถูกควบคุมและบริหารจัดการด้วยบอร์ด ESP32 ผ่านซอฟต์แวร์ Arduino เพื่อประมวลผลข้อมูลอย่างถูกต้องและเชื่อถือได้ ผลการทดลองยืนยันว่าระบบสามารถทำงานได้ตามที่กำหนดและสอดคล้องกับหลักการที่นำเสนอไว้ โดยเฉพาะการออกแบบระบบเตือนภัยน้ำท่วมในพื้นที่ชุมชนที่เป็นไปอย่างถูกต้องและมีประสิทธิภาพในการทำงาน

คำสำคัญ: เครื่องเตือนภัยน้ำท่วมในพื้นที่ชุมชน ไมโครคอนโทรลเลอร์ อินเตอร์เน็ตทุกสรรพสิ่ง

Abstract

This article presents the study and design of a flood warning system to alert communities during heavy rainfall using electronic systems. The objective is to ensure effective preparation and response for emergency situations. The system sends alerts via the LINE application and displays information on a website, allowing users to receive advance notice and check the status. Additionally, it identifies flooded locations to community leaders for immediate evacuation announcements. The system is controlled and managed using an ESP32 board through Arduino software to process data accurately and reliably. Experimental results confirm that the system operates as intended and aligns with the principles presented, specifically in the design of a flood warning system for community areas that is both accurate and efficient in operation.

Keywords: : Community Flood Warning System, Microcontroller, Internet of Things (IoT)

1. บทนำ

ในปัจจุบัน การเติบโตของเทคโนโลยีได้ทำให้มีการพัฒนาอุปกรณ์อิเล็กทรอนิกส์ที่ช่วยในการดำรงชีวิตให้สะดวกสบายมากขึ้น ซึ่งรวมถึงอุปกรณ์อิเล็กทรอนิกส์กลุ่มเซนเซอร์ต่างๆ ที่เข้ามามีบทบาทในชีวิตประจำวันเรามากขึ้น ทั้งในภาคครัวเรือนในอุปกรณ์เครื่องใช้ตามบ้าน ในภาคอุตสาหกรรมสำหรับตรวจจับกระบวนการต่างๆ [1-2] หรือแม้กระทั่งในภาคสังคมและชุมชนเองก็ตามก็ยังมีการนำอุปกรณ์อิเล็กทรอนิกส์เซนเซอร์ และไมโครคอนโทรลเลอร์มาประยุกต์ใช้งานร่วมกับระบบอินเตอร์เน็ตทุกสรรพสิ่ง (Internet of Thing, IoT) [3-5] มากมาย ซึ่งหนึ่งในนั้นคือการสร้างระบบการเตือนภัยต่างๆ เพื่อให้ชุมชนสามารถรับมือกับภัยธรรมชาติได้อย่างมีประสิทธิภาพมากขึ้น ลดการสูญเสียทั้งทรัพย์สินและชีวิต โดยเฉพาะปัญหาด้านอุทกภัย ในพื้นที่ภาคกลางตอนล่างของประเทศไทย ที่จะประสบปัญหาน้ำท่วมทุกปีในหน้าฝน

ดังนั้น ในบทความนี้จึงมุ่นเน้นการนำเสนอการศึกษา การออกแบบต้นแบบระบบเตือนภัยน้ำท่วมเพื่อการแจ้งเตือนชุมชนในขณะฝนตกหนัก โดยการตรวจจับปริมาณน้ำฝน ปริมาณน้ำในคลอง และอัตราการไหลของน้ำ ด้วยอุปกรณ์อิเล็กทรอนิกส์ และเซนเซอร์ต่าง เพื่อนำไปประมวลผลด้วยไมโครคอลโทรลเลอร์ เพื่อบริหารจัดการและแจ้งเตือนส่งผ่านระบบ IoT ด้วยแอพพลิเคชั่นไลน์ (LINE) นอกจากนี้ระบบที่ออกแบบยังสามารถแสดงตำแหน่งพิกัด GPS [6] เพื่อระบุตำแหน่งเป้าหมายที่ทำการติดตั้งเพื่อให้การบริหารการแจ้งเตือนเป็นไปอย่างมีประสิทธิภาพมากที่สุด

2. หลักการและแนวคิด Internet of Things (IoT) ที่นำมาพัฒนา

Internet of Things (IoT) เป็นระบบที่ทำให้เกิดการเชื่อมต่อระหว่างอุปกรณ์ต่าง ๆ ได้อย่างหลากหลาย ทำให้เกิดการสื่อสารและการทำงานร่วมกันได้อัตโนมัติ เพิ่มประสิทธิภาพในการควบคุมอุปกรณ์และระบบ รวมถึงการเข้าถึงข้อมูลได้อย่างมีประสิทธิภาพมากขึ้น [6] โดย IoT เกิดขึ้นจากการพัฒนาระบบอินเทอร์เน็ตเพื่อเชื่อมโยงอุปกรณ์ที่มีมาตรฐานแตกต่างกันให้สามารถสื่อสารกันได้ในรูปแบบที่หลากหลายมากยิ่งขึ้น ดังนั้น เราจึงนำเทคโนโลยี IoT มาใช้ในการพัฒนาระบบเตือนน้ำท่วมในชุมชน เพื่อเตือนภัยน้ำท่วมล่วงหน้าได้อย่างทันท่วงที และช่วยเพิ่มประสิทธิภาพความปลอดภัยให้กับประชาชน ระบบนี้ทำให้สามารถตรวจสอบระดับน้ำและปริมาณน้ำฝนได้ทันท่วงทีผ่านอุปกรณ์เสริมและสมาร์ทโฟน ทำให้ประชาชนสามารถเตรียมความพร้อมและป้องกันตัวได้อย่างมีประสิทธิภาพในเวลาที่เหมาะสม สร้างความรู้สึกความปลอดภัยและความมั่นใจในชุมชนทั้งหมด

*ผู้ประพันธ์บรรณกิจ

การนำแนวคิด Internet of Things (IoT) มาใช้ในการตรวจสอบหรือเช็คสถานะของระดับน้ำได้ตลอดเวลา ในการนำมาใช้นี้จะเป็นการ ส่งค่าที่บอร์ด ESP 32 ได้รับจากเซนเซอร์ ส่งค่าไปยังแอพพลิเคชั่น Netpie เพื่อตรวจสอบสถานะของระบบดับน้ำ หรือการตรวจสอบสถานะของน้ำฝนว่าในขณะนี้มีฝนตกในพื้นที่เราเราติดตั้งอุปกรณ์ไว้หรือไม่ และเมื่อระดับน้ำถึงระดับที่เรากำหนดไว้ ก็จะมีการแจ้งเตือนไปยัง แอพพลิเคชั่นไลน์ น้องจากส่งสถานะของระดับน้ำแล้ว เรายังส่งลิงค์ของตำแหน่งที่เราติดตั้งอุปกรณ์ไว้อีกด้วย หากในอนาคตมีการติดตั้งเครื่องเตือนภัยน้ำท่วมนี้ในหลายๆจุดเราจะสามารถรู้ได้ทันที่ว่าจุดไหนจะเกิดภัยน้ำท่วมบ้าง เพื่อทำการป้องกันได้อย่างทันเวลา แสดงตัวอย่างการแจ้งเตือนไปยังแอพพลิเคชั่นไลน์ได้ดังรูปที่ 1

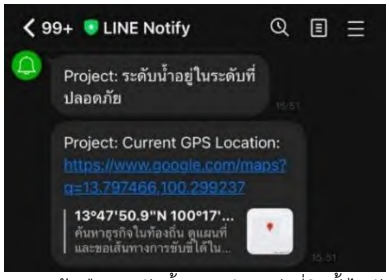

รูปที่ 1 การแจ้งเตือนระดับน้ำ และตำแหน่งที่ติดตั้งไปยัง LINE

3. เครื่องเตือนภัยน้ำท่วมที่นำเสนอ

3.1 ภาพรวมโครงงาน

การพัฒนาเครื่องเตือนภัยน้ำท่วมในพื้นที่ชุมชนที่นำเสนอมุ่งเน้นไปที่การประยุกต์ใช้ระบบ IoT โดยมีการประมวลผลและส่งข้อมูลด้วยโปรแกรม Arduino ให้มีการรับและส่งค่าจากเซนเซอร์ผ่านบอร์ด ESP 32 จำนวน 2 บอร์ด มีกระบวนการดังนี้

1. การรับค่า
   1.1. ใช้เซนเซอร์ Ultra-Sonic เพื่อวัดระดับน้ำในพื้นที่ที่เฝ้าสังเกตุ
   1.2. ใช้เซนเซอร์ Flow Rate เพื่อวัดอัตราการไหลของน้ำ เพื่อวัดปริมาณน้ำฝนที่ไหลผ่านเซนเซอร์
   1.3. ใช้ GPS Module เพื่อรับค่าพิกัด ละติจูน และลองจิจุด และนำค่าที่ได้มาแสดงตำแหน่ง
   1.4. ใช้เซนเซอร์ Water Detection Sensor เพื่อวัดว่าฝนตกหรือไม่ในกรณีที่ฝนตกไม่แรงพอที่จะทำให้ Flow Rate ทำงาน
2. ประมวลผลจากเซนเซอร์ ในการประมวลผลจะประมวลผลด้วยบอร์ด ESP 32
3. การส่งค่าไปแสดงบน แอพพลิเคชั่น Netpie เพื่อตรวจสอบค่าสถานะต่าง ๆ ได้ตลอดเวลา และแสดงค่าผ่าน จอLCD ที่หน้าตู้คอลโทรล
4. การแจ้งเตือน เมื่อปริมาณน้ำถึงในระดับที่กำหนดไว้ใน โปรแกรม Arduino 3ระดับ จะมีการแจ้งเตือนไปยังแอพพลิเคชั่นไลน์ และมีการเตือนสถานะไฟที่หน้าตู้คอลโทรล

3.2 ภาพรวมโครงงาน

การออกแบบเครื่องจำลองระบบเตือนภัยน้ำท่วมใช้ระบบแจ้งเตือนผ่านแอพพลิเคชั่นและแสดงผลทางหน้าจอ LCD เพื่อเพิ่มประสิทธิภาพในการแจ้งเตือน จะมีชุดอุปกรณ์ประกอบด้วย บอร์ด ESP32, เซนเซอร์วัดระดับน้ำ (Water Flow Sensor YF-S201), เซนเซอร์เอลตราโซนิก (Ultrasonic Sensor JSN-SR04T), และโมดูล GPS โดยเครื่องจะส่งสัญญาณไปยังชุดควบคุมและแสดงผลเพื่อแจ้งเตือนภัยน้ำท่วมให้กับผู้ใช้งานทราบและทำการแก้ไขหรือป้องกันล่วงหน้าก่อนเกิดเหตุโดยที่เครื่องสามารถวัดระดับน้ำได้แม่นยำ

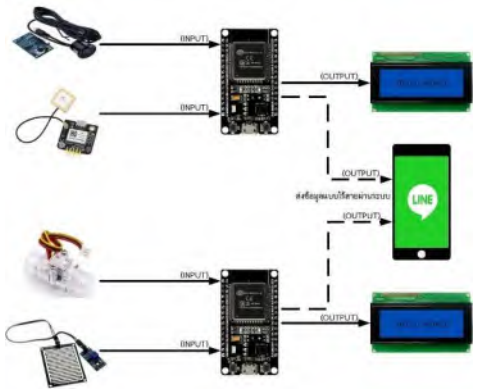

รูปที่ 2 ภาพรวมอุปกรณ์ของโครงงานที่นำเสนอ

4. ผลการทดลอง

การทดลองที่ 1 การทดลองการทำงาน Ultrasonic Sensor โดยใช้การวัดด้วยตลับเมตรเป็นมาตรฐานในการวัดเทียบค่าจากผิวน้ำถึงระดับเซนเซอร์ เพื่อในการใช้งานการเปรียบเทียบค่าและแสดงผลออกมาที่หน้าจอ LCD และ Serial Monitor โดยมีถังน้ำสูง 42 เซนติเมตร ให้คิดเป็น เมื่อน้ำเต็มถังที่ 42 เซนติเมตรจะเท่ากับ ระดับน้ำ 100% แสดงได้ดังรูปที่ 3

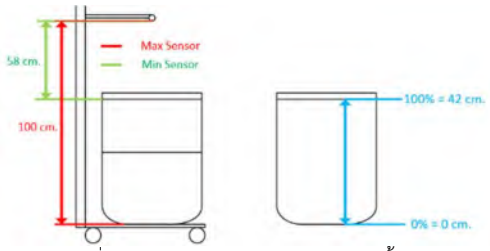

รูปที่ 3 แสดงการวัด และการอ่านค่าของน้ำในถัง

โดยระดับน้ำในถังสูงสุดที่เซนเซอร์วัดได้เท่ากับ 58 เซนติเมตร กำหนดให้เป็น 100 % ระดับน้ำต่ำสุดที่เซนเซอร์วัดได้เท่ากับ 100 เซนติเมตร กำหนดให้ 0% แสดงได้ดังรูป 3 การทดลองนี้จะทดสอบการวัดระดับน้ำ 3 ระดับ คือ 50%, 70% และ 80% จะแสดงค่าการทดลองได้ดังรูปที่ 4

(ก) ระดับน้ำในถังที่ 50% สถานะไฟหน้าตู้ จอ LCD และ Netpie

(ข) ระดับน้ำในถังที่ 70% สถานะไฟหน้าตู้ จอ LCD และ Netpie

(ค) ระดับน้ำในถังที่ 80% สถานะไฟหน้าตู้ จอ LCD และ Netpie

รูปที่ 4 แสดงการทดลองวัดระดับน้ำ 3 ระดับ

จากผลการทดลอง พบว่าค่าความผิดพลาดที่เกิดขึ้นเกิดจากความไม่เสถียรของเซนเซอร์เนื่องจากผลการทดลองที่ทำการบันทึกค่าอยู่ในเกณฑ์ที่ยอมรับได้ และสอดคล้องกับค่าที่ตั้งไว้

การทดลองที่ 2 การทดลองการทำงาน Water Flow Sensor โดยใช้ถังตวงน้ำเป็นมาตรฐานในการใช้งานการเปรียบเทียบค่าที่แสดงผลออกมาที่หน้าจอ LCD โดยการทดลองนี้จะทดสอบการวัดอัตราการไหลของน้ำ ในปริมาณ 1 2 และ 3 ลิตร จะแสดงค่าการทดลองได้ดังรูปที่ 5

(ก) แสดงผลบนNetpie ด้วยปริมาณน้ำ 1 ลิตร

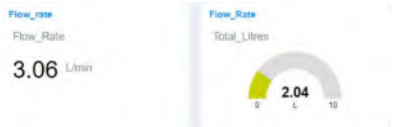

(ข) แสดงผลบนNetpie ด้วยปริมาณน้ำ 2 ลิตร

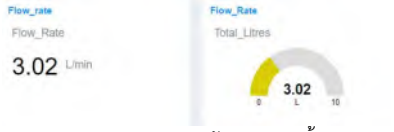

(ค) แสดงผลบนNetpie ด้วยปริมาณน้ำ 3 ลิตร

รูปที่ 5 แสดงการทดลองวัดอัตราการไหลน้ำทั้ง 3 ระดับ

ค่าทั้งหมดที่ทำการวัดเพื่อเก็บบันทึกผลที่อ่านได้จาก Serial Monitor จะบันทึกทั้งหมด 5 ครั้ง โดยการทดลองการวัดอัตราการไหล (Flowrate) ที่ปริมาณน้ำ 1 2 และ 3 ลิตร แสดงผลการทดลองได้ตารางที่ 1 2 และ 3 ตามลำดับ

ตารางที่ 1 การทดลองการวัดอัตราการไหลที่ปริมาณน้ำ 1 ลิตร

ครั้งที่	ปริมาณน้ำ (L)	ค่าที่อ่านได้จากปริมาณ			
		อัตราการไหล (L/min)	เวลา (s)	ปริมาณน้ำที่วัดได้ (L)	|%ERROR|
1	1	3.063	20	1.02	0.02
2	1	3.259	19	1.03	0.03
3	1	3.093	20	1.03	0.03
4	1	3.366	18	1.01	0.01
5	1	2.971	21	1.04	0.04
ค่าเฉลี่ยทั้งหมด		3.15	19.6	1.026	0.026

ตารางที่ 2 การทดลองการวัดอัตราการไหลที่ปริมาณน้ำ 2 ลิตร

ครั้งที่	ปริมาณน้ำ (L)	ค่าที่อ่านได้จากปริมาณ			
		อัตราการไหล (L/min)	เวลา (s)	ปริมาณน้ำที่วัดได้ (L)	|%ERROR|
1	1	3.058	40	2.04	0.04
2	1	3.001	41	2.05	0.05
3	1	2.914	42	2.04	0.04
4	1	3.028	40	2.02	0.02
5	1	3.092	39	2.01	0.01
ค่าเฉลี่ยทั้งหมด		3.15	3.018	4.04	2.032

ตารางที่ 3 การทดลองการวัดอัตราการไหลที่ปริมาณน้ำ 3 ลิตร

ครั้งที่	ปริมาณน้ำ (L)	ค่าที่อ่านได้จากปริมาณ			
		อัตราการไหล (L/min)	เวลา (s)	ปริมาณน้ำที่วัดได้ (L)	|%ERROR|
1	1	3.020	60	3.02	0.02
2	1	3.062	59	3.01	0.01
3	1	3.022	61	3.07	0.07
4	1	2.953	62	3.05	0.05
5	1	3.030	60	3.03	0.03
ค่าเฉลี่ยทั้งหมด		3.15	3.017	60.4	3.036

จากการทดลองที่ 2 พบว่าค่าความผิดพลาดของการวัดได้จากเซนเซอร์ Flowrate มีค่าความผิดพลาดอยู่ไม่เกิน ±0.05%

การทดลองที่ 3 การทดลองเชื่อมต่อแสดงตำแหน่งจาก GPS Module ด้วย Google Maps โดย GPS ให้แสดง ละติจูด ลองจิจูด ที่หน้า ของ Serial Monitor และนำข้อมูลไปใช้งานที่ Google Mapsเพื่อให้แสดงรายละเอียดของตำแหน่งมหาวิทยาลัยเทคโนโลยีราชมงคลรัตนโกสินทร์ แสดงได้รูปที่ 6

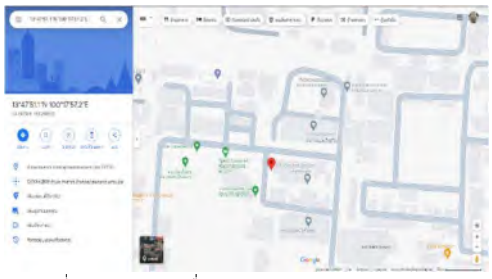

รูปที่ 6 การทดลองเชื่อมต่อแสดงตำแหน่งจาก GPS

จากการทดลอง GPS เชื่อมต่อกับ Microcontroller แสดงตำแหน่งที่ตำแหน่ง มหาวิทยาลัยเทคโนโลยีราชมงคลรัตนโกสินทร์ ทำการบันทึกค่าละติจูด ลองจิจูด ที่แสดงผลบนจอ LCD และ Serial Monitor และนำข้อมูลไปใช้งานที่ Google Maps เพื่อให้แสดงรายละเอียดของตำแหน่งเป็นไปได้ตามขอบเขต

การทดลองที่ 4 การแจ้งเตือนภัยน้ำท่วมทั้งหมด 3 ระดับ โดยจะแบ่งเป็น 3 ระดับ คือ ระดับน้ำปลอดภัย ระดับปานกลาง และระดับเฝ้าระวัง โดยการทดลองนี้จะแสดงระดับน้ำที่ปลอดภัย เมื่อ Ultrasonic Sensor วัดค่าได้ตั้งแต่ 0-50%, 51-70%, 71-100% จะทำการส่งข้อความไปยังแอพพลิเคชั่นไลน์ และมีไฟแสดงสถานะไฟหน้าตู้แสดงได้ดังรูปที่ 7

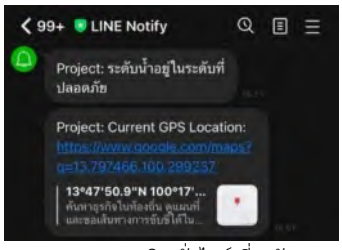

(ก) สถานะของแอพพลิเคชั่นไลน์ ที่ระดับปลอดภัย

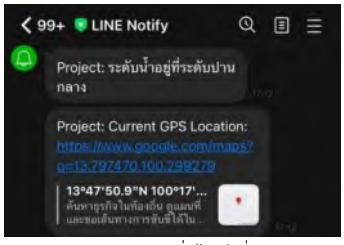

(ข) สถานะของแอพพลิเคชั่นไลน์ ที่ระดับปานกลาง

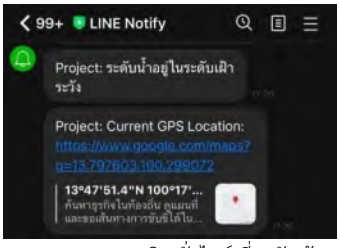

(ค) สถานะของแอพพลิเคชั่นไลน์ ที่ระดับเฝ้าระวัง

รูปที่ 7 การทดลองที่ 4 แจ้งเตือนภัยน้ำท่วมทั้งหมด 3 ระดับ

5. สรุป

ระบบเตือนภัยน้ำท่วมเพื่อแจ้งเตือนชุมชน ที่นำเสนอในบทความนี้ มีวัตถุประสงค์หลัก เพื่อศึกษาและออกแบบระบบที่ใช้ได้จริงในการแจ้งเตือนภัยน้ำท่วมเพื่อป้องกันความเสียหายที่เกิดจากทรัพย์สิน และชีวิตของคนในชุมชน โดยระบบที่นำเสนอสามารถส่งการแจ้งเตือนผ่านแอพพลิเคชั่นไลน์ (LINE) และมีการแสดงผลบนเว็บไซต์ เพื่อให้ผู้ใช้สามารถทราบล่วงหน้าและตรวจสอบสถานะได้ นอกจากนี้ยังมีการระบุตำแหน่งที่เกิดน้ำท่วมไปยังผู้นำชุมชนเพื่อประกาศอพยพทันที ระบบถูกควบคุมและบริหารจัดการด้วยบอร์ด ESP32 ผ่านซอฟต์แวร์ Arduino เพื่อประมวลผลข้อมูลอย่างถูกต้องและเชื่อถือได้ ผลการทดลองยืนยันว่าระบบสามารถทำงานได้ตามที่เป้าหมายที่กำหนดไว้

6. กิตติกรรมประกาศ

คณะวิศวกรรมศาสตร์ มหาวิทยาลัยเทคโนโลยีราชมงคลรัตนโกสินทร์

เอกสารอ้างอิง

[1] ผศ.ดร.วงรพงศ์ ตั้งศรีรัตน์, *เซนเซอร์และทรานสดิวเซอร์*, พิมพ์ครั้งที่ 1 กรุงเทพฯ : สำหนักพิมพ์ ส.ส.ท, 2548.

[2] รศ. ดร.วรพงศ์ ตั้งศรีรัตน์, *การวัดและการควบคุมอัตราการไหล*, พิมพ์ครั้งที่ 1 กรุงเทพฯ : สำหนักพิมพ์ ส.ส.ท, 2548.

[3] เกษมศรี ซับซ้อน, *ระบบ IOT*, พิมพ์ครั้งที่ 4 กรุงเทพมหานคร : สำนักพิมพ์ นานาสิ่งพิมพ์, 2544.

[4] คณาจารย์ภาควิชาปฐพีวิทยา, *ภาษา C เบื้องต้น*, พิมพ์ครั้งที่ 8 กรุงเทพมหานคร : สำนักพิมพ์เรืองธรรมการพิมพ์, 2541.

[5] ผศ.ดร. เดชฤทธิ์ มณีธรรม, *คัมภีร์การใช้งาน ไมโครคอนโทรลเลอร์ Arduino*, พิมพ์ครั้งที่ 1 กรุงเทพมหานคร: สำนักพิมพ์ ซีเอ็ดยูเคชั่น, 2560.

[6] ม.ป.ป, อิทธิสุนทร นันทกิจ (2544). *หลักการทำงานของ GPS ออนไลน์* [17 กุมภาพันธุ์ 2565] สาระสังเขป สืบค้นจาก :http://www.kmitl.ac.th/kagps/gps-iot-ong.htm.

การพัฒนาโปรแกรมจำลองการฝึกปฏิบัติจัดลำดับบัสสถานีไฟฟ้าย่อย

Development of a Simulation Program for Training in Substation Bus Arrangement Operations

พศวีร์ ศรีโหมด[1*] และ เอกชัย ดีศิริ[2]
สาขาวิศวกรรมไฟฟ้า คณะวิศวกรรมศาสตร์ มหาวิทยาลัยศรีปทุม pasawee.sr@spu.ac.th[1*], akekachai.de@spu.ac.th[2]

บทคัดย่อ

บทความนี้นำเสนอการพัฒนาโปรแกรมจำลองการฝึกปฏิบัติจัดลำดับบัสสถานีไฟฟ้าย่อย จุดประสงค์เพื่อช่วยให้ผู้ใช้งานสามารถเรียนรู้และฝึกปฏิบัติลำดับการสวิตช์ของรูปแบบการจัดบัสแบบต่างๆได้อย่างถูกต้องตามขั้นตอนการเชื่อมต่อของอุปกรณ์ในสถานีไฟฟ้าย่อย พร้อมทั้งได้ศึกษาคุณลักษณะของการจัดบัสแต่ละประเภทในสถานีไฟฟ้าย่อย โดยโปรแกรมนี้จะจำลองสถานการณ์การจัดบัส 4 แบบได้แก่ 1.แบบบัสเดี่ยว, 2.แบบบัสประธานและบัสโอน, 3.แบบบัสประธานคู่และบัสโอน และ 4.แบบเบรกเกอร์ครึ่ง โปรแกรมการจำลองพัฒนาในรูปแบบให้มีการเชื่อมต่อกับผู้ใช้แบบกราฟฟิกด้วยโปรแกรมVisual Studio 2022 และการจำลองแบบ 3 มิติเพื่อให้ผู้ใช้งานได้เห็นภาพรวมของอุปกรณ์ในสถานีไฟฟ้าโดยการสร้างประสบการณ์การเรียนรู้ในสภาวะแวดล้อมเสมือนจริง จากทดสอบผลการเรียนรู้พบว่าผู้ใช้งานมีการเรียนรู้ที่ดีขึ้นจากการทำแบบทดสอบก่อนเรียนได้คะแนนเฉลี่ย 7.6 คะแนน และการทำแบบทดสอบหลังเรียนพบว่าได้คะแนนเฉลี่ย 13.0 คะแนน และระดับความพึงพอใจในการเรียนรู้ผ่านโปรแกรมจำลองด้วยระดับคะแนนเฉลี่ย 4.78

คำสำคัญ: รูปแบบการจัดบัส, ลำดับการสวิตช์, สถานีไฟฟ้าย่อย

Abstract

This paper presents the development of a simulation program for training in substation bus arrangement operations. The objective is to enable users to learn and practice the correct switching sequences of various bus configurations in accordance with standard substation connection procedures. The program also facilitates the study of the characteristics of each bus arrangement commonly used in electrical substations. The simulation includes four bus arrangement scenarios: 1.Single Bus Scheme, 2.Main and Transfer Bus Scheme, 3.Double Main and Transfer Bus Scheme, and 4.Breaker-and-a-Half Scheme. The simulation program was developed using a graphical user interface in Visual Studio 2022, incorporating 3D modeling to provide a comprehensive visualization of substation equipment and to enhance the learning experience through a realistic virtual environment. Evaluation results indicate improved learning outcomes, with the average score increasing from 7.6 (pre-test) to 13.0 (post-test). In addition, the user satisfaction level was found to be high, with an average rating of 4.78.

Keywords: Bus Arrangement, Switching Sequence, Electrical Substation

1. บทนำ

รูปแบบการจัดบัสในสถานีไฟฟ้าย่อยสามารถออกแบบและจัดสร้างได้หลายรูปแบบ การพิจารณาเลือกรูปแบบการจัดบัสในรูปแบบใดนั้นขึ้นอยู่กับปัจจัยหลายด้าน เช่น ระดับแรงดันไฟฟ้า ความสำคัญของโหลด ความยืดหยุ่นในการติดตั้งระบบ ความสะดวกในการบำรุงรักษา และต้นทุนการติดตั้ง เป็นต้น และลักษณะการจัดเรียงวงจรและอุปกรณ์ที่แตกต่างกันในแต่ละรูปแบบการจัดบัสจะมีผลต่อลำดับในการสั่งอุปกรณ์หรือลำดับในการสวิตช์(Switching Sequence) ระหว่างอุปกรณ์สวิตช์ตัดตอน (Disconnection Switch) กับเซอร์กิตเบรกเกอร์ (Circuit Breaker) ดังนั้นเพื่อเป็นการป้องกันไม่ให้ผู้ปฏิบัติงานทำงานผิดพลาดจนเกิดความเสียหายกับอุปกรณ์และส่งผลต่อการจ่ายพลังงานไฟฟ้าของสถานีไฟฟ้าย่อย จึงจำเป็นต้องมีการศึกษาขั้นตอนการทำงานและลำดับในการสวิตช์อุปกรณ์ที่แตกต่างกันในแต่ละรูปแบบของการจัดแบบต่างๆ ผู้จำหน่ายไฟฟ้าจึงมักจัดทำคู่มือสำหรับผู้ควบคุมการทำงานของระบบบัสขึ้น

จากที่กล่าวข้างต้นเห็นได้ว่าการศึกษารูปแบบการจัดบัส และขั้นตอนการควบคุมลำดับการสวิตช์ของอุปกรณ์ของการจัดบัสแบบต่างๆ ในสถานีไฟฟ้าย่อยนั้นมีความสำคัญอย่างมาก แต่การเรียนรู้ในเชิงทฤษฎีอย่างเดียวอาจไม่สามารถทำให้เกิดทักษะและความพร้อมในการปฏิบัติงานจริงได้ และการฝึกปฏิบัติกับระบบบัสจริงในสถานีไฟฟ้าย่อยนั้นเป็นไปได้ยาก โดยมีงานวิจัยที่จะพยายามในการประยุกต์ใช้เทคโนโลยีเสมือนจริง[1] และการใช้เกมส์ในการเรียนรู้ เพื่อการฝึกอบรมด้านระบบไฟฟ้ากำลังและสถานีไฟฟ้าย่อยอย่างต่อเนื่อง[2] ทางคณะผู้จัดทำจึงได้พัฒนาโปรแกรมจำลองการฝึกปฏิบัติจัดลำดับบัสสถานีไฟฟ้าย่อย โดยโปรแกรมมีการเชื่อมต่อกับผู้ใช้แบบกราฟฟิกซึ่งจะเป็นเครื่องมือที่ช่วยให้ผู้ใช้งานสามารถฝึกปฏิบัติและเรียนรู้การควบคุมลำดับการสวิตช์ของอุปกรณ์ในสถานีไฟฟ้าได้เสมือนจริง โดยการทดลองควบคุมลำดับการสวิตช์ของอุปกรณ์อ้างอิงจากคู่มืออบรมหลักสูตรการปฏิบัติงานศูนย์สั่งการจ่ายไฟ แผนกสั่งการจ่ายไฟกองควบคุมการจ่ายไฟฟ้าฝ่ายควบคุมระบบไฟฟ้า[3]

*ผู้ประพันธ์บรรณกิจ

2. ทฤษฎี

สถานีไฟฟ้าย่อย (Substation) ทำหน้าที่เชื่อมต่อระหว่างเครือข่ายของระบบไฟฟ้า การจัดรูปแบบของบัสหรือที่เรียกว่ารูปแบบการจัดบัส (Bus Arrangement) มีความสำคัญอย่างยิ่งในการกำหนดความมั่นคง ความยืดหยุ่นและความสะดวกในการบำรุงรักษาของสถานีไฟฟ้า การเลือกรูปแบบการจัดบัสที่เหมาะสมจะช่วยให้การทำงานของสถานีไฟฟ้าเป็นไปอย่างปลอดภัย สามารถซ่อมบำรุงได้โดยไม่กระทบต่อการจ่ายพลังงานไฟฟ้าของระบบ และลดความเสี่ยงจากเหตุขัดข้อง[4]

รูปแบบการจัดบัสในสถานีไฟฟ้าย่อยมีหลากหลายประเภทขึ้นอยู่กับการจัดวางอุปกรณ์หลักๆ โดยแต่ละประเภทมีข้อดี ข้อเสียและลักษณะการใช้งานที่แตกต่างกัน[5] ซึ่งในบทความนี้นำเสนอโปรแกรมจำลองการฝึกปฏิบัติรูปแบบการจัดบัสทั้งสิ้น 4 แบบดังนี้

1.ระบบบัสเดี่ยว (Single Bus Scheme) เป็นรูปแบบที่ง่ายและประหยัดที่สุด โดยอุปกรณ์ทั้งหมดเชื่อมต่อกับบัสเส้นเดียว ข้อดีคือมีต้นทุนต่ำและโครงสร้างไม่ซับซ้อน แต่มีข้อเสียด้านความมั่นคง หากเกิดความขัดข้องที่บัสหรือจำเป็นต้องซ่อมบำรุง จะทำให้ต้องหยุดการจ่ายไฟทั้งหมด

2.ระบบบัสประธานและบัสโอน (Main and Transfer Bus Scheme) รูปแบบนี้มีบัสหลักและบัสสำรอง(Transfer Bus) พร้อมเบรกเกอร์เชื่อมต่อระหว่างกัน(Tie CB) ช่วยให้สามารถสลับอุปกรณ์ระหว่างบัสได้ในกรณีซ่อมบำรุงโดยไม่หยุดจ่ายไฟ แต่มีความซับซ้อนในด้านการป้องกันระบบและต้องใช้พื้นที่มากขึ้น

3.ระบบบัสประธานคู่และบัสโอน (Double Main and Transfer Bus Scheme) พัฒนาต่อมาจากระบบบัสประธานและบัสโอน โดยเพิ่มบัสประธานเป็นสองชุด พร้อมกับบัสโอน ทำให้สามารถสลับการเชื่อมต่อได้อย่างอิสระ มีความยืดหยุ่นสูง เหมาะสำหรับสถานีที่ต้องการความมั่นคงสูง แต่อาจมีต้นทุนสูงและการออกแบบที่ซับซ้อน

4.ระบบบัสแบบเบรกเกอร์ครึ่ง (Breaker-and-a-Half Scheme) เป็นรูปแบบที่มีความน่าเชื่อถือสูง โดยใช้เบรกเกอร์สามตัวสำหรับสองวงจร เพื่อให้แต่ละวงจรมีเส้นทางสำรองเมื่อมีการซ่อมบำรุงหรือเกิดความผิดปกติ เหมาะสำหรับสถานีที่ต้องการความต่อเนื่องในการจ่ายไฟสูง เช่น ระบบส่งแรงดันสูง(Extra-High Voltage)

จากความแตกต่างของรูปแบบการจัดบัสแต่ละแบบข้างต้น ผู้เรียนด้านวิศวกรรมไฟฟ้ากำลังควรมีความเข้าใจในรูปแบบเหล่านี้เพื่อเลือกใช้ให้เหมาะสมกับลักษณะการควบคุมและใช้งานของสถานีไฟฟ้าแต่ละแห่ง

3. การออกแบบโปรแกรมจำลอง

การพัฒนาโปรแกรมจำลองการฝึกปฏิบัติจัดลำดับบัสสถานีไฟฟ้าย่อย มุ่งเน้นให้โปรแกรมฝึกปฏิบัติแสดงผลในรูปแบบ Graphical User Interface (GUI) เพื่อให้ผู้ใช้งานสามารถโต้ตอบกับโปรแกรมผ่านองค์ประกอบที่เป็นกราฟิก โดยกราฟฟิกแสดงตำแหน่งและสถานะของอุปกรณ์เซอร์กิตเบรกเกอร์, สวิตช์ตัดตอน และบัสบาร์ ในลักษณะที่ผู้ใช้สามารถคลิกเพื่อเปิด-ปิด(on-off) หรือเปลี่ยนสถานะการเชื่อมต่อได้อย่างชัดเจน โดยการพัฒนาโปรแกรมได้ใช้ Visual Studio 2022 ที่มีความยืดหยุ่นสำหรับการพัฒนาซอฟต์แวร์ในแพลตฟอร์มWindows การสร้างโปรแกรมการจำลองฝึกปฏิบัติจัดลำดับบัสสถานีไฟฟ้าย่อยทั้ง 4 แบบมีลักษณะของหน้าจอหลักแสดงกราฟิกดังตัวอย่างรูปที่1 และรูปแบบการจัดระบบบัสในแบบต่างๆ ดังตัวอย่างรูปที่2 ซึ่งเป็นหน้าจอการทดลองจัดแบบบัสประธานและบัสโอน

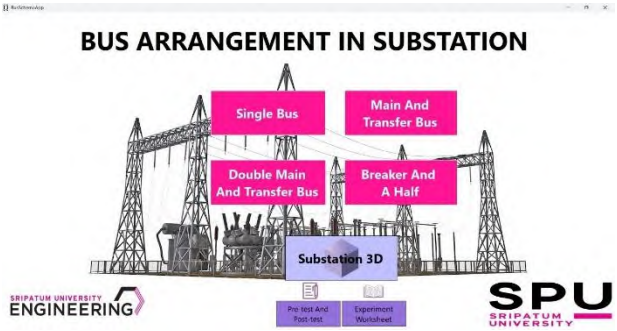

รูปที่ 1 หน้าจอหลักของโปรแกรมจำลอง

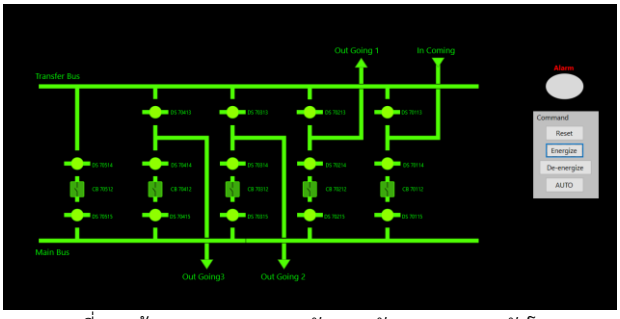

รูปที่ 2 หน้าจอการทดลองการจัดแบบบัสประธานและบัสโอน

นอกจากนั้นยังได้มีการเขียนโปรแกรมกราฟฟิกโดยใช้ Spatial.io ซึ่งเป็นแพลตฟอร์ม Metaverse และการเชื่อมต่อกับอุปกรณ์ Virtual Reality (VR) เพื่อให้ผู้เรียนสามารถทำการเรียนรู้ในสภาวะแวดล้อมเสมือนจริงได้เห็นภาพรวมของสถานีไฟฟ้าย่อยในรูปแบบ 3 มิติ ทั้งอาคาร, อุปกรณ์ต่างๆ เช่น อุปกรณ์เซอร์กิตเบรกเกอร์, สวิตช์ตัดตอน, กราวด์สวิตช์, หม้อแปลง, บัสบาร์ และสายส่งต่างๆ ในตำแหน่งและการเชื่อมต่อที่ใกล้เคียงกับของจริงดังรูปที่3 ผู้เรียนเข้าใจตำแหน่งและการเชื่อมโยงของอุปกรณ์ได้ชัดเจนขึ้น ซึ่งสำคัญมากในการวางแผนลำดับการสับสวิตช์ที่ถูกต้องและปลอดภัย อีกทั้งยังสามารถเรียนรู้ที่จะจดจำรูปร่างหน้าตาและตำแหน่งของอุปกรณ์แต่ละชนิด และสัญลักษณ์ต่างๆ ได้

รูปที่ 3 การเรียนรู้ในรูปแบบ 3D กับอุปกรณ์ Virtual Reality (VR)

4. การออกแบบการทดลอง

การออกแบบการทดลองผู้เรียนสามารถศึกษาเรียนรู้ได้ 2 ลักษณะ คือการทดลองในสภาวะการจ่ายไฟฟ้าปกติและการทดลองในในสภาวะที่มี

การซ่อมบำรุงอุปกรณ์ในสถานีไฟฟ้า รายละเอียดดังนี้

1.การทดลองในสภาวะการจ่ายไฟฟ้าปกติ (Normal Energize) ผู้เรียนสามารถทดลองควบคุมลำดับการสวิตช์ในการจ่ายไฟฟ้าสภาวะปกติของระบบบัสแบบต่างๆจากการทดลองตามขั้นตอนที่ได้ออกแบบไว้ ซึ่งอ้างอิงจากคู่มือ[1] โดยการเลือกได้จากปุ่มคำสั่งตามชื่อรูปแบบการจัดบัสในหน้าจอหลักของโปรแกรมเพื่อเข้าสู่หน้าจอการทดลอง หลังจากนั้นผู้เรียนสามารถทดลองการสวิตช์อุปกรณ์สวิตช์ตัดตอนหรือเบรกเกอร์ได้โดยการใช้เมาส์คลิกที่สัญลักษณ์ของอุปกรณ์ในรูปผังการจัดบัส เพื่อให้อุปกรณ์มีสถานะเปิดหรือปิดวงจร โดยจะมีภาพกราฟฟิคแสดงผลการไหลของกระแส(เส้นสีแดง)ในส่วนต่างๆของวงจรตามขั้นตอนการสวิตช์ ดังรูป4 แต่ถ้าผู้เรียนทำการสวิตช์ผิดขั้นตอนไปจากคู่มือการทดลองแนะนำ โปรแกรมจะแสดงกล่องข้อความและสัญลักษณ์สถานะ “Alarm” ดังรูปที่5 ซึ่งในทางปฏิบัติจะทำให้เกิดความเสียหายกับอุปกรณ์และระบบการจ่ายไฟฟ้าได้ ดังนั้นโปรแกรมจะทำให้ผู้เรียนได้ศึกษาและเข้าใจถึงคุณลักษณะ, ลำดับการสวิตช์ของอุปกรณ์และรูปแบบการทำงานของรูปแบบการจัดบัสในแบบต่างๆได้อย่างถูกต้อง

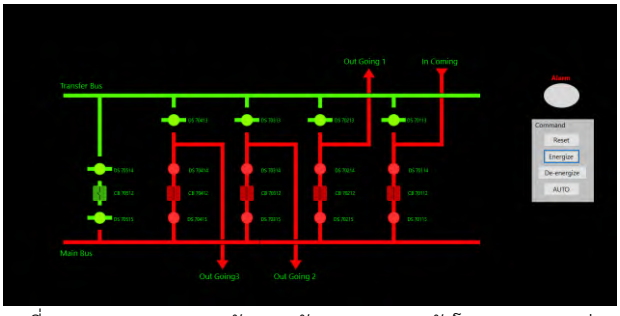

รูปที่ 4. ผลการทดลองการจัดแบบบัสประธานและบัสโอนสภาวะการจ่ายไฟฟ้าปกติ

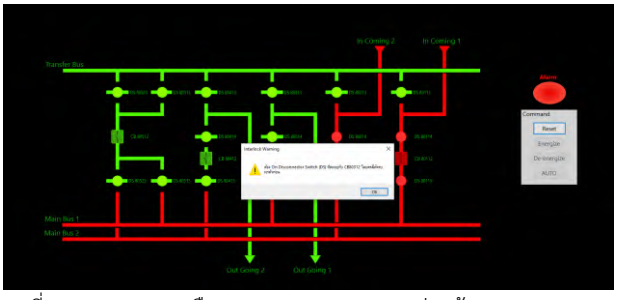

รูปที่ 5. ผลการแสดงเตือนสถานะ Alarm และกล่องข้อความ Interlock Warning แจ้งเมื่อผู้เรียนทำการสวิตช์ผิดขั้นตอน

2.การทดลองในสภาวะที่มีการซ่อมบำรุงอุปกรณ์ในสถานีไฟฟ้า หลังจากที่สถานีไฟฟ้าย่อยมีการจ่ายไฟฟ้าในสถานะปกติแล้ว ถ้าต้องมีการซ่อมบำรุงอุปกรณ์ในจุดต่างๆ ต้องมีการหยุดจ่ายไฟฟ้าในเบย์(Bay)นั้นๆ เพื่อความปลอดภัยในการทำงานของผู้ที่เข้าไปปฏิบัติงานซ่อมบำรุง ผู้เรียนสามารถเรียนรู้ลำดับการสวิตช์ในการจ่ายไฟฟ้าสภาวะที่มีการซ่อมบำรุงอุปกรณ์ของของระบบบัสแบบต่างๆ โดยแต่ละขั้นตอนการสวิตช์ผู้เรียนจะได้เห็นถึงการเปลี่ยนแปลงการทำงานและความสัมพันธ์กันของอุปกรณ์แต่ละตัวในสถานีไฟฟ้า ทำให้เกิดความเข้าใจถึงความสำคัญของลำดับในการสวิตช์อุปกรณ์แต่ละขั้นตอนว่ามีผลอย่างไรกับการควบคุมการจ่ายไฟฟ้าและคุณลักษณะของการจัดบัสแต่ละแบบที่มีความแตกต่างกันไป ดังตัวอย่างกรณีต้องการซ่อมบำรุงอุปกรณ์เบรกเกอร์ CB70112 ในการจัดบัสแบบ Main and Transfer Bus Scheme ผู้เรียนทำการทดลองสวิตช์ตามลำดับการทดลองจากคู่มือ โดยรูปที่6 แสดงภาพกราฟฟิคของโปรแกรมการทดลองในกรณีซ่อมบำรุงอุปกรณ์เบรกเกอร์ CB70112 เมื่อทำการลำดับการสวิตช์แล้วเสร็จตามขั้นตอน จะทำให้ผู้เรียนได้ทำความเข้าใจจากภาพกราฟฟิคของโปรแกรมว่า เมื่อมีการซ่อมบำรุงเบรกเกอร์ CB70112 การจัดบัสแบบ Main and Transfer Bus Scheme สถานีไฟฟ้าก็ยังสามารถจ่ายไฟฟ้าไปยังภายนอกได้ โดยเบรกเกอร์ที่นำมาใช้ในการป้องกันระบบแทน CB70112 ที่ต้องหยุดการทำงานก็คือ เบรกเกอร์ CB70512 โดยการจ่ายไฟฟ้าผ่านทาง Transfer Bus

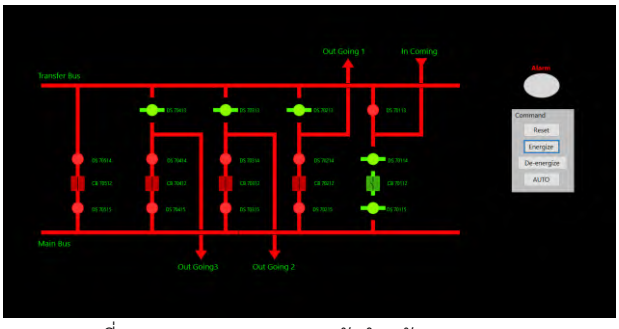

รูปที่ 6. ผลการทดลองสภาวะหลังบำรุงรักษา CB70112

5. ผลการทดสอบ

การทดสอบการใช้งานและการสำรวจความคิดเห็นของนักศึกษาที่มีต่อการโปรแกรมจำลองการฝึกปฏิบัติจัดลำดับบัสสถานีไฟฟ้าย่อยนี้ ใช้กลุ่มเป้าหมายเป็นนักศึกษาสาขาวิชาวิศวกรรมไฟฟ้า ชั้นปีที่4 ที่เรียนวิชาปฏิบัติการวิศวกรรมไฟฟ้ากำลัง จำนวน 20 คน โดยทำการทดสอบ 2 ส่วน ดังนี้

1.การทดสอบการเรียนรู้ผ่านการใช้งานโปรแกรมจำลองการฝึกปฏิบัติจัดลำดับบัสสถานีไฟฟ้าย่อย โดยให้นักศึกษากลุ่มเป้าหมายทำแบบทดสอบก่อนและหลังการเรียนรู้จำนวน 15 ข้อ(คะแนนเต็ม15 คะแนน) ผลการเรียนรู้พบว่าการทำแบบทดสอบก่อนเรียนได้คะแนนเฉลี่ย 7.6 คะแนน และการทำแบบทดสอบหลังเรียนพบว่าได้คะแนนเฉลี่ย 13.0 คะแนน แสดงให้เห็นว่าการจัดการฝึกปฏิบัติด้วยโปรแกรมจำลองส่งผลให้ผู้เรียนมีความรู้เพิ่มขึ้นอย่างชัดเจน การเปรียบเทียบคะแนนก่อนและหลังเรียนชี้ให้เห็นถึงประสิทธิผลของกระบวนการเรียนรู้ ที่ช่วยให้ผู้เรียนทุกคนสามารถพัฒนาความเข้าใจได้ดีขึ้น รายละเอียดผลการเปรียบเทียบคะแนนก่อนเรียนรู้(Pre-Test)และหลังเรียนรู้(Post-Test)ดังกราฟแสดงดังรูปที่7

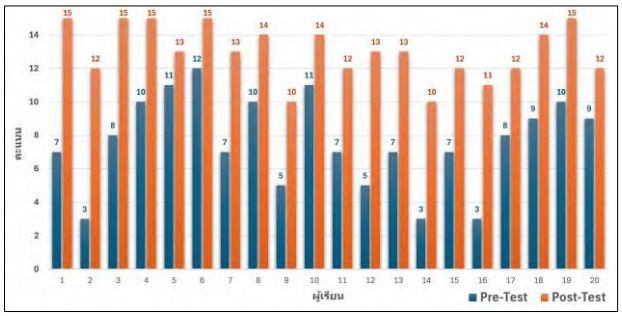

รูปที่ 7. ผลคะแนนแบบทดสอบเปรียบเทียบก่อนเรียน-หลังรายบุคคล

2.การสำรวจความคิดเห็นของนักศึกษาที่มีต่อการเรียนวิชาปฏิบัติการวิศวกรรมไฟฟ้ากำลังด้วยโปรแกรมจำลองการฝึกปฏิบัติจัดลำดับบัสสถานีไฟฟ้าย่อย การวิเคราะห์ข้อมูลในส่วนนี้เป็นการวิเคราะห์ข้อมูลเพื่อศึกษาความคิดเห็นของนักศึกษาที่มีต่อการเรียนวิชาปฏิบัติการวิศวกรรมไฟฟ้ากำลังด้วยโปรแกรมจำลอง ด้วยการตอบแบบสอบถามและให้คะแนนระดับความพึงพอใจ ผลที่ได้นักศึกษามีความพึงพอใจด้วยระดับคะแนนเฉลี่ย 4.78 จากคะแนนเต็ม 5 คะแนน ซึ่งมีรายละเอียดหัวข้อของผลการวิเคราะห์ดังตารางที่ 1

ตารางที่ 1 คะแนนความคิดเห็นของนักศึกษาด้วยโปรแกรมจำลอง

คำถาม	ค่าเฉลี่ย	แปลความหมาย
1.การใช้โปรแกรมจำลองช่วยกระตุ้นในการเรียนรู้การจัดบัสในโรงไฟฟ้าสถานีย่อยได้	4.90	เห็นด้วยมาก
2.การใช้โปรแกรมจำลองช่วยให้เข้าใจหลักการและรูปแบบการจัดบัสในโรงไฟฟ้าสถานีย่อยได้อย่างชัดเจน	4.80	เห็นด้วยมาก
3.การใช้โปรแกรมจำลองช่วยให้เห็นภาพรวมและส่วนประกอบต่างๆ ของระบบบัสได้ดีขึ้น	4.90	เห็นด้วยมาก
4.การใช้งานโปรแกรมจำลองช่วยให้เข้าใจวิธีการทำงานและข้อดีข้อเสียของการจัดบัสแต่ละรูปแบบ	4.70	เห็นด้วยมาก
5.สามารถนำความรู้จากการจำลองไปวิเคราะห์และเปรียบเทียบรูปแบบการจัดบัสต่างๆ ได้	4.90	เห็นด้วยมาก
6.การฝึกจำลองการจัดบัสมีประโยชน์ในการทำความเข้าใจการทำงานของระบบไฟฟ้าจริง	4.90	เห็นด้วยมาก
7.การใช้งานโปรแกรมจำลองเป็นทางเลือกที่ดีในการเรียนรู้เรื่องการจัดบัส หากไม่สามารถฝึกจากสถานการณ์จริงได้	4.60	เห็นด้วยมาก
8.การใช้โปรแกรมจำลองช่วยให้เรียนรู้การจัดบัสได้ดีกว่าการเรียนทฤษฎีเพียงอย่างเดียว	4.80	เห็นด้วยมาก
9.การใช้โปรแกรมจำลองช่วยสร้างบรรยากาศในการเรียนรู้เรื่องการจัดบัสให้น่าสนใจได้	4.70	เห็นด้วยมาก
10.การใช้โปรแกรมจำลองทำให้สามารถศึกษาการจัดบัสด้วยตนเองได้	4.60	เห็นด้วยมาก

6. สรุป

บทความนี้ได้นำเสนอการพัฒนาโปรแกรมจำลองการฝึกปฏิบัติจัดลำดับบัสสถานีไฟฟ้าย่อย โดยมุ่งเน้นให้ผู้เรียนสามารถเรียนรู้และฝึกปฏิบัติการควบคุมลำดับการสวิตช์ของอุปกรณ์ในรูปแบบการจัดบัสทั้ง 4 ประเภทได้อย่างถูกต้องและปลอดภัย และผู้เรียนยังสามารถมองเห็นภาพรวมของรูปแบบการจัดบัสแบบต่างๆและความสัมพันธ์ในการทำงานร่วมกันของอุปกรณ์ต่างๆ ได้ชัดเจนยิ่งขึ้น โปรแกรมจำลองได้รับการออกแบบแสดงผลในรูปแบบGUI ทำให้ผู้เรียนสามารถฝึกการทำงานเสมือนจริงในสถานีไฟฟ้าย่อย และภาพในแบบ 3 มิติ เพื่อให้เห็นภาพรวมของอุปกรณ์และการเชื่อมต่อภายในสถานีไฟฟ้าย่อยได้ชัดเจนเสริมสร้างประสบการณ์การเรียนรู้ การประเมินผลการใช้งานโปรแกรมกับนักศึกษากลุ่มเป้าหมายพบว่าผลสัมฤทธิ์ทางการเรียนเพิ่มขึ้นอย่างชัดเจน โดยคะแนนเฉลี่ยหลังการเรียนสูงกว่าก่อนเรียน และผู้เรียนมีความพึงพอใจในระดับสูง โปรแกรมจำลองนี้จึงเป็นเครื่องมือที่มีประสิทธิภาพในการฝึกอบรมผู้ปฏิบัติงานและนักศึกษาด้านวิศวกรรมไฟฟ้า ช่วยเพิ่มทักษะและความเข้าใจในการจัดลำดับการสวิตช์และรูปแบบการจัดบัสในสถานีไฟฟ้าย่อยได้อย่างเป็นระบบ

เอกสารอ้างอิง

[1] Erdem Memik and Sasha Nikolic, “The Virtual reality electrical substation field trip: Exploring student perceptions and cognitive learning”*STEM Education* (AIMS), Jan 2021, pp.47-59

[2] Ivan F. Mondragon Bernal “An Immersive Virtual Reality Training Game for Power Substations Evaluated in Terms of Usability and Engagement.” *Applied Sciences* 12(2):711, 2022.

[3] กองควบคุมการจ่ายไฟ การไฟฟ้าส่วนภูมิภาค , “คู่มืออบรมหลักสูตรการปฏิบัติงานศูนย์สั่งการจ่ายไฟ”

[4] พรชัย องค์วงศ์สกุล, “วิศวกรรมสถานีไฟฟ้าแรงสูง”, เอกสารประกอบการสัมนาวิชาการศูนย์เชี่ยวชาญพิเศษเฉพาะด้านเทคโนโลยีไฟฟ้ากำลัง คณะวิศวกรรมศาสตร์ จุฬาลงกรณ์มหาวิทยาลัย, 2554

[5] Robert H.Miller ,James H.Malinowski. “Power System Operation” McGraw-Hill. Inc,1994

ประวัติผู้เขียนบทความ

ชื่อ – สกุล พศวีร์ ศรีโหมด
E-mail: pasawee.sr@spu.ac.th
สาขาวิชาวิศวกรรมไฟฟ้า คณะวิศวกรรมศาสตร์
มหาวิทยาลัยศรีปทุม

งานวิจัยที่สนใจ: การวิเคราะห์และผลกระทบระบบไฟฟ้ากำลังที่ไม่สมดุล การประยุกต์ใช้ไฟฟ้าแรงดันสูง การอนุรักษ์พลังงานไฟฟ้า ระบบการจัดการพลังงาน

ชื่อ – สกุล เอกชัย ดีศิริ
E-mail: akekachai.de@spu.ac.th
สาขาวิชาวิศวกรรมไฟฟ้า คณะวิศวกรรมศาสตร์
มหาวิทยาลัยศรีปทุม

งานวิจัยที่สนใจ: PLC Controller, Microcontroller, IIOT Application

ระบบป้องกันการกัดกร่อนท่อโลหะใต้ดินแบบแคโทดิกชนิดอิมเพรสเคอร์เรนท์ด้วยเทคโนโลยีอินเทอร์เน็ตของสรรพสิ่ง

IoT-Based Impressed Current Cathodic Protection System for Underground Pipelines

อภิวัฒน์ อัศวเมฆิน[1]* รัฐพงษ์ จันทร์ผิว[1] สุวนันท์ ธรรมจินดา[1] กำธร เลยหยุด[1] และ จิดาภา ไพรสุด[1]

[1]สาขาวิชาวิศวกรรมไฟฟ้า คณะวิศวกรรมศาสตร์ มหาวิทยาลัยเทคโนโลยีราชมงคลอีสาน วิทยาเขตขอนแก่น apiwat.au@rmuti.ac.th

บทคัดย่อ

งานวิจัยนี้มีวัตถุประสงค์เพื่อออกแบบและสร้างระบบควบคุมและแสดงผลออนไลน์สำหรับระบบป้องกันการกัดกร่อนท่อโลหะในดินด้วยวิธีแคโทดิกชนิดอิมเพรสเคอร์เรนท์ (Impressed Current Cathodic Protection: ICCP) โดยระบบที่พัฒนาขึ้นประกอบด้วยวงจรควบคุมกระแสตรงที่สามารถปรับระดับแรงดันและกระแสตามค่าศักย์ไฟฟ้าที่เหมาะสม เพื่อป้องกันการกัดกร่อนของโลหะโดยจะสามารถควบคุมแรงดันป้องกันให้อยู่ที่ -0.850 โวลต์ โดยวัดแรงดันเทียบกับอิเล็กโทรดอ้างอิง $Cu/CuSO_4$ และมีระบบวัดและส่งค่าศักย์ไฟฟ้าแบบเรียลไทม์ผ่านเครือข่ายอินเทอร์เน็ตเข้าสู่แพลตฟอร์มการแสดงผลออนไลน์บนเว็บ (Web Dashboard) สำหรับการติดตามสภาพการทำงานของระบบจากระยะไกล ผลการทดลองภาคสนามแสดงให้เห็นว่าระบบสามารถควบคุมศักย์ไฟฟ้าบนผิวโลหะให้อยู่ในช่วงมาตรฐานที่ป้องกันการกัดกร่อนได้อย่างมีประสิทธิภาพ พร้อมทั้งสามารถตรวจสอบข้อมูลได้แบบเรียลไทม์ ช่วยลดต้นทุนในการบำรุงรักษาและเพิ่มประสิทธิภาพในการจัดการระบบท่อใต้ดิน

คำสำคัญ: การป้องกันการกัดกร่อน, แคโทดิก, ระบบควบคุม, อินเทอร์เน็ตของสรรพสิ่ง

Abstract

This research aims to design and develop a control and online monitoring system for the impressed current cathodic protection (ICCP) of underground metal pipelines. The proposed system includes a DC control circuit capable of adjusting voltage and current levels according to the appropriate reference potential for corrosion prevention. The protective potential is maintained at −0.850 volts, measured against a $Cu/CuSO_4$ reference electrode. A real-time voltage monitoring and transmission module is implemented via an internet-connected microcontroller, enabling data display through a web-based dashboard for remote system monitoring. Field test results indicate that the system effectively regulates the potential on the metal surface within the standard corrosion protection range. Furthermore, the online monitoring platform supports real-time data access, which reduces maintenance costs and enhances the efficiency of underground pipeline corrosion management.

Keywords: Corrosion Protection, Cathodic, Control System, Internet of Things (IoT)

1. บทนำ

โครงสร้างโลหะที่ฝังอยู่ใต้ดิน เช่น ท่อส่งก๊าซ ท่อน้ำมัน หรือท่อน้ำดิบ มักประสบปัญหาการกัดกร่อนจากปฏิกิริยาเคมีและไฟฟ้าเคมีที่เกิดขึ้นระหว่างโลหะและดินโดยรอบ ซึ่งส่งผลกระทบต่อความปลอดภัย การใช้งาน และอายุการใช้งานของระบบอย่างมีนัยสำคัญ หนึ่งในวิธีการที่ได้รับการยอมรับอย่างแพร่หลายในการป้องกันการกัดกร่อนคือ การใช้ระบบป้องกันแบบแคโทดิกชนิดอิมเพรสเคอร์เรนท์ (Impressed Current Cathodic Protection: ICCP) ซึ่งอาศัยการจ่ายไฟฟ้ากระแสตรงจากแหล่งจ่ายภายนอก เพื่อควบคุมศักย์ไฟฟ้าของโลหะให้มีค่าต่ำพอที่จะยับยั้งกระบวนการเกิดสนิมได้อย่างมีประสิทธิภาพ

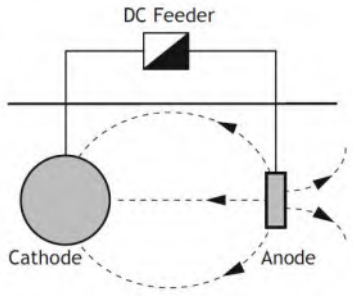

รูปที่ 1 ระบบป้องกันแบบแคโทดิกชนิดอิมเพรสเคอร์เรนท์ [1]

การวัดค่าแรงดันป้องกันในดินเป็นขั้นตอนสำคัญในการประเมินประสิทธิภาพของระบบป้องกันการกัดกร่อนแบบแคโทดิก โดยเฉพาะในโครงสร้างโลหะใต้ดิน เช่น ท่อส่งน้ำมัน ท่อน้ำ หรือโครงสร้างฐานรากของอาคาร ค่าศักย์ไฟฟ้าระหว่างโลหะกับดินที่อยู่รอบโครงสร้างจะเป็นตัวบ่งชี้ว่าโลหะนั้นได้รับการป้องกันอย่างเหมาะสมหรือไม่ในการวัดค่าศักย์ในดินจะใช้อิเล็กโทรดอ้างอิง เช่น $Cu/CuSO_4$ (Copper/Copper Sulfate Electrode) วางอยู่บนพื้นผิวดินหรือติดตั้งใกล้กับโครงสร้างเป้าหมาย แล้วใช้โวลต์มิเตอร์วัดแรงดันไฟฟ้าระหว่างโลหะ (เช่น ท่อเหล็ก) กับอิเล็กโทรดอ้างอิง เพื่อให้ได้ค่าศักย์ป้องกัน (Protection Potential)

*ผู้ประพันธ์บรรณกิจ

ค่าศักย์ไฟฟ้าที่วัดได้มีค่าอยู่ในช่วง −0.850 ถึง −0.900 โวลต์ เมื่อเทียบกับอิเล็กโทรดอ้างอิงแบบ Cu/$CuSO_4$ ซึ่งอยู่ในช่วงที่เหมาะสมตามมาตรฐาน NACE SP0169 [2] สำหรับการป้องกันการกัดกร่อนของโลหะฝังดินอย่างมีประสิทธิภาพ โดยการวัดจะต้องกระทำในสภาพแวดล้อมจริง เช่น บริเวณท่อใต้ดินที่เชื่อมต่อกับระบบ ICCP เพื่อให้สะท้อนถึงสภาพการทำงานของระบบจริง การวัดค่าแรงดันป้องกันในดินอย่างต่อเนื่องยังสามารถใช้เป็นข้อมูลประกอบในการวิเคราะห์การเสื่อมสภาพของฉนวนรอบท่อ การรั่วไหลของกระแส และความเสถียรของระบบพลังงานที่จ่ายให้กับระบบแคโทดิก

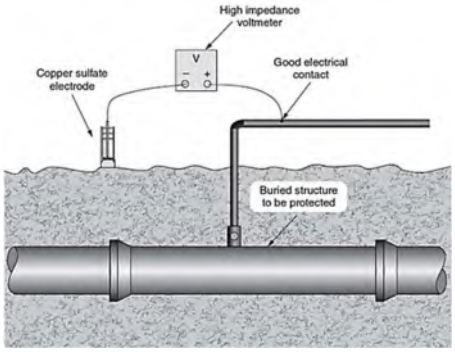

รูปที่ 2 การต่อใช้งานอิเล็กโทรดอ้างอิง [1]

ในปัจจุบัน เทคโนโลยีอินเทอร์เน็ตของสรรพสิ่ง (Internet of Things: IoT) ได้ถูกนำมาใช้ในการตรวจสอบและควบคุมระบบวิศวกรรมหลากหลายประเภท โดยเฉพาะในงานระบบอัตโนมัติและระบบโครงสร้างพื้นฐาน การนำ IoT มาประยุกต์ใช้ร่วมกับระบบ ICCP ช่วยเพิ่มประสิทธิภาพในการควบคุมศักย์ไฟฟ้าให้เหมาะสมกับสภาวะจริงของดินในแต่ละพื้นที่ อีกทั้งยังสามารถติดตามการทำงานแบบเรียลไทม์จากระยะไกลผ่านอินเทอร์เน็ตและแพลตฟอร์มแสดงผลออนไลน์ ซึ่งช่วยลดภาระด้านการบำรุงรักษา และเพิ่มความแม่นยำในการจัดการความเสี่ยงจากการกัดกร่อน [3-5]

งานวิจัยนี้จึงมีวัตถุประสงค์เพื่อพัฒนาและออกแบบชุดต้นแบบระบบป้องกันการกัดกร่อนแบบแคโทดิกชนิดอิมเพรสเคอร์เรนท์ที่ทำงานร่วมกับเทคโนโลยี IoT โดยระบบสามารถควบคุมระดับแรงดันไฟฟ้าให้อยู่ในช่วงที่เหมาะสมที่โดยที่ระดับแรงดันของวัสดุที่วัดเทียบกับอิเล็กโทรดอ้างอิง Cu/$CuSO_4$ ของวัสดุที่ผังในดินตามมาตรฐานจะอยู่ที่ -0.85 V_{cse} พร้อมระบบวัดค่าศักย์และส่งข้อมูลแบบเรียลไทม์สู่แพลตฟอร์มออนไลน์ เพื่อให้สามารถตรวจสอบสถานะการทำงานของระบบได้ทุกที่ทุกเวลา และรองรับการทำงานแบบออฟกริดโดยใช้พลังงานจากแหล่งพลังงานทดแทน [6-7]

2. ขั้นตอนการทำงานของระบบ

กระบวนการทำงานของชุดต้นแบบประกอบด้วย 4 ขั้นตอนหลัก ได้แก่ ขั้นตอนที่หนึ่งคือ ชุดอุปกรณ์ตรวจวัดแรงดันไฟฟ้าจะตรวจวัดแรงดันไฟฟ้า และส่งข้อมูลไปประมวลผล ส่วนที่สองคือรับค่าที่ได้มาประมวลผลและนำมาปรับแรงดันป้องกันให้ได้ตามค่าที่ต้องการสามารถเพิ่มและลดแรงดันได้ทั้งแบบปรับมือและการปรับอัตโนมัติ ส่วนที่สามคือทำการจ่ายแรงดันไฟฟ้าตามระดับที่เหมาะสม ส่วนที่สี่คือแสดงผลค่าแรงดันไฟฟ้าที่จ่ายทั้งในหน้าจอแสดงผล และผ่านแพลตฟอร์มออนไลน์ โดยตามหลักการทำงานของกระบวนการทำงานของชุดต้นแบบระบบป้องกันการกัดกร่อนท่อโลหะใต้ดินแบบแคโทดิกชนิดอิมเพรสเคอร์เรนท์ด้วยเทคโนโลยีอินเทอร์เน็ตของสรรพสิ่ง ค่าที่วัดได้จะถูกส่งไปเก็บยัง Google sheet และข้อมูลจะถูกส่งไปแสดงบนเว็ปไซต์ที่สร้างขึ้น ดังแสดงขั้นตอนการทำงานการทำงานในรูปที่ 3

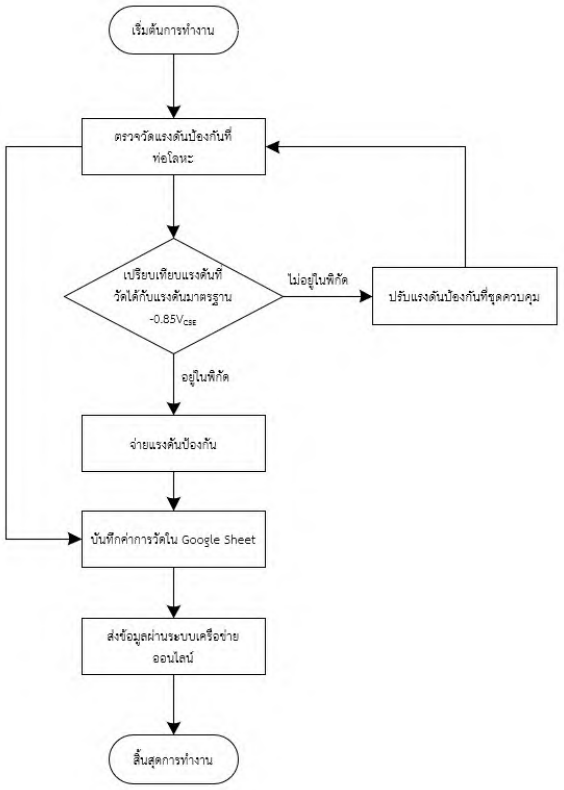

รูปที่ 3 กระบวนการทำงานของชุดต้นแบบ

3. การออกแบบและสร้างระบบ

การทำงานชุดต้นแบบระบบป้องกันการกัดกร่อนท่อโลหะใต้ดินแบบแคโทดิกชนิดอิมเพรสเคอร์เรนท์ด้วยเทคโนโลยีอินเทอร์เน็ตของสรรพสิ่ง จะทำหน้าที่ควบคุมระดับแรงดันไฟฟ้าที่ใช้ในการป้องกันการกัดกร่อน โดยนำค่า แรงดันที่ได้รับจากชุดตรวจวัดแรงดันไฟฟ้า ผ่านการประมวลผลตามที่ได้ออกแบบไว้ แล้วคำนวณหาระดับแรงดันไฟฟ้าที่ใช้สำหรับการป้องกันการกัดกร่อนในระดับที่เหมาะสม จากนั้นระบบจะส่งคำสั่ง ไปยังวงจรปรับระดับแรงดันไฟฟ้า เพื่อจ่ายแรงดันไฟฟ้าให้ขั้วแอโนดจนกระทั่งครบวงจร จะแสดงค่าพารามิเตอร์ทางไฟฟ้าผ่านหน้าจอแสดงผลและส่ง

ข้อมูลไปแสดงผลออนไลน์ผ่านเว็ปที่สร้างขึ้น เป็นส่วนประกอบของระบบต่าง ๆ ประกอบด้วยอุปกรณ์ทั้งระบบควบคุม ชุดสร้างแรงดัน ส่วนแสดงผล และส่วนการติดต่อสื่อสารและเก็บข้อมูล โดยแสดงในรูปที่ 4

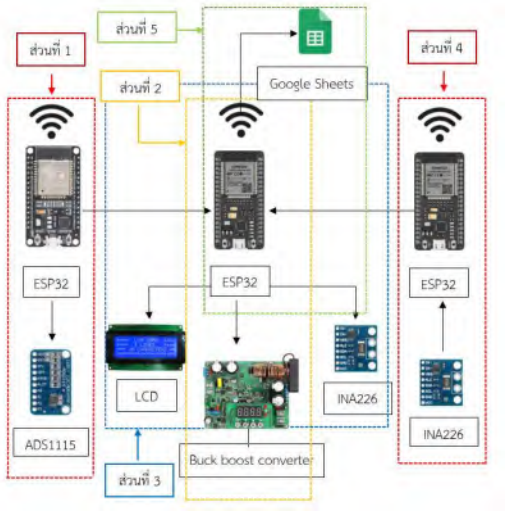

รูปที่ 4 กระบวนการทำงานของชุดต้นแบบ

โดยการออกแบบสามารถแบ่งออกเป็น 5 ส่วน ดังนี้ ส่วนที่ 1ชุดตรวจวัดแรงดันการกัดกร่อนของท่อโลหะในดิน ส่วนที่ 2 ชุดควบคุมการปรับค่าแรงดันในการป้องกันการกัดกร่อน ส่วนที่ 3 ชุดแสดงผลค่าพารามิเตอร์ทางไฟฟ้า ส่วนที่ 4 ชุดบันทึกค่าพรามิเตอร์ทางไฟฟ้า ส่วนที่ 5 ระบบแสดงผลออนไลน์บนเว็บ

3.1 ชุดตรวจวัดแรงดันการกัดกร่อนของท่อโลหะในดิน

ชุดตรวจวัดทำหน้าที่ในการวัดค่าแรงดันกัดกร่อนในดินระหว่างท่อโลหะหนาปานกลางเทียบกับดินโดยทำการวัดด้วยอิเล็กโทรดอ้างอิง $Cu/CuSO_4$ โดยใช้โมดูลวัดค่าแรงดันไฟฟ้ากระแสตรงและส่งข้อมูล ไปยังบอร์ดไมโครคอนโทรลเลอร์

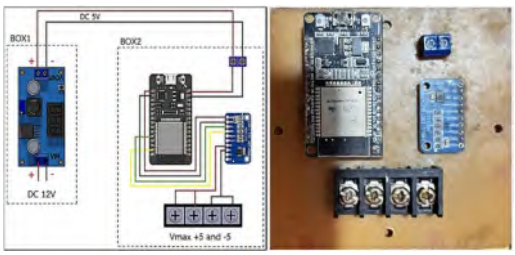

รูปที่ 4 วงจรบอร์ดไมโครคอนโทรลเลอร์กัดโมดูลวัดค่าแรงดันไฟฟ้ากระแสตรง ADS1115

3.2 ชุดควบคุมการปรับค่าแรงดันการป้องกันการกัดกร่อน

ชุดควบคุมการป้องกันการกัดกร่อนจะทำหน้าที่รับค่าแรงดันไฟฟ้าจากวงจรบอร์ดไมโครคอนโทรลเลอร์ โดยวัดค่าแรงดันไฟฟ้ากระแสตรงผ่านโมดูล ADS1115 เพื่อนำมาเป็นข้อมูลในการควบคุมปรับค่าแรงดันของวงจรบัคคอนเวอร์เตอร์ (Buck Converter) สำหรับจ่ายแรงดันป้องกันให้ระบบ เพื่อให้ได้ค่าแรงดันในการป้องกันมาตราฐานที่ -0.85 V_{cse} โดยจ่ายแรงดันในการป้องกันที่ท่อโลหะทำหน้าที่เป็นขั้วแคโทด และครบวงจรที่เหล็กข้ออ้อยทำหน้าที่เป็นขั้วแอโนด

3.3 ชุดแสดงผลค่าพารามิเตอร์ทางไฟฟ้า

การแสดงผลค่าพารามิเตอร์ทางไฟฟ้า โดยใช้โมดูลวัดค่าแรงดันไฟฟ้าและกระแสไฟฟ้ากระแสตรงหรือเรียกว่าโมดูล INA226 จากนั้นจะส่งข้อมูลโดยการเชื่อมต่อระบบด้วยการสื่อสารอนุกรมแบบ I^2C ไปยังบอร์ดไมโครคอนโทรลเลอร์ ESP32 เพื่อทำการประมวลผลค่าพารามิเตอร์ทางไฟฟ้าและส่งค่าพารามิเตอร์ขึ้นผ่านจอแสดงผล

3.4 ชุดบันทึกค่าพารามิเตอร์ทางไฟฟ้า

การบันทึกค่าพารามิเตอร์ทางไฟฟ้าจะประกอบด้วยเซนเซอร์วัดค่าพารามิเตอร์ทางไฟฟ้าเพื่อนำค่าที่วัดได้มาบันทึกข้อมูล โดยใช้โมดูล INA226 เมื่อทำการวัดค่าพารามิเตอร์ทางไฟฟ้า ก็จะส่งข้อมูลโดยการเชื่อมต่อระบบด้วยการสื่อสาร อนุกรมแบบ I^2C ไปยังบอร์ดไมโครคอนโทรลเลอร์ ESP32 และแสดงผลผ่านหน้าจอแสดงผล

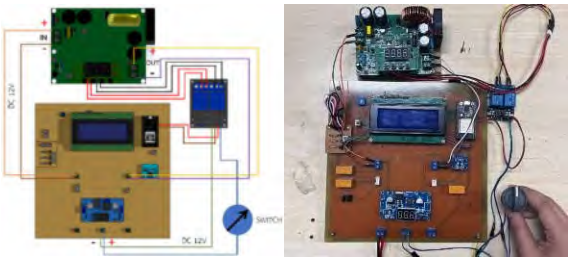

รูปที่ 5 การออกแบบและสร้างชุดควบคุมและแสดงผล

3.5 ระบบแสดงผลออนไลน์บนเว็บ

การแสดงผลค่าที่วัดได้บนเว็บไซต์ประกอบด้วยขั้นตอนต่าง ๆ ได้แก่ การรับค่าและบันทึกข้อมูลโดยใช้ไมโครคอนโทรลเลอร์ ESP32 รับค่าศักย์ไฟฟ้าที่วัดได้และส่งข้อมูลไปยัง Google Sheets ผ่านการเชื่อมต่อแบบไร้สายด้วยระบบ Wi-Fi การออกแบบหน้าเว็บไซต์เพื่อใช้แสดงผลข้อมูลที่ต้องการ ด้วย Google Apps Script สำหรับดึงข้อมูลจาก Google Sheets และจัดรูปแบบการแสดงผลบนหน้าเว็บการแสดงผลข้อมูล บนเว็บไซต์แบบเรียลไทม์ ซึ่งช่วยให้สามารถตรวจสอบสถานะระบบได้จากระยะไกล

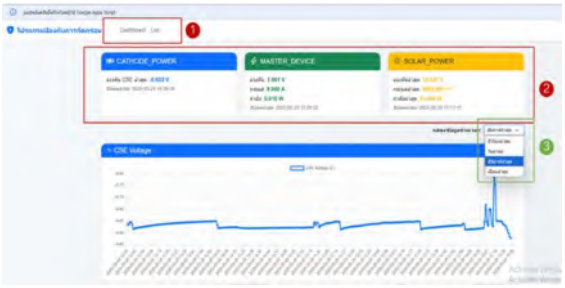

รูปที่ 6 การแสดงผลค่าที่วัดได้บนเว็บไซต์

4. ผลการทดสอบระบบ

4.1 ผลการทดลองวัดค่าทางไฟฟ้าเปรียบเทียบกับเครื่องมือวัดมาตรฐาน

หลังจากออกแบบและสร้างชุดตรวจวัดค่าพารามิเตอร์ทางไฟฟ้าเรียบร้อยแล้ว ได้ทำการทดสอบความแม่นยำของอุปกรณ์ โดยเปรียบเทียบค่าที่ได้จากชุดไมโครคอนโทรลเลอร์กับค่าที่วัดได้จากเครื่องมือมาตรฐาน คือ ดิจิตอลมัลติมิเตอร์ SANWA CD771 ซึ่งใช้เป็นอุปกรณ์อ้างอิงในการวัดแรงดันและกระแสไฟฟ้า ผลต่างของค่าที่วัดได้จะถูกนำมาคำนวณเป็นเปอร์เซ็นต์ความคลาดเคลื่อน

ผลการทดสอบชุดตรวจวัดสามารถวัดค่าแรงดันไฟฟ้าได้อย่างแม่นยำ โดยมีค่าความคลาดเคลื่อนน้อยกว่า 3 เปอร์เซ็นต์ ซึ่งอยู่ในเกณฑ์ที่ยอมรับได้สำหรับการใช้งานในระบบควบคุมการป้องกันการกัดกร่อนแบบแคโทดิก

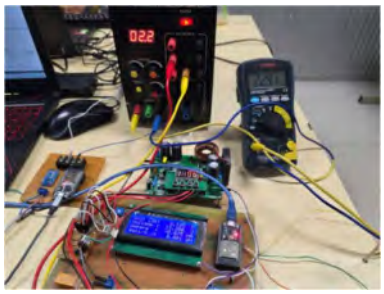

รูปที่ 6 การแรงดันไฟฟ้าของชุดตรวจวัดแรงดันเปรียบเทียบกับเครื่องมือวัดมาตรฐาน ดิจิตอลมัลติมิเตอร์ SANWA CD771

4.2 ผลการทดสอบการปรับแรงดันป้องกัน

สำหรับการทดลองการปรับแรงดันจะทดสอบในสภาวะการใช้งานจริง โดยจะเป็นการปรับแบบอัตโนมัติโดยกำหนดค่าแรงดันป้องกันการกัดกร่อนอ้างอิงตามค่ามาตรฐานคือ -0.850 V_{cse} และทำการจำลองปล่อยกระแสรบกวนลงในดิน ในส่วนนี้เป็นการทดสอบประสิทธิภาพการป้องกันการกัดกร่อนของท่อโลหะในดิน ในบริเวณที่ติดตั้งชุดต้นแบบการป้องกันการกัดกร่อนแบบแคโทดิกชนิดอิมเพรสเคอร์เรนท์ที่สร้างขึ้น ณ จุดติดตั้งทดสอบที่อาคารปฏิบัติการวิศวกรรมไฟฟ้า มหาวิทยาลัยเทคโนโลยีราชมงคลอีสาน วิทยาเขตขอนแก่น ในการเก็บผลการทดลองการปรับแรงดันป้องกันการกัดกร่อนของท่อโลหะในดินว่าระบบสามารถปรับแรงดันให้ใกล้เคียงกับแรงดันที่ต้องการหรือไม่ โดยทำการวัดแรงดันการป้องกันการกัดกร่อนของท่อโลหะขณะปล่อยกระแสรั่วไหลและไม่ปล่อยกระแสรั่วไหล และบันทึกข้อมูลแรงดันป้องกันว่าระบบสามารถปรับให้อยู่ในค่ามาตรฐานหรือไม่ จากการทดลองจะเห็นได้ว่าค่าค่อนข้างคงที่อยู่ในช่วง-0.84 V_{cse} ถึง -0.90 V_{cse}

รูปที่ 7 พื้นที่การทดสอบวัดค่าแรงดันไฟฟ้าของชุดตรวจวัดแรงดันการกัดกร่อนของท่อโลหะในดิน

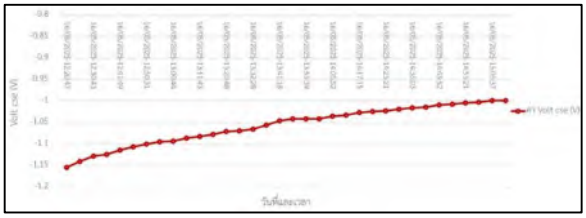

รูปที่ 7 ผลการทดสอบการวัดแรงดันการกัดกร่อนขณะที่มีกระแสรั่วไหลและไม่ได้ใช้งานเปิดระบบป้องกัน

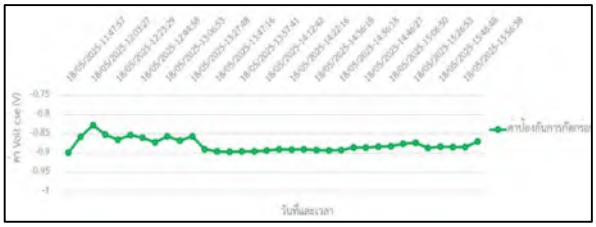

รูปที่ 8 ผลการทดสอบการวัดแรงดันการกัดกร่อนขณะที่มีกระแสรั่วไหลและเปิดระบบป้องกันแบบอัตโนมัติ

4.3 ผลการทดสอบการแสดงผลผ่านเว็บไซต์

การทดสอบระบบแสดงผลออนไลน์ผ่านเว็บไซต์ดำเนินการโดยส่งค่าศักย์ไฟฟ้าที่วัดได้จากไมโครคอนโทรลเลอร์ ESP32 ไปยัง Google Sheets ผ่านการเชื่อมต่อ Wi-Fi จากนั้นใช้ Google Apps Script ในการประมวลผลและจัดรูปแบบข้อมูลให้แสดงผลแบบเรียลไทม์บน Web Dashboard

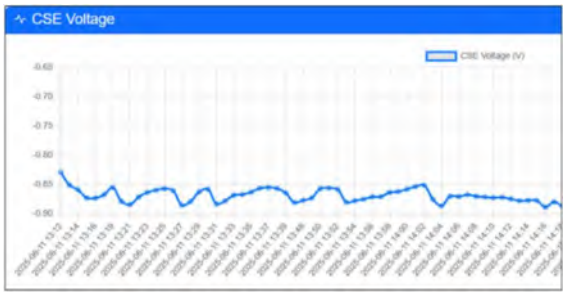

รูปที่ 8 แสดงผลการทดสอบแรงดันป้องกันการกัดกร่อนบนเว็บไซต์

5. สรุป

จากการทดสอบระบบต้นแบบภายใต้สภาพแวดล้อมจริง พบว่าระบบควบคุมแรงดันอัตโนมัติสำหรับการป้องกันการกัดกร่อนแบบ ICCP ที่พัฒนาขึ้นสามารถทำงานได้อย่างมีเสถียรภาพ โดยสามารถจ่ายพลังงานให้กับ ESP32, โมดูล INA226,ADS1115, จอ LCD และวงจรควบคุมได้ครบถ้วน โดยไม่พบปัญหาแรงดันตกหรือกระแสไม่พอ

ผลการวัดค่าศักย์ไฟฟ้าระหว่างท่อเหล็กกับอิเล็กโทรดอ้างอิงแบบ $Cu/CuSO_4$ พบว่าค่าอยู่ในช่วง $-0.850\ V_{cse}$ ถึง $-0.900\ V_{cse}$ ซึ่งเป็นช่วงที่เหมาะสมตามมาตรฐาน NACE สำหรับการป้องกันการกัดกร่อนของโลหะฝังดิน ระบบควบคุมสามารถรักษาค่าแรงดันให้อยู่ใกล้ค่าที่ตั้งเป้าไว้ด้วยความคลาดเคลื่อนต่ำ โดยการเลือกใช้โมดูล ADS1115 เป็นตัวตรวจวัดช่วยให้ระบบสามารถควบคุมได้แม่นยำและเหมาะสมกับการใช้งานภาคสนาม

นอกจากนี้ ระบบยังสามารถส่งข้อมูลแบบเรียลไทม์เข้าสู่ฐานข้อมูลออนไลน์ผ่าน Google Apps Script และแสดงผลบน Web Dashboard ได้อย่างถูกต้องและต่อเนื่อง ทำให้ผู้ใช้งานสามารถติดตามสถานะระบบจากระยะไกลได้ตลอดเวลา ซึ่งช่วยอำนวยความสะดวกในการวางแผนการบำรุงรักษาและการปรับแต่งระบบในอนาคตอย่างมีประสิทธิภาพ

6. กิตติกรรมประกาศ

ผลงานวิจัยนี้ได้รับทุนสนับสนุนการนำเสนอผลงานวิจัยสิ่งประดิษฐ์และนวัตกรรมคณะวิศวกรรมศาสตร์ มหาวิทยาลัยเทคโนโลยีราชมงคลอีสาน วิทยาเขตขอนแก่น

เอกสารอ้างอิง

[1] P. R. Roberge, “Handbook of Corrosion Engineering”, 2nd ed. New York, NY, USA: McGraw-Hill Education, LLC, 2012.

[2] NACE International, “NACE SP0169-2013: Control of External Corrosion on Underground or Submerged Metallic Piping Systems”, Houston, TX, USA: NACE International, 2013.

[3] M. R. Adzman, A. A. M. Sallehuddin, N. M. Husin, N. S. M. Haniff, M. Gunasilan, M. H. Idris, and M. Amirruddin,. (2024). “Improved impressed current cathodic protection systems by incorporating a pulse-feeding technique integrated with internet of things capabilities”. International Journal of Electrical and Computer Engineering (IJECE). 7254–7265, Dec. 2024, doi: 10.11591/ijece.v14i6.pp7254-7265.

[4] B. C. Johan, D. Tjandra, A. Noertjahyana, R. Lim, and G. B. Wijaya, “IoT for Cathodic Protection System as Iron Concrete’s Corrosion Protection”, Journal of Electrical Systems (JES)., vol. 20, no. 5s, 2024.

[5] T. B. Dang and T.-P. Nghiem, “Studying and Realizing the Based-Intelligent IoT System for Pipeline Cathodic Protection”, SSAD, vol. 33, no. 3, pp. 24–32, Sep. 2023.

[6] A. O. M. Maka, T. N. Chaudhary, G. Alaswad, and O. Elsayah, “Applications of solar photovoltaics in powering cathodic protection systems: A review”, Clean Technologies and Environmental Policy, vol. 26, pp. 1–22, 2024, doi: 10.1007/s10098-024-02750-0.

[7] “Solar Powered Cathodic Protection Systems—Design Considerations,” MATCOR, 2021. [Online]. Available: https://www.matcor.com/solar-powered-cathodic-protection-systems-design-considerations/

การออกแบบและพัฒนาเครื่องทดสอบอุปกรณ์ตัดไฟรั่วด้วยไมโครคอนโทรลเลอร์

Design and Development of a Residual Current Device Tester Using a Microcontroller

ธีรพงษ์ ฉิมเพชร[1] พิมชนก นนทะพุทธ[1] วชิรวิทย์ แก้วควรชุม[1] และ ฐาปนิค ตีระพันธ์[2*]

[1]สาขาวิชาวิศวกรรมไฟฟ้า คณะวิศวกรรมศาสตร์ มหาวิทยาลัยเทคโนโลยีราชมงคลศรีวิชัย teerapong.c@rmutsv.ac.th

[2]สาขาวิชาเทคโนโลยีปิโตรเลียม คณะครุศาสตร์อุตสาหกรรมและเทคโนโลยี มหาวิทยาลัยเทคโนโลยีราชมงคลศรีวิชัย thapanic.t@rmutsv.ac.th*

บทคัดย่อ

งานวิจัยนี้นำเสนอการออกแบบและพัฒนาเครื่องทดสอบอุปกรณ์ตัดไฟรั่ว (Residual Current Device: RCD) โดยใช้ไมโครคอนโทรลเลอร์เป็นหน่วยควบคุมหลัก เพื่อใช้ในการตรวจสอบประสิทธิภาพการทำงานของอุปกรณ์ตัดไฟรั่วที่ติดตั้งในระบบไฟฟ้าภายในอาคาร โดยระบบที่พัฒนาขึ้นสามารถทำการทดสอบได้สองโหมด ได้แก่ โหมดวัดเวลาตัดวงจร (Tripping Time Mode) และโหมดวัดค่ากระแสรั่วสูงสุดที่ทำให้ตัดวงจร (Tripping Current Mode) รองรับการทดสอบอุปกรณ์ตัดไฟรั่วประเภท Type A และ Type AC โดยใช้ Arduino Uno R3 ทำหน้าที่ควบคุมวงจรทดสอบ และใช้โมดูล PZEM-004T สำหรับวัดค่ากระแสรั่วขณะทำการทดสอบ จากการทดลองเปรียบเทียบผลการทำงานกับเครื่องมือมาตรฐาน Fluke 1653B พบว่าเครื่องทดสอบที่พัฒนาขึ้นสามารถวัดค่าได้ใกล้เคียงกับค่ามาตรฐาน โดยมีค่าความคลาดเคลื่อนไม่เกิน 3.3% ทั้งในด้านกระแสรั่วและเวลาตัดวงจร นอกจากนี้เครื่องทดสอบยังมีขนาดกะทัดรัด ต้นทุนต่ำ และสามารถใช้งานได้สะดวก จึงเหมาะสำหรับการตรวจสอบอุปกรณ์ตัดไฟรั่วในสภาพแวดล้อมการใช้งานจริง ช่วยสนับสนุนการซ่อมบำรุงเชิงป้องกันและเพิ่มความปลอดภัยให้กับผู้ใช้งานได้อย่างมีประสิทธิภาพ

คำสำคัญ: เครื่องตัดไฟรั่ว ไมโครคอนโทรลเลอร์ การทดสอบกระแสรั่ว

Abstract

This research presents the design and development of a tester for residual current devices (RCDs) using a microcontroller to evaluate their performance in building electrical systems. The developed system supports two testing modes: Tripping Time Mode and Tripping Current Mode, and is compatible with Type A and Type AC RCDs. An Arduino Uno R3 serves as the core controller for test circuit operations, while a PZEM-004T module is employed to measure leakage current during testing. Performance comparison with the standard Fluke 1653B instrument revealed that the developed tester achieved measurements closely aligned with the reference values, with a maximum error margin of 3.3% for both leakage current and tripping time. The tester is designed to be compact, cost-effective, and user-friendly, making it well-suited for real-world applications. This device supports preventive maintenance practices and enhances electrical safety assurance for users in residential and commercial environments.

Keywords: Residual Current Device, Microcontroller, Leakage Current Testing

1. บทนำ

เครื่องตัดไฟรั่ว (Residual Current Device: RCD) คือ เครื่องตัดไฟฟ้าอัตโนมัติที่จะตัดกระแสไฟฟ้าภายในระยะเวลาที่กำหนดเมื่อเกิดความแตกต่างระหว่างกระแสไฟฟ้าที่ไหลไปและไหลกลับ [1] นั่นคือมีกระแสไฟฟ้าบางส่วนที่รั่วหายไป เช่น รั่วไหลจากเครื่องใช้ไฟฟ้าลงดิน หรือกระแสไฟฟ้ารั่วผ่านร่างกายมนุษย์ที่ไปสัมผัสอุปกรณ์ที่มีไฟรั่วอยู่ เครื่องตัดไฟรั่วส่วนมากจะติดตั้งในตู้คอนซูมเมอร์ยูนิต ในบ้านพักอาศัย ทำงานโดยการเปรียบเทียบระดับกระแสไฟฟ้าของสายไลน์และสายนิวทรอล ซึ่งปกติแล้วจะต้องมีค่าเท่ากัน หากว่าระดับของกระแสไฟฟ้านั้นต่างกันเกินกว่า 30mA นั้นหมายถึงมีกระแสไฟฟ้ารั่วเกิดขึ้นและอยู่ในระดับที่เป็นอันตรายต่อชีวิต เครื่องตัดไฟรั่วจะตัดวงจรโดยใช้เวลาเพียงไม่กี่มิลลิวินาทีจึงจะช่วยป้องกันอันตรายจากการถูกไฟฟ้าดูดหรืออันตรายแก่ชีวิต ป้องกันอัคคีภัยจากการเกิดไฟฟ้ารั่วในวงจรไฟฟ้าหรือเครื่องใช้ไฟฟ้าต่าง ๆ

อย่างไรก็ตาม แม้ว่าเครื่องตัดไฟรั่วจะเป็นอุปกรณ์ที่มีบทบาทสำคัญในการป้องกันอันตรายจากไฟฟ้ารั่ว แต่ในบางกรณีอุปกรณ์ดังกล่าวอาจเกิดการทำงานผิดพลาดได้ เช่น ไม่สามารถตัดวงจรได้ภายในระยะเวลาที่กำหนดหรือไม่สามารถตรวจจับกระแสรั่วได้อย่างถูกต้อง ซึ่งอาจเกิดจากความเสื่อมสภาพของอุปกรณ์ภายใน การติดตั้งที่ไม่ถูกต้องหรือความผิดปกติของระบบไฟฟ้าโดยรอบ ปัญหาดังกล่าวอาจนำไปสู่ความเสี่ยงในการเกิดอันตรายจากไฟฟ้าดูด หรืออัคคีภัยที่เกิดจากกระแสไฟฟ้ารั่วโดยที่ระบบป้องกันไม่สามารถตัดวงจรได้ทันเวลา นอกจากนี้การตรวจสอบประสิทธิภาพการทำงานของเครื่องตัดไฟรั่วในสถานที่ติดตั้งจริงยังมักถูกมองข้าม เนื่องจากไม่มีเครื่องมือหรือระบบที่สะดวกและมีประสิทธิภาพเพียงพอสำหรับการทดสอบเป็นประจำ ส่งผลให้การรับรองความปลอดภัยของระบบไฟฟ้าอาจไม่เป็นไปตามมาตรฐานที่กำหนด

ด้วยเหตุนี้ การพัฒนาเครื่องทดสอบประสิทธิภาพของเครื่องตัดไฟรั่วจึงมีความจำเป็นอย่างยิ่ง เพื่อใช้เป็นเครื่องมือในการตรวจสอบการทำงานของอุปกรณ์ตัดไฟรั่วอย่างแม่นยำและเชื่อถือได้ โดยเฉพาะอย่างยิ่งในสภาวะแวดล้อมที่มีการใช้งานจริงในบ้านพักอาศัยหรืออาคารต่าง ๆ

*ผู้ประพันธ์บรรณกิจ

การออกแบบระบบทดสอบที่สามารถสร้างสถานการณ์จำลองกระแสรั่วได้อย่างปลอดภัยและวัดผลการตอบสนองของเครื่องตัดไฟรั่วได้อย่างชัดเจน จะช่วยให้สามารถประเมินประสิทธิภาพของอุปกรณ์ได้อย่างมีประสิทธิผล อีกทั้งการนำไมโครคอนโทรลเลอร์มาใช้เป็นแกนหลักในการควบคุมและประมวลผล ยังช่วยให้ระบบทดสอบมีขนาดเล็ก ต้นทุนต่ำ และสามารถพัฒนาให้ใช้งานได้สะดวก ซึ่งจะเป็นประโยชน์ทั้งในด้านการซ่อมบำรุงเชิงป้องกัน การรับรองความปลอดภัยของระบบไฟฟ้า และการส่งเสริมความตระหนักรู้ด้านความปลอดภัยในชีวิตและทรัพย์สินของผู้ใช้งาน

2. ทฤษฎี

2.1 การทำงานของเครื่องตัดไฟรั่ว [1],[2]

เครื่องตัดไฟรั่วมีการทำงานโดยอาศัยการตรวจจับความไม่สมดุลของกระแสไฟฟ้าระหว่างสายไลน์ (Line) และสายนิวทรอล (Neutral) ที่ไหลเข้าสู่โหลด โดยอาศัยหลักการเหนี่ยวนำแม่เหล็กไฟฟ้า เมื่อโหลดเชื่อมต่อผ่านเครื่องตัดไฟรั่ว กระแสไฟทั้งจากสายไลน์และนิวทรอลจะไหลผ่านขดลวดปฐมภูมิที่พันอยู่รอบแกนหม้อแปลงแบบวงแหวน (toroid core) ซึ่งในสภาวะปกติ กระแสทั้งสองควรมีค่าเท่ากันและไหลในทิศทางตรงข้ามกัน ส่งผลให้สนามแม่เหล็กที่เกิดขึ้นจากทั้งสองกระแสหักล้างกันอย่างสมบูรณ์ทำให้ไม่มีแรงดันเหนี่ยวนำในขดลวดทุติยภูมิ วงจรพื้นฐานของเครื่องตัดไฟรั่วแสดงดังรูปที่ 1

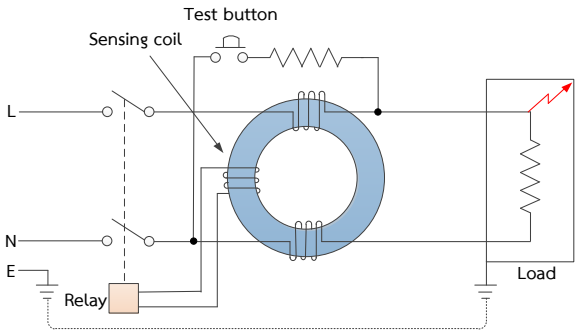

รูปที่ 1 วงจรพื้นฐานของเครื่องตัดไฟรั่ว [3]

อย่างไรก็ตามเมื่อเกิดกระแสไฟฟ้ารั่ว เช่น ไหลลงดินหรือผ่านร่างกายมนุษย์จะทำให้เกิดความไม่สมดุลของกระแส ส่งผลให้สนามแม่เหล็กไฟฟ้าที่แกนหม้อแปลงไม่สมดุล และทำให้เกิดแรงดันไฟฟ้าเหนี่ยวนำในขดลวดทุติยภูมิ แรงดันนี้จะถูกส่งต่อไปยังวงจรตรวจจับ ซึ่งอาจเป็นรีเลย์หรืออุปกรณ์อิเล็กทรอนิกส์ เพื่อสั่งการให้กลไกตัดวงจรทำงานโดยอัตโนมัติภายในระยะเวลาอันรวดเร็ว

เครื่องตัดไฟรั่วสามารถแบ่งได้เป็นหลายประเภท เช่น RCCB (Residual Current Circuit Breaker) ซึ่งจะไม่มีวงจรป้องกันกระแสเกิน และ RCBO (Residual Current Breaker with Overcurrent Protection) ซึ่งเป็นอุปกรณ์ที่รวมการป้องกันกระแสเกินไว้ในตัว นอกจากนี้เครื่องตัดไฟรั่วถูกพัฒนาให้สามารถตรวจจับกระแสไฟฟ้ารั่วหลายลักษณะทั้งกระแสไฟฟ้ากระแสสลับ (AC) และไฟฟ้ากระแสตรง (DC) โดยเครื่องตัดไฟรั่วที่นิยมติดตั้งในครัวเรือนคือ Type A เนื่องจากสามารถรองรับทั้งโหลดธรรมดาและโหลดที่มีวงจรอิเล็กทรอนิกส์ในระดับหนึ่งได้อย่างปลอดภัย และมีราคาที่เหมาะสมเมื่อเทียบกับความสามารถ และในปัจจุบันเครื่องตัดไฟรั่ว Type B ก็เริ่มนิยมนำมาติดตั้งกันมากขึ้นเพราะสามารถตรวจจับกระแสรั่วได้ทุกชนิด ได้แก่ AC, DC พัลส์, DC คงที่ (smooth DC) และกระแสรั่วความถี่สูง เหมาะสำหรับระบบที่มีการใช้งานไฟฟ้ากระแสตรงร่วมด้วย เช่น สถานีชาร์จรถยนต์ไฟฟ้า (EV Charger), ระบบพลังงานแสงอาทิตย์ (Solar PV), หรือระบบควบคุมไฟฟ้าระดับอุตสาหกรรม [4]

2.2 มาตรฐานที่เกี่ยวข้องกับเครื่องตัดไฟรั่ว

ค่ากระแสทริป (tripping current) หรือค่ากระแสใช้งานรั่วไหล (residual operating current) เป็นพารามิเตอร์สำคัญที่ใช้ระบุสมรรถนะการทำงานของอุปกรณ์ตัดกระแสไฟรั่ว โดยมีมาตรฐานที่เกี่ยวข้องคือ IEC 61008-1 [2],[5] ซึ่งได้กำหนดค่ากระแสใช้งานรั่วไหลที่พบบ่อย $I_{\Delta n}$ ได้แก่ 6, 10, 30, 100, 300 และ 500 มิลลิแอมแปร์ โดยกำหนดให้อุปกรณ์ตัดไฟรั่วต้องตัดวงจรเมื่อมีกระแสรั่วไหลเกินค่า $I_{\Delta n}$ และต้องไม่ตัดวงจรเมื่อมีกระแสรั่วไหลต่ำกว่า $0.5I_{\Delta n}$ ที่ความถี่ไฟฟ้ากระแสสลับมาตรฐาน และตามมาตรฐาน IEC 61008-1 ได้กำหนดข้อกำหนดเกี่ยวกับเวลาในการทำงานสูงสุดภายใต้กระแสรั่วไหลที่ความถี่ไฟฟ้ากระแสสลับ ซึ่งแสดงไว้ในตารางที่ 1

ตารางที่ 1 ระยะเวลาในการตัดวงจรของเครื่องตัดไฟรั่ว

Type				
G	Rated Residual Current	$I_{\Delta n}$	$2I_{\Delta n}$	$5I_{\Delta n}$
	Operating time[s]	0.3	0.15	0.04
S	Rated Residual Current	$I_{\Delta n}$	$2I_{\Delta n}$	$5I_{\Delta n}$
	Operating time[s]	0.5	0.3	0.15

จากตารางที่ 1 แสดงถึงระยะเวลาในการตัดวงจรสูงสุดของอุปกรณ์ตัดกระแสไฟรั่ว โดยเปรียบเทียบระหว่างเครื่องตัดไฟรั่วประเภท General type คืออุปกรณ์ตัดไฟรั่วแบบทั่วไปที่ไม่มีหน่วยหน่วงเวลา กับ ประเภท Selective type คืออุปกรณ์ตัดไฟรั่วที่ออกแบบให้มีหน่วงเวลาในการตัดวงจร โดยตามมาตรฐานแล้วเครื่องตัดไฟรั่วทั่วไป Type A, Type AC, Type B จะต้องตัดวงจรภายในเวลา0.3 วินาทีเมื่อกระแสรั่วไหลมีค่าเท่ากับพิกัด [6-7] ซึ่งเวลาในการตัดวงจรของอุปกรณ์ตัดไฟรั่วข้างต้นนี้ จะช่วยให้สามารถนำไปประยุกต์ใช้ในการออกแบบและพัฒนาเครื่องทดสอบได้อย่างเป็นระบบ โดยการอ้างอิงค่ากระแสและเวลาทริปในแต่ละระดับ

3. เครื่องทดสอบอุปกรณ์ตัดไฟรั่วด้วยไมโครคอนโทรลเลอร์

ผู้วิจัยทำการออกแบบการทำงานของเครื่องทดสอบอุปกรณ์ตัดไฟรั่วด้วยไมโครคอนโทรลเลอร์ ให้สามารถทดสอบได้ 2 โหมดได้แก่ Tripping Time Mode : ΔT คือเวลาที่ใช้ในการตัดวงจรหลังจากตรวจพบกระแสรั่วซึ่งจะมีย่านกระแสรั่วในการใช้ทดสอบคือ 10 mA, 20 mA, 30 mA

และ Tripping Current Mode : $I_{\Delta n}$ คือค่ากระแสรั่วสูงสุดที่อุปกรณ์ตัดกระแสรั่วตรวจจับและตัดวงจรได้ โดยตัวอุปกรณ์ออกแบบให้สามารถทดสอบอุปกรณ์ตัดไฟรั่วได้ 2 ชนิดคือ Type A และ Type AC องค์ประกอบการทำงานของเครื่องทดสอบอุปกรณ์ตัดไฟรั่วด้วยไมโครคอนโทรลเลอร์แสดงดังรูปภาพที่ 2

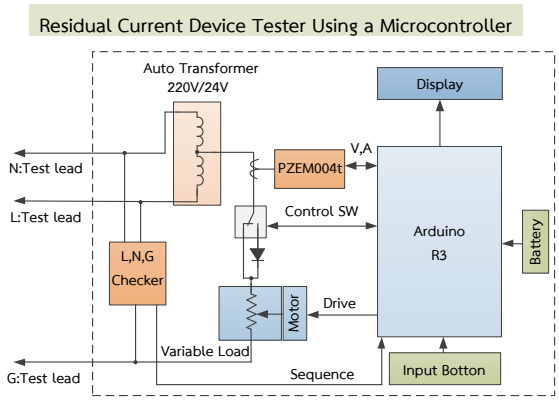

รูปที่ 2 เครื่องทดสอบอุปกรณ์ตัดไฟรั่วด้วยไมโครคอนโทรลเลอร์

หลักการที่สำคัญของเครื่องทดสอบอุปกรณ์ตัดไฟรั่วด้วยไมโครคอนโทรลเลอร์ คือการปล่อยกระแสไฟฟ้าจากแหล่งจ่ายผ่านโหลดแบบปรับค่าได้ให้ไหลกลับผ่านสายกราวด์ไปยังบัสบาร์เพื่อให้ครบวงจรของตู้คอนซูเมอร์ที่มีอุปกรณ์ตัดไฟรั่วติดตั้งอยู่ (ตามระบบการต่อลงดินแบบ TN-C) เมื่ออุปกรณ์ตัดไฟรั่วมองเห็นกระแสในสายไลน์และสายนิวทรัลมีค่าแตกต่างกันก็จะส่งผลให้เกิดการตัดวงจร ผู้วิจัยอาศัย Autotransformerในการลดแรงดันไฟฟ้าจากระบบที่ต้องการทดสอบเพื่อให้สามารถควบคุมกระแสรั่วไหลได้ง่ายและหลีกเลี่ยงการแยกวงจร ในส่วนการทดสอบแบบ Type A หรือใช้รูปคลื่นทดสอบกระแสตรงจะอาศัยวงจรไดโอดเพื่อให้ได้รูปคลื่นกระแสทดสอบตามที่ต้องการ ในส่วนการเพิ่ม-ลดค่ากระแสรั่วไหลจะอาศัยค่าความต้านทานปรับค่าได้ขนาด 2 วัตต์ มาเป็นโหลดให้กับวงจรโดยจะใช้มอเตอร์แบบสเต็ปในการหมุนขับเพลาให้ได้ค่ากระแสรั่วไหลตามที่ต้องการ ในส่วนการวัดค่ากระแสรั่วไหลจะอาศัยโมดูล PZEM-004T แล้วส่งค่าที่วัดได้ไปยังส่วนประมวลผล

รูปที่ 3 เครื่องทดสอบอุปกรณ์ตัดไฟรั่วด้วยไมโครคอนโทรลเลอร์

ซึ่งในส่วนภาคการประมวลผลจะอาศัย Arduino Uno R3 ทำหน้าที่ในการควบคุมกระแสรั่วไหล คำนวณค่าเวลาตัดวงจรและส่งข้อมูลแสดงผลลัพธ์ โดยผู้ใช้งานสามารถเลือกการทำงานจากปุ่มกดและตัวอุปกรณ์มีแหล่งพลังงานจากแบตเตอรี่ภายใน ลักษณะเครื่องทดสอบอุปกรณ์ตัดไฟรั่วด้วยไมโครคอนโทรลเลอร์ดังรูปภาพที่ 3 คุณลักษณะของเครื่องทดสอบอุปกรณ์ตัดไฟรั่วด้วยไมโครคอนโทรลเลอร์ที่ผู้วิจัยได้พัฒนาขึ้นมาแสดงดังตารางที่ 2

ตารางที่ 2 คุณลักษณะของเครื่องทดสอบอุปกรณ์ตัดไฟรั่วด้วยไมโครคอนโทรลเลอร์

Specification	Characteristic
RCD Test Current	6,10,20,30 mA
RCD Type	Type A, Type AC
Power Supply	4 x 3.7V Battery
Microcontroller	Arduino Uno R3
Display	LCD 2x16
Dimensions	200mm x 160mm x 100mm

4. วิธีการทดลองและผลลัพธ์

ผู้วิจัยทำการทดลองเครื่องทดสอบฯ ที่ได้พัฒนาขึ้นกับเบรกเกอร์กันดูด RCBO ประเภท Type A และ Type AC ทำการต่อวงจรการทดลองดังรูปที่ 4 และอาศัยเครื่องมือมาตรฐาน Fluke 1653B ซึ่งมีฟังก์ชันทดสอบ RCD เป็นตัวเปรียบเทียบหาค่าความแม่นยำ

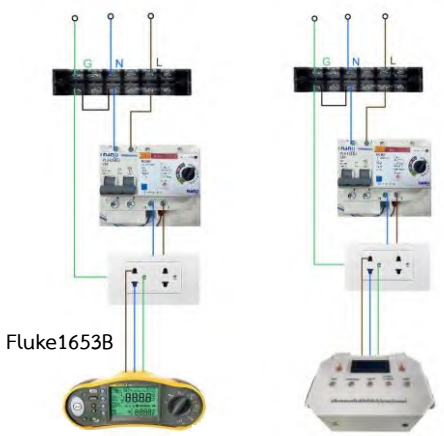

รูปที่ 4 การหาค่าความแม่นยำในการทำงานอ้างอิงกับ Fluke 1653B

ทำการทดลองในโหมด $I_{\Delta n}$ ตามพิกัดกระแสรั่วไหล 10mA, 20mA, 30mA และทำการทดลองในโหมด ΔT เพื่อหาค่าเวลาในการตัดวงจร การต่อวงจรของเครื่องทดสอบฯ จะต่อร่วมกับด้านออกของเบรกเกอร์กันดูดโดยจะต้องมีแหล่งจ่ายและสายกราวด์

ทดลองหาค่ากระแสรั่วไหลในการตัดวงจรของ RCBO Type AC พิกัด 10mA, 20mA, 30mA และ Type A ที่มีพิกัด 30mA เป็นตัวอย่างในการทดสอบ ผลการทดลองแสดงดังรูปที่ 5 ซึ่งเห็นได้ว่าเครื่องทดสอบฯ

ที่ผู้วิจัยได้พัฒนาขึ้นสามารถแสดงค่ากระแสตัดวงจรได้ใกล้เคียงกับเครื่องมือวัดมาตรฐาน โดยที่พิกัดทดสอบ 10mA ค่าที่วัดได้มีผลต่างกับค่าอ้างอิงอยู่ที่ 0.3 mA และที่พิกัดทดสอบ 30mA ค่าที่วัดได้มีผลต่างกับค่าอ้างอิงอยู่ที่ 0.6 mA โดยการวัดทั้ง 2 Type มีค่าเปอร์เซ็นต์ความผิดพลาดสูงสุดอยู่ที่ 3.3 เปอร์เซ็นต์

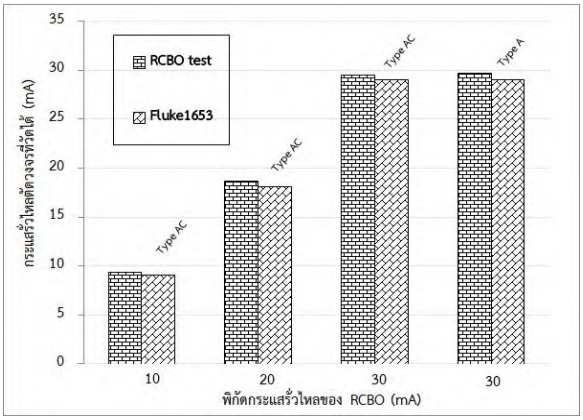

รูปที่ 5 ผลการทดลองหาค่ากระแสรั่วไหลในการตัดวงจร

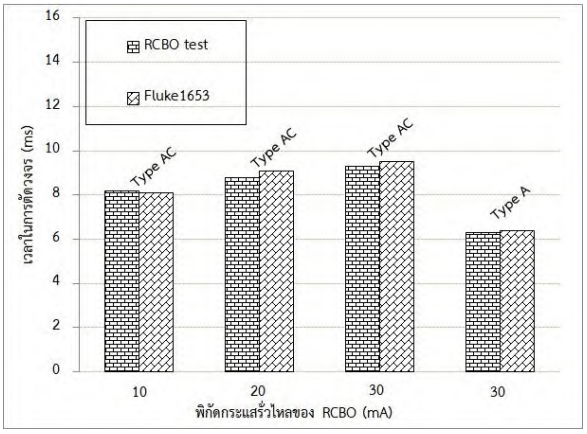

รูปที่ 6 ผลการทดลองหาค่ากระแสรั่วไหลในการตัดวงจร

ทดลองหาค่าเวลาในการตัดวงจรของ RCBO Type AC พิกัด 10mA, 20mA, 30mA และ Type A ที่มีพิกัด 30mA เป็นอุปกรณ์ตัวอย่างในการทดสอบ ผลการทดลองแสดงดังรูปที่ 6 ซึ่งจะเห็นได้ว่าเครื่องทดสอบฯ ที่ผู้วิจัยได้พัฒนาขึ้นสามารถแสดงค่าเวลาในการตัดวงจรได้ใกล้เคียงกับเครื่องมือวัดมาตรฐาน โดยที่ RCBO Type A พิกัด 30 mA มีเวลาในการตัดวงจรเมื่อวัดด้วยเครื่องมือมาตรฐานอยู่ที่ 6.4 ms และเครื่องมือทดสอบฯ ที่ผู้วิจัยพัฒนาขึ้นสามารถวัดได้เท่ากับ 6.3 ms ซึ่งการทดลองนี้พบว่าการวัดทั้ง 2 Type มีค่าเปอร์เซ็นต์ความผิดพลาดสูงสุดอยู่ที่ 3.29 เปอร์เซ็นต์

5. สรุป

จากการออกแบบและพัฒนาเครื่องทดสอบอุปกรณ์ตัดไฟรั่วด้วยไมโครคอนโทรลเลอร์ พบว่าเครื่องทดสอบสามารถทำงานได้อย่างแม่นยำและเชื่อถือได้ ทั้งในโหมดทดสอบเวลาตัดวงจร (Tripping Time Mode) และโหมดทดสอบค่ากระแสรั่วสูงสุด (Tripping Current Mode) โดยมีค่าความคลาดเคลื่อนจากการเปรียบเทียบกับเครื่องมือมาตรฐานไม่เกิน 3.3 เปอร์เซ็นต์ การเลือกใช้ไมโครคอนโทรลเลอร์ Arduino Uno R3 ร่วมกับโมดูล PZEM-004T และวงจรควบคุมกระแสรั่วที่ออกแบบขึ้น ทำให้ระบบมีต้นทุนต่ำ ขนาดกะทัดรัดและใช้งานสะดวก เหมาะสำหรับการนำไปใช้งานตรวจสอบอุปกรณ์ตัดไฟรั่วในสถานที่จริง เช่น บ้านพักอาศัย อาคารสำนักงาน หรือสถานประกอบการต่าง ๆ เครื่องทดสอบที่พัฒนาขึ้นนี้จึงสามารถใช้เป็นเครื่องมือในการสนับสนุนการซ่อมบำรุงเชิงป้องกัน การรับรองความปลอดภัยของระบบไฟฟ้า และช่วยสร้างความตระหนักรู้แก่ผู้ใช้งานเกี่ยวกับความปลอดภัยจากไฟฟ้ารั่วได้อย่างมีประสิทธิภาพ อีกทั้งยังสามารถต่อยอดไปสู่การพัฒนาเชิงพาณิชย์หรือการประยุกต์ใช้กับระบบไฟฟ้าสมัยใหม่ที่ต้องการมาตรฐานความปลอดภัยสูง เช่น สถานีชาร์จรถยนต์ไฟฟ้า และระบบพลังงานแสงอาทิตย์ในอนาคตได้อีกด้วย

เอกสารอ้างอิง

[1] Z. Erdei1, M. Horgos1, C. Lung1, A. Pop-Vadean, and R. Muresan, “Frequency behavior of the residual current devices,” *International Conference on Applied Sciences (ICAS2016)*, Hunedoara, Romania, 2016, pp. 1-7.

[2] P. Czaja, “Influence of the Design of a Residual Current Device on Its Break Time,” *Energies*, vol. 15, pp. 1-17, 2022.

[3] Z. Erdei, C. Barz, A. Grib, and M. Grib, “Study of a Residual Current Device behavior for half-waves and break times corelated with the phase angle of tripping currents,” *International Conference on Modern Power Systems (MPS)*, Cluj-Napoca, Romania, 2023, pp. 1-6.

[4] J. Satansup, N. Roongmuanpha, T. Pukkalanun, and W. Tangsrirat, “Realization of lossy parallel inductance simulator using single VDGA and a grounded capacitor,” *2022 International Electrical Engineering Congress (iEECON)*, Khon Kaen, Thailand, 2022, pp. 1-4.

[5] X. Luo, Y. Du, X. H. Wang, and M. L. Chen, “Tripping Characteristics of Residual Current Devices Under Nonsinusoidal Currents,” *IEEE TRANSACTIONS ON INDUSTRY APPLICATIONS,* vol. 47, No. 3, pp.1515-1521.

[6] S. Czapp, “Testing Sensitivity of A-Type Residual Current Devices to Earth Fault Currents with Harmonics,” *Sensors*, vol. 20, No. 7, pp.1-20, 2020.

[7] T. Gruhn, J. Glenney, and M. Savostianik, “Type B Ground-Fault Protection on Adjustable Frequency Drives,” *IEEE Transactions on Industry Applications,* vol. 54, pp. 934 – 939, 2020.

ระบบคัดแยกขนาดผลไม้บนสายพานลำเลียงร่วมกับจานหมุน
Fruit Size Sorting System Using Aconveyor Belt With Rotary Mechanism

อภิญญา สุขประเสริฐ[1] สงกรานต์ กันทวงศ์[1] ศิริชัย เติมโชคเกษม[1]*

[1]สาขาวิชาวิศวกรรมคอมพิวเตอร์และหุ่นยนต์ คณะวิศวกรรมศาสตร์ มหาวิทยาลัยกรุงเทพ sirichai.t@bu.ac.th*

บทคัดย่อ

โครงงานนี้เป็นการพัฒนาระบบคัดแยกขนาดผลไม้บนสายพานลำเลียงร่วมกับจานหมุน ซึ่งออกแบบมาเพื่อเพิ่มประสิทธิภาพในการคัดแยกผลไม้ตามขนาด ระบบนี้ใช้สายพานลำเลียงเคลื่อนย้ายผลไม้ไปยังจุดคัดแยกขนาด โดยเป็นการคัดแยกขนาดด้วยจานหมุน ซึ่งทำหน้าที่คัดแยกผลไม้ตามขนาดโดยให้ผลไม้ที่มีขนาดพอดีตกลงในช่องที่กำหนดไว้แต่ละขนาด และบนจานหมุนมีเซ็นเซอร์อินฟราเรดที่ควบคุมและสั่งการด้วยบอร์ดอาดูโน่ ติดตั้งไว้ตามช่องแต่ละขนาดเพื่อทำการนับจำนวนผลไม้ที่ตกลงไปในช่องแต่ละขนาด โดยระบบนี้ช่วยเพิ่มความแม่นยำและความรวดเร็วในการคัดแยกผลไม้ ลดการใช้แรงงานคน และสามารถทำงานได้อย่างต่อเนื่อง

คำสำคัญ: ระบบคัดแยกขนาดผลไม้บนสายพาน,การคัดแยกขนาดด้วยจานหมุน, Arduino UNO, PWM DC Motor Drive, เซนเซอร์อินฟราเรด, IR Sensor

Abstract

Fruit size sorting system using a conveyor belt integrated with a rotary. The system is designed to enhance the efficiency of automated fruit size sorting. It employs a conveyor belt to transport fruits to the sorting point, where size separation is performed using a rotary mechanism. The disc functions by sorting fruits according to their sizes, allowing appropriately sized fruits to fall through designated openings for each size category.The rotary is equipped with infrared sensors controlled by Arduino board, installed at each size opening to count the number of fruits that fall into each size category. This system improves the accuracy and speed of fruit sorting, reduces manual labor requirements, and can operate continuously.

Keywords: Fruit sorting, Conveyor belt, Rotary disc, Arduino, Infrared sensor

1. บทนำ

เนื่องจากธุรกิจเกษตรกรรมเป็นหนึ่งในภาคส่วนสำคัญในการขับเคลื่อนเศรษฐกิจของประเทศ การเพิ่ม ประสิทธิภาพกระบวนการผลิตและการจัดการหลังการเก็บเกี่ยวจึงเป็นสิ่งจำเป็นเพื่อลดต้นทุนและสร้างความสามารถในการแข่งขัน คณะผู้จัดทำจึงพัฒนาระบบสายพานลำเลียงผลไม้เพื่ออำนวยความสะดวกให้กับเกษตรกรรายย่อย สวนผลไม้ขนาดเล็กด้วยระบบนี้จะช่วยลดขั้นตอนการทำงาน ประหยัด แรงงาน ลดความเสี่ยงจากอุบัติเหตุในการขนถ่ายด้วยแรงงานคน และรักษาคุณภาพผลไม้ไม่ให้เสียหายในระหว่าง ขนส่ง เพื่อจัดส่งผลผลิตมีความรวดเร็ว เป็นระเบียบเรียบร้อยมากขึ้น ส่งผลให้สามารถส่งมอบ ผลผลิตสดใหม่ให้กับลูกค้าได้อย่างมีประสิทธิภาพสูงสุดทางคณะผู้จัดทำวิทยานิพนธ์จึงได้สุ่มเลือกชนิดผลไม้มา 2 ชนิด ได้แก่ มะนาวแป้น และส้มไต้หวัน

2. แนวคิดทฤษฎีเกี่ยวข้อง

เนื้อหาในส่วนนี้กล่าวถึงทฤษฎี แนวคิดพื้นฐาน และนิยามที่เกี่ยวข้อง ซึ่งเป็นองค์ประกอบสำคัญในการพัฒนาระบบสายพานลำเลียงในการคัดแยกขนาดของมะนาวแป้นและส้มไต้หวันโดยได้ใช้ตัวเซนเซอร์อินฟราเรดที่ใช้สำหรับตรวจรับวัตถุโดยอาศัยหลักการสะท้อนของแสงอินฟราเรดและตัวบอร์ด Arduino ในการใช้งาน

3. ขั้นตอนการดำเนินงาน

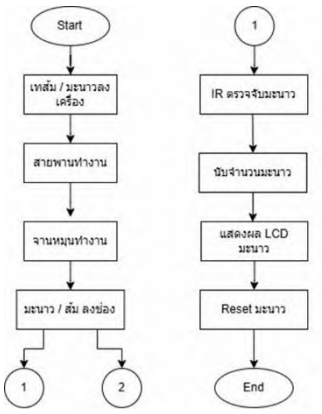

รูปที่ 1 Block Diagram ของระบบ

ขั้นตอนการคัดแยกผลไม้โดยเริ่มจากผลไม้จะถูกลำเลียงมาตามสายพาน เมื่อผลไม้ถูกลำเลียงมาถึงระบบคัดแยก จะมีจานหมุนจะทำหน้าที่คัดแยกผลไม้ตามขนาด โดยใช้กลไกในการหมุนและการกลิ้งของผลไม้ไปยังช่องที่ออกแบบไว้แต่ละขนาด แต่ละช่องจะมีเซนเซอร์อินฟราเรดเพื่อตรวจจับและนับจำนวนผลไม้ที่ตกลงในแต่ละตะกร้า ซึ่งจะช่วยในการตรวจสอบและเก็บข้อมูลสำหรับการจัดการจำนวนผลไม้ที่คัดแยกได้อย่างถูกต้อง

3.1 การทำงานของสายพานลำเลียงร่วมกับจานหมุน

วงจรของระบบโดยใช้บอร์ด Arduino UNO เป็นตัวควบคุมหลัก โดยเซนเซอร์ IR 5 ตัว ที่ใช้ตรวจจับผลไม้บนสายพานผ่านขา Digital ของ Arduino จากนั้น Arduino จะส่งสัญญาณควบคุมไปยัง โมดูล Relay เพื่อเปิด–ปิดการทำงานของ มอเตอร์เกียร์ 12V ซึ่งทำหน้าที่หมุนจานคัดแยกผลไม้ และมอเตอร์เชื่อมต่อกับ โมดูลควบคุมความเร็ว (PWM DC Motor Driver) ซึ่งสามารถปรับความเร็วได้ด้วยปุ่มหมุน (Speed Control) การจ่ายไฟให้ระบบทั้งหมดใช้จาก Switching Power Supply โดยมีการเชื่อม GND ร่วมกันให้ครบทุกอุปกรณ์เพื่อให้ระบบทำงานได้อย่างถูกต้อง

*ผู้ประพันธ์บรรณกิจ

1. IR Sensor จำนวน 5 ตัวถูกติดตั้งในตำแหน่งต่าง ๆ ได้แก่ จุด ตรวจจับผลไม้เข้าสายพาน 1 ตัว และที่ช่องคัดแยกอีก 4 ตัว แต่ละตัวมีหน้าที่ตรวจสอบและนับจำนวนผลไม้ที่ตกลงในแต่ละช่อง
2. PWM DC Motor Drive จำนวน 2 ชุดใช้เพื่อควบคุมมอเตอร์เกียร์สำหรับจานหมุนและสายพาน โดยแต่ละชุดมีการปรับความเร็วแยกจากกัน ส่วน Speed Control ที่เห็นในภาพเป็นปุ่มปรับระดับความเร็วของมอเตอร์ เพื่อทดสอบอัตราการหมุนที่เหมาะสม

3.2 การออกแบบโมเดล

รูปที่ 2 สายพานลำเลียงขนาด 14.5x100 โปรแกรม FreeCAD

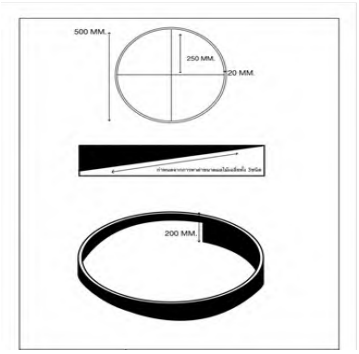

รูปที่ 3 จานหมุนคัดแยกขนาดของผลไม้ โปรแกรม FreeCAD

4. ขั้นตอนการทดลอง

รูปที่ 4 ทดสอบบนคัดแยกขนาดของผลส้มไต้หวัน

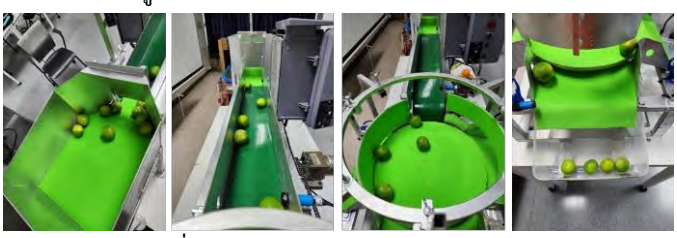

รูปที่ 5 ทดสอบบนคัดแยกขนาดของมะนาวแป้น

รูปที่ 6 ตัวเครื่องสายพานลำเลียงกับจานหมุน

5. สรุปผลการทดลอง

ตารางที่ 1 ผลการทดลองการนับจำนวนมะนาวแป้น

ในการทดลองกับมะนาวแป้น ใช้ผลมะนาวจำนวน 20 ผลต่อรอบทำการทดสอบทั้งหมด 3 รอบ เลือกมะนาวที่มีเส้นผ่านศูนย์กลางประมาณ 3–4 เซนติเมตร

รายการ	มะนาวแป้น (ทั้งหมด 20 ผล)			
	รอบที่ 1	รอบที่ 2	รอบที่ 3	ผลเฉลี่ย
ลงถูกช่อง (ผล)	18	20	20	19
ลงถูกช่อง (%)	90 %	100 %	100 %	96.67 %
ลงผิดช่อง (ผล)	2	0	0	1
ลงผิดช่อง (%)	10 %	0 %	0 %	3.33 %
ที่นับได้ (ผล)	16	15	19	17
ที่นับได้ (%)	80 %	75 %	95 %	83.33 %
ที่นับไม่ได้ (ผล)	4	5	1	3
ที่นับไม่ได้ (%)	20 %	25 %	5 %	16.67 %

ตารางที่ 2 คำนวนหาค่าเปอร์เซ็นต์ข้อผิดพลาด (%Error) มะนาวแป้น

เปอร์เซ็นต์ข้อผิดพลาด (%Error) ของส้มและมะนาวIR Sensor ที่ติดตั้งไว้ในแต่ละช่องรับผลไม้ เพื่อนับจำนวนและตรวจสอบความถูกต้องการคัดแยกผลไม้ จากผลการทดลองพบว่า ระบบมีข้อผิดพลาดบางส่วนในการคัดแยก ซึ่งสามารถอธิบายได้จากการคำนวณ เปอร์เซ็นต์ข้อผิดพลาด

เปอร์เซ็นต์ลงถูกช่อง	เปอร์เซ็นต์ลงผิดช่อง
รอบที่ 1 118/20 x 100 = 90%	รอบที่ 1 2/20 x 100 = 10%
รอบที่ 2 20/20 x 100 = 100%	รอบที่ 2 0/20 x 100 = 0%
รอบที่ 3 20/20 x 100 = 100%	รอบที่ 3 0/20 x 100 = 0%
เฉลี่ย (%) (90% + 100% + 100%)/3 = 96.67%	เฉลี่ย (%) (10% + 0% + 0%)/3 = 3.33%
เฉลี่ย (ผล) (18 + 20 + 20)/3 = 19.33 ≈ 19	เฉลี่ย (ผล) (2 + 0 + 0)/3 = 0.67 ≈ 1
เปอร์เซ็นต์ลงนับได้	**เปอร์เซ็นต์ลงนับไม่ได้**
รอบที่ 1 18/20 x 100 = 90%	รอบที่ 1 4/20 x 100 = 20%
รอบที่ 2 15/20 x 100 = 75%	รอบที่ 2 5/20 x 100 = 25%
รอบที่ 3 19/20 x 100 = 95%	รอบที่ 3 1/20 x 100 = 5%
เฉลี่ย (%) (80% + 75% + 95%)/3 = 83.33%	เฉลี่ย (%) (20% + 25% + 5%)/3 = 16.67%
เฉลี่ย (ผล) (16 + 15 + 19)/3 = 16.67 ≈ 17	เฉลี่ย (ผล) (4 + 5 + 1)/3 = 3.33 ≈ 3

ตารางที่ 3 ผลการทดลองการนับจำนวนส้มไต้หวัน

ในการทดลองกับส้มไต้หวัน ผลส้มไต้หวันจำนวน 20 ผลต่อรอบ เช่นเดียวกัน ทำการทดสอบ 3 รอบ โดยเลือกส้มที่มีเส้นผ่านศูนย์กลางประมาณ 5–6 เซนติเมตร

รายการ	ส้มไต้หวัน (ทั้งหมด 20 ผล)			
	รอบที่ 1	รอบที่ 2	รอบที่ 3	ผลเฉลี่ย
ลงถูกช่อง (ผล)	20	20	20	20
ลงถูกช่อง (%)	100%	100 %	100 %	100 %
ลงผิดช่อง (ผล)	0	0	0	0
ลงผิดช่อง (%)	0 %	0 %	0 %	0 %
ที่นับได้ (ผล)	18	19	15	17
ที่นับได้ (%)	90 %	95 %	75 %	86.67 %
ที่นับไม่ได้ (ผล)	2	1	5	3
ที่นับไม่ได้ (%)	10 %	5 %	25 %	13.33 %

ตารางที่ 4 การคำนวนหาค่าเปอร์เซ็นต์ข้อผิดพลาด (%Error) ส้มไต้หวัน

เปอร์เซ็นต์ลงถูกช่อง	เปอร์เซ็นต์ลงผิดช่อง
รอบที่ 1 20/20 × 100 = 100% รอบที่ 2 20/20 × 100 = 100% รอบที่ 3 20/20 × 100 = 100% เฉลี่ย (%) (100% + 100% + 100%)/3 = 100% เฉลี่ย (ผล) (20 + 20 + 20)/3 = 20	รอบที่ 1 0/20 × 100 = 0% รอบที่ 2 0/20 × 100 = 0% รอบที่ 3 0/20 × 100 = 0% เฉลี่ย (%) (0% + 0% + 0%)/3 = 0% เฉลี่ย (ผล) (0 + 0 + 0)/3 = 0
เปอร์เซ็นต์ลงนับได้	**เปอร์เซ็นต์ลงนับไม่ได้**
รอบที่ 1 18/20 × 100 = 90% รอบที่ 2 19/20 × 100 = 95% รอบที่ 3 15/20 × 100 = 75% เฉลี่ย (%) (90% + 95% + 75%)/3 = 86.67% เฉลี่ย (ผล) (18 + 19 + 15)/3 = 17.33 ≈ 17	รอบที่ 1 2/20 × 100 = 10% รอบที่ 2 1/20 × 100 = 5% รอบที่ 3 5/20 × 100 = 25% เฉลี่ย (%) (10% + 5% + 25%)/3 = 13.33% เฉลี่ย (ผล) (2 + 1 + 5)/3 = 2.67 ≈ 3

ตารางที่ 5 สรุปเปรียบเทียบประสิทธิภาพในการนับ

รายการ	มะนาวแป้น (เฉลี่ย)	ส้มไต้หวัน (เฉลี่ย)
ลงถูกช่อง (%)	96.67 %	100 %
ลงผิดช่อง (%)	3.33 %	0 %
ที่นับได้ (%)	83.33 %	86.67 %
ที่นับไม่ได้ (%)	16.67 %	13.33 %

ผลการทดลองแสดงให้เห็นว่าส้มสามารถคัดแยกได้อย่างถูกต้อง 100% ขณะที่มะนาวมีอัตราความผิดพลาดเฉลี่ยเล็กน้อย สาเหตุหนึ่งมาจากกรณีที่ผลมะนาวสองผลเคลื่อนที่มาพร้อมกัน ทำให้การตรวจจับของเซ็นเซอร์คลาดเคลื่อนความผิดพลาดของการนับเกิดขึ้นเมื่อผลมะนาวสองผลตกลงในเวลาใกล้เคียงกัน ทำให้เซ็นเซอร์ตรวจจับเพียงครั้งเดียวอีกสาเหตุคือรูปร่างของมะนาวที่ไม่กลมสมบูรณ์ ส่งผลให้การกลิ้งผ่านจานหมุนไม่สม่ำเสมอแนวทางแก้ไขเบื้องต้นคือการออกแบบรางบีบผลไม้ให้วิ่งเรียงเป็นแถวเดียว เพื่อป้องกันไม่ให้ผลไม้สองผลผ่านเข้ามาพร้อมกันจากการประเมินระบบ สามารถคัดแยกผลไม้ได้ประมาณ 600–800 ผลต่อชั่วโมง ซึ่งเหมาะสำหรับการใช้งานในสวนผลไม้ขนาดเล็กหรือครัวเรือน อย่างไรก็ตาม หากผลไม้มีรูปร่างไม่กลม เช่น มะละกอหรือชมพู่ อาจทำให้เปอร์เซ็นต์ความผิดพลาดสูงขึ้น เนื่องจากจานหมุนถูกออกแบบมาสำหรับผลไม้ที่มีลักษณะกลม

6. สรุปผลการดำเนินงาน

โครงงานเครื่องคัดแยกขนาดผลไม้บนสายพานลำเลียงร่วมกับจานหมุนมีการทำงานแบบอัตโนมัติ โดยเริ่มต้นจากการตรวจจับวัตถุที่เข้าสู่สายพานลำเลียง หากไม่มีวัตถุเข้าสู่ระบบ ระบบจะหยุดทำงานชั่วคราวและจะเริ่มทำงานใหม่เมื่อมีวัตถุเข้ามาอีกครั้ง จากนั้นผลไม้จะถูกลำเลียงผ่านสายพานและจานหมุนเข้าสู่กระบวนการคัดแยกขนาดพร้อมทั้งนับจำนวน โดยระบบควบคุมสามารถสั่งหยุดการทำงานได้ผ่านสวิตช์ควบคุมหลัก

7. สรุปผลการทดลองการเปรียบเทียบประสิทธิภาพ

ในการนับจากผลการทดลองสามารถสรุปได้ว่า ระบบมีความแม่นยำในการปล่อยผลไม้ลงช่องในระดับสูง โดยเฉพาะในกรณีของส้มที่มีความแม่นยำถึง 100% ในทุกครั้งที่ทำการทดลอง ขณะที่มะนาวมีอัตราความผิดพลาดเฉลี่ยเล็กน้อย (3.33%) ในส่วนของการนับจำนวนผลไม้ พบว่าทั้งมะนาวและส้มยังมีอัตราการนับไม่ครบอยู่ โดยผลมะนาวมีอัตราหลุดนับเฉลี่ยสูงกว่าส้มเล็กน้อยปัจจัยที่อาจส่งผลต่อความแม่นยำของระบบ ได้แก่ ขนาด รูปร่าง พฤติกรรมการกลิ้ง และพื้นผิวของผลไม้ ซึ่งอาจส่งผลต่อการตรวจจับของเซ็นเซอร์และการประมวลผลของระบบควบคุม เช่น ผลมะนาวที่มีขนาดเล็กและรูปทรงที่ไม่กลมสมบูรณ์ อาจทำให้ระบบตรวจจับทำงานได้ยากกว่าผลส้มที่มีขนาดและรูปทรงค่อนข้างสม่ำเสมอ

8. แนวข้อจำกัดของโครงงานดังนี้

1. ผลไม้ที่เลือกมาทดสอบมีแค่ส้มและมะนาว ทำให้ไม่สามารถนำไปใช้คัดแยกขนาดผลไม้ชนิดอื่นได้
2. การออกแบบจานหมุนอาจยังไม่สามารถแยกผลไม้ที่มีรูปร่างไม่สมมาตรได้อย่างแม่นยำเท่าที่ควร
3. ในบางกรณีอาจมีการนับซ้ำหรือนับไม่ครบหากผลไม้เคลื่อนที่เร็วเกินไปหรือมีการติดกัน

9. ในการจัดทำโครงงานปัญหาในการดำเนินงานดังนี้

1. ขั้นตอนของการสร้างและประกอบตัวเครื่องคัดแยกผลไม้ ซึ่งใช้ระยะเวลานานกว่าที่ได้วางแผนไว้ในตอนต้น
2. เทส้มกับมะนาวรวมกันในทีเดียวสายพานหยุดการทำงานเนื่องรับน้ำหนักไม่ไหว
3. แรงส่งของส้มกับมะนาวขณะเทลงไซโลแรงจนมะนาวกับส้มตกลงจากสายพานลำเลียง

10. แนวทางการพัฒนาต่อดังนี้

1. เพิ่มชนิดผลไม้ในการทดสอบเพื่อขยายขอบเขตการใช้งาน
2. ออกแบบตัวเสริมติดเพิ่มบนจานหมุนแทนการตัดหรือเชื่อมเหล็กใหม่ เพื่อให้เกิดความยืดหยุ่นในการรองรับผลไม้รูปร่างต่างกัน
3. ปรับซอฟต์แวร์และตำแหน่งเซ็นเซอร์ให้แม่นยำมากขึ้น

เอกสารอ้างอิง

[1] SBC Conveyor. สายพานลำเลียงกับประโยชน์ในอุตสาหกรรม. [ออนไลน์]..เข้าถึงได้จhttps://www.sbcconveyor.co.th/blogrp-สายพานลำเลียงกับประโยชน์ในอุตสาหกรรม#. [สืบค้นเมื่อ 23 กันยายน 2024].

[2] Sumipol Corporation. ระบบสายพานลำเลียง (Conveyor System). [ออนไลน์]. Sumipol Corporation. 2024. เข้าถึงได้จาก: https://www.sumipol.com/knowledge/conveyors/. [สืบค้นเมื่อ 23 กันยายน 2024].

[3] element14 Thailand. เทคโนโลยีการควบคุมมอเตอร์. [ออนไลน์]. element14Thailand.2024.เข้าถึงได้จาก:

https://th.element14.com/motor-control-technology?. [สืบค้นเมื่อ 30 กันยายน 2024].

[4] BBULL. Rejection System - Pusher. [ออนไลน์]. BBULL. 2024. เข้าถึงได้จาก: https://www.bbull.com/en. [สืบค้นเมื่อ11 ตุลาคม 2024].

[5] Digital School Club. การเคลื่อนที่แบบโปรเจกไทล์. [ออนไลน์]. Digital School Club. 2024. เข้าถึงได้จาก: http://www.digitalschool.club/digitalschool/physics2_2_2/physics3/lesson3/. [สืบค้นเมื่อ 15 ตุลาคม 2024].

[6] SciMath. การเคลื่อนที่แบบโปรเจกไทล์. [ออนไลน์]. SciMath. 2024. เข้าถึงได้จาก: https://www.scimath.org/. [สืบค้นเมื่อ 15 ตุลาคม 2024].

[7] FMUSER. เซ็นเซอร์อินฟาเรด (IR Sensor คืออะไร). [ออนไลน์]. FMUSER. 2024. เข้าถึงได้จาก: https://th.fmuser.net/wap/content/?21028.html. [สืบค้นเมื่อ 25 ตุลาคม 2024].

[8] Zentech. การเลือกใช้เลเซอร์เซนเซอร์. [ออนไลน์]. Zentech. 2024. เข้าถึงได้จาก: https://zentech.in.th/select_laser_sensor/. [สืบค้นเมื่อ 25 ตุลาคม 2024].

ประวัติผู้เขียน

นางสาวอภิญญา สุขประเสริฐ
37/3 ม.3 ต.บ้านกรด อ.บางปะอิน จ.พระนครศรีอยุธยา 13160
ปริญญาวิศวกรรมศาสตรบัณฑิต
สาขาวิศวกรรมคอมพิวเตอร์และหุ่นยนต์
มหาวิทยาลัยกรุงเทพ ปีการศึกษา 2567
มีความสนใจด้าน Arduino UNO

การเพิ่มเสถียรภาพการพิมพ์คอนกรีต 3 มิติด้วยการควบคุมตำแหน่งหัวฉีดแบบเรียลไทม์
Enhancing Stability of 3D Concrete Printing through Real-Time Nozzle Position Control

เกียรติศักดิ์ สกุลพันธ์[1]* และ ธนภัทร พรหมวัฒนภักดี[2]
[1]สาขาวิชาวิศวกรรมเครื่องกล คณะวิศวกรรมศาสตร์ มหาวิทยาลัยศรีปทุม Kiattisak.sa@spu.ac.th*
[2]สาขาวิชาวิศวกรรมไฟฟ้า คณะวิศวกรรมศาสตร์ มหาวิทยาลัยศรีปทุม Thanapat.pr@spu.ac.th

บทคัดย่อ

บทความนี้มีวัตถุประสงค์เพื่อนำเสนอการพัฒนาระบบควบคุมการเคลื่อนที่ของหัวฉีดในเครื่องพิมพ์คอนกรีต 3 มิติ โดยใช้ PLC Mitsubishi FX3U ร่วมกับ Servo Motor รุ่น HG-KR13 และ Servo Drive รุ่น MR-J4-10A ที่เชื่อมต่อผ่านโปรโตคอล Modbus RTU ซึ่งรับคำสั่งจากโปรแกรมภาษา Python บนคอมพิวเตอร์ ระบบควบคุมนี้ใช้หลักการแบบวงปิด (Closed-Loop Control) โดยอาศัยสัญญาณ Feedback จาก Incremental Encoder เพื่อนำมาคำนวณค่าความคลาดเคลื่อนเชิงตำแหน่ง และประเมินเสถียรภาพของระบบผ่านตัวชี้วัดทางสถิติคือ Mean Absolute Error (MAE) และ Root Mean Square Error (RMSE) ผลการทดลองพบว่าแนวแกน X มีค่า MAE และ RMSE เท่ากับ 9.694 มม. ส่วนแนวแกน Y มีค่า MAE และ RMSE เท่ากับ 4.842 มม. โดยค่าความคลาดเคลื่อนสัมพัทธ์เฉลี่ยในทั้งสองแกนไม่เกิน 5% ซึ่งอยู่ในขอบเขตที่ยอมรับได้เมื่อเทียบกับค่าความแม่นยำเชิงกลของ Ball Screw รุ่น C-TBSB2005-1000 ที่มี Lead Accuracy ±0.167 มม. ต่อระยะ 1000 มม. ทั้งนี้ระบบควบคุมสามารถรักษาความเสถียรในทิศทางขาไปและขากลับได้ดี โดยเฉพาะในแนวแกน X แสดงให้เห็นถึงประสิทธิภาพของระบบควบคุมที่พัฒนาแล้ว ข้อเสนอแนะในอนาคตคือการนำค่าชดเชยพิกัด (Correction Factor) มาใช้เพื่อลดค่าความคลาดเคลื่อนสะสม และการประยุกต์ใช้ Machine Learning เพื่อเพิ่มความสามารถในการปรับตัวของระบบในสภาพแวดล้อมการทำงานจริง

คำสำคัญ: การควบคุมการเคลื่อนที่, เครื่องพิมพ์คอนกรีต 3 มิติ, PLC, Servo Motor, Modbus RTU

Abstract

This paper aims to present develop a nozzle position control system for a 3D concrete printer using a Mitsubishi FX3U PLC in conjunction with an HG-KR13 servo motor and an MR-J4-10A servo drive, communicating via the Modbus RTU protocol and receiving commands from a Python-based application on a computer. The system employs a closed-loop control approach using feedback signals from an incremental encoder to calculate position error and evaluate system stability through engineering statistical indicators, namely Mean Absolute Error (MAE) and Root Mean Square Error (RMSE). Experimental results show that the MAE and RMSE in the X-axis are 9.694 mm, while those in the Y-axis are 4.842 mm. The relative position error in both axes remains below 5%, which is within the acceptable range when compared to the mechanical accuracy of the C-TBSB2005-1000 ball screw, which has a lead accuracy of ±0.167 mm over a 1000 mm travel distance. The system demonstrated consistent performance in both forward and return directions, particularly in the X-axis, indicating the effectiveness of the developed control system. Future improvements include the implementation of correction factors to reduce cumulative positioning error and the integration of machine learning techniques to enhance the system's adaptability in real-world operational environments.

Keywords: Motion Control, 3D Concrete Printer, PLC, Servo Motor, Modbus RTU

1. บทนำ

ในปัจจุบันเทคโนโลยีการพิมพ์คอนกรีตสามมิติ (3D Concrete Printing) ได้รับความสนใจอย่างกว้างขวางในอุตสาหกรรมก่อสร้าง เนื่องจากสามารถลดระยะเวลาการก่อสร้าง ลดต้นทุนแรงงาน และเพิ่มประสิทธิภาพในการผลิตโครงสร้างที่มีรูปแบบซับซ้อนได้โดยไม่ต้องพึ่งพาแบบหล่อคอนกรีตแบบดั้งเดิม อย่างไรก็ตาม กระบวนการพิมพ์คอนกรีตดังกล่าวยังคงเผชิญกับข้อจำกัดด้านความแม่นยำของการควบคุมตำแหน่งหัวฉีด ซึ่งมีผลโดยตรงต่อความแข็งแรง ความสม่ำเสมอ และคุณภาพของชิ้นงานคอนกรีตที่ได้

โครงงานนี้มีวัตถุประสงค์เพื่อออกแบบและพัฒนาระบบควบคุมตำแหน่งหัวฉีดของเครื่องพิมพ์คอนกรีต 3 มิติ โดยใช้ Programmable Logic Controller (PLC) รุ่น Mitsubishi FX3U เป็นตัวกลางรับคำสั่งที่ส่งมาจากซอฟต์แวร์ภาษา Python ผ่านโปรโตคอล Modbus RTU จากคอมพิวเตอร์ ผ่านพอร์ต RS-485 เพื่อควบคุม Servo Drive รุ่น MR-J4-10A ซึ่งควบคุมการเคลื่อนที่ของ Servo Motor รุ่น HG-KR13 ที่มี Encoder แบบ Incremental ในตัว ระบบควบคุมนี้อาศัยแนวคิดแบบวงปิด (Closed-Loop Control) ซึ่งการประมวลผล Feedback จะเกิดขึ้นภายใน Servo Drive เพื่อให้สามารถปรับตำแหน่งหัวฉีดได้แบบเรียลไทม์ตามคำสั่งที่ได้รับ

ระบบควบคุมนี้ถูกออกแบบให้รองรับการส่งพิกัดตำแหน่งจากคำสั่ง G-code ไปยังรีจิสเตอร์ของ PLC และแปลงเป็นสัญญาณ Pulse/Direction เพื่อสั่งงาน Servo Motor ให้เคลื่อนที่ตามเส้นทางที่กำหนด พร้อมจัดการลำดับการพิมพ์อัตโนมัติด้วยการตรวจสอบค่า Counter ภายใน PLC ข้อมูล Feedback ที่ได้จะถูกนำไปวิเคราะห์ความแม่นยำและเสถียรภาพของระบบผ่านค่าทางสถิติเชิงวิศวกรรม ได้แก่ Mean Absolute Error (MAE) และ Root Mean Square Error (RMSE) ซึ่งผลลัพธ์สามารถนำไปใช้ในการปรับปรุงระบบให้ตอบสนองต่อการใช้งานจริงในอุตสาหกรรมการพิมพ์คอนกรีตสามมิติได้อย่างมีประสิทธิภาพ

*ผู้ประพันธ์บรรณกิจ

รูปที่ 1 แสดงถึงการเคลื่อนที่ของหัวพิมพ์ที่ไม่แม่นยำ ทำให้ชั้นของวัสดุที่พิมพ์ออกมาไม่ตรงกัน ส่งผลให้โครงสร้างไม่แข็งแรงและมีความเสี่ยงต่อการพังทลาย [9]

2. งานวิจัยที่เกี่ยวข้อง

จากการศึกษาวรรณกรรมพบว่า ความเสถียรของกระบวนการพิมพ์คอนกรีต 3 มิติได้รับอิทธิพลจากหลายปัจจัย โดยเฉพาะอย่างยิ่ง การควบคุมตำแหน่งของหัวฉีด ซึ่งสัมพันธ์กับพารามิเตอร์การพิมพ์ ได้แก่ ขนาดหัวฉีด ความเร็ว และอัตราการไหลของวัสดุ Ying Wei et al. (2024) ได้เสนอพารามิเตอร์ไร้มิติ (ϕ) สำหรับใช้ประเมินการเสียรูปของวัสดุจากปัญหา meandering และ tearing เมื่อควบคุมตำแหน่งหัวฉีดไม่แม่นยำ [1] ในขณะเดียวกัน Zhao et al. (2025) เน้นย้ำถึงข้อบกพร่องที่เกิดขึ้นระหว่างการพิมพ์ เช่น voids, pits และ breakpoints ซึ่งสัมพันธ์กับพฤติกรรมการไหลของวัสดุและการเคลื่อนที่ของหัวฉีด โดยแนะนำว่าควรมีการควบคุมความเร็วของหัวฉีดและอัตราการฉีดวัสดุแบบเรียลไทม์เพื่อหลีกเลี่ยงข้อบกพร่องเชิงโครงสร้าง [2]

Chung et al. (2021) ชี้ให้เห็นว่าการพัฒนาระบบควบคุมสำหรับเครื่องพิมพ์คอนกรีต 3 มิติควรอยู่ภายใต้กรอบของ มาตรฐานทางเทคนิคที่ชัดเจน ซึ่งรวมถึงการกำหนดสเปกของหัวฉีด ระบบเคลื่อนที่ และแนวทางการประเมินประสิทธิภาพ [3] ในด้านของการควบคุมคุณภาพ Azamfirei et al. (2023) ได้เสนอการประยุกต์ใช้ระบบอัตโนมัติและการตรวจสอบแบบ in-line inspection ซึ่งช่วยลดของเสียและเพิ่มเสถียรภาพของการผลิต โดยมีความเชื่อมโยงกับแนวคิดของ Industry 4.0 [4]

Kruger et al. (2020) ได้นำเสนอแบบจำลองการออกแบบทางคณิตศาสตร์เพื่อคำนวณค่าพารามิเตอร์พิมพ์ที่เหมาะสม เช่น ความเร็วหัวพิมพ์และความสูงเลเยอร์ โดยอิงจาก คุณสมบัติรีโอโลยี ของวัสดุ เพื่อป้องกันการยุบตัวจากน้ำหนักตนเองของเลเยอร์คอนกรีต [5] Khan et al. (2021) ได้ทำการวิเคราะห์ศักยภาพของเทคโนโลยี 3DCP โดยเน้นความสำคัญของการควบคุมพารามิเตอร์การผลิตเพื่อให้เกิดความยั่งยืนทั้งในด้านสิ่งแวดล้อม เศรษฐกิจ และพลังงาน [6]

Rehman et al. (2024) พัฒนาอุปกรณ์วัดคุณสมบัติของคอนกรีตแบบอัตโนมัติที่ฝังในเครื่องพิมพ์ ซึ่งสามารถประเมินความแข็งแรงเฉือน ความแข็งแรงอัด และค่าการยุบตัวแบบเรียลไทม์ ทั้งยังช่วยให้ระบบควบคุมสามารถตอบสนองต่อการเปลี่ยนแปลงของวัสดุและสิ่งแวดล้อมได้อย่างมีประสิทธิภาพ [7] ขณะที่ Takva et al. (2024) พบว่ารูปทรงเรขาคณิตของอาคารมีผลต่อประสิทธิภาพการพิมพ์ โดยเฉพาะการใช้รูปทรงสมมาตร เช่น วงกลม ช่วยลดเวลาและต้นทุนการผลิต โดยการควบคุมตำแหน่งหัวฉีดอย่างแม่นยำเป็นเงื่อนไขสำคัญที่เชื่อมโยงการออกแบบกับสมรรถนะการก่อสร้างจริง [8]

3. ทฤษฎีที่เกี่ยวข้อง

การควบคุมตำแหน่งหัวฉีดในระบบพิมพ์คอนกรีต 3 มิติ จำเป็นต้องอาศัยองค์ความรู้ทางวิศวกรรมในหลายด้าน ได้แก่ ระบบควบคุมอัตโนมัติ การสื่อสารระหว่างอุปกรณ์ การขับเคลื่อนด้วยเซอร์โวมอเตอร์ และความแม่นยำเชิงกลของระบบนำทาง โดยในโครงงานนี้มีทฤษฎีที่เกี่ยวข้องหลัก 4 ด้าน ดังนี้

3.1 ระบบควบคุมแบบวงปิด (Closed-Loop Control)

ระบบควบคุมแบบวงปิดเป็นระบบที่มีการนำค่าผลลัพธ์จริงของการควบคุม (Output) ส่งกลับมาเปรียบเทียบกับค่าที่ต้องการ (Setpoint) เพื่อให้ตัวควบคุมสามารถปรับสัญญาณควบคุมให้เหมาะสมโดยอัตโนมัติ ซึ่งช่วยลดความคลาดเคลื่อน (Error) ได้อย่างต่อเนื่อง ในระบบนี้ สัญญาณ Feedback จาก Encoder ภายใน Servo Motor จะถูกส่งกลับไปยัง Servo Drive เพื่อประมวลผลและปรับตำแหน่งให้สอดคล้องกับตำแหน่งเป้าหมายที่รับมาจาก PLC ซึ่งช่วยให้การควบคุมตำแหน่งเป็นไปอย่างต่อเนื่องและแม่นยำ

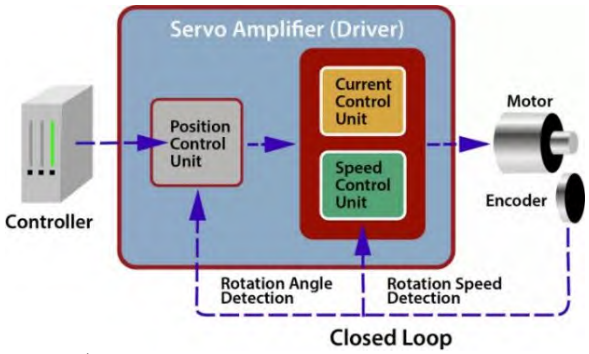

รูปที่ 2 Closed-Loop Servo Control System Diagram [10]

3.2 การสื่อสารแบบ Modbus RTU

Modbus RTU (Remote Terminal Unit) เป็นโปรโตคอลการสื่อสารแบบอนุกรมที่นิยมใช้งานในระบบอัตโนมัติและอุตสาหกรรม เนื่องจากมีความเรียบง่าย เชื่อถือได้ และสามารถใช้งานร่วมกับอุปกรณ์ได้หลากหลาย ภายใต้โปรโตคอลนี้ อุปกรณ์หนึ่งจะทำหน้าที่เป็น Master (เช่น คอมพิวเตอร์) และอีกอุปกรณ์เป็น Slave (เช่น PLC) กรณีศึกษานี้ซอฟต์แวร์ภาษา Python บนคอมพิวเตอร์จะส่งค่าพิกัดจากคำสั่ง G-code ไปยัง PLC Mitsubishi FX3U ผ่าน Modbus RTU ทางพอร์ต RS-485 โดย PLC จะรับข้อมูลไปประมวลผล และส่งสัญญาณควบคุมตำแหน่งไปยัง Servo Drive เพื่อสั่งให้หัวฉีดเคลื่อนที่ตามตำแหน่งที่กำหนด

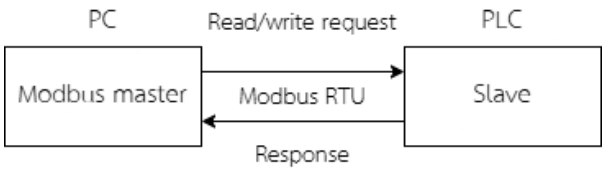

รูปที่ 3 โครงข่ายสื่อสาร Modbus RTU

3.3 การทำงานของ Servo Motor และ Incremental Encoder

Servo Motor เป็นอุปกรณ์ขับเคลื่อนที่สามารถควบคุมตำแหน่ง ความเร็ว และแรงบิดได้อย่างแม่นยำ โดยเฉพาะเมื่อนำมาใช้ร่วมกับ Encoder ซึ่งทำหน้าที่ตรวจจับการหมุนของมอเตอร์และแปลงเป็นสัญญาณพัลส์สำหรับ Feedback อย่างไรก็ตาม ในระบบใช้ Servo Motor รุ่น HG-KR13 พร้อม Encoder แบบ Incremental ซึ่งจะส่งสัญญาณพัลส์กลับเข้าสู่ Servo Drive เพื่อใช้ในการประเมินตำแหน่งจริงของหัวฉีดและควบคุมให้ตรงตามคำสั่งอย่างแม่นยำ การใช้ Encoder ทำให้สามารถวัดและประเมินค่าความคลาดเคลื่อนได้แบบเรียลไทม์ ซึ่งเป็นพื้นฐานสำคัญของระบบควบคุมแบบวงปิด

รูปที่ 4 Servo Motor รุ่น HG-KR13 [11]

3.4 ความแม่นยำเชิงกลของระบบขับเคลื่อนด้วย Ball Screw

ในการเคลื่อนที่เชิงเส้นของหัวฉีด ระบบนี้ใช้ Ball Screw รุ่น C-TBSB2005-1000 ซึ่งมีขนาดเส้นผ่านศูนย์กลาง 20 มม. ความยาว 1000 มม. และมี ระยะลีด (Lead) เท่ากับ 5 มม. ซึ่งหมายถึงระยะที่ Ball Nut เคลื่อนที่ได้ต่อการหมุนหนึ่งรอบของ Shaft โดย Ball Screw รุ่นนี้เป็นแบบเกลียวเดี่ยว (Single Start) จึงทำให้ค่า Lead มีค่าเท่ากับ Pitch ในขณะที่ Ball Screw มีระดับความแม่นยำตามมาตรฐาน เกรด C7 โดยผู้ผลิตระบุค่าความคลาดเคลื่อนเชิงเส้น (Lead Accuracy) ไม่เกิน ±0.050 มม. ต่อระยะ 300 มม. หรือประมาณ ±0.167 มม. สำหรับความยาว 1000 มม. โดยที่ค่าตัวแปรสามารถใช้เป็นเกณฑ์มาตรฐานในการเปรียบเทียบกับค่าความคลาดเคลื่อนที่วัดได้จากการทดลองจริง

รูปที่ 5 Ball Screw รุ่น C-TBSB2005-1000 ที่ใช้ในระบบขับเคลื่อนเชิงเส้นของหัวฉีด [12]

4. วิธีการดำเนินงานวิจัย

โครงงานนี้เป็นการวิจัยเชิงทดลองที่มุ่งเน้นการพัฒนาระบบควบคุมตำแหน่งหัวฉีดสำหรับเครื่องพิมพ์คอนกรีต 3 มิติ โดยเน้นการประเมินความแม่นยำของตำแหน่งและความเสถียรในการตอบสนองต่อคำสั่งการเคลื่อนที่ โดยมีขั้นตอนการดำเนินงานดังนี้

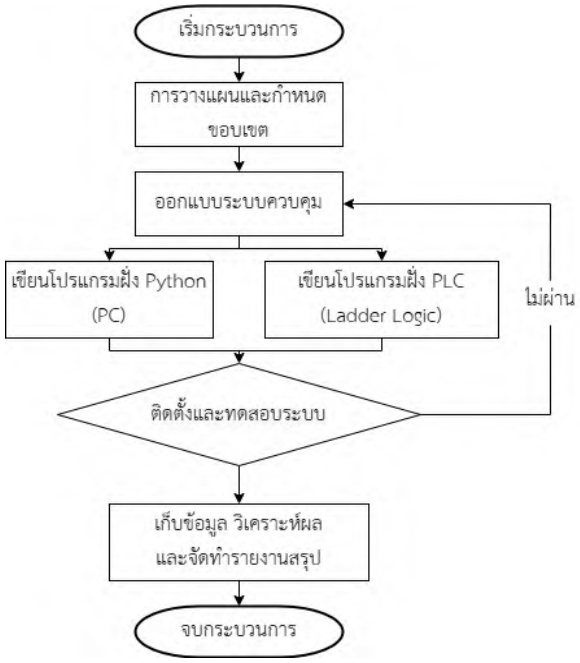

รูปที่ 6 ขั้นตอนการดำเนินงานวิจัย

4.1 การออกแบบระบบควบคุม

เริ่มต้นจากการออกแบบระบบควบคุมการเคลื่อนที่โดยใช้คอมพิวเตอร์เป็นอุปกรณ์หลักในการส่งคำสั่งควบคุมหัวฉีดผ่านโปรแกรมภาษา Python โดยใช้ไลบรารี Modbus ในการส่งข้อมูลผ่านพอร์ต RS-485 ด้วยโปรโตคอล Modbus RTU ไปยัง PLC Mitsubishi FX3U ซึ่งจะทำหน้าที่รับค่าพิกัดตำแหน่งและส่งสัญญาณ Pulse/Direction ไปยัง Servo Drive รุ่น MR-J4-10A เพื่อควบคุม Servo Motor รุ่น HG-KR13 ที่ติดตั้ง Encoder แบบ Incremental ภายในตัว ระบบนี้มีลักษณะการควบคุมแบบวงปิด (Closed-Loop Control) โดยใช้ค่าพัลส์ Feedback จาก Encoder เพื่อประเมินและปรับตำแหน่งให้แม่นยำตามคำสั่งที่รับมา

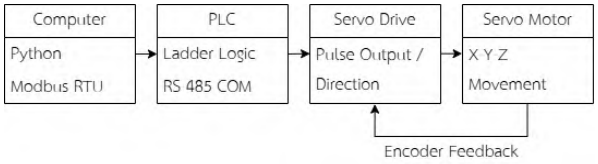

รูปที่ 7 โครงสร้างระบบควบคุม

4.2 การเขียนโปรแกรมควบคุม

ฝั่งคอมพิวเตอร์จะพัฒนาโปรแกรมด้วยภาษา Python สำหรับอ่านและแปลงคำสั่ง G-code ให้เป็นค่าพิกัดในหน่วยมิลลิเมตร ซึ่งจะถูกส่งเข้า Register ของ PLC เช่น D10–D40 แทนตำแหน่งในแกน X, Y และความเร็ว (Feed rate) ส่วนฝั่ง PLC เขียนโปรแกรมด้วย Ladder Diagram โดยรับค่าจาก Register และสั่งงาน Pulse Output ไปยัง Servo Drive เพื่อควบคุมทิศทางและจำนวนพัลส์ตามค่าที่กำหนด รวมถึงตรวจสอบสถานะการเคลื่อนที่จาก Counter ภายใน PLC เพื่อจัดลำดับคำสั่งอย่างมีประสิทธิภาพ

4.3 การทดสอบระบบและเก็บข้อมูล

การทดลองกำหนดตำแหน่งเป้าหมายในแนวแกน X และ Y เป็น 200 มม. และ 100 มม. ตามลำดับ พร้อมกำหนดความเร็วหัวฉีดที่ 25.00–

75.00 มม./วินาที จากนั้นตรวจสอบค่าพัลส์สะสมที่ได้รับจาก Encoder ซึ่งถูกประมวลผลใน Servo Drive และแปลงกลับเป็นระยะจริงเพื่อนำไปคำนวณค่าความคลาดเคลื่อน (Position Error) และค่าความคลาดเคลื่อนสัมพัทธ์เป็นเปอร์เซ็นต์ ทั้งนี้ข้อมูลที่ได้จากการทดลองจะถูกนำมาวิเคราะห์ค่าทางสถิติเชิงวิศวกรรม ได้แก่ Mean Absolute Error (MAE) และ Root Mean Square Error (RMSE) เพื่อตรวจสอบความแม่นยำและเสถียรภาพของระบบควบคุมที่พัฒนาขึ้น

5. ผลการดำเนินงานวิจัย

การทดสอบระบบควบคุมการเคลื่อนที่ของหัวฉีดในเครื่องพิมพ์คอนกรีต 3 มิติได้ดำเนินการในแนวแกน X และ Y โดยกำหนดตำแหน่งเป้าหมายที่ 200 มม. และ 100 มม. ตามลำดับ พร้อมทั้งปรับความเร็วหัวฉีดในช่วง 25.00 ถึง 75.00 มม./วินาที เพื่อประเมินความแม่นยำและเสถียรภาพของระบบในสภาวะการทำงานที่แตกต่างกัน

ตารางที่ 1 ผลการทดสอบค่าความคลาดเคลื่อนในแนวแกน X

Actual Position (mm)	Nozzle Speed (mm/s)	Target Position (mm)	Position Error (mm)	Relative Position Error (%)
209.67	25.00	200	9.67	4.83
209.72	25.00	200	9.72	4.86
209.67	33.33	200	9.67	4.83
209.71	33.33	200	9.71	4.86
209.67	41.67	200	9.67	4.83
209.72	41.67	200	9.72	4.86
209.67	50.00	200	9.67	4.83
209.72	50.00	200	9.72	4.86
209.67	58.33	200	9.67	4.83
209.72	58.33	200	9.72	4.86
209.67	66.67	200	9.67	4.83
209.72	66.67	200	9.72	4.86
209.67	75.00	200	9.67	4.83
209.72	75.00	200	9.72	4.86

ข้อมูลจาก Encoder ภายใน Servo Motor ถูกนำมาคำนวณหาตำแหน่งจริงของหัวฉีดในแต่ละรอบการทดลอง แล้วเปรียบเทียบกับตำแหน่งเป้าหมายเพื่อหาค่าความคลาดเคลื่อนเชิงตำแหน่ง (Position Error) และค่าความคลาดเคลื่อนสัมพัทธ์ในรูปแบบเปอร์เซ็นต์ (Relative Position Error)

ตารางที่ 2 ผลการทดสอบค่าความคลาดเคลื่อนในแนวแกน Y

Actual Position (mm)	Nozzle Speed (mm/s)	Target Position (mm)	Position Error (mm)	Relative Position Error (%)
104.85	25.00	100	4.85	4.85
104.83	25.00	100	4.83	4.83
104.86	33.33	100	4.86	4.86
104.83	33.33	100	4.83	4.83
104.87	41.67	100	4.87	4.87
104.83	41.67	100	4.83	4.83
104.87	50.00	100	4.87	4.87
104.82	50.00	100	4.82	4.82
104.84	58.33	100	4.84	4.84
104.82	58.33	100	4.82	4.82
104.84	66.67	100	4.84	4.84
104.83	66.67	100	4.83	4.83
104.86	75.00	100	4.86	4.86
104.84	75.00	100	4.84	4.84

ค่าทางสถิติที่ใช้ในการวิเคราะห์ ได้แก่ Mean Absolute Error (MAE) และ Root Mean Square Error (RMSE) โดยในแนวแกน X พบว่า MAE เท่ากับ 9.694 มม. และ RMSE เท่ากับ 9.694 มม. ส่วนในแนวแกน Y พบว่า MAE เท่ากับ 4.842 มม. และ RMSE เท่ากับ 4.842 มม. โดยค่า Relative Error เฉลี่ยในทั้งสองแนวมีค่าไม่เกิน 5% ซึ่งแสดงถึงความแม่นยำที่ยอมรับได้ในงานอุตสาหกรรม

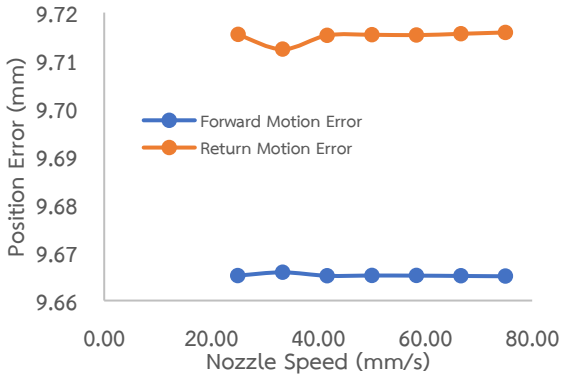

รูปที่ 8 กราฟเปรียบเทียบค่าความคลาดเคลื่อนในแนวแกน X กับความเร็วหัวฉีด (แสดงเส้นขาไปและขากลับในแกน X)

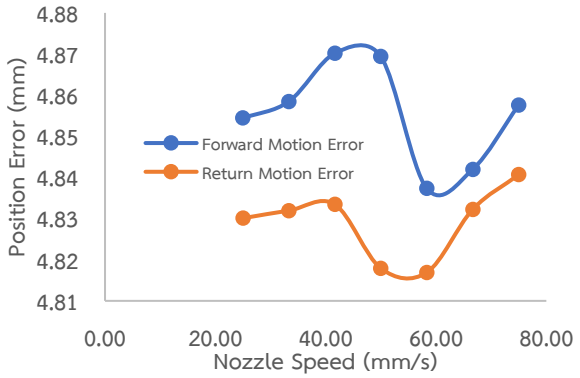

รูปที่ 9 กราฟเปรียบเทียบค่าความคลาดเคลื่อนในแนวแกน Y กับความเร็วหัวฉีด (แสดงเส้นขาไปและขากลับในแกน Y)

เพื่อให้เห็นแนวโน้มของค่าความคลาดเคลื่อนชัดเจนยิ่งขึ้น ได้จัดทำกราฟแสดงความสัมพันธ์ระหว่างค่าความคลาดเคลื่อนกับความเร็วหัวฉีดในแต่ละแนวแกน ทั้งในทิศทางขาไปและขากลับ จากกราฟพบว่าในแนวแกน X ค่าความคลาดเคลื่อนมีแนวโน้มคงที่ และใกล้เคียงกันระหว่างทิศทางขาไปและขากลับ แสดงถึงเสถียรภาพในการตอบสนองของระบบ ขณะที่ในแนวแกน Y มีความผันผวนเล็กน้อย โดยบางช่วงความเร็ว ทิศทางขากลับมีค่าความคลาดเคลื่อนต่ำกว่าขาไป สะท้อนถึงการตอบสนองเชิงกลที่อาจได้รับผลกระทบจากแรงเฉื่อยและสมดุลของระบบ

เมื่อเปรียบเทียบกับความแม่นยำเชิงกลของ Ball Screw รุ่น C-TBSB2005-1000 ซึ่งมีค่า Lead Accuracy ไม่เกิน ±0.050 มม. ต่อ 300 มม. หรือประมาณ ±0.167 มม. ต่อระยะ 1000 มม. จะพบว่าค่าความคลาดเคลื่อนที่วัดได้จากการทดลองยังอยู่ในขอบเขตที่ Ball Screw รองรับได้ จึงยืนยันได้ว่าระบบควบคุมมีความแม่นยำและเสถียรภาพเหมาะสมต่อการใช้งานในระบบพิมพ์คอนกรีต 3 มิติในระดับอุตสาหกรรม

6. สรุปผลการดำเนินการวิจัย

โครงงานวิจัยนี้ได้พัฒนาระบบควบคุมตำแหน่งหัวฉีดสำหรับเครื่องพิมพ์คอนกรีต 3 มิติ โดยใช้ PLC Mitsubishi FX3U ร่วมกับ Servo Drive MR-J4-10A และ Servo Motor รุ่น HG-KR13 ที่มี Encoder ภายใน เพื่อควบคุมการเคลื่อนที่ในแนวแกน X และ Y อย่างแม่นยำ โดยระบบทำงานแบบวงปิด (Closed-Loop Control) และรับคำสั่งจากซอฟต์แวร์ภาษา Python ผ่านโปรโตคอล Modbus RTU ที่เชื่อมต่อผ่านพอร์ต RS-485 การทดลองกำหนดตำแหน่งเป้าหมายที่ 200 มม. และ 100 มม. สำหรับแกน X และ Y ตามลำดับ และทดสอบในช่วงความเร็ว 25.00–75.00 มม./วินาที พบว่าในแนวแกน X มีค่า Mean Absolute Error (MAE) เท่ากับ 9.694 มม. และ Root Mean Square Error (RMSE) เท่ากับ 9.694 มม. ส่วนแนวแกน Y มีค่า MAE เท่ากับ 4.842 มม. และ RMSE เท่ากับ 4.842 มม. โดยมีค่า Relative Position Error เฉลี่ยในทั้งสองแนวไม่เกิน 5% ซึ่งถือว่าอยู่ในเกณฑ์ที่ยอมรับได้ในระดับอุตสาหกรรม

เมื่อเปรียบเทียบกับ Ball Screw รุ่น C-TBSB2005-1000 ที่ใช้ในระบบ ซึ่งมีระยะลีด (Lead) เท่ากับ 5 มม. และความแม่นยำระดับ C7 โดยมี Lead Accuracy ±0.050 มม. ต่อ 300 มม. หรือประมาณ ±0.167 มม. ต่อ 1000 มม. จะพบว่าค่าความคลาดเคลื่อนเชิงตำแหน่งที่เกิดขึ้นจากการทดลองยังอยู่ภายในขอบเขตความแม่นยำทางกลที่อุปกรณ์สามารถรองรับได้ จึงสามารถยืนยันได้ว่าระบบควบคุมที่พัฒนาขึ้นสามารถทำงานได้สอดคล้องกับขีดจำกัดของกลไกและมีความเสถียรในการควบคุมตำแหน่งหัวฉีด

เพื่อเพิ่มความแม่นยำของระบบในระยะยาว แนะนำให้ใช้เทคนิคการชดเชยค่าพิกัดคำสั่ง (Correction Factor) ซึ่งคำนวณจากระยะเป้าหมายเทียบกับระยะจริง เช่น ในแนวแกน X ที่เคลื่อนที่เฉลี่ยได้ 209.694 มม. แทนระยะเป้าหมาย 200 มม. จะได้ Correction Factor ประมาณ 0.9538 เพื่อนำไปคูณปรับในคำสั่ง G-code ให้เคลื่อนที่ได้ตรงยิ่งขึ้น นอกจากนี้ ยังสามารถพัฒนาระบบเพิ่มเติมโดยใช้เทคนิค Machine Learning เพื่อให้ระบบมีความสามารถในการปรับตัวอัตโนมัติตามสภาพการทำงานที่เปลี่ยนแปลง ซึ่งจะยกระดับความแม่นยำและเสถียรภาพของระบบให้เหมาะสมต่อการใช้งานในระดับอุตสาหกรรมอย่างแท้จริง

7. เอกสารอ้างอิง

[1] Ying Wei, S. Han, Z. Chen, et al. (2024). Numerical simulation of 3D concrete printing derived from printer head and printing process. Journal of Building Engineering, 88, 109241.

[2] Zhao, H., Sun, J., Wang, X., et al. (2025). Real-time and high-accuracy defect monitoring for 3D concrete printing using transformer networks. Automation in Construction, 170, 105925.

[3] Chung, J., Lee, G., & Kim, J.-H. (2021). *Framework for technical specifications of 3D concrete printers*. Automation in Construction, 127, 103732

[4] Azamfirei, V., Psarommatis, F., & Lagrosen, Y. (2023). *Application of automation for in-line quality inspection, a zero-defect manufacturing approach*. Journal of Manufacturing Systems, 67, 1–22.

[5] Kruger, J., Cho, S., Zeranka, S., et al. (2020). *3D concrete printer parameter optimisation for high rate digital construction avoiding plastic collapse*. Composites Part B: Engineering, 183, 107660.

[6] Khan, S. A., Koç, M., & Al-Ghamdi, S. G. (2021). *Sustainability assessment, potentials and challenges of 3D printed concrete structures*. Journal of Cleaner Production, 303, 127027.

[7] Rehman, A. U., Kim, I.-G., & Kim, J.-H. (2024). *Development of an automated and inline sensor-printer integrated instrument for in-situ assessment of structural build-up and quality of concrete*. Developments in the Built Environment, 17, 100344.

[8] Takva, C., Top, S. M., Gökgöz, B. I., et al. (2024). *Applicability of 3D concrete printing technology in building construction with different architectural design decisions in housing*. Journal of Building Engineering, 98, 111257.

[9] Ultimaker Community of 3D Printing Experts, URL: https://community.ultimaker.com/topic /14407-layer-misalignment/, accessed on 24/02/2025.

[10] Quantum devices, Servo motor encoders, URL:

https://www.quantumdev.com/optical-encoder-applications/servo-motors/ , accessed on 24/02/2025.
[11] Premier Equipment Solutions, URL: https://premierequipmentsolutions.com/protection-controls-ss-100-a-flame-pak-sd14856, accessed on 24/02/2025
[12] Misumi Thailand ,URL:https://th.misumi-ec.com/th/vona2/detail/110310436049/?HissuCode=C-TBSB2005-1000&PNSearch=C-TBSB2005-1000&KWSearch=C-TBSB20051000&searchFlow=results2type&list=PageSearchResult, accessed on 24/02/2025.

ธนภัทร พรหมวัฒนภักดี ได้สำเร็จการศึกษาปริญญาโท: วิศวกรรมพลังงาน มหาวิทยาลัยเชียงใหม่ ปัจจุบันดำรงตำแหน่งอาจารย์ประจำสาขาวิชาวิศวกรรมไฟฟ้า คณะวิศวกรรมศาสตร์ มหาวิทยาลัยศรีปทุม

เกียรติศักดิ์ สกุลพันธ์ ได้สำเร็จการศึกษาปริญญาเอก: วิศวกรรมอุตสาหการและเทคโลยีการผลิต, สถาบันเทคโนโลยีแห่งเอเชีย ปัจจุบันดำรงตำแหน่งหัวหน้าสาขาวิศวกรรมเครื่องกล คณะวิศวกรรมศาสตร์ มหาวิทยาลัยศรีปทุม

การออกแบบและจำลองวงจรอิเล็กทรอนิกส์กำลัง โดยใช้ Proteus ร่วมกับ PSpice

Design and Simulation of Power Electronic Circuits using Proteus and PSpice

ศิวดล นวลนภดล[1] คฑาวุธ ชุมขวัญ[1] สุวิชา บัวอิน[1] และ ศักดิ์ชัย นวลนิ่ม[1*]

[1]สาขาไฟฟ้า วิทยาลัยรัตภูมิ มหาวิทยาลัยเทคโนโลยีราชมงคลศรีวิชัย

Sivadol.n@rmutsv.ac.th Katawoot.ch@rmutsv.ac.th Suwicha.eng@gmail.com Sakchai.n@rmutsv.ac.th

บทคัดย่อ

การวิจัยในครั้งนี้มีวัตถุประสงค์เพื่อออกแบบและจำลองวงจรอิเล็กทรอนิกส์กำลัง โดยโปรแกรม Proteus 8.9 ร่วมกับ PSpice 9.1 Student ในรายวิชาอิเล็กทรอนิกส์กำลัง สาขาวิชาช่างไฟฟ้า หลักสูตรประกาศนียบัตรวิชาชีพชั้นสูง มหาวิทยาลัยเทคโนโลยีราชมงคลศรีวิชัย วิธีดำเนินการวิจัยประกอบ ด้วย 3 ขั้นตอน คือ วิเคราะห์ ออกแบบ และประเมินคุณภาพ ผลของการวิจัยพบว่า วงจรที่ได้ออกแบบและจำลองขึ้นมีความสามารถในการวิเคราะห์และแสดงผลการทำงานของวงจรอิเล็กทรอนิกส์กำลัง ถูกต้องตามทฤษฎี และจากการประเมินความพึงพอใจ โดยผู้เรียน 32 คน พบว่ามีค่าความพึงพอใจอยู่ในระดับมาก ($\bar{x}$ = 4.37)

คำสำคัญ: โปรติอุส, พีสไปส์, โปรแกรมจำลอง

Abstract

This research aims to design and simulate power electronic circuits using Proteus 8.9 program with PSpice 9.1 Student In the subject of Power Electronics, Diploma in Electrical Technology, Rajamangala University of Technology Srivijaya.Methods of research are comprises of 3 steps, the analysis, design and find quality assessment. The analysis results of the designed and simulated circuit has the ability to analyze and design power electronic circuits.The average opinion of the thirty-two user on the satisfied of the analysis program was in highly ($\bar{x}$ = 4.37)

Keywords: Proteus, PSpice, Simulation Program

1. บทนำ

การจัดการศึกษาตามกรอบคุณวุฒิอาชีวศึกษาแห่งชาติ พ.ศ. 2567 มุ่งเน้นให้มีสมรรถนะที่ได้จากมาตรฐานอาชีพ หรือมาตรฐานสมรรถนะในสาขาอาชีพ ตรงตามความต้องการของสาขาอาชีพ สถานประกอบการและชุมชน มีความสามารถในการคิด วิเคราะห์ แก้ปัญหา วางแผน จัดการ ตรวจสอบ ให้คำแนะนำ สอนงาน และบูรณาการความรู้อย่างเป็นระบบ ระดับผู้ควบคุมงาน รวมทั้งเป็นผู้มีคุณธรรมจริยธรรม จรรยาบรรณวิชาชีพ และกิจนิสัยที่เหมาะในการทำงาน สามารถประกอบอาชีพอิสระ และพัฒนาตนเองให้มีความก้าวหน้าในวิชาการและวิชาชีพ

การจัดการเรียนการสอนในหลักสูตรประกาศนียบัตรวิชาชีพชั้นสูง สาขาวิชาช่างไฟฟ้า ได้บรรจุรายวิชาอิเล็กทรอนิกส์กำลัง เข้ามาในหลักสูตร โดยที่ลักษณะรายวิชามีเนื้อหาที่ที่มุ่งเน้นให้นักศึกษาได้เข้าใจทฤษฎีและฝึกปฏิบัติ ปัญหาการเรียนการสอนที่พบส่วนมาก คือการเชื่อมโยงระหว่างทฤษฎีกับปฏิบัติเข้าด้วยกัน ทำให้นักศึกษาไม่สามารถบรรลุผลในการเรียนการสอนได้เต็มประสิทธิภาพ

จากความเป็นมาและความสำคัญของปัญหาดังกล่าว ผู้วิจัยได้เล็งเห็นถึงความสำคัญในการเรียนการสอนทางด้านอิเล็กทรอนิกส์กำลัง ซึ่งเป็นเนื้อหาที่เป็นสำคัญของการศึกษาทางด้านวิศวกรรมไฟฟ้า อิเล็กทรอนิกส์ โทรคมนาคม และคอมพิวเตอร์โดยการออกแบบและจำลองวงจรอิเล็กทรอนิกส์กำลัง สำหรับนำไปประยุกต์ใช้กับการเรียนการสอนที่เน้นผู้เรียนเป็นสำคัญ เพื่อให้ผู้เรียนเกิดประสิทธิภาพในการเรียนรู้สูงสุด โดยมีการวิเคราะห์สื่อที่นำมาใช้ เพื่อช่วยให้ผู้เรียนเข้าใจได้ง่าย ดังรูปที่ 1

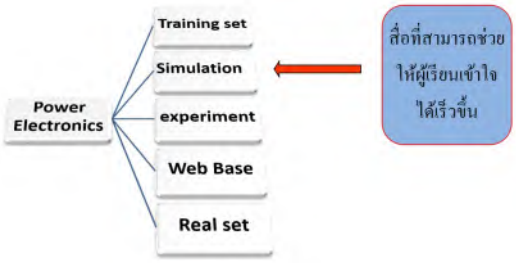

รูปที่ 1 การวิเคราะห์สื่อรายวิชาอิเล็กทรอนิกส์กำลัง

2. วิธีดำเนินการวิจัย

ประกอบด้วย 3 ขั้นตอนแสดงดังต่อไปนี้

2.1 วิเคราะห์เนื้อหาและหัวข้อการทดลอง

จากการวิเคราะห์เนื้อหาทฤษฎีอิเล็กทรอนิกส์กำลัง จากหลักสูตรประกาศนียบัตรวิชาชีพชั้นสูง [7] พบว่าเนื้อหาที่สามารถนำมาพัฒนาเป็นโปรแกรมจำลองสำหรับใช้ในการศึกษาอิเล็กทรอนิกส์กำลัง เพื่อเชื่อมโยง

ไปสู่เนื้อหาในส่วนของการปฏิบัติ ได้แก่เรื่องวงจร Rectifier , Filter, SCR , Inverter, Converter , PWM นำมาวิเคราะห์และออกแบบจำลองวงจร จะทำการวิเคราะห์เนื้อหาการทดลอง และจำลองผ่าน โปรแกรม Proteus 8.9 ร่วมกับ PSpice 9.1 Student โดยวิเคราะห์ลักษณะของวงจร และการแสดงผลการทำงาน การตั้งค่าใช้งาน โดยโปรแกรม Proteus8.9 มีความเหมาะสมในการทดลองด้านวงจร Rectifier วงจร Regulate และคุณสมบัติของ SCR เบื้องต้น สามารถจำลองผ่านออสซิลโลสโคป แสดงผลได้ง่าย และเมื่อมาวิเคราะห์วงจรที่มีลักษณะการทำงานแบบ Transient การแสดงผลในโปรแกรม Proteus8.9 ค่อนข้างใช้งานยาก จึงได้นำโปรแกรม PSpice 9.1 มาจำลอง เพื่อให้เห็นคุณลักษณะการทำงานของอุปกรณ์ โดยสามารถตั้งค่าการใช้งานในหลายรูปแบบ และเลือกฟังก์ชันการแสดงผลได้ละเอียดกว่า โปรแกรม Proteus8.9 ทำให้ต้องเลือกใช้ทั้ง 2 โปรแกรม จำลองการทำงานของวงจร ในรายวิชาอิเล็กทรอนิกส์กำลัง ดังตารางที่ 1 รายละเอียดหัวข้อการทดลอง

ตารางที่ 1 รายละเอียดหัวข้อการทดลอง

รายละเอียดวงจร	Proteus 8.9	PSpice 9.1
1. Half Wave Rectifier	✓	
2. Full Wave Rectifier	✓	
3. Full Wave Bridge	✓	
4. Full Wave Bridge C_Filter	✓	
5. Recgulate	✓	
6. SCR Basic	✓	
7. SCR Grap	✓	
8. SCR Bridge	✓	
9. SCR Character		✓
10. SCR Transient		✓
11. 3 Phase Rectifier		✓
12. Rectifier High Voltage		✓
13 Inverter Half wave		✓
14. Full Bridge inverter		✓
15. PWM		✓
16. Buck Converter		✓
17. Buck with MOSFET		✓
18. Boost Converter		✓
19. DC-DC CUK Converter		✓
20. DC-DC Boost (Flyback)		✓

จากตารางที่ 1 วงจรที่ใช้ในการจำลองผ่าน โปรแกรม Proteus 8.9 ประกอบด้วย วงจร Rectifier, Regulate, SCR ส่วนวงจรที่ใช้ในการจำลองผ่าน โปรแกรม PSpice 9.1 ประกอบด้วย วงจร SCR Transient, Pulse Width Modulation(PWM) ,Inverter และ Converter

2.2 ออกแบบและจำลองวงจร

การวิเคราะห์และออกแบบจำลองวงจรอิเล็กทรอนิกส์กำลัง โดยการต่อวงจรผ่านโปรแกรมจำลอง การตั้งค่าอุปกรณ์ การตั้งค่าการแสดงผล พร้อมคู่มือในการจำลอง เพื่อให้การแสดงผลมีความถูกต้อง ผลของกราฟต่างๆไม่ผิดเพี้ยน หลังจากนั้นทำการสร้างแบบประเมินความพึงพอใจของผู้ใช้ ซึ่งเป็นแบบสอบถาม ที่มีลักษณะเป็นแบบประเมินค่าด้วยข้อความ (Itemized Rating Scale) ชนิด 5 ระดับ

2.3 ประเมินคุณภาพ

นำวงจรที่ใช้ในการจำลอง ทดลองการทำงานและทำการเปรียบเทียบผลการคำนวณกับทฤษฎี หลังจากนั้นทดลองใช้กับกลุ่มตัวอย่าง คือ นักศึกษา ชั้นปีที่ 2 สาขาวิชาช่างไฟฟ้า หลักสูตรประกาศนียบัตรวิชาชีพชั้นสูง มหาวิทยาลัยเทคโนโลยีราชมงคลศรีวิชัย วิทยาลัยรัตภูมิ มหาวิทยาลัยเทคโนโลยีราชมงคลศรีวิชัย จำนวน 32 คน ผลการประเมินความพึงพอใจใน 4 ด้าน ได้แก่ ด้านการเลือกอุปกรณ์ใช้งาน ด้านการตั้งค่าใช้งาน ด้านการแสดงผลการจำลอง ด้านส่งเสริมให้ผู้เรียนเข้าใจเนื้อหาได้ง่าย ผลการประเมินปรากฏแสดงตารางที่ 2

3. ผลของการวิจัย

3.1 ผลการออกแบบและจำลองวงจร

วงจรที่ใช้ในการจำลอง Rectifier, Regulate, Filter, SCR , Transient ,Pulse Width Modulation(PWM), Inverter, Converter ผ่านโปรแกรม Proteus 8.9 ตัวอย่างวงจรเรียงกระแส 1 เฟส ครึ่งคลื่นที่ควบคุมได้ (1 Phase Half Wave Control Rectifier Circuits) กรณีโหลดเป็นตัวต้านทาน แสดงวงจรตามทฤษฎีในรูปที่ 2 เมื่อนำมาต่อวงจรผ่านโปรแกรมจำลอง และตั้งค่าอุปกรณ์ แสดงในรูปที่ 3 และผลการจำลองวงจรเรียงกระแส 1 เฟส กรณีโหลดตัวต้านทาน แสดงในรูปที่ 4

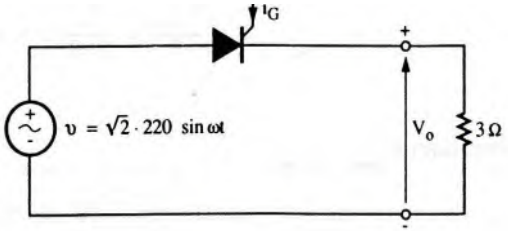

รูปที่ 2 วงจรเรียงกระแส 1 เฟส ครึ่งคลื่นที่ควบคุมได้ กรณีโหลดตัวต้านทาน

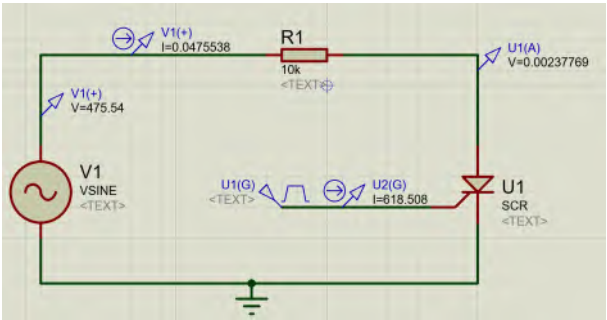

รูปที่ 3 จำลองวงจรเรียงกระแส 1 เฟส ครึ่งคลื่นที่ควบคุมได้ กรณีโหลดตัวต้านทาน โปรแกรม Proteus 8.9

การวิเคราะห์และออกแบบจำลองวงจรอิเล็กทรอนิกส์กำลัง วงจรเรียงกระแส 1 เฟส กรณีโหลดตัวต้านทาน โดยใช้โปรแกรม Proteus 8.9 สามารถจำลองการทำงานของวงจรเรียงกระแส 1 เฟส กรณีโหลดตัวต้านทานดัง รูปที่ 4

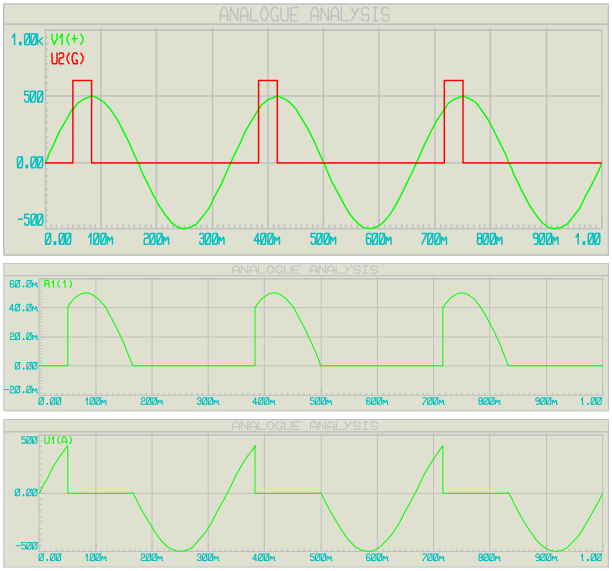

รูปที่ 4 ผลการจำลองวงจรเรียงกระแส 1 เฟส กรณีโหลดตัวต้านทาน

วงจรเรียงกระแส 1 เฟส เต็มคลื่นแบบบริดจ์ (1 Phase Full wave Control Rectifier Bridge) โดยใช้ SCR ซึ่งมีตัวต้านทานและตัวเหนี่ยวนำเป็นโหลด แสดงวงจรตามทฤษฎีในรูปที่ 5

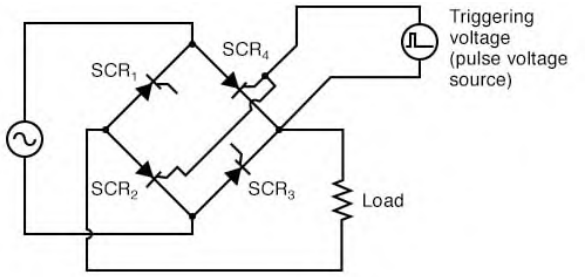

รูปที่ 5 วงจรเรียงกระแส 1 เฟส เต็มคลื่นแบบบริดจ์

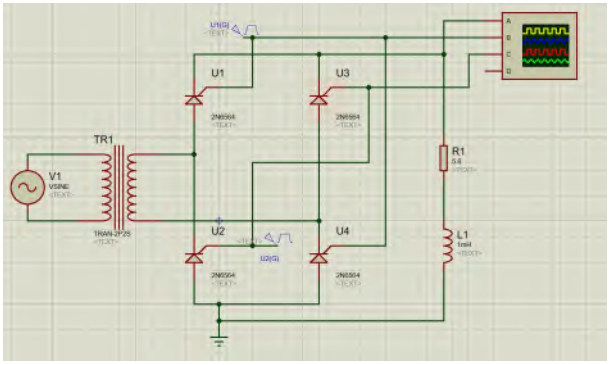

รูปที่ 6 จำลองวงจรเรียงกระแส 1 เฟส โดยใช้ SCR ซึ่งมีตัวต้านทานและตัวเหนี่ยวนำเป็นโหลด ผ่านโปรแกรม Proteus 8.9

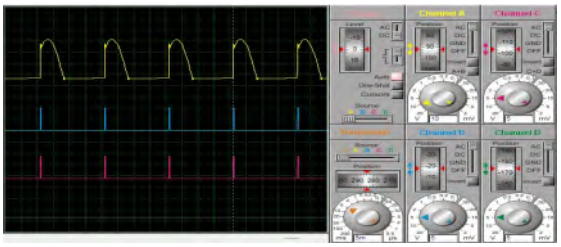

รูปที่ 7 ลักษณะของรูปคลื่นกระแสและแรงดันของ SCR

โปรแกรม PSpice เป็นโปรแกรมจำลองการทำงานของวงจรอิเล็กทรอนิกส์ โดยได้นำมาใช้ในการจำลองวงจรด้านอิเล็กทรอนิกส์กำลัง โดยใช้ PSpice 9.1 Student Version ในรูปที่ 8 เป็นวงจรจำลอง Pulse Width Modulation(PWM) และการตั้งค่าในการแสดงผล ในรูปแบบ Transient

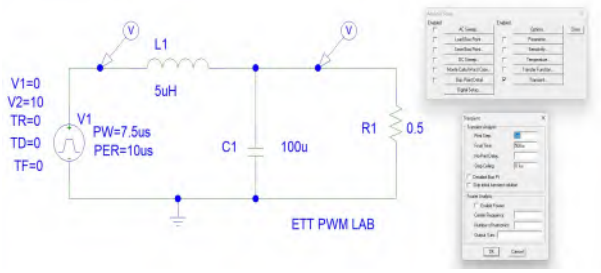

รูปที่ 8 วงจร Pulse Width Modulation (PWM)

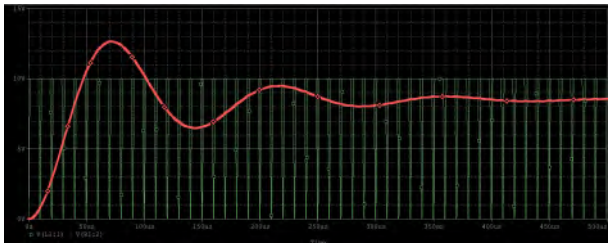

รูปที่ 9 ลักษณะของรูปคลื่นกระแสและแรงดันแบบ Transient

วงจร Buck Converter หรือวงจร Step Down Converter เป็นวงจรที่ลดแรงดันไฟฟ้าให้ต่ำลงเพื่อเหมาะสมต่อการใช้งาน โครงสร้างของวงจรจะประกอบด้วยสวิทช์ที่สามารถสั่งให้ "ON" หรือ "OFF" ได้ทุกขณะตามความต้องการ ในทางปฏิบัติสวิทช์ที่ใช้ในวงจรจริงคืออุปกรณ์สวิทช์ชิ่ง เช่น MOSFET แสดงดังรูปที่ 10

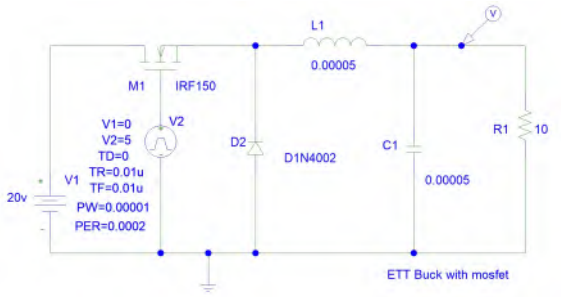

รูปที่ 10 จำลองวงจร Buck Converter โดยใช้ MOSFET

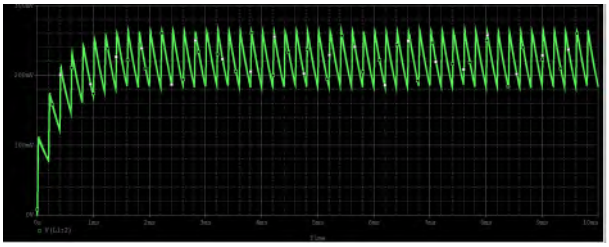

รูปที่ 11 ผลของการจำลองวงจร Buck Converter โดยใช้ MOSFET

DC-DC CUK Converter เป็นตัวแปลงไฟฟ้าอิเล็กทรอนิกส์แบบ DC-DC ที่ ได้รับการออกแบบมาเพื่อแก้ไขข้อบกพร่องที่พบในตัวแปลงแบบ Buck-Boost Converter ดังวงจรจำลองในรูปที่ 12

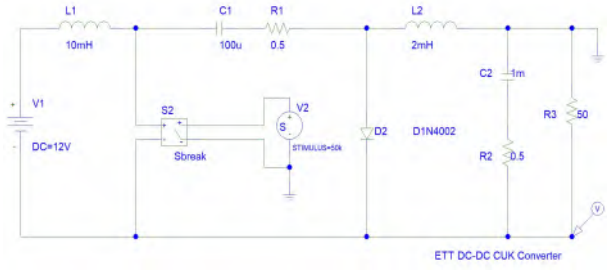

รูปที่ 12 DC-DC CUK Converter

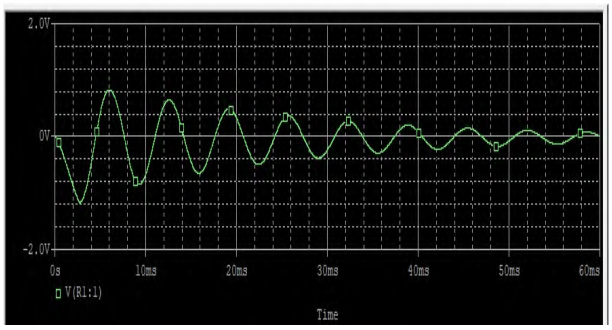

รูปที่ 13 ผลของการจำลองวงจร DC-DC CUK Converter

ผลการประเมินความพึงพอใจจากผู้เรียน จำนวน 32 คน โดยใช้แบบประเมินค่าด้วยข้อความ (Itemized Rating Scale) ชนิด 5 ระดับ ประกอบด้วย 4 ด้าน ได้แก่ ด้านการเลือกอุปกรณ์ใช้งาน ด้านการตั้งค่าใช้งาน ด้านการแสดงผลการจำลอง และด้านส่งเสริมให้ผู้เรียนเข้าใจง่าย ผลการประเมินปรากฏว่า การออกแบบและจำลองวงจรอิเล็กทรอนิกส์กำลัง โดยโปรแกรม Proteus 8.9 ร่วมกับ PSpice Student 9.1 ในรายวิชาอิเล็กทรอนิกส์กำลัง สาขาวิชาช่างไฟฟ้า หลักสูตรประกาศนียบัตรวิชาชีพชั้นสูง ความพึงพอใจของผู้เรียน เมื่อใช้วงจรจำลองการทำงานทางด้านอิเล็กทรอนิกส์กำลัง จำนวน 32 คน มหาวิทยาลัยเทคโนโลยีราชมงคลศรีวิชัย มีความพึงพอใจอยู่ในระดับมาก ดังตารางที่ 2

ตารางที่ 2 ผลการประเมินความพึงพอใจจากผู้เรียน

รายการ	ค่าเฉลี่ย	ค่าเบี่ยงเบนมาตรฐาน	ระดับความเหมาะสม
1.ด้านการเลือกอุปกรณ์ใช้งาน	4.30	0.86	มาก
2.ด้านการตั้งค่าใช้งาน	4.27	0.67	มาก
3.ด้านการแสดงผลการจำลอง	4.59	0.85	มากที่สุด
4.ด้านส่งเสริมให้ผู้เรียนเข้าใจง่าย	4.33	0.72	มาก
5.ค่าเฉลี่ย	4.37		**มาก**

4. สรุปและอภิปรายผลการวิจัย

การออกแบบและจำลองวงจรอิเล็กทรอนิกส์กำลัง โดยใช้โปรแกรม Proteus 8.9 ร่วมกับ PSpice 9.1 Student Version รายวิชาอิเล็กทรอนิกส์กำลัง สาขาวิชาช่างไฟฟ้า หลักสูตรประกาศนียบัตรวิชาชีพชั้นสูง มหาวิทยาลัยเทคโนโลยีราชมงคลศรีวิชัย วิธีดำเนินการวิจัยประกอบด้วย 4 ขั้นตอน คือ วิเคราะห์ ออกแบบ พัฒนา และประเมินความพึงพอใจ ผลของการวิจัยพบว่า วงจรที่ได้ออกแบบและจำลองขึ้น มีความสามารถในการวิเคราะห์และแสดงผลการทำงานของวงจรอิเล็กทรอนิกส์กำลัง

4.1 แบบจำลองวงจรที่ได้พัฒนาขึ้น สำหรับการศึกษาทฤษฎีทางด้านอิเล็กทรอนิกส์กำลัง มีผลการจำลองที่ถูกต้องตามทฤษฎี

4.2 ความพึงพอใจของผู้เรียน เมื่อใช้วงจรจำลองการทำงานทางด้านอิเล็กทรอนิกส์กำลัง จำนวน 32 คน มีค่าเฉลี่ยความพึงพอใจรวมอยู่ในระดับมาก

จากผลของการวิจัยพบว่า แบบวงจรจำลองทางด้านอิเล็กทรอนิกส์กำลัง โดยใช้โปรแกรม PROTEUS 8.9 ร่วมกับ OrCAD Student 9.1 สามารถช่วยส่งเสริมให้ผู้เรียนเกิดการเรียนรู้และเข้าใจเนื้อหาทางด้านทฤษฎีซึ่งสามารถเชื่องโยงไปสู่การปฏิบัติได้ง่ายขึ้น และสามารถนำไปประยุกต์ใช้ในบทเรียนที่ซับซ้อนขึ้นในลำดับถัดไป

5. เอกสารอ้างอิง

[1] Chengcheng Fan, Xiang Liu, Ronghua Ling, and Boyu Si. “ Application of proteus in Experimental Teaching and Research of Medical Electronic Circuit” 3rd International Conference on Modern Management, Education Technology, and Social Science (MMETSS 2018).

[2] Charles K. Alexander and Matthew N.O. Sadiku. “Fundamentals of Electric Circuit, Second Edition”. McGraw-Hill, 2004

[3] Katya Asparuhova, Daniela Shehova and Slavi Lyubom “ Using Proteus to Support Engineering Student Learning:Microcontroller-Driven Sensors Case Study” International Scientific Conference Electronics - ET2018, September 13 - 15, 2018, Sozopol, Bulgaria

[4] Muhibul H, Bhuyan and Mafujul Hasan“ Design and Simulation of Heartbeat Measurement System Using Arduino Microcontroller in Proteus” World Academy of Science, Engineering and Technology International Journal of Biomedical and Biological EngineeringVol:14, No:10, 2020

[5] Paynter, Robert T... Introductory Electronic Devices and Circuits: Conventional Flow Version 6th. ed. : Prentice-Hall. , Inc.2003

[6] S. Sheik Mohammed and D. Devaraj“ Design, Simulation and Analysis of Microcontroller based DC-DC Boost Converter using Proteus DesignSuite” Proc. of Int. Conf. on Advances in Electrical & Electronics, AETAEE

[7] วิทยาลัยรัตภูมิ, มหาวิทยาลัยเทคโนโลยีราชมงคลศรีวิชัย หลักสูตรประกาศนียบัตรวิชาชีพชั้นสูง (หลักสูตรปรับปรุง พ.ศ.2568) สาขาวิชาช่างไฟฟ้า.สงขลา

นายศิวดล นวลนภดล สำเร็จการศึกษา ป.ตรี จาก มจธ. และ ป.โท จาก มจพ. สาขาวิศวกรรมไฟฟ้า ปัจจุบัน อาจารย์สาขาวิชาไฟฟ้า มทร.ศรีวิชัย วิทยาลัยรัตภูมิ งานวิจัยที่สนใจด้านวิศวกรรมไฟฟ้าและวิศวกรรมโทรคมนาคม

นายคฑาวุธ ชุมขวัญ สำเร็จการศึกษา ป.ตรี จาก มจธ. และ ป.โท จาก มจพ. สาขาวิศวกรรมไฟฟ้า ปัจจุบัน อาจารย์สาขาวิชาไฟฟ้า มทร.ศรีวิชัย วิทยาลัยรัตภูมิ งานวิจัยที่สนใจด้านพลังงานทางเลือกและการอนุรักษ์พลังงาน

นายศักดิชัย นวลนิ่ม สำเร็จการศึกษา ป.ตรี จาก มทร.ศรีวิชัย กำลังศึกษาระดับ ป.โท สาขาวิศวกรรมไฟฟ้า มทร.ศรีวิชัย ปัจจุบัน อาจารย์สาขาวิชาไฟฟ้า มทร.ศรีวิชัย วิทยาลัยรัตภูมิ งานวิจัยที่สนใจด้านเครื่องจักรกลไฟฟ้าและพลังงานทางเลือก

นายสุวิชา บัวอิน สำเร็จการศึกษา ป.ตรี จาก มจพ. และ ป.โท จาก ม.ธรรมศาสตร์ สาขาวิศวกรรมไฟฟ้า ปัจจุบัน อาจารย์สาขาวิชาไฟฟ้า มทร.ศรีวิชัย วิทยาลัยรัตภูมิ งานวิจัยที่สนใจ ด้านคุณภาพไฟฟ้าระบบ IOT และการจัดการพลังงาน

ผลของชนิดก๊าซต่อประสิทธิภาพการผลิตโอโซน ด้วยอิเล็กโทรดตาข่ายแบบซ้อนแกนภายใต้สนามไฟฟ้าแรงดันสูง

Effect of Gas Type on Ozone Generation Efficiency Using a Coaxial Mesh Electrode under a High-Voltage Electric Field

ชัยพิสิษฐ์ ผิวอ่อน[1*] เสมอศักดิ์ สุดา[1] วุฒิชัย ขมพลกรัง[1] นงนุช เดชพิทักษ์[1] และ มณีรัตน์ ผดุงศิลป์[1]

[1]ภาควิชาเทคโนโลยีไฟฟ้า สถาบันการอาชีวศึกษาภาคกลาง 1 chaipisith.pi@sbt.ac.th samersak5315@gmail.com

Khompolkrang@gmail.com nuchdech19@gmail.com maneeratnci@gmail.com

บทคัดย่อ

งานวิจัยนี้ศึกษาผลของชนิดก๊าซต่อประสิทธิภาพการผลิตโอโซน โดยใช้อิเล็กโตรดทรงกระบอกแบบซ้อนแกนภายในหลอดแก้ว ร่วมกับแหล่งจ่ายแรงดันสูงที่ออกแบบจากวงจรฟลายแบคคอนเวอร์เตอร์ควบคุมด้วยไอซี TL494 และเพาเวอร์มอสเฟต TRFP460 ภายใต้เงื่อนไขแรงดันไฟฟ้า 1.12 กิโลโวลต์ ความถี่ 20 กิโลเฮิรตซ์ Duty Cycle 20% และอัตราการไหลก๊าซ 30 ลิตรต่อนาที ผลการทดลองพบว่า การใช้ก๊าซออกซิเจนอุตสาหกรรมให้ความเข้มข้นโอโซนสูงถึง 336 มิลลิกรัมต่อลิตร ภายใน 5 นาที ในขณะที่ก๊าซอากาศทั่วไปให้เพียง 62.4 มิลลิกรัมต่อลิตร แสดงให้เห็นว่าชนิดของก๊าซมีผลอย่างมีนัยสำคัญต่อประสิทธิภาพการผลิตโอโซน ซึ่งผลลัพธ์สามารถนำไปประยุกต์ใช้ในการออกแบบระบบผลิตโอโซนที่มีประสิทธิภาพสำหรับงานอุตสาหกรรมได้

คำสำคัญ: โอโซน, ชนิดก๊าซ, วงจรฟลายแบค, แรงดันสูง, อิเล็กโตรดทรงกระบอก

Abstract

This study investigates the effect of gas type on ozone generation efficiency using a coaxial cylindrical electrode placed inside a glass tube. A high-voltage AC power supply was designed based on a flyback converter circuit controlled by a TL494 IC and TRFP460 power MOSFET. The experiment was conducted under a voltage of 1.12 kV, frequency of 20 kHz, 20% duty cycle, and a gas flow rate of 30 L/min. The results showed that industrial oxygen produced an ozone concentration of 336 mg/L within 5 minutes, while ambient air produced only 62.4 mg/L. These findings indicate that gas type significantly affects ozone generation performance and can be used to support the design of high-efficiency ozone generation systems for industrial applications.

Keywords: Ozone generation, Gas type, Flyback converter, High voltage, Cylindrical electrode

1. บทนำ

โอโซนเป็นก๊าซที่มีศักยภาพสูงในการฆ่าเชื้อ กำจัดกลิ่น และบำบัดน้ำ โดยสลายตัวกลับเป็นออกซิเจนโดยไม่ทิ้งสารตกค้าง [1] การผลิตโอโซน ณ จุดใช้งาน (on-site generation) นิยมใช้หลักการโคโรน่าดิชชาร์จ (Corona Discharge) ซึ่งต้องการแรงดันไฟฟ้าสูงเพื่อกระตุ้นการแตกตัวของออกซิเจน [2] อิเล็กโทรดและระบบจ่ายไฟจึงมีบทบาทสำคัญต่อประสิทธิภาพของระบบ

งานวิจัยนี้นำเสนอการออกแบบและสร้างระบบผลิตโอโซนโดยใช้อิเล็กโทรดตาข่ายทรงกระบอกแบบวางซ้อน และเครื่องจ่ายแรงดันไฟฟ้ากระแสสลับแรงดันสูงจากวงจรฟลายแบคคอนเวอร์เตอร์ ควบคุมการทำงานด้วยไอซี TL494 และเพาเวอร์มอสเฟต TRFP460 เพื่อศึกษาผลของชนิดก๊าซต่อประสิทธิภาพการผลิตโอโซน

2. ทฤษฎีที่เกี่ยวข้อง

2.1 ทฤษฎีการเกิดก๊าซโอโซน

บรรยากาศทั่วไปประกอบด้วยไนโตรเจน 79% และออกซิเจน 21% โดยประมาณ [4-6] โอโซน (O_3) คือก๊าซที่เกิดจากการรวมตัวของออกซิเจนโมเลกุล (O_2) กับอะตอมออกซิเจนอิสระ (O) ตามสมการ $O_2 + O \longrightarrow O_3$ ซึ่งอยู่ในสถานะไม่เสถียรและสลายตัวได้ง่าย

การผลิตโอโซนด้วยโคโรน่าดิชชาร์จอาศัยการแตกตัวของโมเลกุลออกซิเจน (dissociation) โดยใช้พลังงานจากอิเล็กตรอนในสนามไฟฟ้าสูง โดยไม่ถึงระดับที่เกิดการเบรกดาวน์ของอากาศหรือฉนวนไฟฟ้า ซึ่งจะนำไปสู่ความร้อนและการสลายของโอโซน [4,5] ดังนั้น การควบคุมความเข้มสนามไฟฟ้าให้อยู่ในช่วงที่เหมาะสมเป็นหัวใจสำคัญของการผลิตโอโซนอย่างมีประสิทธิภาพ

2.2 ทฤษฎีการทำงานแหล่งจ่ายไฟฟ้าแรงดันสูงแบบสวิตชิง

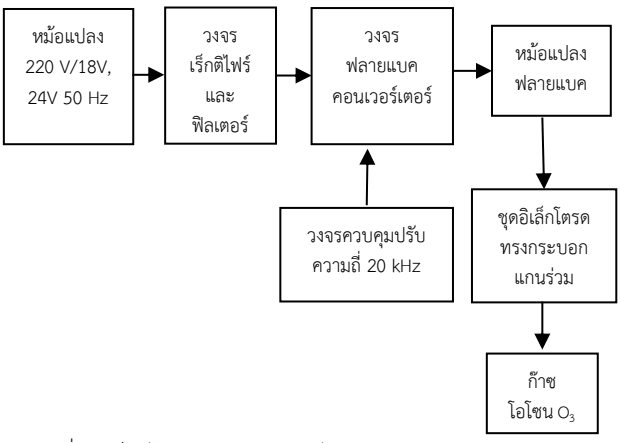

รูปที่ 1 บล็อกไดอะแกรมแหล่งจ่ายไฟฟ้าแรงดันสูงแบบสวิตชิงในการผลิตก๊าซโอโซน

แหล่งจ่ายไฟฟ้าแรงดันสูงในงานวิจัยนี้ใช้หลักการของวงจรฟลายแบคคอนเวอร์เตอร์ (Flyback Converter) ซึ่งสามารถแปลงแรงดันไฟฟ้ากระแสตรงให้เป็นแรงดันไฟฟ้ากระแสสลับความถี่สูงเพื่อจ่ายให้กับหม้อแปลงฟลายแบค (Flyback Transformer)

*ผู้ประพันธ์บรรณกิจ

การควบคุมวงจรทำโดย IC TL494 ซึ่งทำหน้าที่สร้างสัญญาณพัลส์แบบ PWM (Pulse Width Modulation) เพื่อควบคุมความถี่และหน้าที่ของการสวิตชิง สัญญาณ PWM จะถูกส่งผ่าน IC TLP250 เพื่อแยกกราวด์และขยายสัญญาณ จากนั้นนำไปขับเพาเวอร์มอสเฟต TRFP460 ทำให้สามารถจ่ายแรงดันไฟฟ้ากระแสสลับความถี่สูง 20 kHz ให้กับหม้อแปลงได้อย่างมีประสิทธิภาพ โดยสามารถสรุปบล็อกไดอะแกรมแหล่งจ่ายไฟฟ้าแรงดันสูงแบบสวิตชิงในการผลิตก๊าซโอโซนได้ดังรูปที่ 1 [5]

2.3 การออกแบบ

2.3.1 การออกแบบชุดอิเล็กโตรดแบบทรงกระบอกซ้อนแกนร่วม

ชุดอิเล็กโตรดออกแบบในลักษณะทรงกระบอกแกนร่วมสองชั้น โดยอิเล็กโตรดด้านในเป็นโลหะอลูมิเนียมทรงกระบอกติดตั้งภายในหลอดแก้ว ส่วนอิเล็กโตรดด้านนอกเป็นตาข่ายอลูมิเนียมพันรอบหลอดแก้ว การจัดวางในลักษณะนี้ทำให้เกิดความเครียดสนามไฟฟ้าระหว่างอิเล็กโตรดทั้งสอง ส่งผลให้เกิดปรากฏการณ์โคโรน่าดิชชาร์จภายในหลอดแก้ว ทำให้โมเลกุลออกซิเจน (O_2) แตกตัวและรวมตัวเป็นโอโซน (O_3) ได้อย่างมีประสิทธิภาพ

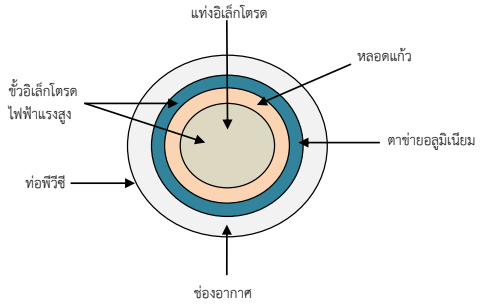

รูปที่ 2 โครงสร้างชุดหลอดผลิตก๊าซโอโซน ด้านตามขวาง

ในงานวิจัยนี้จะใช้อิเล็กโตรดแบบทรงกระบอกซ้อนแกนร่วมซึ่งมีลักษณะโครงสร้างดังแสดงในรูปที่ 2 เนื่องจากสามารถสร้างปริมาณความเข้มข้นของก๊าซโอโซนได้สูงและเป็นรูปแบบที่ทนต่อแรงดันของอากาศได้ดี [2,6] โดยมีแก้วทำหน้าที่เป็นไดอิเล็กตริกเพื่อไม่ให้เกิดแรงดันเบรกดาวน์ได้ และแท่งอิเล็กโตรดภายในเลือกใช้เป็นอลูมิเนียม ส่วนอิเล็กโตรดภายนอกเป็นอลูมิเนียมลักษณะแบบตาข่ายทรงกระบอก ซึ่งมีลักษณะแสดงได้ดังรูปที่ 3

รูปที่ 3 อิเล็กโตรดแบบทรงกระบอกซ้อนแกนร่วมที่ได้ออกแบบ

2.3.2 การหาสนามไฟฟ้าที่หลอดแก้ว

เมื่อ r_1 คือ รัศมีอิเล็กโตรดวงในสุด (0.64 cm)
r_2 คือ รัศมีหลอดแก้ววงกลาง (0.78 cm)
r_3 คือ รัศมีอิเล็กโตรดวงนอก (0.85 cm)
l คือ ความยาว (12 cm)

ค่าที่แสดงคือค่าของหลอดแก้วรวมกับค่าของแท่งอิเล็กโตรดด้านในเรียบร้อยแล้ว โดยสามารถหาปริมาตรอากาศภายในหลอดแก้วได้จากสมการ (1) [5,7]

$$V = \pi\left(r_3 - r_2\right)^2 \times l \qquad (1)$$

แทนค่าจะได้

$$V = \pi\left(0.85 - 0.78\right)^2 \times 12$$
$$= 3.14 \times \left(0.0085^2 - 0.0078^2\right) \times 0.12$$
$$= 4.302 \times 10^{-6}\, m^3$$
$$= 4.302\, cm^3$$

ที่ย่านพลังงาน 5.58 kW-h/m^3 ถึง 7.73 kW-h/m^3 ในอากาศมีออกซิเจน (O_2) อยู่ 21 % จึงใช้ที่ย่านพลังงาน 1.172 - 1.620 kW-h/m^3

ที่ย่านพลังงาน 1.172 kW-h/m^3

$$W = 1.172 \times 10^3 \times 4.302 \times 10^{-6}$$
$$= 0.005041\, Wh$$

ที่ย่านพลังงาน 1.620 kW-h/m^3

$$W = 1.620 \times 10^3 \times 4.302 \times 10^{-6}$$
$$= 0.006969\, Wh$$

การหาพลังงานสนามไฟฟ้าที่หลอดแก้วสนามไฟฟ้า (E) สามารถหาได้จากสมการ (2) [1,3,4,5]

$$W = \frac{1}{2}\int_{vol} \varepsilon E^2 dV \qquad (2)$$

$$E_{\min} = \sqrt{\frac{2W}{\varepsilon vol}}$$
$$= \sqrt{\frac{2 \times 0.005041}{\left(8.854 \times 10^{-12}\right)\left(4.302\right)}}$$
$$= 16.27\, kV / cm$$

$$E_{\max} = \sqrt{\frac{2W}{\varepsilon vol}}$$
$$= \sqrt{\frac{2 \times 0.006969}{\left(8.854 \times 10^{-12}\right)\left(4.302\right)}}$$
$$= 19.129\, kV / cm$$

ค่าที่ได้เป็นค่าโดยประมาณ ที่ 16.27 kV/cm - 19.129 kV/cm จะเห็นได้ว่าสนามไฟฟ้าที่เกิดขึ้นที่หลอดแก้วนั้น จะเกิดขึ้นมากหรือเกิดขึ้นน้อย ขึ้นอยู่กับค่าความถี่และระยะห่างระหว่างอิเล็กโตรดทั้งสอง ส่วนค่าที่คำนวณได้มานั้นเป็นค่าโดยประมาณจากขนาดของหลอดโอโซน

2.4 เครื่องจ่ายไฟฟ้ากระแสสลับแรงดันสูงให้กับอิเล็กโตรดแบบทรงกระบอกซ้อนแกนร่วม

เครื่องจ่ายไฟฟ้ากระแสสลับแรงดันสูงในงานวิจัยนี้ออกแบบโดยใช้หลักการของฟลายแบคคอนเวอร์เตอร์ (Flyback Converter) โดยออกแบบระบบควบคุมการทำงานด้วย IC TL424 เพื่อสร้างสัญญาณพัลส์แบบ PWM (Pulse Width Modulation) ใช้ IC TLP250 ทำหน้าที่แยกกราวด์เพื่อความ

ปลอดภัยของวงจรและส่งผ่านสัญญาณเข้าวงจรขยายสัญญาณด้วย IC CD4049 เพื่อควบคุมการทำงานของเพาเวอร์มอสเฟต TRFP460 การออกแบบวงจรฟลายแบคคอนเวอร์เตอร์จะควบคุมการทำงานที่ความถี่ 20 kHz เพื่อควบคุมการจ่ายแรงดันของหม้อแปลงฟลายแบคให้ได้แรงดันไฟฟ้ากระแสสลับแรงดันสูงตามที่กำหนด ทั้งนี้ เพื่อกระตุ้นให้อิเล็กโตรดเกิดโคโรน่าดิชชาร์จที่ใช้ในการผลิตก๊าซโอโซน โดยเครื่องจ่ายไฟฟ้ากระแสสลับแรงดันสูงที่สร้างขึ้น แสดงได้ดังรูปที่ 4

รูปที่ 4 เครื่องจ่ายไฟฟ้ากระแสสลับแรงดันสูงที่สร้างขึ้น

3. ผลการทดสอบและการอภิปราย

3.1 ผลการทดสอบทางไฟฟ้า

3.1.1 การทดสอบวัดสัญญาณภาคควบคุมหม้อแปลงไฟฟ้าความถี่สูง การวัดสัญญาณแรงดันไฟฟ้าที่ขาเกทและซอร์สของเพาเวอร์มอสเฟต IRFP 460 (V_{GS}) โดยคงค่าความถี่ให้คงที่ 20 kHz

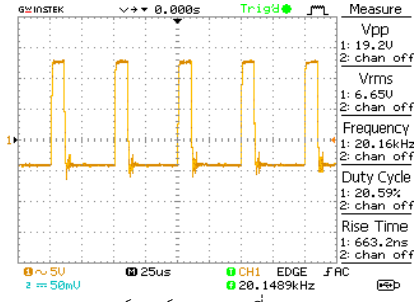

รูปที่ 5 สัญญาณ V_{GS} เพาว์เออร์มอสเฟต ที่ Duty = 20% , f = 20 kHz

จากรูปที่ 5 รูป แสดงผลการทดสอบสัญญาณแรงดันไฟฟ้าที่ขาเกทและขาซอร์ส (V_{GS}) ของเพาเวอร์มอสเฟต จะเห็นว่ารูปสัญญาณที่ได้เป็นรูปสัญญาณพัลส์สี่เหลี่ยมที่ปรับดิวตี้ไซเคิลที่ 20% แต่คงค่าความถี่ไว้ที่ 20kHz ซึ่งสามารถนำมาใช้ในการควบคุมการนำกระแสไฟฟ้าของเพาเวอร์มอสเฟต ได้ตามที่ออกแบบ

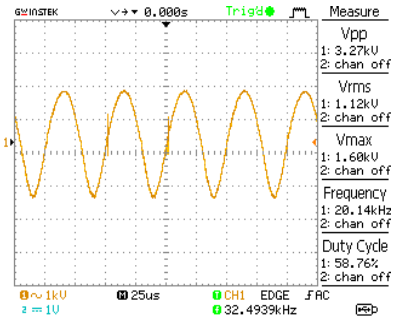

รูปที่ 6 สัญญาณแรงดันไฟฟ้ากระแสสลับแรงดันสูงด้านเอาต์พุต (V_{out}) ของหม้อแปลงฟลายแบค มีค่าเท่ากับ 1.12 kV ขณะต่อโหลด

3.1.2 การทดสอบวัดสัญญาณภาคเอาต์พุตของแรงดันไฟฟ้ากระแสสลับแรงสูงของหม้อแปลงฟลายแบค ขณะต่อโหลดแท่งอิเล็กโตรดแบบซ้อนแกนร่วมที่ใช้ในการผลิตโอโซน แสดงได้ดังรูปที่ 6

จากการทดสอบข้างต้น สามารถสรุปผลการทดสอบเครื่องจ่ายไฟฟ้ากระแสสลับแรงดันสูงให้กับชุดอิเล็กโตรดแบบซ้อนแกนร่วมเพื่อผลิตก๊าซโอโซนได้ดังตารางที่ 1

ตารางที่ 1 การทดสอบวัดแรงดันไฟฟ้าของเครื่องจ่ายไฟฟ้ากระแสสลับแรงดันสูงให้กับชุดอิเล็กโตรดแบบซ้อนแกนร่วม โดยทำการปรับดิวตี้ไซเคิล 20% และคงค่าความถี่ 20 kHz

Duty cycle (%)	f (kHz)	$V_{in\ (rms)}$ (V)	$I_{in\ (rms)}$ (A)	$V_{out\ (rms)}$ (V)	$I_{out\ (rms)}$ (mA)
20 %	20	28	1.18	1.12 kV	1.75

3.2 ผลการทดสอบทางเคมี

การหาความเข้มข้นของโอโซนที่ผลิตจากอิเล็กโตรดสามารถหาความเข้มข้นของโอโซนด้วยวิธีทางเคมี โดยใช้วิธีการวิเคราะห์ทางเคมีที่เรียกว่าไตเตรชั่น (Titration) หลักการคือการเกิดปฏิกิริยาระหว่างก๊าซโอโซนกับสารละลายโพแทสเซียมไอโอไดด์ (KI) 100 mL ได้สารใหม่เกิดขึ้น จากนั้นนำไปไตเตรทกับสารละลายที่เป็นตัวรีดิวซ์ คือ โซเดียมไทโอซัลเฟต ($Na_2S_2O_3 .5H_2O$) แล้วเติมน้ำแป้งเป็นอินดิเคเตอร์สารละลายจะกลายเป็นสีน้ำเงิน ทำการไตเตรทจนสีน้ำเงินจางหายไปกลับมาใสอีกครั้ง แล้วทำการบันทึกค่าปริมาณโซเดียมไทโอซัลเฟต ($Na_2S_2O_3 .5H_2O$) จะทำให้ได้ปริมาณสารเคมีที่ใช้ไปเพื่อนำไปแทนค่าในสมการ (3) [7] เพื่อคำนวณหาความเข้มข้นของโอโซน

$$\text{Ozone}(\text{mg/L}) = \frac{V \times M \times 24000}{\text{mLSample}(\text{KI})} \qquad (3)$$

V = ปริมาตรเป็น mL ของสารละลายโซเดียมไทโอซัลเฟตมาตรฐาน (Standard Sodium thiosulfatetitrant, $Na_2S_2O_3.5H_2O$) ที่ใช้ไตรเตรท

M = ค่าความเข้มข้นของสารละลายโซเดียมไทโอซัลเฟตมาตรฐาน (Standard Sodium thiosulfate titrant, $Na_2S_2O_3.5H_2O$) = 0.01 M

$\text{mLSample}(\text{KI})$ = สารละลายโปตัสเซียมไอโอไดด์ (Potassium Iodide, KI) ที่ยังไม่ผ่านโอโซน ปริมาณ = 100 mL

3.3 กระบวนการทดสอบหาความเข้มข้นของโอโซน

3.3.1 นำสารละลายโพแทสเซียมไอโอไดด์ (Potassium Iodide, KI) โดยแบ่งมาปริมาณ 100 mL ใส่ในขวดรูปชมพู่ขนาด 250 mL แล้วนำไปผ่านก๊าซโอโซนเป็นเวลา 1 นาที ด้วยอากาศทั่วไป รูปที่ 7 (ก) (ข)

(ก) ก่อนผ่านโอโซน

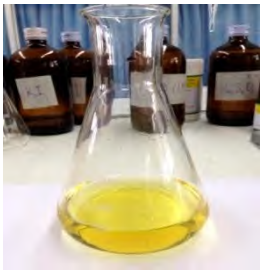

(ข) หลังผ่านโอโซน

รูปที่ 7 (ก) (ข) สารละลายโปตัสเซียมไอโอไดด์ (Potassium Iodide, KI)

3.3.2 นำสารละลายโพแทสเซียมไอโอไดด์ (Potassium Iodide, KI) ที่ผ่านโอโซนแล้วนำมาใส่กรดซัลฟริก (Sulfuric acid ,H_2SO_4) ปริมาณ 5 mL เพื่อปรับค่า pH ให้ต่ำลง รูปที่ 8 (ก) (ข)

(ก) ก่อนใส่กรดซัลฟูริก (ข) หลังใส่กรดซัลฟูริก

รูปที่ 8 (ก) (ข) กระบอกตวงบรรจุกรดซัลฟูริก (Sulfuric acid,H_2SO_4) ปริมาณ 5 mL เพื่อปรับค่า pH ให้ต่ำลง

3.3.3 ทำการไตเตรทสารละลายจากข้อ 3.3.2 ด้วยสารละลายโซเดียมไทโอซัลเฟต ($Na_2S_2O_3.5H_2O$) ความเข้มข้น 0.01 M จนสารละลายเปลี่ยนสีเป็นสีฟางข้าวจึงใส่น้ำแป้ง (Starch indicator solution) ลงไปเพื่อทำหน้าที่เป็นอินดิเคเตอร์บอกจุดยุติการไตเตรทที่แน่นอน รูปที่ 9 (ก) (ข)

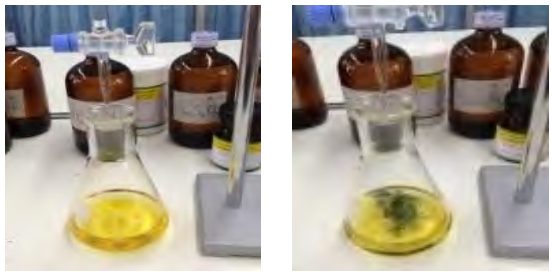

(ก) (ข)

รูปที่ 9 (ก) ไตเตรทจนสารละลายโปตัสเซียมไอโอไดด์เปลี่ยนเป็นสีฟางข้าว (ข) ใส่น้ำแป้งลงไปเพื่อบอกจุดยุติการไตเตรท

3.3.4 ไตเตรทสารละลายต่อจนน้ำแป้งและสารละลายใสจึงหยุดแล้วทำการบันทึกปริมาณสารละลายโซเดียมไทโอซัลเฟต ($Na_2S_2O_3.5H_2O$) ความเข้มข้น 0.01 M ที่ใช้ไปลงในตารางที่ 2 รูปที่ 10 (ก) (ข)

(ก) (ข)

รูปที่ 10 (ก) การใส่น้ำแป้งลงไปเพื่อใช้เป็นอินดิเคเตอร์บอกจุดยุติการไตเตรท (ข) หลังทำการไตเตรทแล้วทำการบันทึกปริมาณสารละลายโซเดียมไทโอซัลเฟต ($Na_2S_2O_3.5H_2O$) ที่ใช้ไปลงในตารางที่ 2

3.3.5 ทดลองซ้ำตั้งแต่ข้อที่ (3.3.1 - 3.3.4) โดยใช้อากาศทั่วไปและออกซิเจนอุตสาหกรรมเพิ่มระยะเวลาเป็น 1,2,3,4 และ 5 นาทีตามลำดับ แล้วบันทึกผลลงในตารางที่ 2

3.3.6 นำผลการทดลองที่ได้จากตารางที่ 2 หาความเข้มข้นโอโซนที่ผลิตได้ (mg/L) จากสมการ (3) แล้วบันทึกค่าลงในตารางที่ 3

3.4 การหาปริมาตรการผลิตก๊าซโอโซนจากอิเล็กโตรดแบบทรงกระบอกซ้อนแกนร่วมที่แรงดัน 1.12 kV ความถี่ 20 kHz Duty Cycle 20 % ควบคุมอัตราการไหลของก๊าซ 30L/min

ตารางที่ 2 ปริมาตรของ $Na_2S_2O_3.5H_20$ ที่ใช้ในการไตเตรท (mL) เพื่อหาความเข้มข้นของโอโซน ระหว่างอากาศทั่วไปและออกซิเจนอุตสาหกรรม

ระยะเวลาสารละลายโพแทสเซียมไอโอไดด์ (KI) ที่ผ่านโอโซน (นาที)	ปริมาตรของ $Na_2S_2O_3.5H_20$ ที่ใช้ไป (mL)	
	อากาศทั่วไป	ออกซิเจนอุตสาหกรรม
1	9.5	28
2	11.5	47.5
3	15	78
4	20.5	114
5	26	140

ตารางที่ 3 ความเข้มข้นโอโซนที่ผลิตได้ mg/L

ระยะเวลาที่ผ่านโอโซน (นาที)	ความเข้มข้นของโอโซนที่ผลิตได้ mg/L				
	1	2	3	4	5
อากาศทั่วไป	22.8	27.6	36	49.2	62.5
ออกซิเจนอุตสาหกรรม	67.2	114	187.2	273.6	336

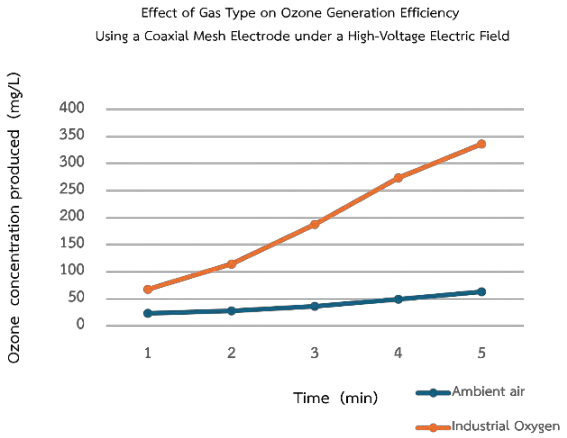

รูปที่ 11 ความเข้มข้นของโอโซนที่ผลิต (mg/L) เทียบกับเวลา

จากรูปที่ 11 จะเห็นได้ว่าเมื่อช่วงเวลาเพิ่มขึ้น ตั้งแต่ 1, 2, 3, 4, 5 นาที ผลการทดสอบอากาศทั่วไปและออกซิเจนอุตสาหกรรม ความเข้มข้นของโอโซนจะเพิ่มมากขึ้นตามช่วงเวลาจากน้อยไปมาก ในช่วงเวลาเดียวกันจะเห็นได้ว่าก๊าซออกซิเจนอุตสาหกรรมให้ความเข้มข้นของโอโซนออกมามากกว่าอากาศทั่วไปอย่างชัดเจน

4. สรุปผล

งานวิจัยนี้มีวัตถุประสงค์เพื่อศึกษาผลของชนิดก๊าซต่อประสิทธิภาพการผลิตโอโซน ซึ่งถูกออกแบบให้มีลักษณะเป็นอิเล็กโตรดทรงกระบอกซ้อนแกนร่วมภายในหลอดแก้ว ส่วนเครื่องจ่ายไฟฟ้ากระแสสลับแรงดันสูงแบบสวิตชิง ใช้วงจรฟลายแบคคอนเวอร์เตอร์ควบคุมด้วยไอซี TL494 และ

เพาเวอร์มอสเฟต เบอร์ TRFP460 เพื่อสร้างแรงดันไฟฟ้ากระแสสลับแรงดันสูงสำหรับกระตุ้นการเกิดโอโซน การทดลองดำเนินการภายใต้เงื่อนไขแรงดันไฟฟ้าประมาณ 1.12 kV ความถี่ 20 kHz และ Duty Cycle 20% โดยควบคุมอัตราการไหลของก๊าซที่ 30 ลิตร/นาที เพื่อเปรียบเทียบประสิทธิภาพการผลิตโอโซนระหว่างก๊าซอากาศทั่วไปกับออกซิเจนอุตสาหกรรม ผลการทดลองพบว่า การใช้ก๊าซออกซิเจนอุตสาหกรรมสามารถผลิตโอโซนได้ที่ความเข้มข้น 336 mg/L ในขณะที่ก๊าซอากาศทั่วไปให้ความเข้มข้นเพียง 62.4 mg/L ภายในระยะเวลา 5 นาที ผลลัพธ์ชี้ให้เห็นว่าชนิดของก๊าซส่งผลต่อประสิทธิภาพการผลิตโอโซนอย่างมีนัยสำคัญ โดยออกซิเจนอุตสาหกรรมให้ผลการผลิตที่ดีกว่าอย่างชัดเจน ซึ่งสามารถนำข้อมูลไปประยุกต์ใช้ในการออกแบบระบบผลิตโอโซนที่มีประสิทธิภาพสูง เพื่อตอบโจทย์ด้านอุตสาหกรรม การบำบัดน้ำเสีย และการควบคุมคุณภาพอากาศในอนาคตได้อย่างเหมาะสม

5. กิตติกรรมประกาศ

ผู้วิจัยขอขอบพระคุณ นายเจนวิทย์ ตั้งเจริญวรคุณ ผู้อำนวยการวิทยาลัยเทคนิคสระบุรี ที่ให้ใช้สถานที่ในการทำวิจัย ขอขอบพระคุณครูแผนกวิชาช่างไฟฟ้ากำลังที่ให้คำปรึกษา และครูแผนกวิชาวิทยาศาสตร์วิทยาลัยเทคนิคสระบุรี ที่คอยดูแลและอำนวยความสะดวกในการทดสอบทางเคมี ให้คำแนะนำและคำปรึกษาแก่ผู้จัดทำเป็นอย่างดียิ่ง

เอกสารอ้างอิง

[1] เสน่ห์ สาทลาลัย และวีระเชษฐ์ ขันเงิน, “การศึกษาผลของอุณหภูมิภายในแท่งอิเล็กโตรดเพื่อการผลิตโอโซน,” วิศวกรรมสาร มข., ปีที่ 36, หน้า 323-331

[2] ปิยะพงษ์ สัญญเขื่อน, “การสร้างก๊าซโอโซนโดยการออกแบบแหล่งจ่ายไฟแรงดันสูงของวงจร Fly - back Converter,” ปริญญานิพนธ์ครุศาสตร์อุตสาหกรรมบัณฑิต, สาขาวิชาวิศวกรรมไฟฟ้า, มหาวิทยาลัยเทคโนโลยีพระจอมเกล้าธนบุรี

[3] S. Arampoon, “Design and Analysis of a Low- Power High-Voltage High-Frequency Ozone Generator using battery and solar cell as a common power supply,” Thesis Master of Engineering in Electrical Engineering, King Mongkut’s Institute of Technology Ladkrabang

[4] S. Ketkaew, “Ozone Gas Generation Using High Voltage at High Frequency Electric Field,” UBU Academic Journal, Vol.8 (3), pp. 96-107.

[5] S. Ketkaew and W. Wongviwat, “A Study of Switching Frequency Changing in Full Bridge Inverter of Ozone Generating Quantity,” Ladkrabang Engineering Journal, Vol. 21 (4), pp 72-76

[6] C. Sakaree, B. TangKayan, D. Pomsung and N. Phantuna, “Design Machine with Corona Discharge of wastewater Treatment,” Proceedings of the 5th Conference of Electrical Engineering Network of Rajamangala University of Technology (EENET 2013), 27-29 March 2013, Hua Hin Grand Hotel&Plaza Prachuabkhirikhan, pp. 485-488.

[7] P. Jongpasert, M. Sudsawas and N. Janpaijit, “Deodorizing Shoe-Cabine by Using Ozone,” A Thesis Bachelor of Engineering Program in Electronics Engineering. Southeast Asia University

ประวัติผู้เขียนบทความ

นายชัยพิสิษฐ์ ผิวอ่อน
ปัจจุบันรับราชการครู แผนกวิชาช่างไฟฟ้ากำลัง
วิทยาลัยเทคนิคสระบุรี
ประวัติการศึกษา ปทส.สาขาวิชาครูเทคนิคไฟฟ้า
สถาบันเทคโนโลยีปทุมวัน
ค.อ.บ. วิศวกรรมไฟฟ้า สถาบันเทคโนโลยีปทุมวัน
วศ.ม. วิศวกรรมไฟฟ้า มหาวิทยาลัยเอเชียอาคเนย์
งานวิจัยที่สนใจ การผลิตก๊าซโอโซนเพื่อแก้ปัญหาสิ่งแวดล้อม เทคโนโลยีเพื่อการเกษตรอัจฉริยะและพลังงานทดแทน

นายเสมอศักดิ์ สุดา
ปัจจุบันรับราชการครู แผนกวิชาช่างไฟฟ้ากำลัง
วิทยาลัยเทคนิคสระบุรี
ประวัติการศึกษา ปทส.สาขาวิชาครูเทคนิคไฟฟ้า
สถาบันเทคโนโลยีปทุมวัน ค.อ.ม. วิศวกรรมไฟฟ้า
มหาวิทยาลัยเทคโนโลยีพระจอมเกล้าธนบุรี
งานวิจัยที่สนใจ ระบบควบคุมอัตโนมัติ ระบบสกาดาแก้ปัญหาทางงานอุตสาหกรรม

นายวุฒิชัย ขมพลกรัง
ปัจจุบันรับราชการครู แผนกวิชาช่างไฟฟ้ากำลัง
วิทยาลัยเทคนิคสระบุรี
ประวัติการศึกษา
วศ.บ.วิศวกรรมไฟฟ้า-ไฟฟ้ากำลัง
สถาบันเทคโนโลยีราชมงคลภาคตะวันออกเฉียงเหนือนครราชสีมา ค.อ.ม.สาขาวิศวกรรมไฟฟ้า มหาวิทยาลัยพระจอมเกล้าพระนครเหนือ
งานวิจัยที่สนใจ วิศวกรรมไฟฟ้าและระบบควบคุมมอเตอร์ไฟฟ้า

นางนงนุช เดชพิทักษ์ ปัจจุบันรับราชการครู
ประจำแผนกวิชาช่างไฟฟ้ากำลัง
วิทยาลัยเทคนิคสระบุรี
ประวัติการศึกษา ปทส.สาขาวิชาครูเทคนิคไฟฟ้า
สถาบันเทคโนโลยีปทุมวัน คอ.ม. วิศวกรรมไฟฟ้า
มหาวิทยาลัยพระจอมเกล้าพระนครเหนือ
งานวิจัยที่สนใจ การวัดและเครื่องมือวัดทางไฟฟ้าและอิเล็กทรอนิกส์

นางสาวมณีรัตน์ ผดุงศิลป์
ปัจจุบันรับราชการครู แผนกวิชาช่างไฟฟ้ากำลัง
วิทยาลัยเทคนิคสระบุรี
ประวัติการศึกษา วศ.บ.วิศวกรรมไฟฟ้า
มหาวิทยาลัยเทคโนโลยีสุรนารี
วศ.ม.วิศวกรรมไฟฟ้า มหาวิทยาลัยเทคโนโลยีสุรนารี
ป.บัณฑิตวิชาชีพครู มหาวิทยาลัยราชภัฏวไลยอลงกรณ์ (ในพระบรมราชูปถัมภ์)
งานวิจัยที่สนใจ อิเล็กทรอนิกส์กำลัง ตัวควบคุมแบบ PLCพลังงานอัจฉริยะ

การประชุมวิชาการทางวิศวกรรมไฟฟ้า ครั้งที่ 48
The 48th Electrical Engineering Conference (EECON-48)
วันที่ 19-21 พฤศจิกายน 2568 ณ โรงแรมฟูราม่า จังหวัดเชียงใหม่

การพัฒนาเครื่องตรวจวัดฝุ่นละอองสำหรับโรงงานผสมคอนกรีต

The Development of Dust Detector for Concrete Plant

เอกชัย ดีศิริ[1]* พศวีร์ ศรีโหมด[1]

[1]สาขาวิชาวิศวกรรมไฟฟ้า คณะวิศวกรรมศาสตร์ มหาวิทยาลัยศรีปทุม akekachai.de@spu.ac.th*

pasawee.sr@spu.ac.th

บทคัดย่อ

บทความนี้พัฒนาเครื่องตรวจวัดฝุ่นละอองในโรงงานคอนกรีตผสมเสร็จ โดยใช้เซนเซอร์ PMS7003 ร่วมกับบอร์ด ESP32 เพื่อตรวจจับค่า PM2.5 และ PM10 แบบเรียลไทม์ ข้อมูลถูกส่งไปยัง Firebase และแสดงผลผ่านเว็บไซต์แดชบอร์ด เมื่อค่าฝุ่นเกินเกณฑ์ และสามารถควบคุมปั๊มน้ำพ่นละอองอัตโนมัติ ผลการทดสอบในสถานที่จริงพบว่าสามารถลดค่าฝุ่น PM2.5 ในช่วงที่มากที่สุดลงได้ 148 ไมโครกรัมต่อลูกบาศก์เมตร และ PM10 ในช่วงที่มากที่สุดลงได้ 304 ไมโครกรัมต่อลูกบาศก์เมตร

คำสำคัญ: ฝุ่นละออง, PM2.5, PM10, โรงงานคอนกรีต

Abstract

This paper presents the development of a real-time dust monitoring system for ready-mixed concrete plants. The system utilizes a **PMS7003 sensor** in conjunction with an **ESP32 microcontroller** to measure **PM2.5** and **PM10** particulate matter levels. The collected data is transmitted to **Firebase** and displayed on a **web-based dashboard**, enabling users to monitor air quality in real time. Additionally, the system can automatically activate a **water mist spray pump** to reduce airborne particulates. Field testing demonstrated the system's effectiveness, with a maximum reduction of **148 µg/m³** in PM2.5 and **304 µg/m³** in PM10 concentrations. The results indicate that the proposed system is suitable for industrial applications requiring continuous dust monitoring and automated mitigation

Keywords: Dust particles, PM2.5, PM10, Concrete plant

1. ข้อมูลทั่วไป

ในปัจจุบัน ปัญหามลพิษทางอากาศจากฝุ่นละออง โดยเฉพาะ PM2.5 และ PM10 ได้ทวีความรุนแรงมากยิ่งขึ้นในพื้นที่เขตเมืองและอุตสาหกรรม ซึ่งส่งผลกระทบโดยตรงต่อสุขภาพของประชาชนและแรงงาน โดยเฉพาะโรคระบบทางเดินหายใจ เช่น หอบหืด ปอดอุดกั้นเรื้อรัง และโรคหัวใจ หนึ่งในแหล่งกำเนิดฝุ่นที่สำคัญ คือ โรงงานคอนกรีตผสมเสร็จ ซึ่งมีขั้นตอนการทำงานที่เกี่ยวข้องกับการจัดเก็บ ขนส่ง และผสมวัตถุดิบต่าง ๆ เช่น ปูนซีเมนต์ หิน และทราย ทำให้เกิดการฟุ้งกระจายของฝุ่นละอองในปริมาณมาก

การพัฒนานี้จึงมีวัตถุประสงค์เพื่อพัฒนาระบบต้นแบบสำหรับตรวจวัดฝุ่นละอองในอากาศที่สามารถใช้งานได้จริงในพื้นที่โรงงาน โดยนำเซนเซอร์ PMS7003 ซึ่งเป็นเซนเซอร์วัดฝุ่นแบบเลเซอร์ที่มีความละเอียดสูง มาประยุกต์ใช้งานร่วมกับบอร์ด ESP32 เพื่อวัดค่าฝุ่นละอองขนาดเล็กแบบเรียลไทม์ และส่งข้อมูลเข้าสู่ Firebase Realtime Database ซึ่งสามารถนำข้อมูลไปแสดงผลผ่านเว็บไซต์ที่ออกแบบในรูปแบบแดชบอร์ด และระบบควบคุมอุปกรณ์พ่นละอองน้ำผ่านรีเลย์อัตโนมัติ

ระบบต้นแบบนี้นอกจากจะสามารถตรวจวัดค่าฝุ่นในระดับความละเอียดที่ยอมรับได้แล้ว ยังถูกออกแบบให้มีต้นทุนต่ำ ใช้งานง่าย และเหมาะสมกับการติดตั้งในสถานที่จริง จึงเป็นทางเลือกที่มีศักยภาพสำหรับโรงงานอุตสาหกรรมขนาดกลางและขนาดเล็ก รวมถึงสามารถนำไปประยุกต์ใช้ในบริบทอื่นที่มีความเสี่ยงด้านฝุ่นละอองเช่น พื้นที่ก่อสร้าง พื้นที่จราจรหนาแน่น หรือชุมชนเมืองที่มีค่าฝุ่นเกินมาตรฐาน

2. เอกสารและทฤษฎีที่เกี่ยวข้อง

2.1 ความรู้พื้นฐานเกี่ยวกับฝุ่นละออง

ฝุ่นละอองในอากาศ หมายถึง อนุภาคของแข็งที่มีขนาดตั้งแต่ 0.01 ถึง 200 ไมครอน แบ่งตามขนาดได้เป็นฝุ่นหยาบ (PM10) และฝุ่นละเอียด (PM2.5) ซึ่งสามารถเข้าสู่ระบบทางเดินหายใจได้ง่าย โดยเฉพาะในโรงงานคอนกรีตซึ่งมีกระบวนการขนถ่ายวัสดุ เช่น หิน ปูน ทราย ที่เป็นแหล่งกำเนิดฝุ่นหลัก ผลกระทบจากฝุ่นไม่เพียงส่งผลต่อสุขภาพมนุษย์ แต่ยังส่งผลต่อเครื่องจักร การมองเห็น และสิ่งแวดล้อมโดยรอบอีกด้วย

ค่าดัชนีคุณภาพอากาศ (Air Quality Index: AQI) เป็นระบบรายงานคุณภาพอากาศที่ได้รับการออกแบบให้สามารถสื่อสารข้อมูลแก่ประชาชนได้อย่างเข้าใจง่าย โดยแสดงสถานการณ์มลพิษทางอากาศในรูปแบบตัวเลขและระดับสี ซึ่งช่วยให้ประชาชนสามารถประเมินความเสี่ยงต่อสุขภาพและวางแผนการดำเนินกิจกรรมในชีวิตประจำวันได้อย่างเหมาะสม พิจารณาจากค่าความเข้มข้นของมลพิษหลักในอากาศ ได้แก่ ฝุ่นละอองขนาดไม่เกิน 2.5 ไมครอน (PM2.5), ฝุ่นละอองขนาดไม่เกิน 10 ไมครอน (PM10), ก๊าซโอโซน (O_3), ก๊าซไนโตรเจนไดออกไซด์ (NO_2), คาร์บอนมอนอกไซด์ (CO), และก๊าซซัลเฟอร์ไดออกไซด์ (SO_2) โดยค่าที่วัดได้จะถูกคำนวณและแปลงเป็นดัชนี

*ผู้ประพันธ์บรรณกิจ

ตารางที่ 1 ค่ามาตราฐานฝุ่นละอองในบรรยากาศของประเทศไทย

AQI	ความหมาย	สีที่ใช้	คำอธิบาย
0 – 25	ดีมาก		เหมาะสำหรับกิจกรรมกลางแจ้งและการท่องเที่ยว
26 – 50	ดี		ทำกิจกรรมกลางแจ้งและท่องเที่ยวได้ตามปกติ
51 - 100	ปานกลาง		ทำกิจกรรมกลางแจ้งได้ หากมีอาการควรหลีกเลี่ยง
101 - 200	มีผลกระทบ		ควรเฝ้าระวังสุขภาพ หากมีอาการให้ลดกิจกรรมกลางแจ้งหรือใช้อุปกรณ์ป้องกัน
200 ขึ้นไป	อันตราย		หลีกเลี่ยงกิจกรรมกลางแจ้ง หากจำเป็นควรใช้อุปกรณ์ป้องกันและพบแพทย์

2.2 การควบคุมฝุ่นละอองและเทคโนโลยีการตรวจจับ

การควบคุมฝุ่นในโรงงานอุตสาหกรรมสามารถทำได้ทั้งเชิงวิศวกรรมและเชิงระบบ เช่น การติดตั้งระบบฉีดน้ำ (Water Spray) บริเวณจุดที่มีฝุ่นฟุ้งกระจาย และการจัดพื้นผิวบริเวณโรงงานให้ลดการสะสมฝุ่น นอกจากนี้ยังมีการพัฒนาเทคโนโลยีตรวจจับฝุ่นด้วยเซนเซอร์ เช่น PMS7003 ซึ่งใช้หลักการเลเซอร์กระจายแสง (light scattering) เพื่อวัดระดับความเข้มข้นของอนุภาคในอากาศ และสามารถประมวลผลด้วยบอร์ดควบคุม เช่น ESP32

2.3 เทคโนโลยีไมโครคอนโทรลเลอร์

NodeMCU ESP32 เป็นบอร์ดไมโครคอนโทรลเลอร์ประสิทธิภาพสูงที่ได้รับการพัฒนาเพื่อรองรับงานด้าน Internet of Things (IoT) โดยเฉพาะ เนื่องจากมีจุดเด่นด้านการประมวลผล ความเร็วในการเชื่อมต่อและการใช้งานที่ยืดหยุ่น บอร์ดนี้ใช้ชิป ESP32 จาก Espressif Systems ซึ่งทำงานด้วยสถาปัตยกรรม Dual-core Xtensa LX6 ความเร็วสูงถึง 240 MHz และมีหน่วยความจำทั้งแบบ SRAM และ Flash memory เพียงพอสำหรับการประมวลผลข้อมูลในระดับ Edge Device ESP32 รองรับการเชื่อมต่อไร้สายแบบ Wi-Fi มาตรฐาน IEEE 802.11 b/g/n และ Bluetooth 4.2 (BLE) พร้อมอินเทอร์เฟซดิจิทัลต่าง ๆ เช่น UART, I2C, SPI, ADC และ PWM สำหรับควบคุมอุปกรณ์ภายนอก บอร์ดยังรองรับการเขียนโปรแกรมผ่าน Arduino IDE, MicroPython และ PlatformIO ซึ่งเอื้อต่อการใช้งานทั้งในเชิงพัฒนาและภาคการศึกษา ในโครงงานนี้ NodeMCU ESP32 ถูกเลือกมาใช้เป็นหน่วยประมวลผลหลักของระบบตรวจวัดฝุ่นละออง โดยเชื่อมต่อกับเซนเซอร์ PMS7003 และส่งข้อมูลผ่าน Firebase Realtime Database ผ่านโปรโตคอล HTTPS ซึ่งเหมาะสมกับงานที่ต้องการความแม่นยำสูงและส่งข้อมูลแบบเรียลไทม์ ทั้งนี้ ESP32 ยังสามารถควบคุมอุปกรณ์ภายนอก เช่น รีเลย์ สำหรับเปิด–ปิดระบบพ่นละอองน้ำอัตโนมัติได้อีกด้วย

2.4 การจัดการข้อมูลแบบเรียลไทม์

ระบบตรวจวัดฝุ่นที่มีประสิทธิภาพจำเป็นต้องสามารถส่งและแสดงผลข้อมูลได้แบบเรียลไทม์ หนึ่งในเทคโนโลยีที่นิยมใช้คือ Firebase Realtime Database ซึ่งเป็นฐานข้อมูลแบบ NoSQL ที่สามารถจัดเก็บข้อมูลในรูปแบบ JSON Tree และรองรับการสื่อสารแบบสองทางได้ทันที ทำให้สามารถแสดงผลผ่าน Web Application และเชื่อมต่อระบบแจ้งเตือนได้อย่างมีประสิทธิภาพ

3. ออกแบบการทำระบบตรวจวัดฝุ่นและควบคุมฝุ่นละออง

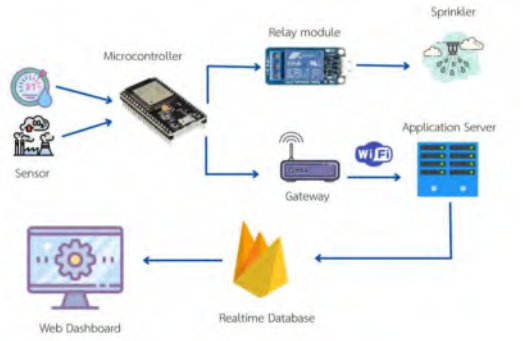

รูปที่ 1 โครงสร้างระบบโดยรวม

ระบบต้นแบบถูกออกแบบให้สามารถตรวจวัดและควบคุมฝุ่นละอองในอากาศประเภท PM2.5 และ PM10 แบบเรียลไทม์ โดยเน้นการใช้งานในสถานที่จริง เช่น โรงงานอุตสาหกรรมหรือพื้นที่เปิดโล่งที่มีความเสี่ยงต่อฝุ่นละอองสูง ระบบประกอบด้วยชุดเซนเซอร์วัดฝุ่น PMS7003 ซึ่งเชื่อมต่อกับบอร์ด NodeMCU ESP32 ทำหน้าที่อ่านค่าและส่งข้อมูลผ่าน Wi-Fi ไปยัง Firebase Realtime Database และแสดงผลผ่านเว็บไซต์แดชบอร์ดที่ออกแบบเฉพาะ เมื่อค่าฝุ่นเกินเกณฑ์ที่กำหนด การทำระบบตรวจวัดฝุ่นและควบคุมฝุ่นละอองอุปกรณ์หลักประกอบต่างๆ ดังนี้

1. เซนเซอร์ตรวจวัดฝุ่น PMS7003 ทำงานโดยใช้หลักการกระเจิงแสงเลเซอร์เพื่อตรวจจับอนุภาคฝุ่นในอากาศ โดยวัดความเข้มแสงที่กระทบอนุภาคแล้วแปลงเป็นสัญญาณไฟฟ้า เพื่อคำนวณค่าฝุ่น

2. เซนเซอร์วัดอุณหภูมิและความชื้นในอากาศ DHT22 วัดอุณหภูมิด้วยเทอร์มิสเตอร์ และวัดความชื้นด้วยเซนเซอร์ความชื้นแบบ capacitive โดยจะประมวลผลค่าภายในเซนเซอร์ แล้วส่งข้อมูลแบบดิจิทัลผ่านสายสัญญาณเพียงเส้นเดียวไปยังไมโครคอนโทรลเลอร์

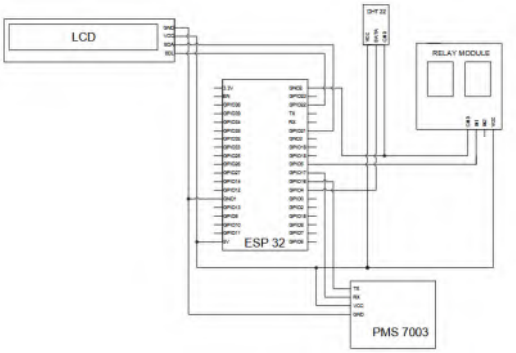

รูปที่ 2 การต่อวงจรของระบบเครื่องตรวจวัดฝุ่นละออง

3. Microcontroller เพื่อควบคุมการประมวลผลและสื่อสารข้อมูลจากเซนเซอร์ โดยมีจุดเด่นด้านประสิทธิภาพสูง รองรับ Wi-Fi ในตัว สามารถควบคุมอุปกรณ์ปลายทาง เช่น รีเลย์

รูปที่ 3 เครื่องตรวจวัดฝุ่นละออง

4. Relay Module เป็นอุปกรณ์ควบคุมการเปิด–ปิดวงจรไฟฟ้ากระแสสูง ด้วยสัญญาณไฟฟ้ากระแสต่ำจากไมโครคอนโทรลเลอร์ โดยใช้หลักการของขดลวดแม่เหล็กไฟฟ้า

5. หน้าจอแสดงผล LCD รับข้อมูลจากไมโครคอนโทรลเลอร์ผ่านอินเทอร์เฟซผ่าน I2C แล้วแสดงผลเป็นข้อความหรือค่าตัวเลข เช่น ค่าฝุ่น PM2.5 หรืออุณหภูมิ

4. การทดสอบระบบในพื้นที่โรงงานผสมคอนกรีต

4.1 การติดตั้งเครื่องตรวจวัดฝุ่นละอองบริเวณเครื่องผสมคอนกรีต

รูปที่ 4 ติดตั้งกล่องควบคุมการทำงานและอุปกรณ์หัวพ่นละอองน้ำบริเวณใกล้เครื่องผสมคอนกรีต

การติดตั้งระบบตรวจวัดฝุ่นละออง PM 2.5,PM 10 ในโรงงานผสมคอนกรีตเริ่มจากการตรวจสอบความพร้อมของอุปกรณ์ทั้งหมด เช่น Node MCU ESP32, เซนเซอร์ PMS7003, DHT22, ปั๊มน้ำ และแหล่งจ่ายไฟ จากนั้นทำการประกอบวงจรบนโครงสร้างที่ออกแบบไว้และติดตั้งในตำแหน่งที่เหมาะสมภายในโรงงานผสมคอนกรีตเพื่อให้สามารถวัดค่าฝุ่นและสภาพอากาศ

รูปที่ 5 ทดสอบการทำงานอุปกรณ์หัวพ่นละอองน้ำเมื่อค่าฝุ่นเกินเกณฑ์ที่กำหนด

4.2 การทดสอบสถานการณ์ฝุ่นบริเวณเครื่องผสมคอนกรีต

เพื่อประเมินประสิทธิภาพของระบบตรวจวัดและควบคุมฝุ่นที่พัฒนาขึ้น ผู้วิจัยได้ทำการทดสอบในบริเวณจริงของเครื่องผสมคอนกรีต ซึ่งเป็นแหล่งกำเนิดฝุ่นละอองปริมาณมาก โดยมุ่งเน้นการเก็บข้อมูลค่าฝุ่น PM2.5 และ PM10 ทั้งในช่วงก่อนและหลังเปิดใช้งานระบบพ่นละอองน้ำอัตโนมัติ เพื่อวิเคราะห์ความสามารถของระบบในการลดระดับฝุ่นละอองในสภาพแวดล้อมจริง

ตารางที่ 2 การทดสอบสถานการณ์ฝุ่นบริเวณเครื่องผสมคอนกรีต

ครั้งที่	ช่วงเวลา	ลักษณะ	PM2.5 (µg/m³)	PM10 (µg/m³)	ระบบเปิดปั๊มน้ำ	สถานะการทำงาน
1	ก่อนเริ่มงาน	พื้นที่ว่าง ไม่มีคนงาน	15 (µg/m³)	18 (µg/m³)	ไม่เปิด	ปกติ
2	ระหว่างเติมหินและทราย	กำลังเทวัสดุลงเครื่องผสม	43 (µg/m³)	65 (µg/m³)	ไม่เปิด	ปกติ
3	ระหว่างเติมปูนและน้ำ	เครื่องผสมกำลังทำงาน	190 (µg/m³)	345 (µg/m³)	เปิด	ปกติ
4	ระหว่างผสมรอบเร่งด่วน	เครื่องผสมกำลังทำงานต่อเนื่อง	341 (µg/m³)	680 (µg/m³)	เปิด	ปกติ
5	หยุดการผสม	เครื่องผสมหยุดการทำงาน	27 (µg/m³)	42 (µg/m³)	ไม่เปิด	ปกติ

ตารางที่ 3 การทดสอบสถานการณ์ฝุ่นบริเวณเครื่องผสมคอนกรีต

ครั้งที่	ช่วงเวลา	ลักษณะ	PM2.5 (µg/m³)	PM10 (µg/m³)	ระบบเปิดปั๊มน้ำ	สถานะการทำงาน	สถานะการทำงาน
1	ก่อนเริ่มงาน	พื้นที่ว่าง ไม่มีคนงาน	17 (µg/m³)	20 (µg/m³)	ไม่เปิด	ปกติ	ค่าฝุ่นต่ำกว่าเกณฑ์
2	ระหว่างเติมหินและทราย	กำลังเทวัสดุลงเครื่องผสม	50 (µg/m³)	88 (µg/m³)	ไม่เปิด	ปกติ	ฝุ่นกำลังเคลื่อนย้าย
3	ระหว่างเติมปูนและน้ำ	เครื่องผสมกำลังทำงาน	163 (µg/m³)	318 (µg/m³)	เปิด	ปกติ	เกิดฝุ่นมาจากปูนแห้ง
4	ระหว่างผสมรอบเร่งด่วน	เครื่องผสมกำลังทำงานต่อเนื่อง	193 (µg/m³)	376 (µg/m³)	เปิด	ปกติ	สภาพฝุ่นสูงต่อเนื่อง
5	หยุดการผสม	เครื่องผสมหยุดการทำงาน	34 (µg/m³)	53 (µg/m³)	ไม่เปิด	ปกติ	ฝุ่นยังฟุ้งในอากาศ

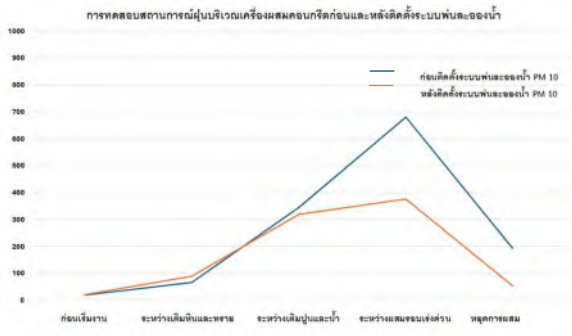

รูปที่ 6 กราฟการทดสอบสถานการณ์ฝุ่นบริเวณเครื่องผสมคอนกรีตก่อนและหลังติดตั้งระบบพ่นละอองน้ำ PM10

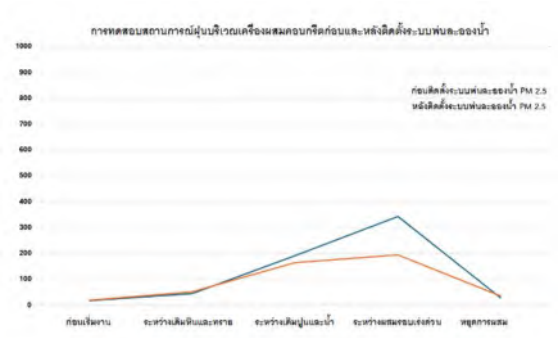

รูปที่ 7 กราฟการทดสอบสถานการณ์ฝุ่นบริเวณเครื่องผสมคอนกรีตก่อนและหลังติดตั้งระบบพ่นละอองน้ำ PM2.5

การอินเทอร์เฟซสำหรับแสดงผลข้อมูลแบบเรียลไทม์ผ่านเว็บเบราว์เซอร์ ซึ่งได้รับการออกแบบให้สามารถเข้าถึงและแสดงผลข้อมูลจากระบบเซนเซอร์หรือฐานข้อมูลออนไลน์ ผู้ใช้งานสามารถเข้าใจได้ง่าย โดยในระบบตรวจวัดฝุ่นละออง Web Dashboard ทำหน้าที่แสดงค่าฝุ่น อุณหภูมิ ความชื้น และสถานะของระบบพ่นละอองน้ำแบบอัตโนมัติ ข้อมูลที่แสดงผลจะถูกดึงมาจาก Firebase Realtime Database ผ่านไลบรารี JavaScript และ Firebase SDK

รูปที่ 8 การส่งข้อมูลมาไว้บน Firebase

4.3 สรุปผลการทดสอบระบบ

จากการทดสอบระบบต้นแบบในสภาพแวดล้อมจริงภายในโรงงานผสมคอนกรีต พบว่า ระบบสามารถทำงานได้อย่างต่อเนื่องและมีเสถียรภาพ โดยมีการตอบสนองที่รวดเร็วและถูกต้องต่อค่าฝุ่นที่ตรวจวัด ทั้งค่าฝุ่น PM2.5 และ PM10 ซึ่งแสดงผลได้อย่างแม่นยำบนจอ LCD และหน้าเว็บแดชบอร์ดแบบเรียลไทม์ พร้อมบันทึกข้อมูลเข้าสู่ Firebase Realtime Database อย่างสม่ำเสมอและไม่เกิดข้อมูลสูญหาย ระบบควบคุมปั๊มน้ำอัตโนมัติสามารถตอบสนองเมื่อค่าฝุ่นเกินเกณฑ์ที่กำหนด โดยทำการเปิดการทำงานของปั๊มน้ำเพื่อพ่นละอองอย่างแม่นยำ และหยุดทำงานเมื่อค่าฝุ่นลดลงต่ำกว่าค่าที่ตั้งไว้ ส่งผลให้สามารถควบคุมระดับฝุ่นได้อย่างมีประสิทธิภาพ ลดภาระการควบคุมด้วยตนเอง และเพิ่มความปลอดภัยในการทำงาน

5. สรุปผล อภิปรายผล

จากวัตถุประสงค์เพื่อพัฒนาระบบตรวจวัดและควบคุมฝุ่นละอองในโรงงานผสมคอนกรีต โดยใช้เซนเซอร์ PMS7003 และบอร์ดควบคุม ESP32 เชื่อมต่อกับฐานข้อมูล Firebase Realtime Database เพื่อส่งข้อมูลแบบเรียลไทม์ พร้อมทั้งแสดงผลผ่านเว็บไซต์และหน้าจอ LCD รวมถึงควบคุมการทำงานของปั๊มน้ำพ่นละอองโดยอัตโนมัติตามค่าฝุ่นที่ตรวจวัดได้ ผลการทดสอบในสถานที่จริงพบว่าระบบสามารถตรวจวัดและรายงานค่าฝุ่น PM2.5 และ PM10 ได้อย่างต่อเนื่องและแม่นยำ การพ่นละอองน้ำช่วยลดค่าฝุ่นได้อย่างชัดเจน โดยเฉพาะในช่วงที่เครื่องผสมคอนกรีตทำงานหนัก นอกจากนี้ การสื่อสารผ่าน Firebase และการควบคุมรีเลย์ทำงานได้อย่างเสถียรและตอบสนองได้รวดเร็ว อย่างไรก็ตาม เพื่อเพิ่มประสิทธิภาพในการใช้งานจริง ควรมีการสำรองไฟฟ้าและสัญญาณอินเทอร์เน็ต เช่น การติดตั้ง UPS และ 4G Router รวมถึงการอบรมเจ้าหน้าที่ในการดูแลระบบ นอกจากนี้ ยังสามารถพัฒนาต่อยอดได้อีก เช่น การเพิ่มแอปพลิเคชันควบคุมผ่านมือถือ หรือระบบพยากรณ์ฝุ่นด้วยโมเดล Machine Learning เพื่อยกระดับการจัดการคุณภาพอากาศในพื้นที่อุตสาหกรรมอย่างยั่งยืน

แม้ว่าระบบตรวจวัดและควบคุมฝุ่นละอองที่พัฒนาขึ้นจะสามารถทำงานได้อย่างมีประสิทธิภาพในสภาพแวดล้อมจริง แต่ยังมีข้อจำกัดที่ควรพิจารณา ได้แก่

การพึ่งพาพลังงานไฟฟ้าและเครือข่ายอินเทอร์เน็ต เนื่องจากระบบอาศัยการทำงานต่อเนื่องจากไฟฟ้าและสัญญาณอินเทอร์เน็ต หากเกิดเหตุไฟฟ้าดับหรือสัญญาณอินเทอร์เน็ตขัดข้อง ระบบจะหยุดทำงานทันที ซึ่งอาจทำให้ไม่สามารถตรวจวัดฝุ่นหรือควบคุมการพ่นละอองน้ำได้ตามเกณฑ์ที่กำหนด ดังนั้น ควรมีการติดตั้ง แหล่งจ่ายไฟสำรอง (UPS) และ เราเตอร์ 4G/5G เพื่อให้ระบบสามารถทำงานได้อย่างต่อเนื่องในกรณีเกิดเหตุฉุกเฉิน รวมทั้งต้นทุนการติดตั้งและบำรุงรักษา แม้ว่าต้นแบบที่พัฒนาขึ้นจะมีต้นทุนที่ต่ำกว่าอุปกรณ์เชิงพาณิชย์ แต่ยังจำเป็นต้องมีการวิเคราะห์ต้นทุนต่อจุดติดตั้ง (Cost per Installation Point) ร่วมด้วย

เอกสารอ้างอิง

[1] Noypitak, S., Maharachpong, N., & Rodjarkpai, Y. (2017). ผลของโปรแกรมส่งเสริมการป้องกันตนเองจากการได้รับมลพิษทางอากาศของหญิงตั้งครรภ์ในเขตควบคุมมลพิษ จังหวัดระยอง. วารสารสาธารณสุข มหาวิทยาลัยบูรพา, 12(1), 88–98. สืบค้น จาก https://he02.tcithaijo.org/index.php/phjbuu/article/view/88981

[2] กรมควบคุมมลพิษ. (2561). โครงงานศึกษาแหล่งกำเนิดและแนวทางการจัดการฝุ่นละอองขนาดไม่เกิน 2.5 ไมครอน ในพื้นที่กรุงเทพและปริมณฑล.สืบค้นจากhttps://www.pcd.go.th/wp-content/uploads/2020/06/pcdnew-2020-06-05_02-34-12_147817.pdf

[3] EspressifSystems.(2023).ESP32Datasheet.Retrievedfrom https://www.espressif.com/sites/default/files/documentation/esp32_datasheet_en

[4] W.Chaiyasomboon and W. Jirapanthong, “The Development of Calories TrackerApplication on Mobile Device”, JIST, vol. 14, no. 1, pp. 22–33, Jun. 2024.

ประวัติผู้เขียนบทความ

ชื่อ – สกุล เอกชัย ดีศิริ
เบอร์โทรศัพท์ 0868938877
E-mail akekachai.de@spu.ac.th
สาขาวิชาวิศวกรรมไฟฟ้า
มหาวิทยาลัยศรีปทุม

ประวัติการทำงาน : คณะวิศวกรรมศาสตร์ มหาวิทยาลัยศรีปทุม
งานวิจัยที่สนใจ: PLC Controller, Microcontroller, IIOT

ชื่อ – สกุล พศวีร์ ศรีโหมด
เบอร์โทรศัพท์ 0817795771
E-mail pasawee.sr@spu.ac.th
สาขาวิชาวิศวกรรมไฟฟ้า
มหาวิทยาลัยศรีปทุม

ประวัติการทำงาน : คณะวิศวกรรมศาสตร์ มหาวิทยาลัยศรีปทุม
งานวิจัยที่สนใจ: การวิเคราะห์และผลกระทบระบบไฟฟ้ากำลังที่ไม่สมดุล การประยุกต์ใช้ไฟฟ้าแรงดันสูง การอนุรักษ์พลังงานไฟฟ้า ระบบการจัดการพลังงาน การตรวจสอบความปลอดภัยในระบบงานวิศวกรรมอาคาร

การพัฒนาระบบกำหนดเป้าหมายของหุ่นยนต์โบว์ลิ่งอัตโนมัติด้วยการนำทางเชิงสายตาและกลยุทธ์ตามภารกิจ

Development of a Targeting System for an Autonomous Bowling Robot with Visual Servoing and Mission-Based Strategies

จักรรินทร์ ถิ่นนคร[1] สาธิต รุ่งสว่าง[1] ปฏิภาณ ห่วงศร[1]* กฤษฎ์ รัชชภูมิ[1] และนนทสิทธิ์ บุปผาใสสิริ[1]

[1]สาขาวิชาวิศวกรรมหุ่นยนต์และระบบอัตโนมัติ คณะวิศวกรรมศาสตร์ มหาวิทยาลัยเทคโนโลยีราชมงคลล้านนา

Jakarin_t@rmutl.ac.th sathit_r@rmutl.ac.th padipan@rmutl.ac.th* kritratchapum@rmutl.ac.th nontasit2411@gmail.com

บทคัดย่อ

บทความนี้นำเสนอการออกแบบระบบหุ่นยนต์โบว์ลิ่งอัตโนมัติสำหรับการแข่งขันที่มีข้อจำกัดด้านเวลาและความซับซ้อน โดยพัฒนาระบบกำหนดเป้าหมายแบบไฮบริด (Hybrid Targeting System) บน NI myRIO ซึ่งผสานกลยุทธ์การนำทางด้วยภาพ (Visual Servoing) และตรรกะเรขาคณิต (Geometric Logic) สำหรับภารกิจพิเศษ พร้อมระบบการมองเห็นเชิงรุก (Active Vision) เพื่อเพิ่มความแม่นยำในสภาพที่มุมมองถูกบดบัง ผลการทดลองแสดงค่าเบี่ยงเบนเฉลี่ย 4.10 – 6.38 พิกเซล (Pixel) และอัตราความสำเร็จของภารกิจ 80.83% สะท้อนถึงประสิทธิภาพของแนวทางการออกแบบที่สมดุลทั้งด้านความเร็วและความแม่นยำในการปฏิบัติงานอัตโนมัติ

คำสำคัญ: หุ่นยนต์โบว์ลิ่ง, การนำทางเชิงสายตา, การมองเห็นเชิงรุก, กลยุทธ์ชี้นำ, NI myRIO

Abstract

This paper presents the design and development of an autonomous bowling robot system for time-constrained and complex competition tasks. A Hybrid Targeting System was implemented on the NI myRIO embedded platform, combining two main strategies: visual servoing using Pin 7 as a continuous reference, and geometric logic for calculating the midpoint between red pins in special tasks. To enhance reliability under occlusion, an Active Vision mechanism was integrated. Experimental results demonstrated high targeting accuracy with an average deviation of 4.10 – 6.38 Pixel, and the robot successfully completed randomly assigned tasks with an overall success rate of 80.83%. These results confirm that the proposed hybrid approach effectively balances decision-making speed with robustness in dynamic environments.

Keywords: Bowling Robot, Visual Servoing, Active Vision, Heuristic Strategy, NI myRIO

1. บทนำ

ในยุคปัจจุบันที่ระบบอัตโนมัติและหุ่นยนต์ (Automation and Robotics) มีบทบาทสำคัญอย่างยิ่ง ความท้าทายได้เปลี่ยนจากการสร้างหุ่นยนต์ที่ทำงานซ้ำๆ ไปสู่การสร้างหุ่นยนต์ที่สามารถปฏิบัติ ภารกิจที่ซับซ้อนและเปลี่ยนแปลงได้ (Dynamic Tasks) ภายใต้เงื่อนไขที่จำกัด เช่น การแข่งขันหุ่นยนต์ ซึ่งต้องการทั้งความแม่นยำ, ความเร็ว, และความสามารถในการปรับตัวตามสถานการณ์

กรณีศึกษาของหุ่นยนต์โบว์ลิ่งสำหรับการแข่งขัน ในงานวิจัยนี้ เป็นตัวอย่างที่ชัดเจนของความท้าทายดังกล่าว ปัญหาไม่ได้จำกัดอยู่แค่การโยนลูกโบว์ลิ่งให้โดนพิน แต่คือการที่หุ่นยนต์ต้องเผชิญกับ รูปแบบภารกิจที่ถูกสุ่มขึ้นมา (ดังแสดงในรูปที่ 1) และต้องปฏิบัติภารกิจย่อยหลายอย่างให้สำเร็จภายในเวลาที่จำกัดเพียง 240 วินาที การใช้แนวทางที่พยายามทำความเข้าใจภาพรวมทั้งหมดของสนามในทุกขั้นตอนอาจไม่มีประสิทธิภาพและไม่รวดเร็วพอต่อการแข่งขัน แข่งขัน

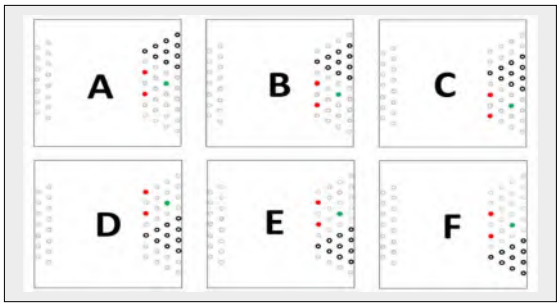

รูปที่ 1 รูปแบบการจัดวางพินโบว์ลิ่ง ใช้สำหรับการสุ่มภารกิจในการแข่งขัน

เพื่อรับมือกับความท้าทายด้านประสิทธิภาพและความเร็ว งานวิจัยนี้นำเสนอการพัฒนาระบบกำหนดเป้าหมายแบบไฮบริด (Hybrid Targeting System) ที่ผสมผสานความรวดเร็วของกลยุทธ์ชี้นำเข้ากับความแข็งแกร่งของระบบแก้ปัญหา ประกอบด้วย 2 กลไกหลัก

1.กลยุทธ์ชี้นำเชิงสายตา (Visual Heuristic Strategy) เป็นกลไกการทำงานหลัก ระบบถูกโปรแกรมให้รู้ว่าต้องมองหาอะไร สำหรับแต่ละภารกิจ เช่น การใช้เทคนิค การนำทางเชิงสายตา (Visual Servoing) เพื่อ

*ผู้ประพันธ์บรรณกิจ

ติดตามตำแหน่งของพินซ้ายสุด ดังแสดงในรูปที่ 2 อย่างต่อเนื่องสำหรับภารกิจทั่วไป หรือการใช้ ตรรกะเชิงเรขาคณิต เพื่อคำนวณหาจุดกึ่งกลางระหว่างพินสีแดงสำหรับภารกิจพิเศษ วิธีการนี้ช่วยลดภาระการประมวลผลและทำให้หุ่นยนต์ตัดสินใจได้อย่างรวดเร็ว

รูปที่ 2 ลักษณะการตรวจจับตำแหน่งพินซ้ายสุด

2.กลไกแก้ไขปัญหาด้วยการมองเห็นเชิงรุก (Active Vision Recovery Mechanism) ในกรณีที่จุดอ้างอิง ที่จำเป็นสำหรับกลยุทธ์หลักถูกบดบัง ระบบ Active Vision จะถูกเรียกใช้งานโดยอัตโนมัติในฐานะระบบสำรอง เพื่อสั่งให้หุ่นยนต์เคลื่อนที่ในแนวแกน X หรือปรับทิศทางองศา ของด้านหน้าหุ่นยนต์โบว์ลิ่ง จนกว่าจะพบมุมมองใหม่ที่สามารถมองเห็นจุดอ้างอิงนั้นได้ ดังแสดงในรูปที่ 3 แล้วจึงกลับเข้าสู่การทำงานของกลยุทธ์หลักต่อไป

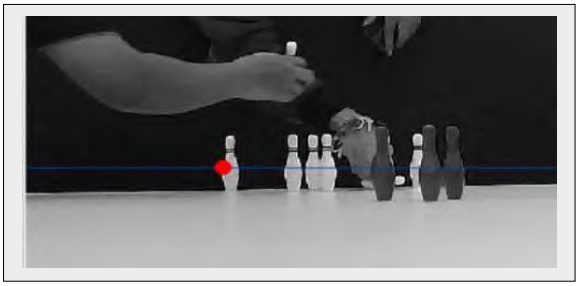

รูปที่ 3 ระบบ Active Vision สั่งให้หุ่นยนต์เคลื่อนที่ ตามแนวแกน X หรือปรับทิศทางองศาของหุ่นยนต์โบว์ลิ่ง กรณีกลยุทธ์หลักถูกบดบัง

2. วัตถุประสงค์ของงานวิจัย

1.เพื่อออกแบบและสร้างอัลกอริทึมสำหรับกำหนดเป้าหมายโดยใช้หลักการนำทางเชิงสายตา (Visual Servoing) และการคำนวณจุดกึ่งกลางเชิงเรขาคณิต (Geometric Midpoint Calculation)

2.เพื่อพัฒนาระบบการมองเห็น (Vision System) ที่สามารถตรวจจับและระบุตำแหน่งของจุดอ้างอิงที่สำคัญ (Key Reference Pins) สำหรับป้อนข้อมูลให้แต่ละกลยุทธ์ได้อย่างแม่นยำ

3.เพื่อทดสอบและประเมินประสิทธิภาพของระบบหุ่นยนต์แบบองค์รวม ในการปฏิบัติภารกิจจำลองการแข่งขันตามรูปแบบสุ่ม โดยวัดผลจากความแม่นยำในการเล็งเป้าหมาย, อัตราความสำเร็จของภารกิจ, และเวลาที่ใช้

3. ทฤษฎีและงานวิจัยที่เกี่ยวข้อง

3.1 ทฤษฎีที่เกี่ยวข้อง

3.1.1 ทฤษฎีการประมวลผลภาพเพื่อการตรวจจับวัตถุ (Image Processing Theories for Object Detection)

การที่หุ่นยนต์จะสามารถรับรู้ สภาพแวดล้อมได้นั้น จำเป็นต้องอาศัยเทคนิคการประมวลผลภาพที่แข็งแรงและมีประสิทธิภาพเพื่อสกัดข้อมูลที่สำคัญออกมาจากภาพที่ได้รับ เทคนิคพื้นฐานที่ใช้ในงานวิจัยนี้ประกอบด้วย

1) การแปลงปริภูมิสี (HSV Color Space) ระบบสี HSV เป็นแบบจำลองที่แยกองค์ประกอบของสี (Hue), ความสดของสี (Saturation), และ "ความสว่าง" (Value) ออกจากกัน ซึ่งแตกต่างจากระบบสี RGB การแยกความสว่างออกมานี้มีประโยชน์อย่างยิ่งในสภาพแวดล้อมจริงที่ความสว่างของแสงอาจไม่คงที่ ทำให้การกรองวัตถุตามสี (Color Thresholding) มีความทนทานต่อเงาและแสงสะท้อนสูงกว่า ดังที่ปรากฏในงานวิจัยด้านการคัดแยกผลไม้ [4] ซึ่งนิยมใช้ปริภูมิสี HSV เพื่อแยกสีของผลไม้ออกจากใบไม้ภายใต้สภาพแสงธรรมชาติ

2) การวิเคราะห์กลุ่มพิกเซล (Blob Analysis) เป็นกระบวนการหลักในการค้นหาและวัดคุณสมบัติของวัตถุที่แยกออกมาได้ เช่น ตำแหน่งจุดศูนย์กลาง (Centroid) ซึ่งใช้ในการระบุพิกัดของวัตถุ และพื้นที่ (Area) เพื่อใช้กรองวัตถุรบกวนที่มีขนาดเล็กหรือใหญ่ผิดปกติทิ้งไป ซึ่งเป็นเทคนิคมาตรฐานที่ถูกใช้งานอย่างแพร่หลายในระบบอัตโนมัติ เช่น ในงาน หุ่นยนต์คัดแยกวัตถุบนสายพาน (อ้างอิงงานวิจัยที่ 3)

3.1.2 ทฤษฎีหุ่นยนต์เคลื่อนที่และการควบคุมเชิงสายตา (Mobile Robotics and Visual Control Theories)

1) จลนศาสตร์ของหุ่นยนต์ที่ใช้ล้อ Omni-directional หุ่นยนต์ในงานวิจัยนี้ใช้ล้อแบบ Omni ซึ่งให้ความสามารถในการเคลื่อนที่แบบ Holonomic คือสามารถเคลื่อนที่ไปในแนวแกน X (ซ้าย-ขวา) และหมุนรอบตัวเองได้พร้อมกันโดยไม่ต้องหันหัวรถก่อน แบบจำลองทางจลนศาสตร์ (Kinematic Model) คือชุดสมการที่ใช้แปลงคำสั่งการเคลื่อนที่ระดับสูง (เช่น ขยับไปทางขวา 10 cm) ให้กลายเป็นความเร็วของมอเตอร์แต่ละล้อ ซึ่งเป็นกลไกพื้นฐานที่ทำให้การทำ Active Vision และ Visual Servoing เป็นไปได้

2) การนำทางเชิงสายตา (Visual Servoing) นี่คือทฤษฎีหลักที่อยู่เบื้องหลังกลยุทธ์ของหุ่นยนต์ในงานวิจัยนี้ Visual Servoing คือเทคนิคการใช้ข้อมูลภาพแบบต่อเนื่อง (Real-time Visual Feedback) เพื่อควบคุมการเคลื่อนที่ของหุ่นยนต์ หลักการคือการคำนวณ ค่าความผิดพลาด ระหว่างตำแหน่งปัจจุบันของจุดอ้างอิงในภาพกับตำแหน่งที่ต้องการ แล้วสร้างคำสั่งควบคุมเพื่อลดค่าความผิดพลาดนั้นให้เป็นศูนย์ แนวคิดนี้ถูกนำไปใช้อย่างแพร่หลาย เช่นใน หุ่นยนต์เทียบท่าชาร์จอัตโนมัติ [1] ที่ใช้มาร์คเกอร์เป็นจุดอ้างอิง หรือใน หุ่นยนต์นำทางในไร่เกษตร [7] ที่ใช้ร่องปลูกเป็นเส้นอ้างอิง ซึ่งในงานวิจัยของเรา ได้ประยุกต์ใช้หลักการนี้

โดยใช้พินโบว์ลิ่งซ้ายสุด เป็นจุดอ้างอิงในการนำทางหุ่นยนต์เข้าสู่ตำแหน่งโยนที่เหมาะสม

3) กลยุทธ์ชี้นำและการตัดสินใจ (Heuristic Strategies) ในการแข่งขันที่มีเวลาจำกัด การพยายามวิเคราะห์ข้อมูลทั้งหมดอาจไม่มีประสิทธิภาพพอ แนวทางการใช้กลยุทธ์ชี้นำ (Heuristics) หรือกฎที่กำหนดไว้ล่วงหน้าเพื่อแก้ปัญหาเฉพาะหน้าอย่างรวดเร็วจึงเป็นทางเลือกที่เหมาะสม ดังจะเห็นได้จาก หุ่นยนต์ฟุตบอล RoboCup (อ้างอิงงานวิจัยที่ 2) ที่มุ่งเน้นการตรวจจับเฉพาะลูกบอลและประตูเพื่อตัดสินใจ หรือในหุ่นยนต์ตรวจสอบชิ้นงานอุตสาหกรรม [6] ที่เคลื่อนไปตรวจสอบเฉพาะจุดสำคัญ งานวิจัยนี้จึงได้นำแนวคิดดังกล่าวมาออกแบบกลยุทธ์การกำหนดเป้าหมายตามภารกิจ (A-F) เพื่อให้หุ่นยนต์สามารถเลือกวิธีการทำงานที่เหมาะสมและรวดเร็วที่สุดได้

3.1.3 การแก้ปัญหาการบดบังด้วยการมองเห็นเชิงรุก (Solving Occlusion with Active Vision)

ปัญหาการบดบัง (Occlusion) เป็นหนึ่งในความท้าทายที่สำคัญที่สุดในงานแมชชีนวิชัน ดังที่พบในงานวิจัยด้าน การเก็บเกี่ยวผลไม้ [4] ที่ใบไม้มักจะบังผล หรือปัญหา Bin Picking [8] ที่ชิ้นส่วนซ้อนทับกันอย่างสมบูรณ์

ในขณะที่หลายงานวิจัยพยายามแก้ปัญหานี้ด้วยกล้อง 3 มิติ หรือ AI ที่ซับซ้อน อีกแนวทางหนึ่งที่เป็นที่ยอมรับคือการใช้ การมองเห็นเชิงรุก (Active Vision) เพื่อเปลี่ยนมุมมองและค้นหาข้อมูลที่ขาดหายไป ดังเช่นใน หุ่นยนต์สำรวจพื้นที่ [5] ที่เคลื่อนที่เพื่อมองให้เห็นส่วนที่ยังไม่ถูกสร้างในแผนที่ หรืองานวิจัย การติดตามวัตถุ [7] ที่มีพฤติกรรมการค้นหา เมื่อเป้าหมายหายไป ในงานวิจัยนี้ เราได้ประยุกต์ใช้แนวคิดดังกล่าว โดยกำหนดให้ Active Vision ทำหน้าที่เป็นกลไกสำรองเพื่อแก้ไขปัญหาโดยเฉพาะจะทำงานก็ต่อเมื่อจุดอ้างอิงที่จำเป็นต่อกลยุทธ์หลัก ถูกบดบังหรือตำแหน่งของพินที่ 7 ได้ถูกนับแต้มไปแล้ว

3.2 งานวิจัยที่เกี่ยวข้อง

3.2.1 [1] M. F. A. K. M. Z. H. Khan และคณะ ปี 2022 กล่าวถึง การสร้างระบบที่โดรนสามารถบินลงจอดเพื่อสลับแบตเตอรี่ก้อนใหม่และบินขึ้นต่อได้เองโดยอัตโนมัติ เพื่อเพิ่มระยะเวลาการทำงานหุ่นยนต์เคลื่อนที่สำหรับเทียบท่าชาร์จอัตโนมัติ โดยใช้ระบบการมองเห็น (Vision) เพื่อตรวจจับและระบุตำแหน่งของแท่นสลับแบตเตอรี่ (Docking Station) จากนั้นใช้เทคนิค Visual Servoing เพื่อนำทางโดรนให้ลดระดับและลงจอดได้อย่างแม่นยำในตำแหน่งที่ถูกต้อง โดยงานวิจัยนี้ได้นำเทคนิค Visual Servoing กำหนดจุดอ้างอิงในการปรับตำแหน่งของหุ่นยนต์แบบต่อเนื่องในการตรวจจับพินตำแหน่งหมายเลข 7 เป็นจุดอ้างอิงในการนำทางหุ่นยนต์เข้าสู่ตำแหน่งการโยนที่เหมาะสม

3.2.2 [2] T. L. T. Lun และคณะ ปี 2023 กล่าวถึงหุ่นยนต์สามารถตรวจจับลูกบอลและประตูในสนาม และวางแผนการเคลื่อนที่เพื่อทำคะแนนในการแข่งขัน RoboCup จากนั้นใช้เทคนิค ระบบ Vision ปรับจูนเพื่อตรวจจับเฉพาะวัตถุที่สำคัญที่สุดในสนาม (ลูกบอล, ประตูสีฟ้า, ประตูสีเหลือง) โดยใช้การแบ่งแยกสี (Color Segmentation) เป็นหลัก จากนั้นใช้ กลยุทธ์ชี้นำ (Heuristic) ง่ายๆ แต่มีประสิทธิภาพสูงมาใช้งาน โดยงานวิจัยนี้ได้นำเทคนิค กลยุทธ์ชี้นำ (Heuristic) มาใช้ในการกำหนดกลยุทธ์ที่ประสบความสำเร็จและรวดเร็วในการทำภารกิจ

3.2.3 [3] S. Afaz และคณะ ปี 2023 กล่าวถึงการค้นหามะเขือเทศที่สุกพร้อมเก็บในโรงเรือน จากนั้นใช้เทคนิคการผสมผสานเทคนิคต่างๆ โดยมี การใช้ปริภูมิสี HSV เป็นหัวใจสำคัญในการแยกสีแดงของมะเขือเทศออกจากสีเขียวของใบและกิ่ง แม้จะอยู่ภายใต้สภาพแสงที่เปลี่ยนแปลง โดยงานวิจัยนี้ได้นำเทคนิค มาใช้ในการวิเคราะห์สีของพินโบว์ลิ่ง ในการตรวจจับของกล้องหุ่นยนต์โบว์ลิ่ง

4. วิธีการดำเนินงาน

4.1 การออกแบบโครงสร้างของระบบ

ระบบหุ่นยนต์ที่พัฒนาขึ้นนี้ถูกออกแบบบนสมองกลฝังตัว (Embedded System) ที่มีหน่วยประมวลผลหลักอยู่บนตัวหุ่นยนต์ ทำให้สามารถปฏิบัติภารกิจได้ด้วยตนเองอย่างอิสระ การทำงานของระบบใช้ NI myRIO ทำหน้าที่เป็นศูนย์กลางรับข้อมูลจากกล้อง (Input), ประมวลผลตรรกะทั้งหมด (Processing), และส่งคำสั่งไปยังมอเตอร์เพื่อควบคุมการเคลื่อนที่ (Output)

แนวคิดโครงสร้างของระบบแสดงดัง รูปที่ 4 และภาพการสร้างระบบจริงตามโครงสร้างดังกล่าวซึ่งแสดงการเชื่อมต่อระหว่างฮาร์ดแวร์และซอฟต์แวร์ที่ใช้งานจริงแสดงใน รูปที่ 5

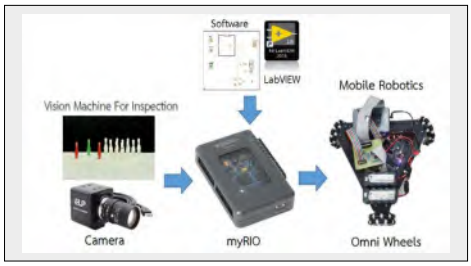

รูปที่ 4. โครงสร้างของระบบหุ่นยนต์โบว์ลิ่ง

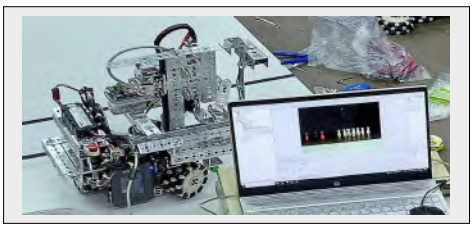

รูปที่ 5 แสดงการเชื่อมต่อระหว่างฮาร์ดแวร์และซอฟต์แวร์ที่ใช้งานจริง

4.2 ขั้นตอนการดำเนินงานของหุ่นยนต์

ลำดับการทำงานของหุ่นยนต์ในหนึ่งภารกิจเต็มรูปแบบถูกออกแบบเป็นขั้นตอนที่ชัดเจน เพื่อให้สามารถทำงานซ้ำได้อย่างน่าเชื่อถือภายใต้ข้อจำกัดด้านเวลา โดยมีตรรกะการทำงานหลักคือการเก็บลูกโบว์ลิ่ง, การเคลื่อนที่, การวิเคราะห์เป้าหมายตามภารกิจ, และการโยน ซึ่งสามารถสรุปเป็นแผนผังการทำงาน (Flowchart) ได้ดังรูปที่ 6

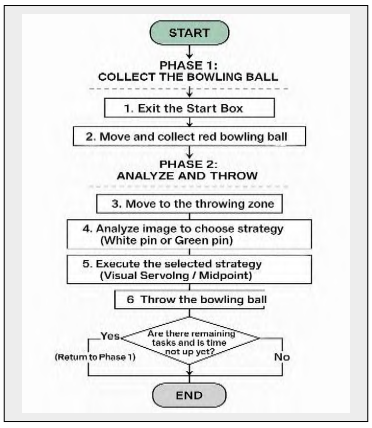

รูปที่ 6 แผนผังการทำงาน

4.3 การออกแบบอัลกอริทึมหลัก

อัลกอริทึมทั้งหมดถูกออกแบบโดยมุ่งเน้นที่ประสิทธิภาพและความเร็วในการประมวลผลบนบอร์ด myRIO

4.3.1 Vision Algorithm ระบบถูกออกแบบให้สามารถจำแนกวัตถุตามสีได้หลายชนิด ดังแสดงในรูปที่ 7 ซึ่งประกอบด้วยลูกโบว์ลิ่งสีแดง และพินสีขาว, แดง และเขียว โดยใช้วิธีการกรองสีในปริภูมิสี HSV ร่วมกับการดำเนินการทางสัณฐานวิทยาเพื่อความแม่นยำ จากนั้นจึงใช้วิธี Blob Analysis เพื่อสกัดข้อมูลพิกัดและคุณลักษณะของวัตถุแต่ละชิ้น

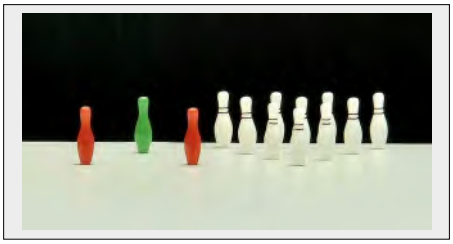

รูปที่ 7. วัตถุเป้าหมายสีต่างๆ ที่ระบบต้องสามารถจำแนกได้

4.3.2 Strategic Targeting Algorithms ระบบมีกลยุทธ์หลัก 2 รูปแบบคือ

1) Visual Servoing ใช้สำหรับภารกิจพินขาว โดยระบบจะค้นหาพินสีขาวที่อยู่ซ้ายสุดเสมอ และใช้ตำแหน่งของมันเป็นจุดอ้างอิงในการควบคุมการเคลื่อนที่ของหุ่นยนต์แบบต่อเนื่องจนกว่าจะเข้าสู่ตำแหน่งโยนที่เหมาะสม

2) Geometric Midpoint ใช้สำหรับภารกิจพินเขียว โดยระบบจะหาตำแหน่งพินแดงที่อยู่ซ้ายสุดเสมอ และคำนวณหาจุดกึ่งกลางของพินสีเขียวโดยอาศัย ค่าออฟเซ็ต(Offset) ในแนวแกน X ที่มีระยะห่างคงที่ (ซึ่งเป็นค่าที่ทราบล่วงหน้าจากการวัดในสนาม) จากพินสีแดงอ้างอิงนั้น เพื่อใช้เป็นเป้าหมายสำหรับการโยนลูกโบว์ลิ่ง

โดยทั้งกลยุทธ์หลักทั้ง 2 รูปแบบ เมื่อมีปัญหาการบัดบังหรือไม่สามารถตรวจพบจุดอ้างอิง พินที่อยู่ซ้ายสุดได้ ระบบ Active Vision จะถูกเรียกใช้งาน โดยการเปลี่ยนมุมมองของกล้องในลักษณะที่กำหนดไว้ล่วงหน้า ตามการเคลื่อนที่แบบ Holonomic ของล้อ Omni กล่าวคือ ระบบจะสั่งให้หุ่นยนต์ เคลื่อนที่สไลด์ในแนวแกน X ไปทางด้านข้างเป็นระยะทางคงที่ และหยุดการเคลื่อนที่หากระบบตรวจพบจุดอ้างอิง (พินที่อยู่ซ้ายสุด)ที่เจอ โดยจะส่งการควบคุมกลับไปยังอัลกอริทึมหลัก (Visual Servoing) เพื่อโยนเป้าหมายต่อไป

4.3.3 Implementation in LabVIEW การทำงานของอัลกอริทึมทั้งหมดถูกพัฒนาขึ้นบนโปรแกรม LabVIEW 2018 ดังแสดงในรูปที่ 8 ซึ่งประกอบด้วย 2 ส่วนหลักคือ Front Panel สำหรับควบคุมและแสดงผล และ Block Diagram สำหรับตรรกะการทำงาน ในส่วนของ Block Diagram (ฝั่งขวา) แสดงให้เห็นถึงการไหลของข้อมูล (Dataflow) โดยข้อมูลพิกัดของวัตถุที่ตรวจจับได้จาก Vision VI จะถูกส่งมาในรูปแบบของ Array จากนั้นข้อมูลจะถูกนำไปประมวลผลผ่านชุดของ Case Structure ซึ่งทำหน้าที่เป็นตรรกะในการตัดสินใจตามกลยุทธ์ชี้นำ ที่ได้ออกแบบไว้ ผลลัพธ์จากการตัดสินใจจะถูกส่งออกไปเป็นคำสั่งควบคุมมอเตอร์โดยตรง (เช่น Slide, Rotate)

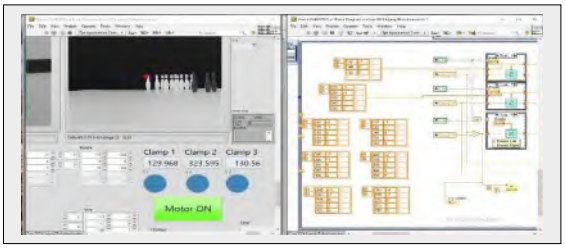

รูปที่ 8. อัลกอริทึมของโปรแกรมหุ่นยนต์โบว์ลิ่ง

5. ผลการทดลองและวิเคราะห์

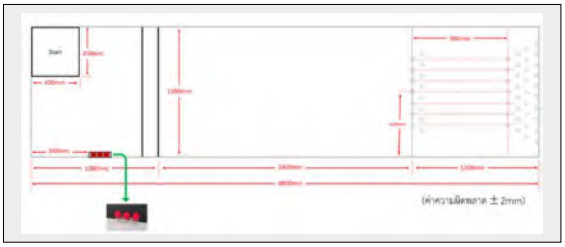

รูปที่ 9. แผนผังแสดงคุณลักษณะและขนาดของสนามแข่งขัน

จากรูปที่ 9 การกำหนดพื้นที่สนามในการทำภารกิจของหุ่นยนต์โบว์ลิ่ง ผลการทดลองที่ได้จากการดำเนินงานตามรูปแบบที่กำหนดของงานวิจัย โดยมีวัตถุประสงค์เพื่อประเมินประสิทธิภาพของระบบวิเคราะห์และตัดสินใจสำหรับหุ่นยนต์โบว์ลิ่งที่ได้พัฒนาขึ้น การทดลองได้ถูกออกแบบและแบ่งออกเป็น 3 ส่วนหลัก เพื่อประเมินประสิทธิภาพในแต่ละมิติ ตั้งแต่ความแม่นยำของอัลกอริทึมพื้นฐานไปจนถึงการปฏิบัติภารกิจในภาพรวม ซึ่งผลลัพธ์จากการทดลองแต่ละส่วนจะถูกนำเสนอในตารางที่ 1, 2, และ 3 ตามลำดับ

5.1 ผลการทดสอบความแม่นยำของอัลกอริทึมพื้นฐาน

การทดลองนี้มีเป้าหมายเพื่อทดสอบความแม่นยำของอัลกอริทึมการคำนวณหลักสองกลยุทธ์ เพื่อเป็นการยืนยันความน่าเชื่อถือของการคำนวณของหุ่นยนต์ ก่อนนำไปประยุกต์ใช้ในภารกิจที่ซับซ้อนขึ้น โดยผลการทดลองแสดงค่าความคลาดเคลื่อนเฉลี่ยจากการเปรียบเทียบตำแหน่งที่คำนวณได้กับตำแหน่งจริงในสนาม ดังแสดงในตารางที่ 1

ตารางที่ 1 การประเมินความแม่นยำของอัลกอริทึมคำนวณเป้าหมายพื้นฐาน

ประเภทกลยุทธ์	เงื่อนไขการทดสอบตำแหน่งของหุ่นยนต์	พิกัดเป้าหมายกำหนด (X, Y)	พิกัดเป้าหมายจริง จำนวน 10 ครั้ง/รูปแบบ (เฉลี่ย)	ค่าความคลาดเคลื่อนเฉลี่ย (Pixel) จำนวน 10 ครั้งครั้ง/รูปแบบ
โยนพินสีขาว ตำแหน่งที่กำหนด (จากพิกัดพินสีขาวซ้ายสุด")	รูปแบบ A พินขาวฝั่งซ้ายสุด	(90, 250)	(90.58,250)	4.7
	รูปแบบ B พินขาวฝั่งซ้ายสุด	(90, 250)	(92.63,250)	5.49
	รูปแบบ C พินขาวฝั่งซ้ายสุด	(90, 250)	(92.61,250)	5.43
	รูปแบบ D พินขาวฝั่งซ้ายสุด	(90, 250)	(92.59,250)	6.38
	รูปแบบ E พินขาวฝั่งซ้ายสุด	(90, 250)	(92.61,250)	5.49
	รูปแบบ F พินขาวฝั่งซ้ายสุด	(90, 250)	(92.10,250)	5.22
ภารกิจพิเศษ พินเขียว ("จุดกึ่งกลาง") จากการหาตำแหน่งพินสีแดงซ้ายสุด	รูปแบบ A พินแดงฝั่งซ้ายสุด	(240, 280)	(242.40,280)	5.93
	รูปแบบ B พินแดงฝั่งซ้ายสุด	(240, 280)	(243.30,280)	4.61
	รูปแบบ C พินแดงฝั่งซ้ายสุด	(240, 280)	(242.80,280)	4.10
	รูปแบบ D พินแดงฝั่งซ้ายสุด	(240, 280)	(239.50,280)	4.11
	รูปแบบ E พินแดงฝั่งซ้ายสุด	(240, 280)	(238.10,280)	4.61
	รูปแบบ F พินแดงฝั่งซ้ายสุด	(240, 280)	(237.90,280)	6.21

5.1.1 จากตารางที่ 1 พบว่าอัลกอริทึมการคำนวณเป้าหมายทั้งสองกลยุทธ์มีความแม่นยำสูง โดยมีค่าความคลาดเคลื่อนเฉลี่ย (จากการทดสอบ 10 ครั้งต่อรูปแบบ) อยู่ในช่วง 4.10 – 6.38 พิกเซล (Pixel) ซึ่งถือว่าน้อยมาก ผลลัพธ์นี้ยืนยันว่าตรรกะการคำนวณพื้นฐานของระบบมีความถูกต้อง โดยระบบพิกัดของกล้อง (0,0) จะอยู่ที่มุมบนซ้ายของภาพ และเป็นที่น่าสังเกตว่า ความคลาดเคลื่อนทั้งหมดเกิดขึ้นในแกนนอน (X) เท่านั้น ในขณะที่การคำนวณแกนตั้ง (Y) มีความแม่นยำสมบูรณ์

5.2 ผลการทดสอบประสิทธิภาพการปฏิบัติภารกิจตามรูปแบบสุ่ม (A-F)

การตรวจสอบความแม่นยำของอัลกอริทึมพื้นฐานแล้ว การทดลองส่วนที่สองได้ประเมินประสิทธิภาพของหุ่นยนต์ในการรับมือกับสถานการณ์การแข่งขันจริงทั้ง 6 รูปแบบ (A-F) การทดลองนี้มีวัตถุประสงค์เพื่อวัดผลความสามารถของระบบในการเลือกใช้กลยุทธ์ที่ถูกต้อง, ความแม่นยำในการเล็ง, และอัตราความสำเร็จของภารกิจในแต่ละรูปแบบ ผลการทดลองสรุปได้ดังตารางที่ 2

ตารางที่ 2 การประเมินประสิทธิภาพการปฏิบัติภารกิจตามรูปแบบสุ่ม (A-F) จากการทดสอบ 10 รอบ

รูปแบบภารกิจ (จากเฟรม2)	ความแม่นยำในการเล็งเป้าหมาย (ค่าคลาดเคลื่อนต่ำสุด (Pixel)	ความแม่นยำในการเล็งเป้าหมาย (ค่าคลาดเคลื่อนสูงสุด (Pixel)	จำนวนที่ต้องใช้ Active Vision เฉลี่ย (จาก 10 ครั้ง)	อัตราความสำเร็จของภารกิจ (%)
A	1.17	11.5	5.93	70%
B	1.06	6.50	4.61	80%
C	0.06	15.50	4.10	80%
D	0.50	10.50	4.11	50%
E	0.06	19.50	4.61	30%
F	0.50	13.50	6.21	60%

(อ้างอิงข้อมูลจากภารกิจ เล็งพินเป้าหมายซ้ายสุด/พินสีเขียว)

5.2.1 วิเคราะห์ผล ผลการทดลองในตารางที่ 2 แสดงถึงประสิทธิภาพของหุ่นยนต์ในการปฏิบัติภารกิจจริงตามรูปแบบสุ่ม A-F (โดยมุ่งเน้นที่ภารกิจ 'พินสีเขียว') พบว่า 'อัตราความสำเร็จ' มีความผันแปรสูง โดยรูปแบบ B และ C มีประสิทธิภาพดีที่สุด 80% ในขณะที่รูปแบบ E มีความท้าทายที่สุด 30% ในด้านความแม่นยำ (หน่วยเป็นพิกเซล) พบว่าค่าคลาดเคลื่อนสูงสุดเกิดขึ้นในรูปแบบ E ค่า 19.50 พิกเซล ซึ่งค่าความคลาดเคลื่อนสูงสุดนี้สูงกว่าในตารางที่ 1 อย่างชัดเจน เนื่องจากตารางที่ 1 เป็นการทดสอบความแม่นยำของอัลกอริทึมแบบ แบบคงที่ (Static) ในขณะที่ตารางที่ 2 เป็นผลลัพธ์จากการปฏิบัติภารกิจจริง (Dynamic) ซึ่งรวมผลกระทบจากการเคลื่อนที่ของหุ่นยนต์และการทำงานของ Active Vision ด้วย สำหรับข้อมูล จำนวนที่ต้องใช้ Active Vision เฉลี่ย พบว่ารูปแบบ F มีการเรียกใช้งานบ่อยที่สุด 6.21 ครั้ง ตามมาด้วยรูปแบบ A มีการเรียกใช้งาน 5.93 ครั้ง และรูปแบบ C ใช้น้อยที่สุด 4.10 ครั้ง ข้อมูลนี้ยืนยันว่าระบบ Active Vision ถูกเรียกใช้งานจริงในสภาวะการทดสอบที่แตกต่างกัน

5.3 ผลการทดสอบประสิทธิภาพโดยรวมของภารกิจ

การประเมินประสิทธิภาพของระบบในภาพรวมทั้งหมด โดยการจำลองการแข่งขันเต็มรูปแบบภายใต้ข้อจำกัดด้านเวลา 4 นาที เพื่อวัดตัวชี้วัดประสิทธิภาพหลัก (KPIs) ที่สะท้อนถึงความเร็ว, ความสำเร็จ, และความเสถียรของหุ่นยนต์ในทางปฏิบัติ ผลการทดลองจากการจำลองการแข่งขันทั้งหมด 10 รอบ(1 รอบ จะมีการสุ่มสนามตามแบบที่กำหนด 3ครั้ง) สรุปค่าเฉลี่ยและค่าเบี่ยงเบนมาตรฐานได้ดังตารางที่ 3

ตารางที่ 3 สรุปผลการทดสอบประสิทธิภาพโดยรวมจากการแข่งขันเต็มรูปแบบ (10 รอบ)

ตัวชี้วัดประสิทธิภาพ (KPI)	ค่าเฉลี่ย (Average)	ค่าเบี่ยงเบนมาตรฐาน (Std. Dev.)
เวลาที่ใช้ต่อ 1 ภารกิจในการทดสอบโยนพินสีขาว และโยนพินสีเขียว (วินาที)	31.14	19.83
อัตราความสำเร็จของภารกิจรวมทุกรูปแบบ (%)	80.83%	23.59
คะแนนเฉลี่ยต่อการแข่งขัน	61.95	18.02

5.3.1 วิเคราะห์จากผลการทดลองในตารางที่ 3 ซึ่งสรุปภาพรวมสมรรถนะของหุ่นยนต์จากการแข่งขันจำลอง 10 รอบ พบว่าระบบสามารถทำงานได้บรรลุผลลัพธ์ในระดับที่ดี ในด้านเวลาที่ใช้ต่อ 1 ภารกิจ (ทั้งโยนพินขาวและเขียว) มีค่าเฉลี่ยอยู่ที่ 31.14 วินาที อย่างไรก็ตาม ค่าเบี่ยงเบนมาตรฐาน (Std. Dev.) ค่อนข้างสูงถึง 19.83 ซึ่งบ่งชี้ว่าเวลายังมีความผันผวน ไม่สม่ำเสมอในแต่ละภารกิจ ทั้งนี้อัตราความสำเร็จของภารกิจรวมทุกรูปแบบ อยู่ที่ 80.83% ถือเป็นข้อพิสูจน์ที่ชัดเจนว่าแนวทางการออกแบบระบบไฮบริดนี้ใช้งานได้จริงและบรรลุผลสำเร็จ สำหรับการนำคะแนนเฉลี่ย (สมมติ) มาใช้เป็นหนึ่งในตัวชี้วัดประสิทธิภาพหลัก (KPI) เพื่อแปลงอัตราการสำเร็จภารกิจให้อยู่ในบริบทของผลลัพธ์การแข่งขันจริงนั้น หุ่นยนต์สามารถทำคะแนนเฉลี่ยต่อการแข่งขัน ได้ 61.95 คะแนน

6. สรุปและอภิปราย

งานวิจัยนี้มีวัตถุประสงค์เพื่อพัฒนาและประเมินประสิทธิภาพของระบบหุ่นยนต์โบว์ลิ่งอัตโนมัติที่สามารถปฏิบัติภารกิจการแข่งขันที่ซับซ้อนและมีเวลาจำกัดได้สำเร็จ โดยได้นำเสนอแนวทางการแก้ปัญหาแบบไฮบริดที่ผสมผสานระหว่าง กลยุทธ์ชี้นำเชิงสายตา (Visual Heuristic/Servoing) และกลไกแก้ไขปัญหาด้วยการมองเห็นเชิงรุก (Active Vision Recovery Mechanism)

จากผลการทดลอง สามารถสรุปผลการทำงานของระบบที่พัฒนาขึ้นได้ดังนี้

1) ด้านความแม่นยำของอัลกอริทึม การคำนวณเป้าหมายมีความแม่นยำในเชิงเรขาคณิตสูง โดยมีค่าความคลาดเคลื่อนเฉลี่ยเพียง 4.10 – 6.38 พิกเซล ซึ่งยืนยันความถูกต้องของตรรกะการคำนวณ

2) ด้านประสิทธิภาพในภารกิจ ระบบสามารถเลือกใช้กลยุทธ์ที่ถูกต้องและปฏิบัติภารกิจตามรูปแบบสุ่ม (A-F) ได้สำเร็จ โดยมีอัตราความสำเร็จของภารกิจโดยรวมอยู่ที่ 80.83% ที่สำคัญระบบ Active Vision สามารถทำงานได้สำเร็จในการแก้ไขปัญหามุมมองถูกบดบัง ซึ่งเป็นกลไกที่ช่วยให้หุ่นยนต์สามารถมองเห็นได้จากสภาวะการมองที่การล้มเหลว

3) ด้านประสิทธิภาพโดยรวม ในการจำลองการแข่งขันเต็มรูปแบบจำนวน 10 รอบ หุ่นยนต์ใช้เวลาเฉลี่ย 31.14 วินาที ต่อ 1 ภารกิจย่อย และทำคะแนนเฉลี่ยได้ 61.95 คะแนน ดังนั้นสามารถสรุปได้ว่า ระบบหุ่นยนต์ที่พัฒนาขึ้นนี้บรรลุวัตถุประสงค์ในการสร้างและทดสอบระบบที่ใช้กลยุทธ์แบบไฮบริดได้สำเร็จ และแสดงให้เห็นถึงศักยภาพในการทำงานจริง แม้ว่าประสิทธิภาพโดยรวมยังมีหัวข้อสำหรับงานวิจัยที่สามารถพัฒนาต่อไปได้อีกในอนาคต

7. ข้อเสนอแนะ

เสนอแนวทางการพัฒนาต่อยอด การปรับปรุงอัลกอริทึมให้สามารถรับมือกับรูปแบบที่ซับซ้อนขึ้น หรือมีการใช้ Machine Learning เพื่อปรับค่าการโยนให้แม่นยำขึ้นจากข้อมูลเก่า

สำหรับข้อเสนอแนะในการพัฒนาระบบในอนาคตนอกจากนี้ แม้ว่าในงานวิจัยนี้จะเลือกใช้ พินซ้ายสุด (พิน 7) เป็นจุดอ้างอิงหลักเพียงจุดเดียวเพื่อความสม่ำเสมอของตรรกะในการควบคุม การพัฒนาระบบเพิ่มเติมให้มีความยืดหยุ่นโดยการใช้พินอ้างอิงอื่น ในกรณีที่พินหลักถูกบดบังอย่างรุนแรง ก็เป็นแนวทางที่น่าสนใจในการเพิ่มความทนทานของระบบต่อไป

8. กิตติกรรมประกาศ

ขอขอบคุณสาขาวิชาวิศวกรรมหุ่นยนต์และระบบอัตโนมัติ คณะวิศวกรรมศาสตร์ มหาวิทยาลัยเทคโนโลยีราชมงคลล้านนา ที่ได้สนับสนุนข้อมูลในการดำเนินงานวิจัย

เอกสารอ้างอิง

[1] M. F. A. K. M. Z. H. Khan, M. A. A. Saad, and M. A. R. Sarkar, “Development of an autonomous solar-powered battery swapping and charging station for drones,” in Proc. 25th Int. Conf. Comput. Inf. Technol. (ICCIT), Cox’s Bazar, Bangladesh, 2022, pp. 783–788.

[2] T. L. T. Lun, K. L. Paing, N. A. K. K. Thet, T. T. Zin, and W. A. Hlaing, “Vision-based object detection and path planning of soccer robot in RoboCup SSL,” in Proc. 26th Int. Conf. Comput. Inf. Technol. (ICCIT), Cox’s Bazar, Bangladesh, 2023, pp. 1–6.

[3] X. Li, Y. Chai, T. T. K. Vu, Y. Hu, Z. Hawari, and C. K. Tan, “A vision-based robotic sorting system for recyclable waste,” in Proc. 18th Int. Conf. Ubiquitous Robots (UR), Gangneung, Korea (South), 2021, pp. 518–523.

[4] S. Afaz, B. K. Deb, M. T. I. Bhuiyan, and M. A. R. Ahad, “A fused approach for mature tomato detection in complex environment of a greenhouse,” in Proc. Int. Conf. Electr., Comput. Commun. Eng. (ECCE), Chittagong, Bangladesh, 2023, pp. 1–6.

[5] L. Liu, Z. Wang, Z. Wang, J. Cui, and S. Shen, “Lifelong-SLAM: A method for unified map fusion and online place recognition for active SLAM,” in Proc. IEEE Int. Conf. Robot. Autom. (ICRA), Yokohama, Japan, 2024, pp. 7643–7650.

[6] J. Shen, P. Song, X. Wen, Y. Xiao, and Y. Luo, “A vision-guided robot system for intelligent welding of complex-

shaped workpieces," IEEE Trans. Ind. Informat., vol. 18, no. 10, pp. 7058–7067, Oct. 2022.

[7] Z. Zhuang, Y. Li, H. He, Z. Gao, T. Xu, and Z. Li, "An autonomous navigation system for agricultural mobile robots in complex orchard environments," Comput. Electron. Agric., vol. 222, Art. no. 109033, Jul. 2024.

[8] C. Li, J. Zhou, S. Huang, F. Kong, and X. Wang, "A 3D vision-based robotic bin-picking system for closely-packed and occluded objects," IEEE Trans. Autom. Sci. Eng., vol. 21, no. 1, pp. 582–595, Jan. 2024.

ประวัติผู้เขียน

จักรรินทร์ ถิ่นนคร

ประวัติการศึกษา : ปริญญาโท วิศวกรรมศาสตรมหาบัณฑิต สาขาวิศวกรรมไฟฟ้า มหาวิทยาลัยเชียงใหม่

ประวัติการทำงาน : อาจารย์ประจำหลักสูตรวิศวกรรมหุ่นยนต์และระบบอัตโนมัติ สาขาวิสวกรรมไฟฟ้า คณะวิศวกรรมศาสตร์ มหาวิทยาลัยเทคโนโลยีล้านนา

งานวิจัยที่สนใจ : Sensor and Transducer, Mobile Robotic, Automation system

สาธิต รุ่งสว่าง

ประวัติการศึกษา : ปริญญาโท วิศวกรรมศาสตรมหาบัณฑิต สาขาวิศวกรรมระบบ มหาวิทยาลัยเทคโนโลยีสุรนารี

ประวัติการทำงาน : อาจารย์ประจำหลักสูตรวิศวกรรมหุ่นยนต์และระบบอัตโนมัติ สาขาวิสวกรรมไฟฟ้า คณะวิศวกรรมศาสตร์ มหาวิทยาลัยเทคโนโลยีล้านนา

งานวิจัยที่สนใจ : Automation System, Manufacturing System, Simulation System, Robot 3D Printing

ปฏิภาณ ห่วงศร

ประวัติการศึกษา : ปริญญาโท วิศวกรรมศาสตร์มหาบัณฑิต สาขาวิศวกรรมไฟฟ้า มหาวิทยาลัยเทคโนโลยีราชมงคลล้านนา

ประวัติการทำงาน :อาจารย์ประจำหลักสูตรวิศวกรรมหุ่นยนต์และระบบอัตโนมัติ สาขาวิสวกรรมไฟฟ้า คณะวิศวกรรมศาสตร์ มหาวิทยาลัยเทคโนโลยีล้านนา

งานวิจัยที่สนใจ : Automation system ,Industrial Robot, Machine Vision และ Ai

กฤษฎ์ รัชชภูมิ

ประวัติการศึกษา : ปริญญาโท วิศวกรรมศาสตรมหาบัณฑิต สาขาวิศวกรรมไฟฟ้า มหาวิทยาลัยเทคโนโลยีราชมงคลล้านนา

ประวัติการทำงาน : นักวิชาการการศึกษา สังกัดคณะวิศวกรรมศาสตร์มหาวิทยาลัยเทคโนโลยีราชมงคลล้านนา เชียงใหม่

งานวิจัยที่สนใจ : Three-port DC–DC converters

การพัฒนาระบบตรวจจับสิ่งมีชีวิตในพื้นที่จำกัดโดยใช้เซ็นเซอร์คลื่นมิลลิเมตร

Millimeter-Wave Sensor-Based Detection of Living Organisms in Confined Spaces

โชคมงคล นาดี[1] ปุณยสิริ บุญเป็ง[2] มานัส สุนันท์[3] อนุสรณ์ เราเท่า[4] เอกทัศน์ พฤกษวรรณ[5] และ กฤษดา ยิ่งขยัน[6]*

[1,2,5,6]สาขาวิชาวิศวกรรมไฟฟ้า คณะวิศวกรรมศาสตร์ มหาวิทยาลัยเทคโนโลยีราชมงคลล้านนา
eleccmk@rmutl.ac.th, p_boonpeng@rmutl.ac.th, eakrmutl@rmutl.ac.th, krisda@rmutl.ac.th*
[3,4]สาขาครุศาสตร์อุตสาหกรรมและเทคโนโลยี คณะวิศวกรรมศาสตร์ มหาวิทยาลัยเทคโนโลยีราชมงคลล้านนา
elecmns@rmutl.ac.th, elecans@rmutl.ac.th

บทคัดย่อ

งานวิจัยนี้มีวัตถุประสงค์เพื่อศึกษาและพัฒนาต้นแบบระบบตรวจจับสิ่งมีชีวิตในพื้นที่จำกัด โดยมุ่งลดความเสี่ยงจากการติดอยู่ในสถานที่ปิด เช่น ภายในรถยนต์หรือห้องที่มีการระบายอากาศไม่เพียงพอ ระบบที่พัฒนาขึ้นอาศัยการทำงานร่วมกันระหว่างเซ็นเซอร์ตรวจจับการเคลื่อนไหวและเซ็นเซอร์ตรวจจับการหายใจโดยใช้หลักการของคลื่นมิลลิเมตร เพื่อเพิ่มความแม่นยำในการยืนยันการมีอยู่ของสิ่งมีชีวิตในพื้นที่เป้าหมายขนาด 3 ตารางเมตร ระบบรองรับการตรวจจับในมุม 0°, 90° และ 180° เพื่อให้สามารถครอบคลุมพื้นที่ได้อย่างทั่วถึงระบบใช้หลักการตรวจสอบเงื่อนไขร่วม โดยจะส่งสัญญาณแจ้งเตือนผ่านแอปพลิเคชันเทเลแกรม ก็ต่อเมื่อเซ็นเซอร์ทั้งสองตรวจพบทั้งการเคลื่อนไหวและการหายใจพร้อมกัน เพื่อลดข้อผิดพลาดจากการเคลื่อนไหวของวัตถุที่ไม่มีชีวิต พร้อมทั้งสามารถแสดงข้อมูลแบบเรียลไทม์ผ่านแอปพลิเคชันบลิงค์เพื่อให้ผู้ใช้สามารถติดตามสถานะได้ตลอดเวลา ผลการทดสอบในสภาพแวดล้อมจริงพบว่าระบบมีความแม่นยำและเสถียร โดยสามารถตรวจจับสิ่งมีชีวิตได้อย่างถูกต้องในระยะ 50–300 เซนติเมตร ครอบคลุมทุกทิศทาง และแจ้งเตือนผ่านแอปพลิเคชันเทเลแกรม ภายในเวลา 5 วินาที อีกทั้งสามารถแสดงผลผ่านบลิงค์ ได้อย่างต่อเนื่องและถูกต้อง ผลลัพธ์ดังกล่าวแสดงให้เห็นว่าระบบที่พัฒนาขึ้นมีศักยภาพและความเหมาะสมสำหรับการประยุกต์ใช้งานจริงในการเพิ่มความปลอดภัยในพื้นที่จำกัด

คำสำคัญ: เซ็นเซอร์คลื่นมิลลิเมตร, การตรวจจับการหายใจ, การตรวจจับสิ่งมีชีวิต, บลิงค์, เทเลแกรม

Abstract

This research aims to study and develop a prototype system for detecting living organisms in confined spaces, with the goal of reducing the risk of entrapment in enclosed environments such as inside vehicles or rooms with insufficient ventilation. The proposed system combines a motion detection sensor and a respiration detection sensor based on millimeter-wave technology to enhance the accuracy of verifying the presence of living beings within a target area of 3 square meters. The system supports detection at angles of 0°, 90°, and 180° to ensure full spatial coverage. The detection process is based on a conditional approach in which an alert is sent via the Telegram application only when both sensors simultaneously detect motion and respiration. This helps minimize false alarms caused by non-living moving objects. Real-time data is also displayed through the Blynk application, allowing users to continuously monitor the system status. Experimental results in real-world conditions show that the system is accurate and stable, capable of reliably detecting living organisms within a range of 50–300 centimeters in all directions. Alerts are delivered via Telegram within 5 seconds, and data is accurately and consistently displayed through Blynk. These findings demonstrate that the developed system is suitable for practical use and can effectively enhance safety in confined spaces.

Keywords: Millimeter-wave sensor, Respiration detection, Living organism detection, Blynk, Telegram

1. บทนำ

การเสียชีวิตของเด็กเล็กจากการถูกลืมไว้ในรถยนต์ (Forgotten Baby Syndrome) ถือเป็นปัญหาที่สร้างความสะเทือนใจแก่สังคมอย่างยิ่ง โดยเฉพาะในบริบทของสภาพอากาศร้อนจัด การปล่อยให้เด็กอยู่ภายในรถยนต์ที่ปิดสนิทสามารถทำให้อุณหภูมิภายในร่างกายเพิ่มสูงขึ้นอย่างรวดเร็ว ส่งผลให้เกิดภาวะฮีตสโตรก (Heatstroke) ซึ่งอาจนำไปสู่การเสียชีวิตได้ภายในเวลาไม่กี่ชั่วโมง ผลกระทบจากเหตุการณ์ดังกล่าว ไม่เพียงแต่ก่อให้เกิดความสูญเสียทั้งทางร่างกายและจิตใจต่อครอบครัวของผู้เสียชีวิต แต่ยังสะท้อนให้เห็นถึงความจำเป็นในการพัฒนาแนวทางการป้องกันและแก้ไขปัญหาในระดับสังคม เพื่อยกระดับความปลอดภัยสำหรับเด็กเล็กอย่างเป็นระบบ ข้อมูลจากกรมควบคุมโรค กระทรวงสาธารณสุข ระหว่างปี พ.ศ. 2557–2563 ระบุว่า มีกรณีเด็กถูกลืมไว้ในรถตามลำพังจำนวนทั้งสิ้น 129 เหตุการณ์ โดยในจำนวนนี้ พบว่าเด็กอายุ 2 ปีเป็นกลุ่มที่เกิดเหตุสูงสุด คิดเป็นร้อยละ 38.0 รองลงมาคือเด็กอายุ 1 ปี และ 3 ปี คิดเป็นร้อยละ 20.9 และ 19.4 ตามลำดับ ตามลำดับ [1] ยิ่งไปกว่านั้น ในปี

*ผู้ประพันธ์บรรณกิจ

พ.ศ. 2565 ยังมีรายงานกรณีเด็กหญิงอายุ 7 ปีเสียชีวิตจากเหตุการณ์ลักษณะเดียวกันในจังหวัดบุรีรัมย์ เมื่อวันที่ 30 สิงหาคม พ.ศ. 2565 [2] โดยการวิเคราะห์สาเหตุพบว่า ส่วนใหญ่เกิดจากการหลงลืมของผู้ปกครองหรือผู้ที่รับผิดชอบในการดูแลเด็ก จากปัญหาดังกล่าว งานวิจัยนี้จึงมีเป้าหมายเพื่อศึกษาแนวทางการตรวจสอบการมีอยู่ของสิ่งมีชีวิตภายในพื้นที่ปิด โดยเน้นการพัฒนาเทคโนโลยีสำหรับการตรวจจับการหายใจ ซึ่งเป็นสัญญาณชีพพื้นฐานที่สามารถใช้ยืนยันการมีอยู่ของมนุษย์ได้เทคโนโลยีการตรวจจับการหายใจสามารถแบ่งออกได้เป็น 2 กลุ่มหลัก ได้แก่ 1. กลุ่มที่ใช้อัลกอริธึมประมวลผลจากภาพ เช่น กล้อง RGB หรือกล้องถ่ายภาพความร้อน และ 2. กลุ่มที่ใช้เซ็นเซอร์โดยตรงในการวัด เช่น เซ็นเซอร์ความดันหรือคลื่นแม่เหล็กไฟฟ้า อย่างไรก็ตาม ระบบที่ใช้กล้องอาจมีข้อจำกัดเมื่อมีสิ่งกีดขวาง หรือเมื่อมุมมองของกล้องไม่ครอบคลุมพื้นที่ทั้งหมด ด้วยเหตุนี้ งานวิจัยฉบับนี้จึงเสนอการออกแบบระบบตรวจจับการมีอยู่ของสิ่งมีชีวิตในพื้นที่จำกัด โดยเลือกใช้เทคโนโลยีเซ็นเซอร์คลื่นมิลลิเมตร (Millimeter-wave sensor) ในย่านความถี่ V-Band (60 GHz) ซึ่งมีคุณสมบัติเด่นด้านการตรวจวัดแบบไร้สัมผัส และสามารถตรวจจับผ่านสิ่งกีดขวางบางชนิดได้ ทั้งยังสามารถตรวจวัดสัญญาณชีพ เช่น การหายใจและการเต้นของหัวใจ ได้อย่างแม่นยำจากระยะใกล [3][4] ซึ่งเหมาะสมอย่างยิ่งสำหรับการนำไปประยุกต์ใช้ในรถยนต์หรือพื้นที่จำกัดอื่น ๆ เพื่อยกระดับความปลอดภัยสำหรับเด็กเล็ก

2. วิธีดำเนินการวิจัย

2.1 การออกแบบการตรวจจับการเคลื่อนไหวและการหายใจ

องค์ประกอบแรกของระบบตรวจจับต้องกำหนดความครอบคลุมของพื้นที่โดยดูจากคุณสมบัติโดยรวมของเซ็นเซอร์ในส่วนของระยะความสูงและองศา โดยจะต้องหาระยะทางโดยหาความกว้าง L จากสูตรของตรีโกณตามสมการที่ 1 แสดงในรูปที่ 1และ สมการที่ 2 หาองศาในมุมเอียง และสมการที่ 3 หาระยะทาง ในกรณีที่วางในส่วนของการเอียงของตัวเซ็นเซอร์แสดงในรูปที่ 2

$$L = H \tan\theta^{\circ} \quad (1)$$

$$\theta = \tan^{-1}\frac{H}{L} \quad (2)$$

เมื่อ θ = องศาแนวเฉียง
H = ความสูงหรือระยะทางแนวดิ่ง
L = ระยะทางแนวนอน

$$ระยะทาง = 2\tan(\theta) \quad (3)$$

การออกแบบระบบเซ็นเซอร์เฝ้าระวังที่มีประสิทธิภาพต้องอาศัยการคำนวณพื้นที่ครอบคลุมที่แม่นยำ โดยใช้หลักการตรีโกณมิติเป็นฐานในการกำหนดความสัมพันธ์ระหว่างตำแหน่งการติดตั้ง มุมการตรวจจับ และพื้นที่ครอบคลุมสมการที่ 1 $L = H \tan \theta^{\circ}$ แสดงความสัมพันธ์ระหว่างระยะทางแนวนอน (L) ความสูงจุดติดตั้ง (H) และมุมแผ่กระจาย (θ) ช่วยคำนวณระยะครอบคลุมเมื่อทราบความสูงและมุมของเซ็นเซอร์ สมการที่ 2 $\theta = \tan^{-1}(H/L)$ เป็นการหาค่าผกผัน ใช้คำนวณมุมที่เหมาะสมเมื่อทราบความสูงและระยะที่ต้องการครอบคลุม มีประโยชน์ในการวางแผนระบบที่มีข้อจำกัดด้านพื้นที่ สมการที่ 3 คือ ระยะทาง = $2\tan(\theta)$ คำนวณความกว้างรวมของพื้นที่ครอบคลุมในแนวขวาง สำคัญเมื่อเซ็นเซอร์ตรวจจับได้สองด้านหรือมีการติดตั้งหลายตัว การประยุกต์ใช้ในทางปฏิบัติ เช่น การติดตั้งในห้อง 6×4 เมตร ที่เพดานสูง 3 เมตร สามารถคำนวณมุมที่จำเป็นหรือจำนวนเซ็นเซอร์ที่ต้องการได้ อย่างไรก็ตาม ต้องพิจารณาข้อจำกัดของเซ็นเซอร์จริง เช่น การกระจายสัญญาณที่ไม่สม่ำเสมอ และอาจต้องเพิ่ม safety factor สำหรับความน่าเชื่อถือ การเข้าใจสมการทั้งสามจึงเป็นพื้นฐานสำคัญในการออกแบบระบบเซ็นเซอร์ที่มีประสิทธิภาพ ช่วยวางแผนการติดตั้งอย่างเหมาะสม และเป็นการประยุกต์หลักการคณิตศาสตร์เข้ากับเทคโนโลยีเซ็นเซอร์อย่างมีประสิทธิภาพ

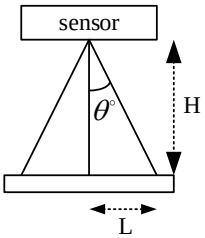

รูปที่ 1 การหาระยะทางโดยใช้วิธีของตรีโกณ

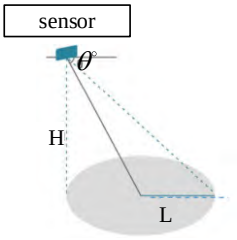

รูปที่ 2 การหาระยะทางโดยใช้วิธีของตรีโกณในองศาที่เอียง

การออกแบบในส่วนประกอบของฮาร์ดแวร์ของระบบตรวจจับสิ่งมีชีวิตในพื้นที่จำกัด เป็นขั้นตอนที่สำคัญในการพัฒนาระบบที่ทำงานร่วมกับซอฟต์แวร์ ซึ่งจะช่วยให้การทำงานของเซ็นเซอร์และอุปกรณ์ต่าง ๆ ทำงานได้ตามที่ออกแบบไว้ ส่วนฮาร์ดแวร์จะรับผิดชอบในการประมวลผลข้อมูลที่ได้จากซอฟต์แวร์และควบคุมการทำงานของระบบเพื่อประมวลผลและแจ้งเตือนโดยแสดงผลในรูปที่ 3 และ รูปที่ 4 แสดงการเชื่อมต่อของอุปกรณ์

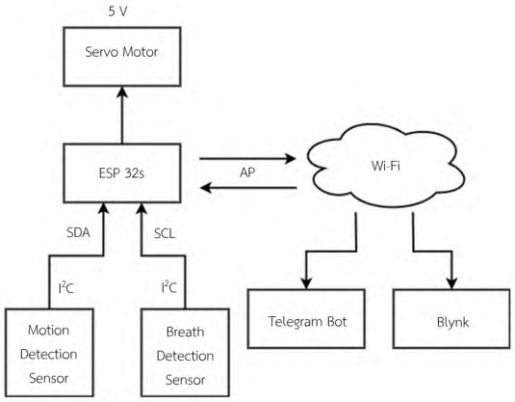

รูปที่ 3 บล็อกไดอะแกรมของฮาร์ดแวร์

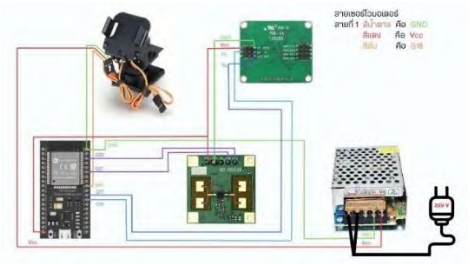

รูปที่ 4 ไดอะแกรมแสดงการเชื่อมอุปกรณ์ทั้งหมด

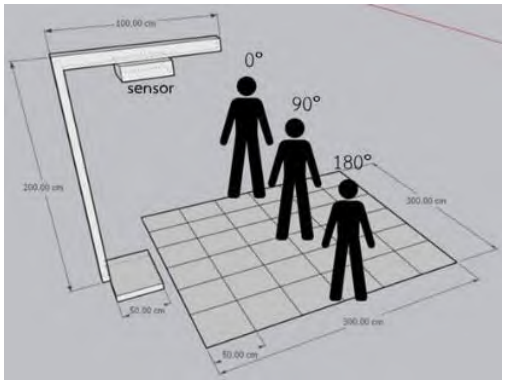

รูปที่ 5 การติดตั้งเซ็นเซอร์และตำแหน่งการเคลื่อนมุม

โครงสร้างของระบบตรวจจับสิ่งมีชีวิตในพื้นที่จำกัด จะมีบอร์ด ESP32 เซ็นเซอร์การตรวจจับการเคลื่อนไหว (LD115H) เซ็นเซอร์ตรวจจับการหายใจ (60RABD1) แหล่งจ่ายไฟ และ เซอร์โวมอเตอร์ แสดงดังรูปที่ 6

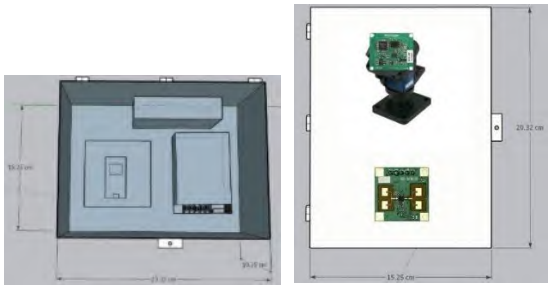

(ก) (ข)

รูปที่ 6 (ก) โครงสร้างภายในกล่องระบบตรวจจับและ (ข) การวางตำแหน่งของเซ็นเซอร์ในการตรวจจับการเคลื่อนไหว และการหายใจ

2.2 การออกแบบซอฟต์แวร์

ในการออกแบบระบบซอฟต์แวร์สำหรับการตรวจจับสิ่งมีชีวิตในพื้นที่จำกัด ผู้วิจัยได้กำหนดความต้องการของซอฟต์แวร์เพื่อให้สามารถรองรับการทำงานของระบบได้อย่างมีประสิทธิภาพ โดยแบ่งออกเป็น 3 ด้านหลัก ดังนี้ 1. ฟังก์ชันหลักของระบบ ระบบซอฟต์แวร์ต้องสามารถรองรับการตรวจจับสิ่งมีชีวิตภายในพื้นที่ที่กำหนดและความสามารถ ในการแจ้งเตือนผู้ใช้งานทันทีเมื่อมีการตรวจพบการปรากฏของสิ่งมีชีวิต ทั้งนี้ เพื่อเพิ่มประสิทธิภาพในการตอบสนองต่อสถานการณ์ที่อาจเกิดความเสี่ยง เช่น การลืมเด็กไว้ในยานพาหนะ 2. ประเภทของข้อมูลที่จัดการ ระบบต้องสามารถจัดการข้อมูลที่ได้จากเซ็นเซอร์หลายประเภท ได้แก่ ข้อมูลจากเซ็นเซอร์ตรวจจับการเคลื่อนไหว (Motion Sensor) และเซ็นเซอร์ตรวจจับการหายใจ (Breath Sensor) ซึ่งข้อมูลเหล่านี้ต้องได้รับการประมวลผลและตีความอย่างแม่นยำ เพื่อให้ระบบสามารถตัดสินใจแจ้งเตือนได้อย่างถูกต้อง 3. รูปแบบของการแจ้งเตือน ระบบต้องสามารถแจ้งเตือนผู้ใช้งานผ่านช่องทางต่าง ๆ ได้อย่างมีประสิทธิภาพ โดยเฉพาะช่องทางที่สามารถเข้าถึงได้ง่ายและตอบสนองได้รวดเร็ว เช่น แอปพลิเคชัน Blynk และ Telegram ซึ่งเป็นช่องทางที่สามารถแสดงสถานะของระบบแบบเรียลไทม์ ดังแสดงในรูปที่ 7

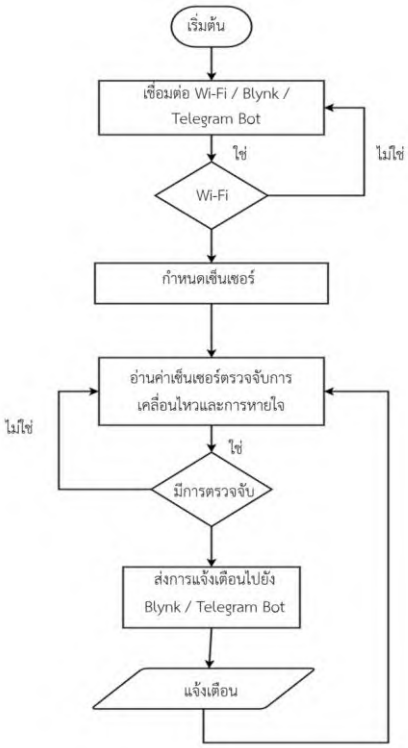

รูปที่ 7 แผนผังการทำงานของซอฟต์แวร์

3. ผลทดลองและการอภิปราย

จากตารางที่ 1 ระบบตรวจจับและแจ้งเตือนอัตโนมัตินี้ถูกพัฒนาขึ้นเพื่อเพิ่มความปลอดภัยด้วยเทคโนโลยี IoT โดยใช้ ESP32 เป็นหัวใจหลักในการควบคุมและเชื่อมต่อ Wi-Fi/Bluetooth เพื่อประมวลผลข้อมูลจากเซ็นเซอร์และส่งการแจ้งเตือนผ่าน Blynk และ Telegram

ระบบประกอบด้วยเซ็นเซอร์สองชนิดหลัก ได้แก่ Motion Detection Sensor (LD115H) ที่ใช้เรดาร์ความถี่ 24-24.25 GHz ตรวจจับการเคลื่อนไหวภายใน 1-2 วินาที และ Respiration Detection Sensor (60RABD1) ที่ใช้คลื่น 60 GHz ตรวจจับการหายใจในมุม 60 องศา การทำงานร่วมกันของเซ็นเซอร์ทั้งสองช่วยยืนยันการมีอยู่ของสิ่งมีชีวิตและลดการเตือนผิดพลาด

Servo Motor ทำหน้าที่ปรับมุมเซ็นเซอร์ได้ 0°, 90°, 180° เพื่อเพิ่มพื้นที่การตรวจจับ ขณะที่แหล่งจ่ายไฟ 5V-3A รองรับการทำงานของระบบทั้งหมด การแสดงผลใช้แอป Blynk สำหรับติดตามสถานะแบบเรียลไทม์ และ Telegram สำหรับการแจ้งเตือนทันที ส่วนสภาพแวดล้อมในการทดสอบ

ระบบนี้เหมาะสำหรับการรักษาความปลอดภัยในบ้าน สำนักงาน การตรวจจับการบุกรุก และการเฝ้าระวังผู้สูงอายุ ด้วยการผสมผสานเทคโนโลยีเซ็นเซอร์และ IoT ทำให้ได้ระบบที่มีประสิทธิภาพ ใช้งานง่าย และสามารถปรับปรุงได้ตามความต้องการจากการดำเนินการทดลองระบบที่พัฒนาขึ้นสามารถทำงานได้ตรงตามวัตถุประสงค์ที่กำหนดไว้ โดยแบ่งการทดสอบออกเป็นส่วนหลัก ๆ ได้แก่ การตรวจจับการเคลื่อนไหว การตรวจจับการหายใจ การแสดงผลผ่าน การแจ้งเตือนผ่านแอปพลิเคชัน Telegram ซึ่งสามารถสรุปผลการทดสอบแต่ละส่วนได้แสดงในรูปที่ 8 – 10

ตารางที่ 1 รายละเอียดอุปกรณ์ในการทดสอบ

อุปกรณ์	รายละเอียด	การใช้งาน
ESP32	ไมโครคอนโทรลเลอร์ Wi-Fi/BT	ประมวลผลข้อมูลจากเซ็นเซอร์, ควบคุมการทำงานของระบบ, ส่งข้อมูลไปยัง Blynk และ Telegram
Motion Detection Sensor (LD115H)	เซ็นเซอร์ตรวจจับการเคลื่อนไหว ย่านความถี่ 24-24.25GHz ตรวจจับได้ภายในเวลา 1-2 วินาที	ใช้ตรวจจับการเคลื่อนไหวของสิ่งมีชีวิต เพื่อยืนยันการมีอยู่เบื้องต้น
Respiration Detection Sensor 60RABD1	เซ็นเซอร์คลื่นมิลลิเมตรตรวจจับการหายใจ ย่านความถี่ 60 GHz ระยะในการตรวจจับ มุมแนวนอน 60° และมุมเงย 60°	ใช้วัดสัญญาณการหายใจ เพื่อยืนยันการมีอยู่ของสิ่งมีชีวิตอย่างแม่นยำ
Servo Motor	มอเตอร์ปรับหมุนของเซ็นเซอร์	ขยายมุมตรวจจับให้ครอบคลุม 0°, 90°, 180° ลดจุดบอดการตรวจจับ
Power Supply 5V- 3A	แหล่งจ่ายไฟ DC	สำหรับจ่ายพลังงานให้ ESP32 และเซ็นเซอร์ทั้งหมด
Blynk Application	แอปพลิเคชันสำหรับ IoT	แสดงผลสถานะของระบบแบบเรียลไทม์
Telegram Application	แอปพลิเคชันสำหรับการสื่อสาร	ใช้แจ้งเตือนผู้ใช้งานทันทีเมื่อระบบตรวจพบสิ่งมีชีวิต

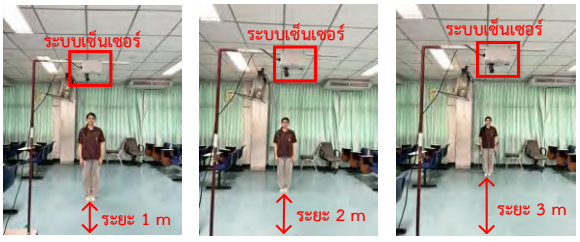

(ก) (ข) (ค)

รูปที่ 8 การทดสอบของระยะ (ก) 1 เมตร (ข) 2 เมตร และ (ค) 3 เมตร

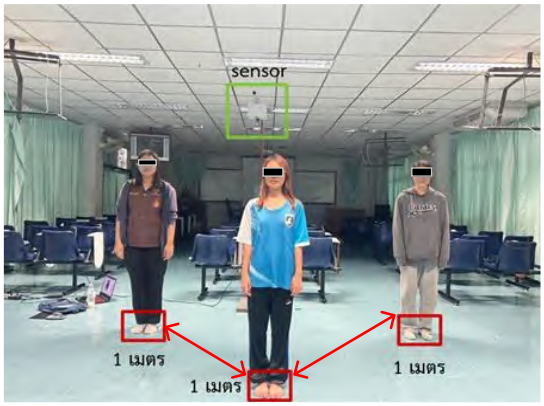

รูปที่ 9 การทดสอบตำแหน่งของบุคคลในการตรวจจับในแต่ละมุม

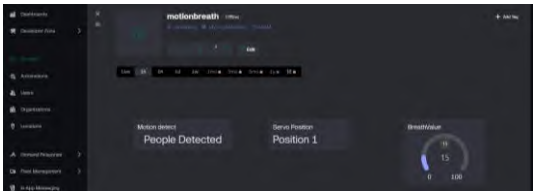

(ก)

(ข)

รูปที่ 10 การแจ้งเตือนผ่านแอปพลิเคชัน (ก) Blynk และ (ข) แอปพลิเคชันTelegram

4. สรุป

งานวิจัยฉบับนี้ได้นำเสนอการพัฒนาระบบตรวจจับสิ่งมีชีวิตในพื้นที่จำกัด โดยใช้เซ็นเซอร์ตรวจจับการเคลื่อนไหวร่วมกับเซ็นเซอร์ตรวจจับการหายใจ ซึ่งเชื่อมต่อและควบคุมผ่านไมโครคอนโทรลเลอร์ ESP32 สำหรับการรับ–ส่งข้อมูล และแสดงผลผ่านแอปพลิเคชัน Blynk และ Telegram ผลการทดลองพบว่า ระบบสามารถตรวจจับสิ่งมีชีวิตในพื้นที่ขนาด 3 ตารางเมตรได้อย่างมีประสิทธิภาพ โดยมีการเพิ่มขอบเขตการตรวจจับด้วยกลไกการหมุนของเซอร์โวมอเตอร์ในมุม 0°, 90° และ 180° ช่วยลดจุดบอดของการตรวจจับในพื้นที่ ระบบสามารถแจ้งเตือนได้ภายในเวลาเฉลี่ย 5 วินาที และมีความแม่นยำสูงในการตรวจจับสิ่งมีชีวิตในพื้นที่ปิด ทั้งนี้งานวิจัยในอนาคตมีแผนนำระบบดังกล่าวไปทดสอบในสภาพแวดล้อมจริง เช่น ภายในยานพาหนะ เพื่อประเมินประสิทธิภาพและความเหมาะสมในการใช้งานภาคสนามต่อไป

กิตติกรรมประกาศ

คณะทำงานวิจัยขอขอบคุณ ผู้ร่วมวิจัย นางสาวนางสาวณิชชา ณ พัทลุง และนางสาวนางสาวณิชาภัทร เทียบวงศ์หล้า ที่ร่วมงานสำหรับการเก็บข้อมูลงานวิจัย และ สาขาวิชาวิศวกรรมไฟฟ้า และคณะวิศวกรรมศาสตร์ มหาวิทยาลัยเทคโนโลยีราชมงคลล้านนา ในการสนับสนุนงบประมาณในการทำงานวิจัย

เอกสารอ้างอิง

[1] กลุ่มยุทธศาสตร์ แผนและประเมินผล กองโรคไม่ติดต่อ กรมควบคุมโรค กระทรวงสาธารณสุข. (2564). ข้อมูลโรคไม่ติดต่อ. นนทบุรี: กระทรวง สาธารณสุข.

[2] หนังสือพิมพ์ผู้จัดการ. (2559). 5 ปี เด็กถูกลืมทิ้งในรถตาย 6 รายแนะ 3 ข้อป้องกัน. ออนไลน์. สืบค้น 7 มิถุนายน 2559. http://www.manager.co.th/QOL/ViewNews.aspx?NewsID=9590000050540

[3] H. -R. Chuang, H. -C. Kuo, F. -L. Lin, T. -H. Huang, C. -S. Kuo and Y. -W. Ou, "60-GHz Millimeter-Wave Life Detection System (MLDS) for Noncontact Human Vital-Signal Monitoring," in IEEE Sensors Journal, vol. 12, no. 3, pp. 602-609, March 2012.

[4] A. Lazaro, M. Lazaro, R. Villarino and D. Girbau, "Seat-Occupancy Detection System and Breathing Rate Monitoring Based on a Low-Cost mm-Wave Radar at 60 GHz," in IEEE Access, vol. 9, pp. 115403-115414, 2021.

โชคมงคล นาดี สำเร็จปริญญาวิศวกรรมศาสตรดุษฎีบัณฑิต (วศ.ด. เทคโนโลยีวิศวกรรมไฟฟ้าและสารสนเทศ) มหาวิทยาลัยเทคโนโลยีพระจอมเกล้าธนบุรี ปัจจุบันเป็นอาจารย์ ประจำหลักสูตร ปวส. อิเล็กทรอนิกส์อัตโนมัติ สาขาวิชาวิศวกรรมไฟฟ้า มหาวิทยาลัยเทคโนโลยีราชมงคลล้านนา เชียงใหม่ มีความสนใจทางด้านอิเล็กทรอนิกส์ และ ระบบการประมวลผลสัญญาณดิจิทัล

ปุณยสิริ บุญเป็ง สำเร็จปรัชญาดุษฎีบัณฑิต (วิศวกรรมไฟฟ้า) จากจุฬาลงกรณ์มหาวิทยาลัย ปัจจุบันเป็นอาจารย์ประจำ ในสาขาวิชาวิศวกรรมไฟฟ้า มหาวิทยาลัยเทคโนโลยีราชมงคลล้านนา มีความสนใจทางด้านวิศวกรรมอิเล็กทรอนิกส์

อนุสรณ์ เราเท่า สำเร็จการศึกษาวิศวกรรมศาสตรมหาบัณฑิต (วิศวกรรมพลังงาน) มหาวิทยาลัยเชียงใหม่ ปัจจุบันเป็นอาจารย์ประจำหลักสูตร ครุศาสตร์อุตสาหกรรมอิเล็กทรอนิกส์ มหาวิทยาลัยเทคโนโลยีราชมงคลล้านนา เชียงใหม่ มีความสนใจ สนใจด้านการประยุกต์ใช้อิเล็กทรอนิกส์ในงานเกษตรกรรม

มานัส สุนันท์ สำเร็จการศึกษาวิศวกรรมศาสตรมหาบัณฑิต (วิศวกรรมไฟฟ้า) มหาวิทยาลัยเชียงใหม่ ปัจจุบันเป็นอาจารย์ประจำหลักสูตร ครุศาสตร์อุตสาหกรรมอิเล็กทรอนิกส์ มหาวิทยาลัยเทคโนโลยีราชมงคลล้านนา เชียงใหม่ มีความสนใจ สนใจด้านการประยุกต์ใช้อิเล็กทรอนิกส์ในงานเกษตรกรรม

เอกทัศน์ พฤษวรรณ สำเร็จการศึกษาวิศวกรรมศาสตรมหาบัณฑิต (วิศวกรรมไฟฟ้า)มหาวิทยาลัยเชียงใหม่ ปัจจุบันเป็นอาจารย์ประจำสาขาวิชาวิศวกรรมโทรคมนาคม มหาวิทยาลัย

เทคโนโลยีราชมงคลล้านนา เชียงใหม่ มีความสนใจทางด้านวิศวกรรมวิศวกรรมไฟฟ้าสื่อสาร วิศวกรรม ไมโครเวฟ การออกแบบวงจรความถี่สูง

กฤษดา ยิ่งขยัน สำเร็จปริญญาวิศวกรรมศาสตรดุษฎีบัณฑิต (วศ.ด.วิศวกรรมไฟฟ้า) มหาวิทยาลัยเชียงใหม่ ปัจจุบันเป็นผู้ช่วยศาสตราจารย์ ประจำหลักสูตรวิศวกรรมศาสตรดุษฎีบันฑิต สาขาวิชาวิศวกรรมไฟฟ้า มหาวิทยาลัยเทคโนโลยีราชมงคลล้านนา เชียงใหม่ มีความสนใจทางด้านอิเล็กทรอนิกส์ ระบบสมองกลฝังตัว และ IoT

การวิเคราะห์เชิงเปรียบเทียบการกระจายแสงของดวงโคมเมื่อลักษณะของผิวภายในดวงโคมเปลี่ยนแปลงที่มีผลต่อค่าความสว่าง

A comparative analysis of the polar curve while the surface of luminaire changed affecting to the illumination

สรวิชญ์ เพชรแพง[1] เพียงอัมพร อินทรมาตย์[1] จักรพรรณ์ แก้วอยู่ดี[1] จุฑาศินี พรพุทธศรี[2]และ อานนท์ อิศรมงคลรักษ์[1]*

[1]สาขาวิชาวิศวกรรมไฟฟ้า คณะวิทยาศาสตร์และเทคโนโลยี มหาวิทยาลัยราชภัฏนครปฐม anone@webmail.npru.ac.th*
[2]สาขาวิชาครุศาสตร์อุตสาหกรรม คณะวิทยาศาสตร์และเทคโนโลยี มหาวิทยาลัยราชภัฏนครปฐม

บทคัดย่อ

บทความนี้เป็นการวิเคราะห์เปรียบเทียบค่าความสว่างที่เกิดขึ้นจากการปรับเปลี่ยนพื้นผิวของดวงโคมที่แสดงในรูปแบบของเส้นโค้งการกระจายแสง งานวิจัยนี้เป็นการประยุกต์ใช้ข้อมูลการกระจายแสงของดวงโคมที่มีพื้นผิวที่แตกต่างกัน 3 รูปแบบคือพื้นผิวภายในดวงโคมแบบเรียบ แบบขรุขระ และแบบเรียนผสมขรุขระ เพื่อนำไปออกแบบระบบแสงสว่างภายในสำนักงาน โดยมีจุดมุ่งหมายเพื่อเปรียบเทียบผลการออกแบบ โดยผลการทดลองแสดงให้เห็นว่า เมื่อใช้หลอดไฟที่มีการใช้งานดวงโคมชนิด LED 70W Low Bay การประยุกต์ใช้ดวงโคมที่มีพื้นผิวภายในแบบเรียบจะทำให้ได้ค่าความสว่างมากที่สุด โดยใช้จำนวนดวงโคมที่น้อยที่สุด โดยมีค่าความสว่างเฉลี่ยในห้องสำนักงานอยู่ที่ 516 Lux ในขณะที่ใช้จำนวนดวงโคมอยู่ที่ 20 ดวงโคมซึ่งเป็นการใช้จำนวนดวงโคมน้อยที่สุดภายใต้เงื่อนไขการออกแบบเดียวกัน

คำสำคัญ: กฎของโคไซน์ เส้นโค้งการกระจายแสง การออกแบบระบบแสงสว่าง ความสว่าง

Abstract

This article analyzes and compares the illuminance values generated by modifying the luminaire surface as shown in the form of light distribution curves. This research applies the illuminance data of luminaires with three different surface textures: smooth, rough, and a mixed rough texture to design an office lighting system. The aim is to compare the design results. The experimental results show that when using 70W LED Low Bay lamps, the smooth interior surface luminaire achieves the highest illuminance with the least number of lamps. The average illuminance in the office room is 516 Lux, while using 20 lamps, which is the least number of lamps under the same design conditions.

Keywords: Cosine Law, Polar Curve, Illumination Design, Illuminance

1. บทนำ

การออกแบบระบบแสงสว่างสำหรับการใช้งานภายในอาคาร ล้วนแล้วแต่เป็นสิ่งสำคัญต่อการใช้งาน ซึ่งอาจจะมีผลต่อคุณภาพของสายตา การออกแบบเพื่อให้ได้ค่าความสว่างซึ่งอยู่ในเกณฑ์ที่เหมาะสมจำเป็นอย่างยิ่งต้องอาศัยข้อมูลสำหรับการออกแบบ อาทิเช่น ข้อมูลของหลอดไฟ ข้อมูลของดวงโคมซึ่งถูกกำหนดด้วยเส้นโค้งการกระจายแสงของดวงโคม ข้อมูลสัมประสิทธิ์การสะท้อนแสงของวัตถุที่แตกต่างกัน รวมทั้งตำแหน่งการจัดวางดวงโคม แต่อย่างไรก็ตาม การควบคุมการกระจายแสงให้ไปในทิศทางที่ต้องการสามารถทำได้ด้วยการใช้ดวงโคม ซึ่งอาจจะส่งผลต่อการลดจำนวนของหลอดไฟให้น้อยลงได้ ซึ่งจะมีผลต่อต้นทุน และค่าการใช้พลังงานไฟฟ้าได้ ด้วยเหตุนี้บทความวิจัยนี้จึงได้เล็งเห็นคุณสมบัติของดวงโคมโดยการเปรียบเทียบลักษณะพื้นผิวของดวงโคมจำนวนทั้งสิ้น 3 ลักษณะที่แตกต่างกันโดยนำเสนอข้อมูลในรูปของเส้นโค้งการกระจายแสงของดวงโคมที่มีผลต่อค่าความสว่างภายในห้องทำงาน ซึ่งถูกกำหนดค่าความสว่างไว้ตามเกณฑ์มาตรฐานของสมาคมแสงสว่างแห่งประเทศไทย (TIEA) โดยมุ่งเน้นที่การคำนวณหาจำนวนดวงโคม และการใช้พลังงานไฟฟ้าตลอดการใช้ไฟฟ้าสำนักงาน 1 เดือน

2. กฎของโคไซน์

เป็นความสัมพันธ์ระหว่างความเข้มการส่องสว่าง (Luminous Intensity) และค่าความสว่าง (Illuminace) ซึ่งจะใช้ในการณีที่ต้องการหาค่าความสว่างที่จุดบนพื้นผิวที่ไม่ตั้งฉากกับแสงจากแหล่งกำเนิดไปยังจุดที่ต้องหารทราบความสว่างนั้นหารด้วยกำลังสองของระยะทางระหว่างแหล่งกำเนิดแสงและจุดที่พิจารณาคูณด้วยโคไซน์ของมุมที่แสงทำกับเส้นที่ตั้งฉากกับพื้นผิวนั้น โดยค่าความสว่างจะพิจารณาเป็น 2 กรณีคือ 1) ค่าความสว่างในแนวระนาบ (Horizontal Illuminance) และ 2) ค่าความสว่างในแนวดิ่ง (Vertical Illuminance)

2.1 การหาค่าความสว่างในแนวระนาบ

สามารถพิจารณาได้ดังรูปที่ 1 เมื่อกำหนดให้ตำแหน่ง P คือตำแหน่งที่พิจารณาค่าความสว่าง [1],[4],[7]

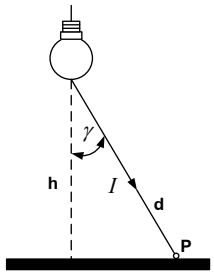

รูปที่ 1 การคำนวณค่าความสว่างในแนวระนาบ

จากรูปที่ 1 สามารถคำนวณหาค่าความสว่างในแนวระนาบได้ดังสมการที่ (1)

$$E_p = \frac{I(\gamma)}{d^2}\cos\gamma \qquad (1)$$

2.2 การหาค่าความสว่างในแนวดิ่ง

ลักษณะการใช้กฎโคไซน์เพื่อหาค่าความสว่างในแนวดิ่ง แสดงได้ดังรูปที่ 2 [1],[4],[7]

*ผู้ประพันธ์บรรณกิจ

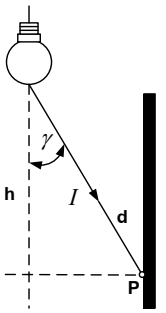

รูปที่ 2 การคำนวณค่าความสว่างในแนวดิ่ง

จากรูปที่ 2 สามารถคำนวณหาค่าความสว่างในแนวดิ่งได้ดังสมการที่ (2)

$$E_p = \frac{I(\gamma)}{d^2}\sin\gamma \qquad (2)$$

แต่เนื่องจากค่าความสว่างในแนวดิ่งระยะความสูงจากจุดที่พิจารณาถึงดวงโคมจะมีความสัมพันธ์ดังสมการที่ (3)

$$d = \frac{h}{\sin\gamma} \qquad (3)$$

ทำให้ได้ค่าความสว่างในแนวดิ่งสามารถคำนวณได้เป็นดังสมการที่ (4) [2]-[6]

$$E_v = \frac{I(\gamma)}{h^2}\sin\gamma\cos^2\gamma \qquad (4)$$

3. เส้นโค้งการกระจายแสง

ข้อมูลการกระจายแสงของดวงโคมเป็นข้อมูลที่สำคัญสำหรับการออกแบบระบบไฟฟ้าแสงสว่าง เพราะเป็นข้อมูลที่บอกให้ทราบถึงลักษณะของดวงโคมที่เลือกใช้มีการกระจายแสงอย่างไร และเหมาะสมกับการใช้งานในพื้นที่นั้น ๆ หรือไม่ และเป็นข้อมูลที่นำไปใช้หาค่าความสว่างที่จุดใด ๆ ได้โดยการคำนวณด้วยกฎผกผันกำลังสองร่วมกับกฎโคไซน์ การพิจารณาข้อมูลการกระจายความเข้มการส่องสว่างจำเป็นต้องทราบระนาบที่พิจารณาด้วยเนื่องจากการกระจายแสงของดวงโคมที่มุมเดียวกันแต่อยู่ต่างระนาบกันอาจจะมีคุณลักษณะที่แตกต่างกันได้ ทั้งนี้ขึ้นอยู่กับชนิดของหลอดไฟที่ใช้ร่วมกับดวงโคม แสดงได้ดังรูปที่ 3 [3], [5], [7

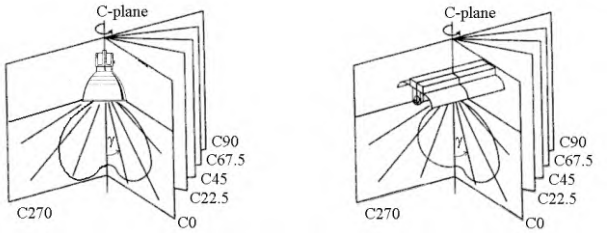

ก) โคมไฟสำหรับหลอด HID ข) โคมไฟสำหรับหลอดฟลูออเรสเซนต์

รูปที่ 3 คุณลักษณะการกระจายแสงของดวงโคม

การนำเสนอข้อมูลในรูปแบบเส้นโค้งเชิงขั้ว (Polar Curve) จะใช้กระดาษกราฟวงกลมโดยให้รัศมีแสดงขนาดของมุม γ ที่วัดจากแนวดิ่งลงจนถึงแนวดิ่งขึ้น ($0^o \le \gamma \le 180^o$) และให้ความยาวของรัศมีหรือขนาดของวงกลมแทนค่าความเข้มการส่องสว่าง โดยทั่วไปมักจะแสดงเพียงครึ่งซีกเท่านั้น เนื่องจากเป็นความสมมาตรระหว่างซีกซ้ายและซีกขวา แสดงได้ดังรูปที่ 4 [1],[8]-[9]

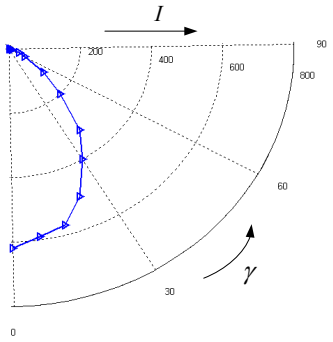

รูปที่ 4 เส้นโค้งเชิงขั้วแสดงข้อมูลการกระจายแสงของดวงโคม

4. ลักษณะผิวของดวงโคมที่ศึกษา

บทความนี้ได้เล็งเห็นถึงคุณสมบัติของดวงโคมที่สามารถควบคุมทิศทางของฟลักซ์การส่องสว่าง และค่าความสว่างให้สามารถไปในทิศทางที่ต้องการได้ โดยเฉพาะในพื้นที่อาคารสำนักงานที่ไม่เน้นการให้แสงสว่างแบบสวยงามแต่เน้นให้ค่าความสว่างเป็นไปตามมาตรฐานที่ TIEA กำหนด โดยพิจารณาเปรียบเทียบผิวของดวงโคมทั้งสิ้น 3 กรณีคือ 1) พื้นผิวเรียบ 2) พื้นผิวขรุขระ 3) พื้นผิวเรียบและขรุขระ แสดงได้ดังรูปที่ 5 – 7 ตามลำดับ

รูปที่ 5 ดวงโคมที่มีพื้นผิวภายในเรียบ

รูปที่ 6 ดวงโคมที่มีพื้นผิวภายในขรุขระ

รูปที่ 7 ดวงโคมที่มีพื้นผิวภายในเรียบและขรุขระ

5. ผลการทดลอง

บทความนี้ได้ดำเนินการทดลองด้วยโคมไฟชนิด LED-Low Bay ขนาด 70W ด้วยการวัดค่าการกระจายแสงที่ตำแหน่งต่าง ๆ ภายในห้องทดสอบการกระจายแสงดวงโคม โดยวัดค่าความสว่างที่ตำแหน่งมุมที่วัดจากแนวดิ่งตั้งแต่ 5 – 90 องศา แล้วคำนวณค่าความส่องสว่างด้วยที่เป็นความสัมพันธ์จากกฎของโคไซน์ โดยเส้นโค้งเชิงขั้วการกระจายแสงเมื่อพื้นผิวภายในของดวงโคมเรียบ พื้นผิวภายในดวงโคมขรุขระ และพื้นผิวภายในเรียบและขรุขระ [10]-[12] แสดงได้ดังรูปที่ 8 – 10 ตามลำดับ

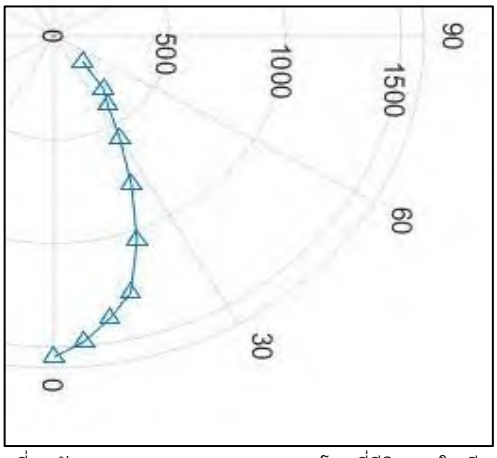

รูปที่ 8 ลักษณะการกระจายแสงของดวงโคมที่มีผิวภายในเรียบ

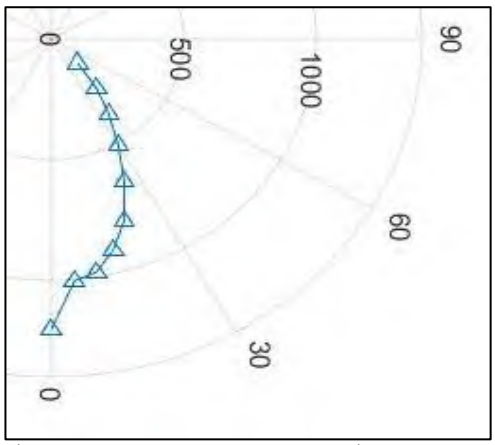

รูปที่ 9 ลักษณะการกระจายแสงของดวงโคมที่มีผิวภายในขรุขระ

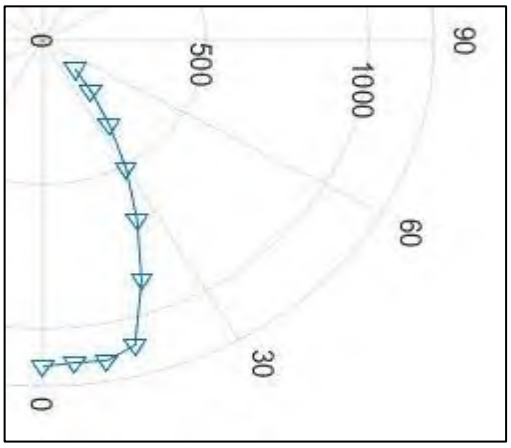

รูปที่ 10 ลักษณะการกระจายแสงของดวงโคมที่มีผิวภายในเรียบและขรุขระ

โดยข้อมูลการกระจายแสงของดวงโคมในลักษณะของตารางการกระจายแสงสามารถแสดงได้ดังตารางที่ 1

ตารางที่ 1 ข้อมูลการกระจายแสงของดวงโคม

องศา	ค่าความส่องสว่างของดวงโคมเมื่อลักษณะผิวภายใน (Cd)		
	ผิวเรียบ	ผิวขรุขระ	ผิวเรียบ+ขรุขระ
0	1546.80	1201.20	1131.60
5	1479.80	1006.00	1121.80
10	1383.30	980.60	1128.20
15	1281.00	903.90	1093.60
20	1048.50	802.30	884.80
25	791.20	651.20	683.30
30	567.80	504.90	509.50
35	405.20	377.30	353.50
40	332.70	264.90	228.10
45	174.80	141.20	139.00

จากข้อมูลการกระจายแสงของดวงโคมทั้ง 3 รูปแบบ บทความนี้ได้ดำเนินการนำข้อมูลไปออกแบบระบบแสงสว่างภายในสำนักงานที่กำหนดให้มีพื้นที่ของสำนักงาน กว้าง x ยาว x สูง เป็น 5x5x4 เมตร และกำหนดให้ มีสัมประสิทธิ์การสะท้อนแสงของพื้น ผนัง และเพดาน เป็น 0.2, 0.6 และ 0.8 ตามลำดับ ซึ่งกำหนดให้ค่าความสว่างเฉลี่ยเป็น 500 lux จะได้ผลการออกแบบระบบแสงสว่างที่ใช้ข้อมูลการกระจายแสงของดวงโคมทั้ง 3 ชนิดคือ พื้นผิวภายในดวงโคมเรียบ พื้นผิวภายในดวงโคมขรุขระ และพื้นผิวภายในดวงโคมเรียบและขรุขระ แสดงได้ดังรูปที่ 11 – 13 และผลการคำนวณค่าความสว่างเฉลี่ยนแสดงได้ดังตารางที่ 2

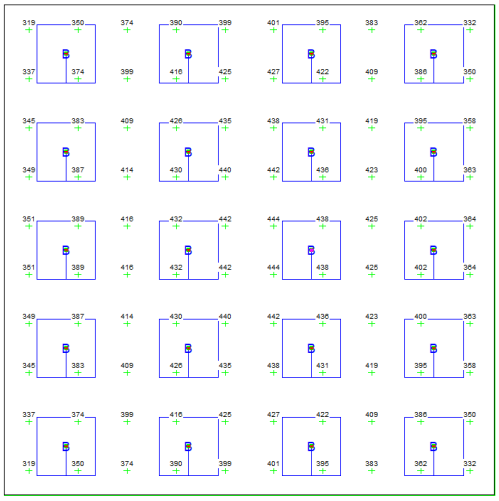

รูปที่ 11 ลักษณะการติดตั้งดวงโคมที่มีพื้นผิวภายในเรียบจากการออกแบบระบบแสงสว่างของสำนักงาน

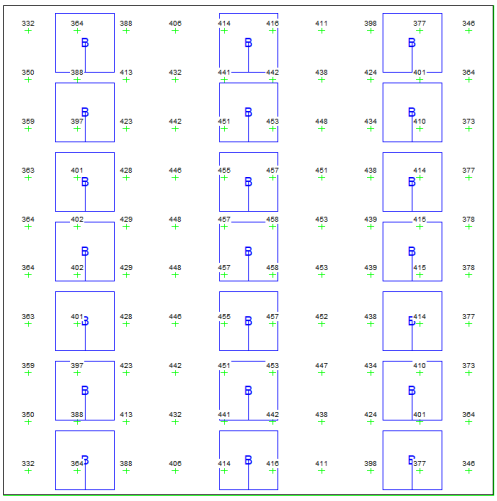

รูปที่ 12 ลักษณะการติดตั้งดวงโคมที่มีพื้นผิวภายในขรุขระจากการออกแบบระบบแสงสว่างของสำนักงาน

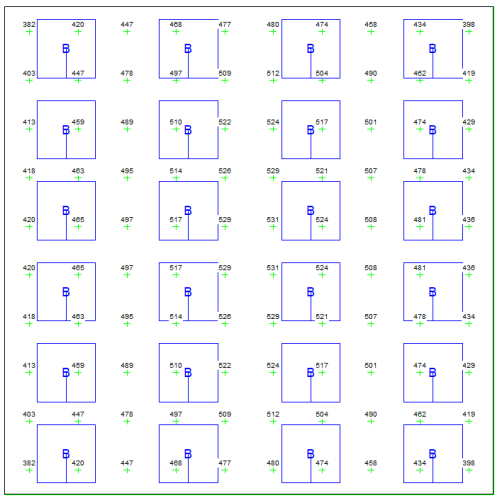

รูปที่ 13 ลักษณะการติดตั้งดวงโคมที่มีพื้นผิวภายในเรียบและขรุขระจากการออกแบบระบบแสงสว่างของสำนักงาน

ตารางที่ 2 ค่าความสว่างเฉลี่ยของการออกแบบห้องสำนักงาน

ลักษณะพื้นผิวภายในดวงโคม	ค่าความสว่างเฉลี่ย (lux)	ค่าความสม่ำเสมอ	จำนวนดวงโคมที่ใช้
เรียบ	516	0.80	20
ขรุขระ	483	0.80	21
เรียบ+ขรุขระ	502	0.74	24

จากผลการออกแบบด้วยการใช้ข้อมูลการกระจายแสงของดวงโคมจะสังเกตได้ว่าค่าความสว่างเฉลี่ยที่ได้จากการออกแบบมีค่าใกล้เคียงกับค่าความสว่างเฉลี่ยที่กำหนดไว้ที่ 500lux ในทุกกรณี แต่เมื่อพิจารณาการออกแบบที่จำเป็นต้องเผื่อปัจจัยของสัมประสิทธิ์การซ่อมบำรุงซึ่งควรจะให้ค่าความสว่างเฉลี่ยมีค่าไม่น้อยกว่าค่าความสว่างเฉลี่ยที่ต้องการ ดังนั้นการใช้ดวงโคมที่มีพื้นผิวภายในแบบเรียบจะทำให้ได้ผลการออกแบบที่ดีกว่า อีกทั้งเมื่อพิจารณาถึงค่าความสม่ำเสมอที่ถูกกำหนดไว้ว่าการออกแบบแสงสว่างภายในควรจะมีค่าความสม่ำเสมอไม่น้อยกว่า 0.8 จึงทำให้ผลการออกแบบระบบแสงสว่างที่ใช้ดวงโคมที่มีพื้นผิวภายในเรียบเหมาะสมที่สุด เมื่อพิจารณาถึงจำนวนดวงโคมที่ใช้จะเห็นได้ว่า การใช้ดวงโคมที่มีพื้นผิวภายในเรียบจะให้ผลการออกแบบระบบแสงสว่างภายในห้องสำนักงานใช้จำนวนดวงโคมน้อยที่สุด ซึ่งจากจำนวนดวงโคมที่น้อยลงเมื่อพิจารณาการใช้งานเป็นระยะเวลา 1 เดือนสามารถคำนวณเพื่อเปรียบเทียบการใช้พลังงานในทั้ง 3 กรณีเมื่อใช้หลอดไฟ LED 70W วันละ 8 ชั่วโมงจะได้ดังตารางที่ 3

ตารางที่ 3 เปรียบเทียบการใช้พลังงานของดวงโคมระยะเวลา 1 เดือน

ลักษณะพื้นผิวภายในดวงโคม	จำนวนดวงโคม	พลังงานไฟฟ้าที่ใช้ (kWh)
เรียบ	20	336.00
ขรุขระ	21	352.80
เรียบ+ขรุขระ	24	403.20

จากผลการคำนวณในตารางที่ 3 จะเห็นได้ว่าการใช้ดวงโคมที่มีพื้นผิวภายในเรียบจะใช้พลังงานไฟฟ้าน้อยที่สุด

6. สรุปผลการทดลอง

จากผลการทดลองจะเห็นว่า พื้นผิวภายในของดวงโคมมีผลต่อค่าความสว่าง และเมื่อเปรียบเทียบผลการทดลองจากชนิดของผิวภายในดวงโคมที่แตกต่างกันทั้งสิ้น 3 รูปแบบได้แก่ พื้นผิวภายในแบบเรียบ พื้นผิวภายในแบบขรุขระ และพื้นผิวภายในทั้งแบบเรียบผสมกับขรุขระ จะเห็นว่าดวงโคมที่มีพื้นผิวภายในแบบเรียบจะทำให้ค่าความสว่างที่ตกกระทบมาที่พื้นที่ทำงาน (working plane) มีค่ามากที่สุดแต่ใช้จำนวนดวงโคมน้อยที่สุดเทียบกับอีก 2 รูปแบบ โดยจำนวนดวงโคมใช้ 20 ดวงโคมสำหรับหลอด LED 70W และเมื่อพิจารณาการใช้พลังงานไฟฟ้าจากดวงโคม 20 ดวงโคมที่มีการทำงาน 8 ชั่วโมงต่อวันเป็นระยะเวลา 1 เดือน (30 วัน) จะใช้พลังงานไปทั้งสิ้น 336 kWh

เอกสารอ้างอิง

[1] ยิ่งสวัสดิ์ ไชยะกุล, “วิธีคำนวณแสงสว่างโดยวิธีลูเมนอย่างง่ายสำหรับโคมกระจายแสง,”วารสารวิจัยและสาระสถาปัตยกรรม/การผังเมือง, 18 มกราคม 2568, หน้า 83-98

[2] ศุภโชค สนธิไชย และ ธาริณี รามสูต, “การประเมินคุณภาพแสงสว่างและวิเคราะห์ค่าปริมาณความส่องสว่างโดยใช้ โปรแกรม DIALUX,”

วารสารวิชาการเทคโนโลยีอุตสาหกรรม มหาวิทยาลัยราชภัฏสวนสุนันทา, 11 กุมภาพันธ์ 2566, หน้า 81-94

[3] ชายชาญ โพธิสาร ชาย ชมภูอินไหว อานันทวัฒน์ คุณากร นิทัศน์ กฤษณจินดา และ ศุลี บรรจงจิต, “การใช้คอมพิวเตอร์เพื่อแสดงคุณลักษณะการกระจายแสงของโคมไฟถนนโดยอาศัยข้อมูลจาก IES File,”วิศวสารลาดกระบัง, 18 กุมภาพันธ์ 2544, หน้า 25-29

[4] ภูมิพัฒน์ กำคา และ บัญชา อุนพานิช, “ระบบแสงสว่างหลอดแอลอีดีร่วมแสงธรรมชาติเพื่อเพิ่มสมรรถนะด้านพลังงาน,”วารสารวิศวกรรมศาสตร์ มหาวิทยาลัยเชียงใหม่, 24 มีนาคม 2560, หน้า 13-24

[5] วินัย พรพจน์รัตนะกุล และ ศุลี บรรจงจิต “การวิเคราะห์และจัดลำดับกระบวนการทำงานติดตั้งระบบส่องสว่างภายนอกอาคารเพื่อลดต้นทุน,”วารสารมหาวิทยาลัยศรีนครินทรวิโรฒ สาขาวิทยาศาสตร์และเทคโนโลยี, 31 มีนาคม 2567, หน้า 1-16

[6] ณัฐจิต อ้นเมฆ, บุตรี เทพทอง, กิจจา จิตรภิรมย์, เชิดศิริ นิลผาย, พนิดา กามูณี และ ฌาน ปัทมะ พลยง “สัมประสิทธิ์การสะท้อนแสงและลักษณะทางกายภาพที่มีผลต่อความเข้มแสงภายในห้องเรียนแบบบรรยายในมหาวิทยาลัยแห่งหนึ่ง กรุงเทพมหานคร,” วิศวสารลาดกระบัง, 31 กุมภาพันธ์ 2567, หน้า 1-16

[7] สกลสุภา เติมสวัสดิ์, ยิ่งสวัสดิ์ ไชยะกุล, “,สัดส่วนการใช้พลังงานไฟฟ้าในอาคารมหาวิทยาลัย กรณีศึกษา มหาวิทยาลัยราชภัฏมหาสารคาม”, 6 มกราคม 2567, หน้า 52-65

[8] จุฑาธุช เหมะรัต, “,”การแสดงภาพภูมิประเทศ โดยใช้การคำนวณค่าแสงแบบกระจายตามระดับพื้นมหาวิทยาลัยธรรมศาสตร์ กรุงเทพฯ., 2546, 17 มีนาคม 2567, หน้า 1-16

[9] วินัย พรพจน์รัตนะกุล, “,การวิเคราะห์และประมวลผลการกระจายแสงของดวงโคมไฟฟ้า โดยใช้โปรแกรมแมทแลป (MATLAB)”., สถาบันเทคโนโลยีพระจอมเกล้าเจ้าคุณทหารลาดกระบัง/กรุงเทพฯ ., 2546.

[10] Katunský D, Dolníková E, Dolník B, Krajníková K. Influence of light reflection from the wall and ceiling due to color changes in the indoor environment of the selected hall. Applied Sciences, 2022; 12(10): 5154.

[11] Veitch, J.A., & Newsham, G.R. (1996). Determinants of Lighting Quality II: Research and Recommendations.

[12] Kobayashi, S., Inui, M. & Nakamura, Y. (2001). Preferred Illuminance Non– Uniformity of Interior Ambient Lighting. Journal of Light & Visual Environment, 25(2), 64–75.

นายสรวิชญ์ เพชรแพง ปัจจุบันกำลังศึกษาระดับปริญญาตรี สาขาวิศวกรรมไฟฟ้า มหาวิทยาลัยราชภัฏนครปฐม ปัจจุบันทำงานช่างไฟฟ้า บริษัทน้ำมันพืชไทย จำกัด มหาชน สนใจงานวิจัยวิธีคำนวณแสงสว่างโดยวิธีลูเมนอย่างง่ายสำหรับโคมกระจายแสง

นางสาวเพียงอัมพร อินทรมาตย์ ปัจจุบันกำลังศึกษาระดับปริญญาตรี สาขาวิศวกรรมไฟฟ้า มหาวิทยาลัยราชภัฏนครปฐม ปัจจุบันทำงานช่างเขียนแบบงานระบบไฟฟ้า บริษัทเอ เอส แอสโซซิเอท เอนยิเนียริ่ง (1964) จำกัด สนใจงานวิจัยการประเมินคุณภาพแสงสว่างและวิเคราะห์ค่าปริมาณความส่องสว่างโดยใช้ โปรแกรม DIALUX

นายจักรพรรณ์ แก้วอยู่ดี ปัจจุบันกำลังศึกษาระดับปริญญาตรี สาขาวิศวกรรมไฟฟ้า มหาวิทยาลัยราชภัฏนครปฐม ปัจจุบันทำงานผู้ช่วยนายช่างไฟฟ้า อบต.คลองนกกระทุง สนใจงานวิจัยการศึกษาความเป็นไปได้ในการลงทุนระบบการการผลิตไฟฟ้าใช้เอง ด้วยเซลล์แสงอาทิตย์บนหลังคาบ้านในประเทศไทย

จุฑาศินี พรพุทธศรี สำเร็จการศึกษาในระดับปริญญาตรี และโท สาขาวิชาวิศวกรรมเกษตร มหาวิทยาลัยเกษตรศาสตร์ วิทยาเขตกำแพงแสน ปัจจุบันดำรงตำแหน่งอาจารย์ สาขาวิชาครุศาสตร์อุตสาหกรรม มหาวิทยาลัยราชภัฏนครปฐม สนใจงานวิจัยด้าน การปรับปรุงคุณภาพผลิตผลด้านการเกษตรด้วยไฟฟ้า การวิเคราะห์ปริมาณทางไฟฟ้ากับงานเกษตร

อานนท์ อิศรมงคลรักษ์ สำเร็จการศึกษาในระดับปริญญาตรี โทและเอก สาขาวิชาวิศวกรรมไฟฟ้า มหาวิทยาลัยเทคโนโลยีสุรนารี ปัจจุบันดำรงตำแหน่งรองศาสตราจารย์ สาขาวิชาวิศวกรรมไฟฟ้า มหาวิทยาลัยราชภัฏนครปฐม สนใจงานวิจัยด้าน ระบบไฟฟ้ากำลัง การวิเคราะห์สนามแม่เหล็กไฟฟ้า การปรับปรุงพัฒนาด้านวิศวกรรมส่องสว่าง

สถาปัตยกรรมปัญญาประดิษฐ์แบบผสมผสานสำหรับการประมวลผลเอกสารราชการทหารไทยอัตโนมัติแบบครบวงจร

A Hybrid Intelligence Pipeline for End-to-End Automation of Thai Military Correspondence

พลกฤษ แก้วสวี[1*], นิลวัฒน์ เฟื่องโชค[1], คุณากร พรอภิรัตน์[2]

[1]สาขาวิชาวิศวกรรมหุ่นยนต์และระบบอัตโนมัติ คณะวิศวกรรมศาสตร์ มหาวิทยาลัยศรีปทุม Ponkrit.ka@spu.ac.th* st124847@ait.asia

[2]Industrial and Manufacturing Engineering, SET, Asian Institute of Technology st125847@ait.asia

บทคัดย่อ

การประมวลผลเอกสารราชการทหารเป็นกระบวนการที่มีความซับซ้อนและเผชิญกับความท้าทายด้านความปลอดภัยของข้อมูล บทความนี้นำเสนอสถาปัตยกรรมปัญญาประดิษฐ์แบบผสมผสาน (Hybrid Intelligence Pipeline) สำหรับการประมวลผลเอกสารอัตโนมัติแบบครบวงจร ซึ่งถูกออกแบบมาเพื่อทำงานบนเครือข่ายภายในองค์กร (On-Premise) โดยเฉพาะ สถาปัตยกรรมประกอบด้วย 3 ขั้นตอนหลัก (1) การสกัดข้อมูลเชิงโครงสร้างและข้อความด้วยแบบจำลอง Layout Analysis (YOLOv8) และสถาปัตยกรรม Optical Character Recognition (OCR) แบบคู่ขนาน, (2) การสร้างเนื้อหาเริ่มต้นและตรวจสอบโดยมนุษย์ (Human-in-the-Loop), และ (3) การสร้างร่างฉบับสมบูรณ์ด้วยแบบจำลองภาษาขนาดใหญ่ (LLM) ที่ปรับจูนมาโดยเฉพาะ ผลการทดลองบนชุดข้อมูลเอกสารจริง 20 ฉบับ แสดงให้เห็นว่าระบบสามารถลดระยะเวลาในการร่างเอกสารได้มากกว่า 90% และเพิ่มความแม่นยำในการสกัดข้อมูลระดับคำ (Word Accuracy) ได้สูงสุดถึง 11% ผลลัพธ์นี้ยืนยันถึงศักยภาพของสถาปัตยกรรมในการเพิ่มประสิทธิภาพ ลดภาระงาน และรักษามาตรฐานความปลอดภัยข้อมูลสูงสุดในหน่วยงานราชการทหาร

คำสำคัญ: สถาปัตยกรรมปัญญาประดิษฐ์แบบผสมผสาน, การประมวลผลเอกสารอัจฉริยะ, แบบจำลองภาษาขนาดใหญ่, On-Premise, เอกสารราชการทหาร

Abstract

The processing of military correspondence is a complex task with stringent data security challenges. This paper presents a Hybrid Intelligence Pipeline, an end-to-end document automation architecture designed specifically for on-premise deployment. The architecture comprises three main stages: (1) structured data and text extraction using a Layout Analysis model (YOLOv8) and a parallel Optical Character Recognition (OCR) architecture, (2) initial content proposal with Human-in-the-Loop verification, and (3) final draft generation powered by a fine-tuned Large Language Model (LLM). Experimental results on a dataset of 20 real-world official documents show that the system can reduce drafting time by over 90% and improve data extraction accuracy (Word Accuracy) by up to 11%. These findings demonstrate the pipeline's significant potential to enhance efficiency, reduce workload, and uphold the highest data security standards within military organizations.

Keywords: Hybrid Intelligence Architecture, Intelligent Document Processing, Large Language Model, On-Premise, Military Correspondence

1. บทนำ

ในยุคที่แบบจำลองภาษาขนาดใหญ่ (Large Language Models - LLMs) ได้เข้ามาปฏิวัติวงการประมวลผลภาษาธรรมชาติ (NLP) ความสามารถในการทำความเข้าใจและสร้างข้อความที่เหมือนมนุษย์ได้ขยายกว้างมากขึ้น รวมถึงการประมวลผลเอกสารอัจฉริยะ (Intelligent Document Processing - IDP) อย่างไรก็ตาม ความสามารถนี้ก็นำมาซึ่งความท้าทายใหม่ๆ เช่น การลอกเลียนวรรณกรรมที่สร้างโดย AI ซึ่งต้องการแนวทางการจัดการที่รัดกุม งานวิจัยสาขา IDP ในช่วงไม่กี่ปีที่ผ่านมานี้ มุ่งเน้นไปที่การผสานความเข้าใจในภาษาเข้ากับข้อมูลเชิงโครงสร้างและรูปภาพ (Visually Rich Document Understanding) อาทิ งานวิจัย LayoutLLM และ LiLT ที่แสดงให้เห็นถึงความสำคัญของการทำความเข้าใจ Layout ของเอกสารควบคู่ไปกับเนื้อหา เพื่อให้สามารถสกัดข้อมูลได้อย่างแม่นยำ

แม้ว่าแบบจำลองเหล่านี้จะมีความสามารถสูง แต่ส่วนใหญ่มักถูกพัฒนาขึ้นเพื่อทำงานบนโครงสร้างพื้นฐานแบบคลาวด์และไม่ได้ถูกออกแบบมาเพื่อตอบสนองต่อข้อจำกัดเฉพาะทางของหน่วยงานที่มีความอ่อนไหวสูง อย่างหน่วยงานราชการทหารหรือหน่วยงานความมั่นคง ที่ให้ความสำคัญสูงสุดกับการรักษาความลับและความปลอดภัยของข้อมูล (Data Confidentiality and Security) และมักมีข้อจำกัดด้านทรัพยากรในการประมวลผล สิ่งนี้ก่อให้เกิดช่องว่างทางสถาปัตยกรรมที่สำคัญ คือ การขาดแคลนโซลูชัน IDP แบบครบวงจรที่สามารถทำงานได้อย่างปลอดภัยและมีประสิทธิภาพบนเครือข่ายภายในองค์กร (On-Premise)

เพื่อแก้ไขปัญหาดังกล่าว บทความนี้นำเสนอ **สถาปัตยกรรมปัญญาประดิษฐ์แบบผสมผสาน (Hybrid Intelligence Pipeline)** ซึ่งเป็นแนวคิดที่ออกแบบมาโดยเฉพาะเพื่อตอบโจทย์ความท้าทายของเอกสารราชการทหารไทย ดังแสดงใน รูปที่ 1 ซึ่งแสดงให้เห็นถึงขั้นตอนการทำงานแบบดั้งเดิมที่เป็นคอขวดสำคัญ

*ผู้ประพันธ์บรรณกิจ

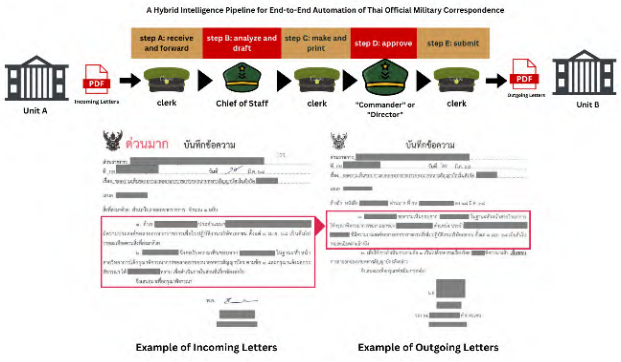

รูปที่ 1 ขั้นตอนการทำงานแบบดั้งเดิมและตัวอย่างเอกสารราชการทหาร

สถาปัตยกรรมที่นำเสนอนี้แตกต่างจากแนวทางทั่วไป โดยการผสาน Specialized AI สำหรับงานสกัดข้อมูลที่มีโครงสร้างชัดเจน เข้ากับ Generative AI สำหรับงานสร้างเนื้อหาที่ต้องการความเข้าใจในบริบท ทั้งหมดนี้ทำงานประสานกันอย่างเป็นระบบเพื่อเลียนแบบกระบวนการคิดของมนุษย์ ตั้งแต่การรับหนังสือ (See & Read) การวิเคราะห์ (Analyze) และการสร้างร่างหนังสือตอบกลับ (Generate) โดยหัวใจสำคัญคือการออกแบบให้ทุกองค์ประกอบสามารถทำงานได้อย่างสมบูรณ์บนฮาร์ดแวร์ที่จำกัดและภายในเครือข่ายปิด ซึ่งเป็นการรับประกันว่าจะไม่มีข้อมูลใดรั่วไหลออกไปสู่ภายนอก

2. โครงสร้างการทำงานของระบบ

เพื่อให้สามารถรับมือกับความท้าทายของงานเอกสารที่มีความซับซ้อนและหลากหลาย ระบบที่นำเสนอจึงถูกออกแบบบนหลักการของสถาปัตยกรรมปัญญาประดิษฐ์แบบผสมผสาน ซึ่งมีเป้าหมายเพื่อเปลี่ยนเอกสารที่เป็นภาพ (Image-based Document) ให้กลายเป็นร่างหนังสือตอบกลับที่สมบูรณ์และถูกต้องตามบริบท รูปที่ 2 แสดงให้เห็นถึงภาพรวมของสถาปัตยกรรมทั้งในระดับ High-level ที่แสดงองค์ประกอบหลักซึ่งทำงานร่วมกันภายในเครือข่ายที่ปลอดภัย และระดับ Workflow ที่แสดงขั้นตอนการประมวลผลข้อมูลตั้งแต่ต้นจนจบ

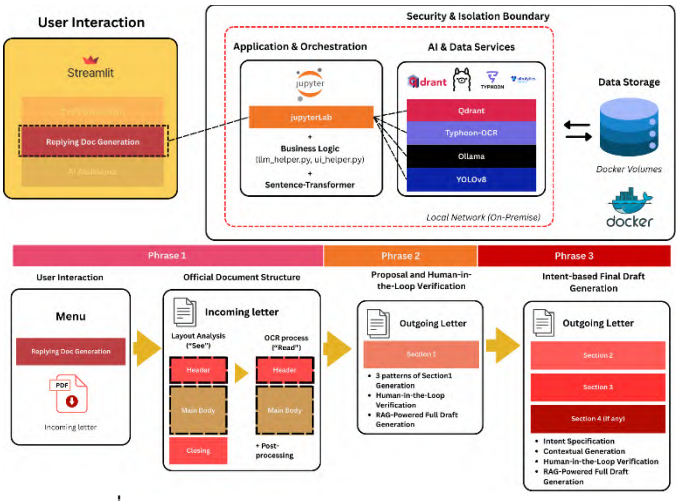

รูปที่ 2 (บน) ภาพรวมสถาปัตยกรรม Hybrid Intelligence Pipeline และ (ล่าง) แผนผังขั้นตอนการประมวลผลข้อมูล (Data Flow)

กระบวนการทำงานของ Pipeline สามารถแบ่งออกเป็น 3 ขั้นตอนหลัก ดังนี้

2.1 การแปลงและสกัดข้อมูล (Digitization and Extraction)

ขั้นตอนแรกเริ่มต้นเมื่อระบบได้รับเอกสารหนังสือรับในรูปแบบไฟล์ PDF ระบบจะเริ่มกระบวนการแปลงเอกสารดังกล่าวให้เป็นข้อมูลดิจิทัลที่มีโครงสร้าง (Structured Data) ผ่าน 3 กลไกย่อย

2.1.1 การวิเคราะห์โครงสร้างเอกสาร (Layout Analysis) ระบบจะใช้แบบจำลอง Object Detection (YOLOv8) ที่ถูกฝึกมาโดยเฉพาะ เพื่อระบุและแยกแยะส่วนข้อมูลที่สำคัญบนหน้าเอกสาร ได้แก่ ส่วนหัว (Header), ส่วนเนื้อหา (Main Body), และส่วนท้าย (Closing) ดังแสดงใน รูปที่ 3 การแยกส่วนข้อมูลนี้เป็นขั้นตอนการเห็น (Step “see”) ตามกระบวนการคิดของมนุษย์ ทำให้ระบบสามารถประมวลผลแต่ละส่วนด้วยเทคนิคที่เหมาะสมต่อไปได้

รูปที่ 3 ตัวอย่างการวิเคราะห์และแบ่งส่วนโครงสร้างเอกสาร (Layout Analysis) บนเอกสารประเภทบันทึกข้อความและกระดาษเขียนข่าวร่วม

2.1.2 การรู้จำอักขระด้วยแสง (OCR) และการปรับปรุงคุณภาพ จากการทดลองเบื้องต้นพบว่าแบบจำลอง OCR ทั่วไปมีปัญหาในการอ่านข้อมูลสำคัญที่ อยู่ในรูปแบบตรายางหรือตัวย่อเฉพาะทาง ดังนั้น ระบบจึงใช้สถาปัตยกรรม OCR แบบคู่ขนาน โดยมี Typhoon-OCR ที่ถูกปรับจูนมาสำหรับหนังสือราชการโดยเฉพาะ ทำงานร่วมกับการปรับปรุงคุณภาพหลังการอ่าน (Post-processing) ซึ่งประกอบด้วย (1) การแก้ไขคำผิดตามพจนานุกรมศัพท์เฉพาะทางทหาร (Dictionary-based Correction) และ (2) การจับคู่สตริงแบบคลุมเครือ (Fuzzy String Matching) เพื่อแก้ไขคำที่สะกดผิดเล็กน้อย ซึ่งขั้นตอนนี้เป็นการอ่าน (Step “read”) ตามกระบวนการคิดของมนุษย์ ดังแสดงใน รูปที่ 4

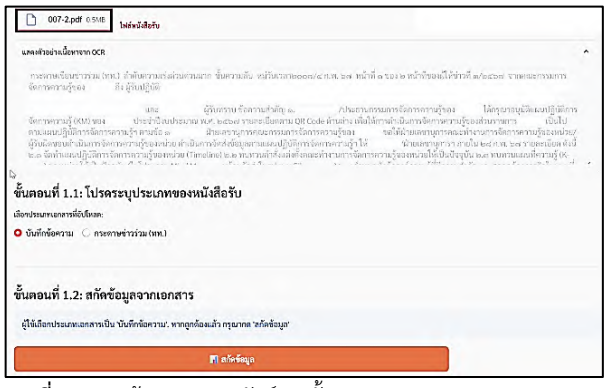

รูปที่ 4 ภาพหน้าจอแสดงผลลัพธ์จากขั้นตอน OCR และ Post-processing ซึ่งเตรียมพร้อมสำหรับขั้นตอนการสกัดข้อมูลต่อไป

2.1.3 การสกัดข้อมูลเชิงโครงสร้างด้วย LLM ข้อความที่ผ่านการทำความสะอาดแล้ว จะถูกส่งไปยัง LLM (Typhoon Modal) และชุดคำสั่ง (Prompt) ที่ออกแบบมาให้ทำหน้าที่เป็น "ผู้สกัดข้อมูลอัจฉริยะ (Intelligent Extractor)" เพื่อดึงข้อมูลสำคัญ เช่น เลขที่หนังสือ, วันที่, เรื่อง, และผู้รับ ออกมาในรูปแบบ JSON ซึ่งเป็นข้อมูลที่มีโครงสร้างและง่ายต่อการนำไปใช้งานในขั้นตอนต่อไป ดังแสดงใน รูปที่ 5

รูปที่ 5 ผลการสกัดข้อมูลของระบบการทำงานจริง

2.2 การสร้างเนื้อหาเริ่มต้นและการตรวจสอบโดยมนุษย์ (Proposal and Human-in-the-Loop)

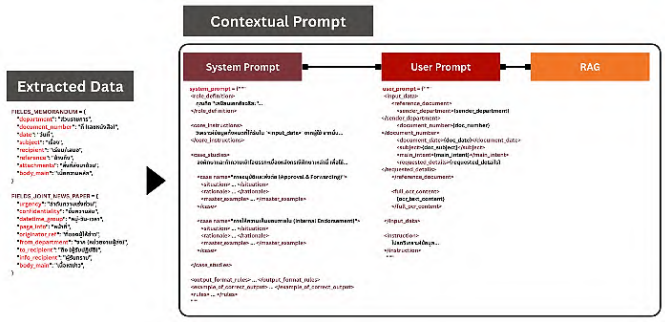

รูปที่ 6 องค์ประกอบ Contextual Prompt สำหรับสร้างเนื้อหาข้อ ๑. หนังสือตอบกลับ

2.2.1 การสร้างย่อหน้าเริ่มต้น (Opening Paragraph Proposal) ระบบจะนำข้อมูล JSON ที่สกัดได้มาใช้เพื่อสร้าง Contextual Prompt หรือคำสั่งที่มีบริบท โครงสร้างตามรูปที่ 6 เพื่อเป็นบริบทในการสร้าง "ข้อ ๑" ของหนังสือตอบกลับตามรูปแบบหรือสำนวนที่ใช้งานจริง โดยจะสร้างเนื้อหาข้อ ๑. ที่มีรูปแบบ 3 สำนวนที่แตกต่างกันเล็กน้อย แสดงผลดังรูปที่ 7 เพื่อให้ผู้ใช้เลือกรูปแบบที่เหมาะสมที่สุด

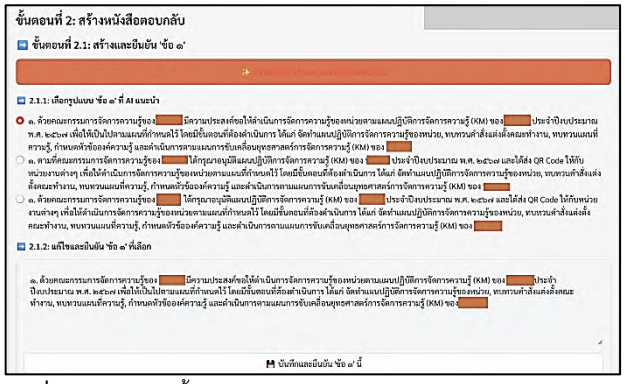

รูปที่ 7 ผลการสร้างเนื้อหาข้อ ๑. หนังสือตอบกลับของระบบการทำงานจริง

2.2.2 การตรวจสอบโดยมนุษย์ (Human-in-the-Loop) ขั้นตอนนี้ผู้ใช้จะทำหน้าที่ตรวจสอบความถูกต้องของตัวเลือกที่ระบบเสนอให้ และสามารถแก้ไขปรับปรุงข้อความได้ตามต้องการ พร้อมทั้งบันทึกการปรับปรุงข้อความก่อนจะทำการ "ยืนยัน" เพื่อนำข้อมูลป้อนกลับ (User's feedback) ให้สอนโมเดล และส่งต่อข้อมูลที่ถูกต้องที่ผ่านการรับรองแล้วไปยังขั้นตอนสุดท้าย ซึ่งขั้นตอนตั้งแต่ข้อ 2.1.3 จนถึงขั้นตอนนี้ เป็นขั้นตอนการวิเคราะห์ (Step "analyze") ตามกระบวนการคิดของมนุษย์

2.3 การสร้างเนื้อหาฉบับสมบูรณ์ตามเจตนา (Intent-based Final Draft Generation)

2.3.1 การระบุเจตนา (Intent Specification) ผู้ใช้จะทำการเลือกระบุ "เจตนาหลัก" ของการตอบกลับจากตัวเลือกที่กำหนดไว้ เช่น เพื่อโปรดพิจารณาอนุมัติ, เพื่อโปรดพิจารณาเห็นชอบ, หรือ เพื่อโปรดทราบ

2.3.2 การสร้างเนื้อหาตามบริบทด้วย RAG ข้อมูลทั้งหมด ไม่ว่าจะเป็นข้อมูล JSON, "ข้อ 1" ที่ผู้ใช้ยืนยันแล้ว, และเจตนาที่ผู้ใช้เลือก จะถูกนำมารวมกันเป็นชุดคำสั่งสุดท้ายสำหรับ LLM นอกจากนี้ หากการตอบกลับจำเป็นต้องอ้างอิงระเบียบข้อบังคับ ระบบจะใช้เทคนิค Retrieval-Augmented Generation (RAG) เพื่อค้นหาข้อมูลที่เกี่ยวข้องที่สุดจากฐานข้อมูลองค์ความรู้ (Knowledge Base) และนำมาประกอบในชุดคำสั่งเพื่อให้ LLM สร้างเนื้อหาส่วนที่เหลือ (ข้อ 2, 3, ...) ได้อย่างถูกต้อง แม่นยำ และสอดคล้องกับระเบียบปฏิบัติของทางราชการ ซึ่งขั้นตอนนี้เป็นขั้นตอนการสร้างร่างหนังสือตอบกลับ (Step "generate") ตามกระบวนการคิดของมนุษย์ ดังรูปที่ 8

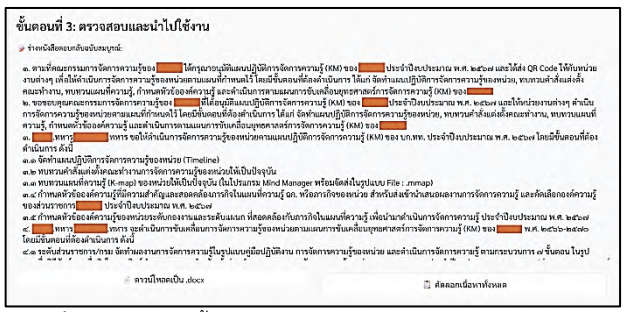

รูปที่ 8 ผลการสร้างเนื้อหาหนังสือตอบกลับฉบับสมบูรณ์ของระบบการทำงานจริง

3. การทดลองและผลลัพธ์

เพื่อประเมินประสิทธิภาพของสถาปัตยกรรมที่นำเสนอ จึงได้ออกแบบการทดลองเชิงปริมาณและคุณภาพเพื่อวัดผลใน 3 มิติหลัก ได้แก่ (1) ประสิทธิภาพของขั้นตอนการประมวลผลข้อมูลนำเข้า (Input Processing), (2) ประสิทธิภาพของขั้นตอนการสร้างเนื้อหา (Content Generation), และ (3) ประสิทธิภาพในภาพรวมต่อผู้ใช้งาน (Overall User-Centric Performance) โดยใช้ชุดข้อมูลเอกสารราชการจริง 2 ประเภท คือ บันทึกข้อความ (10 ฉบับ) และกระดาษเขียนข่าวร่วม (10 ฉบับ) รวมทั้งสิ้น 20 ฉบับ

3.1 ประสิทธิภาพของกระบวนการปรับปรุงคุณภาพข้อมูล OCR

จากการทดลองตามตารางที่ 1-3 พบว่ากลไก Post-processing สามารถเพิ่มความแม่นยำในระดับคำ (WAcc) ได้อย่างมีนัยสำคัญ โดยเฉพาะในเอกสารประเภท "กระดาษเขียนข่าวร่วม (ทท.)" ที่มีความซับซ้อนสูง ซึ่ง WAcc เพิ่มขึ้นถึง **10.94%** ผลลัพธ์นี้ยืนยันว่าแนวทาง Data-Centric AI ที่มุ่งเน้นการสร้างองค์ความรู้เฉพาะทาง (Domain Knowledge) เพื่อทำความสะอาดข้อมูล ณ จุดเริ่มต้น เป็นแนวทางที่มีประสิทธิภาพอย่างยิ่ง

ตารางที่ 1 สรุปผลการทดลองสำหรับเอกสารประเภท บันทึกข้อความ ก่อน (ซ้าย) และหลัง (ขวา) การปรับปรุงคุณภาพ OCR

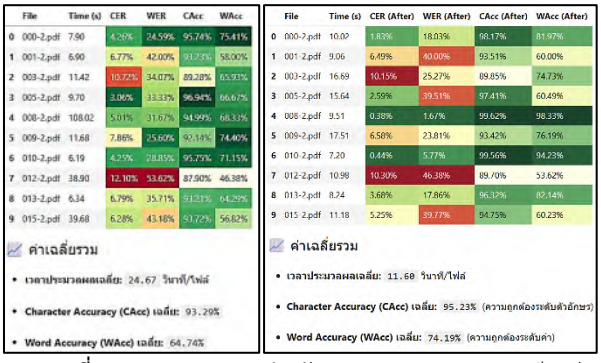

ตารางที่ 2 สรุปผลการทดลองสำหรับเอกสารประเภท กระดาษเขียนข่าวร่วม (ทท.) ก่อน (ซ้าย) และหลัง (ขวา) การปรับปรุงคุณภาพ OCR

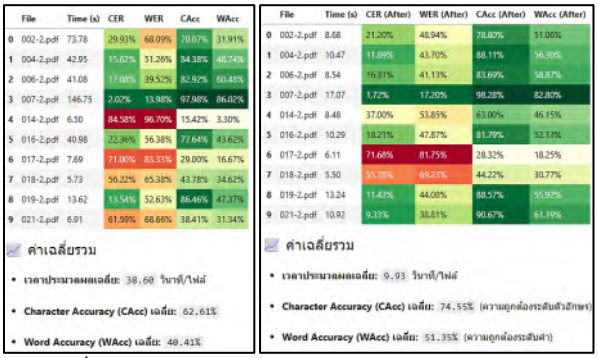

ตารางที่ 3 ผลการเปรียบเทียบความแม่นยำของ OCR

Document Type	Metric	without Post-processing	with Post-processing	Improvement (%)
บันทึกข้อความ	CAcc	**93.29%**	**95.23%**	+2.08%
	WAcc	64.74%	74.19%	+9.45%
กระดาษเขียนข่าวร่วม (ทท.)	CAcc	62.61%	74.55%	+11.94%
	WAcc	40.41%	51.35%	+10.94%

3.2 ประสิทธิภาพของขั้นตอนการสร้างเนื้อหา (Content Generation Performance)

ผลการประเมินคุณภาพของเนื้อหา "ข้อ ๑" ที่สร้างขึ้นโดยอัตโนมัติ (ตารางที่ 4) พบว่ามีความคล้ายคลึงกับฉบับอ้างอิงในระดับสูงมาก โดยมีค่าเฉลี่ย **ROUGE-L F1 ที่ 89.30%** และ **BERTScore (F1) ที่ 92.80%** ซึ่งบ่งชี้ว่าระบบสามารถสร้างประโยคที่มีทั้งโครงสร้างและใจความใกล้เคียงกับที่มนุษย์เขียนได้อย่างมีประสิทธิภาพ

ตารางที่ 4 ผลสรุปเฉลี่ยการประเมินการสร้างเนื้อหา ข้อ ๑ อัตโนมัติ

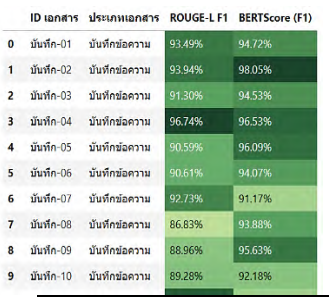

Document Type	ROUGE-L F1	BERTScore (F1)
บันทึกข้อความ	91.45%	**94.68%**
กระดาษเขียนข่าวร่วม (ทท.)	87.16%	90.91%
เฉลี่ยโดยรวม	89.30%	92.80%

3.3 ประสิทธิภาพในภาพรวมต่อผู้ใช้งาน (Overall User-Centric Performance)

เพื่อประเมินผลกระทบของระบบในสภาพแวดล้อมการใช้งานจริง ได้มีการทดลองเชิงเปรียบเทียบ (Comparative Study) กับผู้ใช้งานซึ่งเป็นบุคลากรทางทหารจำนวน 16 ท่าน โดยผู้เข้าร่วมการทดลองได้รับมอบหมายให้ปฏิบัติภารกิจเดียวกัน คือ การร่างหนังสือตอบกลับจากเอกสารต้นฉบับหนึ่งฉบับ โดยปฏิบัติ 2 ครั้ง ครั้งแรกด้วย กระบวนการแบบดั้งเดิม (Traditional Method) และครั้งที่สองด้วย ระบบที่นำเสนอ (Proposed System)

ในระหว่างการทดลอง ได้มีการเก็บข้อมูล 2 ส่วนหลัก คือ (1) ระยะเวลาที่ใช้ในการปฏิบัติงาน (Task Completion Time) ตั้งแต่เริ่มต้นจนได้ร่างเอกสารฉบับสมบูรณ์ และ (2) ผลตอบรับจากผู้ใช้งาน (User Feedback) ผ่านแบบสอบถามหลังการทดลอง ซึ่งใช้มาตรวัดระดับความพึงพอใจแบบ Likert Scale 5 ระดับ ใน 3 มิติ ได้แก่ ความง่ายในการใช้งาน (Usability), ประสิทธิภาพและความแม่นยำ (Performance & Accuracy), และประโยชน์ใช้สอย (Utility) ผลลัพธ์ทั้งหมดดังแสดงใน ตารางที่ 5

สำหรับคะแนนของกระบวนการแบบดั้งเดิมนั้น ได้มาจากการประเมินเชิงตรรกะตามสภาพปัญหาที่ทราบกันดีของกระบวนการเดิม เพื่อใช้เป็นเกณฑ์เปรียบเทียบ (Estimated Baseline) โดยให้คะแนน Performance & Accuracy ที่ 2.0/5 เนื่องจากเป็นกระบวนการที่ช้าและเกิดข้อผิดพลาดจากมนุษย์ได้ง่าย, ให้คะแนน Usability ที่ 2.5/5 เพราะต้องอาศัยความรู้ความชำนาญเฉพาะทาง และให้คะแนน Utility ที่ 4.2/5 เนื่องจากเป็นกระบวนการมาตรฐานเดียวที่มีอยู่และสามารถทำให้งานสำเร็จลุล่วงได้ แม้จะมีข้อบกพร่องก็ตาม

ตารางที่ 5 สรุปประสิทธิภาพด้านการลดระยะเวลาและผลตอบรับจากผู้ใช้งาน

Evaluation Metric	Traditional Method	Proposed System	Improvement
Avg. Task Time (Reply Generation)	30-45 min	3.5 min	**>90%** Reduction
User Feedback (Avg. Score /5)			
1. Usability	2.5 ± 3.8	4.5 ± 2.3	+ 80.0%
2. Performance & Accuracy	2.0 ± 5.3	4.1 ± 1.6	**+105.0%**
3. Utility (Usefulness)	**4.2 ± 1.7**	**4.7 ± 0.8**	+11.9%

จากการวิเคราะห์ผลลัพธ์ในตารางที่ 5 พบว่าระบบที่นำเสนอได้ยกระดับประสิทธิภาพการทำงานในทุกมิติอย่างมีนัยสำคัญ ประการแรกที่เห็นได้ชัดที่สุดคือ การลดระยะเวลาในการปฏิบัติงาน จากเดิมที่ต้องใช้เวลา 30-45 นาที เหลือเพียงเฉลี่ย 3.5 นาที คิดเป็นการลดลงมากกว่า 90%

ในด้านผลตอบรับจากผู้ใช้งาน คะแนนสะท้อนให้เห็นถึงการปรับปรุงที่ก้าวกระโดด โดยเฉพาะอย่างยิ่งในด้าน ประสิทธิภาพและความแม่นยำ ที่เพิ่มขึ้นถึง +105.0% ซึ่งยืนยันว่าระบบสามารถแก้ไขจุดอ่อนที่สำคัญที่สุดของกระบวนการเดิมได้สำเร็จ ในขณะที่ด้าน ความง่ายในการใช้งาน ก็เพิ่มขึ้นถึง +80.0% ชี้ให้เห็นว่าระบบถูกออกแบบมาให้ใช้งานง่ายและไม่ซับซ้อน นอกจากนี้ ค่าส่วนเบี่ยงเบนมาตรฐาน (S.D.) ที่ต่ำในฝั่งของระบบที่นำเสนอยังบ่งชี้ว่าผู้ใช้งานส่วนใหญ่ได้รับประสบการณ์เชิงบวกที่สอดคล้องกันอย่างมีนัยสำคัญ ผลลัพธ์ทั้งในเชิงปริมาณ (เวลา) และเชิงคุณภาพ (ความพึงพอใจ) นี้เป็นเครื่องยืนยันที่ชัดเจนถึงศักยภาพและคุณค่าของสถาปัตยกรรมที่นำเสนอในการแก้ไขปัญหาจริงและสร้างผลกระทบเชิงบวกต่อกระบวนการทำงานได้อย่างแท้จริง

4. การอภิปรายผล

ผลการทดลองได้ยืนยันถึงความสำเร็จของสถาปัตยกรรม Hybrid Intelligence Pipeline ที่นำเสนอ โดยผลลัพธ์ที่สำคัญคือ (1) ความแม่นยำในการสกัดข้อมูล การเพิ่มขึ้นของ WAcc อย่างมีนัยสำคัญ โดยเฉพาะในเอกสารที่ซับซ้อน พิสูจน์ให้เห็นว่ากลไก Post-processing ที่ออกแบบมาโดยเฉพาะสามารถแก้ไขจุดอ่อนของ OCR ทั่วไปได้อย่างตรงจุด (2) คุณภาพของเนื้อหาที่สร้างขึ้น คะแนน ROUGE-L และ BERTScore ที่สูง ยืนยันว่าระบบสามารถสร้างเนื้อหาที่มีความสอดคล้องทั้งในเชิงโครงสร้างและความหมายเทียบเท่ามนุษย์ และยังเป็นหลักฐานทางอ้อมที่ชี้ว่ากระบวนการสกัดข้อมูลในขั้นต้นทำงานได้อย่างมีประสิทธิภาพ (3) คุณค่าเชิงปฏิบัติ การลดระยะเวลาทำงานได้มากกว่า 90% ควบคู่กับคะแนนความพึงพอใจที่สูงจากผู้ใช้งานจริง เป็นข้อพิสูจน์ที่ชัดเจนว่าสถาปัตยกรรมนี้สามารถสร้างผลกระทบเชิงบวกต่อกระบวนการทำงานจริงได้

5. สรุป

บทความนี้นำเสนอสถาปัตยกรรมปัญญาประดิษฐ์แบบผสมผสานสำหรับการประมวลผลเอกสารราชการทหารไทยอัตโนมัติแบบครบวงจร ซึ่งสามารถทำงานได้อย่างสมบูรณ์บนเครือข่ายภายในองค์กร ผลการทดลองเชิงประจักษ์ยืนยันว่าสถาปัตยกรรมที่นำเสนอสามารถเพิ่มทั้งความเร็วและความแม่นยำในการจัดการเอกสารได้อย่างมีนัยสำคัญ อย่างไรก็ตาม งานวิจัยนี้มีข้อจำกัดด้านชุดข้อมูลที่ใช้ทดลองซึ่งมีจำนวนจำกัด การประเมินผลบนชุดข้อมูลที่ใหญ่และหลากหลายขึ้น รวมถึงการเปรียบเทียบกับระบบพื้นฐานอื่นๆ ยังคงเป็นแนวทางสำหรับงานวิจัยในอนาคตที่น่าสนใจ แนวทางนี้นับเป็นก้าวสำคัญในการนำเทคโนโลยี AI มาประยุกต์ใช้เพื่อปฏิรูปกระบวนการทำงานในภาครัฐให้มีประสิทธิภาพและทันสมัยยิ่งขึ้น

เอกสารอ้างอิง

[1] A. Vaswani et al., “Attention is all you need,” in Proc. 31st Int. Conf. Neural Inf. Process. Syst., 2017, pp. 5998–6008.

[2] P. Lewis et al., “Retrieval-augmented generation for knowledge-intensive NLP tasks,” in Proc. 34th Int. Conf. Neural Inf. Process. Syst., 2020.

[3] A. K. Jain and B. Yu, "Document representation and recognition: a survey," *Pattern Recognition*, vol. 31, no. 1, pp. 1-28, 1998.

[4] S. Naz, A. H. R. Shaikh, and S. A. Shaikh, "A survey on optical character recognition systems for the thai language," *ACM Computing Surveys (CSUR)*, vol. 53, no. 1, pp. 1-36, 2020.

[5] M. Armbrust et al., "A view of cloud computing," *Communications of the ACM*, vol. 53, no. 4, pp. 50-58, 2010.

[6] M. A. Quidwai, C. Li, and P. Dube, "Beyond Black Box AI-Generated Plagiarism Detection: From Sentence to Document Level," in *Proc. 18th Workshop on Innovative Use of NLP for Building Educational Applications*, 2023, pp. 727-735.

[7] M. Fujitake, "LayoutLLM: Large Language Model Instruction Tuning for Visually Rich Document Understanding," in *Proc. LREC-COLING 2024*, 2024, pp. 10219-10224.

[8] J. Wang, L. Jin, and K. Ding, "LiLT: A Simple yet Effective Language-Independent Layout Transformer for Structured Document Understanding," in *Proc. 60th Annual Meeting of the Association for Computational Linguistics*, 2022, pp. 7747-7757.

[9] SCB 10X, “Llama3.1-Typhoon2-8b-instruct Model Card,” *Hugging Face*, 2024. [Online]. Available: https://huggingface.co/scb10x/llama3.1-typhoon2-8b-instruct.

[10] T. Jocher, A. Chaurasia, and A. Stoken, "ultralytics/yolov8: YOLOv8," *GitHub*, 2023. [Online]. Available: https://github.com/ultralytics/yolov8

[11] ระเบียบกองบัญชาการกองทัพไทยว่าด้วยงานสารบรรณ พ.ศ. ๒๕๖๖, กองบัญชาการกองทัพไทย, 2566.

การพัฒนาเครื่องผสมสารป้องกันโรคและแมลงสำหรับสวนทุเรียนด้วยพีแอลซี

Development of a Pesticide and Insecticide Mixing Machine for Durian Orchards using a PLC

เสมา พัฒน์ฉิม* และ วนายุทธ์ แสนเงิน

สาขาวิชาวิศวกรรมไฟฟ้า คณะวิศวกรรมศาสตร์ มหาวิทยาลัยศรีปทุม sema.pa@spu.ac.th* wanayuth.sa@spu.ac.th

บทคัดย่อ

บทความนี้นำเสนอการพัฒนาเครื่องผสมสารเคมีสำหรับป้องกันโรคและแมลงในสวนทุเรียน โดยใช้โปรแกรมเมเบิลลอจิกคอนโทรลเลอร์ ในการควบคุมกระบวนการผสมสาร ระบบได้รับการออกแบบให้สามารถผสมสารเคมีได้ 4 ชนิด ได้แก่ คอปเปอร์ออกซีคลอไรด์ คาร์เบนดาซิม อิมิดาคลอพริด และคลอร์ไพริฟอส ถังบรรจุขนาด 2 ลิตรต่อชนิดสารเคมี โดยตัวเครื่องผสมสาร ไม่เกิน 200 ลิตรต่อรอบการทำงาน รองรับโหมดอัตโนมัติ ซึ่งเลือกสูตรการผสมตามชนิดของโรค และ กำหนดอัตราส่วนการผสมได้เองตามต้องการ ด้วย โหมดควบคุมด้วยมือ จากผลการทดลอง ผสมสารที่ปริมาณ 25, 50 และ 100 มิลลิลิตรต่อสารแต่ละชนิด ค่าความคลาดเคลื่อนอยู่ในช่วง 0.2% ถึง 1.8% ทำให้ลดการสิ้นเปลือง และส่วนผสมตรงตามอัตราส่วนของโรคพืช ลดการสัมผัสสารเคมี และความแม่นยำสูงในการผสมสารเคมี

คำสำคัญ: พีแอลซี, เครื่องผสมสารเคมี, สวนทุเรียน, ระบบควบคุมอัตโนมัติ, การป้องกันโรคพืช

Abstract

This paper presents the development of a chemical mixing machine for pesticide and Insecticide prevention in durian orchards by using a programmable logic controller. The system is designed to mix four types of chemical solutions copper oxychloride, carbendazim, imidacloprid, and chlorpyrifos each stored in 2-liter containers, 200 liters per work cycle . The operation supports two modes: automatic mode, which is selects the pesticide chemical mixtures based on the type of disease, and users to define custom mixing ratios by manual mode. Experimental results using 25, 50, and 100 ml dosages for each chemical, the mixing percentage error ranged from 0.2% to 1.8%. The system effectively reduce waste and mix ingredients in line with plant disease ratio, reduce chemical exposure and increase precision in chemical mixing.

Keywords: PLC, chemical mixing machine, durian orchard, automatic control, plant disease prevention

1. บทนำ

ปัจจุบันผลผลิตทางการเกษตร ทุเรียน เป็นผลผลิตของประเทศไทยที่มีบทบาทสำคัญต่อภาคเกษตรกรรม พืชเศรษฐกิจส่งออก ได้รับการยอมรับระดับด้านคุณภาพ และเป็นที่ต้องการอย่างต่อเนื่อง อย่างไรก็ตาม การบรรลุผลผลิตคุณภาพสูง และปริมาณที่น่าพอใจ แต่ต้องเผชิญกับความท้าทายหลัก คือการระบาดของโรคและแมลงศัตรูพืช ซึ่งก่อให้เกิดความเสียหายอย่างมากต่อผลผลิตและคุณภาพการเพาะปลูก ซึ่งเกษตรกรไทยส่วนใหญ่จะใช้สารเคมีในอัตราส่วนในปริมาณที่มากเกินจริง ทำให้สิ้นเปลือง และเกิดสารพิษตกค้างในร่างกาย

ดังนั้นการจัดการโรคและแมลงศัตรูพืช [1] เป็นหัวใจสำคัญในการเพาะปลูกทุเรียน การเตรียมสารป้องกันกำจัดศัตรูพืชเพื่อฉีดพ่นเป็นขั้นตอนที่ต้องอาศัยความแม่นยำ เนื่องจากหากอัตราส่วนการผสมไม่ถูกต้อง จะส่งผลให้ประสิทธิภาพการควบคุมลดลง เกิดความสิ้นเปลืองสารเคมี และเพิ่มความเสี่ยงจากการสัมผัสสารเคมีโดยตรงต่อผู้ปฏิบัติงาน เกิดสารตกค้างในผลผลิต [2-3] นอกจากนี้วิธีการผสมแบบดั้งเดิมยังใช้แรงงานและเวลามาก ส่งผลกระทบต่อต้นทุน และประสิทธิภาพการผลิต จากปัญหาดังกล่าว จึงเกิดแนวคิดในการพัฒนาเครื่องมือและอุปกรณ์เพื่อช่วยเหลือและลดปัญหาในข้อจำกัดเหล่านั้น บทความนี้ได้นำเสนอการพัฒนาเครื่องผสมสารป้องกันโรคและแมลง สำหรับสวนทุเรียน ควบคุมด้วยพีแอลซี [4-7] ลดความเสี่ยงในการสัมผัสโดยตรงจากการผสมสารเคมี และเพิ่มความแม่นยำของอัตราส่วนการผสมของโรคตรงจุด ซึ่งจะช่วยเพิ่มประสิทธิภาพในการพ่นยาควบคุมโรคและแมลง ลดความเสียหายต่อผลผลิตการเพาะปลูก และยกระดับคุณภาพทุเรียนเพื่อความยั่งยืนทางการตลาด

2. โครงสร้างการทำงานของระบบ

2.1 ภาพรวมของระบบ

การพัฒนาเครื่องผสมสารป้องกันแมลงสำหรับสวนทุเรียนโดยใช้ ชุด FX2N-20MT PLC Board เป็นตัวประมวลผลหลัก เขียนโปรแกรมควบคุมด้วย Ladder Diagram ควบคุมกระบวนการทำงานทั้ง โหมดอัตโนมัติ และโหมดควบคุมด้วยมือ โดยพีแอลซีเชื่อมต่ออุปกรณ์อินพุต เซนเซอร์ตรวจสอบอัตราการไหล (Flow sensor) จำนวน 4 ชุด อุปกรณ์เอาต์พุต มอเตอร์ปั๊มสารละลาย 4 ตัว มอเตอร์ปั๊มน้ำ 1 ตัว มอเตอร์กวนสารในถัง 1 ตัว พร้อมทั้งเชื่อมต่อกับจอแสดงผลแบบสัมผัส (HMI) ผ่านพอร์ตสื่อสาร RS422 ใช้ในการควบคุมการทำงานผ่านหน้าจอสัมผัส และแสดงสถานะการทำงานต่างๆ

การควบคุมปริมาณของสารละลายจำนวน 4 ชนิด ใช้อุปกรณ์เซนเซอร์วัดอัตราการไหล รุ่น YF-S201 สามารถวัดอัตราการไหลได้สูงสุด 30 ลิตรต่อนาที เชื่อมต่อกับพีแอลซี ผ่านขาอินพุต X0, X1, X2 และ X3 การจ่ายสารละลาย ใช้ปั๊มน้ำแบบไดอะแฟรม จำนวน 4 ชุด สามารถดูดของเหลวได้ที่อัตรา 3 ลิตรต่อนาที เชื่อมต่อกับขาเอาต์พุต Y0, Y1, Y2 และ Y3 ของพีแอลซี หลังการเติมสารละลายลงในน้ำสะอาด ระบบจะทำการกวนผสมสารละลายกับน้ำโดยสั่งงานมอเตอร์กระแสตรงติดกับใบพัดแบบริบบิ้น ควบคุมผ่านขา Y1 ของพีแอลซี เชื่อมต่อผ่านรีเลย์ทำหน้าที่เปิด–ปิดวงจรกระแสไฟฟ้าให้มอเตอร์ เมื่อผสมสารละลายกับน้ำเรียบร้อยแล้ว จะมีมอเตอร์ปั๊มน้ำทำหน้าที่ดูดสารละลายที่พร้อมใช้งานออกจากถังผสม ควบคุมการทำงานผ่านขา Y5 ของพีแอลซี ซึ่งมีรีเลย์ทำหน้าที่ควบคุมการจ่ายไฟเช่นเดียวกัน

นอกจากนี้ระบบแจ้งเตือนสถานการณ์ทำงานด้วยเสียง หากการทำงานของระบบผิดปกติ ด้วยบัซเซอร์ (Buzzer) เชื่อมต่อกับขา Y6 ของพีแอลซี และสามารถหยุดการทำงานของระบบได้ โดยกดสวิตช์ฉุกเฉิน

*ผู้ประพันธ์บรรณกิจ

(Emergency Switch) จะตัดการทำงานของระบบทั้งหมด ทั้งยังสามารถตรวจสอบพลังงานของแบตเตอรี่ ผ่านอินพุตแบบแอนะล็อก (Analog Input) ขา AD0 ของพีแอลซี เพื่อสามารถตรวจสอบแรงดันของแบตเตอรี่ ดังแสดงในรูปที่ 1

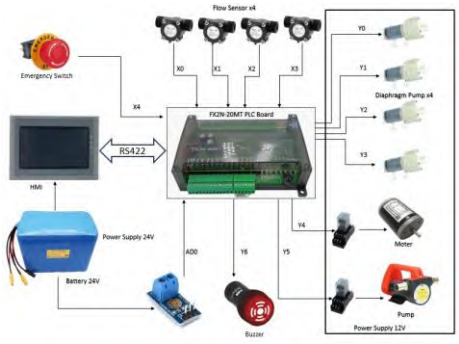

รูปที่ 1 การออกแบบระบบควบคุม

2.2 การออกแบบโครงสร้าง

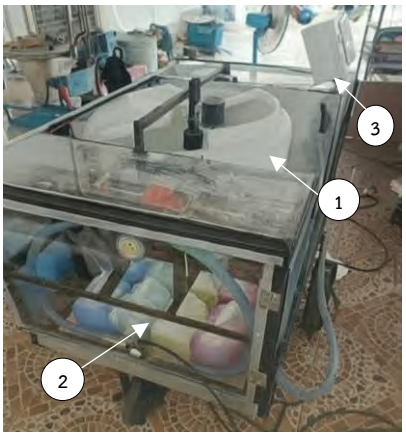

รูปที่ 2 รูปตำแหน่งการวางอุปกรณ์

โครงสร้างต้นแบบเครื่องผสมสารป้องกันโรคและแมลงสำหรับสวนทุเรียน ได้รับการออกแบบให้สามารถรองรับน้ำหนักจากถังผสมสารละลายขนาด 200 ลิตร โดยคำนึงถึงความมั่นคงแข็งแรงของวัสดุประเภทเหล็กที่ผ่านกระบวนการกันสนิม (Galvanized) ซึ่งมีคุณสมบัติด้านความแข็งแรง สามารถรองรับน้ำหนัก ทนทานต่อการกัดกร่อน ชิ้นงานได้ออกแบบโครงสร้างลักษณะเหมือนกับรถเข็นสาม ล้อเพื่อให้สามารถเข็นถังผสมสารละลายเข้าพื้นที่สวนทุเรียนได้อย่างสะดวก ขนาดของโครงสร้างมีความกว้าง 80 เซนติเมตร ยาว 120 เซนติเมตร และสูง 80 เซนติเมตร ดังแสดงในรูปที่ 2 หมายเลขที่ 1 แสดงถึงตำแหน่งการวางถังผสมสาร หมายเลขที่ 2 แสดงตำแหน่งการวางถังบรรจุสารละลายทั้ง 4 ถัง ซึ่งอยู่บริเวณด้านหน้าของชิ้นงาน และหมายเลข 3 แสดงตำแหน่งกล่องควบคุม และจอแสดงผล ซึ่งติดตั้งอยู่บริเวณด้านหลังของชิ้นงาน

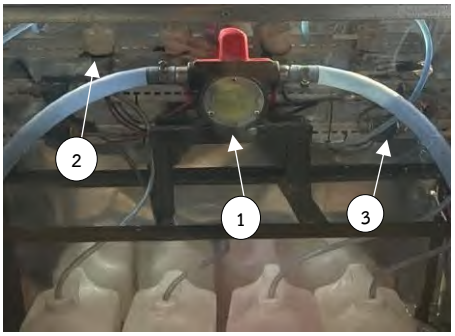

รูปที่ 3 รูปตำแหน่งการวางปั๊มน้ำ และเซนเซอร์วัดอัตราการไหล

จากรูปที่ 3 หมายเลขที่ 1 แสดงถึงตำแหน่งการติดตั้งปั๊มสำหรับดูดน้ำผสมสารละลายออกจากถัง หมายเลขที่ 2 แสดงตำแหน่งการติดตั้งปั๊มน้ำแบบไดอะแฟรมสำหรับดูดสารละลายแต่ละชนิด ทั้งหมดจำนวน 4 ชุด หมายเลข 3 แสดงตำแหน่งการติดตั้งเซนเซอร์วัดอัตราการไหล โดยติดตั้งทั้งหมด 4 ชุด

3. การออกแบบโปรแกรมควบคุม

การออกแบบโปรแกรมระบบควบคุมการทำงานแบ่งออกเป็น 2 ส่วน ได้แก่ ส่วนของตัวพีแอลซี และส่วนของผู้ใช้งานผ่านหน้าจอแบบสัมผัส HMI โดยระบบควบคุมได้รับการออกแบบโดยใช้โปรแกรมเมเบิลลอจิกคอนโทรลเลอร์ การออกแบบการแสดงผลบนหน้าจอสัมผัสด้วยโปรแกรม SK Tool ซึ่งระบบที่ออกแบบประกอบด้วย 2 ส่วน คือ ระบบควบคุมด้วยมือ และระบบควบคุมอัตโนมัติ

ระบบควบคุมแบบด้วยมือ เพื่อกำหนดปริมาณตามความต้องการของผู้ใช้งาน โดยการเข้าเมนูหลักของ HMI เลือกปุ่มกด MANUAL ขั้นตอนถัดมาจะมีกระบวนการที่สะดวกและง่ายต่อการใช้งาน ผู้ใช้งานสามารถกำหนดค่าผ่านหน้าจอ HMI ซึ่งสามารถป้อนค่าปริมาณของสารละลายป้องกันโรคและแมลงที่ต้องการ รวมถึงการกำหนดปริมาณน้ำ และระยะเวลาที่ใช้ในการผสมสารละลายได้ ดังแสดงในรูปที่ 4

ระบบควบคุมอัตโนมัติ สามารถเลือกจากปุ่มกด 4 ชนิดโรค ได้แก่ โรคสนิม โรคราสีชมพู โรคหนอนเจาะลำต้น และโรคหนอนเจาะเมล็ดทุเรียน ซึ่งมีลำดับขั้นการทำงานและเงื่อนไขที่กำหนดไว้เรียบร้อย เพื่อให้สามารถควบคุมปริมาณของสารผสมให้สอดคล้องกับชนิดของโรคที่กำหนด โดยการเข้าเมนูหลักของ หน้าจอ HMI เลือกปุ่มกด AUTO MODE ดังแสดงในรูปที่ 5

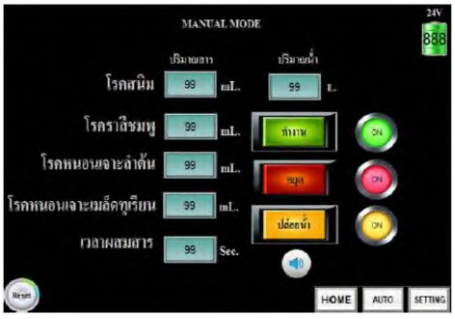

รูปที่ 4 ภาพหน้าจอ HMI แสดงเมนูโหมดควบคุมด้วยมือ

รูปที่ 5 ภาพหน้าจอ HMI แสดงเมนูโหมดควบคุมอัตโนมัติ

เมื่อ HMI แสดงหน้าต่างของ AUTO MODE จะรอจนกว่าผู้ใช้เลือกชนิดของโรคที่ต้องการ จากนั้นกำหนดปริมาณความต้องการของสารป้องกันโรค (ปริมาณน้ำมีหน่วยเป็นลิตร) โดยกำหนดปริมาณน้ำอยู่ในช่วง 20 ลิตร ถึง 200 ลิตร จากนั้นกดปุ่ม Start ระบบจะเริ่มกระบวนการคำนวณ และควบคุมปั๊มในการเติมสารละลายป้องกันโรค โดยคำนวณข้อมูลปริมาณจากเซนเซอร์วัดอัตราการไหล จากนั้นระบบจะผสมสารละลายด้วยมอเตอร์คนสารละลายให้ทำงานตามเวลาที่คำนวณ เมื่อเสร็จสิ้นกระบวนการจะมีเสียงเตือนผ่านบัชเซอร์ ขั้นตอนสุดท้ายจะรอจนกว่าผู้ใช้จะกดปล่อยน้ำ ทั้งนี้ ระบบสามารถแสดงลำดับกระบวนการทำงาน และขั้นตอนการใช้งานผ่านหน้าจอ HMI แสดงลำดับการทำงานจากผังงาน ดังแสดงในรูปที่ 6

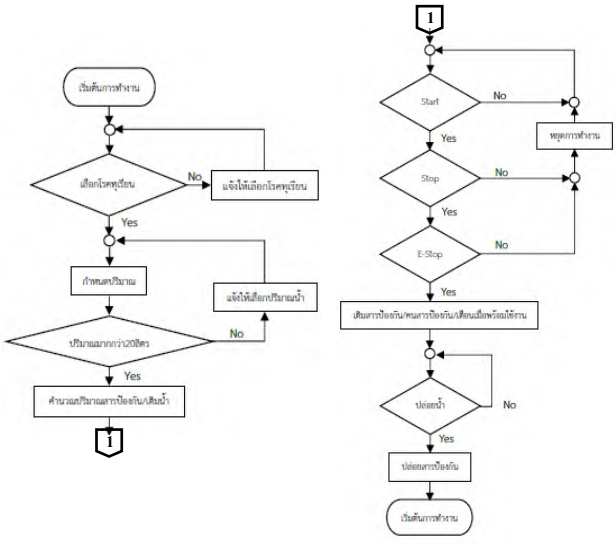

รูปที่ 6 ผังการทำงานของระบบอัตโนมัติ

4. ผลการทดสอบระบบ

การทดสอบของสารป้องกันโรคทั้ง 4 ชนิด โดยกำหนดปริมาณน้ำเปล่า 25 ลิตร ผสมกับสารป้องกันแต่ละชนิดปริมาณ 25 มิลลิลิตร 50 มิลลิลิตร และ100 มิลลิลิตร ทำการทดสอบ 10 ครั้ง โดยกำหนดค่าผ่านจอ HMI โหมด SETING จากนั้นทำการวัดตวงสารป้องกันที่จ่ายออกมาผสมกับน้ำ ด้วยกระบอกตวง 250 มิลลิลิตร (Graduated Cylinder) ดังแสดงในรูปที่ 7

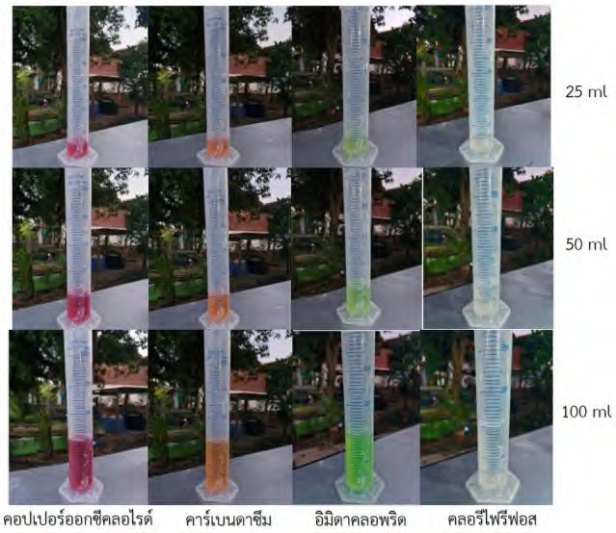

รูปที่ 7 การทดสอบวัดตวงสารป้องกันด้วยกระบอกตวง

ผลการทดสอบการวัดตวงสารป้องกันโดยกำหนดปริมาณให้เท่ากับ 25 มิลลิลิตร จำนวน 10 ครั้ง ดังแสดงในรูปที่ 8

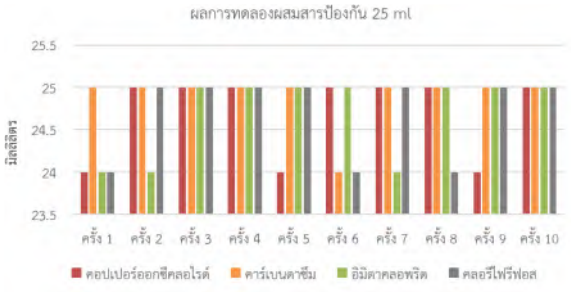

รูปที่ 8 การทดสอบสารป้องกัน 25 มิลลิลิตร

ผลการทดสอบการวัดตวงสารป้องกันโดยกำหนดปริมาณให้เท่ากับ 50 มิลลิลิตร จำนวน 10 ครั้ง ดังแสดงในรูปที่ 9

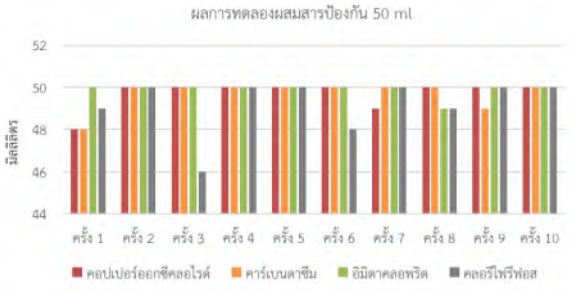

รูปที่ 9 การทดสอบสารป้องกัน 50 มิลลิลิตร

ผลการทดสอบการวัดตวงสารป้องกันโดยกำหนดปริมาณให้เท่ากับ 100 มิลลิลิตร จำนวน 10 ครั้ง ดังแสดงในรูปที่ 10

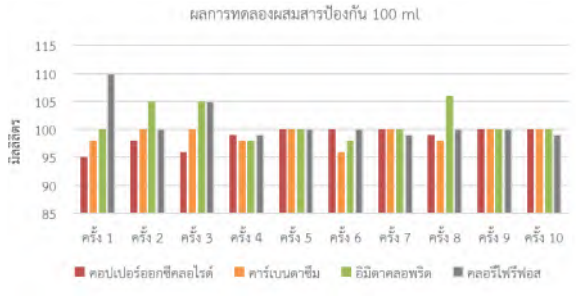

รูปที่ 10 การทดสอบสารป้องกัน 100 มิลลิลิตร

จากผลการทดลองจำนวน 10 ครั้ง ค่าความคลาดเฉลี่ยของสารป้องกันคอปเปอร์ออกซีคลอไรด์ สารอิมิดาคลอพริด และสารคลอรีไพรีฟอส อยู่ที่ 1.2% ส่วนสารป้องกันคาร์เบนดาซีมอยู่ที่ 0.4% สำหรับการวัดตวงสารป้องกันปริมาณ 50 มิลลิลิตรของสารป้องกันทั้ง 4 ชนิดค่าความคลาดเฉลี่ยของสารคอปเปอร์ออกซีคลอไรด์ 0.6% สารคาร์เบนดาซีม 0.6% สารอิมิดาคลอพริด 0.2% และสารอิมิดาคลอพริด 1.6% การทดลองการวัดตวงสารป้องกันปริมาณ 100 มิลลิลิตร สารคอปเปอร์ออกซีคลอไรด์ 1.3% สารคาร์เบนดาซีม 1% สารอิมิดาคลอพริด 2% และสารอิมิดาคลอพริด 1.8% ดังรูปที่ 11

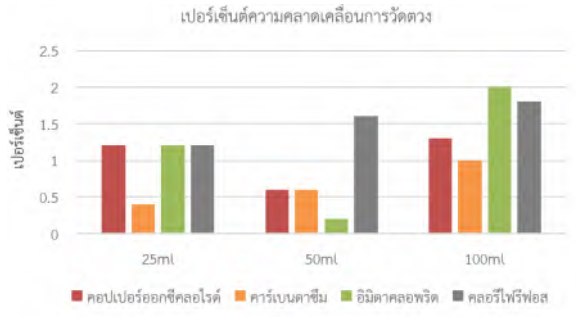

รูปที่ 11 แสดงเปอร์เซ็นต์ความคลาดเฉลี่ยของการทดสอบ

5. สรุปผลการทดลอง

การพัฒนาเครื่องผสมสารป้องกันโรคและแมลงสำหรับสวนทุเรียนด้วยพีแอลซี ค่าเปอร์เซ็นต์ความคลาดเคลื่อนของการผสมสารคอปเปอร์ออกซีคลอไรด์ ต่ำที่สุดคือ 0.6% ของการใช้สารละลายในการผสมที่ปริมาณ 50 มิลลิลิตร และสูงที่สุดคือ 1.3 % ของการใช้สารละลายในการผสมที่ปริมาณ 100 มิลลิลิตร ความคลาดเคลื่อนของการผสมสารคาร์เบนดาซีม ต่ำที่สุดคือ 0.4% ของการใช้สารละลายในการผสมที่ปริมาณ 25 มิลลิลิตร และสูงที่สุดคือ 1 % ของการใช้สารละลายในการผสมที่ปริมาณ 100 มิลลิลิตร ความคลาดเคลื่อนของการผสมสารอิมิดาคลอพริด ต่ำที่สุดคือ 0.2% ของการใช้สารละลายในการผสมที่ปริมาณ 50 มิลลิลิตร สูงที่สุดคือ 2 % ของการใช้สารละลายในการผสมที่ปริมาณ100 มิลลิลิตร และความคลาดเคลื่อนของการผสมสารคลอรีไพรีฟอส ต่ำที่สุดคือ 1.2% ของการใช้สารละลายในการผสมที่ปริมาณ 25 มิลลิลิตร สูงที่สุดคือ 1.8 % ของการใช้สารละลายในการผสมที่ปริมาณ 100 มิลลิลิตร ดังนั้นความคลาดเคลื่อนดังกล่าวจะมีผลกระทบมากกับการใช้สารละลายในการผสมที่ปริมาณ 100 มิลลิลิตร และน้อยที่สุดคือ 50 มิลลิลิตร

เอกสารอ้างอิง

[1] อรัญ งามผ่องใส สุนทร พิพิธแสงจันทร์ และ วิภาวดี ชำนาญ “การใช้สารร่วมแมลงและสารสกัดจากพืชบางชนิดควบคุมแมลงศัตรูถั่วฝักยาว,” วารสารสงขลานครินทร์ (วทท.), ปีที่ 25 ฉบับที่ 3 (2546), หน้า 307–316

[2] ปิยะฉัตร พ้นทาส รัตติยากร ทองญวน นฤมล แก้วโมรา สิริมา มงคลสัมฤทธิ์ ศิริกุล ธรรมจิตรสกุล และ กัญจน์ ศิลป์ประสิทธิ์, “ความเสี่ยงทางสุขภาพที่เกี่ยวข้องกับการสัมผัสสารเคมีกำจัดแมลงในการประกอบอาชีพผู้ค้าผักและผลไม้สดในตลาดสดจังหวัดนครนายก,” วารสารวิจัยวิทยาศาสตร์สุขภาพ ครั้งที่ 8 ฉบับที่ 2 กรกฎาคม - ธันวาคม ปี 2557, หน้า 17-24

[3] สุดารัตน์ เพชรจร และ พรชุลี นิววิศิษฐ, “การใช้สารเคมีป้องกันกำจัดศัตรูพืชในการผลิตทุเรียนของเกษตรกร ในอำเภอสวี จังหวัดชุมพร,” การประชุมวิชาการระดับชาติ ครั้ง ที่ 14 มหาวิทยาลัยเกษตรศาสตร์ วิทยาเขตกำแพงแสน วันที่ 7-8 ธันวาคม 2560, หน้า 3785-3792

[4] วนายุทธ์ แสนเงิน และ เสมา พัฒน์ฉิม “การพัฒนาชุดสาธิตหุ่นยนต์คาร์ทีเซียนสำหรับการจัดเก็บสินค้าแนวตั้งควบคุมด้วยพีแอลซี,”การประชุมวิชาการทางวิศวกรรมไฟฟ้า ครั้งที่ 47, 13-15 พฤศจิกายน 2567

[5] T. Anuradha, K. Ramya and R. Selvam “Design and Implementation of Solar Powered Automatic PesticideSprayer for Agriculture,” Journal of Physics: Conference Series., vol. 1362, pp. 1-8,2019.

[6] M. Ahamed, M.Hongbin, S.Lepeng and J. Ying “ Embedded Design of Automatic Pesticide Spraying Robot Control System” 2022 10th h International Symposium on Computational Intelligence and Industrial Applications (ISCIIA2022), Beijing, China, 2022, pp.1-6.

[7] M. Zhanxing, X. Xinyu, S.Zhu, X. Yang Xu, Z. Qingqing, J. Yuxuan and Z. Haiwei “Design and Testing of a PLC-Controlled Pressure Stabilization System for Targeted Spraying on Heading Vegetables”., J.Agriculture., vol.15 pp. 1-18, 2025.

การพัฒนาเครื่องกำเนิดพลาสมาในบรรยากาศเย็นสำหรับการคายประจุที่ผิวเครื่องขวางกั้นไดอิเล็กทริก

Development of Cold Atmospheric Plasma Generator for Surface Dielectric Barrier Discharge

อธิวัฒน์ แซ่เอี้ยว[1] ศราวุธ แต้โอสถ[1]* ดวงดี แสนรักษ์[1] ณัฐพงษ์ โปธิ[1] สิทธิเดช วชิราศรีศิริกุล[1] และ เชวศักดิ์ รักเป็นไทย[1]

[1]สาขาวิชาวิศวกรรมไฟฟ้า คณะวิศวกรรมศาสตร์ มหาวิทยาลัยพะเยา sarawut.ta@up.ac.th*

บทคัดย่อ

บทความนี้นำเสนอการพัฒนาเครื่องกำเนิดพลาสมาในบรรยากาศสำหรับการคายประจุที่ผิวเครื่องขวางกั้นไดอิเล็กทริก เครื่องกำเนิดพลาสมาถูกออกแบบและดำเนินการเพื่อให้ทำงานร่วมกับอิเล็กโทรดแบบการคายประจุที่ผิวขวางกั้นไดอิเล็กทริก ระบบประกอบด้วยส่วนสำคัญ 5 ส่วน ได้แก่ (1) หม้อแปลงลดระดับแรงดัน (2) วงจรเรียงกระแส (3) วงจรผกผัน (4) หม้อแปลงแรงดันไฟฟ้าสูงความถี่สูง และ (5) ชุดอิเล็กโทรด ผลการทดสอบแสดงให้เห็นว่า เครื่องสามารถทำงานในย่านความถี่ 10 กิโลเฮิรตซ์ ถึง 30 กิโลเฮิรตซ์ กำลังเฉลี่ยที่ส่งไปยังอิเล็กโทรดอยู่ในช่วง 14 วัตต์ ถึง 48 วัตต์ ขึ้นกับการความถี่ในการทำงาน อิเล็กโทรดอาจจะมีอุณหภูมิสูงสุดถึง 120 องศาเซลเซียส ขณะที่อุณหภูมิต่ำสุดของอิเล็กโทรดอยู่ที่ 60 องศาเซลเซียส

Abstract

This paper presents the development of an atmospheric-pressure plasma generator for surface dielectric barrier discharge. The plasma generator has been designed and implemented in order to work with a surface dielectric barrier discharge electrode. The system consists of five main components: (1) a step-down transformer, (2) a rectifier circuit, (3) an inverter circuit, (4) a high-frequency high-voltage transformer, and (5) an electrode assembly. The experimental results show that the plasma generator can function effectively in the 10 kHz to 30 kHz frequency range. Depending on changes in its operating frequency, the average power that is transmitted to the electrode can vary between 14 and 48 watts. The electrode may reach a maximum temperature of 120 degrees Celsius. While the electrode's minimum temperature is 60 degrees Celsius.

1. บทนำ

เมื่อแก๊สได้รับพลังงานมากเพียงพอก็จะเกิดการแตกตัวเป็นไอออนที่ประกอบด้วยอนุภาคประจุไฟฟ้า อะตอมที่เป็นกลาง และโมเลกุล เราเรียกว่า พลาสมา (plasma) การจำแนกประเภทของพลาสมาตามระดับของอุณหภูมิจะแบ่งออกเป็น 2 ประเภท คือ พลาสมาเย็น (cold plasma) และพลาสมาความร้อน (thermal plasma) โดยพลาสมาเย็นจะมีอุณหภูมิใกล้เคียงกับอุณหภูมิแวดล้อมปรกติและถูกผลิตที่ความดันต่ำ ปัจจุบันมีการประยุกต์ใช้พลาสมาเย็นอย่างแพร่หลายในหลายด้าน [1] เช่น การแพทย์ การเกษตร อุตสาหกรรมอาหาร และการผลิตวัสดุ เป็นต้น พลาสมาเย็นมีปฏิกิริยากับเซลล์แบคทีเรียและสามารถยับยั้งเชื้อจุลินทรีย์ รวมทั้งสปอร์และไวรัส โดยทั่วไปกระบวนการเกิดพลาสมาจากสถานะแก๊สสามารถทำได้ด้วยการให้พลังงานปริมาณมากแก่แก๊สที่เป็นกลาง เราสามารถสร้างพลาสมาได้ด้วยการใช้สนามไฟฟ้าแรงสูงและความถี่สูงที่สร้างขึ้นจากไฟฟ้ากระแสตรงแบบพัลส์ ไฟฟ้ากระแสสลับ คลื่นความถี่วิทยุ และคลื่นความถี่ไมโครเวฟ เป็นต้น สนามไฟฟ้าจะกระตุ้นการแตกออกทางไฟฟ้าของแก๊ส อนุภาคจะถูกทำให้มีประจุและถูกเร่งบนสนามไฟฟ้า ทำให้เกิดแก๊สที่แตกตัวเป็นไอออนบางส่วนอันเนื่องจากการชนแบบยืดหยุ่นของอนุภาค เครื่องกำเนิดพลาสมาเย็นจำเป็นต้องมีแหล่งจ่ายกำลังไฟฟ้าแรงสูงและคู่ของอิเล็กโทรด นอกจากนี้แหล่งจ่ายกำลังจะต้องทำงานที่ความถี่สูงเพื่อให้พลาสมาที่ผลิตได้มีเสถียรภาพ

แม้ว่าเทคโนโลยีพลาสมาเย็นจะมีศักยภาพในการนำไปประยุกต์ใช้งานในหลายด้าน อย่างไรก็ตาม การใช้งานยังคงจำกัดอยู่เฉพาะในภาคอุตสาหกรรมที่มีเงินทุนสูงหรือห้องปฏิบัติการวิจัย เพราะเครื่องกำเนิดพลาสมาเย็นขนาดใหญ่มีราคาสูงมาก การผลิตเครื่องกำเนิดพลาสมาเย็นขนาดเล็กจึงเป็นแนวทางหนึ่งซึ่งอาจจะช่วยส่งเสริมการประยุกต์ใช้งานแก่ผู้ประกอบการรายย่อย และช่วยเพิ่มโอกาสในการเข้าถึงเครื่องมือทำวิจัยด้านพลาสมาเย็น การผลิตเครื่องกำเนิดพลาสมาเย็นขนาดเล็กอย่างง่ายมักใช้อุปกรณ์ที่มีขายเชิงพาณิชย์ในท้องตลาดมาประยุกต์ประกอบสร้างแหล่งจ่ายกำลังไฟฟ้าแรงสูง [2] ยกตัวอย่างเช่น อาจใช้หม้อแปลงฟลายแบ็ก (flyback transformer) หรือ แหล่งจ่ายกำลังนีออน (neon power supply) ซึ่งเป็นอุปกรณ์อิเล็กทรอนิกส์ที่มีหม้อแปลงยกระดับแรงดันอย่างไรก็ตาม อุปกรณ์ประกอบเหล่านี้ไม่ได้ถูกออกแบบขึ้นมาอย่างเหมาะสมกับเครื่องกำเนิดพลาสมาเย็นที่ต้องการนำไปประยุกต์ใช้จำเพาะในแต่ละงาน จึงทำให้การใช้งานเครื่องกำเนิดพลาสมาเย็นที่ได้มีข้อจำกัดการขยายขนาดกำลังจำเป็นต้องใช้อุปกรณ์เหล่านี้หลายตัวต่อขนานกัน ทำให้ต้นทุนเครื่องสูงกว่าการออกแบบอย่างเหมาะสม งานวิจัยที่ผ่านมาจึงมีการออกแบบและพัฒนาสร้างแหล่งจ่ายพลาสมาขึ้นสำหรับการใช้งานจำเพาะ [3]-[5]

บทความนี้นำเสนอเครื่องกำเนิดพลาสมาเย็นที่พัฒนาขึ้นสำหรับการคายประจุที่ผิวเครื่องขวางกั้นไดอิเล็กทริกที่อุณหภูมิต่ำในชั้นบรรยากาศ เครื่องกำเนิดพลาสมาถูกออกแบบให้ทำงานด้วยแหล่งจ่ายไฟฟ้าเฟสเดียวที่มีการลดระดับแรงดันไฟฟ้า เพื่อให้วงจรเรียงกระแสจ่ายแรงดันไฟฟ้ากระแสตรงค่าไม่สูงมาก อันจะทำให้สามารถเลือกใช้สวิตช์ราคาไม่แพง

*ผู้ประพันธ์บรรณกิจ

2. เครื่องกำเนิดพลาสมาเย็น

รูปที่ 1 แสดงองค์ประกอบของเครื่องกำเนิดพลาสมาเย็นที่พัฒนาขึ้น การทำงานของแต่ละองค์ประกอบอธิบายในหัวข้อย่อยต่อไปนี้

2.1 หม้อแปลงลดระดับแรงดัน

หม้อแปลงลดระดับแรงดันทำหน้าที่ลดระดับแรงดันไฟฟ้า 220 โวลต์ ลงไปเป็น 60 โวลต์ หม้อแปลงตัวนี้สามารถรองรับกระแสไฟฟ้าขาออกได้สูงสุด 3 แอมแปร์ และมีกำลังไฟฟ้า 180 วีเอ นอกจากนี้หม้อแปลงยังถูกออกแบบให้มีขดลวดเพิ่มเติมที่ให้แรงดัน 12 โวลต์สำหรับจ่ายไฟให้กับวงจรควบคุมต่างๆ ภายในระบบด้วย

2.2 วงจรเรียงกระแส

วงจรเรียงกระแสทำหน้าที่แปลงแรงดันไฟฟ้ากระแสสลับ 60 โวลต์ ให้เป็นแรงดันไฟฟ้ากระแสตรง 85 โวลต์ วงจรเรียงกระแสประกอบด้วยไดโอด 4 ตัว และมีการต่อตัวเก็บประจุที่ด้านขาออกของวงจรเรียงกระแสเพื่อให้แรงดันกระแสตรงที่ได้มีเสถียรภาพเหมาะสมกับการใช้งาน

2.3 วงจรผกผัน

วงจรผกผันฟูลบริดจ์เฟสเดียว (single-phase full-bridge Inverter) ถูกใช้ในการสร้างเครื่องกำเนิดพลาสมา วงจรประกอบด้วยมอสเฟต จำนวน 4 ตัว การควบคุมการเปิด-ปิดของสวิตช์จะดำเนินการสลับกันเป็นคู่ รูปที่ 2 แสดงวงจรผกผันฟูลบริดจ์เฟสเดียว สวิตช์คู่แรก คือ สวิตช์ S1 และสวิตช์ S4 จะทำงาน (ปิด/เปิด) พร้อมกัน สวิตช์คู่ที่สอง คือ สวิตช์ S2 และสวิตช์ S3 จะทำงาน (ปิด/เปิด) พร้อมกัน แต่สวิตช์คู่แรกจะทำงาน (ปิด/เปิด) ตรงข้ามกับสวิตช์คู่ที่สอง การทำงานในลักษณะนี้จะทำให้ได้แรงดันเอาต์พุตเป็นแรงดันไฟฟ้ากระแสสลับ นอกจากนี้วงจรผกผันยังถูกออกแบบให้สามารถทำงานในช่วงความถี่กว้าง ตั้งแต่ 1 กิโลเฮิรตซ์ ถึง 100 กิโลเฮิรตซ์ เพื่อให้สามารถปรับระดับความถี่การทำงานของเครื่องกำเนิดพลาสมาให้มีเหมาะสมกับอิเล็กโทรด

รูปที่ 1 องค์ประกอบของเครื่องกำเนิดพลาสมาเย็นที่พัฒนาขึ้น

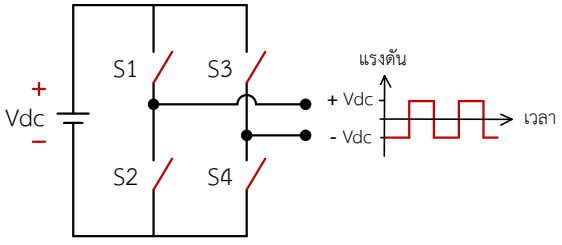

รูปที่ 2 วงจรผกผันฟูลบริดจ์เฟสเดียว

2.4 หม้อแปลงความถี่สูงแรงดันสูง

การออกแบบหม้อแปลงความถี่สูงใช้แกนเฟอร์ไรต์รูปร่าง EE ขนาดเบอร์ EE 65 ซึ่งมีความเหมาะสมในการทำงานในช่วงความถี่ 1 กิโลเฮิรตซ์ ถึง 300 กิโลเฮิรตซ์ เพราะมีการสูญเสียต่ำ การออกแบบหม้อแปลงถูกออกแบบให้มีรอบการพัน 20 รอบ ต่อ 320 รอบ เพื่อยกระดับแรงดันเอาต์พุตให้สูงถึงระดับกิโลโวลต์ หลักการคำนวณรอบการพันขดลวดสามารถศึกษาได้จากเอกสารอ้างอิง [6] การเลือกใช้ขนาดของขดลวดทั้งขดลวดปฐมภูมิและขดลวดทุติยภูมิของหม้อแปลงความถี่สูงแรงดันสูงยังต้องพิจารณาการทนกระแสไฟฟ้าด้วย ขนาดกระแสที่ไหลผ่านขั้วอิเล็กโทรดอาจมีค่าสูงมากในช่วงเวลาสั้นๆ และกระแสอาจมีความถี่สูงในระดับกิโลเฮิรตซ์ขึ้นกับการทำงานของเครื่องกำเนิดพลาสมา ขดลวดที่เลือกใช้ต้องมีพื้นที่หน้าตัดเพียงพอที่จะรองรับกระแสสูงสุดโดยไม่ทำให้เกิดความร้อนสูงเกินไปจนฉนวนเคลือบขดลวดละลาย นอกจากนี้การออกแบบยังต้องคำนึงถึงความสามารถในการทนแรงดันสูงของฉนวนขดลวดด้วย หากแรงดันสูงเกินแรงดันที่ฉนวนทนได้ก็จะทำให้เกิดการลัดวงจรระหว่างขดลวด หรือระหว่างขดลวดกับแกนหม้อแปลง

2.5 อิเล็กโทรด

อิเล็กโทรดเป็นแบบการคายประจุที่ผิวเครื่องขวางกั้นไดอิเล็กทริกที่ใช้วัสดุเซรามิกประกอบสร้าง ซึ่งสามารถจัดหาได้ในท้องตลาดและราคาไม่แพง รูปที่ 3 แสดงแผ่นอิเล็กโทรดแบบการคายประจุที่ผิวเครื่องขวางกั้นไดอิเล็กทริก แผ่นอิเล็กโทรดยังมีการออกแบบให้มีส่วนระบายความร้อน ซึ่งเราสามารถติดอุปกรณ์เสริมช่วยระบายความร้อนที่เกิดขึ้นได้

3. ผลการทดสอบ

รูปที่ 4 แสดงเครื่องกำเนิดพลาสมาเย็นที่พัฒนาขึ้น แรงดันไฟฟ้ากระแสสลับ 220 โวลต์จะถูกลดระดับลงเหลือ 60 โวลต์ วงจรเรียงกระแสจะแปลงแรงดันไฟฟ้ากระแสสลับ 60 โวลต์ ให้เป็นแรงดันไฟฟ้ากระแสตรง 85 โวลต์ ต่อมา วงจรผกผันจะสร้างแรงดันไฟฟ้ากระแสสลับที่มีความถี่สูงเพื่อจ่ายให้กับหม้อแปลงความถี่สูงแรงดันสูง แรงดันเอาต์พุตด้านทุติยภูมิของหม้อแปลงจะเป็นแรงดันสูงระดับกิโลโวลต์ที่ถูกจ่ายให้ขั้วอิเล็กโทรด

รูปที่ 5 และรูปที่ 6 แสดงการเกิดพลาสมาและอุณหภูมิของแผ่นอิเล็กโทรด ณ ความถี่ 25 กิโลเฮิรตซ์ สังเกตว่า การคายประจุที่ผิวเครื่องขวางกั้นไดอิเล็กทริกเกิดขึ้นอย่างครอบคลุมทั้งแผ่นอิเล็กโทรด และอุณหภูมิสูงสุดที่ผิวของแผ่นอิเล็กโทรดอาจสูงถึง 120 องศาเซลเซียส ในรูปที่ 7 แสดงรูปคลื่นของแรงดันและกระแสที่ขั้วอิเล็กโทรด ณ ความถี่ 25 กิโลเฮิรตซ์ สังเกตว่า ค่าสูงสุดของแรงดันประมาณ 2 กิโลโวลต์ และค่าสูงสุดของกระแสประมาณ 300 มิลลิแอมแปร์

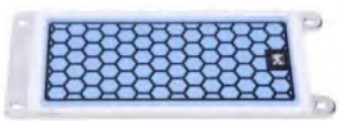

รูปที่ 3 อิเล็กโทรดแบบการคายประจุที่ผิวเครื่องขวางกั้นไดอิเล็กทริก

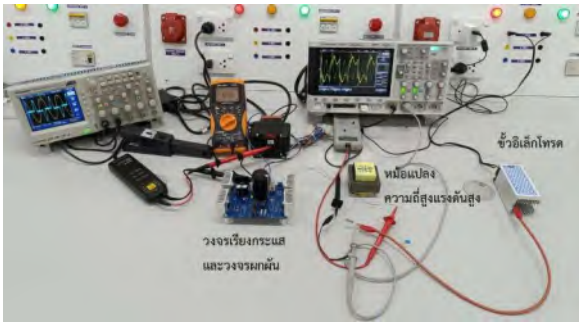

รูปที่ 4 เครื่องกำเนิดพลาสมาเย็นที่พัฒนาขึ้น

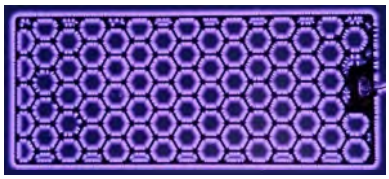

รูปที่ 5 การเกิดพลาสมาที่ความถี่ 25 กิโลเฮิรตซ์

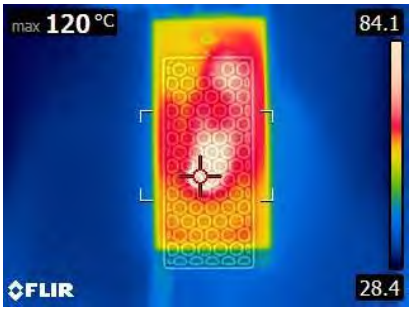

รูปที่ 6 ภาพความร้อนของแผ่นอิเล็กโทรดที่ความถี่ 25 กิโลเฮิรตซ์

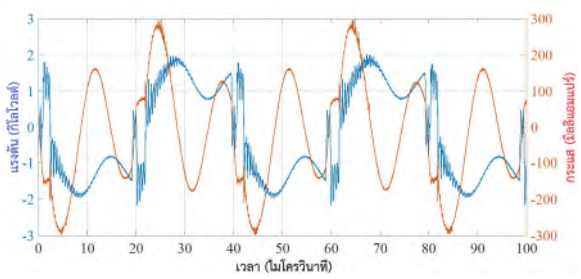

รูปที่ 7 แรงดันและกระแสที่ความถี่ 25 กิโลเฮิรตซ์

รูปที่ 8 แสดงกำลังไฟฟ้าที่ถูกจ่ายไปยังขั้วอิเล็กโทรด ณ ความถี่ 25 กิโลเฮิรตซ์ ค่ากำลังเป็นบวก หมายถึง กำลังถูกจ่ายให้โหลด ค่ากำลังเป็นลบ หมายถึง กำลังถูกจ่ายคืนกลับแหล่งจ่าย สังเกตว่า กำลังสูงสุดอาจจะสูงถึง 400 วัตต์

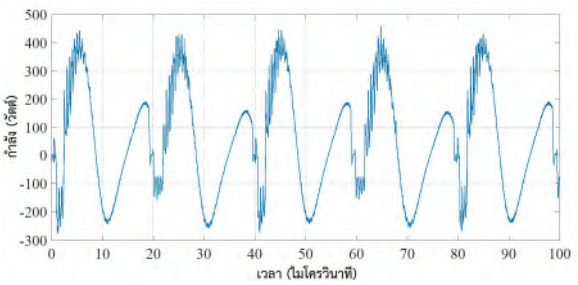

รูปที่ 8 กำลังไฟฟ้าที่ความถี่ 25 กิโลเฮิรตซ์

ตารางที่ 1 กำลังเฉลี่ยและอุณหภูมิของอิเล็กโทรด ณ ความถี่ต่างๆ

ความถี่ (กิโลเฮิรตซ์)	กำลังเฉลี่ย (วัตต์)	อุณหภูมิอิเล็กโทรด (องศาเซลเซียส)
10	14.29	60
15	23.24	71
20	24.92	81
25	48.15	120
30	21.94	75

เพื่อศึกษาอิทธิพลของความถี่ของเครื่องกำเนิดพลาสมาเย็นที่พัฒนาขึ้น จึงได้ทดสอบการทำงานในช่วงความถี่ 10 กิโลเฮิรตซ์ ถึง 30 กิโลเฮิรตซ์ ตารางที่ 1 แสดงกำลังเฉลี่ยและอุณหภูมิของอิเล็กโทรดภายใต้การทดสอบ จะเห็นได้ว่า อิเล็กโทรดได้รับกำลังเฉลี่ยสูงสุดเมื่อเครื่องกำเนิดพลาสมาทำงานที่ความถี่ 25 กิโลเฮิรตซ์ แต่หากความถี่ลดลงจาก 25 กิโลเฮิรตซ์ ก็จะทำให้อิเล็กโทรดได้รับกำลังเฉลี่ยลดลง ทำนองเดียวกันหากความถี่เพิ่มขึ้นสูงกว่า 25 กิโลเฮิรตซ์ ก็จะทำให้อิเล็กโทรดได้รับกำลังเฉลี่ยลดลงด้วย ดังนั้น ความถี่เรโซแนนซ์ของระบบจะอยู่ใกล้ 25 กิโลเฮิรตซ์ นอกจากนี้อุณหภูมิของแผ่นอิเล็กโทรดก็จะขึ้นกับกำลังเฉลี่ยที่อิเล็กโทรดได้รับ ซึ่งตัวแปรกำลังและอุณหภูมิมีความสำคัญต่อการประยุกต์ใช้งาน

4. สรุป

บทความนี้นำเสนอเครื่องกำเนิดพลาสมาเย็นที่สามารถทำงานได้ภายใต้สภาวะบรรยากาศ อิเล็กโทรดเป็นแบบการคายประจุแบบขวางกั้นไดอิเล็กทริก ผลการทดสอบภายใต้การเปลี่ยนแปลงความถี่ทำงานของระบบ พบว่า เครื่องกำเนิดพลาสมาเย็นสามารถทำงานร่วมกับอิเล็กโทรดในช่วงความถี่ 10 กิโลเฮิรตซ์ ถึง 30 กิโลเฮิรตซ์ ได้อย่างสมบูรณ์ อุณหภูมิของแผ่นอิเล็กโทรดจะขึ้นกับกำลังเฉลี่ยที่เครื่องจ่าย โดยกำลังเฉลี่ยจะขึ้นกับความถี่ทำงาน เครื่องกำเนิดพลาสมาเย็นต้นแบบที่สร้างขึ้นอาจนำไปใช้ในการทำงานวิจัยและงานภาคอุตสาหกรรม

กิตติกรรมประกาศ

งานวิจัยนี้ได้รับทุนสนับสนุนจากมหาวิทยาลัยพะเยา และ สำนักงานคณะกรรมการส่งเสริมวิทยาศาสตร์ วิจัยและนวัตกรรม (สกสว.) คณะผู้เขียนจึงขอขอบคุณมา ณ โอกาสนี้

เอกสารอ้างอิง

[1] M. Domonkos, P. Tichá, J. Trejbal, and P. Demo, “Applications of cold atmospheric pressure plasma technology in medicine, agriculture and food industry,” *Applied Sciences*, vol. 11, no. 11, 4809, May 2021.

[2] S. Chuea-uan, D. Boonyawan, C. Sawangrat, and S. Thanapornpoonpong, “Using plasma-activated water generated by an air gliding arc as a nitrogen source for rice seed germination,” *Agronomy*, vol. 14, no. 15, Dec. 2024.

[3] S. A. Saleh, B. Allen, E. Ozkop, and B. G. Colpitts, “Multistage and multilevel power electronic converter-based power supply for plasma DBD devices,” *IEEE Transactions on Industrial Electronics*, vol. 65, no. 7, pp. 5466-5475, Jul. 2018.

[4] A. K. Dhakar, S. K. Rai, V. K. Saini, S. K. Sharma, and U. N. Pal, “Simplified high-voltage short-pulse power modulator for DBD plasma application,” *IEEE Transactions on Plasma Science*, vol. 49, no. 4, pp. 1422-1427, Apr. 2021.

[5] X. Tang, and W. Fang, “Analysis and design of a compact bipolar high-voltage short-pulse power supply for DBD application,” *IEEE Transactions on Plasma Science*, vol. 50, no. 11, pp. 4650-4659, Nov. 2022.

[6] C. W. T. McLyman, *Transformer and Inductor Design Handbook (Electrical and Computer Engineering)*, 3rd Edition, CRC Press, 2004.

อธิวัฒน์ แซ่เอี๊ยว สำเร็จการศึกษาปริญญาตรี สาขาวิศวกรรมไฟฟ้า จากมหาวิทยาลัยพะเยา ปัจจุบันกำลังศึกษาระดับปริญญาโท สาขาวิชาวิศวกรรมไฟฟ้า มหาวิทยาลัยพะเยา สนใจงานวิจัยการประยุกต์อิเล็กทรอนิกส์กำลัง

ศราวุธ แต้โอสถ สำเร็จการศึกษาปริญญาตรี สาขาวิศวกรรมไฟฟ้า จากมหาวิทยาลัยเชียงใหม่ สำเร็จการศึกษาในระดับปริญญาโท จากจุฬาลงกรณ์มหาวิทยาลัย ปัจจุบันเป็นอาจารย์ประจำสาขาวิชาวิศวกรรมไฟฟ้า คณะวิศวกรรมศาสตร์ มหาวิทยาลัยพะเยา สนใจงานวิจัยปัญญาประดิษฐ์ การประมวลผลสัญญาณดิจิทัล และการควบคุมด้วยไมโครคอนโทรลเลอร์

ดวงดี แสนรักษ์ สำเร็จการศึกษาปริญญาตรี ในสาขาวิศวกรรมไฟฟ้า จากมหาวิทยาลัยเทคโนโลยีมหานคร และสำเร็จการศึกษาปริญญาโท ในสาขาวิศวกรรมไฟฟ้า จากมหาวิทยาลัยเชียงใหม่ ขณะนี้ประจำที่สาขาวิชาวิศวกรรมไฟฟ้า คณะวิศวกรรมศาสตร์ มหาวิทยาลัยพะเยา สนใจงานวิจัยพลังงานหมุนเวียนและอิเล็กทรอนิกส์กำลัง

ณัฐพงษ์ โปธิ สำเร็จการศึกษาปริญญาตรีและโท สาขาวิศวกรรมไฟฟ้า จากมหาวิทยาลัยเชียงใหม่ สำเร็จการศึกษาปริญญาเอก สาขาวิศวกรรมอิเล็กทรอนิกส์และไฟฟ้า จาก University of Sheffield สหราชอาณาจักร ขณะนี้ประจำที่สาขาวิชาวิศวกรรมไฟฟ้า คณะวิศวกรรมศาสตร์ มหาวิทยาลัยพะเยา สนใจงานวิจัยด้านระบบขับเคลื่อนทางไฟฟ้า การอนุรักษ์พลังงาน และการประยุกต์อิเล็กทรอนิกส์กำลัง

สิทธิเดช วชิราศรีศิริกุล สำเร็จการศึกษาปริญญาตรี โท และเอก ในสาขาวิศวกรรมไฟฟ้า จากสถาบันเทคโนโลยีพระจอมเกล้าเจ้าคุณทหารลาดกระบัง ขณะนี้ประจำที่สาขาวิชาวิศวกรรมไฟฟ้า คณะวิศวกรรมศาสตร์ มหาวิทยาลัยพะเยา สนใจงานวิจัยเสถียรภาพระบบไฟฟ้ากำลังพลังงานหมุนเวียน การประยุกต์ปัญญาประดิษฐ์และการควบคุมทนทานในระบบไฟฟ้ากำลัง

เชวศักดิ์ รักเป็นไทย สำเร็จการศึกษาปริญญาตรี โท และเอก ในสาขาวิศวกรรมไฟฟ้า จากมหาวิทยาลัยเชียงใหม่ ขณะนี้ประจำที่สาขาวิชาวิศวกรรมไฟฟ้า คณะวิศวกรรมศาสตร์ มหาวิทยาลัยพะเยา สนใจงานวิจัยการประมาณสถานะของระบบไฟฟ้ากำลัง การควบคุมระบบ และอิเล็กทรอนิกส์กำลัง

การออกแบบระบบ IoT สำหรับตรวจวัดและวิเคราะห์อัตราการไหลของอากาศชุด AHU เพื่อการบำรุงรักษาเชิงป้องกัน

Design of an IoT-Based System for Monitoring and Analyzing Airflow Rate in AHU Units for Preventive Maintenance

ธนภัทร พรหมวัฒนภักดี[1]* และ เกียรติศักดิ์ สกุลพันธ์[2]

[1]สาขาวิชาวิศวกรรมไฟฟ้า คณะวิศวกรรมศาสตร์ มหาวิทยาลัยศรีปทุม Thanapat.pr@spu.ac.th*
[2]สาขาวิชาวิศวกรรมเครื่องกล คณะวิศวกรรมศาสตร์ มหาวิทยาลัยศรีปทุม Kiattisak.sa@spu.ac.th

บทคัดย่อ

บทความนี้มีวัตถุประสงค์เพื่อนำเสนอการสร้างและประยุกต์ใช้ระบบตรวจวัดความเร็วลมเพื่อหาอัตราการไหลของอากาศของเครื่องส่งลมเย็นแบบ AHU (Air Handling Unit) โดยใช้บอร์ดไมโครคอนโทรลเลอร์ ESP32 เชื่อมต่อกับชุดเซนเซอร์วัดความเร็วลม(SSWN01) ที่ให้ค่าเป็นแรงดันไฟฟ้าเพื่อคำนวณค่าความเร็วลมในหน่วยเมตรต่อวินาที (m/s) และแปลงเป็นหน่วยฟุตต่อนาที (FPM) พร้อมแสดงผลผ่านหน้าจอ OLED และส่งข้อมูลแบบเรียลไทม์เข้าสู่ Google Sheets ด้วย HTTP Protocol ระบบที่พัฒนาขึ้นนี้สามารถประมวลผลและแสดงผลค่าแรงดัน ความเร็วลมและสถานะของอัตราการไหลของอากาศได้อย่างต่อเนื่อง โดยมีการกำหนดเกณฑ์การแจ้งเตือนเมื่อค่า FPM ต่ำกว่าค่ามาตรฐาน (เช่น ต่ำกว่า 400 FPM) เพื่อใช้เป็นตัวชี้วัดความผิดปกติของการทำงานในระบบ AHU ข้อมูลทั้งหมดจะถูกนำไปวิเคราะห์และแสดงผลผ่าน Dashboard บน Looker Studio เพื่อให้สามารถตรวจสอบค่าแนวโน้มการทำงานของระบบได้อย่างสะดวกและเข้าใจง่าย

จากการทดสอบการทำงานพบว่าระบบสามารถทำงานได้อย่างมีประสิทธิภาพ มีความแม่นยำในการวัดค่าความเร็วลมที่จำลองขึ้นและสามารถนำไปต่อยอดเพื่อประยุกต์ใช้ในระบบจริงสำหรับอาคารสำนักงานหรือโรงงานอุตสาหกรรมที่ต้องการตรวจสอบการทำงานและประสิทธิภาพของระบบปรับอากาศ AHU ได้ในอนาคต

คำสำคัญ: อัตราการไหลของอากาศ, เครื่องส่งลมเย็น, ส่งข้อมูลแบบเรียลไทม์

Abstract

This article aims to present the development and application of a system for monitoring the airflow rate of an Air Handling Unit (AHU) using an ESP32 microcontroller board connected to an air velocity sensor(SSWN01). The system calculates air velocity in meters per second (m/s), converts it to feet per minute (FPM), and displays the results on an OLED screen. It also transmits real-time data to Google Sheets via the HTTP protocol. The developed system can continuously process and display pressure values, air velocity, and airflow status. An alert threshold is set to notify users when the FPM value falls below the standard level (e.g., below 400 FPM), serving as an indicator of potential AHU system malfunctions. All data is analyzed and visualized on a dashboard using Looker Studio, allowing users to conveniently monitor and understand system performance trends.

Testing results indicate that the system operates efficiently, demonstrates accuracy in simulated measurements, and has the potential for real-world application in office buildings or industrial facilities requiring performance monitoring of AHU systems.

Keywords: Air Flow Rate, Air Handling Unit, Transmits real-time data

1. บทนำ

ในการใช้งานระบบปรับอากาศในอาคารขนาดใหญ่ เช่น อาคารสำนักงาน โรงพยาบาล หรือโรงงานอุตสาหกรรม มักเลือกใช้เครื่องส่งลมเย็นแบบ AHU (Air Handling Unit) เป็นส่วนสำคัญในการควบคุมคุณภาพอากาศภายในอาคาร โดย AHU ทำหน้าที่ควบคุมอุณหภูมิ ความชื้น การกรองฝุ่น และการจ่ายลมเย็นให้เหมาะสมกับสภาพแวดล้อมการใช้งาน การทำงานของ AHU จะมีประสิทธิภาพหรือไม่นั้นขึ้นอยู่กับปัจจัยหลายประการ หนึ่งในนั้นคือ อัตราการไหลของอากาศ (Air Flow Rate) ซึ่งส่งผลโดยตรงต่อการแลกเปลี่ยนความร้อน การกระจายความเย็น และการใช้พลังงาน[1],[4]

อย่างไรก็ตาม ในหลายหน่วยงานกลับขาดระบบตรวจวัดหรือเก็บข้อมูลอัตราการไหลของอากาศอย่างต่อเนื่อง ทำให้ไม่สามารถวิเคราะห์หรือประเมินประสิทธิภาพของ AHU ได้อย่างแม่นยำ หากอัตราการไหลของอากาศไม่เหมาะสม เช่น ต่ำกว่าค่าที่ออกแบบไว้ อาจส่งผลให้การระบายความร้อนไม่มีประสิทธิภาพ เกิดปัญหาอากาศไม่เย็นเพียงพอ หรืออาจใช้พลังงานสิ้นเปลืองโดยไม่จำเป็น ในระยะยาวอาจกระทบต่อค่าใช้จ่ายในการบำรุงรักษาและการใช้พลังงานโดยรวมของอาคาร

ดังนั้นการพัฒนาและติดตั้งระบบสำหรับตรวจวัดและวิเคราะห์อัตราการไหลของอากาศของ AHU อย่างต่อเนื่องจึงเป็นสิ่งจำเป็น โดยเฉพาะอย่างยิ่งเมื่อสามารถเชื่อมต่อกับระบบ IoT หรือ Cloud ได้ ก็จะยิ่งช่วยเพิ่มความสามารถในการเฝ้าระวัง ติดตาม และประเมินผลได้อย่างมีประสิทธิภาพมากยิ่งขึ้น การศึกษานี้จึงมีเป้าหมายเพื่อพัฒนาระบบวัดอัตราการไหลของอากาศใน AHU ที่สามารถเก็บและส่งข้อมูลเพื่อนำไปใช้วิเคราะห์และประเมินประสิทธิภาพการทำงาน ซึ่งจะเป็นประโยชน์ทั้งในด้านการประหยัดพลังงาน การซ่อมบำรุงเชิงป้องกัน และการควบคุมคุณภาพอากาศภายในอาคาร

2. ทฤษฎี

2.1 หลักการทำงานของเครื่องส่งลมเย็นแบบ AHU และระบบน้ำเย็น (Chilled Water System)

เครื่องส่งลมเย็นแบบ AHU (Air Handling Unit) เป็นอุปกรณ์สำคัญในระบบปรับอากาศที่ทำหน้าที่ควบคุมอุณหภูมิ ความชื้น และคุณภาพ

*ผู้ประพันธ์บรรณกิจ

อากาศภายในอาคาร โดยทำงานผ่านการไหลของอากาศจากภายนอกและภายในอาคารผ่านกระบวนการกรอง การทำความเย็น หรือการให้ความร้อน ก่อนส่งอากาศกลับเข้าสู่พื้นที่ใช้งานอีกครั้ง

องค์ประกอบหลักของ AHU ประกอบด้วย พัดลม คอยล์เย็น (Cooling Coil) คอยล์ร้อน (Heating Coil) แผ่นกรองอากาศ (Filter) และระบบควบคุมอัตโนมัติ โดยเฉพาะส่วนของคอยล์เย็นนั้นมีบทบาทในการถ่ายเทความร้อนระหว่างอากาศกับของเหลวที่เย็น ซึ่งเป็นตัวควบคุมอุณหภูมิของลมที่จ่ายออกไปยังห้องต่าง ๆ ตามรูปที่ 1 และ 2

ในระบบ AHU ที่ใช้ร่วมกับ ระบบน้ำเย็น (Chilled Water System) จะมีการเชื่อมต่อกับเครื่องผลิตน้ำเย็นที่เรียกว่า Chiller ซึ่งผลิตน้ำเย็นอุณหภูมิประมาณ 6–7°C ส่งผ่านท่อน้ำไปยังคอยล์เย็นของ AHU เพื่อดูดซับความร้อนจากอากาศ ระบบน้ำเย็นนี้จะประกอบด้วยส่วนสำคัญ เช่น Chiller, ปั๊มน้ำเย็น (Chilled Water Pump), ท่อน้ำเย็น (Chilled Water Supply/Return), และ Cooling Tower ตามรูปที่

ประสิทธิภาพของการแลกเปลี่ยนความร้อนใน AHU ขึ้นอยู่กับอัตราการไหลของลมผ่านคอยล์เย็น รวมถึงอุณหภูมิของน้ำเย็นที่ไหลเวียนอยู่ภายใน หากลมไหลผ่านเร็วเกินไป อาจทำให้อากาศไม่เย็นพอ ขณะที่ถ้าลมไหลช้าเกินไป อาจเกิดการสะสมความชื้นและลดประสิทธิภาพของระบบ

ดังนั้น การควบคุมและตรวจสอบ ความเร็วลม (FPM) ที่ผ่านคอยล์เย็นจึงเป็นหัวใจสำคัญในการประเมินประสิทธิภาพของ AHU การออกแบบและติดตั้ง AHU จะพิจารณาตามประเภทของพื้นที่ใช้งาน เช่น อาคารสำนักงาน ห้องประชุม ห้องเรียน หรือฟู้ดคอร์ท โดยเน้นการควบคุมอุณหภูมิ ความชื้น และคุณภาพอากาศให้เหมาะสมกับสภาวะแวดล้อมภายในอาคาร

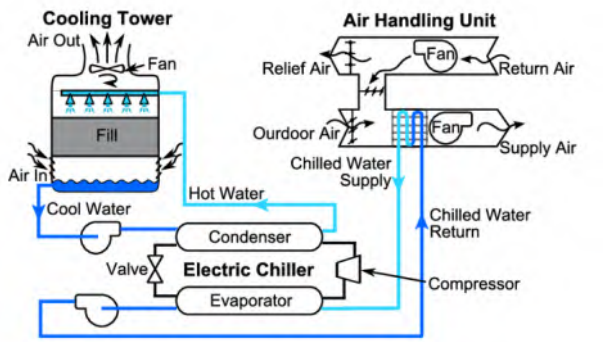

รูปที่ 1 แสดง Chilled water system Diagram
ที่มา : American Control Conference, 2012

2.2 เซนเซอร์วัดความเร็วลม

การตรวจวัดความเร็วลมสามารถใช้เซนเซอร์ได้หลายชนิด [7],[8] โดยมีคุณสมบัติแตกต่างกันดังนี้

- FS3000-1015 (Renesas) เซนเซอร์แบบ MEMS ที่ให้สัญญาณดิจิทัลผ่าน I²C มีความแม่นยำสูง และสามารถวัดความเร็วลมในช่วง 0–15 m/s เหมาะสำหรับงานภายในอาคารและใช้งานร่วมกับ ESP32 ได้สะดวก
- RS-FS-N01 เป็น Anemometer แบบถ้วยหมุนที่ใช้การสื่อสารแบบ RS485 (Modbus RTU) เหมาะสำหรับสภาพแวดล้อมภายนอกหรือพื้นที่ที่ต้องการความทนทานสูง
- SSWN01 เป็นชุดเซนเซอร์แบบ Analog วัดความเร็วลมแบบความร้อนที่ใช้เทคนิคในการวัดความเร็วลมที่เรียกว่าเทคนิค “Hot-Wire” Technique

การเลือกเซนเซอร์ควรคำนึงถึงความแม่นยำ ความง่ายในการเชื่อมต่อ ความเหมาะสมกับพื้นที่ติดตั้ง และความสามารถในการทนต่อสภาพแวดล้อม

2.3 ทฤษฎีความเร็วลม (Air Velocity)

ความเร็วลม (Air Velocity) หมายถึงความเร็วของอากาศที่ไหลผ่านพื้นที่หนึ่ง ซึ่งมีหน่วยวัดเป็นเมตรต่อวินาที (m/s) หรือฟุตต่อนาที (Feet per Minute : FPM) โดยสามารถแปลงค่าจาก m/s เป็น FPM ได้โดยใช้สมการที่ 1

$$FPM = m/s \times 196.85 \quad (1)$$

โดยที่

Velocity (m/s) = ความเร็วลมที่วัดได้จากเซนเซอร์ มีหน่วยเป็นเมตรต่อวินาที

FPM (Feet per Minute) คือหน่วยวัดความเร็วลมที่แสดงเป็นฟุตต่อหนึ่งนาที โดยหน่วยนี้ถือเป็นมาตรฐานที่ใช้ในการออกแบบเครื่องส่งลมเย็น (AHU) ตามข้อกำหนดของ ASHRAE ซึ่งช่วยให้ประเมินการไหลของอากาศและออกแบบระบบปรับอากาศได้สอดคล้องกับมาตรฐานสากล

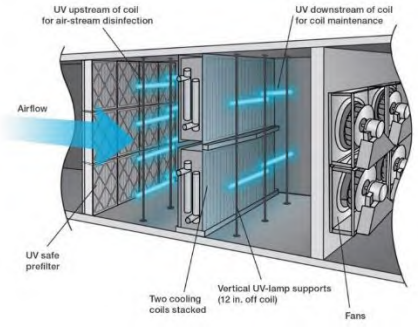

รูปที่ 2 แสดงทิศทางการไหลของลม
ที่มา : AMCA inmotion Magazine, 2020

ความเร็วลมเป็นตัวแปรสำคัญที่ใช้ในการประเมินประสิทธิภาพของ AHU โดยเฉพาะบริเวณหน้าคอยล์เย็น ซึ่งต้องควบคุมไม่ให้ความเร็วลมสูงหรือต่ำเกินไปจากมาตรฐาน เนื่องจากอาจเกิดปัญหา เช่น ความชื้นสะสม เสียงรบกวน หรือประสิทธิภาพการถ่ายเทความร้อนลดลง

2.4 มาตรฐานความเร็วลม (FPM) ตาม ASHRAE

ASHRAE Standard 62.1 และ 90.1 [5],[6] ได้กำหนดค่าความเร็วลมที่เหมาะสมในแต่ละตำแหน่งของระบบ AHU ตารางที่ 1 ดังนี้

ตารางที่ 1 มาตรฐานความเร็วลม (FPM) ตาม ASHRAE Standard

ตำแหน่งในระบบ AHU	ความเร็วลมที่แนะนำ (FPM)
คอยล์เย็น (Cooling Coil)	400–500
คอยล์ร้อน (Heating Coil)	500–800
ท่อจ่ายลมหลัก (Main Supply Duct)	1,000–1,600
ท่อย่อย (Branch Duct)	600–1,000
ท่อ Return Air	800–1,200
ปากจ่ายลม (Diffuser)	400–700

2.5 ระบบไมโครคอนโทรลเลอร์และอินเทอร์เน็ตของสรรพสิ่ง (IoT)

ระบบไมโครคอนโทรลเลอร์ (Microcontroller System) คือระบบอิเล็กทรอนิกส์ขนาดเล็กที่สามารถประมวลผลและควบคุมอุปกรณ์ต่าง ๆ ได้ โดยประกอบด้วยหน่วยประมวลผลกลาง (CPU), หน่วยความจำ (RAM/Flash), อินพุต-เอาต์พุต (I/O Ports) [3] และวงจรการสื่อสาร เช่น UART, I2C หรือ SPI ซึ่งสามารถต่อใช้งานกับเซนเซอร์และอุปกรณ์ส่งสัญญาณได้โดยตรง [2]

ไมโครคอนโทรลเลอร์ที่นิยมใช้ในงานด้าน IoT ได้แก่ ESP8266 และ ESP32 ซึ่งมีจุดเด่นที่สามารถเชื่อมต่อกับเครือข่าย Wi-Fi ได้ในตัว มีขนาดเล็ก ราคาประหยัด และสามารถเขียนโปรแกรมผ่านแพลตฟอร์ม Arduino IDE ได้อย่างสะดวก

อินเทอร์เน็ตของสรรพสิ่ง (Internet of Things: IoT) หมายถึงการเชื่อมโยงอุปกรณ์อิเล็กทรอนิกส์ต่าง ๆ เข้ากับระบบอินเทอร์เน็ต เพื่อให้สามารถสื่อสารและส่งข้อมูลกันได้อย่างอัตโนมัติ โดยในระบบวัดอัตราการไหลของลมจะมีการนำข้อมูลจากเซนเซอร์ที่ต่อกับไมโครคอนโทรลเลอร์ส่งขึ้นแพลตฟอร์ม Cloud เช่น

- **Thing Speak** บริการ Cloud ฟรีจาก MathWorks ที่สามารถบันทึก แสดงผล และวิเคราะห์ข้อมูลแบบ Real-Time ผ่าน Dashboard
- **Blynk** แพลตฟอร์ม IoT ที่เหมาะกับผู้เริ่มต้น สามารถสร้างแอปมือถือเพื่อดูค่าจากเซนเซอร์ได้ทันที
- **Firebase / MQTT** ใช้ในระบบที่ต้องการความยืดหยุ่นสูงหรือเชื่อมโยงกับระบบแจ้งเตือนและฐานข้อมูลขนาดใหญ่

ในบริบทของโครงงานนี้ ระบบไมโครคอนโทรลเลอร์และ IoT ช่วยให้สามารถวัดอัตราการไหลของลมจาก AHU แล้วแสดงผลข้อมูลทางไกลได้แบบเรียลไทม์ โดยไม่จำเป็นต้องเข้าถึงหน้างานโดยตรง สามารถใช้ในการแจ้งเตือนเมื่อค่าที่วัดได้ออกนอกขอบเขตที่กำหนด หรือใช้ในการวางแผนซ่อมบำรุงเชิงป้องกันอย่างมีประสิทธิภาพ

3. การออกแบบและทดสอบ

3.1 ออกแบบระบบวัดความเร็วลมด้วยโปรแกรม Wokwi

ในการออกแบบระบบวัดความเร็วลมครั้งนี้ ได้ใช้ โปรแกรม Wokwi ซึ่งเป็นเครื่องมือจำลองวงจรอิเล็กทรอนิกส์ออนไลน์ (Online Circuit Simulator) รูปที่ 3 เพื่อจำลองการทำงานของระบบก่อนนำไปสร้างจริง ช่วยลดเวลาในการทดลอง และลดข้อผิดพลาดจากการต่อวงจรจริง โดยมีขั้นตอนในการทำงานดังนี้

(1) ศึกษาการทำงานของเซนเซอร์วัดความเร็วลม(SSWN01) ซึ่งส่งข้อมูลแบบ Digital ผ่านบัส I²C โดยให้ค่าความเร็วลมในหน่วย m/s

(2) โปรแกรม Wokwi กับเซนเซอร์วัดความเร็วลม(SSWN01) เพื่อแทนสัญญาณความเร็วลม และต่อเข้ากับ ESP32

(3) เชื่อมต่อวงจรระหว่าง ESP32, เซนเซอร์วัดความเร็วลม (SSWN01) และจอ OLED ผ่านบัส I²C

(4) เขียนโปรแกรมบน Arduino IDE ใน Wokwi เพื่ออ่านค่า Analog (จำลองความเร็วลม)

(5) แสดงค่าความเร็วลมบนจอ OLED แบบเรียลไทม์ พร้อมระบบแจ้งเตือนกรณี FPM ต่ำกว่า 400 โดยแสดงข้อความ "Airflow Too Low"

(6) ทดสอบระบบทั้งหมดผ่าน Wokwi เพื่อให้มั่นใจในความถูกต้องก่อนสร้างต้นแบบจริง

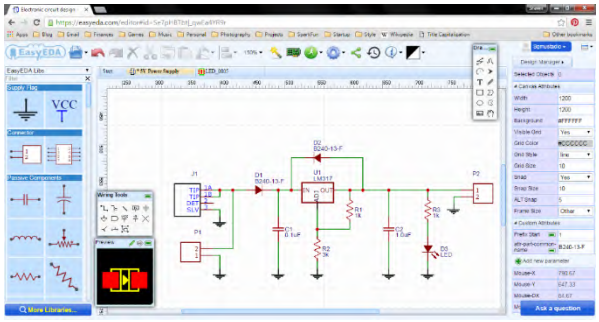

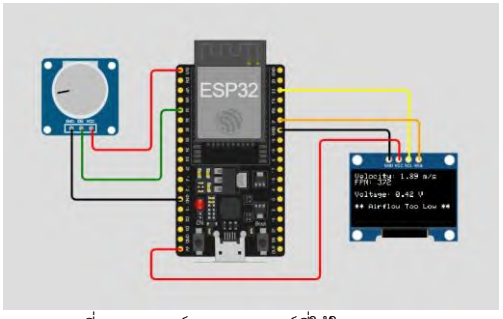

รูปที่ 3 อุปกรณ์และเซนเซอร์ที่ใช้ในการทดลองในโปรแกรมจำลอง Wokwi

3.2 ออกแบบระบบวัดความเร็วลม ด้วยโปรแกรม Wokwi

ในงานวิจัยนี้ ได้มีการออกแบบระบบให้สามารถบันทึกค่าความเร็วลมที่ตรวจวัดได้จากเซนเซอร์วัดความเร็วลม (SSWN01) ซึ่งเชื่อมต่อกับไมโครคอนโทรลเลอร์ที่พัฒนาขึ้น และส่งต่อข้อมูลดังกล่าวไปยัง Google Sheets ในรูปแบบเรียลไทม์ ข้อมูลที่ได้รับสามารถนำไปใช้สำหรับการติดตาม วิเคราะห์ และบันทึกประวัติการทำงานของเครื่องส่งลมเย็น (AHU) ได้จากระยะไกลอย่างสะดวกและมีประสิทธิภาพ ทั้งนี้เพื่อให้เห็นภาพรวมของกระบวนการทำงาน จึงได้จัดทำแผนผังลำดับขั้นตอน (Flowchart) ตามที่ปรากฏในรูปที่ 4

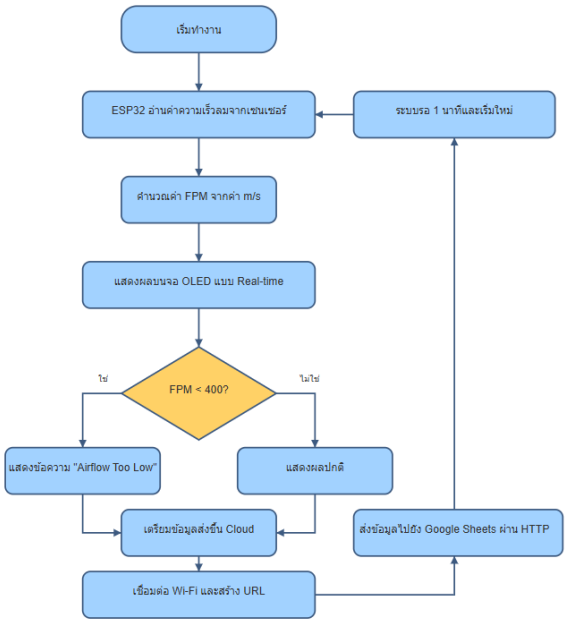

รูปที่ 4 แผนผัง Flowchart ของโปรแกรมที่กำหนดไว้

3.3 การทดสอบและผลการดำเนินงาน

การทดสอบการทำงานของชุดระบบวัดความเร็วลมเพื่อวัดค่าและส่งข้อมูลดังกล่าวไปยัง Google Sheets แบบเรียลไทม์และเพื่อจำลองเหตุการณ์เมื่อมีความเร็วลมของ AHU เพิ่มขึ้นหรือลดลง ตามรูปที่ 5 ก่อนนำไปติดตั้ง

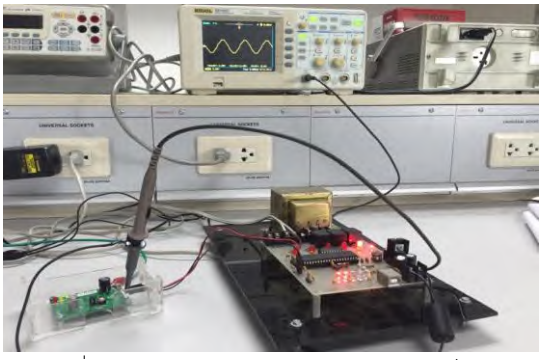

รูปที่ 5 การทดสอบการทำงานชุดระบบวัดความเร็วลม

จากผลการทดลอตามตารางที่ 2 จากตารางแสดงความสัมพันธ์ระหว่าง แรงดันไฟฟ้า (V) ที่ได้จากเซนเซอร์วัดความเร็วลม(SSWN01) กับการแปลงค่าความเร็วลมที่ (m/s) และค่าที่แปลงเป็น FPM (Feet per Minute) โดยใช้ ESP32 ซึ่งมีช่วงแรงดัน ADC input 0–3.3V และความละเอียด 12-bit (0–4095) และตารางที่ 3 เพื่อเปรียบเทียบกับผลที่ได้จาก Anemometer แบบมาตรฐานกับเซนเซอร์วัดความเร็วลมที่นำมาใช้ วัดความเร็วลมและอุณหภูมิด้วย Sensor วัดความเร็วลมเอาท์พุตแบบอะนาล็อก วัดความเร็วลมแบบความร้อนที่ใช้เทคนิคในการวัดความเร็วลมที่เรียกว่าเทคนิค “Hot-Wire” Technique ซึ่งผลที่ได้มีค่าใกล้เคียงกันสามารถนำไปใช้งานได้จริง

จากนั้นได้ทดลองนำไปติดตั้งจริงกับชุดปรับอากาศแบบ Sprit Type รูปที่ 6 ที่มีอยู่ในสำนักงานเพื่อทดสอบการทำงานตามกระบวนการที่กล่าวมาและในอนาคตต่อไปจะนำไปติดตั้งใช้งานจริงกับชุด AHU ตามวัตถุประสงค์ที่ต้องการและนำเสนอผลต่อไป

ตารางที่ 2 ตารางความสัมพันธ์ เซนเซอร์วัดความเร็วลม ⟶ ความเร็วลม (m/s) ⟶ FPM

ค่า ADC (0–4095)	แรงดัน (V)	ความเร็วลม (m/s)	ค่า FPM (×196.85)
0	0.00	0.00	0.00
341	0.275	1.25	246
682	0.55	2.50	492
1023	0.825	3.75	738
1365	1.10	5.00	984
2048	1.65	7.50	1,476
2731	2.20	10.0	1,969
3413	2.75	12.5	2,460
4095	3.30	15.0	2,953

ตารางที่ 3 ค่าที่ได้จาก Anemometer เทียบกับค่าที่ได้จาก เซนเซอร์วัดความเร็วลม

ค่าความเร็วลมที่ได้จากเครื่องวัด Anemometer (m/s)	ค่า FPM1	แรงดันที่ได้เซ็นเซอร์ (V)	ความเร็วลมที่เซ็นเซอร์ (m/s)	ค่า FPM2	% Error
3.86	760	0.849	3.78	740	2.63
3.40	669	0.748	3.47	683	2.09
3.32	654	0.731	3.37	663	1.38
2.78	547	0.612	2.92	571	4.34
2.25	442	0.425	2.18	426	3.62

รูปที่ 6 การติดตั้งทดสอบการทำงานชุดระบบวัดความเร็วลม

การส่งข้อมูลที่เซนเซอร์วัดได้ส่งไปยังระบบ cloud เป็นไปตามที่กำหนด โดยส่งข้อมูลไปยัง Google Sheets และได้นำข้อมูลที่ได้ไปต่อยอดด้วยการทำ Dashboard ใน Looker Studio เพื่อให้ดูข้อมูลได้ง่ายขึ้นตามรูปที่ 7 และ 8

รูปที่ 7 ข้อมูล Dashboard ใน Looker Studio

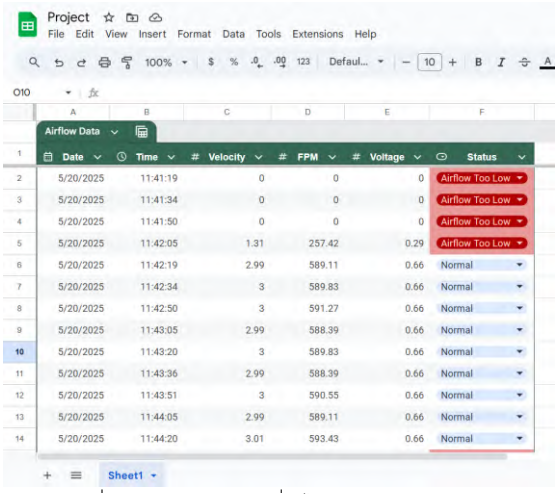

รูปที่ 8 ข้อมูลจากการวัดที่ส่งไปยัง Google Sheets

4. สรุป

งานวิจัยนี้ได้ดำเนินการพัฒนาระบบตรวจวัดความเร็วลมของเครื่องส่งลมเย็น (AHU) โดยประยุกต์ใช้ไมโครคอนโทรลเลอร์ ESP32 ร่วมกับเซนเซอร์วัดความเร็วลม SSWN01 ซึ่งสามารถตรวจวัดและส่งค่าข้อมูลได้แบบเรียลไทม์ โดยมีการบันทึกและจัดเก็บข้อมูลบน Google Sheets และนำเสนอผลผ่าน Looker Studio เพื่อการวิเคราะห์แนวโน้มการทำงานของระบบได้อย่างมีประสิทธิภาพ อีกทั้งยังออกแบบระบบแจ้งเตือนอัตโนมัติในกรณีที่ค่าความเร็วลมต่ำกว่าเกณฑ์มาตรฐานที่ 400 FPM เพื่อให้สามารถตรวจสอบและแก้ไขปัญหาได้อย่างทันท่วงที

ผลการทดสอบเบื้องต้นแสดงให้เห็นว่าระบบที่พัฒนาขึ้นมีความแม่นยำในการตรวจวัดอยู่ในระดับที่ยอมรับได้เมื่อเปรียบเทียบกับเครื่องมือมาตรฐาน อีกทั้งยังมีศักยภาพในการประยุกต์ใช้ในสถานการณ์จริง เช่น อาคารสำนักงานหรือโรงงานอุตสาหกรรม ซึ่งจะเป็นประโยชน์ต่อการเพิ่มประสิทธิภาพด้านการซ่อมบำรุงเชิงป้องกัน ลดโอกาสการเกิดความเสียหายของระบบ และช่วยสนับสนุนการใช้พลังงานอย่างมีประสิทธิภาพมากยิ่งขึ้น

อย่างไรก็ตาม เพื่อให้ระบบมีความสมบูรณ์และสามารถนำไปประยุกต์ใช้ได้อย่างยั่งยืนในทางปฏิบัติ ควรมีการพัฒนาต่อยอดในหลายประเด็น ได้แก่ การพัฒนาแอปพลิเคชันบนอุปกรณ์เคลื่อนที่สำหรับการแสดงผลและการแจ้งเตือน เพื่อเพิ่มความสะดวกและความคล่องตัวในการติดตามข้อมูล การทดสอบระบบในสภาพแวดล้อมการใช้งานจริงและต่อเนื่องในระยะยาวเพื่อประเมินความเสถียรและความทนทาน ตลอดจนการศึกษาความคุ้มค่าเชิงเศรษฐศาสตร์ในการลงทุนและผลตอบแทนด้านการประหยัดพลังงาน ซึ่งจะช่วยสนับสนุนการนำระบบดังกล่าวไปประยุกต์ใช้ในเชิงอุตสาหกรรมและเชิงพาณิชย์ได้อย่างมีประสิทธิผลและยั่งยืน

5. กิตติกรรมประกาศ

ทีมผู้วิจัยขอกราบขอบพระคุณคณาจารย์และบุคลากรจากสาขาวิชาวิศวกรรมไฟฟ้าและสาขาวิชาวิศวกรรมเครื่องกล มหาวิทยาลัยศรีปทุม ที่ได้ให้คำแนะนำ ความรู้ และคำปรึกษาอย่างใกล้ชิดตลอดระยะเวลาการดำเนินโครงงาน รวมทั้งได้ให้การสนับสนุนด้านทรัพยากร วัสดุอุปกรณ์และเครื่องมือที่จำเป็นต่อการทดลองและการทดสอบระบบ นอกจากนี้ทีมผู้วิจัยยังขอขอบพระคุณคณะวิศวกรรมศาสตร์ มหาวิทยาลัยศรีปทุม ที่ได้ให้การสนับสนุนทั้งในด้านสถานที่ ห้องปฏิบัติการ และสิ่งอำนวยความสะดวกต่าง ๆ ที่เอื้ออำนวยต่อการดำเนินงานวิจัย อีกทั้งยังสร้างบรรยากาศแห่งการเรียนรู้และการวิจัยที่เหมาะสม ส่งผลให้โครงงานวิจัยฉบับนี้สามารถดำเนินไปได้อย่างราบรื่นและบรรลุวัตถุประสงค์ตามที่ตั้งไว้

เอกสารอ้างอิง

[1] ผศ.สุรพล พฤกษพานิช, "หลักการและระบบการปรับอากาศ", *พิมพ์ครั้งที่ 2,* สถานที่พิมพ์ : หจก. สำนักพิมพ์ฟิสิกส์เซ็นเตอร์ , 2529.

[2] รศ. ยืน ภู่วรวรรณ, "ทฤษฎีและการงานอิเล็คทรอนิคส์ ", เล่มที่ 1 *พิมพ์ครั้งที่ 14* สถานที่พิมพ์: บริษัท ซีอ็ดยูเคชั่น จำกัด ,2530.

[3] ธีรวัฒน์ ประกอบผล, "การประยุกต์ใช้งานไมโครคอนโทรลเลอร์" , *พิมพ์ครั้งที่ 1* สถานที่พิมพ์: บริษัท ประชาชน จำกัด ,2540.

[4] วิศวกรรมสถานแห่งประเทศไทย, “มาตรฐานระบบปรับอากาศและระบายอากาศ” ,*พิมพ์ครั้งที่ 2*, ตุลาคม 2552.

[5] ASHRAE, “Ventilation for Acceptable Indoor Air Quality”, ANSI/ASHRAE Standard 62.1-2019, 2019.

[6] ASHRAE. “Fundamentals. American Society of Heating, Refrigerating and Air-Conditioning Engineers”, ASHRAE Handbook,2021.

[7] Wisse, J. A., 'A Philosophy for Teaching Wind in the Built Environment', Energy and Buildings, 11(1), p. 157–161, 1988.

[8] Watkins, S, Mousley, P. D. and Hooper, J. D. 'Measurement of fluctuating flows using multi-hole probes', Proceedingsofthe9thInternationalCongress of Soundand Vibration, Orlando, Florida, USA, 2002.

ธนภัทร พรหมวัฒนภักดี สำเร็จการศึกษาปริญญาโท: วิศวกรรมพลังงาน มหาวิทยาลัยเชียงใหม่ ปัจจุบันดำรงตำแหน่งอาจารย์ประจำสาขาวิชาวิศวกรรมไฟฟ้า คณะวิศวกรรมศาสตร์ มหาวิทยาลัยศรีปทุม

เกียรติศักดิ์ สกุลพันธ์ สำเร็จการศึกษาปริญญาเอก: วิศวกรรมอุตสาหการและเทคโลยีการผลิต, สถาบันเทคโนโลยีแห่งเอเชีย ปัจจุบันดำรงตำแหน่งหัวหน้าสาขาวิศวกรรมเครื่องกล คณะวิศวกรรมศาสตร์ มหาวิทยาลัยศรีปทุม

การตรวจจับการบุกรุกบนเครือข่ายแคนบัสในยานยนต์ด้วยเอ็กซ์ตรีมเลิร์นนิงแมชีน

Intrusion Detection on In-Vehicle CAN Bus Networks using Extreme Learning Machine

ชานนท์ ชูพงษ์* ณัฐพล หาอุปละ กันตินันท์ สกุลไพศาล ธีระพล เหมือนขาว และ มนฑล นาวงษ์

ภาควิชาวิศวกรรมไฟฟ้า คณะวิศวกรรมศาสตร์ มหาวิทยาลัยเทคโนโลยีราชมงคลธัญบุรี charnon.c@en.rmutt.ac.th*

บทคัดย่อ

งานวิจัยนี้ได้นำเสนอการใช้โมเดลเอ็กซ์ตรีมเลิร์นนิงแมชีน เพื่อตรวจจับการบุกรุกบนเครือข่ายแคนบัสในยานยนต์ โดยใช้ค่าเอนโทรปีของข้อมูลในแคนบัสเป็นคุณลักษณะเด่นที่ใช้ตรวจจับ จากการทดลองพบว่าระบบที่นำเสนอนี้สามารถตรวจจับการบุกรุกในรูปแบบต่างๆ ได้อย่างแม่นยำ ผลการทดลองดังกล่าวได้นำไปเปรียบเทียบกับงานวิจัยอื่นที่ใกล้เคียงกัน ซึ่งใช้โมเดลวัน-คลาสซัพพอร์ตเวกเตอร์แมชีน ในการตรวจจับ ซึ่งพบว่าโมเดลดังกล่าวมีความผิดพลาด 3% ขณะที่โมเดลที่นำเสนอไม่มีข้อผิดพลาดในการตรวจจับการบุกรุก จากการศึกษานี้แสดงให้เห็นว่าเอ็กซ์ตรีมเลิร์นนิงแมชีน เป็นโมเดลที่มีศักยภาพสูงในการใช้งานตรวจจับการบุกรุกในแคนบัส

คำสำคัญ: ยานยนต์ แคนบัส การตรวจจับการบุกรุก

Abstract

This research presents the use of the Extreme Learning Machine model to detect intrusion on the automotive CAN bus network by using the entropy of CAN bus data as a feature for detection. The experiments show that the proposed system can detect various types of intrusions accurately. The experimental results are compared with other similar research that uses the One-Class Support Vector Machine model for detection. It is found that the model has an error of 3%, while the proposed model has no error in detecting intrusion. This study shows that extreme machine learning is a model with high potential for detecting intrusions in CAN bus.

Keywords: Automotive, CAN bus, Intrusion detection

1. บทนำ

ในปัจจุบัน ระบบรถยนต์สมัยใหม่มีการนำเทคโนโลยีอิเล็กทรอนิกส์และระบบควบคุมต่าง ๆ มาทำงานร่วมกันอย่างซับซ้อนผ่านเครือข่ายสื่อสารภายในรถ โดยระบบ Controller Area Network (CAN Bus) เป็นโปรโตคอลหลักที่ใช้ในการแลกเปลี่ยนข้อมูลระหว่างหน่วยควบคุมอิเล็กทรอนิกส์ (Electronic Control Unit: ECU) ต่าง ๆ เช่น ระบบเบรก ระบบเครื่องยนต์ ระบบถุงลมนิรภัย และระบบช่วยขับขี่อัตโนมัติ จุดเด่นของ CAN Bus คือมีโครงสร้างที่เรียบง่าย ประสิทธิภาพสูง และต้นทุนต่ำ จึงได้รับความนิยมอย่างแพร่หลายในอุตสาหกรรมยานยนต์ อย่างไรก็ตาม ความเรียบง่ายของ CAN Bus ส่งผลให้ไม่มีการออกแบบกลไกด้านความปลอดภัยมาโดยตรง [1] เช่น การยืนยันตัวตน การเข้ารหัส หรือการควบคุมการเข้าถึง ทำให้ผู้ไม่หวังดีสามารถบุกรุกหรือปลอมแปลงข้อมูลบนเครือข่าย CAN ได้ค่อนข้างง่าย ส่งผลกระทบต่อความปลอดภัยของระบบรถยนต์โดยรวม ในช่วงหลายปีที่ผ่านมา ได้มีรายงานการโจมตีที่ตอกย้ำถึงความสำคัญของการตรวจจับการบุกรุกบนเครือข่าย CAN Bus เช่น กรณีที่นักวิจัยด้านความปลอดภัยสามารถเข้าควบคุมระบบเบรกและพวงมาลัยของรถยนต์ได้จากระยะไกลผ่านช่องโหว่ของระบบสื่อสารภายใน [2] หรือกรณีการโจมตีโดยการส่งข้อความปลอมเพื่อปิดการทำงานของระบบถุงลมนิรภัย [3] เหตุการณ์เหล่านี้สะท้อนให้เห็นว่าการพัฒนาระบบตรวจจับการบุกรุกสำหรับรถยนต์เป็นสิ่งจำเป็นอย่างยิ่ง เพื่อป้องกันอุบัติเหตุและรักษาความปลอดภัยของผู้โดยสาร

ซึ่งที่ผ่านมาได้มีการนำเสนอระบบตรวจจับการบุกรุกในแคนบัสจำนวนหนึ่งตัวอย่างเช่น ใน [4] ซึ่งใช้โครงข่ายประสาทเทียมเชิงลึก (Deep Neural Network) หรือใน [5] ซึ่งใช้โมเดลหน่วยความจำระยะสั้นแบบยาว (Long Short-Term Memory, LSTM) ในการแยกแยะข้อความใน CAN bus ว่าเป็นข้อความที่ส่งมาจากผู้บุกรุกหรือไม่ โดยโมเดลเหล่านี้จำเป็นต้องใช้ข้อมูลฝึกสอนจำนวนมากและการคำนวณที่ซับซ้อน แต่ ECU ส่วนใหญ่ในรถยนต์มีข้อจำกัดด้านกำลังประมวลผลและหน่วยความจำ การเลือกใช้เทคนิคที่ไม่ซับซ้อน จึงเป็นทางเลือกที่เหมาะสมอย่างยิ่งสำหรับการประยุกต์ใช้ในบริบทของยานยนต์จริง [6]

ดังนั้นในบทความนี้จึงนำเสนอระบบการตรวจจับการบุกรุกใน CAN Bus ด้วย Extreme Learning Machine (ELM) ซึ่งเป็นโมเดลการเรียนรู้ของเครื่อง (Machine Learning Model) ที่มีความซับซ้อนต่ำ ทำงานได้รวดเร็วและแม่นยำ

2. ทฤษฎีที่เกี่ยวข้อง

2.1 รูปแบบข้อความใน CAN Bus

ข้อความในการสื่อสารด้วย CAN Bus จะเป็นไปตามมาตรฐาน ISO 11898 หรือมักจะเรียกกันว่า CAN 2.0 [7] โดยในข้อความจะต้องประกอบด้วยส่วนต่างๆ ที่เรียกรวมกันว่าเฟรมของข้อความ ดังรูปที่ 1 ซึ่งในเฟรมดังกล่าวจะมีส่วนที่สำคัญอยู่ 2 ส่วนที่มักถูกนำไปใช้ในการวิเคราะห์คือ CAN ID และ Data โดย ID จะเป็นหมายเลขประจำตัวของเฟรมข้อมูลหนึ่งๆ เช่น เฟรมที่ส่งข้อมูลความเร็วของรถยนต์ หรือเฟรมที่ส่ง

*ผู้ประพันธ์บรรณกิจ

ข้อมูลแรงดันไฟฟ้าของแบตเตอรี่ ก็จะมี CAN ID ที่แตกต่างกัน และส่วน Data เป็นส่วนของข้อมูลจริงที่ ECU ต้องการส่งเข้ามาใน CAN Bus

Start 1 bit	CAN ID 11 or 29 bits	RTR 1 bit	Reserved 2 bits	Data Length 4 bits	Data 0-64 bits	CRC 16 bits	ACK 2 bits	EOF 7 bits

รูปที่ 1 ส่วนประกอบของข้อความใน CAN Bus

ในบทความนี้ได้ใช้ค่า CAN ID เป็นตัวตรวจจับการบุกรุกใน CAN Bus โดยนำ CAN ID มาผ่านการสกัดคุณลักษณะเด่นบางอย่างและป้อนเข้าโมเดล ELM เพื่อทำการจำแนกว่าเป็นข้อความจากการบุกรุกหรือไม่ ซึ่งรายละเอียดจะกล่าวในหัวข้อถัดไป

2.2 Extreme Learning Machine (ELM)

ELM เป็นโมเดลโครงข่ายประสาทเทียมแบบฟีดฟอร์เวิร์ดที่มีชั้นซ่อนชั้นเดียวที่ถูกนำเสนอโดย Guang-Bin Huang [8] ซึ่งมีการฝึกสอน (Training) ที่แตกต่างไปจากโมเดลโครงข่ายประสาทเทียมทั่วไปคือค่าน้ำหนักในชั้นซ่อนจะได้มาจากการสุ่มค่า ส่วนค่าน้ำหนักในชั้นเอาต์พุตได้มาจากการคำนวณค่าทางพีชคณิตโดยตรง ซึ่งช่วยให้โมเดลสามารถเรียนรู้จากข้อมูลได้เร็วกว่าโครงข่ายประสาทเทียมปกติหลายเท่าตัวโดยที่ยังคงมีความแม่นยำไม่แตกต่างจากเดิม [9] โครงสร้างของ ELM เป็นดังรูปที่ 2

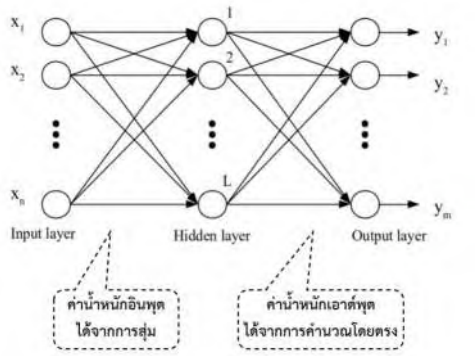

รูปที่ 2 โครงสร้างของโมเดล ELM

กำหนดให้ (x_j, y_j) เป็นอินพุตและเอาต์พุตตัวอย่างที่ใช้สอนโมเดลซึ่งมีจำนวน k ชุด โดย $x_j \in \mathbb{R}^n$ และ $y_j \in \mathbb{R}^m$ โมเดลมีจำนวนโหนดในชั้นซ่อนเท่ากับ L ความสัมพันธ์ระหว่างค่าอินพุตและเอาต์พุตจะเป็นไปตามสมการที่ 1 ดังนี้ [4]

$$y_j = \sum_{i=1}^{L} \beta_i G(a_i x_j + b_i), \quad j = 1,2,3,...K \tag{1}$$

โดย $a_i \in \mathbb{R}^n$ และ $b_i \in \mathbb{R}$ คือค่าน้ำหนักและค่าไบอัสในชั้นอินพุต ซึ่งได้จากการสุ่มและค่านี้จะคงที่ตลอดการใช้งานโมเดล, $G(..)$ เป็นฟังก์ชันของโหนดในชั้นซ่อนซึ่งเหมือนกับโครงข่ายประสาทเทียมทั่วไป และ $\beta_i \in \mathbb{R}^m$ คือค่าน้ำหนักในชั้นเอาต์พุต สมการที่ (1) สามารถเขียนใหม่อย่างง่ายได้ดังนี้

$$\mathbf{Y} = \mathbf{H}\boldsymbol{\beta} \tag{2}$$

โดย

$$\mathbf{H} = \begin{bmatrix} G(a_1 x_1 + b_1) & \cdots & G(a_L x_1 + b_L) \\ \vdots & \ddots & \vdots \\ G(a_1 x_K + b_1) & \cdots & G(a_L x_K + b_1) \end{bmatrix}_{K \times L}$$

$$\mathbf{Y} = \begin{bmatrix} \mathbf{y}_1 \\ \vdots \\ \mathbf{y}_K \end{bmatrix}_{K \times m}, \quad \text{and} \quad \boldsymbol{\beta} = \begin{bmatrix} \boldsymbol{\beta}_1 \\ \vdots \\ \boldsymbol{\beta}_L \end{bmatrix}_{L \times m}$$

การสอนโมเดล (Training) คือการคำนวณหาค่า $\boldsymbol{\beta}$ โดยที่ทราบค่า $\mathbf{H}$ และค่า $\mathbf{Y}$ โดยใช้สมการต่อไปนี้

$$\boldsymbol{\beta} = \mathbf{H}^{\dagger}\mathbf{Y} \tag{3}$$

โดย $\mathbf{H}^{\dagger}$ คือการทำเมทริกซ์คล้ายผกผัน (Pseudo Inverse Matrix) ซึ่งสามารถคำนวณได้ดังนี้

$$\mathbf{H}^{\dagger} = (\mathbf{H}^{\mathrm{T}}\mathbf{H} + \lambda\mathbf{I})^{-1}\mathbf{H}^{\mathrm{T}} \tag{4}$$

ค่า $\lambda\mathbf{I}$ ในสมการที่ 4 เป็นค่า Regularization Factor ซึ่งมีค่าน้อยมากบวกเพิ่มให้กับสมาชิกในเส้นทแยงมุมของเมทริกซ์เพื่อป้องกันปัญหาจากเมทริกซ์ที่ไม่สามารถแปลงผกผันได้ (Non-inverting Matrix) [10]

3. ระบบที่นำเสนอ

ระบบตรวจจับการบุกรุกในแคนบัสที่นำเสนอในบทความนี้ใช้การบันทึกค่า CAN ID ของทุกข้อความในช่วง 1 วินาทีมาทำการสกัดคุณลักษณะเด่น ของข้อมูลซึ่งในที่นี้เลือกใช้ค่าเอนโทรปี (Entropy) ของข้อมูล CAN ID ในแต่ละบิต จากนั้นนำค่า Entropy ของทั้ง 11 บิตที่ได้นำเข้าโมเดล ELM เพื่อทำการจำแนกประเภท (Classification) ของข้อความในช่วง 1 วินาทีดังกล่าวว่าเป็นข้อความประเภทใด โดยโมเดล ELM นี้ได้รับการฝึกสอนให้สามารถจำแนกประเภทข้อความได้ 4 ประเภท ภาพรวมของระบบที่นำเสนอแสดงได้ดังรูปที่ 3 โดยรายละเอียดของแต่ละส่วนสามารถอธิบายได้ดังนี้

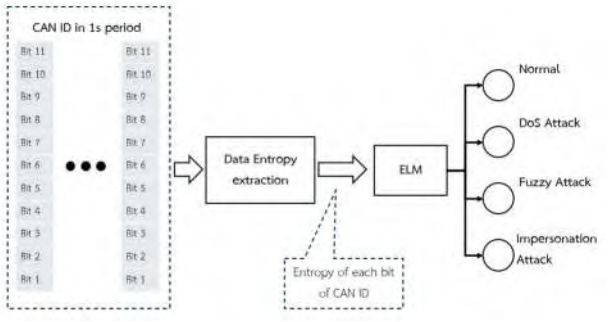

รูปที่ 3 แผนผังของระบบที่นำเสนอ

ส่วน Data Entropy Extraction รับข้อมูล CAN ID ของทุกข้อความใน CAN Bus ในช่วงเวลา 1 วินาทีซึ่งแต่ละข้อความจะมี CAN ID ขนาด 11 บิต และนำมาคำนวณค่า Entropy ของแต่ละบิตดังสมการที่ (5) [11] ซึ่งค่า Entropy ของ CAN ID ทั้ง 11 บิตในช่วงเวลา 1 วินาทีนี้สามารถบอกถึงรูปแบบของ CAN ID ของข้อความที่สื่อสารกันใน CAN Bus ได้

$$H(x) = -\sum_{i=0,1} p(x_i)\log_2 p(x_i) \qquad (5)$$

โดย

$H(x)$ หมายถึงค่า Entropy ของ CAN ID แต่ละบิต

$p(x_i)$ เมื่อ i =0 หมายถึง ความน่าจะเป็นที่บิตนี้จะมีค่าเป็นลอจิก 0

$p(x_i)$ เมื่อ i =1 หมายถึง ความน่าจะเป็นที่บิตนี้จะมีค่าเป็นลอจิก 1

โมเดล ELM ที่ใช้ในบทความนี้มีขนาด 11 อินพุตตามจำนวนขนาดของข้อมูล Entropy ของ CAN ID ที่เป็นข้อมูลอินพุต ในชั้นซ่อนมีขนาด 80 โหนดและใช้ Sigmoid เป็นฟังก์ชันกระตุ้น (Activation function) ในส่วนเอาต์พุตมีขนาด 4 โหนด ซึ่งสามารถจำแนกประเภทของข้อความได้ 4 ประเภท รายละเอียดของข้อความแต่ละประเภทมีดังนี้ 1) ปกติ (Normal) เป็นสภาวะที่ CAN Bus ทำงานแบบปกติไม่มีผู้บุกรุก 2) Denial of Service (DoS) Attack เป็นสภาวะที่มีผู้บุกรุกส่งข้อความที่มีลำดับความสำคัญสูง (High priority message) เพื่อรบกวนการสื่อสาร ส่งผลให้ ECU ตัวอื่นไม่สามารถใช้งาน Bus ได้ 3) Fuzzy Attack เป็นสภาวะที่ผู้บุกรุกส่งข้อความแบบสุ่มไปใน CAN Bus โดยหวังให้เกิดข้อผิดพลาดในการทำงานของ ECU และ 4) Impersonation (IM) Attack เป็นสภาวะที่ผู้บุกรุกส่งข้อความเข้าไปใน CAN bus โดย “ปลอมตัว” ให้เสมือนเป็น ECU จริงในระบบ

4. การทดลองและผลการทดลอง

การทดลองในบทความนี้ได้ใช้ชุดข้อมูล (Dataset) ที่ชื่อว่า CAN Dataset for Intrusion Detection [12] ซึ่งเป็นข้อความใน CAN Bus ที่แยกประเภทไว้เป็น 4 ประเภท (4 Class) ตามที่ได้กล่าวถึงในหัวข้อที่แล้ว จากนั้นจัดกลุ่มข้อมูลตามค่า Time Stamp โดยแบ่งข้อมูลเป็นช่วง ช่วงละ 1 วินาที แล้วจึงคำนวณค่า Entropy ในแต่ละบิตของ CAN ID ตามสมการที่ (5) จะได้ค่าอินพุตที่ใช้ในการฝึกสอนและทดสอบ ซึ่งแต่ละตัวอย่างเป็นเวกเตอร์ 1 มิติที่มีสมาชิก 11 ตัว และใช้ค่า ประเภทของข้อมูลเข้ารหัสแบบ One-hot Encoding เป็นค่าเป้าหมาย (Target)

ในการฝึกสอนโมเดล ELM ใช้ข้อมูลตัวอย่างจาก Dataset ที่ทำการคำนวณค่า Entropy ในแต่ละบิตของ CAN ID แล้วจำนวน 200 ตัวอย่างต่อประเภทของข้อมูลรวมเป็นข้อมูลตัวอย่างทั้งสิ้น 800 ตัวอย่าง ทำการฝึกสอนแบบตรวจสอบไขว้ที่แบ่งข้อมูลเป็น 8 พับ (8 fold cross validation) ฝึกสอนด้วยตัวอย่าง 700 ตัวและตรวจสอบด้วยตัวอย่าง 100 ตัวอย่างไขว้กันไป ทำให้ได้จำนวนโหนดในชั้นซ่อนที่เหมาะสมคือ 80 โหนด ส่วนการทดสอบการทำงานของระบบ ใช้ข้อมูลตัวอย่างจาก Dataset ที่ทำการคำนวณค่า Entropy ในแต่ละบิตของ CAN ID แล้วจำนวน 100 ตัวอย่างต่อประเภทของข้อมูล ซึ่งรวมเป็นข้อมูลตัวอย่างทั้งสิ้น 400 ตัวอย่างที่ไม่ได้นำไปฝึกสอนโมเดล ผลการทดสอบแยกแยะประเภทข้อความ CAN Bus แสดงใน Confusion Matrix ดังตารางที่ 1

ตารางที่ 1 ผลการทดลองของระบบที่นำเสนอ

จำนวนตัวอย่างแต่ละประเภทของข้อมูล		ประเภทที่ทำนาย			
		Normal	DoS Attack	Fuzzy Attack	IM Attack
ประเภทจริง	Normal	100	0	0	0
	DoS Attack	0	100	0	0
	Fuzzy Attack	0	0	100	0
	IM Attack	0	0	0	100

เพื่อเปรียบเทียบระบบที่นำเสนอกับระบบอื่นที่ใกล้เคียงกัน บทความนี้จึงได้นำผลจากระบบตรวจจับการบุกรุกใน CAN Bus อีกบทความหนึ่ง [13] ซึ่งใช้ Entropy ของ CAN ID เป็น Feature ของข้อมูลอินพุตเหมือนกับที่นำเสนอในบทความนี้ แต่โมเดลที่ใช้จำแนกประเภทของข้อความ CAN bus ในบทความดังกล่าวได้เลือกใช้ One-Class Support Vector Machine (OCSVM) ซึ่งเป็นโมเดลที่สามารถแยกแยะข้อความได้ 2 ประเภทคือข้อความปกติกับข้อความที่ผิดปกติ การทดลองของบทความดังกล่าวใช้ dataset เดียวกันกับที่นำเสนอในบทความนี้ ผลการทดลองของบทความดังกล่าวเป็นดังตารางที่ 2

ตารางที่ 2 ผลการทดลองของระบบที่นำมาเปรียบเทียบ

จำนวนตัวอย่างแต่ละประเภท		ประเภทที่ทำนาย	
		Normal	Anomaly
ประเภทจริง	Normal	97	3
	Anomaly	0	100

5. วิเคราะห์ผลการทดลอง

จากตารางที่ 1 ผลการทดลองของระบบที่นำเสนอ และตารางที่ 2 ผลการทดลองของระบบที่นำมาเปรียบเทียบ พบว่าระบบที่นำเสนอสามารถจำแนกประเภท (Classify) ของข้อความใน CAN Bus ได้อย่างถูกต้อง 100% ในทุกประเภทของข้อความ ส่วนระบบที่ใช้เปรียบเทียบมีความผิดพลาดในการจำแนกข้อความปกติอยู่ 3% ส่วนข้อความที่ผิดปกติสามารถจำแนกได้อย่างถูกต้อง 100% สาเหตุที่โมเดล ELM ที่นำเสนอมีความแม่นยำสูงกว่าเนื่องจากได้รับการฝึกสอนด้วยข้อมูลทุกประเภททำให้โมเดลสร้างเงื่อนไขการจำแนกได้อย่างถูกต้อง โดยเฉพาะเมื่อใช้ Feature ที่แยกแยะข้อมูลได้อย่างชัดเจนเช่น Data Entropy ส่วนโมเดล OCSVM นั้นได้รับการฝึกสอนด้วยข้อมูลประเภทปกติ (Normal class) เท่านั้น ทำให้โมเดลสร้างเงื่อนไขการจำแนกได้ไม่สมบูรณ์

6. สรุป

จากการทดลองพบว่าโมเดล ELM ให้ความแม่นยำสูงถึง 100% ในทุกประเภทข้อความ ส่วนโมเดล OCSVM ที่เป็นโมเดลแบบ One-class Classification มีความแม่นยำต่ำกว่าเล็กน้อยโดยเกิดข้อผิดพลาด 3% ในการจำแนกข้อความประเภทปกติ อย่างไรก็ตามโมเดล OCSVM มีข้อได้เปรียบในการใช้งานคือ ไม่จำเป็นต้องมีข้อมูลตัวอย่างของข้อความที่มีการบุกรุก เหมาะกับกรณีที่ไม่สามารถหาข้อมูลตัวอย่างได้ครบถ้วน ส่วนโมเดล ELM ที่มีความแม่นยำสูงจำเป็นจะต้องมีข้อมูลตัวอย่างที่ครบถ้วน สำหรับการพัฒนาต่อยอดผู้เขียนจะทำการพัฒนาโมเดลที่มีจุดเด่นของทั้ง2 โมเดล คือให้ความแม่นยำสูง สามารถแยกแยะประเภทของข้อความบุกรุกและไม่เป็นต้องใช้ข้อมูลฝึกสอนจำนวนมากนัก

เอกสารอ้างอิง

[1] C. Young, J. Zambreno, H. Olufowobi and G. Bloom, "Survey of Automotive Controller Area Network Intrusion Detection Systems," in IEEE Design & Test, vol. 36, no. 6, pp. 48-55, Dec. 2019.

[2] C. Valasek and C. Miller, “Remote Exploitation of an Unaltered Passenger Vehicle,” IOActive, 2015. [Online]. Available: https://www.ioactive.com/wp-content/uploads/pdfs/IOActive_Remote_Car_Hacking.pdf

[3] K. Koscher et al., “Experimental Security Analysis of a Modern Automobile,” in Proc. IEEE Symp. Security and Privacy, Oakland, CA, USA, May 2010, pp. 447–462.

[4] M.-J. Kang and J.-W. Kang, “A novel intrusion detection method using deep neural network for in-vehicle network security,” in Proc. IEEE 83rd Veh. Technol. Conf. (VTC Spring), Nanjing, China, May 2016, pp. 1–5.

[5] A. Taylor, S. Leblanc, and N. Japkowicz, “Anomaly detection in automobile control network data with long short-term memory networks,” in Proc. IEEE Int. Conf. Data Sci. Advanced Anal. (DSAA), Montreal, QC, Canada, Oct. 2016, pp. 130–139.

[6] J. Khan, D.-W. Lim, and Y.-S. Kim, "Intrusion detection system CAN-bus in-vehicle networks based on the statistical characteristics of attacks," Sensors, vol. 23, no. 7, p. 3554, 2023.

[7] ISO, “ISO 11898-1:2015 – Road vehicles — Controller area network (CAN) — Part 1: Data link layer and physical signalling,” International Organization for Standardization, Geneva, Switzerland, 2015.

[8] Guang-Bin Huang, Qin-Yu Zhu and Chee-Kheong Siew, "Extreme learning machine: a new learning scheme of feedforward neural networks," 2004 IEEE International Joint Conference on Neural Networks (IEEE Cat. No.04CH37541), Budapest, Hungary, 2004, pp. 985-990.

[9] Wang, J., Lu, S., Wang, SH. et al. A review on extreme learning machine. Multimed Tools Appl 81, 41611–41660, 2022.

[10] [1] G.-B. Huang, Q.-Y. Zhu, and C.-K. Siew, "Extreme learning machine: Theory and applications," Neurocomputing, vol. 70, no. 1–3, pp. 489–501, 2006.

[11] Q. Wang, Z. Lu and G. Qu, "An Entropy Analysis Based Intrusion Detection System for Controller Area Network in Vehicles," 2018 31st IEEE International System-on-Chip Conference (SOCC), Arlington, VA, USA, 2018.

[12] H. Lee, S. H. Jeong and H. K. Kim, "OTIDS: A Novel Intrusion Detection System for In-vehicle Network by Using Remote Frame," 2017 15th Annual Conference on Privacy, Security and Trust (PST), Calgary, AB, Canada, 2017, pp. 57-5709.

[13] C. Chupong, N. Junhuathon, K. Kitwattana, T. Muankhaw, N. Ha-Upala and M. Nawong, "Intrusion Detection in CAN Bus using the Entropy of Data and One-class Classification," 2024 International Conference on Power, Energy and Innovations (ICPEI), Nakhon Ratchasima, Thailand, 2024, pp. 157-160.

Real-Time Analysis S-Parameters via Remote Control of a Vector Network Analyzer Using API Integration

Artit Rittiplang[1], Nakrop Jinaporn [1], and Atipong Suriya[1]

[1]Department of Electrical Engineering, Faculty of Engineering, Ubon Ratchathani University, Thailand,
artit.r@ubu.ac.th, nakrop.j@ubu.ac.th, atipong.s@ubu.ac.th

Abstract

Nowadays, programming commands are widely used in automation control instruments for real-time data acquisition in automatic test equipment. This control is typically implemented using SCPI, which simplifies code writing, but usually requires the vendor's software to be running. Therefore, our focus is on using an API that enables direct control of the instrument without the need to launch vendor software. In this demonstration, the PicoVNA 106 is used as the instrument, and we develop the API protocol using the Python programming language to integrate the system independently of vendor or commercial software. This approach enhances flexibility and accessibility for educational and research applications, supporting hands-on learning in programming, automation, and real-time measurement systems. Furthermore, it can significantly reduce costs associated with commercial software packages.

Keywords: Automation Control, Programming Command, Vector Network Analyzer, S-parameters, API, SCPI.

1. Introduction

In the field of electrical and electronic engineering, automated test equipment plays a crucial role in measurement, calibration, and validation processes. As the demand for faster and more reliable testing grows, real-time instrument control has become increasingly important [1]-[7]. Traditional methods often rely on manual operation or proprietary software provided by instrument manufacturers, which can limit flexibility and hinder integration into custom or automated systems.

These challenges have become a key topic in engineering education, where students are increasingly expected to learn how to control measurement instruments through application programming interfaces (API). Unlike Standard Commands for Programmable Instruments (SCPI), which often requires the manufacturer's software to be running during communication [8]-[9]. API can provide more direct and lightweight access to device functions without launching external software. API and SCPI processes are shown in Fig. 1.

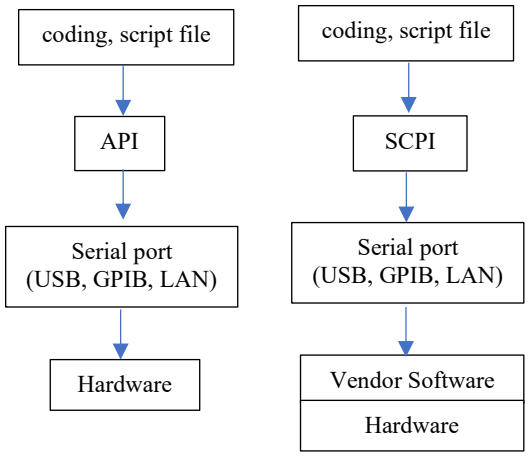

Fig 1. Instrument control by programing (a) API protocol, (b) SCPI protocol

As shown in Fig.1(b), the SCPI protocol requires the vendor's software to be running in order to manage SCPI commands for hardware control. Typically, the vendor's software is integrated into the device's display interface, such as the screen on an oscilloscope, and the front panel of a DC power supply and multimeter.

In this work, we demonstrate an API-based approach , as shown in Fig.1(a) with Python for instrument control using the PicoVNA106 vector network analyzer (VNA). A custom Python API is developed to interface with the VNA, allowing users to configure measurements and acquire S-parameters and real-time response, without relying on the official PicoVNA software [9]-[10].

This approach offers a more flexible and scalable solution for both academic and industrial applications. It is particularly beneficial in educational environments, where students gain practical experience in real-time instrumentation control, data acquisition, and the integration of measurement systems into broader automation workflows. Additionally, it helps reduce costs associated with commercial software licenses such as MATLAB and LabVIEW [5]-[7], by promoting the use of open-source and custom-built alternatives

2. The Design of API on Windows OS

This design is currently compatible with Python versions 3.8 to 3.11. Firstly, it is necessary to download the appropriate set of files from the PicoVNA5 SDK v5.3.1 [10] corresponding to the specific version of Python being used. In this demonstration it is based on

*Corresponding Author
Atipong Suriya, atipong.s@ubu.ac.th

Python 3.11 version and Windows 11. Those PicoVNA5 SDK files should include and place in the same directory as the Python script (.py file) as shown in Fig.2 to ensure correct operation and successful integration with the PicoVNA API.

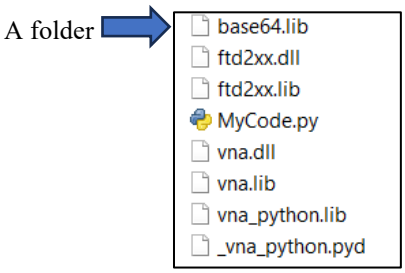

Fig 2. Picovna files and Python script must be in the same folder.

Python must install the vna package (pip install vna) for interfacing and communicating. Then, we have two typical program structures for considering [9].

1) Synchronous mode: this mode waits for the entire measurement sweep to complete before processing any measurements.

2) Asynchronous mode: it is processing measurements point-by-point without waiting for the entire sweep to complete.

In this design, we use asynchronous mode for faster real-time measurements compared to synchronous mode, which is a bit more difficult to implement, but it is worthwhile for real-time applications in industrial or medical settings. That mode has a flowchart as shown in Fig.3. Then, we will design the real-time displaying for S-parameters and time-domain of responses of low pass filter, band pass filter.

Table 1 Required Python packages

Library	Purpose
tkinter	Standard Python GUI library
tkinter.ttk	buttons, labels, entries
threading	Enables background measurement without freezing the GUI.
time	optional delays
matplotlib.pyplot	Used to create plots
matplotlib.backends .backend_tkagg .FigureCanvasTkAgg	Integrates matplotlib plots into tkinter windows.
PIL.Image	Loads and displays image (e.g., our university logo) in the GUI.
vna	Provides access to the VNA device and related functions

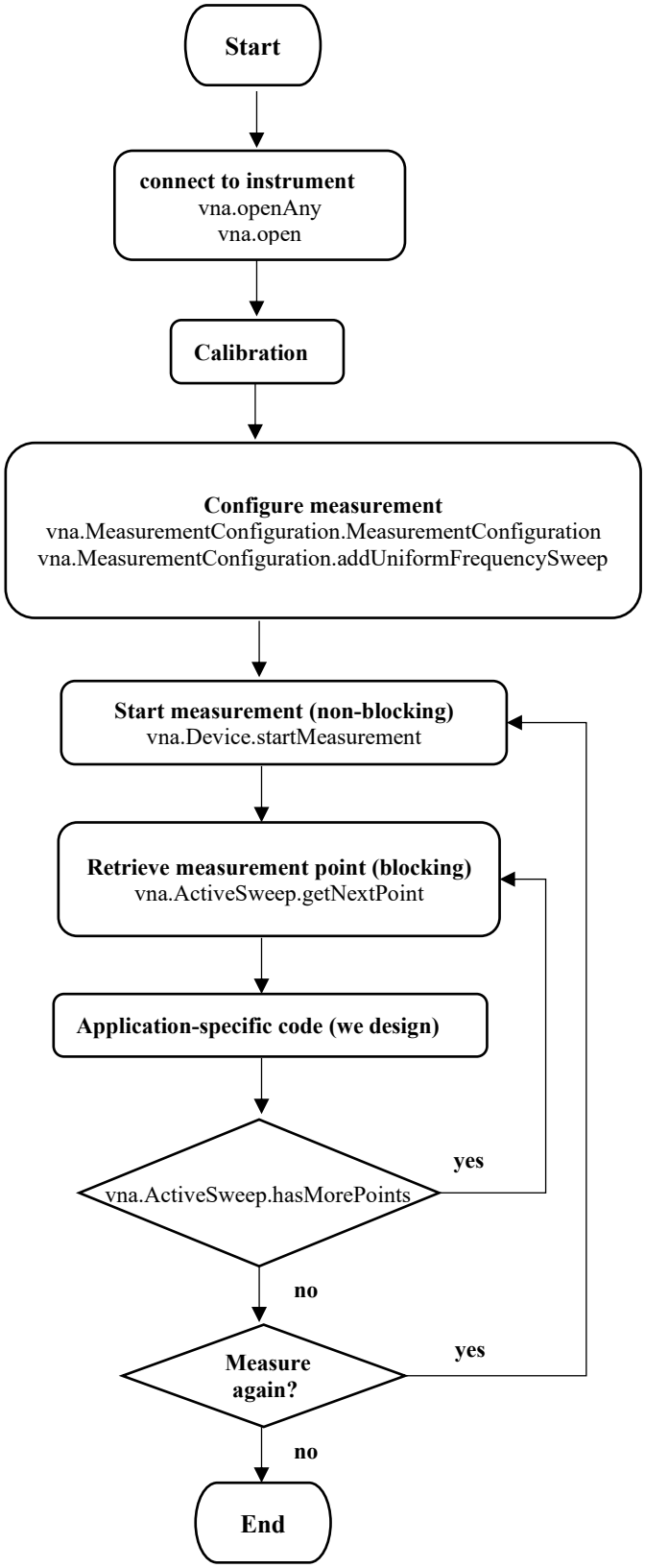

Fig 3. Asynchronous mode for real-time measurements

Table 1-2 shows Python packages and functions used in this work

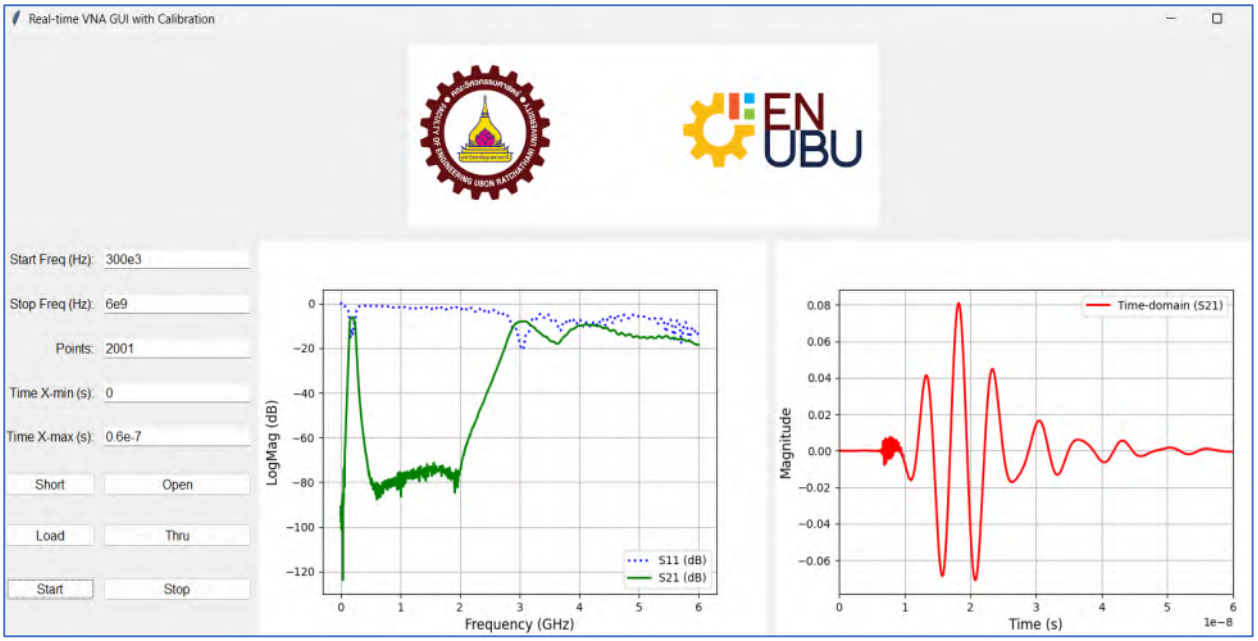

Fig 4. the real-time GUI of S11 S21 (left side) and time domain S21 (right side)

Table2 Required VNA functions

Function	Role
vna.Device.openAny()	connects to VNA device.
vna.MeasurementConfiguration()	configuration for frequency sweep
vna.toLogMag(pt.s11 / pt.s21)	Converts complex S-parameter to log magnitude (dB)
vna.transform(options, parameter, measurements)	Converts S-parameter to time-domain
vna.TimeDomainOptions()	Sets time-domain transform options (e.g., HANNING window)

We have adopted Python as our software platform, starting and building upon the example codes provided in the official datasheet repository [10]. Finally, the project has been completed, with the application successfully displaying S11, S21, and time-domain results in Fig4.

3. Experimental Setup

The PicoVNA106 instrument in Fig5(b) is firstly connected to a bandpass mounted on a circuit toolkit and a laptop in Fig5(a). When the application is executed, a real-time graphical user interface (GUI) is displayed, as shown in Fig 4. Firstly, we set the start frequency to 300 kHz and the stop frequency to 6 GHz, with 2001 sampling points, by entering the values on the screen. Secondly, we then perform calibration using short, open, load, and through standards from the circuit toolkit in Fig5(c) to ensure accurate S11 and S21 data.

In the left plot of Fig4, the S11 parameter is represented by a dotted line, while the S21 parameter is shown as a solid line. The right plot illustrates the time-domain response of the S21 parameter. For the bandpass filter measurement in Fig. 6 (left), the solid line shows a passband between 150 MHz and 250 MHz, with an

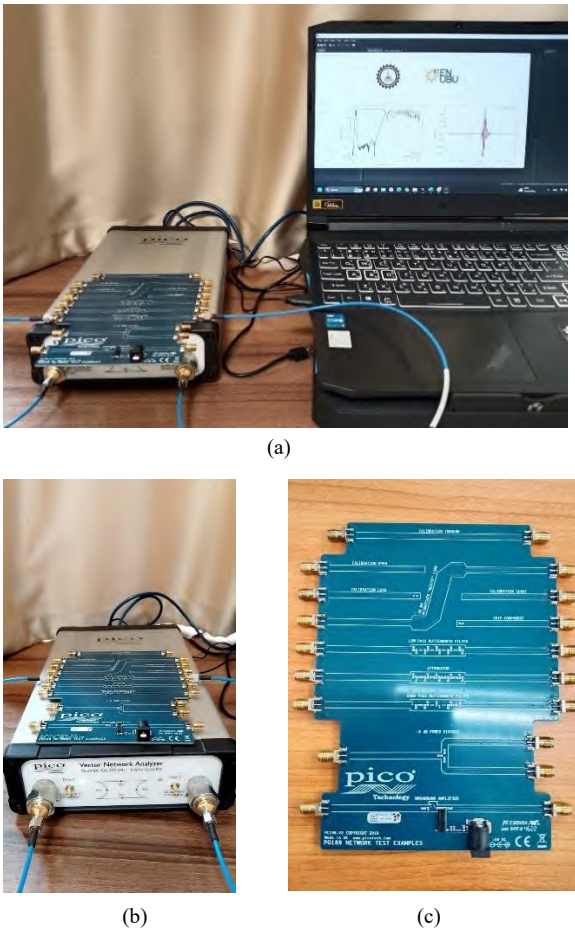

(a) (b) (c)

Fig 5. (a) real experiment (b) PicoVNA106 (c) circuit toolkit.

insertion loss of approximately –5 dB. In the time-domain plot of S21 (right), the response is obtained by applying an inverse Fourier transform (IFFT), resulting in a short pulse. This indicates that the frequency content is concentrated within the 150 MHz to 250 MHz range. These results are consistent with the datasheet of the circuit training kit [11].

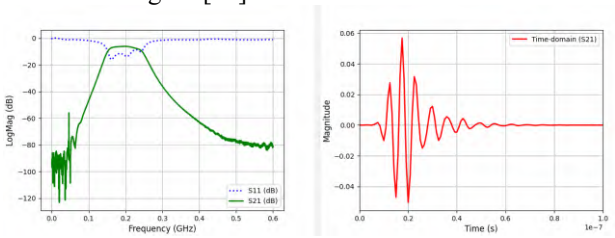

Fig 6. the measurement range of bandpass.

For the low-pass filter in Fig. 7, the solid line (left) shows a passband from DC to approximately 260 MHz. In the time-domain response (right), obtained via inverse Fourier transform (IFFT), low-frequency signals pass through while high-frequency components are attenuated. This demonstrates the typical behavior of a low-pass filter, where the response resembles a step voltage.

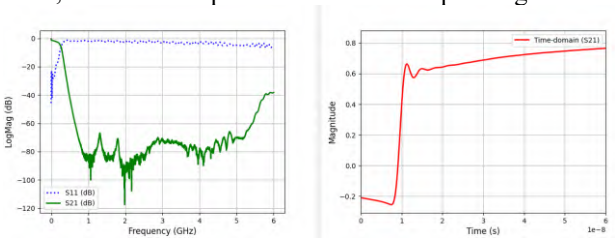

Fig 7. the measurement range of band-pass filter.

This software can be extended and further developed for suitable applications using Python coding. In comparison, other commercial software is ready to use for reading significant parameters, but it is not real time if data is imported via a flash drive for analysis. Therefore, this work is valuable for fostering open, customizable, and cost-effective research solutions in real-time medical measurements, such as tissue dielectric analysis and electrochemical sensors.

4. Conclusions

This paper presents the development of API software using Python for real-time graphical visualization of S11, S21, and time-domain analysis. While the approach itself is not novel, it offers a practical and accessible foundation for developers seeking to extend its capabilities to other applications, such as dielectric material characterization or biomedical tissue measurement, without the need for proprietary vendor software.

References

[1] H. C. Georgiana, B. Ana-Maria, and L. Ioan, "Automatic testing of automotive electronic modules for cranking conditions," 2018 International Symposium on Electronics and Telecommunications (ISETC), Timisoara, Romania, 2018, pp. 1–4, doi: 10.1109/ISETC.2018.8583856.

[2] C.-C. Chang, Y.-T. Chiu, and C.-C. Wei, "Design instrument control software interface based on SCPI commands to reduce development time," 2021 7th International Conference on Applied System Innovation (ICASI), Chiayi, Taiwan, 2021, pp. 97–100, doi: 10.1109/ICASI52993.2021.9568467.

[3] A. S. Rao et al., "Development of Python-based applications for virtual instrument control using PyQt5, PyVISA, and SCPI protocol," 2024 Second International Conference on Emerging Trends in Information Technology and Engineering (ICETITE), Vellore, India, 2024, pp. 1–7, doi: 10.1109/ic-ETITE58242.2024.10493634.

[4] J. L. Schmalzel and R. Trafford, "SCPI: IoT and the déjà vu of instrument control," 2021 IEEE Sensors Applications Symposium (SAS), Sundsvall, Sweden, 2021, pp. 1–6, doi: 10.1109/SAS51076.2021.9530061.

[5] F. Zaiming, Z. Zhixiang, Z. Yijiu, and M. Min, "The merging design method of instrument software based on the SCPI command set," 2017 13th IEEE International Conference on Electronic Measurement & Instruments (ICEMI), Yangzhou, China, 2017, pp. 44–48, doi: 10.1109/ICEMI.2017.8265709.

[6] B. A. Balaji, S. Sasikumar, and K. Ramesh, "SCPI-based integrated test and measurement environment using LabVIEW," IOP Conference Series: Materials Science and Engineering, vol. 1045, no. 1, p. 012036, 2021, doi: 10.1088/1757-899X/1045/1/012036.

[7] W. Cai, B. Wang, and S. Zhang, "Remote control and data acquisition of multiple oscilloscopes using LabVIEW," 2017 International Conference on Computer Technology, Electronics and Communication (ICCTEC), Dalian, China, 2017, pp. 920–924, doi: 10.1109/ICCTEC.2017.00203.

[8] Pico Technology Ltd., "PicoVNA Vector Network Analyser (PicoVNA 5) user's guide," [Online]. Available: https://www.picotech.com/download/manuals/picovna-vector-network-analyser-picovna-5-users-guide.pdf. [Accessed: Jul. 7, 2025].

[9] Pico Technology Ltd., "PicoVNA Vector Network Analyzer programmer's guide," [Online]. Available: https://www.picotech.com/download/manuals/picovna-vector-network-analyzer-programmers-guide.pdf. [Accessed: Jul. 7, 2025].

[10] Pico Technology, "picovna5-examples: Example code for PicoVNA 5 SDK," GitHub repository, 2023. [Online]. Available: https://github.com/picotech/picovna5-examples.

[11] Pico Technology Ltd., "Network Metrology Training Kit user's guide (PQ186)," [Online]. Available: https://www.picotech.com/download/manuals/network-metrology-training-kit-users-guide.pdf. [Accessed: Jul. 12, 2025].

การออกแบบและสร้างชุดควบคุมมอเตอร์กระแสตรงไร้แปรงถ่าน 350W สำหรับรถจักรยานไฟฟ้า

Design and Construction of a 350W Brushless DC Motor Controller for an Electric Bicycle

ขวัญใจ นาชัยภูมิ และ อารักษ์ บุญมาตย์*

สาขาวิชาวิศวกรรมไฟฟ้า คณะวิศวกรรมศาสตร์ มหาวิทยาลัยเทคโนโลยีราชมงคลอีสาน วิทยาเขตขอนแก่น arak.bu@rmuti.ac.th*

บทคัดย่อ

งานวิจัยนี้มีวัตถุประสงค์เพื่อออกแบบและสร้างชุดควบคุมมอเตอร์ไฟฟ้ากระแสตรงชนิดไร้แปรงถ่านขนาด 36 โวลต์ 350 วัตต์ ร่วมกับแบตเตอรี่ลิเธียมไอออน สำหรับรถจักรยานไฟฟ้า โดยใช้เซ็นเซอร์ฮอลล์ตรวจจับตำแหน่งเชิงมุมของโรเตอร์ ส่งไปยังไมโครคอนโทรลเลอร์ประมวลผลและสร้างสัญญาณพัลส์ (Pulse Width Modulation: PWM) ที่เหมาะสม ส่งผ่านไปยังวงจรขับเกต เพื่อขยายสัญญาณควบคุมทรานซิสเตอร์ชนิดมอสเฟตกำลังในวงจรเอชบริดจ์แบบ 3 เฟส จ่ายกระแสไฟฟ้าเข้าสู่ขดลวดทั้งสามของมอเตอร์อย่างเป็นลำดับ ส่งผลให้เกิดสนามแม่เหล็กหมุนที่ขับเคลื่อนมอเตอร์ให้หมุนได้อย่างแม่นยำ และมีประสิทธิภาพตามทิศทางและความเร็วที่ต้องการ ผลการทดสอบ พบว่ารถจักรยานไฟฟ้าที่สร้างขึ้นสามารถเคลื่อนที่ไปข้างหน้าได้ตามเงื่อนไขที่กำหนด ทำความเร็วสูงสุด 30 กิโลเมตรต่อชั่วโมง ที่ระยะทาง 500 เมตร เมื่อรับน้ำหนักผู้ขับขี่ 60 กิโลกรัม และวิ่งได้ระยะทาง 3 กิโลเมตรต่อการชาร์จแบตเตอรี่หนึ่งครั้ง ที่ความเร็ว 20 กิโลเมตรต่อชั่วโมง

คำสำคัญ: รถจักรยานไฟฟ้า มอเตอร์ไร้แปรงถ่าน แบตเตอรี่ลิเธียมไอออน

Abstract

This research aims to design and construct a 36-volt, 350-watt Brushless DC (BLDC) motor control unit for an electric bicycle, integrated with a lithium-ion battery. The system utilizes a Hall Sensor to detect the rotor's angular position, sending this information to a microcontroller for processing. The microcontroller then generates appropriate Pulse Width Modulation (PWM) signals, which are transmitted to a Gate Driver circuit. This circuit amplifies the signals to control power MOSFET transistors within a 3-phase H-bridge, which in turn sequentially supplies electric current to the three motor windings. This process creates a rotating magnetic field that drives the motor precisely and efficiently according to the desired direction and speed. Test results indicate that the developed electric bicycle can move forward as specified. It achieved a maximum speed of 30 km/hr over a distance of 500 m with a 60 kg rider and achieved a range of 3 kilometers per single battery charge at a speed of 20 km/hr.

Keywords: Electric Bicycle, Brushless DC Motor, Lithium-ion Battery

1. บทนำ

ปัจจุบัน การใช้ยานยนต์สันดาปจากเชื้อเพลิงฟอสซิลก่อให้เกิดมลพิษและปัญหาพลังงานอย่างรุนแรง การพัฒนายานพาหนะทางเลือกจึงจำเป็นอย่างยิ่ง ซึ่งยานพาหนะไฟฟ้า (EV) โดยเฉพาะรถจักรยานไฟฟ้า กำลังได้รับความสนใจอย่างมากเนื่องจากเป็นมิตรต่อสิ่งแวดล้อมและประหยัดพลังงาน แต่ยานพาหนะไฟฟ้าที่ใช้มอเตอร์กระแสตรงแบบมีแปรงถ่านยังคงมีข้อจำกัดเรื่องน้ำหนัก เสียงดัง การสูญเสียพลังงาน และการสึกหรอ เพื่อแก้ปัญหานี้มอเตอร์ไฟฟ้ากระแสตรงไร้แปรงถ่าน (Brushless DC Motor: BLDC) จึงเป็นทางเลือกที่ดี เนื่องจากมีประสิทธิภาพสูง บำรุงรักษาน้อย เสียงเงียบ ขนาดเล็ก น้ำหนักเบา และอายุการใช้งานยาวนาน [1]

งานวิจัยที่เกี่ยวข้องกับการขับเคลื่อนมอเตอร์ไฟฟ้ากระแสตรงชนิดไร้แปรงถ่าน เช่น รถจักรยานไฟฟ้าขับเคลื่อนด้วยมอเตอร์ไฟฟ้ากระแสตรงชนิดไร้แปรงถ่าน [2] นำเสนอการควบคุมความเร็วรอบมอเตอร์ BLDC 24/48 โวลต์ 350 วัตต์ ด้วยไอซี MC33033 ใช้แหล่งจ่ายพลังงานไฟฟ้าจากแบตเตอรี่ชนิดตะกั่วกรดขนาด 12V ความจุ 7 Ah จำนวน 4 ลูก พบว่าสามารถควบคุมได้เป็นอย่างดีทั้งทางราบเรียบ และทางชัน และการออกแบบสร้างรถสามล้อไฟฟ้าด้วยมอเตอร์กระแสตรงแบบไร้แปรงถ่านโดยประยุกต์ใช้การอัดประจุแบตเตอรี่จากโซล่าเซลล์ [3] นำเสนอการควบคุมการขับเคลื่อนมอเตอร์ BLDC ด้วยไอซี MC33035 พบว่า สามารถทำความเร็วสูงสุด 8.15 กิโลเมตรต่อชั่วโมงที่น้ำหนักโหลด 60 กิโลกรัม และกระแสไฟฟ้าสูงสุดในขณะออกตัวมีค่าเท่ากับ 37.24 แอมป์ และมากขึ้นตามน้ำหนักโหลด

ด้วยเหตุผล และงานวิจัยที่เกี่ยวข้อง ผู้วิจัยจึงได้การออกแบบและสร้างชุดควบคุมมอเตอร์ไฟฟ้าขนิดไร้แปรงถ่าน ร่วมกับแบตเตอรี่ลิเธียมไอออน (Lithium-ion Battery) สำหรับรถจักรยานไฟฟ้า เพื่อให้ได้รถจักรยานไฟฟ้าต้นแบบที่สามารถทำงานได้ตามเงื่อนไขที่กำหนด

2. มอเตอร์ไฟฟ้ากระแสตรงชนิดไร้แปรงถ่าน (Brushless DC Motor: BLDC)

มอเตอร์ไฟฟ้ากระแสตรงชนิดไร้แปรงถ่าน คือมอเตอร์ที่ถูกออกแบบมาโดยไม่มีแปรงถ่านและคอมมิวเตเตอร์ การควบคุมมอเตอร์ ในงานวิจัยนี้จะอาศัยหลักการตรวจจับตำแหน่งของโรเตอร์และการจ่ายพลังงานไฟฟ้าเข้าสู่ขดลวดสเตเตอร์อย่างเหมาะสม โดยเลือกใช้มอเตอร์ดุมล้อ (Hub Motor) [4] เนื่องจากให้การขับเคลื่อนที่เรียบง่าย มีประสิทธิภาพ และเหมาะสมกับรถจักรยานไฟฟ้า ดังรูปที่ 1

*ผู้ประพันธ์บรรณกิจ

รูปที่ 1 มอเตอร์ดุมล้อ (Hub Motor) ขนาด 36 โวลต์ 350 วัตต์

3. วงจรขับเกต (Gate Drivers)

วงจรขับเกตจะถูกใช้เพื่อรับสัญญาณควบคุมกำลังต่ำจากตัวควบคุม และขยายสัญญาณนั้นให้เป็นกระแสเอาต์พุตที่สูงขึ้นเพื่อขับเคลื่อนมอสเฟตกำลัง (Power MOSFET) วงจร IR2101 เป็นวงจรขับเกตแบบฝั่งสูงและฝั่งต่ำ ซึ่งใช้สำหรับขับเคลื่อนมอสเฟตกำลัง ที่ใช้ในวงจรแปลงผัน (Converter) มีความสามารถในการทำงานที่แรงดัน และความเร็วสูง [5] ดังแสดงในรูปที่ 2

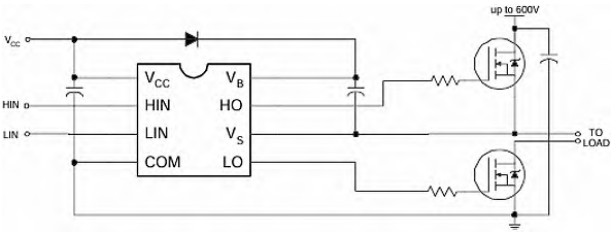

รูปที่ 2 แผนผังวงจรขับเกต IR2101

4. การออกแบบและสร้างชุดควบคุมมอเตอร์ไร้แปรงถ่าน

4.1 การออกแบบวงจรแหล่งจ่ายพลังงาน

งานวิจัยนี้เลือกใช้แบตเตอรี่ลิเธียมไอออนรุ่น 18650 ขนาด 3.7 โวลต์ ความจุ 3000 มิลลิแอมป์-ชั่วโมง จำนวน 20 ก้อน จัดเรียงแบบ 10s 2p ทำให้ได้แบตเตอรี่แพ็คขนาด 37 โวลต์ 6000 มิลลิแอมป์-ชั่วโมง ซึ่งเพียงพอต่อการจ่ายพลังงานให้ระบบ

4.2 การออกแบบวงจรทดสอบการทำงานของวงจรขับเกต

จากทฤษฎี สามารถออกแบบวงจรขับเกตฝั่งสูงและฝั่งต่ำในโปรแกรม Proteus 8 ดังแสดงในรูปที่ 3 และได้ผลการทดสอบฝั่งแรงดันต่ำ และฝั่งแรงดันสูงที่ Duty cycle 50% และ 100% ดังแสดงในรูปที่ 4 ถึง 6

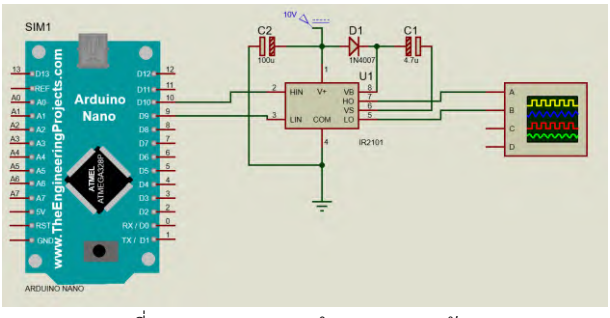

รูปที่ 3 วงจรทดสอบการทำงานของวงจรขับเกต

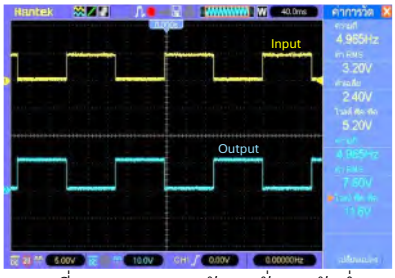

รูปที่ 4 ทดสอบวงจรขับเกตฝั่งแรงดันต่ำ

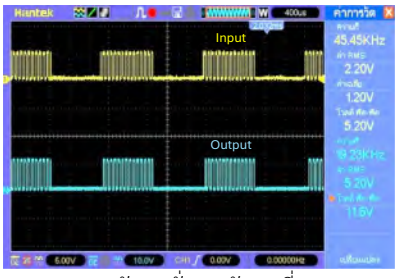

รูปที่ 5 ทดสอบวงจรขับเกตฝั่งแรงดันสูง ที่ Duty cycle 50%

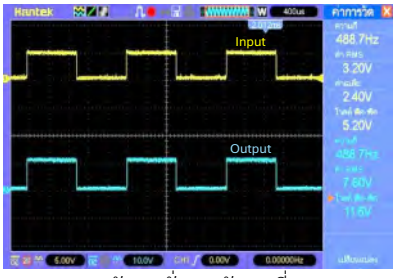

รูปที่ 6 ทดสอบวงจรขับเกตฝั่งแรงดันสูง ที่ Duty cycle 100%

จากผลการทดสอบโดยการจ่ายสัญญาณอินพุตและปรับค่า Duty cycle ที่ 50 และ 100% จะเห็นได้ว่าด้าน High-side ของ IR2101 เอาต์พุตจะมีสถานะตรงกับอินพุต และจะมีการขยายแรงดันเอาต์พุตจากวงจรขยาย Bootstrap เพื่อไปขับขาเกตของมอสเฟตด้านแรงสูงได้

4.3 บล็อกไดอะแกรมการทำงาน

ชุดควบคุมความเร็วมอเตอร์แบ่งการทำงานออกเป็นสองส่วนหลัก ได้แก่ ส่วนอุปกรณ์รับ-ส่งข้อมูล และส่วนวงจรกำลังสำหรับขับเคลื่อนมอเตอร์ โดยมีไมโครคอนโทรลเลอร์ทำหน้าที่เป็นหน่วยประมวลผลกลาง ดังแสดงในรูปที่ 7 และออกแบบวงจรและทดสอบภายในโปรแกรม Proteus 8 ดังแสดงในรูปที่ 8

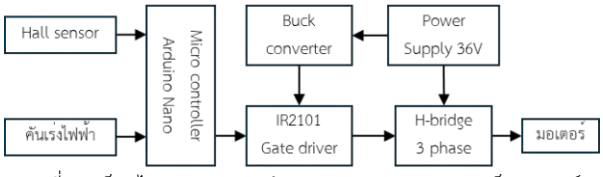

รูปที่ 7 บล็อกไดอะแกรมการทำงานของชุดควบคุมความเร็วมอเตอร์

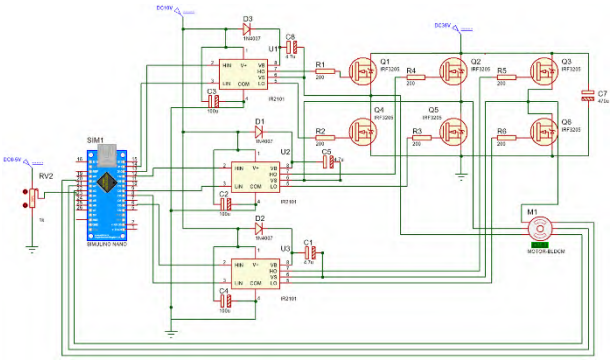

รูปที่ 8 วงจรชุดควบคุมความเร็วมอเตอร์ไฟฟ้ากระแสตรงไร้แปรงถ่าน

จากรูปที่ 8 เมื่อไมโครคอนโทรลเลอร์รับสัญญาณอนาล็อกจากคันเร่งไฟฟ้า (0-5V) เพื่อคำนวณความกว้างของสัญญาณ PWM พร้อมทั้งรับข้อมูลตำแหน่งโรเตอร์จากเซ็นเซอร์ฮอลล์ในเวลาเดียวกัน ไมโครคอนโทรลเลอร์จะใช้ข้อมูลตำแหน่งนี้ในการเลือกเฟสที่ถูกต้องสำหรับสร้างสนามแม่เหล็ก และส่งสัญญาณ PWM ไปยังวงจรขับเกต เพื่อควบคุมการทำงานของมอสเฟตกำลัง ในวงจรเอชบริดจ์ (H-bridge) แบบ 3 เฟส จากนั้นวงจรเอชบริดจ์ จะจ่ายกระแสไฟฟ้าไปยังขดลวดมอเตอร์ BLDC อย่างเป็นลำดับ และสัมพันธ์กับการหมุนของโรเตอร์ ทำให้มอเตอร์หมุนได้อย่างแม่นยำตามทิศทางและความเร็วที่กำหนด

4.4 การออกแบบซอฟต์แวร์

ออกแบบการจำลองสัญญาณอินพุตจากเซ็นเซอร์ฮอลล์ ด้วยแหล่งจ่ายสัญญาณดิจิทัล เพื่อป้อนลำดับสัญญาณตำแหน่งโรเตอร์เข้าสู่ไมโครคอนโทรลเลอร์ ดังโฟลว์ชาร์ตรูปที่ 9 และได้สัญญาณเอาต์พุตของเซ็นเซอร์ฮอลล์ ดังรูปที่ 10

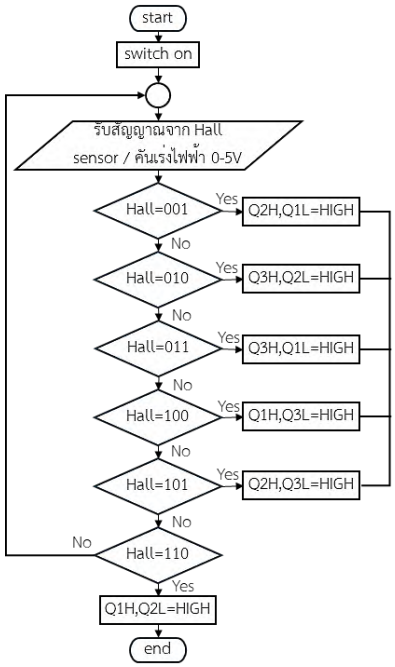

รูปที่ 9 โฟลว์ชาร์ตการทำงานของโปรแกรมควบคุมมอเตอร์

รูปที่ 10 สัญญาณ Hall Sensor ของมอเตอร์แบบ 120 องศา

5. ผลการทดสอบและอภิปรายผล

5.1 ทดสอบชุดควบคุมความเร็วมอเตอร์ไฟฟ้ากระแสตรงไร้แปรงถ่าน

การทดสอบนี้มีวัตถุประสงค์เพื่อประเมินประสิทธิภาพการทำงานของชุดควบคุมความเร็วมอเตอร์ไฟฟ้ากระแสตรงชนิดไร้แปรงถ่าน โดยเน้นการตรวจสอบสัญญาณเฟสที่จ่ายให้กับมอเตอร์ การทำงานของชุดควบคุมอาศัยข้อมูลตำแหน่งการหมุนของโรเตอร์ที่ได้รับจากเซนเซอร์สนามแม่เหล็ก (Hall Sensor) เพื่อให้ชุดควบคุมสามารถสร้างและส่งสัญญาณสวิตชิ่งที่ถูกต้องไปยังวงจรขับมอเตอร์ ซึ่งจะส่งผลให้มีการจ่ายกระแสไฟฟ้าไปยังมอเตอร์อย่างเหมาะสม โดยทำการวัดสัญญาณเฟสควบคุมมอเตอร์ A, B และ C โดยทำการบิดคันเร่งที่ 25, 50 และ 100 เปอร์เซ็นต์ ดังแสดงสัญญาณเอาต์พุต ในรูปที่ 11 ถึง 13 ตามลำดับ

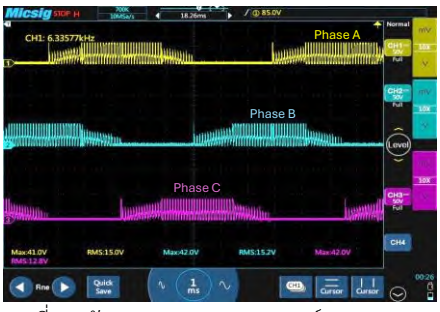

รูปที่ 11 สัญญาณเฟสควบคุมมอเตอร์ A, B และ C โดยทำการบิดคันเร่งที่ 25 เปอร์เซ็นต์

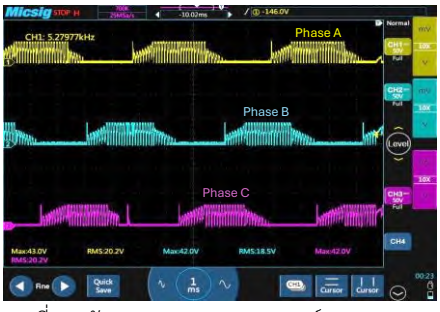

รูปที่ 12 สัญญาณเฟสควบคุมมอเตอร์ A, B และ C โดยทำการบิดคันเร่งที่ 50 เปอร์เซ็นต์

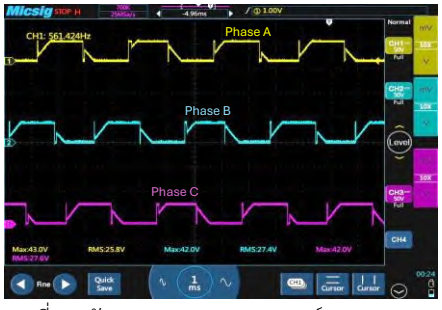

รูปที่ 13 สัญญาณเฟสควบคุมมอเตอร์ A, B และ C โดยทำการบิดคันเร่งที่ 100 เปอร์เซ็นต์

จากรูปที่ 11 ถึง 13 แสดงผลการทดสอบชุดควบคุมความเร็วมอเตอร์ BLDC โดยวัดสัญญาณเฟสควบคุมมอเตอร์ A, B และ C ที่การบิดคันเร่ง 25, 50 และ 100% ตามลำดับ พบว่าแรงดันทั้ง 3 เฟส มีค่าเพิ่มขึ้นตามการบิดคันเร่ง และที่ 100% ให้ค่าแรงดันเอาต์พุตต่อเฟสที่ 25.8Vrms, 27.4Vrms และ 27.6Vrms ตามลำดับ

5.2 ทดสอบความเร็วสูงสุดที่สามารถทำได้ในระยะทางและน้ำหนักผู้ขับขี่ที่แตกต่างกัน

การทดสอบนี้มีวัตถุประสงค์เพื่อประเมินความสามารถของชุดควบคุมและมอเตอร์ในการขับเคลื่อนรถจักรยานไฟฟ้า ดังรูปที่ 15 โดยทดสอบบนถนนเรียบและสม่ำเสมอในระยะทาง 500 เมตร ด้วยแบตเตอรี่ที่ชาร์จเต็ม 100% มีการทดสอบซ้ำโดยเปลี่ยนน้ำหนักผู้ขับขี่ที่ 60, 70 และ 80 กิโลกรัม พร้อมบันทึกค่ากระแสไฟฟ้า แรงดัน และความเร็วสูงสุดเทียบกับเวลา ดังแสดงในตารางที่ 1

รูปที่ 15 การติดตั้งอุปกรณ์ต่างๆ บนรถจักรยานไฟฟ้า

ตารางที่ 1 การทดสอบการรับน้ำหนักและความเร็วของรถ

น้ำหนักบรรทุก (kg)	แรงดันไฟฟ้า (V)		กระแสไฟฟ้า (A)		กำลังไฟฟ้า (W)		ประสิทธิภาพ (%)	ความเร็วสูงสุด (km/hr)
	In	Out	In	Out	In	Out		
60	36	25	19	14	684	606	87.72	30
70	36	22	20	15	720	571	79.31	29
80	36	19	22	17	792	559	70.58	29

จากการทดสอบในตารางที่ 1 พบว่ารถจักรยานไฟฟ้าต้นแบบที่พัฒนาขึ้น สามารถทำความเร็วสูงสุดได้ 30 กิโลเมตรต่อชั่วโมง เมื่อรับน้ำหนักผู้ขับขี่ 60 กิโลกรัม และมีประสิทธิภาพ 87.72% เมื่อน้ำหนักบรรทุกมากขึ้น พบว่ากำลังไฟฟ้าที่ใช้มากขึ้น และให้ประสิทธิภาพลดลง

6. สรุป

งานวิจัยนี้มีวัตถุประสงค์เพื่อออกแบบและสร้างชุดควบคุมมอเตอร์กระแสตรงชนิดไร้แปรงถ่าน (BLDC) ขนาด 36 โวลต์ 350 วัตต์ สำหรับรถจักรยานไฟฟ้า โดยใช้ไมโครคอนโทรลเลอร์สร้างสัญญาณ PWM ส่งไปยังวงจรขับเกต IR2101 เพื่อขยายสัญญาณควบคุมมอสเฟตกำลังในวงจร H-bridge แบบ 3 เฟส จ่ายกระแสไฟฟ้าเข้าสู่ขดลวดของมอเตอร์ จากการทดสอบ พบว่ารถจักรยานไฟฟ้าต้นแบบสามารถทำงานได้ตามเงื่อนไขที่กำหนด และเคลื่อนที่ไปข้างหน้าได้อย่างมีประสิทธิภาพ ทำความเร็วสูงสุดได้ 30 กิโลเมตรต่อชั่วโมง ที่ระยะทาง 500 เมตร และหากวิ่งที่ความเร็ว 20 กิโลเมตรต่อชั่วโมง จะสามารถวิ่งได้ 3 กิโลเมตรต่อการชาร์จ 1 ครั้ง (น้ำหนักบรรทุก 60 กิโลกรัม) อย่างไรก็ตาม หากต้องการให้รถจักรยานไฟฟ้าวิ่งได้นานขึ้นในอนาคต ควรเพิ่มขนาดแบตเตอรี่ให้ใหญ่ และมีความจุมากขึ้น

7. กิตติกรรมประกาศ

ผลงานวิจัยนี้ได้รับทุนสนับสนุนการนำเสนอผลงานวิจัยสิ่งประดิษฐ์และนวัตกรรม คณะวิศวกรรมศาสตร์ มหาวิทยาลัยเทคโนโลยีราชมงคลอีสาน วิทยาเขตขอนแก่น

เอกสารอ้างอิง

[1] กิติศักดิ์ หมึกแดง และอดิศักดิ์ คามพินิจ, "รถจักรยานไฟฟ้าขับเคลื่อนด้วย Brushless DC Motor 2 ตัว," มหาวิทยาลัยเทคโนโลยีพระจอมเกล้าพระนครเหนือ, 2553

[2] ฐิติกร ปิ่นดอกไม้ หฤษฎ์ ปิ่นงาม ณัฐพล แดนประสาท วีระพล พลีสัตย์ อิทธิพล เหลาพรม และรุ่งโรจน์ สงวนวัฒนา, "รถจักรยานไฟฟ้าขับเคลื่อนด้วยมอเตอร์ไฟฟ้ากระแสตรงชนิดไร้แปรงถ่าน," รายงานสืบเนื่องจากการประชุมวิชาการระดับชาติ สำหรับนักศึกษามหาวิทยาลัยราชภัฏกำแพงเพชร ครั้งที่ 2, 2565, หน้า 786-794

[3] ดุสิต อุทิศสุนทร และ คมสันต์ บันลือหาญ, "การออกแบบสร้างรถสามล้อไฟฟ้าด้วยมอเตอร์กระแสตรงแบบไร้แปรงถ่าน โดยประยุกต์ใช้การอัดประจุแบตเตอรี่จากโซล่าเซลล์," วารสารวิทยาศาสตร์และเทคโนโลยี มหาวิทยาลัยราชภัฏบุรีรัมย์, ปีที่ 8, ฉบับที่ 2, 2567, หน้า 1-20

[4] คณิตภูมิ ครามสำโรง และพฤฒิธน จำปาวงษ์, "ต้นแบบรถจักรยานยนต์ไฮบริดเพื่ออนุรักษ์พลังงาน," มหาวิทยาลัยนเรศวร, 2558

[5] N. S. Shanbog, "Double Input Boost/Y-Source DC-DC Converter for Renewable Energy Sources," Master's Dissertation, Department of Electrical and Electronics Engineering, PES University, Bengaluru, Karnataka, India, 2019.

การออกแบบระบบสมองกลฝังตัวที่ประยุกต์ AI แบบต้นทุนต่ำบน ESP32-CAM สำหรับการวิเคราะห์โรคเชื้อราบนใบพืช: กรณีศึกษาพริกหยวก

Design of Low-cost AI-Applied Embedded System on ESP32-CAM for Leaf Fungal Disease Analysis: A Case Study of Bell Pepper

อัฏฐ์วุฒิ ไหวพริบ[1]* ณัฐพร ฤทธิ์นุ่ม[2] เกษม อุทัยไขฟ้า[3] สุภนันท์ ตันวรรณรักษ์[4] และ ณัฏฐชา พฤกษ์กานนท์[5]

[1,4,5]สาขาวิชาวิศวกรรมคอมพิวเตอร์และปัญญาประดิษฐ์ คณะวิศวกรรมศาสตร์ มหาวิทยาลัยหอการค้าไทย
[2,3]สาขาวิชาวิศวกรรมไฟฟ้า คณะวิศวกรรมศาสตร์ มหาวิทยาลัยหอการค้าไทย
โทรศัพท์: [1]02-697-6722*, [2]089-117-8789, [2,3]02-697-6705
อีเมล์: [1]auttawut_wai@utcc.ac.th*, [2]anuri_art@yahoo.com, [3]kasem_uta@utcc.ac.th

บทคัดย่อ

บทความนี้นำเสนอการออกแบบและพัฒนาระบบสมองกลฝังตัวต้นทุนต่ำสำหรับตรวจจับโรคเชื้อราบนใบพืช โดยประยุกต์เทคโนโลยีปัญญาประดิษฐ์ (Artificial Intelligence: AI) บนอุปกรณ์ ESP32-CAM ซึ่งมีความสามารถในการประมวลผลภาพในตัว ระบบได้รับการฝึกฝนด้วยโมเดล Convolutional Neural Network (CNN) เพื่อวิเคราะห์ภาพใบพริกหยวกขนาด 64x64 พิกเซลบนรูปแบบ Greyscale โดยจำแนกออกเป็นสองประเภทได้แก่ ใบพืชในสภาพปกติ และ ใบพืชที่มีสภาพการติดเชื้อรา โมเดลได้รับการพัฒนาโดยใช้ภาษา Python และแปลงเป็นรูปแบบ TensorFlow Lite สำหรับใช้งานบน ESP32-CAM ด้วยไลบรารี EloquentTinyML ทำให้ระบบสามารถทำงานได้แบบออฟไลน์โดยไม่ต้องพึ่งพาอินเทอร์เน็ต (Edge-AI) ผลการทดลองแสดงให้เห็นว่าระบบสามารถจำแนกโรคได้อย่างแม่นยำเฉลี่ย 92.5% และใช้เวลาในการประมวลผลโดยเฉลี่ยประมาณ 3 วินาทีต่อภาพ นอกจากนี้ระบบยังสามารถควบคุมรีเลย์สำหรับการพ่นสารกำจัดเชื้อราโดยอัตโนมัติ และแจ้งเตือนผู้ใช้งานเมื่อพบการติดเชื้อ ระบบที่นำเสนอเป็นระบบที่ใช้พลังงานต่ำ สามารถทำงานได้ต่อเนื่องในภาคสนามด้วยแบตเตอรี่สำรอง ต้นทุนการประกอบระบบโดยรวมไม่รวมปั๊มพ่นน้ำยาอยู่ที่ประมาณ 1,800.- บาท เหมาะสำหรับเกษตรกรรายย่อยหรือพื้นที่ที่มีข้อจำกัดด้านการเชื่อมต่ออินเตอร์เน็ตและงบประมาณ

คำสำคัญ: ปัญญาประดิษฐ์ การตรวจจับโรคพืช ESP32-CAM การเรียนรู้ของเครื่อง โรคเชื้อรา พริกหยวก เกษตรอัจฉริยะ

Abstract

This article presents the design and development of a low-cost embedded system for detecting fungal diseases on leaves by applying Artificial Intelligence (AI) technology on the ESP32-CAM device, which has built-in image processing capabilities. The system is trained with a Convolutional Neural Network (CNN) model to analyze 64x64 pixel bell pepper leaf images in Greyscale format, classifying them into two types: normal leaves and leaves with fungal infections. The model is developed using Python and converted to TensorFlow Lite format for use on ESP32-CAM with the EloquentTinyML library, enabling the system to work offline without relying on the Internet (Edge-AI). The experimental results show that the system can classify diseases with an average accuracy of 92.5% and takes an average processing time of about 3 seconds per image. In addition, the system can control a relay for automatic fungicide spraying and alert the user when an infection is detected. The proposed system is a low-power system that can work continuously in the field with a backup battery. The total system assembly cost, excluding the spray pump, is approximately 1,800.- baht, suitable for small farmers or areas with limited internet connectivity and budget.

Keywords: Artificial Intelligence, Plant Disease Detection, ESP32-CAM, Machine Learning, Fungal Disease, Bell Pepper, Smart Agriculture

1. ข้อมูลทั่วไป

การระบาดของโรคพืชโดยเฉพาะโรคเชื้อราบนใบพืช อาทิ พริกหยวก ที่ผ่านมาการตรวจหาโรคเชื้อราของพริกหยวก เกษตรกรยังคงใช้การสังเกตด้วยตาซึ่งอาจเกิดความคลาดเคลื่อนในการวินิจฉัยและนำไปสู่การใช้สาร

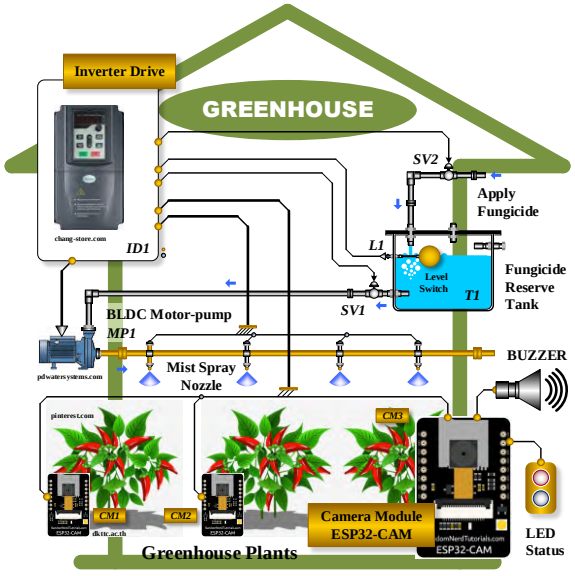

รูปที่ 1: ระบบสำหรับการวิเคราะห์โรคเชื้อราบนใบพืชที่นำเสนอ

*ผู้ประพันธ์บรรณกิจ

เคมีเกินความจำเป็น ส่งผลต่อต้นทุนการผลิต การสะสมสารพิษในสภาพแวดล้อม ด้วยเหตุนี้การนำเทคโนโลยีที่มีความแม่นยำมาประยุกต์กับการตรวจโรคพืชจึงสามารถช่วยลดความเสียหายของผลผลิต ลดการใช้สารเคมีตลอดจนต้นทุนทางการเกษตร ปัจจุบันเทคโนโลยี AI โดยเฉพาะ *"การเรียนรู้ของเครื่อง"* (Machine Learning) และโครงข่ายประสาทเทียมแบบ CNN กำลังได้รับความนิยมด้วยศักยภาพในการวิเคราะห์ภาพถ่ายเพื่อการวินิจฉัยโรคพืช อย่างไรก็ตามการนำเทคโนโลยีเหล่านี้มาใช้งานก็ยังคงต้องเผชิญข้อจำกัดด้านต้นทุนและความซับซ้อนของระบบ

การประยุกต์ AI กับระบบสมองกลฝังตัวเพื่อการวิเคราะห์ข้อมูลภาพจากกล้องหรือเซ็นเซอร์แบบเวลาจริงโดยไม่พึ่งพาเซิร์ฟเวอร์ภายใต้กรอบเทคโนโลยี Edge-AI สำหรับการตรวจโรคพืช ได้รับการวิจัยและพัฒนาอย่างต่อเนื่อง **ปี 2018** Rizk และคณะ ได้พัฒนาหุ่นยนต์ตรวจสุขภาพพืชในระยะเริ่มต้นโดยใช้กล้องวิเคราะห์ภาพแบบอัตโนมัติ สามารถเคลื่อนที่ในแปลงเพาะปลูกและตรวจจับลักษณะผิดปกติของใบพืช งานวิจัยนี้ถือเป็นจุดเริ่มต้นของการนำ AI มาประยุกต์ในระบบสมองกลฝังตัวสำหรับการเกษตร [1] **ปี 2019** Militante และคณะ ได้นำเสนอการประยุกต์ Deep Learning โดยเฉพาะ CNN สำหรับการจำแนกโรคบนใบพืชโดยใช้ชุดข้อมูลภาพใบพืชแบบหลากหลาย ผลลัพธ์แสดงให้เห็นว่าโมเดลสามารถจำแนกโรคพืชได้อย่างมีประสิทธิผลและแสดงถึงศักยภาพของ Deep Learning ในการวิเคราะห์ภาพทางการเกษตร [2] **ปีเดียวกัน** Too และคณะ ได้ศึกษาเปรียบเทียบประสิทธิผลของโมเดล Deep Learning หลายประเภทในการจำแนกโรคพืชจากภาพถ่ายโดยใช้ชุดข้อมูล PlantVillage พบว่าโมเดล ResNet-50 มีความแม่นยำสูงสุด งานวิจัยนี้เป็นพื้นฐานสำคัญสำหรับการเลือกโมเดลที่เหมาะสมกับขีดจำกัดของอุปกรณ์ฝังตัว [3] **ปี 2021** Abdade และคณะ ได้นำเสนอการสำรวจเชิงลึกเกี่ยวกับ TinyML ซึ่งเป็นแนวทางของการประมวลผล AI บนอุปกรณ์ฝังตัวขนาดเล็ก อาทิ ไมโครคอนโทรลเลอร์ที่มีทรัพยากรจำกัด เน้นการประยุกต์ในด้านต่างๆ รวมถึง Smart Agriculture ที่ใช้ Edge-AI สำหรับการวิเคราะห์ภาพใบพืช [4] ล่าสุด **ปี 2024** Joshi ได้นำเสนอการพัฒนาโมเดล Lightweight CNN และ Vision Transformer สำหรับการตรวจโรคพืชในสภาพแวดล้อมที่จำกัดทรัพยากร เน้นการ Deploy บนอุปกรณ์ Edge อาทิ Raspberry Pi และ Jetson Nano ผลลัพธ์แสดงความแม่นยำสูงกว่า 95% และใช้เวลาตอบสนองต่ำซึ่งแสดงให้เห็นว่าเทคโนโลยี Edge-AI มีความพร้อมใช้งานจริงในภาคเกษตร [5] งานวิจัยที่ได้กล่าวมานี้แสดงให้เห็นถึงความก้าวหน้าทางเทคโนโลยี AI ที่ผสานเข้ากับระบบสมองกลฝังตัว Edge-AI เพื่อประยุกต์กับการวิเคราะห์โรคพืชโดยตรงโดยไม่ต้องพึ่งพาระบบคลาวด์

งานวิจัยนี้จึงมีแนวคิดในการออกแบบและพัฒนาระบบวิเคราะห์โรคพืชแบบออฟไลน์ด้วยอุปกรณ์ต้นทุนต่ำอย่าง ESP32-CAM ที่สามารถประมวลผลภาพใบพริกหยวกผ่านโมเดล CNN โดยสามารถฝังตัวอยู่ภายในอุปกรณ์ได้โดยตรง จึงสามารถลดข้อจำกัดในเรื่องการเชื่อมต่ออินเทอร์เน็ตมีความแม่นยำในการวิเคราะห์ สามารถประยุกต์ได้จริง ใช้งานไม่ยากเข้าถึงได้ ราคาไม่สูง และใช้งานได้ในระยะยาว ระบบต้นแบบที่นำเสนอแสดงได้ดังรูปที่ 1

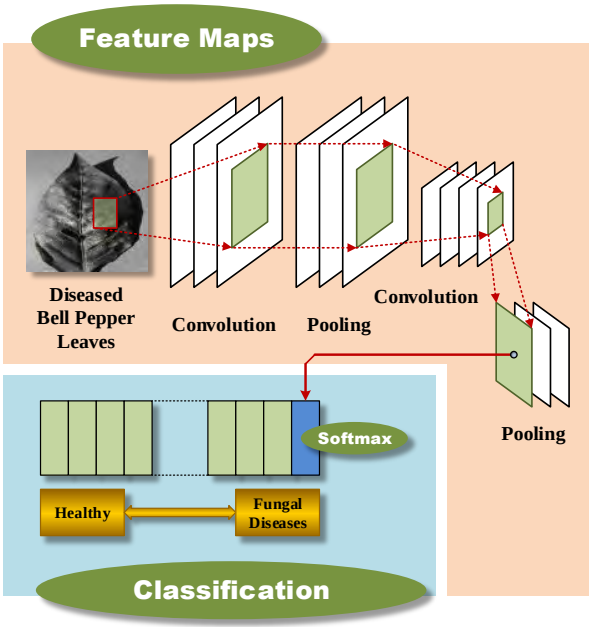

รูปที่ 2: ขั้นตอนการประมวลผลบนโมเดล CNN

2. แนวความคิดพื้นฐาน ทฤษฎี และโครงสร้างระบบ

2.1 แนวความคิดพื้นฐาน

การวิเคราะห์ภาพถ่ายโดยโครงข่ายประสาทเทียมแบบ CNN ได้รับความนิยมในการนำมาประมวลผลภาพสี RGB งานวิจัยนี้ได้เลือกใช้ภาพใบพืชในแบบ Greyscale ขนาด 64x64 พิกเซล (ไม่พิจารณา Data Augmentation บางกรณี อาทิ การหมุน การพลิกภาพ) ซึ่งแม้จะไม่มีข้อมูลสี แต่ก็ยังคงสามารถนำมาใช้ฝึกฝนโมเดล CNN ได้ ขั้นตอนการประมวลผลบนโมเดล CNN แสดงดังรูปที่ 2 ภาพ Greyscale แสดงข้อมูลในรูประดับความเข้มแสง (Intensity) เพียงมิติเดียวตั้งแต่ 0 (ดำสนิท) ถึง 255 (ขาว) โดยไม่มีแชนเนลสีแบบ RGB ภาพลักษณะนี้เน้นลวดลายพื้นผิว (Texture) และขอบเขตของวัตถุเป็นหลัก CNN จึงสามารถเรียนรู้ความแตกต่างของรูปแบบพิกเซลและความผิดปกติของพื้นผิวบนใบพืช อาทิ จุดด่าง เส้นรอยโรค หรือขอบใบที่เสียหายได้แม้ภาพไม่มีสี โรคใบพืชจากเชื้อรา ลักษณะของใบที่ติดโรคมักมีจุดสีเข้ม เส้นลายแตกต่าง หรือรูปทรงของใบที่ผิดปกติ ซึ่งแม้จะถูกแปลงเป็นแบบ Greyscale แล้ว ข้อมูลเหล่านี้ก็ยังคงปรากฏในรูปความแตกต่างของระดับความเข้มแสงและลวดลายในระดับพิกเซลโดย CNN จะทำหน้าที่สกัดฟีเจอร์ผ่าน Convolutional Layers และใช้ Layer สุดท้ายเพื่อจำแนกภาพว่าอยู่ในกลุ่ม *"ใบปกติ"* หรือ *"ใบที่ติดเชื้อรา"* ดังนั้นการเลือกใช้ภาพ Greyscale ที่มีขนาดเล็กขนาด 64x64 พิกเซล จึงมีข้อดีในการลดภาระการประมวลผลและการใช้หน่วยความจำ เหมาะกับการใช้งานกับอุปกรณ์ฝังตัว อาทิ ESP32-CAM ที่มีข้อจำกัดด้านทรัพยากรจัดเก็บข้อมูลโดยไม่ส่งผลกระทบต่อความสามารถในการตรวจจับโรคพืช ขั้นตอนและวิธีการแปลงโมเดล CNN ไปสู่ Edge-AI แสดงดังรูปที่ 3 ดังนั้นแม้ไม่มีการใช้ข้อมูลสี ระบบก็ยังคงสามารถแยกแยะโรคพืชจากใบพืชได้อย่างแม่นยำด้วยพื้นฐานการเรียนรู้รูปแบบเชิงลึกผ่านข้อมูล Greyscale เพียงแชนแนลเดียว

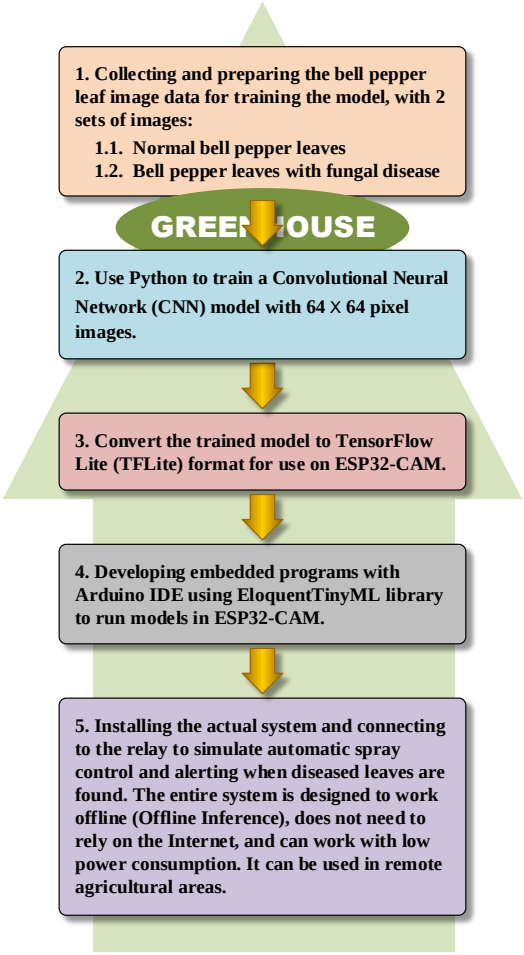

รูปที่ 3: กระบวนการแปลงไฟล์บนโมเดล CNN ไปสู่ Edge-AI

รูปที่ 4: การเทียบน้ำหนักระหว่าง RGB กับ Greyscale

2.2 หลักการแปลงรูปแบบ RGB เป็น Greyscale

การแปลงภาพสีรูปแบบ RGB เป็น Greyscale จะใช้ค่าน้ำหนัก Weighted Average โดยพิจารณาความสำคัญของแต่ละช่องสีตามการรับรู้ของตาดังสมการ Weighted Method (1)

Greyscale Intensity

$$= (0.299 \times R) + (0.587 \times G) + (0.114 \times B) \quad \ldots\ldots (1)$$

เหตุผลของน้ำหนัก; 0.587 (G): ตาเห็นสีเขียวได้ชัดเจนที่สุด จึงมีน้ำหนักมากที่สุด; 0.299 (R): สีแดงมีน้ำหนักรองลงมา; 0.114 (B): สีน้ำเงินมีน้ำหนักน้อยที่สุด เพราะตารับรู้ได้ต่ำสุด จากรูปที่ 4 ค่าที่ได้จะอยู่ในช่วง 0 – 255 และใช้แทนค่าพิกเซลในภาพ Greyscale สมมติถ้าค่า Red = 0, Green = 0, Blue = 0 ผลที่ได้คือ *"สีดำ"*; Red = 255, Green = 255, Blue = 255 ผลที่ได้คือ *"สีขาว"*; Red = 128, Green = 128, Blue = 128 ผลที่ได้คือ *"สีเทา"*

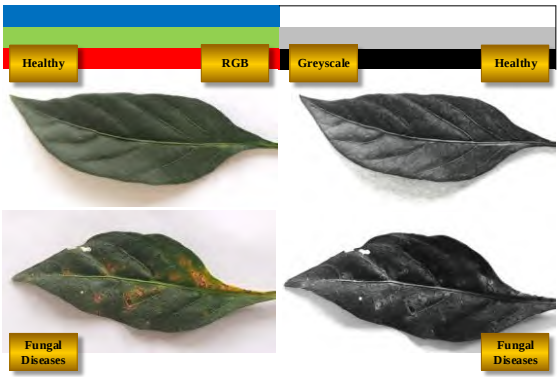

รูปที่ 5: ตัวอย่างการแปลงภาพรูปแบบ RGB ไปสู่ Greyscale

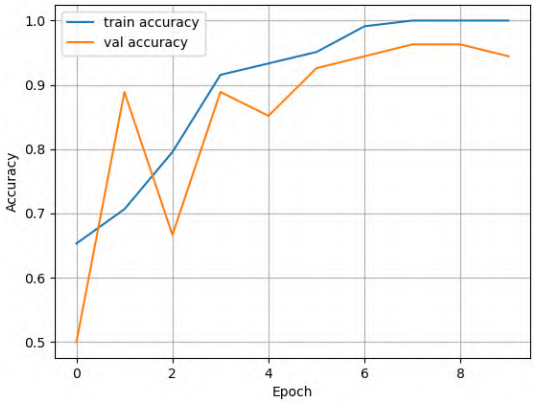

รูปที่ 6: กราฟแสดงความแม่นยำของโมเดล CNN ระหว่างการฝึกฝน

3. ผลการทดลองและวิเคราะห์

ผลการทดลองและวิเคราะห์จำแนกได้เป็น 2 ส่วน: 1. การทดสอบความแม่นยำของโมเดล (Accuracy) ด้วย Python; 2. การทดสอบระบบโดยจำลองระบบกับอุปกรณ์ที่ประยุกต์เสมือนจริงเพื่อดูผลการตอบสนองของระบบ Edge-AI & CNN ด้วย ESP32-CAM

การทดสอบความแม่นยำของโมเดลดำเนินการด้วยภาษา Python โดยใช้ชุดข้อมูลภาพใบพริกหยวก ที่แบ่งเป็นสองประเภท ได้แก่ ใบปกติ และ ใบที่ติดเชื้อรา จำนวนทั้งสิ้น 200 ภาพ โดยใช้ 160 ภาพในการฝึกฝนโมเดล และอีก 40 ภาพในการทดสอบประสิทธิผลของระบบ ใช้โมเดล CNN ฝึกฝนภาพใบพริกหยวกแบบ Greyscale ขนาด 64x64 พิกเซลดังรูปที่ 5 จำนวน 10 Epoch ได้ผลการทดสอบดังรูปที่ 6 ซึ่งพบว่าโมเดล CNN ที่ฝึกฝน สามารถจำแนกใบปกติ-ติดเชื้อราได้อย่างแม่นยำจากผลการทดสอบโดยชุดข้อมูลทดสอบ 40 ภาพพบว่า Accuracy: 92.5%

การทดสอบระบบโดยจำลองระบบกับอุปกรณ์ที่ใช้เสมือนจริงของ Edge-AI & CNN ดังรูปที่ 7 และอัลกอริทึมดังรูปที่ 8 โดยกำหนดให้ ESP32-CAM ทำการถ่ายภาพใบพืชจริงทุก 20 วินาที ช่วงการทดสอบแบ่งออกเป็น 2 ช่วง ทดสอบช่วงเช้าเวลา 07:00–07:30 น. และช่วงบ่ายเวลา 13:00 – 13:30 น. เพื่อดูผลการตอบสนองต่อค่าความเข้มแสงที่ต่างกัน แล้วประมวลผลด้วยโมเดล CNN บนอุปกรณ์ ผลการทดสอบพบว่าระบบสามารถวิเคราะห์ภาพและตัดสินผลได้อย่างต่อเนื่องเมื่อตรวจพบใบที่ติด

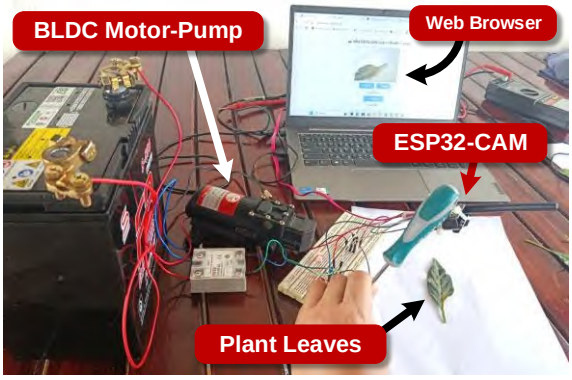

รูปที่ 7: การจำลองระบบจริงด้วย ESP32-CAM ที่เชื่อมต่อกับวงจรพ่นยาอัตโนมัติ

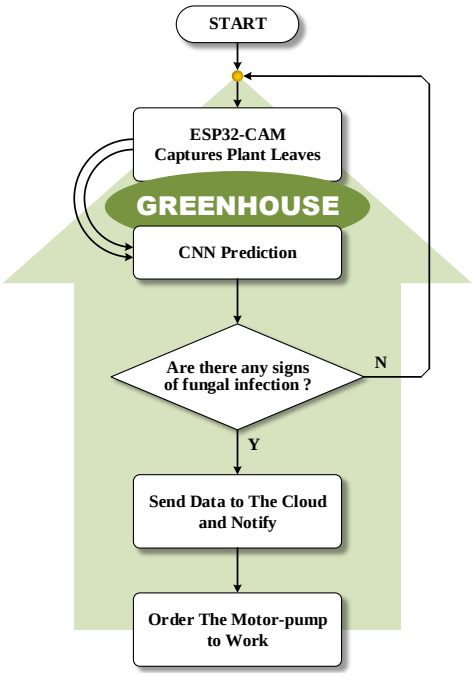

รูปที่ 8: โฟลว์ชาร์ตการทำงานของระบบสมองกลฝังตัว

โรคเชื้อรา แม้มีค่าความเข้มแสงที่แตกต่างกันบ้างไม่มากนัก และสามารถควบคุมโซลิดสเตท-รีเลย์เพื่อเปิดปั๊มซึ่งเป็นเสมือนการสั่งการพ่นสารอัตโนมัติได้ภายในเวลาไม่เกิน 1 วินาทีภายหลังการวิเคราะห์ กรณีตรวจพบใบที่มีสภาพปกติในชุดทดสอบ ระบบจะใช้เวลาโดยเฉลี่ยประมาณ 3 วินาทีต่อภาพในการทำ Inference ซึ่งรวดเร็วเพียงพอสำหรับการใช้งานจริงในการตรวจจับโรคพืชแบบเวลาจริง ผลการทดสอบระบบที่นำเสนอเปรียบเทียบกับผลงานวิจัยและพัฒนาที่ผ่านมาแสดงดังตารางที่ 1

4. สรุปและข้อเสนอแนะ

การออกแบบและพัฒนาระบบวิเคราะห์โรคเชื้อราบนใบพืช: กรณีศึกษาพริกหยวกที่มีต้นทุนต่ำโดยประยุกต์ AI บนระบบสมองกลฝังตัว ESP32-CAM ด้วยอัลกอลิทึมที่ออกแบบ ระบบสามารถประมวลผลภาพใบพริกหยวกแบบ Edge-AI ด้วยโมเดล CNN โดยไม่ต้องพึ่งพาการเชื่อมต่ออินเทอร์เน็ต ใช้ข้อมูลภาพใบพริกแบบ Grey Scale ขนาด 64x64 พิกเซล

ตารางที่ 1: การเปรียบเทียบคุณลักษณะของระบบที่พัฒนากับระบบอื่นในผลงานวิจัยที่ผ่านมา

System	Devices	Accuracy (%)	Approx. Cost (THB)	Speed (sec)	Offline
This Research	ESP32-CAM + CNN	92.5%	1,800.-	3.0	Yes
Refer to [3]	Jetson Nano	95.0%	4,500.-	1.0	No
Refer to [5]	Raspberry Pi + Camera	> 95.0%	5,500.-	5.0	Yes

โดยแปลงด้วย TensorFlow Lite เพื่อให้ได้ข้อมูลที่เหมาะกับการทำงานบนอุปกรณ์สมองกลฝังตัว แล้วฝังโมเดลดังกล่าวลงบน ESP32-CAM ด้วยไลบรารี่ EloquentTinyML ระบบสามารถวิเคราะห์และจำแนกใบพืชที่ติดโรคเชื้อราได้อย่างแม่นยำด้วยค่าเฉลี่ย 92.5% โดยใช้เวลาประมวลผลเพียงประมาณ 3 วินาทีต่อภาพ ระบบสามารถเชื่อมต่อกับรีเลย์ควบคุมระบบพ่นสารฆ่าเชื้อได้แบบอัตโนมัติได้ พร้อมการแจ้งเตือนผ่านอุปกรณ์ภายนอก รองรับการใช้งานโดยเกษตรกรรายย่อยได้ด้วยต้นทุนไม่สูง ประมาณ 1,800.- บาท นอกจากนี้ยังสามารถนำไปประยุกต์กับการวิเคราะห์โรคเชื้อราบนพืชชนิดอื่น หรือพัฒนากับระบบที่ใช้การประมวลผลแบบออนไลน์ (Cloud-based AI) แทนการประมวลผลแบบ Edge-AI บนระบบคลาวด์ (มีค่าใช้จ่าย) ทำให้สามารถประมวลผลข้อมูลที่มีปริมาณมากได้หากต้องการวิเคราะห์โรคพืชที่ซับซ้อนมากขึ้น และใช้ Data Augmentation เพื่อเพิ่มความหลากหลายของข้อมูล ลดโอกาสการเกิด Overfitting ได้ แต่ในกรณีพื้นที่เพาะปลูกที่ทุรกันดารปราศจากสัญญาณอินเทอร์เน็ต อาจใช้งานระบบไม่ได้และมีค่าใช้จ่ายเพิ่มเติม

5. กิตติกรรมประกาศ

คณะผู้วิจัย ขอแสดงความขอบพระคุณ คณะวิศวกรรมศาสตร์ มหาวิทยาลัยหอการค้าไทย ที่ให้การสนับสนุนปฏิบัติการวิจัยนี้

เอกสารอ้างอิง

[1] H. Rizk, and M. K. Habib, “*Robotized Early Plant Health Monitoring System*,” in IECON 2018 – 44th Annual Conference of the IEEE Industrial Electronics Society, Washington, DC, USA, 2018, pp. 3795 – 3800.

[2] S. V. Militante, B. D. Gerardo, and N. V. Dionisio, “*Plant Leaf Detection and Disease Recognition Using Deep Learning*,” in 2019 IEEE Eurasia Conference on IoT, Communication and Engineering (ECICE), Yunlin, Taiwan, 2019, pp. 579 – 582.

[3] E. Too, L. Yujian, S. Njuki, and L. Yingchun, “*A Comparative Study of Fine Tuning Deep Learning Models for Plant Disease Identification*,” Applied Sciences, vol. 9, no. 14, p. 2859, 2019.

[4] Y. Abdade, A. Temouden, H. Bamoumen, N. Benamar, and Y. Chtouki, “*A Comprehensive Survey on TinyML*,” IEEE Access, 2021.

[5] H. Joshi, “*Edge AI for Agriculture: Lightweight Vision Models for Disease Detection in Resource Limited Settings*,” arXiv, Dec 2024.

ระบบจำแนกตำหนิบนรอยเชื่อมด้วยโมเดลการเรียนรู้เชิงลึกแบบผสม

Hybrid Deep Learning-Based System for Welding Defect Classification

กรัณฑ์กมล ภูครองหิน[1]*, ณัฐพงษ์ วงศ์บับพา[1], คณิต มานะธุระ[1] และ กฤษฎา ทาสันเที๊ยะ[1]

[1]สาขาวิชาวิศวกรรมเมคคาทรอนิกส์ คณะวิศวกรรมศาสตร์และเทคโนโลยี มหาวิทยาลัยเทคโนโลยีราชมงคลอีสาน
744 ถ.สุรนารายณ์ ตำบลในเมือง อำเภอเมือง จังหวัดนครราชสีมา 30000 โทรศัพท์ 0-4423-3000 E-mail: krankamon.ph@rmuti.ac.th*

บทคัดย่อ

ในกระบวนการผลิตชิ้นงานโลหะ รอยเชื่อมมีบทบาทสำคัญต่อความแข็งแรงและความปลอดภัยของโครงสร้าง ซึ่งตำหนิที่เกิดขึ้นบนรอยเชื่อม เช่น รอยแตกร้าว (cracks) รอยพรุน (porosity) หรือรอยกัดเซาะ (undercut) อาจนำไปสู่ความล้มเหลวของชิ้นงานในระยะยาว โดยระบบการตรวจสอบแบบเดิมที่อาศัยการประเมินโดยมนุษย์นั้นมีข้อจำกัดในด้านความแม่นยำและความสม่ำเสมอ งานวิจัยนี้นำเสนอระบบจำแนกตำหนิบนรอยเชื่อมโดยใช้โมเดลการเรียนรู้เชิงลึกแบบผสม (Hybrid Deep Learning-Based System) ซึ่งผสานการทำงานของโมเดลการเรียนรู้เชิงลึกสำหรับการดึงคุณลักษณะเด่นจากภาพตำหนิ (defect images) และใช้โมเดล eXtreme Gradient Boosting (XGBoost) สำหรับการจำแนกประเภทตำหนิ โดยทำการทดลองเปรียบเทียบโมเดลการเรียนรู้เชิงลึก RexNet ในขนาดต่าง ๆ ได้แก่ RexNet100, RexNet150 และ RexNet300 ในการสกัดคุณลักษณะเด่นของรอยเชื่อม ร่วมกับการใช้โมเดลในการเรียนรู้ XGBoost ทดสอบกับ booster แบบ gbtree และ gblinear ภายใต้การปรับค่าพารามิเตอร์จำนวนรอบการเรียนรู้ ที่ 100 และ 300 รอบ พร้อมอัตราการเรียนรู้ (learning rate) ที่ 0.1 0.01 และ 0.001 ซึ่งผลการทดลองแสดงให้เห็นว่า โมเดลแบบผสม ReXNet150 ร่วมกับ XGBoost ที่มี Booster แบบ gblinear อัตราการเรียนรู้เท่ากับ 0.01 และจำนวนรอบการเรียนรู้เท่ากับ 300 ให้ประสิทธิภาพสูงสุด ที่ Accuracy ที่ 0.7896 พร้อมด้วยค่า Precision Recall และ F1-score ที่ 0.7714 0.7737 และ 0.7724 ตามลำดับ งานวิจัยนี้แสดงให้เห็นถึงศักยภาพของระบบไฮบริดในการประยุกต์ใช้สำหรับการตรวจสอบตำหนิบนรอยเชื่อมและสามารถพัฒนาต่อยอดเป็นระบบตรวจสอบคุณภาพเชิงอัตโนมัติในสายการผลิตในอนาคต

คำสำคัญ: การเรียนรู้เชิงลึกแบบผสม การจำแนกตำหนิบนรอยเชื่อม การเรียนรู้ของเครื่อง

Abstract

In metal fabrication, welding plays a crucial role in ensuring structural strength and safety. However, welding defects such as cracks, porosity, or undercut can lead to long-term component failure. Traditional inspection systems, relying on human assessment, exhibit limitations in accuracy and consistency. This research proposes a Hybrid Deep Learning-Based System for welding defect detection and classification, which integrates a deep learning model for extracting salient features from cropped defect images with eXtreme Gradient Boosting (XGBoost) for defect classification. Experiments compared various RexNet sizes, namely RexNet100, RexNet150, and RexNet300, in conjunction with XGBoost using gbtree and gblinear boosters. The XGBoost parameters tuned included the number of boosting rounds (100 and 300 epochs) and learning rates (0.1, 0.01, and 0.001). Experimental results demonstrate that the hybrid model, specifically ReXNet150 combined with the XGBoost gblinear booster, achieved optimal performance with a learning rate of 0.01 and 300 boosting rounds, yielding an Accuracy of 0.7896, Precision of 0.7714, Recall of 0.7737, and F1-score of 0.7724. This research highlights the potential of the proposed hybrid system for welding defect inspection and its applicability for future development into automated quality control systems in production lines.

Keywords: Hybrid Deep Learning, Welding Defect Classification, Machine learning

1. บทนำ

ในกระบวนการผลิตชิ้นงานโลหะ โดยเฉพาะอย่างยิ่งในอุตสาหกรรมการเชื่อม รอยเชื่อมมีบทบาทสำคัญต่อความแข็งแรงและความสมบูรณ์เชิงโครงสร้างของชิ้นงานหรือวัสดุ [1] โดยตำหนิที่อาจเกิดขึ้นบนรอยเชื่อม เช่น รอยแตกร้าว (cracks) รอยพรุน (porosity) หรือรอยกัดเซาะ (undercut) สามารถนำไปสู่ความผิดพลาดในการผลิตชิ้นงาน การลดประสิทธิภาพการทำงานของชิ้นงาน และความเสี่ยงด้านความปลอดภัยในระยะยาวได้ [2] ซึ่งปัญหาดังกล่าวเน้นย้ำถึงความจำเป็นของการตรวจสอบคุณภาพรอยเชื่อมที่มีประสิทธิภาพและเชื่อถือได้ โดยในอดีต การตรวจสอบตำหนิบนรอยเชื่อมมักอาศัยการประเมินโดยมนุษย์ ซึ่งแม้จะมีความยืดหยุ่น แต่ก็มีข้อจำกัดที่ชัดเจนในด้านความแม่นยำ ความสม่ำเสมอ อัตราการตรวจสอบที่ช้า และตัวแปรที่สำคัญอีกอย่าง คือ ขึ้นอยู่กับประสบการณ์ของผู้ตรวจสอบ [3] ด้วยการพัฒนาอย่างก้าวกระโดดของเทคโนโลยีการมองเห็นของเครื่องจักร (machine vision) และการเรียนรู้เชิงลึก (deep learning) ในช่วงไม่กี่ปีที่ผ่านมา ได้เปิดทางในการพัฒนา

*ผู้ประพันธ์บรรณกิจ

ระบบตรวจสอบอัตโนมัติที่มีประสิทธิภาพสูง [4] หลักการของการเรียนรู้เชิงลึกที่สามารถเรียนรู้และดึงคุณลักษณะเด่นที่ซับซ้อนจากข้อมูลได้โดยตรง ทำให้โมเดลสามารถระบุรูปแบบของตำหนิที่หลากหลายและมีความละเอียดอ่อนได้อย่างมีประสิทธิภาพมากกว่าวิธีการแบบดั้งเดิม [5]

งานวิจัยนี้จึงนำเสนอระบบตรวจจับและจำแนกตำหนิบนรอยเชื่อมด้วยโมเดลการเรียนรู้เชิงลึกแบบผสม [6] แนวคิดหลักคือการผสานจุดแข็งของสถาปัตยกรรมการเรียนรู้เชิงลึกที่โดดเด่นในการสกัดคุณลักษณะ (feature extraction) เข้ากับโมเดลการเรียนรู้ของเครื่องที่เชี่ยวชาญด้านการจำแนกประเภท โดยใช้ Reparameterized Expressive Networks (RexNet) [7] ในการสกัดคุณลักษณะเชิงลึกจากภาพตำหนิที่ถูกครอบ และใช้ eXtreme Gradient Boosting (XGBoost) [8] ในการจำแนกประเภทตำหนิของรอยเชื่อมเหล่านั้น ข้อดีของหลักการนี้คือการใช้ RexNet เพื่อให้ได้คุณลักษณะที่มีความหมายและมีความละเอียดสูง ซึ่งเป็นสิ่งจำเป็นสำหรับการจำแนกตำหนิที่มีความหลากหลายและซับซ้อน ในขณะที่ XGBoost มีความสามารถในการจัดการกับคุณลักษณะเหล่านั้นเพื่อการจำแนกที่แม่นยำและมีประสิทธิภาพ การรวมกันของสองระเบียบวิธีนี้จะช่วยเสริมสร้างประสิทธิภาพของระบบให้เหนือกว่าการใช้โมเดลเดี่ยว การศึกษาจะทำการเปรียบเทียบประสิทธิภาพของ RexNet ขนาดต่าง ๆ (RexNet100, RexNet150, RexNet300) ร่วมกับ XGBoost ที่มีการปรับพารามิเตอร์ที่หลากหลายเพื่อหาการรวมกันที่เหมาะสมที่สุด

2. การออกแบบโครงข่ายแบบผสมด้วย ReXNet และ XGBoost

ระบบจำแนกตำหนิของรอยเชื่อมที่นำเสนอในงานวิจัยนี้เป็นการออกแบบโครงข่ายแบบผสมที่มีวัตถุประสงค์เพื่อเพิ่มประสิทธิภาพในการจำแนกประเภทตำหนิ ระบบนี้ถูกออกแบบมาเพื่อทำงานต่อจากโมเดล Object Detection ที่รวดเร็ว โดยรับอินพุตเป็น Dataset ของโมเดลในรูปแบบของภาพรอยเชื่อม (Welding Image) และ Bounding Box ของตำหนิที่ถูกตรวจจับได้ การออกแบบนี้ให้ความสำคัญกับการจำแนกประเภทตำหนิอย่างแม่นยำด้วย XGBoost ในภายหลัง โดยไม่จำเพาะเจาะจงชนิดของวัตถุที่ตรวจจับได้ในขั้นต้น แม้ว่าโมเดล Object Detection ที่เป็นที่นิยมอย่าง YOLO จะมีความสามารถในการตรวจจับและจำแนกวัตถุได้พร้อมกัน แต่โดยทั่วไปแล้วโมเดลเหล่านี้มักใช้ทรัพยากรในการประมวลผล (เช่น หน่วยความจำและพลังงานการคำนวณ) ที่สูงมาก ซึ่งอาจไม่เหมาะสมกับการนำไปใช้งานในบางบริบทที่ทรัพยากรมีจำกัด หรือเมื่อต้องการประสิทธิภาพสูงสุดในการจำแนกประเภทหลังจากที่วัตถุถูกตรวจจับแล้ว [9] สถาปัตยกรรมโดยรวมของระบบประกอบด้วยสองส่วนหลัก ได้แก่ ส่วนการสกัดคุณลักษณะเชิงลึกด้วย Reparameterized Expressive Networks (RexNet) และส่วนการจำแนกประเภทด้วย eXtreme Gradient Boosting (XGBoost) โดยแผนภาพการทำงานของโมเดลแบบผสม แสดงในรูปที่ 1 การสร้างโมเดลแบบผสมนี้มุ่งเน้นการใช้ประโยชน์จากจุดแข็งของแต่ละโมเดล เพื่อให้ได้ระบบที่มีความแม่นยำและประสิทธิภาพสูงในการวิเคราะห์ตำหนิรอยเชื่อม

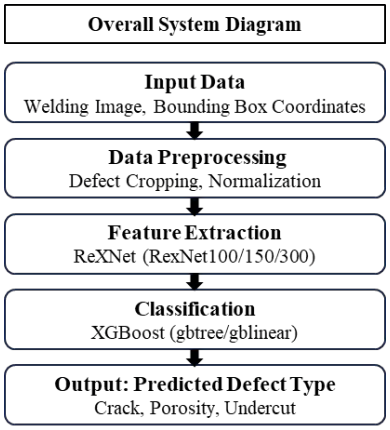

รูปที่ 1 Overall System Diagram

2.1 การเตรียมข้อมูลก่อนการประมวลผล

ขั้นตอนการเตรียมข้อมูลก่อนการประมวลผลถือเป็นส่วนสำคัญในการรับรองคุณภาพของชุดข้อมูลสำหรับโมเดลการเรียนรู้เชิงลึก โดยในงานวิจัยนี้ ชุดข้อมูลหลักประกอบไปด้วยภาพรอยเชื่อม (Welding Image) และพิกัดของรอยที่ระบุตำแหน่งของตำหนิ (Bounding Box) ซึ่งวัตถุประสงค์หลักของขั้นตอนนี้คือการแปลงข้อมูลภาพเหล่านี้ให้อยู่ในรูปแบบที่เหมาะสมและมีมาตรฐานสำหรับการป้อนเข้าสู่โครงข่ายประสาทเทียม โดยรูปภาพตัวอย่างของชุดข้อมูลแสดงในรูปที่ 2 ซึ่งประกอบไปด้วยข้อมูล 3 กลุ่ม คือ รอยกัดเซาะ (undercut) รอยพรุน (porosity) และรอยแตกร้าว (cracks)

(ก) รอยกัดเซาะ (ข) รอยพรุ (ค) รอยแตกร้าว

รูปที่ 2 ตัวอย่างรูปภาพ Dataset ที่ใช้ในงานวิจัย

กระบวนการเริ่มต้นด้วยการครอบภาพ (cropping) ตำหนิแต่ละส่วนตามพิกัดของรอยตำหนิที่ได้รับ การครอบภาพนี้มีความสำคัญในการแยกส่วนของภาพที่เกี่ยวข้องกับตำหนิออกจากพื้นหลังและองค์ประกอบอื่น ๆ ที่ไม่เกี่ยวข้อง ซึ่งช่วยลดสัญญาณรบกวน (noise) และทำให้โมเดลสามารถมุ่งเน้นการเรียนรู้คุณลักษณะเฉพาะของตำหนิได้อย่างมีประสิทธิภาพมากขึ้น หลังจากนั้น ภาพที่ถูกครอบจะถูกปรับขนาด (resize) ให้มีมิติเท่ากันที่ 224×224 พิกเซล ซึ่งเป็นขนาดอินพุตมาตรฐานสำหรับการดำเนินงานกับโมเดล ReXNet หลังจากปรับขนาดแล้วภาพจะถูกแปลงข้อมูลมาตรฐาน (standard data transforms) โดยการทำ normalization ซึ่งเป็นกระบวนการสำคัญที่ปรับช่วงค่าความเข้มของพิกเซล (pixel intensity values) ให้อยู่ในพิสัยที่เหมาะสม โดยการลบค่าเฉลี่ยและหารด้วยส่วนเบี่ยงเบนมาตรฐานของแต่ละช่องสีดังสมการที่ (1)

$$X_{normalize} = \frac{X - \mu}{\sigma} \quad (1)$$

เมื่อ X คือ ค่าความเข้มของพิกเซลเดิม
σ คือ ค่าเบี่ยงเบนมาตรฐานของระนาบสี
μ คือ ค่าเฉลี่ยของความเข้มในระนาบสี

กระบวนการนี้ช่วยให้โมเดลสามารถเรียนรู้ได้อย่างมีประสิทธิภาพมากขึ้น และลดผลกระทบจากความแตกต่างของสภาพแสงหรือกล้องที่ใช้ในการเก็บภาพ แผนภาพการเตรียมข้อมูลก่อนการประมวลผลแสดงในรูปที่ 3

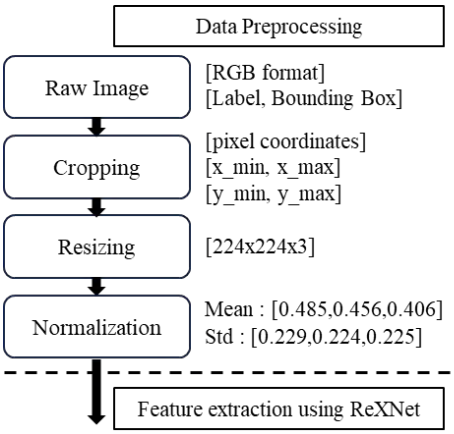

รูปที่ 3 แผนภาพการเตรียมข้อมูลก่อนการประมวลผล

2.2 การสกัดคุณลักษณะด้วย ReXNet

ในส่วนของการสกัดคุณลักษณะเด่นของข้อมูลรูปภาพเชิงลึก (Deep Feature Extraction) นั้น ในงานวิจัยนี้เลือกใช้โมเดล ReXNet โดยเป็นสถาปัตยกรรมที่โดดเด่นในด้านประสิทธิภาพสูงและขนาดโมเดลที่กะทัดรัด ซึ่งเป็นผลมาจากการออกแบบโครงสร้างที่สามารถลดจำนวนพารามิเตอร์และเพิ่มประสิทธิภาพการคำนวณ ทำให้เหมาะสำหรับการใช้งานในสภาพแวดล้อมที่ทรัพยากรการประมวลผลมีจำกัด โดยงานวิจัยนี้ได้ทำการทดลองเปรียบเทียบ ReXNet ขนาดต่าง ๆ ได้แก่ ReXNet100 ReXNet150 และ ReXNet300 การเลือกใช้โมเดลหลายขนาดนี้มีวัตถุประสงค์เพื่อประเมินผลกระทบของความซับซ้อนของโครงข่ายต่อความสามารถในการสกัดคุณลักษณะเด่นของรูปภาพ และความแม่นยำในการจำแนก โดยใช้รูปแบบของโมเดล Transfer Learning ที่ช่วยให้โมเดลมีความสามารถในการเรียนรู้คุณลักษณะทั่วไปของภาพ และสามารถนำความรู้นั้นมาปรับใช้กับงานเฉพาะทางได้อย่างมีประสิทธิภาพ แม้ว่าชุดข้อมูลเฉพาะงานจะมีขนาดที่จำกัด โดยโมเดลจะทำหน้าที่แปลงภาพอินพุตไปเป็นเวกเตอร์คุณลักษณะเชิงตัวเลขที่มีมิติสูง ซึ่งเวกเตอร์เหล่านี้จะสะท้อนถึงลักษณะสำคัญและนามธรรมของตำหนิในภาพ เช่น รูปทรง พื้นผิว และรูปแบบความเข้มของพิกเซล ซึ่งคุณลักษณะที่สกัดได้เหล่านี้จะถูกส่งต่อไปยังส่วนการจำแนกประเภทเพื่อทำการประมวลผลด้วย XGBoost ดังแสดงในรูปที่ 4

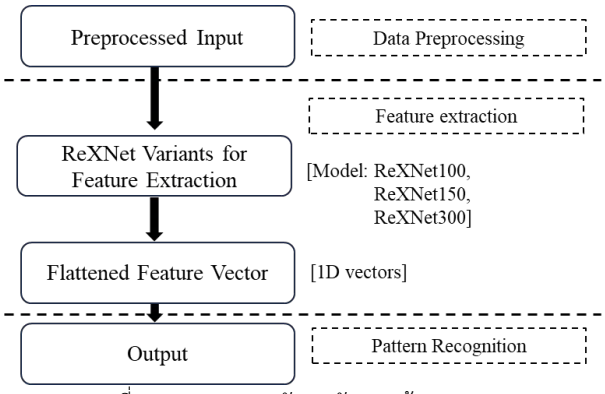

รูปที่ 4 แผนภาพการสกัดคุณลักษณะด้วย ReXNet

2.3 การจำแนกประเภทด้วย XGBoost

เวกเตอร์คุณลักษณะเชิงลึกที่สกัดได้จาก ReXNet จะถูกนำมาเป็นอินพุตสำหรับโมเดล eXtreme Gradient Boosting (XGBoost) ซึ่งเป็นเทคนิคการเรียนรู้ของเครื่องที่มีประสิทธิภาพสูงและได้รับการยอมรับอย่างกว้างขวางในงานจำแนกประเภทและการถดถอย (regression) XGBoost ทำงานบนพื้นฐานของแนวคิด Gradient Boosting โดยการสร้างต้นไม้ตัดสินใจ (decision trees) หลายต้นแบบต่อเนื่องกัน (sequentially) ซึ่งแต่ละต้นไม้จะพยายามแก้ไขข้อผิดพลาดที่เกิดขึ้นจากต้นไม้ก่อนหน้า โดยมุ่งเน้นไปที่การลดค่าฟังก์ชันความคลาดเคลื่อน (loss function) ให้เหลือน้อยที่สุด การคาดการณ์สุดท้ายของ XGBoost คือผลรวมของการคาดการณ์จากต้นไม้แต่ละต้น ดังสมการที่ 2

$$\hat{y}_i^{(t)} = \hat{y}_i^{(t-1)} + \eta f_t(x_i) \quad (2)$$

เมื่อ $\hat{y}_i^{(t)}$ คือ ผลรวมของการคาดการณ์สำหรับตัวอย่างที่ i ณ รอบการวนซ้ำที่ t
$\hat{y}_i^{(t-1)}$ คือ ผลรวมของการคาดการณ์จากรอบก่อนหน้า
$f_t(x_i)$ คือ การคาดการณ์ของต้นไม้ใหม่ที่ถูกเพิ่มในรอบที่ t
η คือ อัตราการเรียนรู้ (learning rate)

โดยในการทดลองได้ทำการปรับพารามิเตอร์ของ XGBoost เพื่อหาค่าที่เหมาะสมที่สุดสำหรับชุดข้อมูลตำหนิรอยเชื่อมที่ใช้ในงานวิจัย ซึ่งพารามิเตอร์ที่พิจารณา ได้แก่ประเภทของโมเดลหลักที่ใช้ (base learner) โดยเปรียบเทียบระหว่าง gbtree (Tree-based model) ซึ่งเป็นตัวบูสเตอร์ที่ใช้ต้นไม้ตัดสินใจ และ gblinear (Linear model) ซึ่งใช้โมเดลเชิงเส้น โดยการเลือก Booster มีผลต่อความสามารถในการจับความสัมพันธ์ที่ซับซ้อนของข้อมูล และเพื่อวิเคราะห์ถึงคุณลักษณะเด่นของข้อมูลที่ได้จากโมเดล ReXNet จากนั้นทำการปรับจำนวนรอบการเรียนรู้ที่ 100 และ 300 รอบ พร้อมทั้งอัตราการเรียนรู้ (learning rate) ให้มีค่าที่ 0.1 0.01 และ 0.001 ซึ่งค่าอัตราการเรียนรู้ที่เหมาะสมจะช่วยให้โมเดลลู่

เข้าสู่จุดที่เหมาะสมที่สุดโดยไม่เกิด Overfitting หรือ Underfitting โดยแผนภาพกระบวนการนี้แสดงในรูปที่ 5

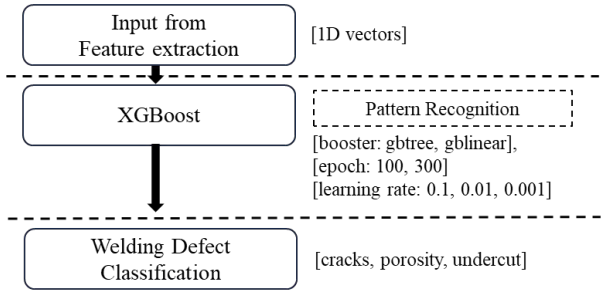

รูปที่ 5 แผนภาพการจำแนกประเภทด้วย XGBoost

3. ผลการทดสอบและการวิเคราะห์ผล

การประเมินประสิทธิภาพของระบบตรวจจับและจำแนกตำหนิบนรอยเชื่อมแบบผสมที่นำเสนอในงานวิจัยนี้ ดำเนินการบนชุดข้อมูลตำหนิรอยเชื่อม ซึ่งประกอบด้วยตำหนิสามประเภท ได้แก่ รอยแตกร้าว (Crack) รอยพรุน (Porosity) และรอยกัดเซาะ (Undercut) ชุดข้อมูลทั้งหมดถูกแบ่งออกเป็นสามส่วน คือ ชุดข้อมูลสำหรับการฝึกอบรม ชุดข้อมูลสำหรับตรวจสอบความถูกต้อง และชุดข้อมูลสำหรับทดสอบโมเดล โดยมีการแบ่งสัดส่วนดังนี้ ชุดฝึกอบรม 3374 ตัวอย่าง (75%) ชุดตรวจสอบความถูกต้อง 738 ตัวอย่าง (15%) และชุดทดสอบ 442 ตัวอย่าง (10%) รวม 4,554 ตัวอย่าง โดยการประเมินประสิทธิภาพของโมเดล XGBoost มีพารามิเตอร์ที่สำคัญได้แก่ Accuracy Precision Recall และ F1-Score โดยทำการการเปรียบเทียบประสิทธิภาพของ ReXNet (ReXNet100, ReXNet150 และ ReXNet300) ร่วมกับการปรับพารามิเตอร์ของ XGBoost (Booster: gbtree, gblinear) จำนวนรอบการเรียนรู้ และอัตราการเรียนรู้เพื่อระบุโครงสร้างโมเดลและการตั้งค่าที่ให้ประสิทธิภาพสูงสุดในการจำแนกตำหนิรอยเชื่อม โดยผลการทดสอบทั้งหมดแสดงในตารางที่ 1 – 3 แบ่งตามค่าอัตราการเรียนรู้

ตารางที่ 1 ผลการทดสอบที่อัตราการเรียนรู้เท่ากับ 0.1

epoch	Model	Accuracy	Precision	Recall	F1-score
100	ReXNet 100 Booster: gbtree	0.7466	0.7283	0.7106	0.7154
	Booster: gblinear	0.7579	0.7430	0.7298	0.7349
	ReXNet 150 Booster: gbtree	0.7557	0.7351	0.7224	0.7263
	Booster: gblinear	0.7805	0.7609	0.7652	0.7628
	ReXNet 300 Booster: gbtree	0.7443	0.7303	0.7188	0.7235
	Booster: gblinear	0.7783	0.7661	0.7668	0.7662
300	ReXNet 100 Booster: gbtree	0.7534	0.7371	0.7209	0.7261
	Booster: gblinear	0.7557	0.7408	0.7259	0.7314
	ReXNet 150 Booster: gbtree	0.7670	0.7535	0.7379	0.7437
	Booster: gblinear	0.7715	0.7540	0.7607	0.7567
	ReXNet 300 Booster: gbtree	0.7534	0.7371	0.7209	0.7261
	Booster: gblinear	0.7557	0.7408	0.7259	0.7314

ตารางที่ 2 ผลการทดสอบที่อัตราการเรียนรู้เท่ากับ 0.01

epoch	Model	Accuracy	Precision	Recall	F1-score
100	ReXNet 100 Booster: gbtree	0.7127	0.6984	0.6738	0.6778
	Booster: gblinear	0.7579	0.7404	0.7310	0.7344
	ReXNet 150 Booster: gbtree	0.7036	0.6871	0.6751	0.6786
	Booster: gblinear	0.7715	0.7526	0.7539	0.7531
	ReXNet 300 Booster: gbtree	0.6674	0.6434	0.6291	0.6307
	Booster: gblinear	0.7715	0.7578	0.7517	0.7544
300	ReXNet 100 Booster: gbtree	0.7330	0.7204	0.6965	0.7008
	Booster: gblinear	0.7715	0.7584	0.7450	0.7504
	ReXNet 150 Booster: gbtree	0.7421	0.7269	0.7109	0.7157
	Booster: gblinear	0.7896	0.7714	0.7737	0.7724
	ReXNet 300 Booster: gbtree	0.7330	0.7204	0.6965	0.7008
	Booster: gblinear	0.7715	0.7584	0.7450	0.7504

ตารางที่ 3 ผลการทดสอบที่อัตราการเรียนรู้เท่ากับ 0.001

epoch	Model	Accuracy	Precision	Recall	F1-score
100	ReXNet 100 Booster: gbtree	0.7579	0.7404	0.7310	0.7344
	Booster: gblinear	0.6833	0.6553	0.6414	0.6406
	ReXNet 150 Booster: gbtree	0.6652	0.6473	0.6322	0.6347
	Booster: gblinear	0.7262	0.7083	0.6909	0.6957
	ReXNet 300 Booster: gbtree	0.6086	0.5749	0.5683	0.5673
	Booster: gblinear	0.7195	0.6954	0.6878	0.6874
300	ReXNet 100 Booster: gbtree	0.6946	0.6769	0.6612	0.6638
	Booster: gblinear	0.7081	0.6844	0.6766	0.6776
	ReXNet 150 Booster: gbtree	0.6787	0.6627	0.6490	0.6517
	Booster: gblinear	0.7511	0.7334	0.7290	0.7308
	ReXNet 300 Booster: gbtree	0.6946	0.6769	0.6612	0.6638
	Booster: gblinear	0.7081	0.6844	0.6766	0.6776

จากการวิเคราะห์ผลการทดสอบที่นำเสนอในตารางที่ 1 - 3 พบว่าอัตราการเรียนรู้ (learning rate) มีอิทธิพลอย่างยิ่งต่อประสิทธิภาพของโมเดล และมีความเชื่อมโยงกับกับขนาดของ ReXNet รวมถึงประเภทของ Booster โดยในกลุ่มการทอสอบที่ใช้อัตราการเรียนรู้ 0.1 โมเดล ReXNet 150 ที่ใช้ Booster แบบ gblinear และจำนวนรอบการเรียนรู้ 100 แสดงประสิทธิภาพสูงสุดในกลุ่มนี้ด้วยค่า Accuracy 0.7805 อย่างไรก็ตาม กลุ่มการทดลองที่ใช้อัตราการเรียนรู้ 0.01 กลับแสดงประสิทธิภาพโดยรวมที่สูงที่สุด และมีความเสถียรของผลลัพธ์ที่ดีกว่าอย่างชัดเจน โดยเฉพาะอย่างยิ่ง ReXNet150 ที่ใช้ Booster แบบ gblinear และจำนวนรอบการเรียนรู้ 300 ซึ่งให้ประสิทธิภาพโดดเด่นที่สุดด้วยค่า Accuracy สูงสุดที่ 0.7896 การที่ประสิทธิภาพสูงสุดปรากฏในกลุ่มนี้ ชี้ให้เห็นว่าอัตราการเรียนรู้ที่ 0.01 ให้ความสมดุลที่ดีระหว่างความเร็วในการเรียนรู้และความสามารถในการลู่เข้าสู่ค่าที่เหมาะสมที่สุดของโมเดล สำหรับกลุ่มการทดลองที่ใช้อัตราการเรียนรู้ 0.001 ประสิทธิภาพของโมเดลลดลงอย่างมีนัยสำคัญเมื่อเทียบกับอัตราการเรียนรู้ที่สูงกว่า โดยค่า Accuracy สูงสุดที่ทำได้คือ 0.7579 ซึ่งบ่งชี้ว่าอัตราการเรียนรู้ที่ต่ำเกินไปอาจทำให้โมเดลเรียนรู้ได้ช้ามากจนไม่สามารถลู่เข้าสู่ประสิทธิภาพสูงสุดได้ภายในจำนวนรอบที่กำหนด

จากการวิเคราะห์ผลการทดสอบทั้งหมด โมเดลที่ให้ประสิทธิภาพสูงสุดและมีความสมดุลในทุกเมตริกการประเมินคือ ReXNet150 ที่ใช้ XGBoost Booster แบบ gblinear โดยมีอัตราการเรียนรู้เท่ากับ 0.01 และจำนวนรอบการเรียนรู้เท่ากับ 300 โมเดลนี้ทำค่า Accuracy สูงสุดได้ถึง 0.7896 พร้อมด้วยค่า Precision Recall และ F1-score ที่ 0.7714, 0.7737 และ 0.7724 ตามลำดับ โดยมี Confusion matrix และ ROC curve แสดงในรูปที่ 6 และ 7

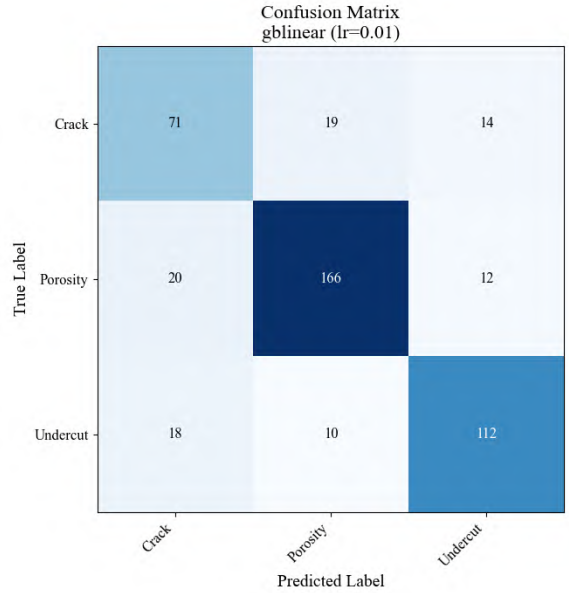

รูปที่ 6 Confusion matrix ที่ ReXNet150 และ XGBoost แบบ gblinear (lr = 0.01, epoch = 300)

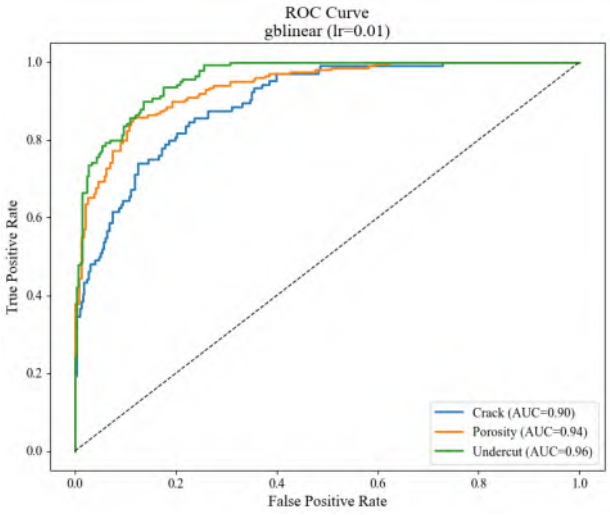

รูปที่ 7 ROC curve ที่ ReXNet150 และ XGBoost แบบ gblinear (lr = 0.01, epoch = 300)

จากรูปที่ 6 และ 7 ได้แสดง Confusion Matrix และ ROC Curve สำหรับโมเดล ReXNet150 โดยใช้ XGBoost แบบ gblinear ที่อัตราการเรียนรู้เท่ากับ 0.01 และมีจำนวนรอบการเรียนรู้ที่ 300 แสดงถึงประสิทธิภาพดีในการจำแนกประเภทตำหนิรอยเชื่อมทั้งสามชนิด โดยเฉพาะอย่างยิ่งคลาส Porosity และ Undercut ที่มีการจำแนกถูกต้องในจำนวนที่สูง และมีค่า AUC ที่ 0.94 และ 0.96 ตามลำดับ ซึ่งบ่งชี้ถึงความสามารถในการแยกแยะคลาสเหล่านี้ได้อย่างมีประสิทธิภาพสูง แม้ว่าคลาส Crack จะมีค่า AUC ที่ดี (0.90) แต่ Confusion Matrix ก็แสดงให้เห็นว่ายังคงมีผิดพลาดกับตำหนิประเภทอื่นอยู่บ้าง อย่างไรก็ตาม โดยรวมแล้วค่า AUC ที่สูงสำหรับทุกคลาสยืนยันถึงความสามารถโดยรวมของโมเดลในการจำแนกประเภทตำหนิได้อย่างแม่นยำและน่าเชื่อถือ ซึ่งแสดงให้เห็นถึงศักยภาพในการนำไปประยุกต์ใช้ในระบบตรวจสอบคุณภาพรอยเชื่อมแบบอัตโนมัติ

4. สรุป

จากผลการทดสอบโดยรวมสามารถยืนยันได้ว่าระบบโมเดลการเรียนรู้เชิงลึกแบบผสมที่ใช้ ReXNet สำหรับการสกัดคุณลักษณะเด่นและ XGBoost สำหรับการจำแนกประเภท มีประสิทธิภาพที่ดีและมีความน่าเชื่อถือในการจำแนกตำหนิบนรอยเชื่อม โดยเมื่อพิจารณาจากผลลัพธ์ในทุกอัตราการเรียนรู้และขนาดของโมเดล ReXNet จะเห็นได้ว่า Booster แบบ gblinear แสดงประสิทธิภาพที่เหนือกว่า gbtree อย่างสม่ำเสมอในชุดข้อมูลนี้ โดย gblinear ให้ค่า Accuracy สูงสุดในหลายกรณี โดยเฉพาะอย่างยิ่งที่อัตราการเรียนรู้ 0.1 และ 0.01 ซึ่งเป็นช่วงที่โมเดลทำงานได้ดีที่สุด ซึ่งอาจเป็นเพราะคุณลักษณะที่สกัดได้จาก ReXNet นั้นมีความสัมพันธ์ในรูปแบบเชิงเส้น ทำให้โมเดลที่มีรูปแบบการทำงานในลักษณะเชิงเส้นสามารถเรียนรู้ได้อย่างมีประสิทธิภาพ โดยโมเดลที่ประกอบด้วย ReXNet150 ร่วมกับ XGBoost แบบ gblinear และอัตราการเรียนรู้ 0.01 ที่จำนวนรอบการเรียนรู้ 300 ให้ผลลัพธ์ที่ดีที่สุดในงานวิจัยนี้ แสดงให้เห็นถึงศักยภาพที่ดีของระบบที่นำเสนอในการนำไปประยุกต์ใช้เป็นส่วนหนึ่งของระบบตรวจสอบคุณภาพรอยเชื่อมแบบอัตโนมัติในภาคอุตสาหกรรม ซึ่งสามารถช่วยเพิ่มความแม่นยำ ลดข้อผิดพลาดในการตรวจสอบด้วยมนุษย์ และเพิ่มประสิทธิภาพในกระบวนการผลิต นอกจากนี้ งานวิจัยนี้ยังเป็นแนวทางในการพัฒนาต่อยอดเพื่อเพิ่มความแข็งแกร่งของระบบในอนาคต เช่น การรวมโมเดล Object Detection เข้าไปในกระบวนการฝึกอบรมแบบ End-to-End หรือการทดสอบกับชุดข้อมูลตำหนิที่หลากหลายและซับซ้อนยิ่งขึ้น

5. กิตติกรรมประกาศ

คณะผู้วิจัยขอขอบคุณ คณะวิศวกรรมศาสตร์และเทคโนโลยี มหาวิทยาลัยเทคโนโลยีราชมงคลอีสาน สำหรับการสนับสนุนงานวิจัยนี้

เอกสารอ้างอิง

[1] P. Somsri, and S. Wongse, "Impact of Welding Defects on Structural Integrity of Steel Structures," Journal of Materials Science and Engineering, vol. 45, no. 2, pp. 123-130, 2023.

[2] K. Limpanont, and A. Techawiwat, "Automated Non-Destructive Testing of Welds: A Review," International Conference on Advanced Manufacturing Technology, Bangkok, Thailand, 2022, pp. 25-30.

[3] S. Chairungsi, and T. Ruangrit, "Challenges in Manual Visual Inspection of Welding Quality," Thai Journal of Welding Technology, vol. 18, no. 1, pp. 45-52, 2021.

[4] W. Lertpipat, P. Khamman, and J. Suthamwong, "Applications of Deep Learning in Industrial Automation and Quality Control," Journal of Electrical Engineering Technology and Innovation, vol. 15, no. 4, pp. 301-310, 2024.

[5] C. Prompraphan, and D. Chaimongkol, "Feature Extraction Capabilities of Convolutional Neural Networks for Image-Based Inspection," Proceedings of the National Conference on Computer Engineering, Khon Kaen, Thailand, 2023, pp. 112-118.

[6] M. J. Kim, and S. H. Lee, "Hybrid Deep Learning and Machine Learning Approaches for Complex Pattern Recognition," IEEE Transactions on Neural Networks and Learning Systems, vol. 34, no. 5, pp. 2876-2889, 2023.

[7] T. Nakatani, D. Mariko, and S. Yoshizaki, "RexNet: Rethinking Parameterization for Efficient and Expressive Neural Networks," Proceedings of the International Conference on Computer Vision, Kyoto, Japan, 2021, pp. 789-798.

[8] C. Chen, and Q. Zhang, "XGBoost for High-Performance Classification in Industrial Applications," Journal of Artificial Intelligence in Manufacturing, vol. 10, no. 3, pp. 156-165, 2022.

[9] J. Redmon, S. Divvala, R. Girshick, and A. Farhadi, "You Only Look Once: Unified, Real-Time Object Detection," Proceedings of the IEEE Conference on Computer Vision and Pattern Recognition (CVPR), Las Vegas, NV, USA, 2016, pp. 779-788.

กรัณฑ์กมล ภูครองหิน สำเร็จปริญญาวิศวกรรมศาสตรดุษฎีบัณฑิต สาขาวิชาวิศวกรรมไฟฟ้า มหาวิทยาลัยเทคโนโลยีสุรนารี ปัจจุบันเป็นอาจารย์ประจำสาขาวิชาวิศวกรรมเมคคาทรอนิกส์ มหาวิทยาลัยเทคโนโลยีราชมงคลอีสาน มีความสนใจทางด้านระบบปัญญาประดิษฐ์ประยุกต์ คอมพิวเตอร์วิชั่นและการประมวลผลภาพ

ณัฐพงษ์ วงศ์บับพา สำเร็จปริญญาวิศวกรรมศาสตร์ดุษฎีบัณฑิต สาขาวิศวกรรมเครื่องกลและระบบกระบวนการ มหาวิทยาลัยเทคโนโลยีสุรนารี ปัจจุบันเป็นอาจารย์สาขาวิศวกรรมเมคคาทรอนิกส์ มหาวิทยาลัยเทคโนโลยีราชมงคลอีกสาน มีความสนใจทางด้านพลังงานทางเลือกและความยั่งยืนทางพลังงาน

คณิต มานะธุระ สำเร็จการศึกษาระดับปรัชญาดุษฎีบัณฑิต (Doctor of Philosophy) สาขาวิชาวิศวกรรมเครื่องกลจาก National Chung Hsing University ประเทศไต้หวัน ปัจจุบันเป็นอาจารย์ประจำสาขาวิศวกรรมเมคคาทรอนิกส์ คณะวิศวกรรมศาสตร์และเทคโนโลยี มหาวิทยาลัยเทคโนโลยีราชมงคลอีสาน มีความสนใจด้าน ไบโอชาร์ ระบบผลิตความร้อน-ไฟฟ้าจากชีวมวลและวัสดุเหลือทิ้ง ระบบวัด-ควบคุมอัตโนมัติด้านพลังงานและสิ่งแวดล้อม

กฤษฎา ทาสันเทียะ สำเร็จการศึกษาปริญญาวิศวกรรมศาสตรมหาบัณฑิต สาขาวิชาวิศวกรรมไฟฟ้า มหาวิทยาลัยเทคโนโลยีราชมงคลอีสาน ปัจจุบันเป็นอาจารย์ประจำ สาขาวิชาวิศวกรรมเมคคาทรอนิกส์ มหาวิทยาลัยเทคโนโลยีราชมงคลอีสาน มีความสนใจด้าน ระบบอินเทอร์เน็ตของสรรพสิ่ง ระบบปัญญาประดิษฐ์ และระบบประมวลผลภาพ

การบริหารจัดการพลังงานไฟฟ้าในห้องเรียนแบบยั่งยืนด้วยวิธีการสังเกตพฤติกรรมการใช้งานและค่าทางไฟฟ้าผ่านระบบอินเตอร์เนทุกสรรพสิ่ง

Sustainable classroom energy management using the Internet of Things (IoT) to observe electrical usage behavior and data

ธราวิชญ์ เทพา วัชราภรณ์ ดีพิจารณ์ มนฑล นาวงษ์ ณัฐพล หาอุปละ

นิสิต ภูครองตา สุรินทร์ แหงมงาม สมชัย หิรัญวโรดม[1] และ องอาจ แสดใหม่[1*]

[1*]สาขาวิชาวิศวกรรมไฟฟ้า คณะวิศวกรรมศาสตร์ มหาวิทยาลัยเทคโนโลยีราชมงคลธัญบุรี ong-art.s@en.rmutt.ac.th

บทคัดย่อ

บทความนี้นำเสนอการบริหารจัดการพลังงานไฟฟ้าในอาคารเรียน เนื่องจากมีการใช้พลังงานไฟฟ้า นอกเวลาการเรียนการสอนหรือเวลาพักเที่ยง ซึ่งจะไม่อนุญาตให้เปิดใช้ระบบไฟฟ้าแสงสว่างหรือเครื่องปรับอากาศ งานวิจัยนี้มีวัตถุประสงค์ลดการใช้พลังงานไฟฟ้าในช่วงเวลาที่ไม่จำเป็น โดยการสร้างระบบตรวจจับการใช้พลังงานไฟฟ้าและบริหารจัดการพลังงานไฟฟ้าให้เหมาะสมยิ่งขึ้น ด้วยการประยุกต์ใช้สมาร์ทมิเตอร์ร่วมกับโปรแกรม LabVIEW โดยใช้เทคโนโลยีการสื่อสารแบบ RS485 แปลงสัญญาณเป็น Ethernet หรือ TCP/IP เพื่อให้สามารถรับส่งข้อมูลผ่านเครือข่ายคอมพิวเตอร์และแสดงผลแบบเรียลไทม์

ระบบตรวจวัดค่าการใช้พลังงานไฟฟ้า ประกอบด้วยสมาร์ทมิเตอร์แบบ 1 เฟส สำหรับวัดค่าพลังงาน แรงดัน กระแส กำลังไฟฟ้า ตัวประกอบกำลัง และความถี่ จากนั้นส่งข้อมูลผ่านโปรโตคอล RS485 ไปยังตัวแปลงสัญญาณ Ethernet หรือ TCP/IP เพื่อส่งข้อมูลไปแสดงผล วิเคราะห์ และจัดเก็บข้อมูล ระบบถูกนำไปติดตั้งที่ห้องเรียน มีโหลดเป็นหลอดไฟ LED จำนวน 48 หลอด และเต้ารับ 9 จุด ประกอบด้วยค่า พลังงานไฟฟ้า แรงดันไฟฟ้า กระแสไฟฟ้า กำลังไฟฟ้า และตัวประกอบกำลัง

ผลการทดลองพบว่า ระบบสามารถตรวจวัดและแสดงผลข้อมูลพลังงานได้อย่างถูกต้อง ทำให้ลดการใช้พลังงานไฟฟ้าที่ไม่จำเป็นได้ จากกระแส กำลังไฟฟ้าจากหน้าจอของคอมพิวเตอร์ ทำให้เป็นประโยชน์ต่อการบริหารจัดการพลังงานในอาคารเรียน และสามารถนำไปประยุกต์ใช้ในอาคารประเภทอื่นได้ในอนาคต

คำสำคัญ: พลังงานไฟฟ้า พลังงานที่ยั่งยืน การประหยัดพลังงาน

Abstract

This article presents the management of electrical energy in a school building. Since electrical energy is used outside of teaching or lunch time, lighting or air conditioning systems are not allowed to be used. This research aims to reduce electrical energy consumption during unnecessary times by creating a system to detect electrical energy usage and manage electrical energy more appropriately by applying smart meters with LabVIEW program using RS485 communication technology to convert signals to Ethernet or TCP/IP so that data can be sent and received via a computer network and displayed in real time.

The electrical energy measurement system consists of a single phase smart meter to measure energy, voltage, current, electric power, power factor and frequency. The data is then transmitted via RS485 protocol to an Ethernet or TCP/IP converter for data display, analysis and storage. The system is installed in a classroom with a load of 48 LED lamps and 9 sockets, consisting of electric power, voltage, current, electric power and power factor.

The experimental results show that the system can measure and display energy data accurately, reducing unnecessary electricity consumption from the power flow from the computer screen, which is useful for energy management in school buildings and can be applied to other types of buildings in the future.

Keywords: Electrical energy, Sustainable Energy, Energy Saving

1. บทนำ

ที่ผ่านมานักวิจัยได้มีการนำเอาสมาร์ทมิเตอร์มาใช้อย่างแพร่หลาย เนื่องจากมีความสะดวกในการนำข้อมูลที่อ่านได้ไปแสดงผล ด้วยเทคโนโลยีอินเตอร์เนทุกสรรพส่งและบอร์ด Arduino มาประยุกต์ใช้เพื่อเพิ่มความแม่นยำในการวัดและความสะดวกในการจัดการพลังงานไฟฟ้าในบ้าน [1] อย่างไรก็ตาม ระบบเหล่านี้ยังมีข้อจำกัด เช่น ค่าใช้จ่ายสูง และขาดการสื่อสารแบบครบวงจร [2] จึงได้มีการเสนอแนวคิด Advanced Smart Metering Infrastructure (AMI) สำหรับบ้านอัจฉริยะ ซึ่งสามารถวัดการใช้พลังงานไฟฟ้า น้ำ และระบบทำความร้อนได้แบบรวมศูนย์ พร้อมระบบควบคุมเรียลไทม์ [2] [3] ได้มีการพัฒนาระบบ Smart Energy Management System (SEMS) ที่นำเอาสมาร์ทมิเตอร์กับ IoT ทำงานร่วมกันเพื่อควบคุมโหลด วิเคราะห์คุณภาพพลังงานไฟฟ้า และลดการใช้พลังงานจริงในอาคาร[4] นำเสนอสมาร์ทมิเตอร์ มาทำงานร่วมกับ ESP32

และเซนเซอร์วัดพลังงาน ส่งข้อมูลผ่าน Wi-Fi พร้อมแสดงผลผ่านจอ LCD เพื่อเพิ่มประสิทธิภาพในการบริหารพลังงานภายในบ้าน[5] ได้นำเสนอแนวทาง Intrusive Energy Management (IEM) ที่ใช้เซนเซอร์ตรวจจับพฤติกรรมการใช้พลังงานของอุปกรณ์แต่ละชนิด ช่วยเพิ่มความแม่นยำและความปลอดภัยในการจัดการโหลด รองรับแนวคิด Smart Grid อย่างยั่งยืน

ปัจจุบันเทคโนโลยีสมาร์ทมิเตอร์ได้เข้ามามีบทบาทในการวัดค่าพลังงานไฟฟ้าแบบอัตโนมัติ ซึ่งสามารถวัดพารามิเตอร์ต่างๆ เช่น แรงดันไฟฟ้า กระแสไฟฟ้า กำลังไฟฟ้า และพลังงานไฟฟ้าที่ใช้ได้อย่างแม่นยำอย่างไรก็ตาม การนำข้อมูลเหล่านี้มาใช้ให้เกิดประโยชน์สูงสุดจำเป็นต้องอาศัยระบบวิเคราะห์ข้อมูลที่มีประสิทธิภาพ โปรแกรม LabVIEW ซึ่งเป็นเครื่องมือสำหรับวิเคราะห์และแสดงผลข้อมูลแบบเรียลไทม์ จึงเป็นตัวเลือกที่เหมาะสมสำหรับระบบบริหารจัดการพลังงาน

อาคารเรียนรวม ถูกใช้ในการจัดการเรียน การสอน ทุกวันทำให้มีการใช้พลังงานไฟฟ้าค่อนข้างสูงต่อเดือน และมักพบปัญหาการลืมปิดระบบไฟฟ้าแสงสว่างอยู่เสมอ เช่นในเวลาเที่ยง เจ้าหน้าที่ลืมปิดหลังการใช้งานห้องเรียนนั้นๆ เพื่อลดการใช้พลังงานไฟฟ้าแสงสว่างที่ไม่จำเป็น และมีการจัดการใช้พลังงานไฟฟ้าอย่างมีประสิทธิภาพเป็นสิ่งจำเป็น โดยการนำ Smart Meter ซึ่งเป็นอุปกรณ์ที่สามารถวัดและส่งข้อมูลการใช้พลังงานไฟฟ้าแบบเรียลไทม์ ผ่านการใช้งานด้วยสาย RS485 ซึ่งช่วยให้ผู้ใช้สามารถควบคุมและวางแผนการใช้พลังงานไฟฟ้าได้อย่างเหมาะสม ด้วยการแปลงข้อมูลจาก RS485 เป็น TCP/IP แล้วอ่านข้อมูลทางไฟฟ้า ด้วยโปรแกรม LabVIEW ช่วยให้การสื่อสารข้อมูลระหว่างอุปกรณ์มีความสะดวกและรวดเร็วมากขึ้น

งานวิจัยนี้จึงมุ่งเน้นการออกแบบและพัฒนาระบบบริหารจัดการพลังงานในอาคารเรียน โดยใช้สมาร์ทมิเตอร์ควบคู่กับโปรแกรม LabVIEW เพื่อเสริมสร้างการจัดการพลังงานอย่างยั่งยืนและสามารถประยุกต์ใช้กับอาคารประเภทอื่นในอนาคตได้

2. ระเบียบวิธีวิจัย

การวิจัยนี้เป็นการวิจัยเชิงทดลอง (Experimental Research) มีวัตถุประสงค์เพื่อออกแบบและพัฒนาระบบตรวจวัดการใช้พลังงานไฟฟ้าในห้องเรียน เพื่อปิดระบบไฟฟ้าแสงสว่างในช่วงเวลาที่ไม่ได้ใช้งาน เช่นตอนเย็น ตอนกลางวัน ซึ่งไม่มีการเรียน การสอน ทำให้สามารถบริหารและจัดการพลังงานไฟฟ้าในห้องเรียนได้เป็นอย่างดี การวัดค่าพลังงานไฟฟ้ามีการนำสมาร์ทมิเตอร์มาตรวจวัดค่าการใช้ไฟฟ้าและประยุกต์ให้ใช้งานด้วยการใช้โปรแกรม LabVIEW อ่านค่าพารามิเตอร์ต่างๆที่ต้องการ ผ่านการสื่อสารแบบ RS485 ที่มีสายสองเส้น A, B ผ่านโมดูลแปลงข้อมูล RS485 เป็น Ethernet(TCP/IP) เพื่อนำไปแสดงผลบนจอคอมพิวเตอร์ และวิเคราะห์การใช้พลังงานไฟฟ้าด้วยข้อมูลทางไฟฟ้า เช่น หลังจากหมดเวลาการเรียนการสอนพบว่าค่ากำลังไฟฟ้าจริง กระแสไฟฟ้า ยังคงมีค่าแสดงอยู่ แสดงว่ามีการเปิดไฟอยู่ ในเวลาที่ไม่ได้มีการเรียน การสอน ทั้งนี้ระเบียบวิธีวิจัยแบ่งออกเป็น 4 ขั้นตอนหลัก ดังนี้

2.1 การออกแบบระบบ

ผู้วิจัยได้ดำเนินการออกแบบระบบตรวจวัดพลังงานไฟฟ้าในห้องเรียน ซึ่งประกอบด้วยอุปกรณ์หลัก ได้แก่

2.1.1 สมาร์ทมิเตอร์แบบ 1 เฟส 60A รุ่น DDS6619 ถูกนำมาใช้สำหรับวัดแรงดัน กระแส กำลังไฟฟ้า พลังงานไฟฟ้า ตัวประกอบกำลัง และความถี่ ของห้องเรียน ดังรูปที่ 1

รูปที่ 1 สมาร์ทมิเตอร์ รุ่น DDS6619

2.1.2 อุปกรณ์แปลงสัญญาณ RS485 เป็น Ethernet หรือ TCT/IP แสดงรูปที่ 2 สำหรับส่งข้อมูลผ่านเครือข่ายแบบสาย ซึ่งต่อเข้ากับคอมพิวเตอร์ส่วนตัวที่ทำหน้าที่เฝ้าดูและตรวจจับการทำงานของระบบไฟฟ้าแสงสว่างภายในห้องเรียน ในห้องควบคุมงานอาคารสถานที่และยานพาหนะ

2.1.3 โปรแกรม LabVIEW ใช้สำหรับแสดงผลและวิเคราะห์ข้อมูล โดยอ่านข้อมูลที่ส่งมาจากสาย Lan ก่อนที่จะเชื่อมต่อด้วยหมายเลข IP address ของสมาร์ทมิเตอร์ โดยอ่านผ่าน RS485 to Ethernet(TCP/IP) ค่าที่ส่งได้จะอ่านด้วย Register Address

2.1.4 ห้องเรียนประกอบไปด้วย โหลดแสงสว่าง LED T8 จำนวน 24 โคมๆหนึ่งมีหลอดอยู่ 2 หลอด รวมเป็น 48 หลอด ควบคุมด้วยสวิทช์จำนวน 6 ตัว โดยสวิทช์แต่ละตัวควบคุมหลอดไฟดังนี้ สวิทช์ที่ 1 มีโคมหลอดไฟจำนวน 4 โคมรวม 8 หลอด กระแสที่ใช้งาน 0.8A โดยมีการต่อสวิทช์ที่ 2 – 6 ในลักษณะที่คล้ายกัน กระแสรวม 4.8A

รูปที่ 2 อุปกรณ์แปลงสัญญาณ RS485 to Ethernet (TCP/IP)

ตารางที่ 1 กระแสไฟฟ้าและกำลังไฟฟ้าของตำแหน่งการปิด-เปิดของสวิทช์

หลอดไฟ LED T8	LabVIEW	
	กระแส	กำลังไฟฟ้า
สวิทช์ที่ 1 หลอดไฟ 8 หลอด	0.73A	159W
สวิทช์ที่ 2 หลอดไฟ 16 หลอด	1.52A	321W
สวิทช์ที่ 3 หลอดไฟ 24 หลอด	2.34A	485W
สวิทช์ที่ 4 หลอดไฟ 32 หลอด	2.96A	612W
สวิทช์ที่ 5 หลอดไฟ 40 หลอด	3.67A	758W
สวิทช์ที่ 6 หลอดไฟ 48 หลอด	4.2A	846W

รูปที่ 3 การต่อมิเตอร์และชุดตรวจวัดค่าไฟฟ้า

จากรูปที่ 3 แสดงการติดตั้งชุดตรวจวัดค่าพลังงานไฟฟ้า ภายในห้องเรียน ชั้น 4 เหนือตำแหน่งของ Consumer Unit ภายในห้องเรียน โดยมีการต่อสาย Lan ไปยังห้องผู้ควบคุม บริเวณชั้น 1 ของอาคารเรียนรวม

รูปที่ 4 หลอดไฟแสงสว่างภายในห้อง

จากรูปที่ 4 โหลดแสงสว่างภายในห้องเรียน ที่ติดตั้งโคมแบบฝังฝ้า โดย 1 โคมจะมีสองหลอด LED T8 โดยมีสวิทช์ควบคุมที่หน้าห้องเรียน รูปที่ 5 แสดงไดอะแกรมการต่อสาย RS485 ของสมาร์ทมิเตอร์กับกล่องแปลงสัญญาณ RS485 to Ethernet ไปยังคอมพิวเตอร์ในห้องควบคุม

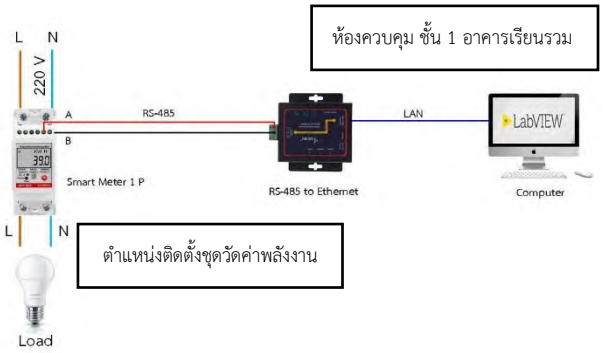

รูปที่ 5 การต่อสมาร์ทมิเตอร์และชุดตรวจวัดค่าไฟฟ้าน

2.2 การติดตั้งและเชื่อมต่ออุปกรณ์

จากรูปที่ 6 อุปกรณ์ที่ติดตั้งภายกล่องประกอบไปด้วย เบรกเกอร์ สมาร์ทมิเตอร์ และโมดูลแปลง RS485 to Ethernet(TCP/IP) โดยมี Switch หรือ Router ทำหน้าที่รับสัญญาณจากสาย Ethernet(Rj45) และส่งสัญญาณไปยังห้องควบคุม ที่ชั้น 1 อาคารเรียนรวม

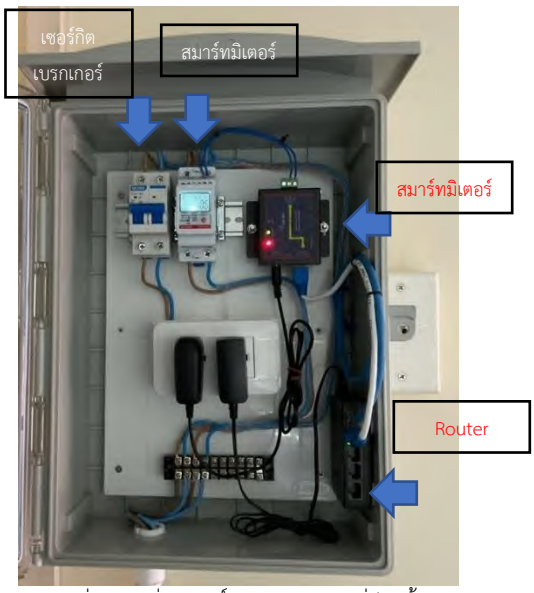

รูปที่ 6 การต่อมิเตอร์และชุดตรวจวัดค่าไฟฟ้า

การติดตั้งสมาร์ทมิเตอร์ในห้องเรียนต้นแบบที่มีการใช้งานอุปกรณ์ไฟฟ้า ได้แก่ หลอดไฟ LED จำนวน 48 หลอด และเต้ารับ 9 จุด ทำการเชื่อมต่อระบบไฟฟ้าให้ข้อมูลจากสมาร์ทมิเตอร์สามารถส่งผ่าน RS485 ไปยังโมดูลแปลงสัญญาณ และรับข้อมูลเข้าสู่คอมพิวเตอร์ผ่านโปรโตคอล TCP/IP

3. การทดลองและวิเคราะห์ผล

รูปที่ 7 ก. และ ข. แสดงการอ่านค่าแรงดันที่อ่านได้จากสมาร์ทมิเตอร์ ค่าที่อ่านได้ 234.6V และกระแสที่ใช้งาน 4.16A ขณะเปิดหลอดไฟ ใช้งาน

ที่ห้องเรียนทั้งหมด ส่วนหน้าจอของคอมพิวเตอร์แสดงผลที่ห้องควบคุม ดังรูปที่ 8 คือหน้าจอของโปรแกรมที่ได้ออกแบบไว้

ก. การอ่านค่าแรงดัน ข. การอ่านค่ากระแสไฟฟ้า

รูปที่ 7 การอ่านค่าจากสมาร์ทมิเตอร์

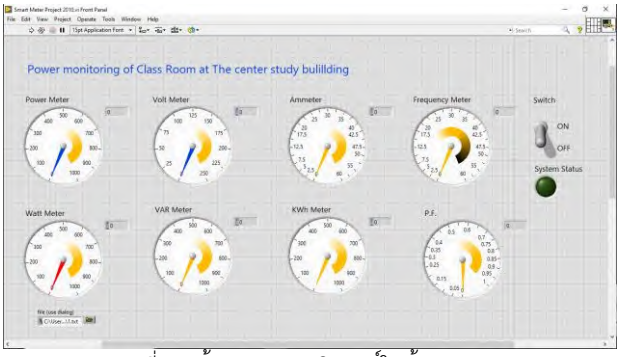

รูปที่ 8 หน้าจอของคอมพิวเตอร์ในห้องควบคุม

รูปที่ 8 แสดงเกจของการวัดค่าแรงดัน กำลังไฟฟ้า แรงดันความถี่ พลังงานและตัวประกอบกำลังในช่วงเวลาที่ทำการวัด

รูปที่ 9 กระแสไฟฟ้าที่ได้จากโปรแกรมมาทำการพล๊อตกราฟ

จากกราฟของรูปที่ 9 แสดงค่ากระแสไฟฟ้า ที่วัดได้จากการทดลองในเงื่อนไข “การเปิด-ปิดไฟฟ้า” จำนวน 12 ชุด พบว่าค่ากระแสมีแนวโน้มเปลี่ยนแปลงอย่างชัดเจน โดยในช่วงต้นของการทดลอง ค่ากระแสเริ่มต้นที่ระดับสูง คือ 3.37 แอมแปร์ จากการปิดสวิทช์ไป 1 ชุด หลังจากนั้น ก็ปิดสวิทช์ของหลอดไฟ ไปทีละสวิทช์เพื่อสังเกตุและอ่านค่ากระแสที่ได้จากการทดลอง พบว่ามีการลดลงอย่างต่อเนื่องจนกระทั่งถึงค่าต่ำสุดที่ 0.07 แอมแปร์ จากกราฟจะพบว่าเมื่อปิดสวิทช์ในห้องทั้งหมด กระแสที่วัดได้จะมีค่า 0.07A หลังจากนั้น ได้เปิดสวิทช์ทีละตัวขึ้นใหม่อีกครั้ง เริ่มตั้งแต่สวิทช์ที่ 1 - 6 ค่ากระแสมีการเพิ่มขึ้นและกลับขึ้นไปถึงค่าสูงสุดใหม่ที่ 4.2 แอมแปร์ในการเปิดสวิทช์ไฟครบทุกจุด การเปลี่ยนแปลงของค่ากระแสในลักษณะนี้เป็นข้อมูลสำคัญที่สามารถนำไปวิเคราะห์ เพื่อหาสาเหตุของการใช้ไฟฟ้าที่เพิ่มขึ้น หรือลดลงได้ ทำให้สามารถควบคุมการปิด เปิดของระบบไฟฟ้าที่ในสถานการณ์จริงได้อย่างเหมาะสม รูปที่ 10 แสดงค่ากำลังไฟฟ้าของโหลดในห้องเรียน ตามการปิด เปิด สวิทช์แต่ละจุดซึ่งแสดงค่ากำลังไฟฟ้าตามการใช้งานเช่น กำลังไฟฟ้าในห้องเรียนเมื่อหลอดไฟ สว่างทั้งหมดในห้อง พบว่ามีค่ากำลังไฟฟ้า 867 วัตต์ และเมื่อปิดสวิทช์ไฟจำนวน 1 ตัว พบว่ากำลังไฟฟ้าที่วัดได้ลงลงมาอ่านได้ 689 วัตต์ดังรูป โดยค่ากำลังไฟฟ้าที่ใช้งานลดลง อย่างต่อเนื่องตามการปิดจำนวนสวิทช์ลงตามลำดับ อย่างไรก็ดีพบว่าค่ากำลังไฟฟ้าก่อนและหลังปิดสวิทช์มีค่ากำลังไฟฟ้าที่แตกต่าง หรือคลาดเคลื่อนเล็กน้อย โดยมีร้อยละของความคลาดเคลื่อนของค่ากำลังไฟฟ้าที่ร้อยละ 10 ของโหลดเต็มพิกัด

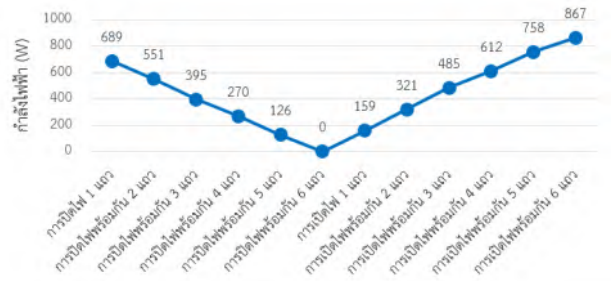

รูปที่ 10 กำลังไฟฟ้าที่ได้จากโปรแกรมมาทำการพล๊อตกราฟ

กราฟแสดงค่ากำลังไฟฟ้า ภายใต้เงื่อนไขการเปิด-ปิดไฟฟ้าจำนวน 12 ชุด พบว่าค่ากำลังไฟฟ้ามีการเปลี่ยนแปลงและลดลงตามการปิด เปิดสวิทช์ โดยเริ่มต้นที่ 689 วัตต์ในช่วงแรก (ปิดสวิทช์ไฟไป 1 สวิทช์) และมีการลดลง จนถึงค่าต่ำสุดที่ 0 วัตต์ ซึ่งแสดงว่าในช่วงเวลานี้ ห้องเรียนได้ถูกปิด สวิทช์แล้วเรียบร้อย ซึ่งหมายถึงไม่มีการเปิดหลอดไฟแสงสว่างทิ้งไว้ในช่วงที่ไม่มีการเรียน การสอน หรือไม่มีการใช้พลังงานเลย จากนั้นทดลองเปิดสวิทช์ 1 - 7 ขึ้นมาใหม่อีกครั้ง ทีละสวิทช์เพื่ออ่านค่ากำลังไฟฟ้าเก็บไว้วิเคราะห์ต่อไป โดยมีค่ากำลังไฟฟ้าสูงสุดที่ 867 วัตต์ จากข้อมูลที่ได้จัดเก็บนี้ สามารถบอกได้ว่าค่ากำลังไฟฟ้านี้ ค่าที่อ่านได้ 0W แสดงว่าเป็นช่วงที่มีการปิดอุปกรณ์หรือโหลดทั้งหมดแล้วเรียบร้อย หากในช่วงเวลาเที่ยงมีค่ากำลังไฟฟ้าเกิดขึ้น แสดงว่าอาจจะมีการลืมปิดสวิทช์ไฟฟ้า หรือมีการเข้าใช้ห้องเรียน โดยไม่ได้มีการแจ้งผู้เกี่ยวข้องทราบ ข้อมูลเหล่านี้มีประโยชน์ต่อการวิเคราะห์ประสิทธิภาพของระบบการจัดการพลังงาน หรือการควบคุมโหลดในอาคารหรือระบบไฟฟ้าเฉพาะทาง ซึ่งสามารถนำไปใช้ในการวางแผนลดการใช้พลังงานหรือเพิ่มความมั่นคงของระบบไฟฟ้าได้อย่างเหมาะสม

4. สรุป

การประยุกต์ใช้งานสมาร์ทมิเตอร์ร่วมกับโปรแกรม LabVIEW ในการวัดค่าพลังงานไฟฟ้าภายในอาคารเรียนรวม เพื่อลดระยะเวลาในการจดบันทึกหน่วยพลังงานไฟฟ้า ระบบที่สร้างขึ้นมานี้ สามารถวัดแรงดันไฟฟ้าแบบ 1 เฟส และแสดงผลข้อมูลระบบแสงสว่างของห้องเรียนผ่าน LabVIEW ได้แบบเรียลไทม์ พร้อมทั้งบันทึกข้อมูลในรูปแบบไฟล์ สำหรับใช้งานกับ Microsoft Excel โดยเปรียบเทียบความถูกต้องกับเครื่องมือวัดมาตรฐาน ผลการทดลองแสดงให้เห็นว่า ค่าแรงดัน (V) และค่ากระแส (A) จากสมาร์ทมิเตอร์มีค่าคลาดเคลื่อนน้อยและสามารถรับส่งข้อมูลผ่านเครือข่าย Ethernet (LAN) ได้ ระบบสามารถแสดงผลข้อมูลจำนวน 8 ค่า ได้แก่ พลังงาน (kWh), แรงดัน (V), กระแส (A), กำลังไฟฟ้า (W), ตัวประกอบกำลัง (P.F), ความถี่ (Hz), วันที่ และเวลา โดยมีอาการหน่วงเวลาระหว่างการประมวลผลเล็กน้อยซึ่งอยู่ในเกณฑ์ที่ยอมรับได้

5. ข้อเสนอแนะและการอภิปรายผล

เพื่อให้ระบบมีความยืดหยุ่นและใช้งานได้สะดวกยิ่งขึ้น ควรพัฒนาให้ระบบสามารถรับส่งข้อมูลจากสมาร์ทมิเตอร์ผ่านเครือข่ายไร้สาย ต่อกับระบบอินเตอร์เนท เพื่อให้สามารถเข้าถึงข้อมูลได้หลากหลายมากยิ่งขึ้น เพื่อลดข้อจำกัดเรื่องการเข้าถึงข้อมูลจากภายนอกได้ นอกจากนี้ การวางโครงข่ายไร้สายที่ครอบคลุมภายในอาคารจะช่วยรองรับการขยายจุดวัดพลังงานในแต่ละห้องเรียนได้อย่างมีประสิทธิภาพ หลีกเลี่ยงการเดินสายระบบอินเตอร์เนทจากระยะไกลๆได้ ทั้งนี้งานที่ต้องการพัฒนาต่อคือการแสดงผลแบบไร้สาย อินเตอร์เนททุกสรรพสิ่ง โดยการใช้การบันทึกข้อมูลผ่าน Influxdb แสดงผลด้วย Grafana หรือ Google Dashboard

ข้อมูลที่ได้จากหน้าจอคอมพิวเตอร์ ที่ห้องควบคุมระบบไฟฟ้า ทำให้เจ้าหน้าที่ตรวจสอบได้ว่า ห้องเรียนมีการเปิดไฟแสงสว่างโดยไม่จำเป็นหรือไม่ และเปิดไว้จำนวนกี่หลอด โดยพิจารณาจากค่ากระไฟฟ้า หรือกำลังไฟฟ้าที่จัดเก็บไว้เป็นฐานข้อมูลได้ว่า มีการเปิดหลอดไฟ ไว้จำนวนกี่หลอด กี่แถว หรือเปิดแสงสว่างไว้ทั้งห้อง ข้อมูลมีความสำคัญในการพิจารณาออกนโยบาย ในการจัดการพลังงานไฟฟ้าในอาคารเรียนรวมได้อย่างมีประสิทธิภาพ

6. กิตติกรรมประกาศ

คณะผู้ทำงานขอขอบคุณ งานอาคารสถานที่และยานพาหนะ คณะวิศวกรรมศาสตร์ มหาวิทยาลัยเทคโนโลยีราชมงคลธัญบุรี สนับสนุนอุปกรณ์และสถานที่ในการจัดเก็บข้อมูล ขอขอบคุณนักศึกษา ผู้เกี่ยวข้องทุกท่านที่ทำให้บทความฉบับนี้ สำเร็จไปได้ด้วยดี

เอกสารอ้างอิง

[1] B. K. Barman, S. N. Yadav, S. Kumar and S. Gope, "IOT Based Smart Energy Meter for Efficient Energy Utilization in Smart Grid," 2018 2nd International Conference on Power, Energy and Environment: Towards Smart Technology (ICEPE), Shillong, India, 2018, pp. 1-5, doi: 10.1109/EPETSG.2018.8658501

[2] E. Rodriguez-Diaz, E. J. Palacios-Garcia, M. Savaghebi, J. C. Vasquez, J. M. Guerrero and A. Moreno-Munoz, "Advanced smart metering infrastructure for future smart homes," 2015 IEEE 5th International Conference on Consumer Electronics - Berlin (ICCE-Berlin), Berlin, Germany, 2015, pp. 29-31, doi: 10.1109/ICCE-Berlin.2015.7391260

[3] S. Kumar, K. Suneetha and A. Gill, "Utilization of IoT and Smart Meters for Energy Management," 2023 International Conference on Power Energy, Environment & Intelligent Control (PEEIC), Greater Noida, India, 2023, pp. 1254-1258, doi: 10.1109/PEEIC59336.2023.10450474

[4] G. Mehta, R. Khanam and V. K. Yadav, "A Novel IoT based Smart Energy Meter for Residential Energy Management in Smart Grid Infrastructure," 2021 8th International Conference on Signal Processing and Integrated Networks (SPIN), Noida, India, 2021, pp. 47-52, doi: 10.1109/SPIN52536.2021.9566032

[5] S. P, R. G, S. K, S. R., D. R and L. P, "Intrusive Energy Management with advanced smart metering and monitoring using IoT," 2022 4th International Conference on Inventive Research in Computing Applications (ICIRCA), Coimbatore, India, 2022, pp. 359-364, doi: 10.1109/ICI

วงจรแปลงผันไฟฟ้ากระแสสลับเป็นกระแสสลับหนึ่งเฟสปรับค่าได้ด้วยบอร์ดไมโครคอนโทรลเลอร์

Adjustable Single-Phase AC to AC Converter Using Microcontroller Board

พูนศรี วรรณการ[1] บูรพา มหธนานุวัติพันธ์[1] อินทัช ฉันทสัมพันธ์[1] ภิญโญ อึ้งยุทธ[1]
สาคร วุฒิพัฒนพันธุ์[1] และนัฐโชติ รักไทยเจริญชีพ[1*]
[1]สาขาวิชาวิศวกรรมไฟฟ้า คณะวิศวกรรมศาสตร์ มหาวิทยาลัยเทคโนโลยีราชมงคลพระนคร
nattachote.r@rmutp.ac.th*

บทคัดย่อ

บทความนี้นำเสนอวงจรแปลงผันไฟฟ้ากระแสสลับเป็นกระแสสลับหนึ่งเฟสปรับค่าได้ด้วยบอร์ดไมโครคอนโทรลเลอร์ สร้างขึ้นด้วยหลักการปรับมุมจุดชนวนของอุปกรณ์ไทริสเตอร์ซึ่งงานนี้เลือกใช้ชนิดไตรแอคโดยใช้บอร์ดไมโครคอนโทรลเลอร์ Arduino UNO R3 เป็นตัวควบคุม โดยปกติชุดควบคุมจะติดตั้งในพื้นที่เดียวกับวงจรแปลงผันไฟฟ้ากระแสสลับเป็นกระแสสลับหนึ่งเฟสหรือเรียกว่าคอนเวอร์เตอร์ แต่ในงานวิจัยนี้ชุดควบคุมสามารถติดตั้งคนละพื้นที่กับคอนเวอร์เตอร์ได้โดยใช้วงจรรับสัญญาณจากชุดควบคุมเพื่อไปปรับมุมจุดชนวนของไทริสเตอร์ในคอนเวอร์เตอร์ เมื่อสร้างคอนเวอร์เตอร์เสร็จแล้วจะทำการทดลองความแม่นยำของชุดควบคุมได้ผลการทดลองเป็นที่น่าพอใจ

คำสำคัญ : วงจรแปลงผันไฟฟ้ากระแสสลับเป็นกระแสสลับหนึ่งเฟส, Arduino UNO R3, ไตรแอค

Abstract

This paper presents the construction of a single-phase AC-AC converter that is adjustable using a microcontroller board. It is built on the principle of adjusting the trigger angle of the thyristor device, which the TRIAC is chosen for this work, and using the Arduino UNO R3 microcontroller board as a controller. The control unit is usually installed in the same area as the single-phase AC to AC converter, also known as a converter. In this work, the controller can be installed in a different area from the converter by using the signal receiving circuit from the controller to adjust the trigger angle of the Thyristor in the converter. Once the converter is completed, the control unit accuracy. The experimental results were found to be satisfactory.

Keywords: Single-phase AC to AC converter, Arduino UNO R3, TRIAC

1. บทนำ

ในปัจจุบันระบบไฟฟ้ากระแสสลับถือเป็นแหล่งพลังงานหลักที่ถูกใช้งานอย่างแพร่หลาย ไม่ว่าจะเป็นภาคอุตสาหกรรม ภาคเกษตรกรรม หรือภาคครัวเรือน อุปกรณ์ไฟฟ้าหลากหลายประเภทมีข้อกำหนดของแรงดันไฟฟ้าและความถี่ที่แตกต่างกันเพื่อให้สามารถทำงานได้อย่างมีประสิทธิภาพและปลอดภัย อย่างไรก็ตาม การควบคุมและปรับค่าแรงดันหรือความถี่ของไฟฟ้ากระแสสลับในระบบปัจจุบันยังคงมีข้อจำกัดอยู่มาก หนึ่งในปัญหาหลักที่พบคือ ระบบการควบคุมแรงดันไฟฟ้าและความถี่แบบดั้งเดิมต้องอาศัยการปรับค่าผ่านตัวเครื่องโดยตรง หรือใช้ระบบควบคุมอัตโนมัติที่มีราคาสูงและมีความซับซ้อนสูง ซึ่งอาจไม่สะดวกสำหรับผู้ใช้งานทั่วไป นอกจากนี้ ในภาคอุตสาหกรรมที่มีการใช้มอเตอร์ไฟฟ้า เครื่องกลไฟฟ้า หรือระบบควบคุมที่ต้องการแรงดันและความถี่ที่เหมาะสม [1,2] ระบบที่สามารถปรับค่าจากระยะไกลได้จะช่วยลดภาระงาน ลดความผิดพลาด และเพิ่มประสิทธิภาพในการดำเนินงาน นอกจากนี้มอเตอร์เหนี่ยวนำหนึ่งเฟสยังได้รับความนิยมเนื่องจากโครงสร้างที่เรียบง่าย มีความทนทาน และต้นทุนต่ำ [1]-[3]

งานวิจัยนี้มุ่งเน้นไปที่การพัฒนา วงจรแปลงผันไฟฟ้ากระแสสลับเป็นกระแสสลับหนึ่งเฟสปรับค่าได้ควบคุมด้วยบอร์ด Arduino Uno R3 ควบคุมไตรแอค และใช้ Zero Crossing Detection (ZCD) เพื่อกำหนดมุมเฟสของสัญญาณไฟฟ้า การออกแบบระบบนี้จะช่วยให้สามารถปรับระดับแรงดันไฟฟ้าได้อย่างแม่นยำผ่าน Serial Monitor หรือสื่อสารผ่านเครือข่ายจากระยะไกล ซึ่งเหมาะสำหรับงานที่ต้องการควบคุมพลังงานไฟฟ้าแบบไดนามิก เช่น การควบคุมความสว่างของหลอดไฟ การควบคุมความเร็วพัดลม หรือการควบคุมโหลดไฟฟ้าในอุตสาหกรรม การนำระบบควบคุมจากระยะไกลมาใช้จะช่วยเพิ่มความสะดวก ซึ่งเป็นแนวทางหนึ่งในการพัฒนาเทคโนโลยีด้านการจัดการพลังงานไฟฟ้า

โดยงานวิจัยนี้ได้พัฒนาวงจรแปลงผันไฟฟ้ากระแสสลับเป็นกระแสสลับหนึ่งเฟสปรับค่าได้ควบคุมด้วยบอร์ดไมโครคอนโทรลเลอร์โดยสามารถควบคุมผ่านอินเทอร์เน็ตหรือเครือข่ายไร้สาย มีวัตถุประสงค์เพื่อเพิ่มความยืดหยุ่นและช่วยเพิ่มความปลอดภัยในการใช้งานไฟฟ้า

*นัฐโชติ รักไทยเจริญชีพ; nattachote.r@rmutp.ac.th

2. วงจรแปลงผันกำลังไฟฟ้ากระแสสลับหนึ่งเฟส

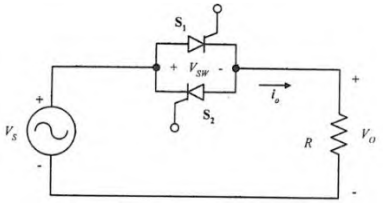

รูปที่ 1 วงจรเรียงกระแสหนึ่งเฟสเต็มคลื่นแบบควบคุมเฟส

วงจรแปลงผันกำลังไฟฟ้ากระแสสลับเป็นกระแสสลับหนึ่งเฟส มีวงจรการทำงานเบื้องต้นดังแสดงในรูปที่ 1 โดยใช้ไทริสเตอร์ต่อขนานและกลับทิศกัน ซึ่งมีหลักการคล้ายกับการควบคุมวงจรเรียงกระแสไฟฟ้าซึ่งควบคุมได้แค่ครึ่งไซเคิลบวก แต่วงจรนี้สามารถควบคุมได้ทั้งครึ่งไซเคิลบวกและครึ่งไซเคิลลบ โดยมีขั้นตอนการทำงานและข้อสังเกตดังนี้

2.1) ไทริสเตอร์ทั้งสองตัวจะต้องไม่ทำงานพร้อมกัน

2.2) แรงดันไฟฟ้าตกคร่อมโหลดจะเหมือนกับแรงดันไฟฟ้าที่แหล่งจ่ายเมื่อไทริสเตอร์แต่ละตัวนำกระแสที่มุม 0 องศา ทำให้แรงดันไฟฟ้าตกคร่อมไทริสเตอร์มีค่าเป็นศูนย์

2.3) แรงดันไฟฟ้าตกคร่อมไทริสเตอร์จะใกล้ศูนย์ เมื่อไทริสเตอร์ตัวใดตัวหนึ่งนำกระแสไฟฟ้า แรงดันไฟฟ้าตกคร่อมไทริสเตอร์เท่ากับแรงดันไฟฟ้าที่แหล่งจ่ายเมื่อไทริสเตอร์ทั้งสองตัวไม่นำกระแส

2.4) กระแสไฟฟ้าเฉลี่ยที่แหล่งจ่ายและโหลดจะมีค่าเป็นศูนย์ เมื่อไทริสเตอร์มีช่วงเวลาการนำกระแสไฟฟ้าเท่ากัน แต่กระแสไฟฟ้าเฉลี่ยของไทริสเตอร์แต่ละตัวจะไม่เท่ากัน เพราะไทริสเตอร์แต่ละตัวจะนำกระแสไฟฟ้าในช่วงบวก และอีกตัวหนึ่งจะนำกระแสในช่วงลบของแหล่งจ่าย

2.5) กรณีที่ไทริสเตอร์ทั้งสองตัวมีเวลานำกระแสไฟฟ้าเท่ากัน ค่ารากกำลังสองเฉลี่ยกระแสไฟฟ้าของไทริสเตอร์แต่ละตัวจะมีค่าเป็น $1/\sqrt{2}$ เท่าของค่ารากกำลังสองเฉลี่ยของกระแสโหลด

ในวงจรรูปที่ 1 ไทริสเตอร์ S_1 จะนำกระแสเมื่อมีการจ่ายกระแสเกตในช่วงครึ่งบวกของแหล่งจ่าย ไทริสเตอร์ S_1 จะนำกระแสจนกระทั่งกระแสลดลงเป็นศูนย์ ช่วงนี้แรงดันโหลดจะเป็นบวก ส่วนไทริสเตอร์ S_2 จะนำกระแสเมื่อมีการจ่ายกระแสเกตในช่วงครึ่งลบของแหล่งจ่าย ช่วงนี้แรงดันโหลดจะเป็นลบ [4]

3. หลักการและการออกแบบ

การออกแบบในงานวิจัยนี้คือเพื่อสร้างวงจรควบคุมแรงดันไฟฟ้ากระแสสลับ ที่สามารถปรับค่าแรงดันได้ตามต้องการโดยใช้หลักการหน่วงมุมเฟส (Phase Angle Control) ผ่านไตรแอค แบบ back-to-back ดังแสดงในรูปที่ 2 และรูปที่ 3 เพื่อควบคุมพลังงานที่จ่ายไปยังโหลดอย่างแม่นยำ โดยระบบจะสามารถควบคุมได้จากระยะไกลผ่านวงจรควบคุมแยกต่างหาก ซึ่งเหมาะกับงานที่ต้องการควบคุมโหลดไฟฟ้าแบบยืดหยุ่น เช่น ระบบให้ความร้อน หรือมอเตอร์ไฟฟ้า

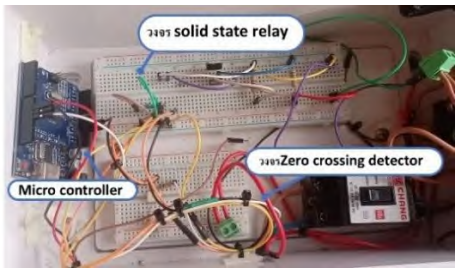

รูปที่ 2 วงจรแปลงผันไฟฟ้ากระแสสลับเป็นกระแสสลับหนึ่งเฟสแบบปรับค่าได้ควบคุมด้วยบอร์ดไมโครคอนโทรลเลอร์

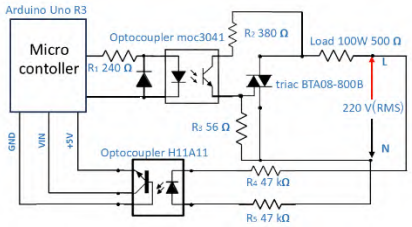

รูปที่ 3 ผังภาพวงจรแปลงผันไฟฟ้ากระแสสลับเป็นกระแสสลับหนึ่งเฟสแบบปรับค่าได้ควบคุมด้วยบอร์ดไมโครคอนโทรลเลอร์

3.1 โครงสร้างโดยรวม

ในการออกแบบวงจรจริงเลือกใช้ Solid State Relay (SSR) แบบ Random turn-on เนื่องจาก SSR แบบ Zero Crossing แม้จะมีคุณสมบัติเปิด–ปิดที่ตำแหน่งคร่อมศูนย์ของสัญญาณ AC (Zero Voltage Switching) แต่มีวงจรตรวจจับศูนย์ในตัว จึงไม่สามารถเขียนโค้ดสั่งการจากไมโครคอนโทรลเลอร์ได้ ดังนั้นจึงเลือกใช้แบบ Random turn-on และเพิ่มวงจร Zero Crossing Detector (ZCD) เพื่อให้ไมโครคอนโทรลเลอร์ตรวจจับสัญญาณ AC ที่ตำแหน่งคร่อมศูนย์ได้โดยลดสัญญาณรบกวน (EMI) และลดความเครียดต่อโหลด โดยเฉพาะโหลดความต้านทานต่ำ ข้อมูลที่ได้ใช้สำหรับการหน่วงเวลา (Delay) เพื่อกระตุ้น SSR ในฝั่งควบคุม โดยไมโครคอนโทรลเลอร์สามารถตรวจจับสัญญาณ ZCD ได้แม่นยำ สร้างสัญญาณ Trigger ที่หน่วงเวลาตามต้องการ และยังรองรับการเชื่อมต่อไร้สายเพื่อควบคุมระยะไกลในระบบอัตโนมัติ

3.2 หลักการควบคุมแรงดันด้วยการหน่วงเฟส (Phase Angle Control)

การควบคุมแรงดันทำโดยการหน่วงการส่งสัญญาณกระตุ้น (Gate Trigger) ไปยัง SSR หรือไตรแอค หลังจากผ่านจุด Zero Crossing ในแต่ละครึ่งรอบของสัญญาณ AC เมื่อวงจร Zero Crossing Detector ตรวจจับตำแหน่งศูนย์ได้ จะส่งสัญญาณให้ไมโครคอนโทรลเลอร์เริ่มนับเวลาจากนั้นหน่วงตามค่าที่ผู้ใช้กำหนด (0–135°) ก่อนส่ง Trigger ไปยังอุปกรณ์สวิตช์ ค่าหน่วงนี้ปรับได้แบบเรียลไทม์เพื่อควบคุมพลังงานเฉลี่ยที่โหลดได้รับ ตัวอย่างเช่น หน่วงที่ 90° จะทำให้โหลดได้รับพลังงานเพียงครึ่งหนึ่งของรอบสัญญาณ การทดลองได้ทดสอบค่าหน่วงหลายระดับเพื่อตรวจสอบผลต่อแรงดันเอาต์พุตซึ่งในเชิงทฤษฎี ค่าแรงดัน RMS ของโหลดเมื่อควบคุมด้วยมุมจุดชนวน α สามารถคำนวณได้จากสมการ (1)

*นัฐโชติ รักไทยเจริญชีพ; nattachote.r@rmutp.ac.th

$$Vrms(\alpha) = Vin,rms\sqrt{1-\frac{\alpha}{\pi}+\frac{\sin(2\alpha)}{2\pi}} \quad (1)$$

เมื่อ

$Vrms(\alpha)$	คือ	ค่าแรงดัน RMS ที่โหลด (Volt)
Vin,rms	คือ	ค่าแรงดัน RMS ของอินพุต (Volt)
α	คือ	มุมจุดชนวน (radian) โดยที่ $0 \leq \alpha \leq \pi$
π	คือ	ค่าคงที่ทางคณิตศาสตร์ ≈ 3.1416

โดยสมการนี้อธิบายความสัมพันธ์โดยตรงระหว่างมุมหน่วงเฟสกับค่าแรงดันที่โหลด และใช้เป็นพื้นฐานในการเปรียบเทียบกับผลการทดลอง ทั้งนี้การนิยามและวิเคราะห์ความสัมพันธ์ดังกล่าวอ้างอิงจากงานของ Mohan, Undeland และ Robbins [5] ที่ใช้การวิเคราะห์เฟสเพื่อเชื่อมโยงระหว่างมุมเฟสกับปริมาณไฟฟ้าในระบบควบคุม

3.3 การสื่อสารและควบคุมระยะไกล

ระบบควบคุมระยะไกลทำงานผ่านการสื่อสารไร้สาย โดยใช้โมดูล Bluetooth เชื่อมกับบอร์ด Arduino UNO R3 เพื่อรับค่ามุมเฟส (θ) จากผู้ใช้ผ่าน Serial Monitor หรือแอปพลิเคชันบนสมาร์ทโฟน จากนั้นแปลงเป็นเวลาหน่วง (Delay Time) ก่อนสั่งงาน Solid State Relay (SSR) หรือไตรแอค เมื่อวงจรตรวจจับ Zero Crossing ส่งสัญญาณถึงไมโครคอนโทรลเลอร์ จะเริ่มนับเวลาและหน่วงตามค่าที่ผู้ใช้กำหนด (0–135°) ก่อนส่ง Trigger ไปยัง SSR เพื่อควบคุมมุมการจุดชนวน (trigger angle) ของอุปกรณ์ โดยค่าหน่วงเวลานี้สัมพันธ์กับมุมเฟสที่ต้องการหน่วง ซึ่งสามารถคำนวณได้จากความสัมพันธ์เชิงเส้นระหว่างมุมเฟส (องศา) และคาบของสัญญาณ AC ตามสมการ (2)

$$t = \frac{\theta}{360} \times T \quad (2)$$

เมื่อ

t	คือ	เวลาที่ใช้หน่วง (s)
θ	คือ	มุมเฟสที่ต้องการหน่วงเวลา (องศา)
T	คือ	คาบของสัญญาณ AC หนึ่งรอบ (s)

จากการนิยามความยาวเชิงไฟฟ้า (electrical length) ในรูปของมุมเฟส (θ) และพิจารณาความสัมพันธ์ระหว่างเวลาในหนึ่งคาบ (360°) ของรูปคลื่นซายน์ ตามหลักการที่กล่าวไว้ในงานของ Mohan, Glad และ Ljung [5]-[7] ที่ใช้การวิเคราะห์เฟสเพื่อคำนวณเวลาในระบบควบคุม โดยแสดงให้เห็นว่าความสัมพันธ์ระหว่างเฟสกับเวลาเป็นสัดส่วนเชิงเส้น ดังนั้นเมื่อกำหนดมุมเฟส (θ) ที่ต้องการหน่วง เพื่อใช้กระตุ้นวงจรไตรแอคให้ทำงานตามมุมหน่วงเฟสที่ออกแบบไว้

4. ผลการทดลอง

ทำการทดลองวัดค่าแรงดันที่โหลดและรูปคลื่นของแรงดันที่โหลด ขณะปรับค่ามุมจุดชนวนที่ 0 องศา, 45 องศา, 90 องศา และ 135 องศา โดยใช้โหลดเป็นตัวต้านทานขนาด 100 วัตต์ ซึ่งค่าความต้านทานสามารถคำนวณได้จากกฎของโอห์มและนิยามกำลังไฟฟ้า โดยใช้ค่าแรงดันและกำลังที่กำหนดของโหลดจะได้ผลดังแสดงไว้ในตารางที่ 1

ตารางที่ 1 แสดงค่าแรงดันที่โหลดและรูปคลื่นของแรงดันที่โหลด ขณะปรับค่ามุมจุดชนวนที่มุมต่าง ๆ

มุมจุดชนวน (องศา)	ค่าแรงดันที่โหลด (V_{rms})	รูปคลื่นแรงดันที่โหลด(V_{rms})
0	218 V	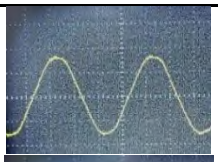
45	163 V	
90	108 V	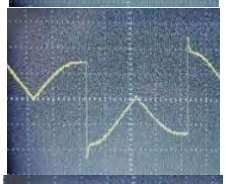
135	53 V	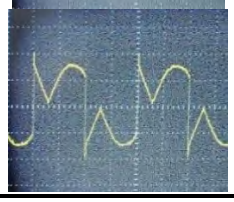

จากการใช้มุมจุดชนวนที่ 0 องศา, 45 องศา, 90 องศา และ 135 องศา พบว่าค่าแรงดันที่โหลดและรูปคลื่นที่โหลดมีการเปลี่ยนแปลงดังนี้ เมื่อมุมจุดชนวนที่ 0 องศา รูปคลื่นแรงดันมีลักษณะเป็นคลื่นไซน์สมบูรณ์ ไม่มีการตัดช่วงของคลื่น ส่งผลให้แรงดันรากกำลังสองเฉลี่ย (Vrms) และกำลังไฟฟ้าเฉลี่ย (P) มีค่าสูงสุด ที่มุมจุดชนวน 45 องศา รูปคลื่นแรงดันเริ่มถูกตัดออกในช่วงต้นของแต่ละครึ่งรอบ ส่งผลให้รูปคลื่นมีลักษณะขาดห้วง และแรงดันเฉลี่ยที่โหลดลดลงอย่างเห็นได้ชัด เมื่อเพิ่มมุมจุดชนวนเป็น 90 องศา พบว่ารูปคลื่นเริ่มนำกระแสเฉพาะครึ่งหลังของแต่ละครึ่งรอบ โดยแต่ละครึ่งไซเคิลจะเริ่มที่ตำแหน่งจุดสูงสุดของความชัน ส่งผลให้แรงดัน RMS ที่โหลดลดลงมากขึ้น ที่มุมจุดชนวน 135 องศา ช่วงเวลาที่ไตรแอกนำกระแสสั้นที่สุดในรอบไซเคิล ทำให้แรงดันที่จ่ายให้โหลดมีลักษณะเป็นพัลส์แคบ ๆ รูปคลื่นแหว่งมากที่สุด และค่าแรงดัน RMS ต่ำสุดในบรรดาทั้งหมด ลักษณะของรูปคลื่นแรงดันในแต่ละมุมจุดชนวนดังกล่าวสอดคล้องกับทฤษฎีการควบคุมมุมเฟส โดยพบว่าเมื่อมุมจุดชนวนเพิ่มขึ้น รูปคลื่นจะถูกตัดช่วงมากขึ้น พื้นที่ใต้กราฟลดลง ซึ่งสัมพันธ์โดยตรงกับการลดลงของพลังงานไฟฟ้าที่ส่งไปยังโหลด ผลการทดลองนี้ได้นำค่าแรงดันที่วัดได้ในแต่ละมุมมาเปรียบเทียบกับค่าที่ได้จากการคำนวณทางทฤษฎี โดยแสดงในตารางที่ 2 และรูปที่ 4 ซึ่งแสดงความสัมพันธ์ของค่าแรงดันกับมุมจุดชนวนในรูปแบบกราฟ เพื่อช่วยให้เห็นแนวโน้มการเปลี่ยนแปลงได้อย่างชัดเจน

*นัฐโชติ รักไทยเจริญชีพ; nattachote.r@rmutp.ac.th

ตารางที่ 2 เปรียบเทียบค่าแรงดันที่โหลดระหว่างค่าที่ได้จากการทดลองและค่าที่ได้จากการคำนวณ เมื่อเปลี่ยนมุมจุดชนวนที่มุมต่าง ๆ

มุมจุดชนวน (องศา)	ผลการทดลอง (V_{rms})	ผลการคำนวณ (V_{rms})	เปอร์เซ็นต์ผิดพลาด (%)
0	218	220	0.91
45	163	165	1.21
90	108	110	1.82
135	53	55	1.89

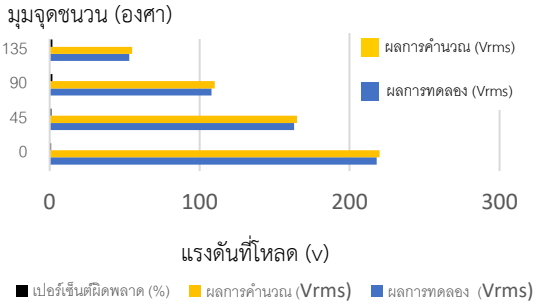

รูปที่ 4 กราฟแรงดันจากการทดลองและค่าที่คำนวณ

จากผลในตารางที่ 2 และรูปที่ 4 แสดงให้เห็นว่าค่าแรงดันที่โหลดจากการทดลองและจากการคำนวณมีความแตกต่างกันเล็กน้อย โดยสาเหตุของความคลาดเคลื่อนเช่น คอนเวอร์เตอร์ที่สร้างขึ้นมานั้นไม่สามารถหน่วงเวลาได้ถูกต้องตามทฤษฎีได้อย่างแม่นยำ ทั้งนี้ขึ้นอยู่กับคุณสมบัติของบอร์ดควบคุมที่เลือกใช้ หรือ อาจไม่ได้ใช้วงจรกรองความถี่ แต่ทั้งนี้ค่าแรงดันโหลดที่ได้จากการทดลองอยู่ในเกณฑ์ที่ยอมรับได้ ซึ่งสามารถนำไปใช้งานได้จริง ดังนั้นการเลือกใช้อุปกรณ์ต่าง ๆ ในวงจรที่มีความแม่นยำสูง จะช่วยลดปัจจัยที่ทำให้เกิดข้อผิดพลาด และทำให้การทดลองได้ผลลัพธ์ที่ถูกต้องและสอดคล้องกับผลลัพธ์ทางทฤษฎีมากขึ้น

5. สรุปผล

งานวิจัยนี้ได้ศึกษาและสร้างวงจรแปลงผันไฟฟ้ากระแสสลับเป็นกระแสสลับหนึ่งเฟสที่สามารถปรับค่ามุมจุดชนวนได้ โดยใช้ไตรแอคเป็นอุปกรณ์สวิตช์ และควบคุมมุมจุดชนวนด้วยบอร์ดไมโครคอนโทรลเลอร์ Arduino UNO R3 เพื่อให้ไตรแอคทำงานได้ทั้งช่วงครึ่งบวกและครึ่งลบของแรงดันไฟฟ้ากระแสสลับ

จุดเด่นของงานวิจัยนี้คือการแยกชุดควบคุมและชุดกำลังให้อยู่ต่างพื้นที่กัน โดยไมโครคอนโทรลเลอร์จะรับสัญญาณจากชุดรับสัญญาณซึ่งเชื่อมต่อกับชุดควบคุมที่อยู่ในพื้นที่ห่างออกไป ทำให้สามารถควบคุมการจุดชนวนของไตรแอคจากระยะไกลได้ จากการทดลองปรับมุมจุดชนวน 4 ค่า ได้แก่ 0°, 45°, 90° และ 135° โดยใช้โหลดตัวต้านทานขนาด 100 วัตต์ พบว่ารูปคลื่นแรงดันที่โหลดสอดคล้องกับทฤษฎี และค่าแรงดันมีความคลาดเคลื่อนเพียงเล็กน้อย อยู่ในเกณฑ์ที่ยอมรับได้ ดังนั้น วงจรแปลงผันที่พัฒนาขึ้นนี้สามารถนำไปใช้งานจริงในกรณีโหลดเป็นชนิดตัวต้านทาน และยังสามารถต่อยอดไปสู่การควบคุมโหลดชนิดอื่น เช่น มอเตอร์เหนี่ยวนำ หรือโหลดอิมพีแดนซ์ผสม รวมถึงการขยายไปสู่ระบบไฟฟ้ากระแสสลับสามเฟสที่ควบคุมจากระยะไกล เพื่อรองรับการใช้งานในระดับอุตสาหกรรม

นอกจากนี้ ยังสามารถพัฒนาเพิ่มเติมในด้านการเพิ่มความละเอียดของการควบคุมมุมจุดชนวน การสร้างอินเทอร์เฟซผู้ใช้แบบกราฟิก และการออกแบบระบบป้องกันความผิดปกติ เพื่อให้ระบบมีความเสถียรและปลอดภัยมากยิ่งขึ้นในเชิงวิศวกรรม

6. กิตติกรรมประกาศ

คณะผู้วิจัยขอขอบคุณสาขาวิชาวิศวกรรมไฟฟ้า คณะวิศวกรรมศาสตร์ มหาวิทยาลัยเทคโนโลยีราชมงคลพระนครที่สนับสนุนการทำวิจัยนี้จนสำเร็จลุล่วงไปได้ด้วยดี

เอกสารอ้างอิง

[1] G. Kamalapur, S. Shivaleela, M. S. Aspalli, and S. B. Siddaling, "A Single Phase AC-AC Converter with Extinction Angle Control for Single Phase AC Motor," in Proc. 2022 2nd Int. Conf. on Power Electronics & IoT Applications in Renewable Energy and Its Control (PARC), Mathura, India, Jan. 2022, pp. 1-4.

[2] N. Ashraf, G. Abbas, N. Ullah, S. A. Otaibi, A. Althobaiti, M. Zubair and U. F. Ashraf, “A Bipolar Voltage Gain Boost AC-AC Converter Based on Four Switching Transistors.” Applied Sciences, Vol.11, Issue 21, 2021, pp. 1-16.

[3] S. P. Biswas, Md. S. Uddin, Md. R. Islam, S. Mondal and J. Nath, “A Direct Single-Phase to Three-Phase AC/AC Power Converter.” Electronics, Vol.11, Issue 24, 2022, pp. 1-28.

[4] วีระเชษฐ์ ขันเงิน และ วุฒิพล ธาราธีรเศรษฐ์, อิเล็กทรอนิกส์กำลัง. กรุงเทพฯ: คณะวิศวกรรมศาสตร์ สถาบันเทคโนโลยีพระจอมเกล้าเจ้าคุณทหารลาดกระบัง. พิมพ์ครั้งที่ 14. กรุงเทพฯ: วี.เจ. พริ้นติ้ง, 2557.

[5] N. Mohan, T. M. Undeland, and W. P. Robbins, Power Electronics: Converters, Applications, and Design, 3rd ed. Hoboken, NJ: Wiley, 2003.

[6] T. Glad and L. Ljung, Control Theory: Multivariable and Nonlinear Methods. New York: Taylor & Francis, 2000.

[7] S. Björklund and L. Ljung, “An improved phase method for time-delay estimation,” Automatica, Vol.45, Issue 10, 2009, pp.2467-2470.

*นัฐโชติ รักไทยเจริญชีพ; nattachote.r@rmutp.ac.th

การประเมินประสิทธิภาพของโมเดลการเรียนรู้ของเครื่องแบบจำแนกประเภทการทำงานของระบบปรับอากาศในโรงเรือนระบบปิด

Performance Evaluation of Classification-Based Machine Learning Models for Air Conditioning Operation in a Closed-System Greenhouse

มาชิดา แดงแสละ[1] ดุจดาว บูรณพาณิชย์กิจ[1] อภิเดช บูรณวงศ์[1] เกียรติศักดิ์ เส้งช่วย[1]และ ณัฏฐา จินดาเพ็ชร์[2]*

[1]สาขาวิชาวิศวกรรมไฟฟ้าและชีวการแพทย์ คณะวิศวกรรมศาสตร์ มหาวิทยาลัยสงขลานครินทร์ 6610120007@email.psu.ac.th
dujdow.b@psu.ac.th bapidet@eng.psu.ac.th kiattisak.se@psu.ac.th
[2]สาขาวิชาวิศวกรรมไฟฟ้าและชีวการแพทย์ คณะวิศวกรรมศาสตร์ มหาวิทยาลัยสงขลานครินทร์ nattha.s@psu.ac.th*

บทคัดย่อ

งานวิจัยนี้นำเสนอการใช้โมเดลการเรียนรู้ของเครื่องสำหรับจำแนกการทำงานของระบบปรับอากาศในโรงเรือนระบบปิดภายใต้สภาพอากาศร้อนชื้น โดยจำแนกการทำงานออกเป็น 7 กรณีตามการเปิด–ปิดในแต่ละชั่วโมง ข้อมูลถูกเก็บจากระบบ IoT ในโรงเรือนต้นแบบ (3.0 × 2.4 × 3.0 เมตร) ทั้งอุณหภูมิ ความชื้น ภายใน–ภายนอก และพารามิเตอร์ทางไฟฟ้า จากนั้นพัฒนาแบบจำลองด้วย Quadratic SVM (QSVM), Cubic SVM (CSVM) และ Bagged Trees (BT) ผลการทดสอบพบว่า QSVM และ BT ให้ความแม่นยำสูงสุด 98.46% และ RMSE 0.2481 ขณะที่ CSVM มีความแม่นยำ 96.92% และ RMSE 0.3508 นอกจากนี้การประเมินเพิ่มเติมด้วย Precision, Recall, F1-score และ ROC–AUC ยืนยันว่า QSVM และ BT มีประสิทธิภาพเด่น เหมาะสำหรับการประยุกต์ในระบบเกษตรอัจฉริยะ

คำสำคัญ: โรงเรือนระบบปิด, การเรียนรู้ของเครื่องแบบการจำแนกประเภท, เกษตรอัจฉริยะ

Abstract

This study presents the application of machine learning models to classify air conditioning operations in a closed greenhouse under tropical climate conditions. The system was categorized into seven operation modes based on hourly on–off status. Data were collected from an IoT-based prototype greenhouse (3.0 × 2.4 × 3.0 m), including indoor–outdoor temperature, humidity, and electrical parameters. Three models—Quadratic SVM (QSVM), Cubic SVM (CSVM), and Bagged Trees (BT)—were developed and evaluated. Results showed that QSVM and BT achieved the highest accuracy of 98.46% with an RMSE of 0.2481, while CSVM achieved 96.92% accuracy with an RMSE of 0.3508. Additional evaluation using Precision, Recall, F1 - score, and ROC–AUC confirmed the superior performance of QSVM and BT, highlighting their potential for predictive analysis in smart agriculture systems.

Keywords: closed system greenhouse, machine learning, classification, smart agriculture

1. คำนำ

การทำเกษตรในโรงเรือนภายใต้สภาพภูมิอากาศแบบร้อนชื้นในภูมิภาคเขตร้อนนั้นถือเป็นบทบาทสำคัญ โดยเฉพาะการรักษาสภาวะแวดล้อมที่เหมาะสมสำหรับการเพาะปลูก ซึ่งหนึ่งในปัจจัยหลักคือการควบคุมอุณหภูมิภายในโรงเรือนที่จะส่งผลต่อคุณภาพของผักในช่วงฤดูร้อนที่มีอุณหภูมิภายนอกสูงมากเกินไป อย่างไรก็ตาม สำหรับประเทศที่อยู่ในภูมิอากาศเขตร้อน เช่น ภาคใต้ของประเทศไทย โรงเรือนระบบปิดจะต้องเผชิญกับความท้าทายเพิ่มเติมจากสภาพอากาศที่มีอุณหภูมิสูงและความชื้นสัมพัทธ์แปรปรวนจากฤดูฝน ทำให้ระบบปรับอากาศต้องทำงานหนัก ส่งผลให้เกิดการใช้พลังงานที่สูงอย่างหลีกเลี่ยงไม่ได้ โดยเฉพาะในช่วงเดือนกันยายนและตุลาคมที่ข้อมูลจากกรมอุตุนิยมวิทยาแสดงให้เห็นว่าอุณหภูมิสูงสุดเฉลี่ยของทุกภาคอยู่ระหว่าง 32–34 [1] องศาเซลเซียส การเปิดระบบทำความเย็นในช่วงเวลาที่ไม่จำเป็นจึงกลายเป็นปัจจัยที่นำไปสู่การสูญเสียพลังงานอย่างไม่คุ้มค่า ดังนั้นการตัดสินใจเปิด–ปิดเครื่องปรับอากาศจึงไม่ควรพิจารณาเพียงตามช่วงเวลาแบบตายตัว แต่ควรอิงกับข้อมูลสภาพแวดล้อมจริง เช่น อุณหภูมิภายใน–ภายนอก ความชื้นสัมพัทธ์ และพฤติกรรมการใช้พลังงานของระบบ เพื่อให้การควบคุมมีประสิทธิภาพมากขึ้น งานวิจัยในช่วงหลังจึงเริ่มประยุกต์ใช้เทคนิคการเรียนรู้ของเครื่อง (Machine Learning) [2] เพื่อเข้ามาช่วยในเรื่องของการจัดการพลังงาน และควบคุมเงื่อนไขสิ่งแวดล้อมที่มีผลต่อผลผลิตและคุณภาพของพืช ซึ่งต้องมีการควบคุมสมดุลของปัจจัยสิ่งแวดล้อม รวมถึงอุณหภูมิ ความชื้น ความเข้มของแสง และระดับคาร์บอนไดออกไซด์เพื่อให้การเจริญเติบโตของพืชเป็นไปอย่างดีที่สุด

ซึ่งแม้จะมีงานวิจัยที่พัฒนาอัลกอริทึมควบคุมสภาพแวดล้อมภายในโรงเรือน เช่น Adaptive Control[3], Proportional-Integral-Derivative (PID) [4],[6], Neural Network (NN) [5], Fuzzy Logic [6], Model และ Predictive Control (MPC) [7] แต่หลายแนวทางยังคงเผชิญข้อจำกัดในการประยุกต์ใช้จริง โดยเฉพาะในระบบต้นทุนต่ำที่มีข้อจำกัดด้านทรัพยากรและต้องรับมือกับสภาพแวดล้อมที่เปลี่ยนแปลงตลอดเวลา เช่น PID และ Fuzzy มักต้องอาศัยการจูนพารามิเตอร์หรือออกแบบกฎที่แม่นยำ ขณะที่ MPC และ NN ต้องการระบบประมวลผลที่มีประสิทธิภาพสูงและมีความซับซ้อนในการออกแบบแบบจำลอง ในทางกลับกัน แนวทางแบบ

*ผู้ประพันธ์บรรณกิจ

ขับเคลื่อนด้วยข้อมูล (data-driven) โดยเฉพาะการจำแนกสถานการณ์ควบคุมด้วยเทคนิคการเรียนรู้ของเครื่อง (Machine Learning) เช่น โมเดลการจำแนกประเภท (Classification Models) โดยมุ่งเป้าไปที่การควบคุมแบบเปิด-ปิดของระบบปรับอากาศเพื่อรักษาอุณหภูมิให้เหมาะสม คือ 23-27°C ในแต่ละช่วงเวลา ซึ่งจะช่วยให้ประหยัดพลังงานทางอ้อม แทนที่จะเป็นการปรับความถี่ของแรงดันไฟฟ้ากระแสสลับ (AC) ที่ป้อนเข้าสู่คอมเพรสเซอร์ของเครื่องปรับอากาศโดยตรง เนื่องจากการควบคุมอุณหภูมิอย่างละเอียดโดยการปรับความถี่นั้นจำเป็นต้องมีโมเดลทางคณิตศาสตร์ของระบบเครื่องปรับอากาศ ดังนั้นเทคนิคการตัดสินใจการควบคุมแบบจำแนกประเภทที่งานวิจัยนี้นำเสนอจึงมีความยืดหยุ่นและง่ายต่อการนำไปประยุกต์ใช้กับไมโครคอนโทรลเลอร์ที่มีต้นทุนต่ำ เนื่องจากไม่จำเป็นต้องอาศัยแบบจำลองทางคณิตศาสตร์อย่างละเอียดเทียบกับระบบอื่นๆ

งานวิจัยนี้จึงมีวัตถุประสงค์เพื่อพัฒนาและเปรียบเทียบโมเดลการเรียนรู้ของเครื่องแบบจำแนกประเภทที่เหมาะสมที่สุดในการจำแนกสถานการณ์การเปิด–ปิดระบบปรับอากาศ โดยใช้ข้อมูลจากโรงเรือนจริงในพื้นที่จังหวัดสงขลา ซึ่งรวบรวมพารามิเตอร์ทั้งทางสิ่งแวดล้อม (เช่น อุณหภูมิภายนอก–ภายใน ความชื้น) และพลังงานไฟฟ้า (เช่น กระแส แรงดัน และพลังงานไฟฟ้าที่ใช้) แล้วนำเข้าสู่ขั้นตอนการฝึกสอนโมเดลด้วยซอฟต์แวร์ MATLAB เพื่อเปรียบเทียบประสิทธิภาพของโมเดลประเภทต่างๆ โดยใช้เกณฑ์การประเมิน เช่น ความแม่นยำและค่ารากที่สองของความผิดพลาดเฉลี่ย (RMSE) ซึ่งสามารถนำไปประยุกต์ใช้ในระบบควบคุมการเปิด–ปิดเครื่องปรับอากาศอัตโนมัติในอนาคต เช่น การเชื่อมต่อกับระบบควบคุมอัตโนมัติ หรือการประยุกต์กับระบบพลังงานหมุนเวียน ซึ่งจะเป็นประโยชน์ต่อเกษตรกรในการลดต้นทุนด้านพลังงาน และเพิ่มประสิทธิภาพในการควบคุมสภาพแวดล้อมในโรงเรือนอย่างยั่งยืน

2. ทฤษฎีที่เกี่ยวข้อง

2.1 การเรียนรู้ของเครื่อง (Machine Learning)

การเรียนรู้ของเครื่องคือส่วนหนึ่งของปัญญาประดิษฐ์ (Artificial Intelligence) ที่เน้นการพัฒนาระบบที่สามารถเรียนรู้จากข้อมูลและปรับปรุงสมรรถนะของตนเองโดยไม่ต้องเขียนโปรแกรมที่ชัดเจนในการทำงานแต่ละขั้นตอน โดยอาศัยอัลกอริทึมต่างๆ เพื่อวิเคราะห์ข้อมูล ประมวลผล และสร้างแบบจำลองเชิงคาดการณ์ (Predictive Model)

2.2 Quadratic SVM (QSVM)

Support Vector Machine (SVM) เป็นหนึ่งในเทคนิคการจำแนกประเภทที่มีประสิทธิภาพสูง โดยอาศัยแนวคิดของการหาขอบเขต (Decision Boundary) ที่เหมาะสมที่สุดในการจำแนกข้อมูลออกเป็นแต่ละคลาส โดยจะพยายามสร้างเส้นแบ่ง (Hyperplane) ที่มีระยะห่าง (Margin) สูงสุดจากข้อมูลของแต่ละกลุ่ม จุดข้อมูลที่อยู่ใกล้ขอบเขตที่สุดเรียกว่า Support Vectors โดย QSVM คือรูปแบบหนึ่งของ SVM ที่ใช้ **Polynomial Kernel ลำดับที่ 2** ซึ่งสามารถนิยามได้ด้วยสมการพื้นฐานของ Polynomial Kernel [8]

$$k(x,x') = (x,x' + c)^d \quad (1)$$

โดยที่ x, x' คือเวกเตอร์ของข้อมูล, d คือลำดับของพหุนาม ซึ่งในกรณีของ QSVM มีค่า $d = 2$ และ c คือค่าคงที่ (bias term)

2.3 Cubic SVM (CSVM)

CSVM เป็นอีกหนึ่งประเภทของ SVM ที่ใช้ Polynomial Kernel Function ลำดับที่สาม (Degree 3) เพื่อให้โมเดลสามารถเรียนรู้ข้อมูลที่มีความซับซ้อนยิ่งขึ้น และมีการแปรผันของฟีเจอร์ที่มากกว่าระดับ QSVM โดย Kernel Function ของ CSVM นั้นจะนิยามได้ด้วยสมการที่ 1 โดยที่ $d = 3$ ซึ่งให้ความยืดหยุ่นที่มากขึ้นในการจับรูปแบบของข้อมูลที่ซับซ้อนและไม่เป็นเส้นตรง เหมาะอย่างยิ่งกับสถานการณ์ที่ความสัมพันธ์ระหว่างฟีเจอร์ไม่สามารถแยกกันได้ด้วยเส้นตรง (Linearly Inseparable)

2.4 Ensemble Bagged Trees (BT)

Bagged Trees หรือ Bootstrap Aggregating (Bagging) เป็นเทคนิคการเรียนรู้แบบ Ensemble Learning ที่รวมผลลัพธ์จากหลายโมเดลย่อย (Weak Learners) เข้าด้วยกันเพื่อสร้างโมเดลที่มีความแม่นยำและความเสถียรมากขึ้น ในกรณีนี้ โมเดลย่อยคือ Decision Trees ซึ่งแต่ละต้นจะถูกฝึกด้วยชุดข้อมูลที่แตกต่างกันโดยใช้เทคนิค Bootstrap Sampling คือการสุ่มเลือกข้อมูลซ้ำจากชุดข้อมูลต้นฉบับ ซึ่งผลลัพธ์จากแต่ละต้นไม้จะถูกรวมด้วยวิธีการ Majority Voting สำหรับการจำแนกประเภท โดยไม่จำเป็นต้องใช้แบบจำลองคณิตศาสตร์ที่ซับซ้อน

2.5 การเลือกคุณลักษณะ (Feature Selection) โดยใช้หลักการ mRMR (Minimum Redundancy Maximum Relevance)

การเลือกคุณลักษณะ (Feature Selection) เป็นขั้นตอนสำคัญในกระบวนการพัฒนาโมเดล Machine Learning โดยเฉพาะอย่างยิ่งในระบบที่มีจำนวนฟีเจอร์มาก ซึ่งอาจส่งผลให้เกิดความซ้ำซ้อนของข้อมูลและลดประสิทธิภาพของโมเดล mRMR (Minimum Redundancy Maximum Relevance) เป็นหนึ่งในเทคนิคการเลือกฟีเจอร์ที่มีประสิทธิภาพ ซึ่งถูกออกแบบมาเพื่อสร้างสมดุลระหว่างสองวัตถุประสงค์หลักที่ขัดแย้งกัน ได้แก่ Relevance (ความเกี่ยวข้อง) คือความสามารถของฟีเจอร์ในการอธิบายหรือมีความสัมพันธ์กับตัวแปรเป้าหมาย (target class) และ Redundancy (ความซ้ำซ้อน) ความสัมพันธ์ระหว่างฟีเจอร์ที่ถูกเลือกด้วยกันเอง ซึ่งควรน้อยที่สุดเพื่อไม่ให้เกิดการทับซ้อนของข้อมูล โดยหลักการของ mRMR จะทำการเลือกฟีเจอร์ที่มีความเกี่ยวข้องกับตัวแปรเป้าหมายสูงที่สุด และในขณะเดียวกันก็มีความซ้ำซ้อนกับฟีเจอร์ที่ถูกเลือกไว้น้อยที่สุด มีสมการดังนี้ [9]

$$\mathrm{Rel}(S) = \frac{1}{|S|} \sum_{x_i \in S} I(x_i; c) \quad (2)$$

$$\mathrm{Rel}(S) = \frac{1}{|S|^2} \sum_{x_i x_j \in S} I(x_i; x_j) \quad (3)$$

โดยที่ $S \subset X$ คือเซตของฟีเจอร์ที่ถูกเลือกจากฟีเจอร์ทั้งหมด X, $I(x_i; c)$ คือความเกี่ยวข้องระหว่างฟีเจอร์ x_i กับคลาสเป้าหมาย c และ $I(x_i; x_j)$ คือความซ้ำซ้อนระหว่างฟีเจอร์ x_i กับ x_j

$$\mathrm{mRMR} = \max_{x_i \in X - S} \left[I(x_i; c) - \frac{1}{|S|} \sum_{x_i \in S} I(x_i; x_j) \right] \quad (4)$$

โดยที่ $X - S$ คือเซตของฟีเจอร์ที่ยังไม่ได้ถูกเลือก, $I(x_i; c)$ คือความเกี่ยวข้องของฟีเจอร์ใหม่กับคลาส และ $I(x_i; x_j)$ คือความซ้ำซ้อนระหว่างฟีเจอร์ใหม่กับฟีเจอร์ที่เลือกแล้ว

3. การดำเนินงานวิจัย

3.1 ข้อกำหนดของระบบ (System Specification)

ระบบทดลองถูกติดตั้งในโรงเรือนขนาดเล็ก ซึ่งถูกออกแบบเป็นระบบปิด (Closed System) ซึ่งมีขนาด 3.0 เมตร × 2.4 เมตร × 3.0 เมตร (ยาว × กว้าง × สูง) โดยภายในโรงเรือนมีการติดตั้งระบบปรับอากาศ (1,047W) สำหรับควบคุมอุณหภูมิภายใน ซึ่งเป็นปัจจัยสำคัญในภูมิอากาศแบบร้อนและมีการพัฒนาระบบ IoT สำหรับการตรวจวัดและเก็บข้อมูลสภาพแวดล้อม โดยมีการติดตั้งเซนเซอร์วัดอุณหภูมิและความชื้นในตำแหน่งสำคัญหลายจุดทั้งภายในและภายนอกโรงเรือน (ดังแสดงในรูปที่ 1(ก) และรูปที่ 1(ข)) รวมถึงการวัดค่ากำลังไฟฟ้า แรงดัน และกระแสไฟฟ้า โดยใช้เซนเซอร์ PZEM-004T ซึ่งเซนเซอร์เหล่านี้จะวัดข้อมูลแบบเรียลไทม์อย่างต่อเนื่องทุกๆ 5 นาที ซึ่งข้อมูลจากเซนเซอร์จะถูกประมวลผลผ่านไมโครคอนโทรลเลอร์ ESP8266 และส่งขึ้นสู่แพลตฟอร์ม Google Sheet เพื่อจัดเก็บและแสดงผล โดยระบบควบคุมจะใช้โมเดลการเรียนรู้ของเครื่องแบบจำแนกประเภทที่ได้รับการฝึกฝนใน MATLAB เพื่อกำหนดช่วงเวลาที่เหมาะสมในการเปิดใช้งานระบบทำความเย็นที่เพิ่มประสิทธิภาพการใช้พลังงานพร้อมทั้งยังคงรักษาสภาพแวดล้อมที่เหมาะสมสำหรับการเจริญเติบโตของผัก

(ก) (ข)

รูปที่ 1 (ก), (ข) การติดตั้งเซนเซอร์วัดอุณหภูมิและความชื้น SHT45 ภายในและภายนอก ตามลำดับ

3.2 การเตรียมข้อมูลดิบ (Raw Data)

ในงานนี้มีการใช้วิธีการแบบขับเคลื่อนด้วยข้อมูล (Data-driven method) โดยการเปิดระบบทำความเย็นตลอดเวลา (Case 1) การเปิด-ปิดบางช่วงเวลา (Case 2-6) ไปจนถึงการปิดการทำงานทั้งหมด (Case 7) ดังแสดงในตารางที่ 1 โดยแต่ละกรณีจะกำหนดอัตราส่วนการเปิด-ปิด ของระบบทำความเย็นเฉพาะระหว่างการทดลอง ซึ่งได้ดำเนินการเก็บข้อมูลจากโรงเรือนตั้งแต่วันที่ 16 ต.ค.2567 ถึง 31 พ.ค. 2568 เป็นเวลา 6 เดือน 16 วัน หรือรวมกัน 228 วัน โดยข้อมูลถูกแบ่งออกเป็นสามช่วงเวลา ได้แก่ ช่วงเช้า (09:00–12:00), ช่วงบ่าย (13:00–16:00) และช่วงเย็น (18:00–00:00) ซึ่งจะทำการคัดเลือกข้อมูลเข้าสู่การฝึกสอนเฉพาะช่วงที่กรณีนั้นๆ สามารถควบคุมอุณหภูมิภายในโรงเรือนให้อยู่ภายในช่วง 23-27°C พร้อมกับเปรียบเทียบการใช้พลังงาน (E: kWh) ของระบบปรับอากาศให้เป็นไปอย่างเหมาะสมและไม่สิ้นเปลือง ซึ่งหากกรณีใดในวันนั้นๆ ไม่สามารถทำอุณภูมิให้อยู่ในช่วงที่กำหนด และไม่ประหยัดพลังงานจะทำการตัดข้อมูลช่วงนั้นออกทันที เพื่อไม่ให้โมเดลเรียนรู้การจำแนกที่ผิดพลาด

3.3 การพัฒนาโมเดล (Model Development)

ในหัวข้อนี้กล่าวถึงโมเดลการเรียนรู้ของเครื่อง และระเบียบวิธีที่ใช้ในการจำแนกกลยุทธ์การควบคุมเครื่องปรับอากาศที่เหมาะสมในสภาพแวดล้อมของโรงเรือน โดยได้พัฒนาและฝึกฝนโมเดลการจำแนกประเภทแบบ Supervised Learning ทั้งหมดสามโมเดลโดยใช้เครื่องมือ Classification Learner App ของ MATLAB 2023a โดยโมเดลทั้งหมดถูกฝึกโดยใช้ชุดคุณลักษณะที่ได้จากการคัดเลือก โดยข้อมูลถูกแบ่งออกแบบสุ่มเป็นชุดฝึก (80%) เป็นจำนวน 265 ชุด และชุดทดสอบ (20%)

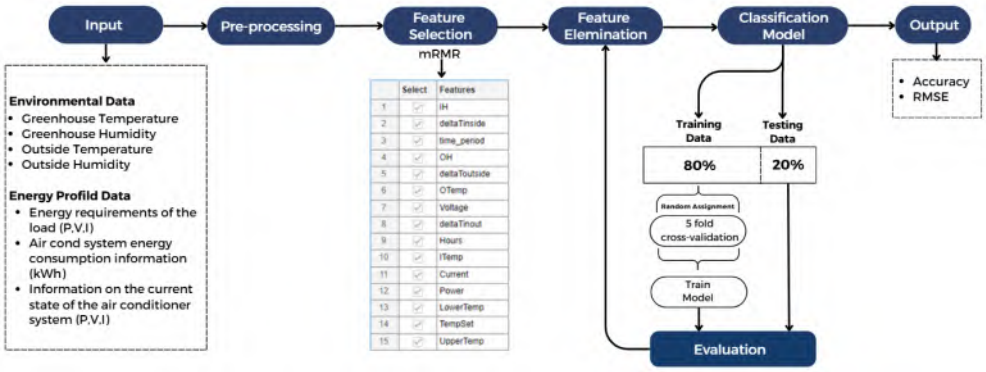

รูปที่ 2 ขั้นตอนการพัฒนาโมเดล

เป็นจำนวน 62 ชุด ซึ่งชุดฝึกถูกใช้ในการฝึกโมเดลและประเมินแบบ Cross-validation แบบ 5-fold ดังแสดงในรูปที่ 2

ตารางที่ 1 กรณีการควบคุมเครื่องปรับอากาศและอัตราส่วนเวลาเปิด-ปิด

กรณีการควบคุมเครื่องปรับอากาศ	เปิด | ปิด (นาที)
Case 1	เปิดตลอด
Case 2	50 | 10
Case 3	40 | 20
Case 4	30 | 30
Case 5	20 | 40
Case 6	10 | 50
Case 7	ปิดตลอด

3.4 กระบวนการตัดคุณลักษณะออกจากชุดข้อมูล (Feature Elimination)

หลังจากทำการเลือกโมเดลแล้ว จึงได้ดำเนินการใช้กระบวนการตัดลดฟีเจอร์หรือคุณลักษณะด้วยตนเอง (Feature Elimination) และได้มีการใช้เทคนิค mRMR เพื่อจัดลำดับความสำคัญของตัวแปรอินพุตทั้งหมดที่เกี่ยวข้องกับการควบคุมอุณหภูมิภายในโรงเรือน โดยใช้เครื่องมือจาก MATLAB Classification Learner Toolbox ซึ่งมีฟังก์ชันรองรับการประเมินคุณลักษณะโดยใช้การวัดจากระดับของการพึ่งพากันทางสถิติ (Mutual Information) เพื่อคัดเลือกฟีเจอร์ที่มีความสัมพันธ์สูงกับตัวแปร โดยรูปที่ 2 ซึ่งแสดงวิธีที่ทำการลบคุณลักษณะออกทีละตัว โดยเริ่มจากตัวที่มีความสำคัญน้อยที่สุดซึ่งพิจารณาจากค่า mRMR จากนั้นจึงฝึกโมเดลซ้ำและวิเคราะห์ผลการเปลี่ยนแปลงของความแม่นยำในการ Cross-Validation ในแต่ละครั้งจากคุณลักษณะทั้งหมด 15 รายการที่ระบุไว้ในรูปที่ 3 ประกอบด้วยตัวแปรด้านเวลา สภาพแวดล้อม พารามิเตอร์ทางไฟฟ้า และค่าควบคุมอุณหภูมิ โดยแสดงความหมายและสมการไว้ดังตารางที่ 2

4. อภิปรายผลการทดลอง

หัวข้อนี้นำเสนอผลการวิเคราะห์ข้อมูลและผลลัพธ์ที่ได้จากกระบวนการพัฒนาโมเดลการทำงานของระบบปรับอากาศภายในโรงเรือนเพาะปลูก โดยมีเป้าหมายเพื่อปรับปรุงประสิทธิภาพความแม่นยำของโมเดลในการจำแนกสถานการณ์ของเครื่องปรับอากาศว่าควรเลือกการเปิด-ปิดแบบใด ในการรักษาอุณหภูมิและพลังงานที่ไม่สิ้นเปลือง โดยใช้เทคนิคใช้เทคนิคการเลือกคุณลักษณะจากวิธี mRMR เป็นหลักในการประเมินเพื่อระบุชุดข้อมูลที่มีความสำคัญและไม่ซ้ำซ้อน ซึ่งจากรูปที่ 3 แสดงลำดับความสำคัญของฟีเจอร์ตามค่า mRMR ที่ได้จาก MATLAB Classification Learner App โดยฟีเจอร์ที่ได้คะแนน mRMR สูงสุด ได้แก่ IH (0.7792), deltaTinside (0.6637), time_period (0.5253) และ OH (0.4921) ต่อมาหัวข้อนี้ยังได้นำเสนอผลการพัฒนาและทดสอบโมเดลจำแนกประเภทการควบคุมระบบปรับอากาศด้วยอัลกอริทึมต่างๆ ได้แก่ QSVM, CSVM และ BT พร้อมทั้งเปรียบเทียบประสิทธิภาพโดยใช้ตัวชี้วัดต่างๆ เช่น Accuracy

ตารางที่ 2 คุณลักษณะทั้งหมดและความหมายหรือสมการ

Feature	Equation/Meaning
Hours	เวลาในรูปแบบ 24 ชั่วโมงซึ่งแปลงจากรูปแบบ hh:mm:ss เพื่อแยกเฉพาะชั่วโมง
time_period	เช้า = 1, บ่าย = 2, เย็นถึงค่ำ = 3
LowerTemp	ค่าต่ำสุดของช่วงอุณหภูมิที่เหมาะสม -2°C จากค่าที่ตั้ง คือ 23°C
TempSet	ค่าตั้งเป้าอุณหภูมิ ในงานนี้ใช้ 25°C
UpperTemp	ค่าสูงสุดของช่วงอุณหภูมิที่เหมาะสม +2°C จากค่าที่ตั้ง คือ 27°C
Otemp, OH	อุณหภูมิภายนอก, ความชื้นสัมพัทธ์ภายนอก
ITemp, IH	อุณหภูมิภายใน, ความชื้นสัมพัทธ์ภายใน
Voltage	แรงดันไฟฟ้า (V)
Current	กระแสไฟฟ้า (A)
Power	กำลังไฟฟ้า (W)
deltaToutside	$\Delta T_{outside} = T_{outside}(t) - T_{outside}(t-1)$
deltaTinside	$\Delta T_{inside} = T_{inside}(t) - T_{inside}(t-1)$
deltaTinout	$\Delta T_{out-in} = T_{outside}(t) - T_{inside}(t)$

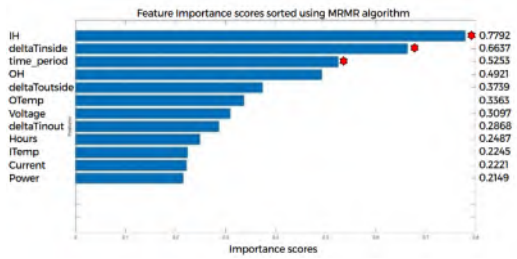

รูปที่ 3 แผนภูมิแท่งของคะแนนความสำคัญของคุณลักษณะที่จัดเรียงตามอัลกอริทึม mRMR

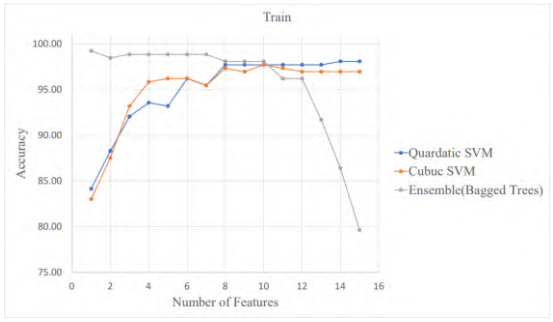

รูปที่ 4 การเปรียบเทียบค่าความแม่นยำในการ training

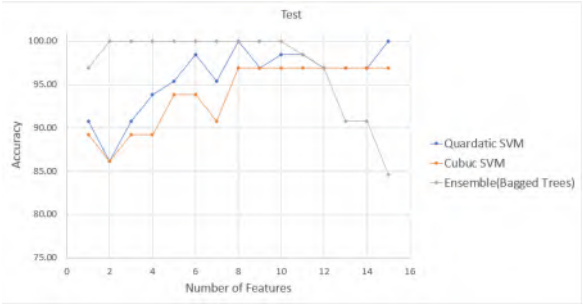

รูปที่ 5 การเปรียบเทียบค่าความแม่นยำในการ testing

4.1 การเลือกโมเดลที่มีประสิทธิภาพดีที่สุด

งานวิจัยนี้ได้ดำเนินการคัดกรองตัวแปรอินพุตหรือฟีเจอร์เพิ่มเติมโดยจะทำการลบตัวแปรทีละตัวโดยเริ่มจากตัวที่มีความสำคัญน้อยที่สุด และทำการฝึกซ้ำและประเมินผลโมเดลใหม่ในทุกขั้นตอน โดยใช้ชุดข้อมูลสำหรับการฝึก (training) และการทดสอบ (testing) เพื่อประเมินผลความแม่นยำแต่ละตัวแปรต่อความแม่นยำของโมเดลเมื่อใช้จำนวนฟีเจอร์ที่แตกต่างกัน โดยใช้โมเดล QSVM, CSVM และ BT

จากผลการประเมินที่แสดงในรูปที่ 4 และรูปที่ 5 พบว่าเมื่อนำผลของการฝึก (training) และทดสอบ (testing) มาเปรียบเทียบกัน พบว่า QSVM ที่ใช้ตัวแปร 11 ตัว ให้ค่าความแม่นยำสูงสุดที่ 98.46% ในชุดทดสอบ และ 97.74% ในชุดฝึก แสดงถึงความสามารถในการจำแนกที่ดีและไม่มีการ Overfitting ขณะที่ CSVM แม้จะให้ค่าความแม่นยำที่ 96.92% แต่ก็ต่ำกว่าเล็กน้อย ขณะที่ BT ซึ่งใช้เพียง 5 ตัวแปร ให้ค่าความแม่นยำชุดทดสอบเท่ากับ QSVM ที่ 98.46% แต่ความแม่นยำชุดฝึกอยู่ที่ 96.23% แสดงว่า BT เหมาะกับกรณีที่ต้องการประสิทธิภาพในการคำนวณและจำนวนตัวแปรน้อย เช่น ในระบบที่มีทรัพยากรจำกัด

ดังนั้น QSVM ที่ใช้ตัวแปร 11 ตัวจึงเป็นทางเลือกหลักสำหรับระบบควบคุมโรงเรือนที่ต้องการสมดุลระหว่างความแม่นยำและความซับซ้อน ขณะที่ BT เป็นตัวเลือกสำรองที่เหมาะสำหรับงานภาคสนามหรือระบบที่เน้นความรวดเร็วและง่ายในการนำไปใช้จริง และเพื่อให้การคัดเลือกโมเดลข้างต้นเหมาะสมกับความเป็นจริง ในหัวข้อถัดไป (4.2) จะเจาะลึกรูปแบบความผิดพลาดในการจำแนก ของแต่ละโมเดลจากเมทริกซ์ความสับสนและตัวชี้วัดรายคลาส (P/R/F1) โดยเฉพาะกรณีที่ คลาส 3 และคลาส 5 มีแนวโน้มสลับกัน ซึ่งมีนัยต่อ การตั้งรอบเวลาเปิด–ปิด และประสิทธิภาพการใช้พลังงานภายในโรงเรือนในเรื่องของการประหยัดพลังงาน

4.2 การวิเคราะห์ Confusion Matrix ร่วมกับตัวชี้วัดเสริม (P/R/F1, ROC–AUC) และผลต่อการควบคุม

รูปที่ 6, รูปที่ 7 และ รูปที่ 8 คือผลความผิดพลาดในการจำแนกจากการฝึกฝนโมเดลใน Classification Learner App และได้มีการระบุเป็น Class ซึ่งเป็นความหมายเดียวกับ Case หรือกรณีที่ในงานนี้ใช้ โดยงานนี้จะอธิบายโดยใช้คำว่า Class เพื่อให้สอดคล้องกับผลที่เกิดขึ้น
รูปที่ 6 พบว่าโมเดล QSVM สามารถจำแนก Class 1, 5 และ 7 ได้ถูกต้อง 100% ส่วน Class 3 มี TPR เท่ากับ 80.6% และถูกจำแนกผิดเป็น Class 5 จำนวน 19.4% ซึ่งสะท้อนว่าโมเดลสามารถแยกเคสควบคุมแบบเปิดตลอด (Always On) หรือปิดตลอด (Always Off) ได้ดีเยี่ยม แต่ยังมีความคลาดเคลื่อนเล็กน้อยระหว่าง Class 3 (เปิดแอร์ 40 นาที/ปิด 20 นาที) กับ Class 5 (เปิดแอร์ 20 นาที/ปิด 40 นาที)

รูปที่ **7** แสดงผลของ CSVM ซึ่งมี TPR ของ Class 3 ต่ำกว่าที่ 77.4% และ FNR สูงขึ้นเป็น 22.6% แต่ยังคงไม่มีการจำแนกผิดในลักษณะที่รุนแรง เช่น การสลับจาก Always On ไป Always Off หรือในทางกลับกัน ซึ่งช่วยลดความเสี่ยงจากการควบคุมผิดพลาดที่ส่งผลต่ออุณหภูมิหรือพลังงานอย่างมีนัยสำคัญ

ในทางตรงกันข้าม จากรูปที่ 8 ของ BT พบว่าการจำแนก Class 3 และ Class 5 มีการสลับกันสองทิศทาง โดย Class 3 มี TPR เท่ากับ 80.6% ขณะที่ Class 5 มี TPR ที่ลดลงเป็น 86.2% และมีการจำแนกผิดเป็น Class 3 จำนวน 13.8% อย่างไรก็ตามเนื่องจากทั้งสองคลาสยังอยู่ในขอบเขตที่มีการเปิดระบบทำความเย็นอยู่ จึงไม่ส่งผลรุนแรงต่อการควบคุม แต่จะมีผลในเรื่องของรอบเวลาเปิด-ปิดที่อาจคลาดเคลื่อนเล็กน้อย

จากผลการวิเคราะห์เมทริกซ์ความสับสน พบว่ายังมีข้อผิดพลาดในการจำแนก Class 3 (เปิดแอร์ 40 นาที/ปิด 20 นาที) และ Class 5 (เปิดแอร์ 20 นาที/ปิด 40 นาที) ในทุกโมเดลที่ทดสอบ แม้ว่าข้อผิดพลาดดังกล่าวจะไม่ส่งผลรุนแรงต่อการควบคุมสภาพแวดล้อม เนื่องจากทั้งสองคลาสยังอยู่ในขอบเขตที่ระบบทำความเย็นทำงานอยู่ แต่การลดข้อผิดพลาดในกรณีที่มีอัตราส่วนการเปิด-ปิดใกล้เคียงกัน จะช่วยให้การควบคุมมีความละเอียดและประหยัดพลังงานได้ดีขึ้น นอกจากนี้ การที่งานวิจัยจำเป็นต้องตัดข้อมูลบางส่วนที่ไม่สามารถรักษาอุณหภูมิให้อยู่ในช่วง 23–27°C หรือมีการใช้พลังงานเกินความเหมาะสม อาจทำให้โมเดลไม่สามารถเรียนรู้รูปแบบได้อย่างเพียงพอ โดยเฉพาะอย่างยิ่งเมื่อการใช้งานต้องครอบคลุมฤดูกาลที่หลากหลายเนื่องจากปริมาณของข้อมูลน้อยเกินไป ซึ่งหากข้อมูลมีปริมาณที่เพียงพอและครอบคลุมทุกฤดูกาล จะสามารถนำมาใช้ประโยชน์ได้ในอนาคตสำหรับฤดูกาลอื่นๆ ที่มีสภาพอากาศต่างกัน

ตารางที่ 3 ผลการประเมินแบบย่อของโมเดลบนชุดทดสอบ (คลาส 1, 3, 5, 7): Macro-F1, Weighted-F1 และตัวชี้วัดสำคัญรายคลาส

MODEL	MACRO-F1	WEIGHTED-F1	CLASS 3 RECALL	CLASS 5 F1
QSVM	0.958	0.984	0.80	0.941
CSVM	0.910	0.967	0.60	0.889
BT	0.961	0.985	1.00	0.933

หมายเหตุ: CLASS 1 และ 7 ทุกโมเดลได้ P/R/F1 = 1.00; คอขวดคือ CLASS 3 ที่ CSVM มี RECALL ต่ำ (0.60) ขณะที่ QSVM = 0.80 และ BT = 1.00.

ตารางที่ 3 สรุปสาระสำคัญจากเมทริกซ์ความสับสน โดยรายงานค่า Macro-F1/Weighted-F1 (ภาพรวม) และชี้คอขวดที่คลาส 3 ด้วยค่า Recall ควบคู่กับ ประสิทธิภาพการจำแนกของคลาส 5 ด้วยค่า F1 สำหรับแต่ละโมเดล ผลลัพธ์สอดคล้องกับการวิเคราะห์ก่อนหน้า: QSVM และ BT ให้ผลโดยรวมดีกว่า (Macro-F1 = 0.958 และ 0.961) ขณะที่ CSVM มีปัญหาที่ คลาส 3 (Recall = 0.60) เมื่อเทียบกับ QSVM (0.80) และ BT (1.00) สำหรับ คลาส 5 นั้น QSVM และ BT รักษาค่า F1 ได้สูง (0.941 และ 0.933) ส่วน คลาส 1 และ คลาส 7 ถูกจำแนกได้สมบูรณ์โดยทุกโมเดล (P/R/F1 = 1.00) จึงไม่แสดงซ้ำในตาราง ดังนั้นสำหรับการใช้งานในการควบคุมจริง โมเดลที่เหมาะสมคือ BT หากต้องการลดความผิดพลาดของคลาส 3 (ให้ความครอบคลุมสูงสุด) หรือ QSVM หากต้องการความสมดุลของเมตริกโดยรวม

5. สรุป

งานวิจัยนี้ได้ประเมินประสิทธิภาพโมเดลการเรียนรู้ของเครื่องแบบจำแนกประเภท สำหรับการทำนายการทำงานของระบบปรับอากาศใน

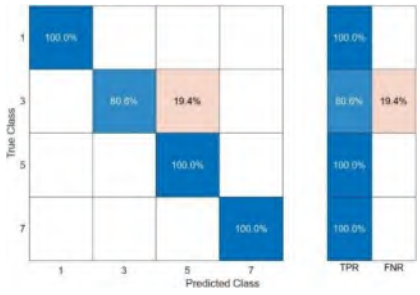

รูปที่ 6 เมทริกซ์ความสับสน QSVM

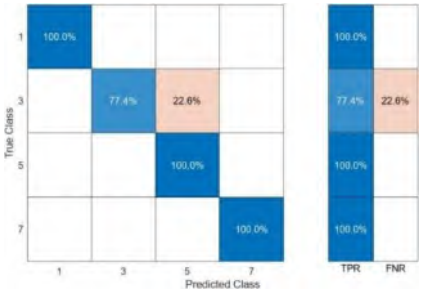

รูปที่ 7 เมทริกซ์ความสับสน CSVM

รูปที่ 8 เมทริกซ์ความสับสน BT

โรงเรือนระบบปิด ได้แก่ QSVM, CSVM และ BT เพื่อจำแนกกรณีการเปิด-ปิด ที่ดีที่สุดสำหรับระบบทำความเย็นในเรื่องของการประหยัดพลังงาน เพื่อใช้ในการเป็นคำตอบให้กับคอนโทรลเลอร์หรือระบบควบคุม จากผลการทดลองพบว่า QSVM และ BT ให้ค่าความแม่นยำสูงสุดที่ 98.46% และค่า RMSE ที่ต่ำ (0.2481)

แม้ว่าผลการทดลองจะแสดงให้เห็นถึงศักยภาพของโมเดล QSVM และ BT ที่สามารถให้ความแม่นยำสูงและมีความเหมาะสมต่อการนำไปใช้งานจริง แต่ข้อจำกัดที่สำคัญของงานวิจัยนี้คือปริมาณและความหลากหลายของข้อมูลที่ยังครอบคลุมเพียงบางช่วงฤดูกาลเท่านั้น ดังนั้น งานวิจัยในอนาคตควรขยายการเก็บข้อมูลให้ครอบคลุมทั้งปี เพื่อสะท้อนความผันแปรของสภาพอากาศในฤดูร้อนและฤดูฝน ซึ่งจะช่วยเพิ่มความแข็งแกร่งและความน่าเชื่อถือของโมเดลในการตัดสินใจภายใต้สภาวะที่แตกต่างกันตลอดทั้งปี อีกทั้ง การนำโมเดลที่พัฒนาแล้วไปติดตั้งและทดสอบในโรงเรือนจริงแบบเรียลไทม์ ถือเป็นขั้นตอนสำคัญในการยืนยันความเสถียรและความสามารถในการปรับตัวของระบบภายใต้สภาพการใช้งานจริงที่ไม่สามารถจำลองได้ทั้งหมดในห้องปฏิบัติการ ข้อมูลที่ได้จากการทดลองใช้งานจริงยังสามารถนำกลับมาใช้ปรับปรุงโมเดลให้มีประสิทธิภาพยิ่งขึ้น และเป็นก้าวต่อไปในการพัฒนาเทคโนโลยีการจัดการพลังงานในโรงเรือนอย่างยั่งยืน

เอกสารอ้างอิง

[1] T. M. Department. "Thailand weather." https://www.tmd.go.th/ (accessed May 25, 2023).

[2] T. P. I. P. Ltd., Artificial intelligence system. 2015.

[3] D. M. Atia and H. T. El-madany, "Analysis and design of greenhouse temperature control using adaptive neuro-fuzzy inference system," Journal of Electrical Systems and Information Technology, vol. 4, no. 1, pp. 34-48, 2017/05/01/ 2017, doi: https://doi.org/10.1016/j.jesit.2016.10.014.

[4] S. Revathi, T. K. Radhakrishnan, and N. Sivakumaran, "Climate control in greenhouse using intelligent control algorithms," in 2017 American Control Conference (ACC), 24-26 May 2017 2017, pp. 887-892, doi: 10.23919/ACC.2017.7963065.

[5] A. Esquivel-Salas, J. Castañeda-Delgado, M. Salas-Guzmán, and D. Arredondo-Salcedo, "Greenhouse temperature control based on Fuzzy Logic," Journal of Computational Systems and ICTs, pp. 1-8, 06/30 2021, doi: 10.35429/JCSI.2021.19.7.1.8.

[6] G. Cevallos, M. Herrera, R. Jaimez, H. Aboukheir, and O. Camacho, "A practical hybrid control approach for a greenhouse microclimate: a hardware-in-the-Loop implementation," Agriculture, vol. 12, no. 11, p. 1916, 2022. [Online]. Available: https://www.mdpi.com/2077-0472/12/11/1916.

[7] F. Mahmood, R. Govindan, A. Bermak, D. Yang, and T. Al-Ansari, "Data-driven robust model predictive control for greenhouse temperature control and energy utilisation assessment," Applied Energy, vol. 343, p. 121190, 2023/08/01/ 2023, doi: https://doi.org/10.1016/j.apenergy.2023.121190.

[8] B. Scholkopf and A. J. Smola, Learning with Kernels: Support Vector Machines, Regularization, Optimization, and Beyond. MIT Press, 2001.

[9] J. Berrendero, A. Cuevas, and J. Torrecilla, "The mRMR variable selection method: a comparative study for functional data," *Journal of Statistical Computation and Simulation,* vol. 86, pp. 1-17, 05/27 2015, doi: 10.1080/00949655.2015.1042378.

กระบวนการควบคุมอากาศยานไร้คนขับอัตโนมัติด้วยโปรแกรมจำลองการบิน Parrot Sphinx
The Process of Controlling an Unmanned Aerial Vehicle Autonomously with the Parrot Sphinx Flight Simulator

พลากร พรหมเมศร์[1]* สุวินันท์ จันทอุไร[1] เมธพัฒน์ หอทอง[2] วิษณุ กิตติพงศ์วรการ[3]

[1*]สาขาวิชาวิศวกรรมไฟฟ้า คณะวิศวกรรมศาสตร์ มหาวิทยาลัยนราธิวาสราชนครินทร์ palakorn.p@pnu.ac.th, palakorn.ep@gmail.com
[2 3]ฝ่ายบำรุงรักษาเครื่องกล การไฟฟ้าฝ่ายผลิตแห่งประเทศไทย Mathapat.Hothong@egat.co.th, vitsanu.k@egat.co.th

บทคัดย่อ

บทความนี้นำเสนอ กระบวนการควบคุมอากาศยานไร้คนขับอัตโนมัติด้วยโปรแกรมจำลองการบิน Parrot Sphinx โดยมีวัตถุประสงค์เพื่อจำลองรูปแบบการบินเสมือนจริงและทดสอบรูปแบบการบินตามเงื่อนไขคำสั่งในการบิน ครั้งละ 1 ลำ ให้สามารถทำงานได้อย่างถูกต้อง ลดความเสียหายจากการควบคุมการบินจริงของอากาศยานไร้คนขับด้วยคอมพิวเตอร์ โดยจำลองรูปแบบการบินด้วยโปรแกรมจำลองการบินแบบเสมือน (Software in the Loop; Sphinx Flight Simulator) บนพื้นฐานของระบบปฏิบัติการคอมพิวเตอร์อูบุนตู (Ubuntu) บนลินุกซ์ (Linux) ซึ่งผลการทดสอบเปรียบเทียบรูปแบบการบินทั้ง 4 ตำแหน่ง (4 ชุดคำสั่ง) ในระยะทาง 5 เมตร เท่ากันทุกตำแหน่ง เพื่อพิจารณาจุดเริ่มต้นการบินและจุดลงจอด ทุกชุดคำสั่ง จำนวน 5 ครั้ง ในแต่ละชุดคำสั่งจะมีค่าความเที่ยงตรง (Precision) จากจุดสิ้นสุดในตำแหน่งลงจอด โดยเฉลี่ยร้อยละ 98 ตลอดช่วงของการทดสอบการบิน

คำสำคัญ: อากาศยานไร้คนขับ โปรแกรมจำลองการบิน

Abstract

This article presents the process of controlling an unmanned aerial vehicle autonomously with the Parrot Sphinx flight simulator. The objective is to simulate a virtual flight pattern and test the flight pattern according to the flight command conditions one flight at a time, so that it can work correctly, and reduce the damage from the actual flight control of the unmanned aerial vehicle by the computer. The flight pattern is simulated using a virtual flight simulator program (Software in the Loop; Sphinx Flight Simulator) based on the Ubuntu operating system on Linux. The test results compare the flight patterns of all 4 positions (4 command sets) at a distance of 5 meters the same for all positions, to consider the starting point of the flight and the landing point. Every command set 5 times, each command set will have an average precision value from the end point in the landing position of 98 percent throughout the flight test.

Keywords: Unmanned Aerial Vehicle, Flight Simulator Program

1. บทนำ

อากาศยานไร้คนขับ (Unmanned Aerial Vehicle; UAV) หรือโดรน (Drone) เป็นยานพาหนะทางอากาศขนาดเล็กที่มีระบบควบคุมและสั่งการด้วยอุปกรณ์ควบคุมระยะไกล ในรูปแบบอัตโนมัติหรือกึ่งอัตโนมัติ โดยไม่มีนักบินควบคุมการทำงานอยู่บนเครื่อง [1] ซึ่งเป็นอีกหนึ่งเทคโนโลยีทางด้านการบินที่มีการเติบโตและมีการประยุต์ใช้งานที่หลากหลาย ปัจจุบันมีการพัฒนาและประยุต์ใช้งานอากาศยานไร้คนขับหลากหลายด้าน เช่น การบินสำรวจและเก็บข้อมูลด้านการเกษตรในฟาร์มอัจฉริยะ การบินสำรวจและทำแผนที่ทางอากาศ การบินสำรวจในพื้นที่เกิดภัยพิบัติ การบินสำรวจโครงสร้างอาคารและสิ่งปลูกสร้าง การบินสำรวจหาข่าวและเก็บข้อมูลทางการทหาร [2] การบินสำรวจถ้ำหรือสิ่งปลูกสร้างใต้ดิน [3] การบินสำรวจความเสียหายของสายส่งไฟฟ้าแรงสูง [4] หรือการบินสำรวจบำรุงรักษาระบบพลังงานหมุนเวียน เป็นต้น อากาศยานไร้คนขับที่พัฒนาขึ้นเองเพื่อตอบสนองภารกิจที่มีความแตกต่างหลากหลายนั้น ต้องอาศัยความเชี่ยวชาญเฉพาะด้านของผู้พัฒนารวมถึงต้องใช้ระยะเวลาในการดำเนินการที่ยาวนาน [5] หากแต่ ในปัจจุบันมีบริษัทผู้จัดจำหน่ายและพัฒนาอากาศยานไร้คนขับสำเร็จรูปเชิงพาณิชย์ ได้มีการพัฒนาให้อากาศยานไร้คนขับสามารถทำงานได้หลากหลายภาระกิจภายในเครื่องเดียว ซึ่งจะขึ้นอยู่กับอุปกรณ์ประกอบทางเทคนิคที่ให้มา อีกทั้ง สามารถหาซื้อได้ตามร้านตัวแทนจำหน่ายทั่วไป

การใช้งานอากาศยานไร้คนขับสำเร็จรูปที่ต้องใช้การควบคุมแบบอัตโนมัติตามเงื่อนไขการทำงานที่มีความยุ่งยาก ซับซ้อน ยังมีข้อจำกัดอยู่ ผู้ผลิตอากาศยานไร้คนขับ เช่น DJI [6], Ryze [7], Parrot [8] และ Bitcraze [9] จึงได้มีการพัฒนาเครื่องมือในการสร้างโปรแกรม (Software Development Kits; SDK) ที่สามารถเชื่อมต่อและสื่อสารเข้ากับระบบปฏิบัติการหุ่นยนต์ (Robot Operation System; ROS) ของอากาศยานไร้คนขับ โดยมีเพียงบางรุ่นเท่านั้นที่สามารถใช้เครื่องมือในการสร้างโปรแกรมให้สามารถทำงานได้ตามเงื่อนไขของผู้พัฒนา ปัจจุบันระบบปฏิบัติการหุ่นยนต์ ยังใช้ในการพัฒนาหุ่นยนต์รวมถึงอากาศยานไร้คนขับยุคใหม่ที่มีความยืดหยุ่นสูงสามารถใช้ภาษาในการเขียนโปรแกรมที่มีความหลากหลาย มีชุดคำสั่งให้สามารถเลือกใช้งานในการออกแบบพัฒนาอากาศยานไร้คนขับ เช่น การระบุตำแหน่งอากาศยานไร้คนขับด้วยภาพ [10] การรับรู้และกำหนดสภาพแวดล้อม [11] การวางแผนการเคลื่อนที่ของอากาศยานไร้คนขับ [12] และจำลองควบคุมอากาศยานไร้คนขับเสมือนจริง [13, 14]

โปรแกรมจำลองการบิน Parrot Sphinx เป็นเครื่องมือในการจำลองการทำงานของอากาศยานไร้คนขับ ที่พัฒนาขึ้นโดยบริษัท Parrot ประเทศฝรั่งเศส มุ่งเน้นพัฒนารูปแบบการบินภายใต้สภาพแวดล้อมเสมือนจริง โดยสามารถบันทึกข้อมูลการบินขณะเวลาจริง จำลองการทำงานของอุปกรณ์ตรวจจับและกล้อง สร้างฉาก 3 มิติประกอบการบิน และเขียนคำสั่งเพื่อควบคุมการทำงานของอากาศยานไร้คนขับตามความต้องการของผู้พัฒนาบนพื้นฐานภายใต้โปรแกรม GAZEBO 11 และ Unreal Engine 4.26 [15]

*ผู้ประพันธ์บรรณกิจ

นอกจากนั้น โปรแกรมยังสามารถเชื่อมต่อและสื่อสารเข้ากับระบบปฏิบัติการหุ่นยนต์ ซึ่งทำให้การทดสอบมีความเสมือนจริงมากยิ่งขึ้น

บทความนี้นำเสนอ กระบวนการควบคุมอากาศยานไร้คนขับอัตโนมัติด้วยโปรแกรมจำลองการบิน Parrot Sphinx โดยมีวัตถุประสงค์เพื่อจำลองรูปแบบการบินเสมือนจริงและทดสอบรูปแบบการบินตามเงื่อนไขคำสั่งในการบิน ครั้งละ 1 ลำ ให้สามารถทำงานได้อย่างถูกต้อง ลดความเสียหายจากการควบคุมการบินจริงของอากาศยานไร้คนขับด้วยคอมพิวเตอร์ เพื่อพิจารณาและกำหนดจุดเริ่มต้นการบินและจุดลงจอดภายใต้โปรแกรมจำลองการบินในทุกชุดคำสั่ง ตลอดช่วงของการทดสอบการบิน

2. ทฤษฎีที่เกี่ยวข้อง

2.1 โปรแกรมจำลองการบิน Parrot Sphinx

Parrot Sphinx คือ โปรแกรมจำลองการบินของอากาศยานไร้คนขับ (UAV Flight Simulation Program) ที่มีประสิทธิภาพและความยืดหยุ่นสูง ถูกพัฒนาขึ้นบนพื้นฐานการจำลองอากาศยานไร้คนขับที่มีความแม่นยำตามหลักฟิสิกส์ และการสร้างภาพ 3 มิติ ที่มีความเสมือนจริงบนพื้นฐาน GAZEBO และ Unreal Engine โดยผู้พัฒนาอากาศยานไร้คนขับสามารถใช้โปรแกรมจำลองการบิน Parrot Sphinx เพื่อทดสอบภาระกิจการบินเสมือนจริงที่ออกแบบขึ้นเองได้ ก่อนนำไปทำการบินในสภาพแวดล้อมจริง โปรแกรมจำลองการบิน Parrot Sphinx ประกอบด้วยโปรแกรมย่อย 3 ส่วน คือ เฟิร์มแวร์บริการ เฟิร์มแวร์อากาศยานไร้คนขับ และแอปพลิเคชัน Unreal Engine ดังรูปที่ 1 เพื่อให้เกิดการจำลองการทำงานในกระบวนการที่ผู้พัฒนาต้องการตามลำดับ [15]

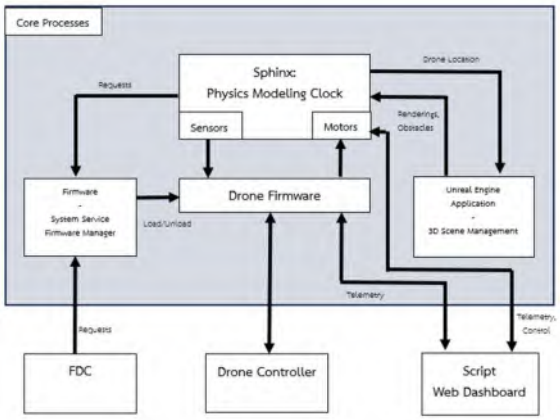

รูปที่ 1 การทำงานโปรแกรมจำลองการบิน Parrot Sphinx

โปรแกรมจำลองการบิน Parrot Sphinx มาพร้อมเครื่องมือในการสร้างโปรแกรม (SDK) ที่ช่วยให้สามารถพัฒนาแพลตฟอร์ม 3 มิติ แบบขณะเวลาจริง (Real Time) บนพื้นฐานของ Unreal Engine; UE ที่ผู้พัฒนาสามารถออกแบบขึ้นเอง ด้วยกระบวนการดังกล่าวทำให้สามารถควบคุมอากาศยานไร้คนขับ ภายใต้สภาพแวดล้อม 3 มิติ ที่เลือกไว้ได้

2.2 ระบบควบคุมอากาศยานไร้คนขับ

อากาศยานไร้คนขับ (UAV) เคลื่อนที่ตามคำสั่งของผู้ควบคุมการบิน ระบบจะทำการวัดสถานะการทำงาน เช่น ความเร่ง ความสูง และความเร็วเชิงมุม โดยใช้อุปกรณ์ตรวจจับที่ติดตั้งภายในบอร์ดควบคุมหรือที่ติดตั้งเพิ่มเติมภายนอก ค่าสถานะของอากาศยานไร้คนขับไม่สามารถวัดได้โดยตรงจากอุปกรณ์ตรวจจับ จึงมีการใช้ระบบประมาณค่าสถานะ (State Estimation) เพื่อประเมินค่าเหล่านั้นและส่งกลับไปยังบอร์ดควบคุม เพื่อใช้ในการคำนวณเพื่อให้ระบบรักษาเสถียรภาพได้อย่างเหมาะสม ซึ่งกระบวนการควบคุมนี้ เรียกว่า การควบคุมภายใน (Inner Loop)

ในกรณีที่มีการใช้งานระบบการบินอัตโนมัติ (Auto Pilot) โดยการกำหนดภารกิจและเส้นทางการบินล่วงหน้า ระบบควบคุมจะต้องทำงานร่วมกับระบบควบคุมภายนอก (Outer Loop) เพื่อบริหารภารกิจ (Mission Control) และส่งพิกัดเป็นคำสั่งไปยังระบบควบคุมภายใน เพื่อให้อากาศยานเคลื่อนที่ไปยังตำแหน่งที่ต้องการตามภารกิจที่กำหนดไว้ [16] การทำงานร่วมกันของระบบควบคุมทั้ง 2 รูปแบบ สามารถอธิบายได้ ดังรูปที่ 2

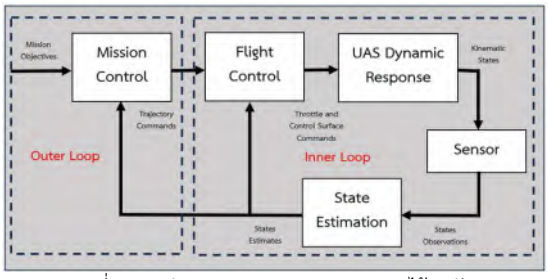

รูปที่ 2 การทำงานระบบควบคุมอากาศยานไร้คนขับ

2.3 สมการการเคลื่อนที่ของอากาศยานไร้คนขับ

การเคลื่อนที่ทั่วไปของอากาศยานไร้คนขับ ที่มีจำนวนใบพัด n ตัว โดยพิจารณาถึงแรงภายนอก ในบางกรณีสามารถละเลยได้ ภายใต้สมติฐานว่าอากาศยานไร้คนขับทำการบินในสภาพแวดล้อมที่ปราศจากสิ่งกีดขวางและไม่มีอิทธิพลของแรงลม [17]

นอกจากนี้ หากอากาศยานไร้คนขับกำลังเคลื่อนที่ด้วยความเร็วต่ำ แรงทางอากาศพลศาสตร์ (Aerodynamical Forces; F_{D_i}) จะถูกจำลองตามแบบจำลองแรงต้านเชิงเส้น จากสมการที่ (1) โดยไม่นำผลกระทบจากปัจจัยอากาศพลศาสตร์อื่นเข้ามาพิจารณาเพิ่มเติม อีกทั้ง ในการควบคุมการบินที่ทำผ่านบอร์ดควบคุมที่มีความเร็วในการตอบสนองสูง สามารถลดรูปของสมการให้อยู่ในรูปแบบสมการอันดับหนึ่งได้ เมื่อกำหนด จำนวนใบพัดที่ จำนวน 4 ใบ จะได้สมการเคลื่อนที่ของอากาศยานไร้คนขับ ดังสมการที่ (2)

$$F_{D_i} = d_i v_i \tag{1}$$

เมื่อ d_i คือ ค่าสัมประสิทธิ์แรงต้านกลับของ i

$$\dot{p}^n = v^n$$

$$\dot{v}^n = \frac{1}{m}\left(R_{nb}\sum_{i=0}^{4} F_{T_i} - R_{nb}\sum_{i=0}^{4} F_{D_i} \right) + \begin{bmatrix} 0 \\ 0 \\ -g \end{bmatrix} \tag{2}$$

โดยที่ $\dot{p}^n$ คือ ตำแหน่งอากาศยานไร้คนขับในกรอบพิกัด NED

v^n คือ ความเร็วเชิงเส้นอากาศยานไร้คนขับในกรอบพิกัด NED

R_{nb} คือ เมทริกซ์การหมุนระหว่างกรอบพิกัด NED และกรอบพิกัดของลำอากาศยาน (Body Frame)

F_{T_i} คือ แรงยก (Thrust Force) ที่เกิดจากใบพัดตัวที่ i

g คือ ค่าความเร่งเนื่องจากแรงโน้มถ่วง

หมายเหตุ: กรอบพิกัดคงที่ที่เลือกใช้ (North-East-Down; NED)

3. การทดลองและผลการทดลอง

การใช้งานโปรแกรมจำลองการบิน Parrot Sphinx จำลองการบินเสมือนจริงตามกระบวนการทำงานของโปรแกรม ดังรูปที่ 3 โดยมีตัวอย่างการเขียนโปรแกรมและการใช้คำสั่งในการควบคุมการทำงานของอากาศยานไร้คนขับ ดังรูปที่ 4 และ 5 คำสั่งจะเรียกใช้อากาศยานไร้คนขับจำลอง Parrot รุ่น Anafi ที่มีน้ำหนักตัวลำรวมแบตเตอรี่ที่ 315 กรัม ความต้านทานลมสูงสุดที่ 13.9 เมตร/วินาที ซึ่งเป็นโมเดลที่เรียกใช้งานภายใต้โปรแกรมจำลองการบิน Parrot Sphinx มาใช้ในการบินแบบเสมือน

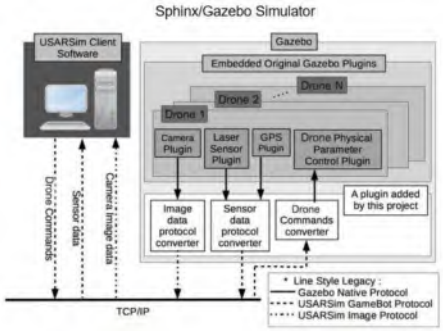

รูปที่ 3 การทำงานของโปรแกรม Parrot Sphinx [18]

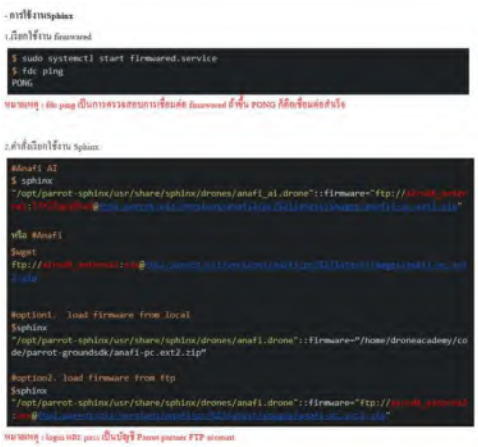

รูปที่ 4 คำสั่งเรียกใช้งานโปรแกรม Parrot Sphinx

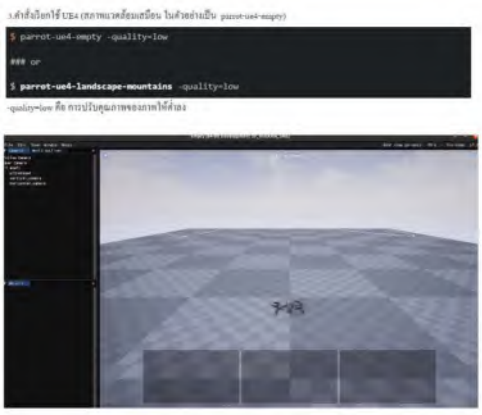

รูปที่ 5 เรียกใช้งาน UE4 สภาพแวดล้อมเสมือนจริงของ Parrot Anafi

ในการใช้โปรแกรมจำลองการบิน Parrot Sphinx มิได้กำหนดปัจจัยด้านความเร็วลม (Disabling Wind) ภายใต้การจำลองการบิน เนื่องจากต้องการทดสอบรูปแบบการบินเท่านั้น ซึ่งการทดลองจะทำการเรียกชุดคำสั่งที่โปรแกรมขึ้นจากไฟล์ ชื่อ Oders ดังรูปที่ 6 และเรียกชุดคำสั่ง takeoff.py ดังรูปที่ 7 ตามลำดับ จากนั้น ทำการเรียกหน้าต่างคอมมานไลน์ Terminal บนระบบปฏิบัติการคอมพิวเตอร์อูบุนตู จำนวน 3 หน้าต่าง และทำการเขียนคำสั่งตามลำดับในแต่ละหน้าต่างที่ได้กำหนดไว้ จากไฟล์ชื่อ Oders เพื่อเรียกใช้งานโปรแกรจำลองการบิน Parrot Sphinx ในการจำลองรูปแบบการบิน โดยในชุดคำสั่ง takeoff.py จะสามารถทำการจำลองรูปแบบการบินได้ตามตัวเลขที่ปรากฏอยู่ในคำสั่ง ในบรรทัดคำสั่งที่ 18 ดังรูปที่ 8 โดยสามารถกำหนดตำแหน่งการบินแบบจำลองให้กับอากาศยานไร้คนขับสามารถเคลื่อนที่ไปในทิศทางตามที่กำหนด ซึ่งผลการจำลองจะกำหนดเลือกใช้ตัวเลขคำสั่งที่เป็นในทิศทางที่มีเครื่องหมายบวกในการจำลองทั้ง 4 ตำแหน่ง (4 ชุดคำสั่ง) ในระยะทาง 5 เมตร เท่ากันทุกตำแหน่ง เพื่อพิจารณาจุดเริ่มต้นการบินและจุดลงจอดก่อนนำโปรแกรมที่จำลองขึ้นนั้น นำไปใช้กับการบินจริงตามที่ต้องการ ดังตารางที่ 1 และ 2 ตามลำดับ

รูปที่ 6 ชุดคำสั่งโปรแกรมจำลองการบินแบบเสมือนไฟล์ ชื่อ Order

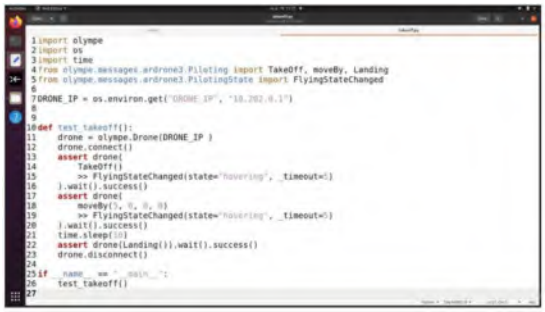

รูปที่ 7 ชุดคำสั่งโปรแกรมจำลองการบินแบบเสมือนไฟล์ ชื่อ takeoff.py

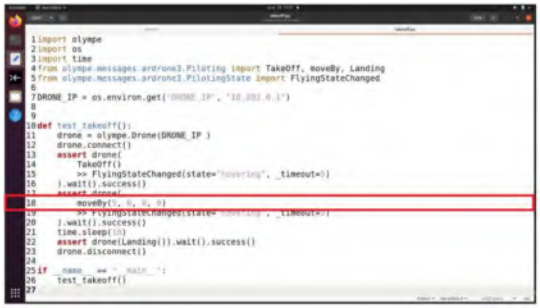

รูปที่ 8 ชุดคำสั่งจำลองรูปแบบการบินตามทิศทางที่กำหนด

ตารางที่ 1 ผลการเปรียบเทียบชุดคำสั่งกับตำแหน่งการบินจากโปรแกรมจำลองการบิน Parrot Sphinx

ชุดคำสั่ง (1)	ตำแหน่งการบินเริ่มต้น			ตำแหน่งการบินสุดท้าย (ครั้งที่ 1-5)		
	x	y	z	x	y	z
	-475.53	-0.03	102.48	21.45	-44.60	102.48
				21.52	-44.76	102.48
				21.92	-42.21	102.48
				21.79	-44.78	102.48
				22.60	-44.33	102.48
ชุดคำสั่ง (2)	ตำแหน่งการบินเริ่มต้น			ตำแหน่งการบินสุดท้าย (ครั้งที่ 1-5)		
	x	y	z	x	y	z
	-475.53	-0.03	102.48	-428.64	498.20	102.48
				-427.58	497.60	102.48
				-428.19	497.63	102.48
				-439.75	493.96	102.48
				-433.68	497.14	102.48

ตารางที่ 2 ผลการเปรียบเทียบชุดคำสั่งกับตำแหน่งการบินจากโปรแกรมจำลองการบิน Parrot Sphinx (ต่อ)

ชุดคำสั่ง (3)	ตำแหน่งการบินเริ่มต้น			ตำแหน่งการบินสิ้นสุด (ครั้งที่ 1-5)		
	x	y	z	x	y	z
	-475.53	-0.03	102.48	-473.76	-3.44	152.85
				-474.55	-2.12	152.61
				-474.66	1.59	152.66
				-474.61	2.36	152.53
				-458.36	4.39	152.84
ชุดคำสั่ง (4)	ตำแหน่งการบินเริ่มต้น			ตำแหน่งการบินสิ้นสุด (ครั้งที่ 1-5)		
	x	y	z	x	y	z
	-475.53	-0.03	102.48	-364.47	140.78	102.48
				-364.61	141.76	102.48
				-360.84	142.80	102.48
				-346.63	146.49	102.48
				-346.97	146.01	102.48

จากตารางที่ 1 และ 2 เป็นผลการจำลองรูปแบบการบินของอากาศยานไร้คนขับด้วยโปรแกรมจำลองการบิน Parrot Sphinx โดยทำการเปรียบเทียบทั้ง 4 ตำแหน่ง (4 ชุดคำสั่ง) ซึ่งกำหนดให้มีการจำลองรูปแบบเงื่อนไขการบินเพียงเงื่อนไขเดียว คือ บินไปด้านหน้า บินไปทางขวา บินขึ้น และหมุนโดยรอบตามระยะทางรวมถึงตำแหน่งที่กำหนดไว้ในคำสั่ง คือ 5 ซึ่งหมายถึง การเคลื่อนที่ของอากาศยานไร้คนขับไปในระยะ 5 เมตร ทิศทางที่กำหนด โดยผลการจำลองรูปแบบการบินของอากาศยานไร้คนขับด้วยโปรแกรมแบบเสมือนสามารถทำงานได้ตามเงื่อนไขที่กำหนดตามคำสั่ง หากแต่ จากการทดสอบคำสั่งโดยพิจารณาจากตำแหน่งการบินเมื่อสิ้นสุดทั้งหมด 5 ครั้ง ในแต่ละชุดคำสั่งจะมีค่าความเที่ยงตรง (Precision) ในการสิ้นสุดในตำแหน่งลงจอดแต่ละพิกัด โดยเฉลี่ยร้อยละ 98 และเกิดความคลาดเคลื่อน (Error) เฉลี่ยร้อยละ 2 ในการทดสอบแต่ละครั้ง

4. สรุปและข้อเสนอแนะ

กระบวนการควบคุมอากาศยานไร้คนขับอัตโนมัติด้วยโปรแกรมจำลองการบิน Parrot Sphinx เพื่อจำลองรูปแบบการบินเสมือนจริงและทดสอบรูปแบบการบินตามเงื่อนไขคำสั่งการบิน ครั้งละ 1 ลำ ให้สามารถทำงานได้อย่างถูกต้อง ลดความเสียหายจากการควบคุมการบินจริงของอากาศยานไร้คนขับด้วยคอมพิวเตอร์ เพื่อพิจารณาและกำหนดจุดเริ่มต้นการบินและจุดลงจอดภายใต้โปรแกรม โดยในทุกชุดคำสั่ง ตลอดช่วงของการทดสอบการบิน จะทำการเปรียบเทียบทั้ง 4 ตำแหน่ง (4 ชุดคำสั่ง) ซึ่งกำหนดให้มีการจำลองรูปแบบเงื่อนไขการบินเพียงเงื่อนไขเดียว คือ บินไปด้านหน้า บินไปทางขวา บินขึ้น และหมุนโดยรอบตามระยะทางรวมถึงตำแหน่งที่กำหนดไว้ในคำสั่ง คือ 5 ซึ่งหมายถึง การเคลื่อนที่ของอากาศยานไร้คนขับไปในระยะ 5 เมตร ทิศทางที่กำหนด โดยผลการจำลองรูปแบบการบินของอากาศยานไร้คนขับด้วยโปรแกรมแบบเสมือนสามารถทำงานได้ตามเงื่อนไขที่กำหนดตามคำสั่ง หากแต่ จากการทดสอบคำสั่งโดยพิจารณาจากตำแหน่งการบินเมื่อสิ้นสุดทั้งหมด 5 ครั้ง ในแต่ละชุดคำสั่งจะมีค่าความเที่ยงตรง (Precision) ในการสิ้นสุดในตำแหน่งลงจอดแต่ละพิกัด โดยเฉลี่ยร้อยละ 98 มีความคลาดเคลื่อน (Error) เฉลี่ยร้อยละ 2 ในการทดสอบแต่ละครั้ง ซึ่งเป็นปัจจัยที่พึงพิจารณา เนื่องจาก ความคลาดเคลื่อนในการทดสอบการบินในโปรแกรมจำลองการบินแม้เพียงเล็กน้อย จะส่งผลต่อการนำคำสั่งไปสั่งงานการบินของอากาศยานไร้คนขับลำจริง ทำให้จุดลงจอดเกิดความคลาดเคลื่อนในระยะที่เพิ่มขึ้นจากความเป็นจริงได้

5. กิตติกรรมประกาศ

บทความวิจัยนี้ได้รับการสนับสนุนการดำเนินงานและงบประมาณการวิจัยจากการไฟฟ้าฝ่ายผลิตแห่งประเทศไทย (กฟผ.) ภายใต้งบประมาณสนับสนุนการวิจัยการไฟฟ้าฝ่ายผลิตแห่งประเทศไทย ประจำปี พ.ศ. 2565

เอกสารอ้างอิง

[1] คณะอนุกรรมาธิการพิจารณากฎหมาย โครงสร้าง หน้าที่และอำนาจของหน่วยงานที่เกี่ยวข้องกับการเทคโนโลยีสารสนเทศฯ, “รายงานการพิจารณาศึกษา เรื่อง แนวทางส่งเสริมการใช้ประโยชน์เทคโนโลยีอากาศยานไร้คนขับเชิงพาณิชย์” การประชุมคณะกรรมาธิการ, ครั้งที่ 26/2563, 18 สิงหาคม 2563

[2] พลากร พรหมเมศร์ สุวินันท์ จันทอุไร และ เมธพัฒน์ หอทอง, “การศึกษาการบำรุงรักษาเชิงพยากรณ์กังหันลมโรงไฟฟ้าลำตะคองชลภาวัฒนา จังหวัดนครราชสีมา ด้วยอากาศยานไร้คนขับแบบกลุ่มร่วมกับระบบประมวลผลปัญญาประดิษฐ์,” รายงานวิจัยฉบับสมบูรณ์, มหาวิทยาลัยนราธิวาสราชนครินทร์, นราธิวาส, 2566

[3] M. Tranzatto, T. Miki, M. Dharmadhikari, L. Bernreiter, M. Kulkarni, F. Mascarich, O. Andersson, S. Khattak, M. Hutter, R. Siegwart, and K. Alexis, “CERBERUS in the DARPA Subterranean Challenge,” *Science Robotics*, vol. 7, no. 66, p. eabp9742, 2022.

[4] A. Suarez, R. Salmoral, A. Garofano-Soldado, G. Heredia, and A. Ollero, “Aerial Device Delivery for Power Line Inspection and Maintenance,” *2022 International Conference on Unmanned Aircraft System (ICUAS)*, 2022, pp. 30-38.

[5] A. Sarabakha, and P.N. Suganthan, “: anafi_ros: from off-the-shelf drones to research platform,” *2023 International Conference on Unmanned Aircraft System (ICUAS)*, 2023, pp. 1308-1315.

[6] DJI Developer. “DJI Developer Technologies; Unleash Productivity in All Industries with Imaginative Drone Solutions,” Developer.dji.com. Accessed: 2023. [Online]. Available: http://developer.dji.com

[7] GitHub, Inc. “Tello-Python,” Github.com. Accessed: 2019 [Online]. Available: http://github.com/djisdk/Tello-Python

[8] DJI Developer "Parrot for Developer; Parrot Drone SDK," Developer.dji.com. Accessed: 2023. [Online]. Available: http://developer.parrot.com/docs/index.html

[9] Bitcraze AB "SDL Bitcraze," Bitcraze.io. Accessed: 2023 [Online]. Available: http://www.bitcraze.io/documentation

[10] R. Mur-Artal, J. M. M. Montiel, and J. D. Tardós, "ORB-SLAM: A Versatile and Accurate Monocular SLAM System," *IEEE Transactions on Robotics*, vol. 31, no. 5, pp. 1147-1163, 2015.

[11] R. Tallamraju, E. Price, R. Ludwig, K. Karlapalem, H. H. Bülthoff, M. J. Black and A. Ahmad, "Active Perception Based Formation Control for Multiple Aerial Vehicle," *IEEE Robotics and Automation Letter*, vol. 4, no. 4, pp. 4491-4498, 2019.

[12] B. Zhou, J. Pan, F. Gao, and S. Shen, "RAPTOR: Robust and Perception-Aware Trajectory Replanning for Quadrotor Fast Flight," *IEEE Transactions on Robotics*, vol. 37, no. 6, pp. 1992-2009, 2021.

[13] G. Torrente, E. Kaufmann, P. Föhn, and D. Scaramuzza, "Data-Driven MPC for Quadrotors," *IEEE Robotics and Automation Letter*, vol. 6, no. 2, pp. 3769-3776, 2021.

[14] A. Sarabakha and E. Kayacan, "Online Deep Fuzzy Learning for Control Nonlinear Systems Using Expert Knowledge" *IEEE Transactions on Fuzzy Systems*, vol. 28, no. 7, pp. 1492-1503, 2020.

[15] "Parrot-customized ue editor," 2024 [Online]. Available: http://developer.parrot.com/docs/sphinx/build_ue-editor.html

[16] J. Barton, "Fundamental of Small Unmanned Aircraft Flight," *Johns Hopkins APL Technical Digest*, vol. 31, pp. 132-149, 2012.

[17] H. Nguyen, M. Kamel, K. Alexis, and R. Siegwart, "Model Predictive Control for Micro Aerial Vehicle: Survey," *CoRR*, vol. abs/2011.11104, 2020. [Online]. Available: https://arxiv.org/abs/2011.11104

[18] M. Shimizu, N. Koenig, A. Vissor, and T. Takahashi, "A realistic RoboCup Rescue Simulation base on Gazebo," *Lecture Notes in Computer Science*, 2015, pp. 331-338.

พลากร พรหมเมศร์ อาจารย์ประจำสาขาวิชาวิศวกรรมไฟฟ้า คณะวิศวกรรมศาสตร์ มหาวิทยาลัยนราธิวาสราชนครินทร์
งานวิจัยที่สนใจ: การวัดและเครื่องมือวัดทางไฟฟ้า, ไฟฟ้าแรงสูงและการประยุกต์ใช้, พลังงานทดแทนและพลังงานทางเลือก

สุวินันท์ จันทอุไร อาจารย์ประจำสาขาวิชาวิศวกรรมไฟฟ้า คณะวิศวกรรมศาสตร์ มหาวิทยาลัยนราธิวาสราชนครินทร์
งานวิจัยที่สนใจ: พลังงานทดแทนและพลังงานทางเลือก

เมธพัฒน์ หอทอง วิศวกรระดับ 4 ฝ่ายบำรุงรักษาเครื่องกล การไฟฟ้าฝ่ายผลิตแห่งประเทศไทย
งานวิจัยที่สนใจ: งานบำรุงรักษาเครื่องกล

วิษณุ กิตติพงศ์วรการ หัวหน้าแผนกวิศวกรรมโรงไฟฟ้าพลังน้ำและพลังงานหมุนเวียน ฝ่ายบำรุงรักษาเครื่องกล การไฟฟ้าฝ่ายผลิตแห่งประเทศไทย
งานวิจัยที่สนใจ: งานบำรุงรักษาเครื่องกล

การพัฒนาระบบควบคุมแขนกลหุ่นยนต์แบบห้าแกนด้วยสมองกลฝังตัวแบบแยกส่วน

Development of the 5-axis Manipulator Robot Controller using Embedded Control System

วนายุทธ์ แสนเงิน* และ วรานนท์ บุญมั่น
สาขาวิชาวิศวกรรมไฟฟ้า คณะวิศวกรรมศาสตร์ มหาวิทยาลัยศรีปทุม wanayuth.sa@spu.ac.th*

บทคัดย่อ

บทความนี้นำเสนอการพัฒนาระบบควบคุมแขนกลหุ่นยนต์แบบห้าแกน ด้วยสมองกลฝังตัวแบบแยกส่วน ประกอบด้วยตัวประมวลผลหลักไมโครคอนโทรลเลอร์ ESP32 และตัวประมวลผลย่อยไมโครคอนโทรลเลอร์ Atmega328 จำนวน 5 ตัว ด้วยการสื่อสารอนุกรมระหว่างตัวประมวลผลหลักและตัวประมวลผลย่อยผ่าน i2c bus โดยตัวประมวลผลย่อยจะทำหน้าที่ควบคุมมุมองศาของจุดหมุนของแขนกลหุ่นยนต์ 5-axis SCORBOT-ER9 ด้วยตัวควบคุมแบบพีไอดี ในการทดสอบการระบบควบคุมมุมองศาของแต่ละส่วนและคำนวณตำแหน่งจุดปลายแขนกลไปพร้อมกัน จากผลการทดลองมีค่าเบี่ยงเบนมาตรฐานเชิงมุมของข้อต่อไม่เกิน ±0.48° และค่าเบี่ยงเบนมาตรฐานเชิงตำแหน่งของปลายแขนกลไม่เกิน ±2.81 มิลลิเมตร ซึ่งสามารถนำไปประยุกต์ใช้กับแขนกลแบบ 5 แกนได้ รวมถึงลดต้นทุน ทั้งยังประยุกต์ใช้ในการเรียนการสอนเชิงปฏิบัติการแขนกลหุ่นยนต์

คำสำคัญ: แขนกลหุ่นยนต์, สมองกลฝังตัว, จลนศาสตร์ทางกล

Abstract

This article presents the development of the 5-axis manipulator robot controller by using the embedded control system, which consists of the microcontroller ESP32 as a master controller and five microcontrollers of Atmega328P as the slave controller. The data communication between them used the i2c bus for interfacing the data protocol. The slave controller is computing PID control of each joint motion of 5-axis SCORBOT-ER9. In the experiments, the joint angle changes and the position of end-effector is to calculate simultaneously. As the experimental results, the standard deviation of joint angles about ±0.48° degree, and the standard deviation at the end-effector position is about ±2.81 mm. which can be applied to other 5-axis manipulator robot arm, including reducing costs, and it is also applied in teaching the manipulator robot arm workshops.

Keywords: Manipulator Robot, Embedded System, Forward Kinematics

1. บทนำ

ปัจจุบันแขนกลหุ่นยนต์ มีการพัฒนาเทคโนโลยีอย่างรวดเร็ว และใช้งานแพร่หลายในงานภาคอุตสาหกรรมระบบอัตโนมัติอย่างต่อเนื่อง ด้วยการทำงานที่มีองศาอิสระ การทำงานเลียนแบบคล้ายแขนมนุษย์ ตามจุดหมุนของข้อต่อต่างๆ ซึ่งจำนวนข้อต่อจุดหมุน Degree of Freedom [1] ทำให้แขนกลหุ่นยนต์สามารถเคลื่อนไหวและทำงานได้ในพื้นที่จำกัด การประยุกต์ใช้งานแขนกลหุ่นยนต์ได้รับความนิยมสูงในภาคอุตสาหกรรม [2] ด้วยความสามารถในการเคลื่อนที่หลายองศาอิสระ จึงเหมาะสำหรับงานที่ต้องการความแม่นยำ เช่น งานเชื่อมประสาน งานประกอบชิ้นส่วน งานจัดเรียงสินค้า เป็นต้น ปัจจุบันเทคโนโลยีแขนกลหุ่นยนต์มีการพัฒนาอย่างต่อเนื่อง ทำให้แขนกลหุ่นยนต์ที่ใช้งานมีระบบควบคุมที่แตกต่างเทคโนโลยีตามยุคสมัย ชุดควบคุมแขนกลหุ่นยนต์ในยุคต้น ไม่สามารถนำมาใช้เชื่อมต่อกับระบบใหม่ได้ ซึ่งแขนกลหุ่นยนต์ยังคงมีโครงสร้างทางกลที่สมบูรณ์ แต่ระบบควบคุมมีข้อจำกัดด้วยเทคโนโลยีเดิม หากระบบควบคุมเสียหาย ก็ยากที่จะหาอุปกรณ์ทดแทน หรือต้นทุนที่สูงเกิน จึงทำให้กลายเป็นขยะอิเล็กทรอนิกส์ ในกรณีของอุปกรณ์ควบคุมที่ไม่สามารถนำกลับมาใช้ใหม่ได้ [3] แต่โครงสร้างและอุปกรณ์ทางกลยังสามารถทำงานได้อย่างต่อเนื่อง

ดังนั้นบทความนี้ได้พัฒนาระบบควบคุมแขนกลหุ่นยนต์ห้าแกนด้วยสมองกลฝังตัวแบบแยกส่วน ในการพัฒนาระบบควบคุมแขนกลหุ่นยนต์แบบต้นทุนต่ำ ทดแทนชุดควบคุมเดิมที่เสียหาย ของระบบควบคุมแขนกลแบบห้าแกน SCORBOT-ER 9 ในห้องปฏิบัติการหุ่นยนต์และระบบอัตโนมัติ แสดงดังรูปที่ 1

รูปที่ 1 แขนกลหุ่นยนต์ SCORBOT-ER 9

2. โครงสร้างการทำงานของระบบ

2.1 ภาพรวมของระบบ

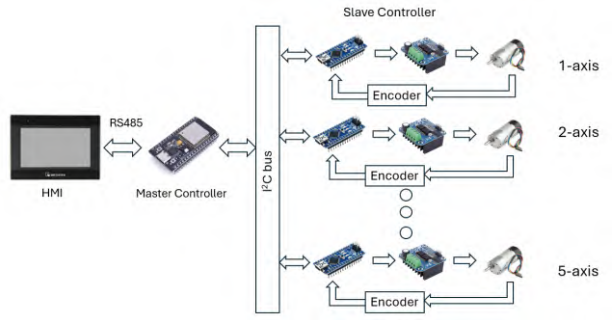

รูปที่ 2 ภาพรวมของระบบควบคุมแขนกลหุ่นยนต์

จากรูปที่ 2 ระบบควบคุมสมองกลฝังตัวแบบแยกส่วน ได้ออกแบบระบบประมวลผลแบบแยกส่วน คือส่วนประมวลผลหลัก (Master Controller) และตัวประมวลผลย่อย (Slave Controller) มีระบบสื่อสารข้อมูลแบบ I²C โดยกำหนดความถี่ในการสื่อสารที่ 400 kHz ระหว่างไมโครคอนโทรลเลอร์ ESP32 ซึ่งทำหน้าที่เป็นตัวประมวลผลหลัก และไมโครคอนโทรลเลอร์ Atmega328P ทำหน้าที่เป็นตัวประมวลผลย่อย ในการควบคุมเซอร์โวมอเตอร์กระแสตรง (DC Servo Motor) ในแต่ละแกนหมุน รวม 5 ตัวที่เชื่อมต่อไปยังวงจรขับเคลื่อนมอเตอร์กระแสตรงไปยังเซอร์โวมอเตอร์กระแสตรงติดตั้งเซนเซอร์นับรอบชนิด Incremental Encoder ความละเอียด 512 slots เป็นอุปกรณ์ตรวจวัดมุมองศาป้อนกลับไปยังตัวประมวลผลย่อยเพื่อควบคุมการทำงานแบบปิด โดยตัวประมวลผลหลักจะสื่อสารข้อมูลอนุกรมผ่าน RS485 โดยกำหนดบอดเรตที่ 9600 bps ไปยังหน้าจอสัมผัส HMI ซึ่งทำหน้าแสดงผลข้อมูลและสถานะต่างๆ ของการทำงาน มุมองศาของแต่ละจุดหมุน (Joint Angle Mode) และตำแหน่งปลายทางของแขนกล (End-effecter) โดยระบบควบคุมสามารถกำหนดมุมองศาแต่ละจุดหมุนของแขนกลแต่ละแกนผ่านหน้าจอสัมผัส HMI โดยแกนที่ 1 ระยะมุมขอบเขต 270 องศา แกนที่ 2 ระยะมุมขอบเขต 145 องศา แกนที่ 3 ระยะมุมขอบเขต 210 องศา แกนที่ 4 ระยะมุมขอบเขต 196 องศา แกนที่ 5 ระยะมุมขอบเขต 737 องศา การแสดงผลมุมข้อต่อและการแสดงผลตำแหน่งเชิงพื้นที่ของปลายแขนกล (End-Effector Position Mode)

2.2 จลศาสตร์แขนกลหุ่นยนต์

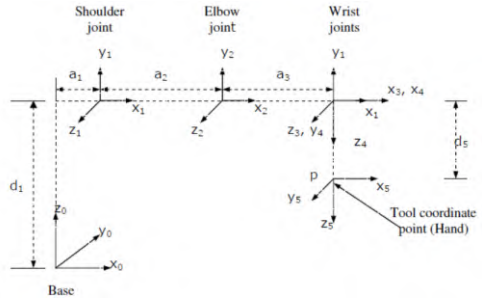

รูปที่ 3 แนวแกนของจุดหมุนแขนกลหุ่นยนต์

จากรูปแบบโครงสร้างแขนกลหุ่นยนต์ SCORBOT-ER 9 [4] ที่ใช้เป็นแขนกลชนิดข้อต่อหมุนซึ่งมีโครงสร้างประกอบด้วยข้อต่อจำนวน 5 แกน ได้แก่ แกนที่ 1 คือ ฐาน (Base), แกนที่ 2 คือ หัวไหล่ (Shoulder), แกนที่ 3 คือ ข้อศอก (Elbow), แกนที่ 4 คือข้อมือ (Wrist Pitch) และ แกนที่ 5 คือ ข้อมือแบบหมุนรอบตัวเอง (Wrist Roll) ตามลำดับ ดังแสดงในรูปที่ 3 นอกจากนี้ ยังมีการกำหนดค่าพารามิเตอร์ของแขนกลโดยใช้หลักการ Denavit-Hartenberg (DH Parameters) ซึ่งแสดงรายละเอียดไว้ในตารางที่ 1

ตารางที่ 1 DH พารามิเตอร์ของแขนกล

Link	θ_i(°)	α_i(°)	a_i(mm)	d_i(mm)
1 (Base)	θ_1	90	70	388
2 (Shoulder)	θ_2	0	0	0
3 (Elbow)	θ_3	0	230	0
4 (Wrist Pitch)	θ_4	-90	0	0
5 (Wrist Roll)	θ_5	0	0	231

ด้วยข้อมูลตารางที่ 1 คำนวณจลศาสตร์ทางกลด้วยสมการ forward kinematics [5] ของแขนกลหุ่นยนต์ จุดหมุนจากแกนที่ 1 ถึงแกนที่ 5 ของแขนกล ดังสมการที่ 1 และตำแหน่งจุดปลายแขนกล ดังสมการที่ 2

$$T_j^{j-1} = \begin{bmatrix} \cos\theta_j & -\sin\theta_j\cos\alpha_j & \sin\theta_j\sin\alpha_j & a_j\cos\theta_j \\ \sin\theta_j & \cos\theta_j\cos\alpha_j & -\cos\theta_j\sin\alpha_j & a_j\sin\theta_j \\ 0 & \sin\alpha_j & \cos\alpha_j & d_j \\ 0 & 0 & 0 & 1 \end{bmatrix} \quad (1)$$

ดังนั้นจะได้ค่าพารามิเตอร์ของแกนหมุน ดังนี้

$$T_1^0 = \begin{bmatrix} \cos\theta_1 & 0 & \sin\theta_1 & 70\cos\theta_1 \\ \sin\theta_1 & 0 & -\cos\theta_1 & 70\sin\theta_1 \\ 0 & 1 & 0 & 388 \\ 0 & 0 & 0 & 1 \end{bmatrix} \quad T_2^1 = \begin{bmatrix} \cos\theta_2 & -\sin\theta_2 & 0 & 0 \\ \sin\theta_2 & \cos\theta_2 & 0 & 0 \\ 0 & 0 & 1 & 0 \\ 0 & 0 & 0 & 1 \end{bmatrix}$$

$$T_3^2 = \begin{bmatrix} \cos\theta_3 & -\sin\theta_3 & 0 & 230\cos\theta_3 \\ \sin\theta_3 & \cos\theta_3 & 0 & 230\sin\theta_3 \\ 0 & 0 & 1 & 0 \\ 0 & 0 & 0 & 1 \end{bmatrix} \quad T_4^3 = \begin{bmatrix} \cos\theta_4 & 0 & -\sin\theta_4 & 0 \\ \sin\theta_4 & 0 & \cos\theta_4 & 0 \\ 0 & -1 & 0 & 0 \\ 0 & 0 & 0 & 1 \end{bmatrix}$$

$$T_5^4 = \begin{bmatrix} \cos\theta_5 & -\sin\theta_5 & 0 & 0 \\ \sin\theta_5 & \cos\theta_5 & 0 & 0 \\ 0 & 0 & 1 & 231 \\ 0 & 0 & 0 & 1 \end{bmatrix}$$

ดังนั้น $T_5^0 = T_1^0\, T_2^1\, T_3^2\, T_4^3\, T_5^4$ (2)

$$T_5^0 = \begin{bmatrix} n_x & o_x & a_x & p_x \\ n_y & o_y & a_y & p_y \\ n_z & o_z & a_z & p_z \\ 0 & 0 & 0 & 1 \end{bmatrix}$$

โดยกำหนดให้

$$\begin{aligned} n_x &= -s_1s_5 + c_1c_5\,c_{234} \\ n_y &= c_1s_5 + s_1c_5\,c_{234} \\ n_z &= s_5s_{234} \\ o_x &= -s_1c_5 - c_1c_5\,c_{234} \\ o_y &= -c_1c_5 + s_1s_5\,c_{234} \\ o_z &= c_5s_{234} \\ a_x &= -c_1s_{234} \\ a_y &= -s_1s_{234} \\ a_z &= c_{234} \\ p_x &= (-231s_{234} + 230c_{23} + 70)c_1 \\ p_y &= (-231s_{234} + 230c_{23} + 70)s_1 \\ p_z &= 231c_{234} + 230s_{23} + 388 \end{aligned}$$

$$\begin{aligned} c_{23} &= \cos(\theta_2 + \theta_3) \\ c_{234} &= \cos(\theta_2 + \theta_3 + \theta_4) \\ s_{23} &= \sin(\theta_2 + \theta_3) \\ s_{234} &= \sin(\theta_2 + \theta_3 + \theta_4) \end{aligned}$$

3. การออกแบบโปรแกรมควบคุม

การออกแบบระบบควบคุมแบ่งเป็น 2 ส่วน ส่วนของ JOG mode กำหนดค่ามุมองศาของแต่ละแกนหมุน จำนวน 5 จุดหมุน ของแขนกลหุ่นยนต์ ผ่านหน้าจอแบบสัมผัส HMI ไปยังตัวประมวลหลัก เพื่อคำนวณค่าสมการแขนกลหุ่นยนต์ และส่งข้อมูลไปยังหน่วยประมวลผลย่อยของแต่ละแนวแกน รวมถึงตำแหน่งปลายทางแขนกล End-Effector Position ผลค่ามุมของแต่ละจุดหมุน คำนวณหาตำแหน่งปลายแขนกลในพิกัดเชิงพื้นที่ X, Y, Z, Pitch, Yaw, Roll โดยใช้วิธี Forward Kinematics ซึ่งค่ามุมของแต่ละจุดหมุน จะถูกส่งไปยังหน่วยประมวลผลย่อยของแต่ละแกนหมุน เพื่อควบคุมมุมองศาด้วยตัวควบคุมแบบ PID ด้วยการปรับค่าเกนของ kp, ki และ kd ของแต่ละแนวแกนด้วยวิธี trial-and-error method เพื่อควบคุมการทำงานให้ค่าผิดพลาดน้อยที่สุด โดยแสดงผังงานของระบบควบคุมของตัวประมวลผลหลักและตัวประมวลผลย่อย แสดงดังรูปที่ 4 และรูปแบบหน้าจอแบบสัมผัส HMI ของการกำหนดค่ามุมองศาแต่ละแนวแกน แสดงดังรูปที่ 5

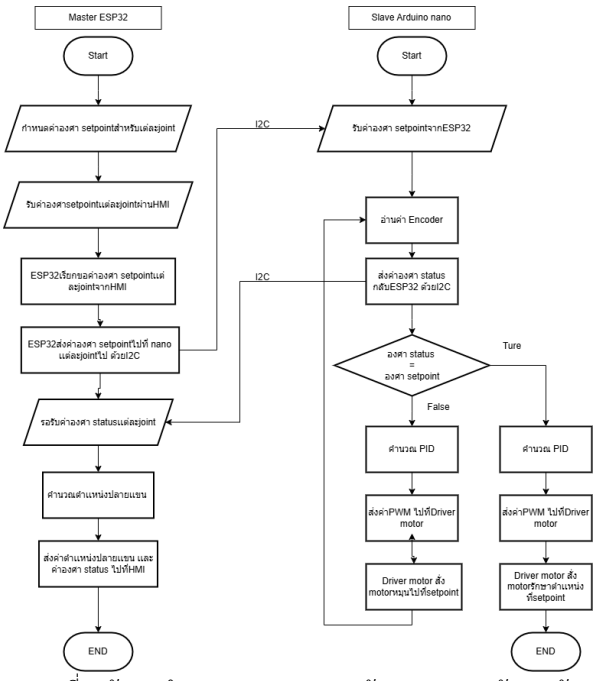

รูปที่ 4 ผังการทำงานของระบบควบคุมตัวประมวลผลหลักและตัวประมวลผลย่อย

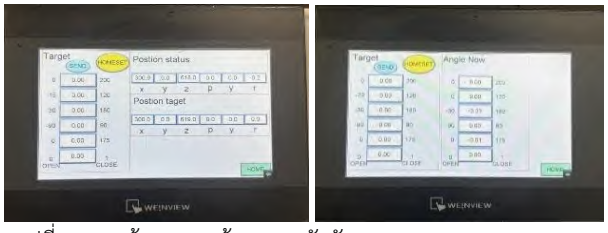

รูปที่ 5 แสดงข้อมูลบนหน้าจอแบบสัมผัส HMI มุมองศาของแกนหมุน 5 แกนหมุน และตำแหน่งปลายทางแขนกลหุ่นยนต์

รูปที่ 6 ชุดระบบควบคุมสมองกลแบบแยกส่วนของแขนกลหุ่นยนต์

ด้วยการพัฒนาระบบควบคุมแขนกลหุ่นยนต์แบบแยกส่วนแบบต้นทุนต่ำ โดยใช้ตัวประมวลผลไมโครคอนโทรลเลอร์ ESP32 เป็นตัวประมวลผลหลัก รองรับฟังก์ชันระบบการสื่อสารข้อมูลผ่านเครือข่ายไร้สาย 2.4 Hz ผ่านการสั่งการแบบบังคับมือด้วย Joystick และ Atmega328P Nano 3.0 ตัวประมวลผลย่อยจำนวน 5 ชุด และ 1 ชุด สำหรับมือจับ (Gripper) แสดงดังรูปที่ 6

4. ผลการทดลอง

ผลการทดลองแขนกลหุ่นยนต์เคลื่อนที่ กำหนดเส้นทางที่ 1 จากตำแหน่ง Home position (H) ไปยังตำแหน่ง A, เส้นทางที่ 2 ต่อเนื่องจากตำแหน่ง A ไปยังตำแหน่ง B, เส้นทางที่ 3 ต่อเนื่องจากตำแหน่ง B ไปยังตำแหน่ง H กลับสู่ตำแหน่งเริ่มต้นอีกครั้งกระบวนการข้างต้นถูกทำซ้ำทั้งหมด 10 รอบ แสดงดังรูปที่ 7 โดยตำแหน่ง A ประกอบด้วยมุม θ_1=180°, θ_2=78°, θ_3=25°, θ_4=-35°, θ_5=90° และตำแหน่ง B ประกอบด้วยมุม θ_1=0°, θ_2=60°, θ_3=60°, θ_4=30°, θ_5=0° ตามลำดับ

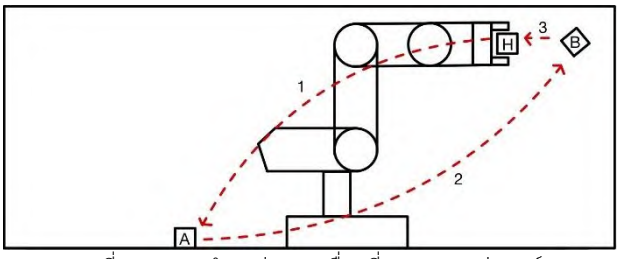

รูปที่ 7 ทดสอบตำแหน่งการเคลื่อนที่ของแขนกลหุ่นยนต์

ในการเคลื่อนที่ได้ทำการบันทึกค่ามุมองศาจริงของข้อต่อแต่ละแกนด้วยเซนเซอร์เอ็นโค้ดเดอร์ และคำนวณตำแหน่งจุดปลายแขนกล ด้วยตัวควบคุมแบบ PID โดยกำหนดค่าเกนของตัวประมวลผลย่อย ดังนี้ แกนที่ 1 Base กำหนดค่าเกน Kp=22, ki=0.01, kd=9.5 ; แกนที่ 2 Shoulder กำหนดค่าเกน Kp=22, ki=0.015, kd=1.5 ; แกนที่ 3 Elbow กำหนดค่าเกน Kp=37, ki=0.007, kd=12.5 ; แกนที่ 4 Wrist Pitch กำหนดค่าเกน Kp=31, ki=0.01, kd=2 ; และ แกนที่ 5 Wrist Roll กำหนดค่าเกน Kp=25, ki=0.00625, kd=3.32 โดยระบบควบคุมพีไอดีของตัวประมวลย่อย แสดงดังรูปที่ 8

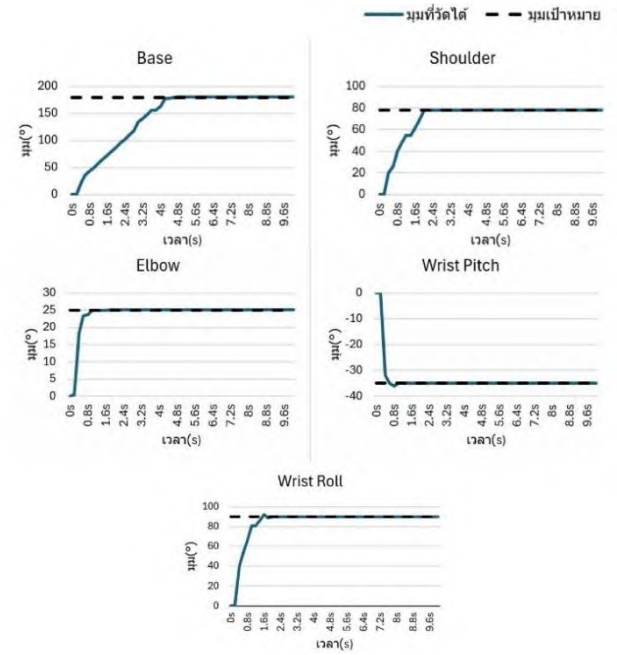

รูปที่ 8 กราฟมุมอาศาของแขนกลหุ่นยนต์ 5 แกนด้วยระบบควบคุมพีไอดี

ผลลัพธ์ของการควบคุมการเคลื่อนที่ของตำแหน่ง A ไปยังตำแหน่ง B มุมองศาที่ได้จากระบบควบคุมแสดงดังตารางที่ 2 และตำแหน่งปลายแขนกลที่ได้จากการคำนวณ แสดงในตารางที่ 3

ตารางที่ 2 ค่ามุมที่วัดได้จากแต่ละแกนในตำแหน่ง A และ B

NO	ค่ามุมเป้าหมายแต่ละแกนของแขนกลที่ตำแหน่ง A โดยมี θ_1=180°,θ_2=78°,θ_3=25°,θ_4=-35°,θ_5=90°	ค่ามุมเป้าหมายแต่ละแกนของแขนกลที่ตำแหน่ง B โดยมี θ_1=0°,θ_2=60°,θ_3=60°,θ_4=30°,θ_5=0°
1	180.46,78.14,25.15,-35,90.12	0.27,61.93,59.65,30,0.19
2	180.54,78.24,24.49,-35,89.57	0.48,62.11,59.45,30,-0.45
3	180.47,78.24,24.5,-35,90.51	0.44,62.02,59.36,30,0.67
4	180.53,78.26,24.47,-35,89.64	0.39,61.82,59.22,30,-0.34
5	180.53,78.22,24.46,-35,90.47	0.35,61.57,59.32,30,-0.03
6	180.5,78.24,24.55,-35,89.5	0.42,61.92,59.11,30,-0.31
7	180.56,78.27,24.56,-35,90.71	0.34,61.58,59.32,30,0.41
8	180.53,78.24,24.53,-35,89.43	0.38,61.89,59.18,30,0.16
9	180.52,78.22,24.6,-35,90.24	0.37,62.14,59.3,30,0.25
10	180.5,78.26,24.56,-35,90.34	0.34,62.09,59.18,30,0.27

ตารางที่ 3 ค่าตำแหน่งปลายแขนกลจากการคำนวณในตำแหน่ง A และ B

NO	ค่าพิกัดของแขนกลที่เคลื่อนที่ X,Y,Z,P,Y,R (mm) โดยมีตำแหน่งที่ A :195.9,0,698.6,-68,-89.9,0	ค่าพิกัดของแขนกลที่เคลื่อนที่ X,Y,Z,P,Y,R (mm) โดยมีตำแหน่งที่ B :-160.5,0,387.1,0,180,150
1	197.5,1.6,697.2,-68.3,-89.4,-0.3	-160.3,-0.5,381.4,0,179.9,151.2
2	194.4,1.8,699.8,-67.7,-89.6,1	-160.4,-1,383.3,0.2,179.1,150.9
3	194.5,1.6,699.7,-67.7,-89.3,1.2	-160.4,-1.2,381.6,-0.3,179.6,151.3
4	194.4,1.8,699.8,-68,-89.6,0.8	-160.3,-1.3,382.2,0.1,179.2,151
5	194.2,1.7,700,-67.6,-89.2,-1.1	-160.3,-1.2,390.7,0,179.5,151.5
6	194.8,1.7,698.6,-68,-89.9,1.2	-160.3,-1.2,381.1,0.1,179.2,151.3
7	195,1.6,699.3,-67.8,-89.1,-1.7	-160.3,-1.2,382.7,-0.1,179.8,151.2
8	194.6,1.8,699.6,-67.7,-89.6,1.3	-160.4,-1,383.1,0,179.8,151
9	194.8,1.8,699.4,-67.8,-89.3,-0.6	-160.4,-0.9,381.6,-0.1,179.9,151.3
10	194.9,1.7,699.4,-67.8,-89.3,-0.8	-160.4,-1.2,382,-0.1,179.9,151.2

5. สรุปผลการทดลอง

จากผลการทดลองการเคลื่อนที่ของแขนกลไปยังตำแหน่ง A กับตำแหน่ง B ด้วยสมองกลฝังตัวแบบแยกส่วน สำหรับแขนกลหุ่นยนต์ SCORBOT-ER9 มีค่าเบี่ยงเบนมาตรฐานของมุมข้อต่อแต่ละแกนในเชิงมุม รวมถึงค่าเบี่ยงเบนมาตรฐานของตำแหน่งปลายแขนกลในเชิงพิกัด แสดงไว้ในตารางที่ 4 และตารางที่ 5 ผลการทดลองแสดงให้เห็นว่าระบบสามารถรักษาความแม่นยำเชิงมุมได้ โดยมีค่าเบี่ยงเบนมาตรฐานเชิงมุมของแต่ละแกนเฉลี่ยไม่เกิน ±0.5° ขณะที่ค่าเบี่ยงเบนมาตรฐานเชิงตำแหน่งของปลายแขนเฉลี่ยไม่เกิน ±3 มิลลิเมตร ซึ่งอยู่ในเกณฑ์ที่เพียงพอสำหรับการใช้งานด้านการเรียนการสอนและการทดลองในห้องปฏิบัติการเท่านั้น

ตารางที่ 4 ค่าเบี่ยงเบนมาตรฐานเชิงมุมแต่ละแกนของแขนกล

ส่วนเบี่ยงเบนมาตรฐานแต่ละแกนของแขนกลเชิงมุม(°)					
ตำแหน่ง	θ_1	θ_2	θ_3	θ_4	θ_5
A	± 0.031	± 0.037	± 0.203	± 0.000	± 0.475
B	± 0.059	± 0.203	± 0.156	± 0.000	± 0.359

ตารางที่ 5 ค่าเบี่ยงเบนมาตรฐานเชิงตำแหน่งจุดปลายของแขนกล

ส่วนเบี่ยงเบนมาตรฐานของแขนกลเชิงตำแหน่งปลายแขน						
ตำแหน่ง	x	y	z	pitch	yaw	roll
A	± 0.9445mm	± 0.0876mm	± 0.8270 mm	± 0.2066°	± 0.2406°	± 1.1205°
B	± 0.053 mm	± 0.236 mm	± 2.813 mm	± 0.140°	± 0.321°	± 0.179°

เอกสารอ้างอิง

[1] K. Lynch and F. Park, (2017), “Modern Robotics: Mechanics, Planning, and Control,” Cambridge University Press. https://modernrobotics.org.

[2] International Federation of Robotics, (2025), “Record of 4 million robots working in factories worldwide,” [online]. Available: https://ifr.org/ifr-press-releases/news/record-of-4-million-robots-working-in-factories-worldwide. [Accessed: 28-Jun-2025].

[3] H. McGloin, M. Studley, R. Mawle, and A. Winfield, (2023), “Introducing the Concept of Repurposing Robots; to Increase their Useful Life, Reduce Waste, and Improve Sustainability in the Robotics Industry,” *Proc. 8th Int. Conf. Robot Ethics and Standards (ICRES)*, Utrecht, Netherlands, pp.16-27.

[4] Intelitek, SCORBOT-ER IX User Manual, [online]. Available: https://www.theoldrobots.com/book45/scorbot-ERIX.pdf. [Accessed: 28-Jun-2025].

[5] วิโรจน์ ขาวละออ และ กิตติยา นาคพันธ์, (2564), “การวิเคราะห์จลนศาสตร์ไปข้างหน้าของหุ่นยนต์แขนกลรุ่น Denso VS-6577,” วารสารเทคโนโลยีพลังงานและสิ่งแวดล้อม (JEET), ปีที่ 8, ฉบับที่ 1, หน้า 60–68.

การประชุมวิชาการทางวิศวกรรมไฟฟ้า ครั้งที่ 48
The 48th Electrical Engineering Conference (EECON-48)
วันที่ 19-21 พฤศจิกายน 2568 ณ โรงแรมฟูราม่า จังหวัดเชียงใหม่

ระบบติดตามและแจ้งเตือนระดับน้ำระบบผลิตน้ำประปาผ่านเทคโนโลยี LoRa สำหรับเขื่อนรัชชประภา

Water Level Monitoring and Alert for Water Treatment System Using LoRa Technology at Ratchaprapha Dam

กิตติชัย ชัยเพชร[1] ชาญณรงค์ พงศ์รักธรรม[2*] ปริญญา มาลยาภรณ์[2] และ พิทยาธร ทองเสน[3]

[1]สาขาวิชาวิศวกรรมเครื่องกล คณะวิศวกรรมศาสตร์ มหาวิทยาลัยเทคโนโลยีราชมงคลศรีวิชัย kittichai.c@rmutsv.ac.th
[2]สาขาวิชาวิศวกรรมไฟฟ้า คณะวิศวกรรมศาสตร์ มหาวิทยาลัยเทคโนโลยีราชมงคลศรีวิชัย channarong.p@rmutsv.ac.th parinya@gmail.com
[3]การไฟฟ้าฝ่ายผลิตแห่งประเทศไทย Phitayatorn.th@gmail.com

บทคัดย่อ

งานวิจัยนี้นำเสนอการออกแบบและพัฒนาระบบติดตามและแจ้งเตือนระดับน้ำในกระบวนการผลิตน้ำประปา โดยประยุกต์ใช้เทคโนโลยี LoRa ในพื้นที่เขื่อนรัชชประภา ระบบประกอบด้วยอุปกรณ์ส่งข้อมูล (Sender) จำนวน 2 หน่วย ได้แก่ หน่วยที่หนึ่งทำหน้าที่วัดแรงดันไฟฟ้าและกระแสไฟฟ้าด้วยโมดูล PZEM-004T และหน่วยที่สองวัดระดับน้ำโดยใช้เซนเซอร์อัลตราโซนิค ข้อมูลจากทั้งสองหน่วยจะถูกส่งไปยังอุปกรณ์รับข้อมูล (Receiver) ผ่านเครือข่าย LoRa ซึ่งอุปกรณ์ตัวรับ (Receiver) จะรวบรวมข้อมูลจากอุปกรณ์ตัวส่ง (Sender) แล้วส่งต่อผ่านเครือข่าย Wi-Fi ไปยังแพลตฟอร์ม ThingsBoard เพื่อแสดงผลแบบเรียลไทม์ รวมถึงประมวลผลค่าต่าง ๆ ตามเงื่อนไขที่กำหนดไว้ หากพบค่าผิดปกติ ระบบจะทำการแจ้งเตือนผู้ใช้งานผ่าน Line Application จากการทดสอบการทำงานในพื้นที่จริงพบว่า ระบบสามารถส่งข้อมูลผ่าน LoRa ได้ระยะทางสูงสุด 529.59 เมตร โดยไม่มีปัญหาการสูญเสียสัญญาณ และค่าที่วัดได้จากเซนเซอร์สามารถแสดงผลได้อย่างถูกต้องและแม่นยำ แสดงให้เห็นว่าระบบนี้มีความเหมาะสมสำหรับการใช้งานในพื้นที่ห่างไกล เพื่อการติดตามและควบคุมคุณภาพน้ำประปาอย่างมีประสิทธิภาพ

คำสำคัญ: เทคโนโลยี LoRa การแจ้งเตือนระดับน้ำ IOT

Abstract

This research presents the design and development of a water level monitoring and alert system for the water production process at the Ratchaprapha Dam, which utilizes LoRa communication technology.The system consists of two sender modules: one measures electrical voltage and current using a PZEM-004T module, while the other monitors water levels using an ultrasonic sensor. Data from both sender units are transmitted via the LoRa network to a receiver unit.The receiver collects data from both sender modules and forwards it via Wi-Fi to the ThingsBoard platform for real-time monitoring. The system processes the incoming data based on predefined conditions and triggers alerts to users via the Line application when abnormal values are detected.Field tests confirmed that the system can reliably transmit data over distances of up to 529.59 meters without significant signal loss. Sensor measurements were found to be accurate and consistent, demonstrating the system's suitability for remote deployment and providing an effective solution for water level monitoring and control in rural areas.

Keywords: LoRa technology, Water Level Alert System, IOT

1. ความสำคัญและที่มาของหัวข้อวิจัย

เนื่องจากในปัจจุบันเทคโนโลยีดิจิตอลและอินเตอร์เน็ต เข้ามามีบทบาทในการปรับเปลี่ยนชีวิตประจำวันมากขึ้น และได้พัฒนาการเชื่อมต่อระหว่างอินเตอร์เน็ตกับอุปกรณ์ต่าง ๆ ได้อย่างอัจฉริยะ เราสามารถนำเทคโนโลยี Internet of Things หรือ IoT มาประยุกต์ในด้านต่าง ๆ โดยเพิ่มขีดความสามารถของอุปกรณ์เครื่องใช้หรือบริการ ให้สามารถรับรู้ แลกเปลี่ยนข้อมูล แสดงผล ควบคุมหรือทำงานร่วมกันได้ โดยก้าวข้ามขีดจำกัดในเรื่องของเวลาและสถานที่ และด้วยราคาของอุปกรณ์ต่าง ๆ ที่ถูกลงสวนทางกับสมรรถนะที่ดีขึ้น ทำให้การพัฒนาต่อยอดผลิตภัณฑ์หรือบริการที่เป็น IoT เป็นไปได้โดยง่ายขึ้นซึ่งมันจะผลทำให้เราเพิ่มประสิทธิภาพ หรือลดต้นทุนในการผลิตได้นั่นเอง

กระบวนการผลิตน้ำประปา ณ เขื่อนรัชชประภา มีการจัดเจ้าหน้าที่ประจำเพื่อเฝ้าระวังระดับน้ำในถังเก็บน้ำดิบ เพื่อป้องกันไม่ให้ระดับน้ำลดต่ำจนไม่สามารถผลิตน้ำประปาได้ ซึ่งหากระดับน้ำลดต่ำกว่าค่าที่กำหนดจะส่งผลให้ระบบการจ่ายน้ำประปาต้องหยุดชะงัก และเกิดผลกระทบต่อผู้ใช้น้ำทั้งภายในองค์กร (พนักงาน) และภายนอกองค์กร (นักท่องเที่ยว) โดยกระบวนการดังกล่าวจำเป็นต้องใช้ระยะเวลาในการรอระดับน้ำให้กลับเข้าสู่ค่ามาตรฐาน จึงจะสามารถดำเนินการผลิตน้ำประปาได้อีกครั้ง ส่งผลให้เกิดค่าใช้จ่ายด้านค่าล่วงเวลาในการจ้างเจ้าหน้าที่ดูแลระบบเพิ่มขึ้นอย่างหลีกเลี่ยงไม่ได้

ในส่วนของแพปั๊มน้ำ การตรวจสอบการทำงานของปั๊มน้ำเพื่อประเมินความพร้อมและความปกติของระบบเป็นไปได้อย่างยากลำบาก เนื่องจากแพปั๊มน้ำตั้งอยู่ห่างจากฝั่ง การเดินทางเพื่อเข้าถึงพื้นที่ดังกล่าวจำเป็นต้องใช้เรือเป็นพาหนะ ส่งผลให้สิ้นเปลืองทั้งเวลา เชื้อเพลิง และอาจเกิดความเสี่ยงด้านความปลอดภัยระหว่างการเดินทาง โดยการตรวจสอบระบบจะต้องดำเนินการอย่างน้อยสัปดาห์ละ 1 ครั้ง

รูปที่ 1 การเดินทางไปแพปั๊มน้ำ

*ผู้ประพันธ์บรรณกิจ

จากเหตุผลดังกล่าว ผู้วิจัยจึงมีแนวคิดในการพัฒนาอุปกรณ์สำหรับวัดกระแสไฟฟ้าและแรงดันไฟฟ้า เพื่อนำมาใช้ในการตรวจสอบสภาวะการทำงานของปั๊มน้ำ รวมถึงติดตั้งอุปกรณ์วัดระดับน้ำในถังเก็บน้ำประปาซึ่งใช้พลังงานจากโซลาร์เซลล์ โดยแสดงผลข้อมูลระดับน้ำผ่านระบบออนไลน์ผ่านการสื่อสารด้วยเทคโนโลยี LoRa ซึ่งได้รับการเลือกใช้แทนระบบ WiFi เนื่องจากบริเวณที่ตั้งของแพปั๊มน้ำอยู่ในพื้นที่ห่างไกลและไม่สามารถรับสัญญาณ WiFi ได้อย่างมีประสิทธิภาพ อีกทั้งยังช่วยลดต้นทุนด้านบุคลากรในการเฝ้าระวัง ลดระยะเวลาในการตรวจสอบระบบ และลดค่าใช้จ่ายด้านน้ำมันเชื้อเพลิงจากการเดินทางไปตรวจสอบปั๊มน้ำเป็นประจำทุกเดือน

2. ทฤษฎีที่เกี่ยวข้อง

2.1 ฮาร์ดแวร์ที่ใช้ในการพัฒนาระบบ

2.1.1 เทคโนโลยี LoRa

LoRa (Long Range) เป็นเทคโนโลยีการสื่อสารไร้สายระยะไกลที่ทำงานในย่านความถี่วิทยุที่ไม่ต้องขอใบอนุญาต เช่น 433 MHz, 868 MHz และ 915 MHz โดยสามารถส่งข้อมูลได้ไกลกว่า 10 กิโลเมตรในพื้นที่เปิดโล่ง [1] แต่ระยะส่งจะลดลงเมื่อมีสิ่งกีดขวาง LoRa มี 2 รูปแบบการใช้งาน ได้แก่ LoRa คือ การสื่อสารแบบจุดต่อจุด (Point-to-Point) ระหว่างอุปกรณ์ LoRa โดยตรง และ LoRaWAN คือ การสื่อสารผ่านเกตเวย์ เพื่อเชื่อมต่อกับโหนดที่อยู่ระยะไกล และรองรับการสร้างเครือข่ายขนาดใหญ่คล้ายระบบ WAN [2] สาเหตุที่ LoRa ได้รับความนิยมเพราะมีจุดเด่น คือ กินกำลังไฟต่ำสามารถทำงานโดยใช้แบตเตอรี่ได้หลายปี และยังส่งข้อมูลได้ไกล หลายกิโลเมตร สาเหตุที่ LoRa ประหยัดพลังงาน เนื่องจากตัวอุปกรณ์จะอยู่ในสภาวะ “Sleep” เมื่อไม่จำเป็นต้องส่งข้อมูล โดย LoRa มีโหมดการทำงาน 3 คลาส ดังนี้

- Class A: ส่งข้อมูลได้ตามต้องการและเปิดรับข้อมูลกลับช่วงสั้น ๆ หลังการส่ง เหมาะกับอุปกรณ์ที่ใช้พลังงานต่ำและส่งข้อมูลไม่บ่อย
- Class B: เปิดรับข้อมูลตามช่วงเวลาที่กำหนดโดย Beacon จากเกตเวย์ ทำให้รับข้อมูลได้สม่ำเสมอขึ้น โดยใช้พลังงานปานกลาง
- Class C: เปิดรับข้อมูลจากเกตเวย์ตลอดเวลา เหมาะสำหรับระบบที่ต้องการตอบสนองทันที แต่ใช้พลังงานสูง จึงเหมาะกับอุปกรณ์ที่มีไฟฟ้าต่อเนื่อง

RSSI (Received Signal Strength Indicator) คือค่าที่ใช้บ่งชี้ความแรงของสัญญาณไร้สายที่อุปกรณ์รับได้รับจากอุปกรณ์ส่ง วัดเป็นหน่วยเดซิเบลมิลลิวัตต์ (dBm) โดยค่าที่ใกล้ 0 หมายถึงสัญญาณแรง ในขณะที่ค่าติดลบมาก เช่น –100 dBm สะท้อนว่าสัญญาณอ่อนและมีความเสี่ยงต่อการสูญเสียข้อมูล RSSI จึงเป็นตัวชี้วัดสำคัญในการประเมินคุณภาพการเชื่อมต่อในระบบสื่อสารไร้สาย เช่น LoRa, Wi-Fi และ Zigbee รวมถึงใช้เป็นเกณฑ์ประกอบในการกำหนดตำแหน่งติดตั้งอุปกรณ์ให้เหมาะสม [3]

2.1.2 อัลตราโซนิคเซนเซอร์

โมดูลวัดระยะทางด้วยคลื่นอัลตราโซนิคเป็นอุปกรณ์ตรวจจับระยะที่ทำงานโดยอาศัยหลักการสะท้อนของคลื่นเสียงความถี่สูง โดยสามารถใช้งานในสภาพแวดล้อมที่มีความชื้นหรือละอองน้ำได้ [4] มีช่วงการวัดตั้งแต่ 25 เซนติเมตร ถึง 5 เมตร และใช้แรงดันไฟฟ้า 5 โวลต์ในการทำงาน หลักการทำงานของโมดูล คือ การส่งคลื่นอัลตราโซนิคจากขา Trig เมื่อคลื่นสะท้อนกลับจากวัตถุและถูกรับโดยขา Echo ระบบจะวัดเวลาที่ใช้ในการเดินทางของคลื่นไป-กลับ แล้วคำนวณเป็นระยะทางระหว่างเซนเซอร์กับวัตถุ

2.1.3 โมดูล PZEM-004T สำหรับการวัดพลังงานไฟฟ้า

PZEM-004T เป็นโมดูลวัดพลังงานไฟฟ้ากระแสสลับที่รองรับแรงดัน 80–260 VAC และกระแสสูงสุด 100 A โดยสามารถวัดแรงดัน กระแส กำลังไฟฟ้า พลังงานสะสม ความถี่ และ Power Factor [5] ได้อย่างแม่นยำ (±0.5%) สื่อสารผ่านโปรโตคอล Modbus-RTU ผ่านพอร์ต Serial (TTL) เหมาะสำหรับตรวจสอบการใช้พลังงานในระบบไฟฟ้า และสามารถใช้งานร่วมกับบอร์ดควบคุม เช่น ESP32 เพื่อแสดงผลผ่านแพลตฟอร์ม IoT ได้อย่างมีประสิทธิภาพ

2.2 ระบบโซลาร์เซลล์และแบตเตอรี่

ระบบโซลาร์เซลล์ทำหน้าที่แปลงพลังงานแสงอาทิตย์เป็นไฟฟ้ากระแสตรง (DC) ผ่านแผงโซลาร์เซลล์ เพื่อนำไปเก็บในแบตเตอรี่หรือผ่านอินเวอร์เตอร์เพื่อใช้งานเป็นไฟฟ้ากระแสสลับ (AC) การออกแบบต้องคำนวณขนาดแผงและแบตเตอรี่ให้รองรับโหลดตู้ส่งข้อมูล (Sender 2) กำลัง 1 วัตต์ ทำงานต่อเนื่อง 24 ชั่วโมง พร้อมเผื่อค่าการสูญเสีย 35% ตามมาตรฐาน IEC 61215 [6] เพื่อความมั่นคงและเสถียรภาพของระบบ

การเลือกแบตเตอรี่พิจารณาจากพลังงานที่ใช้ต่อวัน (Wh) และจำนวนวันที่ต้องการสำรองพลังงาน โดยนิยมใช้แบตเตอรี่ชนิด Deep Cycle ซึ่งเหมาะสมกับระบบพลังงานแสงอาทิตย์ การออกแบบควรเผื่อค่า Depth of Discharge (DOD) ประมาณ 50% เพื่อยืดอายุการใช้งานแบตเตอรี่

3. วิธีการดำเนินงาน

3.1 ตู้ควบคุมระบบติดตามและแจ้งเตือนระดับน้ำในกระบวนการผลิตน้ำประปา

งานวิจัยนี้มีวัตถุประสงค์ออกแบบและพัฒนาระบบติดตามและแจ้งเตือนระดับน้ำในกระบวนการผลิตน้ำประปา โดยใช้เทคโนโลยี LoRa สำหรับสื่อสารระยะไกลระหว่างอุปกรณ์ตรวจวัดภายนอกกับหน่วยประมวลผลภายในอาคาร ระบบสามารถแสดงอย่างน้อย 4 พารามิเตอร์บนแพลตฟอร์ม ThingsBoard และแจ้งเตือนความผิดปกติผ่านแอป Line พร้อมควบคุมอุปกรณ์ไฟฟ้าจากระยะไกล ระบบประกอบด้วยอุปกรณ์ 3 หน่วย ดังนี้

- Sender1: วัดแรงดันและกระแสไฟฟ้า 3 เฟสจากตู้ควบคุมมอเตอร์ด้วย PZEM-004T 3 ตัว พร้อม Watchdog ป้องกันบอร์ดค้าง
- Sender2: วัดระดับน้ำในถังเก็บด้วยเซนเซอร์ JSN-SR04T และตรวจสอบแรงดันแบตเตอรี่ ใช้พลังงานจากแผงโซลาร์เซลล์และแบตเตอรี่ 12V 12Ah
- Receiver: รับข้อมูลจาก Sender1 และ Sender2 ผ่าน LoRa ส่งต่อ Wi-Fi ไปยัง Cloud Server เพื่อแสดงผลบน ThingsBoard แจ้งเตือนผ่าน Line และควบคุมอุปกรณ์ไฟฟ้าได้

ตู้ควบคุมระบบติดตามและแจ้งเตือนระดับน้ำในกระบวนการผลิตน้ำประปา ทั้ง 3 หน่วย ที่ออกแบบและประกอบเสร็จแล้ว แสดงดังรูปที่ 2

รูปที่ 2 ตู้ควบคุมระบบติดตามและแจ้งเตือนระดับน้ำในกระบวนการผลิตน้ำประปา

3.2 การคำนวณขนาดแบตเตอรี่และแผงโซลาร์เซลล์

เพื่อกำหนดขนาดความจุของแบตเตอรี่และกำลังแผงโซลาร์เซลล์สำหรับอุปกรณ์ส่งข้อมูล (Sender 2) ดำเนินการคำนวณตามสมการดังนี้

3.2.1 โหลดของตู้ตัวส่ง (Sender 2)

อุปกรณ์ในตู้ตัวส่ง (Sender 2) ทั้งหมดมีกำลังไฟฟ้าทั้งหมดเท่ากับ 1 วัตต์ ใช้งานเป็นเวลา 24 ชั่วโมงต่อวัน ดังนั้นพลังงานไฟฟ้าที่ต้องการเท่ากับ

$$P = 1W\ x\ 24h = 24Wh$$

3.2.2 ขนาดความจุของแบตเตอรี่

ต้องการสำรองพลังงานให้ตู้ตัวส่ง (Sender2) สามารถใช้งานได้ 3 วัน (เผื่อพื้นที่ที่ติดตั้งมีแสงน้อยหรือฝนตกบ่อย) สามารถคำนวณหาได้จาก

$$\text{พลังงานสำรอง} = 24wh\ x\ 3 = 72Wh$$

สามารถคำนวณหาขนาดกระแสไฟฟ้าได้จาก

$$I = \frac{P}{V} = \frac{72Wh}{12V} = 6\,Ah$$

ค่า DOD (Depth of Discharge) ของแบตเตอรี่ 50 % จะได้

$$I_{DOD} = 6\ x\ 0.5 = 3\,Ah$$

ดังนั้นกระแสไฟฟ้าที่ใช้จากแบตเตอรี่จะเท่ากับ

$$6Ah + 3Ah = 9\,Ah$$

ดังนั้นจึงเลือกใช้แบตเตอรี่ขนาด 12V 12Ah จำนวน 1 ก้อน ซึ่งสามารถสำรองพลังงานได้เพียงพอสำหรับการใช้งานต่อเนื่อง 3 วัน

3.2.3 การคำนวณกำลังของแผงโซลาร์เซลล์

โหลดของตู้ตัวส่ง (Sender 2) ทั้งหมดจะมีกำลังไฟฟ้าเท่ากับ 1 วัตต์ เผื่อค่ากำลังไฟฟ้าสูญเสียในระบบ 35 % สามารถหาค่ากำลังไฟฟ้าสูญเสียในระบบเท่ากับ

$$P_{loss} = 24\ x \frac{35}{100} = 8.4\ Wh$$

ดังนั้นโหลดที่ใช้รวมกับกำลังไฟฟ้าสูญเสียในระบบเท่ากับ

$$P = 24Wh + 8.4\ Wh = 32.4\ Wh$$

คำนวณหาขนาดแผงโซลาร์เซลล์จากกำลังไฟฟ้าที่ใช้ต่อจำนวนชั่วโมงการประจุได้เต็มที่ (มีแสงอาทิตย์เฉลี่ย 5 ชั่วโมง/วัน) สามารถหาค่าได้ ดังนี้

$$P = \frac{32.4Wh}{5h} = 6.48\ W$$

ดังนั้นแผงโซลาร์เซลล์ที่เหมาะสมคือ ขนาด 12V 20W จำนวน 1 แผง ซึ่งเพียงพอในการชาร์จแบตเตอรี่ให้กลับมามีประจุเต็มได้อย่างรวดเร็ว

3.3 ผังการทำงาน

หลักการทำงานของระบบติดตามและแจ้งเตือนระดับน้ำจะมีทั้งหมด 3 ตู้ควบคุมดังนั้นจึงแบ่งรูปแบบการทำงานออกเป็น 3 รูปแบบ ดังนี้

3.3.1 ผังการทำงานของตัวส่ง (Sender1)

วงจร Sender1 วัดกระแสและแรงดันไฟฟ้า 3 เฟสจากตู้ควบคุมมอเตอร์ของปั๊มน้ำ โดยใช้โมดูล PZEM-004T 3 ตัว และส่งข้อมูลผ่านเครือข่าย LoRa ไปยัง Receiver ควบคุมด้วยบอร์ด Heltec ESP32 WiFi LoRa OLED V2 ผ่าน Serial (GPIO 17,18) พร้อมระบบ Watchdog Timer สำหรับรีเซ็ตอัตโนมัติเมื่อระบบค้าง เหมาะสำหรับพื้นที่ที่บำรุงรักษายาก แสดงดังรูปที่ 3

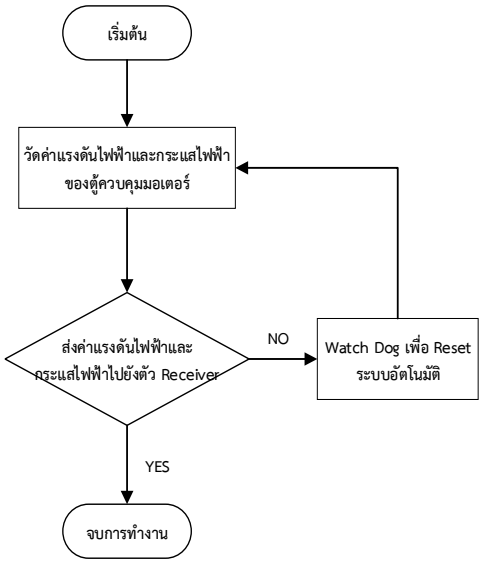

รูปที่ 3 ผังการทำงานของตัวส่ง (Sender1)

3.3.2 ผังการทำงานของตัวส่ง (Sender2)

วงจร Sender2 ทำหน้าที่วัดระดับน้ำด้วยเซนเซอร์อัลตราโซนิคและตรวจวัดแรงดันแบตเตอรี่ จากนั้นส่งข้อมูลผ่านโปรโตคอล LoRa ไปยัง Receiver โดยใช้บอร์ด Heltec ESP32 WiFi LoRa OLED V2 เป็นตัวควบคุมหลัก อุปกรณ์ใช้พลังงานจากแบตเตอรี่ขนาด 12V 36Ah ซึ่งชาร์จด้วยแผงโซลาร์เซลล์ และมีการติดตั้งเซนเซอร์สำหรับตรวจวัดระดับแรงดันของแบตเตอรี่เพื่อประเมินสถานะพลังงานของระบบ แสดงดังรูปที่ 4

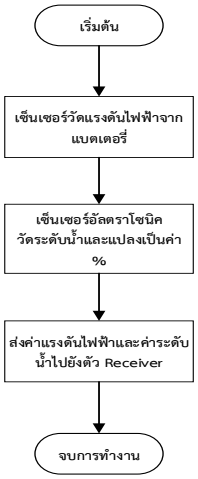

รูปที่ 4 ผังการทำงานของตัวส่ง (Sender2)

3.3.3 ผังการทำงานของตัวรับ (Receiver)

วงจร Receiver ทำหน้าที่รับข้อมูลจากอุปกรณ์ Sender1 และ Sender2 ผ่านการสื่อสารด้วย LoRa จากนั้นส่งข้อมูลไปยัง Cloud Server ผ่านเครือข่าย Wi-Fi โดยมีบอร์ด Heltec ESP32 WiFi LoRa OLED V2 เป็นตัวควบคุมหลัก ซึ่งติดตั้งภายในอาคารและใช้พลังงานจากระบบไฟฟ้าภายใน Receiver แสดงผลข้อมูลแบบเรียลไทม์ ได้แก่ แรงดันแบตเตอรี่ ระดับน้ำ กระแสไฟฟ้า และแรงดันไฟฟ้า ผ่านจอ OLED และสามารถควบคุมการเปิด-ปิดไฟภายในห้องทำงานได้ด้วยรีเลย์ที่ติดตั้งไว้ หากค่าที่ได้รับไม่เป็นไปตามเงื่อนไข ระบบจะส่งแจ้งเตือนอัตโนมัติผ่าน Line Application ไปยังผู้ปฏิบัติงาน แสดงดังรูปที่ 5

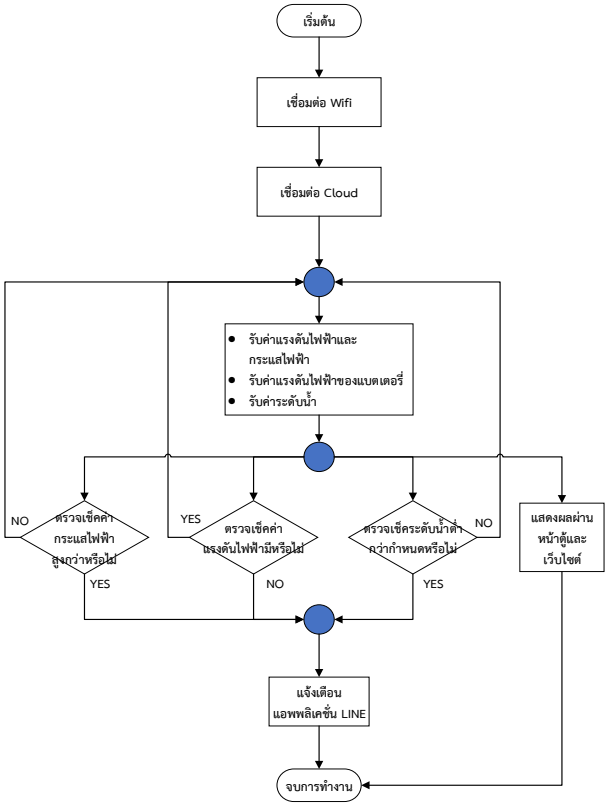

รูปที่ 5 ผังการทำงานของตัวรับ (Receiver)

3.4 การติดตั้งตู้ควบคุมระบบติดตามและแจ้งเตือนระดับน้ำในกระบวนการผลิตน้ำประปา

การติดตั้งตู้ควบคุมจะติดตั้งทั้งหมด 3 ตู้ โดยประกอบด้วย ตู้ Sender 1, ตู้ Sender 2 และ ตู้ Receiver ซึ่งแต่ละตู้ได้รับการออกแบบให้ทำหน้าที่เฉพาะด้าน โดยคำนึงถึงระยะทางของการส่งสัญญาณ LoRa ที่มีประสิทธิภาพสูงสุดและตำแหน่งการติดตั้งของทั้ง 3 ตู้ ได้แสดงไว้ในแผนผังระบบ แสดงดังรูปที่ 6

รูปที่ 6 แผนผังแสดงตำแหน่งการติดตั้งตู้ควบคุม

เพื่อให้เห็นภาพรวมของการจัดวางและการติดตั้งตู้ควบคุมอย่างชัดเจน สามารถสรุปรายละเอียดการติดตั้งตู้ควบคุมในแต่ละตำแหน่งได้แสดงดังรูปที่ 7, 8 และ 9

- การติดตั้งตู้ Sender1 ที่แพปั๊มน้ำ แสดงดังรูปที่ 7

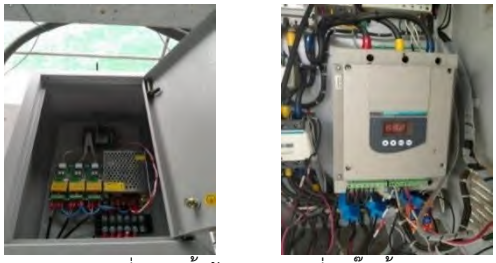

รูปที่ 7 ติดตั้งตู้ Sender1 ที่แพปั๊มน้ำ

- การติดตั้งตู้ Sender2 ที่ถังเก็บน้ำประปา แสดงดังรูปที่ 8

รูปที่ 8 ติดตั้งตู้ Sender2 ที่ถังเก็บน้ำประปา

- การติดตั้งตู้ Receiver ภายในอาคารสำนักงาน แสดงดังรูปที่ 9

รูปที่ 9 ติดตั้งตู้ Receiver ภายในอาคารสำนักงาน

4. ผลการทดลองและการวิเคราะห์ผล

ในการทดสอบประสิทธิภาพการสื่อสารระหว่างอุปกรณ์ส่ง (Sender) และอุปกรณ์รับ (Receiver) ได้มีการกำหนดจุดทดสอบโดยอ้างอิงจากตำแหน่งทางกายภาพ เพื่อประเมินระยะทางและคุณภาพของสัญญาณ LoRa ที่สามารถใช้งานได้จริง โดยมีการทดลองทั้งหมด 4 จุด ดังนี้

4.1 การทดลองส่งข้อมูลระหว่างอุปกรณ์ส่งและรับข้อมูล

4.1.1 การทดลองครั้งที่ 1 ระหว่าง โรงผลิตน้ำประปาและแพปั๊มน้ำ

ในการทดลองครั้งที่ 1 ระยะห่างระหว่างอุปกรณ์ส่งและรับเท่ากับ 251.33 เมตร ได้ส่งข้อมูลข้อความทดสอบ ("hello") จากอุปกรณ์ส่งไปยังอุปกรณ์รับ และพบว่าสัญญาณสามารถรับส่งได้อย่างมีประสิทธิภาพ โดยค่าความแรงของสัญญาณ (RSSI) ที่ตรวจวัดได้อยู่ที่ –112 dBm ซึ่งถือว่าอยู่ในระดับที่ยังสามารถรับสัญญาณได้ดีในสภาพแวดล้อมจริง แสดงดังรูปที่ 10

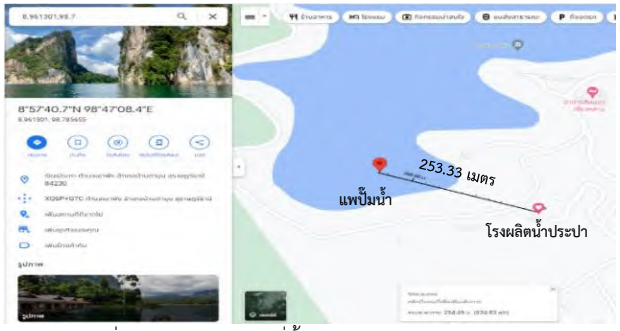

รูปที่ 10 แสดงตำแหน่งที่ตั้งของอุปกรณ์ส่งและรับข้อมูล ระหว่างแพปั๊มน้ำและโรงผลิตน้ำประปา

4.1.2 การทดลองครั้งที่ 2 ระหว่าง โรงผลิตน้ำประปาและบ้านเฟื่องฟ้า

ในการทดลองครั้งที่ 2 ได้ดำเนินการทดสอบการรับส่งข้อมูลระหว่างอุปกรณ์ส่งและรับ โดยกำหนดระยะทางระหว่าง โรงผลิตน้ำประปาและบ้านเฟื่องฟ้า ซึ่งมีระยะห่าง 529.59 เมตร โดยทำการส่งข้อความทดสอบ ("hello") จากอุปกรณ์ส่งไปยังอุปกรณ์รับผ่านโปรโตคอล LoRa ผลการทดลองพบว่าอุปกรณ์สามารถรับสัญญาณได้อย่างมีประสิทธิภาพ แม้ในระยะทางที่เพิ่มขึ้น โดยค่าความแรงของสัญญาณ (RSSI) ที่ตรวจวัดได้อยู่ที่ –117 dBm ซึ่งยังอยู่ในช่วงที่สามารถรับข้อมูลได้อย่างเสถียรภายใต้สภาพแวดล้อมจริง แสดงดังรูปที่ 11

รูปที่ 11 แสดงตำแหน่งที่ตั้งของอุปกรณ์ส่งและรับข้อมูล ระหว่างโรงผลิตน้ำประปาและบ้านเฟื่องฟ้า

4.1.3 การทดลองครั้งที่ 3 ระหว่าง โรงผลิตน้ำประปาและบ้านลีลาวดี 1

ในการทดลองครั้งที่ 3 ได้ทำการทดสอบการส่งข้อมูลระหว่างอุปกรณ์ส่งและรับ โดยกำหนดระยะทางระหว่าง โรงผลิตน้ำประปาและบ้านลีลาวดี 1 ซึ่งมีระยะห่าง 646.24 เมตร โดยส่งข้อความทดสอบ ("hello") ผ่านเครือข่าย LoRa เช่นเดียวกับการทดลองก่อนหน้า ผลการทดลองพบว่า ไม่สามารถรับสัญญาณได้ ที่ระยะทางดังกล่าว โดยค่าความแรงของสัญญาณ (RSSI) ที่ตรวจวัดได้อยู่ที่ –119 dBm ซึ่งถือว่าอยู่ในระดับที่อ่อนเกินกว่าขีดจำกัดของการสื่อสารที่มีเสถียรภาพสำหรับอุปกรณ์ที่ใช้งาน ส่งผลให้การรับข้อมูลไม่สำเร็จในกรณีนี้ แสดงดังรูปที่ 12

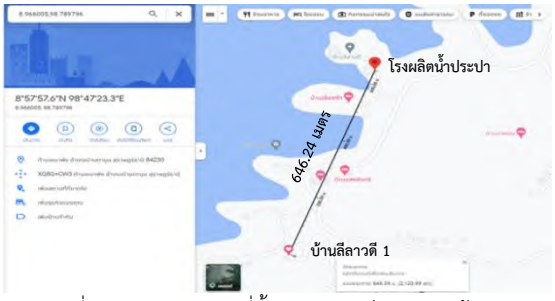

รูปที่ 12 แสดงตำแหน่งที่ตั้งของอุปกรณ์ส่งและรับข้อมูล ระหว่างโรงผลิตน้ำประปาและบ้านลีลาวดี 1

4.1.4 การทดลองครั้งที่ 3 ระหว่าง โรงผลิตน้ำประปาและบ้านแสงจันทร์

ในการทดลองครั้งที่ 4 ได้ดำเนินการทดสอบการรับส่งข้อมูลระหว่างอุปกรณ์ส่งและรับ โดยกำหนดระยะทางระหว่าง โรงผลิตน้ำประปาและบ้านแสงจันทร์ ซึ่งมีระยะห่างรวม 331.17 เมตร ทำการส่งข้อความทดสอบ ("hello") ผ่านโปรโตคอล LoRa จากอุปกรณ์ส่งไปยังอุปกรณ์รับ ผลการทดลองพบว่าอุปกรณ์สามารถรับสัญญาณได้อย่างมีเสถียรภาพ โดยค่าความแรงของสัญญาณ (RSSI) ที่ตรวจวัดได้อยู่ที่ –114 dBm ซึ่งอยู่ในช่วงที่สามารถรับส่งข้อมูลได้ดีในสภาพแวดล้อมจริง แสดงดังรูปที่ 13

รูปที่ 13 แสดงตำแหน่งที่ตั้งของอุปกรณ์ส่งและรับข้อมูล ระหว่างโรงผลิตน้ำประปาและบ้านแสงจันทร์

จากการทดลองทั้ง 4 ครั้ง จะเห็นได้ว่าค่าความแรงของสัญญาณ (RSSI) มีแนวโน้มลดลงเมื่อระยะทางระหว่างอุปกรณ์ส่งและรับเพิ่มขึ้น ซึ่งสอดคล้องกับทฤษฎีการสูญเสียพลังงานของคลื่นแม่เหล็กไฟฟ้าในอากาศ (Free Space Path Loss) โดยค่าที่ต่ำกว่า –115 dBm เริ่มแสดงความไม่เสถียรของสัญญาณ ที่ระยะ ≤ 530 เมตร (การทดลองครั้งที่ 1 และ 2): สัญญาณ LoRa ยังสามารถรับส่งได้ดี แม้ค่า RSSI อยู่ที่ –117 dBm และที่ระยะ > 600 เมตร (การทดลองครั้งที่ 3) : สัญญาณเริ่มสูญหาย และอุปกรณ์ไม่สามารถรับข้อมูลได้ แม้จะอยู่ภายใต้เงื่อนไขเปิดโล่ง การทดลอง

ที่ 4 (ระยะ 331 เมตร, RSSI -114 dBm): ยืนยันว่าระบบยังทำงานได้ดีในระยะสั้นถึงปานกลาง โดยไม่มีปัญหาเรื่องการรับส่งข้อมูล สามารถสรุปผลการทดลองได้ตามตารางที่ 1

ตารางที่ 1 สรุปผลการทดลองการส่งสัญญาณ LoRa ของอุปกรณ์ส่งและรับข้อมูล

ลำดับ	ตำแหน่ง	ระยะทาง (เมตร)	ค่า RSSI (dBm)	ผลการรับสัญญาณ
1	โรงผลิตน้ำประปา – แพปั๊มน้ำ	251.33	-112	รับสัญญาณได้ดี
2	โรงผลิตน้ำประปา – บ้านเฟื่องฟ้า	529.59	-117	รับสัญญาณได้ดี
3	โรงผลิตน้ำประปา – บ้านลีลาวดี 1	646.24	-119	ไม่สามารถรับสัญญาณได้
4	โรงผลิตน้ำประปา – บ้านแสงจันทร์	331.17	-114	รับสัญญาณได้ดี

4.2 การทดลองการส่งค่ากระบวนการผลิตน้ำประปาไปยัง ThingsBoard

4.2.1 การทดลองส่งค่าแรงดันแบตเตอรี่และทดลองส่งค่าระดับน้ำ

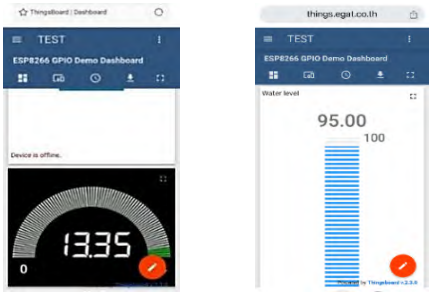

รูปที่ 14 แสดงค่าแบตเตอรี่และค่าระดับน้ำเป็นค่าเปอร์เซนต์

4.2.2 การทดลองส่งค่าแรงดันไฟฟ้าและกระแสไฟฟ้า

รูปที่ 15 แสดงค่าแรงดันไฟฟ้า และกระแสไฟฟ้า

4.2.3 การทดลองการแจ้งเตือนผ่านแอพพลิเคชั่น Line เมื่อไม่เป็นไปตามเงื่อนไขที่กำหนด

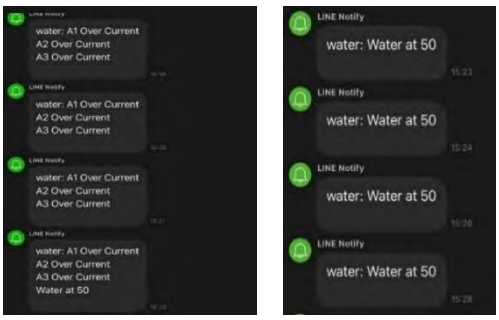

รูปที่ 16 แสดงการแจ้งเตือนผ่าน Line Application

5. สรุป

งานวิจัยนี้แสดงให้เห็นว่าระบบติดตามและแจ้งเตือนระดับน้ำผ่านเทคโนโลยี LoRa สามารถส่งข้อมูลจากเซนเซอร์วัดระดับน้ำและพลังงานไฟฟ้าได้อย่างแม่นยำในระยะไกลถึง 529.59 เมตร โดยแสดงผลแบบเรียลไทม์ผ่าน ThingsBoard และแจ้งเตือนผ่าน Line ทำให้เหมาะสมต่อการประยุกต์ใช้ในพื้นที่ห่างไกลเพื่อควบคุมคุณภาพน้ำประปาอย่างมีประสิทธิภาพ

เอกสารอ้างอิง

[1] จิรวัฒน์ แท่นทอง ซาร่า แหล่มมัน และวรฤทัย ดวงดี “ระบบแจ้งเตือนฉุกเฉินด้วยเทคโนโลยี LoRa สำหรับลิฟต์โดยสาร กรณีศึกษามหาวิทยาลัยสงขลานครินทร์ วิทยาเขตภูเก็ต” วารสารวิทยาศาสตร์ลาดกระบัง ปีที่ 29 ฉบับที่ 2 เดือนกรกฎาคม-ธันวาคม 2563 หน้า 74-75

[2] อรรณพ หมั่นสกุล “การสื่อสารด้วยเทคโนโลยี LoRa ภายในเครือข่ายไร้สายเฉพาะกิจสำหรับฟาร์มอัจฉริยะ” คณะเทคโนโลยีสารสนเทศ สถาบันเทคโนโลยี ไทย-ญี่ปุ่น ตุลาคม 2562 หน้า 2-3

[3] พงศ์เลิศ สังกะเพศ , ณวรา จันทร์ศิริ และ บุปผารรณ เฉลิมวงค์” ระบบรดน้ำอัจฉริยะสำหรับการปลูกข้าวโพดหวานด้วยเทคโนโลยีลอร่า” วารสารวิทยาการและเทคโนโลยีสารสนเทศ (JIST) ปีที่ 14 ฉบับที่ 2 (2024) ,ก.ค. 2567 - ธ.ค. 2567 หน้า 44

[4] A Djalilov, E Sobirov, O Nazarov, S Urolov and I Gayipov3 “Study on automatic water level detection process using ultrasonic sensor” IOP Conference Series: Earth and Environmental Science, 2023, pp 3-4

[5] วิยศพล กวนคอนสาร “การพัฒนาระบบติดตามและแจ้งเตือนสถานะการทำงานของเครื่องจักรด้วยเทคโนโลยีอินเทอร์เน็ตของสรรพสิ่ง” สาขาวิชาวิศวกรรมไฟฟ้าและคอมพิวเตอร์, พฤษภาคม 2565 หน้า 26-27

[6] IEC 61215: Terrestrial photovoltaic (PV) modules - Design qualification and type approval," International Electrotechnical Commission, Geneva, Switzerland, 2005.

ระบบแสดงผลการใช้พลังงานไฟฟ้าสองแหล่งโดยใช้ Node-Red และ ThingsBoard

Dual-Source Energy Monitoring System via Node-Red and ThingsBoard

อำนวย ทีจันทึก[1*] ประพล จารตะคุ[1] และ ณรงค์ พิมพ์ปรุ [1]

[1]ศูนย์เครื่องมือวิทยาศาสตร์และเทคโนโลยี มหาวิทยาลัยเทคโนโลยีสุรนารี amnuay@sut.ac.th* prapol@sut.ac.th narong_pim@sut.ac.th

บทคัดย่อ

บทความนี้นำเสนอการวิเคราะห์และแสดงผลการใช้พลังงานไฟฟ้าของสหกรณ์ออมทรัพย์ มหาวิทยาลัยเทคโนโลยีสุรนารี โดยใช้พลังงานจากสองแหล่ง ได้แก่ ระบบเซลล์แสงอาทิตย์ขนาด 10 กิโลวัตต์แบบ on-grid และไฟฟ้าจากการไฟฟ้าส่วนภูมิภาค ข้อมูลจากเครื่องวัดพลังงานไฟฟ้าถูกประมวลผลด้วย Node-RED Platform และจัดเก็บในรูปแบบอนุกรมเวลาด้วย ThingsBoard Platform ผลการดำเนินงานพบว่า Node-RED สามารถแปลงข้อมูลจากเครื่องวัดที่ใช้ Modbus Array เป็น IEEE-754 Floating Point ได้อย่างถูกต้อง พร้อมทั้งคำนวณการใช้พลังงานรายวัน ส่วน ThingsBoard สามารถนำเสนอข้อมูลการใช้ไฟฟ้าแบบเวลาจริง และสืบค้นย้อนหลังได้ทั้งรายช่วงเวลา รายวัน และรายเดือน ซึ่งช่วยเพิ่มประสิทธิภาพในการติดตามและวิเคราะห์รูปแบบการใช้พลังงานไฟฟ้า

คำสำคัญ: การใช้พลังงานไฟฟ้า, Node-RED, ThingsBoard, Modbus, ระบบเซลล์แสงอาทิตย์, การติดตามแบบเวลาจริง

Abstract

This paper presents an analysis and visualization of electricity consumption at the Savings Cooperative of Suranaree University of Technology. The system utilizes two energy sources: a 10-kilowatt on-grid solar photovoltaic system and the Provincial Electricity Authority grid. Energy data collected from both sources were processed using the Node-RED platform and stored in a time-series database on the ThingsBoard platform. The results show that Node-RED can accurately convert Modbus Array data from the energy meters into IEEE-754 32-bit floating point values, such as voltage, current, active power, frequency, power factor, and active energy (kWh), and compute daily energy consumption. In addition, ThingsBoard provides real-time monitoring and supports historical queries by time intervals, daily, and monthly, thereby enhancing the efficiency of electricity usage monitoring and analysis.

Keywords: Electricity consumption, Node-RED, ThingsBoard, Modbus, Solar photovoltaic system, Real-time monitoring

1. บทนำ

ปัจจุบันการใช้พลังงานทดแทน โดยเฉพาะพลังงานแสงอาทิตย์ มีแนวโน้มเพิ่มขึ้นอย่างต่อเนื่อง อย่างไรก็ตาม เพื่อให้การบริหารจัดการพลังงานเป็นไปอย่างมีประสิทธิภาพ จำเป็นต้องมีระบบตรวจสอบและวิเคราะห์ข้อมูลการผลิตและการใช้พลังงานไฟฟ้าแบบเรียลไทม์ โดยทั่วไปในปัจจุบันอุปกรณ์ Inverter ที่ใช้ในระบบโซล่าเซลล์ก็จะมี Cloud Platform ไว้บริการลูกค้าอยู่แล้ว ในการใช้งานจะต้องมี User และ Password เพื่อเข้าไปตรวจสอบข้อมูลบน Cloud Platform [1]

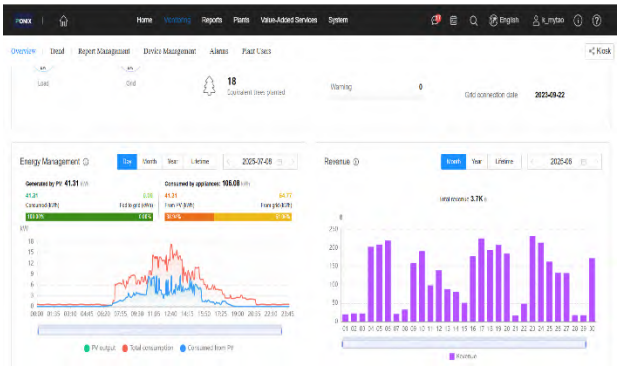

รูปที่ 1 Dashboard Fusion Solar ของ HUAWEI

สหกรณ์ออมทรัพย์มหาวิทยาลัยเทคโนโลยีสุรนารี ได้ติดตั้งระบบโซล่าเซลล์ขนาดกำลังผลิต 10 กิโลวัตต์แบบ on-grid มีการใช้งาน Cloud Platform ของผลิตภัณฑ์ดังกล่าวเช่นกัน แต่เนื่องด้วยสหกรณ์ฯ มีสมาชิกจำนวนไม่น้อยกว่า 3 พันคน และสมาชิกสหกรณ์ฯ ต้องการรับทราบข้อมูลการใช้พลังงานไฟฟ้าแบบสาธารณะ ซึ่งข้อมูลที่ได้จากระบบ Cloud Platform ของผลิตภัณฑ์ดังกล่าวมีรายละเอียดพอสมควรดังแสดงในรูปที่ 1 แต่สมาชิกต้องการทราบข้อมูล แบบสรุป ดังนี้ 1) ใช้ไฟฟ้าในหนึ่งวันเท่าไร 2) โซล่าเซลล์ผลิตไฟฟ้าได้เท่าไร 3) ต้องจ่ายค่าไฟฟ้าเท่าไร

ดังนั้นบทความนี้จึงนำเสนอวิธีการใช้ Node-RED Platform แปลงข้อมูลที่ได้จากเครื่องวัดพลังงานไฟฟ้าแบบ Modbus Array เป็น IEEE-754 Floating Point พร้อมทั้งประมวลผลข้อมูลการใช้ไฟฟ้าในหนึ่งวัน และใช้ ThingsBoard Platform แสดงข้อมูลการใช้พลังงานไฟฟ้าใน Dashboard แบบสรุป พร้อมทั้งสร้าง Link แบบสาธารณะ สำหรับดูข้อมูลบน Web Site

2. ทฤษฎีที่เกี่ยวข้อง

2.1 Node-RED

Node-RED คือเครื่องมือสำหรับการเขียนโปรแกรมแบบ visual programming ที่ใช้สำหรับเชื่อมต่ออุปกรณ์, API, และบริการต่าง ๆ เข้าด้วยกัน โดยใช้แนวคิดของ "โหนด" (Node) ที่ลากและวาง (drag-and-drop) บนหน้าจอกราฟิก เพื่อสร้าง flow หรือกระบวนการทำงานอัตโนมัติ

จุดเด่นของ Node-RED ใช้งานง่ายไม่จำเป็นต้องมีความรู้การเขียนโค้ดเชิงลึก เพียงแค่ลากโหนดต่าง ๆ มาต่อกัน นิยมใช้ในงาน Internet of Things (IoT) สำหรับเชื่อมต่อเซ็นเซอร์, อุปกรณ์สมาร์ทโฮม, หรือระบบคลาวด์ มีคลังโหนด (node library) ให้เลือกใช้จำนวนมาก และสามารถเขียนโหนดเองได้ด้วยภาษา JavaScript ซึ่ง Node-RED สร้างขึ้นบนแพลตฟอร์ม Node.js จึงรันได้บนอุปกรณ์ขนาดเล็กอย่าง Raspberry Pi ไปจนถึงเซิร์ฟเวอร์ขนาดใหญ่ [2]

ตัวอย่างการใช้งาน เช่น อ่านข้อมูลจากเซ็นเซอร์แล้วส่งข้อมูลไปเก็บในฐานข้อมูล รับข้อมูลจาก MQTT แล้วแจ้งเตือนผ่าน LINE หรืออีเมล สร้าง dashboard สำหรับแสดงผลข้อมูลแบบเรียลไทม์

2.2 ThingsBoard Platform

ThingsBoard เป็นแพลตฟอร์มโอเพ่นซอร์สสำหรับงานด้าน IoT ที่ออกแบบพร้อมใช้งานได้ทันที เพราะมีฐานข้อมูลในตัวเอง, สามารถวิเคราะห์ข้อมูลที่เข้ามา, ประมวลผลข้อมูลเพื่อแจ้งเตือน, ควบคุมอุปกรณ์ปลายทาง, สามารถสร้าง Dashboard แบบ dynamic และ responsive ได้ จากรูปที่ 2 โครงสร้างการทำงาน ThingsBoard Platform สามารถรองรับการสื่อสารจากอุปกรณ์ IoT ได้หลายโปรโตคอล คือ HTTP, MQTT และ CoAP [3]

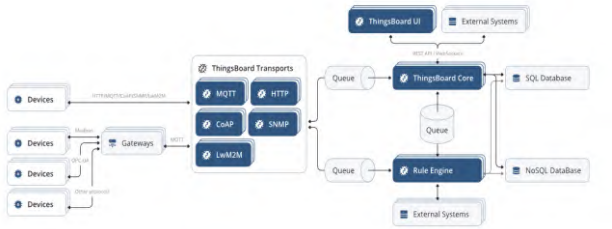

รูปที่ 2 โครงสร้างการทำงาน ThingsBoard Platform

2.3 Modbus RTU protocol

Modbus RTU protocol เป็นโปรโตคอลที่ถูกพัฒนาเพื่อใช้กับงานอุตสาหกรรม สามารถนำมาใช้งานโดยไม่มีค่าใช้จ่าย การสื่อสารเป็นแบบ Master และ Slave โดย อุปกรณ์ Master จะทำหน้าที่สอบถามหรือสั่งเขียนข้อมูลบนอุปกรณ์ Slave ส่วนอุปกรณ์ Slave จะคอยรับคำสั่งแล้วตอบข้อมูลหรือเขียนข้อมูลตามที่อุปกรณ์ Master ร้องขอ โดยมีเฟรมการสื่อสาร Modbus RTU protocol ประกอบด้วยข้อมูลแสดงตำแหน่งแอดเดรส 1 ไบต์, หมายเลขฟังก์ชัน 1 ไบต์, ข้อมูลที่ทำการรับส่งจำนวนมากสุดไม่เกิน 252 ไบต์ และรหัสตรวจสอบความถูกต้องของข้อมูลแบบ CRC (Cyclical Redundancy Checking) ขนาด 2 ไบต์ ค่า CRC นี้เป็นค่าที่คำนวณมาจากข้อมูลทุกไบต์ ไม่รวมบิต Start, Stop และ Parity Check รายละเอียดตามรูปที่ 3 เมื่ออุปกรณ์ Master ต้องการอ่านค่าจากจากอุปกรณ์ Slave จะต้องส่ง Request packet ออกไป และรอ Response packet กลับมา ดังแสดงในรูปที่ 4 [3]

Start	หมายเลข	รหัสคำสั่ง	ชุดข้อมูล	CRC	Stop (Start)
≥3.5 Character time	1 ไบต์	1 ไบต์	N x 1 ไบต์	2 ไบต์	≥3.5 Character time

รูปที่ 3 ลักษณะเฟรมข้อมูลของ Modbus RTU

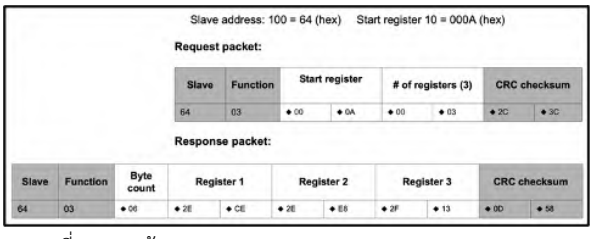

รูปที่ 4 เฟรมข้อมูล Request packet และ Response packet

2.4 IEEE-754 Floating Point

IEEE-754 Floating Point คือมาตรฐานสากลสำหรับการแทนและคำนวณเลขทศนิยม (floating-point) ในคอมพิวเตอร์และอุปกรณ์อิเล็กทรอนิกส์ มาตรฐานนี้ถูกกำหนดขึ้นโดยสถาบัน IEEE ตั้งแต่ปี 1985 เพื่อให้การคำนวณเลขทศนิยมมีความแม่นยำ เชื่อถือได้ และสามารถแลกเปลี่ยนข้อมูลระหว่างระบบต่าง ๆ ได้อย่างถูกต้อง [4]

โครงสร้างของ IEEE-754 Floating Point ค่าทศนิยมในมาตรฐาน IEEE-754 จะถูกแทนด้วยส่วนประกอบหลัก 3 ส่วน ได้แก่

- Sign (เครื่องหมาย): 1 บิต ใช้บอกว่าเป็นเลขบวก (0) หรือเลขลบ (1)
- Exponent (เลขชี้กำลัง): ใช้แทนเลขชี้กำลังของฐาน 2 โดยมีการเพิ่มค่า bias เพื่อให้แทนเลขชี้กำลังลบได้
- Mantissa หรือ Significand (นัยสำคัญ): แทนค่าตัวเลขหลักที่สำคัญในรูปแบบฐาน 2

3. วิธีดำเนินการ

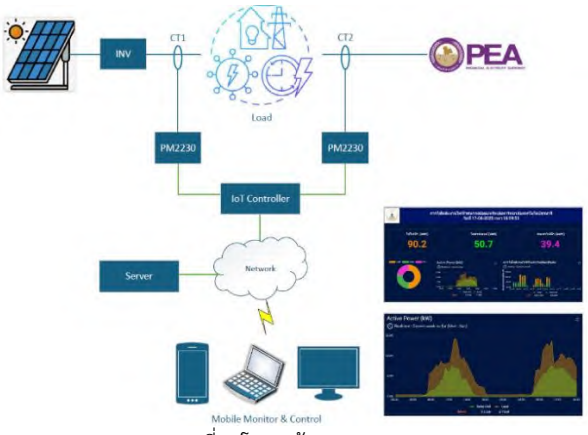

รูปที่ 5 โครงสร้างของระบบ

จากรูปที่ 5 เป็นโครงสร้างของระบบ ประกอบด้วยเครื่องวัดพลังงานไฟฟ้า Schneider รุ่น PM2230 จำนวน 2 ตัว อุปกรณ์ IoT Controller และคอมพิวเตอร์แม่ข่ายที่ติดตั้ง Node-RED และ ThingsBoard

โดยอุปกรณ์ IoT Controller จะทำหน้าที่อ่านค่าจากเครื่องวัดพลังงานไฟฟ้าทั้ง 2 ตัว และส่งข้อมูลแบบ Modbus Array ผ่านเครือข่ายคอมพิวเตอร์ไปที่คอมพิวเตอร์แม่ข่ายเพื่อให้ Node-RED แปลงข้อมูลให้อยู่ในรูปแบบ IEEE-754 Floating Point พร้อมทั้งประมวลผลข้อมูล ต่อจากนั้นก็จะข้อมูลที่ประมวลผลแล้วไปให้ ThingsBoard เพื่อแสดงผลข้อมูลต่อไป

3.1. เครื่องวัดพลังงานไฟฟ้า

เครื่องวัดพลังไฟฟ้าที่ได้ดำเนินการในบทความนี้และ Schneider รุ่น PM2230 โดยมีการต่อใช้งานตามรูปที่ 6

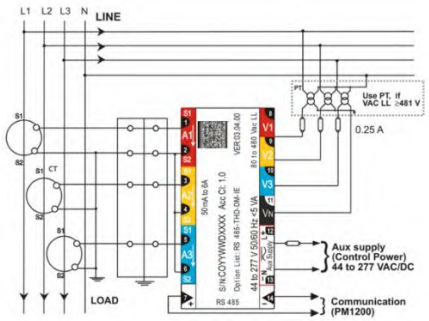

รูปที่ 6 ไดอะแกรมการต่อเครื่องวัดพลังงานไฟฟ้า

สำหรับค่าที่อ่านค่าได้จากเครื่องวัดพลังงานไฟฟ้าผ่านช่องสื่อสาร RS485 ด้วย Modbus RTU protocol จะประกอบด้วยค่าต่าง ๆ ดังนี้ Voltage แบบ line-to-line และ line-to-neutral, Current, Frequency, Active power (W), Reactive power (VAR) และ Apparent power (VA), Power Factor และ Power Quality [5]

3.2. IoT Controller

ในบทความนี้ใช้อุปกรณ์ ยี่ห้อ hi-flying รุ่น HF2211 สำหรับอ่านข้อมูลภายเครื่องวัดพลังงานไฟฟ้าผ่านช่องสื่อสาร RS485 และส่งข้อมูลผ่านเครือข่ายคอมพิวเตอร์ไปที่คอมพิวเตอร์แม่ข่าย โดยการใช้งานสามารถตั้งค่าเพื่ออ่านข้อมูลจากเครื่องวัดพลังงานไฟฟ้าดังแสดงในรูปที่ 7 และตั้งค่าการส่งข้อมูลไปที่คอมพิวเตอร์แม่ข่ายดังรูปที่ 8 [6]

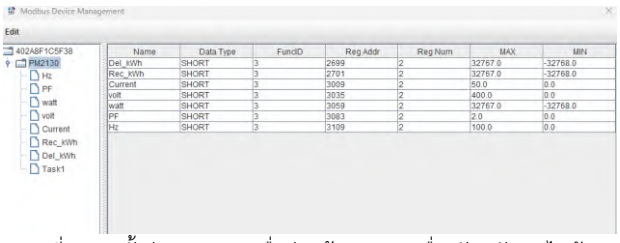

รูปที่ 7 การตั้งค่า HF2211 เพื่ออ่านข้อมูลจากเครื่องวัดพลังงานไฟฟ้า

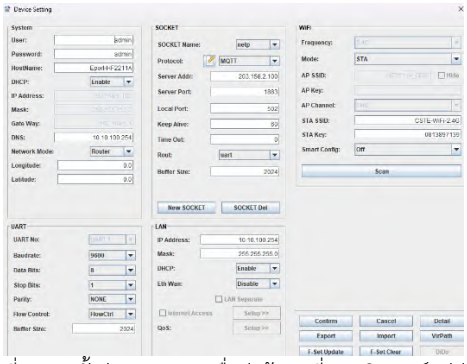

รูปที่ 8 การตั้งค่า HF2211 เพื่อส่งข้อมูลที่คอมพิวเตอร์แม่ข่าย

3.3. Node-RED ประมวลผลข้อมูล

Node-RED จะรับข้อมูลจาก HF2211แบบ Modbus Array และทำแปลงข้อมูลให้อยู่ในรูปแบบ IEEE-754 Floating Point แสดงในรูปที่ 9 และส่งข้อมูลไปที่ Flow ประมวลผลข้อมูล ในรูปที่ 10

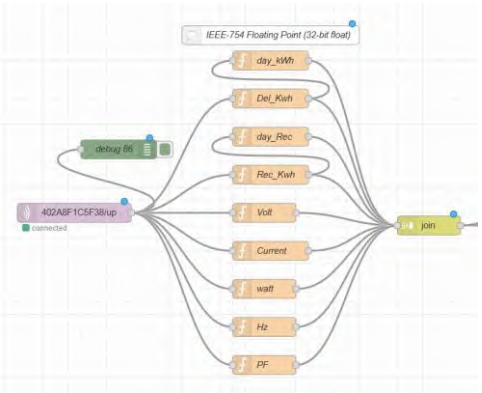

รูปที่ 9 flow แปลงข้อมูลให้อยู่ในรูปแบบ IEEE-754 Floating Point

การแปลงข้อมูลให้อยู่ในรูปแบบ IEEE-754 Floating Point ใน Function node ของ Node-RED สามารถดำเนินการแปลงอาร์เรย์ เป็นเลขทศนิยม (decimal) โดยข้อมูล Modbus Register จะเป็นแบบ 16-bit สองชุด (word) รวมเป็นค่า 32-bit IEEE-754 แบบ floating point หรือ integer

1.ใน Node-RED กรณีต้องการแปลงข้อมูล 32-bit เป็น Signed Integer ผลลัพธ์จะได้เป็นเลขทศนิยมฐานสิบแบบ signed 32-bit สามารถทำได้ดังนี้

```
let arr = msg.payload; // [18015, -25687]
let buf = Buffer.alloc(4);
buf.writeInt16BE(arr[0], 0);  // เขียนค่า 18015 ที่ตำแหน่ง 0
buf.writeInt16BE(arr[1], 2);  // เขียนค่า -25687 ที่ตำแหน่ง 2
msg.payload = buf.readInt32BE(0);
// อ่านเป็น signed 32-bit integer
return msg;
```

2.ใน Node-RED กรณีต้องการแปลงข้อมูล 32-bit เป็น IEEE-754 Floating Point สามารถทำได้ดังนี้

let arr = msg.payload; // [18015, -25687]

let buf = Buffer.alloc(4);

buf.writeInt16BE(arr[0], 0);

buf.writeInt16BE(arr[1], 2);

msg.payload = buf.readFloatBE(0); // อ่านเป็น float 32-bit

return msg;

3. หากต้องการใช้ node สำเร็จรูป ให้ติดตั้ง node-red-contrib-buffer-parser หรือ node-red-contrib-double เพื่อแปลงอาร์เรย์หรือบัฟเฟอร์เป็นเลขทศนิยมได้โดยตรง

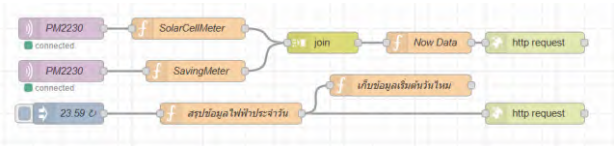

รูปที่ 10 Flow ประมวลผลข้อมูล

ในรูปที่ 10 function node *SolarCellMeter* และ *SavingMeter* จะเป็นข้อมูล IEEE-754 Floating Point (32-bit float) และนำข้อมูลมารวมกันที่ node join ต่อจากนั้นส่งข้อมูลไปที่ function node *Now Data* เพื่อประมวลผลข้อมูลและส่งต่อไปแสดงผลที่ ThingsBoard ด้วย node http request

```
var ActivePowerSaving = parseFloat(W1) + parseFloat(W2);
var ActivePowerA = parseFloat(Wa1) + parseFloat(Wa2);
var ActivePowerB = parseFloat(Wb1) + parseFloat(Wb2);
var ActivePowerC = parseFloat(Wc1) + parseFloat(Wc2);

//============================
flow.set('now_Solar_kWh',t.m1Del); //ไฟฟ้าจาก SolarCell
flow.set('now_Cost_kWh', t.m2Del); //ไฟหลังงานไฟฟ้า
flow.set('now_Sale_kWh',t.m2Rec);  //ปล่อยย้อนเข้าระบบ pea
flow.set('now_W_Solar',W1);        //Active Poewr Solar
//============================

m.payload = {
    "count" : count,

    "now_Cost_kWh":parseFloat(t.m2Del).toFixed(2),   //หน่วยใช้ไฟฟ้าสะสม
    "now_Solar_kWh" :parseFloat(t.m1Del).toFixed(2), //หน่วย Solar Cell สะสม
    "now_Sale_kWh": parseFloat(t.m2Rec).toFixed(2),  //หน่วยไฟฟ้าเหลือ

    //===== Saving Acttive Power =====
    "now_total_Load_kW": parseFloat(ActivePowerSaving).toFixed(3),
    "now_phase_A": parseFloat(ActivePowerA).toFixed(3),
    "now_phase_B": parseFloat(ActivePowerB).toFixed(3),
    "now_phase_C": parseFloat(ActivePowerC).toFixed(3),
    "now_V1" : parseFloat(t.m2V1).toFixed(2),
    "now_V2": parseFloat(t.m2V2).toFixed(2),
    "now_V3": parseFloat(t.m2V3).toFixed(2),

    //=====Solar Cell Active Power ===
    "now_Solar_KW": parseFloat(W1).toFixed(2),
    //===== PEA Active Power =====
    "now_pea_KW": parseFloat(W2).toFixed(2),

}
return m;
```

รูปที่ 11 Script ประมวลผลข้อมูล *Now Data* ก่อนจะส่งต่อไปแสดงผล

ในรูปที่ 10 function node *สรุปข้อมูลไฟฟ้าประจำวัน* และ *เก็บข้อมูลเริ่มต้นวันใหม่* จะใช้ประมวลผลข้อมูลข้อมูลสรุปการใช้พลังงานไฟฟ้าทุกวันก่อนเที่ยงคืนและเก็บข้อมูลไว้ประมวลผลในวันถัดไป

รูปที่ 12 Script ประมวลผลข้อมูลประจำวัน

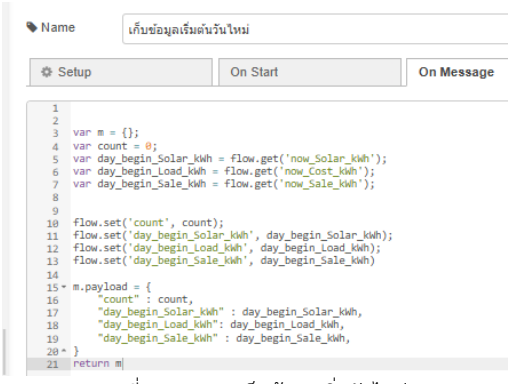

รูปที่ 13 Script เก็บข้อมูลเริ่มวันใหม่

3.4. การใช้ ThingsBoard แสดงข้อมูล

การใช้งาน ThingsBoard แสดงผลข้อมูลต้องดำเนินการดังนี้

1) เข้าสู่ระบบ ของ ThingsBoard ด้วย Account ที่กำหนด

2) ดำเนินการสร้างอุปกรณ์จาก Menu Device Manager

3) สำเนา Access Token ได้จาก Menu Device detail เพื่อดังแสดงในรูปที่ 14 และนำไปใช้กับ node http request ของ Node-RED ดังรูปที่ 15

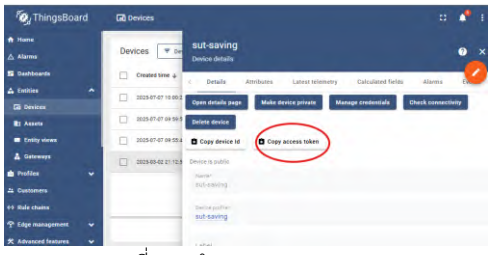

รูปที่ 14 สำเนา Access Token

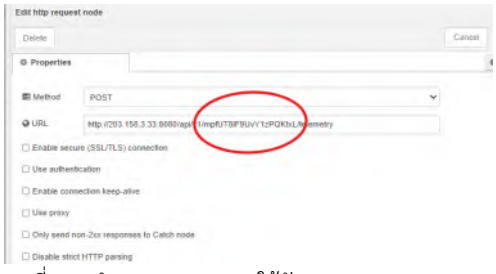

รูปที่ 14 นำ Access Token ใช้กับ node http request

รูปที่ 15 การติดตั้งระบบที่ใช้ในบทความนี้

4. ผลการทดลอง

4.1. ข้อมูลที่ HF2211 ส่งไปที่ Node-RED

ผลการทดลองแสดงในรูปที่ 16 ค่า dl : object คือ Modbus Array ที่ส่งให้ Function node และ msg.payload คือ IEEE-754 Floating Point คือ Output ที่ออกจาก Function node

รูปที่ 16 Modbus Array และ IEEE-754 Floating Point

4.2. ผลการใช้ ThingsBoard Platform

ข้อมูลที่ ThingsBoard รับจาก Node-RED จะถูกจัดเก็บแบบอนุกรมเวลา (time series database) ตามรูปที่ 17

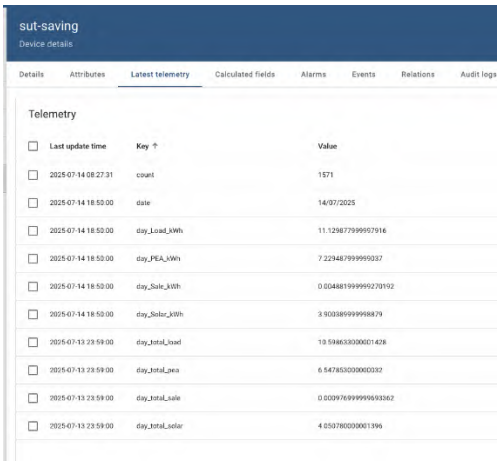

รูปที่ 17 ข้อมูลที่ ThingsBoard รับจาก Node-RED

รูปที่ 18 รูปแบบการแสดงผลผ่าน Dashboard ของ ThingsBoard

รูปที่ 19 ตำแหน่งติดตั้งเครื่องวัดพลังงานไฟฟ้า

รูปที่ 18 แสดงการใช้ไฟฟ้า 2 แหล่งได้แก่ ไฟฟ้าจากโซล่าเซลล์คือสีเขียว และการไฟฟ้าส่วนภูมิภาคคือสีม่วง โดยที่โหลดการใช้งานจริงคือสีส้ม ในรูปที่ 19 สามารถคำนวณการใช้งานพลังงานไฟฟ้าของอาคาร จากเครื่องวัดทั้งสองตัวโดยเอาค่าหน่วยการใช้ไฟฟ้ามารวมกัน

หน่วยการใช้ไฟฟ้า = เครื่องวัดพลังงานไฟฟ้า1 + เครื่องวัดพลังงานไฟฟ้า2

เครื่องวัดพลังงานไฟฟ้าตัวที่ 1 คือ เครื่องวัดการผลิตพลังงานไฟฟ้าจากโซล่าเซลล์ และเครื่องวัดพลังงานไฟฟ้าตัวที่ 2 คือ เครื่องวัดพลังงานไฟฟ้าจากการไฟฟ้าส่วนภูมิภาค

ใน Dashboard ของ ThingsBoard Platform สามารถสืบค้นข้อมูลย้อนหลัง ตามช่วงเวลา, รายวัน และรายเดือน เนื่องจากมีการเก็บข้อมูลแบบอนุกรมเวลาอยู่แล้ว

5. สรุป

ผลจากการดำเนินงานของบทความนี้ Node-RED Platform สามารถแปลงข้อมูลที่รับจากเครื่องวัดพลังงานไฟฟ้าแบบ Modbus Array เป็น IEEE-754 Floating Point (32-bit float) ได้ถูกต้องตามที่แสดงค่าบนหน้าจอของเครื่องวัดพลังงานไฟฟ้า และสามารถประมวลผลการใช้พลังงานไฟฟ้าแบบรายวันได้ ในส่วน ThingsBoard Platform จะแสดงข้อมูลแบบเวลาจริงได้, สามารถสืบค้นย้อนหลังแบบตามช่วงเวลา, แบบรายวัน และแบบรายเดือนได้

เนื่องจากมีการแสดงผลแบบเวลาจริงและแสดงข้อมูลไฟฟ้าสองแหล่ง ได้แก่ ระบบเซลล์แสงอาทิตย์และจากการไฟฟ้าส่วนภูมิภาค มีข้อดีคือสามารถควบคุมการใช้พลังไฟฟ้าได้ ตรวจสอบการใช้พลังงานไฟฟ้าได้อย่างถูกต้องแม่นตรง สามารถนำข้อมูลการใช้พลังงานไฟฟ้าไปวิเคราะห์และบริหารจัดการได้อย่างมีประสิทธิภาพ

เอกสารอ้างอิง

[1] “SmartPVMS 25.1.0 FusionSolar SmartPVMS User Manual”,https://support.huawei.com/enterprise/en/doc/EDOC1100462185 (Access 2025/07/01)

[2] “Node-RED User Guide ”https://nodered.org/docs/user-guide/ (Access 2025/07/01)

[3] อำนวย ทีจันทึก ประพลจารตะคุ และนพดลเสียงใหม่, “ ระบบอ่านมิเตอร์ไฟฟ้า 3 เฟส แบบอัตโนมัติและแสดงผลด้วย ThingsBoard”, การประชุมวิชาการทางวิศวกรรมไฟฟ้า ครังที 44 2564, หน้า 696-699

[4] “IEEE Standard for Floating-Point Arithmetic (IEEE 754)” , https://en.wikipedia.org/wiki/IEEE_754 (Access 2025/07/01)

[5] “Register list for Powerlogics PM2000 series”, https://www.se.com/th/en/faqs/FA311706/ (Access 2025/07/01)

[6] “HF2211A User Manual” , http://www.hi-flying.com/wi-fi-iot/hf2211a (Access 2025/07/01)

อำนวย ทีจันทึก การศึกษาปริญญาโทวิศวกรรมโทรคมนาคมจากมหาวิทยาลัยเทคโนโลยีสุรนารี ปัจจุบันเป็นพนักงานองค์กรของรัฐในตำแหน่งวิศวกรสังกัดศูนย์เครื่องมือวิทยาศาสตร์และเทคโนโลยีมหาวิทยาลัยเทคโนโลยีสุรนารี งานวิจัยที่สนใจ ระบบสมองกลฝังตัว

ประพล จาระตะคุ การศึกษาปริญญาโทวิศวกรรมโทรคมนาคมจากมหาวิทยาลัยเทคโนโลยีสุรนารี ปัจจุบันเป็นพนักงานองค์กรของรัฐในตำแหน่งวิศวกรสังกัดศูนย์เครื่องมือวิทยาศาสตร์และเทคโนโลยีมหาวิทยาลัยเทคโนโลยีสุรนารี งานวิจัยที่สนใจการออกแบบวงจรทางด้านความถี่สูง

ณรงค์ พิมพ์ปรุ การศึกษาปริญญาโทครุศาสตรอุตสาหกรรมมหาบัณฑิตสาขาวิศวกรรมไฟฟ้า มหาวิทยาลัยเทคโนโลยีพระจอมเกล้าธนบุรี ปัจจุบันเป็นพนักงานองค์กรของรัฐในตำแหน่ง นายช่างไฟฟ้าสังกัดศูนย์เครื่องมือวิทยาศาสตร์และเทคโนโลยีมหาวิทยาลัยเทคโนโลยีสุรนารี งานวิจัยที่สนใจ การตรวจสอบงานเชื่อมโลหะแบบไม่ทำลาย

การออกแบบระบบควบคุมคุณภาพน้ำเพื่อการเลี้ยงปลาทะเลสวยงามในที่พักอาศัยแบบอัตโนมัติ

Development of an Automated Water Quality Management System for Marine Ornamental Fish in Residential Aquariums.

เกษม ตรีภาค[1*] วิษณุ ช้างเนียม[1] สุภัทรชา ธุระกิจ[2] วัฒนา มาคำ[1] กวีวัชร์ ทัติวงค์[1] นพพร พัชรประกิติ[3] รัตน์ติพงษ์ วงศ์แก้วมูล[1]

ปัญจวีร์ ชุณหะนันทน์[1] และวชิระ เกิดโต[1]

[1]สาขาวิศวกรรมไฟฟ้า คณะวิศวกรรมศาสตร์ มหาวิทยาลัยเทคโนโลยีราชมงคลล้านนา ลำปาง kasem_tree@rmutl.ac.th*

[2]สาขาสัตวศาสตร์และประมง คณะวิทยาศาสตร์และเทคโนโลยีการเกษตร มหาวิทยาลัยเทคโนโลยีราชมงคลล้านนา ลำปาง

[3]สาขาวิศวกรรมไฟฟ้า คณะวิศวกรรมศาสตร์ มหาวิทยาลัยเทคโนโลยีราชมงคลล้านนา เชียงใหม่

บทคัดย่อ

งานวิจัยนี้มีวัตถุประสงค์เพื่อออกแบบและพัฒนาระบบควบคุมคุณภาพน้ำสำหรับการเลี้ยงปลาทะเลสวยงาม โดยจำลองสภาวะการเลี้ยงภายในตู้เลี้ยงปลาขนาด 34 นิ้ว ความจุประมาณ 150 ลิตร ระบบควบคุมคุณภาพน้ำถูกแบ่งออกเป็น 4 ระบบ ได้แก่ (1) ระบบควบคุมค่าความเค็มของน้ำ (2) ระบบควบคุมอุณหภูมิน้ำ (3) ระบบควบคุมค่าออกซิเจนละลายในน้ำ และ (4) ระบบแจ้งเตือนเมื่อระบบกรองของเสียเกิดการอุดตัน โดยใช้ไมโครคอนโทรลเลอร์ Arduino Uno R3 เป็นหน่วยประมวลผลหลักในการควบคุมการทำงานผ่านเซนเซอร์ต่าง ๆ การทดสอบระบบทำโดยจำลองสภาวะแวดล้อมที่ต้องควบคุมทั้ง 4 รูปแบบ ผลการทดลองพบว่าระบบควบคุมทั้งหมดสามารถทำงานได้ตามวัตถุประสงค์ที่กำหนด และรักษาค่าพารามิเตอร์ต่าง ๆ ให้อยู่ในช่วงที่เหมาะสมต่อการเลี้ยงปลาทะเลสวยงาม ทั้งนี้คาดว่าระบบที่พัฒนาขึ้นสามารถนำไปประยุกต์ใช้ในการทดลองหรือการเลี้ยงปลาทะเลสวยงามในตู้เลี้ยงปลาได้จริง

คำสำคัญ: การควบคุมคุณภาพน้ำ, ปลาทะเลสวยงาม, ค่าความเค็มของน้ำ, ค่าออกซิเจนในน้ำ

Abstract

Water quality is critical for the survival of marine ornamental fish in closed aquarium systems. This study aimed to design an automated water quality control system for a 34-inch aquarium (150 L). The system integrates four subsystems: salinity control, temperature regulation, dissolved oxygen control, and a filter clogging alert. An Arduino Uno R3 microcontroller manages the system using various sensors and actuators. Testing under simulated conditions showed that all subsystems effectively maintained the desired water parameters. The developed system can be applied in marine ornamental fish aquaculture to reduce manual monitoring and improve water stability.

Keywords: Water Quality Management, Marine Ornamental Fish, Salinity, Dissolved Oxygen (DO)

1. บทนำ

ปัจจุบันการเลี้ยงปลาทะเลสวยงามได้รับความนิยมอย่างแพร่หลายทั้งในเชิงพาณิชย์และเพื่อการพักผ่อนหย่อนใจโดยเฉพาะการเลี้ยงในตู้เลี้ยงปลาภายในที่พักอาศัย เนื่องจากปลาทะเลมีสีสันสวยงามและสร้างบรรยากาศที่ผ่อนคลายให้แก่เจ้าของบ้าน อย่างไรก็ตาม การเลี้ยงปลาทะเลภายในที่พักอาศัยมีความท้าทายมากกว่าการเลี้ยงปลาน้ำจืด เนื่องจากปลาทะเลมีความอ่อนไหวต่อการเปลี่ยนแปลงของคุณภาพน้ำ เช่น ค่าอุณหภูมิ ความเค็ม ค่า pH และระดับสารประกอบไนโตรเจนต่าง ๆ หากผู้เลี้ยงไม่มีความรู้หรือไม่สามารถควบคุมคุณภาพน้ำได้อย่างเหมาะสม อาจส่งผลให้ปลามีอัตราการรอดชีวิตต่ำและเกิดโรคได้ง่าย

โดยทั่วไปแล้วการดูแลคุณภาพน้ำภายในตู้เลี้ยงปลาทะเลส่วนใหญ่ยังอาศัยการตรวจวัดและปรับสภาพน้ำโดยผู้เลี้ยง ซึ่งใช้เวลานานและต้องอาศัยความชำนาญของผู้เลี้ยง งานวิจัยนี้จึงมุ่งเน้นไปที่การออกแบบและพัฒนาระบบควบคุมคุณภาพน้ำแบบอัตโนมัติ เพื่อให้ผู้เลี้ยงปลาทะเลภายในที่พักอาศัยสามารถจัดการคุณภาพน้ำได้อย่างแม่นยำและต่อเนื่อง ลดภาระงานและความยุ่งยากในการดูแลปลา โดยระบบที่ออกแบบสามารถควบคุมค่าความเค็มของน้ำ ระดับออกซิเจนน้ำ อุณหภูมิของน้ำ และยังมีระบบการแจ้งเตือนเมื่อระบบกรองน้ำเริ่มอุดตันเพื่อให้ผู้เลี้ยงสามารถตรวจสอบและแก้ไขได้

2. แนวคิด ทฤษฎีและการออกแบบ

2.1 คุณภาพน้ำในการเลี้ยงปลาทะเลสวยงาม

ตารางที่ 1 องค์ประกอบของน้ำทะเลที่มีคุณภาพดี

คุณภาพของน้ำทะเลที่ดี	
Salinity(ค่าความเค็มของน้ำ)	30-34 ppt.
Temperature (อุณหภูมิของน้ำ)	28-34 °C
Dissolved Oxcigen ; DO (ออกซิเจนละลายในน้ำ)	6 mg/L
Ammonia (แอมโมเนีย)	0 mg/L
Nitrite (ไนไตร์ต)	0 mg/L
Nitrate (ไนเตรต)	0 mg/L
p-H	8.1-8.4

*ผู้ประพันธ์บรรณกิจ

การเลี้ยงปลาทะเลสวยงามนั้นคุณภาพน้ำเป็นเรื่องสำคัญที่จะทำให้ปลาทะเลมีความแข็งแรง สีสันสดใสและมีอายุยืนยาว โดยปกติแล้วน้ำทะเลในธรรมชาติมีความคงที่ทั้งความเค็ม ความเป็นกรด-ด่าง และองค์ประกอบแร่ธาตุต่าง ๆ ดังนั้นการเลี้ยงในตู้เลี้ยงปลา ผู้เลี้ยงจึงต้องปรับสภาพน้ำในตู้เลี้ยงปลาให้มีความใกล้เคียงกับน้ำทะเลที่ดีในธรรมชาติมากที่สุด สภาพน้ำทะเลที่ดีที่สุดมีค่าสารต่าง ๆ ดังตารางที่ 1

2.2 การออกแบบระบบระบบควบคุมคุณภาพน้ำ

งานวิจัยนี้เลือกใช้ตู้กระจกเลี้ยงปลาขนาด 34 นิ้ว ที่มีขนาดความจุประมาณ 150 ลิตร โดยกำหนดให้ปริมาณน้ำที่ใช้เลี้ยงปลาประมาณ 80 เปอร์เซ็นต์ ประมาณ 120 ลิตร และเลือกใช้ถังพักน้ำเค็มขนาด 50 ลิตร กับถังน้ำจืดที่สะอาดขนาด 50 ลิตร สำหรับปรับสภาพน้ำเค็มให้คงที่ การออกแบบระบบควบคุมแบ่งเป็นส่วนต่าง ๆ ดังนี้

2.2.1 ระบบควบคุมค่าความเค็มของน้ำ

การออกแบบได้ทำการดัดแปลงไฮโดรมิเตอร์ที่เป็นอุปกรณ์วัดค่าความเค็มของน้ำ โดยติดแถบสี 3 สีไว้ในตำแหน่งต่าง ๆ แถบสีเหลืองให้อยู่ในช่วงที่ค่าความเค็มของน้ำที่น้อยกว่า 30 ppt แถบสีเขียวให้อยู่ในช่วงที่มีค่าความเค็ม 30-34 ppt และสีแดงให้ค่าความเค็มมากกว่า 34 ppt ตำแหน่งสีทั้ง 3 ด้วยถูกอ่านด้วยเซนเซอร์แยกสี Color Sensor TCS230 จากนั้นนำค่าที่อ่านได้จากเซนเซอร์แยกสีไปประมวลผลเพื่อสั่งในระบบควบคุมค่าความเค็มของน้ำในตู้เลี้ยงปลาทำงานต่อไป อุปกรณ์วัดค่าความเค็มที่ดัดแปลงดังรูปที่ 1

รูปที่ 1 การดัดแปลงไฮโดรมิเตอร์เพื่อใช้กับเซนเซอร์แยกสี

ปกติแล้วการเลี้ยงปลาทะเลสวยงามในตู้เลี้ยงปลา น้ำเค็มที่อยู่ในตู้นั้นเมื่อจะเกิดความเค็มมากขึ้นเมื่อเวลาผ่านไประยะหนึ่ง ซึ่งเกิดจากการระเหยของน้ำโดยธรรมชาติ ทำให้เกลือที่อยู่ในน้ำมีความเข้มข้นขึ้น ดังนั้นเมื่อเซนเซอร์ตรวจจับได้ ระบบจะสั่งให้ปั๊มน้ำส่งน้ำจืดในถังพักน้ำจืดเข้าในตู้เลี้ยงปลาเพื่อลดค่าความเค็มลง ส่วนกรณีที่น้ำในตู้เลี้ยงปลามีค่าความเค็มต่ำกว่ามาตรฐานนั้นมักจะเกิดจากการผิดพลาดในการผสมน้ำจากการเปลี่ยนน้ำของตู้เลี้ยงปลา ดังนั้นจึงได้ออกแบบระบบให้ป้องกันความผิดพลาดที่อาจจะเกิดขึ้นได้ โดยเมื่อระบบฯ ตรวจพบว่าน้ำในตู้เลี้ยงปลามีค่าความเค็มน้อยกว่ามาตรฐาน ระบบฯ จะสั่งให้ปั๊มน้ำส่งน้ำเค็มจากถังเก็บน้ำเค็มเข้าผสมกับน้ำในตู้เลี้ยงปลา จนกระทั่งได้ค่าน้ำเค็มตามมาตรฐานเช่นกัน แนวคิดในการเขียนโปรแกรมเพื่อควบคุมระบบควบคุมค่าความเค็มของน้ำ ดังรูปที่ 2

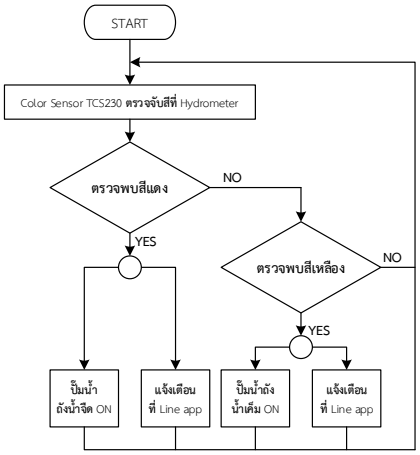

รูปที่ 2 การทำงานของระบบควบคุมค่าความเค็ม

2.2.2 ระบบควบคุมอุณหภูมิของน้ำ

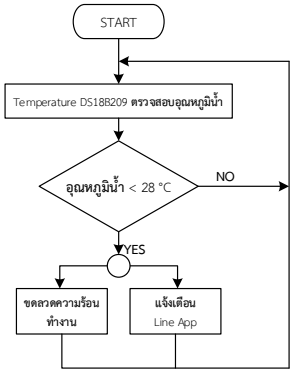

รูปที่ 3 การทำงานของระบบควบคุมอุณหภูมิของน้ำ

อุณหภูมิน้ำที่เหมาะสมจากตารางที่ 1 อยู่ในช่วง 28-34 องศาเซลเซียส และจากการสำรวจอุณหภูมิน้ำในตู้เลี้ยงปลาพบว่าอุณหภูมิของน้ำจะไม่สูงเกิน 34 องศาเซลเซียส แม้จะเป็นช่วงฤดูร้อนเนื่องจากตู้เลี้ยงปลาอยู่ในร่ม แต่ในฤดูหนาวอุณหภูมิของน้ำมีโอกาสที่จะลดลงต่ำกว่า 28 องศาเซลเซียส โดยเฉพาะภาคเหนือ ดังนั้นระบบควบคุมอุณหภูมิที่ออกแบบจึงใช้ขดลวดความร้อน สำหรับทำความร้อนการคำนวณขนาดของขดลวดความร้อนสำหรับใช้งานในตู้เลี้ยงปลา ดังสมการที่ 1

$$W_{heater} = V \times \Delta T \times k \qquad (1)$$

W_{heater} คือกำลังวัตต์ของขดลวดความร้อน V คือค่าความจุของน้ำในตู้เลี้ยงปลา มีหน่วยเป็นลิตร ΔT คือค่าอุณหภูมิที่ต้องการเพิ่มในตู้ปลา อุณหภูมิต่ำสุดของภาคเหนือโดยเฉลี่ยแล้วประมาณ 17 องศาเซลเซียส ดังนั้นจึงมีค่าประมาณ 14 องศาเซลเซียส และ k คือค่าคงที่ อยู่ระหว่าง 0.5 – 1 ขึ้นอยู่กับสภาวะแวดล้อมที่ตู้เลี้ยงปลา ซึ่งจากสมการที่ 1 จึงเลือกใช้ขดลวดความร้อนขนาด 800 วัตต์ และเลือกใช้เซนเซอร์วัด

อุณหภูมิน้ำรุ่น DS18B20 เพื่อควบคุมการทำงานของขดลวดความร้อนผ่านบอร์ดไมโครคอนโทรลเลอร์ แนวคิดในการเขียนโปรแกรมดังรูปที่ 3

2.2.3 ระบบควบคุมค่าออกซิเจนละลายในน้ำ

จากตารางที่ 1 พบว่าระดับค่าออกซิเจนที่ละลายในน้ำ(DO) ของน้ำทะเลที่มีคุณภาพจะมีค่าเท่ากับ 6 mg/L ดังนั้นจึงได้ออกแบบระบบควบคุมค่าออกซิเจนโดยใช้เซนเซอร์ตรวจวัดค่าออกซิเจนในน้ำ Analog Dissolved Oxygen Sensor / Meter Kit For Arduino ร่วมกับการเพิ่มระดับออกซิเจนโดยใช้ปั๊มออกซิเจนที่เปลี่ยนระบบจากใช้แม่เหล็กเคลื่อนที่ปั๊มออกซิเจนเป็นเซอร์โวมอเตอร์ เพื่อให้สามารถควบคุมด้วยระบบไมโครคอนโทรลเลอร์ได้ ทำให้ควบคุมปริมาณการผลิตออกซิเจนได้ ตามขอบเขตโดยควบคุมให้อยู่ที่ 5-7 mg/L ซึ่งเป็นค่าที่ทำให้ปลาทะเลสวยงามสามารถอาศัยอยู่ได้อย่างสบาย แนวคิดในการเขียนโปรแกรมควบคุมระบบนี้ ดังรูปที่ 4

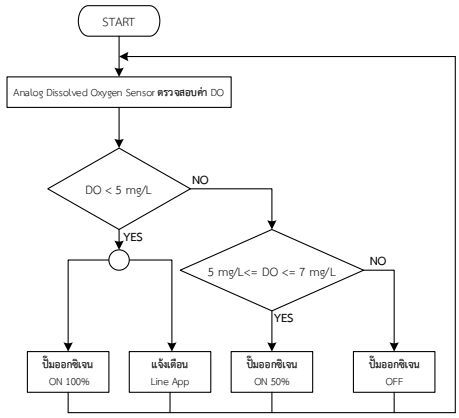

รูปที่ 4 การทำงานของระบบควบคุมค่าออกซิเจนละลายในน้ำ

2.2.4 ระบบตรวจสอบและแจ้งเตือนการอุดตันของระบบกรองของเสียในน้ำ

ระบบควบคุมคุณภาพน้ำที่ออกแบบนี้ นอกจากสามารถควบคุมค่าความเค็ม อุณหภูมิของน้ำและค่าออกซิเจนที่ละลายในน้ำได้อย่างอัตโนมัติแล้ว การออกแบบยังมีระบบการตรวจวัดการอุดตันของระบบกรองของเสียในน้ำ ซึ่งเป็นระบบแจ้งเตือนให้กำจัดสารแอมโมเนีย ไนเตรด และไนไตร์ตที่เกิดจากของเสียจากปลา ระบบกรองของเสียเมื่อใช้งานไปได้ช่วงเวลาหนึ่ง ระบบกรองมักจะเกิดการอุดตัน ส่งผลให้สารพิษต่าง ๆ เกิดขึ้นในตู้เลี้ยงปลาได้ ดังนั้นจึงออกแบบระบบตรวจสอบการอุดตันของระบบกรองของเสีย โดยตรวจสอบอัตราการไหลของน้ำที่ออกจากระบบกรอง ด้วยเซนเซอร์ตรวจอัตราการไหลของน้ำ(flow sensor) ที่สั่งงานในระบบควบคุมทราบเมื่ออัตราไหลของน้ำเกิดความผิดปกติ จากการทดสอบการวัดอัตราไหลระบบกรองน้ำก่อนส่งเข้าไปที่ตู้เลี้ยงปลาพบว่าขณะเปลี่ยนอุปกรณ์กรองน้ำใหม่อัตราการไหลของน้ำในท่อประมาณ 3.59 m/sec และเมื่อถังกรองอุดตันจนถึงเวลาที่ต้องเปลี่ยนอัตราการไหลจะลดลงต่ำกว่า 1.7 m/sec ดังนั้นจึงเขียนโปรแกรมอ่านค่าอัตราการไหล โดยเมื่ออัตราการไหลลดลงต่ำกว่าให้โปรแกรมทำการแจ้งเตือนให้ผู้เลี้ยงทราบเพื่อทำการล้างระบบกรองของเสียต่อไป โปรแกรมควบคุมระบบนี้มีแนวคิดดังรูปที่ 5

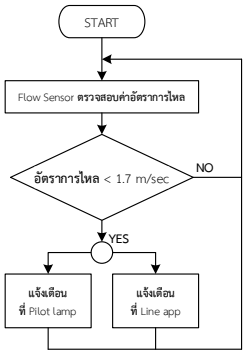

รูปที่ 5 การทำงานของระบบตรวจสอบและแจ้งเตือนการอุดตันของระบบกรองของเสียในน้ำ

3. การดำเนินงาน

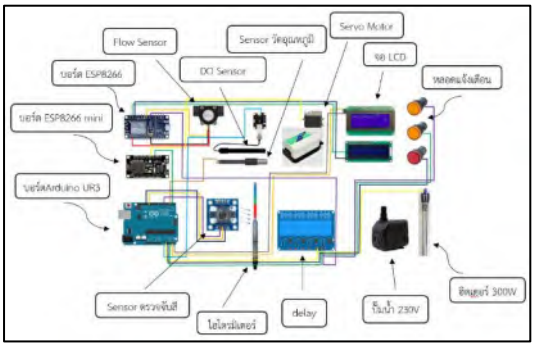

รูปที่ 6 ไดอะแกรมระบบควบคุมคุณภาพน้ำฯ

รูปที่ 7 ระบบควบคุมคุณภาพน้ำเพื่อการเลี้ยงปลาทะเลสวยงาม

หลังจากการออกแบบระบบทั้งหมด ได้เลือกอุปกรณ์ควบคุมที่ใช้คือ ไมโครคอนโทรเลอร์ Arduino Uno R3 ร่วมกับ Node MCU V3 Lua WIFI Module ESP8266 สำหรับเขียนโปรแกรมควบคุมและติดต่อสื่อสาร

กับอุปกรณ์แจ้งเตือนต่าง ๆ และทำการเขียนโปรแกรมควบคุมระบบที่ออกแบบทั้ง 4 ระบบ และจัดทำโครงสร้างของระบบควบคุมคุณภาพน้ำเพื่อการเลี้ยงปลาทะเลสวยงาม และติดตั้งอุปกรณ์ควบคุมต่าง ๆ ไดอะแกรมระบบฯ ดังรูปที่ 6 และ โครงสร้างหลังจากติดตั้งอุปกรณ์ทั้งหมดเสร็จสิ้นแล้วดังรูปที่ 7

4. การทดสอบและวิเคราะห์ผลการทดสอบ

4.1 การทดสอบระบบควบคุมความเค็มของน้ำ

งานวิจัยนี้ได้จำลองการทดสอบระบบ โดยแบ่งออกเป็น 2 รูปแบบ รูปแบบแรก ผสมน้ำให้มีค่าความเค็มสูงกว่ามาตรฐานที่ประมาณ 35-38 ppt เพื่อให้เซนเซอร์วัดค่าความเค็มของน้ำสั่งให้ปั๊มน้ำส่งน้ำจืดจากถังพักน้ำจืดดันน้ำเค็มในตู้เลี้ยงปลาส่งไปเก็บที่ถังพักน้ำเค็ม และทำการบันทึกระยะเวลาที่ปั๊มน้ำจืดทำงาน การทดสอบรูปแบบแรกทำซ้ำรูปแบบละ 5 ครั้งผลการทดสอบดังกราฟรูปที่ 8

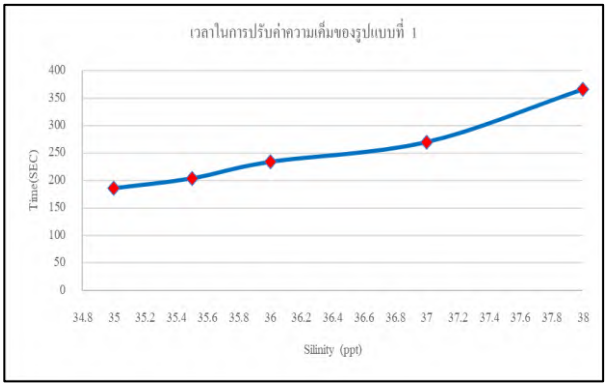

รูปที่ 8 ระยะเวลาที่ปั๊มน้ำส่งน้ำจืดเพื่อลดความเค็มของน้ำ

จากนั้นจำลองการทดสอบในรูปแบบที่ 2 คือเปลี่ยนระดับความเค็มในตู้เลี้ยงปลาให้มีค่าความเค็มต่ำกว่าค่าความเค็มมาตรฐานที่ประมาณ 26-29 ppt เพื่อให้เซนเซอร์สั่งให้ปั๊มน้ำส่งน้ำเค็มผสมกับน้ำจืด โดยดันน้ำในตู้เลี้ยงปลาที่เป็นน้ำเค็มที่มีค่าความเค็มต่ำกว่ามาตรฐานไปเก็บไว้ในถังพักน้ำเค็ม และทำการบันทึกระยะเวลาที่ปั๊มน้ำเค็มทำงาน การทดสอบทำซ้ำรูปแบบละ 5 ครั้ง ผลการทดสอบดังกราฟรูปที่ 9

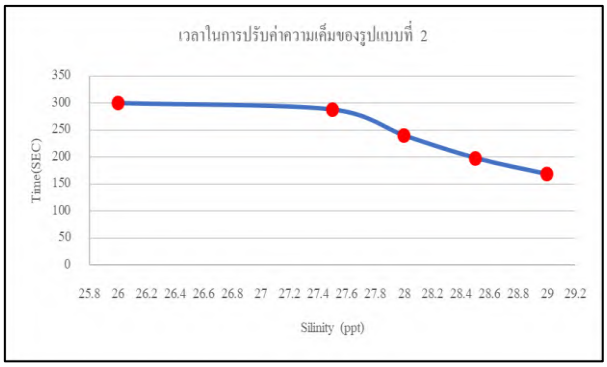

รูปที่ 9 ระยะเวลาที่ปั๊มน้ำส่งน้ำเค็มเพื่อเพิ่มความเค็มของน้ำ

รูปที่ 8 จะเห็นว่าปั๊มน้ำจะส่งน้ำจืดเข้าในตู้เลี้ยงปลาเพื่อลดความเค็มที่อยู่ในตู้เลี้ยงปลา โดยน้ำเค็มที่อยู่ภายในจะถูกดันออกที่ท่อน้ำล้นมาเก็บที่ถังพักน้ำเค็มจนกระทั่งค่าความเค็มลดลงอยู่ในค่ามาตรฐาน 30-34 ppt ปั๊มน้ำจะหยุดการทำงาน เวลาที่ใช้ในการปรับค่าความเค็มให้ได้มาตรฐานจะใช้เวลามากหรือน้อยขึ้นอยู่กับระดับความเค็มที่มีมากหรือน้อยดังกราฟซึ่งกราฟรูปที่ 9 ก็มีลักษณะที่เหมือนกันเพียงแต่เป็นการเติมน้ำเค็มเพื่อให้ค่าความเค็มของน้ำที่ต่ำกว่ามาตรฐานเพิ่มความเค็มขึ้นจนเท่ากับค่าความเค็มมาตรฐาน และนอกจากนั้นระบบยังส่งข้อความแจ้งเตือนค่าความเค็มที่สูงหรือต่ำกว่ามาตรฐาน ทางแอพพลิเคชั่นไลน์ ดังรูปที่ 10 และรูปที่ 11

รูปที่ 10 การแจ้งเตือนค่าความเค็มของน้ำในตู้เลี้ยงปลาสูงเกินมาตรฐาน

รูปที่ 11 การแจ้งเตือนค่าความเค็มของน้ำในตู้เลี้ยงปลาต่ำกว่ามาตรฐาน

4.2 การทดสอบระบบควบคุมอุณหภูมิของน้ำ

การทดสอบระบบควบคุมอุณหภูมิน้ำ งานวิจัยนี้ได้ออกแบบวิธีการทดสอบโดยใช้ห้องทดสอบที่สามารถปรับอุณหภูมิคงที่ได้ โดยปรับอุณหภูมิห้อง ให้ลดลงแตกต่างกัน 5 ระดับ ตั้งแต่ 22 – 27 องศาเซลเซียส แล้วคงอุณหภูมิห้องให้อยู่ในระดับนั้น จากนั้นวัดอุณหภูมิที่น้ำในตู้เลี้ยงปลา แล้วเปิดระบบควบคุมอุณหภูมิของน้ำในตู้เลี้ยงปลา พร้อมบันทึกอุณหภูมิของน้ำในตู้เลี้ยงปลาทุก ๆ 15 นาที ใช้ระยะเวลาในการทดลองอุณหภูมิแต่ละระดับ ใช้เวลาการทดลอง 8 ชั่วโมง ผลการทดลองดังกราฟรูปที่ 12

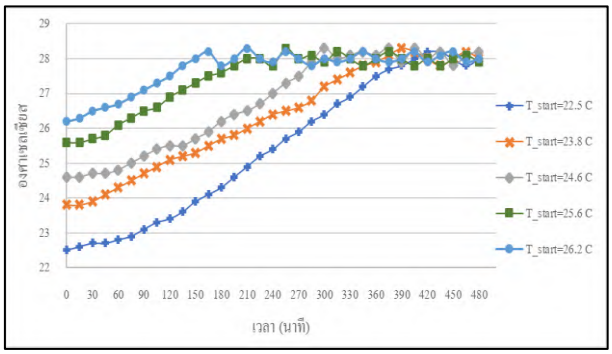

รูปที่ 12 อุณหภูมิของน้ำในตู้เลี้ยงปลาที่เปลี่ยนแปลงจากการทำงานของขดลวดความร้อน

รูปที่ 12 พบว่าขดลวดความร้อนสามารถเพิ่มอุณหภูมิให้กับน้ำในตู้เลี้ยงปลาได้ อุณหภูมิที่เริ่มต้นจะแตกต่างกันตั้งแต่ 22.5 – 26.2 องศาเซลเซียส เมื่อระบบควบคุมอุณหภูมิของน้ำทำงาน เซนเซอร์ตรวจจับอุณหภูมิจะสั่งงานให้ขดลวดความร้อนทำงานเพิ่มอุณหภูมิให้น้ำในตู้เลี้ยงปลาจนกระทั่งอุณหภูมิของน้ำในตู้เลี้ยงปลาเท่ากับ 28 องศาเซลเซียส ระบบควบคุมจะสั่งให้ขดลวดความร้อนหยุดทำงาน ซึ่งจากกราฟจะเห็นว่าหลังจากที่อุณหภูมิถึงจุดกำหนดแล้ว อุณหภูมิของน้ำจะแกว่งอยู่ประมาณ 27.8 – 28.2 องศาเซลเซียส ส่งผลให้การทำงานของขดลวดความร้อนทำงานและหยุดทำงานเป็นช่วง ๆ ดังรูปที่ 13 คือการทำงานของขดลวดความร้อน ที่เปรียบเทียบค่าอุณหภูมิน้ำเริ่มต้นที่ 22.5 องศาเซลเซียส กับ อุณหภูมิเริ่มน้ำต้นที่ 26.2 องศาเซลเซียส

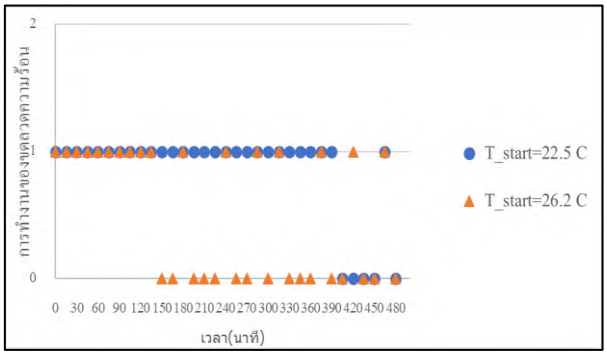

หมายเหตุ 1 = ทำงาน 0 = ไม่ทำงาน

รูปที่ 13 การทำงานของขดลวดความร้อนที่อุณหภูมิเริ่มต้นต่างกัน 2 ระดับ

นอกจากนั้นจากการบันทึกระยะเวลาในการทำงานของขดลวดความร้อน อุณหภูมิที่ต่ำกว่า 28 เซลเซียสมาก ขดลวดความร้อนจะทำงานในระยะเวลาที่นานกว่า ตัวอย่างเช่นที่อุณหภูมิ 22.5 องศาเซลเซียส ใช้เวลาในการเพิ่มอุณหภูมิ 405 นาที ส่วนอุณหภูมิที่ใกล้เคียงกับอุณหภูมิ 28 องศาแซลเซียส ขดลวดความร้อนจะใช้เวลาในการเพิ่มอุณหภูมิที่น้อยกว่า นอกจากนั้นระบบควบคุมยังสามารถส่งสัญญาณแจ้งเตือนผ่านแอพพลิเคชั่นไลน์ได้ดังรูปที่ 14

รูปที่ 14 การแจ้งเตือนค่าอุณหภูมิของน้ำในตู้เลี้ยงปลาต่ำกว่ามาตรฐาน

4.3 การทดสอบระบบควบคุมค่าออกซิเจนละลายในน้ำ

ทีมงานได้ออกแบบการทดสอบ โดยลดค่าออกซิเจนละลายในน้ำลงให้ต่ำกว่าระดับ 5 mg/L เพื่อให้ปั๊มออกซิเจนทำงานและบันทึกระยะเวลาการทำงานของปั๊มออกซิเจนทุก ๆ 5 นาที โดยสังเกตทั้งการทำงานและความเร็วของมอเตอร์ปั๊มออกซิเจน ซึ่งมอเตอร์จะทำงานที่ 2 ระดับคือ ทำงานที่ความเร็วสูงสุด และความเร็วลง 50% ของความเร็วสูงสุดหรือมอเตอร์หยุดทำงาน ใช้เวลาในการทดลองต่อครั้งเท่ากับ 2 ชั่วโมง และการทดลองทำซ้ำจำนวน 5 ครั้ง ผลการทดสอบดังรูปที่ 15

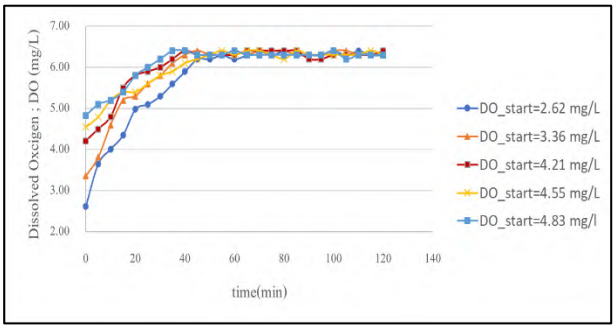

รูปที่ 15 ค่าออกซิเจนในน้ำกับระยะเวลาการทำงานของปั๊มออกซิเจน

รูปที่ 15 เมื่อออกซิเจนในน้ำของตู้เลี้ยงปลามีค่าต่ำกว่า 5 mg/L เซนเซอร์วัดค่าออกซิเจนในน้ำ จะสั่งให้ปั๊มลมเริ่มทำงานเพิ่มออกซิเจนในน้ำจนกระทั่งเมื่อเวลาผ่านไประยะหนึ่งค่าออกซิเจนในน้ำมีค่าคงที่ประมาณ 6.2 mg/L - 6.4 mg/L โดยไม่เพิ่มขึ้นมากไปกว่านี้ ระยะเวลาที่ใช้ในการเพิ่มออกซิเจนในน้ำให้เกิน 5 mg/L ซึ่งเป็นค่ามาตรฐานนั้น แปรตามค่าเริ่มต้นของออกซิเจนในน้ำ คือถ้ามีค่าต่ำ ปั๊มลมจะใช้เวลาในการเพิ่มออกซิเจนในน้ำนานกว่าค่าเริ่มต้นที่มีค่าสูง

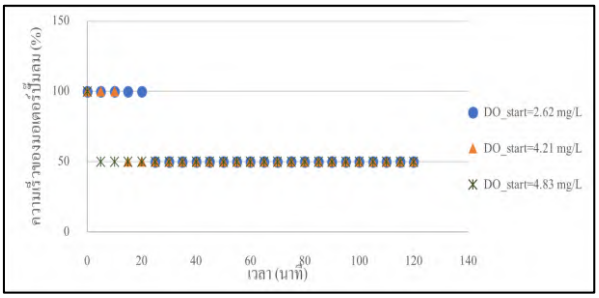

รูปที่ 16 ระยะเวลาในการเปลี่ยนความเร็วของมอเตอร์ปั๊มลม

รูปที่ 16 คือระยะเวลาการเปลี่ยนความเร็วของมอเตอร์ปั๊มลมที่ใช้เติมออกซิเจนในน้ำให้กับตู้เลี้ยงปลา ซึ่งเมื่อเซนเซอร์ตรวจจับค่าของออกซิเจนในน้ำได้ต่ำกว่า 5 mg/L ระบบจะสั่งให้มอเตอร์ปั๊มน้ำหมุนที่ความเร็วเต็มพิกัด จนกระทั่ง ค่าออกซิเจนในน้ำมีค่าเกิน 5 mg/L มอเตอร์จะปรับความเร็วรอบลง 50% และจากการทดสอบพบว่า ปั๊มลมจะสามารถเติมออกซิเจนในน้ำได้สูงสุดประมาณ 6.3 mg/L ดังนั้นมอเตอร์จึงจะคงความเร็วรอบที่ 50% ไปตลอดและไม่หยุดทำงาน ส่วนระยะเวลาในการปรับเปลี่ยนจากความเร็วรอบที่เต็มพิกัดเป็นความเร็วรอบที่ 50% นั้น จะขึ้นอยู่กับว่าค่าออกซิเจนในน้ำมีค่ามากหรือน้อยเพียงใด แต่อย่างไรก็ตามแม้ว่าค่าออกซิเจนในน้ำจะมีค่าน้อยที่สุดที่ 2.62 mg/L ระยะเวลาในการปรับความเร็วของมอเตอร์จะใช้เวลาไม่เกิน 20 นาที เท่านั้น นอกจากนั้นระบบควบคุมยังสามารถส่งสัญญาณ แจ้งเตือนเมื่อค่าออกซิเจนในน้ำต่ำกว่า 5 mg/L ผ่านแอพพลิเคชั่นไลน์ได้ดังรูปที่ 17

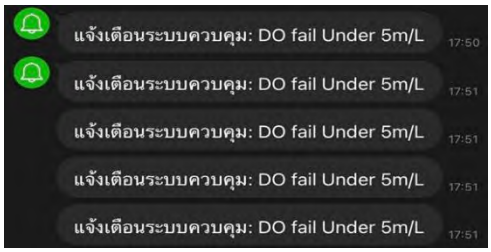

รูปที่ 17 การแจ้งเตือนค่าออกซิเจนในน้ำ ต่ำกว่า 5 mg/L

4.4 การทดสอบระบบตรวจวัดการอุดตันของระบบกรองของเสียในน้ำ

การทดสอบการอุดตันของระบบกรองทำได้โดยการวัดอัตราไหลของน้ำหลังจากออกจากระบบกรองน้ำ จากการทดสอบวัดอัตราการไหลของน้ำเมื่อถังกรองไม่มีของเสียเลยพบว่ามีอัตราการไหลเท่ากับ 3.59 m/sec และอัตราการไหลออกที่บ่งบอกว่าเกิดการอุดตันที่ระบบกรองของเสียในน้ำนั้นสามารถวัดค่าได้ประมาณ 1.7 m/sec ดังนั้นงานวิจัยนี้จึงได้จำลองสภาวะที่ทำให้อัตราการไหลของน้ำในท่อหลังจากออกจากระบบกรองน้ำมีอัตราไหล ตั้งแต่ 1 – 2 m/sec แบ่งเป็น 5 ระดับ และสังเกตที่ระบบการแจ้งเตือนที่หลอดสัญญาณ และแอพพลิเคชั่นไลน์ ผ่านสมาร์ทโฟน ได้ผลดังตารางที่ 2 และการแจ้งเตือนด้วยแอพพลิเคชั่นไลน์ ดังรูปที่ 18

ตารางที่ 2 ผลการทดสอบระบบแจ้งเตือนการอุดตันของระบบกรองน้ำ

อัตราการไหลของน้ำ (m/SEC)	1	1.2	1.5	1.9	2
หลอดสัญญาณ	✓	✓	✓	×	×
แอพพลิเคชั่นไลน์	✓	✓	✓	×	×

หมายเหตุ ✓ = แจ้งเตือน ✕ = ไม่แจ้งเตือน

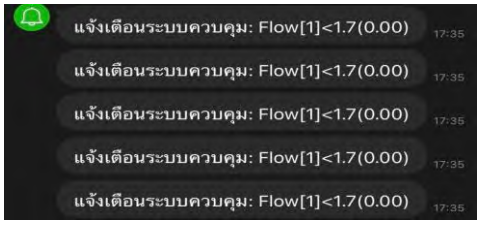

รูปที่ 18 การแจ้งเตือนการอุดตันของระบบกรองของเสียในน้ำ

ตารางที่ 2 เมื่อค่าอัตราการไหลของน้ำมีค่า 1,1.2 และ 1.5 m/sec ซึ่งน้อยกว่า 1.7 m/sec ระบบแจ้งเตือนทั้ง 3 ระบบจะทำงาน แต่เมื่ออัตราการไหลเท่ากับ 1.9 m/sec และ 2 m/sec ซึ่งมากกว่า 1.7 m/sec ระบบแจ้งเตือนทั้ง 3 ระบบจะไม่ทำงาน

5. สรุปและวิจารณ์

จากการทดสอบระบบควบคุมคุณภาพน้ำเพื่อการเลี้ยงปลาทะเลสวยงาม ระบบสามารถทำงานได้ตรงตามวัตถุประสงค์ที่ต้องการ โดยระบบการควบคุมน้ำเค็มในตู้เลี้ยงปลานั้นมีระยะเวลาในการลดความเค็มของน้ำโดยเฉลี่ยต่อ 1 ppt ประมาณ 132 วินาที ส่วนเวลาที่เพิ่มความเค็มของน้ำโดยเฉลี่ยต่อ 1 ppt เท่ากับ 122 วินาที ซึ่งใช้เวลาที่ใกล้เคียงกันคือประมาณ 2 นาที ส่วนระบบควบคุมอุณหภูมิในน้ำของตู้ปลานั้นเวลาโดยเฉลี่ยเมื่อทำการเพิ่มอุณหภูมิของน้ำจะประมาณ 330 วินาทีหรือประมาณ 5 นาที 30 วินาที ต่อการเพิ่มอุณหภูมิน้ำ 1 องศาเซลเซียส และในส่วนของระบบควบคุมออกซิเจนในน้ำของตู้ปลานั้น ระบบสามารถเพิ่มออกซิเจนในน้ำของตู้ปลาขึ้น 1 mg/L โดยใช้เวลาเฉลี่ยประมาณ 380 วินาที หรือประมาณ 6 นาที สุดท้ายระบบการแจ้งเตือน เมื่อเกิดการอุดตันของระบบกรองน้ำในตู้ปลานั้น จากการทดสอบพบว่า สามารถแจ้งเตือนเมื่อเกิดการอุดตันของระบบกรองของเสียได้ทั้ง 2 ช่องทางอย่างถูกต้องโดยไม่มีข้อผิดพลาดเลย จากการทดสอบระบบควบคุมทั้ง 4 คาดว่าจะสามารถนำไปใช้เลี้ยงปลาทะเลสวยงามได้จริง แต่อย่างไรก็ตามระบบควบคุมฯ ที่ออกแบบนี้ยังไม่ได้ถูกนำไปใช้เลี้ยงปลาทะเลสวยงามจริง เนื่องจากงานวิจัยนี้ไม่มีขั้นตอนการขอใช้สัตว์ทดลองในงานวิจัย

เอกสารอ้างอิง

[1] Vanderzwalmen, M., Trippel, J., Blyth, D., & Mitchell, J. L. (2020). Monitoring water quality and ornamental fish behaviour during commercial transport. *Aquaculture Research, 51*(12), 5004–5016. https://doi.org/10.1111/are.14812

[2] Saengsitthisak, B., Punyapornwithaya, V., Chaisri, W., Mektrirat, R., Bernard, J. K., & Pikulkaew, S. (2021). The current state of biosecurity and welfare of ornamental fish population in pet fish stores in Chiang Mai Province, Thailand. *Veterinary Integrative Sciences, 19*(2), 277–294. https://doi.org/10.12982/VIS.2021.025

[3] Zhang L., Wang Y. และ Chen H. (2020). การประเมินและวิเคราะห์คุณภาพน้ำของพื้นที่เพาะเลี้ยงสัตว์น้ำทะเล. *วารสารวิจัยสิ่งแวดล้อมทางทะเล*, 45(3), 215-228.

[4] สหพจน์ ธนกุลวัฒน์. (2555). *ปลาทะเลสวยงาม การเลี้ยงและการดูแลอย่างถูกวิธี*. กรุงเทพฯ: คณะประมงมหาวิทยาลัยเกษตรศาสตร์. เข้าถึงจาก https://fish.ku.ac.th/download/55_RT-Beginer-ReefaquariumBy-Sahapop.pdf

เกษม ตรีภาค วุฒิการศึกษาระดับปริญญาโท วศ.ม. วิศวกรรมไฟฟ้า จากมหาวิทยาลัยเทคโนโลยีราชมงคลล้านนา ปัจจุบันเป็นอาจารย์ประจำหลักสูตรวิศวกรรมไฟฟ้า มหาวิทยาลัยเทคโนโลยีราชมงคลล้านนา ลำปาง

ระบบตรวจสอบและแจ้งเตือนความผิดปกติของมอเตอร์ปั๊มน้ำไฟฟ้าขนาด 280 kW

MONITORING AND NOTIFICATION SYSTEM OF 280 KW ELECTRIC WATER PUMP MOTORS

เกษม ตรีภาค[1] เกียรติศักดิ์ บุญยืน[1] วรากร อาศัยบุญ[1] อรรถพล อักษรไชย[1] รัตนพล พนมวัน ณ อยุธยา[2]
วัฒนา มาคำ[1] วิษณุ ช้างเนียม[1] และ กวีวัชร์ ทัติวงษ์[1]*

[1]สาขาวิชาวิศวกรรมไฟฟ้า คณะวิศวกรรมศาสตร์ มหาวิทยาลัยเทคโนโลยีราชมงคล ล้านนา ลำปาง kaweewat.ta@rmutl.ac.th
[2]สถาบันวิจัยและพัฒนา มหาวิทยาลัยเทคโนโลยีราชมงคล ล้านนา rattanapol@rmutl.ac.th

บทคัดย่อ

บทความนี้นำเสนอการออกแบบและพัฒนาระบบตรวจวัดและแจ้งเตือนความผิดปกติของมอเตอร์ปั๊มน้ำไฟฟ้าเหนี่ยวนำสามเฟส ซึ่งใช้งานในกระบวนการระบายน้ำออกจากเหมืองแม่เมาะ ระบบที่พัฒนาขึ้นประกอบด้วย Programmable Logic Controller (PLC) Beckhoff รุ่น CX8090, หน้าจอ HMI, เซ็นเซอร์วัดอุณหภูมิ RTD PT100 และอุปกรณ์ Ewon Flexy 205 สำหรับการส่งข้อมูลแจ้งเตือนผ่าน Line Notify API ไปยังผู้ดูแลระบบแบบเรียลไทม์ ระบบสามารถตรวจวัดและวิเคราะห์ค่าความผิดปกติของกระแสไฟฟ้า แรงดันไฟฟ้า และอุณหภูมิได้ เช่น กระแสเกิน แรงดันตก อุณหภูมิสูงเกิน พร้อมส่งสัญญาณหยุดการทำงานของมอเตอร์ทันที การทดสอบในห้องปฏิบัติการเปรียบเทียบค่าจาก HMI กับเครื่องมือมาตรฐานพบว่าความคลาดเคลื่อนสูงสุดไม่เกิน 3.32% สำหรับกระแส 0.22% สำหรับแรงดัน และ 2.69% สำหรับอุณหภูมิ นอกจากนี้ ระบบยังสามารถแจ้งเตือนเหตุขัดข้องต่าง ๆ ได้อย่างถูกต้องและต่อเนื่อง เมื่อนำไปติดตั้งจริงในหน้างาน ระบบสามารถลดเวลาในการตรวจสอบ เพิ่มประสิทธิภาพในการดูแลมอเตอร์ และเพิ่มความปลอดภัยในการทำงานได้อย่างมีนัยสำคัญ

คำสำคัญ: มอเตอร์เหนี่ยวนำ, พีแอลซี (PLC), การตรวจจับความผิดปกติ, อินเทอร์เน็ตของสรรพสิ่ง (IoT), อีวอน เฟล็กซี (Ewon Flexy), ระบบแจ้งเตือนผ่านไลน์ (Line Notify), เซนเซอร์อุณหภูมิแบบ RTD, ระบบอัตโนมัติในงานอุตสาหกรรม

Abstract

This paper presents the design and development of an anomaly detection and notification system for a three-phase induction motor used in the water drainage process at the Mae Moh lignite mine. The proposed system integrates a Beckhoff CX8090 Programmable Logic Controller (PLC), Human-Machine Interface (HMI), RTD PT100 temperature sensors, and an Ewon Flexy 205 IoT gateway to send real-time notifications via the Line Notify API to maintenance personnel. The system is designed to detect and respond to electrical anomalies such as overcurrent, undervoltage, phase unbalance, and abnormal temperature conditions, ensuring immediate shutdown to protect the motor. Laboratory testing was conducted by comparing measurements from the HMI with those obtained using standard instruments. The maximum measurement errors observed were 3.32% for current, 0.22% for voltage, and 2.69% for temperature, confirming the accuracy and reliability of the system. The alert mechanism was validated through multiple scenarios and successfully transmitted all abnormal event notifications. Upon real-world installation at the mine site, the system significantly reduced response time to faults, improved motor protection, enhanced operational efficiency, and increased workplace safety.

Keywords: Induction motor, PLC, Anomaly detection, IoT, Ewon Flexy, Line Notify, RTD sensor, Industrial automation

1. บทนำ

ปัจจุบันเทคโนโลยี และบทความวิจัยที่เกี่ยวข้องกับระบบตรวจสอบและแจ้งเตือนความผิดปกติของระบบต่างๆ โดยใช้อุปกรณ์อินเตอร์เน็ตของสรรพสิ่ง (IoT) มีเพิ่มมากขึ้นตามการพัฒนาของอุปกรณ์ IoT เช่น [1] การใช้ระบบ IoT บริหารจัดการและแจ้งเตือนความผิดปกติของระดับน้ำเพื่อใช้การเกษตร [2] การใช้งานระบบ IoT มาใช้ตอบสนองและสร้างสถาปัตยกรรมโครงการเครือข่ายของด้านสาธารณะสุข

การศึกษางานวิจัย [3,4] นำเสนอระบบการเฝ้าตรวจสภาวะมอเตอร์ไฟฟ้าระยะไกลที่มีต้นทุนต่ำโดยใช้อาร์ดูโนและบทความระบบ Human Machine Interface (HMI) สำหรับคำนวณประสิทธิภาพหม้อไอน้ำโดยใช้ Visual C# และ OPC Server และใช้กับโปรแกรมเมเบิลลอจิกคอนโทรล (PLC) ซึ่งถูกใช้งานเพื่อควบคุมกระบวนการทางอุตสาหกรรมต่างๆ ได้อย่างอัตโนมัติ โดยนำมาใช้งานร่วมกับ HMI แสดงค่ากระแส แรงดัน อุณหภูมิ และการเกิดความผิดพร่อง โดยจะส่งสัญญาณการเกิดการผิดผ่องให้กับ Ewon Flexy 205 ส่งการแจ้งเตือนไปที่ระบบ Line Notify API เพื่อแจ้งให้ผู้ดูแลระบบรู้ถึงปัญหาที่เกิดขึ้นกับมอเตอร์ในขณะนั้น ป้องกันกระแสเกิน (Overcurrent Protection) ป้องกันแรงดันเกิน (Overvoltage Protection) ป้องกันอุณหภูมิเกิน (Overtemperature Protection) ระบบป้องกันจะทำการสั่งให้ระบบจ่ายไฟฟ้าหยุดจ่ายกระแสไฟฟ้าให้กับมอเตอร์ทันทีเพื่อป้องกันการเกิดความชำรุดเสียหายที่จะเกิดขึ้น พบว่าการนำสัญญาณจากระบบป้องกันนี้มาใช้งานร่วมกับระบบแจ้งเตือนความผิดปกติมอเตอร์ไฟฟ้าเพื่อส่งการแจ้งเตือนให้ผู้ดูแลทราบจะช่วย ลดต้นทุน ลดค่าใช้จ่ายในการซ่อมแซมและอะไหล่ เนื่องจากการบำรุงรักษาเชิงป้องกัน เพิ่มผลผลิต เครื่องจักรทำงานได้อย่างต่อเนื่องและมีประสิทธิภาพ เพิ่มความปลอดภัย สภาพแวดล้อมในการทำงานปลอดภัยมากขึ้น ยืดอายุการใช้งานของเครื่องจักร ทำให้เครื่องจักรใช้งานได้นานขึ้น สามารถทำให้ผู้ควบคุมระบบทราบถึงปัญหาที่เกิดขึ้นและแก้ไขได้รวดเร็ว

โรงไฟฟ้าพลังงานความร้อนแม่เมาะผลิตไฟฟ้าโดยการขุดเหมืองถ่านหินเพื่อนำลิกไนต์มาใช้ผลิตกระแสไฟฟ้า ซึ่งปัจจุบันโรงไฟฟ้าแม่เมาะ มีกำลังผลิตตามสัญญารวม 2,220 MW ปัญหาของน้ำที่เหมืองแม่เมาะ คือ ปริมาณฝนที่ตกมากในฤดูฝน ประกอบกับความลึกของเหมืองที่ลึกลงไปถึงจุดที่มีแหล่งน้ำใต้ดินจะทำให้ปริมาณในเหมืองมากเกินไปจนไม่สามารถดำเนินงานต่างๆได้ จึงต้องมีระบบสูบน้ำโดยใช้มอเตอร์ปั๊มน้ำไฟฟ้าออก

*ผู้ประพันธ์บรรณกิจ

จากเหมืองโดยใช้มอเตอร์ไฟฟ้าทำงานร่วมกับปั๊มน้ำขนาดใหญ่และมีจำนวนมาก เพื่อนำน้ำในเหมืองไปใช้ประโยชน์ในด้านต่างๆ การสูบน้ำออกจากเหมืองจะต้องใช้มอเตอร์ไฟฟ้าขนาด 1000 กิโลวัตต์ขึ้นไปเพื่อหมุนปั๊มสูบน้ำระบายออกจากเหมืองเพื่อไม่ให้น้ำท่วมขังซึ่งอาจทำให้เกิดอันตรายแก่เครื่องจักรและผู้ปฏิบัติงาน การป้องกันและการควบคุมมอเตอร์จึงมีความสำคัญเป็นอย่างมากเพื่อลดการเสียหายจากการผิดปกติที่เกิดขึ้นกับมอเตอร์ปั๊มน้ำไฟฟ้า [5]

บทความนี้สร้างระบบตรวจวัดและแจ้งเตือนความผิดปกติของมอเตอร์ปั๊มน้ำไฟฟ้าเหนี่ยวนำสามเฟส กำลัง 280 kW 3 เฟส 380V 1400 - 1500 RPM Class F โดยใช้โปรแกรมเมเบิลลอจิกคอนโทรลเลอร์ Beckhoff รุ่น Cx8090 และส่งข้อมูลแจ้งเตือนผ่าน Ewon Flexy ไปที่ระบบ Line Notify API โดยจำลองและทดสอบที่ห้องปฏิบัติการ และนำระบบที่ได้ไปติดตั้ง ณ หน้างานเหมืองแม่เมาะ เพื่อลดขั้นตอน และเวลาในการแก้ปัญหามอเตอร์ปั๊มน้ำไฟฟ้า

2. ออกแบบระบบ

ผังงานและระบบแสดงดังรูปที่ 1 โดยเมื่อระบบมอเตอร์ปั๊มน้ำทำงานจะทำการสตาร์ทมอเตอร์ และตรวจสอบความผิดปกติเบื้องต้น หากค่าแรงดันไฟฟ้า และกระแสไฟฟ้าเป็นปกติ มอเตอร์จะทำงาน ซึ่งในการทำงานเดิม เมื่อเกิดความผิดปกติของมอเตอร์ปั๊มน้ำไฟฟ้าดังกรอบสีแดง ข้อมูลจะถูกประมวลผลในชุดป้องกันของมอเตอร์และทำให้รีเลย์ทำงาน เพื่อหยุดการทำงานของมอเตอร์ปั๊มน้ำไฟฟ้า และจำเป็นต้องรอทีมช่างและโอเปอเรเตอร์ทำงานตรวจเช็ค ซึ่งจะมีวงรอบในการตรวจเช็ค 3 รอบต่อวัน อันเป็นปัญหาในกรณีที่มีความจำเป็นต้องมีระบบแจ้งเตือน ผู้ออกแบบได้สร้างชุดแจ้งเตือน ดังกรอบสีน้ำเงินโดยมีอุปกรณ์โปรแกรมเมเบิลลอจิกคอนโทรล(PLC) เป็นตัวควบคุมหลักและนำค่าความผิดปกติของระบบเดิมส่งเข้า PLC โดยจะประมวลผล แยกแยะความผิดปกติและทำการแจ้งเตือนไปยังหน้าจอ HMI และส่ง Line Notify API ไปยังทีมช่างเพื่อประเมินงานและสามารถวางแผนดำเนินงานต่อไปได้

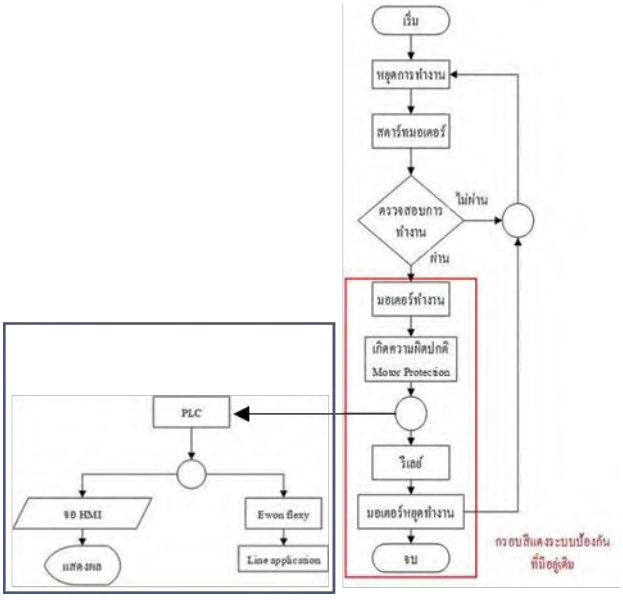

รูปที่ 1 ผังงาน (Flowchart)

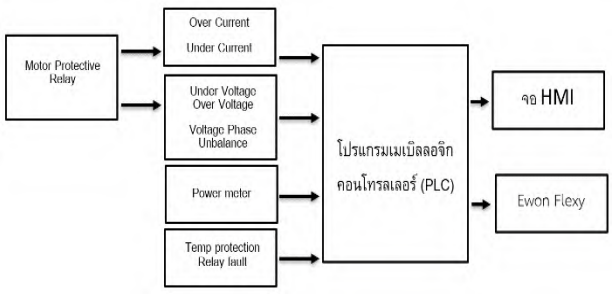

รูปที่ 2 ไดอะแกรมการทำงานของระบบที่นำเสนอ

2.1 การออกแบบระบบแจ้งเตือน

ผู้ออกแบบได้สร้างระบบตรวจสอบและแจ้งเตือนความผิดปกติของมอเตอร์ปั๊มน้ำไฟฟ้าเหนี่ยวนำสามเฟส แสดงดังไดอะแกรมในรูปที่ 2 โดยมอเตอร์ที่มีในห้องปฏิบัติการซึ่งเลือกมาเพื่อทดสอบการแจ้งเตือนและค่าความถูกต้องของกระแสไฟฟ้า แรงดันไฟฟ้า อุณหภูมิ ได้ถูกต้องแม่นยำ และกำหนดค่าความผิดปกติที่จำเป็นต้องตรวจวัดดังนี้

1) ความผิดปกติของกระแสและแรงดันไฟฟ้า ประกอบด้วย กระแสไฟฟ้าเกิน (OverCurrent)กระแสไฟฟ้าตก(Under Current) แรงดันไฟฟ้าตก Under Voltage)แรงดันไฟฟ้าเกิน (Over Voltage) แรงดันไฟฟ้าไม่สมดุล (Voltage Phase Unbalance)

2) ความผิดปกติจากอุณหภูมิ วัด 7 จุด ได้แก่ อุณหภูมิ Motor winding temp Phase A , B , C อุณหภูมิ motor Bearing Temp Drive End, Non Drive End และ อุณหภูมิ Pump Bearing temp Drive End, Non Drive End

3 อุปกรณ์ และระบบ

เลือกอุปกรณ์เพื่อใช้จำลองระบบจริง โดยตู้ควบคุมที่ออกแบบแสดงดังรูปที่ 3 โดยมีอุปกรณ์ที่ใช้ในการทำงานได้แก่

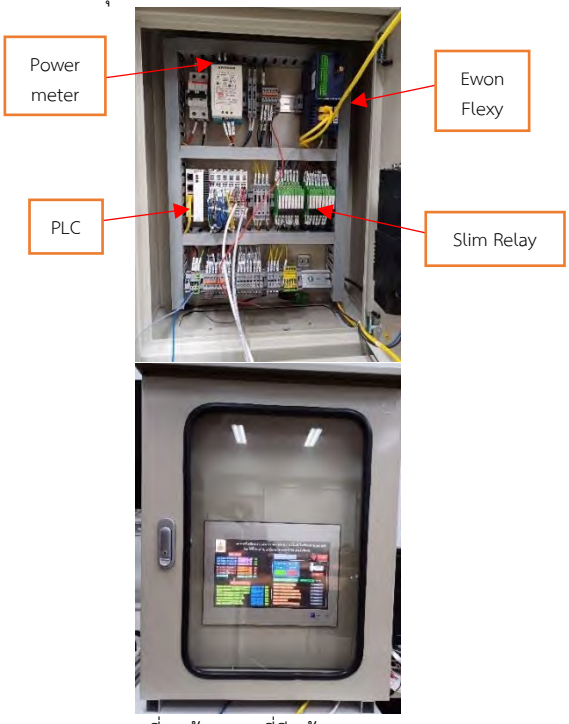

รูปที่ 3 ตู้ควบคุมที่มีหน้าจอ HMI

รูปที่ 4 มอเตอร์ปั๊มน้ำไฟฟ้า

รูปที่ 5 ชุดทดสอบอุณหภูมิ RTD

1. มอเตอร์ปั๊มน้ำไฟฟ้าเหนี่ยวนำ สามเฟส กำลัง 280 kW 3 เฟส 380V 1400 - 1500 RPM Class F แสดงดังรูปที่ 4
2. RTD PT100 RTD PT100 (Resistance Temperature Detector) เป็นเซ็นเซอร์ที่ใช้วัดอุณหภูมิที่มีความแม่นยำสูง โดยการเปลี่ยนแปลงความต้านทานของตัวเซ็นเซอร์ แสดงดังรูปที่ 5 โดยวัดค่าทั้ง 7 จุด
3. อุปกรณ์ควบคุม โปรแกรมเมเบิลลอจิกคอนโทรล PLC Beckhoff รุ่น Cx8090 โดยการต่อวงจรไฟฟ้า และตัวอย่างการเขียนโปรแกรมแสดงดังรูปที่ 6 และ 7
4. หน้าจอ HMI Fuji (Ts1070) ทำหน้าที่เป็นสื่อกลางระหว่างผู้ใช้และระบบอุตสาหกรรมดังรูปที่ 3
5. Ewon flexy 205 เป็นอุปกรณ์ IoT Gateway ที่ออกแบบมาเพื่อเชื่อมต่อเครื่องจักรและอินเทอร์เน็ต โดยโค้ดตัวอย่างแสดงดังรูปที่ 8
6. Power meter ทำหน้าที่วัดกระแส แรงดันและพลังงานไฟฟ้า
7. Slim Relay 230V คือ อุปกรณ์ที่ใช้ในการควบคุมการทำงานของวงจรไฟฟ้าหรือการเปิดปิดอุปกรณ์ต่าง ๆ ด้วยการใช้ไฟฟ้าแรงดันสูง
8. Line notify คือบริการที่ให้คุณสามารถส่งข้อความแจ้งเตือนไปยังบัญชี LINE ของคุณหรือกลุ่มที่คุณเลือก โดยสามารถใช้งานได้ง่ายผ่าน API ซึ่งเหมาะสำหรับการรับข้อมูลจากอุปกรณ์และสามารถแจ้งเตือนแบบเรียลไทม์

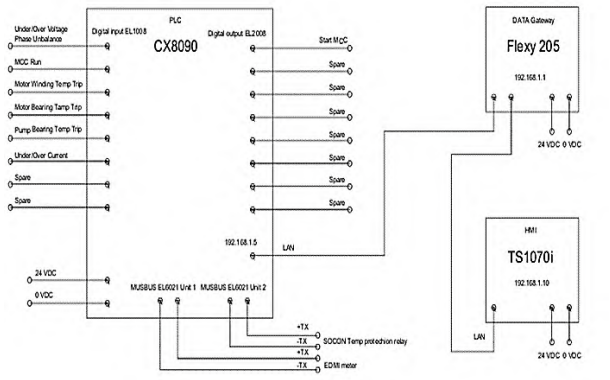

รูปที่ 6 วงจรไฟฟ้าระบบแจ้งเตือนโดยใช้ PLC

รูปที่ 7 โค้ดตัวอย่างการทำงานของ PLC

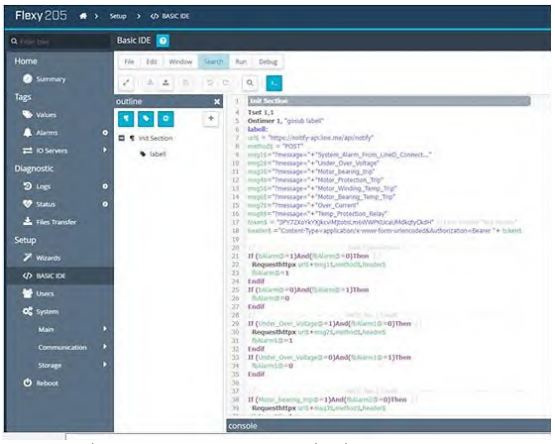

รูปที่ 8 การเขียนโปรแกรมคำสั่งเพื่อทำการแจ้งเตือน Ewon flexy 205

4. ผลการทดสอบ

4.1 การวัดผลในห้องปฏิบัติการ

4.1.1 การวัดค่ากระแสไฟฟ้า จะทดสอบโดยใช้ความต้านทาน 100 Ω 91 Ω 84 Ω 78 Ω และ72 Ω จากนั้นนำค่าที่ได้จากระบบดูผ่านหน้าจอ HMI มาเปรียบเทียบกับค่าที่ได้จากเครื่องวัดมาตรฐาน FLUKE 376

4.1.2 การวัดค่าแรงดันไฟฟ้าของทั้ง 3 เฟส มาเปรียบเทียบกับค่าที่ได้จากเครื่องวัดมาตรฐาน FLUKE 376 จำนวน 5 ครั้ง

4.1.3 การวัดค่าอุณหภูมิ RTD จำนวน 7 ตัว โดยการเพิ่มความร้อนให้ตัววัด RTD และเปรียบเทียบกับค่าที่ได้จากเครื่องวัดมาตรฐาน FLUKE 725 และบันทึกผล ผลการทดสอบดังตารางที่ 1 ค่าความผิดพลาดสูงสุดในการวัดกระแส แรงดัน และอุณหภูมิเท่ากับ 3.32 % 0.22% และ 2.69% ตามลำดับ ซึ่งยืนยันความน่าเชื่อถือของระบบ

4.1.4 การทดลองการแจ้งเตือนความผิดปรกติ Under / Over voltage. , Phase Unbalance ที่แสดงในจอ HMI ทดลองทั้งหมด 10 ครั้ง โดยการตั้งค่า Phase Protection ที่ 10 % แล้วทำการปรับแรงดันไฟฟ้าจาก 230 VAC เพิ่มขึ้น 10 % , ลดลง 10 % และ ปลดสายออก 1 Phase จะทำให้แรงดันไฟฟ้าเกิดการ Unbalance หรือหายไป 1 Phase เป็นการ

จำลองว่าแรงดันไฟฟ้าลดลงเกินกว่า 10 % เพื่อให้ Unbalance Phase Protection ส่งสัญญาณ เป็นไฟ 220 VAC ส่งให้รีเลย์ R1 ทำงานและสั่งสัญญาณให้กับ PLC ทำการประมวณผลการเกิดความผิดปรกติแล้วส่งสัญญาณให้กับจอ HMI เพื่อแสดงผลความผิดปรกติ และส่งสัญญาน ให้ Ewon Flexy เพื่อส่งการแจ้งเตือนไปที่ Line application เพื่อแจ้งให้ผู้ดูแลระบบทราบถึงการเกิดความผิดปรกติแล้วบันทึกผลการทดลองในตารางที่ 1 สามารถแจ้งเตือนได้ทุกครั้ง การเกิดความผิดปรกติทั้ง 3 กรณีจะแจ้งเตือนเป็นกลุ่มเดียวกัน

4.1.5 การแจ้งเตือนไปยัง Line แสดงดังรูปที่ 9 และตารางที่ 1 พบว่าระบบแจ้งเตือนสามารถส่งค่าความผิดปรกติไปยัง Line ได้ถูกต้อง

รูปที่ 9 การแจ้งเตือนผ่าน Line

ตารางที่ 1 ผลการทดสอบระบบในห้องปฏิบัติการ

ค่าที่แสดงผล	ครั้งที่1		ครั้งที่2		ครั้งที่3	
	HMI	Meter	HMI	Meter	HMI	Meter
I_{Phase} A	1.95	1.95	2.13	2.14	2.32	2.32
I_{Phase} B	1.94	1.94	2.1	2.13	2.29	2.31
I_{Phase} C	1.91	1.92	2.09	2.11	2.27	2.3
V_{Phase} A	227.8	227.8	228.04	227.8	227.91	227.6
V_{Phase} B	226.8	226.7	227.07	226.8	227	226.8
V_{Phase} C	228.22	227.8	227.5	227.2	227.7	227.3
T_{RTD} 1	57.42	58.5	50.6	51.1	44.19	45.38
T_{RTD} 2	57.35	58.4	50.5	51.21	44.31	45.22
T_{RTD} 3	57.4	58.41	50.61	51.31	44.22	45.27
T_{RTD} 4	57.33	58.5	50.62	51.12	44.3	45.23
Line	ส่งได้	ส่งได้	ส่งได้	ส่งได้	ส่งได้	ส่งได้

ค่าที่แสดงผล	ครั้งที่4		ครั้งที่5		% Avg Error	% Max Error
	HMI	Meter	HMI	Meter		
I_{Phase} A	2.51	2.51	2.7	2.69	0.17%	0.47%
I_{Phase} B	2.41	2.49	2.78	2.86	1.70%	3.32%
I_{Phase} C	2.45	2.48	2.64	2.67	1.14%	1.32%
V_{Phase} A	228.13	227.9	228	227.8	0.09%	0.11%
V_{Phase} B	227.17	226.9	226.85	226.6	0.10%	0.12%
V_{Phase} C	227.69	227.2	228.05	227.6	0.18%	0.22%
T_{RTD} 1	37.7	38.42	35.19	35.79	1.84%	2.69%
T_{RTD} 2	37.64	38.46	35.13	35.87	1.92%	2.18%
T_{RTD} 3	37.65	38.43	35.11	35.89	1.96%	2.37%
T_{RTD} 4	37.55	38.44	35.14	35.81	1.88%	2.37%
Line	ส่งได้	ส่งได้	ส่งได้	ส่งได้	ส่งได้	ส่งได้

4.2 การนำมาติดตั้งหน้างานจริง

การนำระบบแจ้งเตือนที่นำเสนอติดตั้งกับตู้คอนโทรล แล้วทำการนำสายไฟฟ้าต่อสายเข้ากับอุปกรณ์ป้องกันของระบบป้องกันโดยดูจากวงจรไฟฟ้า รูปที่ 10 แสดงตารางที่ 2 โดยการเชื่อมสัญญาณ Under/Over Voltage (27/59) Phase Unbalance ที่ Out put PR1 SEL 749 ของ Motor Protective Relay เข้ากับ รีเลย์ R1 ของเครื่องแจ้งเตือน , สัญญาณ Under/Over current (50/51) ที่ Out put PR2 SEL 551 ของ Motor Protective Relay เข้ากับ รีเลย์ R6 ของเครื่องแจ้งเตือน , สัญญาณ Run ที่ Out put LAMP S 1 ของ ระบบป้องกันการสตาร์ทมอเตอร์ เข้ากับ รีเลย์ R2 ของเครื่องแจ้งเตือน, สัญญาณ Motor winding temp trip (49W) ที่ Out put Temp Protection เข้ากับ รีเลย์ R3 ของเครื่องแจ้งเตือน , สัญญาณ Motor bearing temp trip (38) ที่ Out put Temp Protection เข้ากับ รีเลย์ R4 ของเครื่องแจ้งเตือน , สัญญาณ Pump bearing trip ที่ Out put Temp Protection เข้ากับ รีเลย์ R5 ของเครื่องแจ้งเตือน , สัญญาณ Power meter ใช้แสดงค่า แรงดันไฟฟ้าและกระแสไฟฟ้า ที่ Out put RS 485 Address 1 เข้ากับ PLC , สัญญาณ Temp protection relay ใช้แสดงค่า อุณหภูมิ ที่ Out put RS 485 Address 2 เข้ากับ PLC ซึ่งรุปการต่อใช้งานจริงแสดงดังรุปที่ 11 และรูปที่ 12 แสดงการแจ้งเตือนผ่านหน้าจอ HMI

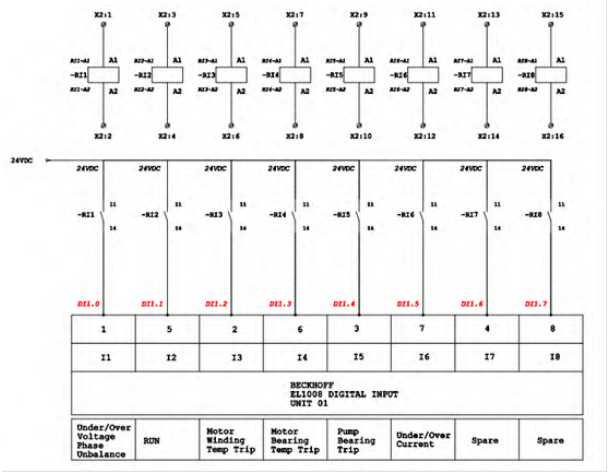

รูปที่ 10 วงจรการต่อเชื่อมสัญญาณกับระบบป้องกันความผิดปรกติ

ตารางที่ 2 การรับสัญญาณจากอุปกรณ์ป้องกัน

No	รายการสัญญาณ	แหล่งที่มาสัญญาณ	สัญญาณ	รีเลย์รับสัญญาณ
1	Under/Over Voltage (27/59) Phase Unbalance	PR1 SEL 749	220 VAC	R1
2	Run	LAMP S 1	220 VAC	R2
3	Motor winding temp trip (49W)	Temp Protection	220 VAC	R3
4	Motor bearing temp trip (38)	Temp Protection	220 VAC	R4
5	Pump bearing trip	Temp Protection	220 VAC	R5
6	Under/Over current (50/51)	PR2 SEL 551	220 VAC	R6
7	Power meter	RS 485 Address 1		
8	Temp protection relay	RS 485 Address 2		

รูปที่ 11 การต่อใช้งานเครื่องกับตู้คอนโทรล

รูปที่ 12 การแสดงผลของจอ HMI ขณะแจ้งเตือน

5. สรุป

บทความนี้ได้นำเสนอการออกแบบและพัฒนาระบบตรวจวัดและแจ้งเตือนความผิดปกติของมอเตอร์ปั๊มน้ำไฟฟ้าในเหมืองแม่เมาะ โดยใช้อุปกรณ์ควบคุมแบบ Programmable Logic Controller (PLC) ร่วมกับระบบ Human Machine Interface (HMI) และอุปกรณ์ Internet of Things (IoT) ได้แก่ Ewon Flexy 205 เพื่อส่งการแจ้งเตือนแบบเรียลไทม์ผ่าน Line Notify จากการทดสอบในห้องปฏิบัติการพบว่า ระบบสามารถตรวจจับความผิดปกติด้านกระแสไฟฟ้า แรงดันไฟฟ้า และอุณหภูมิได้อย่างแม่นยำ โดยมีค่าความคลาดเคลื่อนสูงสุดไม่เกิน 3.32% และสามารถแจ้งเตือนได้ทุกกรณีที่เกิดความผิดปกติ เมื่อมีการติดตั้งและใช้งานจริงในพื้นที่เหมือง พบว่าสามารถลดเวลาในการตรวจสอบ ลดความเสียหายของมอเตอร์ และเพิ่มความปลอดภัยให้กับระบบได้อย่างมีประสิทธิภาพ

เอกสารอ้างอิง

[1] C. Yanuchit, K. Pislae-Ngam, B. Kumkhet, N. Pukrongta, P. Sangmahamad and V. Pirajnanchai, "Development of an IoT-Based Water Pumping Management System for Rice Fields," 2025 13th International Electrical Engineering Congress (iEECON), Hua Hin, Thailand, 2025

[2] M. Zaiter and S. Hacini, "A Distributed Fault Tolerance Mechanism for an IoT Healthcare system," 2020 21st International Arab Conference on Information Technology (ACIT), Giza, Egypt, 2020

[3] วารสารวิชาการพระจอมเกล้าพระนครเหนือ ปีที่ 29 ฉบับที่ 4 ต.ค.–ธ.ค. 2562 ระบบการเฝ้าตรวจสภาวะมอเตอร์ไฟฟ้าระยะไกลที่มีต้นทุนต่ำโดยใช้อาร์ดูโน ปิติณัตต์ ตรีวงศ์*

[4] ระบบ Human Machine Interface (HMI) สำหรับคำนวณประสิทธิภาพหม้อไอน้ำโดยใช้ Visual C# และ OPC Server จิตพร เหล่าอิ่มจันทร์*และวุฒิชัย อัศวินชัยโชติ

[5] W. Boonkird, S. Premrudeepreechacharn and Y. Baghzouz, "Impact of voltage sag on electrical system for water pumping of Mae Moh mine," 2018 18th International Conference on Harmonics and Quality of Power (ICHQP), Ljubljana, Slovenia, 2018

การปรับค่าเหมาะสมของตัวเก็บประจุเพื่อให้สอดคล้องกับมุมเฟสในมอเตอร์ PSC โดยอ้างอิงจากการวัดด้วยออสซิลโลสโคป

Optimization of Capacitor for Phase Angle Matching in PSC Motors Based on Oscilloscope Measurement

วรรณวินิต วิจิตรเตมีย์ และ บุญยัง ปลั่งกลาง*

ภาควิชาวิศวกรรมไฟฟ้า คณะวิศวกรรมศาสตร์ มหาวิทยาลัยเทคโนโลยีราชมงคลธัญบุรี
wanwinit_w@mail.rmutt.ac.th and boonyang.p@en.rmutt.ac.th*

บทคัดย่อ

งานวิจัยนี้นำเสนอแนวทางใหม่ในการเพิ่มประสิทธิภาพของมอเตอร์ชนิด Permanent Split Capacitor (PSC) โดยเน้นการเลือกค่าตัวเก็บประจุให้สอดคล้องกับมุมเฟสระหว่างกระแสของขดลวดหลักและขดลวดเสริม เพื่อให้มอเตอร์ทำงานที่จุดประสิทธิภาพสูงสุด วิธีการที่ใช้ประกอบด้วยการวัดและวิเคราะห์รูปคลื่นกระแสด้วยออสซิลโลสโคปในโดเมนเวลา เพื่อหาค่ามุมเฟสที่เกิดขึ้นจริงในสภาวะทำงานต่าง ๆ จากนั้นจึงประเมินประสิทธิภาพและแรงบิดของมอเตอร์ในแต่ละค่าของตัวเก็บประจุอย่างเป็นระบบ ผลการศึกษาแสดงให้เห็นว่ามุมเฟสมีความสัมพันธ์โดยตรงกับค่าประสิทธิภาพ และสามารถใช้เป็นดัชนีชี้วัดในการเลือกค่าคาปาซิเตอร์ที่เหมาะสมได้อย่างมีประสิทธิภาพ งานวิจัยนี้ถือเป็นการบูรณาการระหว่างแนวคิดทางทฤษฎีและการทดลองจริง โดยใช้เครื่องมือที่มีอยู่ทั่วไปในภาคสนามอย่างออสซิลโลสโคป ทำให้แนวทางนี้สามารถนำไปประยุกต์ใช้ในการปรับจูนมอเตอร์จริง หรือพัฒนาต่อยอดสู่ระบบควบคุมอัตโนมัติในชุดขับมอเตอร์ได้ในอนาคต

คำสำคัญ: PSC มอเตอร์, การปรับค่าเหมาะสมของตัวเก็บประจุ, มุมเฟส, การวัดด้วยออสซิลโลสโคป, พาวเวอร์แฟกเตอร์, การเพิ่มประสิทธิภาพมอเตอร์

Abstract

This research presented a novel approach for improving the efficiency of Permanent Split Capacitor (PSC) motors by optimizing the capacitor value to align with the electrical phase angle between the main and auxiliary winding currents. The methodology involved time-domain waveform measurement using an oscilloscope to determine the actual phase angle under different operating conditions. Subsequently, the motor's efficiency and torque were evaluated across various capacitor values in a systematic manner. The results indicated that the phase angle was directly correlated with efficiency and could serve as a reliable indicator for selecting the optimal capacitor. This study integrated with the experimental verification by employing an accessible and widely available instrument making the proposed technique practical for the real applications.

Keywords: permanent split capacitor (PSC) motor, capacitor optimization, phase angle, oscilloscope measurement, power factor, motor efficiency enhancement

1. บทนำ

มอเตอร์เฟสเดียวชนิดคาปาซิเตอร์ Permanent Split Capacitor Motor เป็นทางเลือกที่ได้รับความนิยมในระบบขับเคลื่อนของมอเตอร์ปั๊มสระว่ายน้ำ เนื่องจากโครงสร้างที่เรียบง่าย ราคาถูก และประสิทธิภาพที่เหมาะสมสำหรับงานโหลดคงที่ ความน่าสนใจในการวิเคราะห์มอเตอร์ชนิดนี้คือ ความสามารถในการปรับปรุงประสิทธิภาพโดยการเลือกค่าคาปาซิเตอร์ให้เหมาะสมกับลักษณะโหลดที่ใช้งาน การเลือกค่าคาปาซิเตอร์ส่งผลโดยตรงต่อแรงบิดขณะสตาร์ท กระแสทำงาน และค่า power factor ในขณะ steady-state

ในภาพที่ 1 แสดงถึงองค์ประกอบภายในของมอเตอร์ PSC มอเตอร์อย่างชัดเจน โดยสามารถเห็นได้ว่ามีการประกอบส่วนหลักอย่างแฟนใบพัด ฝาครอบ สเตเตอร์ โรเตอร์ และฝาครอบหลัง ซึ่งตัวคาปาซิเตอร์จะถูกติดตั้งแบบถาวรในวงจรขดลวดเสริม (auxiliary winding) และมีผลต่อการสร้างมุมเฟสระหว่างกระแสของขดลวดหลักและเสริมอย่างชัดเจน จึงเป็นจุดที่สำคัญซึ่งมีผลกระทบต่อแรงบิดและประสิทธิภาพของมอเตอร์โดยตรง

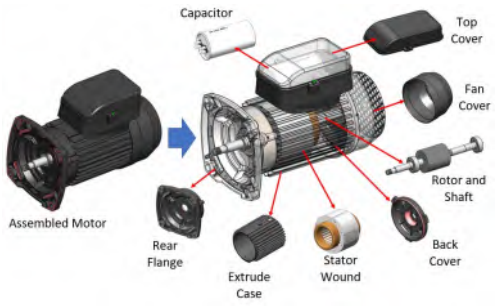

ภาพที่ 1 PSC มอเตอร์ และชิ้นส่วนประกอบ

*ผู้ประพันธ์บรรณกิจ

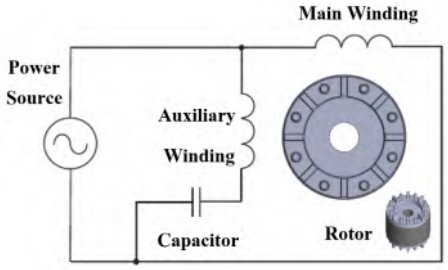

ภาพที่ 2 วงจรไฟฟ้ามอเตอร์ชนิด PSC

ในภาพที่ 2 แสดงภาพวงจรไฟฟ้า PSC มอเตอร์ ซึ่งใช้คาปาซิเตอร์ต่ออนุกรมกับขดลวดเสริมเพื่อสร้างกระแส Iaux ที่นำกระแสของขดหลัก Imain อยู่ประมาณ 90° ทำให้สนามแม่เหล็กจากทั้งสองขดมีมุมต่างกัน เกิดการรวมกันเป็น สนามแม่เหล็กหมุน สำหรับสตาร์ตและเดินเครื่องอย่างต่อเนื่อง ในการทำงาน steady-state กระแสสองขดนี้ช่วยให้มอเตอร์มีแรงบิดเดินเรียบขึ้น, ประสิทธิภาพและค่า Power Factor สูงกว่า induction motor เฟสเดียวทั่วไปที่ไม่มีตัวเก็บประจุ

ในมอเตอร์ชนิด PSC กระแสในขดลวดหลัก Imain และขดลวดเสริม Iaux จะสร้างสนามแม่เหล็กสองทิศทาง หากกระแสทั้งสองทำมุม −90° (หมายถึง Iaux นำ Imain อยู่ 90°) สนามแม่เหล็กที่เกิดขึ้นจากทั้งสองขดจะมีทิศตั้งฉากกัน ทำให้การรวมเวกเตอร์กลายเป็น สนามแม่เหล็กหมุน (Rotating Magnetic Field) ที่มีความสมบูรณ์มากที่สุด ผลที่ตามมาคือ 1. แรงบิดไฟฟ้าแม่เหล็กมีค่าเฉลี่ยสูงสุด เพราะแรงบิดสัดส่วนกับผลคูณของขนาดฟลักซ์สองขดและไซน์ของมุมระหว่างกันเมื่อ $\phi \approx 90°$ ค่า $\sin\phi = 1$ ทำให้แรงบิดสูงสุด 2. การสูญเสียรีแอคทีฟในขดลวดหลักลดลง เพราะ Iaux ทำหน้าที่ชดเชยมุมเฟสของ Imain ให้กระแสรวมใกล้กับแรงดันไฟฟ้า และส่งผลให้ Power Factor ดีขึ้น 3. ประสิทธิภาพโดยรวมสูงขึ้น เนื่องจากกำลังที่สูญเสียในรูปของความร้อน (I^2R และ core loss) ลดลง ขณะที่กำลังกลที่ส่งออกเพิ่มขึ้น สรุปคือการเลือกค่าคาปาซิเตอร์ให้ Iaux นำ Imain ประมาณ −90° ทำให้สนามแม่เหล็กสองขดตั้งฉากกันพอดี ซึ่งเป็นสภาวะที่ได้แรงบิดและประสิทธิภาพดีที่สุดของ PSC มอเตอร์

2. วรรณกรรมที่เกี่ยวข้อง

มีงานวิจัยหลายชิ้นที่กล่าวถึงการปรับค่าคาปาซิเตอร์เพื่อเพิ่มประสิทธิภาพของ PSC มอเตอร์ โดยเน้นที่การเพิ่มประสิทธิภาพ การลดพลังงานสูญเสีย หรือการควบคุมทางไฟฟ้า โดยเฉพาะงานวิจัยในวารสารเรื่อง “Performance analysis of single phase capacitor run induction motor using MATLAB-Simulink model” ได้จำลองและวิเคราะห์การเปลี่ยนค่าคาปาซิเตอร์ผ่านโปรแกรม MATLAB-Simulink เพื่อศึกษาผลกระทบต่อแรงบิดและพลังงานไฟฟ้าที่ใช้ ซึ่งเป็นการจำลองในเชิงทฤษฎีโดยไม่มีการวัดกระแสจริงในขดลวดหลักและเสริม ในทางตรงกันข้าม งานวิจัยฉบับปัจจุบันได้เน้นการเก็บข้อมูลจริงจากสนามด้วยออสซิลโลสโคป เพื่อวิเคราะห์รูปคลื่นกระแสและหามุมเฟสที่แท้จริงในสภาวะโหลดต่าง ๆ ซึ่งช่วยให้เข้าใจพฤติกรรมเชิงพลศาสตร์ของระบบได้ลึกยิ่งขึ้น การใช้ข้อมูลจากออสซิลโลสโคปเพื่อวัดรูปคลื่นกระแสของขดลวดหลักและเสริม แล้วคำนวณหามุมเฟสที่แท้จริงเพื่อวิเคราะห์ความสัมพันธ์กับแรงบิดและประสิทธิภาพ ซึ่งไม่เคยปรากฏในงานวิจัยที่ผ่านมาชัดเจนในรูปแบบนี้ ดังนั้น งานวิจัยฉบับนี้จึงเสนอแนวทางใหม่ที่สามารถนำไปใช้พัฒนาอัลกอริธึมควบคุมตัวเก็บประจุแบบอัตโนมัติ หรือใช้เป็นเครื่องมือวิเคราะห์พฤติกรรมมอเตอร์ในระดับละเอียด ซึ่งสามารถต่อยอดได้ง่ายและรวดเร็วในงานวิจัยเชิงอุตสาหกรรมหรือระบบฝังตัว

3. ระเบียบวิธีวิจัย

การวิจัยนี้ใช้วิธีวัดและวิเคราะห์มุมเฟสระหว่างกระแสของขดลวดหลัก (Main winding) และขดลวดเสริม (Auxiliary winding) ของ PSC มอเตอร์ โดยใช้อุปกรณ์ออสซิลโลสโคป ซึ่งสามารถตรวจจับรูปคลื่นของกระแสได้แบบเรียลไทม์ในโดเมนเวลา ขั้นตอนการดำเนินการวิจัยประกอบด้วย:

ตารางที่ 1 พารามิเตอร์ของมอเตอร์ที่ใช้ในการทดลอง

รายการ	พารามิเตอร์
จำนวนขั้วขดลวด	2 โพล
กำลังไฟฟ้า	750 วัตต์
ความเร็วรอบ	2750 รอบต่อนาที
พิกัดแรงดัน / ความถี่	240 โวลท์ / 50 เฮิร์ท
คาปาซิเตอร์	25 ไมโครฟารัด / 450 โวลท์
ขนาดเส้นผ่านศูนย์กลาง	โตนอก 112 / โตใน 57 มม.
ความหนาก้อนสเตเตอร์	65 มม.
เกรดเหล็กซิลิกอน	50A1300

3.1 การจัดเตรียมอุปกรณ์ทดลอง

1. PSC มอเตอร์ ขนาด 1 HP ที่สามารถเปลี่ยนค่าคาปาซิเตอร์ได้ภายนอกติดตั้งบนเครื่องทดสอบสมรรถนะมอเตอร์ตามภาพที่1 และคุณลักษณะทางไฟฟ้าและทางกลของมอเตอร์แสดงไว้ในตารางที่1 รวมถึง ตัวเก็บประจุชนิดต่าง ๆ
2. โหลดทางกลแบบเบรกแรงบิด (Torque brake) พร้อมเซนเซอร์วัดแรงบิดและความเร็วรอบแสดงในภาพที่ 3 ซึ่งเป็นภาพจริงของเครื่องมือที่ใช้ในการทดลอง
3. ออสซิลโลสโคป 2 แชนเนล (Channel 1 สำหรับ Imain, Channel 2 สำหรับ Iaux) และ Current Probe แบบ High sensitivity เพื่อวัดรูปคลื่นกระแสของแต่ละขดลวด

3.2 ขั้นตอนการวัดมุมเฟสด้วยออสซิลโลสโคป

1. เชื่อมต่อโพรบกระแสของ Channel 1 เข้ากับสายขดลวดหลัก และ Channel 2 กับสายขดลวดเสริมแสดงในภาพที่ 4

2. เปิดออสซิลโลสโคปในโหมด Time-domain waveform และตั้งค่า Time base ให้อยู่ในช่วง 20 ms/div (สำหรับความถี่ 50/60 Hz)
3. ใช้ฟังก์ชัน cursor หรือการวัดแบบ Automatic ของออสซิลโลสโคปเพื่อตรวจสอบตำแหน่งจุดสูงสุดของกระแสทั้งสองช่อง (Imain และ Iaux)
4. คำนวณระยะเวลาที่ต่างกันระหว่างจุดสูงสุดทั้งสอง (Δt)

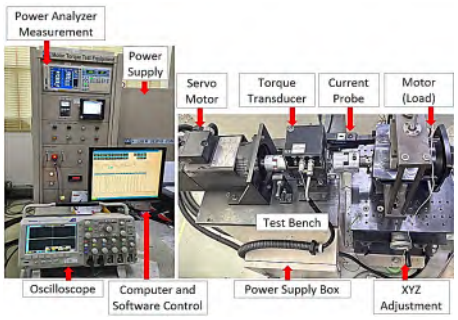

ภาพที่ 3 เครื่องทดสอบสมรรถนะมอเตอร์

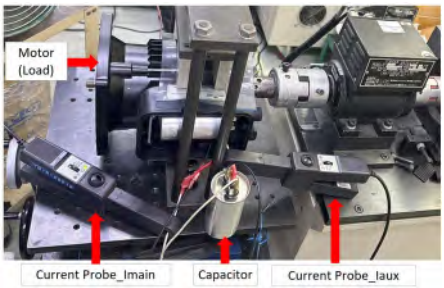

ภาพที่ 4 การต่อโพรบวัดกระแส Imain และ Iaux

5. คำนวณมุมเฟส (Phase Angle)

ในงานวิจัยนี้ การ คำนวณมุมเฟส (Phase Angle) ระหว่างกระแสของขดลวดหลัก (Main) และขดลวดเสริม (Auxiliary) ที่วัดด้วยออสซิลโลสโคปสามารถทำได้โดยใช้สูตรทางคณิตศาสตร์พื้นฐานของการวิเคราะห์สัญญาณไซน์ในโดเมนเวลา ตามสมการที่ (1) หรือ (2):

สมการ $\Phi = \Delta t \times f \times 360^0$ (1)

หรือ $\Phi = \Delta t / T \times 360^0$ (2)

โดยที่:

Φ = มุมเฟสที่ต้องการหา (หน่วย: องศา)

Δt = ค่าความต่างเวลา (Time delay) ระหว่างจุดพีคของกระแส Main และ Auxiliary (หน่วย: วินาที)

f = ความถี่ของสัญญาณไฟฟ้า (หน่วย: Hz) เช่น 50 Hz หรือ 60 Hz

360° = จำนวนองศาต่อหนึ่งคาบของคลื่นไซน์

T = คาบของสัญญาณ (T = 1/frequency)

จากภาพที่ 5 แสดงหน้าจอออสซิลโลสโคป ที่เฟสของ Channel 2 ช้ากว่า Channel 1 อยู่ 83.08° (Φ = -83.08°) หมายความว่าที่ความถี่เท่ากับ 19.3560 กิโลเฮิร์ท (ช่องสเกลแนวนอน 20ms/div) ออสซิลโลสโคปแสดงคือค่าเท่ากับ -83.08° โดยเครื่องหมายลบแสดงว่า Aux (Ch2) ตามหลัง Main (Ch1)

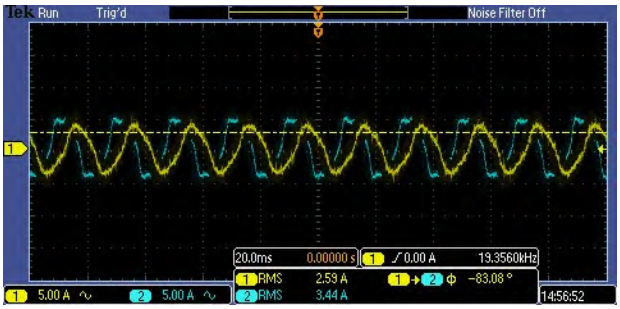

ภาพที่ 5 หน้าจอออสซิลโลสโคปแสดงค่า Imain (Ch1), Iaux (Ch2) และ มุมต่างเฟส Φ

3.3 การวัดประสิทธิภาพและแรงบิด

หลังจากวัดมุมเฟสในแต่ละค่าคาปาซิเตอร์แล้ว จะทำการวัดค่าแรงบิด (Torque) และความเร็วรอบ (Speed) เพื่อคำนวณประสิทธิภาพมอเตอร์ในแต่ละกรณี โดยใช้สูตร ตามสมการที่ (3):

สมการ $h = \frac{Tx2pN}{60 \times V \times I \times PF}$ (3)

โดยที่:

h = ประสิทธิภาพของมอเตอร์

T = แรงบิด (Nm)

N = ความเร็วรอบ (RPM)

V = แรงดันไฟฟ้า (Volt)

I = กระแสไฟฟ้า (Ampere)

PF = ค่า power factor

ตารางที่ 2 ผลทดสอบมอเตอร์ที่โหลด 750 วัตต์ 240 โวลท์ 50 เฮิร์ท

Capacitor (μF)	Current (A)			Speed (rpm)	Torque (kg.cm)	Eff. (%)	PF. (%)
	It	Imain	Iaux				
35.0	4.35	2.49	3.74	2820	25.90	73.8	97.2
33.0	4.33	2.62	3.44	2815	26.00	73.8	97.8
30.0	4.21	2.84	3.10	2810	26.00	75.4	98.1
28.0	4.22	2.97	2.88	2805	26.10	75.3	98.4
25.0	4.17	3.16	2.54	2800	26.10	76.1	98.5
23.0	4.23	3.38	2.30	2795	26.20	75.1	98.3
20.0	4.28	3.68	1.97	2790	26.20	74.8	97.4
18.0	4.37	3.86	1.76	2775	26.40	73.8	96.9
15.0	4.55	4.21	1.44	2760	26.50	71.9	95.3

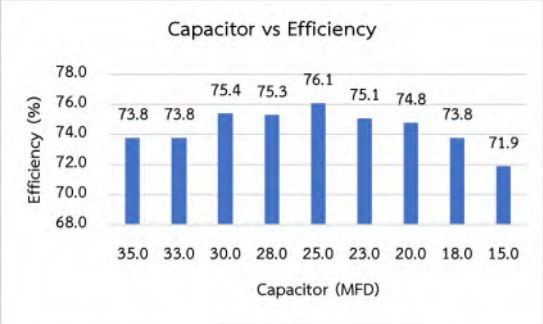

ภาพที่ 6 กราฟแสดงความสัมพันธ์ Capacitor กับ Efficiency

จากภาพที่ 6 แสดงให้เห็นว่าค่าคาปาซิเตอร์ 25.0 μF ให้ค่าประสิทธิภาพสูงสุดและเมื่อค่าคาปาซิเตอร์มีขนาดเพิ่มขึ้นหรือลดลง จะมีผลทำให้ประสิทธิภาพมอเตอร์ลดลง ซึ่งแสดงถึงความสัมพันธ์เชิงพาราโบลาแบบกลับหัวของประสิทธิภาพต่อค่าคาปาซิเตอร์ที่ใช้งาน และในบางกรณีที่ค่ามุมเฟสต่างกันเล็กน้อยเพียง 1.4° มีผลกระทบต่อค่าประสิทธิภาพมาก เช่น ที่ผลของคาปาซิเตอร์ 25 μF วัดได้มุมเฟสเท่ากับ – 87.633° ในขณะที่ผลของคาปาซิเตอร์ 35 μF วัดได้มุมเฟส –86.218° ซึ่งต่างกันเพียง 1.4° ซึ่งอาจเป็นไปได้ว่าอยู่ในช่วงความไม่แน่นอนรวมของการวัด และอยู่บนช่วงราบรอบจุดเหมาะสม จึงเห็นค่ามุมเฟส “ไม่ไปทิศเดียว” กับคาปาซิเตอร์ทุกจุด

ตารางที่ 3 ผลการวัดค่ากระแสและมุมต่างเฟสด้วยออสซิลโลสโคป

Capacitor (μF)	AVG Current		AVG Phase angle (Deg.)	AVG Frequency (kHz)
	Imain	Iaux		
35.0	2.43	3.73	-86.218	21.256
33.0	2.59	3.44	-80.375	24.130
30.0	2.64	3.11	-78.373	26.597
28.0	2.98	2.86	-77.205	26.613
25.0	3.20	2.52	-87.633	24.920
23.0	3.36	2.28	-84.535	26.217
20.0	3.57	1.94	-80.988	11.077
18.0	3.95	1.73	-84.583	15.800
15.0	4.31	1.42	-99.918	12.057

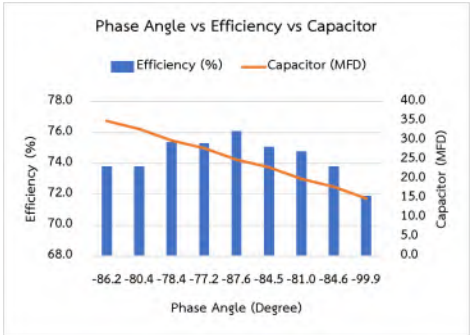

ภาพที่ 7 กราฟแสดงความสัมพันธ์ Efficiency, Phase Angle และ Capacitor

ภาพที่ 7 แสดงความสัมพันธ์ระหว่าง มุมเฟส (Phase Angle) กับ ประสิทธิภาพ (Efficiency) และ ค่าคาปาซิเตอร์ (Capacitor) แสดงให้เห็นจุด sweet spot ของมุมเฟสที่ทำให้ประสิทธิภาพของมอเตอร์สูงที่สุด โดยสัมพันธ์กับค่าคาปาซิเตอร์ที่เหมาะสม ซึ่งเป็นประโยชน์ต่อการออกแบบวงจรขับเคลื่อน PSC มอเตอร์

นอกจากการเลือกค่า C ที่เหมาะสมแล้ว ยังมีปัจจัยอื่นที่ช่วยเพิ่มประสิทธิภาพของมอเตอร์ได้ เช่น การออกแบบสัดส่วนระหว่างขดลวดหลักกับขดลวดและการออกแบบทางกลเพื่อลดความร้อนมอเตอร์เป็นต้น

ภาพที่ 8 หน้าจอออสซิลโลสโคปวัดค่ามุมต่างเฟส ที่คาปาซิเตอร์ 25.0 μF ครั้งที่ 1

ภาพที่ 9 หน้าจอออสซิลโลสโคปวัดค่ามุมต่างเฟส ที่คาปาซิเตอร์ 25.0 μF ครั้งที่ 2

ภาพที่ 10 หน้าจอออสซิลโลสโคปวัดค่ามุมต่างเฟส ที่คาปาซิเตอร์ 25.0 μF ครั้งที่ 3

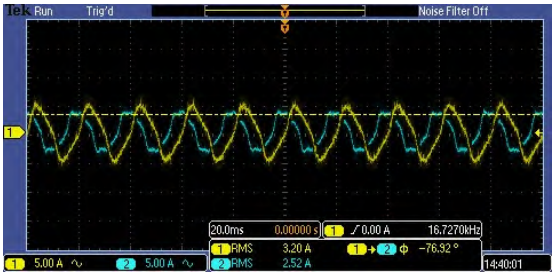

ภาพที่ 11 หน้าจอออสซิลโลสโคปวัดค่ามุมต่างเฟส
ที่คาปาซิเตอร์ 25.0 μF ครั้งที่ 4

ภาพที่ 8–11 หน้าจอออสซิลโลสโคปวัดค่ามุมต่างเฟสที่ค่าคาปาซิเตอร์ 25.0 μF ภาพเหล่านี้แสดงรูปคลื่นของกระแสขดลวดหลัก Imain และกระแสขดลวดเสริม Iaux โดยมีการวัดซ้ำทั้งหมด 4 ครั้ง ซึ่งเป็นส่วนหนึ่งของการวิเคราะห์ความเสถียรของค่ามุมเฟสที่ได้จากออสซิลโลสโคป

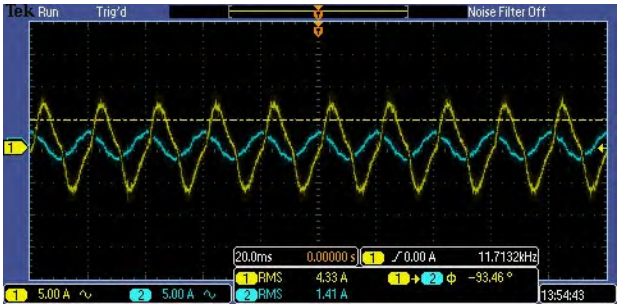

ภาพที่ 12 หน้าจอออสซิลโลสโคปวัดค่ามุมต่างเฟส
ที่คาปาซิเตอร์ 15.0 μF

ภาพที่ 12 หน้าจอออสซิลโลสโคปวัดค่ามุมต่างเฟสที่ค่าคาปาซิเตอร์ 15.0 μF ภาพเหล่านี้แสดงรูปคลื่นของกระแสขดลวดหลัก Imain และกระแสขดลวดเสริม Iaux หากเปรียบเทียบกับภาพหน้าจอออสซิลโลสโคปของคาปาซิเตอร์ 25 μF จะพบว่าเมื่อมอเตอร์มีการเปลี่ยนแปลงขนาดของคาปาซิเตอร์ให้ลดน้อยลงจนมากเกินไปจะส่งผลกระทบให้ Imain เพิ่มสูงขึ้นมากและ Iaux ลดลงอย่างมากทำให้การสูญเสียเกิดขึ้นมากและประสิทธิภาพมอเตอร์ลดลงมากเช่นกัน

3.4 การวิเคราะห์ข้อมูล

หลังจากดำเนินการทดลองวัดค่ากระแสไฟฟ้าและมุมเฟสด้วยออสซิลโลสโคปในแต่ละค่าคาปาซิเตอร์แล้วจะทำการวิเคราะห์ความสัมพันธ์ของมุมเฟส (Phase Angle) กับประสิทธิภาพ (Efficiency) และค่ากำลังไฟฟ้าโดยรวมของระบบ เพื่อประเมินหาค่าคาปาซิเตอร์ที่เหมาะสมที่สุด

จากข้อมูลใน ตารางที่ 2 และตารางที่ 3 พบว่า ค่าคาปาซิเตอร์มีผลโดยตรงต่อมุมเฟสระหว่างกระแสขดลวดหลัก Imain และกระแสขดลวดเสริม Iaux ส่งผลต่อแรงบิดและประสิทธิภาพโดยรวมของ PSC มอเตอร์อย่างมีนัยสำคัญ โดยค่าคาปาซิเตอร์ที่เหมาะสมที่สุดในเชิงประสิทธิภาพคือ 25.0 μF ซึ่งให้ประสิทธิภาพสูงสุดที่ 76.1% และค่า Power Factor สูงถึง 98.5% ขณะที่ความเร็วรอบและแรงบิดอยู่ในเกณฑ์ที่ดีอย่างสม่ำเสมอ

เมื่อพิจารณามุมเฟสจากการวัดด้วยออสซิลโลสโคปใน ตารางที่ 3 ที่ค่า 25.0 μF จะได้ค่าเฉลี่ยของ Phase Angle เท่ากับ −87.63° ซึ่งใกล้เคียงกับค่าทางทฤษฎีที่ระบุว่า “แรงบิดและประสิทธิภาพของมอเตอร์ PSC จะสูงสุดเมื่อมุมเฟสระหว่าง Imain และ Iaux อยู่ใกล้ −90° (ไฟฟ้า)” ความคลาดเคลื่อนเพียง ~2.4% จากค่าทางทฤษฎีนี้ แสดงให้เห็นว่ามอเตอร์สามารถทำงานในจุดที่มีประสิทธิภาพสูงสุดได้จริงเมื่อมุมเฟสเข้าใกล้ −90°

5. วิเคราะห์และอภิปรายผล

จากผลการทดลองที่ดำเนินการในช่วงค่าคาปาซิเตอร์ 10.0 ถึง 35.0 ไมโครฟารัด โดยใช้วิธีวัดกระแสของขดลวดหลัก (Main winding) และขดลวดเสริม (Auxiliary winding) ผ่านออสซิลโลสโคป เพื่อนำไปคำนวณหามุมเฟสที่เกิดขึ้นจริง พบว่า ค่าคาปาซิเตอร์มีอิทธิพลต่อมุมเฟสของกระแสอย่างชัดเจน และสัมพันธ์โดยตรงกับค่าประสิทธิภาพ (Efficiency) และค่า Power Factor ของระบบมอเตอร์

ผลการทดลองแสดงให้เห็นว่า:

- ค่าคาปาซิเตอร์ 25.0 ไมโครฟารัด ให้ผลลัพธ์ที่ดีที่สุด โดยมีประสิทธิภาพสูงสุดที่ 76.1% และ Power Factor สูงถึง 98.5% ภายใต้โหลดคงที่ 100% ที่ความเร็วประมาณ 2800 rpm
- มุมเฟสที่วัดได้จากออสซิลโลสโคปสำหรับค่าคาปาซิเตอร์นี้ คือ −87.63° ซึ่งใกล้เคียงกับทฤษฎีที่ระบุว่าควรอยู่ที่ −90° สำหรับสมรรถนะสูงสุด แสดงถึงความสอดคล้องระหว่างผลการทดลองกับทฤษฎีทางวิศวกรรมไฟฟ้ากำลัง
- ขณะที่ค่าคาปาซิเตอร์ที่มากกว่า เช่น 28.0 และ 33.0 ไมโครฟารัด กลับให้ประสิทธิภาพต่ำกว่าแม้จะมีมุมเฟสในช่วง −77° ถึง −80° ซึ่งยังถือว่าใกล้กับค่าทางทฤษฎี แต่ไม่ใช่ค่าที่ให้แรงบิดและ Power Factor สูงสุด

การวิเคราะห์นี้ชี้ให้เห็นว่าการใช้ค่าเพียงมุมเฟสอย่างเดียวไม่เพียงพอต่อการตัดสินใจเลือกค่าคาปาซิเตอร์ที่ดีที่สุดแต่ต้องพิจารณาร่วมกับแรงบิด, ค่ากำลังไฟฟ้า, และความสมมาตรของ waveform จากออสซิลโลสโคปด้วย ซึ่งมีผลต่อความร้อนและอายุการใช้งานของมอเตอร์ในระยะยาว

ดังนั้น การเลือกค่าคาปาซิเตอร์ที่เหมาะสมควรอ้างอิงจากข้อมูลเชิงทดลองจริงภายใต้โหลดเฉพาะ ไม่ควรใช้เพียงการคำนวณทางทฤษฎีหรือวิธีการสั่งแบบคงที่ในเชิงออกแบบ เพราะการเบี่ยงเบนเล็กน้อยของมุมเฟสสามารถทำให้ค่าประสิทธิภาพเปลี่ยนแปลงได้อย่างมีนัยสำคัญ

6. สรุปผลและแนวทางวิจัยต่อยอด

การศึกษาครั้งนี้มีวัตถุประสงค์เพื่อหาค่าคาปาซิเตอร์ที่เหมาะสมที่สุดสำหรับ PSC มอเตอร์ โดยอ้างอิงจากการวัดมุมเฟสของกระแสในขดลวดหลักและขดลวดเสริมผ่านออสซิลโลสโคป เพื่อให้ได้ประสิทธิภาพในการทำงานสูงสุดของมอเตอร์ ภายใต้การทดสอบในช่วงค่าคาปาซิเตอร์ตั้งแต่ 15.0 ถึง 35.0 ไมโครฟารัด ที่โหลดเต็มกำลัง (Full load)

6.1 สรุปผลการวิจัย

จากการวิเคราะห์ผลทดสอบ พบว่า:

1. ค่าคาปาซิเตอร์ 25.0 ไมโครฟารัด ให้ค่าประสิทธิภาพสูงสุดที่ 76.1%, Power Factor 98.5%, และมีมุมเฟสเฉลี่ยระหว่างกระแสของขดลวดหลักและเสริมอยู่ที่ –87.63 องศา ซึ่งใกล้เคียงกับหลักการทางทฤษฎีที่ระบุว่าประสิทธิภาพจะดีที่สุดเมื่อมุมเฟสเข้าใกล้ –90 องศา
2. แม้ว่าค่าคาปาซิเตอร์ที่มากกว่าจะสามารถเพิ่มค่าแรงบิดได้ในบางช่วง แต่กลับไม่ส่งผลให้ประสิทธิภาพโดยรวมเพิ่มขึ้น เพราะทำให้เกิดการเบี่ยงเบนของมุมเฟสและค่า Power Factor ลดลง
3. ค่าคาปาซิเตอร์ที่ต่ำกว่า 20 ไมโครฟารัด ทำให้รูปคลื่นของกระแสเสริมเบี้ยวอย่างชัดเจน และเกิดแรงบิดต่ำ ไม่เหมาะกับการใช้งานในระบบจริง
4. การวัดมุมเฟสด้วยออสซิลโลสโคปร่วมกับการวิเคราะห์ waveform สามารถให้ผลลัพธ์ที่แม่นยำกว่าการใช้ค่าทางทฤษฎีล้วน ๆ

6.2 แนวทางวิจัยต่อยอด

จากผลการวิจัยนี้สามารถขยายผลและพัฒนาเป็นงานวิจัยในระดับลึกต่อไปได้ในหลากหลายแนวทาง เช่น การสร้าง Efficiency Map ตามค่าคาปาซิเตอร์และโหลด เพื่อให้ทราบพฤติกรรมการทำงานของ PSC มอเตอร์ภายใต้ภาระโหลดที่แตกต่างกัน สิ่งนี้จะทำให้ไม่ต้องอ้างอิงแค่ ค่าคาปาซิเตอร์ที่เหมาะสมภายใต้โหลดเดียว แต่สามารถมองเห็น พฤติกรรมการเปลี่ยนแปลงของประสิทธิภาพทั้งระบบ ตามเงื่อนไขการใช้งานจริง หรือการใช้ Machine Learning เพื่อพยากรณ์ประสิทธิภาพจาก waveform: โดยนำข้อมูลมุมเฟส, ค่า PF, และรูปคลื่นกระแสมาใช้เป็น input ในการเทรนโมเดล ML เพื่อการพยากรณ์ค่าที่เหมาะสมในงานควบคุมอัจฉริยะ จะช่วยเพิ่มความแม่นยำ ในการเลือกจุดทำงานที่มี efficiency สูงสุด และยังทำให้มอเตอร์ฉลาดขึ้น (Smart PSC Motor) โดยสามารถปรับตัวตามภาระโหลดจริง

เอกสารอ้างอิง

[1] Aldaikh, S.O. et al. (2024). Study of Starting Modes of Single-Phase Induction Motors When Changing the Parameters of the Stator Windings, Phase-Shifting Capacitor and Supply Voltage. IAPGOŚ, 2 (2024), 34–41. http://doi.org/10.35784/iapgos.5928

[2] Mossa, M.A. and Bolognani, S. (2018). Model Predictive Phase Angle Control for an Induction Motor Drive. Proc. of the 20th International Middle East Power Systems Conference (MEPCON), Cairo, Egypt. IEEE, 1–6.

[3] Oleschuk, V. (2019). Multiparameter Analysis for Efficiency Improvement of Single-Phase Capacitor Motor. Energies, 12(13), 2617. https://doi.org/10.3390/en12132617

[4] Saygin, A. and Ucar, M. (2019). Improving the Starting Characteristics of Single Phase Induction Motors with an Auxiliary Winding Current Control. Engineering Science and Technology: An International Journal, 22(1), 34–41. https://doi.org/10.1016/j.jestch.2018.07.005

[5] Thounthong, P. and Phurison, W. (2024). Stator Design Optimization of Induction Motors with Different Stator Slot Bar Combinations Considering Drive Cycle. Energies, 17(5), 1104. https://doi.org/10.3390/en17051104

[6] Yildirim, S. (2025). A Review of Recent Trends in High-Efficiency Induction Motor Drives. Machines, 13(3), 268. https://doi.org/10.3390/machines13030268

[7] Younis, M. and Mohammed, S. (2013). Performance Analysis of Permanent Split Capacitor (PSC) AC Motor Under Various Loads. Leonardo Electronic Journal of Practices and Technologies, 12(23), 141–150.

การพัฒนาเครื่องสลัดน้ำออกจากดอกดาวเรือง

Development of water out machine for marigold

ทัศนะ ถมทอง[1] สมนึก เครือสอน[1] ณรงค์ฤทธิ์ พิมพ์คำวงศ์[1] และ โชคชรัตน์ ฤทธิ์เย็น[1]*

[1]สาขาวิชาวิศวกรรมไฟฟ้า คณะวิศวกรรมศาสตร์ มหาวิทยาลัยเทคโนโลยีราชมงคลล้านนา ตาก chokcharat@rmutl.ac.th*

บทคัดย่อ

บทความนี้นำเสนอการออกแบบและพัฒนาเครื่องสลัดน้ำออกจากดอกดาวเรืองควบคุมการทำงานด้วยไมโครคอนโทรลเลอร์ เพื่อใช้สำหรับลดความชื้นของดอกดาวเรืองโดยใช้หลักการแรงเหวี่ยงหนีศูนย์กลาง ซึ่งเครื่องสลัดน้ำออกจากดอกดาวเรืองมีองค์ประกอบหลักคือ ส่วนฮาร์ดแวร์และซอฟต์แวร์ มีหลักการทำงานโดยใช้ไมโครคอนโทรลเลอร์ Arduino Uno R3 เป็นตัวควบคุม เริ่มจากปรับตั้งค่าความชื้น 2%RH ผ่านตัวต้านทานปรับค่าได้ จากนั้นกดสวิตช์เพื่อเริ่มการทำงาน โดยไมโครคอนโทรลเลอร์จะส่งสัญญาณ PWM ออกมาเพื่อปรับค่าดิวตี้ไซเคิลไปขับมอเตอร์ไฟฟ้ากระแสตรงให้หมุนเพื่อสลัดน้ำออกจากดอกดาวเรือง เมื่อเซ็นเซอร์วัดความชื้นตรวจจับได้ว่าค่าความชื้นเท่ากับค่าที่ปรับตั้งไว้ ไมโครคอนโทรลเลอร์จะหยุดส่งสัญญาณทำให้มอเตอร์หยุดหมุนและส่งเสียงเตือนออกมา ซึ่งแบ่งการทดสอบออกเป็น 2 กรณี คือ กรณีที่ 1 ทดสอบวัดค่าความชื้น โดยเปรียบเทียบระหว่างเครื่องสลัดน้ำออกจากดอกดาวเรืองและเครื่องวัดความชื้นในงานอุตสาหกรรมยี่ห้อ OMNI รุ่น MC7825G และกรณีที่ 2 ทดสอบค่าความเร็วที่เหมาะสม โดยนำดอกดาวเรืองที่มีน้ำในกลีบดอกน้ำหนักรวม 5 กิโลกรัม นำมาทดสอบที่ความเร็ว 200 ถึง 800 รอบต่อนาที จากผลการทดสอบกรณี 1 พบว่า ค่าความชื้นที่วัดได้มีค่าคลาดเคลื่อนสมบูรณ์เฉลี่ย 0.5 และกรณีที่ 2 พบว่า ค่าความเร็วที่ 700 รอบต่อนาทีเหมาะสม ดอกดาวเรืองไม่เสียหายและลดความชื้นดอกดาวเรืองให้น้อยกว่า 2%RH ได้

คำสำคัญ: เครื่องสลัดน้ำ ดอกดาวเรือง ไมโครคอนโทรลเลอร์

Abstract

This paper presents the design and development salad out of marigold controlled by a microcontroller to use for drying of marigold, using the principle of centrifugal force. Which salad out of marigold is a major component, the hardware and software. It works using a microcontroller Arduino Uno R3 controller. Start by adjusting the humidity 2%RH through the variable resistor. Then switch to start. The microcontroller sends out a PWM signal to adjust the duty cycle to drive a DC motor to rotate to shake the water out of marigold. When the humidity sensor detects that the humidity is at a fine set. The microcontroller will signal the motor stops and beeps out. The test is divided into two cases, one test that measures the moisture by comparison between a salad out of marigold and moisture in industrial brand OMNI version MC7825G. And the second test at the proper speed, by marigold petals with water to a total weight of 5 kg were tested at speeds of 200 to 800 rpm. The results showed that one case. Moisture measurement tolerances completely average 0.5%. And the second showed that the speed of 700 rpm, right marigold undamaged and drying marigold to less than 2%RH.

Keywords: spinner machine, marigold, microcontroller

1. ที่มาและความสำคัญ

ในปัจจุบันพืชผลทางการเกษตรนั้นมีมากมายหลายชนิด ซึ่งจะนำไปทำเป็นอาหารหรือวัตถุดิบต่าง ๆ และหนึ่งในนั้นก็คือ “ดอกดาวเรือง” ดอกดาวเรืองเป็นพืชเศรษฐกิจชนิดหนึ่งที่เกษตรกรอำเภอแม่สอดและอำเภอพบพระ ของจังหวัดตากนิยมปลูกกันมาก เพื่อส่งจำหน่ายให้กับโรงงานสกัดน้ำหอมและพ่อค้าแม่ค้าในตลาดเพื่อนำไปร้อยพวงมาลัย จากการสอบถามข้อมูลจากเกษตรกร การเก็บดอกดาวเรืองมักจะเก็บในช่วงเวลาเช้า แสงแดดอ่อนๆ หากเก็บช่วงแดดจัด อาจทำให้ดอกดาวเรืองเหี่ยวเฉาได้ [1] ด้วยเหตุนี้การเก็บดอกดาวเรืองในตอนเช้าจะมีน้ำค้างและน้ำที่เกษตรกรได้รดน้ำไว้มาก เมื่อปริมาณน้ำในดอกมากจึงทำให้เกิดความชื้นมาก ทำให้เมื่อบรรจุถุงส่งขายนั้นเกิดการเน่าเสียได้ [2] จึงต้องหาวิธีการลดปริมาณน้ำในดอกดาวเรืองลง เพื่อลดความเสียหายของดอกดาวเรืองที่จะเกิดขึ้นก่อนการคัดแยกขนาด [3]

การลดปริมาณน้ำในดอกดาวเรืองของเกษตรกรส่วนใหญ่จะนำดอกดาวเรืองที่เก็บมาเทกับพื้นแล้วใช้พัดลมเป่าซึ่งใช้เวลาประมาณ 3 ชั่วโมง ซึ่งวิธีการนี้ต้องใช้พื้นที่มากและพัดลมที่ใช้จะใช้ไฟฟ้ากระแสสลับแต่บริเวณที่ปลูกมักไม่อยู่ในเขตสายไฟฟ้า จึงต้องซื้อเครื่องผลิตไฟฟ้ากระแสสลับขนาดเล็กมาใช้หรือต้องขนย้ายดอกดาวเรืองมาตากที่บ้าน ซึ่งทำให้สิ้นเปลืองเวลา

ดังนั้นผู้จัดทำจึงมีแนวคิดทำเครื่องสลัดน้ำออกจากดอกดาวเรืองขึ้นมา โดยอาศัยการปั่นคล้ายกับหลักการของเครื่องซักผ้า โดยใช้มอเตอร์ไฟฟ้ากระแสตรงเป็นต้นกำลังและรับพลังงานจากแบตเตอรี่ซึ่งสามารถใช้งานได้ทุกที่ที่กระแสไฟฟ้าสลับเข้าไม่ถึงและลดการใช้พื้นที่ในการผึ่งลม ลดเวลาในการทำงานให้น้อยลง เครื่องสลัดน้ำออกจากดอกดาวเรืองนี้สามารถควบคุมความเร็วในการปั่นได้และมีชุดตรวจจับความชื้น เพื่อให้ได้ค่าความชื้นที่ไม่เกิน 2% เพื่อลดปัญหาการเน่าเสียของดอกดาวเรืองลงได้

2. การดำเนินงาน

2.1 การออกแบบโครงสร้าง

โครงสร้างของเครื่องสลัดน้ำออกจากดอกดาวเรืองใช้หลักการแรงเหวี่ยงหนีศูนย์กลาง เพื่อให้น้ำสลัดออกจากดอกดาวเรืองโดยส่วนแรกคือโครงสร้างของเครื่องสลัดน้ำออกจากดอกดาวเรืองมีขนาดความกว้าง 0.73 เมตร ยาว 0.73 เมตร สูง 1.26 เมตร ดังรูปที่ 1

*ผู้ประพันธ์บรรณกิจ

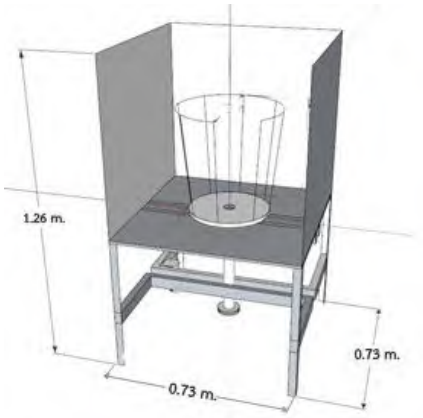

รูปที่ 1 โครงสร้างของเครื่องสลัดน้ำออกจากดอกดาวเรือง

ส่วนที่สองคือโครงสร้างของตะแกรงหมุนของเครื่องสลัดน้ำออกจากดอกดาวเรืองโดยก้นตะแกรงมีเส้นผ่านศูนย์กลาง 0.32 เมตร ปากตะแกรงหมุนมีขนาดเส้นผ่านศูนย์กลาง 0.42 เมตร สูง 0.41 เมตร เพลายาว 0.40 เมตร ดังรูปที่ 2

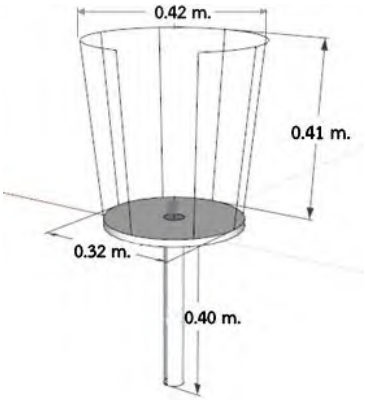

รูปที่ 2 โครงสร้างตะแกรงของเครื่องสลัดน้ำออกจากดอกดาวเรือง

เครื่องสลัดน้ำออกจากดอกดาวเรืองทำงานโดยใช้มอเตอร์ไฟฟ้ากระแสตรงเป็นต้นกำลังเนื่องจากมอเตอร์ไฟฟ้ากระแสตรงนั้นสามารถควบคุมความเร็วได้สะดวก ใช้ไฟฟ้ากระแสตรงจึงเหมาะสำหรับการใช้งานในแปลงปลูกดอกดาวเรืองของเกษตรกร ซึ่งเครื่องสลัดน้ำออกจากดอกดาวเรืองมีน้ำหนักของตะแกรงปั่นรวมกับน้ำหนักของดอกดาวเรือง 16 กิโลกรัม รัศมีของตะแกรงปั่น 21 เซนติเมตร รัศมีของพูลเล่ย์ 3.75 เซนติเมตร ต้องการใช้ความเร็วที่ 700 รอบต่อนาที การคำนวณหาขนาดมอเตอร์ไฟฟ้ากระแสตรงสามารถคำนวณหาแรงบิดที่ปลายเพลา [4] จากสมการที่ 1

$$T = Fr \quad (1)$$

$$= (16)(9.81)(3.75\times10^{-2})$$

$$T = 5.88 \text{ N-m}$$

จากนั้นนำค่าแรงบิดที่ได้หากำลังเอาต์พุตของมอเตอร์จากสมการที่ 2

$$P_{out} = \frac{2\pi TN}{60} \quad (2)$$

$$= \frac{2\pi(5.88)(700)}{60}$$

$$P_{out} = 430.80 \text{ วัตต์}$$

ดังนั้น มอเตอร์ที่ใช้ต้องมีพิกัดกำลังเอาต์พุตไม่น้อยกว่า 430.80 วัตต์ คณะผู้วิจัยจึงเลือกใช้มอเตอร์ไฟฟ้ากระแสตรงแบบกระตุ้นแยกที่มีกำลังเอาต์พุต 600 วัตต์ เป็นต้นกำลังสำหรับเครื่องสลัดน้ำออกจากดอกดาวเรือง

2.2 การออกแบบส่วนซอฟต์แวร์

ได้เลือกใช้ไมโครคอนโทรลเลอร์ Arduino UNO R3 ATMEGA328P [5] ดังรูปที่ 3 ควบคุมการทำงานของเครื่องสลัดน้ำออกจากดอกดาวเรืองโดยมีโครงสร้างและส่วนเชื่อมต่อดังต่อไปนี้

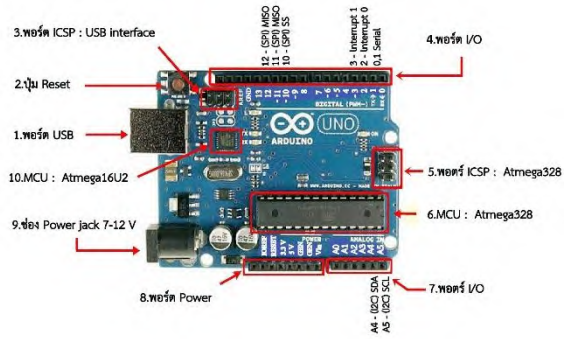

รูปที่ 3 โครงสร้างและส่วนเชื่อมต่อ Arduino UNO R3

1) USBPort : ใช้สำหรับต่อกับคอมพิวเตอร์ เพื่ออัพโหลดโปรแกรมเข้า MCU และจ่ายไฟให้กับบอร์ด

2) Reset Button : เป็นปุ่ม Reset กดเมื่อต้องการเริ่มการทำงานใหม่

3) ICSPPort : เป็น Atmega16U2 เป็นพอร์ตที่ใช้โปรแกรม Visual Comport บน Atmega16U2

4) I/OPort : Digital I/O ตั้งแต่ขา D0 ถึง D13 นอกจากนี้ บางขาจะทำหน้าที่อื่นๆ เพิ่มเติมด้วย เช่น ขา 0, 1 เป็นขา Tx, Rx Serial, Pin 3, 5, 6, 9, 10 และ 11 เป็นขา PWM

5) ICSP Port : Atmega 328 เป็นพอร์ตที่ใช้โปรแกรม Bootloader

6) MCU : Atmega 328 เป็น MCU ที่ใช้บนบอร์ด Arduino

7) I/OPort : นอกจากจะเป็น Digital I/O แล้วยังเปลี่ยนเป็นช่องรับสัญญาณอนาล็อกตั้งแต่ขา A0 ถึง A5

8) Power Port : ไฟเลี้ยงของบอร์ดเมื่อต้องการจ่ายไฟให้กับวงจรภายนอก ประกอบด้วยขาไฟเลี้ยง +3.3 โวลต์, +5 โวลต์, GND และ Vin

9) Power Jack : รับไฟจาก Adapter โดยที่แรงดันอยู่ระหว่าง 7 ถึง 12 โวลต์

10) MCU : ของ Atmega16U2 เป็น MCU ที่ทำหน้าที่เป็น USB to Serial โดย Atmega 328 จะติดต่อกับคอมพิวเตอร์ผ่าน Atmaga16U2

โดยหลักการทำงานของเครื่องสลัดน้ำออกจากดอกดาวเรืองได้เริ่มจากกดสวิตช์ เพื่อเริ่มการทำงาน โดยไมโครคอนโทรลเลอร์ Arduino Uno R3 จะทำการจ่ายสัญญาณ PWM ผ่านไปยังวงจรขยายสัญญาณพัลส์เพื่อปรับ

ค่าดิวตี้ไซเคิลส่งไปยังชุดขับมอเตอร์เพื่อปรับความเร็วของมอเตอร์ไฟฟ้ากระแสตรง จากเริ่มต้นไปจนสูงสุด เมื่อเซ็นเซอร์วัดความชื้น (Rain Sensor) ตรวจจับได้ค่าความชื้นลดลงจนน้อยกว่าหรือเท่ากับค่าความชื้นที่ปรับตั้งไว้ ไมโครคอนโทรลเลอร์จะหยุดจ่ายสัญญาณเพื่อให้มอเตอร์หยุดกระบวนการทำงานแบบอัตโนมัติดังรูปที่ 4

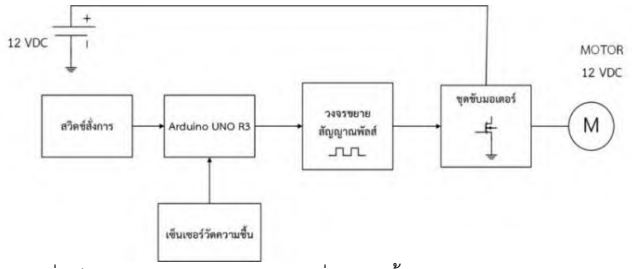

รูปที่ 4 ไดอะแกรมการทำงานของเครื่องสลัดน้ำออกจากดอกดาวเรือง

วงจรควบคุมเครื่องสลัดน้ำออกจากดอกดาวเรือง [6 - 7]

ระบบการทำงานของเครื่องสลัดน้ำออกจากดอกดาวเรืองออกแบบโดยใช้ไมโครคอนโทรลเลอร์ Arduino Uno R3 เป็นตัวควบคุมการทำงานซึ่งการทำงานจะเริ่มจากการปรับตั้งค่าความชื้น 2%RH โดยปรับตั้งผ่านตัวต้านทานปรับค่าได้ VR 100 kΩ จากนั้นกดสวิตช์ Start เพื่อเริ่มการทำงาน โดยไมโครคอนโทรลเลอร์ Arduino Uno R3 จะทำการจ่ายสัญญาณ PWM ออกมาเพื่อปรับค่าของดิวตี้ไซเคิลเพื่อไปขับมอเตอร์ไฟฟ้ากระแสตรงให้สลัดน้ำออกจากดอกดาวเรือง เมื่อเซ็นเซอร์วัดความชื้นที่ติดอยู่ด้านข้างตะแกรงปั่นตรวจจับได้ว่าความชื้นน้ำลดลงจนถึงค่า 2%RH ที่ปรับตั้งไว้ ไมโครคอนโทรลเลอร์ Arduino Uno R3 จะหยุดจ่ายสัญญาณเพื่อให้มอเตอร์หยุดหมุน ซึ่งมีวงจรควบคุมการทำงานของเครื่องสลัดน้ำออกจากดอกดาวเรืองดังรูปที่ 5

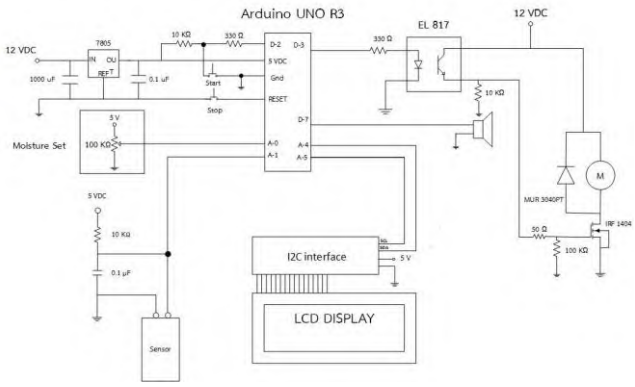

รูปที่ 5 วงจรควบคุมเครื่องสลัดน้ำออกจากดอกดาวเรือง

2.3 ผลการศึกษา

จากการออกแบบและพัฒนาเครื่องสลัดน้ำออกจากดอกดาวเรืองเมื่อรวมทั้งส่วนฮาร์ดแวร์และซอฟต์แวร์เข้าด้วยกันทำให้ได้เครื่องสลัดน้ำออกจากดอกดาวเรืองที่พัฒนาขึ้นดังรูปที่ 6 และได้แสดงตัวอย่างดอกดาวเรืองก่อนทดสอบด้วยเครื่องสลัดน้ำออกจากดอกดาวเรืองดังรูปที่ 7 โดยได้วัดค่าความชื้นก่อนทดสอบของดอกดาวเรืองในเครื่องด้วยเครื่องวัดความชื้นในงานอุตสาหกรรมยี่ห้อ OMNI รุ่น MC7825G ได้ค่าความชื้นเฉลี่ยเท่ากับ 20 %RH และได้แสดงตัวอย่างดอกดาวเรืองหลังการทดสอบด้วยเครื่องสลัดน้ำออกจากดอกดาวเรืองที่ความเร็วรอบ 700 rpm ดังรูปที่ 8

รูปที่ 6 เครื่องสลัดน้ำออกจากดอกดาวเรืองที่พัฒนาขึ้น

รูปที่ 7 ตัวอย่างดอกดาวเรืองก่อนทดสอบ

รูปที่ 8 ตัวอย่างดอกดาวเรืองหลังทดสอบด้วยความเร็วรอบ 700 rpm

โดยได้แบ่งการทดสอบออกเป็น 2 กรณี คือ กรณีที่ 1 ทดสอบวัดค่าความชื้น โดยเปรียบเทียบระหว่างเซนเซอร์วัดความชื้นของเครื่องสลัดน้ำ

ออกจากดอกดาวเรืองที่พัฒนาขึ้นและเครื่องวัดความชื้นในงานอุตสาหกรรมยี่ห้อ OMNI รุ่น MC7825G ได้ใช้ดอกดาวเรืองจำนวน 5 กิโลกรัม ทดสอบ ซึ่งได้หาค่าความคลาดเคลื่อนสมบูรณ์ได้จากสมการที่ 3

$$\text{ค่าความคลาดเคลื่อนสมบูรณ์} = |A-B| \quad (3)$$

โดยกำหนดให้ A คือค่าความชื้นจากเครื่องวัด OMNI
B คือค่าความชื้นจากเซ็นเซอร์

โดยทำการทดสอบวัดค่าความชื้นเปรียบเทียบทั้งหมดจำนวน 24 ครั้ง ได้ผลการทดสอบดังตารางที่ 1

ตารางที่ 1 ผลการทดสอบวัดค่าความชื้น

ครั้งที่	เครื่องวัด OMNI	เซ็นเซอร์	ค่าความคลาดเคลื่อน	ครั้งที่	เครื่องวัด OMNI	เซ็นเซอร์	ค่าความคลาดเคลื่อน
1	5.3	5.0	0.3	13	16.5	17.0	0.5
2	6.1	6.0	0.1	14	17.4	18.0	0.6
3	7.2	7.0	0.2	15	18.9	19.0	0.1
4	8.5	8.0	0.5	16	19.3	20.0	0.7
5	9.3	9.0	0.3	17	19.8	21.0	1.3
6	10.5	10.0	0.5	18	21.4	22.0	0.6
7	11.9	11.0	0.9	19	22.6	23.0	0.4
8	12.5	12.0	0.5	20	23.9	24.0	0.1
9	13.2	13.0	0.2	21	24.8	25.0	0.2
10	14.8	14.0	0.8	22	27.9	26.0	1.9
11	15.5	15.0	0.5	23	28.5	27.0	1.5
12	15.7	16.0	0.3	24	28.5	28.0	0.5
ค่าความคลาดเคลื่อนสมบูรณ์เฉลี่ย							0.5

กรณีที่ 2 ทดสอบหาค่าความเร็วรอบของมอเตอร์ที่เหมาะสมโดยไม่ทำให้ดอกดาวเรืองช้ำหรือเสียหายและได้ค่าความชื้นที่น้อยกว่า 2%RH ซึ่งในการทดสอบจะใช้ดอกดาวเรืองจำนวน 5 กิโลกรัม ทำการทดสอบจำนวน 7 ครั้ง โดยใช้ความเร็วทดสอบเริ่มจาก 200 rpm และเพิ่มความเร็วรอบมอเตอร์ครั้งละ 100 rpm จนถึงความเร็วรอบ 800 rpm ซึ่งในแต่ละครั้งที่ทดสอบใช้เวลาทดสอบครั้งละ 2 นาที ได้ผลการทดสอบดังตารางที่ 2

ตารางที่ 2 ผลการทดสอบค่าความเร็วรอบ

ครั้งที่	ความเร็วรอบ (rpm)	น้ำหนักหลังการทดสอบ (Kg)	ความชื้นหลังการทดสอบ (%)	ลักษณะดอกดาวเรือง
1	200	4.7	5	ไม่ช้ำ
2	300	4.7	3	ไม่ช้ำ
3	400	4.7	3	ไม่ช้ำ
4	500	4.6	2	ไม่ช้ำ
5	600	4.4	2	ไม่ช้ำ
6	700	4.4	1	ไม่ช้ำ
7	800	4.3	1	ช้ำ/เสียหาย

จากผลการทดสอบค่าความเร็วรอบจากตารางที่ 2 สามารถนำผลการทดสอบมาหาแบบจำลองทางคณิตศาสตร์จากค่าความเร็วรอบที่ทดสอบจำนวน 7 ครั้งและค่าความชื้นหลังการทดสอบ ทำให้ได้แบบจำลองทางคณิตศาสตร์แสดงดังสมการที่ 4 โดยจากแบบจำลองดังกล่าวที่พัฒนาขึ้นส่งผลให้มีค่าสัมประสิทธิ์สหสัมพันธ์ R^2 เท่ากับ 0.93

$$y = 6.0704e^{-0.265x} \quad (4)$$

โดยกำหนดให้ y คือค่าความชื้นหลังทดสอบ
x คือค่าความเร็วรอบมอเตอร์

และจากผลการทดสอบตารางที่ 2 ในครั้งที่ 7 ใช้ความเร็วรอบ 800 rpm ทดสอบทำให้ดอกดาวเรืองช้ำและเกิดความเสียหายจึงได้แสดงตัวอย่างดอกดาวเรืองที่ช้ำและเสียหายจากการทดสอบดังกล่าวไว้ดังรูปที่ 9

รูปที่ 9 ตัวอย่างดอกดาวเรืองช้ำและเสียหายหลังการทดสอบ

3. อภิปราย

จากตารางที่ 1 ได้ผลการทดสอบวัดค่าความชื้นของเครื่องสลัดน้ำออกจากดอกดาวเรืองเปรียบเทียบกับเครื่องวัดความชื้นในงานอุตสาหกรรมยี่ห้อ OMNI รุ่น MC7825G พบว่าค่าความชื้นของเครื่องวัดในงานอุตสาหกรรมและเซ็นเซอร์ที่ติดตั้งในเครื่องสลัดน้ำออกจากดอกดาวเรืองมีค่าความชื้นใกล้เคียงกัน ต่างกันเพียงค่าทศนิยม ซึ่งมีค่าคลาดเคลื่อนสมบูรณ์เฉลี่ยเท่ากับ 0.5 ซึ่งเป็นค่าที่เกษตรกรยอมรับได้ และจากตารางที่ 2 ได้ผลการทดสอบหาค่าความเร็วที่เหมาะสม จะเห็นว่าความเร็วรอบที่ต่ำจะมีปริมาณความชื้นในดอกดาวเรืองค่อนข้างสูง และที่ความเร็วรอบที่สูงจะเหลือปริมาณความชื้นในดอกดาวเรืองต่ำ ซึ่งดอกดาวเรืองที่เกษตรกรส่วนใหญ่บรรจุถุงเตรียมนำส่งขายจะต้องมีความชื้นในดอกดาวเรืองไม่เกิน 2 %RH ซึ่งความเร็วที่ทำให้ความชื้นลดลงต่ำกว่า 2 %RH คือ 700 และ 800 รอบต่อนาที จากตารางที่ความเร็วรอบ 800 รอบต่อนาที ทำให้ลักษณะดอกดาวเรืองช้ำ ดังนั้น เครื่องสลัดน้ำออกจากดอกดาวเรืองจึงใช้ความเร็วสูงสุดที่ 700 รอบต่อนาที เนื่องจากเป็นความเร็วที่ไม่ทำให้ดอกดาวเรืองเกิดความเสียหาย และสามารถลดความชื้นได้น้อยกว่า 2%RH และเมื่อนำแบตเตอรี่ขนาด 12 โวลต์ 150 แอมแปร์-ชั่วโมง มาทดสอบกับเครื่องสลัดน้ำออกจากดอกดาวเรืองจะได้ปริมาณน้ำหนักดอกดาวเรือง 968 กิโลกรัมต่อการชาร์จประจุแบตเตอรี่

เต็มพิกัดหนึ่งครั้ง และจากผลการทดสอบในตารางที่ 1 พบว่ายังมีค่าคลาดเคลื่อนของค่าความชื้นระหว่างเครื่องวัดความชื้นในงานอุตสาหกรรมและเซนเซอร์ของเครื่องที่พัฒนาขึ้น คณะผู้วิจัยจึงมีข้อเสนอแนะว่าควรเพิ่มจำนวนของเซนเซอร์และตำแหน่งการติดตั้งของเซนเซอร์วัดค่าความชื้นให้เพิ่มมากขึ้นเพื่อจะได้เพิ่มประสิทธิภาพความแม่นยำในการวัดค่าความชื้นให้กับเครื่องสลัดน้ำออกจากดอกดาวเรืองมากยิ่งขึ้นและในงานที่จะดำเนินการต่อไปคือการนำค่าน้ำหนักของดอกดาวเรืองก่อนสลัดน้ำออกและหลังสลัดน้ำออกมาวิเคราะห์เพิ่มเติมร่วมกับค่าความชื้นเพื่อหาค่าพารามิเตอร์ที่เหมาะสมที่สุดสำหรับเครื่องสลัดน้ำออกจากดอกดาวเรืองที่พัฒนาขึ้นต่อไป

4. สรุป

ในบทความนี้ ได้นำเสนอการออกแบบและพัฒนาเครื่องสลัดน้ำออกจากดอกดาวเรืองโดยใช้ไมโครคอนโทรลเลอร์เป็นตัวควบคุมการทำงานของเครื่องแบบอัตโนมัติตามที่กล่าวมาแล้วในหัวข้อการออกแบบซอฟต์แวร์ จากการทดสอบเครื่องสลัดน้ำออกจากดอกดาวเรืองที่พัฒนาขึ้น มีค่าความชื้นคลาดเคลื่อนสมบูรณ์เฉลี่ยเท่ากับ 0.5 เมื่อวัดเปรียบเทียบกับเครื่องวัดความชื้นในงานอุตสาหกรรมยี่ห้อ OMNI รุ่น MC7825G และเมื่อทดสอบหาค่าความเร็วรอบที่เหมาะสม จากตารางที่ 2 พบว่าได้ค่าความเร็วรอบที่เหมาะสมสำหรับเครื่องสลัดน้ำออกจากดอกดาวเรืองที่ไม่ทำให้ดอกดาวเรืองช้ำหรือเกิดความเสียหายคือ 700 รอบต่อนาที และได้ค่าความชื้นไม่เกิน 2%RH นอกจากนี้ยังได้ทดสอบปริมาณงานที่ได้เมื่อใช้แบตเตอรี่ขนาด 12 โวลต์ 150 แอมแปร์-ชั่วโมง ซึ่งได้ปริมาณน้ำหนักของดอกดาวเรืองที่นำมาทดสอบ 968 กิโลกรัมต่อการชาร์จประจุแบตเตอรี่เต็มพิกัดหนึ่งครั้ง โดยเครื่องสลัดน้ำออกจากดอกดาวเรืองควบคุมการทำงานด้วยไมโครคอนโทรลเลอร์ที่พัฒนาขึ้นนี้ สามารถใช้งานได้จริงและช่วยลดระยะเวลาการทำงานของเกษตรกรในขั้นตอนการนำดอกดาวเรืองที่เก็บมาเทกับพื้นแล้วใช้พัดลมเป่าเพื่อลดค่าความชื้นซึ่งปกติแล้วเกษตรกรจะใช้เวลามากถึง 3 ชั่วโมง

5. กิตติกรรมประกาศ

ขอขอบคุณ หลักสูตรวิศวกรรมไฟฟ้า สาขาวิชาวิศวกรรมไฟฟ้า คณะวิศวกรรมศาสตร์ มหาวิทยาลัยเทคโนโลยีราชมงคลล้านนา ตาก ที่ได้ให้ความอนุเคราะห์ในการสนับสนุนวัสดุอุปกรณ์ และสถานที่ในการดำเนินงานวิจัย

เอกสารอ้างอิง

[1] Poondee, J. and Nimjit, S. (2021). Optimal Storage Pattern for Extremely Delicate Produce: Case Study of Sunflower Sprouts. **Srinakharinwirot University Engineering Journal**. Vol. 16, No. 3, pp. 75-83.

[2] Brackett, R. E. (2000). **Safe Handling of Fruits and Vegetables**. Safe Handling of Foods. New York; Marcel Dekker, Inc.

[3] D. Thappho and S. Tammaruckwattana, "Experimental Verification of Automatic Sorting Machine Using Infrared Proximity Sensor and Microcontroller," *2020 6th International Conference on Engineering, Applied Sciences and Technology (ICEAST)*, Chiang Mai, Thailand, 2020, pp. 1-4.

[4] มงคล ทองสงคราม. เครื่องกลไฟฟ้ากระแสตรง. พิมพ์ครั้งที่ 1. กรุงเทพฯ: บริษัท รามาการพิมพ์ จำกัด; 2533.

[5] เอกชัย มะการ. เรียนรู้เข้าใจใช้งานไมโครคอนโทรลเลอร์ตระกูล AVR ด้วย Arduino. พิมพ์ครั้งที่ 1. กรุงเทพฯ:บริษัท อีทีที จำกัด; 2552.

[6] นภัทร วัจนเทพินทร์. วงจรไอซีและการประยุกต์ใช้งาน. พิมพ์ครั้งที่ 1. ปทุมธานี: บริษัท สกายบุ๊กส์ จำกัด; 2547.

[7] วีรเชษฐ์ ขันเงิน, วุฒิพล ธาราธีรเศรษฐ์. อิเล็กทรอนิกส์กำลัง. พิมพ์ครั้งที่ 3. กรุงเทพฯ: ห้างหุ้นส่วนจำกัด วี.เจ.พริ้นติ้ง; 2548.

การศึกษาและการออกแบบระบบขับเคลื่อนไอออนิกพลาสมาในรูปแบบไอออนทรัสเตอร์

Study and Design of an Ionic Plasma Propulsion System in the Form of an Ion Thruster

ปิยวรรณ เพิ่มนาม จักรพรรดิ ทองฉิม สุรวิช เรืองศรี และ อภิสิทธิ์ ศรีวรรณ์*

ภาควิชาวิศวกรรมอิเล็กทรอนิกส์และโทรคมนาคม คณะวิศวกรรมศาสตร์ มหาวิทยาลัยเทคโนโลยีราชมงคลธัญบุรี apisit.s@en.rmutt.ac.th*

บทคัดย่อ

บทความนี้ได้นำเสนอวิธีการใช้พลังงานไฟฟ้าในการเปลี่ยนอะตอมของเชื้อเพลิงให้กลายเป็นไอออนิกพลาสมา เพื่อสร้างแรงขับเคลื่อนในรูปแบบไอออนทรัสเตอร์ ในระดับที่สามารถทดสอบในความดันบรรยากาศ ใช้สนามไฟฟ้าโดยตรงในการเร่งไอออนให้เคลื่อนที่อย่างมีประสิทธิภาพ ประหยัดพลังงานและเป็นมิตรต่อสิ่งแวดล้อม โดยการออกแบบระยะการเรียงตัวของไอออน 10–20 mm เพื่อทดสอบแรงขับอากาศที่เกิดจากการชนกันของประจุไฟฟ้าชุดส่งกำลัง 3 ชุดแบบ Engine Multi-Stage ให้กำลังการขับอากาศในรูปแบบไอออนทรัสเตอร์ Engine 1 =70%, Engine 2=50% และ Engine 3=50% อัตราขับอากาศ 1.3 m/s ต่อการใช้กำลังไฟฟ้า 7.2A เมื่อเทียบกับการใช้กำลังในการขับที่ 100% จะได้อัตราขับอากาศ 1.34 m/s ต่อการใช้กำลังไฟฟ้า 10.33A ดังนั้นวิธีการศึกษาและออกแบบระบบขับเคลื่อนไอออนิกพลาสมาในรูปแบบไอออนทรัสเตอร์ประสิทธิภาพของแรงขับเคลื่อนมีความเหมาะสมกับงานที่ต้องการเพิ่มแรงขับเคลื่อนแบบต่อเนื่องและช่วยเพิ่มระยะเวลาการใช้งานของแหล่งพลังงาน

คำสำคัญ: ไอออนิกพลาสมา ไอออนทรัสเตอร์ แรงขับอากาศมัลติสเตจ

Abstract

This article presents a method for using electrical energy to convert fuel atoms into ionic plasma to generate propulsion in the form of an ion thruster. The system can be tested under atmospheric pressure. It uses a direct electric field to accelerate ions efficiently, which is energy-saving and environmentally friendly. The design features an ion alignment distance of 10–20 mm to test the atmospheric thrust generated by the collision of charged particles. Three Engine Multi-Stage power units were used to generate atmospheric thrust in the ion thruster format: En1=70%, En2=50%, and En3=50%. The atmospheric thrust was measured at 1.3 m/s when using 7.2A of electrical power. When compared to the thrust at 100% power, the maximum atmospheric thrust was found to be 1.34 m/s with 10.33A of electrical power. Therefore, the study and design of the ionic plasma propulsion system in the form of an ion thruster demonstrate that its thrust efficiency is suitable for applications requiring continuous propulsion and can help increase the operational duration of the power source.

Keywords: Ionic plasma, Ion thruster, Engine Multi-Stage

1. บทนำ

พลาสมาคือสถานะของสสารโดยอาศัยสภาวะของอิเล็กตรอนกระจายตัวจากอะตอมทำให้การแตกตัวของก๊าซกลายเป็นพลาสมา ซึ่งเป็นกลุ่มของประจุบวกและประจุลบที่เคลื่อนที่อย่างอิสระมีสภาพนำไฟฟ้า ในแวดวงวิศวกรรมการบินและอวกาศ "ระบบขับเคลื่อนไอออนิกพลาสมา" ได้กลายเป็นหัวข้อวิจัยที่สำคัญเนื่องจากประสิทธิภาพในการใช้เชื้อเพลิงที่เหนือกว่าเครื่องยนต์จรวดเคมีแบบดั้งเดิม หลักการทำงานของเทคโนโลยีไอออนทรัสเตอร์ (Ion Thruster) ซึ่งเป็นหนึ่งในกลไกขับเคลื่อนหลักของทางวิศวกรรมที่จำเป็นสำหรับการสร้างระบบขับเคลื่อนที่มีประสิทธิภาพ

ระบบขับเคลื่อนนี้อาศัยหลักการขับดันด้วยไฟฟ้า (Electric Propulsion) ซึ่งแตกต่างจากการขับดันด้วยแรงระเบิดของสารเคมี โดยใช้พลังงานไฟฟ้าในการสร้าง "แรงขับ" (Thrust) โดยตรง หลักการทำงานเริ่มจากการทำให้แก๊สเฉื่อย (Propellant) กลายเป็นสถานะพลาสมา ซึ่งประกอบด้วยไอออนที่มีประจุบวกและอิเล็กตรอนที่มีประจุลบ จากนั้นจึงใช้สนามไฟฟ้าที่มีกำลังสูงเร่งไอออนเหล่านั้นให้พุ่งออกไปด้วยความเร็วสูง การพุ่งออกไปของไอออนจะสร้างแรงปฏิกิริยาผลักยานอวกาศไปข้างหน้าตามหลักการอนุรักษ์โมเมนตัม

ดังนั้นแนวทางการศึกษาระบบขับเคลื่อนไอออนิกพลาสมาในรูปแบบไอออนทรัสเตอร์ เพื่อใช้ในการศึกษาคุณลักษณะ ทางไฟฟ้าของพลาสมาทั้ง 2 รูปแบบ คือ พลาสมามารูปแบบสัญญาณพัลส์และพลาสมารูปแบบสัญญาณต่อเนื่อง จากนั้นจะได้พิจารณาลักษณะทางสนามไฟฟ้าของพลาสมา ได้แก่ ลักษณะของกระแสดิสชาร์จและ แรงดันดิสชาร์จซึ่งจะถูกนำมาพิจารณาเพื่อใช้ในการควบคุมคุณสมบัติของพลาสมา เพื่อให้ได้พลาสมาที่มี คุณสมบัติตามต้องการ ซึ่งค่ากระแสดิสชาร์จ และแรงดันดิสชาร์จขึ้นอยู่กับระยะห่างระหว่างขั้วอิเล็กโทรด แรงดันไฟฟ้าระหว่างขั้วอิเล็กโทรด ซึ่งระบบขับเคลื่อนไอออนิกพลาสมาเป็นเทคโนโลยีที่โดดเด่นด้วยประสิทธิภาพในการใช้เชื้อเพลิงที่สูง มีความแม่นยำในการควบคุม แม้จะมีข้อจำกัดด้านแรงขับต่ำ แต่ศักยภาพสำหรับการเดินทางระยะยาวในอวกาศทำให้เป็นนวัตกรรมที่กำลังเปลี่ยนแปลงอนาคตของอุตสาหกรรมการสำรวจอวกาศ

*ประพันธ์บรรณกิจ

2. ทฤษฎีและหลักการการออกแบบ

2.1 หลักการทำงานของการเกิดเจ็ทพลาสมา

เจ็ทพลาสมาความดันบรรยากาศประกอบด้วยขั้วไฟฟ้าสองขั้วและกำหนดอัตราการไหล ของก๊าซให้ไหลผ่านเข้ามายังท่อก๊าซ โดยใช้แรงดันไฟฟ้าย่านความถี่คลื่นวิทยุ 13.56 เมกกะเฮิร์ต และจ่าย ความต่างศักย์ระหว่าง 100 ถึง 250 โวลต์ ให้แก่ขั้วอิเล็กโทรดภายในซึ่งเป็นแกนกลาง และขั้วอิเล็กโทรด ภายนอกซึ่งเป็นกราวด์ ดังรูปที่ 1

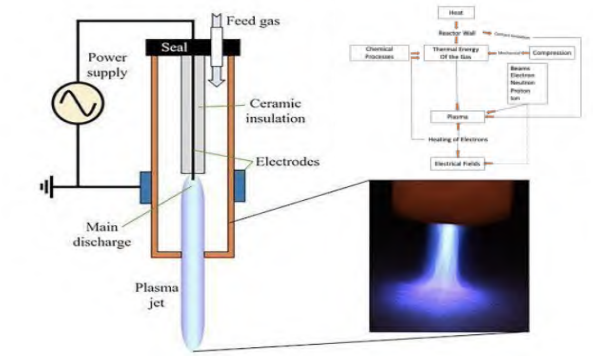

รูปที่ 1 การเกิดเจ็ทพลาสมาที่ความดันบรรยากาศและการเพิ่มพลังงานให้แก่อิเล็กตรอนเพื่อเปลี่ยนสถานะเป็นพลาสมา

ระบบพลาสมาความดันบรรยากาศแบบเจ็ทพลาสมา (APPJ) เป็นเครื่องมือสร้างพลาสมา ชนิดหนึ่งแบบ non-thermal แบบหนึ่ง ซึ่งจัดเป็นพลาสมาอุณหภูมิต่ำ APPJ เป็นเครื่องที่ทำให้เกิด พลาสมาที่สามารถปฏิบัติงานได้ที่ความดันบรรยากาศ ประกอบด้วยอิเล็กตรอนพลังงานสูงจำนวนมาก เจ็ทพลาสมาความดันบรรยากาศ ถือเป็น Volumetric diffuse non-thermal plasma เป็นการรวมของ เทคนิคการประยุกต์พลาสมาแบบความดันต่ำและแบบโคโรนา เข้าไว้ด้วยกัน โดยการสร้างปริมาณพลาสมาในระบบเปิดและมีการใช้ก๊าซเฉื่อย เช่น อาร์กอนหรือฮีเลียมเป็นก๊าซพา (carries) เข้ามาช่วยใน การกระจายตัวของพลาสมา ทำให้เกิดพลาสมาของก๊าซผสมมีความเข้มข้นสม่ำเสมอและสามารถเข้าถึงผิวชิ้นงานได้อย่างมีประสิทธิภาพเพิ่มขึ้น เจ็ทพลาสมาความดันบรรยากาศเกิดจากการที่ผ่านการอาร์คโดยไฟฟ้า (Electric Arc) ให้โมเลกุลของก๊าซหรือไอระเหย เกิดการแตกตัวหรือถูกไอออไนซ์ ให้อยู่ในสถานะพลาสมา เป็นลักษณะของกระแสของก๊าซที่ออกจากหัวฉีดซึ่งมีความต่างจากกระแสของไฟฟ้า การอาร์ค สำหรับพลาสมานั้นจะเกิดตรงบริเวณระหว่างขั้วไฟฟ้า (Electrode) เนื่องจากเป็นบริเวณที่กระแสไฟฟ้ามี ความเข้มข้นสูง

2.2 กำเนิดพลาสมาแบบไดอิเล็กทริคแบริเออร์ดิสชาร์จ

พลาสมาแบบไดอิเล็กทริคแบริเออร์ดิสชาร์จ (Dielectric Barrier Discharge, DBD) ใช้ครั้งแรกโดย Ernst Werner Von Siemens ในปี 1857 โดยใช้หลักการสะสม (Charge) และคายประจุ (Discharge) บนไดอิเล็กทริคด้วยไฟฟ้ากระแสสลับที่ความต่างศักย์สูงโดยโครงสร้างหลักของเครื่องกำเนิดพลาสมาแบบไดอิเล็กทริคแบริเออร์ดิสชาร์จประกอบด้วยขั้วอิเล็กโทรด แผ่นไดอิเล็กทริคและ แหล่งจ่ายไฟฟ้ากระแสสลับความต่างศักย์สูงโดยนำขั้วอิเล็กโทรดทั้งสองต่อเข้ากับแหล่งจ่ายไฟฟ้า กระแสสลับความต่างศักย์สูงและนำแผ่นไดอิเล็กทริคอย่างน้อยหนึ่งแผ่นวางคั่นระหว่างแผ่นอิเล็กโทรดทั้ง สอง ดังแสดงในรูปที่ 2

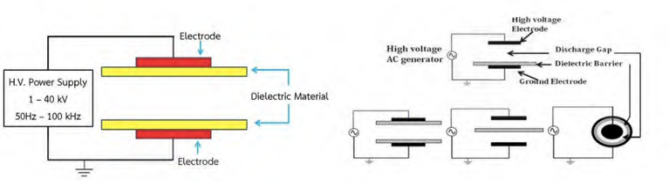

รูปที่ 2 โครงสร้างของเครื่องกำเนิดพลาสมาแบบไดอิเล็กทริคแบริเออร์ดิสชาร์จ

2.3 ไดอิเล็กทริค (Dielectric)

ไดอิเล็กทริค (Dielectric) คือ วัสดุที่ไม่นำไฟฟ้า นั่นคือ อิเล็กตรอนของอะตอมของวัสดุเหล่านี้ เป็นอิเล็กตรอนที่ไม่สามารถหลุดเป็นอิสระได้ง่าย เช่น ยาง แก้ว กระดาษไข พาราฟิน และเทฟลอน ซึ่งมี ไมเคิล ฟาราเดย์ เป็นผู้แรกที่ศึกษาผลของการใส่วัสดุไดอิเล็กทริคระหว่างตัวนำทั้งสองของตัวเก็บประจุ ฟาราเดย์ ได้สร้างตัวเก็บประจุที่เหมือนกันทั้ง 2 ตัว และให้ตัวหนึ่งไม่มีวัสดุใดๆ(นอกจากอากาศ)ระหว่าง ตัวนำแต่อีกตัวหนึ่งใส่วัสดุไดอิเล็กทริคไว้ เมื่อต่อตัวเก็บประจุทั้งสองกับแหล่งกำเนิดไฟฟ้าที่มีความต่าง ศักย์ไฟฟ้าเท่ากัน ฟาราเดย์พบว่าประจุบนตัวเก็บประจุที่มีวัสดุไดอิเล็กทริคมีค่ามากกว่าตัวเก็บประจุที่ไม่ มีวัสดุไดอิเล็กทริค ดังนั้นพิจารณาตัวเก็บประจุแบบแผ่นขนานเริ่มต้นกำหนดให้ระห่างแผ่นขนานเป็น อากาศ หรือเพอมิตติวิตี (Permittivity) เป็น $\varepsilon 0$ และมีค่าความจุของตัวเก็บประจุที่ไม่มีวัสดุไดอิเล็กทริค เป็น C0 เมื่อใส่วัสดุไดอิเล็กทริคที่มีค่าเพอมิตติวิตีเป็น ε เข้าไปแทนที่ว่างดังกล่าวจะทำให้ตัวเก็บประจุที่มี วัสดุไดอิเล็กทริคนั้นมีค่าความจุเพิ่มขึ้นเป็น C และเรียกอัตราส่วนของค่าความจุใหม่ ขณะมีวัสดุไดอิเล็กท ริคเทียบกับค่าความจุเดิมขณะไม่มีวัสดุไดอิเล็กทริคว่า “ค่าคงที่ไดอิเล็กทริค” (K) นั่นคือ

$$K = \frac{C}{C_0} \tag{1}$$

$$K = \frac{C}{C_0} = \frac{Q/V}{Q/V_0} = \frac{V_0}{V} = \frac{E_0/d}{Ed} = \frac{E_0}{E} \tag{2}$$

เมื่อใส่วัสดุไดอิเล็กทริคเข้าไประหว่างแผ่นตัวนำขนานจะพบว่าความจุของตัวเก็บประจุเพิ่มขึ้น (C>C0) ความต่างศักย์ระหว่างแผ่นขนานจะมีค่าลดลง (V<V0) ในขณะที่ประจุไฟฟ้า Q นั้นคงที่และสนามไฟฟ้าระหว่างแผ่นตัวนำขนานทั้งสองมีค่าลดลง(E<E0)

$$E_0 = \frac{\sigma}{\varepsilon_o} \tag{3}$$

$$\sigma = \frac{\sigma_{net}}{\varepsilon_o} = \frac{\sigma - \sigma_i}{\varepsilon_o} \tag{4}$$

การที่ขนาดของสนามไฟฟ้าระหว่างแผ่นตัวนำขนานของตัวเก็บประจุลดลงจากเดิมแสดงว่าความ หนาแน่นของประจุที่ผิว (Surface charge) ลดลง แต่เนื่องจากประจุบนผิวของตัวนำแต่ละแผ่นไม่ เปลี่ยนเป็นการชี้ว่าจะต้องมีประจุเหนี่ยวนำ (Induced charge) อยู่บนผิวของวัสดุไดอิเล็กทริค โดยประจุ เหนี่ยวนำจะเป็นประจุชนิดที่ตรงข้ามกับประจุบนผิวเรียกปรากฏการณ์นี้ว่า โพลาไรเซชั่น (Polarization)

2.4 คุณลักษณะของพลาสมาที่เกิดขึ้นระหว่างแผ่นคู่ขนาน

วัดคุณลักษณะของพลาสมาจากประจุที่ได้จากการดิสชาร์จ โดยทั่วไปการวัดคุณลักษณะของ พลาสมาจะวัดประจุที่ได้จากการดิสชาร์จ ซึ่งในการวัดเราสามารถใช้หัววัดต่อเข้ากับเครื่องออสซิโลสโคป และตัวเก็บประจุต่อดังแสดงในรูปที่ 3 ซึ่งอุปกรณ์ การวัดคุณลักษณะของพลาสมาที่เกิดขึ้นระหว่าง แผ่นคู่ขนานของเครื่องกำเนิดพลาสมาแบบ ไดอิเล็กทริคแบริเออร์ดิสชาร์จ ประกอบด้วยส่วนที่ 1 คือ แหล่งจ่ายไฟความต่างศักย์สูง ปรับค่าความ ต่างศักย์ได้ในช่วง 1 – 40 kV ความถี่ในช่วง 50 Hz – 100 kHz

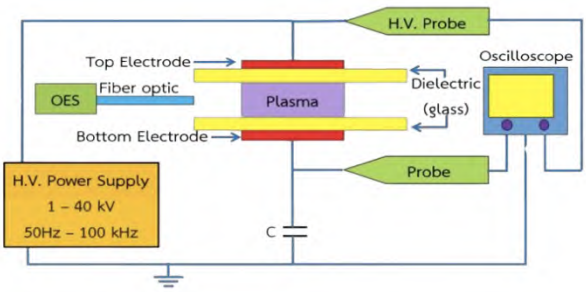

รูปที่ 3 ลักษณะการติดตั้งทำงานของเครื่องวัดสเปกตรัม

เครื่องกำเนิดพลาสมาแบบไดอิเล็กทริคแบริเออร์ดิสชาร์จที่มีแผ่นอิเล็กโทรดคั่นกลาง ด้วยแผ่นไดอิเล็กทริค และส่วนที่ 3 คือ อุปกรณ์การวัด ซึ่งขั้นตอนการทำงานของเครื่องกำเนิดพลาสมา แบบไดอิเล็กทริคแบริเออร์ดิสชาร์จเริ่มจากให้ความต่างศักย์ไฟฟ้ากระแสสลับกับขั้วอิเล็กโทรด เมื่อความ ต่างศักย์ไฟฟ้าของช่องว่างระหว่างแผ่นคู่ขนานมากกว่าค่าศักย์ไฟฟ้าต่ำสุดที่ทำให้ก๊าซแตกตัว ทำให้ก๊าซตัวกลางแตกตัวเปลี่ยนสถานะเป็นพลาสมา ซึ่งจะมีพลาสมาเกิดขึ้นและสามารถหาประจุที่เกิดจากการดิสชาร์จ โดยใช้ออสซิลโลสโคปวัดความต่างศักย์ตกคร่อมตัวเก็บประจุเพื่อคำนวณหาประจุที่เกิดขึ้นจาก สมการ Q = CV ซึ่งสามารถคำนวณหากำลังไฟฟ้าของพลาสมาได้จากพื้นที่ใต้กราฟที่แสดงความสัมพันธ์ ระหว่างความต่างศักย์ที่ให้กับเครื่อง DBD และความต่างศักย์ที่ตกคร่อมตัวเก็บประจุ

$$i(t) = \frac{dQ}{dt} = C\frac{dV_C}{dt} \qquad (5)$$

เมื่อมีกระแสไหลครบวงจรจะทำการวัดความต่างศักย์ตกคร่อมตัวเก็บประจุ (V_C) และคำนวณกระแสที่ เปลี่ยนแปลงตามเวลาได้จากสมการที่ 5 ซึ่งเราสามารถทราบจำนวนประจุ โดยการวัดความต่างศักย์ตกคร่อมตัวเก็บประจุเพื่อคำนวณหาประจุที่เกิดขึ้น

3. แบบจำลองระบบขับเคลื่อนไอออนิกพลาสมาในรูปแบบไอออนทรัสเตอร์

ในการออกแบบขนาดของชิ้นงาน มีจอ OLED ในการแสดงผล 3 จอ ขนาดชิ้นงานมีความกว้าง 190 มิลลิเมตร ความยาว 390 มิลลิเมตร และมีคววามสูง 240 มิลลิเมตร ระยะที่วางแต่ละตำแหน่งของ Engine ห่างกัน 15 มิลลิเมตร ชนิดของวัสดุที่ใช้ในการสร้างชิ้นงานได้แก่พลาสวูด อะคริลิค และเส้นพลาสติก PLA ดังรูปที่ 4

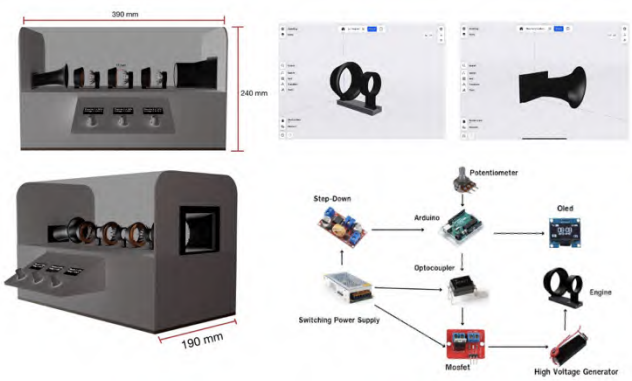

รูปที่ 4 แบบจำลองระบบขับเคลื่อนไอออนิกพลาสมาในรูปแบบไอออนทรัสเตอร์

ในการสร้างต้นแบบนี้ เราใช้โปรแกรม Shapr 3D เป็นเครื่องมือหลักในการออกแบบโครงสร้างหลักของทรัสเตอร์ ได้แก่ ปากแตร (nozzle) และช่องนำอากาศ (air inlet) ซึ่งเป็นส่วนสำคัญที่ช่วยในการจัดเรียงและเร่งอนุภาคพลาสมา สำหรับวัสดุที่ใช้ในการผลิตชิ้นส่วน เราได้เลือกใช้ เส้นใยพลาสติกชนิด PLA (Polylactic Acid) ซึ่งมีคุณสมบัติที่เหมาะสมสำหรับงานต้นแบบ เช่น มีความยืดหยุ่นสูงในการขึ้นรูป, มีน้ำหนักเบา, และมีความทนทานในระดับที่ต้องการ โดยชิ้นส่วนทั้งหมดจะถูกขึ้นรูปด้วยเครื่องพิมพ์ 3 มิติ Elegoo Neptune 4 และใช้วัสดุทองแดงแผ่นบางเคลือบผิวสำหรับการเรียงตัวของสนามไฟฟ้าได้อย่างเหมาะสม หลังจากที่ชิ้นส่วนทั้งหมดถูกพิมพ์ออกมาแล้ว จะเข้าสู่กระบวนการประกอบ เพื่อให้ชิ้นส่วนแต่ละส่วนเชื่อมต่อกันอย่างแน่นหนา จนได้เป็นโครงสร้างของ Ion Plasma Thruster ที่สมบูรณ์พร้อมสำหรับการติดตั้งระบบควบคุม

หัวใจสำคัญของต้นแบบนี้อยู่ที่ระบบควบคุมอิเล็กทรอนิกส์ ซึ่งใช้บอร์ด Arduino Uno เป็นอุปกรณ์หลักในการประมวลผลคำสั่ง โดยชุดคำสั่งจะถูกพัฒนาขึ้นด้วยโปรแกรม Arduino IDE ระบบจะรับค่าจากตัวต้านทานปรับค่าได้ (Vr) เพื่อควบคุมปริมาณกระแสไฟฟ้าที่ส่งไปยัง Mosfet ซึ่งทำหน้าที่จ่ายไฟให้กับ High voltage generator เพื่อสร้างแรงดันสูง เพื่อให้มั่นใจในความปลอดภัยของผู้ใช้งานและอุปกรณ์ ระบบได้ติดตั้ง Optocoupler ทำหน้าที่เป็นตัวแยกวงจรระหว่างส่วนควบคุม

แรงดันต่ำกับส่วนสร้างแรงดันสูง สถานะการทำงานต่างๆ ของระบบจะถูกแสดงผลแบบเรียลไทม์ผ่าน หน้าจอแสดงผลแบบ OLED

4. ผลการทดลอง

ในการทดสอบเพื่อหาประสิทธิภาพระบบการทำงานของ Ion Plasma Thruster โดยการปล่อย ประจุบวกไปหาขั้วลบและประจุบวกจะทำการชนเข้ากับโมเลกุลอากาศ ดังรูปที่ 5 จำนวน 2 กระบวนการ ได้แก่ การ ทดสอบการวัดความเร็วของกระแสลม และวัดค่ากระแสไฟฟ้าที่ไหลผ่านในวงจร เพื่อให้ผู้ใช้งานได้เข้าใจถึง หลักการทำงานและการแสดงผลของ Ion plasma Thruster โดยจะแสดงผลถึงการทดสอบดังต่อไปนี้

รูปที่ 5 การทดสอบพลาสมาทรัสเตอร์

การทดสอบการวัดความเร็วลมด้วย Digital Anemometer ซึ่งเป็นการจลองการวัดความเร็วลม จากกระแสลมที่ได้เกิดการชนกันของประจุไฟฟ้า โดยนำ Digital Anemometer วางห่างจากชิ้นงานระยะ 10-20 มิลลิเมตรและจะแสดงผลไป Digital Anemometer โดยจะทำการวัดผลทั้งหมด 3 ตัว ผลการทดสอบที่ได้สามารถแสดงเป็นดังรูปที่ 6

จากการทดลองและวิเคราะห์ข้อมูลที่เก็บรวบรวมได้ พบว่าการใช้ Engine แบบ Multi-stage โดยการเปิด Engine 1 ที่ 70% และ Engine 2 และ Engine 3 ที่ 50% ช่วย เพิ่มความเร็วของลมได้ถึง 1.3 m/s ด้วยการใช้กระแสไฟเพียง 7.2A เทียบกับการเปิด Engine ทั้งหมดที่ 100% ที่ได้ความเร็วลม 1.34 m/s และใช้กระแสไฟที่ 10.33A แต่มีความแตกต่างในความเร็วลมเพียง 0.04 m/s และการใช้กระแสไฟมีความแตกต่างถึง 3.13A โดยการใช้งานแบบ Multi-stage แต่เปิด Engine 1 ที่ 100% และ Thruster 2 และ 3 ช่วยประหยัดพลังงานอย่างมีประสิทธิภาพขึ้น และสามารถ ผลิตความเร็วของลมได้อย่างมีประสิทธิภาพมากยิ่งขึ้น

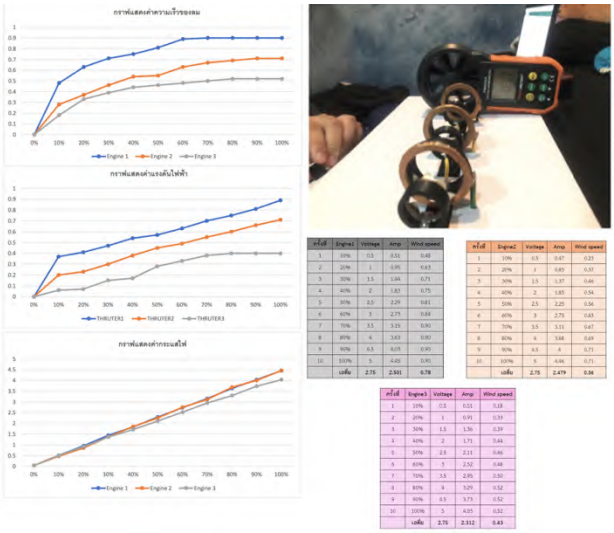

รูปที่ 6 การทดลองวัดทดสอบประสิทธิภาพของแรงขับเคลื่อน

5. สรุป

จากการศึกษาสามารถออกแบบ Thruster และเขียนโค้ดสำหรับการสร้างระบบขับเคลื่อนไอออนิกพลาสมา ใช้โปรแกรม Shapr3d ในการออกแบบ Thruster และใช้เครื่องพิมพ์ 3 มิติยี่ห้อ Elegoo รุ่น Neptune 4 pro ในการสร้างตัวชิ้นงานโดยการใช้วัสดุเป็นพลาสติก PLA (Polylactic acid) ใช้ โปรแกรม Arduino IDE ในการเขียนโค้ดคำสั่งเพื่อควบคุมการจ่ายไฟ สามารถสร้างความเร็วลมและแสดง ค่าการจ่ายไฟผ่านจอแสดงผล OLED ได้ตามเป้าหมาย

จากการทดลองวัดทีละ 10% จนถึง 100% เป็นวิธีที่ดีเพื่อหาค่าที่ดีที่สุดของแรงลม เริ่มต้นโดย การวัดที่ 10% เป็นอันดับแรกจนถึง 100% เมื่อได้ค่าที่ต่างกันจากการวัดทุกระดับ สามารถนำมา เปรียบเทียบและวิเคราะห์ผลข้อมูลเพื่อหาเปอร์เซ็นต์ที่ดีสุด จากการวิเคราะห์พบว่าเมื่อเปิดความเร็วลม ตัวแรก 70% ตัวที่สอง 50% และตัวที่สาม 50% เป็นกระแสลมที่สามารถขับอากาศที่มีประสิทธิภาพดีที่สุดจากการทดลองทั้งหมด

เอกสารอ้างอิง

[1] J. W. Nilsson and S. A. Riedel, “Sinusoidal steady-state analysis,” in *Electric Circuits*, 7th ed. : Prentice Hall, 2005, ch. 9, pp. 380 – 447.

[2] Lieberman M A and Lichtenberg A J 2005 Principles of Plasma Discharges and Materials Processing 2nd edn (Hoboken, NJ: Wiley-Interscience)

[3] M. B. Farriz, A. Din, A.A. Rahman, M.S. Yahaya, J.M. Herman "A Simple Design of a Mini Tesla coil With DC Voltage Input" ICECE Conference, 2010, p4556-4559.

[4] Jet Propulsion Laboratory (NASA), "Power On! Ion PropulsionSystem."[Online].Available:http://dawn.jpl.nasa.gov/technology/ion_prop.asp. [Accessed: 09-Jun-2016].

[5] R. G. Jahn and E. Y. Choueiri, "Electric Propulsion. Technology Programmes," *ESA Publications Division*, 2002.

[6] E. Y. Choueiri, "A Critical History of Electric Propulsion: The First 50 Years (1906- 1956)," *Journal of Propulsion and Power*, vol. 20, no. 2, pp. 193–203, 2004.

[7] NASA, "Glenn Contributions to Deep Space 1," 14-Apr-2015.[Online].Available:http://www.nasa.gov/centers/glenn/about/history/ds1.html. [Accessed: 23-Mar-2016].

[8] M. J. L. Turner, *Rocket and spacecraft propulsion*, 2nd ed. Leicester, UK: Springer International Publishing, 2005, p.145-166. ISBN 3-540-22190-5

[9] E. Y. Choueiri, "New Dawn for probes to the outer solar system," *Scientific American*, pp. 58–65, 2009.

[10] F. R. Chang, "The VASIMR Rocket," *Scientific American*, vol. 283, no. 5, 2000.

[11] R. G. Jahn and E. Y. Choueiri, "Electric Propulsion," *Encyclopedia of Physical Science and Technology*, vol. 5, pp. 125–141, 2002.

[12] L.-3 E. Technologies, "25 cm Xenon Ion Propulsion System (XIPS ®) Thruster and XIPS Power Controller (XPC)," Technical report, 2015.

[13] B. Welander, J. Monheiser, N. Meckel, K. De Grys, P. Peterson, Aerojet, and L. Martin, "Demonstration of the XR - 12 Hall Current Thruster," *33rd International Electric Propulsion Conference*, pp. 1–10, 2013.

[14] Glenn Research Center (NASA), "SPACE ELECTRIC ROCKET TESTII(SERTII),"2009.[Online].Available:http://www.grc.nasa.gov/WWW/ion/past/70s/sert2.htm. [Accessed: 23-Mar-2016].

[15] Wikipedia, "Eutelsat 115 West B," 2016. [Online]. Available:https://en.wikipedia.org/wiki/Eutelsat_115_West_B. [Accessed: 23-Mar- 2016].

[16] R. Frost, "How does one launch satellites into a geostationaryorbit?,"2014.[Online].Available:https://www.quora.com/How-does-one-launch-satellites-into-a-geostationary-orbit. [Accessed: 05-Jun-2016].

[17] K. Chien, K. Chien, S. L. Hart, S. L. Hart, W. G. Tighe, W. G. Tighe, M. K. De Pano, M. K. De Pano, T. a Bond, T. a Bond, R. Spears, and R. Spears, "L-3 Communications ETI Electric Propulsion Overview," *29th Int. Electr. Propuls. Conf. 2005*, 2005.

[18] Ministerio de Industria Energía y Turismo, "Factores de emisión de CO2 y coeficientes de paso a energía primaria de diferentes fuentes de energía final consumidas en el sector de edificios en España," Technical report, 2014.

การรวบรวมข้อมูลกระบวนการผลิตด้วยเทคโนโลยี IoT เพื่อส่งเสริมการพัฒนา SMEs ในอุตสาหกรรม 4.0

Gathering Production Process Data with IoT Technology to Promote The Development of SMEs In Industry 4.0

สิริฤกษ์ กลิ่นบุปผา[1] ภูวสิษฎ์ มุ่งอ้อมกลาง[2] กชพร สุขสวรรค์[2] ประจวบ กล่อมจิตร[1] และชัยวุฒ ชูรักษ์[2]*

[1]ภาควิชาวิศวกรรมอุตสาหการและการจัดการ คณะวิศวกรรมศาสตร์และเทคโนโลยีอุตสาหกรรม มหาวิทยาลัยศิลปากร
[2]ภาควิชาวิศวกรรมไฟฟ้า คณะวิศวกรรมศาสตร์และเทคโนโลยีอุตสาหกรรม มหาวิทยาลัยศิลปากร
วิทยาเขตพระราชวังสนามจันทร์ อำเภอเมือง จังหวัดนครปฐม
E-mail: chaiwut_su@hotmail.com*

บทคัดย่อ

การเปลี่ยนผ่านเชิงดิจิทัล ภายใต้แนวคิดอุตสาหกรรม 4.0 (Industry 4.0) เทคโนโลยี IoT ได้เข้ามามีบทบาทสำคัญในการพลิกโฉมกระบวนการผลิตแบบดั้งเดิมไปสู่การผลิตที่ขับเคลื่อนด้วยข้อมูล การเก็บข้อมูลการผลิตและการตัดสินใจเชิงระบบแบบเรียลไทม์จึงจำเป็นต่อการยกระดับขีดความสามารถของภาคอุตสาหกรรมขนาดกลางและขนาดย่อม (SMEs) ให้สามารถปรับตัวและแข่งขันได้ งานวิจัยนี้มีวัตถุประสงค์เพื่อออกแบบและพัฒนาระบบจำลองการเก็บข้อมูลกระบวนการผลิตด้วยเทคโนโลยี IoT ที่สามารถใช้งานได้จริง โดยคำนึงถึงความง่ายในการติดตั้ง ต้นทุนต่ำ และความสามารถในการขยายระบบในอนาคต ระบบจำลองประกอบด้วย PLC ควบคุมการทำงานของมอเตอร์ด้วยอินเวอร์เตอร์และใช้พาวเวอร์มิเตอร์วัดค่าพลังงานไฟฟ้าที่ใช้ในกระบวนการผลิต ข้อมูลถูกส่งผ่านโปรโตคอล Modbus ไปยังคลาวด์ เพื่อจัดเก็บในฐานข้อมูล InfluxDB และแสดงผลแบบเรียลไทม์ผ่าน Grafana โดยมี Raspberry Pi และ Node-RED เป็นตัวกลางในการประมวลผลและจัดการข้อมูล ผลการทดสอบแสดงให้เห็นว่าระบบสามารถจัดเก็บและแสดงข้อมูลการผลิตได้อย่างถูกต้อง อีกทั้งสามารถตรวจสอบกระบวนการผลิตผ่านสมาร์ทโฟนหรือแท็บเล็ตได้แบบเรียลไทม์

คำสำคัญ: เทคโนโลยี IoT, การสื่อสาร Modbus

Abstract

Digital transformation Under the concept of Industry 4.0, IoT technology has played an important role in transforming traditional manufacturing processes to data-driven manufacturing. Real-time collection of production data and systematic decision-making are essential to enhance the capabilities of small and medium-sized enterprises (SMEs) to be adaptable and competitive. This research aims to design and develop a practical IoT manufacturing process data collection simulation system, taking into account ease of installation, low cost, and future system scalability. The simulation system consists of a PLC to control the motor operation with an inverter and a power meter to measure the electrical energy used in the manufacturing process. The data is transmitted via the Modbus protocol to the cloud to be stored in the InfluxDB database and displayed in real time via Grafana, with Raspberry Pi and Node-RED acting as intermediaries for data processing and management. The test results show that the system can store and display production data accurately, and the manufacturing process can be monitored in real time via smartphones or tablets.

Keywords: IoT technology, Modbus Protocol

1. บทนำ

แนวโน้มของการเปลี่ยนแปลงภาคอุตสาหกรรมเข้าสู่ยุค "อุตสาหกรรม 4.0" (Industry 4.0) ได้กลายเป็นกลไกสำคัญในการขับเคลื่อนภาคการผลิตทั่วโลก โดยเฉพาะในประเทศกำลังพัฒนาอย่างประเทศไทยที่มุ่งเน้นการยกระดับขีดความสามารถของภาคการผลิตผ่านเทคโนโลยีอัจฉริยะ เช่น Internet of Things (IoT), ปัญญาประดิษฐ์ (AI), การวิเคราะห์ข้อมูลขนาดใหญ่ (Big Data Analytics), และระบบไซเบอร์กายภาพ (Cyber-Physical Systems: CPS) ซึ่งมีเป้าหมายหลักคือการเพิ่มประสิทธิภาพ ความยืดหยุ่น และความสามารถในการปรับตัวของระบบการผลิตสมัยใหม่ เทคโนโลยี IoT ทำหน้าที่เป็นสะพานเชื่อมระหว่างข้อมูลทางกายภาพของเครื่องจักรกับข้อมูลดิจิทัล โดยอาศัยเซนเซอร์อัจฉริยะ (smart sensors) และระบบสื่อสารแบบไร้สายเพื่อเก็บรวบรวมข้อมูลจากกระบวนการผลิตในแบบเรียลไทม์ องค์ประกอบเหล่านี้มีบทบาทสำคัญในการผลักดันโรงงานให้เปลี่ยนผ่านสู่ “โรงงานอัจฉริยะ (Smart Factory)” ที่สามารถตรวจจับ วิเคราะห์ และตัดสินใจด้วยข้อมูลจริงแบบเรียลไทม์ ซึ่งข้อมูลดังกล่าวเป็นวัตถุดิบสำคัญในการนำไปวิเคราะห์เพื่อใช้ในการควบคุมและตัดสินใจในกระบวนการผลิต [1] อย่างไรก็ตาม สำหรับประเทศไทย แม้รัฐบาลได้ส่งเสริมนโยบาย “Thailand 4.0” เพื่อยกระดับความสามารถของภาคอุตสาหกรรมโดยเฉพาะกลุ่ม SMEs (Small and Medium Enterprises) แต่ข้อมูลจากสำนักงานส่งเสริมวิสาหกิจขนาดกลางและขนาดย่อม (สสว.) กลับพบว่า โรงงานส่วนใหญ่ยังคงใช้ระบบการ

*ผู้ประพันธ์บรรณกิจ

ผลิตแบบเดิมที่ไม่มีการเก็บข้อมูลอย่างเป็นระบบ หรือมีเพียงการบันทึกด้วยแรงงานคน ซึ่งส่งผลให้ไม่สามารถตัดสินใจหรือปรับปรุงประสิทธิภาพการผลิตได้อย่างเหมาะสม

เทคโนโลยี IoT ได้รับการพิสูจน์แล้วว่าเป็นกลไกสำคัญในการยกระดับกระบวนการผลิตให้มีความสามารถในการเก็บข้อมูลแบบต่อเนื่องและแม่นยำ [2] ข้อมูลที่เก็บมาจากอุปกรณ์ IoT ทำให้สามารถนำข้อมูลจากเซนเซอร์ เช่น อุณหภูมิ การสั่นสะเทือน ความเร็ว หรือพลังงาน มาเก็บไว้ในระบบกลางเพื่อวิเคราะห์และแสดงผลในรูปแบบที่เข้าใจง่าย การใช้ IoT ในการเก็บข้อมูลสำหรับ Maintenance 4.0 สามารถลดความเสี่ยงของความเสียหายรุนแรงในสายการผลิตได้อย่างมีนัยสำคัญ [3] ข้อมูลดังกล่าวแสดงให้เห็นว่า SMEs ไม่จำเป็นต้องลงทุนสูงเพื่อพัฒนาโรงงานอัจฉริยะ เพียงแค่เริ่มต้นด้วยระบบ IoT ที่เหมาะสมกับบริบทของตนเองก็สามารถสร้างผลลัพธ์เชิงบวกได้

ความก้าวหน้าของเทคโนโลยีด้านฮาร์ดแวร์ เช่น เซนเซอร์ต้นทุนต่ำ, บอร์ดประมวลผลขนาดเล็ก (เช่น Raspberry Pi, ESP32 และการเชื่อมต่อผ่านโปรโตคอลที่หลากหลาย (MQTT, HTTP, OPC-UA) ทำให้การติดตั้งและขยายระบบ IoT ภายในโรงงานกลายเป็นสิ่งที่เป็นไปได้จริงในระดับอุตสาหกรรมขนาดกลางและเล็ก ซึ่งเหมาะสมกับบริบทของโรงงานในประเทศไทย งานวิจัยในด้านนี้จึงไม่เพียงแต่ช่วยสนับสนุนการพัฒนาเทคโนโลยีเท่านั้น แต่ยังมีบทบาทในการปรับเปลี่ยนแนวทางการผลิตของประเทศจาก “ผลิตมาก” ไปสู่ “ผลิตแม่นยำ มีคุณภาพ และยั่งยืน” ตามแนวทางของ Thailand 4.0 การประสานกันของ OT/IT โดยวางฐานข้อมูล SQL ไว้ในลูปข้อมูลการควบคุมระหว่าง PLC การสาธิตในห้องปฏิบัติการชี้ความเป็นไปได้อย่างน่าเชื่อถือ แต่การขาดการประเมินสมรรถนะเชิงปริมาณ หน่วงเวลา และความมั่นคงปลอดภัย โดยเฉพาะการขาดรายละเอียดการระบุตัวแบบการเปรียบเทียบค่าอ้างอิง การรายงานการสอบเทียบและความไม่แน่นอน [4]

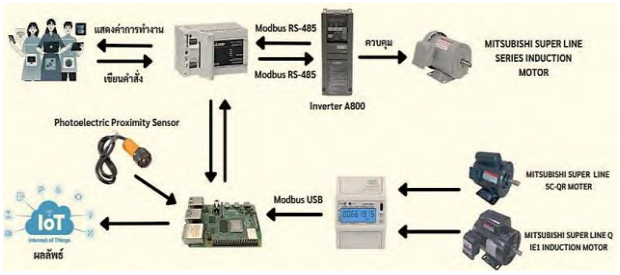

รูปที่ 1 ภาพรวมของการทำงานระบบควบคุมอัตโนมัติ IOT

ด้วยบริบทและปัญหาข้างต้น งานวิจัยนี้จึงมีวัตถุประสงค์เพื่อออกแบบและพัฒนา ระบบเก็บข้อมูลด้วยเทคโนโลยี IoT ที่สามารถติดตั้งในโรงงาน SMEs พร้อมทั้งทำการจำลองและประเมินผลในสายการผลิต โดยมุ่งออกแบบการจำลองระบบต้นแบบที่สามารถใช้งานได้จริงในโรงงาน SMEs โดยใช้เซนเซอร์ต้นทุนต่ำ บอร์ดไมโครคอนโทรลเลอร์ การสื่อสารผ่าน MQTT และการแสดงผลด้วยระบบ open-source อย่าง Grafana ทั้งนี้เพื่อตอบโจทย์ของ SMEs ที่ต้องการ “ระบบอัจฉริยะราคาย่อมเยา” ในบริบทของการพัฒนาเศรษฐกิจและอุตสาหกรรมไทยในระยะยาว

2. วิธีการดำเนินงานวิจัย

การพัฒนางานวิจัยนี้เป็นการเก็บข้อมูล IoT ที่เหมาะสมกับโรงงาน โดยเฉพาะในกลุ่มโรงงาน SMEs โดยใช้ Internet of Things (IoT) การดำเนินการวิจัยแบ่งขั้นตอนการพัฒนาระบบงานตามหลักการออกแบบแบบจำลอง (Simulation Model) โดยใช้หลักการของวงจรชีวิตการพัฒนาระบบ (System Development Life Cycle: SDLC) [5] ซึ่งเป็นแนวทางการออกแบบการทดลองเชิงเทคโนโลยีที่มีโครงสร้างและความน่าเชื่อถือ โดยเริ่มจากขั้นตอนการวางแผน (Planning) โดยการระบุปัญหาของระบบจริง เช่น การขาดข้อมูลแบบเรียลไทม์ในโรงงาน SMEs จากนั้นเข้าสู่ขั้นวิเคราะห์ระบบ (System Analysis) และรวบรวมข้อมูลจากผู้ใช้งาน และวิเคราะห์ตัวแปรที่เกี่ยวข้องกับประสิทธิภาพของระบบ ขั้นต่อมาคือการออกแบบระบบ (System Design) โดยกำหนดโครงสร้างของระบบจำลอง เช่น การเลือกฮาร์ดแวร์ IoT และ sensors การไหลของข้อมูล (data flow), โครงสร้างฐานข้อมูล และรูปแบบ Dashboard เพื่อให้สามารถทดสอบในสภาพแวดล้อมจริงหรือจำลองได้ ถัดมาคือการพัฒนาและจำลองระบบต้นแบบ (Implementation) โดยเขียนโปรแกรม ทดสอบการเชื่อมต่อ และจำลองสถานการณ์ในห้องทดลองหรือโรงงานจำลองเพื่อเก็บข้อมูล ขั้นตอนถัดไปคือการทดสอบและประเมินผล (Testing & Evaluation) เพื่อประเมินระบบก่อนประยุกต์ใช้ในกระบวนการผลิตจริงของอุตสาหกรรม SMEs

รูปที่ 1 แสดงภาพรวมของการทำงานระบบควบคุมอัตโนมัติ IOT การออกแบบระบบจำลองการรวบรวมข้อมูลกระบวนการผลิตด้วยเทคโนโลยี IoT สำหรับการพัฒนาระบบเก็บข้อมูลและแสดงผลของกระบวนการผลิตซึ่งประกอบด้วยประกอบด้วย 1) PLC Mitsubishi รุ่น FX5U เป็นตัวควบคุมเพื่อเชื่อมต่อสัญญาณอินพุตและเอาต์พุตจากจอสัมผัส HMI Mitsubishi GOT2000 และเซ็นเซอร์พร็อกซิมิตี้สวิตช์ 2) มอเตอร์ที่ถูกควบคุมด้วยอินเวอร์เตอร์ Mitsubishi inverter รุ่น FR-A800 เพื่อจำลองเป็นเครื่องจักรในอุตสาหกรรม 3) Raspberry Pi เป็นตัวทำงานหลักของระบบ IOT สำหรับการรับส่งข้อมูลระยะไกล และพาวเวอร์มิเตอร์วัดค่าพลังงานไฟฟ้าในการจำลองกระบวนการผลิต ดังแสดงในรูปที่ 2 และ 3 ส่วนซอฟต์แวร์เป็นการเชื่อมต่อกันระหว่าง Node-RED และ InfluxDB เพื่อเก็บข้อมูลที่ได้รับมาจากกระบวนการผลิตเก็บไว้ที่ระบบเก็บข้อมูล การแสดงผลที่หน้าแดรชบอร์ดผ่านโปรแกรม Grafana สามารถเข้าถึงข้อมูลและการแสดงผล Real-time ผ่านอุปกรณ์แท็บเล็ต โทรศัพท์มือถือ หรือคอมพิวเตอร์ แสดงภาพรวมการทำงานของระบบควบคุมอัตโนมัติ IOT สำหรับงานอุตสาหกรรม

รูปที่ 2 PLC, HMI และอินเวอร์เตอร์ที่ใช้จำลองการทำงานของเครื่องจักร

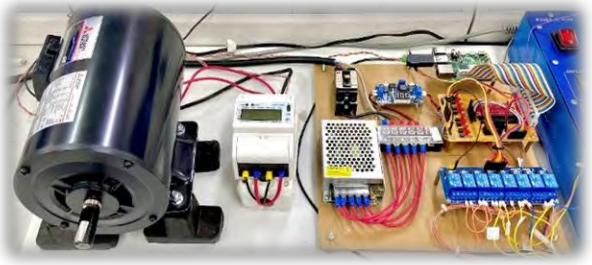

รูปที่ 3 Raspberry Pi และ พาวเวอร์มิเตอร์วัดค่าพลังงานไฟฟ้าสำหรับการจำลองกระบวนการผลิต

2.1 การจำลองสถานะการผลิต

การเก็บข้อมูลกระบวนการผลิตของสถานีงานถังปั่นผสมวัตถุดิบที่ถูกควบคุมความเร็วรอบการทำงานของมอเตอร์ด้วยอินเวอร์เตอร์ผ่านการควบคุมด้วย PLC ตามลำดับ โดยจำลองการทำงานของถังปั่นผสมวัตถุดิบในกระบวนการผลิต การกำหนดการทำงานของถังปั่นผสมวัตถุดิบถูกออกแบบให้กำหนดผ่าน HMI GOT2000 สามารถเลือกปรับทิศทางการปั่นและความเร็วรอบของมอเตอร์ได้ หน้าจอการตั้งค่าความถี่ของถังปั่นผสมวัตถุดิบ Select Frequency (Speed) สามารถเลือกความถี่ในการใช้งานตามความเหมาะสม และยังสามารถตั้งค่าความถี่ตามที่ผู้ใช้งานต้องการได้และปุ่ม Emergency สำหรับหยุดการทำงานทั้งหมดกรณีฉุกเฉิน การสร้างหน้า Control Stirring thank REV สำหรับสั่งการเครื่องจักรหมุนทวนเข็มนาฬิกา FWD สำหรับสั่งการเครื่องจักรหมุนตามเข็มนาฬิกา และปุ่ม STOP สำหรับหยุดการทำงานของเครื่องจักร ปุ่ม HOME สำหรับการกลับไปหน้าหลักและสุดท้ายปุ่ม Emergency สำหรับหยุดการทำงานทั้งหมดกรณีฉุกเฉิน การสร้างหน้าจอแสดงค่าปริมาณทางไฟฟ้าของเครื่องจักร Data Monitoring สำหรับการแสดง Frequency (Hz) เพื่อแสดงค่าความถี่ Current (A) เพื่อแสดงค่ากระแสไฟฟ้าและ Voltage (V) ที่ดึงข้อมูลมาจากอินเวอร์เตอร์เพื่อแสดงค่า ดังแสดงในรูปที่ 4

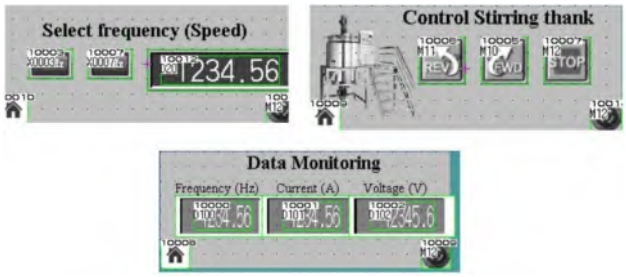

รูปที่ 4 การเขียนโปรแกรม ควบคุม HMI ด้วยซอฟต์แวร์ GT Designer 3

2.2 การออกแบบการส่งข้อมูลการใช้พลังงานไฟฟ้า

การสื่อสารระหว่างพาวเวอร์มิเตอร์กับเครื่องจักรเพื่อแสดงผลค่าปริมาณทางไฟฟ้าบนหน้าแดรชบอร์ด โดยการนำค่าปริมาณทางไฟฟ้าที่อ่านได้จากพาวเวอร์มิเตอร์ขณะเครื่องจักรทำงานและส่งข้อมูลทั้งหมดที่ได้นั้นไปเก็บไว้ที่ระบบเก็บข้อมูล InfluxDB ด้วยการสื่อสารกันผ่านการแปลง RS-485 แปลงเป็น USB เข้ากับราสเบอร์รี่พาย และสร้างโหนดสำหรับการดึงค่าปริมาณทางไฟฟ้าบน Node-RED ดังแสดงในรูปที่ 5

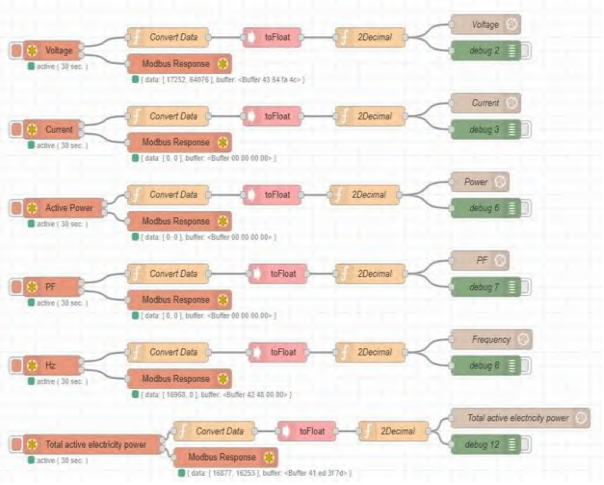

รูปที่ 5 โหนดสำหรับการดึงค่าปริมาณทางไฟฟ้าบน Node-RED

การสื่อสารระหว่างเซนเซอร์กับเครื่องจักรเพื่อแสดงจำนวนจำนวนผลิตภัณฑ์หน้าแดรชบอร์ดการนำค่าจำนวนผลิตภัณฑ์ที่ได้จากสัญญาณเซนเซอร์ขณะเครื่องจักรทำงานแล้วนำข้อมูลทั้งหมดที่ได้นั้นไปเก็บไว้ที่ระบบเก็บข้อมูล InfluxDB โดยสร้างโหนดสำหรับเก็บข้อมูลบน Node-RED ดังแสดงในรูปที่ 6

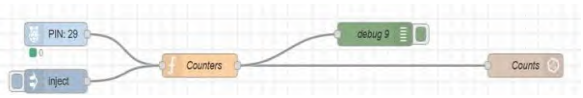

รูปที่ 6 โหนดสำหรับเก็บข้อมูลบน Node-RED

3. การรวบรวมข้อมูลพลังงานเพื่อบันทึกลงบนฐานข้อมูล

ข้อมูลการใช้พลังงานไฟฟ้าจากมิเตอร์จากการจำลองกระบวนการผลิตในอุตสาหกรรมถูกส่งผ่านไปยัง Node-Red ที่ทำงานบน Raspberry pi ทำหน้าที่เป็นตัวกลางในการจัดการข้อมูลและรวบรวมข้อมูลดังรูปที่ 7 และรูปที่ 8 ข้อมูลการใช้พลังงานและค่าของเซนเซอร์ตรวจจับวัตถุถูกประมวลผลเพื่อให้เตรียมพร้อมสำหรับการจัดเก็บ จากนั้นข้อมูลที่ได้ทั้งหมดจะถูกบันทึกลงในระบบฐานเก็บข้อมูล InfluxDB (Data Base) หลังจากที่ทำการเก็บข้อมูลแล้ว ข้อมูลทั้งหมดยังถูกส่งไปแสดงผลที่หน้าจอแดชบอร์ดที่ Grafana (Dashboard)

3.1 ผลการทดสอบการจำลองเก็บข้อมูล

จากการทดสอบระบบการจำลองเก็บข้อมูลการผลิตในอุตสาหกรรมที่พัฒนาขึ้นด้วยเทคโนโลยี Internet of Things (IoT) พบว่าระบบสามารถทำงานได้ตามวัตถุประสงค์ที่กำหนดไว้ โดยมีประสิทธิภาพในการเก็บข้อมูลการผลิตและการควบคุมเครื่องจักรได้อย่างแม่นยำ ระบบนี้ประกอบด้วยส่วนหลัก ได้แก่ Programmable Logic Controller (PLC) Mitsubishi FX5U, Raspberry Pi, Node-RED, InfluxDB และ Grafana ซึ่งทำงานร่วมกันในการเก็บข้อมูลและควบคุมกระบวนการผลิตแบบเรียลไทม์

การทดสอบแสดงให้เห็นว่าระบบสามารถจัดเก็บข้อมูลการผลิต เช่น แรงดันไฟฟ้า (Voltage), กระแสไฟฟ้า (Current), กำลังไฟฟ้า

(Power), ความถี่ (Frequency) และอุณหภูมิ (Temperature) ได้อย่างถูกต้อง โดยข้อมูลทั้งหมดถูกบันทึกในฐานข้อมูล InfluxDB ซึ่งรองรับการจัดเก็บข้อมูลแบบ Time-Series ทำให้สามารถเรียกดูข้อมูลย้อนหลังและวิเคราะห์ประสิทธิภาพของกระบวนการผลิตได้อย่างมีประสิทธิภาพ

นอกจากนี้ ระบบยังสามารถควบคุมการทำงานของเครื่องจักรได้อย่างยืดหยุ่น ผู้ใช้งานสามารถตั้งค่าความเร็วรอบและทิศทางการหมุนของมอเตอร์ผ่าน PLC และอินเวอร์เตอร์ โดยใช้โปรโตคอล Modbus สำหรับการสื่อสารระหว่างอุปกรณ์ ระบบควบคุมนี้ถูกออกแบบให้สามารถทำงานร่วมกับ HMI (Human Machine Interface) GOT 2000 ของ Mitsubishi ทำให้ผู้ใช้งานสามารถตรวจสอบสถานะของเครื่องจักรและควบคุมกระบวนการผลิตได้จากระยะไกลผ่านสมาร์ทโฟนหรือแท็บเล็ต

การประมวลผลข้อมูลในระบบนี้ใช้ Node-RED ซึ่งเป็นแพลตฟอร์มแบบ Flow-Based Programming ทำให้การสร้างและจัดการโหนด (Node) สำหรับรับ-ส่งข้อมูลทำได้ง่ายและยืดหยุ่น ข้อมูลที่รวบรวมจากเซนเซอร์และเครื่องจักรถูกส่งไปแสดงผลแบบเรียลไทม์บนแดชบอร์ด Grafana ช่วยให้ผู้ใช้งานสามารถติดตามสถานะการทำงานของเครื่องจักรได้อย่างต่อเนื่อง

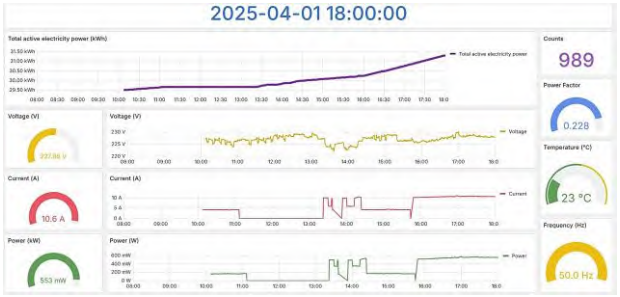

รูปที่ 7 หน้าจอแดรชบอร์ดสายพานลำเลียงผ่านโปรแกรม Grafana

รูปที่ 8 หน้าจอแดรชบอร์ดถังปั่นส่วนผสมผ่านโปรแกรม Grafana

รูปที่ 7 แสดงหน้าแดชบอร์ดการทำงานแสดงสถานการณ์สมมติการทำงานของสายพานลำเลียง และรูปที่ที่ 8 แสดงหน้าแดชบอร์ดของสถานีงานถังปั่นผสมวัตถุดิบ ผลการทดสอบยังระบุว่าระบบนี้สามารถลดความผิดพลาดในการจัดเก็บข้อมูลและเพิ่มความแม่นยำในการประมวลผล ทำให้การดำเนินงานในกระบวนการผลิตมีประสิทธิภาพมากขึ้น ระบบสามารถตอบสนองต่อการเปลี่ยนแปลงของสภาพการผลิตได้อย่างรวดเร็ว ลดความจำเป็นในการตรวจสอบแบบ Manual และสามารถขยายขีดความสามารถในการเก็บข้อมูลให้ครอบคลุมการตรวจสอบสถานะของเครื่องจักรได้หลายจุด

4. สรุป

การรวบรวมข้อมูลพลังงานในระบบนี้ใช้เทคโนโลยี Internet of Things (IoT) เพื่อเก็บข้อมูลสำคัญของกระบวนการผลิต เช่น แรงดัน (Voltage), กระแส (Current), กำลังไฟฟ้า (Power), ความถี่ (Frequency) และพลังงาน (Energy) โดยใช้ Power Meter ที่เชื่อมต่อกับ Raspberry Pi ผ่านโปรโตคอล Modbus RTU (RS-485) ข้อมูลจาก Power Meter จะถูกส่งผ่านพอร์ต RS-485 และแปลงเป็น USB เพื่อให้ Raspberry Pi สามารถประมวลผลและจัดเก็บข้อมูลได้อย่างมีประสิทธิภาพ ระบบนี้ใช้ Node-RED ในการสร้างโหนด (Node) สำหรับรับและแปลงข้อมูล โดยข้อมูลดิบจาก Power Meter ถูกแปลงเป็นค่าทศนิยมผ่านฟังก์ชัน Convert Data และจัดรูปแบบให้ตรงกับมาตรฐานการบันทึกข้อมูลทางไฟฟ้า ข้อมูลที่แปลงแล้วจะถูกส่งต่อไปยัง InfluxDB ซึ่งเป็นฐานข้อมูลแบบ Time-Series Database (TSDB) ที่ออกแบบมาเฉพาะสำหรับการจัดเก็บข้อมูลที่เปลี่ยนแปลงตามเวลา ข้อมูลเหล่านี้สามารถแสดงผลแบบเรียลไทม์ผ่าน Dashboard ของ Grafana การพัฒนาระบบจำลองการเก็บข้อมูลกระบวนการผลิตด้วยเทคโนโลยี IoT ที่สามารถใช้งานได้และระบบสามารถจัดเก็บและแสดงข้อมูลการผลิตได้อย่างถูกต้อง อีกทั้งสามารถตรวจสอบกระบวนการผลิตผ่านสมาร์ทโฟนหรือแท็บเล็ตได้แบบเรียลไทม์เพื่อการเพิ่มขีดความสามารถของภาคอุตสาหกรรมขนาดกลางและขนาดย่อม (SMEs) ให้สามารถปรับตัวและแข่งขันได้

เอกสารอ้างอิง

[1]. Gupta, V.P., "Smart Sensors and Industrial IoT (IIoT),": A Driver of the Growth of Industry 4.0. In: Gupta, D., Hugo C. de Albuquerque, V., Khanna, A., Mehta, P.L. (eds) Smart Sensors for Industrial Internet of Things. Internet of Things, 2021 Springer, Cham.

[2]. Saqlain, M., Piao, M., Shim, Y.A., & Lee, J.Y., Framework of an IoT-based Industrial Data Management for Smart Manufacturing," 2019, J. Sens. Actuator Networks, 8, 25.

[3]. A. Cachada et al., "Using Internet of Things Technologies for an Efficient Data Collection in Maintenance 4.0," 2019 IEEE International Conference on Industrial Cyber Physical Systems (ICPS), Taipei, Taiwan, 2019, pp. 113-118.

[4]. Howimanporn, S., Chookaew, S., & Silawatchananai, C, Implementation of Real Time Data Collection Process Automation Control Using IIoT Applications, Journal of Advances in Information Technology, 2022.

[5]. เกียรติพงษ์ อุดมธนะธีระ, “วงจรการพัฒนาระบบ (System Development Life Cycle : SDLC),” กองโลจิสติกส์ กรมส่งเสริมอุตสาหกรรม, 2019.

ระบบแจ้งเตือนอุทกภัยและภาวะไฟฟ้ารั่วผ่าน TELEGRAM
Flood and Electricity Leakage Alert System by Telegram

ศุภรัตน์ แย้มครวญ[1] จุฑามาศ นุภาสันต์[2] ศิวพร ใหญ่จันทึก[3] จุฑามณีฆ์ แตงปาน[4] ภาวินี ปานเพชร[5] ศิริชัย เติมโชคเกษม[6*]

ภาควิชาวิศวกรรมไฟฟ้า คณะวิศวกรรมศาสตร์ มหาวิทยาลัยกรุงเทพ suparat.y@bu.ac.th[1] sirichai.t@bu.ac.th[2*]

บทคัดย่อ

บทความนี้นำเสนอระบบแจ้งเตือนอุทกภัยและภาวะไฟฟ้ารั่วในน้ำแบบเรียลไทม์ โดยใช้บอร์ด ESP32 เป็นหน่วยควบคุมหลักสำหรับการประมวลผลและส่งข้อมูลร่วมกับเซ็นเซอร์สองประเภท ได้แก่ เซ็นเซอร์วัดระดับน้ำแบบแบ่งเป็น 5 ระดับที่ออกแบบขึ้นเอง และเซ็นเซอร์ตรวจจับกระแสไฟฟ้ารั่วในน้ำ โดยติดตั้งระบบทั้งหมดไว้รอบบ้านจำลองจำนวน 4 ตำแหน่ง เพื่อเพิ่มความครอบคลุมในการตรวจสอบสถานการณ์ผิดปกติ ระบบสามารถตรวจวัดระดับน้ำที่เพิ่มสูงขึ้น พร้อมจำแนกสถานะออกเป็น 5 ระดับ ตั้งแต่ระดับปกติไปจนถึงระดับฉุกเฉิน นอกจากนี้ยังสามารถตรวจจับไฟฟ้าขนาดเล็กที่รั่วลงสู่แหล่งน้ำ ด้วยวงจรตรวจจับที่อ้างอิงจากหลักการของระบบ Flood Duck และปรับปรุงให้เหมาะสมกับการทำงานร่วมกับ ESP32 โดยใช้พลังงานจากแบตเตอรี่ ระบบทั้งหมดสื่อสารผ่านเครือข่าย Wi-Fi เพื่อส่งข้อมูลการแจ้งเตือนไปยังแอปพลิเคชัน Telegram แบบทันทีที่เกิดเหตุการณ์จริง ผลการทดลองแสดงให้เห็นว่าระบบสามารถตรวจจับระดับน้ำและสัญญาณไฟฟ้ารั่วในน้ำได้จริง มีความเสถียรในการแจ้งเตือน และสามารถประยุกต์ใช้งานได้จริงในพื้นที่เสี่ยงภัยน้ำท่วมหรือบริเวณที่มีความเสี่ยงจากระบบไฟฟ้าใกล้แหล่งน้ำ โดยมีต้นทุนต่ำและสามารถติดตั้งได้อย่างยืดหยุ่นในสภาพแวดล้อมที่หลากหลาย

คำสำคัญ: ระบบแจ้งเตือนน้ำท่วม, การตรวจจับไฟฟ้ารั่ว, ESP32, Telegram, ระบบเฝ้าระวังภัย, IoT

Abstract

This project presents a real-time flood warning and water leakage detection system using the ESP32 board as the main controller for data processing and transmission. The system integrates two types of sensors: a custom-designed water level sensor with five distinct levels, and a DIY electrical leakage detector designed for use in water. These sensors are installed at four locations around a house model to provide comprehensive monitoring coverage. The flood detection component monitors rising water levels and classifies them into five stages, ranging from normal to emergency levels. The electrical leakage detection system is based on the principles of the "Flood Duck" circuit, adapted for integration with the ESP32 and powered by portable battery sources. All components communicate over Wi-Fi to send instant alerts via the Telegram application whenever an abnormal condition is detected. Experimental results demonstrate that the system can accurately detect both water levels and electrical leakage in water with high reliability. The alert system is responsive and stable, making it suitable for real-world applications in flood-prone or electrically hazardous areas near water. The system is low-cost, scalable, and adaptable to various environments.

Keywords: Flood warning system, Electrical leakage detection, ESP32, Telegram, Hazard monitoring, IoT

1. บทนำ

เนื่องจากอุทกภัยถือเป็นภัยพิบัติทางธรรมชาติที่สร้างความเสียหายทั้งต่อชีวิตและทรัพย์สิน หากประชาชนไม่สามารถอพยพหรือเคลื่อนย้ายสิ่งของได้ทันก่อนเกิดน้ำท่วมฉับพลัน [1] อาจเสี่ยงต่อการถูกกระแสไฟฟ้ารั่วลงสู่แหล่งน้ำ ซึ่งเป็นอันตรายอย่างมาก โดยเฉพาะในพื้นที่ที่ระบบไฟฟ้าไม่ได้ออกแบบให้รับมือกับสภาพแวดล้อมที่เปียกชื้น [2] โครงงานระบบแจ้งเตือนอุทกภัยและภาวะไฟฟ้ารั่วผ่าน TELEGRAM จึงถูกพัฒนาขึ้น โดยมีวัตถุประสงค์เพื่อออกแบบระบบแจ้งเตือนอัตโนมัติเมื่อเกิดน้ำท่วมหรือไฟฟ้ารั่วในพื้นที่ที่กำหนด โดยใช้บอร์ด ESP32 เป็นหน่วยควบคุมหลักของระบบ ระบบประกอบด้วยเซ็นเซอร์วัดระดับน้ำแบบกำหนดเอง 5 ระดับ ติดตั้งไว้ตามจุดต่าง ๆ รอบบ้านจำลองจำนวน 4 จุด (เช่น มุมทั้ง 4 ของบ้าน) เพื่อตรวจจับระดับน้ำที่เพิ่มขึ้นอย่างต่อเนื่อง หากระดับน้ำสูงถึงค่าที่ตั้งไว้ เซ็นเซอร์จะส่งสัญญาณไปยัง ESP32 เพื่อส่งข้อความแจ้งเตือนผ่านแอปพลิเคชัน Telegram ไปยังผู้ใช้งานทันทีนอกจากนี้ยังมีการติดตั้งเซ็นเซอร์ตรวจจับกระแสไฟฟ้ารั่วในน้ำ เมื่อตรวจพบว่ามีกระแสไฟฟ้าไหลลงสู่แหล่งน้ำ ระบบจะส่งสัญญาณไปยัง ESP32 เพื่อแจ้งเตือนผ่าน Telegram เช่นเดียวกัน แม้ระบบจะยังไม่ได้เชื่อมต่อกับอุปกรณ์ตัดไฟโดยอัตโนมัติ แต่สามารถต่อยอดให้ควบคุมอุปกรณ์ไฟฟ้าจริง เช่น รีเลย์, RCBO หรือ Magnetic Contactor ได้ในอนาคต ระบบนี้สามารถพัฒนาเพิ่มเติมให้รองรับจำนวนเซ็นเซอร์มากขึ้น หรือเชื่อมต่อกับระบบ Smart Home และอุปกรณ์แสดงผลอื่น ๆ เพื่อเพิ่มประสิทธิภาพในการแจ้งเตือนและรองรับสถานการณ์ฉุกเฉินได้อย่างครอบคลุม

2. แนวคิดทฤษฎีเกี่ยวข้อง

เนื้อหาในส่วนนี้กล่าวถึงทฤษฎี แนวคิดพื้นฐาน และนิยามที่เกี่ยวข้อง ซึ่งเป็นองค์ประกอบสำคัญในการพัฒนาระบบแจ้งเตือนอุทกภัยและภาวะไฟฟ้ารั่วผ่าน Telegram

2.1 หลักการทำงานของ Telegram

Telegram คือระบบสื่อสารแบบส่งข้อความทันที (Instant Messaging) ที่มีความปลอดภัยสูง รองรับการใช้งานข้ามแพลตฟอร์ม และได้รับความนิยมอย่างกว้างขวางทั่วโลก Telegram ถูกพัฒนาโดย Nikolai และ Pavel Durov เพื่อเป็นทางเลือกที่รวดเร็ว ปลอดภัย และเปิดกว้างสำหรับนักพัฒนา โดย Telegram มีการรองรับการส่งข้อความ

*ผู้ประพันธ์บรรณกิจ

ตัวอักษร, รูปภาพ, วิดีโอ, ไฟล์เอกสาร รวมถึงระบบ Bot API ซึ่งเปิดให้พัฒนาเครื่องมือหรือระบบอัตโนมัติเพื่อใช้งานร่วมกับ Telegram ได้ [3] หนึ่งในฟีเจอร์ที่โดดเด่นที่สุดของ Telegram คือ Telegram Bot ซึ่งทำให้สามารถเชื่อมต่อกับระบบอื่น เช่น ระบบตรวจจับระดับน้ำท่วม, ระบบเตือนภัย หรือระบบควบคุมอุปกรณ์ IoT ได้อย่างสะดวกและมีประสิทธิภาพ

Telegram Bot คือโปรแกรมอัตโนมัติที่ทำงานผ่านบัญชีพิเศษใน Telegram โดย Bot นี้สามารถสื่อสารกับผู้ใช้งานจริงได้เหมือนบัญชีคนจริง ไม่ว่าจะเป็นการส่งข้อความ การตอบกลับ การโต้ตอบกับคำสั่ง หรือการส่งข้อมูลในรูปแบบต่าง ๆ เช่น ข้อความ แจ้งเตือน หรือค่าจากระบบตรวจวัด

Telegram Bot สามารถใช้ในระบบต่าง ๆ ได้อย่างกว้างขวาง เช่น: ระบบเตือนภัย (เช่น น้ำท่วม, ไฟไหม้, ความร้อนสูง), ระบบควบคุมอุปกรณ์ภายในบ้าน (Smart Home), ระบบตอบกลับอัตโนมัติ, ระบบติดตามและวิเคราะห์ข้อมูลจากเซ็นเซอร์

การทำงานของ Telegram Bot การสร้าง Bot

- Bot จะถูกสร้างขึ้นผ่านบัญชี @BotFather ใน Telegram ซึ่งผู้ใช้งานจะได้รับ “Token” หรือคีย์เฉพาะของบอท Token นี้ใช้สำหรับเชื่อมต่อกับ Telegram Bot API เพื่อให้สามารถส่งคำสั่งและข้อความได้
- การสื่อสารกับ Telegram Bot ทำได้โดยการส่ง HTTP Request ไปยัง Telegram API
- ตัวอย่าง URL สำหรับส่งข้อความ: https://api.telegram.org/bot<token>/sendMessage?chat_id=<chat_id>&text=<message>
- Telegram Bot สามารถรับค่าจากระบบอื่น เช่น ESP32 หรือ Raspberry Pi ผ่านการเชื่อมต่อ Wi-Fi และส่งข้อมูลต่อไปยัง Telegram [4]
- ระบบสามารถตั้งค่าให้แจ้งเตือนทันทีเมื่อค่าต่าง ๆ เปลี่ยนแปลง เช่น น้ำถึงระดับเตือน ระบบก็ส่งข้อความผ่านบอททันที
- การแจ้งเตือนจะปรากฏในแชตของผู้ใช้ในรูปแบบข้อความที่ชัดเจนและตรงประเด็น
- ผู้ใช้งานสามารถพิมพ์คำสั่งโต้ตอบกับ Bot ได้ เช่น สั่งให้รายงานสถานะ หรือรีเซ็ตระบบ
- Telegram ใช้ระบบการเข้ารหัสแบบ end-to-end สำหรับการส่งข้อความแบบส่วนตัว
- ส่วน API จะมีระบบความปลอดภัยด้วย Token ซึ่งควรเก็บไว้เป็นความลับเพื่อไม่ให้มีการเข้าถึงระบบจากบุคคลภายนอก

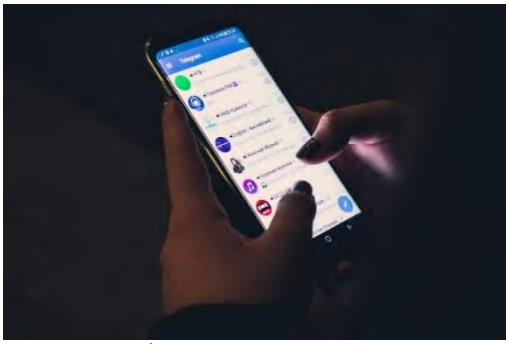

รูปที่ 1 หลักการทำงานของ Telegram

2.2 วงจร Futurekit FK961 บอกระดับน้ำ 5 ระดับ พร้อมเสียงเตือน

วงจร Futurekit รุ่น FK961 เป็นวงจรอิเล็กทรอนิกส์ที่ถูกออกแบบมาเพื่อใช้ในการตรวจวัดระดับน้ำจำนวน 5 ระดับ โดยมีระบบแสดงผลด้วยหลอด LED แต่ละดวงแสดงสถานะระดับน้ำที่เพิ่มขึ้นตามลำดับ และมีระบบเสียงเตือนเมื่อระดับน้ำสูงถึงระดับวิกฤต ตัววงจรใช้หลักการตรวจจับค่าความต้านทานไฟฟ้าระหว่างหัววัด (Probe) แต่ละชุดที่ติดตั้งไว้ตามระดับความสูงต่าง ๆ เมื่อระดับน้ำสัมผัสหัววัดที่อยู่สูงขึ้น กระแสไฟจะไหลผ่านทำให้เกิดแรงดันตกคร่อม ทำให้วงจรขยายสัญญาณและแสดงผลผ่าน LED ที่สอดคล้องกับระดับน้ำ ชุดคิทนี้เหมาะสำหรับการศึกษาเบื้องต้นด้านการตรวจวัดระดับของเหลว มีการแสดงผลชัดเจน ใช้งานง่าย และสามารถนำไปประยุกต์ใช้ในงานจริงได้ เช่น ระบบเตือนน้ำท่วมในพื้นที่เฉพาะจุด หรือระบบตรวจวัดระดับน้ำในถังเก็บน้ำ [5]

ในโครงงานนี้ ได้นำชุดคิท FK961 มาถอดประกอบเพื่อศึกษาโครงสร้างวงจรจริง แล้วดัดแปลงให้นำมาใช้งานร่วมกับบอร์ด ESP32 ได้ โดยการต่อสัญญาณเอาต์พุตจากจุด Buzzer+ เข้ากับขา GPIO ของ ESP32 เพื่อให้สามารถส่งสัญญาณแจ้งเตือนผ่าน Telegram แทนการใช้เพียงเสียง Buzzer อย่างเดียว และเปลี่ยนตำแหน่งของหัววัดให้อยู่ภายในท่อน้ำจำลองเพื่อให้สามารถตรวจวัดระดับน้ำแบบจุดได้แม่นยำมากยิ่งขึ้น

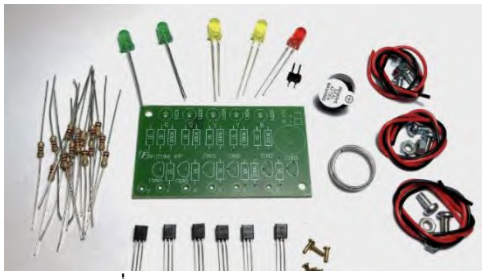

รูปที่ 2 ชุดวงจร Futurekit รุ่น FK961

2.3 วงจรตรวจจับไฟฟ้ารั่วในน้ำ

วงจรตรวจจับไฟฟ้ารั่วในน้ำ เป็นวงจรพื้นฐานที่ใช้หลักการตรวจจับไฟฟ้ารั่วไหลลงสู่แหล่งน้ำ โดยใช้ Probe ที่สัมผัสกับน้ำเป็นตัวนำกระแสไฟ เมื่อเกิดไฟรั่วลงในน้ำที่มีค่าการนำไฟฟ้า (Electrical Conductivity, EC) สูงพอ วงจรจะตรวจจับแรงดันหรือกระแสที่เกิดขึ้นได้ และส่งสัญญาณแจ้งเตือน เช่น การติดหลอด LED หรือส่งเสียง Buzzer

ในการจัดทำโครงงานนี้ ผู้พัฒนาได้ศึกษาและอ้างอิงวงจรจากแนวคิดของ Flood Duck ซึ่งเป็นวงจรแจ้งเตือนไฟรั่วในน้ำแบบ DIY จากเว็บไซต์และแหล่งความรู้ในอินเทอร์เน็ต [6] จากนั้นจึงนำมาดัดแปลงให้สามารถใช้งานร่วมกับ ESP32 ได้ โดยออกแบบใหม่ให้เหมาะสมกับสภาพแวดล้อมของบ้านจำลอง ทั้งในด้านแหล่งจ่ายไฟและลักษณะของ Probe ที่ใช้ตรวจจับไฟฟ้ารั่ว การทำงานของวงจรนี้ใช้หลักการพื้นฐานของกฎของโอห์ม (Ohm’s Law: V = IR) กล่าวคือ เมื่อมีไฟฟ้ารั่วในน้ำที่นำไฟฟ้าได้ จะทำให้กระแสไฟฟ้าไหลผ่าน Probe และเกิดแรงดันตกคร่อมบางจุดในวงจร ซึ่งสามารถวัดค่าได้ด้วย ESP32 แล้วส่งแจ้งเตือนผู้ใช้งานผ่านแอปพลิเคชัน Telegram

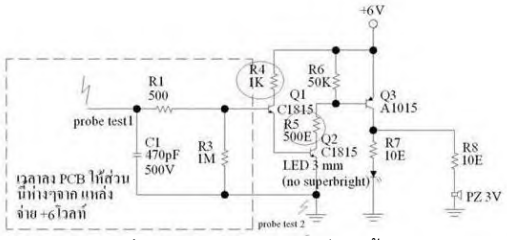

รูปที่ 3 วงจรตรวจจับไฟฟ้ารั่วในน้ำ

3. ระบบที่นำเสนอ

งานวิจัยนี้นำเสนอการออกแบบระบบแจ้งเตือนอุทกภัยและภาวะไฟฟ้ารั่ว บนพื้นฐาน IoT โดยระบบประกอบด้วยสามส่วนหลัก ได้แก่ ระบบตรวจวัดระดับน้ำที่สามารถแบ่งระดับความสูงของน้ำออกเป็น 5 ระดับ ระบบตรวจจับกระแสไฟฟ้ารั่วในน้ำที่ออกแบบวงจรขึ้นเอง และระบบแจ้งเตือนผ่านแอปพลิเคชัน Telegram ซึ่งทั้งสามส่วนทำงานร่วมกันโดยใช้บอร์ด ESP32 เป็นหน่วยควบคุมหลัก เชื่อมต่อเซ็นเซอร์และส่งข้อมูลผ่านเครือข่าย Wi-Fi ไปยังผู้ใช้งานแบบเรียลไทม์ เพื่อให้สามารถรับมือกับเหตุการณ์ฉุกเฉินได้อย่างทันท่วงที

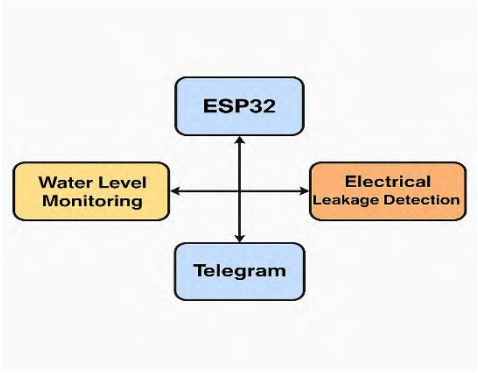

รูปที่ 4 ระบบที่นำเสนอ

3.1 Block Diagram ของระบบ

1. เปิดระบบ โดยใช้ ESP32 จำนวน 4 ตัว ควบคุมการทำงานและเชื่อมต่อ Wi-Fi เพื่อส่งแจ้งเตือนผ่าน Telegram
2. เชื่อมต่อเซ็นเซอร์ตรวจจับระดับน้ำแบบกำหนดเองเข้ากับ ESP32 แต่ละจุด (จุดที่ 1–4 รอบบ้านจำลอง)
3. เซ็นเซอร์แต่ละจุดสามารถตรวจจับระดับน้ำได้ 5 ระดับ ดังนี้:
   - ระดับ 1: *Water Level: Normal*
   - ระดับ 2: *Water Level: Watch Level*
   - ระดับ 3: *Water Level: Alert Level*
   - ระดับ 4: *Water Level: Flood Level*
   - ระดับ 5: *Water Level: Emergency Flood*
4. เมื่อเปิดระบบ ESP32 จะส่งข้อความแจ้งเตือนผ่าน Telegram
   System Activated: Monitoring started at 4 points
5. ระบบจะอ่านค่าจากเซ็นเซอร์ทั้ง 4 จุดอย่างต่อเนื่อง ระบบจะส่งข้อความแจ้งเตือนผ่าน Telegram ตามระดับที่ตรวจพบในแต่ละจุด เช่น:
   - **Normal:** Point X *(Water Level: Normal)*
   - **Watch:** Point X *(Water Level: Watch Level)*
   - **Alert:** Point X *(Water Level: Alert Level)*
   - **Flood:** Point X *(Water Level: Flood Level)*
   - **Emergency:** Point X *(Water Level: Emergency Flood)*
6. ระบบตรวจจับกระแสไฟรั่วในน้ำ มีเพียง 1 จุด (เคลื่อนย้ายได้) โดยใช้ ESP32 อีกชุด และ เซ็นเซอร์วัดไฟรั่ว
7. หากตรวจพบไฟรั่วในน้ำ ESP32 จะส่งข้อความแจ้งเตือนผ่าน Telegram: **Electricity Leak Detected!**
8. หากไม่พบไฟรั่วในน้ำ หรือไฟรั่วหายไปแล้ว ระบบจะส่งข้อความว่า: **Leak cleared: Water is now safe.**

3.2 ขั้นตอนการใช้งานระบบแจ้งเตือนอุทกภัยและภาวะไฟฟ้ารั่วผ่าน Telegram

ระบบจะทำงานโดยอัตโนมัติหลังเปิดใช้งาน ESP32 ทั้ง 4 จุด ซึ่งจะตรวจจับระดับน้ำจากเซ็นเซอร์ที่ติดตั้งไว้ในแต่ละตำแหน่งรอบพื้นที่บ้านจำลอง เช่น

- Alert Level: Point 2 (Water Level: Alert Level)
- Flood Level: Point 3 (Water Level: Flood Level)

ระบบจะแจ้งเตือนแยกกันทุกจุดที่มีการเปลี่ยนแปลงระดับน้ำ และจะส่งข้อความเฉพาะจุดนั้น เพื่อให้ผู้ใช้งานสามารถรับทราบสถานการณ์ได้อย่างแม่นยำและทันเวลา ในกรณีที่ระบบตรวจจับพบไฟฟ้ารั่วในน้ำ ไม่ว่าจะบริเวณใด ระบบจะส่งข้อความแจ้งเตือนผ่าน Telegram ทันที

- Electricity Leakage Detected

ระบบจะทำงานวนซ้ำ ตรวจจับระดับน้ำจากทั้ง 4 จุด พร้อมทั้งตรวจสอบไฟฟ้ารั่วในน้ำแบบเรียลไทม์ และแจ้งเตือนผ่าน Telegram อย่างต่อเนื่อง

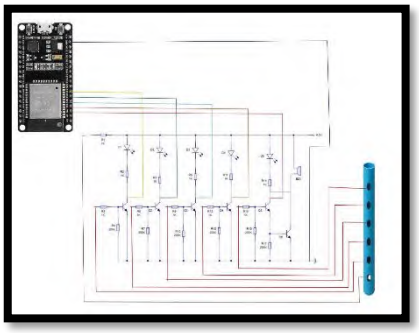

รูปที่ 5 การออกแบบลายวงจรเซ็นเซอร์วัดระดับน้ำ

รูปที่ 6 ภาพรวมระบบ

4. ผลการทดลอง

ทดลองเพื่อหาค่า 1 และ 0 คือหน่วยข้อมูลพื้นฐานในระบบดิจิทัลของคอมพิวเตอร์และวงจรอิเล็กทรอนิกส์ โดย 1 แทนสถานะ “เปิด” หรือเซ็นเซอร์ทำงานเมื่อมีน้ำที่ระดับที่กำหนดและ 0 แทนสถานะ “ปิด” หรือเซ็นเซอร์ไม่ทำงานเมื่อมีน้ำที่ระดับที่กำหนด ดังตารางต่อไปนี้

ตารางที่ 1 การทดลองระบบการแจ้งเตือนน้ำท่วมผ่าน Telegram

ตำแหน่ง	1					2					3					4				
ระดับเซ็นเซอร์	1	2	3	4	5	1	2	3	4	5	1	2	3	4	5	1	2	3	4	5
ครั้งที่																				
1	1	1	1	0	0	1	1	1	1	0	1	1	1	1	1	1	1	1	1	1
2	1	1	1	1	0	1	1	1	1	1	1	1	1	1	1	1	1	1	1	1
3	1	1	1	1	1	1	1	1	1	1	1	1	1	1	1	1	1	1	1	1
4	1	1	1	1	1	1	1	1	1	1	1	1	1	1	1	1	1	1	1	1
5	1	1	1	1	1	1	1	1	1	1	1	1	1	1	1	1	1	1	0	1

รูปที่ 7 ผลการส่งแจ้งเตือนผ่าน Telegram ระดับที่ 5

เซ็นเซอร์ตรวจจับกระแสไฟรั่วในระดับต่ำ (Low leakage current) มีสถานะสองค่า:

- LOW (0) ⟶ ไม่มีไฟรั่ว
- HIGH (1) ⟶ ตรวจจับไฟรั่ว

เมื่อเซ็นเซอร์ส่งสัญญาณ HIGH ⟶ ระบบไมโครคอนโทรลเลอร์จะส่ง แจ้งเตือนผ่าน Telegram

ตารางที่ 2 การทดลองการตรวจจับไฟรั่วในน้ำ

ครั้งที่	การตรวจจับไฟรั่ว	Sensor Value	แจ้งเตือน Telegram	หมายเหตุ
1	ตรวจจับไฟรั่ว	HIGH (1)	พบว่ามีการแจ้งเตือน	ระบบไม่ปกติ
2	ไม่มีไฟรั่ว	LOW (0)	ไม่มีการแจ้งเตือน	ระบบปกติ
3	ไม่มีไฟรั่ว	LOW (0)	ไม่มีการแจ้งเตือน	ระบบปกติ
4	ไม่มีไฟรั่ว	LOW (0)	ไม่มีการแจ้งเตือน	ระบบปกติ
5	ไม่มีไฟรั่ว	LOW (0)	ไม่มีการแจ้งเตือน	ระบบปกติ

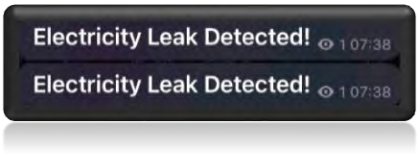

รูปที่ 8 ผลการส่งแจ้งเตือนผ่าน Telegram ไม่มีกระแสไฟรั่วในน้ำ

5. สรุปผลการดำเนินงาน

จากการศึกษาค้นคว้า และพัฒนาโครงงาน ระบบแจ้งเตือนอุทกภัยและภาวะไฟฟ้ารั่วผ่าน Telegram พบว่า ระบบสามารถทำงานได้ตรงตามวัตถุประสงค์ที่ตั้งไว้ โดยใช้บอร์ด ESP32 จำนวน 4 ตัว เป็นหน่วยควบคุมหลัก เชื่อมต่อกับ เซ็นเซอร์ตรวจจับระดับน้ำแบบกำหนดเองจำนวน 4 จุด รอบบ้านจำลอง ซึ่งแต่ละจุดสามารถตรวจจับได้ 5 ระดับ พร้อมทั้งมีระบบตรวจจับ ไฟฟ้ารั่วในน้ำ โดยใช้วงจรตรวจจับกระแสอย่างง่ายร่วมกับ Probe และระบบแจ้งเตือนผ่าน Telegram เมื่อเกิดน้ำท่วมที่ระดับใดระดับหนึ่ง หรือเกิดไฟรั่วในน้ำ ระบบจะส่งข้อความแจ้งเตือนไปยังผู้ใช้งานผ่าน Telegram โดยระบุระดับและตำแหน่งที่ตรวจพบ ทำให้สามารถเฝ้าระวังและดำเนินการได้อย่างทันท่วงที ผลการทดลองแสดงให้เห็นว่าระบบสามารถตรวจจับและส่งข้อความแจ้งเตือนได้ถูกต้อง แม่นยำ และทำงานได้ต่อเนื่องแบบเรียลไทม์ ระบบยังสามารถขยายเซ็นเซอร์เพิ่มเติมในอนาคต และรองรับการเชื่อมต่อเข้ากับระบบบ้านเพื่อเพิ่มประสิทธิภาพในการใช้งานอีกด้วย โดยมีความสามารถของระบบภายใต้ขอบเขตดังนี้:

1. ตรวจจับระดับน้ำได้ 5 ระดับ ต่อจุดตรวจจับ 1 จุด รวม 4 จุดรอบบ้านจำลอง
2. ระบบสามารถส่งข้อความแจ้งเตือนไปยัง Telegram ได้ทันทีแบบเรียลไทม์
3. มีระบบตรวจจับไฟฟ้ารั่วในน้ำ และแจ้งเตือนผ่าน Telegram เช่นกัน
4. ระบบสามารถทำงานแบบอิสระ (แต่ละ ESP32 ใช้แบตเตอรี่แยกกัน)

ระบบแจ้งเตือนน้ำท่วมที่พัฒนาขึ้นสามารถตรวจวัดระดับน้ำได้อย่างแม่นยำครบทั้ง 5 ระดับ โดยเมื่อน้ำเพิ่มสูงถึงระดับที่ตั้งไว้ ระบบสามารถส่งข้อความแจ้งเตือนไปยัง Telegram ได้ตรงจุดและทันเวลา ช่วยให้ผู้ใช้งานทราบสถานการณ์และเตรียมรับมือได้อย่างมีประสิทธิภาพ

ระบบตรวจจับไฟรั่วในน้ำที่ออกแบบขึ้นสามารถทำงานร่วมกับ ESP32 ได้อย่างเหมาะสม เมื่อมีไฟรั่วลงน้ำ ระบบสามารถแจ้งเตือนผ่าน Telegram ได้ทันที ทำให้สามารถเฝ้าระวังอันตรายจากกระแสไฟฟ้าในพื้นที่ที่มีน้ำขังหรือน้ำท่วมได้

เอกสารอ้างอิง

[1] กรมป้องกันและบรรเทาสาธารณภัย, รายงานสถานการณ์สาธารณภัย (อุทกภัย ฯลฯ) ประจำฤดูฝน, เอกสารเผยแพร่ ปภ., 2567.
[2] สถาบันมาตรวิทยาแห่งชาติ (NIMT), บทความ “ค่าการนำไฟฟ้า กับการประยุกต์ใช้งานในภาคอุตสาหกรรม” (PDF).
[3] APIDOG (ภาษาไทย), คู่มือเริ่มต้นใช้งาน Telegram Bot API.
[4] Cytron Thailand, “Control ESP32 Outputs with Telegram” — ตัวอย่างใช้งาน ESP32 + Telegram (ภาษาไทย).
[5] FutureKit ตรวจจับระดับน้ำ 5 ระดับ https://www.futurekit.com/ fk961.
[6] Flood Duck. โครงการเป็ดน้อยเตือนภัย 2554. https://www.facebook.com/share/16YGx8j44z/?mibextid=wwXlfr

ประวัติผู้เขียน

นางสาวจุฑามาศ นุภาสันต์
89 หมู่ 1 ตำบลท่าเสน อำเภอบ้านลาด
จังหวัดเพชรบุรี 76150
ปริญญาวิศวกรรมศาสตร์บัณฑิต สาขาวิชา
วิศวกรรมไฟฟ้า จากมหาวิทยาลัยกรุงเทพ ปี
การศึกษา 2567
มีความสนใจวิจัยด้านระบบไฟฟ้ากำลัง ระบบเตือนภัย

นางสาวศิวพร ใหญ่จันทึก
46/56 เดอะคอนเนคคลอง2 ต.คลองสอง
อ.คลองหลวง จ.ปทุมธานี 12120
ปริญญาวิศวกรรมศาสตร์บัณฑิต
สาขาวิชาวิศวกรรมไฟฟ้า จากมหาวิทยาลัยกรุงเทพ
ปีการศึกษา 2567
มีความสนใจวิจัยด้านการประยุกต์ IoT/Embedded

นางสาวจุฑามณีฆ์ แตงปาน
80/11 ม.8 ต.ท่ายาง อ.ท่ายาง จ.เพชรบุรี 75130
ปริญญาวิศวกรรมศาสตร์บัณฑิต
สาขาวิชาวิศวกรรมไฟฟ้า จากมหาวิทยาลัยกรุงเทพ
ปีการศึกษา 2567
มีความสนใจด้าน IoT และการตรวจวัดด้วยเซ็นเซอร์

นางสาวภาวินี ปานเพชร
85/56 ถ.ท่าทอง อ.เมือง จ.สุราษฎร์ธานี 84000
ปริญญาวิศวกรรมศาสตร์บัณฑิต
สาขาวิชาวิศวกรรมไฟฟ้า จากมหาวิทยาลัยกรุงเทพ
ปีการศึกษา 2567
มีความสนใจด้านพลังงานไฟฟ้า

Experimental Study on a Simple-Structured Microwave Sensor for ABV Determination in Alcoholic Beverages

Jirarat Sornprasert, Nutdechatorn Puangngernmak*, and Prayut Jiamrittiwong

Department of Energy Technology and Management, Faculty of Energy and Environmental Sciences,
King Mongkut's University of Technology North Bangkok
Corresponding author: nutdechatorn.p@sciee.kmutnb.ac.th*

Abstract

Alcohol by Volume (ABV) is a standard measure of alcohol content in beverages. For quality control in community-level enterprises, accurate and real-time ABV assessment is crucial. However, traditional tools like hydrometers are destructive and cannot provide real-time analysis. This research introduces a microwave sensor-based technique that measures the reflection coefficient (S_{11}), which is directly influenced by the liquid's complex relative permittivity. A comparative study was conducted using ethanol solutions of known concentrations, distilled water, and commercial alcoholic beverages. Our findings show that the complex relative permittivity and S_{11} values of commercial alcoholic beverages closely match those of corresponding ethanol solutions. For instance, 40% ABV beverages exhibited values similar to 40% ethanol samples, while 35% ABV beverages were comparable to 35% to 40% ethanol samples, and 13% ABV beverages aligned with 10%-20% ethanol samples. This innovative approach offers a promising, real-time, and non-destructive solution for ethanol content verification in community enterprise settings.

Keywords: Permittivity, Microwave sensor, Alcohol by Volume (ABV)

1. Introduction

Accurate Alcohol by Volume (ABV) determination is crucial for quality control and regulatory compliance in the alcoholic beverage industry. Ensuring consistent ethanol content is vital for product quality, consumer safety, brand reputation, and adherence to standards, especially for community-level enterprises benefiting from efficient quality assessment [1].

Many community enterprises in Thailand currently rely on conventional hydrometers for ABV verification. Despite their simplicity, these tools have significant limitations for modern production. They are destructive, requiring batch sampling, and lack real-time or in-line analysis, hindering continuous monitoring. Furthermore, their accuracy is compromised by other dissolved solids, such as sugars, which independently alter liquid density, leading to inaccurate readings. These drawbacks highlight a clear need for advanced, non-destructive, and real-time analytical solutions [2]-[5].

Microwave sensors operate by measuring a substance's dielectric properties, which are fundamentally influenced by its molecular composition. The distinct molecular polarities and relaxation times of ethanol and water create unique dielectric responses at microwave frequencies, enabling precise and rapid determination of ethanol concentration in aqueous solutions. Thus, microwave sensing offers a promising avenue for developing non-invasive, rapid, and potentially in-line ABV verification methods [6]-[8].

This study investigates the feasibility and performance of a simple-structured microwave sensor for accurate Alcohol by Volume (ABV) detection in alcoholic beverages. The research aims to develop a cost-effective microwave sensor for real-time ABV measurement, characterize the complex relative permittivity and reflection coefficient (S_{11}) of various ethanol-water mixtures across a range of microwave frequencies, and compare the measurement results of commercial alcoholic beverages with those of known ethanol solutions to validate the sensor's applicability. This work aligns with the theme of "Intelligent technology and innovation for human sustainability" by offering a practical solution for quality control in community enterprises [2]-[3],[9]-[12].

2. Experimental Setup and Simple-Structured Microwave Sensor

The proposed microwave sensor utilizes a simple coaxial probe structure designed to sense the dielectric properties of the liquid under test (LUT) [13]. The sensor used is made from brass shown in Figure 1, the sensor operates by placing the LUT in contact with the probe, allowing electromagnetic waves to interact with the sample.

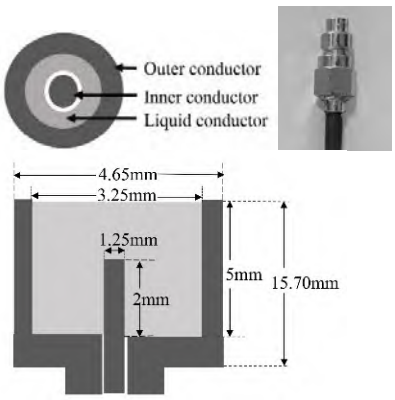

Fig. 1 Simple-Structured Microwave Sensor

*Corresponding Author

A Vector Network Analyzer (VNA) then measures changes in the reflection coefficient (S_{11}) at the sensor-liquid interface, which directly relate to the liquid's complex relative permittivity (ε_r).

Complex relative permittivity is defined as

$$\varepsilon_r = \varepsilon' - j\varepsilon'' \quad (1)$$

where $\varepsilon'$is the real part, representing the material's ability to store electrical energy (dielectric constant), and ε'' is the imaginary part, representing energy loss (dielectric loss factor). Both are frequency-dependent and sensitive to molecular composition and temperature. For water-ethanol mixtures, the significant difference in dipole moments and relaxation times between water and ethanol molecules causes distinct changes in $\varepsilon'$and $\varepsilon''$with varying concentration [2].

From the equivalent circuit (Figure 2), the relationship between the reflection coefficient and complex permittivity is:

$$S_{11} = \Gamma^* = \Gamma e^{j\phi} = \frac{1 - j\omega Z_0[C(\varepsilon_r) + C_f]}{1 + j\omega Z_0[C(\varepsilon_r) + C_f]} \quad (2)$$

Here, S_{11} is a reflection coefficient, Z_0 is the measurement system's impedance, $C(\varepsilon_r)$ is the coaxial structure's capacitance, which is dependent on the permittivity of the LUT, and C_f is the air-induced stray field capacitance, independent of the LUT. The unknown parameters of the circuit model are determined by measuring the sensor with a standard liquid of known dielectric permittivity, such as distilled water.

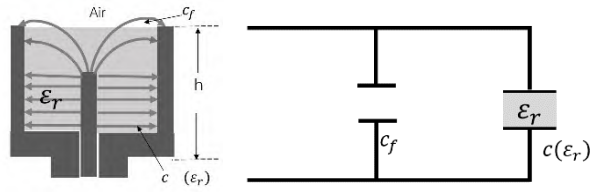

Fig 2. The equivalent circuit of a simple-structured microwave sensor

The experimental setup for measuring complex relative permittivity and S_{11} is shown in Figure 3. A KEYSIGHT N1501A Dielectric Probe Kit and Simple-Structured Microwave Sensor were connected to a Vector Network Analyzer (VNA) by 50 ohm cable (N9927-60017) for measurements conducted over a frequency range from 0.5 GHz to 18 GHz. To ensure consistency and accuracy, all liquid samples were maintained at a controlled temperature of 25°C using a water bath.

The liquids under test (LUT) included:

- Ethanol-water solutions: Prepared by mixing absolute ethanol (99.9% purity) with distilled water to achieve concentrations ranging from 0% (pure distilled water) to 100% (pure ethanol) by volume.
- Commercial alcoholic beverages: A variety of alcoholic beverages with known ABV percentages (e.g., 13%, 35%, 40%) were used to validate the sensor's performance in real-world scenarios.

Each measurement was repeated multiple times to ensure reproducibility, and the average values were used for analysis.

3. Result and Discussion

3.1 Dielectric Spectra of Pure Water and Ethanol

The complex relative permittivity ($\varepsilon'$and ε'') of pure water and 98.8% ethanol, measured from 0.5 GHz to 18 GHz, are shown in Figures 3 and 4. As shown in Figure 3, pure water's real permittivity ($\varepsilon' \approx 80$ at 25°C) is significantly higher than that of ethanol ($\varepsilon' \approx 24$ at 25°C) at microwave frequencies. This disparity is attributed to water's stronger molecular polarity and extensive hydrogen bonding, which enables greater electrical energy storage. Figure 4 illustrates the distinct imaginary permittivity (ε'') (dielectric loss) for both components, which exhibits more intricate behavior due to various relaxation phenomena. These fundamental dielectric differences between pure water and pure ethanol are crucial for differentiating ethanol concentrations within their mixtures. As the proportion of water and ethanol changes, the complex relative permittivity of the mixed solution changes accordingly because of the dipole-moment of LUT is changed.

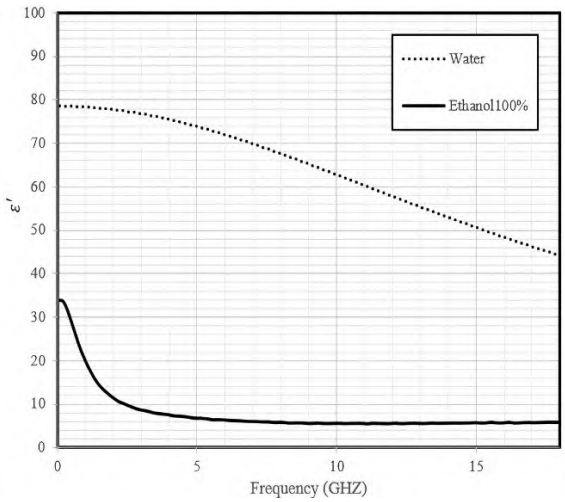

Fig. 3 Real parts of dielectric spectra of water-ethanol

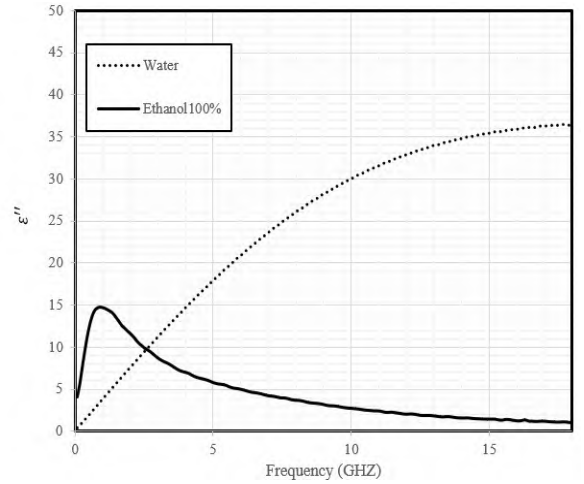

Fig. 4 Imaginary parts of dielectric spectra of water-ethanol

3.2 Reflection Coefficient (S_{11}) analysis of Ethanol

The reflection coefficient (S_{11}) of ethanol solutions at various concentrations are shown in Figure 5 and 6. A consistent trend was observed: increasing ethanol concentration generally led to a decrease in S_{11} magnitude, particularly within specific frequency ranges. This indicates that higher ethanol content results in greater microwave energy absorption or transmission into the liquid, thus reducing reflection. Concurrently, characteristic shifts in the S_{11} phase with concentration provided additional insights into the solutions' dielectric properties. The water-ethanol ratio affects the dipole moment of liquid that changing the dielectric constant as permittivity values.

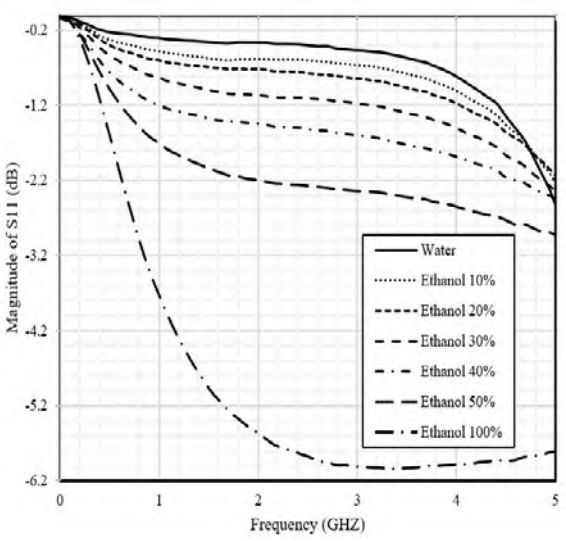

Fig. 5 S_{11} of water-ethanol solutions (0.3 GHz - 5 GHz)

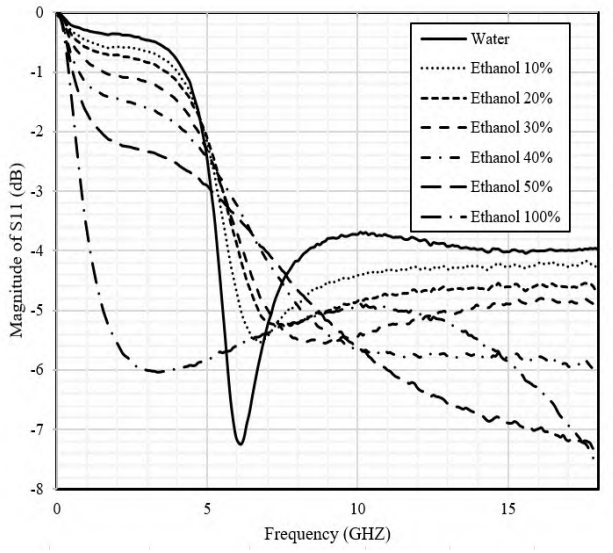

Fig. 6 S_{11} of water-ethanol solutions (0.3 GHz - 8 GHz)

However, above approximately 5 GHz, S_{11} values oscillatory behavior, complicating precise interpretation. This phenomenon likely arises from impedance mismatch between the sensor and VNA or from the excitation of higher-order modes within the coaxial structure, which can interfere with accurate measurements. Consequently, further optimization of sensor design and calibration procedures, especially for higher frequency ranges, is necessary to mitigate this effect.

3.3 Comparison of Alcoholic Beverages with Water-Ethanol Solutions

The magnitude of S_{11} for various commercial alcoholic beverages compared to those of ethanol solutions with corresponding ABV percentages are shown in Figure 7 and 8. The results indicate that alcoholic beverages with 40% ABV of **White Spirit** exhibit S_{11} values that are remarkably similar to those of 40% ethanol solutions. Similarly, beverages with 35% ABV of **Whisky Cast** show comparable values to 35% to 40% ethanol samples, and those with 13% ABV of **Soju (Fruit Wine)** align well with 10% to 20% ethanol samples. This strong correlation suggests that the microwave sensor can effectively determine the ABV of real-world alcoholic beverages, despite the presence of other components like sugars, flavors, and colorants. This indicates that the dielectric properties of water and ethanol are the dominant factors influencing the microwave response in these beverages.

The oscillatory behavior observed at higher frequencies was also present when testing commercial alcoholic beverages, reaffirming the need for sensor and measurement setup optimization for robust performance across the entire frequency spectrum. Despite this, the consistent correlation at lower frequencies demonstrates

the significant potential of this simple-structured microwave sensor for practical ABV verification.

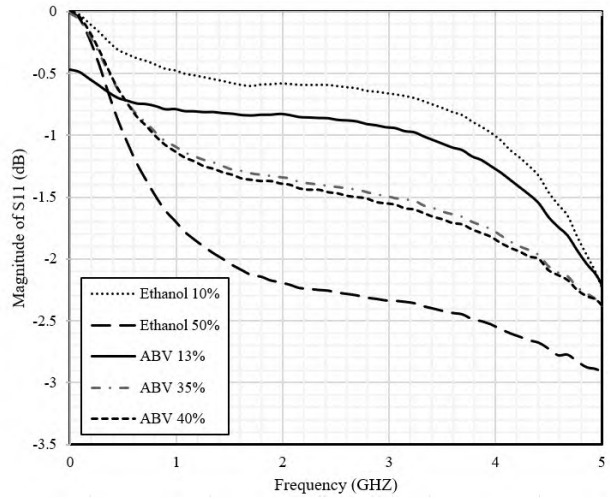

Fig. 7 S_{11} of difference in concentration of water-ethanol and alcoholic drink (0.3 GHz - 5 GHz)

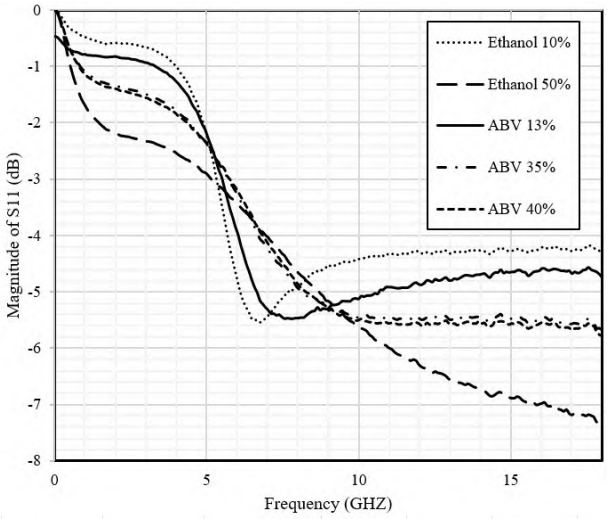

Fig. 8 S_{11} of difference in concentration of water-ethanol and alcoholic drink (0.3 GHz - 18 GHz)

4. Conclusions

This research successfully demonstrated the feasibility of using a simple-structured microwave sensor for real-time, non-destructive detection of Alcohol by Volume (ABV) in alcoholic beverages. The study established a clear correlation between the complex relative permittivity and reflection coefficient (S_{11}) of ethanol-water mixtures and their respective ethanol concentrations.

Key findings are as follows: The real part of permittivity (ε') significantly decreases with increasing ethanol concentration, while the imaginary part (ε'')also shows distinct changes, enabling differentiation of mixtures. The reflection coefficient (S_{11}) varied effectively with ethanol concentration, providing a reliable parameter for measurement. Furthermore, commercial alcoholic beverages exhibited dielectric properties and S_{11} values that closely matched those of pure ethanol solutions at corresponding ABV levels, validating the sensor's applicability in real-world scenarios.

Table 1 Magnitude of S_{11} of Ethanol Concentration

%Ethanol Concentration	Magnitude of S_{11}(dB)		
	2GHz	3GHz	4GHz
Ethanol 0%	-0.361	-0.468	-0.850
Ethanol 10%	-0.585	-0.669	-1.040
Ethanol 20%	-0.724	-0.849	-1.210
Ethanol 30%	-1.075	-1.189	-1.533
Ethanol 40%	-1.455	-1.608	-1.909
Ethanol 50%	-2.207	-2.337	-2.566
Ethanol 100%	-5.633	-6.015	-5.978

Table 2 Magnitude of S_{11} of Ethanol Concentration and Alcohol by Volume in Alcoholic Beverages

%Ethanol Concentration	Magnitude of S_{11}(dB)		
	2GHz	3GHz	4GHz
Ethanol 10%	-0.585	-0.669	-1.040
Ethanol 50%	-2.207	-2.337	-2.566
ABV 13%	-0.837	-0.942	-1.300
ABV 35%	-1.350	-1.510	-1.810
ABV 40%	-1.400	-1.560	-1.870

The S_{11} values for ethanol solutions in the 2 GHz - 4 GHz frequency band tend to decrease as frequency increases. This trend is consistent with the solutions' electrical properties, which demonstrate an attenuation of electromagnetic energy in the high-frequency region, as shown in **Table 1**.

When these experimental results are compared with those of alcoholic beverages, as presented in **Table 2**, the S_{11} values for the studied beverages fall within the range of ethanol solutions with concentrations of 10% to 50% by volume. This finding aligns with the alcohol by volume (ABV) values listed on the labels of these beverages.

This innovative approach offers a promising solution for enhancing quality control in community enterprise settings, providing a rapid, non-destructive alternative to traditional methods like hydrometers. The technology aligns well with the theme of "Intelligent technology and innovation for human sustainability" by promoting efficient and sustainable production practices.

For future work, further optimization of the sensor design is recommended to mitigate the "swing" value observed at higher frequencies, ensuring more stable and accurate measurements across a wider spectrum. Additionally, expanding the study to include a broader range of alcoholic beverages with diverse compositions and conducting long-term stability tests would further validate the sensor's robustness for practical deployment. The ultimate goal is to develop a compact, portable, and user-friendly prototype for direct implementation in community production lines.

References

[1] W. C. Kerr and T. Stockwell, “Understanding standard drinks and drinking guidelines,” Drug Alcohol Rev., vol. 31, pp. 200–205, 2012.

[2] Z. Meng, Z. Wu, and J. Gray, “Microwave Sensor Technologies for Food Evaluation and Analysis: Methods, Challenges and Solutions,” Trans. Inst. Meas. Control, vol. 40, no. 1, pp. 1–17, 2017.

[3] A. Karatepe, O. Akgol, Y. I. Abdulkarim, Ş. Dalgac, F. F. Muhammadharif, H. N. Awl, et al., “Multipurpose Chemical Liquid Sensing Applications by Microwave Approach,” *PLoS One*, vol. 15, no. 4, pp. 1–14, 2020.

[4] C. Okay, “Investigation of Dielectric Constants of Alcohol-Water Mixtures by Microwave (MW) Spectroscopy Technique,” Afyon Kocatepe Univ. J. Sci. Eng., vol. 24, pp. 255–259, 2024.

[5] N. Puangermmak and T. Srisurat, “The Experiment of the Simple High-Frequency Sensor to Detect the Degree of Brix in Sucrose Solutions,” in *Proc. 16th Int. Conf. Electr. Eng./Electron., Comput., Telecommun. Inf. Technol. (ECTI-CON)*, Rayong, Thailand, 2019, pp. 760–762.

[6] S. Subramanian and K. R. Shankar, “Comparison of Dielectric Measurements for Ethanol Using Open-Ended Coaxial Probe, Free Space Measurement Methods and Debye Relation,” *Int. J. Appl. Eng. Res.*, vol. 10, pp. 3494–3497, 2015.

[7] S. Chandrasekaran, S. Ramanathan, and T. Basak, “Microwave Food Processing—A Review,” *Food Res. Int.*, vol. 52, pp. 243–261, 2013.

[8] C. G. Akode, K. S. Kanse, M. P. Lokhande, A. C. Kumbharkhane, and S. C. Mehrotra, “Dielectric Relaxation Studies of Aqueous Sucrose in Ethanol Mixtures Using Time Domain Reflectometry,” *Pramana – J. Phys.*, vol. 62, pp. 973–981, 2004.

[9] K. H. Yeap, K. B. Tan, F. W. Lee, H. K. Lee, N. Effendy, W. C. Chin, “Enhanced Sensitivity Microfluidic Microwave Sensor for Liquid Characterization,” *Processes* (MDPI), vol. 13, no. 1, pp. 1–15, 2025.

[10] J. Hu, W. J. Wu, W. S. Zhao, W. Wang, et al., “An Active Differential Microwave Sensor With Enhanced Anti-Interference Capability for Analyzing Complex Permittivity of Liquid Samples,” IEEE Sensors J., vol. 25, no. 9, pp. 15043–15054, 2025.

[11] X. Han, K. Liu, and S. Zhang, “High-Sensitivity Dual-Band Microfluidic Microwave Sensor for Liquid Dielectric Characterization,” IEEE Sensors J., vol. 24, no. 22, pp. 36689–36697, 2024.

[12] F. Daschner, M. Kent, R. Knöchel, and U.-K. Berger, “Optimization of the Microwave Determination of Water in Foods Using Principal Component Analysis,” in *Proc. 17th IEEE Instrum. Meas. Technol. Conf. (IMTC)*, Baltimore, MD, USA, 2000, pp. 1103–1108.

[13] N. Puangngernmak and S. Chalermwisutkul, “Characterization of Heavy Metal Contaminated Wastewater Using a Coaxial Sensor and Electromagnetic Wave Reflection Technique,” *Appl. Mech. Mater.*, vol. 548–549, pp. 678–682, 2014.

การออกแบบระบบดิจิทัลทวินบนพื้นฐานอินเทอร์เน็ตของสรรพสิ่งสำหรับต้นแบบอุปกรณ์จ่ายไฟฟ้าจักรยานยนต์ไฟฟ้า

Design of a Digital Twin System Based on the Internet of Things for Prototype Electric Motorcycle Supply Equipment

ศุภรัตน์ แย้มครวญ[1] ศิริชัย เติมโชคเกษม[2] ศักดิ์กมล ลีลาจินดาไกรฤกษ์[3]

ภาควิชาวิศวกรรมไฟฟ้า คณะวิศวกรรมศาสตร์ มหาวิทยาลัยกรุงเทพ suparat.y@bu.ac.th[1] sirichai.t@bu.ac.th[2]
บริษัท อีโวลท์ เทคโนโลยี จำกัด sakhamon@evolt.co.th [3]

บทคัดย่อ

บทความนี้นำเสนอระบบดิจิทัลทวิน (Digital Twin) บนพื้นฐาน IoT สำหรับต้นแบบอุปกรณ์จ่ายไฟฟ้าสำหรับจักรยานยนต์ไฟฟ้า โดยสามารถติดตามสถานะและควบคุมการอัดประจุไฟฟ้าแบบเรียลไทม์ผ่านเว็บแอปพลิเคชันบนมือถือ ระบบประกอบด้วยอุปกรณ์ Edge ที่ใช้บอร์ดพัฒนา ESP32 เชื่อมต่อกับมิเตอร์วัดพลังงานและสวิตช์ควบคุมไฟฟ้า ผ่านเครือข่าย Wi-Fi พร้อมส่งข้อมูลผ่านโปรโตคอล MQTT และ REST API ที่ทำงานร่วมกับฐานข้อมูลเรียลไทม์ (Realtime-Database) ตามแนวคิด DESIRED/REPORTED เพื่อให้สถานะจริงของอุปกรณ์จ่ายไฟฟ้าและคู่เสมือนสอดคล้องกัน ผู้ใช้สามารถตั้งค่าผ่านแอปพลิเคชัน (DESIRED) และอุปกรณ์จะตอบกลับสถานะจริง (REPORTED) สู่คลาวด์ด้วยเมตาดาต้า (Meta Data) ในรูปแบบของ JSON ระบบมีต้นทุนต่ำ เหมาะสำหรับโครงสร้างพื้นฐานของสถานีชาร์จในอนาคต ผลการทดลองพบว่าระบบสามารถทำงานได้จริงและมีประสิทธิภาพ

คำสำคัญ: ดิจิทัลทวิน เครื่องชาร์จรถจักรยานยนต์ไฟฟ้า

Abstract

This article presents an IoT-based Digital Twin system for electric motorcycle chargers as Electric Vehicle Supply Equipment (EVSE) prototype, enabling real-time monitoring and control of the charging process on web application. The system comprises edge devices utilizing an ESP32 development board connected to power meter and relay switch, which operating over a Wi-Fi network. Data communication is handled using MQTT broker and REST API protocols which it working with real-time database, following the DESIRED/REPORTED concept to synchronize the states between the physical charger and its digital counterpart. When the users operate the web application, it take a part of DESIRED data, while the device reports actual status as REPORTED data back to the cloud with meta data which use JSON format. The system is low-cost and well-suited for future infrastructure of electric motorcycle charging stations. Experimental results proven that the system operates effectively and reliably.

Keywords: Digital Twin, Electric Motorcycle Chargers

1. บทนำ

การเติบโตของยานยนต์ไฟฟ้า (Electric Vehicle: EV) ถือเป็นก้าวสำคัญในการเปลี่ยนแปลงของอุตสาหกรรมยานยนต์ทั่วโลก พร้อมด้วยการขับเคลื่อนด้วยแรงผลักดันจากนโยบายลดการปล่อยก๊าซเรือนกระจกซึ่งทางเลือกที่เป็นมิตรกับสิ่งแวดล้อม และประหยัดพลังงานกว่ารถยนต์เครื่องยนต์สันดาป [1] ในช่วงหลายปีที่ผ่านมา การเติบโตของ EV มักเน้นไปที่รถยนต์ไฟฟ้าเป็นหลัก โดยมีการพัฒนาเทคโนโลยีและโครงสร้างพื้นฐานที่รองรับอย่างต่อเนื่อง ปัจจุบันได้เข้าสู่ช่วงของการเติบโตอย่างรวดเร็วของ รถจักรยานยนต์ไฟฟ้าแบตเตอรี่ (Battery Electric Motorcycle) ซึ่งมีบทบาทสำคัญโดยเฉพาะในกลุ่มผู้ใช้ในชีวิตประจำวัน [2] เช่น พนักงานส่งสินค้า และประชาชนทั่วไปในเขตเมือง การขยายตัวของตลาดนี้ได้รับแรงหนุนจากปัจจัยต่าง ๆ เช่น ความประหยัดในการใช้งาน และแนวโน้มของธุรกิจบริการที่ต้องการลดต้นทุนเชื้อเพลิงและบำรุงรักษา

แนวโน้มระดับโลกนี้สะท้อนชัดเจนในประเทศไทย โดยเฉพาะตลาดรถจักรยานยนต์ไฟฟ้า ซึ่งมีอัตราการเติบโตสูงถึง 162.5% ในปี 2022 โดยยอดจดทะเบียนเพิ่มจาก 3,778 คัน (ปี 2021) เป็น 9,916 คัน [3] แสดงให้เห็นถึงการเปลี่ยนแปลงพฤติกรรมผู้บริโภคและการเริ่มเข้าสู่ยุคใหม่ของการคมนาคมขนส่งที่ยั่งยืนมากยิ่งขึ้น เพื่อรองรับความต้องการที่เพิ่มขึ้นอย่างต่อเนื่อง การพัฒนาแอปพลิเคชันสำหรับการชาร์จ EV จึงมีความจำเป็น แอปพลิเคชันส่วนใหญ่ซึ่งมักทำงานร่วมกับแพลตฟอร์ม Internet of Things (IoT) [4] [5] ช่วยให้ผู้ใช้สามารถตรวจสอบสถานะการชาร์จ ตั้งค่าพลังงานที่ต้องการ และรับการแจ้งเตือนแบบเรียลไทม์ผ่านมือถือหรือเว็บอินเตอร์เฟซ (Web Interface) ทั้งยังแสดงข้อมูลการใช้พลังงานและยอดคงเหลือได้อย่างชัดเจนบนแดชบอร์ด (Dashboard) ซึ่งช่วยยกระดับ

*ผู้ประพันธ์บรรณกิจ

ประสบการณ์ของผู้ใช้งาน และเป็นองค์ประกอบสำคัญในการส่งเสริมการใช้ยานยนต์ไฟฟ้าในวงกว้าง ในขณะที่แนวโน้มของเทคโนโลยีดิจิทัลทวิน (Digital Twin) กำลังมีบทบาทเพิ่มขึ้นอย่างต่อเนื่อง [6] การย้ายการทำงานของอุปกรณ์ทางกายภาพสู่แพลตฟอร์มคลาวด์ (Cloud Platform) เป็นแนวทางสำคัญที่ช่วยรองรับความสามารถในการขยายตัวของระบบในอนาคตอย่างรวดเร็วและยืดหยุ่น ปัจจุบันมีการนำเทคโนโลยี Internet of Things (IoT) มาใช้ในการจัดการระบบอัดประจุรถจักรยานยนต์ไฟฟ้า แต่อย่างไรก็ตาม ระบบเหล่านี้ยังสามารถพัฒนาไปสู่การเป็นดิจิทัลทวินอย่างเต็มรูปแบบเพื่อเพิ่มประสิทธิภาพและความสามารถในการบริหารจัดการ

หลายงานวิจัยได้เสนอการประยุกต์ใช้เทคโนโลยี IoT โดยเชื่อมต่อผ่านโปรโตคอล MQTT หรือ REST API เพื่อวัตถุประสงค์หลักในการควบคุมการทำงานหรืออ่านค่าพารามิเตอร์จากกระบวนการอัดประจุของยานพาหนะไฟฟ้า [7] ได้นำเสนอระบบ IoT สำหรับสถานีอัดประจุจักรยานยนต์ไฟฟ้าแบบไฮบริดซึ่งใช้พลังงานหมุนเวียนร่วมกับแหล่งจ่ายอื่น โดยมุ่งเน้นการติดตามสถานะแรงดัน กระแสไฟฟ้า และเวลาที่ใช้ในการชาร์จผ่านเว็บแอปพลิเคชัน ขณะที่ [8] ได้นำเสนอต้นแบบการจัดการพลังงานและการติดตามสถานะการทำงานของสถานีอัดประจุผ่านแอปพลิเคชัน อย่างไรก็ตาม ระบบเหล่านี้ยังคงจำกัดอยู่ในระดับการดำเนินงานของสถานีเดียว และไม่รองรับการจัดเก็บหรือการเปรียบเทียบข้อมูลในเชิงประวัติ รวมถึงการขยายศักยภาพไปสู่โครงสร้างพื้นฐานของสถานีอัดประจุสาธารณะในยุคใหม่ที่ต้องการปรับตัวแบบเรียลไทม์

บทความนี้จึงได้นำเสนอระบบดิจิทัลทวินบนพื้นฐานของ IoT สำหรับต้นแบบอุปกรณ์จ่ายไฟฟ้าสำหรับจักรยานยนต์ไฟฟ้าสำหรับสถานีอัดประจุรถจักรยานยนต์ไฟฟ้า โดยออกแบบให้สามารถติดตามสถานะและควบคุมการทำงานแบบเรียลไทม์ผ่านเว็บแอปพลิเคชันบนอุปกรณ์พกพา ระบบดังกล่าวผสานการทำงานของอุปกรณ์ IoT เข้ากับฐานข้อมูลเรียลไทม์ ซึ่งใช้การสื่อสารผ่าน REST API เพื่อสร้างแบบจำลองดิจิทัล (Digital Twin) ที่เหมาะสมสำหรับโครงสร้างพื้นฐานของสถานีชาร์จยุคใหม่ ทั้งนี้เพื่อรองรับการเติบโตของยานยนต์ไฟฟ้าและระบบชาร์จที่มีประสิทธิภาพในอนาคต

2. แนวคิดทฤษฎีเกี่ยวข้อง

เนื้อหาในส่วนนี้กล่าวถึงทฤษฎี แนวคิดพื้นฐาน และนิยามที่เกี่ยวข้อง ซึ่งเป็นองค์ประกอบสำคัญในการพัฒนาระบบดิจิทัลทวินบนพื้นฐานของ IoT สำหรับอุปกรณ์จ่ายไฟฟ้าสำหรับจักรยานยนต์ไฟฟ้า

2.1 ระบบอัดประจุรถจักรยานยนต์ไฟฟ้า

โดยทั่วไประบบอัดประจุรถจักรยานยนต์ไฟฟ้าแบบกระแสสลับจะประกอบด้วยระบบอุปกรณ์จ่ายไฟฟ้าสำหรับยานยนต์ไฟฟ้า (Electric Vehicle Supply Equipment: EVSE) ซึ่งมีหน้าที่หลักในการ ควบคุมการจ่ายไฟฟ้ากระแสสลับ (AC) ไปยังรถจักรยานยนต์ไฟฟ้า โดยกระบวนการแปลงกระแสไฟฟ้าจาก AC เป็น DC จะเกิดขึ้นโดยอินเวอร์เตอร์ (AC-DC Converter) หรือระบบชาร์จออนบอร์ด (On-board Charger)

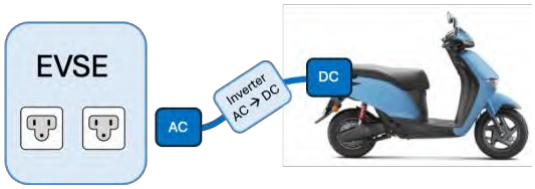

รูปที่ 1 ระบบอัดประจุไฟฟ้ากระแสสลับแบบช้า ระดับที่ 1

บทความนี้ได้เลือกใช้งานระบบอัดประจุแบบใช้สาย ด้วยรูปแบบการอัดประจุแบบช้า (AC Slow Charging) ซึ่งจัดอยู่ในระดับที่ 1 (Level 1 Charging) [9] ที่สามารถเชื่อมต่อกับเต้ารับไฟฟ้ากระแสสลับทั่วไปได้ EVSE จะทำหน้าที่ ควบคุมและตัดต่อการจ่ายไฟฟ้า AC อย่างปลอดภัยตามค่าพลังงานที่กำหนดไว้ รวมถึงสามารถทำงานร่วมกับระบบสื่อสารเพื่อตรวจสอบสถานะของการอัดประจุและควบคุมจากระยะไกลได้

2.2 อินเทอร์เน็ตของสรรพสิ่ง

อินเทอร์เน็ตในทุกสรรพสิ่ง หรือ IoT เป็นการนำอุปกรณ์และเซนเซอร์ต่าง ๆ เข้าสู่เครือข่ายอินเทอร์เน็ต เพื่อให้สามารถควบคุม ตรวจสอบ และแลกเปลี่ยนข้อมูลได้จากระยะไกลได้โดย IoT จะทำงานร่วมกับอุปกรณ์ Edge ที่มีความสามารถเครือข่ายอินเทอร์เน็ตได้ ซึ่งเป็นอุปกรณ์ที่เชื่อมต่อกับชุดควบคุมและเซนเซอร์ต่าง ๆ เพื่ออ่านข้อมูล เช่น กระแสไฟฟ้า แรงดันไฟฟ้า พลังงานไฟฟ้า หรือสถานะการทำงานของอุปกรณ์ จากนั้นส่งข้อมูลผ่านเครือข่ายอินเทอร์เน็ตไปยังระบบประมวลผลหรือผู้ใช้งาน โปรโตคอลที่นิยมใช้ในระบบ IoT คือ MQTT (Message Queuing Telemetry Transport) ซึ่งเป็นโปรโตคอลการสื่อสารที่มีน้ำหนักเบา เหมาะสำหรับอุปกรณ์ฝังตัวหรือระบบที่มีทรัพยากรจำกัด MQTT ช่วยให้การส่งข้อมูลเป็นไปอย่างรวดเร็ว ประหยัดพลังงาน และรองรับการส่งข้อมูลแบบเรียลไทม์

ตัวอย่างการใช้เทคโนโลยี IoT ร่วมกับระบบ EVSE [10] เพื่ออ่านข้อมูลการใช้พลังงานไฟฟ้าและสถานะการอัดประจุของรถจักรยานยนต์ไฟฟ้า ผ่านการส่งข้อมูลด้วยโปรโตคอล MQTT ไปยังเว็บแอปพลิเคชัน ทำให้ผู้ดูแลระบบสามารถติดตามสถานะการอัดประจุแบบเรียลไทม์ รวมถึงสามารถสั่งเปิด-ปิดการจ่ายไฟจากระยะไกลได้ ดังรูปที่ 2

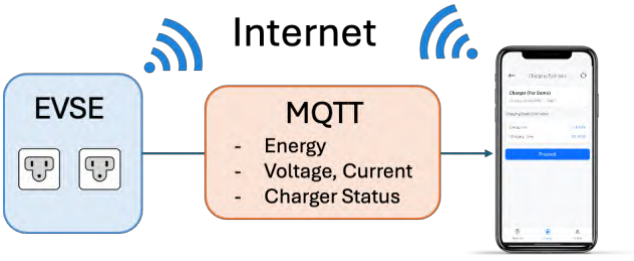

รูปที่ 2 เทคโนโลยี IoT ร่วมกับระบบ EVSE ผ่านการส่งข้อมูลด้วยโปรโตคอล MQTT

2.3 ฐานข้อมูลเรียลไทม์

ฐานข้อมูลเรียลไทม์ (Realtime Database) เป็นฐานข้อมูลที่ทำงานบนระบบคลาวด์ โดยรองรับการสื่อสารข้อมูลแบบเรียลไทม์ผ่านโปรโตคอล HTTPS ซึ่งสามารถใช้คำสั่ง POST, PUT, GET และ DELETE เพื่อจัดการข้อมูล การเข้าถึงข้อมูลในระบบจะอ้างอิงผ่าน URL ของปลายทางที่กำหนดไว้ ส่วนรูปแบบข้อมูลที่ใช้ในการสื่อสารจะนิยมใช้ JSON (JavaScript Object Notation) ซึ่งเป็นโครงสร้างข้อมูลที่อ่านง่ายและเหมาะสำหรับการรับส่งข้อมูลระหว่างเว็บแอปพลิเคชันและเซิร์ฟเวอร์ ดังรูปที่ 3

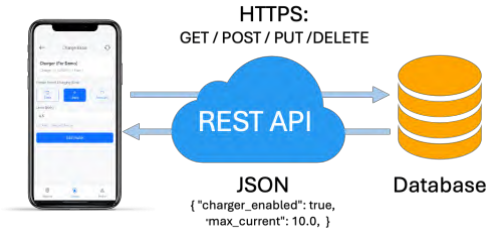

รูปที่ 3 การสื่อสารข้อมูลแบบเรียลไทม์ผ่านโปรโตคอล HTTPS ของฐานข้อมูลเรียลไทม์

2.4 ดิจิทัลทวิน

ดิจิทัลทวิน (Digital Twin) คือการสร้างแบบจำลองดิจิทัลที่สะท้อนพฤติกรรมและสถานะของอุปกรณ์จริงในโลกเสมือน เพื่อช่วยในการเฝ้าติดตาม วิเคราะห์ และควบคุมระบบได้อย่างแบบเรียลไทม์ ตามแนวคิด DESIRED/REPORTED [11] [12] เพื่อให้สถานะจริงของอุปกรณ์จ่ายไฟฟ้าและคู่เสมือนสอดคล้องกัน โดยการตั้งค่า (DESIRED) และการตอบกลับสถานะจริง (REPORTED) สู่คลาวด์ ใช้การจัดเก็บและแลกเปลี่ยนข้อมูล โดย ข้อมูลเมตา (Metadata) เป็นส่วนสำคัญที่ใช้ในการระบุข้อมูลเพิ่มเติมเกี่ยวกับข้อมูลหลัก เช่น เวลาเก็บข้อมูล สถานที่ติดตั้งอุปกรณ์ หน่วยของข้อมูล สถานะอุปกรณ์ หรือประเภทข้อมูลต่างๆ ไปยังฐานข้อมูลเรียลไทม์ผ่านทาง REST API ทำให้อุปกรณ์ Edge ในระบบ IoT การสื่อสารแบบ DESIRED/REPORTED ทำให้เกิดคู่เสมือนของอุปกรณ์จริง ดังรูปที่ 4

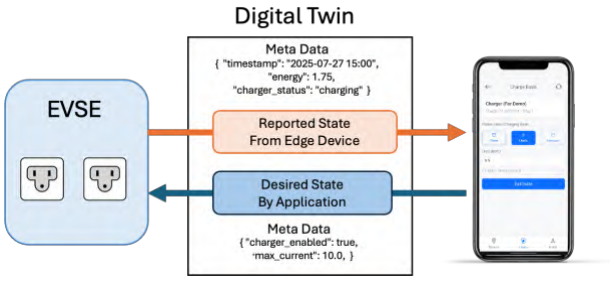

รูปที่ 4 การสร้างแบบจำลองดิจิทัลทวิน

3 ระบบที่นำเสนอ

งานวิจัยนี้นำเสนอการออกแบบระบบดิจิทัลทวินบนพื้นฐาน IoT สำหรับต้นแบบอุปกรณ์จ่ายไฟฟ้าสำหรับจักรยานยนต์ไฟฟ้า ซึ่งระบบประกอบด้วยสามส่วนหลัก ได้แก่ อุปกรณ์จ่ายไฟฟ้าสำหรับจักรยานยนต์ไฟฟ้า ระบบดิจิทัลทวินของอุปกรณ์จ่ายไฟฟ้า และเว็บแอปพลิเคชันสำหรับติดตามและควบคุมการทำงานของระบบ ทั้งสามส่วนทำงานร่วมกันโดยเชื่อมต่อข้อมูลผ่านเครือข่ายอินเทอร์เน็ต ดังรูปที่ 5

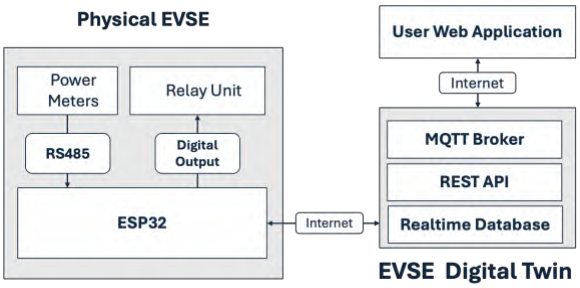

รูปที่ 5 ระบบที่นำเสนอ

3.1 ต้นแบบอุปกรณ์จ่ายไฟฟ้าสำหรับจักรยานยนต์ไฟฟ้า

ระบบที่นำเสนอ ส่วนของต้นแบบอุปกรณ์จ่ายไฟฟ้าสำหรับจักรยานยนต์ไฟฟ้าประกอบด้วย บอร์ดพัฒนา ESP32 แบบ 38 พิน ซึ่งทำหน้าที่หลักในการอ่านค่าพลังงานและควบคุมการจ่ายไฟ โดยใช้ การสื่อสารแบบอนุกรม TTL เชื่อมต่อกับ โมดูลแปลงสัญญาณ RS-485 เพื่อสื่อสารกับมิเตอร์วัดพลังงานไฟฟ้า รุ่น PZEM-003 ผ่านโปรโตคอล Modbus RTU สำหรับการตรวจวัดค่าแรงดันไฟฟ้า (V), กระแสไฟฟ้า (A) และพลังงานไฟฟ้า (kWh) การวัดพลังงานจะอาศัยการเชื่อมต่อกับระบบไฟฟ้ากระแสสลับ โดยใช้ หม้อแปลงวัดกระแส (Current Transformer) ติดตั้งเข้ากับสาย Line (L) ของระบบไฟฟ้ากระแสสลับ ก่อนต่อร่วมกับเต้ารับปลั๊กไฟ ที่เชื่อมต่อกับจักรยานยนต์ไฟฟ้า

หลังจากได้ค่าพลังงานไฟฟ้าแล้ว ESP32 จะส่งข้อมูลไปยังระบบดิจิทัลทวินบน ผ่านการเชื่อมต่อ Wi-Fi เพื่อเปรียบเทียบค่าการใช้งานจริงกับค่าที่ผู้ใช้งานตั้งไว้ เมื่อพลังงานไฟฟ้าที่ใช้งานถึงหรือเกินค่าที่ตั้งไว้ ระบบจะส่งสัญญาณจากขาดิจิทัลเอาต์พุต (Digital Output) ของ บอร์ดพัฒนา ESP32 ไปควบคุมรีเลย์ (Relay) เพื่อตัดการจ่ายไฟฟ้าให้อุปกรณ์อัดประจุ โดยกระบวนการควบคุมนี้สามารถตั้งค่าผ่าน เว็บแอปพลิเคชันที่ผู้ใช้งานก่อนหน้า ภาพรวมของระบบอุปกรณ์จ่ายไฟฟ้าสำหรับจักรยานยนต์ไฟฟ้า ดังแสดงใน รูปที่ 6

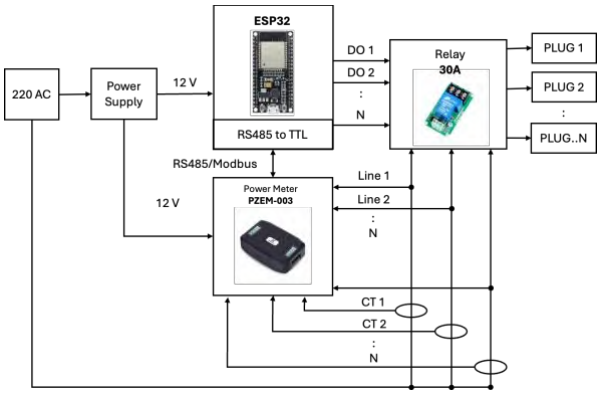

รูปที่ 6 ภาพรวมของระบบจ่ายไฟฟ้าสำหรับจักรยานยนต์ไฟฟ้า

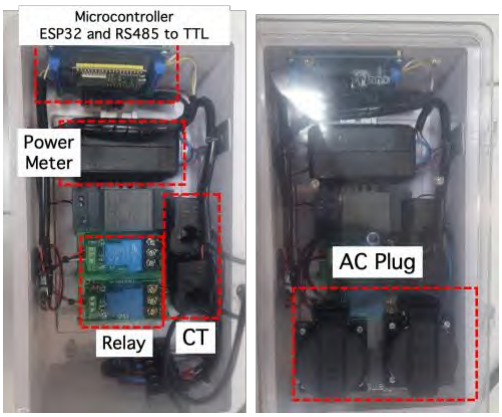

รูปที่ 7 อุปกรณ์จ่ายไฟฟ้าสำหรับจักรยานยนต์ไฟฟ้า

3.2 ดิจิทัลทวินของอุปกรณ์จ่ายไฟฟ้า

ส่วนของระบบดิจิทัลทวินของอุปกรณ์จ่ายไฟฟ้า ได้รับการออกแบบบนพื้นฐานแนวคิดของ IoT โดยใช้โปรโตคอลการสื่อสาร MQTT ผ่าน MQTT Broker ซึ่งในบทความนี้ได้เลือกใช้งาน broker.emqx.io เพื่อใช้ในการรับส่งข้อมูลที่เกี่ยวข้องกับการตรวจวัดค่าพลังงาน ได้แก่ แรงดันไฟฟ้า (Voltage: V), กระแสไฟฟ้า (Current: A) และ พลังงานไฟฟ้า (Energy: kWh) รวมถึงการควบคุมการตัดจ่ายไฟฟ้าไปยังอุปกรณ์อัดประจุ โดยการสื่อสารข้อมูลในรูปแบบของสถานะ DESIRED และ REPORTED ตามแนวคิดของดิจิทัลทวินบน ซึ่งบอร์ดพัฒนา ESP32 จะทำหน้าที่เป็นตัวกลางในการเชื่อมโยง และซิงค์ข้อมูล (Synchronization Mechanism) [13] [14] ระหว่าง MQTT Broker และ ฐานข้อมูลเรียลไทม์ผ่านโปรโตคอล HTTPS ด้วยวิธีการเรียกใช้ REST API ซึ่งบทความนี้ใช้ฐานข้อมูล Firebase กระบวนการดังกล่าวทำให้สามารถสร้างแบบจำลองเสมือนของอุปกรณ์ (Virtual Model) บนระบบคลาวด์ ที่มีสถานะสอดคล้องกับอุปกรณ์จริงได้แบบเรียลไทม์ ระบบภาพรวมแสดงดังรูปที่ 8

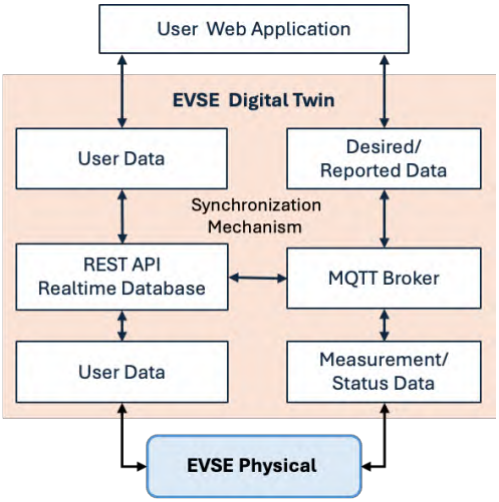

รูปที่ 8 ดิจิทัลทวินของอุปกรณ์จ่ายไฟฟ้า

ตารางที่ 1 องค์ประกอบของระบบดิจิทัลทวินและการดำเนินการ

องค์ประกอบ	การดำเนินการ	แนวคิด
ระบบจริง	บอร์ดพัฒนา ESP32 ชุดควบคุมรีเลย์, มิตเตอร์วัดพลังงานไฟฟ้าแบบ RS-485	อุปกรณ์ทางกายภาพ (Physical Asset)
ดิจิทัลทวิน	กำหนดการ DESIRED, REPORTED	แบบจำลองเสมือนในระบบคลาวด์ (Virtual Model)
การสื่อสาร	MQTT และ HTTP + REST API	กลไกการซิงค์ข้อมูล (Synchronization Mechanism)
คำสั่งผู้ใช้	JSON หัวข้อ DESIRED จากผู้ใช้งาน ดังตัวอย่าง {"ss": 240729133218390, "s": 1, "uid": "095962XXXX", "pl": 0, "dP": 0.5, "dT": 4.5}	การตั้งค่าสถานะที่ต้องการ
รายงานสถานะ	ESP32 ส่ง JSON ไปยังหัวข้อ REPORTED และ REST API และ MQTT ดังตัวอย่าง {"s": 2, "pl": 0, "dP": 0.5, "dT": 4.5, "V": 229.1, "A": 3.21, "cP": 0.12, "cPW": 0.66}	การรายงานสถานะจริง

3.3 เว็บแอปพลิเคชัน

การพัฒนาเว็บแอปพลิเคชันเพื่อเป็นส่วนติดต่อผู้ใช้งาน (User Interface) สำหรับควบคุมและตรวจสอบสถานะของอุปกรณ์จ่ายไฟฟ้าสำหรับจักรยานยนต์ไฟฟ้าแบบเรียลไทม์ ในบทความนี้ใช้เทคโนโลยี Node.js สำหรับการประมวลผลฝั่งเซิร์ฟเวอร์และการเชื่อมต่อกับฐานข้อมูลเรียลไทม์ รวมถึงใช้ไลบรารี Bootstrap ในการออกแบบอินเทอร์เฟซผู้ใช้งานให้สามารถเข้าถึงได้จากทุกอุปกรณ์ โดยเว็บแอปพลิเคชันจะใช้ Firebase Hosting เพื่อรองรับการเข้าถึงจากอินเทอร์เน็ต Ffp ฟังก์ชันหลัก คือการแสดงค่าพลังงานไฟฟ้าที่ใช้งาน ได้แก่ ค่าแรงดันไฟฟ้า กระแสไฟฟ้า และพลังงานไฟฟ้า การส่งคำสั่งจากผู้ใช้งาน เช่น การเปิด-ปิดระบบ การตั้งค่าพลังงานที่ต้องการใช้ หรือระยะเวลาในการอัดประจุ โดยคำสั่งจะถูกส่งในรูปแบบ JSON ไปยังหัวข้อ DESIRED/REPORTED ของ MQTT Broker และฐานข้อมูลเรียลไทม์ เพื่อรับส่งข้อมูลที่เกี่ยวข้องกับดิจิทัลทวิน ตัวอย่างเว็บแอปพลิเคชันแสดงดังรูปที่ 9

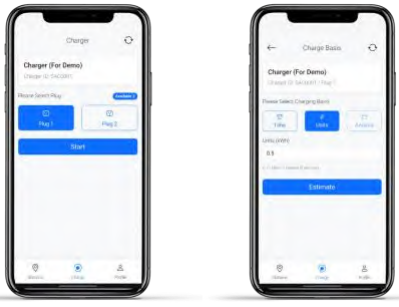

รูปที่ 9 ตัวอย่างหน้าเว็บแอปพลิเคชัน

4 ผลการดำเนินงาน

ในการทดลองนี้ได้ทำการทดสอบระบบต้นแบบของอุปกรณ์จ่ายไฟฟ้าสำหรับจักรยานยนต์ไฟฟ้า ซึ่งประกอบด้วยระบบจริง (บอร์ดพัฒนา ESP32 ชุดควบคุมรีเลย์, มิตเตอร์วัดพลังงานไฟฟ้า) ระบบดิจิทัลทวิน (MQTT Broker และ ฐานข้อมูลเรียลไทม์ผ่านโปรโตคอล HTTPS ด้วยวิธีการเรียกใช้ REST API) และเว็บแอปพลิเคชัน โดยมีวัตถุประสงค์เพื่อตรวจสอบการทำงานร่วมกันของแต่ละองค์ประกอบ โดยแบ่งการดำเนินการออกเป็น 2 ส่วน การควบคุมการอุปกรณ์จ่ายไฟฟ้าผ่านเว็บแอปพลิเคชัน และการวัดค่าความหน่วงของระบบ (Latency)

4.1 การทดลองใช้งานต้นแบบอุปกรณ์จ่ายไฟฟ้า

การทดสอบการทำงานจริงของระบบดิจิทัลทวินบนพื้นฐานเทคโนโลยีอินเทอร์เน็ตของสรรพสิ่งที่พัฒนาขึ้นสำหรับต้นแบบอุปกรณ์จ่ายไฟฟ้าจักรยานยนต์ไฟฟ้างานวิจัยนี้ได้เลือกใช้รถยนต์ไฟฟ้าเป็นโหลดจำลองแทนการใช้จักรยานยนต์ไฟฟ้าจริงดังรูปที่ 10

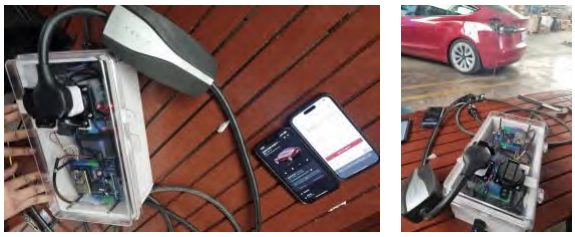

รูปที่ 10 การเชื่อมต่อต้นแบบอุปกรณ์จ่ายไฟฟ้าเข้ากับรถยนต์ไฟฟ้าเป็นโหลดจำลองแทนการใช้จักรยานยนต์ไฟฟ้า

ทั้งนี้เนื่องจากรถยนต์ไฟฟ้าสามารถกำหนดโพรไฟล์การชาร์จได้หลากหลาย และสามารถปรับให้ใกล้เคียงกับช่วงการทำงานของจักรยานยนต์ไฟฟ้า อีกทั้งช่วยลดข้อจำกัดด้านความพร้อมใช้งานของแบตเตอรี่ต้นแบบ และเพิ่มความสะดวกในการปรับค่าพารามิเตอร์ระหว่างการทดสอบ โดยระบบต้นแบบถูกเชื่อมต่อเข้ากับเครื่องชาร์จรถยนต์สำหรับพกพาไปยังรถยนต์ไฟฟ้า ข้อมูลแรงดัน กระแส และสถานะการชาร์จจากรถยนต์ไฟฟ้าจะถูกส่งเข้าระบบดิจิทัลทวินผ่านโปรโตคอล MQTT และ REST API แบบเรียลไทม์ ก่อนนำไปเปรียบเทียบกับข้อมูลที่ได้จากแอพพลิเคชันของตัวรถจริง เพื่อประเมินการทำงานได้ตลอดจนความสามารถจ่ายไฟฟ้าไปยังรถยนต์ไฟฟ้า โดยทำการเทียบความถูกต้องของพลังงาน แรงดัน และ กระแส กับแอพพลิเคชันของรถยนต์ไฟฟ้า

4.1 การควบคุมการอุปกรณ์จ่ายไฟฟ้า

ทำการทดสอบคำสั่งเปิด–ปิดการจ่ายไฟฟ้าผ่านอินเทอร์เฟซของเว็บแอปพลิเคชัน โดยผู้ใช้งานควบคุมเปิด–ปิดการจ่ายไฟฟ้าผ่านเว็บแอปพลิเคชัน เพื่อส่งข้อมูลในรูปแบบ JSON ไปยังหัวข้อ DESIRED เพื่อควบคุมระบบต้นแบบของอุปกรณ์จ่ายไฟฟ้า และบอร์ดพัฒนา ESP32 ตอบสนองโดยชุดควบคุมรีเลย์การตัดหรือจ่ายไฟฟ้าได้ตามค่าที่กำหนด

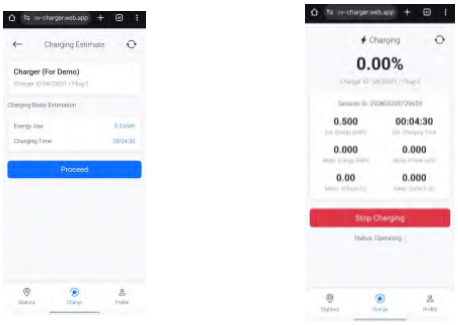

รูปที่ 11 ตัวอย่างหน้าเว็บแอปพลิเคชันควบคุมเปิด–ปิดการจ่ายไฟฟ้า

ตารางที่ 2 การทดสอบคำสั่งเปิด–ปิดการจ่ายไฟฟ้าผ่านอินเทอร์เฟซของเว็บแอปพลิเคชัน

ควบคุม	ครั้งที่									
	1	2	3	4	5	6	7	8	9	10
เปิด	✓	✓	✓	✓	✓	✓	✓	✓	✓	✓
ปิด	✓	✓	✓	✓	✓	✓	✓	✓	✓	✓

จากตารางที่ 2 พบว่าผลการทดสอบคำสั่งเปิด–ปิดระบบอุปกรณ์จ่ายไฟฟ้าทั้งหมด 10 ครั้ง พบว่าระบบสามารถทำงานได้อย่างมีประสิทธิภาพและเสถียรภาพ โดยไม่พบปัญหาหรือความผิดพลาดในการควบคุมการทำงานของอุปกรณ์

4.2 การวัดค่าความหน่วงของระบบ

ในการทดลองส่วนนี้ได้ทำการวัดระยะเวลาการตอบสนองของระบบดิจิทัลทวินบนพื้นฐาน IoT โดยเน้นที่ช่วงเวลาตั้งแต่ผู้ใช้งานส่งคำสั่งผ่านเว็บแอปพลิเคชันไปยังระบบ ซึ่งคำสั่งดังกล่าวจะถูกส่งผ่านหัวข้อ DESIRED ของ MQTT Broker และถูกรับโดยบอร์ด ESP32 ผ่านกลไกการซิงค์ข้อมูล จากนั้นอุปกรณ์ต้นแบบจึงทำการเปลี่ยนสถานะการทำงาน (เช่น เปิดหรือปิดรีเลย์) พร้อมส่งข้อมูลสถานะกลับมายังหัวข้อ REPORTED และบันทึกลงฐานข้อมูลแบบเรียลไทม์ผ่าน REST API

ตารางที่ 3 การทดสอบวัดระยะเวลาการตอบสนองของระบบดิจิทัลทวิน

ครั้งที่	เวลาเริ่มต้น	เวลาตอบสนอง	ความหน่วง (ms)
1	250803205729659	250803205731236	1,577
2	250803210258290	250803210259216	926
3	250803210640283	250803210641715	1,432
4	250803210815965	250803210817366	1,401
5	250803210943478	250803210944411	933
6	250803211103948	250803211105202	1,254
7	250803211159047	250803211200407	1,360
8	250803211259467	250803211300725	1,258
9	250803211436427	250803211437241	814
10	250803211622144	250803211623661	1,517
ค่าเฉลี่ย			1257.2

จากตารางที่ 3 การวัดค่าความหน่วงนี้ดำเนินการทั้งหมด 10 ครั้ง บันทึกค่าเวลาเริ่มต้น และเวลาตอบสนองเป็นรูปแบบตัวเลขของปี เดือน วัน และเวลาในหน่วยชั่วโมง นาที วินาที และมิลลิวินาทีดังนี้ YYMMDDhhmmssSSS โดยจับเวลาเริ่มต้นจากเวลาที่ผู้ใช้กดปุ่มคำสั่งบนเว็บแอปพลิเคชัน และจับเวลาสิ้นสุดจากเวลาที่ระบบตอบสนองพบว่าโดยวัดเวลาเฉลี่ยจากหลายกรณี พบว่า ความหน่วงค่าสูงสุดที่ 1577 มิลลิวินาที ค่าต่ำสุดที่ 814 มิลลิวินาที และเฉลี่ยอยู่ที่ 1257.2 มิลลิวินาที ซึ่งถือว่าอยู่ในระดับที่เหมาะสมสำหรับระบบควบคุมการทำงานของอุปกรณ์จ่ายไฟฟ้าสำหรับจักรยานยนต์ไฟฟ้า

5 สรุป

บทความนี้ได้นำแนวคิดดิจิทัลทวินบนพื้นฐานของเทคโนโลยีอินเทอร์เน็ตของสรรพสิ่ง ประยุกต์ใช้กับระบบอุปกรณ์จ่ายไฟฟ้าสำหรับจักรยานยนต์ไฟฟ้า โดยออกแบบและพัฒนาระบบต้นแบบที่สามารถควบคุมการเปิด–ปิด และกำหนดค่าพลังงานในการจ่ายไฟฟ้าได้จาผ่าน เว็บแอปพลิเคชัน ที่พัฒนาด้วย Node.js, Bootstrap และ Firebase Hosting ระบบประกอบด้วยอุปกรณ์จริง ได้แก่ บอร์ดพัฒนา ESP32, รีเลย์ควบคุม, และมิตเตอร์วัดพลังงาน RS-485 ทำงานร่วมกับระบบจำลองเสมือนในคลาวด์ผ่านโปรโตคอล MQTT และ REST API ที่เชื่อมโยงกับฐานข้อมูลแบบเรียลไทม์ด้วยกลไกการซิงค์ข้อมูลตามแนวคิดดิจิทัลทวิน เว็บแอปพลิเคชันทำหน้าที่เป็นส่วนติดต่อผู้ใช้งานสามารถส่งคำสั่ง DESIRED เพื่อควบคุมอุปกรณ์ และแสดงสถานะ REPORTED ที่อุปกรณ์ส่งกลับมา รวมถึงข้อมูลพลังงานและเวลาใช้งานจริง ทำให้ผู้ใช้งานสามารถติดตามและควบคุมอุปกรณ์ได้แบบเรียลไทม์

ผลการทดลองแสดงให้เห็นว่าระบบสามารถตอบสนองคำสั่งจากผู้ใช้งานได้อย่างรวดเร็ว และมีค่าความหน่วงต่ำ จึงถือได้ว่าระบบมีประสิทธิภาพ และมีความพร้อมสำหรับการนำไปใช้งานจริงในสถานการณ์ที่ต้องการควบคุมการจ่ายพลังงานที่ต้องการความเสถียรภาพ

เอกสารอ้างอิง

[1] ฝ่ายวิจัยนโยบาย, สำนักงานพัฒนาวิทยาศาสตร์และเทคโนโลยีแห่งชาติ, “อุตสาหกรรมยานยนต์ไฟฟ้า,” กันยายน 2560.

[2] ทศมงคล พงศ์พันธ์, “ปัจจัยที่ส่งผลต่อการตัดสินใจเลือกซื้อรถจักรยานยนต์ไฟฟ้าของกลุ่มเจเนอเรชั่นวาย ในพื้นที่กรุงเทพมหานครและปริมณฑล,” ปริญญานิพนธ์, คณะพาณิชยศาสตร์และการบัญชี, มหาวิทยาลัยธรรมศาสตร์, 2564.

[3] Thailand Convention and Exhibition Bureau (TCEB), “Explore the Potential of EV Market Growth in Thailand,” [Online]. Available: https://intelligence.businesseventsthailand.com/files/keyindustries/keyindustries_document_9b8191fa4be819932e47ed03faaa353b.pdf.

[4] Md Hassain, I. H. Jamil, M. M. Hoque, and M. J. Hasan, “Electric Vehicle Charging System Using RFID and IoT for Enhanced User Experience,” MENACOMM 2025, pp. 1–6, doi: 10.1109/MENACOMM62946.2025.10911013.

[5] F. Basholli, “IoT Integration of Electric Vehicle Charging Infrastructure,” 2023.

[6] สุทธิศักดิ์ ตันตะโยธิน, “แนวทางการนำเทคโนโลยี Digital Twin มาใช้เพื่อการพัฒนาโครงสร้างพื้นฐานโทรคมนาคมของประเทศ,” วารสารรัฐภิรักษ์, ปีที่ 66, ฉบับที่ 2, กรกฎาคม – ธันวาคม 2567.

[7] M. N. Hidayat, A. Nugroho, A. F. Munir, and R. I. Putri, “Internet of things (IoT) based monitoring system for hybrid powered E-bike charging station,” International Journal of Power Electronics and Drive Systems (IJPEDS), vol. 16, no. 1, pp. 243–250, 2025, doi:10.11591/ijpeds.v16.i1.pp243-250.

[8] M. R. Dhavale, R. B. Nimbalkar, P. R. Gavhane, S. N. Satbhai, and K. B. Thorat, “Development of an IoT-Based Adaptive Charging System for Electric Vehicles,” International Journal of Creative Research Thoughts (IJCRT), vol. 13, no. 2, Feb. 2025, ISSN: 2320-2882.

[9] สำนักงานนโยบายและพลังงาน, กระทรวงพลังงาน, “คู่มือโครงการจัดทำแผนการพัฒนาสถานีประจุแบตเตอรี่ สำหรับยานยนต์ไฟฟ้าเพื่อรองรับเป้าหมายการส่งเสริมยานยนต์ไฟฟ้าของประเทศ,” [Online].

[10] E. A. Mohammed, M. H. Qahtan, and A. J. Ali, “Internet of Things based Real-Time Electric Vehicle and Charging Stations Monitoring System,” Indonesian Journal of Electrical Engineering and Computer Science (IJEECS), 2023.

[11] ทศพล กลิ่นสุคนธ์, “DIGITAL TWIN แบบจำลองเสมือนจริงจากระบบทางกายภาพ,” กลุ่มวิจัยไอโอทีและระบบอัตโนมัติสำหรับงานอุตสาหกรรม, ศูนย์เทคโนโลยีอิเล็กทรอนิกส์และคอมพิวเตอร์แห่งชาติ (NECTEC).

[12] M. Shapna, B. Yoo, and H. Ko, “Designing a Semantic Digital Twin Model for IoT,” IEEE International Conference on Consumer Electronics (ICCE), 2020, pp. 1–2, doi: 10.1109/ICCE46568.2020.9043088.

[13] A. Awouda, E. Traini, G. Bruno, and P. Chiabert, “IoT-Based Framework for Digital Twins in the Industry 5.0 Era,” Sensors, vol. 24, no. 2, p. 594, 2024, https://doi.org/10.3390/s24020594.

[14] F. Abdoune, O. Cardin, M. Nouiri, and P. Castagna, “Real-Time Field Synchronization Mechanism for Digital Twin Manufacturing Systems,” IFAC-PapersOnLine, vol. 56, no. 2, pp. 5649–5654, 2023, https://doi.org/10.1016/j.ifacol.2023.10.487.

ศุภรัตน์ แย้มครวญ จบการศึกษาระดับปริญญาเอก สาขาวิชาเทคโนโลยีวิศวกรรมไฟฟ้าและสารสนเทศ อาจารย์ประจำสาขาวิชาวิศวกรรมปัญญาประดิษฐ์และวิทยาการข้อมูล มหาวิทยาลัยกรุงเทพ

ศิริชัย เติมโชคเกษม จบการศึกษาระดับปริญญาเอก สาขาวิชาเทคโนโลยีวิศวกรรมไฟฟ้าและสารสนเทศ อาจารย์ประจำสาขาวิชาวิศวกรรมไฟฟ้า มหาวิทยาลัยกรุงเทพ

ศักดิ์กมล ลีลาจินดาไกรฤกษ์ จบการศึกษาระดับปริญญาโท สาขาวิชาวิศวกรรมไฟฟ้า ตำแหน่ง Chief Operation & Engineer Officer บริษัท อีโวลท์ เทคโนโลยี จำกัด

การศึกษาการยกระดับสุรากลั่นชุมชนโดยใช้เทคโนโลยีอัลตราโซนิค

Study on the Enhancement of Community-Distilled Spirits Using Ultrasonic Technology

นพดล ภูสาม[1] จิตรลดา อินต๊ะนนท์[1] ธนัญญา มูลอา[1] ประพิชญา ยะยม[1] อรชัญญา สวัสดิ์นที[1] วัชราภรณ์ สิงห์หล้า[1] และ ธนกานต์ สวนกัน[1]*

[1]สาขาวิชาวิศวกรรมไฟฟ้า คณะวิศวกรรมศาสตร์ มหาวิทยาลัยพะเยา ph.nopphadon@gmail.com l.jitladaa@gmail.com moonartananya21@gmail.com prapitchaya.yayom64@gmail.com s.orachanya@gmail.com watcharaphon1445@gmail.com thanakarn.su@up.ac.th*

บทคัดย่อ

งานวิจัยนี้มีวัตถุประสงค์เพื่อศึกษาและประเมินประสิทธิภาพของทคโนโลยีคลื่นอัลตราโซนิกส์กำลังสูง ซึ่งถูกสร้างขึ้นจากระบบไฟฟ้าที่แตกต่างกัน ในการปรับปรุงคุณภาพสุรากลั่นชุมชน โดยมุ่งเน้นการลดปริมาณสารคอนจีเนอร์ส (Congeners) ที่เป็นอันตราย และเร่งกระบวนการบ่มสุรา การทดลองได้ประยุกต์ใช้ระบบอัลตราโซนิกส์ 2 รูปแบบ ได้แก่ อ่างอัลตราโซนิกส์ (Ultrasonic Bath) และหัววัดอัลตราโซนิกส์ (Ultrasonic Probe) กับตัวอย่างสุรา 4 ชนิด รวมถึงสุรากลั่นชุมชนในท้องถิ่น เพื่อวิเคราะห์การเปลี่ยนแปลงทางเคมีและประสาทสัมผัส การวิเคราะห์เชิงปริมาณของสารคอนจีเนอร์สหลัก 3 ชนิด คือ Propan-1-ol, 2-methylbutan-1-ol และ 3-methylbutan-1-ol ดำเนินการด้วยเทคนิค Gas Chromatography-Mass Spectrometry (GC-MS) ผลการทดลองชี้ให้เห็นว่าประสิทธิภาพของกระบวนการขึ้นอยู่กับรูปแบบของระบบและคุณสมบัติของสุราแต่ละชนิดอย่างมีนัยสำคัญ โดยการบำบัดด้วยหัววัดอัลตราโซนิกส์สามารถลดความเข้มข้นของ Propan-1-ol ในสุรากลั่นชุมชนคีรีขาลได้สูงสุดถึง 98.76% ในขณะที่การบำบัดด้วยอ่างอัลตราโซนิกส์ที่อุณหภูมิต่ำกว่า 25 องศาเซลเซียส สามารถเร่งกระบวนการบ่มสุราให้มีคุณลักษณะทางกลิ่นและรสชาติเทียบเท่ากับการบ่มแบบดั้งเดิมนาน 2-3 เดือนได้สำเร็จ บทสรุปของงานวิจัยชี้ว่าเทคโนโลยีอัลตราโซนิกส์ ซึ่งมีการเลือกพารามิเตอร์ทางไฟฟ้าและการกำหนดค่าระบบอย่างเหมาะสม เป็นแนวทางที่มีศักยภาพและมีประสิทธิภาพในการยกระดับคุณภาพและมูลค่าเชิงพาณิชย์ของสุรากลั่นชุมชน

คำสำคัญ: สุรากลั่นชุมชน, สารคอนจีเนอร์ส, เทคนิคอัลตราโซนิกส์, คาวิเทชัน, แก๊สโครมาโทกราฟี-แมสสเปกโทรเมทรี

Abstract

This research aims to study and evaluate the efficiency of high-power ultrasonic technology, generated from different electrical systems, in improving the quality of community-distilled liquor. The focus is on reducing harmful congeners and accelerating the aging process. The experiment applied two types of ultrasonic systems, an Ultrasonic Bath and an Ultrasonic Probe, to four types of liquor samples, including local community-distilled spirits, to analyze chemical and sensory changes. Quantitative analysis of three main congeners Propan-1-ol, 2-methylbutan-1-ol, and 3-methylbutan-1-ol was performed using Gas Chromatography-Mass Spectrometry (GC-MS). The results indicate that the process efficiency significantly depends on the system configuration and the properties of each liquor type. Treatment with the Ultrasonic Probe achieved a maximum reduction of 98.76% in Propan-1-ol concentration in Khiri Khan community-distilled liquor. Meanwhile, treatment with the Ultrasonic Bath at temperatures below 25°C successfully accelerated the aging process, achieving aroma and taste characteristics equivalent to 2-3 months of traditional aging. The research concludes that ultrasonic technology, with appropriately selected electrical parameters and system configurations, is a potential and effective approach to enhance the quality and commercial value of community-distilled liquor.

Keywords: Community-distilled liquor, Congeners, Ultrasonic technique, Cavitation, Gas Chromatography-Mass Spectrometry

1. บทนำ

สุรากลั่นชุมชนเป็นผลิตภัณฑ์ที่มีความสำคัญทางเศรษฐกิจและวัฒนธรรมของประเทศไทย โดยเฉพาะในภาคเหนือซึ่งมีอัตราการบริโภคสูงที่สุดในประเทศ [1] อย่างไรก็ตาม สุรากลั่นชุมชนส่วนใหญ่ยังคงประสบปัญหาด้านคุณภาพและความสม่ำเสมอของผลิตภัณฑ์ ซึ่งเป็นอุปสรรคสำคัญในการแข่งขันทางการค้า หนึ่งในปัจจัยหลักที่ส่งผลต่อคุณภาพคือการมีอยู่ของสารประกอบพลอยได้ (By-Products) ที่เรียกว่า "คอนจีเนอร์ส" (Congeners) เช่น เมทานอลและกลุ่มแอลกอฮอล์ฟูเซล (Fusel Alcohols) ซึ่งรวมถึง Propan-1-ol, 2-methylbutan-1-ol และ 3-methylbutan-1-ol เกิดขึ้นตามธรรมชาติในระหว่างกระบวนการหมักและกลั่น [2] สารเหล่านี้ส่งผลเสียต่อกลิ่นและรสชาติของสุรา ทำให้เกิดความรู้สึกบาดคอ และยังมีความสัมพันธ์กับความรุนแรงของอาการเมาค้าง (Veisalgia) มาตรฐานผลิตภัณฑ์ชุมชน (มผช.) ได้กำหนดปริมาณสูงสุดของสารเหล่านี้ไว้อย่างชัดเจนเพื่อความปลอดภัยของผู้บริโภค[4] ดังนั้นการพัฒนาเทคโนโลยีเพื่อลดปริมาณสารคอนจีเนอร์สจึงเป็นแนวทางสำคัญในการยกระดับคุณภาพสุรากลั่นชุมชน

*ผู้ประพันธ์บรรณกิจ

ในปัจจุบันมีการศึกษาและพัฒนาเทคโนโลยีทางเลือกหลากหลายรูปแบบเพื่อเร่งกระบวนการบ่มและปรับปรุงคุณภาพของเครื่องดื่มแอลกอฮอล์ [3] เทคโนโลยีเหล่านี้รวมถึงการใช้สนามไฟฟ้าพัลส์ (Pulsed Electric Field, PEF) ซึ่งเป็นกระบวนการแบบไม่ใช้ความร้อนที่อาศัยหลักการอิเล็กโตรพอเรชัน (Electroporation) เพื่อเพิ่มการสกัดสารประกอบโพลีฟีนอลและปรับปรุงสีสันของไวน์[5] การใช้ไมโครเวฟ (Microwave) โดยเฉพาะอย่างยิ่งในรูปแบบของไมโครเวฟพัลส์กำลังสูง (High-Power Pulsed Microwave, HPPM) ซึ่งสามารถเร่งปฏิกิริยาการเกิดเอสเทอร์และลดปริมาณกรดบางชนิดในไวน์ผลไม้ได้[7] นอกจากนี้ยังมีการใช้รังสีแกมมา (Gamma Irradiation) ซึ่งเป็นกระบวนการที่ไม่ต้องสัมผัสกับผลิตภัณฑ์โดยตรงและไม่ใช้ความร้อน เพื่อส่งเสริมการก่อตัวของอนุมูลอิสระและเร่งปฏิกิริยาออกซิเดชัน เทคโนโลยีอื่นๆ เช่น การเติมออกซิเจนในปริมาณน้อย (Micro-Oxygenation) และการใช้ความดันไฮโดรสแตติกสูง (High Hydrostatic Pressure) ก็ถูกนำมาใช้เพื่อวัตถุประสงค์เดียวกัน[3]

ท่ามกลางเทคโนโลยีเหล่านี้ เทคโนโลยีอัลตราโซนิกส์กำลังสูง (High-Power Ultrasonics) เป็นเทคโนโลยีเชิงกายภาพแบบไม่ใช้ความร้อน (Non-Thermal) ที่มีศักยภาพสูงในการแปรรูปอาหารและเครื่องดื่ม[9] หลักการทำงานพื้นฐานคือการแปลงพลังงานไฟฟ้าเป็นคลื่นเสียงความถี่สูง (โดยทั่วไปสูงกว่า 20 kHz) เมื่อคลื่นเสียงนี้แพร่กระจายผ่านตัวกลางที่เป็นของเหลว จะทำให้เกิดปรากฏการณ์ "คาวิเทชันอะคูสติก" (Acoustic Cavitation) ซึ่งคือการก่อตัว การขยายตัว และการยุบตัวอย่างรุนแรงของฟองอากาศขนาดเล็ก[11] การยุบตัวของฟองอากาศเหล่านี้จะสร้างสภาวะเฉพาะที่ที่มีอุณหภูมิและความดันสูงมาก ส่งผลให้เกิดแรงเฉือนระดับจุลภาคและอนุมูลอิสระ ซึ่งสามารถขับเคลื่อนปฏิกิริยาเคมี (Sonochemistry) ที่นำไปสู่การแตกตัวของสารประกอบอินทรีย์ได้[11]

งานวิจัยนี้จึงมีวัตถุประสงค์เพื่อประเมินและเปรียบเทียบประสิทธิผลของระบบอัลตราโซนิกส์ 2 รูปแบบที่แตกต่างกันในเชิงวิศวกรรมไฟฟ้า ได้แก่ อ่างอัลตราโซนิกส์ และหัววัดอัลตราโซนิกส์ รวมถึงโหมดการทำงานทางไฟฟ้าที่แตกต่างกัน (แบบต่อเนื่องและแบบพัลส์) ต่อการเปลี่ยนแปลงความเข้มข้นของสารคอนจีเนอร์สและคุณลักษณะทางประสาทสัมผัสของสุรากลั่นชุมชนและสุราประเภทอื่น ๆ เพื่อหาแนวทางที่เหมาะสมที่สุดในการปรับปรุงคุณภาพผลิตภัณฑ์

2. ระเบียบวิธีวิจัย

การศึกษานี้เป็นการวิจัยเชิงทดลองเพื่อวิเคราะห์ผลของคลื่นอัลตราโซนิกส์ต่อคุณสมบัติทางเคมีและกายภาพของเครื่องดื่มแอลกอฮอล์ โดยมีขั้นตอนการดำเนินงานดังแสดงในแผนผังรูปที่ 1 เริ่มจากการเตรียมสารตัวอย่างซึ่งเป็นเครื่องดื่มแอลกอฮอล์ 4 ชนิด ซึ่งมีองค์ประกอบทางเคมี (คีรีขาล), สุรากลั่นชุมชนอำเภอเมืองพะเยา (จำปาทอง), และสุราขาว 35 ดีกรี (ยี่ห้อข้าวหอม) โดยการเลือกใช้บรั่นดีเป็นหนึ่งในตัวอย่างทดสอบนั้น มีเหตุผลเนื่องจากเป็นสุราที่ผ่านกระบวนการบ่มที่ซับซ้อนและมีปริมาณสารคอนจีเนอร์สหลายชนิดในปริมาณสูง จึงเหมาะสมอย่างยิ่งที่จะใช้เป็นตัวอย่างอ้างอิง (benchmark) เพื่อประเมินประสิทธิภาพของเทคโนโลยีอัลตราโซนิกส์ในการลดสารประกอบเหล่านี้ เมื่อเปรียบเทียบกับเริ่มต้นที่สุรากลั่นชุมชนซึ่งมีองค์ประกอบทางเคมีที่ซับซ้อนน้อยกว่าจากนั้นนำตัวอย่างสุราแต่ละชนิดปริมาตร 100 มิลลิลิตร บรรจุในขวดแก้วที่ผ่านการฆ่าเชื้อแล้ว มาบำบัดด้วยระบบอัลตราโซนิกส์ 2 ระบบ (ดังแสดงในรูปที่ 2) ที่มีการกำหนดค่าทางวิศวกรรมไฟฟ้าและลักษณะการส่งผ่านพลังงานที่แตกต่างกันอย่างชัดเจน ดังแสดงในตารางที่ 1 การเลือกระบบระหว่างอ่าง (Bath) และหัววัด (Probe) เป็นการตัดสินใจเชิงวิศวกรรมที่สำคัญ

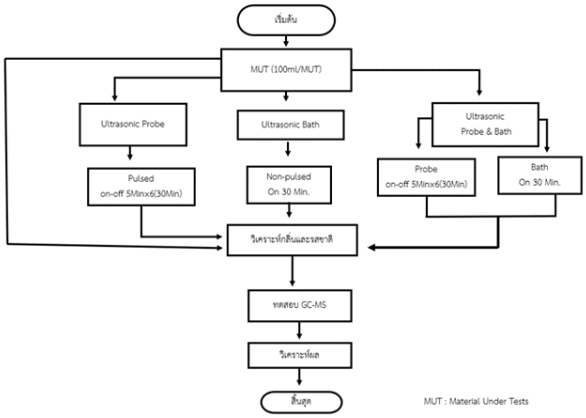

แผนผังรูปที่ 1 ขั้นตอนการดำเนินงาน

(ก) (ข)

รูปที่ 2 เครื่องมืออัลตราโซนิค Probe (ก) และอัลตราโซนิค Bath (ข)

เนื่องจากส่งผลโดยตรงต่อรูปแบบของคาวิเทชันที่เกิดขึ้น หัววัดอัลตราโซนิกส์ซึ่งส่งพลังงาน 80 W ไปยังพื้นที่ขนาดเล็ก ทำให้เกิดความหนาแน่นของพลังงานสูง ส่งผลให้เกิดTransient Cavitation ที่รุนแรงและมีประสิทธิภาพในการทำลายพันธะเคมี ในทางตรงกันข้าม อ่างอัลตราโซนิกส์ที่ส่งพลังงาน 200 W กระจายไปทั่วปริมาตร 6 ลิตร ทำให้เกิดความหนาแน่นของพลังงานต่ำ ซึ่งนำไปสู่ Stable Cavitation ที่มีความรุนแรงน้อยกว่า แต่ส่งผลต่อปฏิกิริยาทางเคมีในรูปแบบที่แตกต่างออกไป[9] สำหรับการทดลองในอ่างอัลตราโซนิกส์ จะมีการควบคุมอุณหภูมิของน้ำในอ่างไม่ให้เกิน 25 องศาเซลเซียส โดยใช้น้ำแข็ง

การควบคุมอุณหภูมิให้อยู่ในระดับต่ำที่ 25 องศาเซลเซียสเป็นปัจจัยสำคัญอย่างยิ่งต่อประสิทธิภาพของกระบวนการโซโนเคมี เนื่องจาก

อุณหภูมิมีผลโดยตรงต่อคุณสมบัติทางกายภาพของของเหลว เช่น ความดันไอและความหนืด หากอุณหภูมิสูงเกินไป ความดันไอที่เพิ่มขึ้นจะเข้าไปในฟองคาวิเทชัน ทำให้เกิด "ผลกระทบกันกระแทก" (cushioning effect) ซึ่งลดความรุนแรงของการยุบตัวของฟองอากาศ ส่งผลให้ประสิทธิภาพในการเกิดปฏิกิริยาเคมีลดลง[11] ในทางกลับกัน การรักษาอุณหภูมิให้ต่ำและคงที่จะช่วยลดการระเหยของแอลกอฮอล์และสารประกอบที่ให้กลิ่นหอมที่พึงประสงค์ และส่งเสริมให้เกิดการยุบตัวของฟองคาวิเทชันที่รุนแรงและมีประสิทธิภาพสูงสุดในการเปลี่ยนแปลงองค์ประกอบทางเคมีของสุรา[13]

ตารางที่ 1 พารามิเตอร์ทางไฟฟ้าและการปฏิบัติการของระบบอัลตราโซนิกส์

ข้อมูลจำเพาะทางไฟฟ้า	อ่างอัลตราโซนิกส์ (Ultrasonic Bath)	หัววัดอัลตราโซนิกส์ (Ultrasonic Probe)
กำลังไฟฟ้า (Power)	200 W	80 W
แรงดันไฟฟ้า (Voltage)	220-240 V, 50 Hz	220-240 V, 50 Hz
ความถี่ (Frequency)	40 kHz	40 kHz
โหมดการทำงาน		
รูปแบบคลื่น (Waveform)	ต่อเนื่อง (Non-pulsed)	พัลส์ (Pulsed, 5 นาที เปิด / 5 นาที ปิด)
การส่งผ่านพลังงาน	ทางอ้อม (ผ่านตัวกลางน้ำ)	โดยตรง (ผ่านปลายหัววัด)
กลไกทางฟิสิกส์		
ความหนาแน่นพลังงาน	ต่ำ (กระจายตัว)	สูง (เฉพาะจุด)
รูปแบบคาวิเทชัน (อนุมาน)	Stable Cavitation	Transient Cavitation

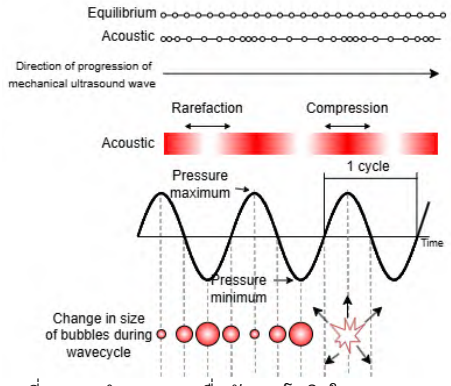

รูปที่ 3 การทำงานของคลื่นอัลตราโซนิคในของเหลว

หัวใจสำคัญของเทคโนโลยีอัลตราโซนิกส์คือปรากฏการณ์ที่เรียกว่าคาวิเทชันอะคูสติก (Acoustic Cavitation) ดังแสดงในรูปที่ 3 ซึ่งเกิดขึ้นเมื่อคลื่นเสียงความถี่สูงเดินทางผ่านของเหลวทำให้เกิดวัฏจักรการอัด (compression) และการขยายตัว (rarefaction) สลับกันไป [11] ในช่วงการขยายตัวความดันในของเหลวจะลดลงอย่างรวดเร็วทำให้เกิดฟองอากาศหรือโพรงสุญญากาศขนาดเล็ก(cavitationbubbles)ขึ้นฟองอากาศเหล่านี้จะขยายขนาดขึ้นเรื่อยๆจากการดูดซับพลังงานของคลื่นเสียงจนกระทั่งถึงจุดที่ไม่เสถียรและยุบตัวลง[12]อย่างรุนแรงในช่วงการอัดตัว[11]การยุบตัวนี้เป็นกระบวนการที่เกิดขึ้นอย่างรวดเร็วและรุนแรง ทำให้เกิดสภาวะเฉพาะที่ที่มีอุณหภูมิสูงถึง 5,000 เคลวิน และความดันสูงถึง 1,000 บรรยากาศ [11] พร้อมทั้งสร้างคลื่นกระแทก (shock waves) และกระแสของเหลวระดับจุลภาค (micro-jets) ที่มีความเร็วสูง[11]พลังงานมหาศาลที่ปลดปล่อยออกมานี้เองที่เป็นกลไกหลักในการขับเคลื่อนปฏิกิริยาเคมี(sonochemistry)และทำให้เกิดการเปลี่ยนแปลงทางกายภาพในตัวอย่างสุราในเชิงลึกกลไกการถ่ายเทพลังงานอัลตราโซนิกส์จากแหล่งกำเนิดไฟฟ้าไปยังตัวอย่างสุราเป็นกระบวนการทางฟิสิกส์ที่ซับซ้อนเริ่มต้นที่ทรานสดิวเซอร์เพียโซอิเล็กทริก (Piezoelectric Transducer) ซึ่งทำหน้าที่แปลงพลังงานไฟฟ้า (Electrical Energy, P_e) ให้เป็นพลังงานกลในรูปแบบของการสั่นสะเทือนเชิงกลความถี่สูง (Acoustic Energy(P_a)) [14]

ประสิทธิภาพในการแปลงพลังงานนี้เรียกว่าประสิทธิภาพการแปลงพลังงานไฟฟ้า-อะคูสติก (η_{ea}) ซึ่งสามารถคำนวณได้จากสมการ (1) [15]

$$\eta_{ea} = \frac{P_a}{P_e} \quad (1)$$

เมื่อพลังงานเสียงถูกสร้างขึ้นแล้ว จะต้องเดินทางผ่านตัวกลางต่างๆ ก่อนจะถึงตัวอย่างสุราประสิทธิภาพในการส่งผ่านพลังงานนี้ขึ้นอยู่กับคุณสมบัติที่เรียกว่า ความต้านทานเชิงเสียง (Acoustic Impedance, Z) ของแต่ละตัวกลาง ซึ่งคำนวณได้จากสมการ (2) [16]

$$Z = \rho c \quad (2)$$

โดยที่ ρ คือความหนาแน่นของตัวกลาง และ c คือความเร็วของเสียงในตัวกลางนั้น [16] ความแตกต่างของค่า Z ระหว่างตัวกลางสองชนิดจะเป็นตัวกำหนดปริมาณพลังงานที่จะถูกสะท้อนกลับและส่งผ่านไปซึ่งอธิบายความแตกต่างของระบบทั้งสองได้คือในระบบหัววัดอัลตราโซนิกส์พลังงานถูกส่งโดยตรงจากปลายหัววัดไปยังตัวอย่างสุราทำให้มีการสูญเสียพลังงานน้อยและมีความเข้มของพลังงานสูงในบริเวณเฉพาะจุด[6]ในขณะที่ระบบอ่างอัลตราโซนิกส์พลังงานต้องเดินทางผ่านตัวกลางหลายชั้น(น้ำในอ่าง,ผนังขวดแก้ว)ทำให้เกิดการสะท้อนและลดทอนของพลังงานส่งผลให้พลังงานที่ไปถึงตัวอย่างสุรามีความเข้มต่ำกว่าและกระจายตัวไม่สม่ำเสมอ[6]ความเข้มของพลังงานอัลตราโซนิกส์(Acoustic Intensity,I)ที่ส่งไปยังของเหลวซึ่งเป็นปัจจัยสำคัญที่ขับเคลื่อนปรากฏการณ์คาวิเทชัน สามารถอธิบายได้ด้วยสมการ (3) [17]

$$I = \frac{1}{2}\rho c(2\pi f \xi)^2 \quad (3)$$

โดยที่ f คือความถี่ของคลื่นอัลตราโซนิกส์ และ ξ คือแอมพลิจูดของการสั่นสะเทือนสมการนี้แสดงให้เห็นว่าความเข้มของพลังงานที่สูงขึ้นสามารถทำได้โดยการเพิ่มแอมพลิจูดของการสั่นสะเทือนซึ่งเป็นเหตุผลว่าทำไมหัววัดอัลตราโซนิกส์จึงมีประสิทธิภาพในการทำลายพันธะเคมีได้ดีกว่าหลังจากกระบวนการบำบัดเสร็จสิ้นการวิเคราะห์หาชนิดและปริมาณของสารคอนจีเนอร์สในตัวอย่างสุราก่อนและหลังการบำบัดดำเนินการโดยใช้เทคนิค Gas Chromatography-Mass Spectrometry (GC-MS)[18] ก่อนการวิเคราะห์ ตัวอย่างทั้งหมดจะถูกกรองผ่าน Syringe Filter เพื่อกำจัดอนุภาคแขวนลอย[2] พารามิเตอร์ของ GC-MSถูกตั้งค่าให้เหมาะสมกับการแยกและตรวจวัดสารประกอบแอลกอฮอล์ระเหยง่ายโดยใช้คอลัมน์ยาว30เมตรและแก๊สฮีเลียมเป็นแก๊สพา[18]ผลลัพธ์ที่ได้จากเครื่องGCMSจะแสดงในรูปแบบของโครมาโทแกรม(Chromatogram) ดังแสดงในรูปที่ 4 ซึ่งเป็นกราฟระหว่างความเข้มของสัญญาณ

(แกน Y) กับเวลาที่สารใช้ในการเคลื่อนที่ผ่านคอลัมน์ หรือที่เรียกว่าเวลาการคงอยู่(RetentionTime) (แกนX)[19] สารแต่ละชนิดจะมีเวลาการคงอยู่ที่จำเพาะทำให้สามารถแยก และระบุชนิดของสารประกอบได้จากตำแหน่งของพีคบนกราฟจากนั้น ปริมาณของสารแต่ละชนิดจะถูกคำนวณจากพื้นที่ใต้พีค(PeakArea) ซึ่งมีความสัมพันธ์โดยตรงกับความเข้มข้นของสารนั้นๆ[19]การเปลี่ยนแปลงของความเข้มข้นของสารจะถูกคำนวณเป็นค่าร้อยละการเปลี่ยนแปลงสัมพันธ์ (Relative Change %) โดยใช้สมการดังนี้

$$RC(\%) = \frac{(C_{final} - C_{initial})}{C_{initial}} \times 100 \quad (4)$$

โดยที่ RC คือค่าร้อยละการเปลี่ยนแปลงสัมพันธ์, C_{final} คือความเข้มข้นสุดท้าย และ $C_{initial}$ คือความเข้มข้นเริ่มต้น

3. ผลการทดลองและวิจารณ์ผลอภิปราย

3.1 การวิเคราะห์เชิงปริมาณของสารคอนจีเนอร์ส

ตารางที่ 2 สรุปผลการเปลี่ยนแปลงความเข้มข้นของสารคอนจีเนอร์สหลัก 3 ชนิด หลังจากการบำบัดด้วยอัลตราโซนิกส์เป็นเวลา 30 นาที ผลลัพธ์ที่โดดเด่นที่สุดคือการบำบัดสุราคีรีขาลด้วยหัววัดอัลตราโซนิกส์ (Probe) ซึ่งสามารถลดปริมาณ Propan-1-ol ได้ถึง 98.76% และ 2-methylbutan-1-ol ได้ 63.85% แสดงให้เห็นถึงประสิทธิภาพของ *TransientCavitation*ที่มีความหนาแน่นพลังงานสูงในการทำลายสารประกอบเหล่านี้ในเมทริกซ์ของสุรากลั่นที่ไม่ซับซ้อนในทางตรงกันข้ามการบำบัดบรั่นดีซึ่งเป็นสุราที่มีความซับซ้อนทางเคมีสูงกว่าด้วยหัววัดอัลตราโซนิกส์กลับให้ผลตรงกันข้ามโดยทำให้ความเข้มข้นของ Propan-1-ol เพิ่มขึ้น 7.41% ชี้ให้เห็นว่าสภาวะรุนแรงของ Transient Cavitation อาจไปกระตุ้นปฏิกิริยาข้างเคียงที่ไม่พึงประสงค์ในเมทริกซ์ที่ซับซ้อนอย่างไรก็ตาม เมื่อใช้การบำบัดแบบผสมผสาน (Bath & Probe) กับบรั่นดีและสุราจำปาทองกลับให้ผลลัพธ์ในการลดสารคอนจีเนอร์สได้ดีที่สุดโดยสามารถลดสารทั้งสามชนิดในบรั่นดีได้พร้อมกันแสดงให้เห็นว่าการใช้*StableCavitation*จากอ่างอัลตราโซนิกส์ในเบื้องต้นอาจช่วยปรับสภาพทางเคมีของสุราก่อนที่จะถูกบำบัดด้วย *Transient Cavitation* จากหัววัดซึ่งนำไปสู่ผลลัพธ์โดยรวมที่ดีกว่าสำหรับสุราที่มีความซับซ้อนสูงผลการทดลองนี้ชี้ให้เห็นว่าไม่มีวิธีการบำบัดแบบ "one-size-fits-all" การเลือกใช้ระบบอัลตราโซนิกส์ต้องพิจารณาถึงองค์ประกอบทางเคมีเริ่มต้นของสุราแต่ละชนิด เพื่อให้ได้ผลลัพธ์ในการลดสารคอนจีเนอร์สที่มีประสิทธิภาพสูงสุด

3.1 การวิเคราะห์เชิงไฟฟ้า-เคมีของกระบวนการ

ผลการทดลองที่ได้แสดงให้เห็นถึงความสัมพันธ์ที่ชัดเจนระหว่างการกำหนดค่าพารามิเตอร์ทางไฟฟ้าของระบบอัลตราโซนิกส์และผลลัพธ์ทางเคมีที่เกิดขึ้นในสุราแต่ละชนิด ซึ่งสามารถวิเคราะห์ได้ดังนี้

3.2.1. หัววัดอัลตราโซนิกส์ (Probe): การส่งผ่านกำลังไฟฟ้า 80 วัตต์โดยตรงไปยังพื้นที่ขนาดเล็ก ทำให้เกิดความหนาแน่นของพลังงานสูง

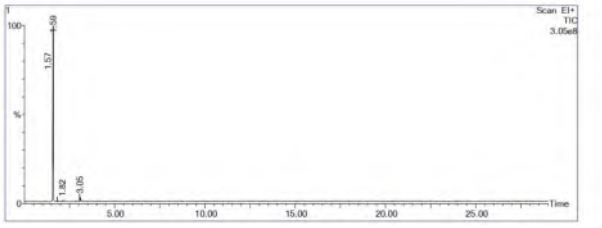

รูปที่ 4 กราฟระหว่างความเข้มของสัญญาณGC-MS

ตารางที่ 2 ค่าการเปลี่ยนแปลงสัมพันธ์ (%) ของความเข้มข้นสารคอนจีเนอร์สหลังการบำบัดด้วยอัลตราโซนิกส์

(Sample)	(Congener)	Treatment: Probe	Treatment: Bath	Treatment: Bath & Probe
บรั่นดี	Propan-1-ol	+7.41%	**-0.86%**	**-3.74%**
	2-methylbutan-1-ol	-	-	**-17.12%**
	3-methylbutan-1-ol	-1.91%	**-4.04%**	**-12.95%**
คีรีขาล	Propan-1-ol	**-98.76%**	-1.29%	+5.82%
	2-methylbutan-1-ol	**-63.85%**	+13.11%	+3.36%
	3-methylbutan-1-ol	+15.31%	+14.59%	+18.10%
จำปาทอง	Propan-1-ol	+12.14%	+15.60%	**-5.20%**
	2-methylbutan-1-ol	-	+26.43%	**-8.25%**
	3-methylbutan-1-ol	-	+20.05%	**-16.31%**
สุราขาว	Propan-1-ol	**-8.52%**	**-11.57%**	-1.35%
	3-methylbutan-1-ol	-	+109.37%	+12.72%

ซึ่งนำไปสู่ปรากฏการณ์ Transient Cavitation ที่รุนแรง การยุบตัวของฟองอากาศอย่างรวดเร็วสร้างสภาวะอุณหภูมิและความดันสูงเฉพาะจุดซึ่งมีพลังงานมหาศาลพอที่จะทำลายพันธะเคมีของสารประกอบอินทรีย์ได้ ในมุมมองทางเคมี พลังงานที่เข้มข้นนี้ส่งผลอย่างยิ่งต่อสุราคีรีขาลซึ่งมีเมทริกซ์ไม่ซับซ้อน ทำให้สามารถลดปริมาณ Propan-1-ol และ 2-methylbutan-1-ol ได้อย่างมีประสิทธิภาพสูงสุด อย่างไรก็ตาม ในกรณีของบรั่นดีซึ่งมีองค์ประกอบทางเคมีซับซ้อนกว่า พลังงานที่รุนแรงนี้กลับกระตุ้นให้เกิดปฏิกิริยาข้างเคียงที่ไม่พึงประสงค์ ส่งผลให้ความเข้มข้นของ Propan-1-ol เพิ่มขึ้น สิ่งนี้ชี้ให้เห็นว่าการป้อนพลังงานไฟฟ้าในระดับสูงอาจไม่ใช่วิธีที่ดีที่สุดเสมอไป และผลลัพธ์ขึ้นอยู่กับเมทริกซ์ทางเคมีของตัวกลางเป็นอย่างมาก ในการทดลองนี้ หัววัดอัลตราโซนิกส์ถูกใช้งานในโหมดพัลส์ (Pulsed mode) ซึ่งกำหนดจังหวะการทำงานแบบเปิด 5 นาที

สลับกับปิดพัก 5 นาที การทำงานแบบไม่ต่อเนื่องนี้เป็นกลยุทธ์สำคัญเพื่อควบคุมอุณหภูมิของตัวอย่างไม่ให้สูงเกินไป ป้องกันการสูญเสียกลิ่นรสที่ดี พร้อมทั้งเพิ่มประสิทธิภาพของปรากฏการณ์คาวิเทชันซึ่งเป็นกลไกหลักในการเปลี่ยนแปลงทางเคมี และช่วยประหยัดพลังงาน ดังนั้น การทำงานแบบพัลส์จึงเป็นเทคนิคที่ช่วยให้เกิดการปรับปรุงคุณภาพทางเคมีอย่างมีประสิทธิภาพสูงสุด ควบคู่ไปกับการรักษาคุณลักษณะอันพึงประสงค์ของสุราไว้

3.2.2. อ่างอัลตราโซนิกส์ (Bath): แม้จะมีกำลังไฟฟ้าสูงถึง 200 วัตต์ แต่การส่งผ่านพลังงานเป็นไปอย่างทางอ้อมและกระจายตัวทั่วทั้งปริมาตร 6 ลิตร ทำให้เกิดความหนาแน่นของพลังงานต่ำ ส่งผลให้เกิดปรากฏการณ์ Stable Cavitation ที่มีความรุนแรงน้อยกว่า ในเชิงเคมีพลังงานระดับนี้ไม่เพียงพอที่จะทำลายพันธะของสารคอนจีเนอร์สได้อย่างมีนัยสำคัญในสุราทุกชนิด แต่ก็ไม่ก่อให้เกิดปฏิกิริยาข้างเคียงที่รุนแรงเช่นกัน จึงเหมาะกับกระบวนการที่ต้องการการเปลี่ยนแปลงอย่างนุ่มนวลมากกว่าการทำลายโครงสร้างทางเคมีโดยตรง

3.3.3. การบำบัดแบบผสมผสาน (Bath & Probe): วิธีการนี้ให้ผลลัพธ์ที่ดีที่สุดสำหรับสุราที่มีความซับซ้อนสูงอย่างบรั่นดีและสุราจำปาทอง ซึ่งชี้ให้เห็นถึงผลกระทบเชิงซ้อนระหว่างไฟฟ้าและเคมี การบำบัดด้วยอ่างอัลตราโซนิกส์ในขั้นตอนแรกอาจทำหน้าที่เป็นการปรับสภาพ (pre-treatment) โดยใช้พลังงานต่ำเพื่อเปลี่ยนแปลงสภาวะทางเคมีของสุราอย่างนุ่มนวล อาจเป็นการสลายพันธะที่ซับซ้อนบางส่วนหรือปรับเปลี่ยนคุณสมบัติของตัวทำละลาย ซึ่งเป็นการเตรียมเมทริกซ์ให้พร้อมสำหรับการบำบัดด้วยพลังงานสูงในขั้นตอนถัดไป จากนั้น เมื่อนำมาบำบัดต่อด้วยหัววัดอัลตราโซนิกส์ พลังงานที่เข้มข้นจาก Transient Cavitation จึงสามารถทำปฏิกิริยาต่อสารคอนจีเนอร์สเป้าหมายได้อย่างมีประสิทธิภาพและจำเพาะเจาะจงมากขึ้น โดยไม่ทำให้เกิดปฏิกิริยาข้างเคียงที่ไม่พึงประสงค์ดังเช่นที่พบในการใช้หัววัดเพียงอย่างเดียว

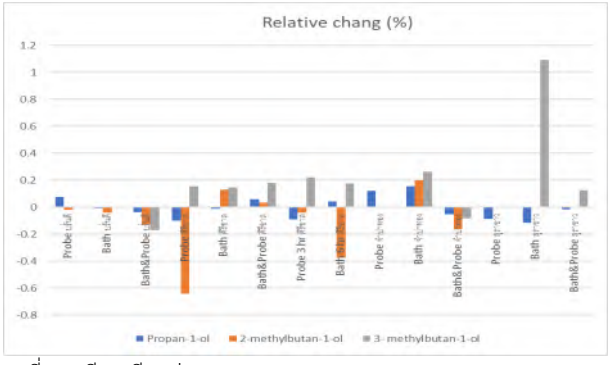

รูปที่ 5 เปรียบเทียบค่า Relative change ของสุรา

จากรูปที่ 5 ซึ่งแสดงผลการเปลี่ยนแปลงของสารคอนจีเนอร์สในรูปแบบกราฟแท่ง ทำให้เห็นภาพรวมของประสิทธิภาพในแต่ละวิธีการบำบัดได้ชัดเจนยิ่งขึ้น จะเห็นได้ว่าวิธีการบำบัดที่มีประสิทธิภาพสูงสุดนั้นแตกต่างกันไปในแต่ละชนิดของสุรา สำหรับบรั่นดีและสุราจำปาทองซึ่งมีความซับซ้อนทางเคมี การบำบัดแบบผสมผสาน (Bath & Probe) ให้ผลดีที่สุดในการลดสารคอนจีเนอร์สทั้งสามชนิดพร้อมกัน ในขณะที่สุราคีรีขาลและสุราขาวซึ่งมีองค์ประกอบไม่ซับซ้อน การบำบัดด้วยหัววัด (Probe) เพียงอย่างเดียวกลับให้ผลในการลดสาร Propan-1-ol ได้ดีที่สุดอย่างมีนัยสำคัญ การแสดงผลด้วยกราฟนี้ช่วยยืนยันข้อสรุปที่ว่า การเลือกเทคนิคการบำบัดด้วยอัลตราโซนิกส์จำเป็นต้องพิจารณาให้เหมาะสมกับคุณลักษณะเฉพาะของสุราแต่ละชนิด เพื่อให้เกิดประสิทธิภาพสูงสุด

3.2 การวิเคราะห์เชิงคุณภาพและการเร่งกระบวนการบ่ม

นอกเหนือจากการลดสารพิษแล้ว หนึ่งในผลพลอยได้ที่สำคัญที่สุดของงานวิจัยนี้คือการค้นพบว่าเทคโนโลยีอัลตราโซนิกส์สามารถเร่งกระบวนการบ่มสุราได้ จากการประเมินทางประสาทสัมผัสร่วมกับผู้ประกอบการสุรากลั่นชุมชน พบว่าการบำบัดด้วยหัววัดอัลตราโซนิกส์ให้ผลลัพธ์ที่ไม่เป็นที่ยอมรับ โดยทำให้เกิดรสชาติที่บาดคอและกลิ่นของวัตถุดิบหลักหายไป ในทางกลับกัน การบำบัดด้วยอ่างอัลตราโซนิกส์ (Ultrasonic Bath) ที่ควบคุมอุณหภูมิไม่ให้เกิน 25 องศาเซลเซียส ให้ผลลัพธ์ที่เป็นที่น่าพอใจอย่างยิ่ง โดยพบว่าการบำบัดเป็นเวลา 3 ชั่วโมง สามารถให้กลิ่นหอมของข้าวที่ชัดเจน เทียบเท่ากับการบ่มแบบดั้งเดิมนาน 2-3 เดือน ในขณะที่การบำบัดเป็นเวลา 5 ชั่วโมง ให้รสชาติที่ดีที่สุด มีความขมน้อยลงและหวานปลายลิ้นตามที่ผู้ประกอบการต้องการ ผลลัพธ์นี้สอดคล้องกับงานวิจัยอื่น ๆ ที่แสดงให้เห็นว่าคลื่นอัลตราโซนิกส์สามารถเร่งปฏิกิริยาออกซิเดชันและเอสเทอริฟิเคชันที่เกิดขึ้นระหว่างการบ่ม ซึ่งช่วยพัฒนากลิ่นและรสชาติของเครื่องดื่มแอลกอฮอล์ให้มีความนุ่มนวลและซับซ้อนขึ้นในระยะเวลาที่สั้นลงอย่างมาก การค้นพบนี้แสดงให้เห็นถึงความจำเป็นในการสร้างสมดุลระหว่างการลดสารเคมีที่ไม่พึงประสงค์และการปรับปรุงคุณลักษณะทางประสาทสัมผัสที่ต้องการ ซึ่งสำหรับสุรากลั่นชุมชนแล้ว การบำบัดด้วยอ่างอัลตราโซนิกส์ที่สภาวะควบคุมถือเป็นแนวทางที่เหมาะสมที่สุด

4. สรุปผลการวิจัย

งานวิจัยนี้พิสูจน์ให้เห็นว่าเทคโนโลยีอัลตราโซนิกส์เป็นเครื่องมือที่มีประสิทธิภาพในการปรับปรุงคุณภาพสุรากลั่นชุมชน โดยสามารถลดปริมาณสารคอนจีเนอร์สและเร่งกระบวนการบ่มได้อย่างมีนัยสำคัญ การเลือกใช้ระบบที่เหมาะสมขึ้นอยู่กับคุณสมบัติของสุราและเป้าหมายที่ต้องการ สำหรับการลดสารคอนจีเนอร์สในสุราที่ไม่ซับซ้อน การใช้หัววัดอัลตราโซนิกส์ (Probe) ให้ประสิทธิภาพสูงสุด โดยสามารถลด Propan-1-ol ได้ถึง 98.76% ในขณะที่การบำบัดแบบผสมผสาน (Bath & Probe) เหมาะสำหรับสุราที่มีความซับซ้อนสูง เช่น บรั่นดี โดยสามารถลดสารคอนจีเนอร์สได้หลายชนิดพร้อมกัน ในด้านการเร่งกระบวนการบ่ม การใช้อ่างอัลตราโซนิกส์ (Bath) ที่อุณหภูมิต่ำ สามารถพัฒนากลิ่นและรสชาติให้เทียบเท่ากับการบ่มแบบดั้งเดิม 2-3 เดือนได้ภายในเวลาเพียง 3-5 ชั่วโมง ดังนั้น การเลือกใช้เทคโนโลยีอัลตราโซนิกส์อย่างเหมาะสมจึงเป็นแนวทางที่รวดเร็วและมีประสิทธิภาพสำหรับผู้ผลิตสุรากลั่นชุมชนในการยกระดับคุณภาพและมูลค่าของผลิตภัณฑ์

5. กิตติกรรมประกาศ

คณะผู้วิจัยขอขอบคุณคณะวิศวกรรมศาสตร์, คณะวิทยาศาสตร์ มหาวิทยาลัยพะเยา และผู้ประกอบการสุรากลั่นชุมชนคีรีขาล อำเภอจุล จังหวัดพะเยา สำหรับการอนุเคราะห์ตรวจสอบและให้ตัวอย่างสำหรับทดสอบ รวมถึงทุนสนับสนุนการพัฒนานวัตกรรมเชิงพาณิชย์ตามแนวคิดโมเดล BCG ประจำปีงบประมาณ 2568

เอกสารอ้างอิง

[1] ศูนย์ความเป็นเลิศด้านวิทยาศาสตร์ข้อมูลเพื่อวิทยาการสุขภาพ มหาวิทยาลัยวลัยลักษณ์, "แสดงสถิติผู้ที่ดื่มระดับภาคในประเทศไทย คิดเป็นเปอร์เซ็นต์," 2564. [ออนไลน์]. เข้าถึงเมื่อ: 2 ก.พ. 2567

[2] L. Cai, S. Rice, J. A. Koziel, W. S. Jenks, and J. H. Van Leeuwen, "Further purification of food-grade alcohol to make a congener-free product,"J. Inst. Brew., vol. 122, no. 1, pp. 84-92, 2016, doi: 10.1002/jib.295.

[3] R. T. Krüger, A. Alberti, and A. Nogueira, "Current Technologies to Accelerate the Aging Process of Alcoholic Beverages: A Review,"Beverages, vol. 8, no. 4, p. 65, 2022, doi: 10.3390/beverages8040065.

[4] สำนักงานมาตรฐานผลิตภัณฑ์อุตสาหกรรม กระทรวงอุตสาหกรรม, "มาตรฐานผลิตภัณฑ์ชุมชน สุรากลั่นชุมชน (มผช. 32/2567)," 2567. [ออนไลน์]. เข้าถึงเมื่อ: 18 พ.ย. 2567.

[5] N. I. Barba, N. Grimi, and E. Vorobiev, "Pulsed electric fields as a grape-destemming method: The effect on the phenolic composition and chromatic characteristics of syrah red wines," Food Chem., vol. 310, p. 125916, 2020, doi: 10.1016/j.foodchem.2019.125916.

[6] J. Li, F. Liu, Y. Wang, and Z. Zhang, "The state-of-the-art research of the application of ultrasound to winemaking: A critical review," Ultrason. Sonochem., vol. 101, p. 106673, 2023, doi: 10.1016/j.ultsonch.2023.106673.

[7] Y. Wang,et al., "High-power pulsed microwave accelerated aging of blueberry wine," Front. Nutr., vol. 8, p. 766576, 2021, doi: 10.3389/fnut.2021.766576.

[8] J. A. M. Pereira, et al., "Gamma irradiation for accelerating the aging of wines: A review," Food Res. Int., vol. 107, pp. 166-173, 2018, doi: 10.1016/j.foodres.2018.02.023.

[9] Q.-A. Zhang, et al., "Ultrasound as an effective technique to reduce higher alcohols of wines and its influencing mechanism investigation by employing a model wine," Ultrason. Sonochem., vol. 61, p. 104813, 2020, doi: 10.1016/j.ultsonch.2019.104813.

[10] M. Singla and N. Sit, "Application of ultrasound in combination with other technologies in food processing: A review," Ultrason. Sonochem., vol. 73, p. 105506, 2021, doi: 10.1016/j.ultsonch.2021.105506.

[11] F. Chemat, et al., "Ultrasound assisted extraction of food and natural products. Mechanisms, techniques, combinations, protocols and applications. A review," Ultrason. Sonochem., vol. 34, pp. 540-560, 2017, doi: 10.1016/j.ultsonch.2016.06.035.

[12] I. Majid, G. A. Nayik, and V. Nanda, "Ultrasonication and food technology: A review," Cogent Food Agric., vol. 1, no. 1, p. 1071022, 2015, doi: 10.1080/23311932.2015.1071022.

[13] Y. Deng,et al., "Combined ultrasound and low temperature pretreatment improve the content of anthocyanins, phenols and volatile substance of Merlot red wine," LWT, vol. 154, p. 112739, Jan. 2022, doi: 10.1016/j.lwt.2021.112739.

[14] G. A. Nayik, I. Majid, and V. Nanda, "A Comprehensive Review of Piezoelectric Ultrasonic Motors: Classifications, Characterization, Fabrication, Applications, and Future Challenges," Micromachines, vol. 15, no. 9, p. 1170, 2024, doi: 10.3390/mi15091170.

[15] J. Kim and J. S. Lee, "Acoustic and Thermal Characterization of Therapeutic Ultrasonic Langevin Transducers under Continuous- and Pulsed Wave Excitations," Sensors, vol. 22, no. 23, p. 9049, 2022, doi: 10.3390/s22239049.

[16] A. K. P. Kumar and P. S. T. D. S. Kumar, "Sonochemistry: The effect of sonic waves on chemical systems," J. Chem. Pharm. Res., vol. 7, no. 4, pp. 1366-1371, 2015.

[17] Y. Mao, et al., "The acoustic velocity and intensity fields of rotating sound sources," Acta Acust., vol. 107, no. 1, pp. 66-78, 2021.

[18] G. E. Martin, J. M. Burggraff, R. H. Dyer, and P. C. Buscemi, "Gas-Liquid Chromatographic Determination of Various Congeners in Alcoholic Products," J. Assoc. Off. Anal. Chem., vol. 64, no. 1, pp. 186-190, 1981.

[19] P. Wisniewska, T. Dymerski, W. Wardencki, and J. Namiesnik, "Application of Gas Chromatography to Analysis of Spirit-Based Alcoholic Beverages," Crit. Rev. Anal. Chem., vol. 45, no. 3, pp. 201-225, 2015, doi: 10.1080/10408347.2014.945898.

การศึกษาผลกระทบเชิงเทคนิคของการสื่อสารข้อมูลเพื่อการบูรณาการโดรนใต้น้ำและความจริงคู่เสมือนดิจิทัลบนเครือข่าย 5G สำหรับการยกระดับการท่องเที่ยวทางทะเลสมัยใหม่ของประเทศไทย

A Study on Impact of Technical Data Communication for Integrating Underwater Drones and Virtual Reality Digital Twin on 5G Network to Enhance Thailand's Modern Tourism

ศรัญ ดวงสุวรรณ*

สาขาวิชาวิศวกรรมไฟฟ้า ภาควิชาวิศวกรรมศาสตร์ สถาบันเทคโนโลยีพระจอมเกล้าเจ้าคุณทหารลาดกระบัง
วิทยาเขตชุมพรเขตรอุดมศักดิ์ จังหวัดชุมพร sarun.du@kmitl.ac.th*

บทคัดย่อ

อุตสาหกรรมการท่องเที่ยวทางทะเลของประเทศไทยได้ถูกเปลี่ยนผ่านเข้าสู่ยุคดิจิทัล การสร้างโลกเสมือนจริงของการท่องเที่ยวจะสามารถสร้างแรงจูงใจให้กับนักท่องเที่ยวเพิ่มขึ้นได้ด้วยการบูรณาการนวัตกรรมสมัยใหม่ เช่น เทคโนโลยีการใช้โดรนใต้น้ำ เทคโนโลยีคู่เสมือนดิจิทัล เทคโนโลยีความจริงเสมือนหรือ Virtual reality (VR) และโครงข่ายเทคโนโลยี 5G บทความวิจัยนี้นำเสนอการศึกษาผลกระทบของการสื่อสารข้อมูลเชิงเทคนิคของการบูรณาการโดรนใต้น้ำและเทคโนโลยีความจริงคู่เสมือนดิจิทัลบนโครงข่าย 5G สำหรับการยกระดับการท่องเที่ยวสมัยใหม่ ระบบการสื่อสารได้ออกแบบให้โดรนใต้น้ำสามารถส่งข้อมูลภาพและเสียงใต้น้ำแบบเรียลไทม์ไปยังแว่น VR บนเครือข่าย 5G พร้อมการแสดงข้อมูลสภาพแวดล้อมใต้น้ำในรูปแบบคู่เสมือนดิจิทัล การทดสอบภาคสนามดำเนินการบริเวณชายฝั่งหาดพระจอมถึงเกาะไข่ จังหวัดชุมพร ที่ระยะทาง 1-5 กิโลเมตร โดยการประเมินผลการสื่อสารข้อมูลเชิงเทคนิค ได้แก่ ค่ากำลังสัญญาณที่รับได้ แบนด์วิดท์ช่องสัญญาณ การสูญเสียเชิงวิถี อัตราการรับส่งข้อมูล และคุณภาพการสตรีมวิดีโอ จากผลการทดสอบสามารถยืนยันได้ว่าการสตรีมข้อมูลแบบเรียลไทม์มายังฝั่งที่ระยะทางตั้งแต่ 1 km - 5 km มีความเสถียรของภาพวีดีโอระดับ Full HD ได้แบบต่อเนื่อง ทั้งนี้เครือข่าย 5G ที่รับได้ที่ย่านความถี่ 700 MHz สามารถให้แบนด์วิดท์ได้สูงถึง 20 MHz ทั้งนี้ผลของระยะทางมีผลต่อการสูญเสียเชิงวิถีและกำลังสัญญาณที่รับได้ จากผลลัพธ์ของการศึกษาผลกระทบของการสื่อสารข้อมูลเชิงเทคนิคสามารถยืนยันได้ว่าการบูรณาการโดรนใต้น้ำร่วมกับเทคโนโลยี VR และเครือข่าย 5G จะเป็นแนวทางสร้างโลกเสมือนจริงที่สามารถยกระดับอุตสาหกรรมการท่องเที่ยวทางทะเลสมัยใหม่ของประเทศไทย

คำสำคัญ: การท่องเที่ยวทางทะเลสมัยใหม่ คู่เสมือนดิจิทัล โดรนใต้น้ำ ความจริงเสมือน เครือข่าย 5G

Abstract

Thailand's marine tourism industry has transitioned into the digital age. The creation of metaverse tourism environments can further enhance tourist engagement by integrating advanced innovations such as underwater drone technology, digital twin systems, virtual reality (VR), and 5G communication networks. This paper presents the technical impact of data communication in integrating underwater drones with VR technology over a 5G network to advance modern marine tourism. The proposed communication system is designed to enable underwater drones to transmit real-time underwater video and audio to VR headsets via a 5G network. Field experiments were conducted along a 1 km to 5 km coastal route from Phra-Chom beach to Koh-Khai Island, Chumphon province. The technical performance of data communication was evaluated using key parameters, including received signal strength indicator (RSSI), channel bandwidth, path loss, data rate, and video streaming quality. The results demonstrate that real-time streaming from offshore distances of 1 km to 5 km maintained continuous Full HD video quality. The 5G network operating in the 700 MHz frequency band delivered up to 20 MHz of bandwidth. Moreover, transmission distance was found to influence both path loss significantly and received signal strength. Overall, the findings confirm that integrating underwater drones, VR technology, and 5G networks offers a novel and effective approach to developing immersive metaverse tourism experiences, with strong potential to enhance Thailand's modern marine tourism industry.

Keywords: Modern Marine Tourism, Digital Twin, Underwater Drones, Virtual Reality (VR), 5G Network.

การวัดลักษณะสมบัติเฉพาะและสร้างแบบจำลองของซีมอสเฟตแบบเพิ่มพาหะในสภาวะเย็นยวดยิ่ง

Characterization and modelling of complementary pair enhancement mode MOSFET at cryogenic temperatures

บุญมงคล บุญสม ธีรภัทร วงศ์มณีโรจน์ ทรงพล กาญจนชูชัย

ภาควิชาวิศวกรรมไฟฟ้า คณะวิศวกรรมศาสตร์ จุฬาลงกรณ์มหาวิทยาลัย boonmongkhon.bs@gmail.com Teerapat.erg@gmail.com Songphol.K@chula.ac.th

บทคัดย่อ

บทความนี้นำเสนอการวัดลักษณะสมบัติเฉพาะด้านออกและลักษณะเฉพาะถ่ายโอนของมอสเฟตในช่วงอุณหภูมิเย็นยวดยิ่งถึงอุณหภูมิห้อง (30K-300K) เพื่อศึกษาความเปลี่ยนแปลงของแรงดันขีดเริ่มเปลี่ยนและกระแสเดรนที่เกิดการเปลี่ยนแปลง โดยมีค่ามากขึ้นตามอุณหภูมิที่ลดลง และมีผลกับการทำงานในช่วงเริ่มนำกระแสแบบไทรโอดและช่วงอิ่มตัวของมอสเฟต รวมถึงมีการพัฒนาแบบจำลอง SPICE โดยมีการศึกษาการปรับค่าพารามิเตอร์ที่เกี่ยวข้องคือแรงดันขีดเริ่มเปลี่ยน มีการนำเสนอวิธีการหาค่าพารามิเตอร์ทรานส์คอนดักแตนซ์และการปรับค่าความเร็วอิ่มตัวของพาหะเพื่อให้จำลองผลได้ค่าที่ใกล้เคียงกับการทดลองจริงได้แม่นยำมากขึ้นกว่าแบบจำลองเดิมของผู้ผลิต ผลการจำลองด้วยแบบจำลอง SPICE ที่ปรับค่าพารามิเตอร์ใหม่พบว่ากราฟลักษณะเฉพาะด้านออกและลักษณะเฉพาะถ่ายโอนของมอสเฟตชนิดเอ็นมีค่าใกล้เคียงการวัดจริงมากขึ้น ส่วนของมอสเฟตชนิดพีมีค่าที่ดีขึ้นแต่มีช่วงที่ยังไม่ใกล้เคียงการวัดจริงอยู่ ซึ่งเป็นผลจากการมอดูเลตแชนแนลในมอสเฟตชนิดพีที่มีผลกระทบมากกว่า จากการปรับปรุงแบบจำลอง SPICE นี้สามารถนำวิธีการในการหาค่าพารามิเตอร์ดังกล่าวไปปรับใช้กับแบบจำลองมอสเฟตในช่วงอุณหภูมิเย็นยวดยิ่งต่างๆได้ในอนาคต

สำคัญ: การวัดลักษณะเฉพาะมอสเฟต,มอสเฟตที่อุณหภูมิเย็นยวดยิ่ง

Abstract

This article presents the measurement of output and transfer characteristics of MOSFETs over a temperature range from cryogenic to room temperature (30K-300K) to study the changes in threshold voltage and drain current, which increase with reduce temperature and affect the operation of MOSFETs in the triode and saturation regions. A SPICE model was also developed, with a study of the relevant parameter adjustments, including threshold voltage. The methods for finding the transconductance parameter and adjusting the carrier saturation velocity are presented to more accurately simulate results closer to actual experiments than the manufacturer's original model. The simulation results using the adjusted SPICE model show that the output and transfer characteristics of n-channel MOSFETs are closer to actual measurements. The p-channel MOSFETs show improvement, but there are still ranges that are not close to actual measurements, which is due to the greater impact of channel length modulation in p-channel MOSFETs. By improving this SPICE model, the methods for finding these parameters can be applied to MOSFET models at various cryogenic temperatures in the future.

Keywords: MOSFET Characterization, Cryogenics MOSFET

1.บทนำ

มอสเฟตเป็นอุปกรณ์อิเลกทรอนิกส์ที่มีการประยุกต์ใช้งานในวงจรที่หลากหลาย รวมถึงสภาพแวดล้อมการใช้งานมอสเฟตที่แตกต่างกันที่อุณหภูมิต่างๆก็มีความสำคัญสำหรับการออกแบบวงจรด้วย เนื่องจากลักษณะเฉพาะด้านออกและลักษณะเฉพาะถ่ายโอนซึ่งแสดงช่วงการทำงานของมอสเฟตจากมอสเฟตไม่นำกระแส หรือนำกระแสแบบแปรผันตรงกับแรงดันเกตซอสและแรงดันเดรนซอสที่จ่ายให้มอสเฟต หรือมอสเฟตนำกระแสคงที่เป็นช่วงอิ่มตัว ช่วงการทำงานเหล่านี้จะมีความสัมพันธ์ตามอุณหภูมิของสิ่งแวดล้อมเมื่อใช้งานด้วย เช่นถ้าใช้งานมอสเฟตในดาวเทียมที่โคจรอยู่ในอวกาศที่อุณหภูมิประมาณ 100K หรือใช้งานมอสเฟตในอุณหภูมิระดับ mK สำหรับวงจรควบคุมสัญญาณทางไฟฟ้าให้กับส่วนประมวลผลทางควอนตัม (Quantum processor) ของควอนตัมคอมพิวเตอร์ (Quantum computer) จึงจำเป็นต้องมีการศึกษาการทำงานทางกายภาพพื้นฐานของมอสเฟตที่ช่วงอุณหภูมิที่กว้างมากขึ้นจนถึงระดับอุณหภูมิเย็นยวดยิ่ง จากการทดลองวัดลักษณะเฉพาะของมอสเฟตพบว่าแรงดันขีดเริ่มเปลี่ยนและกระแสเดรนในช่วงมอสเฟตเริ่มทำงานนำกระแสแบบไทรโอดมีค่าเพิ่มขึ้นเมื่ออุณหภูมิลดลงแสดงให้เห็นว่าอุณหภูมิมีผลต่อการทำงานของมอสเฟตจริง และในบทความนี้ได้นำผลการทดลองนี้มาพัฒนาแบบจำลอง SPICE ของมอสเฟตที่ศึกษา พบว่าแบบจำลอง SPICE เดิมจากผู้ผลิตยังไม่แม่นยำในช่วงที่มอสเฟตทำงานด้วยพลังงานต่ำ กระแสเดรนมีค่าน้อยๆในระดับมิลลิแอมป์ จึงมีการศึกษาการปรับค่าพารามิเตอร์ที่เกี่ยวข้องต่างๆ

เพื่อให้แบบจำลอง SPICE ที่ปรับปรุง สามารถจำลองลักษณะเฉพาะของมอสเฟตให้สอดคล้องกับค่าจากการทดลองวัดจริงมากยิ่งขึ้น

2. การวัดลักษณะสมบัติเฉพาะของมอสเฟต

2.1 ลักษณะเฉพาะด้านออก (Output Characteristic)

การวัดลักษณะเฉพาะด้านออกคือการวัดความสัมพันธ์ของกระแสเดรน (Id) เมื่อปรับแรงดันเดรนซอส (Vds) ให้เพิ่มขึ้นในขณะที่แรงดันเกตซอส (Vgs) มีค่าคงที่ (curve I_{ds}-V_{ds}) โดยเครื่องมือที่ใช้วัดคือเครื่อง HP4140B pA Meter [1] ที่สามารถปรับค่า Vds, Vgs และวัดค่า Id ที่มีขนาดเล็กมากในระดับพิโคแอมป์ (pA) ในเวลาเดียวกัน

2.2 ลักษณะเฉพาะถ่ายโอน (Transfer Characteristic)

การวัดลักษณะเฉพาะถ่ายโอนคือการวัดความสัมพันธ์ของId เมื่อปรับ Vgs ให้เพิ่มขึ้นในขณะที่ Vds มีค่าคงที่ (curve I_{ds}-V_{gs}) โดยรูปด้านล่างแสดงวงจรการวัดลักษณะเฉพาะทั้งสองแบบ

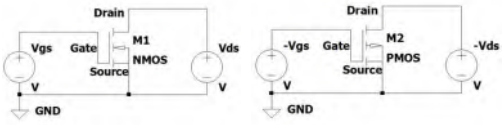

รูปที่ 1 วงจรการวัดลักษณะเฉพาะของเอนมอส(ซ้าย)และพีมอส(ขวา)

3 ระบบสภาวะเย็นยวดยิ่ง(Cryogenics system)

อุณหภูมิในสภาวะเย็นยวดยิ่งหมายถึงช่วงอุณหภูมิที่ต่ำกว่า 100K (-173 °C) ลงไปจนถึงใกล้ 0K (-273°C) ในการควบคุมอุณหภูมิจึงใช้ระบบไครโอจินิกส์ปั๊มที่มีฮีเลียม (Helium) เป็นสารทำความเย็น ควบคุมผ่านเครื่องควบคุมอุณหภูมิ (Temperature controller, Lakeshore330) [1] โดยเซนเซอร์วัดอุณหภูมิภายในส่วนที่เป็นภาชนะเย็นยวดยิ่ง (Cryostat) เป็นระบบสุญญากาศเพื่อแยกอุณหภูมิภายในให้ไม่ถูกรบกวนจากภายนอก และมีตัวยึดชิ้นงาน (sample holder) ทำมาจากทองแดงสามารถติดชิ้นงานหรือมอสเฟต ที่ต้องการศึกษาไว้ภายในส่วนนี้ได้ โดยมีการเชื่อมต่อขาของมอสเฟต โดยใช้สายไฟที่มีการฉนวนป้องกันสัญญาณรบกวนจากภายนอกเพื่อติดตั้งเข้ากับกล่องที่ออกแบบมาเฉพาะ สามารถที่จะเชื่อมต่อเข้ากับเครื่องมือวัด HP4140B pA Meter และทำการวัดลักษณะเฉพาะของมอสเฟตได้

4 ผลการทดลองการวัดลักษณะเฉพาะของมอสเฟตที่สภาวะเย็นยวดยิ่ง

การวัดลักษณะเฉพาะโดยเครื่องมือ HP4140B pA Meter มีข้อจำกัดคือค่ากระแสสูงสุดที่จ่ายให้มอสเฟตได้คือไม่เกิน 10mA จึงทำให้ผลการทดลองสามารถแสดงช่วงที่มอสเฟตชนิด DMG4511SK4-13 ทำงานที่กำลังงานต่ำกระแสเดรนระดับมิลลิแอมป์ แต่ยังคงแสดงลักษณะเฉพาะที่สามารถนำมาศึกษาได้ค่อนข้างดี โดยแสดงเป็นกราฟที่ช่วงอุณหภูมิ 30K-300K ในรูปด้านล่างนี้

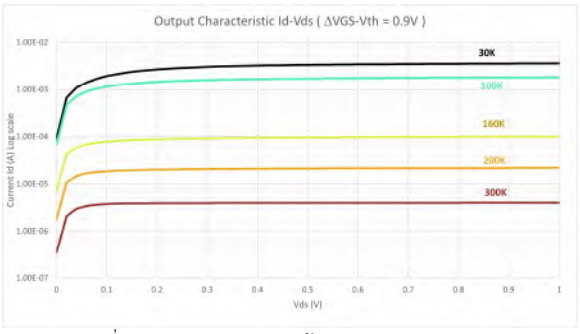

รูปที่ 2 กราฟลักษณะเฉพาะด้านออกของ NFET

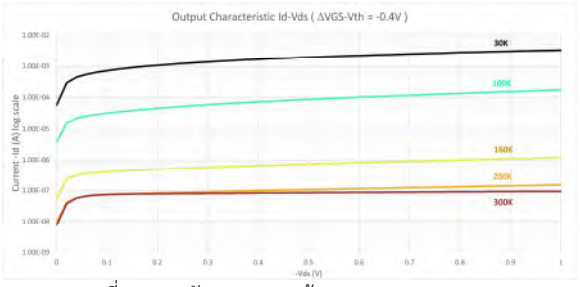

รูปที่ 3 กราฟลักษณะเฉพาะด้านออกของ PFET

รูปที่ 4 กราฟลักษณะเฉพาะถ่ายโอนของ NFET

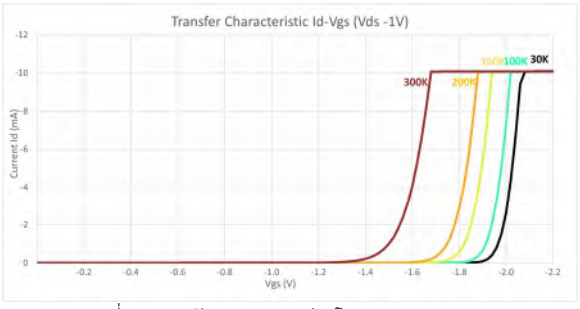

รูปที่ 5 กราฟลักษณะเฉพาะถ่ายโอนของ PFET

จากกราฟลักษณะเฉพาะด้านออกของมอสเฟต รูปที่ 2-3 พบว่าเมื่อเปรียบเทียบค่า Id ที่ผลต่าง Vgs และ Vth มีค่าที่มากพอในการทดลองนี้ใช้ค่า 0.9V และ -0.4V สำหรับมอสเฟต ชนิด NFET และ PFET ตามลำดับ จะเห็นแนวโน้มของค่า Id มีค่าเพิ่มขึ้นเมื่ออุณหภูมิลดลง และจากกราฟลักษณะเฉพาะถ่ายโอน รูปที่ 4-5 พบว่าแรงดันขีดเริ่มเปลี่ยน (Threshold Voltage ,Vth) จะมีขนาดที่สูงขึ้นเมื่ออุณหภูมิลดลงจนถึงสภาวะเย็นยวดยิ่ง ซึ่งอธิบายได้ว่าในสภาวะอุณหภูมิเย็นยวดยิ่งนั้นการสั่นของอะตอมในสารกึ่งตัวนำลดลง ส่งผลให้การกระเจิงของพาหะ (carrier scattering)

ลดลง สภาพการเคลื่อนที่ได้ของพาหะ (carrier mobility) จึงมากขึ้น [2],[3],[4] ส่งผลให้ค่า Id ของมอสเฟต มีค่าสูงขึ้นและ Vth จึงเพิ่มขึ้นตามอีกด้วย

5 การจำลองการทำงานของมอสเฟต

5.1 การสร้างแบบจำลอง

การสร้างแบบจำลอง SPICE (Simulation Program with Integrated Circuit Emphasis) ของอุปกรณ์อิเลกทรอนิกส์ต่างๆ เช่นตัวต้านทาน (resister) ตัวเก็บประจุ (capacitor) หรือทรานซิสเตอร์ (transistor) และอื่นๆ รวมถึงมอสเฟตนั้นมีการศึกษาและพัฒนาแบบจำลองมาอย่างยาวนานควบคู่ไปกับเทคโนโลยีการผลิตที่มีความละเอียดมากขึ้นในระดับนาโนเมตร ความเข้าใจในการทำงานของมอสเฟตในทางกายภาพจึงถูกสร้างเป็นสมการทางคณิตศาสตร์เพื่อใช้จำลองโดยโปรแกรมทางคอมพิวเตอร์ SPICE จึงมีส่วนช่วยให้งานออกแบบวงจรต่างๆ มีความสะดวก รวดเร็วและมีความแม่นยำเทียบเท่ากับการทดลองวัดค่ากระแสและแรงดันไฟฟ้าจากอุปกรณ์จริงยิ่งขึ้น

การทำงานของมอสเฟตแบ่งเป็น 3 ช่วงดังนี้ ช่วงที่1 ช่วงตัด (Cutoff region) Vgs < Vth มอสเฟตจะไม่นำกระแส สมการพื้นฐานของกระแสเดรน (Id) ที่ใช้ใน SPICE จะพิจารณาได้ดังนี้ [6]

$$Id = 0 \tag{1}$$

จากสมการที่ (1) มอสเฟตจะไม่นำกระแส แต่ในการทดลองจริงจะมี Id ค่าน้อยๆในระดับพิโคแอมป์ถึงนาโนแอมป์

ช่วงที่ 2 ช่วงไทรโอด (Triode region) Vgs≥Vth และ Vds>0 ,Vds<Vgs-Vth มอสเฟต เริ่มมีการนำกระแสแบบเชิงเส้น สมการของ Id ในช่วงไทรโอดคือ [6]

$$Id = KP \cdot \frac{Weff}{Leff} \cdot (1 + \lambda \cdot Vds) \cdot \left(Vgs - Vth - \frac{Vds}{2}\right) \cdot Vds \tag{2}$$

จากสมการที่ (2) Id จะแปรผันตามค่าพารามิเตอร์ทรานคอนดักแตนซ์ (**KP**) และอัตราส่วนความกว้างแชนแนลยังผล (**Weff**) ต่อความยาวแชนแนลยังผล (**Leff**) ของมอสเฟต ส่วนพารามิเตอร์ λ (Lambda) คือพารามิเตอร์ของการมอดูเลตความยาวในแชนแนล (Channel length modulation) [1]

ช่วงที่ 3 ช่วงอิ่มตัว (Saturation region) Vgs≥Vth และ Vds≥(Vgs-Vth) สมการกระแสเดรนในช่วงอิ่มตัว (Idsat) คือ [6]

$$Id = \frac{KP}{2} \cdot \frac{Weff}{Leff} \cdot (Vgs - Vth)^2 \cdot (1 + \lambda \cdot Vds) \tag{3}$$

จากสมการที่ (3) Id จะมีค่าคงที่ในช่วงมอสเฟตอิ่มตัว พิจารณาสมการที่ (1-3) ข้างต้นเป็น SPICE พื้นฐาน (Level1) [6] ที่ใช้ในการจำลองการทำงานของมอสเฟตโดยโปรแกรมจำลองต่างๆได้ แต่ยังไม่ละเอียดมากนักจึงมีการพัฒนาแบบจำลอง SPICE (Level3) [6] ที่ลดเวลาในการจำลองให้น้อยลงและมีผลใกล้เคียงกับมอสเฟตจริงมากขึ้น สมการ Id จะแบ่งเป็น 2 ช่วงดังนี้ ช่วงที่ 1 ช่วงตัด Id จะเป็นศูนย์มอสเฟตไม่มีการนำกระแส จึงมีสมการเดียวกับมอสเฟต SPICE (Level1) สมการที่ (1) และช่วงที่ 2 ช่วงไทรโอด เมื่อ Vgs>Vth สมการ Id เป็นดังนี้ [6]

$$Id = \beta \cdot \left(Vgs - Vth - \frac{1 + fb}{2} \cdot vde\right) \cdot vde \tag{4}$$

จากสมการที่ (4) Id จะมี β (beta) เป็นพารามิเตอร์ที่มีผลอย่างมาก โดยที่สมการของ β (beta) เป็นดังนี้ [6]

$$\beta = KP \cdot \frac{Weff}{Leff} = \mu eff \cdot Cox \cdot \frac{Weff}{Leff} \tag{5}$$

จากสมการที่ (5) สังเกตุได้ว่าเป็นพจน์แรกเหมือนกับ SPICE (Level1) แต่ในส่วนนี้จะมีค่าที่น่าสนใจคือสภาพเคลื่อนที่ได้ยังผล μeff (Effective mobility) และ ค่าความจุของชั้นออกไซด์ **Cox** (Oxide capacitance) เพิ่มขึ้นมาโดยมีสมการดังนี้ [6]

$$\mu eff = \frac{U0}{1 + Theta(Vgs - Vth)} \tag{6}$$

จากสมการที่ (6) สภาพการเคลื่อนที่ได้ยังผลจะพิจารณาการลดลงของสภาพการเคลื่อนที่ได้ของพาหะภายใต้สนามไฟฟ้าความเข้มต่ำ **U0** (Low-field bulk mobility) เนื่องจากผลของสนามไฟฟ้าตามขวางที่เพิ่มขึ้นจากการจ่าย Vgs จะทำให้สภาพการเคลื่อนที่ได้ลดลงแปรตามค่า Vgs [1] โดย **Theta** (Mobility degradation factor ,Θ) เป็นพารามิเตอร์จากการทดลองที่แสดงการลดลงของสภาพเคลื่อนที่ได้ จากสมการที่ (4) **fb** คือสัมประสิทธ์การกระจายอนุกรมเทย์เลอร์ของประจุใน bulk [7] มีผลต่อ Id สำหรับมอสเฟตทั่วไปที่มีความกว้างและความยาวของแชนแนลในระดับไมโครเมตรไม่มากนัก แต่จะมีผลเมื่อมอสเฟตที่มีเทคโนโลยีการผลิตในระดับนาโนเมตรมีแชนแนลขนาดเล็กในระดับนาโนเมตร [1] ค่า **fb** เป็นการแสดงผลกระทบของมอสเฟตที่มีแชนแนลสั้น(Short Channel effect) และมอสเฟตที่มีแชนเนลแคบ (Narrow width effect) มีสมการดังนี้[6]

$$fb = fn + \frac{Gamma \cdot fs}{4 \cdot \sqrt{(PHI + Vsb)}} \tag{7}$$

จากสมการที่ (7) อธิบายได้ว่า **fb** จะมีค่าที่เป็นผลกระทบจาก correction factor ของปรากฏการณ์มอสเฟตแชนแนลแคบ(Narrow channel effect) **fn** และcorrection factor ของปรากฏการณ์มอสเฟตแชนเนลสั้น (Short channel effect) **fs** [7] ส่วน **Gamma** (body effect) คือค่าสัมประสิทธิ์แรงดันภายใน bulk และ source ซึ่งส่งผลต่อแรงดัน Vth [7] ส่วน **PHI** (Surface inversion potential) คือ ค่าศักย์พื้นผิวในขณะที่เป็นภาวะเกิดการผกผันแบบเข้ม [7] จากสมการที่ (4) ค่า **vde** (effective drain voltage) ใช้เพื่อการจำลอง Id ช่วงเปลี่ยนจากไทรโอดเป็นช่วงอิ่มตัว ที่มีความโค้งใกล้เคียงมอสเฟตจริงมากขึ้นโดยในช่วงไทรโอด vde

จะมีค่าเท่ากับ Vds ส่วนในช่วงเปลี่ยนผ่านจากไทรโอดเป็นช่วงอิ่มตัว vde จะเป็นค่าแรงดันอิ่มตัว Vdsat หมายถึง Vds ที่มากขึ้นจนถึงค่าหนึ่งที่ทำให้แชนแนลถูกบีบปิด เรียกว่า channel pinch-off Id จะไม่เพิ่มขึ้นตามการเพิ่มของ Vds อีกและจะอิ่มตัวเป็น Idsat [1]สมการของ Vdsat เป็นดังนี้[6]

$$Vdsat = \frac{Vgs - Vth}{1 + fb} + \left(\frac{VMAX \cdot Leff}{us}\right) - [\left(\frac{Vgs - Vth}{1 + fb}\right)^2 + \left(\frac{VMAX \cdot Leff}{us}\right)^2]^{1/2} \quad (8)$$

จากสมการที่ (8) Vdsat จะขึ้นอยู่กับผลต่าง Vgs-Vth รวมถึงผลจากความเร็วลอยเลื่อนสูงสุดของพาหะ **VMAX** (Maximum drift velocity) และสภาพเคลื่อนที่ได้ยังผลบนพื้นผิว **us** (effective surface mobility)

5.2 ผลการจำลองการทำงานมอสเฟตเปรียบเทียบกับผลการวัดจริง

มอสเฟต DMG4511SK4 นั้นมีแบบจำลอง SPICE ที่สร้างขึ้นโดยบริษัทผู้ผลิต (Diodes incorporation) มาให้ใช้ในการจำลองวงจรอยู่แล้วเป็น SPICE (Level3) จึงนำแบบจำลองนี้มาปรับปรุงค่าพารามิเตอร์ต่างๆ ให้ได้ผลการจำลองที่ใกล้เคียงกับผลจากการทดลองวัดค่ามอสเฟตจริง โดยใช้โปรแกรม LTspice ในงานวิจัยนี้จำลองการวัดลักษณะสมบัติเฉพาะของมอสเฟต DMG4511SK4-13 เพื่อเปรียบเทียบกับการทดลองจริง ได้ผลเบื้องต้นดังรูปด้านล่างนี้

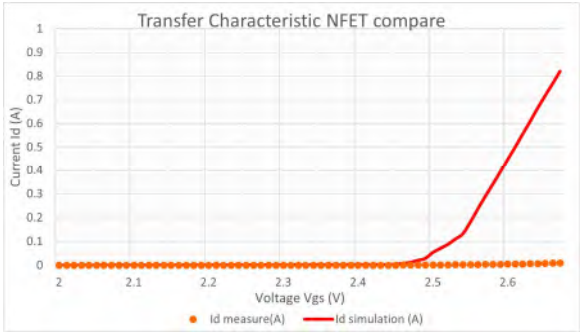

รูปที่ 6 กราฟลักษณะเฉพาะถ่ายโอนของ NFET เปรียบเทียบระหว่างแบบจำลองเดิมและการวัดจริง (อุณหภูมิ 300K)

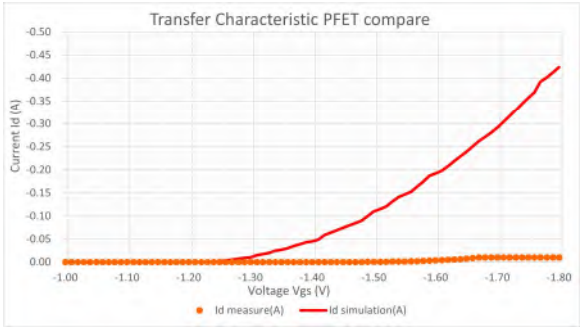

รูปที่ 7 กราฟลักษณะเฉพาะถ่ายโอนของ PFET เปรียบเทียบระหว่างแบบจำลองเดิมและการวัดจริง (อุณหภูมิ 300K)

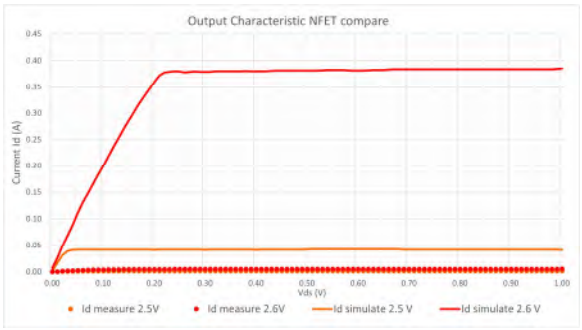

รูปที่ 8 กราฟลักษณะเฉพาะด้านออกของ NFET เปรียบเทียบระหว่างแบบจำลองเดิมและการวัดจริง (อุณหภูมิ 300K)

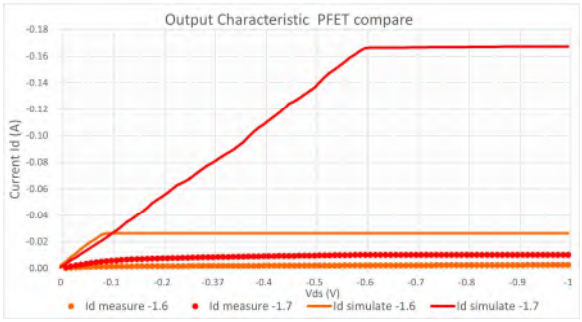

รูปที่ 9 กราฟลักษณะเฉพาะด้านออกของ PFET เปรียบเทียบระหว่างแบบจำลองเดิมและการวัดจริง (อุณหภูมิ 300K)

จากผลการเปรียบเทียบแบบจำลองเดิมจากบริษัทผู้ผลิตกับผลการทดลองจริงดังรูปที่ 6-7 กราฟลักษณะเฉพาะของทั้ง NFET และ PFET แบบจำลองมีค่า Id สูงกว่าการวัดจริงมาก โดยค่า Id จากแบบจำลองNFET สูงสุดที่ 0.8A แตกต่างจากการวัดจริงที่ค่า Id ได้เพียง 10mA ส่วนแบบจำลอง PFET ค่า Id สูงสุดที่ -0.42A และจากรูปที่ 8-9 กราฟลักษณะเฉพาะด้านออกของ NFET แสดงผลการจำลองค่า Id จากแบบจำลองได้สูงถึง 1A และของ PFET แสดงผลการจำลองของ Id ได้ -0.16A (-160mA) แบบจำลองทั้งสองมีค่า Id มากกว่าการทดลองจริงที่ได้เพียง 10mA แสดงให้เห็นว่าแบบจำลองเดิมจากผู้ผลิตนี้ยังมีผลการจำลองค่า Id แตกต่างอย่างมากจากค่าที่วัดได้จริง ในช่วงที่มอสเฟตทำงานที่กระแสน้อยๆ หรือช่วงพลังงานต่ำ จึงต้องมีการศึกษาผลการทำงานทางกายภาพของมอสเฟตนี้ และปรับปรุงค่าพารามิเตอร์ที่เกี่ยวข้องกับการนำ Id และ Vth เพิ่มเติม เพื่อให้ผลการจำลองมีความสอดคล้องกับการวัดมอสเฟตจริง

5.3 การปรับพารามิเตอร์ในแบบจำลอง SPICE ของมอสเฟต

การปรับค่าพารามิเตอร์แรกจะพิจารณาค่า Vth ก่อน โดยอ้างอิงจากผลการวัดลักษณะเฉพาะถ่ายโอนของมอสเฟต รูปที่ 4-5 ที่อุณหภูมิห้อง (300K) ค่า Vth โดยการใช้วิธีค่าทรานคอนดักแตนซ์สูงสุด (Maximum transconductance) [1],[5] คือการพิจารณาช่วงที่มอสเฟตนำกระแสแบบไทรโอด ความชันของ Id จะมีค่าคงที่จึงประมาณ Vth จากเส้นความชันที่เริ่มมีการนำกระแส จากรูปที่ 4-5 Vth ของ NFET คือ 2.45V ซึ่งเท่ากับแบบจำลองเดิมแล้ว และ Vth ของ PFET คือ -1.54V เท่ากับ

แบบจำลองเดิมเช่นกัน Vth จึงไม่เปลี่ยนแปลง จากสมการที่ 4-6 พารามิเตอร์ตัวต่อไปที่มีผลกระทบต่อ Id มากที่สุด คือ KP ซึ่งสามารถหาได้โดยเป็นการประมาณค่า จากกราฟทรานคอนดักแตนซ์ (gm) ในรูปด้านล่างนี้

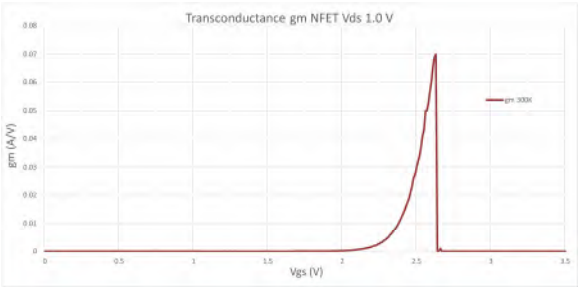

รูปที่ 10 กราฟทรานคอนดักแตนซ์ของ NFET (อุณหภูมิ 300K)

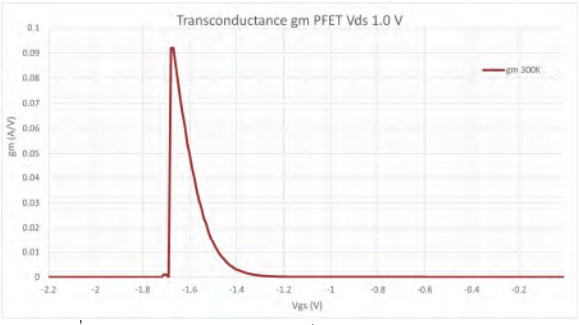

รูปที่ 11 กราฟทรานคอนดักแตนซ์ของ PFET (อุณหภูมิ 300K)

จากรูปที่ 10-11 สามารถนำค่า gm สูงสุดที่วัดในช่วง Vds มีค่าสูง เช่น 1V มอสเฟตจะทำงานในช่วงอิ่มตัว อ้างอิงจากสมการที่ (3) โดยยังไม่คิดผลของพารามิเตอร์ λ ให้เป็นศูนย์ สมการของ gm จะเป็นดังนี้ [1]

$$gm = \frac{\partial Idsat}{\partial Vgs} \approx KP \cdot \frac{W}{L} \cdot (Vgs - Vth) \quad (9)$$

จากสมการที่ (9) สามารถอ้างอิงค่า W และ L จาก SPICE ของมอสเฟตนี้มีค่าเท่ากันที่ 1um อัตราส่วนของ W และ L จึงเป็น 1 เมื่อคำนวณกลับเพื่อหาค่า KP โดยแทนค่า gm สูงสุดของ NFET และ PFET จากรูปที่ 10-11 เป็นค่า 0.07 , 0.092 A/V ตามลำดับ จะคำนวณ KP ของ NFET ได้เป็น 0.39 A/V^2 ลดลงจากค่าเดิมที่ 43.98 A/V^2 และค่า KP ของ PFET เป็น 0.71 A/V^2 ลดลงจากค่าเดิมที่ 16.62 A/V^2 เมื่อปรับค่า KP ใส่ใน SPICE ใหม่ และปรับค่า VMAX ให้เป็นค่ามาตรฐานตามของ SPICE [6] โดยค่า VMAX ของ NFET คือ 8.46e+4 cm/s จากค่าเดิม1.0e+6 cm/s และของ PFET คือ 4.30e+4 cm/s จากค่าเดิม 1.56e+5 cm/s จะได้ผลการจำลองที่สอดคล้องใกล้เคียงการวัดจริงมากขึ้นในรูปด้านล่างนี้

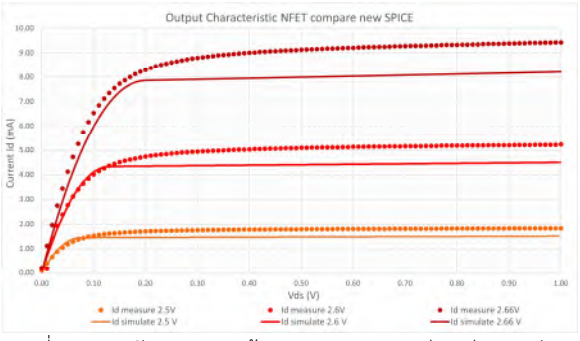

รูปที่ 12 กราฟลักษณะเฉพาะด้านออกของ NFET เปรียบเทียบระหว่างแบบจำลองใหม่และการวัดจริง (อุณหภูมิ 300K)

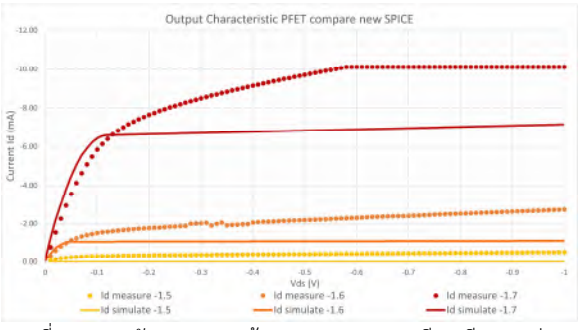

รูปที่ 13 กราฟลักษณะเฉพาะด้านออกของ PFET เปรียบเทียบระหว่างแบบจำลองใหม่และการวัดจริง (อุณหภูมิ 300K)

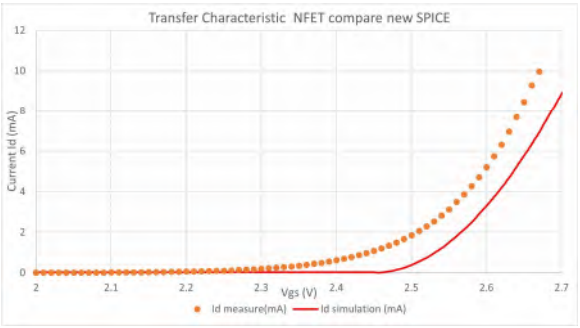

รูปที่ 14 กราฟลักษณะเฉพาะถ่ายโอนของ NFET เปรียบเทียบระหว่างแบบจำลองใหม่และการวัดจริง (อุณหภูมิ 300K)

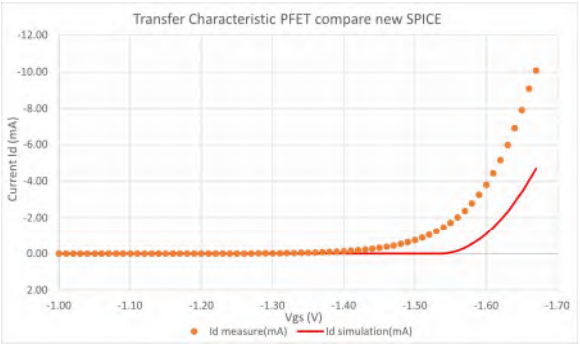

รูปที่ 15 กราฟลักษณะเฉพาะถ่ายโอนของ PFET เปรียบเทียบระหว่างแบบจำลองใหม่และการวัดจริง (อุณหภูมิ 300K)

จากรูปที่ 12-15 ผลการจำลองแบบจำลองใหม่พบว่ากราฟลักษณะเฉพาะด้านออก และลักษณะเฉพาะถ่ายโอน จากแบบจำลองใหม่ของ NFET มีค่าใกล้เคียงการวัดจริงอย่างมาก ส่วนกราฟลักษณะเฉพาะด้านออกและลักษณะเฉพาะของ PFET มีค่าใกล้เคียงการวัดจริงมากขึ้นแต่ยังมีส่วนที่แตกต่างอยู่บ้าง คาดว่าเป็นผลจากค่ามอดูเลตความยาวของแชนแนลมีผลกระทบกับ PFET มากกว่า NFET

6 สรุปผลการทดลอง

จากผลการวัดลักษณะเฉพาะถ่ายโอนของมอสเฟตในช่วงอุณหภูมิเย็นยวดยิ่งพบว่า Vth จะมีค่าเพิ่มสูงขึ้นเมื่ออุณหภูมิลดลงอย่างชัดเจน และการวัดลักษณะเฉพาะด้านออกพบว่าเมื่อเปรียบเทียบที่ค่าผลต่าง Vgs และ Vth ช่วงค่าที่เหมาะสมพบว่า Id ของมอสเฟต มีค่าสูงขึ้นเมื่ออุณหภูมิลดลงอย่างชัดเจนเช่นเดียวกัน การพิจารณาผลของอุณหภูมิจึงมีความสำคัญต่อการออกแบบวงจรการทำงานของมอสเฟตอย่างมาก

ในส่วนของการปรับปรุงแบบจำลอง SPICE พบว่าแบบจำลองเดิมของมอสเฟตจากผู้ผลิตที่ทดลองในงานวิจัยนี้ยังจำลองผลไม่แม่นยำในช่วงที่มอสเฟตทำงานด้วยพลังงานต่ำ Id มีค่าในช่วง mA จึงได้ศึกษาการปรับพารามิเตอร์ **Vth KP** และ **VMAX** เพื่อปรับแบบจำลองให้ได้ผลการจำลองใกล้เคียงการวัดจริงมากขึ้น สรุปในตารางที่ (1) ด้านล่างนี้ ผลที่ได้จากการจำลองของ NFET มีค่าใกล้เคียงการวัดจริงอย่างมาก แต่ของ PFET มีค่าที่บางช่วงยังแตกต่างจากการวัดจริงซึ่งเป็นผลจากการมอดูเลตความยาวแชนแนล ที่มีผลกระทบมากกว่า NFET จึงต้องมีการปรับปรุงแบบจำลองเพิ่มเติม จากการวิจัยแนวทางในการสร้างแบบจำลองของมอสเฟตนี้สามารถพัฒนาต่อสำหรับแบบจำลอง SPICE ในช่วงอุณหภูมิเย็นยวดยิ่งให้ได้ผลใกล้เคียงการวัดจริงต่อไปในอนาคต

ตารางที่ 1 สรุปการปรับพารามิเตอร์ของแบบจำลองมอสเฟต

FET Type	Parameter	Default SPICE	New SPICE	unit
NFET	Vth	2.45	2.45	V
	KP	43.98	0.39	A/V^2
	VMAX	1.0e+6	8.46e+4	cm/s
PFET	Vth	-1.536	-1.536	V
	KP	16.62	0.71	A/V^2
	VMAX	1.56e+5	4.30e+4	cm/s

7 กิตติกรรมประกาศ

ผู้เขียนขอขอบคุณสมาชิกของห้องปฏิบัติการวิจัยสิ่งประดิษฐ์สารกึ่งตัวนำ (SDRL) ที่ให้คำแนะนำการใช้งานเครื่องมือต่างๆ และขอขอบคุณทุนการศึกษาภาควิชาวิศวกรรมไฟฟ้า จุฬาลงกรณ์มหาวิทยาลัย ที่ได้สนับสนุนเงินทุนการศึกษาและการทำวิจัยนี้แก่ผู้เขียน

เอกสารอ้างอิง

[1] ทรงพล กาญจนชูชัย, อุปกรณ์สารกึ่งตัวนำ, กรุงเทพฯ:โรงพิมพ์แห่งจุฬาลงกรณ์มหาวิทยาลัย, 2559

[2] Homulle, H. (2019). Cryogenic electronics for the read-out of quantum processors .https://doi.org/10.4233/uuid:e833f394-c8b1-46e2-86b8-da0c71559538

[3] Chao Luo, Zhen Li, Teng-Teng Lu, Jun Xu,Guo-Ping Guo, (2018),MOSFET characterization and modeling at cryogenictemperatures,https://doi.org/10.1016/j.cryogenics.2018.12.009International

[4] Yuanke Zhang, Teng-teng Lu, Wenjie Wang, Yujing Zhang, Jun Xu, Chao Luo and Guo-ping Guo, (2021), Characterization and Modeling of Native MOSFETs Down to 4.2 K, IEEE TRANSACTIONS ON ELECTRON DEVICES, VOL. 68, NO. 9

[5] T.-Y. Yang, A. Ruffino, J. Michniewicz, Y. Peng, E. Charbon and M. F. Gonzalez-Zalba,(2020), Quantum Transport in 40-nm MOSFETs at Deep-Cryogenic Temperatures, IEEE ELECTRON DEVICE LETTERS, VOL. 41, NO. 7

[6] Synopsys Inc., HSPICE® Reference Manual: MOSFET Models version-2013.03

[7] A. Vladimirescu and S. Liu, The Simulation of MOS Integrated Circuits Using SPICE2, ERL Memo No. M80/7, Electronics Research Laboratory University of California, Berkeley, October 1980

ประวัติผู้เขียนบทความ

นายบุญมงคล บุญสม

จบการศึกษาปริญญาวิศวกรรมศาสตร์บัณฑิต (วิศวกรรมไฟฟ้า) จากมหาวิทยาลัยเกษตรศาสตร์ พ.ศ.2555 เริ่มต้นทำงานที่บริษัท โซนี่เทคโนโลยี ประเทศไทย ในตำแหน่งวิศวกรไฟฟ้า (Electrical Engineer) ตั้งแต่ พ.ศ.2556-2567 ปัจจุบันกำลังศึกษาในระดับวิศวกรรมศาสตร์มหาบัณฑิต (วิศวกรรมไฟฟ้า) ในสาขาวัสดุและอุปกรณ์ขั้นสูง จุฬาลงกรณ์มหาวิทยาลัย มีความสนใจในเรื่องนาโนอิเล็กทรอนิกส์ การออกแบบและการผลิตวงจรรวม และควอนตัมคอมพิวเตอร์

การพัฒนาเครื่องเหนี่ยวนำความร้อนเพื่อการถอดแบริ่งจากชุดโรเตอร์ของเครื่องจักรหมุน

Development of an Induction Heating Device for Bearing Removal from Rotating Machinery Rotors

พีรวัจน์ มีสุข[1*] หัสนัย เปียชาติ[2] และ อนุรักษ์ ใจวังโลก[1]

[1]สาขาวิชาวิศวกรรมไฟฟ้าและระบบควบคุมอัตโนมัติ คณะวิศวกรรมศาสตร์และเทคโนโลยีอุตสาหกรรม มหาวิทยาลัยราชภัฏบ้านสมเด็จเจ้าพระยา
peerawat.me@bsru.ac.th* , anurak.ja@bsru.ac.th
[2]สาขาวิชาวิศวกรรมไฟฟ้าเครื่องกลการผลิต คณะวิศวกรรมศาสตร์และเทคโนโลยีอุตสาหกรรม มหาวิทยาลัยราชภัฏบ้านสมเด็จเจ้าพระยา
rajaft47@gmail.com

บทคัดย่อ

งานวิจัยนี้นำเสนอการพัฒนาเครื่องให้ความร้อนแบบเหนี่ยวนำไฟฟ้าเพื่อใช้ในการถอดแบริ่งออกจากโรเตอร์ของมอเตอร์ไฟฟ้าหรือเครื่องจักรกลหมุน โดยมีวัตถุประสงค์เพื่อลดความเสียหายที่อาจเกิดจากวิธีการถอดแบบดั้งเดิมที่ใช้แรงกล เช่น เครื่องดึงแบริ่ง ซึ่งเสี่ยงต่อการทำลายเพลาหรือชิ้นส่วน เทคโนโลยีการให้ความร้อนแบบเหนี่ยวนำถูกนำมาประยุกต์เพื่อให้ความร้อนแก่แบริ่งจนเกิดการขยายตัวทางความร้อน ทำให้สามารถถอดออกได้ง่ายขึ้นโดยไม่ต้องออกแรงมาก เครื่องที่พัฒนาขึ้นใช้วงจรฟูลบริดจ์คอนเวอร์เตอร์ในการควบคุมอุณหภูมิและขดลวดเหนี่ยวนำความร้อนเพื่อลดการสัมผัสโดยตรง การทดสอบกับแบริ่งเบอร์ 6205 และ 6206 ที่อุณหภูมิ 90 และ 100 องศาเซลเซียส พบว่าเมื่ออุณหภูมิถึง 100 องศาเซลเซียส แบริ่งเกิดการขยายตัวประมาณ 0.001 มิลลิเมตร หรือคิดเป็นร้อยละ 0.04 ของขนาดเดิม ส่งผลให้สามารถถอดแบริ่งออกจากโรเตอร์ได้อย่างมีประสิทธิภาพ ผลการทดลองยืนยันว่าการใช้เทคโนโลยีเหนี่ยวนำความร้อนช่วยลดความเสี่ยงต่อความเสียหายของชิ้นส่วน เพิ่มความปลอดภัย และเหมาะสมสำหรับการซ่อมบำรุงเชิงป้องกันและเชิงคาดการณ์ในอุตสาหกรรม

คำสำคัญ: เครื่องเหนี่ยวนำความร้อน, การถอดแบริ่ง, วงจรฟูลบริดจ์คอนเวอร์เตอร์, การขยายตัวทางความร้อน

Abstract

This research presents the development of an induction heating system for removing bearings from the rotors of electric motors and rotating machinery. The objective is to minimize damage that may occur when using conventional mechanical pullers, which often apply excessive force and risk harming the shaft or other components. The proposed system utilizes induction heating technology to heat the bearing, causing thermal expansion that facilitates easy removal with minimal mechanical force. A full-bridge converter circuit is employed to achieve precise temperature control and an induction coil to generate heat without direct mechanical contact. Experiments were conducted on bearings No. 6205 and 6206 at target temperatures of 90°C and 100°C. The results indicate that at 100°C, the bearings expanded by approximately 0.001 mm, equivalent to 0.04% of their original size, which allowed effective removal from the rotor. The findings confirm that induction heating reduces the risk of component damage, enhances operational safety, and is well suited for preventive and predictive maintenance in industrial applications.

Keywords: Induction heating, bearing removal, full-bridge converter, thermal expansion

1. บทนำ

การถอดแบริ่ง (Bearing) ออกจากโรเตอร์ของมอเตอร์ไฟฟ้าหรือเครื่องจักรกลหมุน เป็นกระบวนการที่ต้องใช้ความระมัดระวังสูง เนื่องจากหากใช้แรงกลมากเกินไปอาจทำให้เพลาหรือแบริ่งเกิดความเสียหายได้ วิธีการถอดแบบดั้งเดิมโดยใช้แรงดึงกล (mechanical puller) มักเกิดความเสี่ยงต่อความเสียหายของชิ้นส่วน และไม่เหมาะสมกับงานที่ต้องการความรวดเร็วหรือมีความถี่ในการซ่อมบำรุงสูง [1]

เทคโนโลยีการให้ความร้อนแบบเหนี่ยวนำไฟฟ้า (Induction Heating) เป็นแนวทางที่ได้รับความนิยมมากขึ้นในงานบำรุงรักษาและซ่อมแซม โดยเฉพาะอย่างยิ่งในกระบวนการติดตั้งและถอดแบริ่ง ด้วยคุณสมบัติการให้ความร้อนอย่างรวดเร็ว ควบคุมได้แม่นยำ และไม่มีการสัมผัสทางกลโดยตรง จึงช่วยลดความเสียหายของชิ้นส่วนและเพิ่มประสิทธิภาพในการทำงาน [2] การให้ความร้อนแก่แบริ่งทำให้เกิดการขยายตัวทางความร้อน (thermal expansion) ซึ่งช่วยให้แบริ่งหลุดออกจากเพลาได้โดยไม่ต้องใช้แรงดึงมากนัก การพัฒนาเครื่องเหนี่ยวนำความร้อนที่สามารถควบคุมอุณหภูมิได้ตั้งแต่ 0–110 °C และทดสอบกับตลับลูกปืนขนาดต่าง ๆ พร้อมประเมินผลเชิงคุณภาพจากผู้เชี่ยวชาญ ซึ่งสอดคล้องกับแนวคิดการถอดแบริ่งโดยใช้ induction heating แทนการใช้แรงดึง [3] การใช้ induction heating ผ่าน full-bridge inverter ในกระบวนการอบชุบเพลา ซึ่งมีความเกี่ยวข้องกับการออกแบบวงจรควบคุมอุณหภูมิที่ใช้ในงานติดตั้งและถอด bearing [4]

อย่างไรก็ตาม เครื่องเหนี่ยวนำความร้อนที่มีจำหน่ายในท้องตลาดมีราคาสูง และมักออกแบบมาเพื่อการติดตั้งแบริ่ง (mounting) มากกว่าการถอดออก (disassembly) ดังนั้น การพัฒนาเครื่องให้ความร้อนแบบเหนี่ยวนำที่ออกแบบเฉพาะสำหรับการถอดแบริ่ง จึงเป็นแนวทางสำคัญในการลดต้นทุนการซ่อมบำรุง เพิ่มความปลอดภัย และเพิ่มประสิทธิภาพในการถอดชิ้นส่วนในภาคอุตสาหกรรม โดยเฉพาะในงานซ่อมบำรุงเชิงป้องกัน (Preventive Maintenance) และเชิงคาดการณ์ (Predictive Maintenance)

ดังนั้นงานวิจัยนี้จึงมุ่งเน้นการพัฒนาเครื่องให้ความร้อนแบบเหนี่ยวนำไฟฟ้าเพื่อการถอดแบริ่งออกจากโรเตอร์ โดยใช้วงจรฟูลบริดคอน

*ผู้ประพันธ์บรรณกิจ

เวอร์เตอร์ในการควบคุมอุณหภูมิ และการทดลองใช้งานจริง เพื่อให้ได้การใช้งานที่มีประสิทธิภาพและเหมาะสมกับการใช้งาน

2. ทฤษฎีที่เกี่ยวข้อง

2.1 หลักการเหนี่ยวนำความร้อน

การให้ความร้อนแบบเหนี่ยวนำเกิดจากหลักการทางไฟฟ้าและความร้อนที่ทำงานร่วมกัน เมื่อกระแสไฟฟ้าสลับไหลผ่านขดลวดเหนี่ยวนำ จะสร้าง สนามแม่เหล็ก ขึ้นซึ่งจะเหนี่ยวนำให้เกิด กระแสไฟฟ้า ในชิ้นงานโลหะที่อยู่ภายใน กระแสไฟฟ้าที่ไหลในชิ้นงานนี้จะทำให้เกิด ความร้อนบริเวณผิว ซึ่งปริมาณความร้อนขึ้นอยู่กับความเหนี่ยวนำและค่าความต้านทาน จากนั้นความร้อนจะถูกถ่ายเทไปยังส่วนอื่น ๆ ของชิ้นงานผ่านการนำ การพา และการแผ่รังสี.[5-6]

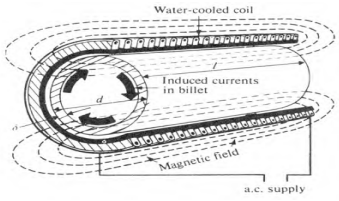

รูปที่ 1 โครงสร้างของเครื่องให้ความร้อนแบบเหนี่ยวนำอย่างง่าย

2.2 ความถี่ที่ใช้งานและระดับความร้อนที่เหนี่ยวนำชิ้นงาน

ความถี่ที่ใช้งานและระดับกำลังความร้อนแบบที่เหนี่ยวนำชิ้นงานแต่ละแบบนั้นขึ้นอยู่กับแหล่งกำเนิดไฟสลับที่จ่ายให้กับเครื่องและยังขึ้นกับอุปกรณ์ที่ใช้ในวงจรรวมทั้งแสดงความถี่กับการประยุกต์ใช้งานในแต่ละช่วงจำแนกได้ดังนี้

1.) แหล่งจ่ายกำลังจากการไฟฟ้าโดยตรงเป็นระบบที่ใช้ความถี่จากสายส่งโดยตรง (50 และ 60 Hz) แรงดันไฟฟ้ามีความถี่ค่อนข้างต่ำจึงทำให้ค่าความลึกผิวในการให้ความร้อนมีค่ามากโดยค่าความลึกผิวจะมีค่าสูงตั้งแต่ 10 ถึง 100 มิลลิเมตร เครื่องให้ความร้อนแบบนี้นิยมใช้ในงานหลอมโลหะมีระดับกำลังที่สูงเป็นหลายเมกกะวัตต์

2.) แหล่งจ่ายกำลังจากชุดมอเตอร์และเครื่องกำเนิดไฟฟ้าเป็นระบบที่มีการเปลี่ยนความถี่จากระบบไฟฟ้าโดยใช้มอเตอร์แบบเหนี่ยวนำไปขับเคลื่อนเครื่องกำเนิดไฟฟ้าซึ่งสร้างแรงดันไฟฟ้าที่มีความถี่สูงขึ้นโดยสามารถทำความถี่ได้ในช่วง 500 Hz ถึง 10 kHz ทำให้ได้ความลึกผิวตั้งแต่ 1 ถึง 10 มิลลิเมตร เครื่องให้ความร้อนชนิดนี้สามารถให้กำลังได้หลายร้อยกิโลวัตต์ ใช้ในงานหลอมโลหะมีระดับกำลังประมาณ 500 กิโลวัตต์ต่อเครื่อง

3.) แหล่งจ่ายกำลังจากระบบวงจรแปลงผันที่ใช้สิ่งประดิษฐ์สารกึ่งตัวนำโดยมีการจัดวงจรได้หลากหลายลักษณะซึ่งในปัจจุบันนิยมใช้เอสซีอาร์, ทรานซิสเตอร์กำลังและมอสเฟตกำลังเป็นอุปกรณ์สวิตช์โดยมีย่านความถี่ตั้งแต่ 500 Hz ถึง 50 kHz การใช้งานมีหลายลักษณะเช่นที่ความถี่ต่ำมักจะเป็นงานหลอมโลหะ, ความถี่ปานกลางสำหรับงานทุบขึ้นรูปโลหะ, ความถี่สูงสำหรับงานชุบแข็งผิวเป็นต้น

4.) แหล่งจ่ายกำลังย่านความถี่วิทยุ (50 kHz ถึง 10 MHz) สำหรับความถี่ไม่เกิน 100 kHz ยังสามารถใช้พวกมอสเฟตกำลังได้แต่ที่ความถี่สูงมากๆ นิยมใช้หลอดสุญญากาศเพราะสิ่งประดิษฐ์สารกึ่งตัวนำยังมีสมรรถนะในการใช้งานที่ความถี่สูงไม่ดีพอโดยค่าความลึกผิวมีค่า 0.1-2 มิลลิเมตรเครื่องให้ความร้อนแบบเหนี่ยวนำนี้จะให้กำลังค่อนข้างต่ำในหลายสิบกิโลวัตต์เนื่องจากทำงานในย่านความถี่สูงเหมาะใช้ในงานเชื่อมประสานและการชุบผิวแข็งจะเห็นว่าความถี่นั้นเป็นตัวแปรสำคัญต่อประสิทธิภาพความลึกผิวในชิ้นงานและกำลังขาเข้าที่ใช้ของชิ้นงานโดยที่เมื่อความถี่สูงขึ้นความลึกผิวจะลดลงประสิทธิภาพและกำลังขาเข้าของชิ้นงานจะสูงขึ้น

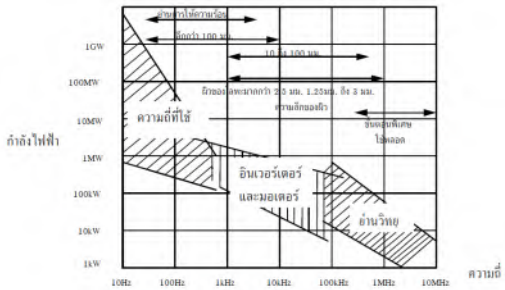

รูปที่ 2 ลักษณะการใช้งานของเครื่องให้ความร้อนแบบเหนี่ยวนำในย่านความถี่ต่างๆ

3. วิธีการดำเนินงาน

3.1 การออกแบบ

การออกแบบระบบโครงสร้างนั้นจะออกเป็นรูปแบบตู้ภายในตู้จะมีวงจรไฟฟ้าของเครื่องเหนี่ยวนำความร้อนและวงจรป้องกันอุปกรณ์ มีอุปกรณ์ตรวจวัดแรงดันกระแสและอุณหภูมิพร้อมชุดวางชิ้นงานสำหรับการเหนี่ยวนำความร้อนให้กับแบริ่ง ดังรูปที่ 3

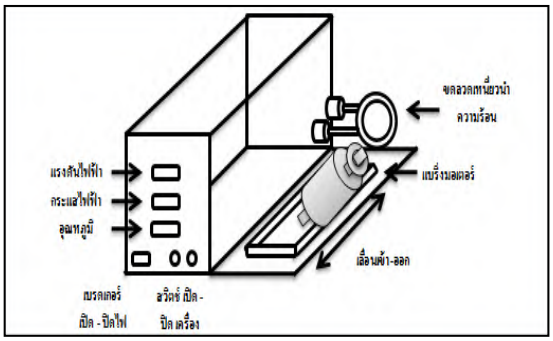

รูปที่ 3 โครงสร้างของเครื่อง

แหล่งจ่ายไฟฟ้าที่ใช้เป็นระบบกระแสสลับแรงดัน 220 โวลต์ ความถี่ 50 เฮิรตซ์ ซึ่งจ่ายพลังงานไฟฟ้าเข้าสู่ระบบเครื่องให้ความร้อนแบบเหนี่ยวนำผ่านเมนเบรกเกอร์ จากนั้นไฟฟ้าจะถูกส่งผ่านไปยังหม้อแปลงไฟฟ้าแรงดันต่ำดังรูปที่ 4 เพื่อทำหน้าที่ลดแรงดันไฟฟ้าลงเหลือ 24 โวลต์ ที่ความถี่ 50 เฮิรตซ์ สำหรับใช้งานในระบบ

รูปที่ 4 หม้อแปลงไฟฟ้าแรงดันต่ำ

ใช้วงจรเรียงกระแสเฟสเดียวเต็มคลื่นแบบบริดจ์ ทำหน้าที่แปลงแรงดันไฟฟ้ากระแสสลับเป็นแรงดันไฟฟ้ากระแสตรงที่ 24 โวลต์ดีซี

เมื่อผ่านวงจรเรียงกระแสมาแล้วจะเข้าวงจรฟลูบริดจ์คอนเวอร์เตอร์ ตามรูปที่ 3 หลักการทำงานของวงจรคือจะใช้ MOSFET ทำหน้าที่เป็นตัวสวิตช์จะทำงานโดยนำกระแสและหยุดนำกระแสสลับกันเป็นคู่ในแต่ละครึ่งคาบเวลาโดย Q1 จะนำกระแสในครึ่งคาบเวลาและเมื่อหยุดนำกระแส Q2 จะนำกระแสในครึ่งคาบเวลาที่เหลือ

รูปที่ 5 วงจรฟลูบริดจ์คอนเวอร์เตอร์

โดยขดลวดความร้อน ทำหน้าที่เหนี่ยวนำความร้อนให้กับตัวแบริ่งทำให้เกิดความร้อนขึ้นและทำให้เกิดการขยายตัวจากความร้อนที่เหนี่ยวนำขึ้นงาน

การออกแบบระบบโครงสร้าง จะออกเป็นรูปแบบตู้ภายในตู้จะมีวงจรไฟฟ้าของเครื่องเหนี่ยวนำความร้อนและวงจรป้องกันอุปกรณ์ มีอุปกรณ์ตรวจวัดแรงดันกระแสไฟฟ้าและอุณหภูมิ

การออกแบบสวิตช์ปุ่มกด ทำหน้าที่ใช้สำหรับการเปิด-ปิดเครื่องเหนี่ยวนำความร้อน อุปกรณ์ตรวจวัด ทำหน้าที่วัดแรงดันไฟฟ้ากระแสไฟฟ้าและอุณหภูมิ สามารถตัดการทำงานของเครื่องเหนี่ยวนำความร้อนเมื่ออุณหภูมิเกินค่าที่กำหนดไว้

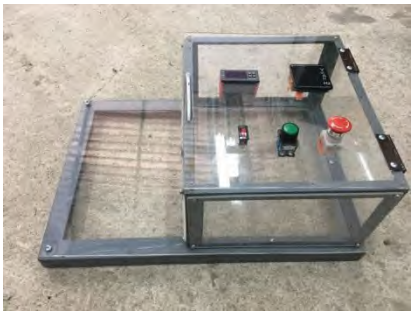

รูปที่ 6 โครงสร้างเครื่องเหนี่ยวนำความร้อน

3.2 วิธีการทดสอบ

ในการทอสอบนี้ใช้แบริ่ง เบอร์ 6205 กับ 6206 ดังรูปที่ 5 โดยการวัดค่าก่อนและหลังการให้ความร้อน ทำการวัดรัศมีขอบด้านนอกความหนา รัศมีรูด้านใน ดังรูปที่ 7

รูปที่ 7 ลักษณะของแบริ่ง

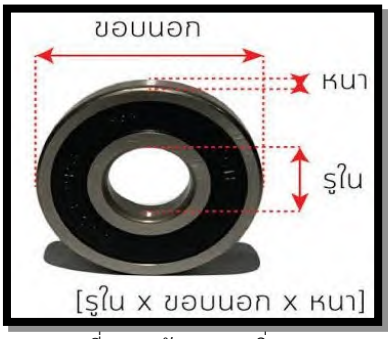

รูปที่ 8 การวัดขนาดแบริ่ง

วัดขนาดแบริ่งก่อนนำไปใส่ที่โรเตอร์ จากนั้นนำโรแตอร์ที่ต้องการถอดแบริ่งออกไปทดสอบกับเครื่องเหนี่ยวนำความร้อนตามรูปที่ 9 เมื่อเครื่องเริ่มทำงานจนอุณหภูมิถึงค่าที่กำหนดไว้นำแบริ่งมาทำการถอดออกแล้ววัดการขยายตัวของแบริ่ง

รูปที่ 9 การทดสอบเครื่องให้ความร้อน

4. ผลการทดสอบ

จากการทดสอบการทำงานของเครื่องเหนี่ยวนำความร้อนที่ใช้สำหรับการถอดแบริ่ง เบอร์ 6205 และเบอร์ 6206 พบว่าผลของการทำงานของวงจรที่อุณหภูมิ 90 และ 100 องศาเซลเซียส สามารถแสดงผลได้ตามตารางที่ 1 ถึงตารางที่ 4

ตารางที่ 1 การทดสอบถอดแบริ่งเบอร์ 6205 ที่อุณหภูมิ 90 องศาเซลเซียส

ครั้งที่	อุณหภูมิแบริ่งก่อนทดสอบ (°C)	อุณหภูมิแบริ่งหลังทดสอบ (°C)	ขนาดแบริ่งก่อนทดสอบ (mm.)	ขนาดแบริ่งหลังทดสอบ (mm.)	เวลาในการทดสอบ (นาที)	กระแสที่ใช้ (A)
1	31.1	91.6	25	25	1.16	0.8
2	31.7	92.4	25	25	1.18	0.8
3	31.7	92.4	25	25	1.16	0.8
4	31.1	91.7	25	25	1.18	0.8
5	31.2	93.1	25	25	1.21	0.8
เฉลี่ย	31.3	92.2	25	25	1.17	0.8

ตารางที่ 2 การทดสอบถอดแบริ่งเบอร์ 6206 ที่อุณหภูมิ 90 องศาเซลเซียส

ครั้งที่	อุณหภูมิแบริ่งก่อนทดสอบ (°C)	อุณหภูมิแบริ่งหลังทดสอบ (°C)	ขนาดแบริ่งก่อนทดสอบ (mm.)	ขนาดแบริ่งหลังทดสอบ (mm.)	เวลาในการทดสอบ (นาที)	กระแสที่ใช้ (A)
1	31.1	92.4	30	30	1.34	1.1
2	31.4	93.1	30	30	1.41	1.1
3	31.2	92.4	30	30	1.36	1.1
4	31.2	92.2	30	30	1.44	1.1
5	32.1	92.3	30	30	1.39	1.1
เฉลี่ย	31.4	92.4	30	30	1.38	1.1

ตารางที่ 3 การทดสอบถอดแบริ่งเบอร์ 6205 ที่อุณหภูมิ 100 องศาเซลเซียส

ครั้งที่	อุณหภูมิแบริ่งก่อนทดสอบ (°C)	อุณหภูมิแบริ่งหลังทดสอบ (°C)	ขนาดแบริ่งก่อนทดสอบ (mm.)	ขนาดแบริ่งหลังทดสอบ (mm.)	เวลาในการทดสอบ (นาที)	กระแสที่ใช้ (A)
1	31.1	102	25	25.01	1.47	0.8
2	31.1	101	25	25.01	1.42	0.8
3	31.1	102	25	25.01	1.41	0.8
4	31.2	101	25	25.01	1.48	0.8
5	31.2	101	25	25.01	1.42	0.8
เฉลี่ย	31.1	101	25	25.01	1.44	0.8

ตารางที่ 4 การทดสอบถอดแบริ่งเบอร์ 6206 ที่อุณหภูมิ 100 องศาเซลเซียส

ครั้งที่	อุณหภูมิแบริ่งก่อนทดสอบ (°C)	อุณหภูมิแบริ่งหลังทดสอบ (°C)	ขนาดแบริ่งก่อนทดสอบ (mm.)	ขนาดแบริ่งหลังทดสอบ (mm.)	เวลาในการทดสอบ (นาที)	กระแสที่ใช้ (A)
1	31.6	102	30	30.01	1.57	1.1
2	31.2	103	30	30.01	1.51	1.1
3	31.1	102	30	30.01	1.53	1.1
4	31.2	104	30	30.01	1.54	1.1
5	31.1	101	30	30.01	1.54	1.1
เฉลี่ย	31.2	102	30	30.01	1.53	1.1

นำข้อมูลมาแสดงผลเป็นกราฟโดยเป็นข้อมูลการขยายตัวของขนาดเส้นผ่านศูนย์กลางหลังการทดสอบ ดังรูปที่ 10 และ รูปที่ 11

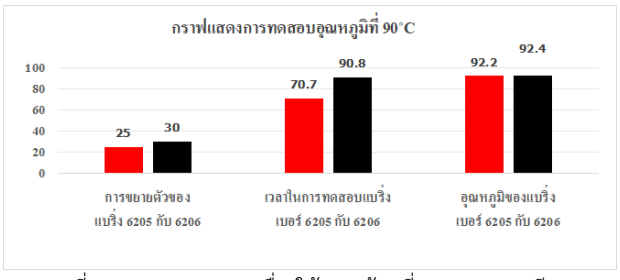

รูปที่ 10 ผลการทดสอบเครื่องให้ความร้อนที่ 90 องศาเซลเซียส

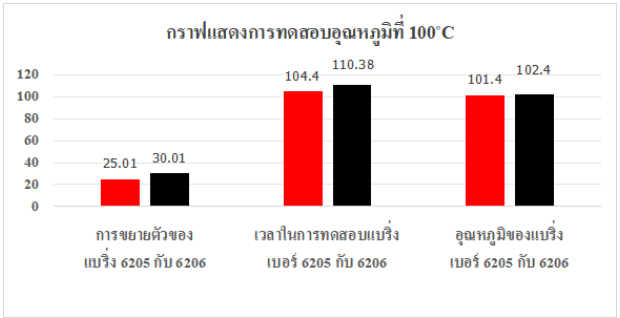

รูปที่ 11 ผลการทดสอบเครื่องให้ความร้อนที่ 100 องศาเซลเซียส

จากการทดสอบอุณหภูมิที่ 90 องศาเซลเซียส แบริ่งเบอร์ 6205 กับ 6206 ทดสอบการขยายตัวของแบริ่ง ระยะเวลาในการเหนี่ยวนำแบริ่งเมื่อนำค่าพื้นฐาน

5. สรุป

จากการทดสอบอุณหภูมิที่ 90 องศาเซลเซียส แบริ่งเบอร์ 6205 กับ 6206 ทดสอบการขยายตัวของแบริ่ง ระยะเวลาในการเหนี่ยวนำแบริ่งเมื่อนำค่าพื้นฐานของแบริ่งเบอร์ 6205 กับ 6206 มาเปรียบเทียบแบริ่งเบอร์ 6205 ขนาดรูใน 25mm. และ 6206 ขนาดรูใน 30mm. ผลการทดสอบพบว่ามีค่าเท่าเดิม แต่เมื่อทำการทดสอบอุณหภูมิที่ 100 องศาเซลเซียส พบว่าค่าการขยายตัวของแบริ่งเบอร์ 6205 ขนาดรูใน 25mm. และ 6206 ขนาดรูใน 30mm. มีการขยายตัวคือ 0.001mm. เพิ่มขึ้นจากเดิมคิดเป็นเปอร์เซ็นต์ได้ = 0.04 %

6. กิตติกรรมประกาศ

ขอขอบพระคุณ คณะวิศวกรรมศาสตร์และเทคโนโลยีอุตสาหกรรม มหาวิทยาลัยราชภัฏบ้านสมเด็จเจ้าพระยา ที่ให้การสนับสนุนงบประมาณในการดำเนินการในครั้งนี้

เอกสารอ้างอิง

[1] Harris, T. A. (2001). Rolling Bearing Analysis. 5th ed. Wiley.

[2] Ekin, J. W. (2006). Experimental Techniques for Low-Temperature Measurements. Oxford University Press.

[3] สัมฤทธิ์ ทิมา ชวลิต ชิดทอง และ กนกกรณ์ ไชยธงรัตน์,“เครื่องทำความร้อนตลับลูกปืนในเพลามอเตอร์ โดยใช้ทฤษฎีการเหนี่ยวนำและควบคุมอุณหภูมิ,” วารสารวิจัยมหาวิทยาลัยเทคโนโลยีราชมงคลศรีวิชัย, vol. 11, no. 1, pp. 96–106, 2562

[4] วิโรจน์ เพชรพันธุ์ศรี วิเชียร หทัยรัตน์ศิริ และ สายชล ชุดเจือจีน. (2017). การศึกษางานชุบแข็งเพลารถยนต์โดยใช้หลักการให้ความ ร้อนแบบเหนี่ยวนำ. Journal of Engineering and Innovation, 10(2), 13-21.

[5] เฉลียว เกตุแก้ว. (2557). “การออกแบบและจัดสร้างเตาทำทองม้วนสำหรับงานผลิตอาหาร OTOP.” รายงานการวิจัย, มหาวิทยาลัยเทคโนโลยีราชมงคลสุวรรณภูมิ.

[6] จีระศักดิ์ วงศา จิรศักดิ์ ส่งบุญแก้ว และ วันชัย ทรัพย์สิงห์. (2559). นวัตกรรมการให้ความร้อนแบบเหนี่ยวนำ. Journal of Humanities and Social Sciences Thonburi University, 8(17), 111–117.

การศึกษาหาตำแหน่งวัตถุแนวลึกผ่านสิ่งกีดขวางด้วยการใช้คลื่นไมโครเวฟ

A Study on Objective Depth Position through Obstacle by Using Microwave

ภูมิกร จันทร์แป้น[1] ณัฐชนน สุขเกษม[2] จิรกิตติ์ โล่สัมฤทธิ์[3] ไพบูลณ์ ย้อยหยด[4*] สุพัฒนา นิรัคพนาภรณ์[5]

ภูมินทร์ ขวัญมุณี[6] และ กิตติศักดิ์ ไตรพิพัฒพรชัย[7]

[1]phumi.hill@gmail.com, [2]dreamkaek1968@gmail.com, [3]jirakit.l65@rsu.ac.th, [4]paiboon@rsu.ac.th*, [5]supattana@rsu.ac.th,
[6]phumin_kw@rsu.ac.th, [7]kittisak@rsu.ac.th
ภาควิชาวิศวกรรมไฟฟ้า วิทยาลัยวิศวกรรมศาสตร์ มหาวิทยาลัยรังสิต

บทคัดย่อ

การศึกษาการตรวจจับตำแหน่งวัตถุผ่านสิ่งกีดขวางด้วยการใช้คลื่นไมโครเวฟ โดยการวิเคราะห์ค่าสัมประสิทธิ์การสะท้อนหรือค่าการกระเจิง S_{11} เมื่อคลื่นเดินทางผ่านสิ่งกีดขวาง ตกกระทบวัตถุ และสะท้อนกลับมายังสายอากาศตัวเดียวกัน ใช้การแปลงฟูริเยร์แบบเร็วผกผัน (IFFT) เพื่อหาค่าตำแหน่งของสิ่งกีดขวางและวัตถุที่อยู่ด้านหลัง ผลการทดลองส่งคลื่นผ่านแผ่นไม้อัดความหนา 10 mm และวางวัตถุทรงกลมไว้ด้านหลัง พบว่าสามารถตรวจจับวัตถุหลังแผ่นไม้ได้ กรณีวัตถุทรงกลมสแตนเลสมีระยะความคลาดเคลื่อนเฉลี่ย 7.91% และกรณีวัตถุทรงกลมพลาสติกมีระยะความคลาดเคลื่อนเฉลี่ย 6.85%

คำสำคัญ: วัตถุทรงกลม ค่าสัมประสิทธิ์การสะท้อน การแปลงฟูริเยร์แบบเร็วผกผัน คลื่นไมโครเวฟ

Abstract

A study of object detection through obstacles using microwaves by analyzing the reflection coefficient or scattering parameter of S_{11} when the wave travels through obstacles, hits the object, and reflects back to the same antenna. Fast Inverse Fourier Transform (IFFT) is used to find the position of the obstacle and the object behind it. The experimental results of sending waves through a 10 mm thick plywood sheet and placing a spherical object behind it show that the object behind the wooden sheet can be detected. In the case of stainless steel spherical objects, the average error range is 7.91% and in the case of plastic spherical objects, the average error range is 6.85%.

Keywords: Spherical object, Reflection Coefficient, Inverse Fast Fourier Transform, Microwave

1. บทนำ

คลื่นไมโครเวฟเป็นคลื่นแม่เหล็กไฟฟ้าที่มีความถี่สูงจากคลื่นวิทยุและต่ำกว่าคลื่นอินฟราเรด ความถี่ของคลื่นไมโครเวฟอยู่ในช่วง 300 MHz ถึง 300 GHz โดยมีคุณสมบัติในการทะลุผ่านสิ่งกีดขวางและมีความสามารถในการตรวจจับวัตถุ ซึ่งเป็นเครื่องมือที่สำคัญในงานวิศวกรรมที่สามารถนำมาประยุกต์ใช้ได้ในหลายรูปแบบที่ไม่ต้องสัมผัสกับตัวอย่างทดสอบและไม่ทำลายตัวอย่างทดสอบ [1]-[3] ตั้งแต่อดีตจนถึงปัจจุบันมีการทดลองหรือบทวิเคราะห์เกี่ยวกับคลื่นไมโครเวฟมากมาย เช่น

การศึกษาคุณสมบัติของคลื่นไมโครเวฟและวัดคลื่นรั่วไหลจากตู้อบไมโครเวฟ [4] ในการทดลองนี้จะเป็นการศึกษาเกี่ยวกับคลื่นไมโครเวฟและหาวิธีการตรวจจับคลื่นไมโครเวฟที่รั่วไหลออกจากตู้อบ ซึ่งผลสรุปที่ได้คือระยะทางมีค่าแปรผกผันกับความเข้มของคลื่นไมโครเวฟ และจุดที่มีการรั่วไหลมากที่สุดของตู้อบไมโครเวฟคือด้านหน้าตู้

การใช้คลื่นไมโครเวฟในการให้ความร้อนแก่มะม่วง [5] โดยในการทดลองนี้เป็นการศึกษาลักษณะการให้ความร้อน ซึ่งแพร่กระจายในเนื้อมะม่วงภายหลังจากการให้ความร้อน ด้วยคลื่นไมโครเวฟ เพื่อศึกษาแนวโน้มในการกำจัดหนอนแมลงวันทองในมะม่วง ซึ่งผลสรุปที่ได้คือการใช้ไมโครเวฟเพื่อเพิ่มอุณหภูมิในขั้นต้น แล้วตามด้วยการอบไอน้ำ จะมีประสิทธิภาพ มากกว่าการใช้วิธีอบไอน้ำอย่างเดียว

นวัตกรรมใหม่ในการรักษามะเร็งตับด้วยคลื่นความถี่ไมโครเวฟ [6] งานวิจัยนี้ได้ทบทวนและนำเสนอบทความที่ศึกษา พัฒนาออกแบบสายอากาศ และวิธีการทางความร้อนจากคลื่นไมโครเวฟสำหรับรักษาเนื้องอกตับ หรือมะเร็งตับ ซึ่งวิธีการ MCT นั้น คาดหวังว่าสามารถรองรับการรักษามะเร็งตับและทำลายโซนเนื้อร้ายขนาดเส้นผ่านศูนย์กลางโตกว่า 3 cm ได้สำเร็จ

การใช้คลื่นไมโครเวฟในการตรวจจับวัตถุหลังสิ่งกีดขวางมีที่มาจากการพัฒนาเทคโนโลยีเรดาร์ (Radar) โดยอาศัยการสะท้อนกลับของคลื่น การประยุกต์ใช้คลื่นไมโครเวฟในลักษณะนี้ได้รับการพัฒนาอย่างต่อเนื่อง โดยเฉพาะในด้านการทหารและการรักษาความปลอดภัย [7] ด้านการแพทย์ [8] การตรวจสอบโครงสร้างและอุตสาหกรรม [9] งานวิจัยนี้จะศึกษาคลื่นไมโครเวฟเกี่ยวกับคุณสมบัติการตกกระทบ การสะท้อนและการส่งผ่านของคลื่น เพื่อศึกษาความสามารถระบุตำแหน่งของวัตถุผ่านสิ่งกีดขวาง และเป็นแนวทางต่อยอดการหาขนาดวัตถุและทิศทางของวัตถุเพื่อสร้างเครื่องมือที่สามารถตรวจหาวัตถุผ่านสิ่งกีดขวางได้อย่างแม่นยำ

*ผู้ประพันธ์บรรณกิจ

2. หลักการการตรวจจับวัตถุผ่านสิ่งกีดขวาง

2.1 การตรวจจับวัตถุผ่านสิ่งกีดขวาง

เครื่องกำเนิดความถี่จะสร้างคลื่นไมโครเวฟส่งผ่านคัปเปลอร์ทิศทาง (Directional couple) เพื่อส่งคลื่นออกทางสายอากาศ (Antenna) คลื่นจะเดินทางตกกระทบสิ่งกีดขวาง เกิดคลื่นสะท้อนกลับ บริเวณรอยต่อตัวกลางอากาศและตัวกลางสิ่งกีดขวางและคลื่นส่งผ่านทะลุสิ่งกีดขวางไปยังวัตถุหลังสิ่งกีดขวาง และสะท้อนกลับ ผ่านสิ่งกีดขวางกลับมายังสายอากาศแล้วส่งเข้าไปยังคัปเปลอร์ทิศทาง เพื่อแยกสัญญาณสะท้อนกลับด้วยตัวตรวจวัดสัญญาณ (Detector) แสดงการตรวจพบวัตถุ

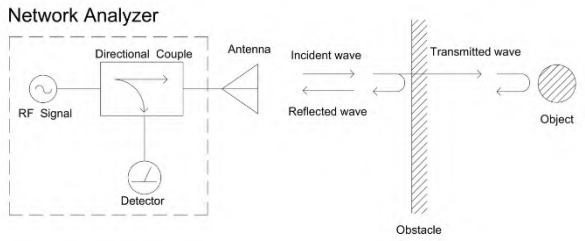

รูปที่ 1 การตรวจจับวัตถุผ่านสิ่งกีดขวาง

2.2 การคำนวณหาขนาดของวัตถุสิ่งกีดขวาง และระยะสนามไกล

คลื่นความถี่ที่ใช้ในการทดลองคือช่วง 800 MHz ถึง 3 GHz ดังนั้นความยาวคลื่นที่เหมาะสมจะเป็นค่าความถี่กลางคือ 1 GHz

การหาความยาวคลื่น

$$\lambda = \frac{c}{f} \quad (1)$$

โดยที่ λ คือความยาวคลื่น (m) c คือความเร็วของคลื่นไมโครเวฟในอากาศเท่ากับ 3×10^8 m/s และ f คือ ความถี่ (Hz) จะได้ $\lambda = (3\times10^8)/(1\times10^9) = 0.3$ m ดังนั้น ความยาวคลื่นเท่ากับ 0.3 m หรือ 30 cm

จากทฤษฎีขนาดของสิ่งกีดขวางที่จะไม่เกิดอิทธิพลคลื่นเลี้ยวเบนที่ขอบวัตถุสิ่งกีดขวาง[10] เมื่อวัตถุมีขนาดอยู่ในช่วง 3λ - 5λ ดังนั้นเส้นแนวทแยงของวัตถุสิ่งกีดขวางควรที่จะอยู่ในช่วงระหว่างขนาดวัตถุสิ่งกีดขวาง 3(30 cm) ถึง 5(30 cm) นั่นคือ 90 cm ถึง 150 cm จากการคำนวณขนาดวัตถุสิ่งกีดขวางสามารถเลือกขนาดของแผ่นไม้ได้ คือ แผ่นไม้อัดขนาด (กxยxส): 600×1200×10 mm

การคำนวณหาระยะสนามไกล (Far field)

การหาระยะสนามไกล

$$r \geq \frac{2D^2}{\lambda} \quad (2)$$

โดยที่ r คือระยะสนามไกล (m) D คือขนาดของสายอากาศเท่ากับ 30 cm จะได้ $r = (2\times30^2)/(30) = 60$ cm

ดังนั้นระยะสนามไกลคือ 60 cm หมายความว่าต้องกำหนดระยะสิ่งกีดขวางให้วางห่างจากสายอากาศเป็นระยะเท่ากับหรือมากกว่า 60 cm คลื่นที่ส่งไปยังสิ่งกีดขวางและวัตถุจึงจะเป็นคลื่นระนาบ

3. ผลการทดลองอภิปราย

การทดลองจะวัดค่าสัมประสิทธิ์การสะท้อนของคลื่นไมโครเวฟ (S_{11}) ด้วยเครื่องวิเคราะห์โครงข่าย ในช่วงความถี่ 800 MHz ถึง 3 GHz โดยการเปรียบเทียบระหว่างพื้นที่โล่ง แผ่นอลูมิเนียม และแผ่นไม้อัดหนา กรณีวางวัตถุทรงกลมสแตนเลสและพลาสติก ลูกละสองระยะ ไว้หลังแผ่นไม้อัดความหนา 10 mm ข้อมูล S_{11} ที่ได้จากการวัดเป็นโดเมนทางความถี่จะถูกแปลงเป็นโดเมนทางเวลา ด้วยวิธีการแปลงฟูริเยร์แบบเร็วผกผัน (Inverse Fast Fourier Transform: IFFT) เพื่อนำมาวิเคราะห์ตำแหน่งของวัตถุแนวลึกที่สะท้อนคลื่น พร้อมทั้งใช้วิธีทางสถิติหาค่าเฉลี่ยและส่วนเบี่ยงเบนมาตรฐาน เพื่อเปรียบเทียบลักษณะของการสะท้อนในวัสดุ

การทดลองวัดค่าการกระเจิงคลื่น S_{11} แสดงดังรูปที่ 2 วัดกรณีคลื่นเดินทางผ่านพื้นที่โล่ง แผ่นอลูมิเนียม และแผ่นไม้อัด ค่า S_{11} ที่ได้จากการวัดจะทำการการนอมัลไลซ์ดังรูปที่ 3

(ก) (ข)

รูปที่ 2 การวัดการกระเจิงคลื่น S_{11} ของ (ก) แผ่นอลูมิเนียม และ (ข) แผ่นไม้อัด

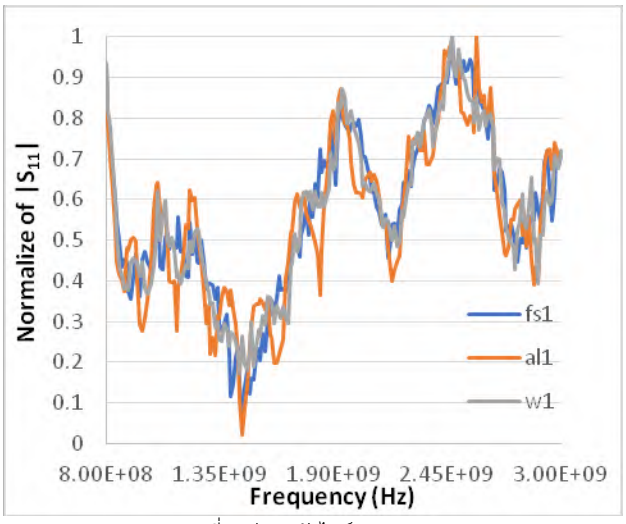

รูปที่ 3 ค่านอมัลไลซ์ขนาด S_{11}

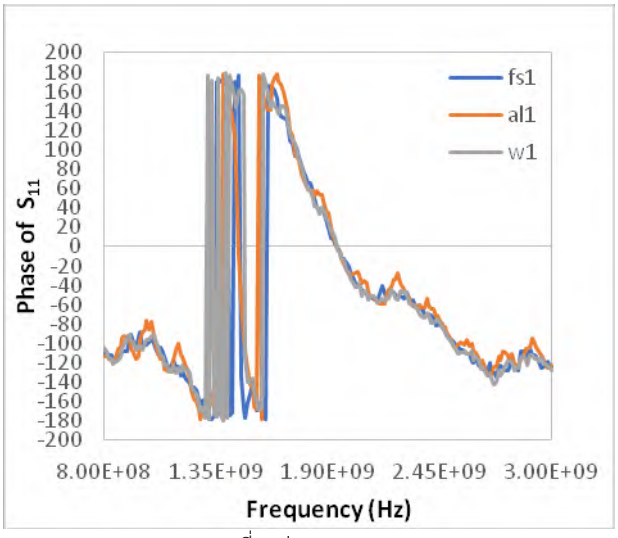

รูปที่ 4 ค่าเฟสของ S_{11}

จากรูปที่ 3 แสดงการเปรียบเทียบค่าขนาดของ S_{11} โดย fs1 คือพื้นที่โล่ง al1 คือแผ่นอลูมิเนียม และ w1 คือแผ่นไม้อัดหนาขนาด 10 mm วัดด้วยเครื่องวิเคราะห์โครงข่าย และนำค่าที่ได้พล็อตด้วยโปรแกรม Excel จะเห็นว่า al1 มีการสะท้อนกลับมากที่สุด ตามด้วย w1 และ fs1 ซึ่งเป็นไปตามธรรมชาติที่แผ่นอลูมิเนียมที่เป็นโลหะจะมีการสะท้อนกลับที่มากที่สุด และรูปที่ 4 แสดงการเปรียบเทียบค่าเฟสของ S_{11} โดย fs1 คือพื้นที่โล่ง al1 คือ แผ่นอลูมิเนียม และ w1 คือแผ่นไม้อัดหนาขนาด 10 mm วัดด้วยเครื่องวิเคราะห์โครงข่าย และนำค่าที่ได้พล็อตกราฟด้วยโปรแกรม Excel จะได้ค่าสูงสุด และค่าต่ำสุด ของทั้ง 3 กรณี คือ 180 องศา และ -180 องศา

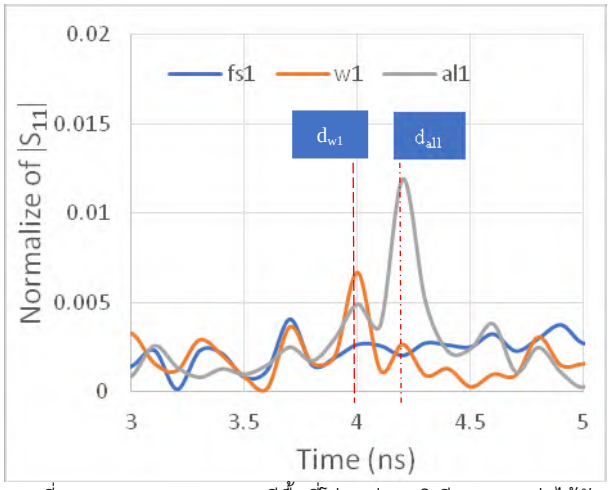

รูปที่ 5 ผลการแปลง IFFT กรณีพื้นที่โล่ง แผ่นอลูมิเนียม และแผ่นไม้อัด

จากรูปที่ 5 แสดงการเปรียบเทียบผลการแปลง IFFT ของค่าขนาด S_{11} กรณีพื้นที่โล่ง แผ่นอลูมิเนียม และแผ่นไม้อัด โดยตำแหน่งการวางแผ่นอลูมิเนียมและแผ่นไม้อัดอยู่ที่ตำแหน่งเดียวกัน คือ 60 cm สามารถคำนวณหาตำแหน่งแผ่นอลูมิเนียม (al1) ที่เวลา 4.2 ns ค่าขนาด S_{11} สูงสุด 0.012 คำนวณตำแหน่ง d_{al1} = 3 x10^8 x (4.2x10^{-9}/2) = 63 cm ความคลาดเคลื่อน |(60-63)/60|x100 = 5% และคำนวณหาตำแหน่งแผ่นไม้อัด(w1) ที่เวลา 4 ns ค่าขนาด S_{11} สูงสุด 0.007 คำนวณตำแหน่ง d_{w1} = 3 x10^8 x (4x10^{-9}/2) = 60 cm ความคลาดเคลื่อน |(60-60)/60|x100 = 0%

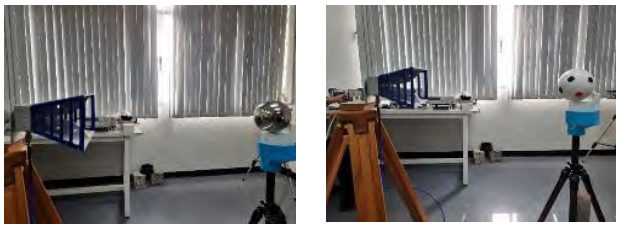

(ก) (ข)

รูปที่ 6 การทดลองวัดคลื่นผ่าน (ก) วัตถุทรงกลมแตนเลสขนาดรัศมี 6.3 cm (ข) วัตถุทรงกลมพลาสติกขนาดรัศมี 7 cm

จากรูปที่ 7 แสดงการเปรียบเทียบผลการแปลง IFFT ของค่าขนาด S_{11} กรณีวางวัตถุทรงกลมสแตนเลสและพลาสติกห่างจากสายอากาศปากแตรเป็นระยะสนามไกล 60 cm โดยตลอดทุกช่วงความถี่มีการกระจายตัวของการสะท้อนที่ใกล้เคียงกัน ที่เวลา 4.2 ns วัตถุทรงกลมสแตนเลสมีค่าขนาด S_{11} สูงสุด 0.013 และวัตถุทรงกลมพลาสติกมีค่าขนาด S_{11} สูงสุด 0.011 คำนวณระยะ d = 3 x10^8 x (4.2x10^{-9}/2) = 63 cm คลาดเคลื่อน = |(60-63)/60|x100 = 5%

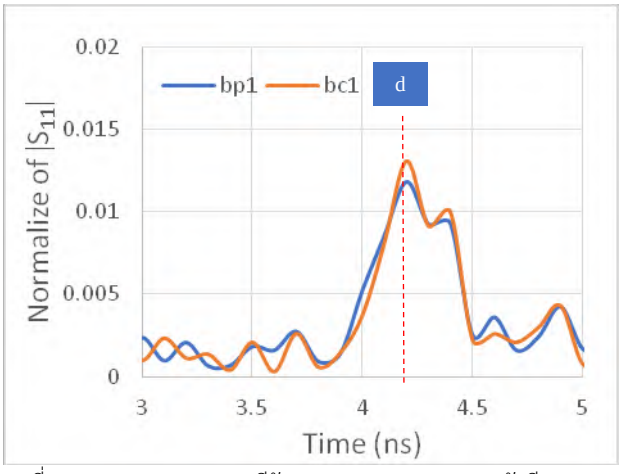

รูปที่ 7 ผลการแปลง IFFT กรณีวัตถุทรงกลมสแตนเลสขนาดรัศมี 6.3 cm และพลาสติกขนาดรัศมี 7 cm

(ก) (ข)

รูปที่ 8 การทดลองวัดคลื่นผ่านแผ่นไม้และมี (ก) วัตถุทรงกลมสแตนเลสขนาดรัศมี 6.3 cm และ (ข) วัตถุทรงกลมพลาสติกขนาดรัศมี 7 cm วางอยู่ด้านหลัง

จากรูปที่ 8 แสดงการติดตั้งอุปกรณ์โดยวางวัตถุทรงกลมสแตนเลสและพลาสติกวางอยู่ด้านหลังแผ่นไม้อัดหนา 10 mm โดยแผ่นไม้ห่างจากสายอากาศ 60 mm และวัตถุทรงกลมมีการเปลี่ยนระยะห่างจากแผ่นไม้ที่ 4 cm และ 8 cm ตามลำดับ

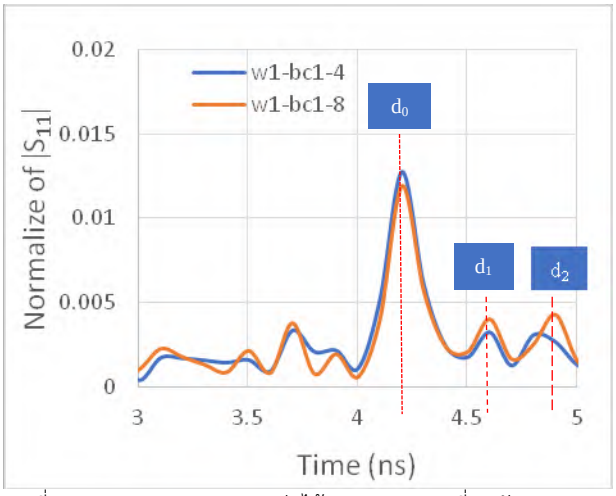

รูปที่ 9 ผลการแปลง IFFT ของแผ่นไม้ขนาด 10 mm ที่วางวัตถุทรงกลมสแตนเลสขนาดรัศมี 6.3 cm ที่ระยะ 4 cm และ 8 cm

จากรูปที่ 9 แสดงการเปรียบเทียบผลการแปลง IFFT ของแผ่นไม้ขนาด 10 mm ที่วางวัตถุทรงกลมสแตนเลสขนาดรัศมี 6.3 cm ห่างกัน 4 cm และ 8 cm โดย w1-bc1-4 คือ แผ่นไม้อัดหนาขนาด 10 mm และมีวัตถุทรงกลมสแตนเลสขนาดรัศมี 6.3 cm วางข้างหลังห่าง 4 cm w1-bc1-8 คือ แผ่นไม้อัดหนาขนาด 10 mm และมีวัตถุทรงกลมสแตนเลสขนาดรัศมี 6.3 cm วางข้างหลังห่าง 8 cm จะสามารถคำนวณตำแหน่งได้ดังนี้

ตำแหน่งแผ่นไม้ตั้งไว้ที่ 60 cm กรณี w1-bc1-4 และ w1-bc1-8 ที่เวลา 4.2 ns ค่าขนาด S_{11} สูงสุด 0.013 และ 0.012 ตามลำดับ คำนวณตำแหน่ง $d_0 = 3 \times 10^8 \times (4.2 \times 10^{-9}/2) = 63$ cm คลาดเคลื่อน
$= |(60-63)/60| \times 100 = 5\%$

w1-bc1-4 ตั้งไว้ที่ 64 cm ที่เวลา 4.6 ns ค่าขนาด S_{11} สูงสุด 0.003 คำนวณตำแหน่ง $d_1 = 3 \times 10^8 \times (4.6 \times 10^{-9}/2) = 69$ cm คลาดเคลื่อน $= |(64-69)/64| \times 100 = 7.81\%$

w1-bc1-8 ตั้งไว้ที่ 68 cm ที่เวลา 4.9 ns ค่าขนาด S_{11} สูงสุด 0.004 คำนวณตำแหน่ง $d_2 = 3 \times 10^8 \times 4.9 \times 10^{-9}/2 = 73.5$ cm คลาดเคลื่อน $= |(68-73.5)/68| \times 100 = 8.01\%$

จากรูปที่ 10 แสดงการเปรียบเทียบผลการแปลง IFFT ของแผ่นไม้อัดหนาขนาด 10 mm ที่วางวัตถุทรงกลมพลาสติกขนาดรัศมี 7 cm ห่างกัน 4 cm และ 8 cm อยู่ด้านหลัง โดย w1-bp1-4 คือ แผ่นไม้อัดหนาขนาด 10 mm และมีวัตถุทรงกลมพลาสติกขนาดรัศมี 7 cm วางข้างหลังห่าง 4 cm w1-bp1-8 คือ แผ่นไม้อัดหนาขนาด 10 mm และมีลูกบอลพลาสติกขนาดรัศมี 7 cm วางข้างหลังห่าง 8 จะสามารถคำนวณตำแหน่งได้ดังนี้

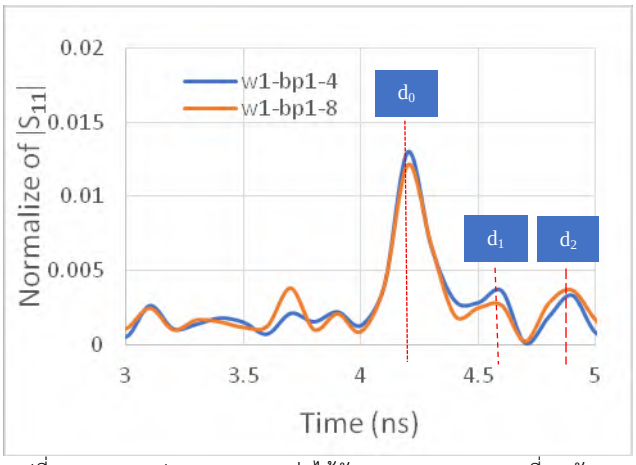

รูปที่ 10 ผลการแปลง IFFT ของแผ่นไม้อัดหนาขนาด 10 mm ที่วางวัตถุทรงกลมพลาสติกขนาดรัศมี 7 cm ห่างกัน 4 cm และ 8 cm

ตำแหน่งแผ่นไม้ตั้งไว้ที่ 60 cm กรณี w1-bp1-4 และ w1-bp1-8 ที่เวลา 4.2 ns ค่าขนาด S_{11} สูงสุด 0.012 และ 0.011 ตามลำดับ คำนวณตำแหน่ง $d_0 = 3 \times 10^8 \times (4.2 \times 10^{-9}/2) = 63$ cm คลาดเคลื่อน
$= |(60-63)/60| \times 100 = 5\%$

w1-bp1-4 ตั้งไว้ที่ 64 cm ที่เวลา 4.6 ns ค่าขนาด S_{11} สูงสุด 0.0036 คำนวณตำแหน่ง $d_1 = 3 \times 10^8 \times (4.6 \times 10^{-9}/2) = 69$ cm, คลาดเคลื่อน $= |(64-69)/64| \times 100 = 7.81\%$

w1-bp1-8 ตั้งไว้ที่ 68 cm ที่เวลา 4.9 ns ค่าขนาด S_{11} สูงสุด 0.0037 คำนวณตำแหน่ง $d_2 = 3 \times 10^8 \times 4.9 \times 10^{-9}/2 = 72$ cm คลาดเคลื่อน $= |(68-72)/68| \times 100 = 5.88\%$

4. บทสรุป

การทดลองส่งคลื่นผ่านสายอากาศปากแตรไปยังสิ่งกีดขวางที่เป็นแผ่นตัวนำและฉนวนแล้ววัดค่าสัมประสิทธิ์การสะท้อน (S_{11}) ด้วยเครื่องวิเคราะห์โครงข่าย ตั้งแต่ช่วงความถี่ 800 MHz ถึง 3 GHz นำผลการวัดเปรียบเทียบค่าขนาดของ S_{11} กรณีพื้นที่โล่ง แผ่นอลูมิเนียม และแผ่นไม้อัดที่ผ่านการนอมัลไลซ์เพื่อปรับสเกลของตัวกลางแต่ละประเภทให้เปรียบเทียบกันได้และคำนวณตำแหน่งวัตถุแนวลึกหลังสิ่งกีดขวางด้วยการใช้ IFFT พบว่าสามารถระบุตำแหน่งวัตถุทรงกลมสแตนเลส และพลาสติกได้หลังแผ่นไม้อัดหนา 10 mm การเปลี่ยนตำแหน่งวางวัตถุทรงกลมอยู่หลังแผ่นไม้อัดลูกละสองระยะ พบว่าสามารถตรวจจับวัตถุทรงกลมสแตนเลสและพลาสติกได้ทั้งสองประเภท โดยวัตถุทรงกลมสแตนเลสขนาดรัศมี 6.3 cm มีค่าความคลาดเคลื่อนเฉลี่ย คือ 7.91% และกรณีวัตถุทรงกลมพลาสติกขนาดรัศมี 7 cm มีค่าความคลาดเคลื่อนเฉลี่ยคือ 6.85% จากงานวิจัยนี้สามารถนำไปประยุกต์เป็นเครื่องมือตรวจสอบต่างๆ เช่น เครื่องตรวจหาวัตถุแปลกปลอม เครื่องตรวจสอบโลหะ เครื่องตรวจสอบวัตถุระเบิด เป็นต้น

เอกสารอ้างอิง

[1] P. Yoiyod and M. Krairiksh, “Dielectric properties determination of a stratified medium,” *Journal of Radioengineering*, vol. 24, no. 1, pp. 70-79, Apr. 2015.

[2] Ioannis K. Kapoulas, Antonios Hatziefremidis, A. K. Baldoukas, Evangelos S. Valamontes and J. C. Statha, “Small Fixed-Wing UAV Radar Cross-Section Signature Investigation and Detection and Classification of Distance Estimation Using Realistic Parameters of a Commercial Anti-Drone System,” *Journal of Drones*, vol. 7, no. 39, pp. 1-26, Jan. 2023.

[3] จิรกิตติ์ โล่สัมฤทธิ์ ไพบูลณ์ ย้อยหยด ภมินทร์ ขวัญมณี พรเทพ บญยเนตร และ กิตติศักดิ์ ไตรพิพัฒพรชัย “การศึกษาการวัดความชื้นข้าวเปลือกหอมมะลิสุรินทร์ (กข 15) ด้วยการใช้คลื่นไมโครเวฟ,” การประชุมวิชาการทางวิศวกรรมไฟฟ้า ครั้งที่ 46, 15-17 พฤศจิกายน 2566, หน้า 570-573.

[4] นภดนย์ ตำนานทอง, วีรวัฒน์ อ่อนแก้ว และ สุวิทย์ ทองปิ่น(2548), การศึกษาคุณสมบัติของคลื่นไมโครเวฟและวัดคลื่นรั่วไหลจากตู้อบไมโครเวฟ(ปริญญานิพนธ์), พิษณุโลก: มหาวิทยาลัยนเรศวร.

[5] จาตุพงศ์ วาฤทธิ์, วารุณี ศิริขจรจารุ และ ทนงเกียรติ เกียรติศิริโรจน์ (2548), การใช้คลื่นไมโครเวฟในการให้ความร้อนแก่มะม่วง(รายงานผลการวิจัย), กรุงเทพฯ: มหาวิทยาลัยแม่โจ้.

[6] มนตรี ไชยชาญยุทธ์ และสุพันธ์ ตั้งจิตกุศลมั่น, “นวัตกรรมใหม่ในการรักษามะเร็งตับด้วยคลื่นความถี่ไมโครเวฟ,”*วารสารวิชาการพระจอมเกล้าพระนครเหนือ* ปีที่ 24 ฉบับที่ 2, พ.ค.-ส.ค. 2557.

[7] P. Yoiyod, S. Pathoumvanh, C. Phongcharoenpanich, and M. Krairiksh, “Analysis of a Sensor using Rician k-factor for Identification of a Spherical Conductor Submerged in Soil,” *In Proc. 23th International Symposium Antennas and Propagation (ISAP2018)*, Busan, Korea, Dec. 2018.

[8] Rémi Baqué, Luc Vignaud, Valentine Wasik, Nicolas Castet, Reinhold Herschel, Harun Cetinkaya and Thomas Brandes, “MIC: Microwave Imaging Curtain for Dynamic and Automatic Detection of Weapons and Explosive Belts,” *Journal of Sensors*, vol. 23, no. 9531, pp.1-26, Nov. 2023.

[9] Yanlong Zheng, Zian He, Huanyu Fu, Qi Zhang and Jianchun Li, “Microwave heating and fracturing of concrete with different aggregates: An experimental and numerical study,” *Journal of Construction and Building Materials*, vol.47, pp.1-13, Mar. 2025.

[10] โมโนย ไกรฤกษ์, วิศวกรรมคลื่นแม่เหล็กไฟฟ้า, พิมพ์ครั้งที่ 2 กรุงเทพฯ พิมพ์สวย, 2544.

นาย ภูมิกร จันทร์แป้น นักศึกษาปริญญาตรี สาขาวิชาวิศวกรรมไฟฟ้า วิทยาลัยวิศวกรรมศาสตร์ มหาวิทยาลัยรังสิต งานวิจัยที่สนใจทางด้านไฟฟ้ากำลัง

นาย ณัฐชนน สุขเกษม นักศึกษาปริญญาตรี สาขาวิชาวิศวกรรมไฟฟ้า วิทยาลัยวิศวกรรมศาสตร์ มหาวิทยาลัยรังสิต งานวิจัยที่สนใจทางด้านไฟฟ้ากำลัง

นาย จิรกิตติ์ โล่สัมฤทธิ์ นักศึกษาปริญญาโท สาขาวิชาวิศวกรรมไฟฟ้าและคอมพิวเตอร์ วิทยาลัยวิศวกรรมศาสตร์ มหาวิทยาลัยรังสิต งานวิจัยที่สนใจทางด้านไฟฟ้าสื่อสารและการประยุกต์คลื่นไมโครเวฟ

ผศ.ดร.ไพบูลณ์ ย้อยหยด อาจารย์ประจำภาควิชาวิศวกรรมไฟฟ้ วิทยาลัยวิศวกรรมศาสตร์ มหาวิทยาลัยรังสิต งานวิจัยที่สนใจด้านสนามแม่เหล็กไฟฟ้าและการประยุกต์ใช้คลื่นไมโครเวฟทางการเกษตร

ผศ.ดร.สุพัฒนา นิรัคพนาภรณ์ อาจารย์ประจำภาควิชาวิศวกรรมไฟฟ้า วิทยาลัยวิศวกรรมศาสตร์ มหาวิทยาลัยรังสิต งานวิจัยที่สนใจด้านการวางแผนระบบไฟฟ้า การวางแผนและนโยบายพลังงาน การอนุรักษ์พลังงาน และพลังงานหมุนเวียน

อาจารย์ภูมินทร์ ขวัญมุณี อาจารย์ประจำภาควิชาวิศวกรรมไฟฟ้า วิทยาลัยวิศวกรรมศาสตร์ มหาวิทยาลัยรังสิต งานวิจัยที่สนใจด้านระบบไฟฟ้ากำลังและพลังงานหมุนเวียน

อาจารย์กิตติศักดิ์ ไตรพิพัฒพรชัย อาจารย์ประจำภาควิชาวิศวกรรมไฟฟ้า วิทยาลัยวิศวกรรมศาสตร์ มหาวิทยาลัยรังสิต งานวิจัยที่สนใจด้านอิเล็กทรอนิกส์กำลังและการออกแบบระบบไฟฟ้า

การวิเคราะห์ร่องรอยคาร์บอนและประเมินคาร์บอนเครดิต โครงการติดตั้งระบบผลิตพลังงานไฟฟ้าด้วยเซลล์แสงอาทิตย์ชนิดติดตั้งบนหลังคา

Carbon Footprint Analysis and Carbon Credit Assessment from The Solar Rooftop Project

ทศพร แก้วศรีสุข[1] และ ไชยพร หล่อทองคำ[2]

[1]นักศึกษาบัณฑิตศึกษา สาขาวิศวกรรมไฟฟ้า สถาบันวิศวกรรมไฟฟ้าและอิเล็กทรอนิกส์ มหาวิทยาลัยเทคโนโลยีมหานคร todsaporn.kaewsrisuk@gmail.com
[2]สาขาวิชาวิศวกรรมไฟฟ้า สถาบันวิศวกรรมไฟฟ้าและอิเล็กทรอนิกส์ มหาวิทยาลัยเทคโนโลยีมหานคร chaiyapo_chaiya@hotmail.com

บทคัดย่อ

บทความนี้นำเสนอการวิเคราะห์ร่องรอยคาร์บอนและประเมินคาร์บอนเครดิตจากโครงการติดตั้งระบบผลิตพลังงานไฟฟ้าจากเซลล์แสงอาทิตย์ชนิดติดตั้งบนหลังคา จากกรณีศึกษา 3 โครงการ ประกอบด้วย วิทยาลัยเทคนิคระยอง วิทยาลัยเทคนิคพัทยา และวิทยาลัยเทคนิคปราจีนบุรี การวิเคราะห์ร่องรอยการปลดปล่อยและความสามารถดูดซับหรือลดการปล่อยคาร์บอนจากศักยภาพการผลิตไฟฟ้าที่ได้รับจากการจำลองระบบในโปรแกรม PVsyst และใช้วิธีประเมินคาร์บอนเครดิตบน Microsoft Excel ผลการศึกษาพบว่าปริมาณการปลดปล่อยคาร์บอนต่อกำลังผลิตติดตั้งเฉลี่ยเท่ากับ 1.509 tCO_2eq/kWp ปริมาณการดูดซับคาร์บอนเฉลี่ยต่อขนาดกำลังผลิตติดตั้งเป็น 23.217 tCO_2eq/kWp คาร์บอนเครดิตที่ได้รับเฉลี่ยต่อกำลังผลิตติดตั้งเท่ากับ 21.709 tCO_2eq/kWp โดยโครงการเริ่มได้รับคาร์บอนเครดิตเมื่อเข้าสู่ปีที่สาม

คำสำคัญ: ร่องรอยคาร์บอน คาร์บอนเครดิต ระบบผลิตไฟฟ้าจากพลังงานแสงอาทิตย์ที่ติดตั้งบนหลังคา

Abstract

This paper deals with the carbon footprint analysis and carbon credit assessment for the solar rooftop system. It consists of three case studies: Rayong Technical College, Pattaya Technical College, and Prachinburi Technical College. The emissions footprint and carbon absorption or reduction capabilities were analyzed based on the power generation potential obtained from the PVsyst system simulation and carbon credits were assessed using Microsoft Excel. The results show that the average carbon emission footprint per installed capacity is 1.509 tCO_2eq/kWp. The average carbon absorption per installation capacity is 23.217 tCO_2eq/kWp. The average carbon credits received per installed capacity is 21.709 tCO_2eq/kWp. Finally, it will receive carbon credits in the third year.

Keywords: Carbon Footprint, Carbon Credit, Solar Rooftop

1. บทนำ

ปริมาณก๊าซเรือนกระจกที่มากเกินความจำเป็นในปัจจุบันทำให้อุณหภูมิผิวโลกมีแนวโน้มเพิ่มสูงขึ้น [1] พบการปลดปล่อยคาร์บอนไดออกไซด์เทียบเท่า (CO_2eq) เกิดจากภาคการผลิตพลังงานมากที่สุดคิดเป็นร้อยละ 69.96 เมื่อเทียบกับภาคส่วนรวมทั้งจากภาคของเสีย [2] ดังนั้นเพื่อให้สามารถบรรลุเป้าหมายการเข้าสู่ความเป็นกลางทางคาร์บอน (Carbon Neutrality) ภายในปี ค.ศ. 2050 (พ.ศ. 2593) และการปล่อยก๊าซเรือนกระจกเป็นศูนย์ (Net Zero Greenhouse Gas Emission) ภายในปี ค.ศ. 2065 (พ.ศ. 2608) [3] พลังงานหมุนเวียนจึงเป็นกุญแจสำคัญเพื่อลดการปลดปล่อยคาร์บอนไดออกไซด์จากภาคการผลิตพลังงานไฟฟ้า ประเทศไทยมีการใช้งานพลังงานแสงอาทิตย์เป็นหลัก เนื่องจากศักยภาพการแผ่รังสีจากดวงอาทิตย์โดยเฉพาะในช่วงเดือนเมษายน–พฤษภาคม มีสูงถึงระดับ 20 – 24 MJ/m^2-day [4] ทำให้มีการติดตั้งระบบผลิตไฟฟ้าด้วยเซลล์แสงอาทิตย์ชนิดติดตั้งบนหลังคา (solar rooftop) ในภาคอุตสาหกรรม อาคารสถานประกอบการ รวมทั้งอาคารสถานศึกษา เพิ่มมากขึ้น พลังงานไฟฟ้าจากเซลล์แสงอาทิตย์สามารถช่วยชดเชยการปล่อยก๊าซเรือนกระจกที่แสดงเป็นปริมาณคาร์บอนไดออกไซด์เทียบเท่า (CO_2eq) ส่วนเหลือจากการชดเชยคือคาร์บอนเครดิต (Carbon Credit) ที่ได้รับ ซึ่งสามารถใช้ซื้อขายแลกเปลี่ยนตามโครงการลดก๊าซเรือนกระจกภาคสมัครใจของประเทศไทยหรือ T-VER (Thailand Voluntary Emission Reduction Program) [5] ได้

บทความนี้นำเสนอการวิเคราะห์ร่องรอยคาร์บอนตลอดวัฏจักรชีวิตของระบบผลิตไฟฟ้าด้วยเซลล์แสงอาทิตย์ชนิดติดตั้งบนหลังคา และการประเมินคาร์บอนเครดิต กรณีศึกษาวิทยาลัยในสังกัดสำนักงานคณะกรรมการการอาชีวศึกษา (สอศ.) จำนวน 3 โครงการ ได้แก่ วิทยาลัยเทคนิคระยอง, วิยาลัยเทคนิคพัทยา และ วิทยาลัยเทคนิคปราจีนบุรี ขนาดกำลังผลิตติดตั้ง 501.07 kWp, 100 kWp และ 40 kWp ตามลำดับ ผลการศึกษาจะเป็นประโยชน์อย่างยิ่งต่อหน่วยงานภาคการศึกษาในสังกัด สอศ. เพื่อกำหนดนโยบายแผนงานติดตั้งระบบ solar rooftop ช่วยลดค่าไฟฟ้าและรองรับการขายคาร์บอนเครดิตในอนาคต

2. การดำเนินงาน

2.1 วิธีการวิเคราะห์ร่องรอยคาร์บอน

การศึกษาใช้วิธีวิเคราะห์ร่องรอยการปลดปล่อยคาร์บอนแบบ Cradle-to-Grave ด้วยการจัดทำบัญชีรายการวัฏจักรชีวิต (Life Cycle Inventory : LCI) [6] แบ่งการใช้ทรัพยากรเป็น 5 หมวดหมู่ คือ การใช้พลังงาน การใช้วัสดุในกระบวนการผลิตแผงเซลล์แสงอาทิตย์ มลพิษที่เกิดขึ้นทั้งทางอากาศและทางน้ำ ภาคการขนส่งผลิตภัณฑ์ และสุดท้ายการกำจัดของเสียหรือการรื้อถอนระบบ ในสัดส่วนที่แตกต่างกันตามกระบวนการในแต่ละขั้นตอน นั่นคือ กระบวนการผลิต การติดตั้ง การบำรุงรักษา และการจัดการหลังสิ้นอายุการใช้งาน จากนั้นคำนวณปริมาณการปลดปล่อย CO_2 ด้วยสัมประสิทธิ์การปล่อยก๊าซเรือนกระจก (Emission Factor: EF) ทำให้ได้ปริมาณกิโลกรัมคาร์บอนไดออกไซด์

เทียบเท่า ($kgCO_2eq$) ของแต่ละโครงการ สุดท้ายคำนวณอัตราส่วนการปล่อยคาร์บอนไดออกไซด์เทียบเท่าต่อขนาดกำลังผลิตติดตั้ง (CO_2eq/kWp) ประเมินศักยภาพการผลิตไฟฟ้าของโครงการจากแบบจำลองบนโปรแกรม PVsyst เพื่อคาดการณ์ปริมาณพลังงานไฟฟ้าที่ระบบสามารถผลิตได้ต่อปี วิเคราะห์ศักยภาพการช่วยลดปริมาณ CO_2 ที่ปล่อยสู่ชั้นบรรยากาศจากโรงไฟฟ้าฟอสซิลแบบเดิม คำนวณปริมาณการลดคาร์บอนด้วยสัมประสิทธิ์การปล่อยก๊าซเรือนกระจกจากโรงไฟฟ้าพลังงานฟอสซิล แสดงผลเป็นปริมาณตันคาร์บอนไดออกไซด์เทียบเท่า (tCO_2eq) ที่สามารถลดได้ต่อหน่วยกำลังผลิตติดตั้ง (kWp) ของโครงการ สุดท้ายประเมินคาร์บอนเครดิตที่ได้รับจากโครงการ

2.2 ข้อมูลโครงการกรณีศึกษา

กรณีศึกษาใช้โครงการติดตั้งระบบผลิตไฟฟ้าด้วยเซลล์แสงอาทิตย์ชนิดติดตั้งบนหลังคา กลุ่มวิทยาลัยในสังกัด สอศ. จำนวน 3 โครงการ ประกอบด้วย

วิทยาลัยเทคนิคระยอง ตั้งอยู่ที่ตำแหน่งละติจูด 12.6678° N ลองติจูด 101.2720° E ติดตั้งแผง Solar Rooftop ตามแนวเอียงของโครงสร้างหลังคาอาคาร กำลังผลิตติดตั้งรวม 501.07 kWp ประกอบด้วยพื้นที่บนหลังคา 5 อาคาร คือ โรงยิมเนเซียม (GYM) อาคารอิเล็กทรอนิกส์ (ELE) อาคารการโรงแรม (HSP) อาคารบริหารธุรกิจ (BSS) และอาคารปิโตรเคมี (CHEM) ดังรูปที่ 1 โดยมีรายละเอียดการจัดแผงโซลาร์เซลล์ขนาดอาร์เรย์ จำนวนแผงต่อสตริง แสดงในตารางที่ 1

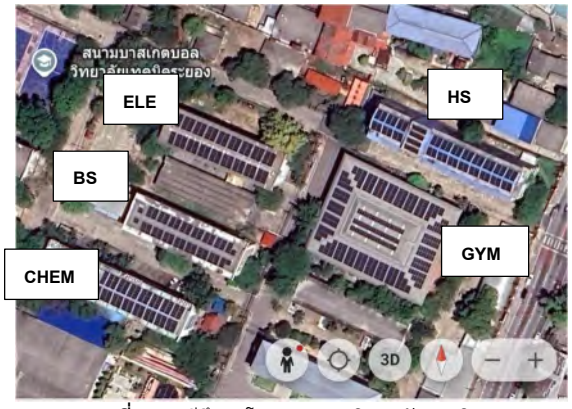

รูปที่ 1 กรณีศึกษาโครงการของวิทยาลัยเทคนิคระยอง

ตารางที่ 1 รายละเอียดการติดตั้ง กรณีศึกษาวิทยาลัยเทคนิคระยอง

Array	Orientation		Power	PV.	String
	Tilt	Azimuth	(kWp)	/String	
1. GYM-01	8	25,115	64.08	18	8
GYM-02	8	115,-115,-65	64.08	18	8
GYM-03	8,0	-65,115	64.08	18	8
2. ELE	12	115, -115	75.65	17	10
3. HSP	12	115, -115	89.00	18	10
				20	1
4. BSS	12	115, -115	56.96	16	8
5. CHEM	12	115, -115	87.22	18	9
				17	2
	รวม		**501.07**		

วิทยาลัยเทคนิคพัทยา ตั้งอยู่ที่ตำแหน่งละติจูด 12.9820° N ลองติจูด 100.9244° E ติดตั้งแผง Solar Rooftop ตามแนวเอียงของโครงสร้างหลังคาอาคาร มีกำลังผลิตติดตั้ง 100 kWp จำนวน 1 อาคาร ดังรูปที่ 2 โดยมีรายละเอียดการจัดแผงโซลาร์เซลล์ ขนาดอาร์เรย์ จำนวนแผงต่อสตริง แสดงในตารางที่ 2 ตามลำดับ

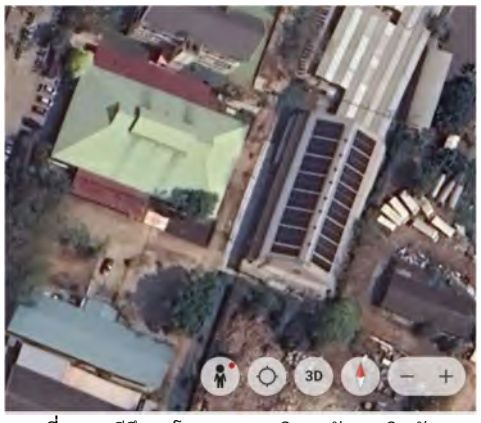

รูปที่ 2 กรณีศึกษาโครงการของวิทยาลัยเทคนิคพัทยา

ตารางที่ 2 รายละเอียดการติดตั้ง กรณีศึกษาวิทยาลัยเทคนิคพัทยา

Array	Orientation		Power	PV.	String
	Tilt	Azimuth	(kWp.)	/String	
1. PTY-01	10	-150	50	16	8
PYT-02	10	30	50	16	8
	รวม		**100**		

วิทยาลัยเทคนิคปราจีนบุรี ตั้งอยู่ที่ตำแหน่ง ละติจูด 14.0506° N ลองติจูด 101.3761° E ติดตั้งแผง Solar Rooftop บนดาดฟ้าคอนกรีตอาคาร มีกำลังผลิตติดตั้ง 40 kWp เพื่อจ่ายพลังงานไฟฟ้าให้โรงอาหาร ดังรูปที่ 3 รายละเอียดการจัดแผงโซลาร์เซลล์ ขนาดอาร์เรย์ จำนวนแผงต่อสตริง แสดงในตารางที่ 3 ตามลำดับ

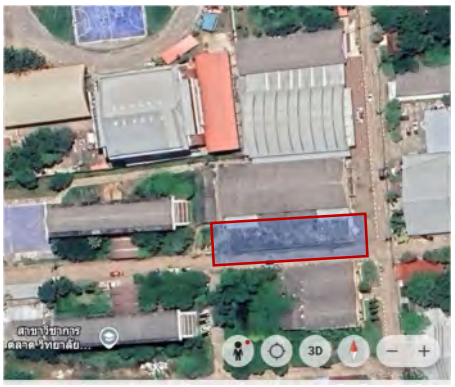

รูปที่ 3 กรณีศึกษาโครงการของวิทยาลัยเทคนิคปราจีนบุรี (ยังไม่อัพเดทภาพถ่ายดาวเทียมใน Google Earth)

ตารางที่ 3 รายละเอียดการติดตั้ง กรณีศึกษาวิทยาลัยเทคนิคปราจีนบุรี

Array	Orientation		Power	PV.	String
	Tilt	Azimuth	(kWp)	/String	
1. PCB	18	-110	40	18	4

3. การวิเคราะห์ร่องรอยคาร์บอน

3.1 การวิเคราะห์ร่องรอยการปลดปล่อยคาร์บอน

การวิเคราะห์ร่องรอยการปลดปล่อยคาร์บอนใช้ตามแนวทางของสำนักงานพลังงานระหว่างประเทศ IEA (International Energy Agency) เป้าหมายภารกิจที่ 12 หัวข้อแนวทางการประเมินวัฏจักรชีวิตของระบบ solar rooftop แบ่งเป็น 4 ขั้นตอน คือ กระบวนการผลิตแผงโซลาร์เซลล์ (production stage) กระบวนการก่อสร้างหรือการติดตั้งระบบ (construction process stage) การใช้งานระบบ (use stage) รวมทั้งการบำรุงรักษา และการจัดการเมื่อสิ้นสุดอายุการใช้งาน (end-of-life stage) [7] จัดทำบัญชีรายการวัฏจักรชีวิตเป็น spreadsheet ใน Microsoft Excel อ้างอิงข้อมูลจาก International Energy Agency's Photovoltaic Power Systems Program (IEA PVPS) [6]

1) การผลิตแผงโซลาร์เซลล์ (production stage)

บัญชีรายการผลิตแผงโซลาร์เซลล์ใช้ฐานข้อมูลผู้ผลิตแผงจากประเทศจีน ตามข้อมูลแผงที่ติดตั้งใช้งานจริงของโครงการ กระบวนการผลิตแผงโซลาร์เซลล์มีการใช้ทรัพยากรต่อพื้นที่แผง (m^2) แบ่งเป็น 7 ลำดับขั้น แต่ละขั้นตอนมีการใช้ทรัพยากรและปลดปล่อยมลพิษแตกต่างกัน ดังไดอะแกรมตามรูปที่ 4

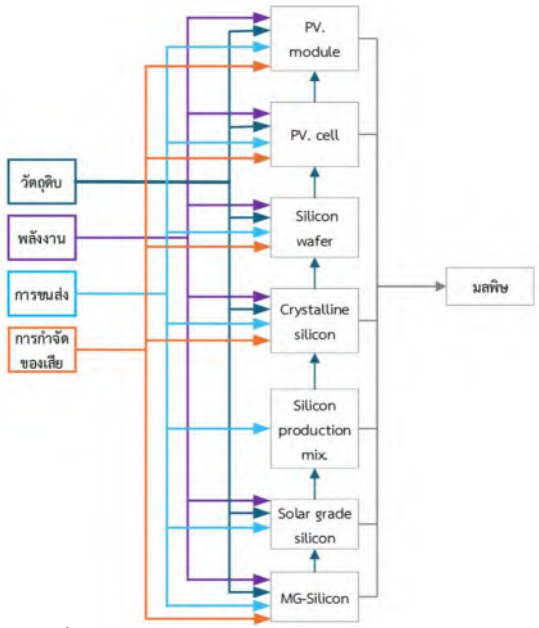

รูปที่ 4 การใช้ทรัพยากรต่อการผลิตแผงโซลาร์เซลล์ 1 m^2

2) กระบวนการก่อสร้าง (construction process stage)

การติดตั้งบนหลังคามีการใช้ทรัพยากรแตกต่างกันตามรูปแบบการติดตั้งในการทำบัญชีรายการแบ่งออกเป็น การติดตั้งผิวหน้าอาคารแบบมีอุปกรณ์ช่วยจับยึด การติดตั้งเป็นส่วนเดียวกับดาดฟ้าอาคารแบบการติดตั้งบนหลังคาพื้นเรียบ การติดตั้งบนหลังคาเอียงแบบมีอุปกรณ์ช่วยจับยึด และการติดตั้งบนหลังคาเอียงโดยเป็นส่วนเดียวกับโครงสร้างหลังคา

3) การใช้งาน (use stage)

การใช้ทรัพยากรในระหว่างการใช้งาน วิเคราะห์จากกิจกรรมการบำรุงรักษา กำหนดให้แผนการบำรุงรักษาของกรณีศึกษาทั้ง 3 โครงการ มีแผนการล้างแผงโซลาร์เซลล์ทุก 6 เดือน ประกอบด้วยพลังงานไฟฟ้าที่ใช้ทำความสะอาดแผง การใช้น้ำ และการขนส่ง จากการประมาณความสามารถในการล้างแผงแรงงานคน [8]

4) การจัดการเมื่อสิ้นสุดอายุการใช้งาน (end-of-life stage)

เมื่อสิ้นอายุการใช้งานวิเคราะห์จากกิจกรรมการรื้อถอน เนื่องจากในประเทศไทยยังไม่มีมาตรการหรือหน่วยงานรองรับการ Recycle หรือ Reuse อย่างเป็นรูปธรรม จึงประเมินได้ถึงแค่ขั้นการรื้อถอนระบบ

จากกระบวนการที่ 1) – 4) ร่องรอยการปลดปล่อยคาร์บอนจากการติดตั้งระบบผลิตไฟฟ้าด้วยเซลล์แสงอาทิตย์ชนิดติดตั้งบนหลังคา แสดงความสัมพันธ์ ดังสมการที่ (1)

$$CO_2eq_{Emisssion} = CO_2eq_p + CO_2eq_{ins} + CO_2eq_{use} + CO_2eq_{EoL} \quad (1)$$

กำหนดให้

CO_2eq_p คือ การปลดปล่อยคาร์บอนจากกระบวนการผลิต

CO_2eq_{ins} คือ การปลดปล่อยคาร์บอนจากการติดตั้ง

CO_2eq_{use}คือ การปลดปล่อยคาร์บอนระหว่างใช้งาน

CO_2eq_{EoL}คือการปลดปล่อยคาร์บอนจากการจัดการเมื่อสิ้นอายุการใช้งาน

โดยปริมาณการปลดปล่อยคาร์บอนมีหน่วยเป็นตันหรือกิโลกรัมต่อหน่วยการใช้ทรัพยากรนั้น สามารถคำนวณได้จากสมการที่ (2)

$$CO_2eq_E = LCI \times EF \quad (2)$$

โดยที่

CO_2eq_E คือ ปริมาณการปล่อยคาร์บอนไดออกไซด์เทียบเท่า

LCI คือ รายการใช้ทรัพยากรใดๆ ในแต่ละกระบวนการ

EF คือ ค่าสัมประสิทธิ์การปล่อยก๊าซเรือนกระจก

ดังนั้นการวิเคราะห์ร่องรอยการปลดปล่อยคาร์บอนโดยการจัดทำบัญชีรายการตามกระบวนการที่ 1) – 4) ใน Microsoft Excel spreadsheet เชื่อมโยงความสัมพันธ์ของพารามิเตอร์ตัวแปรตามสมการที่ (1) และ (2) ได้ข้อมูลร่องรอยการปลดปล่อยคาร์บอน แสดงดังรูปที่ 5

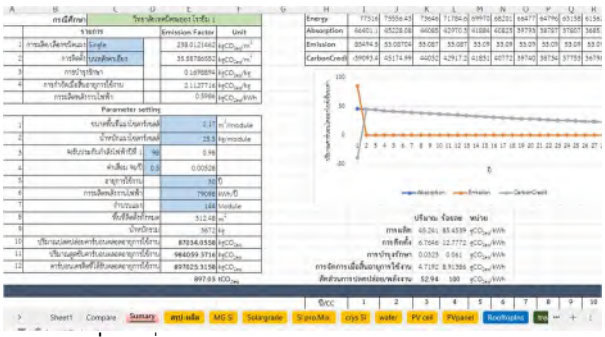

รูปที่ 5 เครื่องมือวิเคราะห์ร่องรอยการปลดปล่อยคาร์บอน

3.2 การวิเคราะห์ร่องรอยการดูดซับคาร์บอน

การดูดซับคาร์บอนในบริบทนี้คือการชดเชยการปลดปล่อยคาร์บอนที่เกิดจากกระบวนการผลิตไฟฟ้าด้วยแหล่งพลังงานจากฟอสซิลแบบเดิมทดแทนด้วยระบบผลิตไฟฟ้าจากพลังงานหมุนเวียน โดยวิเคราะห์ศักยภาพการผลิตพลังงานไฟฟ้าต่อปีที่ได้รับจากโครงการติดตั้ง solar rooftop ด้วย

โปรแกรม PVsys อ้างอิงสภาพภูมิอากาศจากฐานข้อมูล Meteonorm 8.1 ซึ่งข้อมูลรายละเอียดอินเวอร์เตอร์และการจัดแผงโซลาร์เซลล์ที่ใช้ในการจำลองระบบแสดงในตารางที่ 4

ตารางที่ 4 ข้อมูลอินเวอร์เตอร์และการจัดแผงโซลาร์เซลล์ตามอาร์เรย์

Array	Inverter	PV Module	จำนวน PV
1. GYM01	Growatt 60 kW. 60KTL3LV	TP6L72M(H)-445	144
2. GYM02		TP6L72M(H)-445	144
3. GYM03		TP6L72M(H)-445	144
4. ELE		TP6L72M(H)-445	170
5. HSP	Growatt 80 kW. 80KTL3LV	TP6L72M(H)-445	200
6. BSS	Growatt 60 kW. 60KTL3LV	TP6L72M(H)-445	128
7. CHEM	Growatt 80 kW. 80KTL3LV	TP6L72M(H)-445	196
8. PTY-1	Huawei 50KTLM3-400V	TP672M(H)-400-L	128
9. PTY-2		TP672M(H)-400-L	128
10. PCB	Huawei 40KTLM3-400V	LR5-72HPH 555M	72

ความสูญเสียแฝงในระบบผลิตไฟฟ้าจากพลังงานแสงอาทิตย์ที่ติดตั้งบนหลังคา (solar rooftop) ประกอบด้วย 3 ส่วนหลัก คือ การสูญเสียจากความร้อนสะสมหลังแผงโซลาร์เซลล์ ซึ่งกรณีศึกษาทั้ง 3 โครงการไม่มีการติดตั้งฉนวนกันความร้อนด้านหลังแผง ดังนั้นเลือกใช้ “อากาศหมุนเวียนโดยอิสระไม่มีการแลกเปลี่ยนความร้อน” U_c = 29.0 W/m^2·K และไม่คำนึงถึงแฟกเตอร์สูญเสียจากความเร็วลม ส่วนต่อมาคือ การสูญเสียเนื่องจากความต้านทานสาย มี 2 ส่วน คือ ความสูญเสียในสายส่วนไฟฟ้ากระแสตรงกำหนดไว้ที่ 1.5 % และความสูญเสียในสายส่วนไฟฟ้ากระแสสลับ ประมาณค่าจากตำแหน่งติดตั้งอินเวอร์เตอร์ถึงตำแหน่งจุดต่อร่วม (PCC) สุดท้ายค่าสูญเสียเนื่องจากอายุการใช้งาน (ageing) ใช้ข้อมูลลักษณะเฉพาะของแผงโซลาร์เซลล์ตามข้อมูลในคู่มือของบริษัทผู้ผลิต

ดังนั้นการดูดซับคาร์บอน (absorption) จากโครงการติดตั้งระบบผลิตไฟฟ้าจากพลังงานแสงอาทิตย์ที่ติดตั้งบนหลังคา สามารถประมาณได้จากสมการที่ (3)

$$CO_2eq_a = E_{PVRS} \times EF \quad (3)$$

โดยที่

CO_2eq_a คือ ปริมาณดูดซับคาร์บอนไดออกไซด์เทียบเท่า
E_{PVRS} คือ พลังงานไฟฟ้าจาก Solar Rooftop ที่ป้อนเข้าโครงข่าย
EF คือ สัมประสิทธิ์การปล่อยก๊าซเรือนกระจกจากโรงไฟฟ้าฟอสซิล เท่ากับ 0.5986 kgCO$_2$eq/kWh (จาก TGO กรกฎาคม 2565)

3.3 ค่าสัมประสิทธิ์การปล่อยก๊าซเรือนกระจก

ค่าสัมประสิทธิ์แสดงปริมาณการปล่อยก๊าซเรือนกระจกเป็นปริมาณคาร์บอนไดออกไซด์เทียบเท่าต่อหน่วย (kgCO$_{2eq}$/หน่วย) ขึ้นอยู่กับเทคโนโลยีหรือกิจกรรม สำหรับการศึกษานี้ใช้ข้อมูลทุติยภูมิจากแหล่งข้อมูลที่น่าเชื่อถือ เช่น ข้อมูลที่ตีพิมพ์โดยองค์กรระหว่างประเทศ เช่น IPCC สหประชาชาติ หรือฐานข้อมูลที่เผยแพร่ทั่วไป ได้แก่ ฐานข้อมูลเฉพาะของกลุ่มอุตสาหกรรม หรือฐานข้อมูลเฉพาะของแต่ละประเทศ

3.4 การประเมินคาร์บอนเครดิต

คาร์บอนเครดิตจากการติดตั้งระบบผลิตไฟฟ้า solar rooftop จะเกิดขึ้นเมื่อการดูดซับคาร์บอนไดออกไซด์เทียบเท่าสูงกว่าการปลดปล่อยคาร์บอนไดออกไซด์เทียบเท่า ตามประเด็นการศึกษาดังนี้

ก. คาร์บอนเครดิตที่ได้รับตลอดอายุการใช้งาน

กำหนดให้อายุการใช้งานของทั้ง 3 โครงการ คือ 30 ปี เมื่อพิจารณาปริมาณการปลดปล่อยคาร์บอนจากกระบวนการติดตั้งในปีแรก สามารถคำนวณคาร์บอนเครดิตที่ได้รับตลอดอายุโครงการได้ดังสมการที่ (4)

$$C_{credit_EoL} = \sum_{i=1}^{30}(CO_2eq_a - CO_2eq_e)_i \quad (4)$$

ซึ่งเป็นผลรวมคาร์บอนเครดิตที่ได้รับต่อปี (kgCO$_2$eq) โดยพิจารณาแยกเป็นรายปี เนื่องจากค่าเสื่อมสภาพของเซลล์แสงอาทิตย์ และการปลดปล่อยในแต่ละปีมีความแตกต่างกัน

ข. คาร์บอนเครดิตต่อหน่วยกำลังผลิต

เนื่องด้วยระบบผลิตไฟฟ้าจาก Solar Rooftop แต่ละโครงการมีกำลังผลิตติดตั้งแตกต่างกัน ความสามารถในการช่วยลดปริมาณการปล่อยก๊าซเรือนกระจกจึงไม่เท่ากัน ดังนั้นสัดส่วนคาร์บอนเครดิตที่ได้รับต่อกำลังผลิตติดตั้งของระบบ สามารถเขียนได้ดังสมการที่ (5)

$$C_{credit/ins_capacity} = \frac{C_{credit_y}}{P_{ins_capacity}} \quad (5)$$

โดยที่

$C_{credit/ins_capacity}$ คือ สัดส่วนคาร์บอนเครดิตต่อกำลังผลิตติดตั้ง
C_{credit_y} คือ คาร์บอนเครดิตต่อปี (kgCO$_2$eq/ปี)
$P_{ins_capacity}$ คือ กำลังติดตั้งของระบบ (kWp)

ค. ระยะเริ่มได้รับคาร์บอนเครดิต

หมายถึงจุดเริ่มต้นที่โครงการสามารถชดเชยการปล่อยก๊าซเรือนกระจกได้หรือระยะเวลาที่โครงการเริ่มมีเครดิตทางคาร์บอน ซึ่งใช้ซื้อขายแลกเปลี่ยนให้เกิดเป็นมูลค่าชดเชยการลงทุนได้ ดังสมการที่ (6)

$$C_{payback} = \frac{CO_2eq_{e_EoL}}{CO_2eq_{a_y}} \quad (6)$$

เมื่อ

$C_{payback}$ คือ ระยะเวลาที่โครงการเริ่มมีเครดิตทางคาร์บอน (ปี)
$CO_2eq_{e_EoL}$ คือ คาร์บอนไดออกไซด์เทียบเท่าที่ปลดปล่อยตลอดอายุการใช้งานระบบ (kgCO$_2$eq)
$CO_2eq_{a_y}$ คือ คาร์บอนไดออกไซด์เทียบเท่าที่ดูดซับได้ต่อปี (kgCO$_2$eq/ปี)

4. ผลการศึกษาและบทวิเคราะห์

การศึกษาและประเมินร่องรอยคาร์บอนตลอดวัฏจักรชีวิตของระบบผลิตพลังงานไฟฟ้าจาก Solar Rooftop ทั้งกรณีการปลดปล่อยและความสามารถชดเชยหรือดูดซับคาร์บอนไดออกไซด์เทียบเท่า (CO_2eq) จากกรณีศึกษาทั้ง 3 โครงการ มีผลเป็นดังนี้

4.1 การปลดปล่อยคาร์บอน

จากการวิเคราะห์สัดส่วนการใช้ทรัพยากรตลอดวัฏจักรชีวิตประกอบด้วย การผลิต การติดตั้ง การใช้งาน และการจัดการเมื่อสิ้นอายุการใช้งาน 30 ปี พบว่า การผลิตแผงโซลาร์เซลล์มีการสร้างหรือปลดปล่อยปริมาณคาร์บอนมากที่สุดถึงร้อยละ 77 เมื่อเปรียบเทียบกับสัดส่วนที่เหลือทั้งหมดในแต่ละโครงการ ดังรูปที่ 6

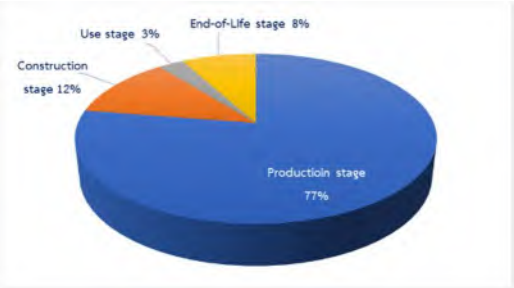

รูปที่ 6 สัดส่วนการปลดปล่อยคาร์บอนไดออกไซด์เทียบเท่า

การวิเคราะห์ร่องรอยการปลดปล่อยคาร์บอนไดออกไซด์เทียบเท่า (CO_2eq) ต่อกำลังการผลิตติดตั้ง (kWp) แยกตามวงจรการติดตั้งแต่ละอาคารจากทั้ง 3 โครงการ ปรากฏผลดังตารางที่ 5

ตารางที่ 5 ร่องรอยการปลดปล่อยคาร์บอนต่อกำลังการผลิตไฟฟ้า

กรณีศึกษา	การปลดปล่อยคาร์บอนต่อกำลังการผลิตติดตั้ง (tCO_2eq/kWp)				
	Production	Construction	Use	End of Life	รวม
1. GYM	1.161	0.174	0.050	0.121	1.505
2. ELE	1.161	0.174	0.050	0.121	1.505
3. HSP	1.161	0.174	0.050	0.121	1.505
4. BSS	1.161	0.174	0.050	0.121	1.505
5. CHEM	1.161	0.174	0.050	0.121	1.505
6. PTY	1.190	0.178	0.016	0.119	1.502
7. PCB	1.190	0.204	0.021	0.119	1.534
ค่าเฉลี่ย	**1.169**	**0.179**	**0.041**	**0.120**	**1.509**

พบค่าเฉลี่ยการปลดปล่อยคาร์บอนจากทั้ง 7 วงจร เท่ากับ 1.509 tCO_2eq/kWp โดยโครงการของวิทยาลัยเทคนิคปราจีนบุรี (กรณีที่ 7. PCB) มีสัดส่วนการปล่อย CO_2eq มากที่สุด ซึ่งสูงกว่าค่าเฉลี่ยเล็กน้อย เนื่องจากรูปแบบการติดตั้งบนพื้นหลังตามแนวระนาบดาดฟ้าคอนกรีตจำเป็นต้องใช้อุปกรณ์ช่วยจับยึดแผง (mounting structure) เพิ่มขึ้น

4.2 การดูดซับคาร์บอน

ผลการวิเคราะห์ศักยภาพของระบบผลิตพลังงานไฟฟ้าจาก Solar Rooftop ตลอดอายุการใช้งาน 30 ปี ด้วยแบบจำลองระบบบนโปรแกรม PVsyst จำนวนหน่วยไฟฟ้าที่ผลิตได้คูณด้วยสัมประสิทธิ์การปลดปล่อยก๊าซเรือนกระจกของโรงไฟฟ้าจากแหล่งพลังงานฟอสซิล ปริมาณคาร์บอนรายปีที่โครงการสามารถชดเชยหรือดูดซับได้ แสดงดังกราฟรูปที่ 7 โดยการดูดซับคาร์บอนมีแนวโน้มลดลงทุกปีตามการเสื่อมสภาพจากทุกแฟกเตอร์ของแผงเซลล์แสงอาทิตย์เอง

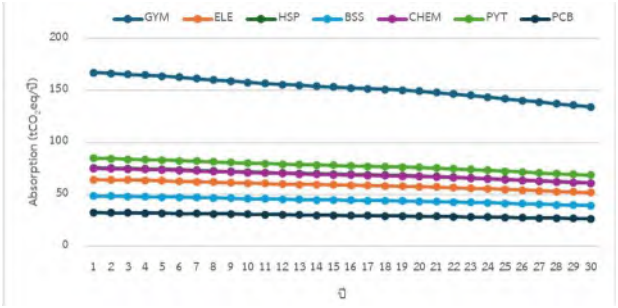

รูปที่ 7 ผลการดูดซับคาร์บอนจากโครงการผลิตไฟฟ้าด้วยเซลล์แสงอาทิตย์ที่ติดตั้งบนหลังคา

ปริมาณคาร์บอนไดออกไซด์เทียบเท่าตลอดอายุการใช้งานแสดงผลดังตารางที่ 6

ตารางที่ 6 การดูดซับคาร์บอนไดออกไซด์เทียบเท่าตลอดอายุการใช้งาน

กรณีศึกษา	การดูดซับคาร์บอน (tCO_2eq)	ร่องรอยดูดซับต่อกำลังการผลิต (tCO_2eq/kWp)
1. GYM	4574.262	23.795
2. ELE	1757.190	23.228
3. HSP	2069.857	23.257
4. BSS	1326.138	23.282
5. CHEM	2055.976	23.572
6. PTY	2320.168	23.202
7. PCB	887.430	22.186
ค่าเฉลี่ย		**23.217**

พบว่าปริมาณการดูดซับคาร์บอนไดออกไซด์เทียบเท่าแปรผันตรงตามศักยภาพการผลิตพลังงานไฟฟ้า ค่าเฉลี่ยคาร์บอนที่สามารถดูดซับได้ คือ 23.217 tCO_2eq/kWp โดยกรณีที่ 1-5 มีค่าใกล้เคียงกันเนื่องจากตำแหน่งติดตั้งแผง Solar Rooftop อยู่ในบริเวณพื้นที่โครงการเดียวกัน คือ วิทยาลัยเทคนิคระยอง ซึ่งโครงการของวิทยาลัยเทคนิคพัทยา (กรณีที่ 6. PTY) มีความสามารถชดเชยการปล่อยคาร์บอนได้ต่ำกว่าค่าเฉลี่ยเป็นผลกระทบจากมุมทิศทางองศาการติดตั้งแผงโซล่าร์เซลล์ที่ยึดตามโครงสร้างอาคารที่ไม่ตรงตามมุมทิศทางองศาการติดตั้งที่ถูกต้อง และสุดท้ายกรณีโครงการวิทยาลัยเทคนิคปราจีนบุรี (กรณีที่ 7 PCB) สามารถชดเชยการปล่อยคาร์บอนได้ต่ำสุด คือ 22.186 tCO_2eq/kWp เนื่องจากมีกำลังผลิตติดตั้งเพียง 40 kWp และยังมีการใช้อุปกรณ์ mounting structure เสริมมากขึ้น จึงปล่อยคาร์บอนสูงในกระบวนการติดตั้ง

4.3 คาร์บอนเครดิต

ผลการประเมินคาร์บอนเครดิตที่เกิดขึ้นจากโครงการติดตั้งระบบผลิตพลังงานไฟฟ้าจาก Solar Rooftop ตลอดอายุการใช้งาน 30 ปี กรณีศึกษาวิทยาลัยในสังกัด สอศ. ทั้ง 3 โครงการ แยกตามการจัดวงจรและพื้นที่หลังคาอาคารที่ติดตั้งแผงโซล่าร์เซลล์ แสดงดังตารางที่ 7

ตารางที่ 7 ผลการประเมินคาร์บอนเครดิตตามกรณีศึกษา

กรณีศึกษา	การประเมินคาร์บอนเครดิต			
	คาร์บอนเครดิตตลอดอายุการใช้งาน (tCO_2eq)	คาร์บอนเครดิต/กำลังติดตั้ง (tCO_2eq/kWp)	คาร์บอนเครดิต/พลังงานไฟฟ้า ($kgCO_2eq/kWh$)	ระยะเวลาเริ่มได้รับเครดิตทางคาร์บอน (ปี)
1. GYM	4284.948	22.290	0.561	2.059
2. ELE	1643.340	21.723	0.560	2.112
3. HSP	1935.916	21.752	0.560	2.110
4. BSS	1240.416	21.777	0.560	2.107
5. CHEM	1924.713	22.067	0.560	2.079
6. PTY	2169.922	21.699	0.560	2.087
7. PCB	826.088	20.652	0.557	2.268
ค่าเฉลี่ย		**21.709**	**0.560**	**2.117**

พบว่าโครงการจะเริ่มได้รับเครดิตทางคาร์บอนหลังจากติดตั้งและจ่ายไฟฟ้าเข้าสู่ระบบเมื่อย่างเข้าสู่ประมาณปีที่สามเป็นต้นไป โดยรายได้รวมที่เกิดจากการขายคาร์บอนเครดิตจะขึ้นอยู่กับขนาดกำลังผลิตติดตั้ง มุมทิศทางองศาการติดตั้งที่ให้ได้รับแสงแดดอย่างเหมาะสม การบำรุงรักษาทำความสะอาดแผง ซึ่งยังต้องศึกษาเพิ่มเติมอีกในอนาคต เพื่อประเมินหาขนาดกำลังผลิตติดตั้งต่ำสุดที่เหมาะสมและคุ้มค่าต่อการลงทุนในระยะยาว ทำให้การวางแผนงานงบประมาณการลงทุนเพื่อช่วยประหยัดค่าไฟของหน่วยงานด้านการศึกษาจึงเป็นการลงทุนอย่างมีเป้าหมาย

5. บทสรุป

บทความนี้เสนอการวิเคราะห์ร่องรอยคาร์บอนตลอดวัฏจักรชีวิตและการประเมินคาร์บอนเครดิตของระบบผลิตไฟฟ้าด้วยเซลล์แสงอาทิตย์ชนิดติดตั้งบนหลังคา (solar rooftop) กรณีศึกษาวิทยาลัยในสังกัดสำนักงานคณะกรรมการการอาชีวศึกษา จำนวน 3 โครงการ ได้แก่ วิทยาลัยเทคนิคระยอง, วิยาลัยเทคนิคพัทยา และ วิทยาลัยเทคนิคปราจีนบุรี ขนาดกำลังผลิตติดตั้ง 501.07 kWp, 100 kWp และ 40 kWp ตามลำดับ พบการปลดปล่อยคาร์บอนจากกระบวนการผลิตมีสัดส่วนมากที่สุดคิดเป็นร้อยละ 77 โดยที่การปลดปล่อยคาร์บอนเทียบต่อกำลังติดตั้งมีค่าเท่ากับ 1.509 tCO_2eq/kWp และความสามารถชดเชยหรือดูดซับคาร์บอนเท่ากับ 23.217 tCO_2eq/kWp ซึ่งมีสัดส่วนสูงกว่าการปลดปล่อย จึงเกิดคาร์บอนเครดิตต่อขนาดกำลังผลิตติดตั้งเฉลี่ย 21.709 tCO_2eq/kWp โดยโครงการจะเริ่มได้รับเครดิตทางคาร์บอนหลังจากติดตั้งและจ่ายไฟฟ้าเข้าสู่ระบบเมื่อย่างเข้าสู่ประมาณปีที่สามเป็นต้นไป การศึกษานี้จะเป็นประโยชน์อย่างยิ่งต่อหน่วยงานภาคการศึกษาในสังกัด สอศ. เพื่อกำหนดนโยบายวางแผนงานการติดตั้งระบบ solar rooftop ช่วยลดค่าไฟฟ้าและรองรับการขายคาร์บอนเครดิตในอนาคต

กิตติกรรมประกาศ

ขอขอบคุณวิทยาลัยเทคนิคระยอง วิทยาลัยเทคนิคพัทยา และวิทยาลัยเทคนิคปราจีนบุรี ที่เอื้อเฟื้อด้านข้อมูลและสถานที่ศึกษา

เอกสารอ้างอิง

[1] Lina Adil, David Eckstein, Vera Kunzel and Laura Schafer, “ Climate Risk Index 2025” , Germanwatch E.V., Jul. 7, 2025. [Online] Available: https://www.germanwatch.org/sites.

[2] กองประสานการจัดการการเปลี่ยนแปลงสภาพภูมิอากาศ, “บัญชีก๊าซเรือนกระจก,” 7 ก.ค. 2568, [ออนไลน์]. Available: https://climate.dcce.go.th/th/topic/database/ghg-inventory.

[3] กระทรวงทรัพยากรธรรมชาติและสิ่งแวดล้อม กรมการเปลี่ยนแปลงสภาพภูมิอากาศและสิ่งแวดล้อม. “รายงานสถานการณ์การเปลี่ยนแปลงสภาพภูมิอากาศของประเทศไทย ปี 2567,” สถาบันวิจัยเพื่อพัฒนาประเทศไทย, กรุงเทพมหานคร, พิมพ์ครั้งที่ 1 พฤษภาคม 2568, ISBN 978-616-316-810-8.

[4] กรมพัฒนาพลังงานทดแทนและอนุรักษ์พลังงาน. “พลังแสงอาทิตย์”, 10 ส.ค. 2568, [ออนไลน์]. Available: https://energy.go.th/web-upload/migrated/files/www/1c3a8c4a4bc429f81f0677fa6a5a4d34.pdf

[5] องค์การบริหารจัดการก๊าซเรือนกระจก (องค์การมหาชน). “โครงการลดก๊าซเรือนกระจกภาคสมัครใจตามมาตรฐานของประเทศไทย”, 10 ส.ค. 2568, [ออนไลน์]. Available: https://ghgreduction.tgo.or.th/th/about-tver/t-ver.html

[6] R. Frischknecht, P. Stolz, L. Krebs, M. de Wild-Scholten, P. Sinha, V. Fthenakis, H.C. Kim, M. Raugei and M. Stucki, “ Life Cycle Inventories and Life Cycle Assessment of Photovoltaic Systems”, International Energy Agency (IEA) PVPS Task 12, Report T12-19:2020.

[7] R. Frischknecht, G. Heath, M. Raugei, P. Sinha, M. de Wild-Scholten, V. Fthenakis, H. C. Kim, E.Alsema and M. Held, “Methodology Guidelines on Life Cycle Assessment of Photovoltaic Electricity”, 3rd edition, IEA PVPS Task 12, International Energy Agency Photovoltaic Power Systems Programme. Report IEA-PVPS T12-06:2016, ISBN 978-3-906042-38-1.

[8] ขจรเดช ปะทะพันธ์, วิรัช หมั่นบรรจง, ประสานพันธ์ สายสิญจน์, กฤตเมธ สายสิญจน์ และ กรรณิกา สายสิญจน์, “เครื่องล้างแผงโซลาร์ผ่าน Application”, วารสารวิจัยและนวัตกรรมการอาชีวศึกษา, ปีที่ 5 ฉบับที่ 1 , 2564, หน้า 40-52.

ประวัติผู้เขียนบทความ

นายทศพร แก้วศรีสุข
สำเร็จการศึกษา คอ.บ. วิศวกรรมไฟฟ้า-ไฟฟ้ากำลัง มทร.ธัญบุรี ปัจจุบันกำลังศึกษาต่อในหลักสูตรวิศวกรรมศาสตรมหาบัณฑิต สาขาวิชาวิศวกรรมไฟฟ้า มหาวิทยาลัยเทคโนโลยีมหานคร สนใจงานวิจัยด้านพลังงานหมุนเวียน

ผศ.ดร.ไชยพร หล่อทองคำ สำเร็จการศึกษาระดับปริญญาเอก Dr.-Ing. (Doktor-Ingenieur) สาขาวิศวกรรมไฟฟ้าแรงสูง จาก SchoringInstitut,Fachgebiet Hochspannungstechni, Der Fakultät für Elektrotechnik und Informatik, Der Gottfried Wilhelm Leibniz Universität Hannover, Germany สนใจงานวิจัยด้านวิศวกรรมไฟฟ้าแรงสูง การป้องกันฟ้าผ่า และการป้องกันระบบไฟฟ้า

การพัฒนาสื่อการเรียนรู้ด้วยตนเอง ด้านวงจรอิเล็กทรอนิกส์และอุปกรณ์สมองกลฝังตัวสำหรับการเรียนการสอนทางด้านเทคโนโลยีอุตสาหกรรม

Development of Self-Directed Learning Materials on Electronic Circuits and Embedded Systems for Industrial Technology Education

กนกวรรณ เรืองศิริ* ปรีชา กอเจริญ และเพชร นันทิวิชิตชัย

คณะเทคโนโลยีอุตสาหกรรม สถาบันเทคโนโลยีจิตรลดา kanokwan.rua@cdti.ac.th*

บทคัดย่อ

การเรียนรู้ในรายวิชาที่เกี่ยวข้องกับวงจรอิเล็กทรอนิกส์และอุปกรณ์สมองกลฝังตัวมีความสำคัญต่อการพัฒนาทักษะของผู้เรียนในสาขาเทคโนโลยีอุตสาหกรรม เนื่องจากเป็นองค์ประกอบหลักของระบบอัตโนมัติและเทคโนโลยีสมัยใหม่ อย่างไรก็ตาม ผู้เรียนมีความแตกต่างด้านพื้นฐานและความเร็วในการเรียนรู้ ส่งผลให้การจัดการเรียนรู้ในห้องปฏิบัติการไม่สามารถตอบสนองได้อย่างทั่วถึง งานวิจัยนี้มีวัตถุประสงค์เพื่อพัฒนาสื่อการเรียนรู้ด้วยตนเองที่สามารถใช้งานได้จริงนอกห้องปฏิบัติการ โดยเน้นการออกแบบชุดฝึกปฏิบัติและเอกสารประกอบการเรียนรู้ในรูปแบบออนไลน์ ครอบคลุมเนื้อหา 5 หัวข้อหลัก ได้แก่ เทคโนโลยีเซนเซอร์ แบตเตอรี่ ระบบอัดประจุไฟฟ้า การควบคุมแบบป้อนกลับ และการประมวลผลภาพดิจิทัล กลุ่มตัวอย่างประกอบด้วยผู้เชี่ยวชาญจำนวน 5 คน และผู้เรียนที่เข้าร่วมกิจกรรมอบรม โดยใช้แบบสอบถามประเมินคุณภาพเครื่องมือวิจัยและความพึงพอใจ ผลการวิจัยพบว่า เครื่องมือที่พัฒนาขึ้นมีความเหมาะสมในระดับมาก (ค่าเฉลี่ยรวม 4.46) โดยเฉพาะด้านใบเนื้อหาที่สามารถส่งเสริมการคิดวิเคราะห์และการเรียนรู้เชิงลึกได้อย่างมีประสิทธิภาพ ผู้เรียนมีความพึงพอใจต่อกิจกรรมในระดับมาก (ค่าเฉลี่ยรวม 4.36) เห็นว่าเนื้อหาทันสมัยและเกี่ยวข้องกับสถานการณ์จริง สื่อที่พัฒนาขึ้นจึงสามารถนำไปใช้ในการจัดการเรียนรู้เพื่อพัฒนาศักยภาพของผู้เรียนในยุคเทคโนโลยีได้อย่างมีคุณค่าและยั่งยืน

คำสำคัญ: การเรียนรู้ด้วยตนเอง, วงจรอิเล็กทรอนิกส์, อุปกรณ์สมองกลฝังตัว, ชุดฝึกปฏิบัติ

Abstract

Learning in courses related to electronic circuits and embedded systems is essential for developing practical skills among students in industrial technology programs, as these components are fundamental to modern automation and industrial technologies. However, learners exhibit diverse backgrounds and learning paces, which often limit the effectiveness of traditional laboratory-based instruction. This research aims to develop self-directed learning (SDL) materials that can be utilized outside the laboratory environment. The study focuses on designing practical training kits and digital learning resources covering five key topics: sensor technology, battery and energy storage systems, electric vehicle charging systems, feedback control systems, and digital image processing in manufacturing. The research involved five experts and a group of learners participating in training activities. Data were collected using structured questionnaires to evaluate the quality of the developed tools and learner satisfaction. The findings revealed that the developed materials were highly appropriate (overall mean score = 4.46), particularly in content design, which effectively promoted analytical thinking and deep learning. Learners expressed high satisfaction (overall mean score = 4.46), noting that the activities were engaging, up-to-date, and relevant to real-world scenarios. The developed SDL tools are therefore suitable for enhancing learners' competencies in the technological era and can be applied to support sustainable and effective education.

Keywords: Self-Directed Learning, Electronic Circuits, Embedded Systems, Training Kits

1.บทนำ

การศึกษาด้านเทคโนโลยีอุตสาหกรรมจำเป็นต้องเตรียมความพร้อมให้กับผู้เรียนทั้งทางด้านความรู้และทักษะทางด้านวงจรอิเล็กทรอนิกส์และอุปกรณ์สมองกลฝังตัว ซึ่งเป็นองค์ประกอบสำคัญของระบบอัตโนมัติและเทคโนโลยีอุตสาหกรรมสมัยใหม่ จากการสำรวจปัญหาการเรียนการสอนในรายวิชาที่เกี่ยวข้องกับวงจรอิเล็กทรอนิกส์และอุปกรณ์สมองกลฝังตัว พบว่า นักศึกษาจำนวนมากยังมีความเข้าใจเนื้อหาไม่ถ่องแท้ที่เกี่ยวกับงวงจรอิเล็กทรอนิกส์และอุปกรณ์สมองกลฝังตัว เช่น การวิเคราะห์สัญญาณ การออกแบบวงจร และประยุกต์ใช้อุปกรณ์ให้สอดคล้องกับงานจริง นอกจากนี้ ในรายวิชาดังกล่าวจำเป็นต้องมีการบรรยายทางด้านทฤษฎีเพื่อให้ผู้เรียนเข้าใจในเนื้อหาก่อนลงมือปฏิบัติการจึงทำให้ระยะเวลาในการลงมือปฏิบัติมีจำกัด ส่งผลให้ผู้เรียนไม่สามารถฝึกฝนซ้ำหรือทดลองเพิ่มเติมได้อย่างเต็มที่ โดยเฉพาะในรายวิชาที่เกี่ยวข้องกับระบบสมองกลฝังตัว อีกทั้งยังพบว่า ผู้เรียนมีพื้นฐานความรู้ที่แตกต่างกัน ทำให้บางกลุ่มต้องการเวลาเพิ่มเติมในการฝึกฝนทักษะเฉพาะทาง เช่น การเขียนโปรแกรมไมโครคอนโทรลเลอร์ การเชื่อมต่อเซนเซอร์ และการประมวลผลข้อมูลจากอุปกรณ์ฝังตัว ซึ่งไม่สามารถทำความเข้าใจเนื้อหาพร้อมลงมือปฏิบัติได้ภายในเวลาที่กำหนดในหลักสูตร จากปัญหาดังกล่าว แนวทางการเรียนรู้ด้วยตนเอง (Self-Directed Learning: SDL) จึงได้รับความสนใจในฐานะเครื่องมือที่ช่วยส่งเสริมการเรียนรู้ตลอดชีวิต โดยเปิดโอกาสให้ผู้เรียนสามารถกำกับตนเองในการเรียนรู้ผ่านสื่อและกิจกรรมที่หลากหลาย ซึ่งมีงานวิจัยหลายฉบับที่สนับสนุนแนวทางนี้ เช่น สุรแป๊ะ [1] ได้พัฒนาสื่อดิจิทัลเพื่อส่งเสริมทักษะการสอนด้านไฟฟ้า พบว่าผู้เรียนมีผลสัมฤทธิ์ทางการเรียนสูงขึ้น และสนสามและคณะ [2] ได้ใช้ Google Sites ร่วมกับ Active Learning เพื่อส่งเสริมการเรียนรู้ด้วยตนเองในรายวิชาวัสดุอุตสาหกรรม พบว่าผู้เรียนมีความพึงพอใจและผลสัมฤทธิ์ทางการเรียน

*กนกวรรณ เรืองศิริ

เพิ่มขึ้นอย่างมีนัยสำคัญ ในงานวิจัยต่างประเทศก็มีการสนับสนุนแนวทางนี้เช่นกัน เช่น Huang et al. [3] ได้พัฒนาเครื่องมือเรียนรู้ด้วยตนเองสำหรับวิศวกรรมไฟฟ้าและอิเล็กทรอนิกส์โดยใช้แพลตฟอร์มออนไลน์ Al-Zoubi et al. [4] ได้ใช้ชุดฝึก FPGA เพื่อการเรียนรู้ระบบสมองกลฝังตัว และ Lee et al. [5] ได้ออกแบบโมดูลการเรียนรู้แบบเปิดผ่าน Jupyter Notebooks เพื่อส่งเสริมการเรียนรู้ด้วยตนเองในวิศวกรรม ซึ่งล้วนแสดงให้เห็นว่าการเรียนรู้ด้วยตนเองสามารถเพิ่มประสิทธิภาพการเรียนรู้และพัฒนาทักษะเชิงลึกได้อย่างมีประสิทธิภาพ

1.1 วัตถุประสงค์

1.1.1 เพื่อพัฒนาสื่อการเรียนรู้ด้วยตนเองด้านวงจรอิเล็กทรอนิกส์และอุปกรณ์สมองกลฝังตัวสำหรับนักศึกษาคณะเทคโนโลยีอุตสาหกรรม

1.1.2 เพื่อประเมินคุณภาพของสื่อการเรียนรู้ที่พัฒนาขึ้นโดยใช้การประเมินจากผู้เชี่ยวชาญด้านการเรียนการสอนในระดับอุดมศึกษา

1.2 การทบทวนวรรณกรรมและงานวิจัยที่เกี่ยวข้อง

แนวคิดการเรียนรู้ด้วยตนเอง (Self-Directed Learning: SDL) เป็นกระบวนการที่ผู้เรียนมีบทบาทสำคัญในการกำหนดเป้าหมาย วางแผนดำเนินการและประเมินผลการเรียนรู้ของตนเอง โดยไม่จำเป็นต้องพึ่งพาครูหรือผู้สอนอย่างเต็มรูปแบบ SDL เป็นแนวคิดที่เหมาะกับการศึกษายุคใหม่ โดยเฉพาะในสาขาวิศวกรรมและเทคโนโลยีอุตสาหกรรม ซึ่งผู้เรียนจำเป็นต้องมีทักษะในการเรียนรู้ตลอดชีวิตเพื่อปรับตัวต่อเปลี่ยนแปลงของตลาดแรงงานและเทคโนโลยีที่พัฒนาไปอย่างรวดเร็ว [6] การจัดกิจกรรมการเรียนรู้แบบ SDL มักใช้รูปแบบที่หลากหลาย เช่น การเรียนรู้แบบโครงงาน (Project-Based Learning), การเรียนรู้แบบร่วมมือ (Collaborative Learning), และการใช้เทคโนโลยีเพื่อสนับสนุนการเรียนรู้ เช่น แพลตฟอร์มออนไลน์ ชุดฝึกปฏิบัติ และสื่อดิจิทัลที่สามารถเข้าถึงได้ทุกที่ทุกเวลา Huang et al. [3] ได้ศึกษาการเรียนรู้ด้วยตนเองในรายวิชาระบบสมองกลฝังตัว โดยใช้กิจกรรมโครงงานเป็นฐาน พบว่าผู้เรียนมีพัฒนาการด้านการคิดวิเคราะห์และการแก้ปัญหาอย่างมีนัยสำคัญ Yang et al. [7] ได้เสนอการจัดการเรียนรู้ระบบฝังตัวแบบเน้นการประยุกต์ใช้งานจริง โดยใช้แพลตฟอร์มและฮาร์ดแวร์ที่หลากหลายเพื่อให้ครอบคลุมการใช้งานในอุตสาหกรรม ซึ่งช่วยให้ผู้เรียนสามารถเชื่อมโยงความรู้กับสถานการณ์จริงได้อย่างมีประสิทธิภาพ García et al. [8] ได้ประยุกต์ใช้การจัดกิจกรรมการเรียนรู้ด้วยตนเองในรายวิชาอิเล็กทรอนิกส์ โดยออกแบบกิจกรรมเสริมที่ผู้เรียนสามารถฝึกฝนได้ด้วยตนเองนอกเวลาเรียน พบว่าผู้เรียนมีความเข้าใจเนื้อหาเพิ่มขึ้นและสามารถนำไปประยุกต์ใช้ได้ดีขึ้น ส่วน Sharma [9] ได้เสนอเครื่องมือการเรียนรู้ เชิงรุกในรายวิชาระบบฝังตัว ซึ่งช่วยเพิ่มแรงจูงใจและการมีส่วนร่วมของผู้เรียนผ่านกิจกรรมที่หลากหลาย เช่น การทดลอง การจำลองสถานการณ์ และการแก้ปัญหา จากการศึกษาวรรณกรรมข้างต้นสามารถสรุปได้ว่า แนวทางการเรียนรู้ด้วยตนเองมีประสิทธิภาพในการส่งเสริมทักษะการคิดวิเคราะห์ การแก้ปัญหา และการเรียนรู้เชิงลึก โดยเฉพาะในรายวิชาที่ต้องอาศัยการฝึกปฏิบัติอย่างต่อเนื่อง ด้วยเหตุนี้ งานวิจัยฉบับนี้จึงได้นำแนวทางในการพัฒนาสื่อการเรียนรู้ด้วยตนเองด้านวงจรอิเล็กทรอนิกส์และอุปกรณ์สมองกลฝังตัว เพื่อให้ผู้เรียนสามารถฝึกฝนทักษะได้อย่างมีประสิทธิภาพนอกห้องปฏิบัติการ

2. วิธีการวิจัย

ในงานวิจัยนี้คณะผู้วิจัยจึงได้พัฒนาสื่อการเรียนรู้ด้วยตนเองด้านวงจรอิเล็กทรอนิกส์และอุปกรณ์สมองกลฝังตัวสำหรับผู้เรียนที่ประสงค์จะฝึกฝนทักษะให้มากยิ่งขึ้นโดยมีรายละเอียดในการดำเนินงานดังแสดงในหัวข้อต่อไปนี้

2.1 การสำรวจปัญหาเกี่ยวกับด้านวงจรอิเล็กทรอนิกส์และอุปกรณ์สมองกลฝังตัวสำหรับการเรียนการสอนทางด้านเทคโนโลยีอุตสาหกรรม

ในการจัดการเรียนการสอนทางด้านเทคโนโลยีอุตสาหกรรม โดยเฉพาะในรายวิชาที่เกี่ยวข้องกับวงจรอิเล็กทรอนิกส์และอุปกรณ์สมองกลฝังตัว พบว่า การเรียนการสอนทางด้านการปฏิบัติการมักมีข้อจำกัดด้านเวลาและการเข้าถึงอุปกรณ์ ทำให้ผู้เรียนไม่สามารถฝึกฝนซ้ำหรือทดลองเพิ่มเติมได้ตามความต้องการ เพื่อให้เข้าใจปัญหาอย่างลึกซึ้ง คณะผู้วิจัยได้ดำเนินการ สัมภาษณ์นักศึกษาที่ลงทะเบียนเรียนในรายวิชาระบบไมโครคอนโทรลเลอร์และรายวิชาอื่นที่เกี่ยวข้อง จำนวน 30 คน เพื่อรวบรวมข้อมูลเกี่ยวกับประสบการณ์การใช้สื่อปฏิบัติการ ความยากง่ายในการเรียนรู้ และข้อเสนอแนะในการปรับปรุงสื่อการเรียนรู้ ผลจากการสัมภาษณ์ พบว่า นักศึกษาส่วนใหญ่ต้องการสื่อที่สามารถนำไปใช้ฝึกฝนได้ด้วยตนเองนอกเวลาเรียน และมีความยืดหยุ่นในการเข้าถึงอุปกรณ์และเนื้อหา จากข้อมูลที่ได้ คณะผู้วิจัยจึงเห็นความจำเป็นในการพัฒนาสื่อการเรียนรู้ด้านปฏิบัติการที่สามารถใช้งานได้จริงนอกห้องเรียน เพื่อเพิ่มโอกาสในการฝึกฝนทักษะให้กับผู้เรียน และสนับสนุนการเรียนรู้ที่ตอบสนองต่อความแตกต่างของแต่ละบุคคลได้อย่างมีประสิทธิภาพ

2.2 การวิเคราะห์เนื้อหาหัวข้อการเรียนรู้

สำหรับในงานพัฒนาสื่อการเรียนรู้ด้วยตนเองนี้ คณะผู้ดำเนินโครงการได้กำหนดเลือกหัวข้อการพัฒนาสื่อการเรียนรู้ด้วยตนเองด้านวงจรอิเล็กทรอนิกส์และอุปกรณ์สมองกลฝังตัว จำนวน 5 หัวข้อ ดังนี้ 1) เทคโนโลยีเซนเซอร์และการประยุกต์ใช้งาน 2) เทคโนโลยีแบตเตอรี่และการจัดเก็บพลังงาน 3) ระบบการอัดประจุไฟฟ้าสำหรับยานยนต์ไฟฟ้า 4) การควบคุมแบบป้อนกลับ และ 5) การประมวลผลภาพดิจิทัลในกระบวนการผลิต แสดงดังรูปที่ 1 ผังปะการังของสื่อการเรียนรู้ด้วยตนเอง

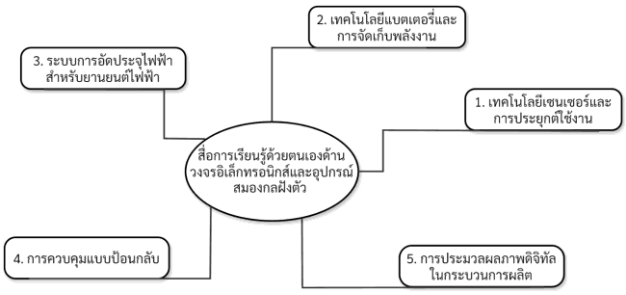

รูปที่ 1 ผังปะการังของสื่อการเรียนรู้ด้วยตนเอง

2.3 การพัฒนาเครื่องมือวิจัย

การสร้างเครื่องมือวิจัยสื่อการเรียนรู้ด้วยตนเองด้านวงจรอิเล็กทรอนิกส์และอุปกรณ์สมองกลฝังตัวนี้จะเป็นการออกแบบชุดสื่อการเรียนรู้ด้วยตนเองจำนวน 5 หัวข้อ ที่ประกอบด้วย ชุดฝึกปฏิบัติการเรียนรู้ เอกสารประกอบการเรียน ดังมีรายละเอียดดังนี้

2.3.1 การออกแบบชุดฝึกปฏิบัติการเรียนรู้ด้วยตนเองด้านวงจรอิเล็กทรอนิกส์และอุปกรณ์สมองกลฝังตัว เริ่มต้นจากการออกแบบและสร้างในส่วนของโครงสร้างของสื่อการเรียนรู้ด้วยตนเองด้านวงจรอิเล็กทรอนิกส์และอุปกรณ์สมองกลฝังตัว ให้มีลักษณะกะทัดรัด พกพาได้

สะดวกที่สามารถส่งให้ผู้เรียนนำกลับไปทำที่บ้านหรือภายนอกห้องปฏิบัติการได้ จึงออกแบบให้เป็นลักษณะกล่องที่สามารถเก็บอุปกรณ์การทดลองไว้ภายใน เมื่อต้องการทำการทดลอง สามารถนำอุปกรณ์ภายในกล่องมาติดตั้งและทดลองทางไฟฟ้าบนฝากล่องได้ กล่องและฝาทำจากวัสดุพลาสติกที่พิมพ์จากเครื่องพิมพ์สามมิติ บริเวณฝากล่องด้านนอกปิดทับด้วยแผ่นอคริลิกที่ใช้การกัดลวดลายด้วยเครื่องกัดเลเซอร์ สามารถทำการประกอบและเก็บได้ง่าย ลักษณะโครงสร้าง และทำการประกอบชุดฝึกปฏิบัติ ชุดฝึกปฏิบัติด้านวงจรอิเล็กทรอนิกส์และอุปกรณ์สมองกลฝังตัว แสดงดังรูปที่ 2

(ก) ด้านหน้า (ข) ด้านใน

รูปที่ 2 การออกแบบและสร้างในส่วนของโครงสร้างของสื่อการเรียนรู้ด้วยตนเอง

2.3.2 เอกสารประกอบการเรียน ได้พัฒนา ใบเนื้อหา สื่องานนำเสนอเพาเวอร์พอยต์ ที่ใช้สนับสนุนการเรียนรู้ด้วยตนเองรูปแบบไฟล์อิเล็กทรอนิกส์จะสามารถกดลิ้งค์ผ่านชื่อเรื่องเพื่อเข้าดูวิดีโอได้ หรือสามารถเข้าดูได้ผ่านเวปไซต์ผ่านระบบออนไลน์ ตัวอย่างแสดงดังรูปที่ 3

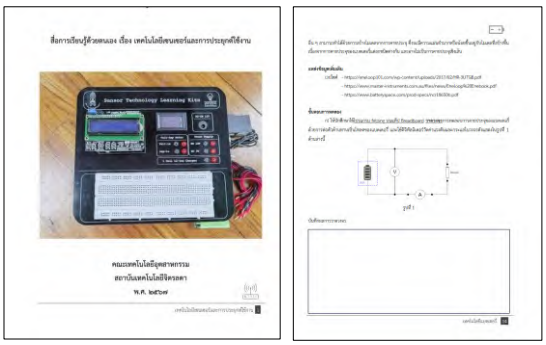

(ก) ใบเนื้อหา

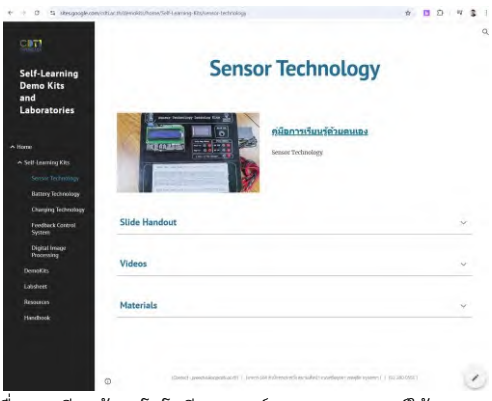

(ข) สื่อการเรียนรู้เทคโนโลยีเซนเซอร์และการประยุกต์ใช้งานเผยแพร่ในเวปไซต์

รูปที่ 3 ตัวอย่างสื่อประกอบการเรียนทางระบบออนไลน์

3. ผลการวิจัย

3.1 การประเมินคุณภาพของเครื่องมือการวิจัย

การประเมินคุณภาพของเครื่องมือวิจัยจะใช้ผู้เชี่ยวชาญที่มีประสบการณ์ในการอบรมและทำงานวิจัยเกี่ยวกับเทคโนโลยีและทางด้านการศึกษามากกว่า 5-10 ปี จำนวน 5 ท่าน โดยใช้แบบสอบถามที่มีการประเมินค่าแบบ 5 ระดับ ตารางที่ 1 แสดงผลการประเมินความเหมาะสมของเครื่องมือวิจัยที่ได้พัฒนาขึ้น

ตารางที่ 1 ผลการประเมินความเหมาะสมของเครื่องมือวิจัย

รายการประเมิน	ค่าเฉลี่ย	ค่าส่วนเบี่ยงเบนมาตรฐาน	ระดับความเหมาะสม
คู่มือการใช้สื่อที่พัฒนาขึ้น			
1. วัตถุประสงค์ของการเรียนรู้ด้วยตนเองมีความเหมาะสม	4.60	0.55	มากที่สุด
2. เวลาที่ใช้ในแต่ละกิจกรรมการเรียนรู้ด้วยตนเองเหมาะสม	4.40	0.55	มาก
3. วิธีการเรียนรู้ด้วยตนเองมีความเหมาะสม	4.20	0.45	มาก
4. กิจกรรมการเรียนรู้ด้วยตนเองมีความเหมาะสม	4.80	0.45	มากที่สุด
5. การประเมินผลมีความเหมาะสม	4.60	0.55	มากที่สุด
ค่าเฉลี่ย	4.52	0.23	มากที่สุด
ด้านใบเนื้อหา			
6. เนื้อหาครอบคลุมวัตถุประสงค์	4.40	055	มาก
7. เนื้อหามีความถูกต้อง	4.40	0.55	มาก
8. ปริมาณเนื้อหาเหมาะสมกับระดับผู้เรียน	4.60	0.55	มากที่สุด
9. เนื้อหาเรียงลำดับได้อย่างเหมาะสม	4.80	0.45	มากที่สุด
10. ภาษาและภาพที่ใช้เหมาะสม	4.60	0.55	มากที่สุด
ค่าเฉลี่ย	4.56	0.17	มากที่สุด
ด้านสื่องานนำเสนอเพาเวอร์พอยต์			
11. การนำเสนอครอบคลุมกับเนื้อหาการเรียนรู้ด้วยตนเอง	4.40	0.55	มาก
12. ขนาดของตัวอักษรและภาพเหมาะสม	4.40	0.55	มาก
13. เนื้อหาเรียงลำดับได้อย่างเหมาะสม	4.40	0.55	มาก
14. ปริมาณและรายละเอียดมีความเหมาะสม	4.20	0.45	มาก
15. สามารถส่งเสริมให้ผู้เรียนรู้ด้วยตนเองเกิดการเรียนรู้ได้ดี	4.60	0.55	มากที่สุด
ค่าเฉลี่ย	4.40	0.24	มาก
ด้านสื่อวิดีโอ			
16. สอดคล้องกับเนื้อหา และวัตถุประสงค์การเรียน	4.20	0.84	มาก
17. สื่อส่งเสริมให้ผู้เรียนเกิดการเรียนรู้อย่างเป็นลำดับขั้น	4.40	0.89	มาก
18. สื่อมีความเหมาะสมกับระดับผู้เรียน	4.40	0.89	มาก
19. ตัวอักษร สีสัน การออกแบบเหมาะสม	4.00	0.00	มาก
20. ส่งเสริมการเรียนรู้ด้วยตนเองได้เหมาะสม	4.60	0.58	มาก
ค่าเฉลี่ย	4.32	0.18	มาก
ด้านชุดฝึกปฏิบัติ			
21. สอดคล้องกับวัตถุประสงค์ของการเรียนรู้ด้วยตนเอง	4.40	0.55	มาก

รายการประเมิน	ค่าเฉลี่ย	ค่าส่วนเบี่ยงเบนมาตรฐาน	ระดับความเหมาะสม
22. โครงสร้างและการออกแบบเหมาะสม	4.40	0.55	มาก
23. มีความแม่นยำและเที่ยงตรง	4.80	0.45	มากที่สุด
24. ใช้งานง่าย เก็บรักษา และพกพาสะดวก	4.80	0.45	มากที่สุด
25. ส่งเสริมให้ผู้เรียนมีทักษะการเรียนรู้เพิ่มขึ้น	4.20	0.45	มาก
ค่าเฉลี่ย	4.52	0.23	มากที่สุด
ค่าเฉลี่ยรวมทั้งหมด	4.46	0.07	มาก

สรุปผลการประเมินคุณภาพของเครื่องมือวิจัยที่พัฒนาขึ้น พบว่า การพัฒนาสื่อการเรียนรู้ด้วยตนเองด้านวงจรอิเล็กทรอนิกส์และอุปกรณ์สมองกลฝังตัว ในภาพรวมทั้งหมดมีความเหมาะสมอยู่ในระดับมาก (ค่าเฉลี่ยเท่ากับ 4.46 และค่าส่วนเบี่ยงเบนมาตรฐานเท่ากับ 0.07) ที่ผู้เชี่ยวชาญได้ให้ความเห็นว่าเครื่องมือวิจัยในด้านใบเนื้อหาประกอบการเรียนรู้ด้วยตนเองมีความเหมาะสมมากที่สุด เนื่องจากมีความสอดคล้องกับวัตถุประสงค์ของการเรียนรู้ ที่มีเนื้อหาที่สามารถส่งเสริมให้ผู้เรียนมีการคิดวิเคราะห์ มีการพิสูจน์ความจริง และสรุปผลได้อย่างเหมาะสม ดังนั้นสามารถนำเครื่องมือวิจัยที่พัฒนาขึ้นนี้ไปใช้จัดการเรียนรู้ด้วยตนเองได้อย่างมีคุณภาพ

3.2 ความพึงพอใจของนักศึกษาที่ผ่านการใช้สื่อการเรียนรู้ด้วยตนเอง

การประเมินความพึงพอใจของนักศึกษา ที่ผ่านการใช้สื่อการเรียนรู้ด้วยตนเอง จำนวน 20 คน มีหัวข้อในการประเมินประกอบด้วย ใบเนื้อหา สื่อนำเสนอ สื่อวิดีโอ และชุดฝึกปฏิบัติ โดยมุ่งหวังให้ได้ข้อมูลสะท้อนถึงวิธีการจัดการเรียนการสอนในมิติต่าง ๆ อันจะเป็นประโยชน์ต่อการพัฒนาและปรับปรุงวิธีการเรียนรู้ให้เหมาะกับผู้เรียนเพิ่มมากขึ้นและทันต่อการเปลี่ยนแปลงของเทคโนโลยี

ตารางที่ 2 ผลการประเมินพึงพอใจของผู้เรียน

รายการประเมิน	ค่าเฉลี่ย	ค่าส่วนเบี่ยงเบนมาตรฐาน	ระดับความเหมาะสม
ด้านใบเนื้อหา			
1. เนื้อหาครอบคลุมวัตถุประสงค์	4.80	0.41	มากที่สุด
2. เนื้อหามีความถูกต้อง	4.00	0.32	มาก
3. ปริมาณเนื้อหาเหมาะสมกับระดับผู้เรียน	4.30	0.47	มาก
4. เนื้อหาเรียงลำดับได้อย่างเหมาะสม	4.40	0.50	มาก
5. ภาษาและภาพที่ใช้เหมาะสม	4.30	0.57	มาก
ค่าเฉลี่ย	4.36	0.26	มาก
ด้านสื่องานนำเสนอเพาเวอร์พอยต์			
6. การนำเสนอครอบคลุมกับเนื้อหาการเรียนรู้ด้วยตนเอง	4.15	0.49	มาก
7. ขนาดของตัวอักษรและภาพเหมาะสม	4.00	0.46	มาก
8. เนื้อหาเรียงลำดับได้อย่างเหมาะสม	4.35	0.67	มาก
9. ปริมาณและรายละเอียดมีความเหมาะสม	3.90	0.64	มาก
10. สามารถส่งเสริมให้ผู้เรียนรู้ด้วยตนเองเกิดการเรียนรู้ได้ดี	4.25	0.44	มาก
ค่าเฉลี่ย	4.13	0.34	มาก
ด้านสื่อวิดีโอ			
11. สอดคล้องกับเนื้อหา และวัตถุประสงค์การเรียน	4.45	0.51	มาก
12. สื่อส่งเสริมให้ผู้เรียนเกิดการเรียนรู้อย่างเป็นลำดับขั้น	4.10	0.55	มาก
13. สื่อมีความเหมาะสมกับระดับผู้เรียน	4.30	0.66	มาก
14. ตัวอักษร สีสัน การออกแบบเหมาะสม	4.05	0.51	มาก
15. ส่งเสริมการเรียนรู้ด้วยตนเองได้เหมาะสม	4.10	0.55	มาก
ค่าเฉลี่ย	4.20	0.22	มาก
ด้านชุดฝึกปฏิบัติ			
16. สอดคล้องกับวัตถุประสงค์ของการเรียนรู้ด้วยตนเอง	4.75	0.44	มากที่สุด
17. โครงสร้างและการออกแบบเหมาะสม	4.80	0.41	มากที่สุด
18. มีความแม่นยำและเที่ยงตรง	4.65	0.49	มากที่สุด
19. ใช้งานง่าย เก็บรักษา และพกพาสะดวก	4.80	0.41	มากที่สุด
20. ส่งเสริมให้ผู้เรียนมีทักษะการเรียนรู้เพิ่มขึ้น	4.65	0.49	มากที่สุด
ค่าเฉลี่ย	4.73	0.25	มากที่สุด
ค่าเฉลี่ยรวมทั้งหมด	4.36	0.15	มาก

ผลการสำรวจความพึงพอใจของนักศึกษาจำนวน 20 คนที่ได้ใช้สื่อการเรียนรู้ด้วยตนเอง ซึ่งประกอบด้วย 4 ประเภท ได้แก่ ใบเนื้อหา สื่อนำเสนอ สื่อวิดีโอ และชุดฝึกปฏิบัติ พบว่าโดยรวมผู้เรียนมีความพึงพอใจในระดับมาก (ค่าเฉลี่ยรวม 4.36) โดยเฉพาะในด้าน ชุดฝึกปฏิบัติ ที่ได้รับการประเมินในระดับมากที่สุด (ค่าเฉลี่ย 4.73) ในภาพรวม จะเห็นได้ว่า จากการใช้สื่อการเรียนรู้ด้วยตนเองที่พัฒนาขึ้นสามารถตอบสนองต่อปัญหาในการจัดการเรียนการสอนทางด้านเทคโนโลยีอุตสาหกรรมได้อย่างมีประสิทธิภาพ โดยเฉพาะในบริบทที่ผู้เรียนมีความแตกต่างกันและต้องการความยืดหยุ่นในการเรียนรู้ สื่อดังกล่าวช่วยส่งเสริมพฤติกรรมการเรียนรู้แบบกำกับตนเองในทุกมิติ ตั้งแต่การกำหนดเป้าหมาย การวางแผน การลงมือปฏิบัติ ไปจนถึงการประเมินผล ซึ่งเป็นพื้นฐานสำคัญของการเรียนรู้ตลอดชีวิตในยุคปัจจุบันได้อย่างประสิทธิภาพมากขึ้น

4. อภิปรายและสรุปผล

การวิจัยครั้งนี้มีวัตถุประสงค์เพื่อพัฒนาสื่อการเรียนรู้ด้วยตนเองด้านวงจรอิเล็กทรอนิกส์และอุปกรณ์สมองกลฝังตัว สำหรับใช้ในรายวิชาทางเทคโนโลยีอุตสาหกรรม เพื่อแก้ปัญหาความแตกต่างด้านพื้นฐานของผู้เรียนข้อจำกัดระยะเวลา สื่อที่พัฒนาขึ้นประกอบด้วยชุดฝึกปฏิบัติและเอกสารประกอบการเรียนรู้ในระบบออนไลน์ ครอบคลุมเนื้อหาสำคัญ 5 หัวข้อ ได้แก่ 1) เทคโนโลยีเซนเซอร์และการประยุกต์ใช้งาน 2) เทคโนโลยีแบตเตอรี่และการจัดเก็บพลังงาน 3) ระบบการอัดประจุไฟฟ้าสำหรับยานยนต์ไฟฟ้า 4) การควบคุมแบบป้อนกลับ และ 5) การประมวลผลภาพดิจิทัลในกระบวนการผลิต ที่ได้มีการออกแบบให้ใช้งานได้จริงทั้งในและนอกห้องเรียน

ผลการวิจัยพบว่าสื่อการเรียนรู้ที่พัฒนาขึ้นมีคุณภาพในระดับมาก (ค่าเฉลี่ยรวม 4.46) โดยผู้เชี่ยวชาญเห็นว่ามีความครอบคลุมต่อวัตถุประสงค์การเรียนรู้ มีความถูกต้อง และสามารถส่งเสริมการคิด

วิเคราะห์ได้อย่างมีประสิทธิภาพ ซึ่งสอดคล้องกับทฤษฎีการเรียนรู้แบบกำกับตนเอง (Self-Directed Learning Theory) ที่ระบุว่าผู้เรียนซึ่งสามารถกำหนดเป้าหมาย วางแผน และประเมินการเรียนรู้ด้วยตนเองจะมีแรงจูงใจและความรับผิดชอบต่อการเรียนมากขึ้น [10] นอกจากนี้ ผลลัพธ์ยังสอดคล้องกับงานวิจัยของ Huang et al. [3] และ Al-Zoubi [4] ที่ยืนยันว่าการใช้สื่อและชุดฝึกซึ่งสามารถเข้าถึงได้ทุกที่ทุกเวลาช่วยเพิ่มความต่อเนื่องของการฝึกฝน และช่วยให้ผู้เรียนสามารถประยุกต์ใช้ความรู้ในสถานการณ์จริงได้อย่างมีประสิทธิภาพ

ในส่วนของผู้เรียน พบว่ามีความพึงพอใจในระดับมาก (ค่าเฉลี่ยรวม 4.36) โดยเฉพาะชุดฝึกปฏิบัติที่ได้รับการประเมินสูงสุด เนื่องจากใช้งานง่าย พกพาสะดวก และสามารถฝึกปฏิบัติได้จริงนอกห้องเรียน ทำให้ผู้เรียนสามารถกำหนดเวลาและสถานที่ในการฝึกฝนได้ตามความพร้อมของตนเอง ซึ่งช่วยลดข้อจำกัดด้านเวลาและสนับสนุนการเรียนรู้ตามจังหวะของแต่ละบุคคล โดยสรุป งานวิจัยนี้สามารถบรรลุตามวัตถุประสงค์ที่ตั้งไว้ โดยได้พัฒนาสื่อการเรียนรู้ด้วยตนเองที่มีคุณภาพสูงและได้รับความพึงพอใจจากผู้เรียนในระดับมาก สื่อดังกล่าวมีศักยภาพสูงในการนำไปประยุกต์ใช้ในรายวิชาด้านอิเล็กทรอนิกส์ สมองกลฝังตัว และระบบอัตโนมัติ รวมถึงการอบรมบุคลากรในภาคอุตสาหกรรม เพื่อพัฒนาทักษะให้สอดคล้องกับความต้องการของตลาดแรงงานในยุคดิจิทัลอย่างยั่งยืน

5. กิตติกรรมประกาศ

โครงการนี้ได้รับทุนสนับสนุนการวิจัยจากคณะเทคโนโลยีอุตสาหกรรม สถาบันเทคโนโลยีจิตรลดา ประจำปีงบประมาณ 2566

เอกสารอ้างอิง

[1] S. Surapae, “Development of Digital Media to Enhance Teaching Skills in Electrical Engineering,” *Journal of Industrial Technology*, vol. 12, no. 2, pp. 45–52, 2023.

[2] S. Sonsam et al., “Using Google Sites with Active Learning to Promote Self-Directed Learning in Industrial Materials Course,” *Journal of Research and Development, Rajabhat University*, vol. 18, no. 1, pp. 33–40, 2024.

[3] C. Huang, M. A. Al-Zoubi, and J. Satansup, “Self-Directed Learning Optimisation Toolkits for Electronics and Electrical Engineering,” in *Proc. IEEE Global Engineering Education Conference (EDUCON)*, pp. 1–6, 2023. [Online]. Available: https://ieeexplore.ieee.org/document/10092122

[4] A. Al-Zoubi, “A Virtual Simulation Package for Embedded System Training and Education,” *IEEE Trans. Educ.*, vol. 52, no. 4, pp. 456–462, 2009. [Online]. Available: https://ieeexplore.ieee.org/document/5490609

[5] J. Lee, S. Sharma, and V. Tyagi, “Inspiring Undergraduate Students in Engineering Learning Through Flipped Classroom,” in *Proc. IEEE Frontiers in Education Conference (FIE)*, pp. 1–4, 2015. [Online]. Available: https://ieeexplore.ieee.org/document/7344300

[6] Chitralada Technology Institute, “Report on Learning Challenges in Electronic Circuit Education,” Bangkok, Thailand, 2024.

[7] K.-C. Yang, Y.-T. Chang, C.-M. Wu, C.-M. Huang, and C.-L. Wey, “Universal Learning System for Embedded System Education and Promotion,” Proceedings of the International Conference on Engineering Education, pp. 1–6, 2006.

[8] M. B. García, C.-L. Goi, K. Shively, D. Maher, J. Rosak-Szyrocka, A. Happonen, A. Bozkurt, and R. Damaševičius, “Understanding Student Engagement in AI-Powered Online Learning Platforms: A Narrative Review of Key Theories and Models,” *Cases on Enhancing P-16 Student Engagement With Digital Technologies*, ch. 1, pp. 1–25, Dec. 2024. [Online]. Available: https://doi.org/10.4018/979-8-3693-5633-3.ch001

[9] S. Sharma, “Effective Active Learning Tools for an Embedded Systems Course,” *Proceedings of the 2017 IEEE Frontiers in Education Conference (FIE)*, pp. 1–6, 2017. [Online]. Available: https://www.computer.org/csdl/proceedings-article/fie/2017/08190491/12OmNx9WSWO

[10] M. S. Knowles, *Self-Directed Learning: A Guide for Learners and Teachers*, New York: Association Press, 1975.

การวิเคราะห์ร่องรอยคาร์บอนเพื่อประเมินการปลดปล่อยคาร์บอนในกลุ่มยานยนต์ไฟฟ้า

Carbon footprint analysis for assessing electric vehicle carbon emissions

ไชยพร หล่อทองคำ[1] และ ชัยนพัทธ์ ชละธาร[2]

[1]สาขาวิชาวิศวกรรมไฟฟ้า สถาบันวิศวกรรมไฟฟ้าและอิเล็กทรอนิกส์ มหาวิทยาลัยเทคโนโลยีมหานคร chaiyapo_chaiya@hotmail.com

[2]วิศวกรไฟฟ้า กองจัดหา 3 ฝ่ายจัดหา การไฟฟ้านครหลวง Chainapat.ch@mea.or.th

บทคัดย่อ

บทความฉบับนี้เสนอการวิเคราะห์ร่องรอยคาร์บอนเพื่อประเมินการปลดปล่อยคาร์บอนในกลุ่มยานยนต์ไฟฟ้า บนพื้นฐานแนวคิด “จากแหล่งกำเนิดสู่การขับเคลื่อน (Well-to-Wheel: WtW)” ด้วยการสร้างสเปรดชีตบนโปรแกรม Microsoft Excel ใช้เป็นเครื่องมือช่วยประเมินร่องรอยคาร์บอนและคำนวณปริมาณการปล่อย CO_2 โดยพิจารณาจากแฟกเตอร์พื้นฐานด้านประเภทของเชื้อเพลิงต้นทาง ตลอดจนเทคโนโลยีการผลิตและการจัดการแบตเตอรี่ของยานยนต์ไฟฟ้า ผลการศึกษาพบว่ายานยนต์ไฟฟ้าขับเคลื่อนด้วยพลังงานจากแบตเตอรี่มีศักยภาพในการลดการปล่อย CO_2 ในช่วง Tank-to-Wheel ได้อย่างมีนัยสำคัญ ขณะที่ผลกระทบในช่วง Well-to-Tank ขึ้นอยู่กับแหล่งผลิตไฟฟ้าต้นทางที่ใช้อัดประจุให้แบตเตอรี่และการจัดการวัฏจักรชีวิตของแบตเตอรี่

คำสำคัญ: ยานยนต์ไฟฟ้า, ร่องรอยคาร์บอน, การปลดปล่อยคาร์บอน

Abstract

This paper presents the carbon footprint analysis for assessing electric vehicle carbon emissions. It was investigated based on the “Well-to-Wheel: WtW” concept. The Microsoft Excel spreadsheet was created to assess the carbon footprint and calculate the amount of CO_2eq emissions. The fuel type, engine technology, and technology for battery manufacturing as well as management are considered as the key evaluation factors. The results indicate that BEVs have significant potential to reduce CO_2 emissions in the Tank-to-Wheel stage, whereas in the Well-to-Tank stage, CO_2 emissions still highly depend on electricity generation and battery lifecycle management.

Keywords: electric vehicle, carbon footprint, carbon emissions

1. บทนำ

ประเทศไทยมีนโยบายลดการปล่อยก๊าซเรือนกระจก โดยตั้งเป้าหมายเป็นกลางทางคาร์บอน (carbon neutrality) ภายในปี พ.ศ. 2593 (ค.ศ. 2050) และ การปล่อยก๊าซเรือนกระจกสุทธิเป็นศูนย์ (net zero emission) ภายในปี พ.ศ. 2608-2613 (ค.ศ. 2065-2070) [1] เพื่อช่วยลดผลกระทบต่อสิ่งแวดล้อม รัฐบาลจึงมีนโยบายลดภาษีเพื่อส่งเสริมการใช้ยานยนต์ไฟฟ้าอีกทั้งราคายานยนต์ไฟฟ้าลดลงจากการแข่งขันในตลาด สร้างแรงจูงใจให้ผู้บริโภคมีการใช้งานยานยนต์ไฟฟ้าเพิ่มมากขึ้น นอกจากนี้ยานยนต์ไฟฟ้า และเชื้อเพลิงชีวภาพยังมีศักยภาพในการลดการปล่อยก๊าซคาร์บอน อย่างไรก็ตามจำเป็นต้องมีการศึกษาผลกระทบทางสิ่งแวดล้อมในแต่ละเทคโนโลยีให้รอบด้านผ่านการประเมินวัฏจักรชีวิต (LCA) เพื่อให้เข้าใจถึงผลกระทบอย่างครบถ้วน

บทความนี้เสนอผลการวิเคราะห์ร่องรอยคาร์บอนและประเมินการปลดปล่อยคาร์บอนในกลุ่มยานยนต์ไฟฟ้า ประกอบด้วยยานยนต์ไฟฟ้าไฮบริด (HEV), ยานยนต์ไฟฟ้าไฮบริดปลั๊กอิน (PHEV), ยานยนต์ไฟฟ้าแบตเตอรี่ (BEV) และยานยนต์ไฟฟ้าแบบเซลล์เชื้อเพลิง (FCEV) บนพื้นฐานแนวคิด “จากแหล่งกำเนิดสู่การขับเคลื่อน (Well-to-Wheel) เป็นแนวทางการวิเคราะห์ผลกระทบด้านสิ่งแวดล้อมที่ครอบคลุมตลอดห่วงโซ่พลังงานเชื้อเพลิงและไฟฟ้า ประกอบด้วยกระบวนการจากแหล่งกำเนิดสู่ถังเชื้อเพลิง (WtT) และกระบวนการจากถังเชื้อเพลิงสู่การขับเคลื่อน (TtW) เป็นการพิจารณาวัฏจักรชีวิตการใช้เชื้อเพลิงอย่างครอบคลุมตั้งแต่ชั้นกระบวนการผลิต มีประโยชน์ต่อการพัฒนานโยบายด้านพลังงานของประเทศเกิดประสิทธิภาพครบถ้วน

2. หลักการที่เกี่ยวข้อง

2.1 ร่องรอยคาร์บอน (carbon footprint)

ปริมาณก๊าซเรือนกระจก (greenhouse gas emissions and removals: GHGs) ที่ปล่อยออกจากผลิตภัณฑ์หรือจากกิจกรรมการดำเนินงานขององค์กร วัดรวมอยู่ในรูปของกิโลกรัมหรือตันของก๊าซคาร์บอนไดออกไซด์เทียบเท่า (CO_2eq) โดยก๊าซเรือนกระจก (GHGs) มี 7 ชนิด ได้แก่ คาร์บอนไดออกไซด์ (CO_2), มีเทน (CH_4), ไนตรัสออกไซด์ (N2O), ไฮโดรฟลูออโรคาร์บอน (HFCs), เพอร์ฟลูออโรคาร์บอน (PFCs), ซัลเฟอร์เฮกซาฟลูออไรด์ (SF_6) และไนโตรเจนไตรฟลูออไรด์ (NF_3) [2]

2.2 Carbon footprint of Organization

ปริมาณก๊าซเรือนกระจกที่ถูกปลดปล่อยจากกิจกรรมที่เกี่ยวข้องกับองค์กร หรือหน่วยงานทั้งทางตรงและทางอ้อม ก่อให้เกิดผลกระทบต่อสิ่งแวดล้อม ตามหลักสากลแหล่งที่มาของการปล่อยก๊าซเรือนกระจกแบ่งออกเป็น 3 กลุ่มหลัก ได้แก่ Scope 1 คือ การปลดปล่อยโดยตรงจากกิจกรรมขององค์กร เช่น การเผาไหม้เชื้อเพลิงในกระบวนการผลิตหรือการปล่อยก๊าซมีเทน, Scope 2 คือ การปลดปล่อยทางอ้อมจากการใช้พลังงานที่ซื้อจากภายนอก เช่น ไฟฟ้า ความร้อน หรือไอน้ำที่เกิดจากการเผาไหม้ในโรงไฟฟ้า และ Scope 3 คือ การปลดปล่อยทางอ้อมจากกิจกรรมอื่นที่องค์กรมีส่วนเกี่ยวข้องแต่ไม่ได้ควบคุมโดยตรง เช่น การขนส่งสินค้า การเดินทางของพนักงาน และการจัดการของเสีย โดยการปล่อยคาร์บอนไดออกไซด์ 1 กิโลกรัม เท่ากับร่องรอยคาร์บอน 1 กิโลกรัม และด้วยความที่ก๊าซเรือนกระจกมีหลายชนิด จึงคำนวณปริมาณการปล่อยก๊าซเรือนกระจกเป็นหน่วยคาร์บอนไดออกไซด์เทียบเท่า (CO_2eq) [2-3]

2.3 Carbon footprint of Product

ปริมาณก๊าซเรือนกระจกทั้งหมดที่ถูกปลดปล่อยออกตลอดวัฏจักรของผลิตภัณฑ์ ตั้งแต่การได้มาซึ่งวัตถุดิบ, กระบวนการผลิต, การขนส่ง, การใช้งานไปจนถึงการกำจัดซากผลิตภัณฑ์หลังหมดอายุการใช้งาน

2.4 แบตเตอรี่ลิเทียมไอออน (lithium-ion battery)

แบตเตอรี่ลิเทียมไอออนเป็นเทคโนโลยีหลักที่ใช้ในยานยนต์ไฟฟ้า เนื่องจากมีความหนาแน่นของพลังงานสูง น้ำหนักเบา อายุการใช้งานยาวนาน และสามารถชาร์จไฟได้อย่างมีประสิทธิภาพ ซึ่งมีหลายชนิด คือ

1) Lithium Cobalt Oxide (LCO)

มีความหนาแน่นพลังงานสูง เหมาะกับอุปกรณ์อิเล็กทรอนิกส์พกพา แต่มีอายุการใช้งานต่ำและความปลอดภัยน้อยเมื่อเทียบกับชนิดอื่น

2) Lithium Manganese Oxide (LMO)

มีความปลอดภัยสูงขึ้น แต่ความจุพลังงานต่ำ เหมาะกับการใช้งานที่ต้องการกระแสไฟสูงในช่วงสั้น

3) Lithium Iron Phosphate (LFP)

มีความปลอดภัยและอายุการใช้งานสูง แต่ความหนาแน่นพลังงานต่ำ ใช้ในยานยนต์ไฟฟ้าที่ไม่เน้นระยะทางไกล

4) Lithium Nickel Manganese Cobalt Oxide (NMC)

มีสมดุลที่ดีระหว่างพลังงาน อายุการใช้งาน และความปลอดภัย เป็นแบตเตอรี่ที่นิยมใช้มากที่สุดในยานยนต์ไฟฟ้า

5) Lithium Nickel Cobalt Aluminum Oxide (NCA)

มีความหนาแน่นพลังงานและอายุการใช้งานสูง แต่ต้นทุนสูง ใช้ในรถยนต์ไฟฟ้าเชิงพาณิชย์ระดับพรีเมียม

6) Lithium Titanate (LTO)

ชาร์จเร็วมากและมีอายุการใช้งานยาวนานที่สุด แต่มีความหนาแน่นพลังงานต่ำ จึงใช้ในระบบที่ต้องการความทนทานและความปลอดภัยสูง

ประสิทธิภาพของแบตเตอรี่แต่ละชนิดตามคุณลักษณะที่สำคัญ ได้แก่ ความจุพลังงาน (Energy Capacity), อายุการใช้งาน (Cycle Life), ความปลอดภัย (Safety), เวลาในการชาร์จ (Charging Time), ความหนาแน่นของพลังงาน (Energy Density) และต้นทุนการผลิต (Cost) แสดงดังรูปที่ 1 ซึ่งใช้สีที่ต่างแตกต่างเพื่อระบุชนิดของแบตเตอรี่ลิเทียมไอออน [4]

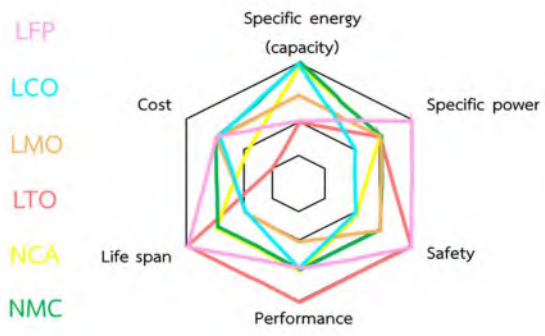

รูปที่ 1 คุณลักษณะโดยรวมของแบตเตอรี่ลิเทียมไอออน

2.5 ยานยนต์ไฟฟ้า (electric vehicle)

ยานยนต์ไฟฟ้า (electric vehicle: xEV) คือยานยนต์ที่ขับเคลื่อนด้วยมอเตอร์ไฟฟ้า รวมถึงประเภทที่ขับเคลื่อนด้วยมอเตอร์ไฟฟ้าเพียงอย่างเดียว หรือทำงานร่วมกับเครื่องยนต์ (hybrid) [5-6] ดังแสดงในรูปที่ 2

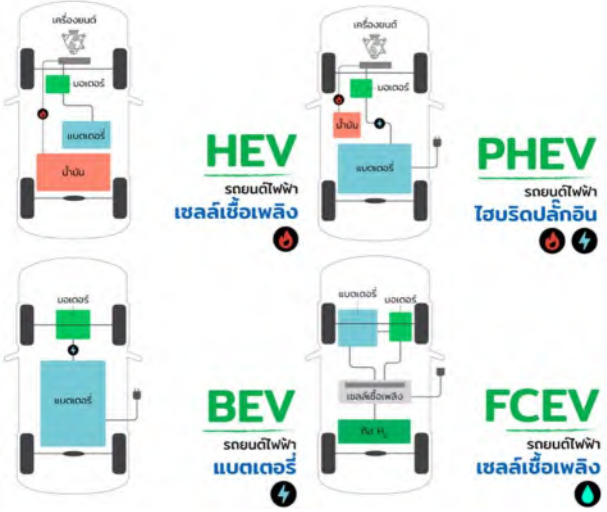

รูปที่ 2 ยานยนต์ไฟฟ้าแต่ละประเภท

กลุ่มยานยนต์ไฟฟ้า ประกอบด้วย

1) Hybrid Electric Vehicle (HEV)

ยานยนต์ที่ใช้พลังงานผสมผสานระหว่างเชื้อเพลิงทั่วไปและพลังงานไฟฟ้าจากการแบตเตอรี่ ยานยนต์ประเภทนี้มีอัตราสิ้นเปลืองเชื้อเพลิงต่ำกว่าแบบใช้เครื่องยนต์เพียงอย่างเดียว HEV เป็นยานยนต์ที่ใช้เครื่องยนต์สันดาปภายในทำงานร่วมกับมอเตอร์ไฟฟ้าเพื่อขับเคลื่อน สามารถแบ่งตามฟังก์ชันการทำงานของมอเตอร์ไฟฟ้าได้ 3 ประเภท คือ Micro Hybrid (start & stop, S&S), Mild Hybrid (MHEV) และ Full Hybrid (FHEV)

2) Plug-In Hybrid Electric Vehicle (PHEV)

ยานยนต์ไฟฟ้าที่พัฒนาต่อมาจากยานยนต์ไฟฟ้าไฮบริด ยานยนต์ประเภทนี้มีระบบน้ำมัน และไฟฟ้าเหมือนยานยนต์ไฮบริด แต่เพิ่มการเสียบปลั๊กชาร์จไฟ หรือ Plug-in ทำให้เมื่อเสียบชาร์จแล้วสามารถวิ่งได้ในระยะทางที่ไกลกว่า ซึ่งแบตเตอรี่ที่ใช้สามารถชาร์จไฟเพิ่มเพื่อกักเก็บประจุได้ตามต้องการ ยานยนต์ไฟฟ้าแบบ PHEV มีการออกแบบอยู่ 2 ประเภท คือ แบบ Extended range EV (EREV) และแบบ Blended PHEV

3) Battery Electric Vehicle (BEV)

ขับเคลื่อนโดยใช้พลังงานไฟฟ้าจากแบตเตอรี่ 100% มีระยะทางการวิ่งที่จำกัดขึ้นกับขนาดของแบตเตอรี่ และปัจจัยแวดล้อมอื่น มีองค์ประกอบหลักสำหรับการขับเคลื่อนคือแบตเตอรี่, อุปกรณ์แปลงกระแสไฟฟ้า และมอเตอร์ไฟฟ้า เนื่องจากมีความกังวลถึงระยะทางใช้งานของรถยนต์ไฟฟ้าต่อการประจุไฟฟ้า 1 ครั้งทำให้ผู้ผลิตรถยนต์บางรายติดตั้งเครื่องยนต์ขนาดเล็กเพื่อเพิ่มระยะทางในการใช้งาน โดยเครื่องยนต์ดังกล่าวมีหน้าที่ปั่นไฟเพื่อประจุไฟฟ้าสู่แบตเตอรี่เพียงเท่านั้น

4) Fuel Cell Electric Vehicle (FCEV)

ยานยนต์ไฟฟ้าที่ขับเคลื่อนด้วยพลังงานไฟฟ้าที่ผลิตจากเซลล์เชื้อเพลิง (fuel cell) ซึ่งใช้เชื้อเพลิงไฮโดรเจนเติมจากภายนอก โดยไม่มีการปล่อยมลพิษและก๊าซคาร์บอนไดออกไซด์จากรถยนต์โดยตรงมีเพียงการปล่อยน้ำเท่านั้น ยานยนต์ชนิดนี้ใช้มอเตอร์เป็นกำลังหลักในการขับเคลื่อน เช่นเดียวกับยานยนต์ไฟฟ้าแบตเตอรี่ แต่แหล่งที่มาของพลังงานไฟฟ้าต่างกัน เนื่องจากยานยนต์ไฟฟ้าเซลล์เชื้อเพลิงกักเก็บพลังงานอยู่ในรูปของก๊าซไฮโดรเจน และเมื่อมีความต้องการใช้ไฟฟ้า ก๊าซไฮโดรเจนจะถูกนำไปทำปฏิกิริยากับก๊าซออกซิเจนที่เซลล์เชื้อเพลิง เหตุที่ไม่ก่อมลพิษทาง

อากาศ เนื่องจากเมื่อยานยนต์ใช้พลังงานจะปล่อยน้ำออกสู่บรรยากาศ แต่ยานยนต์ไฟฟ้าเซลล์เชื้อเพลิงนี้ยังอยู่ในขั้นการวิจัย และรอการผลิตเพื่อจำหน่ายในเชิงพาณิชย์

2.6 วัฏจักรพลังงานเชื้อเพลิง (life cycle assessment)

วัฏจักรพลังงานเชื้อเพลิงแต่ละประเภทถูกใช้บนพื้นฐานแนวคิด “จากแหล่งกำเนิดสู่การขับเคลื่อน (WtW)” ซึ่งเหมาะสมกับการวิเคราะห์วัฏจักรพลังงานเชื้อเพลิง เนื่องจากสามารถพิจารณาครอบคลุมตั้งแต่จุดเริ่มต้นของการดึงทรัพยากรไปใช้เพื่อการผลิตพลังงานเชื้อเพลิงไปจนถึงจุดสิ้นสุดของพลังงานเชื้อเพลิงที่ถูกนำไปใช้เพื่อการขับเคลื่อนยานยนต์บนท้องถนน และการผลิตแบตเตอรี่ที่ใช้สำหรับยานยนต์ไฟฟ้า โดยไม่รวมถึงวัฏจักรของการผลิตยานพาหนะ และโครงสร้างพื้นฐานอื่น นอกจากนี้แนวคิด WtW สามารถระบุถึงความแตกต่างในเชิงปริมาณของผลกระทบจากผลิตภัณฑ์พลังงานขั้นสุดท้ายชนิดเดียวกัน แต่ผลิตจากวัตถุดิบที่แตกต่างกัน หรือผ่านกระบวนการผลิตพลังงานแตกต่างกัน หรือถูกนำไปใช้กับเทคโนโลยียานยนต์ที่แตกต่างกัน เช่น สามารถระบุปริมาณการปล่อยก๊าซเรือนกระจกของเชื้อเพลิงกระแสไฟฟ้าชนิดเดียวกัน แต่แหล่งผลิตพลังงานที่แตกต่างกันระหว่างแหล่งผลิตพลังงานฟอสซิล และแหล่งผลิตพลังงานหมุนเวียน [7]

Well-to-Tank ปริมาณคาร์บอนที่ปล่อยออกจากกระบวนการผลิตและการขนส่งเชื้อเพลิงเติมลงในถังน้ำมันของยานยนต์

Tank-to-Wheel ปริมาณคาร์บอนที่ปล่อยออกจากการสันดาปเชื้อเพลิงในเครื่องยนต์ในการทำให้ล้อหมุน

3. วิธีการศึกษา

ประเมินการปล่อยก๊าซเรือนกระจกในวัฏจักรชีวิตของยานยนต์ไฟฟ้าแต่ละประเภท ตามกรอบแนวคิด "จากแหล่งกำเนิดสู่การขับเคลื่อน" ซึ่งเป็นแนวทางในการวิเคราะห์ผลกระทบด้านสิ่งแวดล้อมที่ครอบคลุมตลอดห่วงโซ่พลังงานเชื้อเพลิงและไฟฟ้า กรอบแนวคิดนี้แบ่งออกเป็นสองกระบวนการหลัก ได้แก่ กระบวนการจากแหล่งกำเนิดสู่ถังเชื้อเพลิง (WtT) และกระบวนการจากถังเชื้อเพลิงสู่การขับเคลื่อน (TtW) ดังแสดงในรูปที่ 3

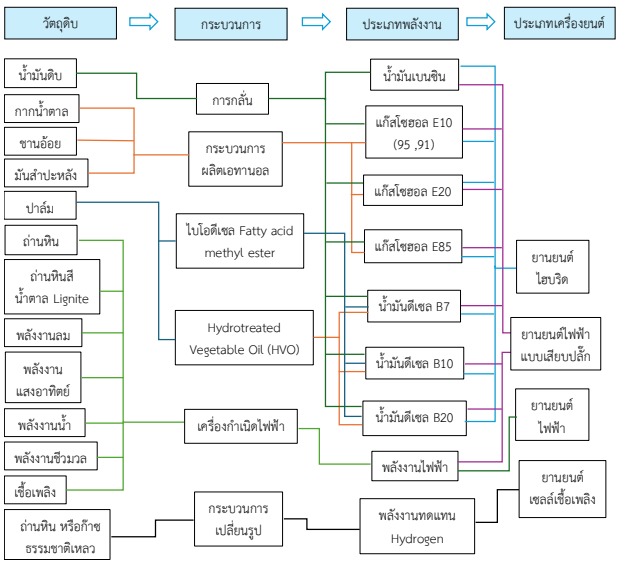

รูปที่ 3 แนวคิดจากแหล่งกำเนิดสู่การขับเคลื่อน (Well-to-Wheel)

3.1 การปล่อยมลพิษจากแหล่งกำเนิดสู่ถังเชื้อเพลิง

การปล่อยก๊าซเรือนกระจกในช่วง WtT ครอบคลุมการปลดปล่อยที่เกิดขึ้นตั้งแต่กระบวนการผลิตเชื้อเพลิงจากแหล่งกำเนิด การแปรรูป การขนส่ง และการจัดจำหน่าย จนกระทั่งเชื้อเพลิงถูกส่งไปยังถังเชื้อเพลิงของยานยนต์ไฟฟ้า การคำนวณการปล่อยก๊าซเรือนกระจกสำหรับเชื้อเพลิงแต่ละประเภท ได้แก่ เชื้อเพลิงชีวภาพ, พลังงานไฮโดรเจน และพลังงานไฟฟ้า [8] ซึ่งค่าสัมประสิทธิ์การปล่อยมลพิษที่ใช้ในการศึกษาแสดงในตารางที่ 1 โดยการผสมเชื้อเพลิงชีวภาพใช้สัดส่วนตามกรมธุรกิจพลังงาน [9]

3.2 การปล่อยมลพิษจากถังเชื้อเพลิงสู่การขับเคลื่อน

ประเมินปริมาณการปล่อยก๊าซเรือนกระจกในช่วง TtW พิจารณาการปลดปล่อย CO_2 ที่เกิดขึ้นโดยตรงจากการใช้เชื้อเพลิงในเครื่องยนต์ของยานยนต์เพื่อการขับเคลื่อนยานยนต์ไฟฟ้าไฮบริด, ยานยนต์ไฟฟ้าแบบปลั๊กอินไฮบริด รวมถึงการใช้พลังงานไฟฟ้าในการขับเคลื่อนยานยนต์ไฟฟ้าพลังงานแบตเตอรี่ [10] และยานยนต์ไฟฟ้าพลังงานเซลล์เชื้อเพลิง โดยข้อมูลอัตราการสิ้นเปลืองพลังงานและค่าสัมประสิทธิ์การปล่อยก๊าซเรือนกระจกของเชื้อเพลิงที่ใช้ในการประเมินแสดงในตารางที่ 1

3.3 ปริมาณพลังงานของเชื้อเพลิง (ค่าความร้อนสุทธิ)

พลังงานที่ปล่อยออกมาจากการเผาไหม้ โดยไม่รวมพลังงานจากการควบแน่นของไอน้ำ สามารถใช้เปรียบเทียบเชื้อเพลิงแต่ละประเภท ทั้งเชื้อเพลิงฟอสซิล เชื้อเพลิงชีวภาพ และพลังงานทางเลือกเช่นไฟฟ้า และไฮโดรเจน [11-12] ซึ่งค่าสัมประสิทธิ์การปล่อย CO_2 แสดงในตารางที่ 1

3.4 วัฏจักรชีวิตแบตเตอรี่ยานยนต์ไฟฟ้า

การวิเคราะห์ขยายขอบเขตการประเมินผลกระทบด้านสิ่งแวดล้อมโดยรวม ตามวัฏจักรชีวิตของแบตเตอรี่ยานยนต์ไฟฟ้า ซึ่งเป็นส่วนสำคัญของยานยนต์ไฟฟ้า การประเมินครอบคลุมตั้งแต่กระบวนการผลิตแบตเตอรี่ เช่นการสกัดวัตถุดิบ การผลิตเซลล์ไปจนถึงการจัดการหลังสิ้นอายุการใช้งานเช่นการรีไซเคิล หรือการกำจัด พิจารณาแหล่งที่มาของวัตถุดิบและพลังงานที่ใช้ในการผลิตแบตเตอรี่ตลอดห่วงโซ่คุณค่ามีความสำคัญอย่างยิ่ง ดังรูปที่ 4 เพื่อให้การประเมินร่องรอยคาร์บอนของยานยนต์ไฟฟ้ามีความสมบูรณ์ยิ่งขึ้น โดยข้อมูลการปล่อยก๊าซเรือนกระจกจากการผลิตและการจัดการแบตเตอรี่แสดงในตารางที่ 1 รวมปริมาณการปล่อยก๊าซ GHGs ในการผลิตแบตเตอรี่อยู่ที่ 97 $kgCO_2/kWh$ [13]

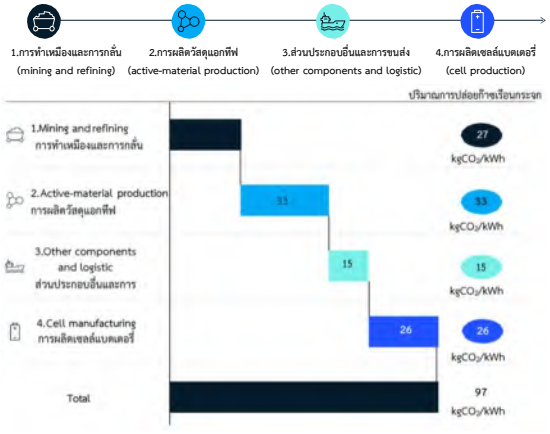

รูปที่ 4 แหล่งที่มาของวัตถุดิบและพลังงานของแบตเตอรี่

ตารางที่ 1 การปล่อยก๊าซเรือนกระจกในช่วง WtT, TtW และ battery

Energy Carriers in Tanks	heating value (MJ/L MJ/kg MJ/kWh)	WtT	TtW	Battery
		(gCO_2/MJ)	$kgCO_2$/L $kgCO_2$/kg $kgCO_2$/kWh	($kgCO_2$/kWh)
Gasoline (E0)	31.4800	13.7265	2.1583	-
Gasohol (E10)	30.4420	15.5270	1.9434	-
Gasohol E20	29.4040	17.3275	1.7285	-
Gasohol E85	22.6570	29.0308	0.3318	-
Diesel B7	36.2016	10.6689	2.4901	-
Diesel B10	36.1080	12.0529	2.4135	-
Diesel B20	35.7960	10.6689	2.1581	-
Electricity	3.6000	98.3333	-	97.0000
Hydrogen	120.0000	14.1079	-	97.0000

หมายเหตุ CO_2 หมายถึงก๊าซคาร์บอนไดออกไซด์เทียบเท่า หรือ CO_2eq

4. ผลการศึกษาและบทวิเคราะห์

4.1 การปล่อยก๊าซเรือนกระจกในช่วง WtT

การปล่อยก๊าซเรือนกระจก (GHG emissions) ในหน่วย gCO_2/MJ หมายถึงปริมาณก๊าซคาร์บอนไดออกไซด์ (CO_2) ที่ถูกปล่อยออกต่อพลังงาน 1 เมกะจูล (MJ) ของเชื้อเพลิง โดยการแปลงหน่วยเป็น $kgCO_2$/L, $kgCO_2$/kWh และ $kgCO_2$/kg จำเป็นต้องคูณค่าการปล่อยก๊าซ (gCO_2/MJ) ด้วยค่าความร้อนจำเพาะของเชื้อเพลิงในหน่วยที่เหมาะสม ดังนี้

1) คำนวณค่าการปล่อยก๊าซในหน่วย $kgCO_2$/L

$$\frac{kgCO_2}{L} = \left(\frac{gCO_2}{MJ}\right) \times \left(\frac{MJ}{L}\right) \times \frac{1}{1000} \quad (1)$$

2) คำนวณค่าการปล่อยก๊าซในหน่วย $kgCO_2$/kWh

$$\frac{kgCO_2}{kWh} = \left(\frac{gCO_2}{MJ}\right) \times \left(\frac{MJ}{kWh}\right) \times \frac{1}{1000} \quad (2)$$

3) คำนวณค่าการปล่อยก๊าซในหน่วย $kgCO_2$/kg

$$\frac{kgCO_2}{kg} = \left(\frac{gCO_2}{MJ}\right) \times \left(\frac{MJ}{kg}\right) \times \frac{1}{1000} \quad (3)$$

โดย $\left(\frac{MJ}{L}\right)$ คือค่าความร้อนจำเพาะของเชื้อเพลิงแก๊สโซฮอลและดีเซล

$\left(\frac{MJ}{kWh}\right)$ มีค่าเท่ากับ 3.6

$\left(\frac{MJ}{kg}\right)$ คือค่าความร้อนจำเพาะของพลังงานไฮโดรเจน

การปล่อยก๊าซเรือนกระจกในช่วง Well-to-Tank สำหรับการใช้เชื้อเพลิงแต่ละประเภทเทียบเป็นต่อระยะทาง การปล่อยก๊าซเรือนกระจกกับอัตราการสิ้นเปลืองพลังงานของยานยนต์เฉลี่ยต่อระยะทาง 100 กิโลเมตร ($kgCO_2$/100 km) ตามสมการที่ (4) และ สมการที่ (5) สำหรับยานยนต์ PHEV ผลลัพธ์ที่ได้แสดงในตารางที่ 2

$$\frac{kgCO_2}{100\ km} = \left(\frac{kgCO_2}{\text{หน่วยเชื้อเพลิง}}\right) \times \left(\frac{\text{หน่วยเชื้อเพลิง}}{100\ km}\right) \quad (4)$$

$$\frac{kgCO_2}{100\ km} = \left[\left(\frac{kgCO_2}{L}\right) \times \left(\frac{L}{100\ km}\right)\right] + \left[\left(\frac{kgCO_2}{kWh}\right) \times \left(\frac{kWh}{100\ km}\right)\right] \quad (5)$$

จากตารางที่ 2 พบว่า BEV มีการปล่อย CO_2 สูงสุดที่ 6.3013 $kgCO_2$/100 km ในขณะที่ HEV-B7 มีการปล่อย CO_2 ต่ำที่ 1.2728 $kgCO_2$/100km ซึ่งการใช้เชื้อเพลิงชีวภาพอย่าง E85 กระบวนการผลิตอาจสร้างผลกระทบต่อสิ่งแวดล้อมมากกว่าที่คาดการณ์ ผลการศึกษานี้แสดงให้เห็นถึงความจำเป็นถึงการพิจารณาวัฏจักรชีวิตของเชื้อเพลิงทั้งหมดให้ครอบคลุมตั้งแต่ชั้นกระบวนการผลิต เพื่อให้การพัฒนานโยบายด้านพลังงานของประเทศเป็นไปอย่างมีประสิทธิภาพครบถ้วน

ตารางที่ 2 ปริมาณการปล่อยก๊าซเรือนกระจกในช่วง WtT

พลังงานเชื้อเพลิง	GHG Emissions ($kgCO_2$/L $kgCO_2$/kWh $kgCO_2$/kg)	ประเภทเครื่องยนต์และยานยนต์	การสิ้นเปลืองเชื้อเพลิง	อัตราการสิ้นเปลืองไฟฟ้า	WtT
			L/100km, kg/100km	kWh /100km	$kgCO_2$ /100 km
Gasoline 95 (E0)	0.4321	HEV-E0	4.4844	-	1.9378
		PHEV-E0	2.0992	7.7596	3.6540
Gasohol 91,95 (E10)	0.4724	HEV-E10	4.6322	-	2.1895
		PHEV-E10	2.1684	7.7596	3.7718
Gasohol E20	0.5095	HEV-E20	4.7901	-	2.4405
		PHEV-E20	2.2423	7.7596	3.8893
Gasohol E85	0.6578	HEV-E85	6.1527	-	4.0469
		PHEV-E85	2.8801	7.7596	4.6413
Diesel B7	0.3862	HEV-B7	3.2954	-	1.2728
		PHEV-B7	1.5426	6.5398	2.9109
Diesel B10	0.4352	HEV-B10	3.2995	-	1.4359
		PHEV-B10	1.5445	6.5234	2.9815
Diesel B20	0.3819	HEV-B20	3.2903	-	1.2566
		PHEV-B20	1.5402	6.5054	2.8911
Electricity	0.354	BEV	-	15.8393	6.3013
Hydrogen	1.6959	FCEV	-	0.8813	1.4946

4.2 การปล่อยก๊าซเรือนกระจกในช่วง TtW

การปล่อยก๊าซเรือนกระจกในช่วง TtW คำนวณจากการปล่อยก๊าซตามประเภทเชื้อเพลิง คุณอัตราสิ้นเปลืองพลังงานของยานยนต์ที่ใช้เชื้อเพลิงเหล่านั้นต่อระยะทาง 100 กิโลเมตร การปล่อยก๊าซเรือนกระจกในช่วง TtW จากเชื้อเพลิงแต่ละประเภท ดังแสดงในตารางที่ 3 โดยประเมินจากค่าการเผาไหม้เชื้อเพลิงของกลุ่มยานยนต์ไฟฟ้าไฮบริด หรือการใช้พลังงานไฟฟ้าในระบบขับเคลื่อนของ EV ซึ่งสามารถใช้เป็นข้อมูลสำหรับวิเคราะห์ผลกระทบของพลังงานแต่ละประเภทต่อสิ่งแวดล้อม เพื่อการพัฒนานโยบายลดการปล่อยก๊าซเรือนกระจกในภาคขนส่งได้

ตารางที่ 3 ปริมาณการปล่อยก๊าซเรือนกระจกในช่วง TtW

พลังงานเชื้อเพลิง	GHG Emissions ($kgCO_2$/L $kgCO_2$/kWh $kgCO_2$/kg)	ประเภทเครื่องยนต์และยานยนต์	การสิ้นเปลืองเชื้อเพลิง	การสิ้นเปลืองพลังงานไฟฟ้า	TtW
			L/100km, kg/100km	kWh/100 km	$kgCO_2$/ 100 km
Gasoline 95 (E0)	2.1583	HEV-E0	4.4844	-	9.6788
		PHEV-E0	2.0992	7.7596	4.5307
Gasohol 91,95 (E10)	1.9434	HEV-E10	4.6322	-	9.0022
		PHEV-E10	2.1684	7.7596	4.2140
Gasohol E20	1.7285	HEV-E20	4.7901	-	8.2796
		PHEV-E20	2.2423	7.7596	3.8757
Gasohol E85	0.3318	HEV-E85	6.1527	-	2.0415
		PHEV-E85	2.8801	7.7596	0.9556
Diesel B7	2.4901	HEV-B7	3.2954	-	8.2059
		PHEV-B7	1.5426	6.5398	3.8412
Diesel B10	2.4135	HEV-B10	3.2995	-	7.1206
		PHEV-B10	1.5445	6.5234	3.3332
Diesel B20	2.1581	HEV-B20	3.2903	-	5.6874
		PHEV-B20	1.5402	6.5054	2.6623
Electricity	-	BEV	-	15.8393	0.0000
Hydrogen	-	FCEV	-	0.8813	0.0000

ข้อมูลเหล่านี้สามารถสร้างเป็นกราฟเพื่อแสดงแนวโน้มปริมาณการปล่อยก๊าซเรือนกระจกจากการใช้งานยานยนต์แต่ละประเภท ซึ่งช่วยให้เห็นความแตกต่างของผลกระทบต่อสิ่งแวดล้อมจากเชื้อเพลิงที่ใช้ได้อย่างชัดเจน ดังรูปที่ 5 โดยกราฟนี้เป็นเครื่องมือสำคัญในการเปรียบเทียบความเข้มข้นของการปล่อย CO_2 ตามชนิดเชื้อเพลิงและเทคโนโลยียานยนต์ที่ใช้

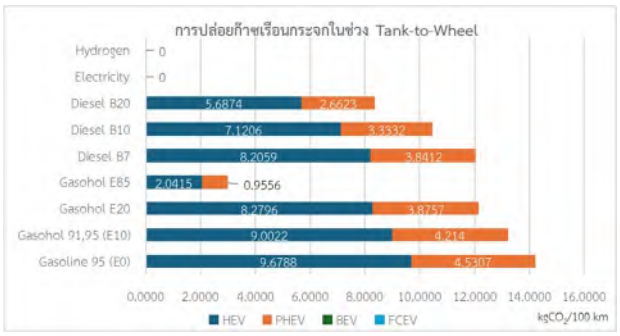

รูปที่ 5 ปริมาณการปล่อยก๊าซเรือนกระจกในช่วง TtW

พบว่า BEV และ FCEV ไม่มีการปล่อยก๊าซเรือนกระจกระหว่างการใช้งาน (TtW) ขณะที่ยานยนต์ไฟฟ้าไฮบริดที่มีเครื่องยนต์เชื้อเพลิงฟอสซิลยังปล่อย CO_2 ในระดับสูง โดยระดับการปล่อย CO_2 ขึ้นอยู่กับคุณสมบัติเชื้อเพลิง ประสิทธิภาพเครื่องยนต์ และอัตราการสิ้นเปลืองเชื้อเพลิง

4.3 ผลรวมการปล่อยก๊าซเรือนกระจกในช่วง WtW

การปล่อยก๊าซเรือนกระจกในช่วง WtW เป็นผลรวมการปล่อย CO_2 ในช่วง WtT กับช่วง TtW ซึ่งสะท้อนถึงผลกระทบตลอดวงจรชีวิต ตั้งแต่กระบวนการผลิต และขนส่งเชื้อเพลิงจนถึงการใช้งานในยานยนต์ โดยแสดงในหน่วยกิโลกรัมคาร์บอนไดออกไซด์ต่อระยะทาง 100 กิโลเมตร ($kgCO_2$/100 km) ดังแสดงในตารางที่ 4

ตารางที่ 4 ปริมาณการปล่อยก๊าซเรือนกระจกรวมในช่วง WtW

พลังงานเชื้อเพลิง	ประเภทเครื่องยนต์	WtT	TtW	WtW
		$kgCO_2$/100 km		
Gasoline 95 (E0)	HEV-E0	1.9378	9.6788	11.6165
	PHEV-E0	3.6540	4.5307	8.1847
Gasohol 91,95 (E10)	HEV-E10	2.1895	9.0022	11.1917
	PHEV-E10	3.7718	4.2140	7.9858
Gasohol E20	HEV-E20	2.4405	8.2796	10.7201
	PHEV-E20	3.8893	3.8757	7.7651
Gasohol E85	HEV-E85	4.0469	2.0415	6.0884
	PHEV-E85	4.6413	0.9556	5.5969
Diesel B7	HEV-B7	1.2728	8.2059	9.4786
	PHEV-B7	2.9109	3.8412	6.7521
Diesel B10	HEV-B10	1.4359	7.1206	8.5565
	PHEV-B10	2.9815	3.3332	6.3146
Diesel B20	HEV-B20	1.2566	5.6874	6.9439
	PHEV-B20	2.8911	2.6623	5.5534
Electricity	BEV	6.3013	-	6.3013
Hydrogen	FCEV	1.4946	-	1.4946

ผลกระทบต่อสิ่งแวดล้อมจากการใช้พลังงานในเทคโนโลยียานยนต์แต่ละประเภทที่มีการปลดปล่อย CO_2 ในแต่ละช่วง WtT และ TtW ตามความเข้มสีกราฟ แสดงดังรูปที่ 6 เพื่อใช้เปรียบเทียบจุดเด่นของเทคโนโลยี

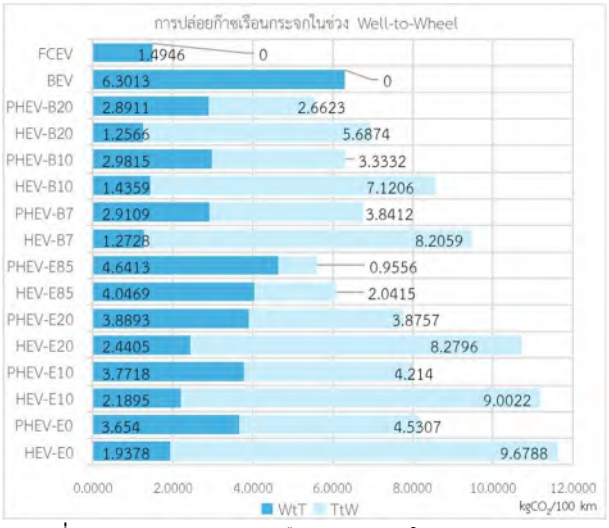

รูปที่ 6 ปริมาณการปล่อยก๊าซเรือนกระจกรวมในช่วง WtT กับ TtW

พบว่ายานยนต์ไฟฟ้าไฮบริดเชื้อเพลิงชีวภาพมีการปล่อย CO_2 ต่ำในช่วง TtW แต่ปล่อย CO_2 สูงในช่วง WtT โดยที่ยานยนต์ไฟฟ้า BEV และ FCEV ช่วง TtW มีการปล่อย CO_2 ต่ำสุด แต่ในช่วง WtT มีการปล่อย CO_2 สูง ซึ่งขึ้นอยู่กับแหล่งผลิตไฟฟ้าต้นทางที่ใช้อัดประจุแบตเตอรี่ รูปแบบการนำเสนอนี้ช่วยให้สามารถประเมินศักยภาพการลดก๊าซเรือนกระจกได้อย่างครบถ้วนตั้งแต่ต้นน้ำถึงปลายน้ำ การศึกษายังชี้ให้เห็นความแตกต่างของค่าการปล่อยก๊าซเรือนกระจก (GHG) ระหว่างเชื้อเพลิงแต่ละประเภท โดยพิจารณาทั้งช่วง WtT และ TtW จากรูปที่ 6 พบว่า BEV และ FCEV ไม่มีการปล่อย CO_2 ในช่วง TtW แต่ยังมีการปล่อย CO_2 ในช่วง WtT จากกระบวนการผลิตพลังงานไฟฟ้าต้นทาง ขณะที่การใช้เชื้อเพลิงชีวภาพ เช่น E85 และ B20 แม้จะมีค่าการปล่อย CO_2 ในช่วง WtT สูง แต่สามารถลดการปล่อย CO_2 ลงได้ในช่วง TtW ทำให้ยังมีผลรวมการปล่อย CO_2 ต่ำ ข้อมูลเหล่านี้แสดงผลกระทบต่อสิ่งแวดล้อมตลอดวงจรชีวิตของเชื้อเพลิงที่ใช้งานได้เป็นอย่างดี การศึกษายังพบว่าหากมีการผลิตไฮโดรเจนด้วยแหล่งไฟฟ้าจากพลังงานหมุนเวียนเพื่อนำไปสู่การใช้งานยานยนต์ไฟฟ้าชนิด FCEV อย่างเป็นระบบ จะช่วยลดการปล่อยก๊าซเรือนกระจกได้ดียิ่งขึ้น

5. บทสรุป

บทความนี้เสนอผลการวิเคราะห์รอยคาร์บอนและประเมินการปลดปล่อยคาร์บอนในกลุ่มยานยนต์ไฟฟ้า ประกอบด้วยยานยนต์ไฟฟ้าไฮบริด (HEV), ยานยนต์ไฟฟ้าไฮบริดปลั๊กอิน (PHEV), ยานยนต์ไฟฟ้าแบตเตอรี่ (BEV) และยานยนต์ไฟฟ้าแบบเซลล์เชื้อเพลิง (FCEV) บนพื้นฐานแนวคิด “จากแหล่งกำเนิดสู่การขับเคลื่อน (Well-to-Wheel) ผลการศึกษาชี้ชัดว่ายานยนต์ไฟฟ้าเซลล์เชื้อเพลิง (FCEV) และยานยนต์ไฟฟ้าแบตเตอรี่ (BEV) เป็นเทคโนโลยีที่มีศักยภาพสูงสุดในการลดการปล่อยก๊าซเรือนกระจกในภาคขนส่ง โดยไม่มีการปล่อย CO_2 ในช่วงการขับขี่ TtW อย่างไรก็ตามผลกระทบในช่วงการผลิตพลังงาน WtT ยังคงเป็นปัจจัยสำคัญ โดยเฉพาะการปล่อย CO_2 จากการผลิตไฟฟ้าต้นทางสำหรับใช้อัดประจุให้แบตเตอรี่ ซึ่งขึ้นอยู่กับสัดส่วนของเชื้อเพลิงฟอสซิลในระบบการผลิตพลังงานไฟฟ้าของประเทศ กรณียานยนต์ไฟฟ้าไฮบริดที่ยังมีส่วนเครื่องยนต์สันดาปภายใน (ICE) พบว่าการใช้เชื้อเพลิงชีวภาพ เช่น E85 และ B20 สามารถลดการปล่อยคาร์บอนไดออกไซด์เทียบเท่า (CO_2eq) ได้อย่างมีนัยสำคัญเมื่อเทียบกับเชื้อเพลิงพื้นฐานฟอสซิลประเภทอื่น

เอกสารอ้างอิง

[1] พิชญาพร โพธิ์สง่า และ กษิพัฒน์ ลัดดามณีโรจน์, “คาร์บอนเครดิตสู่เป้าหมาย Net Zero ของไทย”, [online]. Available: https://theactive.net/read/carbon-credit-to-net-zero/

[2] bsi, “Carbon Footprint คาร์บอนฟุตพริ้นท์”, [online]. Available: https://www.bsigroup.com/th-TH/Standards/carbon-footprint/

[3] Ditto Thailand (2023, Dec.), “Carbon Footprint คืออะไร สำคัญอย่างไรต่อองค์กร และสิ่งแวดล้อม”, [online]. Available: https:// www.dittothailand.com/dittonews/carbon-footprint/

[4] Noppadon B. (2022, Jul.), “แบตเตอรี่ลิเธี่ยมมีกี่ชนิด What are types of Lithium Battery?” [online]. Available: https://www .klcbright.com/lithium-battery-type.php

[5] Frasers Property Thailand, “ทำความรู้จักรถยนต์ไฟฟ้ามีกี่ประเภท”, [Online]. Available: https://home.frasersproperty .co.th /Blog/214/ทำความรู้จัก%20รถยนต์ไฟฟ้า%20มีกี่ประเภท. [Accessed: 29-Jan-2025].

[6] Veza I., et al., “Electric vehicle (EV) and driving towards sustainability: Comparison between EV, HEV, PHEV, and ICE vehicles to achieve net zero emissions by 2050 from EV”, Alexandria Engineering Journal, Volume 82, 2023, Pages 459-467, doi: 10.10 16/j.aej.2023.10.020.

[7] สทสย. (2560), “ฐานข้อมูล National Life Cycle Inventory”, [Online]. Available: https://nstdatiis.gdcatalog.go.th/tl/dataset/dataset-13_06

[8] สำนักงานนโยบายและแผนพลังงาน. (2563), “แผนพัฒนากำลังผลิตไฟฟ้าของประเทศไทย พ.ศ. 2561-2580” ฉบับปรับปรุงครั้งที่ 1, กรุงเทพฯ.

[9] กรมธุรกิจพลังงาน (2024, มกราคม), “มาตรฐานน้ำมันเชื้อเพลิง”, [Online]. Available: http://elaw.doeb.go.th/document_doeb/424_0001.pdf

[10] สำนักงานนโยบายและแผนพลังงาน (สนพ.) กระทรวงพลังงาน (2567), “รายงานสถิติพลังงานของประเทศไทย 2567”, [Online]. Available: https://drive.google.com/file/d/1qvBxv1_9axCuR2mXoPyAOq-qRCGILen/view

[11] สำนักงานนโยบายและแผนการขนส่งและจราจร (2559, พ.ย.), “โครงการพัฒนาเมืองนำร่องตามแผนการขนส่งยั่งยืนและเพิ่มประสิทธิภาพการใช้พลังงานเมืองหนองคาย กระทรวงคมนาคม”, [Online]. Available:https://www.otp.go.th/uploads/tiny_uploads/ProjectOTP/2559/Project03/MRVReport.pdf

[12] M. Linder, T. Nauclér, S. Nekovar, A. Pfeiffer, and N. Vekić, "The race to decarbonize electric-vehicle batteries", McKinsey & Company, Feb. 2023.

[13] Subramanian, G., and Balasubramanian, R., "A Study on Feasibility of Carbon Credit System for Road Vehicles", SAE Technical Paper 2022-28-0011, 2022, https://doi.org/10.4271/2022-28-0011.

ประวัติผู้เขียนบทความ

ผศ.ดร.ไชยพร หล่อทองคำ สำเร็จการศึกษาปริญญาเอก Dr.-Ing. (Doktor-Ingenieur) สาขาวิศวกรรมไฟฟ้าแรงสูงจาก ScheringInstitut Fachgebiet, Hochspannungs-technik, Der Fakultät für Elektrotechnik und Informatik, Der Gottfried Wilhelm Leibniz Universität Hannover, Germany สนใจงานวิจัยด้านวิศวกรรมไฟฟ้าแรงสูง, ระบบ LPS & SPD, การทดสอบทางไฟฟ้า และการป้องกันระบบไฟฟ้า

นายชัยนพัทธ์ ชละธาร

สำเร็จการศึกษาปริญญาตรี วศ.บ. วิศวกรรมไฟฟ้ากำลัง ม.ขอนแก่น และ วศ.ม. วิศวกรรมไฟฟ้ากำลัง ม.เทคโนโลยีมหานคร

ปัจจุบันทำงานตำแหน่งวิศวกรไฟฟ้า กองจัดหา 3 ฝ่ายจัดหา การไฟฟ้านครหลวง งานวิจัยที่สนใจ: พลังงานหมุนเวียน

การจำลองระบบปรับแรงดันไฟฟ้าอัตโนมัติด้วยตัวควบคุมพีไอดี กรณีศึกษา: โรงไฟฟ้า ท็อป เอสพีพี

Simulation of Automatic Voltage Regulator Using PID Controller A Case Study: TOP SPP Power Plant

คชาพงษ์ สละสนธิ[1] วิชชากร เฮงศรีธวัช[2]* และ รุจิพรรณ สัมปันณา[3]

[1,2]สาขาวิชาวิศวกรรมไฟฟ้า คณะวิศวกรรมศาสตร์ มหาวิทยาลัยศรีปทุม kachapong.sal@spumail.net vichchakorn.he@spu.ac.th*
[3]ภาควิชาวิศวกรรมไฟฟ้าและอิเล็กทรอนิกส์ คณะวิศวกรรมศาสตร์ มหาวิทยาลัยกรุงเทพ rujipan.s@bu.ac.th

บทคัดย่อ

บทความนี้นำเสนอผลจำลองการควบคุมแรงดันไฟฟ้าด้วยตัวควบคุมพีไอดี สำหรับใช้เป็นแนวทางการปรับแต่งค่าพารามิเตอร์สุดท้ายที่เหมาะสมของเครื่องปรับแรงดันไฟฟ้าอัตโนมัติรุ่น UNITROL 1000 ตามแบบจำลอง IEEE 421.5-AC11C ซึ่งทำงานร่วมกับเครื่องกำเนิดไฟฟ้ากังหันไอน้ำพิกัด 16.0 MVA, 11 kV, 840 A, 50 Hz, 0.8 P.F. ของโรงไฟฟ้าท็อป เอสพีพี ผลประมวลจากแบบจำลองอย่างง่ายตามวิธีการของซีเกอร์-นิโคลส์ และวิธีการของเชน-ฮรอน-เรสวิก (CHR) ด้วย MATLAB/Simulink แสดงให้เห็นถึงการปรับแต่งค่าพารามิเตอร์ตามแนวทางของ CHR มีความเหมาะสมและสามารถนำไปใช้งานจริงได้ดีกว่า ในด้านผลตอบสนองเชิงพลวัตที่ต้องการทางเวลา โดยข้อกำหนดของโรงไฟฟ้าที่ต้องการให้มีค่าพุ่งสูงเกินต่ำกว่า 5% รวมถึงมีช่วงเวลาไต่ขึ้นภายในเวลา 0.4-0.6 วินาที ช่วงเวลาอยู่ตัวภายในเวลา 1-3 วินาที และมีอัตราการแกว่งไม่เกิน 10% ซึ่งสอดคล้องกับผลการปรับค่า Kp = 59.0, Ki = 13.85 และ Kd = 18.88

คำสำคัญ: การควบคุมแรงดันไฟฟ้าอัตโนมัติ ตัวควบคุมพีไอดี

Abstract

This article presents the simulation results of voltage regulation using a PID controller. The findings serve as a guideline for fine-tuning the final optimal parameters of the UNITROL 1000 Automatic Voltage Regulator (AVR). The system operates in conjunction with a 16 MVA, 11 kV, 840 A, 50 Hz, 0.8 P.F. steam turbine generator at Top SPP Power Plant, modeled according to IEEE 421.5-AC11C. Simulations performed using MATLAB/Simulink employing simplified models based on the Ziegler-Nichols and Chien-Hrones-Reswick (CHR) methods, demonstrate that parameter tuning following the CHR approach is more suitable and practical for real-world application. This is particularly evident in achieving the desired dynamic response characteristics in terms of time. The power plant's requirements specify an overshoot of less than 5%, a rise time within 0.4-0.6 seconds, a settling time within 1-3 seconds, and an oscillation rate not exceeding 10%. These requirements are met with the tuned gain values of Kp = 59.0, Ki = 13.85 and Kd = 18.88.

Keywords: Automatic Voltage Regulator, PID Controllers

1. บทนำ

โรงไฟฟ้า ท็อป เอสพีพี เป็นส่วนหนึ่งในธุรกิจผู้ผลิตไฟฟ้าขนาดเล็กของบริษัทไทยออยล์ จำกัด (มหาชน) ซึ่งเป็นโรงไฟฟ้าพลังความร้อนร่วมแบบโคเจนเนอเรชั่น (Combined-Cycle Co-Generation Power Plant) โดยใช้ก๊าซธรรมชาติเป็นเชื้อเพลิง มีกำลังการผลิตไฟฟ้ารวม 354 MW และไอน้ำ 757 ตันต่อชั่วโมง จากสองโครงการหลักซึ่งมีสัญญาซื้อขายไฟฟ้าประเภท Firm กับ กฟผ. เป็นระยะเวลา 25 ปี ด้วยขนาดกำลังการผลิตโครงการละ 90 MW (รวม 180 MW) ตามรูปที่ 1

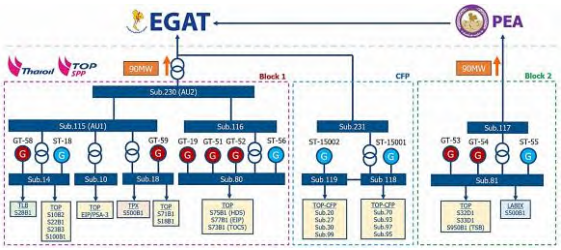

รูปที่ 1 โครงสร้างการขายไฟฟ้าของโรงไฟฟ้า TOP SPP

ในช่วงเดือน มี.ค.-เม.ย. พ.ศ. 2568 โรงไฟฟ้ามีแผนบำรุงรักษาเปลี่ยนเครื่องปรับแรงดันไฟฟ้าอัตโนมัติที่ทำงานร่วมกับเครื่องกำเนิดไฟฟ้ากังหันไอน้ำตัวหนึ่งของโครงการที่ 1 ซึ่งผู้เขียนมีโอกาสได้เข้าร่วมศึกษาการติดตั้งระบบ การทดสอบ รวมถึงการปรับค่าพารามิเตอร์ต่างๆ เพื่อให้ระบบสามารถทำงานได้ตามข้อกำหนดโดยใช้ตัวควบคุม PID ที่ยังคงได้รับความนิยมในการใช้งานอย่างแพร่หลาย นัยสำคัญของการใช้ตัวควบคุมแบบนี้คือการหาค่าพารามิเตอร์ที่เหมาะสมในการควบคุมโดยเฉพาะกับระบบที่มีอันดับสูง [1] ซึ่งในช่วงหลายปีที่ผ่านมามีผู้นำเสนอเทคนิคหลายวิธีในการหาค่าที่เหมาะสมที่สุดสำหรับการปรับพารามิเตอร์ของตัวควบคุม [2-5]

วัตถุประสงค์หลักของการออกแบบตัวควบคุม คือการทำให้ระบบสามารถทำงานได้ตามข้อกำหนดอย่างมีเสถียรภาพ บทความนี้จึงนำเสนอการจำลองระบบควบคุมแรงดันไฟฟ้าอัตโนมัติ จากแบบจำลองอย่างง่ายโดยใช้ข้อมูลการทำงานจริงของโรงไฟฟ้า ตามวิธีการของซีเกอร์-นิโคลส์และเชน-ฮรอน-เรสวิก เพื่อใช้ผลตอบเป็นแนวทางและเปรียบเทียบการปรับค่าพารามิเตอร์สุดท้ายที่เหมาะสมของตัวควบคุมจากผู้เชี่ยวชาญ โดยคำนึงถึงข้อกำหนดของผลตอบสนองเชิงพลวัตที่ต้องการเป็นสำคัญ

2. แบบจำลองของระบบ

2.1 โครงสร้างระบบปรับแรงดันไฟฟ้าอัตโนมัติ

โดยทั่วไปเครื่องควบคุมแรงดันไฟฟ้าอัตโนมัติ (AVR) จะทำงานเมื่อเกิดความคลาดเคลื่อนของแรงดันไฟฟ้าระหว่างค่าแรงดันที่ปลายทางกับแรงดันอ้างอิง ซึ่งมักเกิดจากความรบกวนใดๆ จากการทำงานในระบบเครือข่ายไฟฟ้า ตัวควบคุมการปรับแรงดันจะถูกสั่งให้ทำงานในระดับที่เหมาะสมเพื่อสร้างแรงดันขาออกที่สูงขึ้น โดยลดการสูญเสียแรงดันจากขาเข้าให้น้อยลง ซึ่งหากแรงดันขาออกสูงเกินไปตัวควบคุมจะถูกสั่งให้ลดแรงดันลงตามลำดับ แผนภาพของระบบ AVR แสดงไว้ในรูปที่ 2 โดยจะ

*ผู้ประพันธ์บรรณกิจ

ตรวจจับขนาดของแรงดันไฟฟ้าขาออกผ่านหม้อแปลง และนำไปเปรียบเทียบกับสัญญาณค่าที่ตั้งไว้ (Reference) ซึ่งสัญญาณความผิดพลาดจากภาคขยาย (Amplifier) จะควบคุมสนามแม่เหล็กของส่วนกระตุ้น (Exciter) ให้เพิ่มขึ้น ส่งผลให้กระแสสนามแม่เหล็กและแรงดันไฟฟ้าที่ขั้วของเครื่องกำเนิดไฟฟ้าสูงขึ้นตามไปด้วย

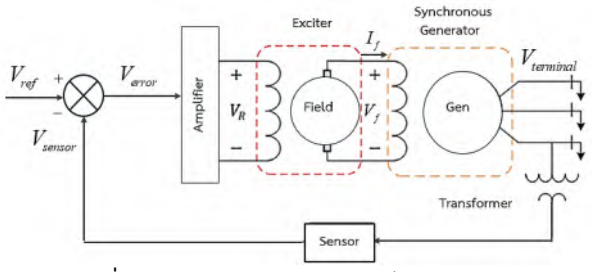

รูปที่ 2 โครงสร้างระบบควบคุมแรงดันไฟฟ้าอัตโนมัติ

2.2 แบบจำลองระบบปรับแรงดันไฟฟ้าอัตโนมัติ

ตามแผนบำรุงรักษาของโรงไฟฟ้า กำหนดให้เปลี่ยนเครื่องปรับแรงดันไฟฟ้าอัตโนมัติเป็นรุ่น UNITROL 1000 ของผู้ผลิต ABB ซึ่งมีการออกแบบตามมาตรฐาน IEEE 421.5-AC11C อย่างไรก็ตาม ผู้เขียนได้สร้างแบบจำลองอย่างง่ายของระบบ AVR ที่มีการใช้ตัวควบคุมแบบ PID โดยใช้ค่าพารามิเตอร์ที่สอดคล้องกับสถานภาพการทำงานจริงของระบบซึ่งได้มาจากการทดสอบ ดังแสดงความสัมพันธ์ฟังก์ชันถ่ายโอนของส่วนทำงานต่างๆ ในรูปที่ 3 รวมถึงแสดงความหมายและค่าที่ใช้ในการทดสอบระบบด้วย MATLAB/Simulink ดังตารางที่ 1

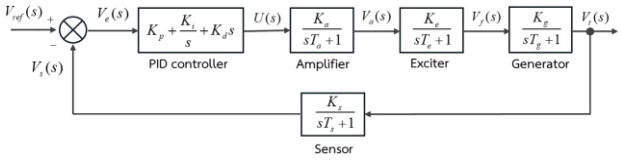

รูปที่ 3 แบบจำลองอย่างง่ายของระบบควบคุมแรงดันไฟฟ้าอัตโนมัติ

ตารางที่ 1 ความหมายและค่าพารามิเตอร์ของแบบจำลอง

พารามิเตอร์	ความหมาย	ค่าที่ใช้ในการทดสอบระบบ
V_{ref}	แรงดันอ้างอิง	1.0 pu
V_s, V_e	แรงดันป้อนกลับและค่าแรงดันผิดพลาด	-
U, V_a	แรงดันขาออกตัวควบคุม PID และภาคขยาย	-
V_f, V_t	แรงดันขาออกส่วนกระตุ้นและเครื่องกำเนิดไฟฟ้า	-
K_a, T_a	อัตราขยายและค่าคงที่ทางเวลาของภาคขยาย	1.0, 0.0 s
K_e, T_e	อัตราขยายและค่าคงที่ทางเวลาของส่วนกระตุ้น	1.0, 0.43 s
K_g, T_g	อัตราขยายและค่าคงที่ทางเวลาของเครื่องกำเนิดไฟฟ้า	1.0, 11.167 s
K_s, T_s	อัตราขยายและค่าคงที่ทางเวลาของเซนเซอร์	1.0, 0.02 s

ในทางปฏิบัติค่าอัตราขยายของตัวควบคุม PID (K_p,K_i,K_d) จะถูกปรับเพื่อให้ผลตอบสนองการทำงานของระบบเป็นไปตามข้อกำหนดอย่างเหมาะสมโดยผู้เชี่ยวชาญ ซึ่งในทางทฤษฎีอาจใช้วิธีการหาค่าอัตราขยายได้ตามแนวทางของ ซีเกอร์-นิโคลส์ และ เชน-ฮรอน-เรสวิก เพื่อสังเกตผลตอบสนองและใช้เป็นแนวทางในการปรับค่าพารามิเตอร์ที่เหมาะสมต่อไป อย่างไรก็ตาม วิธีการทั้งสองนี้อาจมีข้อดี-ข้อเสีย หรือข้อจำกัดที่แตกต่างกันไปขึ้นกับคุณลักษณะของระบบ

3. การหาค่าอัตราขยายของตัวควบคุม PID

3.1 วิธีการของซีเกอร์-นิโคลส์

ตามแนวทางของวิธีการนี้จะลดรูปแบบจำลองของระบบควบคุมแรงดันไฟฟ้าอัตโนมัติ ให้เป็นระบบควบคุมป้อนกลับแบบหนึ่งหน่วย หลังจากนั้นให้ทดสอบระบบด้วยสัญญาณอ้างอิงแบบขั้นบันได สังเกตผลตอบสนองที่ได้จากการปรับอัตราขยายของตัวควบคุม (Ku=600) จนกระทั่งระบบมีผลตอบสนองแบบไม่มีการหน่วง (Undamped response) เพื่อหาคาบเวลา (Tu=0.6) ดังแสดงในรูปที่ 4-5 และแสดงผลค่าอัตราขยายของตัวควบคุม PID โดยแบ่งเป็น 3 กรณี ได้ดังตารางที่ 2

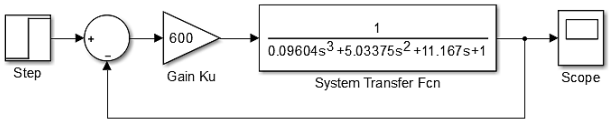

รูปที่ 4 แบบจำลองตามวิธีการของซีเกอร์-นิโคลส์

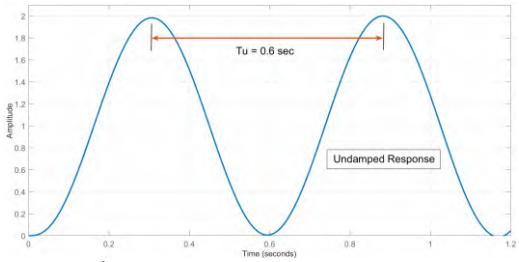

รูปที่ 5 ผลจำลองตามวิธีการของซีเกอร์-นิโคลส์

ตารางที่ 2 ค่าอัตราขยายตัวควบคุม PID ตามวิธีซีเกอร์-นิโคลส์

คุณลักษณะการควบคุม	K_p	K_i	K_d
Classic PID	**360** (0.6Ku)	**1200** (1.2Ku/Tu)	**27** (0.075KuTu)
Some Overshoot	**198** (0.33Ku)	**660** (0.66Ku/Tu)	**39.6** (0.11KuTu)
No Overshoot	**120** (0.2Ku)	**400** (0.4Ku/Tu)	**23.76** (0.066KuTu)

3.2 วิธีการของเชน-ฮรอน-เรสวิก (CHR)

ตามแนวทางของวิธีการนี้จะปรับแบบจำลองของระบบควบคุมแรงดันไฟฟ้าอัตโนมัติให้เป็นระบบควบคุมแบบวงรอบเปิด และทดสอบระบบด้วยสัญญาณแบบขั้นบันได สังเกตค่าผลตอบสนองที่ได้ในสภาวะคงตัว (K_c=1.0) และช่วงเวลาที่ได้จากการลากเส้นตรงสัมผัส ณ จุดที่มีความชันสูงสุดของผลตอบสนอง (T_h=1.47s,T_c=11.61s) ดังแสดงในรูปที่ 6-7 ซึ่งสามารถคำนวณค่าอัตราขยายของตัวควบคุม PID ได้โดยแบ่งเป็น 2 กรณี ดังแสดงในตารางที่ 3

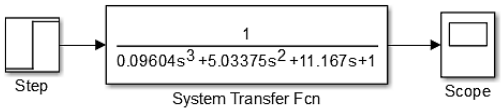

รูปที่ 6 แบบจำลองตามวิธีการของเชน-ฮรอน-เรสวิก

ตารางที่ 3 ค่าอัตราขยายตัวควบคุม PID ตามวิธีเชน-ฮรอน-เรสวิก

คุณลักษณะการควบคุม	K_p	K_i	K_d
20% Overshoot	**7.5** ($0.95T_c/K_cT_h$)	**3.76** ($K_p/(1.357T_h)$)	**5.21** ($0.473K_pT_h$)
Least Overshoot	**4.74** ($0.6T_c/K_cT_h$)	**0.41** (K_p/T_c)	**3.49** ($0.5K_pT_h$)

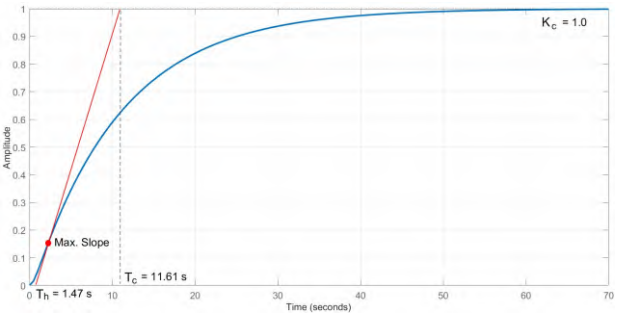

รูปที่ 7 ผลจำลองตามวิธีการของเชน-ฮรอน-เรสวิก

4. ผลจำลองและการอภิปราย

ผลตอบสนองการทำงานของระบบ AVR ในรูปที่ 8 โดยใช้ค่าอัตราขยายตัวควบคุม PID ตามวิธีการซีเกอร์-นิโคลส์ จากตารางที่ 2 แสดงการเปรียบเทียบคุณลักษณะทางเวลาไว้ในรูปที่ 9 และตารางที่ 4

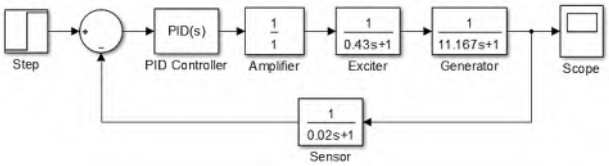

รูปที่ 8 แบบจำลองการทดสอบระบบ AVR

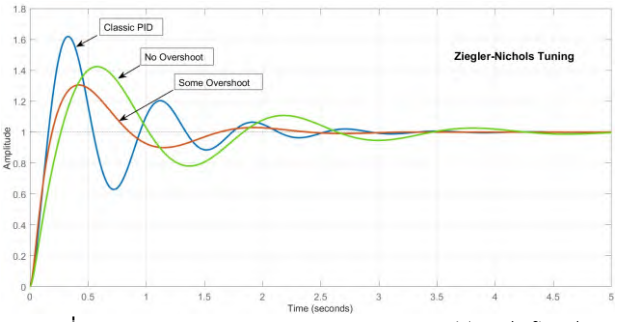

รูปที่ 9 ผลตอบสนองการทำงานระบบ AVR ตามวิธีซีเกอร์-นิโคลส์

ตารางที่ 4 คุณลักษณะผลตอบสนองทางเวลาตามวิธีซีเกอร์-นิโคลส์

Parameters	Classic PID	Some Overshoot	No Overshoot
Rise Time (s)	0.1133	0.1363	0.1966
Transient Time (s)	2.7318	2.1363	3.9923
Settling Time (s)	2.7318	2.1363	3.9923
Settling Min	0.6289	0.9001	0.7808
Settling Max	1.6192	1.3051	1.4242
Overshoot (%)	61.9175	30.5144	42.4237
Peak	1.6192	1.3051	1.4242
Peak Time (s)	0.3279	0.4221	0.5781

ผลทดสอบที่ได้ทั้ง 3 กรณี พบว่าในกรณีการปรับแบบค่าเกนปกติ (Classic PID) ทำให้ผลลัพธ์มีการตอบสนองเร็วที่สุดในช่วงเริ่มต้น โดยมีอัตราเร่งเข้าสู่ค่าคงที่สูง แต่แลกกับการเกิดคาพุ่งเกินที่มากที่สุดในทั้งสามกรณี กราฟแสดงให้เห็นการพุ่งขึ้นสูงกว่าค่าคงที่ค่อนข้างมาก และเกิดการแกว่งตัวหลายรอบก่อนจะเข้าสู่เสถียรภาพ ในขณะที่การปรับแบบค่าพุ่งเกินเล็กน้อย (Some Overshoot) จะให้ผลการตอบสนองที่ค่อนข้างดีกว่า โดยค่าพุ่งเกินที่เกิดขึ้นอยู่ในระดับปานกลางและลดลงอย่างรวดเร็ว ระบบมีความสามารถในการเข้าสู่ค่าคงที่ได้ภายในเวลาใกล้เคียงกับแบบการหาค่าเกนปกติ แต่มีการสั่นน้อยกว่าอย่างชัดเจน สำหรับการปรับแบบค่าพุ่งเกินต่ำสุด (No Overshoot) ตามทฤษฎีควรให้ผลตอบสนองที่ไม่มีการพุ่งเกินเลย แต่จากการจำลองกลับพบว่าค่าพุ่งเกินยังคงมีอยู่ และมากกว่าวิธีค่าพุ่งเกินเล็กน้อยด้วยซ้ำ ซึ่งอาจอธิบายได้ว่าระบบ AVR ที่มีฟังก์ชันถ่ายโอนแบบลำดับสูงและค่าคงที่ของตัวระบบที่มีความแตกต่างกันอย่างมาก จึงอาจส่งผลให้ระบบมีความไวต่อการเปลี่ยนแปลงของสัญญาณป้อนเข้าในช่วงแรกของการตอบสนอง จึงทำให้เกิดค่าพุ่งเกินสูงขึ้นกว่าวิธีอื่นๆ

ในทางตรงข้าม การทำงานของระบบ AVR ที่ใช้ค่าอัตราขยายตัวควบคุม PID ตามวิธีการของเชน-ฮรอน-เรสวิก จากตารางที่ 3 พบว่าจะให้ผลตอบสนองที่มีความสอดคล้องดีกว่า ดังแสดงในรูปที่ 10 และตารางที่ 5

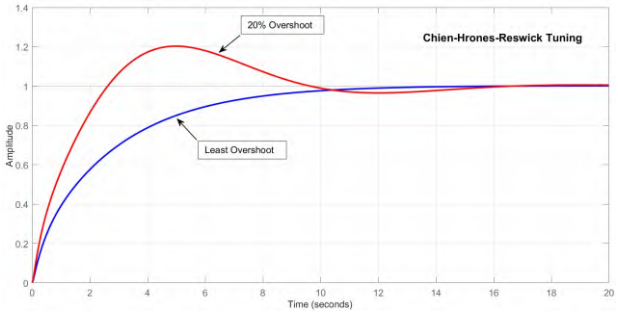

รูปที่ 10 ผลตอบสนองการทำงานระบบ AVR ตามวิธีเชน-ฮรอน-เรสวิก

ตารางที่ 5 คุณลักษณะผลตอบสนองทางเวลาตามวิธีเชน-ฮรอน-เรสวิก

Parameters	Least Overshoot	20% Overshoot
Rise Time (s)	5.9481	2.0249
Transient Time (s)	10.3894	14.2534
Settling Time (s)	10.3894	14.2534
Settling Min	0.9011	0.9004
Settling Max	1.0013	1.2031
Overshoot (%)	0.1264	20.3057
Peak	1.0013	1.2031
Peak Time (s)	19.4717	4.9892

จากรูปที่ 10 แสดงให้เห็นว่ากรณีค่าพุ่งเกินน้อยที่สุด (Least Overshoot) ระบบมีผลตอบสนองในลักษณะที่มีค่าพุ่งเกินต่ำหรือแทบไม่มีเลย โดยกราฟแสดงการไต่ระดับขึ้นอย่างค่อยเป็นค่อยไปและมีค่าพุ่งเกินเพียงเล็กน้อยในช่วงแรก แต่วิธีการนี้ไม่สามารถนำมาใช้ในระบบจริงได้ เพราะระบบควรมีค่าพุ่งเกินบ้างเพื่อความสามารถในการปรับตัวต่อโหลดที่เปลี่ยนแปลง ที่สำคัญระบบที่ไม่มีค่าพุ่งเกินมักจะมีค่าเกนที่ต่ำกว่า จึงส่งผลให้ตอบสนองต่อโหลดที่เปลี่ยนแปลงหรือสัญญาณรบกวนได้ไม่ดีเท่าไร อย่างไรก็ตาม จากระบบที่ไม่มีค่าพุ่งเกินเลยอาจจะดูดีในเชิงทฤษฎี แต่ในทางปฏิบัติ ระบบอาจมีการตอบสนองช้าเกินไป ไม่ทันต่อการเปลี่ยนแปลงของโหลด และไม่เหมาะสมต่อระบบที่ต้องการการควบคุมแรงดันอย่างรวดเร็ว เช่นระบบ AVR ของเครื่องกำเนิดไฟฟ้าซิงโครนัส ดังนั้น การปรับพารามิเตอร์ตัวควบคุมที่ให้ค่าพุ่งเกินอยู่ในขอบเขตที่ยอมรับได้ เช่น 10–20% จึงเป็นทางเลือกที่เหมาะสมกว่าในงานจริง และสามารถรองรับความเปลี่ยนแปลงของสภาวะโหลดได้ดีกว่า

อย่างไรก็ตาม การปรับค่าพารามิเตอร์ตัวควบคุม PID ที่เหมาะสมจะต้องอ้างอิงข้อกำหนดคุณลักษณะผลตอบสนองที่ต้องการของโรงไฟฟ้าท็อป เอสพีพี ตามตารางที่ 6 ซึ่งผลการปรับค่าพารามิเตอร์จริงของโรงไฟฟ้าโดยเปรียบเทียบกับวิธีการ CHR แบบ 20% Overshoot แสดงไว้ในตารางที่ 7 รวมถึงมีผลตอบสนองแสดงดังรูปที่ 11 และผลเปรียบเทียบคุณลักษณะทางเวลาดังตารางที่ 8

ตารางที่ 6 ข้อกำหนดคุณลักษณะผลตอบสนองของโรงไฟฟ้า

Parameters	Requirement
Rise Time	0.4 - 0.6 (s)
Settling Time	1 - 3 (s)
Overshoot	< 5.0 (%)
Oscillation	< 10 (%)

ตารางที่ 7 เปรียบเทียบค่าพารามิเตอร์ PID ตามวิธี CHR และโรงไฟฟ้า

Parameters (PID)	CHR 20% overshoot	TOP SPP Plant
K_p	7.5	59.0
K_i	3.76	13.85
K_d	5.21	18.88

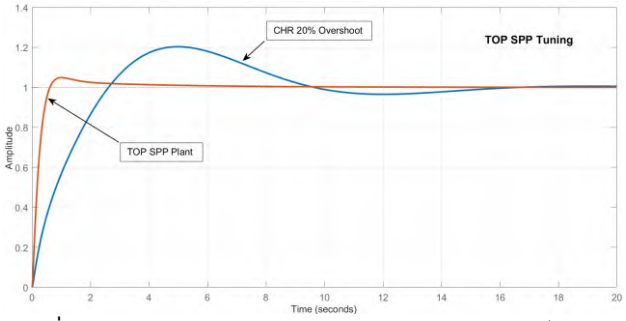

รูปที่ 11 ผลตอบสนองการทำงานระบบ AVR ตามข้อกำหนดโรงไฟฟ้า

ตารางที่ 8 เปรียบเทียบผลตอบสนองของวิธี CHR (20%) และโรงไฟฟ้า

Parameters	CHR 20% Overshoot	TOP SPP Plant
Rise Time (s)	**2.0249**	**0.3915**
Transient Time (s)	14.2534	2.5272
Settling Time (s)	**14.2534**	**2.5272**
Settling Min	0.9004	0.9104
Settling Max	1.2031	1.0487
Overshoot (%)	**20.3057**	**4.8651**
Peak	1.2031	1.0487
Peak Time (s)	4.9892	1.0112

ผลตอบสนองจากการปรับค่าอัตราขยายตัวควบคุม PID ของโรงไฟฟ้าตามรูปที่ 11 พบว่าระบบมีลักษณะการตอบสนองที่ดี มีค่าพุ่งเกินเล็กน้อยและสามารถเข้าสู่สภาวะคงตัวได้รวดเร็ว ระบบมีเสถียรภาพสูง ซึ่งจากตารางที่ 8 จะเห็นว่าระบบมีเวลาตอบสนองที่ไวในช่วงประมาณ 4 วินาที รวมถึงมีค่าพุ่งเกินต่ำกว่า 5% และมีค่าคงตัวสุดท้ายค่อนข้างรวดเร็วภายในเวลาไม่เกิน 3 วินาที ตามข้อกำหนด

ในขณะที่หากเปรียบเทียบกับค่าอัตราขยายตัวควบคุม PID ของวิธี CHR แบบค่าพุ่งเกิน 20% เห็นได้ชัดเจนว่าระบบ AVR ไม่สามารถให้ผลตอบสนองตามข้อกำหนดและนำไปใช้งานจริงได้ เนื่องจากอาจทำให้ระบบเสียเสถียรภาพหรืออาจส่งผลกระทบต่ออุปกรณ์ที่เกี่ยวข้อง แต่อย่างไรก็ตาม วิธีการของเชน-ฮรอน-เรสวิก อาจใช้เป็นแนวทางเริ่มต้นในการปรับหาค่าอัตราขยายตัวควบคุม PID ได้ โดยมีความเหมาะสมกว่าวิธีการของซีเกอร์-นิโคลส์ สำหรับกรณีศึกษานี้

5. สรุป

การจำลองระบบควบคุมแรงดันไฟฟ้าอัตโนมัติของโรงไฟฟ้าท็อป เอสพีพี ตามวิธีการของซีเกอร์-นิโคลส์ และเชน-ฮรอน-เรสวิก มีวัตถุประสงค์เพื่อหาแนวทางที่เหมาะสมและเป็นไปได้ สำหรับใช้หาค่าพารามิเตอร์ของตัวควบคุม PID โดยเปรียบเทียบผลตอบสนองเชิงพลวัตที่ได้กับวิธีการปรับค่าพารามิเตอร์จากข้อมูลจริงของโรงไฟฟ้าซึ่งต้องคำนึงถึงข้อกำหนด การศึกษาจะใช้แบบจำลองของระบบ AVR ที่ผ่านการทำให้อยู่ในรูปอย่างง่าย โดยพบว่าวิธีการตามแนวทางของ ซีเกอร์-นิโคลส์ แม้ว่าจะให้ผลการตอบสนองที่รวดเร็ว แต่กลับมีค่าพุ่งเกินและการแกว่งตัวของสัญญาณที่สูงเกินไป ซึ่งไม่เหมาะสมต่อการนำไปใช้งานในระบบจริง ในขณะที่วิธีการของเชน-ฮรอน-เรสวิก มีจุดเด่นในด้านการควบคุมค่าพุ่งเกินให้อยู่ในระดับที่เหมาะสมต่างจากวิธีของ ซีเกอร์-นิโคลส์ โดยเฉพาะในกรณีที่เลือกใช้ค่าพุ่งเกิน 20% ซึ่งให้ผลตอบสนองที่รวดเร็วและมีเสถียรภาพสูงกว่า

ดังนั้น หากเปรียบเทียบผลตอบสนองและการปรับค่าพารามิเตอร์ตัวควบคุม PID ของโรงไฟฟ้า สามารถกล่าวได้ว่าวิธีการของเชน-ฮรอน-เรสวิก มีความเหมาะสมมากกว่า และอาจนำมาใช้เป็นแนวทางสำหรับการหาค่าพารามิเตอร์ตัวควบคุมเบื้องต้น ซึ่งในทางปฏิบัติจำเป็นต้องมีการทดสอบระบบและมีการปรับหาค่าพารามิเตอร์ใหม่ เพื่อให้ได้ให้ผลตอบสนองที่ดี มีเสถียรภาพสูง และสามารถตอบสนองต่อสภาวะการใช้งานจริงได้ ซึ่งจะทำให้ระบบมีการควบคุมระดับแรงดันไฟฟ้าได้อย่างมีประสิทธิภาพ

6. กิตติกรรมประกาศ

ผู้เขียนขอขอบคุณโรงไฟฟ้า ท็อป เอสพีพี บริษัทไทยออยล์ จำกัด (มหาชน) ที่ให้โอกาสได้เข้าร่วมศึกษาการติดตั้งและทดสอบระบบควบคุมแรงดันอัตโนมัติของโรงไฟฟ้า รวมถึงความอนุเคราะห์ให้ข้อมูลทางเทคนิคที่สำคัญของระบบเพื่อใช้สร้างแบบจำลองและประมวลผล

เอกสารอ้างอิง

[1] Izci D, Ekinci S, Hussien AG, “Effective PID controller design using a novel hybrid algorithm for high order systems,” *PLoS ONE*., vol. 18(5), pp. 1–21, 2023.

[2] รพีพงศ์ รัตนวรหิรัญกุล จิตสราญ สีกู่กา ศราวุฒิ สุพรรณราช และเพิ่มพล กุดจอมศรี, “การออกแบบตัวควบคุมพีไอดีที่เหมาะสมที่สุดสำหรับระบบเครื่องปรับแรงดันไฟฟ้าอัตโนมัติ,” *JIST*., ปี 4, ฉบับที่ 1, น. 21–26, 2013.

[3] Atuchukwu, A. J, UJU, I. U, Awgu, Ifeanyi Maduabuchi, “Performance Enhancement of Automatic Voltage Regulator (AVR) For Stability in Power Generation,” *IRE Journal*., vol. 5(6), pp. 207–213, 2021.

[4] Modu M. Ibrahim, Jibril D. Jiya, Idakwo O. Harrison, “Modelling and Simulation of Automatic Voltage Regulator System,” *International Journal of Computer Applications*., vol. 178(1), pp. 24–28, 2017.

[5] Abdulkerim Ali, Getachew Biru, “Study, Design and Control of AGC and AVR for Multi Area Interconnected hydroelectric Power system,” *GSI.*, vol. 9(10), pp. 1033–1038, 2021.

การออกแบบและพัฒนากล่องจำลองสวิตช์ตัดโหลดก๊าซ SF6

Design and Development of a Simulation Box for SF6 Gas Load Break Switch

ศรัณภัทร นาควิโรจน์[1] เอกชัย ดีศิริ[2*] ชวลิต มณีศรี[3]

[1]สาขาวิชาวิศวกรรมไฟฟ้า คณะวิศวกรรมศาสตร์ มหาวิทยาลัยศรีปทุม saranphut09@gmail.com

[2]สาขาวิชาวิศวกรรมไฟฟ้า คณะวิศวกรรมศาสตร์ มหาวิทยาลัยศรีปทุม akekachai.de@spu.ac.th*

[3]สาขาวิศวกรรมระบบราง คณะวิศวกรรมศาสตร์ มหาวิทยาลัยศรีปทุม chawalit.ma@spu.ac.th

บทคัดย่อ

บทความนี้นำเสนอการออกแบบและพัฒนากล่องจำลองสวิตช์ตัดโหลดก๊าซ SF_6 เพื่อใช้เป็นเครื่องมือในการฝึกอบรมบุคลากรด้านระบบไฟฟ้า โดยมีเป้าหมายในการสร้างสื่อการเรียนรู้ที่ปลอดภัยและใกล้เคียงการทำงานจริง โดยไม่ต้องเชื่อมต่อกับระบบไฟฟ้าที่ใช้งานจริง ซึ่งช่วยลดความเสี่ยงและเพิ่มประสิทธิภาพในการถ่ายทอดองค์ความรู้

การพัฒนาประกอบด้วยการศึกษาและวิเคราะห์มาตรฐานการทำงานของสวิตช์ตัดโหลดก๊าซ SF_6 พร้อมออกแบบวงจรควบคุมที่ใช้รีเลย์และเซนเซอร์ตรวจวัดแรงดัน สามารถจำลองการทำงาน เช่น การเปิด–ปิดสวิตช์ การแสดงผลสถานะผ่าน LED และการจำลองเหตุการณ์ผิดปกติ เช่น การลัดวงจรหรือแรงดันก๊าซต่ำ ผลการทดสอบยืนยันว่าระบบจำลองมีความแม่นยำ 100 เปอร์เซ็นต์ ในการสั่งงานและการจำลองสถานะ ความเร็วการตอบสนองเฉลี่ยอยู่ที่ 0.24 วินาที มีเสถียรภาพสูงและสามารถใช้งานได้อย่างปลอดภัย

คำสำคัญ: กล่องจำลอง, สวิตช์ตัดโหลด, ก๊าซ SF6

Abstract

This paper presents the design and development of a simulation box for the SF_6 gas load break switch, aimed at serving as a safe and effective training tool for electrical personnel. The primary objective is to provide a learning medium that replicates real-world operations without the risks associated with live electrical systems, thereby enhancing both safety and training efficiency.

The development process involved studying and analyzing operational standards of SF_6 load break switches and designing a control circuit that employs relays and pressure sensors. The system is capable of simulating operations such as switch opening and closing, status indication via LEDs, and abnormal conditions including short circuits and low gas pressure. Experimental results confirm that the simulation box achieved 100% accuracy in command execution and status simulation, with an average response time of 0.24 seconds. The system demonstrated high stability and operational safety, making it suitable for practical training applications.

Keywords: Simulation Box, Load Break Switch, SF6 Gas

1. ข้อมูลทั่วไป

ในระบบจำหน่ายไฟฟ้าแรงดันปานกลาง อุปกรณ์ Load Break Switch (LBS) ที่ใช้ก๊าซ SF6 มีบทบาทสำคัญในการควบคุมวงจรและเพิ่มความปลอดภัยในการปฏิบัติงาน อย่างไรก็ตาม การฝึกอบรมด้วยอุปกรณ์จริงมีความเสี่ยงและต้นทุนสูง บทความนี้จึงมีวัตถุประสงค์เพื่อออกแบบและพัฒนา Simulation Box สำหรับ SF6 Gas Load Break Switch ที่ใช้ในระบบของการไฟฟ้านครหลวง (MEA) โดยสามารถจำลองการทำงานได้อย่างปลอดภัยและใกล้เคียงของจริง

1.1 เพื่อออกแบบและสร้าง Simulation Box สำหรับ SF6 Gas Load Break Switch ที่ใช้งานในระบบของ MEA

1.2 เพื่อศึกษาหลักการทำงานและวงจรควบคุมของ Load Break Switch และนำมาประยุกต์ใช้ในกล่องจำลอง

1.3 เพื่อใช้กล่องจำลองในการฝึกอบรมบุคลากรให้มีความเข้าใจและสามารถใช้งาน LBS ได้อย่างถูกต้องและปลอดภัย

2. ทฤษฎีที่เกี่ยวข้อง

พื้นฐานทางทฤษฎีและเทคโนโลยีที่เกี่ยวข้องกับการออกแบบกล่องจำลอง Load Break Switch (LBS) แบ่งออกเป็น 7 หัวข้อหลักดังนี้:

2.1 Load Break Switch (LBS)

หลักการทำงาน หน้าที่ และองค์ประกอบของ Load Break Switch ซึ่งเป็นอุปกรณ์ที่สามารถตัดตอนวงจรขณะมีกระแสโหลดโดยไม่ทำให้เกิดความเสียหายจากอาร์กไฟฟ้า โดยเฉพาะแบบที่ใช้ ก๊าซ SF6 เป็นฉนวน เนื่องจากมีคุณสมบัติในการดับอาร์กและฉนวนไฟฟ้าดีเยี่ยม LBS มีความสำคัญในระบบจำหน่ายไฟฟ้าแรงดันปานกลาง และเป็นหัวใจของระบบจำลองในโครงงานนี้

2.2 คุณสมบัติของก๊าซ SF6 (Sulfur Hexafluoride)

กล่าวถึงก๊าซ SF6 ซึ่งเป็นก๊าซฉนวนไฟฟ้าที่มีความสามารถในการดับอาร์กสูง ไม่ติดไฟ และมีความเสถียรสูง จึงนิยมใช้ในอุปกรณ์แรงดันไฟฟ้าสูง อย่างไรก็ตาม ยังมีข้อเสียคือเป็นก๊าซเรือนกระจกที่มีค่าศักยภาพทำให้โลกร้อนสูง จึงต้องมีการจัดการอย่างระมัดระวัง

2.3 ฟังก์ชันของ Load Break Switch

เนื้อหานี้ลงลึกถึงฟังก์ชันต่าง ๆ ที่ LBS สามารถปฏิบัติได้ เช่น การตัดตอนโหลด การแยกระบบ การป้องกันในกรณีฉุกเฉิน และการควบคุมผ่านระบบระยะไกล ซึ่งฟังก์ชันเหล่านี้ต้องสามารถจำลองได้ในกล่อง Simulation ที่ออกแบบขึ้น

2.4 Ring Main Unit (RMU)

โครงสร้างและหน้าที่ของ RMU ซึ่งเป็นตู้รวมอุปกรณ์แรงดันปานกลาง โดยมี Load Break Switch เป็นส่วนประกอบหลัก ใช้ในระบบจำหน่ายแบบวงแหวนที่มีความต่อเนื่องสูง เหมาะกับระบบของการไฟฟ้านครหลวง

2.5 Feeder Remote Terminal Unit (FRTU)

FRTU เป็นอุปกรณ์ควบคุมและสั่งงานในระบบจำหน่ายไฟฟ้าแบบอัตโนมัติ ซึ่งสามารถรับข้อมูลจาก RMU และ LBS เพื่อส่งต่อไปยังศูนย์ควบคุม เป็นส่วนหนึ่งของระบบ SCADA ที่ช่วยให้ควบคุมระบบไฟฟ้าได้จากระยะไกล มีบทบาทสำคัญในการจำลองระบบที่สมจริง

2.6 Simulation Box Concept Design

เป็นการสรุปภาพรวมแนวคิดการออกแบบกล่องจำลอง LBS โดยเน้นการจำลองการทำงานจริงของ LBS และอุปกรณ์ที่เกี่ยวข้อง (เช่น RMU, FRTU, ไมโครคอนโทรลเลอร์) ในลักษณะที่ปลอดภัย มีความเข้าใจง่าย และเหมาะสำหรับการฝึกอบรมหรือใช้เพื่อการศึกษาในงานระบบจำหน่ายไฟฟ้า

3. ขั้นตอนการดำเนินงาน

การออกแบบและพัฒนากล่องจำลองสวิตช์ตัดโหลดก๊าซ SF6 (SF6 Gas Load Break Switch) ประกอบด้วยขั้นตอนหลักดังนี้: การศึกษาข้อมูลจำเพาะ (Specification) และวงจรของ Load Break Switch, การออกแบบวงจรจำลอง (Simulation Circuit), การเตรียมอุปกรณ์, การเตรียมกล่องและติดตั้งอุปกรณ์, การเดินสายไฟฟ้า, และการทดสอบระบบ โดยรายละเอียดในแต่ละขั้นตอนสามารถอธิบายได้ดังนี้

3.1 การศึกษาข้อมูล Spec และวงจรของ Load Break Switch

3.1.1 กลไกการทำงานของ Load Break Switch

โครงสร้างของ Load Break Switch เป็นระบบกลไกที่อธิบายถึงตำแหน่ง Contact ในสถานะต่าง ๆ ซึ่งส่งสัญญาณไปยังจุดเชื่อมต่อ (Point) ตามรูปที่ 1

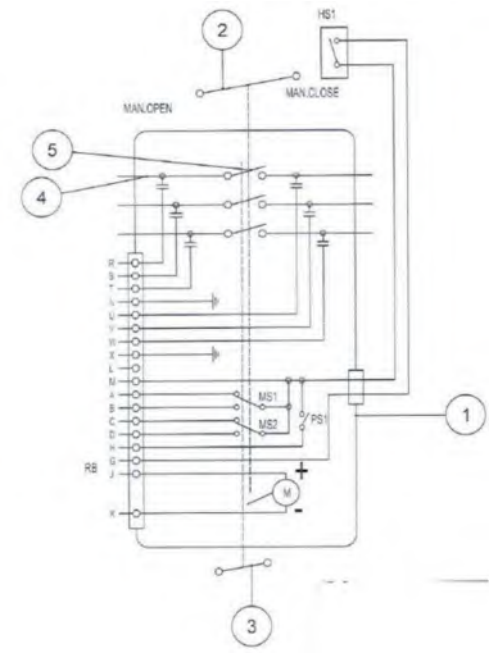

รูปที่ 1 กลไกการทำงานของ Load Break Switch

ตารางแสดงจุดเชื่อมต่อที่สำคัญของ Load Break Switch

ตารางที่ 1 รายการจุดเชื่อมต่อของ Load Break Switch

ITEM	DESCRIPTION
1	Enclosure
2	Manual Operating Handle
3	Mechanical Contact Position Indicator
4	Conducting Part
5	Contact
HS	Handle Lock Switch
PS	Low Gas Pressure Switch
M	Motor
MS1	Mechanism Auxiliary Switch (CLOSE/OPEN) 1
MS2	Mechanism Auxiliary Switch (CLOSE/OPEN) 2
RB	Receptacle

3.1.2 Connector สำหรับเชื่อมต่อระหว่าง Control Box และ Load Break Switch

การเชื่อมต่อสัญญาณระหว่าง Load Break Switch และตู้ควบคุม (Control Box) ใช้คอนเนกเตอร์แบบ 22-Pin โดยแต่ละขา (Pin) ทำหน้าที่แตกต่างกันดังแสดงในตารางและภาพ

รูปที่ 2 คอนเนกเตอร์ควบคุม 22-Pin

ตารางที่ 2 รายละเอียดการทำงานของขาใน Connector

Receptacle	Function/Status
A	“OPEN” Contact Switch 1 จาก LBS
B	“CLOSE” Contact Switch 1 จาก LBS
C	“OPEN” Contact Switch 2 จาก LBS
D	“CLOSE” Contact Switch 2 จาก LBS
L	+24 Vdc Power Supply สำหรับ LBS
M	0 Vdc Power Supply สำหรับ LBS
K	Terminal ลบของ Motor
J	Terminal บวกของ Motor
G	“Free/Lock” Contact จาก LBS
H	“Low Gas” Contact จาก LBS

3.2 การออกแบบวงจร Simulation Box

การออกแบบวงจรควบคุมสำหรับ Load Break Switch ใช้โปรแกรม CADe SIMU และ EasyEDA เพื่อจำลองการทำงานของสถานะ Lock และ Low Gas

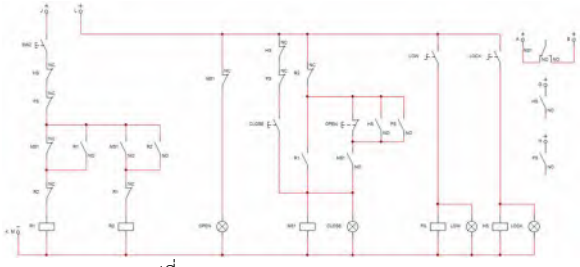

รูปที่ 3 วงจรควบคุม Simulation Box

ในวงจรนี้ใช้รีเลย์ (Relay) 2 ตัวสำหรับการทำงานแบบอินเตอร์ล็อก (Interlock) และใช้รีเลย์อีก 4 ตัวสำหรับส่งสถานะต่าง ๆ ได้แก่:

- Relay MS1 Contact NC: สัญญาณ "OPEN" ⟶ Connector Pin A
- Relay MS1 Contact NO: สัญญาณ "CLOSE" ⟶ Connector Pin B
- Relay HS Contact NO: สัญญาณ "LOCK" ⟶ Connector Pin G
- Relay PS Contact NO: สัญญาณ "LOW GAS" ⟶ Connector Pin H
- Relay R1, R2: ทำหน้าที่อินเตอร์ล็อก

แหล่งจ่ายไฟในวงจรจำลองมาจาก Connector Pin L, M (วงจรควบคุม) และ Pin J, K (จำลองการขับมอเตอร์)

การออกแบบผังวงจร (Schematic Design) ออกแบบวงจรด้วย EasyEDA โดยเลือกใช้อุปกรณ์จากคลัง Library และสร้างผัง Schematic ตามฟังก์ชันการทำงาน จาก Schematic ทำการจัดวาง Layout บน PCB โดยได้คำนึงถึง EMI, Ground Plane และระยะห่างที่เหมาะสม แผ่น PCB ถูกออกแบบให้เหมาะสมกับพื้นที่ภายในกล่องจำลอง และเว้นจุดยึดและช่องเชื่อมต่อ ใช้ฟังก์ชัน Design Rule Check (DRC) เพื่อตรวจสอบความถูกต้องก่อนส่งไฟล์ Gerber สำหรับการผลิตแผ่น PCB จริง

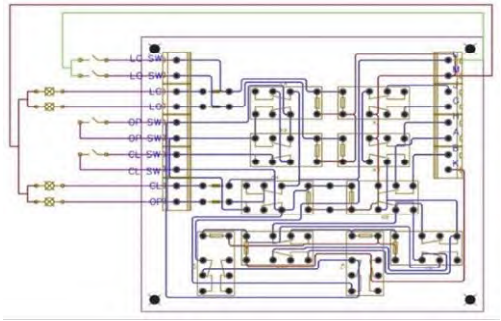

รูปที่ 4 ภาพแผ่น PCB Layout

3.3 การทดสอบระบบ (Testing)

หลังจากการประกอบระบบทั้งหมดเสร็จสิ้น จะมีการทดสอบดังนี้:

- ตรวจสอบการต่อวงจรและความต่อเนื่อง
- ทดสอบการกดสวิตช์และดูการทำงานของรีเลย์
- ทดสอบด้วยโหลดจริง (หลอดไฟ)
- ทดสอบการใช้งานซ้ำเพื่อดูความทนทาน

4 ผลการดำเนินงาน

การทดสอบกล่องจำลองสวิตช์ตัดโหลดก๊าซ SF6 ได้ดำเนินการภายใต้เกณฑ์ของเอกสาร SPECIFICATION NO. 6201 ของ Load Break Switch จากการไฟฟ้านครหลวง (MEA) และอ้างอิง Test Report จากอุปกรณ์ที่ใช้จริงในกระบวนการผลิต จำนวนรอบการทดสอบในแต่ละหัวข้อถูกกำหนดโดยพิจารณาตามลักษณะการใช้งานจริง ความสำคัญของฟังก์ชันและข้อจำกัดด้านเวลา โดยฟังก์ชันที่ใช้งานบ่อยหรือมีผลต่อความเสถียรของระบบจะได้รับการทดสอบมากกว่า โดยแบ่งการทดสอบออกเป็น 4 ส่วนหลัก ดังนี้

รูปที่ 5 การเชื่อมสายสัญญาณระหว่างตู้ควบคุมและ Simulation Box

4.1 การควบคุมสถานะเปิด/ปิด (Operate)

กล่องจำลองสามารถสั่งงานเปิดและปิด Load Break Switch เป็นกระบวนการหลักที่เกิดบ่อยในการใช้งานจริง จึงมักทดสอบจำนวนมากกว่า เช่น 50 รอบขึ้นไป เพื่อดูความคงเส้นคงวา (Consistency) ของระบบควบคุม โดยผลการทดสอบในตารางที่ 3 แสดงว่าอุปกรณ์สามารถตอบสนองคำสั่ง “Open” และ “Close” ได้ครบถ้วน (PASS ทั้งสองกรณี)

ตารางที่ 3 ผลทดสอบการควบคุมสถานะเปิด/ปิด (Operate)

รายการทดสอบ	จำนวนรอบทดสอบ	จำนวนรอบที่ถูกต้อง
สั่ง Open จากสถานะ Close	50	50
สั่ง Close จากสถานะ Open	50	50

ระบบควบคุมมีความแม่นยำในการรับคำสั่ง 100% ไม่มี Delay หรือ Failure พบความเร็วเฉลี่ยในการสั่งงาน (Response Time) อยู่ที่ 0.24 วินาที (วัดจาก 10 รอบ)

4.2 การทดสอบฟังก์ชัน Load Break Switch

ในการทดสอบนี้ เป็นสถานะพิเศษที่เกิดขึ้นไม่บ่อย แต่มีผลกระทบรุนแรง จึงมักทดสอบในจำนวนจำกัด เช่น 20–30 รอบ เพื่อยืนยัน Logic การป้องกัน ระบบสามารถจำลองสถานะความผิดปกติ เช่น Mechanism Lock และ Low Gas ได้อย่างถูกต้อง โดยผลการทดสอบ (ตารางที่ 4) แสดงให้เห็นว่าอุปกรณ์สามารถแสดงสถานะผิดปกติทั้งสองได้อย่างแม่นยำ

ตารางที่ 4 ผลการทดสอบ Function Load Break Switch

สถานะจำลอง	รอบจำลองทั้งหมด	จำลองถูกต้อง
Mechanism Lock	30	30
Low Gas	30	30

วงจร Simulation สามารถสร้างสัญญาณ Interlock ได้เทียบเท่ากับระบบจริง การวิเคราะห์สัญญาณ Logic แสดงว่ามีค่าความผิดพลาด (Error Margin) ไม่เกิน ±0.5%

4.3 การแสดงผลสถานะต่าง ๆ

กล่องจำลองสามารถแสดงผลสถานะ Open, Close, Mechanism Lock และ Low Gas ได้ครบถ้วน โดยไม่มีความคลาดเคลื่อน ซึ่งเป็นไปตามเกณฑ์ของระบบ Load Break Switch จริง (ดูผลการทดสอบในตารางที่ 5)

ตารางที่ 5 ผลการทดสอบการแสดงสถานะ Open, Close, Mechanism Lock และ Low Gas

สถานะ	จำนวนรอบทดสอบ	จำนวนรอบที่ถูกต้อง
Status Open	20	20
Status Close	20	20
Status Mechanism Lock	20	20
Status Low Gas	20	20

ตัวแสดงผล (Status Indicator) ใช้ LED มีความชัดเจนและไม่มี Delay เชิงสายตา การทดสอบใช้ Oscilloscope ตรวจสอบ Logic ON/OFF ใช้เวลาเฉลี่ยในการตอบสนอง ≤ 5 ms

4.4 การจำลองการทำงานตามเงื่อนไขจริง

ทำการทดสอบการทำงานภายใต้เงื่อนไขข้อจำกัดของสถานะต่าง ๆ เช่น ไม่สามารถสั่ง “Close” ได้หากอยู่ในสถานะ Mechanism Lock หรือ Low Gas และในทำนองเดียวกัน ไม่สามารถสั่ง “Open” ได้เมื่อมีสถานะผิดปกติเช่นเดียวกันขณะอยู่ในสถานะ “Close”

ตารางที่ 6 ผลการทดสอบ Operate ตามเงื่อนไข

เงื่อนไข		จำนวนรอบทดสอบ	จำนวนรอบที่ถูกต้อง
Status Open	Status Mechanism Lock	20	20
Status Open	Status Low Gas	20	20
Status Close	Status Mechanism Lock	20	20
Status Close	Status Low Gas	20	20

ผลการทดสอบ (ตารางที่ 6) ยืนยันว่าระบบสามารถจำลองข้อจำกัดการทำงานเหล่านี้ได้อย่างถูกต้องและสอดคล้องกับหลักเกณฑ์ของอุปกรณ์จริง

5. สรุปผลการทดสอบ

กล่องจำลองสวิตช์ตัดโหลดก๊าซ SF6 ที่ออกแบบและพัฒนาขึ้นสามารถทำงานได้ตามฟังก์ชันของอุปกรณ์จริง ทั้งในด้านการควบคุม การจำลองสถานะ และการแสดงผล กล่องจำลอง Load Break Switch แบบก๊าซ SF_6 มีความแม่นยำในการสั่งงานและการจำลองสถานะ **100%** ในทุกกรณีที่ทำการทดสอบ ความรวดเร็วในการตอบสนองอยู่ในเกณฑ์

มาตรฐาน (≤ 0.25 วินาที) ความแม่นยำของสถานะแสดงผลมีค่าความเบี่ยงเบนต่ำกว่า ±0.5% logic การทำงานและการ Interlock ทำงานได้อย่างถูกต้องสมบูรณ์ และสามารถใช้งานแทนอุปกรณ์จริงในการฝึกอบรมหรือทดสอบการควบคุมได้อย่างมีประสิทธิภาพ ซึ่งแสดงให้เห็นถึงความถูกต้องและมีประสิทธิภาพของระบบจำลองในการใช้งานเชิงวิศวกรรม

ข้อเสนอแนะสำหรับงานวิจัยในอนาคต ได้แก่ การพัฒนาฟังก์ชันเสริมเพื่อรองรับการเชื่อมต่อกับระบบควบคุมระยะไกล (SCADA/FRTU) การนำเทคโนโลยี Internet of Things (IoT) มาประยุกต์เพื่อเพิ่มศักยภาพด้านการบันทึกและวิเคราะห์ข้อมูลการใช้งาน รวมทั้งการออกแบบให้สามารถขยายผลไปใช้กับอุปกรณ์แรงดันปานกลางชนิดอื่น ๆ ได้ นอกจากนี้ควรมีการวิเคราะห์ต้นทุน–ค่าใช้จ่ายของการสร้างกล่องจำลองเปรียบเทียบกับการใช้อุปกรณ์จริง โดยพิจารณาในมิติของการลงทุน ความคุ้มค่า และความยั่งยืน เพื่อสนับสนุนการตัดสินใจของผู้บริหารหรือผู้มีอำนาจในการลงทุนให้มองได้รอบด้านมากกว่ามิติด้านการใช้งานเพียงอย่างเดียว

เอกสารอ้างอิง

[1] นัจญา ดี. ทไลส์, การวิเคราะห์ระบบไฟฟ้าและการเกิดความผิดปกติ, พิมพ์ครั้งที่ 2, สำนักพิมพ์ Elsevier, 2562.

[2] มาตรฐาน IEC 62271-105, “อุปกรณ์สวิตช์แรงสูง - ตอนที่ 105: ชุดสวิตช์-ฟิวส์สำหรับกระแสสลับ,” คณะกรรมาธิการไฟฟ้าระหว่างประเทศ, 2555.

[3] พอล จี. สเลด, ทฤษฎีและการออกแบบตัวตัดสูญญากาศ, สำนักพิมพ์ CRC Press, 2551.

[4] มาซาโนริ นางาโอะ และคณะ, “คุณลักษณะของก๊าซ SF6 สำหรับการใช้งานไฟฟ้าแรงสูง,” วารสาร IEEE ด้านฉนวนไฟฟ้า, ปีที่ 10, ฉบับที่ 5, หน้า 760–766, ตุลาคม 2546.

[5] เอ็ม. เอ็ม. เฮิร์ช, “การทดสอบและบำรุงรักษาอุปกรณ์ที่ใช้ก๊าซ SF6,” ในการประชุม IEEE Power Engineering Society, 2549.

[6] มาตรฐาน IEC 60870-5-104, “อุปกรณ์และระบบควบคุมระยะไกล โปรโตคอลการสื่อสาร,” คณะกรรมาธิการไฟฟ้าระหว่างประเทศ, 2549.

ประวัติผู้เขียนบทความ

ชื่อ – สกุล ศรัณภัทร นาควิโรจน์
เบอร์โทรศัพท์ 0872791567
E-mail: saranphut09@gmail.com
สาขาวิชาวิศวกรรมไฟฟ้า
มหาวิทยาลัยศรีปทุม

ประวัติการทำงาน : คณะวิศวกรรมศาสตร์ มหาวิทยาลัยศรีปทุม
งานวิจัยที่สนใจ: PLC Controller, Microcontroller

ชื่อ – สกุล เอกชัย ดีศิริ
เบอร์โทรศัพท์ 0868938877
E-mail: akekachai.de@spu.ac.th
สาขาวิชาวิศวกรรมไฟฟ้า
มหาวิทยาลัยศรีปทุม

ประวัติการทำงาน : คณะวิศวกรรมศาสตร์ มหาวิทยาลัยศรีปทุม
งานวิจัยที่สนใจ: PLC Controller, Microcontroller, IIOT

ชื่อ – สกุล พศวีร์ ศรีโหมด
เบอร์โทรศัพท์ 0926965252
E-mail: chawalit.ma@spu.ac.th
สาขาวิศวกรรมระบบราง
มหาวิทยาลัยศรีปทุม

ประวัติการทำงาน : คณะวิศวกรรมศาสตร์ มหาวิทยาลัยศรีปทุม
งานวิจัยที่สนใจ: Plant Design, Simulation, Safety, Quality Management Engineering, Transportation Management, Warehouse and Distribution Management และ Railway Engineering

การพัฒนาแบบจำลองพฤติกรรมการจ่ายโหลดของเครื่องกำเนิดไฟฟ้าแม่เหล็กถาวรแบบฟลักซ์แนวแกน

Development of a Load Behavior Model of an Axial Flux Permanent Magnet Generator

ฉัตรชัย นาคชูแก้ว[1] ฉัตรชัย ศุภพิทักษ์สกุล[1*]

[1]ภาควิชาวิศวกรรมไฟฟ้า คณะวิศวกรรมศาสตร์ มหาวิทยาลัยเทคโนโลยีราชมงคลธัญบุรี

chatchai_na@mail.rmutt.ac.th & chatchai.s@en.rmutt.ac.th*

บทคัดย่อ

บทความนี้ นำเสนอการพัฒนาแบบจำลองทางคณิตศาสตร์สำหรับเครื่องกำเนิดไฟฟ้าแม่เหล็กถาวรแบบฟลักซ์แนวแกน ในการจำลองพฤติกรรมการจ่ายโหลด โดยนำผลกระทบของฟลักซ์ต้านกลับที่เกิดขึ้นในขดลวดสเตเตอร์มาคำนวณ พารามิเตอร์ของเครื่องกำเนิดไฟฟ้าตัวอย่างจำนวนสองเครื่องถูกนำมาใช้ในการสร้างแบบจำลองทั้งแบบเดิม และแบบที่นำเสนอ เทียบกับพฤติกรรมการจ่ายโหลดของเครื่องกำเนิดจริง จากผลการทดลอง พบว่าผลการจำลองแบบเดิมให้ผลของแรงดันตกคร่อมโหลดต่างจากผลแรงดันตกคร่อมที่ทดสอบจริงเฉลี่ย 14.6% ของเครื่องกำเนิดตัวที่ 1 และ 11.8% ของเครื่องกำเนิดตัวที่ 2 หลังจากใช้แบบจำลองที่นำเสนอ ทำให้ผลของแรงดันตกคร่อมโหลดต่างจากผลแรงดันตกคร่อมที่ทดสอบจริงเฉลี่ยลดลง เหลือ 4.91% ของเครื่องที่ 1 และ 3.85% ของเครื่องที่ 2 แสดงให้เห็นว่าแบบจำลองที่นำเสนอสามารถนำไปใช้ช่วยในการออกแบบเครื่องกำเนิดไฟฟ้าแม่เหล็กถาวรแบบฟลักซ์แนวแกน เพื่อให้ผลจำลองจากการออกแบบให้ผลที่ใกล้เคียงกับการจ่ายโหลดจริง

คำสำคัญ: เครื่องกำเนิดไฟฟ้าแม่เหล็กถาวรแบบฟลักซ์แนวแกน, ฟลักซ์ต้านกลับ, การจำลองการจ่ายโหลด

Abstract

This paper proposes the development of a mathematical model for an axial flux permanent magnet generator to simulate its load behavior. By taking into account the effect of opposing-flux generated in the stator windings, the parameters of two sample generators were used to model both the conventional and the proposed models, compared with the load behavior of the actual generators. From the experimental results, it was found that the original simulation results gave different load output results from the actual test results by an average of 14.6% for generator 1 and 11.8% for generator 2. After using the proposed model, the average actual test load difference was reduced to 4.91% of machine 1 and 3.85% of machine 2. It is shown that the proposed model can be used to assist in the design of axial flux permanent magnet generators, so that the design results can be obtained close to the actual load supply.

Keywords: Axial Flux Permanent Magnet Generator (AFPMG), Mathematical Modeling, armature reaction flux, Load Distribution Simulation.

บทนำ

การผลิตไฟฟ้าจากพลังงานลมขนาดเล็กได้กลายเป็นทางเลือกที่มีประสิทธิภาพและน่าสนใจ โดยเฉพาะอย่างยิ่งในพื้นที่ห่างไกลและสำหรับการใช้งานแบบพกพา [1] เครื่องกำเนิดไฟฟ้าแม่เหล็กถาวรแบบฟลักซ์แนวแกน (Axial Flux Permanent Magnet Generator: AFPMG) ถือเป็นส่วนหลักของระบบผลิตไฟฟ้าจากพลังงานลมขนาดเล็ก [2] เนื่องจากมีคุณสมบัติที่โดดเด่น เช่น โครงสร้างที่กะทัดรัด ความหนาแน่นของกำลังสูง และ ความเหมาะสมในการทำงานที่ความเร็วรอบต่ำ [3-5] การพัฒนาวัสดุใหม่ เช่น แกนสเตเตอร์แบบแม่เหล็กคอมโพสิตอ่อน (Soft Magnetic Compound: SMC) ยังช่วยให้การออกแบบโครงสร้างสเตเตอร์ง่ายขึ้นและลดการสูญเสียทางแม่เหล็กได้ [6]

เพื่อให้การออกแบบและการควบคุมเครื่องกำเนิดไฟฟ้า AFPMG มีประสิทธิภาพสูงสุด การสร้างแบบจำลองทางคณิตศาสตร์ที่แม่นยำจึงเป็นสิ่งจำเป็น [3,4] แบบจำลองที่ดีควรสามารถอธิบายพฤติกรรมภายใต้การจ่ายโหลดได้อย่างถูกต้อง โดยเฉพาะอย่างยิ่งปรากฏการณ์ฟลักซ์ต้านกลับ (armature reaction flux) ที่เกิดขึ้นจากกระแสในขดลวดสเตเตอร์ ซึ่งมีผลกระทบโดยตรงต่อการทำงานโดยรวมของเครื่องกำเนิดไฟฟ้า การสร้างแบบจำลองที่พิจารณาฟลักซ์ต้านกลับอย่างละเอียดจะช่วยให้สามารถจำลองพฤติกรรมของเครื่องในสภาวะการทำงานจริงได้อย่างใกล้เคียงมากขึ้น [4]

บทความนี้ นำเสนอการสร้างแบบจำลองทางคณิตศาสตร์ของเครื่องกำเนิดไฟฟ้า AFPMG โดยนำการวิเคราะห์ผลกระทบของฟลักซ์ต้านกลับมาใช้คิดร่วมในการจำลองการจ่ายโหลด ซึ่งจะช่วยในการออกแบบเครื่องกำเนิดไฟฟ้าที่เหมาะสมกับความต้องการของระบบพลังงานหมุนเวียนในอนาคต

1. เครื่องกำเนิดไฟฟ้าแม่เหล็กถาวรแบบฟลักซ์แนวแกน AFPMG

1.1 โครงสร้างของ AFPMG

AFPMG เป็นเครื่องกำเนิดไฟฟ้าที่ใช้แม่เหล็กถาวรเป็นแหล่งกำเนิดสนามแม่เหล็ก และมีทิศทางการไหลของฟลักซ์ตามแนวแกนของเพลา AFPMG ประกอบด้วยองค์ประกอบหลัก ได้แก่ (1) โรเตอร์ (Rotor) ที่ฝังแม่เหล็กถาวร (PM) (2) สเตเตอร์ (Stator) ที่มีขดลวดพันอยู่บนแกน

*ผู้ประพันธ์บรรณกิจ

แม่เหล็ก และ (3) ช่องว่างอากาศ (Air Gap) ระหว่างโรเตอร์และสเตเตอร์ โครงสร้างนี้สามารถเป็นได้หลายแบบ เช่น Single-Sided, Double-Sided หรือ multi-disk [3,4,6] ซึ่งในงานวิจัยนี้ทดสอบแบบ Double-Sided ดังรูปที่ 1

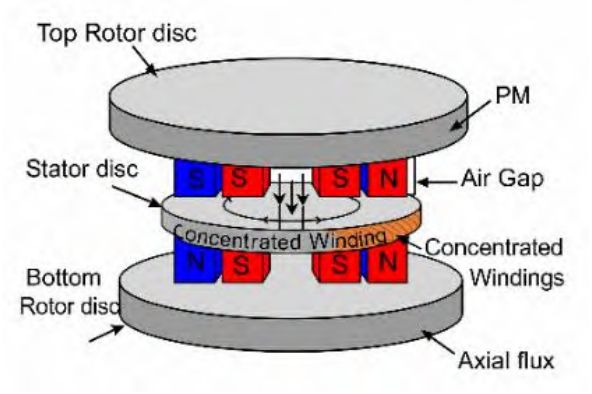

รูปที่ 1 โครงสร้างของ AFPMG แบบ Double-Sided

1.2 หลักการทำงานและการออกแบบ AFPMG

หลักการทำงานของ AFPMG คือการใช้การเหนี่ยวนำแม่เหล็กถาวร โดยฟลักซ์แม่เหล็กจะเคลื่อนที่ตามแนวแกนหมุน โครงสร้างประกอบด้วยโรเตอร์ที่มีแม่เหล็กถาวร และสเตเตอร์ที่มีขดลวดอยู่กับที่ เมื่อโรเตอร์หมุนสนามแม่เหล็กจากแม่เหล็กถาวรจะตัดผ่านขดลวดบนสเตเตอร์ ทำให้เกิดกระแสไฟฟ้าขึ้น การออกแบบนี้ช่วยให้เครื่องมีประสิทธิภาพสูงและมีขนาดกะทัดรัด เหมาะสำหรับการใช้งานที่ความเร็วรอบต่ำ เช่น ในกังหันลมขนาดเล็ก

การออกแบบ AFPMG มุ่งเน้นไปที่การจัดวางส่วนประกอบหลักเพื่อเพิ่มประสิทธิภาพและลดขนาด โดยมีส่วนประกอบสำคัญคือ โรเตอร์ ที่มีแม่เหล็กถาวรว่างสลับขั้วเหนือใต้ และ สเตเตอร์ ที่มีขดลวดอยู่กับที่เมื่อโรเตอร์หมุนแม่เหล็กจะสร้างสนามแม่เหล็กในแนวแกนที่ตัดผ่านขดลวด[7, 8] ทำให้เกิดแรงดันไฟฟ้าที่เหนี่ยวนำในขดลวด ดังสมการ (1) ในกรณีของ AFPMG ที่มีหลายขดลวดต่อเฟส การจัดเรียงขดลวดและจำนวนขั้วแม่เหล็กจะส่งผลโดยตรงต่อความถี่ (f) นอกจากนี้ยังต้องพิจารณาความหนาแน่นฟลักซ์ (B) ของแม่เหล็กถาวรที่เลือกใช้ เช่น แม่เหล็กนีโอไดเมียม (NdFeB) ที่มีค่าความหนาแน่นฟลักซ์สูง โดยคำนวณหาฟลักซ์แม่เหล็ก (Φ) จากสมการ (2)

$$E_{ph}=4.44\times f\times N\times\Phi \quad (1)$$

โดยที่: E_{ph} : แรงดันไฟฟ้าเหนี่ยวนำต่อเฟส (Volt)
f : ความถี่ไฟฟ้า (Hz)
N : จำนวนรอบของขดลวด
Φ : ฟลักซ์แม่เหล็ก (Wb)

$$\Phi = B \times A \quad (2)$$

โดยที่: B : ความหนาแน่นฟลักซ์แม่เหล็ก (wb/m^2)
A : พื้นที่หน้าตัดแม่เหล็ก (m^2)

เมื่อเครื่องกำเนิดจ่ายโหลดจริง การสูญเสียแรงดันที่เกิดจากอิมพีแดนซ์รวมของระบบจะต้องนำมาพิจารณา โดยอิมพีแดนซ์รวม (Z) ประกอบด้วยความต้านทานของขดลวดและโหลด โดยแรงดันที่โหลด (V_{load}) จะลดลงจากแรงดันที่เหนี่ยวนำตามสมการ (3)

$$V_{load} = E_{ph} - (I \times Z) \quad (3)$$

โดยที่ E_{ph} : แรงดันไฟฟ้าเหนี่ยวนำต่อเฟส (V) I คือกระแสโหลด (A) และ Z คืออิมพีแดนซ์รวมของระบบ (Ω) [9] การวิเคราะห์พฤติกรรมการจ่ายโหลดจึงเป็นขั้นตอนสำคัญในกระบวนการออกแบบ เพราะจะช่วยให้มั่นใจว่าแรงดันที่ลดลงภายใต้กระแสโหลดสูงยังอยู่ในช่วงที่ยอมรับได้ และเครื่องยังสามารถจ่ายพลังงานได้อย่างเสถียร

2. การทดสอบและพัฒนาแบบจำลองการจ่ายโหลดAFPMG

ในส่วนนี้จะกล่าวถึงกระบวนการทดสอบสมรรถนะของเครื่องกำเนิดไฟฟ้า AFPMG ชุดทดสอบสมรรถนะของเครื่องกำเนิดไฟฟ้า AFPMG ใช้เซอร์โวมอเตอร์และชุดควบคุม SINAMICS V90 เป็นต้นกำลังในการขับเคลื่อน ซึ่งทั้งสองส่วนนี้จะถูก คัปปลิ้ง เข้ากับเพลาของเครื่องกำเนิดไฟฟ้า ดังรูปที่ 2 ข้อดีของระบบนี้คือสามารถควบคุมและแสดงผลความเร็วรอบ และ แรงบิด ได้อย่างแม่นยำ ทำให้สามารถจำลองสภาวะการทำงานที่หลากหลาย และเก็บข้อมูลที่จำเป็นสำหรับการวิเคราะห์สมรรถนะของเครื่องกำเนิดไฟฟ้าได้อย่างมีประสิทธิภาพ

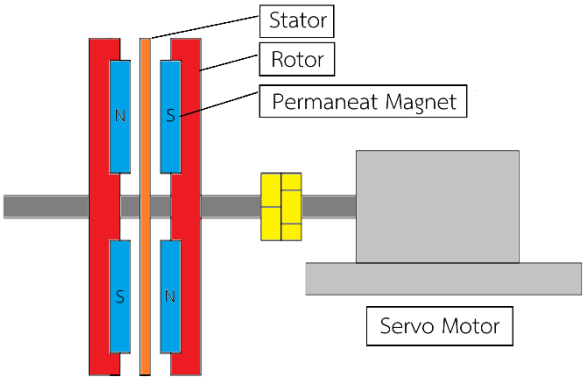

รูปที่ 2 การต่อเครื่องกำเนิดเข้ากับเซอร์โวมอเตอร์

2.1 การทดสอบเครื่องกำเนิดไฟฟ้า

การทดสอบเป็นกระบวนการสำคัญในการตรวจสอบและยืนยันสมรรถนะของเครื่องกำเนิดไฟฟ้า AFPMG โดยในงานวิจัยนี้มีตัวอย่างเครื่องกำเนิดที่มีพิกัดแตกต่างกัน 2 ตัวอย่างดังรูปที่ 3 ใช้เซอร์โวมอเตอร์ร่วมกับชุดควบคุม SINAMICS V90 ทำหน้าที่เป็นต้นกำลัง โดยใช้ตัว

ต้านทานปรับค่าได้เป็นโหลดให้กับเครื่องกำเนิด การทดสอบดำเนินการโดยปรับความเร็วรอบของเครื่องกำเนิดเต็มพิกัดและรักษาความเร็วคงที่ตลอดการทดสอบ จากนั้นจึงค่าความต้านเพื่อเพิ่มภาระโหลดของเครื่องกำเนิดจากศูนย์จนเต็มพิกัด และทำการวัดแรงดันและกระแสไฟฟ้าที่เครื่องกำเนิด ผลการทดสอบแสดงดังรูปที่ 4 และ 5

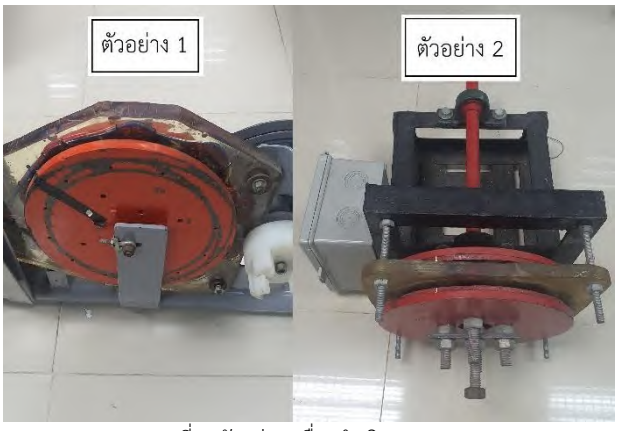

รูปที่ 3 ตัวอย่างเครื่องกำเนิด AFPMG

ตารางที่ 1 พิกัดเครื่องกำเนิด AFPMG (ตัวอย่างที่ 1 และ 2)

รายการ	พิกัด ตัวอย่างที่ 1	พิกัด ตัวอย่างที่ 2	หน่วย
กำลังไฟฟ้า	250	250	วัตต์ (W)
แรงดันไฟฟ้า	13	24	โวลต์ (V)
กระแสไฟฟ้าสูงสุด	20	10	แอมแปร์ (A)
ความเร็วรอบ	400	500	รอบต่อนาที (rpm)
ประเภทแม่เหล็กถาวร	NdFeB	NdFeB	

2.2 แบบจำลองพฤติกรรมการจ่ายโหลดของ AFPMG

งานวิจัยนี้ได้พัฒนาแบบจำลองพฤติกรรมการจ่ายโหลดของ AFPMG โดยอ้างอิงจากหลักการของกฎฟาราเดย์ซึ่งระบุว่าแรงดันไฟฟ้าที่เหนี่ยวนำในขดลวดจะขึ้นอยู่กับอัตราการเปลี่ยนแปลงของฟลักซ์แม่เหล็กที่ไหลผ่านขดลวดสามารถคำนวณได้จากสมการที่ (1) อย่างไรก็ตามเครื่องกำเนิดไฟฟ้าเมื่อทำการจ่ายโหลด แรงดันตกคร่อมที่โหลด (V_{load}) จะลดลงเนื่องจากอิมพีแดนซ์รวมของวงจร ตามที่อธิบายไว้ในสมการที่ (3) ทำให้แรงดันตกคร่อมที่โหลดมีค่าต่ำกว่าแรงดันเหนี่ยวนำภายใน

จากการเปรียบเทียบผลการทดสอบกับผลจากแบบจำลองพฤติกรรม พบว่าแรงดันจากจากแบบจำลองพฤติกรรมยังคงสูงกว่าค่าที่ได้จากการทดสอบ คือแรงดันตกคร่อมโหลดของตัวอย่างที่ 1 และ 2 ต่างจากผลการทดสอบเฉลี่ย 14.6% และ 11.8% โดยแสดงผลการจำลอง ดังรูปที่ 4 และ 5

2.3 การปรับแบบจำลองเพื่อเข้าใกล้พฤติกรรมจริง

เนื่องจากที่สร้างขึ้นยังมีค่าความคลาดเคลื่อนสูง จึงได้มีปรับแบบจำลองเพื่อเข้าพฤติกรรมการจ่ายโหลดจริง โดยได้ปรับสมการ ฟลักซ์เหนี่ยวนำใหม่โดยรวมผลของฟลักซ์ต้านกลับ (Armature Reaction Flux) เข้ามาพิจารณาด้วย ซึ่งตามกฎของเลนซ์ เมื่อมีการจ่ายโหลด กระแสไฟฟ้าที่ไหลผ่านขดลวดจะสร้างฟลักซ์แม่เหล็กที่มีทิศทางตรงข้ามกับฟลักซ์จากแม่เหล็กถาวร ซึ่งฟลักซ์นี้เรียกว่า ฟลักซ์ต้านกลับ (Armature Reaction Flux) [9-11] ฟลักซ์ต้านกลับ (Φ_{AR}) จะหักล้างกับฟลักซ์ของแม่เหล็กถาวร (Φ_{PM}) ที่ได้จากการนวณดังสมการ (2) ดังนั้น ฟลักซ์สุทธิ (Φ_{net}) สามารถคำนวณได้ดังสมการ (4)

$$\Phi_{net} = \Phi_{PM} - \Phi_{AR} \tag{4}$$

เมื่อแบบจำลองพฤติกรรมการจ่ายโหลดของ AFPMG ได้พิจารณาผลกระทบของฟลักซ์ต้านกลับ เนื่องจากขดลวดของเครื่องกำเนิดถูกหล่อด้วยเรซินทั้งหมด จึงสามารถสมมติว่าบริเวณรอบขดลวดมีค่าการซึมซาบแม่เหล็กใกล้เคียงกับค่าในสูญญากาศ μ_0 จึงมีค่าประมาณ $4\Pi\times10^{-7}$ H/m ทำให้การคำนวณค่าความเหนี่ยวนำ (L) ของขดลวดเพื่อใช้ประมาณฟลักซ์ต้านกลับสามารถทำได้ดังสมการ (5)

$$L = \frac{\mu_0 N^2 A}{l} \tag{5}$$

โดยที่ L : ค่าความเหนี่ยวนำ (เฮนรี)
N : จำนวนรอบขดลวด
μ_0 : ค่าสภาพซึมผ่านได้ของสุญญากาศ
A : พื้นที่หน้าตัดของขดลวด (ตารางเมตร)
l : ความยาวของขดลวด (เมตร)

เมื่อได้ค่า L แล้วสามารถนำไปคำนวณฟลักซ์ต้านกลับที่เกิดขึ้นจากกระแสโหลด (I) ตามสมการ (6)

$$\Phi_{AR} = L \times I \tag{6}$$

ฟลักซ์ต้านกลับนี้จะถูกนำไปหักลบจากฟลักซ์ของแม่เหล็กถาวรตามสมการ (4) ดังนั้นในการคำนวณแรงดันเหนี่ยวนำต้องปรับใหม่ดังสมการ (7) เพื่อให้แบบจำลองแสดงผลกระทบต่อแรงดันตกคร่อมโหลดได้อย่างแม่นยำ

$$E_{ph} = 4.44 \times f \times N \times \Phi_{net} \tag{7}$$

เมื่อปรับสมการฟลักซ์เหนี่ยวนำและแรงดันเหนี่ยวนำใหม่จะได้ผลการจำลองใกล้เคียงกับผลการทดสอบจริงมากขึ้น โดยผลการจำลองแรงดันตกคร่อมโหลดของเครื่องกำเนิดตัวอย่างที่ 1 และ 2 ต่างจากผลการทดสอบเฉลี่ย 4.91% และ3.85% โดยแสดงผลการจำลองของที่ปรับแล้วดังรูปที่ 4 และ 5 ซึ่งค่าความคลาดเคลื่อนที่ลดลงนี้ยืนยันว่าการปรับปรุงแบบจำลอง

ประสบความสำเร็จ ทำให้สามารถใช้แบบจำลองนี้ในการจำลองและวิเคราะห์สมรรถนะของเครื่องกำเนิดไฟฟ้าได้อย่างน่าเชื่อถือยิ่งขึ้น

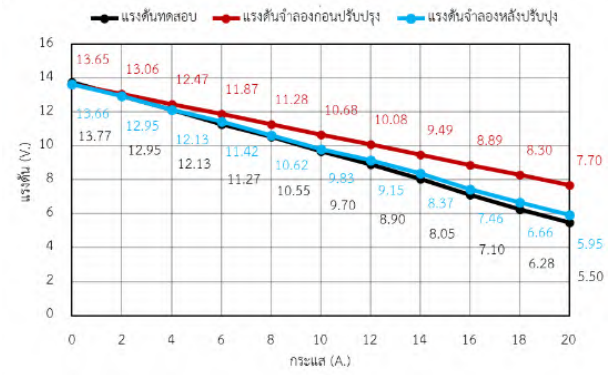

รูปที่ 4 แสดงการเปรียบเทียบแรงดันไฟฟ้าระหว่างผลการทดสอบ ผลการจำลองก่อนและหลังปรับสมการของเครื่องกำเนิด ตัวอย่างที่ 1

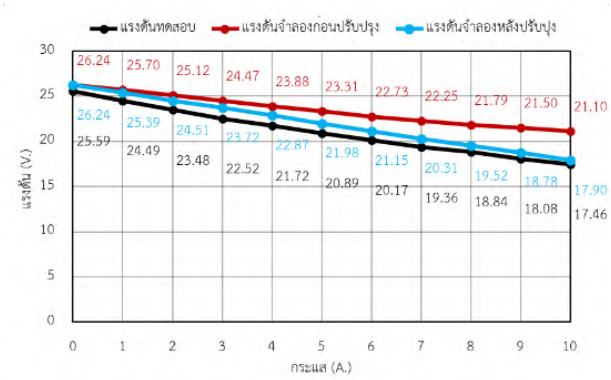

รูปที่ 5 แสดงการเปรียบเทียบแรงดันไฟฟ้าระหว่างผลการทดสอบ ผลการจำลองก่อนและหลังปรับสมการของเครื่องกำเนิด ตัวอย่างที่ 2

5 สรุป

บทความนี้ได้นำเสนอวิธีการพัฒนาแบบจำลองพฤติกรรมการจ่ายโหลดของ เครื่องกำเนิดไฟฟ้าแม่เหล็กถาวรแบบฟลักซ์แนวแกน โดยนำผลของฟลักซ์ต้านกลับที่เกิดขึ้นจากกฎของเลนซ์หรือปฏิกิริยาอาเมเจอร์มาคำนวณในแบบจำลองเป็นผลให้ผลที่ได้จากการจำลองมีค่าใกล้เคียงกับการทดสอบจริงโดยมีค่าความแตกต่างลดลงจากแบบเดิมเหลือ 4.91% และ 3.85% ตามลำดับซึ่งสามารถใช้เป็นเครื่องมือช่วยในการออกแบบ เครื่องกำเนิดไฟฟ้าแม่เหล็กถาวรแบบฟลักซ์แนวแกน ให้ได้ผลลัพธ์ใกล้เคียงกับพฤติกรรมการจ่ายโหลดจริงอย่างมีประสิทธิภาพและยังสามารถอธิบายปรากฏการณ์แรงดันตกร่อมขณะจ่ายโหลดมากได้อย่างถูกต้องอย่างไรก็ตามเพื่อเพิ่มความน่าเชื่อถือของแบบจำลอง ควรมีการทดสอบกับเครื่องกำเนิดไฟฟ้าแม่เหล็กถาวรแบบฟลักซ์แนวแกน ที่มีพิกัดกำลังและประเภทโครงสร้างที่หลากหลายมากขึ้น เช่น แบบ Single-Sided หรือ Multi-Disk เพื่อยืนยันความครอบคลุมและความสามารถในการประยุกต์ใช้กับ AFPMG ประเภทต่าง ๆ

เอกสารอ้างอิง

[1] J.-Y. Lee et al., "Design of an Axial Flux Permanent Magnet Generator for a Portable Hand Crank Generating System," IEEE Trans. Magn., vol. 48, no. 11, 2012.

[2] Anitha N., Bharanikumar R., "Design and Analysis of Axial Flux Permanent Magnet Machine for Wind Power Applications," IEEE, 2018.

[3] Claudiu Brad et al., "Design and Analysis of an Axial Magnetic Flux Wind Generator," IEEE, 2017.

[4] A. Di Gerlando et al., "Axial Flux PM Machines With Concentrated Armature Windings: Design Analysis and Test Validation of Wind Energy Generators," IEEE Trans. Ind. Electron., vol. 58, no. 9, 2011.

[5] Q.-L. Deng et al., "Design of Axial Flux Permanent Magnet Synchronous Generators with Soft Magnetic Compound (SMC) Stator Core," IEEE, 2009.

[6] A.A. Arkadan et al., "Design Evaluation of Conventional and Toothless Stator Wind Power Axial-Flux PM Generator," IEEE Trans. Magn., vol. 53, no. 6, 2017.

[7] J. Pyrhönen, T. Jokinen, and V. Hrabovcová, Design of Rotating Electrical Machines, 2nd ed., Wiley, 2014.

[8] I. Boldea and L. N. Tutelea, Design of Axial Flux Permanent Magnet Machines, CRC Press, 2010.

[9] J. D. Irwin and R. M. Nelms, Basic Engineering Circuit Analysis, 10th ed., Hoboken, NJ, USA: Wiley, 2011.

[10] D. K. Cheng, Field and Wave Electromagnetics, 2nd ed., Reading, MA, USA: Addison-Wesley, 1989.

[11] “Faraday’s Law and Lenz’s Law,” Physics LibreTexts, Mar. 2023. [Online]. Available: https://phys.libretexts.org/Bookshelves/Electricity_and_Magnetism/Electricity_and_Magnetism_(OpenStax)

นายฉัตรชัย นาคชูแก้ว เป็นนักวิชาการศึกษา ประจำภาควิชาวิศวกรรมไฟฟ้า จบการศึกษาจาก ภาควิชาวิศวกรรมไฟฟ้า คณะวิศวกรรมศาสตร์ มหาวิทยาลัยเทคโนโลยีราชมงคลธัญบุรี ในปี พ.ศ.2563 ปัจจุบันกำลังศึกษาระดับปริญญาโทที่คณะวิศวกรรมศาสตร์

การออกแบบและพัฒนาตู้อบไอน้ำสมุนไพรอัตโนมัติ เพื่อส่งเสริมการดูแลสุขภาพผู้สูงอายุในชุมชน
Design and Development of an Automated Herbal Steam Cabinet for Promoting Elderly Healthcare in the Community.

รชต มณีโชติ[1] สุคนธ์ เมืองโคตร[1] วรรณรัตน์ มณีโชติ[1] และ ปกรณ์ อุนไธสง[1]*

[1]สาขาวิชาวิศวกรรมไฟฟ้าเครื่องกลการผลิต วิทยาลัยธาตุพนม มหาวิทยาลัยนครพนม Jimmykoi@hotmail.com Khonmuang13@gmail.com Koijimmy@hotmail.com p.auntaisong@gmail.com*

บทคัดย่อ

การศึกษานี้นำเสนอการออกแบบและพัฒนาตู้อบไอน้ำสมุนไพรขนาดกะทัดรัดสำหรับการใช้งานด้านสุขภาพ ตู้อบไอน้ำนี้ติดตั้งระบบควบคุมแบบดิจิทัลสำหรับควบคุมและควบคุมอุณหภูมิและความชื้นภายในตู้อบไอน้ำ ผลการทดสอบบ่งชี้ว่าอุณหภูมิที่เหมาะสมสำหรับผู้สูงอายุคือประมาณ 41-43 องศาเซลเซียส ซึ่งให้ความสะดวกสบายและปลอดภัยสำหรับการบำบัดด้วยไอน้ำสมุนไพร ผลการสำรวจความพึงพอใจจากผู้เข้าร่วม 61 คน ทั้งผู้สูงอายุและผู้ใช้ทั่วไป พบว่าผู้ใช้มีความพึงพอใจในระดับสูง โดยความสะดวกในการใช้งานได้รับคะแนนเฉลี่ย 4.26 คะแนน รองลงมาคือรูปลักษณ์ภายนอกและความรู้สึกหลังการใช้ที่ 4.18 คะแนน และความพึงพอใจโดยรวมที่ 4.17 คะแนน คะแนนความพึงพอใจเฉลี่ยอยู่ที่ 4.20 คะแนน ซึ่งบ่งชี้ว่าได้รับการตอบรับในเชิงบวกโดยทั่วไป

คำสำคัญ: การอบสมุนไพร, ตู้อบไอน้ำสมุนไพร, การควบคุมอุณหภูมิ

Abstract

This study presents the design and development of a compact herbal steam cabinet for health applications. The cabinet is equipped with a digital control system for regulating and monitoring temperature and humidity within the steam chamber. Test results indicate that the optimal temperature for elderly users is approximately 41°C to 43°C, which provides comfortable and safe conditions for herbal steam therapy. A satisfaction survey involving 61 participants, including elderly individuals and general users, revealed high user satisfaction. Ease of use received the highest rating with an average score of 4.26, followed by physical appearance and post-use sensation at 4.18, and overall satisfaction at 4.17. The average satisfaction score was 4.20, indicating a generally positive response.

Keywords: Herbal steaming, Herbal steaming cabinet, Temperature control

1. บทนำ

ประเทศไทยตั้งอยู่พื้นที่เขตร้อนจึงทาให้มีความหลากหลายของสิ่งมีชีวิตสูง ดังนั้นแล้วพืช พรรณต่างๆ จึงมีจานวนมาก ทำให้มีการใช้ประโยชน์จากความหลากหลายมีหลายรูปแบบ รวมทั้งการ ใช้ประโยชน์ในด้านต่าง ๆ ของสมุนไพรด้วยเช่นเดียวกัน ซึ่งสมุนไพรเป็นทรัพยากรที่มีอยู่ในประเทศ ถึงแม้ว่าในปัจจุบันแล้วการแพทย์แผนปัจจุบันจะมีความก้าวหน้ามากก็ตาม ก็ยังมีการใช้สมุนไพร รักษาโรค ควบคู่ไปกับใช้การแพทย์แผนปัจจุบันกันอย่างแพร่หลาย ถือเป็นความรูแบบผสมผสานกัน การใช้สมุนไพรยังสามารถแก้ไขปัญหาการนาเข้ายาได้ด้วย การรักษาโรคต่างๆ ด้วยสมุนไพรของ ชาวบ้าน ถูกถ่ายทอดภูมิปัญญามาจากบรรพบุรุษ และใช้เรื่อยมาจนถึงปัจจุบัน การใช้ประโยชนจากพืช สมุนไพรในแต่ละท้องถิ่น จะเป็น ภูมิปัญญาเฉพาะของแต่ละท้องถิ่นนั้นๆ การใช้ประโยชนของ สมุนไพรแต่ละท้องถิ่นอาจต่างกัน ในขณะที่พืชหลายชนิดนักวิทยาศาสตร์ได้ทำการศึกษา สรรพคุณ ทางเภสัชวิทยาไว้บ้าง แต่สำหรับพืชสมุนไพร ในประเทศไทย ยังมีอีกหลายชนิดที่ยังไม่ได้รับการศึกษา สรรพคุณทางเภสัชวิทยา [1] ผลิตผลที่นำมาใช้เป็นยาบำบัดรักษาความเจ็บป่วยซึ่งอาจใช้สมุนไพรเพียงอย่างเดียวหรือใช้ร่วมกับเครื่องยาอื่นก็ได้ ส่วนต่าง ๆ ของสมุนไพรสามารถนำมาใช้เป็นยาได้ทั้งหมด ไม่ว่า ดอก ใบ หัว ราก ผล เมล็ด เปลือก ลำต้น ซึ่งแต่ละส่วนของพืชสมุนไพร ให้สรรพคุณในการรักษาแตกต่างกันไป รวมทั้งปริมาณที่ใช้ก็มีผลการรักษาเช่นเดียวกัน [2]

การอบสมุนไพรหรือการเข้ากระโจมเป็นสิ่งที่เป็นภูมิปัญญาของไทยที่สืบทอดกันมาหลายยุคสมัย ที่ลูกหลานไทยควรอนุรักษ์ไว้ เพราะมีประโยชน์ต่อสุขภาพของผู้ที่นำไปใช้ การศึกษาประสิทธิผลของการอบไอน้ำสมุนไพร เพื่อบรรเทาอาการปวดกล้ามเนื้อ พบว่าระดับอาการปวดกล้ามเนื้อทั้งก่อนและหลังการรักษาไม่แตกต่างกัน ผลการศึกษาแสดงให้เห็นว่าการอบไอน้ำไม่มีสมุนไพรครั้งละ 30 นาที อบสัปดาห์ละ 3 ครั้ง จำนวน 4 สัปดาห์ สามารถลดอาการปวดกล้ามเนื้อได้ไม่แตกต่างจากการอบไอน้ำสมุนไพร [3] จากศึกษาพบว่าการอบสมุนไพรในศาสตร์การแพทย์แผนไทยได้รับการพิสูจน์ว่า มีประสิทธิผลในการรักษาโรคหอบหืด ซึ่งอาจช่วยในโรคทางเดินหายใจอื่นได้ด้วย [4] ภูมิปัญญาการส่งเสริมสุขภาพด้วยการอบสมุนไพร เป็นวิธีการบำบัดรักษาและส่งเสริมสุขภาพตามหลักของการแพทย์แผนไทยอย่างหนึ่งที่ช่วยบรรเทาอาการเจ็บป่วย และเป็นการดูแลสุขภาพของผู้คนในชุมชนให้มีสุขภาพที่แข็งแรงขึ้น [5]

ดังนั้น คณะผู้วิจัยและสมาชิกกลุ่มวิสาหกิจชุมชนอบนวดสมุนไพรเพื่อสุขภาพไทน้ำก่ำ มีความเห็นร่วมกันว่า “โครงการพัฒนาตู้อบไอน้ำสมุนไพรเพื่อสุขภาพ สำหรับผู้สูงอายุในชุมชนและกลุ่มวิสาหกิจชุมชน อบนวดสมุนไพรไทน้ำก่ำ ตำบลน้ำก่ำ อำเภอธาตุพนม จังหวัดนครพนม” โดยการ

*ผู้ประพันธ์บรรณกิจ

พัฒนาตู้อบสมุนไพรที่สามารถปรับแรงดันของอุณหภูมิที่เหมาะสมในการเข้าใช้บริการอบสมุนไพร และสามารถเคลื่อนที่ไปใช้บริการในจุดต่าง ๆ ได้ เพื่อเป็นการส่งเสริมให้กลุ่มวิสาหกิจชุมชนฯ เป็นการนำนวัตกรรมและเทคโนโลยีมาใช้ในการรักษาการดูแลสุขภาพด้วยสมุนไพรไทย สามารถบรรเทาอาการเจ็บป่วยที่ไม่รุนแรงได้ด้วยตนเอง ไม่ต้องเสียค่าใช้จ่ายที่มีราคาสูงเหมือนกับยาแผนปัจจุบัน

2. หลักการของตู้อบไอน้ำสมุนไพรเพื่อสุขภาพ

2.1 ขั้นตอนการดำเนินการวิจัย เรื่อง การออกแบบและพัฒนาสร้างตู้อบไอน้ำสมุนไพรเพื่อสุขภาพขนาดเล็ก ผู้ทำการศึกษามีลำดับขั้นตอนการสร้างดังแสดงในรูปที่ 1

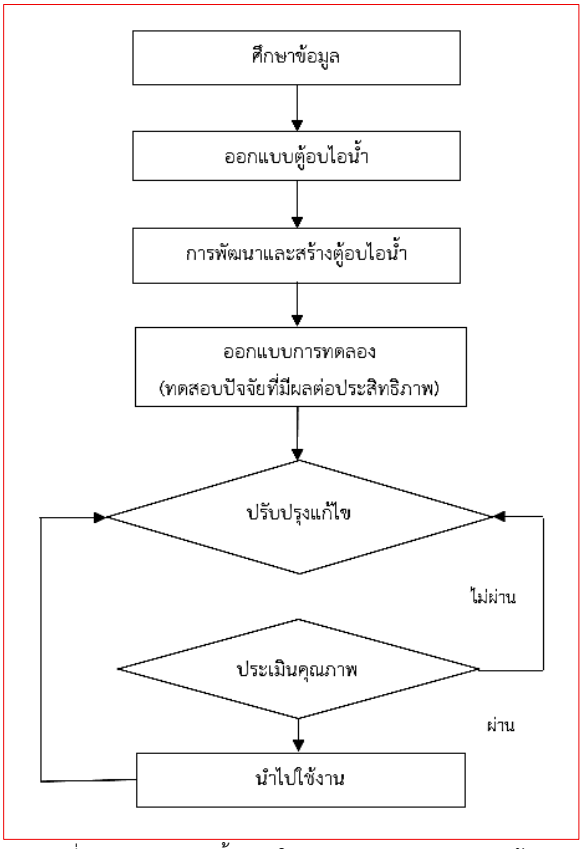

รูปที่ 1 แผนภูมิลำดับขั้นตอนในการออกแบบและพัฒนาสร้างตู้อบไอน้ำสมุนไพรเพื่อสุขภาพขนาดเล็ก

2.2 การออกแบบและพัฒนาตู้อบไอน้ำสมุนไพรเพื่อสุขภาพ

2.2.1 การออกแบบตู้อบไอน้ำสมุนไพร หลังจากที่ผู้วิจัยได้สัมภาษณ์กลุ่มผู้อายุในชุมชนตำบลน้ำก่ำ ไปแล้วนั้นทำให้ทราบความต้องการและได้ทำการออกแบบและพัฒนาสร้างตู้อบไอน้ำสมุนไพรเพื่อสุขภาพขนาดเล็กร่วมกับกลุ่มผู้สูงอายุในชุมชน

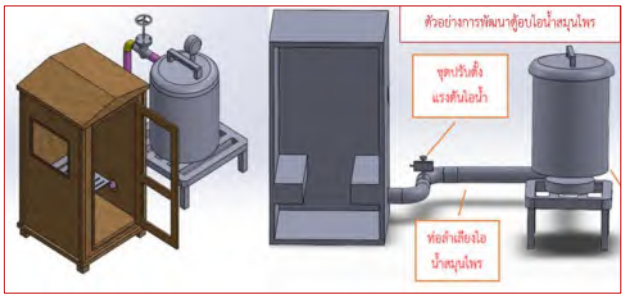

รูปที่ 2 ตัวอย่างรูปการออกแบบและพัฒนาสร้างตู้อบไอน้ำสมุนไพรเพื่อสุขภาพขนาดเล็ก

2.2.2 ตู้อบไอน้ำสมุนไพรเพื่อสุขภาพขนาดเล็กมีขนาดความกว้าง 120 Cm x ความยาว 120 Cm x ความสูง 180 Cm ตามรูปที่ 3 และภายในและโดยรอบตู้อบไอน้ำสมุนไพรเพื่อสุขภาพขนาดเล็กมีกระจก 3 ด้าน ภายในมีที่นั่งทั้ง 2 ด้าน

รูปที่ 3 ขนาดตู้อบไอน้ำสมุนไพรเพื่อสุขภาพขนาดเล็ก

2.3 ระบบหม้อต้มผลิตไอน้ำสมุนไพร ประกอบด้วยชุดเตาแก๊สพร้อมหม้อต้มสมุนไพรสแตนเลส เกรด 304 ขนาด 23 ลิตร มีระบบท่อส่งไอน้ำความร้อนที่ควบคุมอุณหภูมิความร้อนด้วยวาล์วมอเตอร์ไฟฟ้า (Motorized valve) 220V แบบ 2 ทางขนาด 2 นิ้ว ทำงานโดยหมุนตัวบอลวาล์วเพื่อเปิด – ปิด การไหลของของไอน้ำความร้อน และมีการตรวจสอบแรงดันไอน้ำที่ออกจากหม้อต้มสมุนไพรผ่านระบบควบคุมเข้าห้องอบสมุนไพรด้วยเกจวัดแรงดัน เพื่อไม่ให้อุณภูมิสูงเกินค่าที่กำหนดไว้

รูปที่ 4 ชุดผลิตไอน้ำสมุนไพร สำหรับตู้อบไอน้ำสมุนไพรเพื่อสุขภาพ

2.4 อุปกรณ์ควบคุมอุณหภูมิและความชื้นภายในห้องอบไอน้ำสมุนไพรติดตั้งไว้กับตู้อบไอน้ำ ซึ่งประกอบไปด้วยชุดควบคุมอุณหภูมิและความชื้นแบบดิจิตอล STC-3028 ทำงานโดยวัดค่าอุณหภูมิและความชื้นจริงด้วยเซนเซอร์ แล้ว เปรียบเทียบ กับค่าที่ตั้งไว้ จากนั้นจึง ประมวลผลสัญญาณเพื่อส่งคำสั่งไปยังวาล์วมอเตอร์ไฟฟ้า (Motorized valve) 220 V เพื่อ เปิด - ปิด ให้ไอน้ำความร้อนไหลผ่านเข้าห้องอบไอน้ำสมุนไพรและควบคุมความชื้นโดยสั่งให้พัดลมดูด ปิด เปิดอากาศภายในห้องอบไอน้ำสมุนไพร

รูปที่ 6 อุปกรณ์ควบคุมอุณหภูมิและความชื้นภายในห้องอบไอน้ำสมุนไพร

หลังจากที่ประกอบอุปกรณ์ควบคุมอุณหภูมิและความชื้นภายในห้องอบไอน้ำสมุนไพร และชุดผลิตไอน้ำสมุนไพรเข้ากับตู้อบไอน้ำสมุนไพรเสร็จสิ้นสมบูรณ์เป็นที่เรียบร้อยแล้ว ตามรูปที่ 6 ด้านหน้า - ด้านหลังตู้อบไอน้ำสมุนไพร หลังจากนั้นคณะผู้วิจัยจะเริ่มกระบวนการในการทดสอบประสิทธิภาพต่อไป

รูปที่ 6 ด้านหน้า - หลังตู้อบไอน้ำสมุนไพร

2.5 ทฤษฎีที่เกี่ยวข้อง การคำนวณพลังงานความร้อนในระบบควบคุมไอน้ำที่ใช้หม้อต้ม บรรจุน้ำ 23 ลิตร และควบคุมด้วยวาล์วมอเตอร์ไฟฟ้า 220 V สามารถทำคำนวณพลังงานที่ใช้ในการทำให้น้ำเดือดดังสมการที่ 1 [6]

$$Q = mc\,\Delta T + mL_u \quad (1)$$

โดยที่

Q คือ พลังงานความร้อนที่ต้องการ (J)

m คือ มวลของน้ำ (kg)

C คือ ความจุความร้อนจำเพาะของน้ำ J/(kg. K)

ΔT คือ การเปลี่ยนแปลงอุณหภูมิของน้ำ (K หรือ ℃)

L_u คือ ความร้อนแฝงของการกลายเป็นไอของน้ำ (J/kg)

3. การทดสอบเพื่อหาประสิทธิภาพตู้อบไอน้ำสมุนไพรเพื่อสุขภาพขนาดเล็ก

3.1การต้มน้ำสมุนไพร ก่อนเริ่มการอบต้องใช้เวลาในการต้มประมาณ 30 นาที ความร้อนของเปลวไฟเตาแก๊สประมาณ 200 ℃ ในการผลิตไอน้ำ เมื่ออุณหภูมิน้ำเดือดของหม้อต้มสมุนไพรถึงระดับ 100 ℃ จะผลักดันไอน้ำสมุนไพรเข้าสู่ระบบท่อเพื่อส่งต่อไปยังห้องอบไอน้ำต่อไป

รูปที่ 8 การต้มสมุนไพรเพื่อผลิตไอน้ำเข้าสู้ห้องอบสมุนไพร

3.2 การอบสมุนไพรจะต้องตั้งค่าอุณหภูมิความร้อนที่เหมาะสม โดยตู้อบสมุนไพรสามารถปรับตั้งอุณหภูมิความร้อนได้ ซึ่งสามารถควบคุมการปิด - เปิดเพื่อให้แรงดันไอน้ำสมุนไพรไหลเข้าห้องอบด้วยชุดวาล์วมอเตอร์ไฟฟ้า โดยส่งสัญญาณจากอุปกรณ์ควบคุมอุณหภูมิและความชื้นภายในห้องอบไอน้ำสมุนไพร ในการอบสมุนไพรแต่ละครั้งจะต้องตั้งเวลาเข้าอบไม่เกิน 15 – 20 นาที ถ้าถึงเวลาที่กำหนด ไฟจะแจ้งเตือนภายในห้องอบแสดงให้รู้ว่าหมดเวลา

รูปที่ 9 การปรับตั้งอุณหภูมิความร้อนก่อนการเข้าอบไอน้ำสมุนไพร

3.3 หลักการทำงานของชุดหม้อต้มผลิตไอน้ำสมุนไพร เมื่ออุณหภูมิความร้อนจากหม้อต้มไอน้ำสมุนไพรถึง 100 ℃ แรงดันไอน้ำสมุนไพรจะไหลผ่านท่อที่มีเกจวัดแรงดันความร้อนเข้าชุดวาล์วมอเตอร์ไฟฟ้า (Motorized valve) 220V ที่ได้รับสัญญาณจากกล่องควบคุมสั่งให้เปิด เมื่ออุณหภูมิความร้อนภายในห้องอบสมุนไพรถึงอุณหภูมิสูงสุดที่กำหนด ชุดวาล์วมอเตอร์ไฟฟ้า (Motorized valve) 220V ก็จะปิดไม่ให้ไอน้ำไหลเข้าห้อง และเมื่ออุณหภูมิภายในห้องลดต่ำมาถึงค่าความร้อนที่กำหนดไว้ ชุดวาล์วมอเตอร์ไฟฟ้าก็จะเปิดเพื่อให้ไอน้ำไหลเข้ามาเพื่อให้อุณหภูมิความร้อนภายในห้องสูงถึงค่าที่กำหนดไว้

รูปที่ 10 ชุดวาล์วมอเตอร์ไฟฟ้าควบคุมการไหลของไอน้ำสมุนไพร

4. การวิเคราะห์และสรุปผลการทดสอบตู้อบไอน้ำสมุนไพรเพื่อสุขภาพขนาดเล็ก

การวิจัยครั้งนี้ ผู้วิจัยได้ใช้เครื่องบันทึกอุณหภูมิและความชื้น Elitech RC-4HC ในการเก็บข้อมูลเพื่อการวิเคราะห์ผลการทดลอง โดยได้ทำการเก็บข้อมูลจำนวน 20 ครั้ง ดังตารางที่ 1

ครั้งที่	ว / ด / ป	เวลา (นาที)	อุณหภูมิ (°C) (Max)	ความชื้นสัมพัทธ์ (%) (Max)
1.	13/5/68	67	40.1	90.5
2.	14/5/68	91	37.6	96.7
3.	15/5/68	91	39.3	98.0
4.	19/5/68	100	42.6	98.4
5.	20/5/68	68	44.7	98.9
6.	22/5/68	93	41.4	99.6
7.	26/5/68	90	40.9	99.4
8.	27/5/68	92	34.5	94.3
9.	28/5/68	94	41.3	100
10.	29/5/68	90	40.4	99.5
11.	9/6/68	92	42.6	96.7
12.	10/6/68	90	40.5	93.5
13.	11/6/68	83	42.2	94.40
14.	12/6/68	85	43.05	98.2
15.	16/6/68	82	42.10	99.5
16.	17/6/68	86	43.10	93.21
17.	18/6/68	82	42.22	90.40
18.	19/6/68	85	42.28	93.26
19.	23/6/68	83	43.12	96.8
20.	24/6/68	87	42.36	98.24
ค่าเฉลี่ย		**86.55**	**41.32**	**96.48**

จากตารางการทดสอบวัดอุณหภูมิภายในห้องอบไอน้ำสมุนไพร ด้วยเครื่องบันทึกอุณหภูมิและความชื้น Elitech RC-4HC จำนวน 20 การทดลอง ตามรูปที่ 11

รูปที่ 11 การทดสอบวัดอุณหภูมิภายในห้องอบไอน้ำสมุนไพร

จากการบันทึกผลการทดลอง ผู้วิจัยได้ยกตัวอย่างกราฟการปรับตั้งอุปกรณ์ควบคุมอุณหภูมิความร้อนและความชื้นที่ติดตั้งไว้บริเวณหน้าตู้อบไปน้ำสมุนไพร โดยปรับตั้งระดับอุณหภูมิความร้อนให้สูงที่ 42.6 ℃ (Maximum : 42.6℃) วาล์วมอเตอร์ไฟฟ้าจะทำการปิดช่องทันที

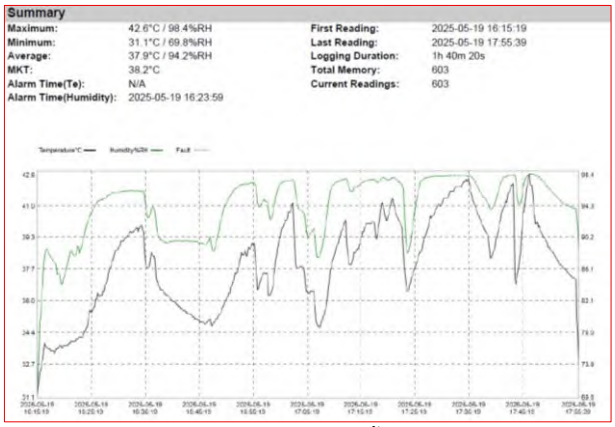

รูปที่ 12 ตัวอย่างแสดงกราฟผลการทดสอบตั้งค่าอุณหภูมิความร้อนสูงสุดที่ 42.6℃

เมื่อมีอุณหภูมิความร้อนภายในห้องเกิดความชื้น พัดลมดูดอากาศที่ตั้งค่ากำหนดไว้ก็จะเปิดทำงานในการระบายอากาศภายใน เมื่ออุณหภูมิภายในลดลงมาถึงค่าความร้อนที่ตั้งไว้ประมาณ 37℃ วาล์วมอเตอร์ไฟฟ้าจะเปิดทำงานให้ไอน้ำสมุนไพรจากหม้อต้มไหลเข้ามาภายในห้องอบไอน้ำสมุนไพรทันที ระยะเวลาในการปรับอุณหภูมิเฉลี่ยประมาณ 10 -15 นาที ซึ่งเป็นเวลาที่เหมาะสมในการอบไอน้ำสมุนไพร เราสามารถปรับเพิ่มอุณหภูมิความร้อนให้สูงขึ้นได้ตามต้องการ จากรูปที่ 12 จะเห็นได้ว่ากราฟความร้อนจะสูงขึ้น (Maximum : 44.7℃) เมื่อถึงค่าที่กำหนด วาล์วมอเตอร์ไฟฟ้าก็จะทำงานทันที (Minimum : 33.1℃)

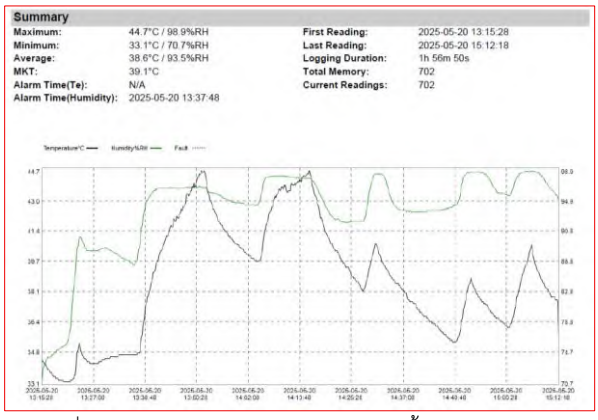

รูปที่ 13 ตัวอย่างแสดงกราฟผลการทดสอบตั้งค่าอุณหภูมิความร้อนสูงสุดที่ 44.7°C

จากตารางการวิเคราะห์ข้อมูลการหาประสิทธิภาพตู้อบไอน้ำสมุนไพรเพื่อสุขภาพขนาดเล็ก จำนวน 20 การทดลอง ด้วยเครื่องบันทึกอุณหภูมิและความชื้น Elitech RC-4HC สรุปได้ว่า ระยะเวลาในการเข้าอบไอน้ำสมุนไพร เฉลี่ยประมาณ 86 นาที และค่าอุณหภูมิความร้อนในการอบไอน้ำสมุนไพร เฉลี่ยประมาณ 41.32 °C โดยมีค่าความชื้น เฉลี่ยประมาณ 96.48 % เป็นอุณหภูมิที่เหมาพสำหรับการอบไอน้ำสมุนไพรของกลุ่มผู้สูงอายุและประชาชนโดยทั่วไปของตำบลน้ำก่ำ อำเภอธาตุพนม จังหวัดนครพนม

5. สรุปผลการวิจัย

งานวิจัยนี้มีวัตถุประสงค์ คือ เพื่อออกแบบและพัฒนาตู้อบไอน้ำสมุนไพรเพื่อสุขภาพ ขนาดเล็กที่สามารถเคลื่อนที่ได้สะดวก ที่มีขนาดความกว้าง 120 Cm x ความยาว 120 Cm x ความสูง 180 Cm สามารถตั้งค่าอุณหภูมิความร้อนภายในห้องด้วยอุปกรณ์ควบคุมอุณหภูมิและความชื้นแบบดิจิตอล เมื่ออุณหภูมิความร้อนจากหม้อต้มไอน้ำสมุนไพรถึง 100 °C แรงดันไอน้ำสมุนไพรจะไหลผ่านท่อระบบควบคุมการปิด – เปิดชุดวาล์วมอเตอร์ไฟฟ้า (Motorized valve) เข้าห้องอบไอน้ำสมุนไพร การวิเคราะห์ข้อมูลการทดลองด้วยเครื่องบันทึกอุณหภูมิและความชื้น Elitech RC-4HC จำนวน 20 ครั้ง อุณหภูมิความร้อนที่เหมาะสมสำหรับผู้สูงอายุในการอบไอน้ำสมุนไพรเพื่อรักษาสุขภาพ ประมาณ 41°C - 43°C และใช้เวลาไม่เกิน 10 – 15 นาที ในการเข้าห้องอบไอน้ำสมุนไพร

ผลการวิเคราะห์ข้อมูลความพึงพอใจของผู้สูงอายุและประชาชนโดยทั่วไปที่เข้าร่วมโครงการถ่ายทอดเทคโนโลยีตู้อบไอน้ำสมุนไพรเพื่อสุขภาพขนาดเล็ก และการส่งเสริมการปลูกและการใช้สมุนไพรในการดูแลสุขภาพ จำนวน 61 คน แยกเป็นชาย 10 คน หญิง 51 คน เฉลี่ยอายุตั้งแต่ 24 ปี ถึง 61 ปีขึ้นไป การวิเคราะห์ข้อมูลรายด้าน พบว่า ด้านการใช้งานของตู้อบ อยู่ในระดับ ดีมาก ร้อยละ 4.26 รองลงมาคือด้านกายภาพและความรู้สึกหลังการใช้งาน อยู่ในระดับ ดี ร้อยละ 4.18 และความพึงพอใจโดยรวม อยู่ในระดับ ดี ร้อยละ 4.17 ตามลำดับ โดยภาพรวมเฉลี่ยร้อยละ 4.20 อยู่ในระดับ ดี

เอกสารอ้างอิง

[1] วิทยา ปองอมรกุล และสันติ วัฒฐานะ, 2553. หนังสือพรรณไม้เมืองไทย พืชสมุนไพร 1 [ระบบออนไลน์] [สืบค้นเมื่อ วันที่ 6 สิงหาคม 2568] จาก http://books.doa.go.th › ebook_detail2

[2] ไชยยง รุจจนเวท และคณะ. 2549. 20 ปี สวนสมุนไพรสมเด็จพระเทพรัตนราชสดาฯ สยามบรมราชกุมารี. กรุงเทพฯ: ปตท. จำกัด (มหาชน)ชัชวาลย์ เรืองประพันธ์. สถิติพื้นฐาน.ขอนแก่น : ขอนแก่นการพิมพ์.

[3] ปรีชา หนูทิม และคณะ. 2561. การศึกษาประสิทธิผลของการอบไอน้ำสมุนไพร เพื่อบรรเทาอาการปวดกล้ามเนื้อ. วารสารวิชาการสาธารณสุข. ปีที่ 28 ฉบับเพิ่มเติมที่ 2, (S101-S112)

[4] นูรีซัน ยูโซะ. 2562. ประสิทธิผลของการอบสมุนไพรในผู้ป่วยโรคปอดอุดกั้นเรื้อรัง (COPD). วิทยานิพนธ์ หลักสูตรวิทยาศาสตรมหาบัณฑิต สาขาวิชาแพทย์แผนตะวันออก วิทยาเขตแพทย์ตะวันออก มหาวิทยาลัยรังสิต.

[5] ปรางทอง นนทะการ และคณะ. 2564. รูปแบบการพัฒนาการอบสมุนไพรสาธารณะเพื่อสุขภาพโดยการมีส่วนร่วมของ ชุมชนบ้านหนองปลาปาก ตาบลขามใหญ่ อำเภอเมือง จังหวัดอุบลราชธานี. วารสารวิชาการสาธารณสุขชุมชน.ปีที่ 7 ฉบับที่ 4.(น.150-166).

[6] นเรศ สิริวราวุธ และคณะ. 2564. การศึกษาและเปรียบเทียบประสิทธิภาพเชิงความร้อนของเชื้อเพลิงอัดแท่งจากวัสดุชีวมวล. วารสารวิทยาศสตร์และเทคโนโลยีนายเรืออากาศ. ปีที่ 17 กรกฎาคม - ธันวาคม 2564 ฉบับที่ 2.(31-44)

ผู้ช่วยศาสตราจารย์รชต มณีโชติ
การศึกษา วิศวกรรมศาสตรมหาบัณฑิต (วศ.ม.)
สาขาวิชาวิศวกรรมอุตสาหการ
คณะวิศวกรรมศาสตร์ มหาวิทยาลัยอุบลราชธานี

นายสุคนธ์ เมืองโคตร
การศึกษา วิศวกรรมศาสตรมหาบัณฑิต (วศ.ม.)
สาขาวิชาวิศวกรรมเครื่องกล
คณะวิศวกรรมศาสตร์ มหาวิทยาลัยอุบลราชธานี

นายปกรณ์ อุ่นไธสง
การศึกษา วิศวกรรมศาสตรมหาบัณฑิต (วศ.ม.)
สาขาวิชาวิศวกรรมเครื่องกล
คณะวิศวกรรมศาสตร์ มหาวิทยาลัยอุบลราชธานี

นางวรรณรัตน์ มณีโชติ
การศึกษา ครุศาสตรมหาบัณฑิต (ค.ม.) สาขาวิชา
สาขาวิชาการบริหารการศึกษา
คณะครุศาสตร์ มหาวิทยาลัยนครพนม

เครื่องคั่วและตรวจสอบคุณภาพเมล็ดกาแฟคั่ว

Coffee Roasting and Quality Inspection Machine

ทรงพล รอดทอง[1] บัญชา บูรพัฒนศิริ[1] สุทัสสะ มณีรัตน์[2] ศุภชัย ไพบูลย์[3] และ พิศิษฏ์ โภคารัตน์กุล[4]*

[1]สาขาวิชาวิศวกรรมไฟฟ้าและการจัดการพลังงาน คณะวิศวกรรมศาสตร์ มหาวิทยาลัยเกษมบัณฑิต songpol.rod@kbu.ac.th, bancha.bur@kbu.ac.th

[2]สาขาวิชาวิศวกรรมไฟฟ้า คณะวิศวกรรมศาสตร์ มหาวิทยาลัยเกษมบัณฑิต sutassa.man@kbu.ac.th

[3]สาขาวิศวกรรมไฟฟ้า คณะวิศวกรรมศาสตร์ มหาวิทยาลัยกรุงเทพธนบุรี supachai.pha@bkkthon.ac.th

[4]สาขาวิชาวิศวกรรมไฟฟ้าและการจัดการพลังงาน คณะวิศวกรรมศาสตร์ มหาวิทยาลัยเกษมบัณฑิต pisit.pho@kbu.ac.th*

บทคัดย่อ

งานวิจัยนี้เป็นการพัฒนาเครื่องคั่วและตรวจสอบคุณภาพเมล็ดกาแฟคั่ว ซึ่งประกอบด้วยตู้คั่วเมล็ดกาแฟและกล้องคีย์เอนซ์สำหรับตรวจสอบคุณภาพเมล็ดกาแฟคั่ว ทั้งสองส่วนควบคุมด้วยตัวควบคุมเชิงตรรกะแบบโปรแกรมได้ สามารถควบคุมผ่านหน้าจอส่วนต่อประสานระหว่างมนุษย์กับเครื่องจักร มีเซนเซอร์ตรวจวัดอุณหภูมิภายในตัคั่วไฟฟ้าเพื่อควบคุมอุณหภูมิการคั่วเมล็ดกาแฟ ในการทดสอบการคั่วเมล็ดกาแฟปริมาณ 250 กรัม อุณหภูมิ 180°C - 250°C ระยะเวลาประมาณ 15 -20 นาที ต่อการคั่ว 1 ครั้ง พบว่าสามารถควบคุมอุณหภูมิที่ระดับคั่วอ่อนได้ 180°C ที่ระยะเวลา 15 นาที ที่ระดับคั่วกลางได้ 190°C และระดับคั่วเข้มที่ 200°C ได้ ในการคั่วแต่ละระยะจะสุ่มนำเมล็ดกาแฟ 15 เมล็ดไปตรวจสอบสีการคั่วโดยใช้กล้องคีย์เอ็นซ์ความละเอียดสูง 5 ล้านพิกเซล ควบคุมการทำงานของเครื่องจักรโดยใช้ตัวควบคุมเชิงตรรกะแบบโปรแกรมได้ พร้อมอุปกรณ์แสดงผลที่ช่วยให้ผู้ใช้สามารถโต้ตอบแลกเปลี่ยนข้อมูลกับเครื่องจักร มีดิจิตอลเลเซอร์เซนเซอร์แบบซีมอสความแม่นยำสูงสามารถตรวจจับตำแหน่งได้แม่นยำ อุปกรณ์ดังกล่าวมีการสื่อสารแบบเครือข่าย Ethernet/IP® เพื่อให้การรับส่งข้อมูลด้วยความรวดเร็วและมีเสถียรภาพสูง จากผลการทดลองตรวจสอบคุณภาพสีการคั่วของเมล็ดกาแฟคั่วจำนวน 45 เมล็ดในแต่ละระยะเวลาการคั่วได้ถูกต้องร้อยเปอร์เซ็นต์

คำสำคัญ: เมล็ดกาแฟ สีการคั่ว กล้องคีย์เอ็นซ์ ตัวควบคุมเชิงตรรกะแบบโปรแกรมได้ หน้าจอส่วนต่อประสานระหว่างมนุษย์กับเครื่องจักร

Abstract

This research develops a coffee roasting and quality inspection machine, which consists of a coffee bean roaster and a roasted coffee bean quality inspection machine. Both parts are controlled by a programmable logic controller, which can be controlled through a human-machine interface screen. There is a temperature sensor inside the electric roasting cabinet to control the coffee bean roasting temperature. In the test of roasting 250 grams of coffee beans at a temperature of 180°C - 250°C for approximately 15-20 minutes per roasting, it was found that the temperature could be controlled at a light roast level of 180°C for 15 minutes, at a medium roast level of 190°C and at a dark roast level of 200°C. During each roasting cycle, the roasted coffee beans are randomly selected and inspected for a roasted coffee bean color using a 5-megapixel Keyence camera. The machine is operated using a programmable logic controller with a display device that allows users to interact and exchange information with the machine. It has a high-precision CMOS digital laser sensor that can detect the position accurately. The device features Ethernet/IP® network communication to provide high-speed and stable data transmission. The experimental results, the quality of the roasted color of 45 roasted coffee beans at each roasting time was 100% accurate.

Keywords: roasted coffee bean, roasted color, programmable logic controller, human-machine interface screen

1. บทนำ

การคั่วกาแฟเป็นศาสตร์และศิลปะแขนงหนึ่งที่ผู้หลงไหลในกาแฟให้ความสนใจ นอกจากจะได้เมล็ดกาแฟที่มีคุณภาพดี ๆแล้ว ผู้ที่มีประสบการณ์หรือฝึกอย่างชำนาญเท่านั้นจึงจะสร้างสรรค์กาแฟคั่วที่มีคุณภาพออกมาตอบโจทย์กับตลาดกาแฟ ในปัจจุบันการดื่มกาแฟสดเป็นส่วนหนึ่งของในชีวิตประจำวันของผู้ที่นิยมดื่มกาแฟ เมื่อได้เมล็ดกาแฟดิบมาต้องนำมาคั่วด้วยวิธีการหลากหลาย เช่น การคั่วเองโดยการใช้กระทะหรือการคั่วโดยใช้เครื่องอัตโนมัติซึ่งมีราคาแพงในทางอุตสาหกรรมการผลิต การเลือกคั่วเมล็ดกาแฟเองจากกระทะบนเตาแก๊สจะพบเจอปัญหาในการคั่ว เช่น ความเมื่อยล้าจากการออกแรงคั่วอยู่ตลอดเวลา การควบคุมอุณหภูมิจากเตาแก๊สโดยตรงไม่ได้ และต้องใช้สายตาในการวัดระดับความเข้มของสีเมล็ดกาแฟ ทำให้มีผลกระทบในการคั่วที่ไม่แน่นอน ดังนั้น คณะผู้วิจัยจึงมีแนวคิดในการพัฒนาเครื่องคั่วเมล็ดกาแฟและตรวจสอบคุณภาพเมล็ดกาแฟคั่วแบบอัตโนมัติที่สามารถที่ควบคุมอุณหภูมิ ระยะเวลาและสีการคั่ว โดยใช้ตัวควบคุมเชิงตรรกะแบบโปรแกรมได้ เพื่อควบคุมเวลาในการคั่วที่แน่นอน ควบคุมอุณหภูมิให้คงที่ ทำให้ได้เมล็ด

*ผู้ประพันธ์บรรณกิจ

กาแฟคั่วที่มีคุณภาพสม่ำเสมอทุกครั้งตามระดับการคั่วโดยตรวจสอบจากสีของเมล็ดกาแฟคั่ว ดังรายละเอียดในหัวข้อต่อไป

2. ทฤษฎีที่เกี่ยวการคั่วกาแฟ

2.1 กาแฟ

กาแฟเป็นพืชพื้นเมืองมีแหล่งกำเนิดมาจากประเทศอาบีซีเนียและกลุ่มประเทศอาหรับในตะวันออกกลาง กาแฟเริ่มแพร่หลายเข้าสู่ประเทศอิตาลี เนเธอร์แลนด์ เยอรมัน ฝรั่งเศส ชาวอาระเบียเรียกพืชนี้ว่า คะวาฮ์ (Kawan) หรือ คะเวฮ์ (Koffee) ในอังกฤษเรียกว่า คอฟฟี (Coffee) คนไทยเรียกว่ากาแฟ กาแฟเป็นไม้ยืนต้นขนาดกลางที่มีความสำคัญทางเศรษฐกิจของโลก ปลูกกันแพร่หลายในเชิงธุรกิจมีเพียงสองสายพันธ์ คือ อาราบิก้า และโรบัสต้า มีชื่อทางวิทยาศาสตร์ว่า Coffee Canephora Pierre

รูปที่ 1 ผลกาแฟ [1]

2.1.1 ผลกาแฟมีขนาดประมาณอุ่นผลเล็ก ๆซึ่งผลของกาแฟนั้นจะมีสีเขียวและเริ่มเปลี่ยนเป็นสีเข้มขึ้นเมื่อโตขึ้น มีทั้งสีแดง สีส้ม และสีเหลือง ขึ้นอยู่กับสายพันธุ์ที่แตกต่างกัน ผลกาแฟมีส่วนประกอบหลักดังในรูปที่ 2

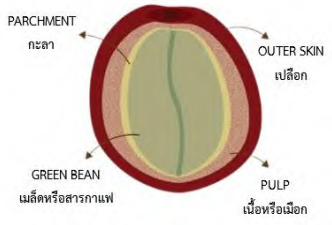

รูปที่ 2 ส่วนประกอบของผลกาแฟ [1]

2.1.2 กระบวนการผลิตเมล็ดกาแฟ การทำให้ผลกาแฟกลายเป็นเมล็ดกาแฟดิบพร้อมสำหรับการนำไปคั่ว และขงกาแฟต่อไปคือการผลิตหรือการแปรรูปเมล็ดกาแฟ สามารถทำได้ 3 วิธี ดังนี้ กระบวนการผลิตเมล็ดกาแฟแบบเปียก กระบวนการผลิตเมล็ดกาแฟแบบแห้งและกระบวนการผลิตเมล็ดกาแฟแบบกึ่งเปียกกึ่งแห้ง ซึ่งแต่ละกรรมวิธีมีข้อดีและข้อเสียที่แตกต่างกัน รวมถึงคุณภาพของผลผลิตก็มีความแตกต่างกันด้วย

2.2 การคั่วเมล็ดกาแฟ

การนำเมล็ดกาแฟดิบไปทำการคั่วผ่านความร้อนที่ระดับต่าง ๆตามเวลา เมล็ดกาแฟดิบมีสีเขียวและมีกลิ่น Green Bean เมื่อนำเมล็ดกาแฟดิบมาผ่านความร้อนโดยใช้เวลาประมาณ 15-20 นาที และอุณหภูมิ 150-250 องศาเซลเซียส ทำให้เกิดการเปลี่ยนแปลงทางเคมีในเมล็ดกาแฟ โดยเปลี่ยนสีเป็นสีน้ำตาลและมีกลิ่นหอมให้รสชาติแตกต่างกันตามระดับของการคั่ว การคั่วแบ่งแบบสากลได้ 3 ระดับคือ คั่วอ่อน คั่วกลาง และคั่วเข้ม ดังลักษณะสีในรูปที่ 3 และระดับการคั่วในตารางที่ 1

รูปที่ 3 เมล็ดกาแฟคั่ว 3 ระดับ [2]

ตารางที่ 1 ระดับการคั่วเมล็ดกาแฟ [2]

ค่าสี (Agtron)		ระดับคั่วอ่อย	ระดับคั่วสากล	อุณหภูมิจบการคั่วโดยประมาณ
	95	Extremely Light	คั่วอ่อน Light Roast	196-198 °C
	90	Super Light		198-200 °C
	85	Very Light		200-202 °C
	80	Light		202-203 °C
	75	Moderately Light		204-205 °C
	70	Cinnamon Light	คั่วกลาง Medium Roast	205-206 °C
	65	Medium Light (American)		206-207 °C
	60	Medium (City)		207-209 °C
	55	Medium (Full City)		209-212 °C
	50	Medium Dark (Vienna)	คั่วเข้ม Dark Roast	213-215 °C
	45	Moderately Dark (French)		215-218 °C
	40	Dark (Italian)		218-222 °C

3. เครื่องคั่วและตรวจสอบคุณภาพเมล็ดกาแฟคั่ว

3.1 การออกแบบเครื่องคั่วและตรวจสอบคุณภาพเมล็ดกาแฟคั่ว

3.1.1 การออกแบบโครงสร้าง

การออกแบบจะแบ่งโครงสร้างหลักออกเป็น 2 ส่วน คือ ตู้คั่ว และระบบตรวจสอบคุณภาพเมล็ดกาแฟคั่ว ตู้คั่วเมล็ดกาแฟประกอบด้วยส่วนควบคุมและส่วนทำความร้อน โดยแยกอุปกรณ์ควบคุมออกจากตำแหน่งที่มีความร้อนสูง และมีการเชื่อมต่ออุปกรณ์ผ่านพอร์ตสื่อสาร RS-232 และ RS-485 ดังรูปที่ 4

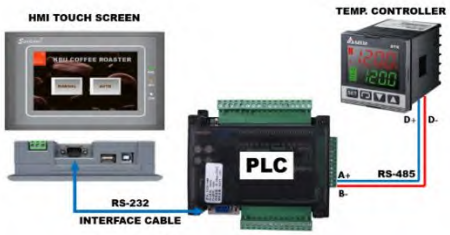

รูปที่ 4 การเชื่อมต่ออุปกรณ์ของตู้คั่วเมล็ดกาแฟ

3.1.2 การออกแบบตู้คั่ว

ตู้คั่วมีขนาดกว้าง 47 cm. สูง 27 cm. ลึก 28 cm. ประกอบด้วยโซลิดสเตตรีเลย์ต่อกับฮีตเตอร์ทำความร้อน 4 ตัว กำลังไฟฟ้า

1,500 วัตต์ หลอดไฟ (LAMP1) หลอดไฟทนความร้อน 25 วัตต์ (LAMP2) มอเตอร์ 24 VDC สำหรับหมุนตะกร้าคั่ว (M1) ขนาดกว้าง 23 cm. M2, M3)

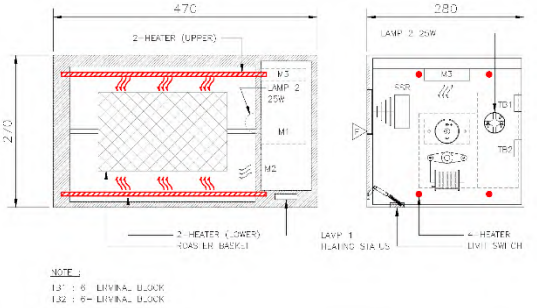

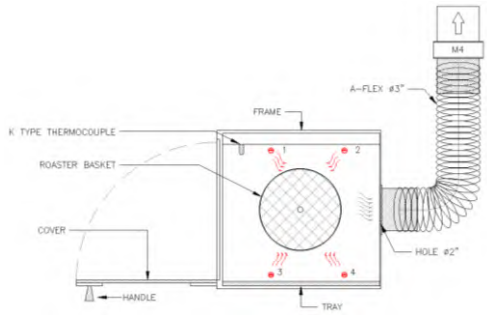

รูปที่ 5 แบบตู้คั่วเมล็ดกาแฟและท่อระบายความร้อน

- **3.1.3 การออกแบบระบบควบคุม**

ระบบควบคุมมีขนาด กว้าง 45 cm. สูง 17 cm. ลึก 30 cm. ประกอบด้วย ตัวควบคุมเชิงตรรกะแบบโปรแกรมได้ หน้าจอส่วนต่อประสานระหว่างมนุษย์กับเครื่องจักร ตัวควบคุมอุณหภูมิแบบ PID เซอร์กิตเบรกเกอร์ และรีเรย์รับแรงดันอินพุต 230 V_{AC} สายไฟ 1C x 2.5Sq.mm. ดังรูปที่ 6

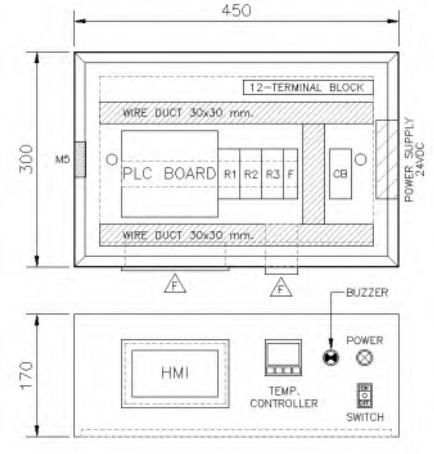

รูปที่ 6 การออกแบบระบบควบคุม

3.1.4 การทำงานตู้คั่วเมล็ดกาแฟ

พัฒนาโปรแกรมควบคุมการทำงานบนตัวควบคุมเชิงตรรกะแบบโปรแกรมได้ เพื่อควบคุมระบบการทำงานของตู้คั่วเมล็ดกาแฟ สั่งการผ่านหน้าจอส่วนต่อประสานระหว่างมนุษย์กับเครื่องจักร และใช้ฮีตเตอร์ไฟฟ้า 4 ตัวเป็นตัวให้ความร้อนกำลังไฟฟ้า 1,500 Watt ในกระบวนการคั่วเมล็ดกาแฟ ภายในจะมีตะกร้าคั่วทรงกระบอกขับเคลื่อนด้วยมอเตอร์ 24 V_{DC} และพัดลมระบายความร้อนหลังจากสิ้นสุดกระบวนการคั่ว ตู้คั่วเมล็ดกาแฟใช้แรงดันไฟฟ้ากระแสสลับ 230 V_{AC} มีขั้นตอนการทำงานและการออกแบบดังแผนภาพในรูปที่ 7 และผังงานในรูปที่ 8

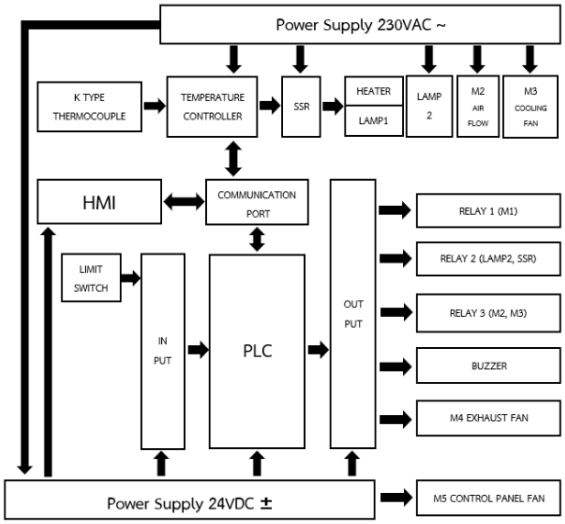

รูปที่ 7 แผนภาพการทำงานของตู้คั่วเมล็ดกาแฟ

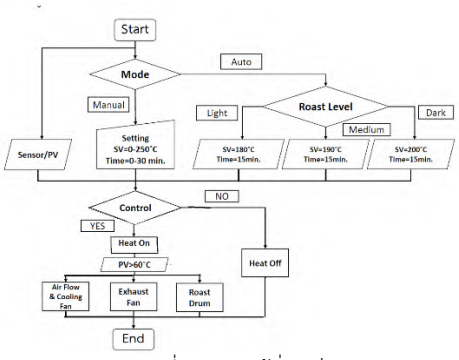

รูปที่ 8 ผังงานตู้คั่วเมล็ดกาแฟ

3.2 ระบบตรวจสอบคุณภาพเมล็ดกาแฟคั่ว

3.2.1 โครงสร้างระบบตรวจสอบคุณภาพเมล็ดกาแฟคั่ว

การตรวจสอบคุณภาพเมล็ดกาแฟคั่วโดยตรวจสอบสีของเมล็ดกาแฟคั่วที่ระดับการคั่วต่าง ๆ ใช้กล้องคีย์เอ็นซ์ความละเอียดสูง 5 ล้านพิกเซล [3-6] เป็นอุปกรณ์ในการตรวจสอบสีเมล็ดกาแฟคั่ว เพื่อควบคุมคุณภาพการคั่วให้ได้ตามมาตรฐาน เพิ่มประสิทธิภาพและประหยัดเวลาในกระบวนการตรวจสอบคุณภาพการคั่วเมล็ดกาแฟได้ มีโครงสร้างประกอบด้วย ชุดรางฐานสำหรับอุปกรณ์อื่น ๆ เป็นชุดรางอลูมิเนียม ติดตั้งเบรกเกอร์เพื่อความปลอดภัยในการใช้งานติดตั้งการเชื่อมต่อกับระบบหลักโดยการใช้สาย Ethernet/IP [7] ทำให้สามารถสื่อสารกับอุปกรณ์ในระบบ

มี Sensor LR-X100 Keyence ที่ใช้ในการตรวจจับ เพื่อให้ระบบสามารถตรวจสอบและตรวจจับสถานะ ควบคุมการตรวจสอบสีการคั่วโดยตัวควบคุมเชิงตรรกะแบบโปรแกรมได้ ติดตั้ง Vision camera Keyence CV-X170 ในตำแหน่งที่เหมาะสมและตั้งค่าการทำงาน จัดวางสายพานลำเรียงเพื่อขนส่งเมล็ดกาแฟคั่วได้อย่างรวดเร็วและเป็นระเบียบ ดังรูปที่ 9

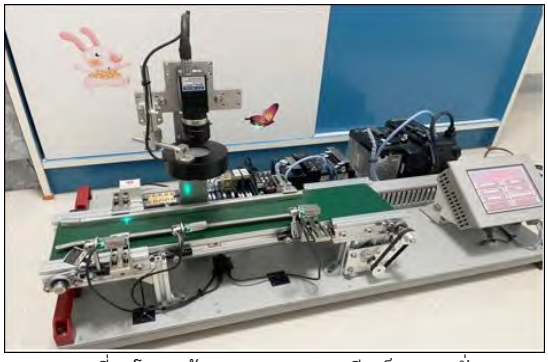

รูปที่ 9 โครงสร้างระบบตรวจสอบสีเมล็ดกาแฟคั่ว

3.2.2 การออกแบบระบบตรวจสอบคุณภาพเมล็ดกาแฟคั่ว

งานวิจัยนี้ออกแบบวงจรควบคุมและพัฒนาโปรแกรมประมวลผลข้อมูลบนตัวควบคุมเชิงตรรกะแบบโปรแกรมได้ Omron CJ1M-CPU12 โดยมีหน้าที่หลักในการควบคุม conveyer motor 24 V_{DC} กับ Push Solenoid ดังรูปที่ 10 การรับส่งข้อมูลอินพุต/เอาท์พุตต่าง ๆกระทำผ่าน Port Ethernet /IP เพื่อสื่อสารกับอุปกรณ์อื่น ๆในระบบ ดังรูปที่ 11

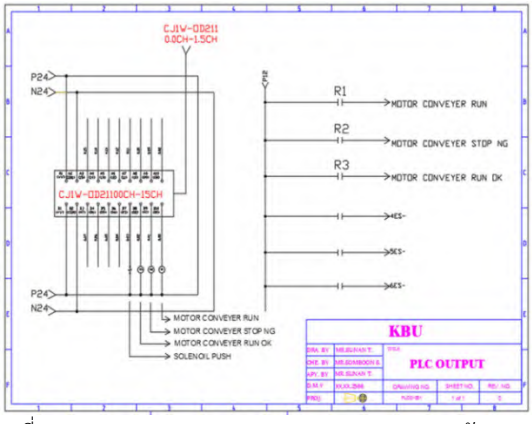

รูปที่ 10 การออกแบบระบบควบคุม conveyer motor กับ Push Solenoid

3.2.3 การทำงานของระบบตรวจสอบสีเมล็ดกาแฟคั่ว

นำเมล็ดกาแฟคั่วแบบต่าง ๆที่ได้รับตรวจสอบจากผู้เชี่ยวชาญมาฝึกสอนกับระบบกล้องก่อน การสั่งงานสั่งผ่านหน้าจอส่วนต่อประสานระหว่างมนุษย์กับเครื่องจักร (Touch Screen HMI Pro-face Gpw4301) มอเตอร์สายพานลำเลียงทำงานและโหลดเมล็ดกาแฟคั่วบนสายพานลำเลียง เซ็นเซอร์ทริกเกอร์จับเมล็ดกาแฟ เมื่อถึงกล้องตรวจจับสีของเมล็ดกาแฟคั่ว กล้องจะประมวลผลลักษณะสีของเมล็ดกาแฟคั่ว หากพบเมล็ดกาแฟคั่วที่สีไม่ได้ตามมาตรฐานกล้องจะมาร์คสีแดงบนเมล็ดกาแฟคั่วเพื่อกำหนดว่าเป็นเมล็ดกาแฟคั่วที่ไม่ได้คุณภาพและแยกเมล็ดกาแฟคั่วที่ไม่ได้คุณภาพออก เริ่มต้นโหลดเมล็ดกาแฟใหม่กล้องตรวจจับภาพเมล็ดกาแฟคั่วและประมวลผลภาพเมล็ดกาแฟคั่วจนครบจะหยุดการทำงาน ดังรูปที่ 12

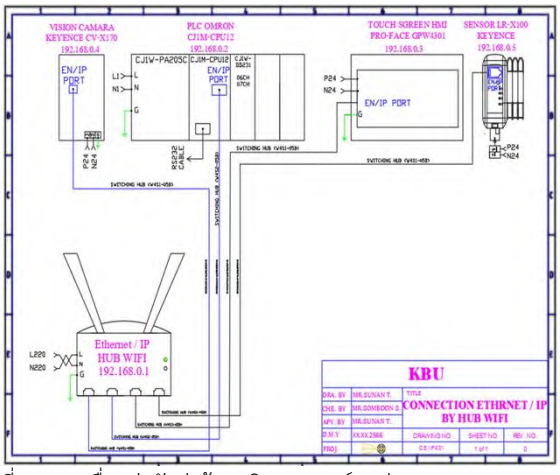

รูปที่ 11 การเชื่อมต่อรับส่งข้อมูลอินพุต/เอาท์พุตผ่าน Port Ethernet /IP

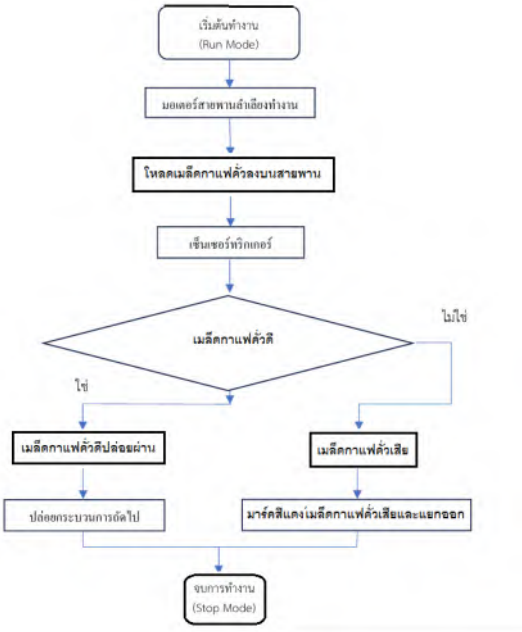

รูปที่ 12 ผังงานการทำงานของระบบตรวจสอบสีเมล็ดกาแฟคั่ว

4. ผลการทดลอง

4.1 การทดลองตู้คั่วเมล็ดกาแฟ

การทดลองนี้แบ่งการทดลองเป็นโหมดควบคุมด้วยมือ (Manual Roast) และ โหมดควบคุมอัตโนมัติ (Auto Roast) การคั่วเมล็ดกาแฟมี 2 ปัจจัยหลัก คือ อุณหภูมิ และระยะเวลาในการคั่ว แบ่งระดับการคั่วตามระดับสากล 3 ระดับ คือ คั่วอ่อน, คั่วกลาง และคั่วเข้ม บันทึกผลการทดลองและนำผลการทดลองที่ได้ คือ อุณหภูมิ และระยะเวลาในการคั่วในโหมดควบคุมด้วยมือจากผู้เชี่ยวชาญการคั่ว (ตารางที่ 2 และกราฟในรูปที่ 13) ไปตั้งค่าในโหมดควบคุมการคั่วอัตโนมัติ โดยแบ่งการคั่วออกเป็น 3

ระดับเพื่อให้การคั่วในแต่ละระดับมีความสม่ำเสมอทุกครั้ง ดังผลการทดลองในตารางที่ 3 และกราฟในรูปที่ 14

ตารางที่ 2 ผลการทดลองคั่วเมล็ดกาแฟโหมดควบคุมการคั่วด้วยมือ

ผลการทดลองคั่วเมล็ดกาแฟโหมดควบคุมการคั่วด้วยมือ (Manual Roast) เมล็ดกาแฟพันธุ์อาราบิก้า น้ำหนัก 250 กรัม						
ครั้งที่	อุณหภูมิ	เวลา	ระดับ	ค่าสี	น้ำหนัก	อุณหภูมิมาตราฐาน
1	180°C	20นาที	คั่วกลาง	60 Agtron	211.9 กรัม	207-209 °C
2	180°C	15นาที	คั่วอ่อน	85 Agtron	216.5 กรัม	200-202 °C
3	180°C	15นาที	คั่วอ่อน	85 Agtron	216.2 กรัม	200-202 °C
4	195°C	15นาที	คั่วเข้ม	50 Agtron	209.1 กรัม	213-215 °C
5	190°C	15นาที	คั่วกลาง	60 Agtron	212.1 กรัม	207-209 °C
6	190°C	15นาที	คั่วกลาง	60 Agtron	212.2 กรัม	207-209 °C
7	200°C	15นาที	คั่วเข้ม	50 Agtron	208.5 กรัม	213-215 °C
8	200°C	15นาที	คั่วเข้ม	50 Agtron	208.1 กรัม	213-215 °C

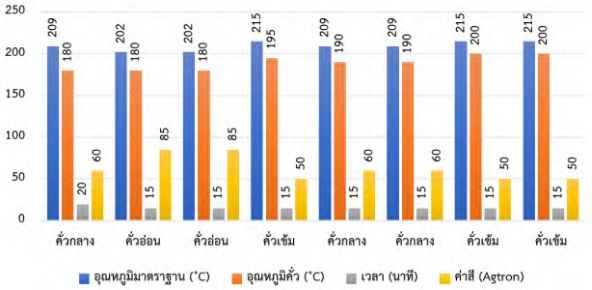

รูปที่ 13 กราฟผลการทดลองคั่วเมล็ดกาแฟโหมดควบคุมการคั่วด้วยมือ

ตารางที่ 3 ผลการทดลองคั่วเมล็ดกาแฟโหมดควบคุมการคั่วอัตโนมัติ

ผลการทดลองคั่วเมล็ดกาแฟโหมดควบคุมการคั่วอัตโนมัติ (Auto Roast) เมล็ดกาแฟพันธุ์อาราบิก้า น้ำหนัก 250 กรัม						
ระดับ	ครั้งที่	อุณหภูมิ	เวลา	ค่าสี	น้ำหนัก	อุณหภูมิมาตราฐาน
คั่วอ่อน	1	180°C	15นาที	85 Agtron	216.0 กรัม	200-202 °C
	2	180°C	15นาที	85 Agtron	216.3 กรัม	200-202 °C
คั่วกลาง	1	190°C	15นาที	60 Agtron	212.1 กรัม	207-209 °C
	2	190°C	15นาที	60 Agtron	212.0 กรัม	207-209 °C
คั่วเข้ม	1	200°C	15นาที	50 Agtron	208.3 กรัม	213-215 °C
	2	200°C	15นาที	50 Agtron	208.6 กรัม	213-215 °C

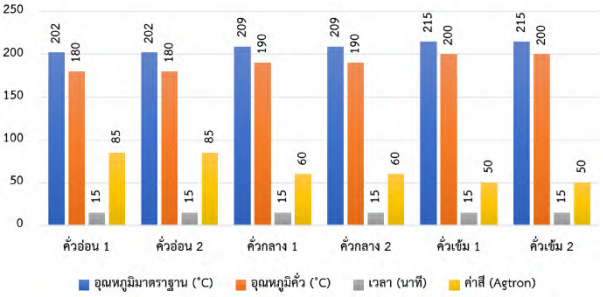

รูปที่ 14 ผลการทดลองคั่วเมล็ดกาแฟโหมดควบคุมการคั่วอัตโนมัติ

4.2 การตรวจสอบคุณภาพเมล็ดกาแฟคั่วจากสีของเมล็ดกาแฟคั่วโดยใช้แผ่นเทียบค่าสี

การทดลองตรวจสอบคุณภาพเมล็ดกาแฟคั่วจากสีเมล็ดกาแฟคั่วในแต่ละระดับจะอ้างอิงจากระดับสี โดยใช้แผ่นเทียบค่าสี (Agtron Tile) ตามมาตราฐานของสมาคมกาแฟพิเศษอเมริกา Specially Coffee Associate of America (SCAA) เมล็ดกาแฟดิบที่ใช้คือ เมล็ดกาแฟพันธุ์อาราบิก้าเก็บรักษาในถุงพลาสติกอุณหภูมิห้อง ตู้คั่วเมล็ดกาแฟจะควบคุมอุณหภูมิภายในตู้คั่วระบบปิดที่อุณหภูมิการคั่ว 0-250°C ที่เวลา 0-30 นาที เพื่อทดลองหาค่าอุณหภูมิ ระยะเวลา และสีของเมล็ดกาแฟหลังการคั่วทั้ง 3 ระดับที่เหมาะสม ดังผลการทดลองในตารางที่ 4-6 และรูปที่ 15-17

รูปที่ 15 แสดงการวัดค่าสีระดับคั่วอ่อน

ตารางที่ 4 รายละเอียดการทดลองคั่วเมล็ดกาแฟระดับคั่วอ่อน

ข้อมูลการทดลอง					
เมล็ดกาแฟพันธุ์ : อาราบิก้า (Arabica)			**กระบวนการแปรรูป :** แบบแห้ง (Dry Process)		
แหล่งที่มาของเมล็ด : จังหวัดน่าน, ประเทศไทย			**น้ำหนัก :** 250 กรัม		
อุณหภูมิตั้งค่า : 180 องศาเซลเซียส (°C)			**เวลาตั้งค่า :** 15 นาที (min.)		
ระดับการคั่วที่ต้องการ : คั่วอ่อน (Light Roast)			**ค่าสีของเมล็ดกาแฟที่ต้องการ :** 75-95 Agtron		
ผลการทดลอง					
เวลา (นาที)	**อุณหภูมิ (°C)**	**ปฏิกิริยาและการเปลี่ยนแปลง**	**เวลา (นาที)**	**อุณหภูมิ (°C)**	**ปฏิกิริยาและการเปลี่ยนแปลง**
เริ่มต้น	32.8	เมล็ดกาแฟดิบ (Green Beans)	8	180.1	-
1	51.8	-	9	180.2	-
2	92.1	-	10	179.9	เมล็ดกาแฟเริ่มมีสีเหลือง
3	133.3	-	11	179.9	-
4	165.4	ผิวของเมล็ดกาแฟเริ่มหลุด	12	180.3	-
5	178.9	อุณหภูมิเริ่มสูงถึงระดับที่ตั้งค่าไว้	13	180.3	สีเมล็ดกาแฟเปลี่ยนเป็นสีน้ำตาล
6	180.1	-	14	180.0	-
7	180.3	-	15	180.2	เครื่องหยุดทำงาน

รูปที่ 16 แสดงการวัดค่าสีระดับคั่วกลาง

ตารางที่ 5 รายละเอียดการทดลองคั่วเมล็ดกาแฟระดับคั่วกลาง

ข้อมูลการทดลอง					
เมล็ดกาแฟพันธุ์ : อาราบิก้า (Arabica)			**กระบวนการแปรรูป :** แบบแห้ง (Dry Process)		
แหล่งที่มาของเมล็ด : จังหวัดน่าน, ประเทศไทย			**น้ำหนัก :** 250 กรัม		
อุณหภูมิตั้งค่า : 190 องศาเซลเซียส (°C)			**เวลาตั้งค่า :** 15 นาที (min.)		
ระดับการคั่วที่ต้องการ : คั่วกลาง (Medium Roast)			**ค่าสีของเมล็ดที่ต้องการ :** 55-70 Agtron		
ผลการทดลอง					
เวลา (นาที)	**อุณหภูมิ (°C)**	**ปฏิกิริยาและการเปลี่ยนแปลง**	**เวลา (นาที)**	**อุณหภูมิ (°C)**	**ปฏิกิริยาและการเปลี่ยนแปลง**
เริ่มต้น	38.9	เมล็ดกาแฟดิบ (Green Beans)	8	190.1	-
1	66.2	-	9	189.5	เมล็ดกาแฟเริ่มมีสีเหลือง
2	108.1	-	10	190.3	-
3	145.5	-	11	190.2	-
4	172.5	ผิวของเมล็ดกาแฟเริ่มหลุด	12	190.0	สีเมล็ดกาแฟเปลี่ยนเป็นสีน้ำตาล
5	185.0	-	13	189.8	-
6	186.7	-	14	190.2	มีเสียงแตกตัวของเมล็ดดังขึ้น
7	189.3	อุณหภูมิเริ่มสูงถึงระดับที่ตั้งค่าไว้	15	190.0	เครื่องหยุดทำงาน

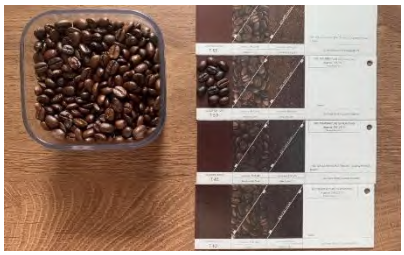

รูปที่ 17 แสดงการวัดค่าสีระดับคั่วเข้ม

ตารางที่ 6 รายละเอียดการทดลองคั่วเมล็ดกาแฟระดับคั่วเข้ม

ข้อมูลการทดลอง					
เมล็ดกาแฟพันธุ์ : อาราบิก้า (Arabica)			กระบวนการแปรรูป : แบบแห้ง (Dry Process)		
แหล่งที่มาของเมล็ด : จังหวัดน่าน, ประเทศไทย			น้ำหนัก : 250 กรัม		
อุณหภูมิตั้งค่า : 200 องศาเซลเซียส (°C)			เวลาตั้งค่า : 15 นาที (min.)		
ระดับการคั่วที่ต้องการ : คั่วเข้ม (Dark Roast)			ค่าสีของเมล็ดที่ต้องการ : 40-50 Agtron		
ผลการทดลอง					
เวลา (นาที)	อุณหภูมิ (°C)	ปฏิกิริยาและการเปลี่ยนแปลง	เวลา (นาที)	อุณหภูมิ (°C)	ปฏิกิริยาและการเปลี่ยนแปลง
เริ่มต้น	38.8	เมล็ดกาแฟดิบ (Green Beans)	8	199.8	เมล็ดกาแฟเริ่มมีสีเหลือง
1	54.1	-	9	199.9	-
2	95.5	-	10	200.0	-
3	138.7	-	11	200.0	สีเมล็ดกาแฟเปลี่ยนเป็นสีน้ำตาล
4	167.7	ผิวของเมล็ดกาแฟเริ่มหลุด	12	199.9	มีเสียงแตกตัวของเมล็ดดังขึ้น
5	188.0	-	13	199.8	มีเสียงแตกตัวดังขึ้นเป็นระยะ
6	199.9	-	14	200.0	มีเสียงแตกตัวดังขึ้นเป็นระยะ
7	200.0	อุณหภูมิเริ่มสูงถึงระดับที่ตั้งค่าไว้	15	199.8	เครื่องหยุดทำงาน

4.3 การตรวจสอบคุณภาพเมล็ดคั่วโดยอัตโนมัติ

นำเมล็ดกาแฟคั่วจากการเทียบสีการคั่วทั้ง 3 ระดับการคั่ว ระดับละ 30 เมล็ดไปฝึกสอนกล้องคีย์เอนซ์ให้รู้จำสีเมล็ดกาแฟคั่วแต่ละดับ เพื่อให้ระบบสามารถตรวจสีเมล็ดกาแฟคั่วได้โดยอัตโนมัติ ในการทดลองแบ่งออกเป็น 3 แบบคือ แบบดูด้วยตา แบบเทียบแผ่นสีมาตรฐานสมาคมฯ และแบบอัตโนมัติโดยใช้กล้องที่การฝึกสอนแล้ว ทำการคั่วเมล็ดกาแฟที่ระดับต่าง ๆโดยสุ่มเมล็ดกาแฟคั่วจำนวน 15 เมล็ดในแต่ละระดับมารวม 45 เมล็ดมาทดสอบทั้ง 3 แบบได้ผลการทดลองดังในตารางที่ 7

5. สรุปผลการทดลองและข้อเสนอแนะ

งานวิจัยนี้เป็นการพัฒนาเครื่องคั่วและตรวจสอบคุณภาพเมล็ดกาแฟคั่วต้นแบบควบคุมด้วยตัวควบคุมเชิงตรรกะแบบโปรแกรมได้ สั่งงานผ่านหน้าจอส่วนต่อประสานระหว่างมนุษย์กับเครื่องจักร เพื่อเพิ่มประสิทธิภาพและตรวจสอบคุณภาพเมล็ดกาแฟคั่วได้อย่างแม่นยำ จากข้อมูลในตารางที่ 5-7 ในการคั่วอ่อนสีของเมล็ดกาแฟเปลี่ยนเป็นสีน้ำตาล ในนาทีที่ 13 เครื่องหยุดการทำงานในในนาทีที่ 15 เมล็ดกาแฟมีสีน้ำตาลในระดับคั่วอ่อน ค่าสีที่วัดได้ 85 Agtron น้ำหนักหลังการคั่ว 216.3 กรัม การคั่วกลางมีเสียงแตกตัวของเมล็ดดังขึ้นในนาทีที่ 14.50 เครื่องหยุดการทำงานในในนาทีที่ 15 เมล็ดกาแฟมีสีน้ำตาลในระดับคั่วกลาง ค่าสีที่วัดได้ 60 Agtron น้ำหนักหลังการคั่ว 212 กรัม การคั่วเข้มมีเสียงแตกตัวของเมล็ดกาแฟในนาทีที่ 12.20 นาทีที่ 13-14 มีเสียงแตกตัวของเมล็ดดังขึ้นเป็นระยะ เครื่องหยุดการทำงานในในนาทีที่ 15 เมล็ดกาแฟมีสีน้ำตาลในระดับคั่วเข้ม (มีน้ำมันเคลือบผิวเมล็ดกาแฟ) ค่าสีที่วัดได้ 50 Agtron น้ำหนักหลังการคั่ว 208.6 กรัม การตรวจสอบคุณภาพอ้างอิงสีเมล็ดกาแฟคั่วมาตรฐาน โดยฝึกสอนกล้องคีย์เอนซ์ให้สามารถตรวจสอบสีการคั่วเมล็ดกาแฟโดยอัตโนมัติ จากการทดลองพบว่าระบบตรวจสอบคุณภาพเมล็ดกาแฟคั่วสามารถตรวจสอบสีเมล็ดกาแฟคั่วได้ถูกต้อง 100%

เนื่องจากการสุ่มเมล็ดกาแฟคั่วมาตรวจสอบคุณภาพยังคงเป็นการสุ่มตรวจด้วยมือ ควรพัฒนาระบบสุ่มตรวจเมล็ดกาแฟคั่วเป็นแบบอัตโนมัติ

ตารางที่ 7 รายละเอียดการทดลองตรวจสอบคุณภาพเมล็ดกาแฟคั่ว

ผลการทดลองการคัดแยกแต่ละระดับของเมล็ดกาแฟคั่ว สุ่มมาระดับละ 15 เมล็ดรวม 45 เมล็ด						
วิธีทดลอง	ครั้งที่	จำนวนเมล็ดกาแฟที่ตรวจสอบ	ระดับเข้ม	ระดับปานกลาง	ระดับอ่อน	คิดเป็นร้อยละเฉลี่ยที่ตรวจสอบได้ %
อัตโนมัติ	1	45	15	15	15	100
	2	45	15	15	15	100
	3	45	15	05	15	100
	4	45	15	15	15	100
	5	45	15	15	15	100
เทียบสี	1	45	15	15	15	100
	2	45	15	15	15	100
	3	45	15	15	15	100
	4	45	15	15	15	100
	5	45	15	15	15	100
ดูด้วยตา	1	45	14	15	15	97.78
	2	45	15	14	15	97.78
	3	45	14	15	14	95.56
	4	45	13	15	15	95.56
	5	45	14	14	14	93.33

เอกสารอ้างอิง

[1] ไชยเชษฐ์ กรีบาง และพีระพงษ์ วงดารา (2563) การพัฒนาเครื่องคั่วเมล็ดกาแฟโดยใช้ไมโครคอนโทรลเลอร์ โครงงานสาขาวิชาวิศวกรรมไฟฟ้า คณะวิศวกรรมศาสตร์ มหาวิทยาลัยสยาม

[2] เอ็นแอลคอฟฟี่ (2561) กาแฟ สืบค้นได้จาก : https://www.nlcoffee.net

[3] Keyence Thailand. (4 เมษายน 2566). ผังกระบวนการการประมวลผลข้อมูลภาพเข้าถึงได้จาก https://www.kwyence.co.th/support/user/cv-x/manual/#1

[4] Keyence Thailand (8 กรกฎาคม 2023) มุมมองภาพของเลนส์ Keyence Thailand เข้าถึงได้จาก https://www.kwyence.co.th/support/user/cv-x/manual/#1

[5] Keyence Thailand. (8 กรกฎาคม 2023). ไฟส่องแสงสว่าง KEYENCE CA-DRB8M. เข้าถึงได้จาก. https://www.keyence.co.th/img/products/model/AS_3097_L.jpg

[6] Keyence Thailand. (4 เมษายน 2566) ไดอะแกรมโครงสร้างของ PLC เข้าถึงได้จาก https://www.kwyence.co.th/support/user/cv-x/manual/#1

[7] PLC Omron (น.ป.ป.) PLC Omron รุ่น CJ1M -CPU 12 Ethernet/IP EIP 2 เข้าถึงได้จาก https://automation.riverplus.com/home/automation-product/plc-overview/

การพัฒนาแบบจำลองด้วยการเรียนรู้ของเครื่องเพื่อประมาณค่าความต้านทานภายในแบตเตอรี่ในยานยนต์ไฟฟ้า

Development of a Machine Learning Model for Estimating the Internal Resistance of Batteries in Electric Vehicles

ภูชิต สร้อยประดิษฐ์[1] และ นิธิกร จันทร์หัวโทน[1]*

[1]ภาควิชาวิศวกรรมไฟฟ้า คณะวิศวกรรมศาสตร์ มหาวิทยาลัยเทคโนโลยีราชมงคลธัญบุรี
Nitikorn_j@rmutt.ac.th[1]*

บทคัดย่อ

การประเมินค่าความต้านทานภายในของแบตเตอรี่มีความสำคัญต่อการยกระดับความปลอดภัยและประสิทธิภาพของระบบกักเก็บพลังงาน โดยช่วยตรวจจับสภาพการทำงานและการเสื่อมสภาพได้รวดเร็ว อย่างไรก็ตาม วิธีวัดแบบดั้งเดิมยังมีข้อจำกัดด้านความล่าช้าและต้องใช้เครื่องมือในการวัด งานวิจัยนี้จึงพัฒนาแบบจำลองการเรียนรู้ของเครื่องเพื่อประมาณค่าความต้านทานภายในจากข้อมูลแรงดัน และกระแสไฟฟ้า ผลการทดลองพบว่าแบบจำลองให้ค่าเปอร์เซ็นต์ความคลาดเคลื่อนสัมบูรณ์เฉลี่ยน้อยกว่า 4 % และมีค่าสัมประสิทธิ์สหสัมพันธ์กำลังสองมากกว่า 0.95 แสดงถึงความแม่นยำและความสอดคล้องอย่างมีนัยสำคัญ จึงมีศักยภาพสูงในการนำไปประยุกต์ใช้กับระบบตรวจสอบแบตเตอรี่

คำสำคัญ: ค่าความต้านทานภายใน แบตเตอรี่ ระบบกักเก็บพลังงาน และยานยนต์ไฟฟ้า

Abstract

Estimating a battery's internal resistance is essential for improving the safety and efficiency of energy storage systems, as it facilitates the swift identification of operational conditions and deterioration. Nonetheless, traditional measurement techniques are constrained by latency and the requirement for specialized apparatus. This research constructs a machine learning model to assess internal resistance utilizing voltage and current data. Experimental results demonstrate that the model attains a mean absolute percentage error below 4% and a coefficient of determination (R^2) of 0.95, signifying good accuracy and robust correlation. The results indicate the model's significant potential for use in battery monitoring systems.

Keywords: Internal resistance, battery, energy storage systems and electric vehicles

1. บทนำ

ในปัจจุบัน ระบบกักเก็บพลังงานและยานยนต์ไฟฟ้ามีบทบาทสำคัญในการส่งเสริมการใช้พลังงานสะอาดและลดการปล่อยก๊าซเรือนกระจก ซึ่งแบตเตอรี่ลิเทียมไอออนถือเป็นหัวใจหลักของระบบเหล่านี้ โดยค่าความต้านทานภายในเป็นตัวชี้วัดสำคัญที่สะท้อนสมรรถนะและความปลอดภัยของแบตเตอรี่ การประเมินค่าความต้านทานภายในอย่างแม่นยำจึงมีความจำเป็น เพื่อใช้ในการติดตามสภาพของแบตเตอรี่และป้องกันความเสียหายจากความผิดปกติ เช่น การลัดวงจรภายใน

วิธีการวัดค่าความต้านทานภายในแบบดั้งเดิม เช่น การวัดด้วยกระแสกระตุ้นหรือการวิเคราะห์ด้วยแบบจำลองทางไฟฟ้า ยังมีข้อจำกัดหลายด้าน เช่น ความแม่นยำต่ำ การตอบสนองที่ล่าช้า และความยุ่งยากในการนำไปใช้ในระบบจริง โดยเฉพาะในระบบขนาดใหญ่ การวัดค่าความต้านทานภายใน (Internal Resistance: IR) ของแบตเตอรี่ลิเทียมไอออนมีหลายวิธีแบบดั้งเดิมที่ใช้งานอย่างแพร่หลาย ซึ่งแต่ละวิธีมีข้อดีและข้อจำกัดเฉพาะตัว แม้ว่าจะมีความสำคัญในการประเมินสมรรถนะและสุขภาพของแบตเตอรี่ แต่ก็เผชิญกับปัญหาด้านความสะดวกและประสิทธิภาพในการใช้งานจริงหนึ่งในวิธีที่แม่นยำที่สุดคือ Electrochemical Impedance Spectroscopy (EIS) ซึ่งเป็นเทคนิคเชิงความถี่ที่ให้ข้อมูลเชิงลึกเกี่ยวกับอิมพีแดนซ์ของแบตเตอรี่ในช่วงความถี่ต่าง ๆ โดยแม้จะมีความแม่นยำสูง แต่การวัดด้วย EIS ใช้เวลานานและไม่เหมาะกับการประเมินแบบเรียลไทม์ อย่างไรก็ตามมีความพยายามพัฒนา EIS ให้เร็วขึ้นด้วยเทคนิคอย่าง Fast-Fourier Transform และ Pseudo-random Sequences [1] อีกวิธีหนึ่งคือ DC Internal Resistance (DCIR) ซึ่งอาศัยการวัดแรงดันตกคร่อมหลังจากจ่ายกระแสแบบขั้นบันได (Step Current) มักใช้ในการทดสอบคุณภาพและวงรอบของแบตเตอรี่ วิธีนี้ใช้งานง่ายแต่ไม่สามารถสะท้อนการเปลี่ยนแปลงของ IR ระหว่างการทำงานได้ดีส่วน Pulse Testing เป็นเทคนิคที่ใช้พัลส์กระแสสั้น ๆ เพื่อประมาณค่า IR แบบไดนามิกจากการเปลี่ยนแปลงแรงดัน แม้ว่าจะใช้ได้ผลในบางกรณี แต่ก็ยังคงต้องให้แบตเตอรี่อยู่ในสภาวะนิ่ง ทำให้ไม่เหมาะกับการประยุกต์ในระบบที่ทำงานต่อเนื่องหรือแบบเรียลไทม์ข้อจำกัดของวิธีดั้งเดิมเหล่านี้คือมักต้องถอดโหลดออกจากแบตเตอรี่ก่อนการวัด จึงไม่สามารถใช้ในสภาพแวดล้อม in-operando ได้ นอกจากนี้ยังมีต้นทุนสูงและกระบวนการซับซ้อน ทำให้เกิดแนวโน้มในการค้นคว้าวิธีทางเลือกใหม่ เช่น การฉีดสัญญาณแบบ Binary Sequence เป็นช่วง ๆ (Discrete-Interval-Binary-Sequence Injection) ซึ่งสามารถวัดค่า IR ได้แบบเรียลไทม์ [2] แม้จะมีการพัฒนาวิธีวัดเหล่านี้อย่างต่อเนื่อง แต่การติดตามค่าความต้านทานภายในแบบเรียลไทม์ยังคงเป็นความท้าทายสำคัญ จึงจำเป็นต้องวิจัยวิธีที่มีความแม่นยำ ใช้งานได้จริง และเหมาะสมกับระบบแบตเตอรี่ที่ทำงานอย่างต่อเนื่องเพื่อแก้ไขข้อจำกัดของวิธีการวัดค่าความต้านทานภายในแบบดั้งเดิม

งานวิจัยนี้จึงนำเสนอแนวทางใหม่โดยประยุกต์ใช้เทคนิคการเรียนรู้ของเครื่อง เพื่อสร้างแบบจำลองที่สามารถประมาณค่าความต้านทานภายในได้จากข้อมูลแรงดันและกระแสไฟฟ้าที่ได้จากการทำงานจริงของแบตเตอรี่ แนวทางนี้ช่วยให้สามารถประเมินค่าความต้านทานภายในได้อย่างต่อเนื่อง รวดเร็ว และไม่รบกวนการทำงานของระบบ โดยเฉพาะอย่างยิ่งในระบบขนาดใหญ่หรือระบบที่ใช้งานจริง ซึ่งไม่สามารถหยุดเพื่อตรวจวัดได้โดยสะดวก ทั้งนี้ยังเปิดโอกาสให้ระบบจัดการแบตเตอรี่สามารถ

นำข้อมูลที่ได้ไปใช้ในการวินิจฉัย ตรวจสอบความผิดปกติ และบริหารจัดการสมรรถนะของแบตเตอรี่ได้อย่างมีประสิทธิภาพมากยิ่งขึ้น

2. งานวิจัยที่เกี่ยวข้อง

2.1 การใช้ Machine Learning ประเมิน SoH

ความก้าวหน้าของเทคนิคการเรียนรู้ของเครื่อง (Machine Learning: ML) ในช่วงหลังได้เข้ามามีบทบาทสำคัญในการประมาณค่าพารามิเตอร์ภายในของแบตเตอรี่ เช่น สถานะสุขภาพของแบตเตอรี่ (State of Health: SoH), สถานะการชาร์จ (State of Charge: SoC) และค่าความต้านทานภายใน โดยแนวทางแบบ data-driven นี้สามารถให้ผลการทำนายที่แม่นยำโดยไม่ต้องอาศัยการวัดแบบรุกล้ำ (non-invasive) จึงเหมาะอย่างยิ่งสำหรับการนำไปใช้งานร่วมกับระบบจัดการแบตเตอรี่ (Battery Management System: BMS)

ตารางที่ 1 วิธีการและเทคนิคที่ใช้ในงานวิจัยเด่นด้านการทำนายค่าความต้านทานภายใน

งานวิจัย	วิธีการ / เทคนิค	ข้อมูลนำเข้า	จุดเด่น	ข้อจำกัด
M.A.A Khan (2022)	EIS + SVR	Voltage Current Temp	ความแม่นยำสูง ($R^2 > 0.95$)	ใช้ EIS ต้องมีอุปกรณ์เฉพาะ
H.A. Khalid (2022)	RF Regression	V, I, SoC, Cycle index	ไม่ต้องหยุดโหลด, ใช้ข้อมูลที่มีอยู่แล้ว	สมรรถนะลดลงที่ SoC ต่ำ
R. Balan (2022)	ANN (MLP)	V, I, T, Time	ประเมิน IR ได้แม้ระหว่างชาร์จ	ต้องการข้อมูล training จำนวนมาก
B. Bakkaloglu (2022)	Linear Regression	Avg. Current, ΔV	เรียบง่าย, ฝังในไมโครคอนโทรลเลอร์ได้	ความแม่นยำต่ำเมื่อโหลดไม่คงที่
Proposed methods	SVR, RF, MLP, LSTM, NARX	V, I, T	ใช้กับ BMS จริงได้, แม่นยำ	ทดสอบด้วยการจำลอง

ในการประเมิน SoH นักวิจัยได้นำเทคนิค ML อย่าง Neural Networks และ Decision Trees มาใช้วิเคราะห์จากข้อมูลประวัติการชาร์จและดิสชาร์จ ซึ่งให้ผลแม่นยำสูงและใช้ทรัพยากรในการประมวลผลน้อยกว่าวิธีเชิงฟิสิกส์แบบเดิม [3] สำหรับการประมาณความจุของแบตเตอรี่ (Capacity Estimation) มีการใช้แบบจำลองการถดถอย (Regression Models) และเทคนิคจับคู่โค้งแรงดันไฟฟ้า (Curve-Matching) โดยอาศัยข้อมูลจากกราฟแรงดันและรอบการใช้งาน ซึ่งช่วยให้สามารถติดตามความจุได้แบบเรียลไทม์ เพิ่มความน่าเชื่อถือของระบบแบตเตอรี่ [4] ในด้านของการทำนายค่าความต้านทานภายใน (IR) ได้มีการประยุกต์ใช้โมเดลอย่าง Support Vector Regression (SVR), Random Forest และ Artificial Neural Network ซึ่งอาศัยตัวแปรนำเข้า เช่น แรงดันไฟฟ้า กระแส และอุณหภูมิ โดยผลการทำนายที่แม่นยำของ IR มีความสำคัญต่อการเพิ่มประสิทธิภาพและยืดอายุการใช้งานของแบตเตอรี่ [5]

แม้ว่าการใช้ ML จะให้ประโยชน์อย่างมากในงานวิเคราะห์แบตเตอรี่ แต่ยังคงมีความท้าทาย เช่น ความต้องการชุดข้อมูลขนาดใหญ่ และปัญหา overfitting ที่อาจเกิดขึ้นในโมเดลที่ซับซ้อน ดังนั้น การพัฒนาเทคนิคการเรียนรู้ที่มีความยืดหยุ่นและเหมาะสมกับสภาพข้อมูลจริงจะเป็นกุญแจสำคัญในการยกระดับเทคโนโลยีจัดการแบตเตอรี่ต่อไป

3. ระเบียบวิธีวิจัย

ในงานวิจัยนี้ กระบวนการดำเนินการเริ่มจากการเตรียมข้อมูลโดยเก็บรวบรวมข้อมูลจากเซลล์แบตเตอรี่ชนิดลิเทียมไอรอนฟอสเฟต (LFP) พร้อมประมวลผลข้อมูลดิบให้มีความเหมาะสมต่อการวิเคราะห์ โดยคำนวณค่าที่เกี่ยวข้องจากแรงดันไฟฟ้าและกระแสไฟฟ้า เช่น ทำการปรับสเกลข้อมูลให้อยู่ในช่วง [0,1] เพื่อเพิ่มประสิทธิภาพในการเรียนรู้ของแบบจำลอง จากนั้นแบ่งชุดข้อมูลออกเป็นข้อมูลฝึกและข้อมูลทดสอบในสัดส่วน 70 ต่อ 30 พร้อมดำเนินการคัดกรองและลบข้อมูลที่มีค่าผิดปกติหรือข้อมูลสูญหายเพื่อรักษาคุณภาพของข้อมูล ขั้นต่อมาทำการกำหนดการทดสอบโดยเลือกใช้วิธีการเรียนรู้ของเครื่องหลายรูปแบบ ได้แก่ การถดถอยเชิงเส้น การถดถอยแบบเวกเตอร์สนับสนุน การถดถอยแบบป่าสุ่ม และการรับรู้หลายชั้น ทั้งนี้ ประสิทธิภาพของแต่ละแบบจำลองจะได้รับการประเมินโดยใช้ตัวชี้วัดมาตรฐาน ได้แก่ งานวิจัยนี้ใช้ตัวชี้วัดมาตรฐานทางสถิติและการเรียนรู้ของเครื่อง ได้แก่ ค่าความคลาดเคลื่อนเฉลี่ย (Mean Absolute Error: MAE) ค่ารากที่สองของความคลาดเคลื่อนกำลังสองเฉลี่ย (Root Mean Squared Error: RM Error: MAPE) จะนำไปสู่การเลือกแบบจำลองที่เหมาะสมที่สุดสำหรับการพยากรณ์และการวิเคราะห์ในงานวิจัยเพื่อเปรียบเทียบประสิทธิภาพและคัดเลือกวิธีการที่เหมาะสมที่สุดสำหรับการวิเคราะห์ในงานวิจัยนี้แต่ในตัวโปรแกรมจะยังมีข้อจำกัดที่เราไม่สามารถแก้ไขเองได้อยู่จะเป็นการที่ MATLAB นั้นยังไม่สามารถนำข้อมูลที่มีทั้งหมดที่เก็บค่าได้มาใช้จริงได้จึงต้องเอาการปรับลดขอมูลก่อนที่จะเริ่มการฝึกโมเดลจึงต้องปรับเปลี่ยนวิธีในการทำข้อมูลของการฝึกโมเดล เพื่อให้งานวิจัยนี้มีความแม่นยำที่สุด

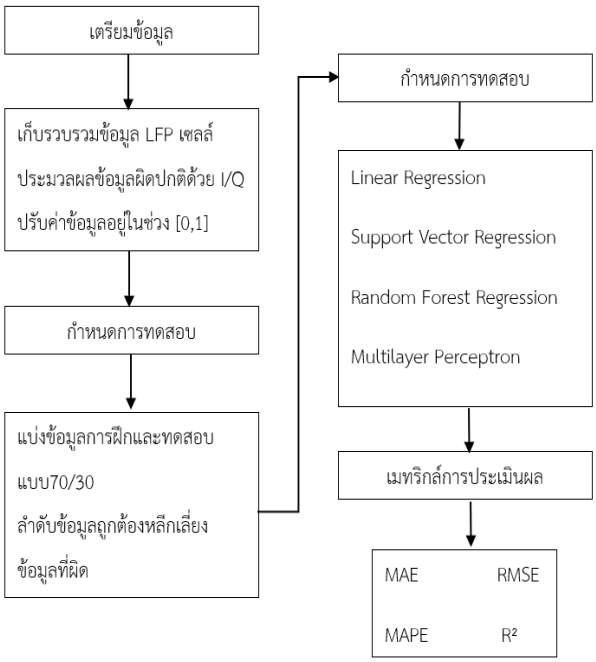

รูปที่ 1 กระบวนการวิจัย

3.1 การเตรียมข้อมูล

กระบวนการเตรียมข้อมูลสำหรับการสร้างแบบจำลองแบตเตอรี่ลิเทียมไอออนชนิดฟอสเฟต (LFP) มีความสำคัญอย่างยิ่งต่อความแม่นยำ

และความน่าเชื่อถือของโมเดลการพยากรณ์ งานวิจัยนี้ใช้ชุดข้อมูลที่เก็บจากการทดลองในการจำลองด้วยโปรแกรม Automotive Simulation Model โดยทดสอบเซลล์ LFP ขนาด 80 Ah ในหลายสภาวะการชาร์จและดิสชาร์จ ข้อมูลที่ได้ประกอบด้วยพารามิเตอร์หลัก ได้แก่ แรงดันไฟฟ้า กระแสไฟฟ้า อุณหภูมิ สถานะการชาร์จ (SoC) และค่าความต้านทานภายใน โดยกราฟพื้นผิวสามมิติแสดงความสัมพันธ์ระหว่างสถานะประจุ (SoC) และอุณหภูมิต่อค่าความต้านทานภายในของแบตเตอรี่ พบว่าความต้านทานมีค่าสูงสุดเมื่อ SoC อยู่ในช่วงประมาณ 50–90% และอุณหภูมิอยู่ราว 20–40°C ขณะที่ในช่วง SoC ต่ำหรือสูงมาก รวมถึงอุณหภูมิที่ต่ำหรือสูงเกินไป ค่าความต้านทานภายในจะลดลงอย่างชัดเจน ดังแสดงในรูปที่ 2 และโครงสร้างและการจัดเรียงเซลล์ภายในแบตเตอรี่แพ็กแสดงในรูปที่ 3 โดยมีข้อมูลมิติ ขนาด และจำนวนเซลล์ในแต่ละทิศทาง เพื่อใช้คำนวณคุณสมบัติเชิงกายภาพ เช่น มวล 178 kg และพื้นที่ผิวรวม 1.495 m^2 ของแบตเตอรี่แพ็ก พร้อมทั้งระบุตำแหน่งการไหลของกระแสรวม ผ่านการเรียงลำดับเซลล์ ซึ่งช่วยในการจำลองวงจรสมมูลของแบตเตอรี่สำหรับวิเคราะห์ค่าความต้านทานระหว่างการชาร์จและการคายประจุได้แม่นยำ

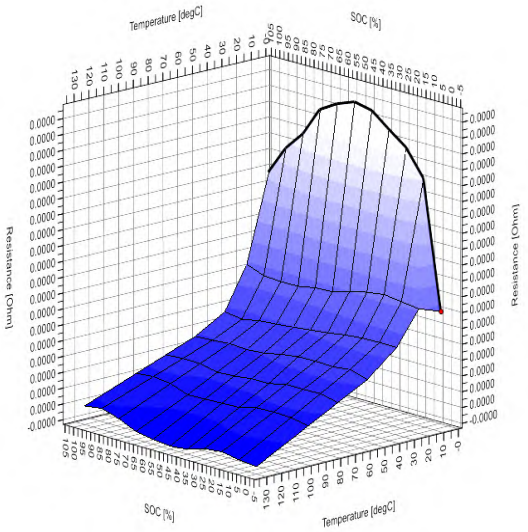

รูปที่ 2 กราฟพื้นผิวของความต้านทานภายในแบตเตอรี่เทียบกับสถานะประจุและอุณหภูมิ

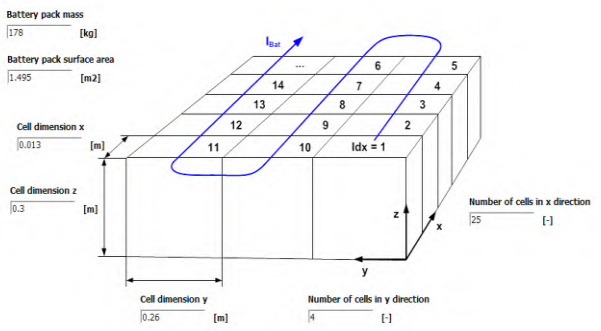

รูปที่ 3 วงจรสมมูลของแบตเตอรี่พร้อมค่าความต้านทานระหว่างการชาร์จและการคายประจุ

รูปที่ 4 เป็นวงจรสมมูลของแบตเตอรี่แพ็ก ซึ่งใช้แทนพฤติกรรมทางไฟฟ้าของชุดแบตเตอรี่ในระหว่างการชาร์จและการคายประจุ โดยประกอบด้วยแหล่งแรงดันไฟฟ้าเชิงอุดม ต่ออนุกรมกับความต้านทานภายใน และองค์ประกอบ R-C ที่แทนพลวัตของเซลล์ ข้อมูลค่าความต้านทานถูกระบุแยกตามสภาวะการทำงาน ได้แก่ ความต้านทานระหว่างการคายประจุ 0.0007 โอห์ม และ 0.0003 โอห์ม และความต้านทานระหว่างการชาร์จ 0.0007 โอห์ม และ 0.0003 โอห์ม ซึ่งช่วยให้การจำลองสามารถสะท้อนการสูญเสียพลังงานและประสิทธิภาพการทำงานของแบตเตอรี่ได้อย่างแม่นยำ

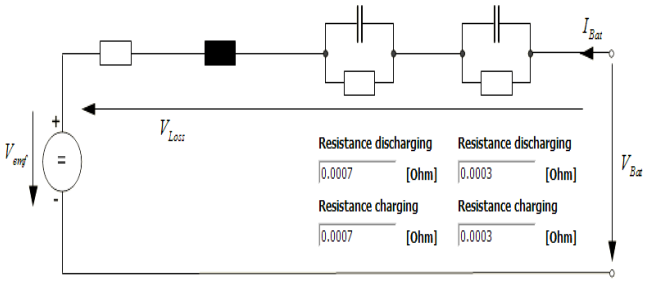

รูปที่ 4 โครงสร้างและการจัดเรียงเซลล์ของชุดแบตเตอรี่สำหรับการวิเคราะห์

3.2 การสร้างและฝึกโมเดล

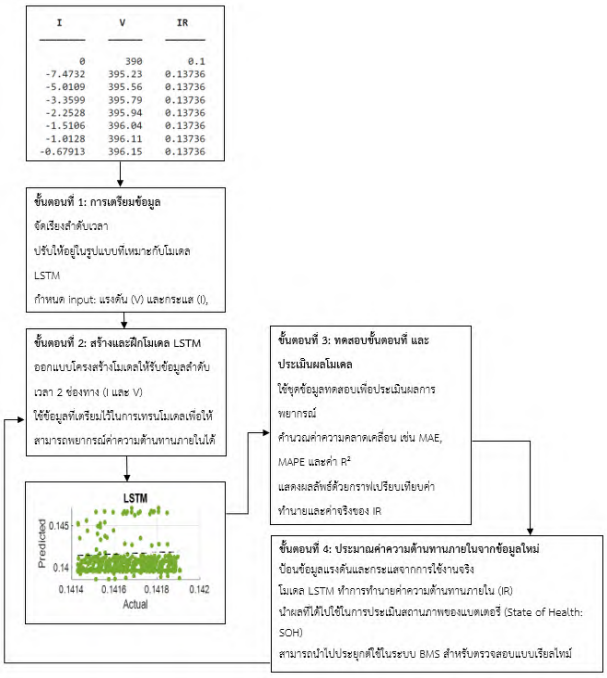

รูปที่ 5 ขั้นตอนการพัฒนาแบบจำลอง LSTM สำหรับประมาณค่าความต้านทานภายในของแบตเตอรี่จากข้อมูลแรงดันและกระแส

โมเดลที่ใช้ประกอบด้วย Linear Regression ซึ่งทำหน้าที่เป็น baseline สำหรับเปรียบเทียบประสิทธิภาพ โดยให้มุมมองที่เรียบง่ายเกี่ยวกับความสัมพันธ์ระหว่างตัวแปร [6] Support Vector Regression ซึ่งใช้ kernel แบบ RBF เพื่อจับความสัมพันธ์แบบไม่เป็นเชิงเส้น ซึ่งเหมาะกับพฤติกรรมของแบตเตอรี่ที่มีความซับซ้อน Random Forest Regression ซึ่งเป็นวิธีแบบ ensemble ที่ใช้ต้นไม้ตัดสินใจหลายต้น และมีจุดเด่นในด้านการวิเคราะห์ความสำคัญของฟีเจอร์ เพิ่มความสามารถในการอธิบายผลลัพธ์ [7] และ Multilayer Perceptron ซึ่งเป็นโครงข่ายประสาทเทียมแบบ feedforward มีสามชั้นซ่อนและฝึกด้วยตัวปรับ

ค่าพารามิเตอร์แบบ Adam ทำให้สามารถจำแนกรูปแบบข้อมูลแบตเตอรี่ที่ซับซ้อนได้อย่างมีประสิทธิภาพ แม้ว่าโมเดลที่เลือกจะมีความสามารถในการทำนายที่ดี แต่ก็ยังมีบางจุดที่ต้องพัฒนาเพิ่มเติม โดยเฉพาะการใช้เทคนิค deep learning เช่น ซึ่งเหมาะกับข้อมูลที่มีลำดับต่อเนื่องและสามารถจับรูปแบบที่ซับซ้อนในพฤติกรรมของแบตเตอรี่ได้ดียิ่งขึ้น ซึ่งเป็นทิศทางที่น่าสนใจในการต่อยอดงานวิจัย

3.3 เมทริกส์ที่ใช้ประเมินผล

การประเมินประสิทธิภาพของโมเดลการเรียนรู้ของเครื่อง ในการวินิจฉัยแบตเตอรี่นั้นขึ้นอยู่กับเมทริกส์หลักหลายตัวที่ช่วยความแม่นยำในการพยากรณ์ โดยเมทริกส์ที่ใช้บ่อย ได้แก่ ค่าความคลาดเคลื่อนสัมบูรณ์เฉลี่ย (MAE), ค่าความคลาดเคลื่อนสัมบูรณ์เฉลี่ยแบบร้อยละ (MAPE), ค่ารากของความคลาดเคลื่อนกำลังสองเฉลี่ย (RMSE) และค่าสัมประสิทธิ์การกำหนด (R^2) ซึ่งล้วนมีความสำคัญต่อการประเมินประสิทธิภาพของโมเดลที่ใช้ในการพยากรณ์สถานะสุขภาพของแบตเตอรี่ SoH และอายุการใช้งานที่เหลืออยู่ (Remaining Useful Life: RUL)

$$MAE = \frac{1}{n}\sum_{i=1}^{n}| y_i - \hat{y}_i | \quad (1)$$

$$MAPE = \frac{100}{n}\sum_{i=1}^{n}|\frac{yi - yi}{yi}| \quad (2)$$

$$RMSE = \sqrt{\frac{1}{n}\sum_{i=1}^{n}(yi - y\hat{i})^2} \quad (3)$$

เมื่อ y_i คือ ค่าจริง $\hat{y}_i$ คือ ค่าที่โมเดลทำนาย และ n คือ จำนวนข้อมูลทั้งหมด

4. ผลการทดสอบ

ในการประเมินประสิทธิภาพของแบบจำลองที่พัฒนาขึ้น ได้ทำการทดสอบและเปรียบเทียบผลการทำนายค่าความต้านทานภายในของแบตเตอรี่ภายใต้สภาวะการทำงานที่แตกต่างกัน โดยใช้ตัวชี้วัดด้านความแม่นยำ เช่น ค่า MAE และ RMSE จากผลการเปรียบเทียบในรูปที่ 6 และตารางที่ 2 พบว่าแบบจำลอง LSTM ให้ค่าความคลาดเคลื่อนต่ำที่สุดทั้งในแง่ค่า MAE และ RMSE แสดงถึงความสามารถในการทำนายค่าความต้านทานภายในแบตเตอรี่ได้อย่างแม่นยำและเสถียรกว่าแบบจำลองอื่น ๆ ขณะที่แบบจำลอง Linear, Poly และ Tree มีค่าความคลาดเคลื่อนสูงกว่า LSTM อย่างชัดเจน ส่วนแบบจำลอง MLP และ NARX แม้จะมีความแม่นยำในระดับปานกลางแต่ยังด้อยกว่า LSTM ผลลัพธ์นี้ชี้ให้เห็นว่า LSTM เป็นแนวทางที่มีศักยภาพสูงสำหรับการประเมินค่าความต้านทานภายในแบตเตอรี่ โดยเฉพาะในงานที่ต้องการความแม่นยำและความน่าเชื่อถือในการพยากรณ์ โดยผลการจำลองแต่ละโมเดลแสดงในรูปที่ 7

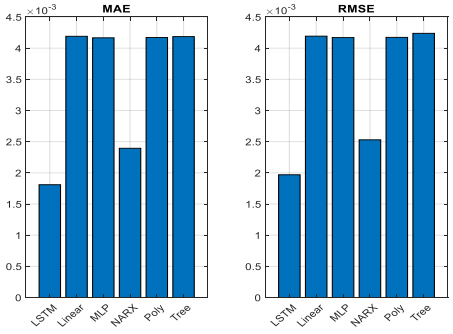

รูปที่ 6 เปรียบเทียบค่า MAE และ RMSE ของแบบจำลองต่าง ๆ สำหรับการทำนายค่าความต้านทานภา ยในแบตเตอรี่

ตารางที่ 2 สมรรถนะของโมเดลในการประมาณค่าความต้านทานภายใน

โมเดล	MAE	MAPE (%)	R^2
Linear	0.0156	9.42	0.842
Decision Tree	0.0104	6.80	0.901
MLP	0.0058	10.65	0.961
LSTM	0.0063	4.12	0.952
NARX	0.0069	4.57	0.946

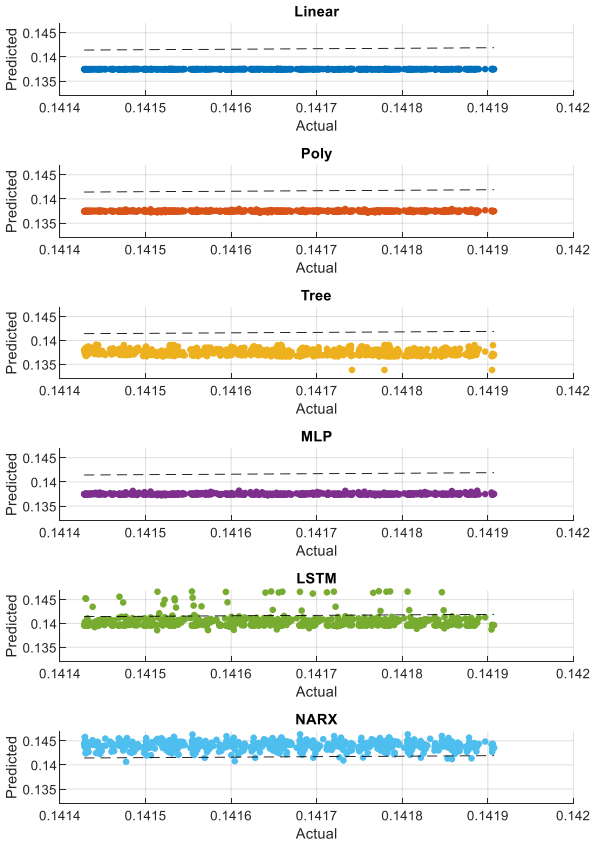

รูปที่ 7 กราฟเปรียบเทียบค่าจริงและค่าทำนายของแบบจำลองต่าง ๆ สำหรับการประมาณค่าความต้านทานภายในแบตเตอรี่

รูปที่ 7 ผลการทดลองแสดงให้เห็นว่าโมเดล LSTM มีความสามารถในการทำนายที่ใกล้เคียงค่าจริงมากกว่าโมเดลอื่น โดยค่าที่ทำนายมีการกระจายตัวน้อยและเกาะเส้นค่าจริงได้ดีกว่า ทำให้เห็นถึงศักยภาพของ LSTM ในการเรียนรู้ความสัมพันธ์เชิงเวลา (temporal dependency) ของข้อมูลได้อย่างมีประสิทธิภาพ อีกทั้งยังลดความคลาดเคลื่อนและความแปรปรวนในการพยากรณ์

5. สรุป

จากผลการศึกษา พบว่าเทคนิคการเรียนรู้ของเครื่องสามารถนำมาใช้ในการทำนายค่าความต้านทานภายในของแบตเตอรี่ลิเทียมไอออนได้อย่างแม่นยำ เมื่อใช้ร่วมกับข้อมูลแรงดันไฟฟ้า กระแสไฟฟ้า เก็บจากสภาพการใช้งานจริง ผลการทดลองชี้ให้เห็นว่าโมเดลประเภท LSTM ให้ผลลัพธ์ที่ดีที่สุดภายใต้ชุดข้อมูลที่ใช้ในการฝึกและทดสอบ ทั้งในแง่ของค่า MAE, MAPE และ R^2 ซึ่งสะท้อนถึงความสามารถของโมเดลในการเรียนรู้รูปแบบ

ข้อมูลที่ซับซ้อนได้อย่างมีประสิทธิภาพ นอกจากนี้ วิธีการดังกล่าวยังช่วยลดข้อจำกัดของการวัดความต้านทานภายในแบบดั้งเดิมซึ่งมักต้องอาศัยอุปกรณ์เฉพาะและไม่เหมาะกับการใช้งานแบบเรียลไทม์จากศักยภาพของโมเดลที่พัฒนาขึ้น

งานวิจัยนี้ จึงสามารถนำไปต่อยอดโดยการฝังโมเดลเข้ากับระบบจัดการแบตเตอรี่สำหรับการใช้งานจริงในเวลาจริง นอกจากนี้ยังสามารถประยุกต์ใช้กับแบตเตอรี่ที่มีองค์ประกอบเคมีต่างชนิด เช่น NMC หรือ LCO เพื่อขยายขอบเขตของโมเดลให้รองรับระบบแบตเตอรี่ที่หลากหลายยิ่งขึ้น อีกทั้งยังสามารถพัฒนาในทิศทางของการเรียนรู้แบบถ่ายโอน หรือการเรียนรู้แบบออนไลน์ เพื่อให้สามารถปรับตัวกับข้อมูลใหม่ได้แบบต่อเนื่อง

กิตติกรรมประกาศ

บทความนี้ได้รับการสนับสนุนจาก มหาวิทยาลัยเทคโนโลยีราชมงคลธัญบุรี

เอกสารอ้างอิง

[1] M. A. A. Khan, H. A. Khalid, R. Balan, and B. Bakkaloglu, “A novel State of Charge and State of Health estimation technique for Lithium-ion cells using machine learning based Pseudo-Random Binary Sequence method,” *J. Energy Storage*, vol. 55, p. 105472, Nov. 2022, doi: 10.1016/j.est.2022.105472.

[2] R.-E. Tudoroiu, M. Zaheeruddin, S.-M. Radu, and N. Tudoroiu, “Real-Time Implementation of an Extended Kalman Filter and a PI Observer for State Estimation of Rechargeable Li-Ion Batteries in Hybrid Electric Vehicle Applications—A Case Study,” *Batteries*, vol. 4, no. 2, 2018, doi: 10.3390/batteries4020019.

[3] L. Qian, L. Xuan, and J. Chen, “Battery SOH estimation based on decision tree and improved support vector machine regression algorithm,” *Front. Energy Res.*, vol. Volume 11-2023, 2023, doi: 10.3389/fenrg.2023.1218580.

[4] S. Giazitzis, M. Sakwa, S. Leva, E. Ogliari, S. Badha, and F. Rosetti, “A Case Study of a Tiny Machine Learning Application for Battery State-of-Charge Estimation,” *Electronics*, vol. 13, no. 10, 2024, doi: 10.3390/electronics13101964.

[5] M. Lin, C. Yan, W. Wang, G. Dong, J. Meng, and J. Wu, “A data-driven approach for estimating state-of-health of lithium-ion batteries considering internal resistance,” *Energy*, vol. 277, p. 127675, Aug. 2023, doi: 10.1016/j.energy.2023.127675.

[6] C. Nguyen Van and D. T. Quang, “Estimation of SoH and internal resistances of Lithium ion battery based on LSTM network,” *Int. J. Electrochem. Sci.*, vol. 18, no. 6, p. 100166, June 2023, doi: 10.1016/j.ijoes.2023.100166.

[7] G. Wang, Z. Lyu, and X. Li, “An Optimized Random Forest Regression Model for Li-Ion Battery Prognostics and Health Management,” *Batteries*, vol. 9, no. 6, 2023, doi: 10.3390/batteries9060332.

การจำแนกความแน่นเนื้อของแตงโมแบบไม่ทำลายด้วยการวิเคราะห์การสลายตัวของเสียง

Non-Destructive Watermelon Firmness Classification Using Acoustic Decay Analysis

ธนกร ลิ้มสุวรรณ* ปิยะมาศ ดวงบุตร วิลาสินี บัวแย้ม กันตภณ แก้วทิพย์ และ สุชิน ไตรรงค์จิตเหมาะ
สาขาวิชาวิศวกรรมไฟฟ้าและอิเล็กทรอนิกส์ คณะวิศวกรรมศาสตร์ มหาวิทยาลัยอุบลราชธานี thanakorn.l@ubu.ac.th*

บทคัดย่อ

งานวิจัยนี้นำเสนอวิธีการประเมินความแน่นเนื้อของแตงโมแบบไม่ทำลายด้วยการวิเคราะห์การสลายตัวของพลังงานเสียงจากการเคาะ ระบบต้นแบบประกอบด้วย Raspberry Pi สำหรับควบคุมกลไกการเคาะและบันทึกเสียงและทำการประมวลผลด้วยโปรแกรมที่พัฒนาด้วยภาษา Python โดยใช้เทคนิคการแปลงฟูเรียร์แบบช่วงเวลาสั้น (Short-Time Fourier Transform; STFT) เพื่อติดตามการเปลี่ยนแปลงของพลังงานในโดเมนความถี่ตามเวลาและคำนวณค่าคงที่การสลายตัวเชิงเอกซ์โพเนนเชียล (k) และค่าคงที่เวลาเสียง (τ) การทดลองกับแตงโมพันธุ์ Thumb Up จำนวน 24 ผล ครอบคลุม 3 ระดับความสุก พบว่าการวิเคราะห์ด้วย Fast Fourier Transform (FFT) ไม่สามารถจำแนกกลุ่มความแน่นเนื้อได้อย่างชัดเจน ขณะที่ค่าการสลายตัว k จากการแปลงฟูเรียร์แบบช่วงเวลาสั้นแสดงความสัมพันธ์เชิงผกผันกับความแน่นเนื้ออย่างมีนัยสำคัญ (R^2= 0.5708) ผลลัพธ์ชี้ให้เห็นว่าหลักการนี้มีศักยภาพในการประยุกต์ใช้พัฒนาเป็นระบบคัดแยกแตงโมอัตโนมัติที่มีความรวดเร็ว แม่นยำ และไม่ทำลายผลผลิต

คำสำคัญ: แตงโม, ความแน่นเนื้อ, การวิเคราะห์เสียง, การแปลงฟูเรียร์แบบช่วงเวลาสั้น, การสลายตัวเชิงเอกซ์โพเนนเชียล

Abstract

This study proposes a non-destructive approach to evaluate the ripeness and firmness of watermelons by analyzing the decay characteristics of acoustic tapping signals. The prototype system utilizes a Raspberry Pi to control tapping and record sound, while signal processing is performed in Python using the Short-Time Fourier Transform (STFT) to track time–frequency energy variations. The decay constant (k) and acoustic time constant (τ) are estimated through exponential decay modeling. Experiments were conducted on 24 “Thumb Up” watermelons representing three ripeness levels. Results reveal that the maximum frequency magnitude from the conventional Fast Fourier Transform (FFT) fails to differentiate firmness groups effectively, whereas the decay constant k derived from STFT exhibits a significant inverse correlation with firmness (R^2=0.5708). These findings demonstrate the potential of the proposed method for integration into rapid, accurate, and non-destructive automated sorting systems, with promising implications for agricultural quality assessment.

Keywords: watermelon, firmness, acoustic analysis, short-time Fourier transform, exponential decay

1. บทนำ

แตงโม (Citrullus lanatus) เป็นพืชล้มลุกที่ได้รับความนิยมบริโภคอย่างแพร่หลายในประเทศไทย ซึ่งถือเป็นหนึ่งในแหล่งผลิตสำคัญของภูมิภาค คุณภาพของแตงโมมักพิจารณาจากรสชาติและลักษณะเนื้อสัมผัส โดยวิธีการประเมินที่ใช้กันทั่วไปในภาคเกษตรคือ การสังเกตลักษณะภายนอกและการตรวจสอบความแน่นของเนื้อด้วยการตบหรือเคาะผลแตงโมด้วยฝ่ามือ วิธีดังกล่าวต้องอาศัยประสบการณ์และทักษะเฉพาะของผู้ประเมิน จึงมีความเสี่ยงต่อความคลาดเคลื่อนจากความแตกต่างของระดับความชำนาญ

เพื่อลดข้อจำกัดดังกล่าว ได้มีการศึกษาพัฒนาเทคนิคการตรวจสอบคุณภาพแตงโมแบบไม่ทำลาย (Non-destructive Testing; NDT) ในหลายแนวทาง เช่น การใช้ near infrared spectroscopy (NIR) ตรวจวัดความสุกที่ให้ความแม่นยำถึง 92.5% [1] การถ่ายภาพด้วยไมโครเวฟร่วมกับอาร์เรย์เสาอากาศ Coplanar Vivaldi เพื่อประเมินระดับความเข้มข้นของน้ำตาล [2] การวิเคราะห์ฟังก์ชันการตอบสนองความถี่ (Frequency Response Function; FRF) เพื่อประเมินความแน่นเนื้อซึ่งมีความสัมพันธ์กับความสุกของผล [3] การตรวจจับความสุกด้วยสเปกตรัมส่งผ่านแบบกระจาย NIR ซึ่งมีอัตราการจำแนกถูกต้อง 88.1% [4] รวมถึงการใช้คุณลักษณะ Teager Energy Operator (TEO) ในการจำแนกแตงโมสุกด้วยความแม่นยำ 83.35% [5]

แม้ว่าวิธีการดังกล่าวบางส่วนจะให้ผลแม่นยำสูง แต่ส่วนใหญ่ต้องใช้เครื่องมือที่ซับซ้อนและมีต้นทุนสูง อีกทั้งการวิเคราะห์สัญญาณเสียงเคาะในโดเมนความถี่เพียงอย่างเดียวก็ยังไม่เพียงพอต่อการจำแนกความสุกอย่างแม่นยำ ด้วยเหตุนี้ การศึกษานี้จึงนำเสนอการวิเคราะห์สัญญาณเสียงเคาะแตงโมโดยใช้ สเปกโตรแกรม (Spectrogram) และการคำนวณค่าคงที่การสลายตัวของพลังงานเสียง [6] จากการแปลง Short-Time Fourier Transform (STFT) โดยได้มีการพัฒนาระบบสำหรับเคาะและบันทึกเสียงเคาะแตงโม พร้อมทั้งศึกษาความสัมพันธ์ระหว่างคุณลักษณะของสเปกโตรแกรมกับความแน่นเนื้อของแตงโมแตงโม

*ผู้ประพันธ์บรรณกิจ

2. หลักการและการทดลอง

2.1 การรวบรวมตัวอย่างแตงโม

การจำแนกแตงโมด้วยความแน่นเนื้อจะสามารถจำแนกได้เป็น 3 ระดับ ได้แก่

- แตงโมความแน่นเนื้อต่ำหรือแตงโมอ่อน จะมีลักษณะเนื้อที่แข็งกรอบ สีเนื้อชมพูอ่อนถึงแดงอ่อน เนื้อมีความหวานปานกลาง (°Bx < 8) เม็ดมีสีขาวหรือน้ำตาลอ่อนและยังนิ่มอยู่
- แตงโมความแน่นเนื้อปานกลางหรือแตงโมแก่ มีสีเนื้อแดงเข้ม ความชุ่มฉ่ำสูงขณะยังคงความกรอบ และมีความหวานมาก (8 ≤ °Bx ≤ 10) เม็ดมีสีน้ำตาลเข้มถึงดำ
- แตงโมความแน่นเนื้อสูงหรือแตงโมแก่จัด มีเนื้อสีแดงเข้มจัด เนื้อนิ่มมาก ไม่มีความกรอบ ความหวานเข้มจัดและอาจเน่าได้หากเก็บไว้นานเกินไป

ในการทดลองนี้ เลือกใช้แตงโมพันธุ์ทัมอัพโดยคัดเลือกแตงโมที่มีขนาดใกล้เคียงกันมีน้ำหนัก ระหว่าง 2.5-3.5 กก. จำนวน 24 ลูก โดยแบ่งแตงโมออกเป็น 3 กลุ่มตามระดับความอ่อนแก่ ได้แก่ ระดับอ่อน 8 ลูก ระดับแก่ 8 ลูก และระดับแก่จัด 8 ลูก โดยจะมีช่วงเวลาเก็บเกี่ยวของแต่ละระดับห่างกันประมาณ 7 วัน และใช้การสังเกตที่ขั้วมือเกาะของผลแตงโมประกอบการตัดสินใจ ซึ่งแตงโมที่ขั้วมือเกาะยังสดจะอยู่ในระดับอ่อน ส่วนแตงโมที่ขั้วแห้งปนสดจะอยู่ในระดับแก่ และแตงโมที่ขั้วแห้งและหลุดออกง่ายจะอยู่ในระดับแก่จัด จากรูปที่ 1 แสดงลักษณะเนื้อของแตงโมแต่ละระดับที่ใช้ในการทดลองนี้ รูปที่ 1 (ก) คือเนื้อแตงโมระดับอ่อน รูปที่ 1 (ข) คือเนื้อแตงโมระดับแก่ และรูปที่ 1 (ค) คือคือแตงโมระดับแก่จัด

(ก) (ข) (ค)

รูปที่ 1 ลักษณะเนื้อของแตงโม
(ก) ระดับอ่อน (ข) ระดับแก่ (ค) ระดับแก่จัด

2.2 เครื่องเคาะแตงโมและบันทึกเสียง

เครื่องเคาะแตงโมและบันทึกเสียงตามรูปที่ 2 ประกอบด้วยอุปกรณ์ดังต่อไปนี้

1. กล่องไม้ขนาด 28x17x10 เซนติเมตร ภายในบรรจุ Raspberry Pi 4 ที่ทำหน้าที่เป็นหน่วยประมวลผลควบคุมการทำงานของเครื่อง
2. โซลีนอยด์ 12 VDC/8A ขนาด 6.4x3.2x3.8 เซนติเมตร บรรจุในกล่องหมายเลข 2 ทำหน้าที่ควบคุมไม้เคาะแตงโม
3. สวิตช์เปิดปิดแหล่งจ่ายไฟ Switching Power Supply (12V/10A) ที่บรรจุในกล่องไม้หมายเลข 1
4. แกนหมุนทำจากพลาสติกเป็นจุดหมุนของไม้เคาะแตงโม
5. ไม้เคาะแตงโมทำจากพลาสติก ปลายหุ้มด้วยท่อยางใส
6. ฐานวางแตงโมทำจากท่อพีวีซีขนาด 3 หุน
7. ไมโครโฟนรุ่น UK-179 ทำหน้าที่รับเสียงเคาะซึ่งสามารถตอบสนองความถี่ 70 Hz-10 kHz ความไวสูง (-58dB) และเชื่อมต่อกับ Raspberry Pi 4 เพื่อบันทึกเสียงด้วยอัตราสุ่มที่ 44.1 kHz ในรูปแบบไฟล์ .wav

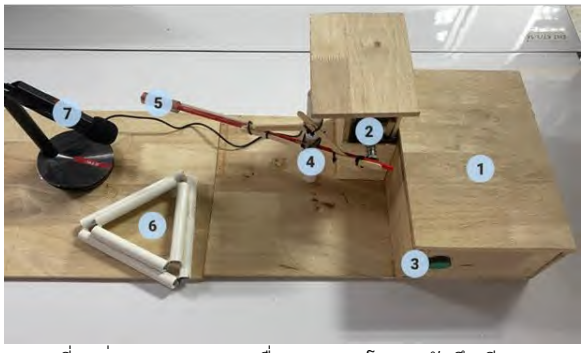

รูปที่ 2 ส่วนประกอบของเครื่องเคาะแตงโมและบันทึกเสียง

ในการทดลอง แตงโมจะถูกวางบนฐานวางแตงโมหมายเลข 6 โดยที่ไม้เคาะจะอยู่ห่างจากแตงโมเป็นระยะ 26 เซนติเมตร และติดตั้งไมโครโฟนในตำแหน่งที่ใกล้กับลูกแตงโม (7) ในฝั่งเดียวกับตำแหน่งของการเคาะซึ่งเป็นการบันทึกเสียงสะท้อนจากการเคาะ (Reflective mode) ที่จำลองมาจากการเคาะของผู้ค้า

2.3 การบันทึกและวิเคราะห์เสียงเคาะแตงโม

ในการศึกษานี้ ได้พัฒนาระบบบันทึกเสียงและวิเคราะห์สัญญาณด้วยภาษา Python แตงโมแต่ละลูกถูกจัดวางในแนวตั้งและทำเครื่องหมายตำแหน่งการเคาะไว้ที่ด้านข้างของผลโดยมีมุมต่างกัน 60 องศา รวมทั้งหมด 6 ตำแหน่งรอบแตงโม ให้ครอบคลุมพื้นที่ทั้งหมดของผลแตงโม และเก็บข้อมูลเสียง โดยทำการเคาะแตงโมต่อเนื่อง 4 ครั้งในตำแหน่งเดียวกัน เว้นระยะห่างระหว่างการเคาะแต่ละครั้ง 0.8 วินาที รูปที่ 3 แสดงตัวอย่างสัญญาณเสียงเคาะแตงโมจำนวน 4 ครั้ง

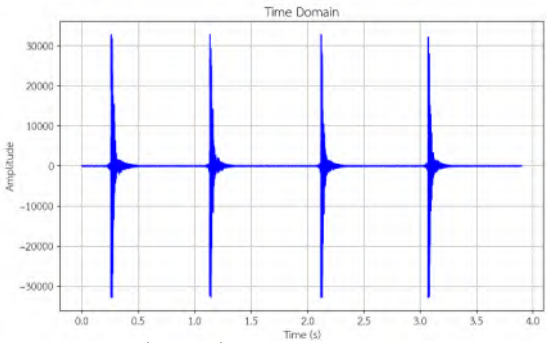

รูปที่ 3 ตัวอย่างสัญญาณเสียงเคาะแตงโม

การวิเคราะห์เสียงเคาะด้วยการแปลงฟูเรียร์ (Fourier Transform; FFT) ดังแสดงในรูปที่ 4 จะแสดงระดับพลังงานสเปกตรัมของความถี่ได้เพียงในลักษณะรวมตลอดช่วงเวลาของสัญญาณที่สนใจ ทำให้ทราบองค์ประกอบความถี่ที่สำคัญของเสียงเคาะ แต่ไม่สามารถแสดงการเปลี่ยนแปลงของพลังงานของความถี่นั้นในแต่ละช่วงเวลาได้

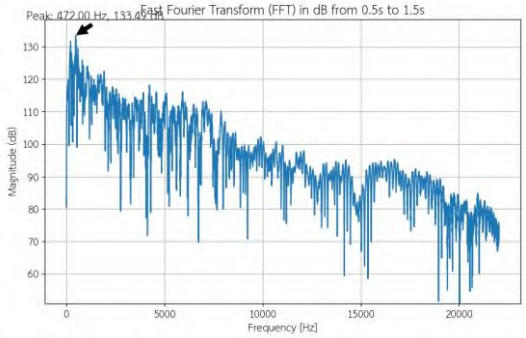

รูปที่ 4 ตัวอย่างสเปกตรัมความถี่ของเสียงเคาะแตงโม

เพื่อแก้ไขข้อจำกัดดังกล่าว จึงนำเทคนิคการแปลงฟูเรียร์แบบช่วงเวลาสั้น (Short-Time Fourier Transform; STFT) มาประยุกต์ใช้ ซึ่งเป็นวิธีการวิเคราะห์การเปลี่ยนแปลงพลังงานของสัญญาณในโดเมนความถี่ภายในช่วงเวลาสั้นๆ โดยการแบ่งสัญญาณออกเป็นหลายหน้าต่างเวลา (time windows) และคำนวณ FFT ในแต่ละช่วง ทำให้สามารถติดตามการเปลี่ยนแปลงของพลังงานในความถี่ต่าง ๆ ตามเวลาได้อย่างละเอียด

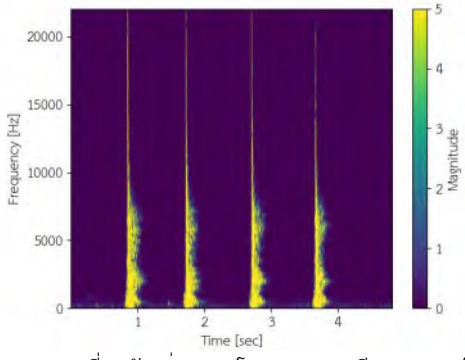

รูปที่ 5 ตัวอย่างสเปกโตรแกรมของเสียงเคาะแตงโม

การสร้างกราฟสเปกโตรแกรม (Spectrogram) ใช้ฟังก์ชัน signal.spectrogram จากไลบรารี SciPy เพื่อคำนวณค่าพลังงานสเปกตรัม (Spectrogram Power) และระบุความถี่ที่มีค่าพลังงานสูงสุดในแต่ละช่วงเวลา ผลลัพธ์ช่วยให้เห็นความสัมพันธ์ระหว่างเวลา ความถี่ และระดับพลังงานของสัญญาณเสียงได้อย่างชัดเจน ตัวอย่างสเปกโตรแกรมของเสียงเคาะแตงโมแสดงในรูปที่ 5 โดยแกนนอนแทนเวลา (วินาที) แกนตั้งแทนความถี่ (Hz) และระดับสีแสดง Magnitude หรือพลังงานเสียง

2.4 การวิเคราะห์การสลายตัวของเสียง

เมื่อได้ภาพสเปกโตรแกรมแล้วจะหาการเปลี่ยนแปลงของระดับพลังงานของค่าความถี่ที่มีพลังงานสูงสุด ยกตัวอย่างเช่นจากสเปกโตรแกรมแสดงดังรูปที่ 5 ความถี่ 469.86 Hz เป็นความถี่ที่มีพลังงานสูงสุด ซึ่งสามารถแสดงการเปลี่ยนแปลงของระดับพลังงานของความถี่ดังกล่าวได้ดังรูปที่ 6

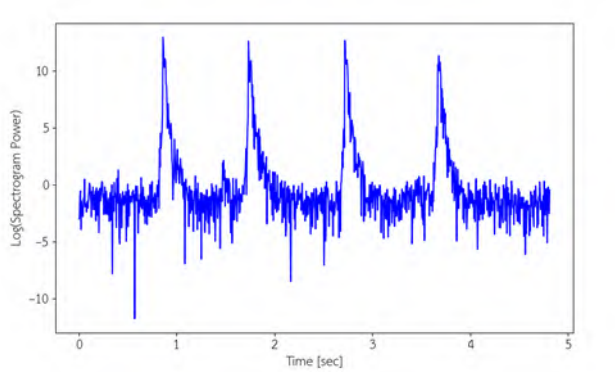

รูปที่ 6 ตัวอย่างการเปลี่ยนแปลงของระดับพลังงานของความถี่ที่สนใจ

จากรูปที่ 6 เมื่อทำการพิจารณาการลดลงหรือการสลายของระดับพลังงานจากค่าพลังงานสูงสุดของการเคาะแต่ละครั้ง โดยการเปลี่ยนแปลงนี้ของการเคาะหนึ่งครั้งแสดงในรูปที่ 7 (เส้นสีน้ำเงิน) จากนั้นทำการปรับเส้นโค้ง (Curve Fitting) (เส้นสีแดง) ด้วยฟังก์ชันเอกซ์โพเนนเชียลเชิงผกผัน (Inverse Exponential Function) [7] ซึ่งเป็นรูปแบบผกผันของฟังก์ชันเอกซ์โพเนนเชียล ดังสมการที่ (1)

$$y(t) = Ae^{-kt} \quad (1)$$

โดยที่ y ค่าพลังงานเสียงเสียงที่เวลา t (วินาที) A ค่าพลังงานเสียงเริ่มต้น และ k คือค่าคงที่การสลายพลังงานเสียง

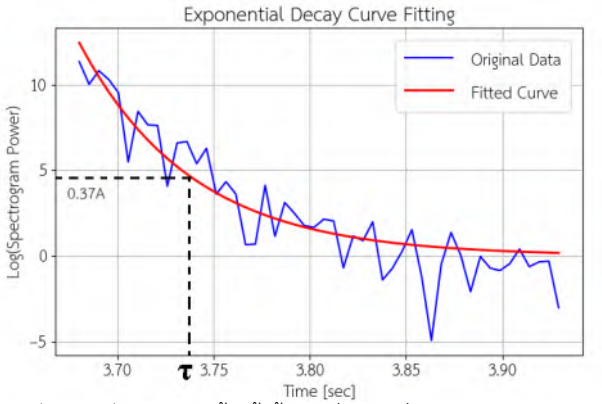

รูปที่ 7 ตัวอย่างการปรับเส้นโค้งด้วยฟังก์ชันเอกซ์โพเนนเชียลเชิงผกผัน

โดยค่าคงที่การสลายตัว k จะแสดงอัตราการสลายตัวของพลังงานและเป็นตัวบ่งชี้คุณสมบัติเชิงกลของเนื้อเยื่อคือความแน่นเนื้อ จากเสียงที่บันทึกได้จากการเคาะแตงโม สำหรับการวิเคราะห์ค่า k สามารถแปลง

เป็นค่าคงที่เวลาเสียง (τ) เป็น $\tau = 1/k$ ซึ่งแสดงเวลาสำหรับสัญญาณเสียงที่สลายตัวเหลือ 37% (1/e) ของพลังงานเริ่มต้น

2.5 การวัดความแน่นเนื้อของแตงโม

ในการวัดความแน่นเนื้อของแตงโมในการทดลองนี้ทำได้โดยใช้เครื่องวัดความแน่นของผลไม้ (Fruit Penetrometer) รุ่น GY-3 มีหน่วยวัดเป็น kg/cm² ในการวัดจะตัดเปลือกแตงโมจากผิวลงมา 1 นิ้ว แล้วใช้เครื่องวัดกดลงไปบนพื้นที่ตัด ดังรูปที่ 8 ทำการวัด 6 ครั้ง รอบข้างผลแตงโมช่วงละ 60 องศาและบันทึกผลการวัด

รูปที่ 8 ตัวอย่างการวัดความแน่นของแตงโมด้วยเครื่องวัดความแน่น

3. ผลการทดลอง

จากผลการทดลองวัดเสียงเคาะของแตงโม 24 ลูก เคาะลูกละ 6 ตำแหน่ง ตำแหน่งละ 4 ครั้ง เมื่อหาค่าความถี่ที่มีขนาดสูงสุดของการเคาะแต่ละครั้งจากสเปกตรัมดังรูปที่ 4 และหาค่า k และค่า τ ดังรูปที่ 7 จากนั้นนำไปหาค่าเฉลี่ยของแต่ละลูกและค่าเฉลี่ยของแตงโมในกลุ่มเดียวกัน ดังแสดงในตารางที่ 1 พบว่าความถี่ที่มีพลังงานสูงสุดไม่แสดงแนวโน้มชัดเจนในการจำแนกระดับความสุก โดยกลุ่มอ่อนมีค่าเฉลี่ย 401.3 ± 129.3 Hz กลุ่มแก่ 343.4 ± 136.5 Hz และกลุ่มแก่จัด 445.8 ± 49.6 Hz ในขณะที่ค่าคงที่การสลายตัวของพลังงานเสียง (k) มีแนวโน้มเพิ่มขึ้นตามความสุก คือ 23.0 ± 4.8, 28.6 ± 2.1 และ 33.4 ± 2.7 (1/s) ตามลำดับ ส่งผลให้ค่าคงที่เวลาเสียง (τ) ซึ่งคำนวณจาก $1/k$ ลดลงจาก 43.5 ± 7.1, 35.0 ± 2.6 และ 30.0 ± 2.4 ms ตามลำดับ สอดคล้องกับค่าความแน่นเนื้อที่ลดลงจาก 2.35 ± 0.33, 2.00 ± 0.21 และ 1.01 ± 0.25 kg/cm² แสดงให้เห็นว่าแตงโมอ่อนที่เนื้อแข็งจะคงพลังงานเสียงได้นานกว่าและมีการสลายตัวช้ากว่าแตงโมที่เนื้อนิ่มกว่า

ตารางที่ 1 ความสัมพันธ์คุณสมบัติของเสียงเคาะแตงของแตงโมแต่ละกลุ่ม

กลุ่มตัวอย่างแตงโม	*ความถี่ที่มีพลังงานสูงสุด (Hz)*	*ค่าคงที่การสลายตัว k (1/s)*	*ค่าคงที่เวลา τ (ms)*	*ความแน่นเนื้อ (kg/cm²)*
อ่อน	401.3±129.3	23.0 ± 3.8	43.5 ± 7.1	2.35 ± 0.33
แก่	343.4±136.2	28.6 ± 2.1	35.0 ± 2.6	2.00 ± 0.21
แก่จัด	445.8±49.6	33.4 ± 2.7	30.0 ± 2.4	1.01 ± 0.25

*ค่าในตารางแสดงในรูปแบบ ค่าเฉลี่ย±ค่าเบี่ยงเบนมาตรฐาน

เมื่อพิจารณาความสัมพันธ์ระหว่างความถี่ที่มีพลังงานสูงสุดกับความแน่นเนื้อของแตงโมดังแสดงในรูปที่ 9 พบว่า กลุ่มแตงโมระดับอ่อน (สัญลักษณ์สี่เหลี่ยม) มีค่าความแน่นระหว่าง 1.87–2.95 kg/cm² และมีช่วงความถี่ 202.63–498.37 Hz กลุ่มแตงโมระดับแก่ (สัญลักษณ์วงกลม) มีค่าความแน่นระหว่าง 1.75–2.30 kg/cm² และมีช่วงความถี่ 206.97–533.31 Hz ส่วนกลุ่มแตงโมระดับแก่จัด (สัญลักษณ์สามเหลี่ยม) มีค่าความแน่นระหว่าง 0.57–1.33 kg/cm² และมีช่วงความถี่ 359.23–499.11 Hz จากการกระจายตัวของข้อมูลพบว่าช่วงความถี่ของทั้งสามกลุ่มมีค่าใกล้เคียงกัน ทำให้ความสัมพันธ์ระหว่างความแน่นกับความถี่ที่มีค่าพลังงานสูงสุดให้ค่า R^2 เพียง 0.0572 ซึ่งเป็นค่าต่ำมาก แสดงว่าไม่สามารถใช้จำแนกกลุ่มความแน่นของแตงโมได้ด้วยค่าความถี่เพียงอย่างเดียว

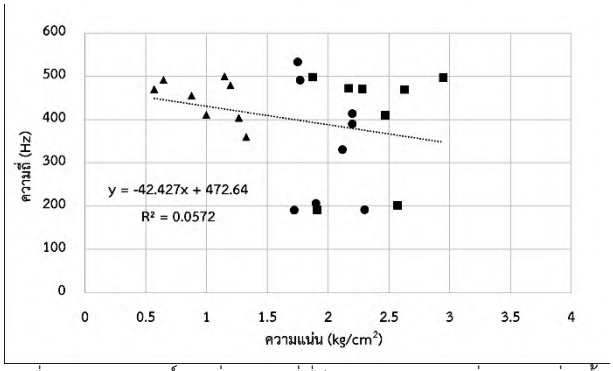

รูปที่ 9 ความสัมพันธ์ระหว่างความถี่ที่มีพลังงานสูงสุดกับค่าความแน่นเนื้อของแตงโม

การวิเคราะห์ค่าคงที่การสลายตัวของพลังงานเสียง (k) พบว่าแตงโมระดับอ่อนมีการสลายพลังงานช้ากว่าแตงโมที่สุกกว่าอย่างมีนัยสำคัญ ซึ่งสอดคล้องกับความแน่นเนื้อที่ลดลงตามระดับความสุก[8] โดยค่า k เพิ่มจาก 23.0 ในแตงโมอ่อน เป็น 28.6 และ 33.4 ในแตงโมแก่และแก่จัด ขณะที่ค่าคงที่เวลาเสียง ($\tau = 1/k$) ลดลงจาก 43.5 เป็น 35.0 และ 30.0 มิลลิวินาที และความแน่นเนื้อลดจาก 2.35 เป็น 2.00 และ 1.01 kg/cm² ตามลำดับ แสดงให้เห็นว่าแตงโมที่มีความแน่นสูงจะคงพลังงานเสียงได้นานกว่า

จากผลการทดลองในรูปที่ 10 แตงโมอ่อน (สัญลักษณ์สี่เหลี่ยม) มีความแน่น 1.87–2.95 kg/cm² และอัตราลดทอน 0.047–0.091 แตงโม

แก่ (วงกลม) มีความแน่น 1.75–2.30 kg/cm² และอัตราลดทอน 0.071–0.091 ส่วนแตงโมแก่จัด (สามเหลี่ยม) มีความแน่น 0.57–1.33 kg/cm² และอัตราลดทอน 0.086–0.115

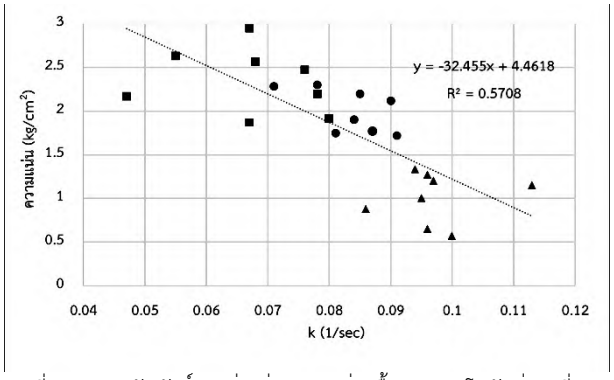

รูปที่ 10 ความสัมพันธ์ระหว่างค่าความแน่นเนื้อของแตงโมกับค่าคงที่การสลายตัวของพลังงานเสียง (k)

ความสัมพันธ์ระหว่างค่าความแน่นเนื้อกับอัตราลดทอนพลังงานเสียงมีแนวโน้มแปรผกผัน กล่าวคือ เมื่อความแน่นเนื้อลดลง อัตราลดทอนพลังงานเสียงจะเพิ่มขึ้น โดยความสัมพันธ์นี้สามารถอธิบายได้ด้วยสมการถดถอยเชิงเส้น y=-32.455x+4.4618 และ R^2= 0.5708 ซึ่งแสดงให้เห็นถึงความเป็นไปได้ในการใช้การวิเคราะห์การสลายตัวของพลังงานเสียงเพื่อประมาณค่าความแน่นเนื้อและระดับความสุกของแตงโมได้อย่างมีประสิทธิภาพ ผลการทดลองยืนยันว่าความแน่นของแตงโมมีความสัมพันธ์กับระดับความสุก กล่าวคือ เมื่อแตงโมสุกมากขึ้น ความแน่นจะลดลงจากระดับอ่อนไปสู่ระดับแก่และแก่จัดตามลำดับ ซึ่งสอดคล้องกับงานวิจัยอ้างอิง [3] นอกจากนี้ แนวทางดังกล่าวยังมีศักยภาพในการประยุกต์ใช้ในระบบคัดแยกผลผลิตแบบอัตโนมัติที่ต้องการความรวดเร็วและแม่นยำ [9] อย่างไรก็ตามยังจำเป็นต้องขยายการศึกษาเพิ่มเติมเพื่อให้ครอบคลุมแตงโมพันธุ์อื่น รวมถึงแตงโมที่มีรูปร่างและขนาดแตกต่างกัน

4. สรุป

งานวิจัยนี้พัฒนาระบบประเมินความแน่นเนื้อของแตงโมแบบไม่ทำลาย โดยใช้ Raspberry Pi ควบคุมการเคาะและบันทึกเสียง ร่วมกับการประมวลผลสัญญาณด้วยภาษา Python วิเคราะห์ด้วยเทคนิค STFT เพื่อแก้ข้อจำกัดของ FFT ในการจำแนกระดับความแน่น ผลการทดลองพบว่าค่าคงที่การสลายตัวของพลังงานเสียงมีความสัมพันธ์เชิงผกผันกับความแน่นเนื้อ และสามารถสะท้อนระดับความสุกของแตงโมได้อย่างชัดเจน แสดงถึงศักยภาพของวิธีนี้ในการพัฒนาระบบคัดแยกแตงโมแบบอัตโนมัติสำหรับงานวิจัยในอนาคต มีแผนศึกษาการประยุกต์ใช้กับแตงโมพันธุ์และขนาดที่หลากหลายมากขึ้น

เอกสารอ้างอิง

[1] E. R. Arboleda, K. M. Parazo, and C. M. Pareja, “Watermelon ripeness detector using near infrared spectroscopy”Jurnal Teknologi dan Sistem Kompute., pp. 317–322, 2020.

[2] J. Garvin, F. Abushakra, Z. Choffin, B. Shiver, Y.Gan, L.Kong, and N. Jeong, “ Microwave imaging for watermelon maturity determination” 2023 Icurrent Research in FooD Science, 100412.

[3] R. Abbaszadeh , A. Rajabipour , Y. Ying, M.J. Mahjoob , and H. Ahmadi , “Nondestructive determination of watermelon flesh firmness by frequency response”Food Science and Technology, pp. 637-640. 2015.

[4] D. Jie, W. Zhou, and X. Wei “Nondestructive detection of maturity of watermelon by spectral characteristic using NIR diffuse transmittance technique” Scientia Horticulturae, Volume 157. November 2019.

[5] R. Rajan, and R.S. Reshma, “Non-destructive classification of watermelon ripeness using acoustic cues” Science and Technology for Society, Energy and Environment, CRC Press, 2018.

[6] K. Thompson, "Machine learning approaches for agricultural quality assessment," Computers and Electronics in Agriculture, vol. 187, article 106245, August 2021.

[7] J. Martinez and C. Rodriguez, "Exponential decay modeling in acoustic fruit analysis," Journal of Food Engineering, vol. 315, pp. 110-125, 2022.

[8] P. Anderson, "Viscoelastic properties of watermelon tissue," Agricultural Physics, vol. 18, no. 1, pp. 45-58, January 2022.

[9] R. Wilson and A. Davis, "Automated fruit sorting technologies: A comprehensive review," Journal of Agricultural Automation, vol. 12, no. 4, pp. 201-218, April 2023.

การพัฒนาการคิดวิเคราะห์ด้วยการ์ดเกมความจริงเสริมเรื่องอุปกรณ์อิเล็กทรอนิกส์ สำหรับนักศึกษาระดับประกาศนียบัตรวิชาชีพชั้นสูง สาขาวิชาอิเล็กทรอนิกส์

Enhancing Analytical Thinking through an Augmented Reality Card Game on Electronic Components for Higher Vocational Certificate Students in Electronics

ธวัช ธรรมบุตร[1]* และ ชาญ สิงห์แก้ว[1]

[1]สาขาวิชาครุศาสตร์อุตสาหกรรมอิเล็กทรอนิกส์และโทรคมนาคม คณะครุศาสตร์อุตสาหกรรม
มหาวิทยาลัยเทคโนโลยีราชมงคลอีสาน วิทยาเขตขอนแก่น thawach.th@rmuti.ac.th* chan.si@rmuti.ac.th

บทคัดย่อ

การวิจัยนี้มีวัตถุประสงค์เพื่อพัฒนาทักษะการคิดวิเคราะห์และผลสัมฤทธิ์ทางการเรียนของผู้เรียนด้วยการ์ดเกมความเป็นจริงเสริมเรื่องอุปกรณ์อิเล็กทรอนิกส์ กลุ่มตัวอย่างเป็นนักศึกษาระดับประกาศนียบัตรวิชาชีพชั้นสูง สาขาวิชาอิเล็กทรอนิกส์ จำนวน 30 คน เครื่องมือวิจัยประกอบด้วยแบบวัดการคิดวิเคราะห์และแบบวัดผลสัมฤทธิ์ทางการเรียน ผลการวิจัยพบว่าผู้เรียนมีทักษะการคิดวิเคราะห์ คือ จำแนกอุปกรณ์อิเล็กทรอนิกส์ได้ เชื่อมโยงความสัมพันธ์ของคุณสมบัติทางไฟฟ้าของอุปกรณ์อิเล็กทรอนิกส์ได้ และ จัดหมวดอยู่ของอุปกรณ์อิเล็กทรอนิกส์ได้ ผลการเปรียบเทียบผลสัมฤทธิ์ทางการเรียนพบว่าหลังเรียนสูงกว่าก่อนเรียนอย่างมีนัยสำคัญทางสถิติที่ระดับ 0.05 แสดงให้เห็นว่าการ์ดเกมความเป็นจริงเสริมเรื่องอุปกรณ์อิเล็กทรอนิกส์มีประสิทธิผลในการพัฒนาทักษะการคิดวิเคราะห์และเสริมสร้างผลสัมฤทธิ์ทางการเรียน

คำสำคัญ: การ์ดเกม เทคโนโลยีความจริงเสริม อุปกรณ์อิเล็กทรอนิกส์

Abstract

The purpose of this study was to enhance learners' analytical thinking and academic achievement through the use of an augmented reality (AR) card game on electronic components. The sample consisted of 30 students enrolled in the Higher Vocational Certificate program in Electronics. The research instruments included an analytical thinking test and an academic achievement test. The findings revealed that learners developed analytical thinking skills in three aspects: the ability to classify electronic components, to establish relationships between their electrical properties, and to categorize them appropriately. A comparison of learning achievement indicated that post-instruction scores were significantly higher than pre-instruction scores at the 0.05 level of statistical significance. These results demonstrate that the AR card game on electronic components was effective in fostering analytical thinking skills and improving students' learning achievement.

Keywords: Card Game, Augmented Reality, Electronics Devices

1. บทนำ

การคิดวิเคราะห์ (Analytical Thinking) เป็นทักษะสำคัญที่จำเป็นต่อการทำงานในยุคปัจจุบัน และยังเป็นหนึ่งในทักษะการคิดขั้นสูงที่ช่วยสนับสนุนการแก้ปัญหาและการตัดสินใจ [1] สอดคล้องกับรายงานของ World Economic Forum ว่าทักษะการคิดวิเคราะห์เป็นทักษะที่มีความต้องการสูงในตลาดแรงงานปัจจุบัน [2] ซึ่งได้มีนักวิจัยได้นิยามความหมายของการคิดวิเคราะห์ว่าเป็นความสามารถในการจำแนกและจัดหมวดหมู่ข้อมูล แยกแยะองค์ประกอบ เชื่อมโยงความสัมพันธ์ และจัดระบบข้อมูลอย่างมีเหตุผล [3] ซึ่งในบริบทของการทำงานสมัยใหม่ โดยเฉพาะในสาขาวิศวกรรม ทักษะนี้ช่วยให้วิศวกรสามารถวิเคราะห์ปัญหาที่ซับซ้อนและสร้างแนวทางแก้ไขอย่างเป็นระบบ [4]

นอกจากนี้ การศึกษาของ Özdemir [5] ยังชี้ว่า ทักษะการคิดวิเคราะห์สามารถพัฒนาได้ผ่านกระบวนการเรียนรู้ โดยเฉพาะผ่านการฝึกฝนการจัดประเภท (classification), การจัดระบบ (organization), และการเชื่อมโยงเชิงเหตุผล (relation) ซึ่งเป็นมิติย่อยที่สะท้อนความลึกของกระบวนการคิดเชิงวิเคราะห์

อย่างไรก็ตาม การจัดการเรียนการสอนในปัจจุบันยังคงใช้วิธีการถ่ายทอดความรู้ในรูปแบบการบรรยาย [6] ทำให้ผู้เรียนเป็นผู้นั่งฟังและพยายามจดจำเนื้อหา การสอนในลักษณะนี้ส่งผลให้ผู้เรียนเกิดความเบื่อหน่าย ไม่สนใจในเนื้อหาที่กำลังเรียนรู้ เป็นผลให้ผลการเรียนตกต่ำ นอกจากนั้นการเรียนด้วยวิธีนี้ยังไม่สามารถส่งเสริมการคิดวิเคราะห์ของผู้เรียนได้

ด้วยเหตุนี้ การปรับเปลี่ยนรูปแบบการสอนจากการบรรยายไปสู่การเรียนรู้ที่มุ่งเน้นผู้เรียนเป็นศูนย์กลาง จึงเป็นแนวทางที่สามารถกระตุ้นความสนใจและเสริมสร้างแรงจูงใจในการเรียนรู้ได้ โดยเฉพาะการบูรณาการเกมเพื่อการเรียนรู้ มีงานวิจัยที่สนับสนุนว่าเกมการเรียนรู้มีส่วนช่วยพัฒนาผลสัมฤทธิ์ทางการเรียนของผู้เรียน เมื่อเปรียบเทียบกับการเรียนการสอนแบบดั้งเดิม เนื่องจากเกมสามารถสร้างความสนุกสนาน ความพึงพอใจ และเพิ่มแรงจูงใจในการเรียนได้ [7] ทั้งนี้ หนึ่งในรูปแบบการเรียนรู้ด้วย

*ผู้ประพันธ์บรรณกิจ

เกมที่ได้รับความนิยมคือการใช้การ์ดเกม ซึ่งนอกจากจะช่วยเพิ่มความท้าทายและความเพลิดเพลินระหว่างการเรียนรู้แล้ว ยังมีต้นทุนการผลิตที่ไม่สูงและสามารถออกแบบสร้างสรรค์ขึ้นเองได้ [8]

ดังนั้น ในงานวิจัยนี้จึงได้นำเกมการเรียนรู้ในรูปแบบการ์ดเกมมาประยุกต์เข้ากับเทคโนโลยีเสริมความเป็นจริง (Augmented Reality; AR) ที่สามารถเพิ่มข้อมูลในรูปแบบ ภาพ 3 มิติ ข้อความ หรือ วิดีโอ เพื่อกระตุ้นความสนใจและเชื่อมโยงความรู้ของผู้เรียนไปยังแหล่งการเรียนรู้อื่น โดยการออกแบบวิธีการเล่นการ์ดเกมให้ผู้เรียนได้วิเคราะห์การ์ดอุปกรณ์อิเล็กทรอนิกส์เพื่อจำแนกชนิดของอุปกรณ์ การหาความสัมพันธ์ของคุณบัติทางไฟฟ้า และ จัดหมวดหมู่ของอุปกรณ์ ตามกรอบแนวคิดเชิงทฤษฎีการคิดวิเคราะห์ [3] เพื่อพัฒนาการคิดวิเคราะห์และผลสัมฤทธิ์ทางการเรียนของผู้เรียนในสาขาวิชาอิเล็กทรอนิกส์

2. วิธีการดำเนินการวิจัย

การวิจัยนี้ใชรูปแบบการวิจัยเชิงทดลองเบื้องต้น ที่มีกลุ่มเดียวและมีการทดสอบก่อนและหลังเรียน ดังแผนการทดลองดังนี้

O_1 X O_2

เมื่อ

O_1 ผลก่อนเรียน การคิดวิเคราะห์ ผลสัมฤทธิ์ทางการเรียน

X การเรียนด้วยการ์ดเกมความเป็นจริงเสริม

O_2 ผลหลังเรียน การคิดวิเคราะห์ ผลสัมฤทธิ์ทางการเรียน

2.1 กลุ่มประชากรและกลุ่มตัวอย่าง

ประชากร ได้แก่ นักศึกษาระดับชั้น ปวส. สาขาวิชาอิเล็กทรอนิกส์ มหาวิทยาลัยเทคโนโลยีราชมงคลอีสาน วิทยาเขตขอนแก่น จำนวน 59 คน

กลุ่มตัวอย่าง ได้แก่ นักศึกษาสาขาวิชาอิเล็กทรอนิกส์ ระดับ ปวส. มหาวิทยาลัยเทคโนโลยีราชมงคลอีสาน วิทยาเขตขอนแก่น จำนวน 30 คน ได้จากการสุ่มตัวอย่างแบบกลุ่ม

2.2 เครื่องมือที่ใช้ในการวิจัย

1) แบบวัดการคิดวิเคราะห์ เป็นมีลักษณะเป็นข้อคำถามแบบอัตนัย จำนวน 3 ข้อ พัฒนาตามกรอบแนวคิดการคิดวิเคราะห์ [3, 4] ประกอบด้วย 3 ด้าน ได้แก่ การจำแนกองค์ประกอบ การเชื่อมโยงความสัมพันธ์เชิงเหตุผล และการจัดหมวดหมู่ มีค่าดัชนีความสอดคล้อง (IOC) ระหว่าง 0.67-1.00 ค่าอำนาจจำแนก 0.4-0.6 และค่าความเชื่อมั่น 0.69

2) แบบวัดผลสัมฤทธิ์ทางการเรียน แบบอัตนัยจำนวน 5 ข้อ เนื้อหาเกี่ยวกับอุปกรณ์อิเล็กทรอนิกส์ มีการกำหนดเกณฑ์การให้คะแนนแบบรูบริค มีค่า IOC ระหว่าง 0.67-1.00 ค่าอำนาจจำแนก 0.4-0.8 และ ค่าความเชื่อมั่น 0.66

2.3 การเก็บรวบรวมและวิเคราะห์ข้อมูล

การเก็บรวบรวมข้อมูลเริ่มจากการนำเข้าสู่บทเรียนและแนะนำผู้เรียนเกี่ยวกับวิธีการเล่นการ์ดเกมความเป็นจริงเสริม จากนั้นแบ่งผู้เรียนเป็นกลุ่มกลุ่มละ 4–6 คน ทดสอบก่อนเรียนด้วยแบบวัดการคิดวิเคราะห์และแบบวัดผลสัมฤทธิ์ทางการเรียน หลังเรียนรู้ด้วยการ์ดเกมความเป็นจริงเสริม สรุปและแลกเปลี่ยนองค์ความรู้ร่วมกัน จากนั้นทดสอบหลังเรียน วิเคราะห์ข้อมูลเชิงปริมาณด้วย ค่าเฉลี่ยและส่วนเบี่ยงเบนมาตรฐาน และทดสอบสมมติฐานด้วยสถิติ Paired t-test เพื่อตรวจสอบความแตกต่างระหว่างผลสัมฤทธิ์ทางการเรียนก่อนและหลังการเรียน พร้อมทั้งตีความและบรรยายเชิงวิเคราะห์

2.4 การวิจัยในมนุษย์

วิจัยนี้ได้รับการยกเว้นการพิจารณาจริยธรรมการวิจัยในมนุษย์ มหาวิทยาลัยเทคโนโลยีราชมงคลอีสาน วิทยาเขตขอนแก่น รหัสโครงการวิจัย HEC-02-67-017

3. ผลการวิจัย

3.1 ผลการพัฒนาการคิดวิเคราะห์

ก่อนการเรียนรู้ด้วยการ์ดเกมความเป็นจริงเสริม พบว่าผู้เรียนสามารถจำแนกและจัดหมวดหมู่ชนิดของอุปกรณ์อิเล็กทรอนิกส์ได้เพียงในระดับพื้นฐาน โดยจำกัดอยู่ที่การระบุประเภทของอุปกรณ์เท่านั้น แต่ยังไม่สามารถอธิบายหรือเชื่อมโยงความสัมพันธ์ของค่าคุณสมบัติทางไฟฟ้าระหว่างอุปกรณ์ต่าง ๆ ได้อย่างชัดเจน ภายหลังการเรียนรู้พบว่าผู้เรียนมีพัฒนาการด้านการคิดวิเคราะห์ที่สอดคล้องกับกรอบแนวคิดเชิงทฤษฎีที่กำหนดไว้ดังนี้

1) ผู้เรียนสามารถจำแนกอุปกรณ์อิเล็กทรอนิกส์แต่ละชนิดได้อย่างถูกต้อง โดยสามารถระบุประเภทของอุปกรณ์ เช่น ตัวต้านทาน ตัวเก็บประจุ ตัวเหนี่ยวนำ ไดโอด และทรานซิสเตอร์ จากการพิจารณาสัญลักษณ์ทางวงจรและรูปลักษณ์ภายนอกของอุปกรณ์ได้อย่างแม่นยำ ตัวอย่างการจำแนก ดังรูปที่ 1

รูปที่ 1 ตัวอย่างการจำแนกอุปกรณ์อิเล็กทรอนิกส์แต่ละชนิด

2) ผู้เรียนสามารถเชื่อมโยงความสัมพันธ์ของคุณสมบัติทางไฟฟ้าระหว่างอุปกรณ์อิเล็กทรอนิกส์ได้ เช่น ตัวเก็บประจุและทรานซิสเตอร์ มีความสัมพันธ์กันในด้านแรงดัน โดยแรงดันที่แสดงในการ์ดจะหมายถึงแรงดันที่อุปกรณ์สามารถทนได้ ดังรูปที่ 2

รูปที่ 2 ตัวอย่างความสัมพันธ์ทางไฟฟ้าของอุปกรณ์อิเล็กทรอนิกส์

3) ผู้เรียนสามารถจัดหมวดหมู่อุปกรณ์อิเล็กทรอนิกส์ได้อย่างถูกต้อง โดยจำแนกตามประเภทของอุปกรณ์ เช่น อุปกรณ์ประเภท Passive ได้แก่ ตัวเก็บประจุ ตัวเหนี่ยวนำ และ ตัวต้านทาน หรือ อุปกรณ์ประเภท Active ได้แก่ ไดโอด และทรานซิสเตอร์ นอกจากนี้ ผู้เรียนยังสามารถจัดหมวดหมู่อุปกรณ์ตามลักษณะตัวถังได้ เช่น แบบ Surface-Mount Device (SMD) และแบบ Through-Hole ตัวอย่างดังรูปที่ 3

รูปที่ 3 จัดหมวดหมู่อุปกรณ์ตามลักษณะตัวถัง

จากผลการวิจัยสามารถสรุปได้ว่า ก่อนการเรียนรู้ด้วยการ์ดเกม ผู้เรียนยังมีการคิดวิเคราะห์ที่ไม่สอดคล้องกับกรอบแนวคิดเชิงทฤษฎีที่กำหนดไว้ อย่างไรก็ตาม เมื่อผู้เรียนได้เรียนรู้ด้วยการ์ดเกมความเป็นจริงเสริมเรื่องอุปกรณ์อิเล็กทรอนิกส์แล้ว พบว่าผู้เรียนสามารถจำแนกอุปกรณ์อิเล็กทรอนิกส์แต่ละชนิด ระบุความสัมพันธ์เชิงเหตุผลระหว่างคุณสมบัติของอุปกรณ์ และจัดหมวดหมู่ของอุปกรณ์อิเล็กทรอนิกส์ได้

3.2 ผลการพัฒนาผลสัมฤทธิ์ทางการเรียน

พบว่าก่อนการเรียนด้วยการ์ดเกมผู้เรียนมีค่าคะแนนเฉลี่ย 11.23 คะแนน (S.D. = 2.99) จากคะแนนเต็ม 30 คะแนน และ หลังเรียนจากเรียนรู้ด้วยการ์ดเกมมีค่าเฉลี่ย 18.90 คะแนน (S.D. = 3.83) ผู้เรียนสามารถระบุชนิดของอุปกรณ์ได้ และอธิบายหลักการทำงานของอุปกรณ์ เช่น กระแสไฟฟ้าจะถูกจำกัดโดยตัวต้านทาน หรือ ใช้ทรานซิสเตอร์ทำหน้าที่เป็นสวิตช์เปิดหรือปิดวงจรได้ เป็นต้น ซึ่งเนื้อหาที่เพิ่มเติมจะปรากฏขึ้นเมื่อผู้เรียนสแกน QR code บนการ์ดเพื่อดูภาพ 3 มิติของอุปกรณ์และข้อมูลเพิ่มเติม รวมไปถึงสามารถเชื่อมโยงไปยังเวปไซต์ภายนอก หรือ Youtube เพื่อศึกษาเพิ่มเติมได้ ดังรูปที่ 4

รูปที่ 4 ตัวอย่างข้อมูลเพิ่มเติมเมื่อสแกน QR Code ด้วยสมาร์ทโฟน

ผลการเปรียบเทียบก่อนและหลังเรียนด้วย Paired t-test แสดงในตารางที่ 1

ตารางที่ 1 ผลการเปรียบเทียบก่อนและหลังเรียนด้วย Paired t-test

Condition (n = 30)	*M*(*SD*)	95%CI		t	P-Value
		LL	UL		
Pretest	11.23(2.99)	-9.34	-5.99	-9.35	0.000
Posttest	18.90(3.83)				

*$p < 0.05$

จากผลการวิเคราะห์ในตารางที่ 1 พบว่าค่า P-Value เท่ากับ 0.00 ซึ่งต่ำกว่าระดับนัยสำคัญที่ 0.05 แสดงให้เห็นว่าผลการเรียนรู้หลังการใช้การ์ดเกมความเป็นจริงเสริมมีคะแนนสูงกว่าก่อนเรียนอย่างมีนัยสำคัญทางสถิติที่ระดับ 0.05

4. อภิปราย

4.1 อภิปรายผลการพัฒนาการคิดวิเคราะห์

ผลการคิดวิเคราะห์พบว่าผู้เรียนมีการคิดวิเคราะห์ตามกรอบแนวคิดเชิงทฤษฎีที่กำหนด ได้แก่ การจำแนกองค์ประกอบ การระบุความสัมพันธ์เชิงเหตุผล และการจัดหมวดหมู่ ทั้งนี้อาจเนื่องมากจากการออกแบบวิธีการเล่นการ์ดเกมที่ส่งเสริมการคิดวิเคราะห์ของผู้เรียน ซึ่งการที่ผู้เรียนจะวางการ์ดต่อจากเพื่อนได้จะต้องพิจารณาว่าการ์ดที่ตนเองมีคือการ์ดอุปกรณ์ใด และมีความสัมพันธ์กับการ์ดที่วางไว้ก่อนหน้านี้หรือไม่ เช่น การ์ดก่อนหน้าคือทรานซิสเตอร์ ซึ่งมีค่าคุณสมบัติคือ I_F และ V_{CE} ดังนั้นผู้เรียนจะหาความสัมพันธ์กับการ์ดที่ตนเองมีว่ามีเกี่ยวข้องกับกระแสหรือแรงดันหรือไม่ จึงจะสามารถวางการ์ดได้ ผลการวิจัยในครั้งนี้สอดคล้องกับงานของเพชราภรณ์ เฮมกลาง และสุมาลี ชัยเจริญ [3] ที่ได้พัฒนาสิ่งแวดล้อมการเรียนรู้ซึ่งมีการออกแบบศูนย์ฝึกการคิดวิเคราะห์ในลักษณะของเกมผู้เรียนได้จำแนกสิ่งของและเชื่อมโยงเพื่อฝึกทักษะการคิดวิเคราะห์อย่างเป็นระบบ

4.2 อภิปรายผลการพัฒนาผลสัมฤทธิ์ทางการเรียน

ผู้เรียนมีผลผลสัมฤทธิ์ทางการเรียนสูงขึ้นหลังจากเรียนรู้ด้วยการ์ดเกม ทั้งนี้อาจเนื่องมากจากการบูรณาการเนื้อหาเรื่องอุปกรณ์อิเล็กทรอนิกส์กับการออกแบบวิธีการเล่นการ์ดเกมเข้าด้วยกัน โดยผู้เล่นจะต้องเข้าใจชนิดของอุปกรณ์และค่าคุณสมบัติทางไฟฟ้า เพื่อนำไปพิจารณาในการวางการ์ดต่อไป นอกจากนั้นการนำเทคโนโลยีความจริงเสริมมาใช้ ยังช่วยเพิ่มเติมเนื้อหาที่ไม่สามารถแสดงอยู่บนการ์ดได้ เช่น ภาพ 3 มิติ หรือ เนื้อหาเพิ่มเติม ทำให้ผู้เรียนสามารถขยายความเข้าใจในอุปกรณ์นั้น ๆ เพิ่มมากขึ้น ส่งผลให้ผู้เรียนมีผลสัมฤทธิ์ทางการเรียนที่สูงขึ้น และมีความสนใจในการเรียนเนื่องจากเกิดความสนุกและท้าทายในการเล่นกับเพื่อนร่วมชั้นเรียน ผลการวิจัยนี้สอดคล้องกับ จุติกรานต อังคพนมไพร และ ใจทิพย ณ สงขลา [8] ที่ผู้เรียนมีคะแนนความรู้สูงขึ้นกว่าก่อนเรียน จาก 6.27 เป็น 11.52 คะแนน และ เสาวลักษณ์ แจงบำรุง และ ณัฐพล รำไพ [9] ที่พบว่าคะแนนหลังเรียนสูงกว่าก่อนเรียน อย่างมีนัยสำคัญทางสถิติที่ 0.05

5. สรุป

การวิจัยนี้มีจุดมุ่งหมายเพื่อพัฒนาการคิดวิเคราะห์ของนักศึกษาระดับ ปวส. สาขาวิชาอิเล็กทรอนิกส์ ผ่านการเรียนรู้ด้วยการ์ดเกมความจริงเสริมเรื่องอุปกรณ์อิเล็กทรอนิกส์ ผลการวิจัยพบว่าผู้เรียนมีการคิดวิเคราะห์ตามกรอบแนวคิดเชิงทฤษฎีที่กำหนด ได้แก่ การจำแนกองค์ประกอบ การระบุความสัมพันธ์เชิงเหตุผล และการจัดหมวดหมู่ นอกจากนี้ ผลการวิจัยยังพบว่าผู้เรียนมีผลสัมฤทธิ์ทางการเรียนสูงขึ้นจากการเรียนรู้ผ่านการ์ดเกมที่บูรณาการเทคโนโลยีความเป็นจริงเสริม ผลดังกล่าวสะท้อนให้เห็นถึงการประยุกต์ใช้การ์ดเกมร่วมกับเทคโนโลยีความเป็นจริงเสริมสามารถพัฒนาผลการเรียนรู้ของผู้เรียน การกระตุ้นความสนใจและสร้างความสนุกสนาน ท้าทายระหว่างการเรียนรู้อีกด้วย

6. ข้อเสนอแนะ

6.1 ข้อเสนอแนะสำหรับการนำผลวิจัยไปใช้

1) ผู้เรียนควรมีพื้นฐานด้านอุปกรณ์อิเล็กทรอนิกส์ก่อนเข้าร่วมการเรียนรู้ด้วยการ์ดเกม

2) งานวิจัยนี้ได้ดำเนินการทดลองกับนักศึกษาเพียงกลุ่มเดียว จึงยังไม่สามารถยืนยันผลลัพธ์กับกลุ่มผู้เรียนอื่นได้

6.2 ข้อเสนอแนะสำหรับการวิจัยครั้งต่อไป

1) ควรศึกษากับกลุ่มตัวอย่างที่หลากหลายเพื่อศึกษาประสิทธิภาพของการ์ดเกมต่อไป

7. กิตติกรรมประกาศ

ขอขอบคุณคณะครุศาสตร์อุตสาหกรรม มหาวิทยาลัยเทคโนโลยีราชมงคลอีสาน วิทยาเขตขอนแก่น ที่ให้ทุนสนับสนุนงานวิจัยนี้

เอกสารอ้างอิง

[1] E. Hollett and A. Cassalia, *Analytical Thinking for Advanced Learners Grades 3–5*, 1st ed. Routledge, 2022. https://doi.org/10.4324/9781003268338

[2] World Economic Forum, *The Future of Jobs Report 2020*. World Economic Forum, July 26, 2025. [Online]. Available: https://www.weforum.org/reports/the-future-of-jobs-report-2020

[3] เพชราภรณ์ เฮมกลาง และ สุมาลี ชัยเจริญ, "การสังเคราะห์กรอบแนวคิดการออกแบบของสิ่งแวดล้อมทางการเรียนรู้บนเครือข่ายตามแนวคอนสตรัคติวิสต์ที่ส่งเสริมการคิดวิเคราะห์ เรื่อง โครงสร้างโลกของเรา สำหรับนักเรียนชั้นมัธยมศึกษาปีที่ 2," วารสารมนุษยศาสตร์และสังคมศาสตร์ มหาวิทยาลัยอุบราชธานี, ปีที่ 8, ฉบับที่ 2, หน้า 1–18, 2560.

[4] J. Šrol & M. Galasová, "Intellectualism and analytical thinking: Are they related?" Personality and Individual Differences, vol. 196, p. 111842, 2022.

[5] O. Özdemir, "Türkçe Eğitiminde Geliştirilmesi Gereken Bir Üst Düzey Düşünme Becerisi: Analitik Düşünme," *Ana Dili Eğitimi Dergisi*, vol. 8, no. 3, pp. 950–971, Jul. 2020, doi: 10.16916/ADED.751287. http://www.anadiliegitimi.com/en/download/article-file/1212734

[6] รัญชิดา ดาวเรือง, "ผลสัมฤทธิ์ทางการเรียนที่มีต่อการสอนโดยใช้เกมแบบจำลองสถานการณ์ ในรายวิชานวัตกรรมและการประกอบธุรกิจ", *STECO Journal*, ปี 3, ฉบับที่ 7, หน้า 85–96, 2567.

[7] จันทรา โอระสะ และ และ เอกกมล บุญยะผลานันท. "การพัฒนาเกมที่ส่งเสริมการเรียนรู้แบบร่วมมือด้วยการใช้บทเรียนคอมพิวเตอร์ช่วยสอนเรื่อง ภูมิศาสตร์ประเทศไทย". *วารสารวิชาการครุศาสตร์อุตสาหกรรม พระจอมเกล้าพระนครเหนือ.* ปีที่ 12 ฉบับที่ 1, หน้า 167 - 174. 2564.

[8] จุติกรานต์ อังคพนมไพร และ ใจทิพย์ ณ สงขลา, "การ์ดเกมในสภาพแวดล้อมเสมือนจริงด้วยการเรียนรู้แบบค้นพบเพื่อส่งเสริมการรู้ด้านสิ่งแวดล้อม", *ECT Journal,* ปี 19, ฉบับที่ 27, หน้า 125–141, 2567.

[9] เสาวลักษณ์ แจงบำรุง และ ณัฐพล รำไพ, "การพัฒนาสื่อบัตรภาพร่วมเทคโนโลยีความเป็นจริงเสริมเพื่อส่งเสริมการเรียนรู้ของนักเรียนประถมศึกษาปีที่ 2 โรงเรียนชุมชนไมตรีอุทิศ", *วารสารเทคโนโลยีและสื่อสารการศึกษา*, ปีที่ 5 ฉบับที่ 13, 2565.

ระบบเฝ้าระวังและแจ้งเตือนคุณภาพน้ำทิ้งโดยใช้เครือข่ายเซนเซอร์หลายชนิด

Multi-Sensor Based Wastewater Quality Monitoring and Early Warning System

ภัคจิรา อินทรวงศ์ วรรณกร ปึงประวัติ ศุจินธร หล่อฤทัย พรชัย ชันยากร สุพรรณ ทิพย์ทิพากร และ ก่อพร พันธุ์ยิ้ม*

ภาควิชาวิศวกรรมไฟฟ้า คณะวิศวกรรมศาสตร์ มหาวิทยาลัยมหิดล korporn.pan@mahidol.ac.th*

บทคัดย่อ

บทความนี้นำเสนอการพัฒนาระบบเครือข่ายเซนเซอร์หลายตัว (multi-sensor network) เพื่อประยุกต์ใช้ในการเพิ่มประสิทธิภาพกระบวนการบำบัดน้ำเสียอุตสาหกรรม การวิจัยดำเนินการผ่านกรณีศึกษาจากโรงงานอุตสาหกรรมในนิคมอุตสาหกรรมแห่งหนึ่ง โดยระบบที่พัฒนาขึ้นสามารถตรวจวัดพารามิเตอร์สำคัญ ได้แก่ อัตราการไหล (Flow rate), ค่าความเป็นกรด-เบส (pH), อุณหภูมิ (temperature) และปริมาณออกซิเจนละลาย (dissolved oxygen; DO) ระบบเครือข่ายเซนเซอร์นี้เชื่อมโยงกับหน่วยบำบัดที่ประกอบด้วยเครื่องเป่าลม (blower) สำหรับการเติมออกซิเจน ระบบปั๊มและมอเตอร์สำหรับการจ่ายสารบัฟเฟอร์เพื่อปรับค่า pH และระบบปั๊มและมอเตอร์สำหรับการควบคุมอัตราการไหล นอกจากนี้ยังพัฒนาแอปพลิเคชันสำหรับการแสดงผลและตรวจสอบสถานะระบบ ผลการวิจัยแสดงให้เห็นว่าระบบที่พัฒนาสามารถลดการพึ่งพาแรงงานวิศวกรปฏิบัติการ ลดระยะเวลาในกระบวนการควบคุมคุณภาพน้ำเสีย

คำสำคัญ: เครือข่ายเซนเซอร์หลายชนิด ระบบบำบัดน้ำเสีย การตรวจวัดแบบเรียลไทม์ ระบบอัตโนมัติในอุตสาหกรรม

Abstract

This study presents the development of an automated multi-sensor network system for enhancing industrial wastewater treatment processes. A case study was conducted at a manufacturing facility within an industrial estate to validate system performance. The system incorporates real-time monitoring of critical parameters including flow rate, pH levels, temperature, and dissolved oxygen (DO) concentrations. The sensor network is integrated with automated treatment units comprising a blower for oxygenation, a pump-motor assembly for buffer solution dosing to maintain optimal pH, and an additional pump-motor system for flow rate regulation. Additionally, an application was developed for real-time data visualization and system monitoring. Implementation results demonstrated significant operational improvements, including reduced manual supervision requirements, and accelerated wastewater quality control processes.

Keywords: Multi-sensor, wastewater treatment process, real-time monitoring, industrial automation.

1. ที่มาและความสำคัญ

ในปัจจุบัน ภาคอุตสาหกรรมยังขาดระบบอัตโนมัติสำหรับการตรวจสอบคุณภาพน้ำเสีย จึงจำเป็นต้องพึ่งพาวิศวกรและบุคลากรปฏิบัติการในกระบวนการบำบัดน้ำเสีย พารามิเตอร์ที่จำเป็นต้องตรวจวัดประกอบด้วย ค่าความเป็นกรด-เบส (pH) อุณหภูมิ (temperature) อัตราการไหลของน้ำ (flow rate) และปริมาณออกซิเจนละลายน้ำ (dissolved oxygen; DO) การตรวจสอบเหล่านี้เป็นส่วนสำคัญของกระบวนการบำบัดก่อนการปล่อยน้ำทิ้งจากกระบวนการผลิตสู่แหล่งน้ำธรรมชาติ

กระบวนการตรวจสอบและแก้ไขในปัจจุบันดำเนินการด้วยวิธีการทางห้องปฏิบัติการ (laboratory method) ซึ่งต้องอาศัยวิศวกรปฏิบัติการในการตรวจวัดคุณภาพน้ำเสีย บันทึกข้อมูลลงในแบบฟอร์มปฏิบัติการรายวัน (operation daily log sheet) และส่งรายงานต่อกรมโรงงานอุตสาหกรรมเป็นรายเดือนเพื่อการควบคุมต่อไป ตามประกาศกระทรวงอุตสาหกรรม เรื่อง กำหนดมาตรฐานควบคุมการระบายน้ำทิ้งจากโรงงาน พ.ศ. 2560 ลงวันที่ 7 มิถุนายน 2560 กำหนดมาตรฐานคุณภาพน้ำทิ้งได้แก่ ของแข็งแขวนลอยทั้งหมด (total suspended solids; TSS) ไม่เกิน 50 มิลลิกรัมต่อลิตร ค่า pH ระหว่าง 5.5-9.0 และอุณหภูมิไม่เกิน 40 องศาเซลเซียส [1] หากพบค่าเกินมาตรฐาน วิศวกรปฏิบัติการต้องทำการเติมสารบัฟเฟอร์ เช่น $FeCl_3$ และ NaOH หรือเติมออกซิเจนเพื่อปรับสมดุลออกซิเจนในน้ำ [2, 3] ซึ่งระบบควบคุมปัจจุบันสำหรับการบำบัดน้ำทิ้งที่ปลายทางของสายการผลิตใช้เวลานานในแต่ละรอบของการปรับแต่งสมดุลของน้ำเสียในระบบ

ผู้วิจัยเล็งเห็นว่ากระบวนการดังกล่าวต้องใช้บุคลากรเข้าปฏิบัติการและใช้ระยะเวลานาน เนื่องจากต้องรอผลคุณภาพน้ำทิ้งจากกระบวนการในห้องปฏิบัติการทำให้ไม่สามารถหยุดการปล่อยน้ำเสียที่เกินมาตรฐานได้ในทันที การศึกษานี้จึงมุ่งเสนอแนวทางแก้ไขด้วยการพัฒนาระบบตรวจสอบคุณภาพน้ำเสียอัตโนมัติโดยเครือข่ายเซนเซอร์หลายตัว ที่สามารถแจ้งเตือน บันทึกข้อมูล และจัดการกระบวนการบำบัดโดยลดการพึ่งพาบุคลากร พร้อมทั้งลดระยะเวลาของกระบวนการต่างๆ โดยใช้กรณีศึกษาจากโรงงานในนิคมอุตสาหกรรมแห่งหนึ่ง

2. แนวทางในการออกแบบระบบ

เพื่อให้การพัฒนาต้นแบบระบบเฝ้าระวังและควบคุมคุณภาพน้ำทิ้งด้วยเครือข่ายเซนเซอร์หลายตัวเป็นไปอย่างมีประสิทธิภาพ เหมาะสมกับ

*ผู้ประพันธ์บรรณกิจ

สภาพแวดล้อมและข้อกำหนดของสถานที่ติดตั้ง จึงมีความจำเป็นต้องพิจารณาองค์ประกอบทางวิศวกรรมที่เกี่ยวข้อง ทั้งในมิติของฮาร์ดแวร์ ซอฟต์แวร์ และสถาปัตยกรรมเครือข่าย โดยในหัวข้อนี้จะนำเสนอแนวทางการเลือกใช้อุปกรณ์และเทคโนโลยีที่เหมาะสมสำหรับการสร้างระบบต้นแบบ

2.1 การเลือกใช้ชุดอุปกรณ์ควบคุม (controllers)

ในการออกแบบระบบควบคุมสำหรับต้นแบบที่จะใช้ในอุตสาหกรรมจริง เลือกใช้ Programmable Logic Controller (PLC) เนื่องจากสามารถให้การควบคุมที่มีความแม่นยำ เชื่อถือได้ และเหมาะสมกับการใช้งานในระดับโรงงานอุตสาหกรรม [4] เกณฑ์การคัดเลือกพิจารณาจากจำนวนอุปกรณ์ตรวจวัด (sensors) และอุปกรณ์ควบคุม (controllers) ที่ต้องใช้งาน รวมถึงความคุ้มค่าของต้นทุน เนื่องจากระบบที่ออกแบบไม่ได้มีความซับซ้อนสูงและใช้อุปกรณ์ตรวจวัดไม่มาก การเลือกใช้ Modular PLC [5] จึงเป็นทางเลือกที่เหมาะสม เพราะสามารถขยายหรือเพิ่มโมดูลเสริม เช่น เซนเซอร์ชนิดต่าง ๆ ได้ตามความต้องการของผู้มีส่วนได้ส่วนเสีย (stakeholders) แตกต่างจาก Block-type PLC ที่มีข้อจำกัดในการเพิ่มอุปกรณ์และยืดหยุ่นน้อยกว่า

2.2 การเลือกใช้ตัวเชื่อมต่อสำหรับ PLC

เลือกใช้ Ethernet Module เป็นตัวเชื่อมต่อ (communication connector) เนื่องจากเป็นมาตรฐานเครือข่ายที่ได้รับการยอมรับอย่างแพร่หลาย และเหมาะสมกับการสื่อสารข้อมูลระหว่างต้นทางและปลายทาง [6] โมดูล Ethernet สามารถทำงานร่วมกับ PLC MELSEC-Q Series ที่มี CPU ในตัว และยังสามารถเชื่อมต่อกับระบบ IoT เพื่อพัฒนาเป็นแอปพลิเคชันได้ในอนาคต

2.3 การเลือกใช้ Protocol การสื่อสาร

เลือกใช้ Transmission Control Protocol (TCP) เนื่องจาก TCP มีความน่าเชื่อถือสูง เหมาะสำหรับการรับส่งข้อมูลขนาดใหญ่ที่ต้องการความถูกต้องและสมบูรณ์ของข้อมูล ในขณะที่ User Datagram Protocol (UDP) แม้จะมีความเร็วสูงกว่า แต่ไม่รับประกันความถูกต้องของข้อมูล จึงไม่เหมาะกับการใช้งานในระบบเฝ้าระวังและควบคุมคุณภาพน้ำทิ้งที่ต้องการความแม่นยำ

2.4 การเลือกใช้ Internet of Things (IoT) Platform

เลือกใช้ Blynk Platform สำหรับการพัฒนาแอปพลิเคชัน เนื่องจากสามารถรองรับการสร้างระบบแจ้งเตือนบนอุปกรณ์พกพา (mobile devices) และเหมาะสำหรับการทำงานด้าน IoT ที่ต้องการเชื่อมต่อกับ PLC บนระบบ Cloud ทำให้สามารถเข้าถึงและจัดการข้อมูลจากระยะไกลได้สะดวกและมีประสิทธิภาพ [7]

3. การออกแบบสถาปัตยกรรมและการทำงานของระบบ

รูปที่ 1 และ 2 แสดงภาพรวมส่วนประกอบและสถาปัตยกรรมของระบบ ซึ่งประกอบด้วย pH และ temperature sensor [8, 9, 10] ที่ทำงานควบคู่กับปั๊มสูบสารบัฟเฟอร์ ดังแสดงในรูปที่ 3 โดยสามารถดูดสาร

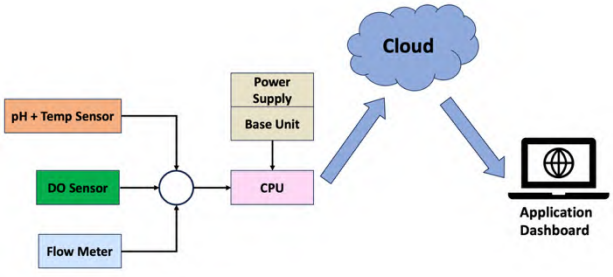

รูปที่ 1 แสดงภาพรวมส่วนประกอบของระบบ

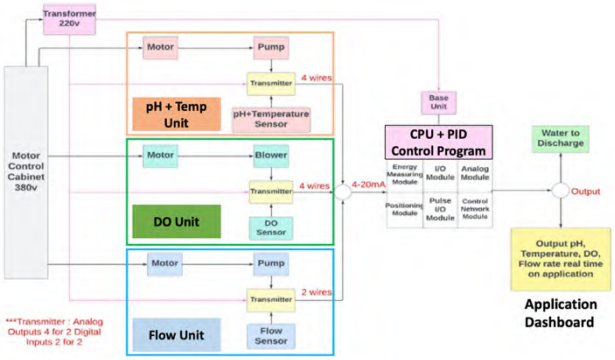

รูปที่ 2 แผนผังสถาปัตยกรรมของระบบ

กรด $FeCl_3$ หรือสารเบส NaOH จากบ่อเก็บสารเคมีที่โรงงานเตรียมไว้ ระบบได้ติดตั้ง DO sensor คู่กับ blower เติมอากาศ และติดตั้ง flow sensor ทำงานคู่กับปั๊มควบคุมอัตราการไหลของน้ำในระบบ [11, 12] มีการทำงานดังแผนภาพแสดงในรูปที่ 4 และ 5 โดยน้ำจากหน่วยการผลิตของโรงงานจะไหลตามกระบวนการพักน้ำและกระบวนการบำบัดไปยังจุดปล่อยทิ้ง (discharge point) เพื่อเตรียมปล่อยสู่แหล่งน้ำ ผู้วิจัยเลือกจุดติดตั้งเซนเซอร์คู่กับปั๊มและ blower ตามความเหมาะสมของพื้นที่ปฏิบัติการ โดยเลือกบริเวณบ่อพักน้ำซึ่งเป็นน้ำที่ไม่มีตะกอน (sludge) และไม่มี noise รบกวนการตรวจวัด เพื่อให้สามารถเตรียมการบำบัดได้อย่างเหมาะสม

ข้อมูลที่ได้จากเซนเซอร์แต่ละตัวจะถูกส่งมารวมกันภายใน PLC ซึ่งประกอบด้วย CPU และ internet module จากนั้นจะส่งข้อมูลสู่ระบบ cloud เพื่อเชื่อมต่อกับระบบแสดงผลแอปพลิเคชันแดชบอร์ด

การทำงานของปั๊ม blower และมอเตอร์จะงานร่วมกันเป็นคู่ โดยมอเตอร์คู่แรกจะทำงานเพื่อให้ปั๊มสูบสารบัฟเฟอร์จากบ่อเคมีเพื่อปรับค่า pH ของน้ำให้เป็นกลาง มอเตอร์คู่ที่สองจะทำงานควบคู่กับ blower ซึ่งเป็นตัวเติมอากาศในการบำบัด และมอเตอร์คู่ที่สามทำงานร่วมกับปั๊มอีกหนึ่งตัวเพื่อควบคุมอัตราการไหลของน้ำ (รูปที่ 2) ผู้วิจัยเลือกใช้ปั๊มแบบ one duty one standby ในการทำงานปั๊มน้ำทั้งสองตัวจะสลับกันทำงานเป็นปั๊มหลัก (duty pump) และปั๊มสำรอง (standby pump) โดยอัตโนมัติเมื่อการทำงานครบรอบ ในกรณีที่ปั๊มตัวใดตัวหนึ่งไม่สามารถ

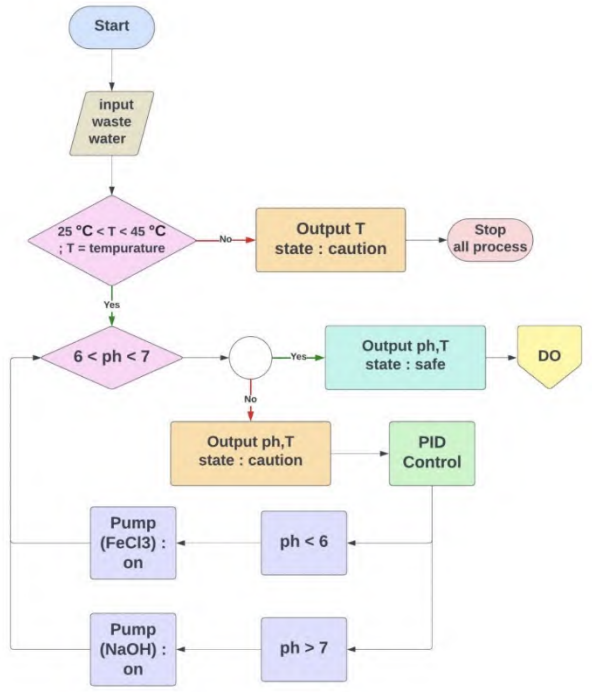

รูปที่ 3 แผนภาพการทำงานขอ pH และ Temperature Sensor

ทำงานได้ สามารถเลือกปั๊มตัวที่สองทำงานแทนได้ทันทีโดยไม่ต้องหยุดการทำงาน จากการสำรวจพื้นที่ปฏิบัติการ ผู้วิจัยจึงเลือกติดตั้งปั๊มแบบ negative suction type เนื่องจากสารเคมีโซเดียมไฮดรอกไซด์และกรดที่ปั๊มต้องดูดอยู่ในตำแหน่งต่ำกว่าปั๊ม การคำนวณแรงดันปั๊มที่ต้องใช้ร่วมกับกำลังไฟฟ้าของมอเตอร์เพื่อให้ปั๊มสามารถดูดสารเคมีในการบำบัดน้ำและควบคุมอัตราการไหลของน้ำ สามารถคำนวณได้จากสมการ (1) และ (2)

$$\text{Total dynamic head } (TDH) = \text{Total static head} + \text{Friction head (Major loss)} + \text{Minor loss} \quad (1)$$

$$\text{Total static head} = \text{Suction head} + \text{Discharge head} \quad (2)$$

โดยที่ Friction head (Major loss) คำนวณจากสมการ Darcy-Weisbach ดังแสดงใน (1)

$$h_f = f \cdot \frac{L}{D} \cdot \frac{v^2}{2g} \quad (3)$$

โดยที่:

h_f คือ การสูญเสียหัวเนื่องจากแรงเสียดทาน (Head Loss)

f คือ สัมประสิทธิ์แรงเสียดทาน (Friction Factor)

L คือ ความยาวของท่อ

D คือ เส้นผ่านศูนย์กลางของท่อ

v คือ ความเร็วของของไหล

g คือ ความเร่งเนื่องจากแรงโน้มถ่วง

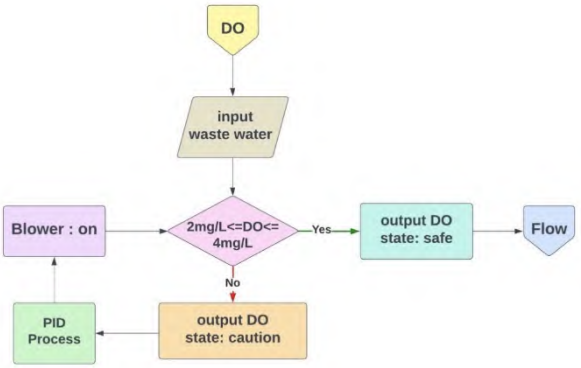

รูปที่ 4 แผนภาพการทำงานของ DO Sensor

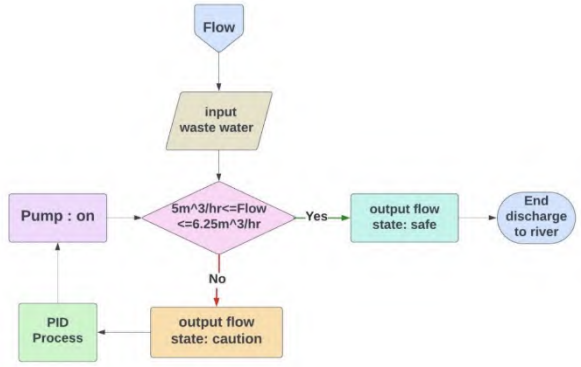

รูปที่ 5 แผนภาพการทำงานของ Flow Sensor

4. การออกแบบระบบแอปพลิเคชันการแสดงผล

การออกแบบแอปพลิเคชันแดชบอร์ดส่วนติดต่อผู้ใช้ ได้ดำเนินการโดยใช้โปรแกรม Figma [13] เพื่อสร้างต้นแบบการแสดงผลที่เหมาะสมและเข้าใจง่ายต่อการใช้งานจริง ดังแสดงในรูปที่ 6

จากแผนภาพการทำงานแสดงให้เห็นว่า เซนเซอร์ทั้งสามชุด ทำงานร่วมกับ ปั๊ม, มอเตอร์ และ Blower เป็นคู่ โดยเมื่อเซนเซอร์ทำการตรวจวัดคุณภาพน้ำเสีย ค่าที่วัดได้จากเซนเซอร์จะถูกส่งไปยัง Controller กลาง ซึ่งเป็นระบบ Supervisory Control Based on PLC ที่ประกอบด้วย Central Processing Unit (CPU), Network Module และโมดูลประกอบอื่น ๆ สำหรับการประมวลผล ในหน่วยประมวลผลกลาง มีการติดตั้ง Proportional–Integral–Derivative (PID) Control Algorithm ร่วมกับชุดคำสั่ง (program code) ที่ออกแบบมาเฉพาะสำหรับกระบวนการบำบัดน้ำ เมื่อเซนเซอร์ตรวจพบค่าคุณภาพน้ำที่เกินกว่าค่ามาตรฐาน โปรแกรมจะสั่งการให้ มอเตอร์, ปั๊ม และ Blower ทำงานเพื่อดำเนินการบำบัด

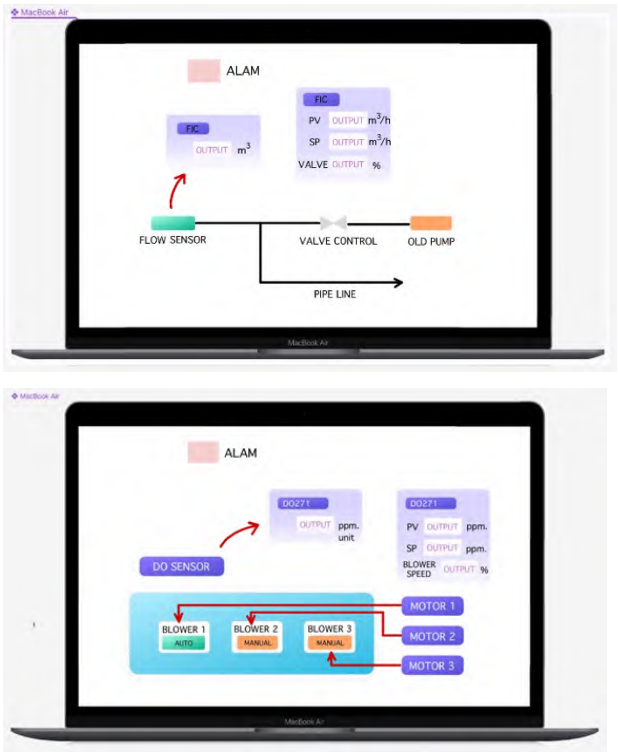

รูปที่ 6 การแสดงสถานะของ Sensors แต่ละชนิดรวมทั้งสถานะของ Blower และ Pump จากแอปพลิเคชันแดชบอร์ด

จนกว่าค่าที่ตรวจวัดจะกลับเข้าสู่สภาวะปกติ ผลการทำงานจะแสดงผลเป็นค่าพารามิเตอร์คุณภาพน้ำแบบ Real-time ซึ่งแสดงค่าทุก 1 วินาที รวมถึงการแจ้งเตือนหากพบค่าที่ผิดปกติ นอกจากนี้ยังสามารถแสดงสถานะการทำงานของปั๊มและ Blower ในกระบวนการบำบัดได้ด้วย

สำหรับการออกแบบและการติดตั้งอุปกรณ์ทั้งหมด ผู้วิจัยได้ดำเนินการออกแบบ จัดหา และคำนวณการติดตั้งเอง ส่วน Power Supply สำหรับ Control Cabinet ที่ใช้ไฟฟ้า 380 V และ Transformer 220 V ได้รับการสนับสนุนและติดตั้งโดยบริษัทผู้ให้บริการ

5. การวิเคราะห์ผลการทำงานของระบบควบคุม

ในการทดสอบการทำงานของระบบ ผู้วิจัยได้ทำการวิเคราะห์ความสัมพันธ์ระหว่าง ความเร็วรอบของ Blower และค่า Dissolved Oxygen (DO) ที่วัดได้จากเซนเซอร์ โดยผลการทดลองแสดงความสัมพันธ์ระหว่างตัวแปรทั้งสอง (รูปที่ 7) พบว่า เมื่อค่า Process Value (PV) ของ DO มีค่ามีแนวโน้มเข้าใกล้หรือสูงกว่าค่า Set Point ระบบควบคุมแบบอัตโนมัติจะปรับลด เปอร์เซ็นต์ความเร็วรอบของ Blower ลงทันที เพื่อรักษาสมดุลของค่า DO ให้อยู่ในช่วงที่เหมาะสมต่อกระบวนการบำบัดน้ำ การประเมินความสัมพันธ์เชิงสถิติระหว่าง DO และ Blower Speed ใช้สัมประสิทธิ์สหสัมพันธ์ (Correlation Coefficient, r) [14] ซึ่งมีค่าระหว่าง -1.0 ถึง +1.0 โดยมีความหมายดังนี้:

- ค่า r ใกล้ -1.0 หมายถึงความสัมพันธ์เชิงตรงข้ามอย่างชัดเจน

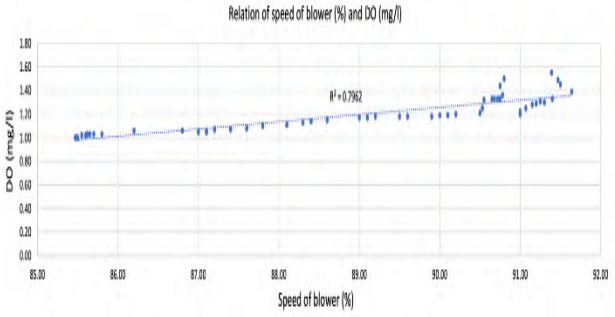

รูปที่ 7 ความสัมพันธ์ระหว่าง Speed of blower และ DO Sensor

- ค่า r ใกล้ +1.0 หมายถึงความสัมพันธ์เชิงบวกระหว่างตัวแปรทั้งสอง
- ค่า r ใกล้ 0 หมายถึงไม่มีความสัมพันธ์ระหว่างกัน

ผลการทดลองชี้ให้เห็นว่า ค่า DO มีความสัมพันธ์ในเชิงบวกกับความเร็วรอบของ Blower กล่าวคือ เมื่อ Blower ทำงานด้วยความเร็วสูง ค่า DO มีแนวโน้มเพิ่มขึ้นตาม และในทางกลับกันเมื่อระบบควบคุมลดความเร็วรอบของ Blower ค่า DO ก็ปรับลดลงสู่ค่าที่ใกล้เคียง Set Point ได้อย่างมีประสิทธิภาพ

6. สรุปผลการวิจัย

บทความนี้มุ่งเน้นการพัฒนาและประเมินระบบเฝ้าระวังและควบคุมคุณภาพน้ำทิ้งอัตโนมัติ โดยใช้เครือข่ายเซนเซอร์หลายชนิดเพื่อตรวจวัดพารามิเตอร์ที่สำคัญ ได้แก่ ค่าความเป็นกรด-ด่าง (pH), อุณหภูมิ (Temperature), อัตราการไหล (Flow rate) และ ปริมาณออกซิเจนละลาย (Dissolved Oxygen: DO) ในกระบวนการบำบัดน้ำเสีย

ผลการดำเนินงานแสดงให้เห็นว่าระบบสามารถตรวจวัด ติดตาม และประมวลผลข้อมูลจากเซนเซอร์หลายตัวได้อย่างมีประสิทธิภาพ พร้อมทั้งสั่งการอุปกรณ์บำบัดโดยอัตโนมัติเมื่อค่าที่วัดได้เบี่ยงเบนจากค่ามาตรฐานที่กำหนด นอกจากนี้ ระบบยังรองรับการแสดงผลและการแจ้งเตือนแบบเรียลไทม์ตลอด 24 ชั่วโมง ผ่านแอปพลิเคชันแดชบอร์ดที่ออกแบบให้ใช้งานได้สะดวกและเชื่อถือได้ การพัฒนาระบบดังกล่าวช่วยยกระดับการจัดการคุณภาพน้ำทิ้งจากรูปแบบดั้งเดิมที่อาศัยแรงงานคนและการตรวจวิเคราะห์ในห้องปฏิบัติการ ไปสู่ ระบบจัดการอัตโนมัติเต็มรูปแบบ ซึ่งมีศักยภาพในการลดภาระงานบุคลากร ลดระยะเวลาในการตรวจสอบ และช่วยลดต้นทุนการดำเนินงานด้านสิ่งแวดล้อม [15, 16]

สำหรับแนวทางการศึกษาและพัฒนาเพิ่มเติมในอนาคตที่เป็นไปได้ อาจรวมถึง 1) การทดสอบระบบต้นแบบภายใต้สภาพแวดล้อมที่หลากหลาย มีการประเมินระบบกับโรงงานอุตสาหกรรมที่มีขนาดของบ่อบำบัด ปริมาณ หรือชนิดของน้ำเสียที่แตกต่างกัน 2) การประเมินทางด้านเศรษฐศาสตร์จากการลดต้นทุนที่เกิดขึ้นจริงจากการนำระบบต้นแบบมาปรับใช้ เพื่อศึกษาความคุ้มค่าของระบบ ข้อมูลที่ได้อาจเป็นประโยชน์ในการพิจารณาในการต่อยอดไปใช้ในเชิงพาณิชย์ [17] และ 3) การศึกษา

ความเป็นไปได้ในการบูรณาการระบบต้นแบบเข้ากับระบบ SCADA [18] หรือระบบมาตรฐานการจัดการสิ่งแวดล้อม ISO 14001 [19]

เอกสารอ้างอิง

[1] กระทรวงอุตสาหกรรม, "ประกาศกระทรวงอุตสาหกรรม เรื่อง กำหนดมาตรฐานควบคุมการระบายน้ำทิ้งจากโรงงาน พ.ศ. 2560," *ราชกิจจานุเบกษา*, เล่ม 134, ตอนพิเศษ 153 ง, หน้า 11-15, มิถุนายน 7, 2560. [ออนไลน์]. เข้าถึงได้จาก: https://www.genco.co.th/Document/Inf_14.PDF

[2] Ali, "New generation adsorbents for water treatment," Chemical Reviews, vol. 112, no. 10, pp. 5073–5091, 2012.

[3] Thermo Fisher Scientific, "Measuring suspended solids in water/wastewater," n.d. [Online]. Available: https://assets.thermofisher.com/TFS-Assets/LPD/Product-Information/Measuring-Suspended-Solids-Water-Wastewater-AN-SSONLINE-EN.pdf.

[4] Sumipol, "Beginner's guide – พื้นฐาน PLC สำคัญอย่างไรสำหรับโรงงาน?," Sumipol, Jun. 28, 2023. [Online]. Available: https://www.sumipol.com/knowledge/beginner-guide-plc/.

[5] R. J. M. Rao, "Difference between compact PLC and modular PLC," Inst Tools, Oct. 17, 2023. [Online]. Available: https://instrumentationtools.com/difference-between-compact-plc-and-modular-plc/.

[6] Mitsubishi Electric, "1-Ethernet iQ-R (for THA)," Mitsubishi Electric Global Website, n.d. [Online]. Available: https://www.mitsubishielectric.com/fa/assist/e-learning/pdf/tha/1-Ethernet_iQ-R_fod_tha-A.pdf.

[7] KMITL, "Distributed control system," n.d. [Online]. Available: http://instrumentation.kmitl.ac.th/narin/DCS_SCADA_1.pdf.

[8] Tools.in.th, "เข้าใจ pH meter หลักการและชนิด," บริษัท นีโอ นิคส์, Nov. 22, 2023. [Online]. Available: https://www.tools.in.th/ph/ph-meter-principle/.

[9] Mahidol University, "Electrochemistry," n.d. [Online]. Available: https://il.mahidol.ac.th/e-media /electrochemistry/web/Eanal/anal_votammetry3.htm.

[10] Water Quality Sensors, "Online turbidity sensor," Disen Sensor, Dec. 15, 2023. [Online]. Available: https://disen-sensor.com/product/turbidity-sensor/?gad_source=1&gbraid=0AAAAosiGBWwdLP7m8BDaCZpmepoN3KmC.

[11] Entech, "ข้อดีของเครื่องวัดอัตราการไหลแบบ magnetic flow meter," Entech, Mar. 21, 2022. [Online]. Available: https://www.entech.co.th/ข้อดีของเครื่องวัดอัตราการไหลแบบ-magnetic-flow-meter/?lang=th#:~:text=หลักการวัด,โดยตรงกับความเร็วของของเหลว.

[12] Hach, "เซนเซอร์ Solitax SC," Hach, n.d. [Online]. Available: https://th.hach.com/-/solitax-sc/family?productCategoryId=55431077275&_bt=419865546875&_bk=&_bm=&_bn=g&utm_id=go_cmp-9425192770_adg-104058026628_ad-419865546875_dsa-878558735698_dev-m_ext-_prd-&utm_source=google.

[13] Figma, Inc., "Figma (software) – Online collaborative vector graphics editor," Wikipedia, [Online]. Available: https://en.wikipedia.org/wiki/Figma.

[14] Digital Government Development Agency (DGA), "Correlation coefficient," n.d. [Online]. Available: https://digi.data.go.th/blog/what-is-correlation-coefficient/#:~:text=Correlation%20Coefficient%20ค่าสัมประสิทธิ์สห,ค่า%20r%20เข้าใกล้%20%2D1.0.

[15] SONIC AUTOMATION, "Home," SONIC AUTOMATION, n.d. [Online]. Available: https://sonicautomation.co.th/.

[16] Siemens, "SIOS," Siemens Support Portal, n.d. [Online]. Available: https://support.industry.siemens.com/cs/document/109816725/?lc=it-IT&dti=0.

[17] C. A. Quintero-Dávila, et al., "Economic and environmental assessment of advanced wastewater treatment technologies," Journal of Cleaner Production, vol. 236, p. 117585, 2019.

[18] S. R. Khuntia, et al., "Supervisory control and data acquisition (SCADA) for wastewater treatment plants: A review," Water Practice and Technology, vol. 15, no. 4, pp. 970–981, 2020.

[19] International Organization for Standardization (ISO), ISO 14001:2015 – Environmental management systems — Requirements with guidance for use, Geneva, Switzerland: ISO, 2015.

การออกแบบเซนเซอร์วัดความเร็วลมติดตามอัตราการหมุนเวียนอากาศในห้องแยกโรคผู้ป่วยติดเชื้อ

Design of an air velocity sensor to monitor air circulation rate in an isolated room for infected patients

วุฒิชัย หยวกทอง[1] และ ฉัตรชัย ศุภพิทักษ์สกุล[1*]

[1*]สาขาวิชาวิศวกรรมไฟฟ้า คณะวิศวกรรมศาสตร์ มหาวิทยาลัยเทคโนโลยีราชมงคลธัญบุรี

E-mail: wuthichai y@mail.rmutt.ac.th chatchai.s@en.rmutt.ac.th*

บทคัดย่อ

บทความนี้นำเสนอการออกแบบระบบสังเกตการณ์อัตราการหมุนเวียนอากาศของห้องแยกโรคผู้ป่วยติดเชื้อทางอากาศ โดยใช้เซนเซอร์ชนิดท่อปิโตต์ (Pitot tube) และ Airspeed Sensor MS4525DO วัดความเร็วลม เพื่อนำมาหาค่าอัตราการหมุนเวียนอากาศ พร้อมทำการส่งข้อมูลการวัดด้วยอินเทอร์เน็ตทุกสรรพสิ่ง (IoT) ไปบันทึกค่าที่ Google sheets และแสดงผลที่ Dash board เพื่อใช้เป็นข้อมูลในการรักษาความดันลบของห้องแยกโรคฯ ให้พร้อมใช้งานตลอดเวลา อีกทั้งทำให้สามารถวางแผนการบำรุงรักษาให้เป็นไปตามมาตรฐาน โดยอุปกรณ์เซนเซอร์วัดความเร็วลมที่นำเสนอ มีความถูกต้องเฉลี่ย 96.58 % และสามารถส่งข้อมูลแสดงผลอัปเดตสำหรับการสังเกตการณ์และแจ้งเตือนได้ทุก 5 นาที

คำสำคัญ: เซนเซอร์วัดความเร็วลมแบบ Pitol tube Airspeed Sensor MS4525DO, ห้องแยกโรคผู้ป่วยติดเชื้อทางอากาศ (MODIFIED AIIR),IOT

Abstract

This article presents the design of an air circulation monitoring system for isolated rooms for airborne infectious patients. The system uses a Pitot tube sensor and an Airspeed Sensor (MS4525DO) to measure air velocity and calculate the air circulation rate. Measurement data are transmitted via the Internet of Things (IoT) to record values in Google Sheets and display them on a dashboard, providing information for maintaining negative pressure in the isolation room to ensure it is always ready for use. It also enables maintenance plans to be developed according to standards. The proposed airspeed sensor device has an average accuracy of 96.58% and can update and display observation and alert data every 5 minutes.

Keywords: Pitot tube MS4525DO Airspeed Sensor, Modified Airborne Infection Isolation Room (MODIFIED AIIR), IoT

บทนำ

จากสถานการณ์โรคระบาดทางเดินหายใจ เช่น วัณโรค ไข้หวัดนก ซาร์ส และโควิด-19 ทำให้ห้องแยกโรค แบบความดันลบ (MODIFIED AIIR) มีความสำคัญ โรคอุบัติใหม่และอุบัติซ้ำ โรคระบาดที่เกี่ยวกับระบบทางเดินหายใจจากเชื้อไวรัสต่างๆ แม้ว่าจะสามารถควบคุมการแพร่ได้ในระยะเวลาหนึ่ง แต่ยังคงต้องเฝ้าระวัง และป้องกันไม่ให้เกิดการแพร่ระบาดของโรค ดังนั้นโรงพยาบาลจึงความจำเป็นต้องมีห้องแยกผู้ป่วยแพร่กระจายเชื้อทางอากาศ การเตรียมความพร้อมการตรวจสอบบำรุงรักษาให้ห้องแยกผู้ป่วยแพร่กระจายเชื้อทางอากาศให้มีความพร้อมใช้อย่างปลอดภัย [1] โดยห้องแยกผู้ป่วยเป็นห้องที่มีความดันลบ และการรักษาให้ห้องคงสภาวะพร้อมใช้งาน พารามิเตอร์ของห้องแยกโรคผู้ป่วยติดเชื้อ ได้แก่ ความเร็วลม อัตราการหมุนเวียนอากาศ อุณหภูมิ ความชื้น ความดันลบของห้องผู้ป่วย และความดันลบของห้องเตรียม สามารถนำมาระบุว่าห้องแยกอยู่ในสภาวะพร้อมใช้งาน หรือไม่ ในงานวิจัยนี้ใช้ Dashboard เพื่อแสดงผลข้อมูลจากเซนเซอร์วัดความเร็วลม อัตราการหมุนเวียนอากาศ อุณหภูมิ และความชื้น เพื่อตรวจเช็คความพร้อมใช้ของห้องแยกโรคผู้ป่วยติดเชื้อทางอากาศ (MODIFIED AIIR)

ข้อกำหนดมาตรฐานการระบายอากาศ

ในที่นี้จะกล่าวถึงมาตรฐานการระบายอากาศของ วิศวกรรมสถานแห่งประเทศไทยในพระบรมราชูปถัมภ์ ข้อกำหนดของห้องผู้ป่วยแพร่เชื้อทางอากาศ และมาตรฐานการระบายอากาศ [2]

ตารางที่ 1 อัตราการนำเข้าอากาศภายนอก อัตราการหมุนเวียนอากาศภายใน และความดันสัมพันธ์

สถานที่	อัตราการนำเข้าอากาศภายนอก	อัตราการหมุนเวียนอากาศภายใน	ความดันสัมพันธ์กับพื้นที่ข้าง
ห้องผ่าตัด	5	25	สูงกว่า
ห้องคลอด	5	25	สูงกว่า
ห้อง Nursery	5	12	สูงกว่า
หออภิบาลผู้ป่วยหนัก (ICU)	2	6	สูงกว่า
ห้องตรวจรักษาผู้ป่วย	2	6	สูงกว่า
ห้องฉุกเฉิน(Trauma Room)	5	12	สูงกว่า
บริเวณพักคอยสำหรับแผนกผู้ป่วยนอกและห้องฉุกเฉิน	2	12	ต่ำกว่า
ห้องพักผู้ป่วย	2	6	สูงกว่า
ห้องแยกผู้ป่วยแพร่เชื้อทางอากาศ	2	12	ต่ำกว่า
ห้องแยกผู้ป่วยปลอดเชื้อ	2	12	สูงกว่า
ห้องปฏิบัติการ (Laboratory)	2	6	ต่ำกว่า
ห้องชันสูตรศพ	2	12	ต่ำกว่า

*ผู้ประพันธ์บรรณกิจ

2. เซนเซอร์วัดความเร็วลม

ประเภทของเซนเซอร์วัดความเร็วลม มีหลากหลายชนิด ในบทความนี้เลือกใช้แบบแรงดัน (Pressure Tube หรือ Pitot Tube) วัดความเร็วลม แบบใช้ท่อ ซึ่งเป็นท่อเล็กๆ ที่วางอยู่ในทิศทางเดียวกัน ใน Pitot Tube มี 2 พอร์ต ได้แก่ Static Port วัดแรงดันอากาศคงที่ (Static Pressure) และ Pitot Port (Total Pressure) วัดแรงดันรวม (Static + Dynamic) ความต่างระหว่างแรงดันทั้งสองคือ Dynamic Pressure (ΔP) ซึ่งสัมพันธ์กับความเร็วลมตามสมการ Bernoulli:

$$\Delta P = \frac{1}{2}.\rho.V^2 \qquad (1)$$

โดยที่

ΔP = ความแตกต่างแรงดัน (Pa)

ρ = ความหนาแน่นของอากาศ (kg/m^3)

V = ความเร็วลม (m/s)

แปลงสูตรเพื่อหาความเร็ว

$$\upsilon = \sqrt{\frac{2.\Delta P}{\rho}} \qquad (2)$$

โดยที่

υ = ความเร็วอากาศ (m/s)

ΔP = ความดันต่าง (Pa)

ρ = ความหนาแน่นของอากาศ (kg/m^3)

เซนเซอร์ MS4525DO

เซนเซอร์ความดัน MS4525DO เป็นโมดูลวัดแรงดันแบบดิจิทัล มีการสื่อสารแบบ I ^{2}C ที่ให้ค่าความดันเป็นดิจิทัล(14-bit) วัดแรงดันแบบ **Differential Pressure Sensor** มี 2 พอร์ต โดย พอร์ต **P1** ต่อกับ Pitot Port (Total Pressure) และพอร์ต P2 ต่อกับ Static Port (Static Pressure) ภายในเซ็นเซอร์มี MEMS diaphragm เชื่อมกับ Wheatstone bridge หลักการทำงาน เมื่อมีความต่างแรงดันจะเปลี่ยนความต้านทานใน Wheatstone Bridge เป็นแรงดันไฟฟ้า (Analog signal) ภายในวงจร MS4525DO จะขยายสัญญาณ ไฟฟ้า (Analog signal) แปลงเป็นสัญญาณดิจิตอลด้วย ADC และส่งข้อมูลออกทาง I^{2}C ไปที่ ESP32 ข้อมูลที่ส่งมาจะเป็น 16-bit ประกอบด้วย Data Pressure raw (14-bit) แปลงเป็นค่าแรงดันจริง Temperature raw ใช้สำหรับชดเชยค่าความแม่นยำ โดยที่เซนเซอร์ MS4525DO จะไม่ส่งค่าความดันออกมาเป็น PSI โดยตรง แต่ส่งเป็นค่า digital counts ที่สัมพันธ์เชิงเส้นกับความดันจริง ดังนั้นต้องทำการใช้สูตร เพื่อได้ค่า PSI ดังนี้

จะได้สูตร

$$\text{PSI} = \frac{(\text{Counts}-\text{Midpoint})}{\text{Span}} \times \text{FullScaleRange} - \text{Offset}$$

โดย Counts = ค่าดิบที่อ่านจากเซนเซอร์ MS4525DO (0 ถึง 16383 สำหรับ 14 บิต)

MinScaleCounts =ค่าดิบเมื่อแรงดันอยู่ที่ขอบล่าง (Pmin) ของเซนเซอร์ในงานวิจัยนี้ใช้ค่า 1617

MS4525FullScaleCounts = ค่าดิบเมื่อแรงดันอยู่ที่ขอบบน (Pmax) ของเซนเซอร์ในงานวิจัยนี้ใช้ค่า 14569

Span = ช่วงค่าที่เซนเซอร์รับได้ จาก midpoint เมื่อถึง full scale MS4525Span = 14569 – 1617 = 12952 counts

midpoint = คำนวณ midpoint โดย

$$\frac{(\text{MinScaleCounts} + \text{FullScaleCounts})}{2} = \frac{1617+14569}{2}$$

$$= 8088 \text{ counts}$$

fullscale range = ช่วงความดันสูงสุดของเซนเซอร์ (ในบทความนี้ใช้ค่า 1 psi)

psioff = offset เฉลี่ยมาจาก 20 ครั้งตอนเริ่มต้น

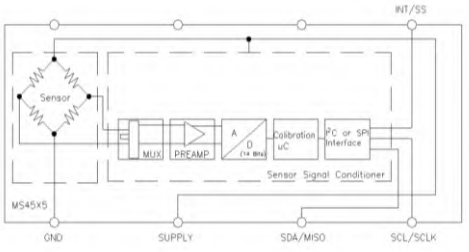

รูปที่ 1 บล็อกทำงานของเซนเซอร์ MS4525DO

หลักการทำงานของเซนเซอร์ MS4525DO

อากาศไหลผ่านท่อ Pitot เกิดความแตกต่างของแรงดันในช่องวัด Wheatstone Bridge ในเซนเซอร์แปลงความแตกต่างของแรงดันเป็นสัญญาณไฟฟ้าสัญญาณไฟฟ้า (MUX) และขยาย (PREAMP) แปลงเป็นดิจิทัล (ADC)ไมโครคอนโทรลเลอร์ภายในปรับเทียบชดเชยอุณหภูมิ ให้ค่าที่แม่นยำข้อมูลดิจิทัลถูกส่งออกไปยังคอนโทรลเลอร์ภายนอกผ่าน I²C หรือ SPI คอนโทรลเลอร์ภายนอกนำข้อมูลไปประมวลผล

แปลงจากแรงดันเป็นความเร็วลม

เมื่อได้ค่า psi **แปลงเป็น** Pa (Pascal)

1 psi = 6894.76 Pa

ใช้สมการ (2) **หาค่าความเร็วลมจะได้สมการ**

$$\upsilon = \sqrt{\frac{2.\Delta P}{\rho}}$$

โดยที่

υ = ความเร็วอากาศ (m/s)

การตรวจสอบความพร้อมใช้ของห้องความดันลบ ซึ่งมีมาตรฐานระบบปรับอากาศและระบายอากาศและต้องรักษาความสัมพันธ์ของความดันระหว่างพื้นที่ในระดับที่เหมาะสม การตรวจสอบอัตาการไหลเวียนอากาศภายในห้องนั้น สามารถทำได้เฉพาะพื้นที่ที่เป็นแบบปิดเท่านั้น โดยมีขั้นตอน ดังนี้

- วัดขนาดปริมาตรของห้อง

- วัดอัตราการไหลของอากาศเข้าหรือออกจากห้อง
- คำนวณอัตราการหมุนเวียนอากาศ

อัตราการไหลของอากาศสัมพันธ์กับความเร็วเฉลี่ยของอากาศและพื้นที่หน้าตัดของจุดที่อากาศเคลื่อนที่ผ่านซึ่งความสัมพันธ์ดังกล่าวสามารถแสดงได้ ด้วยสมการต่อไปนี้

$$Q = AV \qquad (3)$$

เมื่อ Q = อัตราการไหลของอากาศ (ลบ.เมตร/นาที)
A = พื้นที่หน้าตัดของจุดที่อากาศเคลื่อนที่ผ่าน (ตร.เมตร)
V = ความเร็วของอากาศ (เมตร/วินาที)

3.วิธีการ

ทำการเขียนโปรแกรมใช้ กับ ESP32 เพื่อให้เซ็นเซอร์ Pitot tube MS4525DO Air speed Sensor แล้วนำมาทดสอบเทียบกับเครื่องวัดความเร็วลมเครื่องมือตรวจสอบอัตราการไหลของอากาศ ยี่ห้อ testo รุ่น420 โดยใช้ Pitot tube เพื่อวัดค่าความเร็วลม มีขั้นตอนการวิจัยดังนี้

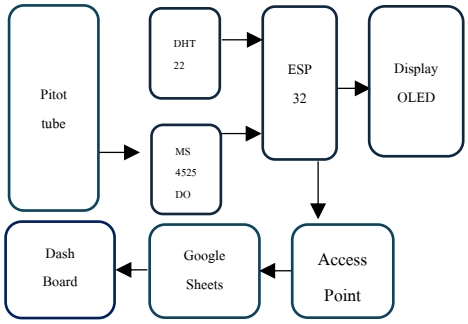

รูปที่ 2 บล็อกการทำงานของระบบ

ทำการเขียนโปรแกรมใช้ กับ Esp32 เพื่อให้เซ็นเซอร์ Pitot tube MS4525DO Airspeed Sensor อ่านค่าวัดความเร็วลมและใช้ เซนเซอร์ DHT22 อ่านค่าอุณหภูมิและความชื้น ทำการทดสอบเทียบกับเครื่องวัดความเร็วลมมาตรฐานในห้องแยกโรคผู้ป่วยติดเชื้อทางอากาศในโรงพยาบาล ในการทดสอบนี้เลือกโรงพยาบาลลาดยาว จังหวัดนครสวรรค์ โดยติดเซนเซอร์ไว้บริเวณช่องอากาศออกบริเวณหัวเตียงคนไข้

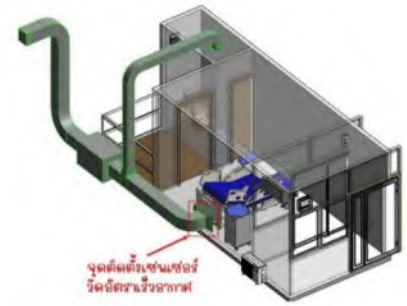

รูปที่ 3 รูปห้องจำลองที่ติดตั้งทำทดสอบกับอุปกรณ์มาตฐาน

การนำ ESP32 เขียนโค้ดอ่านเซนเซอร์วัดความเร็วลมมาคำนวณวัดอัตราการการหมุนเวียนอากาศ เชื่อม Wi-Fi ส่งข้อมูล MQTT/**Google Sheets** รับและเก็บข้อมูลมาใช้ในการแปลงค่าวิเคราะห์การทำงานของห้องแยกโรคผู้ป่วยแพร่เชื้อทางอากาศ ไปแสดงผลที่หน้า Dash board ของ looker studio ประกอบด้วย ชื่อโรงพยาบาล ความเร็วลม อัตราการหมุนเวียนอากาศ อุณหภูมิ ความชื้น ทำให้บุคลากรทางการแพทย์สามารถลดความเสี่ยงในการสัมผัสผู้ป่วยที่แพร่เชื้อได้ และมีความมั่นใจ ก่อนเข้าไปทำการรักษา และสามารถวางแผนในการบำรุงรักษาเชิงรุกได้อย่างมีประสิทธิภาพ

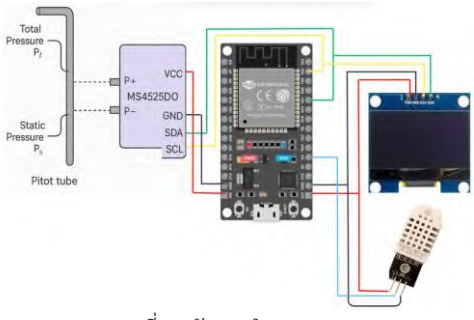

รูปที่ 4 ผังการทำงานของระบบ

สถานที่ทำการทดสอบในห้องแยกโรคผู้ป่วยติดเชื้อทางอากาศ ของ ตึกผู้ป่วยในชาย โรงพยาบาลลาดยาว จังหวัดนครสวรรค์ การทดสอบการวัดวามเร็วลม อุณหภูมิ ความชื้น ที่หน้าช่อง (Exhaust Fan) ของห้องทดสอบจำนวน 9 จุด จุดละ 3 ครั้ง สามารถวัดค่าความเร็วลมได้เมื่อเทียบกับเครื่องมาตรฐานอยู่ในค่าที่ใกล้เคียงกัน

4.ผลลัพธ์

เมื่อนำอุปกรณ์ที่วิจัยวัดเทียบกับอุปกรณ์มาตรฐานมีความแม่นยำของการวัดความเร็วลมอยู่ที่ 96.58% ซึ่งถือว่ามีความแม่นยำที่สูง และสามารถวัดความเร็วลมได้ในค่าที่แรงลมต่ำ ซึ่งจะทำให้สามารถนำค่าที่วัดได้มาคำนวณกับพื้นที่ หน้าช่อง (Exhaust Fan) เพื่อคำนวณหาอัตราการระบายอากาศภายในห้องต่อไป และเป็นที่ยอมรับได้สำหรับการใช้งานวัดความเร็วลมในห้องแยกโรคผู้ป่วยติดเชื้อทางอากาศ

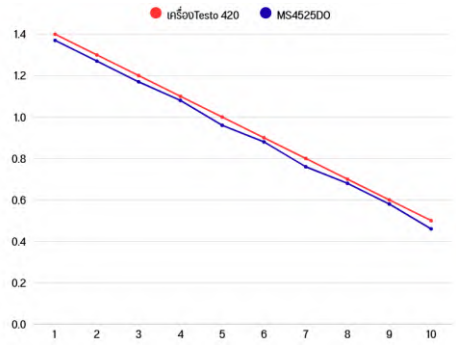

รูปที่ 5 ผลการวัดประสิทธิภาพของอุปกรณ์ที่ดำเนินการในงานวิจัย

ข้อมูลที่ แสดงหน้า Dash board แสดงค่าของเซ็นเซอร์วัดความเร็วลม ได้เก็บข้อมูลค่าความเร็วลมและอัตราการหมุนเวียนอากาศ ซึ่งบริเวณหน้า (Exhaust Fan) หัวเตียงผู้ป่วยในห้องที่ทดสอบมีพื้นที่ 0.2592 m^2 และปริมาตรห้อง Isolate room มีค่าเท่ากับ 29.115 m^3 และ

ความเร็วลมของอุปกรณ์วิจัยที่วัดได้ 0.46 m/s สามารถคำนวณอัตราการหมุนเวียนอากาศได้ 14.74 ACH และสามารถวัดอุณหภูมิ ความชื้น ได้ใกล้เคียงกับเครื่องมือมาตรฐาน ยี่ห้อ Fluke รุ่น 971

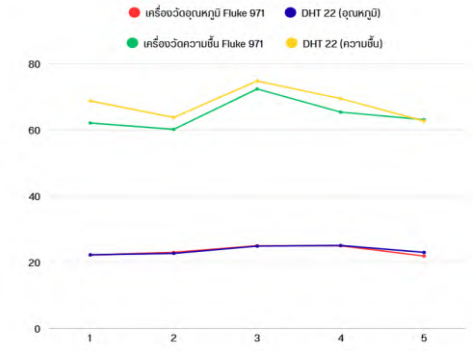

รูปที่ 6 ภาพแสดงผลการวัดอุณหภูมิและความชื้นที่ดำเนินการในงานวิจัย

สามารถสร้างหน้า Dash board รายงานการตรวจสอบห้องแยกโรคผู้ป่วยติดเชื้อทางอากาศได้ดังนี้

รูปที่ 7 แสดงหน้า Dash board แสดงค่าของเซ็นเซอร์วัดความเร็วลมของห้องแยกโรคผู้ป่วยติดเชื้อทางอากาศ เข้าระบบด้วยชื่อ URL https://lookerstudio.google.com/u/0/reporting/562b6732-b2a1-4763-9995-08f789beadf2/page/PXqCE เพื่อดูข้อมูล

5.สรุป

งานวิจัยนี้มีเป้าหมายเพื่อพัฒนาเซนเซอร์วัดความเร็วลมที่สามารถนำไปใช้งานได้ในบริบทของห้องแยกโรคผู้ป่วยติดเชื้อทางอากาศ (AIIR: Airborne Infection Isolation Room) ซึ่งเป็นห้องที่ใช้แยกผู้ป่วยที่มีการแพร่เชื้อทางอากาศ โดยห้องเหล่านี้จำเป็นต้องมีระบบระบายอากาศที่ควบคุมได้อย่างแม่นยำ ซึ่งสำคัญต่อการควบคุมการแพร่เชื้อ โดยมีแจ้งเตือนเมื่อเกิดความผิดปกติ หากความเร็วลมต่ำกว่าหรือสูงกว่าช่วงค่าที่กำหนดไว้ ซึ่งอาจบ่งชี้ถึงการทำงานผิดพลาดของระบบระบายอากาศ เพื่อให้เจ้าหน้าที่เข้าตรวจสอบ ระบบการทำงานของเซนเซอร์จะวัดค่าความเร็วลมแบบต่อเนื่อง (Real-time) ข้อมูลที่ได้จะถูกแสดงบน Dashboard สำหรับแสดงผลและเฝ้าระวัง เซนเซอร์ต้นแบบ ที่ออกแบบขึ้นได้ทดสอบเปรียบเทียบกับเครื่องมือวัดมาตรฐาน ซึ่งเป็นอุปกรณ์ที่ได้รับการรับรองความแม่นยำแล้วในห้องทดลอง ผลลัพธ์แสดงให้เห็นว่าเซนเซอร์ที่ออกแบบมีความแม่นยำในการวัดความเร็วลม มากกว่า 96.58% ค่าความคลาดเคลื่อนอยู่ในช่วงที่ยอมรับได้ทางวิศวกรรม ซึ่งแสดงให้เห็นว่าเซนเซอร์สามารถใช้งานจริงในบริบททางการแพทย์ได้ งานวิจัยนี้เป็นการพัฒนาอุปกรณ์ต้นแบบที่สามารถวัดความเร็วลมในห้องแยกโรคได้อย่างแม่นยำ ด้วยต้นทุนต่ำสามารถลดค่าใช้จ่ายในการซื้อเครื่องมือได้ 250,000 บาทและสามารถเฝ้าระวังระบบได้แบบอัตโนมัติเหมาะสำหรับนำไปใช้งานจริงในโรงพยาบาล เพื่อเพิ่มความปลอดภัย ลดความเสี่ยงของการแพร่กระจายเชื้อ และสนับสนุนการบำรุงรักษาระบบอย่างมีประสิทธิภาพ

เอกสารอ้างอิง

[1] บุญยืน อยู่พิพัฒน์, “โครงข่ายบริหารจัดการห้องแยกโรคแพร่กระจายเชื้อทางอากาศ วิธีใหม่”, กองวิศวกรรมการแพทย์, กรมสนับสนุนบริการสุขภาพ, 2565.

[2] วิศวกรรมสถานแห่งประเทศไทย ในพระบรมราชูถัมภ์. (2548). มาตรฐานการปรับอากาศและระบายอากาศ (พิมพ์ครั้งที่ 1). เรียกใช้เมื่อ 10 เมษายน2568

[3] จีรวัฒน์ ทองแกมแก้ว, “การประยุกต์ใช้เทคโนโลยีอินเทอร์เน็ตของสรรพสิ่งร่วมกับอุปกรณ์เก็บตัวอย่างฝุ่นตกแบบ อัจฉริยะ”, ปริญญานิพนธ์มหาบัณฑิต, นเรศวร, 2565.

[4] Thawin Matung, Thammanoon Sookchaiya, and Prasit Nangtin, "Thermal Environmental Control System in Airborne Infection Isolation Room", 2022 37th International Technical Conference on Circuits/Systems, Computers and Communications (ITC-CSCC), Jul. 2022, pp. 514–517.

[5] Jeric Bustarde et al., "Negative Air Pressure Isolation Room for COVID-19 Patients in the Philippines: A Simulation of the Proposed Design using SolidWorks", 2021 IEEE 13th International Conference on Humanoid, Nanotechnology, Information Technology, Communication and Control, Environment, and Management (HNICEM), 2021, pp. 1–6.

[6] Teuku Rafif Raditya, Hilal H. Nuha, and Yogi Anggun Saloko Yudo, "Automation of the IoT-Based COVID-19 Isolation Room Temperature and Humidity Control System at Telkom University", 2022 1st International Conference on Software Engineering and Information Technology (ICoSEIT), 2022, pp. 79–84.

[7] Ghanim Y GH S AlOmani et al., "Covid-19 Symptoms Monitoring Sensor Network for Isolation Rooms at Hospitals", 2022 IEEE 21st Mediterranean Electrotechnical Conference (MELECON), Jun. 2022, pp. 741–745.

Verification Method of Ratio Error of Direct Current Comparator Bridge in Standard Resistor Measurement

Alisa Dawroyram[1], Jutarat Tanarom [2], and Ploybussara Gomasang [1*]

[1]Dept. of Electrical Eng., Fac. of Eng. and Industrial Tech., Silpakorn University, Nakhon Pathom, Thailand, and
[2]National Institute of Metrology (Thailand), Pathumthani 12120, Thailand,
dawroyram_a@silpakorn.edu, jutarat@nimt.or.th, and gomasang_p@su.ac.th*

Abstract

This work presents a verification method for determining the ratio error of a Direct Current Comparator (DCC) bridge, model 6010C, in primary resistance metrology. The proposed R-group method employs three CCC-calibrated standard resistors with proven long-term stability to evaluate the 1:1 resistance ratio error across resistance ranges of 1 Ω, 100 Ω, and 10 kΩ. The measured ratio errors were − 0.082 μΩ/Ω, − 0.032 μΩ/Ω, and 0.061 μΩ/Ω, respectively, with combined standard uncertainties (k = 1) in the range of 0.022 μΩ/Ω to 0.025 μΩ/Ω, which are lower than those obtained using the traditional Exchanging method. All calculated E_n ratios were below one, confirming the consistency and reliability of the results. The findings indicate that the R-group method provides a precise and efficient alternative for DCC bridge verification and a guideline for calibration, particularly in testing/calibration laboratories without access to a cryogenic current comparator.

Keywords: Standard Resistor, Direct Current Comparator Bridge (DCC bridge), Calibration, Verification

1. Introduction

The Direct Current Comparator (DCC) bridge [1] is an instrument widely used in primary resistance metrology for measuring the resistance ratio between two 4-terminal standard resistors, denoted as R_1 and R_2, as shown in Figure 1. This system provides a base relative accuracy of 1×10^{-7} within the intermediate resistance range from 1 Ω to 10 kΩ.

In the operation of a DCC bridge, two current sources are utilized: the primary current (I_1) and the secondary current (I_2). These currents flow through the primary winding (N_1) and secondary winding (N_2), respectively. As current passes through each winding, magnetomotive forces, N_1I_1 and N_2I_2, are generated. The DCC bridge system maintains balance by automatically adjusting both the number of turns in the secondary winding (N_2) and the magnitude of the secondary current (I_2), as described in reference [1]. Equilibrium is achieved when the resulting magnetic flux in the core is zero, which is typically indicated by a null reading on the galvanometer (G) or precision reference voltmeter. At this point, the voltage drop across two standard resistors can be measured accurately. The relationships among these parameters are described in equations (1) and (2).

$$I_1R_1 = I_2R_2 \tag{1}$$

$$I_1N_1 = I_2N_2 \tag{2}$$

In the measurement process, both the forward current and the backward current must be measured to reduce the impact of thermal electromotive force (EMF) caused by temperature differences at the metal junctions [2]. The Cryogenic Current Comparator (CCC) [3], which has higher accuracy than DCC, is used as a reference standard to calibrate DCC by comparing the ratio measurement of the same pair of resistors. The calibration results indicate that the uncertainty of the DCC resistance ratios is less than 10^{-8} Ω/Ω, [4].

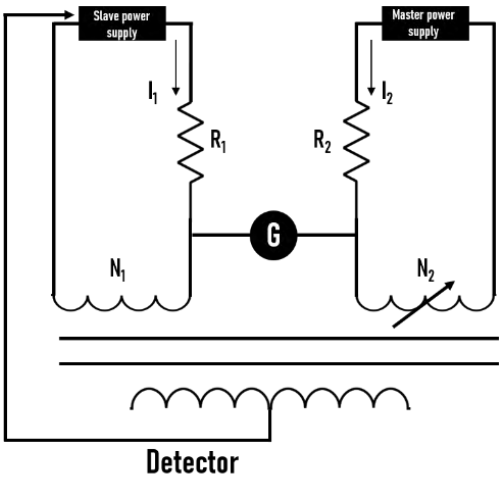

Fig. 1 The basic electrical circuit of a DCC bridge using a galvanometer for voltage measurement.

In precision resistance ratio measurements using a DCC bridge, the bridge ratio errors must be carefully considered. Such errors can arise from factors including winding deviations within the bridge, residual magnetic flux, hysteresis effects, and the sensitivity and stability limits of nanovolt-level measurements [4–5]. Consequently, calibration of the DCC bridge is essential to quantify these ratio errors and to assess the uncertainty of the measured resistance ratio. Previous studies have commonly employed the two–reference–resistor Exchanging method for DCC bridge verification [2]. The aim of this work is to validate the R-group method for DCC bridge calibration in the absence of a CCC bridge. This work presents the R-group method for determining the ratio error of DCC bridges using three standard resistors calibrated with a CCC bridge. The method is

*Corresponding Author

applied to evaluate the ratio error of a commercial DCC bridge (model 6010C) at 1:1 ratios of 1 Ω, 100 Ω, and 10 kΩ, with measurement configurations set according to the manufacturer's specifications. Validation is performed by comparison with the conventional Exchanging method, with the E_n ratio assessed for each resistance range. A comprehensive uncertainty evaluation of the DCC bridge using the R-group method is conducted to ensure that the method is efficient and reliable.

2. Methodology

2.1 R-group Method

The R-group method is a method developed by measuring the resistance values in a group of standard resistors. Based on the relationship between the resistance values in the group, the DCC ratio error can be checked and determined. The R-group method uses at least three standard resistors to measure a 1:1 ratio of the DCC bridge. The ratio error is determined by calculating the difference between the measured value and the certified values of the standard resistors, as shown in equation (3):

$$Error\ value = Measured\ value - True\ value \tag{3}$$

If the measured value does not equal the true value, the resistance ratio of the DCC bridge can be assumed as follows in equations (4) to (6).

$$\frac{R_1}{R_2} = X_1 - \Delta Y_0 \tag{4}$$

$$\frac{R_2}{R_3} = X_2 - \Delta Y_0 \tag{5}$$

$$\frac{R_3}{R_1} = X_3 - \Delta Y_0 \tag{6}$$

Equations (4), (5), and (6) are multiplied and equal to one due to all multiplied resistance ratios, as shown in equation (7).

$$1 = (X_1 - \Delta Y_0)(X_2 - \Delta Y_0)(X_3 - \Delta Y_0) \tag{7}$$

The ratio error of the DCC bridge can be obtain as in equation (8)

$$\Delta Y_0 = \frac{-1 + X_1X_2X_3}{X_1X_2 + X_1X_3 + X_2X_3} \tag{8}$$

Where ΔY_0 is the bridge ratio error, and X_1, X_2, X_3 are the resistance ratios of R_1/R_2, R_2/R_3, and R_3/R_1, respectively, measured by the DCC bridge.

2.2 Instrument and Measurement

The DCC bridge used in this study is the MI 6010C (Measurements International Model 6010C) [6]. For the 1:1 ratio measurement by the R-group method, three standard resistors are used. They are arranged in three pairs, each pair containing two resistors. The DCC bridge is set up according to the manufacturer's manual, with further details provided in Table 1. The two standard resistors are connected to the DCC bridge, as shown in Figure 2.

In this experiment, 1 Ω, 100 Ω, and 10 kΩ standard resistors were used as the primary reference standards. The R_1, R_2, and R_3 standard resistors were calibrated by the Bureau International des Poids et Mesures (BIPM) using a Cryogenic Current Comparator (CCC) bridge, which provides high accuracy, stability, and reliability, with a measurement uncertainty of 1×10^{-9} Ω/Ω. Each standard resistor has a measurement history of more than ten years, allowing the prediction of short-term resistance changes in the part-per-billion (ppb) per day range. For the standard resistors used in this work, three 1 Ω resistors (in oil) were employed: two Leeds & Northrup 4210 and one Leeds & Northrup 4210B. For the 100 Ω standard, three resistors were used: two in air (Tegam SR102 and IET SR102) and one Tinsley 5685A (in oil). For the 10 kΩ standards, two Tegam SR104 (in air) and one Leeds & Northrup 4214 (in oil) were used. For the 10 kΩ standards, two Tegam SR104 (in air) and one Leeds & Northrup 4214 (in oil) were used. The resistors immersed in oil baths were maintained at a controlled temperature of (23.0 ± 0.5) °C. The air-stored resistors were kept in a laboratory environment controlled at (23.0 ± 2.0) °C and relative humidity of (50 ± 15) %RH. In this work, measurements were performed by alternately rotating the connection of the standard resistors in both clockwise and counterclockwise sequences.

In each measurement cycle, each resistance ratio was collected 35 times repeatedly, with the first 10 values discarded, and the remaining 25 values were then calculated to obtain the mean and standard deviation. This approach allows verification of the measured ratio error and provides an assessment of the repeatability of the measurement results.

Table 1 Measurement configurations of DCC bridge model 6010C for 1:1 resistance ratio.

Resistance ratio	Current test (mA)	Reversal rate (s)	Measurements
1 Ω: 1 Ω	50	6	35
100 Ω: 100 Ω	0.5	12	35
10 kΩ: 10 kΩ	0.3	20	35

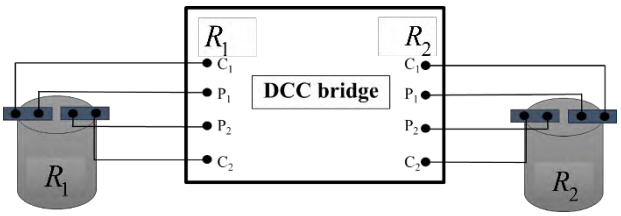

Fig. 2 Cable connections of DCC bridge measurement system

3. Results and Discussion

To evaluate the uncertainty of the ratio error measurement of the DCC bridge obtained from the R-

group method, several sources of uncertainty should be considered, such as type A uncertainty, nonlinearity, instrument resolution, resistance standard stability, temperature effect, and power effect. Each of these factors affects the total uncertainty obtained from the analysis, and can be described in a mathematical model, as shown in equation (9):

$$u_c = u_A + u_{nonlin} + u_{res} + u_{sta,R_1} + u_{sta,R_2} + u_{sta,R_3} + u_{TC,R_1} + u_{TC,R_2} + u_{TC,R_3} + u_{P,R_1} + u_{P,R_2} + u_{P,R_3} + u_{uni} \quad (9)$$

Where:

u_A is uncertainty from Type A
u_{nonlin} is uncertainty from nonlinearity
u_{res} is uncertainty from resolution
u_{sta,R_1} is short-term stability of R_1
u_{sta,R_2} is short-term stability of R_2
u_{sta,R_3} is short-term stability of R_3
u_{TC,R_1} is temperature coefficient of R_1
u_{TC,R_2} is temperature coefficient of R_2
u_{TC,R_3} is temperature coefficient of R_3
u_{P,R_1} is power effect of R_1
u_{P,R_2} is power effect of R_2
u_{P,R_3} is power effect of R_3
u_{uni} is uniformity of bath

and show the details of the calculation of the uncertainty source, as shown in Table 2. The type A, short-term stability and power values are as follow: 5.89×10^{-3} μΩ/Ω, 1.00×10^{-2} μΩ/Ω, and 1.44×10^{-5} (for 100 Ω: 100 Ω) and 6.69×10^{-3} μΩ/Ω, 1.00×10^{-2} μΩ/Ω, and 5.20×10^{-4} μΩ/Ω (for 100 Ω: 100 Ω), respectively. The evaluations of combined uncertainty by the R-group method of 1 Ω, 100 Ω, and 10 kΩ ranges are 0.025 μΩ/Ω, 0.022 μΩ/Ω, and 0.023 μΩ/Ω, respectively. In addition, the uncertainty values obtained from the R-group method were compared with the Exchanging method; the comparative results and calculated uncertainty values are summarized in Table 3. When comparing the uncertainty values of the resistance ratios obtained by the two methods, the R-group method yields significantly lower uncertainty than the Exchanging method. The R-group method yields an uncertainty in range of 0.022 μΩ/Ω to 0.025 μΩ/Ω, while the Exchanging method yields a higher uncertainty in rang of 0.031 μΩ/Ω to 0.042 μΩ/Ω. It should be noted that the evaluation of measurement uncertainty by using the Exchanging method can be calculated with the source of standard uncertainty [3]. The R-group method yields a lower overall uncertainty due to the use of three standard resistors in the ratio measurement. This approach reduces the impact of individual variables and allows for a more comprehensive and reliable assessment of data uncertainty. Due to the use of only two standard resistors and the alternating measurement positions by using the Exchanging method, the average and uncertainty estimates are more susceptible to other sources of error than those of the R-group method.

Table 2 Uncertainty budget for the 1 Ω:1 Ω R-group measurement

Uncertainty sources	Probability distribution	Divisor	Sensitivity coefficient	Uncertainty contribution (μΩ/Ω)
Type A	Normal	1	1	1.16×10^{-2}
Nonlinearity of the bridge	Rectangular	$\sqrt{3}$	1	5.77×10^{-3}
Resolution of the bridge	Rectangular	$\sqrt{3}$	1	2.89×10^{-4}
Short-term stability of R_1	Rectangular	$\sqrt{3}$	1	1.00×10^{-2}
Short-term stability of R_2	Rectangular	$\sqrt{3}$	1	1.00×10^{-2}
Short-term stability of R_3	Rectangular	$\sqrt{3}$	1	1.00×10^{-2}
Temperature coefficient of R_1	Rectangular	$\sqrt{3}$	1	2.31×10^{-3}
Temperature coefficient of R_2	Rectangular	$\sqrt{3}$	1	2.31×10^{-3}
Temperature coefficient of R_3	Rectangular	$\sqrt{3}$	1	2.31×10^{-3}
Power of R_1	Rectangular	$\sqrt{3}$	1	1.44×10^{-3}
Power of R_2	Rectangular	$\sqrt{3}$	1	1.44×10^{-3}
Power of R_3	Rectangular	$\sqrt{3}$	1	1.44×10^{-3}
Uniformity of bath	Rectangular	$\sqrt{3}$	1	1.10×10^{-2}
Combined standard uncertainty (u_c), coverage factor k=1				0.025

Table 3 Uncertainty values for calculated from R-group method and Exchanging method.

Resistance	R-group	Exchanging
1 Ω:1 Ω		
Combined standard uncertainty, k=1 (μΩ/Ω)	0.025	0.033
100 Ω:100 Ω		
Combined standard uncertainty, k=1 (μΩ/Ω)	0.022	0.031
10 kΩ:10 kΩ		
Combined standard uncertainty, k=1 (μΩ/Ω)	0.023	0.042

To evaluate the potential of the R-group method in the validation and calibration of DCC bridges, the E_n ratio was calculated [7]. The comparison of the E_n ratio values obtained from the R-group method and the Exchanging method in the 1:1 resistance ratio measurement of 1 Ω, 100 Ω, and 10 kΩ using the combined standard uncertainty at the confidence level k = 1 to reduce the

influence of unnecessary uncertainty in comparison [8–9], as shown in Equation (10).

$$E_n = \frac{\left|\bar{X}_1 - \bar{X}_2\right|}{\sqrt{u_1^2 + u_2^2}} \quad (10)$$

Where:

$\bar{X}_1$ is Value measured by the R-group method

$\bar{X}_2$ is Value measured by the Exchanging method

u_1 is Measurement uncertainty of the R-group method

u_2 is Measurement uncertainty of the Exchanging method

The E_n ratio values obtained from the R-group method in all ranges are lower than 1 when compared with the Exchanging method and with the uncertainty values of each method. Therefore, it can be concluded that the R-group method can be used for verification and as a guideline for calibration of the DCC bridge appropriately, as shown in Table 4.

Table 4 E_n ratio values in the comparison of measurement methods.

Resistance	Average of ratio error (μΩ/Ω)		E_n ratio
	R-group	Exchanging	
1 Ω:1 Ω	-0.082	-0.088	0.22
100 Ω:100 Ω	-0.032	-0.034	0.06
10 kΩ:10 kΩ	0.061	0.086	0.52

4. Conclusions

This study displays the effectiveness of the R-group method, employing three CCC bridge–calibrated standard resistors, for verifying the ratio error of a commercial DCC bridge model 6010C at the 1:1 ratios of 1 Ω, 100 Ω, and 10 kΩ resistors. The method achieved ratio error values of − 0.082 μΩ/Ω, − 0.032 μΩ/Ω, and 0.061 μΩ/Ω, respectively, which agree with those obtained using the conventional Exchanging method. The combined standard uncertainty (k = 1) was found to be approximately 0.022 μΩ/Ω to 0.025 μΩ/Ω, lower than that of the Exchanging method, thereby improving both the accuracy and stability of the measurement. The calculated En ratios were consistently less than one, confirming the reliability and consistency of the method.

The use of long-term stable standard resistors, calibrated to Quantum Hall standards with uncertainties below 20 ppb, significantly contributes to the confidence in measurement results and the verification process. The findings highlight that employing more than two standard resistors not only mitigates the influence of individual resistor deviations but also enhances measurement stability. Consequently, the proposed method offers a practical and precise alternative for DCC bridge verification in laboratories without access to a CCC bridge. Nonetheless, confirmation against a reliable reference instrument remains essential to ensure the highest accuracy and traceability.

5. Acknowledgments

The authors acknowledge the Electrical Resistance Laboratory, Primary Electrical, Time and Frequency Standard Group, Electrical Metrology Department, National Institute of Metrology (Thailand) and Department of Electrical Engineering, Faculty of Engineering and Industrial Technology, Silpakorn University for supporting instruments and facilities measurement and giving suggestions for the measurement techniques.

References

[1] M. P. MacMartin and N. L. Kusters, "A Direct-Current-Comparator Ratio Bridge for Four-Terminal Resistance Measurements," *IEEE Transactions on Instrumentation and Measurement*, vol. 15, no. 4, pp. 212-220, 1966.

[2] R. S. M. Ali and M. Raouf, “Verification of the Main Ratios of the 6010C Automatic Bridge Used for Resistance Measurement,” *Mapan - Journal of Metrology Society of India,* vol. 34, pp. 49-53, 2018.

[3] M. C. da Silva, H. R. Carvalho, and V. C. de Oliveira, “Stability evaluation of 1 Ω and 10 kΩ standard resistors using a step-down method,” *Acta IMEKO*, vol. 14, no. 2, pp. 1–6, 2025.

[4] M. Marzano, C. Cassiago, V. D'Elia, E. Gasparotto, and L. Callegaro, “On the calibration of DC resistance ratio bridges,” *Measurement*, vol. 223, 2023.

[5] D. Brown, A. Wachowicz and S. Huang, “The enhanced performance of the DCC current comparator using AccuBridge® technology,” *2016 Conference on Precision Electromagnetic Measurements (CPEM 2016),* Ottawa, Canada, 2016, pp. 1-2.

[6] Measurements International Limited, "AccuBridge™ 6010C Automated Primary Resistance Bridge," *Product Data Sheet*, Form MI 66, Rev. 6, 2010.

[7] ISO/IEC, “Conformity assessment — General requirements for the competence of proficiency testing providers,” *ISO/IEC 17043*, 2nd ed., 2023.

[8] United Kingdom Accreditation Service, "M3003: The Expression of Uncertainty and Confidence in Measurement," *UKAS*, 3rd ed., 2012.

[9] European co-operation for Accreditation (EA), "EA-4/02 M: 2013. Evaluation of the Uncertainty of Measurement in Calibration," *EA European accreditation*, 2013.

[10] P. Utsaha, J. Tanarom and P. Gomasang. Scaling Error Verification of DCC Bridges 6010C and 6020Q. *21st International Conference on Electrical Engineering/Electronics, Computer, Telecommunications and Information Technology (ECTI-CON),* Khon Kaen, Thailand, 2024.

Alisa Dawroyram: Undergraduate student in Electrical and Computer Engineering, Faculty of Engineering and Industrial Technology, Silpakorn University. Research interest: electrical measurement.

Jutarat Tanarom, Ph. D.: Metrologist in the Electrical Metrology Department, National Institute of Metrology, Thailand. Research interest: Electrical metrology and Quantum measurement

Ploybussara Gomasang, Ph. D.: Lecture/Researcher in Department of Electrical Engineering, Faculty of Engineering and Industrial Technology, Silpakorn University. Research interest: electrical measurement and instrument,

การพัฒนาระบบสอบเทียบแหล่งจ่ายกระแสไฟฟ้ากระแสตรงอัตโนมัติด้วยภาษาไพธอนสำหรับอุตสาหกรรม

Development of an Automatic DC Current Source Calibration System Using Python for Industry

ธนวัฒน์ สุทธวงศ์[1], จุฑารัตน์ ทานะรมณ์[2], และ พลอยบุศรา โกมาสังข์[1]*

[1]ภาควิชาวิศวกรรมไฟฟ้า คณะวิศวกรรมศาสตร์และเทคโนโลยีอุตสาหกรรม มหาวิทยาลัยศิลปากร
[2]ฝ่ายมาตรวิทยาไฟฟ้า สถาบันมาตรวิทยาแห่งชาติ
E-mail: sutthawong_t@silpakorn.edu, jutarat@nimt.or.th, gomasang_p@su.ac.th*

บทคัดย่อ

งานวิจัยนี้นำเสนอการออกแบบและพัฒนาระบบสอบเทียบแหล่งจ่ายกระแสไฟฟ้ากระแสตรงแบบอัตโนมัติ โดยใช้ภาษาไพธอน (Python) ซึ่งเป็นภาษาที่เปิดเผยซอร์สโค้ด (open-source) เพื่อแก้ไขข้อจำกัดของกระบวนการสอบเทียบด้วยมือที่ต้องพึ่งพาบุคลากรหรือการใช้ซอฟต์แวร์ดั้งเดิมด้วย LabVIEW ระบบที่พัฒนาขึ้นด้วยวิธีการวัดแบบโวลต์–แอมแปร์ นี้ส่วนการออกแบบโปรแกรมจะมีส่วนต่อประสานกราฟิกกับผู้ใช้และตรรกะซอฟแวร์ที่ทำงานอย่างเป็นระบบ รวมทั้งความสามารถในการสร้างรายงานอัตโนมัติ สำหรับผลการทวนสอบของวิธีการสอบสอบเทียบแหล่งจ่ายกระแสไฟฟ้ากระแสตรงที่วัดด้วยวิธีโวลต์-แอมแปร์ แบบอัตโนมัตินี้ พบว่ามีอัตราส่วน E_n น้อยกว่า 1 เมื่อเปรียบเทียบกับวิธีการวัดโดยตรงด้วยแอมมิเตอร์ แสดงให้เห็นว่าค่าที่วัดได้มีความสอดคล้องกัน สำหรับการทวนสอบโปรแกรมพบว่าผลการวัดที่บันทึกได้ตรงกันกับผลการวัดที่แสดงบนหน้าจอ ดังนั้นระบบสอบเทียบที่พัฒนาด้วยภาษา Python ในงานวิจัยนี้สามารถตอบสนองความต้องการของงานด้านมาตรวิทยาไฟฟ้าในภาคอุตสาหกรรมได้อย่างมีประสิทธิภาพ และมีศักยภาพในการต่อยอดเพื่อรองรับการสอบเทียบอัตโนมัติในรูปแบบอื่นได้ในอนาคต

คำสำคัญ: การสอบเทียบอัตโนมัติ, Python, ระบบควบคุมเครื่องมือวัด

Abstract

This research presents the design and development of an automated DC cusource calibration system using Python, an open-source programming language, to address the limitations of traditional calibration processes that rely on personnel and commercial software such as LabVIEW. The developed system adopts the volt–ampere measurement method, with program design featuring a graphical user interface (GUI), systematic operational algorithms, and an automatic report generation capability. Verification of the automated volt–ampere method for measuring DC current showed an E_n ratio of less than 1 when compared with the direct measurement method, indicating a high level of agreement between the results. For program verification, the measured values matched the recorded data during the measurement process, confirming both accuracy and reliability. Therefore, the Python-based calibration system developed in this research can effectively meet the requirements of electrical metrology in industrial applications and demonstrates strong potential for extension to other forms of automated calibration in the future.

Keywords: Automated Calibration, Python, Instrument Control System

1. บทนำ

ความก้าวหน้าทางเทคโนโลยีในอุตสาหกรรมยานยนต์ในปัจจุบัน โดยเฉพาะอย่างยิ่งในด้านรถยนต์ไฟฟ้า (Electric vehicle, EV) และระบบการชาร์จ ได้ส่งผลให้เกิดความต้องการเครื่องมือวัดที่มีความแม่นยำและเชื่อถือได้เพิ่มสูงขึ้นอย่างต่อเนื่อง [1] ระบบสอบเทียบแหล่งจ่ายกระแสไฟฟ้ากระแสตรง (DC Current Source) ที่มีความแม่นยำสูงจึงมีความสำคัญมากขึ้นตามไปด้วย โดยมีการพัฒนาขั้นตอนมาตรฐานในการสอบเทียบ ถูกบันทึกไว้ในฐานข้อมูลของสถาบันมาตรฐานอุตสาหกรรมแห่งประเทศไทย (สมอ.) กระทรวงอุตสาหกรรม โดยผู้เชี่ยวชาญด้านเครื่องมือวัดและการวัดกระแสไฟฟ้า [2] วิธีการสอบเทียบดังกล่าวทำโดยจ่ายกระแสไฟฟ้ากระแสตรงจากแหล่งจ่ายกระแสไฟฟ้ากระแสตรงผ่านตัวต้านทานชันต์ (shunt resistor) และวัดแรงดันตกคร่อมที่ปลายทั้งสองของชันต์ด้วยโวลต์มิเตอร์ จากนั้นคำนวณค่ากระแสไฟฟ้าตามกฎของโอห์ม

เพื่อเพิ่มประสิทธิภาพและรองรับปริมาณการสอบเทียบที่เพิ่มขึ้น งานวิจัยนี้จึงเสนอการพัฒนาระบบสอบเทียบแหล่งจ่ายกระแสไฟฟ้ากระแสตรงแบบอัตโนมัติด้วยโปรแกรมภาษาไพธอน (Python) [3-4] แม้ว่า โปรแกรม LabVIEW [5-6] จะเป็นซอฟต์แวร์ที่เคยถูกนำมาใช้สำหรับควบคุมเครื่องมือวัดเนื่องจากมีอินเทอร์เฟซแบบกราฟิกที่ใช้งานง่าย แต่ก็ยังมีข้อจำกัดด้านต้นทุน การขยายระบบ และการพึ่งพาแพลตฟอร์ม ในทางกลับกัน Python ซึ่งเป็นภาษาที่เปิดเผยซอร์สโค้ด (open-source) และทำงานได้ข้ามแพลตฟอร์ม มีข้อได้เปรียบหลาย

*ผู้ประพันธ์บรรณกิจ

ประการ เช่น ไม่มีค่าใช้จ่ายในการใช้งาน สามารถปรับแต่งได้สูง และมีไลบรารีที่ครอบคลุมการเก็บข้อมูล การประมวลผล และการแสดงผล อีกทั้งยังสามารถเชื่อมต่อกับแดชบอร์ดแบบเว็บ การควบคุมระยะไกล และการสื่อสารไร้สาย ทำให้การพัฒนาโปรแกรมด้วย Python มีความเหมาะสมกับการพัฒนาระบบสอบเทียบสมัยใหม่ที่ยืดหยุ่นต่อการใช้งาน

ระบบที่พัฒนาด้วย Python ในบทความนี้ประกอบด้วยการตั้งค่าการทำงานของเครื่องมือ ขั้นตอนการวัดแบบอัตโนมัติ และการวิเคราะห์ข้อมูลตามหลักการมาตรวิทยา โดยได้ผ่านการตรวจสอบความถูกต้องเทียบกับการวัดแบบมือ (manual) เพื่อให้มั่นใจในความแม่นยำ ผลการสอบเทียบสามารถบันทึกในรูปแบบไฟล์ตามที่ผู้ใช้ต้องการ อีกทั้งยังมีระบบป้องกันการเลือกช่วงกระแสไฟฟ้าและความต้านทานชันต์ที่ไม่เหมาะสม เพื่อลดความเสี่ยงต่อความเสียหายของอุปกรณ์ ระบบสอบเทียบด้วย Python นี้จึงมีความยืดหยุ่นสูง คุ้มค่า และสามารถต่อยอดเพื่อบูรณาการเข้ากับโครงสร้างพื้นฐานด้านมาตรวิทยาดิจิทัลในอนาคตได้อย่างมีประสิทธิภาพ

2. หลักการและวิธีการสอบเทียบ

ระบบสอบเทียบแหล่งจ่ายกระแสไฟฟ้ากระแสตรงแบบอัตโนมัติที่พัฒนาขึ้นนี้ แหล่งจ่ายกระแสไฟฟ้าถูกสอบเทียบด้วยวิธีที่เรียกว่า วิธีโวลต์-แอมแปร์ (Volt-Ampere) ซึ่งเป็นวิธีมาตรฐานที่ได้รับการยอมรับและระบุไว้ในเอกสารข้อตกลงร่วมการประชุมเชิงปฏิบัติการ TWA 4007-2567 [2] หลักการพื้นฐานของวิธีนี้คือการประยุกต์ใช้กฎของโอห์ม โดยการจ่ายกระแสไฟฟ้ากระแสตรงที่ต้องการสอบเทียบ (I_x) จากเครื่องมือที่ต้องการสอบเทียบ (Unit Under Calibration, UUC) ให้ไหลผ่านตัวต้านทานชันต์มาตรฐาน (Shunt Resistor) ซึ่งเป็นตัวต้านทานที่ทราบค่าความต้านทาน (R) และสามารถสอบกลับไปยังมาตรฐานแห่งชาติได้ จากนั้นใช้โวลต์มิเตอร์ (Voltmeter) ทำการวัดค่าแรงดันไฟฟ้าตกคร่อม (E_x) ที่ขั้วของตัวต้านทานชันต์ ดังแสดงในแผนภาพการวัดรูปที่ 1 ค่ากระแสไฟฟ้าที่วัดได้จะถูกคำนวณตามความสัมพันธ์ในสมการที่ (1)

$$I_x = \frac{E_x}{R} \qquad (1)$$

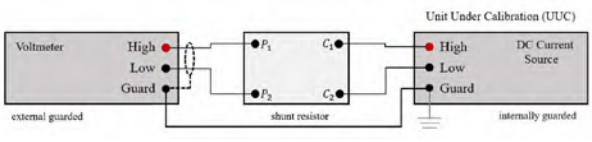

รูปที่ 1 แผนภาพการวัดตามวิธีโวลต์-แอมแปร์ [2]

การทดลองในบทความนี้ใช้แหล่งจ่ายกระแสไฟฟ้ากระแสตรงจากเครื่องคาลิเบรเตอร์ (calibrator) รุ่น Fluke 5730A [7] และ Fluke 5725A [8] ซึ่งสามารถจ่ายกระแสไฟฟ้ากระแสตรงได้สูงสุด 10 A สำหรับตัวต้านทานชันต์ที่ใช้เป็นตัวต้านทานมาตรฐานรุ่น MI 9331 [9] และ MI 9332 [10] ซึ่งมีทั้งแบบที่มีอุปกรณ์ระบายอากาศและไม่มี ความร้อนที่เกิดจากการจ่ายกระแสไฟฟ้าส่งผลให้เกิดการเปลี่ยนแปลงของค่าความต้านทานของตัวต้านทานชันต์ การระบายความร้อนสามารถช่วยให้เกิดความเสถียรของตัวต้านทานชันต์ [11] โดยมีค่าความต้านทานตั้งแต่ค่า 10 kΩ 1 kΩ 100 Ω 10 Ω 1 Ω และ 0.1 Ω และการเลือกสายวัดที่เหมาะสม ซึ่งสายวัดที่ใช้กับกระแสไฟฟ้านั้นจะพิจารณาจากความทนได้ของกระแสไฟฟ้าที่ไหลผ่าน สำหรับเครื่องวัดแรงดันไฟฟ้าใช้ดิจิตอลมัลติมิเตอร์ รุ่น FLUKE 8588A [12] ส่วนสายวัดแรงดันไฟฟ้าเลือกใช้สายวัดที่มีการเปลี่ยนแปลงต่อความร้อนต่ำ (low thermal) [13] การทดลองนี้ทำการวัดในห้องปฏิบัติการที่ควบคุมอุณหภูมิ (23 ± 1) °C และความชื้น (50 ± 15) %RH วงจรวัดและเครื่องมือที่ใช้แสดงดังรูปที่ 2 สำหรับจุดสอบเทียบที่ทดสอบด้วยโปรแกรมการวัดที่ได้พัฒนาขึ้นด้วย python เป็นไปตามตารางที่ 1 ซึ่งแสดงความสัมพันธ์ของค่ากระแสไฟฟ้าที่ต้องการสอบเทียบ ตัวต้านทานชันต์ที่ใช้ และช่วงแรงดันไฟฟ้าตกคร่อมที่ประมาณได้ ซึ่งนำไปสู่ความสัมพันธ์กับการตั้งค่าย่านการวัดของโวลต์มิเตอร์

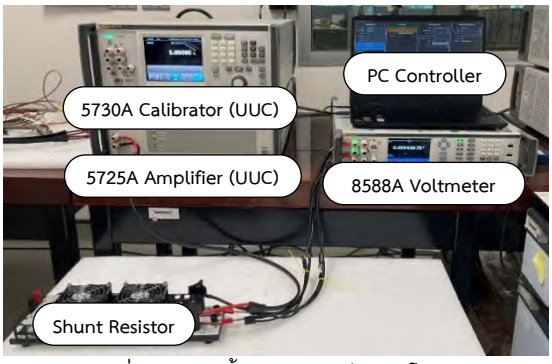

รูปที่ 2 การติดตั้งระบบสอบเทียบอัตโนมัติ

ตารางที่ 1 พารามิเตอร์การวัดสำหรับการสอบเทียบแหล่งจ่ายกระแสไฟฟ้ากระแสตรงและจุดสอบเทียบ

ตัวต้านทานชันต์	ย่านการจ่ายกระแสไฟฟ้า	จุดสอบเทียบของกระแสไฟฟ้า	ย่านการวัดแรงดันไฟฟ้าของเครื่องวัดแรงดันไฟฟ้ามาตรฐาน
10 kΩ	100 uA	0.00001 A	100 mV
1 kΩ	100 uA	0.0001 A	100 mV
100 Ω	1 mA	0.001 A	100 mV
10 Ω	10 mA	0.01 A	100 mV
1 Ω	100 mA	0.1 A	100 mV
0.1 Ω	1 A	1 A	100 mV
0.1 Ω	10 A	10 A	1 V

3. สถาปัตยกรรมและตรรกะการทำงานของซอฟต์แวร์

ในส่วนนี้อธิบายสถาปัตยกรรมและตรรกะการทำงานของโปรแกรมที่ออกแบบขึ้นเพื่อใช้สำหรับสอบเทียบแหล่งจ่าย

กระแสไฟฟ้ากระแสตรงที่สามารถนำมาประยุกต์ใช้ในภาคอุตสาหกรรมได้

3.1 สถาปัตยกรรมซอฟต์แวร์

ระบบสอบเทียบแหล่งจ่ายกระแสไฟฟ้ากระแสตรงอัตโนมัติที่ถูกพัฒนาขึ้นประกอบด้วยเครื่องคอมพิวเตอร์ (PC Controller) ที่ทำหน้าที่เป็นหน่วยควบคุมกลางสื่อสารกับเครื่องมือวัดมาตรฐานเชื่อมต่อผ่านพอร์ต IEEE-488 (GPIB) ดังแสดงในรูปที่ 2 สถาปัตยกรรมของซอฟต์แวร์ถูกออกแบบในลักษณะโมดูลาร์ (Modular) เพื่อความสะดวกในการพัฒนาและบำรุงรักษา ประกอบด้วย 3 ส่วนหลัก ได้แก่ 1) ส่วนต่อประสานกราฟิกกับผู้ใช้ (Graphical User Interface, GUI) ดังแสดงในรูปที่ 3 ได้ออกแบบพัฒนาด้วยไลบรารี (library) CustomTkinter ซึ่งเป็นไลบรารีสมัยใหม่ที่ช่วยให้สามารถสร้าง GUI ที่มีรูปลักษณ์สวยงามและตอบสนองต่อผู้ใช้ได้ดี ทำหน้าที่เป็นตัวกลางให้ผู้ใช้สามารถกำหนดค่าพารามิเตอร์ การเริ่มและหยุดการวัด และการดูผลลัพธ์ได้โดยง่าย 2) ส่วนของไดรเวอร์เครื่องมือวัด (Instrument Drivers) ส่วนนี้ถูกสร้างเป็นคลาส ทำหน้าที่ควบคุมเครื่องมือแต่ละชนิดโดยเฉพาะ เป็นการสร้างเลเยอร์นามธรรม (Abstraction Layer) ที่แปลงคำสั่งจาก GUI เช่น “ตั้งค่ากระแส 1 A” ให้กลายเป็นคำสั่ง SCPI (Standard Commands for Programmable Instruments) ที่เครื่องมือเข้าใจ และส่งคำสั่งเหล่านั้นผ่านไลบรารี PyVISA ซึ่งทำหน้าที่เป็นตัวกลางในการสื่อสารกับฮาร์ดแวร์ผ่าน NI-VISA backend ใช้สื่อสารผ่าน IEEE-488 และ 3) ส่วนจัดการข้อมูลและตรรกะ (Data & Logic Handler) เป็นแกนหลักในการประมวลผลโดยใช้ไลบรารี Pandas ในการจัดการข้อมูลการวัดในรูปแบบตาราง (DataFrame) ซึ่งสะดวกต่อการอ่านไฟล์ตั้งค่าและการบันทึกผล ใช้ไลบรารี NumPy สำหรับการคำนวณทางสถิติในการหาค่าเฉลี่ยและส่วนเบี่ยงเบนมาตรฐานของผลการวัด และใช้ไลบรารี fpdf2 สร้างรายงานสรุปผลการวัดถูกกำหนดให้เป็นรูปแบบ PDF (Portable Document Format) โดยอัตโนมัติ

3.2 ตรรกะการทำงานของซอฟต์แวร์

ตรรกะการทำงานของโปรแกรมแสดงดังรูปที่ 4 โปรแกรมสอบเทียบแบบอัตโนมัติมีลำดับการทำงานเริ่มจาก ผู้ใช้เชื่อมต่อเครื่องมือวัดผ่านส่วนต่อประสานกราฟิกกับผู้ใช้ (GUI) (รูปที่ 3) ผ่านพอร์ต IEEE-488 (GPIB) และโหลดไฟล์ตั้งค่าการวัด (.xlsx) ซึ่งระบุลำดับการวัด ค่ากระแสไฟฟ้า ตัวต้านทานชันต์ และย่านการวัดของโวลต์มิเตอร์ จากนั้นโหลดไฟล์เงื่อนไข (.xlsx) เพื่อกำหนดพิกัดกระแสสูงสุดที่ปลอดภัยสำหรับตัวต้านทานแต่ละค่า โปรแกรมจะเริ่มวงรอบการวัดตามลำดับในไฟล์ตั้งค่า โดยก่อนจ่ายกระแสไฟฟ้าทุกครั้งจะทำการตรวจสอบความปลอดภัย (Safety Check) หากค่ากระแสเกินพิกัดที่กำหนดจะหยุดการทำงานและแจ้งเตือนผู้ใช้ ในกรณีที่ผ่านการตรวจสอบ โปรแกรมจะส่งคำสั่ง SCPI ไปยังแหล่งจ่ายกระแสไฟฟ้ากระแสตรงและโวลต์มิเตอร์ ตั้งค่าพารามิเตอร์ตามที่ระบุ จากนั้นรอให้เครื่องมือเข้าสู่สภาวะเสถียรตามเวลาหน่วงที่กำหนดไว้ และทำการอ่านค่าแรงดันไฟฟ้าตามจำนวนครั้ง Sampling Count เพื่อนำมาคำนวณค่าเฉลี่ยและส่วนเบี่ยงเบนมาตรฐาน ผลการวัดจะถูกบันทึกและดำเนินการซ้ำสำหรับจุดวัดถัดไปจนจบลำดับการวัด สุดท้ายโปรแกรมจะรวบรวมผลการวัดทั้งหมดไว้ในไฟล์ .xlsx และสร้างรายงานสรุปในรูปแบบ PDF

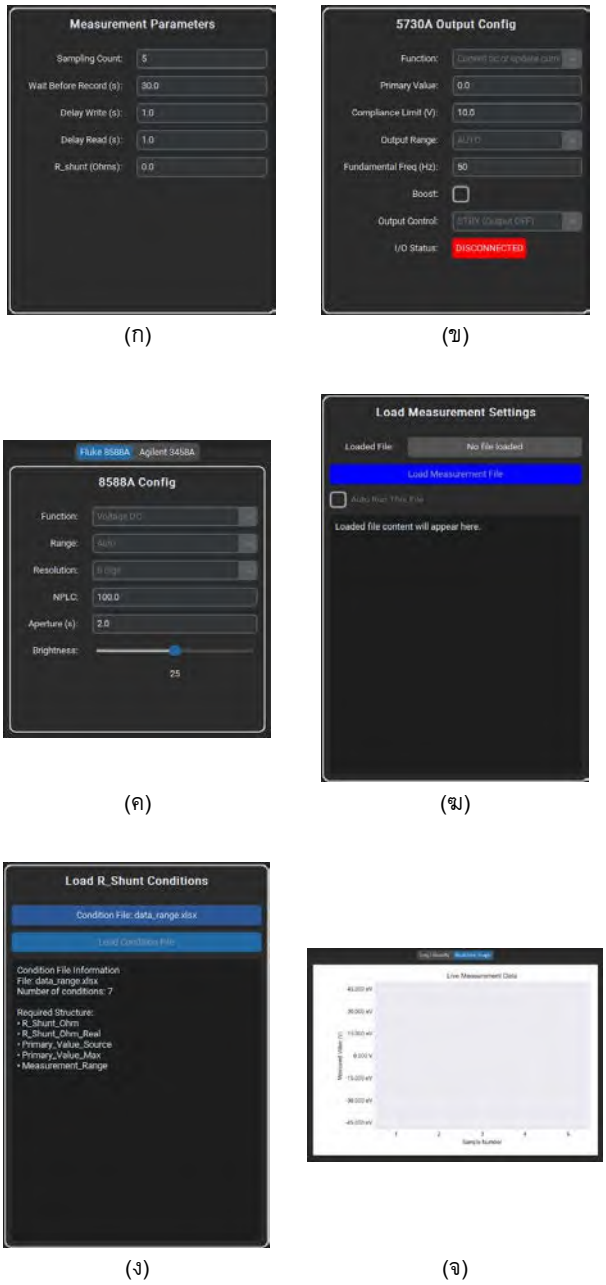

(ก) (ข) (ค) (ฆ) (ง) (จ)

รูปที่ 3 ส่วนประกอบหลักของส่วนต่อประสานกราฟิกกับผู้ใช้ (GUI) ประกอบด้วย (ก) ส่วนการกำหนดพารามิเตอร์การวัด (ข) ส่วนการกำหนดค่าของแหล่งจ่ายกระแสไฟฟ้า (ค) ส่วนการกำหนดค่าเครื่องวัดแรงดันไฟฟ้า (ฆ) ส่วนการโหลดการตั้งค่าการวัด (ง) ส่วนการโหลดเงื่อนไขตัวต้านทานชันต์ และ (จ) กราฟแสดงผลแบบเวลาจริง

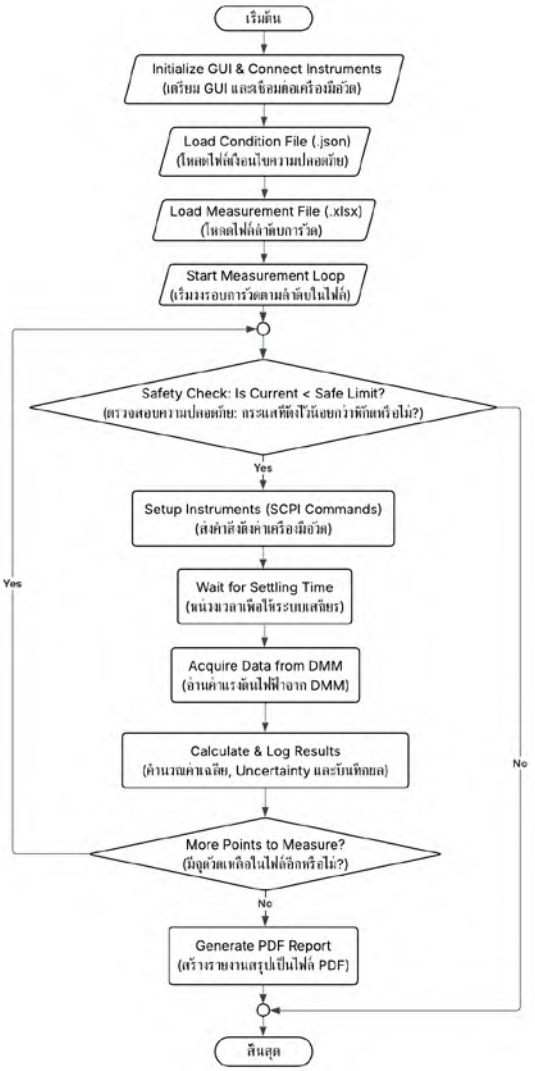

รูปที่ 4 แผนผังตรรกะการทำงานของโปรแกรม

4. การทวนสอบและวิเคราะห์ผล

เพื่อยืนยันความน่าเชื่อถือและความถูกต้องของระบบสอบเทียบแหล่งจ่ายกระแสไฟฟ้ากระแสตรงอัตโนมัติที่พัฒนาขึ้นด้วยวิธีการวัดแบบโวลต์-แอมแปร์ จะต้องมีการทวนสอบประสิทธิภาพโดยเปรียบเทียบผลการวัดค่ากระแสไฟฟ้าที่ได้จากระบบอัตโนมัติด้วยวิธีโวลต์-แอมแปร์ (I_{VA}) กับผลการวัดด้วยวิธีวัดโดยตรงด้วยแอมมิเตอร์ (I_{direct}) ดำเนินการโดยผู้ปฏิบัติงานที่มีความชำนาญ การประเมินผลในเชิงสถิติจะใช้ดัชนี Normalized Error (E_n ratio) ซึ่งเป็นเกณฑ์มาตรฐานสากลในการเปรียบเทียบความสอดคล้องของผลการวัดจากห้องปฏิบัติการหรือวิธีที่แตกต่างกัน [14] โดยพิจารณาถึงค่าผลต่างของผลการวัดเทียบกับค่าความไม่แน่นอนของการวัดขยาย (U) ของแต่ละวิธีประกอบกัน ดังสมการที่ (2) โดยที่ U_{VA} และ U_{direct} คือ ค่าความไม่แน่นอนขยายที่ระดับความเชื่อมั่น 95 % (k=2) ของแต่ละวิธีตามลำดับ โดยแหล่งที่มาของความไม่แน่นอน U_{VA} มาจากการวัดแรงดันไฟฟ้าที่ตกคร่อมตัวต้านทานชันต์และตัวต้านทานชันต์ สำหรับ U_{direct} มาจากแอมมิเตอร์โดยตรง

$$E_n = \frac{\left|I_{VA} - I_{direct}\right|}{\sqrt{U_{VA}^2 + U_{direct}^2}} \qquad (2)$$

ตามหลักการทางมาตรวิทยา ผลการวัดจากทั้งสองวิธีจะถือว่ามีความสอดคล้องกันและยอมรับได้ หากค่า E_n ที่คำนวณได้มีค่าน้อยกว่าหรือเท่ากับ 1 การทวนสอบตามแนวทางนี้จะสามารถยืนยันได้อย่างเป็นรูปธรรมว่าระบบอัตโนมัติที่พัฒนาขึ้นให้ผลลัพธ์ที่ถูกต้องและน่าเชื่อถือเทียบเท่ากับมาตรฐานการปฏิบัติงานในห้องปฏิบัติการ จากตารางที่ 2 พบว่าค่า E_n ที่คำนวณได้มีค่าน้อยกว่า 1 ในทุกจุดทดสอบ ซึ่งเป็นการยืนยันทางวิทยาศาสตร์ว่าระบบอัตโนมัติที่พัฒนาขึ้นให้ผลลัพธ์ที่ถูกต้องและน่าเชื่อถือ การคำนวณความไม่แน่นอนของการวัดกระแสไฟฟ้าด้วยวิธีโวลต์-แอมแปร์ มีแหล่งที่มาจากโวลต์มิเตอร์ ซึ่งถูกสอบเทียบด้วยระบบมาตรฐานปฐมภูมิแรงดันไฟฟ้า และตัวต้านทานชันต์ถูกสอบเทียบด้วยระบบมาตรฐานทุติยภูมิ ซึ่งมีค่าความไม่แน่นอนต่ำ ส่วนวิธีการวัดโดยตรงนั้น แหล่งที่มาของความไม่แน่นอนมาจากแอมมิเตอร์โดยตรง สำหรับการทวนสอบของโปรแกรมนั้น ได้มีการทดสอบการบันทึกผลซ้ำ 5 ครั้ง แล้วนำมาหาค่าเฉลี่ยของผลการวัด พบว่าผลการวัดจากโปรแกรมที่พัฒนา ได้ผลตรงกันกับผลการวัดจากการจดบันทึก ดังนั้นเมื่อคำนวณหาค่าเฉลี่ยจึงได้ค่าเท่ากันที่จุดสอบเทียบเดียวกัน

ตารางที่ 2 การเปรียบเทียบของผลการวัดด้วยโปรแกรมที่พัฒนาขึ้นกับการวัดด้วยมือ

จุดสอบเทียบของกระแสไฟฟ้า	ค่าที่วัดได้ (วิธีโวลต์-แอมแปร์)	U_{VA} (μA/A)	ค่าที่วัดได้ (วิธีวัดโดยตรง)	U_{direct} (μA/A)	E_n
10 μA	10.000 218 μA	5	10.000 250 μA	60	0.01
100 μA	99.998 997 μA	5	99.998 92 μA	10.5	0.01
1 mA	1.000 002 1 mA	5	1.000 000 4 mA	10.5	0.01
10 mA	10.000 067 mA	5	10.000 023 mA	12	0.01
100 mA	100.000 05 mA	5	100.000 00 mA	43	0.01
1 A	1.000 025 5 A	13	1.000 037 0 A	200	0.01
10 A	9.997 682 A	13	9.995 802 A	210	0.01

สำหรับประเมินประสิทธิภาพและความเหมาะสมของระบบสอบเทียบแบบอัตโนมัติที่พัฒนาขึ้น ได้ดำเนินการสำรวจความพึงพอใจของผู้ใช้ที่มีประสบการณ์ในการปฏิบัติงานสอบเทียบในห้องปฏิบัติการ โดยใช้แบบสอบถามซึ่งประกอบด้วยหัวข้อการประเมิน 4 ด้าน ได้แก่ ด้านประสิทธิภาพการทำงานของระบบ ด้านความถูกต้องและความน่าเชื่อถือของผลการสอบเทียบ ด้านความสะดวกและง่ายต่อการใช้งาน และด้านประโยชน์ที่ได้รับต่อการทำงาน โดยการประเมินใช้มาตราส่วนความพึงพอใจแบบ 5 ระดับ ตั้งแต่ “พึงพอใจน้อยที่สุด” (1

คะแนน) ถึง “พึงพอใจมากที่สุด” (5 คะแนน) โดยกลุ่มตัวอย่างที่ใช้ประเมินประกอบด้วยเจ้าหน้าที่สอบเทียบและนักวิจัยจำนวน 10 คน ผลการประเมินพบว่า ผู้ใช้มีความพึงพอใจโดยรวมอยู่ในระดับคะแนนเฉลี่ย 4.52 จากความคิดเห็นเชิงคุณภาพของผู้ใช้ พบว่า ระบบที่พัฒนาขึ้นช่วยลดเวลาการสอบเทียบลงได้อย่างชัดเจน ลดความผิดพลาดจากการบันทึกข้อมูลด้วยมือ และสามารถจัดเก็บผลการสอบเทียบในรูปแบบดิจิทัลได้อย่างมีประสิทธิภาพ แต่ ณ ปัจจุบันระบบอัตโนมัตินี้ยังไม่สามารถดำเนินการวัดซ้ำเพียงบางจุดได้ ต้องเริ่มใหม่ทั้งหมด ซึ่งผู้พัฒนาได้นำข้อเสนอแนะนี้มาดำเนินการปรับปรุงแก้ไขเพื่ออำนวยความสะดวกและเกิดประโยชน์สูงสุดต่อผู้ใช้งาน

5. สรุป

งานวิจัยนี้มีวัตถุประสงค์เพื่อออกแบบและพัฒนาระบบสอบเทียบแหล่งจ่ายกระแสไฟฟ้ากระแสตรงแบบอัตโนมัติ โดยใช้ภาษา Python เป็นแกนหลักในการพัฒนา เพื่อรองรับความต้องการด้านความแม่นยำ ความยืดหยุ่น และประสิทธิภาพในการปฏิบัติงานสอบเทียบในภาคอุตสาหกรรม ระบบที่พัฒนาขึ้นประกอบด้วยสถาปัตยกรรมและตรรกะที่ชัดเจน สามารถทวนสอบการทำงานได้ และมีกระบวนการประเมินประสิทธิภาพที่สอดคล้องกับหลักการทางมาตรวิทยาสากล ผลการพัฒนาแสดงให้เห็นว่า การเลือกใช้ Python ช่วยลดต้นทุนการพัฒนาเมื่อเปรียบเทียบกับวิธีการดั้งเดิมอย่าง LabVIEW อีกทั้งยังเพิ่มศักยภาพในการปรับปรุงและขยายระบบในอนาคตได้อย่างยืดหยุ่น การทดสอบใช้งานจริงยืนยันว่าระบบสามารถทำงานได้อย่างมีเสถียรภาพ ให้ผลสอบเทียบที่ถูกต้องและเชื่อถือได้ พร้อมทั้งตอบสนองต่อความต้องการของผู้ปฏิบัติงานได้ครบถ้วน ระบบสอบเทียบแหล่งจ่ายกระแสไฟฟ้ากระแสตรงอัตโนมัติที่พัฒนาด้วยภาษา Python ในงานวิจัยนี้ เป็นแนวทางที่มีประสิทธิภาพและสามารถต่อยอดเพื่อนำไปใช้ในกระบวนการสอบเทียบอัตโนมัติรูปแบบอื่น ๆ ในอนาคตได้

6. กิตติกรรมประกาศ

คณะผู้จัดทำขอขอบคุณกลุ่มงานมาตรฐานปฐมภูมิไฟฟ้า เวลาและความถี่ ฝ่ายมาตรวิทยาไฟฟ้า สถาบันมาตรวิทยาแห่งชาติ ที่ให้การสนับสนุนเครื่องมือวัดและองค์ความรู้ และขอขอบคุณภาควิชาวิศวกรรมไฟฟ้า คณะวิศวกรรมศาสตร์และเทคโนโลยีอุตสาหกรรม มหาวิทยาลัยศิลปากร ที่ส่งเสริมในการทำงานวิจัยนี้

เอกสารอ้างอิง

[1] J. Sarda, N. Patel, H. Patel, R. Vaghela, B. Brahma, A. K. Bhoi, P. Barsocchi, A review of the electric vehicle charging technology, impact on grid integration, policy consequences, challenges and future trends, Energy Reports,Volume 12, 2024, Pages 5671-5692.

[2] สำนักงานมาตรฐานผลิตภัณฑ์อุตสาหกรรม, “ข้อตกลงร่วม 4007-2567: แนวทางการสอบเทียบแหล่งกำเนิดกระแสไฟฟ้ากระแสตรงโดยวิธีโวลต์ – แอมแปร์,” 2567.

[3] A Bogdanchikov et al 2013 J. Phys.: Conf. Ser. 423 012027.

[4] Y. Huang, J. Zhao, Y. Qiang, T. Hou, X. Ren and H. Sun, "The Reform and Exploration of Intelligent PYTHON Language Teaching," 2021 16th International Conference on Computer Science & Education (ICCSE), Lancaster, United Kingdom, 2021, pp. 883-888.

[5] R. Jamal and L. Wenzel, "The applicability of the visual programming language LabVIEW to large real-world applications," Proceedings of Symposium on Visual Languages, Darmstadt, Germany, 1995, pp. 99-106.

[6] T. Sanuksan, J. Tanarom and P. Gomasang, "Automated Voltage-Ratio Measurement for Resistance Calibration," 2024 12th International Electrical Engineering Congress (iEECON), Pattaya, Thailand, 2024, pp. 1-4.

[7] Fluke 5730A High Performance Multifunction Calibrator, Operators Manual, Rev. 2, 7/23 © 2013-2023 Fluke Corporation, August 2013

[8] Fluke 5725A Amplifier, Instruction Manual, PN 823435, Rev. 7, 6/02 © 1993, 1996, 2002 Fluke Corporation, January 1989.

[9] Measurements International, Model 9332 Standard DC Current or Standard Resistor Applications, MI 66, Rev. 11, Dated 2018-01-30

[10] Measurements International, Model 9331 Standard AC/DC Air Resistor, MI 66, Rev. 15, Dated 2021-11-15

[11] P. Gomasang, M. Tubnium, W. KonKan, S. Pilawong, and J. Tanarom, “The Effect of Heat Due to High DC Current Bias on the Resistance Changes of Standard Oil Resistor”, TEEJ, vol. 5, no. 2, pp. 26–31, Aug. 2025.

[12] Fluke 8588A/8558A Reference Multimeter and 8½ Digit Multimeter, Operation Manual, Rev. 1,3/25, Fluke Corporation, February 2019.

[13] T. Bragatto, M. Cresta, F. M. Gatta, A. Geri, M. Maccioni and M. Paulucci, "Assessing Thermal Behavior of Medium Voltage Cable Joints Through Simulations and Measurements," in IEEE Transactions on Industry Applications, vol. 59, no. 5, pp. 5705-5714, Sept.-Oct. 2023

[14] ISO/IEC 17043:2023 Conformity assessment — General requirements for the competence of proficiency testing providers Published (Edition 2, 2023)

ธนวัฒน์ สุทธวงศ์ กำลังศึกษาระดับปริญญาตรี
ภาควิชาวิศวกรรมไฟฟ้า คณะวิศวกรรมศาสตร์และเทคโนโลยีอุตสาหกรรม มหาวิทยาลัยศิลปากร

จุฑารัตน์ ทานะรมณ์ สำเร็จการศึกษาระดับปริญญาเอก สาขา Engineering Science จาก The university of Electro-Communications (ญี่ปุ่น) นักมาตรวิทยาชำนาญการ ฝ่ายมาตรวิทยาไฟฟ้า สถาบันมาตรวิทยาแห่งชาติ มีความสนใจทางด้านมาตรวิทยาควอนตัมและอุปกรณ์อิเล็กทรอนิกส์ระดับนาโน

พลอยบุศรา โกมาสังข์ สำเร็จการศึกษาระดับปริญญาเอก สาขา Function Control Systems จาก Shibaura Institute of Technology (ญี่ปุ่น) อาจารย์และนักวิจัย ภาควิชาวิศวกรรมไฟฟ้า คณะวิศวกรรมศาสตร์และเทคโนโลยีอุตสาหกรรม มหาวิทยาลัยศิลปากร มีความสนใจทางด้านอิเล็กทรอนิกส์ระดับนาโนและมาตรวิทยาไฟฟ้า เครื่องมือวัดและการวัดทางไฟฟ้า

การประยุกต์ใช้อิมพัลส์แรงดันสูงสำหรับกระตุ้นผลผลิตเห็ด

Stimulation of Mushroom Production Using High-Voltage Impulses

ไตรรัตน์ ปะทิ[1]* ภูรินัท ผัดดี[2]

[1,2]สาขาวิศวกรรมไฟฟ้า คณะวิศวกรรมศาสตร์ มหาวิทยาลัยเทคโนโลยีราชมงคลล้านนา trp_off@rmutl.ac.th

บทคัดย่อ

งานวิจัยนี้เพื่อพัฒนาการกระตุ้นการเจริญเติบโตของเห็ดโดยอิมพัลส์ไฟฟ้า สร้างวงจร Cockcroft-Walton ก่อนป้อนเข้าสู่วงจรสร้างแรงดันอิมพัลส์แบบหลายชั้น เพื่อต้องการได้แรงดันสูงสุด 100 kV แรงดันอิมพัลส์นี้ถูกใช้กระตุ้นก้อนเชื้อเห็ดด้วยการปล่อยสปาร์กผ่านวัสดุเพาะเห็ด ผลการทดสอบพบว่ากลุ่มก้อนเชื้อเห็ดที่ผ่านการกระตุ้นด้วยอิมพัลส์ไฟฟ้าให้ดอกเห็ดที่มีความยาวและน้ำหนักเฉลี่ยมากอย่างชัดเจน โดยเฉพาะเห็ดหูหนู ปริมาณผลผลิตมากกว่าก้อนเชื้อที่ไม่ได้รับการกระตุ้นกว่าเท่าตัว เทคนิคการกระตุ้นด้วยอิมพัลส์แรงสูงมีศักยภาพต่อการประยุกต์ใช้กับเห็ดสายพันธุ์อื่นที่มีมูลค่าสูง เพื่อเพิ่มผลผลิตและความคุ้มค่าในเชิงพาณิชย์

คำสำคัญ: อิมพัลส์แบบหลายชั้น กระตุ้น เห็ด

Abstract

This research focuses on developing a method to stimulate mushroom growth using high-voltage electrical impulses. A Cockcroft–Walton voltage multiplier circuit was constructed and connected to a multi-stage impulse generator to achieve a maximum voltage of 100 kV. This impulse voltage was applied to mushroom spawn blocks by discharging sparks through the cultivation medium. The test results revealed that mushroom spawn blocks stimulated with electrical impulses produced fruiting bodies with significantly greater average length and weight compared to the unstimulated group. In particular, wood ear mushrooms yielded more than twice the production of the control samples. The high-voltage impulse stimulation technique demonstrates strong potential for application to other high-value mushroom species to enhance yield and improve commercial profitability.

Keywords: multi-stage impulse, Stimulation, Mushroom

1. บทนำ

มีการศึกษาวิจัยเกี่ยวกับการประยุกต์ใช้เทคโนโลยีในการช่วยส่งเสริมการเจริญเติบโตรวมถึงการกระตุ้นการงอกของเชื้อเห็ดด้วยกันอยู่หลายวิธี จากรายงานการศึกษาทั้งในประเทศและต่างประเทศ พบว่าสนามไฟฟ้ามีส่วนช่วยในการกระตุ้นเปอร์เซ็นต์การงอกและการเจริญเติบโตของพืชหลายชนิด โดยสนามไฟฟ้าจะทำให้เกิดแรงกระทำกับอนุภาคที่มีประจุภายในเมล็ดพืช ซึ่งภายในเมล็ดพืชนั้นมีประจุอยู่มากมายทั้งประจุบวกและประจุลบ เมื่ออยู่ภายใต้สนามไฟฟ้าประจุบวกภายในเมล็ดพืชจะเคลื่อนที่เข้าหาทิศทางของสนามไฟฟ้าที่ทำให้เกิดประจุลบ และประจุลบภายในเมล็ดพืชจะเคลื่อนที่เข้าหาทิศทางของสนามไฟฟ้าที่ทำให้เกิดประจุบวก ส่งผลให้เกิดการเคลื่อนที่ของไอออนและทำให้เกิดการเร่งปฏิกิริยาเคมีภายในเมล็ดพืช ทั้งนี้ยังส่งผลต่อกระบวนการทางสรีรวิทยาของพืชอีกด้วย [1-3,7] แม้ว่าการใช้ไฟฟ้าแรงสูงในกระบวนการทางการเกษตร เช่น การยืดอายุการเก็บรักษาผักและผลไม้ หรือการกำจัดจุลินทรีย์ในอาหาร จะมีการศึกษามาอย่างแพร่หลาย แต่การประยุกต์ใช้ไฟฟ้าแรงสูงเพื่อกระตุ้นการเจริญเติบโตของเห็ดยังคงเป็นหัวข้อที่มีข้อมูลวิจัยจำกัด โดยเฉพาะในแง่ของการหาค่าพารามิเตอร์ไฟฟ้าที่เหมาะสม เช่น ระดับแรงดัน รูปแบบคลื่น ความถี่ และระยะเวลาการกระตุ้น เพื่อให้เกิดประสิทธิภาพสูงสุดโดยไม่ทำลายโครงสร้างของเส้นใยเห็ด

ในทางวิทยาศาสตร์กล่าวได้ว่าการใช้สนามไฟฟ้าแรงสูงเพื่อกระตุ้นการเจริญเติบโตของเห็ดมีแนวคิดและกลไกที่น่าสนใจดังนี้

1) การเพิ่มการดูดซึมสารอาหาร สนามไฟฟ้าอาจช่วยปรับปรุงการเคลื่อนที่ของไอออนในสารอาหารและน้ำในอุปกรณ์เพาะปลูก ซึ่งทำให้เชื้อเห็ดดูดซึมสารอาหารได้ดียิ่งขึ้น

2) กระตุ้นการแบ่งเซลล์ สนามไฟฟ้าสามารถกระตุ้นการแบ่งเซลล์ในเชื้อเห็ด ซึ่งช่วยให้เจริญเติบโตได้เร็วขึ้น

3) การเพิ่มการสังเคราะห์โปรตีน สนามไฟฟ้าอาจมีผลกระตุ้นการสังเคราะห์โปรตีนภายในเซลล์ ซึ่งจำเป็นต่อการเจริญเติบโตและพัฒนาการของเชื้อเห็ด

4) การกระตุ้นกระบวนการเมตาบอลิซึม สนามไฟฟ้าอาจช่วยเพิ่มอัตราการเผาผลาญในเซลล์ ส่งผลให้มีพลังงานที่มากขึ้นสำหรับการเจริญเติบโต

5) การปรับปรุงโครงสร้างเซลล์ สนามไฟฟ้าอาจมีผลต่อการสร้างและการจัดเรียงของโครงสร้างเซลล์ ทำให้เชื้อเห็ดมีความแข็งแรงและทนทานมากขึ้น [6,7]

สอดคล้องกับงานวิจัยที่ได้ศึกษาเปรียบเทียบกับการงอกของเมล็ดพืชที่ถูกกระตุ้นด้วยสนามไฟฟ้า โดยวัดเปอร์เซ็นต์การงอกและเปรียบเทียบกับกลุ่มที่ไม่กระตุ้นด้วยสนามไฟฟ้า พบว่าเมล็ดพืชที่กระตุ้นด้วยสนามไฟฟ้ามีเปอร์เซ็นต์การงอกสูงกว่าเมล็ดพืชที่ไม่ผ่านการกระตุ้นด้วยไฟฟ้า [6]

*ผู้ประพันธ์บรรณกิจ

การศึกษาครั้งนี้จึงมีวัตถุประสงค์เพื่อออกแบบและทดสอบระบบไฟฟ้าแรงสูงที่สามารถใช้กระตุ้นการเจริญเติบโตของเห็ด ศึกษาผลกระทบของค่าพารามิเตอร์ไฟฟ้าต่อการเจริญเติบโตและปริมาณผลผลิต และสร้างความเข้าใจเชิงวิทยาศาสตร์เกี่ยวกับกลไกการตอบสนองของเส้นใยเห็ดต่อสนามไฟฟ้าแรงสูง ซึ่งอาจนำไปสู่การพัฒนากระบวนการเพาะเห็ดเชิงอุตสาหกรรมที่มีประสิทธิภาพและยั่งยืนมากขึ้น

2. การออกแบบวงจรสร้างแรงดันอิมพัลส์

2.1 การสร้างแรงดันอิมพัลส์

แรงดันอิมพัลส์ เป็นแรงดันที่มีรูปคลื่นเลียนแบบมาจากแรงดันเกินเสิร์จทรานเซี้ยนต์ ที่เกิดจากเหตุภายนอกที่เกี่ยวข้องกับปรากฏการณ์ฟ้าผ่า เรียกว่าแรงดันอิมพัลส์รูปคลื่นฟ้าผ่า สำหรับรูปคลื่นแรงดันอิมพัลส์มาตรฐานถูกกำหนดด้วยข้อกำหนดต่อไปนี้ [4-5]

1) ขนาดของแรงดัน โดยปกติจะหมายถึงค่ายอดของรูปคลื่นแรงดัน ในกรณีที่มีคลื่นระลอกซ้อนที่เกิดจากออสซิลเลชั่นใกล้ๆ ยอดรูปคลื่น ให้ถือเอาค่าเฉลี่ยจากค่ายอดรูปคลื่นระลอก

2) ขั้วของแรงดันอาจจะเป็นบวกหรือลบก็ได้เมื่อเทียบกับดิน

3) เวลาช่วงหน้าคลื่น T_1 หมายถึงช่วงเวลาที่แรงดันเพิ่มขึ้นจากศูนย์จนถึงค่ายอด

4) เวลาช่วงหลังคลื่น T_2 หมายถึงช่วงเวลาที่แรงดันเริ่มเพิ่มขึ้นจากศูนย์ผ่านค่ายอดจนกระทั่งขนาดลดลงเหลือครึ่งหนึ่งของค่ายอด

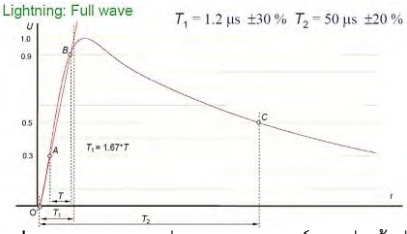

รูปที่ 1 สัญญาณรูปคลื่นแรงดันอิมพัลส์รูปคลื่นฟ้าผ่า

2.2 วงจรพื้นฐานของเครื่องกำเนิดแรงดันอิมพัลส์ [4]

วงจรพื้นฐานที่ใช้สร้างแรงดันอิมพัลส์รูปคลื่นฟ้าผ่ามี 2 แบบ ดังในรูปที่ 2 ก. และ รูปที่ 2 ข.

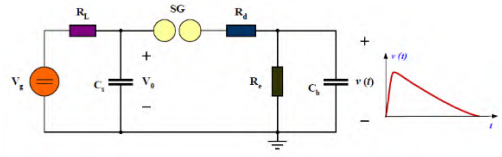

ก. วงจรพื้นฐานของเครื่องกำเนิดแรงดันอิมพัลส์วงจร A

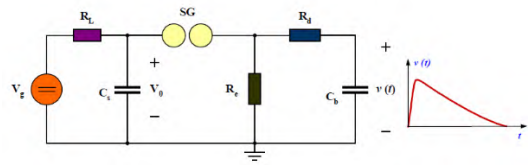

ข. วงจรพื้นฐานของเครื่องกำเนิดแรงดันอิมพัลส์วงจร B

รูปที่ 2 วงจรพื้นฐานของเครื่องกำเนิดแรงดันอิมพัลส์

ค่าแรงดันที่ทำให้เกิดสปาร์ก เมื่อกำหนดระยะห่างช่องสปาร์กแกป อาจจะแตกต่างกันไปบ้างแต่ไม่มากนัก ประมาณน้อยกว่า 1% ถ้าหากอากาศสะอาดปราศจากฝุ่นละออง ช่วงระยะเวลาระหว่างการเกิดสปาร์กต่อเนื่องจะถี่หรือห่าง ขึ้นอยู่กับแรงดันกระแสตรงที่ป้อนให้กับ C_s ถ้าปรับ V_g ให้สูงมากๆ ก็จะเกิดสปาร์กง่าย หรือสปาร์กถี่ขึ้น เมื่อเกิดสปาร์กที่ SG แรงดันอัดประจุ V_o จะคร่อม R_d และ C_b ประจุจะถ่ายทอดไปยังวัสดุทดสอบ ซึ่งแทนด้วย C_b การถ่ายทอดหรือปล่อยประจุนี้ จะเร็วหรือช้าขึ้นอยู่กับ R_d และ C_b นับเป็นเวลาช่วงหน้าคลื่น ฉะนั้นจึงกล่าวได้ว่า R_d และ C_b นี้ จะเป็นตัวกำหนดเวลาช่วงหน้าคลื่น T_1 เมื่อถ่ายประจุให้ C_b จนเต็มที่แล้ว ประจุนี้ก็จะดีสชาร์จ หรือปล่อยประจุออกไปสู่ R_e จึงกล่าวได้ว่า R_e ทำหน้าที่ควบคุมเวลาช่วงหางคลื่น T_2 คือ ถ้า R_e มีค่าสูง T_2 ก็จะมีค่ามากตามไปด้วย(ค่าคงตัวเวลาคายประจุ วงจร A เท่ากับ C_s (R_d+R_e) และวงจร B เท่ากับ C_s, R_e) [5] ในงานวิจัยนี้ออกแบบแรงดันอิมพัลส์ 100 kV จากการอ้างอิงงานวิจัยเรื่องอิทธิพลของการกระตุ้นด้วยแรงดันไฟฟ้าแบบพัลส์ต่อการเจริญเติบโตของเส้นใยในอาหารเลี้ยงเชื้อด้วยวุ้น ของภาควิชาวิศวกรรมไฟฟ้า มหาวิทยาลัยอิวาเตะ [6,7]

ค่ายอดแรงดันที่จ่ายออกที่ปลายแรงสูง V_{max} จะน้อยกว่าแรงดันอัดประจุ V_o เพราะประจุจะกระจายให้กับ C_s และ C_b ฉะนั้นอัตราส่วนของ V_{max} ต่อ V_o จะน้อยกว่า 1 เสมอ และเรียกอัตราส่วนนี้เป็นประสิทธิภาพของเครื่องกำเนิดแรงดันอิมพัลส์ นั่นคือ

$$\eta = \frac{V_p}{V_0} \le \frac{C_S}{C_S + C_b} \tag{1}$$

ในทางปฏิบัติสำหรับการออกแบบวงจรสร้างแรงดันอิมพัลส์อย่างมีประสิทธิภาพจำเป็นต้องเลือกค่าความจุไฟฟ้าของตัวเก็บประจุเก็บพลังงาน (C_s) ให้มีค่ามากกว่าค่าความจุไฟฟ้าของอุปกรณ์ทดสอบ (C_b) หลายเท่า (ควรมากกว่า 10 เท่า) จากนั้นคำนวณค่าความต้านทานปรับเวลาหน้าคลื่น(R_d) และความต้านทานปรับเวลาหางคลื่น (R_e)

พลังงานของเครื่องกำเนิดแรงดันอิมพัลส์ W_e เป็นลักษณะสำคัญประการหนึ่ง ที่จะต้องกำหนดซึ่งขึ้นอยู่กับค่าความจุไฟฟ้า C_S และแรงดันอัดประจุ V_o จะคำนวณได้จาก

$$W_e = \frac{1}{2} C_S V_0^2 \tag{2}$$

2.3 วงจร Cockcroft-Walton

ประกอบด้วยชุดของไดโอดและตัวเก็บประจุที่ต่อเรียงกันเป็นวงจรแบบเรียงซ้อน เมื่อมีแรงดันไฟฟ้าป้อนเข้ามา วงจรจะทำงานในลักษณะที่ตัวเก็บประจุแต่ละตัวจะถูกชาร์จประจุไฟฟ้าทีละตัว เมื่อวงจรทำงานไปเรื่อยๆ แรงดันไฟฟ้าที่ได้จากแต่ละตัวเก็บประจุจะถูกรวมเข้าด้วยกัน ทำให้ได้แรงดันไฟฟ้ากระแสตรงที่มีค่าสูงขึ้นกว่าแรงดันไฟฟ้าอินพุต ในทางปฏิบัติมีข้อเสียหลายประการ เมื่อจำนวนชั้นเพิ่มขึ้น แรงดันไฟฟ้าของชั้นที่สูงขึ้นจะเริ่มลดลง ซึ่งส่วนใหญ่เกิดจากความต้านทานไฟฟ้าของตัวเก็บประจุในชั้นที่ต่ำกว่า และเมื่อจ่ายกระแสเอาต์พุต แรงดันไฟฟ้าระลอกจะเพิ่มขึ้นอย่างรวดเร็ว เมื่อจำนวนชั้นเพิ่มขึ้นสามารถ

แก้ไขได้ด้วยตัวกรองเอาต์พุต แต่จำเป็นต้องใช้ตัวเก็บประจุหลายตัวเพื่อทนต่อแรงดันไฟฟ้าสูง

2.4 วงจรเครื่องกำเนิดแรงดันอิมพัลส์หลายขั้น

จากวงจรพื้นฐานของการสร้างแรงดันอิมพัลส์ในรูปที่ 2 หากต้องการแรงดันอิมพัลส์สูงๆ อาจสร้างได้ด้วยเครื่องกำเนิดแรงดันอิมพัลส์แบบหลายขั้น โดยใช้วงจรการจัดเรียงคอนเดนเซอร์จำนวนหนึ่งถูกชาร์จแบบขนานผ่านความต้านทานโอห์มมิกสูง แล้วคายประจุผ่านช่องว่างประกายไฟมีวงจรหลายขั้นตอนที่ใช้งานอยู่หลายแบบตามหลักการของวงจรมาร์กซ์ (Marx's circuit) [4] ดังในรูปที่ 4

รูปที่ 3 วงจรกำเนิดแรงดันอิมพัลส์แบบหลายขั้น

ความสัมพันธ์กับค่าคงตัวเวลา $1/\alpha_1$ และ $1/\alpha_2$ ขึ้นอยู่กับอัตราส่วนของ T_1/T_2 เป็นตัวแสดงถึงรูปลักษณะของรูปคลื่น ค่า T_1 และ T_2 หาได้จากความสัมพันธ์ดังนี้

$$\because \frac{1}{\alpha_1} \approx R_e(C_s + C_b) = 9000x(5000+2000)x10^{-12} = 67.5\mu S$$

$$\frac{1}{\alpha 2} \approx R_d \frac{C_s C_b}{C_s + C_b} = 403\Omega \frac{(5000x10^{-12})x(2000x10^{-12})}{(5000x10^{-12})+(2000x10^{-12})} = 403\mu S$$

ดังนั้นจะได้ค่าเวลาแสดงถึงรูปลักษณะของรูปคลื่น

$$T_1 = K_2 \frac{1}{\alpha_2} \approx 2.96x(403x10^{-9}),\ T_2 = K_1 \frac{1}{\alpha_1} \approx 0.73x67.5x10^{-9}$$

รูปคลื่นแรงดันอิมพัลส์ T_1 / T_2 ≈ 1.19 / 49.27 μs

3. การออกแบบชุดสปาร์ก

ในการออกแบบอิเล็กโทรดปลายแหลม จะทำให้ประจุมีความหนาแน่นบริเวณปลายแหลมและทำให้มีความเข้มของสนามไฟฟ้าบริเวณปลายแหลม เป็นวิธีการสร้างโคโรนาดิสชาร์จโดยไฟฟ้ากระแสตรงที่มีความแรงดันสูงบริเวณปลายแหลม เพื่อสร้างประจุบวกและไอออนลบ

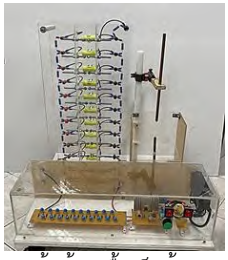

รูปที่ 4 ชุดกระตุ้นก้อนเชื้อเห็ดด้วยแรงดันอิมพัลส์

4. การทดสอบ

1) การทดสอบวงจร โดยการจำลองค่าในโปรแกรมคอมพิวเตอร์และวัดค่าโดยออสซิลโลสโคปKeysigh ที่วัดค่าความกว้างของพัลส์และวัดแรงดันพัลส์ใช้ตัวโวลเตจดิไวเดอร์ลดทอนแรงดัน

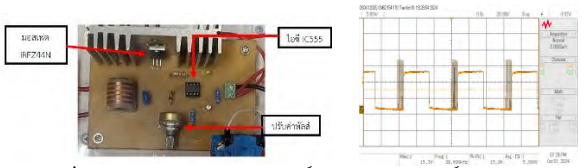

รูปที่ 5 วงจรกำเนิดสัญญาณพัลส์และสัญญาณพัลส์จากวงจร

2) การกระตุ้นเชื้อเห็ดก้อนโดยการสปาร์กอิมพัลส์ไฟฟ้าผ่านก้อนเชื้อเห็ดโดยตรง ขั้วไฟฟ้าบวกและลบของแท่นกระตุ้นก้อนเชื้อเห็ดที่ทำการสปาร์คนั้นเป็นโลหะตัวนำไฟฟ้าที่ทำจากทองแดง โดยระยะห่างระหว่างขั้วไฟฟ้ากับก้อนเชื้อเห็ด 5 เซนติเมตร ผ่านโมดูลรีเลย์หน่วงเวลาให้สปาร์กก้อนเชื้อเห็ด 10 ครั้ง/ก้อน ทำการทดลองเห็ด 3 ชนิด แบ่งกลุ่มทดลอง 2แบบคือแบบกระตุ้นเห็ดและแบบไม่กระตุ้นเห็ด ภายใต้การควบคุมในโรงเรือนเพาะที่อุณหภูมิ 30°C ความชื้นสัมพัทธ์ 75%

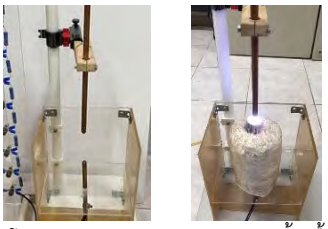

รูปที่ 6 ชุดอิเล็กโตรดปลายแหลมสำหรับการกระตุ้นเชื้อเห็ด

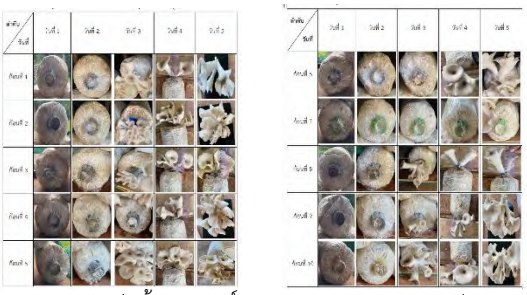

ก. ผลการเติบโตเห็ดด้วยอิมพัลส์แรงสูง ข. ผลการเติบโตเห็ดแบบปกติ

รูปที่ 7 ตัวอย่างการเจริญเติบโตของเห็ดนางรมเทา

ก. ผลการเติบโตเห็ดด้วยอิมพัลส์แรงสูง ข. ผลการเติบโตเห็ดด้วยปกติ

รูปที่ 8 ตัวอย่างการเจริญเติบโตของเห็ดหูหนู

จากตารางที่1 การเปรียบเทียบโดยเฉลี่ยในการทดลองจำนวน 3 ครั้งของเห็ด 3 ชนิด จะเห็นได้ว่าผลผลิตจากก้อนเชื้อเห็ดที่กระตุ้นด้วยอิมพัลส์ไฟฟ้า มีน้ำหนักที่มากกว่าก้อนเชื้อเห็ดที่ไม่ได้กระตุ้น ในการชั่งน้ำหนักรวมพบว่าสามารถเพิ่มผลผลิตเห็ดนางฟ้าภูฐานขึ้น≈21.31% เห็ดนางรมเทา≈15.04% และเห็ดหูหนูเพิ่มผลผลิตขึ้น≈134.35% (แบบมีนัยสำคัญ) และในงานวิจัยนี้เห็ดเห็ดหูหนูจะตอบสนองผลจากการกระตุ้นมากที่สุด ในการทดสอบนี้คาดหวังผลทดสอบกับเห็ดหูหนู เนื่องจากจะขยายผลวิจัยไปสู่การเพาะเลี้ยงแบบอินทรีย์(Oragnic) เพื่อนำเห็ดเข้าสู่กระบวนการทำผลิตภัณฑ์เห็ดอบแห้ง

ตารางที่ 1 ข้อมูลน้ำหนักผลผลิตเห็ดที่ทดสอบในงานวิจัยเฉลี่ย

ตัวอย่างก้อนเห็ด	กระตุ้นเชื้อเห็ดด้วยอิมพัลส์ไฟฟ้า			แบบไม่กระตุ้น(ตามธรรมชาติ)		
	เห็ดนางฟ้าภูฐาน	เห็ดนางรมเทา	เห็ดหูหนู	เห็ดนางฟ้าภูฐาน	เห็ดนางรมเทา	เห็ดหูหนู
1	85	68	103	30	72	40
2	80	100	96	89	84	41
3	43	90	119	75	102	41
4	83	104	113	37	124	43
5	80	122	110	74	39	65
$\bar{x}$	74.2	96.8	108.2	61	84.2	46
SD	17.57	19.83	8.93	25.91	31.99	10.68
น้ำหนักรวม	372	484	541	305	421	230

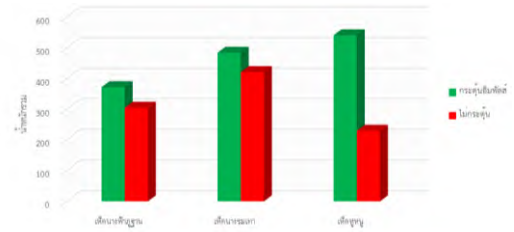

รูปที่ 9 กราฟเปรียบเทียบผลผลิตเห็ดในงานวิจัย

5. สรุปผล

อิมพัลส์ไฟฟ้าแรงสูงในงานวิจัยนี้ ออกแบบวงจรกำเนิดแรงดันสูงออกมาได้ค่า 1kV เพื่อจ่ายให้กับวงจร Cockcroft Walton ให้ได้แรงดัน 10kV และจ่ายต่อไปให้วงจร Marx Generator เพื่อให้ได้แรงดันเอาท์พุต 100kV แต่ในการวัดแรงดันอิมพัลส์จริงได้ 97.31 kV และผลผลิตจากเห็ดที่ถูกกระตุ้นจะได้ผลผลิตมากกว่าเห็ดที่ไม่ได้รับกระตุ้น สนามไฟฟ้าแรงสูงเพื่อใช้กระตุ้นพลังงานที่ทำการคำนวณอยู่ในระดับ 7.5 จูล อาจน้อยเกินไปสำหรับก้อนเชื้อเห็ดหรือจากปัจจัยอื่นๆ กลุ่มตัวอย่างผลผลิตเห็ดหูหนูที่ได้จากการกระตุ้นด้วยไฟฟ้าแรงสูงนั้น พบว่าเพิ่มขึ้นแบบมีนัยสำคัญ ทั้งนี้เมื่อเทียบกับงานวิจัยที่ได้กล่าวอ้างอิงนั้น ก้อนเชื้อเห็ดที่ถูกสนามไฟฟ้าแรงสูงจะสามารถเพิ่มผลผลิตของได้ดี ควรนำไปประยุกต์ใช้ทดลองกับเห็ดสายพันธุ์ที่มีมูลค่าทางการตลาดสูงหรือเห็ดพื้นถิ่น

6. กิตติกรรมประกาศ

ขอขอบคุณสาขาวิศวกรรมไฟฟ้า คณะวิศวกรรมศาสตร์ มหาวิทยาลัยเทคโนโลยีราชมงคลล้านนา น่าน ที่สนับสนุนสถานที่ทำงาน รวมถึงเครื่องมือในการทำวิจัย(ห้องวิจัย PER. Lab of RMUTL)

เอกสารอ้างอิง

[1] นิรุทธิ์ จันธิมา สาลินี อาจารีย์ และ ดุสิต งามรุ่งโรจน์, “การพัฒนาชุดทดลองกระตุ้นผลผลิตก้อนเชื้อเห็ดนางฟ้าโดยใช้พัลส์ไฟฟ้าความต่างศักย์สูง,” วารสารวิชาการพระจอมเกล้าพระนครเหนือ, ปีที่ 29, ฉบับที่ 3, ก.ค.–ก.ย. 2562. หน้า 495–506

[2] ชิดชนก มากจันทร์, “การศึกษาการกระตุ้นเมล็ดหน่อไม้ฝรั่งด้วยเทคนิคสนามไฟฟ้าร่วมกับน้ำผสมโอโซน” วารสารวิจัยมหาวิทยาลัยเทคโนโลยีราชมงคลศรีวิชัย ปีที่ 13(2) , 2564, หน้า 467-483.

[3] ณัทปภา จันทร์โสม ณัฐวุฒิ สุวรรณทา และ วรวัฒน์ เสงี่ยมวิบูล, “การกระตุ้นด้วยสนามแม่เหล็กถาวรที่ส่งผลต่อการเจริญเติบโตของถั่วงอก”วารสารวิชาการและวิจัย มทร.พระนคร ฉบับพิเศษ,การประชุมวิชาการมหาวิทยาลัยเทคโนโลยีราชมงคล ครั้งที่ 5, 2556, หน้า 26-33.

[4] Kuffel, E., Zaengl, W.S. and Kuffel, J. “High Voltage Engineering: Fundamentals.” 2nd ed. Newnes, Great Britain.2000.

[5] Koichi Takaki, Kohei Yoshida, Tatsuya Saito, Tomohiro Kusaka, Ryo Yamaguchi, Kyusuke Takahashi, and Yuichi Sakamoto. “Effect of Electrical Stimulation on Fruit Body Formation in Cultivating Mushrooms,” *Proceeding of Microorganisms*. 2014 Mar; 2(1): Published online Febuary 2014 12. pp. 58–72.

[6] S. Tsukamoto, H. Kudoh, S. Ohga, K. Yamamoto, and H. Akiyama, “Development of an automatic electrical stimulator for mushroom sawdust bottle,” *Proceeding of the 15th IEEE international Pulse Power Conference*, 2005, pp. 1437–1440

[7] Neo E. Nyakane. “The Effects of Magnetic Fields on Plants Growth: A Comprehensive Review,” *Proceeding of International Journal of Food Engineering,* Vol. 5, No. 1, March 2019. Pp. 79-87.

ไตรรัตน์ ปะทิ ปัจจุบันเป็นอาจารย์ประจำหลักสูตรวิศวกรรมไฟฟ้า คณะวิศวกรรมศาสตร์ มหาวิทยาลัยเทคโนโลยีราชมงคลล้านนา น่าน มีความสนใจงานวิจัยด้านไฟฟ้าแรงสูงและสมาร์ทกริด

การพัฒนาเตาเผาเซรามิกแบบอัตโนมัติโดยใช้ PLC ที่ควบคุมอุณหภูมิแบบหลายขั้นตอนบนพื้นฐานอัลกอริทึม PID

Development of an Automatic Ceramic Kiln Using PLC with Multi-Stage Temperature Control Based on PID Algorithm

พรหมพักตร์ บุญรักษา[1] ธัญภพ ศิริมาศเกษม[2*] วิวัฒน์ จึงธนศิริกุล[3] มณีรัตน์ ชนะสกุลนิยม[4] และธีระพงษ์ บุญรักษา[5]

[1] สาขาวิชาวิศวกรรมเมคคาทรอนิกส์ คณะวิศวกรรมศาสตร์และสถาปัตยกรรมศาสตร์ มหาวิทยาลัยเทคโนโลยีราชมงคลสุวรรณภูมิ promphak.b@rmutsb.ac.th

[2] สาขาวิชาเทคโนโลยีวิศวกรรมไฟฟ้า คณะเทคโนโลยีอุตสาหกรรม มหาวิทยาลัยราชภัฏพระนคร กรุงเทพมหานคร thannyaphob.s@pnru.ac.th*

[3] สาขาวิชาเทคโนโลยีวิศวกรรมอิเล็กทรอนิกส์ วิทยาลัยเทคโนโลยีอุตสาหกรรม มหาวิทยาลัยเทคโนโลยีพระจอมเกล้าพระนครเหนือ wiwat.je@cit.kmutnb.a.th

[4] สาขาวิศกรรมเครื่องกล คณะวิศวกรรมศาสตร์ มหาวิทยาลัยกรุงเทพธนบุรี mameerat.cha@bkkthon.ac.th

[5] สาขาวิชาวิศวกรรมไฟฟ้า คณะวิศวกรรมศาสตร์ มหาวิทยาลัยเทคโนโลยีราชมงคลรัตนโกสินทร์ นครปฐม terapong.boo@rmutr.ac.th

บทคัดย่อ

บทความนี้นำเสนอการออกแบบและสร้างระบบควบคุมการทำงานเตาเผาเซรามิกอัตโนมัติเพื่อแก้ไขข้อจำกัดของระบบเดิมให้สามารถควบคุมอุณหภูมิได้อย่างแม่นยำ สม่ำเสมอ และปลอดภัย ระบบที่พัฒนาขึ้นใช้ PLC รุ่น FX3U-24MR ร่วมกับโมดูล MI-LK3U-24MR-4AD-2DA และอุปกรณ์เสริม ได้แก่ เทอร์โมคัปเปิลชนิด S สำหรับการวัดอุณหภูมิ Solid State Relay (SSR) สำหรับควบคุมการจ่ายไฟฟ้าไปยังฮีตเตอร์ จอสัมผัส HMI Samkoon ขนาด 7 นิ้วสำหรับการตั้งค่าและแสดงผล และ Temperature Controller รุ่น DTK4848V12 เพื่อเพิ่มความแม่นยำในการควบคุมอุณหภูมิ โปรแกรมควบคุมพัฒนาด้วยหลักการ PID และ Ladder Diagram สามารถตั้งค่าโปรไฟล์การเผาแบบหลายช่วง (multi-stage firing) และลดความคลาดเคลื่อนของอุณหภูมิได้อย่างมีนัยสำคัญ ผลการทดสอบพบว่าระบบสามารถรักษาอุณหภูมิที่ ±1–5 °C จากค่า Setpoint ในช่วง Ramp และ Soak และสามารถทำให้อุณหภูมิถึงค่า 773 °C ได้อย่างแม่นยำและคงที่ และในส่วนของประเมินประสิทธิภาพการใช้พลังงาน พบว่าการเผา 1 รอบใช้พลังงานรวม 165.18 kWh มีต้นทุนไฟฟ้าประมาณ 660.72 บาท ให้เห็นว่าระบบควบคุมอัตโนมัติสามารถเพิ่มความแม่นยำและลดความสูญเสียได้ดีกว่าระบบควบคุมแบบอนาล็อกอย่างชัดเจน

คำสำคัญ: เตาเผาเซรามิกอัตโนมัติ, การควบคุมอุณหภูมิ, การควบคุมแบบ PID, PLC, การใช้พลังงานไฟฟ้า

Abstract

This article presents the design and development of an automatic control system for a ceramic kiln aimed at overcoming the limitations of conventional systems by enabling precise, consistent, and safe temperature regulation. The proposed system employs a PLC model FX3U-24MR in conjunction with the MI-LK3U-24MR-4AD-2DA module, supported by auxiliary devices including an S-type thermocouple for temperature measurement, a Solid State Relay (SSR) for power control to the heater, a 7-inch Samkoon HMI touch panel for parameter setting and monitoring, and a DTK4848V12 temperature controller to enhance temperature accuracy. The control program was developed based on PID principles and Ladder Diagram programming, allowing for multi-stage firing profiles and significantly reducing temperature deviations. Experimental results demonstrate that the system can maintain the firing temperature within ±1–5 °C of the setpoint during both ramping and soaking phases, and can accurately achieve and sustain a temperature of 773 °C. In terms of energy performance evaluation, one firing cycle consumed approximately 165.18 kWh of electricity, with a cost of about 660.72 THB. The analysis indicates that the automatic control system provides superior accuracy and reduces energy losses more effectively than conventional analog control systems.

Keywords: Automatic ceramic kiln, temperature control, PID control, PLC, electrical energy consumption

1. บทนำ

เซรามิก (Ceramic) เป็นวัสดุที่มนุษย์รู้จักและใช้ประโยชน์มาอย่างยาวนาน โดยเริ่มต้นจากการนำดินเหนียวมาปั้นขึ้นรูปเป็นภาชนะก่อนนำไปเผาให้แข็งแรง และทนทาน [1] ต่อมาได้มีการพัฒนาอย่างต่อเนื่องจนกลายเป็นเซรามิกสมัยใหม่ (Advanced Ceramics) ที่มีคุณสมบัติเฉพาะทางสูง ในด้านความแข็งแรง ทนความร้อน ฉนวนหรือการนำไฟฟ้า ทำให้

*ผู้ประพันธ์บรรณกิจ

เซรามิกกลายเป็นวัสดุสำคัญในหลากหลายอุตสาหกรรม ได้แก่ อิเล็กทรอนิกส์ ยานยนต์ การแพทย์ และอวกาศ โดยเฉพาะในชิ้นส่วนที่ต้องการความแม่นยำและความทนทานสูง เช่น ตัวเก็บประจุ เซ็นเซอร์ กระดูกเทียม หรือเกราะกันกระสุน เครื่องสุขภัณฑ์เครื่องใช้บนโต๊ะอาหาร ลูกถ้วยไฟฟ้า เป็นต้น โดยมีทั้งอุตสาหกรรมเซรามิกขนาดเล็ก ขนาดกลาง และขนาดใหญ่ [2] การผลิตและการจำหน่ายผลิตภัณฑ์เซรามิกในประเทศไทยมีแนวโน้มฟื้นตัวดีขึ้น หลังจากวิกฤตการแพร่ระบาดของโรคติดเชื้อไวรัสโคโรนา 2019 ในปี 2567 ที่ผ่านมาไทยมีมูลค่าส่งออกเซรามิกคราฟต์สำหรับใช้บนโต๊ะอาหารและเครื่องครัวเป็นอันดับที่ 4 ของโลก ด้วยมูลค่า 139.23 ล้านดอลลาร์สหรัฐ เพิ่มขึ้นร้อยละ 5.89 เมื่อเทียบกับปี 2566 [3]

การผลิตเซรามิกในระดับอุตสาหกรรมของเตาเผาเซรามิก เป็นกระบวนการแปรสภาพของวัสดุ เพื่อให้ได้คุณสมบัติตามที่ต้องการ โดยเฉพาะกระบวนการเผา (Firing Process) ที่มีอิทธิพลต่อโครงสร้างจุลภาค ความแข็งแรงเชิงกล และสมบัติเฉพาะของวัสดุ การควบคุมอุณหภูมิอย่างแม่นยำจึงเป็นสิ่งสำคัญต่อคุณภาพของชิ้นงานเซรามิก จากการใช้งานจริงในอุตสาหกรรมพบว่าเตาเผาส่วนใหญ่มักเป็นระบบควบคุมไม่อัตโนมัติหรือกึ่งอัตโนมัติ [4] จำเป็นจะต้องมีทักษะและประสบการณ์ของผู้ปฏิบัติงานในการตั้งค่าและติดตามอุณหภูมิอย่างใกล้ชิด วิธีการประเมินอุณหภูมิแบบดั้งเดิม เช่น การสังเกตสีของเปลวไฟ หรือการดูการโค้งงอของ Pyrometric cone มีข้อจำกัดหลายประการ ทั้งในด้านความแม่นยำ ความต่อเนื่องของคุณภาพ และความปลอดภัยของผู้ปฏิบัติงาน โดยเฉพาะอย่างยิ่งสำหรับผู้ที่ยังขาดประสบการณ์ ข้อจำกัดเหล่านี้ส่งผลให้อัตราความเสียหายของชิ้นงานสูงถึง 25-35% ขณะที่ระบบควบคุมอัตโนมัติด้วย PLC (Programmable Logic Controller) สามารถลดความคลาดเคลื่อนเหลือเพียง 5-10% [5] เมื่อมีการปรับจูนอย่างเหมาะสม อีกทั้งยังช่วยลดภาระการทำงาน ลดความเสี่ยง และเพิ่มความปลอดภัยได้อย่างมีนัยสำคัญ

จากปัญหาและข้อจำกัดข้างต้น ผู้วิจัยจึงมีแนวคิดในการศึกษาและพัฒนาระบบควบคุมเตาเผาเซรามิกแบบอัตโนมัติ โดยใช้เทคโนโลยี PLC ร่วมกับเซนเซอร์อุณหภูมิชนิด Thermocouple Type S สามารถวัดอุณหภูมิได้แม่นยำและทนความร้อนสูง ประมวลผลด้วยสมการควบคุม PID (Proportional-Integral-Derivative) เพื่อให้ระบบสามารถควบคุมอุณหภูมิในหลายช่วงเวลา (Multi-stage firing profile) ได้อย่างเสถียรและสม่ำเสมอ การพัฒนานี้ช่วยยกระดับคุณภาพของการผลิตเซรามิกไปถึงการใช้งานในอุตสาหกรรม โดยมุ่งหวังให้เกิดการลดความสูญเสีย เพิ่มประสิทธิภาพ สามารถควบคุมอุณหภูมิได้อย่างแม่นยำ สม่ำเสมอ และมีความปลอดภัยมากยิ่งขึ้น

2. ทบทวนวรรณกรรมและงานวิจัยที่เกี่ยวข้อง

งานวิจัยที่ผ่านมาพบว่าการประยุกต์ใช้ Programmable Logic Controller (PLC) สามารถเพิ่มประสิทธิภาพและลดต้นทุนระบบอัตโนมัติได้อย่างชัดเจน เช่น งานของคงศักดิ์ จินาวัลย์,(2563) [6] ที่ใช้ PLC แทนวงจรรีเลย์ในการควบคุมระบบบำบัดน้ำเสีย ทำให้ระบบตอบสนองรวดเร็วและมีความเสถียรมากขึ้น

ด้านการควบคุมอุณหภูมิ งานวิจัยของกิตติคุณ นามสง่า,(2562)[7] พบว่าการใช้ PLC ร่วมกับ PID Controller ช่วยลดความคลาดเคลื่อนเหลือเพียง ±3 °C และลด Overshoot ได้อย่างมีนัยสำคัญ ขณะที่พิมพ์ชนก วงศ์วิไล (2561) ใช้ไมโครคอนโทรลเลอร์ Arduino ควบคุมเตาเผาเซรามิกผ่าน HMI แบบสัมผัส ทำให้สามารถตั้งค่ากราฟการเผาได้ยืดหยุ่นและลดภาระการเฝ้าระวังได้มากกว่า 60% ส่วนงานของประภาวรรณ แพงศรี และพรรณวิภา แพงศรี,(2567)[8] ยังยืนยันประสิทธิภาพของ PID ในการควบคุมอุณหภูมิหมักไวน์ที่เสถียรและมีคุณภาพสูง

3. ขั้นตอนวิธีการดำเนินงาน

ในการวิจัยเรื่องการพัฒนาระบบควบคุมการทำงานเตาเผาเซรามิกอัตโนมัตินั้นมีขั้นตอนการดำเนินงาน เริ่มต้นจากการออกแบบระบบควบคุมการทำงานของเตาเผาเซรามิกด้วยโปรแกรม Solid work แล้วทำการสร้างอุปกรณ์จริง จากนั้นนำอุปกรณ์มาติดตั้งและทดสอบระบบ เก็บรวบรวมข้อมูล และการวิเคราะห์ข้อมูล ตามลำดับ ซึ่งแสดงรายละเอียดดังต่อไปนี้

3.1 การออกแบบโครงสร้างตู้ควบคุมการทำงานเตาเผาเซรามิกอัตโนมัติ

ในการออกแบบระบบ เริ่มต้นจากการที่ผู้วิจัยได้จำลองเตาเผาเซรา-มิกในรูปแบบสามมิติด้วยโปรแกรม Solid Work Simulation ที่มีรูปทรงเป็นลูกบาศก์ (Cube) มีขนาดพื้นที่ในการวางชิ้นงานได้มาก จะต้องคำนึงถึงทิศทางการไหลของเปลวไฟและความร้อน โดยมีส่วนประกอบ 3 ส่วน ประกอบด้วย เตาเผาเซรามิก ขดลวดฮีตเตอร์ และตู้ควบคุมเตาเผาเซรามิกแสดงดังรูปที่ 1

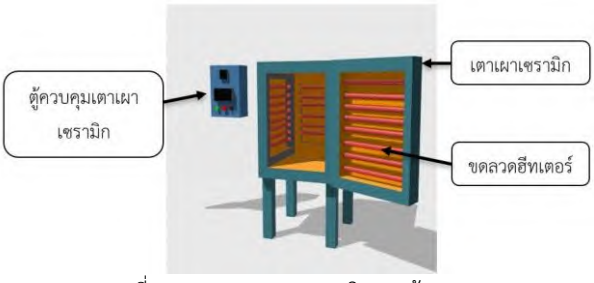

รูปที่ 1 ออกแบบเตาเผาเซรามิกและตู้ควบคุม

การออกแบบและจำลองภายในตู้ควบคุม ประกอบด้วย ด้านบนสุด คือ Current transformer โซนที่สองถัดลงมา คือ Mian circuit, Circuit breaker และ PLC โซนที่สามถัดลงมา คือ Solid State Relay, Terminal Control และโซนล่างสุด คือ Terminal Power (Main) และ Terminal Power (Load) แสดงดังรูปที่ 2 ในส่วนของการจำลองหน้าตู้ควบคุมประกอบด้วย Temperature Controller Power meter จอ HMI และไฟแจ้งเตือนสถานะ แสดงดังรูปที่ 3 และในรูปที่ 4 แสดง Layout ของตู้ควบคุมการทำงานเตาเผาเซรามิกอัตโนมัติ

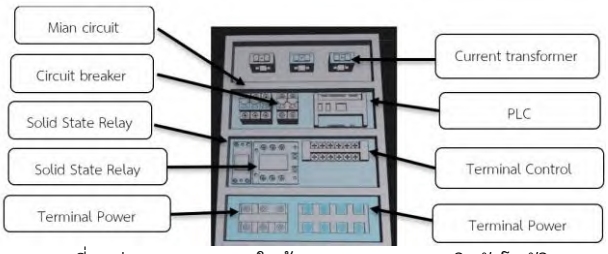

รูปที่ 2 ส่วนประกอบภายในตู้ควบคุมเตาเผาเซรามิกอัตโนมัติ

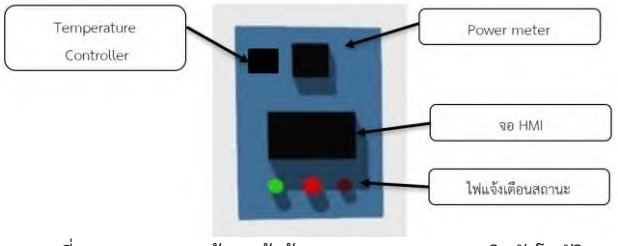

รูปที่ 3 การออกแบบด้านหน้าตู้ควบคุมของเตาเผาเซรามิกอัตโนมัติ

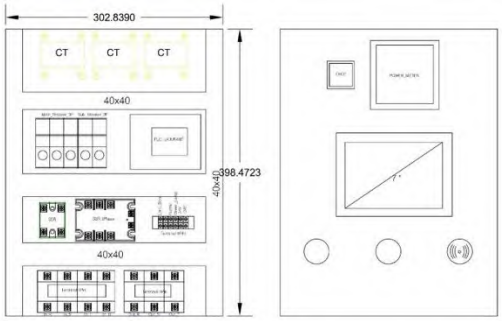

รูปที่ 4 Layout ของตู้ควบคุมการทำงานเตาเผาเซรามิกอัตโนมัติ

3.2 การออกแบบการควบคุมแบบ PID ของเตาเผาเซรามิกอัตโนมัติ

การออกแบบระบบควบคุมของเตาเผาเซรามิกที่ที่พัฒนาขึ้นนี้ ใช้หลักการควบคุมแบบ PID (Proportional Integral Derivative) ซึ่งเป็นอัลกอริทึมมาตรฐานที่ใช้กันอย่างแพร่หลายในการควบคุมอุณหภูมิ [6-7] โดยสมการพื้นฐานของ PID สามารถเขียนได้ดังสมการที่ 1 [8]

$$Y(t) = K_p e(t) + K_i \int_0^t e(\tau) d\tau + K_d \frac{de(t)}{dt} \quad (1)$$

โดยที่ $e(t)=r(t)-y(t)$ คือค่าความคลาดเคลื่อนระหว่างค่าอ้างอิง (Setpoint, $r(t)$) และค่าอุณหภูมิที่วัดได้จริง (Actual, $y(t)$) K_p คือค่าขยายสัดส่วน (Proportional gain) ใช้ควบคุมความไวต่อความคลาดเคลื่อน K_i คือ ค่าขยายอินทิกรัล (Integral gain) ใช้ขจัดความคลาดเคลื่อนคงค้าง (Steady-state error) K_d คือค่าขยายอนุพันธ์ (Derivative gain) ใช้ตอบสนองต่อการเปลี่ยนแปลงของความคลาดเคลื่อน ลดการแกว่งตัวของอุณหภูมิ [9]

ในการออกแบบและทดสอบตัวควบคุม PID สำหรับเตาเผาเซรามิกทีมวิจัยใช้การทดสอบลักษณะพลวัตของระบบ (step/relay test) เพื่อกำหนดค่าตั้งต้น และปรับจูนซ้ำด้วยการทดสอบแบบปิดวงจร โดยเพิ่มหรือลดค่า K_p, K_i , K_d ตามพฤติกรรมของระบบ ผลการปรับจูนได้พารามิเตอร์ที่เหมาะสมคือ K_p =2.0, K_i =0.0033 และ K_d =120 ซึ่งช่วยลดความคลาดเคลื่อนของอุณหภูมิให้อยู่ในช่วง ±1–5 °C และทำให้ระบบควบคุมมีความเสถียร เหมาะสมกับลักษณะการเผาเซรามิกแบบหลายช่วงเวลา เอาต์พุตของตัวควบคุม PID จะถูกแปลงให้อยู่ในรูป Duty Cycle สำหรับขับ Solid State Relay (SSR) เพื่อควบคุมการจ่ายพลังงานไปยังฮีตเตอร์ โดยสามารถปรับสัดส่วนการทำงาน (On/Off Time-Proportioning) ภายในช่วงเวลา 2–10 วินาที ทำให้ระบบสามารถรักษาอุณหภูมิของเตาเผาให้อยู่ในช่วงคลาดเคลื่อนเพียง ±1–5 °C เมื่อเทียบกับค่าอ้างอิง ซึ่งมีความแม่นยำสูงกว่าการควบคุมแบบดั้งเดิมที่ใช้การสังเกตด้วยสายตาหรือระบบอนาล็อก

3.3 การออกแบบระบบควบคุมการทำงานเตาเผาเซรามิก

ในการพัฒนาระบบควบคุมการทำงานเตาเผาเซรามิกอัตโนมัติ ที่มีการใช้งานเตาอัตโนมัติ เริ่มต้นจากการตั้งค่าอุณหภูมิและเวลา หลังจากนั้นระบบจะส่งโปรแกรมไปยังไมโครคอนโทรเลอร์ เพื่อสั่งการให้ฮีตเตอร์ทำงาน ในการแสดงอุณหภูมิและเวลา หากประมวลผลได้จะทำการเก็บข้อมูล แต่ถ้าประมวลผลไม่ได้จะส่งโปรแกรมไปยังไมโครคอนโทรเลอร์อีกครั้งแสดงการทำงานของระบบดังรูปที่ 5

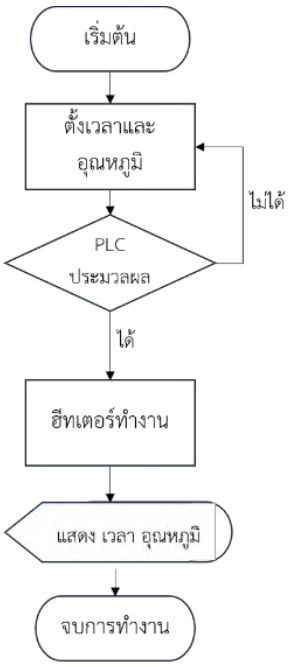

รูปที่ 5 การทำงานของระบบการควบคุมเตาเผาเซรามิกและตู้ควบคุม

ในการออกแบบวงจรเครื่องควบคุมการทำงานเตาเผาเซรามิกอัตโนมัติจะประกอบด้วยวงจรดังต่อไปนี้ วงจรการเชื่อมต่อของ Power meter วงจรการจ่ายแรงดันไฟฟ้า 24 V_{DC} ให้กับ PLC แสดงการเชื่อต่อดังรูปที่ 6 และจอ HMI ในส่วนของการจ่ายแรงดันไฟฟ้า 24 VDC ให้กับ PLC และจอ HMI แสดงดังรูปที่ 7

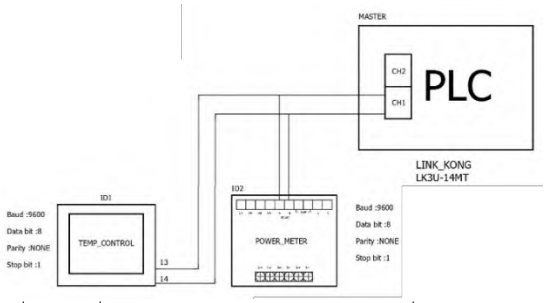

รูปที่ 6 การเชื่อมต่ออุปกรณ์ควบคุมอุณหภูมิและเครื่องวัดกำลังไฟฟ้าเข้ากับ PLC ผ่านทางสื่อสาร RS485

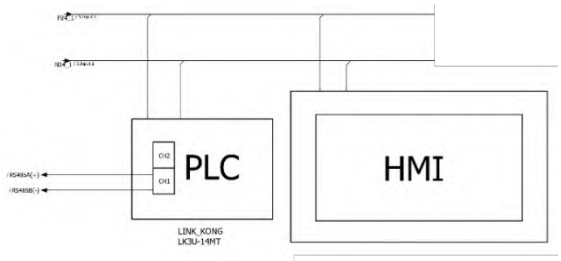

รูปที่ 7 การจ่ายแรงดันไฟฟ้า 24 VDC ให้กับ PLC และจอ HMI

3.4 การเก็บรวบรวมข้อมูล

ในการศึกษาวิจัยนี้ได้ดำเนินการเก็บรวบรวมข้อมูลอย่างเป็นระบบ เพื่อวิเคราะห์และประเมินประสิทธิภาพการใช้พลังงานในกระบวนการให้ความร้อน (Heat Treatment) ของระบบเตาเผา โดยมีการบันทึกข้อมูลอุณหภูมิ ซึ่งประกอบด้วยอุณหภูมิที่ตั้งไว้ (Set point) และอุณหภูมิที่วัดได้จริง (Actual Temperature) พร้อมทั้งการสะสมพลังงานไฟฟ้าในแต่ละช่วงเวลา โดยมีการแบ่งขั้นตอนออกเป็นช่วง Ramp และ Soak ตามลำดับการควบคุมอุณหภูมิในกระบวนการ และได้เก็บรวบรวมข้อมูลที่เกี่ยวข้องกับพลังงานไฟฟ้า ซึ่งประกอบด้วยพลังงานไฟฟ้าที่ใช้ แรงดันไฟฟ้า กระแสไฟฟ้า ค่าตัวประกอบกำลัง (Power Factor) และราคาค่าไฟฟ้า ณ เวลาที่ทำการทดลอง ขั้นตอนการบันทึกผลแสดงรายละเอียดดังนี้

1. การวัดและควบคุมอุณหภูมิ

ผู้วิจัยใช้เทอร์โมคัปเปิล Type S วัดอุณหภูมิสูงในเตาเผา ส่งสัญญาณไปยัง PLC ที่ควบคุมอุณหภูมิด้วยวงจร PID ตามโปรแกรม Ramp/Soak เพื่อปรับความร้อนแม่นยำ พร้อมใช้ Pyrometric Cone(Pyrometric Cone คือ โคนวัดอุณหภูมิ เป็นวัตถุทนไฟที่ทราบอุณหภูมิ สามารถทนความร้อนได้แน่นอน รูปร่างเหมือนพีระมิดเล็กๆ มีความยาว 3-6 เซนติเมตร เมื่อต้องการวัดอุณหภูมิที่จุดใด จะวางตามจุดที่ต้องการและมีส่วนที่อยู่ใกล้ช่องสำหรับมองจากภายนอก เพื่อตรวจดูเมื่อเผาอุณหภูมิสูงที่สูงถึงจุดที่ต้องการ ถ้าหาก cone งอโค้งลงเพียงหนึ่งอัน แสดงอุณหภูมิใกล้จะถึงจุดที่ต้องการ ถ้าหาก cone อันกลางงอโค้งลง แสดงว่าอุณหภูมิถึงจุดที่ต้องการ) ตรวจสอบพลังงานความร้อนสะสมจริงในเตาแบบเชิงคุณภาพ โดยพิจารณาระดับการโค้งงอของโคนในแต่ละหมายเลข (เช่น Cone 017 ≈ 773°C, Cone 014 ≈ 843°C, Cone 5 ≈ 1186°C, Cone 7 ≈ 1215°C) เพื่อยืนยันว่าอุณหภูมิถึงตามที่ต้องการในแต่ละช่วงการเผา

2. การวัดและบันทึกค่าพลังงานไฟฟ้า

ในการวัดและบันทึกค่าไฟฟ้าในระบบ ได้แก่ พลังงานไฟฟ้า (kWh) กระแสไฟฟ้า (A) แรงดันไฟฟ้า (V) ค่า Power Factor และความถี่ (Hz) จะถูกวัดด้วยเครื่องวัดพลังงานไฟฟ้าแบบอเนกประสงค์ (Multi Power Meter) ซึ่งสามารถบันทึกข้อมูลได้อย่างต่อเนื่องและแม่นยำในแต่ละช่วงเวลา ข้อมูลที่ได้จัดเก็บเพื่อใช้ในการคำนวณค่าใช้จ่ายด้านพลังงานไฟฟ้าต่อรอบการทำงาน ตามอัตราหน่วยค่าไฟฟ้าที่กำหนด (แสดงผลในรูปของต้นทุนต่อรอบการทำงาน คำนวณราคาในหน่วยบาท) สมการที่ใช้ในการคำนวณแสดงสมการที่ 2-6 [10]

พลังงานไฟฟ้า (E) ที่ใช้ในช่วงเวลา Δt ชั่วโมง

$$E = P_{kW} \times \Delta t \quad (2)$$

ค่าใช้จ่ายทางไฟฟ้า ($Cost$, อัตรา r บาท/หน่วย)

$$Cost = E \times r \quad (3)$$

ค่ากำลังไฟฟ้าปรากฏ (S)

$$S = \sqrt{3} V_{L-L} \times I_L \quad (4)$$

ค่ากำลังไฟฟ้าจริง (P)

$$P = S \times PF \quad (5)$$

ค่ากำลังรีแอคทีฟ (Q)

$$Q = \sqrt{S^2 - P^2} \quad (6)$$

โดยที่ V_{L-L} แรงดันเฟสต่อเฟส, I_L คือกระแสในสาย [9]

4. ผลการวิจัย

ในการหาประสิทธิภาพของระบบควบคุมการทำงานเตาเผาเซรามิกอัตโนมัติ จำเป็นต้องพิจารณาในด้านการควบคุมอุณหภูมิ และการใช้พลังงานอย่างมีประสิทธิภาพ ซึ่งเป็นปัจจัยสำคัญที่ส่งผลต่อคุณภาพของผลิตภัณฑ์เซรามิก ตลอดจนต้นทุนการผลิต การทดสอบในครั้งนี้จึงแบ่งการหาประสิทธิภาพออกเป็น 2 ส่วนหลัก ได้แก่ ประสิทธิภาพด้านการควบคุมอุณหภูมิ และประสิทธิภาพด้านการใช้พลังงาน

4.1 ประสิทธิภาพด้านการควบคุมอุณหภูมิ

ประสิทธิภาพด้านการควบคุมอุณหภูมิ โดยพิจารณาจากความสามารถของระบบในการรักษาระดับอุณหภูมิให้ใกล้เคียงกับค่าที่ตั้งไว้ (Setpoint) ทั้งในช่วงการเพิ่มอุณหภูมิ (Ramp) และการแช่อุณหภูมิ (Soak) รวมถึงการวิเคราะห์พฤติกรรมของระบบควบคุมในช่วง Ramp และ Soak ว่ามีความเสถียรและตอบสนองได้รวดเร็วเพียงใด ผลการควบคุมอุณหภูมิของเตาเผาเซรามิกอัตโนมัติแสดงดังรูปที่ 8 และการนำ Pyrometric Cone ก่อนและหลังวัดอุณหภูมิภายในเตาเผาเซรามิกแสดงดังรูปที่ 9

รูปที่ 8 แสดงกราฟเปรียบเทียบอุณหภูมิระหว่างค่า Setpoint และค่า Actual ในแต่ละช่วงของกระบวนการเผาเซรามิก พบว่าอุณหภูมิที่วัดได้จริงมีความใกล้เคียงกับค่าที่ตั้งไว้ในทุกช่วงของการทำงาน ทั้งในช่วง Ramp และ Soak เช่น ใน Ramp 1 ค่า Actual อยู่ที่ 299°C เทียบกับ Setpoint 300°C และในช่วง Soak 5 ค่า Actual เท่ากับ 800°C ตรงกับ Setpoint แสดงให้เห็นว่าระบบควบคุมสามารถรักษาระดับอุณหภูมิได้

อย่างสม่ำเสมอตลอดกระบวนการเผา ไม่มีการแปรผันของอุณหภูมิอย่างชัดเจนในแต่ละเฟสการทำงานอย่างสม่ำเสมอตลอดกระบวนการเผา ไม่มีการแปรผันของอุณหภูมิอย่างชัดเจนในแต่ละเฟสการทำงาน

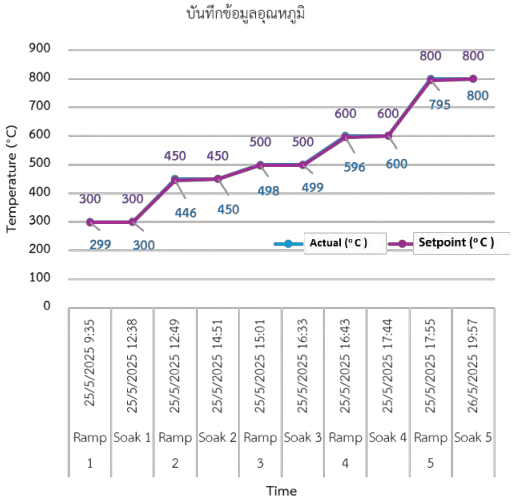

รูปที่ 8 การทำงานของระบบการควบคุมเตาเผาเซรามิกและตู้ควบคุม

(ก) (ข)

รูปที่ 9 Pyrometric Cone ภายในเตาเผาเซรามิก
(ก) ก่อนวัดอุณหภูมิ และ (ข) หลังวัดอุณหภูมิ

จากรูปที่ 9 แสดงการเปรียบเทียบชิ้นงานและ Pyrometric Cone ก่อนและหลังการเผา โดยใช้ Cone หมายเลข 017 (≈773 ℃), 014 (≈843 ℃), 5 (≈1186 ℃) และ 7 (≈1215 ℃) เพื่อตรวจสอบระดับอุณหภูมิภายในเตา โดย Cone จะเอนตัวเมื่อได้รับความร้อนถึงค่าที่กำหนด หลังการเผาพบว่า Cone มีการเอนตามลำดับ แสดงว่าเตาสามารถให้ความร้อนถึงระดับที่เหมาะสมในแต่ละช่วง ยืนยันความถูกต้องของระบบควบคุมอุณหภูมิที่ใช้ในการทดลองจากผลการทดลองพบว่า Cone มีการเอนตัวตามลำดับความร้อนที่คาดไว้และยังแสดงให้เห็นว่าระบบสามารถให้ความร้อนภายในเตาได้อย่างต่อเนื่องตามโปรไฟล์ที่กำหนด และมีความสม่ำเสมอเพียงพอสำหรับกระบวนการเผาเซรามิก

4.2 ประสิทธิภาพด้านการใช้พลังงาน

ประสิทธิภาพด้านการใช้พลังงาน เพื่อศึกษาปริมาณพลังงานไฟฟ้าที่ใช้ตลอดกระบวนการเผา และเปรียบเทียบกับระดับอุณหภูมิและระยะเวลาในการเผาในแต่ละขั้นตอน โดยวิเคราะห์จากข้อมูลแรงดันไฟฟ้า กระแสไฟฟ้า และตัวประกอบกำลังไฟฟ้า (Power Factor) เพื่อนำไปคำนวณเป็นค่าพลังงานไฟฟ้าทั้งหมดที่ใช้ (kWh) ซึ่งสามารถนำมาใช้ประเมินความคุ้มค่าในการใช้งานระบบ

ในการทดลองครั้งนี้ ได้ดำเนินการศึกษาการใช้พลังงานไฟฟ้าในแต่ละช่วงของกระบวนการเผาเซรามิก เพื่อประเมินประสิทธิภาพของระบบควบคุมอุณหภูมิแบบอัตโนมัติ โดยใช้เครื่องมัลติพาวเวอร์มิเตอร์ (Multi Power Meter) ในการวัดค่าพลังงาน ซึ่งสามารถตรวจวัดได้ทั้งแรงดันไฟฟ้า กระแสไฟฟ้า ค่าตัวประกอบกำลัง (Power Factor) และพลังงานไฟฟ้าสะสม (kWh) ที่เกิดขึ้นตลอดการทำงานแสดงผลการทดลอง โดยเริ่มทดลองตั้งแต่เวลา 09.35 น.-19.57 น. ดังตารางที่ 1 และรูปที่ 10 กราฟความสัมพันธ์ระหว่างปริมาณทางไฟฟ้าและขั้นตอนการทำงานของเตาเผาเซรามิกอัตโนมัติ

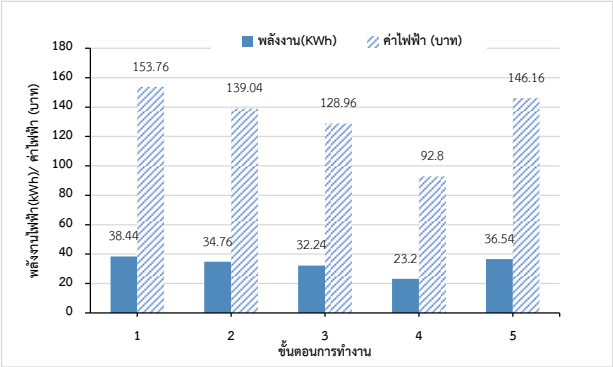

รูปที่ 10 กราฟความสัมพันธ์ระหว่างปริมาณทางไฟฟ้าและขั้นตอนการทำงานของเตาเผาเซรามิกอัตโนมัติ

ตารางที่ 1 ข้อมูลพลังงานไฟฟ้าที่ของเตาเผาเซรามิกอัตโนมัติ

เวลา	ขั้นที่	พลังงานไฟฟ้า (kWh)	กระแสไฟฟ้า (A)	แรงดันไฟฟ้า (V)	ตัวประกอบกำลัง	ค่าไฟฟ้า (บาท)
12.38	1	38.44	24.46	406.77	0.98	153.76
14.51	2	34.76	25.83	406.34	0.99	139.04
16.33	3	32.24	30.45	405.64	0.98	128.96
17.44	4	23.2	30.15	407.38	0.97	92.8
19.57	5	36.54	28.13	405.31	0.98	146.16
พลังงานไฟฟ้ารวม		165.18		ราคาค่าไฟฟ้ารวม		660.72

จากตารางที่ 1 แสดงผลการใช้พลังงานไฟฟ้าในแต่ละขั้นตอนของกระบวนการเผาเซรามิก เมื่อวันที่ 4 พฤษภาคม 2568 โดยบันทึกข้อมูลสำคัญ ได้แก่ ค่าพลังงานไฟฟ้า (kWh) กระแสไฟฟ้า (A) แรงดันไฟฟ้า (V) ค่า Power factor ความถี่ (Hz) และคำนวณค่าไฟฟ้าในแต่ละขั้นตอน (หน่วยละ 4 บาท) พบว่าการทำงานครบทั้ง 5 ขั้นตอน ใช้พลังงานไฟฟ้ารวม 165.18 kWh หน่วย ค่าไฟฟ้าทั้งสิ้น 660.72 บาท

4.3 ผลการเปรียบเทียบระหว่างเวลา อุณหภูมิ และพลังงานสะสม

จากผลการทดลองครั้งที่ 1 ในวันที่ 4 พฤษภาคม 2568 แสดงดังรูปที่ 11 แสดงความสัมพันธ์ระหว่างเวลา อุณหภูมิ และพลังงานสะสม เมื่อเวลาเริ่มต้น 180 นาที ค่าอุณหภูมิ 299°C เมื่อเวลาผ่านไปจนสิ้นสุด

กระบวนการเมื่อเวลา 620 นาที ค่าอุณหภูมิ 800°C มีค่าพลังงานสะสม 165.18 kWh

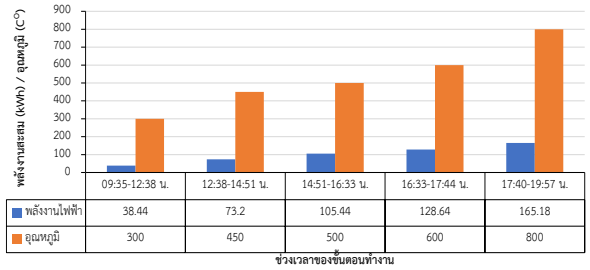

	09:35-12:38 น.	12:38-14:51 น.	14:51-16:33 น.	16:33-17:44 น.	17:40-19:57 น.
พลังงานไฟฟ้า	38.44	73.2	105.44	128.64	165.18
อุณหภูมิ	300	450	500	600	800

รูปที่ 11 ความสัมพันธ์ระหว่างเวลา อุณหภูมิ และพลังงานสะสม

5. สรุปผลการวิจัย

งานวิจัยนี้เป็นการออกแบบและสร้างระบบควบคุมการทำงานเตาเผาเซรามิกอัตโนมัติเพื่อการแก้ปัญหาจากระบบเดิม ซึ่งเป็นกระบวนการที่สำคัญในการควบคุมอุณหภูมิได้อย่างแม่นยำ สม่ำเสมอ และปลอดภัย ระบบที่พัฒนาขึ้นใช้ PLC FX3U-24MR และโมดูล MI-LK3U-24MR-4AD-2DA ควบคุมร่วมกับอุปกรณ์อื่น ๆ ได้แก่ เทอร์โมคัปเปิลชนิด S สำหรับการวัดอุณหภูมิ Solid State Relay สำหรับควบคุมการจ่ายกระแสไฟไปยังฮีตเตอร์ จอสัมผัส HMI Samkoon 7 ในการตั้งค่าและแสดงผล และ Temperature Controller DTK4848V12 เพื่อช่วยจัดการค่าอุณหภูมิให้แม่นยำ ในการเขียนโปรแกรมควบคุมระบบอัตโนมัติใช้หลักการควบคุม PID และ Ladder Diagram สามารถปรับตั้งช่วงอุณหภูมิในแต่ละเฟสของการเผาได้ตามต้องการ และลดความคลาดเคลื่อนในการควบคุมอุณหภูมิลงอย่างมีนัยสำคัญ และเมื่อมีการควบคุมอุณหภูมิเตาเผาอัตโนมัติ ในเปรียบเทียบค่าอุณหภูมิที่ตั้งไว้ หรือ Setpoint กับค่าอุณหภูมิที่วัดได้จริง หรือ Actual มีอุณหภูมิเริ่มต้น 300 °C อุณหภูมิจะเพิ่มขึ้นแบบเอกซ์โพเนนเชียล อุณหภูมิที่อ่านค่าได้สูงสุด 800 °C ทำให้มีความเสถียรของระบบควบคุม PID ในการรักษาอุณหภูมิภายในเตาเผามีความคลาดเคลื่อนระหว่างในช่วง ±1-5 °C เมื่อวิเคราะห์พฤติกรรมของอุณหภูมิในช่วง Ramp และ Soak และเมื่อนำ Pyrometric Cone 017 คือโคนที่ล้มลงไม่สามารถวัดมุมที่โค้งได้ ซึ่งอุณหภูมิภายในเตาเผาเซรามิกเกิน 773 °C ดังนั้นระบบ PID สามารถควบคุมให้อุณหภูมิถึงค่าดังกล่าวได้แม่นยำและคงที่เมื่อเทียบกับค่าที่โคนที่มีความโค้งและอ่อนตัวลง

ในส่วนของประสิทธิภาพของระบบควบคุมการทำงานเตาเผาเซรามิกอัตโนมัติ การใช้พลังงานไฟฟ้าในแต่ละรอบและบันทึกผ่านเครื่องมัลติพาวเวอร์มิเตอร์ นำไปวัดค่าแรงดันไฟฟ้า กระแสไฟฟ้า ค่าตัวประกอบกำลัง และพลังงานสะสม ซึ่งคำนวณค่าไฟฟ้าจากพลังงานไฟฟ้ารวม 165.18 kWh ต้นทุนค่าไฟฟ้ารวมต่อรอบประมาณ 660.72 บาท มีความสัมพันธ์ระหว่างปริมาณและขั้นตอนการทำงานแบบเอกซ์โพเนนเชียล ทำให้มีการประเมินความคุ้มค่าและประสิทธิภาพของระบบควบคุมแบบอุณหภูมิแบบอัตโนมัติเมื่อเทียบกับการควบคุมอุณหภูมิแบบอะนาล็อก

6. กิตติกรรมประกาศ

คณะผู้วิจัยขอขอบพระคุณ มหาวิทยาลัยราชภัฏพระนครมหาวิทยาลัยเทคโนโลยีพระจอมเกล้าพระนครเหนือ มหาวิทยาลัยกรุงเทพธนบุรี มหาวิทยาลัยเทคโนโลยีราชมงคลรัตนโกสินทร์ และ มหาวิทยาลัยเทคโนโลยีราชมงคลสุวรรณภูมิ ที่สนับสนุนให้นักวิจัยได้มีเวลาทำงานวิจัยร่วมถึงอนุเคราะห์สถานที่ในการทำวิจัยครั้งนี้ให้สำเร็จลุล่วงไปด้วยดี

เอกสารอ้างอิง

[1] สมศักดิ์ ชวาลาวัณย์, *เซรามิกส์เบื้องต้น*, เอกสารตำราประกอบการสอน, มหาวิทยาลัยศรีนครินทรวิโรฒ, 2541.

[2] “What are advanced ceramics, and where are they used?,” *How Engineering Works*, Jun. 2025. [Online]. Available: https://www.howengineeringworks.com/questions/what-are-advanced-ceramics-and-where-are-they-used/?utm_source=chatgpt.com. [Accessed: 18-Aug-2025].

[3] “ไทยส่งออกเซรามิกคราฟต์เครื่องครัวมูลค่าพุ่ง ติดอันดับ 4 ของโลก,” *Post Today Smart-SME*, 3 ส.ค. 2568. [ออนไลน์]. Available: https://www.posttoday.com/smartsme/728204.

[4] ISA, “Optimize closed-loop control: Better understanding PID equation,” *ISA Blog*, 2019. [Online]. Available: https://blog.isa.org/optimize-closed-loop-control-better-understanding-pid-equation. [Accessed: Aug. 18, 2025].

[5] ศิริพงษ์ แก้วสีหมอก, “การปรับปรุงหัวเผาสำหรับเตาเผาแบบลูกกลิ้ง : กรณีศึกษา โรงงานเซรามิก,” วิทยานิพนธ์ปริญญามหาบัณฑิต, ภาควิชาวิศวกรรมเคมี, คณะวิศวกรรมศาสตร์, มหาวิทยาลัยธรรมศาสตร์, 2561.

[6] คงศักดิ์ จินาวัลย์, “การศึกษาระบบควบคุมอัตโนมัติในระบบบำบัดน้ำเสียด้วยโปรแกรมควบคุม,” วิทยานิพนธ์มหาบัณฑิต, สาขาวิศวกรรมศาสตร์, มหาวิทยาลัยสยาม, กรุงเทพฯ, 2563.

[7] ณัฐวัฒน์ อันสมศรี, “การพัฒนาเตาเผาผลิตภัณฑ์เซรามิกขนาดเล็กที่ใช้แก๊สเชื้อเพลิงสังเคราะห์จากแก๊สซิไฟเออร์แบบไหลขวาง,” วิทยานิพนธ์ปริญญามหาบัณฑิต, บัณฑิตวิทยาลัย, มหาวิทยาลัยศรีนครินทรวิโรฒ, 2565.

[8] พรรณวิภา แพงศรี และ ประภาวรรณ แพงศรี, “การออกแบบระบบควบคุมอุณหภูมิในกระบวนการหมักไวน์,” *PBRU Science Journal* [ออนไลน์], ปีที่ 21, ฉบับที่ 2,หน้า 1-14.

[9] R. C. Dorf and R. H. Bishop, *Modern Control Systems*, 13th ed. Upper Saddle River, NJ, USA: Pearson, 2017.

[10] ชำนาญ ห่อเกียรติ. *ระบบไฟฟ้ากำลัง*, พิมพ์ครั้งที่ 4. กรุงเทพฯ: มหาวิทยาลัยเกษตรศาสตร์, 2552.

การศึกษาอิทธิผลของพลาสมาที่สภาวะบรรยากาศต่อการปรับสภาพพื้นผิวด้วยเทคนิคพลาสมาแอคทูเอเตอร์

The Study of Atmospheric Plasma Effectiveness on Surface Modification Using Plasma Actuator

กิติศักดิ์ โคมน้อย[1,2] คณิศร์ มาตรา[2*] พสิษฐ์ วงษ์หาบุศย์[1,2] และ วุฒิโชค แสงวัง[1,2]

[1]ศูนย์วิศวกรรมและเทคโนโลยีนิวเคลียร์ชั้นสูง สถาบันเทคโนโลยีนิวเคลียร์แห่งชาติ (องค์การมหาชน) อำเภอองครักษ์ จังหวัดนครนายก
[2]ภาควิชาวิศวกรรมไฟฟ้า คณะวิศวกรรมศาสตร์ มหาวิทยาลัยศรีนครินทรวิโรฒ อำเภอองครักษ์ จังหวัดนครนายก khanit@g.swu.ac.th[2*]

บทคัดย่อ

บทความฉบับนี้นำเสนอการศึกษาการประยุกต์ใช้เทคนิคพลาสมาแอคทูเอเตอร์ภายใต้สภาวะบรรยากาศ (atmospheric plasma actuator , APA) เพื่อศึกษาผลของพลาสมาแอคทูเอเตอร์ต่อการเปลี่ยนแปลงคุณสมบัติพื้นผิวของวัสดุ โดยมุ่งเน้นการวิเคราะห์ความชอบน้ำของพื้นผิววัสดุภายหลังการผ่านกระบวนการปรับสภาพด้วยเทคโนโลยีพลาสมา วัสดุที่ใช้ในการทดลองประกอบด้วยพอลิไวนิลคลอไรด์ (polyvinyl chloride, PVC), อะลูมิเนียม (aluminum, Al) และทองแดง (copper, Cu) โดยมีการสังเกตุความเปลี่ยนแปลงความชอบน้ำของพื้นผิววัสดุที่มีความแตกต่างกัน โดยดำเนินการวัดมุมสัมผัสของหยดน้ำ (water contact angle, WCA) ทั้งก่อนและหลังการผ่านกระบวนการปรับปรุงพื้นผิววัสดุด้วยเทคโนโลยีพลาสมา โดยในครั้งนี้ผลการทดลองบ่งบอกได้ว่า เทคนิคการปรับปรุงพื้นผิววัสดุด้วยเทคโนโลยีพลาสมาแอคทูเอเตอร์มีคุณสมบัติในการเพิ่มความชอบน้ำของพื้นผิววัสดุ โดยมีการใช้แหล่งจ่ายไฟฟ้าแรงดันสูงกับการทดลองทั้ง 3 ระยะ โดยกำหนดระยะความห่างระหว่างปลายขั้วอิเล็กโทรดถึงอีกปลายขั้วโดยกำหนดระยะความห่างที่ 2 , 4 และ 6 มิลลิเมตร ตามลำดับ มีอัตราการใช้กำลังไฟฟ้าเฉลี่ย 0.48 กิโลวัตต์ (kW) โดยพบว่ามุมสัมผัสของหยดน้ำทั้ง 3 วัสดุมีแนวโน้มลดลงเฉลี่ยเป็น 1.60 เท่าเมื่อเทียบกับกลุ่มควบคุม เมื่อเพิ่มระยะเวลาในการปรับสภาพด้วยพลาสมาเป็นเวลา 3 นาที โดยพบว่าวัสดุทองแดง มีอัตราการชอบน้ำมากกว่าทั้ง 2 วัสดุ ทั้งนี้อัตราการเปลี่ยนแปลงดังกล่าวขึ้นอยู่กับชนิดของวัสดุและระยะเวลาในการปรับปรุงพื้นผิววัสดุ แสดงให้เห็นถึงความเป็นไปได้ในการประยุกต์ใช้เทคนิคพลาสมาแอคทูเอเตอร์ ในการปรับปรุงคุณสมบัติพื้นผิวของวัสดุเพื่อรองรับการใช้งานในภาคอุตสาหกรรมและเทคโนโลยีการปรับปรุงพื้นผิววัสดุในอนาคต

คำสำคัญ: พลาสมาอุณหภูมิต่ำที่สภาวะบรรยากาศ, การปรับสภาพพื้นผิวของวัสดุ, พลาสมาแอคทูเอเตอร์, ความชอบน้ำ

Abstract

This study presents the application of an Atmospheric Plasma (APA) This study investigates the application of atmospheric plasma actuator technology for surface modification of materials, with an emphasis on evaluating changes in surface wettability. Three materials polyvinyl chloride (PVC), aluminum (Al) and copper (Cu) were subjected to plasma treatment, and their water contact angles (WCA) were measured before and after surface modification. The experiments were conducted using a high-voltage power supply with electrode gap distances of 2, 4, and 6 mm, and an average power consumption of 0.48 kW. The results revealed that plasma treatment significantly enhanced the hydrophilic properties of the tested materials, with an average reduction in water contact angle by a factor of 1.60 compared to the control group after a treatment duration of 3 minutes. Among the tested materials, copper exhibited the greatest improvement in wettability. The degree of change was found to depend on both the material type and treatment duration. These findings demonstrate the potential of plasma actuator technology as a promising method for improving material surface properties, supporting its future applications in industrial and advanced surface modification technologies.

Keywords: Atmospheric non-thermal plasma, Contact angle Plasma actuator, Surface conditioning of materials

การพัฒนาระบบควบคุมสภาพแวดล้อมอัจฉริยะสำหรับการเพาะเห็ดมิลค์กี้ด้วยเทคโนโลยี IoT
Development of an Intelligent Environmental Control System for Milky Mushroom Cultivation Using IoT Technology

ยุทธนา จงเจริญ[1] และ อรดี พฤติศรัณยนนท์[2*]

[1]ภาควิชาวิศวกรรมไฟฟ้าและคอมพิวเตอร์ คณะวิศวกรรมศาสตร์ มหาวิทยาลัยธรรมศาสตร์ cyutana@engr.tu.ac.th
[2]วิทยาลัยวิศวกรรมศาสตร์และเทคโนโลยี มหาวิทยาลัยธุรกิจบัณฑิตย์ oradee.prt@dpu.ac.th*

บทคัดย่อ

บทความนี้นำเสนอการออกแบบและพัฒนาระบบควบคุมสภาพแวดล้อมสำหรับการเพาะปลูกเห็ดมิลค์กี้โดยใช้เทคโนโลยีอินเทอร์เน็ตของสรรพสิ่งผ่านแพลตฟอร์ม Home Assistant เพื่อควบคุมและตรวจสอบสภาพแวดล้อมภายในกล่องเพาะปลูกอย่างอัตโนมัติ อุปกรณ์ที่ใช้ประกอบด้วยบอร์ดไมโครคอนโทรลเลอร์ ESP32 เซ็นเซอร์ตรวจวัดอุณหภูมิและความชื้น เครื่องพ่นหมอก พัดลมระบายอากาศ กล้อง ESP32-CAM และเซ็นเซอร์ตรวจวัดมวลของเห็ดที่ปลูก ระบบสามารถควบคุมสภาพอากาศให้เหมาะสมโดยอัตโนมัติ เช่น เพิ่มความชื้นเมื่อค่าความชื้นสัมพัทธ์ต่ำกว่า 80% และเปิดพัดลมเมื่ออุณหภูมิสูงเกิน 35°C ข้อมูลทั้งหมดจะถูกส่งไปยัง Home Assistant และแจ้งเตือนผู้ใช้งานผ่าน LINE Notify ผลการทดลองแสดงให้เห็นว่าระบบสามารถลดภาระของผู้เพาะเห็ด และเพิ่มประสิทธิภาพการควบคุมสภาพแวดล้อมได้อย่างแม่นยำ

คำสำคัญ: อินเทอร์เน็ตของสรรพสิ่ง เห็ดมิลค์กี้ Home Assistant การเพาะปลูกในร่ม

Abstract

This article presents the design and development of an environmental control system for cultivating milky mushrooms using Internet of Things (IoT) technology through the Home Assistant platform to automatically control and monitor the environment inside the cultivation box. The equipment used includes an ESP32 microcontroller board, temperature and humidity sensors, a humidifier, a ventilation fan, an ESP32-CAM camera, and a sensor to measure the mass of the cultivated mushrooms. The system can automatically regulate the environment, such as increasing humidity when it falls below 75% and activating the fan when the temperature exceeds 33°C. All data are transmitted to Home Assistant and users receive notifications via LINE Notify. Experimental results demonstrate that the system reduces the workload of mushroom cultivators and improves the accuracy of environmental control efficiency.

Keywords: IoT, Milky Mushroom, Home Assistant, Indoor Cultivation

1. บทนำ

เห็ดมิลค์กี้ (Milky Mushroom หรือชื่อทางวิทยาศาสตร์ว่า Calocybe indica) เป็นเห็ดเศรษฐกิจที่ได้รับความนิยมเนื่องจากมีรสชาติดี คุณค่าทางโภชนาการสูง และฤทธิ์ทางยา เหมาะแก่การเพาะปลูกเพื่อบริโภคและจำหน่ายเชิงพาณิชย์ [1], [2] อย่างไรก็ตาม การเพาะเห็ดมิลค์กี้ให้ได้ผลผลิตที่ดี จำเป็นต้องควบคุมสภาพแวดล้อมอย่างแม่นยำ ทั้งอุณหภูมิ ความชื้น แสง และระยะเวลาการให้แสงอย่างต่อเนื่อง [2] โดยทั่วไป ผู้เพาะเห็ดต้องคอยตรวจสอบค่าเหล่านี้ด้วยตนเอง ซึ่งทำให้สิ้นเปลืองแรงงาน และมีความเสี่ยงจากความผิดพลาดหรือความล่าช้าในการตอบสนองต่อการเปลี่ยนแปลงของสภาพแวดล้อม

ในยุคปัจจุบัน เทคโนโลยีอินเทอร์เน็ตของสรรพสิ่งได้ถูกนำมาใช้เพิ่มประสิทธิภาพของระบบการเกษตรในหลากหลายรูปแบบ โดยเฉพาะอย่างยิ่งในกลุ่มของการเกษตรแม่นยำ (Precision Agriculture) ซึ่งรวมถึงการเพาะเห็ดในระบบปิดด้วย [3], [4] การประยุกต์ใช้ IoT ทำให้สามารถตรวจวัดสภาพแวดล้อมแบบ real-time และควบคุมอุปกรณ์ต่าง ๆ ได้อย่างแม่นยำ เช่น ระบบสร้างความชื้น พัดลมระบายอากาศ หรือระบบแสงสว่าง [4]

Al-Talib et al. [3] พัฒนาชุดเพาะเห็ดอัจฉริยะที่เน้นความกะทัดรัด ใช้งานง่าย และเหมาะสำหรับผู้เพาะเห็ดรายย่อย โดยมีการใช้ IoT เพื่อตรวจสอบอุณหภูมิและความชื้นในสภาพแวดล้อมของการเพาะเห็ดอย่างต่อเนื่อง และสามารถควบคุมอุปกรณ์พื้นฐานเพื่อปรับสภาพแวดล้อมได้อัตโนมัติ อย่างไรก็ตาม ระบบดังกล่าวยังมีข้อจำกัดในด้านการตรวจสอบข้อมูลการเจริญเติบโตของเห็ดโดยตรง เช่น การตรวจมวลก้อนเชื้อเห็ดหรือการเก็บบันทึกข้อมูลภาพเพื่อวิเคราะห์การเจริญเติบโต งานวิจัยนี้จึงพัฒนาต่อยอด โดยเพิ่มการตรวจวัดมวลก้อนเชื้อและการเก็บบันทึกภาพถ่าย รวมถึงการเชื่อมต่อกับ Home Assistant เพื่อการควบคุมและวิเคราะห์ข้อมูลที่ครอบคลุมมากขึ้น

จากความสำคัญข้างต้น งานวิจัยนี้จึงได้ศึกษาปัจจัยสิ่งแวดล้อมที่สำคัญในการเพาะปลูกเห็ดมิลค์กี้ เพื่อนำมาเป็นข้อมูลในการออกแบบและพัฒนาระบบที่ประกอบไปด้วยฮาร์ดแวร์ ซอฟต์แวร์ และระบบควบคุมและสื่อสารผ่านเทคโนโลยีอินเทอร์เน็ตของสรรพสิ่ง เพื่อใช้ในการควบคุมและติดตามสภาพแวดล้อมการเพาะปลูก นอกจากนี้ยังสามารถแสดงผลบนแดชบอร์ดและจัดเก็บข้อมูลไว้เพื่อการวิเคราะห์ในอนาคต หลังจากได้ระบบที่พัฒนาขึ้นแล้ว นำมาทดสอบโดยทำการทดลองเปรียบเทียบผลการเจริญเติบโตระหว่างการเพาะปลูกด้วยระบบที่พัฒนาขึ้นกับการเพาะปลูกแบบดั้งเดิมในกล่องโฟม เพื่อแสดงผลการเปรียบเทียบและหาข้อสรุปของงานวิจัยและข้อเสนอแนะต่อไป

2. ปัจจัยสิ่งแวดล้อมสำหรับการเพาะปลูกเห็ดมิลค์กี้

จากการศึกษาปัจจัยด้านการเพาะปลูกเห็ดมิลค์กี้ พบว่า ในแต่ละช่วงของการเพาะปลูกดังรูปที่ 1 เห็ดมิลค์กี้สามารถเจริญเติบโตได้ดีในสภาพแวดล้อมที่แตกต่างกัน เช่น ในช่วงระยะเส้นใยเจริญ (spawn run) การรักษาอุณหภูมิที่ 25–30 °C ความชื้นสัมพัทธ์ 80–85% เป็นเวลา 15–20 วัน โดยอยู่ในสภาวะที่แสงน้อย (<800 lux) จะช่วยให้เส้นใยเจริญได้ดี

*ผู้ประพันธ์บรรณกิจ

[5] การควบคุมปัจจัยเหล่านี้จึงเป็นหัวใจสำคัญของการเพาะปลูกในแต่ละช่วงให้มีประสิทธิภาพ

รูปที่ 1 ช่วงการเพาะปลูกเห็ดมิลค์กี้

3. การออกแบบและพัฒนาระบบ

ระบบควบคุมการเพาะปลูกเห็ดมิลค์กี้ถูกออกแบบบนสถาปัตยกรรมแบบอินเทอร์เน็ตของสรรพสิ่ง โดยภาพรวมของระบบแสดงดังรูปที่ 2

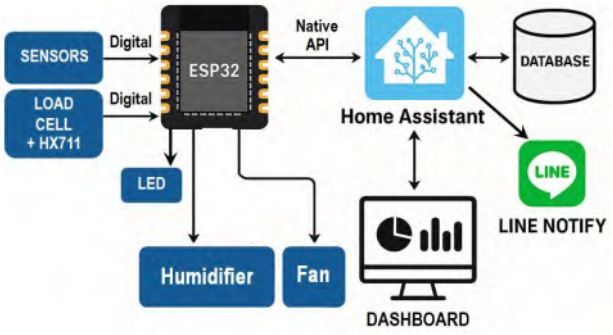

รูปที่ 2 แผนภาพสถาปัตยกรรมของระบบ

จากรูปที่ 2 ระบบประกอบด้วยองค์ประกอบหลัก 4 ส่วน ได้แก่ ฮาร์ดแวร์ ซอฟต์แวร์ ระบบควบคุมและสื่อสาร และการจัดเก็บและบันทึกข้อมูล

3.1 การพัฒนาฮาร์ดแวร์

การพัฒนาฮาร์ดแวร์เป็นขั้นตอนสำคัญของระบบ เนื่องจากทำหน้าที่เชื่อมโยงระหว่างการตรวจวัดสภาพแวดล้อมและการควบคุมอุปกรณ์ให้เป็นไปตามเงื่อนไขที่กำหนด ฮาร์ดแวร์ที่ใช้ในงานวิจัยนี้ถูกคัดเลือกโดยคำนึงถึงความแม่นยำ เสถียรภาพ และรองรับการสื่อสารกับแพลตฟอร์ม IoT ได้อย่างมีประสิทธิภาพ มีดังนี้

- **บอร์ดไมโครคอนโทรลเลอร์ ESP32** ทำหน้าที่เป็นหน่วยประมวลผลกลาง เชื่อมต่อกับเซนเซอร์และอุปกรณ์ควบคุมผ่านพอร์ตดิจิทัลและอนาล็อก
- **เซนเซอร์** ประกอบด้วย (1) เซนเซอร์วัดอุณหภูมิและความชื้น SHT31 ในการรับค่าอุณหภูมิและความชื้นสัมพัทธ์ภายในกล่องเพาะปลูกเห็ดมิลค์กี้ (2) เซนเซอร์วัดอุณหภูมิและความชื้น DHT21 สำหรับวัดอุณหภูมิและความชื้นสัมพัทธ์ของอากาศในโดยรอบกล่อง (3) โหลดเซลล์และบอร์ด HX711 สำหรับตรวจวัดมวลก้อนเชื้อเห็ด (4) กล้อง ESP32-CAM สำหรับถ่ายภาพเห็ด และ (5) เซ็นเซอร์ตรวจจับระดับน้ำแบบไม่สัมผัส XKC-Y25-NPN สำหรับตรวจสอบปริมาณน้ำในถัง
- **อุปกรณ์ควบคุม** ประกอบด้วย (1) พัดลมระบายอากาศเพื่อควบคุมอุณหภูมิ (2) เครื่องพ่นหมอกเพื่อเพิ่มความชื้น และ (3) RGB LED Driver เพื่อควบคุมแสงของ LED ที่เหมาะสมต่อการเจริญเติบโตของเห็ด
- **อุปกรณ์ไฟฟ้าอิเล็กทรอนิกส์** ประกอบด้วย (1) Power Adapter 12V เป็นแหล่งจ่ายไฟหลักของระบบทั้งหมด ที่แปลงไฟฟ้า 220V AC (ไฟบ้าน) เป็น 12V DC (2) Stepdown 5V เพื่อลดแรงดันไฟฟ้าลงจาก 12V DC เป็น 5V DC และ (3) รีเลย์ 2-Channel ควบคุมการเปิด-ปิดของพัดลมและเครื่องพ่นหมอกเพื่อปรับสภาพแวดล้อมให้เหมาะสม สำหรับการเชื่อมต่อวงจรไฟฟ้าของอุปกรณ์ต่าง ๆ ในระบบแสดงดังรูปที่ 3
- **กล่องเพาะปลูก** ทำจากกล่องพลาสติกทึบแบบมีฝาปิดด้านข้าง ขนาดภายในกว้าง 41 × ยาว 44 × สูง 40.5 เซนติเมตร สำหรับเพาะปลูกเห็ด 1 ห่อ ดังรูปที่ 4 ภายในมีการติดตั้งเซนเซอร์และอุปกรณ์ควบคุมในตำแหน่งที่เหมาะสม เพื่อให้ค่าที่วัดได้แม่นยำ

3.2 การพัฒนาซอฟต์แวร์

ซอฟต์แวร์ควบคุมสภาพแวดล้อมถูกพัฒนาบนแพลตฟอร์ม ESPHome [6] เพื่อประยุกต์ใช้กับบอร์ดไมโครคอนโทรลเลอร์ ESP32 โดยมีหน้าที่หลักในการตรวจวัดและควบคุมปัจจัยที่จำเป็นต่อการเจริญเติบโตของเห็ดมิลค์กี้ ได้แก่ อุณหภูมิ ความชื้นสัมพัทธ์ และระดับน้ำในถังเก็บน้ำ ขั้นตอนการทำงานแบ่งออกเป็นเงื่อนไขตามค่าที่ตรวจวัดได้จากเซนเซอร์

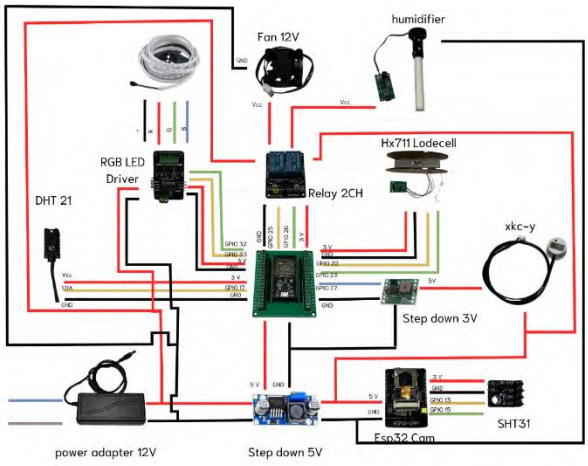

รูปที่ 3 แผนผังวงจรไฟฟ้า

รูปที่ 4 กล่องเพาะปลูก

เมื่ออุณหภูมิสูงกว่า 30 °C ระบบจะสั่งงานให้พัดลมระบายอากาศทำงานเพื่อปรับลดอุณหภูมิ ในขณะที่หากอุณหภูมิต่ำกว่า 25 °C จะส่งการแจ้งเตือนไปยังผู้ใช้โดยอัตโนมัติ สำหรับความชื้น ระบบจะสั่งเปิดเครื่องสร้างความชื้นเมื่อค่าความชื้นสัมพัทธ์ต่ำกว่า 80% และสั่งปิดเมื่อค่าความชื้นสัมพัทธ์สูงกว่า 85% ดังรูปที่ 5

ในส่วนของการจัดการน้ำที่ใช้กับเครื่องพ่นหมอกเพื่อเพิ่มความชื้น ซอฟต์แวร์ใช้เซนเซอร์ตรวจวัดระดับน้ำในถังเก็บ โดยหากตรวจพบว่าระดับน้ำต่ำ ระบบจะส่งการแจ้งเตือนทันทีเพื่อให้ผู้ใช้เติมน้ำ และเมื่อมีการเติมน้ำจนถึงระดับที่เหมาะสม จะส่งข้อความยืนยันว่าระบบได้รับการเติมน้ำแล้ว ฟังก์ชันนี้ช่วยให้การจัดการน้ำมีความแม่นยำและลดความเสี่ยงจากการขาดแคลนน้ำ

นอกจากนี้ ระบบยังรองรับการบันทึกข้อมูลการเจริญเติบโตของเห็ด โดยใช้การถ่ายภาพและการชั่งน้ำหนัก เมื่อผู้ใช้กดปุ่มสั่งถ่ายภาพ ระบบจะเปิดไฟเพาะปลูก เปิดกล้องเพื่อจับภาพ และอ่านค่าน้ำหนักของก้อนเห็ด จากนั้นส่งข้อมูลภาพถ่ายและมวลของเห็ดไปยังผู้ใช้ผ่าน Line Notify [3]

ซอฟต์แวร์ยังถูกออกแบบให้ทำงานตามตารางเวลาที่กำหนด เพื่อควบคุมแสงที่ใช้การเพาะปลูก โดยในเวลา 00:00 น. ระบบจะเปิดไฟเพาะปลูกอัตโนมัติ เวลา 05:55 น. ระบบจะสั่งงานให้ถ่ายภาพและชั่งน้ำหนักพร้อมส่งข้อมูลไปยังผู้ใช้ และในเวลา 06:00 น. ระบบจะสั่งปิดไฟเพาะปลูก กลไกการทำงานทั้งหมดนี้ถูกดำเนินการภายในลูปหลักของ ESPHome ทำให้ซอฟต์แวร์สามารถทำงานได้อย่างต่อเนื่องแบบเรียลไทม์ ลดภาระการตรวจสอบจากผู้ใช้ และช่วยเพิ่มความแม่นยำในการควบคุมสภาพแวดล้อมสำหรับการเพาะเห็ดมิลค์กี้อย่างมีประสิทธิภาพ

3.3 การออกแบบระบบควบคุมและสื่อสารเพื่อใช้ในการแสดงผลและเก็บข้อมูล

งานวิจัยนี้ใช้ Home Assistant OS เวอร์ชัน 13.0 เป็นแพลตฟอร์มหลักในการควบคุมและสื่อสาร [7]

บอร์ดไมโครคอนโทรลเลอร์ ESP32 มีหน้าที่เป็นตัวกลางในการรับสัญญาณจากเซ็นเซอร์และอุปกรณ์ควบคุมผ่านการเชื่อมต่อแบบดิจิทัลและอนาล็อก ก่อนส่งข้อมูลไปยัง Home Assistant ผ่านโปรโตคอล Native API เพื่อแสดงผลและควบคุมอุปกรณ์แบบเรียลไทม์ ข้อมูลทั้งหมดถูกจัดเก็บในฐานข้อมูลของ Home Assistant และสามารถตั้งค่าแจ้งเตือนผ่าน Line Notify เมื่อมีการเปลี่ยนแปลงสภาพแวดล้อมที่สำคัญ

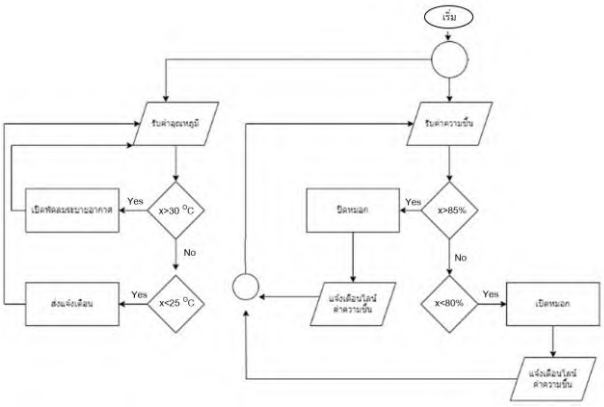

รูปที่ 5 Flowchart ของซอฟต์แวร์ในการตรวจจับอุณหภูมิ

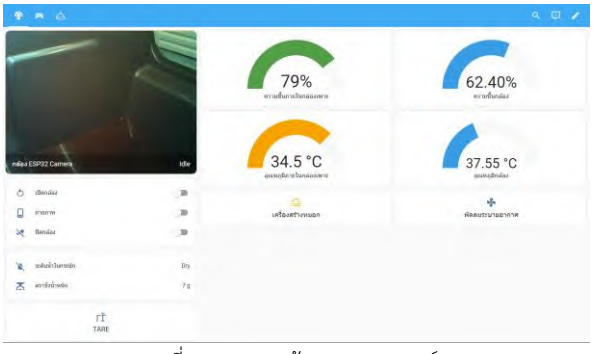

รูปที่ 6 การแสดงข้อมูลบนแดชบอร์ด

สำหรับการแสดงผล ข้อมูลจากเซ็นเซอร์จะแสดงบนแดชบอร์ด ดังรูปที่ 6 พร้อมทั้งสามารถแสดงภาพจากกล้องเพื่อติดตามการเจริญเติบโต การออกแบบดังกล่าวช่วยให้การควบคุมและติดตามสภาพแวดล้อมการเพาะปลูกทำได้สะดวกและมีประสิทธิภาพมากขึ้น

3.4 การจัดเก็บและบันทึกข้อมูล

ข้อมูลจากเซนเซอร์จะถูกส่งไปยัง Home Assistant เพื่อบันทึกและจัดเก็บในฐานข้อมูล ผู้ใช้สามารถดูข้อมูลย้อนหลัง วิเคราะห์แนวโน้ม และปรับปรุงกระบวนการเพาะปลูกได้ แสดงดังรูปที่ 7

4. การทดลอง

การทดลองมีวัตถุประสงค์เพื่อทดสอบประสิทธิภาพของระบบที่พัฒนาขึ้นในการควบคุมสภาพแวดล้อมที่เหมาะสมต่อการเจริญเติบโตของเห็ดมิลค์กี้ และเปรียบเทียบผลการเจริญเติบโตระหว่างการเพาะปลูกด้วยระบบที่พัฒนาขึ้นกับการเพาะปลูกแบบดั้งเดิมในกล่องโฟม มีขั้นตอนดังนี้

4.1 การเตรียมวัสดุ

- เลือกก้อนเชื้อเห็ดมิลค์กี้ที่มีขนาดใกล้เคียงกันจากแหล่งผลิตเดียวกัน จำนวน 2 ก้อน
- นำข้าวฟ่างบนผิวก้อนเชื้อออก แล้วกลบหน้าด้วยวัสดุเพาะ (ดินร่วน ขุยมะพร้าว ปุ๋ยคอก และถ่านแกลบ อัตราส่วน 1:1:1:1) ปริมาณ 200 กรัมต่อก้อน

รูปที่ 7 การแสดงข้อมูลย้อนหลังบนแดชบอร์ด

4.2 การจัดการทดลอง

- ก้อนที่ 1: เพาะในระบบที่พัฒนาขึ้นที่ควบคุมอุณหภูมิ (25–33 °C) ความชื้นสัมพัทธ์ (80–85 %) และรอบการให้แสงสว่างอัตโนมัติ
- ก้อนที่ 2: เพาะในกล่องโฟมแบบดั้งเดิม ภายใต้การควบคุมด้วยมือ

4.3 การเก็บข้อมูล

- บันทึกค่าอุณหภูมิ ความชื้นสัมพัทธ์ มวลที่วัดได้โดยเซ็นเซอร์ และภาพถ่ายการเจริญเติบโตผ่านกล้อง ESP32-CAM โดยอัตโนมัติ
- บันทึกค่ามวลก้อนเห็ดในกล่องโฟมทุกวัน

5. ผลการทดลอง

5.1 การเปรียบเทียบด้วยลักษณะทางกายภาพ

จากการสังเกตภาพถ่าย ดังรูปที่ 8 และ 9 พบว่าก้อนเชื้อที่อยู่ในระบบที่พัฒนาขึ้น มีการเจริญเติบโตของเส้นใยที่หนาแน่นกว่า และสภาพผิวหน้าก้อนมีความชื้นสม่ำเสมอกว่าการเพาะในกล่องโฟม นอกจากนี้ยังพบว่า การควบคุมความชื้นและอุณหภูมิอัตโนมัติช่วยลดการแกว่งของสภาพแวดล้อมภายในตู้เพาะปลูก ส่งผลให้เส้นใยพัฒนาอย่างต่อเนื่อง

จากการเปรียบเทียบมวลของเห็ด พบว่า ก้อนเชื้อที่เพาะด้วยระบบที่พัฒนาขึ้น มีการเพิ่มมวลจาก 326 กรัม ในวันแรก เป็น 386 กรัม ในวันที่ 21 (เพิ่มขึ้น 60 กรัม) ส่วนก้อนเชื้อที่เพาะแบบดั้งเดิมในกล่องโฟมมีการเพิ่มมวลจาก 342 กรัม เป็น 378 กรัม ในช่วงเวลาเดียวกัน (เพิ่มขึ้น 36 กรัม) แม้ก้อนเชื้อที่เพาะในกล่องโฟมจะเริ่มต้นด้วยน้ำหนักมากกว่า แต่ก้อนเชื้อที่อยู่ในระบบที่พัฒนาขึ้น กลับมีอัตราการเพิ่มมวลสูงกว่าอย่างชัดเจน

5.2 ปัญหาที่เกิดขึ้นในการทดลอง

ในการดำเนินการทดลองหลังจากวันที่ 21 ได้เกิดเหตุการณ์ไฟฟ้าดับ ส่งผลให้อุปกรณ์ทุกชนิดในระบบหยุดทำงาน และการตั้งค่าบางส่วนใน Home Assistant สูญหาย ทำให้ระบบไม่สามารถจดจำอุปกรณ์ที่เชื่อมต่อ

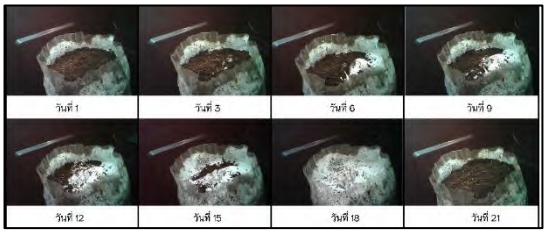

รูปที่ 8 ลักษณะการเติบโตของก้อนเชื้อเห็ดที่ปลูกด้วยระบบ IoT

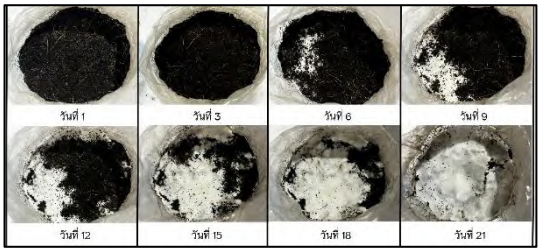

รูปที่ 9 ลักษณะการเติบโตของก้อนเชื้อเห็ดที่ปลูกแบบดั้งเดิม

ได้อย่างสมบูรณ์ ต้องดำเนินการตั้งค่าใหม่ทั้งหมด ภายหลังจากที่สามารถกู้คืนและตั้งค่าระบบได้เพียง 2 วัน ได้เกิดเหตุการณ์ไฟฟ้าดับซ้ำอีกครั้ง ทำให้ข้อมูลการทดลองบางช่วงสูญหายและการตั้งค่าของระบบถูกรบกวนซ้ำ ส่งผลให้ไม่สามารถดำเนินการทดลองต่อไปได้อย่างมีเสถียรภาพ จึงมีความจำเป็นต้องหยุดการทดลองลงก่อนกำหนด

6. สรุป

การวิเคราะห์เชิงปริมาณชี้ให้เห็นว่าก้อนเชื้อในระบบที่พัฒนาขึ้นมีอัตราการเพิ่มมวลสูงกว่า (18.4%) เมื่อเทียบกับการเพาะแบบดั้งเดิมในกล่องโฟม (10.5%) ซึ่งสะท้อนถึงความสามารถของระบบในการควบคุมความชื้น อุณหภูมิ และแสงให้อยู่ในช่วงที่เหมาะสมอย่างต่อเนื่อง อีกทั้งยังช่วยลดความผันผวนที่มักเกิดขึ้นในสภาพแวดล้อมการเพาะแบบเปิด ส่งผลให้เห็ดมีการพัฒนาอย่างสม่ำเสมอและมีคุณภาพที่ดีขึ้น

ผลการทดลองยังบ่งชี้ถึงข้อได้เปรียบด้านการจัดการ เนื่องจากระบบที่พัฒนาขึ้นสามารถบันทึกและแสดงข้อมูลแบบเรียลไทม์ ทำให้ผู้เพาะปลูกสามารถติดตามการเปลี่ยนแปลงของสภาพแวดล้อมได้ทันที รวมทั้งมีการแจ้งเตือนเมื่อค่าต่าง ๆ อยู่นอกช่วงที่เหมาะสม จึงช่วยลดภาระงานและความผิดพลาดที่เกิดจากการควบคุมด้วยมือ อีกทั้งยังเปิดโอกาสให้มีการนำข้อมูลมวลและภาพถ่ายไปใช้ในการวิเคราะห์เชิงลึกเพื่อพัฒนาประสิทธิภาพการเพาะในระยะยาว ซึ่งข้อหลังนี้เป็นสิ่งที่แตกต่างจากงานวิจัยของ Al-Talib et al. [3] อย่างมาก

อย่างไรก็ตาม การทดลองในครั้งนี้เป็นเพียงการทดสอบระบบต้นแบบในกล่องเพาะปลูกขนาดเล็ก เพื่อยืนยันหลักการทำงานของระบบควบคุมสภาพแวดล้อมเท่านั้น ในการประยุกต์ใช้จริง การเพาะเห็ดส่วนใหญ่นิยมทำในโรงเรือนเพาะซึ่งมีความซับซ้อนมากกว่า ดังนั้น งานวิจัยในอนาคตควรขยายผลไปสู่การติดตั้งและทดสอบระบบในระดับโรงเรือน เพื่อประเมินประสิทธิภาพและความเสถียรของระบบภายใต้สภาพการใช้งานจริง

สำหรับระยะถัดไป ควรขยายการทดลองสู่ระดับโรงเรือนโดยเพิ่มจำนวนก้อนเชื้อและดำเนินการเพาะปลูกหลายรอบ เพื่อประเมินความเสถียรและประสิทธิภาพของระบบอย่างเป็นระบบและมีนัยสำคัญทางสถิติ นอกจากนี้ควรพิจารณาตัวแปรสิ่งแวดล้อมเพิ่มเติม เช่น ความเข้มของแสง ตลอดจนบูรณาการเทคนิค Machine Learning เพื่อให้ระบบเรียนรู้จากข้อมูลจริงและปรับสภาพแวดล้อมอัตโนมัติ ซึ่งจะช่วยยกระดับการประยุกต์ใช้สู่การผลิตเชิงอุตสาหกรรมได้อย่างมีประสิทธิภาพมากยิ่งขึ้น

เพื่อแก้ปัญหาเกี่ยวกับข้อจำกัดของระบบที่มีความอ่อนไหวต่อเหตุการณ์ไฟฟ้าดับซึ่งส่งผลให้เกิดการสูญหายของข้อมูลและการตั้งค่าระบบ ควรมีการติดตั้งระบบสำรองไฟฟ้า (Uninterruptible Power Supply: UPS) และกำหนดมาตรการสำรองข้อมูล (Backup/Snapshot) ของ Home Assistant อย่างสม่ำเสมอ รวมถึงการใช้หน่วยความจำถาวรคุณภาพสูงและการวางแผนขั้นตอนกู้คืนระบบ (Recovery Procedure) เพื่อป้องกันความเสียหายและเพิ่มความต่อเนื่องของการทดลองในอนาคต

7. กิตติกรรมประกาศ

คณะผู้วิจัยขอขอบคุณชิษณุพงศ์ วาณิชย์เจริญ ตำแหน่ง Support Technician (Computer Science, Robotics and Film), Shrewsbury International School ที่ให้ความร่วมมืออย่างดียิ่งในการสนับสนุนการสร้างระบบ รวมถึงการช่วยเก็บรวบรวมข้อมูล ซึ่งมีส่วนสำคัญอย่างยิ่งต่อความสำเร็จของงานวิจัยฉบับนี้

เอกสารอ้างอิง

[1] S. Ghosh and K. Acharya, “Milky mushroom: A healthy nutritious diet,” *Food Res. Int.*, vol. 156, p. 111113, 2022, doi: https://doi.org/10.1016/j.foodres.2022.111113.

[2] K. Bokaria, S. K. Balsundram, I. Bhattarai, and K. Kaphle, “Commercial production of Milky Mushroom (Calocybe indica),” *Merit Res. J. Agric. Sci. Soil Sci.*, vol. 2, no. 2, pp. 32–37.

[3] A. A. M. Al-Talib, C. K. J. Ting, N. I. M. Tahir, A. A. B. Mustafa, and T. Y. Hui, “IoT Based Smart Mushroom Growing Kit,” in *the 2024 International Conference on Artificial Life and Robotics (ICAROB2024)*, Oita, Japan, Feb. 2024, pp. 789–794. [Online]. Available: https://alife-robotics.co.jp/members2024/icarob/data/html/data/OS/OS25-7.pdf

[4] S. Mansoor, S. Iqbal, S. M. Popescu, S. L. Kim, Y. S. Chung, and J.-H. Baek, “Integration of smart sensors and IOT in precision agriculture: trends, challenges and future prospectives,” *Front. Plant Sci.*, vol. Volume 16-2025, 2025, doi: 10.3389/fpls.2025.1587869.

[5] K. A. Subbiah and V. Balan, “A Comprehensive Review of Tropical Milky White Mushroom (Calocybe indica P&C).,” *Mycobiology*, vol. 43, no. 3, pp. 184–194, Sep. 2015, doi: 10.5941/MYCO.2015.43.3.184.

[6] ESPHome, “Getting Started with ESPHome and Home Assistant.” ESPHome Documentation. Accessed: Aug. 22, 2024. [Online]. Available: https://esphome.io/guides/getting_started_hassio/

[7] Home Assistant, “Documentation.” Home Assistant. Accessed: Aug. 22, 2024. [Online]. Available: https://www.home-assistant.io/docs

การจัดตารางโหลดที่เหมาะที่สุดด้วยการเรียนรู้การเสริมแรงเชิงลึกเพื่อประสิทธิภาพการใช้พลังงานในฟาร์มหมูอัจฉริยะในจังหวัดพัทลุง

Deep Reinforcement Learning-Based Optimal Load Scheduling for Energy Efficiency in Smart Pig Farms in Phatthalung Province

วิวรรธน์ สุเหร็น[1,2] ,ศุภชัย แก้วพวง[2] ,ธวัช ชูชิต[2] ,ธีรยุทธ ทองทวี[3]และ ทศพล รัตน์นิยมชัย[1]*

[1]สาขาวิชาวิศวกรรมไฟฟ้า คณะวิศวกรรมศาสตร์ มหาวิทยาลัยเทคโนโลยีสุรนารี jamewiwat2542@gmail.com
[2]ภาควิชาวิศวกรรมไฟฟ้า คณะวิศวกรรมศาสตร์ มหาวิทยาลัยทักษิณ tawat.c@tsu.ac.th ,supachai.ka@tsu.ac.th
[3]สาขาวิศวกรรมไฟฟ้าและปัญญาประดิษฐ์ คณะวิทยาศาสตร์ มหาวิทยาลัยราชภัฏนครปฐม
[1]สาขาวิชาวิศวกรรมไฟฟ้า คณะวิศวกรรมศาสตร์ มหาวิทยาลัยเทคโนโลยีสุรนารี tosaphol@sut.ac.th*

บทคัดย่อ

บทความนี้เสนอการจัดสรรโหลดไฟฟ้า (Load Management) อย่างมีประสิทธิภาพ ในฟาร์มหมู เนื่องจากการใช้ระบายอากาศ ระบบให้อาหารอัตโนมัติ และแม้กระทั่งโหลดแสงสว่าง โดยอาศัยการเรียนรู้เชิงลึกแบบเสริมกำลัง (Deep Reinforcement Learning: DRL) เพื่อหาแนวทางการใช้พลังงานที่เหมาะสมที่สุดภายใต้โครงสร้างอัตราค่าไฟฟ้าแบบตามช่วงเวลา (Time-of-Use: TOU) ของการไฟฟ้าส่วนภูมิภาค (กฟภ.) โดยนำเสนอวิธีการจากการเรียนรู้เชิงลึกแบบเสริมกำลัง ซึ่งประกอบด้วยเทคนิค Deep Q-Network (DQN) และ Proximal Policy Optimization (PPO) ผลการทดลองชี้ให้เห็นว่า DRL สามารถปรับเปลี่ยนเวลาการทำงานของอุปกรณ์ในฟาร์มหมูได้ตรงตามเงื่อนไข ลดการใช้พลังงานในช่วงเวลาที่มีค่าไฟสูง และเพิ่มการใช้พลังงานในช่วงที่มีค่าไฟต่ำ ส่งผลให้ค่าไฟฟ้าเฉลี่ยลดลงถึง 69.43% และ 75.96% ต่อเดือนด้วยเทคนิค DQN และ PPO ตามลำดับ งานวิจัยนี้จึงแสดงให้เห็นถึงศักยภาพของ DRL ร่วมกับระบบ Internet of Things (IoT) ในการออกแบบฟาร์มหมูอัจฉริยะ (Smart Pig Farm) ที่ส่งเสริมการใช้พลังงานอย่างมีประสิทธิภาพและยั่งยืน

คำสำคัญ: การเรียนรู้เชิงลึกแบบเสริมกำลัง, การจัดตารางโหลดที่เหมาะที่สุด,ฟาร์มอัจฉริยะ

Abstract

This paper presents an Optimal load-scheduling for pig smart farms energy management, addressing the operation of ventilation systems, automated feeding systems, and lighting loads. The proposed framework leverages Deep Reinforcement Learning (DRL) to optimize energy consumption under the Time-of-Use (TOU) tariff scheme of the Provincial Electricity Authority (PEA). Two DRL techniques, namely Deep Q-Network (DQN) and Proximal Policy Optimization (PPO), are employed to derive adaptive energy scheduling policies. Experimental results demonstrate that DRL effectively shifts the operational schedules of farm equipment by reducing energy usage during peak-price periods and increasing utilization during off-peak hours. As a result, the average monthly electricity cost is reduced by up to 69.43% with DQN and 75.96% with PPO. These findings highlight the potential of DRL, in conjunction with the Internet of Things (IoT), for enabling Smart Pig Farms that enhance energy efficiency and sustainability.

Keywords: Deep Reinforcement Learning, Optimal Load Scheduling, Smart Pig Farm

1. บทนำ

อุตสาหกรรมการเลี้ยงหมูเป็นภาคส่วนที่มีการใช้พลังงานไฟฟ้าสูง โดยเฉพาะในระบบระบายอากาศ ระบบให้อาหาร รวมถึงระบบแสงสว่างภายในฟาร์ม เนื่องด้วยความต้องการพลังงานมีความผันผวนตามสภาพอากาศ เวลา และพฤติกรรมของสัตว์ การใช้พลังงานโดยขาดการจัดการอย่างเป็นระบบ ทำให้เกิดปัญหาการใช้ไฟฟ้าเกินช่วงเวลาที่มีอัตราค่าไฟฟ้าสูงสุด (Peak Time) ทำให้การจัดการโหลด (Load Management) อย่างมีประสิทธิภาพเป็นสิ่งสำคัญเพื่อลดต้นทุนด้านพลังงาน และเพิ่มความยั่งยืนในการผลิต

เพื่อแก้ไขปัญหาดังกล่าว จึงได้มีการพัฒนาระบบ การจัดการพลังงานในฟาร์มหมูอัจฉริยะ โดยประยุกต์แนวคิดจาก Smart Home Energy Management (SHEM) [1-2] ซึ่งมุ่งเน้นการควบคุมและจัดตารางการใช้งานโหลดไฟฟ้าให้มีประสิทธิภาพสูงสุด โดยจะอาศัยวิธีการ Load Shifting การเลื่อนการใช้งานโหลดไฟฟ้าบางส่วนจากช่วง Peak ไปยังช่วง Off-peak ซึ่งอัตราค่าไฟฟ้าลดลงเกินกว่าครึ่งของช่วง Peak โดยอาศัยวิธีการเรียนรู้เครื่อง (Machine Learning) โดยเฉพาะการเรียนรู้เชิงลึกแบบเสริมกำลัง (Deep Reinforcement Learning) มาประยุกต์ใช้

การเรียนรู้เชิงลึกแบบเสริมกำลังเป็นการเรียนรู้ที่อาศัยการทดลองและข้อผิดพลาด (Trial-and-Error) โดยมีตัวแทน (Agent) ทำการตัดสินใจ

*ผู้ประพันธ์บรรณกิจ

เลือกการกระทำ (Action) จากสภาวะแวดล้อม (State) และได้รับผลตอบแทน (Reward) เพื่อนำไปปรับปรุงแนวทางการตัดสินใจ (Policy) ให้เหมาะสมที่สุด งานวิจัยด้านการจัดการพลังงานได้พิสูจน์แล้วว่า DRL สามารถให้ผลลัพธ์ที่มีประสิทธิภาพสูงกว่าวิธีแบบดั้งเดิม โดยเทคนิคที่นิยมได้แก่ Deep Q-Network (DQN) และ Proximal Policy Optimization (PPO) [3-4]

งานวิจัยนี้จึงมุ่งเน้นการพัฒนาระบบ การจัดโหลดพลังงานในฟาร์มหมูอัจฉริยะด้วย DRL เพื่อหานโยบายการใช้พลังงานที่เหมาะสมที่สุด ลดค่าไฟฟ้าในอัตรา TOU ทำให้ลดต้นทุน และสร้างความยั่งยืนให้แก่อุตสาหกรรมการเลี้ยงหมูในอนาคต

2. ทฤษฎีที่เกี่ยวข้อง

2.1 การเรียนรู้แบบเสริมกำลัง

การเรียนรู้แบบเสริมกำลัง (Reinforcement Learning : RL) เป็นสาขาหนึ่งของการเรียนรู้ของเครื่อง (Machine Learning) ดังรูปที่ 1 โดยมีจุดประสงค์ในการพัฒนาตัวแทน (Agent) ให้สามารถตัดสินใจทำงานและตอบโต้กับสภาพแวดล้อม (Environment) โดยอาศัยหลักการทดลองซ้ำและเรียนรู้จากผลลัพธ์ (trial-and-error) และรับรางวัล (Reward) หรือโทษ (Penalty) จากการกระทำ โดยพื้นฐานของการเรียนรู้แบบเสริมกำลังมาจากกระบวนการตัดสินใจแบบมาร์คอฟ (Markov Decision Process : MDP) [5]

ในปัจจุบันการเรียนรู้แบบเสริมกำลังทำให้มีความซับซ้อนมากขึ้นจากการพัฒนาอย่างรวดเร็วของเทคโนโลยีการเรียนรู้เชิงลึก (Deep Learning) เพื่อใช้ในการแก้ปัญหาที่มีความซับซ้อน และแม่นยำมากขึ้น

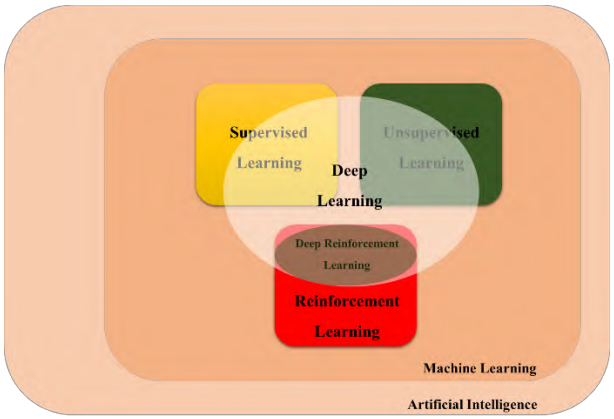

รูปที่ 1 ลำดับความเป็นมาของอัลกอริทึม

2.1.1 กระบวนการตัดสินใจแบบมาร์คอฟ

กระบวนการตัดสินใจแบบมาร์คอฟ คือ แบบจำลองทางคณิตศาสตร์ที่ใช้ในแก้ปัญหาสำหรับการเรียนรู้แบบเสริมกำลัง ประกอบด้วย 5 ส่วนสำคัญดังนี้

1. สถานะ (State space: S_t) เป็นชุดของสถานะทั้งหมดที่ระบบสามารถตอบโต้ได้ในสภาพแวดล้อม และมีการส่งค่าพารามิเตอร์ต่อไป เพื่อวิเคราะห์การกระทำในสถานะต่อไป

2. การกระทำ (Action: a_t) ชุดข้อมูลของตัวแทนที่สามารถเลือกกระทำต่อสภาพแวดล้อมในแต่ละสถานะนั้น ๆ

3. ฟังก์ชันการเปลี่ยนสถานะ (State transition probability: P) ฟังก์ชันความน่าจะเป็นที่บอกว่าเมื่ออยู่ในสถานะ S_t และทำการกระทำ a จะไปยังสถานะ S_{t+1} ได้ด้วยความน่าจะเป็นเท่าไร ดังสมการที่ 1

$$P(s_{t+1}|s_t, a_t) \quad (1)$$

4. ฟังก์ชันรางวัล *(Reward function: R)* ฟังก์ชันที่บอกว่าหลังจากทำการกระทำ a_t ในสถานะ S_t และได้สถานะ S_{t+1} มีค่ารางวัลเท่าใดในสถานะนั้น ๆ สามารถหาได้ ดังสมการที่ 2

$$R(s_t, a_t, s_{t+1}) \quad (2)$$

5. ค่าลดทอน (Discount Factor: γ) เป็นค่าที่กำหนดคุณค่าของรางวัล เพื่อให้เหมาะสมสำหรับการเรียนรู้ โดยจะมีค่าเป็นจำนวนจริงระหว่าง 0 ถึง 1 หากค่าลดทอนไม่อยู่ในช่วงดังกล่าว โดยถ้ามีค่ามากกว่า 1 ส่งผลให้คุณค่าของรางวัลในรอบถัดไปมีค่าเกินจริง และหากมีค่าต่ำกว่า 0 ส่งผลให้คุณค่าของรางวัลที่ได้ในรอบถัดไปทำให้สลับสัญญาณ(บวก,ลบ)

2.2 DEEP Q-NETWORK

Deep Q-Network (DQN) เป็นอัลกอริทึมการเรียนรู้แบบเสริมกำลังที่ได้รับการพัฒนาต่อยอดมาจากวิธีการ Q-Learning โดยมีจุดเด่น คือ การนำเครือข่ายประสาทเทียมแบบลึก (Deep Neural Network) มาใช้สำหรับประมาณค่าฟังก์ชัน Q (Q-function) ซึ่งมีการประเมินค่ารางวัลที่ได้จากการกระทำในสถานะที่กำหนด ทำให้สามารถเพิ่มมิติและความซับซ้อนของสภาพแวดล้อมได้

นอกจากนี้ DQN ยังบูรณาการกลไกสำคัญสองประการ ได้แก่ Experience Replay และ Target Network เพื่อเพิ่มเสถียรภาพในการเรียนรู้ โดย Experience Replay ทำหน้าที่เก็บประสบการณ์การปฏิสัมพันธ์ระหว่างตัวแทน (Agent) กับสภาพแวดล้อมในรูปของ (s_t, a_t, r_t, s_{t+1}) และสุ่มตัวอย่างจากหน่วยความจำดังกล่าวมาใช้ในการฝึกฝน เพื่อลดความสัมพันธ์ของข้อมูลที่เกิดขึ้นตามลำดับเวลา ส่วน Target Network เป็นเครือข่ายที่ถูกอัปเดตค่าพารามิเตอร์เป็นระยะเพื่อช่วยป้องกันความไม่เสถียรจากการเปลี่ยนแปลงค่าที่คาดการณ์ในแต่ละรอบการเรียนรู้ ด้วยกลไกดังกล่าว DQN จึงสามารถประยุกต์ใช้ได้อย่างมีประสิทธิภาพในสภาพแวดล้อมที่มีความซับซ้อนสูง [1][4] ซึ่งมีรหัสจำลองของ DQN อัลกอริทึม ดังรูปที่ 2 ในการใช้งานการเรียนรู้แบบเสริมกำลังด้วย DQN เหมาะสมกับ Action Space แบบ discrete และขนาดไม่ใหญ่มาก เช่น เกม Atari, CartPole

2.3 PROXIMAL POLICY OPTIMIZATION

Proximal Policy Optimization (PPO) เป็นอัลกอริทึมการเรียนรู้แบบเสริมแรงขั้นสูงที่พัฒนามาเพื่อแก้ไขข้อจำกัดด้านความซับซ้อนและความไม่เสถียรของวิธีการเดิม เช่น Policy Gradient และ Trust Region

Policy Optimization (TRPO) โดย PPO มีจุดเด่นคือการปรับปรุงนโยบาย (Policy Improvement) อย่างค่อยเป็นค่อยไป โดยใช้กลไก Clipped Objective Function เพื่อจำกัดไม่ให้การอับเดตนโยบายในแต่ละครั้งแตกต่างจากนโยบายเดิมมากเกินไป [1][4] รหัสจำลองของ PPO อัลกอริทึม ดังรูปที่ 3 ในการใช้งานการเรียนรู้แบบเสริมกำลังด้วย PPO เหมาะสมกับ Action Space แบบต่อเนื่องและ งานควบคุมซับซ้อน เช่น หุ่นยนต์, ระบบพลังงาน

Algorithm 1: Deep Q Learning Algorithm

Initialize replay memory D with capacity N
Initialize action-value function Q with random weights
for episode = 1 to M **do**
  Initialize sequence $s_1 = \{ x_1 \}$ Stack initial frame k times
  for t = 1 to T **do**
    With probability ε select a random action a_t Otherwise select action: $a_t = \max_a Q^*(s_t, a|\theta)$
    Execute action a_t in the environment. Observe reward r_t and next frame x_t+1
    Construct next state s_t+1 by stacking $(x_{t-k+1}, \ldots, x_t, x_{t+1})$
    Store transition s_t, a_t, r_t, s_{t+1} in D
    Sample random minibatch of transitions (s_j, a_j, r_j, s_{j+1}) from D
    Set target $y_j = \begin{cases} r_j \text{ for terminal } s_{j+1} \\ r_j + \gamma max_{a'} Q(s_{j+1}, a'|\theta) for\ non-terminal\ s_{j+1} \end{cases}$
    Perform a gradient descent step on $(y_j - Q(s_j, a_j;\theta))^2$ according to equation
    $$\nabla_s J(s) = N^{-1} \Sigma \nabla_a Q_{\theta 1}(s_i, a_i)|_{a=\pi(s_i)} \nabla_s \pi_s(s_i)$$
  end for
end for

รูปที่ 2 รหัสจำลองของ DQN อัลกอริทึม

Algorithm 2: PPO Algorithm

Randomly initialize policy π and value function V with parameters θ, θv respectively
Create N_e environments
n = number of steps to calculate TD over
$\theta_v \leftarrow \theta$
repeat
  for actor 1.....N_e **do**
    for time t.....t + n **do**
      Sample action at ~ $\pi(a \mid s_t, \theta)$
      Execute actions a_t and observe rewards rt and next states s_{t+1}
    end for
  end for
  Compute Advantages A and Returns R
  for epoch 1,.....,K do
    for minibatch 1,.....,N do
      sample minibatch transitions randomly without replacement (s_j, a_j, A_j, R_j)
      $r(\theta) = \frac{\pi(a_j|s,\theta)}{\pi(a_j|s,\theta_{old})}$
      $\nabla_{\theta_v} L(\theta) = E[\nabla_\theta \min(r(\theta))A_j, clip(r(\theta), 1-\ni, 1+\ni)A_j) + \beta_H \nabla_\theta H(\pi(s,\theta))]$
      $\nabla_{\theta_v} L(\theta_v) = E_\pi[\frac{\partial(R^n - V(s|\theta_v))^2}{\partial\theta_v}]$
    end for
  end for
  $\theta_{old} \leftarrow \theta$
until t_{max}

รูปที่ 3 รหัสจำลองของ PPO อัลกอริทึม

3. ระเบียบวิธีการ

3.1 การจัดการพลังงานไฟฟ้าในฟาร์มหมู

ในการจัดการพลังงานไฟฟ้าในฟาร์มหมู สามารถจัดชนิดของโหลดได้ 2 รูปแบบ 1. โหลดปรับเปลี่ยนได้ คือ โหลดที่สามารถปรับเปลี่ยนได้ตามเงื่อนไข เช่น พัดลมดูดอากาศ เครื่องให้อาหาร 2. โหลดคงที่ คือ โหลดที่ไม่สามารถปรับเปลี่ยนได้และอาจขึ้นกับความต้องการของผู้ใช้งาน เช่น แสงสว่าง ตู้เย็น ดังตารางที่ 1 และการใช้งานโหลดไฟฟ้าในฟาร์มหมูก่อนการจัดการโหลดด้วย DRL ดังรูปที่ 4 นอกจากนี้ในฟาร์มหมูมีการใช้พลังงานไฟฟ้าจากการไฟฟ้าและสามารถผลิตเองได้จากโซล่าเซลล์ ดังรูปที่ 5 และมีค่าไฟย้อนหลังภายในฟาร์มหมู 31 เดือน ดังรูปที่ 6 โดยในการควบคุมอุปกรณ์ต่าง ๆ ในฟาร์มหมู จำเป็นต้องยกระดับให้เป็นฟาร์มอัจฉริยะด้วยการใช้ระบบ IoT ร่วมด้วย โดยมีรูปแบบการเชื่อมต่อ DRL และอุปกรณ์ IoT ดังรูปที่ 7 และรูปแบบการทำงานของระบบที่นำเสนอ ดังรูปที่ 8 โดยมีการเก็บข้อมูลจากอุปกรณ์ IoT เพื่อนำไปใช้สำหรับการฝึกสอนโมเดล DRL จากนั้นให้โมเดลตัดสินในการควบคุมอุปกรณ์ไฟฟ้า และบันทึกผลเพื่อเปรียบเทียบความคุ้มค่าในการลดต้นทุน

ตารางที่ 1 ประเภทของโหลด

ลำดับ	รายการอุปกรณ์ไฟฟ้า			
	อุปกรณ์	กำลังไฟฟ้า (Kilo Watt: kW)	ชนิดของอุปกรณ์	จำนวน
1	พัดลมดูดอากาศ	0.75	โหลดปรับเปลี่ยนได้	6
2	เครื่องให้อาหาร	3	โหลดปรับเปลี่ยนได้	1
3	โหลดแสงสว่าง	0.1	โหลดคงที่	2
4	ตู้เย็น	0.3	โหลดคงที่	1

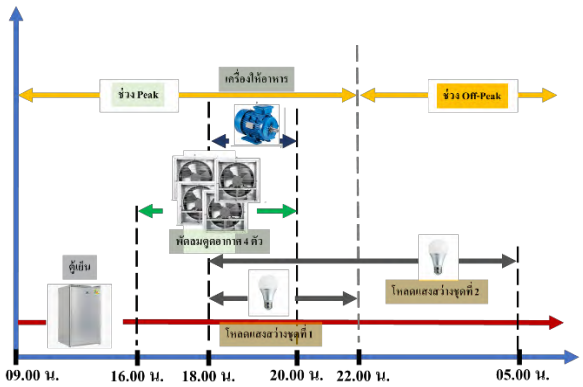

รูปที่ 4 การใช้งานอุปกรณ์ไฟฟ้าในฟาร์มหมู

รูปที่ 5 รูปแบบการใช้พลังงานของฟาร์มหมู

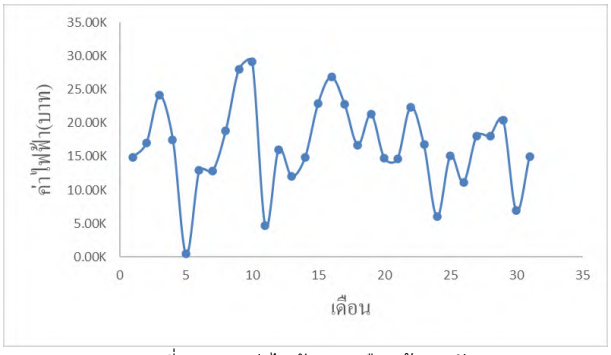

รูปที่ 6 กราฟค่าไฟฟ้า 31 เดือนย้อนหลัง

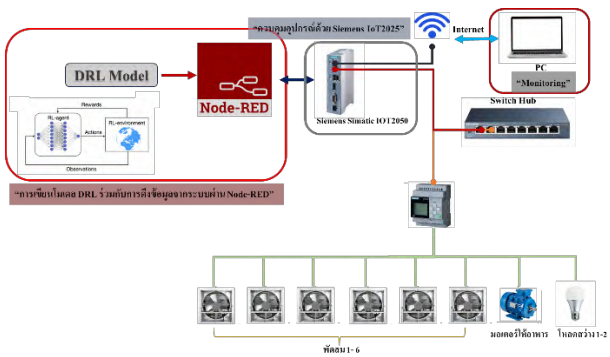

รูปที่ 7 การใช้งานระบบ IoT ร่วมกับ DRL

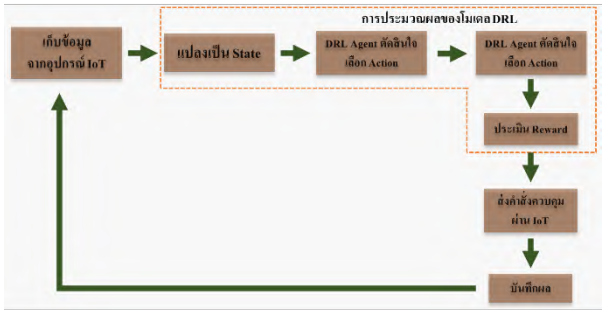

รูปที่ 8 ผังงานการทำงานของระบบ

ในการจัดการโหลดให้เหมาะสมกับผู้ใช้และการจัดการฟาร์มหมูอย่างมีประสิทธิภาพ ต้องให้ความสำคัญที่โหลดที่สามารถปรับเปลี่ยนได้ เนื่องจากยังสามารถปรับเปลี่ยนได้ตามเงื่อนไขในแต่ละวัน โดยในฟาร์มหมูตัวอย่าง มีการติดตั้งโหลดแสงสว่างที่ทำงานในช่วง 18.00 – 6.00 น. เครื่องให้อาหารหมูอัตโนมัติที่ทำงาน 1 ครั้งใน 1 วันช่วงเวลาใดก็ได้ และโหลดพัดลม 6 ตัว ที่ต้องทำงานอย่างน้อย 4 ตัว ภายใน 1 วัน เพื่อระบายอากาศในฟาร์มหมู และในการจัดการโหลดที่สามารถปรับได้จะมีการใช้ข้อมูลจากการไฟฟ้า ซึ่งแบ่งการใช้ไฟฟ้า 3 ช่วง คือ สำหรับวันจันทร์ - วันศุกร์เวลา 9.00 – 22.00 น. จัดเป็นช่วง Peak เวลา 22.00 – 9.00 น. จัดเป็นช่วง Off- Peak และสำหรับวันเสาร์ – วันอาทิตย์ ช่วงเวลา 0.00 – 24.00 น. จัดเป็นช่วง Off- Peak ดังตารางที่ 2 [6]

ตารางที่ 2 อัตราค่าไฟฟ้าจากการไฟฟ้าส่วนภูมิภาค ประเภทที่ 1.2

รูปแบบ	ช่วงวัน	ช่วงเวลา	อัตราค่าไฟฟ้าต่อหน่วย (บาท)
Peak	จันทร์ - ศุกร์	9.00 – 22.00 น.	5.7982
Off Peak	จันทร์ - ศุกร์	22.00 – 9.00 น.	2.6369
Off Peak	เสาร์ - อาทิตย์	0.00 – 24.00 น.	2.6369

3.2 Objective Function

ในงานวิจัยนี้ มีจุดประสงค์เพื่อคำนวณหาค่าต้นทุนการใช้ไฟฟ้า โดยหาค่าต้นทุนที่ต่ำที่สุด จากสมการ (3) และ (4)

$$min\ (\sum_{i=1}^{74} P_i\ (\sum_{t=1}^{24} S_i^t\ TOU^t) \quad (3)$$

เมื่อ

$$S_i^t = \begin{cases} L^p \epsilon [0,1] \\ L^{op} \epsilon [0,1] \end{cases} \quad (4)$$

โดย P_i คือ กำลังไฟฟ้าของอุปกรณ์

S_i^t คือ สถานการณ์ทำงานของอุปกรณ์ไฟฟ้า

โดยแบ่งเป็น 2 สถานะ คือ L^p ช่วงที่อุปกรณ์ทำงานช่วง Peak เวลา 9.00 – 22.00 น. และ L^{op} ช่วงที่อุปกรณ์ทำงานช่วง Off Peak เวลา 22.00 – 9.00 น.

TOU^t คือ อัตราค่าไฟฟ้าในแต่ละช่วง

นอกจากนี้ในการคำนวณหาค่ากำลังไฟฟ้าที่ต้องใช้งานจากการไฟฟ้า (P_{Grid}) จำเป็นต้องหักลบกำลังไฟฟ้าจากโซล่าเซลล์ (P_{PV}) ออกจากกำลังไฟฟ้าทั้งของฟาร์มหมู (P_{USER}) ดังสมการที่ (5) เนื่องจากฟาร์มหมูมีการสร้างพลังงานไฟฟ้าได้เองจากระบบโซล่าเซลล์บางส่วน

$$P_{Grid} = P_{USER} - P_{PV} \quad (5)$$

4. ผลการทดลอง

จากการปรับใช้การเรียนรู้แบบเสริมกำลังด้วยการเรียนรู้จากการลองผิดลองถูก โดยต้องการการลดต้นทุนภายในฟาร์มหมูได้มากที่สุด ซึ่งในการใช้การเรียนรู้แบบเสริมกำลังในงานวิจัยนี้มีการใช้อุปกรณ์ไฟฟ้าภายในฟาร์มหมูเป็นตัวแทน โดยมีการโหลดตามเวลาที่ทำให้ลดต้นมากที่สุด และตอบสนองตามเงื่อนไข พบว่าในการเรียนรู้แบบเสริมกำลังมีการตั้งค่าไฮเปอร์พารามิเตอร์ต่าง ๆ ในการเทรนโมเดลการเรียนรู้เชิงลึกทั้งสองรูปแบบดังตารางที่ 3 และการฝึกฝนโมเดลพบว่าค่ารางวัลมีแนวโน้มที่จะสูงขึ้นเรื่อย ๆ ดังรูปที่ 9 นอกจากนี้กราฟยังแสดงให้เห็นว่า PPO มีประสิทธิภาพดีกว่า DQN ในการจัดตารางโหลด เนื่องจากสามารถปรับปรุงค่ารางวัลได้ต่อเนื่องและมีความเสถียรมากกว่า แม้ว่าในช่วงเริ่มต้นจะเรียนรู้ช้ากว่า DQN ก็ตาม ในส่วนของต้นทุนการใช้ไฟฟ้า มีแนวโน้มลดลงตามจำนวนรอบการเรียนรู้ด้วยเช่นเดียวกัน ดังรูปที่ 10

ตารางที่ 3 การตั้งค่าไฮเปอร์พารามิเตอร์ต่าง ๆ ในโมเดล

พารามิเตอร์	ค่าพารามิเตอร์	
	DQN	PPO
จำนวนรอบการเทรน	500	500
Discount factor	0.99	0.99
learning rate	0.001	0.001
clipping for policy loss	-	0.2
GAE Lambda	-	0.95
Hidden Layer Sizes	[128,128]	[128,128]

รูปที่ 9 กราฟแสดงความสัมพันธ์ของค่ารางวัลและรอบ

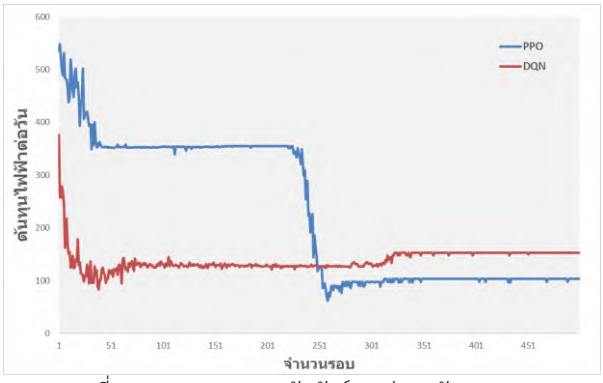

รูปที่ 10 กราฟแสดงความสัมพันธ์ของค่ารางวัลและรอบ

จากผลการใช้ไฟฟ้าย้อนหลัง 31 เดือนของฟาร์มหมูพบว่ามีต้นทุนการใช้ไฟฟ้าเฉลี่ย 16,727 บาทต่อเดือน โดยหลังการจัดการโหลดด้วยการเรียนรู้แบบเสริมกำลังแบบ DQN และ PPO พบว่าสามารถหาต้นทุนไฟฟ้าเฉลี่ยต่อเดือนสำหรับแบบ DQN 5113.50 บาท และรูปแบบ PPO 4,019.70 บาท ซึ่งจากผลการทดสอบการจัดโหลดด้วยวิธี DQN ยังมีการจัดโหลดให้พัดลมดูดอากาศทำงานช่วงเวลที่คิดค่าไฟฟ้าแบบ Peak อยู่บางส่วนทำให้ค่าไฟฟ้าที่ได้ยังไม่ถูกที่สุด ต่างจากวิธี PPO ที่สามารถจัดโหลดพัดลมและเครื่องให้อาหารให้อยู่ในช่วง Off-Peak ได้ทั้งหมด การจัดโหลดพัดลมดูดอากาศด้วยวิธี PPO มีการเวลาการทำงาน ดังตารางที่ 4 สำหรับการจัดโหลดการทำงานของเครื่องให้อาหารและโหลดแสงสว่าง ดังตารางที่ 5 และตารางที่ 6 แสดงรายละเอียดที่ได้หลังจากการจัดโหลดด้วยการเรียนรู้แบบเสริมกำลังแบบ DQN และ PPO

ตารางที่ 4 การจัดโหลดพัดลมดูดอากาศด้วยวิธี PPO (ช่วงเวลา Off-Peak)

เวลา	พัดลมตัวที่ 1	พัดลมตัวที่ 2	พัดลมตัวที่ 3	พัดลมตัวที่ 4	พัดลมตัวที่ 5	พัดลมตัวที่ 6
22.00	1	1	1	1	0	0
23.00	1	1	0	0	1	1
00.00	0	0	1	1	1	1
01.00	1	1	0	0	1	1
02.00	0	0	0	0	0	0
03.00	0	0	0	0	0	0
04.00	0	0	0	0	0	0
05.00	0	0	0	0	0	0
06.00	0	0	0	0	0	0
07.00	0	0	0	0	0	0
08.00	0	0	0	0	0	0
09.00	0	0	0	0	0	0

(1 = สถานะการเปิดทำงาน ,0 = สถานะการปิดทำงาน)

ตารางที่ 5 การจัดโหลดเครื่องให้อาหารและแสงสว่างด้วยวิธี PPO

เวลา	ช่วง	เครื่องให้อาหาร	แสงสว่างโหลดที่ 1	แสงสว่างโหลดที่ 2
18.00	Peak	0	1	1
19.00	Peak	0	1	1
20.00	Peak	0	1	1
21.00	Peak	0	1	1
22.00	Off-Peak	1	1	1
23.00	Off-Peak	1	1	1
00.00	Off-Peak	0	1	1
01.00	Off-Peak	0	1	1
02.00	Off-Peak	0	1	1
03.00	Off-Peak	0	1	1
04.00	Off-Peak	0	1	1
05.00	Off-Peak	0	1	1

(1 = สถานะการเปิดทำงาน ,0 = สถานะการปิดทำงาน)

ตารางที่ 6 ผลการจัดโหลดด้วย DQN และ PPO

โมเดล	กำลังไฟฟ้าช่วง Off-Peak ต่อวัน (kWh)	กำลังไฟฟ้าช่วง Peak ต่อวัน (kWh)	ต้นทุนไฟฟ้าเฉลี่ยต่อวัน (บาท)	การลดต้นทุน
DQN	10.55	24.47	170.45	69.43%
PPO	16.12	15.65	133.99	75.96%

ในการใช้งานการเรียนรู้เชิงลึกแบบเสริมกำลังทั้ง 2 รูแบบ ในการจัดตารางการทำงานของโหลดไฟฟ้าในฟาร์มสุกร พบว่าโมเดล PPO สามารถกระจายภาระโหลดไปยังช่วงเวลา Off-Peak ได้อย่างมีประสิทธิภาพมากกว่าโมเดล DQN โดยตารางการทำงานของพัดลม เครื่องให้อาหารและแสงสว่างถูกปรับให้เหมาะสมกับโครงสร้างอัตราค่าไฟฟ้า TOU

ผลการเปรียบเทียบระหว่างโมเดล DQN และ PPO แสดงให้เห็นว่าการใช้พลังงานไฟฟ้าในช่วง Peak ของ PPO ลดลงเหลือ 15.65 kWh ต่อวัน ในขณะที่ DQN อยู่ที่ 24.47 kWh ขณะเดียวกัน การใช้ไฟฟ้าในช่วง Off-Peak ของ PPO สูงขึ้นเป็น 16.12 kWh ต่อวัน เมื่อเทียบกับ DQN ที่มีค่า 10.55 kWh ส่งผลให้ ต้นทุนค่าไฟฟ้าเฉลี่ยต่อวันของ PPO ลดลงเหลือ 133.99 บาท ในขณะที่ DQN มีค่า 170.45 บาท แสดงให้เห็นว่า PPO มีประสิทธิภาพในการจัดการโหลดมากกว่า DQN

5. สรุป

จากการผลการทดสอบการใช้การเรียนรู้แบบเสริมกำลังในการลดต้นทุนค่าไฟฟ้าของฟาร์มหมู พบว่าสามารถลดต้นทุนเฉลี่ยต่อเดือน 69.43% และ 75.96% สำหรับรูปแบบ DQN และ PPO โดยวิธีการ PPO สมารถจัดโหลดปรับเปลี่ยนได้ให้อยู่ในช่วง Off-Peak ได้ทั้งหมด ทำให้อัตราค่าไฟฟ้าถูกลงมากกว่าครึ่งจากการใช้ไฟฟ้าแบบเดิมในฟาร์มหมู ต่างกับรูปแบบ DQN ที่พบว่ายังมีอุปกรณ์บางส่วนที่ยังทำงานในช่วงเวลา Peak ทำให้ลดต้นทุนค่าไฟฟ้าได้ไม่เท่ากับรูปแบบ PPO เนื่องจากการเรียนรู้เชิงลึกแบบเสริมกำลังแบบ DQN ไม่เหมาะกับการใช้ในงานที่ซับซ้อนมากนักทำให้มีประสิทธิภาพไม่เท่ารูปแบบ PPO ที่มีความต่อเนื่องและสามารถทำงานในสถานะการณ์ที่ซับซ้อนได้มากกว่า

อย่างไรก็ตามในการติดตามแนวโน้มค่ารางวัลต่อรอบการเรียนรู้ พบว่าโมเดลทั้งสองมีการพัฒนาและปรับตัวอย่างต่อเนื่อง โดยค่ารางวัลเฉลี่ยมีแนวโน้มเพิ่มขึ้นในแต่ละรอบ ซึ่งสะท้อนให้เห็นว่าโมเดลเกิดการเรียนรู้อย่างแท้จริง สามารถเข้าใจรูปแบบการใช้พลังงานที่เหมาะสมต่อเงื่อนไขการใช้งานจริงของฟาร์มหมู ทั้งนี้เมื่อพิจารณาผลลัพธ์โดยรวมทำให้เห็นว่าการเรียนรู้เชิงลึกแบบเสริมกำลังมีศักยภาพที่จะเป็นเครื่องมือในการจัดการระบบพลังงานภายในฟาร์มหมู ทำให้ช่วยลดต้นทุน บริหารจัดการโหลด และอาจต่อยอดเพื่อนำไปใช้กับระบบฟาร์มอัจฉริยะ (Smart Farm) หรือระบบจัดการพลังงานในภาคส่วนอื่น ๆ ได้ในอนาคต

6. กิตติกรรมประกาศ

ขอขอบคุณ หจก.ศุภากรคอนโทรล ที่เอื้อเฟื้อข้อมูลการใช้ไฟฟ้าและสถานที่ในการวิจัย

เอกสารอ้างอิง

[1] A. Deanseekeaw, N. Khortsriwong, P. Boonraksa, T. Boonraksa and B. Marungsri, "Optimal Load Scheduling for Smart Home Energy Management using Deep Reinforcement Learning," *2024 12th International Electrical Engineering Congress (iEECON)*, Pattaya, Thailand, 2024, pp. 1-4, doi: 10.1109/iEECON60677.2024.10537863.

[2] P. Palensky and D. Dietrich, "Demand Side Management: Demand Response, Intelligent Energy Systems, and Smart Loads," IEEE Transactions on Industrial Informatics, 2011, Vol. 7, No. 3, pp. 381 388.

[3] K. Yu, K. Jin and X. Deng, "Review of Deep Reinforcement Learning," *2022 IEEE 5th Advanced Information Management, Communicates, Electronic and Automation Control Conference (IMCEC)*, Chongqing, China, 2022, pp. 41-48, doi: 10.1109/IMCEC55388.2022.10020015.

[4] J. Hare, "Dealing with sparse rewards in reinforcement learning." arXiv preprint arXiv:1910.09281 (2019).

[5] J. Jia and W. Wang, "Review of reinforcement learning research," *2020 35th Youth Academic Annual Conference of Chinese Association of Automation (YAC)*, Zhanjiang, China, 2020, pp. 186-191, doi: 10.1109/YAC51587.2020.9337653.

[6] "Electricity Tariff," Provincial Electricity Authority(PEA), 2018

การประเมินอายุการใช้งานแบตเตอรี่ชีวิตที่สองด้วยวิธี Equivalent Full Cycle

Assessment of Second-Life Battery Lifetime Based on the Equivalent Full Cycle Approach

กันตินันท์ สกุลไพศาล[1] ธีระพล เหมือนขาว[1] พงษ์ประภัทร ชูหิรัญญ์วัฒน์[2] และ ศิริรัตน์ ศรอินทร์[3]*

[1]ภาควิชาวิศวกรรมไฟฟ้า คณะวิศวกรรมศาสตร์ มหาวิทยาลัยเทคโนโลยีราชมงคลธัญบุรี Guntinan_s@rmutt.ac.th theerapol.m@en.rmutt.ac.th

[2]ภาควิชาเทคโนโลยีอุตสาหกรรม สาขาวิชาวิศวกรรมพลังงาน คณะเทคโนโลยีการเกษตรและเทคโนโลยีอุตสาหกรรม มหาวิทยาลัยราชภัฏนครสวรรค์ phongpraphat.c@nsru.ac.th

[3] สาขาวิศวกรรมไฟฟ้าและระบบควบคุมอัตโนมัติคณะวิศวกรรมศาสตร์และเทคโนโลยีอุตสาหกรรมมหาวิทยาลัยราชภัฏบ้านสมเด็จเจ้าพระยา B5722853@gmail.com*

บทคัดย่อ

การใช้ยานยนต์ไฟฟ้า (EV) ในประเทศไทยเพิ่มสูงขึ้น ช่วยลดการปล่อยก๊าซคาร์บอนไดออกไซด์และบรรเทาปัญหาโลกร้อน อย่างไรก็ดี แบตเตอรี่ซึ่งเป็นแหล่งกักเก็บพลังงานหลักเสื่อมสภาพตามอายุการใช้งาน จนไม่เหมาะต่อการใช้งานในยานยนต์ แนวทาง “แบตเตอรี่ชีวิตที่สอง” สำหรับระบบกักเก็บพลังงานในครัวเรือนจึงได้รับความสนใจ

งานวิจัยนี้นำเสนอกรอบวิธีประเมินอายุการใช้งานของแบตเตอรี่ชีวิตที่สอง โดยผสานแนวคิดจำนวนรอบเทียบเท่ารอบเต็ม (Equivalent Full Cycles: EFC) เข้ากับการจัดตารางการคายประจุที่เหมาะสมซึ่งปรับด้วยอัลกอริทึม Grey Wolf Optimizer (GWO) เพื่อมุ่งลดค่าใช้จ่ายไฟฟ้าครัวเรือน ภายใต้ข้อจำกัดเชิงกายภาพของแบตเตอรี่ พร้อมประมาณอายุการใช้งานที่เหลือ (Remaining Useful Life: RUL) ในหลายกรณีศึกษา ผลการทดลองยืนยันว่าแนวทางที่นำเสนอสามารถสนับสนุนการจัดการพลังงานภาคครัวเรือนได้อย่างมีประสิทธิภาพ ลดค่าใช้จ่าย และแสดงศักยภาพของแบตเตอรี่ชีวิตที่สองต่อประโยชน์เชิงเศรษฐกิจและสิ่งแวดล้อมในบริบทประเทศไทย.

คำสำคัญ: แบตเตอรี่ชีวิตที่สอง, การเสื่อมสภาพของแบตเตอรี่, การหาค่าที่เหมาะสมที่สุดแบบฝูงหมาป่า

Abstract

The adoption of electric vehicles (EVs) in Thailand is rising, helping to reduce carbon dioxide emissions and mitigate climate change. However, traction batteries—the primary energy storage component—degrade over time, eventually becoming unsuitable for in-vehicle use. Repurposing these retired packs as second-life batteries for residential energy storage has therefore attracted growing interest.

This study presents a framework to assess the lifetime of second-life batteries by integrating the equivalent full cycles (EFC) concept with an optimized discharge-scheduling strategy tuned via the Grey Wolf Optimizer (GWO). The objective is to minimize household electricity costs subject to the battery’s physical constraints, while concurrently estimating the remaining useful life (RUL) across multiple case studies. Experimental results confirm that the proposed approach effectively supports residential energy management, reduces electricity expenditures, and highlights the techno-economic and environmental potential of second-life batteries in the Thai context.

Keywords: second-life battery, battery degradation, Gray Wolf Optimization

1. บทนำ

การเติบโตของยานยนต์ไฟฟ้า (EV) ในประเทศไทยช่วยลดการปลดปล่อยก๊าซเรือนกระจกและสนับสนุนการเปลี่ยนผ่านด้านพลังงานอย่างมีนัยสำคัญ อย่างไรก็ตาม เมื่อแบตเตอรี่ในยานยนต์เสื่อมสภาพตามอายุการใช้งานและไม่เหมาะสมต่อภารกิจขับเคลื่อนอีกต่อไป ปริมาณแบตเตอรี่ที่ “ปลดระวางจากยานยนต์” จะเพิ่มขึ้นตามสัดส่วนของการใช้งาน EV ที่ขยายตัว หากขาดแนวทางการใช้ประโยชน์ต่อ อาจก่อให้เกิดทั้งต้นทุนสิ่งแวดล้อมและภาระด้านการจัดการของเสีย

ดังนั้นจึงมีแนวคิดที่จะนำแบตเตอรี่ที่ปลดระวางของรถยนต์ไฟฟ้าไปใช้ในการกักเก็บพลังงานในส่วนอื่นอาทิเช่น การใช้งานในภาคครัวเรือน ซึ่งเราจะเรียกแบตเตอรี่เหล่านี้ว่าแบตเตอรี่ชีวิตที่สอง แนวคิดดังกล่าวช่วยนืดอายุการใช้งานแบตเตอรี่ ลดความต้องการผลิตแบตเตอรี่ใหม่และช่วยลดค่าใช้จ่ายด้านค่าไฟฟ้าตามโรงสร้างอัตราค่าไฟฟ้าแบบ TOU โดยความคุ้มค่าของการประยุกต์ใช้แบตเตอรี่ชีวิตที่สองขึ้นอยู่กับความสามารถในการประเมิน RUL และการควบคุมรูปแบบการใช้งานที่เหมาะสม

การศึกษานี้จึงนำเสนอกรอบวิธีการแบบบูรณาการที่ใช้การประเมินอายุของแบตเตอรี่ชีวิตที่สองด้วยการพิจารณารอบการใช้งานเทียบเท่ารอบเต็ม เป็นแกนกลางในการประเมินชีวิตที่เหลือของแบตเตอรี่ (Remain Useful Life :RUL) และเชื่อมโยงกับอัลกอริทึมเพิ่มประสิทธิภาพการคายประจุ เพื่อมุ่งลดค่าใช้จ่ายไฟฟ้าของครัวเรือนภายใต้ข้อจำกัดด้านสุขภาพ

*ผู้ประพันธ์บรรณกิจ

แบตเตอรี่ กรอบดังกล่าวช่วยออกแบบตารางการอัดประจุและคายประจุที่เหมาะสมต่อโครงสร้างอัตราค่าไฟและอายุของแบตเตอรี่

2. ปริทัศน์วรรณกรรม

2.1 การประยุกต์ใช้แบตเตอรี่ชีวิตที่สองในระบบกักเก็บพลังงาน

มีงานวิจัยหลายฉบับที่เน้นการศึกษาการนำแบตเตอรี่ที่เสื่อมสภาพแล้วมาใช้ใหม่ในระบบกักเก็บพลังงานภายในบ้าน โดยส่วนใหญ่จะมีการใช้แบตเตอรี่ที่ไม่สามารถใช้งานในยานยนต์ไฟฟ้าแล้วมาใช้ในการกักเก็บพลังงานจากแหล่งพลังงานทดแทน เช่น ระบบพลังงานแสงอาทิตย์ (PV) หรือพลังงานลม [1] งานวิจัยเหล่านี้ชี้ให้เห็นว่า การใช้แบตเตอรี่ชีวิตที่สองสามารถลดต้นทุนการจัดเก็บพลังงานได้อย่างมีนัยสำคัญ โดยสามารถช่วยให้ครัวเรือนลดค่าใช้จ่ายด้านไฟฟ้า โดยเฉพาะในช่วงเวลาที่มีการเปลี่ยนแปลงราคาค่าไฟฟ้าแบบชั่วโมง (Time-of-Use, TOU) ที่สูงขึ้นในช่วงเวลา peak

การใช้แบตเตอรี่ชีวิตที่สองในระบบ BESS สามารถช่วยในการจัดการพลังงานจากแหล่งพลังงานหมุนเวียน เช่น พลังงานแสงอาทิตย์และลม โดยการเก็บพลังงานส่วนเกินและปล่อยพลังงานในช่วงที่ความต้องการสูง ช่วยเพิ่มความเสถียรของกริดและลดการพึ่งพาแหล่งพลังงานฟอสซิล [2]

2.2 การประเมินอายุของแบตเตอรี่ชีวิต

กลไกการเสื่อมสภาพของแบตเตอรี่ประกอบด้วยกลไก 2 ส่วนหลัก ได้แก่ ค่าความเสื่อมสภาพที่เกิดจากการจัดเก็บหรือเรียกว่า Calendar Aging และ การเสื่อมสภาพเนื่องจากจำนวนรอบการใช้งานหรือเรียกว่า Cycle Aging ดังแสดงในสมการ (1)

$$Q_{loss} = Q_{Calendar} + Q_{cycle} \quad (1)$$

โดยที่ Q_{loss} คือค่าความสูญเสียความจุของแบตเตอรี่ (Ah) $Q_{Calendar}$ คือการสูญเสียความจุที่เกิดจาก Calendar Aging ต่อหนึ่งรอบ และ Q_{cycle} คือการสูญเสียค่าความจุที่เกิดจาก Cycle Aging ต่อหนึ่งรอบ

Calendar Aging หรือการเสื่อมสภาพตามรอบปฏิทินคือการเสื่อมสภาพของแบตเตอรี่แม้ในขณะที่ไม่ได้ใช้งาน เช่น เมื่อแบตเตอรี่ถูกจัดเก็บไว้ในสถานที่ต่างๆ หรือยานยนต์ไฟฟ้าหรือยานยนต์ไฮบริดจอดทิ้งไว้เป็นเวลานาน การเสื่อมสภาพประเภทนี้ส่งผลกระทบต่ออายุการใช้งานของแบตเตอรี่อย่างมีนัยสำคัญ [3] โดยการเสื่อมสภาพขึ้นอยู่กับสภาพแวดล้อม อาทิเช่น อุณหภูมิของบริเวณที่แบตเตอรี่ถูกติดตั้งอยู่ที่ส่งผลต่อการเพิ่มขึ้นของชั้น Solid Electrolyte Interface (SEI) การสูญเสียปริมาณลิเทียม (Lithium Inventory Loss : LLI) และ ทำให้เกิด Loss of Active Material (LLM) ดังนั้นการเสื่อมสภาพประเภทนี้จะเกิดขึ้นตลอดเวลาแม้ว่าแบตเตอรี่จะไม่ได้ใช้งาน [4]

Cycle Aging คือกระบวนการเสื่อมสภาพที่เกิดจากการอัดประจุและคายประจุของแบตเตอรี่ ส่งผลให้ประสิทธิภาพของแบตเตอรี่ลดลงอย่างค่อยเป็นค่อยไป ปัจจัยสำคัญที่มีอิทธิพลต่อกระบวนการนี้ ได้แก่ การเสื่อมสภาพของวัสดุอิเล็กโทรด ความเค้นเชิงกล ผลกระทบจากความร้อน และการสลายตัวของอิเล็กโทรไลท์ [5] สำหรับการชาร์จแบบพัลส์ ซึ่งเป็นการจ่ายกระแสชาร์จเป็นจังหวะแทนการจ่ายต่อเนื่อง จะช่วยบริหารการเกิดความร้อน ลดความเค้นของส่วนประกอบภายใน และส่งเสริมการแพร่ของไอออน โดยการบรรเทาการเสื่อมของความจุและการยืดอายุการใช้งานเชิงรอบ กลยุทธ์เหล่านี้จึงร่วมกันช่วยเพิ่มประสิทธิภาพและยืดอายุการใช้งานของแบตเตอรี่โดยรวม ซึ่งปัญหาของการคำนวนจำนวนรอบของการทำงานของแบตเตอรี่คือ การนับ 1 รอบการทำงานคือการอัดประจุแบตเตอรี่จนถึงความจุสูงสุดและคายประจุจนหมด แต่ในทางปฏิบัติการอัดประจุและการคายประจุขึ้นอยู่กับพฤติกรรมของโหลด โดยทั่วไปแล้วแบตเตอรี่ชีวิตที่สองจะมีพฤติกรรมการอัดประจุและคายประจุขึ้นอยู่กับกำลังการผลิตของโซลาร์เซลและพฤติกรรมของโหลด ณ เวลาต่าง ๆ ดังนั้นการนับรอบการทำงานของแบตเตอรี่แบบเดิมจึงไม่เหมาะสมกับรูปแบบการทำงานของแบตเตอรี่ ดังนั้นเพื่อแก้ไขปัญหาดังกล่าวงานวิจัยฉบับนี้จึงใช้วิธีการนับรอบแบบ EFC

2.3 การออกแบบเส้นโค้งการอัดประจุและคายประจุที่เหมาะสมของแบตเตอรี่ด้วยวิธีการหาค่าที่เหมาะสมแบบฝูงหมาป่า

การออกแบบเส้นโค้งการอัดประจุและคายประจุมีความสำคัญในการบริหารจัดการพลังงานในระบบกักเก็บพลังงานไฟฟ้า (BESS) โดยการกำหนดเส้นโค้งเหล่านี้จะต้องพิจารณาความสามารถในการชาร์จและคายประจุของแบตเตอรี่ในช่วงเวลาต่างๆ ของวัน เพื่อให้เหมาะสมกับการใช้งานในแต่ละเวลา โดยเฉพาะในช่วงเวลาที่ค่าไฟฟ้าเป็นราคาสูง (เช่น ช่วงเย็นและกลางคืน) ซึ่งเป็นช่วงเวลาที่ค่าใช้จ่ายสูงสุดในการใช้ไฟฟ้า การออกแบบเส้นโค้งการชาร์จและคายประจุจะช่วยให้การใช้งานแบตเตอรี่ในระบบมีประสิทธิภาพสูงสุดโดยลดการชาร์จไฟฟ้าจากแหล่งจ่ายไฟฟ้าหลักในช่วงเวลาที่ค่าไฟฟ้าสูง

การใช้วิธีการหาค่าที่เหมาะสมแบบฝูงหมาป่า (Grey Wolf Optimization, GWO) เพื่อหาค่าเส้นโค้งการอัดประจุและคายประจุที่เหมาะสมเป็นเทคนิคการหาค่าที่เหมาะสมแบบ Metaheuristic ที่ได้รับแรงบันดาลใจจากการล่าสัตว์ของหมาป่าในฝูง การใช้ GWO ในการออกแบบเส้นโค้งการชาร์จและคายประจุของแบตเตอรี่ช่วยให้สามารถค้นหาค่าที่ดีที่สุดที่ทำให้การใช้งานแบตเตอรี่เกิดประสิทธิภาพสูงสุดภายใต้ข้อจำกัดของการชาร์จและคายประจุ รวมถึงการลดค่าใช้จ่ายพลังงานในแต่ละช่วงเวลาของวันได้ โดยในงานนี้ได้พิจารณาฟังชันก์วัตถุประสงค์ดังแสดงในสมการที่ (4) พร้อมกับเงื่อนไขดังแสดงในสมการที่ (2)-(5) [6]

$$\min \quad C = \sum_{t=1}^{n} \left(P_{net}(t) + P_c(t) - P_{dc}(t) \right) \times C_{TOU}(t) \quad (2)$$

เงื่อนไข

$$SOC_{\min}(t) \le SOC(t) \le SOC_{\max}(t) \quad (3)$$

$$0 \le P_c(t) \le P_{c,\max} \quad (4)$$

$$0 \le P_{dc}(t) \le P_{dc,\max} \quad (5)$$

โดย C คือค่าใช้จ่ายด้านพลังงาน (บาท/สัปดาห์) $P_{net}(t)$,$P_{dc}(t)$, $P_c(t)$ และ$C_{TOU}(t)$ คือกำลังไฟฟ้าสุทธิของโหลดกำลังไฟฟ้าที่แบตเตอรี่คายประจุ กำลังไฟฟ้าที่แบตเตอรี่อัดประจุและอัตราค่าไฟฟ้าณเวลาใดๆตามลำดับ นอกจากนั้นในเงื่อนไขของการหาค่าที่เหมาะสมได้อธิบายถึงการควบคุมสถานะของแบตเตอรี่ให้อยู่ในช่วงที่กำหนดโดยในงานนี้กำหนด SOC_{min} และ SOC_{max} ไว้ที่ 20%-100% ตามลำดับ เพื่อให้การคายประจุและการอัดประจุของแบตเตอรี่ไม่เกินค่าพิกัดการควบคุมปริมาณของการคายประจุและการอัดประจุของแบตเตอรี่ถูกแสดงไว้ดังสมการที่(4)-(5)

2.4 วิธีการประเมินการเสื่อมสภาพของแบตเตอรี่ด้วยการพิจารณารอบการใช้งานเทียบเท่ารอบเต็ม

ในงานวิจัยนี้ใช้วิธีการพิจารณาใช้รอบการทำงานแบบ EFC เพื่อประเมินการเสื่อมสภาพของแบตเตอรี่ที่ใช้ในระบบกักเก็บพลังงานไฟฟ้าภายในบ้าน โดยการคำนวณจากค่าพลังงานไฟฟ้าที่ใช้ในแต่ละปี ซึ่งจะช่วยให้คำนวณการเสื่อมสภาพได้ตามจำนวนการใช้งานที่เกิดขึ้นจริงในระยะยาว

การเสื่อมสภาพของแบตเตอรี่ที่เกิดจากการใช้งานซ้ำหลายรอบ (cycle aging) มักประเมินจากความลึกการคายประจุ (DoD) ของแต่ละรอบ ซึ่งสะสมเป็น ปริมาณประจุสะสม เพื่อนำไปแปลงเป็นจำนวน รอบเทียบเท่าเต็ม (EFC) เพื่อจัดการปัญหาการใช้งานแบบบางส่วนของรอบ (partial cycle) โดยนิยามได้ดังสมการ (6)–(7)

$$Q = \int_0^t |I(t)| \quad dt \quad (6)$$

$$EFC = \frac{Q}{2 \times C_{batt}} \quad (7)$$

โดยที่ I คือกระแสที่เกิดจากการอัดประจุและคายประจุ (A) และ C_{batt} คือความจุของแบตเตอรี่ (Ah) หลังจากนั้นค่า EFC จะถูกนำไปคำนวนการเสื่อมสภาพของแบตเตอรี่ด้วยสมการที่ (8)

$$Q_{cycle} = k_{cycle} \times EFC^{\beta} \quad (8)$$

โดยที่ k_{cycle} และ β คือ ค่าคงที่การสูญเสียความจุทางไฟฟ้าต่อรอบ และ ค่าคงที่การคายประจุแบบไม่เต็มรอบ ตามลำดับ โดยค่า kcycle และ β ถูกกำหนดให้มีค่า 0.001 และ 1.2 ตามลำดับ [7]

ดังนั้นความจุทางไฟฟ้าคงเหลือและอายุที่เหลือของแบตเตอรี่สามารถคำนวนได้จากสมการที่ (9)-(10)

$$Q_{remain} = Q_{2nd} - Q_{EOL} \quad (9)$$

$$RUL = \frac{Q_{remain}}{Q_{Cycle}} \quad (10)$$

โดยที่ Q_{remain}, Q_{2nd} และ Q_{EOL} คือ ความจุคงเหลือของแบตเตอรี่ ความจุของแบตเตอรี่ขณะเริ่มชีวิตที่สองและความจุของแบตเตอรี่ขณะสิ้นสุดชีวิตที่สอง

3. ผลการจำลอง

ในหัวข้อนี้กล่าวถึงการจำลองผลการประเมินอายุของแบตเตอรี่ชีวิตที่สองร่วมกับการออกแบบเส้นโค้งการอัดประจุและคายประจุที่เหมาะสมของแบตเตอรี่ เพื่อลดค่าใช้จ่ายด้านพลังงานไฟฟ้าและประเมินอายุที่เหลือของแบตเตอรี่หากใช้งานด้วยพฤติกรรมเดิมซ้ำ ๆ ซึ่งผลจำลองจะแบ่งออกเป็นสองส่วน ได้แก่ผลจำลองการสร้างเส้นโค้งการอัดประจุและคายประจุที่เหมาะสม และผลจำลองการประเมินอายุที่เหลืออยู่ของแบตเตอรี่

ในหัวข้อนี้กล่าวถึงการจำลองการออกแบบเส้นโค้งการอัดประจุและคายประจุของแบตเตอรี่ โดยแบตเตอรี่ชีวิตที่สองถูกนำมาใช้งานกับโหลดที่อยู่อาศัยที่มีเส้นโค้งความต้องการใช้ไฟฟ้าที่มีการติดตั้งระบบโซลาร์เซลล์และเครื่องอัดประจุรถยนต์ไฟฟ้าแสดงดังรูปที่ (1)

จากรูปที่ (1) แสดงภาพรวมของที่พักอาศัยที่ประกอบด้วยความต้องการของเครื่องใช้ไฟฟ้าและเครื่องอัดประจุของรถยนต์ไฟฟ้า โดยที่พักดังกล่าวได้ถูกคิดค่าใช้จ่ายการใช้พลังงานไฟฟ้าแบบ TOU โดยมีอัตราค่าใช้จ่ายเปลี่ยนแปลงตามเวลาที่ใช้งานดังแสดงในรูปที่ (2)

เพื่อลดค่าใช้จ่ายด้านพลังงานไฟฟ้าระบบโซลาร์เซลล์ขนาด 5 kW จึงถูกติดตั้งเข้ากับที่พักดังกล่าวและพบว่าสามารถลดค่าใช้จ่ายด้านพลังงานไฟฟ้าได้บางส่วนดังแสดงในตารางที่ 1 เพื่อเพิ่มความยืดหยุ่นของการใช้พลังงาน ระบบกักเก็บพลังงานด้วยแบตเตอรี่ชีวิตที่สองจึงถูกติดตั้งเข้ากับบ้านหลังดังกล่าว โดยแบตเตอรี่มีขนาด 60.5 kWh ที่ SOH 100% เมื่อถูกพิจารณาเป็นแบตเตอรี่ชีวิตที่สองความจุจึงลดลงเหลือ 48.4 kWh ที่ SOH 80% การใช้งานแบตเตอรี่สามารถใช้งานได้หลายรูปแบบ โดยในงานนี้จะนำเสนอการใช้งานในรูปแบบการกักเก็บพลังงานเกินที่ผลิตได้จากระบบโซลาร์เซลและนำไปใช้งานในช่วงที่ระบบโซลาร์เซลล์ผลิตไม่เพียงพอ(กรณีฐาน)กับวิธีการออกแบบเส้นโค้งการอัดประจุและคายประจุที่เหมาะสม (กรณีหาค่าที่เหมาะสม) โดยผลลัพธ์ถูกแสดงไว้ในตารางที่ 1 และรูปที่ 3

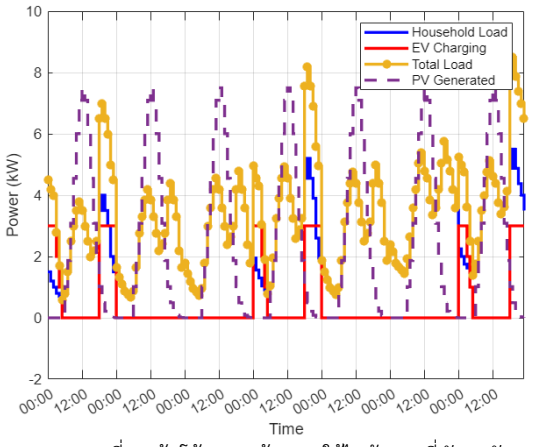

รูปที่ 1 เส้นโค้งความต้องการใช้ไฟฟ้าของที่พักอาศัย

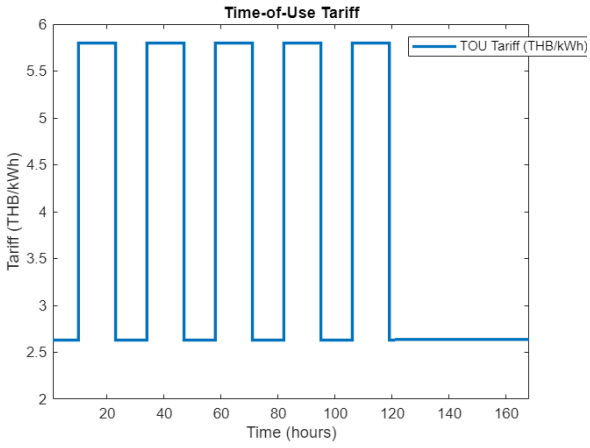

รูปที่ 2 อัตราค่าไฟฟ้าแบบ TOU

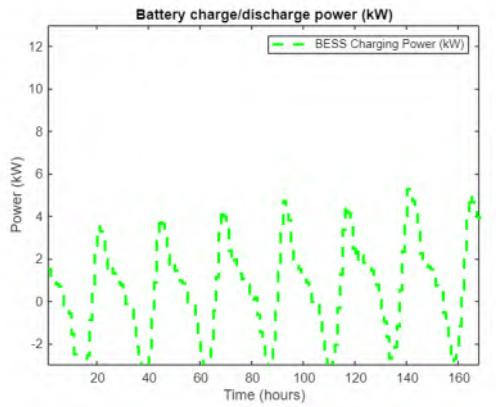

รูปที่ 3 ผลการจำลองกรณีฐาน

รูปที่ 3 แสดงถึงการอัดประจุและคายประจุของแบตเตอรี่ โดยแบตเตอรี่จะอัดประจุ(ค่า+)พลังงานในช่วงที่มีกำลังการผลิตเกินความต้องการและจะคายประจุ(ค่า-)ในช่วงที่มีความต้องการใช้กำลังไฟฟ้าสูงซึ่งลักษณะการอัดและคายประจุจะไม่มีการควบคุม

เพื่อลดค่าใช้จ่ายด้านพลังงานไฟฟ้า การออกแบบเส้นโค้งการอัดประจุและคายประจุที่เหมาะสมด้วยวิธีการฝูงหมาป่าจึงถูกนำมาใช้ โดยผลลัพธ์การจำลองถูกแสดงดังรูปที่ 4-5

รูปที่ 4 คือเส้นโค้งการอัดประจุและคายประจุของแบตเตอรี่และค่าสถานะของแบตเตอรี่ (SOC) ที่ถูกสร้างด้วยวิธีการหาค่าที่เหมาะสมแบบฝูงหมาป่าโดยใช้ฟังชันก์วัตถุประสงค์และเงื่อนไขตามสมการที่ (2)-(5) ซึ่งช่วยลดค่าใช้จ่ายด้านพลังงานต่อเดือนของที่อยู่อาศัยดังกล่าว

รูปที่ 5 แสดงผลลัพธ์ของฟังชันก์วัตถุประสงค์ของแต่ละรอบของการคำนวนของวิธีการหาค่าที่เหมาะสมของฝูงอนุภาค ซึ่งการควบคุมการอัดประจุและคายประจุที่เหมาะสมสามารถลดค่าใช้จ่ายจาก 667.42 บาทต่อสัปดาห์ เหลือ 392.611 บาทต่อเดือน ดังแสดงในตารางที่ 1

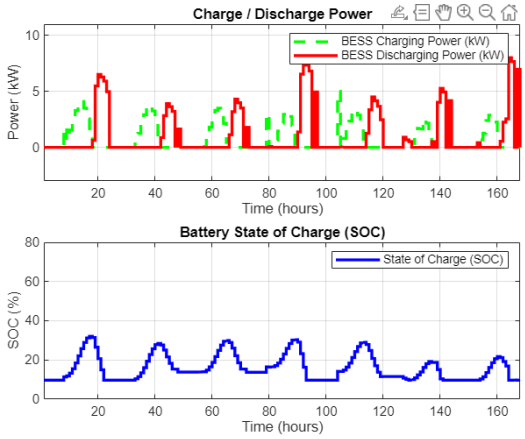

รูปที่ 4 ผลการจำลองการออกแบบเส้นโค้งการอัดประจุและคายประจุที่เหมาะสม

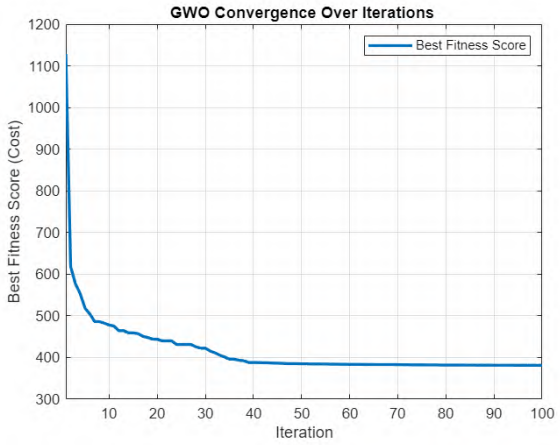

รูปที่ 5 เส้นโค้งการลูเข้าของผลลัพธ์

ตารางที่ 1 ผลการจำลองการอัดประจุและการคายประจุที่เหมาะสม

กรณีศึกษา	ค่าใช้จ่ายด้านพลังงานไฟฟ้า (บาทต่อปี)
กรณีฐาน	34,804.64
กรณีหาค่าที่เหมาะสม	20,471.86

จากตารางพบว่าการออกแบบเส้นโค้งการอัดประจุและการคายประจุที่เหมาะสมสามารถลดค่าใช้จ่ายด้านพลังงานได้ โดยการระบบจะทำหน้าที่กักเก็บพลังงานส่วนเกินจากการผลิตและนำไปใช้งานในช่วงที่มีอัตราค่าไฟฟ้าสูง จึงทำให้ค่าใช้จ่ายด้านพลังงานไฟฟ้าลดลง จากผลการจำลองดังกล่าวจะถูกนำไปประเมินอายุที่เหลืออยู่ของแบตเตอรี่ โดยผลการจำลองมีผลดังนี้

ตารางที่ 2 ผลการประเมินอายุแบตเตอรี่

ค่า	ปริมาณ
จำนวนพลังงานที่ใช้ตลอดทั้งปี(Ah)	74,927.68
จำนวนพลังงานที่โซลาร์เซลผลิตได้ตลอดทั้งปี (Ah)	50,563.20
จำนวนพลังงานที่แบตเตอรี่คายประจุ (Ah) ต่อปี	38630.71
รอบการใช้งานเทียบเท่ารอบเต็ม(รอบ) ต่อปี	6.96
อายุแบตเตอรี่ที่เหลือ (ปี) ที่ SOH 20 %	18.68

จากตารางที่ 2 แสดงผลการประเมินอายุของแบตเตอรี่ โดยเมื่อนำแบตเตอรี่ไปใช้งานร่วมกับการอัดและคายประจุที่เหมาะสมจะทำให้แบตเตอรี่ดังกล่าวสามารถใช้งานได้อีก 18.68 ปี โดยเมื่อครบเวลาจะทำให้สุขภาพแบตเตอรี่ลดลงเหลือ 20 %

4. สรุปผลการจำลอง

บทความฉบับนี้ผู้เขียนได้นำเสนอการประยุกต์ใช้แบตเตอรี่ชีวิตที่สองร่วมกับโหลดชนิดที่อยู่อาศัยที่พิจารณาระบบโซลาร์เซลล์และโหลดที่เกิดจากการอัดประจุของรถยนต์ไฟฟ้า โดยในการจำลองได้แสดงให้เห็นถึงวิธีการหาค่าที่เหมาะสมสำหรับสร้างเส้นโค้งการอัดประจุและคายประจุของแบตเตอรี่ชีวิตที่สองเพื่อลดค่าใช้จ่ายด้านพลังงานไฟฟ้าของที่พักอาศัยที่พิจารณาค่าไฟฟ้าแบบ TOU ซึ่งทำให้สามารถลดค่าใช้จ่ายได้สูงถึง 41.18 % เมื่อเปรียบเทียบกับกรณีฐาน หลังจากนั้นรูปแบบการทำงานของแบตเตอรี่ที่เหมาะสมจะถูกนำไปประเมินอายุแบตเตอรี่ด้วยวิธีการประเมินอายุของแบตเตอรี่ด้วยรอบการใช้งานเทียบเท่ารอบเต็ม โดยผลการประเมินพบว่าแบตเตอรี่ดังกล่าวสามารถใช้งานได้เป็นระยะเวลา 18.68 ปี

5. งานวิจัยในอนาคต

การประเมินอายุของแบตเตอรี่ของงานวิจัยฉบับนี้ยังขาดหลายองค์ประกอบที่ทำให้เกิดความเสื่อมสภาพของแบตเตอรี่ อาทิเช่นการเสื่อมสภาพตามปฏิทินที่เกิดขึ้นตลอดเวลา ซึ่งมีความสัมพันธ์กับอุณหภูมิความชื้น นอกจากนั้นการประเมินความร้อนที่เกิดขึ้นขณะที่แบตเตอรี่ถูกอัดประจุและคายประจุยังไม่ถูกพิจารณาในงานวิจัยฉบับนี้ ดังนั้นงานวิจัยในอนาคตจะมุ่งเน้นศึกษาองค์ประกอบที่ขาดไป เพื่อให้ผลการจำลองมีความแม่นยำและสอดคล้องกับความเป็นจริงมากขึ้น

6. กิตติกรรมประกาศ

บทความนี้ได้รับการสนับสนุนจาก มหาวิทยาลัยเทคโนโลยีราชมงคลธัญบุรี

เอกสารอ้างอิง

1. Saez-de-Ibarra, A., et al. *Second life battery energy storage system for residential demand response service*. in 2015 *IEEE International Conference on Industrial Technology (ICIT)*. 2015.
2. Roslan, M.F., et al., *Second-life battery energy storage system for energy sustainability: Recent advancements, key takeaways and future perspectives.* Journal of Energy Storage, 2025. 123: p. 116808.
3. Liu, K., et al., *An evaluation study of different modelling techniques for calendar ageing prediction of lithium-ion batteries.* Renewable and Sustainable Energy Reviews, 2020. 131: p. 110017.
4. Plattard, T., et al. *Combining a Fatigue Model and an Incremental Capacity Analysis on a Commercial NMC/Graphite Cell under Constant Current Cycling with and without Calendar Aging*. Batteries, 2019. 5, DOI: 10.3390/batteries5010036.
5. Pender, J.P., et al., *Electrode Degradation in Lithium-Ion Batteries.* ACS Nano, 2020. 14(2): p. 1243-1295.
6. Juanhuathon, G.S.S.S.M.N.N., *Optimization and EconomicAssessment of Energy Management Using Second-Life Batteries*, in *The 47thElectrical Engineering Conference (EECON-47)*. 2567. p. 113-118.
7. Schimpe, M., et al., *Comprehensive Modeling of Temperature-Dependent Degradation Mechanisms in Lithium Iron Phosphate Batteries.* Journal of The Electrochemical Society, 2018. 165(2): p. A181.
8. Wang, J., et al., *Degradation of lithium ion batteries employing graphite negatives and nickel–cobalt–manganese oxide + spinel manganese oxide positives: Part 1, aging mechanisms and life estimation.* Journal of Power Sources, 2014. 269: p. 937-948.

การพยากรณ์ระดับน้ำคงเหลือในหม้อเพื่อสนับสนุนระบบควบคุมวาล์วแก๊สอัตโนมัติด้วยการวิเคราะห์การถดถอยเชิงเส้น

Linear Regression-Based Prediction of Pot Water Level for Automatic Gas Valve Control

หาญรงณ์ บัวทอง[1] บุษบง โสมัสสา[2] และ นิดา แซ่จอง[3]*

[1]สาขาวิชาช่างเทคนิคระบบขนส่งทางราง วิทยาลัยเทคนิคนราธิวาส มหาวิทยาลัยนราธิวาสราชนครินทร์ hanrong.b@pnu.ac.th
[2]สาขาเทคโนโลยีดิจิทัล วิทยาลัยเทคนิคนราธิวาส มหาวิทยาลัยนราธิวาสราชนครินทร์ bussabong.s@pnu.ac.th
[3]สาขาวิศวกรรมไฟฟ้า คณะวิศวกรรมศาสตร์ มหาวิทยาลัยนราธิวาสราชนครินทร์ nida.s@pnu.ac.th*

บทคัดย่อ

งานวิจัยนี้มีวัตถุประสงค์เพื่อพัฒนาและประเมินโมเดลการถดถอยเชิงเส้น สำหรับการพยากรณ์ระดับน้ำคงเหลือในหม้อ โดยการศึกษามุ่งเน้นการวิเคราะห์ผลของเทคนิคการทำให้ข้อมูลเป็นบรรทัดฐาน แบบ min–max และ z-score การเลือกชุดตัวแปรต้น ได้แก่ ขนาดหม้อ อุณหภูมิ และความชื้น รวมถึงการเพิ่มลักษณะเด่นเชิงพหุนาม เพื่อสะท้อนความสัมพันธ์ที่ไม่เป็นเชิงเส้น ข้อมูลถูกเก็บภายใต้สภาวะการทดลอง 4 รูปแบบ คือ ผสม เปิด ปิด และ เผยอ ผลการทดลองพบว่า เทคนิค min–max และ z-score ให้ค่า MSE ใกล้เคียงกัน แสดงว่าไม่มีผลต่างที่มีนัยสำคัญต่อประสิทธิภาพของโมเดล อย่างไรก็ตาม ชุดตัวแปรที่ประกอบด้วยทั้งสามตัวแปร ให้ค่า MSE ต่ำที่สุดในภาพรวม และการเพิ่มลักษณะเด่นเชิงพหุนาม ช่วยเพิ่มความแม่นยำของการพยากรณ์ โดยเฉพาะในสภาวะเผยอที่ค่า MSE ต่ำสุด แสดงถึงอัตราการระเหยที่ขึ้นอยู่กับปัจจัยซับซ้อนและไม่เป็นเส้นตรง ขณะที่สภาวะผสมมีค่า MSE สูงสุด สะท้อนความแปรปรวนของข้อมูล แม้ค่า MSE ของชุดฝึกและชุดทดสอบจะใกล้เคียงกัน แต่โมเดลไม่ได้เกิดการเรียนรู้เฉพาะรายละเอียดของข้อมูล อีกทั้งยังสามารถอธิบายความสัมพันธ์พื้นฐานได้อย่างเหมาะสม อย่างไรก็ตามการทดลองนี้ใช้การต้มน้ำเปล่าเป็นสภาวะควบคุม เพื่อให้ได้ข้อมูลที่มีความเสถียรและลดความแปรปรวนจากองค์ประกอบอื่น แม้วิธีนี้จะช่วยยืนยันความสัมพันธ์ระหว่างตัวแปรได้ แต่ยังมีข้อจำกัดในการประยุกต์ใช้กับการหุงต้มอาหารจริง ซึ่งมีความหนืดและองค์ประกอบที่ซับซ้อนกว่า จึงแนะนำให้มีการศึกษากับอาหารประเภทต่าง ๆ เพื่อปรับปรุงความแม่นยำของโมเดล

คำสำคัญ: โมเดลการถดถอยเชิงเส้น การทำให้เป็นบรรทัดฐาน ลักษณะเด่นเชิงพหุนาม การพยากรณ์ระดับน้ำ

Abstract

This study aims to develop and evaluate a linear regression model for predicting the remaining water level in a pot. The research focuses on analyzing the effects of data normalization techniques, namely min–max and z-score. In addition, the study emphasizes the selection of input variables including pot size, temperature, and humidity and the incorporation of polynomial features to better capture non-linear relationships. Data were collected under four experimental conditions: mixed, open, closed, and tilted lid. The results indicate that the min–max and z-score normalization methods yield similar MSE values, suggesting no significant difference in model performance. However, the variable set consisting of pot size, temperature, and humidity produced the lowest overall MSE, while the incorporation of polynomial features further improved prediction accuracy. This improvement is particularly evident under the tilted condition, which yielded the lowest MSE, reflecting evaporation rates influenced by complex and non-linear factors. In contrast, the mixed condition exhibited the highest MSE, highlighting the instability and variability of the data. Although the model complexity increased with polynomial features, the MSE values of both training and testing sets were similar, demonstrating that the model did not overfit but instead captured the underlying relationships effectively. The experiment was conducted using plain boiling water as a controlled condition to obtain stable data and minimize variability from external factors. While this approach confirmed the fundamental relationships among variables, it presents limitations when applied to real cooking scenarios where food exhibits higher viscosity and complex compositions. Such conditions may alter heat transfer and evaporation dynamics, and pose risks such as food burning once the liquid is depleted. Therefore, future studies should extend the investigation to various types of food with different physical and thermal properties to improve model accuracy and practical applicability.

Keywords: Linear Regression Model, Data Normalization, Polynomial Features, Water Level Prediction

1. ข้อมูลทั่วไป

แก๊สหุงต้ม (LPG) เป็นพลังงานที่นิยมใช้ทั้งในครัวเรือนและธุรกิจร้านอาหาร เนื่องจากให้ความร้อนสูงและควบคุมความร้อนได้แม่นยำ อย่างไรก็ตาม แก๊สหุงต้มเป็นสารไวไฟที่มีความเสี่ยงสูง หากเกิดการรั่วไหลหรือลืมปิดวาล์ว โดยเฉพาะเมื่ออุปกรณ์เสื่อมสภาพ เช่น สายยางหรือข้อต่อหลวม อาจนำไปสู่อุบัติเหตุรุนแรง เช่น เพลิงไหม้หรือระเบิด [1-2] ข้อมูลจากกรมป้องกันและบรรเทาสาธารณภัยระบุว่าในปี 2566 เกิดเหตุเพลิงไหม้บ้านและที่อยู่อาศัยรวม 4,171 หลัง [3] ปัญหานี้พบมากในกลุ่มผู้สูงอายุที่อยู่ลำพัง เนื่องจากการลืมปิดวาล์วหรือการใช้งานอุปกรณ์อย่างไม่เหมาะสม ดังนั้นการพัฒนาระบบที่สามารถตรวจวัดและพยากรณ์ระดับน้ำในหม้อเพื่อตัดการจ่ายแก๊สโดยอัตโนมัติจึงมีความสำคัญยิ่ง

ในปัจจุบัน เทคโนโลยี Internet of Things (IoT) มีบทบาทสำคัญต่อการยกระดับความปลอดภัยในครัวเรือน โดยเฉพาะอย่างยิ่งระบบครัวอัจฉริยะเพื่อเฝ้าระวังและป้องกันอุบัติเหตุ เซ็นเซอร์ที่ใช้ประกอบด้วย เซ็นเซอร์วัดอุณหภูมิและความชื้น (DHT11) ร่วมกับเซ็นเซอร์แก๊ส (MQ-135) ตรวจจับการรั่วไหล และส่งข้อมูลแบบเวลาจริงให้ผู้ใช้ตรวจสอบผ่านแอปพลิเคชัน [4-5] นอกจากนี้เซ็นเซอร์ดังกล่าวยังถูกประยุกต์ใช้ในงานตรวจสอบความปลอดภัยด้านอาหารในฟาร์ม เพื่อควบคุมสภาพแวดล้อม ซึ่งหลักการนี้สามารถต่อยอดสู่การวิเคราะห์ความสัมพันธ์ระหว่างอุณหภูมิ ความชื้น และการระเหยของน้ำได้ [6]

อย่างไรก็ตาม ปัจจุบันยังไม่พบงานวิจัยที่มุ่งเน้นไปที่การพยากรณ์ระดับน้ำคงเหลือในหม้อ เพื่อนำมาใช้เป็นตัวแปรสำคัญในการควบคุมการตัดการจ่ายแก๊สหุงต้มโดยอัตโนมัติ ทั้งที่ในความเป็นจริง ปัญหาการลืมหรือใช้งานแก๊สอย่างไม่ระมัดระวัง โดยเฉพาะในกลุ่มผู้สูงอายุที่มักอยู่ลำพัง เป็นสาเหตุสำคัญที่นำไปสู่อุบัติเหตุร้ายแรง เช่น การเกิดเพลิงไหม้หรือการระเบิดของแก๊ส การพัฒนาระบบพยากรณ์ระดับน้ำในหม้อจึงเป็นแนวทางใหม่ที่สามารถเชื่อมโยงการเฝ้าติดตามสภาพการปรุงอาหารกับการควบคุมด้านความปลอดภัยได้อย่างมีประสิทธิภาพ

แม้จะมีการพัฒนาระบบตรวจจับการรั่วไหลของแก๊สและระบบแจ้งเตือนอัตโนมัติในครัวเรือนอยู่บ้าง แต่ยังไม่มีงานวิจัยที่มุ่งเน้นการพยากรณ์ระดับน้ำคงเหลือในหม้อเพื่อนำมาใช้เป็นปัจจัยสำคัญในการควบคุมการตัดการจ่ายแก๊สหุงต้มโดยอัตโนมัติ ความท้าทายดังกล่าวมีความสำคัญอย่างยิ่ง โดยเฉพาะในกลุ่มผู้สูงอายุซึ่งมีความเสี่ยงสูงต่อการลืมหรือใช้งานแก๊สอย่างไม่ระมัดระวัง อันเป็นสาเหตุสำคัญของอุบัติเหตุร้ายแรง เช่น การเกิด

*nida.d@pnu.ac.th

เพลิงไหม้และการระเบิด งานวิจัยนี้จึงมุ่งพัฒนาระบบพยากรณ์ระดับน้ำคงเหลือในหม้อโดยใช้วิธีการถดถอยเชิงเส้น (Linear Regression) เพื่อสร้างแบบจำลองความสัมพันธ์ระหว่างตัวแปรต้น ได้แก่ ขนาดหม้อ อุณหภูมิ และความชื้น กับตัวแปรตามคือปริมาณน้ำคงเหลือ พร้อมทั้งทำการประเมินความแม่นยำของแบบจำลองโดยการเปรียบเทียบค่าที่ทำนายได้กับค่าจริง ผลการศึกษาที่ได้ไม่เพียงแต่ช่วยเพิ่มความปลอดภัยและลดความเสี่ยงในการใช้งานแก๊สหุงต้ม แต่ยังสนับสนุนการใช้พลังงานอย่างมีประสิทธิภาพในครัวเรือน โดยระบบดังกล่าวมีศักยภาพที่จะเป็นแนวทางใหม่ในการพัฒนาระบบควบคุมวาล์วแก๊สอัตโนมัติที่ตอบสนองต่อสภาวะการปรุงอาหารจริง และช่วยยกระดับคุณภาพชีวิตของผู้ใช้งาน โดยเฉพาะในกลุ่มผู้สูงอายุที่ต้องการความปลอดภัยและความมั่นใจในการดำเนินชีวิตประจำวัน

2. ระเบียบวิธีวิจัยและอุปกรณ์

2.1 การได้มาซึ่งข้อมูล (Data Acquisition)

การเก็บข้อมูลดำเนินการในห้องเปิดโล่งขนาด 3 × 5 × 3 เมตร แสดงดังรูปที่ 1 โดยติดตั้งเซ็นเซอร์ DHT22 ซึ่งเป็นเซ็นเซอร์วัดอุณหภูมิและความชื้นบริเวณเครื่องดูดควันหม้อสแตนเลสที่ใช้ในการทดลองมี 3 ขนาด ดังนี้ เส้นผ่านศูนย์กลาง 18, 22 และ 26 เซนติเมตร ก่อนเริ่มการเก็บข้อมูล ได้มีการทำการสอบเทียบ (Calibration) เซ็นเซอร์ DHT22 โดยเปรียบเทียบค่าที่อ่านได้กับเครื่องมือวัดอุณหภูมิและความชื้นมาตรฐาน (Thermo-hygrometer) เพื่อให้มั่นใจว่าค่าที่บันทึกมีความแม่นยำและเชื่อถือได้

ขั้นตอนการเก็บข้อมูลเริ่มจากเติมน้ำปริมาณ 600 มิลลิลิตร ลงในหม้อทั้งสามขนาด ทำให้ระดับน้ำเริ่มต้นเท่ากับ 33, 23 และ 16 มิลลิเมตร ตามลำดับ จากนั้นเปิดไฟให้หม้อร้อน และบันทึกค่าอุณหภูมิ ความชื้น และวัดปริมาณน้ำในหม้อ ทุก ๆ 1 นาที โดยข้อมูลอุณหภูมิและความชื้นที่ได้จากเซ็นเซอร์ (ภายหลังการสอบเทียบแล้ว) ถูกส่งและแสดงผลแบบเวลาจริงผ่าน Google Sheets การเก็บข้อมูลดำเนินไปจนกระทั่งน้ำในหม้อระเหยแห้งสนิท การทดลองนี้ทำซ้ำทั้งหมด 5 ครั้ง ใน 3 สภาวะ ได้แก่ การเปิดฝาหม้อ (296 ข้อมูล) ปิดฝาหม้อ (184 ข้อมูล) และเผยอฝาหม้อ (278 ข้อมูล) รูปที่ 2 แสดงการทดลองจริงกรณีปิดฝาหม้อ ที่หม้อมีเส้นผ่านศูนย์กลาง 18 เซนติเมตร โดยใช้เวอร์เนียสำหรับวัดปริมาณคงเหลือของน้ำ ซึ่งเป็นการวัดเชิงแมนนวล (manual measurement) ที่ให้ค่าค่อนข้างแม่นยำ เนื่องจากเวอร์เนียคาลิปเปอร์สามารถอ่านละเอียดได้ถึง 0.05 ถึง 0.1 มิลลิเมตร อย่างไรก็ตาม ความคลาดเคลื่อน (human error) อาจเกิดขึ้นจากการอ่านค่าสเกล หรือการกำหนดตำแหน่งจุ่มซ้ำให้ตรงเดิมทุกครั้ง

2.2 การสร้างโมเดลถดถอยเชิงเส้นสำหรับทำนายปริมาณน้ำคงเหลือในหม้อ

การสร้างโมเดลประกอบด้วย 4 ขั้นตอนหลักคือ เริ่มจากการนำเข้าข้อมูลที่เป็นไฟล์ Excel จากนั้นเตรียมข้อมูลก่อนการประมวลผลด้วยเทคนิคการทำให้เป็นบรรทัดฐาน (Normalization) ถัดมาหาความสัมพันธ์ของตัวแปรต้นที่ส่งผลกระทบต่อตัวแปรตาม โดยประเมินจากค่าความคลาดเคลื่อนกำลังสองเฉลี่ย (MSE) สุดท้ายสร้างโมเดลทำนายปริมาณน้ำคงเหลือในหม้อ

2.2.1 การเตรียมข้อมูลก่อนการประมวลผล

การเตรียมข้อมูลก่อนการประมวลผลเป็นขั้นตอนสำคัญในการทำงานกับโมเดลเชิงสถิติและการเรียนรู้ของเครื่อง โดยมีวัตถุประสงค์เพื่อปรับค่าของข้อมูลให้อยู่ในช่วงที่เหมาะสม ลดปัญหาที่เกิดจากการที่ตัวแปรหนึ่งมีค่าสเกลใหญ่กว่ามาก จนส่งผลให้โมเดลเกิดความผิดพลาด การทำให้เป็นบรรทัดฐานจึงถูกนำมาใช้เพื่อทำให้ตัวแปรทั้งหมดอยู่ในสเกลที่เปรียบเทียบกันได้ วิธีการทำให้เป็นบรรทัดฐานที่นิยม ได้แก่ min–max และ z–score แสดงดังสมการที่ (1) และ (2) ตามลำดับ วิธีการทำให้เป็นบรรทัดฐานแบบ min–max เหมาะสำหรับข้อมูลที่ไม่มีค่า outlier มากเกินไป และต้องการปรับค่าข้อมูลให้อยู่ในช่วงที่แน่นอน (เช่น 0 ถึง 1) ขณะที่ z–score เหมาะสำหรับข้อมูลที่มี outlier หรือกระจายใกล้เคียงกับการแจกแจงแบบปกติ (Normal distribution) เพราะช่วยให้โมเดลลดความเอนเอียงจากสเกลของตัวแปรที่แตกต่างกันได้

รูปที่ 1 ตำแหน่งติดตั้งเซนเซอร์ DHT22

รูปที่ 2 การวัดปริมาณน้ำตอนเริ่มต้นของหม้อที่มีเส้นผ่านศูนย์กลาง 18 เซนติเมตร และทดลองในสภาวะปิดฝาหม้อ

$$x' = \frac{x - x_{min}}{x_{max} - x_{min}} \quad (1)$$

$$x' = \frac{x - \mu}{\sigma} \quad (2)$$

โดยที่ x' คือ ข้อมูลที่ได้จากการนอร์ม
x คือ ข้อมูลดิบ
x_{min} คือ ข้อมูลดิบที่น้อยที่สุด
x_{max} คือ ข้อมูลดิบที่มากที่สุด
μ คือ ค่าเฉลี่ยของข้อมูลดิบ
σ คือ ค่าเบี่ยงเบนมาตรฐานของข้อมูลดิบ

ในการพยากรณ์ปริมาณน้ำคงเหลือในหม้อ งานวิจัยนี้เลือกใช้ตัวแปรต้นที่มีเหตุผลทางกายภาพและสิ่งแวดล้อม ดังนี้ 1) ขนาดหม้อ (เซนติเมตร): หม้อขนาดใหญ่มีพื้นที่หน้าตัดมาก ทำให้การระเหยช้ากว่าหม้อขนาดเล็ก การนำตัวแปรนี้เข้ามาช่วยให้โมเดลรับรู้ปัจจัยทางกายภาพที่ส่งผลโดยตรงต่อการสูญเสียน้ำ 2) อุณหภูมิ (องศาเซลเซียส): ความร้อนเป็นตัวเร่งกระบวนการระเหย หากอุณหภูมิสูงขึ้น น้ำในหม้อจะลดลงรวดเร็ว ตัวแปรนี้จึงเป็นปัจจัยหลักที่สัมพันธ์โดยตรงกับผลลัพธ์ และ 3) ความชื้นสัมพัทธ์ (%): ความชื้นของอากาศรอบหม้อมีผลต่อการระเหย น้ำจะระเหยช้าลงเมื่อความชื้นสูง และระเหยเร็วขึ้นเมื่อความชื้นต่ำ ตัวแปรนี้ช่วยเสริมความแม่นยำให้โมเดลเนื่องจากสะท้อนเงื่อนไขแวดล้อมที่ไม่อาจมองข้าม ซึ่งตัวแปรทั้งสามมีหน่วยวัดแตกต่างกัน ได้แก่ ขนาดหม้อ (เซนติเมตร), อุณหภูมิ (องศาเซลเซียส), และความชื้นสัมพัทธ์

(เปอร์เซ็นต์) หากใช้ข้อมูลดิบโดยไม่ปรับค่า อาจทำให้โมเดลให้ความสำคัญกับตัวแปรที่มีค่าสูงกว่าในเชิงสเกล เช่น อุณหภูมิที่มีค่าหลักสิบถึงร้อย อาจกลบผลกระทบของความชื้นที่มีค่าอยู่ในช่วง 0–100 ดังนั้นการทำให้เป็นบรรทัดฐาน ด้วยวิธี Min–Max หรือ Z–Score จึงจำเป็น เพื่อให้โมเดลให้ความสำคัญกับตัวแปรอย่างเท่าเทียม และเพิ่มความแม่นยำของการพยากรณ์ปริมาณน้ำคงเหลือในหม้อได้อย่างมีนัยสำคัญ โดยเป็นข้อมูลของการทดลองถูกแบ่งออกเป็น 4 แบบคือ เปิดฝาหม้อ ปิดฝาหม้อ เผยอฝาหม้อ และแบบผสม (ซึ่งเป็นการรวมข้อมูลทั้งเปิดฝา ปิดฝา และเผยอฝาหม้อ)

2.2.2 การเปรียบเทียบความสัมพันธ์ของตัวแปรต้นที่ส่งผลต่อตัวแปรตาม

การเปรียบเทียบความสัมพันธ์ของตัวแปรต้นที่ส่งผลต่อตัวแปรตาม มีวัตถุประสงค์เพื่อระบุว่าตัวแปรใดหรือกลุ่มตัวแปรใดมีอิทธิพลสูงสุดต่อปริมาณน้ำคงเหลือในหม้อ (y) เพื่อให้สามารถเลือกใช้ตัวแปรที่มีความสำคัญต่อการสร้างแบบจำลองได้อย่างเหมาะสม โดยตัวแปรต้นที่ศึกษา ได้แก่ ขนาดหม้อ (x_1) อุณหภูมิ (x_2) และความชื้น (x_3) ซึ่งแสดงความสัมพันธ์ของอุณหภูมิ ความชื้น และปริมาณน้ำคงเหลือในหม้อขนาดเส้นผ่านศูนย์กลาง 18 เซนติเมตร แสดงดังรูปที่ 3 โดย แกน x คือ เวลา (นาที) แกน y ซ้ายคือ อุณหภูมิ (°C) และ ความชื้นสัมพัทธ์ (%RH) และ แกน y ขวา คือ ปริมาณน้ำคงเหลือ (มม.) พบว่าอุณหภูมิของน้ำมีแนวโน้มเพิ่มขึ้นอย่างต่อเนื่องตั้งแต่ 33°C จนถึงประมาณ 85°C ภายในเวลา 22 นาที ขณะที่ความชื้นสัมพัทธ์ลดลงจาก 66.3% เหลือประมาณ 19.6% แสดงถึงการระเหยของน้ำที่เกิดขึ้นอย่างต่อเนื่อง ปริมาณน้ำคงเหลือค่อย ๆ ลดลงจาก 33 มิลลิลิตร จนหมดภายในสิ้นการทดลอง (0 มิลลิลิตร) ผลดังกล่าวชี้ให้เห็นว่าการเปลี่ยนแปลงของอุณหภูมิและความชื้นมีความสัมพันธ์โดยตรงกับปริมาณน้ำคงเหลือ และสามารถนำมาใช้เป็นตัวแปรต้นสำหรับการพัฒนาแบบจำลองการพยากรณ์ร่วมกับระบบควบคุมวาล์วแก๊สอัตโนมัติได้อย่างมีประสิทธิภาพ

การวิเคราะห์โมเดลแบ่งออกเป็น 4 กรณี เทียบกับ y ได้แก่ 1) กรณี 1: ใช้ x_1 และ x_2 2) กรณี 2: ใช้ x_1 และ x_3 3) กรณี 3: ใช้ x_2 และ x_3 และ 4) กรณี 4: ใช้ x_1, x_2 และ x_3 โดยประเมินประสิทธิภาพของโมเดลจากค่า MSE ผลการเปรียบเทียบจะช่วยคัดเลือกชุดตัวแปรที่ให้ค่าความแม่นยำสูงสุดและสามารถนำไปพัฒนาแบบจำลองพยากรณ์ที่มีประสิทธิภาพและลดความซับซ้อนได้

2.2.3 การสร้างโมเดลการถดถอยเชิงเส้น

การถดถอยเชิงเส้นคือการหาเส้นตรงที่เหมาะสมที่สุดเพื่อเป็นตัวแทนของข้อมูล โดยมีหลักการคือทำให้ผลรวมของความคลาดเคลื่อนระหว่างข้อมูลจริงกับเส้นตรงมีค่าน้อยที่สุด เริ่มจากศึกษาตัวแปรที่ส่งผลต่อปริมาณน้ำคงเหลือในหม้อที่ได้กล่าวไปแล้วในหัวข้อที่ 2.2.2 จากนั้นแบ่งชุดข้อมูลออกเป็นสองส่วนคือชุดข้อมูลสอน (80%) และชุดข้อมูลทดสอบ (20%) โดยการเรียงสับเปลี่ยนข้อมูล ถัดมาสร้างโมเดลการถดถอยเชิงเส้น สุดท้ายทดสอบโมเดลด้วยชุดข้อมูลทดสอบและคำนวณค่า MSE เพื่อประเมินประสิทธิภาพของโมเดล แบบจำลองสมการถดถอยเชิงเส้นมีรูปแบบแสดงดังสมการที่ (3) [7]

$$\hat{y} = \beta_0 + \beta_1 x_1 + \beta_2 x_2 + \cdots + \beta_n x_n + \varepsilon \qquad (3)$$

โดยที่ $\hat{y}$ คือค่าผลลัพธ์ที่ถูกคาดการณ์
$x_1, x_2, \ldots$ คือตัวแปรต้น
β_0 คือค่าคงที่
$\beta_1, \beta_2, \ldots \beta_n$ คือค่าสัมประสิทธิ์ความชัน
ε คือค่าความคลาดเคลื่อน (ความแตกต่างระหว่างค่าที่คาดการณ์ได้กับค่าจริง)

การหาความคลาดเคลื่อนยกกำลังสองที่มีค่าน้อยที่สุดคำนวณได้ดังสมการที่ (4)

$$\text{Minimize} \quad \sum_{i=1}^{n}(y_i - \hat{y}_i)^2 \qquad (4)$$

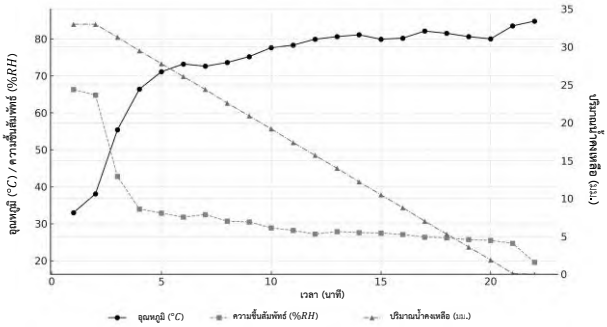

รูปที่ 3 ความสัมพันธ์ของอุณหภูมิ ความชื้น และปริมาณน้ำคงเหลือในหม้อขนาดเส้นผ่านศูนย์กลาง 18 เซนติเมตร

โดยที่ $\hat{y}_i$ คือ ค่าคาดการณ์ได้จากแบบจำลอง
y_i คือค่าจริง

การค่า MSE คำนวณได้ดังสมการที่ (5) [8]

$$MSE = \frac{1}{n}\sum_{i=1}^{n}(y_i - \hat{y}_i)^2 \qquad (5)$$

โดยที่ n คือจำนวนข้อมูลทั้งหมด
y คือค่าจริง
$\hat{y}$ คือค่าผลลัพธ์ที่ถูกคาดการณ์

3. ผลการทดลอง

หัวข้อนี้นำเสนอการประเมินประสิทธิภาพของโมเดลถดถอยเชิงเส้น ในการทำนายระดับน้ำคงเหลือในหม้อ โดยแบ่งการทดลองออกเป็น 3 ส่วนหลัก ดังนี้ 1) เปรียบเทียบค่า MSE ระหว่างการทำให้เป็นบรรทัดฐานด้วยเทคนิค z-score และ min-max เพื่อวิเคราะห์ผลกระทบของวิธีการปรับสเกลต่อความแม่นยำของโมเดล 2) เปรียบเทียบค่า MSE ของโมเดลเมื่อใช้ชุดตัวแปรต้นที่แตกต่างกันในการพยากรณ์ระดับน้ำคงเหลือ เพื่อระบุชุดตัวแปรที่ให้ผลแม่นยำสูงสุด และ 3) เปรียบเทียบค่า MSE เมื่อเพิ่มลักษณะเด่นเชิงพหุนาม (Polynomial Features) รวมทั้งหมด 6 ลักษณะเด่น ได้แก่ ขนาดหม้อ อุณหภูมิ ความชื้น และค่ากำลังสองของตัวแปรทั้งสาม เพื่อประเมินความสามารถของโมเดลในการจับความสัมพันธ์ที่ไม่เป็นเชิงเส้น มีรายละเอียดดังนี้

3.1 เปรียบเทียบค่า MSE ของโมเดลการถดถอยเชิงเส้นระหว่างการทำให้เป็นบรรทัดฐานแบบ min-max และ z-score

รูปที่ 4 แสดงค่าความคลาดเคลื่อนกำลังสองเฉลี่ย (MSE) ของโมเดลพยากรณ์ปริมาณน้ำคงเหลือ โดยใช้คุณลักษณะ ขนาดหม้อ อุณหภูมิ และความชื้น แกน y คือค่า MSE และแกน x คือรูปแบบข้อมูล ได้แก่ ผสม เปิด ปิด และเผยอ ผลการทดลองสรุปได้ว่า 1) เมื่อเปรียบเทียบวิธีปรับค่าข้อมูล min-max และ z-score พบว่าค่า MSE มีความใกล้เคียงกันในแต่ละรูปแบบ โดย z-score ให้ค่าการทดสอบต่ำกว่าในรูปแบบผสมและเปิด ขณะที่ min-max ให้ค่าดีกว่าเล็กน้อยในรูปแบบปิดและเผยอ 2) รูปแบบปิดมีค่า MSE ต่ำที่สุดทั้งในชุดสอน (4.92, 4.94) และชุดทดสอบ (25.33, 24.78) แสดงถึงประสิทธิภาพการเรียนรู้และทำนายที่ดีที่สุด ขณะที่รูป แบบเปิดมีค่า MSE การทดสอบสูงที่สุด (36.29, 48.52) บ่งชี้ถึงความแม่นยำต่ำ 3) ในทุกกรณี ค่า MSE ของชุดทดสอบสูงกว่าชุดสอนอย่างชัดเจน สะท้อนถึงความเป็นไปได้ของปัญหา Overfitting

3.2 เปรียบเทียบค่า MSE ของโมเดลการถดถอยเชิงเส้นที่ใช้ตัวแปรต้นในการทำนายระดับน้ำคงเหลือในหม้อ

รูปที่ 5 แสดงค่า MSE ของโมเดลการทำนายปริมาณน้ำคงเหลือ โดยแบ่งตัวแปรต้นออกเป็น 4 กรณี ผลการทดลองพบว่า กรณีที่ 4 ให้ค่า MSE ต่ำสุดหรือใกล้เคียงต่ำสุดใน

เกือบทุกรูปแบบ เช่น ผสม (47.84) เปิด (46.23) และเผยอ (25.45) สะท้อนว่าการใช้ตัวแปรครบทั้งสามตัวให้ความแม่นยำมากกว่าการใช้คู่ตัวแปรอื่น ขณะที่ กรณีที่ 3 ซึ่งใช้เพียงอุณหภูมิและความชื้น เป็นชุดตัวแปรที่ให้ค่า MSE สูงที่สุดใน 3 รูปแบบจากทั้งหมด 4 รูปแบบ แสดงว่าการตัดขนาดหม้อออกจากแบบจำลองส่งผลให้ความคลาดเคลื่อนเพิ่มขึ้นอย่างชัดเจน ส่วนในรูปแบบปิด แม้ค่า MSE ของกรณีที่ 3 ไม่ใช่ค่าสูงสุด แต่ค่า MSE สูงสุดในกรณีนั้นมาจาก กรณีที่ 1 ซึ่งตัดตัวแปรความชื้นออกไป แสดงให้เห็นว่าการละทิ้งความชื้นก็ทำให้ความแม่นยำลดลงเช่นกัน

โดยสรุป กรณีที่ 4 เป็นชุดตัวแปรที่ดีที่สุด เนื่องจากให้ค่า MSE ต่ำสุดในภาพรวม ทั้งนี้ แม้การถอดพารามิเตอร์ x_1 (ขนาดหม้อ) จะทำให้ MSE เพิ่มขึ้นอย่างมีนัยสำคัญ แต่ขนาดหม้อไม่ใช่ปัจจัยที่ควบคุมไม่ได้เสมอไป เพราะสามารถระบุหรือกำหนดค่าเบื้องต้นจากผู้ใช้งาน หรือใช้วิธีการทางสถิติในการประมาณค่าแทนได้ ดังนั้น ขนาดหม้อยังคงเป็นตัวแปรสำคัญที่สามารถนำมาใช้เพื่อปรับปรุงความแม่นยำของโมเดล และสนับสนุนการทำงานของระบบควบคุมวาล์วแก๊สอัตโนมัติให้มีประสิทธิภาพมากขึ้น

รูปที่ 6 แสดงการกระจายของข้อมูลที่ถูกปรับค่า (Adjusted data) และเส้นแนวโน้มที่ใช้ในการคาดการณ์ (Fit: y * x) พร้อมกับขอบเขตความเชื่อมั่น (95% conf. bounds) โดย ข้อมูลที่ถูกปรับค่าแล้ว (จุดสีฟ้า) ซึ่งผ่านการทำให้เป็นบรรทัดฐานด้วยวิธี z-score เส้นแนวโน้ม (เส้นสีแดงทึบ) แสดงสมการเชิงเส้นที่พยายามจะพอดีกับข้อมูลที่ถูกปรับแล้ว ขอบเขตความเชื่อมั่น 95% (เส้นประสีแดง) แสดงถึงขอบเขตที่คาดว่าค่าจริงของ y จะอยู่ในช่วงนี้ 95% ของเวลา ซึ่งเป็นการบ่งบอกถึงความไม่แน่นอนในการคาดการณ์ของโมเดล

3.3 เปรียบเทียบค่า MSE ของโมเดลการถดถอยเชิงเส้นโดยใช้ลักษณะเด่น 6 ตัว ได้แก่ ขนาดหม้อ อุณหภูมิ ความชื้น และค่ากำลังสองของตัวแปร

รูปที่ 7 แสดงค่า MSE ของโมเดลการทำนายปริมาณน้ำคงเหลือ โดยใช้ลักษณะเด่น 6 ตัว ดังนี้ ขนาดหม้อ (x_1) อุณหภูมิ (x_2) และความชื้น (x_3) กำลังสองของขนาดหม้อ (x_4) กำลังสองของอุณหภูมิ (x_5) และกำลังสองของความชื้น (x_6) ซึ่งเป็นการเพิ่มลักษณะเด่นเชิงพหุนาม (Polynomial Features) เพื่อจับความสัมพันธ์ที่ไม่เป็นเชิงเส้น ผลการทดลองพบว่า รูปแบบเผยอ มีค่า MSE ต่ำที่สุด (ประมาณ 6 - 7) ในทุกกรณี แสดงถึงความแม่นยำสูงสุด ขณะที่รูปแบบผสม มีค่า MSE สูงสุด (ประมาณ 28–30) บ่งชี้ถึงความแม่นยำปานกลาง แต่สม่ำเสมอระหว่างการสอนและทดสอบ ส่วนรูปแบบปิด ให้ค่า MSE ต่ำมาก (ประมาณ 11–12) แสดงว่ามีความสัมพันธ์ของตัวแปรที่ชัดเจนและเรียนรู้ได้ง่าย และ รูปแบบเปิด มีค่า MSE ลดลงจากผสม (ประมาณ 22–24) สะท้อนความแม่นยำที่สูงขึ้นเมื่อข้อมูลมีความเสถียร

สำหรับการทำให้เป็นบรรทัดฐาน เทคนิค z-score และ min-max ให้ค่า MSE ใกล้เคียงกันในทุกกรณี แสดงว่าไม่มีผลต่างอย่างมีนัยสำคัญต่อประสิทธิภาพของโมเดล จากผลการทดลองสรุปได้ว่า 1) รูปแบบเผยอแม่นยำสูงสุด รองลงมาคือ ปิด เปิด และผสม 2) โมเดลไม่มีอาการ overfitting เด่นชัด เนื่องจากค่า MSE ของสอนและทดสอบใกล้เคียงกัน และ 3) เทคนิคการนอร์มไม่มีผลแตกต่างต่อผลลัพธ์อย่างมีนัยสำคัญ

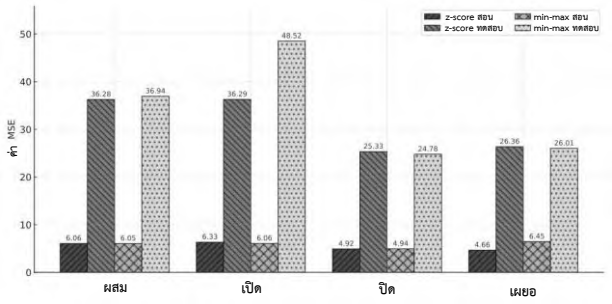

รูปที่ 4 ค่า MSE ของโมเดลการถดถอยเชิงเส้นระหว่างการนอร์มด้วย z-score และ min-max

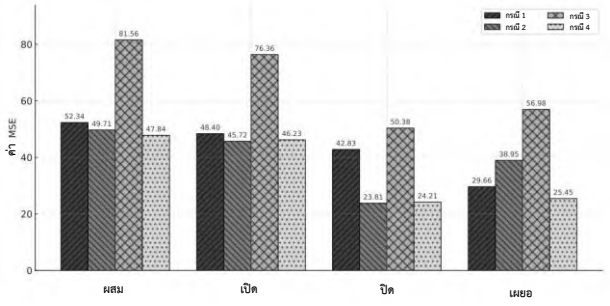

รูปที่ 5 ค่า MSE ของโมเดลการทำนายปริมาณน้ำคงเหลือ โดยแบ่งตัวแปรต้นออกเป็น 4 กรณี

4. สรุป

งานวิจัยนี้มีวัตถุประสงค์เพื่อพัฒนาและประเมินโมเดลการถดถอยเชิงเส้นสำหรับการพยากรณ์ระดับน้ำคงเหลือในหม้อ เพื่อประยุกต์ใช้ร่วมกับระบบควบคุมวาล์วแก๊สอัตโนมัติ เพิ่มความปลอดภัยในครัวเรือน การวิจัยมุ่งวิเคราะห์ปัจจัยที่ส่งผลต่อความแม่นยำของโมเดล ผ่านการเปรียบเทียบเทคนิคการทำให้เป็นบรรทัดฐานแบบ z-score และ min-max การเลือกชุดตัวแปรต้นประกอบด้วย ขนาดหม้อ อุณหภูมิ และความชื้น และการเพิ่มลักษณะเด่นเชิงพหุนามเพื่อจับความสัมพันธ์ที่ไม่เป็นเชิงเส้น ข้อมูลถูกรวบรวมภายใต้เงื่อนไข 4 รูปแบบ คือ ผสม เปิด ปิด และเผยอ ในส่วนของการดำเนินการทดลองถูกแบ่งเป็น 3 ส่วน ได้แก่ การเปรียบเทียบค่า MSE ระหว่างเทคนิคการนอร์มระหว่างชุดตัวแปรต้น และเมื่อเพิ่มลักษณะเด่นรวม 6 ตัว

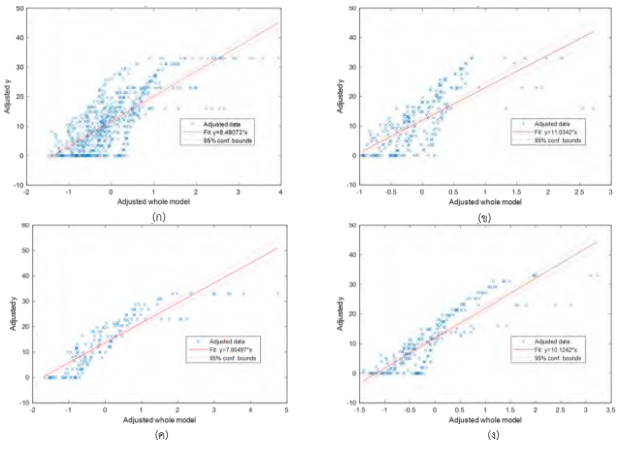

รูปที่ 6 การกระจายของข้อมูลที่ถูกปรับค่า (Adjusted data) และเส้นแนวโน้มที่ใช้ในการคาดการณ์ (Fit: y * x) พร้อมกับขอบเขตความเชื่อมั่น (95% conf. bounds) โดยใช้ลักษณะเด่น 3 ตัวคือ ขนาดหม้อ อุณหภูมิ และความชื้น ของระบบต่างๆ ดังนี้ (ก) ผสม (ข) เปิด (ค) ปิด และ (ง) เผยอ

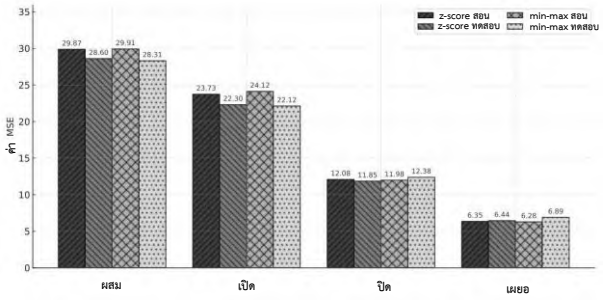

รูปที่ 7 ค่า MSE ของโมเดลการทำนายปริมาณน้ำคงเหลือ โดยใช้ลักษณะเด่น 6 ตัว

ผลการทดลองพบว่า z-score และ min-max ให้ค่า MSE ใกล้เคียงกัน แสดงว่าเทคนิคการนอร์มไม่มีผลต่างอย่างมีนัยสำคัญต่อประสิทธิภาพของโมเดล ชุดตัวแปรที่ประกอบด้วยทั้งขนาดหม้อ อุณหภูมิ และความชื้น ให้ค่า MSE ต่ำที่สุดในภาพรวม และการเพิ่มลักษณะเด่นเชิงพหุนามช่วยเพิ่มความแม่นยำ ที่เป็นเช่นนี้เพราะขนาดหม้อ อุณหภูมิ และความชื้น อาจมีความสัมพันธ์กับปริมาณน้ำคงเหลือในลักษณะที่ไม่เป็นเส้นตรง เช่น เมื่ออุณหภูมิสูงขึ้นในช่วงแรก น้ำอาจระเหยเร็ว แต่หลังจากนั้นอัตราการระเหยอาจเปลี่ยนไปการเพิ่มตัวแปรพหุนาม ทำให้โมเดลสามารถโค้งตามรูปแบบข้อมูลจริงได้ดีกว่าการใช้เพียงสมการเชิงเส้น นอกจากนี้รูปแบบเผยอมีค่า MSE ต่ำสุด เพราะเพราะสภาวะนี้อัตราการระเหยขึ้นอยู่กับหลายปัจจัยที่ไม่เป็นเส้นตรง เช่น การไหลเวียนของไอน้ำและการแลกเปลี่ยนความร้อนกับบรรยากาศ การใช้ตัวแปรกำลังสองช่วยสะท้อนความซับซ้อนนี้ได้ดีกว่า ขณะที่รูปแบบผสมมีค่า MSE สูงสุด เนื่องจากข้อมูลไม่เสถียรและมีความแปรผันสูง แม้โมเดลจะซับซ้อนขึ้นจากการเพิ่มพหุนาม แต่ค่า MSE ของชุดฝึกและชุดทดสอบใกล้เคียงกัน แสดงว่าโมเดลไม่ได้เรียนรู้เฉพาะรายละเอียดในข้อมูล (overfitting) แต่สามารถอธิบายความสัมพันธ์ที่แท้จริงได้ ทำให้ผลการพยากรณ์มีความแม่นยำและเสถียร

การทดลองในครั้งนี้ดำเนินการโดยใช้การต้มน้ำเปล่าเป็นสภาวะควบคุม เพื่อให้ได้ข้อมูลที่มีความเสถียรและลดความแปรปรวนจากองค์ประกอบอื่น ๆ อย่างไรก็ตาม การใช้น้ำเปล่าอาจยังไม่สะท้อนสภาวะการใช้งานจริงในครัวเรือน เนื่องจากในความเป็นจริงหม้อมักถูกใช้ในการหุงต้มอาหารที่มีความหนืดและองค์ประกอบซับซ้อนมากกว่า เช่น การปรุงแกง ข้าวต้ม หรืออาหารที่มีกากและเนื้อสัมผัสหลากหลาย ซึ่งอาจทำให้กระบวนการถ่ายเทความร้อนและการระเหยของน้ำแตกต่างจากการต้มน้ำล้วน อีกทั้งยังมีความเสี่ยงในการไหม้ติดก้นหม้อเมื่อของเหลวแห้งสนิท ซึ่งไม่สามารถจำลองได้ด้วยน้ำเพียงอย่างเดียว ดังนั้น แม้ผลการทดลองนี้จะสามารถยืนยันความสัมพันธ์พื้นฐานระหว่างอุณหภูมิ ความชื้น และปริมาณน้ำคงเหลือได้ แต่ยังมีข้อจำกัดด้านการประยุกต์ใช้กับอาหารจริงที่ต้องการการศึกษาต่อยอดในอนาคต เช่น การทดสอบกับอาหารประเภทต่าง ๆ ที่มีคุณสมบัติทางกายภาพและความร้อนแตกต่างกัน เพื่อปรับปรุงความแม่นยำของโมเดลและระบบควบคุมวาล์วแก๊สอัตโนมัติให้เหมาะสมกับการใช้งานจริงมากยิ่งขึ้น

5. กิตติกรรมประกาศ

งานวิจัยนี้ได้รับการสนับสนุนจากคณะวิศวกรรมศาสตร์ มหาวิทยาลัยนราธิวาสราชนครินทร์ ในด้านสถานที่และสิ่งอำนวยความสะดวกในการดำเนินงานวิจัย

เอกสารอ้างอิง

[1] วันชัย เจือทรัพย์ และคณะ, "การป้องกันอุบัติเหตุจากการใช้แก๊สในครัวเรือน," วารสารความปลอดภัย, 10(2), 33–40.2564.

[2] ชัญญากานต์ โกกะพันธ์ และคณะ, "การออกแบบระบบตรวจจับการรั่วของแก๊สหุงต้มด้วยเซ็นเซอร์,"วารสารวิศวกรรมศาสตร์อุตสาหการ, ปีที่ 23, ฉบับที่ 3, หน้า 45–52, 2565.

[3] กรมป้องกันและบรรเทาสาธารณภัย, สถิติการเกิดเพลิงไหม้, 2566. [ออนไลน์]. เข้าถึงได้จาก: https://www.disaster.go.th

[4] C. A. Ul Hassan, "Design and implementation of real-time kitchen monitoring and automation system based on Internet of Things," Energies, vol. 15, no. 6778, pp. 1–16, 2023.

[5] S. Murali, J. V. Anchitaalagammai, and S. Kavitha, "IoT-based smart kitchen with enhanced and automated safety measures," in Proc. Int. Conf. Reliability, Infocom Technologies and Optimization, Amity University, Noida, India, Mar. 14–15, 2024, pp. 1–5.

[6] A. B. Gadicha, "A mechanism to detect food safety threats using IoT and C-LSTM: An enhanced approach for farmwork," Proceedings, vol. 105, no. 1, p. 59, 2024.

[7] E. M. Hinostroza, D. J. Mendoza, M. Navarro Cejas, and E. P. Palacios Trujillo, "Linear regression model to predict the use of artificial intelligence in experimental science students," International Electronic Journal of Mathematics Education, vol. 20, no. 1, p. em0807, 2025.

[8] G. James, D. Witten, T. Hastie, and R. Tibshirani, “An Introduction to Statistical Learning: With Applications in R,” 2nd ed. Springer, 2021.

Hanrong Buathong ปัจจุบันเป็นอาจารย์ มหาวิทยาลัยนราธิวาสราชนครินทร์ งานวิจัยที่สนใจคือ ด้านวงจรอิเล็กทรอนิกส์และการควบคุม การเขียนโปรแกรมไมโครคอนโทรเลอร์ ,ระบบอาณัติสัญญาณและการควบคุมรถไฟ การควบคุมไร้สาย และเทคโนโลยีทางการศึกษา

Bussabong Somussa จบการศึกษาระดับปริญญาตรี สาขาเทคโนโลยีอิเล็กทรอนิกส์ มหาวิทยาลัยเทคโนโลยีพระจอมเกล้าพระนครเหนือ และปริญญาโท สาข เทคโนโลยีและนวัตกรรม มหาวิทยาลัยนราธิวาสราชนครินทร์ งานวิจัยที่สนใจคือ ด้าน IoT และการประยุกต์ใช้ Machine และ Deep Learning

Nida Sae Jong จบการศึกษาระดับปริญญาตรี ปริญญาโทและปริญญาดุษฎีบัณฑิต สาขาวิศวกรรมไฟฟ้า มหาวิทยาลัยสงขลานครินทร์ งานวิจัยที่สนใจคือด้านการประยุกต์ใช้ Machine และ Deep Learning กับศาสตร์ต่างๆ เช่นด้านการแพทย์ เกษตร และทางไฟฟ้า เป็นต้น

การควบคุมระบบน้ำด้วยวาล์วไฟฟ้าผ่านแอปพลิเคชันบลิ้ง

Water System Control with Electric Valve through Blynk Application

สุนิษา ศรีลับแล[1*] และ ศักดิ์ณรงค์ ตัวลือ[2]

[1]กลุ่มสาระการเรียนรู้วิทยาศาสตร์และเทคโนโลยี โรงเรียนโมโกรวิทยาคม sunisa558888@gmail.com
[2]กลุ่มสาระการเรียนรู้การงานอาชีพ โรงเรียนโมโกรวิทยาคม saknarong239@gmail.com

บทคัดย่อ

บทความนี้นำเสนอการควบคุมระบบน้ำด้วยวาล์วไฟฟ้าผ่านแอปพลิเคชันบลิ้งสามารถทำงานได้ 3 โหมด ได้แก่ โหมดเปิด-ปิดเอง โหมดสั่งการระยะไกล และโหมดควบคุมการทำงานแบบอัตโนมัติ เพื่อแก้ปัญหาการใช้น้ำในโรงเรียนโมโกรวิทยาคม อำเภออุ้มผาง จังหวัดตาก ซึ่งตั้งอยู่ในพื้นที่สูง และห่างไกล ที่ประสบปัญหาด้านการเข้าถึงทรัพยากรน้ำ โดยเฉพาะในช่วงฤดูแล้งที่มักเกิดภาวะขาดแคลนน้ำ ส่งผลกระทบต่อกิจกรรมต่าง ๆ ภายในโรงเรียน ทั้งอุปโภคและบริโภค เช่น ด้านการเกษตร การใช้น้ำในหอพักนอนของนักเรียน ร่วมถึงการใช้น้ำในกิจวัตรประจำวัน ปัจจุบันการเปิด–ปิดน้ำยังต้องอาศัยแรงคน ในบางครั้งเกิดปัญหา เช่น ลืมปิดก๊อกน้ำ ทำให้เกิดการสิ้นเปลืองน้ำโดยไม่จำเป็น ในบทความนี้นำเทคโนโลยี Internet of Things มาเชื่อมโยงเครือข่ายอินเทอร์เน็ต จึงทำให้สามารถควบคุมสั่งการใช้งานอุปกรณ์ต่างๆ ผ่าน วาล์วน้ำ และแจ้งเตือนผ่านแอปพลิเคชันบลิ้งได้อย่างมีประสิทธิภาพ ผลการทดสอบพบว่าการควบคุมระบบน้ำด้วยวาล์วไฟฟ้าผ่านแอปพลิเคชันบลิ้ง สามารถควบคุมการทำงานของวาล์วน้ำได้ทั้ง 3 โหมด ตรงตามวัตถุประสงค์ที่ตั้งไว้

คำสำคัญ: วาล์วไฟฟ้า, ระบบควบคุมน้ำ, แอปพลิเคชันบลิ้ง

Abstract

This treatise presents about the controlling water system by electric valve through blank application. The application has three modes; auto power on and off mode, remote control mode, and automatic controlling mode for solving the problem of water using at Mokro Wittayakhom School where is located in a highland area and far which encountered a problem accessing water resources especially during the hot season when water scarcity frequently occurs. This problem affects to the various school activities, consumption and consumer water such as agriculture, using water in student's dormitory including using water in dairy life. Currently, auto power on and off mode still need human labor to control this mode and forgetfulness causes the problem. For example, forgetting to turn off the tap wastes the unnecessary water

This study brings the technology; Internet of Things to connect the internet network. Therefore, human can control the command of equipment's through water valve and sending notifications in the Blynk application proficiently. The test results show that the automatic controlling mode through the Blynk application successfully manages all three modes, achieving the project's objectives.

Keywords: Electric valve, Water control system, Blynk application

1. บทนำ

โรงเรียนโมโกรวิทยาคม อำเภออุ้มผาง จังหวัดตาก เป็นโรงเรียนภายใต้โครงการพระราชดำริ ซึ่งตั้งอยู่ในพื้นที่สูงและห่างไกล [1] เปิดรับนักเรียนในระดับชั้นมัธยมศึกษาปีที่ 1 ถึงปีที่ 6 โดยเป็นกลุ่มชนเผ่า 4 ชาติพันธุ์ ปัจจุบันมีนักเรียนจำนวน 327 คน แบ่งเป็นนักเรียน 2 กลุ่ม กลุ่มแรกหอพักนอน (นักเรียนที่อยู่ประจำในโรงเรียนภายใต้กฎระเบียบที่โรงเรียนกำหนดไว้) จำนวน 138 คน และกลุ่มที่สองไปกลับ(นักเรียนที่อาศัยอยู่กับครอบครัวและเดินทางจากบ้านไปโรงเรียนในแต่ละวัน) จำนวน 189 คน จากข้อมูลดังกล่าวแสดงให้ทราบว่าการเข้าถึงแหล่งน้ำและระบบสาธารณูปโภคขั้นพื้นฐานของนักเรียนโมโกรวิทยาคมในแต่ละวันมีข้อจำกัด โดยเฉพาะในช่วงฤดูแล้งที่ปริมาณน้ำไม่เพียงพอต่อความต้องการ ส่งผลกระทบต่อการดำเนินกิจกรรมต่าง ๆ ภายในโรงเรียน ทั้งในด้านการเกษตร การใช้น้ำในหอพักนักเรียน และงานด้านสุขาภิบาล การใช้น้ำจึงต้องอาศัยความประหยัดและมีระบบจัดการที่มีประสิทธิภาพ

ปัจจุบันการควบคุมระบบน้ำยังคงต้องดำเนินการด้วยตนเอง เช่น การเดินไปเปิด–ปิดก๊อกน้ำในแต่ละจุด ซึ่งบางครั้งอาจเกิดความผิดพลาด เช่น ลืมปิดน้ำ หรือเปิดน้ำทิ้งไว้นานเกินความจำเป็น ส่งผลให้เกิดการสูญเสียน้ำโดยไม่ก่อให้เกิดประโยชน์ ทั้งยังสิ้นเปลืองแรงงานและเวลา การจัดการน้ำในพื้นที่ห่างไกลมีความสำคัญต่อการดำรงชีวิตและกิจกรรมในโรงเรียน การใช้เทคโนโลยี Internet of Things จึงเข้ามามีบทบาทในการเชื่อมต่ออุปกรณ์เข้ากับระบบอินเทอร์เน็ต เพื่อควบคุมและตรวจสอบการใช้งานได้อย่างมีประสิทธิภาพ [2], [3] โดยเฉพาะการจัดการน้ำเพื่อการเกษตรหรือระบบน้ำในโรงเรียนที่ต้องการลดการสิ้นเปลืองและเพิ่มความแม่นยำในการใช้งาน (Mekki et al., 2020; Zamora-Izquierdo et al., 2019) ซึ่งแนวทางดังกล่าวช่วยให้สามารถ

*ผู้ประพันธ์บรรณกิจ

ออกแบบระบบควบคุมน้ำที่มีความยืดหยุ่นและเหมาะสมต่อสภาพแวดล้อมของโรงเรียน

ผู้จัดทำจึงมีแนวคิดในการพัฒนาการควบคุมระบบน้ำด้วยวาล์วไฟฟ้า ซึ่งเป็นการประยุกต์ใช้เทคโนโลยี Internet of Things โดยใช้บอร์ด NodeMCU เชื่อมต่อกับวาล์วไฟฟ้า ทำการควบคุมจากแอปพลิเคชันบลิ้งผ่านทางโทรศัพท์มือถือ โดยเชื่อมเข้ากับชุดควบคุมสวิตช์เปิดปิดน้ำจำนวน 2 ชุด และเชื่อมต่อเข้ากับ Wi-fi ภายในโรงเรียน จากผลการทดลองพบว่าการควบคุมระบบน้ำด้วยวาล์วไฟฟ้าผ่านแอปพลิเคชันบลิ้งสามารถทำงานได้ตามวัตถุประสงค์ และสอดคล้องกับแนวทางการประยุกต์ใช้ Internet of Things ในการจัดการน้ำเพื่อการเกษตรและสาธารณูปโภค ได้รับการพิสูจน์แล้วว่าสามารถช่วยเพิ่มความสะดวก ความถูกต้อง และความต่อเนื่องของระบบควบคุมการจ่ายน้ำในพื้นที่

2. ระบบที่นำเสนอ

ในยุคปัจจุบัน อินเทอร์เน็ตมีบทบาทสำคัญในการเชื่อมโยงอุปกรณ์รอบตัว เช่น คอมพิวเตอร์ สมาร์ทโฟน สมาร์ททีวี สมาร์ทปลั๊ก ตลอดจนบอร์ดพัฒนา Internet of Things อย่าง NodeMCU, Raspberry Pi และ Arduino ซึ่งสามารถเชื่อมต่ออินเทอร์เน็ตได้ การพัฒนาระบบ Internet of Things ทั่วไปจำเป็นต้องมีการเขียนโปรแกรมไมโครคอนโทรลเลอร์ อ่านค่าจากเซ็นเซอร์ ส่งข้อมูลไปยังเซิร์ฟเวอร์ และพัฒนาแอปพลิเคชัน เพื่อเชื่อมต่อผู้ใช้กับฮาร์ดแวร์ แต่ Blynk Platform ได้เข้ามาช่วยลดความซับซ้อน โดยเป็นแพลตฟอร์มสำเร็จรูปที่รองรับการควบคุมและตรวจสอบอุปกรณ์ Internet of Things ผ่านสมาร์ทโฟนได้สะดวกและรวดเร็ว เหมาะสำหรับการสร้างต้นแบบและประยุกต์ใช้ในงานอัจฉริยะหลากหลายรูปแบบ

2.1 อุปกรณ์ที่ต้องใช้สำหรับเริ่มต้นใช้งานบลิ้ง

- ฮาร์ดแวร์เนื่องจากบลิ้งทำงานผ่านอินเทอร์เน็ต (LAN, 3G, 4G, Wi-Fi, อื่นๆ) ดังนั้นอุปกรณ์ที่ใช้ต้องเชื่อมต่ออินเทอร์เน็ตได้ ตัวอย่าง เช่น Arduino, ESP8266, ESP32, Raspberry Pi หรือบอร์ดอื่น ๆ

รูปที่ 1 อุปกรณ์ที่ต้องใช้สำหรับเริ่มต้นใช้งานแอปพลิเคชันบลิ้ง

- โหนดเอ็มซียู (Node MCU)

รูปที่ 2 โหนดเอ็มซียู Node MCU esp8266

2.2 หลักการทำงานระบบควบคุมการเปิด-ปิดน้ำผ่านแอปพลิเคชันบลิ้ง

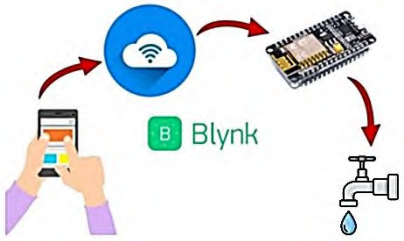

รูปที่ 3 หลักการทำงาน 3 ส่วนหลัก

แบบจำลองควบคุมการเปิด-ปิดน้ำผ่านแอปพลิเคชันบลิ้งมีหลักการทำงาน 3 ส่วนหลัก

ส่วนที่ 1 บลิ้งแพลตฟอร์ม (Blynk Platform) จะทำหน้าที่เป็นตัวเชื่อมระหว่าง Node MCU esp8266 กับแอปพลิเคชันบลิ้ง

ส่วนที่ 2 แอปพลิเคชันบลิ้ง (Blynk application) จะทำหน้าที่ควบคุมการทำงานบอร์ด Node MCU esp8266

ส่วนที่ 3 Node MCU esp8266 จะควบคุมการเปิด-ปิด โดยการจะเขียนโค้ดคำสั่งลงในบอร์ด ซึ่งจะมีคำสั่งการเปิด-ปิดและการตั้งเวลาในการเปิด-ปิด

ระบบควบคุม ทำหน้าที่รับข้อมูลจากเซนเซอร์ไร้สาย และนำข้อมูลที่ได้มาเปรียบเทียบกับเงื่อนไขแล้วสั่งกล่องควบคุมให้ทำงานเพื่อเปิด-ปิด โดยประกอบด้วย

- โหนดเอ็มซียู (Node MCU esp8266 V3)
- รีเลย์ 4 ช่อง (Relay)
- สวิตส์ควบคุม

สมการความต่อเนื่องของการไหล (Continuity Equation)

$$Q = A \cdot v \tag{1}$$

สมการนี้ใช้ในการคำนวณ อัตราการไหลของน้ำ (Q) ผ่านท่อ ซึ่งขึ้นอยู่กับพื้นที่หน้าตัดของท่อ (A) และ ความเร็วของน้ำ (v) การใช้สมการนี้ช่วยให้สามารถกำหนดขนาดท่อและออกแบบวาล์วไฟฟ้าให้สามารถรองรับอัตราการไหลของน้ำตามที่ต้องการได้อย่างเหมาะสม นอกจากนี้ยังสามารถใช้ควบคุมการจ่ายน้ำในโหมดอัตโนมัติหรือผ่านการสั่งงานจากแอปพลิเคชันบลิ้ง

สมการกำลังไฟฟ้า (Electric Power Equation)

$$P = v \cdot I \tag{2}$$

สมการนี้เกี่ยวข้องกับการออกแบบวงจรไฟฟ้าและการควบคุม วาล์วไฟฟ้า (Electric Valve) โดยกำลังไฟฟ้าที่ใช้ (P) ขึ้นอยู่กับแรงดันไฟฟ้า (v) และกระแสไฟฟ้า (I) ซึ่งช่วยให้ผู้วิจัยสามารถเลือกอุปกรณ์ไฟฟ้าให้เหมาะสมกับแรงดันและกระแส เพื่อให้วาล์วสามารถเปิด-ปิดได้อย่างมีประสิทธิภาพและปลอดภัย

ดังสมการที่ (1) และสมการที่ (2) จะช่วยให้งานวิจัยนี้สามารถ เชื่อมโยงการไหลของน้ำกับการควบคุมวาล์วไฟฟ้า ผ่านระบบ Internet of Things บนแอปพลิเคชันบลิ้ง ได้อย่างเหมาะสมและแม่นยำ

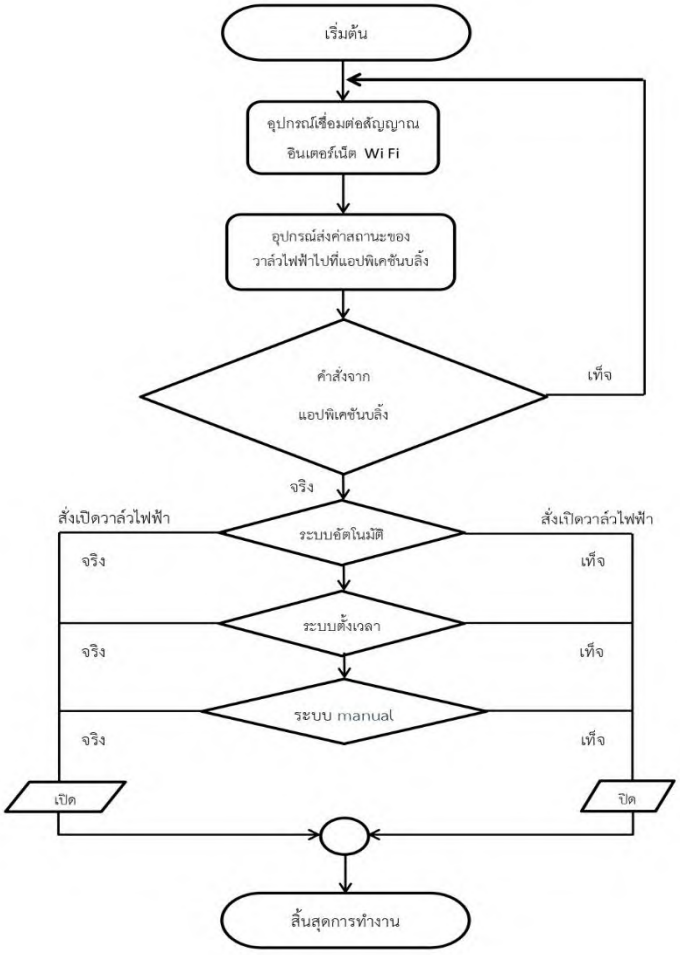

รูปที่ 4 โฟลว์ชาร์ตการทำงานของแบบจำลองระบบเปิด-ปิดวาล์วไฟฟ้าผ่านแอปพลิเคชันบลิ้ง

จากรูปที่ 4 แผนภาพแสดงการเริ่มต้นกระบวนการทำงานของระบบอุปกรณ์เชื่อมต่อสัญญาณอินเตอร์เน็ต และอุปกรณ์ส่งค่าสถานะของวาล์วไฟฟ้าไปที่แอปพลิเคชันบลิ้ง อุปกรณ์จะส่งสถานะปัจจุบันของวาล์วไปยังแอปพลิเคชันบลิ้งควบคุมบนมือถือ ระบบจะตรวจสอบว่ามีคำสั่งถูกส่งมาจากแอปพลิเคชันบลิ้งหรือไม่ ถ้าเป็น "เท็จ" ระบบจะวนกลับไปขั้นตอนที่ 2 เพื่อรอรับคำสั่งและอัปเดตสถานะต่อไปเรื่อยๆ ถ้าเป็น "จริง" ระบบจะเข้าสู่กระบวนการตรวจสอบว่าเป็นคำสั่งประเภทใด กระบวนการเมื่อได้รับคำสั่ง "จริง" เมื่อได้รับคำสั่ง ระบบจะตรวจสอบว่าเป็นคำสั่งให้ "สั่งเปิดวาล์วไฟฟ้า" หรือ "สั่งปิดวาล์วไฟฟ้า" และจะทำงานตามโหมดที่กำหนดไว้ 3 โหมด โดย โหมดที่ 1 เปิด-ปิดเอง คือ สั่งการโดยผู้ใช้กดปุ่มเปิด-ปิดด้วยตนเองในแอปพลิเคชัน จากผังงานฝั่งซ้าย (กรณีสั่งเปิดวาล์ว) จากผังงานฝั่งขวา (กรณีสั่งปิดวาล์ว) สิ้นสุดการทำงาน โหมดที่ 2 คำสั่งในระยะไกล คือ สั่งการโดยอิงตามเงื่อนไขอัตโนมัติ โหมดที่ 3 โหมดการทำงานแบบอัตโนมัติ คือ สั่งการตามเวลาที่ผู้ใช้ตั้งค่าไว้ล่วงหน้า

3. การออกแบบวงจร

การทดสอบการเชื่อมต่ออุปกรณ์ควบคุมระบบน้ำด้วยวาล์วไฟฟ้าผ่านแอปพลิเคชันบลิ้ง

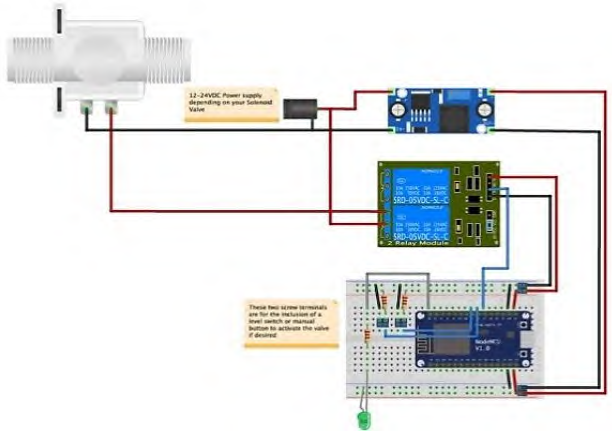

รูปที่ 5 การควบคุมระบบน้ำด้วยวาล์วไฟฟ้าผ่านแอปพลิเคชันบลิ้ง [4]

จากรูปที่ 5 วงจรแสดงการควบคุมวาล์วไฟฟ้าด้วย NodeMCU เชื่อมต่อกับแอปพลิเคชันบลิ้ง ผ่าน Wi-Fi โดยมีรีเลย์เป็นตัวกลางในการสั่งงานเปิด–ปิดวาล์ว และใช้บัคคอนเวอร์เตอร์ปรับแรงดันไฟ ให้เหมาะสมกับอุปกรณ์ไมโครคอนโทรลเลอร์รับคำสั่งจากผู้ใช้แล้ว ส่งสัญญาณไปควบคุมวาล์วผ่านรีเลย์ ระบบนี้เป็นการประยุกต์ใช้ Internet of Things เพื่อควบคุมการไหลของน้ำได้อย่างสะดวกและแม่นยำเหมาะสำหรับ กิจกรรมต่าง ๆ ภายในโรงเรียน ทั้งในด้านการเกษตร การใช้น้ำในหอพักนักเรียน และงานด้านสุขาภิบาล

การติดตั้งอุปกรณ์ควบคุมระบบน้ำด้วยวาล์วไฟฟ้าผ่านแอปพลิเคชันบลิ้ง

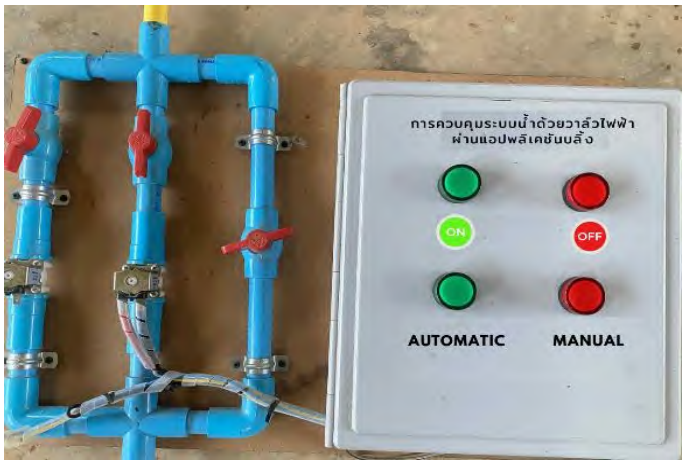

รูปที่ 6 ชิ้นงานจริงที่สร้างขึ้นและใช้ในการทดลอง

จากรูปที่ 6 ชิ้นงานจริงประกอบด้วยท่อส่งน้ำติดตั้งวาล์วไฟฟ้าและตู้ควบคุมที่มีปุ่มกดแบบ ON/OFF แยกเป็น 2 ระบบ คือ Automatic ควบคุมผ่าน NodeMCU และแอปพลิเคชันบลิ้ง และ Manual ควบคุมด้วยการกดปุ่มโดยตรง ระบบนี้ช่วยให้สามารถควบคุมน้ำได้ทั้งแบบระยะไกลและในพื้นที่ เพิ่มความสะดวกและความต่อเนื่องในการทำงาน แม้ในกรณีเครือข่ายอินเทอร์เน็ตล้มเหลว

การควบคุมระบบน้ำด้วยวาล์วไฟฟ้าผ่านแอปพลิเคชันบลิ้ง

รูปที่ 7 การควบคุมการเปิด-ปิดระบบน้ำด้วยวาล์วไฟฟ้าผ่านแอปพลิเคชันบลิ้ง โหมดที่ 1

จากรูปที่ 7 แสดงการควบคุมการเปิด-ปิดระบบน้ำด้วยวาล์วไฟฟ้าผ่านแอปพลิเคชันบลิ้ง โหมดที่ 1 เปิด-ปิดเอง พบว่าสามารถควบคุมการทำงานของวาล์วไฟฟ้าได้โดยตรงผ่านแอปพลิเคชันบลิ้ง โดยกดสวิตช์เพื่อสั่งเปิดหรือปิดระบบน้ำตามต้องการ คำสั่งจะถูกส่งไปยังไมโครคอนโทรลเลอร์เพื่อควบคุมการจ่ายไฟให้กับโซลินอยด์วาล์ว ทำให้น้ำไหลหรือหยุดไหลได้ทันที โหมดดังกล่าวเหมาะสำหรับการใช้งานที่ต้องการความยืดหยุ่นและการควบคุมอย่างเร่งด่วนโดยผู้ใช้งาน

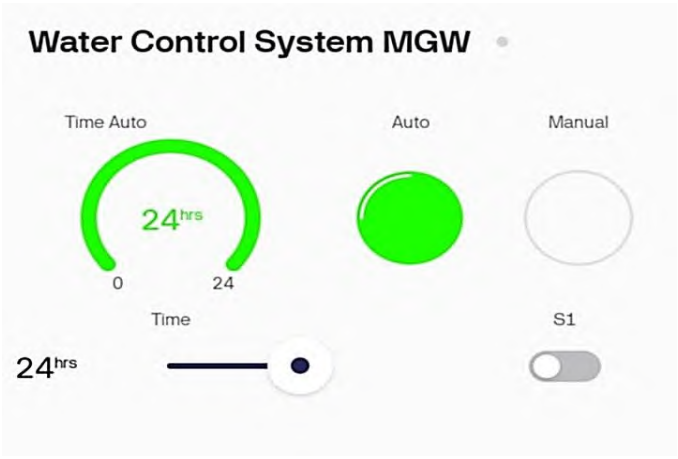

รูปที่ 8 การควบคุมการเปิด-ปิดระบบน้ำด้วยวาล์วไฟฟ้าผ่านแอปพลิเคชันบลิ้ง โหมดที่ 2 และโหมดที่ 3

จากรูปที่ 8 แสดงการควบคุมการเปิด-ปิดระบบน้ำด้วยวาล์วไฟฟ้าผ่านแอปพลิเคชันบลิ้งโหมดที่ 2 คำสั่งในระยะไกล สามารถสั่งการเปิด-ปิดวาล์วไฟฟ้าผ่านเครือข่ายอินเทอร์เน็ตโดยใช้แอปพลิเคชันบลิ้ง แม้อยู่ห่างจากพื้นที่ติดตั้งระบบ ทำให้สามารถควบคุมการทำงานของระบบน้ำได้ทุกที่ทุกเวลา โดยคำสั่งที่ส่งจากสมาร์ทโฟนจะถูกประมวลผล และส่งไปยังไมโครคอนโทรลเลอร์เพื่อสั่งการวาล์วไฟฟ้า ซึ่งช่วยเพิ่มความสะดวกและความคล่องตัวในการจัดการระบบน้ำ การควบคุมการเปิด-ปิดระบบน้ำด้วยวาล์วไฟฟ้าผ่านแอปพลิเคชันบลิ้ง โหมดที่ 3 โหมดการทำงานแบบอัตโนมัติ สามารถตั้งค่าระยะเวลาในการเปิด-ปิดวาล์วไฟฟ้าได้ล่วงหน้าผ่านแอปพลิเคชัน ระบบจะดำเนินการตามช่วงเวลาที่กำหนดโดยอัตโนมัติ โดยไม่จำเป็นต้องสั่งงานซ้ำด้วยตนเอง ช่วยลดภาระการควบคุมและเพิ่มประสิทธิภาพในการใช้น้ำอย่างเหมาะสม

4. ผลการทดลองและการวิเคราะห์ผล

ทดสอบการใช้งานการควบคุมการเปิด-ปิดระบบน้ำด้วยวาล์วไฟฟ้าผ่านแอปพลิเคชันบลิ้ง ทั้ง 3 โหมด ดังนี้ โดย โหมดที่ 1 โหมดเปิด-ปิดเอง คือ ผู้ใช้สามารถควบคุมการเปิด-ปิดวาล์วผ่านกล่องควบคุม โหมดที่ 2 โหมดคำสั่งในระยะไกล คือ ผู้ใช้สามารถควบคุมการเปิด-ปิดวาล์วผ่านแอปพลิเคชันบลิ้ง และโหมดที่ 3 โหมดการทำงานแบบอัตโนมัติ คือ ผู้ใช้สามารถตั้งเวลาในการเปิด-ปิดวาล์ว ผ่านแอปพลิเคชันบลิ้ง โดยทำการทดสอบในท่อน้ำบริเวณพื้นที่ของโรงเรียนโมโกรวิทยาคม และทำการทดสอบความถูกต้อง 20 รอบ

4.1 โหมดที่ 1 โหมดเปิด-ปิดเอง คือ ผู้ใช้สามารถควบคุมการเปิด-ปิดวาล์วผ่านกล่องควบคุม

ตารางที่ 1 ตารางการทดสอบโหมดที่ 1

รอบ	โหมด	แรงดัน (V)	กระแส (A)	กำลังไฟฟ้า (W)
1	Manual	12.015	0.529	6.36
2	Manual	11.996	0.495	5.944
3	Manual	12.019	0.501	6.026
4	Manual	12.046	0.472	5.68
5	Manual	11.993	0.489	5.866
6	Manual	11.993	0.502	6.023
7	Manual	12.047	0.477	5.746
8	Manual	12.023	0.508	6.102
9	Manual	11.986	0.488	5.849
10	Manual	12.016	0.494	5.938
11	Manual	11.986	0.488	5.849
12	Manual	11.986	0.537	6.437
13	Manual	12.007	0.5	6
14	Manual	11.943	0.479	5.719
15	Manual	11.948	0.516	6.171
16	Manual	11.983	0.476	5.699
17	Manual	11.97	0.504	6.035
18	Manual	12.009	0.461	5.534
19	Manual	11.973	0.473	5.668
20	Manual	11.958	0.504	6.026

จากตารางที่ 1 แสดงผลการทดวัดค่าแรงดันไฟฟ้า กระแสไฟฟ้า และ กำลังไฟฟ้า ในโหมด Manual ด้วยทำการวัด ทั้งหมด 20 รอบ ผลการทดลอง ค่าแรงดันไฟฟ้าที่วัดได้มีความคงที่อยู่ในช่วง 11.97 V ถึง 12.05 V ค่าเฉลี่ยแรงดัน ประมาณ 12.00 V ค่ากระแสไฟฟ้ามีความผันผวนเล็กน้อย โดยอยู่ระหว่างประมาณ 0.46 A ถึง 0.54 A

และกำลังไฟฟ้าที่ใช้หรือมีการเปลี่ยนแปลงไปตามค่ากระแสไฟฟ้าที่ผันผวน โดยอยู่ระหว่างประมาณ 5.5 W ถึง 6.4 W อุปกรณ์สามารถ ทำงานได้ โดยไม่มีข้อผิดพลาดแรงดันอยู่ในช่วงที่อุปกรณ์สามารถทำงาน ได้ ทั้ง 20 รอบ

4.2 โหมดที่ 2 โหมดคำสั่งในระยะไกล คือ ผู้ใช้สามารถควบคุมการเปิด-ปิดวาล์ว ผ่านแอปพลิเคชันบลิ้ง

ตารางที่ 2 ตารางการทดสอบโหมดที่ 2

รอบ	โหมด	แรงดัน (V)	กระแส (A)	กำลังไฟฟ้า (W)
1	Remote	11.986	0.476	5.7
2	Remote	11.994	0.487	5.843
3	Remote	11.967	0.51	6.098
4	Remote	11.964	0.47	5.619
5	Remote	12.024	0.464	5.577
6	Remote	12.041	0.47	5.659
7	Remote	11.998	0.498	5.979
8	Remote	12.03	0.487	5.854
9	Remote	12.011	0.469	5.638
10	Remote	11.981	0.49	5.874
11	Remote	12.011	0.482	5.789
12	Remote	12.046	0.499	6.016
13	Remote	11.999	0.466	5.591
14	Remote	12.047	0.473	5.704
15	Remote	11.921	0.472	5.629
16	Remote	12.025	0.451	5.42
17	Remote	12.003	0.486	5.832
18	Remote	11.991	0.485	5.818
19	Remote	12.003	0.48	5.763
20	Remote	11.94	0.475	5.675

จากตารางที่ 2 แสดงผลการทดวัดค่าแรงดันไฟฟ้า กระแสไฟฟ้า และกำลังไฟฟ้าในโหมด Remote ด้วยทำการวัดทั้งหมด 20 รอบ ผลการทดลองค่าแรงดันไฟฟ้าที่วัดได้มีความคงที่อยู่ในช่วง 11.921 V ถึง 12.047 V ค่าเฉลี่ยแรงดัน ประมาณ 12.00 V ค่ากระแสไฟฟ้ามีความผันผวนเล็กน้อย โดยอยู่ระหว่างประมาณ 0.451 A ถึง 0.51 A ค่าเฉลี่ย 0.48 A และกำลังไฟฟ้าที่ใช้หรือมีการเปลี่ยนแปลงไปตามค่ากระแสไฟฟ้าที่ผันผวน โดยอยู่ระหว่างประมาณ 5.42 W ถึง 6.098 W ค่าเฉลี่ย 5.76 W อุปกรณ์สามารถ ทำงานได้ โดยไม่มีข้อผิดพลาด แรงดันอยู่ในช่วงที่อุปกรณ์สามารถทำงาน ได้ ทั้ง 20 รอบ

4.3 โหมดที่ 3 โหมดการทำงานแบบอัตโนมัติ คือ ผู้ใช้สามารถตั้งเวลาในการเปิด-ปิดวาล์วผ่านแอปพลิเคชันบลิ้ง

ตารางที่ 3 ตารางการทดสอบโหมดที่ 3

รอบ	โหมด	แรงดัน (V)	กระแส (A)	กำลังไฟฟ้า (W)
1	Auto	12.024	0.473	5.692
2	Auto	11.973	0.49	5.862
3	Auto	12.042	0.446	5.369
4	Auto	11.958	0.473	5.653
5	Auto	12.018	0.474	5.695
6	Auto	12.066	0.482	5.812
7	Auto	11.97	0.451	5.404
8	Auto	11.983	0.45	5.395
9	Auto	12.003	0.478	5.735
10	Auto	11.985	0.474	5.686
11	Auto	11.953	0.474	5.663
12	Auto	12.002	0.475	5.703
13	Auto	11.968	0.46	5.503
14	Auto	12.014	0.473	5.689
15	Auto	11.972	0.474	5.68
16	Auto	12.046	0.459	5.533
17	Auto	11.977	0.498	5.964
18	Auto	11.99	0.477	5.721
19	Auto	12.024	0.452	5.437
20	Auto	11.963	0.48	5.74

จากตารางที่ 3 แสดงผลการทดวัดค่าแรงดันไฟฟ้ากระแส ไฟฟ้าและกำลังไฟฟ้าในโหมด Auto ด้วยทำการวัด ทั้งหมด 20 รอบ ผลการทดลองค่าแรงดันไฟฟ้าที่วัดได้มีความคงที่อยู่ในช่วง 11.953 V ถึง 12.066 V ค่าเฉลี่ยแรงดัน ประมาณ 12.00 V ค่ากระแสไฟฟ้ามีความผันผวนเล็กน้อย โดยอยู่ระหว่างประมาณ 0.446 A ถึง 0.498 A ค่าเฉลี่ย 0.47 A และกำลังไฟฟ้าที่ใช้หรือมีการเปลี่ยนแปลงไปตามค่ากระแสไฟฟ้าที่ผันผวน โดยอยู่ระหว่างประมาณ 5.395 W ถึง 5.964 W ค่าเฉลี่ย 5.68 W อุปกรณ์สามารถ ทำงานได้ โดยไม่มีข้อผิดพลาด แรงดันอยู่ในช่วงที่อุปกรณ์สามารถทำงาน ได้ ทั้ง 20 รอบ

5. สรุป

บทความนี้นำเสนอการควบคุมระบบน้ำด้วยวาล์วไฟฟ้าผ่านแอปพลิเคชันบลิ้ง โดยออกแบบทั้งฮาร์ดแวร์และซอฟต์แวร์ ใช้โมดูล NodeMCU ESP8266 V3 เชื่อมต่ออินเทอร์เน็ตเพื่อควบคุมวาล์วไฟฟ้าให้สามารถทำงานได้ 3 โหมด ได้แก่ โหมดเปิด-ปิดเอง โหมดสั่งการระยะไกล และโหมดควบคุมการทำงานแบบอัตโนมัติ ผลการทดสอบจำนวน 20 รอบ พบว่าโหมดเปิด-ปิดเองทำงานถูกต้องหนึ่งร้อยเปอร์เซ็นต์ ส่วนโหมดสั่งการระยะไกลและโหมดควบคุมการทำงานแบบอัตโนมัติทำงานได้ถูกต้องแต่ล่าช้าเฉลี่ย 5 วินาทีจากปัญหาความไม่เสถียรของอินเทอร์เน็ต และผลการวัดค่าแรงดันไฟฟ้า กระแสไฟฟ้าและกำลังไฟฟ้า

สรุปได้ว่าการควบคุมระบบน้ำด้วยวาล์วไฟฟ้าผ่านแอปพลิเคชันบลิ้ง สามารถทำงานได้ตามวัตถุประสงค์และมีประสิทธิภาพในการใช้งานจริง

6. กิตติกรรมประกาศ

บทความฉบับนี้ขอขอบคุณ อาจารย์ที่ปรึกษางานวิจัยที่กรุณาให้คำแนะนำ คำปรึกษา ตลอดจนปรับปรุงแก้ไขข้อบกพร่อง ขอขอบคุณ นายอลงกต เทอดโยธิน ผู้อำนวยการโรงเรียนโมโกรวิทยาคม ที่ให้คำแนะนำ คำปรึกษาต่างๆและอนุเคราะห์ด้านอุปกรณ์ เครื่องมือในการทำวิจัยในครั้งนี้ จนทำให้งานวิจัยนี้สำเร็จลุล่วงไปด้วยดี

เอกสารอ้างอิง

[1] A. Terdyothin, T. Archevapanich, M. Chansuthirangkool, P. Inyoo, T. Anuwongpinit and B. Purahong, "Multi-sector Collaboration for Students of different levels to Learn Digital Technology Skills using Competency Assessment from Learning to Create pieces with a 3D printers for Young Innovators Case Study: MogroWittayakom School," 2024 9th International STEM Education Conference (iSTEM-Ed), Cha-am, Hua Hin, Thailand, 2024, pp. 1-5

[2] A. Mekki, A. Aloui, M. B. Ayed, and A. Derbel, “IoT-based smart irrigation system for water efficiency in agriculture,” *Procedia Computer Science*, vol. 177, pp. 68–73, 2020.

[3] M. A. Zamora-Izquierdo, J. Santa, J. A. Martínez, V. Martínez, and A. F. Skarmeta, “Smart farming IoT platform based on edge and cloud computing,” *Biosystems Engineering*, vol. 177, pp. 4–17, 2019.

[4] สร้างจากปัญญาประดิษฐ์ “ Gemini” ในการออกแบบการควบคุมระบบน้ำด้วยวาล์วไฟฟ้าผ่านแอปพลิเคชันบลิ้ง สืบค้นเมื่อวันที่ 13 กันยายน 2568 https://gemini.google.com/app/93bb5fb26830dee6?utm_source=app_launcher&utm_medium=owned&utm_campaign=base_all

ชื่อ-สกุล : นางสาวสุนิษา ศรีลับแล
วัน เดือน ปีเกิด : 20 มิถุนายน พ.ศ. 2541
ที่อยู่ปัจจุบัน : บ้านเลขที่ 16/1 หมู่ 4 ตำบล ชัยจุมพล อำเภอ ลับแล จังหวัด อุตรดิตถ์ 53130
E-mail : sunisa558888@gmail.com

ชื่อ-สกุล : ว่าที่ร้อยตรี ศักดิ์ณรงค์ ตัวลือ
วัน เดือน ปีเกิด : 27 พฤศจิกายน พ.ศ. 2536
ที่อยู่ปัจจุบัน : บ้านเลขที่ 200/3 หมู่ 6 ต.สันทรายน้อย อ.สันทราย จ.เชียงใหม่ 50210
E-mail : saknarong239@gmail.com

รายชื่อผู้สนับสนุนและผู้ร่วม Exhibition Booth

ที่	ชื่อภาษาไทย	ชื่อภาษาอังกฤษ
1	บริษัท เยนเนอรัลอินสทรูเม้นท์ จำกัด	GENERAL INSTRUMENT CO.,LTD.
2	บริษัท เอเบ็คซ์ เทคโนโลยีส์ จำกัด	ABEX TECHNOLOGIES CO.,LTD.
3	บริษัท ฮิตาชิ เอนเนอร์ยี่ (ประเทศไทย) จำกัด	HITACHI ENERGY (THAILAND) CO.,LTD.
4	บริษัท เจนิทรอน เทคโนโลยี (ประเทศไทย) จำกัด	GENETRON TECHNOLOGY (THAILAND) CO.,LTD.
5	บริษัท เอฟ.อี.เอส. จำกัด	F.E.S. CO.,LTD.
6	บริษัท เอ็ม.ที.เค อันสทรูเม้นท์ อินโนเวทีฟ จำกัด	M.T.K INSTRUMENT INNOVATIVE CO.,LTD.
7	บริษัท พี จี อินเตอร์กรุ๊ป จำกัด	P. G. INTERGROUP CO.,LTD.
8	บริษัท แควนเทลโกลบอล จำกัด	QUANTEL GLOBAL CO.,LTD.
9	บริษัท โยโกกาวา (ประเทศไทย) จำกัด	YOGOGAWA (THAILAND) CO.,LTD.
10	บริษัท ซีเอสเอ็นโซลูชั่น จำกัด	CSN SOLUTION CO., LTD.
11	บริษัท ไฟฟ้าอุตสาหกรรม จำกัด	INDUSTRIAL ELECTRICAL CO.,LTD.
12	บริษัท ออล อินสทรูเมนท์ โซลูชั่น จำกัด	ALL INSTRUMENT SOLUTION CO.,LTD.
13	บริษัท แมริโกลด์ เทคโนโลยีส์ จำกัด	MARIGOLD TECHNOLOGIES CO.,LTD.
14	บริษัท พีทีเอส คอมบิเนชั่น จำกัด	PTS COMBINATION CO.,LTD.
15	บริษัท วีนัส อินเทลลิเจ็นส์ จำกัด	VENUS INTELLIGENS CO.,LTD.
16	บริษัท คิวทีซี เอนเนอร์ยี่ จำกัด (มหาชน)	QTC ENERGY PCL.
17	บริษัท เฮนิส ฮาร์ดแวร์ จำกัด	HENIS HARDWARE CO.,LTD.
18	บริษัท ไออาร์ซี เทคโนโลยีส์ จำกัด	IRC TECHNOLOGIES CO.,LTD.
19	บริษัท เรียล บีพีเอ็ม จำกัด	REAL BPM CO.,LTD.
20	บริษัท ดิจิตอล อินสทรูเมนท์ จำกัด	DIGITAL INSTRUMENT CO.,LTD.

F.E.S. Solutions

FOMM
First One Mile Mobility

ITECH
YOUR POWER TESTING SOLUTION

ชุดทดสอบแบตเตอรี่
รถยนต์ไฟฟ้า
ผ่าน ECU

Battery Charge&Discharge
Test System

Regenerative Grid Simulator

Bidirectional Programmable
DC Power Supply

Fiber Optic ชุดฝึกการ Splice สายไฟเบอร์ออปติก

Fusion Splicer + OPM Set

Fusion Splicing
Tool Kit

Dimension
Portable Fiber

Dimension Fast
Connector
SC/UPC

OTDR Set

MT9085
OTDR - ACCESS Master

OTDR Launch
Cable SC/UPC

SC/UPC
Adapter

Fusion Splicer Set

EasyGet

One Click
Cleaner
2.5mm

Anritsu

MS46122B Compact USB Vector
Network Analyzer (VNA)

MS2090A
Field Master Pro
Spectrum Analyzer

PeakTech®

1660
TrueRMS power
clamp meter

P5615
Thermal
imaging
camera

P2170
LCR-/ESR-Meter,
100 Hz - 100 kHz,
with USB

P4145
Power analyzer

RIGOL

MSO/DS7000 Series
Digital oscilloscope

MSO5000 Series
Digital oscilloscope

DG2000 Series
Waveform Generator

DG1000Z Series
Waveform Generator

RSA5000 Series
Spectrum Analyzer

RSA3000 Series
Spectrum Analyzer

M300 Series
Data Acquisition

DSG3000B Series
RF Signal Generators

F.E.S. Co., Ltd.
1000/24, P.B. Tower, 8 floor, Sukhumvit 71 Rd, North Klongtan, Wattana, Bangkok 10110
www.fesupply.com | Email: info@fesupply.com TEL: 02-064-4050-1 FAX: 02-010-4262

Facebook

Line

M.T.K INSTRUMENT INNOVATIVE CO.,LTD

The Best Of Accuracy And Reliability

GRAPHTEC FLUKE METREL Weller

Fluke Calibrator

GL-840 , 20 Ch to 200 Ch

<u>Data Logger แบบ20 ช่อง</u> ที่สามารถขยายช่องสัญญาณเพิ่มได้ถึง 200 ช่อง สำหรับใช้ในงานวัดและบันทึกสัญญาณอุณหภูมิ ความชื้น และสัญญาณไฟฟ้าจากเซ็นเซอร์ต่างๆ

Metrel EV Charger and Install Test

WX Smart Rework Station

บริษัท เอ็ม.ที.เค อินสทรูเม้นท์ อินโนเวทีฟ จำกัด (M.T.K INSTRUMENT INNOVATIVE CO.,LTD)

20/54 ถนนนวมินทร์ แขวงคลองกุ่ม เขตบึงกุ่ม กรุงเทพฯ 10240 โทร(02)944-9060 แฟ็ก (02)944-7859

ID: @Mtkshop

E-mail: ins@mtkgroupth.com / Websit:www.mtkinstrument.com / https://www.facebook.com/Mtkinstrument

P.G.Intergroup

Our Solutions for

E-Mobility

Our experience brings e-mobility to the road

E-Mobility Prototyping Systems

Our powerful solutions, which include interfaces for signal-level and power-level testing, can be used for every conceivable e-mobility application. Customers all over the world appreciate the consistency of our tool landscape and order cutting-edge tool chains from us – scalable to their specific use cases.

This way, we jointly develop e-mobility into a real alternative even faster.

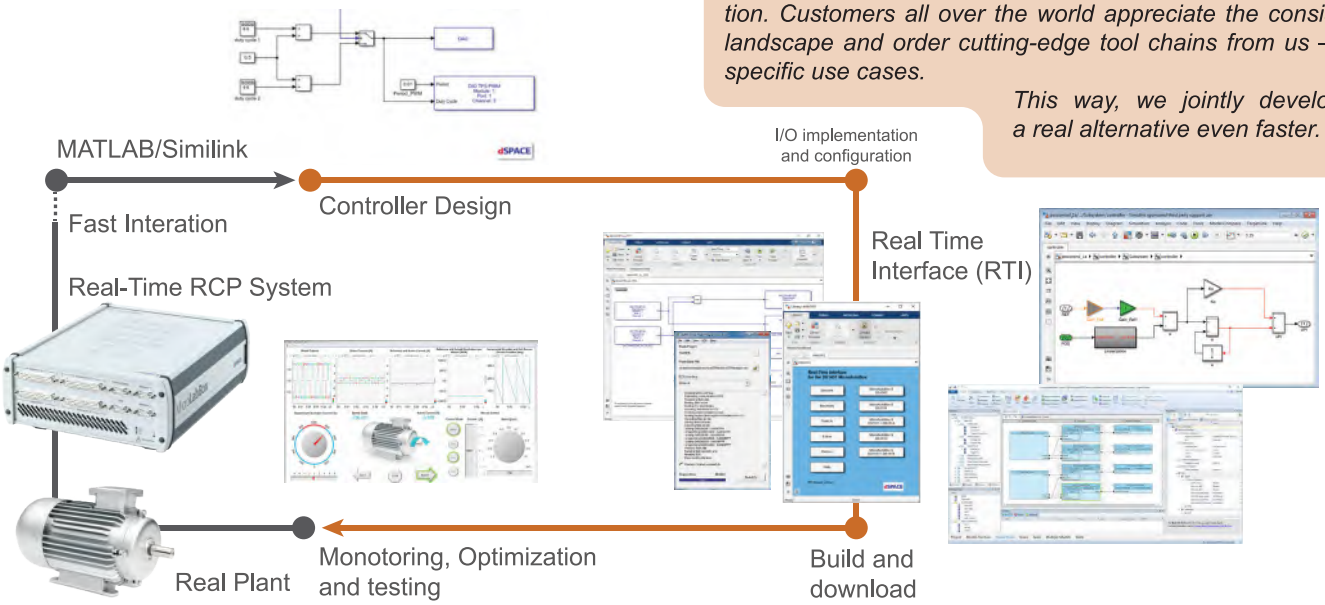

Energy

Power Grid

- Vehicle-to-grid (V2G)
- Smart Grids
- Vehicle-to-Home (V2H)

Renewable Energy Sources

Charging

Charging Stations

Intelligent Charging Systems

- Smart Charging Communication Protocols
  - CHAdeMO
  - ISO 15118
  - GB/T
- Conformance Testing

Vehicles

Electric Mortors

Onboard Chargers

Brake-by-Wire Systems

Steer-by-Wire Systems

Power Electronics

Energy Storage Systems (Batteries, Fuel, Cells)

Development

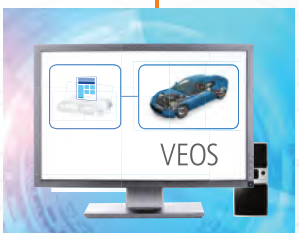

Simulation

Autocoding

Testing

More information

P.G.Intergroup

Thailand (Head Office)

Room No. N0070002 ,7th Floor , Narita Tower, Ban Mai, Pak Kret District, Nonthaburi 11120 Thailand

Email: info@pg-intergroup.com Tel: +66(0)89 888 4542, +66(0)81 914 1975

Chroma

Power Electronics Test Solutions

Empowering future technologies
for a better world

AC /DC Source

AC /DC Load

Power Meter

Grid Simulator

Battery Tester

Chroma GROUP QUANTEL

บริษัท แควนเทล โกลบอล จำกัด

2170 อาคารกรุงเทพ ทาวเวอร์ ชั้น 5 ห้อง 502 ถนนเพชรบุรีตัดใหม่
แขวงบางกะปิ เขตห้วยขวาง กรุงเทพมหานคร 10310 โทร 02 3080881
Email: quantelth@th.quantel-global.com

iOS

Chroma

Android

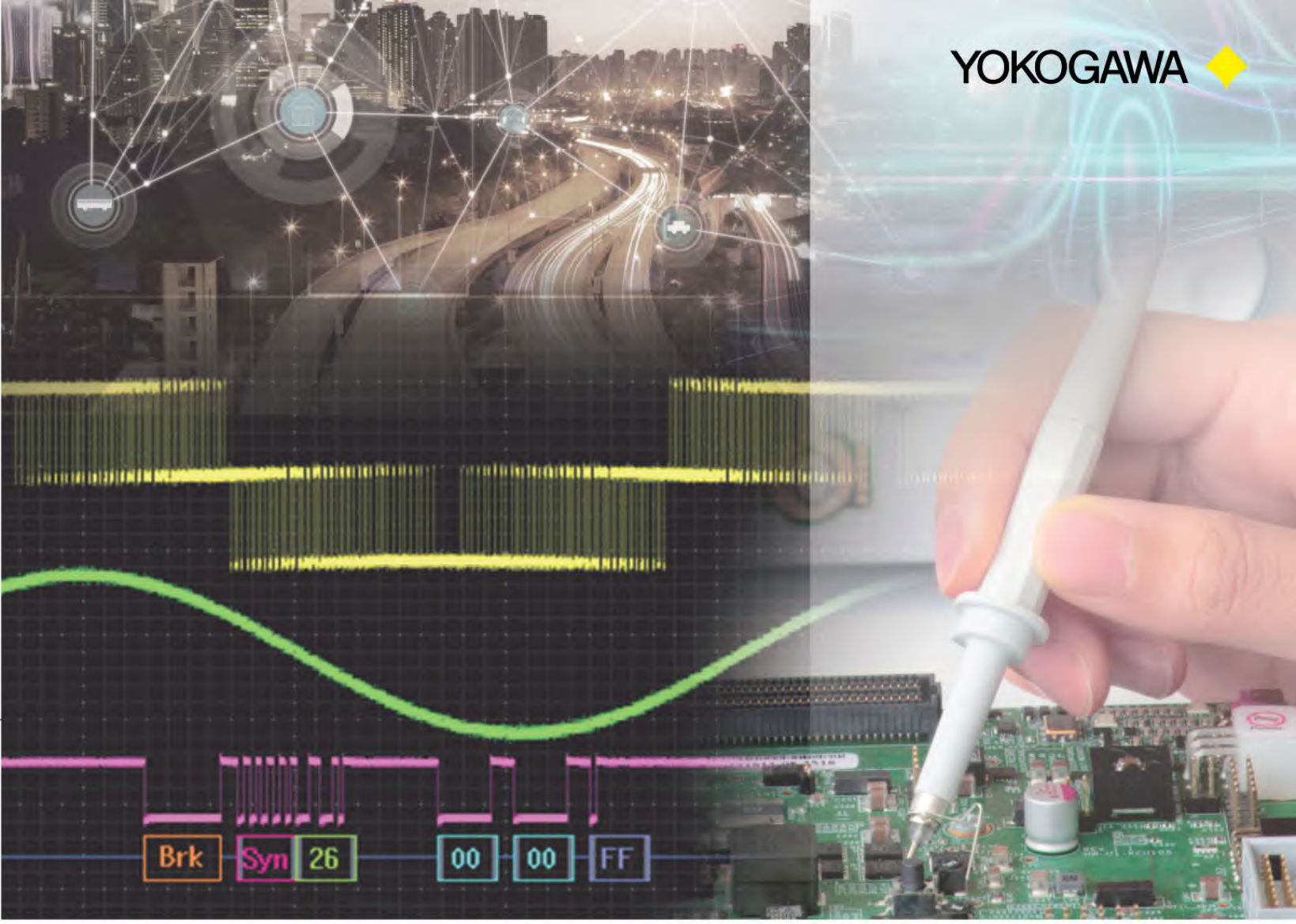

YOKOGAWA - Advanced Solutions for Electrical Testing & EV Power Efficiency

YOKOGAWA offers advanced solutions tailored for electrical testing and enhancing power efficiency in EV systems at EECON48. Featured products include multi-function calibrators (CA500/550), oscilloscopes (DL350, DL950, DLM3000, DLM5000), and power analyzers (WT1800E, WT5000). These tools provide precise measurements and analysis to ensure optimal performance in electric vehicles and other industrial electrical applications. Visit us at EECON47 to explore cutting-edge technology designed for the future of electrical systems. Contact us or visit our booth for more information.

Precision Making

CSN

SOLUTION

บริษัท ซีเอสเอ็น โซลูชั่น จำกัด

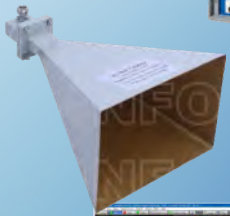

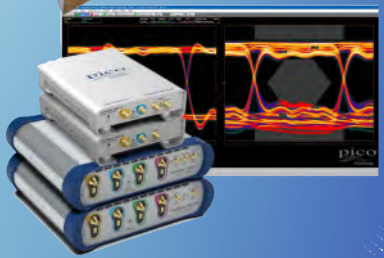

WWW.CSNSOLUTION.CO.TH

บริษัท ไฟฟ้าอุตสาหกรรม จำกัด
INDUSTRIAL ELECTRICAL CO., LTD.

IE ตัวแทนจำหน่ายสินค้าอุตสาหกรรมด้วยประสบการณ์และการพัฒนาอย่างต่อเนื่องกว่า 80 ปี
เรามุ่งจำหน่ายสินค้าคุณภาพจากแบรนด์ชั้นนำระดับโลก เช่น HIOKI, Siemens, Dwyer พร้อมให้บริการ
สนับสนุนทางเทคนิค และบริการหลังการขายอย่างมืออาชีพ

HIOKI

เครื่องมือวัดและทดสอบทางไฟฟ้า

Field Instruments
เช่น มัลติมิเตอร์, แคลมป์มิเตอร์ ทนแรงกระแทก เหมาะกับงานบำรุงรักษา รับประกันนานสูงสุด 3 ปี

Power
เครื่องวัดพลังงานไฟฟ้า คุณภาพไฟฟ้า เหมาะกับงานด้านอนุรักษ์พลังงานและวิเคราะห์ระบบไฟฟ้า

Electronic
เครื่องมือวัดและวิเคราะห์อุปกรณ์อิเล็กทรอนิกส์ เช่น inductor, coil, ferrite cores, resistor, capacitor

Recorder/Data logger
วัดและบันทึกสัญญาณทางไฟฟ้า ด้วยความเร็วสูง เหมาะสำหรับงาน R&D งานบำรุงรักษาระบบไฟฟ้าและเครื่องจักร

Environment
เครื่องวัดสิ่งแวดล้อม เช่น อุณหภูมิ แสง และเสียง เหมาะกับงานความปลอดภัยในโรงงาน

NoiseKen
Made in Japan

เหมาะสำหรับงาน R&D, QA/QC ของอุตสาหกรรมเครื่องใช้ไฟฟ้า, แผงวงจร PCB, ยานยนต์ไฟฟ้า และ EV Charging Station ตามมาตรฐานต่างๆ

กล้องถ่ายภาพความร้อน ความละเอียดสูง

เครื่องมือทดสอบ สายสัญญาณเครือข่าย

HIOKI · PEPPERL+FUCHS · SIEMENS · Dwyer · OMEGA · azbil · Parker · WEST Temperature Control Solutions · HENGSTLER
Gems Sensors & Controls · DANAHER SENSORS & CONTROLS · FLUKE networks · Schneider Electric · Pro-face by Schneider Electric · Fuji Electric · MG · Leuze · Kyokuto
NoiseKen · PCE MERZ Switch to Quality · TOSHIBA · Tagami · TES · CHANG · JOVEN · IMV CORPORATION · HITROL
M.E.Anderson · TML · ORBIS energia inteligente · testo · ARTEL

LEADER IN FACTORY AUTOMATION AND MEASURING INSTRUMENTS

: 0-2642-6700 (auto) : mi-sales@ie.co.th : www.ie.co.th

บริษัท ออล อินสทรูเมนท์ โซลูชั่น จำกัด

ผู้แทนและจัดจำหน่ายสินค้า เครื่องมือวัดและชุดทดลองทางด้านวิศวกรรม
อิเล็กทรอนิกส์ และเซมิคอนดักเตอร์

EECON-48

STEM Education

Semiconductor

PCB Design

Instrument

High Voltage

Robotic

Marigold
Technologies Co.,Ltd.

IOT

AutoMotive
SOLUTION

EV
SOLLUTION

5G
SOLUTION

DATACOMMUNICATION

OPTICAL COMMUNICATION

RF/MICROWAVE/WIRELESS

SATTELLITE TECHNOLOGIES

SCAN

& JOIN US

Tel : 02-962-0918

Email : contact@marigoldtech.net www.marigoldtech.net

PTS COMBINATION

11/26 M.1 Banmai, Pakkret, Nonthaburi 11120 TH

Products Testing Solution
We provide the best complete solution.

Our Service

บริษัท พีทีเอส คอมบิเนชั่น จำกัด เชี่ยวชาญในการจัดจำหน่ายและออกแบบงานชุดทดสอบ การวัดสำหรับระบบพลังงานยานยนต์ไฟฟ้า อิเล็กทรอนิกส์กำลัง อุปกรณ์ควบคุม และการวิจัยระบบฝังตัว Hardware-in-the-Loop (HIL) เราให้ความสำคัญกับความแม่นยำและคุณภาพ เรามีบริการทดสอบที่ได้รับการรับรอง ISO17025 อย่างครอบคลุม เรามุ่งมั่นที่จะให้บริการอย่างครบวงจรที่ตอบสนองต่อความต้องการที่เปลี่ยนแปลงไปอย่างรวดเร็วของเทคโนโลยี บนมาตรฐานการทำงาน ISO9001:2015

Testing Solution Integration

- PV Inverter Testing System, Battery Testing System,Motor Test, Dyno Test, EV Charger Testing System Compliant with IEC61850, ISO Standards

Simulator

- Simulation solution for ADAS & Automotive (SIL, HIL, VIL, V2G) Software learning
- LAB in EV Solution & Next Generation Automotive

Research collaboration & LAB

- Passive Filter for Education in HIL
- Feedback Box and Controller
- ADAS for R&D

Test & Measurement

- Power Quality Analyzers | Power Loggers
- Data Acquisition (DAQ) | Data Loggers
- Oscilloscopes
- Portable and handheld test instruments
- Weather sensors and measurements

Experience
Since 2004-2025

21 Years

Project Done 300+

Reference& Event

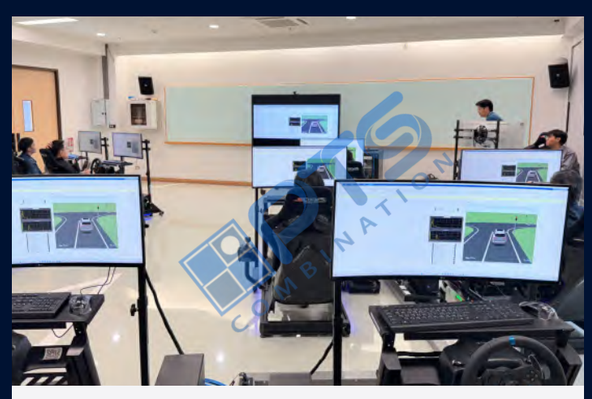

Simulation solution for Vihicle(VIL/HIL)

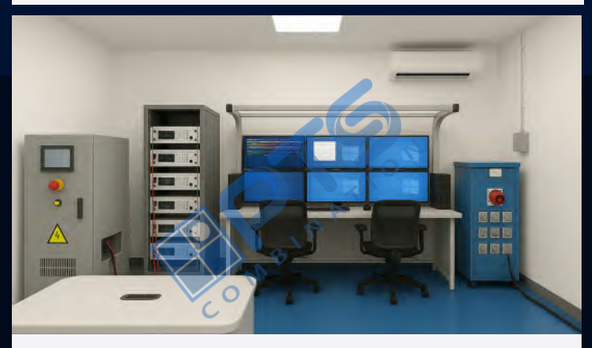

PV Inverter Testing with IEC, ISO Standards

ADAS for R&D

Motor Test Bench

HIL Opal-RT Annual Event with NSTDA(NECTEC)

HIL Opal-RT Annual Event with TU(Rangsit)

Contract :

Exclusive Distributor

OPAL-RT TECHNOLOGIES

CERTIFIED ISO 9001 BUREAU VERITAS

Certification No.: TH022666

catalog

VENUS INTELLIGENS

TONY SPACE

Tony Space

Internet of Things Didactic

เป็นชุดฝึกสำหรับใช้ในการเรียนการสอนด้าน IoT หรือ Internet of Things ประกอบไปด้วย บอร์ดไมโครคอนโทรลเลอร์ โมดูลประเภทต่างๆ สามารถเชื่อมต่อกับเครือข่ายไร้สาย มี Dashboard สำหรับทำ Data Visualization และมีระบบบริหารจัดการพลังงานหลากหลายรูปแบบทำให้มีความยืดหยุ่นในการเลือกใช้แหล่งจ่ายพลังงาน ซึ่งเป็นหัวใจสำคัญของการพัฒนาชิ้นงาน IoT ชุดฝึกมาพร้อมกับในงานทดลองสามารถนำไปใช้ประกอบการเรียนการสอนในห้องเรียนได้เป็นอย่างดี

บอร์ดไมโครคอนโทรลเลอร์

- Espressif ESP32 Dual-Core 32-bit
- Wi-Fi 2.4 GHz IEEE 802.11 b/g/n
- รองรับการสื่อสารแบบอนุกรม UART, SPI, I2C
- On-board RTC
- พัฒนาโปรแกรมด้วย Arduino IDE

โมดูลสำหรับใช้งานร่วมกับบอร์ด

- โมดูลสื่อสารไร้สายผ่าน Mobile Network
- โมดูลสื่อสารไร้สาย LoRaWAN
- โมดูล Environment Sensor
- โมดูลระบุพิกัดตำแหน่ง
- โมดูลจอแสดงผล LCD

จอแสดงผล Data Visualization Dashboard

- ขนาด 12.4 นิ้ว ความละเอียดจอภาพแบบ Full HD
- ติดตั้งอยู่ในชุดฝึกเชื่อมต่อพร้อมใช้งาน
- รองรับการ Remote Desktop เพื่อแสดงผลบนเครื่องคอมพิวเตอร์เครื่องอื่น
- มี GUI ให้เลือกใช้งานหลากหลาย

◀◀ สแกนเพื่อรับชม VDO แนะนำผลิตภัณฑ์ Tony Space

บริษัท วีนัส อินเทลลิเจ็นส์ จำกัด (สาขา 00003)

sales@venussolutions.com 02-591-5244 08-5488-5511

QTC
QTC ENERGY PCL.

Quality of Details

คุณภาพแห่งความประณีต เพื่อพลังงานที่ยั่งยืน

24 HOURS SERVICE
QTC Service Is Number 1 (QTC S1)

ทำความรู้จักเรา

Super Low Loss Transformer

Amorphous Alloy
วัสดุแกนเหล็กชนิดพิเศษ!

- ช่วยลดการสูญเสียพลังงานไฟฟ้าได้มากถึง **81%*** จาก **Core Loss**
- ประหยัดค่าไฟฟ้าลงได้กว่า **53%***
- ลดการปล่อยก๊าซเรือนกระจกสาเหตุของสภาวะโลกร้อนได้กว่า **273 ตัน****
- มีอายุการใช้งานยาวนานมากกว่า **25 ปี**

*เมื่อเทียบการใช้งานเฉลี่ยที่ 50%
**เมื่อเทียบกับอายุการใช้งานที่ 25 ปี

Oil Type Transformer

หม้อแปลงไฟฟ้า
ชนิดน้ำมัน

- **ทนต่อกระแสลัดวงจร** ได้ดีด้วย Copper Foil ที่เป็นวัตถุดิบมาตรฐาน
- ทนทานและมีอายุการใช้งานยาวนานด้วย**กระดาษฉนวนคุณภาพสูง**
- คุณภาพที่เหนือกว่าด้วยค่าความเป็น**ฉนวนของน้ำมันสูงกว่ามาตรฐาน**
- **ลดค่าใช้จ่ายในการบำรุงรักษา**
- การผลิตครอบคลุม**ทุกมาตรฐานสากล**

Smart Transformer Monitoring System

ระบบไฮเทคอัจฉริยะ
คู่หูหม้อแปลงไฟฟ้า!

- ระบบ Sensor ติดตามการทำงานตลอด **24 ชั่วโมง**
- สามารถ**แจ้งเตือน** เมื่อระบบตรวจพบ**ความผิดปกติของหม้อแปลง**
- แสดงผลแบบ **Real Time** ผ่านระบบ **Cloud**
- **ช่วยลดค่าใช้จ่าย** ในการบำรุงรักษาหม้อแปลง

Dry Type Cast Resin Transformer

หม้อแปลงชนิดแห้ง
ปลอดภัย ทนทาน

- ฉนวน Class F ที่ทนความร้อนได้สูงสุด **155** องศาเซลเซียส
- ประสิทธิภาพในการจ่าย Overload สูงสุดถึง **40%**
- **ฉนวนเรซิน (Resin)** ทนต่ออุณหภูมิสูงและไม่ลามไฟ เหมาะกับการติดตั้งภายในอาคาร
- **ช่วยลดค่าใช้จ่าย** ในการบำรุงรักษา

สอบถามรายละเอียดเพิ่มเติม 02-379-3089 QTC Energy PCL. qtc-energy.com LINE @QTCENERGY

HENISWARE
Engineering Solution

SIEMENS EDA
Thailand Distributor
HENISWARE

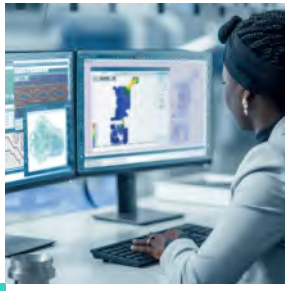

Henisware คือผู้จัดจำหน่ายอย่างเป็นทางการของ Siemens EDA ในประเทศไทย เรานำเสนอซอฟต์แวร์ออกแบบอิเล็กทรอนิกส์ระดับโลก ครอบคลุม IC Design, PCB Design, Simulation, และ Manufacturing

พร้อมให้บริการฝึกอบรม สนับสนุนทางเทคนิค และความร่วมมือกับภาคอุตสาหกรรมและสถาบันการศึกษาในประเทศไทย

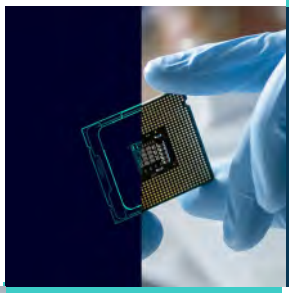

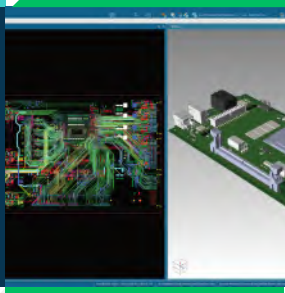

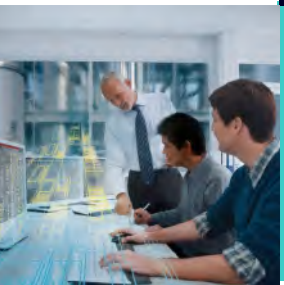

henisware.com

KEYSIGHT iRCT

FieldFox Handheld Spectrum Analyzers

เครื่องวิเคราะห์สเปกตรัมที่ครบเครื่องที่สุด!

- รองรับความถี่สูงสุด 54 GHz ด้วยความแม่นยำระดับเครื่องตั้งโต๊ะ
- รองรับการทดสอบ 5G / LTE ด้วยแบนด์วิดท์สูงสุด 120 MHz
- วิเคราะห์สัญญาณแบบ Real-Time Spectrum Analysis (RTSA) ตรวจจับสัญญาณรบกวนเล็ก ๆ ได้อย่างแม่นยำ
- ใช้งานได้หลายโหมด (All-in-One): CAT, VNA, Spectrum Analyzer
- โครงสร้างแข็งแรง ทนทาน และน้ำหนักเบา เหมาะกับงานภาคสนาม

Facebook
IRCT.co.LTD

Contact Us
02 717 1400

Visit Us
http://www.irct.co.th

Altair SimLab

Altair FluxMotor

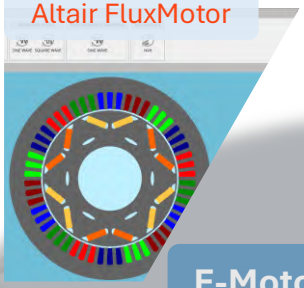

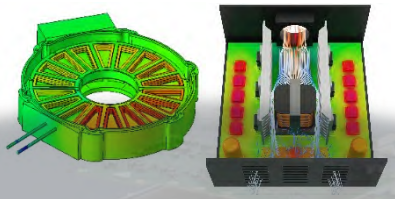

Altair PSIM

E-Motor and Power Electronics Simulation

Altair PollEx

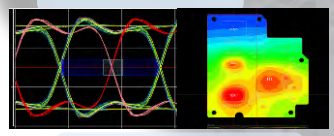

PSC SmartCtrl

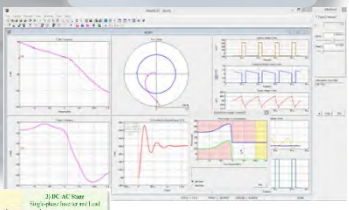

Altair Feko

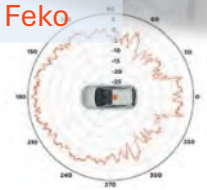

DSIM

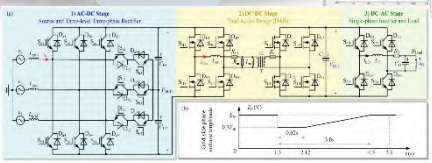

Real-time Control and Testing

SmartRCP

SmartRPP

Simcenter Testlab RT

Battery Simulator

REAL bpm

ALTAIR

psc Power Smart Control SL

DSIM

Real BPM Co., Ltd.

926/67 Ekkachai Road, Mahachai, Muang Samutsakorn, Samutsakorn 74000

www.realbpm.co.th

sales@realbpm.co.th

+66-65-5194162

DIGITAL INSTRUMENT
22nd Anniversary

Small Telecom

DiLAB

Digital Laboratories

Digital Instrument Co., Ltd. is dedicated to establishing collaboration in training and developing curricula across various fields to align with current technologies, aiming to promote excellence for educational institutions and sustainably benefit communities.

List of Digital Laboratories

- OPTICAL TRANSMISSION LINK
- UTP ANALYZER
- WI-FI TROUBLESHOOTING
- VOIP NETWORK
- PASSIVE OPTICAL NETWORK
- INTERNET OF THINGS
- SWITCHING AND ROUTING
- ARTIFICIAL INTELLIGENCE
- CYBER SECURITY
- RF AND ANTENNA
- PRINTED CIRCUIT BOARD
- 3D PRINTER
- ROBOTICS
- MOBILE APPLICATION

086-340-6598
089-928-5074
di.sales@digitins.com
info@digitins.com
LINE ID : @133bhqco

shape robotics
SMART LEARNING

One Solution for All

thinken

The Mobile STEAM Lab

A state of the art, innovative, ergonomic and compact mobile cart for all educational experiences. Its design emphasizes inclusive and user-friendly learning, connecting schools across the globe, and promoting skill development in a modern format.

Manufactured by Shape Robotics

fable

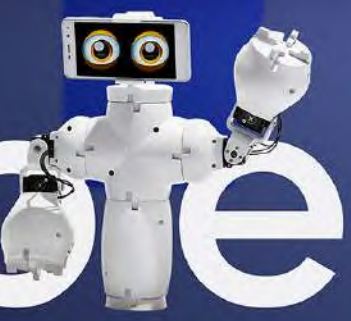

The famous modular educational robot

FABLE is the most advanced modular educational robot for smart and immersive activities. Build your robot in seconds and learn how technology can help you in the future. That simple.

www.digitalinstrument.co.th

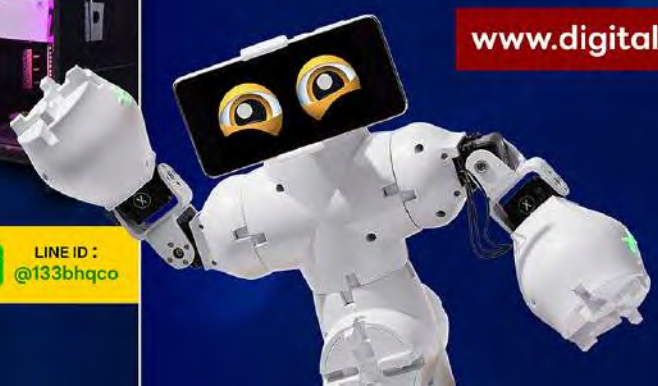

EEAAT
Electrical Engineering Academic Association (Thailand)
GIC
GENERAL INSTRUMENT CO.,LTD.
ABEX
HITACHI
genetron
FES
M.T.K. INSTRUMENT INNOVATIVE CO.,LTD.
MTK
P.G.Intergroup Co., Ltd.
Chroma
QUANTEL
YOKOGAWA
QTC
QTC ENERGY PCL.
iRCT
CSN
SOLUTION
บริษัท ซีเอสเอ็น โซลูชั่น จำกัด
ALL
INSTRUMENT
SOLUTION CO.,LTD.
Marigold
Technologies Co.,Ltd.
PTS
COMBINATION
VENUS
INTELLIGENS
HENISWARE
DIGITAL
INSTRUMENT
22nd Anniversary
REAL
bpm